

Implementazione dei sistemi di confinamento delle emissioni odorigene diffuse dell'impianto di compostaggio esistente nel
Comune di Eboli (SA)

PROGETTO DEFINITIVO – Tabulati di calcolo Tomo 1

X	Comb.	Sfruttamento	Classe	NEd	NRd	Rid. NRd da VEd	My,Ed	My,Rd	Rid. My,Rd da VEd	Rid. My,Rd da NEd	px	py	Verifica
1.85	SLV 6	0.166	1	-99.783	664.325	1	-0.2461	15.4191	1		0	0	Si

Verifica a presso/tenso flessione retta Y SLD §§ 4.2.4.1.2.3 - 4.2.4.1.2.6 - 4.2.4.1.2.7 - 4.2.4.1.2.8 NTC18

Verifiche eseguite utilizzando la formula conservativa (6.2) §6.2.1 EN 1993-1-1:2005.

X	Comb.	Sfruttamento	Classe	NEd	NRd	Rid. NRd da VEd	My,Ed	My,Rd	Rid. My,Rd da VEd	Rid. My,Rd da NEd	px	py	Verifica
1.727	SLD 5	0.079	1	-48.663	664.325	1	-0.0936	15.4191	1		0	0	Si

Verifica a presso/tenso flessione deviata §§ 4.2.4.1.2.3 - 4.2.4.1.2.6 - 4.2.4.1.2.7 - 4.2.4.1.2.8 NTC18

Verifiche eseguite utilizzando la formula conservativa (6.2) §6.2.1 EN 1993-1-1:2005.

X	Comb.	Sfruttamento	Classe	NEd	NRd	Rid. NRd da VEd	Mx,Ed	Mx,Rd	My,Ed	My,Rd	Rid. Mx,Rd da VEd	Rid. Mx,Rd da NEd	Rid. My,Rd da VEd	Rid. My,Rd da NEd	α	β	px	py	Verifica
0	SLV 2	0.256	1	-96.523	664.325	1	2.4935	31.3291	0.4767	15.4191	1		1				0	0	Si

Verifica a presso/tenso flessione deviata SLD §§ 4.2.4.1.2.3 - 4.2.4.1.2.6 - 4.2.4.1.2.7 - 4.2.4.1.2.8 NTC18

Verifiche eseguite utilizzando la formula conservativa (6.2) §6.2.1 EN 1993-1-1:2005.

X	Comb.	Sfruttamento	Classe	NEd	NRd	Rid. NRd da VEd	Mx,Ed	Mx,Rd	My,Ed	My,Rd	Rid. Mx,Rd da VEd	Rid. Mx,Rd da NEd	Rid. My,Rd da VEd	Rid. My,Rd da NEd	α	β	px	py	Verifica
0	SLD 1	0.138	1	-47.711	664.325	1	1.4876	31.3291	0.2938	15.4191	1		1				0	0	Si

Verifiche ad instabilità

Caratteristiche iniziali

Membratura principale per controllo snellezza; Calcolo di snellezze ed N critici condotti secondo gli assi principali;

Curva X: b; Curva Y: c; Svergolamento: Carico all'estradosso; Curva svergolamento: b;

Dati per instabilità attorno a x

Controllo della snellezza secondo §4.2.4.1.3.1 NTC18

Numero rit.	Presente	Ascissa	Campata	βx/m	Vincolo a entrambi estremi	λx/m	λVer
1	Si	0					
			1-2	1	Si	37.8	Si, (<200)
2	Si	1.85					

Dati per instabilità attorno a y

Controllo della snellezza secondo §4.2.4.1.3.1 NTC18

Numero rit.	Presente	Ascissa	Campata	βy/n	k,LT	kw,LT	Vincolo a entrambi estremi	λy/n	λVer
1	Si	0							
			1-2	1	1	1	Si	61.3	Si, (<200)
2	Si	1.85							

Verifica a svergolamento con trazione §4.2.4.1.3.2 NTC18 § 5.5.3 ENV 1993-1-1:1992 + AC:1992 + A1:1994 + A2:1998

X	Comb.	Sfruttamento	Classe	Obblig.	NEd	Mx,Ed	Mx,Eff,Ed	Mb,Rd,x	χ,LT	λ adim. LT	L,LT	M,critico	Verifica
1.357	SLU 2	0	1	Si	1.864	-0.06354	-0.00878	28.25853	0.902	0.633	1.85	82.10616	Si

Verifica di stabilità per tenso-flessione deviata §§ 5.5.3-5.5.4 ENV 1993-1-1:1992 + AC:1992 + A1:1994 + A2:1998

X	Comb.	Sfruttamento	Classe	NEd	Mx,Ed	Mx,Eff,Ed	My,Ed	χ,LT	kLT	ky	M,critico	Wx	Wy	Verifica
0.37	SLU 2	0.004	1	1.864	-0.08479	-0.03004	-0.04505	0.902	1	1	82.10616	0.0001196	0.0000589	Si

Verifica di stabilità per tenso-flessione deviata SLD §§ 5.5.3-5.5.4 ENV 1993-1-1:1992 + AC:1992 + A1:1994 + A2:1998

X	Comb.	Sfruttamento	Classe	NEd	Mx,Ed	Mx,Eff,Ed	My,Ed	χ,LT	kLT	ky	M,critico	Wx	Wy	Verifica
0	SLD 11	0.023	1	7.804	0.3382	0.10896	0.29613	0.902	1	1	82.10616	0.0001196	0.0000589	Si

Verifica di stabilità per pressoflessione §C.4.2.4.1.3.3.2 NTC18

X	Comb.	Sfruttamento	Classe	NEd	NRk	Mx,Ed max	Mx,Rk	My,Ed max	My,Rk	χ,x	χ,y	kxx	kxy	kyy	χ,LT	Verifica	
1.788	SLV 2	0.313	1	-96.523	697.541	2.4935	32.89552	0.47669	16.19002	0.912	0.721	0.591	0.522	0.955	0.871	0.902	Si

Verifica di stabilità per pressoflessione SLD §C.4.2.4.1.3.3.2 NTC18

X	Comb.	Sfruttamento	Classe	NEd	NRk	Mx,Ed max	Mx,Rk	My,Ed max	My,Rk	χ,x	χ,y	kxx	kxy	kyy	χ,LT	Verifica	
0	SLD 1	0.165	1	-47.711	697.541	1.48758	32.89552	0.29383	16.19002	0.912	0.721	0.537	0.427	0.975	0.712	0.902	Si

Verifica di stabilità a taglio anima Y §4.2.4.1.2.4 [4.2.27] NTC18

η	hw	tw	hw/tw max	Verifica
1.2	0.098	0.005	55.46	Si

Verifica di stabilità a taglio anima Y SLD §4.2.4.1.2.4 [4.2.27] NTC18

η	hw	tw	hw/tw max	Verifica
1.2	0.098	0.005	55.46	Si

Verifiche a deformabilità

Mensola X: No; Mensola Y: No.

Frecce lungo X

Ascissa freccia	Combinazione	Freccia	Luce	L/f	L/f,min	Tipo	Verifica
0.74	SLE RA 1	-0.00008	1.85	10000	250	Totale	Si
0.74	SLE RA 17	-0.00011	1.85	10000	250	Totale	Si
0.74	SLE RA 16	-0.00014	1.85	10000	250	Totale	Si
0.74	SLE RA 15	-0.0001	1.85	10000	250	Totale	Si
0.74	SLE RA 14	-0.00014	1.85	10000	250	Totale	Si
0.74	SLE RA 2	0.00006	1.85	10000	350	Variabile	Si
0.74	SLE RA 17	-0.00003	1.85	10000	350	Variabile	Si
0.74	SLE RA 16	-0.00007	1.85	10000	350	Variabile	Si
0.802	SLE RA 15	-0.00002	1.85	10000	350	Variabile	Si
0.74	SLE RA 14	-0.00006	1.85	10000	350	Variabile	Si

Frecce lungo Y

Ascissa freccia	Combinazione	Freccia	Luce	L/f	L/f,min	Tipo	Verifica
0.74	SLE RA 18	0.00025	1.85	7393.7	250	Totale	Si
0.74	SLE RA 10	0.00022	1.85	8476.6	250	Totale	Si
0.74	SLE RA 14	0.00022	1.85	8476.6	250	Totale	Si
0.74	SLE RA 6	0.00021	1.85	8650.9	250	Totale	Si
0.74	SLE RA 16	0.00021	1.85	8857.4	250	Totale	Si

Implementazione dei sistemi di confinamento delle emissioni odorigene diffuse dell'impianto di compostaggio esistente nel
Comune di Eboli (SA)
PROGETTO DEFINITIVO – Tabulati di calcolo Tomo 1

Ascissa freccia	Combinazione	Freccia	Luce	L/f	L/f,min	Tipo	Verifica
0.74	SLE RA 2	-0.00009	1.85	10000	350	Variabile	Si
0.74	SLE RA 17	0.00004	1.85	10000	350	Variabile	Si
0.74	SLE RA 16	0.0001	1.85	10000	350	Variabile	Si
0.74	SLE RA 15	0.00002	1.85	10000	350	Variabile	Si
0.74	SLE RA 14	0.00011	1.85	10000	350	Variabile	Si

Superelemento in acciaio a quota "590" (1349; 3005)-(1573; 3003)

Caratteristiche del materiale

Acciaio: S275, fyk = 275000

Caratteristiche geometriche

Lunghezza: 2.25

Nodo iniziale: 504 Nodo finale: 500

Cerniera iniziale: No Cerniera finale: No

Sovraresistenza: 0% Sisma Z: No

Caratteristiche della sezione

Sezione	Rotazione	Area	Jx	Jy	ix	iy	Wx	Wy	Wplx	Wply
HEA120	0	0.002537	0.0000060673	0.0000023091	0.0489	0.0302	0.00010644	0.00003849	0.00011962	0.00005887

Verifiche di resistenza

Verifiche a forza assiale §4.2.4.1.2.1 - §4.2.4.1.2.2 NTC18

X	Comb.	Sfruttamento	Classe	NEd	Nc,Rd	Nt,Rd	Riduzione da taglio	px	py	Verifica
1.35	SLU 76	0.075		49.768		664.325	1	0	0	Si

Verifiche a forza assiale SLD §4.2.4.1.2.1 - §4.2.4.1.2.2 NTC18

X	Comb.	Sfruttamento	Classe	NEd	Nc,Rd	Nt,Rd	Riduzione da taglio	px	py	Verifica
2.25	SLD 10	0.04		26.67		664.325	1	0	0	Si

Verifica a taglio X §4.2.4.1.2.4 NTC18

X	Comb.	Sfruttamento	VEd	Vc,Rd	Av	Interazione taglio-torsione	Riduzione torsione	Verifica
1.125	SLV 3	0.001	0.239	308.558	0.002047	Considerata	1	Si

Verifica a taglio Y §4.2.4.1.2.4 NTC18

X	Comb.	Sfruttamento	VEd	Vc,Rd	Av	Interazione taglio-torsione	Riduzione torsione	Verifica
2.25	SLU 76	0.022	-2.813	128.304	0.000849	Considerata	1	Si

Verifica a taglio Y SLD §4.2.4.1.2.4 NTC18

X	Comb.	Sfruttamento	VEd	Vc,Rd	Av	Interazione taglio-torsione	Riduzione torsione	Verifica
2.25	SLD 8	0.012	-1.579	128.18	0.000849	Considerata	1	Si

Verifica a torsione §4.2.4.1.2.5 NTC18

X	Comb.	Sfruttamento torsione	TEd	TRd	Riduzione taglio resistente	Sfruttamento taglio-torsione	τEd,totale	τRd	Verifica
1.65	SLV 13	0.009	-0.00725	0.85138	Considerata				Si

Verifica a torsione SLD §4.2.4.1.2.5 NTC18

X	Comb.	Sfruttamento torsione	TEd	TRd	Riduzione taglio resistente	Sfruttamento taglio-torsione	τEd,totale	τRd	Verifica
0	SLD 14	0.004	-0.00319	0.85138	Considerata				Si

Verifica a presso/tenso flessione retta X §§ 4.2.4.1.2.3 - 4.2.4.1.2.6 - 4.2.4.1.2.7 - 4.2.4.1.2.8 NTC18

Verifiche eseguite utilizzando la formula conservativa (6.2) §6.2.1 EN 1993-1-1:2005.

X	Comb.	Sfruttamento	Classe	NEd	NRd	Rid. NRd da VEd	Mx,Ed	Mx,Rd	Rid. Mx,Rd da VEd	Rid. Mx,Rd da NEd	px	py	Verifica
2.025	SLU 76	0.097	1	49.768	664.325	1	0.7053	31.3291	1		0	0	Si

Verifica a presso/tenso flessione retta X SLD §§ 4.2.4.1.2.3 - 4.2.4.1.2.6 - 4.2.4.1.2.7 - 4.2.4.1.2.8 NTC18

Verifiche eseguite utilizzando la formula conservativa (6.2) §6.2.1 EN 1993-1-1:2005.

X	Comb.	Sfruttamento	Classe	NEd	NRd	Rid. NRd da VEd	Mx,Ed	Mx,Rd	Rid. Mx,Rd da VEd	Rid. Mx,Rd da NEd	px	py	Verifica
0.15	SLD 13	0.077	1	26.611	664.325	1	-1.1501	31.3291	1		0	0	Si

Verifica a presso/tenso flessione retta Y §§ 4.2.4.1.2.3 - 4.2.4.1.2.6 - 4.2.4.1.2.7 - 4.2.4.1.2.8 NTC18

Verifiche eseguite utilizzando la formula conservativa (6.2) §6.2.1 EN 1993-1-1:2005.

X	Comb.	Sfruttamento	Classe	NEd	NRd	Rid. NRd da VEd	My,Ed	My,Rd	Rid. My,Rd da VEd	Rid. My,Rd da NEd	px	py	Verifica
1.725	SLV 5	0.076	1	29.905	664.325	1	-0.4762	15.4191	1		0	0	Si

Verifica a presso/tenso flessione deviata §§ 4.2.4.1.2.3 - 4.2.4.1.2.6 - 4.2.4.1.2.7 - 4.2.4.1.2.8 NTC18

Verifiche eseguite utilizzando la formula conservativa (6.2) §6.2.1 EN 1993-1-1:2005.

X	Comb.	Sfruttamento	Classe	NEd	NRd	Rid. NRd da VEd	Mx,Ed	Mx,Rd	My,Ed	My,Rd	Rid. Mx,Rd da VEd	Rid. Mx,Rd da NEd	Rid. My,Rd da VEd	Rid. My,Rd da NEd	α	β	px	py	Verifica
0	SLU 76	0.243	1	49.768	664.325	1	-4.3413	31.3291	-0.4515	15.4191	1		1				0	0	Si

Verifica a presso/tenso flessione deviata SLD §§ 4.2.4.1.2.3 - 4.2.4.1.2.6 - 4.2.4.1.2.7 - 4.2.4.1.2.8 NTC18

Verifiche eseguite utilizzando la formula conservativa (6.2) §6.2.1 EN 1993-1-1:2005.

X	Comb.	Sfruttamento	Classe	NEd	NRd	Rid. NRd da VEd	Mx,Ed	Mx,Rd	My,Ed	My,Rd	Rid. Mx,Rd da VEd	Rid. Mx,Rd da NEd	Rid. My,Rd da VEd	Rid. My,Rd da NEd	α	β	px	py	Verifica
0	SLD 8	0.117	1	17.187	664.325	1	-2.3403	31.3291	-0.2503	15.4191	1		1				0	0	Si

Implementazione dei sistemi di confinamento delle emissioni odorigene diffuse dell'impianto di compostaggio esistente nel
Comune di Eboli (SA)
PROGETTO DEFINITIVO – Tabulati di calcolo Tomo 1

Verifiche ad instabilità

Caratteristiche iniziali

Membratura principale per controllo snellezza; Calcolo di snellezze ed N critici condotti secondo gli assi principali;
Curva X: b; Curva Y: c; Svergolamento: Carico all'estradosso; Curva svergolamento: b;

Dati per instabilità attorno a x

Controllo della snellezza secondo §4.2.4.1.3.1 NTC18

Numero rit.	Presente	Ascissa	Campata	$\beta x/m$	Vincolo a entrambi estremi	$\lambda x/m$	λVer
1	Si	0					
			1-2	1	Si	46	Si, (<200)
2	Si	2.25					

Dati per instabilità attorno a y

Controllo della snellezza secondo §4.2.4.1.3.1 NTC18

Numero rit.	Presente	Ascissa	Campata	$\beta y/n$	k,LT	kw,LT	Vincolo a entrambi estremi	$\lambda y/n$	λVer
1	Si	0							
			1-2	1	1	1	Si	74.6	Si, (<200)
2	Si	2.25							

Verifica a svergolamento con trazione §4.2.4.1.3.2 NTC18 § 5.5.3 ENV 1993-1-1:1992 + AC:1992 + A1:1994 + A2:1998

X	Comb.	Sfruttamento	Classe	Obblig.	NEd	Mx,Ed	Mx,Eff,Ed	Mb,Rd,x	χ,LT	λ adim. LT	L,LT	M,critico	Verifica
0	SLV 59	0.019	1	Si	16.036	-0.99	-0.51894	26.94698	0.86	0.719	2.25	63.65876	Si

Verifica a svergolamento con trazione SLD §4.2.4.1.3.2 NTC18 § 5.5.3 ENV 1993-1-1:1992 + AC:1992 + A1:1994 + A2:1998

X	Comb.	Sfruttamento	Classe	Obblig.	NEd	Mx,Ed	Mx,Eff,Ed	Mb,Rd,x	χ,LT	λ adim. LT	L,LT	M,critico	Verifica
0.15	SLD 13	0.014	1	Si	26.611	-1.15008	-0.36836	26.94698	0.86	0.719	2.25	63.65876	Si

Verifica di stabilità per tenso-flessione deviata §§ 5.5.3-5.5.4 ENV 1993-1-1:1992 + AC:1992 + A1:1994 + A2:1998

X	Comb.	Sfruttamento	Classe	NEd	Mx,Ed	Mx,Eff,Ed	My,Ed	χ,LT	kLT	ky	M,critico	Wx	Wy	Verifica
0	SLV 8	0.147	1	7.336	-3.39937	-3.18387	-0.44744	0.86	1	1	63.65876	0.0001196	0.0000589	Si

Verifica di stabilità per tenso-flessione deviata SLD §§ 5.5.3-5.5.4 ENV 1993-1-1:1992 + AC:1992 + A1:1994 + A2:1998

X	Comb.	Sfruttamento	Classe	NEd	Mx,Ed	Mx,Eff,Ed	My,Ed	χ,LT	kLT	ky	M,critico	Wx	Wy	Verifica
0	SLD 7	0.084	1	17.187	-2.34027	-1.8354	-0.25027	0.86	1	1	63.65876	0.0001196	0.0000589	Si

Verifica di stabilità a taglio anima Y §4.2.4.1.2.4 [4.2.27] NTC18

η	hw	tw	hw/tw max	Verifica
1.2	0.098	0.005	55.46	Si

Verifica di stabilità a taglio anima Y SLD §4.2.4.1.2.4 [4.2.27] NTC18

η	hw	tw	hw/tw max	Verifica
1.2	0.098	0.005	55.46	Si

Verifiche a deformabilità

Mensola X: No; Mensola Y: No.

Frecce lungo X

Ascissa freccia	Combinazione	Freccia	Luce	L/f	L/f,min	Tipo	Verifica
0.9	SLE RA 1	0.00008	2.25	10000	250	Totale	Si
0.9	SLE RA 17	0.00012	2.25	10000	250	Totale	Si
0.9	SLE RA 16	0.00016	2.25	10000	250	Totale	Si
0.9	SLE RA 15	0.00016	2.25	10000	250	Totale	Si
0.975	SLE RA 14	0.00011	2.25	10000	250	Totale	Si
0.9	SLE RA 2	-0.00008	2.25	10000	350	Variabile	Si
0.9	SLE RA 17	0.00004	2.25	10000	350	Variabile	Si
0.9	SLE RA 16	0.00008	2.25	10000	350	Variabile	Si
0.9	SLE RA 15	0.00008	2.25	10000	350	Variabile	Si
0.975	SLE RA 14	0.00003	2.25	10000	350	Variabile	Si

Frecce lungo Y

Ascissa freccia	Combinazione	Freccia	Luce	L/f	L/f,min	Tipo	Verifica
0.825	SLE RA 19	-0.00062	2.25	3606.8	250	Totale	Si
0.825	SLE RA 16	-0.00056	2.25	4005.9	250	Totale	Si
0.9	SLE RA 15	-0.00056	2.25	4010	250	Totale	Si
0.9	SLE RA 11	-0.00056	2.25	4010	250	Totale	Si
0.9	SLE RA 7	-0.00054	2.25	4167.6	250	Totale	Si
0.825	SLE RA 19	-0.00025	2.25	8985.7	350	Variabile	Si
0.825	SLE RA 17	-0.00008	2.25	10000	350	Variabile	Si
0.825	SLE RA 16	-0.00019	2.25	10000	350	Variabile	Si
0.825	SLE RA 15	-0.00019	2.25	10000	350	Variabile	Si
0.825	SLE RA 14	-0.00006	2.25	10000	350	Variabile	Si

Superelemento in acciaio a quota "590" (1364; 1510)-(1491; 1645)

Caratteristiche del materiale

Acciaio: S275, fyk = 275000

Caratteristiche geometriche

Lunghezza: 1.85

Nodo iniziale: 400 Nodo finale: 405

Cerniera iniziale: No Cerniera finale: No

Sovraresistenza: 0% Sisma Z: No

Caratteristiche della sezione

Sezione	Rotazione	Area	Jx	Jy	ix	iy	Wx	Wy	Wplx	Wply
HEA120	0	0.002537	0.0000060673	0.0000023091	0.0489	0.0302	0.00010644	0.00003849	0.00011962	0.00005887

**Implementazione dei sistemi di confinamento delle emissioni odorigene diffuse dell'impianto di compostaggio esistente nel
Comune di Eboli (SA)
PROGETTO DEFINITIVO – Tabulati di calcolo Tomo 1**

Verifiche di resistenza

Verifiche a forza assiale §4.2.4.1.2.1 - §4.2.4.1.2.2 NTC18

X	Comb.	Sfruttamento	Classe	NEd	Nc,Rd	Nt,Rd	Riduzione da taglio	px	py	Verifica
0	SLV 5	0.085	1	-56.787	664.325		1	0	0	Si

Verifiche a forza assiale SLD §4.2.4.1.2.1 - §4.2.4.1.2.2 NTC18

X	Comb.	Sfruttamento	Classe	NEd	Nc,Rd	Nt,Rd	Riduzione da taglio	px	py	Verifica
1.665	SLD 6	0.032	1	-21.312	664.325		1	0	0	Si

Verifica a taglio X §4.2.4.1.2.4 NTC18

X	Comb.	Sfruttamento	VEd	Vc,Rd	Av	Interazione taglio-torsione	Riduzione torsione	Verifica
0	SLU 75	0.001	-0.426	307.058	0.002047	Considerata	0.99	Si

Verifica a taglio Y §4.2.4.1.2.4 NTC18

X	Comb.	Sfruttamento	VEd	Vc,Rd	Av	Interazione taglio-torsione	Riduzione torsione	Verifica
0	SLU 75	0.008	1.063	127.311	0.000849	Considerata	0.99	Si

Verifica a taglio Y SLD §4.2.4.1.2.4 NTC18

X	Comb.	Sfruttamento	VEd	Vc,Rd	Av	Interazione taglio-torsione	Riduzione torsione	Verifica
0	SLD 6	0.004	0.458	127.739	0.000849	Considerata	1	Si

Verifica a torsione §4.2.4.1.2.5 NTC18

X	Comb.	Sfruttamento torsione	TEd	TRd	Riduzione taglio resistente	Sfruttamento taglio-torsione	rEd,totale	rRd	Verifica
1.85	SLU 75	0.019	-0.01642	0.85138	Considerata				Si

Verifica a torsione SLD §4.2.4.1.2.5 NTC18

X	Comb.	Sfruttamento torsione	TEd	TRd	Riduzione taglio resistente	Sfruttamento taglio-torsione	rEd,totale	rRd	Verifica
1.85	SLD 5	0.011	-0.00936	0.85138	Considerata				Si

Verifica a flessione semplice Y §§ 4.2.4.1.2.3 - 4.2.4.1.2.6 - 4.2.4.1.2.7 - 4.2.4.1.2.8 NTC18

X	Comb.	Sfruttamento	Classe	My,Ed	My,Rd	Rid. My,Rd da VEd	px	py	Verifica
1.233	SLU 40	0.003	1	0.04016	15.41907	1	0	0	Si

Verifica a flessione deviata §§ 4.2.4.1.2.3 - 4.2.4.1.2.6 - 4.2.4.1.2.7 - 4.2.4.1.2.8 NTC18

X	Comb.	Sfruttamento	Classe	Mx,Ed	Mx,Rd	My,Ed	My,Rd	Rid. Mx,Rd da VEd	Rid. My,Rd da VEd	α	β	px	py	Verifica
1.85	SLU 75	0.119	1	-1.9141	31.3291	-0.899	15.4191	1	1			0	0	Si

Verifica a presso/tenso flessione retta X §§ 4.2.4.1.2.3 - 4.2.4.1.2.6 - 4.2.4.1.2.7 - 4.2.4.1.2.8 NTC18

Verifiche eseguite utilizzando la formula conservativa (6.2) §6.2.1 EN 1993-1-1:2005.

X	Comb.	Sfruttamento	Classe	NEd	NRd	Rid. NRd da VEd	Mx,Ed	Mx,Rd	Rid. Mx,Rd da VEd	Rid. Mx,Rd da NEd	px	py	Verifica
0.863	SLV 1	0.096	1	-54.501	664.325	1	-0.4336	31.3291	1		0	0	Si

Verifica a presso/tenso flessione retta X SLD §§ 4.2.4.1.2.3 - 4.2.4.1.2.6 - 4.2.4.1.2.7 - 4.2.4.1.2.8 NTC18

Verifiche eseguite utilizzando la formula conservativa (6.2) §6.2.1 EN 1993-1-1:2005.

X	Comb.	Sfruttamento	Classe	NEd	NRd	Rid. NRd da VEd	Mx,Ed	Mx,Rd	Rid. Mx,Rd da VEd	Rid. Mx,Rd da NEd	px	py	Verifica
0.308	SLD 1	0.038	1	-20.654	664.325	1	-0.2256	31.3291	1		0	0	Si

Verifica a presso/tenso flessione retta Y §§ 4.2.4.1.2.3 - 4.2.4.1.2.6 - 4.2.4.1.2.7 - 4.2.4.1.2.8 NTC18

Verifiche eseguite utilizzando la formula conservativa (6.2) §6.2.1 EN 1993-1-1:2005.

X	Comb.	Sfruttamento	Classe	NEd	NRd	Rid. NRd da VEd	My,Ed	My,Rd	Rid. My,Rd da VEd	Rid. My,Rd da NEd	px	py	Verifica
0	SLV 1	0.094	1	-54.501	664.325	1	0.1843	15.4191	1		0	0	Si

Verifica a presso/tenso flessione deviata §§ 4.2.4.1.2.3 - 4.2.4.1.2.6 - 4.2.4.1.2.7 - 4.2.4.1.2.8 NTC18

Verifiche eseguite utilizzando la formula conservativa (6.2) §6.2.1 EN 1993-1-1:2005.

X	Comb.	Sfruttamento	Classe	NEd	NRd	Rid. NRd da VEd	Mx,Ed	Mx,Rd	My,Ed	My,Rd	Rid. Mx,Rd da VEd	Rid. Mx,Rd da NEd	Rid. My,Rd da VEd	Rid. My,Rd da NEd	α	β	px	py	Verifica
1.85	SLV 6	0.132	1	-56.787	664.325	1	-0.7485	31.3291	-0.3429	15.4191	1		1				0	0	Si

Verifica a presso/tenso flessione deviata SLD §§ 4.2.4.1.2.3 - 4.2.4.1.2.6 - 4.2.4.1.2.7 - 4.2.4.1.2.8 NTC18

Verifiche eseguite utilizzando la formula conservativa (6.2) §6.2.1 EN 1993-1-1:2005.

X	Comb.	Sfruttamento	Classe	NEd	NRd	Rid. NRd da VEd	Mx,Ed	Mx,Rd	My,Ed	My,Rd	Rid. Mx,Rd da VEd	Rid. Mx,Rd da NEd	Rid. My,Rd da VEd	Rid. My,Rd da NEd	α	β	px	py	Verifica
1.85	SLD 6	0.07	1	-21.312	664.325	1	-0.588	31.3291	-0.2895	15.4191	1		1				0	0	Si

Verifiche ad instabilità

Caratteristiche iniziali

Membratura principale per controllo snellezza; Calcolo di snellezze ed N critici condotti secondo gli assi principali;

Curva X: b; Curva Y: c; Svergolamento: Carico all'estradosso; Curva svergolamento: b;

Dati per instabilità attorno a x

Controllo della snellezza secondo §4.2.4.1.3.1 NTC18

Numero rit.	Presente	Ascissa	Campata	βx/m	Vincolo a entrambi estremi	λx/m	λVer
1	Si	0					
			1-2		1	37.8	Si, (<200)
2	Si	1.85					

Dati per instabilità attorno a y

Controllo della snellezza secondo §4.2.4.1.3.1 NTC18

Numero rit.	Presente	Ascissa	Campata	βy/n	k,LT	kw,LT	Vincolo a entrambi estremi	λy/n	λVer
1	Si	0							
			1-2		1	1	1	61.3	Si, (<200)

Implementazione dei sistemi di confinamento delle emissioni odorigene diffuse dell’impianto di compostaggio esistente nel
Comune di Eboli (SA)

PROGETTO DEFINITIVO – Tabulati di calcolo Tomo 1

Numero rit.	Presente	Ascissa	Campata	$\beta y/n$	k,LT	kw,LT	Vincolo a entrambi estremi	$\lambda y/n$	λVer
2	Si	1.85							

Verifica a svergolamento con trazione SLD §4.2.4.1.3.2 NTC18 § 5.5.3 ENV 1993-1-1:1992 + AC:1992 + A1:1994 + A2:1998

X	Comb.	Sfruttamento	Classe	Obblig.	NEd	Mx,Ed	Mx,Eff,Ed	Mb,Rd,x	χ ,LT	λ adim. LT	L,LT	M,critico	Verifica
0.617	SLD 7	0.001	1	Si	9.815	-0.31838	-0.03005	30.46613	0.972	0.47	1.85	148.98428	Si

Verifica di stabilità per tenso-flessione deviata §§ 5.5.3-5.5.4 ENV 1993-1-1:1992 + AC:1992 + A1:1994 + A2:1998

X	Comb.	Sfruttamento	Classe	NEd	Mx,Ed	Mx,Eff,Ed	My,Ed	χ ,LT	kLT	ky	M,critico	Wx	Wy	Verifica
1.85	SLU 18	0.105	1	0.519	-1.68345	-1.66821	-0.78182	0.983	1	1	166.73833	0.0001196	0.0000589	Si

Verifica di stabilità per tenso-flessione deviata SLD §§ 5.5.3-5.5.4 ENV 1993-1-1:1992 + AC:1992 + A1:1994 + A2:1998

X	Comb.	Sfruttamento	Classe	NEd	Mx,Ed	Mx,Eff,Ed	My,Ed	χ ,LT	kLT	ky	M,critico	Wx	Wy	Verifica
1.85	SLD 14	0.027	1	8.593	-0.45112	-0.19871	-0.31421	0.973	1	1	150.31996	0.0001196	0.0000589	Si

Verifica di stabilità per pressoflessione §C.4.2.4.1.3.3.2 NTC18

X	Comb.	Sfruttamento	Classe	NEd	NRk	Mx,Ed max	Mx,Rk	My,Ed max	My,Rk	χ_x	χ_y	k _{xx}	k _{xy}	k _{yy}	χ_{LT}	Verifica	
1.357	SLV 6	0.165	1	-56.787	697.541	0.74846	32.89552	0.34287	16.19002	0.912	0.721	0.704	0.551	0.981	0.918	0.902	Si

Verifica di stabilità per pressoflessione SLD §C.4.2.4.1.3.3.2 NTC18

X	Comb.	Sfruttamento	Classe	NEd	NRk	Mx,Ed max	Mx,Rk	My,Ed max	My,Rk	χ_x	χ_y	kxx	kxy	kyy	χ_{LT}	Verifica	
1.727	SLD 6	0.077	1	-21.312	697.541	0.58798	32.89552	0.28945	16.19002	0.912	0.721	0.78	0.447	0.994	0.745	0.987	Si

Verifica di stabilità a taglio anima Y §4.2.4.1.2.4 [4.2.27] NTC18

η	hw	tw	hw/tw max	Verifica
1.2	0.098	0.005	55.46	Si

Verifica di stabilità a taglio anima Y SLD §4.2.4.1.2.4 [4.2.27] NTC18

η	hw	tw	hw/tw max	Verifica
1.2	0.098	0.005	55.46	Si

Verifiche a deformabilità

Mensola X: No; Mensola Y: No.

Frecce lungo X

Ascissa freccia	Combinazione	Freccia	Luce	L/f	L/f,min	Tipo	Verifica
1.048	SLE RA 18	0.00031	1.85	5923.3	250	Totale	Si
1.048	SLE RA 6	0.00027	1.85	6809.5	250	Totale	Si
1.048	SLE RA 10	0.00027	1.85	6815.3	250	Totale	Si
1.048	SLE RA 14	0.00027	1.85	6815.3	250	Totale	Si
1.048	SLE RA 16	0.00025	1.85	7380.4	250	Totale	Si
1.048	SLE RA 2	-0.00011	1.85	10000	350	Variabile	Si
1.048	SLE RA 17	0.00005	1.85	10000	350	Variabile	Si
1.048	SLE RA 16	0.00012	1.85	10000	350	Variabile	Si
1.11	SLE RA 15	0.00002	1.85	10000	350	Variabile	Si
1.048	SLE RA 14	0.00014	1.85	10000	350	Variabile	Si

Frecce lungo Y

Ascissa freccia	Combinazione	Freccia	Luce	L/f	L/f,min	Tipo	Verifica
0.987	SLE RA 18	-0.00029	1.85	6275	250	Totale	Si
0.987	SLE RA 6	-0.00027	1.85	6962.5	250	Totale	Si
0.987	SLE RA 10	-0.00026	1.85	7104.9	250	Totale	Si
0.987	SLE RA 14	-0.00026	1.85	7104.9	250	Totale	Si
0.987	SLE RA 16	-0.00024	1.85	7866.3	250	Totale	Si
1.048	SLE RA 2	0.0001	1.85	10000	350	Variabile	Si
1.048	SLE RA 17	-0.00005	1.85	10000	350	Variabile	Si
1.048	SLE RA 16	-0.0001	1.85	10000	350	Variabile	Si
0.925	SLE RA 15	-0.00001	1.85	10000	350	Variabile	Si
1.048	SLE RA 14	-0.00013	1.85	10000	350	Variabile	Si

Superelemento in acciaio a quota "590" (1491; 1645)-(1618; 1779)

Caratteristiche del materiale

Acciaio: S275, fyk = 275000

Caratteristiche geometriche

Lunghezza: 1.85

Nodo iniziale: 405 Nodo finale: 414

Cerniera iniziale: No Cerniera finale: No

Sovreresistenza: 0% Sisma Z: No

Caratteristiche della sezione

Sezione	Rotazione	Area	Jx	Jy	ix	iy	Wx	Wy	Wplx	Wply
HEA120	0	0.002537	0.0000060673	0.0000023091	0.0489	0.0302	0.00010644	0.00003849	0.00011962	0.00005887

Verifiche di resistenza

Verifiche a forza assiale §4.2.4.1.2.1 - §4.2.4.1.2.2 NTC18

X	Comb.	Sfruttamento	Classe	NEd	Nc,Rd	Nt,Rd	Riduzione da taglio	px	py	Verifica
0.863	SLU 75	0.027		17.974		664.325	1	0	0	Si

Verifiche a forza assiale SLD §4.2.4.1.2.1 - §4.2.4.1.2.2 NTC18

X	Comb.	Sfruttamento	Classe	NEd	Nc,Rd	Nt,Rd	Riduzione da taglio	px	py	Verifica
1.85	SLD 4	0.012		7.915		664.325	1	0	0	Si

Verifica a taglio X §4.2.4.1.2.4 NTC18

X	Comb.	Sfruttamento	VEd	Vc,Rd	Av	Interazione taglio-torsione	Riduzione torsione	Verifica

**Implementazione dei sistemi di confinamento delle emissioni odorigene diffuse dell'impianto di compostaggio esistente nel
Comune di Eboli (SA)
PROGETTO DEFINITIVO – Tabulati di calcolo Tomo 1**

X	Comb.	Sfruttamento	VEd	Vc,Rd	Av	Interazione taglio-torsione	Riduzione torsione	Verifica
1.85	SLU 75	0.001	0.277	308.502	0.002047	Considerata	1	Si

Verifica a taglio Y §4.2.4.1.2.4 NTC18

X	Comb.	Sfruttamento	VEd	Vc,Rd	Av	Interazione taglio-torsione	Riduzione torsione	Verifica
1.85	SLU 75	0.009	-1.167	127.909	0.000849	Considerata	1	Si

Verifica a taglio Y SLD §4.2.4.1.2.4 NTC18

X	Comb.	Sfruttamento	VEd	Vc,Rd	Av	Interazione taglio-torsione	Riduzione torsione	Verifica
1.85	SLD 5	0.003	-0.444	128.153	0.000849	Considerata	1	Si

Verifica a torsione §4.2.4.1.2.5 NTC18

X	Comb.	Sfruttamento torsione	TEd	TRd	Riduzione taglio resistente	Sfruttamento taglio-torsione	rEd,totale	rRd	Verifica
0.925	SLV 11	0.015	0.01272	0.85138	Considerata				Si

Verifica a torsione SLD §4.2.4.1.2.5 NTC18

X	Comb.	Sfruttamento torsione	TEd	TRd	Riduzione taglio resistente	Sfruttamento taglio-torsione	rEd,totale	rRd	Verifica
1.85	SLD 12	0.007	0.00602	0.85138	Considerata				Si

Verifica a flessione deviata §§ 4.2.4.1.2.3 - 4.2.4.1.2.6 - 4.2.4.1.2.7 - 4.2.4.1.2.8 NTC18

X	Comb.	Sfruttamento	Classe	Mx,Ed	Mx,Rd	My,Ed	My,Rd	Rid. Mx,Rd da VEd	Rid. My,Rd da VEd	α	β	px	py	Verifica
0.308	SLU 64	0.018	1	-0.2103	31.3291	-0.1718	15.4191	1	1			0	0	Si

Verifica a presso/tenso flessione retta X §§ 4.2.4.1.2.3 - 4.2.4.1.2.6 - 4.2.4.1.2.7 - 4.2.4.1.2.8 NTC18

Verifiche eseguite utilizzando la formula conservativa (6.2) §6.2.1 EN 1993-1-1:2005.

X	Comb.	Sfruttamento	Classe	NEd	NRd	Rid. NRd da VEd	Mx,Ed	Mx,Rd	Rid. Mx,Rd da VEd	Rid. Mx,Rd da NEd	px	py	Verifica
1.11	SLV 3	0.032	1	12.991	664.325	1	-0.4048	31.3291	1		0	0	Si

Verifica a presso/tenso flessione retta Y §§ 4.2.4.1.2.3 - 4.2.4.1.2.6 - 4.2.4.1.2.7 - 4.2.4.1.2.8 NTC18

Verifiche eseguite utilizzando la formula conservativa (6.2) §6.2.1 EN 1993-1-1:2005.

X	Comb.	Sfruttamento	Classe	NEd	NRd	Rid. NRd da VEd	My,Ed	My,Rd	Rid. My,Rd da VEd	Rid. My,Rd da NEd	px	py	Verifica
1.85	SLV 5	0.017	1	0.843	664.325	1	-0.2359	15.4191	1		0	0	Si

Verifica a presso/tenso flessione deviata §§ 4.2.4.1.2.3 - 4.2.4.1.2.6 - 4.2.4.1.2.7 - 4.2.4.1.2.8 NTC18

Verifiche eseguite utilizzando la formula conservativa (6.2) §6.2.1 EN 1993-1-1:2005.

X	Comb.	Sfruttamento	Classe	NEd	NRd	Rid. NRd da VEd	Mx,Ed	Mx,Rd	My,Ed	My,Rd	Rid. Mx,Rd da VEd	Rid. Mx,Rd da NEd	Rid. My,Rd da VEd	Rid. My,Rd da NEd	α	β	px	py	Verifica
0	SLU 75	0.146	1	17.974	664.325	1	-1.9136	31.3291	-0.8917	15.4191	1		1				0	0	Si

Verifica a presso/tenso flessione deviata SLD §§ 4.2.4.1.2.3 - 4.2.4.1.2.6 - 4.2.4.1.2.7 - 4.2.4.1.2.8 NTC18

Verifiche eseguite utilizzando la formula conservativa (6.2) §6.2.1 EN 1993-1-1:2005.

X	Comb.	Sfruttamento	Classe	NEd	NRd	Rid. NRd da VEd	Mx,Ed	Mx,Rd	My,Ed	My,Rd	Rid. Mx,Rd da VEd	Rid. Mx,Rd da NEd	Rid. My,Rd da VEd	Rid. My,Rd da NEd	α	β	px	py	Verifica
0	SLD 1	0.043	1	6.611	664.325	1	-0.5836	31.3291	-0.2296	15.4191	1		1				0	0	Si

Verifiche ad instabilità

Caratteristiche iniziali

Membratura principale per controllo snellezza; Calcolo di snellezze ed N critici condotti secondo gli assi principali;

Curva X: b; Curva Y: c; Svergolamento: Carico all'estradosso; Curva svergolamento: b;

Dati per instabilità attorno a x

Controllo della snellezza secondo §4.2.4.1.3.1 NTC18

Numero rit.	Presente	Ascissa	Campata	βx/m	Vincolo a entrambi estremi	λx/m	λVer
1	Si		0				
			1-2		1	37.8	Si, (<200)
2	Si	1.85					

Dati per instabilità attorno a y

Controllo della snellezza secondo §4.2.4.1.3.1 NTC18

Numero rit.	Presente	Ascissa	Campata	βy/n	k,LT	kw,LT	Vincolo a entrambi estremi	λy/n	λVer
1	Si		0						
			1-2		1	1	Si	61.3	Si, (<200)
2	Si	1.85							

Verifica a svergolamento con trazione §4.2.4.1.3.2 NTC18 § 5.5.3 ENV 1993-1-1:1992 + AC:1992 + A1:1994 + A2:1998

X	Comb.	Sfruttamento	Classe	Obblig.	NEd	Mx,Ed	Mx,Eff,Ed	Mb,Rd,x	χ,LT	λ adim. LT	L,LT	M,critico	Verifica
1.357	SLU 59	0.002	1	Si	1.445	-0.09803	-0.05559	28.25853	0.902	0.633	1.85	82.10616	Si

Verifica di stabilità per tenso-flessione deviata §§ 5.5.3-5.5.4 ENV 1993-1-1:1992 + AC:1992 + A1:1994 + A2:1998

X	Comb.	Sfruttamento	Classe	NEd	Mx,Ed	Mx,Ed max	My,Ed	χ,LT	kLT	ky	M,critico	Wx	Wy	Verifica
0	SLU 75	0.103	1	17.974	-1.91356	-1.38556	-0.89169	0.989	1	1	179.00198	0.0001196	0.0000589	Si

Verifica di stabilità per tenso-flessione deviata SLD §§ 5.5.3-5.5.4 ENV 1993-1-1:1992 + AC:1992 + A1:1994 + A2:1998

X	Comb.	Sfruttamento	Classe	NEd	Mx,Ed	Mx,Ed max	My,Ed	χ,LT	kLT	ky	M,critico	Wx	Wy	Verifica
0	SLD 9	0.036	1	2.257	-0.54615	-0.47986	-0.30974	0.992	1	1	187.02407	0.0001196	0.0000589	Si

Verifica di stabilità per pressoflessione §C.4.2.4.1.3.3.2 NTC18

X	Comb.	Sfruttamento	Classe	NEd	NRk	Mx,Ed max	Mx,Rk	My,Ed max	My,Rk	χ,x	χ,y	kxx	kxy	kyy	χ,LT	Verifica
1.85	SLV 10	0.052	1	-2.809	697.541	0.63387	32.89552	0.40597	16.19002	0.912	0.721	0.793	0.542	0.999	0.904	0.902

Verifica di stabilità a taglio anima Y §4.2.4.1.2.4 [4.2.27] NTC18

η	hw	tw	hw/tw max	Verifica
1.2	0.098	0.005	55.46	Si

Verifica di stabilità a taglio anima Y SLD §4.2.4.1.2.4 [4.2.27] NTC18

η	hw	tw	hw/tw max	Verifica
---	----	----	-----------	----------

Implementazione dei sistemi di confinamento delle emissioni odorigene diffuse dell’impianto di compostaggio esistente nel
Comune di Eboli (SA)
PROGETTO DEFINITIVO – Tabulati di calcolo Tomo 1

η	hw	tw	hw/tw max	Verifica
1.2	0.098	0.005	55.46	Si

Verifiche a deformabilità

Mensola X: No; Mensola Y: No.

Frecce lungo X

Ascissa freccia	Combinazione	Freccia	Luce	L/f	L/f,min	Tipo	Verifica
0.863	SLE RA 18	0.00039	1.85	4757.2	250	Totale	Si
0.863	SLE RA 10	0.00034	1.85	5489.4	250	Totale	Si
0.863	SLE RA 14	0.00034	1.85	5489.4	250	Totale	Si
0.863	SLE RA 6	0.00033	1.85	5572.5	250	Totale	Si
0.863	SLE RA 16	0.00032	1.85	5806.5	250	Totale	Si
0.863	SLE RA 18	0.00023	1.85	8189.7	350	Variabile	Si
0.863	SLE RA 2	-0.00015	1.85	10000	350	Variabile	Si
0.863	SLE RA 17	0.00007	1.85	10000	350	Variabile	Si
0.863	SLE RA 16	0.00016	1.85	10000	350	Variabile	Si
0.863	SLE RA 15	0.00003	1.85	10000	350	Variabile	Si

Frecce lungo Y

Ascissa freccia	Combinazione	Freccia	Luce	L/f	L/f,min	Tipo	Verifica
0.802	SLE RA 18	-0.00027	1.85	6766.3	250	Totale	Si
0.802	SLE RA 6	-0.00025	1.85	7451.3	250	Totale	Si
0.802	SLE RA 10	-0.00024	1.85	7651.7	250	Totale	Si
0.802	SLE RA 14	-0.00024	1.85	7651.7	250	Totale	Si
0.802	SLE RA 3	-0.00022	1.85	8539.4	250	Totale	Si
0.802	SLE RA 2	0.00009	1.85	10000	350	Variabile	Si
0.802	SLE RA 17	-0.00004	1.85	10000	350	Variabile	Si
0.802	SLE RA 16	-0.00009	1.85	10000	350	Variabile	Si
0.802	SLE RA 15	-0.00001	1.85	10000	350	Variabile	Si
0.802	SLE RA 14	-0.00012	1.85	10000	350	Variabile	Si

Superelemento in acciaio a quota "590" (1573; 3003)-(1798; 3001)

Caratteristiche del materiale

Acciaio: S275, fyk = 275000

Caratteristiche geometriche

Lunghezza: 2.25

Nodo iniziale: 500 Nodo finale: 497

Cerniera iniziale: No Cerniera finale: No

Sovreresistenza: 0% Sisma Z: No

Caratteristiche della sezione

Sezione	Rotazione	Area	Jx	Jy	ix	iy	Wx	Wy	Wplx	Wply
HEA120	0	0.002537	0.0000060673	0.0000023091	0.0489	0.0302	0.00010644	0.00003849	0.00011962	0.00005887

Verifiche di resistenza

Verifiche a forza assiale §4.2.4.1.2.1 - §4.2.4.1.2.2 NTC18

X	Comb.	Sfruttamento	Classe	NEd	Nc,Rd	Nt,Rd	Riduzione da taglio	px	py	Verifica
2.175	SLU 76	0.113		74.799		664.325	1	0	0	Si

Verifiche a forza assiale SLD §4.2.4.1.2.1 - §4.2.4.1.2.2 NTC18

X	Comb.	Sfruttamento	Classe	NEd	Nc,Rd	Nt,Rd	Riduzione da taglio	px	py	Verifica
2.25	SLD 11	0.055		36.676		664.325	1	0	0	Si

Verifica a taglio Y §4.2.4.1.2.4 NTC18

X	Comb.	Sfruttamento	VEd	Vc,Rd	Av	Interazione taglio-torsione	Riduzione torsione	Verifica
0	SLU 76	0.014	1.741	128.265	0.000849	Considerata	1	Si

Verifica a taglio Y SLD §4.2.4.1.2.4 NTC18

X	Comb.	Sfruttamento	VEd	Vc,Rd	Av	Interazione taglio-torsione	Riduzione torsione	Verifica
0	SLD 8	0.007	0.854	128.237	0.000849	Considerata	1	Si

Verifica a torsione §4.2.4.1.2.5 NTC18

X	Comb.	Sfruttamento torsione	TEd	TRd	Riduzione taglio resistente	Sfruttamento taglio-torsione	τEd,totale	τRd	Verifica
1.05	SLV 9	0.005	-0.00387	0.85138	Considerata				Si

Verifica a torsione SLD §4.2.4.1.2.5 NTC18

X	Comb.	Sfruttamento torsione	TEd	TRd	Riduzione taglio resistente	Sfruttamento taglio-torsione	τEd,totale	τRd	Verifica
0.075	SLD 10	0.002	-0.00153	0.85138	Considerata				Si

Verifica a presso/tenso flessione retta X §§ 4.2.4.1.2.3 - 4.2.4.1.2.6 - 4.2.4.1.2.7 - 4.2.4.1.2.8 NTC18

Verifiche eseguite utilizzando la formula conservativa (6.2) §6.2.1 EN 1993-1-1:2005.

X	Comb.	Sfruttamento	Classe	NEd	NRd	Rid. NRd da VEd	Mx,Ed	Mx,Rd	Rid. Mx,Rd da VEd	Rid. Mx,Rd da NEd	px	py	Verifica
0	SLU 33	0.086	1	40.744	664.325	1	0.7852	31.3291	1		0	0	Si

Verifica a presso/tenso flessione retta Y §§ 4.2.4.1.2.3 - 4.2.4.1.2.6 - 4.2.4.1.2.7 - 4.2.4.1.2.8 NTC18

Verifiche eseguite utilizzando la formula conservativa (6.2) §6.2.1 EN 1993-1-1:2005.

X	Comb.	Sfruttamento	Classe	NEd	NRd	Rid. NRd da VEd	My,Ed	My,Rd	Rid. My,Rd da VEd	Rid. My,Rd da NEd	px	py	Verifica
0.825	SLU 73	0.102	1	65.449	664.325	1	0.0564	15.4191	1		0	0	Si

**Implementazione dei sistemi di confinamento delle emissioni odorigene diffuse dell'impianto di compostaggio esistente nel
Comune di Eboli (SA)
PROGETTO DEFINITIVO – Tabulati di calcolo Tomo 1**

Verifica a presso/tenso flessione retta Y SLD §§ 4.2.4.1.2.3 - 4.2.4.1.2.6 - 4.2.4.1.2.7 - 4.2.4.1.2.8 NTC18

Verifiche eseguite utilizzando la formula conservativa (6.2) §6.2.1 EN 1993-1-1:2005.

X	Comb.	Sfruttamento	Classe	NEd	NRd	Rid. NRd da VEd	My,Ed	My,Rd	Rid. My,Rd da VEd	Rid. My,Rd da NEd	px	py	Verifica
0.9	SLD 9	0.045	1	27.255	664.325	1	-0.0596	15.4191	1		0	0	Si

Verifica a presso/tenso flessione deviata §§ 4.2.4.1.2.3 - 4.2.4.1.2.6 - 4.2.4.1.2.7 - 4.2.4.1.2.8 NTC18

Verifiche eseguite utilizzando la formula conservativa (6.2) §6.2.1 EN 1993-1-1:2005.

X	Comb.	Sfruttamento	Classe	NEd	NRd	Rid. NRd da VEd	Mx,Ed	Mx,Rd	My,Ed	My,Rd	Rid. Mx,Rd da VEd	Rid. Mx,Rd da NEd	Rid. My,Rd da VEd	Rid. My,Rd da NEd	α	β	px	py	Verifica
2.25	SLU 76	0.184	1	74.799	664.325	1	-1.9378	31.3291	0.1436	15.4191	1		1				0	0	Si

Verifica a presso/tenso flessione deviata SLD §§ 4.2.4.1.2.3 - 4.2.4.1.2.6 - 4.2.4.1.2.7 - 4.2.4.1.2.8 NTC18

Verifiche eseguite utilizzando la formula conservativa (6.2) §6.2.1 EN 1993-1-1:2005.

X	Comb.	Sfruttamento	Classe	NEd	NRd	Rid. NRd da VEd	Mx,Ed	Mx,Rd	My,Ed	My,Rd	Rid. Mx,Rd da VEd	Rid. Mx,Rd da NEd	Rid. My,Rd da VEd	Rid. My,Rd da NEd	α	β	px	py	Verifica
0	SLD 11	0.09	1	36.676	664.325	1	0.6482	31.3291	0.222	15.4191	1		1				0	0	Si

Verifiche ad instabilità

Caratteristiche iniziali

Membratura principale per controllo snellezza; Calcolo di snellezze ed N critici condotti secondo gli assi principali;

Curva X: b; Curva Y: c; Svergolamento: Carico all'estradosso; Curva svergolamento: b;

Dati per instabilità attorno a x

Controllo della snellezza secondo §4.2.4.1.3.1 NTC18

Numero rit.	Presente	Ascissa	Campata	βx/m	Vincolo a entrambi estremi	λx/m	λVer
1	Si	0					
			1-2	1	Si	46	Si, (<200)
2	Si	2.25					

Dati per instabilità attorno a y

Controllo della snellezza secondo §4.2.4.1.3.1 NTC18

Numero rit.	Presente	Ascissa	Campata	βy/n	k,LT	kw,LT	Vincolo a entrambi estremi	λy/n	λVer
1	Si	0							
			1-2	1	1	1	Si	74.6	Si, (<200)
2	Si	2.25							

Verifica di stabilità per tenso-flessione deviata §§ 5.5.3-5.5.4 ENV 1993-1-1:1992 + AC:1992 + A1:1994 + A2:1998

X	Comb.	Sfruttamento	Classe	NEd	Mx,Ed	Mx,Eff,Ed	My,Ed	χ,LT	kLT	ky	M,critico	Wx	Wy	Verifica
0	SLV 1	0.046	1	13.888	0.73658	0.32863	-0.5168	0.86	1	1	63.65876	0.0001196	0.0000589	Si

Verifica di stabilità per tenso-flessione deviata SLD §§ 5.5.3-5.5.4 ENV 1993-1-1:1992 + AC:1992 + A1:1994 + A2:1998

X	Comb.	Sfruttamento	Classe	NEd	Mx,Ed	Mx,Eff,Ed	My,Ed	χ,LT	kLT	ky	M,critico	Wx	Wy	Verifica
2.25	SLD 1	0.005	1	24.46	-0.76243	-0.0439	-0.05715	0.86	1	1	63.65876	0.0001196	0.0000589	Si

Verifica di stabilità a taglio anima Y §4.2.4.1.2.4 [4.2.27] NTC18

η	hw	tw	hw/tw max	Verifica
1.2	0.098	0.005	55.46	Si

Verifica di stabilità a taglio anima Y SLD §4.2.4.1.2.4 [4.2.27] NTC18

η	hw	tw	hw/tw max	Verifica
1.2	0.098	0.005	55.46	Si

Verifiche a deformabilità

Mensola X: No; Mensola Y: No.

Frecce lungo X

Ascissa freccia	Combinazione	Freccia	Luce	L/f	L/f,min	Tipo	Verifica
1.2	SLE RA 1	-0.00003	2.25	10000	250	Totale	Si
1.2	SLE RA 17	-0.00005	2.25	10000	250	Totale	Si
1.2	SLE RA 16	-0.00006	2.25	10000	250	Totale	Si
1.2	SLE RA 15	-0.00008	2.25	10000	250	Totale	Si
1.275	SLE RA 14	-0.00003	2.25	10000	250	Totale	Si
1.275	SLE RA 2	0.00003	2.25	10000	350	Variabile	Si
1.275	SLE RA 17	-0.00001	2.25	10000	350	Variabile	Si
1.275	SLE RA 16	-0.00003	2.25	10000	350	Variabile	Si
1.2	SLE RA 15	-0.00004	2.25	10000	350	Variabile	Si
1.05	SLE RA 14	0.00001	2.25	10000	350	Variabile	Si

Frecce lungo Y

Ascissa freccia	Combinazione	Freccia	Luce	L/f	L/f,min	Tipo	Verifica
1.5	SLE RA 1	-0.00011	2.25	10000	250	Totale	Si
1.5	SLE RA 17	-0.00014	2.25	10000	250	Totale	Si
1.5	SLE RA 16	-0.00017	2.25	10000	250	Totale	Si
1.5	SLE RA 15	-0.00018	2.25	10000	250	Totale	Si
1.5	SLE RA 14	-0.00012	2.25	10000	250	Totale	Si
1.575	SLE RA 2	0.00005	2.25	10000	350	Variabile	Si
1.575	SLE RA 17	-0.00003	2.25	10000	350	Variabile	Si
1.575	SLE RA 16	-0.00006	2.25	10000	350	Variabile	Si
1.5	SLE RA 15	-0.00007	2.25	10000	350	Variabile	Si
1.65	SLE RA 14	-0.00001	2.25	10000	350	Variabile	Si

Superelemento in acciaio a quota "590" (1618; 1779)-(1745; 1914)

Caratteristiche del materiale

Acciaio: S275, fyk = 275000

Implementazione dei sistemi di confinamento delle emissioni odorigene diffuse dell'impianto di compostaggio esistente nel
Comune di Eboli (SA)
PROGETTO DEFINITIVO – Tabulati di calcolo Tomo 1

Caratteristiche geometriche

Lunghezza: 1.85
Nodo iniziale: 414 Nodo finale: 418
Cerniera iniziale: No Cerniera finale: No
Sovraresistenza: 0% Sisma Z: No

Caratteristiche della sezione

Sezione	Rotazione	Area	Jx	Jy	ix	iy	Wx	Wy	Wplx	Wply
HEA120	0	0.002537	0.0000060673	0.0000023091	0.0489	0.0302	0.00010644	0.00003849	0.00011962	0.00005887

Verifiche di resistenza

Verifiche a forza assiale §4.2.4.1.2.1 - §4.2.4.1.2.2 NTC18

X	Comb.	Sfruttamento	Classe	NEd	Nc,Rd	Nt,Rd	Riduzione da taglio	px	py	Verifica
0.062	SLV 10	0.06	1	-39.945	664.325		1	0	0	Si

Verifiche a forza assiale SLD §4.2.4.1.2.1 - §4.2.4.1.2.2 NTC18

X	Comb.	Sfruttamento	Classe	NEd	Nc,Rd	Nt,Rd	Riduzione da taglio	px	py	Verifica
1.85	SLD 10	0.031	1	-20.476	664.325		1	0	0	Si

Verifica a taglio X §4.2.4.1.2.4 NTC18

X	Comb.	Sfruttamento	VEd	Vc,Rd	Av	Interazione taglio-torsione	Riduzione torsione	Verifica
1.85	SLU 75	0.001	0.241	301.39	0.002047	Considerata	0.97	Si

Verifica a taglio Y §4.2.4.1.2.4 NTC18

X	Comb.	Sfruttamento	VEd	Vc,Rd	Av	Interazione taglio-torsione	Riduzione torsione	Verifica
1.85	SLV 11	0.006	-0.71	126.323	0.000849	Considerata	0.98	Si

Verifica a taglio Y SLD §4.2.4.1.2.4 NTC18

X	Comb.	Sfruttamento	VEd	Vc,Rd	Av	Interazione taglio-torsione	Riduzione torsione	Verifica
1.85	SLD 11	0.003	-0.441	126.897	0.000849	Considerata	0.99	Si

Verifica a torsione §4.2.4.1.2.5 NTC18

X	Comb.	Sfruttamento torsione	TEd	TRd	Riduzione taglio resistente	Sfruttamento taglio-torsione	τEd,totale	τRd	Verifica
1.665	SLU 75	0.064	0.05475	0.85138	Considerata				Si

Verifica a torsione SLD §4.2.4.1.2.5 NTC18

X	Comb.	Sfruttamento torsione	TEd	TRd	Riduzione taglio resistente	Sfruttamento taglio-torsione	τEd,totale	τRd	Verifica
1.85	SLD 11	0.027	0.02321	0.85138	Considerata				Si

Verifica a presso/tenso flessione retta X §§ 4.2.4.1.2.3 - 4.2.4.1.2.6 - 4.2.4.1.2.7 - 4.2.4.1.2.8 NTC18

Verifiche eseguite utilizzando la formula conservativa (6.2) §6.2.1 EN 1993-1-1:2005.

X	Comb.	Sfruttamento	Classe	NEd	NRd	Rid. NRd da VEd	Mx,Ed	Mx,Rd	Rid. Mx,Rd da VEd	Rid. Mx,Rd da NEd	px	py	Verifica
1.603	SLU 75	0.059	1	-34.2	664.325	1	0.2218	31.3291	1		0	0	Si

Verifica a presso/tenso flessione retta X SLD §§ 4.2.4.1.2.3 - 4.2.4.1.2.6 - 4.2.4.1.2.7 - 4.2.4.1.2.8 NTC18

Verifiche eseguite utilizzando la formula conservativa (6.2) §6.2.1 EN 1993-1-1:2005.

X	Comb.	Sfruttamento	Classe	NEd	NRd	Rid. NRd da VEd	Mx,Ed	Mx,Rd	Rid. Mx,Rd da VEd	Rid. Mx,Rd da NEd	px	py	Verifica
1.11	SLD 1	0.015	1	-5.636	664.325	1	-0.2195	31.3291	1		0	0	Si

Verifica a presso/tenso flessione retta Y §§ 4.2.4.1.2.3 - 4.2.4.1.2.6 - 4.2.4.1.2.7 - 4.2.4.1.2.8 NTC18

Verifiche eseguite utilizzando la formula conservativa (6.2) §6.2.1 EN 1993-1-1:2005.

X	Comb.	Sfruttamento	Classe	NEd	NRd	Rid. NRd da VEd	My,Ed	My,Rd	Rid. My,Rd da VEd	Rid. My,Rd da NEd	px	py	Verifica
0.062	SLV 13	0.078	1	-38.693	664.325	1	-0.3097	15.4191	1		0	0	Si

Verifica a presso/tenso flessione retta Y SLD §§ 4.2.4.1.2.3 - 4.2.4.1.2.6 - 4.2.4.1.2.7 - 4.2.4.1.2.8 NTC18

Verifiche eseguite utilizzando la formula conservativa (6.2) §6.2.1 EN 1993-1-1:2005.

X	Comb.	Sfruttamento	Classe	NEd	NRd	Rid. NRd da VEd	My,Ed	My,Rd	Rid. My,Rd da VEd	Rid. My,Rd da NEd	px	py	Verifica
0.678	SLD 13	0.039	1	-20.085	664.325	1	-0.1375	15.4191	1		0	0	Si

Verifica a presso/tenso flessione deviata §§ 4.2.4.1.2.3 - 4.2.4.1.2.6 - 4.2.4.1.2.7 - 4.2.4.1.2.8 NTC18

Verifiche eseguite utilizzando la formula conservativa (6.2) §6.2.1 EN 1993-1-1:2005.

X	Comb.	Sfruttamento	Classe	NEd	NRd	Rid. NRd da VEd	Mx,Ed	Mx,Rd	My,Ed	My,Rd	Rid. Mx,Rd da VEd	Rid. Mx,Rd da NEd	Rid. My,Rd da VEd	Rid. My,Rd da NEd	α	β	px	py	Verifica
0.74	SLV 9	0.087	1	-39.945	664.325	1	-0.3075	31.3291	-0.2612	15.4191	1		1				0	0	Si

Verifica a presso/tenso flessione deviata SLD §§ 4.2.4.1.2.3 - 4.2.4.1.2.6 - 4.2.4.1.2.7 - 4.2.4.1.2.8 NTC18

Verifiche eseguite utilizzando la formula conservativa (6.2) §6.2.1 EN 1993-1-1:2005.

X	Comb.	Sfruttamento	Classe	NEd	NRd	Rid. NRd da VEd	Mx,Ed	Mx,Rd	My,Ed	My,Rd	Rid. Mx,Rd da VEd	Rid. Mx,Rd da NEd	Rid. My,Rd da VEd	Rid. My,Rd da NEd	α	β	px	py	Verifica
0.062	SLD 9	0.046	1	-20.476	664.325	1	-0.1023	31.3291	-0.1891	15.4191	1		1				0	0	Si

Verifiche ad instabilità

Caratteristiche iniziali

Membratura principale per controllo snellezza; Calcolo di snellezze ed N critici condotti secondo gli assi principali;
Curva X: b; Curva Y: c; Svergolamento: Carico all'estradosso; Curva svergolamento: b;

Dati per instabilità attorno a x

Controllo della snellezza secondo §4.2.4.1.3.1 NTC18

Numero rit.	Presente	Ascissa	Campata	βx/m	Vincolo a entrambi estremi	λx/m	λVer
1	Si	0					

Implementazione dei sistemi di confinamento delle emissioni odorigene diffuse dell’impianto di compostaggio esistente nel
Comune di Eboli (SA)

PROGETTO DEFINITIVO – Tabulati di calcolo Tomo 1

Numero rit.	Presente	Ascissa	Campata	$\beta x/m$	Vincolo a entrambi estremi	$\lambda x/m$	λVer
2	Si	1.85	1-2	1	Si	37.8	Si, (<200)

Dati per instabilità attorno a y

Controllo della snellezza secondo §4.2.4.1.3.1 NTC18

Numero rit.	Presente	Ascissa	Campata	$\beta y/n$	k,LT	kw,LT	Vincolo a entrambi estremi	$\lambda y/n$	λVer
1	Si	0	1-2	1	1	1	Si	61.3	Si, (<200)
2	Si	1.85							

Verifica a svergolamento con trazione §4.2.4.1.3.2 NTC18 § 5.5.3 ENV 1993-1-1:1992 + AC:1992 + A1:1994 + A2:1998

X	Comb.	Sfruttamento	Classe	Obblig.	NEd	Mx,Ed	Mx,Eff,Ed	Mb,Rd,x	χ,LT	λ adim. LT	L,LT	M,critico	Verifica
0.308	SLV 1	0.007	1	Si	3.817	-0.31683	-0.20472	30.8234	0.984	0.441	1.85	168.90216	Si

Verifica di stabilità per tenso-flessione deviata §§ 5.5.3-5.5.4 ENV 1993-1-1:1992 + AC:1992 + A1:1994 + A2:1998

X	Comb.	Sfruttamento	Classe	NEd	Mx,Ed	Mx,Eff,Ed	My,Ed	χ,LT	kLT	ky	M,critico	Wx	Wy	Verifica
1.85	SLV 12	0.044	1	6.14	1.01713	0.83676	0.22805	0.902	1	1	82.10616	0.0001196	0.0000589	Si

Verifica di stabilità per pressoflessione §C.4.2.4.1.3.3.2 NTC18

X	Comb.	Sfruttamento	Classe	NEd	NRk	Mx,Ed max	Mx,Rk	My,Ed max	My,Rk	χ_x	χ_y	kxx	kxy	kyy	χ_{LT}	Verifica	
0.432	SLV 13	0.116	1	-38.693	697.541	0.56774	32.89552	0.31636	16.19002	0.912	0.721	0.477	0.502	0.974	0.837	0.991	Si

Verifica di stabilità per pressoflessione SLD §C.4.2.4.1.3.3.2 NTC18

X	Comb.	Sfruttamento	Classe	NEd	NRk	Mx,Ed max	Mx,Rk	My,Ed max	My,Rk	χ_x	χ_y	kxx	kxy	kyy	χ_{LT}	Verifica	
1.788	SLD 14	0.061	1	-20.085	697.541	0.28935	32.89552	0.1896	16.19002	0.912	0.721	0.403	0.439	0.98	0.731	0.902	Si

Verifica di stabilità a taglio anima Y §4.2.4.1.2.4 [4.2.27] NTC18

η	hw	tw	hw/tw max	Verifica
1.2	0.098	0.005	55.46	Si

Verifica di stabilità a taglio anima Y SLD §4.2.4.1.2.4 [4.2.27] NTC18

η	hw	tw	hw/tw max	Verifica
1.2	0.098	0.005	55.46	Si

Verifiche a deformabilità

Mensola X: No; Mensola Y: No.

Frecce lungo X

Ascissa freccia	Combinazione	Freccia	Luce	L/f	L/f,min	Tipo	Verifica
0.74	SLE RA 1	0.00005	1.85	10000	250	Totale	Si
0.74	SLE RA 17	0.00007	1.85	10000	250	Totale	Si
0.74	SLE RA 16	0.00009	1.85	10000	250	Totale	Si
0.802	SLE RA 15	0.00007	1.85	10000	250	Totale	Si
0.74	SLE RA 14	0.00009	1.85	10000	250	Totale	Si
0.802	SLE RA 2	-0.00005	1.85	10000	350	Variabile	Si
0.802	SLE RA 17	0.00002	1.85	10000	350	Variabile	Si
0.802	SLE RA 16	0.00005	1.85	10000	350	Variabile	Si
0.925	SLE RA 15	0.00002	1.85	10000	350	Variabile	Si
0.74	SLE RA 14	0.00004	1.85	10000	350	Variabile	Si

Frecce lungo Y

Ascissa freccia	Combinazione	Freccia	Luce	L/f	L/f,min	Tipo	Verifica
0.678	SLE RA 1	-0.00002	1.85	10000	250	Totale	Si
0.678	SLE RA 17	-0.00002	1.85	10000	250	Totale	Si
0.678	SLE RA 16	-0.00002	1.85	10000	250	Totale	Si
0.802	SLE RA 15	-0.00003	1.85	10000	250	Totale	Si
0.493	SLE RA 14	-0.00001	1.85	10000	250	Totale	Si
0.678	SLE RA 2	0.00001	1.85	10000	350	Variabile	Si
0.678	SLE RA 17	0	1.85	10000	350	Variabile	Si
0.678	SLE RA 16	-0.00001	1.85	10000	350	Variabile	Si
1.048	SLE RA 15	-0.00002	1.85	10000	350	Variabile	Si
1.295	SLE RA 14	0.00001	1.85	10000	350	Variabile	Si

Superelemento in acciaio a quota "590" (1745; 1914)-(1872; 2048)

Caratteristiche del materiale

Acciaio: S275, fyk = 275000

Caratteristiche geometriche

Lunghezza: 1.85

Nodo iniziale: 418 Nodo finale: 426

Cerniera iniziale: No Cerniera finale: No

Sovreresistenza: 0% Sisma Z: No

Caratteristiche della sezione

Sezione	Rotazione	Area	Jx	Jy	ix	iy	Wx	Wy	Wplx	Wply
HEA120	0	0.002537	0.0000060673	0.0000023091	0.0489	0.0302	0.00010644	0.00003849	0.00011962	0.00005887

Verifiche di resistenza

Verifiche a forza assiale §4.2.4.1.2.1 - §4.2.4.1.2.2 NTC18

X	Comb.	Sfruttamento	Classe	NEd	Nc,Rd	Nt,Rd	Riduzione da taglio	px	py	Verifica
1.85	SLU 75	0.065		43.226		664.325	1	0	0	Si

Verifiche a forza assiale SLD §4.2.4.1.2.1 - §4.2.4.1.2.2 NTC18

X	Comb.	Sfruttamento	Classe	NEd	Nc,Rd	Nt,Rd	Riduzione da taglio	px	py	Verifica

**Implementazione dei sistemi di confinamento delle emissioni odorigene diffuse dell'impianto di compostaggio esistente nel
Comune di Eboli (SA)**

PROGETTO DEFINITIVO – Tabulati di calcolo Tomo 1

X	Comb.	Sfruttamento	Classe	NEd	Nc,Rd	Nt,Rd	Riduzione da taglio	px	py	Verifica
1.85	SLD 16	0.03		19.735		664.325	1	0	0	Si

Verifica a taglio X §4.2.4.1.2.4 NTC18

X	Comb.	Sfruttamento	VEd	Vc,Rd	Av	Interazione taglio-torsione	Riduzione torsione	Verifica
1.788	SLU 75	0.002	-0.476	303.681	0.002047	Considerata	0.98	Si

Verifica a taglio X SLD §4.2.4.1.2.4 NTC18

X	Comb.	Sfruttamento	VEd	Vc,Rd	Av	Interazione taglio-torsione	Riduzione torsione	Verifica
1.85	SLD 12	0.001	-0.251	306.702	0.002047	Considerata	0.99	Si

Verifica a taglio Y §4.2.4.1.2.4 NTC18

X	Comb.	Sfruttamento	VEd	Vc,Rd	Av	Interazione taglio-torsione	Riduzione torsione	Verifica
0	SLU 75	0.012	1.479	125.91	0.000849	Considerata	0.98	Si

Verifica a taglio Y SLD §4.2.4.1.2.4 NTC18

X	Comb.	Sfruttamento	VEd	Vc,Rd	Av	Interazione taglio-torsione	Riduzione torsione	Verifica
0	SLD 12	0.007	0.83	127.163	0.000849	Considerata	0.99	Si

Verifica a torsione §4.2.4.1.2.5 NTC18

X	Comb.	Sfruttamento torsione	TEd	TRd	Riduzione taglio resistente	Sfruttamento taglio-torsione	τEd,totale	τRd	Verifica
0.987	SLU 75	0.046	-0.03934	0.85138	Considerata				Si

Verifica a torsione SLD §4.2.4.1.2.5 NTC18

X	Comb.	Sfruttamento torsione	TEd	TRd	Riduzione taglio resistente	Sfruttamento taglio-torsione	τEd,totale	τRd	Verifica
1.85	SLD 11	0.022	-0.01885	0.85138	Considerata				Si

Verifica a presso/tenso flessione retta X §§ 4.2.4.1.2.3 - 4.2.4.1.2.6 - 4.2.4.1.2.7 - 4.2.4.1.2.8 NTC18

Verifiche eseguite utilizzando la formula conservativa (6.2) §6.2.1 EN 1993-1-1:2005.

X	Comb.	Sfruttamento	Classe	NEd	NRd	Rid. NRd da VEd	Mx,Ed	Mx,Rd	Rid. Mx,Rd da VEd	Rid. Mx,Rd da NEd	px	py	Verifica
1.788	SLU 42	0.029	1	13.529	664.325	1	-0.2708	31.3291	1		0	0	Si

Verifica a presso/tenso flessione retta Y §§ 4.2.4.1.2.3 - 4.2.4.1.2.6 - 4.2.4.1.2.7 - 4.2.4.1.2.8 NTC18

Verifiche eseguite utilizzando la formula conservativa (6.2) §6.2.1 EN 1993-1-1:2005.

X	Comb.	Sfruttamento	Classe	NEd	NRd	Rid. NRd da VEd	My,Ed	My,Rd	Rid. My,Rd da VEd	Rid. My,Rd da NEd	px	py	Verifica
1.048	SLU 37	0.129	1	39.838	664.325	1	1.0581	15.4191	1		0	0	Si

Verifica a presso/tenso flessione retta Y SLD §§ 4.2.4.1.2.3 - 4.2.4.1.2.6 - 4.2.4.1.2.7 - 4.2.4.1.2.8 NTC18

Verifiche eseguite utilizzando la formula conservativa (6.2) §6.2.1 EN 1993-1-1:2005.

X	Comb.	Sfruttamento	Classe	NEd	NRd	Rid. NRd da VEd	My,Ed	My,Rd	Rid. My,Rd da VEd	Rid. My,Rd da NEd	px	py	Verifica
1.11	SLD 7	0.054	1	18.046	664.325	1	0.4181	15.4191	1		0	0	Si

Verifica a presso/tenso flessione deviata §§ 4.2.4.1.2.3 - 4.2.4.1.2.6 - 4.2.4.1.2.7 - 4.2.4.1.2.8 NTC18

Verifiche eseguite utilizzando la formula conservativa (6.2) §6.2.1 EN 1993-1-1:2005.

X	Comb.	Sfruttamento	Classe	NEd	NRd	Rid. NRd da VEd	Mx,Ed	Mx,Rd	My,Ed	My,Rd	Rid. Mx,Rd da VEd	Rid. Mx,Rd da NEd	Rid. My,Rd da VEd	Rid. My,Rd da NEd	α	β	px	py	Verifica
0	SLU 75	0.215	1	43.226	664.325	1	1.3872	31.3291	1.6294	15.4191	1		1				0	0	Si

Verifica a presso/tenso flessione deviata SLD §§ 4.2.4.1.2.3 - 4.2.4.1.2.6 - 4.2.4.1.2.7 - 4.2.4.1.2.8 NTC18

Verifiche eseguite utilizzando la formula conservativa (6.2) §6.2.1 EN 1993-1-1:2005.

X	Comb.	Sfruttamento	Classe	NEd	NRd	Rid. NRd da VEd	Mx,Ed	Mx,Rd	My,Ed	My,Rd	Rid. Mx,Rd da VEd	Rid. Mx,Rd da NEd	Rid. My,Rd da VEd	Rid. My,Rd da NEd	α	β	px	py	Verifica
0	SLD 11	0.106	1	19.704	664.325	1	0.878	31.3291	0.7467	15.4191	1		1				0	0	Si

Verifiche ad instabilità

Caratteristiche iniziali

Membratura principale per controllo snellezza; Calcolo di snellezze ed N critici condotti secondo gli assi principali;

Curva X: b; Curva Y: c; Svergolamento: Carico all'estradosso; Curva svergolamento: b;

Dati per instabilità attorno a x

Controllo della snellezza secondo §4.2.4.1.3.1 NTC18

Numero rit.	Presente	Ascissa	Campata	βx/m	Vincolo a entrambi estremi	λx/m	λVer
1	Si	0					
			1-2		1	37.8	Si, (<200)
2	Si	1.85					

Dati per instabilità attorno a y

Controllo della snellezza secondo §4.2.4.1.3.1 NTC18

Numero rit.	Presente	Ascissa	Campata	βy/n	k,LT	kw,LT	Vincolo a entrambi estremi	λy/n	λVer
1	Si	0							
			1-2		1	1	Si	61.3	Si, (<200)
2	Si	1.85							

Verifica a svergolamento con trazione §4.2.4.1.3.2 NTC18 § 5.5.3 ENV 1993-1-1:1992 + AC:1992 + A1:1994 + A2:1998

X	Comb.	Sfruttamento	Classe	Obblig.	NEd	Mx,Ed	Mx,Eff,Ed	Mb,Rd,x	χ,LT	λ adim. LT	L,LT	M.critico	Verifica
1.233	SLU 21	0.001	1	Si	1.574	-0.06188	-0.01564	28.25853	0.902	0.633	1.85	82.10616	Si

Verifica di stabilità per tenso-flessione deviata §§ 5.5.3-5.5.4 ENV 1993-1-1:1992 + AC:1992 + A1:1994 + A2:1998

X	Comb.	Sfruttamento	Classe	NEd	Mx,Ed	Mx,Eff,Ed	My,Ed	χ,LT	kLT	ky	M.critico	Wx	Wy	Verifica
0	SLU 75	0.11	1	43.226	1.38718	0.11739	1.62943	0.902		1	82.10616	0.0001196	0.0000589	Si

Verifica di stabilità per tenso-flessione deviata SLD §§ 5.5.3-5.5.4 ENV 1993-1-1:1992 + AC:1992 + A1:1994 + A2:1998

X	Comb.	Sfruttamento	Classe	NEd	Mx,Ed	Mx,Eff,Ed	My,Ed	χ,LT	kLT	ky	M.critico	Wx	Wy	Verifica
0	SLD 12	0.059	1	19.704	0.87797	0.29915	0.74674	0.902		1	82.10616	0.0001196	0.0000589	Si

Implementazione dei sistemi di confinamento delle emissioni odorigene diffuse dell'impianto di compostaggio esistente nel
Comune di Eboli (SA)
PROGETTO DEFINITIVO – Tabulati di calcolo Tomo 1

Verifica di stabilità per pressoflessione §C.4.2.4.1.3.3.2 NTC18

X	Comb.	Sfruttamento	Classe	NEd	NRk	Mx,Ed max	Mx,Rk	My,Ed max	My,Rk	X,x	X,y	kxx	kxy	kyy	X,LT	Verifica	
0	SLU 2	0.011	1	-1.828	697.541	0.05062	32.89552	0.09508	16.19002	0.912	0.721	0.908	0.545	1	0.909	0.902	Si

Verifica di stabilità a taglio anima Y §4.2.4.1.2.4 [4.2.27] NTC18

η	hw	tw	hw/tw max	Verifica
1.2	0.098	0.005	55.46	Si

Verifica di stabilità a taglio anima Y SLD §4.2.4.1.2.4 [4.2.27] NTC18

η	hw	tw	hw/tw max	Verifica
1.2	0.098	0.005	55.46	Si

Verifiche a deformabilità

Mensola X: No; Mensola Y: No.

Frecce lungo X

Ascissa freccia	Combinazione	Freccia	Luce	L/f	L/f,min	Tipo	Verifica
0.863	SLE RA 18	-0.00073	1.85	2527	250	Totale	Si
0.863	SLE RA 10	-0.00064	1.85	2893.8	250	Totale	Si
0.863	SLE RA 14	-0.00064	1.85	2893.8	250	Totale	Si
0.863	SLE RA 6	-0.00062	1.85	2966.3	250	Totale	Si
0.863	SLE RA 16	-0.00062	1.85	3001.4	250	Totale	Si
0.863	SLE RA 18	-0.00039	1.85	4694.6	350	Variabile	Si
0.863	SLE RA 10	-0.0003	1.85	6140.3	350	Variabile	Si
0.863	SLE RA 14	-0.0003	1.85	6140.3	350	Variabile	Si
0.863	SLE RA 6	-0.00029	1.85	6476.5	350	Variabile	Si
0.863	SLE RA 16	-0.00028	1.85	6646.1	350	Variabile	Si

Frecce lungo Y

Ascissa freccia	Combinazione	Freccia	Luce	L/f	L/f,min	Tipo	Verifica
0.37	SLE RA 1	0.00002	1.85	10000	250	Totale	Si
0.37	SLE RA 17	0.00003	1.85	10000	250	Totale	Si
0.432	SLE RA 16	0.00004	1.85	10000	250	Totale	Si
1.357	SLE RA 15	-0.00003	1.85	10000	250	Totale	Si
0.493	SLE RA 14	0.00005	1.85	10000	250	Totale	Si
0.493	SLE RA 2	-0.00002	1.85	10000	350	Variabile	Si
0.493	SLE RA 17	0.00001	1.85	10000	350	Variabile	Si
0.493	SLE RA 16	0.00002	1.85	10000	350	Variabile	Si
1.11	SLE RA 15	-0.00002	1.85	10000	350	Variabile	Si
0.617	SLE RA 14	0.00004	1.85	10000	350	Variabile	Si

Superelemento in acciaio a quota "590" (1798; 3001)-(2023; 2998)

Caratteristiche del materiale

Acciaio: S275, fyk = 275000

Caratteristiche geometriche

Lunghezza: 2.25

Nodo iniziale: 497 Nodo finale: 494

Cerniera iniziale: No Cerniera finale: No

Sovreresistenza: 0% Sisma Z: No

Caratteristiche della sezione

Sezione	Rotazione	Area	Jx	Jy	ix	iy	Wx	Wy	Wplx	Wply
HEA120	0	0.002537	0.0000060673	0.0000023091	0.0489	0.0302	0.00010644	0.00003849	0.00011962	0.00005887

Verifiche di resistenza

Verifiche a forza assiale §4.2.4.1.2.1 - §4.2.4.1.2.2 NTC18

X	Comb.	Sfruttamento	Classe	NEd	Nc,Rd	Nt,Rd	Riduzione da taglio	px	py	Verifica
0.15	SLU 76	0.217		144.163		664.325	1	0	0	Si

Verifiche a forza assiale SLD §4.2.4.1.2.1 - §4.2.4.1.2.2 NTC18

X	Comb.	Sfruttamento	Classe	NEd	Nc,Rd	Nt,Rd	Riduzione da taglio	px	py	Verifica
2.25	SLD 4	0.098		65.113		664.325	1	0	0	Si

Verifica a taglio Y §4.2.4.1.2.4 NTC18

X	Comb.	Sfruttamento	VEd	Vc,Rd	Av	Interazione taglio-torsione	Riduzione torsione	Verifica
2.25	SLU 64	0.006	-0.731	128.102	0.000849	Considerata	1	Si

Verifica a taglio Y SLD §4.2.4.1.2.4 NTC18

X	Comb.	Sfruttamento	VEd	Vc,Rd	Av	Interazione taglio-torsione	Riduzione torsione	Verifica
2.25	SLD 7	0.003	-0.409	128.304	0.000849	Considerata	1	Si

Verifica a torsione §4.2.4.1.2.5 NTC18

X	Comb.	Sfruttamento torsione	TEd	TRd	Riduzione taglio resistente	Sfruttamento taglio-torsione	τEd,totale	τRd	Verifica
2.25	SLV 9	0.01	-0.00823	0.85138	Considerata				Si

Verifica a torsione SLD §4.2.4.1.2.5 NTC18

X	Comb.	Sfruttamento torsione	TEd	TRd	Riduzione taglio resistente	Sfruttamento taglio-torsione	τEd,totale	τRd	Verifica
2.25	SLD 9	0.005	-0.00394	0.85138	Considerata				Si

Verifica a presso/tenso flessione retta X §§ 4.2.4.1.2.3 - 4.2.4.1.2.6 - 4.2.4.1.2.7 - 4.2.4.1.2.8 NTC18

Verifiche eseguite utilizzando la formula conservativa (6.2) §6.2.1 EN 1993-1-1:2005.

Implementazione dei sistemi di confinamento delle emissioni odorigene diffuse dell'impianto di compostaggio esistente nel
Comune di Eboli (SA)

PROGETTO DEFINITIVO – Tabulati di calcolo Tomo 1

X	Comb.	Sfruttamento	Classe	NEd	NRd	Rid. NRd da VEd	Mx,Ed	Mx,Rd	Rid. Mx,Rd da VEd	Rid. Mx,Rd da NEd	px	py	Verifica
0.3	SLU 44	0.108	1	57.058	664.325	1	-0.6926	31.3291	1		0	0	Si

Verifica a presso/tenso flessione retta X SLD §§ 4.2.4.1.2.3 - 4.2.4.1.2.6 - 4.2.4.1.2.7 - 4.2.4.1.2.8 NTC18

Verifiche eseguite utilizzando la formula conservativa (6.2) §6.2.1 EN 1993-1-1:2005.

X	Comb.	Sfruttamento	Classe	NEd	NRd	Rid. NRd da VEd	Mx,Ed	Mx,Rd	Rid. Mx,Rd da VEd	Rid. Mx,Rd da NEd	px	py	Verifica
1.05	SLD 4	0.121	1	65.113	664.325	1	-0.7355	31.3291	1		0	0	Si

Verifica a presso/tenso flessione retta Y §§ 4.2.4.1.2.3 - 4.2.4.1.2.6 - 4.2.4.1.2.7 - 4.2.4.1.2.8 NTC18

Verifiche eseguite utilizzando la formula conservativa (6.2) §6.2.1 EN 1993-1-1:2005.

X	Comb.	Sfruttamento	Classe	NEd	NRd	Rid. NRd da VEd	My,Ed	My,Rd	Rid. My,Rd da VEd	Rid. My,Rd da NEd	px	py	Verifica
2.025	SLU 40	0.03	1	18.567	664.325	1	-0.0297	15.4191	1		0	0	Si

Verifica a presso/tenso flessione deviata §§ 4.2.4.1.2.3 - 4.2.4.1.2.6 - 4.2.4.1.2.7 - 4.2.4.1.2.8 NTC18

Verifiche eseguite utilizzando la formula conservativa (6.2) §6.2.1 EN 1993-1-1:2005.

X	Comb.	Sfruttamento	Classe	NEd	NRd	Rid. NRd da VEd	Mx,Ed	Mx,Rd	My,Ed	My,Rd	Rid. Mx,Rd da VEd	Rid. Mx,Rd da NEd	Rid. My,Rd da VEd	Rid. My,Rd da NEd	α	β	px	py	Verifica
0	SLU 76	0.288	1	144.163	664.325	1	-1.9409	31.3291	0.1443	15.4191	1		1				0	0	Si

Verifica a presso/tenso flessione deviata SLD §§ 4.2.4.1.2.3 - 4.2.4.1.2.6 - 4.2.4.1.2.7 - 4.2.4.1.2.8 NTC18

Verifiche eseguite utilizzando la formula conservativa (6.2) §6.2.1 EN 1993-1-1:2005.

X	Comb.	Sfruttamento	Classe	NEd	NRd	Rid. NRd da VEd	Mx,Ed	Mx,Rd	My,Ed	My,Rd	Rid. Mx,Rd da VEd	Rid. Mx,Rd da NEd	Rid. My,Rd da VEd	Rid. My,Rd da NEd	α	β	px	py	Verifica
0	SLD 7	0.129	1	65.059	664.325	1	-0.803	31.3291	0.0883	15.4191	1		1				0	0	Si

Verifiche ad instabilità

Caratteristiche iniziali

Membratura principale per controllo snellezza; Calcolo di snellezze ed N critici condotti secondo gli assi principali;

Curva X: b; Curva Y: c; Svergolamento: Carico all'estradosso; Curva svergolamento: b;

Dati per instabilità attorno a x

Controllo della snellezza secondo §4.2.4.1.3.1 NTC18

Numero rit.	Presente	Ascissa	Campata	βx/m	Vincolo a entrambi estremi	λx/m	λVer
1	Si		0				
			1-2		1	46	Si, (<200)
2	Si	2.25					

Dati per instabilità attorno a y

Controllo della snellezza secondo §4.2.4.1.3.1 NTC18

Numero rit.	Presente	Ascissa	Campata	βy/n	k,LT	kw,LT	Vincolo a entrambi estremi	λy/n	λVer
1	Si		0						
			1-2		1	1	Si	74.6	Si, (<200)
2	Si	2.25							

Verifica di stabilità a taglio anima Y §4.2.4.1.2.4 [4.2.27] NTC18

η	hw	tw	hw/tw max	Verifica
1.2	0.098	0.005	55.46	Si

Verifica di stabilità a taglio anima Y SLD §4.2.4.1.2.4 [4.2.27] NTC18

η	hw	tw	hw/tw max	Verifica
1.2	0.098	0.005	55.46	Si

Verifiche a deformabilità

Mensola X: No; Mensola Y: No.

Frecce lungo X

Ascissa freccia	Combinazione	Freccia	Luce	L/f	L/f,min	Tipo	Verifica
1.125	SLE RA 1	-0.00005	2.25	10000	250	Totale	Si
1.125	SLE RA 17	-0.00007	2.25	10000	250	Totale	Si
1.125	SLE RA 16	-0.0001	2.25	10000	250	Totale	Si
1.125	SLE RA 15	-0.0001	2.25	10000	250	Totale	Si
1.2	SLE RA 14	-0.00006	2.25	10000	250	Totale	Si
1.125	SLE RA 2	0.00005	2.25	10000	350	Variabile	Si
1.125	SLE RA 17	-0.00002	2.25	10000	350	Variabile	Si
1.125	SLE RA 16	-0.00005	2.25	10000	350	Variabile	Si
1.125	SLE RA 15	-0.00005	2.25	10000	350	Variabile	Si
1.35	SLE RA 14	-0.00002	2.25	10000	350	Variabile	Si

Frecce lungo Y

Ascissa freccia	Combinazione	Freccia	Luce	L/f	L/f,min	Tipo	Verifica
1.05	SLE RA 19	-0.00057	2.25	3938.4	250	Totale	Si
1.05	SLE RA 16	-0.00053	2.25	4270.6	250	Totale	Si
1.05	SLE RA 15	-0.0005	2.25	4466.3	250	Totale	Si
1.05	SLE RA 11	-0.0005	2.25	4466.3	250	Totale	Si
1.125	SLE RA 18	-0.00048	2.25	4657.9	250	Totale	Si
1.05	SLE RA 19	-0.00025	2.25	9109.1	350	Variabile	Si
1.125	SLE RA 17	-0.00009	2.25	10000	350	Variabile	Si
1.125	SLE RA 16	-0.0002	2.25	10000	350	Variabile	Si
1.05	SLE RA 15	-0.00018	2.25	10000	350	Variabile	Si
1.2	SLE RA 14	-0.00009	2.25	10000	350	Variabile	Si

Superelemento in acciaio a quota "590" (1872; 2048)-(2000; 2184)

Caratteristiche del materiale

Acciaio: S275, fyk = 275000

Implementazione dei sistemi di confinamento delle emissioni odorigene diffuse dell'impianto di compostaggio esistente nel
Comune di Eboli (SA)
PROGETTO DEFINITIVO – Tabulati di calcolo Tomo 1

Caratteristiche geometriche

Lunghezza: 1.865
Nodo iniziale: 426 Nodo finale: 432
Cerniera iniziale: No Cerniera finale: No
Sovraresistenza: 0% Sisma Z: No

Caratteristiche della sezione

Sezione	Rotazione	Area	Jx	Jy	ix	iy	Wx	Wy	Wplx	Wply
HEA120	0	0.002537	0.0000060673	0.0000023091	0.0489	0.0302	0.00010644	0.00003849	0.00011962	0.00005887

Verifiche di resistenza

Verifiche a forza assiale §4.2.4.1.2.1 - §4.2.4.1.2.2 NTC18

X	Comb.	Sfruttamento	Classe	NEd	Nc,Rd	Nt,Rd	Riduzione da taglio	px	py	Verifica
1.741	SLU 75	0.071		47.181		664.325	1	0	0	Si

Verifiche a forza assiale SLD §4.2.4.1.2.1 - §4.2.4.1.2.2 NTC18

X	Comb.	Sfruttamento	Classe	NEd	Nc,Rd	Nt,Rd	Riduzione da taglio	px	py	Verifica
1.803	SLD 14	0.031		20.523		664.325	1	0	0	Si

Verifica a taglio X §4.2.4.1.2.4 NTC18

X	Comb.	Sfruttamento	VEd	Vc,Rd	Av	Interazione taglio-torsione	Riduzione torsione	Verifica
0.87	SLV 11	0.001	-0.41	306.924	0.002047	Considerata	0.99	Si

Verifica a taglio X SLD §4.2.4.1.2.4 NTC18

X	Comb.	Sfruttamento	VEd	Vc,Rd	Av	Interazione taglio-torsione	Riduzione torsione	Verifica
1.865	SLD 11	0.001	-0.245	307.704	0.002047	Considerata	0.99	Si

Verifica a taglio Y §4.2.4.1.2.4 NTC18

X	Comb.	Sfruttamento	VEd	Vc,Rd	Av	Interazione taglio-torsione	Riduzione torsione	Verifica
1.865	SLU 75	0.016	-1.985	126.587	0.000849	Considerata	0.99	Si

Verifica a taglio Y SLD §4.2.4.1.2.4 NTC18

X	Comb.	Sfruttamento	VEd	Vc,Rd	Av	Interazione taglio-torsione	Riduzione torsione	Verifica
1.865	SLD 8	0.008	-1.007	127.46	0.000849	Considerata	0.99	Si

Verifica a torsione §4.2.4.1.2.5 NTC18

X	Comb.	Sfruttamento torsione	TEd	TRd	Riduzione taglio resistente	Sfruttamento taglio-torsione	τEd,totale	τRd	Verifica
1.057	SLU 75	0.033	-0.0283	0.85138	Considerata				Si

Verifica a torsione SLD §4.2.4.1.2.5 NTC18

X	Comb.	Sfruttamento torsione	TEd	TRd	Riduzione taglio resistente	Sfruttamento taglio-torsione	τEd,totale	τRd	Verifica
1.865	SLD 8	0.016	-0.01396	0.85138	Considerata				Si

Verifica a flessione semplice Y §§ 4.2.4.1.2.3 - 4.2.4.1.2.6 - 4.2.4.1.2.7 - 4.2.4.1.2.8 NTC18

X	Comb.	Sfruttamento	Classe	My,Ed	My,Rd	Rid. My,Rd da VEd	px	py	Verifica
1.057	SLU 21	0.003	1	-0.0435	15.41907	1	0	0	Si

Verifica a flessione deviata §§ 4.2.4.1.2.3 - 4.2.4.1.2.6 - 4.2.4.1.2.7 - 4.2.4.1.2.8 NTC18

X	Comb.	Sfruttamento	Classe	Mx,Ed	Mx,Rd	My,Ed	My,Rd	Rid. Mx,Rd da VEd	Rid. My,Rd da VEd	α	β	px	py	Verifica
1.865	SLU 21	0.01	1	0.1857	31.3291	-0.0636	15.4191	1	1			0	0	Si

Verifica a presso/tenso flessione retta X §§ 4.2.4.1.2.3 - 4.2.4.1.2.6 - 4.2.4.1.2.7 - 4.2.4.1.2.8 NTC18

Verifiche eseguite utilizzando la formula conservativa (6.2) §6.2.1 EN 1993-1-1:2005.

X	Comb.	Sfruttamento	Classe	NEd	NRd	Rid. NRd da VEd	Mx,Ed	Mx,Rd	Rid. Mx,Rd da VEd	Rid. Mx,Rd da NEd	px	py	Verifica
1.741	SLU 35	0.111	1	37.831	664.325	1	1.7002	31.3291	1		0	0	Si

Verifica a presso/tenso flessione retta X SLD §§ 4.2.4.1.2.3 - 4.2.4.1.2.6 - 4.2.4.1.2.7 - 4.2.4.1.2.8 NTC18

Verifiche eseguite utilizzando la formula conservativa (6.2) §6.2.1 EN 1993-1-1:2005.

X	Comb.	Sfruttamento	Classe	NEd	NRd	Rid. NRd da VEd	Mx,Ed	Mx,Rd	Rid. Mx,Rd da VEd	Rid. Mx,Rd da NEd	px	py	Verifica
1.243	SLD 1	0.035	1	12.897	664.325	1	0.4867	31.3291	1		0	0	Si

Verifica a presso/tenso flessione retta Y §§ 4.2.4.1.2.3 - 4.2.4.1.2.6 - 4.2.4.1.2.7 - 4.2.4.1.2.8 NTC18

Verifiche eseguite utilizzando la formula conservativa (6.2) §6.2.1 EN 1993-1-1:2005.

X	Comb.	Sfruttamento	Classe	NEd	NRd	Rid. NRd da VEd	My,Ed	My,Rd	Rid. My,Rd da VEd	Rid. My,Rd da NEd	px	py	Verifica
0.56	SLU 25	0.083	1	35.153	664.325	1	0.4686	15.4191	1		0	0	Si

Verifica a presso/tenso flessione retta Y SLD §§ 4.2.4.1.2.3 - 4.2.4.1.2.6 - 4.2.4.1.2.7 - 4.2.4.1.2.8 NTC18

Verifiche eseguite utilizzando la formula conservativa (6.2) §6.2.1 EN 1993-1-1:2005.

X	Comb.	Sfruttamento	Classe	NEd	NRd	Rid. NRd da VEd	My,Ed	My,Rd	Rid. My,Rd da VEd	Rid. My,Rd da NEd	px	py	Verifica
0.808	SLD 9	0.041	1	20.481	664.325	1	0.1633	15.4191	1		0	0	Si

Verifica a presso/tenso flessione deviata §§ 4.2.4.1.2.3 - 4.2.4.1.2.6 - 4.2.4.1.2.7 - 4.2.4.1.2.8 NTC18

Verifiche eseguite utilizzando la formula conservativa (6.2) §6.2.1 EN 1993-1-1:2005.

X	Comb.	Sfruttamento	Classe	NEd	NRd	Rid. NRd da VEd	Mx,Ed	Mx,Rd	My,Ed	My,Rd	Rid. Mx,Rd da VEd	Rid. Mx,Rd da NEd	Rid. My,Rd da VEd	Rid. My,Rd da NEd	α	β	px	py	Verifica
0	SLU 75	0.149	1	47.181	664.325	1	-0.9086	31.3291	0.758	15.4191	1		1				0	0	Si

Verifica a presso/tenso flessione deviata SLD §§ 4.2.4.1.2.3 - 4.2.4.1.2.6 - 4.2.4.1.2.7 - 4.2.4.1.2.8 NTC18

Verifiche eseguite utilizzando la formula conservativa (6.2) §6.2.1 EN 1993-1-1:2005.

X	Comb.	Sfruttamento	Classe	NEd	NRd	Rid. NRd da VEd	Mx,Ed	Mx,Rd	My,Ed	My,Rd	Rid. Mx,Rd da VEd	Rid. Mx,Rd da NEd	Rid. My,Rd da VEd	Rid. My,Rd da NEd	α	β	px	py	Verifica

Implementazione dei sistemi di confinamento delle emissioni odorigene diffuse dell'impianto di compostaggio esistente nel
Comune di Eboli (SA)

PROGETTO DEFINITIVO – Tabulati di calcolo Tomo 1

X	Comb.	Sfruttamento	Classe	NEd	NRd	Rid. NRd da VEd	Mx,Ed	Mx,Rd	My,Ed	My,Rd	Rid. Mx,Rd da VEd	Rid. Mx,Rd da NEd	Rid. My,Rd da VEd	Rid. My,Rd da NEd	α	β	px	py	Verifica
1.865	SLD 8	0.066	1	10.686	664.325	1	1.1623	31.3291	-0.1903	15.4191	1		1				0	0	Si

Verifiche ad instabilità

Caratteristiche iniziali

Membratura principale per controllo snellezza; Calcolo di snellezze ed N critici condotti secondo gli assi principali;

Curva X: b; Curva Y: c; Svergolamento: Carico all'estradosso; Curva svergolamento: b;

Dati per instabilità attorno a x

Controllo della snellezza secondo §4.2.4.1.3.1 NTC18

Numero rit.	Presente	Ascissa	Campata	βx/m	Vincolo a entrambi estremi	λx/m	λVer
1	Si		0				
			1-2		1	38.1	Si, (<200)
2	Si	1.865					

Dati per instabilità attorno a y

Controllo della snellezza secondo §4.2.4.1.3.1 NTC18

Numero rit.	Presente	Ascissa	Campata	βy/n	k,LT	kw,LT	Vincolo a entrambi estremi	λy/n	λVer
1	Si		0						
			1-2		1	1	Si	61.8	Si, (<200)
2	Si	1.865							

Verifica a svergolamento con trazione §4.2.4.1.3.2 NTC18 § 5.5.3 ENV 1993-1-1:1992 + AC:1992 + A1:1994 + A2:1998

X	Comb.	Sfruttamento	Classe	Obblig.	NEd	Mx,Ed	Mx,Eff,Ed	Mb,Rd,x	χ,LT	λ adim. LT	L,LT	M,critico	Verifica
1.741	SLU 35	0.021	1	Si	37.831	1.70023	0.58893	28.20716	0.9	0.636	1.865	81.20302	Si

Verifica a svergolamento con trazione SLD §4.2.4.1.3.2 NTC18 § 5.5.3 ENV 1993-1-1:1992 + AC:1992 + A1:1994 + A2:1998

X	Comb.	Sfruttamento	Classe	Obblig.	NEd	Mx,Ed	Mx,Eff,Ed	Mb,Rd,x	χ,LT	λ adim. LT	L,LT	M,critico	Verifica
1.243	SLD 1	0.004	1	Si	12.897	0.48674	0.10788	28.20716	0.9	0.636	1.865	81.20302	Si

Verifica di stabilità per tenso-flessione deviata §§ 5.5.3-5.5.4 ENV 1993-1-1:1992 + AC:1992 + A1:1994 + A2:1998

X	Comb.	Sfruttamento	Classe	NEd	Mx,Ed	Mx,Ed max	My,Ed	χ,LT	kLT	ky	M,critico	Wx	Wy	Verifica
1.865	SLV 7	0.085	1	2.098	1.66511	1.60348	-0.43916	0.9	1	1	81.20302	0.0001196	0.0000589	Si

Verifica di stabilità per tenso-flessione deviata SLD §§ 5.5.3-5.5.4 ENV 1993-1-1:1992 + AC:1992 + A1:1994 + A2:1998

X	Comb.	Sfruttamento	Classe	NEd	Mx,Ed	Mx,Ed max	My,Ed	χ,LT	kLT	ky	M,critico	Wx	Wy	Verifica
1.865	SLD 8	0.042	1	10.686	1.16233	0.84842	-0.19032	0.9	1	1	81.20302	0.0001196	0.0000589	Si

Verifica di stabilità per pressoflessione §C.4.2.4.1.3.3.2 NTC18

X	Comb.	Sfruttamento	Classe	NEd	NRk	Mx,Ed max	Mx,Rk	My,Ed max	My,Rk	χ,x	χ,y	kxx	kxy	kxy	kyy	χ,LT	Verifica
0	SLU 2	0.015	1	-3.784	697.541	0.06344	32.89552	0.07305	16.19002	0.91	0.717	0.931	0.58	0.999	0.966	0.9	Si

Verifica di stabilità a taglio anima Y §4.2.4.1.2.4 [4.2.27] NTC18

η	hw	tw	hw/tw max	Verifica
1.2	0.098	0.005	55.46	Si

Verifica di stabilità a taglio anima Y SLD §4.2.4.1.2.4 [4.2.27] NTC18

η	hw	tw	hw/tw max	Verifica
1.2	0.098	0.005	55.46	Si

Verifiche a deformabilità

Mensola X: No; Mensola Y: No.

Frecce lungo X

Ascissa freccia	Combinazione	Freccia	Luce	L/f	L/f,min	Tipo	Verifica
0.808	SLE RA 18	-0.00025	1.865	7465	250	Totale	Si
0.808	SLE RA 6	-0.00024	1.865	7872.7	250	Totale	Si
0.808	SLE RA 10	-0.00022	1.865	8548.2	250	Totale	Si
0.808	SLE RA 14	-0.00022	1.865	8548.2	250	Totale	Si
0.808	SLE RA 3	-0.00021	1.865	9087	250	Totale	Si
0.808	SLE RA 2	0.00009	1.865	10000	350	Variabile	Si
0.808	SLE RA 17	-0.00004	1.865	10000	350	Variabile	Si
0.808	SLE RA 16	-0.00009	1.865	10000	350	Variabile	Si
1.243	SLE RA 15	0.00002	1.865	10000	350	Variabile	Si
0.87	SLE RA 14	-0.00014	1.865	10000	350	Variabile	Si

Frecce lungo Y

Ascissa freccia	Combinazione	Freccia	Luce	L/f	L/f,min	Tipo	Verifica
1.243	SLE RA 1	0.00008	1.865	10000	250	Totale	Si
1.243	SLE RA 17	0.00011	1.865	10000	250	Totale	Si
1.243	SLE RA 16	0.00015	1.865	10000	250	Totale	Si
1.243	SLE RA 15	0.0001	1.865	10000	250	Totale	Si
1.243	SLE RA 14	0.00015	1.865	10000	250	Totale	Si
1.181	SLE RA 2	-0.00006	1.865	10000	350	Variabile	Si
1.181	SLE RA 17	0.00003	1.865	10000	350	Variabile	Si
1.181	SLE RA 16	0.00007	1.865	10000	350	Variabile	Si
1.243	SLE RA 15	0.00002	1.865	10000	350	Variabile	Si
1.181	SLE RA 14	0.00007	1.865	10000	350	Variabile	Si

Superelemento in acciaio a quota "590" (1998; 2185)-(2114; 2186)

Caratteristiche del materiale

Acciaio: S275, fyk = 275000

Caratteristiche geometriche

Lunghezza: 1.162

Nodo iniziale: 433 Nodo finale: 434

**Implementazione dei sistemi di confinamento delle emissioni odorigene diffuse dell'impianto di compostaggio esistente nel
Comune di Eboli (SA)
PROGETTO DEFINITIVO – Tabulati di calcolo Tomo 1**

Cerniera iniziale: No Cerniera finale: No
Sovreresistenza: 0% Sisma Z: No

Caratteristiche della sezione

Sezione	Rotazione	Area	Jx	Jy	ix	iy	Wx	Wy	Wplx	Wply
HEA120	0	0.002537	0.0000060673	0.0000023091	0.0489	0.0302	0.00010644	0.00003849	0.00011962	0.00005887

Verifiche di resistenza

Verifiche a forza assiale §4.2.4.1.2.1 - §4.2.4.1.2.2 NTC18

X	Comb.	Sfruttamento	Classe	NEd	Nc,Rd	Nt,Rd	Riduzione da taglio	px	py	Verifica
0.039	SLV 4	0.02	1	-13.473	664.325		1	0	0	Si

Verifiche a forza assiale SLD §4.2.4.1.2.1 - §4.2.4.1.2.2 NTC18

X	Comb.	Sfruttamento	Classe	NEd	Nc,Rd	Nt,Rd	Riduzione da taglio	px	py	Verifica
1.162	SLD 4	0.008	1	-5.309	664.325		1	0	0	Si

Verifica a taglio X §4.2.4.1.2.4 NTC18

X	Comb.	Sfruttamento	VEd	Vc,Rd	Av	Interazione taglio-torsione	Riduzione torsione	Verifica
0.581	SLV 12	0.001	0.403	308.379	0.002047	Considerata	1	Si

Verifica a taglio X SLD §4.2.4.1.2.4 NTC18

X	Comb.	Sfruttamento	VEd	Vc,Rd	Av	Interazione taglio-torsione	Riduzione torsione	Verifica
0	SLD 11	0.001	0.226	309.365	0.002047	Considerata	1	Si

Verifica a taglio Y §4.2.4.1.2.4 NTC18

X	Comb.	Sfruttamento	VEd	Vc,Rd	Av	Interazione taglio-torsione	Riduzione torsione	Verifica
0	SLV 3	0.138	17.603	127.361	0.000849	Considerata	0.99	Si

Verifica a taglio Y SLD §4.2.4.1.2.4 NTC18

X	Comb.	Sfruttamento	VEd	Vc,Rd	Av	Interazione taglio-torsione	Riduzione torsione	Verifica
0	SLD 3	0.056	7.157	128.106	0.000849	Considerata	1	Si

Verifica a torsione §4.2.4.1.2.5 NTC18

X	Comb.	Sfruttamento torsione	TEd	TRd	Riduzione taglio resistente	Sfruttamento taglio-torsione	τEd,totale	τRd	Verifica
0.542	SLV 9	0.025	-0.02114	0.85138	Considerata				Si

Verifica a torsione SLD §4.2.4.1.2.5 NTC18

X	Comb.	Sfruttamento torsione	TEd	TRd	Riduzione taglio resistente	Sfruttamento taglio-torsione	τEd,totale	τRd	Verifica
1.162	SLD 9	0.01	-0.00871	0.85138	Considerata				Si

Verifica a flessione semplice X §§ 4.2.4.1.2.3 - 4.2.4.1.2.6 - 4.2.4.1.2.7 - 4.2.4.1.2.8 NTC18

X	Comb.	Sfruttamento	Classe	Mx,Ed	Mx,Rd	Rid. Mx,Rd da VEd	px	py	Verifica
0	SLU 2	0.011	1	0.35671	31.32907	1	0	0	Si

Verifica a flessione semplice Y §§ 4.2.4.1.2.3 - 4.2.4.1.2.6 - 4.2.4.1.2.7 - 4.2.4.1.2.8 NTC18

X	Comb.	Sfruttamento	Classe	My,Ed	My,Rd	Rid. My,Rd da VEd	px	py	Verifica
0.968	SLU 2	0.002	1	0.03149	15.41907	1	0	0	Si

Verifica a flessione deviata §§ 4.2.4.1.2.3 - 4.2.4.1.2.6 - 4.2.4.1.2.7 - 4.2.4.1.2.8 NTC18

X	Comb.	Sfruttamento	Classe	Mx,Ed	Mx,Rd	My,Ed	My,Rd	Rid. Mx,Rd da VEd	Rid. My,Rd da VEd	α	β	px	py	Verifica
0.155	SLU 2	0.009	1	0.2862	31.3291	0.0043	15.4191	1	1			0	0	Si

Verifica a presso/tenso flessione retta X §§ 4.2.4.1.2.3 - 4.2.4.1.2.6 - 4.2.4.1.2.7 - 4.2.4.1.2.8 NTC18

Verifiche eseguite utilizzando la formula conservativa (6.2) §6.2.1 EN 1993-1-1:2005.

X	Comb.	Sfruttamento	Classe	NEd	NRd	Rid. NRd da VEd	Mx,Ed	Mx,Rd	Rid. Mx,Rd da VEd	Rid. Mx,Rd da NEd	px	py	Verifica
1.162	SLV 1	0.064	1	-7.893	664.325	1	-1.6215	31.3291	1		0	0	Si

Verifica a presso/tenso flessione retta Y §§ 4.2.4.1.2.3 - 4.2.4.1.2.6 - 4.2.4.1.2.7 - 4.2.4.1.2.8 NTC18

Verifiche eseguite utilizzando la formula conservativa (6.2) §6.2.1 EN 1993-1-1:2005.

X	Comb.	Sfruttamento	Classe	NEd	NRd	Rid. NRd da VEd	My,Ed	My,Rd	Rid. My,Rd da VEd	Rid. My,Rd da NEd	px	py	Verifica
1.007	SLV 8	0.042	1	-13.461	664.325	1	-0.3377	15.4191	1		0	0	Si

Verifica a presso/tenso flessione retta Y SLD §§ 4.2.4.1.2.3 - 4.2.4.1.2.6 - 4.2.4.1.2.7 - 4.2.4.1.2.8 NTC18

Verifiche eseguite utilizzando la formula conservativa (6.2) §6.2.1 EN 1993-1-1:2005.

X	Comb.	Sfruttamento	Classe	NEd	NRd	Rid. NRd da VEd	My,Ed	My,Rd	Rid. My,Rd da VEd	Rid. My,Rd da NEd	px	py	Verifica
1.045	SLD 13	0.019	1	2.576	664.325	1	-0.233	15.4191	1		0	0	Si

Verifica a presso/tenso flessione deviata §§ 4.2.4.1.2.3 - 4.2.4.1.2.6 - 4.2.4.1.2.7 - 4.2.4.1.2.8 NTC18

Verifiche eseguite utilizzando la formula conservativa (6.2) §6.2.1 EN 1993-1-1:2005.

X	Comb.	Sfruttamento	Classe	NEd	NRd	Rid. NRd da VEd	Mx,Ed	Mx,Rd	My,Ed	My,Rd	Rid. Mx,Rd da VEd	Rid. Mx,Rd da NEd	Rid. My,Rd da VEd	Rid. My,Rd da NEd	α	β	px	py	Verifica
0	SLV 8	0.623	1	-13.461	664.325	1	17.607	31.3291	-0.6218	15.4191	1		1				0	0	Si

Verifica a presso/tenso flessione deviata SLD §§ 4.2.4.1.2.3 - 4.2.4.1.2.6 - 4.2.4.1.2.7 - 4.2.4.1.2.8 NTC18

Verifiche eseguite utilizzando la formula conservativa (6.2) §6.2.1 EN 1993-1-1:2005.

X	Comb.	Sfruttamento	Classe	NEd	NRd	Rid. NRd da VEd	Mx,Ed	Mx,Rd	My,Ed	My,Rd	Rid. Mx,Rd da VEd	Rid. Mx,Rd da NEd	Rid. My,Rd da VEd	Rid. My,Rd da NEd	α	β	px	py	Verifica
0	SLD 7	0.261	1	-5.303	664.325	1	7.0425	31.3291	-0.4316	15.4191	1		1				0	0	Si

Implementazione dei sistemi di confinamento delle emissioni odorigene diffuse dell'impianto di compostaggio esistente nel
Comune di Eboli (SA)
PROGETTO DEFINITIVO – Tabulati di calcolo Tomo 1

Verifiche ad instabilità

Caratteristiche iniziali

Membratura principale per controllo snellezza; Calcolo di snellezze ed N critici condotti secondo gli assi principali;
Curva X: b; Curva Y: c; Svergolamento: Carico all'estradosso; Curva svergolamento: b;

Dati per instabilità attorno a x

Controllo della snellezza secondo §4.2.4.1.3.1 NTC18

Numero rit.	Presente	Ascissa	Campata	$\beta x/m$	Vincolo a entrambi estremi	$\lambda x/m$	λVer
1	Si	0					
			1-2	1	Si	23.7	Si, (<200)
2	Si	1.162					

Dati per instabilità attorno a y

Controllo della snellezza secondo §4.2.4.1.3.1 NTC18

Numero rit.	Presente	Ascissa	Campata	$\beta y/n$	k,LT	kw,LT	Vincolo a entrambi estremi	$\lambda y/n$	λVer
1	Si	0							
			1-2	1	1	1	Si	38.5	Si, (<200)
2	Si	1.162							

Verifica di stabilità per tenso-flessione deviata §§ 5.5.3-5.5.4 ENV 1993-1-1:1992 + AC:1992 + A1:1994 + A2:1998

X	Comb.	Sfruttamento	Classe	NEd	Mx,Ed	Mx,Eff,Ed	My,Ed	χ_{LT}	kLT	ky	M,critico	Wx	Wy	Verifica
0	SLV 13	0.472	1	10.741	-13.74493	-13.42943	-0.5463	0.982	1	1	164.70088	0.0001196	0.0000589	Si

Verifica di stabilità per tenso-flessione deviata SLD §§ 5.5.3-5.5.4 ENV 1993-1-1:1992 + AC:1992 + A1:1994 + A2:1998

X	Comb.	Sfruttamento	Classe	NEd	Mx,Ed	Mx,Eff,Ed	My,Ed	χ_{LT}	kLT	ky	M,critico	Wx	Wy	Verifica
0	SLD 13	0.127	1	2.576	-3.1687	-3.09302	-0.40958	0.982	1	1	164.70088	0.0001196	0.0000589	Si

Verifica di stabilità per pressoflessione §C.4.2.4.1.3.3.2 NTC18

X	Comb.	Sfruttamento	Classe	NEd	NRk	Mx,Ed max	Mx,Rk	My,Ed max	My,Rk	χ_x	χ_y	kxx	kxy	kyy	χ_{LT}	Verifica	
1.162	SLV 7	0.626	1	-13.461	697.541	17.60696	32.89552	0.62183	16.19002	0.974	0.874	0.538	0.476	0.996	0.793	0.982	Si

Verifica di stabilità per pressoflessione SLD §C.4.2.4.1.3.3.2 NTC18

X	Comb.	Sfruttamento	Classe	NEd	NRk	Mx,Ed max	Mx,Rk	My,Ed max	My,Rk	χ_x	χ_y	kxx	kxy	kyy	χ_{LT}	Verifica	
1.084	SLD 8	0.26	1	-5.303	697.541	7.04248	32.89552	0.43165	16.19002	0.974	0.874	0.533	0.484	0.999	0.807	0.982	Si

Verifica di stabilità a taglio anima Y §4.2.4.1.2.4 [4.2.27] NTC18

η	hw	tw	hw/tw max	Verifica
1.2	0.098	0.005	55.46	Si

Verifica di stabilità a taglio anima Y SLD §4.2.4.1.2.4 [4.2.27] NTC18

η	hw	tw	hw/tw max	Verifica
1.2	0.098	0.005	55.46	Si

Verifiche a deformabilità

Mensola X: No; Mensola Y: No.

Frecce lungo X

Ascissa freccia	Combinazione	Freccia	Luce	L/f	L/f,min	Tipo	Verifica
0.581	SLE RA 18	0.00016	1.162	7194.4	250	Totale	Si
0.542	SLE RA 16	0.00015	1.162	7669.3	250	Totale	Si
0.542	SLE RA 19	0.00014	1.162	8203.6	250	Totale	Si
0.581	SLE RA 14	0.00014	1.162	8282.1	250	Totale	Si
0.581	SLE RA 10	0.00014	1.162	8282.1	250	Totale	Si
0.581	SLE RA 2	-0.00006	1.162	10000	350	Variabile	Si
0.581	SLE RA 17	0.00003	1.162	10000	350	Variabile	Si
0.581	SLE RA 16	0.00006	1.162	10000	350	Variabile	Si
0.542	SLE RA 15	0.00003	1.162	10000	350	Variabile	Si
0.581	SLE RA 14	0.00005	1.162	10000	350	Variabile	Si

Frecce lungo Y

Ascissa freccia	Combinazione	Freccia	Luce	L/f	L/f,min	Tipo	Verifica
0.465	SLE RA 18	0.0002	1.162	5942	250	Totale	Si
0.465	SLE RA 6	0.00018	1.162	6594.6	250	Totale	Si
0.465	SLE RA 10	0.00018	1.162	6616	250	Totale	Si
0.465	SLE RA 14	0.00018	1.162	6616	250	Totale	Si
0.465	SLE RA 16	0.00016	1.162	7050.1	250	Totale	Si
0.465	SLE RA 2	-0.00006	1.162	10000	350	Variabile	Si
0.465	SLE RA 17	0.00003	1.162	10000	350	Variabile	Si
0.465	SLE RA 16	0.00006	1.162	10000	350	Variabile	Si
0.503	SLE RA 15	0.00001	1.162	10000	350	Variabile	Si
0.465	SLE RA 14	0.00007	1.162	10000	350	Variabile	Si

Superelemento in acciaio a quota "590" (2023; 1998)-(2248; 1996)

Caratteristiche del materiale

Acciaio: S275, fyk = 275000

Caratteristiche geometriche

Lunghezza: 2.25

Nodo iniziale: 494 Nodo finale: 490

Cerniera iniziale: No Cerniera finale: No

Sovreresistenza: 0% Sisma Z: No

Caratteristiche della sezione

Sezione	Rotazione	Area	Jx	Jy	ix	iy	Wx	Wy	Wplx	Wply
HEA120	0	0.002537	0.0000060673	0.0000023091	0.0489	0.0302	0.00010644	0.00003849	0.00011962	0.00005887

Implementazione dei sistemi di confinamento delle emissioni odorigene diffuse dell'impianto di compostaggio esistente nel
Comune di Eboli (SA)
PROGETTO DEFINITIVO – Tabulati di calcolo Tomo 1

Verifiche di resistenza

Verifiche a forza assiale §4.2.4.1.2.1 - §4.2.4.1.2.2 NTC18

X	Comb.	Sfruttamento	Classe	NEd	Nc,Rd	Nt,Rd	Riduzione da taglio	px	py	Verifica
0	SLU 76	0.172		114.443		664.325	1	0	0	Si

Verifiche a forza assiale SLD §4.2.4.1.2.1 - §4.2.4.1.2.2 NTC18

X	Comb.	Sfruttamento	Classe	NEd	Nc,Rd	Nt,Rd	Riduzione da taglio	px	py	Verifica
2.25	SLD 8	0.072		47.547		664.325	1	0	0	Si

Verifica a taglio Y §4.2.4.1.2.4 NTC18

X	Comb.	Sfruttamento	VEd	Vc,Rd	Av	Interazione taglio-torsione	Riduzione torsione	Verifica
0	SLU 42	0.004	0.519	127.709	0.000849	Considerata	1	Si

Verifica a taglio Y SLD §4.2.4.1.2.4 NTC18

X	Comb.	Sfruttamento	VEd	Vc,Rd	Av	Interazione taglio-torsione	Riduzione torsione	Verifica
0	SLD 7	0.002	0.262	128.172	0.000849	Considerata	1	Si

Verifica a torsione §4.2.4.1.2.5 NTC18

X	Comb.	Sfruttamento torsione	TEd	TRd	Riduzione taglio resistente	Sfruttamento taglio-torsione	τEd,totale	τRd	Verifica
2.175	SLV 13	0.019	-0.01637	0.85138	Considerata				Si

Verifica a torsione SLD §4.2.4.1.2.5 NTC18

X	Comb.	Sfruttamento torsione	TEd	TRd	Riduzione taglio resistente	Sfruttamento taglio-torsione	τEd,totale	τRd	Verifica
2.175	SLD 14	0.011	-0.00971	0.85138	Considerata				Si

Verifica a presso/tenso flessione retta X §§ 4.2.4.1.2.3 - 4.2.4.1.2.6 - 4.2.4.1.2.7 - 4.2.4.1.2.8 NTC18

Verifiche eseguite utilizzando la formula conservativa (6.2) §6.2.1 EN 1993-1-1:2005.

X	Comb.	Sfruttamento	Classe	NEd	NRd	Rid. NRd da VEd	Mx,Ed	Mx,Rd	Rid. Mx,Rd da VEd	Rid. Mx,Rd da NEd	px	py	Verifica
2.175	SLV 8	0.106	1	58.303	664.325	1	-0.5732	31.3291	1		0	0	Si

Verifica a presso/tenso flessione retta X SLD §§ 4.2.4.1.2.3 - 4.2.4.1.2.6 - 4.2.4.1.2.7 - 4.2.4.1.2.8 NTC18

Verifiche eseguite utilizzando la formula conservativa (6.2) §6.2.1 EN 1993-1-1:2005.

X	Comb.	Sfruttamento	Classe	NEd	NRd	Rid. NRd da VEd	Mx,Ed	Mx,Rd	Rid. Mx,Rd da VEd	Rid. Mx,Rd da NEd	px	py	Verifica
0.75	SLD 7	0.089	1	47.547	664.325	1	-0.5314	31.3291	1		0	0	Si

Verifica a presso/tenso flessione retta Y §§ 4.2.4.1.2.3 - 4.2.4.1.2.6 - 4.2.4.1.2.7 - 4.2.4.1.2.8 NTC18

Verifiche eseguite utilizzando la formula conservativa (6.2) §6.2.1 EN 1993-1-1:2005.

X	Comb.	Sfruttamento	Classe	NEd	NRd	Rid. NRd da VEd	My,Ed	My,Rd	Rid. My,Rd da VEd	Rid. My,Rd da NEd	px	py	Verifica
2.25	SLU 3	0.025	1	13.294	664.325	1	0.0699	15.4191	1		0	0	Si

Verifica a presso/tenso flessione deviata §§ 4.2.4.1.2.3 - 4.2.4.1.2.6 - 4.2.4.1.2.7 - 4.2.4.1.2.8 NTC18

Verifiche eseguite utilizzando la formula conservativa (6.2) §6.2.1 EN 1993-1-1:2005.

X	Comb.	Sfruttamento	Classe	NEd	NRd	Rid. NRd da VEd	Mx,Ed	Mx,Rd	My,Ed	My,Rd	Rid. Mx,Rd da VEd	Rid. Mx,Rd da NEd	Rid. My,Rd da VEd	Rid. My,Rd da NEd	α	β	px	py	Verifica
2.25	SLU 76	0.244	1	114.443	664.325	1	-1.2931	31.3291	0.4665	15.4191	1		1				0	0	Si

Verifica a presso/tenso flessione deviata SLD §§ 4.2.4.1.2.3 - 4.2.4.1.2.6 - 4.2.4.1.2.7 - 4.2.4.1.2.8 NTC18

Verifiche eseguite utilizzando la formula conservativa (6.2) §6.2.1 EN 1993-1-1:2005.

X	Comb.	Sfruttamento	Classe	NEd	NRd	Rid. NRd da VEd	Mx,Ed	Mx,Rd	My,Ed	My,Rd	Rid. Mx,Rd da VEd	Rid. Mx,Rd da NEd	Rid. My,Rd da VEd	Rid. My,Rd da NEd	α	β	px	py	Verifica
1.95	SLD 8	0.094	1	47.547	664.325	1	-0.5196	31.3291	0.0904	15.4191	1		1				0	0	Si

Verifiche ad instabilità

Caratteristiche iniziali

Membratura principale per controllo snellezza; Calcolo di snellezze ed N critici condotti secondo gli assi principali;

Curva X: b; Curva Y: c; Svergolamento: Carico all'estradosso; Curva svergolamento: b;

Dati per instabilità attorno a x

Controllo della snellezza secondo §4.2.4.1.3.1 NTC18

Numero rit.	Presente	Ascissa	Campata	βx/m	Vincolo a entrambi estremi	λx/m	λVer
1	Si	0					
			1-2	1	Si	46	Si, (<200)
2	Si	2.25					

Dati per instabilità attorno a y

Controllo della snellezza secondo §4.2.4.1.3.1 NTC18

Numero rit.	Presente	Ascissa	Campata	βy/n	k,LT	kw,LT	Vincolo a entrambi estremi	λy/n	λVer
1	Si	0							
			1-2	1	1	1	Si	74.6	Si, (<200)
2	Si	2.25							

Verifica di stabilità per tenso-flessione deviata §§ 5.5.3-5.5.4 ENV 1993-1-1:1992 + AC:1992 + A1:1994 + A2:1998

X	Comb.	Sfruttamento	Classe	NEd	Mx,Ed	Mx,Ed,Ed	My,Ed	x,LT	kLT	ky	M,critico	Wx	Wy	Verifica
0	SLU 2	0.006	1	1.689	0.1514	0.10179	-0.03606	0.957	1	1	127.41822	0.0001196	0.0000589	Si

Verifica di stabilità a taglio anima Y §4.2.4.1.2.4 [4.2.27] NTC18

η	hw	tw	hw/tw max	Verifica
1.2	0.098	0.005	55.46	Si

Verifica di stabilità a taglio anima Y SLD §4.2.4.1.2.4 [4.2.27] NTC18

η	hw	tw	hw/tw max	Verifica
1.2	0.098	0.005	55.46	Si

Implementazione dei sistemi di confinamento delle emissioni odorigene diffuse dell'impianto di compostaggio esistente nel
Comune di Eboli (SA)
PROGETTO DEFINITIVO – Tabulati di calcolo Tomo 1

Verifiche a deformabilità

Mensola X: No; Mensola Y: No.

Frecce lungo X

Ascissa freccia	Combinazione	Freccia	Luce	L/f	L/f,min	Tipo	Verifica
1.2	SLE RA 19	-0.00027	2.25	8193.8	250	Totale	Si
1.2	SLE RA 16	-0.00025	2.25	9107.6	250	Totale	Si
1.2	SLE RA 15	-0.00024	2.25	9422	250	Totale	Si
1.2	SLE RA 11	-0.00024	2.25	9422	250	Totale	Si
1.2	SLE RA 17	-0.00019	2.25	10000	250	Totale	Si
1.2	SLE RA 2	0.0001	2.25	10000	350	Variabile	Si
1.2	SLE RA 17	-0.00005	2.25	10000	350	Variabile	Si
1.2	SLE RA 16	-0.00011	2.25	10000	350	Variabile	Si
1.2	SLE RA 15	-0.0001	2.25	10000	350	Variabile	Si
1.125	SLE RA 14	-0.00004	2.25	10000	350	Variabile	Si

Frecce lungo Y

Ascissa freccia	Combinazione	Freccia	Luce	L/f	L/f,min	Tipo	Verifica
1.125	SLE RA 19	-0.00046	2.25	4922.3	250	Totale	Si
1.125	SLE RA 16	-0.00042	2.25	5396	250	Totale	Si
1.125	SLE RA 15	-0.0004	2.25	5589.8	250	Totale	Si
1.125	SLE RA 11	-0.0004	2.25	5589.8	250	Totale	Si
1.125	SLE RA 18	-0.00038	2.25	5970.6	250	Totale	Si
1.125	SLE RA 2	0.00015	2.25	10000	350	Variabile	Si
1.125	SLE RA 17	-0.00007	2.25	10000	350	Variabile	Si
1.125	SLE RA 16	-0.00016	2.25	10000	350	Variabile	Si
1.2	SLE RA 15	-0.00015	2.25	10000	350	Variabile	Si
0.975	SLE RA 14	-0.00007	2.25	10000	350	Variabile	Si

Superelemento in acciaio a quota "590" (2114; 2186)-(2231; 2187)

Caratteristiche del materiale

Acciaio: S275, fyk = 275000

Caratteristiche geometriche

Lunghezza: 1.163

Nodo iniziale: 434 Nodo finale: 437

Cerniera iniziale: No Cerniera finale: No

Sovreresistenza: 0% Sisma Z: No

Caratteristiche della sezione

Sezione	Rotazione	Area	Jx	Jy	ix	iy	Wx	Wy	Wplx	Wply
HEA120	0	0.002537	0.0000060673	0.0000023091	0.0489	0.0302	0.00010644	0.00003849	0.00011962	0.00005887

Verifiche di resistenza

Verifiche a forza assiale §4.2.4.1.2.1 - §4.2.4.1.2.2 NTC18

X	Comb.	Sfruttamento	Classe	NEd	Nc,Rd	Nt,Rd	Riduzione da taglio	px	py	Verifica
0	SLV 3	0.041	1	-27.358	664.325		1	0	0	Si

Verifiche a forza assiale SLD §4.2.4.1.2.1 - §4.2.4.1.2.2 NTC18

X	Comb.	Sfruttamento	Classe	NEd	Nc,Rd	Nt,Rd	Riduzione da taglio	px	py	Verifica
1.163	SLD 4	0.015	1	-9.922	664.325		1	0	0	Si

Verifica a taglio X §4.2.4.1.2.4 NTC18

X	Comb.	Sfruttamento	VEd	Vc,Rd	Av	Interazione taglio-torsione	Riduzione torsione	Verifica
0	SLV 11	0.001	0.349	309.225	0.002047	Considerata	1	Si

Verifica a taglio X SLD §4.2.4.1.2.4 NTC18

X	Comb.	Sfruttamento	VEd	Vc,Rd	Av	Interazione taglio-torsione	Riduzione torsione	Verifica
0	SLD 11	0.001	0.208	308.963	0.002047	Considerata	1	Si

Verifica a taglio Y §4.2.4.1.2.4 NTC18

X	Comb.	Sfruttamento	VEd	Vc,Rd	Av	Interazione taglio-torsione	Riduzione torsione	Verifica
1.163	SLV 4	0.023	-2.888	128.304	0.000849	Considerata	1	Si

Verifica a taglio Y SLD §4.2.4.1.2.4 NTC18

X	Comb.	Sfruttamento	VEd	Vc,Rd	Av	Interazione taglio-torsione	Riduzione torsione	Verifica
1.163	SLD 4	0.01	-1.258	128.131	0.000849	Considerata	1	Si

Verifica a torsione §4.2.4.1.2.5 NTC18

X	Comb.	Sfruttamento torsione	TEd	TRd	Riduzione taglio resistente	Sfruttamento taglio-torsione	τEd,totale	τRd	Verifica
0.116	SLU 75	0.019	-0.01636	0.85138	Considerata				Si

Verifica a torsione SLD §4.2.4.1.2.5 NTC18

X	Comb.	Sfruttamento torsione	TEd	TRd	Riduzione taglio resistente	Sfruttamento taglio-torsione	τEd,totale	τRd	Verifica
1.163	SLD 10	0.007	-0.00601	0.85138	Considerata				Si

Verifica a flessione semplice X §§ 4.2.4.1.2.3 - 4.2.4.1.2.6 - 4.2.4.1.2.7 - 4.2.4.1.2.8 NTC18

X	Comb.	Sfruttamento	Classe	Mx,Ed	Mx,Rd	Rid. Mx,Rd da VEd	px	py	Verifica
0.465	SLU 59	0.004	1	-0.13797	31.32907	1	0	0	Si

**Implementazione dei sistemi di confinamento delle emissioni odorigene diffuse dell'impianto di compostaggio esistente nel
Comune di Eboli (SA)
PROGETTO DEFINITIVO – Tabulati di calcolo Tomo 1**

Verifica a flessione semplice Y §§ 4.2.4.1.2.3 - 4.2.4.1.2.6 - 4.2.4.1.2.7 - 4.2.4.1.2.8 NTC18

X	Comb.	Sfruttamento	Classe	My,Ed	My,Rd	Rid. My,Rd da VEd	px	py	Verifica
1.008	SLV 59	0.003	1	0.04029	15.41907	1	0	0	Si

Verifica a flessione deviata §§ 4.2.4.1.2.3 - 4.2.4.1.2.6 - 4.2.4.1.2.7 - 4.2.4.1.2.8 NTC18

X	Comb.	Sfruttamento	Classe	Mx,Ed	Mx,Rd	My,Ed	My,Rd	Rid. Mx,Rd da VEd	Rid. My,Rd da VEd	α	β	px	py	Verifica
0	SLV 43	0.013	1	-0.2463	31.3291	-0.0717	15.4191	1	1			0	0	Si

Verifica a presso/tenso flessione retta X §§ 4.2.4.1.2.3 - 4.2.4.1.2.6 - 4.2.4.1.2.7 - 4.2.4.1.2.8 NTC18

Verifiche eseguite utilizzando la formula conservativa (6.2) §6.2.1 EN 1993-1-1:2005.

X	Comb.	Sfruttamento	Classe	NEd	NRd	Rid. NRd da VEd	Mx,Ed	Mx,Rd	Rid. Mx,Rd da VEd	Rid. Mx,Rd da NEd	px	py	Verifica
0.271	SLV 10	0.078	1	24.337	664.325	1	1.3112	31.3291	1		0	0	Si

Verifica a presso/tenso flessione retta X SLD §§ 4.2.4.1.2.3 - 4.2.4.1.2.6 - 4.2.4.1.2.7 - 4.2.4.1.2.8 NTC18

Verifiche eseguite utilizzando la formula conservativa (6.2) §6.2.1 EN 1993-1-1:2005.

X	Comb.	Sfruttamento	Classe	NEd	NRd	Rid. NRd da VEd	Mx,Ed	Mx,Rd	Rid. Mx,Rd da VEd	Rid. Mx,Rd da NEd	px	py	Verifica
1.163	SLD 11	0.013	1	-5.938	664.325	1	0.1381	31.3291	1		0	0	Si

Verifica a presso/tenso flessione retta Y §§ 4.2.4.1.2.3 - 4.2.4.1.2.6 - 4.2.4.1.2.7 - 4.2.4.1.2.8 NTC18

Verifiche eseguite utilizzando la formula conservativa (6.2) §6.2.1 EN 1993-1-1:2005.

X	Comb.	Sfruttamento	Classe	NEd	NRd	Rid. NRd da VEd	My,Ed	My,Rd	Rid. My,Rd da VEd	Rid. My,Rd da NEd	px	py	Verifica
0.969	SLV 2	0.029	1	-15.494	664.325	1	-0.0805	15.4191	1		0	0	Si

Verifica a presso/tenso flessione retta Y SLD §§ 4.2.4.1.2.3 - 4.2.4.1.2.6 - 4.2.4.1.2.7 - 4.2.4.1.2.8 NTC18

Verifiche eseguite utilizzando la formula conservativa (6.2) §6.2.1 EN 1993-1-1:2005.

X	Comb.	Sfruttamento	Classe	NEd	NRd	Rid. NRd da VEd	My,Ed	My,Rd	Rid. My,Rd da VEd	Rid. My,Rd da NEd	px	py	Verifica
0.116	SLD 16	0.019	1	3.174	664.325	1	-0.2217	15.4191	1		0	0	Si

Verifica a presso/tenso flessione deviata §§ 4.2.4.1.2.3 - 4.2.4.1.2.6 - 4.2.4.1.2.7 - 4.2.4.1.2.8 NTC18

Verifiche eseguite utilizzando la formula conservativa (6.2) §6.2.1 EN 1993-1-1:2005.

X	Comb.	Sfruttamento	Classe	NEd	NRd	Rid. NRd da VEd	Mx,Ed	Mx,Rd	My,Ed	My,Rd	Rid. Mx,Rd da VEd	Rid. Mx,Rd da NEd	Rid. My,Rd da VEd	Rid. My,Rd da NEd	α	β	px	py	Verifica
0	SLV 8	0.144	1	-27.204	664.325	1	-2.6319	31.3291	-0.293	15.4191	1		1				0	0	Si

Verifica a presso/tenso flessione deviata SLD §§ 4.2.4.1.2.3 - 4.2.4.1.2.6 - 4.2.4.1.2.7 - 4.2.4.1.2.8 NTC18

Verifiche eseguite utilizzando la formula conservativa (6.2) §6.2.1 EN 1993-1-1:2005.

X	Comb.	Sfruttamento	Classe	NEd	NRd	Rid. NRd da VEd	Mx,Ed	Mx,Rd	My,Ed	My,Rd	Rid. Mx,Rd da VEd	Rid. Mx,Rd da NEd	Rid. My,Rd da VEd	Rid. My,Rd da NEd	α	β	px	py	Verifica
0	SLD 8	0.064	1	-9.867	664.325	1	-1.1059	31.3291	-0.2191	15.4191	1		1				0	0	Si

Verifiche ad instabilità

Caratteristiche iniziali

Membratura principale per controllo snellezza; Calcolo di snellezze ed N critici condotti secondo gli assi principali;

Curva X: b; Curva Y: c; Svergolamento: Carico all'estradosso; Curva svergolamento: b;

Dati per instabilità attorno a x

Controllo della snellezza secondo §4.2.4.1.3.1 NTC18

Numero rit.	Presente	Ascissa	Campata	βx/m	Vincolo a entrambi estremi	λx/m	λVer
1	Si	0					
2	Si	1.163	1-2	1	Si	23.8	Si, (<200)

Dati per instabilità attorno a y

Controllo della snellezza secondo §4.2.4.1.3.1 NTC18

Numero rit.	Presente	Ascissa	Campata	βy/n	k,LT	kw,LT	Vincolo a entrambi estremi	λy/n	λVer
1	Si	0							
2	Si	1.163	1-2	1	1	1	Si	38.5	Si, (<200)

Verifica a svergolamento con trazione §4.2.4.1.3.2 NTC18 § 5.5.3 ENV 1993-1-1:1992 + AC:1992 + A1:1994 + A2:1998

X	Comb.	Sfruttamento	Classe	Obblig.	NEd	Mx,Ed	Mx,Eff,Ed	Mb,Rd,x	χ,LT	λ adim. LT	L,LT	M,critico	Verifica
0.271	SLV 9	0.019	1	Si	24.337	1.3112	0.5963	30.7502	0.982	0.447	1.163	164.4762	Si

Verifica di stabilità per tenso-flessione deviata §§ 5.5.3-5.5.4 ENV 1993-1-1:1992 + AC:1992 + A1:1994 + A2:1998

X	Comb.	Sfruttamento	Classe	NEd	Mx,Ed	Mx,Eff,Ed	My,Ed	χ,LT	kLT	ky	M,critico	Wx	Wy	Verifica
0	SLV 75	0.067	1	0.429	-1.01921	-1.00659	-0.54248	1	1	1	368.13606	0.0001196	0.0000589	Si

Verifica di stabilità per tenso-flessione deviata SLD §§ 5.5.3-5.5.4 ENV 1993-1-1:1992 + AC:1992 + A1:1994 + A2:1998

X	Comb.	Sfruttamento	Classe	NEd	Mx,Ed	Mx,Eff,Ed	My,Ed	χ,LT	kLT	ky	M,critico	Wx	Wy	Verifica
0	SLD 14	0.019	1	7.055	0.36975	0.1625	-0.2104	0.982	1	1	164.4762	0.0001196	0.0000589	Si

Verifica di stabilità per pressoflessione §C.4.2.4.1.3.3.2 NTC18

X	Comb.	Sfruttamento	Classe	NEd	NRk	Mx,Ed max	Mx,Rk	My,Ed max	My,Rk	χ,x	χ,y	kxx	kxy	kyy	χ,LT	Verifica
1.163	SLV 4	0.15	1	-27.358	697.541	2.63531	32.89552	0.27155	16.19002	0.974	0.874	0.523	0.593	0.992	0.989	0.982

Verifica di stabilità per pressoflessione SLD §C.4.2.4.1.3.3.2 NTC18

X	Comb.	Sfruttamento	Classe	NEd	NRk	Mx,Ed max	Mx,Rk	My,Ed max	My,Rk	χ,x	χ,y	kxx	kxy	kyy	χ,LT	Verifica
1.163	SLD 4	0.065	1	-9.922	697.541	1.10732	32.89552	0.19124	16.19002	0.974	0.874	0.545	0.564	0.997	0.94	0.982

Verifica di stabilità a taglio anima Y §4.2.4.1.2.4 [4.2.27] NTC18

η	hw	tw	hw/tw max	Verifica
1.2	0.098	0.005	55.46	Si

Verifica di stabilità a taglio anima Y SLD §4.2.4.1.2.4 [4.2.27] NTC18

η	hw	tw	hw/tw max	Verifica
1.2	0.098	0.005	55.46	Si

Implementazione dei sistemi di confinamento delle emissioni odorigene diffuse dell’impianto di compostaggio esistente nel
Comune di Eboli (SA)
PROGETTO DEFINITIVO – Tabulati di calcolo Tomo 1

Verifiche a deformabilità

Mensola X: No; Mensola Y: No.

Frecce lungo X

Ascissa freccia	Combinazione	Freccia	Luce	L/f	L/f,min	Tipo	Verifica
0.504	SLE RA 1	0.00004	1.163	10000	250	Totale	Si
0.504	SLE RA 17	0.00005	1.163	10000	250	Totale	Si
0.543	SLE RA 16	0.00007	1.163	10000	250	Totale	Si
0.465	SLE RA 15	0.00003	1.163	10000	250	Totale	Si
0.543	SLE RA 14	0.00009	1.163	10000	250	Totale	Si
0.543	SLE RA 2	-0.00003	1.163	10000	350	Variabile	Si
0.543	SLE RA 17	0.00002	1.163	10000	350	Variabile	Si
0.543	SLE RA 16	0.00004	1.163	10000	350	Variabile	Si
0.814	SLE RA 15	-0.00001	1.163	10000	350	Variabile	Si
0.581	SLE RA 14	0.00005	1.163	10000	350	Variabile	Si

Frecce lungo Y

Ascissa freccia	Combinazione	Freccia	Luce	L/f	L/f,min	Tipo	Verifica
0.504	SLE RA 1	-0.00003	1.163	10000	250	Totale	Si
0.504	SLE RA 17	-0.00003	1.163	10000	250	Totale	Si
0.504	SLE RA 16	-0.00004	1.163	10000	250	Totale	Si
0.426	SLE RA 15	-0.00002	1.163	10000	250	Totale	Si
0.504	SLE RA 14	-0.00005	1.163	10000	250	Totale	Si
0.504	SLE RA 2	0.00001	1.163	10000	350	Variabile	Si
0.504	SLE RA 17	-0.00001	1.163	10000	350	Variabile	Si
0.504	SLE RA 16	-0.00001	1.163	10000	350	Variabile	Si
0.659	SLE RA 15	0.00001	1.163	10000	350	Variabile	Si
0.543	SLE RA 14	-0.00003	1.163	10000	350	Variabile	Si

Superelemento in acciaio a quota "590" (2231; 2187)-(2347; 2188)

Caratteristiche del materiale

Acciaio: S275, fyk = 275000

Caratteristiche geometriche

Lunghezza: 1.163

Nodo iniziale: 437 Nodo finale: 440

Cerniera iniziale: No Cerniera finale: No

Sovreresistenza: 0% Sisma Z: No

Caratteristiche della sezione

Sezione	Rotazione	Area	Jx	Jy	ix	iy	Wx	Wy	Wplx	Wply
HEA120	0	0.002537	0.0000060673	0.0000023091	0.0489	0.0302	0.00010644	0.00003849	0.00011962	0.00005887

Verifiche di resistenza

Verifiche a forza assiale §4.2.4.1.2.1 - §4.2.4.1.2.2 NTC18

X	Comb.	Sfruttamento	Classe	NEd	Nc,Rd	Nt,Rd	Riduzione da taglio	px	py	Verifica
0.271	SLU 63	0.046		30.516		664.325	1	0	0	Si

Verifiche a forza assiale SLD §4.2.4.1.2.1 - §4.2.4.1.2.2 NTC18

X	Comb.	Sfruttamento	Classe	NEd	Nc,Rd	Nt,Rd	Riduzione da taglio	px	py	Verifica
1.163	SLD 8	0.008		5.568		664.325	1	0	0	Si

Verifica a taglio X §4.2.4.1.2.4 NTC18

X	Comb.	Sfruttamento	VEd	Vc,Rd	Av	Interazione taglio-torsione	Riduzione torsione	Verifica
1.163	SLV 8	0.001	0.256	309.455	0.002047	Considerata	1	Si

Verifica a taglio Y §4.2.4.1.2.4 NTC18

X	Comb.	Sfruttamento	VEd	Vc,Rd	Av	Interazione taglio-torsione	Riduzione torsione	Verifica
0	SLV 3	0.007	0.909	128.304	0.000849	Considerata	1	Si

Verifica a taglio Y SLD §4.2.4.1.2.4 NTC18

X	Comb.	Sfruttamento	VEd	Vc,Rd	Av	Interazione taglio-torsione	Riduzione torsione	Verifica
0	SLD 3	0.004	0.455	128.156	0.000849	Considerata	1	Si

Verifica a torsione §4.2.4.1.2.5 NTC18

X	Comb.	Sfruttamento torsione	TEd	TRd	Riduzione taglio resistente	Sfruttamento taglio-torsione	τEd,totale	τRd	Verifica
0.155	SLU 75	0.012	-0.01034	0.85138	Considerata				Si

Verifica a torsione SLD §4.2.4.1.2.5 NTC18

X	Comb.	Sfruttamento torsione	TEd	TRd	Riduzione taglio resistente	Sfruttamento taglio-torsione	τEd,totale	τRd	Verifica
1.163	SLD 10	0.006	-0.00491	0.85138	Considerata				Si

Verifica a presso/tenso flessione retta X §§ 4.2.4.1.2.3 - 4.2.4.1.2.6 - 4.2.4.1.2.7 - 4.2.4.1.2.8 NTC18

Verifiche eseguite utilizzando la formula conservativa (6.2) §6.2.1 EN 1993-1-1:2005.

X	Comb.	Sfruttamento	Classe	NEd	NRd	Rid. NRd da VEd	Mx,Ed	Mx,Rd	Rid. Mx,Rd da VEd	Rid. Mx,Rd da NEd	px	py	Verifica
1.163	SLU 39	0.012	1	5.643	664.325	1	-0.1168	31.3291	1		0	0	Si

Verifica a presso/tenso flessione retta X SLD §§ 4.2.4.1.2.3 - 4.2.4.1.2.6 - 4.2.4.1.2.7 - 4.2.4.1.2.8 NTC18

Verifiche eseguite utilizzando la formula conservativa (6.2) §6.2.1 EN 1993-1-1:2005.

X	Comb.	Sfruttamento	Classe	NEd	NRd	Rid. NRd da VEd	Mx,Ed	Mx,Rd	Rid. Mx,Rd da VEd	Rid. Mx,Rd da NEd	px	py	Verifica
0.077	SLD 7	0.014	1	5.568	664.325	1	0.1845	31.3291	1		0	0	Si

Implementazione dei sistemi di confinamento delle emissioni odorigene diffuse dell'impianto di compostaggio esistente nel
Comune di Eboli (SA)

PROGETTO DEFINITIVO – Tabulati di calcolo Tomo 1

Verifica a presso/tenso flessione retta Y §§ 4.2.4.1.2.3 - 4.2.4.1.2.6 - 4.2.4.1.2.7 - 4.2.4.1.2.8 NTC18

Verifiche eseguite utilizzando la formula conservativa (6.2) §6.2.1 EN 1993-1-1:2005.

X	Comb.	Sfruttamento	Classe	NEd	NRd	Rid. NRd da VEd	My,Ed	My,Rd	Rid. My,Rd da VEd	Rid. My,Rd da NEd	px	py	Verifica
0.116	SLU 73	0.024	1	10.567	664.325	1	-0.126	15.4191	1		0	0	Si

Verifica a presso/tenso flessione retta Y SLD §§ 4.2.4.1.2.3 - 4.2.4.1.2.6 - 4.2.4.1.2.7 - 4.2.4.1.2.8 NTC18

Verifiche eseguite utilizzando la formula conservativa (6.2) §6.2.1 EN 1993-1-1:2005.

X	Comb.	Sfruttamento	Classe	NEd	NRd	Rid. NRd da VEd	My,Ed	My,Rd	Rid. My,Rd da VEd	Rid. My,Rd da NEd	px	py	Verifica
0.542	SLD 7	0.011	1	5.568	664.325	1	0.0434	15.4191	1		0	0	Si

Verifica a presso/tenso flessione deviata §§ 4.2.4.1.2.3 - 4.2.4.1.2.6 - 4.2.4.1.2.7 - 4.2.4.1.2.8 NTC18

Verifiche eseguite utilizzando la formula conservativa (6.2) §6.2.1 EN 1993-1-1:2005.

X	Comb.	Sfruttamento	Classe	NEd	NRd	Rid. NRd da VEd	Mx,Ed	Mx,Rd	My,Ed	My,Rd	Rid. Mx,Rd da VEd	Rid. Mx,Rd da NEd	Rid. My,Rd da VEd	Rid. My,Rd da NEd	α	β	px	py	Verifica
0.077	SLU 63	0.077	1	30.516	664.325	1	-0.3057	31.3291	-0.3252	15.4191	1		1				0	0	Si

Verifica a presso/tenso flessione deviata SLD §§ 4.2.4.1.2.3 - 4.2.4.1.2.6 - 4.2.4.1.2.7 - 4.2.4.1.2.8 NTC18

Verifiche eseguite utilizzando la formula conservativa (6.2) §6.2.1 EN 1993-1-1:2005.

X	Comb.	Sfruttamento	Classe	NEd	NRd	Rid. NRd da VEd	Mx,Ed	Mx,Rd	My,Ed	My,Rd	Rid. Mx,Rd da VEd	Rid. Mx,Rd da NEd	Rid. My,Rd da VEd	Rid. My,Rd da NEd	α	β	px	py	Verifica
1.163	SLD 8	0.02	1	5.568	664.325	1	-0.1752	31.3291	0.0981	15.4191	1		1				0	0	Si

Verifiche ad instabilità

Caratteristiche iniziali

Membratura principale per controllo snellezza; Calcolo di snellezze ed N critici condotti secondo gli assi principali;

Curva X: b; Curva Y: c; Svergolamento: Carico all'estradosso; Curva svergolamento: b;

Dati per instabilità attorno a x

Controllo della snellezza secondo §4.2.4.1.3.1 NTC18

Numero rit.	Presente	Ascissa	Campata	βx/m	Vincolo a entrambi estremi	λx/m	λVer
1	Si		0				
2	Si		1-2		1	23.8	Si, (<200)

Dati per instabilità attorno a y

Controllo della snellezza secondo §4.2.4.1.3.1 NTC18

Numero rit.	Presente	Ascissa	Campata	βy/n	k,LT	kw,LT	Vincolo a entrambi estremi	λy/n	λVer
1	Si		0						
2	Si		1-2		1	1	Si	38.5	Si, (<200)

Verifica a svergolamento con trazione SLD §4.2.4.1.3.2 NTC18 § 5.5.3 ENV 1993-1-1:1992 + AC:1992 + A1:1994 + A2:1998

X	Comb.	Sfruttamento	Classe	Obblig.	NEd	Mx,Ed	Mx,Eff,Ed	Mb,Rd,x	χ,LT	λ adim. LT	L,LT	M,critico	Verifica
0.077	SLD 7	0.001	1	Si	5.568	0.18445	0.0209	30.7502	0.982	0.447	1.163	164.4762	Si

Verifica di stabilità per tenso-flessione deviata §§ 5.5.3-5.5.4 ENV 1993-1-1:1992 + AC:1992 + A1:1994 + A2:1998

X	Comb.	Sfruttamento	Classe	NEd	Mx,Ed	Mx,Eff,Ed	My,Ed	χ,LT	kLT	ky	M,critico	Wx	Wy	Verifica
1.163	SLV 8	0.024	1	7.128	-0.3356	-0.12623	0.31024	0.982	1	1	164.4762	0.0001196	0.0000589	Si

Verifica di stabilità per tenso-flessione deviata SLD §§ 5.5.3-5.5.4 ENV 1993-1-1:1992 + AC:1992 + A1:1994 + A2:1998

X	Comb.	Sfruttamento	Classe	NEd	Mx,Ed	Mx,Eff,Ed	My,Ed	χ,LT	kLT	ky	M,critico	Wx	Wy	Verifica
1.163	SLD 8	0.007	1	5.568	-0.17519	-0.01164	0.09813	0.982	1	1	164.4762	0.0001196	0.0000589	Si

Verifica di stabilità per pressoflessione §C.4.2.4.1.3.3.2 NTC18

X	Comb.	Sfruttamento	Classe	NEd	NRk	Mx,Ed max	Mx,Rk	My,Ed max	My,Rk	χ,x	χ,y	kxx	kxy	kyy	χ,LT	Verifica	
0	SLU 4	0.058	1	-18.171	697.541	0.38764	32.89552	0.24573	16.19002	0.974	0.874	0.632	0.55	0.996	0.917	1	Si

Verifica di stabilità a taglio anima Y §4.2.4.1.2.4 [4.2.27] NTC18

η	hw	tw	hw/tw max	Verifica
1.2	0.098	0.005	55.46	Si

Verifica di stabilità a taglio anima Y SLD §4.2.4.1.2.4 [4.2.27] NTC18

η	hw	tw	hw/tw max	Verifica
1.2	0.098	0.005	55.46	Si

Verifiche a deformabilità

Mensola X: No; Mensola Y: No.

Frecce lungo X

Ascissa freccia	Combinazione	Freccia	Luce	L/f	L/f,min	Tipo	Verifica
0.542	SLE RA 1	0.00001	1.163	10000	250	Totale	Si
0.542	SLE RA 17	0.00001	1.163	10000	250	Totale	Si
0.542	SLE RA 16	0.00002	1.163	10000	250	Totale	Si
0.581	SLE RA 15	-0.00001	1.163	10000	250	Totale	Si
0.542	SLE RA 14	0.00005	1.163	10000	250	Totale	Si
0.581	SLE RA 2	-0.00002	1.163	10000	350	Variabile	Si
0.581	SLE RA 17	0.00001	1.163	10000	350	Variabile	Si
0.581	SLE RA 16	0.00002	1.163	10000	350	Variabile	Si
0.581	SLE RA 15	-0.00002	1.163	10000	350	Variabile	Si
0.581	SLE RA 14	0.00004	1.163	10000	350	Variabile	Si

Frecce lungo Y

Ascissa freccia	Combinazione	Freccia	Luce	L/f	L/f,min	Tipo	Verifica
0.659	SLE RA 1	-0.00001	1.163	10000	250	Totale	Si
0.659	SLE RA 17	-0.00001	1.163	10000	250	Totale	Si
0.659	SLE RA 16	-0.00001	1.163	10000	250	Totale	Si
0.349	SLE RA 15	0	1.163	10000	250	Totale	Si
0.62	SLE RA 14	-0.00002	1.163	10000	250	Totale	Si
0.659	SLE RA 2	0	1.163	10000	350	Variabile	Si

Implementazione dei sistemi di confinamento delle emissioni odorigene diffuse dell'impianto di compostaggio esistente nel
Comune di Eboli (SA)
PROGETTO DEFINITIVO – Tabulati di calcolo Tomo 1

Ascissa freccia	Combinazione	Freccia	Luce	L/f	L/f,min	Tipo	Verifica
0.659	SLE RA 17	0	1.163	10000	350	Variabile	Si
0.659	SLE RA 16	0	1.163	10000	350	Variabile	Si
0.542	SLE RA 15	0.00001	1.163	10000	350	Variabile	Si
0.581	SLE RA 14	-0.00002	1.163	10000	350	Variabile	Si

Superelemento in acciaio a quota "590" (2248; 2996)-(2473; 2993)

Caratteristiche del materiale

Acciaio: S275, fyk = 275000

Caratteristiche geometriche

Lunghezza: 2.25

Nodo iniziale: 490 Nodo finale: 488

Cerniera iniziale: No Cerniera finale: No

Sovreresistenza: 0% Sisma Z: No

Caratteristiche della sezione

Sezione	Rotazione	Area	Jx	Jy	ix	iy	Wx	Wy	Wplx	Wply
HEA120	0	0.002537	0.0000060673	0.0000023091	0.0489	0.0302	0.00010644	0.00003849	0.00011962	0.00005887

Verifiche di resistenza

Verifiche a forza assiale §4.2.4.1.2.1 - §4.2.4.1.2.2 NTC18

X	Comb.	Sfruttamento	Classe	NEd	Nc,Rd	Nt,Rd	Riduzione da taglio	px	py	Verifica
0.075	SLU 76	0.127		84.468		664.325	1	0	0	Si

Verifiche a forza assiale SLD §4.2.4.1.2.1 - §4.2.4.1.2.2 NTC18

X	Comb.	Sfruttamento	Classe	NEd	Nc,Rd	Nt,Rd	Riduzione da taglio	px	py	Verifica
2.25	SLD 8	0.054		35.923		664.325	1	0	0	Si

Verifica a taglio Y §4.2.4.1.2.4 NTC18

X	Comb.	Sfruttamento	VEd	Vc,Rd	Av	Interazione taglio-torsione	Riduzione torsione	Verifica
2.25	SLU 76	0.006	-0.82	126.325	0.000849	Considerata	0.98	Si

Verifica a taglio Y SLD §4.2.4.1.2.4 NTC18

X	Comb.	Sfruttamento	VEd	Vc,Rd	Av	Interazione taglio-torsione	Riduzione torsione	Verifica
2.25	SLD 8	0.004	-0.482	127.814	0.000849	Considerata	1	Si

Verifica a torsione §4.2.4.1.2.5 NTC18

X	Comb.	Sfruttamento torsione	TEd	TRd	Riduzione taglio resistente	Sfruttamento taglio-torsione	τEd,totale	τRd	Verifica
2.175	SLU 76	0.038	-0.03258	0.85138	Considerata				Si

Verifica a torsione SLD §4.2.4.1.2.5 NTC18

X	Comb.	Sfruttamento torsione	TEd	TRd	Riduzione taglio resistente	Sfruttamento taglio-torsione	τEd,totale	τRd	Verifica
2.175	SLD 14	0.019	-0.0164	0.85138	Considerata				Si

Verifica a presso/tenso flessione retta X §§ 4.2.4.1.2.3 - 4.2.4.1.2.6 - 4.2.4.1.2.7 - 4.2.4.1.2.8 NTC18

Verifiche eseguite utilizzando la formula conservativa (6.2) §6.2.1 EN 1993-1-1:2005.

X	Comb.	Sfruttamento	Classe	NEd	NRd	Rid. NRd da VEd	Mx,Ed	Mx,Rd	Rid. Mx,Rd da VEd	Rid. Mx,Rd da NEd	px	py	Verifica
0	SLV 7	0.089	1	46.945	664.325	1	-0.5609	31.3291	1		0	0	Si

Verifica a presso/tenso flessione retta Y §§ 4.2.4.1.2.3 - 4.2.4.1.2.6 - 4.2.4.1.2.7 - 4.2.4.1.2.8 NTC18

Verifiche eseguite utilizzando la formula conservativa (6.2) §6.2.1 EN 1993-1-1:2005.

X	Comb.	Sfruttamento	Classe	NEd	NRd	Rid. NRd da VEd	My,Ed	My,Rd	Rid. My,Rd da VEd	Rid. My,Rd da NEd	px	py	Verifica
2.25	SLU 35	0.116	1	63.732	664.325	1	0.3113	15.4191	1		0	0	Si

Verifica a presso/tenso flessione retta Y SLD §§ 4.2.4.1.2.3 - 4.2.4.1.2.6 - 4.2.4.1.2.7 - 4.2.4.1.2.8 NTC18

Verifiche eseguite utilizzando la formula conservativa (6.2) §6.2.1 EN 1993-1-1:2005.

X	Comb.	Sfruttamento	Classe	NEd	NRd	Rid. NRd da VEd	My,Ed	My,Rd	Rid. My,Rd da VEd	Rid. My,Rd da NEd	px	py	Verifica
2.025	SLD 7	0.072	1	35.923	664.325	1	0.2697	15.4191	1		0	0	Si

Verifica a presso/tenso flessione deviata §§ 4.2.4.1.2.3 - 4.2.4.1.2.6 - 4.2.4.1.2.7 - 4.2.4.1.2.8 NTC18

Verifiche eseguite utilizzando la formula conservativa (6.2) §6.2.1 EN 1993-1-1:2005.

X	Comb.	Sfruttamento	Classe	NEd	NRd	Rid. NRd da VEd	Mx,Ed	Mx,Rd	My,Ed	My,Rd	Rid. Mx,Rd da VEd	Rid. Mx,Rd da NEd	Rid. My,Rd da VEd	Rid. My,Rd da NEd	α	β	px	py	Verifica
0	SLU 76	0.199	1	84.468	664.325	1	-1.2914	31.3291	0.479	15.4191	1		1				0	0	Si

Verifica a presso/tenso flessione deviata SLD §§ 4.2.4.1.2.3 - 4.2.4.1.2.6 - 4.2.4.1.2.7 - 4.2.4.1.2.8 NTC18

Verifiche eseguite utilizzando la formula conservativa (6.2) §6.2.1 EN 1993-1-1:2005.

X	Comb.	Sfruttamento	Classe	NEd	NRd	Rid. NRd da VEd	Mx,Ed	Mx,Rd	My,Ed	My,Rd	Rid. Mx,Rd da VEd	Rid. Mx,Rd da NEd	Rid. My,Rd da VEd	Rid. My,Rd da NEd	α	β	px	py	Verifica
0.075	SLD 7	0.083	1	35.923	664.325	1	-0.4695	31.3291	0.2161	15.4191	1		1				0	0	Si

Verifiche ad instabilità

Caratteristiche iniziali

Membratura principale per controllo snellezza; Calcolo di snellezze ed N critici condotti secondo gli assi principali;

Curva X: b; Curva Y: c; Svergolamento: Carico all'estradosso; Curva svergolamento: b;

Implementazione dei sistemi di confinamento delle emissioni odorigene diffuse dell'impianto di compostaggio esistente nel
Comune di Eboli (SA)
PROGETTO DEFINITIVO – Tabulati di calcolo Tomo 1

Dati per instabilità attorno a x

Controllo della snellezza secondo §4.2.4.1.3.1 NTC18

Numero rit.	Presente	Ascissa	Campata	$\beta x/m$	Vincolo a entrambi estremi	$\lambda x/m$	λVer
1	Si	0	1-2	1	Si	46	Si, (<200)
2	Si	2.25					

Dati per instabilità attorno a y

Controllo della snellezza secondo §4.2.4.1.3.1 NTC18

Numero rit.	Presente	Ascissa	Campata	$\beta y/n$	k,LT	kw,LT	Vincolo a entrambi estremi	$\lambda y/n$	λVer
1	Si	0	1-2	1	1	1	Si	74.6	Si, (<200)
2	Si	2.25							

Verifica di stabilità per tenso-flessione deviata §§ 5.5.3-5.5.4 ENV 1993-1-1:1992 + AC:1992 + A1:1994 + A2:1998

X	Comb.	Sfruttamento	Classe	NEd	Mx,Ed	Mx,Eff,Ed	My,Ed	x,LT	kLT	ky	M,critico	Wx	Wy	Verifica
2.25	SLU 3	0.011	1	5.896	0.29878	0.1256	0.09861	0.968	1	1	142.92737	0.0001196	0.0000589	Si

Verifica di stabilità a taglio anima Y §4.2.4.1.2.4 [4.2.27] NTC18

η	hw	tw	hw/tw max	Verifica
1.2	0.098	0.005	55.46	Si

Verifica di stabilità a taglio anima Y SLD §4.2.4.1.2.4 [4.2.27] NTC18

η	hw	tw	hw/tw max	Verifica
1.2	0.098	0.005	55.46	Si

Verifiche a deformabilità

Mensola X: No; Mensola Y: No.

Frecce lungo X

Ascissa freccia	Combinazione	Freccia	Luce	L/f	L/f,min	Tipo	Verifica
1.125	SLE RA 19	-0.0004	2.25	5657.3	250	Totale	Si
1.125	SLE RA 16	-0.00036	2.25	6299	250	Totale	Si
1.125	SLE RA 15	-0.00035	2.25	6373.5	250	Totale	Si
1.125	SLE RA 11	-0.00035	2.25	6373.5	250	Totale	Si
1.125	SLE RA 7	-0.00034	2.25	6709.5	250	Totale	Si
1.125	SLE RA 2	0.00013	2.25	10000	350	Variabile	Si
1.125	SLE RA 17	-0.00006	2.25	10000	350	Variabile	Si
1.125	SLE RA 16	-0.00013	2.25	10000	350	Variabile	Si
1.125	SLE RA 15	-0.00013	2.25	10000	350	Variabile	Si
1.125	SLE RA 14	-0.00005	2.25	10000	350	Variabile	Si

Frecce lungo Y

Ascissa freccia	Combinazione	Freccia	Luce	L/f	L/f,min	Tipo	Verifica
0.975	SLE RA 19	-0.0003	2.25	7586.5	250	Totale	Si
1.05	SLE RA 7	-0.00028	2.25	8031.2	250	Totale	Si
0.975	SLE RA 15	-0.00027	2.25	8412.3	250	Totale	Si
0.975	SLE RA 11	-0.00027	2.25	8412.3	250	Totale	Si
1.05	SLE RA 4	-0.00025	2.25	8959.1	250	Totale	Si
0.975	SLE RA 2	0.00008	2.25	10000	350	Variabile	Si
0.975	SLE RA 17	-0.00004	2.25	10000	350	Variabile	Si
0.975	SLE RA 16	-0.00009	2.25	10000	350	Variabile	Si
1.05	SLE RA 15	-0.00012	2.25	10000	350	Variabile	Si
1.575	SLE RA 14	0.00001	2.25	10000	350	Variabile	Si

Superelemento in acciaio a quota "590" (2347; 2188)-(2463; 2189)

Caratteristiche del materiale

Acciaio: S275, fyk = 275000

Caratteristiche geometriche

Lunghezza: 1.163

Nodo iniziale: 440 Nodo finale: 443

Cerniera iniziale: No Cerniera finale: No

Sovreresistenza: 0% Sisma Z: No

Caratteristiche della sezione

Sezione	Rotazione	Area	Jx	Jy	ix	iy	Wx	Wy	Wplx	Wply
HEA120	0	0.002537	0.0000060673	0.0000023091	0.0489	0.0302	0.00010644	0.00003849	0.00011962	0.00005887

Verifiche di resistenza

Verifiche a forza assiale §4.2.4.1.2.1 - §4.2.4.1.2.2 NTC18

X	Comb.	Sfruttamento	Classe	NEd	Nc,Rd	Nt,Rd	Riduzione da taglio	px	py	Verifica
1.163	SLU 63	0.057		37.94		664.325	1	0	0	Si

Verifiche a forza assiale SLD §4.2.4.1.2.1 - §4.2.4.1.2.2 NTC18

X	Comb.	Sfruttamento	Classe	NEd	Nc,Rd	Nt,Rd	Riduzione da taglio	px	py	Verifica
1.163	SLD 4	0.025		16.844		664.325	1	0	0	Si

Verifica a taglio X §4.2.4.1.2.4 NTC18

X	Comb.	Sfruttamento	VEd	Vc,Rd	Av	Interazione taglio-torsione	Riduzione torsione	Verifica
1.085	SLV 10	0.001	-0.233	309.455	0.002047	Considerata	1	Si

Verifica a taglio Y §4.2.4.1.2.4 NTC18

X	Comb.	Sfruttamento	VEd	Vc,Rd	Av	Interazione taglio-torsione	Riduzione torsione	Verifica

Implementazione dei sistemi di confinamento delle emissioni odorigene diffuse dell'impianto di compostaggio esistente nel
Comune di Eboli (SA)

PROGETTO DEFINITIVO – Tabulati di calcolo Tomo 1

X	Comb.	Sfruttamento	VEd	Vc,Rd	Av	Interazione taglio-torsione	Riduzione torsione	Verifica
0	SLU 75	0.003	0.423	127.913	0.000849	Considerata	1	Si

Verifica a taglio Y SLD §4.2.4.1.2.4 NTC18

X	Comb.	Sfruttamento	VEd	Vc,Rd	Av	Interazione taglio-torsione	Riduzione torsione	Verifica
0	SLD 9	0.002	0.236	128.161	0.000849	Considerata	1	Si

Verifica a torsione §4.2.4.1.2.5 NTC18

X	Comb.	Sfruttamento torsione	TEd	TRd	Riduzione taglio resistente	Sfruttamento taglio-torsione	τEd,totale	τRd	Verifica
1.124	SLU 76	0.011	-0.00895	0.85138	Considerata				Si

Verifica a torsione SLD §4.2.4.1.2.5 NTC18

X	Comb.	Sfruttamento torsione	TEd	TRd	Riduzione taglio resistente	Sfruttamento taglio-torsione	τEd,totale	τRd	Verifica
1.163	SLD 8	0.006	-0.00476	0.85138	Considerata				Si

Verifica a presso/tenso flessione retta X §§ 4.2.4.1.2.3 - 4.2.4.1.2.6 - 4.2.4.1.2.7 - 4.2.4.1.2.8 NTC18

Verifiche eseguite utilizzando la formula conservativa (6.2) §6.2.1 EN 1993-1-1:2005.

X	Comb.	Sfruttamento	Classe	NEd	NRd	Rid. NRd da VEd	Mx,Ed	Mx,Rd	Rid. Mx,Rd da VEd	Rid. Mx,Rd da NEd	px	py	Verifica
0.853	SLU 39	0.024	1	11.549	664.325	1	-0.2092	31.3291	1		0	0	Si

Verifica a presso/tenso flessione retta Y §§ 4.2.4.1.2.3 - 4.2.4.1.2.6 - 4.2.4.1.2.7 - 4.2.4.1.2.8 NTC18

Verifiche eseguite utilizzando la formula conservativa (6.2) §6.2.1 EN 1993-1-1:2005.

X	Comb.	Sfruttamento	Classe	NEd	NRd	Rid. NRd da VEd	My,Ed	My,Rd	Rid. My,Rd da VEd	Rid. My,Rd da NEd	px	py	Verifica
0.465	SLV 10	0.046	1	-12.131	664.325	1	-0.4221	15.4191	1		0	0	Si

Verifica a presso/tenso flessione deviata §§ 4.2.4.1.2.3 - 4.2.4.1.2.6 - 4.2.4.1.2.7 - 4.2.4.1.2.8 NTC18

Verifiche eseguite utilizzando la formula conservativa (6.2) §6.2.1 EN 1993-1-1:2005.

X	Comb.	Sfruttamento	Classe	NEd	NRd	Rid. NRd da VEd	Mx,Ed	Mx,Rd	My,Ed	My,Rd	Rid. Mx,Rd da VEd	Rid. Mx,Rd da NEd	Rid. My,Rd da VEd	Rid. My,Rd da NEd	α	β	px	py	Verifica
1.163	SLV 8	0.091	1	31.546	664.325	1	-0.2245	31.3291	0.5624	15.4191	1		1				0	0	Si

Verifica a presso/tenso flessione deviata SLD §§ 4.2.4.1.2.3 - 4.2.4.1.2.6 - 4.2.4.1.2.7 - 4.2.4.1.2.8 NTC18

Verifiche eseguite utilizzando la formula conservativa (6.2) §6.2.1 EN 1993-1-1:2005.

X	Comb.	Sfruttamento	Classe	NEd	NRd	Rid. NRd da VEd	Mx,Ed	Mx,Rd	My,Ed	My,Rd	Rid. Mx,Rd da VEd	Rid. Mx,Rd da NEd	Rid. My,Rd da VEd	Rid. My,Rd da NEd	α	β	px	py	Verifica
1.163	SLD 8	0.043	1	16.806	664.325	1	-0.1894	31.3291	0.1791	15.4191	1		1				0	0	Si

Verifiche ad instabilità

Caratteristiche iniziali

Membratura principale per controllo snellezza; Calcolo di snellezze ed N critici condotti secondo gli assi principali;

Curva X: b; Curva Y: c; Svergolamento: Carico all'estradosso; Curva svergolamento: b;

Dati per instabilità attorno a x

Controllo della snellezza secondo §4.2.4.1.3.1 NTC18

Numero rit.	Presente	Ascissa	Campata	βx/m	Vincolo a entrambi estremi	λx/m	λVer
1	Si	0					
			1-2	1	Si	23.8	Si, (<200)
2	Si	1.163					

Dati per instabilità attorno a y

Controllo della snellezza secondo §4.2.4.1.3.1 NTC18

Numero rit.	Presente	Ascissa	Campata	βy/n	k,LT	kw,LT	Vincolo a entrambi estremi	λy/n	λVer
1	Si	0							
			1-2	1	1	1	Si	38.5	Si, (<200)
2	Si	1.163							

Verifica di stabilità per tenso-flessione deviata §§ 5.5.3-5.5.4 ENV 1993-1-1:1992 + AC:1992 + A1:1994 + A2:1998

X	Comb.	Sfruttamento	Classe	NEd	Mx,Ed	Mx,Eff,Ed	My,Ed	χ,LT	kLT	ky	M,critico	Wx	Wy	Verifica
0.504	SLU 15	0.005	1	1.304	-0.08653	-0.04822	0.05919	1	1	1	318.1386	0.0001196	0.0000589	Si

Verifica di stabilità per tenso-flessione deviata SLD §§ 5.5.3-5.5.4 ENV 1993-1-1:1992 + AC:1992 + A1:1994 + A2:1998

X	Comb.	Sfruttamento	Classe	NEd	Mx,Ed	Mx,Eff,Ed	My,Ed	χ,LT	kLT	ky	M,critico	Wx	Wy	Verifica
1.163	SLD 10	0.015	1	2.609	-0.15341	-0.07677	-0.19422	1	1	1	372.15318	0.0001196	0.0000589	Si

Verifica di stabilità per pressoflessione §C.4.2.4.1.3.3.2 NTC18

X	Comb.	Sfruttamento	Classe	NEd	NRk	Mx,Ed max	Mx,Rk	My,Ed max	My,Rk	χ,x	χ,y	kxx	kxy	kyy	χ,LT	Verifica
1.163	SLV 9	0.056	1	-12.131	697.541	0.13761	32.89552	0.57746	16.19002	0.974	0.874	0.401	0.495	0.994	0.982	Si

Verifica di stabilità a taglio anima Y §4.2.4.1.2.4 [4.2.27] NTC18

η	hw	tw	hw/tw max	Verifica
1.2	0.098	0.005	55.46	Si

Verifica di stabilità a taglio anima Y SLD §4.2.4.1.2.4 [4.2.27] NTC18

η	hw	tw	hw/tw max	Verifica
1.2	0.098	0.005	55.46	Si

Verifiche a deformabilità

Mensola X: No; Mensola Y: No.

Frecce lungo X

Ascissa freccia	Combinazione	Freccia	Luce	L/f	L/f,min	Tipo	Verifica
0.62	SLE RA 1	0	1.163	10000	250	Totale	Si
0.581	SLE RA 17	0.00001	1.163	10000	250	Totale	Si
0.581	SLE RA 16	0.00001	1.163	10000	250	Totale	Si
0.543	SLE RA 15	-0.00001	1.163	10000	250	Totale	Si
0.581	SLE RA 14	0.00003	1.163	10000	250	Totale	Si
0.581	SLE RA 2	-0.00001	1.163	10000	350	Variabile	Si

Implementazione dei sistemi di confinamento delle emissioni odorigene diffuse dell'impianto di compostaggio esistente nel
Comune di Eboli (SA)
PROGETTO DEFINITIVO – Tabulati di calcolo Tomo 1

Ascissa freccia	Combinazione	Freccia	Luce	L/f	L/f,min	Tipo	Verifica
0.581	SLE RA 17	0.00001	1.163	10000	350	Variabile	Si
0.581	SLE RA 16	0.00001	1.163	10000	350	Variabile	Si
0.543	SLE RA 15	-0.00001	1.163	10000	350	Variabile	Si
0.581	SLE RA 14	0.00003	1.163	10000	350	Variabile	Si

Freccie lungo Y

Ascissa freccia	Combinazione	Freccia	Luce	L/f	L/f,min	Tipo	Verifica
0.62	SLE RA 1	-0.00002	1.163	10000	250	Totale	Si
0.62	SLE RA 17	-0.00003	1.163	10000	250	Totale	Si
0.62	SLE RA 16	-0.00003	1.163	10000	250	Totale	Si
0.62	SLE RA 15	-0.00002	1.163	10000	250	Totale	Si
0.62	SLE RA 14	-0.00004	1.163	10000	250	Totale	Si
0.62	SLE RA 2	0.00001	1.163	10000	350	Variabile	Si
0.62	SLE RA 17	-0.00001	1.163	10000	350	Variabile	Si
0.62	SLE RA 16	-0.00001	1.163	10000	350	Variabile	Si
0.581	SLE RA 15	0.00001	1.163	10000	350	Variabile	Si
0.62	SLE RA 14	-0.00002	1.163	10000	350	Variabile	Si

Superelemento in acciaio a quota "590" (2463; 2189)-(2579; 2190)

Caratteristiche del materiale

Acciaio: S275, fyk = 275000

Caratteristiche geometriche

Lunghezza: 1.162

Nodo iniziale: 443 Nodo finale: 447

Cerniera iniziale: No Cerniera finale: No

Sovreresistenza: 0% Sisma Z: No

Caratteristiche della sezione

Sezione	Rotazione	Area	Jx	Jy	ix	iy	Wx	Wy	Wplx	Wply
HEA120	0	0.002537	0.0000060673	0.0000023091	0.0489	0.0302	0.00010644	0.00003849	0.00011962	0.00005887

Verifiche di resistenza

Verifiche a forza assiale §4.2.4.1.2.1 - §4.2.4.1.2.2 NTC18

X	Comb.	Sfruttamento	Classe	NEd	Nc,Rd	Nt,Rd	Riduzione da taglio	px	py	Verifica
0	SLV 4	0.128		85.069		664.325	1	0	0	Si

Verifiche a forza assiale SLD §4.2.4.1.2.1 - §4.2.4.1.2.2 NTC18

X	Comb.	Sfruttamento	Classe	NEd	Nc,Rd	Nt,Rd	Riduzione da taglio	px	py	Verifica
1.162	SLD 4	0.051		34.176		664.325	1	0	0	Si

Verifica a taglio Y §4.2.4.1.2.4 NTC18

X	Comb.	Sfruttamento	VEd	Vc,Rd	Av	Interazione taglio-torsione	Riduzione torsione	Verifica
1.162	SLV 14	0.005	-0.645	127.804	0.000849	Considerata	1	Si

Verifica a taglio Y SLD §4.2.4.1.2.4 NTC18

X	Comb.	Sfruttamento	VEd	Vc,Rd	Av	Interazione taglio-torsione	Riduzione torsione	Verifica
1.162	SLD 14	0.002	-0.295	128.304	0.000849	Considerata	1	Si

Verifica a torsione §4.2.4.1.2.5 NTC18

X	Comb.	Sfruttamento torsione	TEd	TRd	Riduzione taglio resistente	Sfruttamento taglio-torsione	τEd,totale	τRd	Verifica
0.426	SLV 7	0.019	-0.01635	0.85138	Considerata				Si

Verifica a torsione SLD §4.2.4.1.2.5 NTC18

X	Comb.	Sfruttamento torsione	TEd	TRd	Riduzione taglio resistente	Sfruttamento taglio-torsione	τEd,totale	τRd	Verifica
1.162	SLD 7	0.009	-0.00755	0.85138	Considerata				Si

Verifica a presso/tenso flessione retta X §§ 4.2.4.1.2.3 - 4.2.4.1.2.6 - 4.2.4.1.2.7 - 4.2.4.1.2.8 NTC18

Verifiche eseguite utilizzando la formula conservativa (6.2) §6.2.1 EN 1993-1-1:2005.

X	Comb.	Sfruttamento	Classe	NEd	NRd	Rid. NRd da VEd	Mx,Ed	Mx,Rd	Rid. Mx,Rd da VEd	Rid. Mx,Rd da NEd	px	py	Verifica
0.194	SLU 76	0.033	1	16.193	664.325	1	-0.2582	31.3291	1		0	0	Si

Verifica a presso/tenso flessione retta Y §§ 4.2.4.1.2.3 - 4.2.4.1.2.6 - 4.2.4.1.2.7 - 4.2.4.1.2.8 NTC18

Verifiche eseguite utilizzando la formula conservativa (6.2) §6.2.1 EN 1993-1-1:2005.

X	Comb.	Sfruttamento	Classe	NEd	NRd	Rid. NRd da VEd	My,Ed	My,Rd	Rid. My,Rd da VEd	Rid. My,Rd da NEd	px	py	Verifica
0.31	SLV 10	0.14	1	-65.494	664.325	1	-0.6374	15.4191	1		0	0	Si

Verifica a presso/tenso flessione retta Y SLD §§ 4.2.4.1.2.3 - 4.2.4.1.2.6 - 4.2.4.1.2.7 - 4.2.4.1.2.8 NTC18

Verifiche eseguite utilizzando la formula conservativa (6.2) §6.2.1 EN 1993-1-1:2005.

X	Comb.	Sfruttamento	Classe	NEd	NRd	Rid. NRd da VEd	My,Ed	My,Rd	Rid. My,Rd da VEd	Rid. My,Rd da NEd	px	py	Verifica
1.007	SLD 9	0.042	1	-14.85	664.325	1	-0.2972	15.4191	1		0	0	Si

Verifica a presso/tenso flessione deviata §§ 4.2.4.1.2.3 - 4.2.4.1.2.6 - 4.2.4.1.2.7 - 4.2.4.1.2.8 NTC18

Verifiche eseguite utilizzando la formula conservativa (6.2) §6.2.1 EN 1993-1-1:2005.

X	Comb.	Sfruttamento	Classe	NEd	NRd	Rid. NRd da VEd	Mx,Ed	Mx,Rd	My,Ed	My,Rd	Rid. Mx,Rd da VEd	Rid. Mx,Rd da NEd	Rid. My,Rd da VEd	Rid. My,Rd da NEd	α	β	px	py	Verifica
1.162	SLV 8	0.193	1	84.688	664.325	1	-0.7946	31.3291	0.6254	15.4191	1						0	0	Si

Verifica a presso/tenso flessione deviata SLD §§ 4.2.4.1.2.3 - 4.2.4.1.2.6 - 4.2.4.1.2.7 - 4.2.4.1.2.8 NTC18

Verifiche eseguite utilizzando la formula conservativa (6.2) §6.2.1 EN 1993-1-1:2005.

Implementazione dei sistemi di confinamento delle emissioni odorigene diffuse dell'impianto di compostaggio esistente nel
Comune di Eboli (SA)

PROGETTO DEFINITIVO – Tabulati di calcolo Tomo 1

X	Comb.	Sfruttamento	Classe	NEd	NRd	Rid. NRd da VEd	Mx,Ed	Mx,Rd	My,Ed	My,Rd	Rid. Mx,Rd da VEd	Rid. Mx,Rd da NEd	Rid. My,Rd da VEd	Rid. My,Rd da NEd	α	β	px	py	Verifica
1.046	SLD 7	0.073	1	34.044	664.325	1	-0.3604	31.3291	0.1528	15.4191	1		1				0	0	Si

Verifiche ad instabilità

Caratteristiche iniziali

Membratura principale per controllo snellezza; Calcolo di snellezze ed N critici condotti secondo gli assi principali;

Curva X: b; Curva Y: c; Svergolamento: Carico all'estradosso; Curva svergolamento: b;

Dati per instabilità attorno a x

Controllo della snellezza secondo §4.2.4.1.3.1 NTC18

Numero rit.	Presente	Ascissa	Campata	βx/m	Vincolo a entrambi estremi	λx/m	λVer
1	Si	0					
			1-2	1	Si	23.8	Si, (<200)
2	Si	1.162					

Dati per instabilità attorno a y

Controllo della snellezza secondo §4.2.4.1.3.1 NTC18

Numero rit.	Presente	Ascissa	Campata	βy/n	k,LT	kw,LT	Vincolo a entrambi estremi	λy/n	λVer
1	Si	0							
			1-2	1	1	1	Si	38.5	Si, (<200)
2	Si	1.162							

Verifica a svergolamento con trazione §4.2.4.1.3.2 NTC18 § 5.5.3 ENV 1993-1-1:1992 + AC:1992 + A1:1994 + A2:1998

X	Comb.	Sfruttamento	Classe	Obblig.	NEd	Mx,Ed	Mx,Eff,Ed	Mb,Rd,x	χ,LT	λ adim. LT	L,LT	M,critico	Verifica
1.162	SLU 4	0.001	1	Si	0.886	-0.06287	-0.03684	30.7502	0.982	0.447	1.162	164.4762	Si

Verifica di stabilità per tenso-flessione deviata §§ 5.5.3-5.5.4 ENV 1993-1-1:1992 + AC:1992 + A1:1994 + A2:1998

X	Comb.	Sfruttamento	Classe	NEd	Mx,Ed	Mx,Eff,Ed	My,Ed	χ,LT	kLT	ky	M,critico	Wx	Wy	Verifica
0	SLU 4	0.014	1	0.886	0.18862	0.1626	0.13658	0.982	1	1	164.4762	0.0001196	0.0000589	Si

Verifica di stabilità per pressoflessione §C.4.2.4.1.3.3.2 NTC18

X	Comb.	Sfruttamento	Classe	NEd	NRk	Mx,Ed max	Mx,Rk	My,Ed max	My,Rk	χ,x	χ,y	kxx	kxy	kyy	χ,LT	Verifica	
1.162	SLV 10	0.175	1	-65.494	697.541	0.47391	32.89552	0.79011	16.19002	0.974	0.874	0.429	0.554	0.972	0.923	0.982	Si

Verifica di stabilità per pressoflessione SLD §C.4.2.4.1.3.3.2 NTC18

X	Comb.	Sfruttamento	Classe	NEd	NRk	Mx,Ed max	Mx,Rk	My,Ed max	My,Rk	χ,x	χ,y	kxx	kxy	kyy	χ,LT	Verifica	
1.162	SLD 10	0.048	1	-14.85	697.541	0.15437	32.89552	0.31361	16.19002	0.974	0.874	0.673	0.51	0.997	0.85	0.982	Si

Verifica di stabilità a taglio anima Y §4.2.4.1.2.4 [4.2.27] NTC18

η	hw	tw	hw/tw max	Verifica
1.2	0.098	0.005	55.46	Si

Verifica di stabilità a taglio anima Y SLD §4.2.4.1.2.4 [4.2.27] NTC18

η	hw	tw	hw/tw max	Verifica
1.2	0.098	0.005	55.46	Si

Verifiche a deformabilità

Mensola X: No; Mensola Y: No.

Frecce lungo X

Ascissa freccia	Combinazione	Freccia	Luce	L/f	L/f,min	Tipo	Verifica
0.659	SLE RA 1	0.00001	1.162	10000	250	Totale	Si
0.659	SLE RA 17	0.00002	1.162	10000	250	Totale	Si
0.659	SLE RA 16	0.00003	1.162	10000	250	Totale	Si
0.736	SLE RA 15	0.00001	1.162	10000	250	Totale	Si
0.62	SLE RA 14	0.00004	1.162	10000	250	Totale	Si
0.62	SLE RA 2	-0.00002	1.162	10000	350	Variabile	Si
0.62	SLE RA 17	0.00001	1.162	10000	350	Variabile	Si
0.62	SLE RA 16	0.00002	1.162	10000	350	Variabile	Si
0.426	SLE RA 15	0	1.162	10000	350	Variabile	Si
0.581	SLE RA 14	0.00003	1.162	10000	350	Variabile	Si

Frecce lungo Y

Ascissa freccia	Combinazione	Freccia	Luce	L/f	L/f,min	Tipo	Verifica
0.581	SLE RA 1	-0.00003	1.162	10000	250	Totale	Si
0.581	SLE RA 17	-0.00003	1.162	10000	250	Totale	Si
0.581	SLE RA 16	-0.00004	1.162	10000	250	Totale	Si
0.581	SLE RA 15	-0.00002	1.162	10000	250	Totale	Si
0.581	SLE RA 14	-0.00005	1.162	10000	250	Totale	Si
0.581	SLE RA 2	0.00001	1.162	10000	350	Variabile	Si
0.581	SLE RA 17	-0.00001	1.162	10000	350	Variabile	Si
0.581	SLE RA 16	-0.00001	1.162	10000	350	Variabile	Si
0.387	SLE RA 15	0	1.162	10000	350	Variabile	Si
0.542	SLE RA 14	-0.00002	1.162	10000	350	Variabile	Si

Superelemento in acciaio a quota "590" (2473; 2993)-(2698; 2991)

Caratteristiche del materiale

Acciaio: S275, fyk = 275000

Caratteristiche geometriche

Lunghezza: 2.25

Nodo iniziale: 488 Nodo finale: 484

Cerniera iniziale: No Cerniera finale: No

Sovreresistenza: 0% Sisma Z: No

Implementazione dei sistemi di confinamento delle emissioni odorigene diffuse dell'impianto di compostaggio esistente nel
Comune di Eboli (SA)
PROGETTO DEFINITIVO – Tabulati di calcolo Tomo 1

Caratteristiche della sezione

Sezione	Rotazione	Area	Jx	Jy	ix	iy	Wx	Wy	Wplx	Wply
HEA120	0	0.002537	0.0000060673	0.0000023091	0.0489	0.0302	0.00010644	0.00003849	0.00011962	0.00005887

Verifiche di resistenza

Verifiche a forza assiale §4.2.4.1.2.1 - §4.2.4.1.2.2 NTC18

X	Comb.	Sfruttamento	Classe	NEd	Nc,Rd	Nt,Rd	Riduzione da taglio	px	py	Verifica
2.25	SLV 10	0.057	1	-37.932	664.325		1	0	0	Si

Verifiche a forza assiale SLD §4.2.4.1.2.1 - §4.2.4.1.2.2 NTC18

X	Comb.	Sfruttamento	Classe	NEd	Nc,Rd	Nt,Rd	Riduzione da taglio	px	py	Verifica
2.175	SLD 9	0.021	1	-13.94	664.325		1	0	0	Si

Verifica a taglio X §4.2.4.1.2.4 NTC18

X	Comb.	Sfruttamento	VEd	Vc,Rd	Av	Interazione taglio-torsione	Riduzione torsione	Verifica
1.05	SLU 76	0.005	-1.324	293.784	0.002047	Considerata	0.95	Si

Verifica a taglio X SLD §4.2.4.1.2.4 NTC18

X	Comb.	Sfruttamento	VEd	Vc,Rd	Av	Interazione taglio-torsione	Riduzione torsione	Verifica
2.25	SLD 10	0.003	-0.759	301.741	0.002047	Considerata	0.98	Si

Verifica a taglio Y §4.2.4.1.2.4 NTC18

X	Comb.	Sfruttamento	VEd	Vc,Rd	Av	Interazione taglio-torsione	Riduzione torsione	Verifica
0	SLU 76	0.019	2.352	121.807	0.000849	Considerata	0.95	Si

Verifica a taglio Y SLD §4.2.4.1.2.4 NTC18

X	Comb.	Sfruttamento	VEd	Vc,Rd	Av	Interazione taglio-torsione	Riduzione torsione	Verifica
0	SLD 7	0.009	1.171	126.57	0.000849	Considerata	0.99	Si

Verifica a torsione §4.2.4.1.2.5 NTC18

X	Comb.	Sfruttamento torsione	TEd	TRd	Riduzione taglio resistente	Sfruttamento taglio-torsione	τEd,totale	τRd	Verifica
0	SLU 76	0.123	-0.10506	0.85138	Considerata				Si

Verifica a torsione SLD §4.2.4.1.2.5 NTC18

X	Comb.	Sfruttamento torsione	TEd	TRd	Riduzione taglio resistente	Sfruttamento taglio-torsione	τEd,totale	τRd	Verifica
2.175	SLD 14	0.062	-0.05245	0.85138	Considerata				Si

Verifica a presso/tenso flessione retta X §§ 4.2.4.1.2.3 - 4.2.4.1.2.6 - 4.2.4.1.2.7 - 4.2.4.1.2.8 NTC18

Verifiche eseguite utilizzando la formula conservativa (6.2) §6.2.1 EN 1993-1-1:2005.

X	Comb.	Sfruttamento	Classe	NEd	NRd	Rid. NRd da VEd	Mx,Ed	Mx,Rd	Rid. Mx,Rd da VEd	Rid. Mx,Rd da NEd	px	py	Verifica
0.3	SLU 38	0.03	1	-4.693	664.325	1	-0.7295	31.3291	1		0	0	Si

Verifica a presso/tenso flessione retta X SLD §§ 4.2.4.1.2.3 - 4.2.4.1.2.6 - 4.2.4.1.2.7 - 4.2.4.1.2.8 NTC18

Verifiche eseguite utilizzando la formula conservativa (6.2) §6.2.1 EN 1993-1-1:2005.

X	Comb.	Sfruttamento	Classe	NEd	NRd	Rid. NRd da VEd	Mx,Ed	Mx,Rd	Rid. Mx,Rd da VEd	Rid. Mx,Rd da NEd	px	py	Verifica
1.05	SLD 7	0.047	1	9.325	664.325	1	-1.0182	31.3291	1		0	0	Si

Verifica a presso/tenso flessione retta Y §§ 4.2.4.1.2.3 - 4.2.4.1.2.6 - 4.2.4.1.2.7 - 4.2.4.1.2.8 NTC18

Verifiche eseguite utilizzando la formula conservativa (6.2) §6.2.1 EN 1993-1-1:2005.

X	Comb.	Sfruttamento	Classe	NEd	NRd	Rid. NRd da VEd	My,Ed	My,Rd	Rid. My,Rd da VEd	Rid. My,Rd da NEd	px	py	Verifica
0.075	SLU 47	0.015	1	-2.957	664.325	1	0.1687	15.4191	1		0	0	Si

Verifica a presso/tenso flessione deviata §§ 4.2.4.1.2.3 - 4.2.4.1.2.6 - 4.2.4.1.2.7 - 4.2.4.1.2.8 NTC18

Verifiche eseguite utilizzando la formula conservativa (6.2) §6.2.1 EN 1993-1-1:2005.

X	Comb.	Sfruttamento	Classe	NEd	NRd	Rid. NRd da VEd	Mx,Ed	Mx,Rd	My,Ed	My,Rd	Rid. Mx,Rd da VEd	Rid. Mx,Rd da NEd	Rid. My,Rd da VEd	Rid. My,Rd da NEd	α	β	px	py	Verifica
2.25	SLU 76	0.326	1	-5.257	664.325	1	-4.7242	31.3291	-2.5744	15.4191	1		1				0	0	Si

Verifica a presso/tenso flessione deviata SLD §§ 4.2.4.1.2.3 - 4.2.4.1.2.6 - 4.2.4.1.2.7 - 4.2.4.1.2.8 NTC18

Verifiche eseguite utilizzando la formula conservativa (6.2) §6.2.1 EN 1993-1-1:2005.

X	Comb.	Sfruttamento	Classe	NEd	NRd	Rid. NRd da VEd	Mx,Ed	Mx,Rd	My,Ed	My,Rd	Rid. Mx,Rd da VEd	Rid. Mx,Rd da NEd	Rid. My,Rd da VEd	Rid. My,Rd da NEd	α	β	px	py	Verifica
2.25	SLD 10	0.184	1	-13.94	664.325	1	-1.7982	31.3291	-1.6283	15.4191	1		1				0	0	Si

Verifiche ad instabilità

Caratteristiche iniziali

Membratura principale per controllo snellezza; Calcolo di snellezze ed N critici condotti secondo gli assi principali;

Curva X: b; Curva Y: c; Svergolamento: Carico all'estradosso; Curva svergolamento: b;

Dati per instabilità attorno a x

Controllo della snellezza secondo §4.2.4.1.3.1 NTC18

Numero rit.	Presente	Ascissa	Campata	βx/m	Vincolo a entrambi estremi	λx/m	λVer
1	Si	0					
			1-2	1	Si	46	Si, (<200)
2	Si	2.25					

Dati per instabilità attorno a y

Controllo della snellezza secondo §4.2.4.1.3.1 NTC18

Numero rit.	Presente	Ascissa	Campata	βy/n	k,LT	kw,LT	Vincolo a entrambi estremi	λy/n	λVer
1	Si	0							
			1-2	1	1	1	Si	74.6	Si, (<200)

Implementazione dei sistemi di confinamento delle emissioni odorigene diffuse dell’impianto di compostaggio esistente nel
Comune di Eboli (SA)

PROGETTO DEFINITIVO – Tabulati di calcolo Tomo 1

Numero rit.	Presente	Ascissa	Campata	$\beta y/n$	k,LT	kw,LT	Vincolo a entrambi estremi	$\lambda y/n$	λVer
2	Si	2.25							

Verifica a svergolamento con trazione SLD §4.2.4.1.3.2 NTC18 § 5.5.3 ENV 1993-1-1:1992 + AC:1992 + A1:1994 + A2:1998

X	Comb.	Sfruttamento	Classe	Obblig.	NEd	Mx,Ed	Mx,Eff,Ed	Mb,Rd,x	χ ,LT	λ adim. LT	L,LT	M,critico	Verifica
1.05	SLD 7	0.028	1	Si	9.325	-1.01819	-0.74427	26.94698	0.86	0.719	2.25	63.65876	Si

Verifica di stabilità per tenso-flessione deviata §§ 5.5.3-5.5.4 ENV 1993-1-1:1992 + AC:1992 + A1:1994 + A2:1998

X	Comb.	Sfruttamento	Classe	NEd	Mx,Ed	Mx,Eff,Ed	My,Ed	χ ,LT	kLT	ky	M,critico	Wx	Wy	Verifica
2.25	SLV 7	0.116	1	33.317	-2.28013	-1.30142	1.04174	0.86	1	1	63.65876	0.0001196	0.0000589	Si

Verifica di stabilità per tenso-flessione deviata SLD §§ 5.5.3-5.5.4 ENV 1993-1-1:1992 + AC:1992 + A1:1994 + A2:1998

X	Comb.	Sfruttamento	Classe	NEd	Mx,Ed	Mx,Eff,Ed	My,Ed	χ ,LT	kLT	ky	M,critico	Wx	Wy	Verifica
2.25	SLD 1	0.112	1	3.055	-1.96565	-1.87592	-0.64975	0.86	1	1	63.65876	0.0001196	0.0000589	Si

Verifica di stabilità per pressoflessione §C.4.2.4.1.3.3.2 NTC18

X	Comb.	Sfruttamento	Classe	NEd	NRk	Mx,Ed max	Mx,Rk	My,Ed max	My,Rk	χ ,x	χ ,y	kxx	kxy	kyy	χ ,LT	Verifica
0.15	SLV 10	0.274	1	-37.932	697.541	1.56293	32.89552	2.98364	16.19002	0.871	0.625	0.692	0.409	0.982	0.968	Si

Verifica di stabilità per pressoflessione SLD §C.4.2.4.1.3.3.2 NTC18

X	Comb.	Sfruttamento	Classe	NEd	NRk	Mx,Ed max	Mx,Rk	My,Ed max	My,Rk	χ ,x	χ ,y	kxx	kxy	kyy	χ ,LT	Verifica
2.25	SLD 10	0.164	1	-13.94	697.541	1.79816	32.89552	1.62833	16.19002	0.871	0.625	0.654	0.363	0.993	0.86	Si

Verifica di stabilità a taglio anima Y §4.2.4.1.2.4 [4.2.27] NTC18

η	hw	tw	hw/tw max	Verifica
1.2	0.098	0.005	55.46	Si

Verifica di stabilità a taglio anima Y SLD §4.2.4.1.2.4 [4.2.27] NTC18

η	hw	tw	hw/tw max	Verifica
1.2	0.098	0.005	55.46	Si

Verifiche a deformabilità

Mensola X: No; Mensola Y: No.

Frecce lungo X

Ascissa freccia	Combinazione	Freccia	Luce	L/f	L/f,min	Tipo	Verifica
1.35	SLE RA 19	0.00104	2.25	2155.5	250	Totale	Si
1.35	SLE RA 15	0.00093	2.25	2427.4	250	Totale	Si
1.35	SLE RA 11	0.00093	2.25	2427.4	250	Totale	Si
1.35	SLE RA 7	0.00091	2.25	2484.2	250	Totale	Si
1.35	SLE RA 16	0.0009	2.25	2499.5	250	Totale	Si
1.35	SLE RA 19	0.00049	2.25	4550.7	350	Variabile	Si
1.35	SLE RA 15	0.00038	2.25	5960.3	350	Variabile	Si
1.35	SLE RA 11	0.00038	2.25	5960.3	350	Variabile	Si
1.35	SLE RA 7	0.00036	2.25	6314.4	350	Variabile	Si
1.35	SLE RA 16	0.00035	2.25	6414.1	350	Variabile	Si

Frecce lungo Y

Ascissa freccia	Combinazione	Freccia	Luce	L/f	L/f,min	Tipo	Verifica
1.275	SLE RA 19	-0.00092	2.25	2453.8	250	Totale	Si
1.275	SLE RA 16	-0.00082	2.25	2737.4	250	Totale	Si
1.275	SLE RA 15	-0.00082	2.25	2750.4	250	Totale	Si
1.275	SLE RA 11	-0.00082	2.25	2750.4	250	Totale	Si
1.275	SLE RA 7	-0.00078	2.25	2875.3	250	Totale	Si
1.275	SLE RA 19	-0.00039	2.25	5746	350	Variabile	Si
1.275	SLE RA 16	-0.0003	2.25	7586.2	350	Variabile	Si
1.275	SLE RA 15	-0.00029	2.25	7686.8	350	Variabile	Si
1.275	SLE RA 11	-0.00029	2.25	7686.8	350	Variabile	Si
1.275	SLE RA 2	0.00028	2.25	8128.1	350	Variabile	Si

Superelemento in acciaio a quota "590" (2579; 2190)-(2696; 2191)

Caratteristiche del materiale

Acciaio: S275, fyk = 275000

Caratteristiche geometriche

Lunghezza: 1.163

Nodo iniziale: 447 Nodo finale: 452

Cerniera iniziale: No Cerniera finale: No

Sovreresistenza: 0% Sisma Z: No

Caratteristiche della sezione

Sezione	Rotazione	Area	Jx	Jy	ix	iy	Wx	Wy	Wplx	Wply
HEA120	0	0.002537	0.0000060673	0.0000023091	0.0489	0.0302	0.00010644	0.00003849	0.00011962	0.00005887

Verifiche di resistenza

Verifiche a forza assiale §4.2.4.1.2.1 - §4.2.4.1.2.2 NTC18

X	Comb.	Sfruttamento	Classe	NEd	Nc,Rd	Nt,Rd	Riduzione da taglio	px	py	Verifica
1.163	SLV 3	0.166		110.533		664.325	1	0	0	Si

Verifiche a forza assiale SLD §4.2.4.1.2.1 - §4.2.4.1.2.2 NTC18

X	Comb.	Sfruttamento	Classe	NEd	Nc,Rd	Nt,Rd	Riduzione da taglio	px	py	Verifica
1.163	SLD 4	0.059		39.126		664.325	1	0	0	Si

Verifica a taglio Y §4.2.4.1.2.4 NTC18

X	Comb.	Sfruttamento	VEd	Vc,Rd	Av	Interazione taglio-torsione	Riduzione torsione	Verifica

**Implementazione dei sistemi di confinamento delle emissioni odorigene diffuse dell'impianto di compostaggio esistente nel
Comune di Eboli (SA)**

PROGETTO DEFINITIVO – Tabulati di calcolo Tomo 1

X	Comb.	Sfruttamento	VEd	Vc,Rd	Av	Interazione taglio-torsione	Riduzione torsione	Verifica
1.163	SLU 75	0.008	-1.052	128.15	0.000849	Considerata	1	Si

Verifica a taglio Y SLD §4.2.4.1.2.4 NTC18

X	Comb.	Sfruttamento	VEd	Vc,Rd	Av	Interazione taglio-torsione	Riduzione torsione	Verifica
1.163	SLD 13	0.005	-0.626	127.982	0.000849	Considerata	1	Si

Verifica a torsione §4.2.4.1.2.5 NTC18

X	Comb.	Sfruttamento torsione	TEd	TRd	Riduzione taglio resistente	Sfruttamento taglio-torsione	τEd,totale	τRd	Verifica
1.163	SLV 7	0.027	-0.02338	0.85138	Considerata				Si

Verifica a torsione SLD §4.2.4.1.2.5 NTC18

X	Comb.	Sfruttamento torsione	TEd	TRd	Riduzione taglio resistente	Sfruttamento taglio-torsione	τEd,totale	τRd	Verifica
1.163	SLD 8	0.01	-0.00844	0.85138	Considerata				Si

Verifica a flessione semplice X §§ 4.2.4.1.2.3 - 4.2.4.1.2.6 - 4.2.4.1.2.7 - 4.2.4.1.2.8 NTC18

X	Comb.	Sfruttamento	Classe	Mx,Ed	Mx,Rd	Rid. Mx,Rd da VEd	px	py	Verifica
0.736	SLU 2	0.001	1	0.02216	31.32907	1	0	0	Si

Verifica a flessione deviata §§ 4.2.4.1.2.3 - 4.2.4.1.2.6 - 4.2.4.1.2.7 - 4.2.4.1.2.8 NTC18

X	Comb.	Sfruttamento	Classe	Mx,Ed	Mx,Rd	My,Ed	My,Rd	Rid. Mx,Rd da VEd	Rid. My,Rd da VEd	α	β	px	py	Verifica
1.163	SLU 2	0.004	1	0.1015	31.3291	-0.0137	15.4191	1	1			0	0	Si

Verifica a presso/tenso flessione retta X §§ 4.2.4.1.2.3 - 4.2.4.1.2.6 - 4.2.4.1.2.7 - 4.2.4.1.2.8 NTC18

Verifiche eseguite utilizzando la formula conservativa (6.2) §6.2.1 EN 1993-1-1:2005.

X	Comb.	Sfruttamento	Classe	NEd	NRd	Rid. NRd da VEd	Mx,Ed	Mx,Rd	Rid. Mx,Rd da VEd	Rid. Mx,Rd da NEd	px	py	Verifica
0.078	SLU 4	0.015	1	8.441	664.325	1	-0.0587	31.3291	1		0	0	Si

Verifica a presso/tenso flessione retta X SLD §§ 4.2.4.1.2.3 - 4.2.4.1.2.6 - 4.2.4.1.2.7 - 4.2.4.1.2.8 NTC18

Verifiche eseguite utilizzando la formula conservativa (6.2) §6.2.1 EN 1993-1-1:2005.

X	Comb.	Sfruttamento	Classe	NEd	NRd	Rid. NRd da VEd	Mx,Ed	Mx,Rd	Rid. Mx,Rd da VEd	Rid. Mx,Rd da NEd	px	py	Verifica
0.349	SLD 1	0.041	1	23.309	664.325	1	-0.1937	31.3291	1		0	0	Si

Verifica a presso/tenso flessione retta Y §§ 4.2.4.1.2.3 - 4.2.4.1.2.6 - 4.2.4.1.2.7 - 4.2.4.1.2.8 NTC18

Verifiche eseguite utilizzando la formula conservativa (6.2) §6.2.1 EN 1993-1-1:2005.

X	Comb.	Sfruttamento	Classe	NEd	NRd	Rid. NRd da VEd	My,Ed	My,Rd	Rid. My,Rd da VEd	Rid. My,Rd da NEd	px	py	Verifica
0.543	SLU 76	0.036	1	13.246	664.325	1	-0.249	15.4191	1		0	0	Si

Verifica a presso/tenso flessione retta Y SLD §§ 4.2.4.1.2.3 - 4.2.4.1.2.6 - 4.2.4.1.2.7 - 4.2.4.1.2.8 NTC18

Verifiche eseguite utilizzando la formula conservativa (6.2) §6.2.1 EN 1993-1-1:2005.

X	Comb.	Sfruttamento	Classe	NEd	NRd	Rid. NRd da VEd	My,Ed	My,Rd	Rid. My,Rd da VEd	Rid. My,Rd da NEd	px	py	Verifica
0.969	SLD 1	0.037	1	23.309	664.325	1	-0.0352	15.4191	1		0	0	Si

Verifica a presso/tenso flessione deviata §§ 4.2.4.1.2.3 - 4.2.4.1.2.6 - 4.2.4.1.2.7 - 4.2.4.1.2.8 NTC18

Verifiche eseguite utilizzando la formula conservativa (6.2) §6.2.1 EN 1993-1-1:2005.

X	Comb.	Sfruttamento	Classe	NEd	NRd	Rid. NRd da VEd	Mx,Ed	Mx,Rd	My,Ed	My,Rd	Rid. Mx,Rd da VEd	Rid. Mx,Rd da NEd	Rid. My,Rd da VEd	Rid. My,Rd da NEd	α	β	px	py	Verifica
1.163	SLV 9	0.257	1	-100.824	664.325	1	1.3654	31.3291	-0.9451	15.4191	1		1				0	0	Si

Verifica a presso/tenso flessione deviata SLD §§ 4.2.4.1.2.3 - 4.2.4.1.2.6 - 4.2.4.1.2.7 - 4.2.4.1.2.8 NTC18

Verifiche eseguite utilizzando la formula conservativa (6.2) §6.2.1 EN 1993-1-1:2005.

X	Comb.	Sfruttamento	Classe	NEd	NRd	Rid. NRd da VEd	Mx,Ed	Mx,Rd	My,Ed	My,Rd	Rid. Mx,Rd da VEd	Rid. Mx,Rd da NEd	Rid. My,Rd da VEd	Rid. My,Rd da NEd	α	β	px	py	Verifica
1.163	SLD 10	0.092	1	-29.742	664.325	1	0.6316	31.3291	-0.4202	15.4191	1		1				0	0	Si

Verifiche ad instabilità

Caratteristiche iniziali

Membratura principale per controllo snellezza; Calcolo di snellezze ed N critici condotti secondo gli assi principali;

Curva X: b; Curva Y: c; Svergolamento: Carico all'estradosso; Curva svergolamento: b;

Dati per instabilità attorno a x

Controllo della snellezza secondo §4.2.4.1.3.1 NTC18

Numero rit.	Presente	Ascissa	Campata	βx/m	Vincolo a entrambi estremi	λx/m	λVer
1	Si	0					
			1-2		1	23.8	Si, (<200)
2	Si	1.163					

Dati per instabilità attorno a y

Controllo della snellezza secondo §4.2.4.1.3.1 NTC18

Numero rit.	Presente	Ascissa	Campata	βy/n	k,LT	kw,LT	Vincolo a entrambi estremi	λy/n	λVer
1	Si	0							
			1-2		1	1	Si	38.5	Si, (<200)
2	Si	1.163							

Verifica a svergolamento con trazione §4.2.4.1.3.2 NTC18 § 5.5.3 ENV 1993-1-1:1992 + AC:1992 + A1:1994 + A2:1998

X	Comb.	Sfruttamento	Classe	Obblig.	NEd	Mx,Ed	Mx,Eff,Ed	Mb,Rd,x	χ,LT	λ adim. LT	L,LT	M,critico	Verifica
0	SLU 40	0.001	1	Si	1.11	-0.0674	-0.03478	30.7502	0.982	0.447	1.163	164.4762	Si

Verifica di stabilità per tenso-flessione deviata §§ 5.5.3-5.5.4 ENV 1993-1-1:1992 + AC:1992 + A1:1994 + A2:1998

X	Comb.	Sfruttamento	Classe	NEd	Mx,Ed	Mx,Eff,Ed	My,Ed	χ,LT	kLT	ky	M,critico	Wx	Wy	Verifica
1.163	SLU 75	0.039	1	8.349	0.64169	0.39642	-0.40358	0.982	1	1	164.4762	0.0001196	0.0000589	Si

Implementazione dei sistemi di confinamento delle emissioni odorigene diffuse dell’impianto di compostaggio esistente nel
Comune di Eboli (SA)
PROGETTO DEFINITIVO – Tabulati di calcolo Tomo 1

Verifica di stabilità per pressoflessione §C.4.2.4.1.3.3.2 NTC18

X	Comb.	Sfruttamento	Classe	NEd	NRk	Mx,Ed max	Mx,Rk	My,Ed max	My,Rk	χ,x	χ,y	kxx	kxy	kyy	χ,LT	Verifica	
0.581	SLV 10	0.277	1	-100.824	697.541	1.3654	32.89552	0.94508	16.19002	0.974	0.874	0.723	0.591	0.983	0.984	1	Si

Verifica di stabilità per pressoflessione SLD §C.4.2.4.1.3.3.2 NTC18

X	Comb.	Sfruttamento	Classe	NEd	NRk	Mx,Ed max	Mx,Rk	My,Ed max	My,Rk	χ,x	χ,y	kxx	kxy	kyy	χ,LT	Verifica	
1.163	SLD 10	0.096	1	-29.742	697.541	0.63162	32.89552	0.42017	16.19002	0.974	0.874	0.585	0.547	0.993	0.912	1	Si

Verifica di stabilità a taglio anima Y §4.2.4.1.2.4 [4.2.27] NTC18

η	hw	tw	hw/tw max	Verifica
1.2	0.098	0.005	55.46	Si

Verifica di stabilità a taglio anima Y SLD §4.2.4.1.2.4 [4.2.27] NTC18

η	hw	tw	hw/tw max	Verifica
1.2	0.098	0.005	55.46	Si

Verifiche a deformabilità

Mensola X: No; Mensola Y: No.

Frecce lungo X

Ascissa freccia	Combinazione	Freccia	Luce	L/f	L/f,min	Tipo	Verifica
0.62	SLE RA 1	0.00004	1.163	10000	250	Totale	Si
0.62	SLE RA 17	0.00006	1.163	10000	250	Totale	Si
0.62	SLE RA 16	0.00007	1.163	10000	250	Totale	Si
0.62	SLE RA 15	0.00005	1.163	10000	250	Totale	Si
0.62	SLE RA 14	0.00007	1.163	10000	250	Totale	Si
0.62	SLE RA 2	-0.00003	1.163	10000	350	Variabile	Si
0.62	SLE RA 17	0.00001	1.163	10000	350	Variabile	Si
0.62	SLE RA 16	0.00003	1.163	10000	350	Variabile	Si
0.659	SLE RA 15	0.00001	1.163	10000	350	Variabile	Si
0.581	SLE RA 14	0.00003	1.163	10000	350	Variabile	Si

Frecce lungo Y

Ascissa freccia	Combinazione	Freccia	Luce	L/f	L/f,min	Tipo	Verifica
0.853	SLE RA 1	0.00001	1.163	10000	250	Totale	Si
0.853	SLE RA 17	0.00001	1.163	10000	250	Totale	Si
0.853	SLE RA 16	0.00001	1.163	10000	250	Totale	Si
0.891	SLE RA 15	0.00001	1.163	10000	250	Totale	Si
0.853	SLE RA 14	0.00001	1.163	10000	250	Totale	Si
0.853	SLE RA 2	0	1.163	10000	350	Variabile	Si
0.853	SLE RA 17	0	1.163	10000	350	Variabile	Si
0.853	SLE RA 16	0	1.163	10000	350	Variabile	Si
0.349	SLE RA 15	0	1.163	10000	350	Variabile	Si
0.814	SLE RA 14	0	1.163	10000	350	Variabile	Si

Superelemento in acciaio a quota "590" (2696; 2191)-(2812; 2192)

Caratteristiche del materiale

Acciaio: S275, fyk = 275000

Caratteristiche geometriche

Lunghezza: 1.162

Nodo iniziale: 452 Nodo finale: 455

Cerniera iniziale: No Cerniera finale: No

Sovreresistenza: 0% Sisma Z: No

Caratteristiche della sezione

Sezione	Rotazione	Area	Jx	Jy	ix	iy	Wx	Wy	Wplx	Wply
HEA120	0	0.002537	0.0000060673	0.0000023091	0.0489	0.0302	0.00010644	0.00003849	0.00011962	0.00005887

Verifiche di resistenza

Verifiche a forza assiale §4.2.4.1.2.1 - §4.2.4.1.2.2 NTC18

X	Comb.	Sfruttamento	Classe	NEd	Nc,Rd	Nt,Rd	Riduzione da taglio	px	py	Verifica
1.162	SLV 14	0.038	1	-24.961	664.325		1	0	0	Si

Verifiche a forza assiale SLD §4.2.4.1.2.1 - §4.2.4.1.2.2 NTC18

X	Comb.	Sfruttamento	Classe	NEd	Nc,Rd	Nt,Rd	Riduzione da taglio	px	py	Verifica
1.124	SLD 14	0.023	1	-14.964	664.325		1	0	0	Si

Verifica a taglio X §4.2.4.1.2.4 NTC18

X	Comb.	Sfruttamento	VEd	Vc,Rd	Av	Interazione taglio-torsione	Riduzione torsione	Verifica
1.162	SLV 10	0.004	1.3	305.693	0.002047	Considerata	0.99	Si

Verifica a taglio X SLD §4.2.4.1.2.4 NTC18

X	Comb.	Sfruttamento	VEd	Vc,Rd	Av	Interazione taglio-torsione	Riduzione torsione	Verifica
0	SLD 9	0.002	0.486	307.972	0.002047	Considerata	1	Si

Verifica a taglio Y §4.2.4.1.2.4 NTC18

X	Comb.	Sfruttamento	VEd	Vc,Rd	Av	Interazione taglio-torsione	Riduzione torsione	Verifica
0	SLV 8	0.038	4.82	127.066	0.000849	Considerata	0.99	Si

Verifica a taglio Y SLD §4.2.4.1.2.4 NTC18

X	Comb.	Sfruttamento	VEd	Vc,Rd	Av	Interazione taglio-torsione	Riduzione torsione	Verifica
0	SLD 7	0.024	3.033	128.009	0.000849	Considerata	1	Si

**Implementazione dei sistemi di confinamento delle emissioni odorigene diffuse dell'impianto di compostaggio esistente nel
Comune di Eboli (SA)**

PROGETTO DEFINITIVO – Tabulati di calcolo Tomo 1

Verifica a torsione §4.2.4.1.2.5 NTC18

X	Comb.	Sfruttamento torsione	TEd	TRd	Riduzione taglio resistente	Sfruttamento taglio-torsione	rEd,totale	rRd	Verifica
1.124	SLV 9	0.03	0.02572	0.85138	Considerata				Si

Verifica a torsione SLD §4.2.4.1.2.5 NTC18

X	Comb.	Sfruttamento torsione	TEd	TRd	Riduzione taglio resistente	Sfruttamento taglio-torsione	rEd,totale	rRd	Verifica
1.162	SLD 10	0.012	0.01017	0.85138	Considerata				Si

Verifica a presso/tenso flessione retta X §§ 4.2.4.1.2.3 - 4.2.4.1.2.6 - 4.2.4.1.2.7 - 4.2.4.1.2.8 NTC18

Verifiche eseguite utilizzando la formula conservativa (6.2) §6.2.1 EN 1993-1-1:2005.

X	Comb.	Sfruttamento	Classe	NEd	NRd	Rid. NRd da VEd	Mx,Ed	Mx,Rd	Rid. Mx,Rd da VEd	Rid. Mx,Rd da NEd	px	py	Verifica
1.124	SLU 63	0.127	1	-15.423	664.325	1	-3.2639	31.3291	1		0	0	Si

Verifica a presso/tenso flessione retta X SLD §§ 4.2.4.1.2.3 - 4.2.4.1.2.6 - 4.2.4.1.2.7 - 4.2.4.1.2.8 NTC18

Verifiche eseguite utilizzando la formula conservativa (6.2) §6.2.1 EN 1993-1-1:2005.

X	Comb.	Sfruttamento	Classe	NEd	NRd	Rid. NRd da VEd	Mx,Ed	Mx,Rd	Rid. Mx,Rd da VEd	Rid. Mx,Rd da NEd	px	py	Verifica
1.085	SLD 15	0.06	1	-12.781	664.325	1	-1.2663	31.3291	1		0	0	Si

Verifica a presso/tenso flessione retta Y §§ 4.2.4.1.2.3 - 4.2.4.1.2.6 - 4.2.4.1.2.7 - 4.2.4.1.2.8 NTC18

Verifiche eseguite utilizzando la formula conservativa (6.2) §6.2.1 EN 1993-1-1:2005.

X	Comb.	Sfruttamento	Classe	NEd	NRd	Rid. NRd da VEd	My,Ed	My,Rd	Rid. My,Rd da VEd	Rid. My,Rd da NEd	px	py	Verifica
0.077	SLU 26	0.036	1	-14.926	664.325	1	-0.2056	15.4191	1		0	0	Si

Verifica a presso/tenso flessione retta Y SLD §§ 4.2.4.1.2.3 - 4.2.4.1.2.6 - 4.2.4.1.2.7 - 4.2.4.1.2.8 NTC18

Verifiche eseguite utilizzando la formula conservativa (6.2) §6.2.1 EN 1993-1-1:2005.

X	Comb.	Sfruttamento	Classe	NEd	NRd	Rid. NRd da VEd	My,Ed	My,Rd	Rid. My,Rd da VEd	Rid. My,Rd da NEd	px	py	Verifica
0.504	SLD 9	0.035	1	-14.896	664.325	1	-0.1915	15.4191	1		0	0	Si

Verifica a presso/tenso flessione deviata §§ 4.2.4.1.2.3 - 4.2.4.1.2.6 - 4.2.4.1.2.7 - 4.2.4.1.2.8 NTC18

Verifiche eseguite utilizzando la formula conservativa (6.2) §6.2.1 EN 1993-1-1:2005.

X	Comb.	Sfruttamento	Classe	NEd	NRd	Rid. NRd da VEd	Mx,Ed	Mx,Rd	My,Ed	My,Rd	Rid. Mx,Rd da VEd	Rid. Mx,Rd da NEd	Rid. My,Rd da VEd	Rid. My,Rd da NEd	α	β	px	py	Verifica
1.162	SLV 7	0.251	1	4.483	664.325	1	-6.2513	31.3291	-0.6879	15.4191	1		1				0	0	Si

Verifica a presso/tenso flessione deviata SLD §§ 4.2.4.1.2.3 - 4.2.4.1.2.6 - 4.2.4.1.2.7 - 4.2.4.1.2.8 NTC18

Verifiche eseguite utilizzando la formula conservativa (6.2) §6.2.1 EN 1993-1-1:2005.

X	Comb.	Sfruttamento	Classe	NEd	NRd	Rid. NRd da VEd	Mx,Ed	Mx,Rd	My,Ed	My,Rd	Rid. Mx,Rd da VEd	Rid. Mx,Rd da NEd	Rid. My,Rd da VEd	Rid. My,Rd da NEd	α	β	px	py	Verifica
1.162	SLD 7	0.136	1	-5.376	664.325	1	-3.4576	31.3291	-0.2681	15.4191	1		1				0	0	Si

Verifiche ad instabilità

Caratteristiche iniziali

Membratura principale per controllo snellezza; Calcolo di snellezze ed N critici condotti secondo gli assi principali;

Curva X: b; Curva Y: c; Svergolamento: Carico all'estradosso; Curva svergolamento: b;

Dati per instabilità attorno a x

Controllo della snellezza secondo §4.2.4.1.3.1 NTC18

Numero rit.	Presente	Ascissa	Campata	βx/m	Vincolo a entrambi estremi	λx/m	λVer
1	Si	0					
			1-2	1	Si	23.8	Si, (<200)
2	Si	1.162					

Dati per instabilità attorno a y

Controllo della snellezza secondo §4.2.4.1.3.1 NTC18

Numero rit.	Presente	Ascissa	Campata	βy/n	k _{LT}	k _{w,LT}	Vincolo a entrambi estremi	λy/n	λVer
1	Si	0							
			1-2	1	1	1	Si	38.5	Si, (<200)
2	Si	1.162							

Verifica a svergolamento con trazione §4.2.4.1.3.2 NTC18 § 5.5.3 ENV 1993-1-1:1992 + AC:1992 + A1:1994 + A2:1998

X	Comb.	Sfruttamento	Classe	Obblig.	NEd	Mx,Ed	Mx,Eff,Ed	Mb,Rd,x	χ _{LT}	λ adim. LT	L _{LT}	M _{critico}	Verifica
0.581	SLV 7	0.109	1	Si	4.483	-3.55141	-3.41972	31.32907	1	0.296	1.162	375.21141	Si

Verifica di stabilità per tenso-flessione deviata §§ 5.5.3-5.5.4 ENV 1993-1-1:1992 + AC:1992 + A1:1994 + A2:1998

X	Comb.	Sfruttamento	Classe	NEd	Mx,Ed	Mx,Eff,Ed	My,Ed	χ _{LT}	k _{LT}	ky	M _{critico}	W _x	W _y	Verifica
1.162	SLV 8	0.24	1	4.483	-6.25135	-6.11966	-0.68789	1	1	1	375.21141	0.0001196	0.0000589	Si

Verifica di stabilità per pressoflessione §C.4.2.4.1.3.3.2 NTC18

X	Comb.	Sfruttamento	Classe	NEd	NRk	Mx,Ed max	Mx,Rk	My,Ed max	My,Rk	χ _x	χ _y	k _{xx}	k _{xy}	k _{yx}	k _{yy}	χ _{LT}	Verifica
0	SLU 76	0.207	1	-22.427	697.541	4.57165	32.89552	0.37169	16.19002	0.974	0.874	0.569	0.501	0.995	0.834	0.982	Si

Verifica di stabilità per pressoflessione SLD §C.4.2.4.1.3.3.2 NTC18

X	Comb.	Sfruttamento	Classe	NEd	NRk	Mx,Ed max	Mx,Rk	My,Ed max	My,Rk	χ _x	χ _y	k _{xx}	k _{xy}	k _{yx}	k _{yy}	χ _{LT}	Verifica
1.162	SLD 8	0.127	1	-5.376	697.541	3.45757	32.89552	0.26812	16.19002	0.974	0.874	0.616	0.262	0.999	0.436	1	Si

Verifica di stabilità a taglio anima Y §4.2.4.1.2.4 [4.2.27] NTC18

η	hw	tw	hw/tw max	Verifica
1.2	0.098	0.005	55.46	Si

Verifica di stabilità a taglio anima Y SLD §4.2.4.1.2.4 [4.2.27] NTC18

η	hw	tw	hw/tw max	Verifica
1.2	0.098	0.005	55.46	Si

Verifiche a deformabilità

Mensola X: No; Mensola Y: No.

Implementazione dei sistemi di confinamento delle emissioni odorigene diffuse dell’impianto di compostaggio esistente nel
Comune di Eboli (SA)
PROGETTO DEFINITIVO – Tabulati di calcolo Tomo 1

Frecce lungo X

Ascissa freccia	Combinazione	Freccia	Luce	L/f	L/f,min	Tipo	Verifica
0.543	SLE RA 1	0.00004	1.162	10000	250	Totale	Si
0.543	SLE RA 17	0.00005	1.162	10000	250	Totale	Si
0.543	SLE RA 16	0.00007	1.162	10000	250	Totale	Si
0.543	SLE RA 15	0.00006	1.162	10000	250	Totale	Si
0.504	SLE RA 14	0.00005	1.162	10000	250	Totale	Si
0.543	SLE RA 2	-0.00002	1.162	10000	350	Variabile	Si
0.543	SLE RA 17	0.00001	1.162	10000	350	Variabile	Si
0.543	SLE RA 16	0.00003	1.162	10000	350	Variabile	Si
0.581	SLE RA 15	0.00002	1.162	10000	350	Variabile	Si
0.426	SLE RA 14	0.00001	1.162	10000	350	Variabile	Si

Frecce lungo Y

Ascissa freccia	Combinazione	Freccia	Luce	L/f	L/f,min	Tipo	Verifica
0.698	SLE RA 19	-0.00021	1.162	5644.3	250	Totale	Si
0.698	SLE RA 16	-0.0002	1.162	5761.8	250	Totale	Si
0.698	SLE RA 18	-0.0002	1.162	5884.3	250	Totale	Si
0.698	SLE RA 15	-0.00018	1.162	6377.2	250	Totale	Si
0.698	SLE RA 11	-0.00018	1.162	6377.2	250	Totale	Si
0.698	SLE RA 2	0.00007	1.162	10000	350	Variabile	Si
0.698	SLE RA 17	-0.00003	1.162	10000	350	Variabile	Si
0.698	SLE RA 16	-0.00007	1.162	10000	350	Variabile	Si
0.659	SLE RA 15	-0.00005	1.162	10000	350	Variabile	Si
0.698	SLE RA 14	-0.00004	1.162	10000	350	Variabile	Si

Superelemento in acciaio a quota "590" (2698; 2991)-(3085; 2987)

Caratteristiche del materiale

Acciaio: S275, fyk = 275000

Caratteristiche geometriche

Lunghezza: 2.25

Nodo iniziale: 484 Nodo finale: 481

Cerniera iniziale: No Cerniera finale: No

Sovraresistenza: 0% Sisma Z: No

Caratteristiche della sezione

Sezione	Rotazione	Area	Jx	Jy	ix	iy	Wx	Wy	Wplx	Wply
HEA120	0	0.002537	0.0000060673	0.0000023091	0.0489	0.0302	0.00010644	0.00003849	0.00011962	0.00005887

Verifiche di resistenza

Verifiche a forza assiale §4.2.4.1.2.1 - §4.2.4.1.2.2 NTC18

X	Comb.	Sfruttamento	Classe	NEd	Nc,Rd	Nt,Rd	Riduzione da taglio	px	py	Verifica
0.054	SLU 76	0.036		23.946		664.325	1	0	0	Si

Verifiche a forza assiale SLD §4.2.4.1.2.1 - §4.2.4.1.2.2 NTC18

X	Comb.	Sfruttamento	Classe	NEd	Nc,Rd	Nt,Rd	Riduzione da taglio	px	py	Verifica
1.614	SLD 10	0.016		10.733		664.325	1	0	0	Si

Verifica a taglio X §4.2.4.1.2.4 NTC18

X	Comb.	Sfruttamento	VEd	Vc,Rd	Av	Interazione taglio-torsione	Riduzione torsione	Verifica
0.807	SLV 10	0.013	3.705	283.021	0.002047	Considerata	0.91	Si

Verifica a taglio X SLD §4.2.4.1.2.4 NTC18

X	Comb.	Sfruttamento	VEd	Vc,Rd	Av	Interazione taglio-torsione	Riduzione torsione	Verifica
1.614	SLD 9	0.007	2.016	292.094	0.002047	Considerata	0.94	Si

Verifica a taglio Y §4.2.4.1.2.4 NTC18

X	Comb.	Sfruttamento	VEd	Vc,Rd	Av	Interazione taglio-torsione	Riduzione torsione	Verifica
1.614	SLU 76	0.325	39.161	120.421	0.000849	Considerata	0.94	Si

Verifica a taglio Y SLD §4.2.4.1.2.4 NTC18

X	Comb.	Sfruttamento	VEd	Vc,Rd	Av	Interazione taglio-torsione	Riduzione torsione	Verifica
1.614	SLD 7	0.188	22.964	122.252	0.000849	Considerata	0.95	Si

Verifica a torsione §4.2.4.1.2.5 NTC18

X	Comb.	Sfruttamento torsione	TEd	TRd	Riduzione taglio resistente	Sfruttamento taglio-torsione	τEd,totale	τRd	Verifica
1.614	SLU 76	0.265	0.2259	0.85138	Considerata				Si

Verifica a torsione SLD §4.2.4.1.2.5 NTC18

X	Comb.	Sfruttamento torsione	TEd	TRd	Riduzione taglio resistente	Sfruttamento taglio-torsione	τEd,totale	τRd	Verifica
0.161	SLD 10	0.136	0.11606	0.85138	Considerata				Si

Verifica a flessione semplice X §§ 4.2.4.1.2.3 - 4.2.4.1.2.6 - 4.2.4.1.2.7 - 4.2.4.1.2.8 NTC18

X	Comb.	Sfruttamento	Classe	Mx,Ed	Mx,Rd	Rid. Mx,Rd da VEd	px	py	Verifica
2.229	SLU 1	0.008	1	0.26571	31.32907	1	0	0	Si

Verifica a flessione semplice X SLD §§ 4.2.4.1.2.3 - 4.2.4.1.2.6 - 4.2.4.1.2.7 - 4.2.4.1.2.8 NTC18

X	Comb.	Sfruttamento	Classe	Mx,Ed	Mx,Rd	Rid. Mx,Rd da VEd	px	py	Verifica
2.102	SLD 1	0.091	1	2.85145	31.32907	1	0	0	Si

Implementazione dei sistemi di confinamento delle emissioni odorigene diffuse dell'impianto di compostaggio esistente nel
Comune di Eboli (SA)
PROGETTO DEFINITIVO – Tabulati di calcolo Tomo 1

Verifica a flessione deviata §§ 4.2.4.1.2.3 - 4.2.4.1.2.6 - 4.2.4.1.2.7 - 4.2.4.1.2.8 NTC18

X	Comb.	Sfruttamento	Classe	Mx,Ed	Mx,Rd	My,Ed	My,Rd	Rid. Mx,Rd da VEd	Rid. My,Rd da VEd	α	β	px	py	Verifica
1.614	SLV 8	0.771	1	22.72	31.3291	-0.7057	15.4191	1	1			0	0	Si

Verifica a flessione deviata SLD §§ 4.2.4.1.2.3 - 4.2.4.1.2.6 - 4.2.4.1.2.7 - 4.2.4.1.2.8 NTC18

X	Comb.	Sfruttamento	Classe	Mx,Ed	Mx,Rd	My,Ed	My,Rd	Rid. Mx,Rd da VEd	Rid. My,Rd da VEd	α	β	px	py	Verifica
1.614	SLD 8	0.473	1	14.4885	31.3291	-0.158	15.4191	1	1			0	0	Si

Verifica a presso/tenso flessione retta X §§ 4.2.4.1.2.3 - 4.2.4.1.2.6 - 4.2.4.1.2.7 - 4.2.4.1.2.8 NTC18

Verifiche eseguite utilizzando la formula conservativa (6.2) §6.2.1 EN 1993-1-1:2005.

X	Comb.	Sfruttamento	Classe	NEd	NRd	Rid. NRd da VEd	Mx,Ed	Mx,Rd	Rid. Mx,Rd da VEd	Rid. Mx,Rd da NEd	px	py	Verifica
1.56	SLU 63	0.252	1	10.909	664.325	1	7.3803	31.3291	1		0	0	Si

Verifica a presso/tenso flessione retta Y §§ 4.2.4.1.2.3 - 4.2.4.1.2.6 - 4.2.4.1.2.7 - 4.2.4.1.2.8 NTC18

Verifiche eseguite utilizzando la formula conservativa (6.2) §6.2.1 EN 1993-1-1:2005.

X	Comb.	Sfruttamento	Classe	NEd	NRd	Rid. NRd da VEd	My,Ed	My,Rd	Rid. My,Rd da VEd	Rid. My,Rd da NEd	px	py	Verifica
0.484	SLU 2	0.01	1	1.129	664.325	1	-0.1232	15.4191	1		0	0	Si

Verifica a presso/tenso flessione deviata §§ 4.2.4.1.2.3 - 4.2.4.1.2.6 - 4.2.4.1.2.7 - 4.2.4.1.2.8 NTC18

Verifiche eseguite utilizzando la formula conservativa (6.2) §6.2.1 EN 1993-1-1:2005.

X	Comb.	Sfruttamento	Classe	NEd	NRd	Rid. NRd da VEd	Mx,Ed	Mx,Rd	My,Ed	My,Rd	Rid. Mx,Rd da VEd	Rid. Mx,Rd da NEd	Rid. My,Rd da VEd	Rid. My,Rd da NEd	α	β	px	py	Verifica
1.614	SLU 76	0.804	1	-0.429	664.325	1	24.6758	31.3291	0.2394	15.4191	1		1				0	0	Si

Verifica a presso/tenso flessione deviata SLD §§ 4.2.4.1.2.3 - 4.2.4.1.2.6 - 4.2.4.1.2.7 - 4.2.4.1.2.8 NTC18

Verifiche eseguite utilizzando la formula conservativa (6.2) §6.2.1 EN 1993-1-1:2005.

X	Comb.	Sfruttamento	Classe	NEd	NRd	Rid. NRd da VEd	Mx,Ed	Mx,Rd	My,Ed	My,Rd	Rid. Mx,Rd da VEd	Rid. Mx,Rd da NEd	Rid. My,Rd da VEd	Rid. My,Rd da NEd	α	β	px	py	Verifica
1.614	SLD 10	0.309	1	10.733	664.325	1	8.5072	31.3291	0.3347	15.4191	1		1				0	0	Si

Verifiche ad instabilità

Verifica non richiesta. Non viene eseguita neppure la verifica a svergolamento.

Verifiche a deformabilità

Mensola X: No; Mensola Y: No.

Frecce lungo X

Ascissa freccia	Combinazione	Freccia	Luce	L/f	L/f,min	Tipo	Verifica
0.807	SLE RA 19	0.00159	2.25	1417.5	250	Totale	Si
0.807	SLE RA 15	0.00141	2.25	1593.7	250	Totale	Si
0.807	SLE RA 11	0.00141	2.25	1593.7	250	Totale	Si
0.807	SLE RA 16	0.00138	2.25	1633.8	250	Totale	Si
0.807	SLE RA 7	0.00138	2.25	1634.7	250	Totale	Si
0.807	SLE RA 19	0.00074	2.25	3053.6	350	Variabile	Si
0.807	SLE RA 15	0.00056	2.25	4008.6	350	Variabile	Si
0.807	SLE RA 11	0.00056	2.25	4008.6	350	Variabile	Si
0.807	SLE RA 16	0.00053	2.25	4272.6	350	Variabile	Si
0.807	SLE RA 7	0.00053	2.25	4278.4	350	Variabile	Si

Frecce lungo Y

Ascissa freccia	Combinazione	Freccia	Luce	L/f	L/f,min	Tipo	Verifica
1.399	SLE RA 19	0.00379	2.25	593.2	250	Totale	Si
1.399	SLE RA 16	0.00343	2.25	656.6	250	Totale	Si
1.399	SLE RA 15	0.00338	2.25	666.4	250	Totale	Si
1.399	SLE RA 11	0.00338	2.25	666.4	250	Totale	Si
1.399	SLE RA 7	0.0032	2.25	702.4	250	Totale	Si
1.399	SLE RA 19	0.00162	2.25	1392.2	350	Variabile	Si
1.399	SLE RA 16	0.00125	2.25	1799.7	350	Variabile	Si
1.399	SLE RA 15	0.0012	2.25	1875.9	350	Variabile	Si
1.399	SLE RA 11	0.0012	2.25	1875.9	350	Variabile	Si
1.399	SLE RA 2	-0.00117	2.25	1928.3	350	Variabile	Si

Superelemento in acciaio a quota "590" (2812; 2192)-(2976; 2193)

Caratteristiche del materiale

Acciaio: S275, fyk = 275000

Caratteristiche geometriche

Lunghezza: 1.163

Nodo iniziale: 455 Nodo finale: 457

Cerniera iniziale: No Cerniera finale: No

Sovraresistenza: 0% Sisma Z: No

Caratteristiche della sezione

Sezione	Rotazione	Area	Jx	Jy	ix	iy	Wx	Wy	Wplx	Wply
HEA120	0	0.002537	0.0000060673	0.0000023091	0.0489	0.0302	0.00010644	0.00003849	0.00011962	0.00005887

Verifiche di resistenza

Verifiche a forza assiale §4.2.4.1.2.1 - §4.2.4.1.2.2 NTC18

X	Comb.	Sfruttamento	Classe	NEd	Nc,Rd	Nt,Rd	Riduzione da taglio	px	py	Verifica
0.481	SLV 14	0.036		23.594		664.325	1	0	0	Si

Implementazione dei sistemi di confinamento delle emissioni odorigene diffuse dell'impianto di compostaggio esistente nel
Comune di Eboli (SA)
PROGETTO DEFINITIVO – Tabulati di calcolo Tomo 1

Verifiche a forza assiale SLD §4.2.4.1.2.1 - §4.2.4.1.2.2 NTC18

X	Comb.	Sfruttamento	Classe	NEd	Nc,Rd	Nt,Rd	Riduzione da taglio	px	py	Verifica
0	SLD 13	0.017		11.134		664.325	1	0	0	Si

Verifica a taglio X §4.2.4.1.2.4 NTC18

X	Comb.	Sfruttamento	VEd	Vc,Rd	Av	Interazione taglio-torsione	Riduzione torsione	Verifica
0.662	SLV 7	0.006	1.757	287.586	0.002047	Considerata	0.93	Si

Verifica a taglio X SLD §4.2.4.1.2.4 NTC18

X	Comb.	Sfruttamento	VEd	Vc,Rd	Av	Interazione taglio-torsione	Riduzione torsione	Verifica
1.14	SLD 7	0.003	0.76	299.938	0.002047	Considerata	0.97	Si

Verifica a taglio Y §4.2.4.1.2.4 NTC18

X	Comb.	Sfruttamento	VEd	Vc,Rd	Av	Interazione taglio-torsione	Riduzione torsione	Verifica
0.481	SLV 8	0.299	35.643	119.237	0.000849	Considerata	0.93	Si

Verifica a taglio Y SLD §4.2.4.1.2.4 NTC18

X	Comb.	Sfruttamento	VEd	Vc,Rd	Av	Interazione taglio-torsione	Riduzione torsione	Verifica
0.481	SLD 8	0.144	-17.81	123.577	0.000849	Considerata	0.96	Si

Verifica a torsione §4.2.4.1.2.5 NTC18

X	Comb.	Sfruttamento torsione	TEd	TRd	Riduzione taglio resistente	Sfruttamento taglio-torsione	τEd,totale	τRd	Verifica
0.288	SLV 8	0.181	0.1539	0.85138	Considerata				Si

Verifica a torsione SLD §4.2.4.1.2.5 NTC18

X	Comb.	Sfruttamento torsione	TEd	TRd	Riduzione taglio resistente	Sfruttamento taglio-torsione	τEd,totale	τRd	Verifica
0	SLD 7	0.09	0.07698	0.85138	Considerata				Si

Verifica a flessione semplice X §§ 4.2.4.1.2.3 - 4.2.4.1.2.6 - 4.2.4.1.2.7 - 4.2.4.1.2.8 NTC18

X	Comb.	Sfruttamento	Classe	Mx,Ed	Mx,Rd	Rid. Mx,Rd da VEd	px	py	Verifica
1.14	SLU 22	0.005	1	0.17003	31.32907	1	0	0	Si

Verifica a flessione semplice X SLD §§ 4.2.4.1.2.3 - 4.2.4.1.2.6 - 4.2.4.1.2.7 - 4.2.4.1.2.8 NTC18

X	Comb.	Sfruttamento	Classe	Mx,Ed	Mx,Rd	Rid. Mx,Rd da VEd	px	py	Verifica
1.003	SLD 5	0.021	1	0.64881	31.32907	1	0	0	Si

Verifica a flessione semplice Y SLD §§ 4.2.4.1.2.3 - 4.2.4.1.2.6 - 4.2.4.1.2.7 - 4.2.4.1.2.8 NTC18

X	Comb.	Sfruttamento	Classe	My,Ed	My,Rd	Rid. My,Rd da VEd	px	py	Verifica
1.049	SLD 9	0.002	1	0.02405	15.41907	1	0	0	Si

Verifica a flessione deviata §§ 4.2.4.1.2.3 - 4.2.4.1.2.6 - 4.2.4.1.2.7 - 4.2.4.1.2.8 NTC18

X	Comb.	Sfruttamento	Classe	Mx,Ed	Mx,Rd	My,Ed	My,Rd	Rid. Mx,Rd da VEd	Rid. My,Rd da VEd	α	β	px	py	Verifica
0.481	SLU 42	0.275	1	7.9678	31.3291	-0.3246	15.4191	1	1			0	0	Si

Verifica a flessione deviata SLD §§ 4.2.4.1.2.3 - 4.2.4.1.2.6 - 4.2.4.1.2.7 - 4.2.4.1.2.8 NTC18

X	Comb.	Sfruttamento	Classe	Mx,Ed	Mx,Rd	My,Ed	My,Rd	Rid. Mx,Rd da VEd	Rid. My,Rd da VEd	α	β	px	py	Verifica
0.481	SLD 15	0.095	1	2.8712	31.3291	-0.0564	15.4191	1	1			0	0	Si

Verifica a presso/tenso flessione retta X §§ 4.2.4.1.2.3 - 4.2.4.1.2.6 - 4.2.4.1.2.7 - 4.2.4.1.2.8 NTC18

Verifiche eseguite utilizzando la formula conservativa (6.2) §6.2.1 EN 1993-1-1:2005.

X	Comb.	Sfruttamento	Classe	NEd	NRd	Rid. NRd da VEd	Mx,Ed	Mx,Rd	Rid. Mx,Rd da VEd	Rid. Mx,Rd da NEd	px	py	Verifica
0.481	SLU 37	0.365	1	12.615	664.325	1	10.8525	31.3291	1		0	0	Si

Verifica a presso/tenso flessione retta X SLD §§ 4.2.4.1.2.3 - 4.2.4.1.2.6 - 4.2.4.1.2.7 - 4.2.4.1.2.8 NTC18

Verifiche eseguite utilizzando la formula conservativa (6.2) §6.2.1 EN 1993-1-1:2005.

X	Comb.	Sfruttamento	Classe	NEd	NRd	Rid. NRd da VEd	Mx,Ed	Mx,Rd	Rid. Mx,Rd da VEd	Rid. Mx,Rd da NEd	px	py	Verifica
1.163	SLD 7	0.002	1	-0.362	664.325	1	-0.0398	31.3291	1		0	0	Si

Verifica a presso/tenso flessione retta Y §§ 4.2.4.1.2.3 - 4.2.4.1.2.6 - 4.2.4.1.2.7 - 4.2.4.1.2.8 NTC18

Verifiche eseguite utilizzando la formula conservativa (6.2) §6.2.1 EN 1993-1-1:2005.

X	Comb.	Sfruttamento	Classe	NEd	NRd	Rid. NRd da VEd	My,Ed	My,Rd	Rid. My,Rd da VEd	Rid. My,Rd da NEd	px	py	Verifica
0.144	SLU 49	0.022	1	6.624	664.325	1	-0.1918	15.4191	1		0	0	Si

Verifica a presso/tenso flessione deviata §§ 4.2.4.1.2.3 - 4.2.4.1.2.6 - 4.2.4.1.2.7 - 4.2.4.1.2.8 NTC18

Verifiche eseguite utilizzando la formula conservativa (6.2) §6.2.1 EN 1993-1-1:2005.

X	Comb.	Sfruttamento	Classe	NEd	NRd	Rid. NRd da VEd	Mx,Ed	Mx,Rd	My,Ed	My,Rd	Rid. Mx,Rd da VEd	Rid. Mx,Rd da NEd	Rid. My,Rd da VEd	Rid. My,Rd da NEd	α	β	px	py	Verifica
0.481	SLV 7	0.851	1	-0.705	664.325	1	24.1888	31.3291	-1.2005	15.4191	1		1				0	0	Si

Verifica a presso/tenso flessione deviata SLD §§ 4.2.4.1.2.3 - 4.2.4.1.2.6 - 4.2.4.1.2.7 - 4.2.4.1.2.8 NTC18

Verifiche eseguite utilizzando la formula conservativa (6.2) §6.2.1 EN 1993-1-1:2005.

X	Comb.	Sfruttamento	Classe	NEd	NRd	Rid. NRd da VEd	Mx,Ed	Mx,Rd	My,Ed	My,Rd	Rid. Mx,Rd da VEd	Rid. Mx,Rd da NEd	Rid. My,Rd da VEd	Rid. My,Rd da NEd	α	β	px	py	Verifica
0.481	SLD 8	0.416	1	-0.362	664.325	1	11.9627	31.3291	-0.519	15.4191	1		1				0	0	Si

Verifiche ad instabilità

Caratteristiche iniziali

Membratura principale per controllo snellezza; Calcolo di snellezze ed N critici condotti secondo gli assi principali;
Curva X: b; Curva Y: c; Svergolamento: Carico all'estradosso; Curva svergolamento: b;

Dati per instabilità attorno a x

Controllo della snellezza secondo §4.2.4.1.3.1 NTC18

Implementazione dei sistemi di confinamento delle emissioni odorigene diffuse dell'impianto di compostaggio esistente nel
Comune di Eboli (SA)
PROGETTO DEFINITIVO – Tabulati di calcolo Tomo 1

Numero rit.	Presente	Ascissa	Campata	$\beta x/m$	Vincolo a entrambi estremi	$\lambda x/m$	λVer
1	Si	0					
			1-2		1	23.8	Si, (<200)
2	Si	1.163					

Dati per instabilità attorno a y

Controllo della snellezza secondo §4.2.4.1.3.1 NTC18

Numero rit.	Presente	Ascissa	Campata	$\beta y/n$	k_{LT}	$k_{w,LT}$	Vincolo a entrambi estremi	$\lambda y/n$	λVer
1	Si	0							
			1-2	1	1	1	Si	38.5	Si, (<200)
2	Si	1.163							

Verifica a svergolamento con trazione §4.2.4.1.3.2 NTC18 § 5.5.3 ENV 1993-1-1:1992 + AC:1992 + A1:1994 + A2:1998

X	Comb.	Sfruttamento	Classe	Obblig.	NEd	Mx,Ed	Mx,Eff,Ed	Mb,Rd,x	χ_{LT}	λ adim. LT	L,LT	M,critico	Verifica
0.481	SLU 37	0.341	1	Si	12.615	10.85249	10.48192	30.7502	0.982	0.447	1.163	164.4762	Si

Verifica di stabilità per tenso-flessione deviata §§ 5.5.3-5.5.4 ENV 1993-1-1:1992 + AC:1992 + A1:1994 + A2:1998

X	Comb.	Sfruttamento	Classe	NEd	Mx,Ed	Mx,Eff,Ed	My,Ed	χ_{LT}	kLT	ky	M,critico	Wx	Wy	Verifica
0.481	SLV 9	0.446	1	0.312	-12.07917	-12.07	0.82462	0.982	1	1	164.4762	0.0001196	0.0000589	Si

Verifica di stabilità per tenso-flessione deviata SLD §§ 5.5.3-5.5.4 ENV 1993-1-1:1992 + AC:1992 + A1:1994 + A2:1998

X	Comb.	Sfruttamento	Classe	NEd	Mx,Ed	Mx,Eff,Ed	My,Ed	χ_{LT}	kLT	ky	M,critico	Wx	Wy	Verifica
0.481	SLD 10	0.199	1	11.129	5.66319	5.33626	0.3885	0.982	1	1	164.4762	0.0001196	0.0000589	Si

Verifica di stabilità per pressoflessione §C.4.2.4.1.3.3.2 NTC18

X	Comb.	Sfruttamento	Classe	NEd	NRk	Mx,Ed max	Mx,Rk	My,Ed max	My,Rk	χ_x	χ_y	kxx	kxy	kyy	χ_{LT}	Verifica
0.465	SLV 8	0.902	1	-13.46	697.541	24.18884	32.89552	1.45321	16.19002	0.974	0.874	0.936	0.593	0.998	0.982	Si

Verifica di stabilità per pressoflessione SLD §C.4.2.4.1.3.3.2 NTC18

X	Comb.	Sfruttamento	Classe	NEd	NRk	Mx,Ed max	Mx,Rk	My,Ed max	My,Rk	χ_x	χ_y	kxx	kxy	kyy	χ_{LT}	Verifica	
0	SLD 8	0.424	1	-0.996	697.541	11.96273	32.89552	0.51895	16.19002	0.974	0.874	0.933	0.588	1	0.979	0.982	Si

Verifica di stabilità a taglio anima Y §4.2.4.1.2.4 [4.2.27] NTC18

η	hw	tw	hw/tw max	Verifica
1.2	0.098	0.005	55.46	Si

Verifica di stabilità a taglio anima Y SLD §4.2.4.1.2.4 [4.2.27] NTC18

η	hw	tw	hw/tw max	Verifica
1.2	0.098	0.005	55.46	Si

Verifiche a deformabilità

Mensola X: No; Mensola Y: No.

Frecce lungo X

Ascissa freccia	Combinazione	Freccia	Luce	L/f	L/f,min	Tipo	Verifica
0.594	SLE RA 1	0.00004	1.163	10000	250	Totale	Si
0.594	SLE RA 17	0.00005	1.163	10000	250	Totale	Si
0.594	SLE RA 16	0.00006	1.163	10000	250	Totale	Si
0.572	SLE RA 15	0.00006	1.163	10000	250	Totale	Si
0.617	SLE RA 14	0.00004	1.163	10000	250	Totale	Si
0.594	SLE RA 2	-0.00002	1.163	10000	350	Variabile	Si
0.594	SLE RA 17	0.00001	1.163	10000	350	Variabile	Si
0.594	SLE RA 16	0.00002	1.163	10000	350	Variabile	Si
0.526	SLE RA 15	0.00003	1.163	10000	350	Variabile	Si
0.304	SLE RA 14	0	1.163	10000	350	Variabile	Si

Frecce lungo Y

Ascissa freccia	Combinazione	Freccia	Luce	L/f	L/f,min	Tipo	Verifica
0.526	SLE RA 19	0.00096	1.163	1210.1	250	Totale	Si
0.526	SLE RA 16	0.00096	1.163	1214.1	250	Totale	Si
0.503	SLE RA 18	0.00095	1.163	1217.6	250	Totale	Si
0.526	SLE RA 15	0.00085	1.163	1371.6	250	Totale	Si
0.526	SLE RA 11	0.00085	1.163	1371.6	250	Totale	Si
0.526	SLE RA 19	0.00034	1.163	3391.4	350	Variabile	Si
0.526	SLE RA 16	0.00034	1.163	3423.7	350	Variabile	Si
0.503	SLE RA 18	0.00034	1.163	3447.8	350	Variabile	Si
0.526	SLE RA 2	-0.00032	1.163	3668.2	350	Variabile	Si
0.549	SLE RA 11	0.00023	1.163	5059.5	350	Variabile	Si

Superelemento in acciaio a quota "590" (-18; 1794)-(-109; 1929)

Caratteristiche del materiale

Acciaio: S275, fyk = 275000

Caratteristiche geometriche

Lunghezza: 1.855

Nodo iniziale: 415 Nodo finale: 422

Cerniera iniziale: No Cerniera finale: No

Sovreresistenza: 0% Sisma Z: No

Caratteristiche della sezione

Sezione	Rotazione	Area	Jx	Jy	ix	iy	Wx	Wy	Wplx	Wply
HEA120	0	0.002537	0.0000060673	0.0000023091	0.0489	0.0302	0.00010644	0.00003849	0.00011962	0.00005887

Verifiche di resistenza

Verifiche a forza assiale §4.2.4.1.2.1 - §4.2.4.1.2.2 NTC18

X	Comb.	Sfruttamento	Classe	NEd	Nc,Rd	Nt,Rd	Riduzione da taglio	px	py	Verifica
---	-------	--------------	--------	-----	-------	-------	---------------------	----	----	----------

**Implementazione dei sistemi di confinamento delle emissioni odorigene diffuse dell'impianto di compostaggio esistente nel
Comune di Eboli (SA)**

PROGETTO DEFINITIVO – Tabulati di calcolo Tomo 1

X	Comb.	Sfruttamento	Classe	NEd	Nc,Rd	Nt,Rd	Riduzione da taglio	px	py	Verifica
1.484	SLU 76	0.068	1	-45.384	664.325		1	0	0	Si

Verifiche a forza assiale SLD §4.2.4.1.2.1 - §4.2.4.1.2.2 NTC18

X	Comb.	Sfruttamento	Classe	NEd	Nc,Rd	Nt,Rd	Riduzione da taglio	px	py	Verifica
1.793	SLD 14	0.036	1	-23.94	664.325		1	0	0	Si

Verifica a taglio X §4.2.4.1.2.4 NTC18

X	Comb.	Sfruttamento	VEd	Vc,Rd	Av	Interazione taglio-torsione	Riduzione torsione	Verifica
0.866	SLV 3	0.002	-0.652	306.885	0.002047	Considerata	0.99	Si

Verifica a taglio X SLD §4.2.4.1.2.4 NTC18

X	Comb.	Sfruttamento	VEd	Vc,Rd	Av	Interazione taglio-torsione	Riduzione torsione	Verifica
1.855	SLD 4	0.001	-0.341	308.103	0.002047	Considerata	1	Si

Verifica a taglio Y §4.2.4.1.2.4 NTC18

X	Comb.	Sfruttamento	VEd	Vc,Rd	Av	Interazione taglio-torsione	Riduzione torsione	Verifica
1.855	SLV 3	0.006	-0.737	127.239	0.000849	Considerata	0.99	Si

Verifica a taglio Y SLD §4.2.4.1.2.4 NTC18

X	Comb.	Sfruttamento	VEd	Vc,Rd	Av	Interazione taglio-torsione	Riduzione torsione	Verifica
1.855	SLD 4	0.004	-0.508	127.744	0.000849	Considerata	1	Si

Verifica a torsione §4.2.4.1.2.5 NTC18

X	Comb.	Sfruttamento torsione	TEd	TRd	Riduzione taglio resistente	Sfruttamento taglio-torsione	τEd,totale	τRd	Verifica
1.051	SLV 3	0.021	0.0176	0.85138	Considerata				Si

Verifica a torsione SLD §4.2.4.1.2.5 NTC18

X	Comb.	Sfruttamento torsione	TEd	TRd	Riduzione taglio resistente	Sfruttamento taglio-torsione	τEd,totale	τRd	Verifica
1.855	SLD 4	0.011	0.00928	0.85138	Considerata				Si

Verifica a flessione semplice Y §§ 4.2.4.1.2.3 - 4.2.4.1.2.6 - 4.2.4.1.2.7 - 4.2.4.1.2.8 NTC18

X	Comb.	Sfruttamento	Classe	My,Ed	My,Rd	Rid. My,Rd da VEd	px	py	Verifica
1.484	SLU 21	0.003	1	0.04251	15.41907	1	0	0	Si

Verifica a flessione deviata §§ 4.2.4.1.2.3 - 4.2.4.1.2.6 - 4.2.4.1.2.7 - 4.2.4.1.2.8 NTC18

X	Comb.	Sfruttamento	Classe	Mx,Ed	Mx,Rd	My,Ed	My,Rd	Rid. Mx,Rd da VEd	Rid. My,Rd da VEd	α	β	px	py	Verifica
1.855	SLU 21	0.006	1	0.0798	31.3291	0.0473	15.4191	1	1			0	0	Si

Verifica a presso/tenso flessione retta Y §§ 4.2.4.1.2.3 - 4.2.4.1.2.6 - 4.2.4.1.2.7 - 4.2.4.1.2.8 NTC18

Verifiche eseguite utilizzando la formula conservativa (6.2) §6.2.1 EN 1993-1-1:2005.

X	Comb.	Sfruttamento	Classe	NEd	NRd	Rid. NRd da VEd	My,Ed	My,Rd	Rid. My,Rd da VEd	Rid. My,Rd da NEd	px	py	Verifica
0.247	SLV 13	0.066	1	-40.419	664.325	1	0.0775	15.4191	1		0	0	Si

Verifica a presso/tenso flessione retta Y SLD §§ 4.2.4.1.2.3 - 4.2.4.1.2.6 - 4.2.4.1.2.7 - 4.2.4.1.2.8 NTC18

Verifiche eseguite utilizzando la formula conservativa (6.2) §6.2.1 EN 1993-1-1:2005.

X	Comb.	Sfruttamento	Classe	NEd	NRd	Rid. NRd da VEd	My,Ed	My,Rd	Rid. My,Rd da VEd	Rid. My,Rd da NEd	px	py	Verifica
0.742	SLD 13	0.048	1	-23.94	664.325	1	-0.1857	15.4191	1		0	0	Si

Verifica a presso/tenso flessione deviata §§ 4.2.4.1.2.3 - 4.2.4.1.2.6 - 4.2.4.1.2.7 - 4.2.4.1.2.8 NTC18

Verifiche eseguite utilizzando la formula conservativa (6.2) §6.2.1 EN 1993-1-1:2005.

X	Comb.	Sfruttamento	Classe	NEd	NRd	Rid. NRd da VEd	Mx,Ed	Mx,Rd	My,Ed	My,Rd	Rid. Mx,Rd da VEd	Rid. Mx,Rd da NEd	Rid. My,Rd da VEd	Rid. My,Rd da NEd	α	β	px	py	Verifica
1.855	SLU 76	0.22	1	-45.384	664.325	1	0.9854	31.3291	-1.851	15.4191	1		1				0	0	Si

Verifica a presso/tenso flessione deviata SLD §§ 4.2.4.1.2.3 - 4.2.4.1.2.6 - 4.2.4.1.2.7 - 4.2.4.1.2.8 NTC18

Verifiche eseguite utilizzando la formula conservativa (6.2) §6.2.1 EN 1993-1-1:2005.

X	Comb.	Sfruttamento	Classe	NEd	NRd	Rid. NRd da VEd	Mx,Ed	Mx,Rd	My,Ed	My,Rd	Rid. Mx,Rd da VEd	Rid. Mx,Rd da NEd	Rid. My,Rd da VEd	Rid. My,Rd da NEd	α	β	px	py	Verifica
1.855	SLD 4	0.087	1	-5.295	664.325	1	0.5888	31.3291	-0.9364	15.4191	1		1				0	0	Si

Verifiche ad instabilità

Caratteristiche iniziali

Membratura principale per controllo snellezza; Calcolo di snellezze ed N critici condotti secondo gli assi principali;

Curva X: b; Curva Y: c; Svergolamento: Carico all'estradosso; Curva svergolamento: b;

Dati per instabilità attorno a x

Controllo della snellezza secondo §4.2.4.1.3.1 NTC18

Numero rit.	Presente	Ascissa	Campata	βx/m	Vincolo a entrambi estremi	λx/m	λVer
1	Si	0					
			1-2		1	37.9	Si, (<200)
2	Si	1.855					

Dati per instabilità attorno a y

Controllo della snellezza secondo §4.2.4.1.3.1 NTC18

Numero rit.	Presente	Ascissa	Campata	βy/n	k,LT	kw,LT	Vincolo a entrambi estremi	λy/n	λVer
1	Si	0							
			1-2		1	1	1	61.5	Si, (<200)
2	Si	1.855							

Verifica di stabilità per tenso-flessione deviata §§ 5.5.3-5.5.4 ENV 1993-1-1:1992 + AC:1992 + A1:1994 + A2:1998

X	Comb.	Sfruttamento	Classe	NEd	Mx,Ed	Mx,Eff,Ed	My,Ed	x,LT	kLT	ky	M,critico	Wx	Wy	Verifica
1.855	SLV 8	0.127	1	11.086	0.96197	0.6363	-1.6138	0.901	1	1	81.82574	0.0001196	0.0000589	Si

Implementazione dei sistemi di confinamento delle emissioni odorigene diffuse dell'impianto di compostaggio esistente nel
Comune di Eboli (SA)
PROGETTO DEFINITIVO – Tabulati di calcolo Tomo 1

Verifica di stabilità per pressoflessione §C.4.2.4.1.3.3.2 NTC18

X	Comb.	Sfruttamento	Classe	NEd	NRk	Mx,Ed max	Mx,Rk	My,Ed max	My,Rk	χ,x	χ,y	kxx	kxy	kyy	χ,LT	Verifica	
0.062	SLU 76	0.225	1	-45.384	697.541	0.98539	32.89552	1.85096	16.19002	0.911	0.72	0.565	0.494	0.978	0.823	0.988	Si

Verifica di stabilità per pressoflessione SLD §C.4.2.4.1.3.3.2 NTC18

X	Comb.	Sfruttamento	Classe	NEd	NRk	Mx,Ed max	Mx,Rk	My,Ed max	My,Rk	χ,x	χ,y	kxx	kxy	kyy	χ,LT	Verifica	
0.989	SLD 11	0.075	1	-9.658	697.541	0.48703	32.89552	0.7728	16.19002	0.911	0.72	0.465	0.456	0.993	0.76	0.901	Si

Verifica di stabilità a taglio anima Y §4.2.4.1.2.4 [4.2.27] NTC18

η	hw	tw	hw/tw max	Verifica
1.2	0.098	0.005	55.46	Si

Verifica di stabilità a taglio anima Y SLD §4.2.4.1.2.4 [4.2.27] NTC18

η	hw	tw	hw/tw max	Verifica
1.2	0.098	0.005	55.46	Si

Verifiche a deformabilità

Mensola X: No; Mensola Y: No.

Frecce lungo X

Ascissa freccia	Combinazione	Freccia	Luce	L/f	L/f,min	Tipo	Verifica
0.989	SLE RA 19	0.00081	1.855	2299.6	250	Totale	Si
0.989	SLE RA 16	0.0007	1.855	2644.2	250	Totale	Si
0.989	SLE RA 15	0.0007	1.855	2666.8	250	Totale	Si
0.989	SLE RA 11	0.0007	1.855	2666.8	250	Totale	Si
0.989	SLE RA 7	0.00065	1.855	2833.8	250	Totale	Si
0.989	SLE RA 19	0.00044	1.855	4232.4	350	Variabile	Si
0.989	SLE RA 16	0.00033	1.855	5567.6	350	Variabile	Si
0.989	SLE RA 15	0.00033	1.855	5668.9	350	Variabile	Si
0.989	SLE RA 11	0.00033	1.855	5668.9	350	Variabile	Si
0.989	SLE RA 2	-0.00031	1.855	5965.3	350	Variabile	Si

Frecce lungo Y

Ascissa freccia	Combinazione	Freccia	Luce	L/f	L/f,min	Tipo	Verifica
1.113	SLE RA 1	0.00004	1.855	10000	250	Totale	Si
1.113	SLE RA 17	0.00006	1.855	10000	250	Totale	Si
1.113	SLE RA 16	0.00009	1.855	10000	250	Totale	Si
1.113	SLE RA 15	0.00009	1.855	10000	250	Totale	Si
1.113	SLE RA 14	0.00006	1.855	10000	250	Totale	Si
1.051	SLE RA 2	-0.00004	1.855	10000	350	Variabile	Si
1.051	SLE RA 17	0.00002	1.855	10000	350	Variabile	Si
1.051	SLE RA 16	0.00005	1.855	10000	350	Variabile	Si
1.051	SLE RA 15	0.00005	1.855	10000	350	Variabile	Si
1.051	SLE RA 14	0.00002	1.855	10000	350	Variabile	Si

Superelemento in acciaio a quota "590" (-34; 29)-(94; 164)

Caratteristiche del materiale

Acciaio: S275, fyk = 275000

Caratteristiche geometriche

Lunghezza: 1.855

Nodo iniziale: 334 Nodo finale: 340

Cerniera iniziale: No Cerniera finale: No

Sovreresistenza: 0% Sisma Z: No

Caratteristiche della sezione

Sezione	Rotazione	Area	Jx	Jy	ix	iy	Wx	Wy	Wplx	Wply
HEA120	0	0.002537	0.0000060673	0.0000023091	0.0489	0.0302	0.00010644	0.00003849	0.00011962	0.00005887

Verifiche di resistenza

Verifiche a forza assiale §4.2.4.1.2.1 - §4.2.4.1.2.2 NTC18

X	Comb.	Sfruttamento	Classe	NEd	Nc,Rd	Nt,Rd	Riduzione da taglio	px	py	Verifica
1.793	SLU 75	0.069	1	-45.852	664.325		1	0	0	Si

Verifiche a forza assiale SLD §4.2.4.1.2.1 - §4.2.4.1.2.2 NTC18

X	Comb.	Sfruttamento	Classe	NEd	Nc,Rd	Nt,Rd	Riduzione da taglio	px	py	Verifica
1.855	SLD 11	0.024	1	-16.245	664.325		1	0	0	Si

Verifica a taglio X §4.2.4.1.2.4 NTC18

X	Comb.	Sfruttamento	VEd	Vc,Rd	Av	Interazione taglio-torsione	Riduzione torsione	Verifica
1.855	SLV 3	0.004	1.24	308.36	0.002047	Considerata	1	Si

Verifica a taglio X SLD §4.2.4.1.2.4 NTC18

X	Comb.	Sfruttamento	VEd	Vc,Rd	Av	Interazione taglio-torsione	Riduzione torsione	Verifica
1.855	SLD 4	0.002	0.656	308.744	0.002047	Considerata	1	Si

Verifica a taglio Y §4.2.4.1.2.4 NTC18

X	Comb.	Sfruttamento	VEd	Vc,Rd	Av	Interazione taglio-torsione	Riduzione torsione	Verifica
0	SLU 75	0.008	1.046	125.906	0.000849	Considerata	0.98	Si

Verifica a taglio Y SLD §4.2.4.1.2.4 NTC18

X	Comb.	Sfruttamento	VEd	Vc,Rd	Av	Interazione taglio-torsione	Riduzione torsione	Verifica
0	SLD 6	0.005	0.647	127.282	0.000849	Considerata	0.99	Si

**Implementazione dei sistemi di confinamento delle emissioni odorigene diffuse dell'impianto di compostaggio esistente nel
Comune di Eboli (SA)
PROGETTO DEFINITIVO – Tabulati di calcolo Tomo 1**

Verifica a torsione §4.2.4.1.2.5 NTC18

X	Comb.	Sfruttamento torsione	TEd	TRd	Riduzione taglio resistente	Sfruttamento taglio-torsione	rEd,totale	rRd	Verifica
0.124	SLU 75	0.046	0.0394	0.85138	Considerata				Si

Verifica a torsione SLD §4.2.4.1.2.5 NTC18

X	Comb.	Sfruttamento torsione	TEd	TRd	Riduzione taglio resistente	Sfruttamento taglio-torsione	rEd,totale	rRd	Verifica
1.855	SLD 10	0.024	0.02042	0.85138	Considerata				Si

Verifica a presso/tenso flessione retta X §§ 4.2.4.1.2.3 - 4.2.4.1.2.6 - 4.2.4.1.2.7 - 4.2.4.1.2.8 NTC18

Verifiche eseguite utilizzando la formula conservativa (6.2) §6.2.1 EN 1993-1-1:2005.

X	Comb.	Sfruttamento	Classe	NEd	NRd	Rid. NRd da VEd	Mx,Ed	Mx,Rd	Rid. Mx,Rd da VEd	Rid. Mx,Rd da NEd	px	py	Verifica
1.113	SLU 71	0.078	1	-39.773	664.325	1	0.5548	31.3291	1		0	0	Si

Verifica a presso/tenso flessione retta X SLD §§ 4.2.4.1.2.3 - 4.2.4.1.2.6 - 4.2.4.1.2.7 - 4.2.4.1.2.8 NTC18

Verifiche eseguite utilizzando la formula conservativa (6.2) §6.2.1 EN 1993-1-1:2005.

X	Comb.	Sfruttamento	Classe	NEd	NRd	Rid. NRd da VEd	Mx,Ed	Mx,Rd	Rid. Mx,Rd da VEd	Rid. Mx,Rd da NEd	px	py	Verifica
0.495	SLD 15	0.031	1	-16.189	664.325	1	0.2064	31.3291	1		0	0	Si

Verifica a presso/tenso flessione retta Y §§ 4.2.4.1.2.3 - 4.2.4.1.2.6 - 4.2.4.1.2.7 - 4.2.4.1.2.8 NTC18

Verifiche eseguite utilizzando la formula conservativa (6.2) §6.2.1 EN 1993-1-1:2005.

X	Comb.	Sfruttamento	Classe	NEd	NRd	Rid. NRd da VEd	My,Ed	My,Rd	Rid. My,Rd da VEd	Rid. My,Rd da NEd	px	py	Verifica
1.793	SLV 16	0.054	1	-17.585	664.325	1	0.4261	15.4191	1		0	0	Si

Verifica a presso/tenso flessione retta Y SLD §§ 4.2.4.1.2.3 - 4.2.4.1.2.6 - 4.2.4.1.2.7 - 4.2.4.1.2.8 NTC18

Verifiche eseguite utilizzando la formula conservativa (6.2) §6.2.1 EN 1993-1-1:2005.

X	Comb.	Sfruttamento	Classe	NEd	NRd	Rid. NRd da VEd	My,Ed	My,Rd	Rid. My,Rd da VEd	Rid. My,Rd da NEd	px	py	Verifica
1.855	SLD 13	0.049	1	-15.729	664.325	1	0.393	15.4191	1		0	0	Si

Verifica a presso/tenso flessione deviata §§ 4.2.4.1.2.3 - 4.2.4.1.2.6 - 4.2.4.1.2.7 - 4.2.4.1.2.8 NTC18

Verifiche eseguite utilizzando la formula conservativa (6.2) §6.2.1 EN 1993-1-1:2005.

X	Comb.	Sfruttamento	Classe	NEd	NRd	Rid. NRd da VEd	Mx,Ed	Mx,Rd	My,Ed	My,Rd	Rid. Mx,Rd da VEd	Rid. Mx,Rd da NEd	Rid. My,Rd da VEd	Rid. My,Rd da NEd	α	β	px	py	Verifica
0	SLU 75	0.202	1	-45.852	664.325	1	1.6567	31.3291	-1.2396	15.4191	1		1				0	0	Si

Verifica a presso/tenso flessione deviata SLD §§ 4.2.4.1.2.3 - 4.2.4.1.2.6 - 4.2.4.1.2.7 - 4.2.4.1.2.8 NTC18

Verifiche eseguite utilizzando la formula conservativa (6.2) §6.2.1 EN 1993-1-1:2005.

X	Comb.	Sfruttamento	Classe	NEd	NRd	Rid. NRd da VEd	Mx,Ed	Mx,Rd	My,Ed	My,Rd	Rid. Mx,Rd da VEd	Rid. Mx,Rd da NEd	Rid. My,Rd da VEd	Rid. My,Rd da NEd	α	β	px	py	Verifica
0	SLD 4	0.108	1	-14.819	664.325	1	0.7474	31.3291	-0.9578	15.4191	1		1				0	0	Si

Verifiche ad instabilità

Caratteristiche iniziali

Membratura principale per controllo snellezza; Calcolo di snellezze ed N critici condotti secondo gli assi principali;

Curva X: b; Curva Y: c; Svergolamento: Carico all'estradosso; Curva svergolamento: b;

Dati per instabilità attorno a x

Controllo della snellezza secondo §4.2.4.1.3.1 NTC18

Numero rit.	Presente	Ascissa	Campata	βx/m	Vincolo a entrambi estremi	λx/m	λVer
1	Si		0				
			1-2		1	37.9	Si, (<200)
2	Si		1.855				

Dati per instabilità attorno a y

Controllo della snellezza secondo §4.2.4.1.3.1 NTC18

Numero rit.	Presente	Ascissa	Campata	βy/n	k,LT	kw,LT	Vincolo a entrambi estremi	λy/n	λVer
1	Si		0						
			1-2		1		1	61.5	Si, (<200)
2	Si		1.855						

Verifica a svergolamento con trazione §4.2.4.1.3.2 NTC18 § 5.5.3 ENV 1993-1-1:1992 + AC:1992 + A1:1994 + A2:1998

X	Comb.	Sfruttamento	Classe	Obblig.	NEd	Mx,Ed	Mx,Eff,Ed	Mb,Rd,x	χ,LT	λ adim. LT	L,LT	M,critico	Verifica
0.866	SLU 2	0.001	1	Si	2.717	-0.10658	-0.02675	28.24204	0.901	0.634	1.855	81.81417	Si

Verifica di stabilità per tenso-flessione deviata §§ 5.5.3-5.5.4 ENV 1993-1-1:1992 + AC:1992 + A1:1994 + A2:1998

X	Comb.	Sfruttamento	Classe	NEd	Mx,Ed	Mx,Eff,Ed	My,Ed	χ,LT	kLT	ky	M,critico	Wx	Wy	Verifica
1.484	SLU 2	0.003	1	2.717	-0.08075	-0.00092	-0.05312	0.901	1	1	81.81417	0.0001196	0.0000589	Si

Verifica di stabilità per pressoflessione §C.4.2.4.1.3.3.2 NTC18

X	Comb.	Sfruttamento	Classe	NEd	NRk	Mx,Ed max	Mx,Rk	My,Ed max	My,Rk	χ,x	χ,y	kxx	kxy	kyy	χ,LT	Verifica
0	SLU 75	0.183	1	-45.852	697.541	1.65666	32.89552	1.23957	16.19002	0.911	0.72	0.596	0.259	0.98	0.431	0.989

Verifica di stabilità per pressoflessione SLD §C.4.2.4.1.3.3.2 NTC18

X	Comb.	Sfruttamento	Classe	NEd	NRk	Mx,Ed max	Mx,Rk	My,Ed max	My,Rk	χ,x	χ,y	kxx	kxy	kyy	χ,LT	Verifica
1.855	SLD 4	0.087	1	-14.819	697.541	0.74738	32.89552	0.9578	16.19002	0.911	0.72	0.527	0.31	0.992	0.517	0.988

Verifica di stabilità a taglio anima Y §4.2.4.1.2.4 [4.2.27] NTC18

η	hw	tw	hw/tw max	Verifica
1.2		0.098	0.005	55.46
				Si

Verifica di stabilità a taglio anima Y SLD §4.2.4.1.2.4 [4.2.27] NTC18

η	hw	tw	hw/tw max	Verifica
1.2		0.098	0.005	55.46
				Si

Verifiche a deformabilità

Mensola X: No; Mensola Y: No.

Implementazione dei sistemi di confinamento delle emissioni odorigene diffuse dell’impianto di compostaggio esistente nel
Comune di Eboli (SA)
PROGETTO DEFINITIVO – Tabulati di calcolo Tomo 1

Frecce lungo X

Ascissa freccia	Combinazione	Freccia	Luce	L/f	L/f,min	Tipo	Verifica
0.556	SLE RA 1	0.00008	1.855	10000	250	Totale	Si
0.556	SLE RA 17	0.00011	1.855	10000	250	Totale	Si
0.556	SLE RA 16	0.00014	1.855	10000	250	Totale	Si
0.556	SLE RA 15	0.00009	1.855	10000	250	Totale	Si
0.556	SLE RA 14	0.00016	1.855	10000	250	Totale	Si
0.495	SLE RA 2	-0.00006	1.855	10000	350	Variabile	Si
0.495	SLE RA 17	0.00003	1.855	10000	350	Variabile	Si
0.495	SLE RA 16	0.00006	1.855	10000	350	Variabile	Si
0.371	SLE RA 15	0.00001	1.855	10000	350	Variabile	Si
0.556	SLE RA 14	0.00007	1.855	10000	350	Variabile	Si

Frecce lungo Y

Ascissa freccia	Combinazione	Freccia	Luce	L/f	L/f,min	Tipo	Verifica
0.804	SLE RA 18	0.00019	1.855	9585	250	Totale	Si
0.742	SLE RA 1	0.00009	1.855	10000	250	Totale	Si
0.804	SLE RA 17	0.00012	1.855	10000	250	Totale	Si
0.804	SLE RA 16	0.00017	1.855	10000	250	Totale	Si
0.742	SLE RA 15	0.00011	1.855	10000	250	Totale	Si
0.804	SLE RA 2	-0.00008	1.855	10000	350	Variabile	Si
0.804	SLE RA 17	0.00004	1.855	10000	350	Variabile	Si
0.804	SLE RA 16	0.00008	1.855	10000	350	Variabile	Si
0.804	SLE RA 15	0.00003	1.855	10000	350	Variabile	Si
0.804	SLE RA 14	0.00008	1.855	10000	350	Variabile	Si

Superelemento in acciaio a quota "590" (-145; 1660)-(-18; 1794)

Caratteristiche del materiale

Acciaio: S275, fyk = 275000

Caratteristiche geometriche

Lunghezza: 1.85

Nodo iniziale: 410 Nodo finale: 415

Cerniera iniziale: No Cerniera finale: No

Sovraresistenza: 0% Sisma Z: No

Caratteristiche della sezione

Sezione	Rotazione	Area	Jx	Jy	ix	iy	Wx	Wy	Wplx	Wply
HEA120	0	0.002537	0.0000060673	0.0000023091	0.0489	0.0302	0.00010644	0.00003849	0.00011962	0.00005887

Verifiche di resistenza

Verifiche a forza assiale §4.2.4.1.2.1 - §4.2.4.1.2.2 NTC18

X	Comb.	Sfruttamento	Classe	NEd	Nc,Rd	Nt,Rd	Riduzione da taglio	px	py	Verifica
1.788	SLV 6	0.014	1	-9.011	664.325		1	0	0	Si

Verifiche a forza assiale SLD §4.2.4.1.2.1 - §4.2.4.1.2.2 NTC18

X	Comb.	Sfruttamento	Classe	NEd	Nc,Rd	Nt,Rd	Riduzione da taglio	px	py	Verifica
1.665	SLD 6	0.006	1	-3.79	664.325		1	0	0	Si

Verifica a taglio X §4.2.4.1.2.4 NTC18

X	Comb.	Sfruttamento	VEd	Vc,Rd	Av	Interazione taglio-torsione	Riduzione torsione	Verifica
0	SLV 3	0.001	-0.45	306.301	0.002047	Considerata	0.99	Si

Verifica a taglio X SLD §4.2.4.1.2.4 NTC18

X	Comb.	Sfruttamento	VEd	Vc,Rd	Av	Interazione taglio-torsione	Riduzione torsione	Verifica
0	SLD 3	0.001	-0.231	308.209	0.002047	Considerata	1	Si

Verifica a taglio Y §4.2.4.1.2.4 NTC18

X	Comb.	Sfruttamento	VEd	Vc,Rd	Av	Interazione taglio-torsione	Riduzione torsione	Verifica
0	SLV 8	0.008	0.954	127.009	0.000849	Considerata	0.99	Si

Verifica a taglio Y SLD §4.2.4.1.2.4 NTC18

X	Comb.	Sfruttamento	VEd	Vc,Rd	Av	Interazione taglio-torsione	Riduzione torsione	Verifica
0	SLD 7	0.004	0.571	127.791	0.000849	Considerata	1	Si

Verifica a torsione §4.2.4.1.2.5 NTC18

X	Comb.	Sfruttamento torsione	TEd	TRd	Riduzione taglio resistente	Sfruttamento taglio-torsione	τEd,totale	τRd	Verifica
0.925	SLV 4	0.025	-0.02158	0.85138	Considerata				Si

Verifica a torsione SLD §4.2.4.1.2.5 NTC18

X	Comb.	Sfruttamento torsione	TEd	TRd	Riduzione taglio resistente	Sfruttamento taglio-torsione	τEd,totale	τRd	Verifica
1.85	SLD 4	0.01	-0.00855	0.85138	Considerata				Si

Verifica a flessione semplice X §§ 4.2.4.1.2.3 - 4.2.4.1.2.6 - 4.2.4.1.2.7 - 4.2.4.1.2.8 NTC18

X	Comb.	Sfruttamento	Classe	Mx,Ed	Mx,Rd	Rid. Mx,Rd da VEd	px	py	Verifica
0	SLU 62	0.008	1	0.26313	31.32907	1	0	0	Si

Verifica a flessione semplice Y §§ 4.2.4.1.2.3 - 4.2.4.1.2.6 - 4.2.4.1.2.7 - 4.2.4.1.2.8 NTC18

X	Comb.	Sfruttamento	Classe	My,Ed	My,Rd	Rid. My,Rd da VEd	px	py	Verifica
1.85	SLU 62	0.009	1	-0.13125	15.41907	1	0	0	Si

**Implementazione dei sistemi di confinamento delle emissioni odorigene diffuse dell'impianto di compostaggio esistente nel
Comune di Eboli (SA)
PROGETTO DEFINITIVO – Tabulati di calcolo Tomo 1**

Verifica a flessione deviata §§ 4.2.4.1.2.3 - 4.2.4.1.2.6 - 4.2.4.1.2.7 - 4.2.4.1.2.8 NTC18

X	Comb.	Sfruttamento	Classe	Mx,Ed	Mx,Rd	My,Ed	My,Rd	Rid. Mx,Rd da VEd	Rid. My,Rd da VEd	α	β	px	py	Verifica
0.062	SLU 62	0.008	1	0.2401	31.3291	-0.007	15.4191	1	1			0	0	Si

Verifica a presso/tenso flessione retta X §§ 4.2.4.1.2.3 - 4.2.4.1.2.6 - 4.2.4.1.2.7 - 4.2.4.1.2.8 NTC18

Verifiche eseguite utilizzando la formula conservativa (6.2) §6.2.1 EN 1993-1-1:2005.

X	Comb.	Sfruttamento	Classe	NEd	NRd	Rid. NRd da VEd	Mx,Ed	Mx,Rd	Rid. Mx,Rd da VEd	Rid. Mx,Rd da NEd	px	py	Verifica
1.11	SLV 2	0.022	1	-8.924	664.325	1	0.2693	31.3291	1		0	0	Si

Verifica a presso/tenso flessione retta X SLD §§ 4.2.4.1.2.3 - 4.2.4.1.2.6 - 4.2.4.1.2.7 - 4.2.4.1.2.8 NTC18

Verifiche eseguite utilizzando la formula conservativa (6.2) §6.2.1 EN 1993-1-1:2005.

X	Comb.	Sfruttamento	Classe	NEd	NRd	Rid. NRd da VEd	Mx,Ed	Mx,Rd	Rid. Mx,Rd da VEd	Rid. Mx,Rd da NEd	px	py	Verifica
0.493	SLD 11	0.015	1	3.043	664.325	1	0.3419	31.3291	1		0	0	Si

Verifica a presso/tenso flessione retta Y §§ 4.2.4.1.2.3 - 4.2.4.1.2.6 - 4.2.4.1.2.7 - 4.2.4.1.2.8 NTC18

Verifiche eseguite utilizzando la formula conservativa (6.2) §6.2.1 EN 1993-1-1:2005.

X	Comb.	Sfruttamento	Classe	NEd	NRd	Rid. NRd da VEd	My,Ed	My,Rd	Rid. My,Rd da VEd	Rid. My,Rd da NEd	px	py	Verifica
1.85	SLU 63	0.021	1	2.917	664.325	1	-0.2618	15.4191	1		0	0	Si

Verifica a presso/tenso flessione retta Y SLD §§ 4.2.4.1.2.3 - 4.2.4.1.2.6 - 4.2.4.1.2.7 - 4.2.4.1.2.8 NTC18

Verifiche eseguite utilizzando la formula conservativa (6.2) §6.2.1 EN 1993-1-1:2005.

X	Comb.	Sfruttamento	Classe	NEd	NRd	Rid. NRd da VEd	My,Ed	My,Rd	Rid. My,Rd da VEd	Rid. My,Rd da NEd	px	py	Verifica
1.603	SLD 6	0.026	1	-3.79	664.325	1	-0.3133	15.4191	1		0	0	Si

Verifica a presso/tenso flessione deviata §§ 4.2.4.1.2.3 - 4.2.4.1.2.6 - 4.2.4.1.2.7 - 4.2.4.1.2.8 NTC18

Verifiche eseguite utilizzando la formula conservativa (6.2) §6.2.1 EN 1993-1-1:2005.

X	Comb.	Sfruttamento	Classe	NEd	NRd	Rid. NRd da VEd	Mx,Ed	Mx,Rd	My,Ed	My,Rd	Rid. Mx,Rd da VEd	Rid. Mx,Rd da NEd	Rid. My,Rd da VEd	Rid. My,Rd da NEd	α	β	px	py	Verifica
0	SLV 4	0.084	1	-4.92	664.325	1	1.3745	31.3291	0.5072	15.4191	1		1				0	0	Si

Verifica a presso/tenso flessione deviata SLD §§ 4.2.4.1.2.3 - 4.2.4.1.2.6 - 4.2.4.1.2.7 - 4.2.4.1.2.8 NTC18

Verifiche eseguite utilizzando la formula conservativa (6.2) §6.2.1 EN 1993-1-1:2005.

X	Comb.	Sfruttamento	Classe	NEd	NRd	Rid. NRd da VEd	Mx,Ed	Mx,Rd	My,Ed	My,Rd	Rid. Mx,Rd da VEd	Rid. Mx,Rd da NEd	Rid. My,Rd da VEd	Rid. My,Rd da NEd	α	β	px	py	Verifica
0	SLD 4	0.037	1	-2.195	664.325	1	0.7107	31.3291	0.1662	15.4191	1		1				0	0	Si

Verifiche ad instabilità

Caratteristiche iniziali

Membratura principale per controllo snellezza; Calcolo di snellezze ed N critici condotti secondo gli assi principali;

Curva X: b; Curva Y: c; Svergolamento: Carico all'estradosso; Curva svergolamento: b;

Dati per instabilità attorno a x

Controllo della snellezza secondo §4.2.4.1.3.1 NTC18

Numero rit.	Presente	Ascissa	Campata	βx/m	Vincolo a entrambi estremi	λx/m	λVer
1	Si		0				
2	Si		1-2		1	37.8	Si, (<200)

Dati per instabilità attorno a y

Controllo della snellezza secondo §4.2.4.1.3.1 NTC18

Numero rit.	Presente	Ascissa	Campata	βy/n	k,LT	kw,LT	Vincolo a entrambi estremi	λy/n	λVer
1	Si		0						
2	Si		1-2		1	1	Si	61.3	Si, (<200)

Verifica a svergolamento con trazione §4.2.4.1.3.2 NTC18 § 5.5.3 ENV 1993-1-1:1992 + AC:1992 + A1:1994 + A2:1998

X	Comb.	Sfruttamento	Classe	Obblig.	NEd	Mx,Ed	Mx,Eff,Ed	Mb,Rd,x	χ,LT	λ adim. LT	L,LT	M,critico	Verifica
0	SLU 63	0.005	1	Si	2.917	0.21402	0.12833	28.25853	0.902	0.633	1.85	82.10616	Si

Verifica a svergolamento con trazione SLD §4.2.4.1.3.2 NTC18 § 5.5.3 ENV 1993-1-1:1992 + AC:1992 + A1:1994 + A2:1998

X	Comb.	Sfruttamento	Classe	Obblig.	NEd	Mx,Ed	Mx,Eff,Ed	Mb,Rd,x	χ,LT	λ adim. LT	L,LT	M,critico	Verifica
0.493	SLD 11	0.009	1	Si	3.043	0.34191	0.25252	28.25853	0.902	0.633	1.85	82.10616	Si

Verifica di stabilità per tenso-flessione deviata §§ 5.5.3-5.5.4 ENV 1993-1-1:1992 + AC:1992 + A1:1994 + A2:1998

X	Comb.	Sfruttamento	Classe	NEd	Mx,Ed	Mx,Eff,Ed	My,Ed	χ,LT	kLT	ky	M,critico	Wx	Wy	Verifica
0	SLV 8	0.077	1	4.335	1.38591	1.25856	0.4995	0.902	1	1	82.10616	0.0001196	0.0000589	Si

Verifica di stabilità per tenso-flessione deviata SLD §§ 5.5.3-5.5.4 ENV 1993-1-1:1992 + AC:1992 + A1:1994 + A2:1998

X	Comb.	Sfruttamento	Classe	NEd	Mx,Ed	Mx,Eff,Ed	My,Ed	χ,LT	kLT	ky	M,critico	Wx	Wy	Verifica
0	SLD 7	0.032	1	1.476	0.71364	0.67027	0.16344	0.995	1	1	192.76081	0.0001196	0.0000589	Si

Verifica di stabilità per pressoflessione §C.4.2.4.1.3.3.2 NTC18

X	Comb.	Sfruttamento	Classe	NEd	NRk	Mx,Ed max	Mx,Rk	My,Ed max	My,Rk	χ,x	χ,y	kxx	kxy	kyy	χ,LT	Verifica
0.925	SLU 76	0.074	1	-3.72	697.541	1.11187	32.89552	0.75951	16.19002	0.912	0.721	0.563	0.375	0.998	0.625	0.989

Verifica di stabilità per pressoflessione SLD §C.4.2.4.1.3.3.2 NTC18

X	Comb.	Sfruttamento	Classe	NEd	NRk	Mx,Ed max	Mx,Rk	My,Ed max	My,Rk	χ,x	χ,y	kxx	kxy	kyy	χ,LT	Verifica
1.85	SLD 4	0.037	1	-2.195	697.541	0.71074	32.89552	0.35365	16.19002	0.912	0.721	0.503	0.241	0.999	0.401	0.992

Verifica di stabilità a taglio anima Y §4.2.4.1.2.4 [4.2.27] NTC18

η	hw	tw	hw/tw max	Verifica
1.2		0.098	0.005	55.46

Verifica di stabilità a taglio anima Y SLD §4.2.4.1.2.4 [4.2.27] NTC18

η	hw	tw	hw/tw max	Verifica
1.2		0.098	0.005	55.46

Implementazione dei sistemi di confinamento delle emissioni odorigene diffuse dell'impianto di compostaggio esistente nel
Comune di Eboli (SA)
PROGETTO DEFINITIVO – Tabulati di calcolo Tomo 1

Verifiche a deformabilità

Mensola X: No; Mensola Y: No.

Frecce lungo X

Ascissa freccia	Combinazione	Freccia	Luce	L/f	L/f,min	Tipo	Verifica
1.048	SLE RA 19	0.00025	1.85	7416.5	250	Totale	Si
1.048	SLE RA 15	0.00022	1.85	8599.2	250	Totale	Si
1.048	SLE RA 11	0.00022	1.85	8599.2	250	Totale	Si
1.048	SLE RA 16	0.00021	1.85	8629.1	250	Totale	Si
1.048	SLE RA 7	0.0002	1.85	9059.8	250	Totale	Si
1.048	SLE RA 2	-0.0001	1.85	10000	350	Variabile	Si
1.048	SLE RA 17	0.00005	1.85	10000	350	Variabile	Si
1.048	SLE RA 16	0.0001	1.85	10000	350	Variabile	Si
1.048	SLE RA 15	0.0001	1.85	10000	350	Variabile	Si
1.048	SLE RA 14	0.00003	1.85	10000	350	Variabile	Si

Frecce lungo Y

Ascissa freccia	Combinazione	Freccia	Luce	L/f	L/f,min	Tipo	Verifica
0.74	SLE RA 1	0.00004	1.85	10000	250	Totale	Si
0.74	SLE RA 17	0.00006	1.85	10000	250	Totale	Si
0.74	SLE RA 16	0.00009	1.85	10000	250	Totale	Si
0.802	SLE RA 15	0.0001	1.85	10000	250	Totale	Si
0.74	SLE RA 14	0.00004	1.85	10000	250	Totale	Si
0.802	SLE RA 2	-0.00005	1.85	10000	350	Variabile	Si
0.802	SLE RA 17	0.00002	1.85	10000	350	Variabile	Si
0.802	SLE RA 16	0.00005	1.85	10000	350	Variabile	Si
0.802	SLE RA 15	0.00006	1.85	10000	350	Variabile	Si
0.802	SLE RA 14	0	1.85	10000	350	Variabile	Si

Superelemento in acciaio a quota "590" (-161; -105)-(-34; 30)

Caratteristiche del materiale

Acciaio: S275, fyk = 275000

Caratteristiche geometriche

Lunghezza: 1.85

Nodo iniziale: 329 Nodo finale: 337

Cerniera iniziale: No Cerniera finale: No

Sovreresistenza: 0% Sisma Z: No

Caratteristiche della sezione

Sezione	Rotazione	Area	Jx	Jy	ix	iy	Wx	Wy	Wplx	Wply
HEA120	0	0.002537	0.0000060673	0.0000023091	0.0489	0.0302	0.00010644	0.00003849	0.00011962	0.00005887

Verifiche di resistenza

Verifiche a forza assiale §4.2.4.1.2.1 - §4.2.4.1.2.2 NTC18

X	Comb.	Sfruttamento	Classe	NEd	Nc,Rd	Nt,Rd	Riduzione da taglio	px	py	Verifica
0.863	SLU 75	0.061	1	-40.354	664.325		1	0	0	Si

Verifiche a forza assiale SLD §4.2.4.1.2.1 - §4.2.4.1.2.2 NTC18

X	Comb.	Sfruttamento	Classe	NEd	Nc,Rd	Nt,Rd	Riduzione da taglio	px	py	Verifica
1.85	SLD 5	0.032	1	-21.522	664.325		1	0	0	Si

Verifica a taglio X §4.2.4.1.2.4 NTC18

X	Comb.	Sfruttamento	VEd	Vc,Rd	Av	Interazione taglio-torsione	Riduzione torsione	Verifica
1.85	SLV 4	0.003	-0.845	306.18	0.002047	Considerata	0.99	Si

Verifica a taglio X SLD §4.2.4.1.2.4 NTC18

X	Comb.	Sfruttamento	VEd	Vc,Rd	Av	Interazione taglio-torsione	Riduzione torsione	Verifica
1.85	SLD 4	0.001	-0.35	308.075	0.002047	Considerata	1	Si

Verifica a taglio Y §4.2.4.1.2.4 NTC18

X	Comb.	Sfruttamento	VEd	Vc,Rd	Av	Interazione taglio-torsione	Riduzione torsione	Verifica
1.85	SLV 11	0.005	-0.683	127.511	0.000849	Considerata	0.99	Si

Verifica a taglio Y SLD §4.2.4.1.2.4 NTC18

X	Comb.	Sfruttamento	VEd	Vc,Rd	Av	Interazione taglio-torsione	Riduzione torsione	Verifica
1.85	SLD 11	0.004	-0.496	127.919	0.000849	Considerata	1	Si

Verifica a torsione §4.2.4.1.2.5 NTC18

X	Comb.	Sfruttamento torsione	TEd	TRd	Riduzione taglio resistente	Sfruttamento taglio-torsione	τEd,totale	τRd	Verifica
1.048	SLV 3	0.026	0.0224	0.85138	Considerata				Si

Verifica a torsione SLD §4.2.4.1.2.5 NTC18

X	Comb.	Sfruttamento torsione	TEd	TRd	Riduzione taglio resistente	Sfruttamento taglio-torsione	τEd,totale	τRd	Verifica
1.85	SLD 4	0.011	0.00947	0.85138	Considerata				Si

Verifica a presso/tenso flessione retta X §§ 4.2.4.1.2.3 - 4.2.4.1.2.6 - 4.2.4.1.2.7 - 4.2.4.1.2.8 NTC18

Verifiche eseguite utilizzando la formula conservativa (6.2) §6.2.1 EN 1993-1-1:2005.

X	Comb.	Sfruttamento	Classe	NEd	NRd	Rid. NRd da VEd	Mx,Ed	Mx,Rd	Rid. Mx,Rd da VEd	Rid. Mx,Rd da NEd	px	py	Verifica
1.85	SLU 21	0.005	1	-0.537	664.325	1	0.1173	31.3291	1		0	0	Si

Implementazione dei sistemi di confinamento delle emissioni odorigene diffuse dell'impianto di compostaggio esistente nel
Comune di Eboli (SA)
PROGETTO DEFINITIVO – Tabulati di calcolo Tomo 1

Verifica a presso/tenso flessione retta X SLD §§ 4.2.4.1.2.3 - 4.2.4.1.2.6 - 4.2.4.1.2.7 - 4.2.4.1.2.8 NTC18

Verifiche eseguite utilizzando la formula conservativa (6.2) §6.2.1 EN 1993-1-1:2005.

X	Comb.	Sfruttamento	Classe	NEd	NRd	Rid. NRd da VEd	Mx,Ed	Mx,Rd	Rid. Mx,Rd da VEd	Rid. Mx,Rd da NEd	px	py	Verifica
0.308	SLD 9	0.028	1	-17.887	664.325	1	0.0469	31.3291	1		0	0	Si

Verifica a presso/tenso flessione retta Y §§ 4.2.4.1.2.3 - 4.2.4.1.2.6 - 4.2.4.1.2.7 - 4.2.4.1.2.8 NTC18

Verifiche eseguite utilizzando la formula conservativa (6.2) §6.2.1 EN 1993-1-1:2005.

X	Comb.	Sfruttamento	Classe	NEd	NRd	Rid. NRd da VEd	My,Ed	My,Rd	Rid. My,Rd da VEd	Rid. My,Rd da NEd	px	py	Verifica
0.987	SLV 4	0.135	1	-24.293	664.325	1	-1.5151	15.4191	1		0	0	Si

Verifica a presso/tenso flessione retta Y SLD §§ 4.2.4.1.2.3 - 4.2.4.1.2.6 - 4.2.4.1.2.7 - 4.2.4.1.2.8 NTC18

Verifiche eseguite utilizzando la formula conservativa (6.2) §6.2.1 EN 1993-1-1:2005.

X	Comb.	Sfruttamento	Classe	NEd	NRd	Rid. NRd da VEd	My,Ed	My,Rd	Rid. My,Rd da VEd	Rid. My,Rd da NEd	px	py	Verifica
0.37	SLD 3	0.059	1	-17.577	664.325	1	-0.5017	15.4191	1		0	0	Si

Verifica a presso/tenso flessione deviata §§ 4.2.4.1.2.3 - 4.2.4.1.2.6 - 4.2.4.1.2.7 - 4.2.4.1.2.8 NTC18

Verifiche eseguite utilizzando la formula conservativa (6.2) §6.2.1 EN 1993-1-1:2005.

X	Comb.	Sfruttamento	Classe	NEd	NRd	Rid. NRd da VEd	Mx,Ed	Mx,Rd	My,Ed	My,Rd	Rid. Mx,Rd da VEd	Rid. Mx,Rd da NEd	Rid. My,Rd da VEd	Rid. My,Rd da NEd	α	β	px	py	Verifica
1.85	SLV 3	0.186	1	-24.293	664.325	1	0.1252	31.3291	-2.2373	15.4191	1		1				0	0	Si

Verifica a presso/tenso flessione deviata SLD §§ 4.2.4.1.2.3 - 4.2.4.1.2.6 - 4.2.4.1.2.7 - 4.2.4.1.2.8 NTC18

Verifiche eseguite utilizzando la formula conservativa (6.2) §6.2.1 EN 1993-1-1:2005.

X	Comb.	Sfruttamento	Classe	NEd	NRd	Rid. NRd da VEd	Mx,Ed	Mx,Rd	My,Ed	My,Rd	Rid. Mx,Rd da VEd	Rid. Mx,Rd da NEd	Rid. My,Rd da VEd	Rid. My,Rd da NEd	α	β	px	py	Verifica
1.85	SLD 3	0.101	1	-17.577	664.325	1	0.2717	31.3291	-1.0098	15.4191	1		1				0	0	Si

Verifiche ad instabilità

Caratteristiche iniziali

Membratura principale per controllo snellezza; Calcolo di snellezze ed N critici condotti secondo gli assi principali;

Curva X: b; Curva Y: c; Svergolamento: Carico all'estradosso; Curva svergolamento: b;

Dati per instabilità attorno a x

Controllo della snellezza secondo §4.2.4.1.3.1 NTC18

Numero rit.	Presente	Ascissa	Campata	βx/m	Vincolo a entrambi estremi	λx/m	λVer
1	Si		0				
			1-2		1	37.8	Si, (<200)
2	Si		1.85				

Dati per instabilità attorno a y

Controllo della snellezza secondo §4.2.4.1.3.1 NTC18

Numero rit.	Presente	Ascissa	Campata	βy/n	k _{LT}	k _{w,LT}	Vincolo a entrambi estremi	λy/n	λVer
1	Si		0						
			1-2		1	1	Si	61.3	Si, (<200)
2	Si		1.85						

Verifica di stabilità per tenso-flessione deviata §§ 5.5.3-5.5.4 ENV 1993-1-1:1992 + AC:1992 + A1:1994 + A2:1998

X	Comb.	Sfruttamento	Classe	NEd	Mx,Ed	Mx,Ed max	My,Ed	χ _{LT}	k _{LT}	ky	M _{critico}	W _x	W _y	Verifica
1.85	SLV 12	0.11	1	8.234	0.84628	0.60441	-1.37164	0.902	1	1	82.09781	0.0001196	0.0000589	Si

Verifica di stabilità per pressoflessione §C.4.2.4.1.3.3.2 NTC18

X	Comb.	Sfruttamento	Classe	NEd	NRk	Mx,Ed max	Mx,Rk	My,Ed max	My,Rk	χ _x	χ _y	k _{xx}	k _{xy}	k _{yx}	k _{yy}	χ _{LT}	Verifica
0	SLU 75	0.184	1	-40.354	697.541	0.87802	32.89552	1.28999	16.19002	0.912	0.721	0.551	0.514	0.98	0.857	0.988	Si

Verifica di stabilità per pressoflessione SLD §C.4.2.4.1.3.3.2 NTC18

X	Comb.	Sfruttamento	Classe	NEd	NRk	Mx,Ed max	Mx,Rk	My,Ed max	My,Rk	χ _x	χ _y	k _{xx}	k _{xy}	k _{yx}	k _{yy}	χ _{LT}	Verifica
1.85	SLD 3	0.096	1	-17.577	697.541	0.27171	32.89552	1.00984	16.19002	0.912	0.721	0.403	0.461	0.983	0.769	0.986	Si

Verifica di stabilità a taglio anima Y §4.2.4.1.2.4 [4.2.27] NTC18

η	hw	tw	hw/tw max	Verifica
1.2		0.098	0.005	55.46
				Si

Verifica di stabilità a taglio anima Y SLD §4.2.4.1.2.4 [4.2.27] NTC18

η	hw	tw	hw/tw max	Verifica
1.2		0.098	0.005	55.46
				Si

Verifiche a deformabilità

Mensola X: No; Mensola Y: No.

Frecce lungo X

Ascissa freccia	Combinazione	Freccia	Luce	L/f	L/f,min	Tipo	Verifica
0.987	SLE RA 18	0.0006	1.85	3102.2	250	Totale	Si
0.987	SLE RA 10	0.00052	1.85	3557.7	250	Totale	Si
0.987	SLE RA 14	0.00052	1.85	3557.7	250	Totale	Si
0.987	SLE RA 6	0.00051	1.85	3641.3	250	Totale	Si
0.987	SLE RA 16	0.0005	1.85	3702.1	250	Totale	Si
0.987	SLE RA 18	0.00033	1.85	5679.7	350	Variabile	Si
0.987	SLE RA 10	0.00025	1.85	7419	350	Variabile	Si
0.987	SLE RA 14	0.00025	1.85	7419	350	Variabile	Si
0.987	SLE RA 6	0.00024	1.85	7791.9	350	Variabile	Si
0.987	SLE RA 16	0.00023	1.85	8075.8	350	Variabile	Si

Frecce lungo Y

Ascissa freccia	Combinazione	Freccia	Luce	L/f	L/f,min	Tipo	Verifica
1.172	SLE RA 1	0.00004	1.85	10000	250	Totale	Si
1.11	SLE RA 17	0.00006	1.85	10000	250	Totale	Si
1.11	SLE RA 16	0.00008	1.85	10000	250	Totale	Si

Implementazione dei sistemi di confinamento delle emissioni odorigene diffuse dell'impianto di compostaggio esistente nel
Comune di Eboli (SA)
PROGETTO DEFINITIVO – Tabulati di calcolo Tomo 1

Ascissa freccia	Combinazione	Freccia	Luce	L/f	L/f,min	Tipo	Verifica
1.11	SLE RA 15	0.00006	1.85	10000	250	Totale	Si
1.11	SLE RA 14	0.00008	1.85	10000	250	Totale	Si
1.048	SLE RA 2	-0.00004	1.85	10000	350	Variabile	Si
1.048	SLE RA 17	0.00002	1.85	10000	350	Variabile	Si
1.048	SLE RA 16	0.00004	1.85	10000	350	Variabile	Si
1.11	SLE RA 15	0.00001	1.85	10000	350	Variabile	Si
1.048	SLE RA 14	0.00004	1.85	10000	350	Variabile	Si

Superelemento in acciaio a quota "590" (-272; 1525)-(-145; 1660)

Caratteristiche del materiale

Acciaio: S275, fyk = 275000

Caratteristiche geometriche

Lunghezza: 1.85

Nodo iniziale: 404 Nodo finale: 410

Cerniera iniziale: No Cerniera finale: No

Sovraresistenza: 0% Sisma Z: No

Caratteristiche della sezione

Sezione	Rotazione	Area	Jx	Jy	ix	iy	Wx	Wy	Wplx	Wply
HEA120	0	0.002537	0.0000060673	0.0000023091	0.0489	0.0302	0.00010644	0.00003849	0.00011962	0.00005887

Verifiche di resistenza

Verifiche a forza assiale §4.2.4.1.2.1 - §4.2.4.1.2.2 NTC18

X	Comb.	Sfruttamento	Classe	NEd	Nc,Rd	Nt,Rd	Riduzione da taglio	px	py	Verifica
0.925	SLU 76	0.113	1	-74.785	664.325		1	0	0	Si

Verifiche a forza assiale SLD §4.2.4.1.2.1 - §4.2.4.1.2.2 NTC18

X	Comb.	Sfruttamento	Classe	NEd	Nc,Rd	Nt,Rd	Riduzione da taglio	px	py	Verifica
1.85	SLD 8	0.052	1	-34.213	664.325		1	0	0	Si

Verifica a taglio Y §4.2.4.1.2.4 NTC18

X	Comb.	Sfruttamento	VEd	Vc,Rd	Av	Interazione taglio-torsione	Riduzione torsione	Verifica
1.85	SLU 76	0.007	-0.911	127.477	0.000849	Considerata	0.99	Si

Verifica a taglio Y SLD §4.2.4.1.2.4 NTC18

X	Comb.	Sfruttamento	VEd	Vc,Rd	Av	Interazione taglio-torsione	Riduzione torsione	Verifica
1.85	SLD 7	0.005	-0.576	127.773	0.000849	Considerata	1	Si

Verifica a torsione §4.2.4.1.2.5 NTC18

X	Comb.	Sfruttamento torsione	TEd	TRd	Riduzione taglio resistente	Sfruttamento taglio-torsione	rEd,totale	rRd	Verifica
1.418	SLV 3	0.02	-0.01714	0.85138	Considerata				Si

Verifica a torsione SLD §4.2.4.1.2.5 NTC18

X	Comb.	Sfruttamento torsione	TEd	TRd	Riduzione taglio resistente	Sfruttamento taglio-torsione	rEd,totale	rRd	Verifica
1.85	SLD 4	0.01	-0.00882	0.85138	Considerata				Si

Verifica a flessione semplice X §§ 4.2.4.1.2.3 - 4.2.4.1.2.6 - 4.2.4.1.2.7 - 4.2.4.1.2.8 NTC18

X	Comb.	Sfruttamento	Classe	Mx,Ed	Mx,Rd	Rid. Mx,Rd da VEd	px	py	Verifica
0.863	SLU 22	0.003	1	-0.09102	31.32907	1	0	0	Si

Verifica a flessione semplice Y §§ 4.2.4.1.2.3 - 4.2.4.1.2.6 - 4.2.4.1.2.7 - 4.2.4.1.2.8 NTC18

X	Comb.	Sfruttamento	Classe	My,Ed	My,Rd	Rid. My,Rd da VEd	px	py	Verifica
1.85	SLU 22	0.001	1	0.00811	15.41907	1	0	0	Si

Verifica a flessione deviata §§ 4.2.4.1.2.3 - 4.2.4.1.2.6 - 4.2.4.1.2.7 - 4.2.4.1.2.8 NTC18

X	Comb.	Sfruttamento	Classe	Mx,Ed	Mx,Rd	My,Ed	My,Rd	Rid. Mx,Rd da VEd	Rid. My,Rd da VEd	α	β	px	py	Verifica
1.233	SLU 22	0.003	1	-0.0758	31.3291	0.0042	15.4191	1	1			0	0	Si

Verifica a presso/tenso flessione retta X §§ 4.2.4.1.2.3 - 4.2.4.1.2.6 - 4.2.4.1.2.7 - 4.2.4.1.2.8 NTC18

Verifiche eseguite utilizzando la formula conservativa (6.2) §6.2.1 EN 1993-1-1:2005.

X	Comb.	Sfruttamento	Classe	NEd	NRd	Rid. NRd da VEd	Mx,Ed	Mx,Rd	Rid. Mx,Rd da VEd	Rid. Mx,Rd da NEd	px	py	Verifica
1.85	SLU 63	0.028	1	-14.219	664.325	1	0.2191	31.3291	1		0	0	Si

Verifica a presso/tenso flessione retta X SLD §§ 4.2.4.1.2.3 - 4.2.4.1.2.6 - 4.2.4.1.2.7 - 4.2.4.1.2.8 NTC18

Verifiche eseguite utilizzando la formula conservativa (6.2) §6.2.1 EN 1993-1-1:2005.

X	Comb.	Sfruttamento	Classe	NEd	NRd	Rid. NRd da VEd	Mx,Ed	Mx,Rd	Rid. Mx,Rd da VEd	Rid. Mx,Rd da NEd	px	py	Verifica
0.37	SLD 11	0.044	1	-28.42	664.325	1	0.0416	31.3291	1		0	0	Si

Verifica a presso/tenso flessione retta Y §§ 4.2.4.1.2.3 - 4.2.4.1.2.6 - 4.2.4.1.2.7 - 4.2.4.1.2.8 NTC18

Verifiche eseguite utilizzando la formula conservativa (6.2) §6.2.1 EN 1993-1-1:2005.

X	Comb.	Sfruttamento	Classe	NEd	NRd	Rid. NRd da VEd	My,Ed	My,Rd	Rid. My,Rd da VEd	Rid. My,Rd da NEd	px	py	Verifica
0.247	SLU 76	0.133	1	-74.785	664.325	1	-0.3177	15.4191	1		0	0	Si

Verifica a presso/tenso flessione retta Y SLD §§ 4.2.4.1.2.3 - 4.2.4.1.2.6 - 4.2.4.1.2.7 - 4.2.4.1.2.8 NTC18

Verifiche eseguite utilizzando la formula conservativa (6.2) §6.2.1 EN 1993-1-1:2005.

X	Comb.	Sfruttamento	Classe	NEd	NRd	Rid. NRd da VEd	My,Ed	My,Rd	Rid. My,Rd da VEd	Rid. My,Rd da NEd	px	py	Verifica
0.062	SLD 3	0.055	1	-34.032	664.325	1	0.0628	15.4191	1		0	0	Si

Implementazione dei sistemi di confinamento delle emissioni odorigene diffuse dell'impianto di compostaggio esistente nel
Comune di Eboli (SA)
PROGETTO DEFINITIVO – Tabulati di calcolo Tomo 1

Verifica a presso/tenso flessione deviata §§ 4.2.4.1.2.3 - 4.2.4.1.2.6 - 4.2.4.1.2.7 - 4.2.4.1.2.8 NTC18

Verifiche eseguite utilizzando la formula conservativa (6.2) §6.2.1 EN 1993-1-1:2005.

X	Comb.	Sfruttamento	Classe	NEd	NRd	Rid. NRd da VEd	Mx,Ed	Mx,Rd	My,Ed	My,Rd	Rid. Mx,Rd da VEd	Rid. Mx,Rd da NEd	Rid. My,Rd da VEd	Rid. My,Rd da NEd	α	β	px	py	Verifica
1.85	SLV 8	0.165	1	-59.2	664.325	1	1.3976	31.3291	0.4872	15.4191	1		1				0	0	Si

Verifica a presso/tenso flessione deviata SLD §§ 4.2.4.1.2.3 - 4.2.4.1.2.6 - 4.2.4.1.2.7 - 4.2.4.1.2.8 NTC18

Verifiche eseguite utilizzando la formula conservativa (6.2) §6.2.1 EN 1993-1-1:2005.

X	Comb.	Sfruttamento	Classe	NEd	NRd	Rid. NRd da VEd	Mx,Ed	Mx,Rd	My,Ed	My,Rd	Rid. Mx,Rd da VEd	Rid. Mx,Rd da NEd	Rid. My,Rd da VEd	Rid. My,Rd da NEd	α	β	px	py	Verifica
1.85	SLD 7	0.085	1	-34.213	664.325	1	0.7221	31.3291	0.1585	15.4191	1		1				0	0	Si

Verifiche ad instabilità

Caratteristiche iniziali

Membratura principale per controllo snellezza; Calcolo di snellezze ed N critici condotti secondo gli assi principali;

Curva X: b; Curva Y: c; Svergolamento: Carico all'estradosso; Curva svergolamento: b;

Dati per instabilità attorno a x

Controllo della snellezza secondo §4.2.4.1.3.1 NTC18

Numero rit.	Presente	Ascissa	Campata	βx/m	Vincolo a entrambi estremi	λx/m	λVer
1	Si		0				
			1-2		1	37.8	Si, (<200)
2	Si		1.85				

Dati per instabilità attorno a y

Controllo della snellezza secondo §4.2.4.1.3.1 NTC18

Numero rit.	Presente	Ascissa	Campata	βy/n	k,LT	kw,LT	Vincolo a entrambi estremi	λy/n	λVer
1	Si		0						
			1-2		1	1	Si	61.3	Si, (<200)
2	Si		1.85						

Verifica di stabilità per tenso-flessione deviata §§ 5.5.3-5.5.4 ENV 1993-1-1:1992 + AC:1992 + A1:1994 + A2:1998

X	Comb.	Sfruttamento	Classe	NEd	Mx,Ed	Mx,Eff,Ed	My,Ed	χ,LT	kLT	ky	M,critico	Wx	Wy	Verifica
1.85	SLV 14	0.039	1	15.751	-0.64881	-0.18612	-0.51511	0.98	1	1	161.78167	0.0001196	0.0000589	Si

Verifica di stabilità per pressoflessione §C.4.2.4.1.3.3.2 NTC18

X	Comb.	Sfruttamento	Classe	NEd	NRk	Mx,Ed max	Mx,Rk	My,Ed max	My,Rk	χ,x	χ,y	kxx	kxy	kyy	χ,LT	Verifica	
1.11	SLU 76	0.211	1	-74.785	697.541	1.13404	32.89552	0.35986	16.19002	0.912	0.721	0.498	0.439	0.953	0.731	0.902	Si

Verifica di stabilità per pressoflessione SLD §C.4.2.4.1.3.3.2 NTC18

X	Comb.	Sfruttamento	Classe	NEd	NRk	Mx,Ed max	Mx,Rk	My,Ed max	My,Rk	χ,x	χ,y	kxx	kxy	kyy	χ,LT	Verifica	
1.85	SLD 8	0.105	1	-34.213	697.541	0.72206	32.89552	0.15853	16.19002	0.912	0.721	0.511	0.468	0.98	0.781	0.902	Si

Verifica di stabilità a taglio anima Y §4.2.4.1.2.4 [4.2.27] NTC18

η	hw	tw	hw/tw max	Verifica
1.2	0.098	0.005	55.46	Si

Verifica di stabilità a taglio anima Y SLD §4.2.4.1.2.4 [4.2.27] NTC18

η	hw	tw	hw/tw max	Verifica
1.2	0.098	0.005	55.46	Si

Verifiche a deformabilità

Mensola X: No; Mensola Y: No.

Frecce lungo X

Ascissa freccia	Combinazione	Freccia	Luce	L/f	L/f,min	Tipo	Verifica
0.802	SLE RA 1	0.00005	1.85	10000	250	Totale	Si
0.802	SLE RA 17	0.00007	1.85	10000	250	Totale	Si
0.802	SLE RA 16	0.0001	1.85	10000	250	Totale	Si
0.802	SLE RA 15	0.00011	1.85	10000	250	Totale	Si
0.802	SLE RA 14	0.00006	1.85	10000	250	Totale	Si
0.802	SLE RA 2	-0.00005	1.85	10000	350	Variabile	Si
0.802	SLE RA 17	0.00002	1.85	10000	350	Variabile	Si
0.802	SLE RA 16	0.00005	1.85	10000	350	Variabile	Si
0.802	SLE RA 15	0.00006	1.85	10000	350	Variabile	Si
0.802	SLE RA 14	0.00001	1.85	10000	350	Variabile	Si

Frecce lungo Y

Ascissa freccia	Combinazione	Freccia	Luce	L/f	L/f,min	Tipo	Verifica
1.233	SLE RA 1	0.00003	1.85	10000	250	Totale	Si
1.172	SLE RA 17	0.00005	1.85	10000	250	Totale	Si
1.172	SLE RA 16	0.00007	1.85	10000	250	Totale	Si
1.172	SLE RA 15	0.00009	1.85	10000	250	Totale	Si
1.233	SLE RA 14	0.00003	1.85	10000	250	Totale	Si
1.11	SLE RA 2	-0.00004	1.85	10000	350	Variabile	Si
1.11	SLE RA 17	0.00002	1.85	10000	350	Variabile	Si
1.11	SLE RA 16	0.00004	1.85	10000	350	Variabile	Si
1.11	SLE RA 15	0.00005	1.85	10000	350	Variabile	Si
1.357	SLE RA 14	0	1.85	10000	350	Variabile	Si

Superelemento in acciaio a quota "590" (-288; -239)-(-161; -105)

Caratteristiche del materiale

Acciaio: S275, fyk = 275000

**Implementazione dei sistemi di confinamento delle emissioni odorigene diffuse dell'impianto di compostaggio esistente nel
Comune di Eboli (SA)
PROGETTO DEFINITIVO – Tabulati di calcolo Tomo 1**

Caratteristiche geometriche

Lunghezza: 1.85
 Nodo iniziale: 321 Nodo finale: 329
 Cerniera iniziale: No Cerniera finale: No
 Sovraresistenza: 0% Sisma Z: No

Caratteristiche della sezione

Sezione	Rotazione	Area	Jx	Jy	ix	iy	Wx	Wy	Wplx	Wply
HEA120	0	0.002537	0.0000060673	0.0000023091	0.0489	0.0302	0.00010644	0.00003849	0.00011962	0.00005887

Verifiche di resistenza

Verifiche a forza assiale §4.2.4.1.2.1 - §4.2.4.1.2.2 NTC18

X	Comb.	Sfruttamento	Classe	NEd	Nc,Rd	Nt,Rd	Riduzione da taglio	px	py	Verifica
0	SLV 9	0.013	1	-8.901	664.325		1	0	0	Si

Verifiche a forza assiale SLD §4.2.4.1.2.1 - §4.2.4.1.2.2 NTC18

X	Comb.	Sfruttamento	Classe	NEd	Nc,Rd	Nt,Rd	Riduzione da taglio	px	py	Verifica
1.85	SLD 10	0.006	1	-3.694	664.325		1	0	0	Si

Verifica a taglio X §4.2.4.1.2.4 NTC18

X	Comb.	Sfruttamento	VEd	Vc,Rd	Av	Interazione taglio-torsione	Riduzione torsione	Verifica
1.788	SLV 4	0.002	-0.584	305.831	0.002047	Considerata	0.99	Si

Verifica a taglio X SLD §4.2.4.1.2.4 NTC18

X	Comb.	Sfruttamento	VEd	Vc,Rd	Av	Interazione taglio-torsione	Riduzione torsione	Verifica
0	SLD 3	0.001	-0.257	308.287	0.002047	Considerata	1	Si

Verifica a taglio Y §4.2.4.1.2.4 NTC18

X	Comb.	Sfruttamento	VEd	Vc,Rd	Av	Interazione taglio-torsione	Riduzione torsione	Verifica
0	SLV 12	0.007	0.912	127.525	0.000849	Considerata	0.99	Si

Verifica a taglio Y SLD §4.2.4.1.2.4 NTC18

X	Comb.	Sfruttamento	VEd	Vc,Rd	Av	Interazione taglio-torsione	Riduzione torsione	Verifica
0	SLD 12	0.004	0.559	128.054	0.000849	Considerata	1	Si

Verifica a torsione §4.2.4.1.2.5 NTC18

X	Comb.	Sfruttamento torsione	TEd	TRd	Riduzione taglio resistente	Sfruttamento taglio-torsione	τEd,totale	τRd	Verifica
0	SLV 14	0.029	0.02492	0.85138	Considerata				Si

Verifica a torsione SLD §4.2.4.1.2.5 NTC18

X	Comb.	Sfruttamento torsione	TEd	TRd	Riduzione taglio resistente	Sfruttamento taglio-torsione	τEd,totale	τRd	Verifica
0	SLD 14	0.01	0.00816	0.85138	Considerata				Si

Verifica a flessione semplice X §§ 4.2.4.1.2.3 - 4.2.4.1.2.6 - 4.2.4.1.2.7 - 4.2.4.1.2.8 NTC18

X	Comb.	Sfruttamento	Classe	Mx,Ed	Mx,Rd	Rid. Mx,Rd da VEd	px	py	Verifica
0	SLU 59	0.007	1	0.2282	31.32907	1	0	0	Si

Verifica a flessione semplice Y §§ 4.2.4.1.2.3 - 4.2.4.1.2.6 - 4.2.4.1.2.7 - 4.2.4.1.2.8 NTC18

X	Comb.	Sfruttamento	Classe	My,Ed	My,Rd	Rid. My,Rd da VEd	px	py	Verifica
1.85	SLU 5	0.002	1	-0.03263	15.41907	1	0	0	Si

Verifica a flessione deviata §§ 4.2.4.1.2.3 - 4.2.4.1.2.6 - 4.2.4.1.2.7 - 4.2.4.1.2.8 NTC18

X	Comb.	Sfruttamento	Classe	Mx,Ed	Mx,Rd	My,Ed	My,Rd	Rid. Mx,Rd da VEd	Rid. My,Rd da VEd	α	β	px	py	Verifica
0	SLU 40	0.006	1	0.1818	31.3291	0.01	15.4191	1	1			0	0	Si

Verifica a presso/tenso flessione retta X §§ 4.2.4.1.2.3 - 4.2.4.1.2.6 - 4.2.4.1.2.7 - 4.2.4.1.2.8 NTC18

Verifiche eseguite utilizzando la formula conservativa (6.2) §6.2.1 EN 1993-1-1:2005.

X	Comb.	Sfruttamento	Classe	NEd	NRd	Rid. NRd da VEd	Mx,Ed	Mx,Rd	Rid. Mx,Rd da VEd	Rid. Mx,Rd da NEd	px	py	Verifica
0.802	SLV 11	0.026	1	3.498	664.325	1	0.6581	31.3291	1		0	0	Si

Verifica a presso/tenso flessione retta X SLD §§ 4.2.4.1.2.3 - 4.2.4.1.2.6 - 4.2.4.1.2.7 - 4.2.4.1.2.8 NTC18

Verifiche eseguite utilizzando la formula conservativa (6.2) §6.2.1 EN 1993-1-1:2005.

X	Comb.	Sfruttamento	Classe	NEd	NRd	Rid. NRd da VEd	Mx,Ed	Mx,Rd	Rid. Mx,Rd da VEd	Rid. Mx,Rd da NEd	px	py	Verifica
0.308	SLD 11	0.018	1	0.661	664.325	1	0.5257	31.3291	1		0	0	Si

Verifica a presso/tenso flessione retta Y §§ 4.2.4.1.2.3 - 4.2.4.1.2.6 - 4.2.4.1.2.7 - 4.2.4.1.2.8 NTC18

Verifiche eseguite utilizzando la formula conservativa (6.2) §6.2.1 EN 1993-1-1:2005.

X	Comb.	Sfruttamento	Classe	NEd	NRd	Rid. NRd da VEd	My,Ed	My,Rd	Rid. My,Rd da VEd	Rid. My,Rd da NEd	px	py	Verifica
1.85	SLU 53	0.022	1	1.518	664.325	1	-0.2985	15.4191	1		0	0	Si

Verifica a presso/tenso flessione retta Y SLD §§ 4.2.4.1.2.3 - 4.2.4.1.2.6 - 4.2.4.1.2.7 - 4.2.4.1.2.8 NTC18

Verifiche eseguite utilizzando la formula conservativa (6.2) §6.2.1 EN 1993-1-1:2005.

X	Comb.	Sfruttamento	Classe	NEd	NRd	Rid. NRd da VEd	My,Ed	My,Rd	Rid. My,Rd da VEd	Rid. My,Rd da NEd	px	py	Verifica
1.85	SLD 8	0.028	1	1.956	664.325	1	-0.3845	15.4191	1		0	0	Si

Verifica a presso/tenso flessione deviata §§ 4.2.4.1.2.3 - 4.2.4.1.2.6 - 4.2.4.1.2.7 - 4.2.4.1.2.8 NTC18

Verifiche eseguite utilizzando la formula conservativa (6.2) §6.2.1 EN 1993-1-1:2005.

X	Comb.	Sfruttamento	Classe	NEd	NRd	Rid. NRd da VEd	Mx,Ed	Mx,Rd	My,Ed	My,Rd	Rid. Mx,Rd da VEd	Rid. Mx,Rd da NEd	Rid. My,Rd da VEd	Rid. My,Rd da NEd	α	β	px	py	Verifica
0	SLV 13	0.07	1	-8.839	664.325	1	0.8171	31.3291	-0.4736	15.4191	1		1				0	0	Si

PROGETTO DEFINITIVO – Tabulati di calcolo Tomo 1

Verifica a presso/tenso flessione deviata SLD §§ 4.2.4.1.2.3 - 4.2.4.1.2.6 - 4.2.4.1.2.7 - 4.2.4.1.2.8 NTC18

Verifiche eseguite utilizzando la formula conservativa (6.2) §6.2.1 EN 1993-1-1:2005.

X	Comb.	Sfruttamento	Classe	NEd	NRd	Rid. NRd da VEd	Mx,Ed	Mx,Rd	My,Ed	My,Rd	Rid. Mx,Rd da VEd	Rid. Mx,Rd da NEd	Rid. My,Rd da VEd	Rid. My,Rd da NEd	α	β	px	py	Verifica
0	SLD 13	0.033	1	-3.681	664.325	1	0.5137	31.3291	-0.1737	15.4191	1		1				0	0	Si

Verifiche ad instabilità

Caratteristiche iniziali

Membratura principale per controllo snellezza; Calcolo di snellezze ed N critici condotti secondo gli assi principali;

Curva X: b; Curva Y: c; Svergolamento: Carico all'estradosso; Curva svergolamento: b;

Dati per instabilità attorno a x

Controllo della snellezza secondo §4.2.4.1.3.1 NTC18

Numero rit.	Presente	Ascissa	Campata	βx/m	Vincolo a entrambi estremi	λx/m	λVer
1	Si		0				
			1-2		1	37.8	Si, (<200)
2	Si		1.85				

Dati per instabilità attorno a y

Controllo della snellezza secondo §4.2.4.1.3.1 NTC18

Numero rit.	Presente	Ascissa	Campata	βy/n	k _y LT	k _w LT	Vincolo a entrambi estremi	λy/n	λVer
1	Si		0						
			1-2		1	1	Si	61.3	Si, (<200)
2	Si		1.85						

Verifica a svergolamento con trazione §4.2.4.1.3.2 NTC18 § 5.5.3 ENV 1993-1-1:1992 + AC:1992 + A1:1994 + A2:1998

X	Comb.	Sfruttamento	Classe	Obblig.	NEd	Mx,Ed	Mx,Eff,Ed	Mb,Rd,x	χ _y LT	λ adim. LT	L _y LT	M _c critico	Verifica
0.802	SLV 11	0.02	1	Si	3.498	0.65811	0.55537	28.25853	0.902	0.633	1.85	82.10616	Si

Verifica a svergolamento con trazione SLD §4.2.4.1.3.2 NTC18 § 5.5.3 ENV 1993-1-1:1992 + AC:1992 + A1:1994 + A2:1998

X	Comb.	Sfruttamento	Classe	Obblig.	NEd	Mx,Ed	Mx,Eff,Ed	Mb,Rd,x	χ_{LT}	λ adim. LT	L _y LT	M _{y,critico}	Verifica
0.308	SLD 11	0.018	1	Si	0.661	0.52573	0.50632	28.25853	0.902	0.633	1.85	82.10616	Si

Verifica di stabilità per tenso-flessione deviata §§ 5.5.3-5.5.4 ENV 1993-1-1:1992 + AC:1992 + A1:1994 + A2:1998

X	Comb.	Sfruttamento	Classe	NEd	Mx,Ed	Mx,Eff,Ed	My,Ed	χ _y LT	kLT	k _y	M _y critico	W _x	W _y	Verifica
0	SLV 12	0.057	1		3.498	1.32093	1.21819	0.20927	0.902	1	82.10616	0.0001196	0.0000589	Si

Verifica di stabilità per tenso-flessione deviata SLD §§ 5.5.3-5.5.4 ENV 1993-1-1:1992 + AC:1992 + A1:1994 + A2:1998

X	Comb.	Sfruttamento	Classe	NEd	Mx,Ed	Mx,Eff,Ed	My,Ed	χ _y LT	kLT	k _y	M _y critico	W _x	W _y	Verifica
0	SLD 11	0.027	1		0.661	0.68828	0.66887	0.05194	0.902	1	82.10616	0.0001196	0.0000589	Si

Verifica di stabilità per pressoflessione §C.4.2.4.1.3.3.2 NTC18

X	Comb.	Sfruttamento	Classe	NEd	NRk	M _x ,Ed max	M _x ,Rk	M _y ,Ed max	M _y ,Rk	χ _x	χ _y	k _{xx}	k _{xy}	k _{yx}	k _{yy}	χ _y LT	Verifica
1.788	SLU 75	0.07	1	-5.561	697.541	0.93904	32.89552	0.65077	16.19002	0.912	0.721	0.55	0.396	0.997	0.659	0.989	Si

Verifica di stabilità per pressoflessione SLD §C.4.2.4.1.3.3.2 NTC18

X	Comb.	Sfruttamento	Classe	NEd	NRk	M _x ,Ed max	M _x ,Rk	M _y ,Ed max	M _y ,Rk	χ _x	χ _y	k _{xx}	k _{xy}	k _{yx}	k _{yy}	χ _y LT	Verifica
1.85	SLD 16	0.034	1	-2.375	697.541	0.67528	32.89552	0.13931	16.19002	0.912	0.721	0.499	0.316	0.999	0.527	0.902	Si

Verifica di stabilità a taglio anima Y §4.2.4.1.2.4 [4.2.27] NTC18

η	hw	tw	hw/tw max	Verifica
1.2	0.098	0.005	55.46	Si

Verifica di stabilità a taglio anima Y SLD §4.2.4.1.2.4 [4.2.27] NTC18

η	hw	tw	hw/tw max	Verifica
1.2	0.098	0.005	55.46	Si

Verifiche a deformabilità

Mensola X: No; Mensola Y: No.

Frecce lungo X

Ascissa freccia	Combinazione	Freccia	Luce	L/f	L/f,min	Tipo	Verifica
1.048	SLE RA 18	0.00023	1.85	8073.4	250	Totale	Si
1.048	SLE RA 10	0.0002	1.85	9300.6	250	Totale	Si
1.048	SLE RA 14	0.0002	1.85	9300.6	250	Totale	Si
1.048	SLE RA 16	0.00019	1.85	9535.2	250	Totale	Si
1.048	SLE RA 6	0.00019	1.85	9630.5	250	Totale	Si
1.048	SLE RA 2	-0.00008	1.85	10000	350	Variabile	Si
1.048	SLE RA 17	0.00004	1.85	10000	350	Variabile	Si
1.048	SLE RA 16	0.00009	1.85	10000	350	Variabile	Si
0.987	SLE RA 15	0.00003	1.85	10000	350	Variabile	Si
1.048	SLE RA 14	0.0001	1.85	10000	350	Variabile	Si

Frecce lungo Y

Ascissa freccia	Combinazione	Freccia	Luce	L/f	L/f,min	Tipo	Verifica
0.678	SLE RA 1	0.00004	1.85	10000	250	Totale	Si
0.74	SLE RA 17	0.00005	1.85	10000	250	Totale	Si
0.74	SLE RA 16	0.00007	1.85	10000	250	Totale	Si
0.678	SLE RA 15	0.00003	1.85	10000	250	Totale	Si
0.74	SLE RA 14	0.00009	1.85	10000	250	Totale	Si
0.802	SLE RA 2	-0.00003	1.85	10000	350	Variabile	Si
0.802	SLE RA 17	0.00001	1.85	10000	350	Variabile	Si
0.802	SLE RA 16	0.00003	1.85	10000	350	Variabile	Si
0.802	SLE RA 15	-0.00001	1.85	10000	350	Variabile	Si
0.802	SLE RA 14	0.00005	1.85	10000	350	Variabile	Si

Superelemento in acciaio a quota "590" (-399; 1391)-(-272; 1525)

Caratteristiche del materiale

Acciaio: S275, fyk = 275000

Caratteristiche geometriche

Lunghezza: 1.85

Nodo iniziale: 398 Nodo finale: 404

Cerniera iniziale: No Cerniera finale: No

Sovreresistenza: 0% Sisma Z: No

Caratteristiche della sezione

Sezione	Rotazione	Area	Jx	Jy	Ix	Iy	Wx	Wy	Wplx	Wply
HEA120	0	0.002537	0.0000060673	0.0000023091	0.0489	0.0302	0.00010644	0.00003849	0.00011962	0.00005887

Verifiche di resistenza

Verifiche a forza assiale §4.2.4.1.2.1 - §4.2.4.1.2.2 NTC18

X	Comb.	Sfruttamento	Classe	NEd	Nc,Rd	Nt,Rd	Riduzione da taglio	px	py	Verifica
0.123	SLV 9	0.023		15.423		664.325	1	0	0	Si

Verifiche a forza assiale SLD §4.2.4.1.2.1 - §4.2.4.1.2.2 NTC18

X	Comb.	Sfruttamento	Classe	NEd	Nc,Rd	Nt,Rd	Riduzione da taglio	px	py	Verifica
1.85	SLD 9	0.01		6.504		664.325	1	0	0	Si

Verifica a taglio Y §4.2.4.1.2.4 NTC18

X	Comb.	Sfruttamento	VEd	Vc,Rd	Av	Interazione taglio-torsione	Riduzione torsione	Verifica
1.85	SLU 76	0.013	-1.667	126.825	0.000849	Considerata	0.99	Si

Verifica a taglio Y SLD §4.2.4.1.2.4 NTC18

X	Comb.	Sfruttamento	VEd	Vc,Rd	Av	Interazione taglio-torsione	Riduzione torsione	Verifica
1.85	SLD 10	0.004	-0.539	127.732	0.000849	Considerata	1	Si

Verifica a torsione §4.2.4.1.2.5 NTC18

X	Comb.	Sfruttamento torsione	TEd	TRd	Riduzione taglio resistente	Sfruttamento taglio-torsione	τEd,totale	τRd	Verifica
1.85	SLU 76	0.029	-0.02439	0.85138	Considerata				Si

Verifica a torsione SLD §4.2.4.1.2.5 NTC18

X	Comb.	Sfruttamento torsione	TEd	TRd	Riduzione taglio resistente	Sfruttamento taglio-torsione	τEd,totale	τRd	Verifica
0	SLD 1	0.013	-0.01121	0.85138	Considerata				Si

Verifica a flessione semplice Y §§ 4.2.4.1.2.3 - 4.2.4.1.2.6 - 4.2.4.1.2.7 - 4.2.4.1.2.8 NTC18

X	Comb.	Sfruttamento	Classe	My,Ed	My,Rd	Rid. My,Rd da VEd	px	py	Verifica
1.295	SLU 40	0.003		0.0433	15.41907	1	0	0	Si

Verifica a flessione deviata §§ 4.2.4.1.2.3 - 4.2.4.1.2.6 - 4.2.4.1.2.7 - 4.2.4.1.2.8 NTC18

X	Comb.	Sfruttamento	Classe	Mx,Ed	Mx,Rd	My,Ed	My,Rd	Rid. Mx,Rd da VEd	Rid. My,Rd da VEd	α	β	px	py	Verifica
0	SLU 25	0.016	1	-0.2571	31.3291	-0.125	15.4191	1	1			0	0	Si

Verifica a flessione deviata SLD §§ 4.2.4.1.2.3 - 4.2.4.1.2.6 - 4.2.4.1.2.7 - 4.2.4.1.2.8 NTC18

X	Comb.	Sfruttamento	Classe	Mx,Ed	Mx,Rd	My,Ed	My,Rd	Rid. Mx,Rd da VEd	Rid. My,Rd da VEd	α	β	px	py	Verifica
0	SLD 1	0.03	1	-0.6577	31.3291	-0.137	15.4191	1	1			0	0	Si

Verifica a presso/tenso flessione retta X §§ 4.2.4.1.2.3 - 4.2.4.1.2.6 - 4.2.4.1.2.7 - 4.2.4.1.2.8 NTC18

Verifiche eseguite utilizzando la formula conservativa (6.2) §6.2.1 EN 1993-1-1:2005.

X	Comb.	Sfruttamento	Classe	NEd	NRd	Rid. NRd da VEd	Mx,Ed	Mx,Rd	Rid. Mx,Rd da VEd	Rid. Mx,Rd da NEd	px	py	Verifica
0	SLV 11	0.027	1	-5.294	664.325	1	-0.607	31.3291	1		0	0	Si

Verifica a presso/tenso flessione retta X SLD §§ 4.2.4.1.2.3 - 4.2.4.1.2.6 - 4.2.4.1.2.7 - 4.2.4.1.2.8 NTC18

Verifiche eseguite utilizzando la formula conservativa (6.2) §6.2.1 EN 1993-1-1:2005.

X	Comb.	Sfruttamento	Classe	NEd	NRd	Rid. NRd da VEd	Mx,Ed	Mx,Rd	Rid. Mx,Rd da VEd	Rid. Mx,Rd da NEd	px	py	Verifica
1.048	SLD 3	0.015	1	-2.167	664.325	1	-0.3549	31.3291	1		0	0	Si

Verifica a presso/tenso flessione retta Y §§ 4.2.4.1.2.3 - 4.2.4.1.2.6 - 4.2.4.1.2.7 - 4.2.4.1.2.8 NTC18

Verifiche eseguite utilizzando la formula conservativa (6.2) §6.2.1 EN 1993-1-1:2005.

X	Comb.	Sfruttamento	Classe	NEd	NRd	Rid. NRd da VEd	My,Ed	My,Rd	Rid. My,Rd da VEd	Rid. My,Rd da NEd	px	py	Verifica
1.665	SLV 8	0.04	1	-11.199	664.325	1	0.3493	15.4191	1		0	0	Si

Verifica a presso/tenso flessione retta Y SLD §§ 4.2.4.1.2.3 - 4.2.4.1.2.6 - 4.2.4.1.2.7 - 4.2.4.1.2.8 NTC18

Verifiche eseguite utilizzando la formula conservativa (6.2) §6.2.1 EN 1993-1-1:2005.

X	Comb.	Sfruttamento	Classe	NEd	NRd	Rid. NRd da VEd	My,Ed	My,Rd	Rid. My,Rd da VEd	Rid. My,Rd da NEd	px	py	Verifica
1.85	SLD 7	0.007	1	-2.28	664.325	1	0.0546	15.4191	1		0	0	Si

Verifica a presso/tenso flessione deviata §§ 4.2.4.1.2.3 - 4.2.4.1.2.6 - 4.2.4.1.2.7 - 4.2.4.1.2.8 NTC18

Verifiche eseguite utilizzando la formula conservativa (6.2) §6.2.1 EN 1993-1-1:2005.

X	Comb.	Sfruttamento	Classe	NEd	NRd	Rid. NRd da VEd	Mx,Ed	Mx,Rd	My,Ed	My,Rd	Rid. Mx,Rd da VEd	Rid. Mx,Rd da NEd	Rid. My,Rd da VEd	Rid. My,Rd da NEd	α	β	px	py	Verifica
0	SLU 76	0.146	1	7.505	664.325	1	-2.7217	31.3291	-0.7433	15.4191	1		1				0	0	Si

Verifica a presso/tenso flessione deviata SLD §§ 4.2.4.1.2.3 - 4.2.4.1.2.6 - 4.2.4.1.2.7 - 4.2.4.1.2.8 NTC18

Verifiche eseguite utilizzando la formula conservativa (6.2) §6.2.1 EN 1993-1-1:2005.

Implementazione dei sistemi di confinamento delle emissioni odorigene diffuse dell'impianto di compostaggio esistente nel
Comune di Eboli (SA)

PROGETTO DEFINITIVO – Tabulati di calcolo Tomo 1

X	Comb.	Sfruttamento	Classe	NEd	NRd	Rid. NRd da VEd	Mx,Ed	Mx,Rd	My,Ed	My,Rd	Rid. Mx,Rd da VEd	Rid. Mx,Rd da NEd	Rid. My,Rd da VEd	Rid. My,Rd da NEd	α	β	px	py	Verifica
0	SLD 9	0.055	1	6.504	664.325	1	-0.7293	31.3291	-0.3383	15.4191	1		1				0	0	Si

Verifiche ad instabilità

Caratteristiche iniziali

Membratura principale per controllo snellezza; Calcolo di snellezze ed N critici condotti secondo gli assi principali;

Curva X: b; Curva Y: c; Svergolamento: Carico all'estradosso; Curva svergolamento: b;

Dati per instabilità attorno a x

Controllo della snellezza secondo §4.2.4.1.3.1 NTC18

Numero rit.	Presente	Ascissa	Campata	βx/m	Vincolo a entrambi estremi	λx/m	λVer
1	Si		0				
			1-2		1	37.8	Si, (<200)
2	Si	1.85					

Dati per instabilità attorno a y

Controllo della snellezza secondo §4.2.4.1.3.1 NTC18

Numero rit.	Presente	Ascissa	Campata	βy/n	k,LT	kw,LT	Vincolo a entrambi estremi	λy/n	λVer
1	Si		0						
			1-2		1	1	Si	61.3	Si, (<200)
2	Si	1.85							

Verifica a svergolamento con trazione §4.2.4.1.3.2 NTC18 § 5.5.3 ENV 1993-1-1:1992 + AC:1992 + A1:1994 + A2:1998

X	Comb.	Sfruttamento	Classe	Obblig.	NEd	Mx,Ed	Mx,Eff,Ed	Mb,Rd,x	χ,LT	λ adim. LT	L,LT	M,critico	Verifica
0	SLU 5	0.003	1	Si	0.334	0.0914	0.08158	28.25853	0.902	0.633	1.85	82.10616	Si

Verifica di stabilità per tenso-flessione deviata §§ 5.5.3-5.5.4 ENV 1993-1-1:1992 + AC:1992 + A1:1994 + A2:1998

X	Comb.	Sfruttamento	Classe	NEd	Mx,Ed	Mx,Eff,Ed	My,Ed	χ,LT	kLT	ky	M,critico	Wx	Wy	Verifica
0	SLU 76	0.129	1	7.505	-2.7217	-2.50123	-0.74332	0.993	1	1	189.07135	0.0001196	0.0000589	Si

Verifica di stabilità per tenso-flessione deviata SLD §§ 5.5.3-5.5.4 ENV 1993-1-1:1992 + AC:1992 + A1:1994 + A2:1998

X	Comb.	Sfruttamento	Classe	NEd	Mx,Ed	Mx,Eff,Ed	My,Ed	χ,LT	kLT	ky	M,critico	Wx	Wy	Verifica
0	SLD 13	0.04	1	6.392	-0.72889	-0.54113	-0.33996	0.989		1	179.06545	0.0001196	0.0000589	Si

Verifica di stabilità per pressoflessione §C.4.2.4.1.3.3.2 NTC18

X	Comb.	Sfruttamento	Classe	NEd	NRk	Mx,Ed max	Mx,Rk	My,Ed max	My,Rk	χ,x	χ,y	kxx	kxy	kyy	kyx	kyy	χ,LT	Verifica
1.85	SLV 8	0.062	1	-11.199	697.541	0.54403	32.89552	0.36884	16.19002	0.912	0.721	0.661	0.484	0.996	0.806	0.902		Si

Verifica di stabilità per pressoflessione SLD §C.4.2.4.1.3.3.2 NTC18

X	Comb.	Sfruttamento	Classe	NEd	NRk	Mx,Ed max	Mx,Rk	My,Ed max	My,Rk	χ,x	χ,y	kxx	kxy	kyy	kyx	kyy	χ,LT	Verifica
1.727	SLD 8	0.029	1	-2.28	697.541	0.63565	32.89552	0.07916	16.19002	0.912	0.721	0.703	0.241	0.999	0.402	0.902		Si

Verifica di stabilità a taglio anima Y §4.2.4.1.2.4 [4.2.27] NTC18

η	hw	tw	hw/tw max	Verifica
1.2	0.098	0.005	55.46	Si

Verifica di stabilità a taglio anima Y SLD §4.2.4.1.2.4 [4.2.27] NTC18

η	hw	tw	hw/tw max	Verifica
1.2	0.098	0.005	55.46	Si

Verifiche a deformabilità

Mensola X: No; Mensola Y: No.

Frecce lungo X

Ascissa freccia	Combinazione	Freccia	Luce	L/f	L/f,min	Tipo	Verifica
0.863	SLE RA 19	0.00034	1.85	5445.8	250	Totale	Si
0.863	SLE RA 15	0.00029	1.85	6310.8	250	Totale	Si
0.863	SLE RA 11	0.00029	1.85	6310.8	250	Totale	Si
0.863	SLE RA 7	0.00029	1.85	6425.6	250	Totale	Si
0.863	SLE RA 16	0.00028	1.85	6661.3	250	Totale	Si
0.863	SLE RA 19	0.0002	1.85	9173.3	350	Variabile	Si
0.863	SLE RA 17	0.00006	1.85	10000	350	Variabile	Si
0.863	SLE RA 16	0.00014	1.85	10000	350	Variabile	Si
0.863	SLE RA 15	0.00016	1.85	10000	350	Variabile	Si
0.863	SLE RA 14	0.00003	1.85	10000	350	Variabile	Si

Frecce lungo Y

Ascissa freccia	Combinazione	Freccia	Luce	L/f	L/f,min	Tipo	Verifica
0.802	SLE RA 19	-0.00036	1.85	5209.1	250	Totale	Si
0.802	SLE RA 15	-0.00031	1.85	5988.8	250	Totale	Si
0.802	SLE RA 11	-0.00031	1.85	5988.8	250	Totale	Si
0.802	SLE RA 7	-0.00031	1.85	6001.3	250	Totale	Si
0.802	SLE RA 16	-0.00029	1.85	6451.5	250	Totale	Si
0.802	SLE RA 19	-0.00021	1.85	8933.1	350	Variabile	Si
0.802	SLE RA 17	-0.00006	1.85	10000	350	Variabile	Si
0.802	SLE RA 16	-0.00014	1.85	10000	350	Variabile	Si
0.802	SLE RA 15	-0.00016	1.85	10000	350	Variabile	Si
0.802	SLE RA 14	-0.00002	1.85	10000	350	Variabile	Si

Superelemento in acciaio a quota "590" (-415; -374)-(-288; -239)

Caratteristiche del materiale

Acciaio: S275, fyk = 275000

Caratteristiche geometriche

Lunghezza: 1.85

**Implementazione dei sistemi di confinamento delle emissioni odorigene diffuse dell'impianto di compostaggio esistente nel
Comune di Eboli (SA)
PROGETTO DEFINITIVO – Tabulati di calcolo Tomo 1**

Nodo iniziale: 318
Nodo finale: 321
Cerniera iniziale: No
Cerniera finale: No
Sovraresistenza: 0%
Sisma Z: No

Caratteristiche della sezione

Sezione	Rotazione	Area	Jx	Jy	ix	iy	Wx	Wy	Wplx	Wply
HEA120	0	0.002537	0.0000060673	0.0000023091	0.0489	0.0302	0.00010644	0.00003849	0.00011962	0.00005887

Verifiche di resistenza

Verifiche a forza assiale §4.2.4.1.2.1 - §4.2.4.1.2.2 NTC18

X	Comb.	Sfruttamento	Classe	NEd	Nc,Rd	Nt,Rd	Riduzione da taglio	px	py	Verifica
0.062	SLV 11	0.095	1	-63.374	664.325		1	0	0	Si

Verifiche a forza assiale SLD §4.2.4.1.2.1 - §4.2.4.1.2.2 NTC18

X	Comb.	Sfruttamento	Classe	NEd	Nc,Rd	Nt,Rd	Riduzione da taglio	px	py	Verifica
1.85	SLD 11	0.053	1	-35.153	664.325		1	0	0	Si

Verifica a taglio Y §4.2.4.1.2.4 NTC18

X	Comb.	Sfruttamento	VEd	Vc,Rd	Av	Interazione taglio-torsione	Riduzione torsione	Verifica
1.85	SLV 11	0.007	-0.857	127.577	0.000849	Considerata	0.99	Si

Verifica a taglio Y SLD §4.2.4.1.2.4 NTC18

X	Comb.	Sfruttamento	VEd	Vc,Rd	Av	Interazione taglio-torsione	Riduzione torsione	Verifica
1.85	SLD 11	0.004	-0.555	127.999	0.000849	Considerata	1	Si

Verifica a torsione §4.2.4.1.2.5 NTC18

X	Comb.	Sfruttamento torsione	TEd	TRd	Riduzione taglio resistente	Sfruttamento taglio-torsione	τEd,totale	τRd	Verifica
1.788	SLV 4	0.025	-0.02139	0.85138	Considerata				Si

Verifica a torsione SLD §4.2.4.1.2.5 NTC18

X	Comb.	Sfruttamento torsione	TEd	TRd	Riduzione taglio resistente	Sfruttamento taglio-torsione	τEd,totale	τRd	Verifica
1.85	SLD 4	0.01	-0.00812	0.85138	Considerata				Si

Verifica a presso/tenso flessione retta X §§ 4.2.4.1.2.3 - 4.2.4.1.2.6 - 4.2.4.1.2.7 - 4.2.4.1.2.8 NTC18

Verifiche eseguite utilizzando la formula conservativa (6.2) §6.2.1 EN 1993-1-1:2005.

X	Comb.	Sfruttamento	Classe	NEd	NRd	Rid. NRd da VEd	Mx,Ed	Mx,Rd	Rid. Mx,Rd da VEd	Rid. Mx,Rd da NEd	px	py	Verifica
0	SLU 41	0.07	1	-45.323	664.325	1	-0.0616	31.3291	1		0	0	Si

Verifica a presso/tenso flessione retta Y §§ 4.2.4.1.2.3 - 4.2.4.1.2.6 - 4.2.4.1.2.7 - 4.2.4.1.2.8 NTC18

Verifiche eseguite utilizzando la formula conservativa (6.2) §6.2.1 EN 1993-1-1:2005.

X	Comb.	Sfruttamento	Classe	NEd	NRd	Rid. NRd da VEd	My,Ed	My,Rd	Rid. My,Rd da VEd	Rid. My,Rd da NEd	px	py	Verifica
0.247	SLU 75	0.098	1	-63.34	664.325	1	-0.0358	15.4191	1		0	0	Si

Verifica a presso/tenso flessione retta Y SLD §§ 4.2.4.1.2.3 - 4.2.4.1.2.6 - 4.2.4.1.2.7 - 4.2.4.1.2.8 NTC18

Verifiche eseguite utilizzando la formula conservativa (6.2) §6.2.1 EN 1993-1-1:2005.

X	Comb.	Sfruttamento	Classe	NEd	NRd	Rid. NRd da VEd	My,Ed	My,Rd	Rid. My,Rd da VEd	Rid. My,Rd da NEd	px	py	Verifica
0	SLD 16	0.058	1	-34.563	664.325	1	-0.0858	15.4191	1		0	0	Si

Verifica a presso/tenso flessione deviata §§ 4.2.4.1.2.3 - 4.2.4.1.2.6 - 4.2.4.1.2.7 - 4.2.4.1.2.8 NTC18

Verifiche eseguite utilizzando la formula conservativa (6.2) §6.2.1 EN 1993-1-1:2005.

X	Comb.	Sfruttamento	Classe	NEd	NRd	Rid. NRd da VEd	Mx,Ed	Mx,Rd	My,Ed	My,Rd	Rid. Mx,Rd da VEd	Rid. Mx,Rd da NEd	Rid. My,Rd da VEd	Rid. My,Rd da NEd	α	β	px	py	Verifica
1.85	SLV 11	0.151	1	-63.374	664.325	1	1.3326	31.3291	0.2011	15.4191	1		1				0	0	Si

Verifica a presso/tenso flessione deviata SLD §§ 4.2.4.1.2.3 - 4.2.4.1.2.6 - 4.2.4.1.2.7 - 4.2.4.1.2.8 NTC18

Verifiche eseguite utilizzando la formula conservativa (6.2) §6.2.1 EN 1993-1-1:2005.

X	Comb.	Sfruttamento	Classe	NEd	NRd	Rid. NRd da VEd	Mx,Ed	Mx,Rd	My,Ed	My,Rd	Rid. Mx,Rd da VEd	Rid. Mx,Rd da NEd	Rid. My,Rd da VEd	Rid. My,Rd da NEd	α	β	px	py	Verifica
1.85	SLD 16	0.081	1	-34.563	664.325	1	0.6832	31.3291	-0.1032	15.4191	1		1				0	0	Si

Verifiche ad instabilità

Caratteristiche iniziali

Membratura principale per controllo snellezza; Calcolo di snellezze ed N critici condotti secondo gli assi principali;

Curva X: b; Curva Y: c; Svergolamento: Carico all'estradosso; Curva svergolamento: b;

Dati per instabilità attorno a x

Controllo della snellezza secondo §4.2.4.1.3.1 NTC18

Numero rit.	Presente	Ascissa	Campata	βx/m	Vincolo a entrambi estremi	λx/m	λVer
1	Si	0					
			1-2	1	Si	37.8	Si, (<200)
2	Si	1.85					

Dati per instabilità attorno a y

Controllo della snellezza secondo §4.2.4.1.3.1 NTC18

Numero rit.	Presente	Ascissa	Campata	βy/n	k _i LT	k _w LT	Vincolo a entrambi estremi	λy/n	λVer
1	Si	0							
			1-2	1	1	1	Si	61.3	Si, (<200)
2	Si	1.85							

Verifica di stabilità per tenso-flessione deviata §§ 5.5.3-5.5.4 ENV 1993-1-1:1992 + AC:1992 + A1:1994 + A2:1998

X	Comb.	Sfruttamento	Classe	NEd	Mx,Ed	Mx,Eff,Ed	My,Ed	χ _i LT	kLT	ky	M _{critico}	Wx	Wy	Verifica
1.357	SLV 9	0.032	1	4.644	-0.24607	-0.10965	-0.44441	0.964	1	1	136.65223	0.0001196	0.0000589	Si

Implementazione dei sistemi di confinamento delle emissioni odorigene diffuse dell’impianto di compostaggio esistente nel
Comune di Eboli (SA)
PROGETTO DEFINITIVO – Tabulati di calcolo Tomo 1

Verifica di stabilità per pressoflessione §C.4.2.4.1.3.3.2 NTC18

X	Comb.	Sfruttamento	Classe	NEd	NRk	Mx,Ed max	Mx,Rk	My,Ed max	My,Rk	χ,x	χ,y	kxx	kxy	kyy	χ,LT	Verifica	
1.727	SLV 12	0.189	1	-63.374	697.541	1.33256	32.89552	0.21333	16.19002	0.912	0.721	0.59	0.645	0.971	1.075	0.991	Si

Verifica di stabilità per pressoflessione SLD §C.4.2.4.1.3.3.2 NTC18

X	Comb.	Sfruttamento	Classe	NEd	NRk	Mx,Ed max	Mx,Rk	My,Ed max	My,Rk	χ,x	χ,y	kxx	kxy	kyy	χ,LT	Verifica	
1.85	SLD 16	0.1	1	-34.563	697.541	0.68317	32.89552	0.1032	16.19002	0.912	0.721	0.512	0.59	0.98	0.983	0.994	Si

Verifica di stabilità a taglio anima Y §4.2.4.1.2.4 [4.2.27] NTC18

η	hw	tw	hw/tw max	Verifica
1.2	0.098	0.005	55.46	Si

Verifica di stabilità a taglio anima Y SLD §4.2.4.1.2.4 [4.2.27] NTC18

η	hw	tw	hw/tw max	Verifica
1.2	0.098	0.005	55.46	Si

Verifiche a deformabilità

Mensola X: No; Mensola Y: No.

Frecce lungo X

Ascissa freccia	Combinazione	Freccia	Luce	L/f	L/f,min	Tipo	Verifica
0.987	SLE RA 1	0.00002	1.85	10000	250	Totale	Si
0.987	SLE RA 17	0.00002	1.85	10000	250	Totale	Si
0.987	SLE RA 16	0.00003	1.85	10000	250	Totale	Si
0.987	SLE RA 15	0.00003	1.85	10000	250	Totale	Si
0.987	SLE RA 14	0.00003	1.85	10000	250	Totale	Si
0.987	SLE RA 2	-0.00002	1.85	10000	350	Variabile	Si
0.987	SLE RA 17	0.00001	1.85	10000	350	Variabile	Si
0.987	SLE RA 16	0.00002	1.85	10000	350	Variabile	Si
0.925	SLE RA 15	0.00001	1.85	10000	350	Variabile	Si
1.048	SLE RA 14	0.00001	1.85	10000	350	Variabile	Si

Frecce lungo Y

Ascissa freccia	Combinazione	Freccia	Luce	L/f	L/f,min	Tipo	Verifica
1.233	SLE RA 1	0.00003	1.85	10000	250	Totale	Si
1.172	SLE RA 17	0.00004	1.85	10000	250	Totale	Si
1.172	SLE RA 16	0.00006	1.85	10000	250	Totale	Si
1.233	SLE RA 15	0.00002	1.85	10000	250	Totale	Si
1.172	SLE RA 14	0.00007	1.85	10000	250	Totale	Si
1.11	SLE RA 2	-0.00002	1.85	10000	350	Variabile	Si
1.11	SLE RA 17	0.00001	1.85	10000	350	Variabile	Si
1.11	SLE RA 16	0.00003	1.85	10000	350	Variabile	Si
1.048	SLE RA 15	-0.00001	1.85	10000	350	Variabile	Si
1.11	SLE RA 14	0.00004	1.85	10000	350	Variabile	Si

Superelemento in acciaio a quota "590" (-526; 1256)-(-399; 1391)

Caratteristiche del materiale

Acciaio: S275, fyk = 275000

Caratteristiche geometriche

Lunghezza: 1.85

Nodo iniziale: 389 Nodo finale: 398

Cerniera iniziale: No Cerniera finale: No

Sovreresistenza: 0% Sisma Z: No

Caratteristiche della sezione

Sezione	Rotazione	Area	Jx	Jy	ix	iy	Wx	Wy	Wplx	Wply
HEA120	0	0.002537	0.0000060673	0.0000023091	0.0489	0.0302	0.00010644	0.00003849	0.00011962	0.00005887

Verifiche di resistenza

Verifiche a forza assiale §4.2.4.1.2.1 - §4.2.4.1.2.2 NTC18

X	Comb.	Sfruttamento	Classe	NEd	Nc,Rd	Nt,Rd	Riduzione da taglio	px	py	Verifica
1.172	SLV 8	0.068		45.003		664.325	1	0	0	Si

Verifiche a forza assiale SLD §4.2.4.1.2.1 - §4.2.4.1.2.2 NTC18

X	Comb.	Sfruttamento	Classe	NEd	Nc,Rd	Nt,Rd	Riduzione da taglio	px	py	Verifica
1.85	SLD 8	0.027		18.254		664.325	1	0	0	Si

Verifica a taglio X §4.2.4.1.2.4 NTC18

X	Comb.	Sfruttamento	VEd	Vc,Rd	Av	Interazione taglio-torsione	Riduzione torsione	Verifica
1.85	SLU 76	0.002	-0.521	303.683	0.002047	Considerata	0.98	Si

Verifica a taglio X SLD §4.2.4.1.2.4 NTC18

X	Comb.	Sfruttamento	VEd	Vc,Rd	Av	Interazione taglio-torsione	Riduzione torsione	Verifica
1.85	SLD 6	0.001	-0.231	307.304	0.002047	Considerata	0.99	Si

Verifica a taglio Y §4.2.4.1.2.4 NTC18

X	Comb.	Sfruttamento	VEd	Vc,Rd	Av	Interazione taglio-torsione	Riduzione torsione	Verifica
0	SLU 76	0.011	1.389	125.911	0.000849	Considerata	0.98	Si

Verifica a taglio Y SLD §4.2.4.1.2.4 NTC18

X	Comb.	Sfruttamento	VEd	Vc,Rd	Av	Interazione taglio-torsione	Riduzione torsione	Verifica
0	SLD 9	0.004	0.506	127.253	0.000849	Considerata	0.99	Si

Implementazione dei sistemi di confinamento delle emissioni odorigene diffuse dell'impianto di compostaggio esistente nel
Comune di Eboli (SA)
PROGETTO DEFINITIVO – Tabulati di calcolo Tomo 1

Verifica a torsione §4.2.4.1.2.5 NTC18

X	Comb.	Sfruttamento torsione	TEd	TRd	Riduzione taglio resistente	Sfruttamento taglio-torsione	rEd,totale	rRd	Verifica
0.432	SLU 76	0.046	-0.03932	0.85138	Considerata				Si

Verifica a torsione SLD §4.2.4.1.2.5 NTC18

X	Comb.	Sfruttamento torsione	TEd	TRd	Riduzione taglio resistente	Sfruttamento taglio-torsione	rEd,totale	rRd	Verifica
1.788	SLD 14	0.02	-0.0174	0.85138	Considerata				Si

Verifica a flessione semplice X §§ 4.2.4.1.2.3 - 4.2.4.1.2.6 - 4.2.4.1.2.7 - 4.2.4.1.2.8 NTC18

X	Comb.	Sfruttamento	Classe	Mx,Ed	Mx,Rd	Rid. Mx,Rd da VEd	px	py	Verifica
0.617	SLU 63	0.01	1	-0.31703	31.32907	1	0	0	Si

Verifica a flessione deviata §§ 4.2.4.1.2.3 - 4.2.4.1.2.6 - 4.2.4.1.2.7 - 4.2.4.1.2.8 NTC18

X	Comb.	Sfruttamento	Classe	Mx,Ed	Mx,Rd	My,Ed	My,Rd	Rid. Mx,Rd da VEd	Rid. My,Rd da VEd	α	β	px	py	Verifica
1.85	SLU 63	0.023	1	-0.3666	31.3291	-0.1746	15.4191	1	1			0	0	Si

Verifica a presso/tenso flessione retta X §§ 4.2.4.1.2.3 - 4.2.4.1.2.6 - 4.2.4.1.2.7 - 4.2.4.1.2.8 NTC18

Verifiche eseguite utilizzando la formula conservativa (6.2) §6.2.1 EN 1993-1-1:2005.

X	Comb.	Sfruttamento	Classe	NEd	NRd	Rid. NRd da VEd	Mx,Ed	Mx,Rd	Rid. Mx,Rd da VEd	Rid. Mx,Rd da NEd	px	py	Verifica
1.788	SLV 12	0.059	1	26.339	664.325	1	-0.6018	31.3291	1		0	0	Si

Verifica a presso/tenso flessione retta X SLD §§ 4.2.4.1.2.3 - 4.2.4.1.2.6 - 4.2.4.1.2.7 - 4.2.4.1.2.8 NTC18

Verifiche eseguite utilizzando la formula conservativa (6.2) §6.2.1 EN 1993-1-1:2005.

X	Comb.	Sfruttamento	Classe	NEd	NRd	Rid. NRd da VEd	Mx,Ed	Mx,Rd	Rid. Mx,Rd da VEd	Rid. Mx,Rd da NEd	px	py	Verifica
1.233	SLD 7	0.046	1	18.254	664.325	1	-0.5685	31.3291	1		0	0	Si

Verifica a presso/tenso flessione retta Y §§ 4.2.4.1.2.3 - 4.2.4.1.2.6 - 4.2.4.1.2.7 - 4.2.4.1.2.8 NTC18

Verifiche eseguite utilizzando la formula conservativa (6.2) §6.2.1 EN 1993-1-1:2005.

X	Comb.	Sfruttamento	Classe	NEd	NRd	Rid. NRd da VEd	My,Ed	My,Rd	Rid. My,Rd da VEd	Rid. My,Rd da NEd	px	py	Verifica
1.788	SLU 60	0.008	1	-2.67	664.325	1	-0.059	15.4191	1		0	0	Si

Verifica a presso/tenso flessione deviata §§ 4.2.4.1.2.3 - 4.2.4.1.2.6 - 4.2.4.1.2.7 - 4.2.4.1.2.8 NTC18

Verifiche eseguite utilizzando la formula conservativa (6.2) §6.2.1 EN 1993-1-1:2005.

X	Comb.	Sfruttamento	Classe	NEd	NRd	Rid. NRd da VEd	Mx,Ed	Mx,Rd	My,Ed	My,Rd	Rid. Mx,Rd da VEd	Rid. Mx,Rd da NEd	Rid. My,Rd da VEd	Rid. My,Rd da NEd	α	β	px	py	Verifica
1.85	SLU 76	0.165	1	17.899	664.325	1	-2.7182	31.3291	-0.7845	15.4191	1			1			0	0	Si

Verifica a presso/tenso flessione deviata SLD §§ 4.2.4.1.2.3 - 4.2.4.1.2.6 - 4.2.4.1.2.7 - 4.2.4.1.2.8 NTC18

Verifiche eseguite utilizzando la formula conservativa (6.2) §6.2.1 EN 1993-1-1:2005.

X	Comb.	Sfruttamento	Classe	NEd	NRd	Rid. NRd da VEd	Mx,Ed	Mx,Rd	My,Ed	My,Rd	Rid. Mx,Rd da VEd	Rid. Mx,Rd da NEd	Rid. My,Rd da VEd	Rid. My,Rd da NEd	α	β	px	py	Verifica
1.85	SLD 9	0.062	1	-10.213	664.325	1	-0.7304	31.3291	-0.3544	15.4191	1			1			0	0	Si

Verifiche ad instabilità

Caratteristiche iniziali

Membratura principale per controllo snellezza; Calcolo di snellezze ed N critici condotti secondo gli assi principali;

Curva X: b; Curva Y: c; Svergolamento: Carico all'estradosso; Curva svergolamento: b;

Dati per instabilità attorno a x

Controllo della snellezza secondo §4.2.4.1.3.1 NTC18

Numero rit.	Presente	Ascissa	Campata	βx/m	Vincolo a entrambi estremi	λx/m	λVer
1	Si	0					
2	Si	1.85	1-2		1	37.8	Si, (<200)

Dati per instabilità attorno a y

Controllo della snellezza secondo §4.2.4.1.3.1 NTC18

Numero rit.	Presente	Ascissa	Campata	βy/n	k,LT	kw,LT	Vincolo a entrambi estremi	λy/n	λVer
1	Si	0							
2	Si	1.85	1-2		1	1	Si	61.3	Si, (<200)

Verifica a svergolamento con trazione §4.2.4.1.3.2 NTC18 § 5.5.3 ENV 1993-1-1:1992 + AC:1992 + A1:1994 + A2:1998

X	Comb.	Sfruttamento	Classe	Obblig.	NEd	Mx,Ed	Mx,Eff,Ed	Mb,Rd,x	χ,LT	λ adim. LT	L,LT	M,critico	Verifica
0.432	SLU 75	0.016	1	Si	7.955	-0.73134	-0.49766	30.69246	0.98	0.452	1.85	161.1174	Si

Verifica a svergolamento con trazione SLD §4.2.4.1.3.2 NTC18 § 5.5.3 ENV 1993-1-1:1992 + AC:1992 + A1:1994 + A2:1998

X	Comb.	Sfruttamento	Classe	Obblig.	NEd	Mx,Ed	Mx,Eff,Ed	Mb,Rd,x	χ,LT	λ adim. LT	L,LT	M,critico	Verifica
0.863	SLD 1	0.005	1	Si	11.575	-0.49379	-0.15377	30.58882	0.976	0.46	1.85	155.36574	Si

Verifica di stabilità per tenso-flessione deviata §§ 5.5.3-5.5.4 ENV 1993-1-1:1992 + AC:1992 + A1:1994 + A2:1998

X	Comb.	Sfruttamento	Classe	NEd	Mx,Ed	Mx,Eff,Ed	My,Ed	χ,LT	kLT	ky	M,critico	Wx	Wy	Verifica
1.85	SLU 76	0.122	1	17.899	-2.71816	-2.19237	-0.78449	0.982	1	1	164.454	0.0001196	0.0000589	Si

Verifica di stabilità per tenso-flessione deviata SLD §§ 5.5.3-5.5.4 ENV 1993-1-1:1992 + AC:1992 + A1:1994 + A2:1998

X	Comb.	Sfruttamento	Classe	NEd	Mx,Ed	Mx,Eff,Ed	My,Ed	χ,LT	kLT	ky	M,critico	Wx	Wy	Verifica
1.85	SLD 12	0.02	1	11.745	-0.65503	-0.31002	-0.15042	0.976	1	1	155.07482	0.0001196	0.0000589	Si

Verifica di stabilità per pressoflessione §C.4.2.4.1.3.3.2 NTC18

X	Comb.	Sfruttamento	Classe	NEd	NRk	Mx,Ed max	Mx,Rk	My,Ed max	My,Rk	χ,x	χ,y	kxx	kxy	kyy	χ,LT	Verifica	
1.85	SLV 10	0.137	1	-36.962	697.541	0.82587	32.89552	0.62095	16.19002	0.912	0.721	0.722	0.507	0.988	0.845	0.991	Si

Verifica di stabilità per pressoflessione SLD §C.4.2.4.1.3.3.2 NTC18

X	Comb.	Sfruttamento	Classe	NEd	NRk	Mx,Ed max	Mx,Rk	My,Ed max	My,Rk	χ,x	χ,y	kxx	kxy	kyy	χ,LT	Verifica	
1.85	SLD 10	0.061	1	-10.213	697.541	0.73037	32.89552	0.35443	16.19002	0.912	0.721	0.771	0.408	0.997	0.679	0.984	Si

Implementazione dei sistemi di confinamento delle emissioni odorigene diffuse dell'impianto di compostaggio esistente nel
Comune di Eboli (SA)
PROGETTO DEFINITIVO – Tabulati di calcolo Tomo 1

Verifica di stabilità a taglio anima Y §4.2.4.1.2.4 [4.2.27] NTC18

η	hw	tw	hw/tw max	Verifica
1.2	0.098	0.005	55.46	Si

Verifica di stabilità a taglio anima Y SLD §4.2.4.1.2.4 [4.2.27] NTC18

η	hw	tw	hw/tw max	Verifica
1.2	0.098	0.005	55.46	Si

Verifiche a deformabilità

Mensola X: No; Mensola Y: No.

Frecce lungo X

Ascissa freccia	Combinazione	Freccia	Luce	L/f	L/f,min	Tipo	Verifica
1.11	SLE RA 19	0.00019	1.85	9488.5	250	Totale	Si
1.172	SLE RA 17	0.00011	1.85	10000	250	Totale	Si
1.172	SLE RA 16	0.00015	1.85	10000	250	Totale	Si
1.11	SLE RA 15	0.00017	1.85	10000	250	Totale	Si
1.172	SLE RA 14	0.00009	1.85	10000	250	Totale	Si
1.11	SLE RA 2	-0.00007	1.85	10000	350	Variabile	Si
1.11	SLE RA 17	0.00003	1.85	10000	350	Variabile	Si
1.11	SLE RA 16	0.00008	1.85	10000	350	Variabile	Si
1.11	SLE RA 15	0.00009	1.85	10000	350	Variabile	Si
1.233	SLE RA 14	0.00001	1.85	10000	350	Variabile	Si

Frecce lungo Y

Ascissa freccia	Combinazione	Freccia	Luce	L/f	L/f,min	Tipo	Verifica
0.987	SLE RA 19	-0.00041	1.85	4507.4	250	Totale	Si
0.987	SLE RA 15	-0.00036	1.85	5188.6	250	Totale	Si
0.987	SLE RA 11	-0.00036	1.85	5188.6	250	Totale	Si
0.987	SLE RA 7	-0.00035	1.85	5213.3	250	Totale	Si
0.987	SLE RA 16	-0.00033	1.85	5570.1	250	Totale	Si
1.048	SLE RA 19	-0.00024	1.85	7701.3	350	Variabile	Si
1.048	SLE RA 15	-0.00019	1.85	9930.8	350	Variabile	Si
1.048	SLE RA 11	-0.00019	1.85	9930.8	350	Variabile	Si
1.048	SLE RA 17	-0.00007	1.85	10000	350	Variabile	Si
1.048	SLE RA 16	-0.00016	1.85	10000	350	Variabile	Si

Superelemento in acciaio a quota "590" (-542; -509)-(-415; -374)

Caratteristiche del materiale

Acciaio: S275, fyk = 275000

Caratteristiche geometriche

Lunghezza: 1.85

Nodo iniziale: 317 Nodo finale: 318

Cerniera iniziale: No Cerniera finale: No

Sovreresistenza: 0% Sisma Z: No

Caratteristiche della sezione

Sezione	Rotazione	Area	Jx	Jy	ix	iy	Wx	Wy	Wplx	Wply
HEA120	0	0.002537	0.0000060673	0.0000023091	0.0489	0.0302	0.00010644	0.00003849	0.00011962	0.00005887

Verifiche di resistenza

Verifiche a forza assiale §4.2.4.1.2.1 - §4.2.4.1.2.2 NTC18

X	Comb.	Sfruttamento	Classe	NEd	Nc,Rd	Nt,Rd	Riduzione da taglio	px	py	Verifica
1.85	SLV 5	0.031		20.422		664.325	1	0	0	Si

Verifiche a forza assiale SLD §4.2.4.1.2.1 - §4.2.4.1.2.2 NTC18

X	Comb.	Sfruttamento	Classe	NEd	Nc,Rd	Nt,Rd	Riduzione da taglio	px	py	Verifica
1.665	SLD 6	0.011		7.252		664.325	1	0	0	Si

Verifica a taglio Y §4.2.4.1.2.4 NTC18

X	Comb.	Sfruttamento	VEd	Vc,Rd	Av	Interazione taglio-torsione	Riduzione torsione	Verifica
1.85	SLU 75	0.01	-1.332	127.795	0.000849	Considerata	1	Si

Verifica a taglio Y SLD §4.2.4.1.2.4 NTC18

X	Comb.	Sfruttamento	VEd	Vc,Rd	Av	Interazione taglio-torsione	Riduzione torsione	Verifica
1.85	SLD 11	0.004	-0.481	128.033	0.000849	Considerata	1	Si

Verifica a torsione §4.2.4.1.2.5 NTC18

X	Comb.	Sfruttamento torsione	TEd	TRd	Riduzione taglio resistente	Sfruttamento taglio-torsione	τEd,totale	τRd	Verifica
0.863	SLV 4	0.015	-0.01297	0.85138	Considerata				Si

Verifica a torsione SLD §4.2.4.1.2.5 NTC18

X	Comb.	Sfruttamento torsione	TEd	TRd	Riduzione taglio resistente	Sfruttamento taglio-torsione	τEd,totale	τRd	Verifica
1.85	SLD 8	0.007	-0.00609	0.85138	Considerata				Si

Verifica a flessione semplice X §§ 4.2.4.1.2.3 - 4.2.4.1.2.6 - 4.2.4.1.2.7 - 4.2.4.1.2.8 NTC18

X	Comb.	Sfruttamento	Classe	Mx,Ed	Mx,Rd	Rid. Mx,Rd da VEd	px	py	Verifica
0.555	SLU 24	0.006	1	-0.18271	31.32907	1	0	0	Si

Verifica a flessione semplice Y §§ 4.2.4.1.2.3 - 4.2.4.1.2.6 - 4.2.4.1.2.7 - 4.2.4.1.2.8 NTC18

X	Comb.	Sfruttamento	Classe	My,Ed	My,Rd	Rid. My,Rd da VEd	px	py	Verifica
1.85	SLU 2	0.001	1	0.0104	15.41907	1	0	0	Si

**Implementazione dei sistemi di confinamento delle emissioni odorigene diffuse dell'impianto di compostaggio esistente nel
Comune di Eboli (SA)
PROGETTO DEFINITIVO – Tabulati di calcolo Tomo 1**

Verifica a flessione deviata §§ 4.2.4.1.2.3 - 4.2.4.1.2.6 - 4.2.4.1.2.7 - 4.2.4.1.2.8 NTC18

X	Comb.	Sfruttamento	Classe	Mx,Ed	Mx,Rd	My,Ed	My,Rd	Rid. Mx,Rd da VEd	Rid. My,Rd da VEd	α	β	px	py	Verifica
0	SLU 2	0.01	1	0.2837	31.3291	0.0094	15.4191	1	1			0	0	Si

Verifica a presso/tenso flessione retta X §§ 4.2.4.1.2.3 - 4.2.4.1.2.6 - 4.2.4.1.2.7 - 4.2.4.1.2.8 NTC18

Verifiche eseguite utilizzando la formula conservativa (6.2) §6.2.1 EN 1993-1-1:2005.

X	Comb.	Sfruttamento	Classe	NEd	NRd	Rid. NRd da VEd	Mx,Ed	Mx,Rd	Rid. Mx,Rd da VEd	Rid. Mx,Rd da NEd	px	py	Verifica
0	SLU 75	0.07	1	2.103	664.325	1	-2.0799	31.3291	1		0	0	Si

Verifica a presso/tenso flessione retta Y §§ 4.2.4.1.2.3 - 4.2.4.1.2.6 - 4.2.4.1.2.7 - 4.2.4.1.2.8 NTC18

Verifiche eseguite utilizzando la formula conservativa (6.2) §6.2.1 EN 1993-1-1:2005.

X	Comb.	Sfruttamento	Classe	NEd	NRd	Rid. NRd da VEd	My,Ed	My,Rd	Rid. My,Rd da VEd	Rid. My,Rd da NEd	px	py	Verifica
1.665	SLV 16	0.043	1	-18.895	664.325	1	-0.2321	15.4191	1		0	0	Si

Verifica a presso/tenso flessione retta Y SLD §§ 4.2.4.1.2.3 - 4.2.4.1.2.6 - 4.2.4.1.2.7 - 4.2.4.1.2.8 NTC18

Verifiche eseguite utilizzando la formula conservativa (6.2) §6.2.1 EN 1993-1-1:2005.

X	Comb.	Sfruttamento	Classe	NEd	NRd	Rid. NRd da VEd	My,Ed	My,Rd	Rid. My,Rd da VEd	Rid. My,Rd da NEd	px	py	Verifica
1.788	SLD 15	0.015	1	-6.36	664.325	1	-0.0846	15.4191	1		0	0	Si

Verifica a presso/tenso flessione deviata §§ 4.2.4.1.2.3 - 4.2.4.1.2.6 - 4.2.4.1.2.7 - 4.2.4.1.2.8 NTC18

Verifiche eseguite utilizzando la formula conservativa (6.2) §6.2.1 EN 1993-1-1:2005.

X	Comb.	Sfruttamento	Classe	NEd	NRd	Rid. NRd da VEd	Mx,Ed	Mx,Rd	My,Ed	My,Rd	Rid. Mx,Rd da VEd	Rid. Mx,Rd da NEd	Rid. My,Rd da VEd	Rid. My,Rd da NEd	α	β	px	py	Verifica
0.123	SLU 75	0.066	1	2.103	664.325	1	-1.9727	31.3291	-0.0047	15.4191	1			1			0	0	Si

Verifica a presso/tenso flessione deviata SLD §§ 4.2.4.1.2.3 - 4.2.4.1.2.6 - 4.2.4.1.2.7 - 4.2.4.1.2.8 NTC18

Verifiche eseguite utilizzando la formula conservativa (6.2) §6.2.1 EN 1993-1-1:2005.

X	Comb.	Sfruttamento	Classe	NEd	NRd	Rid. NRd da VEd	Mx,Ed	Mx,Rd	My,Ed	My,Rd	Rid. Mx,Rd da VEd	Rid. Mx,Rd da NEd	Rid. My,Rd da VEd	Rid. My,Rd da NEd	α	β	px	py	Verifica
0	SLD 5	0.032	1	7.252	664.325	1	-0.5585	31.3291	-0.0562	15.4191	1			1			0	0	Si

Verifiche ad instabilità

Caratteristiche iniziali

Membratura principale per controllo snellezza; Calcolo di snellezze ed N critici condotti secondo gli assi principali;

Curva X: b; Curva Y: c; Svergolamento: Carico all'estradosso; Curva svergolamento: b;

Dati per instabilità attorno a x

Controllo della snellezza secondo §4.2.4.1.3.1 NTC18

Numero rit.	Presente	Ascissa	Campata	βx/m	Vincolo a entrambi estremi	λx/m	λVer
1	Si	0					
			1-2		1	37.8	Si, (<200)
2	Si	1.85					

Dati per instabilità attorno a y

Controllo della snellezza secondo §4.2.4.1.3.1 NTC18

Numero rit.	Presente	Ascissa	Campata	βy/n	k,LT	kw,LT	Vincolo a entrambi estremi	λy/n	λVer
1	Si	0							
			1-2		1	1	Si	61.3	Si, (<200)
2	Si	1.85							

Verifica a svergolamento §4.2.4.1.3.2 NTC18

X	Comb.	Sfruttamento	Classe	Obblig.	Mx,Ed	Mb,Rd,x	χ,LT	λ adim. LT	L,LT	M,critico	Verifica
0.555	SLU 24	0.006	1	Si	-0.18271	30.97382	0.989	0.429	1.85	178.63403	Si

Verifica a svergolamento con trazione §4.2.4.1.3.2 NTC18 § 5.5.3 ENV 1993-1-1:1992 + AC:1992 + A1:1994 + A2:1998

X	Comb.	Sfruttamento	Classe	Obblig.	NEd	Mx,Ed	Mx,Eff,Ed	Mb,Rd,x	χ,LT	λ adim. LT	L,LT	M,critico	Verifica
0	SLU 75	0.065	1	Si	2.103	-2.07992	-2.01814	31.12348	0.993	0.417	1.85	189.25488	Si

Verifica di stabilità per tenso-flessione deviata §§ 5.5.3-5.5.4 ENV 1993-1-1:1992 + AC:1992 + A1:1994 + A2:1998

X	Comb.	Sfruttamento	Classe	NEd	Mx,Ed	Mx,Eff,Ed	My,Ed	χ,LT	kLT	ky	M,critico	Wx	Wy	Verifica
0.123	SLU 75	0.062	1	2.103	-1.97272	-1.91095	-0.00472	0.993	1	1	189.25488	0.0001196	0.0000589	Si

Verifica di stabilità per tenso-flessione deviata SLD §§ 5.5.3-5.5.4 ENV 1993-1-1:1992 + AC:1992 + A1:1994 + A2:1998

X	Comb.	Sfruttamento	Classe	NEd	Mx,Ed	Mx,Eff,Ed	My,Ed	χ,LT	kLT	ky	M,critico	Wx	Wy	Verifica
0	SLD 4	0.021	1	3.715	-0.55046	-0.44134	0.0977	0.99	1	1	181.66039	0.0001196	0.0000589	Si

Verifica di stabilità per pressoflessione §C.4.2.4.1.3.3.2 NTC18

X	Comb.	Sfruttamento	Classe	NEd	NRk	Mx,Ed max	Mx,Rk	My,Ed max	My,Rk	χ,x	χ,y	kxx	kxy	kyy	χ,LT	Verifica
1.357	SLV 12	0.071	1	-19.808	697.541	0.49702	32.89552	0.20764	16.19002	0.912	0.721	0.657	0.556	0.993	0.927	0.902

Verifica di stabilità per pressoflessione SLD §C.4.2.4.1.3.3.2 NTC18

X	Comb.	Sfruttamento	Classe	NEd	NRk	Mx,Ed max	Mx,Rk	My,Ed max	My,Rk	χ,x	χ,y	kxx	kxy	kyy	χ,LT	Verifica
1.85	SLD 16	0.037	1	-6.36	697.541	0.52774	32.89552	0.08559	16.19002	0.912	0.721	0.717	0.524	0.998	0.873	0.902

Verifica di stabilità a taglio anima Y §4.2.4.1.2.4 [4.2.27] NTC18

η	hw	tw	hw/tw max	Verifica
1.2	0.098	0.005	55.46	Si

Verifica di stabilità a taglio anima Y SLD §4.2.4.1.2.4 [4.2.27] NTC18

η	hw	tw	hw/tw max	Verifica
1.2	0.098	0.005	55.46	Si

Verifiche a deformabilità

Mensola X: No; Mensola Y: No.

Frecce lungo X

Ascissa freccia	Combinazione	Freccia	Luce	L/f	L/f,min	Tipo	Verifica
-----------------	--------------	---------	------	-----	---------	------	----------

Implementazione dei sistemi di confinamento delle emissioni odorigene diffuse dell’impianto di compostaggio esistente nel
Comune di Eboli (SA)
PROGETTO DEFINITIVO – Tabulati di calcolo Tomo 1

Ascissa freccia	Combinazione	Freccia	Luce	L/f	L/f,min	Tipo	Verifica
0.987	SLE RA 1	0.00001	1.85	10000	250	Totale	Si
0.987	SLE RA 17	0.00001	1.85	10000	250	Totale	Si
0.987	SLE RA 16	0.00002	1.85	10000	250	Totale	Si
0.925	SLE RA 15	0.00002	1.85	10000	250	Totale	Si
1.11	SLE RA 14	0.00001	1.85	10000	250	Totale	Si
0.987	SLE RA 2	-0.00001	1.85	10000	350	Variabile	Si
0.987	SLE RA 17	0	1.85	10000	350	Variabile	Si
0.987	SLE RA 16	0.00001	1.85	10000	350	Variabile	Si
0.925	SLE RA 15	0.00001	1.85	10000	350	Variabile	Si
1.295	SLE RA 14	0	1.85	10000	350	Variabile	Si

Frecce lungo Y

Ascissa freccia	Combinazione	Freccia	Luce	L/f	L/f,min	Tipo	Verifica
0.802	SLE RA 18	-0.00028	1.85	6655.8	250	Totale	Si
0.802	SLE RA 6	-0.00025	1.85	7370.5	250	Totale	Si
0.802	SLE RA 10	-0.00025	1.85	7541.6	250	Totale	Si
0.802	SLE RA 14	-0.00025	1.85	7541.6	250	Totale	Si
0.802	SLE RA 16	-0.00022	1.85	8392.5	250	Totale	Si
0.802	SLE RA 2	0.00009	1.85	10000	350	Variabile	Si
0.802	SLE RA 17	-0.00004	1.85	10000	350	Variabile	Si
0.802	SLE RA 16	-0.0001	1.85	10000	350	Variabile	Si
0.802	SLE RA 15	-0.00001	1.85	10000	350	Variabile	Si
0.802	SLE RA 14	-0.00012	1.85	10000	350	Variabile	Si

Superelemento in acciaio a quota "590" (-653; 1121)-(-526; 1256)

Caratteristiche del materiale

Acciaio: S275, fyk = 275000

Caratteristiche geometriche

Lunghezza: 1.85

Nodo iniziale: 383 Nodo finale: 389

Cerniera iniziale: No Cerniera finale: No

Sovraresistenza: 0% Sisma Z: No

Caratteristiche della sezione

Sezione	Rotazione	Area	Jx	Jy	ix	iy	Wx	Wy	Wplx	Wply
HEA120	0	0.002537	0.0000060673	0.0000023091	0.0489	0.0302	0.00010644	0.00003849	0.00011962	0.00005887

Verifiche di resistenza

Verifiche a forza assiale §4.2.4.1.2.1 - §4.2.4.1.2.2 NTC18

X	Comb.	Sfruttamento	Classe	NEd	Nc,Rd	Nt,Rd	Riduzione da taglio	px	py	Verifica
1.233	SLV 10	0.123	1	-81.976	664.325		1	0	0	Si

Verifiche a forza assiale SLD §4.2.4.1.2.1 - §4.2.4.1.2.2 NTC18

X	Comb.	Sfruttamento	Classe	NEd	Nc,Rd	Nt,Rd	Riduzione da taglio	px	py	Verifica
1.85	SLD 10	0.061	1	-40.199	664.325		1	0	0	Si

Verifica a taglio X §4.2.4.1.2.4 NTC18

X	Comb.	Sfruttamento	VEd	Vc,Rd	Av	Interazione taglio-torsione	Riduzione torsione	Verifica
0.062	SLU 76	0.002	-0.521	293.884	0.002047	Considerata	0.95	Si

Verifica a taglio Y §4.2.4.1.2.4 NTC18

X	Comb.	Sfruttamento	VEd	Vc,Rd	Av	Interazione taglio-torsione	Riduzione torsione	Verifica
0	SLU 76	0.016	1.971	121.848	0.000849	Considerata	0.95	Si

Verifica a taglio Y SLD §4.2.4.1.2.4 NTC18

X	Comb.	Sfruttamento	VEd	Vc,Rd	Av	Interazione taglio-torsione	Riduzione torsione	Verifica
0	SLD 9	0.008	0.974	125.655	0.000849	Considerata	0.98	Si

Verifica a torsione §4.2.4.1.2.5 NTC18

X	Comb.	Sfruttamento torsione	TEd	TRd	Riduzione taglio resistente	Sfruttamento taglio-torsione	rEd,totale	rRd	Verifica
1.788	SLU 76	0.123	-0.1044	0.85138	Considerata				Si

Verifica a torsione SLD §4.2.4.1.2.5 NTC18

X	Comb.	Sfruttamento torsione	TEd	TRd	Riduzione taglio resistente	Sfruttamento taglio-torsione	rEd,totale	rRd	Verifica
1.788	SLD 14	0.051	-0.04354	0.85138	Considerata				Si

Verifica a flessione semplice X §§ 4.2.4.1.2.3 - 4.2.4.1.2.6 - 4.2.4.1.2.7 - 4.2.4.1.2.8 NTC18

X	Comb.	Sfruttamento	Classe	Mx,Ed	Mx,Rd	Rid. Mx,Rd da VEd	px	py	Verifica
1.85	SLU 21	0.001	1	0.02496	31.32907	1	0	0	Si

Verifica a flessione semplice Y §§ 4.2.4.1.2.3 - 4.2.4.1.2.6 - 4.2.4.1.2.7 - 4.2.4.1.2.8 NTC18

X	Comb.	Sfruttamento	Classe	My,Ed	My,Rd	Rid. My,Rd da VEd	px	py	Verifica
0.185	SLU 21	0.003	1	-0.04479	15.41907	1	0	0	Si

Verifica a flessione deviata §§ 4.2.4.1.2.3 - 4.2.4.1.2.6 - 4.2.4.1.2.7 - 4.2.4.1.2.8 NTC18

X	Comb.	Sfruttamento	Classe	Mx,Ed	Mx,Rd	My,Ed	My,Rd	Rid. Mx,Rd da VEd	Rid. My,Rd da VEd	α	β	px	py	Verifica
0	SLU 21	0.004	1	0.0351	31.3291	-0.0496	15.4191	1	1			0	0	Si

Verifica a presso/tenso flessione retta X §§ 4.2.4.1.2.3 - 4.2.4.1.2.6 - 4.2.4.1.2.7 - 4.2.4.1.2.8 NTC18

Verifiche eseguite utilizzando la formula conservativa (6.2) §6.2.1 EN 1993-1-1:2005.

**Implementazione dei sistemi di confinamento delle emissioni odorigene diffuse dell'impianto di compostaggio esistente nel
Comune di Eboli (SA)**

PROGETTO DEFINITIVO – Tabulati di calcolo Tomo 1

X	Comb.	Sfruttamento	Classe	NEd	NRd	Rid. NRd da VEd	Mx,Ed	Mx,Rd	Rid. Mx,Rd da VEd	Rid. Mx,Rd da NEd	px	py	Verifica
0.74	SLV 5	0.106	1	-53.094	664.325	1	0.8194	31.3291	1		0	0	Si

Verifica a presso/tenso flessione retta X SLD §§ 4.2.4.1.2.3 - 4.2.4.1.2.6 - 4.2.4.1.2.7 - 4.2.4.1.2.8 NTC18

Verifiche eseguite utilizzando la formula conservativa (6.2) §6.2.1 EN 1993-1-1:2005.

X	Comb.	Sfruttamento	Classe	NEd	NRd	Rid. NRd da VEd	Mx,Ed	Mx,Rd	Rid. Mx,Rd da VEd	Rid. Mx,Rd da NEd	px	py	Verifica
1.172	SLD 9	0.07	1	-40.199	664.325	1	0.3075	31.3291	1		0	0	Si

Verifica a presso/tenso flessione retta Y §§ 4.2.4.1.2.3 - 4.2.4.1.2.6 - 4.2.4.1.2.7 - 4.2.4.1.2.8 NTC18

Verifiche eseguite utilizzando la formula conservativa (6.2) §6.2.1 EN 1993-1-1:2005.

X	Comb.	Sfruttamento	Classe	NEd	NRd	Rid. NRd da VEd	My,Ed	My,Rd	Rid. My,Rd da VEd	Rid. My,Rd da NEd	px	py	Verifica
1.665	SLV 16	0.088	1	-51.694	664.325	1	-0.1559	15.4191	1		0	0	Si

Verifica a presso/tenso flessione retta Y SLD §§ 4.2.4.1.2.3 - 4.2.4.1.2.6 - 4.2.4.1.2.7 - 4.2.4.1.2.8 NTC18

Verifiche eseguite utilizzando la formula conservativa (6.2) §6.2.1 EN 1993-1-1:2005.

X	Comb.	Sfruttamento	Classe	NEd	NRd	Rid. NRd da VEd	My,Ed	My,Rd	Rid. My,Rd da VEd	Rid. My,Rd da NEd	px	py	Verifica
1.603	SLD 9	0.065	1	-40.199	664.325	1	-0.065	15.4191	1		0	0	Si

Verifica a presso/tenso flessione deviata §§ 4.2.4.1.2.3 - 4.2.4.1.2.6 - 4.2.4.1.2.7 - 4.2.4.1.2.8 NTC18

Verifiche eseguite utilizzando la formula conservativa (6.2) §6.2.1 EN 1993-1-1:2005.

X	Comb.	Sfruttamento	Classe	NEd	NRd	Rid. NRd da VEd	Mx,Ed	Mx,Rd	My,Ed	My,Rd	Rid. Mx,Rd da VEd	Rid. Mx,Rd da NEd	Rid. My,Rd da VEd	Rid. My,Rd da NEd	α	β	px	py	Verifica
0	SLU 76	0.243	1	-58.398	664.325	1	2.5803	31.3291	1.1205	15.4191	1						0	0	Si

Verifica a presso/tenso flessione deviata SLD §§ 4.2.4.1.2.3 - 4.2.4.1.2.6 - 4.2.4.1.2.7 - 4.2.4.1.2.8 NTC18

Verifiche eseguite utilizzando la formula conservativa (6.2) §6.2.1 EN 1993-1-1:2005.

X	Comb.	Sfruttamento	Classe	NEd	NRd	Rid. NRd da VEd	Mx,Ed	Mx,Rd	My,Ed	My,Rd	Rid. Mx,Rd da VEd	Rid. Mx,Rd da NEd	Rid. My,Rd da VEd	Rid. My,Rd da NEd	α	β	px	py	Verifica
0	SLD 9	0.114	1	-40.199	664.325	1	1.3117	31.3291	0.174	15.4191	1						0	0	Si

Verifiche ad instabilità

Caratteristiche iniziali

Membratura principale per controllo snellezza; Calcolo di snellezze ed N critici condotti secondo gli assi principali;

Curva X: b; Curva Y: c; Svergolamento: Carico all'estradosso; Curva svergolamento: b;

Dati per instabilità attorno a x

Controllo della snellezza secondo §4.2.4.1.3.1 NTC18

Numero rit.	Presente	Ascissa	Campata	βx/m	Vincolo a entrambi estremi	λx/m	λVer
1	Si	0					
			1-2		1	37.8	Si, (<200)
2	Si	1.85					

Dati per instabilità attorno a y

Controllo della snellezza secondo §4.2.4.1.3.1 NTC18

Numero rit.	Presente	Ascissa	Campata	βy/n	k,LT	kw,LT	Vincolo a entrambi estremi	λy/n	λVer
1	Si	0							
			1-2		1	1	Si	61.3	Si, (<200)
2	Si	1.85							

Verifica a svergolamento con trazione §4.2.4.1.3.2 NTC18 § 5.5.3 ENV 1993-1-1:1992 + AC:1992 + A1:1994 + A2:1998

X	Comb.	Sfruttamento	Classe	Obblig.	NEd	Mx,Ed	Mx,Eff,Ed	Mb,Rd,x	χ_{LT}	λ adim. LT	L,LT	M,critico	Verifica
1.85	SLU 40	0.001	1	Si	0.715	0.03938	0.01836	28.25853	0.902	0.633	1.85	82.10616	Si

Verifica di stabilità per tenso-flessione deviata §§ 5.5.3-5.5.4 ENV 1993-1-1:1992 + AC:1992 + A1:1994 + A2:1998

X	Comb.	Sfruttamento	Classe	NEd	Mx,Ed	Mx,Ed	My,Ed	χ,LT	kLT	ky	M,critico	Wx	Wy	Verifica
0	SLU 2	0.01	1	4.372	-0.15236	-0.02394	-0.14036	0.902	1	1	82.10616	0.0001196	0.0000589	Si

Verifica di stabilità per tenso-flessione deviata SLD §§ 5.5.3-5.5.4 ENV 1993-1-1:1992 + AC:1992 + A1:1994 + A2:1998

X	Comb.	Sfruttamento	Classe	NEd	Mx,Ed	Mx,Ed	My,Ed	χ,LT	kLT	ky	M,critico	Wx	Wy	Verifica
0	SLD 3	0.042	1	3.36	0.36892	0.27023	0.50569	0.902	1	1	82.10616	0.0001196	0.0000589	Si

Verifica di stabilità per pressoflessione §C.4.2.4.1.3.3.2 NTC18

X	Comb.	Sfruttamento	Classe	NEd	NRk	Mx,Ed max	Mx,Rk	My,Ed max	My,Rk	χ,x	χ,y	kxx	kxy	kyy	χ,LT	Verifica	
0.185	SLV 10	0.266	1	-81.976	697.541	2.20874	32.89552	0.39444	16.19002	0.912	0.721	0.572	0.459	0.96	0.765	0.902	Si

Verifica di stabilità per pressoflessione SLD §C.4.2.4.1.3.3.2 NTC18

X	Comb.	Sfruttamento	Classe	NEd	NRk	Mx,Ed max	Mx,Rk	My,Ed max	My,Rk	χ,x	χ,y	kxx	kxy	kyy	χ,LT	Verifica	
1.85	SLD 10	0.134	1	-40.199	697.541	1.31168	32.89552	0.17395	16.19002	0.912	0.721	0.51	0.256	0.977	0.427	0.902	Si

Verifica di stabilità a taglio anima Y §4.2.4.1.2.4 [4.2.27] NTC18

η	hw	tw	hw/tw max	Verifica
1.2	0.098	0.005	55.46	Si

Verifica di stabilità a taglio anima Y SLD §4.2.4.1.2.4 [4.2.27] NTC18

η	hw	tw	hw/tw max	Verifica
1.2	0.098	0.005	55.46	Si

Verifiche a deformabilità

Mensola X: No; Mensola Y: No.

Frecce lungo X

Ascissa freccia	Combinazione	Freccia	Luce	L/f	L/f,min	Tipo	Verifica
0.802	SLE RA 19	-0.0004	1.85	4670.4	250	Totale	Si
0.802	SLE RA 16	-0.00034	1.85	5395.8	250	Totale	Si
0.802	SLE RA 15	-0.00034	1.85	5430.5	250	Totale	Si
0.802	SLE RA 11	-0.00034	1.85	5430.5	250	Totale	Si
0.802	SLE RA 7	-0.00032	1.85	5768.1	250	Totale	Si

Implementazione dei sistemi di confinamento delle emissioni odorigene diffuse dell'impianto di compostaggio esistente nel
Comune di Eboli (SA)
PROGETTO DEFINITIVO – Tabulati di calcolo Tomo 1

Ascissa freccia	Combinazione	Freccia	Luce	L/f	L/f,min	Tipo	Verifica
0.802	SLE RA 19	-0.00022	1.85	8425.8	350	Variabile	Si
0.802	SLE RA 17	-0.00007	1.85	10000	350	Variabile	Si
0.802	SLE RA 16	-0.00017	1.85	10000	350	Variabile	Si
0.802	SLE RA 15	-0.00016	1.85	10000	350	Variabile	Si
0.863	SLE RA 14	-0.00006	1.85	10000	350	Variabile	Si

Frecce lungo Y

Ascissa freccia	Combinazione	Freccia	Luce	L/f	L/f,min	Tipo	Verifica
0.678	SLE RA 19	0.00022	1.85	8402.2	250	Totale	Si
0.678	SLE RA 15	0.00019	1.85	9711.6	250	Totale	Si
0.678	SLE RA 11	0.00019	1.85	9711.6	250	Totale	Si
0.678	SLE RA 7	0.00019	1.85	9925.4	250	Totale	Si
0.678	SLE RA 17	0.00013	1.85	10000	250	Totale	Si
0.678	SLE RA 2	-0.00008	1.85	10000	350	Variabile	Si
0.678	SLE RA 17	0.00004	1.85	10000	350	Variabile	Si
0.678	SLE RA 16	0.00009	1.85	10000	350	Variabile	Si
0.678	SLE RA 15	0.0001	1.85	10000	350	Variabile	Si
0.678	SLE RA 14	0.00002	1.85	10000	350	Variabile	Si

Superelemento in acciaio a quota "590" (-669; -643)-(-542; -509)

Caratteristiche del materiale

Acciaio: S275, fyk = 275000

Caratteristiche geometriche

Lunghezza: 1.85

Nodo iniziale: 312 Nodo finale: 317

Cerniera iniziale: No Cerniera finale: No

Sovraresistenza: 0% Sisma Z: No

Caratteristiche della sezione

Sezione	Rotazione	Area	Jx	Jy	ix	iy	Wx	Wy	Wplx	Wply
HEA120	0	0.002537	0.0000060673	0.0000023091	0.0489	0.0302	0.00010644	0.00003849	0.00011962	0.00005887

Verifiche di resistenza

Verifiche a forza assiale §4.2.4.1.2.1 - §4.2.4.1.2.2 NTC18

X	Comb.	Sfruttamento	Classe	NEd	Nc,Rd	Nt,Rd	Riduzione da taglio	px	py	Verifica
0	SLV 11	0.052		34.308		664.325	1	0	0	Si

Verifiche a forza assiale SLD §4.2.4.1.2.1 - §4.2.4.1.2.2 NTC18

X	Comb.	Sfruttamento	Classe	NEd	Nc,Rd	Nt,Rd	Riduzione da taglio	px	py	Verifica
1.85	SLD 11	0.021		14.058		664.325	1	0	0	Si

Verifica a taglio X §4.2.4.1.2.4 NTC18

X	Comb.	Sfruttamento	VEd	Vc,Rd	Av	Interazione taglio-torsione	Riduzione torsione	Verifica
0	SLV 3	0.001	-0.215	309.341	0.002047	Considerata	1	Si

Verifica a taglio Y §4.2.4.1.2.4 NTC18

X	Comb.	Sfruttamento	VEd	Vc,Rd	Av	Interazione taglio-torsione	Riduzione torsione	Verifica
0	SLU 75	0.01	1.248	127.772	0.000849	Considerata	1	Si

Verifica a taglio Y SLD §4.2.4.1.2.4 NTC18

X	Comb.	Sfruttamento	VEd	Vc,Rd	Av	Interazione taglio-torsione	Riduzione torsione	Verifica
0	SLD 5	0.004	0.482	128.092	0.000849	Considerata	1	Si

Verifica a torsione §4.2.4.1.2.5 NTC18

X	Comb.	Sfruttamento torsione	TEd	TRd	Riduzione taglio resistente	Sfruttamento taglio-torsione	τEd,totale	τRd	Verifica
1.85	SLU 75	0.01	-0.00882	0.85138	Considerata				Si

Verifica a torsione SLD §4.2.4.1.2.5 NTC18

X	Comb.	Sfruttamento torsione	TEd	TRd	Riduzione taglio resistente	Sfruttamento taglio-torsione	τEd,totale	τRd	Verifica
1.85	SLD 10	0.005	-0.00411	0.85138	Considerata				Si

Verifica a presso/tenso flessione retta X §§ 4.2.4.1.2.3 - 4.2.4.1.2.6 - 4.2.4.1.2.7 - 4.2.4.1.2.8 NTC18

Verifiche eseguite utilizzando la formula conservativa (6.2) §6.2.1 EN 1993-1-1:2005.

X	Comb.	Sfruttamento	Classe	NEd	NRd	Rid. NRd da VEd	Mx,Ed	Mx,Rd	Rid. Mx,Rd da VEd	Rid. Mx,Rd da NEd	px	py	Verifica
1.727	SLU 75	0.079	1	10.734	664.325	1	-1.9815	31.3291	1		0	0	Si

Verifica a presso/tenso flessione retta Y §§ 4.2.4.1.2.3 - 4.2.4.1.2.6 - 4.2.4.1.2.7 - 4.2.4.1.2.8 NTC18

Verifiche eseguite utilizzando la formula conservativa (6.2) §6.2.1 EN 1993-1-1:2005.

X	Comb.	Sfruttamento	Classe	NEd	NRd	Rid. NRd da VEd	My,Ed	My,Rd	Rid. My,Rd da VEd	Rid. My,Rd da NEd	px	py	Verifica
0.185	SLV 2	0.065	1	-27.064	664.325	1	0.3734	15.4191	1		0	0	Si

Verifica a presso/tenso flessione retta Y SLD §§ 4.2.4.1.2.3 - 4.2.4.1.2.6 - 4.2.4.1.2.7 - 4.2.4.1.2.8 NTC18

Verifiche eseguite utilizzando la formula conservativa (6.2) §6.2.1 EN 1993-1-1:2005.

X	Comb.	Sfruttamento	Classe	NEd	NRd	Rid. NRd da VEd	My,Ed	My,Rd	Rid. My,Rd da VEd	Rid. My,Rd da NEd	px	py	Verifica
0	SLD 5	0.016	1	-8.233	664.325	1	-0.0504	15.4191	1		0	0	Si

Verifica a presso/tenso flessione deviata §§ 4.2.4.1.2.3 - 4.2.4.1.2.6 - 4.2.4.1.2.7 - 4.2.4.1.2.8 NTC18

Verifiche eseguite utilizzando la formula conservativa (6.2) §6.2.1 EN 1993-1-1:2005.

Implementazione dei sistemi di confinamento delle emissioni odorigene diffuse dell'impianto di compostaggio esistente nel
Comune di Eboli (SA)

PROGETTO DEFINITIVO – Tabulati di calcolo Tomo 1

X	Comb.	Sfruttamento	Classe	NEd	NRd	Rid. NRd da VEd	Mx,Ed	Mx,Rd	My,Ed	My,Rd	Rid. Mx,Rd da VEd	Rid. Mx,Rd da NEd	Rid. My,Rd da VEd	Rid. My,Rd da NEd	α	β	px	py	Verifica
0.308	SLV 12	0.085	1	34.308	664.325	1	-0.3318	31.3291	0.3473	15.4191	1		1				0	0	Si

Verifica a presso/tenso flessione deviata SLD §§ 4.2.4.1.2.3 - 4.2.4.1.2.6 - 4.2.4.1.2.7 - 4.2.4.1.2.8 NTC18

Verifiche eseguite utilizzando la formula conservativa (6.2) §6.2.1 EN 1993-1-1:2005.

X	Comb.	Sfruttamento	Classe	NEd	NRd	Rid. NRd da VEd	Mx,Ed	Mx,Rd	My,Ed	My,Rd	Rid. Mx,Rd da VEd	Rid. Mx,Rd da NEd	Rid. My,Rd da VEd	Rid. My,Rd da NEd	α	β	px	py	Verifica
1.665	SLD 12	0.042	1	14.058	664.325	1	-0.5315	31.3291	0.0567	15.4191	1		1				0	0	Si

Verifiche ad instabilità

Caratteristiche iniziali

Membratura principale per controllo snellezza; Calcolo di snellezze ed N critici condotti secondo gli assi principali;

Curva X: b; Curva Y: c; Svergolamento: Carico all'estradosso; Curva svergolamento: b;

Dati per instabilità attorno a x

Controllo della snellezza secondo §4.2.4.1.3.1 NTC18

Numero rit.	Presente	Ascissa	Campata	βx/m	Vincolo a entrambi estremi	λx/m	λVer
1	Si		0				
			1-2		1	37.8	Si, (<200)
2	Si	1.85					

Dati per instabilità attorno a y

Controllo della snellezza secondo §4.2.4.1.3.1 NTC18

Numero rit.	Presente	Ascissa	Campata	βy/n	k,LT	kw,LT	Vincolo a entrambi estremi	λy/n	λVer
1	Si		0						
			1-2		1	1	Si	61.3	Si, (<200)
2	Si	1.85							

Verifica a svergolamento con trazione §4.2.4.1.3.2 NTC18 § 5.5.3 ENV 1993-1-1:1992 + AC:1992 + A1:1994 + A2:1998

X	Comb.	Sfruttamento	Classe	Obblig.	NEd	Mx,Ed	Mx,Eff,Ed	Mb,Rd,x	χ,LT	λ adim. LT	L,LT	M,critico	Verifica
1.727	SLU 75	0.054	1	Si	10.734	-1.98152	-1.66619	30.98138	0.989	0.429	1.85	179.14746	Si

Verifica di stabilità per tenso-flessione deviata §§ 5.5.3-5.5.4 ENV 1993-1-1:1992 + AC:1992 + A1:1994 + A2:1998

X	Comb.	Sfruttamento	Classe	NEd	Mx,Ed	Mx,Eff,Ed	My,Ed	χ,LT	kLT	ky	M,critico	Wx	Wy	Verifica
1.85	SLU 75	0.058	1	10.734	-2.07839	-1.76306	-0.01472	0.989	1	1	179.14746	0.0001196	0.0000589	Si

Verifica di stabilità per tenso-flessione deviata SLD §§ 5.5.3-5.5.4 ENV 1993-1-1:1992 + AC:1992 + A1:1994 + A2:1998

X	Comb.	Sfruttamento	Classe	NEd	Mx,Ed	Mx,Eff,Ed	My,Ed	χ,LT	kLT	ky	M,critico	Wx	Wy	Verifica
1.85	SLD 14	0.016	1	8.417	-0.53364	-0.28639	-0.10601	0.983	1	1	168.1588	0.0001196	0.0000589	Si

Verifica di stabilità per pressoflessione §C.4.2.4.1.3.3.2 NTC18

X	Comb.	Sfruttamento	Classe	NEd	NRk	Mx,Ed max	Mx,Rk	My,Ed max	My,Rk	χ,x	χ,y	kxx	kxy	kyy	χ,LT	Verifica	
1.85	SLV 2	0.098	1	-27.064	697.541	0.59156	32.89552	0.39771	16.19002	0.912	0.721	0.657	0.475	0.99	0.791	0.902	Si

Verifica di stabilità per pressoflessione SLD §C.4.2.4.1.3.3.2 NTC18

X	Comb.	Sfruttamento	Classe	NEd	NRk	Mx,Ed max	Mx,Rk	My,Ed max	My,Rk	χ,x	χ,y	kxx	kxy	kyy	χ,LT	Verifica	
0	SLD 1	0.042	1	-7.818	697.541	0.55932	32.89552	0.16879	16.19002	0.912	0.721	0.732	0.431	0.998	0.719	0.994	Si

Verifica di stabilità a taglio anima Y §4.2.4.1.2.4 [4.2.27] NTC18

η	hw	tw	hw/tw max	Verifica
1.2	0.098	0.005	55.46	Si

Verifica di stabilità a taglio anima Y SLD §4.2.4.1.2.4 [4.2.27] NTC18

η	hw	tw	hw/tw max	Verifica
1.2	0.098	0.005	55.46	Si

Verifiche a deformabilità

Mensola X: No; Mensola Y: No.

Frecce lungo X

Ascissa freccia	Combinazione	Freccia	Luce	L/f	L/f,min	Tipo	Verifica
0.74	SLE RA 1	-0.00002	1.85	10000	250	Totale	Si
0.74	SLE RA 17	-0.00003	1.85	10000	250	Totale	Si
0.74	SLE RA 16	-0.00004	1.85	10000	250	Totale	Si
0.678	SLE RA 15	-0.00002	1.85	10000	250	Totale	Si
0.74	SLE RA 14	-0.00005	1.85	10000	250	Totale	Si
0.74	SLE RA 2	0.00002	1.85	10000	350	Variabile	Si
0.74	SLE RA 17	-0.00001	1.85	10000	350	Variabile	Si
0.74	SLE RA 16	-0.00002	1.85	10000	350	Variabile	Si
1.11	SLE RA 15	0.00001	1.85	10000	350	Variabile	Si
0.802	SLE RA 14	-0.00003	1.85	10000	350	Variabile	Si

Frecce lungo Y

Ascissa freccia	Combinazione	Freccia	Luce	L/f	L/f,min	Tipo	Verifica
1.048	SLE RA 18	-0.00029	1.85	6280.9	250	Totale	Si
1.048	SLE RA 6	-0.00027	1.85	6946.7	250	Totale	Si
1.048	SLE RA 10	-0.00026	1.85	7115	250	Totale	Si
1.048	SLE RA 14	-0.00026	1.85	7115	250	Totale	Si
1.048	SLE RA 16	-0.00023	1.85	7929.7	250	Totale	Si
1.048	SLE RA 2	0.00001	1.85	10000	350	Variabile	Si
1.048	SLE RA 17	-0.00005	1.85	10000	350	Variabile	Si
1.048	SLE RA 16	-0.00001	1.85	10000	350	Variabile	Si
1.048	SLE RA 15	-0.00001	1.85	10000	350	Variabile	Si
1.048	SLE RA 14	-0.00013	1.85	10000	350	Variabile	Si

Superelemento in acciaio a quota "590" (-780; 987)-(-653; 1121)

Caratteristiche del materiale

Acciaio: S275, fyk = 275000

Caratteristiche geometriche

Lunghezza: 1.85
Nodo iniziale: 379 Nodo finale: 383
Cerniera iniziale: No Cerniera finale: No
Sovraresistenza: 0% Sisma Z: No

Caratteristiche della sezione

Sezione	Rotazione	Area	Jx	Jy	ix	iy	Wx	Wy	Wplx	Wply
HEA120	0	0.002537	0.0000060673	0.0000023091	0.0489	0.0302	0.00010644	0.00003849	0.00011962	0.00005887

Verifiche di resistenza

Verifiche a forza assiale §4.2.4.1.2.1 - §4.2.4.1.2.2 NTC18

X	Comb.	Sfruttamento	Classe	NEd	Nc,Rd	Nt,Rd	Riduzione da taglio	px	py	Verifica
0	SLV 9	0.036	1	-23.946	664.325		1	0	0	Si

Verifiche a forza assiale SLD §4.2.4.1.2.1 - §4.2.4.1.2.2 NTC18

X	Comb.	Sfruttamento	Classe	NEd	Nc,Rd	Nt,Rd	Riduzione da taglio	px	py	Verifica
1.788	SLD 9	0.013	1	-8.945	664.325		1	0	0	Si

Verifica a taglio X §4.2.4.1.2.4 NTC18

X	Comb.	Sfruttamento	VEd	Vc,Rd	Av	Interazione taglio-torsione	Riduzione torsione	Verifica
0.062	SLU 76	0.006	1.689	293.516	0.002047	Considerata	0.95	Si

Verifica a taglio X SLD §4.2.4.1.2.4 NTC18

X	Comb.	Sfruttamento	VEd	Vc,Rd	Av	Interazione taglio-torsione	Riduzione torsione	Verifica
1.85	SLD 4	0.002	0.643	304.051	0.002047	Considerata	0.98	Si

Verifica a taglio Y §4.2.4.1.2.4 NTC18

X	Comb.	Sfruttamento	VEd	Vc,Rd	Av	Interazione taglio-torsione	Riduzione torsione	Verifica
0	SLU 76	0.007	0.836	121.696	0.000849	Considerata	0.95	Si

Verifica a taglio Y SLD §4.2.4.1.2.4 NTC18

X	Comb.	Sfruttamento	VEd	Vc,Rd	Av	Interazione taglio-torsione	Riduzione torsione	Verifica
0	SLD 4	0.004	0.45	126.064	0.000849	Considerata	0.98	Si

Verifica a torsione §4.2.4.1.2.5 NTC18

X	Comb.	Sfruttamento torsione	TEd	TRd	Riduzione taglio resistente	Sfruttamento taglio-torsione	τEd,totale	τRd	Verifica
0	SLU 76	0.125	0.10681	0.85138	Considerata				Si

Verifica a torsione SLD §4.2.4.1.2.5 NTC18

X	Comb.	Sfruttamento torsione	TEd	TRd	Riduzione taglio resistente	Sfruttamento taglio-torsione	τEd,totale	τRd	Verifica
0	SLD 1	0.048	0.0405	0.85138	Considerata				Si

Verifica a flessione semplice Y §§ 4.2.4.1.2.3 - 4.2.4.1.2.6 - 4.2.4.1.2.7 - 4.2.4.1.2.8 NTC18

X	Comb.	Sfruttamento	Classe	My,Ed	My,Rd	Rid. My,Rd da VEd	px	py	Verifica
1.542	SLU 43	0.019	1	0.29537	15.41907	1	0	0	Si

Verifica a flessione deviata §§ 4.2.4.1.2.3 - 4.2.4.1.2.6 - 4.2.4.1.2.7 - 4.2.4.1.2.8 NTC18

X	Comb.	Sfruttamento	Classe	Mx,Ed	Mx,Rd	My,Ed	My,Rd	Rid. Mx,Rd da VEd	Rid. My,Rd da VEd	α	β	px	py	Verifica
1.85	SLU 43	0.025	1	0.0837	31.3291	0.3372	15.4191	1	1			0	0	Si

Verifica a presso/tenso flessione retta X §§ 4.2.4.1.2.3 - 4.2.4.1.2.6 - 4.2.4.1.2.7 - 4.2.4.1.2.8 NTC18

Verifiche eseguite utilizzando la formula conservativa (6.2) §6.2.1 EN 1993-1-1:2005.

X	Comb.	Sfruttamento	Classe	NEd	NRd	Rid. NRd da VEd	Mx,Ed	Mx,Rd	Rid. Mx,Rd da VEd	Rid. Mx,Rd da NEd	px	py	Verifica
0.493	SLV 7	0.039	1	21.22	664.325	1	-0.2304	31.3291	1		0	0	Si

Verifica a presso/tenso flessione retta Y §§ 4.2.4.1.2.3 - 4.2.4.1.2.6 - 4.2.4.1.2.7 - 4.2.4.1.2.8 NTC18

Verifiche eseguite utilizzando la formula conservativa (6.2) §6.2.1 EN 1993-1-1:2005.

X	Comb.	Sfruttamento	Classe	NEd	NRd	Rid. NRd da VEd	My,Ed	My,Rd	Rid. My,Rd da VEd	Rid. My,Rd da NEd	px	py	Verifica
0.308	SLU 38	0.117	1	-5.925	664.325	1	1.661	15.4191	1		0	0	Si

Verifica a presso/tenso flessione retta Y SLD §§ 4.2.4.1.2.3 - 4.2.4.1.2.6 - 4.2.4.1.2.7 - 4.2.4.1.2.8 NTC18

Verifiche eseguite utilizzando la formula conservativa (6.2) §6.2.1 EN 1993-1-1:2005.

X	Comb.	Sfruttamento	Classe	NEd	NRd	Rid. NRd da VEd	My,Ed	My,Rd	Rid. My,Rd da VEd	Rid. My,Rd da NEd	px	py	Verifica
1.788	SLD 10	0.108	1	-8.945	664.325	1	1.4642	15.4191	1		0	0	Si

Verifica a presso/tenso flessione deviata §§ 4.2.4.1.2.3 - 4.2.4.1.2.6 - 4.2.4.1.2.7 - 4.2.4.1.2.8 NTC18

Verifiche eseguite utilizzando la formula conservativa (6.2) §6.2.1 EN 1993-1-1:2005.

X	Comb.	Sfruttamento	Classe	NEd	NRd	Rid. NRd da VEd	Mx,Ed	Mx,Rd	My,Ed	My,Rd	Rid. Mx,Rd da VEd	Rid. Mx,Rd da NEd	Rid. My,Rd da VEd	Rid. My,Rd da NEd	α	β	px	py	Verifica
1.85	SLU 76	0.32	1	-6.16	664.325	1	-0.871	31.3291	4.3612	15.4191	1		1				0	0	Si

Verifica a presso/tenso flessione deviata SLD §§ 4.2.4.1.2.3 - 4.2.4.1.2.6 - 4.2.4.1.2.7 - 4.2.4.1.2.8 NTC18

Verifiche eseguite utilizzando la formula conservativa (6.2) §6.2.1 EN 1993-1-1:2005.

Implementazione dei sistemi di confinamento delle emissioni odorigene diffuse dell'impianto di compostaggio esistente nel
Comune di Eboli (SA)

PROGETTO DEFINITIVO – Tabulati di calcolo Tomo 1

X	Comb.	Sfruttamento	Classe	NEd	NRd	Rid. NRd da VEd	Mx,Ed	Mx,Rd	My,Ed	My,Rd	Rid. Mx,Rd da VEd	Rid. Mx,Rd da NEd	Rid. My,Rd da VEd	Rid. My,Rd da NEd	α	β	px	py	Verifica
1.85	SLD 2	0.121	1	2.583	664.325	1	-0.3134	31.3291	1.6585	15.4191	1		1				0	0	Si

Verifiche ad instabilità

Caratteristiche iniziali

Membratura principale per controllo snellezza; Calcolo di snellezze ed N critici condotti secondo gli assi principali;

Curva X: b; Curva Y: c; Svergolamento: Carico all'estradosso; Curva svergolamento: b;

Dati per instabilità attorno a x

Controllo della snellezza secondo §4.2.4.1.3.1 NTC18

Numero rit.	Presente	Ascissa	Campata	βx/m	Vincolo a entrambi estremi	λx/m	λVer
1	Si	0					
			1-2	1	Si	37.8	Si, (<200)
2	Si	1.85					

Dati per instabilità attorno a y

Controllo della snellezza secondo §4.2.4.1.3.1 NTC18

Numero rit.	Presente	Ascissa	Campata	βy/n	k,LT	kw,LT	Vincolo a entrambi estremi	λy/n	λVer
1	Si	0							
			1-2	1	1	1	Si	61.3	Si, (<200)
2	Si	1.85							

Verifica di stabilità per tenso-flessione deviata §§ 5.5.3-5.5.4 ENV 1993-1-1:1992 + AC:1992 + A1:1994 + A2:1998

X	Comb.	Sfruttamento	Classe	NEd	Mx,Ed	Mx,Eff,Ed	My,Ed	χ,LT	kLT	ky	M,critico	Wx	Wy	Verifica
1.85	SLV 1	0.149	1	10.327	-0.53526	-0.23191	2.18832	0.993	1	1	187.38946	0.0001196	0.0000589	Si

Verifica di stabilità per tenso-flessione deviata SLD §§ 5.5.3-5.5.4 ENV 1993-1-1:1992 + AC:1992 + A1:1994 + A2:1998

X	Comb.	Sfruttamento	Classe	NEd	Mx,Ed	Mx,Eff,Ed	My,Ed	χ,LT	kLT	ky	M,critico	Wx	Wy	Verifica
1.85	SLD 1	0.116	1	2.583	-0.31342	-0.23755	1.65853	0.902	1	1	82.10616	0.0001196	0.0000589	Si

Verifica di stabilità per pressoflessione §C.4.2.4.1.3.3.2 NTC18

X	Comb.	Sfruttamento	Classe	NEd	NRk	Mx,Ed max	Mx,Rk	My,Ed max	My,Rk	χ,x	χ,y	kxx	kxy	kyy	χ,LT	Verifica	
1.85	SLU 76	0.248	1	-6.16	697.541	0.87098	32.89552	4.36119	16.19002	0.912	0.721	0.596	0.433	0.997	0.721	0.902	Si

Verifica di stabilità per pressoflessione SLD §C.4.2.4.1.3.3.2 NTC18

X	Comb.	Sfruttamento	Classe	NEd	NRk	Mx,Ed max	Mx,Rk	My,Ed max	My,Rk	χ,x	χ,y	kxx	kxy	kyy	χ,LT	Verifica	
0	SLD 5	0.095	1	-5.521	697.541	0.11507	32.89552	1.65715	16.19002	0.912	0.721	0.994	0.441	0.999	0.735	0.902	Si

Verifica di stabilità a taglio anima Y §4.2.4.1.2.4 [4.2.27] NTC18

η	hw	tw	hw/tw max	Verifica
1.2	0.098	0.005	55.46	Si

Verifica di stabilità a taglio anima Y SLD §4.2.4.1.2.4 [4.2.27] NTC18

η	hw	tw	hw/tw max	Verifica
1.2	0.098	0.005	55.46	Si

Verifiche a deformabilità

Mensola X: No; Mensola Y: No.

Frecce lungo X

Ascissa freccia	Combinazione	Freccia	Luce	L/f	L/f,min	Tipo	Verifica
0.987	SLE RA 19	-0.00172	1.85	1074.9	250	Totale	Si
0.987	SLE RA 15	-0.00148	1.85	1247.1	250	Totale	Si
0.987	SLE RA 11	-0.00148	1.85	1247.1	250	Totale	Si
0.987	SLE RA 16	-0.00146	1.85	1266.3	250	Totale	Si
0.987	SLE RA 7	-0.00142	1.85	1303.4	250	Totale	Si
0.987	SLE RA 19	-0.00097	1.85	1901.3	350	Variabile	Si
0.987	SLE RA 15	-0.00074	1.85	2515.7	350	Variabile	Si
0.987	SLE RA 11	-0.00074	1.85	2515.7	350	Variabile	Si
0.987	SLE RA 16	-0.00071	1.85	2595.3	350	Variabile	Si
0.987	SLE RA 7	-0.00067	1.85	2756.2	350	Variabile	Si

Frecce lungo Y

Ascissa freccia	Combinazione	Freccia	Luce	L/f	L/f,min	Tipo	Verifica
1.048	SLE RA 1	-0.00005	1.85	10000	250	Totale	Si
1.048	SLE RA 17	-0.00007	1.85	10000	250	Totale	Si
1.11	SLE RA 16	-0.00009	1.85	10000	250	Totale	Si
1.11	SLE RA 15	-0.00009	1.85	10000	250	Totale	Si
1.048	SLE RA 14	-0.00007	1.85	10000	250	Totale	Si
1.11	SLE RA 2	0.00004	1.85	10000	350	Variabile	Si
1.11	SLE RA 17	-0.00002	1.85	10000	350	Variabile	Si
1.11	SLE RA 16	-0.00004	1.85	10000	350	Variabile	Si
1.172	SLE RA 15	-0.00004	1.85	10000	350	Variabile	Si
1.11	SLE RA 14	-0.00002	1.85	10000	350	Variabile	Si

Superelemento in acciaio a quota "590" (-796; -778)-(-669; -643)

Caratteristiche del materiale

Acciaio: S275, fyk = 275000

Caratteristiche geometriche

Lunghezza: 1.85

Nodo iniziale: 308 Nodo finale: 312

Cerniera iniziale: No Cerniera finale: No

Sovreresistenza: 0% Sisma Z: No

Implementazione dei sistemi di confinamento delle emissioni odorigene diffuse dell'impianto di compostaggio esistente nel
Comune di Eboli (SA)
PROGETTO DEFINITIVO – Tabulati di calcolo Tomo 1

Caratteristiche della sezione

Sezione	Rotazione	Area	Jx	Jy	ix	iy	Wx	Wy	Wplx	Wply
HEA120	0	0.002537	0.0000060673	0.0000023091	0.0489	0.0302	0.00010644	0.00003849	0.00011962	0.00005887

Verifiche di resistenza

Verifiche a forza assiale §4.2.4.1.2.1 - §4.2.4.1.2.2 NTC18

X	Comb.	Sfruttamento	Classe	NEd	Nc,Rd	Nt,Rd	Riduzione da taglio	px	py	Verifica
0	SLV 6	0.104	1	-69.019	664.325		1	0	0	Si

Verifiche a forza assiale SLD §4.2.4.1.2.1 - §4.2.4.1.2.2 NTC18

X	Comb.	Sfruttamento	Classe	NEd	Nc,Rd	Nt,Rd	Riduzione da taglio	px	py	Verifica
1.85	SLD 6	0.051	1	-33.827	664.325		1	0	0	Si

Verifica a taglio Y §4.2.4.1.2.4 NTC18

X	Comb.	Sfruttamento	VEd	Vc,Rd	Av	Interazione taglio-torsione	Riduzione torsione	Verifica
0	SLU 75	0.008	0.966	128.119	0.000849	Considerata	1	Si

Verifica a taglio Y SLD §4.2.4.1.2.4 NTC18

X	Comb.	Sfruttamento	VEd	Vc,Rd	Av	Interazione taglio-torsione	Riduzione torsione	Verifica
0	SLD 6	0.005	0.602	128.057	0.000849	Considerata	1	Si

Verifica a torsione §4.2.4.1.2.5 NTC18

X	Comb.	Sfruttamento torsione	TEd	TRd	Riduzione taglio resistente	Sfruttamento taglio-torsione	τEd,totale	τRd	Verifica
1.85	SLV 13	0.022	-0.01878	0.85138	Considerata				Si

Verifica a torsione SLD §4.2.4.1.2.5 NTC18

X	Comb.	Sfruttamento torsione	TEd	TRd	Riduzione taglio resistente	Sfruttamento taglio-torsione	τEd,totale	τRd	Verifica
0	SLD 14	0.008	-0.00684	0.85138	Considerata				Si

Verifica a flessione semplice Y §§ 4.2.4.1.2.3 - 4.2.4.1.2.6 - 4.2.4.1.2.7 - 4.2.4.1.2.8 NTC18

X	Comb.	Sfruttamento	Classe	My,Ed	My,Rd	Rid. My,Rd da VEd	px	py	Verifica
1.788	SLU 4	0.002	1	-0.024	15.41907	1	0	0	Si

Verifica a flessione deviata §§ 4.2.4.1.2.3 - 4.2.4.1.2.6 - 4.2.4.1.2.7 - 4.2.4.1.2.8 NTC18

X	Comb.	Sfruttamento	Classe	Mx,Ed	Mx,Rd	My,Ed	My,Rd	Rid. Mx,Rd da VEd	Rid. My,Rd da VEd	α	β	px	py	Verifica
0	SLU 40	0.006	1	0.1426	31.3291	-0.0234	15.4191	1	1			0	0	Si

Verifica a presso/tenso flessione retta X §§ 4.2.4.1.2.3 - 4.2.4.1.2.6 - 4.2.4.1.2.7 - 4.2.4.1.2.8 NTC18

Verifiche eseguite utilizzando la formula conservativa (6.2) §6.2.1 EN 1993-1-1:2005.

X	Comb.	Sfruttamento	Classe	NEd	NRd	Rid. NRd da VEd	Mx,Ed	Mx,Rd	Rid. Mx,Rd da VEd	Rid. Mx,Rd da NEd	px	py	Verifica
1.727	SLU 61	0.011	1	-6.287	664.325	1	-0.0335	31.3291	1		0	0	Si

Verifica a presso/tenso flessione retta Y §§ 4.2.4.1.2.3 - 4.2.4.1.2.6 - 4.2.4.1.2.7 - 4.2.4.1.2.8 NTC18

Verifiche eseguite utilizzando la formula conservativa (6.2) §6.2.1 EN 1993-1-1:2005.

X	Comb.	Sfruttamento	Classe	NEd	NRd	Rid. NRd da VEd	My,Ed	My,Rd	Rid. My,Rd da VEd	Rid. My,Rd da NEd	px	py	Verifica
1.85	SLV 4	0.106	1	-40.967	664.325	1	0.6851	15.4191	1		0	0	Si

Verifica a presso/tenso flessione retta Y SLD §§ 4.2.4.1.2.3 - 4.2.4.1.2.6 - 4.2.4.1.2.7 - 4.2.4.1.2.8 NTC18

Verifiche eseguite utilizzando la formula conservativa (6.2) §6.2.1 EN 1993-1-1:2005.

X	Comb.	Sfruttamento	Classe	NEd	NRd	Rid. NRd da VEd	My,Ed	My,Rd	Rid. My,Rd da VEd	Rid. My,Rd da NEd	px	py	Verifica
1.727	SLD 1	0.061	1	-33.097	664.325	1	0.1759	15.4191	1		0	0	Si

Verifica a presso/tenso flessione deviata §§ 4.2.4.1.2.3 - 4.2.4.1.2.6 - 4.2.4.1.2.7 - 4.2.4.1.2.8 NTC18

Verifiche eseguite utilizzando la formula conservativa (6.2) §6.2.1 EN 1993-1-1:2005.

X	Comb.	Sfruttamento	Classe	NEd	NRd	Rid. NRd da VEd	Mx,Ed	Mx,Rd	My,Ed	My,Rd	Rid. Mx,Rd da VEd	Rid. Mx,Rd da NEd	Rid. My,Rd da VEd	Rid. My,Rd da NEd	α	β	px	py	Verifica
0	SLV 2	0.183	1	-66.545	664.325	1	1.3508	31.3291	0.6117	15.4191	1		1				0	0	Si

Verifica a presso/tenso flessione deviata SLD §§ 4.2.4.1.2.3 - 4.2.4.1.2.6 - 4.2.4.1.2.7 - 4.2.4.1.2.8 NTC18

Verifiche eseguite utilizzando la formula conservativa (6.2) §6.2.1 EN 1993-1-1:2005.

X	Comb.	Sfruttamento	Classe	NEd	NRd	Rid. NRd da VEd	Mx,Ed	Mx,Rd	My,Ed	My,Rd	Rid. Mx,Rd da VEd	Rid. Mx,Rd da NEd	Rid. My,Rd da VEd	Rid. My,Rd da NEd	α	β	px	py	Verifica
0	SLD 1	0.092	1	-33.097	664.325	1	0.7397	31.3291	0.2883	15.4191	1		1				0	0	Si

Verifiche ad instabilità

Caratteristiche iniziali

Membratura principale per controllo snellezza; Calcolo di snellezze ed N critici condotti secondo gli assi principali;

Curva X: b; Curva Y: c; Svergolamento: Carico all'estradosso; Curva svergolamento: b;

Dati per instabilità attorno a x

Controllo della snellezza secondo §4.2.4.1.3.1 NTC18

Numero rit.	Presente	Ascissa	Campata	βx/m	Vincolo a entrambi estremi	λx/m	λVer
1	Si	0					
			1-2	1	Si	37.8	Si, (<200)
2	Si	1.85					

Dati per instabilità attorno a y

Controllo della snellezza secondo §4.2.4.1.3.1 NTC18

Numero rit.	Presente	Ascissa	Campata	βy/n	k,LT	kw,LT	Vincolo a entrambi estremi	λy/n	λVer
1	Si	0							
			1-2	1	1	1	Si	61.3	Si, (<200)

Implementazione dei sistemi di confinamento delle emissioni odorigene diffuse dell'impianto di compostaggio esistente nel
Comune di Eboli (SA)
PROGETTO DEFINITIVO – Tabulati di calcolo Tomo 1

Numero rit.	Presente	Ascissa	Campata	$\beta y/n$	k,LT	kw,LT	Vincolo a entrambi estremi	$\lambda y/n$	λVer
2	Si	1.85							

Verifica di stabilità per tenso-flessione deviata SLD §§ 5.5.3-5.5.4 ENV 1993-1-1:1992 + AC:1992 + A1:1994 + A2:1998

X	Comb.	Sfruttamento	Classe	NEd	Mx,Ed	Mx,Eff,Ed	My,Ed	χ_{LT}	kLT	ky	M,critico	Wx	Wy	Verifica
1.048	SLD 11	0.014	1	4.504	-0.13491	-0.0026	0.21551	0.902	1	1	82.10616	0.0001196	0.0000589	Si

Verifica di stabilità per pressoflessione §C.4.2.4.1.3.3.2 NTC18

X	Comb.	Sfruttamento	Classe	NEd	NRk	Mx,Ed max	Mx,Rk	My,Ed max	My,Rk	χ_x	χ_y	kxx	kxy	kyy	χ_{LT}	Verifica	
0	SLV 2	0.219	1	-66.545	697.541	1.35084	32.89552	0.61173	16.19002	0.912	0.721	0.587	0.574	0.97	0.957	0.992	Si

Verifica di stabilità per pressoflessione SLD §C.4.2.4.1.3.3.2 NTC18

X	Comb.	Sfruttamento	Classe	NEd	NRk	Mx,Ed max	Mx,Rk	My,Ed max	My,Rk	χ_x	χ_y	kxx	kxy	kyy	χ_{LT}	Verifica	
0	SLD 1	0.111	1	-33.097	697.541	0.73966	32.89552	0.28831	16.19002	0.912	0.721	0.502	0.527	0.98	0.879	0.902	Si

Verifica di stabilità a taglio anima Y §4.2.4.1.2.4 [4.2.27] NTC18

η	hw	tw	hw/tw max	Verifica
1.2	0.098	0.005	55.46	Si

Verifica di stabilità a taglio anima Y SLD §4.2.4.1.2.4 [4.2.27] NTC18

η	hw	tw	hw/tw max	Verifica
1.2	0.098	0.005	55.46	Si

Verifiche a deformabilità

Mensola X: No; Mensola Y: No.

Frecce lungo X

Ascissa freccia	Combinazione	Freccia	Luce	L/f	L/f,min	Tipo	Verifica
0.863	SLE RA 18	-0.0002	1.85	9368	250	Totale	Si
0.863	SLE RA 1	-0.00008	1.85	10000	250	Totale	Si
0.863	SLE RA 17	-0.00012	1.85	10000	250	Totale	Si
0.863	SLE RA 16	-0.00016	1.85	10000	250	Totale	Si
0.863	SLE RA 15	-0.00009	1.85	10000	250	Totale	Si
0.863	SLE RA 2	0.00007	1.85	10000	350	Variabile	Si
0.863	SLE RA 17	-0.00003	1.85	10000	350	Variabile	Si
0.863	SLE RA 16	-0.00008	1.85	10000	350	Variabile	Si
0.802	SLE RA 15	-0.00001	1.85	10000	350	Variabile	Si
0.863	SLE RA 14	-0.00009	1.85	10000	350	Variabile	Si

Frecce lungo Y

Ascissa freccia	Combinazione	Freccia	Luce	L/f	L/f,min	Tipo	Verifica
0.617	SLE RA 1	0.00003	1.85	10000	250	Totale	Si
0.617	SLE RA 17	0.00005	1.85	10000	250	Totale	Si
0.678	SLE RA 16	0.00007	1.85	10000	250	Totale	Si
0.617	SLE RA 15	0.00004	1.85	10000	250	Totale	Si
0.678	SLE RA 14	0.00007	1.85	10000	250	Totale	Si
0.74	SLE RA 2	-0.00003	1.85	10000	350	Variabile	Si
0.74	SLE RA 17	0.00001	1.85	10000	350	Variabile	Si
0.74	SLE RA 16	0.00003	1.85	10000	350	Variabile	Si
0.74	SLE RA 15	0	1.85	10000	350	Variabile	Si
0.74	SLE RA 14	0.00004	1.85	10000	350	Variabile	Si

Superelemento in acciaio a quota "590" (-908; 851)-(-780; 986)

Caratteristiche del materiale

Acciaio: S275, fyk = 275000

Caratteristiche geometriche

Lunghezza: 1.855

Nodo iniziale: 370 Nodo finale: 379

Cerniera iniziale: No Cerniera finale: No

Sovreresistenza: 0% Sisma Z: No

Caratteristiche della sezione

Sezione	Rotazione	Area	Jx	Jy	ix	iy	Wx	Wy	Wplx	Wply
HEA120	0	0.002537	0.0000060673	0.0000023091	0.0489	0.0302	0.00010644	0.00003849	0.00011962	0.00005887

Verifiche di resistenza

Verifiche a forza assiale §4.2.4.1.2.1 - §4.2.4.1.2.2 NTC18

X	Comb.	Sfruttamento	Classe	NEd	Nc,Rd	Nt,Rd	Riduzione da taglio	px	py	Verifica
1.855	SLU 76	0.092	1	-61.293	664.325		1	0	0	Si

Verifiche a forza assiale SLD §4.2.4.1.2.1 - §4.2.4.1.2.2 NTC18

X	Comb.	Sfruttamento	Classe	NEd	Nc,Rd	Nt,Rd	Riduzione da taglio	px	py	Verifica
1.855	SLD 11	0.03	1	-19.855	664.325		1	0	0	Si

Verifica a taglio X §4.2.4.1.2.4 NTC18

X	Comb.	Sfruttamento	VEd	Vc,Rd	Av	Interazione taglio-torsione	Riduzione torsione	Verifica
0.557	SLU 76	0.005	1.63	300.001	0.002047	Considerata	0.97	Si

Verifica a taglio X SLD §4.2.4.1.2.4 NTC18

X	Comb.	Sfruttamento	VEd	Vc,Rd	Av	Interazione taglio-torsione	Riduzione torsione	Verifica
1.855	SLD 4	0.002	0.691	308.326	0.002047	Considerata	1	Si

Implementazione dei sistemi di confinamento delle emissioni odorigene diffuse dell'impianto di compostaggio esistente nel
Comune di Eboli (SA)
PROGETTO DEFINITIVO – Tabulati di calcolo Tomo 1

Verifica a taglio Y §4.2.4.1.2.4 NTC18

X	Comb.	Sfruttamento	VEd	Vc,Rd	Av	Interazione taglio-torsione	Riduzione torsione	Verifica
0	SLU 76	0.011	1.336	124.385	0.000849	Considerata	0.97	Si

Verifica a taglio Y SLD §4.2.4.1.2.4 NTC18

X	Comb.	Sfruttamento	VEd	Vc,Rd	Av	Interazione taglio-torsione	Riduzione torsione	Verifica
0	SLD 13	0.006	0.754	126.447	0.000849	Considerata	0.99	Si

Verifica a torsione §4.2.4.1.2.5 NTC18

X	Comb.	Sfruttamento torsione	TEd	TRd	Riduzione taglio resistente	Sfruttamento taglio-torsione	τEd,totale	τRd	Verifica
0	SLU 76	0.075	0.06403	0.85138	Considerata				Si

Verifica a torsione SLD §4.2.4.1.2.5 NTC18

X	Comb.	Sfruttamento torsione	TEd	TRd	Riduzione taglio resistente	Sfruttamento taglio-torsione	τEd,totale	τRd	Verifica
1.793	SLD 14	0.036	0.03058	0.85138	Considerata				Si

Verifica a presso/tenso flessione retta X §§ 4.2.4.1.2.3 - 4.2.4.1.2.6 - 4.2.4.1.2.7 - 4.2.4.1.2.8 NTC18

Verifiche eseguite utilizzando la formula conservativa (6.2) §6.2.1 EN 1993-1-1:2005.

X	Comb.	Sfruttamento	Classe	NEd	NRd	Rid. NRd da VEd	Mx,Ed	Mx,Rd	Rid. Mx,Rd da VEd	Rid. Mx,Rd da NEd	px	py	Verifica
1.113	SLU 75	0.082	1	-41.488	664.325	1	0.626	31.3291	1		0	0	Si

Verifica a presso/tenso flessione retta X SLD §§ 4.2.4.1.2.3 - 4.2.4.1.2.6 - 4.2.4.1.2.7 - 4.2.4.1.2.8 NTC18

Verifiche eseguite utilizzando la formula conservativa (6.2) §6.2.1 EN 1993-1-1:2005.

X	Comb.	Sfruttamento	Classe	NEd	NRd	Rid. NRd da VEd	Mx,Ed	Mx,Rd	Rid. Mx,Rd da VEd	Rid. Mx,Rd da NEd	px	py	Verifica
0.371	SLD 13	0.055	1	-19.318	664.325	1	0.8128	31.3291	1		0	0	Si

Verifica a presso/tenso flessione retta Y §§ 4.2.4.1.2.3 - 4.2.4.1.2.6 - 4.2.4.1.2.7 - 4.2.4.1.2.8 NTC18

Verifiche eseguite utilizzando la formula conservativa (6.2) §6.2.1 EN 1993-1-1:2005.

X	Comb.	Sfruttamento	Classe	NEd	NRd	Rid. NRd da VEd	My,Ed	My,Rd	Rid. My,Rd da VEd	Rid. My,Rd da NEd	px	py	Verifica
1.855	SLV 10	0.088	1	-17.382	664.325	1	0.9565	15.4191	1		0	0	Si

Verifica a presso/tenso flessione deviata §§ 4.2.4.1.2.3 - 4.2.4.1.2.6 - 4.2.4.1.2.7 - 4.2.4.1.2.8 NTC18

Verifiche eseguite utilizzando la formula conservativa (6.2) §6.2.1 EN 1993-1-1:2005.

X	Comb.	Sfruttamento	Classe	NEd	NRd	Rid. NRd da VEd	Mx,Ed	Mx,Rd	My,Ed	My,Rd	Rid. Mx,Rd da VEd	Rid. Mx,Rd da NEd	Rid. My,Rd da VEd	Rid. My,Rd da NEd	α	β	px	py	Verifica
0	SLU 76	0.278	1	-61.293	664.325	1	2.2454	31.3291	-1.7518	15.4191	1		1				0	0	Si

Verifica a presso/tenso flessione deviata SLD §§ 4.2.4.1.2.3 - 4.2.4.1.2.6 - 4.2.4.1.2.7 - 4.2.4.1.2.8 NTC18

Verifiche eseguite utilizzando la formula conservativa (6.2) §6.2.1 EN 1993-1-1:2005.

X	Comb.	Sfruttamento	Classe	NEd	NRd	Rid. NRd da VEd	Mx,Ed	Mx,Rd	My,Ed	My,Rd	Rid. Mx,Rd da VEd	Rid. Mx,Rd da NEd	Rid. My,Rd da VEd	Rid. My,Rd da NEd	α	β	px	py	Verifica
0	SLD 7	0.107	1	-19.422	664.325	1	0.4549	31.3291	-0.9683	15.4191	1		1				0	0	Si

Verifiche ad instabilità

Caratteristiche iniziali

Membratura principale per controllo snellezza; Calcolo di snellezze ed N critici condotti secondo gli assi principali;

Curva X: b; Curva Y: c; Svergolamento: Carico all'estradosso; Curva svergolamento: b;

Dati per instabilità attorno a x

Controllo della snellezza secondo §4.2.4.1.3.1 NTC18

Numero rit.	Presente	Ascissa	Campata	βx/m	Vincolo a entrambi estremi	λx/m	λVer
1	Si	0					
2	Si	1.855	1-2	1	Si	37.9	Si, (<200)

Dati per instabilità attorno a y

Controllo della snellezza secondo §4.2.4.1.3.1 NTC18

Numero rit.	Presente	Ascissa	Campata	βy/n	k,LT	kw,LT	Vincolo a entrambi estremi	λy/n	λVer
1	Si	0							
2	Si	1.855	1-2	1	1	1	Si	61.5	Si, (<200)

Verifica a svergolamento con trazione §4.2.4.1.3.2 NTC18 § 5.5.3 ENV 1993-1-1:1992 + AC:1992 + A1:1994 + A2:1998

X	Comb.	Sfruttamento	Classe	Obblig.	NEd	Mx,Ed	Mx,Eff,Ed	Mb,Rd,x	χ,LT	λ adim. LT	L,LT	M,critico	Verifica
0.928	SLU 40	0.001	1	Si	2.755	-0.11265	-0.03172	28.24157	0.901	0.634	1.855	81.80595	Si

Verifica di stabilità per tenso-flessione deviata §§ 5.5.3-5.5.4 ENV 1993-1-1:1992 + AC:1992 + A1:1994 + A2:1998

X	Comb.	Sfruttamento	Classe	NEd	Mx,Ed	Mx,Eff,Ed	My,Ed	χ,LT	kLT	ky	M,critico	Wx	Wy	Verifica
1.546	SLU 40	0.004	1	2.755	-0.08511	-0.00418	-0.06119	0.901	1	1	81.80595	0.0001196	0.0000589	Si

Verifica di stabilità per pressoflessione §C.4.2.4.1.3.3.2 NTC18

X	Comb.	Sfruttamento	Classe	NEd	NRk	Mx,Ed max	Mx,Rk	My,Ed max	My,Rk	χ,x	χ,y	kxx	kxy	kyy	χ,LT	Verifica
1.299	SLU 76	0.249	1	-61.293	697.541	2.24535	32.89552	1.75179	16.19002	0.911	0.72	0.613	0.265	0.974	0.442	0.989

Verifica di stabilità per pressoflessione SLD §C.4.2.4.1.3.3.2 NTC18

X	Comb.	Sfruttamento	Classe	NEd	NRk	Mx,Ed max	Mx,Rk	My,Ed max	My,Rk	χ,x	χ,y	kxx	kxy	kyy	χ,LT	Verifica
0	SLD 14	0.093	1	-19.318	697.541	1.07872	32.89552	0.57767	16.19002	0.911	0.72	0.549	0.291	0.99	0.485	0.991

Verifica di stabilità a taglio anima Y §4.2.4.1.2.4 [4.2.27] NTC18

η	hw	tw	hw/tw max	Verifica
1.2	0.098	0.005	55.46	Si

Verifica di stabilità a taglio anima Y SLD §4.2.4.1.2.4 [4.2.27] NTC18

η	hw	tw	hw/tw max	Verifica
1.2	0.098	0.005	55.46	Si

Implementazione dei sistemi di confinamento delle emissioni odorigene diffuse dell'impianto di compostaggio esistente nel
Comune di Eboli (SA)
PROGETTO DEFINITIVO – Tabulati di calcolo Tomo 1

Verifiche a deformabilità

Mensola X: No; Mensola Y: No.

Frecce lungo X

Ascissa freccia	Combinazione	Freccia	Luce	L/f	L/f,min	Tipo	Verifica
0.495	SLE RA 19	0.00023	1.855	8095.2	250	Totale	Si
0.557	SLE RA 16	0.00021	1.855	8964.9	250	Totale	Si
0.495	SLE RA 15	0.0002	1.855	9415.2	250	Totale	Si
0.495	SLE RA 11	0.0002	1.855	9415.2	250	Totale	Si
0.557	SLE RA 17	0.00015	1.855	10000	250	Totale	Si
0.495	SLE RA 2	-0.00009	1.855	10000	350	Variabile	Si
0.495	SLE RA 17	0.00004	1.855	10000	350	Variabile	Si
0.495	SLE RA 16	0.0001	1.855	10000	350	Variabile	Si
0.495	SLE RA 15	0.00009	1.855	10000	350	Variabile	Si
0.618	SLE RA 14	0.00004	1.855	10000	350	Variabile	Si

Frecce lungo Y

Ascissa freccia	Combinazione	Freccia	Luce	L/f	L/f,min	Tipo	Verifica
0.804	SLE RA 19	0.00027	1.855	6901	250	Totale	Si
0.804	SLE RA 15	0.00023	1.855	8041.2	250	Totale	Si
0.804	SLE RA 11	0.00023	1.855	8041.2	250	Totale	Si
0.804	SLE RA 16	0.00023	1.855	8078.9	250	Totale	Si
0.804	SLE RA 7	0.00022	1.855	8481.9	250	Totale	Si
0.804	SLE RA 2	-0.00011	1.855	10000	350	Variabile	Si
0.804	SLE RA 17	0.00005	1.855	10000	350	Variabile	Si
0.804	SLE RA 16	0.00011	1.855	10000	350	Variabile	Si
0.804	SLE RA 15	0.00012	1.855	10000	350	Variabile	Si
0.804	SLE RA 14	0.00004	1.855	10000	350	Variabile	Si

Superelemento in acciaio a quota "590" (-923; -912)-(-796; -778)

Caratteristiche del materiale

Acciaio: S275, fyk = 275000

Caratteristiche geometriche

Lunghezza: 1.85

Nodo iniziale: 305 Nodo finale: 308

Cerniera iniziale: No Cerniera finale: No

Sovreresistenza: 0% Sisma Z: No

Caratteristiche della sezione

Sezione	Rotazione	Area	Jx	Jy	ix	iy	Wx	Wy	Wplx	Wply
HEA120	0	0.002537	0.0000060673	0.0000023091	0.0489	0.0302	0.00010644	0.00003849	0.00011962	0.00005887

Verifiche di resistenza

Verifiche a forza assiale §4.2.4.1.2.1 - §4.2.4.1.2.2 NTC18

X	Comb.	Sfruttamento	Classe	NEd	Nc,Rd	Nt,Rd	Riduzione da taglio	px	py	Verifica
0.555	SLU 75	0.064		42.573		664.325	1	0	0	Si

Verifiche a forza assiale SLD §4.2.4.1.2.1 - §4.2.4.1.2.2 NTC18

X	Comb.	Sfruttamento	Classe	NEd	Nc,Rd	Nt,Rd	Riduzione da taglio	px	py	Verifica
1.85	SLD 10	0.029		19.382		664.325	1	0	0	Si

Verifica a taglio X §4.2.4.1.2.4 NTC18

X	Comb.	Sfruttamento	VEd	Vc,Rd	Av	Interazione taglio-torsione	Riduzione torsione	Verifica
0.493	SLU 75	0.001	0.293	308.657	0.002047	Considerata	1	Si

Verifica a taglio Y §4.2.4.1.2.4 NTC18

X	Comb.	Sfruttamento	VEd	Vc,Rd	Av	Interazione taglio-torsione	Riduzione torsione	Verifica
1.85	SLU 75	0.01	-1.224	127.973	0.000849	Considerata	1	Si

Verifica a taglio Y SLD §4.2.4.1.2.4 NTC18

X	Comb.	Sfruttamento	VEd	Vc,Rd	Av	Interazione taglio-torsione	Riduzione torsione	Verifica
1.85	SLD 6	0.006	-0.728	128.007	0.000849	Considerata	1	Si

Verifica a torsione §4.2.4.1.2.5 NTC18

X	Comb.	Sfruttamento torsione	TEd	TRd	Riduzione taglio resistente	Sfruttamento taglio-torsione	rEd,totale	rRd	Verifica
1.85	SLV 3	0.045	0.0383	0.85138	Considerata				Si

Verifica a torsione SLD §4.2.4.1.2.5 NTC18

X	Comb.	Sfruttamento torsione	TEd	TRd	Riduzione taglio resistente	Sfruttamento taglio-torsione	rEd,totale	rRd	Verifica
1.85	SLD 4	0.016	0.0134	0.85138	Considerata				Si

Verifica a presso/tenso flessione retta X §§ 4.2.4.1.2.3 - 4.2.4.1.2.6 - 4.2.4.1.2.7 - 4.2.4.1.2.8 NTC18

Verifiche eseguite utilizzando la formula conservativa (6.2) §6.2.1 EN 1993-1-1:2005.

X	Comb.	Sfruttamento	Classe	NEd	NRd	Rid. NRd da VEd	Mx,Ed	Mx,Rd	Rid. Mx,Rd da VEd	Rid. Mx,Rd da NEd	px	py	Verifica
0.247	SLU 63	0.067	1	35.161	664.325	1	-0.4443	31.3291	1		0	0	Si

Verifica a presso/tenso flessione retta Y §§ 4.2.4.1.2.3 - 4.2.4.1.2.6 - 4.2.4.1.2.7 - 4.2.4.1.2.8 NTC18

Verifiche eseguite utilizzando la formula conservativa (6.2) §6.2.1 EN 1993-1-1:2005.

X	Comb.	Sfruttamento	Classe	NEd	NRd	Rid. NRd da VEd	My,Ed	My,Rd	Rid. My,Rd da VEd	Rid. My,Rd da NEd	px	py	Verifica
0.863	SLU 52	0.06	1	33.817	664.325	1	0.135	15.4191	1		0	0	Si

Implementazione dei sistemi di confinamento delle emissioni odorigene diffuse dell'impianto di compostaggio esistente nel
Comune di Eboli (SA)
PROGETTO DEFINITIVO – Tabulati di calcolo Tomo 1

Verifica a presso/tenso flessione retta Y SLD §§ 4.2.4.1.2.3 - 4.2.4.1.2.6 - 4.2.4.1.2.7 - 4.2.4.1.2.8 NTC18

Verifiche eseguite utilizzando la formula conservativa (6.2) §6.2.1 EN 1993-1-1:2005.

X	Comb.	Sfruttamento	Classe	NEd	NRd	Rid. NRd da VEd	My,Ed	My,Rd	Rid. My,Rd da VEd	Rid. My,Rd da NEd	px	py	Verifica
0.74	SLD 9	0.043	1	19.382	664.325	1	-0.2196	15.4191	1		0	0	Si

Verifica a presso/tenso flessione deviata §§ 4.2.4.1.2.3 - 4.2.4.1.2.6 - 4.2.4.1.2.7 - 4.2.4.1.2.8 NTC18

Verifiche eseguite utilizzando la formula conservativa (6.2) §6.2.1 EN 1993-1-1:2005.

X	Comb.	Sfruttamento	Classe	NEd	NRd	Rid. NRd da VEd	Mx,Ed	Mx,Rd	My,Ed	My,Rd	Rid. Mx,Rd da VEd	Rid. Mx,Rd da NEd	Rid. My,Rd da VEd	Rid. My,Rd da NEd	α	β	ρx	ρy	Verifica
1.85	SLU 75	0.129	1	42.573	664.325	1	1.0993	31.3291	0.459	15.4191	1		1				0	0	Si

Verifica a presso/tenso flessione deviata SLD §§ 4.2.4.1.2.3 - 4.2.4.1.2.6 - 4.2.4.1.2.7 - 4.2.4.1.2.8 NTC18

Verifiche eseguite utilizzando la formula conservativa (6.2) §6.2.1 EN 1993-1-1:2005.

X	Comb.	Sfruttamento	Classe	NEd	NRd	Rid. NRd da VEd	Mx,Ed	Mx,Rd	My,Ed	My,Rd	Rid. Mx,Rd da VEd	Rid. Mx,Rd da NEd	Rid. My,Rd da VEd	Rid. My,Rd da NEd	α	β	ρx	ρy	Verifica
1.85	SLD 3	0.061	1	10.235	664.325	1	0.571	31.3291	0.4288	15.4191	1		1				0	0	Si

Verifiche ad instabilità

Caratteristiche iniziali

Membratura principale per controllo snellezza; Calcolo di snellezze ed N critici condotti secondo gli assi principali;

Curva X: b; Curva Y: c; Svergolamento: Carico all'estradosso; Curva svergolamento: b;

Dati per instabilità attorno a x

Controllo della snellezza secondo §4.2.4.1.3.1 NTC18

Numero rit.	Presente	Ascissa	Campata	βx/m	Vincolo a entrambi estremi	λx/m	λVer
1	Si		0				
			1-2		1	37.8	Si, (<200)
2	Si		1.85				

Dati per instabilità attorno a y

Controllo della snellezza secondo §4.2.4.1.3.1 NTC18

Numero rit.	Presente	Ascissa	Campata	βy/n	k,LT	kw,LT	Vincolo a entrambi estremi	λy/n	λVer
1	Si		0						
			1-2		1	1	Si	61.3	Si, (<200)
2	Si		1.85						

Verifica a svergolamento con trazione §4.2.4.1.3.2 NTC18 § 5.5.3 ENV 1993-1-1:1992 + AC:1992 + A1:1994 + A2:1998

X	Comb.	Sfruttamento	Classe	Obblig.	NEd	Mx,Ed	Mx,Eff,Ed	Mb,Rd,x	χ,LT	λ adim. LT	L,LT	M,critico	Verifica
0.123	SLU 40	0	1	Si	1.151	-0.0374	-0.0036	28.25853	0.902	0.633	1.85	82.10616	Si

Verifica di stabilità per tenso-flessione deviata §§ 5.5.3-5.5.4 ENV 1993-1-1:1992 + AC:1992 + A1:1994 + A2:1998

X	Comb.	Sfruttamento	Classe	NEd	Mx,Ed	Mx,Eff,Ed	My,Ed	χ,LT	kLT	ky	M,critico	Wx	Wy	Verifica
1.85	SLV 3	0.097	1	1.197	0.87701	0.84184	1.03703	0.902	1	1	82.10616	0.0001196	0.0000589	Si

Verifica di stabilità per tenso-flessione deviata SLD §§ 5.5.3-5.5.4 ENV 1993-1-1:1992 + AC:1992 + A1:1994 + A2:1998

X	Comb.	Sfruttamento	Classe	NEd	Mx,Ed	Mx,Eff,Ed	My,Ed	χ,LT	kLT	ky	M,critico	Wx	Wy	Verifica
1.85	SLD 3	0.037	1	10.235	0.57104	0.27036	0.42882	0.902	1	1	82.10616	0.0001196	0.0000589	Si

Verifica di stabilità per pressoflessione §C.4.2.4.1.3.3.2 NTC18

X	Comb.	Sfruttamento	Classe	NEd	NRk	Mx,Ed max	Mx,Rk	My,Ed max	My,Rk	χ,x	χ,y	kxx	kxy	kyy	χ,LT	Verifica	
0	SLU 2	0.008	1	-1.913	697.541	0.05001	32.89552	0.04935	16.19002	0.912	0.721	0.819	0.338	1	0.564	0.902	Si

Verifica di stabilità a taglio anima Y §4.2.4.1.2.4 [4.2.27] NTC18

η	hw	tw	hw/tw max	Verifica
1.2	0.098	0.005	55.46	Si

Verifica di stabilità a taglio anima Y SLD §4.2.4.1.2.4 [4.2.27] NTC18

η	hw	tw	hw/tw max	Verifica
1.2	0.098	0.005	55.46	Si

Verifiche a deformabilità

Mensola X: No; Mensola Y: No.

Frecce lungo X

Ascissa freccia	Combinazione	Freccia	Luce	L/f	L/f,min	Tipo	Verifica
1.11	SLE RA 1	-0.00005	1.85	10000	250	Totale	Si
1.11	SLE RA 17	-0.00007	1.85	10000	250	Totale	Si
1.11	SLE RA 16	-0.00009	1.85	10000	250	Totale	Si
1.172	SLE RA 15	-0.00005	1.85	10000	250	Totale	Si
1.11	SLE RA 14	-0.0001	1.85	10000	250	Totale	Si
1.11	SLE RA 2	0.00004	1.85	10000	350	Variabile	Si
1.11	SLE RA 17	-0.00002	1.85	10000	350	Variabile	Si
1.11	SLE RA 16	-0.00005	1.85	10000	350	Variabile	Si
1.295	SLE RA 15	-0.00001	1.85	10000	350	Variabile	Si
1.11	SLE RA 14	-0.00006	1.85	10000	350	Variabile	Si

Frecce lungo Y

Ascissa freccia	Combinazione	Freccia	Luce	L/f	L/f,min	Tipo	Verifica
1.48	SLE RA 1	0.00002	1.85	10000	250	Totale	Si
1.418	SLE RA 17	0.00002	1.85	10000	250	Totale	Si
1.418	SLE RA 16	0.00003	1.85	10000	250	Totale	Si
0.432	SLE RA 15	-0.00002	1.85	10000	250	Totale	Si
1.418	SLE RA 14	0.00004	1.85	10000	250	Totale	Si
1.357	SLE RA 2	-0.00001	1.85	10000	350	Variabile	Si
1.357	SLE RA 17	0.00001	1.85	10000	350	Variabile	Si
1.357	SLE RA 16	0.00002	1.85	10000	350	Variabile	Si
0.678	SLE RA 15	-0.00001	1.85	10000	350	Variabile	Si
1.295	SLE RA 14	0.00002	1.85	10000	350	Variabile	Si

Superelemento in acciaio a quota "590" (-1035; 718)-(-908; 853)

Caratteristiche del materiale

Acciaio: S275, fyk = 275000

Caratteristiche geometriche

Lunghezza: 1.85

Nodo iniziale: 366 Nodo finale: 372

Cerniera iniziale: No Cerniera finale: No

Sovraresistenza: 0% Sisma Z: No

Caratteristiche della sezione

Sezione	Rotazione	Area	Jx	Jy	ix	iy	Wx	Wy	Wplx	Wply
HEA120	0	0.002537	0.0000060673	0.0000023091	0.0489	0.0302	0.00010644	0.00003849	0.00011962	0.00005887

Verifiche di resistenza

Verifiche a forza assiale §4.2.4.1.2.1 - §4.2.4.1.2.2 NTC18

X	Comb.	Sfruttamento	Classe	NEd	Nc,Rd	Nt,Rd	Riduzione da taglio	px	py	Verifica
1.788	SLU 76	0.085	1	-56.312	664.325		1	0	0	Si

Verifiche a forza assiale SLD §4.2.4.1.2.1 - §4.2.4.1.2.2 NTC18

X	Comb.	Sfruttamento	Classe	NEd	Nc,Rd	Nt,Rd	Riduzione da taglio	px	py	Verifica
1.788	SLD 14	0.039	1	-26.078	664.325		1	0	0	Si

Verifica a taglio X §4.2.4.1.2.4 NTC18

X	Comb.	Sfruttamento	VEd	Vc,Rd	Av	Interazione taglio-torsione	Riduzione torsione	Verifica
0.863	SLV 3	0.002	-0.678	306.465	0.002047	Considerata	0.99	Si

Verifica a taglio X SLD §4.2.4.1.2.4 NTC18

X	Comb.	Sfruttamento	VEd	Vc,Rd	Av	Interazione taglio-torsione	Riduzione torsione	Verifica
1.85	SLD 4	0.001	-0.305	307.915	0.002047	Considerata	1	Si

Verifica a taglio Y §4.2.4.1.2.4 NTC18

X	Comb.	Sfruttamento	VEd	Vc,Rd	Av	Interazione taglio-torsione	Riduzione torsione	Verifica
1.85	SLV 4	0.006	-0.762	127.064	0.000849	Considerata	0.99	Si

Verifica a taglio Y SLD §4.2.4.1.2.4 NTC18

X	Comb.	Sfruttamento	VEd	Vc,Rd	Av	Interazione taglio-torsione	Riduzione torsione	Verifica
1.85	SLD 3	0.004	-0.509	127.666	0.000849	Considerata	1	Si

Verifica a torsione §4.2.4.1.2.5 NTC18

X	Comb.	Sfruttamento torsione	TEd	TRd	Riduzione taglio resistente	Sfruttamento taglio-torsione	τEd,totale	τRd	Verifica
0	SLV 3	0.024	0.02047	0.85138	Considerata				Si

Verifica a torsione SLD §4.2.4.1.2.5 NTC18

X	Comb.	Sfruttamento torsione	TEd	TRd	Riduzione taglio resistente	Sfruttamento taglio-torsione	τEd,totale	τRd	Verifica
1.85	SLD 4	0.012	0.01056	0.85138	Considerata				Si

Verifica a presso/tenso flessione retta X §§ 4.2.4.1.2.3 - 4.2.4.1.2.6 - 4.2.4.1.2.7 - 4.2.4.1.2.8 NTC18

Verifiche eseguite utilizzando la formula conservativa (6.2) §6.2.1 EN 1993-1-1:2005.

X	Comb.	Sfruttamento	Classe	NEd	NRd	Rid. NRd da VEd	Mx,Ed	Mx,Rd	Rid. Mx,Rd da VEd	Rid. Mx,Rd da NEd	px	py	Verifica
0.062	SLV 9	0.064	1	-40.693	664.325	1	0.0904	31.3291	1		0	0	Si

Verifica a presso/tenso flessione retta Y §§ 4.2.4.1.2.3 - 4.2.4.1.2.6 - 4.2.4.1.2.7 - 4.2.4.1.2.8 NTC18

Verifiche eseguite utilizzando la formula conservativa (6.2) §6.2.1 EN 1993-1-1:2005.

X	Comb.	Sfruttamento	Classe	NEd	NRd	Rid. NRd da VEd	My,Ed	My,Rd	Rid. My,Rd da VEd	Rid. My,Rd da NEd	px	py	Verifica
0.37	SLV 13	0.068	1	-40.73	664.325	1	0.0992	15.4191	1		0	0	Si

Verifica a presso/tenso flessione retta Y SLD §§ 4.2.4.1.2.3 - 4.2.4.1.2.6 - 4.2.4.1.2.7 - 4.2.4.1.2.8 NTC18

Verifiche eseguite utilizzando la formula conservativa (6.2) §6.2.1 EN 1993-1-1:2005.

X	Comb.	Sfruttamento	Classe	NEd	NRd	Rid. NRd da VEd	My,Ed	My,Rd	Rid. My,Rd da VEd	Rid. My,Rd da NEd	px	py	Verifica
0	SLD 13	0.052	1	-26.078	664.325	1	-0.2018	15.4191	1		0	0	Si

Verifica a presso/tenso flessione deviata §§ 4.2.4.1.2.3 - 4.2.4.1.2.6 - 4.2.4.1.2.7 - 4.2.4.1.2.8 NTC18

Verifiche eseguite utilizzando la formula conservativa (6.2) §6.2.1 EN 1993-1-1:2005.

X	Comb.	Sfruttamento	Classe	NEd	NRd	Rid. NRd da VEd	Mx,Ed	Mx,Rd	My,Ed	My,Rd	Rid. Mx,Rd da VEd	Rid. Mx,Rd da NEd	Rid. My,Rd da VEd	Rid. My,Rd da NEd	α	β	px	py	Verifica
1.85	SLU 76	0.23	1	-56.312	664.325	1	0.9398	31.3291	-1.7735	15.4191	1		1				0	0	Si

Verifica a presso/tenso flessione deviata SLD §§ 4.2.4.1.2.3 - 4.2.4.1.2.6 - 4.2.4.1.2.7 - 4.2.4.1.2.8 NTC18

Verifiche eseguite utilizzando la formula conservativa (6.2) §6.2.1 EN 1993-1-1:2005.

X	Comb.	Sfruttamento	Classe	NEd	NRd	Rid. NRd da VEd	Mx,Ed	Mx,Rd	My,Ed	My,Rd	Rid. Mx,Rd da VEd	Rid. Mx,Rd da NEd	Rid. My,Rd da VEd	Rid. My,Rd da NEd	α	β	px	py	Verifica
1.85	SLD 4	0.095	1	-9.177	664.325	1	0.5913	31.3291	-0.9664	15.4191	1		1				0	0	Si

Verifiche ad instabilità

Caratteristiche iniziali

Membratura principale per controllo snellezza; Calcolo di snellezze ed N critici condotti secondo gli assi principali;

Curva X: b; Curva Y: c; Svergolamento: Carico all'estradosso; Curva svergolamento: b;

Implementazione dei sistemi di confinamento delle emissioni odorigene diffuse dell’impianto di compostaggio esistente nel
Comune di Eboli (SA)
PROGETTO DEFINITIVO – Tabulati di calcolo Tomo 1

Dati per instabilità attorno a x

Controllo della snellezza secondo §4.2.4.1.3.1 NTC18

Numero rit.	Presente	Ascissa	Campata	βx/m	Vincolo a entrambi estremi	λx/m	λVer
1	Si	0	1-2	1	Si	37.8	Si, (<200)
2	Si	1.85					

Dati per instabilità attorno a y

Controllo della snellezza secondo §4.2.4.1.3.1 NTC18

Numero rit.	Presente	Ascissa	Campata	βy/n	k,LT	kw,LT	Vincolo a entrambi estremi	λy/n	λVer
1	Si	0	1-2	1	1	1	Si	61.3	Si, (<200)
2	Si	1.85							

Verifica di stabilità per tenso-flessione deviata §§ 5.5.3-5.5.4 ENV 1993-1-1:1992 + AC:1992 + A1:1994 + A2:1998

X	Comb.	Sfruttamento	Classe	NEd	Mx,Ed	Mx,Eff,Ed	My,Ed	χ,LT	kLT	ky	M,critico	Wx	Wy	Verifica
1.85	SLV 8	0.144	1	5.439	0.98232	0.82254	-1.76864	0.902	1	1	82.10608	0.0001196	0.0000589	Si

Verifica di stabilità per pressoflessione §C.4.2.4.1.3.3.2 NTC18

X	Comb.	Sfruttamento	Classe	NEd	NRk	Mx,Ed max	Mx,Rk	My,Ed max	My,Rk	χ,x	χ,y	kxx	kxy	kyy	χ,LT	Verifica	
0.185	SLU 76	0.254	1	-56.312	697.541	0.93981	32.89552	1.77345	16.19002	0.912	0.721	0.592	0.554	0.975	0.923	0.984	Si

Verifica di stabilità per pressoflessione SLD §C.4.2.4.1.3.3.2 NTC18

X	Comb.	Sfruttamento	Classe	NEd	NRk	Mx,Ed max	Mx,Rk	My,Ed max	My,Rk	χ,x	χ,y	kxx	kxy	kyy	χ,LT	Verifica	
1.85	SLD 3	0.087	1	-9.177	697.541	0.59129	32.89552	0.96638	16.19002	0.912	0.721	0.481	0.471	0.994	0.786	0.989	Si

Verifica di stabilità a taglio anima Y §4.2.4.1.2.4 [4.2.27] NTC18

η	hw	tw	hw/tw max	Verifica
1.2	0.098	0.005	55.46	Si

Verifica di stabilità a taglio anima Y SLD §4.2.4.1.2.4 [4.2.27] NTC18

η	hw	tw	hw/tw max	Verifica
1.2	0.098	0.005	55.46	Si

Verifiche a deformabilità

Mensola X: No; Mensola Y: No.

Frecce lungo X

Ascissa freccia	Combinazione	Freccia	Luce	L/f	L/f,min	Tipo	Verifica
0.987	SLE RA 19	0.00087	1.85	2124.4	250	Totale	Si
0.987	SLE RA 16	0.00075	1.85	2457.2	250	Totale	Si
0.987	SLE RA 15	0.00075	1.85	2472.2	250	Totale	Si
0.987	SLE RA 11	0.00075	1.85	2472.2	250	Totale	Si
0.987	SLE RA 7	0.0007	1.85	2626.3	250	Totale	Si
0.987	SLE RA 19	0.00049	1.85	3809.9	350	Variabile	Si
0.987	SLE RA 16	0.00037	1.85	5032.4	350	Variabile	Si
0.987	SLE RA 15	0.00036	1.85	5095.9	350	Variabile	Si
0.987	SLE RA 11	0.00036	1.85	5095.9	350	Variabile	Si
0.987	SLE RA 2	-0.00034	1.85	5391.9	350	Variabile	Si

Frecce lungo Y

Ascissa freccia	Combinazione	Freccia	Luce	L/f	L/f,min	Tipo	Verifica
1.11	SLE RA 1	0.00004	1.85	10000	250	Totale	Si
1.11	SLE RA 17	0.00006	1.85	10000	250	Totale	Si
1.048	SLE RA 16	0.00009	1.85	10000	250	Totale	Si
1.048	SLE RA 15	0.00009	1.85	10000	250	Totale	Si
1.11	SLE RA 14	0.00006	1.85	10000	250	Totale	Si
1.048	SLE RA 2	-0.00004	1.85	10000	350	Variabile	Si
1.048	SLE RA 17	0.00002	1.85	10000	350	Variabile	Si
1.048	SLE RA 16	0.00005	1.85	10000	350	Variabile	Si
0.987	SLE RA 15	0.00005	1.85	10000	350	Variabile	Si
1.048	SLE RA 14	0.00002	1.85	10000	350	Variabile	Si

Superelemento in acciaio a quota "590" (-1055; -1053)-(-925; -915)

Caratteristiche del materiale

Acciaio: S275, fyk = 275000

Caratteristiche geometriche

Lunghezza: 1.891

Nodo iniziale: 302 Nodo finale: 305

Cerniera iniziale: No Cerniera finale: No

Sovreresistenza: 0% Sisma Z: No

Caratteristiche della sezione

Sezione	Rotazione	Area	Jx	Jy	ix	iy	Wx	Wy	Wplx	Wply
HEA120	0	0.002537	0.0000060673	0.0000023091	0.0489	0.0302	0.00010644	0.00003849	0.00011962	0.00005887

Verifiche di resistenza

Verifiche a forza assiale §4.2.4.1.2.1 - §4.2.4.1.2.2 NTC18

X	Comb.	Sfruttamento	Classe	NEd	Nc,Rd	Nt,Rd	Riduzione da taglio	px	py	Verifica
0	SLU 75	0.073		48.816		664.325	1	0	0	Si

Verifiche a forza assiale SLD §4.2.4.1.2.1 - §4.2.4.1.2.2 NTC18

X	Comb.	Sfruttamento	Classe	NEd	Nc,Rd	Nt,Rd	Riduzione da taglio	px	py	Verifica

**Implementazione dei sistemi di confinamento delle emissioni odorigene diffuse dell'impianto di compostaggio esistente nel
Comune di Eboli (SA)**

PROGETTO DEFINITIVO – Tabulati di calcolo Tomo 1

X	Comb.	Sfruttamento	Classe	NEd	Nc,Rd	Nt,Rd	Riduzione da taglio	px	py	Verifica
1.891	SLD 5	0.03		19.633		664.325	1	0	0	Si

Verifica a taglio X §4.2.4.1.2.4 NTC18

X	Comb.	Sfruttamento	VEd	Vc,Rd	Av	Interazione taglio-torsione	Riduzione torsione	Verifica
0.504	SLV 4	0.002	0.465	306.989	0.002047	Considerata	0.99	Si

Verifica a taglio X SLD §4.2.4.1.2.4 NTC18

X	Comb.	Sfruttamento	VEd	Vc,Rd	Av	Interazione taglio-torsione	Riduzione torsione	Verifica
0	SLD 3	0.001	0.215	308.988	0.002047	Considerata	1	Si

Verifica a taglio Y §4.2.4.1.2.4 NTC18

X	Comb.	Sfruttamento	VEd	Vc,Rd	Av	Interazione taglio-torsione	Riduzione torsione	Verifica
0	SLU 75	0.012	1.546	127.669	0.000849	Considerata	1	Si

Verifica a taglio Y SLD §4.2.4.1.2.4 NTC18

X	Comb.	Sfruttamento	VEd	Vc,Rd	Av	Interazione taglio-torsione	Riduzione torsione	Verifica
0	SLD 5	0.006	0.762	127.888	0.000849	Considerata	1	Si

Verifica a torsione §4.2.4.1.2.5 NTC18

X	Comb.	Sfruttamento torsione	TEd	TRd	Riduzione taglio resistente	Sfruttamento taglio-torsione	τEd,totale	τRd	Verifica
1.827	SLV 13	0.028	0.02376	0.85138	Considerata				Si

Verifica a torsione SLD §4.2.4.1.2.5 NTC18

X	Comb.	Sfruttamento torsione	TEd	TRd	Riduzione taglio resistente	Sfruttamento taglio-torsione	τEd,totale	τRd	Verifica
1.827	SLD 14	0.012	0.01008	0.85138	Considerata				Si

Verifica a presso/tenso flessione retta X §§ 4.2.4.1.2.3 - 4.2.4.1.2.6 - 4.2.4.1.2.7 - 4.2.4.1.2.8 NTC18

Verifiche eseguite utilizzando la formula conservativa (6.2) §6.2.1 EN 1993-1-1:2005.

X	Comb.	Sfruttamento	Classe	NEd	NRd	Rid. NRd da VEd	Mx,Ed	Mx,Rd	Rid. Mx,Rd da VEd	Rid. Mx,Rd da NEd	px	py	Verifica
0.567	SLV 1	0.058	1	26.216	664.325	1	0.5872	31.3291	1		0	0	Si

Verifica a presso/tenso flessione retta X SLD §§ 4.2.4.1.2.3 - 4.2.4.1.2.6 - 4.2.4.1.2.7 - 4.2.4.1.2.8 NTC18

Verifiche eseguite utilizzando la formula conservativa (6.2) §6.2.1 EN 1993-1-1:2005.

X	Comb.	Sfruttamento	Classe	NEd	NRd	Rid. NRd da VEd	Mx,Ed	Mx,Rd	Rid. Mx,Rd da VEd	Rid. Mx,Rd da NEd	px	py	Verifica
0.882	SLD 3	0.032	1	17.581	664.325	1	0.1788	31.3291	1		0	0	Si

Verifica a presso/tenso flessione retta Y §§ 4.2.4.1.2.3 - 4.2.4.1.2.6 - 4.2.4.1.2.7 - 4.2.4.1.2.8 NTC18

Verifiche eseguite utilizzando la formula conservativa (6.2) §6.2.1 EN 1993-1-1:2005.

X	Comb.	Sfruttamento	Classe	NEd	NRd	Rid. NRd da VEd	My,Ed	My,Rd	Rid. My,Rd da VEd	Rid. My,Rd da NEd	px	py	Verifica
1.26	SLU 75	0.091	1	48.816	664.325	1	-0.2701	15.4191	1		0	0	Si

Verifica a presso/tenso flessione retta Y SLD §§ 4.2.4.1.2.3 - 4.2.4.1.2.6 - 4.2.4.1.2.7 - 4.2.4.1.2.8 NTC18

Verifiche eseguite utilizzando la formula conservativa (6.2) §6.2.1 EN 1993-1-1:2005.

X	Comb.	Sfruttamento	Classe	NEd	NRd	Rid. NRd da VEd	My,Ed	My,Rd	Rid. My,Rd da VEd	Rid. My,Rd da NEd	px	py	Verifica
1.26	SLD 9	0.043	1	17.742	664.325	1	-0.2582	15.4191	1		0	0	Si

Verifica a presso/tenso flessione deviata §§ 4.2.4.1.2.3 - 4.2.4.1.2.6 - 4.2.4.1.2.7 - 4.2.4.1.2.8 NTC18

Verifiche eseguite utilizzando la formula conservativa (6.2) §6.2.1 EN 1993-1-1:2005.

X	Comb.	Sfruttamento	Classe	NEd	NRd	Rid. NRd da VEd	Mx,Ed	Mx,Rd	My,Ed	My,Rd	Rid. Mx,Rd da VEd	Rid. Mx,Rd da NEd	Rid. My,Rd da VEd	Rid. My,Rd da NEd	α	β	px	py	Verifica
0	SLU 75	0.171	1	48.816	664.325	1	1.7395	31.3291	-0.6538	15.4191	1		1				0	0	Si

Verifica a presso/tenso flessione deviata SLD §§ 4.2.4.1.2.3 - 4.2.4.1.2.6 - 4.2.4.1.2.7 - 4.2.4.1.2.8 NTC18

Verifiche eseguite utilizzando la formula conservativa (6.2) §6.2.1 EN 1993-1-1:2005.

X	Comb.	Sfruttamento	Classe	NEd	NRd	Rid. NRd da VEd	Mx,Ed	Mx,Rd	My,Ed	My,Rd	Rid. Mx,Rd da VEd	Rid. Mx,Rd da NEd	Rid. My,Rd da VEd	Rid. My,Rd da NEd	α	β	px	py	Verifica
0	SLD 5	0.072	1	19.633	664.325	1	0.8124	31.3291	-0.2622	15.4191	1		1				0	0	Si

Verifiche ad instabilità

Caratteristiche iniziali

Membratura principale per controllo snellezza; Calcolo di snellezze ed N critici condotti secondo gli assi principali;

Curva X: b; Curva Y: c; Svergolamento: Carico all'estradosso; Curva svergolamento: b;

Dati per instabilità attorno a x

Controllo della snellezza secondo §4.2.4.1.3.1 NTC18

Numero rit.	Presente	Ascissa	Campata	βx/m	Vincolo a entrambi estremi	λx/m	λVer
1	Si		0				
			1-2		1	38.7	Si, (<200)
2	Si	1.891					

Dati per instabilità attorno a y

Controllo della snellezza secondo §4.2.4.1.3.1 NTC18

Numero rit.	Presente	Ascissa	Campata	βy/n	k,LT	kw,LT	Vincolo a entrambi estremi	λy/n	λVer
1	Si		0						
			1-2		1	1	Si	62.7	Si, (<200)
2	Si	1.891							

Verifica di stabilità per tenso-flessione deviata §§ 5.5.3-5.5.4 ENV 1993-1-1:1992 + AC:1992 + A1:1994 + A2:1998

X	Comb.	Sfruttamento	Classe	NEd	Mx,Ed	Mx,Eff,Ed	My,Ed	χ,LT	kLT	ky	M,critico	Wx	Wy	Verifica
0	SLU 75	0.053	1	48.816	1.73952	0.30553	-0.6538	0.898	1	1	79.73872	0.0001196	0.0000589	Si

Implementazione dei sistemi di confinamento delle emissioni odorigene diffuse dell’impianto di compostaggio esistente nel
Comune di Eboli (SA)
PROGETTO DEFINITIVO – Tabulati di calcolo Tomo 1

Verifica di stabilità per tenso-flessione deviata SLD §§ 5.5.3-5.5.4 ENV 1993-1-1:1992 + AC:1992 + A1:1994 + A2:1998																		
X	Comb.	Sfruttamento	Classe	NEd		Mx,Ed	Mx,Eff,Ed	My,Ed		χ,LT	kLT	ky		M,critico	Wx	Wy	Verifica	
0	SLD 5	0.025	1	19.633		0.81237	0.23565	-0.26215		0.898	1	1		79.73872	0.0001196	0.0000589	Si	
Verifica di stabilità per pressoflessione §C.4.2.4.1.3.3.2 NTC18																		
X	Comb.	Sfruttamento	Classe	NEd	NRk	Mx,Ed max	Mx,Rk	My,Ed max	My,Rk	χ,x	χ,y	kxx	kxy	kyy		χ,LT	Verifica	
0	SLV 2	0.014	1	-4.352	697.541	0.07143	32.89552	0.05926	16.19002	0.908	0.711	0.93	0.38	0.999	0.633	0.898	Si	
Verifica di stabilità a taglio anima Y §4.2.4.1.2.4 [4.2.27] NTC18																		
η				hw				tw				hw/tw max				Verifica		
1.2				0.098				0.005				55.46				Si		
Verifica di stabilità a taglio anima Y SLD §4.2.4.1.2.4 [4.2.27] NTC18																		
η				hw				tw				hw/tw max				Verifica		
1.2				0.098				0.005				55.46				Si		
Verifiche a deformabilità																		
Mensola X: No; Mensola Y: No.																		
Frecce lungo X																		
Ascissa freccia		Combinazione		Freccia		Luce		L/f		L/f,min		Tipo		Verifica				
0.819		SLE RA 18		0.00024		1.891		7933.6		250		Totale		Si				
0.819		SLE RA 16		0.00021		1.891		9148		250		Totale		Si				
0.819		SLE RA 10		0.00021		1.891		9154.8		250		Totale		Si				
0.819		SLE RA 14		0.00021		1.891		9154.8		250		Totale		Si				
0.819		SLE RA 6		0.0002		1.891		9654.9		250		Totale		Si				
0.819		SLE RA 2		-0.00009		1.891		10000		350		Variabile		Si				
0.819		SLE RA 17		0.00004		1.891		10000		350		Variabile		Si				
0.819		SLE RA 16		0.0001		1.891		10000		350		Variabile		Si				
0.882		SLE RA 15		0.00003		1.891		10000		350		Variabile		Si				
0.819		SLE RA 14		0.0001		1.891		10000		350		Variabile		Si				
Frecce lungo Y																		
Ascissa freccia		Combinazione		Freccia		Luce		L/f		L/f,min		Tipo		Verifica				
0.567		SLE RA 1		0.00005		1.891		10000		250		Totale		Si				
0.63		SLE RA 17		0.00007		1.891		10000		250		Totale		Si				
0.63		SLE RA 16		0.0001		1.891		10000		250		Totale		Si				
0.567		SLE RA 15		0.00007		1.891		10000		250		Totale		Si				
0.63		SLE RA 14		0.0001		1.891		10000		250		Totale		Si				
0.63		SLE RA 2		-0.00004		1.891		10000		350		Variabile		Si				
0.63		SLE RA 17		0.00002		1.891		10000		350		Variabile		Si				
0.63		SLE RA 16		0.00005		1.891		10000		350		Variabile		Si				
0.693		SLE RA 15		0.00001		1.891		10000		350		Variabile		Si				
0.63		SLE RA 14		0.00005		1.891		10000		350		Variabile		Si				
Superelemento in acciaio a quota "590" (-1162; 583)-(-1035; 718)																		
Caratteristiche del materiale																		
Acciaio: S275, fyk = 275000																		
Caratteristiche geometriche																		
Lunghezza: 1.85																		
Nodo iniziale: 299 Nodo finale: 366																		
Cerniera iniziale: No Cerniera finale: No																		
Sovraresistenza: 0% Sisma Z: No																		
Caratteristiche della sezione																		
Sezione	Rotazione	Area	Jx	Jy	ix	iy	Wx	Wy	Wplx	Wply								
HEA120	0	0.002537	0.0000060673	0.0000023091	0.0489	0.0302	0.00010644	0.00003849	0.00011962	0.00005887								
Verifiche di resistenza																		
Verifiche a forza assiale §4.2.4.1.2.1 - §4.2.4.1.2.2 NTC18																		
X	Comb.	Sfruttamento	Classe	NEd	Nc,Rd	Nt,Rd	Riduzione da taglio	px	py	Verifica								
0	SLV 6	0.014	1	-9.199	664.325		1	0	0	Si								
Verifiche a forza assiale SLD §4.2.4.1.2.1 - §4.2.4.1.2.2 NTC18																		
X	Comb.	Sfruttamento	Classe	NEd	Nc,Rd	Nt,Rd	Riduzione da taglio	px	py	Verifica								
0	SLD 6	0.006	1	-4.202	664.325		1	0	0	Si								
Verifica a taglio X §4.2.4.1.2.4 NTC18																		
X	Comb.	Sfruttamento	VEd	Vc,Rd	Av	Interazione taglio-torsione	Riduzione torsione	Verifica										
0	SLV 4	0.001	-0.422	305.909	0.002047	Considerata	0.99	Si										
Verifica a taglio Y §4.2.4.1.2.4 NTC18																		
X	Comb.	Sfruttamento	VEd	Vc,Rd	Av	Interazione taglio-torsione	Riduzione torsione	Verifica										
0	SLV 8	0.008	0.99	126.855	0.000849	Considerata	0.99	Si										
Verifica a taglio Y SLD §4.2.4.1.2.4 NTC18																		
X	Comb.	Sfruttamento	VEd	Vc,Rd	Av	Interazione taglio-torsione	Riduzione torsione	Verifica										
0	SLD 7	0.004	0.571	127.824	0.000849	Considerata	1	Si										
Verifica a torsione §4.2.4.1.2.5 NTC18																		
X	Comb.	Sfruttamento torsione	TEd	TRd	Riduzione taglio resistente	Sfruttamento taglio-torsione	τEd,totale	τRd	Verifica									
1.788	SLV 3	0.028	-0.02425	0.85138	Considerata				Si									

**Implementazione dei sistemi di confinamento delle emissioni odorigene diffuse dell'impianto di compostaggio esistente nel
Comune di Eboli (SA)
PROGETTO DEFINITIVO – Tabulati di calcolo Tomo 1**

Verifica a torsione SLD §4.2.4.1.2.5 NTC18

X	Comb.	Sfruttamento torsione	TEd	TRd	Riduzione taglio resistente	Sfruttamento taglio-torsione	rEd,totale	rRd	Verifica
1.85	SLD 4	0.009	-0.00806	0.85138	Considerata				Si

Verifica a flessione semplice Y §§ 4.2.4.1.2.3 - 4.2.4.1.2.6 - 4.2.4.1.2.7 - 4.2.4.1.2.8 NTC18

X	Comb.	Sfruttamento	Classe	My,Ed	My,Rd	Rid. My,Rd da VEd	px	py	Verifica
1.85	SLU 62	0.011	1	-0.16297	15.41907	1	0	0	Si

Verifica a flessione semplice Y SLD §§ 4.2.4.1.2.3 - 4.2.4.1.2.6 - 4.2.4.1.2.7 - 4.2.4.1.2.8 NTC18

X	Comb.	Sfruttamento	Classe	My,Ed	My,Rd	Rid. My,Rd da VEd	px	py	Verifica
1.542	SLD 13	0.016	1	-0.23988	15.41907	1	0	0	Si

Verifica a flessione deviata §§ 4.2.4.1.2.3 - 4.2.4.1.2.6 - 4.2.4.1.2.7 - 4.2.4.1.2.8 NTC18

X	Comb.	Sfruttamento	Classe	Mx,Ed	Mx,Rd	My,Ed	My,Rd	Rid. Mx,Rd da VEd	Rid. My,Rd da VEd	α	β	px	py	Verifica
1.85	SLU 48	0.035	1	0.0514	31.3291	-0.5082	15.4191	1	1			0	0	Si

Verifica a flessione deviata SLD §§ 4.2.4.1.2.3 - 4.2.4.1.2.6 - 4.2.4.1.2.7 - 4.2.4.1.2.8 NTC18

X	Comb.	Sfruttamento	Classe	Mx,Ed	Mx,Rd	My,Ed	My,Rd	Rid. Mx,Rd da VEd	Rid. My,Rd da VEd	α	β	px	py	Verifica
1.85	SLD 8	0.029	1	0.0132	31.3291	-0.4445	15.4191	1	1			0	0	Si

Verifica a presso/tenso flessione retta X §§ 4.2.4.1.2.3 - 4.2.4.1.2.6 - 4.2.4.1.2.7 - 4.2.4.1.2.8 NTC18

Verifiche eseguite utilizzando la formula conservativa (6.2) §6.2.1 EN 1993-1-1:2005.

X	Comb.	Sfruttamento	Classe	NEd	NRd	Rid. NRd da VEd	Mx,Ed	Mx,Rd	Rid. Mx,Rd da VEd	Rid. Mx,Rd da NEd	px	py	Verifica
0.308	SLV 12	0.033	1	6.299	664.325	1	0.727	31.3291	1		0	0	Si

Verifica a presso/tenso flessione retta Y §§ 4.2.4.1.2.3 - 4.2.4.1.2.6 - 4.2.4.1.2.7 - 4.2.4.1.2.8 NTC18

Verifiche eseguite utilizzando la formula conservativa (6.2) §6.2.1 EN 1993-1-1:2005.

X	Comb.	Sfruttamento	Classe	NEd	NRd	Rid. NRd da VEd	My,Ed	My,Rd	Rid. My,Rd da VEd	Rid. My,Rd da NEd	px	py	Verifica
1.727	SLV 8	0.044	1	2.919	664.325	1	-0.6032	15.4191	1		0	0	Si

Verifica a presso/tenso flessione retta Y SLD §§ 4.2.4.1.2.3 - 4.2.4.1.2.6 - 4.2.4.1.2.7 - 4.2.4.1.2.8 NTC18

Verifiche eseguite utilizzando la formula conservativa (6.2) §6.2.1 EN 1993-1-1:2005.

X	Comb.	Sfruttamento	Classe	NEd	NRd	Rid. NRd da VEd	My,Ed	My,Rd	Rid. My,Rd da VEd	Rid. My,Rd da NEd	px	py	Verifica
1.295	SLD 5	0.03	1	-4.202	664.325	1	-0.3621	15.4191	1		0	0	Si

Verifica a presso/tenso flessione deviata §§ 4.2.4.1.2.3 - 4.2.4.1.2.6 - 4.2.4.1.2.7 - 4.2.4.1.2.8 NTC18

Verifiche eseguite utilizzando la formula conservativa (6.2) §6.2.1 EN 1993-1-1:2005.

X	Comb.	Sfruttamento	Classe	NEd	NRd	Rid. NRd da VEd	Mx,Ed	Mx,Rd	My,Ed	My,Rd	Rid. Mx,Rd da VEd	Rid. Mx,Rd da NEd	Rid. My,Rd da VEd	Rid. My,Rd da NEd	α	β	px	py	Verifica
1.85	SLU 76	0.089	1	-8.75	664.325	1	0.1812	31.3291	-1.0737	15.4191	1		1				0	0	Si

Verifica a presso/tenso flessione deviata SLD §§ 4.2.4.1.2.3 - 4.2.4.1.2.6 - 4.2.4.1.2.7 - 4.2.4.1.2.8 NTC18

Verifiche eseguite utilizzando la formula conservativa (6.2) §6.2.1 EN 1993-1-1:2005.

X	Comb.	Sfruttamento	Classe	NEd	NRd	Rid. NRd da VEd	Mx,Ed	Mx,Rd	My,Ed	My,Rd	Rid. Mx,Rd da VEd	Rid. Mx,Rd da NEd	Rid. My,Rd da VEd	Rid. My,Rd da NEd	α	β	px	py	Verifica
1.85	SLD 4	0.035	1	-2.827	664.325	1	0.0663	31.3291	-0.4456	15.4191	1		1				0	0	Si

Verifiche ad instabilità

Caratteristiche iniziali

Membratura principale per controllo snellezza; Calcolo di snellezze ed N critici condotti secondo gli assi principali;

Curva X: b; Curva Y: c; Svergolamento: Carico all'estradosso; Curva svergolamento: b;

Dati per instabilità attorno a x

Controllo della snellezza secondo §4.2.4.1.3.1 NTC18

Numero rit.	Presente	Ascissa	Campata	βx/m	Vincolo a entrambi estremi	λx/m	λVer
1	Si		0				
			1-2		1	37.8	Si, (<200)
2	Si	1.85					

Dati per instabilità attorno a y

Controllo della snellezza secondo §4.2.4.1.3.1 NTC18

Numero rit.	Presente	Ascissa	Campata	βy/n	k _y LT	k _w LT	Vincolo a entrambi estremi	λy/n	λVer
1	Si		0						
			1-2		1	1	Si	61.3	Si, (<200)
2	Si	1.85							

Verifica a svergolamento con trazione §4.2.4.1.3.2 NTC18 § 5.5.3 ENV 1993-1-1:1992 + AC:1992 + A1:1994 + A2:1998

X	Comb.	Sfruttamento	Classe	Obblig.	NEd	Mx,Ed	Mx,Eff,Ed	Mb,Rd,x	χ _y LT	λ adim. LT	L _{LT}	M _{critico}	Verifica
0.863	SLV 8	0.02	1	Si	2.919	0.64604	0.56028	28.25853	0.902	0.633	1.85	82.10616	Si

Verifica di stabilità per tenso-flessione deviata §§ 5.5.3-5.5.4 ENV 1993-1-1:1992 + AC:1992 + A1:1994 + A2:1998

X	Comb.	Sfruttamento	Classe	NEd	Mx,Ed	Mx,Eff,Ed	My,Ed	χ _y LT	kLT	ky	M _{critico}	W _x	W _y	Verifica
0	SLV 7	0.065	1	2.919	1.42378	1.33802	0.27182	0.902	1	1	82.10616	0.0001196	0.0000589	Si

Verifica di stabilità per tenso-flessione deviata SLD §§ 5.5.3-5.5.4 ENV 1993-1-1:1992 + AC:1992 + A1:1994 + A2:1998

X	Comb.	Sfruttamento	Classe	NEd	Mx,Ed	Mx,Eff,Ed	My,Ed	χ _y LT	kLT	ky	M _{critico}	W _x	W _y	Verifica
1.603	SLD 12	0.024	1	1.302	0.0571	0.01886	-0.35618	0.902	1	1	82.10616	0.0001196	0.0000589	Si

Verifica di stabilità per pressoflessione §C.4.2.4.1.3.3.2 NTC18

X	Comb.	Sfruttamento	Classe	NEd	NRk	Mx _{Ed} max	Mx _{Rk}	My _{Ed} max	My _{Rk}	χ _x	χ _y	k _{xx}	k _{xy}	k _{yx}	k _{yy}	χ _y LT	Verifica
0	SLU 76	0.11	1	-8.75	697.541	1.05154	32.89552	1.07365	16.19002	0.912	0.721	0.587	0.497	0.996	0.828	0.984	Si

Verifica di stabilità per pressoflessione SLD §C.4.2.4.1.3.3.2 NTC18

X	Comb.	Sfruttamento	Classe	NEd	NRk	Mx _{Ed} max	Mx _{Rk}	My _{Ed} max	My _{Rk}	χ _x	χ _y	k _{xx}	k _{xy}	k _{yx}	k _{yy}	χ _y LT	Verifica
---	-------	--------------	--------	-----	-----	-------------------------	------------------	-------------------------	------------------	----------------	----------------	-----------------	-----------------	-----------------	-----------------	-------------------	----------

Implementazione dei sistemi di confinamento delle emissioni odorigene diffuse dell'impianto di compostaggio esistente nel
Comune di Eboli (SA)

PROGETTO DEFINITIVO – Tabulati di calcolo Tomo 1

X	Comb.	Sfruttamento	Classe	NEd	NRk	Mx,Ed max	Mx,Rk	My,Ed max	My,Rk	χ,x	χ,y	kxx	kxy	kyy	χ,LT	Verifica	
0	SLD 3	0.043	1	-2.827	697.541	0.71066	32.89552	0.44562	16.19002	0.912	0.721	0.504	0.286	0.998	0.477	0.989	Si

Verifica di stabilità a taglio anima Y §4.2.4.1.2.4 [4.2.27] NTC18

η	hw	tw	hw/tw max	Verifica
1.2	0.098	0.005	55.46	Si

Verifica di stabilità a taglio anima Y SLD §4.2.4.1.2.4 [4.2.27] NTC18

η	hw	tw	hw/tw max	Verifica
1.2	0.098	0.005	55.46	Si

Verifiche a deformabilità

Mensola X: No; Mensola Y: No.

Frecce lungo X

Ascissa freccia	Combinazione	Freccia	Luce	L/f	L/f,min	Tipo	Verifica
0.987	SLE RA 19	0.0005	1.85	3670.2	250	Totale	Si
0.987	SLE RA 15	0.00043	1.85	4265	250	Totale	Si
0.987	SLE RA 11	0.00043	1.85	4265	250	Totale	Si
0.987	SLE RA 16	0.00042	1.85	4373.6	250	Totale	Si
0.987	SLE RA 7	0.00042	1.85	4430.9	250	Totale	Si
0.987	SLE RA 19	0.00029	1.85	6336.4	350	Variabile	Si
0.987	SLE RA 15	0.00022	1.85	8345.9	350	Variabile	Si
0.987	SLE RA 11	0.00022	1.85	8345.9	350	Variabile	Si
0.987	SLE RA 16	0.00021	1.85	8772.4	350	Variabile	Si
0.987	SLE RA 7	0.00021	1.85	9006	350	Variabile	Si

Frecce lungo Y

Ascissa freccia	Combinazione	Freccia	Luce	L/f	L/f,min	Tipo	Verifica
0.74	SLE RA 1	0.00004	1.85	10000	250	Totale	Si
0.74	SLE RA 17	0.00006	1.85	10000	250	Totale	Si
0.802	SLE RA 16	0.00009	1.85	10000	250	Totale	Si
0.802	SLE RA 15	0.0001	1.85	10000	250	Totale	Si
0.74	SLE RA 14	0.00004	1.85	10000	250	Totale	Si
0.863	SLE RA 2	-0.00004	1.85	10000	350	Variabile	Si
0.863	SLE RA 17	0.00002	1.85	10000	350	Variabile	Si
0.863	SLE RA 16	0.00005	1.85	10000	350	Variabile	Si
0.802	SLE RA 15	0.00007	1.85	10000	350	Variabile	Si
0.617	SLE RA 14	0	1.85	10000	350	Variabile	Si

Superelemento in acciaio a quota "590" (-1289; 449)-(-1162; 583)

Caratteristiche del materiale

Acciaio: S275, fyk = 275000

Caratteristiche geometriche

Lunghezza: 1.85

Nodo iniziale: 355 Nodo finale: 299

Cerniera iniziale: No Cerniera finale: No

Sovreresistenza: 0% Sisma Z: No

Caratteristiche della sezione

Sezione	Rotazione	Area	Jx	Jy	ix	iy	Wx	Wy	Wplx	Wply
HEA120	0	0.002537	0.0000060673	0.0000023091	0.0489	0.0302	0.00010644	0.00003849	0.00011962	0.00005887

Verifiche di resistenza

Verifiche a forza assiale §4.2.4.1.2.1 - §4.2.4.1.2.2 NTC18

X	Comb.	Sfruttamento	Classe	NEd	Nc,Rd	Nt,Rd	Riduzione da taglio	px	py	Verifica
1.85	SLU 76	0.111	1	-74.027	664.325		1	0	0	Si

Verifiche a forza assiale SLD §4.2.4.1.2.1 - §4.2.4.1.2.2 NTC18

X	Comb.	Sfruttamento	Classe	NEd	Nc,Rd	Nt,Rd	Riduzione da taglio	px	py	Verifica
1.85	SLD 8	0.056	1	-37.282	664.325		1	0	0	Si

Verifica a taglio X §4.2.4.1.2.4 NTC18

X	Comb.	Sfruttamento	VEd	Vc,Rd	Av	Interazione taglio-torsione	Riduzione torsione	Verifica
1.85	SLU 76	0.001	-0.234	306.543	0.002047	Considerata	0.99	Si

Verifica a taglio Y §4.2.4.1.2.4 NTC18

X	Comb.	Sfruttamento	VEd	Vc,Rd	Av	Interazione taglio-torsione	Riduzione torsione	Verifica
1.85	SLV 7	0.007	-0.922	126.883	0.000849	Considerata	0.99	Si

Verifica a taglio Y SLD §4.2.4.1.2.4 NTC18

X	Comb.	Sfruttamento	VEd	Vc,Rd	Av	Interazione taglio-torsione	Riduzione torsione	Verifica
1.85	SLD 7	0.005	-0.58	127.608	0.000849	Considerata	0.99	Si

Verifica a torsione §4.2.4.1.2.5 NTC18

X	Comb.	Sfruttamento torsione	TEd	TRd	Riduzione taglio resistente	Sfruttamento taglio-torsione	rEd,totale	rRd	Verifica
1.85	SLV 4	0.028	-0.02367	0.85138	Considerata				Si

Verifica a torsione SLD §4.2.4.1.2.5 NTC18

X	Comb.	Sfruttamento torsione	TEd	TRd	Riduzione taglio resistente	Sfruttamento taglio-torsione	rEd,totale	rRd	Verifica
1.85	SLD 4	0.014	-0.0116	0.85138	Considerata				Si

**Implementazione dei sistemi di confinamento delle emissioni odorigene diffuse dell'impianto di compostaggio esistente nel
Comune di Eboli (SA)
PROGETTO DEFINITIVO – Tabulati di calcolo Tomo 1**

Verifica a presso/tenso flessione retta X §§ 4.2.4.1.2.3 - 4.2.4.1.2.6 - 4.2.4.1.2.7 - 4.2.4.1.2.8 NTC18

Verifiche eseguite utilizzando la formula conservativa (6.2) §6.2.1 EN 1993-1-1:2005.

X	Comb.	Sfruttamento	Classe	NEd	NRd	Rid. NRd da VEd	Mx,Ed	Mx,Rd	Rid. Mx,Rd da VEd	Rid. Mx,Rd da NEd	px	py	Verifica
0.432	SLU 41	0.008	1	3.352	664.325	1	-0.0998	31.3291	1		0	0	Si

Verifica a presso/tenso flessione retta X SLD §§ 4.2.4.1.2.3 - 4.2.4.1.2.6 - 4.2.4.1.2.7 - 4.2.4.1.2.8 NTC18

Verifiche eseguite utilizzando la formula conservativa (6.2) §6.2.1 EN 1993-1-1:2005.

X	Comb.	Sfruttamento	Classe	NEd	NRd	Rid. NRd da VEd	Mx,Ed	Mx,Rd	Rid. Mx,Rd da VEd	Rid. Mx,Rd da NEd	px	py	Verifica
1.603	SLD 7	0.075	1	-37.282	664.325	1	0.5854	31.3291	1		0	0	Si

Verifica a presso/tenso flessione retta Y §§ 4.2.4.1.2.3 - 4.2.4.1.2.6 - 4.2.4.1.2.7 - 4.2.4.1.2.8 NTC18

Verifiche eseguite utilizzando la formula conservativa (6.2) §6.2.1 EN 1993-1-1:2005.

X	Comb.	Sfruttamento	Classe	NEd	NRd	Rid. NRd da VEd	My,Ed	My,Rd	Rid. My,Rd da VEd	Rid. My,Rd da NEd	px	py	Verifica
0.308	SLU 76	0.126	1	-74.027	664.325	1	-0.2195	15.4191	1		0	0	Si

Verifica a presso/tenso flessione retta Y SLD §§ 4.2.4.1.2.3 - 4.2.4.1.2.6 - 4.2.4.1.2.7 - 4.2.4.1.2.8 NTC18

Verifiche eseguite utilizzando la formula conservativa (6.2) §6.2.1 EN 1993-1-1:2005.

X	Comb.	Sfruttamento	Classe	NEd	NRd	Rid. NRd da VEd	My,Ed	My,Rd	Rid. My,Rd da VEd	Rid. My,Rd da NEd	px	py	Verifica
0	SLD 7	0.064	1	-37.282	664.325	1	0.1147	15.4191	1		0	0	Si

Verifica a presso/tenso flessione deviata §§ 4.2.4.1.2.3 - 4.2.4.1.2.6 - 4.2.4.1.2.7 - 4.2.4.1.2.8 NTC18

Verifiche eseguite utilizzando la formula conservativa (6.2) §6.2.1 EN 1993-1-1:2005.

X	Comb.	Sfruttamento	Classe	NEd	NRd	Rid. NRd da VEd	Mx,Ed	Mx,Rd	My,Ed	My,Rd	Rid. Mx,Rd da VEd	Rid. Mx,Rd da NEd	Rid. My,Rd da VEd	Rid. My,Rd da NEd	α	β	px	py	Verifica
1.85	SLU 76	0.183	1	-74.027	664.325	1	1.0744	31.3291	-0.58	15.4191	1		1				0	0	Si

Verifica a presso/tenso flessione deviata SLD §§ 4.2.4.1.2.3 - 4.2.4.1.2.6 - 4.2.4.1.2.7 - 4.2.4.1.2.8 NTC18

Verifiche eseguite utilizzando la formula conservativa (6.2) §6.2.1 EN 1993-1-1:2005.

X	Comb.	Sfruttamento	Classe	NEd	NRd	Rid. NRd da VEd	Mx,Ed	Mx,Rd	My,Ed	My,Rd	Rid. Mx,Rd da VEd	Rid. Mx,Rd da NEd	Rid. My,Rd da VEd	Rid. My,Rd da NEd	α	β	px	py	Verifica
1.85	SLD 7	0.08	1	-37.282	664.325	1	0.7224	31.3291	-0.0197	15.4191	1		1				0	0	Si

Verifiche ad instabilità

Caratteristiche iniziali

Membratura principale per controllo snellezza; Calcolo di snellezze ed N critici condotti secondo gli assi principali;

Curva X: b; Curva Y: c; Svergolamento: Carico all'estradosso; Curva svergolamento: b;

Dati per instabilità attorno a x

Controllo della snellezza secondo §4.2.4.1.3.1 NTC18

Numero rit.	Presente	Ascissa	Campata	βx/m	Vincolo a entrambi estremi	λx/m	λVer
1	Si	0					
			1-2	1	Si	37.8	Si, (<200)
2	Si	1.85					

Dati per instabilità attorno a y

Controllo della snellezza secondo §4.2.4.1.3.1 NTC18

Numero rit.	Presente	Ascissa	Campata	βy/n	k,LT	kw,LT	Vincolo a entrambi estremi	λy/n	λVer
1	Si	0							
			1-2	1	1	1	Si	61.3	Si, (<200)
2	Si	1.85							

Verifica a svergolamento con trazione §4.2.4.1.3.2 NTC18 § 5.5.3 ENV 1993-1-1:1992 + AC:1992 + A1:1994 + A2:1998

X	Comb.	Sfruttamento	Classe	Obblig.	NEd	Mx,Ed	Mx,Eff,Ed	Mb,Rd,x	χ,LT	λ adim. LT	L,LT	M,critico	Verifica
0.925	SLU 22	0.002	1	Si	1.793	-0.10965	-0.05697	28.25853	0.902	0.633	1.85	82.10616	Si

Verifica di stabilità per tenso-flessione deviata §§ 5.5.3-5.5.4 ENV 1993-1-1:1992 + AC:1992 + A1:1994 + A2:1998

X	Comb.	Sfruttamento	Classe	NEd	Mx,Ed	Mx,Eff,Ed	My,Ed	χ,LT	kLT	ky	M,critico	Wx	Wy	Verifica
1.665	SLV 16	0.029	1	4.135	-0.24397	-0.1225	-0.37826	0.961	1	1	132.74799	0.0001196	0.0000589	Si

Verifica di stabilità per pressoflessione §C.4.2.4.1.3.3.2 NTC18

X	Comb.	Sfruttamento	Classe	NEd	NRk	Mx,Ed max	Mx,Rk	My,Ed max	My,Rk	χ,x	χ,y	kxx	kxy	kyy	χ,LT	Verifica
1.85	SLU 76	0.22	1	-74.027	697.541	1.07437	32.89552	0.57995	16.19002	0.912	0.721	0.475	0.474	0.948	0.79	0.902

Verifica di stabilità per pressoflessione SLD §C.4.2.4.1.3.3.2 NTC18

X	Comb.	Sfruttamento	Classe	NEd	NRk	Mx,Ed max	Mx,Rk	My,Ed max	My,Rk	χ,x	χ,y	kxx	kxy	kyy	χ,LT	Verifica
1.85	SLD 8	0.107	1	-37.282	697.541	0.72243	32.89552	0.11471	16.19002	0.912	0.721	0.507	0.333	0.978	0.555	0.902

Verifica di stabilità a taglio anima Y §4.2.4.1.2.4 [4.2.27] NTC18

η	hw	tw	hw/tw max	Verifica
1.2	0.098	0.005	55.46	Si

Verifica di stabilità a taglio anima Y SLD §4.2.4.1.2.4 [4.2.27] NTC18

η	hw	tw	hw/tw max	Verifica
1.2	0.098	0.005	55.46	Si

Verifiche a deformabilità

Mensola X: No; Mensola Y: No.

Frecce lungo X

Ascissa freccia	Combinazione	Freccia	Luce	L/f	L/f,min	Tipo	Verifica
0.987	SLE RA 19	0.00022	1.85	8306.6	250	Totale	Si
0.987	SLE RA 15	0.00019	1.85	9628.1	250	Totale	Si
0.987	SLE RA 11	0.00019	1.85	9628.1	250	Totale	Si
0.987	SLE RA 7	0.00019	1.85	9750.5	250	Totale	Si
0.987	SLE RA 17	0.00013	1.85	10000	250	Totale	Si
0.987	SLE RA 2	-0.00009	1.85	10000	350	Variabile	Si

Implementazione dei sistemi di confinamento delle emissioni odorigene diffuse dell'impianto di compostaggio esistente nel
Comune di Eboli (SA)
PROGETTO DEFINITIVO – Tabulati di calcolo Tomo 1

Ascissa freccia	Combinazione	Freccia	Luce	L/f	L/f,min	Tipo	Verifica
0.987	SLE RA 17	0.00004	1.85	10000	350	Variabile	Si
0.987	SLE RA 16	0.00009	1.85	10000	350	Variabile	Si
0.987	SLE RA 15	0.0001	1.85	10000	350	Variabile	Si
0.987	SLE RA 14	0.00002	1.85	10000	350	Variabile	Si

Frecce lungo Y

Ascissa freccia	Combinazione	Freccia	Luce	L/f	L/f,min	Tipo	Verifica
1.233	SLE RA 1	0.00003	1.85	10000	250	Totale	Si
1.233	SLE RA 17	0.00004	1.85	10000	250	Totale	Si
1.172	SLE RA 16	0.00006	1.85	10000	250	Totale	Si
1.172	SLE RA 15	0.00008	1.85	10000	250	Totale	Si
1.295	SLE RA 14	0.00002	1.85	10000	250	Totale	Si
1.11	SLE RA 2	-0.00003	1.85	10000	350	Variabile	Si
1.11	SLE RA 17	0.00002	1.85	10000	350	Variabile	Si
1.11	SLE RA 16	0.00003	1.85	10000	350	Variabile	Si
1.11	SLE RA 15	0.00005	1.85	10000	350	Variabile	Si
0.987	SLE RA 14	0	1.85	10000	350	Variabile	Si

Superelemento in acciaio a quota "590" (-1416; 314)-(-1289; 449)

Caratteristiche del materiale

Acciaio: S275, fyk = 275000

Caratteristiche geometriche

Lunghezza: 1.85

Nodo iniziale: 348 Nodo finale: 355

Cerniera iniziale: No Cerniera finale: No

Sovreresistenza: 0% Sisma Z: No

Caratteristiche della sezione

Sezione	Rotazione	Area	Jx	Jy	ix	iy	Wx	Wy	Wplx	Wply
HEA120	0	0.002537	0.0000060673	0.0000023091	0.0489	0.0302	0.00010644	0.00003849	0.00011962	0.00005887

Verifiche di resistenza

Verifiche a forza assiale §4.2.4.1.2.1 - §4.2.4.1.2.2 NTC18

X	Comb.	Sfruttamento	Classe	NEd	Nc,Rd	Nt,Rd	Riduzione da taglio	px	py	Verifica
1.85	SLV 10	0.039		25.711		664.325	1	0	0	Si

Verifiche a forza assiale SLD §4.2.4.1.2.1 - §4.2.4.1.2.2 NTC18

X	Comb.	Sfruttamento	Classe	NEd	Nc,Rd	Nt,Rd	Riduzione da taglio	px	py	Verifica
1.85	SLD 10	0.016		10.574		664.325	1	0	0	Si

Verifica a taglio Y §4.2.4.1.2.4 NTC18

X	Comb.	Sfruttamento	VEd	Vc,Rd	Av	Interazione taglio-torsione	Riduzione torsione	Verifica
1.85	SLU 76	0.013	-1.704	126.692	0.000849	Considerata	0.99	Si

Verifica a taglio Y SLD §4.2.4.1.2.4 NTC18

X	Comb.	Sfruttamento	VEd	Vc,Rd	Av	Interazione taglio-torsione	Riduzione torsione	Verifica
1.85	SLD 12	0.004	-0.561	127.742	0.000849	Considerata	1	Si

Verifica a torsione §4.2.4.1.2.5 NTC18

X	Comb.	Sfruttamento torsione	TEd	TRd	Riduzione taglio resistente	Sfruttamento taglio-torsione	tEd,totale	tRd	Verifica
0.062	SLU 76	0.031	-0.02658	0.85138	Considerata				Si

Verifica a torsione SLD §4.2.4.1.2.5 NTC18

X	Comb.	Sfruttamento torsione	TEd	TRd	Riduzione taglio resistente	Sfruttamento taglio-torsione	tEd,totale	tRd	Verifica
1.85	SLD 4	0.013	-0.01074	0.85138	Considerata				Si

Verifica a flessione semplice X §§ 4.2.4.1.2.3 - 4.2.4.1.2.6 - 4.2.4.1.2.7 - 4.2.4.1.2.8 NTC18

X	Comb.	Sfruttamento	Classe	Mx,Ed	Mx,Rd	Rid. Mx,Rd da VEd	px	py	Verifica
1.048	SLU 3	0.002	1	0.06545	31.32907	1	0	0	Si

Verifica a flessione semplice Y §§ 4.2.4.1.2.3 - 4.2.4.1.2.6 - 4.2.4.1.2.7 - 4.2.4.1.2.8 NTC18

X	Comb.	Sfruttamento	Classe	My,Ed	My,Rd	Rid. My,Rd da VEd	px	py	Verifica
1.85	SLU 40	0.001	1	0.01194	15.41907	1	0	0	Si

Verifica a flessione deviata §§ 4.2.4.1.2.3 - 4.2.4.1.2.6 - 4.2.4.1.2.7 - 4.2.4.1.2.8 NTC18

X	Comb.	Sfruttamento	Classe	Mx,Ed	Mx,Rd	My,Ed	My,Rd	Rid. Mx,Rd da VEd	Rid. My,Rd da VEd	α	β	px	py	Verifica
0	SLU 40	0.013	1	0.3707	31.3291	-0.0212	15.4191	1	1			0	0	Si

Verifica a presso/tenso flessione retta X §§ 4.2.4.1.2.3 - 4.2.4.1.2.6 - 4.2.4.1.2.7 - 4.2.4.1.2.8 NTC18

Verifiche eseguite utilizzando la formula conservativa (6.2) §6.2.1 EN 1993-1-1:2005.

X	Comb.	Sfruttamento	Classe	NEd	NRd	Rid. NRd da VEd	Mx,Ed	Mx,Rd	Rid. Mx,Rd da VEd	Rid. Mx,Rd da NEd	px	py	Verifica
0	SLU 76	0.104	1	8.746	664.325	1	-2.8304	31.3291	1		0	0	Si

Verifica a presso/tenso flessione retta Y §§ 4.2.4.1.2.3 - 4.2.4.1.2.6 - 4.2.4.1.2.7 - 4.2.4.1.2.8 NTC18

Verifiche eseguite utilizzando la formula conservativa (6.2) §6.2.1 EN 1993-1-1:2005.

X	Comb.	Sfruttamento	Classe	NEd	NRd	Rid. NRd da VEd	My,Ed	My,Rd	Rid. My,Rd da VEd	Rid. My,Rd da NEd	px	py	Verifica
1.788	SLV 12	0.028	1	-9.786	664.325	1	0.2026	15.4191	1		0	0	Si

Implementazione dei sistemi di confinamento delle emissioni odorigene diffuse dell'impianto di compostaggio esistente nel
Comune di Eboli (SA)
PROGETTO DEFINITIVO – Tabulati di calcolo Tomo 1

Verifica a presso/tenso flessione retta Y SLD §§ 4.2.4.1.2.3 - 4.2.4.1.2.6 - 4.2.4.1.2.7 - 4.2.4.1.2.8 NTC18

Verifiche eseguite utilizzando la formula conservativa (6.2) §6.2.1 EN 1993-1-1:2005.

X	Comb.	Sfruttamento	Classe	NEd	NRd	Rid. NRd da VEd	My,Ed	My,Rd	Rid. My,Rd da VEd	Rid. My,Rd da NEd	px	py	Verifica
1.85	SLD 7	0.015	1	-5.02	664.325	1	0.1082	15.4191	1		0	0	Si

Verifica a presso/tenso flessione deviata §§ 4.2.4.1.2.3 - 4.2.4.1.2.6 - 4.2.4.1.2.7 - 4.2.4.1.2.8 NTC18

Verifiche eseguite utilizzando la formula conservativa (6.2) §6.2.1 EN 1993-1-1:2005.

X	Comb.	Sfruttamento	Classe	NEd	NRd	Rid. NRd da VEd	Mx,Ed	Mx,Rd	My,Ed	My,Rd	Rid. Mx,Rd da VEd	Rid. Mx,Rd da NEd	Rid. My,Rd da VEd	Rid. My,Rd da NEd	α	β	px	py	Verifica
0	SLU 38	0.099	1	8.178	664.325	1	-2.7128	31.3291	0.006	15.4191	1		1				0	0	Si

Verifica a presso/tenso flessione deviata SLD §§ 4.2.4.1.2.3 - 4.2.4.1.2.6 - 4.2.4.1.2.7 - 4.2.4.1.2.8 NTC18

Verifiche eseguite utilizzando la formula conservativa (6.2) §6.2.1 EN 1993-1-1:2005.

X	Comb.	Sfruttamento	Classe	NEd	NRd	Rid. NRd da VEd	Mx,Ed	Mx,Rd	My,Ed	My,Rd	Rid. Mx,Rd da VEd	Rid. Mx,Rd da NEd	Rid. My,Rd da VEd	Rid. My,Rd da NEd	α	β	px	py	Verifica
0	SLD 9	0.047	1	10.574	664.325	1	-0.7443	31.3291	-0.1189	15.4191	1		1				0	0	Si

Verifiche ad instabilità

Caratteristiche iniziali

Membratura principale per controllo snellezza; Calcolo di snellezze ed N critici condotti secondo gli assi principali;

Curva X: b; Curva Y: c; Svergolamento: Carico all'estradosso; Curva svergolamento: b;

Dati per instabilità attorno a x

Controllo della snellezza secondo §4.2.4.1.3.1 NTC18

Numero rit.	Presente	Ascissa	Campata	βx/m	Vincolo a entrambi estremi	λx/m	λVer
1	Si	0					
			1-2	1	Si	37.8	Si, (<200)
2	Si	1.85					

Dati per instabilità attorno a y

Controllo della snellezza secondo §4.2.4.1.3.1 NTC18

Numero rit.	Presente	Ascissa	Campata	βy/n	k,LT	kw,LT	Vincolo a entrambi estremi	λy/n	λVer
1	Si	0							
			1-2	1	1	1	Si	61.3	Si, (<200)
2	Si	1.85							

Verifica a svergolamento con trazione §4.2.4.1.3.2 NTC18 § 5.5.3 ENV 1993-1-1:1992 + AC:1992 + A1:1994 + A2:1998

X	Comb.	Sfruttamento	Classe	Obblig.	NEd	Mx,Ed	Mx,Eff,Ed	Mb,Rd,x	χ,LT	λ adim. LT	L,LT	M,critico	Verifica
0	SLU 76	0.083	1	Si	8.746	-2.83045	-2.57353	31.09542	0.993	0.419	1.85	187.18703	Si

Verifica di stabilità per tenso-flessione deviata §§ 5.5.3-5.5.4 ENV 1993-1-1:1992 + AC:1992 + A1:1994 + A2:1998

X	Comb.	Sfruttamento	Classe	NEd	Mx,Ed	Mx,Eff,Ed	My,Ed	χ,LT	kLT	ky	M,critico	Wx	Wy	Verifica
0	SLU 38	0.08	1	8.178	-2.71281	-2.47258	0.00597	0.993	1	1	187.43008	0.0001196	0.0000589	Si

Verifica di stabilità per tenso-flessione deviata SLD §§ 5.5.3-5.5.4 ENV 1993-1-1:1992 + AC:1992 + A1:1994 + A2:1998

X	Comb.	Sfruttamento	Classe	NEd	Mx,Ed	Mx,Eff,Ed	My,Ed	χ,LT	kLT	ky	M,critico	Wx	Wy	Verifica
0	SLD 14	0.022	1	10.485	-0.7441	-0.43609	-0.12079	0.988	1	1	176.67573	0.0001196	0.0000589	Si

Verifica di stabilità per pressoflessione §C.4.2.4.1.3.3.2 NTC18

X	Comb.	Sfruttamento	Classe	NEd	NRk	Mx,Ed max	Mx,Rk	My,Ed max	My,Rk	χ,x	χ,y	kxx	kxy	kyy	χ,LT	Verifica	
1.85	SLV 7	0.09	1	-20.157	697.541	0.63975	32.89552	0.4249	16.19002	0.912	0.721	0.656	0.561	0.993	0.934	0.902	Si

Verifica di stabilità per pressoflessione SLD §C.4.2.4.1.3.3.2 NTC18

X	Comb.	Sfruttamento	Classe	NEd	NRk	Mx,Ed max	Mx,Rk	My,Ed max	My,Rk	χ,x	χ,y	kxx	kxy	kyy	χ,LT	Verifica	
1.727	SLD 8	0.042	1	-5.02	697.541	0.69227	32.89552	0.10819	16.19002	0.912	0.721	0.699	0.586	0.998	0.976	0.902	Si

Verifica di stabilità a taglio anima Y §4.2.4.1.2.4 [4.2.27] NTC18

η	hw	tw	hw/tw max	Verifica
1.2	0.098	0.005	55.46	Si

Verifica di stabilità a taglio anima Y SLD §4.2.4.1.2.4 [4.2.27] NTC18

η	hw	tw	hw/tw max	Verifica
1.2	0.098	0.005	55.46	Si

Verifiche a deformabilità

Mensola X: No; Mensola Y: No.

Frecce lungo X

Ascissa freccia	Combinazione	Freccia	Luce	L/f	L/f,min	Tipo	Verifica
1.048	SLE RA 1	0.00003	1.85	10000	250	Totale	Si
1.048	SLE RA 17	0.00003	1.85	10000	250	Totale	Si
1.048	SLE RA 16	0.00004	1.85	10000	250	Totale	Si
1.048	SLE RA 15	0.00004	1.85	10000	250	Totale	Si
1.048	SLE RA 14	0.00003	1.85	10000	250	Totale	Si
1.11	SLE RA 2	-0.00002	1.85	10000	350	Variabile	Si
1.11	SLE RA 17	0.00001	1.85	10000	350	Variabile	Si
1.11	SLE RA 16	0.00002	1.85	10000	350	Variabile	Si
1.11	SLE RA 15	0.00002	1.85	10000	350	Variabile	Si
1.11	SLE RA 14	0	1.85	10000	350	Variabile	Si

Frecce lungo Y

Ascissa freccia	Combinazione	Freccia	Luce	L/f	L/f,min	Tipo	Verifica
0.802	SLE RA 19	-0.00037	1.85	4964	250	Totale	Si
0.802	SLE RA 15	-0.00032	1.85	5704	250	Totale	Si
0.802	SLE RA 11	-0.00032	1.85	5704	250	Totale	Si
0.802	SLE RA 7	-0.00032	1.85	5713.8	250	Totale	Si
0.802	SLE RA 16	-0.0003	1.85	6146.5	250	Totale	Si
0.802	SLE RA 19	-0.00022	1.85	8535.3	350	Variabile	Si
0.802	SLE RA 17	-0.00006	1.85	10000	350	Variabile	Si
0.802	SLE RA 16	-0.00015	1.85	10000	350	Variabile	Si

Implementazione dei sistemi di confinamento delle emissioni odorigene diffuse dell'impianto di compostaggio esistente nel
Comune di Eboli (SA)
PROGETTO DEFINITIVO – Tabulati di calcolo Tomo 1

Ascissa freccia	Combinazione	Freccia	Luce	L/f	L/f,min	Tipo	Verifica
0.802	SLE RA 15	-0.00017	1.85	10000	350	Variabile	Si
0.802	SLE RA 14	-0.00003	1.85	10000	350	Variabile	Si

Superelemento in acciaio a quota "590" (-1543; 180)-(-1416; 314)

Caratteristiche del materiale

Acciaio: S275, fyk = 275000

Caratteristiche geometriche

Lunghezza: 1.85

Nodo iniziale: 341 Nodo finale: 348

Cerniera iniziale: No Cerniera finale: No

Sovraresistenza: 0% Sisma Z: No

Caratteristiche della sezione

Sezione	Rotazione	Area	Jx	Jy	ix	iy	Wx	Wy	Wplx	Wply
HEA120	0	0.002537	0.0000060673	0.0000023091	0.0489	0.0302	0.00010644	0.00003849	0.00011962	0.00005887

Verifiche di resistenza

Verifiche a forza assiale §4.2.4.1.2.1 - §4.2.4.1.2.2 NTC18

X	Comb.	Sfruttamento	Classe	NEd	Nc,Rd	Nt,Rd	Riduzione da taglio	px	py	Verifica
0	SLV 7	0.055		36.331		664.325	1	0	0	Si

Verifiche a forza assiale SLD §4.2.4.1.2.1 - §4.2.4.1.2.2 NTC18

X	Comb.	Sfruttamento	Classe	NEd	Nc,Rd	Nt,Rd	Riduzione da taglio	px	py	Verifica
1.85	SLD 8	0.021		14.019		664.325	1	0	0	Si

Verifica a taglio X §4.2.4.1.2.4 NTC18

X	Comb.	Sfruttamento	VEd	Vc,Rd	Av	Interazione taglio-torsione	Riduzione torsione	Verifica
1.85	SLV 8	0.001	-0.245	309.253	0.002047	Considerata	1	Si

Verifica a taglio Y §4.2.4.1.2.4 NTC18

X	Comb.	Sfruttamento	VEd	Vc,Rd	Av	Interazione taglio-torsione	Riduzione torsione	Verifica
0	SLV 76	0.013	1.623	126.932	0.000849	Considerata	0.99	Si

Verifica a taglio Y SLD §4.2.4.1.2.4 NTC18

X	Comb.	Sfruttamento	VEd	Vc,Rd	Av	Interazione taglio-torsione	Riduzione torsione	Verifica
0	SLD 9	0.004	0.574	127.716	0.000849	Considerata	1	Si

Verifica a torsione §4.2.4.1.2.5 NTC18

X	Comb.	Sfruttamento torsione	TEd	TRd	Riduzione taglio resistente	Sfruttamento taglio-torsione	τEd,totale	τRd	Verifica
0.185	SLV 76	0.027	-0.02263	0.85138	Considerata				Si

Verifica a torsione SLD §4.2.4.1.2.5 NTC18

X	Comb.	Sfruttamento torsione	TEd	TRd	Riduzione taglio resistente	Sfruttamento taglio-torsione	τEd,totale	τRd	Verifica
1.85	SLD 10	0.011	-0.00974	0.85138	Considerata				Si

Verifica a flessione semplice X §§ 4.2.4.1.2.3 - 4.2.4.1.2.6 - 4.2.4.1.2.7 - 4.2.4.1.2.8 NTC18

X	Comb.	Sfruttamento	Classe	Mx,Ed	Mx,Rd	Rid. Mx,Rd da VEd	px	py	Verifica
0.74	SLV 43	0.004	1	-0.13775	31.32907	1	0	0	Si

Verifica a flessione deviata §§ 4.2.4.1.2.3 - 4.2.4.1.2.6 - 4.2.4.1.2.7 - 4.2.4.1.2.8 NTC18

X	Comb.	Sfruttamento	Classe	Mx,Ed	Mx,Rd	My,Ed	My,Rd	Rid. Mx,Rd da VEd	Rid. My,Rd da VEd	α	β	px	py	Verifica
1.048	SLV 43	0.005	1	-0.1417	31.3291	-0.0084	15.4191	1	1			0	0	Si

Verifica a presso/tenso flessione retta X §§ 4.2.4.1.2.3 - 4.2.4.1.2.6 - 4.2.4.1.2.7 - 4.2.4.1.2.8 NTC18

Verifiche eseguite utilizzando la formula conservativa (6.2) §6.2.1 EN 1993-1-1:2005.

X	Comb.	Sfruttamento	Classe	NEd	NRd	Rid. NRd da VEd	Mx,Ed	Mx,Rd	Rid. Mx,Rd da VEd	Rid. Mx,Rd da NEd	px	py	Verifica
1.727	SLV 38	0.098	1	10.616	664.325	1	-2.5693	31.3291	1	1	0	0	Si

Verifica a presso/tenso flessione retta Y §§ 4.2.4.1.2.3 - 4.2.4.1.2.6 - 4.2.4.1.2.7 - 4.2.4.1.2.8 NTC18

Verifiche eseguite utilizzando la formula conservativa (6.2) §6.2.1 EN 1993-1-1:2005.

X	Comb.	Sfruttamento	Classe	NEd	NRd	Rid. NRd da VEd	My,Ed	My,Rd	Rid. My,Rd da VEd	Rid. My,Rd da NEd	px	py	Verifica
0.123	SLV 10	0.083	1	-31.846	664.325	1	-0.534	15.4191	1	1	0	0	Si

Verifica a presso/tenso flessione deviata §§ 4.2.4.1.2.3 - 4.2.4.1.2.6 - 4.2.4.1.2.7 - 4.2.4.1.2.8 NTC18

Verifiche eseguite utilizzando la formula conservativa (6.2) §6.2.1 EN 1993-1-1:2005.

X	Comb.	Sfruttamento	Classe	NEd	NRd	Rid. NRd da VEd	Mx,Ed	Mx,Rd	My,Ed	My,Rd	Rid. Mx,Rd da VEd	Rid. Mx,Rd da NEd	Rid. My,Rd da VEd	Rid. My,Rd da NEd	α	β	px	py	Verifica
0	SLV 7	0.11	1	36.331	664.325	1	-0.2413	31.3291	0.7344	15.4191	1	1	1	1			0	0	Si

Verifica a presso/tenso flessione deviata SLD §§ 4.2.4.1.2.3 - 4.2.4.1.2.6 - 4.2.4.1.2.7 - 4.2.4.1.2.8 NTC18

Verifiche eseguite utilizzando la formula conservativa (6.2) §6.2.1 EN 1993-1-1:2005.

X	Comb.	Sfruttamento	Classe	NEd	NRd	Rid. NRd da VEd	Mx,Ed	Mx,Rd	My,Ed	My,Rd	Rid. Mx,Rd da VEd	Rid. Mx,Rd da NEd	Rid. My,Rd da VEd	Rid. My,Rd da NEd	α	β	px	py	Verifica
1.172	SLD 7	0.05	1	14.019	664.325	1	-0.5673	31.3291	0.1664	15.4191	1	1	1	1			0	0	Si

Implementazione dei sistemi di confinamento delle emissioni odorigene diffuse dell'impianto di compostaggio esistente nel
Comune di Eboli (SA)
PROGETTO DEFINITIVO – Tabulati di calcolo Tomo 1

Verifiche ad instabilità

Caratteristiche iniziali

Membratura principale per controllo snellezza; Calcolo di snellezze ed N critici condotti secondo gli assi principali;
Curva X: b; Curva Y: c; Svergolamento: Carico all'estradosso; Curva svergolamento: b;

Dati per instabilità attorno a x

Controllo della snellezza secondo §4.2.4.1.3.1 NTC18

Numero rit.	Presente	Ascissa	Campata	$\beta x/m$	Vincolo a entrambi estremi	$\lambda x/m$	λVer
1	Si	0					
			1-2	1	Si	37.8	Si, (<200)
2	Si	1.85					

Dati per instabilità attorno a y

Controllo della snellezza secondo §4.2.4.1.3.1 NTC18

Numero rit.	Presente	Ascissa	Campata	$\beta y/n$	k,LT	kw,LT	Vincolo a entrambi estremi	$\lambda y/n$	λVer
1	Si	0							
			1-2	1	1	1	Si	61.3	Si, (<200)
2	Si	1.85							

Verifica a svergolamento con trazione §4.2.4.1.3.2 NTC18 § 5.5.3 ENV 1993-1-1:1992 + AC:1992 + A1:1994 + A2:1998

X	Comb.	Sfruttamento	Classe	Obblig.	NEd	Mx,Ed	Mx,Eff,Ed	Mb,Rd,x	χ,LT	λ adim. LT	L,LT	M,critico	Verifica
1.727	SLU 38	0.073	1	Si	10.616	-2.56927	-2.25743	30.99727	0.989	0.427	1.85	180.2338	Si

Verifica di stabilità per tenso-flessione deviata §5.5.3-5.5.4 ENV 1993-1-1:1992 + AC:1992 + A1:1994 + A2:1998

X	Comb.	Sfruttamento	Classe	NEd	Mx,Ed	Mx,Eff,Ed	My,Ed	χ,LT	kLT	ky	M,critico	Wx	Wy	Verifica
1.85	SLU 76	0.083	1	10.982	-2.82953	-2.50694	-0.03097	0.989	1	1	180.01437	0.0001196	0.0000589	Si

Verifica di stabilità per tenso-flessione deviata SLD §5.5.3-5.5.4 ENV 1993-1-1:1992 + AC:1992 + A1:1994 + A2:1998

X	Comb.	Sfruttamento	Classe	NEd	Mx,Ed	Mx,Eff,Ed	My,Ed	χ,LT	kLT	ky	M,critico	Wx	Wy	Verifica
1.665	SLD 1	0.018	1	8.481	-0.67419	-0.42506	0.05862	0.986	1	1	172.19266	0.0001196	0.0000589	Si

Verifica di stabilità per pressoflessione §C.4.2.4.1.3.3.2 NTC18

X	Comb.	Sfruttamento	Classe	NEd	NRk	Mx,Ed max	Mx,Rk	My,Ed max	My,Rk	χ_x	χ_y	kxx	kxy	kyy	χ_{LT}	Verifica	
1.85	SLV 9	0.126	1	-31.846	697.541	0.80286	32.89552	0.54814	16.19002	0.912	0.721	0.667	0.537	0.989	0.895	0.902	Si

Verifica di stabilità per pressoflessione SLD §C.4.2.4.1.3.3.2 NTC18

X	Comb.	Sfruttamento	Classe	NEd	NRk	Mx,Ed max	Mx,Rk	My,Ed max	My,Rk	χ_x	χ_y	kxx	kxy	kyy	χ_{LT}	Verifica	
1.85	SLD 10	0.052	1	-9.534	697.541	0.74624	32.89552	0.12871	16.19002	0.912	0.721	0.712	0.578	0.997	0.963	0.993	Si

Verifica di stabilità a taglio anima Y §4.2.4.1.2.4 [4.2.27] NTC18

η	hw	tw	hw/tw max	Verifica
1.2	0.098	0.005	55.46	Si

Verifica di stabilità a taglio anima Y SLD §4.2.4.1.2.4 [4.2.27] NTC18

η	hw	tw	hw/tw max	Verifica
1.2	0.098	0.005	55.46	Si

Verifiche a deformabilità

Mensola X: No; Mensola Y: No.

Frecce lungo X

Ascissa freccia	Combinazione	Freccia	Luce	L/f	L/f,min	Tipo	Verifica
0.74	SLE RA 1	-0.00003	1.85	10000	250	Totale	Si
0.74	SLE RA 17	-0.00005	1.85	10000	250	Totale	Si
0.74	SLE RA 16	-0.00008	1.85	10000	250	Totale	Si
0.74	SLE RA 15	-0.00008	1.85	10000	250	Totale	Si
0.74	SLE RA 14	-0.00005	1.85	10000	250	Totale	Si
0.802	SLE RA 2	0.00004	1.85	10000	350	Variabile	Si
0.802	SLE RA 17	-0.00002	1.85	10000	350	Variabile	Si
0.802	SLE RA 16	-0.00005	1.85	10000	350	Variabile	Si
0.802	SLE RA 15	-0.00004	1.85	10000	350	Variabile	Si
0.74	SLE RA 14	-0.00002	1.85	10000	350	Variabile	Si

Frecce lungo Y

Ascissa freccia	Combinazione	Freccia	Luce	L/f	L/f,min	Tipo	Verifica
1.048	SLE RA 19	-0.00039	1.85	4760.7	250	Totale	Si
1.048	SLE RA 7	-0.00034	1.85	5469.3	250	Totale	Si
1.048	SLE RA 15	-0.00034	1.85	5470.7	250	Totale	Si
1.048	SLE RA 11	-0.00034	1.85	5470.7	250	Totale	Si
1.048	SLE RA 16	-0.00031	1.85	5913.8	250	Totale	Si
1.048	SLE RA 19	-0.00023	1.85	8147.1	350	Variabile	Si
1.048	SLE RA 17	-0.00007	1.85	10000	350	Variabile	Si
1.048	SLE RA 16	-0.00015	1.85	10000	350	Variabile	Si
1.048	SLE RA 15	-0.00018	1.85	10000	350	Variabile	Si
1.048	SLE RA 14	-0.00003	1.85	10000	350	Variabile	Si

Superelemento in acciaio a quota "590" (-1670; 45)-(-1543; 180)

Caratteristiche del materiale

Acciaio: S275, fyk = 275000

Caratteristiche geometriche

Lunghezza: 1.85

Nodo iniziale: 295 Nodo finale: 341

Cerniera iniziale: No Cerniera finale: No

Sovreresistenza: 0% Sisma Z: No

**Implementazione dei sistemi di confinamento delle emissioni odorigene diffuse dell'impianto di compostaggio esistente nel
Comune di Eboli (SA)
PROGETTO DEFINITIVO – Tabulati di calcolo Tomo 1**

Caratteristiche della sezione

Sezione	Rotazione	Area	Jx	Jy	ix	iy	Wx	Wy	Wplx	Wply
HEA120	0	0.002537	0.0000060673	0.0000023091	0.0489	0.0302	0.00010644	0.00003849	0.00011962	0.00005887

Verifiche di resistenza

Verifiche a forza assiale §4.2.4.1.2.1 - §4.2.4.1.2.2 NTC18

X	Comb.	Sfruttamento	Classe	NEd	Nc,Rd	Nt,Rd	Riduzione da taglio	px	py	Verifica
0	SLV 10	0.122	1	-81.128	664.325		1	0	0	Si

Verifiche a forza assiale SLD §4.2.4.1.2.1 - §4.2.4.1.2.2 NTC18

X	Comb.	Sfruttamento	Classe	NEd	Nc,Rd	Nt,Rd	Riduzione da taglio	px	py	Verifica
0	SLD 9	0.063	1	-41.896	664.325		1	0	0	Si

Verifica a taglio X §4.2.4.1.2.4 NTC18

X	Comb.	Sfruttamento	VEd	Vc,Rd	Av	Interazione taglio-torsione	Riduzione torsione	Verifica
1.788	SLU 76	0.002	-0.484	308.189	0.002047	Considerata	1	Si

Verifica a taglio X SLD §4.2.4.1.2.4 NTC18

X	Comb.	Sfruttamento	VEd	Vc,Rd	Av	Interazione taglio-torsione	Riduzione torsione	Verifica
1.85	SLD 6	0.001	-0.207	308.524	0.002047	Considerata	1	Si

Verifica a taglio Y §4.2.4.1.2.4 NTC18

X	Comb.	Sfruttamento	VEd	Vc,Rd	Av	Interazione taglio-torsione	Riduzione torsione	Verifica
0	SLU 76	0.01	1.272	127.779	0.000849	Considerata	1	Si

Verifica a taglio Y SLD §4.2.4.1.2.4 NTC18

X	Comb.	Sfruttamento	VEd	Vc,Rd	Av	Interazione taglio-torsione	Riduzione torsione	Verifica
0	SLD 9	0.006	0.709	127.729	0.000849	Considerata	1	Si

Verifica a torsione §4.2.4.1.2.5 NTC18

X	Comb.	Sfruttamento torsione	TEd	TRd	Riduzione taglio resistente	Sfruttamento taglio-torsione	τEd,totale	τRd	Verifica
1.788	SLV 13	0.028	-0.02342	0.85138	Considerata				Si

Verifica a torsione SLD §4.2.4.1.2.5 NTC18

X	Comb.	Sfruttamento torsione	TEd	TRd	Riduzione taglio resistente	Sfruttamento taglio-torsione	τEd,totale	τRd	Verifica
1.788	SLD 13	0.011	-0.00957	0.85138	Considerata				Si

Verifica a presso/tenso flessione retta X §§ 4.2.4.1.2.3 - 4.2.4.1.2.6 - 4.2.4.1.2.7 - 4.2.4.1.2.8 NTC18

Verifiche eseguite utilizzando la formula conservativa (6.2) §6.2.1 EN 1993-1-1:2005.

X	Comb.	Sfruttamento	Classe	NEd	NRd	Rid. NRd da VEd	Mx,Ed	Mx,Rd	Rid. Mx,Rd da VEd	Rid. Mx,Rd da NEd	px	py	Verifica
0	SLV 16	0.116	1	-52.738	664.325	1	1.1382	31.3291	1		0	0	Si

Verifica a presso/tenso flessione retta X SLD §§ 4.2.4.1.2.3 - 4.2.4.1.2.6 - 4.2.4.1.2.7 - 4.2.4.1.2.8 NTC18

Verifiche eseguite utilizzando la formula conservativa (6.2) §6.2.1 EN 1993-1-1:2005.

X	Comb.	Sfruttamento	Classe	NEd	NRd	Rid. NRd da VEd	Mx,Ed	Mx,Rd	Rid. Mx,Rd da VEd	Rid. Mx,Rd da NEd	px	py	Verifica
0.987	SLD 13	0.073	1	-41.725	664.325	1	0.3291	31.3291	1		0	0	Si

Verifica a presso/tenso flessione retta Y §§ 4.2.4.1.2.3 - 4.2.4.1.2.6 - 4.2.4.1.2.7 - 4.2.4.1.2.8 NTC18

Verifiche eseguite utilizzando la formula conservativa (6.2) §6.2.1 EN 1993-1-1:2005.

X	Comb.	Sfruttamento	Classe	NEd	NRd	Rid. NRd da VEd	My,Ed	My,Rd	Rid. My,Rd da VEd	Rid. My,Rd da NEd	px	py	Verifica
1.48	SLU 57	0.125	1	-63.195	664.325	1	0.4577	15.4191	1		0	0	Si

Verifica a presso/tenso flessione retta Y SLD §§ 4.2.4.1.2.3 - 4.2.4.1.2.6 - 4.2.4.1.2.7 - 4.2.4.1.2.8 NTC18

Verifiche eseguite utilizzando la formula conservativa (6.2) §6.2.1 EN 1993-1-1:2005.

X	Comb.	Sfruttamento	Classe	NEd	NRd	Rid. NRd da VEd	My,Ed	My,Rd	Rid. My,Rd da VEd	Rid. My,Rd da NEd	px	py	Verifica
1.727	SLD 10	0.07	1	-41.895	664.325	1	-0.104	15.4191	1		0	0	Si

Verifica a presso/tenso flessione deviata §§ 4.2.4.1.2.3 - 4.2.4.1.2.6 - 4.2.4.1.2.7 - 4.2.4.1.2.8 NTC18

Verifiche eseguite utilizzando la formula conservativa (6.2) §6.2.1 EN 1993-1-1:2005.

X	Comb.	Sfruttamento	Classe	NEd	NRd	Rid. NRd da VEd	Mx,Ed	Mx,Rd	My,Ed	My,Rd	Rid. Mx,Rd da VEd	Rid. Mx,Rd da NEd	Rid. My,Rd da VEd	Rid. My,Rd da NEd	α	β	px	py	Verifica
0	SLU 76	0.233	1	-68.383	664.325	1	1.6104	31.3291	1.216	15.4191	1		1				0	0	Si

Verifica a presso/tenso flessione deviata SLD §§ 4.2.4.1.2.3 - 4.2.4.1.2.6 - 4.2.4.1.2.7 - 4.2.4.1.2.8 NTC18

Verifiche eseguite utilizzando la formula conservativa (6.2) §6.2.1 EN 1993-1-1:2005.

X	Comb.	Sfruttamento	Classe	NEd	NRd	Rid. NRd da VEd	Mx,Ed	Mx,Rd	My,Ed	My,Rd	Rid. Mx,Rd da VEd	Rid. Mx,Rd da NEd	Rid. My,Rd da VEd	Rid. My,Rd da NEd	α	β	px	py	Verifica
0	SLD 9	0.102	1	-41.896	664.325	1	0.9339	31.3291	0.138	15.4191	1		1				0	0	Si

Verifiche ad instabilità

Caratteristiche iniziali

Membratura principale per controllo snellezza; Calcolo di snellezze ed N critici condotti secondo gli assi principali;

Curva X: b; Curva Y: c; Svergolamento: Carico all'estradosso; Curva svergolamento: b;

Dati per instabilità attorno a x

Controllo della snellezza secondo §4.2.4.1.3.1 NTC18

Numero rit.	Presente	Ascissa	Campata	βx/m	Vincolo a entrambi estremi	λx/m	λVer
1	Si	0					
			1-2		1	37.8	Si, (<200)
2	Si	1.85					

Implementazione dei sistemi di confinamento delle emissioni odorigene diffuse dell’impianto di compostaggio esistente nel
Comune di Eboli (SA)
PROGETTO DEFINITIVO – Tabulati di calcolo Tomo 1

Dati per instabilità attorno a y

Controllo della snellezza secondo §4.2.4.1.3.1 NTC18

Numero rit.	Presente	Ascissa	Campata	$\beta y/n$	k_{LT}	$k_{w,LT}$	Vincolo a entrambi estremi	$\lambda y/n$	λVer
1	Si	0	1-2	1	1	1	Si	61.3	Si, (<200)
2	Si	1.85							

Verifica di stabilità per tenso-flessione deviata §§ 5.5.3-5.5.4 ENV 1993-1-1:1992 + AC:1992 + A1:1994 + A2:1998

X	Comb.	Sfruttamento	Classe	NEd	Mx,Ed	Mx,Eff,Ed	My,Ed	χ_{LT}	kLT	ky	M,critico	Wx	Wy	Verifica
0	SLU 40	0.007	1	1.888	0.08601	0.03054	-0.09387	0.902	1	1	82.10616	0.0001196	0.0000589	Si

Verifica di stabilità per pressoflessione §C.4.2.4.1.3.3.2 NTC18

X	Comb.	Sfruttamento	Classe	NEd	NRk	Mx,Ed max	Mx,Rk	My,Ed max	My,Rk	χ_x	χ_y	kxx	kxy	kyy	χ_{LT}	Verifica	
0	SLU 76	0.259	1	-68.383	697.541	1.61044	32.89552	1.21598	16.19002	0.912	0.721	0.483	0.472	0.954	0.787	0.902	Si

Verifica di stabilità per pressoflessione SLD §C.4.2.4.1.3.3.2 NTC18

X	Comb.	Sfruttamento	Classe	NEd	NRk	Mx,Ed max	Mx,Rk	My,Ed max	My,Rk	χ_x	χ_y	kxx	kxy	kyy	χ_{LT}	Verifica	
0	SLD 9	0.124	1	-41.896	697.541	0.93385	32.89552	0.13798	16.19002	0.912	0.721	0.519	0.257	0.976	0.428	0.902	Si

Verifica di stabilità a taglio anima Y §4.2.4.1.2.4 [4.2.27] NTC18

η	hw	tw	hw/tw max	Verifica
1.2	0.098	0.005	55.46	Si

Verifica di stabilità a taglio anima Y SLD §4.2.4.1.2.4 [4.2.27] NTC18

η	hw	tw	hw/tw max	Verifica
1.2	0.098	0.005	55.46	Si

Verifiche a deformabilità

Mensola X: No; Mensola Y: No.

Frecce lungo X

Ascissa freccia	Combinazione	Freccia	Luce	L/f	L/f,min	Tipo	Verifica
0.863	SLE RA 19	-0.00047	1.85	3920.2	250	Totale	Si
0.863	SLE RA 15	-0.0004	1.85	4572.2	250	Totale	Si
0.863	SLE RA 11	-0.0004	1.85	4572.2	250	Totale	Si
0.863	SLE RA 16	-0.0004	1.85	4585.5	250	Totale	Si
0.863	SLE RA 7	-0.00038	1.85	4830.8	250	Totale	Si
0.863	SLE RA 19	-0.00027	1.85	6842.6	350	Variabile	Si
0.863	SLE RA 15	-0.0002	1.85	9110.4	350	Variabile	Si
0.863	SLE RA 11	-0.0002	1.85	9110.4	350	Variabile	Si
0.863	SLE RA 16	-0.0002	1.85	9163.1	350	Variabile	Si
0.863	SLE RA 2	0.00019	1.85	9817.6	350	Variabile	Si

Frecce lungo Y

Ascissa freccia	Combinazione	Freccia	Luce	L/f	L/f,min	Tipo	Verifica
0.678	SLE RA 1	0.00006	1.85	10000	250	Totale	Si
0.678	SLE RA 17	0.00008	1.85	10000	250	Totale	Si
0.678	SLE RA 16	0.00011	1.85	10000	250	Totale	Si
0.678	SLE RA 15	0.00012	1.85	10000	250	Totale	Si
0.678	SLE RA 14	0.00007	1.85	10000	250	Totale	Si
0.74	SLE RA 2	-0.00005	1.85	10000	350	Variabile	Si
0.74	SLE RA 17	0.00002	1.85	10000	350	Variabile	Si
0.74	SLE RA 16	0.00006	1.85	10000	350	Variabile	Si
0.74	SLE RA 15	0.00006	1.85	10000	350	Variabile	Si
0.74	SLE RA 14	0.00001	1.85	10000	350	Variabile	Si

Superelemento in acciaio a quota "590" (-1797; -90)-(-1670; 45)

Caratteristiche del materiale

Acciaio: S275, fyk = 275000

Caratteristiche geometriche

Lunghezza: 1.85

Nodo iniziale: 333 Nodo finale: 295

Cerniera iniziale: No Cerniera finale: No

Sovreresistenza: 0% Sisma Z: No

Caratteristiche della sezione

Sezione	Rotazione	Area	Jx	Jy	ix	iy	Wx	Wy	Wplx	Wply
HEA120	0	0.002537	0.0000060673	0.0000023091	0.0489	0.0302	0.00010644	0.00003849	0.00011962	0.00005887

Verifiche di resistenza

Verifiche a forza assiale §4.2.4.1.2.1 - §4.2.4.1.2.2 NTC18

X	Comb.	Sfruttamento	Classe	NEd	Nc,Rd	Nt,Rd	Riduzione da taglio	px	py	Verifica
0	SLU 76	0.078		51.528		664.325	1	0	0	Si

Verifiche a forza assiale SLD §4.2.4.1.2.1 - §4.2.4.1.2.2 NTC18

X	Comb.	Sfruttamento	Classe	NEd	Nc,Rd	Nt,Rd	Riduzione da taglio	px	py	Verifica
0	SLD 7	0.031		20.72		664.325	1	0	0	Si

Verifica a taglio X §4.2.4.1.2.4 NTC18

X	Comb.	Sfruttamento	VEd	Vc,Rd	Av	Interazione taglio-torsione	Riduzione torsione	Verifica
1.85	SLU 76	0.001	0.321	307.173	0.002047	Considerata	0.99	Si

Implementazione dei sistemi di confinamento delle emissioni odorigene diffuse dell'impianto di compostaggio esistente nel
Comune di Eboli (SA)

PROGETTO DEFINITIVO – Tabulati di calcolo Tomo 1

Verifica a taglio Y §4.2.4.1.2.4 NTC18

X	Comb.	Sfruttamento	VEd	Vc,Rd	Av	Interazione taglio-torsione	Riduzione torsione	Verifica
1.85	SLU 76	0.013	-1.615	127.358	0.000849	Considerata	0.99	Si

Verifica a taglio Y SLD §4.2.4.1.2.4 NTC18

X	Comb.	Sfruttamento	VEd	Vc,Rd	Av	Interazione taglio-torsione	Riduzione torsione	Verifica
1.85	SLD 10	0.007	-0.861	127.896	0.000849	Considerata	1	Si

Verifica a torsione §4.2.4.1.2.5 NTC18

X	Comb.	Sfruttamento torsione	TEd	TRd	Riduzione taglio resistente	Sfruttamento taglio-torsione	τEd,totale	τRd	Verifica
1.788	SLV 3	0.046	0.03934	0.85138	Considerata				Si

Verifica a torsione SLD §4.2.4.1.2.5 NTC18

X	Comb.	Sfruttamento torsione	TEd	TRd	Riduzione taglio resistente	Sfruttamento taglio-torsione	τEd,totale	τRd	Verifica
1.85	SLD 4	0.019	0.01583	0.85138	Considerata				Si

Verifica a presso/tenso flessione retta X §§ 4.2.4.1.2.3 - 4.2.4.1.2.6 - 4.2.4.1.2.7 - 4.2.4.1.2.8 NTC18

Verifiche eseguite utilizzando la formula conservativa (6.2) §6.2.1 EN 1993-1-1:2005.

X	Comb.	Sfruttamento	Classe	NEd	NRd	Rid. NRd da VEd	Mx,Ed	Mx,Rd	Rid. Mx,Rd da VEd	Rid. Mx,Rd da NEd	px	py	Verifica
1.85	SLV 15	0.049	1	8.878	664.325	1	1.1292	31.3291	1		0	0	Si

Verifica a presso/tenso flessione retta X SLD §§ 4.2.4.1.2.3 - 4.2.4.1.2.6 - 4.2.4.1.2.7 - 4.2.4.1.2.8 NTC18

Verifiche eseguite utilizzando la formula conservativa (6.2) §6.2.1 EN 1993-1-1:2005.

X	Comb.	Sfruttamento	Classe	NEd	NRd	Rid. NRd da VEd	Mx,Ed	Mx,Rd	Rid. Mx,Rd da VEd	Rid. Mx,Rd da NEd	px	py	Verifica
0.185	SLD 9	0.025	1	11.385	664.325	1	-0.2544	31.3291	1		0	0	Si

Verifica a presso/tenso flessione retta Y §§ 4.2.4.1.2.3 - 4.2.4.1.2.6 - 4.2.4.1.2.7 - 4.2.4.1.2.8 NTC18

Verifiche eseguite utilizzando la formula conservativa (6.2) §6.2.1 EN 1993-1-1:2005.

X	Comb.	Sfruttamento	Classe	NEd	NRd	Rid. NRd da VEd	My,Ed	My,Rd	Rid. My,Rd da VEd	Rid. My,Rd da NEd	px	py	Verifica
0.802	SLU 69	0.096	1	36.084	664.325	1	0.6423	15.4191	1		0	0	Si

Verifica a presso/tenso flessione retta Y SLD §§ 4.2.4.1.2.3 - 4.2.4.1.2.6 - 4.2.4.1.2.7 - 4.2.4.1.2.8 NTC18

Verifiche eseguite utilizzando la formula conservativa (6.2) §6.2.1 EN 1993-1-1:2005.

X	Comb.	Sfruttamento	Classe	NEd	NRd	Rid. NRd da VEd	My,Ed	My,Rd	Rid. My,Rd da VEd	Rid. My,Rd da NEd	px	py	Verifica
1.418	SLD 3	0.067	1	20.588	664.325	1	0.5612	15.4191	1		0	0	Si

Verifica a presso/tenso flessione deviata §§ 4.2.4.1.2.3 - 4.2.4.1.2.6 - 4.2.4.1.2.7 - 4.2.4.1.2.8 NTC18

Verifiche eseguite utilizzando la formula conservativa (6.2) §6.2.1 EN 1993-1-1:2005.

X	Comb.	Sfruttamento	Classe	NEd	NRd	Rid. NRd da VEd	Mx,Ed	Mx,Rd	My,Ed	My,Rd	Rid. Mx,Rd da VEd	Rid. Mx,Rd da NEd	Rid. My,Rd da VEd	Rid. My,Rd da NEd	α	β	px	py	Verifica
1.85	SLU 76	0.209	1	51.526	664.325	1	1.5937	31.3291	1.2466	15.4191	1		1				0	0	Si

Verifica a presso/tenso flessione deviata SLD §§ 4.2.4.1.2.3 - 4.2.4.1.2.6 - 4.2.4.1.2.7 - 4.2.4.1.2.8 NTC18

Verifiche eseguite utilizzando la formula conservativa (6.2) §6.2.1 EN 1993-1-1:2005.

X	Comb.	Sfruttamento	Classe	NEd	NRd	Rid. NRd da VEd	Mx,Ed	Mx,Rd	My,Ed	My,Rd	Rid. Mx,Rd da VEd	Rid. Mx,Rd da NEd	Rid. My,Rd da VEd	Rid. My,Rd da NEd	α	β	px	py	Verifica
1.85	SLD 4	0.076	1	20.588	664.325	1	0.17	31.3291	0.6075	15.4191	1		1				0	0	Si

Verifiche ad instabilità

Caratteristiche iniziali

Membratura principale per controllo snellezza; Calcolo di snellezze ed N critici condotti secondo gli assi principali;

Curva X: b; Curva Y: c; Svergolamento: Carico all'estradosso; Curva svergolamento: b;

Dati per instabilità attorno a x

Controllo della snellezza secondo §4.2.4.1.3.1 NTC18

Numero rit.	Presente	Ascissa	Campata	βx/m	Vincolo a entrambi estremi	λx/m	λVer
1	Si	0					
			1-2		1	37.8	Si, (<200)
2	Si	1.85					

Dati per instabilità attorno a y

Controllo della snellezza secondo §4.2.4.1.3.1 NTC18

Numero rit.	Presente	Ascissa	Campata	βy/n	k,LT	kw,LT	Vincolo a entrambi estremi	λy/n	λVer
1	Si	0							
			1-2		1	1	Si	61.3	Si, (<200)
2	Si	1.85							

Verifica a svergolamento con trazione §4.2.4.1.3.2 NTC18 § 5.5.3 ENV 1993-1-1:1992 + AC:1992 + A1:1994 + A2:1998

X	Comb.	Sfruttamento	Classe	Obblig.	NEd	Mx,Ed	Mx,Eff,Ed	Mb,Rd,x	χ,LT	λ adim. LT	L,LT	M,critico	Verifica
1.85	SLV 15	0.031	1	Si	8.878	1.12917	0.86837	28.25853	0.902	0.633	1.85	82.10616	Si

Verifica di stabilità per tenso-flessione deviata §§ 5.5.3-5.5.4 ENV 1993-1-1:1992 + AC:1992 + A1:1994 + A2:1998

X	Comb.	Sfruttamento	Classe	NEd	Mx,Ed	Mx,Eff,Ed	My,Ed	χ,LT	kLT	ky	M,critico	Wx	Wy	Verifica
1.85	SLU 76	0.084	1	51.526	1.5937	0.08009	1.24656	0.902	1	1	82.10616	0.0001196	0.0000589	Si

Verifica di stabilità per tenso-flessione deviata SLD §§ 5.5.3-5.5.4 ENV 1993-1-1:1992 + AC:1992 + A1:1994 + A2:1998

X	Comb.	Sfruttamento	Classe	NEd	Mx,Ed	Mx,Eff,Ed	My,Ed	χ,LT	kLT	ky	M,critico	Wx	Wy	Verifica
1.85	SLD 10	0.03	1	11.384	0.92608	0.59167	0.14092	0.902	1	1	82.10616	0.0001196	0.0000589	Si

Verifica di stabilità per pressoflessione §C.4.2.4.1.3.3.2 NTC18

X	Comb.	Sfruttamento	Classe	NEd	NRk	Mx,Ed max	Mx,Rk	My,Ed max	My,Rk	χ,x	χ,y	kxx	kxy	kyy	χ,LT	Verifica	
1.85	SLU 2	0.022	1	-4.8	697.541	0.08569	32.89552	0.16506	16.19002	0.912	0.721	0.678	0.48	0.998	0.8	0.902	Si

Verifica di stabilità a taglio anima Y §4.2.4.1.2.4 [4.2.27] NTC18

η	hw	tw	hw/tw max	Verifica
---	----	----	-----------	----------

Implementazione dei sistemi di confinamento delle emissioni odorigene diffuse dell'impianto di compostaggio esistente nel
Comune di Eboli (SA)
PROGETTO DEFINITIVO – Tabulati di calcolo Tomo 1

η	hw	tw	hw/tw max	Verifica
1.2	0.098	0.005	55.46	Si

Verifica di stabilità a taglio anima Y SLD §4.2.4.1.2.4 [4.2.27] NTC18

η	hw	tw	hw/tw max	Verifica
1.2	0.098	0.005	55.46	Si

Verifiche a deformabilità

Mensola X: No; Mensola Y: No.

Frecce lungo X

Ascissa freccia	Combinazione	Freccia	Luce	L/f	L/f,min	Tipo	Verifica
0.987	SLE RA 19	-0.00058	1.85	3185.8	250	Totale	Si
0.987	SLE RA 15	-0.0005	1.85	3705	250	Totale	Si
0.987	SLE RA 11	-0.0005	1.85	3705	250	Totale	Si
0.987	SLE RA 16	-0.0005	1.85	3722.8	250	Totale	Si
0.987	SLE RA 7	-0.00047	1.85	3904.6	250	Totale	Si
0.987	SLE RA 19	-0.00033	1.85	5642.7	350	Variabile	Si
0.987	SLE RA 15	-0.00025	1.85	7505.4	350	Variabile	Si
0.987	SLE RA 11	-0.00025	1.85	7505.4	350	Variabile	Si
0.987	SLE RA 16	-0.00024	1.85	7578.9	350	Variabile	Si
0.987	SLE RA 2	0.00023	1.85	8120.3	350	Variabile	Si

Frecce lungo Y

Ascissa freccia	Combinazione	Freccia	Luce	L/f	L/f,min	Tipo	Verifica
1.357	SLE RA 1	0.00003	1.85	10000	250	Totale	Si
1.357	SLE RA 17	0.00004	1.85	10000	250	Totale	Si
1.357	SLE RA 16	0.00006	1.85	10000	250	Totale	Si
1.357	SLE RA 15	0.00007	1.85	10000	250	Totale	Si
1.357	SLE RA 14	0.00004	1.85	10000	250	Totale	Si
1.295	SLE RA 2	-0.00003	1.85	10000	350	Variabile	Si
1.295	SLE RA 17	0.00001	1.85	10000	350	Variabile	Si
1.295	SLE RA 16	0.00003	1.85	10000	350	Variabile	Si
1.295	SLE RA 15	0.00004	1.85	10000	350	Variabile	Si
1.357	SLE RA 14	0.00001	1.85	10000	350	Variabile	Si

Superelemento in acciaio a quota "590" (-1929; -230)-(-1799; -92)

Caratteristiche del materiale

Acciaio: S275, fyk = 275000

Caratteristiche geometriche

Lunghezza: 1.891

Nodo iniziale: 325 Nodo finale: 333

Cerniera iniziale: No Cerniera finale: No

Sovreresistenza: 0% Sisma Z: No

Caratteristiche della sezione

Sezione	Rotazione	Area	Jx	Jy	ix	iy	Wx	Wy	Wplx	Wply
HEA120	0	0.002537	0.0000060673	0.0000023091	0.0489	0.0302	0.00010644	0.00003849	0.00011962	0.00005887

Verifiche di resistenza

Verifiche a forza assiale §4.2.4.1.2.1 - §4.2.4.1.2.2 NTC18

X	Comb.	Sfruttamento	Classe	NEd	Nc,Rd	Nt,Rd	Riduzione da taglio	px	py	Verifica
0	SLU 76	0.097		64.141		664.325	1	0	0	Si

Verifiche a forza assiale SLD §4.2.4.1.2.1 - §4.2.4.1.2.2 NTC18

X	Comb.	Sfruttamento	Classe	NEd	Nc,Rd	Nt,Rd	Riduzione da taglio	px	py	Verifica
1.828	SLD 14	0.036		23.673		664.325	1	0	0	Si

Verifica a taglio X §4.2.4.1.2.4 NTC18

X	Comb.	Sfruttamento	VEd	Vc,Rd	Av	Interazione taglio-torsione	Riduzione torsione	Verifica
1.828	SLV 4	0.001	0.435	307.533	0.002047	Considerata	0.99	Si

Verifica a taglio X SLD §4.2.4.1.2.4 NTC18

X	Comb.	Sfruttamento	VEd	Vc,Rd	Av	Interazione taglio-torsione	Riduzione torsione	Verifica
0	SLD 3	0.001	0.226	308.867	0.002047	Considerata	1	Si

Verifica a taglio Y §4.2.4.1.2.4 NTC18

X	Comb.	Sfruttamento	VEd	Vc,Rd	Av	Interazione taglio-torsione	Riduzione torsione	Verifica
0	SLU 76	0.016	1.979	125.68	0.000849	Considerata	0.98	Si

Verifica a taglio Y SLD §4.2.4.1.2.4 NTC18

X	Comb.	Sfruttamento	VEd	Vc,Rd	Av	Interazione taglio-torsione	Riduzione torsione	Verifica
0	SLD 13	0.007	0.903	127.015	0.000849	Considerata	0.99	Si

Verifica a torsione §4.2.4.1.2.5 NTC18

X	Comb.	Sfruttamento torsione	TEd	TRd	Riduzione taglio resistente	Sfruttamento taglio-torsione	rEd,totale	rRd	Verifica
1.702	SLU 76	0.051	0.04308	0.85138	Considerata				Si

Verifica a torsione SLD §4.2.4.1.2.5 NTC18

X	Comb.	Sfruttamento torsione	TEd	TRd	Riduzione taglio resistente	Sfruttamento taglio-torsione	rEd,totale	rRd	Verifica
1.828	SLD 14	0.025	0.02127	0.85138	Considerata				Si

Implementazione dei sistemi di confinamento delle emissioni odorigene diffuse dell'impianto di compostaggio esistente nel
Comune di Eboli (SA)

PROGETTO DEFINITIVO – Tabulati di calcolo Tomo 1

Verifica a presso/tenso flessione retta X §§ 4.2.4.1.2.3 - 4.2.4.1.2.6 - 4.2.4.1.2.7 - 4.2.4.1.2.8 NTC18

Verifiche eseguite utilizzando la formula conservativa (6.2) §6.2.1 EN 1993-1-1:2005.

X	Comb.	Sfruttamento	Classe	NEd	NRd	Rid. NRd da VEd	Mx,Ed	Mx,Rd	Rid. Mx,Rd da VEd	Rid. Mx,Rd da NEd	px	py	Verifica
0.252	SLU 26	0.121	1	49.779	664.325	1	1.4307	31.3291	1		0	0	Si

Verifica a presso/tenso flessione retta X SLD §§ 4.2.4.1.2.3 - 4.2.4.1.2.6 - 4.2.4.1.2.7 - 4.2.4.1.2.8 NTC18

Verifiche eseguite utilizzando la formula conservativa (6.2) §6.2.1 EN 1993-1-1:2005.

X	Comb.	Sfruttamento	Classe	NEd	NRd	Rid. NRd da VEd	Mx,Ed	Mx,Rd	Rid. Mx,Rd da VEd	Rid. Mx,Rd da NEd	px	py	Verifica
0.63	SLD 15	0.046	1	21.522	664.325	1	0.4241	31.3291	1		0	0	Si

Verifica a presso/tenso flessione retta Y §§ 4.2.4.1.2.3 - 4.2.4.1.2.6 - 4.2.4.1.2.7 - 4.2.4.1.2.8 NTC18

Verifiche eseguite utilizzando la formula conservativa (6.2) §6.2.1 EN 1993-1-1:2005.

X	Comb.	Sfruttamento	Classe	NEd	NRd	Rid. NRd da VEd	My,Ed	My,Rd	Rid. My,Rd da VEd	Rid. My,Rd da NEd	px	py	Verifica
1.26	SLU 61	0.084	1	44.262	664.325	1	0.2741	15.4191	1		0	0	Si

Verifica a presso/tenso flessione retta Y SLD §§ 4.2.4.1.2.3 - 4.2.4.1.2.6 - 4.2.4.1.2.7 - 4.2.4.1.2.8 NTC18

Verifiche eseguite utilizzando la formula conservativa (6.2) §6.2.1 EN 1993-1-1:2005.

X	Comb.	Sfruttamento	Classe	NEd	NRd	Rid. NRd da VEd	My,Ed	My,Rd	Rid. My,Rd da VEd	Rid. My,Rd da NEd	px	py	Verifica
1.323	SLD 13	0.038	1	23.673	664.325	1	-0.0338	15.4191	1		0	0	Si

Verifica a presso/tenso flessione deviata §§ 4.2.4.1.2.3 - 4.2.4.1.2.6 - 4.2.4.1.2.7 - 4.2.4.1.2.8 NTC18

Verifiche eseguite utilizzando la formula conservativa (6.2) §6.2.1 EN 1993-1-1:2005.

X	Comb.	Sfruttamento	Classe	NEd	NRd	Rid. NRd da VEd	Mx,Ed	Mx,Rd	My,Ed	My,Rd	Rid. Mx,Rd da VEd	Rid. Mx,Rd da NEd	Rid. My,Rd da VEd	Rid. My,Rd da NEd	α	β	px	py	Verifica
0	SLU 76	0.177	1	64.141	664.325	1	2.3304	31.3291	-0.0926	15.4191	1		1				0	0	Si

Verifica a presso/tenso flessione deviata SLD §§ 4.2.4.1.2.3 - 4.2.4.1.2.6 - 4.2.4.1.2.7 - 4.2.4.1.2.8 NTC18

Verifiche eseguite utilizzando la formula conservativa (6.2) §6.2.1 EN 1993-1-1:2005.

X	Comb.	Sfruttamento	Classe	NEd	NRd	Rid. NRd da VEd	Mx,Ed	Mx,Rd	My,Ed	My,Rd	Rid. Mx,Rd da VEd	Rid. Mx,Rd da NEd	Rid. My,Rd da VEd	Rid. My,Rd da NEd	α	β	px	py	Verifica
0	SLD 14	0.072	1	23.673	664.325	1	1.0239	31.3291	-0.0612	15.4191	1		1				0	0	Si

Verifiche ad instabilità

Caratteristiche iniziali

Membratura principale per controllo snellezza; Calcolo di snellezze ed N critici condotti secondo gli assi principali;

Curva X: b; Curva Y: c; Svergolamento: Carico all'estradosso; Curva svergolamento: b;

Dati per instabilità attorno a x

Controllo della snellezza secondo §4.2.4.1.3.1 NTC18

Numero rit.	Presente	Ascissa	Campata	βx/m	Vincolo a entrambi estremi	λx/m	λVer
1	Si		0				
			1-2		1	38.7	Si, (<200)
2	Si		1.891				

Dati per instabilità attorno a y

Controllo della snellezza secondo §4.2.4.1.3.1 NTC18

Numero rit.	Presente	Ascissa	Campata	βy/n	k,LT	kw,LT	Vincolo a entrambi estremi	λy/n	λVer
1	Si		0						
			1-2		1	1	1	62.7	Si, (<200)
2	Si		1.891						

Verifica a svergolamento con trazione §4.2.4.1.3.2 NTC18 § 5.5.3 ENV 1993-1-1:1992 + AC:1992 + A1:1994 + A2:1998

X	Comb.	Sfruttamento	Classe	Obblig.	NEd	Mx,Ed	Mx,Eff,Ed	Mb,Rd,x	χ,LT	λ adim. LT	L,LT	M,critico	Verifica
0	SLU 43	0.007	1	Si	4.792	0.34662	0.20584	28.12115	0.898	0.642	1.891	79.73093	Si

Verifica di stabilità per tenso-flessione deviata §§ 5.5.3-5.5.4 ENV 1993-1-1:1992 + AC:1992 + A1:1994 + A2:1998

X	Comb.	Sfruttamento	Classe	NEd	Mx,Ed	Mx,Eff,Ed	My,Ed	χ,LT	kLT	ky	M,critico	Wx	Wy	Verifica
1.891	SLV 3	0.064	1	6.109	-0.34626	-0.1668	0.89536	0.898	1	1	79.73093	0.0001196	0.0000589	Si

Verifica di stabilità per tenso-flessione deviata SLD §§ 5.5.3-5.5.4 ENV 1993-1-1:1992 + AC:1992 + A1:1994 + A2:1998

X	Comb.	Sfruttamento	Classe	NEd	Mx,Ed	Mx,Eff,Ed	My,Ed	χ,LT	kLT	ky	M,critico	Wx	Wy	Verifica
0	SLD 13	0.016	1	23.673	1.02393	0.32852	-0.06123	0.898	1	1	79.73093	0.0001196	0.0000589	Si

Verifica di stabilità per pressoflessione §C.4.2.4.1.3.3.2 NTC18

X	Comb.	Sfruttamento	Classe	NEd	NRk	Mx,Ed max	Mx,Rk	My,Ed max	My,Rk	χ,x	χ,y	kxx	kxy	kyy	χ,LT	Verifica
0	SLU 2	0.024	1	-7.778	697.541	0.13233	32.89552	0.08237	16.19002	0.908	0.711	0.924	0.323	0.998	0.898	Si

Verifica di stabilità a taglio anima Y §4.2.4.1.2.4 [4.2.27] NTC18

η	hw	tw	hw/tw max	Verifica
1.2		0.098	0.005	55.46
				Si

Verifica di stabilità a taglio anima Y SLD §4.2.4.1.2.4 [4.2.27] NTC18

η	hw	tw	hw/tw max	Verifica
1.2		0.098	0.005	55.46
				Si

Verifiche a deformabilità

Mensola X: No; Mensola Y: No.

Freccie lungo X

Ascissa freccia	Combinazione	Freccia	Luce	L/f	L/f,min	Tipo	Verifica
1.134	SLE RA 19	-0.00019	1.891	9835.1	250	Totale	Si
1.134	SLE RA 17	-0.00012	1.891	10000	250	Totale	Si
1.134	SLE RA 16	-0.00017	1.891	10000	250	Totale	Si
1.134	SLE RA 15	-0.00017	1.891	10000	250	Totale	Si
1.134	SLE RA 14	-0.00011	1.891	10000	250	Totale	Si
1.134	SLE RA 2	0.00008	1.891	10000	350	Variabile	Si
1.134	SLE RA 17	-0.00004	1.891	10000	350	Variabile	Si

Implementazione dei sistemi di confinamento delle emissioni odorigene diffuse dell'impianto di compostaggio esistente nel
Comune di Eboli (SA)
PROGETTO DEFINITIVO – Tabulati di calcolo Tomo 1

Ascissa freccia	Combinazione	Freccia	Luce	L/f	L/f,min	Tipo	Verifica
1.134	SLE RA 16	-0.00008	1.891	10000	350	Variabile	Si
1.134	SLE RA 15	-0.00008	1.891	10000	350	Variabile	Si
1.134	SLE RA 14	-0.00003	1.891	10000	350	Variabile	Si

Frecce lungo Y

Ascissa freccia	Combinazione	Freccia	Luce	L/f	L/f,min	Tipo	Verifica
0.63	SLE RA 1	0.00007	1.891	10000	250	Totale	Si
0.63	SLE RA 17	0.0001	1.891	10000	250	Totale	Si
0.63	SLE RA 16	0.00014	1.891	10000	250	Totale	Si
0.63	SLE RA 15	0.00014	1.891	10000	250	Totale	Si
0.63	SLE RA 14	0.00009	1.891	10000	250	Totale	Si
0.63	SLE RA 2	-0.00006	1.891	10000	350	Variabile	Si
0.63	SLE RA 17	0.00003	1.891	10000	350	Variabile	Si
0.63	SLE RA 16	0.00007	1.891	10000	350	Variabile	Si
0.63	SLE RA 15	0.00007	1.891	10000	350	Variabile	Si
0.693	SLE RA 14	0.00002	1.891	10000	350	Variabile	Si

Superelemento in acciaio a quota "590"-"447" (358; 2196)-(236; 2066)

Caratteristiche del materiale

Acciaio: S275, fyk = 275000

Caratteristiche geometriche

Lunghezza: 2.244

Nodo iniziale: 291 Nodo finale: 289

Cerniera iniziale: Svincolo: M2, M3 Cerniera finale: No

Sovraresistenza: 0% Sisma Z: No

Caratteristiche della sezione

Sezione	Rotazione	Area	Jx	Jy	ix	iy	Wx	Wy	Wplx	Wply
HEA140	0	0.003145	0.0000103397	0.0000038934	0.0573	0.0352	0.00015548	0.00005562	0.00017365	0.00008487

Verifiche di resistenza

Verifiche a forza assiale §4.2.4.1.2.1 - §4.2.4.1.2.2 NTC18

X	Comb.	Sfruttamento	Classe	NEd	Nc,Rd	Nt,Rd	Riduzione da taglio	px	py	Verifica
2.244	SLU 76	0.193	1	-158.817	823.562		1	0	0	Si

Verifiche a forza assiale SLD §4.2.4.1.2.1 - §4.2.4.1.2.2 NTC18

X	Comb.	Sfruttamento	Classe	NEd	Nc,Rd	Nt,Rd	Riduzione da taglio	px	py	Verifica
2.244	SLD 13	0.075	1	-62.121	823.562		1	0	0	Si

Verifica a taglio Y §4.2.4.1.2.4 NTC18

X	Comb.	Sfruttamento	VEd	Vc,Rd	Av	Interazione taglio-torsione	Riduzione torsione	Verifica
2.244	SLU 76	0.006	-0.932	148.339	0.001015	Considerata	0.97	Si

Verifica a taglio Y SLD §4.2.4.1.2.4 NTC18

X	Comb.	Sfruttamento	VEd	Vc,Rd	Av	Interazione taglio-torsione	Riduzione torsione	Verifica
2.244	SLD 1	0.003	-0.524	151.31	0.001015	Considerata	0.99	Si

Verifica a torsione §4.2.4.1.2.5 NTC18

X	Comb.	Sfruttamento torsione	TEd	TRd	Riduzione taglio resistente	Sfruttamento taglio-torsione	τEd,totale	τRd	Verifica
0	SLU 76	0.083	0.09404	1.13411	Considerata				Si

Verifica a torsione SLD §4.2.4.1.2.5 NTC18

X	Comb.	Sfruttamento torsione	TEd	TRd	Riduzione taglio resistente	Sfruttamento taglio-torsione	τEd,totale	τRd	Verifica
0	SLD 1	0.036	0.04049	1.13411	Considerata				Si

Verifica a presso/tenso flessione retta X §§ 4.2.4.1.2.3 - 4.2.4.1.2.6 - 4.2.4.1.2.7 - 4.2.4.1.2.8 NTC18

Verifiche eseguite utilizzando la formula conservativa (6.2) §6.2.1 EN 1993-1-1:2005.

X	Comb.	Sfruttamento	Classe	NEd	NRd	Rid. NRd da VEd	Mx,Ed	Mx,Rd	Rid. Mx,Rd da VEd	Rid. Mx,Rd da NEd	px	py	Verifica
0.224	SLU 76	0.194	1	-158.428	823.562	1	0.0864	45.4799	1		0	0	Si

Verifica a presso/tenso flessione retta Y §§ 4.2.4.1.2.3 - 4.2.4.1.2.6 - 4.2.4.1.2.7 - 4.2.4.1.2.8 NTC18

Verifiche eseguite utilizzando la formula conservativa (6.2) §6.2.1 EN 1993-1-1:2005.

X	Comb.	Sfruttamento	Classe	NEd	NRd	Rid. NRd da VEd	My,Ed	My,Rd	Rid. My,Rd da VEd	Rid. My,Rd da NEd	px	py	Verifica
0.449	SLV 13	0.107	1	-85.672	823.562	1	0.0634	22.2276	1		0	0	Si

Verifica a presso/tenso flessione retta Y SLD §§ 4.2.4.1.2.3 - 4.2.4.1.2.6 - 4.2.4.1.2.7 - 4.2.4.1.2.8 NTC18

Verifiche eseguite utilizzando la formula conservativa (6.2) §6.2.1 EN 1993-1-1:2005.

X	Comb.	Sfruttamento	Classe	NEd	NRd	Rid. NRd da VEd	My,Ed	My,Rd	Rid. My,Rd da VEd	Rid. My,Rd da NEd	px	py	Verifica
0.299	SLD 14	0.076	1	-61.832	823.562	1	0.0157	22.2276	1		0	0	Si

Verifica a presso/tenso flessione deviata §§ 4.2.4.1.2.3 - 4.2.4.1.2.6 - 4.2.4.1.2.7 - 4.2.4.1.2.8 NTC18

Verifiche eseguite utilizzando la formula conservativa (6.2) §6.2.1 EN 1993-1-1:2005.

X	Comb.	Sfruttamento	Classe	NEd	NRd	Rid. NRd da VEd	Mx,Ed	Mx,Rd	My,Ed	My,Rd	Rid. Mx,Rd da VEd	Rid. Mx,Rd da NEd	Rid. My,Rd da VEd	Rid. My,Rd da NEd	α	β	px	py	Verifica
2.244	SLU 76	0.227	1	-158.817	823.562	1	1.4456	45.4799	-0.0478	22.2276	1		1				0	0	Si

Verifica a presso/tenso flessione deviata SLD §§ 4.2.4.1.2.3 - 4.2.4.1.2.6 - 4.2.4.1.2.7 - 4.2.4.1.2.8 NTC18

Verifiche eseguite utilizzando la formula conservativa (6.2) §6.2.1 EN 1993-1-1:2005.

Implementazione dei sistemi di confinamento delle emissioni odorigene diffuse dell’impianto di compostaggio esistente nel
Comune di Eboli (SA)

PROGETTO DEFINITIVO – Tabulati di calcolo Tomo 1

X	Comb.	Sfruttamento	Classe	NEd	NRd	Rid. NRd da VEd	Mx,Ed	Mx,Rd	My,Ed	My,Rd	Rid. Mx,Rd da VEd	Rid. Mx,Rd da NEd	Rid. My,Rd da VEd	Rid. My,Rd da NEd	α	β	px	py	Verifica
2.244	SLD 10	0.095	1	-62.07	823.562	1	0.6356	45.4799	0.136	22.2276	1		1				0	0	Si

Verifiche ad instabilità

Caratteristiche iniziali

Membratura principale per controllo snellezza; Calcolo di snellezze ed N critici condotti secondo gli assi principali;

Curva X: b; Curva Y: c; Svergolamento: Carico all'estradosso; Curva svergolamento: b;

Dati per instabilità attorno a x

Controllo della snellezza secondo §4.2.4.1.3.1 NTC18

Numero rit.	Presente	Ascissa	Campata	βx/m	Vincolo a entrambi estremi	λx/m	λVer
1	Si	0					
			1-2	1	Si	39.1	Si, (<200)
2	Si	2.244					

Dati per instabilità attorno a y

Controllo della snellezza secondo §4.2.4.1.3.1 NTC18

Numero rit.	Presente	Ascissa	Campata	βy/n	k,LT	kw,LT	Vincolo a entrambi estremi	λy/n	λVer
1	Si	0							
			1-2	1	1	1	Si	63.8	Si, (<200)
2	Si	2.244							

Verifica a svergolamento con trazione §4.2.4.1.3.2 NTC18 § 5.5.3 ENV 1993-1-1:1992 + AC:1992 + A1:1994 + A2:1998

X	Comb.	Sfruttamento	Classe	Obblig.	NEd	Mx,Ed	Mx,Eff,Ed	Mb,Rd,x	χ,LT	λ adim. LT	L,LT	M,critico	Verifica
2.244	SLU 21	0	1	Si	5.411	0.20133	0.01404	44.87625	0.987	0.434	2.244	253.47338	Si

Verifica di stabilità per pressoflessione §C.4.2.4.1.3.3.2 NTC18

X	Comb.	Sfruttamento	Classe	NEd	NRk	Mx,Ed max	Mx,Rk	My,Ed max	My,Rk	χ,x	χ,y	kxx	kxy	kyy	χ,LT	Verifica	
2.244	SLU 76	0.306	1	-158.817	864.741	1.44561	47.75393	0.04781	23.33901	0.905	0.703	0.538	0.448	0.923	0.746	0.987	Si

Verifica di stabilità per pressoflessione SLD §C.4.2.4.1.3.3.2 NTC18

X	Comb.	Sfruttamento	Classe	NEd	NRk	Mx,Ed max	Mx,Rk	My,Ed max	My,Rk	χ,x	χ,y	kxx	kxy	kyy	χ,LT	Verifica	
2.244	SLD 10	0.125	1	-62.07	864.741	0.63555	47.75393	0.136	23.33901	0.905	0.703	0.453	0.394	0.959	0.656	0.987	Si

Verifica di stabilità a taglio anima Y §4.2.4.1.2.4 [4.2.27] NTC18

η	hw	tw	hw/tw max	Verifica
1.2	0.116	0.006	55.46	Si

Verifica di stabilità a taglio anima Y SLD §4.2.4.1.2.4 [4.2.27] NTC18

η	hw	tw	hw/tw max	Verifica
1.2	0.116	0.006	55.46	Si

Verifiche a deformabilità

Mensola X: No; Mensola Y: No.

Frecce lungo X

Ascissa freccia	Combinazione	Freccia	Luce	L/f	L/f,min	Tipo	Verifica
1.272	SLE RA 1	0.00001	2.244	10000	250	Totale	Si
1.272	SLE RA 17	0.00001	2.244	10000	250	Totale	Si
1.272	SLE RA 16	0.00001	2.244	10000	250	Totale	Si
1.272	SLE RA 15	0.00001	2.244	10000	250	Totale	Si
1.272	SLE RA 14	0.00001	2.244	10000	250	Totale	Si
1.272	SLE RA 2	-0.00001	2.244	10000	350	Variabile	Si
1.272	SLE RA 17	0	2.244	10000	350	Variabile	Si
1.272	SLE RA 16	0.00001	2.244	10000	350	Variabile	Si
1.272	SLE RA 15	0.00001	2.244	10000	350	Variabile	Si
1.272	SLE RA 14	0	2.244	10000	350	Variabile	Si

Frecce lungo Y

Ascissa freccia	Combinazione	Freccia	Luce	L/f	L/f,min	Tipo	Verifica
1.421	SLE RA 1	0.00006	2.244	10000	250	Totale	Si
1.347	SLE RA 17	0.00008	2.244	10000	250	Totale	Si
1.347	SLE RA 16	0.0001	2.244	10000	250	Totale	Si
1.347	SLE RA 15	0.00011	2.244	10000	250	Totale	Si
1.347	SLE RA 14	0.00007	2.244	10000	250	Totale	Si
1.272	SLE RA 2	-0.00004	2.244	10000	350	Variabile	Si
1.272	SLE RA 17	0.00002	2.244	10000	350	Variabile	Si
1.272	SLE RA 16	0.00005	2.244	10000	350	Variabile	Si
1.272	SLE RA 15	0.00005	2.244	10000	350	Variabile	Si
1.272	SLE RA 14	0.00001	2.244	10000	350	Variabile	Si

Superelemento in acciaio a quota "590"- "447" (1232; 1373)-(1110; 1243)

Caratteristiche del materiale

Acciaio: S275, fyk = 275000

Caratteristiche geometriche

Lunghezza: 2.242

Nodo iniziale: 290 Nodo finale: 282

Cerniera iniziale: Svincolo: M2, M3 Cerniera finale: No

Sovreresistenza: 0% Sisma Z: No

Caratteristiche della sezione

Sezione	Rotazione	Area	Jx	Jy	ix	iy	Wx	Wy	Wplx	Wply
HEA140	0	0.003145	0.0000103397	0.0000038934	0.0573	0.0352	0.00015548	0.00005562	0.00017365	0.00008487

**Implementazione dei sistemi di confinamento delle emissioni odorigene diffuse dell'impianto di compostaggio esistente nel
Comune di Eboli (SA)
PROGETTO DEFINITIVO – Tabulati di calcolo Tomo 1**

Verifiche di resistenza

Verifiche a forza assiale §4.2.4.1.2.1 - §4.2.4.1.2.2 NTC18

X	Comb.	Sfruttamento	Classe	NEd	Nc,Rd	Nt,Rd	Riduzione da taglio	px	py	Verifica
2.242	SLU 75	0.145	1	-119.073	823.562		1	0	0	Si

Verifiche a forza assiale SLD §4.2.4.1.2.1 - §4.2.4.1.2.2 NTC18

X	Comb.	Sfruttamento	Classe	NEd	Nc,Rd	Nt,Rd	Riduzione da taglio	px	py	Verifica
2.242	SLD 5	0.063	1	-52.1	823.562		1	0	0	Si

Verifica a taglio Y §4.2.4.1.2.4 NTC18

X	Comb.	Sfruttamento	VEd	Vc,Rd	Av	Interazione taglio-torsione	Riduzione torsione	Verifica
2.242	SLU 75	0.004	-0.62	149.799	0.001015	Considerata	0.98	Si

Verifica a taglio Y SLD §4.2.4.1.2.4 NTC18

X	Comb.	Sfruttamento	VEd	Vc,Rd	Av	Interazione taglio-torsione	Riduzione torsione	Verifica
2.242	SLD 10	0.003	-0.41	151.958	0.001015	Considerata	0.99	Si

Verifica a torsione §4.2.4.1.2.5 NTC18

X	Comb.	Sfruttamento torsione	TEd	TRd	Riduzione taglio resistente	Sfruttamento taglio-torsione	τEd,totale	τRd	Verifica
1.345	SLU 75	0.06	0.06787	1.13411	Considerata				Si

Verifica a torsione SLD §4.2.4.1.2.5 NTC18

X	Comb.	Sfruttamento torsione	TEd	TRd	Riduzione taglio resistente	Sfruttamento taglio-torsione	τEd,totale	τRd	Verifica
2.242	SLD 5	0.03	0.03391	1.13411	Considerata				Si

Verifica a presso/tenso flessione retta X §§ 4.2.4.1.2.3 - 4.2.4.1.2.6 - 4.2.4.1.2.7 - 4.2.4.1.2.8 NTC18

Verifiche eseguite utilizzando la formula conservativa (6.2) §6.2.1 EN 1993-1-1:2005.

X	Comb.	Sfruttamento	Classe	NEd	NRd	Rid. NRd da VEd	Mx,Ed	Mx,Rd	Rid. Mx,Rd da VEd	Rid. Mx,Rd da NEd	px	py	Verifica
0.224	SLU 42	0.02	1	-16.153	823.562	1	-0.0194	45.4799	1		0	0	Si

Verifica a presso/tenso flessione retta X SLD §§ 4.2.4.1.2.3 - 4.2.4.1.2.6 - 4.2.4.1.2.7 - 4.2.4.1.2.8 NTC18

Verifiche eseguite utilizzando la formula conservativa (6.2) §6.2.1 EN 1993-1-1:2005.

X	Comb.	Sfruttamento	Classe	NEd	NRd	Rid. NRd da VEd	Mx,Ed	Mx,Rd	Rid. Mx,Rd da VEd	Rid. Mx,Rd da NEd	px	py	Verifica
0.971	SLD 5	0.064	1	-51.911	823.562	1	0.0544	45.4799	1		0	0	Si

Verifica a presso/tenso flessione retta Y §§ 4.2.4.1.2.3 - 4.2.4.1.2.6 - 4.2.4.1.2.7 - 4.2.4.1.2.8 NTC18

Verifiche eseguite utilizzando la formula conservativa (6.2) §6.2.1 EN 1993-1-1:2005.

X	Comb.	Sfruttamento	Classe	NEd	NRd	Rid. NRd da VEd	My,Ed	My,Rd	Rid. My,Rd da VEd	Rid. My,Rd da NEd	px	py	Verifica
0.149	SLU 75	0.145	1	-118.667	823.562	1	-0.0223	22.2276	1		0	0	Si

Verifica a presso/tenso flessione retta Y SLD §§ 4.2.4.1.2.3 - 4.2.4.1.2.6 - 4.2.4.1.2.7 - 4.2.4.1.2.8 NTC18

Verifiche eseguite utilizzando la formula conservativa (6.2) §6.2.1 EN 1993-1-1:2005.

X	Comb.	Sfruttamento	Classe	NEd	NRd	Rid. NRd da VEd	My,Ed	My,Rd	Rid. My,Rd da VEd	Rid. My,Rd da NEd	px	py	Verifica
0.747	SLD 2	0.065	1	-51.603	823.562	1	-0.0616	22.2276	1		0	0	Si

Verifica a presso/tenso flessione deviata §§ 4.2.4.1.2.3 - 4.2.4.1.2.6 - 4.2.4.1.2.7 - 4.2.4.1.2.8 NTC18

Verifiche eseguite utilizzando la formula conservativa (6.2) §6.2.1 EN 1993-1-1:2005.

X	Comb.	Sfruttamento	Classe	NEd	NRd	Rid. NRd da VEd	Mx,Ed	Mx,Rd	My,Ed	My,Rd	Rid. Mx,Rd da VEd	Rid. Mx,Rd da NEd	Rid. My,Rd da VEd	Rid. My,Rd da NEd	α	β	px	py	Verifica
2.242	SLU 75	0.176	1	-119.073	823.562	1	0.7479	45.4799	-0.3351	22.2276	1		1				0	0	Si

Verifica a presso/tenso flessione deviata SLD §§ 4.2.4.1.2.3 - 4.2.4.1.2.6 - 4.2.4.1.2.7 - 4.2.4.1.2.8 NTC18

Verifiche eseguite utilizzando la formula conservativa (6.2) §6.2.1 EN 1993-1-1:2005.

X	Comb.	Sfruttamento	Classe	NEd	NRd	Rid. NRd da VEd	Mx,Ed	Mx,Rd	My,Ed	My,Rd	Rid. Mx,Rd da VEd	Rid. Mx,Rd da NEd	Rid. My,Rd da VEd	Rid. My,Rd da NEd	α	β	px	py	Verifica
2.242	SLD 1	0.079	1	-51.825	823.562	1	0.3626	45.4799	-0.1849	22.2276	1		1				0	0	Si

Verifiche ad instabilità

Caratteristiche iniziali

Membratura principale per controllo snellezza; Calcolo di snellezze ed N critici condotti secondo gli assi principali;

Curva X: b; Curva Y: c; Svergolamento: Carico all'estradosso; Curva svergolamento: b;

Dati per instabilità attorno a x

Controllo della snellezza secondo §4.2.4.1.3.1 NTC18

Numero rit.	Presente	Ascissa	Campata	βx/m	Vincolo a entrambi estremi	λx/m	λVer
1	Si	0					
			1-2		1	39.1	Si, (<200)
2	Si	2.242					

Dati per instabilità attorno a y

Controllo della snellezza secondo §4.2.4.1.3.1 NTC18

Numero rit.	Presente	Ascissa	Campata	βy/n	k,LT	kw,LT	Vincolo a entrambi estremi	λy/n	λVer
1	Si	0							
			1-2		1	1	Si	63.7	Si, (<200)
2	Si	2.242							

Verifica a svergolamento con trazione §4.2.4.1.3.2 NTC18 § 5.5.3 ENV 1993-1-1:1992 + AC:1992 + A1:1994 + A2:1998

X	Comb.	Sfruttamento	Classe	Obblig.	NEd	Mx,Ed	Mx,Eff,Ed	Mb,Rd,x	χ,LT	λ adim. LT	L,LT	M,critico	Verifica
2.242	SLU 21	0.005	1	Si	0.644	0.23701	0.21471	44.88366	0.987	0.434	2.242	253.9572	Si

Verifica di stabilità per tenso-flessione deviata §§ 5.5.3-5.5.4 ENV 1993-1-1:1992 + AC:1992 + A1:1994 + A2:1998

X	Comb.	Sfruttamento	Classe	NEd	Mx,Ed	Mx,Eff,Ed	My,Ed	χ,LT	kLT	ky	M,critico	Wx	Wy	Verifica
---	-------	--------------	--------	-----	-------	-----------	-------	------	-----	----	-----------	----	----	----------

Implementazione dei sistemi di confinamento delle emissioni odorigene diffuse dell'impianto di compostaggio esistente nel
Comune di Eboli (SA)

PROGETTO DEFINITIVO – Tabulati di calcolo Tomo 1

X	Comb.	Sfruttamento	Classe	NEd	Mx,Ed	Mx,Eff,Ed	My,Ed	χ_{LT}	kLT	ky	M,critico	Wx	Wy	Verifica
2.242	SLU 40	0.005	1	2.155	0.30321	0.22861	0.00682	0.987	1	1	253.9572	0.0001737	0.0000849	Si

Verifica di stabilità per pressoflessione §C.4.2.4.1.3.3.2 NTC18

X	Comb.	Sfruttamento	Classe	NEd	NRk	Mx,Ed max	Mx,Rk	My,Ed max	My,Rk	χ_x	χ_y	kxx	kxy	kyy	χ_{LT}	Verifica	
2.242	SLU 75	0.231	1	-119.073	864.741	0.74791	47.75393	0.33506	23.33901	0.906	0.704	0.445	0.424	0.915	0.707	0.987	Si

Verifica di stabilità per pressoflessione SLD §C.4.2.4.1.3.3.2 NTC18

X	Comb.	Sfruttamento	Classe	NEd	NRk	Mx,Ed max	Mx,Rk	My,Ed max	My,Rk	χ_x	χ_y	kxx	kxy	kyy	χ_{LT}	Verifica	
2.242	SLD 2	0.103	1	-51.825	864.741	0.36256	47.75393	0.18487	23.33901	0.906	0.704	0.407	0.388	0.956	0.647	0.987	Si

Verifica di stabilità a taglio anima Y §4.2.4.1.2.4 [4.2.27] NTC18

η	hw	tw	hw/tw max	Verifica
1.2	0.116	0.006	55.46	Si

Verifica di stabilità a taglio anima Y SLD §4.2.4.1.2.4 [4.2.27] NTC18

η	hw	tw	hw/tw max	Verifica
1.2	0.116	0.006	55.46	Si

Verifiche a deformabilità

Mensola X: No; Mensola Y: No.

Frecce lungo X

Ascissa freccia	Combinazione	Freccia	Luce	L/f	L/f,min	Tipo	Verifica
1.27	SLE RA 1	0.00004	2.242	10000	250	Totale	Si
1.27	SLE RA 17	0.00006	2.242	10000	250	Totale	Si
1.27	SLE RA 16	0.00008	2.242	10000	250	Totale	Si
1.27	SLE RA 15	0.00006	2.242	10000	250	Totale	Si
1.27	SLE RA 14	0.00008	2.242	10000	250	Totale	Si
1.27	SLE RA 2	-0.00003	2.242	10000	350	Variabile	Si
1.27	SLE RA 17	0.00002	2.242	10000	350	Variabile	Si
1.27	SLE RA 16	0.00004	2.242	10000	350	Variabile	Si
1.27	SLE RA 15	0.00001	2.242	10000	350	Variabile	Si
1.27	SLE RA 14	0.00004	2.242	10000	350	Variabile	Si

Frecce lungo Y

Ascissa freccia	Combinazione	Freccia	Luce	L/f	L/f,min	Tipo	Verifica
1.494	SLE RA 1	0.00003	2.242	10000	250	Totale	Si
1.42	SLE RA 17	0.00003	2.242	10000	250	Totale	Si
1.42	SLE RA 16	0.00004	2.242	10000	250	Totale	Si
1.42	SLE RA 15	0.00003	2.242	10000	250	Totale	Si
1.42	SLE RA 14	0.00004	2.242	10000	250	Totale	Si
1.27	SLE RA 2	-0.00002	2.242	10000	350	Variabile	Si
1.27	SLE RA 17	0.00001	2.242	10000	350	Variabile	Si
1.27	SLE RA 16	0.00002	2.242	10000	350	Variabile	Si
1.27	SLE RA 15	0.00001	2.242	10000	350	Variabile	Si
1.27	SLE RA 14	0.00002	2.242	10000	350	Variabile	Si

Superelemento in acciaio a quota "590"- "448" (216; 298)-(93; 167)

Caratteristiche del materiale

Acciaio: S275, fyk = 275000

Caratteristiche geometriche

Lunghezza: 2.248

Nodo iniziale: 292 Nodo finale: 280

Cerniera iniziale: Svincolo: M2, M3 Cerniera finale: No

Sovraresistenza: 0% Sisma Z: No

Caratteristiche della sezione

Sezione	Rotazione	Area	Jx	Jy	ix	iy	Wx	Wy	Wplx	Wply
HEA140	0	0.003145	0.0000103397	0.0000038934	0.0573	0.0352	0.00015548	0.00005562	0.00017365	0.00008487

Verifiche di resistenza

Verifiche a forza assiale §4.2.4.1.2.1 - §4.2.4.1.2.2 NTC18

X	Comb.	Sfruttamento	Classe	NEd	Nc,Rd	Nt,Rd	Riduzione da taglio	px	py	Verifica
2.248	SLU 75	0.126	1	-104.133	823.562		1	0	0	Si

Verifiche a forza assiale SLD §4.2.4.1.2.1 - §4.2.4.1.2.2 NTC18

X	Comb.	Sfruttamento	Classe	NEd	Nc,Rd	Nt,Rd	Riduzione da taglio	px	py	Verifica
2.248	SLD 5	0.053	1	-43.671	823.562		1	0	0	Si

Verifica a taglio Y §4.2.4.1.2.4 NTC18

X	Comb.	Sfruttamento	VEd	Vc,Rd	Av	Interazione taglio-torsione	Riduzione torsione	Verifica
2.248	SLU 75	0.004	-0.615	148.061	0.001015	Considerata	0.96	Si

Verifica a taglio Y SLD §4.2.4.1.2.4 NTC18

X	Comb.	Sfruttamento	VEd	Vc,Rd	Av	Interazione taglio-torsione	Riduzione torsione	Verifica
2.248	SLD 10	0.003	-0.413	151.369	0.001015	Considerata	0.99	Si

Verifica a torsione §4.2.4.1.2.5 NTC18

X	Comb.	Sfruttamento torsione	TEd	TRd	Riduzione taglio resistente	Sfruttamento taglio-torsione	$\tau_{Ed,totale}$	τ_{Rd}	Verifica
2.248	SLU 75	0.087	0.099	1.13411	Considerata				Si

**Implementazione dei sistemi di confinamento delle emissioni odorigene diffuse dell'impianto di compostaggio esistente nel
Comune di Eboli (SA)
PROGETTO DEFINITIVO – Tabulati di calcolo Tomo 1**

Verifica a torsione SLD §4.2.4.1.2.5 NTC18

X	Comb.	Sfruttamento torsione	TEd	TRd	Riduzione taglio resistente	Sfruttamento taglio-torsione	τEd,totale	τRd	Verifica
2.248	SLD 5	0.04	0.04581	1.13411	Considerata				Si

Verifica a presso/tenso flessione retta X §§ 4.2.4.1.2.3 - 4.2.4.1.2.6 - 4.2.4.1.2.7 - 4.2.4.1.2.8 NTC18

Verifiche eseguite utilizzando la formula conservativa (6.2) §6.2.1 EN 1993-1-1:2005.

X	Comb.	Sfruttamento	Classe	NEd	NRd	Rid. NRd da VEd	Mx,Ed	Mx,Rd	Rid. Mx,Rd da VEd	Rid. Mx,Rd da NEd	px	py	Verifica
0.3	SLU 23	0.016	1	-12.941	823.562	1	-0.0166	45.4799	1		0	0	Si

Verifica a presso/tenso flessione retta X SLD §§ 4.2.4.1.2.3 - 4.2.4.1.2.6 - 4.2.4.1.2.7 - 4.2.4.1.2.8 NTC18

Verifiche eseguite utilizzando la formula conservativa (6.2) §6.2.1 EN 1993-1-1:2005.

X	Comb.	Sfruttamento	Classe	NEd	NRd	Rid. NRd da VEd	Mx,Ed	Mx,Rd	Rid. Mx,Rd da VEd	Rid. Mx,Rd da NEd	px	py	Verifica
2.248	SLD 6	0.062	1	-43.671	823.562	1	0.4062	45.4799	1		0	0	Si

Verifica a presso/tenso flessione retta Y §§ 4.2.4.1.2.3 - 4.2.4.1.2.6 - 4.2.4.1.2.7 - 4.2.4.1.2.8 NTC18

Verifiche eseguite utilizzando la formula conservativa (6.2) §6.2.1 EN 1993-1-1:2005.

X	Comb.	Sfruttamento	Classe	NEd	NRd	Rid. NRd da VEd	My,Ed	My,Rd	Rid. My,Rd da VEd	Rid. My,Rd da NEd	px	py	Verifica
0.225	SLU 75	0.127	1	-103.741	823.562	1	-0.0307	22.2276	1		0	0	Si

Verifica a presso/tenso flessione retta Y SLD §§ 4.2.4.1.2.3 - 4.2.4.1.2.6 - 4.2.4.1.2.7 - 4.2.4.1.2.8 NTC18

Verifiche eseguite utilizzando la formula conservativa (6.2) §6.2.1 EN 1993-1-1:2005.

X	Comb.	Sfruttamento	Classe	NEd	NRd	Rid. NRd da VEd	My,Ed	My,Rd	Rid. My,Rd da VEd	Rid. My,Rd da NEd	px	py	Verifica
0.824	SLD 2	0.055	1	-43.2	823.562	1	-0.0659	22.2276	1		0	0	Si

Verifica a presso/tenso flessione deviata §§ 4.2.4.1.2.3 - 4.2.4.1.2.6 - 4.2.4.1.2.7 - 4.2.4.1.2.8 NTC18

Verifiche eseguite utilizzando la formula conservativa (6.2) §6.2.1 EN 1993-1-1:2005.

X	Comb.	Sfruttamento	Classe	NEd	NRd	Rid. NRd da VEd	Mx,Ed	Mx,Rd	My,Ed	My,Rd	Rid. Mx,Rd da VEd	Rid. Mx,Rd da NEd	Rid. My,Rd da VEd	Rid. My,Rd da NEd	α	β	px	py	Verifica
2.248	SLU 75	0.156	1	-104.133	823.562	1	0.7359	45.4799	-0.3069	22.2276	1		1				0	0	Si

Verifica a presso/tenso flessione deviata SLD §§ 4.2.4.1.2.3 - 4.2.4.1.2.6 - 4.2.4.1.2.7 - 4.2.4.1.2.8 NTC18

Verifiche eseguite utilizzando la formula conservativa (6.2) §6.2.1 EN 1993-1-1:2005.

X	Comb.	Sfruttamento	Classe	NEd	NRd	Rid. NRd da VEd	Mx,Ed	Mx,Rd	My,Ed	My,Rd	Rid. Mx,Rd da VEd	Rid. Mx,Rd da NEd	Rid. My,Rd da VEd	Rid. My,Rd da NEd	α	β	px	py	Verifica
2.248	SLD 2	0.068	1	-43.413	823.562	1	0.3495	45.4799	-0.1798	22.2276	1		1				0	0	Si

Verifiche ad instabilità

Caratteristiche iniziali

Membratura principale per controllo snellezza; Calcolo di snellezze ed N critici condotti secondo gli assi principali;

Curva X: b; Curva Y: c; Svergolamento: Carico all'estradosso; Curva svergolamento: b;

Dati per instabilità attorno a x

Controllo della snellezza secondo §4.2.4.1.3.1 NTC18

Numero rit.	Presente	Ascissa	Campata	βx/m	Vincolo a entrambi estremi	λx/m	λVer
1	Si	0					
			1-2		1	39.2	Si, (<200)
2	Si	2.248					

Dati per instabilità attorno a y

Controllo della snellezza secondo §4.2.4.1.3.1 NTC18

Numero rit.	Presente	Ascissa	Campata	βy/n	k,LT	kw,LT	Vincolo a entrambi estremi	λy/n	λVer
1	Si	0							
			1-2		1	1	Si	63.9	Si, (<200)
2	Si	2.248							

Verifica a svergolamento con trazione §4.2.4.1.3.2 NTC18 § 5.5.3 ENV 1993-1-1:1992 + AC:1992 + A1:1994 + A2:1998

X	Comb.	Sfruttamento	Classe	Obblig.	NEd	Mx,Ed	Mx,Eff,Ed	Mb,Rd,x	χ,LT	λ adim. LT	L,LT	M,critico	Verifica
2.248	SLU 21	0.004	1	Si	1.212	0.23555	0.19362	44.86667	0.987	0.435	2.248	252.84959	Si

Verifica di stabilità per tenso-flessione deviata §§ 5.5.3-5.5.4 ENV 1993-1-1:1992 + AC:1992 + A1:1994 + A2:1998

X	Comb.	Sfruttamento	Classe	NEd	Mx,Ed	Mx,Eff,Ed	My,Ed	χ,LT	kLT	ky	M,critico	Wx	Wy	Verifica
2.248	SLU 40	0.005	1	2.725	0.30148	0.20718	0.00881	0.987	1	1	252.84959	0.0001737	0.0000849	Si

Verifica di stabilità per pressoflessione §C.4.2.4.1.3.3.2 NTC18

X	Comb.	Sfruttamento	Classe	NEd	NRk	Mx,Ed max	Mx,Rk	My,Ed max	My,Rk	χ,x	χ,y	kxx	kxy	kyy	χ,LT	Verifica
2.248	SLU 75	0.205	1	-104.133	864.741	0.73587	47.75393	0.30692	23.33901	0.905	0.702	0.439	0.416	0.924	0.694	0.987

Verifica di stabilità per pressoflessione SLD §C.4.2.4.1.3.3.2 NTC18

X	Comb.	Sfruttamento	Classe	NEd	NRk	Mx,Ed max	Mx,Rk	My,Ed max	My,Rk	χ,x	χ,y	kxx	kxy	kyy	χ,LT	Verifica
2.248	SLD 2	0.088	1	-43.413	864.741	0.34948	47.75393	0.17984	23.33901	0.905	0.702	0.406	0.384	0.963	0.639	0.987

Verifica di stabilità a taglio anima Y §4.2.4.1.2.4 [4.2.27] NTC18

η	hw	tw	hw/tw max	Verifica
1.2		0.116	0.006	55.46

Verifica di stabilità a taglio anima Y SLD §4.2.4.1.2.4 [4.2.27] NTC18

η	hw	tw	hw/tw max	Verifica
1.2		0.116	0.006	55.46

Verifiche a deformabilità

Mensola X: No; Mensola Y: No.

Frecce lungo X

Ascissa freccia	Combinazione	Freccia	Luce	L/f	L/f,min	Tipo	Verifica
1.274	SLE RA 1	0.00004	2.248	10000	250	Totale	Si
1.274	SLE RA 17	0.00005	2.248	10000	250	Totale	Si

Implementazione dei sistemi di confinamento delle emissioni odorigene diffuse dell’impianto di compostaggio esistente nel
Comune di Eboli (SA)

PROGETTO DEFINITIVO – Tabulati di calcolo Tomo 1

Ascissa freccia	Combinazione	Freccia	Luce	L/f	L/f,min	Tipo	Verifica
1.274	SLE RA 16	0.00007	2.248	10000	250	Totale	Si
1.274	SLE RA 15	0.00005	2.248	10000	250	Totale	Si
1.274	SLE RA 14	0.00007	2.248	10000	250	Totale	Si
1.274	SLE RA 2	-0.00003	2.248	10000	350	Variabile	Si
1.274	SLE RA 17	0.00001	2.248	10000	350	Variabile	Si
1.274	SLE RA 16	0.00003	2.248	10000	350	Variabile	Si
1.274	SLE RA 15	0.00001	2.248	10000	350	Variabile	Si
1.274	SLE RA 14	0.00003	2.248	10000	350	Variabile	Si

Frecce lungo Y

Ascissa freccia	Combinazione	Freccia	Luce	L/f	L/f,min	Tipo	Verifica
1.499	SLE RA 1	0.00003	2.248	10000	250	Totale	Si
1.499	SLE RA 17	0.00003	2.248	10000	250	Totale	Si
1.424	SLE RA 16	0.00004	2.248	10000	250	Totale	Si
1.499	SLE RA 15	0.00003	2.248	10000	250	Totale	Si
1.424	SLE RA 14	0.00004	2.248	10000	250	Totale	Si
1.274	SLE RA 2	-0.00002	2.248	10000	350	Variabile	Si
1.274	SLE RA 17	0.00001	2.248	10000	350	Variabile	Si
1.274	SLE RA 16	0.00002	2.248	10000	350	Variabile	Si
1.274	SLE RA 15	0.00001	2.248	10000	350	Variabile	Si
1.274	SLE RA 14	0.00002	2.248	10000	350	Variabile	Si

Superelemento in acciaio a quota "590"-"448" (-658; 1120)-(-781; 990)

Caratteristiche del materiale

Acciaio: S275, fyk = 275000

Caratteristiche geometriche

Lunghezza: 2.248

Nodo iniziale: 293 Nodo finale: 281

Cerniera iniziale: Svincolo: M2, M3 Cerniera finale: No

Sovraresistenza: 0% Sisma Z: No

Caratteristiche della sezione

Sezione	Rotazione	Area	Jx	Jy	ix	iy	Wx	Wy	Wplx	Wply
HEA140	0	0.003145	0.0000103397	0.0000038934	0.0573	0.0352	0.00015548	0.00005562	0.00017365	0.00008487

Verifiche di resistenza

Verifiche a forza assiale §4.2.4.1.2.1 - §4.2.4.1.2.2 NTC18

X	Comb.	Sfruttamento	Classe	NEd	Nc,Rd	Nt,Rd	Riduzione da taglio	px	py	Verifica
2.248	SLU 76	0.163	1	-134.222	823.562		1	0	0	Si

Verifiche a forza assiale SLD §4.2.4.1.2.1 - §4.2.4.1.2.2 NTC18

X	Comb.	Sfruttamento	Classe	NEd	Nc,Rd	Nt,Rd	Riduzione da taglio	px	py	Verifica
2.248	SLD 13	0.062	1	-51.259	823.562		1	0	0	Si

Verifica a taglio Y §4.2.4.1.2.4 NTC18

X	Comb.	Sfruttamento	VEd	Vc,Rd	Av	Interazione taglio-torsione	Riduzione torsione	Verifica
2.248	SLU 76	0.005	-0.67	145.391	0.001015	Considerata	0.95	Si

Verifica a taglio Y SLD §4.2.4.1.2.4 NTC18

X	Comb.	Sfruttamento	VEd	Vc,Rd	Av	Interazione taglio-torsione	Riduzione torsione	Verifica
2.248	SLD 10	0.003	-0.432	150.688	0.001015	Considerata	0.98	Si

Verifica a torsione §4.2.4.1.2.5 NTC18

X	Comb.	Sfruttamento torsione	TEd	TRd	Riduzione taglio resistente	Sfruttamento taglio-torsione	τEd,totale	τRd	Verifica
0	SLU 76	0.129	0.14613	1.13411	Considerata				Si

Verifica a torsione SLD §4.2.4.1.2.5 NTC18

X	Comb.	Sfruttamento torsione	TEd	TRd	Riduzione taglio resistente	Sfruttamento taglio-torsione	τEd,totale	τRd	Verifica
0	SLD 1	0.052	0.05842	1.13411	Considerata				Si

Verifica a presso/tenso flessione retta X §§ 4.2.4.1.2.3 - 4.2.4.1.2.6 - 4.2.4.1.2.7 - 4.2.4.1.2.8 NTC18

Verifiche eseguite utilizzando la formula conservativa (6.2) §6.2.1 EN 1993-1-1:2005.

X	Comb.	Sfruttamento	Classe	NEd	NRd	Rid. NRd da VEd	Mx,Ed	Mx,Rd	Rid. Mx,Rd da VEd	Rid. Mx,Rd da NEd	px	py	Verifica
0.225	SLU 2	0.02	1	16.273	823.562	1	-0.0272	45.4799	1		0	0	Si

Verifica a presso/tenso flessione retta Y §§ 4.2.4.1.2.3 - 4.2.4.1.2.6 - 4.2.4.1.2.7 - 4.2.4.1.2.8 NTC18

Verifiche eseguite utilizzando la formula conservativa (6.2) §6.2.1 EN 1993-1-1:2005.

X	Comb.	Sfruttamento	Classe	NEd	NRd	Rid. NRd da VEd	My,Ed	My,Rd	Rid. My,Rd da VEd	Rid. My,Rd da NEd	px	py	Verifica
0.075	SLU 76	0.163	1	-133.801	823.562	1	-0.0134	22.2276	1		0	0	Si

Verifica a presso/tenso flessione retta Y SLD §§ 4.2.4.1.2.3 - 4.2.4.1.2.6 - 4.2.4.1.2.7 - 4.2.4.1.2.8 NTC18

Verifiche eseguite utilizzando la formula conservativa (6.2) §6.2.1 EN 1993-1-1:2005.

X	Comb.	Sfruttamento	Classe	NEd	NRd	Rid. NRd da VEd	My,Ed	My,Rd	Rid. My,Rd da VEd	Rid. My,Rd da NEd	px	py	Verifica
0.45	SLD 9	0.062	1	-50.98	823.562	1	0.0098	22.2276	1		0	0	Si

Verifica a presso/tenso flessione deviata §§ 4.2.4.1.2.3 - 4.2.4.1.2.6 - 4.2.4.1.2.7 - 4.2.4.1.2.8 NTC18

Verifiche eseguite utilizzando la formula conservativa (6.2) §6.2.1 EN 1993-1-1:2005.

X	Comb.	Sfruttamento	Classe	NEd	NRd	Rid. NRd da VEd	Mx,Ed	Mx,Rd	My,Ed	My,Rd	Rid. Mx,Rd da VEd	Rid. Mx,Rd da NEd	Rid. My,Rd da VEd	Rid. My,Rd da NEd	α	β	px	py	Verifica

Implementazione dei sistemi di confinamento delle emissioni odorigene diffuse dell'impianto di compostaggio esistente nel
Comune di Eboli (SA)

PROGETTO DEFINITIVO – Tabulati di calcolo Tomo 1

X	Comb.	Sfruttamento	Classe	NEd	NRd	Rid. NRd da VEd	Mx,Ed	Mx,Rd	My,Ed	My,Rd	Rid. Mx,Rd da VEd	Rid. Mx,Rd da NEd	Rid. My,Rd da VEd	Rid. My,Rd da NEd	α	β	px	py	Verifica
2.248	SLU 76	0.2	1	-134.222	823.562	1	0.8605	45.4799	-0.402	22.2276	1		1				0	0	Si

Verifica a presso/tenso flessione deviata SLD §§ 4.2.4.1.2.3 - 4.2.4.1.2.6 - 4.2.4.1.2.7 - 4.2.4.1.2.8 NTC18

Verifiche eseguite utilizzando la formula conservativa (6.2) §6.2.1 EN 1993-1-1:2005.

X	Comb.	Sfruttamento	Classe	NEd	NRd	Rid. NRd da VEd	Mx,Ed	Mx,Rd	My,Ed	My,Rd	Rid. Mx,Rd da VEd	Rid. Mx,Rd da NEd	Rid. My,Rd da VEd	Rid. My,Rd da NEd	α	β	px	py	Verifica
2.248	SLD 10	0.075	1	-51.248	823.562	1	0.4746	45.4799	0.0492	22.2276	1		1				0	0	Si

Verifiche ad instabilità

Caratteristiche iniziali

Membratura principale per controllo snellezza; Calcolo di snellezze ed N critici condotti secondo gli assi principali;

Curva X: b; Curva Y: c; Svergolamento: Carico all'estradosso; Curva svergolamento: b;

Dati per instabilità attorno a x

Controllo della snellezza secondo §4.2.4.1.3.1 NTC18

Numero rit.	Presente	Ascissa	Campata	βx/m	Vincolo a entrambi estremi	λx/m	λVer
1	Si		0				
			1-2		1	39.2	Si, (<200)
2	Si		2.248				

Dati per instabilità attorno a y

Controllo della snellezza secondo §4.2.4.1.3.1 NTC18

Numero rit.	Presente	Ascissa	Campata	βy/n	k,LT	kw,LT	Vincolo a entrambi estremi	λy/n	λVer
1	Si		0						
			1-2		1	1	Si	63.9	Si, (<200)
2	Si		2.248						

Verifica di stabilità per tenso-flessione deviata §§ 5.5.3-5.5.4 ENV 1993-1-1:1992 + AC:1992 + A1:1994 + A2:1998

X	Comb.	Sfruttamento	Classe	NEd	Mx,Ed	Mx,Eff,Ed	My,Ed	χ,LT	kLT	ky	M,critico	Wx	Wy	Verifica
2.248	SLU 21	0.002	1	5.26	0.21945	0.03739	0.0166	0.987	1	1	252.81964	0.0001737	0.0000849	Si

Verifica di stabilità per pressoflessione §C.4.2.4.1.3.3.2 NTC18

X	Comb.	Sfruttamento	Classe	NEd	NRk	Mx,Ed	Mx,Rk	My,Ed	My,Rk	χ,x	χ,y	kxx	kxy	kyy	χ,LT	Verifica	
2.248	SLU 76	0.263	1	-134.222	864.741	0.86047	47.75393	0.40204	23.33901	0.905	0.702	0.47	0.433	0.914	0.721	0.987	Si

Verifica di stabilità per pressoflessione SLD §C.4.2.4.1.3.3.2 NTC18

X	Comb.	Sfruttamento	Classe	NEd	NRk	Mx,Ed max	Mx,Rk	My,Ed max	My,Rk	χ,x	χ,y	kxx	kxy	kyy	χ,LT	Verifica	
2.248	SLD 9	0.1	1	-51.248	864.741	0.47459	47.75393	0.04917	23.33901	0.905	0.702	0.407	0.388	0.957	0.646	0.987	Si

Verifica di stabilità a taglio anima Y §4.2.4.1.2.4 [4.2.27] NTC18

η	hw	tw	hw/tw max	Verifica
1.2	0.116	0.006	55.46	Si

Verifica di stabilità a taglio anima Y SLD §4.2.4.1.2.4 [4.2.27] NTC18

η	hw	tw	hw/tw max	Verifica
1.2	0.116	0.006	55.46	Si

Verifiche a deformabilità

Mensola X: No; Mensola Y: No.

Frecce lungo X

Ascissa freccia	Combinazione	Freccia	Luce	L/f	L/f,min	Tipo	Verifica
1.274	SLE RA 1	0.00005	2.248	10000	250	Totale	Si
1.274	SLE RA 17	0.00007	2.248	10000	250	Totale	Si
1.274	SLE RA 16	0.00009	2.248	10000	250	Totale	Si
1.274	SLE RA 15	0.0001	2.248	10000	250	Totale	Si
1.274	SLE RA 14	0.00006	2.248	10000	250	Totale	Si
1.274	SLE RA 2	-0.00004	2.248	10000	350	Variabile	Si
1.274	SLE RA 17	0.00002	2.248	10000	350	Variabile	Si
1.274	SLE RA 16	0.00005	2.248	10000	350	Variabile	Si
1.274	SLE RA 15	0.00005	2.248	10000	350	Variabile	Si
1.274	SLE RA 14	0.00001	2.248	10000	350	Variabile	Si

Frecce lungo Y

Ascissa freccia	Combinazione	Freccia	Luce	L/f	L/f,min	Tipo	Verifica
1.499	SLE RA 1	0.00003	2.248	10000	250	Totale	Si
1.424	SLE RA 17	0.00004	2.248	10000	250	Totale	Si
1.424	SLE RA 16	0.00005	2.248	10000	250	Totale	Si
1.424	SLE RA 15	0.00005	2.248	10000	250	Totale	Si
1.424	SLE RA 14	0.00004	2.248	10000	250	Totale	Si
1.274	SLE RA 2	-0.00002	2.248	10000	350	Variabile	Si
1.274	SLE RA 17	0.00001	2.248	10000	350	Variabile	Si
1.274	SLE RA 16	0.00002	2.248	10000	350	Variabile	Si
1.274	SLE RA 15	0.00002	2.248	10000	350	Variabile	Si
1.274	SLE RA 14	0.00001	2.248	10000	350	Variabile	Si

Superelemento in acciaio a quota "590"- "451" (729; 836)-(855; 970)

Caratteristiche del materiale

Acciaio: S275, fyk = 275000

Caratteristiche geometriche

Lunghezza: 2.305

Nodo iniziale: 368 Nodo finale: 285

Implementazione dei sistemi di confinamento delle emissioni odorigene diffuse dell'impianto di compostaggio esistente nel
Comune di Eboli (SA)
PROGETTO DEFINITIVO – Tabulati di calcolo Tomo 1

Cerniera iniziale: Svincolo: M2, M3 Cerniera finale: No
Sovreresistenza: 0% Sisma Z: No

Caratteristiche della sezione

Sezione	Rotazione	Area	Jx	Jy	ix	iy	Wx	Wy	Wplx	Wply
HEA140	0	0.003145	0.0000103397	0.0000038934	0.0573	0.0352	0.00015548	0.00005562	0.00017365	0.00008487

Verifiche di resistenza

Verifiche a forza assiale §4.2.4.1.2.1 - §4.2.4.1.2.2 NTC18

X	Comb.	Sfruttamento	Classe	NEd	Nc,Rd	Nt,Rd	Riduzione da taglio	px	py	Verifica
2.305	SLU 75	0.142	1	-116.568	823.562		1	0	0	Si

Verifiche a forza assiale SLD §4.2.4.1.2.1 - §4.2.4.1.2.2 NTC18

X	Comb.	Sfruttamento	Classe	NEd	Nc,Rd	Nt,Rd	Riduzione da taglio	px	py	Verifica
2.305	SLD 12	0.058	1	-47.391	823.562		1	0	0	Si

Verifica a taglio Y §4.2.4.1.2.4 NTC18

X	Comb.	Sfruttamento	VEd	Vc,Rd	Av	Interazione taglio-torsione	Riduzione torsione	Verifica
2.305	SLU 75	0.007	-1.114	153.388	0.001015	Considerata	1	Si

Verifica a taglio Y SLD §4.2.4.1.2.4 NTC18

X	Comb.	Sfruttamento	VEd	Vc,Rd	Av	Interazione taglio-torsione	Riduzione torsione	Verifica
2.305	SLD 12	0.004	-0.634	153.46	0.001015	Considerata	1	Si

Verifica a torsione §4.2.4.1.2.5 NTC18

X	Comb.	Sfruttamento torsione	TEd	TRd	Riduzione taglio resistente	Sfruttamento taglio-torsione	τEd,totale	τRd	Verifica
2.305	SLV 6	0.005	0.00562	1.13411	Considerata				Si

Verifica a torsione SLD §4.2.4.1.2.5 NTC18

X	Comb.	Sfruttamento torsione	TEd	TRd	Riduzione taglio resistente	Sfruttamento taglio-torsione	τEd,totale	τRd	Verifica
2.305	SLD 6	0.002	0.00274	1.13411	Considerata				Si

Verifica a presso/tenso flessione retta X §§ 4.2.4.1.2.3 - 4.2.4.1.2.6 - 4.2.4.1.2.7 - 4.2.4.1.2.8 NTC18

Verifiche eseguite utilizzando la formula conservativa (6.2) §6.2.1 EN 1993-1-1:2005.

X	Comb.	Sfruttamento	Classe	NEd	NRd	Rid. NRd da VEd	Mx,Ed	Mx,Rd	Rid. Mx,Rd da VEd	Rid. Mx,Rd da NEd	px	py	Verifica
1.306	SLV 12	0.091	1	-64.447	823.562	1	0.5852	45.4799	1		0	0	Si

Verifica a presso/tenso flessione retta X SLD §§ 4.2.4.1.2.3 - 4.2.4.1.2.6 - 4.2.4.1.2.7 - 4.2.4.1.2.8 NTC18

Verifiche eseguite utilizzando la formula conservativa (6.2) §6.2.1 EN 1993-1-1:2005.

X	Comb.	Sfruttamento	Classe	NEd	NRd	Rid. NRd da VEd	Mx,Ed	Mx,Rd	Rid. Mx,Rd da VEd	Rid. Mx,Rd da NEd	px	py	Verifica
0.231	SLD 12	0.058	1	-47.082	823.562	1	0.0467	45.4799	1		0	0	Si

Verifica a presso/tenso flessione retta Y §§ 4.2.4.1.2.3 - 4.2.4.1.2.6 - 4.2.4.1.2.7 - 4.2.4.1.2.8 NTC18

Verifiche eseguite utilizzando la formula conservativa (6.2) §6.2.1 EN 1993-1-1:2005.

X	Comb.	Sfruttamento	Classe	NEd	NRd	Rid. NRd da VEd	My,Ed	My,Rd	Rid. My,Rd da VEd	Rid. My,Rd da NEd	px	py	Verifica
0.154	SLU 64	0.044	1	-36.391	823.562	1	-0.0059	22.2276	1		0	0	Si

Verifica a presso/tenso flessione retta Y SLD §§ 4.2.4.1.2.3 - 4.2.4.1.2.6 - 4.2.4.1.2.7 - 4.2.4.1.2.8 NTC18

Verifiche eseguite utilizzando la formula conservativa (6.2) §6.2.1 EN 1993-1-1:2005.

X	Comb.	Sfruttamento	Classe	NEd	NRd	Rid. NRd da VEd	My,Ed	My,Rd	Rid. My,Rd da VEd	Rid. My,Rd da NEd	px	py	Verifica
0.077	SLD 13	0.051	1	-41.99	823.562	1	-0.0057	22.2276	1		0	0	Si

Verifica a presso/tenso flessione deviata §§ 4.2.4.1.2.3 - 4.2.4.1.2.6 - 4.2.4.1.2.7 - 4.2.4.1.2.8 NTC18

Verifiche eseguite utilizzando la formula conservativa (6.2) §6.2.1 EN 1993-1-1:2005.

X	Comb.	Sfruttamento	Classe	NEd	NRd	Rid. NRd da VEd	Mx,Ed	Mx,Rd	My,Ed	My,Rd	Rid. Mx,Rd da VEd	Rid. Mx,Rd da NEd	Rid. My,Rd da VEd	Rid. My,Rd da NEd	α	β	px	py	Verifica
2.305	SLU 75	0.196	1	-116.568	823.562	1	1.8875	45.4799	-0.2894	22.2276	1		1				0	0	Si

Verifica a presso/tenso flessione deviata SLD §§ 4.2.4.1.2.3 - 4.2.4.1.2.6 - 4.2.4.1.2.7 - 4.2.4.1.2.8 NTC18

Verifiche eseguite utilizzando la formula conservativa (6.2) §6.2.1 EN 1993-1-1:2005.

X	Comb.	Sfruttamento	Classe	NEd	NRd	Rid. NRd da VEd	Mx,Ed	Mx,Rd	My,Ed	My,Rd	Rid. Mx,Rd da VEd	Rid. Mx,Rd da NEd	Rid. My,Rd da VEd	Rid. My,Rd da NEd	α	β	px	py	Verifica
2.305	SLD 16	0.084	1	-47.17	823.562	1	0.9341	45.4799	-0.1393	22.2276	1		1				0	0	Si

Verifiche ad instabilità

Caratteristiche iniziali

Membratura principale per controllo snellezza; Calcolo di snellezze ed N critici condotti secondo gli assi principali;
Curva X: b; Curva Y: c; Svergolamento: Carico all'estradosso; Curva svergolamento: b;

Dati per instabilità attorno a x

Controllo della snellezza secondo §4.2.4.1.3.1 NTC18

Numero rit.	Presente	Ascissa	Campata	βx/m	Vincolo a entrambi estremi	λx/m	λVer
1	Si	0					
			1-2		1	40.2	Si, (<200)
2	Si	2.305					

Dati per instabilità attorno a y

Controllo della snellezza secondo §4.2.4.1.3.1 NTC18

Numero rit.	Presente	Ascissa	Campata	βy/n	k,LT	kw,LT	Vincolo a entrambi estremi	λy/n	λVer
1	Si	0							
			1-2		1	1	Si	65.5	Si, (<200)

Implementazione dei sistemi di confinamento delle emissioni odorigene diffuse dell’impianto di compostaggio esistente nel
Comune di Eboli (SA)
PROGETTO DEFINITIVO – Tabulati di calcolo Tomo 1

Numero rit.	Presente	Ascissa	Campata	$\beta y/n$	k,LT	kw,LT	Vincolo a entrambi estremi	$\lambda y/n$	λVer
2	Si	2.305							

Verifica a svergolamento con trazione §4.2.4.1.3.2 NTC18 § 5.5.3 ENV 1993-1-1:1992 + AC:1992 + A1:1994 + A2:1998

X	Comb.	Sfruttamento	Classe	Obblig.	NEd	Mx,Ed	Mx,Eff,Ed	Mb,Rd,x	$\chi_{,LT}$	λ adim. LT	L,LT	M,critico	Verifica
2.075	SLU 21	0.002	1	Si	1.479	0.15041	0.09923	44.71387	0.983	0.443	2.305	243.22904	Si

Verifica di stabilità per tenso-flessione deviata §§ 5.5.3-5.5.4 ENV 1993-1-1:1992 + AC:1992 + A1:1994 + A2:1998

X	Comb.	Sfruttamento	Classe	NEd	Mx,Ed	Mx,Eff,Ed	My,Ed	$\chi_{,LT}$	kLT	ky	M,critico	Wx	Wy	Verifica
2.305	SLU 21	0.004	1	1.445	0.21948	0.16948	0.00598	0.983	1	1	243.22904	0.0001737	0.0000849	Si

Verifica di stabilità per pressoflessione §C.4.2.4.1.3.3.2 NTC18

X	Comb.	Sfruttamento	Classe	NEd	NRk	Mx,Ed max	Mx,Rk	My,Ed max	My,Rk	χ_x	χ_y	kxx	kxy	kyy	χ_{LT}	Verifica	
2.305	SLU 75	0.254	1	-116.568	864.741	1.88752	47.75393	0.28941	23.33901	0.9	0.691	0.55	0.426	0.944	0.711	0.983	Si

Verifica di stabilità per pressoflessione SLD §C.4.2.4.1.3.3.2 NTC18

X	Comb.	Sfruttamento	Classe	NEd	NRk	Mx,Ed max	Mx,Rk	My,Ed max	My,Rk	χ_x	χ_y	kxx	kxy	kyy	χ_{LT}	Verifica	
2.305	SLD 16	0.107	1	-47.17	864.741	0.93411	47.75393	0.13933	23.33901	0.9	0.691	0.496	0.386	0.974	0.644	0.983	Si

Verifica di stabilità a taglio anima Y §4.2.4.1.2.4 [4.2.27] NTC18

η	hw	tw	hw/tw max	Verifica
1.2	0.116	0.006	55.46	Si

Verifica di stabilità a taglio anima Y SLD §4.2.4.1.2.4 [4.2.27] NTC18

η	hw	tw	hw/tw max	Verifica
1.2	0.116	0.006	55.46	Si

Verifiche a deformabilità

Mensola X: No; Mensola Y: No.

Frecce lungo X

Ascissa freccia	Combinazione	Freccia	Luce	L/f	L/f,min	Tipo	Verifica
1.306	SLE RA 1	0.00004	2.305	10000	250	Totale	Si
1.306	SLE RA 17	0.00005	2.305	10000	250	Totale	Si
1.306	SLE RA 16	0.00007	2.305	10000	250	Totale	Si
1.306	SLE RA 15	0.00005	2.305	10000	250	Totale	Si
1.306	SLE RA 14	0.00007	2.305	10000	250	Totale	Si
1.306	SLE RA 2	-0.00003	2.305	10000	350	Variabile	Si
1.306	SLE RA 17	0.00001	2.305	10000	350	Variabile	Si
1.306	SLE RA 16	0.00003	2.305	10000	350	Variabile	Si
1.306	SLE RA 15	0.00001	2.305	10000	350	Variabile	Si
1.306	SLE RA 14	0.00003	2.305	10000	350	Variabile	Si

Frecce lungo Y

Ascissa freccia	Combinazione	Freccia	Luce	L/f	L/f,min	Tipo	Verifica
1.383	SLE RA 1	0.00008	2.305	10000	250	Totale	Si
1.383	SLE RA 17	0.00011	2.305	10000	250	Totale	Si
1.383	SLE RA 16	0.00015	2.305	10000	250	Totale	Si
1.383	SLE RA 15	0.0001	2.305	10000	250	Totale	Si
1.383	SLE RA 14	0.00015	2.305	10000	250	Totale	Si
1.306	SLE RA 2	-0.00006	2.305	10000	350	Variabile	Si
1.306	SLE RA 17	0.00003	2.305	10000	350	Variabile	Si
1.306	SLE RA 16	0.00007	2.305	10000	350	Variabile	Si
1.306	SLE RA 15	0.00002	2.305	10000	350	Variabile	Si
1.306	SLE RA 14	0.00007	2.305	10000	350	Variabile	Si

Superelemento in acciaio a quota "590"- "451" (-145; 1659)-(-19; 1793)

Caratteristiche del materiale

Acciaio: S275, fyk = 275000

Caratteristiche geometriche

Lunghezza: 2.305

Nodo iniziale: 410 Nodo finale: 286

Cerniera iniziale: Svincolo: M2, M3 Cerniera finale: No

Sovraresistenza: 0% Sisma Z: No

Caratteristiche della sezione

Sezione	Rotazione	Area	Jx	Jy	ix	iy	Wx	Wy	Wplx	Wply
HEA140	0	0.003145	0.0000103397	0.0000038934	0.0573	0.0352	0.00015548	0.00005562	0.00017365	0.00008487

Verifiche di resistenza

Verifiche a forza assiale §4.2.4.1.2.1 - §4.2.4.1.2.2 NTC18

X	Comb.	Sfruttamento	Classe	NEd	Nc,Rd	Nt,Rd	Riduzione da taglio	px	py	Verifica
2.305	SLU 76	0.176	1	-144.774	823.562		1	0	0	Si

Verifiche a forza assiale SLD §4.2.4.1.2.1 - §4.2.4.1.2.2 NTC18

X	Comb.	Sfruttamento	Classe	NEd	Nc,Rd	Nt,Rd	Riduzione da taglio	px	py	Verifica
2.305	SLD 16	0.065	1	-53.92	823.562		1	0	0	Si

Verifica a taglio Y §4.2.4.1.2.4 NTC18

X	Comb.	Sfruttamento	VEd	Vc,Rd	Av	Interazione taglio-torsione	Riduzione torsione	Verifica
2.305	SLU 76	0.008	-1.271	153.264	0.001015	Considerata	1	Si

**Implementazione dei sistemi di confinamento delle emissioni odorigene diffuse dell'impianto di compostaggio esistente nel
Comune di Eboli (SA)
PROGETTO DEFINITIVO – Tabulati di calcolo Tomo 1**

Verifica a taglio Y SLD §4.2.4.1.2.4 NTC18

X	Comb.	Sfruttamento	VEd	Vc,Rd	Av	Interazione taglio-torsione	Riduzione torsione	Verifica
2.305	SLD 16	0.004	-0.673	153.4	0.001015	Considerata	1	Si

Verifica a torsione §4.2.4.1.2.5 NTC18

X	Comb.	Sfruttamento torsione	TEd	TRd	Riduzione taglio resistente	Sfruttamento taglio-torsione	rEd,totale	rRd	Verifica
0	SLV 10	0.006	0.00685	1.13411	Considerata				Si

Verifica a torsione SLD §4.2.4.1.2.5 NTC18

X	Comb.	Sfruttamento torsione	TEd	TRd	Riduzione taglio resistente	Sfruttamento taglio-torsione	rEd,totale	rRd	Verifica
2.305	SLD 9	0.003	0.00343	1.13411	Considerata				Si

Verifica a flessione semplice X §§ 4.2.4.1.2.3 - 4.2.4.1.2.6 - 4.2.4.1.2.7 - 4.2.4.1.2.8 NTC18

X	Comb.	Sfruttamento	Classe	Mx,Ed	Mx,Rd	Rid. Mx,Rd da VEd	px	py	Verifica
2.305	SLU 3	0.005	1	0.24268	45.47993	1	0	0	Si

Verifica a presso/tenso flessione retta X §§ 4.2.4.1.2.3 - 4.2.4.1.2.6 - 4.2.4.1.2.7 - 4.2.4.1.2.8 NTC18

Verifiche eseguite utilizzando la formula conservativa (6.2) §6.2.1 EN 1993-1-1:2005.

X	Comb.	Sfruttamento	Classe	NEd	NRd	Rid. NRd da VEd	Mx,Ed	Mx,Rd	Rid. Mx,Rd da VEd	Rid. Mx,Rd da NEd	px	py	Verifica
0.845	SLV 12	0.097	1	-73.161	823.562	1	0.3907	45.4799	1		0	0	Si

Verifica a presso/tenso flessione retta X SLD §§ 4.2.4.1.2.3 - 4.2.4.1.2.6 - 4.2.4.1.2.7 - 4.2.4.1.2.8 NTC18

Verifiche eseguite utilizzando la formula conservativa (6.2) §6.2.1 EN 1993-1-1:2005.

X	Comb.	Sfruttamento	Classe	NEd	NRd	Rid. NRd da VEd	Mx,Ed	Mx,Rd	Rid. Mx,Rd da VEd	Rid. Mx,Rd da NEd	px	py	Verifica
0.154	SLD 12	0.066	1	-53.554	823.562	1	0.0358	45.4799	1		0	0	Si

Verifica a presso/tenso flessione retta Y §§ 4.2.4.1.2.3 - 4.2.4.1.2.6 - 4.2.4.1.2.7 - 4.2.4.1.2.8 NTC18

Verifiche eseguite utilizzando la formula conservativa (6.2) §6.2.1 EN 1993-1-1:2005.

X	Comb.	Sfruttamento	Classe	NEd	NRd	Rid. NRd da VEd	My,Ed	My,Rd	Rid. My,Rd da VEd	Rid. My,Rd da NEd	px	py	Verifica
0.154	SLU 63	0.048	1	-39.525	823.562	1	-0.0064	22.2276	1		0	0	Si

Verifica a presso/tenso flessione retta Y SLD §§ 4.2.4.1.2.3 - 4.2.4.1.2.6 - 4.2.4.1.2.7 - 4.2.4.1.2.8 NTC18

Verifiche eseguite utilizzando la formula conservativa (6.2) §6.2.1 EN 1993-1-1:2005.

X	Comb.	Sfruttamento	Classe	NEd	NRd	Rid. NRd da VEd	My,Ed	My,Rd	Rid. My,Rd da VEd	Rid. My,Rd da NEd	px	py	Verifica
0.077	SLD 13	0.059	1	-48.417	823.562	1	-0.0061	22.2276	1		0	0	Si

Verifica a presso/tenso flessione deviata §§ 4.2.4.1.2.3 - 4.2.4.1.2.6 - 4.2.4.1.2.7 - 4.2.4.1.2.8 NTC18

Verifiche eseguite utilizzando la formula conservativa (6.2) §6.2.1 EN 1993-1-1:2005.

X	Comb.	Sfruttamento	Classe	NEd	NRd	Rid. NRd da VEd	Mx,Ed	Mx,Rd	My,Ed	My,Rd	Rid. Mx,Rd da VEd	Rid. Mx,Rd da NEd	Rid. My,Rd da VEd	Rid. My,Rd da NEd	α	β	px	py	Verifica
2.305	SLU 76	0.241	1	-144.774	823.562	1	2.2491	45.4799	-0.3606	22.2276	1		1				0	0	Si

Verifica a presso/tenso flessione deviata SLD §§ 4.2.4.1.2.3 - 4.2.4.1.2.6 - 4.2.4.1.2.7 - 4.2.4.1.2.8 NTC18

Verifiche eseguite utilizzando la formula conservativa (6.2) §6.2.1 EN 1993-1-1:2005.

X	Comb.	Sfruttamento	Classe	NEd	NRd	Rid. NRd da VEd	Mx,Ed	Mx,Rd	My,Ed	My,Rd	Rid. Mx,Rd da VEd	Rid. Mx,Rd da NEd	Rid. My,Rd da VEd	Rid. My,Rd da NEd	α	β	px	py	Verifica
2.305	SLD 16	0.095	1	-53.92	823.562	1	1.0272	45.4799	-0.1521	22.2276	1		1				0	0	Si

Verifiche ad instabilità

Caratteristiche iniziali

Membratura principale per controllo snellezza; Calcolo di snellezze ed N critici condotti secondo gli assi principali;

Curva X: b; Curva Y: c; Svergolamento: Carico all'estradosso; Curva svergolamento: b;

Dati per instabilità attorno a x

Controllo della snellezza secondo §4.2.4.1.3.1 NTC18

Numero rit.	Presente	Ascissa	Campata	βx/m	Vincolo a entrambi estremi	λx/m	λVer
1	Si	0					
			1-2		1	40.2	Si, (<200)
2	Si	2.305					

Dati per instabilità attorno a y

Controllo della snellezza secondo §4.2.4.1.3.1 NTC18

Numero rit.	Presente	Ascissa	Campata	βy/n	k,LT	kw,LT	Vincolo a entrambi estremi	λy/n	λVer
1	Si	0							
			1-2		1	1	Si	65.5	Si, (<200)
2	Si	2.305							

Verifica a svergolamento §4.2.4.1.3.2 NTC18

X	Comb.	Sfruttamento	Classe	Obblig.	Mx,Ed	Mb,Rd,x	χ,LT	λ adim. LT	L,LT	M,critico	Verifica
2.305	SLU 3	0.005	1	Si	0.24268	44.71416	0.983	0.443	2.305	243.24677	Si

Verifica a svergolamento con trazione §4.2.4.1.3.2 NTC18 § 5.5.3 ENV 1993-1-1:1992 + AC:1992 + A1:1994 + A2:1998

X	Comb.	Sfruttamento	Classe	Obblig.	NEd	Mx,Ed	Mx,Ed,Ed	Mb,Rd,x	χ,LT	λ adim. LT	L,LT	M,critico	Verifica
1.844	SLU 3	0.002	1	Si	0.318	0.11039	0.09938	44.71416	0.983	0.443	2.305	243.24677	Si

Verifica di stabilità per pressoflessione §C.4.2.4.1.3.3.2 NTC18

X	Comb.	Sfruttamento	Classe	NEd	NRk	Mx,Ed max	Mx,Rk	My,Ed max	My,Rk	χ,x	χ,y	kxx	kxy	kyy	χ,LT	Verifica
2.305	SLU 76	0.313	1	-144.774	864.741	2.24911	47.75393	0.36062	23.33901	0.9	0.691	0.567	0.443	0.934	0.739	0.983

Verifica di stabilità per pressoflessione SLD §C.4.2.4.1.3.3.2 NTC18

X	Comb.	Sfruttamento	Classe	NEd	NRk	Mx,Ed max	Mx,Rk	My,Ed max	My,Rk	χ,x	χ,y	kxx	kxy	kyy	χ,LT	Verifica
2.305	SLD 16	0.122	1	-53.92	864.741	1.02722	47.75393	0.15208	23.33901	0.9	0.691	0.508	0.39	0.971	0.65	0.983

Implementazione dei sistemi di confinamento delle emissioni odorigene diffuse dell'impianto di compostaggio esistente nel
Comune di Eboli (SA)
PROGETTO DEFINITIVO – Tabulati di calcolo Tomo 1

Verifica di stabilità a taglio anima Y §4.2.4.1.2.4 [4.2.27] NTC18

η	hw	tw	hw/tw max	Verifica
1.2	0.116	0.006	55.46	Si

Verifica di stabilità a taglio anima Y SLD §4.2.4.1.2.4 [4.2.27] NTC18

η	hw	tw	hw/tw max	Verifica
1.2	0.116	0.006	55.46	Si

Verifiche a deformabilità

Mensola X: No; Mensola Y: No.

Frecce lungo X

Ascissa freccia	Combinazione	Freccia	Luce	L/f	L/f,min	Tipo	Verifica
1.306	SLE RA 1	0.00004	2.305	10000	250	Totale	Si
1.306	SLE RA 17	0.00006	2.305	10000	250	Totale	Si
1.306	SLE RA 16	0.00009	2.305	10000	250	Totale	Si
1.306	SLE RA 15	0.00009	2.305	10000	250	Totale	Si
1.306	SLE RA 14	0.00006	2.305	10000	250	Totale	Si
1.306	SLE RA 2	-0.00004	2.305	10000	350	Variabile	Si
1.306	SLE RA 17	0.00002	2.305	10000	350	Variabile	Si
1.306	SLE RA 16	0.00004	2.305	10000	350	Variabile	Si
1.306	SLE RA 15	0.00005	2.305	10000	350	Variabile	Si
1.306	SLE RA 14	0.00001	2.305	10000	350	Variabile	Si

Frecce lungo Y

Ascissa freccia	Combinazione	Freccia	Luce	L/f	L/f,min	Tipo	Verifica
1.383	SLE RA 1	0.00009	2.305	10000	250	Totale	Si
1.383	SLE RA 17	0.00013	2.305	10000	250	Totale	Si
1.383	SLE RA 16	0.00018	2.305	10000	250	Totale	Si
1.383	SLE RA 15	0.00018	2.305	10000	250	Totale	Si
1.383	SLE RA 14	0.00012	2.305	10000	250	Totale	Si
1.306	SLE RA 2	-0.00008	2.305	10000	350	Variabile	Si
1.306	SLE RA 17	0.00004	2.305	10000	350	Variabile	Si
1.306	SLE RA 16	0.00009	2.305	10000	350	Variabile	Si
1.306	SLE RA 15	0.00009	2.305	10000	350	Variabile	Si
1.306	SLE RA 14	0.00003	2.305	10000	350	Variabile	Si

Superelemento in acciaio a quota "590"- "451" (-1671; 45)-(-1796; -88)

Caratteristiche del materiale

Acciaio: S275, fyk = 275000

Caratteristiche geometriche

Lunghezza: 2.293

Nodo iniziale: 295 Nodo finale: 279

Cerniera iniziale: Svincolo: M2, M3 Cerniera finale: No

Sovraresistenza: 0% Sisma Z: No

Caratteristiche della sezione

Sezione	Rotazione	Area	Jx	Jy	ix	iy	Wx	Wy	Wplx	Wply
HEA140	0	0.003145	0.0000103397	0.0000038934	0.0573	0.0352	0.00015548	0.00005562	0.00017365	0.00008487

Verifiche di resistenza

Verifiche a forza assiale §4.2.4.1.2.1 - §4.2.4.1.2.2 NTC18

X	Comb.	Sfruttamento	Classe	NEd	Nc,Rd	Nt,Rd	Riduzione da taglio	px	py	Verifica
2.293	SLU 76	0.188	1	-154.82	823.562		1	0	0	Si

Verifiche a forza assiale SLD §4.2.4.1.2.1 - §4.2.4.1.2.2 NTC18

X	Comb.	Sfruttamento	Classe	NEd	Nc,Rd	Nt,Rd	Riduzione da taglio	px	py	Verifica
2.293	SLD 13	0.072	1	-59.066	823.562		1	0	0	Si

Verifica a taglio Y §4.2.4.1.2.4 NTC18

X	Comb.	Sfruttamento	VEd	Vc,Rd	Av	Interazione taglio-torsione	Riduzione torsione	Verifica
2.293	SLU 76	0.006	-0.905	150.744	0.001015	Considerata	0.98	Si

Verifica a taglio Y SLD §4.2.4.1.2.4 NTC18

X	Comb.	Sfruttamento	VEd	Vc,Rd	Av	Interazione taglio-torsione	Riduzione torsione	Verifica
2.293	SLD 9	0.003	-0.503	152.601	0.001015	Considerata	0.99	Si

Verifica a torsione §4.2.4.1.2.5 NTC18

X	Comb.	Sfruttamento torsione	TEd	TRd	Riduzione taglio resistente	Sfruttamento taglio-torsione	τEd,totale	τRd	Verifica
2.293	SLU 76	0.045	0.05077	1.13411	Considerata				Si

Verifica a torsione SLD §4.2.4.1.2.5 NTC18

X	Comb.	Sfruttamento torsione	TEd	TRd	Riduzione taglio resistente	Sfruttamento taglio-torsione	τEd,totale	τRd	Verifica
2.293	SLD 5	0.016	0.01862	1.13411	Considerata				Si

Verifica a flessione semplice X §§ 4.2.4.1.2.3 - 4.2.4.1.2.6 - 4.2.4.1.2.7 - 4.2.4.1.2.8 NTC18

X	Comb.	Sfruttamento	Classe	Mx,Ed	Mx,Rd	Rid. Mx,Rd da VEd	px	py	Verifica
0.611	SLU 3	0.001	1	-0.03553	45.47993	1	0	0	Si

Verifica a presso/tenso flessione retta X §§ 4.2.4.1.2.3 - 4.2.4.1.2.6 - 4.2.4.1.2.7 - 4.2.4.1.2.8 NTC18

Verifiche eseguite utilizzando la formula conservativa (6.2) §6.2.1 EN 1993-1-1:2005.

**Implementazione dei sistemi di confinamento delle emissioni odorigene diffuse dell'impianto di compostaggio esistente nel
Comune di Eboli (SA)**

PROGETTO DEFINITIVO – Tabulati di calcolo Tomo 1

X	Comb.	Sfruttamento	Classe	NEd	NRd	Rid. NRd da VEd	Mx,Ed	Mx,Rd	Rid. Mx,Rd da VEd	Rid. Mx,Rd da NEd	px	py	Verifica
0.153	SLV 14	0.098	1	-80.537	823.562	1	0.0173	45.4799	1		0	0	Si

Verifica a presso/tenso flessione retta X SLD §§ 4.2.4.1.2.3 - 4.2.4.1.2.6 - 4.2.4.1.2.7 - 4.2.4.1.2.8 NTC18

Verifiche eseguite utilizzando la formula conservativa (6.2) §6.2.1 EN 1993-1-1:2005.

X	Comb.	Sfruttamento	Classe	NEd	NRd	Rid. NRd da VEd	Mx,Ed	Mx,Rd	Rid. Mx,Rd da VEd	Rid. Mx,Rd da NEd	px	py	Verifica
0.306	SLD 9	0.072	1	-58.742	823.562	1	0.0249	45.4799	1		0	0	Si

Verifica a presso/tenso flessione retta Y §§ 4.2.4.1.2.3 - 4.2.4.1.2.6 - 4.2.4.1.2.7 - 4.2.4.1.2.8 NTC18

Verifiche eseguite utilizzando la formula conservativa (6.2) §6.2.1 EN 1993-1-1:2005.

X	Comb.	Sfruttamento	Classe	NEd	NRd	Rid. NRd da VEd	My,Ed	My,Rd	Rid. My,Rd da VEd	Rid. My,Rd da NEd	px	py	Verifica
0.076	SLU 69	0.13	1	-107.058	823.562	1	-0.0102	22.2276	1		0	0	Si

Verifica a presso/tenso flessione retta Y SLD §§ 4.2.4.1.2.3 - 4.2.4.1.2.6 - 4.2.4.1.2.7 - 4.2.4.1.2.8 NTC18

Verifiche eseguite utilizzando la formula conservativa (6.2) §6.2.1 EN 1993-1-1:2005.

X	Comb.	Sfruttamento	Classe	NEd	NRd	Rid. NRd da VEd	My,Ed	My,Rd	Rid. My,Rd da VEd	Rid. My,Rd da NEd	px	py	Verifica
0.229	SLD 16	0.065	1	-53.13	823.562	1	-0.0095	22.2276	1		0	0	Si

Verifica a presso/tenso flessione deviata §§ 4.2.4.1.2.3 - 4.2.4.1.2.6 - 4.2.4.1.2.7 - 4.2.4.1.2.8 NTC18

Verifiche eseguite utilizzando la formula conservativa (6.2) §6.2.1 EN 1993-1-1:2005.

X	Comb.	Sfruttamento	Classe	NEd	NRd	Rid. NRd da VEd	Mx,Ed	Mx,Rd	My,Ed	My,Rd	Rid. Mx,Rd da VEd	Rid. Mx,Rd da NEd	Rid. My,Rd da VEd	Rid. My,Rd da NEd	α	β	px	py	Verifica
2.293	SLU 76	0.239	1	-154.82	823.562	1	1.4028	45.4799	-0.4409	22.2276	1		1				0	0	Si

Verifica a presso/tenso flessione deviata SLD §§ 4.2.4.1.2.3 - 4.2.4.1.2.6 - 4.2.4.1.2.7 - 4.2.4.1.2.8 NTC18

Verifiche eseguite utilizzando la formula conservativa (6.2) §6.2.1 EN 1993-1-1:2005.

X	Comb.	Sfruttamento	Classe	NEd	NRd	Rid. NRd da VEd	Mx,Ed	Mx,Rd	My,Ed	My,Rd	Rid. Mx,Rd da VEd	Rid. Mx,Rd da NEd	Rid. My,Rd da VEd	Rid. My,Rd da NEd	α	β	px	py	Verifica
2.293	SLD 14	0.088	1	-59.066	823.562	1	0.6354	45.4799	-0.0502	22.2276	1		1				0	0	Si

Verifiche ad instabilità

Caratteristiche iniziali

Membratura principale per controllo snellezza; Calcolo di snellezze ed N critici condotti secondo gli assi principali;

Curva X: b; Curva Y: c; Svergolamento: Carico all'estradosso; Curva svergolamento: b;

Dati per instabilità attorno a x

Controllo della snellezza secondo §4.2.4.1.3.1 NTC18

Numero rit.	Presente	Ascissa	Campata	βx/m	Vincolo a entrambi estremi	λx/m	λVer
1	Si	0					
			1-2		1	40	Si, (<200)
2	Si	2.293					

Dati per instabilità attorno a y

Controllo della snellezza secondo §4.2.4.1.3.1 NTC18

Numero rit.	Presente	Ascissa	Campata	βy/n	k _y LT	k _w LT	Vincolo a entrambi estremi	λy/n	λVer
1	Si	0							
			1-2		1	1	Si	65.2	Si, (<200)
2	Si	2.293							

Verifica a svergolamento §4.2.4.1.3.2 NTC18

X	Comb.	Sfruttamento	Classe	Obblig.	Mx,Ed	Mb,Rd,x	χ _y LT	λ adim. LT	L _y LT	M _y critico	Verifica
0.611	SLU 3	0.001	1	Si	-0.03553	44.74705	0.984	0.441	2.293	245.26688	Si

Verifica di stabilità per tenso-flessione deviata §§ 5.5.3-5.5.4 ENV 1993-1-1:1992 + AC:1992 + A1:1994 + A2:1998

X	Comb.	Sfruttamento	Classe	NEd	Mx,Ed	Mx,Ed,Ed	My,Ed	χ _y LT	kLT	ky	M _y critico	W _x	W _y	Verifica
2.293	SLU 21	0.002	1	4.95	0.21274	0.0414	0.01534	0.984	1	1	245.26688	0.0001737	0.0000849	Si

Verifica di stabilità per pressoflessione §C.4.2.4.1.3.3.2 NTC18

X	Comb.	Sfruttamento	Classe	NEd	NRk	Mx,Ed max	Mx,Rk	My,Ed max	My,Rk	χ _x	χ _y	k _{xx}	k _{xy}	k _{yx}	k _{yy}	χ _y LT	Verifica
2.293	SLU 76	0.315	1	-154.82	864.741	1.40284	47.75393	0.44089	23.33901	0.901	0.693	0.532	0.448	0.92	0.747	0.984	Si

Verifica di stabilità per pressoflessione SLD §C.4.2.4.1.3.3.2 NTC18

X	Comb.	Sfruttamento	Classe	NEd	NRk	Mx,Ed max	Mx,Rk	My,Ed max	My,Rk	χ _x	χ _y	k _{xx}	k _{xy}	k _{yx}	k _{yy}	χ _y LT	Verifica
2.293	SLD 14	0.119	1	-59.066	864.741	0.63536	47.75393	0.05017	23.33901	0.901	0.693	0.446	0.394	0.959	0.656	0.984	Si

Verifica di stabilità a taglio anima Y §4.2.4.1.2.4 [4.2.27] NTC18

η	hw	tw	hw/tw max	Verifica
1.2	0.116	0.006	55.46	Si

Verifica di stabilità a taglio anima Y SLD §4.2.4.1.2.4 [4.2.27] NTC18

η	hw	tw	hw/tw max	Verifica
1.2	0.116	0.006	55.46	Si

Verifiche a deformabilità

Mensola X: No; Mensola Y: No.

Frecce lungo X

Ascissa freccia	Combinazione	Freccia	Luce	L/f	L/f,min	Tipo	Verifica
1.299	SLE RA 1	0.00005	2.293	10000	250	Totale	Si
1.299	SLE RA 17	0.00008	2.293	10000	250	Totale	Si
1.299	SLE RA 16	0.00011	2.293	10000	250	Totale	Si
1.299	SLE RA 15	0.00011	2.293	10000	250	Totale	Si
1.299	SLE RA 14	0.00007	2.293	10000	250	Totale	Si
1.299	SLE RA 2	-0.00005	2.293	10000	350	Variabile	Si
1.299	SLE RA 17	0.00002	2.293	10000	350	Variabile	Si
1.299	SLE RA 16	0.00005	2.293	10000	350	Variabile	Si
1.299	SLE RA 15	0.00005	2.293	10000	350	Variabile	Si

Implementazione dei sistemi di confinamento delle emissioni odorigene diffuse dell'impianto di compostaggio esistente nel
Comune di Eboli (SA)
PROGETTO DEFINITIVO – Tabulati di calcolo Tomo 1

Ascissa freccia	Combinazione	Freccia	Luce	L/f	L/f,min	Tipo	Verifica
1.299	SLE RA 14	0.00001	2.293	10000	350	Variabile	Si

Frecce lungo Y

Ascissa freccia	Combinazione	Freccia	Luce	L/f	L/f,min	Tipo	Verifica
1.452	SLE RA 1	0.00006	2.293	10000	250	Totale	Si
1.376	SLE RA 17	0.00008	2.293	10000	250	Totale	Si
1.376	SLE RA 16	0.00001	2.293	10000	250	Totale	Si
1.376	SLE RA 15	0.00011	2.293	10000	250	Totale	Si
1.452	SLE RA 14	0.00007	2.293	10000	250	Totale	Si
1.299	SLE RA 2	-0.00004	2.293	10000	350	Variabile	Si
1.299	SLE RA 17	0.00002	2.293	10000	350	Variabile	Si
1.299	SLE RA 16	0.00005	2.293	10000	350	Variabile	Si
1.299	SLE RA 15	0.00005	2.293	10000	350	Variabile	Si
1.299	SLE RA 14	0.00001	2.293	10000	350	Variabile	Si

Superelemento in acciaio a quota "590"- "452" (868; 2737)-(995; 2871)

Caratteristiche del materiale

Acciaio: S275, fyk = 275000

Caratteristiche geometriche

Lunghezza: 2.32

Nodo iniziale: 513 Nodo finale: 288

Cerniera iniziale: Svincolo: M2, M3 Cerniera finale: No

Sovreresistenza: 0% Sisma Z: No

Caratteristiche della sezione

Sezione	Rotazione	Area	Jx	Jy	ix	iy	Wx	Wy	Wplx	Wply
HEA140	0	0.003145	0.0000103397	0.0000038934	0.0573	0.0352	0.00015548	0.00005562	0.00017365	0.00008487

Verifiche di resistenza

Verifiche a forza assiale §4.2.4.1.2.1 - §4.2.4.1.2.2 NTC18

X	Comb.	Sfruttamento	Classe	NEd	Nc,Rd	Nt,Rd	Riduzione da taglio	px	py	Verifica
2.32	SLU 76	0.184	1	-151.78	823.562		1	0	0	Si

Verifiche a forza assiale SLD §4.2.4.1.2.1 - §4.2.4.1.2.2 NTC18

X	Comb.	Sfruttamento	Classe	NEd	Nc,Rd	Nt,Rd	Riduzione da taglio	px	py	Verifica
2.32	SLD 16	0.068	1	-56.128	823.562		1	0	0	Si

Verifica a taglio Y §4.2.4.1.2.4 NTC18

X	Comb.	Sfruttamento	VEd	Vc,Rd	Av	Interazione taglio-torsione	Riduzione torsione	Verifica
2.32	SLU 76	0.011	-1.66	148.258	0.001015	Considerata	0.97	Si

Verifica a taglio Y SLD §4.2.4.1.2.4 NTC18

X	Comb.	Sfruttamento	VEd	Vc,Rd	Av	Interazione taglio-torsione	Riduzione torsione	Verifica
2.32	SLD 12	0.005	-0.78	151.617	0.001015	Considerata	0.99	Si

Verifica a torsione §4.2.4.1.2.5 NTC18

X	Comb.	Sfruttamento torsione	TEd	TRd	Riduzione taglio resistente	Sfruttamento taglio-torsione	τEd,totale	τRd	Verifica
0	SLU 76	0.084	-0.09548	1.13411	Considerata				Si

Verifica a torsione SLD §4.2.4.1.2.5 NTC18

X	Comb.	Sfruttamento torsione	TEd	TRd	Riduzione taglio resistente	Sfruttamento taglio-torsione	τEd,totale	τRd	Verifica
2.32	SLD 8	0.034	-0.0391	1.13411	Considerata				Si

Verifica a presso/tenso flessione retta X §§ 4.2.4.1.2.3 - 4.2.4.1.2.6 - 4.2.4.1.2.7 - 4.2.4.1.2.8 NTC18

Verifiche eseguite utilizzando la formula conservativa (6.2) §6.2.1 EN 1993-1-1:2005.

X	Comb.	Sfruttamento	Classe	NEd	NRd	Rid. NRd da VEd	Mx,Ed	Mx,Rd	Rid. Mx,Rd da VEd	Rid. Mx,Rd da NEd	px	py	Verifica
0.077	SLU 76	0.186	1	-151.346	823.562	1	0.0832	45.4799	1		0	0	Si

Verifica a presso/tenso flessione retta X SLD §§ 4.2.4.1.2.3 - 4.2.4.1.2.6 - 4.2.4.1.2.7 - 4.2.4.1.2.8 NTC18

Verifiche eseguite utilizzando la formula conservativa (6.2) §6.2.1 EN 1993-1-1:2005.

X	Comb.	Sfruttamento	Classe	NEd	NRd	Rid. NRd da VEd	Mx,Ed	Mx,Rd	Rid. Mx,Rd da VEd	Rid. Mx,Rd da NEd	px	py	Verifica
1.083	SLD 16	0.078	1	-55.943	823.562	1	0.4661	45.4799	1		0	0	Si

Verifica a presso/tenso flessione retta Y §§ 4.2.4.1.2.3 - 4.2.4.1.2.6 - 4.2.4.1.2.7 - 4.2.4.1.2.8 NTC18

Verifiche eseguite utilizzando la formula conservativa (6.2) §6.2.1 EN 1993-1-1:2005.

X	Comb.	Sfruttamento	Classe	NEd	NRd	Rid. NRd da VEd	My,Ed	My,Rd	Rid. My,Rd da VEd	Rid. My,Rd da NEd	px	py	Verifica
0.077	SLV 9	0.036	1	-29.667	823.562	1	-0.0097	22.2276	1		0	0	Si

Verifica a presso/tenso flessione deviata §§ 4.2.4.1.2.3 - 4.2.4.1.2.6 - 4.2.4.1.2.7 - 4.2.4.1.2.8 NTC18

Verifiche eseguite utilizzando la formula conservativa (6.2) §6.2.1 EN 1993-1-1:2005.

X	Comb.	Sfruttamento	Classe	NEd	NRd	Rid. NRd da VEd	Mx,Ed	Mx,Rd	My,Ed	My,Rd	Rid. Mx,Rd da VEd	Rid. Mx,Rd da NEd	Rid. My,Rd da VEd	Rid. My,Rd da NEd	α	β	px	py	Verifica
2.32	SLU 76	0.26	1	-151.78	823.562	1	3.1633	45.4799	0.1333	22.2276	1		1				0	0	Si

Verifica a presso/tenso flessione deviata SLD §§ 4.2.4.1.2.3 - 4.2.4.1.2.6 - 4.2.4.1.2.7 - 4.2.4.1.2.8 NTC18

Verifiche eseguite utilizzando la formula conservativa (6.2) §6.2.1 EN 1993-1-1:2005.

X	Comb.	Sfruttamento	Classe	NEd	NRd	Rid. NRd da VEd	Mx,Ed	Mx,Rd	My,Ed	My,Rd	Rid. Mx,Rd da VEd	Rid. Mx,Rd da NEd	Rid. My,Rd da VEd	Rid. My,Rd da NEd	α	β	px	py	Verifica

Implementazione dei sistemi di confinamento delle emissioni odorigene diffuse dell’impianto di compostaggio esistente nel
Comune di Eboli (SA)

PROGETTO DEFINITIVO – Tabulati di calcolo Tomo 1

X	Comb.	Sfruttamento	Classe	NEd	NRd	Rid. NRd da VEd	Mx,Ed	Mx,Rd	My,Ed	My,Rd	Rid. Mx,Rd da VEd	Rid. Mx,Rd da NEd	Rid. My,Rd da VEd	Rid. My,Rd da NEd	α	β	px	py	Verifica
2.32	SLD 12	0.102	1	-56.087	823.562	1	1.2811	45.4799	0.1226	22.2276	1		1				0	0	Si

Verifiche ad instabilità

Caratteristiche iniziali

Membratura principale per controllo snellezza; Calcolo di snellezze ed N critici condotti secondo gli assi principali;

Curva X: b; Curva Y: c; Svergolamento: Carico all'estradosso; Curva svergolamento: b;

Dati per instabilità attorno a x

Controllo della snellezza secondo §4.2.4.1.3.1 NTC18

Numero rit.	Presente	Ascissa	Campata	βx/m	Vincolo a entrambi estremi	λx/m	λVer
1	Si		0				
			1-2		1	40.5	Si, (<200)
2	Si	2.32					

Dati per instabilità attorno a y

Controllo della snellezza secondo §4.2.4.1.3.1 NTC18

Numero rit.	Presente	Ascissa	Campata	βy/n	k,LT	kw,LT	Vincolo a entrambi estremi	λy/n	λVer
1	Si		0						
			1-2		1	1	Si	65.9	Si, (<200)
2	Si	2.32							

Verifica a svergolamento con trazione §4.2.4.1.3.2 NTC18 § 5.5.3 ENV 1993-1-1:1992 + AC:1992 + A1:1994 + A2:1998

X	Comb.	Sfruttamento	Classe	Obblig.	NEd	Mx,Ed	Mx,Eff,Ed	Mb,Rd,x	χ,LT	λ adim. LT	L,LT	M,critico	Verifica
2.32	SLU 3	0.003	1	Si	2.132	0.19636	0.12256	44.67427	0.982	0.445	2.32	240.83363	Si

Verifica di stabilità per pressoflessione §C.4.2.4.1.3.3.2 NTC18

X	Comb.	Sfruttamento	Classe	NEd	NRk	Mx,Ed max	Mx,Rk	My,Ed max	My,Rk	χ,x	χ,y	kxx	kxy	kyy	χ,LT	Verifica	
2.32	SLU 76	0.339	1	-151.78	864.741	3.1633	47.75393	0.13334	23.33901	0.899	0.688	0.587	0.449	0.934	0.748	0.982	Si

Verifica di stabilità per pressoflessione SLD §C.4.2.4.1.3.3.2 NTC18

X	Comb.	Sfruttamento	Classe	NEd	NRk	Mx,Ed max	Mx,Rk	My,Ed max	My,Rk	χ,x	χ,y	kxx	kxy	kyy	χ,LT	Verifica	
2.32	SLD 12	0.131	1	-56.087	864.741	1.28112	47.75393	0.12263	23.33901	0.899	0.688	0.528	0.393	0.972	0.655	0.982	Si

Verifica di stabilità a taglio anima Y §4.2.4.1.2.4 [4.2.27] NTC18

η	hw	tw	hw/tw max	Verifica
1.2	0.116	0.006	55.46	Si

Verifica di stabilità a taglio anima Y SLD §4.2.4.1.2.4 [4.2.27] NTC18

η	hw	tw	hw/tw max	Verifica
1.2	0.116	0.006	55.46	Si

Verifiche a deformabilità

Mensola X: No; Mensola Y: No.

Frecce lungo X

Ascissa freccia	Combinazione	Freccia	Luce	L/f	L/f,min	Tipo	Verifica
1.315	SLE RA 1	-0.00002	2.32	10000	250	Totale	Si
1.315	SLE RA 17	-0.00002	2.32	10000	250	Totale	Si
1.315	SLE RA 16	-0.00003	2.32	10000	250	Totale	Si
1.315	SLE RA 15	-0.00003	2.32	10000	250	Totale	Si
1.315	SLE RA 14	-0.00002	2.32	10000	250	Totale	Si
1.315	SLE RA 2	0.00001	2.32	10000	350	Variabile	Si
1.315	SLE RA 17	-0.00001	2.32	10000	350	Variabile	Si
1.315	SLE RA 16	-0.00002	2.32	10000	350	Variabile	Si
1.315	SLE RA 15	-0.00002	2.32	10000	350	Variabile	Si
1.315	SLE RA 14	0	2.32	10000	350	Variabile	Si

Frecce lungo Y

Ascissa freccia	Combinazione	Freccia	Luce	L/f	L/f,min	Tipo	Verifica
1.392	SLE RA 19	0.00032	2.32	7335	250	Totale	Si
1.392	SLE RA 15	0.00027	2.32	8442.8	250	Totale	Si
1.392	SLE RA 11	0.00027	2.32	8442.8	250	Totale	Si
1.392	SLE RA 7	0.00027	2.32	8636.8	250	Totale	Si
1.392	SLE RA 16	0.00026	2.32	8811.3	250	Totale	Si
1.315	SLE RA 2	-0.00012	2.32	10000	350	Variabile	Si
1.315	SLE RA 17	0.00005	2.32	10000	350	Variabile	Si
1.315	SLE RA 16	0.00012	2.32	10000	350	Variabile	Si
1.315	SLE RA 15	0.00014	2.32	10000	350	Variabile	Si
1.315	SLE RA 14	0.00003	2.32	10000	350	Variabile	Si

Superelemento in acciaio a quota "590"- "452" (1742; 1914)-(1869; 2048)

Caratteristiche del materiale

Acciaio: S275, fyk = 275000

Caratteristiche geometriche

Lunghezza: 2.32

Nodo iniziale: 514 Nodo finale: 287

Cerniera iniziale: Svincolo: M2, M3 Cerniera finale: No

Sovraresistenza: 0% Sisma Z: No

Caratteristiche della sezione

Sezione	Rotazione	Area	Jx	Jy	ix	iy	Wx	Wy	Wplx	Wply
HEA140	0	0.003145	0.0000103397	0.0000038934	0.0573	0.0352	0.00015548	0.00005562	0.00017365	0.00008487

**Implementazione dei sistemi di confinamento delle emissioni odorigene diffuse dell'impianto di compostaggio esistente nel
Comune di Eboli (SA)
PROGETTO DEFINITIVO – Tabulati di calcolo Tomo 1**

Verifiche di resistenza

Verifiche a forza assiale §4.2.4.1.2.1 - §4.2.4.1.2.2 NTC18

X	Comb.	Sfruttamento	Classe	NEd	Nc,Rd	Nt,Rd	Riduzione da taglio	px	py	Verifica
2.32	SLU 75	0.143	1	-117.697	823.562		1	0	0	Si

Verifiche a forza assiale SLD §4.2.4.1.2.1 - §4.2.4.1.2.2 NTC18

X	Comb.	Sfruttamento	Classe	NEd	Nc,Rd	Nt,Rd	Riduzione da taglio	px	py	Verifica
2.32	SLD 12	0.061	1	-50.009	823.562		1	0	0	Si

Verifica a taglio Y §4.2.4.1.2.4 NTC18

X	Comb.	Sfruttamento	VEd	Vc,Rd	Av	Interazione taglio-torsione	Riduzione torsione	Verifica
2.32	SLU 75	0.009	-1.371	150.433	0.001015	Considerata	0.98	Si

Verifica a taglio Y SLD §4.2.4.1.2.4 NTC18

X	Comb.	Sfruttamento	VEd	Vc,Rd	Av	Interazione taglio-torsione	Riduzione torsione	Verifica
2.32	SLD 12	0.005	-0.734	152.251	0.001015	Considerata	0.99	Si

Verifica a torsione §4.2.4.1.2.5 NTC18

X	Comb.	Sfruttamento torsione	TEd	TRd	Riduzione taglio resistente	Sfruttamento taglio-torsione	τEd,totale	τRd	Verifica
2.243	SLU 75	0.05	-0.05641	1.13411	Considerata				Si

Verifica a torsione SLD §4.2.4.1.2.5 NTC18

X	Comb.	Sfruttamento torsione	TEd	TRd	Riduzione taglio resistente	Sfruttamento taglio-torsione	τEd,totale	τRd	Verifica
2.32	SLD 8	0.023	-0.02604	1.13411	Considerata				Si

Verifica a flessione semplice X §§ 4.2.4.1.2.3 - 4.2.4.1.2.6 - 4.2.4.1.2.7 - 4.2.4.1.2.8 NTC18

X	Comb.	Sfruttamento	Classe	Mx,Ed	Mx,Rd	Rid. Mx,Rd da VEd	px	py	Verifica
0.619	SLU 40	0.001	1	-0.04894	45.47993	1	0	0	Si

Verifica a presso/tenso flessione retta X §§ 4.2.4.1.2.3 - 4.2.4.1.2.6 - 4.2.4.1.2.7 - 4.2.4.1.2.8 NTC18

Verifiche eseguite utilizzando la formula conservativa (6.2) §6.2.1 EN 1993-1-1:2005.

X	Comb.	Sfruttamento	Classe	NEd	NRd	Rid. NRd da VEd	Mx,Ed	Mx,Rd	Rid. Mx,Rd da VEd	Rid. Mx,Rd da NEd	px	py	Verifica
0.077	SLU 75	0.144	1	-117.263	823.562	1	0.0609	45.4799	1		0	0	Si

Verifica a presso/tenso flessione retta X SLD §§ 4.2.4.1.2.3 - 4.2.4.1.2.6 - 4.2.4.1.2.7 - 4.2.4.1.2.8 NTC18

Verifiche eseguite utilizzando la formula conservativa (6.2) §6.2.1 EN 1993-1-1:2005.

X	Comb.	Sfruttamento	Classe	NEd	NRd	Rid. NRd da VEd	Mx,Ed	Mx,Rd	Rid. Mx,Rd da VEd	Rid. Mx,Rd da NEd	px	py	Verifica
1.238	SLD 16	0.071	1	-49.639	823.562	1	0.4933	45.4799	1		0	0	Si

Verifica a presso/tenso flessione retta Y §§ 4.2.4.1.2.3 - 4.2.4.1.2.6 - 4.2.4.1.2.7 - 4.2.4.1.2.8 NTC18

Verifiche eseguite utilizzando la formula conservativa (6.2) §6.2.1 EN 1993-1-1:2005.

X	Comb.	Sfruttamento	Classe	NEd	NRd	Rid. NRd da VEd	My,Ed	My,Rd	Rid. My,Rd da VEd	Rid. My,Rd da NEd	px	py	Verifica
0.155	SLV 4	0.032	1	-25.75	823.562	1	0.0184	22.2276	1		0	0	Si

Verifica a presso/tenso flessione deviata §§ 4.2.4.1.2.3 - 4.2.4.1.2.6 - 4.2.4.1.2.7 - 4.2.4.1.2.8 NTC18

Verifiche eseguite utilizzando la formula conservativa (6.2) §6.2.1 EN 1993-1-1:2005.

X	Comb.	Sfruttamento	Classe	NEd	NRd	Rid. NRd da VEd	Mx,Ed	Mx,Rd	My,Ed	My,Rd	Rid. Mx,Rd da VEd	Rid. Mx,Rd da NEd	Rid. My,Rd da VEd	Rid. My,Rd da NEd	α	β	px	py	Verifica
2.32	SLU 75	0.202	1	-117.697	823.562	1	2.4919	45.4799	0.0975	22.2276	1		1				0	0	Si

Verifica a presso/tenso flessione deviata SLD §§ 4.2.4.1.2.3 - 4.2.4.1.2.6 - 4.2.4.1.2.7 - 4.2.4.1.2.8 NTC18

Verifiche eseguite utilizzando la formula conservativa (6.2) §6.2.1 EN 1993-1-1:2005.

X	Comb.	Sfruttamento	Classe	NEd	NRd	Rid. NRd da VEd	Mx,Ed	Mx,Rd	My,Ed	My,Rd	Rid. Mx,Rd da VEd	Rid. Mx,Rd da NEd	Rid. My,Rd da VEd	Rid. My,Rd da NEd	α	β	px	py	Verifica
2.32	SLD 12	0.091	1	-50.009	823.562	1	1.1741	45.4799	0.0974	22.2276	1		1				0	0	Si

Verifiche ad instabilità

Caratteristiche iniziali

Membratura principale per controllo snellezza; Calcolo di snellezze ed N critici condotti secondo gli assi principali;

Curva X: b; Curva Y: c; Svergolamento: Carico all'estradosso; Curva svergolamento: b;

Dati per instabilità attorno a x

Controllo della snellezza secondo §4.2.4.1.3.1 NTC18

Numero rit.	Presente	Ascissa	Campata	βx/m	Vincolo a entrambi estremi	λx/m	λVer
1	Si		0				
			1-2	1	Si	40.5	Si, (<200)
2	Si	2.32					

Dati per instabilità attorno a y

Controllo della snellezza secondo §4.2.4.1.3.1 NTC18

Numero rit.	Presente	Ascissa	Campata	βy/n	k,LT	kw,LT	Vincolo a entrambi estremi	λy/n	λVer
1	Si		0						
			1-2	1	1	1	Si	65.9	Si, (<200)
2	Si	2.32							

Verifica a svergolamento §4.2.4.1.3.2 NTC18

X	Comb.	Sfruttamento	Classe	Obblig.	Mx,Ed	Mb,Rd,x	χ,LT	λ adim. LT	L,LT	M,critico	Verifica
0.619	SLU 40	0.001	1	Si	-0.04894	44.67382	0.982	0.445	2.32	240.80627	Si

Verifica di stabilità per pressoflessione §C.4.2.4.1.3.3.2 NTC18

Controllo di verifica per pressoché tutti i nodi di collegamento																	
X	Comb.	Sfruttamento	Classe	NEd	NRk	Mx,Ed max	Mx,Rk	My,Ed max	My,Rk	χ,x	χ,y	kxx	kxy	kyy	χ,LT	Verifica	
2.32	SLU 75	0.264	1	-117.697	864.741	2.4919	47.75393	0.0975	23.33901	0.899	0.688	0.568	0.429	0.946	0.715	0.982	Si

Implementazione dei sistemi di confinamento delle emissioni odorigene diffuse dell'impianto di compostaggio esistente nel
Comune di Eboli (SA)
PROGETTO DEFINITIVO – Tabulati di calcolo Tomo 1

Verifica di stabilità per pressoflessione SLD §C.4.2.4.1.3.3.2 NTC18

X	Comb.	Sfruttamento	Classe	NEd	NRk	Mx,Ed max	Mx,Rk	My,Ed max	My,Rk	χ,x	χ,y	kxx	kxy	kyy	χ,LT	Verifica	
2.32	SLD 12	0.117	1	-50.009	864.741	1.1741	47.75393	0.09742	23.33901	0.899	0.688	0.519	0.389	0.974	0.649	0.982	Si

Verifica di stabilità a taglio anima Y §4.2.4.1.2.4 [4.2.27] NTC18

η	hw	tw	hw/tw max	Verifica
1.2	0.116	0.006	55.46	Si

Verifica di stabilità a taglio anima Y SLD §4.2.4.1.2.4 [4.2.27] NTC18

η	hw	tw	hw/tw max	Verifica
1.2	0.116	0.006	55.46	Si

Verifiche a deformabilità

Mensola X: No; Mensola Y: No.

Frecce lungo X

Ascissa freccia	Combinazione	Freccia	Luce	L/f	L/f,min	Tipo	Verifica
1.315	SLE RA 1	-0.00001	2.32	10000	250	Totale	Si
1.315	SLE RA 17	-0.00002	2.32	10000	250	Totale	Si
1.315	SLE RA 16	-0.00003	2.32	10000	250	Totale	Si
1.315	SLE RA 15	-0.00002	2.32	10000	250	Totale	Si
1.315	SLE RA 14	-0.00003	2.32	10000	250	Totale	Si
1.315	SLE RA 2	0.00001	2.32	10000	350	Variabile	Si
1.315	SLE RA 17	0	2.32	10000	350	Variabile	Si
1.315	SLE RA 16	-0.00001	2.32	10000	350	Variabile	Si
1.315	SLE RA 15	0	2.32	10000	350	Variabile	Si
1.315	SLE RA 14	-0.00001	2.32	10000	350	Variabile	Si

Frecce lungo Y

Ascissa freccia	Combinazione	Freccia	Luce	L/f	L/f,min	Tipo	Verifica
1.392	SLE RA 18	0.00024	2.32	9492.1	250	Totale	Si
1.392	SLE RA 1	0.00012	2.32	10000	250	Totale	Si
1.392	SLE RA 17	0.00016	2.32	10000	250	Totale	Si
1.392	SLE RA 16	0.00021	2.32	10000	250	Totale	Si
1.392	SLE RA 15	0.00015	2.32	10000	250	Totale	Si
1.315	SLE RA 2	-0.00009	2.32	10000	350	Variabile	Si
1.315	SLE RA 17	0.00004	2.32	10000	350	Variabile	Si
1.315	SLE RA 16	0.00009	2.32	10000	350	Variabile	Si
1.315	SLE RA 15	0.00003	2.32	10000	350	Variabile	Si
1.315	SLE RA 14	0.00009	2.32	10000	350	Variabile	Si

Superelemento in acciaio a quota "590"- "640" (475; 568)-(602; 702)

Caratteristiche del materiale

Acciaio: S275, fyk = 275000

Caratteristiche geometriche

Lunghezza: 1.916

Nodo iniziale: 358 Nodo finale: 805

Cerniera iniziale: Mmomenti 1% Cerniera finale: Mmomenti 1%

Sovreresistenza: 0% Sisma Z: No

Caratteristiche della sezione

Sezione	Rotazione	Area	Jx	Jy	ix	iy	Wx	Wy	Wplx	Wply
HEA120	0	0.002537	0.0000060673	0.0000023091	0.0489	0.0302	0.00010644	0.00003849	0.00011962	0.00005887

Verifiche di resistenza

Verifiche a forza assiale §4.2.4.1.2.1 - §4.2.4.1.2.2 NTC18

X	Comb.	Sfruttamento	Classe	NEd	Nc,Rd	Nt,Rd	Riduzione da taglio	px	py	Verifica
1.916	SLU 75	0.091		60.427		664.325	1	0	0	Si

Verifiche a forza assiale SLD §4.2.4.1.2.1 - §4.2.4.1.2.2 NTC18

X	Comb.	Sfruttamento	Classe	NEd	Nc,Rd	Nt,Rd	Riduzione da taglio	px	py	Verifica
1.916	SLD 12	0.039		25.964		664.325	1	0	0	Si

Verifica a taglio Y §4.2.4.1.2.4 NTC18

X	Comb.	Sfruttamento	VEd	Vc,Rd	Av	Interazione taglio-torsione	Riduzione torsione	Verifica
1.916	SLU 75	0.002	-0.243	128.304	0.000849	Considerata	1	Si

Verifica a taglio Y SLD §4.2.4.1.2.4 NTC18

X	Comb.	Sfruttamento	VEd	Vc,Rd	Av	Interazione taglio-torsione	Riduzione torsione	Verifica
1.916	SLD 6	0.001	-0.185	128.304	0.000849	Considerata	1	Si

Verifica a presso/tenso flessione retta X §§ 4.2.4.1.2.3 - 4.2.4.1.2.6 - 4.2.4.1.2.7 - 4.2.4.1.2.8 NTC18

Verifiche eseguite utilizzando la formula conservativa (6.2) §6.2.1 EN 1993-1-1:2005.

X	Comb.	Sfruttamento	Classe	NEd	NRd	Rid. NRd da VEd	Mx,Ed	Mx,Rd	Rid. Mx,Rd da VEd	Rid. Mx,Rd da NEd	px	py	Verifica
0.447	SLV 12	0.068	1	43.494	664.325	1	-0.0646	31.3291	1		0	0	Si

Verifica a presso/tenso flessione retta X SLD §§ 4.2.4.1.2.3 - 4.2.4.1.2.6 - 4.2.4.1.2.7 - 4.2.4.1.2.8 NTC18

Verifiche eseguite utilizzando la formula conservativa (6.2) §6.2.1 EN 1993-1-1:2005.

X	Comb.	Sfruttamento	Classe	NEd	NRd	Rid. NRd da VEd	Mx,Ed	Mx,Rd	Rid. Mx,Rd da VEd	Rid. Mx,Rd da NEd	px	py	Verifica
0.958	SLD 12	0.042	1	25.914	664.325	1	-0.0902	31.3291	1		0	0	Si

Implementazione dei sistemi di confinamento delle emissioni odorigene diffuse dell'impianto di compostaggio esistente nel
Comune di Eboli (SA)

PROGETTO DEFINITIVO – Tabulati di calcolo Tomo 1

Verifica a presso/tenso flessione retta Y §§ 4.2.4.1.2.3 - 4.2.4.1.2.6 - 4.2.4.1.2.7 - 4.2.4.1.2.8 NTC18

Verifiche eseguite utilizzando la formula conservativa (6.2) §6.2.1 EN 1993-1-1:2005.

X	Comb.	Sfruttamento	Classe	NEd	NRd	Rid. NRd da VEd	My,Ed	My,Rd	Rid. My,Rd da VEd	Rid. My,Rd da NEd	px	py	Verifica
1.916	SLU 75	0.091	1	60.427	664.325	1	-0.0068	15.4191	1		0	0	Si

Verifica a presso/tenso flessione retta Y SLD §§ 4.2.4.1.2.3 - 4.2.4.1.2.6 - 4.2.4.1.2.7 - 4.2.4.1.2.8 NTC18

Verifiche eseguite utilizzando la formula conservativa (6.2) §6.2.1 EN 1993-1-1:2005.

X	Comb.	Sfruttamento	Classe	NEd	NRd	Rid. NRd da VEd	My,Ed	My,Rd	Rid. My,Rd da VEd	Rid. My,Rd da NEd	px	py	Verifica
1.916	SLD 11	0.039	1	25.964	664.325	1	-0.0039	15.4191	1		0	0	Si

Verifica a presso/tenso flessione deviata §§ 4.2.4.1.2.3 - 4.2.4.1.2.6 - 4.2.4.1.2.7 - 4.2.4.1.2.8 NTC18

Verifiche eseguite utilizzando la formula conservativa (6.2) §6.2.1 EN 1993-1-1:2005.

X	Comb.	Sfruttamento	Classe	NEd	NRd	Rid. NRd da VEd	Mx,Ed	Mx,Rd	My,Ed	My,Rd	Rid. Mx,Rd da VEd	Rid. Mx,Rd da NEd	Rid. My,Rd da VEd	Rid. My,Rd da NEd	α	β	px	py	Verifica
0.958	SLU 75	0.095	1	60.362	664.325	1	-0.1237	31.3291	-0.0092	15.4191	1		1				0	0	Si

Verifica a presso/tenso flessione deviata SLD §§ 4.2.4.1.2.3 - 4.2.4.1.2.6 - 4.2.4.1.2.7 - 4.2.4.1.2.8 NTC18

Verifiche eseguite utilizzando la formula conservativa (6.2) §6.2.1 EN 1993-1-1:2005.

X	Comb.	Sfruttamento	Classe	NEd	NRd	Rid. NRd da VEd	Mx,Ed	Mx,Rd	My,Ed	My,Rd	Rid. Mx,Rd da VEd	Rid. Mx,Rd da NEd	Rid. My,Rd da VEd	Rid. My,Rd da NEd	α	β	px	py	Verifica
1.15	SLD 12	0.042	1	25.924	664.325	1	-0.0865	31.3291	-0.0044	15.4191	1		1				0	0	Si

Verifiche ad instabilità

Caratteristiche iniziali

Membratura principale per controllo snellezza; Calcolo di snellezze ed N critici condotti secondo gli assi principali;

Curva X: b; Curva Y: c; Svergolamento: Carico all'estradosso; Curva svergolamento: b;

Dati per instabilità attorno a x

Controllo della snellezza secondo §4.2.4.1.3.1 NTC18

Numero rit.	Presente	Ascissa	Campata	βx/m	Vincolo a entrambi estremi	λx/m	λVer
1	Si		0				
			1-2		1	39.2	Si, (<200)
2	Si	1.916					

Dati per instabilità attorno a y

Controllo della snellezza secondo §4.2.4.1.3.1 NTC18

Numero rit.	Presente	Ascissa	Campata	βy/n	k,LT	kw,LT	Vincolo a entrambi estremi	λy/n	λVer
1	Si		0						
			1-2		1	1	Si	63.5	Si, (<200)
2	Si	1.916							

Verifica a svergolamento con trazione §4.2.4.1.3.2 NTC18 § 5.5.3 ENV 1993-1-1:1992 + AC:1992 + A1:1994 + A2:1998

X	Comb.	Sfruttamento	Classe	Obblig.	NEd	Mx,Ed	Mx,Eff,Ed	Mb,Rd,x	χ,LT	λ adim. LT	L,LT	M,critico	Verifica
0.958	SLU 45	0.003	1	Si	0.879	-0.11495	-0.08912	28.03468	0.895	0.648	1.916	78.2995	Si

Verifica di stabilità per tenso-flessione deviata §§ 5.5.3-5.5.4 ENV 1993-1-1:1992 + AC:1992 + A1:1994 + A2:1998

X	Comb.	Sfruttamento	Classe	NEd	Mx,Ed	Mx,Eff,Ed	My,Ed	χ,LT	kLT	ky	M,critico	Wx	Wy	Verifica
0.958	SLV 10	0.003	1	0.866	-0.09124	-0.0658	-0.00702	0.895	1	1	78.2995	0.0001196	0.0000589	Si

Verifica di stabilità per pressoflessione §C.4.2.4.1.3.3.2 NTC18

X	Comb.	Sfruttamento	Classe	NEd	NRk	Mx,Ed max	Mx,Rk	My,Ed max	My,Rk	χ,x	χ,y	kxx	kxy	kyy	χ,LT	Verifica
0	SLV 6	0.027	1	-10.917	697.541	0.09173	32.89552	0.01114	16.19002	0.905	0.705	0.957	0.578	0.998	0.895	Si

Verifica di stabilità a taglio anima Y §4.2.4.1.2.4 [4.2.27] NTC18

η	hw	tw	hw/tw max	Verifica
1.2		0.098	0.005	55.46
				Si

Verifica di stabilità a taglio anima Y SLD §4.2.4.1.2.4 [4.2.27] NTC18

η	hw	tw	hw/tw max	Verifica
1.2		0.098	0.005	55.46
				Si

Verifiche a deformabilità

Mensola X: No; Mensola Y: No.

Frecce lungo X

Ascissa freccia	Combinazione	Freccia	Luce	L/f	L/f,min	Tipo	Verifica
0.894	SLE RA 1	0	1.916	10000	250	Totale	Si
0.894	SLE RA 17	0	1.916	10000	250	Totale	Si
0.894	SLE RA 16	0.00001	1.916	10000	250	Totale	Si
0.894	SLE RA 15	0	1.916	10000	250	Totale	Si
0.894	SLE RA 14	0.00001	1.916	10000	250	Totale	Si
0.894	SLE RA 2	0	1.916	10000	350	Variabile	Si
0.894	SLE RA 17	0	1.916	10000	350	Variabile	Si
0.894	SLE RA 16	0	1.916	10000	350	Variabile	Si
0.958	SLE RA 15	0	1.916	10000	350	Variabile	Si
0.894	SLE RA 14	0	1.916	10000	350	Variabile	Si

Frecce lungo Y

Ascissa freccia	Combinazione	Freccia	Luce	L/f	L/f,min	Tipo	Verifica
0.958	SLE RA 1	-0.00003	1.916	10000	250	Totale	Si
0.958	SLE RA 17	-0.00003	1.916	10000	250	Totale	Si
0.958	SLE RA 16	-0.00003	1.916	10000	250	Totale	Si
0.958	SLE RA 15	-0.00003	1.916	10000	250	Totale	Si
0.958	SLE RA 14	-0.00003	1.916	10000	250	Totale	Si
0.894	SLE RA 2	0	1.916	10000	350	Variabile	Si
0.894	SLE RA 17	0	1.916	10000	350	Variabile	Si
0.894	SLE RA 16	0	1.916	10000	350	Variabile	Si
0.894	SLE RA 15	0	1.916	10000	350	Variabile	Si
0.894	SLE RA 14	0	1.916	10000	350	Variabile	Si

Superelemento in acciaio a quota "590"- "640" (602; 702)-(728; 837)

Caratteristiche del materiale

Acciaio: S275, fyk = 275000

Caratteristiche geometriche

Lunghezza: 1.912

Nodo iniziale: 361 Nodo finale: 832

Cerniera iniziale: Mmomenti 1% Cerniera finale: Mmomenti 1%

Sovreresistenza: 0% Sisma Z: No

Caratteristiche della sezione

Sezione	Rotazione	Area	Jx	Jy	ix	iy	Wx	Wy	Wplx	Wply
HEA120	0	0.002537	0.0000060673	0.0000023091	0.0489	0.0302	0.00010644	0.00003849	0.00011962	0.00005887

Verifiche di resistenza

Verifiche a forza assiale §4.2.4.1.2.1 - §4.2.4.1.2.2 NTC18

X	Comb.	Sfruttamento	Classe	NEd	Nc,Rd	Nt,Rd	Riduzione da taglio	px	py	Verifica
1.912	SLU 75	0.101		67.183		664.325	1	0	0	Si

Verifiche a forza assiale SLD §4.2.4.1.2.1 - §4.2.4.1.2.2 NTC18

X	Comb.	Sfruttamento	Classe	NEd	Nc,Rd	Nt,Rd	Riduzione da taglio	px	py	Verifica
1.912	SLD 12	0.044		29.145		664.325	1	0	0	Si

Verifica a taglio Y §4.2.4.1.2.4 NTC18

X	Comb.	Sfruttamento	VEd	Vc,Rd	Av	Interazione taglio-torsione	Riduzione torsione	Verifica
1.912	SLU 75	0.002	-0.24	128.304	0.000849	Considerata	1	Si

Verifica a taglio Y SLD §4.2.4.1.2.4 NTC18

X	Comb.	Sfruttamento	VEd	Vc,Rd	Av	Interazione taglio-torsione	Riduzione torsione	Verifica
1.912	SLD 11	0.001	-0.185	128.304	0.000849	Considerata	1	Si

Verifica a presso/tenso flessione retta X §§ 4.2.4.1.2.3 - 4.2.4.1.2.6 - 4.2.4.1.2.7 - 4.2.4.1.2.8 NTC18

Verifiche eseguite utilizzando la formula conservativa (6.2) §6.2.1 EN 1993-1-1:2005.

X	Comb.	Sfruttamento	Classe	NEd	NRd	Rid. NRd da VEd	Mx,Ed	Mx,Rd	Rid. Mx,Rd da VEd	Rid. Mx,Rd da NEd	px	py	Verifica
0.956	SLU 75	0.105	1	67.118	664.325	1	-0.1095	31.3291	1		0	0	Si

Verifica a presso/tenso flessione retta X SLD §§ 4.2.4.1.2.3 - 4.2.4.1.2.6 - 4.2.4.1.2.7 - 4.2.4.1.2.8 NTC18

Verifiche eseguite utilizzando la formula conservativa (6.2) §6.2.1 EN 1993-1-1:2005.

X	Comb.	Sfruttamento	Classe	NEd	NRd	Rid. NRd da VEd	Mx,Ed	Mx,Rd	Rid. Mx,Rd da VEd	Rid. Mx,Rd da NEd	px	py	Verifica
0.956	SLD 12	0.046	1	29.096	664.325	1	-0.0842	31.3291	1		0	0	Si

Verifica a presso/tenso flessione retta Y §§ 4.2.4.1.2.3 - 4.2.4.1.2.6 - 4.2.4.1.2.7 - 4.2.4.1.2.8 NTC18

Verifiche eseguite utilizzando la formula conservativa (6.2) §6.2.1 EN 1993-1-1:2005.

X	Comb.	Sfruttamento	Classe	NEd	NRd	Rid. NRd da VEd	My,Ed	My,Rd	Rid. My,Rd da VEd	Rid. My,Rd da NEd	px	py	Verifica
0	SLU 75	0.101	1	67.053	664.325	1	-0.0039	15.4191	1		0	0	Si

Verifica a presso/tenso flessione retta Y SLD §§ 4.2.4.1.2.3 - 4.2.4.1.2.6 - 4.2.4.1.2.7 - 4.2.4.1.2.8 NTC18

Verifiche eseguite utilizzando la formula conservativa (6.2) §6.2.1 EN 1993-1-1:2005.

X	Comb.	Sfruttamento	Classe	NEd	NRd	Rid. NRd da VEd	My,Ed	My,Rd	Rid. My,Rd da VEd	Rid. My,Rd da NEd	px	py	Verifica
0.064	SLD 7	0.039	1	25.402	664.325	1	-0.0044	15.4191	1		0	0	Si

Verifica a presso/tenso flessione deviata §§ 4.2.4.1.2.3 - 4.2.4.1.2.6 - 4.2.4.1.2.7 - 4.2.4.1.2.8 NTC18

Verifiche eseguite utilizzando la formula conservativa (6.2) §6.2.1 EN 1993-1-1:2005.

X	Comb.	Sfruttamento	Classe	NEd	NRd	Rid. NRd da VEd	Mx,Ed	Mx,Rd	My,Ed	My,Rd	Rid. Mx,Rd da VEd	Rid. Mx,Rd da NEd	Rid. My,Rd da VEd	Rid. My,Rd da NEd	α	β	px	py	Verifica
0.956	SLV 11	0.07	1	44.475	664.325	1	-0.0808	31.3291	-0.0053	15.4191	1		1				0	0	Si

Verifica a presso/tenso flessione deviata SLD §§ 4.2.4.1.2.3 - 4.2.4.1.2.6 - 4.2.4.1.2.7 - 4.2.4.1.2.8 NTC18

Verifiche eseguite utilizzando la formula conservativa (6.2) §6.2.1 EN 1993-1-1:2005.

X	Comb.	Sfruttamento	Classe	NEd	NRd	Rid. NRd da VEd	Mx,Ed	Mx,Rd	My,Ed	My,Rd	Rid. Mx,Rd da VEd	Rid. Mx,Rd da NEd	Rid. My,Rd da VEd	Rid. My,Rd da NEd	α	β	px	py	Verifica
0.892	SLD 8	0.041	1	25.445	664.325	1	-0.0847	31.3291	-0.0039	15.4191	1		1				0	0	Si

Verifiche ad instabilità

Caratteristiche iniziali

Membratura principale per controllo snellezza; Calcolo di snellezze ed N critici condotti secondo gli assi principali;

Curva X: b; Curva Y: c; Svergolamento: Carico all'estradosso; Curva svergolamento: b;

Dati per instabilità attorno a x

Controllo della snellezza secondo §4.2.4.1.3.1 NTC18

Numero rit.	Presente	Ascissa	Campata	βx/m	Vincolo a entrambi estremi	λx/m	λVer
1	Si	0					
			1-2	1	Si	39.1	Si, (<200)
2	Si	1.912					

Dati per instabilità attorno a y

Controllo della snellezza secondo §4.2.4.1.3.1 NTC18

Implementazione dei sistemi di confinamento delle emissioni odorigene diffuse dell’impianto di compostaggio esistente nel
Comune di Eboli (SA)

PROGETTO DEFINITIVO – Tabulati di calcolo Tomo 1

Numero rit.	Presente	Ascissa	Campata	$\beta y/n$	k,LT	kw,LT	Vincolo a entrambi estremi	$\lambda y/n$	λVer
1	Si	0	1-2	1	1	1	Si	63.4	Si, (<200)
2	Si	1.912							

Verifica a svergolamento con trazione §4.2.4.1.3.2 NTC18 § 5.5.3 ENV 1993-1-1:1992 + AC:1992 + A1:1994 + A2:1998

X	Comb.	Sfruttamento	Classe	Obblig.	NEd	Mx,Ed	Mx,Eff,Ed	Mb,Rd,x	χ ,LT	λ adim. LT	L,LT	M,critico	Verifica
0.956	SLU 40	0.002	1	Si	1.538	-0.11337	-0.06819	28.0477	0.895	0.647	1.912	78.51203	Si

Verifica di stabilità per pressoflessione §C.4.2.4.1.3.3.2 NTC18

X	Comb.	Sfruttamento	Classe	NEd	NRk	Mx,Ed max	Mx,Rk	My,Ed max	My,Rk	χ ,x	χ ,y	kxx	kxy	kyy	kyy	χ ,LT	Verifica
0	SLU 4	0.015	1	-5.716	697.541	0.08776	32.89552	0.00087	16.19002	0.906	0.706	0.952	0.573	0.999	0.956	0.895	Si

Verifica di stabilità a taglio anima Y §4.2.4.1.2.4 [4.2.27] NTC18

η	hw	tw	hw/tw max	Verifica
1.2	0.098	0.005	55.46	Si

Verifica di stabilità a taglio anima Y SLD §4.2.4.1.2.4 [4.2.27] NTC18

η	hw	tw	hw/tw max	Verifica
1.2	0.098	0.005	55.46	Si

Verifiche a deformabilità

Mensola X: No; Mensola Y: No.

Frecce lungo X

Ascissa freccia	Combinazione	Freccia	Luce	L/f	L/f,min	Tipo	Verifica
0.892	SLE RA 1	0	1.912	10000	250	Totale	Si
0.892	SLE RA 17	0	1.912	10000	250	Totale	Si
0.892	SLE RA 16	0	1.912	10000	250	Totale	Si
0.892	SLE RA 15	0	1.912	10000	250	Totale	Si
0.892	SLE RA 14	0	1.912	10000	250	Totale	Si
0.892	SLE RA 2	0	1.912	10000	350	Variabile	Si
0.892	SLE RA 17	0	1.912	10000	350	Variabile	Si
0.892	SLE RA 16	0	1.912	10000	350	Variabile	Si
0.892	SLE RA 15	0	1.912	10000	350	Variabile	Si
0.892	SLE RA 14	0	1.912	10000	350	Variabile	Si

Frecce lungo Y

Ascissa freccia	Combinazione	Freccia	Luce	L/f	L/f,min	Tipo	Verifica
0.956	SLE RA 1	-0.00003	1.912	10000	250	Totale	Si
0.956	SLE RA 17	-0.00003	1.912	10000	250	Totale	Si
0.956	SLE RA 16	-0.00003	1.912	10000	250	Totale	Si
0.956	SLE RA 15	-0.00003	1.912	10000	250	Totale	Si
0.956	SLE RA 14	-0.00003	1.912	10000	250	Totale	Si
0.956	SLE RA 2	0	1.912	10000	350	Variabile	Si
0.956	SLE RA 17	0	1.912	10000	350	Variabile	Si
0.956	SLE RA 16	0	1.912	10000	350	Variabile	Si
1.02	SLE RA 15	0	1.912	10000	350	Variabile	Si
0.956	SLE RA 14	0	1.912	10000	350	Variabile	Si

Superelemento in acciaio a quota "590"- "640" (617; 2467)-(744; 2602)

Caratteristiche del materiale

Acciaio: S275, fyk = 275000

Caratteristiche geometriche

Lunghezza: 1.916

Nodo iniziale: 466 Nodo finale: 1316

Cerniera iniziale: Mmomenti 1% Cerniera finale: Mmomenti 1%

Sovraresistenza: 0% Sisma Z: No

Caratteristiche della sezione

Sezione	Rotazione	Area	Jx	Jy	ix	iy	Wx	Wy	Wplx	Wply
HEA120	0	0.002537	0.0000060673	0.0000023091	0.0489	0.0302	0.00010644	0.00003849	0.00011962	0.00005887

Verifiche di resistenza

Verifiche a forza assiale §4.2.4.1.2.1 - §4.2.4.1.2.2 NTC18

X	Comb.	Sfruttamento	Classe	NEd	Nc,Rd	Nt,Rd	Riduzione da taglio	px	py	Verifica
1.916	SLU 76	0.077		51.319		664.325	1	0	0	Si

Verifiche a forza assiale SLD §4.2.4.1.2.1 - §4.2.4.1.2.2 NTC18

X	Comb.	Sfruttamento	Classe	NEd	Nc,Rd	Nt,Rd	Riduzione da taglio	px	py	Verifica
1.916	SLD 8	0.035		23.421		664.325	1	0	0	Si

Verifica a taglio Y §4.2.4.1.2.4 NTC18

X	Comb.	Sfruttamento	VEd	Vc,Rd	Av	Interazione taglio-torsione	Riduzione torsione	Verifica
1.916	SLU 76	0.002	-0.242	128.304	0.000849	Considerata	1	Si

Verifica a taglio Y SLD §4.2.4.1.2.4 NTC18

X	Comb.	Sfruttamento	VEd	Vc,Rd	Av	Interazione taglio-torsione	Riduzione torsione	Verifica
1.916	SLD 14	0.001	-0.185	128.304	0.000849	Considerata	1	Si

Verifica a flessione semplice X §§ 4.2.4.1.2.3 - 4.2.4.1.2.6 - 4.2.4.1.2.7 - 4.2.4.1.2.8 NTC18

X	Comb.	Sfruttamento	Classe	Mx,Ed	Mx,Rd	Rid. Mx,Rd da VEd	px	py	Verifica
0.958	SLU 25	0.003	1	-0.08967	31.32907	1	0	0	Si

Implementazione dei sistemi di confinamento delle emissioni odorigene diffuse dell'impianto di compostaggio esistente nel
Comune di Eboli (SA)
PROGETTO DEFINITIVO – Tabulati di calcolo Tomo 1

Verifica a flessione semplice X SLD §§ 4.2.4.1.2.3 - 4.2.4.1.2.6 - 4.2.4.1.2.7 - 4.2.4.1.2.8 NTC18

X	Comb.	Sfruttamento	Classe	Mx,Ed	Mx,Rd	Rid. Mx,Rd da VEd	px	py	Verifica
0.958	SLD 9	0.003	1	-0.0929	31.32907	1	0	0	Si

Verifica a flessione semplice Y SLD §§ 4.2.4.1.2.3 - 4.2.4.1.2.6 - 4.2.4.1.2.7 - 4.2.4.1.2.8 NTC18

X	Comb.	Sfruttamento	Classe	My,Ed	My,Rd	Rid. My,Rd da VEd	px	py	Verifica
0	SLD 9	0	1	-0.00397	15.41907	1	0	0	Si

Verifica a flessione deviata SLD §§ 4.2.4.1.2.3 - 4.2.4.1.2.6 - 4.2.4.1.2.7 - 4.2.4.1.2.8 NTC18

X	Comb.	Sfruttamento	Classe	Mx,Ed	Mx,Rd	My,Ed	My,Rd	Rid. Mx,Rd da VEd	Rid. My,Rd da VEd	α	β	px	py	Verifica
0.064	SLD 9	0.001	1	-0.0168	31.3291	-0.0039	15.4191	1	1			0	0	Si

Verifica a presso/tenso flessione retta X §§ 4.2.4.1.2.3 - 4.2.4.1.2.6 - 4.2.4.1.2.7 - 4.2.4.1.2.8 NTC18

Verifiche eseguite utilizzando la formula conservativa (6.2) §6.2.1 EN 1993-1-1:2005.

X	Comb.	Sfruttamento	Classe	NEd	NRd	Rid. NRd da VEd	Mx,Ed	Mx,Rd	Rid. Mx,Rd da VEd	Rid. Mx,Rd da NEd	px	py	Verifica
0.958	SLU 76	0.081	1	51.254	664.325	1	-0.1307	31.3291	1		0	0	Si

Verifica a presso/tenso flessione retta X SLD §§ 4.2.4.1.2.3 - 4.2.4.1.2.6 - 4.2.4.1.2.7 - 4.2.4.1.2.8 NTC18

Verifiche eseguite utilizzando la formula conservativa (6.2) §6.2.1 EN 1993-1-1:2005.

X	Comb.	Sfruttamento	Classe	NEd	NRd	Rid. NRd da VEd	Mx,Ed	Mx,Rd	Rid. Mx,Rd da VEd	Rid. Mx,Rd da NEd	px	py	Verifica
0.575	SLD 7	0.038	1	23.351	664.325	1	-0.0778	31.3291	1		0	0	Si

Verifica a presso/tenso flessione retta Y §§ 4.2.4.1.2.3 - 4.2.4.1.2.6 - 4.2.4.1.2.7 - 4.2.4.1.2.8 NTC18

Verifiche eseguite utilizzando la formula conservativa (6.2) §6.2.1 EN 1993-1-1:2005.

X	Comb.	Sfruttamento	Classe	NEd	NRd	Rid. NRd da VEd	My,Ed	My,Rd	Rid. My,Rd da VEd	Rid. My,Rd da NEd	px	py	Verifica
1.916	SLV 7	0.069	1	45.535	664.325	1	0.0098	15.4191	1		0	0	Si

Verifica a presso/tenso flessione retta Y SLD §§ 4.2.4.1.2.3 - 4.2.4.1.2.6 - 4.2.4.1.2.7 - 4.2.4.1.2.8 NTC18

Verifiche eseguite utilizzando la formula conservativa (6.2) §6.2.1 EN 1993-1-1:2005.

X	Comb.	Sfruttamento	Classe	NEd	NRd	Rid. NRd da VEd	My,Ed	My,Rd	Rid. My,Rd da VEd	Rid. My,Rd da NEd	px	py	Verifica
1.916	SLD 7	0.036	1	23.421	664.325	1	0.0051	15.4191	1		0	0	Si

Verifica a presso/tenso flessione deviata §§ 4.2.4.1.2.3 - 4.2.4.1.2.6 - 4.2.4.1.2.7 - 4.2.4.1.2.8 NTC18

Verifiche eseguite utilizzando la formula conservativa (6.2) §6.2.1 EN 1993-1-1:2005.

X	Comb.	Sfruttamento	Classe	NEd	NRd	Rid. NRd da VEd	Mx,Ed	Mx,Rd	My,Ed	My,Rd	Rid. Mx,Rd da VEd	Rid. Mx,Rd da NEd	Rid. My,Rd da VEd	Rid. My,Rd da NEd	α	β	px	py	Verifica
1.15	SLU 76	0.081	1	51.267	664.325	1	-0.1257	31.3291	0.0041	15.4191	1		1				0	0	Si

Verifica a presso/tenso flessione deviata SLD §§ 4.2.4.1.2.3 - 4.2.4.1.2.6 - 4.2.4.1.2.7 - 4.2.4.1.2.8 NTC18

Verifiche eseguite utilizzando la formula conservativa (6.2) §6.2.1 EN 1993-1-1:2005.

X	Comb.	Sfruttamento	Classe	NEd	NRd	Rid. NRd da VEd	Mx,Ed	Mx,Rd	My,Ed	My,Rd	Rid. Mx,Rd da VEd	Rid. Mx,Rd da NEd	Rid. My,Rd da VEd	Rid. My,Rd da NEd	α	β	px	py	Verifica
0.958	SLD 7	0.038	1	23.371	664.325	1	-0.0918	31.3291	0.0042	15.4191	1		1				0	0	Si

Verifiche ad instabilità

Caratteristiche iniziali

Membratura principale per controllo snellezza; Calcolo di snellezze ed N critici condotti secondo gli assi principali;
Curva X: b; Curva Y: c; Svergolamento: Carico all'estradosso; Curva svergolamento: b;

Dati per instabilità attorno a x

Controllo della snellezza secondo §4.2.4.1.3.1 NTC18

Numero rit.	Presente	Ascissa	Campata	$\beta x/m$	Vincolo a entrambi estremi	$\lambda x/m$	λVer
1	Si	0					
			1-2		1	Si	39.2
2	Si	1.916					Si, (<200)

Dati per instabilità attorno a y

Controllo della snellezza secondo §4.2.4.1.3.1 NTC18

Numero rit.	Presente	Ascissa	Campata	$\beta y/n$	k_{LT}	$k_{w,LT}$	Vincolo a entrambi estremi	$\lambda y/n$	λVer
1	Si	0							
			1-2		1	1	Si	63.5	Si, (<200)
2	Si	1.916							

Verifica a svergolamento §4.2.4.1.3.2 NTC18

X	Comb.	Sfruttamento	Classe	Obblig.	Mx,Ed	Mb,Rd,x	χ_{LT}	$\lambda_{adim. LT}$	L,LT	M,critico	Verifica
0.958	SLU 25	0.003	1	Si	-0.08967	28.03468	0.895	0.648	1.916	78.2995	Si

Verifica a svergolamento con trazione §4.2.4.1.3.2 NTC18 § 5.5.3 ENV 1993-1-1:1992 + AC:1992 + A1:1994 + A2:1998

X	Comb.	Sfruttamento	Classe	Obblig.	NEd	Mx,Ed	Mx,Eff,Ed	Mb,Rd,x	χ_{LT}	$\lambda_{adim. LT}$	L,LT	M,critico	Verifica
0.958	SLU 63	0.002	1	Si	1.666	-0.11683	-0.06788	28.03468	0.895	0.648	1.916	78.2995	Si

Verifica di stabilità per pressoflessione §C.4.2.4.1.3.3.2 NTC18

X	Comb.	Sfruttamento	Classe	NEd	NRk	Mx,Ed max	Mx,Rk	My,Ed max	My,Rk	χ_x	χ_y	k _{xx}	k _{xy}	k _{yx}	k _{yy}	χ_{LT}	Verifica
0	SLV 10	0.051	1	-22.135	697.541	0.09395	32.89552	0.01003	16.19002	0.905	0.705	0.963	0.507	0.995	0.846	0.895	Si

Verifica di stabilità per pressoflessione SLD §C.4.2.4.1.3.3.2 NTC18

X	Comb.	Sfruttamento	Classe	NEd	NRk	Mx,Ed max	Mx,Rk	My,Ed max	My,Rk	χ_x	χ_y	k _{xx}	k _{xy}	k _{yx}	k _{yy}	χ_{LT}	Verifica
0	SLD 9	0.003	1	0	697.541	0.0929	32.89552	0.00397	16.19002	0.905	0.705	0.953	0.4	1	0.667	0.895	Si

Verifica di stabilità a taglio anima Y §4.2.4.1.2.4 [4.2.27] NTC18

η	hw	tw	hw/tw max	Verifica
1.2	0.098	0.005	55.46	Si

Verifica di stabilità a taglio anima Y SLD §4.2.4.1.2.4 [4.2.27] NTC18

η	hw	tw	hw/tw max	Verifica
--------	----	----	-----------	----------

Implementazione dei sistemi di confinamento delle emissioni odorigene diffuse dell'impianto di compostaggio esistente nel
Comune di Eboli (SA)
PROGETTO DEFINITIVO – Tabulati di calcolo Tomo 1

η	hw	tw	hw/tw max	Verifica
1.2	0.098	0.005	55.46	Si

Verifiche a deformabilità

Mensola X: No; Mensola Y: No.

Frecce lungo X

Ascissa freccia	Combinazione	Freccia	Luce	L/f	L/f,min	Tipo	Verifica
1.15	SLE RA 1	0	1.916	10000	250	Totale	Si
1.15	SLE RA 17	0	1.916	10000	250	Totale	Si
1.15	SLE RA 16	0	1.916	10000	250	Totale	Si
1.15	SLE RA 15	0	1.916	10000	250	Totale	Si
1.15	SLE RA 14	0	1.916	10000	250	Totale	Si
1.15	SLE RA 2	0	1.916	10000	350	Variabile	Si
1.214	SLE RA 17	0	1.916	10000	350	Variabile	Si
1.214	SLE RA 16	0	1.916	10000	350	Variabile	Si
1.15	SLE RA 15	0	1.916	10000	350	Variabile	Si
1.341	SLE RA 14	0	1.916	10000	350	Variabile	Si

Frecce lungo Y

Ascissa freccia	Combinazione	Freccia	Luce	L/f	L/f,min	Tipo	Verifica
0.958	SLE RA 1	-0.00003	1.916	10000	250	Totale	Si
0.958	SLE RA 17	-0.00003	1.916	10000	250	Totale	Si
0.958	SLE RA 16	-0.00003	1.916	10000	250	Totale	Si
0.958	SLE RA 15	-0.00003	1.916	10000	250	Totale	Si
0.958	SLE RA 14	-0.00003	1.916	10000	250	Totale	Si
0.958	SLE RA 2	0	1.916	10000	350	Variabile	Si
0.958	SLE RA 17	0	1.916	10000	350	Variabile	Si
0.958	SLE RA 16	0	1.916	10000	350	Variabile	Si
0.958	SLE RA 15	0	1.916	10000	350	Variabile	Si
0.958	SLE RA 14	0	1.916	10000	350	Variabile	Si

Superelemento in acciaio a quota "590"- "640" (729; 837)-(856; 972)

Caratteristiche del materiale

Acciaio: S275, fyk = 275000

Caratteristiche geometriche

Lunghezza: 1.916

Nodo iniziale: 367 Nodo finale: 860

Cerniera iniziale: Mmomenti 1% Cerniera finale: Mmomenti 1%

Sovreresistenza: 0% Sisma Z: No

Caratteristiche della sezione

Sezione	Rotazione	Area	Jx	Jy	ix	iy	Wx	Wy	Wplx	Wply
HEA120	0	0.002537	0.0000060673	0.0000023091	0.0489	0.0302	0.00010644	0.00003849	0.00011962	0.00005887

Verifiche di resistenza

Verifiche a forza assiale §4.2.4.1.2.1 - §4.2.4.1.2.2 NTC18

X	Comb.	Sfruttamento	Classe	NEd	Nc,Rd	Nt,Rd	Riduzione da taglio	px	py	Verifica
1.916	SLU 75	0.049		32.541		664.325	1	0	0	Si

Verifiche a forza assiale SLD §4.2.4.1.2.1 - §4.2.4.1.2.2 NTC18

X	Comb.	Sfruttamento	Classe	NEd	Nc,Rd	Nt,Rd	Riduzione da taglio	px	py	Verifica
1.916	SLD 5	0.023		15.297		664.325	1	0	0	Si

Verifica a taglio Y §4.2.4.1.2.4 NTC18

X	Comb.	Sfruttamento	VEd	Vc,Rd	Av	Interazione taglio-torsione	Riduzione torsione	Verifica
0	SLU 75	0.002	0.242	128.304	0.000849	Considerata	1	Si

Verifica a taglio Y SLD §4.2.4.1.2.4 NTC18

X	Comb.	Sfruttamento	VEd	Vc,Rd	Av	Interazione taglio-torsione	Riduzione torsione	Verifica
0	SLD 12	0.001	0.186	128.304	0.000849	Considerata	1	Si

Verifica a presso/tenso flessione retta X §§ 4.2.4.1.2.3 - 4.2.4.1.2.6 - 4.2.4.1.2.7 - 4.2.4.1.2.8 NTC18

Verifiche eseguite utilizzando la formula conservativa (6.2) §6.2.1 EN 1993-1-1:2005.

X	Comb.	Sfruttamento	Classe	NEd	NRd	Rid. NRd da VEd	Mx,Ed	Mx,Rd	Rid. Mx,Rd da VEd	Rid. Mx,Rd da NEd	px	py	Verifica
0.958	SLU 75	0.052	1	32.476	664.325	1	-0.1099	31.3291	1		0	0	Si

Verifica a presso/tenso flessione retta X SLD §§ 4.2.4.1.2.3 - 4.2.4.1.2.6 - 4.2.4.1.2.7 - 4.2.4.1.2.8 NTC18

Verifiche eseguite utilizzando la formula conservativa (6.2) §6.2.1 EN 1993-1-1:2005.

X	Comb.	Sfruttamento	Classe	NEd	NRd	Rid. NRd da VEd	Mx,Ed	Mx,Rd	Rid. Mx,Rd da VEd	Rid. Mx,Rd da NEd	px	py	Verifica
0.958	SLD 6	0.026	1	15.248	664.325	1	-0.0882	31.3291	1		0	0	Si

Verifica a presso/tenso flessione retta Y §§ 4.2.4.1.2.3 - 4.2.4.1.2.6 - 4.2.4.1.2.7 - 4.2.4.1.2.8 NTC18

Verifiche eseguite utilizzando la formula conservativa (6.2) §6.2.1 EN 1993-1-1:2005.

X	Comb.	Sfruttamento	Classe	NEd	NRd	Rid. NRd da VEd	My,Ed	My,Rd	Rid. My,Rd da VEd	Rid. My,Rd da NEd	px	py	Verifica
1.916	SLV 6	0.039	1	25.981	664.325	1	0.0059	15.4191	1		0	0	Si

Verifica a presso/tenso flessione retta Y SLD §§ 4.2.4.1.2.3 - 4.2.4.1.2.6 - 4.2.4.1.2.7 - 4.2.4.1.2.8 NTC18

Verifiche eseguite utilizzando la formula conservativa (6.2) §6.2.1 EN 1993-1-1:2005.

X	Comb.	Sfruttamento	Classe	NEd	NRd	Rid. NRd da VEd	My,Ed	My,Rd	Rid. My,Rd da VEd	Rid. My,Rd da NEd	px	py	Verifica
1.916	SLD 3	0.019	1	12.442	664.325	1	-0.0056	15.4191	1		0	0	Si

Implementazione dei sistemi di confinamento delle emissioni odorigene diffuse dell'impianto di compostaggio esistente nel
Comune di Eboli (SA)
PROGETTO DEFINITIVO – Tabulati di calcolo Tomo 1

Verifica a presso/tenso flessione deviata §§ 4.2.4.1.2.3 - 4.2.4.1.2.6 - 4.2.4.1.2.7 - 4.2.4.1.2.8 NTC18

Verifiche eseguite utilizzando la formula conservativa (6.2) §6.2.1 EN 1993-1-1:2005.

X	Comb.	Sfruttamento	Classe	NEd	NRd	Rid. NRd da VEd	Mx,Ed	Mx,Rd	My,Ed	My,Rd	Rid. Mx,Rd da VEd	Rid. Mx,Rd da NEd	Rid. My,Rd da VEd	Rid. My,Rd da NEd	α	β	px	py	Verifica
0.958	SLV 5	0.042	1	25.931	664.325	1	-0.0914	31.3291	0.0056	15.4191	1		1				0	0	Si

Verifica a presso/tenso flessione deviata SLD §§ 4.2.4.1.2.3 - 4.2.4.1.2.6 - 4.2.4.1.2.7 - 4.2.4.1.2.8 NTC18

Verifiche eseguite utilizzando la formula conservativa (6.2) §6.2.1 EN 1993-1-1:2005.

X	Comb.	Sfruttamento	Classe	NEd	NRd	Rid. NRd da VEd	Mx,Ed	Mx,Rd	My,Ed	My,Rd	Rid. Mx,Rd da VEd	Rid. Mx,Rd da NEd	Rid. My,Rd da VEd	Rid. My,Rd da NEd	α	β	px	py	Verifica
0.958	SLD 4	0.022	1	12.392	664.325	1	-0.0874	31.3291	-0.0056	15.4191	1		1				0	0	Si

Verifiche ad instabilità

Caratteristiche iniziali

Membratura principale per controllo snellezza; Calcolo di snellezze ed N critici condotti secondo gli assi principali;

Curva X: b; Curva Y: c; Svergolamento: Carico all'estradosso; Curva svergolamento: b;

Dati per instabilità attorno a x

Controllo della snellezza secondo §4.2.4.1.3.1 NTC18

Numero rit.	Presente	Ascissa	Campata	βx/m	Vincolo a entrambi estremi	λx/m	λVer
1	Si		0				
			1-2		1	39.2	Si, (<200)
2	Si	1.916					

Dati per instabilità attorno a y

Controllo della snellezza secondo §4.2.4.1.3.1 NTC18

Numero rit.	Presente	Ascissa	Campata	βy/n	k,LT	kw,LT	Vincolo a entrambi estremi	λy/n	λVer
1	Si		0						
			1-2		1	1	Si	63.5	Si, (<200)
2	Si	1.916							

Verifica a svergolamento con trazione §4.2.4.1.3.2 NTC18 § 5.5.3 ENV 1993-1-1:1992 + AC:1992 + A1:1994 + A2:1998

X	Comb.	Sfruttamento	Classe	Obblig.	NEd	Mx,Ed	Mx,Eff,Ed	Mb,Rd,x	χ,LT	λ adim. LT	L,LT	M,critico	Verifica
0.958	SLU 43	0.003	1	Si	1.23	-0.11352	-0.07739	28.03468	0.895	0.648	1.916	78.2995	Si

Verifica di stabilità per tenso-flessione deviata §§ 5.5.3-5.5.4 ENV 1993-1-1:1992 + AC:1992 + A1:1994 + A2:1998

X	Comb.	Sfruttamento	Classe	NEd	Mx,Ed	Mx,Eff,Ed	My,Ed	χ,LT	kLT	ky	M,critico	Wx	Wy	Verifica
0.958	SLV 8	0.003	1	0.425	-0.08386	-0.07138	-0.01432	0.895	1	1	78.2995	0.0001196	0.0000589	Si

Verifica di stabilità per pressoflessione §C.4.2.4.1.3.3.2 NTC18

X	Comb.	Sfruttamento	Classe	NEd	NRk	Mx,Ed max	Mx,Rk	My,Ed max	My,Rk	χ,x	χ,y	kxx	kxy	kyy	χ,LT	Verifica	
0	SLV 11	0.018	1	-6.599	697.541	0.08179	32.89552	0.00825	16.19002	0.905	0.705	0.947	0.604	0.999	1.007	0.895	Si

Verifica di stabilità a taglio anima Y §4.2.4.1.2.4 [4.2.27] NTC18

η	hw	tw	hw/tw max	Verifica
1.2	0.098	0.005	55.46	Si

Verifica di stabilità a taglio anima Y SLD §4.2.4.1.2.4 [4.2.27] NTC18

η	hw	tw	hw/tw max	Verifica
1.2	0.098	0.005	55.46	Si

Verifiche a deformabilità

Mensola X: No; Mensola Y: No.

Frecce lungo X

Ascissa freccia	Combinazione	Freccia	Luce	L/f	L/f,min	Tipo	Verifica
0.958	SLE RA 1	0	1.916	10000	250	Totale	Si
0.958	SLE RA 17	0	1.916	10000	250	Totale	Si
0.958	SLE RA 16	0	1.916	10000	250	Totale	Si
0.958	SLE RA 15	0	1.916	10000	250	Totale	Si
0.958	SLE RA 14	0	1.916	10000	250	Totale	Si
0.958	SLE RA 2	0	1.916	10000	350	Variabile	Si
0.958	SLE RA 17	0	1.916	10000	350	Variabile	Si
0.958	SLE RA 16	0	1.916	10000	350	Variabile	Si
0.958	SLE RA 15	0	1.916	10000	350	Variabile	Si
0.958	SLE RA 14	0	1.916	10000	350	Variabile	Si

Frecce lungo Y

Ascissa freccia	Combinazione	Freccia	Luce	L/f	L/f,min	Tipo	Verifica
0.958	SLE RA 1	-0.00003	1.916	10000	250	Totale	Si
0.958	SLE RA 17	-0.00003	1.916	10000	250	Totale	Si
0.958	SLE RA 16	-0.00003	1.916	10000	250	Totale	Si
0.958	SLE RA 15	-0.00003	1.916	10000	250	Totale	Si
0.958	SLE RA 14	-0.00003	1.916	10000	250	Totale	Si
0.894	SLE RA 2	0	1.916	10000	350	Variabile	Si
0.894	SLE RA 17	0	1.916	10000	350	Variabile	Si
0.894	SLE RA 16	0	1.916	10000	350	Variabile	Si
1.022	SLE RA 15	0	1.916	10000	350	Variabile	Si
0.894	SLE RA 14	0	1.916	10000	350	Variabile	Si

Superelemento in acciaio a quota "590"- "640" (744; 2602)-(870; 2736)

Caratteristiche del materiale

Acciaio: S275, fyk = 275000

Implementazione dei sistemi di confinamento delle emissioni odorigene diffuse dell'impianto di compostaggio esistente nel
Comune di Eboli (SA)
PROGETTO DEFINITIVO – Tabulati di calcolo Tomo 1

Caratteristiche geometriche

Lunghezza: 1.909
Nodo iniziale: 470 Nodo finale: 1357
Cerniera iniziale: Mmomenti 1% Cerniera finale: Mmomenti 1%
Sovreresistenza: 0% Sisma Z: No

Caratteristiche della sezione

Sezione	Rotazione	Area	Jx	Jy	ix	iy	Wx	Wy	Wplx	Wply
HEA120	0	0.002537	0.0000060673	0.0000023091	0.0489	0.0302	0.00010644	0.00003849	0.00011962	0.00005887

Verifiche di resistenza

Verifiche a forza assiale §4.2.4.1.2.1 - §4.2.4.1.2.2 NTC18

X	Comb.	Sfruttamento	Classe	NEd	Nc,Rd	Nt,Rd	Riduzione da taglio	px	py	Verifica
1.909	SLU 76	0.102		67.45		664.325	1	0	0	Si

Verifiche a forza assiale SLD §4.2.4.1.2.1 - §4.2.4.1.2.2 NTC18

X	Comb.	Sfruttamento	Classe	NEd	Nc,Rd	Nt,Rd	Riduzione da taglio	px	py	Verifica
1.909	SLD 8	0.044		28.943		664.325	1	0	0	Si

Verifica a taglio Y §4.2.4.1.2.4 NTC18

X	Comb.	Sfruttamento	VEd	Vc,Rd	Av	Interazione taglio-torsione	Riduzione torsione	Verifica
1.909	SLU 76	0.002	-0.241	128.304	0.000849	Considerata	1	Si

Verifica a taglio Y SLD §4.2.4.1.2.4 NTC18

X	Comb.	Sfruttamento	VEd	Vc,Rd	Av	Interazione taglio-torsione	Riduzione torsione	Verifica
1.909	SLD 7	0.001	-0.185	128.304	0.000849	Considerata	1	Si

Verifica a flessione semplice X §§ 4.2.4.1.2.3 - 4.2.4.1.2.6 - 4.2.4.1.2.7 - 4.2.4.1.2.8 NTC18

X	Comb.	Sfruttamento	Classe	Mx,Ed	Mx,Rd	Rid. Mx,Rd da VEd	px	py	Verifica
0.955	SLU 6	0.003	1	-0.08767	31.32907	1	0	0	Si

Verifica a presso/tenso flessione retta X §§ 4.2.4.1.2.3 - 4.2.4.1.2.6 - 4.2.4.1.2.7 - 4.2.4.1.2.8 NTC18

Verifiche eseguite utilizzando la formula conservativa (6.2) §6.2.1 EN 1993-1-1:2005.

X	Comb.	Sfruttamento	Classe	NEd	NRd	Rid. NRd da VEd	Mx,Ed	Mx,Rd	Rid. Mx,Rd da VEd	Rid. Mx,Rd da NEd	px	py	Verifica
1.209	SLU 76	0.105	1	67.403	664.325	1	-0.1027	31.3291	1		0	0	Si

Verifica a presso/tenso flessione retta X SLD §§ 4.2.4.1.2.3 - 4.2.4.1.2.6 - 4.2.4.1.2.7 - 4.2.4.1.2.8 NTC18

Verifiche eseguite utilizzando la formula conservativa (6.2) §6.2.1 EN 1993-1-1:2005.

X	Comb.	Sfruttamento	Classe	NEd	NRd	Rid. NRd da VEd	Mx,Ed	Mx,Rd	Rid. Mx,Rd da VEd	Rid. Mx,Rd da NEd	px	py	Verifica
0.955	SLD 8	0.046	1	28.894	664.325	1	-0.0848	31.3291	1		0	0	Si

Verifica a presso/tenso flessione retta Y §§ 4.2.4.1.2.3 - 4.2.4.1.2.6 - 4.2.4.1.2.7 - 4.2.4.1.2.8 NTC18

Verifiche eseguite utilizzando la formula conservativa (6.2) §6.2.1 EN 1993-1-1:2005.

X	Comb.	Sfruttamento	Classe	NEd	NRd	Rid. NRd da VEd	My,Ed	My,Rd	Rid. My,Rd da VEd	Rid. My,Rd da NEd	px	py	Verifica
0	SLU 76	0.102	1	67.321	664.325	1	0.0135	15.4191	1		0	0	Si

Verifica a presso/tenso flessione retta Y SLD §§ 4.2.4.1.2.3 - 4.2.4.1.2.6 - 4.2.4.1.2.7 - 4.2.4.1.2.8 NTC18

Verifiche eseguite utilizzando la formula conservativa (6.2) §6.2.1 EN 1993-1-1:2005.

X	Comb.	Sfruttamento	Classe	NEd	NRd	Rid. NRd da VEd	My,Ed	My,Rd	Rid. My,Rd da VEd	Rid. My,Rd da NEd	px	py	Verifica
0	SLD 7	0.044	1	28.844	664.325	1	0.0051	15.4191	1		0	0	Si

Verifica a presso/tenso flessione deviata §§ 4.2.4.1.2.3 - 4.2.4.1.2.6 - 4.2.4.1.2.7 - 4.2.4.1.2.8 NTC18

Verifiche eseguite utilizzando la formula conservativa (6.2) §6.2.1 EN 1993-1-1:2005.

X	Comb.	Sfruttamento	Classe	NEd	NRd	Rid. NRd da VEd	Mx,Ed	Mx,Rd	My,Ed	My,Rd	Rid. Mx,Rd da VEd	Rid. Mx,Rd da NEd	Rid. My,Rd da VEd	Rid. My,Rd da NEd	α	β	px	py	Verifica
0.891	SLU 76	0.105	1	67.381	664.325	1	-0.1112	31.3291	0.0064	15.4191	1		1				0	0	Si

Verifica a presso/tenso flessione deviata SLD §§ 4.2.4.1.2.3 - 4.2.4.1.2.6 - 4.2.4.1.2.7 - 4.2.4.1.2.8 NTC18

Verifiche eseguite utilizzando la formula conservativa (6.2) §6.2.1 EN 1993-1-1:2005.

X	Comb.	Sfruttamento	Classe	NEd	NRd	Rid. NRd da VEd	Mx,Ed	Mx,Rd	My,Ed	My,Rd	Rid. Mx,Rd da VEd	Rid. Mx,Rd da NEd	Rid. My,Rd da VEd	Rid. My,Rd da NEd	α	β	px	py	Verifica
0.382	SLD 8	0.045	1	28.864	664.325	1	-0.0542	31.3291	0.0039	15.4191	1		1				0	0	Si

Verifiche ad instabilità

Caratteristiche iniziali

Membratura principale per controllo snellezza; Calcolo di snellezze ed N critici condotti secondo gli assi principali;
Curva X: b; Curva Y: c; Svergolamento: Carico all'estradosso; Curva svergolamento: b;

Dati per instabilità attorno a x

Controllo della snellezza secondo §4.2.4.1.3.1 NTC18

Numero rit.	Presente	Ascissa	Campata	βx/m	Vincolo a entrambi estremi	λx/m	λVer
1	Si	0					
			1-2		1	39	Si, (<200)
2	Si	1.909					

Dati per instabilità attorno a y

Controllo della snellezza secondo §4.2.4.1.3.1 NTC18

Numero rit.	Presente	Ascissa	Campata	βy/n	k,LT	kw,LT	Vincolo a entrambi estremi	λy/n	λVer
1	Si	0							
			1-2		1	1	Si	63.3	Si, (<200)

Implementazione dei sistemi di confinamento delle emissioni odorigene diffuse dell’impianto di compostaggio esistente nel
Comune di Eboli (SA)

PROGETTO DEFINITIVO – Tabulati di calcolo Tomo 1

Numero rit.	Presente	Ascissa	Campata	$\beta y/n$	k,LT	kw,LT	Vincolo a entrambi estremi	$\lambda y/n$	λVer
2	Si	1.909							

Verifica a svergolamento §4.2.4.1.3.2 NTC18

X	Comb.	Sfruttamento	Classe	Obblig.	Mx,Ed	Mb,Rd,x	χ ,LT	λ adim. LT	L,LT	M,critico	Verifica
0.955	SLU 6	0.003	1	Si	-0.08767	28.05834	0.896	0.647	1.909	78.68642	Si

Verifica a svergolamento con trazione §4.2.4.1.3.2 NTC18 § 5.5.3 ENV 1993-1-1:1992 + AC:1992 + A1:1994 + A2:1998

X	Comb.	Sfruttamento	Classe	Obblig.	NEd	Mx,Ed	Mx,Eff,Ed	Mb,Rd,x	χ ,LT	λ adim. LT	L,LT	M,critico	Verifica
0.955	SLU 59	0.003	1	Si	0.68	-0.11337	-0.0934	28.05834	0.896	0.647	1.909	78.68642	Si

Verifica di stabilità per tenso-flessione deviata §§ 5.5.3-5.5.4 ENV 1993-1-1:1992 + AC:1992 + A1:1994 + A2:1998

X	Comb.	Sfruttamento	Classe	NEd	Mx,Ed	Mx,Eff,Ed	My,Ed	χ ,LT	kLT	ky	M,critico	Wx	Wy	Verifica
0.891	SLV 15	0.001	1	2.633	-0.08933	-0.01199	0.0053	0.896	1	1	78.68642	0.0001196	0.0000589	Si

Verifica di stabilità per pressoflessione §C.4.2.4.1.3.3.2 NTC18

X	Comb.	Sfruttamento	Classe	NEd	NRk	Mx,Ed max	Mx,Rk	My,Ed max	My,Rk	χ_x	χ_y	kxx	kxy	kyy	χ_{LT}	Verifica	
0	SLV 10	0.028	1	-11.744	697.541	0.09243	32.89552	0.00506	16.19002	0.906	0.707	0.958	0.245	0.997	0.409	0.896	Si

Verifica di stabilità a taglio anima Y §4.2.4.1.2.4 [4.2.27] NTC18

η	hw	tw	hw/tw max	Verifica
1.2	0.098	0.005	55.46	Si

Verifica di stabilità a taglio anima Y SLD §4.2.4.1.2.4 [4.2.27] NTC18

η	hw	tw	hw/tw max	Verifica
1.2	0.098	0.005	55.46	Si

Verifiche a deformabilità

Mensola X: No; Mensola Y: No.

Frecce lungo X

Ascissa freccia	Combinazione	Freccia	Luce	L/f	L/f,min	Tipo	Verifica
0.7	SLE RA 1	0	1.909	10000	250	Totale	Si
0.764	SLE RA 17	0	1.909	10000	250	Totale	Si
0.764	SLE RA 16	0	1.909	10000	250	Totale	Si
0.764	SLE RA 15	0	1.909	10000	250	Totale	Si
0.7	SLE RA 14	0	1.909	10000	250	Totale	Si
0.764	SLE RA 2	0	1.909	10000	350	Variabile	Si
0.764	SLE RA 17	0	1.909	10000	350	Variabile	Si
0.764	SLE RA 16	0	1.909	10000	350	Variabile	Si
0.827	SLE RA 15	0	1.909	10000	350	Variabile	Si
0.573	SLE RA 14	0	1.909	10000	350	Variabile	Si

Frecce lungo Y

Ascissa freccia	Combinazione	Freccia	Luce	L/f	L/f,min	Tipo	Verifica
0.955	SLE RA 1	-0.00003	1.909	10000	250	Totale	Si
0.955	SLE RA 17	-0.00003	1.909	10000	250	Totale	Si
0.955	SLE RA 16	-0.00003	1.909	10000	250	Totale	Si
0.955	SLE RA 15	-0.00003	1.909	10000	250	Totale	Si
0.955	SLE RA 14	-0.00003	1.909	10000	250	Totale	Si
1.146	SLE RA 2	0	1.909	10000	350	Variabile	Si
1.146	SLE RA 17	0	1.909	10000	350	Variabile	Si
1.146	SLE RA 16	0	1.909	10000	350	Variabile	Si
1.082	SLE RA 15	0	1.909	10000	350	Variabile	Si
0.891	SLE RA 14	0	1.909	10000	350	Variabile	Si

Superelemento in acciaio a quota "590"- "640" (856; 972)-(983; 1106)

Caratteristiche del materiale

Acciaio: S275, fyk = 275000

Caratteristiche geometriche

Lunghezza: 1.921

Nodo iniziale: 374 Nodo finale: 891

Cerniera iniziale: Mmomenti 1% Cerniera finale: Mmomenti 1%

Sovraresistenza: 0% Sisma Z: No

Caratteristiche della sezione

Sezione	Rotazione	Area	Jx	Jy	ix	iy	Wx	Wy	Wplx	Wply
HEA120	0	0.002537	0.0000060673	0.0000023091	0.0489	0.0302	0.00010644	0.00003849	0.00011962	0.00005887

Verifiche di resistenza

Verifiche a forza assiale §4.2.4.1.2.1 - §4.2.4.1.2.2 NTC18

X	Comb.	Sfruttamento	Classe	NEd	Nc,Rd	Nt,Rd	Riduzione da taglio	px	py	Verifica
1.921	SLU 75	0.047		31.401		664.325	1	0	0	Si

Verifiche a forza assiale SLD §4.2.4.1.2.1 - §4.2.4.1.2.2 NTC18

X	Comb.	Sfruttamento	Classe	NEd	Nc,Rd	Nt,Rd	Riduzione da taglio	px	py	Verifica
1.921	SLD 5	0.028		18.335		664.325	1	0	0	Si

Verifica a taglio Y §4.2.4.1.2.4 NTC18

X	Comb.	Sfruttamento	VEd	Vc,Rd	Av	Interazione taglio-torsione	Riduzione torsione	Verifica
1.921	SLU 75	0.002	-0.242	128.304	0.000849	Considerata	1	Si

Verifica a taglio Y SLD §4.2.4.1.2.4 NTC18

X	Comb.	Sfruttamento	VEd	Vc,Rd	Av	Interazione taglio-torsione	Riduzione torsione	Verifica

**Implementazione dei sistemi di confinamento delle emissioni odorigene diffuse dell'impianto di compostaggio esistente nel
Comune di Eboli (SA)**

PROGETTO DEFINITIVO – Tabulati di calcolo Tomo 1

X	Comb.	Sfruttamento	VEd	Vc,Rd	Av	Interazione taglio-torsione	Riduzione torsione	Verifica
1.921	SLD 6	0.001	-0.186	128.304	0.000849	Considerata	1	Si

Verifica a flessione semplice X §§ 4.2.4.1.2.3 - 4.2.4.1.2.6 - 4.2.4.1.2.7 - 4.2.4.1.2.8 NTC18

X	Comb.	Sfruttamento	Classe	Mx,Ed	Mx,Rd	Rid. Mx,Rd da VEd	px	py	Verifica
1.409	SLV 7	0.002	1	-0.06743	31.32907	1	0	0	Si

Verifica a flessione semplice Y §§ 4.2.4.1.2.3 - 4.2.4.1.2.6 - 4.2.4.1.2.7 - 4.2.4.1.2.8 NTC18

X	Comb.	Sfruttamento	Classe	My,Ed	My,Rd	Rid. My,Rd da VEd	px	py	Verifica
0	SLV 7	0.001	1	-0.01465	15.41907	1	0	0	Si

Verifica a flessione deviata §§ 4.2.4.1.2.3 - 4.2.4.1.2.6 - 4.2.4.1.2.7 - 4.2.4.1.2.8 NTC18

X	Comb.	Sfruttamento	Classe	Mx,Ed	Mx,Rd	My,Ed	My,Rd	Rid. Mx,Rd da VEd	Rid. My,Rd da VEd	α	β	px	py	Verifica
0.896	SLV 8	0.003	1	-0.0857	31.3291	-0.007	15.4191	1	1			0	0	Si

Verifica a presso/tenso flessione retta X §§ 4.2.4.1.2.3 - 4.2.4.1.2.6 - 4.2.4.1.2.7 - 4.2.4.1.2.8 NTC18

Verifiche eseguite utilizzando la formula conservativa (6.2) §6.2.1 EN 1993-1-1:2005.

X	Comb.	Sfruttamento	Classe	NEd	NRd	Rid. NRd da VEd	Mx,Ed	Mx,Rd	Rid. Mx,Rd da VEd	Rid. Mx,Rd da NEd	px	py	Verifica
0.961	SLU 75	0.051	1	31.336	664.325	1	-0.1098	31.3291	1		0	0	Si

Verifica a presso/tenso flessione retta X SLD §§ 4.2.4.1.2.3 - 4.2.4.1.2.6 - 4.2.4.1.2.7 - 4.2.4.1.2.8 NTC18

Verifiche eseguite utilizzando la formula conservativa (6.2) §6.2.1 EN 1993-1-1:2005.

X	Comb.	Sfruttamento	Classe	NEd	NRd	Rid. NRd da VEd	Mx,Ed	Mx,Rd	Rid. Mx,Rd da VEd	Rid. Mx,Rd da NEd	px	py	Verifica
0.961	SLD 6	0.03	1	18.285	664.325	1	-0.0868	31.3291	1		0	0	Si

Verifica a presso/tenso flessione retta Y §§ 4.2.4.1.2.3 - 4.2.4.1.2.6 - 4.2.4.1.2.7 - 4.2.4.1.2.8 NTC18

Verifiche eseguite utilizzando la formula conservativa (6.2) §6.2.1 EN 1993-1-1:2005.

X	Comb.	Sfruttamento	Classe	NEd	NRd	Rid. NRd da VEd	My,Ed	My,Rd	Rid. My,Rd da VEd	Rid. My,Rd da NEd	px	py	Verifica
1.921	SLU 75	0.048	1	31.401	664.325	1	0.0061	15.4191	1		0	0	Si

Verifica a presso/tenso flessione retta Y SLD §§ 4.2.4.1.2.3 - 4.2.4.1.2.6 - 4.2.4.1.2.7 - 4.2.4.1.2.8 NTC18

Verifiche eseguite utilizzando la formula conservativa (6.2) §6.2.1 EN 1993-1-1:2005.

X	Comb.	Sfruttamento	Classe	NEd	NRd	Rid. NRd da VEd	My,Ed	My,Rd	Rid. My,Rd da VEd	Rid. My,Rd da NEd	px	py	Verifica
1.921	SLD 5	0.028	1	18.335	664.325	1	0.0039	15.4191	1		0	0	Si

Verifica a presso/tenso flessione deviata §§ 4.2.4.1.2.3 - 4.2.4.1.2.6 - 4.2.4.1.2.7 - 4.2.4.1.2.8 NTC18

Verifiche eseguite utilizzando la formula conservativa (6.2) §6.2.1 EN 1993-1-1:2005.

X	Comb.	Sfruttamento	Classe	NEd	NRd	Rid. NRd da VEd	Mx,Ed	Mx,Rd	My,Ed	My,Rd	Rid. Mx,Rd da VEd	Rid. Mx,Rd da NEd	Rid. My,Rd da VEd	Rid. My,Rd da NEd	α	β	px	py	Verifica
1.409	SLU 75	0.05	1	31.366	664.325	1	-0.0838	31.3291	0.0041	15.4191	1		1				0	0	Si

Verifica a presso/tenso flessione deviata SLD §§ 4.2.4.1.2.3 - 4.2.4.1.2.6 - 4.2.4.1.2.7 - 4.2.4.1.2.8 NTC18

Verifiche eseguite utilizzando la formula conservativa (6.2) §6.2.1 EN 1993-1-1:2005.

X	Comb.	Sfruttamento	Classe	NEd	NRd	Rid. NRd da VEd	Mx,Ed	Mx,Rd	My,Ed	My,Rd	Rid. Mx,Rd da VEd	Rid. Mx,Rd da NEd	Rid. My,Rd da VEd	Rid. My,Rd da NEd	α	β	px	py	Verifica
0.32	SLD 3	0.024	1	14.751	664.325	1	-0.0478	31.3291	-0.0041	15.4191	1		1				0	0	Si

Verifiche ad instabilità

Caratteristiche iniziali

Membratura principale per controllo snellezza; Calcolo di snellezze ed N critici condotti secondo gli assi principali;

Curva X: b; Curva Y: c; Svergolamento: Carico all'estradosso; Curva svergolamento: b;

Dati per instabilità attorno a x

Controllo della snellezza secondo §4.2.4.1.3.1 NTC18

Numero rit.	Presente	Ascissa	Campata	βx/m	Vincolo a entrambi estremi	λx/m	λVer
1	Si	0					
			1-2		1	39.3	Si, (<200)
2	Si	1.921					

Dati per instabilità attorno a y

Controllo della snellezza secondo §4.2.4.1.3.1 NTC18

Numero rit.	Presente	Ascissa	Campata	βy/n	k,LT	kw,LT	Vincolo a entrambi estremi	λy/n	λVer
1	Si	0							
			1-2		1	1	Si	63.7	Si, (<200)
2	Si	1.921							

Verifica a svergolamento con trazione §4.2.4.1.3.2 NTC18 § 5.5.3 ENV 1993-1-1:1992 + AC:1992 + A1:1994 + A2:1998

X	Comb.	Sfruttamento	Classe	Obblig.	NEd	Mx,Ed	Mx,Eff,Ed	Mb,Rd,x	χ,LT	λ adim. LT	L,LT	M,critico	Verifica
0.961	SLU 40	0.003	1	Si	0.734	-0.11459	-0.09303	28.01913	0.894	0.649	1.921	78.04703	Si

Verifica di stabilità per tenso-flessione deviata §§ 5.5.3-5.5.4 ENV 1993-1-1:1992 + AC:1992 + A1:1994 + A2:1998

X	Comb.	Sfruttamento	Classe	NEd	Mx,Ed	Mx,Eff,Ed	My,Ed	χ,LT	kLT	ky	M,critico	Wx	Wy	Verifica
0.896	SLV 14	0.002	1	1.99	-0.08576	-0.0273	0.00824	0.894	1	1	78.04703	0.0001196	0.0000589	Si

Verifica di stabilità per pressoflessione §C.4.2.4.1.3.3.2 NTC18

X	Comb.	Sfruttamento	Classe	NEd	NRk	Mx,Ed max	Mx,Rk	My,Ed max	My,Rk	χ,x	χ,y	kxx	kxy	kyy	χ,LT	Verifica
0	SLV 12	0.021	1	-8.309	697.541	0.0857	32.89552	0.0081	16.19002	0.905	0.704	0.952	0.315	0.998	0.894	Si

Verifica di stabilità a taglio anima Y §4.2.4.1.2.4 [4.2.27] NTC18

η	hw	tw	hw/tw max	Verifica
1.2	0.098	0.005	55.46	Si

Verifica di stabilità a taglio anima Y SLD §4.2.4.1.2.4 [4.2.27] NTC18

η	hw	tw	hw/tw max	Verifica
1.2	0.098	0.005	55.46	Si

Implementazione dei sistemi di confinamento delle emissioni odorigene diffuse dell'impianto di compostaggio esistente nel
Comune di Eboli (SA)
PROGETTO DEFINITIVO – Tabulati di calcolo Tomo 1

Verifiche a deformabilità

Mensola X: No; Mensola Y: No.

Frecce lungo X

Ascissa freccia	Combinazione	Freccia	Luce	L/f	L/f,min	Tipo	Verifica
1.217	SLE RA 1	0	1.921	10000	250	Totale	Si
1.217	SLE RA 17	0	1.921	10000	250	Totale	Si
1.217	SLE RA 16	0	1.921	10000	250	Totale	Si
1.217	SLE RA 15	0	1.921	10000	250	Totale	Si
1.217	SLE RA 14	0	1.921	10000	250	Totale	Si
1.152	SLE RA 2	0	1.921	10000	350	Variabile	Si
1.152	SLE RA 17	0	1.921	10000	350	Variabile	Si
1.152	SLE RA 16	0	1.921	10000	350	Variabile	Si
1.152	SLE RA 15	0	1.921	10000	350	Variabile	Si
1.152	SLE RA 14	0	1.921	10000	350	Variabile	Si

Frecce lungo Y

Ascissa freccia	Combinazione	Freccia	Luce	L/f	L/f,min	Tipo	Verifica
0.96	SLE RA 1	-0.00003	1.921	10000	250	Totale	Si
0.96	SLE RA 17	-0.00003	1.921	10000	250	Totale	Si
0.96	SLE RA 16	-0.00003	1.921	10000	250	Totale	Si
0.96	SLE RA 15	-0.00003	1.921	10000	250	Totale	Si
0.96	SLE RA 14	-0.00003	1.921	10000	250	Totale	Si
1.024	SLE RA 2	0	1.921	10000	350	Variabile	Si
1.024	SLE RA 17	0	1.921	10000	350	Variabile	Si
1.024	SLE RA 16	0	1.921	10000	350	Variabile	Si
1.024	SLE RA 15	0	1.921	10000	350	Variabile	Si
1.024	SLE RA 14	0	1.921	10000	350	Variabile	Si

Superelemento in acciaio a quota "590"- "640" (871; 2737)-(997; 2871)

Caratteristiche del materiale

Acciaio: S275, fyk = 275000

Caratteristiche geometriche

Lunghezza: 1.916

Nodo iniziale: 475 Nodo finale: 1388

Cerniera iniziale: Mmomenti 1% Cerniera finale: Mmomenti 1%

Sovreresistenza: 0% Sisma Z: No

Caratteristiche della sezione

Sezione	Rotazione	Area	Jx	Jy	ix	iy	Wx	Wy	Wplx	Wply
HEA120	0	0.002537	0.0000060673	0.0000023091	0.0489	0.0302	0.00010644	0.00003849	0.00011962	0.00005887

Verifiche di resistenza

Verifiche a forza assiale §4.2.4.1.2.1 - §4.2.4.1.2.2 NTC18

X	Comb.	Sfruttamento	Classe	NEd	Nc,Rd	Nt,Rd	Riduzione da taglio	px	py	Verifica
1.916	SLU 76	0.036		23.876		664.325	1	0	0	Si

Verifiche a forza assiale SLD §4.2.4.1.2.1 - §4.2.4.1.2.2 NTC18

X	Comb.	Sfruttamento	Classe	NEd	Nc,Rd	Nt,Rd	Riduzione da taglio	px	py	Verifica
1.916	SLD 10	0.016		10.422		664.325	1	0	0	Si

Verifica a taglio Y §4.2.4.1.2.4 NTC18

X	Comb.	Sfruttamento	VEd	Vc,Rd	Av	Interazione taglio-torsione	Riduzione torsione	Verifica
0	SLU 76	0.002	0.246	128.304	0.000849	Considerata	1	Si

Verifica a taglio Y SLD §4.2.4.1.2.4 NTC18

X	Comb.	Sfruttamento	VEd	Vc,Rd	Av	Interazione taglio-torsione	Riduzione torsione	Verifica
0	SLD 7	0.001	0.187	128.304	0.000849	Considerata	1	Si

Verifica a flessione semplice X §§ 4.2.4.1.2.3 - 4.2.4.1.2.6 - 4.2.4.1.2.7 - 4.2.4.1.2.8 NTC18

X	Comb.	Sfruttamento	Classe	Mx,Ed	Mx,Rd	Rid. Mx,Rd da VEd	px	py	Verifica
0.958	SLU 59	0.004	1	-0.11458	31.32907	1	0	0	Si

Verifica a presso/tenso flessione retta X §§ 4.2.4.1.2.3 - 4.2.4.1.2.6 - 4.2.4.1.2.7 - 4.2.4.1.2.8 NTC18

Verifiche eseguite utilizzando la formula conservativa (6.2) §6.2.1 EN 1993-1-1:2005.

X	Comb.	Sfruttamento	Classe	NEd	NRd	Rid. NRd da VEd	Mx,Ed	Mx,Rd	Rid. Mx,Rd da VEd	Rid. Mx,Rd da NEd	px	py	Verifica
0.958	SLV 10	0.028	1	16.788	664.325	1	-0.0946	31.3291	1		0	0	Si

Verifica a presso/tenso flessione retta X SLD §§ 4.2.4.1.2.3 - 4.2.4.1.2.6 - 4.2.4.1.2.7 - 4.2.4.1.2.8 NTC18

Verifiche eseguite utilizzando la formula conservativa (6.2) §6.2.1 EN 1993-1-1:2005.

X	Comb.	Sfruttamento	Classe	NEd	NRd	Rid. NRd da VEd	Mx,Ed	Mx,Rd	Rid. Mx,Rd da VEd	Rid. Mx,Rd da NEd	px	py	Verifica
0.958	SLD 10	0.018	1	10.373	664.325	1	-0.0904	31.3291	1		0	0	Si

Verifica a presso/tenso flessione retta Y §§ 4.2.4.1.2.3 - 4.2.4.1.2.6 - 4.2.4.1.2.7 - 4.2.4.1.2.8 NTC18

Verifiche eseguite utilizzando la formula conservativa (6.2) §6.2.1 EN 1993-1-1:2005.

X	Comb.	Sfruttamento	Classe	NEd	NRd	Rid. NRd da VEd	My,Ed	My,Rd	Rid. My,Rd da VEd	Rid. My,Rd da NEd	px	py	Verifica
0	SLU 76	0.037	1	23.746	664.325	1	-0.0201	15.4191	1		0	0	Si

Verifica a presso/tenso flessione retta Y SLD §§ 4.2.4.1.2.3 - 4.2.4.1.2.6 - 4.2.4.1.2.7 - 4.2.4.1.2.8 NTC18

Verifiche eseguite utilizzando la formula conservativa (6.2) §6.2.1 EN 1993-1-1:2005.

**Implementazione dei sistemi di confinamento delle emissioni odorigene diffuse dell'impianto di compostaggio esistente nel
Comune di Eboli (SA)**

PROGETTO DEFINITIVO – Tabulati di calcolo Tomo 1

X	Comb.	Sfruttamento	Classe	NEd	NRd	Rid. NRd da VEd	My,Ed	My,Rd	Rid. My,Rd da VEd	Rid. My,Rd da NEd	px	py	Verifica
0	SLD 6	0.014	1	9.051	664.325	1	-0.0048	15.4191	1		0	0	Si

Verifica a presso/tenso flessione deviata §§ 4.2.4.1.2.3 - 4.2.4.1.2.6 - 4.2.4.1.2.7 - 4.2.4.1.2.8 NTC18

Verifiche eseguite utilizzando la formula conservativa (6.2) §6.2.1 EN 1993-1-1:2005.

X	Comb.	Sfruttamento	Classe	NEd	NRd	Rid. NRd da VEd	Mx,Ed	Mx,Rd	My,Ed	My,Rd	Rid. Mx,Rd da VEd	Rid. Mx,Rd da NEd	Rid. My,Rd da VEd	Rid. My,Rd da NEd	α	β	px	py	Verifica
0.958	SLU 76	0.04	1	23.811	664.325	1	-0.1143	31.3291	-0.0131	15.4191	1		1				0	0	Si

Verifica a presso/tenso flessione deviata SLD §§ 4.2.4.1.2.3 - 4.2.4.1.2.6 - 4.2.4.1.2.7 - 4.2.4.1.2.8 NTC18

Verifiche eseguite utilizzando la formula conservativa (6.2) §6.2.1 EN 1993-1-1:2005.

X	Comb.	Sfruttamento	Classe	NEd	NRd	Rid. NRd da VEd	Mx,Ed	Mx,Rd	My,Ed	My,Rd	Rid. Mx,Rd da VEd	Rid. Mx,Rd da NEd	Rid. My,Rd da VEd	Rid. My,Rd da NEd	α	β	px	py	Verifica
0.447	SLD 6	0.016	1	9.074	664.325	1	-0.0634	31.3291	-0.0039	15.4191	1		1				0	0	Si

Verifiche ad instabilità

Caratteristiche iniziali

Membratura principale per controllo snellezza; Calcolo di snellezze ed N critici condotti secondo gli assi principali;

Curva X: b; Curva Y: c; Svergolamento: Carico all'estradosso; Curva svergolamento: b;

Dati per instabilità attorno a x

Controllo della snellezza secondo §4.2.4.1.3.1 NTC18

Numero rit.	Presente	Ascissa	Campata	βx/m	Vincolo a entrambi estremi	λx/m	λVer
1	Si		0				
			1-2		1	39.2	Si, (<200)
2	Si		1.916				

Dati per instabilità attorno a y

Controllo della snellezza secondo §4.2.4.1.3.1 NTC18

Numero rit.	Presente	Ascissa	Campata	βy/n	k,LT	kw,LT	Vincolo a entrambi estremi	λy/n	λVer
1	Si		0						
			1-2		1	1	Si	63.5	Si, (<200)
2	Si		1.916						

Verifica a svergolamento §4.2.4.1.3.2 NTC18

X	Comb.	Sfruttamento	Classe	Obblig.	Mx,Ed	Mb,Rd,x	χ,LT	λ adim. LT	L,LT	M,critico	Verifica
0.958	SLU 59	0.004	1	Si	-0.11458	28.03468	0.895	0.648	1.916	78.2995	Si

Verifica a svergolamento con trazione §4.2.4.1.3.2 NTC18 § 5.5.3 ENV 1993-1-1:1992 + AC:1992 + A1:1994 + A2:1998

X	Comb.	Sfruttamento	Classe	Obblig.	NEd	Mx,Ed	Mx,Eff,Ed	Mb,Rd,x	χ,LT	λ adim. LT	L,LT	M,critico	Verifica
0.958	SLU 43	0.002	1	Si	1.542	-0.1146	-0.06929	28.03468	0.895	0.648	1.916	78.2995	Si

Verifica di stabilità per tenso-flessione deviata §§ 5.5.3-5.5.4 ENV 1993-1-1:1992 + AC:1992 + A1:1994 + A2:1998

X	Comb.	Sfruttamento	Classe	NEd	Mx,Ed	Mx,Eff,Ed	My,Ed	χ,LT	kLT	ky	M,critico	Wx	Wy	Verifica
0.958	SLV 12	0.002	1	1.563	-0.08474	-0.03881	-0.00719	0.895	1	1	78.2995	0.0001196	0.0000589	Si

Verifica di stabilità per pressoflessione §C.4.2.4.1.3.3.2 NTC18

X	Comb.	Sfruttamento	Classe	NEd	NRk	Mx,Ed max	Mx,Rk	My,Ed max	My,Rk	χ,x	χ,y	kxx	kxy	kyy	χ,LT	Verifica	
0	SLU 2	0.011	1	-3.401	697.541	0.08811	32.89552	0.00232	16.19002	0.905	0.705	0.951	0.451	0.999	0.752	0.895	Si

Verifica di stabilità a taglio anima Y §4.2.4.1.2.4 [4.2.27] NTC18

η	hw	tw	hw/tw max	Verifica
1.2	0.098	0.005	55.46	Si

Verifica di stabilità a taglio anima Y SLD §4.2.4.1.2.4 [4.2.27] NTC18

η	hw	tw	hw/tw max	Verifica
1.2	0.098	0.005	55.46	Si

Verifiche a deformabilità

Mensola X: No; Mensola Y: No.

Frecce lungo X

Ascissa freccia	Combinazione	Freccia	Luce	L/f	L/f,min	Tipo	Verifica
0.894	SLE RA 1	0	1.916	10000	250	Totale	Si
0.894	SLE RA 17	0.00001	1.916	10000	250	Totale	Si
0.894	SLE RA 16	0.00001	1.916	10000	250	Totale	Si
0.894	SLE RA 15	0.00001	1.916	10000	250	Totale	Si
0.894	SLE RA 14	0	1.916	10000	250	Totale	Si
0.894	SLE RA 2	0	1.916	10000	350	Variabile	Si
0.894	SLE RA 17	0	1.916	10000	350	Variabile	Si
0.894	SLE RA 16	0	1.916	10000	350	Variabile	Si
0.894	SLE RA 15	0	1.916	10000	350	Variabile	Si
0.894	SLE RA 14	0	1.916	10000	350	Variabile	Si

Frecce lungo Y

Ascissa freccia	Combinazione	Freccia	Luce	L/f	L/f,min	Tipo	Verifica
0.958	SLE RA 1	-0.00003	1.916	10000	250	Totale	Si
0.958	SLE RA 17	-0.00003	1.916	10000	250	Totale	Si
0.958	SLE RA 16	-0.00003	1.916	10000	250	Totale	Si
0.958	SLE RA 15	-0.00003	1.916	10000	250	Totale	Si
0.958	SLE RA 14	-0.00003	1.916	10000	250	Totale	Si
1.469	SLE RA 2	0	1.916	10000	350	Variabile	Si
1.469	SLE RA 17	0	1.916	10000	350	Variabile	Si
1.469	SLE RA 16	0	1.916	10000	350	Variabile	Si
0.511	SLE RA 15	0	1.916	10000	350	Variabile	Si
1.086	SLE RA 14	0	1.916	10000	350	Variabile	Si

Superelemento in acciaio a quota "590"- "640" (997; 2871)-(1124; 3006)

Caratteristiche del materiale

Acciaio: S275, fyk = 275000

Caratteristiche geometriche

Lunghezza: 1.916

Nodo iniziale: 476 Nodo finale: 1463

Cerniera iniziale: Mmomenti 1% Cerniera finale: Mmomenti 1%

Sovreresistenza: 0% Sisma Z: No

Caratteristiche della sezione

Sezione	Rotazione	Area	Jx	Jy	Ix	Iy	Wx	Wy	Wplx	Wply
HEA120	0	0.002537	0.0000060673	0.0000023091	0.0489	0.0302	0.00010644	0.00003849	0.00011962	0.00005887

Verifiche di resistenza

Verifiche a forza assiale §4.2.4.1.2.1 - §4.2.4.1.2.2 NTC18

X	Comb.	Sfruttamento	Classe	NEd	Nc,Rd	Nt,Rd	Riduzione da taglio	px	py	Verifica
1.916	SLV 10	0.021		13.808		664.325	1	0	0	Si

Verifiche a forza assiale SLD §4.2.4.1.2.1 - §4.2.4.1.2.2 NTC18

X	Comb.	Sfruttamento	Classe	NEd	Nc,Rd	Nt,Rd	Riduzione da taglio	px	py	Verifica
1.916	SLD 9	0.009		5.843		664.325	1	0	0	Si

Verifica a taglio Y §4.2.4.1.2.4 NTC18

X	Comb.	Sfruttamento	VEd	Vc,Rd	Av	Interazione taglio-torsione	Riduzione torsione	Verifica
1.916	SLU 76	0.002	-0.249	128.304	0.000849	Considerata	1	Si

Verifica a taglio Y SLD §4.2.4.1.2.4 NTC18

X	Comb.	Sfruttamento	VEd	Vc,Rd	Av	Interazione taglio-torsione	Riduzione torsione	Verifica
1.916	SLD 14	0.001	-0.188	128.304	0.000849	Considerata	1	Si

Verifica a flessione semplice Y §§ 4.2.4.1.2.3 - 4.2.4.1.2.6 - 4.2.4.1.2.7 - 4.2.4.1.2.8 NTC18

X	Comb.	Sfruttamento	Classe	My,Ed	My,Rd	Rid. My,Rd da VEd	px	py	Verifica
1.852	SLU 76	0.002	1	-0.02404	15.41907	1	0	0	Si

Verifica a flessione semplice Y SLD §§ 4.2.4.1.2.3 - 4.2.4.1.2.6 - 4.2.4.1.2.7 - 4.2.4.1.2.8 NTC18

X	Comb.	Sfruttamento	Classe	My,Ed	My,Rd	Rid. My,Rd da VEd	px	py	Verifica
1.916	SLD 1	0.001	1	-0.00821	15.41907	1	0	0	Si

Verifica a flessione deviata §§ 4.2.4.1.2.3 - 4.2.4.1.2.6 - 4.2.4.1.2.7 - 4.2.4.1.2.8 NTC18

X	Comb.	Sfruttamento	Classe	Mx,Ed	Mx,Rd	My,Ed	My,Rd	Rid. Mx,Rd da VEd	Rid. My,Rd da VEd	α	β	px	py	Verifica
0.958	SLU 76	0.005	1	-0.1033	31.3291	-0.0209	15.4191	1	1			0	0	Si

Verifica a flessione deviata SLD §§ 4.2.4.1.2.3 - 4.2.4.1.2.6 - 4.2.4.1.2.7 - 4.2.4.1.2.8 NTC18

X	Comb.	Sfruttamento	Classe	Mx,Ed	Mx,Rd	My,Ed	My,Rd	Rid. Mx,Rd da VEd	Rid. My,Rd da VEd	α	β	px	py	Verifica
0.958	SLD 2	0.003	1	-0.0836	31.3291	-0.0073	15.4191	1	1			0	0	Si

Verifica a presso/tenso flessione retta X §§ 4.2.4.1.2.3 - 4.2.4.1.2.6 - 4.2.4.1.2.7 - 4.2.4.1.2.8 NTC18

Verifiche eseguite utilizzando la formula conservativa (6.2) §6.2.1 EN 1993-1-1:2005.

X	Comb.	Sfruttamento	Classe	NEd	NRd	Rid. NRd da VEd	Mx,Ed	Mx,Rd	Rid. Mx,Rd da VEd	Rid. Mx,Rd da NEd	px	py	Verifica
0.958	SLV 10	0.023	1	13.758	664.325	1	-0.0859	31.3291	1	1	0	0	Si

Verifica a presso/tenso flessione retta X SLD §§ 4.2.4.1.2.3 - 4.2.4.1.2.6 - 4.2.4.1.2.7 - 4.2.4.1.2.8 NTC18

Verifiche eseguite utilizzando la formula conservativa (6.2) §6.2.1 EN 1993-1-1:2005.

X	Comb.	Sfruttamento	Classe	NEd	NRd	Rid. NRd da VEd	Mx,Ed	Mx,Rd	Rid. Mx,Rd da VEd	Rid. Mx,Rd da NEd	px	py	Verifica
0.958	SLD 10	0.011	1	5.793	664.325	1	-0.0846	31.3291	1	1	0	0	Si

Verifica a presso/tenso flessione retta Y §§ 4.2.4.1.2.3 - 4.2.4.1.2.6 - 4.2.4.1.2.7 - 4.2.4.1.2.8 NTC18

Verifiche eseguite utilizzando la formula conservativa (6.2) §6.2.1 EN 1993-1-1:2005.

X	Comb.	Sfruttamento	Classe	NEd	NRd	Rid. NRd da VEd	My,Ed	My,Rd	Rid. My,Rd da VEd	Rid. My,Rd da NEd	px	py	Verifica
0	SLV 7	0.016	1	-10.094	664.325	1	-0.012	15.4191	1	1	0	0	Si

Verifica a presso/tenso flessione retta Y SLD §§ 4.2.4.1.2.3 - 4.2.4.1.2.6 - 4.2.4.1.2.7 - 4.2.4.1.2.8 NTC18

Verifiche eseguite utilizzando la formula conservativa (6.2) §6.2.1 EN 1993-1-1:2005.

X	Comb.	Sfruttamento	Classe	NEd	NRd	Rid. NRd da VEd	My,Ed	My,Rd	Rid. My,Rd da VEd	Rid. My,Rd da NEd	px	py	Verifica
1.916	SLD 10	0.009	1	5.843	664.325	1	-0.0048	15.4191	1	1	0	0	Si

Verifica a presso/tenso flessione deviata §§ 4.2.4.1.2.3 - 4.2.4.1.2.6 - 4.2.4.1.2.7 - 4.2.4.1.2.8 NTC18

Verifiche eseguite utilizzando la formula conservativa (6.2) §6.2.1 EN 1993-1-1:2005.

X	Comb.	Sfruttamento	Classe	NEd	NRd	Rid. NRd da VEd	Mx,Ed	Mx,Rd	My,Ed	My,Rd	Rid. Mx,Rd da VEd	Rid. Mx,Rd da NEd	Rid. My,Rd da VEd	Rid. My,Rd da NEd	α	β	px	py	Verifica
0.958	SLV 8	0.019	1	-10.044	664.325	1	-0.082	31.3291	-0.0126	15.4191	1	1	1	1			0	0	Si

Verifica a presso/tenso flessione deviata SLD §§ 4.2.4.1.2.3 - 4.2.4.1.2.6 - 4.2.4.1.2.7 - 4.2.4.1.2.8 NTC18

Verifiche eseguite utilizzando la formula conservativa (6.2) §6.2.1 EN 1993-1-1:2005.

X	Comb.	Sfruttamento	Classe	NEd	NRd	Rid. NRd da VEd	Mx,Ed	Mx,Rd	My,Ed	My,Rd	Rid. Mx,Rd da VEd	Rid. Mx,Rd da NEd	Rid. My,Rd da VEd	Rid. My,Rd da NEd	α	β	px	py	Verifica
1.15	SLD 9	0.012	1	5.803	664.325	1	-0.0804	31.3291	-0.0039	15.4191	1	1	1	1			0	0	Si

Implementazione dei sistemi di confinamento delle emissioni odorigene diffuse dell'impianto di compostaggio esistente nel
Comune di Eboli (SA)
PROGETTO DEFINITIVO – Tabulati di calcolo Tomo 1

Verifiche ad instabilità

Caratteristiche iniziali

Membratura principale per controllo snellezza; Calcolo di snellezze ed N critici condotti secondo gli assi principali;
Curva X: b; Curva Y: c; Svergolamento: Carico all'estradosso; Curva svergolamento: b;

Dati per instabilità attorno a x

Controllo della snellezza secondo §4.2.4.1.3.1 NTC18

Numero rit.	Presente	Ascissa	Campata	βx/m	Vincolo a entrambi estremi	λx/m	λVer
1	Si	0					
			1-2	1	Si	39.2	Si, (<200)
2	Si	1.916					

Dati per instabilità attorno a y

Controllo della snellezza secondo §4.2.4.1.3.1 NTC18

Numero rit.	Presente	Ascissa	Campata	βy/n	k,LT	kw,LT	Vincolo a entrambi estremi	λy/n	λVer
1	Si	0							
			1-2	1	1	1	Si	63.5	Si, (<200)
2	Si	1.916							

Verifica a svergolamento con trazione §4.2.4.1.3.2 NTC18 § 5.5.3 ENV 1993-1-1:1992 + AC:1992 + A1:1994 + A2:1998

X	Comb.	Sfruttamento	Classe	Obblig.	NEd	Mx,Ed	Mx,Eff,Ed	Mb,Rd,x	χ,LT	λ adim. LT	L,LT	M,critico	Verifica
0.958	SLU 62	0.001	1	Si	2.786	-0.11146	-0.02962	28.03468	0.895	0.648	1.916	78.2995	Si

Verifica di stabilità per tenso-flessione deviata §5 5.5.3-5.5.4 ENV 1993-1-1:1992 + AC:1992 + A1:1994 + A2:1998

X	Comb.	Sfruttamento	Classe	NEd	Mx,Ed	Mx,Ed	My,Ed	χ,LT	kLT	ky	M,critico	Wx	Wy	Verifica
0.958	SLU 57	0.005	1	0.291	-0.10405	-0.0955	-0.01921	0.895	1	1	78.2995	0.0001196	0.0000589	Si

Verifica di stabilità per pressoflessione §C.4.2.4.1.3.3.2 NTC18

X	Comb.	Sfruttamento	Classe	NEd	NRk	Mx,Ed max	Mx,Rk	My,Ed max	My,Rk	χ,x	χ,y	kxx	kxy	kyy	χ,LT	Verifica	
0	SLV 8	0.025	1	-10.094	697.541	0.08195	32.89552	0.01317	16.19002	0.905	0.705	0.949	0.59	0.998	0.984	0.895	Si

Verifica di stabilità per pressoflessione SLD §C.4.2.4.1.3.3.2 NTC18

X	Comb.	Sfruttamento	Classe	NEd	NRk	Mx,Ed max	Mx,Rk	My,Ed max	My,Rk	χ,x	χ,y	kxx	kxy	kyy	χ,LT	Verifica	
0	SLD 8	0.008	1	-2.129	697.541	0.08327	32.89552	0.00935	16.19002	0.905	0.705	0.946	0.558	1	0.931	0.895	Si

Verifica di stabilità a taglio anima Y §4.2.4.1.2.4 [4.2.27] NTC18

η	hw	tw	hw/tw max	Verifica
1.2	0.098	0.005	55.46	Si

Verifica di stabilità a taglio anima Y SLD §4.2.4.1.2.4 [4.2.27] NTC18

η	hw	tw	hw/tw max	Verifica
1.2	0.098	0.005	55.46	Si

Verifiche a deformabilità

Mensola X: No; Mensola Y: No.

Frecce lungo X

Ascissa freccia	Combinazione	Freccia	Luce	L/f	L/f,min	Tipo	Verifica
0.958	SLE RA 1	0.00001	1.916	10000	250	Totale	Si
0.958	SLE RA 17	0.00001	1.916	10000	250	Totale	Si
0.958	SLE RA 16	0.00001	1.916	10000	250	Totale	Si
0.958	SLE RA 15	0.00001	1.916	10000	250	Totale	Si
0.958	SLE RA 14	0.00001	1.916	10000	250	Totale	Si
0.958	SLE RA 2	-0.00001	1.916	10000	350	Variabile	Si
0.958	SLE RA 17	0	1.916	10000	350	Variabile	Si
0.958	SLE RA 16	0.00001	1.916	10000	350	Variabile	Si
0.958	SLE RA 15	0.00001	1.916	10000	350	Variabile	Si
0.958	SLE RA 14	0	1.916	10000	350	Variabile	Si

Frecce lungo Y

Ascissa freccia	Combinazione	Freccia	Luce	L/f	L/f,min	Tipo	Verifica
0.958	SLE RA 1	-0.00003	1.916	10000	250	Totale	Si
0.958	SLE RA 17	-0.00003	1.916	10000	250	Totale	Si
0.958	SLE RA 16	-0.00003	1.916	10000	250	Totale	Si
0.958	SLE RA 15	-0.00003	1.916	10000	250	Totale	Si
0.958	SLE RA 14	-0.00003	1.916	10000	250	Totale	Si
1.086	SLE RA 2	0	1.916	10000	350	Variabile	Si
1.086	SLE RA 17	0	1.916	10000	350	Variabile	Si
1.086	SLE RA 16	0	1.916	10000	350	Variabile	Si
1.086	SLE RA 15	0	1.916	10000	350	Variabile	Si
1.086	SLE RA 14	0	1.916	10000	350	Variabile	Si

Superelemento in acciaio a quota "590"- "640" (1491; 1645)-(1618; 1779)

Caratteristiche del materiale

Acciaio: S275, fyk = 275000

Caratteristiche geometriche

Lunghezza: 1.916
Nodo iniziale: 406 Nodo finale: 1019
Cerniera iniziale: Mmomenti 1% Cerniera finale: Mmomenti 1%
Sovraresistenza: 0% Sisma Z: No

Caratteristiche della sezione

Sezione	Rotazione	Area	Jx	Jy	ix	iy	Wx	Wy	Wplx	Wply
HEA120	0	0.002537	0.0000060673	0.0000023091	0.0489	0.0302	0.00010644	0.00003849	0.00011962	0.00005887

Implementazione dei sistemi di confinamento delle emissioni odorigene diffuse dell'impianto di compostaggio esistente nel
Comune di Eboli (SA)
PROGETTO DEFINITIVO – Tabulati di calcolo Tomo 1

Verifiche di resistenza

Verifiche a forza assiale §4.2.4.1.2.1 - §4.2.4.1.2.2 NTC18

X	Comb.	Sfruttamento	Classe	NEd	Nc,Rd	Nt,Rd	Riduzione da taglio	px	py	Verifica
1.916	SLV 12	0.062		41.236		664.325	1	0	0	Si

Verifiche a forza assiale SLD §4.2.4.1.2.1 - §4.2.4.1.2.2 NTC18

X	Comb.	Sfruttamento	Classe	NEd	Nc,Rd	Nt,Rd	Riduzione da taglio	px	py	Verifica
1.916	SLD 12	0.032		21.12		664.325	1	0	0	Si

Verifica a taglio Y §4.2.4.1.2.4 NTC18

X	Comb.	Sfruttamento	VEd	Vc,Rd	Av	Interazione taglio-torsione	Riduzione torsione	Verifica
1.916	SLU 75	0.002	-0.241	128.304	0.000849	Considerata	1	Si

Verifica a taglio Y SLD §4.2.4.1.2.4 NTC18

X	Comb.	Sfruttamento	VEd	Vc,Rd	Av	Interazione taglio-torsione	Riduzione torsione	Verifica
1.916	SLD 6	0.001	-0.185	128.304	0.000849	Considerata	1	Si

Verifica a flessione semplice X §§ 4.2.4.1.2.3 - 4.2.4.1.2.6 - 4.2.4.1.2.7 - 4.2.4.1.2.8 NTC18

X	Comb.	Sfruttamento	Classe	Mx,Ed	Mx,Rd	Rid. Mx,Rd da VEd	px	py	Verifica
0.958	SLU 59	0.004	1	-0.11468	31.32907	1	0	0	Si

Verifica a presso/tenso flessione retta X §§ 4.2.4.1.2.3 - 4.2.4.1.2.6 - 4.2.4.1.2.7 - 4.2.4.1.2.8 NTC18

Verifiche eseguite utilizzando la formula conservativa (6.2) §6.2.1 EN 1993-1-1:2005.

X	Comb.	Sfruttamento	Classe	NEd	NRd	Rid. NRd da VEd	Mx,Ed	Mx,Rd	Rid. Mx,Rd da VEd	Rid. Mx,Rd da NEd	px	py	Verifica
0.958	SLU 75	0.065	1	40.836	664.325	1	-0.1259	31.3291	1		0	0	Si

Verifica a presso/tenso flessione retta X SLD §§ 4.2.4.1.2.3 - 4.2.4.1.2.6 - 4.2.4.1.2.7 - 4.2.4.1.2.8 NTC18

Verifiche eseguite utilizzando la formula conservativa (6.2) §6.2.1 EN 1993-1-1:2005.

X	Comb.	Sfruttamento	Classe	NEd	NRd	Rid. NRd da VEd	Mx,Ed	Mx,Rd	Rid. Mx,Rd da VEd	Rid. Mx,Rd da NEd	px	py	Verifica
0.958	SLD 12	0.035	1	21.07	664.325	1	-0.0906	31.3291	1		0	0	Si

Verifica a presso/tenso flessione retta Y §§ 4.2.4.1.2.3 - 4.2.4.1.2.6 - 4.2.4.1.2.7 - 4.2.4.1.2.8 NTC18

Verifiche eseguite utilizzando la formula conservativa (6.2) §6.2.1 EN 1993-1-1:2005.

X	Comb.	Sfruttamento	Classe	NEd	NRd	Rid. NRd da VEd	My,Ed	My,Rd	Rid. My,Rd da VEd	Rid. My,Rd da NEd	px	py	Verifica
1.916	SLV 12	0.063	1	41.236	664.325	1	0.0076	15.4191	1		0	0	Si

Verifica a presso/tenso flessione retta Y SLD §§ 4.2.4.1.2.3 - 4.2.4.1.2.6 - 4.2.4.1.2.7 - 4.2.4.1.2.8 NTC18

Verifiche eseguite utilizzando la formula conservativa (6.2) §6.2.1 EN 1993-1-1:2005.

X	Comb.	Sfruttamento	Classe	NEd	NRd	Rid. NRd da VEd	My,Ed	My,Rd	Rid. My,Rd da VEd	Rid. My,Rd da NEd	px	py	Verifica
0	SLD 5	0.002	1	-1.012	664.325	1	-0.0043	15.4191	1		0	0	Si

Verifica a presso/tenso flessione deviata §§ 4.2.4.1.2.3 - 4.2.4.1.2.6 - 4.2.4.1.2.7 - 4.2.4.1.2.8 NTC18

Verifiche eseguite utilizzando la formula conservativa (6.2) §6.2.1 EN 1993-1-1:2005.

X	Comb.	Sfruttamento	Classe	NEd	NRd	Rid. NRd da VEd	Mx,Ed	Mx,Rd	My,Ed	My,Rd	Rid. Mx,Rd da VEd	Rid. Mx,Rd da NEd	Rid. My,Rd da VEd	Rid. My,Rd da NEd	α	β	px	py	Verifica
0.958	SLV 12	0.065	1	41.186	664.325	1	-0.0895	31.3291	0.0071	15.4191	1		1				0	0	Si

Verifica a presso/tenso flessione deviata SLD §§ 4.2.4.1.2.3 - 4.2.4.1.2.6 - 4.2.4.1.2.7 - 4.2.4.1.2.8 NTC18

Verifiche eseguite utilizzando la formula conservativa (6.2) §6.2.1 EN 1993-1-1:2005.

X	Comb.	Sfruttamento	Classe	NEd	NRd	Rid. NRd da VEd	Mx,Ed	Mx,Rd	My,Ed	My,Rd	Rid. Mx,Rd da VEd	Rid. Mx,Rd da NEd	Rid. My,Rd da VEd	Rid. My,Rd da NEd	α	β	px	py	Verifica
0.319	SLD 5	0.003	1	-0.995	664.325	1	-0.053	31.3291	-0.0039	15.4191	1		1				0	0	Si

Verifiche ad instabilità

Caratteristiche iniziali

Membratura principale per controllo snellezza; Calcolo di snellezze ed N critici condotti secondo gli assi principali;

Curva X: b; Curva Y: c; Svergolamento: Carico all'estradosso; Curva svergolamento: b;

Dati per instabilità attorno a x

Controllo della snellezza secondo §4.2.4.1.3.1 NTC18

Numero rit.	Presente	Ascissa	Campata	βx/m	Vincolo a entrambi estremi	λx/m	λVer
1	Si	0					
			1-2		1	39.2	Si, (<200)
2	Si	1.916					

Dati per instabilità attorno a y

Controllo della snellezza secondo §4.2.4.1.3.1 NTC18

Numero rit.	Presente	Ascissa	Campata	βy/n	k _i LT	k _w LT	Vincolo a entrambi estremi	λy/n	λVer
1	Si	0							
			1-2		1	1	Si	63.5	Si, (<200)
2	Si	1.916							

Verifica a svergolamento §4.2.4.1.3.2 NTC18

X	Comb.	Sfruttamento	Classe	Obblig.	Mx,Ed	Mb,Rd,x	χ _i LT	λ adim. LT	L _i LT	M _c critico	Verifica
0.958	SLU 59	0.004	1	Si	-0.11468	28.03468	0.895	0.648	1.916	78.2995	Si

Verifica a svergolamento con trazione §4.2.4.1.3.2 NTC18 § 5.5.3 ENV 1993-1-1:1992 + AC:1992 + A1:1994 + A2:1998

X	Comb.	Sfruttamento	Classe	Obblig.	NEd	Mx,Ed	Mx,Ed,Ed	Mb,Rd,x	χ _i LT	λ adim. LT	L _i LT	M _c critico	Verifica
0.958	SLU 5	0.003	1	Si	0.289	-0.08832	-0.07982	28.03468	0.895	0.648	1.916	78.2995	Si

Verifica di stabilità per pressoflessione §C.4.2.4.1.3.3.2 NTC18

X	Comb.	Sfruttamento	Classe	NEd	NRk	Mx,Ed max	Mx,Rk	My,Ed max	My,Rk	χ _x	χ _y	k _{xx}	k _{xy}	k _{yx}	k _{yy}	χ _i LT	Verifica
---	-------	--------------	--------	-----	-----	-----------	-------	-----------	-------	----------------	----------------	-----------------	-----------------	-----------------	-----------------	-------------------	----------

Implementazione dei sistemi di confinamento delle emissioni odorigene diffuse dell'impianto di compostaggio esistente nel
Comune di Eboli (SA)
PROGETTO DEFINITIVO – Tabulati di calcolo Tomo 1

X	Comb.	Sfruttamento	Classe	NEd	NRk	Mx,Ed max	Mx,Rk	My,Ed max	My,Rk	χ,x	χ,y	kxx	kxy	kyy	χ,LT	Verifica
0	SLV 5	0.049	1	-21.127	697.541	0.09289	32.89552	0.00905	16.19002	0.905	0.705	0.961	0.537	0.995	0.895	Si

Verifica di stabilità per pressoflessione SLD §C.4.2.4.1.3.3.2 NTC18

X	Comb.	Sfruttamento	Classe	NEd	NRk	Mx,Ed max	Mx,Rk	My,Ed max	My,Rk	χ,x	χ,y	kxx	kxy	kyy	χ,LT	Verifica
0	SLD 6	0.006	1	-1.012	697.541	0.09181	32.89552	0.00427	16.19002	0.905	0.705	0.953	0.464	1	0.773	Si

Verifica di stabilità a taglio anima Y §4.2.4.1.2.4 [4.2.27] NTC18

η	hw	tw	hw/tw max	Verifica
1.2	0.098	0.005	55.46	Si

Verifica di stabilità a taglio anima Y SLD §4.2.4.1.2.4 [4.2.27] NTC18

η	hw	tw	hw/tw max	Verifica
1.2	0.098	0.005	55.46	Si

Verifiche a deformabilità

Mensola X: No; Mensola Y: No.

Frecce lungo X

Ascissa freccia	Combinazione	Freccia	Luce	L/f	L/f,min	Tipo	Verifica
0.575	SLE RA 1	0	1.916	10000	250	Totale	Si
0.575	SLE RA 17	0	1.916	10000	250	Totale	Si
0.575	SLE RA 16	0	1.916	10000	250	Totale	Si
0.767	SLE RA 15	0	1.916	10000	250	Totale	Si
0.447	SLE RA 14	0	1.916	10000	250	Totale	Si
0.639	SLE RA 2	0	1.916	10000	350	Variabile	Si
0.639	SLE RA 17	0	1.916	10000	350	Variabile	Si
0.639	SLE RA 16	0	1.916	10000	350	Variabile	Si
0.894	SLE RA 15	0	1.916	10000	350	Variabile	Si
1.405	SLE RA 14	0	1.916	10000	350	Variabile	Si

Frecce lungo Y

Ascissa freccia	Combinazione	Freccia	Luce	L/f	L/f,min	Tipo	Verifica
0.958	SLE RA 1	-0.00003	1.916	10000	250	Totale	Si
0.958	SLE RA 17	-0.00003	1.916	10000	250	Totale	Si
0.958	SLE RA 16	-0.00003	1.916	10000	250	Totale	Si
0.958	SLE RA 15	-0.00003	1.916	10000	250	Totale	Si
0.958	SLE RA 14	-0.00003	1.916	10000	250	Totale	Si
0.958	SLE RA 2	0	1.916	10000	350	Variabile	Si
0.958	SLE RA 17	0	1.916	10000	350	Variabile	Si
0.958	SLE RA 16	0	1.916	10000	350	Variabile	Si
0.958	SLE RA 15	0	1.916	10000	350	Variabile	Si
0.958	SLE RA 14	0	1.916	10000	350	Variabile	Si

Superelemento in acciaio a quota "590"- "640" (1618; 1779)-(1745; 1914)

Caratteristiche del materiale

Acciaio: S275, fyk = 275000

Caratteristiche geometriche

Lunghezza: 1.916

Nodo iniziale: 413 Nodo finale: 1044

Cerniera iniziale: Mmomenti 1% Cerniera finale: Mmomenti 1%

Sovraresistenza: 0% Sisma Z: No

Caratteristiche della sezione

Sezione	Rotazione	Area	Jx	Jy	ix	iy	Wx	Wy	Wplx	Wply
HEA120	0	0.002537	0.0000060673	0.0000023091	0.0489	0.0302	0.00010644	0.00003849	0.00011962	0.00005887

Verifiche di resistenza

Verifiche a forza assiale §4.2.4.1.2.1 - §4.2.4.1.2.2 NTC18

X	Comb.	Sfruttamento	Classe	NEd	Nc,Rd	Nt,Rd	Riduzione da taglio	px	py	Verifica
1.916	SLU 75	0.081		54.043		664.325	1	0	0	Si

Verifiche a forza assiale SLD §4.2.4.1.2.1 - §4.2.4.1.2.2 NTC18

X	Comb.	Sfruttamento	Classe	NEd	Nc,Rd	Nt,Rd	Riduzione da taglio	px	py	Verifica
1.916	SLD 12	0.039		26.041		664.325	1	0	0	Si

Verifica a taglio Y §4.2.4.1.2.4 NTC18

X	Comb.	Sfruttamento	VEd	Vc,Rd	Av	Interazione taglio-torsione	Riduzione torsione	Verifica
1.916	SLU 75	0.002	-0.241	128.304	0.000849	Considerata	1	Si

Verifica a taglio Y SLD §4.2.4.1.2.4 NTC18

X	Comb.	Sfruttamento	VEd	Vc,Rd	Av	Interazione taglio-torsione	Riduzione torsione	Verifica
1.916	SLD 9	0.001	-0.185	128.304	0.000849	Considerata	1	Si

Verifica a presso/tenso flessione retta X §§ 4.2.4.1.2.3 - 4.2.4.1.2.6 - 4.2.4.1.2.7 - 4.2.4.1.2.8 NTC18

Verifiche eseguite utilizzando la formula conservativa (6.2) §6.2.1 EN 1993-1-1:2005.

X	Comb.	Sfruttamento	Classe	NEd	NRd	Rid. NRd da VEd	Mx,Ed	Mx,Rd	Rid. Mx,Rd da VEd	Rid. Mx,Rd da NEd	px	py	Verifica
0.958	SLU 75	0.085	1	53.978	664.325	1	-0.1122	31.3291	1		0	0	Si

Verifica a presso/tenso flessione retta X SLD §§ 4.2.4.1.2.3 - 4.2.4.1.2.6 - 4.2.4.1.2.7 - 4.2.4.1.2.8 NTC18

Verifiche eseguite utilizzando la formula conservativa (6.2) §6.2.1 EN 1993-1-1:2005.

X	Comb.	Sfruttamento	Classe	NEd	NRd	Rid. NRd da VEd	Mx,Ed	Mx,Rd	Rid. Mx,Rd da VEd	Rid. Mx,Rd da NEd	px	py	Verifica
---	-------	--------------	--------	-----	-----	--------------------	-------	-------	----------------------	----------------------	----	----	----------

Implementazione dei sistemi di confinamento delle emissioni odorigene diffuse dell'impianto di compostaggio esistente nel
Comune di Eboli (SA)

PROGETTO DEFINITIVO – Tabulati di calcolo Tomo 1

X	Comb.	Sfruttamento	Classe	NEd	NRd	Rid. NRd da VEd	Mx,Ed	Mx,Rd	Rid. Mx,Rd da VEd	Rid. Mx,Rd da NEd	px	py	Verifica
0.958	SLD 11	0.042	1	25.991	664.325	1	-0.0856	31.3291	1		0	0	Si

Verifica a presso/tenso flessione retta Y §§ 4.2.4.1.2.3 - 4.2.4.1.2.6 - 4.2.4.1.2.7 - 4.2.4.1.2.8 NTC18

Verifiche eseguite utilizzando la formula conservativa (6.2) §6.2.1 EN 1993-1-1:2005.

X	Comb.	Sfruttamento	Classe	NEd	NRd	Rid. NRd da VEd	My,Ed	My,Rd	Rid. My,Rd da VEd	Rid. My,Rd da NEd	px	py	Verifica
1.916	SLU 75	0.082	1	54.043	664.325	1	-0.0064	15.4191	1		0	0	Si

Verifica a presso/tenso flessione retta Y SLD §§ 4.2.4.1.2.3 - 4.2.4.1.2.6 - 4.2.4.1.2.7 - 4.2.4.1.2.8 NTC18

Verifiche eseguite utilizzando la formula conservativa (6.2) §6.2.1 EN 1993-1-1:2005.

X	Comb.	Sfruttamento	Classe	NEd	NRd	Rid. NRd da VEd	My,Ed	My,Rd	Rid. My,Rd da VEd	Rid. My,Rd da NEd	px	py	Verifica
0	SLD 11	0.039	1	25.941	664.325	1	0.0044	15.4191	1		0	0	Si

Verifica a presso/tenso flessione deviata §§ 4.2.4.1.2.3 - 4.2.4.1.2.6 - 4.2.4.1.2.7 - 4.2.4.1.2.8 NTC18

Verifiche eseguite utilizzando la formula conservativa (6.2) §6.2.1 EN 1993-1-1:2005.

X	Comb.	Sfruttamento	Classe	NEd	NRd	Rid. NRd da VEd	Mx,Ed	Mx,Rd	My,Ed	My,Rd	Rid. Mx,Rd da VEd	Rid. Mx,Rd da NEd	Rid. My,Rd da VEd	Rid. My,Rd da NEd	α	β	px	py	Verifica
0.511	SLU 75	0.084	1	53.948	664.325	1	-0.0881	31.3291	0.0042	15.4191	1		1				0	0	Si

Verifica a presso/tenso flessione deviata SLD §§ 4.2.4.1.2.3 - 4.2.4.1.2.6 - 4.2.4.1.2.7 - 4.2.4.1.2.8 NTC18

Verifiche eseguite utilizzando la formula conservativa (6.2) §6.2.1 EN 1993-1-1:2005.

X	Comb.	Sfruttamento	Classe	NEd	NRd	Rid. NRd da VEd	Mx,Ed	Mx,Rd	My,Ed	My,Rd	Rid. Mx,Rd da VEd	Rid. Mx,Rd da NEd	Rid. My,Rd da VEd	Rid. My,Rd da NEd	α	β	px	py	Verifica
0.128	SLD 11	0.04	1	25.948	664.325	1	-0.0203	31.3291	0.0039	15.4191	1		1				0	0	Si

Verifiche ad instabilità

Caratteristiche iniziali

Membratura principale per controllo snellezza; Calcolo di snellezze ed N critici condotti secondo gli assi principali;

Curva X: b; Curva Y: c; Svergolamento: Carico all'estradosso; Curva svergolamento: b;

Dati per instabilità attorno a x

Controllo della snellezza secondo §4.2.4.1.3.1 NTC18

Numero rit.	Presente	Ascissa	Campata	βx/m	Vincolo a entrambi estremi	λx/m	λVer
1	Si		0				
			1-2		1	39.2	Si, (<200)
2	Si	1.916					

Dati per instabilità attorno a y

Controllo della snellezza secondo §4.2.4.1.3.1 NTC18

Numero rit.	Presente	Ascissa	Campata	βy/n	k,LT	kw,LT	Vincolo a entrambi estremi	λy/n	λVer
1	Si	0							
			1-2		1	1	Si	63.5	Si, (<200)
2	Si	1.916							

Verifica a svergolamento con trazione §4.2.4.1.3.2 NTC18 § 5.5.3 ENV 1993-1-1:1992 + AC:1992 + A1:1994 + A2:1998

X	Comb.	Sfruttamento	Classe	Obblig.	NEd	Mx,Ed	Mx,Eff,Ed	My,Ed	χ,LT	Mb,Rd,x	χ,LT	λ adim. LT	L,LT	M,critico	Verifica
0.958	SLV 10	0.003	1	Si		0.376	-0.09005	-0.07901	0.895	28.03468	0.895	0.648	1.916	78.2995	Si

Verifica di stabilità per tenso-flessione deviata §§ 5.5.3-5.5.4 ENV 1993-1-1:1992 + AC:1992 + A1:1994 + A2:1998

X	Comb.	Sfruttamento	Classe	NEd	Mx,Ed	Mx,Eff,Ed	My,Ed	χ,LT	kLT	ky	M,critico	Wx	Wy	Verifica
0.894	SLV 10	0.003	1	0.372	-0.08966	-0.07872	0.00398	0.895	1	1	78.2995	0.0001196	0.0000589	Si

Verifica di stabilità per pressoflessione §C.4.2.4.1.3.3.2 NTC18

X	Comb.	Sfruttamento	Classe	NEd	NRk	Mx,Ed max	Mx,Rk	My,Ed max	My,Rk	χ,x	χ,y	kxx	kxy	kyy	χ,LT	Verifica
0	SIV 6	0.028	1	-11.665	697.541	0.09217	32.89552	0.00407	16.19002	0.905	0.705	0.957	0.365	0.997	0.608	0.895

Verifica di stabilità a taglio anima Y §4.2.4.1.2.4 [4.2.27] NTC18

η	hw	tw	hw/tw max	Verifica
1.2	0.098	0.005	55.46	Si

Verifica di stabilità a taglio anima Y SLD §4.2.4.1.2.4 [4.2.27] NTC18

η	hw	tw	hw/tw max	Verifica
1.2	0.098	0.005	55.46	Si

Verifiche a deformabilità

Mensola X: No; Mensola Y: No.

Frecce lungo X

Ascissa freccia	Combinazione	Freccia	Luce	L/f	L/f,min	Tipo	Verifica
1.405	SLE RA 1	0	1.916	10000	250	Totale	Si
1.469	SLE RA 17	0	1.916	10000	250	Totale	Si
1.469	SLE RA 16	0	1.916	10000	250	Totale	Si
1.278	SLE RA 15	0	1.916	10000	250	Totale	Si
0.511	SLE RA 14	0	1.916	10000	250	Totale	Si
1.533	SLE RA 2	0	1.916	10000	350	Variabile	Si
1.533	SLE RA 17	0	1.916	10000	350	Variabile	Si
1.533	SLE RA 16	0	1.916	10000	350	Variabile	Si
1.086	SLE RA 15	0	1.916	10000	350	Variabile	Si
0.639	SLE RA 14	0	1.916	10000	350	Variabile	Si

Frecce lungo Y

Ascissa freccia	Combinazione	Freccia	Luce	L/f	L/f,min	Tipo	Verifica
0.958	SLE RA 1	-0.00003	1.916	10000	250	Totale	Si
0.958	SLE RA 17	-0.00003	1.916	10000	250	Totale	Si
0.958	SLE RA 16	-0.00003	1.916	10000	250	Totale	Si
0.958	SLE RA 15	-0.00003	1.916	10000	250	Totale	Si
0.958	SLE RA 14	-0.00003	1.916	10000	250	Totale	Si
1.15	SLE RA 2	0	1.916	10000	350	Variabile	Si
1.15	SLE RA 17	0	1.916	10000	350	Variabile	Si

**Implementazione dei sistemi di confinamento delle emissioni odorigene diffuse dell'impianto di compostaggio esistente nel
Comune di Eboli (SA)**

PROGETTO DEFINITIVO – Tabulati di calcolo Tomo 1

Ascissa freccia	Combinazione	Freccia	Luce	L/f	L/f,min	Tipo	Verifica
1.15	SLE RA 16	0	1.916	10000	350	Variabile	Si
0.958	SLE RA 15	0	1.916	10000	350	Variabile	Si
1.086	SLE RA 14	0	1.916	10000	350	Variabile	Si

Superelemento in acciaio a quota "590"- "640" (1745; 1914)-(1872; 2048)

Caratteristiche del materiale

Acciaio: S275, fyk = 275000

Caratteristiche geometriche

Lunghezza: 1.916

Nodo iniziale: 420 Nodo finale: 1073

Cerniera iniziale: Mmomenti 1% Cerniera finale: Mmomenti 1%

Sovreresistenza: 0% Sisma Z: No

Caratteristiche della sezione

Sezione	Rotazione	Area	Jx	Jy	ix	iy	Wx	Wy	Wplx	Wply
HEA120	0	0.002537	0.0000060673	0.0000023091	0.0489	0.0302	0.00010644	0.00003849	0.00011962	0.00005887

Verifiche di resistenza

Verifiche a forza assiale §4.2.4.1.2.1 - §4.2.4.1.2.2 NTC18

X	Comb.	Sfruttamento	Classe	NEd	Nc,Rd	Nt,Rd	Riduzione da taglio	px	py	Verifica
1.916	SLV 8	0.03		19.668		664.325	1	0	0	Si

Verifiche a forza assiale SLD §4.2.4.1.2.1 - §4.2.4.1.2.2 NTC18

X	Comb.	Sfruttamento	Classe	NEd	Nc,Rd	Nt,Rd	Riduzione da taglio	px	py	Verifica
1.916	SLD 8	0.015		9.735		664.325	1	0	0	Si

Verifica a taglio Y §4.2.4.1.2.4 NTC18

X	Comb.	Sfruttamento	VEd	Vc,Rd	Av	Interazione taglio-torsione	Riduzione torsione	Verifica
0	SLU 75	0.002	0.246	128.304	0.000849	Considerata	1	Si

Verifica a taglio Y SLD §4.2.4.1.2.4 NTC18

X	Comb.	Sfruttamento	VEd	Vc,Rd	Av	Interazione taglio-torsione	Riduzione torsione	Verifica
0	SLD 9	0.001	0.186	128.304	0.000849	Considerata	1	Si

Verifica a flessione semplice X §§ 4.2.4.1.2.3 - 4.2.4.1.2.6 - 4.2.4.1.2.7 - 4.2.4.1.2.8 NTC18

X	Comb.	Sfruttamento	Classe	Mx,Ed	Mx,Rd	Rid. Mx,Rd da VEd	px	py	Verifica
0.894	SLU 43	0.004	1	-0.11352	31.32907	1	0	0	Si

Verifica a flessione semplice X SLD §§ 4.2.4.1.2.3 - 4.2.4.1.2.6 - 4.2.4.1.2.7 - 4.2.4.1.2.8 NTC18

X	Comb.	Sfruttamento	Classe	Mx,Ed	Mx,Rd	Rid. Mx,Rd da VEd	px	py	Verifica
0.958	SLD 10	0.003	1	-0.08934	31.32907	1	0	0	Si

Verifica a flessione semplice Y SLD §§ 4.2.4.1.2.3 - 4.2.4.1.2.6 - 4.2.4.1.2.7 - 4.2.4.1.2.8 NTC18

X	Comb.	Sfruttamento	Classe	My,Ed	My,Rd	Rid. My,Rd da VEd	px	py	Verifica
0	SLD 13	0	1	-0.00625	15.41907	1	0	0	Si

Verifica a flessione deviata SLD §§ 4.2.4.1.2.3 - 4.2.4.1.2.6 - 4.2.4.1.2.7 - 4.2.4.1.2.8 NTC18

X	Comb.	Sfruttamento	Classe	Mx,Ed	Mx,Rd	My,Ed	My,Rd	Rid. Mx,Rd da VEd	Rid. My,Rd da VEd	α	β	px	py	Verifica
0.894	SLD 13	0.003	1	-0.0861	31.3291	-0.004	15.4191	1	1			0	0	Si

Verifica a presso/tenso flessione retta X §§ 4.2.4.1.2.3 - 4.2.4.1.2.6 - 4.2.4.1.2.7 - 4.2.4.1.2.8 NTC18

Verifiche eseguite utilizzando la formula conservativa (6.2) §6.2.1 EN 1993-1-1:2005.

X	Comb.	Sfruttamento	Classe	NEd	NRd	Rid. NRd da VEd	Mx,Ed	Mx,Rd	Rid. Mx,Rd da VEd	Rid. Mx,Rd da NEd	px	py	Verifica
0.958	SLV 4	0.032	1	19.56	664.325	1	-0.0915	31.3291	1	1	0	0	Si

Verifica a presso/tenso flessione retta X SLD §§ 4.2.4.1.2.3 - 4.2.4.1.2.6 - 4.2.4.1.2.7 - 4.2.4.1.2.8 NTC18

Verifiche eseguite utilizzando la formula conservativa (6.2) §6.2.1 EN 1993-1-1:2005.

X	Comb.	Sfruttamento	Classe	NEd	NRd	Rid. NRd da VEd	Mx,Ed	Mx,Rd	Rid. Mx,Rd da VEd	Rid. Mx,Rd da NEd	px	py	Verifica
0.958	SLD 3	0.017	1	9.667	664.325	1	-0.0892	31.3291	1	1	0	0	Si

Verifica a presso/tenso flessione retta Y §§ 4.2.4.1.2.3 - 4.2.4.1.2.6 - 4.2.4.1.2.7 - 4.2.4.1.2.8 NTC18

Verifiche eseguite utilizzando la formula conservativa (6.2) §6.2.1 EN 1993-1-1:2005.

X	Comb.	Sfruttamento	Classe	NEd	NRd	Rid. NRd da VEd	My,Ed	My,Rd	Rid. My,Rd da VEd	Rid. My,Rd da NEd	px	py	Verifica
0	SLV 7	0.03	1	19.568	664.325	1	-0.0088	15.4191	1	1	0	0	Si

Verifica a presso/tenso flessione retta Y SLD §§ 4.2.4.1.2.3 - 4.2.4.1.2.6 - 4.2.4.1.2.7 - 4.2.4.1.2.8 NTC18

Verifiche eseguite utilizzando la formula conservativa (6.2) §6.2.1 EN 1993-1-1:2005.

X	Comb.	Sfruttamento	Classe	NEd	NRd	Rid. NRd da VEd	My,Ed	My,Rd	Rid. My,Rd da VEd	Rid. My,Rd da NEd	px	py	Verifica
0	SLD 7	0.015	1	9.635	664.325	1	-0.0066	15.4191	1	1	0	0	Si

Verifica a presso/tenso flessione deviata §§ 4.2.4.1.2.3 - 4.2.4.1.2.6 - 4.2.4.1.2.7 - 4.2.4.1.2.8 NTC18

Verifiche eseguite utilizzando la formula conservativa (6.2) §6.2.1 EN 1993-1-1:2005.

X	Comb.	Sfruttamento	Classe	NEd	NRd	Rid. NRd da VEd	Mx,Ed	Mx,Rd	My,Ed	My,Rd	Rid. Mx,Rd da VEd	Rid. Mx,Rd da NEd	Rid. My,Rd da VEd	Rid. My,Rd da NEd	α	β	px	py	Verifica
0.958	SLV 8	0.033	1	19.618	664.325	1	-0.0838	31.3291	-0.0061	15.4191	1	1	1	1			0	0	Si

PROGETTO DEFINITIVO – Tabulati di calcolo Tomo 1

Verifica a presso/tenso flessione deviata SLD §§ 4.2.4.1.2.3 - 4.2.4.1.2.6 - 4.2.4.1.2.7 - 4.2.4.1.2.8 NTC18

Verifiche eseguite utilizzando la formula conservativa (6.2) §6.2.1 EN 1993-1-1:2005.

X	Comb.	Sfruttamento	Classe	NEd	NRd	Rid. NRd da VEd	Mx,Ed	Mx,Rd	My,Ed	My,Rd	Rid. Mx,Rd da VEd	Rid. Mx,Rd da NEd	Rid. My,Rd da VEd	Rid. My,Rd da NEd	α	β	px	py	Verifica
0.958	SLD 8	0.018	1	9.685	664.325	1	-0.0864	31.3291	-0.0041	15.4191	1		1				0	0	Si

Verifiche ad instabilità

Caratteristiche iniziali

Membratura principale per controllo snellezza; Calcolo di snellezze ed N critici condotti secondo gli assi principali;

Curva X: b; Curva Y: c; Svergolamento: Carico all'estradosso; Curva svergolamento: b;

Dati per instabilità attorno a x

Controllo della snellezza secondo §4.2.4.1.3.1 NTC18

Numero rit.	Presente	Ascissa	Campata	βx/m	Vincolo a entrambi estremi	λx/m	λVer
1	Si		0				
			1-2		1	39.2	Si, (<200)
2	Si		1.916				

Dati per instabilità attorno a y

Controllo della snellezza secondo §4.2.4.1.3.1 NTC18

Numero rit.	Presente	Ascissa	Campata	βy/n	k _y LT	k _w LT	Vincolo a entrambi estremi	λy/n	λVer
1	Si		0						
			1-2		1	1	Si	63.5	Si, (<200)
2	Si		1.916						

Verifica a svergolamento §4.2.4.1.3.2 NTC18

X	Comb.	Sfruttamento	Classe	Obblig.	Mx,Ed	Mb,Rd,x	χ _y LT	λ adim. LT	L _y LT	M _y critico	Verifica
0.894	SLU 43	0.004	1	Si	-0.11352	28.03468	0.895	0.648	1.916	78.2995	Si

Verifica a svergolamento con trazione §4.2.4.1.3.2 NTC18 § 5.5.3 ENV 1993-1-1:1992 + AC:1992 + A1:1994 + A2:1998

X	Comb.	Sfruttamento	Classe	Obblig.	NEd	Mx,Ed	Mx,Eff,Ed	Mb,Rd,x	χ _y LT	λ adim. LT	L _y LT	M _y critico	Verifica
0.958	SLU 43	0.004	1	Si	0.257	-0.1141	-0.10653	28.03468	0.895	0.648	1.916	78.2995	Si

Verifica a svergolamento con trazione SLD §4.2.4.1.3.2 NTC18 § 5.5.3 ENV 1993-1-1:1992 + AC:1992 + A1:1994 + A2:1998

X	Comb.	Sfruttamento	Classe	Obblig.	NEd	Mx,Ed	Mx,Eff,Ed	Mb,Rd,x	χ _y LT	λ adim. LT	L _y LT	M _y critico	Verifica
0.958	SLD 5	0.001	1	Si	2.165	-0.09049	-0.02689	28.03468	0.895	0.648	1.916	78.2995	Si

Verifica di stabilità per tenso-flessione deviata SLD §§ 5.5.3-5.5.4 ENV 1993-1-1:1992 + AC:1992 + A1:1994 + A2:1998

X	Comb.	Sfruttamento	Classe	NEd	Mx,Ed	Mx,Ed max	My,Ed	χ _y LT	k _y LT	M _y critico	W _x	W _y	Verifica
0.958	SLD 16	0.001	1	2.199	-0.08536	-0.02077	-0.00471	0.895	1	78.2995	0.0001196	0.0000589	Si

Verifica di stabilità per pressoflessione §C.4.2.4.1.3.3.2 NTC18

X	Comb.	Sfruttamento	Classe	NEd	NRk	Mx,Ed max	Mx,Rk	My,Ed max	My,Rk	χ _x	χ _y	k _{xx}	k _{xy}	k _{yx}	k _{yy}	χ _y LT	Verifica
0	SLV 9	0.025	1	-10.058	697.541	0.09201	32.89552	0.00197	16.19002	0.905	0.705	0.957	0.244	0.998	0.407	0.895	Si

Verifica di stabilità per pressoflessione SLD §C.4.2.4.1.3.3.2 NTC18

X	Comb.	Sfruttamento	Classe	NEd	NRk	Mx,Ed max	Mx,Rk	My,Ed max	My,Rk	χ _x	χ _y	k _{xx}	k _{xy}	k _{yx}	k _{yy}	χ _y LT	Verifica
1.916	SLD 14	0.003	1	0	697.541	0.08658	32.89552	0.00625	16.19002	0.905	0.705	0.948	0.413	1	0.688	0.895	Si

Verifica di stabilità a taglio anima Y §4.2.4.1.2.4 [4.2.27] NTC18

η	hw	tw	hw/tw max	Verifica
1.2	0.098	0.005	55.46	Si

Verifica di stabilità a taglio anima X §4.2.4.1.2.4 [4.2.27] NTC18

η	hw	tw	hw/tw max	Verifica
1.2	0.098	0.005	55.46	Si

Verifiche a deformabilità

Mensola X: No; Mensola Y: No.

Frecce lungo X

Ascissa freccia	Combinazione	Freccia	Luce	L/f	L/f,min	Tipo	Verifica
0.83	SLE RA 1	0	1.916	10000	250	Totale	Si
0.83	SLE RA 17	0	1.916	10000	250	Totale	Si
0.83	SLE RA 16	0	1.916	10000	250	Totale	Si
0.83	SLE RA 15	0	1.916	10000	250	Totale	Si
0.83	SLE RA 14	0	1.916	10000	250	Totale	Si
0.83	SLE RA 2	0	1.916	10000	350	Variabile	Si
0.83	SLE RA 17	0	1.916	10000	350	Variabile	Si
0.83	SLE RA 16	0	1.916	10000	350	Variabile	Si
0.83	SLE RA 15	0	1.916	10000	350	Variabile	Si
0.83	SLE RA 14	0	1.916	10000	350	Variabile	Si

Frecce lungo Y

Ascissa freccia	Combinazione	Freccia	Luce	L/f	L/f,min	Tipo	Verifica
0.958	SLE RA 1	-0.00003	1.916	10000	250	Totale	Si
0.958	SLE RA 17	-0.00003	1.916	10000	250	Totale	Si
0.958	SLE RA 16	-0.00003	1.916	10000	250	Totale	Si
0.958	SLE RA 15	-0.00003	1.916	10000	250	Totale	Si
0.958	SLE RA 14	-0.00003	1.916	10000	250	Totale	Si
1.405	SLE RA 2	0	1.916	10000	350	Variabile	Si
1.405	SLE RA 17	0	1.916	10000	350	Variabile	Si
1.405	SLE RA 16	0	1.916	10000	350	Variabile	Si
1.022	SLE RA 15	0	1.916	10000	350	Variabile	Si
0.511	SLE RA 14	0	1.916	10000	350	Variabile	Si

Implementazione dei sistemi di confinamento delle emissioni odorigene diffuse dell'impianto di compostaggio esistente nel
Comune di Eboli (SA)
PROGETTO DEFINITIVO – Tabulati di calcolo Tomo 1

Superelemento in acciaio a quota "590"- "640" (1872; 2048)-(1998; 2183)

Caratteristiche del materiale

Acciaio: S275, fyk = 275000

Caratteristiche geometriche

Lunghezza: 1.916

Nodo iniziale: 425 Nodo finale: 1099

Cerniera iniziale: Mmomenti 1% Cerniera finale: Mmomenti 1%

Sovreresistenza: 0% Sisma Z: No

Caratteristiche della sezione

Sezione	Rotazione	Area	Jx	Jy	Ix	Iy	Wx	Wy	Wplx	Wply
HEA120	0	0.002537	0.0000060673	0.0000023091	0.0489	0.0302	0.00010644	0.00003849	0.00011962	0.00005887

Verifiche di resistenza

Verifiche a forza assiale §4.2.4.1.2.1 - §4.2.4.1.2.2 NTC18

X	Comb.	Sfruttamento	Classe	NEd	Nc,Rd	Nt,Rd	Riduzione da taglio	px	py	Verifica
1.916	SLV 8	0.017		11.365		664.325	1	0	0	Si

Verifiche a forza assiale SLD §4.2.4.1.2.1 - §4.2.4.1.2.2 NTC18

X	Comb.	Sfruttamento	Classe	NEd	Nc,Rd	Nt,Rd	Riduzione da taglio	px	py	Verifica
1.916	SLD 8	0.006		4.147		664.325	1	0	0	Si

Verifica a taglio Y §4.2.4.1.2.4 NTC18

X	Comb.	Sfruttamento	VEd	Vc,Rd	Av	Interazione taglio-torsione	Riduzione torsione	Verifica
1.916	SLU 75	0.002	-0.251	128.304	0.000849	Considerata	1	Si

Verifica a taglio Y SLD §4.2.4.1.2.4 NTC18

X	Comb.	Sfruttamento	VEd	Vc,Rd	Av	Interazione taglio-torsione	Riduzione torsione	Verifica
1.916	SLD 5	0.001	-0.19	128.304	0.000849	Considerata	1	Si

Verifica a flessione semplice Y §§ 4.2.4.1.2.3 - 4.2.4.1.2.6 - 4.2.4.1.2.7 - 4.2.4.1.2.8 NTC18

X	Comb.	Sfruttamento	Classe	My,Ed	My,Rd	Rid. My,Rd da VEd	px	py	Verifica
1.852	SLU 69	0.001	1	-0.01381	15.41907	1	0	0	Si

Verifica a flessione deviata §§ 4.2.4.1.2.3 - 4.2.4.1.2.6 - 4.2.4.1.2.7 - 4.2.4.1.2.8 NTC18

X	Comb.	Sfruttamento	Classe	Mx,Ed	Mx,Rd	My,Ed	My,Rd	Rid. Mx,Rd da VEd	Rid. My,Rd da VEd	α	β	px	py	Verifica
0.958	SLU 50	0.004	1	-0.1071	31.3291	-0.0096	15.4191	1	1			0	0	Si

Verifica a presso/tenso flessione retta X §§ 4.2.4.1.2.3 - 4.2.4.1.2.6 - 4.2.4.1.2.7 - 4.2.4.1.2.8 NTC18

Verifiche eseguite utilizzando la formula conservativa (6.2) §6.2.1 EN 1993-1-1:2005.

X	Comb.	Sfruttamento	Classe	NEd	NRd	Rid. NRd da VEd	Mx,Ed	Mx,Rd	Rid. Mx,Rd da VEd	Rid. Mx,Rd da NEd	px	py	Verifica
0.639	SLV 3	0.019	1	11.131	664.325	1	-0.0713	31.3291	1		0	0	Si

Verifica a presso/tenso flessione retta X SLD §§ 4.2.4.1.2.3 - 4.2.4.1.2.6 - 4.2.4.1.2.7 - 4.2.4.1.2.8 NTC18

Verifiche eseguite utilizzando la formula conservativa (6.2) §6.2.1 EN 1993-1-1:2005.

X	Comb.	Sfruttamento	Classe	NEd	NRd	Rid. NRd da VEd	Mx,Ed	Mx,Rd	Rid. Mx,Rd da VEd	Rid. Mx,Rd da NEd	px	py	Verifica
0.575	SLD 3	0.008	1	4.023	664.325	1	-0.0701	31.3291	1		0	0	Si

Verifica a presso/tenso flessione retta Y §§ 4.2.4.1.2.3 - 4.2.4.1.2.6 - 4.2.4.1.2.7 - 4.2.4.1.2.8 NTC18

Verifiche eseguite utilizzando la formula conservativa (6.2) §6.2.1 EN 1993-1-1:2005.

X	Comb.	Sfruttamento	Classe	NEd	NRd	Rid. NRd da VEd	My,Ed	My,Rd	Rid. My,Rd da VEd	Rid. My,Rd da NEd	px	py	Verifica
1.916	SLV 8	0.018	1	11.365	664.325	1	-0.0098	15.4191	1		0	0	Si

Verifica a presso/tenso flessione retta Y SLD §§ 4.2.4.1.2.3 - 4.2.4.1.2.6 - 4.2.4.1.2.7 - 4.2.4.1.2.8 NTC18

Verifiche eseguite utilizzando la formula conservativa (6.2) §6.2.1 EN 1993-1-1:2005.

X	Comb.	Sfruttamento	Classe	NEd	NRd	Rid. NRd da VEd	My,Ed	My,Rd	Rid. My,Rd da VEd	Rid. My,Rd da NEd	px	py	Verifica
1.916	SLD 7	0.007	1	4.147	664.325	1	-0.0078	15.4191	1		0	0	Si

Verifica a presso/tenso flessione deviata §§ 4.2.4.1.2.3 - 4.2.4.1.2.6 - 4.2.4.1.2.7 - 4.2.4.1.2.8 NTC18

Verifiche eseguite utilizzando la formula conservativa (6.2) §6.2.1 EN 1993-1-1:2005.

X	Comb.	Sfruttamento	Classe	NEd	NRd	Rid. NRd da VEd	Mx,Ed	Mx,Rd	My,Ed	My,Rd	Rid. Mx,Rd da VEd	Rid. Mx,Rd da NEd	Rid. My,Rd da VEd	Rid. My,Rd da NEd	α	β	px	py	Verifica
1.214	SLV 7	0.02	1	11.328	664.325	1	-0.0816	31.3291	-0.0085	15.4191	1		1				0	0	Si

Verifica a presso/tenso flessione deviata SLD §§ 4.2.4.1.2.3 - 4.2.4.1.2.6 - 4.2.4.1.2.7 - 4.2.4.1.2.8 NTC18

Verifiche eseguite utilizzando la formula conservativa (6.2) §6.2.1 EN 1993-1-1:2005.

X	Comb.	Sfruttamento	Classe	NEd	NRd	Rid. NRd da VEd	Mx,Ed	Mx,Rd	My,Ed	My,Rd	Rid. Mx,Rd da VEd	Rid. Mx,Rd da NEd	Rid. My,Rd da VEd	Rid. My,Rd da NEd	α	β	px	py	Verifica
0.958	SLD 7	0.009	1	4.098	664.325	1	-0.0819	31.3291	-0.0062	15.4191	1		1				0	0	Si

Verifiche ad instabilità

Caratteristiche iniziali

Membratura principale per controllo snellezza; Calcolo di snellezze ed N critici condotti secondo gli assi principali;

Curva X: b; Curva Y: c; Svergolamento: Carico all'estradosso; Curva svergolamento: b;

Dati per instabilità attorno a x

Controllo della snellezza secondo §4.2.4.1.3.1 NTC18

Implementazione dei sistemi di confinamento delle emissioni odorigene diffuse dell’impianto di compostaggio esistente nel
Comune di Eboli (SA)
PROGETTO DEFINITIVO – Tabulati di calcolo Tomo 1

Numero rit.	Presente	Ascissa	Campata	$\beta x/m$	Vincolo a entrambi estremi	$\lambda x/m$	λVer
1	Si	0	1-2	1	Si	39.2	Si, (<200)
2	Si	1.916					

Dati per instabilità attorno a y

Controllo della snellezza secondo §4.2.4.1.3.1 NTC18

Numero rit.	Presente	Ascissa	Campata	$\beta y/n$	$k_y LT$	$k_w LT$	Vincolo a entrambi estremi	$\lambda y/n$	λVer
1	Si	0	1-2	1	1	1	Si	63.5	Si, (<200)
2	Si	1.916							

Verifica a svergolamento con trazione §4.2.4.1.3.2 NTC18 § 5.5.3 ENV 1993-1-1:1992 + AC:1992 + A1:1994 + A2:1998

X	Comb.	Sfruttamento	Classe	Obblig.	NEd	Mx,Ed	Mx,Eff,Ed	Mb,Rd,x	$\chi_x LT$	$\lambda_{adim. LT}$	L,LT	M,critico	Verifica
0.958	SLU 62	0.002	1	Si	1.562	-0.11197	-0.06608	28.03468	0.895	0.648	1.916	78.2995	Si

Verifica a svergolamento con trazione SLD §4.2.4.1.3.2 NTC18 § 5.5.3 ENV 1993-1-1:1992 + AC:1992 + A1:1994 + A2:1998

X	Comb.	Sfruttamento	Classe	Obblig.	NEd	Mx,Ed	Mx,Eff,Ed	Mb,Rd,x	$\chi_x LT$	$\lambda_{adim. LT}$	L,LT	M,critico	Verifica
0.639	SLD 1	0	1	Si	2.395	-0.0747	-0.00433	28.03468	0.895	0.648	1.916	78.2995	Si

Verifica di stabilità per tenso-flessione deviata §§ 5.5.3-5.5.4 ENV 1993-1-1:1992 + AC:1992 + A1:1994 + A2:1998

X	Comb.	Sfruttamento	Classe	NEd	Mx,Ed	Mx,Eff,Ed	My,Ed	$\chi_x LT$	kLT	ky	M,critico	Wx	Wy	Verifica
0.958	SLU 55	0.004	1	0.318	-0.1081	-0.09875	-0.00825	0.895	1	1	78.2995	0.0001196	0.0000589	Si

Verifica di stabilità per tenso-flessione deviata SLD §§ 5.5.3-5.5.4 ENV 1993-1-1:1992 + AC:1992 + A1:1994 + A2:1998

X	Comb.	Sfruttamento	Classe	NEd	Mx,Ed	Mx,Eff,Ed	My,Ed	$\chi_x LT$	kLT	ky	M,critico	Wx	Wy	Verifica
0.958	SLD 1	0.001	1	2.412	-0.08297	-0.01211	-0.00549	0.895	1	1	78.2995	0.0001196	0.0000589	Si

Verifica di stabilità per pressoflessione §C.4.2.4.1.3.3.2 NTC18

X	Comb.	Sfruttamento	Classe	NEd	NRk	Mx,Ed max	Mx,Rk	My,Ed max	My,Rk	$\chi_x x$	$\chi_x y$	kxx	kxy	kyy	$\chi_x LT$	Verifica	
0	SLV 10	0.025	1	-10.187	697.541	0.09065	32.89552	0.00305	16.19002	0.905	0.705	0.947	0.382	0.998	0.637	0.895	Si

Verifica di stabilità per pressoflessione SLD §C.4.2.4.1.3.3.2 NTC18

X	Comb.	Sfruttamento	Classe	NEd	NRk	Mx,Ed max	Mx,Rk	My,Ed max	My,Rk	$\chi_x x$	$\chi_x y$	kxx	kxy	kyy	$\chi_x LT$	Verifica	
0	SLD 10	0.01	1	-2.97	697.541	0.08653	32.89552	0.00515	16.19002	0.905	0.705	0.945	0.468	0.999	0.78	0.895	Si

Verifica di stabilità a taglio anima Y §4.2.4.1.2.4 [4.2.27] NTC18

η	hw	tw	hw/tw max	Verifica
1.2	0.098	0.005	55.46	Si

Verifica di stabilità a taglio anima Y SLD §4.2.4.1.2.4 [4.2.27] NTC18

η	hw	tw	hw/tw max	Verifica
1.2	0.098	0.005	55.46	Si

Verifiche a deformabilità

Mensola X: No; Mensola Y: No.

Frecce lungo X

Ascissa freccia	Combinazione	Freccia	Luce	L/f	L/f,min	Tipo	Verifica
1.022	SLE RA 1	0	1.916	10000	250	Totale	Si
1.022	SLE RA 17	0.00001	1.916	10000	250	Totale	Si
1.022	SLE RA 16	0.00001	1.916	10000	250	Totale	Si
1.022	SLE RA 15	0.00001	1.916	10000	250	Totale	Si
1.022	SLE RA 14	0.00001	1.916	10000	250	Totale	Si
1.022	SLE RA 2	0	1.916	10000	350	Variabile	Si
1.022	SLE RA 17	0	1.916	10000	350	Variabile	Si
1.022	SLE RA 16	0	1.916	10000	350	Variabile	Si
0.958	SLE RA 15	0	1.916	10000	350	Variabile	Si
1.022	SLE RA 14	0	1.916	10000	350	Variabile	Si

Frecce lungo Y

Ascissa freccia	Combinazione	Freccia	Luce	L/f	L/f,min	Tipo	Verifica
0.958	SLE RA 1	-0.00003	1.916	10000	250	Totale	Si
0.958	SLE RA 17	-0.00003	1.916	10000	250	Totale	Si
0.958	SLE RA 16	-0.00003	1.916	10000	250	Totale	Si
0.958	SLE RA 15	-0.00003	1.916	10000	250	Totale	Si
0.958	SLE RA 14	-0.00003	1.916	10000	250	Totale	Si
1.086	SLE RA 2	0	1.916	10000	350	Variabile	Si
1.086	SLE RA 17	0	1.916	10000	350	Variabile	Si
1.086	SLE RA 16	0	1.916	10000	350	Variabile	Si
1.086	SLE RA 15	0	1.916	10000	350	Variabile	Si
1.086	SLE RA 14	0	1.916	10000	350	Variabile	Si

Superelemento in acciaio a quota "590"- "640" (2023; 2998)-(2457; 2994)

Caratteristiche del materiale

Acciaio: S275, fyk = 275000

Caratteristiche geometriche

Lunghezza: 2.305

Nodo iniziale: 495 Nodo finale: 1448

Cerniera iniziale: Mmomenti 1% Cerniera finale: Mmomenti 1%

Sovraresistenza: 0% Sisma Z: No

Caratteristiche della sezione

Sezione	Rotazione	Area	Jx	Jy	ix	iy	Wx	Wy	Wplx	Wply
HEA120	0	0.002537	0.0000060673	0.0000023091	0.0489	0.0302	0.00010644	0.00003849	0.00011962	0.00005887

**Implementazione dei sistemi di confinamento delle emissioni odorigene diffuse dell'impianto di compostaggio esistente nel
Comune di Eboli (SA)
PROGETTO DEFINITIVO – Tabulati di calcolo Tomo 1**

Verifiche di resistenza

Verifiche a forza assiale §4.2.4.1.2.1 - §4.2.4.1.2.2 NTC18

X	Comb.	Sfruttamento	Classe	NEd	Nc,Rd	Nt,Rd	Riduzione da taglio	px	py	Verifica
2.132	SLU 76	0.062	1	-40.865	664.325		1	0	0	Si

Verifiche a forza assiale SLD §4.2.4.1.2.1 - §4.2.4.1.2.2 NTC18

X	Comb.	Sfruttamento	Classe	NEd	Nc,Rd	Nt,Rd	Riduzione da taglio	px	py	Verifica
2.132	SLD 12	0.024	1	-16.024	664.325		1	0	0	Si

Verifica a taglio X §4.2.4.1.2.4 NTC18

X	Comb.	Sfruttamento	VEd	Vc,Rd	Av	Interazione taglio-torsione	Riduzione torsione	Verifica
2.305	SLV 8	0.002	0.7	309.455	0.002047	Considerata	1	Si

Verifica a taglio X SLD §4.2.4.1.2.4 NTC18

X	Comb.	Sfruttamento	VEd	Vc,Rd	Av	Interazione taglio-torsione	Riduzione torsione	Verifica
2.305	SLD 7	0.001	0.307	309.455	0.002047	Considerata	1	Si

Verifica a taglio Y §4.2.4.1.2.4 NTC18

X	Comb.	Sfruttamento	VEd	Vc,Rd	Av	Interazione taglio-torsione	Riduzione torsione	Verifica
2.305	SLU 76	0.075	-9.639	128.304	0.000849	Considerata	1	Si

Verifica a taglio Y SLD §4.2.4.1.2.4 NTC18

X	Comb.	Sfruttamento	VEd	Vc,Rd	Av	Interazione taglio-torsione	Riduzione torsione	Verifica
2.305	SLD 4	0.029	-3.754	128.304	0.000849	Considerata	1	Si

Verifica a presso/tenso flessione retta X §§ 4.2.4.1.2.3 - 4.2.4.1.2.6 - 4.2.4.1.2.7 - 4.2.4.1.2.8 NTC18

Verifiche eseguite utilizzando la formula conservativa (6.2) §6.2.1 EN 1993-1-1:2005.

X	Comb.	Sfruttamento	Classe	NEd	NRd	Rid. NRd da VEd	Mx,Ed	Mx,Rd	Rid. Mx,Rd da VEd	Rid. Mx,Rd da NEd	px	py	Verifica
2.299	SLU 8	0.037	1	-23.902	664.325	1	-0.0342	31.3291	1		0	0	Si

Verifica a presso/tenso flessione retta X SLD §§ 4.2.4.1.2.3 - 4.2.4.1.2.6 - 4.2.4.1.2.7 - 4.2.4.1.2.8 NTC18

Verifiche eseguite utilizzando la formula conservativa (6.2) §6.2.1 EN 1993-1-1:2005.

X	Comb.	Sfruttamento	Classe	NEd	NRd	Rid. NRd da VEd	Mx,Ed	Mx,Rd	Rid. Mx,Rd da VEd	Rid. Mx,Rd da NEd	px	py	Verifica
2.143	SLD 16	0.041	1	-15.968	664.325	1	-0.5229	31.3291	1		0	0	Si

Verifica a presso/tenso flessione retta Y §§ 4.2.4.1.2.3 - 4.2.4.1.2.6 - 4.2.4.1.2.7 - 4.2.4.1.2.8 NTC18

Verifiche eseguite utilizzando la formula conservativa (6.2) §6.2.1 EN 1993-1-1:2005.

X	Comb.	Sfruttamento	Classe	NEd	NRd	Rid. NRd da VEd	My,Ed	My,Rd	Rid. My,Rd da VEd	Rid. My,Rd da NEd	px	py	Verifica
2.305	SLU 76	0.062	1	-40.856	664.325	1	-0.0056	15.4191	1		0	0	Si

Verifica a presso/tenso flessione retta Y SLD §§ 4.2.4.1.2.3 - 4.2.4.1.2.6 - 4.2.4.1.2.7 - 4.2.4.1.2.8 NTC18

Verifiche eseguite utilizzando la formula conservativa (6.2) §6.2.1 EN 1993-1-1:2005.

X	Comb.	Sfruttamento	Classe	NEd	NRd	Rid. NRd da VEd	My,Ed	My,Rd	Rid. My,Rd da VEd	Rid. My,Rd da NEd	px	py	Verifica
0	SLD 13	0.018	1	12.09	664.325	1	-0.0039	15.4191	1		0	0	Si

Verifica a presso/tenso flessione deviata §§ 4.2.4.1.2.3 - 4.2.4.1.2.6 - 4.2.4.1.2.7 - 4.2.4.1.2.8 NTC18

Verifiche eseguite utilizzando la formula conservativa (6.2) §6.2.1 EN 1993-1-1:2005.

X	Comb.	Sfruttamento	Classe	NEd	NRd	Rid. NRd da VEd	Mx,Ed	Mx,Rd	My,Ed	My,Rd	Rid. Mx,Rd da VEd	Rid. Mx,Rd da NEd	Rid. My,Rd da VEd	Rid. My,Rd da NEd	α	β	px	py	Verifica
2.132	SLU 76	0.117	1	-40.865	664.325	1	-1.666	31.3291	-0.0333	15.4191	1		1				0	0	Si

Verifica a presso/tenso flessione deviata SLD §§ 4.2.4.1.2.3 - 4.2.4.1.2.6 - 4.2.4.1.2.7 - 4.2.4.1.2.8 NTC18

Verifiche eseguite utilizzando la formula conservativa (6.2) §6.2.1 EN 1993-1-1:2005.

X	Comb.	Sfruttamento	Classe	NEd	NRd	Rid. NRd da VEd	Mx,Ed	Mx,Rd	My,Ed	My,Rd	Rid. Mx,Rd da VEd	Rid. Mx,Rd da NEd	Rid. My,Rd da VEd	Rid. My,Rd da NEd	α	β	px	py	Verifica
2.132	SLD 7	0.05	1	12.277	664.325	1	-0.259	31.3291	-0.3631	15.4191	1		1				0	0	Si

Verifiche ad instabilità

Caratteristiche iniziali

Membratura principale per controllo snellezza; Calcolo di snellezze ed N critici condotti secondo gli assi principali;

Curva X: b; Curva Y: c; Svergolamento: Carico all'estradosso; Curva svergolamento: b;

Dati per instabilità attorno a x

Controllo della snellezza secondo §4.2.4.1.3.1 NTC18

Numero rit.	Presente	Ascissa	Campata	βx/m	Vincolo a entrambi estremi	λx/m	λVer
1	Si	0					
			1-2		1	47.1	Si, (<200)
2	Si	2.305					

Dati per instabilità attorno a y

Controllo della snellezza secondo §4.2.4.1.3.1 NTC18

Numero rit.	Presente	Ascissa	Campata	βy/n	k,LT	kw,LT	Vincolo a entrambi estremi	λy/n	λVer
1	Si	0							
			1-2		1	1	Si	76.4	Si, (<200)
2	Si	2.305							

Verifica a svergolamento con trazione §4.2.4.1.3.2 NTC18 § 5.5.3 ENV 1993-1-1:1992 + AC:1992 + A1:1994 + A2:1998

X	Comb.	Sfruttamento	Classe	Obblig.	NEd	Mx,Ed	Mx,Eff,Ed	Mb,Rd,x	χ,LT	λ adim. LT	L,LT	M,critico	Verifica
0.995	SLU 40	0.003	1	Si	1.492	-0.13116	-0.08732	26.7737	0.855	0.73	2.305	61.78722	Si

Verifica di stabilità per tenso-flessione deviata §§ 5.5.3-5.5.4 ENV 1993-1-1:1992 + AC:1992 + A1:1994 + A2:1998

X	Comb.	Sfruttamento	Classe	NEd	Mx,Ed	Mx,Eff,Ed	My,Ed	χ,LT	kLT	ky	M,critico	Wx	Wy	Verifica
---	-------	--------------	--------	-----	-------	-----------	-------	------	-----	----	-----------	----	----	----------

Implementazione dei sistemi di confinamento delle emissioni odorigene diffuse dell'impianto di compostaggio esistente nel
Comune di Eboli (SA)
PROGETTO DEFINITIVO – Tabulati di calcolo Tomo 1

X	Comb.	Sfruttamento	Classe	NEd	Mx,Ed	Mx,Eff,Ed	My,Ed	χ _i LT	kLT	ky	M _c critico	Wx	Wy	Verifica
2.132	SLV 3	0.055	1	6.917	-0.35463	-0.15143	-0.76232	0.855	1	1	61.78722	0.0001196	0.0000589	Si

Verifica di stabilità per tenso-flessione deviata SLD §§ 5.5.3-5.5.4 ENV 1993-1-1:1992 + AC:1992 + A1:1994 + A2:1998

X	Comb.	Sfruttamento	Classe	NEd	Mx,Ed	Mx,Eff,Ed	My,Ed	χ _i LT	kLT	ky	M _c critico	Wx	Wy	Verifica
1.777	SLD 4	0.019	1	9.381	-0.27726	-0.0017	-0.2991	0.855	1	1	61.78722	0.0001196	0.0000589	Si

Verifica di stabilità per pressoflessione §C.4.2.4.1.3.3.2 NTC18

X	Comb.	Sfruttamento	Classe	NEd	NRk	Mx,Ed max	Mx,Rk	My,Ed max	My,Rk	χ _x	χ _y	k _{xx}	k _{xy}	k _{yx}	k _{yy}	χ _i LT	Verifica
2.132	SLU 76	0.178	1	-40.865	697.541	1.66604	32.89552	0.23218	16.19002	0.865	0.612	0.974	0.638	0.987	1.063	0.855	Si

Verifica di stabilità per pressoflessione SLD §C.4.2.4.1.3.3.2 NTC18

X	Comb.	Sfruttamento	Classe	NEd	NRk	Mx,Ed max	Mx,Rk	My,Ed max	My,Rk	χ _x	χ _y	k _{xx}	k _{xy}	k _{yx}	k _{yy}	χ _i LT	Verifica
2.132	SLD 7	0.086	1	-15.761	697.541	0.64711	32.89552	0.36315	16.19002	0.865	0.612	0.96	0.596	0.995	0.993	0.855	Si

Verifica di stabilità a taglio anima Y §4.2.4.1.2.4 [4.2.27] NTC18

η	hw	tw	hw/tw max	Verifica
1.2	0.098	0.005	55.46	Si

Verifica di stabilità a taglio anima Y SLD §4.2.4.1.2.4 [4.2.27] NTC18

η	hw	tw	hw/tw max	Verifica
1.2	0.098	0.005	55.46	Si

Verifiche a deformabilità

Mensola X: No; Mensola Y: No.

Frecce lungo X

Ascissa freccia	Combinazione	Freccia	Luce	L/f	L/f,min	Tipo	Verifica
1.35	SLE RA 1	0.00008	2.305	10000	250	Totale	Si
1.35	SLE RA 17	0.0001	2.305	10000	250	Totale	Si
1.35	SLE RA 16	0.00014	2.305	10000	250	Totale	Si
1.35	SLE RA 15	0.0001	2.305	10000	250	Totale	Si
1.35	SLE RA 14	0.00013	2.305	10000	250	Totale	Si
1.35	SLE RA 2	-0.00006	2.305	10000	350	Variabile	Si
1.35	SLE RA 17	0.00003	2.305	10000	350	Variabile	Si
1.35	SLE RA 16	0.00006	2.305	10000	350	Variabile	Si
1.279	SLE RA 15	0.00003	2.305	10000	350	Variabile	Si
1.35	SLE RA 14	0.00005	2.305	10000	350	Variabile	Si

Frecce lungo Y

Ascissa freccia	Combinazione	Freccia	Luce	L/f	L/f,min	Tipo	Verifica
1.279	SLE RA 1	-0.00012	2.305	10000	250	Totale	Si
1.279	SLE RA 17	-0.00014	2.305	10000	250	Totale	Si
1.279	SLE RA 16	-0.00018	2.305	10000	250	Totale	Si
1.279	SLE RA 15	-0.0002	2.305	10000	250	Totale	Si
1.279	SLE RA 14	-0.00012	2.305	10000	250	Totale	Si
1.35	SLE RA 2	0.00006	2.305	10000	350	Variabile	Si
1.35	SLE RA 17	-0.00003	2.305	10000	350	Variabile	Si
1.35	SLE RA 16	-0.00006	2.305	10000	350	Variabile	Si
1.35	SLE RA 15	-0.00008	2.305	10000	350	Variabile	Si
2.132	SLE RA 14	0	2.305	10000	350	Variabile	Si

Superelemento in acciaio a quota "590"- "640" (2248; 2996)-(2473; 2993)

Caratteristiche del materiale

Acciaio: S275, fyk = 275000

Caratteristiche geometriche

Lunghezza: 2.305

Nodo iniziale: 489 Nodo finale: 1445

Cerniera iniziale: Mmomenti 1% Cerniera finale: Mmomenti 1%

Sovraresistenza: 0% Sisma Z: No

Caratteristiche della sezione

Sezione	Rotazione	Area	Jx	Jy	ix	iy	Wx	Wy	Wplx	Wply
HEA120	0	0.002537	0.0000060673	0.0000023091	0.0489	0.0302	0.00010644	0.00003849	0.00011962	0.00005887

Verifiche di resistenza

Verifiche a forza assiale §4.2.4.1.2.1 - §4.2.4.1.2.2 NTC18

X	Comb.	Sfruttamento	Classe	NEd	Nc,Rd	Nt,Rd	Riduzione da taglio	px	py	Verifica
2.305	SLU 76	0.046		30.759		664.325	1	0	0	Si

Verifiche a forza assiale SLD §4.2.4.1.2.1 - §4.2.4.1.2.2 NTC18

X	Comb.	Sfruttamento	Classe	NEd	Nc,Rd	Nt,Rd	Riduzione da taglio	px	py	Verifica
2.305	SLD 8	0.021		14.059		664.325	1	0	0	Si

Verifica a taglio Y §4.2.4.1.2.4 NTC18

X	Comb.	Sfruttamento	VEd	Vc,Rd	Av	Interazione taglio-torsione	Riduzione torsione	Verifica
0	SLU 76	0.002	0.293	128.304	0.000849	Considerata	1	Si

Verifica a taglio Y SLD §4.2.4.1.2.4 NTC18

X	Comb.	Sfruttamento	VEd	Vc,Rd	Av	Interazione taglio-torsione	Riduzione torsione	Verifica
0	SLD 9	0.002	0.225	128.304	0.000849	Considerata	1	Si

**Implementazione dei sistemi di confinamento delle emissioni odorigene diffuse dell'impianto di compostaggio esistente nel
Comune di Eboli (SA)
PROGETTO DEFINITIVO – Tabulati di calcolo Tomo 1**

Verifica a flessione semplice X §§ 4.2.4.1.2.3 - 4.2.4.1.2.6 - 4.2.4.1.2.7 - 4.2.4.1.2.8 NTC18

X	Comb.	Sfruttamento	Classe	Mx,Ed	Mx,Rd	Rid. Mx,Rd da VEd	px	py	Verifica
1.152	SLU 2	0.004	1	-0.12836	31.32907	1	0	0	Si

Verifica a presso/tenso flessione retta X §§ 4.2.4.1.2.3 - 4.2.4.1.2.6 - 4.2.4.1.2.7 - 4.2.4.1.2.8 NTC18

Verifiche eseguite utilizzando la formula conservativa (6.2) §6.2.1 EN 1993-1-1:2005.

X	Comb.	Sfruttamento	Classe	NEd	NRd	Rid. NRd da VEd	Mx,Ed	Mx,Rd	Rid. Mx,Rd da VEd	Rid. Mx,Rd da NEd	px	py	Verifica
2.151	SLU 56	0.038	1	23.964	664.325	1	-0.0482	31.3291	1		0	0	Si

Verifica a presso/tenso flessione retta X SLD §§ 4.2.4.1.2.3 - 4.2.4.1.2.6 - 4.2.4.1.2.7 - 4.2.4.1.2.8 NTC18

Verifiche eseguite utilizzando la formula conservativa (6.2) §6.2.1 EN 1993-1-1:2005.

X	Comb.	Sfruttamento	Classe	NEd	NRd	Rid. NRd da VEd	Mx,Ed	Mx,Rd	Rid. Mx,Rd da VEd	Rid. Mx,Rd da NEd	px	py	Verifica
1.152	SLD 7	0.025	1	14.009	664.325	1	-0.1319	31.3291	1		0	0	Si

Verifica a presso/tenso flessione retta Y §§ 4.2.4.1.2.3 - 4.2.4.1.2.6 - 4.2.4.1.2.7 - 4.2.4.1.2.8 NTC18

Verifiche eseguite utilizzando la formula conservativa (6.2) §6.2.1 EN 1993-1-1:2005.

X	Comb.	Sfruttamento	Classe	NEd	NRd	Rid. NRd da VEd	My,Ed	My,Rd	Rid. My,Rd da VEd	Rid. My,Rd da NEd	px	py	Verifica
0	SLU 76	0.047	1	30.63	664.325	1	-0.0128	15.4191	1		0	0	Si

Verifica a presso/tenso flessione retta Y SLD §§ 4.2.4.1.2.3 - 4.2.4.1.2.6 - 4.2.4.1.2.7 - 4.2.4.1.2.8 NTC18

Verifiche eseguite utilizzando la formula conservativa (6.2) §6.2.1 EN 1993-1-1:2005.

X	Comb.	Sfruttamento	Classe	NEd	NRd	Rid. NRd da VEd	My,Ed	My,Rd	Rid. My,Rd da VEd	Rid. My,Rd da NEd	px	py	Verifica
0	SLD 15	0.017	1	11.021	664.325	1	-0.0059	15.4191	1		0	0	Si

Verifica a presso/tenso flessione deviata §§ 4.2.4.1.2.3 - 4.2.4.1.2.6 - 4.2.4.1.2.7 - 4.2.4.1.2.8 NTC18

Verifiche eseguite utilizzando la formula conservativa (6.2) §6.2.1 EN 1993-1-1:2005.

X	Comb.	Sfruttamento	Classe	NEd	NRd	Rid. NRd da VEd	Mx,Ed	Mx,Rd	My,Ed	My,Rd	Rid. Mx,Rd da VEd	Rid. Mx,Rd da NEd	Rid. My,Rd da VEd	Rid. My,Rd da NEd	α	β	px	py	Verifica
1.152	SLU 76	0.052	1	30.695	664.325	1	-0.1788	31.3291	-0.0089	15.4191	1		1				0	0	Si

Verifica a presso/tenso flessione deviata SLD §§ 4.2.4.1.2.3 - 4.2.4.1.2.6 - 4.2.4.1.2.7 - 4.2.4.1.2.8 NTC18

Verifiche eseguite utilizzando la formula conservativa (6.2) §6.2.1 EN 1993-1-1:2005.

X	Comb.	Sfruttamento	Classe	NEd	NRd	Rid. NRd da VEd	Mx,Ed	Mx,Rd	My,Ed	My,Rd	Rid. Mx,Rd da VEd	Rid. Mx,Rd da NEd	Rid. My,Rd da VEd	Rid. My,Rd da NEd	α	β	px	py	Verifica
1.306	SLD 8	0.025	1	14.016	664.325	1	-0.1297	31.3291	-0.0039	15.4191	1		1				0	0	Si

Verifiche ad instabilità

Caratteristiche iniziali

Membratura principale per controllo snellezza; Calcolo di snellezze ed N critici condotti secondo gli assi principali;

Curva X: b; Curva Y: c; Svergolamento: Carico all'estradosso; Curva svergolamento: b;

Dati per instabilità attorno a x

Controllo della snellezza secondo §4.2.4.1.3.1 NTC18

Numero rit.	Presente	Ascissa	Campata	βx/m	Vincolo a entrambi estremi	λx/m	λVer
1	Si		0				
			1-2		1	47.1	Si, (<200)
2	Si	2.305					

Dati per instabilità attorno a y

Controllo della snellezza secondo §4.2.4.1.3.1 NTC18

Numero rit.	Presente	Ascissa	Campata	βy/n	k,LT	kw,LT	Vincolo a entrambi estremi	λy/n	λVer
1	Si		0						
			1-2		1	1	Si	76.4	Si, (<200)
2	Si	2.305							

Verifica a svergolamento §4.2.4.1.3.2 NTC18

X	Comb.	Sfruttamento	Classe	Obblig.	Mx,Ed	Mb,Rd,x	χ,LT	λ adim. LT	L,LT	M,critico	Verifica
1.152	SLU 2	0.005	1	Si	-0.12836	26.7737	0.855	0.73	2.305	61.78722	Si

Verifica a svergolamento con trazione §4.2.4.1.3.2 NTC18 § 5.5.3 ENV 1993-1-1:1992 + AC:1992 + A1:1994 + A2:1998

X	Comb.	Sfruttamento	Classe	Obblig.	NEd	Mx,Ed	Mx,Eff,Ed	Mb,Rd,x	χ,LT	λ adim. LT	L,LT	M,critico	Verifica
1.152	SLU 40	0.003	1	Si	2.532	-0.16773	-0.09336	26.7737	0.855	0.73	2.305	61.78722	Si

Verifica di stabilità a taglio anima Y §4.2.4.1.2.4 [4.2.27] NTC18

η	hw	tw	hw/tw max	Verifica
1.2	0.098	0.005	55.46	Si

Verifica di stabilità a taglio anima Y SLD §4.2.4.1.2.4 [4.2.27] NTC18

η	hw	tw	hw/tw max	Verifica
1.2	0.098	0.005	55.46	Si

Verifiche a deformabilità

Mensola X: No; Mensola Y: No.

Frecce lungo X

Ascissa freccia	Combinazione	Freccia	Luce	L/f	L/f,min	Tipo	Verifica
1.076	SLE RA 1	0	2.305	10000	250	Totale	Si
1.076	SLE RA 17	0.00001	2.305	10000	250	Totale	Si
1.076	SLE RA 16	0.00001	2.305	10000	250	Totale	Si
1.076	SLE RA 15	0.00001	2.305	10000	250	Totale	Si
1.076	SLE RA 14	0.00001	2.305	10000	250	Totale	Si
1.076	SLE RA 2	0	2.305	10000	350	Variabile	Si
1.076	SLE RA 17	0	2.305	10000	350	Variabile	Si
1.076	SLE RA 16	0	2.305	10000	350	Variabile	Si
1.076	SLE RA 15	0	2.305	10000	350	Variabile	Si
1.076	SLE RA 14	0	2.305	10000	350	Variabile	Si

Implementazione dei sistemi di confinamento delle emissioni odorigene diffuse dell'impianto di compostaggio esistente nel
Comune di Eboli (SA)
PROGETTO DEFINITIVO – Tabulati di calcolo Tomo 1

Frecce lungo Y

Ascissa freccia	Combinazione	Freccia	Luce	L/f	L/f,min	Tipo	Verifica
1.152	SLE RA 1	-0.00006	2.305	10000	250	Totale	Si
1.152	SLE RA 17	-0.00006	2.305	10000	250	Totale	Si
1.152	SLE RA 16	-0.00006	2.305	10000	250	Totale	Si
1.152	SLE RA 15	-0.00006	2.305	10000	250	Totale	Si
1.152	SLE RA 14	-0.00006	2.305	10000	250	Totale	Si
1.229	SLE RA 2	0	2.305	10000	350	Variabile	Si
1.229	SLE RA 17	0	2.305	10000	350	Variabile	Si
1.229	SLE RA 16	0	2.305	10000	350	Variabile	Si
1.229	SLE RA 15	0	2.305	10000	350	Variabile	Si
1.306	SLE RA 14	0	2.305	10000	350	Variabile	Si

Superelemento in acciaio a quota "590"- "640" (2463; 2189)-(2579; 2190)

Caratteristiche del materiale

Acciaio: S275, fyk = 275000

Caratteristiche geometriche

Lunghezza: 1.265

Nodo iniziale: 444 Nodo finale: 1121

Cerniera iniziale: Mmomenti 1% Cerniera finale: Mmomenti 1%

Sovreresistenza: 0% Sisma Z: No

Caratteristiche della sezione

Sezione	Rotazione	Area	Jx	Jy	ix	iy	Wx	Wy	Wplx	Wply
HEA120	0	0.002537	0.0000060673	0.0000023091	0.0489	0.0302	0.00010644	0.00003849	0.00011962	0.00005887

Verifiche di resistenza

Verifiche a forza assiale §4.2.4.1.2.1 - §4.2.4.1.2.2 NTC18

X	Comb.	Sfruttamento	Classe	NEd	Nc,Rd	Nt,Rd	Riduzione da taglio	px	py	Verifica
1.265	SLV 13	0.057		38.051		664.325	1	0	0	Si

Verifiche a forza assiale SLD §4.2.4.1.2.1 - §4.2.4.1.2.2 NTC18

X	Comb.	Sfruttamento	Classe	NEd	Nc,Rd	Nt,Rd	Riduzione da taglio	px	py	Verifica
1.265	SLD 14	0.022		14.884		664.325	1	0	0	Si

Verifica a taglio Y §4.2.4.1.2.4 NTC18

X	Comb.	Sfruttamento	VEd	Vc,Rd	Av	Interazione taglio-torsione	Riduzione torsione	Verifica
1.265	SLU 75	0.001	-0.152	128.304	0.000849	Considerata	1	Si

Verifica a taglio Y SLD §4.2.4.1.2.4 NTC18

X	Comb.	Sfruttamento	VEd	Vc,Rd	Av	Interazione taglio-torsione	Riduzione torsione	Verifica
1.265	SLD 4	0.001	-0.116	128.304	0.000849	Considerata	1	Si

Verifica a flessione semplice X §§ 4.2.4.1.2.3 - 4.2.4.1.2.6 - 4.2.4.1.2.7 - 4.2.4.1.2.8 NTC18

X	Comb.	Sfruttamento	Classe	Mx,Ed	Mx,Rd	Rid. Mx,Rd da VEd	px	py	Verifica
0.633	SLU 2	0.001	1	-0.03653	31.32907	1	0	0	Si

Verifica a flessione semplice Y §§ 4.2.4.1.2.3 - 4.2.4.1.2.6 - 4.2.4.1.2.7 - 4.2.4.1.2.8 NTC18

X	Comb.	Sfruttamento	Classe	My,Ed	My,Rd	Rid. My,Rd da VEd	px	py	Verifica
0	SLU 57	0.001	1	-0.00884	15.41907	1	0	0	Si

Verifica a flessione deviata §§ 4.2.4.1.2.3 - 4.2.4.1.2.6 - 4.2.4.1.2.7 - 4.2.4.1.2.8 NTC18

X	Comb.	Sfruttamento	Classe	Mx,Ed	Mx,Rd	My,Ed	My,Rd	Rid. Mx,Rd da VEd	Rid. My,Rd da VEd	α	β	px	py	Verifica
0.633	SLU 57	0.002	1	-0.0489	31.3291	-0.0087	15.4191	1	1			0	0	Si

Verifica a presso/tenso flessione retta X §§ 4.2.4.1.2.3 - 4.2.4.1.2.6 - 4.2.4.1.2.7 - 4.2.4.1.2.8 NTC18

Verifiche eseguite utilizzando la formula conservativa (6.2) §6.2.1 EN 1993-1-1:2005.

X	Comb.	Sfruttamento	Classe	NEd	NRd	Rid. NRd da VEd	Mx,Ed	Mx,Rd	Rid. Mx,Rd da VEd	Rid. Mx,Rd da NEd	px	py	Verifica
0.464	SLV 14	0.058	1	37.988	664.325	1	-0.0326	31.3291	1		0	0	Si

Verifica a presso/tenso flessione retta Y SLD §§ 4.2.4.1.2.3 - 4.2.4.1.2.6 - 4.2.4.1.2.7 - 4.2.4.1.2.8 NTC18

Verifiche eseguite utilizzando la formula conservativa (6.2) §6.2.1 EN 1993-1-1:2005.

X	Comb.	Sfruttamento	Classe	NEd	NRd	Rid. NRd da VEd	Mx,Ed	Mx,Rd	Rid. Mx,Rd da VEd	Rid. Mx,Rd da NEd	px	py	Verifica
0.633	SLD 13	0.024	1	14.834	664.325	1	-0.0369	31.3291	1		0	0	Si

Verifica a presso/tenso flessione retta Y §§ 4.2.4.1.2.3 - 4.2.4.1.2.6 - 4.2.4.1.2.7 - 4.2.4.1.2.8 NTC18

Verifiche eseguite utilizzando la formula conservativa (6.2) §6.2.1 EN 1993-1-1:2005.

X	Comb.	Sfruttamento	Classe	NEd	NRd	Rid. NRd da VEd	My,Ed	My,Rd	Rid. My,Rd da VEd	Rid. My,Rd da NEd	px	py	Verifica
1.265	SLV 14	0.058	1	38.051	664.325	1	0.0063	15.4191	1		0	0	Si

Verifica a presso/tenso flessione retta Y SLD §§ 4.2.4.1.2.3 - 4.2.4.1.2.6 - 4.2.4.1.2.7 - 4.2.4.1.2.8 NTC18

Verifiche eseguite utilizzando la formula conservativa (6.2) §6.2.1 EN 1993-1-1:2005.

X	Comb.	Sfruttamento	Classe	NEd	NRd	Rid. NRd da VEd	My,Ed	My,Rd	Rid. My,Rd da VEd	Rid. My,Rd da NEd	px	py	Verifica
0	SLD 3	0.012	1	-7.681	664.325	1	-0.0054	15.4191	1		0	0	Si

Verifica a presso/tenso flessione deviata §§ 4.2.4.1.2.3 - 4.2.4.1.2.6 - 4.2.4.1.2.7 - 4.2.4.1.2.8 NTC18

Verifiche eseguite utilizzando la formula conservativa (6.2) §6.2.1 EN 1993-1-1:2005.

**Implementazione dei sistemi di confinamento delle emissioni odorigene diffuse dell'impianto di compostaggio esistente nel
Comune di Eboli (SA)
PROGETTO DEFINITIVO – Tabulati di calcolo Tomo 1**

X	Comb.	Sfruttamento	Classe	NEd	NRd	Rid. NRd da VEd	Mx,Ed	Mx,Rd	My,Ed	My,Rd	Rid. Mx,Rd da VEd	Rid. Mx,Rd da NEd	Rid. My,Rd da VEd	Rid. My,Rd da NEd	α	β	px	py	Verifica
0.675	SLV 13	0.059	1	38.005	664.325	1	-0.035	31.3291	0.0044	15.4191	1		1				0	0	Si

Verifica a presso/tenso flessione deviata SLD §5 4.2.4.1.2.3 - 4.2.4.1.2.6 - 4.2.4.1.2.7 - 4.2.4.1.2.8 NTC18

Verifiche eseguite utilizzando la formula conservativa (6.2) §6.2.1 EN 1993-1-1:2005.

X	Comb.	Sfruttamento	Classe	NEd	NRd	Rid. NRd da VEd	Mx,Ed	Mx,Rd	My,Ed	My,Rd	Rid. Mx,Rd da VEd	Rid. Mx,Rd da NEd	Rid. My,Rd da VEd	Rid. My,Rd da NEd	α	β	px	py	Verifica
0.633	SLD 3	0.013	1	-7.631	664.325	1	-0.0386	31.3291	-0.0058	15.4191	1		1				0	0	Si

Verifiche ad instabilità

Caratteristiche iniziali

Membratura principale per controllo snellezza; Calcolo di snellezze ed N critici condotti secondo gli assi principali;

Curva X: b; Curva Y: c; Svergolamento: Carico all'estradosso; Curva svergolamento: b;

Dati per instabilità attorno a x

Controllo della snellezza secondo §4.2.4.1.3.1 NTC18

Numero rit.	Presente	Ascissa	Campata	βx/m	Vincolo a entrambi estremi	λx/m	λVer
1	Si		0				
			1-2		1	25.9	Si, (<200)
2	Si	1.265					

Dati per instabilità attorno a y

Controllo della snellezza secondo §4.2.4.1.3.1 NTC18

Numero rit.	Presente	Ascissa	Campata	βy/n	k,LT	kw,LT	Vincolo a entrambi estremi	λy/n	λVer
1	Si		0						
			1-2		1	1	Si	41.9	Si, (<200)
2	Si	1.265							

Verifica a svergolamento §4.2.4.1.3.2 NTC18

X	Comb.	Sfruttamento	Classe	Obblig.	Mx,Ed	Mb,Rd,x	χ,LT	λ adim. LT	L,LT	M.critico	Verifica
0.633	SLU 2	0.001	1	Si	-0.03653	30.35419	0.969	0.479	1.265	143.53441	Si

Verifica a svergolamento con trazione §4.2.4.1.3.2 NTC18 § 5.5.3 ENV 1993-1-1:1992 + AC:1992 + A1:1994 + A2:1998

X	Comb.	Sfruttamento	Classe	Obblig.	NEd	Mx,Ed	Mx,Eff,Ed	Mb,Rd,x	χ,LT	λ adim. LT	L,LT	M.critico	Verifica
0.633	SLU 40	0.001	1	Si	0.662	-0.04776	-0.02831	30.35419	0.969	0.479	1.265	143.53441	Si

Verifica di stabilità per tenso-flessione deviata §5 5.5.3-5.5.4 ENV 1993-1-1:1992 + AC:1992 + A1:1994 + A2:1998

X	Comb.	Sfruttamento	Classe	NEd	Mx,Ed	Mx,Eff,Ed	My,Ed	χ,LT	kLT	ky	M.critico	Wx	Wy	Verifica
0.633	SLU 76	0.002	1	0.611	-0.04913	-0.03119	-0.00909	0.969	1	1	143.53441	0.0001196	0.0000589	Si

Verifica di stabilità per pressoflessione §C.4.2.4.1.3.3.2 NTC18

X	Comb.	Sfruttamento	Classe	NEd	NRk	Mx,Ed max	Mx,Rk	My,Ed max	My,Rk	χ,x	χ,y	kxx	kxy	kyy	χ,LT	Verifica	
0	SLV 4	0.057	1	-30.848	697.541	0.04029	32.89552	0.01256	16.19002	0.965	0.852	0.96	0.546	0.996	0.909	0.969	Si

Verifica di stabilità per pressoflessione SLD §C.4.2.4.1.3.3.2 NTC18

X	Comb.	Sfruttamento	Classe	NEd	NRk	Mx,Ed max	Mx,Rk	My,Ed max	My,Rk	χ,x	χ,y	kxx	kxy	kyy	χ,LT	Verifica	
0	SLD 4	0.015	1	-7.681	697.541	0.03857	32.89552	0.00622	16.19002	0.965	0.852	0.954	0.569	0.999	0.948	0.969	Si

Verifica di stabilità a taglio anima Y §4.2.4.1.2.4 [4.2.27] NTC18

η	hw	tw	hw/tw max	Verifica
1.2	0.098	0.005	55.46	Si

Verifica di stabilità a taglio anima Y SLD §4.2.4.1.2.4 [4.2.27] NTC18

η	hw	tw	hw/tw max	Verifica
1.2	0.098	0.005	55.46	Si

Verifiche a deformabilità

Mensola X: No; Mensola Y: No.

Frecce lungo X

Ascissa freccia	Combinazione	Freccia	Luce	L/f	L/f,min	Tipo	Verifica
0.633	SLE RA 1	0	1.265	10000	250	Totale	Si
0.633	SLE RA 17	0	1.265	10000	250	Totale	Si
0.633	SLE RA 16	0	1.265	10000	250	Totale	Si
0.633	SLE RA 15	0	1.265	10000	250	Totale	Si
0.591	SLE RA 14	0	1.265	10000	250	Totale	Si
0.633	SLE RA 2	0	1.265	10000	350	Variabile	Si
0.633	SLE RA 17	0	1.265	10000	350	Variabile	Si
0.633	SLE RA 16	0	1.265	10000	350	Variabile	Si
0.633	SLE RA 15	0	1.265	10000	350	Variabile	Si
0.675	SLE RA 14	0	1.265	10000	350	Variabile	Si

Frecce lungo Y

Ascissa freccia	Combinazione	Freccia	Luce	L/f	L/f,min	Tipo	Verifica
0.633	SLE RA 1	-0.00001	1.265	10000	250	Totale	Si
0.633	SLE RA 17	-0.00001	1.265	10000	250	Totale	Si
0.633	SLE RA 16	-0.00001	1.265	10000	250	Totale	Si
0.633	SLE RA 15	-0.00001	1.265	10000	250	Totale	Si
0.633	SLE RA 14	-0.00001	1.265	10000	250	Totale	Si
0.591	SLE RA 2	0	1.265	10000	350	Variabile	Si
0.591	SLE RA 17	0	1.265	10000	350	Variabile	Si
0.591	SLE RA 16	0	1.265	10000	350	Variabile	Si
0.675	SLE RA 15	0	1.265	10000	350	Variabile	Si
0.633	SLE RA 14	0	1.265	10000	350	Variabile	Si

Superelemento in acciaio a quota "590"- "640" (2473; 2993)- (2698; 2991)

Caratteristiche del materiale

Acciaio: S275, fyk = 275000

Caratteristiche geometriche

Lunghezza: 2.305

Nodo iniziale: 487 Nodo finale: 1426

Cerniera iniziale: Mmomenti 1% Cerniera finale: Mmomenti 1%

Sovreresistenza: 0% Sisma Z: No

Caratteristiche della sezione

Sezione	Rotazione	Area	Jx	Jy	ix	iy	Wx	Wy	Wplx	Wply
HEA120	0	0.002537	0.0000060673	0.0000023091	0.0489	0.0302	0.00010644	0.00003849	0.00011962	0.00005887

Verifiche di resistenza

Verifiche a forza assiale §4.2.4.1.2.1 - §4.2.4.1.2.2 NTC18

X	Comb.	Sfruttamento	Classe	NEd	Nc,Rd	Nt,Rd	Riduzione da taglio	px	py	Verifica
2.305	SLU 76	0.138		91.942		664.325	1	0	0	Si

Verifiche a forza assiale SLD §4.2.4.1.2.1 - §4.2.4.1.2.2 NTC18

X	Comb.	Sfruttamento	Classe	NEd	Nc,Rd	Nt,Rd	Riduzione da taglio	px	py	Verifica
2.305	SLD 10	0.061		40.588		664.325	1	0	0	Si

Verifica a taglio Y §4.2.4.1.2.4 NTC18

X	Comb.	Sfruttamento	VEd	Vc,Rd	Av	Interazione taglio-torsione	Riduzione torsione	Verifica
2.305	SLU 76	0.002	-0.297	128.304	0.000849	Considerata	1	Si

Verifica a taglio Y SLD §4.2.4.1.2.4 NTC18

X	Comb.	Sfruttamento	VEd	Vc,Rd	Av	Interazione taglio-torsione	Riduzione torsione	Verifica
2.305	SLD 10	0.002	-0.227	128.304	0.000849	Considerata	1	Si

Verifica a presso/tenso flessione retta X §§ 4.2.4.1.2.3 - 4.2.4.1.2.6 - 4.2.4.1.2.7 - 4.2.4.1.2.8 NTC18

Verifiche eseguite utilizzando la formula conservativa (6.2) §6.2.1 EN 1993-1-1:2005.

X	Comb.	Sfruttamento	Classe	NEd	NRd	Rid. NRd da VEd	Mx,Ed	Mx,Rd	Rid. Mx,Rd da VEd	Rid. Mx,Rd da NEd	px	py	Verifica
2.151	SLU 76	0.14	1	91.934	664.325	1	-0.0442	31.3291	1		0	0	Si

Verifica a presso/tenso flessione retta X SLD §§ 4.2.4.1.2.3 - 4.2.4.1.2.6 - 4.2.4.1.2.7 - 4.2.4.1.2.8 NTC18

Verifiche eseguite utilizzando la formula conservativa (6.2) §6.2.1 EN 1993-1-1:2005.

X	Comb.	Sfruttamento	Classe	NEd	NRd	Rid. NRd da VEd	Mx,Ed	Mx,Rd	Rid. Mx,Rd da VEd	Rid. Mx,Rd da NEd	px	py	Verifica
1.152	SLD 9	0.065	1	40.538	664.325	1	-0.131	31.3291	1		0	0	Si

Verifica a presso/tenso flessione retta Y §§ 4.2.4.1.2.3 - 4.2.4.1.2.6 - 4.2.4.1.2.7 - 4.2.4.1.2.8 NTC18

Verifiche eseguite utilizzando la formula conservativa (6.2) §6.2.1 EN 1993-1-1:2005.

X	Comb.	Sfruttamento	Classe	NEd	NRd	Rid. NRd da VEd	My,Ed	My,Rd	Rid. My,Rd da VEd	Rid. My,Rd da NEd	px	py	Verifica
0	SLU 7	0.102	1	67.184	664.325	1	-0.0146	15.4191	1		0	0	Si

Verifica a presso/tenso flessione retta Y SLD §§ 4.2.4.1.2.3 - 4.2.4.1.2.6 - 4.2.4.1.2.7 - 4.2.4.1.2.8 NTC18

Verifiche eseguite utilizzando la formula conservativa (6.2) §6.2.1 EN 1993-1-1:2005.

X	Comb.	Sfruttamento	Classe	NEd	NRd	Rid. NRd da VEd	My,Ed	My,Rd	Rid. My,Rd da VEd	Rid. My,Rd da NEd	px	py	Verifica
0	SLD 9	0.062	1	40.488	664.325	1	-0.0101	15.4191	1		0	0	Si

Verifica a presso/tenso flessione deviata §§ 4.2.4.1.2.3 - 4.2.4.1.2.6 - 4.2.4.1.2.7 - 4.2.4.1.2.8 NTC18

Verifiche eseguite utilizzando la formula conservativa (6.2) §6.2.1 EN 1993-1-1:2005.

X	Comb.	Sfruttamento	Classe	NEd	NRd	Rid. NRd da VEd	Mx,Ed	Mx,Rd	My,Ed	My,Rd	Rid. Mx,Rd da VEd	Rid. Mx,Rd da NEd	Rid. My,Rd da VEd	Rid. My,Rd da NEd	α	β	px	py	Verifica
1.076	SLU 76	0.145	1	91.873	664.325	1	-0.1756	31.3291	-0.0122	15.4191	1		1				0	0	Si

Verifica a presso/tenso flessione deviata SLD §§ 4.2.4.1.2.3 - 4.2.4.1.2.6 - 4.2.4.1.2.7 - 4.2.4.1.2.8 NTC18

Verifiche eseguite utilizzando la formula conservativa (6.2) §6.2.1 EN 1993-1-1:2005.

X	Comb.	Sfruttamento	Classe	NEd	NRd	Rid. NRd da VEd	Mx,Ed	Mx,Rd	My,Ed	My,Rd	Rid. Mx,Rd da VEd	Rid. Mx,Rd da NEd	Rid. My,Rd da VEd	Rid. My,Rd da NEd	α	β	px	py	Verifica
0.922	SLD 10	0.065	1	40.528	664.325	1	-0.1265	31.3291	-0.004	15.4191	1		1				0	0	Si

Verifiche ad instabilità

Caratteristiche iniziali

Membratura principale per controllo snellezza; Calcolo di snellezze ed N critici condotti secondo gli assi principali;

Curva X: b; Curva Y: c; Svergolamento: Carico all'estradosso; Curva svergolamento: b;

Dati per instabilità attorno a x

Controllo della snellezza secondo §4.2.4.1.3.1 NTC18

Numero rit.	Presente	Ascissa	Campata	βx/m	Vincolo a entrambi estremi	λx/m	λVer
1	Si	0					
			1-2	1	Si	47.1	Si, (<200)
2	Si	2.305					

Dati per instabilità attorno a y

Controllo della snellezza secondo §4.2.4.1.3.1 NTC18

Numero rit.	Presente	Ascissa	Campata	βy/n	k _i LT	k _w LT	Vincolo a entrambi estremi	λy/n	λVer
1	Si	0							

Implementazione dei sistemi di confinamento delle emissioni odorigene diffuse dell'impianto di compostaggio esistente nel
Comune di Eboli (SA)
PROGETTO DEFINITIVO – Tabulati di calcolo Tomo 1

Numero rit.	Presente	Ascissa	Campata	$\beta y/n$	k,LT	kw,LT	Vincolo a entrambi estremi	$\lambda y/n$	λVer
2	Si	2.305	1-2	1	1	1	Si	76.4	Si, (<200)

Verifica a svergolamento con trazione §4.2.4.1.3.2 NTC18 § 5.5.3 ENV 1993-1-1:1992 + AC:1992 + A1:1994 + A2:1998

X	Comb.	Sfruttamento	Classe	Obblig.	NEd	Mx,Ed	Mx,Eff,Ed	Mb,Rd,x	χ ,LT	λ adim. LT	L,LT	M,critico	Verifica
1.152	SLU 2	0.002	1	Si	2.567	-0.12861	-0.05322	26.7737	0.855	0.73	2.305	61.78722	Si

Verifica di stabilità a taglio anima Y §4.2.4.1.2.4 [4.2.27] NTC18

η	hw	tw	hw/tw max	Verifica
1.2	0.098	0.005	55.46	Si

Verifica di stabilità a taglio anima Y SLD §4.2.4.1.2.4 [4.2.27] NTC18

η	hw	tw	hw/tw max	Verifica
1.2	0.098	0.005	55.46	Si

Verifiche a deformabilità

Mensola X: No; Mensola Y: No.

Frecce lungo X

Ascissa freccia	Combinazione	Freccia	Luce	L/f	L/f,min	Tipo	Verifica
0.999	SLE RA 1	0.00001	2.305	10000	250	Totale	Si
0.999	SLE RA 17	0.00001	2.305	10000	250	Totale	Si
0.999	SLE RA 16	0.00001	2.305	10000	250	Totale	Si
0.999	SLE RA 15	0.00001	2.305	10000	250	Totale	Si
0.999	SLE RA 14	0.00001	2.305	10000	250	Totale	Si
0.999	SLE RA 2	0	2.305	10000	350	Variabile	Si
0.999	SLE RA 17	0	2.305	10000	350	Variabile	Si
0.999	SLE RA 16	0	2.305	10000	350	Variabile	Si
0.999	SLE RA 15	0	2.305	10000	350	Variabile	Si
1.076	SLE RA 14	0	2.305	10000	350	Variabile	Si

Frecce lungo Y

Ascissa freccia	Combinazione	Freccia	Luce	L/f	L/f,min	Tipo	Verifica
1.152	SLE RA 1	-0.00006	2.305	10000	250	Totale	Si
1.152	SLE RA 17	-0.00006	2.305	10000	250	Totale	Si
1.152	SLE RA 16	-0.00006	2.305	10000	250	Totale	Si
1.152	SLE RA 15	-0.00006	2.305	10000	250	Totale	Si
1.152	SLE RA 14	-0.00006	2.305	10000	250	Totale	Si
0.999	SLE RA 2	0	2.305	10000	350	Variabile	Si
0.999	SLE RA 17	0	2.305	10000	350	Variabile	Si
0.999	SLE RA 16	0	2.305	10000	350	Variabile	Si
0.999	SLE RA 15	0	2.305	10000	350	Variabile	Si
1.076	SLE RA 14	0	2.305	10000	350	Variabile	Si

Superelemento in acciaio a quota "590"- "640" (2579; 2190)-(2695; 2191)

Caratteristiche del materiale

Acciaio: S275, fyk = 275000

Caratteristiche geometriche

Lunghezza: 1.262

Nodo iniziale: 448 Nodo finale: 1124

Cerniera iniziale: Mmomenti 1% Cerniera finale: Mmomenti 1%

Sovraresistenza: 0% Sisma Z: No

Caratteristiche della sezione

Sezione	Rotazione	Area	Jx	Jy	ix	iy	Wx	Wy	Wplx	Wply
HEA120	0	0.002537	0.0000060673	0.0000023091	0.0489	0.0302	0.00010644	0.00003849	0.00011962	0.00005887

Verifiche di resistenza

Verifiche a forza assiale §4.2.4.1.2.1 - §4.2.4.1.2.2 NTC18

X	Comb.	Sfruttamento	Classe	NEd	Nc,Rd	Nt,Rd	Riduzione da taglio	px	py	Verifica
1.262	SLV 14	0.058		38.619		664.325	1	0	0	Si

Verifiche a forza assiale SLD §4.2.4.1.2.1 - §4.2.4.1.2.2 NTC18

X	Comb.	Sfruttamento	Classe	NEd	Nc,Rd	Nt,Rd	Riduzione da taglio	px	py	Verifica
1.262	SLD 14	0.025		16.305		664.325	1	0	0	Si

Verifica a taglio Y §4.2.4.1.2.4 NTC18

X	Comb.	Sfruttamento	VEd	Vc,Rd	Av	Interazione taglio-torsione	Riduzione torsione	Verifica
0	SLU 76	0.001	0.154	128.304	0.000849	Considerata	1	Si

Verifica a taglio Y SLD §4.2.4.1.2.4 NTC18

X	Comb.	Sfruttamento	VEd	Vc,Rd	Av	Interazione taglio-torsione	Riduzione torsione	Verifica
0	SLD 4	0.001	0.118	128.304	0.000849	Considerata	1	Si

Verifica a flessione semplice Y §§ 4.2.4.1.2.3 - 4.2.4.1.2.6 - 4.2.4.1.2.7 - 4.2.4.1.2.8 NTC18

X	Comb.	Sfruttamento	Classe	My,Ed	My,Rd	Rid. My,Rd da VEd	px	py	Verifica
1.262	SLU 11	0.001	1	-0.00876	15.41907	1	0	0	Si

Verifica a flessione deviata §§ 4.2.4.1.2.3 - 4.2.4.1.2.6 - 4.2.4.1.2.7 - 4.2.4.1.2.8 NTC18

X	Comb.	Sfruttamento	Classe	Mx,Ed	Mx,Rd	My,Ed	My,Rd	Rid. Mx,Rd da VEd	Rid. My,Rd da VEd	α	β	px	py	Verifica
0.673	SLU 15	0.002	1	-0.038	31.3291	-0.0078	15.4191	1	1			0	0	Si

PROGETTO DEFINITIVO – Tabulati di calcolo Tomo 1

Verifica a presso/tenso flessione retta X §§ 4.2.4.1.2.3 - 4.2.4.1.2.6 - 4.2.4.1.2.7 - 4.2.4.1.2.8 NTC18

Verifiche eseguite utilizzando la formula conservativa (6.2) §6.2.1 EN 1993-1-1:2005.

X	Comb.	Sfruttamento	Classe	NEd	NRd	Rid. NRd da VEd	Mx,Ed	Mx,Rd	Rid. Mx,Rd da VEd	Rid. Mx,Rd da NEd	px	py	Verifica
0.631	SLV 13	0.059	1	38.57	664.325	1	-0.0268	31.3291	1		0	0	Si

Verifica a presso/tenso flessione retta X SLD §§ 4.2.4.1.2.3 - 4.2.4.1.2.6 - 4.2.4.1.2.7 - 4.2.4.1.2.8 NTC18

Verifiche eseguite utilizzando la formula conservativa (6.2) §6.2.1 EN 1993-1-1:2005.

X	Comb.	Sfruttamento	Classe	NEd	NRd	Rid. NRd da VEd	Mx,Ed	Mx,Rd	Rid. Mx,Rd da VEd	Rid. Mx,Rd da NEd	px	py	Verifica
0.673	SLD 14	0.026	1	16.258	664.325	1	-0.0337	31.3291	1		0	0	Si

Verifica a presso/tenso flessione retta Y §§ 4.2.4.1.2.3 - 4.2.4.1.2.6 - 4.2.4.1.2.7 - 4.2.4.1.2.8 NTC18

Verifiche eseguite utilizzando la formula conservativa (6.2) §6.2.1 EN 1993-1-1:2005.

X	Comb.	Sfruttamento	Classe	NEd	NRd	Rid. NRd da VEd	My,Ed	My,Rd	Rid. My,Rd da VEd	Rid. My,Rd da NEd	px	py	Verifica
0	SLV 14	0.059	1	38.52	664.325	1	0.0112	15.4191	1		0	0	Si

Verifica a presso/tenso flessione retta Y SLD §§ 4.2.4.1.2.3 - 4.2.4.1.2.6 - 4.2.4.1.2.7 - 4.2.4.1.2.8 NTC18

Verifiche eseguite utilizzando la formula conservativa (6.2) §6.2.1 EN 1993-1-1:2005.

X	Comb.	Sfruttamento	Classe	NEd	NRd	Rid. NRd da VEd	My,Ed	My,Rd	Rid. My,Rd da VEd	Rid. My,Rd da NEd	px	py	Verifica
1.262	SLD 13	0.025	1	16.305	664.325	1	-0.0045	15.4191	1		0	0	Si

Verifica a presso/tenso flessione deviata §§ 4.2.4.1.2.3 - 4.2.4.1.2.6 - 4.2.4.1.2.7 - 4.2.4.1.2.8 NTC18

Verifiche eseguite utilizzando la formula conservativa (6.2) §6.2.1 EN 1993-1-1:2005.

X	Comb.	Sfruttamento	Classe	NEd	NRd	Rid. NRd da VEd	Mx,Ed	Mx,Rd	My,Ed	My,Rd	Rid. Mx,Rd da VEd	Rid. Mx,Rd da NEd	Rid. My,Rd da VEd	Rid. My,Rd da NEd	α	β	px	py	Verifica
0.505	SLV 13	0.059	1	38.56	664.325	1	-0.0257	31.3291	0.0049	15.4191	1		1				0	0	Si

Verifica a presso/tenso flessione deviata SLD §§ 4.2.4.1.2.3 - 4.2.4.1.2.6 - 4.2.4.1.2.7 - 4.2.4.1.2.8 NTC18

Verifiche eseguite utilizzando la formula conservativa (6.2) §6.2.1 EN 1993-1-1:2005.

X	Comb.	Sfruttamento	Classe	NEd	NRd	Rid. NRd da VEd	Mx,Ed	Mx,Rd	My,Ed	My,Rd	Rid. Mx,Rd da VEd	Rid. Mx,Rd da NEd	Rid. My,Rd da VEd	Rid. My,Rd da NEd	α	β	px	py	Verifica
1.01	SLD 13	0.025	1	16.285	664.325	1	-0.0208	31.3291	-0.0043	15.4191	1		1				0	0	Si

Verifiche ad instabilità

Caratteristiche iniziali

Membratura principale per controllo snellezza; Calcolo di snellezze ed N critici condotti secondo gli assi principali;

Curva X: b; Curva Y: c; Svergolamento: Carico all'estradosso; Curva svergolamento: b;

Dati per instabilità attorno a x

Controllo della snellezza secondo §4.2.4.1.3.1 NTC18

Numero rit.	Presente	Ascissa	Campata	βx/m	Vincolo a entrambi estremi	λx/m	λVer
1	Si		0				
			1-2		1	25.8	Si, (<200)
2	Si		1.262				

Dati per instabilità attorno a y

Controllo della snellezza secondo §4.2.4.1.3.1 NTC18

Numero rit.	Presente	Ascissa	Campata	βy/n	k,LT	kw,LT	Vincolo a entrambi estremi	λy/n	λVer
1	Si		0						
			1-2		1	1	1	41.8	Si, (<200)
2	Si		1.262						

Verifica di stabilità per tenso-flessione deviata §§ 5.5.3-5.5.4 ENV 1993-1-1:1992 + AC:1992 + A1:1994 + A2:1998

X	Comb.	Sfruttamento	Classe	NEd	Mx,Ed	Mx,Ed,Ed	My,Ed	χ,LT	kLT	ky	M,critico	Wx	Wy	Verifica
0.673	SLV 34	0.001	1	0.566	-0.0382	-0.02158	-0.00811	0.969	1	1	144.15409	0.0001196	0.0000589	Si

Verifica di stabilità per pressoflessione §C.4.2.4.1.3.3.2 NTC18

X	Comb.	Sfruttamento	Classe	NEd	NRk	Mx,Ed max	Mx,Rk	My,Ed max	My,Rk	χ,x	χ,y	kxx	kxy	kyy	χ,LT	Verifica
0	SLV 3	0.051	1	-27.752	697.541	0.04775	32.89552	0.01648	16.19002	0.965	0.853	0.969	0.423	0.997	0.705	0.969

Verifica di stabilità per pressoflessione SLD §C.4.2.4.1.3.3.2 NTC18

X	Comb.	Sfruttamento	Classe	NEd	NRk	Mx,Ed max	Mx,Rk	My,Ed max	My,Rk	χ,x	χ,y	kxx	kxy	kyy	χ,LT	Verifica
0	SLD 3	0.011	1	-5.437	697.541	0.04067	32.89552	0.00718	16.19002	0.965	0.853	0.958	0.499	0.999	0.831	0.969

Verifica di stabilità a taglio anima Y §4.2.4.1.2.4 [4.2.27] NTC18

η	hw	tw	hw/tw max	Verifica
1.2		0.098	0.005	55.46

Verifica di stabilità a taglio anima Y SLD §4.2.4.1.2.4 [4.2.27] NTC18

η	hw	tw	hw/tw max	Verifica
1.2		0.098	0.005	55.46

Verifiche a deformabilità

Mensola X: No; Mensola Y: No.

Frecce lungo X

Ascissa freccia	Combinazione	Freccia	Luce	L/f	L/f,min	Tipo	Verifica
0.673	SLE RA 1	0	1.262	10000	250	Totale	Si
0.673	SLE RA 17	0	1.262	10000	250	Totale	Si
0.673	SLE RA 16	0	1.262	10000	250	Totale	Si
0.631	SLE RA 15	0	1.262	10000	250	Totale	Si
0.673	SLE RA 14	0	1.262	10000	250	Totale	Si
0.673	SLE RA 2	0	1.262	10000	350	Variabile	Si
0.673	SLE RA 17	0	1.262	10000	350	Variabile	Si
0.673	SLE RA 16	0	1.262	10000	350	Variabile	Si
0.631	SLE RA 15	0	1.262	10000	350	Variabile	Si
0.631	SLE RA 14	0	1.262	10000	350	Variabile	Si

Implementazione dei sistemi di confinamento delle emissioni odorigene diffuse dell'impianto di compostaggio esistente nel
Comune di Eboli (SA)
PROGETTO DEFINITIVO – Tabulati di calcolo Tomo 1

Frecce lungo Y

Ascissa freccia	Combinazione	Freccia	Luce	L/f	L/f,min	Tipo	Verifica
0.631	SLE RA 1	-0.00001	1.262	10000	250	Totale	Si
0.631	SLE RA 17	-0.00001	1.262	10000	250	Totale	Si
0.631	SLE RA 16	-0.00001	1.262	10000	250	Totale	Si
0.631	SLE RA 15	-0.00001	1.262	10000	250	Totale	Si
0.631	SLE RA 14	-0.00001	1.262	10000	250	Totale	Si
0.715	SLE RA 2	0	1.262	10000	350	Variabile	Si
0.715	SLE RA 17	0	1.262	10000	350	Variabile	Si
0.715	SLE RA 16	0	1.262	10000	350	Variabile	Si
0.715	SLE RA 15	0	1.262	10000	350	Variabile	Si
0.715	SLE RA 14	0	1.262	10000	350	Variabile	Si

Superelemento in acciaio a quota "590"-"640" (2696; 2191)-(2812; 2192)

Caratteristiche del materiale

Acciaio: S275, fyk = 275000

Caratteristiche geometriche

Lunghezza: 1.265

Nodo iniziale: 451 Nodo finale: 1127

Cerniera iniziale: Mmomenti 1% Cerniera finale: Mmomenti 1%

Sovreresistenza: 0% Sisma Z: No

Caratteristiche della sezione

Sezione	Rotazione	Area	Jx	Jy	ix	iy	Wx	Wy	Wplx	Wply
HEA120	0	0.002537	0.0000060673	0.0000023091	0.0489	0.0302	0.00010644	0.00003849	0.00011962	0.00005887

Verifiche di resistenza

Verifiche a forza assiale §4.2.4.1.2.1 - §4.2.4.1.2.2 NTC18

X	Comb.	Sfruttamento	Classe	NEd	Nc,Rd	Nt,Rd	Riduzione da taglio	px	py	Verifica
1.265	SLV 3	0.121		80.318		664.325	1	0	0	Si

Verifiche a forza assiale SLD §4.2.4.1.2.1 - §4.2.4.1.2.2 NTC18

X	Comb.	Sfruttamento	Classe	NEd	Nc,Rd	Nt,Rd	Riduzione da taglio	px	py	Verifica
1.265	SLD 3	0.064		42.28		664.325	1	0	0	Si

Verifica a taglio Y §4.2.4.1.2.4 NTC18

X	Comb.	Sfruttamento	VEd	Vc,Rd	Av	Interazione taglio-torsione	Riduzione torsione	Verifica
1.265	SLU 76	0.001	-0.16	128.304	0.000849	Considerata	1	Si

Verifica a taglio Y SLD §4.2.4.1.2.4 NTC18

X	Comb.	Sfruttamento	VEd	Vc,Rd	Av	Interazione taglio-torsione	Riduzione torsione	Verifica
1.265	SLD 4	0.001	-0.123	128.304	0.000849	Considerata	1	Si

Verifica a presso/tenso flessione retta X §§ 4.2.4.1.2.3 - 4.2.4.1.2.6 - 4.2.4.1.2.7 - 4.2.4.1.2.8 NTC18

Verifiche eseguite utilizzando la formula conservativa (6.2) §6.2.1 EN 1993-1-1:2005.

X	Comb.	Sfruttamento	Classe	NEd	NRd	Rid. NRd da VEd	Mx,Ed	Mx,Rd	Rid. Mx,Rd da VEd	Rid. Mx,Rd da NEd	px	py	Verifica
0.127	SLU 75	0.082	1	53.91	664.325	1	-0.0226	31.3291	1		0	0	Si

Verifica a presso/tenso flessione retta X SLD §§ 4.2.4.1.2.3 - 4.2.4.1.2.6 - 4.2.4.1.2.7 - 4.2.4.1.2.8 NTC18

Verifiche eseguite utilizzando la formula conservativa (6.2) §6.2.1 EN 1993-1-1:2005.

X	Comb.	Sfruttamento	Classe	NEd	NRd	Rid. NRd da VEd	Mx,Ed	Mx,Rd	Rid. Mx,Rd da VEd	Rid. Mx,Rd da NEd	px	py	Verifica
0.633	SLD 1	0.052	1	33.805	664.325	1	-0.039	31.3291	1		0	0	Si

Verifica a presso/tenso flessione retta Y §§ 4.2.4.1.2.3 - 4.2.4.1.2.6 - 4.2.4.1.2.7 - 4.2.4.1.2.8 NTC18

Verifiche eseguite utilizzando la formula conservativa (6.2) §6.2.1 EN 1993-1-1:2005.

X	Comb.	Sfruttamento	Classe	NEd	NRd	Rid. NRd da VEd	My,Ed	My,Rd	Rid. My,Rd da VEd	Rid. My,Rd da NEd	px	py	Verifica
1.223	SLV 4	0.122	1	80.315	664.325	1	-0.0214	15.4191	1		0	0	Si

Verifica a presso/tenso flessione retta Y SLD §§ 4.2.4.1.2.3 - 4.2.4.1.2.6 - 4.2.4.1.2.7 - 4.2.4.1.2.8 NTC18

Verifiche eseguite utilizzando la formula conservativa (6.2) §6.2.1 EN 1993-1-1:2005.

X	Comb.	Sfruttamento	Classe	NEd	NRd	Rid. NRd da VEd	My,Ed	My,Rd	Rid. My,Rd da VEd	Rid. My,Rd da NEd	px	py	Verifica
0	SLD 4	0.064	1	42.18	664.325	1	-0.0086	15.4191	1		0	0	Si

Verifica a presso/tenso flessione deviata §§ 4.2.4.1.2.3 - 4.2.4.1.2.6 - 4.2.4.1.2.7 - 4.2.4.1.2.8 NTC18

Verifiche eseguite utilizzando la formula conservativa (6.2) §6.2.1 EN 1993-1-1:2005.

X	Comb.	Sfruttamento	Classe	NEd	NRd	Rid. NRd da VEd	Mx,Ed	Mx,Rd	My,Ed	My,Rd	Rid. Mx,Rd da VEd	Rid. Mx,Rd da NEd	Rid. My,Rd da VEd	Rid. My,Rd da NEd	α	β	px	py	Verifica
0.548	SLV 4	0.124	1	80.262	664.325	1	-0.0484	31.3291	-0.0233	15.4191	1		1				0	0	Si

Verifica a presso/tenso flessione deviata SLD §§ 4.2.4.1.2.3 - 4.2.4.1.2.6 - 4.2.4.1.2.7 - 4.2.4.1.2.8 NTC18

Verifiche eseguite utilizzando la formula conservativa (6.2) §6.2.1 EN 1993-1-1:2005.

X	Comb.	Sfruttamento	Classe	NEd	NRd	Rid. NRd da VEd	Mx,Ed	Mx,Rd	My,Ed	My,Rd	Rid. Mx,Rd da VEd	Rid. Mx,Rd da NEd	Rid. My,Rd da VEd	Rid. My,Rd da NEd	α	β	px	py	Verifica
0.591	SLD 4	0.065	1	42.227	664.325	1	-0.0408	31.3291	-0.0075	15.4191	1		1				0	0	Si

Implementazione dei sistemi di confinamento delle emissioni odorigene diffuse dell'impianto di compostaggio esistente nel
Comune di Eboli (SA)
PROGETTO DEFINITIVO – Tabulati di calcolo Tomo 1

Verifiche ad instabilità

Caratteristiche iniziali

Membratura principale per controllo snellezza; Calcolo di snellezze ed N critici condotti secondo gli assi principali;
Curva X: b; Curva Y: c; Svergolamento: Carico all'estradosso; Curva svergolamento: b;

Dati per instabilità attorno a x

Controllo della snellezza secondo §4.2.4.1.3.1 NTC18

Numero rit.	Presente	Ascissa	Campata	$\beta x/m$	Vincolo a entrambi estremi	$\lambda x/m$	λVer
1	Si	0					
			1-2	1	Si	25.9	Si, (<200)
2	Si	1.265					

Dati per instabilità attorno a y

Controllo della snellezza secondo §4.2.4.1.3.1 NTC18

Numero rit.	Presente	Ascissa	Campata	$\beta y/n$	k,LT	kw,LT	Vincolo a entrambi estremi	$\lambda y/n$	λVer
1	Si	0							
			1-2	1	1	1	Si	41.9	Si, (<200)
2	Si	1.265							

Verifica di stabilità per pressoflessione §C.4.2.4.1.3.3.2 NTC18

X	Comb.	Sfruttamento	Classe	NEd	NRk	Mx,Ed max	Mx,Rk	My,Ed max	My,Rk	χ_x	χ_y	kxx	kxy	kyy	χ_{LT}	Verifica	
0	SLV 14	0.06	1	-32.589	697.541	0.02643	32.89552	0.02343	16.19002	0.965	0.852	0.929	0.612	0.996	1.02	0.969	Si

Verifica di stabilità a taglio anima Y §4.2.4.1.2.4 [4.2.27] NTC18

η	hw	tw	hw/tw max	Verifica
1.2	0.098	0.005	55.46	Si

Verifica di stabilità a taglio anima Y SLD §4.2.4.1.2.4 [4.2.27] NTC18

η	hw	tw	hw/tw max	Verifica
1.2	0.098	0.005	55.46	Si

Verifiche a deformabilità

Mensola X: No; Mensola Y: No.

Frecce lungo X

Ascissa freccia	Combinazione	Freccia	Luce	L/f	L/f,min	Tipo	Verifica
0.886	SLE RA 1	0	1.265	10000	250	Totale	Si
0.801	SLE RA 17	0	1.265	10000	250	Totale	Si
0.759	SLE RA 16	0	1.265	10000	250	Totale	Si
0.548	SLE RA 15	0	1.265	10000	250	Totale	Si
0.675	SLE RA 14	0	1.265	10000	250	Totale	Si
0.675	SLE RA 2	0	1.265	10000	350	Variabile	Si
0.675	SLE RA 17	0	1.265	10000	350	Variabile	Si
0.675	SLE RA 16	0	1.265	10000	350	Variabile	Si
0.591	SLE RA 15	0	1.265	10000	350	Variabile	Si
0.633	SLE RA 14	0	1.265	10000	350	Variabile	Si

Frecce lungo Y

Ascissa freccia	Combinazione	Freccia	Luce	L/f	L/f,min	Tipo	Verifica
0.633	SLE RA 1	-0.00001	1.265	10000	250	Totale	Si
0.633	SLE RA 17	-0.00001	1.265	10000	250	Totale	Si
0.633	SLE RA 16	-0.00001	1.265	10000	250	Totale	Si
0.633	SLE RA 15	-0.00001	1.265	10000	250	Totale	Si
0.633	SLE RA 14	-0.00001	1.265	10000	250	Totale	Si
0.422	SLE RA 2	0	1.265	10000	350	Variabile	Si
0.422	SLE RA 17	0	1.265	10000	350	Variabile	Si
0.422	SLE RA 16	0	1.265	10000	350	Variabile	Si
0.464	SLE RA 15	0	1.265	10000	350	Variabile	Si
0.295	SLE RA 14	0	1.265	10000	350	Variabile	Si

Superelemento in acciaio a quota "590"- "640" (2698; 2991)-(2923; 2989)

Caratteristiche del materiale

Acciaio: S275, fyk = 275000

Caratteristiche geometriche

Lunghezza: 2.305

Nodo iniziale: 483 Nodo finale: 1425

Cerniera iniziale: Mmomenti 1% Cerniera finale: Mmomenti 1%

Sovreresistenza: 0% Sisma Z: No

Caratteristiche della sezione

Sezione	Rotazione	Area	Jx	Jy	ix	iy	Wx	Wy	Wplx	Wply
HEA120	0	0.002537	0.0000060673	0.0000023091	0.0489	0.0302	0.00010644	0.00003849	0.00011962	0.00005887

Verifiche di resistenza

Verifiche a forza assiale §4.2.4.1.2.1 - §4.2.4.1.2.2 NTC18

X	Comb.	Sfruttamento	Classe	NEd	Nc,Rd	Nt,Rd	Riduzione da taglio	px	py	Verifica
2.305	SLV 8	0.037		24.331		664.325	1	0	0	Si

Verifiche a forza assiale SLD §4.2.4.1.2.1 - §4.2.4.1.2.2 NTC18

X	Comb.	Sfruttamento	Classe	NEd	Nc,Rd	Nt,Rd	Riduzione da taglio	px	py	Verifica
2.305	SLD 8	0.013		8.355		664.325	1	0	0	Si

**Implementazione dei sistemi di confinamento delle emissioni odorigene diffuse dell'impianto di compostaggio esistente nel
Comune di Eboli (SA)
PROGETTO DEFINITIVO – Tabulati di calcolo Tomo 1**

Verifica a taglio Y §4.2.4.1.2.4 NTC18

X	Comb.	Sfruttamento	VEd	Vc,Rd	Av	Interazione taglio-torsione	Riduzione torsione	Verifica
0	SLU 76	0.002	0.301	128.304	0.000849	Considerata	1	Si

Verifica a taglio Y SLD §4.2.4.1.2.4 NTC18

X	Comb.	Sfruttamento	VEd	Vc,Rd	Av	Interazione taglio-torsione	Riduzione torsione	Verifica
0	SLD 10	0.002	0.23	128.304	0.000849	Considerata	1	Si

Verifica a flessione semplice X §§ 4.2.4.1.2.3 - 4.2.4.1.2.6 - 4.2.4.1.2.7 - 4.2.4.1.2.8 NTC18

X	Comb.	Sfruttamento	Classe	Mx,Ed	Mx,Rd	Rid. Mx,Rd da VEd	px	py	Verifica
1.152	SLU 21	0.004	1	-0.1247	31.32907	1	0	0	Si

Verifica a flessione semplice Y §§ 4.2.4.1.2.3 - 4.2.4.1.2.6 - 4.2.4.1.2.7 - 4.2.4.1.2.8 NTC18

X	Comb.	Sfruttamento	Classe	My,Ed	My,Rd	Rid. My,Rd da VEd	px	py	Verifica
0.077	SLU 63	0.001	1	0.01693	15.41907	1	0	0	Si

Verifica a flessione deviata §§ 4.2.4.1.2.3 - 4.2.4.1.2.6 - 4.2.4.1.2.7 - 4.2.4.1.2.8 NTC18

X	Comb.	Sfruttamento	Classe	Mx,Ed	Mx,Rd	My,Ed	My,Rd	Rid. Mx,Rd da VEd	Rid. My,Rd da VEd	α	β	px	py	Verifica
1.152	SLU 62	0.006	1	-0.1568	31.3291	0.0094	15.4191	1	1			0	0	Si

Verifica a presso/tenso flessione retta X §§ 4.2.4.1.2.3 - 4.2.4.1.2.6 - 4.2.4.1.2.7 - 4.2.4.1.2.8 NTC18

Verifiche eseguite utilizzando la formula conservativa (6.2) §6.2.1 EN 1993-1-1:2005.

X	Comb.	Sfruttamento	Classe	NEd	NRd	Rid. NRd da VEd	Mx,Ed	Mx,Rd	Rid. Mx,Rd da VEd	Rid. Mx,Rd da NEd	px	py	Verifica
0.23	SLV 2	0.017	1	10.798	664.325	1	-0.0336	31.3291	1		0	0	Si

Verifica a presso/tenso flessione retta X SLD §§ 4.2.4.1.2.3 - 4.2.4.1.2.6 - 4.2.4.1.2.7 - 4.2.4.1.2.8 NTC18

Verifiche eseguite utilizzando la formula conservativa (6.2) §6.2.1 EN 1993-1-1:2005.

X	Comb.	Sfruttamento	Classe	NEd	NRd	Rid. NRd da VEd	Mx,Ed	Mx,Rd	Rid. Mx,Rd da VEd	Rid. Mx,Rd da NEd	px	py	Verifica
1.152	SLD 7	0.016	1	8.306	664.325	1	-0.1173	31.3291	1		0	0	Si

Verifica a presso/tenso flessione retta Y §§ 4.2.4.1.2.3 - 4.2.4.1.2.6 - 4.2.4.1.2.7 - 4.2.4.1.2.8 NTC18

Verifiche eseguite utilizzando la formula conservativa (6.2) §6.2.1 EN 1993-1-1:2005.

X	Comb.	Sfruttamento	Classe	NEd	NRd	Rid. NRd da VEd	My,Ed	My,Rd	Rid. My,Rd da VEd	Rid. My,Rd da NEd	px	py	Verifica
0.077	SLV 10	0.039	1	-23.23	664.325	1	0.0593	15.4191	1		0	0	Si

Verifica a presso/tenso flessione retta Y SLD §§ 4.2.4.1.2.3 - 4.2.4.1.2.6 - 4.2.4.1.2.7 - 4.2.4.1.2.8 NTC18

Verifiche eseguite utilizzando la formula conservativa (6.2) §6.2.1 EN 1993-1-1:2005.

X	Comb.	Sfruttamento	Classe	NEd	NRd	Rid. NRd da VEd	My,Ed	My,Rd	Rid. My,Rd da VEd	Rid. My,Rd da NEd	px	py	Verifica
0.077	SLD 10	0.013	1	-7.254	664.325	1	0.0303	15.4191	1		0	0	Si

Verifica a presso/tenso flessione deviata §§ 4.2.4.1.2.3 - 4.2.4.1.2.6 - 4.2.4.1.2.7 - 4.2.4.1.2.8 NTC18

Verifiche eseguite utilizzando la formula conservativa (6.2) §6.2.1 EN 1993-1-1:2005.

X	Comb.	Sfruttamento	Classe	NEd	NRd	Rid. NRd da VEd	Mx,Ed	Mx,Rd	My,Ed	My,Rd	Rid. Mx,Rd da VEd	Rid. Mx,Rd da NEd	Rid. My,Rd da VEd	Rid. My,Rd da NEd	α	β	px	py	Verifica
1.152	SLV 8	0.042	1	24.281	664.325	1	-0.1198	31.3291	-0.0231	15.4191	1		1				0	0	Si

Verifica a presso/tenso flessione deviata SLD §§ 4.2.4.1.2.3 - 4.2.4.1.2.6 - 4.2.4.1.2.7 - 4.2.4.1.2.8 NTC18

Verifiche eseguite utilizzando la formula conservativa (6.2) §6.2.1 EN 1993-1-1:2005.

X	Comb.	Sfruttamento	Classe	NEd	NRd	Rid. NRd da VEd	Mx,Ed	Mx,Rd	My,Ed	My,Rd	Rid. Mx,Rd da VEd	Rid. Mx,Rd da NEd	Rid. My,Rd da VEd	Rid. My,Rd da NEd	α	β	px	py	Verifica
1.076	SLD 9	0.016	1	-7.211	664.325	1	-0.1138	31.3291	0.0237	15.4191	1		1				0	0	Si

Verifiche ad instabilità

Caratteristiche iniziali

Membratura principale per controllo snellezza; Calcolo di snellezze ed N critici condotti secondo gli assi principali;

Curva X: b; Curva Y: c; Svergolamento: Carico all'estradosso; Curva svergolamento: b;

Dati per instabilità attorno a x

Controllo della snellezza secondo §4.2.4.1.3.1 NTC18

Numero rit.	Presente	Ascissa	Campata	βx/m	Vincolo a entrambi estremi	λx/m	λVer
1	Si	0	1-2	1	Si	47.1	Si, (<200)
2	Si	2.305					

Dati per instabilità attorno a y

Controllo della snellezza secondo §4.2.4.1.3.1 NTC18

Numero rit.	Presente	Ascissa	Campata	βy/n	k,LT	kw,LT	Vincolo a entrambi estremi	λy/n	λVer
1	Si	0	1-2	1	1	1	Si	76.4	Si, (<200)
2	Si	2.305							

Verifica di stabilità per tenso-flessione deviata §§ 5.5.3-5.5.4 ENV 1993-1-1:1992 + AC:1992 + A1:1994 + A2:1998

X	Comb.	Sfruttamento	Classe	NEd	Mx,Ed	Mx,Eff,Ed	My,Ed	χ,LT	kLT	ky	M,critico	Wx	Wy	Verifica
1.152	SLU 48	0.006	1	0.485	-0.14847	-0.13421	0.01634	0.855	1	1	61.78722	0.0001196	0.0000589	Si

Verifica di stabilità per tenso-flessione deviata SLD §§ 5.5.3-5.5.4 ENV 1993-1-1:1992 + AC:1992 + A1:1994 + A2:1998

X	Comb.	Sfruttamento	Classe	NEd	Mx,Ed	Mx,Eff,Ed	My,Ed	χ,LT	kLT	ky	M,critico	Wx	Wy	Verifica
1.152	SLD 1	0	1	3.93	-0.11671	-0.00128	0.00638	0.855	1	1	61.78722	0.0001196	0.0000589	Si

Verifica di stabilità per pressoflessione §C.4.2.4.1.3.3.2 NTC18

X	Comb.	Sfruttamento	Classe	NEd	NRk	Mx,Ed max	Mx,Rk	My,Ed max	My,Rk	χ,x	χ,y	kxx	kxy	kyy	χ,LT	Verifica
0	SLV 10	0.065	1	-23.233	697.541	0.11249	32.89552	0.06022	16.19002	0.865	0.612	0.951	0.525	0.993	0.875	0.855

Implementazione dei sistemi di confinamento delle emissioni odorigene diffuse dell'impianto di compostaggio esistente nel
Comune di Eboli (SA)
PROGETTO DEFINITIVO – Tabulati di calcolo Tomo 1

Verifica di stabilità per pressoflessione SLD §C.4.2.4.1.3.3.2 NTC18

X	Comb.	Sfruttamento	Classe	NEd	NRk	Mx,Ed max	Mx,Rk	My,Ed max	My,Rk	χ,x	χ,y	kxx	kxy	kyy	χ,LT	Verifica	
0	SLD 10	0.024	1	-7.258	697.541	0.11484	32.89552	0.03078	16.19002	0.865	0.612	0.945	0.491	0.998	0.819	0.855	Si

Verifica di stabilità a taglio anima Y §4.2.4.1.2.4 [4.2.27] NTC18

η	hw	tw	hw/tw max	Verifica
1.2	0.098	0.005	55.46	Si

Verifica di stabilità a taglio anima Y SLD §4.2.4.1.2.4 [4.2.27] NTC18

η	hw	tw	hw/tw max	Verifica
1.2	0.098	0.005	55.46	Si

Verifiche a deformabilità

Mensola X: No; Mensola Y: No.

Frecce lungo X

Ascissa freccia	Combinazione	Freccia	Luce	L/f	L/f,min	Tipo	Verifica
1.076	SLE RA 1	-0.00002	2.305	10000	250	Totale	Si
1.076	SLE RA 17	-0.00002	2.305	10000	250	Totale	Si
1.076	SLE RA 16	-0.00003	2.305	10000	250	Totale	Si
1.076	SLE RA 15	-0.00003	2.305	10000	250	Totale	Si
1.076	SLE RA 14	-0.00002	2.305	10000	250	Totale	Si
1.076	SLE RA 2	0.00001	2.305	10000	350	Variabile	Si
1.076	SLE RA 17	0	2.305	10000	350	Variabile	Si
1.076	SLE RA 16	-0.00001	2.305	10000	350	Variabile	Si
1.076	SLE RA 15	-0.00001	2.305	10000	350	Variabile	Si
0.999	SLE RA 14	0	2.305	10000	350	Variabile	Si

Frecce lungo Y

Ascissa freccia	Combinazione	Freccia	Luce	L/f	L/f,min	Tipo	Verifica
1.152	SLE RA 1	-0.00005	2.305	10000	250	Totale	Si
1.152	SLE RA 17	-0.00005	2.305	10000	250	Totale	Si
1.152	SLE RA 16	-0.00005	2.305	10000	250	Totale	Si
1.152	SLE RA 15	-0.00005	2.305	10000	250	Totale	Si
1.152	SLE RA 14	-0.00005	2.305	10000	250	Totale	Si
1.076	SLE RA 2	0	2.305	10000	350	Variabile	Si
1.076	SLE RA 17	0	2.305	10000	350	Variabile	Si
1.076	SLE RA 16	0	2.305	10000	350	Variabile	Si
1.076	SLE RA 15	0	2.305	10000	350	Variabile	Si
1.076	SLE RA 14	0	2.305	10000	350	Variabile	Si

Superelemento in acciaio a quota "590"- "640" (2812; 2192)-(2929; 2193)

Caratteristiche del materiale

Acciaio: S275, fyk = 275000

Caratteristiche geometriche

Lunghezza: 1.273

Nodo iniziale: 453 Nodo finale: 1133

Cerniera iniziale: Mmomenti 1% Cerniera finale: Mmomenti 1%

Sovreresistenza: 0% Sisma Z: No

Caratteristiche della sezione

Sezione	Rotazione	Area	Jx	Jy	ix	iy	Wx	Wy	Wplx	Wply
HEA120	0	0.002537	0.0000060673	0.0000023091	0.0489	0.0302	0.00010644	0.00003849	0.00011962	0.00005887

Verifiche di resistenza

Verifiche a forza assiale §4.2.4.1.2.1 - §4.2.4.1.2.2 NTC18

X	Comb.	Sfruttamento	Classe	NEd	Nc,Rd	Nt,Rd	Riduzione da taglio	px	py	Verifica
0	SLV 13	0.079	1	-52.635	664.325		1	0	0	Si

Verifiche a forza assiale SLD §4.2.4.1.2.1 - §4.2.4.1.2.2 NTC18

X	Comb.	Sfruttamento	Classe	NEd	Nc,Rd	Nt,Rd	Riduzione da taglio	px	py	Verifica
0	SLD 14	0.043	1	-28.38	664.325		1	0	0	Si

Verifica a taglio Y §4.2.4.1.2.4 NTC18

X	Comb.	Sfruttamento	VEd	Vc,Rd	Av	Interazione taglio-torsione	Riduzione torsione	Verifica
0	SLU 76	0.001	0.181	128.304	0.000849	Considerata	1	Si

Verifica a taglio Y SLD §4.2.4.1.2.4 NTC18

X	Comb.	Sfruttamento	VEd	Vc,Rd	Av	Interazione taglio-torsione	Riduzione torsione	Verifica
0	SLD 4	0.001	0.137	128.304	0.000849	Considerata	1	Si

Verifica a presso/tenso flessione retta X §§ 4.2.4.1.2.3 - 4.2.4.1.2.6 - 4.2.4.1.2.7 - 4.2.4.1.2.8 NTC18

Verifiche eseguite utilizzando la formula conservativa (6.2) §6.2.1 EN 1993-1-1:2005.

X	Comb.	Sfruttamento	Classe	NEd	NRd	Rid. NRd da VEd	Mx,Ed	Mx,Rd	Rid. Mx,Rd da VEd	Rid. Mx,Rd da NEd	px	py	Verifica
1.018	SLV 14	0.08	1	-52.556	664.325	1	-0.024	31.3291	1		0	0	Si

Verifica a presso/tenso flessione retta X SLD §§ 4.2.4.1.2.3 - 4.2.4.1.2.6 - 4.2.4.1.2.7 - 4.2.4.1.2.8 NTC18

Verifiche eseguite utilizzando la formula conservativa (6.2) §6.2.1 EN 1993-1-1:2005.

X	Comb.	Sfruttamento	Classe	NEd	NRd	Rid. NRd da VEd	Mx,Ed	Mx,Rd	Rid. Mx,Rd da VEd	Rid. Mx,Rd da NEd	px	py	Verifica
0.721	SLD 11	0.016	1	-10.355	664.325	1	-0.0242	31.3291	1		0	0	Si

**Implementazione dei sistemi di confinamento delle emissioni odorigene diffuse dell'impianto di compostaggio esistente nel
Comune di Eboli (SA)
PROGETTO DEFINITIVO – Tabulati di calcolo Tomo 1**

Verifica a presso/tenso flessione retta Y §§ 4.2.4.1.2.3 - 4.2.4.1.2.6 - 4.2.4.1.2.7 - 4.2.4.1.2.8 NTC18

Verifiche eseguite utilizzando la formula conservativa (6.2) §6.2.1 EN 1993-1-1:2005.

X	Comb.	Sfruttamento	Classe	NEd	NRd	Rid. NRd da VEd	My,Ed	My,Rd	Rid. My,Rd da VEd	Rid. My,Rd da NEd	px	py	Verifica
0	SLV 13	0.081	1	-52.635	664.325	1	0.0323	15.4191	1		0	0	Si

Verifica a presso/tenso flessione retta Y SLD §§ 4.2.4.1.2.3 - 4.2.4.1.2.6 - 4.2.4.1.2.7 - 4.2.4.1.2.8 NTC18

Verifiche eseguite utilizzando la formula conservativa (6.2) §6.2.1 EN 1993-1-1:2005.

X	Comb.	Sfruttamento	Classe	NEd	NRd	Rid. NRd da VEd	My,Ed	My,Rd	Rid. My,Rd da VEd	Rid. My,Rd da NEd	px	py	Verifica
0	SLD 14	0.043	1	-28.38	664.325	1	0.01	15.4191	1		0	0	Si

Verifica a presso/tenso flessione deviata §§ 4.2.4.1.2.3 - 4.2.4.1.2.6 - 4.2.4.1.2.7 - 4.2.4.1.2.8 NTC18

Verifiche eseguite utilizzando la formula conservativa (6.2) §6.2.1 EN 1993-1-1:2005.

X	Comb.	Sfruttamento	Classe	NEd	NRd	Rid. NRd da VEd	Mx,Ed	Mx,Rd	My,Ed	My,Rd	Rid. Mx,Rd da VEd	Rid. Mx,Rd da NEd	Rid. My,Rd da VEd	Rid. My,Rd da NEd	α	β	px	py	Verifica
0.255	SLV 13	0.082	1	-52.615	664.325	1	-0.0305	31.3291	0.0254	15.4191	1		1				0	0	Si

Verifica a presso/tenso flessione deviata SLD §§ 4.2.4.1.2.3 - 4.2.4.1.2.6 - 4.2.4.1.2.7 - 4.2.4.1.2.8 NTC18

Verifiche eseguite utilizzando la formula conservativa (6.2) §6.2.1 EN 1993-1-1:2005.

X	Comb.	Sfruttamento	Classe	NEd	NRd	Rid. NRd da VEd	Mx,Ed	Mx,Rd	My,Ed	My,Rd	Rid. Mx,Rd da VEd	Rid. Mx,Rd da NEd	Rid. My,Rd da VEd	Rid. My,Rd da NEd	α	β	px	py	Verifica
0.594	SLD 14	0.044	1	-28.334	664.325	1	-0.0303	31.3291	0.0077	15.4191	1		1				0	0	Si

Verifiche ad instabilità

Caratteristiche iniziali

Membratura principale per controllo snellezza; Calcolo di snellezze ed N critici condotti secondo gli assi principali;

Curva X: b; Curva Y: c; Svergolamento: Carico all'estradosso; Curva svergolamento: b;

Dati per instabilità attorno a x

Controllo della snellezza secondo §4.2.4.1.3.1 NTC18

Numero rit.	Presente	Ascissa	Campata	βx/m	Vincolo a entrambi estremi	λx/m	λVer
1	Si		0				
			1-2		1	26	Si, (<200)
2	Si	1.273					

Dati per instabilità attorno a y

Controllo della snellezza secondo §4.2.4.1.3.1 NTC18

Numero rit.	Presente	Ascissa	Campata	βy/n	k,LT	kw,LT	Vincolo a entrambi estremi	λy/n	λVer
1	Si		0						
			1-2		1	1	Si	42.2	Si, (<200)
2	Si	1.273							

Verifica di stabilità per pressoflessione §C.4.2.4.1.3.3.2 NTC18

X	Comb.	Sfruttamento	Classe	NEd	NRk	Mx,Ed max	Mx,Rk	My,Ed max	My,Rk	χ,x	χ,y	kxx	kxy	kyy	χ,LT	Verifica	
0	SLV 14	0.096	1	-52.635	697.541	0.04079	32.89552	0.03232	16.19002	0.964	0.851	0.969	0.358	0.994	0.597	0.968	Si

Verifica di stabilità per pressoflessione SLD §C.4.2.4.1.3.3.2 NTC18

X	Comb.	Sfruttamento	Classe	NEd	NRk	Mx,Ed max	Mx,Rk	My,Ed max	My,Rk	χ,x	χ,y	kxx	kxy	kyy	χ,LT	Verifica	
0	SLD 14	0.052	1	-28.38	697.541	0.03085	32.89552	0.00996	16.19002	0.964	0.851	0.937	0.493	0.996	0.821	0.968	Si

Verifica di stabilità a taglio anima Y §4.2.4.1.2.4 [4.2.27] NTC18

η	hw	tw	hw/tw max	Verifica
1.2	0.098	0.005	55.46	Si

Verifica di stabilità a taglio anima Y SLD §4.2.4.1.2.4 [4.2.27] NTC18

η	hw	tw	hw/tw max	Verifica
1.2	0.098	0.005	55.46	Si

Verifiche a deformabilità

Mensola X: No; Mensola Y: No.

Frecce lungo X

Ascissa freccia	Combinazione	Freccia	Luce	L/f	L/f,min	Tipo	Verifica
0.764	SLE RA 1	0	1.273	10000	250	Totale	Si
0.764	SLE RA 17	0	1.273	10000	250	Totale	Si
0.721	SLE RA 16	0	1.273	10000	250	Totale	Si
0.806	SLE RA 15	0	1.273	10000	250	Totale	Si
0.721	SLE RA 14	0	1.273	10000	250	Totale	Si
0.721	SLE RA 2	0	1.273	10000	350	Variabile	Si
0.721	SLE RA 17	0	1.273	10000	350	Variabile	Si
0.721	SLE RA 16	0	1.273	10000	350	Variabile	Si
0.891	SLE RA 15	0	1.273	10000	350	Variabile	Si
0.679	SLE RA 14	0	1.273	10000	350	Variabile	Si

Frecce lungo Y

Ascissa freccia	Combinazione	Freccia	Luce	L/f	L/f,min	Tipo	Verifica
0.679	SLE RA 1	0	1.273	10000	250	Totale	Si
0.679	SLE RA 17	0	1.273	10000	250	Totale	Si
0.679	SLE RA 16	0	1.273	10000	250	Totale	Si
0.679	SLE RA 15	0	1.273	10000	250	Totale	Si
0.679	SLE RA 14	0	1.273	10000	250	Totale	Si
0.551	SLE RA 2	0	1.273	10000	350	Variabile	Si
0.551	SLE RA 17	0	1.273	10000	350	Variabile	Si
0.551	SLE RA 16	0	1.273	10000	350	Variabile	Si
0.551	SLE RA 15	0	1.273	10000	350	Variabile	Si
0.551	SLE RA 14	0	1.273	10000	350	Variabile	Si

Implementazione dei sistemi di confinamento delle emissioni odorigene diffuse dell'impianto di compostaggio esistente nel
Comune di Eboli (SA)
PROGETTO DEFINITIVO – Tabulati di calcolo Tomo 1

Superelemento in acciaio a quota "590"- "640" (-18; 1794)- (109; 1929)

Caratteristiche del materiale

Acciaio: S275, fyk = 275000

Caratteristiche geometriche

Lunghezza: 1.921

Nodo iniziale: 417 Nodo finale: 1051

Cerniera iniziale: Mmomenti 1% Cerniera finale: Mmomenti 1%

Sovreresistenza: 0% Sisma Z: No

Caratteristiche della sezione

Sezione	Rotazione	Area	Jx	Jy	ix	iy	Wx	Wy	Wplx	Wply
HEA120	0	0.002537	0.0000060673	0.0000023091	0.0489	0.0302	0.00010644	0.00003849	0.00011962	0.00005887

Verifiche di resistenza

Verifiche a forza assiale §4.2.4.1.2.1 - §4.2.4.1.2.2 NTC18

X	Comb.	Sfruttamento	Classe	NEd	Nc,Rd	Nt,Rd	Riduzione da taglio	px	py	Verifica
1.921	SLU 76	0.065		43.206		664.325	1	0	0	Si

Verifiche a forza assiale SLD §4.2.4.1.2.1 - §4.2.4.1.2.2 NTC18

X	Comb.	Sfruttamento	Classe	NEd	Nc,Rd	Nt,Rd	Riduzione da taglio	px	py	Verifica
1.921	SLD 10	0.034		22.483		664.325	1	0	0	Si

Verifica a taglio Y §4.2.4.1.2.4 NTC18

X	Comb.	Sfruttamento	VEd	Vc,Rd	Av	Interazione taglio-torsione	Riduzione torsione	Verifica
1.921	SLU 76	0.002	-0.242	128.304	0.000849	Considerata	1	Si

Verifica a taglio Y SLD §4.2.4.1.2.4 NTC18

X	Comb.	Sfruttamento	VEd	Vc,Rd	Av	Interazione taglio-torsione	Riduzione torsione	Verifica
1.921	SLD 14	0.001	-0.186	128.304	0.000849	Considerata	1	Si

Verifica a flessione semplice X §§ 4.2.4.1.2.3 - 4.2.4.1.2.6 - 4.2.4.1.2.7 - 4.2.4.1.2.8 NTC18

X	Comb.	Sfruttamento	Classe	Mx,Ed	Mx,Rd	Rid. Mx,Rd da VEd	px	py	Verifica
0.96	SLU 40	0.004	1	-0.11489	31.32907	1	0	0	Si

Verifica a presso/tenso flessione retta X §§ 4.2.4.1.2.3 - 4.2.4.1.2.6 - 4.2.4.1.2.7 - 4.2.4.1.2.8 NTC18

Verifiche eseguite utilizzando la formula conservativa (6.2) §6.2.1 EN 1993-1-1:2005.

X	Comb.	Sfruttamento	Classe	NEd	NRd	Rid. NRd da VEd	Mx,Ed	Mx,Rd	Rid. Mx,Rd da VEd	Rid. Mx,Rd da NEd	px	py	Verifica
0.64	SLU 76	0.068	1	43.12	664.325	1	-0.0968	31.3291	1		0	0	Si

Verifica a presso/tenso flessione retta SLD §§ 4.2.4.1.2.3 - 4.2.4.1.2.6 - 4.2.4.1.2.7 - 4.2.4.1.2.8 NTC18

Verifiche eseguite utilizzando la formula conservativa (6.2) §6.2.1 EN 1993-1-1:2005.

X	Comb.	Sfruttamento	Classe	NEd	NRd	Rid. NRd da VEd	Mx,Ed	Mx,Rd	Rid. Mx,Rd da VEd	Rid. Mx,Rd da NEd	px	py	Verifica
0.96	SLD 6	0.031	1	18.936	664.325	1	-0.0865	31.3291	1		0	0	Si

Verifica a presso/tenso flessione retta Y §§ 4.2.4.1.2.3 - 4.2.4.1.2.6 - 4.2.4.1.2.7 - 4.2.4.1.2.8 NTC18

Verifiche eseguite utilizzando la formula conservativa (6.2) §6.2.1 EN 1993-1-1:2005.

X	Comb.	Sfruttamento	Classe	NEd	NRd	Rid. NRd da VEd	My,Ed	My,Rd	Rid. My,Rd da VEd	Rid. My,Rd da NEd	px	py	Verifica
1.921	SLU 76	0.066	1	43.206	664.325	1	0.0119	15.4191	1		0	0	Si

Verifica a presso/tenso flessione retta Y SLD §§ 4.2.4.1.2.3 - 4.2.4.1.2.6 - 4.2.4.1.2.7 - 4.2.4.1.2.8 NTC18

Verifiche eseguite utilizzando la formula conservativa (6.2) §6.2.1 EN 1993-1-1:2005.

X	Comb.	Sfruttamento	Classe	NEd	NRd	Rid. NRd da VEd	My,Ed	My,Rd	Rid. My,Rd da VEd	Rid. My,Rd da NEd	px	py	Verifica
1.921	SLD 9	0.034	1	22.483	664.325	1	0.0055	15.4191	1		0	0	Si

Verifica a presso/tenso flessione deviata §§ 4.2.4.1.2.3 - 4.2.4.1.2.6 - 4.2.4.1.2.7 - 4.2.4.1.2.8 NTC18

Verifiche eseguite utilizzando la formula conservativa (6.2) §6.2.1 EN 1993-1-1:2005.

X	Comb.	Sfruttamento	Classe	NEd	NRd	Rid. NRd da VEd	Mx,Ed	Mx,Rd	My,Ed	My,Rd	Rid. Mx,Rd da VEd	Rid. Mx,Rd da NEd	Rid. My,Rd da VEd	Rid. My,Rd da NEd	α	β	px	py	Verifica
1.024	SLU 76	0.069	1	43.146	664.325	1	-0.1082	31.3291	0.0062	15.4191	1		1				0	0	Si

Verifica a presso/tenso flessione deviata SLD §§ 4.2.4.1.2.3 - 4.2.4.1.2.6 - 4.2.4.1.2.7 - 4.2.4.1.2.8 NTC18

Verifiche eseguite utilizzando la formula conservativa (6.2) §6.2.1 EN 1993-1-1:2005.

X	Comb.	Sfruttamento	Classe	NEd	NRd	Rid. NRd da VEd	Mx,Ed	Mx,Rd	My,Ed	My,Rd	Rid. Mx,Rd da VEd	Rid. Mx,Rd da NEd	Rid. My,Rd da VEd	Rid. My,Rd da NEd	α	β	px	py	Verifica
0.96	SLD 9	0.037	1	22.434	664.325	1	-0.0867	31.3291	0.0047	15.4191	1		1				0	0	Si

Verifiche ad instabilità

Caratteristiche iniziali

Membratura principale per controllo snellezza; Calcolo di snellezze ed N critici condotti secondo gli assi principali;

Curva X: b; Curva Y: c; Svergolamento: Carico all'estradosso; Curva svergolamento: b;

Dati per instabilità attorno a x

Controllo della snellezza secondo §4.2.4.1.3.1 NTC18

Numero rit.	Presente	Ascissa	Campata	βx/m	Vincolo a entrambi estremi	λx/m	λVer
1	Si	0					
			1-2		1	Si	39.3
2	Si	1.921					Si, (<200)

Implementazione dei sistemi di confinamento delle emissioni odorigene diffuse dell'impianto di compostaggio esistente nel
Comune di Eboli (SA)
PROGETTO DEFINITIVO – Tabulati di calcolo Tomo 1

Dati per instabilità attorno a y

Controllo della snellezza secondo §4.2.4.1.3.1 NTC18

Numero rit.	Presente	Ascissa	Campata	$\beta y/n$	k_{LT}	$k_{w,LT}$	Vincolo a entrambi estremi	$\lambda y/n$	λVer
1	Si	0	1-2	1	1	1	Si	63.7	Si, (<200)
2	Si	1.921							

Verifica a svergolamento §4.2.4.1.3.2 NTC18

X	Comb.	Sfruttamento	Classe	Obblig.	$M_{x,Ed}$	$M_{b,Rd,x}$	χ_{LT}	$\lambda_{adim. LT}$	L_{LT}	$M_{critico}$	Verifica
0.96	SLU 40	0.004	1	Si	-0.11489	28.01975	0.894	0.649	1.921	78.05708	Si

Verifica a svergolamento con trazione §4.2.4.1.3.2 NTC18 § 5.5.3 ENV 1993-1-1:1992 + AC:1992 + A1:1994 + A2:1998

X	Comb.	Sfruttamento	Classe	Obblig.	NEd	$M_{x,Ed}$	$M_{x,Eff,Ed}$	$M_{b,Rd,x}$	χ_{LT}	$\lambda_{adim. LT}$	L_{LT}	$M_{critico}$	Verifica
0.96	SLU 21	0.003	1	Si	0.269	-0.08832	-0.08041	28.01975	0.894	0.649	1.921	78.05708	Si

Verifica di stabilità per tenso-flessione deviata §§ 5.5.3-5.5.4 ENV 1993-1-1:1992 + AC:1992 + A1:1994 + A2:1998

X	Comb.	Sfruttamento	Classe	NEd	$M_{x,Ed}$	$M_{x,Eff,Ed}$	$M_{y,Ed}$	χ_{LT}	k_{LT}	k_y	$M_{critico}$	W_x	W_y	Verifica
0.832	SLV 11	0.001	1	2.349	-0.08431	-0.0153	-0.00397	0.894	1	1	78.05708	0.0001196	0.0000589	Si

Verifica di stabilità per pressoflessione §C.4.2.4.1.3.3.2 NTC18

X	Comb.	Sfruttamento	Classe	NEd	NRk	$M_{x,Ed max}$	$M_{x,Rk}$	$M_{y,Ed max}$	$M_{y,Rk}$	χ_x	χ_y	k_{xx}	k_{xy}	k_{yx}	k_{yy}	χ_{LT}	Verifica
0	SLV 7	0.021	1	-7.982	697.541	0.08534	32.89552	0.01552	16.19002	0.905	0.704	0.951	0.361	0.998	0.601	0.894	Si

Verifica di stabilità a taglio anima Y §4.2.4.1.2.4 [4.2.27] NTC18

η	hw	tw	hw/tw max	Verifica
1.2	0.098	0.005	55.46	Si

Verifica di stabilità a taglio anima Y SLD §4.2.4.1.2.4 [4.2.27] NTC18

η	hw	tw	hw/tw max	Verifica
1.2	0.098	0.005	55.46	Si

Verifiche a deformabilità

Mensola X: No; Mensola Y: No.

Frecce lungo X

Ascissa freccia	Combinazione	Freccia	Luce	L/f	L/f,min	Tipo	Verifica
1.152	SLE RA 1	0	1.921	10000	250	Totale	Si
1.152	SLE RA 17	0	1.921	10000	250	Totale	Si
1.152	SLE RA 16	0	1.921	10000	250	Totale	Si
1.088	SLE RA 15	0	1.921	10000	250	Totale	Si
1.152	SLE RA 14	0	1.921	10000	250	Totale	Si
1.152	SLE RA 2	0	1.921	10000	350	Variabile	Si
1.152	SLE RA 17	0	1.921	10000	350	Variabile	Si
1.152	SLE RA 16	0	1.921	10000	350	Variabile	Si
1.088	SLE RA 15	0	1.921	10000	350	Variabile	Si
1.217	SLE RA 14	0	1.921	10000	350	Variabile	Si

Frecce lungo Y

Ascissa freccia	Combinazione	Freccia	Luce	L/f	L/f,min	Tipo	Verifica
0.96	SLE RA 1	-0.00003	1.921	10000	250	Totale	Si
0.96	SLE RA 17	-0.00003	1.921	10000	250	Totale	Si
0.96	SLE RA 16	-0.00003	1.921	10000	250	Totale	Si
0.96	SLE RA 15	-0.00003	1.921	10000	250	Totale	Si
0.96	SLE RA 14	-0.00003	1.921	10000	250	Totale	Si
1.024	SLE RA 2	0	1.921	10000	350	Variabile	Si
1.024	SLE RA 17	0	1.921	10000	350	Variabile	Si
1.024	SLE RA 16	0	1.921	10000	350	Variabile	Si
1.024	SLE RA 15	0	1.921	10000	350	Variabile	Si
1.024	SLE RA 14	0	1.921	10000	350	Variabile	Si

Superelemento in acciaio a quota "590"- "640" (-145; 1660)-(-18; 1794)

Caratteristiche del materiale

Acciaio: S275, fyk = 275000

Caratteristiche geometriche

Lunghezza: 1.916

Nodo iniziale: 409 Nodo finale: 1027

Cerniera iniziale: Mmomenti 1% Cerniera finale: Mmomenti 1%

Sovreresistenza: 0% Sisma Z: No

Caratteristiche della sezione

Sezione	Rotazione	Area	Jx	Jy	ix	iy	Wx	Wy	Wplx	Wply
HEA120	0	0.002537	0.0000060673	0.0000023091	0.0489	0.0302	0.00010644	0.00003849	0.00011962	0.00005887

Verifiche di resistenza

Verifiche a forza assiale §4.2.4.1.2.1 - §4.2.4.1.2.2 NTC18

X	Comb.	Sfruttamento	Classe	NEd	$N_{c,Rd}$	$N_{t,Rd}$	Riduzione da taglio	p_x	p_y	Verifica
1.916	SLU 76	0.068		45.29		664.325	1	0	0	Si

Verifiche a forza assiale SLD §4.2.4.1.2.1 - §4.2.4.1.2.2 NTC18

X	Comb.	Sfruttamento	Classe	NEd	$N_{c,Rd}$	$N_{t,Rd}$	Riduzione da taglio	p_x	p_y	Verifica
1.916	SLD 10	0.029		19.265		664.325	1	0	0	Si

Verifica a taglio Y §4.2.4.1.2.4 NTC18

X	Comb.	Sfruttamento	VEd	$V_{c,Rd}$	A_v	Interazione taglio-torsione	Riduzione torsione	Verifica
---	-------	--------------	-----	------------	-------	-----------------------------	--------------------	----------

**Implementazione dei sistemi di confinamento delle emissioni odorigene diffuse dell'impianto di compostaggio esistente nel
Comune di Eboli (SA)
PROGETTO DEFINITIVO – Tabulati di calcolo Tomo 1**

X	Comb.	Sfruttamento	VEd	Vc,Rd	Av	Interazione taglio-torsione	Riduzione torsione	Verifica
0	SLU 76	0.002	0.242	128.304	0.000849	Considerata	1	Si

Verifica a taglio Y SLD §4.2.4.1.2.4 NTC18

X	Comb.	Sfruttamento	VEd	Vc,Rd	Av	Interazione taglio-torsione	Riduzione torsione	Verifica
0	SLD 7	0.001	0.186	128.304	0.000849	Considerata	1	Si

Verifica a presso/tenso flessione retta X §§ 4.2.4.1.2.3 - 4.2.4.1.2.6 - 4.2.4.1.2.7 - 4.2.4.1.2.8 NTC18

Verifiche eseguite utilizzando la formula conservativa (6.2) §6.2.1 EN 1993-1-1:2005.

X	Comb.	Sfruttamento	Classe	NEd	NRd	Rid. NRd da VEd	Mx,Ed	Mx,Rd	Rid. Mx,Rd da VEd	Rid. Mx,Rd da NEd	px	py	Verifica
1.789	SLU 76	0.069	1	45.282	664.325	1	-0.0253	31.3291	1		0	0	Si

Verifica a presso/tenso flessione retta X SLD §§ 4.2.4.1.2.3 - 4.2.4.1.2.6 - 4.2.4.1.2.7 - 4.2.4.1.2.8 NTC18

Verifiche eseguite utilizzando la formula conservativa (6.2) §6.2.1 EN 1993-1-1:2005.

X	Comb.	Sfruttamento	Classe	NEd	NRd	Rid. NRd da VEd	Mx,Ed	Mx,Rd	Rid. Mx,Rd da VEd	Rid. Mx,Rd da NEd	px	py	Verifica
0.958	SLD 9	0.032	1	19.215	664.325	1	-0.0882	31.3291	1		0	0	Si

Verifica a presso/tenso flessione retta Y §§ 4.2.4.1.2.3 - 4.2.4.1.2.6 - 4.2.4.1.2.7 - 4.2.4.1.2.8 NTC18

Verifiche eseguite utilizzando la formula conservativa (6.2) §6.2.1 EN 1993-1-1:2005.

X	Comb.	Sfruttamento	Classe	NEd	NRd	Rid. NRd da VEd	My,Ed	My,Rd	Rid. My,Rd da VEd	Rid. My,Rd da NEd	px	py	Verifica
0	SLU 76	0.068	1	45.161	664.325	1	-0.0072	15.4191	1		0	0	Si

Verifica a presso/tenso flessione retta Y SLD §§ 4.2.4.1.2.3 - 4.2.4.1.2.6 - 4.2.4.1.2.7 - 4.2.4.1.2.8 NTC18

Verifiche eseguite utilizzando la formula conservativa (6.2) §6.2.1 EN 1993-1-1:2005.

X	Comb.	Sfruttamento	Classe	NEd	NRd	Rid. NRd da VEd	My,Ed	My,Rd	Rid. My,Rd da VEd	Rid. My,Rd da NEd	px	py	Verifica
0.064	SLD 1	0.015	1	9.848	664.325	1	-0.0045	15.4191	1		0	0	Si

Verifica a presso/tenso flessione deviata §§ 4.2.4.1.2.3 - 4.2.4.1.2.6 - 4.2.4.1.2.7 - 4.2.4.1.2.8 NTC18

Verifiche eseguite utilizzando la formula conservativa (6.2) §6.2.1 EN 1993-1-1:2005.

X	Comb.	Sfruttamento	Classe	NEd	NRd	Rid. NRd da VEd	Mx,Ed	Mx,Rd	My,Ed	My,Rd	Rid. Mx,Rd da VEd	Rid. Mx,Rd da NEd	Rid. My,Rd da VEd	Rid. My,Rd da NEd	α	β	px	py	Verifica
0.958	SLU 76	0.072	1	45.226	664.325	1	-0.1092	31.3291	-0.0054	15.4191	1		1				0	0	Si

Verifica a presso/tenso flessione deviata SLD §§ 4.2.4.1.2.3 - 4.2.4.1.2.6 - 4.2.4.1.2.7 - 4.2.4.1.2.8 NTC18

Verifiche eseguite utilizzando la formula conservativa (6.2) §6.2.1 EN 1993-1-1:2005.

X	Comb.	Sfruttamento	Classe	NEd	NRd	Rid. NRd da VEd	Mx,Ed	Mx,Rd	My,Ed	My,Rd	Rid. Mx,Rd da VEd	Rid. Mx,Rd da NEd	Rid. My,Rd da VEd	Rid. My,Rd da NEd	α	β	px	py	Verifica
0.958	SLD 2	0.018	1	9.894	664.325	1	-0.0856	31.3291	-0.0041	15.4191	1		1				0	0	Si

Verifiche ad instabilità

Caratteristiche iniziali

Membratura principale per controllo snellezza; Calcolo di snellezze ed N critici condotti secondo gli assi principali;

Curva X: b; Curva Y: c; Svergolamento: Carico all'estradosso; Curva svergolamento: b;

Dati per instabilità attorno a x

Controllo della snellezza secondo §4.2.4.1.3.1 NTC18

Numero rit.	Presente	Ascissa	Campata	βx/m	Vincolo a entrambi estremi	λx/m	λVer
1	Si	0					
2	Si	1.916	1-2	1	Si	39.2	Si, (<200)

Dati per instabilità attorno a y

Controllo della snellezza secondo §4.2.4.1.3.1 NTC18

Numero rit.	Presente	Ascissa	Campata	βy/n	k,LT	kw,LT	Vincolo a entrambi estremi	λy/n	λVer
1	Si	0							
2	Si	1.916	1-2	1	1	1	Si	63.5	Si, (<200)

Verifica a svergolamento con trazione §4.2.4.1.3.2 NTC18 § 5.5.3 ENV 1993-1-1:1992 + AC:1992 + A1:1994 + A2:1998

X	Comb.	Sfruttamento	Classe	Obblig.	NEd	Mx,Ed	Mx,Ed,Ed	Mb,Rd,x	χ,LT	λ adim. LT	L,LT	M,critico	Verifica
0.958	SLU 43	0.002	1	Si	1.68	-0.11384	-0.06449	28.03468	0.895	0.648	1.916	78.2995	Si

Verifica di stabilità per pressoflessione §C.4.2.4.1.3.3.2 NTC18

X	Comb.	Sfruttamento	Classe	NEd	NRk	Mx,Ed max	Mx,Rk	My,Ed max	My,Rk	χ,x	χ,y	kxx	kxy	kyy	χ,LT	Verifica	
0	SLU 2	0.019	1	-7.599	697.541	0.08837	32.89552	0.00061	16.19002	0.905	0.705	0.953	0.44	0.998	0.734	0.895	Si

Verifica di stabilità a taglio anima Y §4.2.4.1.2.4 [4.2.27] NTC18

η	hw	tw	hw/tw max	Verifica
1.2	0.098	0.005	55.46	Si

Verifica di stabilità a taglio anima Y SLD §4.2.4.1.2.4 [4.2.27] NTC18

η	hw	tw	hw/tw max	Verifica
1.2	0.098	0.005	55.46	Si

Verifiche a deformabilità

Mensola X: No; Mensola Y: No.

Frecce lungo X

Ascissa freccia	Combinazione	Freccia	Luce	L/f	L/f,min	Tipo	Verifica
0.894	SLE RA 1	0	1.916	10000	250	Totale	Si
0.894	SLE RA 17	0	1.916	10000	250	Totale	Si
0.894	SLE RA 16	0	1.916	10000	250	Totale	Si
0.894	SLE RA 15	0	1.916	10000	250	Totale	Si
0.894	SLE RA 14	0	1.916	10000	250	Totale	Si
0.894	SLE RA 2	0	1.916	10000	350	Variabile	Si
0.894	SLE RA 17	0	1.916	10000	350	Variabile	Si

Implementazione dei sistemi di confinamento delle emissioni odorigene diffuse dell'impianto di compostaggio esistente nel
Comune di Eboli (SA)
PROGETTO DEFINITIVO – Tabulati di calcolo Tomo 1

Ascissa freccia	Combinazione	Freccia	Luce	L/f	L/f,min	Tipo	Verifica
0.894	SLE RA 16	0	1.916	10000	350	Variabile	Si
0.894	SLE RA 15	0	1.916	10000	350	Variabile	Si
0.958	SLE RA 14	0	1.916	10000	350	Variabile	Si

Frecce lungo Y

Ascissa freccia	Combinazione	Freccia	Luce	L/f	L/f,min	Tipo	Verifica
0.958	SLE RA 1	-0.00003	1.916	10000	250	Totale	Si
0.958	SLE RA 17	-0.00003	1.916	10000	250	Totale	Si
0.958	SLE RA 16	-0.00003	1.916	10000	250	Totale	Si
0.958	SLE RA 15	-0.00003	1.916	10000	250	Totale	Si
0.958	SLE RA 14	-0.00003	1.916	10000	250	Totale	Si
0.894	SLE RA 2	0	1.916	10000	350	Variabile	Si
0.894	SLE RA 17	0	1.916	10000	350	Variabile	Si
0.894	SLE RA 16	0	1.916	10000	350	Variabile	Si
0.894	SLE RA 15	0	1.916	10000	350	Variabile	Si
0.511	SLE RA 14	0	1.916	10000	350	Variabile	Si

Superelemento in acciaio a quota "590"- "640" (-161; -105)-(-34; 30)

Caratteristiche del materiale

Acciaio: S275, fyk = 275000

Caratteristiche geometriche

Lunghezza: 1.921

Nodo iniziale: 330 Nodo finale: 674

Cerniera iniziale: Mmomenti 1% Cerniera finale: Mmomenti 1%

Sovreresistenza: 0% Sisma Z: No

Caratteristiche della sezione

Sezione	Rotazione	Area	Jx	Jy	ix	iy	Wx	Wy	Wplx	Wply
HEA120	0	0.002537	0.0000060673	0.0000023091	0.0489	0.0302	0.00010644	0.00003849	0.00011962	0.00005887

Verifiche di resistenza

Verifiche a forza assiale §4.2.4.1.2.1 - §4.2.4.1.2.2 NTC18

X	Comb.	Sfruttamento	Classe	NEd	Nc,Rd	Nt,Rd	Riduzione da taglio	px	py	Verifica
1.921	SLV 5	0.056		37.056		664.325	1	0	0	Si

Verifiche a forza assiale SLD §4.2.4.1.2.1 - §4.2.4.1.2.2 NTC18

X	Comb.	Sfruttamento	Classe	NEd	Nc,Rd	Nt,Rd	Riduzione da taglio	px	py	Verifica
1.921	SLD 5	0.032		21.429		664.325	1	0	0	Si

Verifica a taglio Y §4.2.4.1.2.4 NTC18

X	Comb.	Sfruttamento	VEd	Vc,Rd	Av	Interazione taglio-torsione	Riduzione torsione	Verifica
1.921	SLU 75	0.002	-0.242	128.304	0.000849	Considerata	1	Si

Verifica a taglio Y SLD §4.2.4.1.2.4 NTC18

X	Comb.	Sfruttamento	VEd	Vc,Rd	Av	Interazione taglio-torsione	Riduzione torsione	Verifica
1.921	SLD 6	0.001	-0.186	128.304	0.000849	Considerata	1	Si

Verifica a presso/tenso flessione retta X §§ 4.2.4.1.2.3 - 4.2.4.1.2.6 - 4.2.4.1.2.7 - 4.2.4.1.2.8 NTC18

Verifiche eseguite utilizzando la formula conservativa (6.2) §6.2.1 EN 1993-1-1:2005.

X	Comb.	Sfruttamento	Classe	NEd	NRd	Rid. NRd da VEd	Mx,Ed	Mx,Rd	Rid. Mx,Rd da VEd	Rid. Mx,Rd da NEd	px	py	Verifica
1.089	SLV 6	0.058	1	37.013	664.325	1	-0.0851	31.3291	1		0	0	Si

Verifica a presso/tenso flessione retta X SLD §§ 4.2.4.1.2.3 - 4.2.4.1.2.6 - 4.2.4.1.2.7 - 4.2.4.1.2.8 NTC18

Verifiche eseguite utilizzando la formula conservativa (6.2) §6.2.1 EN 1993-1-1:2005.

X	Comb.	Sfruttamento	Classe	NEd	NRd	Rid. NRd da VEd	Mx,Ed	Mx,Rd	Rid. Mx,Rd da VEd	Rid. Mx,Rd da NEd	px	py	Verifica
0.961	SLD 6	0.035	1	21.379	664.325	1	-0.0865	31.3291	1		0	0	Si

Verifica a presso/tenso flessione retta Y §§ 4.2.4.1.2.3 - 4.2.4.1.2.6 - 4.2.4.1.2.7 - 4.2.4.1.2.8 NTC18

Verifiche eseguite utilizzando la formula conservativa (6.2) §6.2.1 EN 1993-1-1:2005.

X	Comb.	Sfruttamento	Classe	NEd	NRd	Rid. NRd da VEd	My,Ed	My,Rd	Rid. My,Rd da VEd	Rid. My,Rd da NEd	px	py	Verifica
0	SLV 6	0.056	1	36.957	664.325	1	0.0094	15.4191	1		0	0	Si

Verifica a presso/tenso flessione retta Y SLD §§ 4.2.4.1.2.3 - 4.2.4.1.2.6 - 4.2.4.1.2.7 - 4.2.4.1.2.8 NTC18

Verifiche eseguite utilizzando la formula conservativa (6.2) §6.2.1 EN 1993-1-1:2005.

X	Comb.	Sfruttamento	Classe	NEd	NRd	Rid. NRd da VEd	My,Ed	My,Rd	Rid. My,Rd da VEd	Rid. My,Rd da NEd	px	py	Verifica
0	SLD 9	0.027	1	17.663	664.325	1	0.0059	15.4191	1		0	0	Si

Verifica a presso/tenso flessione deviata §§ 4.2.4.1.2.3 - 4.2.4.1.2.6 - 4.2.4.1.2.7 - 4.2.4.1.2.8 NTC18

Verifiche eseguite utilizzando la formula conservativa (6.2) §6.2.1 EN 1993-1-1:2005.

X	Comb.	Sfruttamento	Classe	NEd	NRd	Rid. NRd da VEd	Mx,Ed	Mx,Rd	My,Ed	My,Rd	Rid. Mx,Rd da VEd	Rid. Mx,Rd da NEd	Rid. My,Rd da VEd	Rid. My,Rd da NEd	α	β	px	py	Verifica
0.897	SLV 6	0.059	1	37.003	664.325	1	-0.0865	31.3291	0.0045	15.4191	1		1				0	0	Si

Verifica a presso/tenso flessione deviata SLD §§ 4.2.4.1.2.3 - 4.2.4.1.2.6 - 4.2.4.1.2.7 - 4.2.4.1.2.8 NTC18

Verifiche eseguite utilizzando la formula conservativa (6.2) §6.2.1 EN 1993-1-1:2005.

X	Comb.	Sfruttamento	Classe	NEd	NRd	Rid. NRd da VEd	Mx,Ed	Mx,Rd	My,Ed	My,Rd	Rid. Mx,Rd da VEd	Rid. Mx,Rd da NEd	Rid. My,Rd da VEd	Rid. My,Rd da NEd	α	β	px	py	Verifica
0.576	SLD 9	0.029	1	17.693	664.325	1	-0.0726	31.3291	0.004	15.4191	1		1				0	0	Si

Implementazione dei sistemi di confinamento delle emissioni odorigene diffuse dell'impianto di compostaggio esistente nel
Comune di Eboli (SA)
PROGETTO DEFINITIVO – Tabulati di calcolo Tomo 1

Verifiche ad instabilità

Caratteristiche iniziali

Membratura principale per controllo snellezza; Calcolo di snellezze ed N critici condotti secondo gli assi principali;
Curva X: b; Curva Y: c; Svergolamento: Carico all'estradosso; Curva svergolamento: b;

Dati per instabilità attorno a x

Controllo della snellezza secondo §4.2.4.1.3.1 NTC18

Numero rit.	Presente	Ascissa	Campata	βx/m	Vincolo a entrambi estremi	λx/m	λVer
1	Si	0					
			1-2	1	Si	39.3	Si, (<200)
2	Si	1.921					

Dati per instabilità attorno a y

Controllo della snellezza secondo §4.2.4.1.3.1 NTC18

Numero rit.	Presente	Ascissa	Campata	βy/n	k,LT	kw,LT	Vincolo a entrambi estremi	λy/n	λVer
1	Si	0							
			1-2	1	1	1	Si	63.7	Si, (<200)
2	Si	1.921							

Verifica a svergolamento con trazione §4.2.4.1.3.2 NTC18 § 5.5.3 ENV 1993-1-1:1992 + AC:1992 + A1:1994 + A2:1998

X	Comb.	Sfruttamento	Classe	Obblig.	NEd	Mx,Ed	Mx,Eff,Ed	Mb,Rd,x	χ,LT	λ adim. LT	L,LT	M,critico	Verifica
0.961	SLU 40	0.004	1	Si	0.353	-0.11464	-0.10426	28.01849	0.894	0.649	1.921	78.03668	Si

Verifica di stabilità per tenso-flessione deviata §§ 5.5.3-5.5.4 ENV 1993-1-1:1992 + AC:1992 + A1:1994 + A2:1998

X	Comb.	Sfruttamento	Classe	NEd	Mx,Ed	Mx,Eff,Ed	My,Ed	χ,LT	kLT	ky	M,critico	Wx	Wy	Verifica
0.833	SLV 14	0.002	1	1.317	-0.08461	-0.04594	0.00898	0.894	1	1	78.03668	0.0001196	0.0000589	Si

Verifica di stabilità per pressoflessione §C.4.2.4.1.3.3.2 NTC18

X	Comb.	Sfruttamento	Classe	NEd	NRk	Mx,Ed max	Mx,Rk	My,Ed max	My,Rk	χ,x	χ,y	kxx	kxy	kyy	χ,LT	Verifica	
0	SLV 12	0.027	1	-11.091	697.541	0.08579	32.89552	0.00911	16.19002	0.905	0.704	0.953	0.313	0.998	0.521	0.894	Si

Verifica di stabilità a taglio anima Y §4.2.4.1.2.4 [4.2.27] NTC18

η	hw	tw	hw/tw max	Verifica
1.2	0.098	0.005	55.46	Si

Verifica di stabilità a taglio anima Y SLD §4.2.4.1.2.4 [4.2.27] NTC18

η	hw	tw	hw/tw max	Verifica
1.2	0.098	0.005	55.46	Si

Verifiche a deformabilità

Mensola X: No; Mensola Y: No.

Frecce lungo X

Ascissa freccia	Combinazione	Freccia	Luce	L/f	L/f,min	Tipo	Verifica
1.025	SLE RA 1	0	1.921	10000	250	Totale	Si
1.025	SLE RA 17	0	1.921	10000	250	Totale	Si
1.025	SLE RA 16	0	1.921	10000	250	Totale	Si
0.961	SLE RA 15	0	1.921	10000	250	Totale	Si
1.089	SLE RA 14	0	1.921	10000	250	Totale	Si
0.961	SLE RA 2	0	1.921	10000	350	Variabile	Si
0.961	SLE RA 17	0	1.921	10000	350	Variabile	Si
0.961	SLE RA 16	0	1.921	10000	350	Variabile	Si
0.833	SLE RA 15	0	1.921	10000	350	Variabile	Si
1.089	SLE RA 14	0	1.921	10000	350	Variabile	Si

Frecce lungo Y

Ascissa freccia	Combinazione	Freccia	Luce	L/f	L/f,min	Tipo	Verifica
0.961	SLE RA 1	-0.00003	1.921	10000	250	Totale	Si
0.961	SLE RA 17	-0.00003	1.921	10000	250	Totale	Si
0.961	SLE RA 16	-0.00003	1.921	10000	250	Totale	Si
0.961	SLE RA 15	-0.00003	1.921	10000	250	Totale	Si
0.961	SLE RA 14	-0.00003	1.921	10000	250	Totale	Si
1.025	SLE RA 2	0	1.921	10000	350	Variabile	Si
1.025	SLE RA 17	0	1.921	10000	350	Variabile	Si
1.025	SLE RA 16	0	1.921	10000	350	Variabile	Si
1.025	SLE RA 15	0	1.921	10000	350	Variabile	Si
1.025	SLE RA 14	0	1.921	10000	350	Variabile	Si

Superelemento in acciaio a quota "590"- "640" (-272; 1525)-(-145; 1660)

Caratteristiche del materiale

Acciaio: S275, fyk = 275000

Caratteristiche geometriche

Lunghhezza: 1.916
Nodo iniziale: 402 Nodo finale: 997
Cerniera iniziale: Mmomenti 1% Cerniera finale: Mmomenti 1%
Sovreresistenza: 0% Sisma Z: No

Caratteristiche della sezione

Sezione	Rotazione	Area	Jx	Jy	ix	iy	Wx	Wy	Wplx	Wply
HEA120	0	0.002537	0.0000060673	0.0000023091	0.0489	0.0302	0.00010644	0.00003849	0.00011962	0.00005887

Implementazione dei sistemi di confinamento delle emissioni odorigene diffuse dell'impianto di compostaggio esistente nel
Comune di Eboli (SA)
PROGETTO DEFINITIVO – Tabulati di calcolo Tomo 1

Verifiche di resistenza

Verifiche a forza assiale §4.2.4.1.2.1 - §4.2.4.1.2.2 NTC18

X	Comb.	Sfruttamento	Classe	NEd	Nc,Rd	Nt,Rd	Riduzione da taglio	px	py	Verifica
1.916	SLU 76	0.128		85.213		664.325	1	0	0	Si

Verifiche a forza assiale SLD §4.2.4.1.2.1 - §4.2.4.1.2.2 NTC18

X	Comb.	Sfruttamento	Classe	NEd	Nc,Rd	Nt,Rd	Riduzione da taglio	px	py	Verifica
1.916	SLD 8	0.05		33.263		664.325	1	0	0	Si

Verifica a taglio Y §4.2.4.1.2.4 NTC18

X	Comb.	Sfruttamento	VEd	Vc,Rd	Av	Interazione taglio-torsione	Riduzione torsione	Verifica
1.916	SLU 64	0.002	-0.24	128.304	0.000849	Considerata	1	Si

Verifica a taglio Y SLD §4.2.4.1.2.4 NTC18

X	Comb.	Sfruttamento	VEd	Vc,Rd	Av	Interazione taglio-torsione	Riduzione torsione	Verifica
1.916	SLD 8	0.001	-0.185	128.304	0.000849	Considerata	1	Si

Verifica a presso/tenso flessione retta X §§ 4.2.4.1.2.3 - 4.2.4.1.2.6 - 4.2.4.1.2.7 - 4.2.4.1.2.8 NTC18

Verifiche eseguite utilizzando la formula conservativa (6.2) §6.2.1 EN 1993-1-1:2005.

X	Comb.	Sfruttamento	Classe	NEd	NRd	Rid. NRd da VEd	Mx,Ed	Mx,Rd	Rid. Mx,Rd da VEd	Rid. Mx,Rd da NEd	px	py	Verifica
1.789	SLU 26	0.105	1	69.686	664.325	1	-0.0169	31.3291	1		0	0	Si

Verifica a presso/tenso flessione retta X SLD §§ 4.2.4.1.2.3 - 4.2.4.1.2.6 - 4.2.4.1.2.7 - 4.2.4.1.2.8 NTC18

Verifiche eseguite utilizzando la formula conservativa (6.2) §6.2.1 EN 1993-1-1:2005.

X	Comb.	Sfruttamento	Classe	NEd	NRd	Rid. NRd da VEd	Mx,Ed	Mx,Rd	Rid. Mx,Rd da VEd	Rid. Mx,Rd da NEd	px	py	Verifica
1.022	SLD 12	0.047	1	29.167	664.325	1	-0.0851	31.3291	1		0	0	Si

Verifica a presso/tenso flessione retta Y §§ 4.2.4.1.2.3 - 4.2.4.1.2.6 - 4.2.4.1.2.7 - 4.2.4.1.2.8 NTC18

Verifiche eseguite utilizzando la formula conservativa (6.2) §6.2.1 EN 1993-1-1:2005.

X	Comb.	Sfruttamento	Classe	NEd	NRd	Rid. NRd da VEd	My,Ed	My,Rd	Rid. My,Rd da VEd	Rid. My,Rd da NEd	px	py	Verifica
0	SLU 76	0.129	1	85.084	664.325	1	-0.0118	15.4191	1		0	0	Si

Verifica a presso/tenso flessione retta Y SLD §§ 4.2.4.1.2.3 - 4.2.4.1.2.6 - 4.2.4.1.2.7 - 4.2.4.1.2.8 NTC18

Verifiche eseguite utilizzando la formula conservativa (6.2) §6.2.1 EN 1993-1-1:2005.

X	Comb.	Sfruttamento	Classe	NEd	NRd	Rid. NRd da VEd	My,Ed	My,Rd	Rid. My,Rd da VEd	Rid. My,Rd da NEd	px	py	Verifica
1.916	SLD 7	0.05	1	33.263	664.325	1	-0.0039	15.4191	1		0	0	Si

Verifica a presso/tenso flessione deviata §§ 4.2.4.1.2.3 - 4.2.4.1.2.6 - 4.2.4.1.2.7 - 4.2.4.1.2.8 NTC18

Verifiche eseguite utilizzando la formula conservativa (6.2) §6.2.1 EN 1993-1-1:2005.

X	Comb.	Sfruttamento	Classe	NEd	NRd	Rid. NRd da VEd	Mx,Ed	Mx,Rd	My,Ed	My,Rd	Rid. Mx,Rd da VEd	Rid. Mx,Rd da NEd	Rid. My,Rd da VEd	Rid. My,Rd da NEd	α	β	px	py	Verifica
0.958	SLU 76	0.132	1	85.148	664.325	1	-0.1097	31.3291	-0.0083	15.4191	1		1				0	0	Si

Verifica a presso/tenso flessione deviata SLD §§ 4.2.4.1.2.3 - 4.2.4.1.2.6 - 4.2.4.1.2.7 - 4.2.4.1.2.8 NTC18

Verifiche eseguite utilizzando la formula conservativa (6.2) §6.2.1 EN 1993-1-1:2005.

X	Comb.	Sfruttamento	Classe	NEd	NRd	Rid. NRd da VEd	Mx,Ed	Mx,Rd	My,Ed	My,Rd	Rid. Mx,Rd da VEd	Rid. Mx,Rd da NEd	Rid. My,Rd da VEd	Rid. My,Rd da NEd	α	β	px	py	Verifica
0.958	SLD 7	0.053	1	33.213	664.325	1	-0.0846	31.3291	-0.0049	15.4191	1		1				0	0	Si

Verifiche ad instabilità

Caratteristiche iniziali

Membratura principale per controllo snellezza; Calcolo di snellezze ed N critici condotti secondo gli assi principali;

Curva X: b; Curva Y: c; Svergolamento: Carico all'estradosso; Curva svergolamento: b;

Dati per instabilità attorno a x

Controllo della snellezza secondo §4.2.4.1.3.1 NTC18

Numero rit.	Presente	Ascissa	Campata	βx/m	Vincolo a entrambi estremi	λx/m	λVer
1	Si		0				
			1-2		1	39.2	Si, (<200)
2	Si	1.916					

Dati per instabilità attorno a y

Controllo della snellezza secondo §4.2.4.1.3.1 NTC18

Numero rit.	Presente	Ascissa	Campata	βy/n	k,LT	kw,LT	Vincolo a entrambi estremi	λy/n	λVer
1	Si		0						
			1-2		1	1	Si	63.5	Si, (<200)
2	Si	1.916							

Verifica a svergolamento con trazione §4.2.4.1.3.2 NTC18 § 5.5.3 ENV 1993-1-1:1992 + AC:1992 + A1:1994 + A2:1998

X	Comb.	Sfruttamento	Classe	Obblig.	NEd	Mx,Ed	Mx,Eff,Ed	Mb,Rd,x	χ ,LT	λ adim. LT	L,LT	M,critico	Verifica
0.958	SLU 59	0.002	1	Si	1.674	-0.11405	-0.06487	28.03468	0.895	0.648	1.916	78.2995	Si

Verifica di stabilità per pressoflessione §C.4.2.4.1.3.3.2 NTC18

X	Comb.	Sfruttamento	Classe	NEd	NRk	Mx,Ed,max	Mx,Rk	My,Ed,max	My,Rk	χ,x	χ,y	kxx	kxy	kyy	χ,LT	Verifica
0	SLU 2	0.023	1	-9.308	697.541	0.08824	32.89552	0.00127	16.19002	0.905	0.705	0.954	0.442	0.998	0.895	Si

Verifica di stabilità a taglio anima Y §4.2.4.1.2.4 [4.2.27] NTC18

η	hw	tw	hw/tw max	Verifica
1.2	0.098	0.005	55.46	Si

Verifica di stabilità a taglio anima Y SLD §4.2.4.1.2.4 [4.2.27] NTC18

η	hw	tw	hw/tw max	Verifica
1.2	0.098	0.005	55.46	Si

Implementazione dei sistemi di confinamento delle emissioni odorigene diffuse dell'impianto di compostaggio esistente nel
Comune di Eboli (SA)
PROGETTO DEFINITIVO – Tabulati di calcolo Tomo 1

Verifiche a deformabilità

Mensola X: No; Mensola Y: No.

Frecce lungo X

Ascissa freccia	Combinazione	Freccia	Luce	L/f	L/f,min	Tipo	Verifica
0.894	SLE RA 1	0	1.916	10000	250	Totale	Si
0.894	SLE RA 17	0	1.916	10000	250	Totale	Si
0.894	SLE RA 16	0	1.916	10000	250	Totale	Si
0.894	SLE RA 15	0	1.916	10000	250	Totale	Si
0.894	SLE RA 14	0	1.916	10000	250	Totale	Si
0.894	SLE RA 2	0	1.916	10000	350	Variabile	Si
0.894	SLE RA 17	0	1.916	10000	350	Variabile	Si
0.894	SLE RA 16	0	1.916	10000	350	Variabile	Si
0.894	SLE RA 15	0	1.916	10000	350	Variabile	Si
0.894	SLE RA 14	0	1.916	10000	350	Variabile	Si

Frecce lungo Y

Ascissa freccia	Combinazione	Freccia	Luce	L/f	L/f,min	Tipo	Verifica
0.958	SLE RA 1	-0.00003	1.916	10000	250	Totale	Si
0.958	SLE RA 17	-0.00003	1.916	10000	250	Totale	Si
0.958	SLE RA 16	-0.00003	1.916	10000	250	Totale	Si
0.958	SLE RA 15	-0.00003	1.916	10000	250	Totale	Si
0.958	SLE RA 14	-0.00003	1.916	10000	250	Totale	Si
0.958	SLE RA 2	0	1.916	10000	350	Variabile	Si
0.958	SLE RA 17	0	1.916	10000	350	Variabile	Si
0.958	SLE RA 16	0	1.916	10000	350	Variabile	Si
0.958	SLE RA 15	0	1.916	10000	350	Variabile	Si
0.575	SLE RA 14	0	1.916	10000	350	Variabile	Si

Superelemento in acciaio a quota "590"-"640" (-288; -239)-(-161; -105)

Caratteristiche del materiale

Acciaio: S275, fyk = 275000

Caratteristiche geometriche

Lunghezza: 1.916

Nodo iniziale: 323 Nodo finale: 642

Cerniera iniziale: Mmomenti 1% Cerniera finale: Mmomenti 1%

Sovreresistenza: 0% Sisma Z: No

Caratteristiche della sezione

Sezione	Rotazione	Area	Jx	Jy	ix	iy	Wx	Wy	Wplx	Wply
HEA120	0	0.002537	0.0000060673	0.0000023091	0.0489	0.0302	0.00010644	0.00003849	0.00011962	0.00005887

Verifiche di resistenza

Verifiche a forza assiale §4.2.4.1.2.1 - §4.2.4.1.2.2 NTC18

X	Comb.	Sfruttamento	Classe	NEd	Nc,Rd	Nt,Rd	Riduzione da taglio	px	py	Verifica
1.916	SLU 75	0.056		37.162		664.325	1	0	0	Si

Verifiche a forza assiale SLD §4.2.4.1.2.1 - §4.2.4.1.2.2 NTC18

X	Comb.	Sfruttamento	Classe	NEd	Nc,Rd	Nt,Rd	Riduzione da taglio	px	py	Verifica
1.916	SLD 5	0.027		18.18		664.325	1	0	0	Si

Verifica a taglio Y §4.2.4.1.2.4 NTC18

X	Comb.	Sfruttamento	VEd	Vc,Rd	Av	Interazione taglio-torsione	Riduzione torsione	Verifica
0	SLU 75	0.002	0.242	128.304	0.000849	Considerata	1	Si

Verifica a taglio Y SLD §4.2.4.1.2.4 NTC18

X	Comb.	Sfruttamento	VEd	Vc,Rd	Av	Interazione taglio-torsione	Riduzione torsione	Verifica
0	SLD 12	0.001	0.186	128.304	0.000849	Considerata	1	Si

Verifica a flessione semplice X §§ 4.2.4.1.2.3 - 4.2.4.1.2.6 - 4.2.4.1.2.7 - 4.2.4.1.2.8 NTC18

X	Comb.	Sfruttamento	Classe	Mx,Ed	Mx,Rd	Rid. Mx,Rd da VEd	px	py	Verifica
1.661	SLU 5	0.001	1	-0.04023	31.32907	1	0	0	Si

Verifica a flessione semplice Y §§ 4.2.4.1.2.3 - 4.2.4.1.2.6 - 4.2.4.1.2.7 - 4.2.4.1.2.8 NTC18

X	Comb.	Sfruttamento	Classe	My,Ed	My,Rd	Rid. My,Rd da VEd	px	py	Verifica
0	SLV 7	0.001	1	-0.01699	15.41907	1	0	0	Si

Verifica a flessione deviata §§ 4.2.4.1.2.3 - 4.2.4.1.2.6 - 4.2.4.1.2.7 - 4.2.4.1.2.8 NTC18

X	Comb.	Sfruttamento	Classe	Mx,Ed	Mx,Rd	My,Ed	My,Rd	Rid. Mx,Rd da VEd	Rid. My,Rd da VEd	α	β	px	py	Verifica
0.958	SLV 8	0.004	1	-0.084	31.3291	-0.0169	15.4191	1	1			0	0	Si

Verifica a presso/tenso flessione retta X §§ 4.2.4.1.2.3 - 4.2.4.1.2.6 - 4.2.4.1.2.7 - 4.2.4.1.2.8 NTC18

Verifiche eseguite utilizzando la formula conservativa (6.2) §6.2.1 EN 1993-1-1:2005.

X	Comb.	Sfruttamento	Classe	NEd	NRd	Rid. NRd da VEd	Mx,Ed	Mx,Rd	Rid. Mx,Rd da VEd	Rid. Mx,Rd da NEd	px	py	Verifica
0.958	SLU 75	0.059	1	37.098	664.325	1	-0.11	31.3291	1		0	0	Si

Verifica a presso/tenso flessione retta X SLD §§ 4.2.4.1.2.3 - 4.2.4.1.2.6 - 4.2.4.1.2.7 - 4.2.4.1.2.8 NTC18

Verifiche eseguite utilizzando la formula conservativa (6.2) §6.2.1 EN 1993-1-1:2005.

X	Comb.	Sfruttamento	Classe	NEd	NRd	Rid. NRd da VEd	Mx,Ed	Mx,Rd	Rid. Mx,Rd da VEd	Rid. Mx,Rd da NEd	px	py	Verifica
0.958	SLD 5	0.03	1	18.13	664.325	1	-0.0882	31.3291	1		0	0	Si

Implementazione dei sistemi di confinamento delle emissioni odorigene diffuse dell'impianto di compostaggio esistente nel
Comune di Eboli (SA)
PROGETTO DEFINITIVO – Tabulati di calcolo Tomo 1

Verifica a presso/tenso flessione retta Y §§ 4.2.4.1.2.3 - 4.2.4.1.2.6 - 4.2.4.1.2.7 - 4.2.4.1.2.8 NTC18

Verifiche eseguite utilizzando la formula conservativa (6.2) §6.2.1 EN 1993-1-1:2005.

X	Comb.	Sfruttamento	Classe	NEd	NRd	Rid. NRd da VEd	My,Ed	My,Rd	Rid. My,Rd da VEd	Rid. My,Rd da NEd	px	py	Verifica
1.916	SLV 6	0.048	1	31.192	664.325	1	0.0086	15.4191	1		0	0	Si

Verifica a presso/tenso flessione retta Y SLD §§ 4.2.4.1.2.3 - 4.2.4.1.2.6 - 4.2.4.1.2.7 - 4.2.4.1.2.8 NTC18

Verifiche eseguite utilizzando la formula conservativa (6.2) §6.2.1 EN 1993-1-1:2005.

X	Comb.	Sfruttamento	Classe	NEd	NRd	Rid. NRd da VEd	My,Ed	My,Rd	Rid. My,Rd da VEd	Rid. My,Rd da NEd	px	py	Verifica
1.916	SLD 10	0.023	1	15.181	664.325	1	0.0052	15.4191	1		0	0	Si

Verifica a presso/tenso flessione deviata §§ 4.2.4.1.2.3 - 4.2.4.1.2.6 - 4.2.4.1.2.7 - 4.2.4.1.2.8 NTC18

Verifiche eseguite utilizzando la formula conservativa (6.2) §6.2.1 EN 1993-1-1:2005.

X	Comb.	Sfruttamento	Classe	NEd	NRd	Rid. NRd da VEd	Mx,Ed	Mx,Rd	My,Ed	My,Rd	Rid. Mx,Rd da VEd	Rid. Mx,Rd da NEd	Rid. My,Rd da VEd	Rid. My,Rd da NEd	α	β	px	py	Verifica
0.958	SLV 6	0.05	1	31.143	664.325	1	-0.0913	31.3291	0.0082	15.4191	1		1				0	0	Si

Verifica a presso/tenso flessione deviata SLD §§ 4.2.4.1.2.3 - 4.2.4.1.2.6 - 4.2.4.1.2.7 - 4.2.4.1.2.8 NTC18

Verifiche eseguite utilizzando la formula conservativa (6.2) §6.2.1 EN 1993-1-1:2005.

X	Comb.	Sfruttamento	Classe	NEd	NRd	Rid. NRd da VEd	Mx,Ed	Mx,Rd	My,Ed	My,Rd	Rid. Mx,Rd da VEd	Rid. Mx,Rd da NEd	Rid. My,Rd da VEd	Rid. My,Rd da NEd	α	β	px	py	Verifica
0.958	SLD 9	0.026	1	15.131	664.325	1	-0.0875	31.3291	0.0048	15.4191	1		1				0	0	Si

Verifiche ad instabilità

Caratteristiche iniziali

Membratura principale per controllo snellezza; Calcolo di snellezze ed N critici condotti secondo gli assi principali;

Curva X: b; Curva Y: c; Svergolamento: Carico all'estradosso; Curva svergolamento: b;

Dati per instabilità attorno a x

Controllo della snellezza secondo §4.2.4.1.3.1 NTC18

Numero rit.	Presente	Ascissa	Campata	βx/m	Vincolo a entrambi estremi	λx/m	λVer
1	Si		0				
			1-2		1	39.2	Si, (<200)
2	Si		1.916				

Dati per instabilità attorno a y

Controllo della snellezza secondo §4.2.4.1.3.1 NTC18

Numero rit.	Presente	Ascissa	Campata	βy/n	k,LT	kw,LT	Vincolo a entrambi estremi	λy/n	λVer
1	Si		0						
			1-2		1	1	Si	63.5	Si, (<200)
2	Si		1.916						

Verifica a svergolamento §4.2.4.1.3.2 NTC18

X	Comb.	Sfruttamento	Classe	Obblig.	Mx,Ed	Mb,Rd,x	χ,LT	λ adim. LT	L,LT	M,critico	Verifica
1.661	SLU 5	0.001	1	Si	-0.04023	28.03468	0.895	0.648	1.916	78.2995	Si

Verifica a svergolamento con trazione §4.2.4.1.3.2 NTC18 § 5.5.3 ENV 1993-1-1:1992 + AC:1992 + A1:1994 + A2:1998

X	Comb.	Sfruttamento	Classe	Obblig.	NEd	Mx,Ed	Mx,Eff,Ed	Mb,Rd,x	χ,LT	λ adim. LT	L,LT	M,critico	Verifica
0.958	SLU 43	0.002	1	Si	1.675	-0.11349	-0.06429	28.03468	0.895	0.648	1.916	78.2995	Si

Verifica di stabilità per tenso-flessione deviata §§ 5.5.3-5.5.4 ENV 1993-1-1:1992 + AC:1992 + A1:1994 + A2:1998

X	Comb.	Sfruttamento	Classe	NEd	Mx,Ed	Mx,Eff,Ed	My,Ed	χ,LT	kLT	ky	M,critico	Wx	Wy	Verifica
0.958	SLV 14	0.002	1	1.599	-0.08436	-0.03739	0.01612	0.895	1	1	78.2995	0.0001196	0.0000589	Si

Verifica di stabilità per pressoflessione §C.4.2.4.1.3.3.2 NTC18

X	Comb.	Sfruttamento	Classe	NEd	NRk	Mx,Ed max	Mx,Rk	My,Ed max	My,Rk	χ,x	χ,y	kxx	kxy	kyy	χ,LT	Verifica
0	SLV 11	0.022	1	-8.688	697.541	0.08194	32.89552	0.00938	16.19002	0.905	0.705	0.948	0.599	0.998	0.895	Si

Verifica di stabilità a taglio anima Y §4.2.4.1.2.4 [4.2.27] NTC18

η	hw	tw	hw/tw max	Verifica
1.2	0.098	0.005	55.46	Si

Verifica di stabilità a taglio anima Y SLD §4.2.4.1.2.4 [4.2.27] NTC18

η	hw	tw	hw/tw max	Verifica
1.2	0.098	0.005	55.46	Si

Verifiche a deformabilità

Mensola X: No; Mensola Y: No.

Frecce lungo X

Ascissa freccia	Combinazione	Freccia	Luce	L/f	L/f,min	Tipo	Verifica
0.894	SLE RA 1	0	1.916	10000	250	Totale	Si
0.83	SLE RA 17	0	1.916	10000	250	Totale	Si
0.83	SLE RA 16	0	1.916	10000	250	Totale	Si
0.83	SLE RA 15	0	1.916	10000	250	Totale	Si
0.894	SLE RA 14	0	1.916	10000	250	Totale	Si
0.83	SLE RA 2	0	1.916	10000	350	Variabile	Si
0.83	SLE RA 17	0	1.916	10000	350	Variabile	Si
0.83	SLE RA 16	0	1.916	10000	350	Variabile	Si
1.086	SLE RA 15	0	1.916	10000	350	Variabile	Si
0.894	SLE RA 14	0	1.916	10000	350	Variabile	Si

Frecce lungo Y

Ascissa freccia	Combinazione	Freccia	Luce	L/f	L/f,min	Tipo	Verifica
0.958	SLE RA 1	-0.00003	1.916	10000	250	Totale	Si
0.958	SLE RA 17	-0.00003	1.916	10000	250	Totale	Si
0.958	SLE RA 16	-0.00003	1.916	10000	250	Totale	Si
0.958	SLE RA 15	-0.00003	1.916	10000	250	Totale	Si
0.958	SLE RA 14	-0.00003	1.916	10000	250	Totale	Si
0.894	SLE RA 2	0	1.916	10000	350	Variabile	Si

Implementazione dei sistemi di confinamento delle emissioni odorigene diffuse dell'impianto di compostaggio esistente nel
Comune di Eboli (SA)
PROGETTO DEFINITIVO – Tabulati di calcolo Tomo 1

Ascissa freccia	Combinazione	Freccia	Luce	L/f	L/f,min	Tipo	Verifica
0.894	SLE RA 17	0	1.916	10000	350	Variabile	Si
0.894	SLE RA 16	0	1.916	10000	350	Variabile	Si
0.958	SLE RA 15	0	1.916	10000	350	Variabile	Si
0.894	SLE RA 14	0	1.916	10000	350	Variabile	Si

Superelemento in acciaio a quota "590"- "640" (-399; 1391)-(-272; 1525)

Caratteristiche del materiale

Acciaio: S275, fyk = 275000

Caratteristiche geometriche

Lunghezza: 1.916

Nodo iniziale: 397 Nodo finale: 975

Cerniera iniziale: Mmomenti 1% Cerniera finale: Mmomenti 1%

Sovreresistenza: 0% Sisma Z: No

Caratteristiche della sezione

Sezione	Rotazione	Area	Jx	Jy	ix	iy	Wx	Wy	Wplx	Wply
HEA120	0	0.002537	0.0000060673	0.0000023091	0.0489	0.0302	0.00010644	0.00003849	0.00011962	0.00005887

Verifiche di resistenza

Verifiche a forza assiale §4.2.4.1.2.1 - §4.2.4.1.2.2 NTC18

X	Comb.	Sfruttamento	Classe	NEd	Nc,Rd	Nt,Rd	Riduzione da taglio	px	py	Verifica
1.916	SLU 76	0.116		77.339		664.325	1	0	0	Si

Verifiche a forza assiale SLD §4.2.4.1.2.1 - §4.2.4.1.2.2 NTC18

X	Comb.	Sfruttamento	Classe	NEd	Nc,Rd	Nt,Rd	Riduzione da taglio	px	py	Verifica
1.916	SLD 8	0.045		29.775		664.325	1	0	0	Si

Verifica a taglio Y §4.2.4.1.2.4 NTC18

X	Comb.	Sfruttamento	VEd	Vc,Rd	Av	Interazione taglio-torsione	Riduzione torsione	Verifica
1.916	SLU 76	0.002	-0.245	128.304	0.000849	Considerata	1	Si

Verifica a taglio Y SLD §4.2.4.1.2.4 NTC18

X	Comb.	Sfruttamento	VEd	Vc,Rd	Av	Interazione taglio-torsione	Riduzione torsione	Verifica
1.916	SLD 10	0.001	-0.186	128.304	0.000849	Considerata	1	Si

Verifica a flessione semplice X §§ 4.2.4.1.2.3 - 4.2.4.1.2.6 - 4.2.4.1.2.7 - 4.2.4.1.2.8 NTC18

X	Comb.	Sfruttamento	Classe	Mx,Ed	Mx,Rd	Rid. Mx,Rd da VEd	px	py	Verifica
0.958	SLU 6	0.003	1	-0.08849	31.32907	1	0	0	Si

Verifica a presso/tenso flessione retta X §§ 4.2.4.1.2.3 - 4.2.4.1.2.6 - 4.2.4.1.2.7 - 4.2.4.1.2.8 NTC18

Verifiche eseguite utilizzando la formula conservativa (6.2) §6.2.1 EN 1993-1-1:2005.

X	Comb.	Sfruttamento	Classe	NEd	NRd	Rid. NRd da VEd	Mx,Ed	Mx,Rd	Rid. Mx,Rd da VEd	Rid. Mx,Rd da NEd	px	py	Verifica
0.958	SLV 7	0.077	1	48.932	664.325	1	-0.0903	31.3291	1		0	0	Si

Verifica a presso/tenso flessione retta X SLD §§ 4.2.4.1.2.3 - 4.2.4.1.2.6 - 4.2.4.1.2.7 - 4.2.4.1.2.8 NTC18

Verifiche eseguite utilizzando la formula conservativa (6.2) §6.2.1 EN 1993-1-1:2005.

X	Comb.	Sfruttamento	Classe	NEd	NRd	Rid. NRd da VEd	Mx,Ed	Mx,Rd	Rid. Mx,Rd da VEd	Rid. Mx,Rd da NEd	px	py	Verifica
1.661	SLD 7	0.046	1	29.762	664.325	1	-0.0428	31.3291	1		0	0	Si

Verifica a presso/tenso flessione retta Y §§ 4.2.4.1.2.3 - 4.2.4.1.2.6 - 4.2.4.1.2.7 - 4.2.4.1.2.8 NTC18

Verifiche eseguite utilizzando la formula conservativa (6.2) §6.2.1 EN 1993-1-1:2005.

X	Comb.	Sfruttamento	Classe	NEd	NRd	Rid. NRd da VEd	My,Ed	My,Rd	Rid. My,Rd da VEd	Rid. My,Rd da NEd	px	py	Verifica
1.916	SLU 76	0.117	1	77.339	664.325	1	-0.0162	15.4191	1		0	0	Si

Verifica a presso/tenso flessione retta Y SLD §§ 4.2.4.1.2.3 - 4.2.4.1.2.6 - 4.2.4.1.2.7 - 4.2.4.1.2.8 NTC18

Verifiche eseguite utilizzando la formula conservativa (6.2) §6.2.1 EN 1993-1-1:2005.

X	Comb.	Sfruttamento	Classe	NEd	NRd	Rid. NRd da VEd	My,Ed	My,Rd	Rid. My,Rd da VEd	Rid. My,Rd da NEd	px	py	Verifica
1.916	SLD 3	0.045	1	29.693	664.325	1	-0.0063	15.4191	1		0	0	Si

Verifica a presso/tenso flessione deviata §§ 4.2.4.1.2.3 - 4.2.4.1.2.6 - 4.2.4.1.2.7 - 4.2.4.1.2.8 NTC18

Verifiche eseguite utilizzando la formula conservativa (6.2) §6.2.1 EN 1993-1-1:2005.

X	Comb.	Sfruttamento	Classe	NEd	NRd	Rid. NRd da VEd	Mx,Ed	Mx,Rd	My,Ed	My,Rd	Rid. Mx,Rd da VEd	Rid. Mx,Rd da NEd	Rid. My,Rd da VEd	Rid. My,Rd da NEd	α	β	px	py	Verifica
0.894	SLU 76	0.122	1	77.27	664.325	1	-0.1269	31.3291	-0.0195	15.4191	1		1				0	0	Si

Verifica a presso/tenso flessione deviata SLD §§ 4.2.4.1.2.3 - 4.2.4.1.2.6 - 4.2.4.1.2.7 - 4.2.4.1.2.8 NTC18

Verifiche eseguite utilizzando la formula conservativa (6.2) §6.2.1 EN 1993-1-1:2005.

X	Comb.	Sfruttamento	Classe	NEd	NRd	Rid. NRd da VEd	Mx,Ed	Mx,Rd	My,Ed	My,Rd	Rid. Mx,Rd da VEd	Rid. Mx,Rd da NEd	Rid. My,Rd da VEd	Rid. My,Rd da NEd	α	β	px	py	Verifica
0.958	SLD 4	0.048	1	29.643	664.325	1	-0.091	31.3291	-0.0073	15.4191	1		1				0	0	Si

Verifiche ad instabilità

Caratteristiche iniziali

Membratura principale per controllo snellezza; Calcolo di snellezze ed N critici condotti secondo gli assi principali;

Curva X: b; Curva Y: c; Svergolamento: Carico all'estradosso; Curva svergolamento: b;

Implementazione dei sistemi di confinamento delle emissioni odorigene diffuse dell'impianto di compostaggio esistente nel
Comune di Eboli (SA)
PROGETTO DEFINITIVO – Tabulati di calcolo Tomo 1

Dati per instabilità attorno a x

Controllo della snellezza secondo §4.2.4.1.3.1 NTC18

Numero rit.	Presente	Ascissa	Campata	$\beta x/m$	Vincolo a entrambi estremi	$\lambda x/m$	λVer
1	Si	0	1-2	1	Si	39.2	Si, (<200)
2	Si	1.916					

Dati per instabilità attorno a y

Controllo della snellezza secondo §4.2.4.1.3.1 NTC18

Numero rit.	Presente	Ascissa	Campata	$\beta y/n$	k,LT	kw,LT	Vincolo a entrambi estremi	$\lambda y/n$	λVer
1	Si	0	1-2	1	1	1	Si	63.5	Si, (<200)
2	Si	1.916							

Verifica a svergolamento §4.2.4.1.3.2 NTC18

X	Comb.	Sfruttamento	Classe	Obblig.	Mx,Ed	Mb,Rd,x	χ_{LT}	λ adim. LT	L,LT	M,critico	Verifica
0.958	SLU 6	0.003	1	Si	-0.08849	28.03468	0.895	0.648	1.916	78.2995	Si

Verifica a svergolamento con trazione §4.2.4.1.3.2 NTC18 § 5.5.3 ENV 1993-1-1:1992 + AC:1992 + A1:1994 + A2:1998

X	Comb.	Sfruttamento	Classe	Obblig.	NEd	Mx,Ed	Mx,Eff,Ed	Mb,Rd,x	χ_{LT}	λ adim. LT	L,LT	M,critico	Verifica
0.958	SLU 43	0.003	1	Si	1.457	-0.11489	-0.0721	28.03468	0.895	0.648	1.916	78.2995	Si

Verifica di stabilità per tenso-flessione deviata §§ 5.5.3-5.5.4 ENV 1993-1-1:1992 + AC:1992 + A1:1994 + A2:1998

X	Comb.	Sfruttamento	Classe	NEd	Mx,Ed	Mx,Eff,Ed	My,Ed	χ_{LT}	kLT	ky	M,critico	Wx	Wy	Verifica
0.958	SLU 44	0.001	1	3.203	-0.11548	-0.0214	-0.00418	0.895	1	1	78.2995	0.0001196	0.0000589	Si

Verifica di stabilità per pressoflessione §C.4.2.4.1.3.2 NTC18

X	Comb.	Sfruttamento	Classe	NEd	NRk	Mx,Ed max	Mx,Rk	My,Ed max	My,Rk	χ_x	χ_y	kxx	kxy	kyy	χ_{LT}	Verifica	
0	SLU 2	0.03	1	-12.77	697.541	0.08612	32.89552	0.00275	16.19002	0.905	0.705	0.953	0.537	0.997	0.896	0.895	Si

Verifica di stabilità a taglio anima Y §4.2.4.1.2.4 [4.2.27] NTC18

η	hw	tw	hw/tw max	Verifica
1.2	0.098	0.005	55.46	Si

Verifica di stabilità a taglio anima Y SLD §4.2.4.1.2.4 [4.2.27] NTC18

η	hw	tw	hw/tw max	Verifica
1.2	0.098	0.005	55.46	Si

Verifiche a deformabilità

Mensola X: No; Mensola Y: No.

Frecce lungo X

Ascissa freccia	Combinazione	Freccia	Luce	L/f	L/f,min	Tipo	Verifica
0.958	SLE RA 1	0.00001	1.916	10000	250	Totale	Si
0.958	SLE RA 17	0.00001	1.916	10000	250	Totale	Si
0.958	SLE RA 16	0.00001	1.916	10000	250	Totale	Si
0.958	SLE RA 15	0.00001	1.916	10000	250	Totale	Si
0.958	SLE RA 14	0.00001	1.916	10000	250	Totale	Si
0.958	SLE RA 2	0	1.916	10000	350	Variabile	Si
0.958	SLE RA 17	0	1.916	10000	350	Variabile	Si
0.958	SLE RA 16	0.00001	1.916	10000	350	Variabile	Si
0.958	SLE RA 15	0.00001	1.916	10000	350	Variabile	Si
0.958	SLE RA 14	0	1.916	10000	350	Variabile	Si

Frecce lungo Y

Ascissa freccia	Combinazione	Freccia	Luce	L/f	L/f,min	Tipo	Verifica
0.958	SLE RA 1	-0.00003	1.916	10000	250	Totale	Si
0.958	SLE RA 17	-0.00003	1.916	10000	250	Totale	Si
0.958	SLE RA 16	-0.00003	1.916	10000	250	Totale	Si
0.958	SLE RA 15	-0.00003	1.916	10000	250	Totale	Si
0.958	SLE RA 14	-0.00003	1.916	10000	250	Totale	Si
0.894	SLE RA 2	0	1.916	10000	350	Variabile	Si
0.894	SLE RA 17	0	1.916	10000	350	Variabile	Si
0.894	SLE RA 16	0	1.916	10000	350	Variabile	Si
0.894	SLE RA 15	0	1.916	10000	350	Variabile	Si
0.894	SLE RA 14	0	1.916	10000	350	Variabile	Si

Superelemento in acciaio a quota "590"- "640" (-415; -374)-(-288; -239)

Caratteristiche del materiale

Acciaio: S275, fyk = 275000

Caratteristiche geometriche

Lunghezza: 1.916

Nodo iniziale: 319 Nodo finale: 619

Cerniera iniziale: Mmomenti 1% Cerniera finale: Mmomenti 1%

Sovreresistenza: 0% Sisma Z: No

Caratteristiche della sezione

Sezione	Rotazione	Area	Jx	Jy	ix	iy	Wx	Wy	Wplx	Wply
HEA120	0	0.002537	0.0000060673	0.0000023091	0.0489	0.0302	0.00010644	0.00003849	0.00011962	0.00005887

Verifiche di resistenza

Verifiche a forza assiale §4.2.4.1.2.1 - §4.2.4.1.2.2 NTC18

X	Comb.	Sfruttamento	Classe	NEd	Nc,Rd	Nt,Rd	Riduzione da taglio	px	py	Verifica
1.916	SLU 75	0.102		67.778		664.325	1	0	0	Si

Implementazione dei sistemi di confinamento delle emissioni odorigene diffuse dell'impianto di compostaggio esistente nel
Comune di Eboli (SA)
PROGETTO DEFINITIVO – Tabulati di calcolo Tomo 1

Verifiche a forza assiale SLD §4.2.4.1.2.1 - §4.2.4.1.2.2 NTC18

X	Comb.	Sfruttamento	Classe	NEd	Nc,Rd	Nt,Rd	Riduzione da taglio	px	py	Verifica
1.916	SLD 12	0.045		29.564		664.325	1	0	0	Si

Verifica a taglio Y §4.2.4.1.2.4 NTC18

X	Comb.	Sfruttamento	VEd	Vc,Rd	Av	Interazione taglio-torsione	Riduzione torsione	Verifica
1.916	SLU 63	0.002	-0.24	128.304	0.000849	Considerata	1	Si

Verifica a taglio Y SLD §4.2.4.1.2.4 NTC18

X	Comb.	Sfruttamento	VEd	Vc,Rd	Av	Interazione taglio-torsione	Riduzione torsione	Verifica
1.916	SLD 12	0.001	-0.185	128.304	0.000849	Considerata	1	Si

Verifica a presso/tenso flessione retta X §§ 4.2.4.1.2.3 - 4.2.4.1.2.6 - 4.2.4.1.2.7 - 4.2.4.1.2.8 NTC18

Verifiche eseguite utilizzando la formula conservativa (6.2) §6.2.1 EN 1993-1-1:2005.

X	Comb.	Sfruttamento	Classe	NEd	NRd	Rid. NRd da VEd	Mx,Ed	Mx,Rd	Rid. Mx,Rd da VEd	Rid. Mx,Rd da NEd	px	py	Verifica
0.958	SLU 75	0.105	1	67.713	664.325	1	-0.1103	31.3291	1		0	0	Si

Verifica a presso/tenso flessione retta X SLD §§ 4.2.4.1.2.3 - 4.2.4.1.2.6 - 4.2.4.1.2.7 - 4.2.4.1.2.8 NTC18

Verifiche eseguite utilizzando la formula conservativa (6.2) §6.2.1 EN 1993-1-1:2005.

X	Comb.	Sfruttamento	Classe	NEd	NRd	Rid. NRd da VEd	Mx,Ed	Mx,Rd	Rid. Mx,Rd da VEd	Rid. Mx,Rd da NEd	px	py	Verifica
0.958	SLD 11	0.047	1	29.514	664.325	1	-0.0846	31.3291	1		0	0	Si

Verifica a presso/tenso flessione retta Y §§ 4.2.4.1.2.3 - 4.2.4.1.2.6 - 4.2.4.1.2.7 - 4.2.4.1.2.8 NTC18

Verifiche eseguite utilizzando la formula conservativa (6.2) §6.2.1 EN 1993-1-1:2005.

X	Comb.	Sfruttamento	Classe	NEd	NRd	Rid. NRd da VEd	My,Ed	My,Rd	Rid. My,Rd da VEd	Rid. My,Rd da NEd	px	py	Verifica
0	SLU 75	0.102	1	67.648	664.325	1	-0.0043	15.4191	1		0	0	Si

Verifica a presso/tenso flessione retta Y SLD §§ 4.2.4.1.2.3 - 4.2.4.1.2.6 - 4.2.4.1.2.7 - 4.2.4.1.2.8 NTC18

Verifiche eseguite utilizzando la formula conservativa (6.2) §6.2.1 EN 1993-1-1:2005.

X	Comb.	Sfruttamento	Classe	NEd	NRd	Rid. NRd da VEd	My,Ed	My,Rd	Rid. My,Rd da VEd	Rid. My,Rd da NEd	px	py	Verifica
0.064	SLD 7	0.039	1	25.76	664.325	1	-0.0043	15.4191	1		0	0	Si

Verifica a presso/tenso flessione deviata §§ 4.2.4.1.2.3 - 4.2.4.1.2.6 - 4.2.4.1.2.7 - 4.2.4.1.2.8 NTC18

Verifiche eseguite utilizzando la formula conservativa (6.2) §6.2.1 EN 1993-1-1:2005.

X	Comb.	Sfruttamento	Classe	NEd	NRd	Rid. NRd da VEd	Mx,Ed	Mx,Rd	My,Ed	My,Rd	Rid. Mx,Rd da VEd	Rid. Mx,Rd da NEd	Rid. My,Rd da VEd	Rid. My,Rd da NEd	α	β	px	py	Verifica
0.256	SLU 75	0.104	1	67.665	664.325	1	-0.0493	31.3291	-0.0039	15.4191	1		1				0	0	Si

Verifica a presso/tenso flessione deviata SLD §§ 4.2.4.1.2.3 - 4.2.4.1.2.6 - 4.2.4.1.2.7 - 4.2.4.1.2.8 NTC18

Verifiche eseguite utilizzando la formula conservativa (6.2) §6.2.1 EN 1993-1-1:2005.

X	Comb.	Sfruttamento	Classe	NEd	NRd	Rid. NRd da VEd	Mx,Ed	Mx,Rd	My,Ed	My,Rd	Rid. Mx,Rd da VEd	Rid. Mx,Rd da NEd	Rid. My,Rd da VEd	Rid. My,Rd da NEd	α	β	px	py	Verifica
0.767	SLD 8	0.042	1	25.797	664.325	1	-0.0821	31.3291	-0.0039	15.4191	1		1				0	0	Si

Verifiche ad instabilità

Caratteristiche iniziali

Membratura principale per controllo snellezza; Calcolo di snellezze ed N critici condotti secondo gli assi principali;
Curva X: b; Curva Y: c; Svergolamento: Carico all'estradosso; Curva svergolamento: b;

Dati per instabilità attorno a x

Controllo della snellezza secondo §4.2.4.1.3.1 NTC18

Numero rit.	Presente	Ascissa	Campata	βx/m	Vincolo a entrambi estremi	λx/m	λVer
1	Si	0					
			1-2	1	Si	39.2	Si, (<200)
2	Si	1.916					

Dati per instabilità attorno a y

Controllo della snellezza secondo §4.2.4.1.3.1 NTC18

Numero rit.	Presente	Ascissa	Campata	βy/n	k ₁ LT	k _w LT	Vincolo a entrambi estremi	λy/n	λVer
1	Si	0							
			1-2	1	1	1	Si	63.5	Si, (<200)
2	Si	1.916							

Verifica a svergolamento con trazione §4.2.4.1.3.2 NTC18 § 5.5.3 ENV 1993-1-1:1992 + AC:1992 + A1:1994 + A2:1998

X	Comb.	Sfruttamento	Classe	Obblig.	NEd	Mx,Ed	Mx,Eff,Ed	Mb,Rd,x	χ ₁ LT	λ adim. LT	L ₁ LT	M _c critico	Verifica
0.958	SLU 40	0.002	1	Si	1.976	-0.11378	-0.05575	28.03482	0.895	0.648	1.916	78.30172	Si

Verifica di stabilità per pressoflessione §C.4.2.4.1.3.3.2 NTC18

X	Comb.	Sfruttamento	Classe	NEd	NRk	Mx,Ed max	Mx,Rk	My,Ed max	My,Rk	χ _x	χ _y	k _{xx}	k _{xy}	k _{yx}	k _{yy}	χ ₁ LT	Verifica
0	SLU 4	0.016	1	-5.884	697.541	0.08825	32.89552	0.00013	16.19002	0.905	0.705	0.952	0.243	0.999	0.404	0.895	Si

Verifica di stabilità a taglio anima Y §4.2.4.1.2.4 [4.2.27] NTC18

η	hw	tw	hw/tw max	Verifica
1.2	0.098	0.005	55.46	Si

Verifica di stabilità a taglio anima Y SLD §4.2.4.1.2.4 [4.2.27] NTC18

η	hw	tw	hw/tw max	Verifica
1.2	0.098	0.005	55.46	Si

Verifiche a deformabilità

Mensola X: No; Mensola Y: No.

Freccie lungo X

Ascissa freccia	Combinazione	Freccia	Luce	L/f	L/f,min	Tipo	Verifica
0.83	SLE RA 1	0	1.916	10000	250	Totale	Si

Implementazione dei sistemi di confinamento delle emissioni odorigene diffuse dell'impianto di compostaggio esistente nel
Comune di Eboli (SA)

PROGETTO DEFINITIVO – Tabulati di calcolo Tomo 1

Ascissa freccia	Combinazione	Freccia	Luce	L/f	L/f,min	Tipo	Verifica
0.83	SLE RA 17	0	1.916	10000	250	Totale	Si
0.83	SLE RA 16	0	1.916	10000	250	Totale	Si
0.83	SLE RA 15	0	1.916	10000	250	Totale	Si
0.83	SLE RA 14	0	1.916	10000	250	Totale	Si
0.83	SLE RA 2	0	1.916	10000	350	Variabile	Si
0.83	SLE RA 17	0	1.916	10000	350	Variabile	Si
0.83	SLE RA 16	0	1.916	10000	350	Variabile	Si
0.83	SLE RA 15	0	1.916	10000	350	Variabile	Si
0.894	SLE RA 14	0	1.916	10000	350	Variabile	Si

Frecce lungo Y

Ascissa freccia	Combinazione	Freccia	Luce	L/f	L/f,min	Tipo	Verifica
0.958	SLE RA 1	-0.00003	1.916	10000	250	Totale	Si
0.958	SLE RA 17	-0.00003	1.916	10000	250	Totale	Si
0.958	SLE RA 16	-0.00003	1.916	10000	250	Totale	Si
0.958	SLE RA 15	-0.00003	1.916	10000	250	Totale	Si
0.958	SLE RA 14	-0.00003	1.916	10000	250	Totale	Si
0.958	SLE RA 2	0	1.916	10000	350	Variabile	Si
0.958	SLE RA 17	0	1.916	10000	350	Variabile	Si
0.958	SLE RA 16	0	1.916	10000	350	Variabile	Si
1.022	SLE RA 15	0	1.916	10000	350	Variabile	Si
0.958	SLE RA 14	0	1.916	10000	350	Variabile	Si

Superelemento in acciaio a quota "590"- "640" (-542; -509)-(-415; -374)

Caratteristiche del materiale

Acciaio: S275, fyk = 275000

Caratteristiche geometriche

Lunghezza: 1.916

Nodo iniziale: 315 Nodo finale: 592

Cerniera iniziale: Mmomenti 1% Cerniera finale: Mmomenti 1%

Sovraresistenza: 0% Sisma Z: No

Caratteristiche della sezione

Sezione	Rotazione	Area	Jx	Jy	ix	iy	Wx	Wy	Wplx	Wply
HEA120	0	0.002537	0.0000060673	0.0000023091	0.0489	0.0302	0.00010644	0.00003849	0.00011962	0.00005887

Verifiche di resistenza

Verifiche a forza assiale §4.2.4.1.2.1 - §4.2.4.1.2.2 NTC18

X	Comb.	Sfruttamento	Classe	NEd	Nc,Rd	Nt,Rd	Riduzione da taglio	px	py	Verifica
1.916	SLU 75	0.088		58.312		664.325	1	0	0	Si

Verifiche a forza assiale SLD §4.2.4.1.2.1 - §4.2.4.1.2.2 NTC18

X	Comb.	Sfruttamento	Classe	NEd	Nc,Rd	Nt,Rd	Riduzione da taglio	px	py	Verifica
1.916	SLD 12	0.038		25.531		664.325	1	0	0	Si

Verifica a taglio Y §4.2.4.1.2.4 NTC18

X	Comb.	Sfruttamento	VEd	Vc,Rd	Av	Interazione taglio-torsione	Riduzione torsione	Verifica
1.916	SLU 75	0.002	-0.243	128.304	0.000849	Considerata	1	Si

Verifica a taglio Y SLD §4.2.4.1.2.4 NTC18

X	Comb.	Sfruttamento	VEd	Vc,Rd	Av	Interazione taglio-torsione	Riduzione torsione	Verifica
1.916	SLD 6	0.001	-0.185	128.304	0.000849	Considerata	1	Si

Verifica a presso/tenso flessione retta X §§ 4.2.4.1.2.3 - 4.2.4.1.2.6 - 4.2.4.1.2.7 - 4.2.4.1.2.8 NTC18

Verifiche eseguite utilizzando la formula conservativa (6.2) §6.2.1 EN 1993-1-1:2005.

X	Comb.	Sfruttamento	Classe	NEd	NRd	Rid. NRd da VEd	Mx,Ed	Mx,Rd	Rid. Mx,Rd da VEd	Rid. Mx,Rd da NEd	px	py	Verifica
1.086	SLU 44	0.078	1	49.396	664.325	1	-0.1204	31.3291	1		0	0	Si

Verifica a presso/tenso flessione retta X SLD §§ 4.2.4.1.2.3 - 4.2.4.1.2.6 - 4.2.4.1.2.7 - 4.2.4.1.2.8 NTC18

Verifiche eseguite utilizzando la formula conservativa (6.2) §6.2.1 EN 1993-1-1:2005.

X	Comb.	Sfruttamento	Classe	NEd	NRd	Rid. NRd da VEd	Mx,Ed	Mx,Rd	Rid. Mx,Rd da VEd	Rid. Mx,Rd da NEd	px	py	Verifica
1.022	SLD 12	0.041	1	25.485	664.325	1	-0.0906	31.3291	1		0	0	Si

Verifica a presso/tenso flessione retta Y §§ 4.2.4.1.2.3 - 4.2.4.1.2.6 - 4.2.4.1.2.7 - 4.2.4.1.2.8 NTC18

Verifiche eseguite utilizzando la formula conservativa (6.2) §6.2.1 EN 1993-1-1:2005.

X	Comb.	Sfruttamento	Classe	NEd	NRd	Rid. NRd da VEd	My,Ed	My,Rd	Rid. My,Rd da VEd	Rid. My,Rd da NEd	px	py	Verifica
1.916	SLU 75	0.088	1	58.312	664.325	1	-0.005	15.4191	1		0	0	Si

Verifica a presso/tenso flessione retta Y SLD §§ 4.2.4.1.2.3 - 4.2.4.1.2.6 - 4.2.4.1.2.7 - 4.2.4.1.2.8 NTC18

Verifiche eseguite utilizzando la formula conservativa (6.2) §6.2.1 EN 1993-1-1:2005.

X	Comb.	Sfruttamento	Classe	NEd	NRd	Rid. NRd da VEd	My,Ed	My,Rd	Rid. My,Rd da VEd	Rid. My,Rd da NEd	px	py	Verifica
1.916	SLD 7	0.032	1	21.363	664.325	1	-0.0039	15.4191	1		0	0	Si

Verifica a presso/tenso flessione deviata §§ 4.2.4.1.2.3 - 4.2.4.1.2.6 - 4.2.4.1.2.7 - 4.2.4.1.2.8 NTC18

Verifiche eseguite utilizzando la formula conservativa (6.2) §6.2.1 EN 1993-1-1:2005.

X	Comb.	Sfruttamento	Classe	NEd	NRd	Rid. NRd da VEd	Mx,Ed	Mx,Rd	My,Ed	My,Rd	Rid. Mx,Rd da VEd	Rid. Mx,Rd da NEd	Rid. My,Rd da VEd	Rid. My,Rd da NEd	α	β	px	py	Verifica
0.958	SLU 75	0.092	1	58.247	664.325	1	-0.1247	31.3291	-0.0054	15.4191	1		1				0	0	Si

Implementazione dei sistemi di confinamento delle emissioni odorigene diffuse dell'impianto di compostaggio esistente nel
Comune di Eboli (SA)
PROGETTO DEFINITIVO – Tabulati di calcolo Tomo 1

Verifica a presso/tenso flessione deviata SLD §§ 4.2.4.1.2.3 - 4.2.4.1.2.6 - 4.2.4.1.2.7 - 4.2.4.1.2.8 NTC18

Verifiche eseguite utilizzando la formula conservativa (6.2) §6.2.1 EN 1993-1-1:2005.

X	Comb.	Sfruttamento	Classe	NEd	NRd	Rid. NRd da VEd	Mx,Ed	Mx,Rd	My,Ed	My,Rd	Rid. Mx,Rd da VEd	Rid. Mx,Rd da NEd	Rid. My,Rd da VEd	Rid. My,Rd da NEd	α	β	px	py	Verifica
1.852	SLD 7	0.033	1	21.36	664.325	1	-0.0134	31.3291	-0.0039	15.4191	1		1				0	0	Si

Verifiche ad instabilità

Caratteristiche iniziali

Membratura principale per controllo snellezza; Calcolo di snellezze ed N critici condotti secondo gli assi principali;
Curva X: b; Curva Y: c; Svergolamento: Carico all'estradosso; Curva svergolamento: b;

Dati per instabilità attorno a x

Controllo della snellezza secondo §4.2.4.1.3.1 NTC18

Numero rit.	Presente	Ascissa	Campata	βx/m	Vincolo a entrambi estremi	λx/m	λVer
1	Si		0				
			1-2		1	39.2	Si, (<200)
2	Si		1.916				

Dati per instabilità attorno a y

Controllo della snellezza secondo §4.2.4.1.3.1 NTC18

Numero rit.	Presente	Ascissa	Campata	βy/n	k,LT	kw,LT	Vincolo a entrambi estremi	λy/n	λVer
1	Si		0						
			1-2		1	1	Si	63.5	Si, (<200)
2	Si		1.916						

Verifica a svergolamento con trazione §4.2.4.1.3.2 NTC18 § 5.5.3 ENV 1993-1-1:1992 + AC:1992 + A1:1994 + A2:1998

X	Comb.	Sfruttamento	Classe	Obblig.	NEd	Mx,Ed	Mx,Eff,Ed	Mb,Rd,x	χ,LT	λ adim. LT	L,LT	M,critico	Verifica
0.958	SLU 45	0.003	1	Si	0.751	-0.11508	-0.09302	28.03468	0.895	0.648	1.916	78.2995	Si

Verifica di stabilità per tenso-flessione deviata §§ 5.5.3-5.5.4 ENV 1993-1-1:1992 + AC:1992 + A1:1994 + A2:1998

X	Comb.	Sfruttamento	Classe	NEd	Mx,Ed	Mx,Eff,Ed	My,Ed	χ,LT	kLT	ky	M,critico	Wx	Wy	Verifica
1.15	SLV 10	0.003	1	0.558	-0.08656	-0.07016	0.00395	0.895	1	1	78.2995	0.0001196	0.0000589	Si

Verifica di stabilità per pressoflessione §C.4.2.4.1.3.3.2 NTC18

X	Comb.	Sfruttamento	Classe	NEd	NRk	Mx,Ed max	Mx,Rk	My,Ed max	My,Rk	χ,x	χ,y	kxx	kxy	kyy	χ,LT	Verifica	
0	SLV 6	0.027	1	-11.186	697.541	0.09154	32.89552	0.00213	16.19002	0.905	0.705	0.957	0.394	0.998	0.656	0.895	Si

Verifica di stabilità a taglio anima Y §4.2.4.1.2.4 [4.2.27] NTC18

η	hw	tw	hw/tw max	Verifica
1.2	0.098	0.005	55.46	Si

Verifica di stabilità a taglio anima Y SLD §4.2.4.1.2.4 [4.2.27] NTC18

η	hw	tw	hw/tw max	Verifica
1.2	0.098	0.005	55.46	Si

Verifiche a deformabilità

Mensola X: No; Mensola Y: No.

Frecce lungo X

Ascissa freccia	Combinazione	Freccia	Luce	L/f	L/f,min	Tipo	Verifica
0.958	SLE RA 1	0	1.916	10000	250	Totale	Si
0.958	SLE RA 17	0	1.916	10000	250	Totale	Si
0.958	SLE RA 16	0	1.916	10000	250	Totale	Si
0.958	SLE RA 15	0	1.916	10000	250	Totale	Si
0.958	SLE RA 14	0	1.916	10000	250	Totale	Si
0.958	SLE RA 2	0	1.916	10000	350	Variabile	Si
0.958	SLE RA 17	0	1.916	10000	350	Variabile	Si
0.958	SLE RA 16	0	1.916	10000	350	Variabile	Si
0.958	SLE RA 15	0	1.916	10000	350	Variabile	Si
0.958	SLE RA 14	0	1.916	10000	350	Variabile	Si

Frecce lungo Y

Ascissa freccia	Combinazione	Freccia	Luce	L/f	L/f,min	Tipo	Verifica
0.958	SLE RA 1	-0.00003	1.916	10000	250	Totale	Si
0.958	SLE RA 17	-0.00003	1.916	10000	250	Totale	Si
0.958	SLE RA 16	-0.00003	1.916	10000	250	Totale	Si
0.958	SLE RA 15	-0.00003	1.916	10000	250	Totale	Si
0.958	SLE RA 14	-0.00003	1.916	10000	250	Totale	Si
0.894	SLE RA 2	0	1.916	10000	350	Variabile	Si
0.894	SLE RA 17	0	1.916	10000	350	Variabile	Si
0.894	SLE RA 16	0	1.916	10000	350	Variabile	Si
0.894	SLE RA 15	0	1.916	10000	350	Variabile	Si
0.894	SLE RA 14	0	1.916	10000	350	Variabile	Si

Superelemento in acciaio a quota "590"- "640" (-1035; 718)-(-908; 853)

Caratteristiche del materiale

Acciaio: S275, fyk = 275000

Caratteristiche geometriche

Lunghezza: 1.921

Nodo iniziale: 364 Nodo finale: 841

Cerniera iniziale: Mmomenti 1% Cerniera finale: Mmomenti 1%

Sovraresistenza: 0% Sisma Z: No

**Implementazione dei sistemi di confinamento delle emissioni odorigene diffuse dell'impianto di compostaggio esistente nel
Comune di Eboli (SA)**

PROGETTO DEFINITIVO – Tabulati di calcolo Tomo 1

Caratteristiche della sezione

Sezione	Rotazione	Area	Jx	Jy	ix	iy	Wx	Wy	Wplx	Wply
HEA120	0	0.002537	0.0000060673	0.0000023091	0.0489	0.0302	0.00010644	0.00003849	0.00011962	0.00005887

Verifiche di resistenza

Verifiche a forza assiale §4.2.4.1.2.1 - §4.2.4.1.2.2 NTC18

X	Comb.	Sfruttamento	Classe	NEd	Nc,Rd	Nt,Rd	Riduzione da taglio	px	py	Verifica
1.921	SLU 76	0.074		49.307		664.325	1	0	0	Si

Verifiche a forza assiale SLD §4.2.4.1.2.1 - §4.2.4.1.2.2 NTC18

X	Comb.	Sfruttamento	Classe	NEd	Nc,Rd	Nt,Rd	Riduzione da taglio	px	py	Verifica
1.921	SLD 10	0.039		25.733		664.325	1	0	0	Si

Verifica a taglio Y §4.2.4.1.2.4 NTC18

X	Comb.	Sfruttamento	VEd	Vc,Rd	Av	Interazione taglio-torsione	Riduzione torsione	Verifica
1.921	SLU 76	0.002	-0.243	128.304	0.000849	Considerata	1	Si

Verifica a taglio Y SLD §4.2.4.1.2.4 NTC18

X	Comb.	Sfruttamento	VEd	Vc,Rd	Av	Interazione taglio-torsione	Riduzione torsione	Verifica
1.921	SLD 14	0.001	-0.186	128.304	0.000849	Considerata	1	Si

Verifica a flessione semplice X §§ 4.2.4.1.2.3 - 4.2.4.1.2.6 - 4.2.4.1.2.7 - 4.2.4.1.2.8 NTC18

X	Comb.	Sfruttamento	Classe	Mx,Ed	Mx,Rd	Rid. Mx,Rd da VEd	px	py	Verifica
0.961	SLU 21	0.003	1	-0.08841	31.32907	1	0	0	Si

Verifica a presso/tenso flessione retta X §§ 4.2.4.1.2.3 - 4.2.4.1.2.6 - 4.2.4.1.2.7 - 4.2.4.1.2.8 NTC18

Verifiche eseguite utilizzando la formula conservativa (6.2) §6.2.1 EN 1993-1-1:2005.

X	Comb.	Sfruttamento	Classe	NEd	NRd	Rid. NRd da VEd	Mx,Ed	Mx,Rd	Rid. Mx,Rd da VEd	Rid. Mx,Rd da NEd	px	py	Verifica
0.192	SLU 38	0.07	1	45.859	664.325	1	-0.0269	31.3291	1		0	0	Si

Verifica a presso/tenso flessione retta X SLD §§ 4.2.4.1.2.3 - 4.2.4.1.2.6 - 4.2.4.1.2.7 - 4.2.4.1.2.8 NTC18

Verifiche eseguite utilizzando la formula conservativa (6.2) §6.2.1 EN 1993-1-1:2005.

X	Comb.	Sfruttamento	Classe	NEd	NRd	Rid. NRd da VEd	Mx,Ed	Mx,Rd	Rid. Mx,Rd da VEd	Rid. Mx,Rd da NEd	px	py	Verifica
1.601	SLD 10	0.04	1	25.716	664.325	1	-0.046	31.3291	1		0	0	Si

Verifica a presso/tenso flessione retta Y §§ 4.2.4.1.2.3 - 4.2.4.1.2.6 - 4.2.4.1.2.7 - 4.2.4.1.2.8 NTC18

Verifiche eseguite utilizzando la formula conservativa (6.2) §6.2.1 EN 1993-1-1:2005.

X	Comb.	Sfruttamento	Classe	NEd	NRd	Rid. NRd da VEd	My,Ed	My,Rd	Rid. My,Rd da VEd	Rid. My,Rd da NEd	px	py	Verifica
1.921	SLU 76	0.075	1	49.307	664.325	1	0.0084	15.4191	1		0	0	Si

Verifica a presso/tenso flessione retta Y SLD §§ 4.2.4.1.2.3 - 4.2.4.1.2.6 - 4.2.4.1.2.7 - 4.2.4.1.2.8 NTC18

Verifiche eseguite utilizzando la formula conservativa (6.2) §6.2.1 EN 1993-1-1:2005.

X	Comb.	Sfruttamento	Classe	NEd	NRd	Rid. NRd da VEd	My,Ed	My,Rd	Rid. My,Rd da VEd	Rid. My,Rd da NEd	px	py	Verifica
0	SLD 9	0.039	1	25.633	664.325	1	0.0069	15.4191	1		0	0	Si

Verifica a presso/tenso flessione deviata §§ 4.2.4.1.2.3 - 4.2.4.1.2.6 - 4.2.4.1.2.7 - 4.2.4.1.2.8 NTC18

Verifiche eseguite utilizzando la formula conservativa (6.2) §6.2.1 EN 1993-1-1:2005.

X	Comb.	Sfruttamento	Classe	NEd	NRd	Rid. NRd da VEd	Mx,Ed	Mx,Rd	My,Ed	My,Rd	Rid. Mx,Rd da VEd	Rid. Mx,Rd da NEd	Rid. My,Rd da VEd	Rid. My,Rd da NEd	α	β	px	py	Verifica
0.961	SLU 76	0.078	1	49.243	664.325	1	-0.1076	31.3291	0.006	15.4191	1		1				0	0	Si

Verifica a presso/tenso flessione deviata SLD §§ 4.2.4.1.2.3 - 4.2.4.1.2.6 - 4.2.4.1.2.7 - 4.2.4.1.2.8 NTC18

Verifiche eseguite utilizzando la formula conservativa (6.2) §6.2.1 EN 1993-1-1:2005.

X	Comb.	Sfruttamento	Classe	NEd	NRd	Rid. NRd da VEd	Mx,Ed	Mx,Rd	My,Ed	My,Rd	Rid. Mx,Rd da VEd	Rid. Mx,Rd da NEd	Rid. My,Rd da VEd	Rid. My,Rd da NEd	α	β	px	py	Verifica
0.961	SLD 10	0.042	1	25.683	664.325	1	-0.0862	31.3291	0.0048	15.4191	1		1				0	0	Si

Verifiche ad instabilità

Caratteristiche iniziali

Membratura principale per controllo snellezza; Calcolo di snellezze ed N critici condotti secondo gli assi principali;

Curva X: b; Curva Y: c; Svergolamento: Carico all'estradosso; Curva svergolamento: b;

Dati per instabilità attorno a x

Controllo della snellezza secondo §4.2.4.1.3.1 NTC18

Numero rit.	Presente	Ascissa	Campata	βx/m	Vincolo a entrambi estremi	λx/m	λVer
1	Si	0					
			1-2		1	39.3	Si, (<200)
2	Si	1.921					

Dati per instabilità attorno a y

Controllo della snellezza secondo §4.2.4.1.3.1 NTC18

Numero rit.	Presente	Ascissa	Campata	βy/n	k _{LT}	kw _{LT}	Vincolo a entrambi estremi	λy/n	λVer
1	Si	0							
			1-2		1	1	Si	63.7	Si, (<200)
2	Si	1.921							

Verifica a svergolamento §4.2.4.1.3.2 NTC18

X	Comb.	Sfruttamento	Classe	Obblig.	Mx,Ed	Mb,Rd,x	χ _{LT}	λ adim. LT	L _{LT}	M _{critico}	Verifica
0.961	SLU 21	0.003	1	Si	-0.08841	28.01849	0.894	0.649	1.921	78.03668	Si

Verifica a svergolamento con trazione §4.2.4.1.3.2 NTC18 § 5.5.3 ENV 1993-1-1:1992 + AC:1992 + A1:1994 + A2:1998

X	Comb.	Sfruttamento	Classe	Obblig.	NEd	Mx,Ed	Mx,Eff,Ed	Mb,Rd,x	χ _{LT}	λ adim. LT	L _{LT}	M _{critico}	Verifica
0.961	SLU 59	0.001	1	Si	3.283	-0.11445	-0.01801	28.01849	0.894	0.649	1.921	78.03668	Si

Implementazione dei sistemi di confinamento delle emissioni odorigene diffuse dell'impianto di compostaggio esistente nel
Comune di Eboli (SA)
PROGETTO DEFINITIVO – Tabulati di calcolo Tomo 1

Verifica di stabilità per tenso-flessione deviata §§ 5.5.3-5.5.4 ENV 1993-1-1:1992 + AC:1992 + A1:1994 + A2:1998

X	Comb.	Sfruttamento	Classe	NEd	Mx,Ed	Mx,Eff,Ed	My,Ed	χ,LT	kLT	ky	M,critico	Wx	Wy	Verifica
0.833	SLV 11	0.001	1	2.484	-0.0842	-0.01122	-0.00386	0.894	1	1	78.03668	0.0001196	0.0000589	Si

Verifica di stabilità per pressoflessione §C.4.2.4.1.3.3.2 NTC18

X	Comb.	Sfruttamento	Classe	NEd	NRk	Mx,Ed max	Mx,Rk	My,Ed max	My,Rk	χ,x	χ,y	kxx	kxy	kyy	χ,LT	Verifica	
0	SLV 8	0.024	1	-9.367	697.541	0.08539	32.89552	0.01739	16.19002	0.905	0.704	0.952	0.331	0.998	0.552	0.894	Si

Verifica di stabilità a taglio anima Y §4.2.4.1.2.4 [4.2.27] NTC18

η	hw	tw	hw/tw max	Verifica
1.2	0.098	0.005	55.46	Si

Verifica di stabilità a taglio anima Y SLD §4.2.4.1.2.4 [4.2.27] NTC18

η	hw	tw	hw/tw max	Verifica
1.2	0.098	0.005	55.46	Si

Verifiche a deformabilità

Mensola X: No; Mensola Y: No.

Frecce lungo X

Ascissa freccia	Combinazione	Freccia	Luce	L/f	L/f,min	Tipo	Verifica
1.025	SLE RA 1	0	1.921	10000	250	Totale	Si
1.025	SLE RA 17	0	1.921	10000	250	Totale	Si
1.025	SLE RA 16	0	1.921	10000	250	Totale	Si
1.025	SLE RA 15	0	1.921	10000	250	Totale	Si
1.025	SLE RA 14	0	1.921	10000	250	Totale	Si
1.025	SLE RA 2	0	1.921	10000	350	Variabile	Si
1.025	SLE RA 17	0	1.921	10000	350	Variabile	Si
1.025	SLE RA 16	0	1.921	10000	350	Variabile	Si
1.025	SLE RA 15	0	1.921	10000	350	Variabile	Si
1.153	SLE RA 14	0	1.921	10000	350	Variabile	Si

Frecce lungo Y

Ascissa freccia	Combinazione	Freccia	Luce	L/f	L/f,min	Tipo	Verifica
0.961	SLE RA 1	-0.00003	1.921	10000	250	Totale	Si
0.961	SLE RA 17	-0.00003	1.921	10000	250	Totale	Si
0.961	SLE RA 16	-0.00003	1.921	10000	250	Totale	Si
0.961	SLE RA 15	-0.00003	1.921	10000	250	Totale	Si
0.961	SLE RA 14	-0.00003	1.921	10000	250	Totale	Si
1.025	SLE RA 2	0	1.921	10000	350	Variabile	Si
1.025	SLE RA 17	0	1.921	10000	350	Variabile	Si
1.025	SLE RA 16	0	1.921	10000	350	Variabile	Si
1.025	SLE RA 15	0	1.921	10000	350	Variabile	Si
1.025	SLE RA 14	0	1.921	10000	350	Variabile	Si

Superelemento in acciaio a quota "590"- "640" (-1162; 583)-(-1035; 718)

Caratteristiche del materiale

Acciaio: S275, fyk = 275000

Caratteristiche geometriche

Lunghezza: 1.916

Nodo iniziale: 300 Nodo finale: 813

Cerniera iniziale: Mmomenti 1% Cerniera finale: Mmomenti 1%

Sovraresistenza: 0% Sisma Z: No

Caratteristiche della sezione

Sezione	Rotazione	Area	Jx	Jy	ix	iy	Wx	Wy	Wplx	Wply
HEA120	0	0.002537	0.0000060673	0.0000023091	0.0489	0.0302	0.00010644	0.00003849	0.00011962	0.00005887

Verifiche di resistenza

Verifiche a forza assiale §4.2.4.1.2.1 - §4.2.4.1.2.2 NTC18

X	Comb.	Sfruttamento	Classe	NEd	Nc,Rd	Nt,Rd	Riduzione da taglio	px	py	Verifica
1.916	SLV 76	0.077		51.451		664.325	1	0	0	Si

Verifiche a forza assiale SLD §4.2.4.1.2.1 - §4.2.4.1.2.2 NTC18

X	Comb.	Sfruttamento	Classe	NEd	Nc,Rd	Nt,Rd	Riduzione da taglio	px	py	Verifica
1.916	SLD 10	0.034		22.385		664.325	1	0	0	Si

Verifica a taglio Y §4.2.4.1.2.4 NTC18

X	Comb.	Sfruttamento	VEd	Vc,Rd	Av	Interazione taglio-torsione	Riduzione torsione	Verifica
0	SLU 76	0.002	0.242	128.304	0.000849	Considerata	1	Si

Verifica a taglio Y SLD §4.2.4.1.2.4 NTC18

X	Comb.	Sfruttamento	VEd	Vc,Rd	Av	Interazione taglio-torsione	Riduzione torsione	Verifica
0	SLD 7	0.001	0.186	128.304	0.000849	Considerata	1	Si

Verifica a presso/tenso flessione retta X §§ 4.2.4.1.2.3 - 4.2.4.1.2.6 - 4.2.4.1.2.7 - 4.2.4.1.2.8 NTC18

Verifiche eseguite utilizzando la formula conservativa (6.2) §6.2.1 EN 1993-1-1:2005.

X	Comb.	Sfruttamento	Classe	NEd	NRd	Rid. NRd da VEd	Mx,Ed	Mx,Rd	Rid. Mx,Rd da VEd	Rid. Mx,Rd da NEd	px	py	Verifica
1.022	SLU 76	0.081	1	51.39	664.325	1	-0.109	31.3291	1		0	0	Si

Verifica a presso/tenso flessione retta X SLD §§ 4.2.4.1.2.3 - 4.2.4.1.2.6 - 4.2.4.1.2.7 - 4.2.4.1.2.8 NTC18

Verifiche eseguite utilizzando la formula conservativa (6.2) §6.2.1 EN 1993-1-1:2005.

**Implementazione dei sistemi di confinamento delle emissioni odorigene diffuse dell'impianto di compostaggio esistente nel
Comune di Eboli (SA)**

PROGETTO DEFINITIVO – Tabulati di calcolo Tomo 1

X	Comb.	Sfruttamento	Classe	NEd	NRd	Rid. NRd da VEd	Mx,Ed	Mx,Rd	Rid. Mx,Rd da VEd	Rid. Mx,Rd da NEd	px	py	Verifica
0.958	SLD 9	0.036	1	22.335	664.325	1	-0.0883	31.3291	1		0	0	Si

Verifica a presso/tenso flessione retta Y §§ 4.2.4.1.2.3 - 4.2.4.1.2.6 - 4.2.4.1.2.7 - 4.2.4.1.2.8 NTC18

Verifiche eseguite utilizzando la formula conservativa (6.2) §6.2.1 EN 1993-1-1:2005.

X	Comb.	Sfruttamento	Classe	NEd	NRd	Rid. NRd da VEd	My,Ed	My,Rd	Rid. My,Rd da VEd	Rid. My,Rd da NEd	px	py	Verifica
0	SLU 76	0.078	1	51.321	664.325	1	-0.0078	15.4191	1		0	0	Si

Verifica a presso/tenso flessione retta Y SLD §§ 4.2.4.1.2.3 - 4.2.4.1.2.6 - 4.2.4.1.2.7 - 4.2.4.1.2.8 NTC18

Verifiche eseguite utilizzando la formula conservativa (6.2) §6.2.1 EN 1993-1-1:2005.

X	Comb.	Sfruttamento	Classe	NEd	NRd	Rid. NRd da VEd	My,Ed	My,Rd	Rid. My,Rd da VEd	Rid. My,Rd da NEd	px	py	Verifica
1.916	SLD 10	0.034	1	22.385	664.325	1	0.005	15.4191	1		0	0	Si

Verifica a presso/tenso flessione deviata §§ 4.2.4.1.2.3 - 4.2.4.1.2.6 - 4.2.4.1.2.7 - 4.2.4.1.2.8 NTC18

Verifiche eseguite utilizzando la formula conservativa (6.2) §6.2.1 EN 1993-1-1:2005.

X	Comb.	Sfruttamento	Classe	NEd	NRd	Rid. NRd da VEd	Mx,Ed	Mx,Rd	My,Ed	My,Rd	Rid. Mx,Rd da VEd	Rid. Mx,Rd da NEd	Rid. My,Rd da VEd	Rid. My,Rd da NEd	α	β	px	py	Verifica
0.958	SLU 76	0.081	1	51.386	664.325	1	-0.1093	31.3291	-0.0041	15.4191	1		1				0	0	Si

Verifica a presso/tenso flessione deviata SLD §§ 4.2.4.1.2.3 - 4.2.4.1.2.6 - 4.2.4.1.2.7 - 4.2.4.1.2.8 NTC18

Verifiche eseguite utilizzando la formula conservativa (6.2) §6.2.1 EN 1993-1-1:2005.

X	Comb.	Sfruttamento	Classe	NEd	NRd	Rid. NRd da VEd	Mx,Ed	Mx,Rd	My,Ed	My,Rd	Rid. Mx,Rd da VEd	Rid. Mx,Rd da NEd	Rid. My,Rd da VEd	Rid. My,Rd da NEd	α	β	px	py	Verifica
1.022	SLD 9	0.037	1	22.338	664.325	1	-0.0879	31.3291	0.0039	15.4191	1		1				0	0	Si

Verifiche ad instabilità

Caratteristiche iniziali

Membratura principale per controllo snellezza; Calcolo di snellezze ed N critici condotti secondo gli assi principali;

Curva X: b; Curva Y: c; Svergolamento: Carico all'estradosso; Curva svergolamento: b;

Dati per instabilità attorno a x

Controllo della snellezza secondo §4.2.4.1.3.1 NTC18

Numero rit.	Presente	Ascissa	Campata	βx/m	Vincolo a entrambi estremi	λx/m	λVer
1	Si		0				
			1-2		1	39.2	Si, (<200)
2	Si	1.916					

Dati per instabilità attorno a y

Controllo della snellezza secondo §4.2.4.1.3.1 NTC18

Numero rit.	Presente	Ascissa	Campata	βy/n	k,LT	kw,LT	Vincolo a entrambi estremi	λy/n	λVer
1	Si		0						
			1-2		1	1	Si	63.5	Si, (<200)
2	Si	1.916							

Verifica a svergolamento con trazione §4.2.4.1.3.2 NTC18 § 5.5.3 ENV 1993-1-1:1992 + AC:1992 + A1:1994 + A2:1998

X	Comb.	Sfruttamento	Classe	Obblig.	NEd	Mx,Ed	Mx,Eff,Ed	Mb,Rd,x	χ ,LT	λ adim. LT	L,LT	M,critico	Verifica
0.958	SLU 43	0.002	1	Si	2.237	-0.11383	-0.04813	28.03468	0.895	0.648	1.916	78.2995	Si

Verifica di stabilità per pressoflessione §C.4.2.4.1.3.3.2 NTC18

X	Comb.	Sfruttamento	Classe	NEd	NRk	Mx,Ed max	Mx,Rk	My,Ed max	My,Rk	χ,x	χ,y	kxx	kxy	kyy	χ,LT	Verifica
0	SLU 2	0.021	1	-8.38	697.541	0.08831	32.89552	0.00118	16.19002	0.905	0.705	0.953	0.409	0.998	0.895	Si

Verifica di stabilità a taglio anima Y §4.2.4.1.2.4 [4.2.27] NTC18

η	hw	tw	hw/tw max	Verifica
1.2	0.098	0.005	55.46	Si

Verifica di stabilità a taglio anima Y SLD §4.2.4.1.2.4 [4.2.27] NTC18

η	hw	tw	hw/tw max	Verifica
1.2	0.098	0.005	55.46	Si

Verifiche a deformabilità

Mensola X: No; Mensola Y: No.

Frecce lungo X

Ascissa freccia	Combinazione	Freccia	Luce	L/f	L/f,min	Tipo	Verifica
0.83	SLE RA 1	0	1.916	10000	250	Totale	Si
0.83	SLE RA 17	0	1.916	10000	250	Totale	Si
0.83	SLE RA 16	0	1.916	10000	250	Totale	Si
0.83	SLE RA 15	0	1.916	10000	250	Totale	Si
0.83	SLE RA 14	0	1.916	10000	250	Totale	Si
0.83	SLE RA 2	0	1.916	10000	350	Variabile	Si
0.83	SLE RA 17	0	1.916	10000	350	Variabile	Si
0.83	SLE RA 16	0	1.916	10000	350	Variabile	Si
0.83	SLE RA 15	0	1.916	10000	350	Variabile	Si
0.894	SLE RA 14	0	1.916	10000	350	Variabile	Si

Frecce lungo Y

Ascissa freccia	Combinazione	Freccia	Luce	L/f	L/f,min	Tipo	Verifica
0.958	SLE RA 1	-0.00003	1.916	10000	250	Totale	Si
0.958	SLE RA 17	-0.00003	1.916	10000	250	Totale	Si
0.958	SLE RA 16	-0.00003	1.916	10000	250	Totale	Si
0.958	SLE RA 15	-0.00003	1.916	10000	250	Totale	Si
0.958	SLE RA 14	-0.00003	1.916	10000	250	Totale	Si
0.894	SLE RA 2	0	1.916	10000	350	Variabile	Si
0.894	SLE RA 17	0	1.916	10000	350	Variabile	Si
0.894	SLE RA 16	0	1.916	10000	350	Variabile	Si
0.894	SLE RA 15	0	1.916	10000	350	Variabile	Si
1.086	SLE RA 14	0	1.916	10000	350	Variabile	Si

Superelemento in acciaio a quota "590"- "640" (-1289; 449)-(-1162; 583)

Caratteristiche del materiale

Acciaio: S275, fyk = 275000

Caratteristiche geometriche

Lunghezza: 1.916

Nodo iniziale: 354 Nodo finale: 785

Cerniera iniziale: Mmomenti 1% Cerniera finale: Mmomenti 1%

Sovreresistenza: 0% Sisma Z: No

Caratteristiche della sezione

Sezione	Rotazione	Area	Jx	Jy	ix	iy	Wx	Wy	Wplx	Wply
HEA120	0	0.002537	0.0000060673	0.0000023091	0.0489	0.0302	0.00010644	0.00003849	0.00011962	0.00005887

Verifiche di resistenza

Verifiche a forza assiale §4.2.4.1.2.1 - §4.2.4.1.2.2 NTC18

X	Comb.	Sfruttamento	Classe	NEd	Nc,Rd	Nt,Rd	Riduzione da taglio	px	py	Verifica
1.916	SLU 76	0.129		85.709		664.325	1	0	0	Si

Verifiche a forza assiale SLD §4.2.4.1.2.1 - §4.2.4.1.2.2 NTC18

X	Comb.	Sfruttamento	Classe	NEd	Nc,Rd	Nt,Rd	Riduzione da taglio	px	py	Verifica
1.916	SLD 8	0.05		33.433		664.325	1	0	0	Si

Verifica a taglio Y §4.2.4.1.2.4 NTC18

X	Comb.	Sfruttamento	VEd	Vc,Rd	Av	Interazione taglio-torsione	Riduzione torsione	Verifica
1.916	SLU 64	0.002	-0.24	128.304	0.000849	Considerata	1	Si

Verifica a taglio Y SLD §4.2.4.1.2.4 NTC18

X	Comb.	Sfruttamento	VEd	Vc,Rd	Av	Interazione taglio-torsione	Riduzione torsione	Verifica
1.916	SLD 8	0.001	-0.185	128.304	0.000849	Considerata	1	Si

Verifica a presso/tenso flessione retta X §§ 4.2.4.1.2.3 - 4.2.4.1.2.6 - 4.2.4.1.2.7 - 4.2.4.1.2.8 NTC18

Verifiche eseguite utilizzando la formula conservativa (6.2) §6.2.1 EN 1993-1-1:2005.

X	Comb.	Sfruttamento	Classe	NEd	NRd	Rid. NRd da VEd	Mx,Ed	Mx,Rd	Rid. Mx,Rd da VEd	Rid. Mx,Rd da NEd	px	py	Verifica
1.788	SLU 4	0.08	1	53.094	664.325	1	-0.018	31.3291	1		0	0	Si

Verifica a presso/tenso flessione retta X SLD §§ 4.2.4.1.2.3 - 4.2.4.1.2.6 - 4.2.4.1.2.7 - 4.2.4.1.2.8 NTC18

Verifiche eseguite utilizzando la formula conservativa (6.2) §6.2.1 EN 1993-1-1:2005.

X	Comb.	Sfruttamento	Classe	NEd	NRd	Rid. NRd da VEd	Mx,Ed	Mx,Rd	Rid. Mx,Rd da VEd	Rid. Mx,Rd da NEd	px	py	Verifica
1.405	SLD 11	0.046	1	29.35	664.325	1	-0.066	31.3291	1		0	0	Si

Verifica a presso/tenso flessione retta Y §§ 4.2.4.1.2.3 - 4.2.4.1.2.6 - 4.2.4.1.2.7 - 4.2.4.1.2.8 NTC18

Verifiche eseguite utilizzando la formula conservativa (6.2) §6.2.1 EN 1993-1-1:2005.

X	Comb.	Sfruttamento	Classe	NEd	NRd	Rid. NRd da VEd	My,Ed	My,Rd	Rid. My,Rd da VEd	Rid. My,Rd da NEd	px	py	Verifica
0	SLU 76	0.13	1	85.579	664.325	1	-0.0167	15.4191	1		0	0	Si

Verifica a presso/tenso flessione retta Y SLD §§ 4.2.4.1.2.3 - 4.2.4.1.2.6 - 4.2.4.1.2.7 - 4.2.4.1.2.8 NTC18

Verifiche eseguite utilizzando la formula conservativa (6.2) §6.2.1 EN 1993-1-1:2005.

X	Comb.	Sfruttamento	Classe	NEd	NRd	Rid. NRd da VEd	My,Ed	My,Rd	Rid. My,Rd da VEd	Rid. My,Rd da NEd	px	py	Verifica
0	SLD 8	0.051	1	33.333	664.325	1	-0.0074	15.4191	1		0	0	Si

Verifica a presso/tenso flessione deviata §§ 4.2.4.1.2.3 - 4.2.4.1.2.6 - 4.2.4.1.2.7 - 4.2.4.1.2.8 NTC18

Verifiche eseguite utilizzando la formula conservativa (6.2) §6.2.1 EN 1993-1-1:2005.

X	Comb.	Sfruttamento	Classe	NEd	NRd	Rid. NRd da VEd	Mx,Ed	Mx,Rd	My,Ed	My,Rd	Rid. Mx,Rd da VEd	Rid. Mx,Rd da NEd	Rid. My,Rd da VEd	Rid. My,Rd da NEd	α	β	px	py	Verifica
0.894	SLU 76	0.133	1	85.64	664.325	1	-0.1096	31.3291	-0.0116	15.4191	1		1				0	0	Si

Verifica a presso/tenso flessione deviata SLD §§ 4.2.4.1.2.3 - 4.2.4.1.2.6 - 4.2.4.1.2.7 - 4.2.4.1.2.8 NTC18

Verifiche eseguite utilizzando la formula conservativa (6.2) §6.2.1 EN 1993-1-1:2005.

X	Comb.	Sfruttamento	Classe	NEd	NRd	Rid. NRd da VEd	Mx,Ed	Mx,Rd	My,Ed	My,Rd	Rid. Mx,Rd da VEd	Rid. Mx,Rd da NEd	Rid. My,Rd da VEd	Rid. My,Rd da NEd	α	β	px	py	Verifica
0.958	SLD 7	0.053	1	33.383	664.325	1	-0.0845	31.3291	-0.0058	15.4191	1		1				0	0	Si

Verifiche ad instabilità

Caratteristiche iniziali

Membratura principale per controllo snellezza; Calcolo di snellezze ed N critici condotti secondo gli assi principali;

Curva X: b; Curva Y: c; Svergolamento: Carico all'estradosso; Curva svergolamento: b;

Dati per instabilità attorno a x

Controllo della snellezza secondo §4.2.4.1.3.1 NTC18

Numero rit.	Presente	Ascissa	Campata	βx/m	Vincolo a entrambi estremi	λx/m	λVer
1	Si	0					
			1-2	1	Si	39.2	Si, (<200)
2	Si	1.916					

Dati per instabilità attorno a y

Controllo della snellezza secondo §4.2.4.1.3.1 NTC18

Implementazione dei sistemi di confinamento delle emissioni odorigene diffuse dell'impianto di compostaggio esistente nel
Comune di Eboli (SA)

PROGETTO DEFINITIVO – Tabulati di calcolo Tomo 1

Numero rit.	Presente	Ascissa	Campata	$\beta y/n$	k,LT	kw,LT	Vincolo a entrambi estremi	$\lambda y/n$	λVer
1	Si	0	1-2	1	1	1	Si	63.5	Si, (<200)
2	Si	1.916							

Verifica a svergolamento con trazione §4.2.4.1.3.2 NTC18 § 5.5.3 ENV 1993-1-1:1992 + AC:1992 + A1:1994 + A2:1998

X	Comb.	Sfruttamento	Classe	Obblig.	NEd	Mx,Ed	Mx,Eff,Ed	Mb,Rd,x	χ,LT	$\lambda adim. LT$	L,LT	M,critico	Verifica
0.958	SLU 59	0.002	1	Si	2.101	-0.11402	-0.0523	28.03526	0.895	0.648	1.916	78.30897	Si

Verifica di stabilità per pressoflessione §C.4.2.4.1.3.3.2 NTC18

X	Comb.	Sfruttamento	Classe	NEd	NRk	Mx,Ed max	Mx,Rk	My,Ed max	My,Rk	χ,x	χ,y	kxx	kxy	kyy	kyy	χ,LT	Verifica
0	SLU 2	0.022	1	-8.899	697.541	0.08816	32.89552	0.00243	16.19002	0.905	0.705	0.954	0.477	0.998	0.795	0.895	Si

Verifica di stabilità a taglio anima Y §4.2.4.1.2.4 [4.2.27] NTC18

η	hw	tw	hw/tw max	Verifica
1.2	0.098	0.005	55.46	Si

Verifica di stabilità a taglio anima Y SLD §4.2.4.1.2.4 [4.2.27] NTC18

η	hw	tw	hw/tw max	Verifica
1.2	0.098	0.005	55.46	Si

Verifiche a deformabilità

Mensola X: No; Mensola Y: No.

Frecce lungo X

Ascissa freccia	Combinazione	Freccia	Luce	L/f	L/f,min	Tipo	Verifica
0.894	SLE RA 1	0	1.916	10000	250	Totale	Si
0.894	SLE RA 17	0	1.916	10000	250	Totale	Si
0.894	SLE RA 16	0.00001	1.916	10000	250	Totale	Si
0.894	SLE RA 15	0.00001	1.916	10000	250	Totale	Si
0.894	SLE RA 14	0	1.916	10000	250	Totale	Si
0.894	SLE RA 2	0	1.916	10000	350	Variabile	Si
0.894	SLE RA 17	0	1.916	10000	350	Variabile	Si
0.894	SLE RA 16	0	1.916	10000	350	Variabile	Si
0.894	SLE RA 15	0	1.916	10000	350	Variabile	Si
0.894	SLE RA 14	0	1.916	10000	350	Variabile	Si

Frecce lungo Y

Ascissa freccia	Combinazione	Freccia	Luce	L/f	L/f,min	Tipo	Verifica
0.958	SLE RA 1	-0.00003	1.916	10000	250	Totale	Si
0.958	SLE RA 17	-0.00003	1.916	10000	250	Totale	Si
0.958	SLE RA 16	-0.00003	1.916	10000	250	Totale	Si
0.958	SLE RA 15	-0.00003	1.916	10000	250	Totale	Si
0.958	SLE RA 14	-0.00003	1.916	10000	250	Totale	Si
0.958	SLE RA 2	0	1.916	10000	350	Variabile	Si
0.958	SLE RA 17	0	1.916	10000	350	Variabile	Si
0.958	SLE RA 16	0	1.916	10000	350	Variabile	Si
0.958	SLE RA 15	0	1.916	10000	350	Variabile	Si
1.086	SLE RA 14	0	1.916	10000	350	Variabile	Si

Superelemento in acciaio a quota "590"- "640" (-1416; 314)-(-1289; 449)

Caratteristiche del materiale

Acciaio: S275, fyk = 275000

Caratteristiche geometriche

Lunghezza: 1.916

Nodo iniziale: 350 Nodo finale: 762

Cerniera iniziale: Mmomenti 1% Cerniera finale: Mmomenti 1%

Sovraresistenza: 0% Sisma Z: No

Caratteristiche della sezione

Sezione	Rotazione	Area	Jx	Jy	ix	iy	Wx	Wy	Wplx	Wply
HEA120	0	0.002537	0.0000060673	0.0000023091	0.0489	0.0302	0.00010644	0.00003849	0.00011962	0.00005887

Verifiche di resistenza

Verifiche a forza assiale §4.2.4.1.2.1 - §4.2.4.1.2.2 NTC18

X	Comb.	Sfruttamento	Classe	NEd	Nc,Rd	Nt,Rd	Riduzione da taglio	px	py	Verifica
1.916	SLU 76	0.112		74.424		664.325	1	0	0	Si

Verifiche a forza assiale SLD §4.2.4.1.2.1 - §4.2.4.1.2.2 NTC18

X	Comb.	Sfruttamento	Classe	NEd	Nc,Rd	Nt,Rd	Riduzione da taglio	px	py	Verifica
1.916	SLD 8	0.044		29.006		664.325	1	0	0	Si

Verifica a taglio Y §4.2.4.1.2.4 NTC18

X	Comb.	Sfruttamento	VEd	Vc,Rd	Av	Interazione taglio-torsione	Riduzione torsione	Verifica
1.916	SLU 76	0.002	-0.244	128.304	0.000849	Considerata	1	Si

Verifica a taglio Y SLD §4.2.4.1.2.4 NTC18

X	Comb.	Sfruttamento	VEd	Vc,Rd	Av	Interazione taglio-torsione	Riduzione torsione	Verifica
1.916	SLD 10	0.001	-0.186	128.304	0.000849	Considerata	1	Si

Verifica a presso/tenso flessione retta X §§ 4.2.4.1.2.3 - 4.2.4.1.2.6 - 4.2.4.1.2.7 - 4.2.4.1.2.8 NTC18

Verifiche eseguite utilizzando la formula conservativa (6.2) §6.2.1 EN 1993-1-1:2005.

X	Comb.	Sfruttamento	Classe	NEd	NRd	Rid. NRd da VEd	Mx,Ed	Mx,Rd	Rid. Mx,Rd da VEd	Rid. Mx,Rd da NEd	px	py	Verifica
---	-------	--------------	--------	-----	-----	-----------------	-------	-------	-------------------	-------------------	----	----	----------

Implementazione dei sistemi di confinamento delle emissioni odorigene diffuse dell'impianto di compostaggio esistente nel
Comune di Eboli (SA)

PROGETTO DEFINITIVO – Tabulati di calcolo Tomo 1

X	Comb.	Sfruttamento	Classe	NEd	NRd	Rid. NRd da VEd	Mx,Ed	Mx,Rd	Rid. Mx,Rd da VEd	Rid. Mx,Rd da NEd	px	py	Verifica
0.256	SLV 7	0.074	1	48.007	664.325	1	-0.0441	31.3291	1		0	0	Si

Verifica a presso/tenso flessione retta X SLD §§ 4.2.4.1.2.3 - 4.2.4.1.2.6 - 4.2.4.1.2.7 - 4.2.4.1.2.8 NTC18

Verifiche eseguite utilizzando la formula conservativa (6.2) §6.2.1 EN 1993-1-1:2005.

X	Comb.	Sfruttamento	Classe	NEd	NRd	Rid. NRd da VEd	Mx,Ed	Mx,Rd	Rid. Mx,Rd da VEd	Rid. Mx,Rd da NEd	px	py	Verifica
0.256	SLD 12	0.038	1	24.335	664.325	1	-0.045	31.3291	1		0	0	Si

Verifica a presso/tenso flessione retta Y §§ 4.2.4.1.2.3 - 4.2.4.1.2.6 - 4.2.4.1.2.7 - 4.2.4.1.2.8 NTC18

Verifiche eseguite utilizzando la formula conservativa (6.2) §6.2.1 EN 1993-1-1:2005.

X	Comb.	Sfruttamento	Classe	NEd	NRd	Rid. NRd da VEd	My,Ed	My,Rd	Rid. My,Rd da VEd	Rid. My,Rd da NEd	px	py	Verifica
1.916	SLU 76	0.113	1	74.424	664.325	1	-0.0181	15.4191	1		0	0	Si

Verifica a presso/tenso flessione retta Y SLD §§ 4.2.4.1.2.3 - 4.2.4.1.2.6 - 4.2.4.1.2.7 - 4.2.4.1.2.8 NTC18

Verifiche eseguite utilizzando la formula conservativa (6.2) §6.2.1 EN 1993-1-1:2005.

X	Comb.	Sfruttamento	Classe	NEd	NRd	Rid. NRd da VEd	My,Ed	My,Rd	Rid. My,Rd da VEd	Rid. My,Rd da NEd	px	py	Verifica
1.916	SLD 8	0.044	1	29.006	664.325	1	-0.0073	15.4191	1		0	0	Si

Verifica a presso/tenso flessione deviata §§ 4.2.4.1.2.3 - 4.2.4.1.2.6 - 4.2.4.1.2.7 - 4.2.4.1.2.8 NTC18

Verifiche eseguite utilizzando la formula conservativa (6.2) §6.2.1 EN 1993-1-1:2005.

X	Comb.	Sfruttamento	Classe	NEd	NRd	Rid. NRd da VEd	Mx,Ed	Mx,Rd	My,Ed	My,Rd	Rid. Mx,Rd da VEd	Rid. Mx,Rd da NEd	Rid. My,Rd da VEd	Rid. My,Rd da NEd	α	β	px	py	Verifica
0.958	SLU 76	0.117	1	74.359	664.325	1	-0.1284	31.3291	-0.0182	15.4191	1		1				0	0	Si

Verifica a presso/tenso flessione deviata SLD §§ 4.2.4.1.2.3 - 4.2.4.1.2.6 - 4.2.4.1.2.7 - 4.2.4.1.2.8 NTC18

Verifiche eseguite utilizzando la formula conservativa (6.2) §6.2.1 EN 1993-1-1:2005.

X	Comb.	Sfruttamento	Classe	NEd	NRd	Rid. NRd da VEd	Mx,Ed	Mx,Rd	My,Ed	My,Rd	Rid. Mx,Rd da VEd	Rid. Mx,Rd da NEd	Rid. My,Rd da VEd	Rid. My,Rd da NEd	α	β	px	py	Verifica
0.958	SLD 8	0.047	1	28.957	664.325	1	-0.0915	31.3291	-0.007	15.4191	1		1				0	0	Si

Verifiche ad instabilità

Caratteristiche iniziali

Membratura principale per controllo snellezza; Calcolo di snellezze ed N critici condotti secondo gli assi principali;

Curva X: b; Curva Y: c; Svergolamento: Carico all'estradosso; Curva svergolamento: b;

Dati per instabilità attorno a x

Controllo della snellezza secondo §4.2.4.1.3.1 NTC18

Numero rit.	Presente	Ascissa	Campata	βx/m	Vincolo a entrambi estremi	λx/m	λVer
1	Si	0					
			1-2		1	39.2	Si, (<200)
2	Si	1.916					

Dati per instabilità attorno a y

Controllo della snellezza secondo §4.2.4.1.3.1 NTC18

Numero rit.	Presente	Ascissa	Campata	βy/n	k,LT	kw,LT	Vincolo a entrambi estremi	λy/n	λVer
1	Si	0							
			1-2		1	1	Si	63.5	Si, (<200)
2	Si	1.916							

Verifica a svergolamento con trazione §4.2.4.1.3.2 NTC18 § 5.5.3 ENV 1993-1-1:1992 + AC:1992 + A1:1994 + A2:1998

X	Comb.	Sfruttamento	Classe	Obblig.	NEd	Mx,Ed	Mx,Eff,Ed	Mb,Rd,x	χ_{LT}	λ adim. LT	L,LT	M,critico	Verifica
0.958	SLU 43	0.002	1	Si	1.859	-0.11496	-0.06035	28.03468	0.895	0.648	1.916	78.2995	Si

Verifica di stabilità per pressoflessione §C.4.2.4.1.3.3.2 NTC18

X	Comb.	Sfruttamento	Classe	NEd	NRk	Mx,Ed max	Mx,Rk	My,Ed max	My,Rk	χ,x	χ,y	kxx	kxy	kyy	χ,LT	Verifica	
0	SLU 2	0.028	1	-11.71	697.541	0.08595	32.89552	0.00256	16.19002	0.905	0.705	0.953	0.606	0.997	1.01	0.895	Si

Verifica di stabilità a taglio anima Y §4.2.4.1.2.4 [4.2.27] NTC18

η	hw	tw	hw/tw max	Verifica
1.2	0.098	0.005	55.46	Si

Verifica di stabilità a taglio anima Y SLD §4.2.4.1.2.4 [4.2.27] NTC18

η	hw	tw	hw/tw max	Verifica
1.2	0.098	0.005	55.46	Si

Verifiche a deformabilità

Mensola X: No; Mensola Y: No.

Frecce lungo X

Ascissa freccia	Combinazione	Freccia	Luce	L/f	L/f,min	Tipo	Verifica
0.958	SLE RA 1	0	1.916	10000	250	Totale	Si
0.958	SLE RA 17	0.00001	1.916	10000	250	Totale	Si
0.958	SLE RA 16	0.00001	1.916	10000	250	Totale	Si
0.958	SLE RA 15	0.00001	1.916	10000	250	Totale	Si
0.958	SLE RA 14	0.00001	1.916	10000	250	Totale	Si
0.958	SLE RA 2	0	1.916	10000	350	Variabile	Si
0.958	SLE RA 17	0	1.916	10000	350	Variabile	Si
0.958	SLE RA 16	0	1.916	10000	350	Variabile	Si
0.958	SLE RA 15	0.00001	1.916	10000	350	Variabile	Si
0.958	SLE RA 14	0	1.916	10000	350	Variabile	Si

Frecce lungo Y

Ascissa freccia	Combinazione	Freccia	Luce	L/f	L/f,min	Tipo	Verifica
0.958	SLE RA 1	-0.00003	1.916	10000	250	Totale	Si
0.958	SLE RA 17	-0.00003	1.916	10000	250	Totale	Si
0.958	SLE RA 16	-0.00003	1.916	10000	250	Totale	Si
0.958	SLE RA 15	-0.00003	1.916	10000	250	Totale	Si
0.958	SLE RA 14	-0.00003	1.916	10000	250	Totale	Si

Implementazione dei sistemi di confinamento delle emissioni odorigene diffuse dell'impianto di compostaggio esistente nel
Comune di Eboli (SA)
PROGETTO DEFINITIVO – Tabulati di calcolo Tomo 1

Ascissa freccia	Combinazione	Freccia	Luce	L/f	L/f,min	Tipo	Verifica
0.894	SLE RA 2	0	1.916	10000	350	Variabile	Si
0.894	SLE RA 17	0	1.916	10000	350	Variabile	Si
0.894	SLE RA 16	0	1.916	10000	350	Variabile	Si
0.894	SLE RA 15	0	1.916	10000	350	Variabile	Si
0.894	SLE RA 14	0	1.916	10000	350	Variabile	Si

Superelemento in acciaio a quota "640" (2; 505)-(111; 402)

Caratteristiche del materiale

Acciaio: S275, fyk = 275000

Caratteristiche geometriche

Lunghezza: 1.5

Nodo iniziale: 772 Nodo finale: 747

Cerniera iniziale: Mmomenti 1% Cerniera finale: Mmomenti 1%

Sovreresistenza: 0% Sisma Z: No

Caratteristiche della sezione

Sezione	Rotazione	Area	Jx	Jy	ix	iy	Wx	Wy	Wplx	Wply
Al; L100*10; 1; Saldato; S275; 30; 1; 8; 8; 1	180	0.003832	0.0000035319	0.000007759	0.0304	0.045	0.0000492	0.0000739	0.00008974	0.00012727

Comportamento dei calastrelli

Accoppiamento imbottito con funzione statica (§C4.2.4.1.3.1.4 NTC18) nella campata compresa tra le ascisse 0 e 1.5 per sbandamento attorno all'asse y.

Verifiche di resistenza

Verifiche a forza assiale §4.2.4.1.2.1 - §4.2.4.1.2.2 NTC18

X	Comb.	Sfruttamento	Classe	NEd	Nc,Rd	Nt,Rd	Riduzione da taglio	px	py	Verifica
1.15	SLU 75	0.117		117.495		1003.522	1	0	0	Si

Verifiche a forza assiale SLD §4.2.4.1.2.1 - §4.2.4.1.2.2 NTC18

X	Comb.	Sfruttamento	Classe	NEd	Nc,Rd	Nt,Rd	Riduzione da taglio	px	py	Verifica
0	SLD 1	0.042		42.281		1003.522	1	0	0	Si

Verifica a taglio Y §4.2.4.1.2.4 NTC18

X	Comb.	Sfruttamento	VEd	Vc,Rd	Av	Interazione taglio-torsione	Riduzione torsione	Verifica
0	SLU 75	0.001	-0.294	302.422	0.002	Non considerata		Si

Verifica a taglio Y SLD §4.2.4.1.2.4 NTC18

X	Comb.	Sfruttamento	VEd	Vc,Rd	Av	Interazione taglio-torsione	Riduzione torsione	Verifica
0	SLD 6	0.001	-0.226	302.422	0.002	Non considerata		Si

Verifica a flessione semplice X §§ 4.2.4.1.2.3 - 4.2.4.1.2.6 - 4.2.4.1.2.7 - 4.2.4.1.2.8 NTC18

X	Comb.	Sfruttamento	Classe	Mx,Ed	Mx,Rd	Rid. Mx,Rd da VEd	px	py	Verifica
0.75	SLU 5	0.004	1	0.08403	23.50374	1	0	0	Si

Verifica a presso/tenso flessione retta X §§ 4.2.4.1.2.3 - 4.2.4.1.2.6 - 4.2.4.1.2.7 - 4.2.4.1.2.8 NTC18

Verifiche eseguite utilizzando la formula conservativa (6.2) §6.2.1 EN 1993-1-1:2005.

X	Comb.	Sfruttamento	Classe	NEd	NRd	Rid. NRd da VEd	Mx,Ed	Mx,Rd	Rid. Mx,Rd da VEd	Rid. Mx,Rd da NEd	px	py	Verifica
0.75	SLU 75	0.122	1	117.495	1003.522	1	0.1121	23.5037	1		0	0	Si

Verifica a presso/tenso flessione retta X SLD §§ 4.2.4.1.2.3 - 4.2.4.1.2.6 - 4.2.4.1.2.7 - 4.2.4.1.2.8 NTC18

Verifiche eseguite utilizzando la formula conservativa (6.2) §6.2.1 EN 1993-1-1:2005.

X	Comb.	Sfruttamento	Classe	NEd	NRd	Rid. NRd da VEd	Mx,Ed	Mx,Rd	Rid. Mx,Rd da VEd	Rid. Mx,Rd da NEd	px	py	Verifica
0.75	SLD 1	0.046	1	42.281	1003.522	1	0.085	23.5037	1		0	0	Si

Verifica a presso/tenso flessione retta Y §§ 4.2.4.1.2.3 - 4.2.4.1.2.6 - 4.2.4.1.2.7 - 4.2.4.1.2.8 NTC18

Verifiche eseguite utilizzando la formula conservativa (6.2) §6.2.1 EN 1993-1-1:2005.

X	Comb.	Sfruttamento	Classe	NEd	NRd	Rid. NRd da VEd	My,Ed	My,Rd	Rid. My,Rd da VEd	Rid. My,Rd da NEd	px	py	Verifica
0	SLV 1	0.052	1	52.017	1003.522	1	0.0196	33.3316	1		0	0	Si

Verifica a presso/tenso flessione retta Y SLD §§ 4.2.4.1.2.3 - 4.2.4.1.2.6 - 4.2.4.1.2.7 - 4.2.4.1.2.8 NTC18

Verifiche eseguite utilizzando la formula conservativa (6.2) §6.2.1 EN 1993-1-1:2005.

X	Comb.	Sfruttamento	Classe	NEd	NRd	Rid. NRd da VEd	My,Ed	My,Rd	Rid. My,Rd da VEd	Rid. My,Rd da NEd	px	py	Verifica
0	SLD 1	0.042	1	42.281	1003.522	1	0.0079	33.3316	1		0	0	Si

Verifica a presso/tenso flessione deviata §§ 4.2.4.1.2.3 - 4.2.4.1.2.6 - 4.2.4.1.2.7 - 4.2.4.1.2.8 NTC18

Verifiche eseguite utilizzando la formula conservativa (6.2) §6.2.1 EN 1993-1-1:2005.

X	Comb.	Sfruttamento	Classe	NEd	NRd	Rid. NRd da VEd	Mx,Ed	Mx,Rd	My,Ed	My,Rd	Rid. Mx,Rd da VEd	Rid. Mx,Rd da NEd	Rid. My,Rd da VEd	Rid. My,Rd da NEd	α	β	px	py	Verifica
0.75	SLV 2	0.056	1	52.017	1003.522	1	0.0853	23.5037	0.0164	33.3316	1		1				0	0	Si

Verifica a presso/tenso flessione deviata SLD §§ 4.2.4.1.2.3 - 4.2.4.1.2.6 - 4.2.4.1.2.7 - 4.2.4.1.2.8 NTC18

Verifiche eseguite utilizzando la formula conservativa (6.2) §6.2.1 EN 1993-1-1:2005.

X	Comb.	Sfruttamento	Classe	NEd	NRd	Rid. NRd da VEd	Mx,Ed	Mx,Rd	My,Ed	My,Rd	Rid. Mx,Rd da VEd	Rid. Mx,Rd da NEd	Rid. My,Rd da VEd	Rid. My,Rd da NEd	α	β	px	py	Verifica
0.15	SLD 1	0.044	1	42.281	1003.522	1	0.0308	23.5037	0.0075	33.3316	1		1				0	0	Si

Implementazione dei sistemi di confinamento delle emissioni odorigene diffuse dell'impianto di compostaggio esistente nel
Comune di Eboli (SA)
PROGETTO DEFINITIVO – Tabulati di calcolo Tomo 1

Verifiche ad instabilità

Caratteristiche iniziali

Membratura principale per controllo snellezza; Calcolo di snellezze ed N critici condotti secondo gli assi principali;
Curva X: c; Curva Y: c;
Svergolamento: Nessuno; la verifica a instabilità flessio-torsionale (svergolamento) non verrà eseguita.

Dati per instabilità attorno a x

Controllo della snellezza secondo §4.2.4.1.3.1 NTC18

Numero rit.	Presente	Ascissa	Campata	$\beta x/m$	Vincolo a entrambi estremi	$\lambda x/m$	λVer
1	Si	0					
			1-2	1	Si	49.4	Si, (<200)
2	Si	1.5					

Dati per instabilità attorno a y

Controllo della snellezza secondo §4.2.4.1.3.1 NTC18

Numero rit.	Presente	Ascissa	Campata	$\beta y/n$	k,LT	kw,LT	Vincolo a entrambi estremi
1	Si	0					
			1-2	1	Si	34.8	Si, (<200)
2	Si	1.5					

Verifica di stabilità per pressoflessione §C.4.2.4.1.3.3.1 NTC18

X	Comb.	Sfruttamento	Classe	NEd	MxEq,Ed	MyEq,Ed	Area	Wx	Wy	χ_{min}	$\lambda_{adim. x/m}$	$\lambda_{adim. y/n}$	N,crit x/m	N,crit y/n	Verifica
0	SLU 2	0.031	3	-18.29	0.0719	-0.0463	0.003832	0.0000492	0.0000739	0.804	0.569	0.4	3253.47	6569.993	Si

Verifiche a deformabilità

Mensola X: No; Mensola Y: No.

Frecce lungo X

Ascissa freccia	Combinazione	Freccia	Luce	L/f	L/f,min	Tipo	Verifica
0.85	SLE RA 1	0	1.5	10000	250	Totale	Si
1.05	SLE RA 17	0	1.5	10000	250	Totale	Si
0.35	SLE RA 16	0	1.5	10000	250	Totale	Si
0.75	SLE RA 15	0	1.5	10000	250	Totale	Si
0.6	SLE RA 14	0	1.5	10000	250	Totale	Si
0.5	SLE RA 2	0	1.5	10000	350	Variabile	Si
0.5	SLE RA 17	0	1.5	10000	350	Variabile	Si
0.5	SLE RA 16	0	1.5	10000	350	Variabile	Si
0.75	SLE RA 15	0	1.5	10000	350	Variabile	Si
0.65	SLE RA 14	0	1.5	10000	350	Variabile	Si

Frecce lungo Y

Ascissa freccia	Combinazione	Freccia	Luce	L/f	L/f,min	Tipo	Verifica
0.75	SLE RA 1	0.00003	1.5	10000	250	Totale	Si
0.75	SLE RA 17	0.00003	1.5	10000	250	Totale	Si
0.75	SLE RA 16	0.00003	1.5	10000	250	Totale	Si
0.75	SLE RA 15	0.00003	1.5	10000	250	Totale	Si
0.75	SLE RA 14	0.00003	1.5	10000	250	Totale	Si
0.8	SLE RA 2	0	1.5	10000	350	Variabile	Si
0.8	SLE RA 17	0	1.5	10000	350	Variabile	Si
0.8	SLE RA 16	0	1.5	10000	350	Variabile	Si
0.75	SLE RA 15	0	1.5	10000	350	Variabile	Si
0.8	SLE RA 14	0	1.5	10000	350	Variabile	Si

Superelemento in acciaio a quota "640" (32; 974)-(142; 872)

Caratteristiche del materiale

Acciaio: S275, fyk = 275000

Caratteristiche geometriche

Lunghezza: 1.5
Nodo iniziale: 865 Nodo finale: 846
Cerniera iniziale: Mmomenti 1% Cerniera finale: Mmomenti 1%
Sovraresistenza: 0% Sisma Z: No

Caratteristiche della sezione

Sezione	Rotazione	Area	Jx	Jy	ix	iy	Wx	Wy	Wplx	Wply
A1; L100*10; 1; Saldato; S275; 30; 1; 8; 8; 1	180	0.003832	0.0000035319	0.000007759	0.0304	0.045	0.0000492	0.0000739	0.00008974	0.00012727

Comportamento dei calastrelli

Accoppiamento imbottito con funzione statica (§C4.2.4.1.3.1.4 NTC18) nella campata compresa tra le ascisse 0 e 1.5 per sbandamento attorno all'asse y.

Verifiche di resistenza

Verifiche a forza assiale §4.2.4.1.2.1 - §4.2.4.1.2.2 NTC18

X	Comb.	Sfruttamento	Classe	NEd	Nc,Rd	Nt,Rd	Riduzione da taglio	px	py	Verifica
0.7	SLU 75	0.041		41.101		1003.522	1	0	0	Si

Verifiche a forza assiale SLD §4.2.4.1.2.1 - §4.2.4.1.2.2 NTC18

X	Comb.	Sfruttamento	Classe	NEd	Nc,Rd	Nt,Rd	Riduzione da taglio	px	py	Verifica
1.5	SLD 16	0.008		8.049		1003.522	1	0	0	Si

Implementazione dei sistemi di confinamento delle emissioni odorigene diffuse dell'impianto di compostaggio esistente nel
Comune di Eboli (SA)

PROGETTO DEFINITIVO – Tabulati di calcolo Tomo 1

Verifica a taglio Y §4.2.4.1.2.4 NTC18

X	Comb.	Sfruttamento	VEd	Vc,Rd	Av	Interazione taglio-torsione	Riduzione torsione	Verifica
0	SLU 75	0.001	-0.295	302.422	0.002	Non considerata		Si

Verifica a taglio Y SLD §4.2.4.1.2.4 NTC18

X	Comb.	Sfruttamento	VEd	Vc,Rd	Av	Interazione taglio-torsione	Riduzione torsione	Verifica
0	SLD 16	0.001	-0.226	302.422	0.002	Non considerata		Si

Verifica a presso/tenso flessione retta X §§ 4.2.4.1.2.3 - 4.2.4.1.2.6 - 4.2.4.1.2.7 - 4.2.4.1.2.8 NTC18

Verifiche eseguite utilizzando la formula conservativa (6.2) §6.2.1 EN 1993-1-1:2005.

X	Comb.	Sfruttamento	Classe	NEd	NRd	Rid. NRd da VEd	Mx,Ed	Mx,Rd	Rid. Mx,Rd da VEd	Rid. Mx,Rd da NEd	px	py	Verifica
0.75	SLU 75	0.046	1	41.101	1003.522	1	0.1097	23.5037	1		0	0	Si

Verifica a presso/tenso flessione retta X SLD §§ 4.2.4.1.2.3 - 4.2.4.1.2.6 - 4.2.4.1.2.7 - 4.2.4.1.2.8 NTC18

Verifiche eseguite utilizzando la formula conservativa (6.2) §6.2.1 EN 1993-1-1:2005.

X	Comb.	Sfruttamento	Classe	NEd	NRd	Rid. NRd da VEd	Mx,Ed	Mx,Rd	Rid. Mx,Rd da VEd	Rid. Mx,Rd da NEd	px	py	Verifica
0.7	SLD 16	0.012	1	8.049	1003.522	1	0.0837	23.5037	1		0	0	Si

Verifica a presso/tenso flessione retta Y §§ 4.2.4.1.2.3 - 4.2.4.1.2.6 - 4.2.4.1.2.7 - 4.2.4.1.2.8 NTC18

Verifiche eseguite utilizzando la formula conservativa (6.2) §6.2.1 EN 1993-1-1:2005.

X	Comb.	Sfruttamento	Classe	NEd	NRd	Rid. NRd da VEd	My,Ed	My,Rd	Rid. My,Rd da VEd	Rid. My,Rd da NEd	px	py	Verifica
1.5	SLU 4	0.021	3	-18.237	1003.522	1	-0.0553	19.3536	1		0	0	Si

Verifica a presso/tenso flessione retta Y SLD §§ 4.2.4.1.2.3 - 4.2.4.1.2.6 - 4.2.4.1.2.7 - 4.2.4.1.2.8 NTC18

Verifiche eseguite utilizzando la formula conservativa (6.2) §6.2.1 EN 1993-1-1:2005.

X	Comb.	Sfruttamento	Classe	NEd	NRd	Rid. NRd da VEd	My,Ed	My,Rd	Rid. My,Rd da VEd	Rid. My,Rd da NEd	px	py	Verifica
1.5	SLD 16	0.009	1	8.049	1003.522	1	0.0466	33.3316	1		0	0	Si

Verifica a presso/tenso flessione deviata §§ 4.2.4.1.2.3 - 4.2.4.1.2.6 - 4.2.4.1.2.7 - 4.2.4.1.2.8 NTC18

Verifiche eseguite utilizzando la formula conservativa (6.2) §6.2.1 EN 1993-1-1:2005.

X	Comb.	Sfruttamento	Classe	NEd	NRd	Rid. NRd da VEd	Mx,Ed	Mx,Rd	My,Ed	My,Rd	Rid. Mx,Rd da VEd	Rid. Mx,Rd da NEd	Rid. My,Rd da VEd	Rid. My,Rd da NEd	α	β	px	py	Verifica
0.75	SLU 42	0.029	3	-17.749	1003.522	1	0.1089	12.886	-0.0535	19.3536	1		1				0	0	Si

Verifica a presso/tenso flessione deviata SLD §§ 4.2.4.1.2.3 - 4.2.4.1.2.6 - 4.2.4.1.2.7 - 4.2.4.1.2.8 NTC18

Verifiche eseguite utilizzando la formula conservativa (6.2) §6.2.1 EN 1993-1-1:2005.

X	Comb.	Sfruttamento	Classe	NEd	NRd	Rid. NRd da VEd	Mx,Ed	Mx,Rd	My,Ed	My,Rd	Rid. Mx,Rd da VEd	Rid. Mx,Rd da NEd	Rid. My,Rd da VEd	Rid. My,Rd da NEd	α	β	px	py	Verifica
0.85	SLD 15	0.012	1	8.049	1003.522	1	0.0826	23.5037	0.0111	33.3316	1		1				0	0	Si

Verifiche ad instabilità

Caratteristiche iniziali

Membratura principale per controllo snellezza; Calcolo di snellezze ed N critici condotti secondo gli assi principali;

Curva X: c; Curva Y: c;

Svergolamento: Nessuno; la verifica a instabilità flesso-torsionale (svergolamento) non verrà eseguita.

Dati per instabilità attorno a x

Controllo della snellezza secondo §4.2.4.1.3.1 NTC18

Numero rit.	Presente	Ascissa	Campata	βx/m	Vincolo a entrambi estremi	λx/m	λVer
1	Si	0	1-2	1	Si	49.4	Si, (<200)
2	Si	1.5					

Dati per instabilità attorno a y

Controllo della snellezza secondo §4.2.4.1.3.1 NTC18

Numero rit.	Presente	Ascissa	Campata	βy/n	k,LT	kw,LT	Vincolo a entrambi estremi
1	Si	0	1-2	1	Si	34.8	Si, (<200)
2	Si	1.5					

Verifica di stabilità per pressoflessione §C.4.2.4.1.3.3.1 NTC18

X	Comb.	Sfruttamento	Classe	NEd	MxEq,Ed	MyEq,Ed	Area	Wx	Wy	χ,min	λ adim. x/m	λ adim. y/n	N,crit x/m	N,crit y/n	Verifica
0.75	SLU 42	0.031	3	-17.749	0.0938	-0.0403	0.003832	0.0000492	0.0000739	0.804	0.569	0.4	3253.47	6569.993	Si

Verifiche a deformabilità

Mensola X: No; Mensola Y: No.

Frecce lungo X

Ascissa freccia	Combinazione	Freccia	Luce	L/f	L/f,min	Tipo	Verifica
1.1	SLE RA 1	0	1.5	10000	250	Totale	Si
1.1	SLE RA 17	0	1.5	10000	250	Totale	Si
1.1	SLE RA 16	0	1.5	10000	250	Totale	Si
1.15	SLE RA 15	0	1.5	10000	250	Totale	Si
1.1	SLE RA 14	0	1.5	10000	250	Totale	Si
1.1	SLE RA 2	0	1.5	10000	350	Variabile	Si
1.1	SLE RA 17	0	1.5	10000	350	Variabile	Si
1.1	SLE RA 16	0	1.5	10000	350	Variabile	Si
0.45	SLE RA 15	0	1.5	10000	350	Variabile	Si
1.05	SLE RA 14	0	1.5	10000	350	Variabile	Si

Frecce lungo Y

Ascissa freccia	Combinazione	Freccia	Luce	L/f	L/f,min	Tipo	Verifica
0.75	SLE RA 1	0.00003	1.5	10000	250	Totale	Si
0.75	SLE RA 17	0.00003	1.5	10000	250	Totale	Si
0.75	SLE RA 16	0.00003	1.5	10000	250	Totale	Si

Implementazione dei sistemi di confinamento delle emissioni odorigene diffuse dell'impianto di compostaggio esistente nel
Comune di Eboli (SA)

PROGETTO DEFINITIVO – Tabulati di calcolo Tomo 1

Ascissa freccia	Combinazione	Freccia	Luce	L/f	L/f,min	Tipo	Verifica
0.75	SLE RA 15	0.00003	1.5	10000	250	Totale	Si
0.75	SLE RA 14	0.00003	1.5	10000	250	Totale	Si
1	SLE RA 2	0	1.5	10000	350	Variabile	Si
1	SLE RA 17	0	1.5	10000	350	Variabile	Si
1	SLE RA 16	0	1.5	10000	350	Variabile	Si
0.45	SLE RA 15	0	1.5	10000	350	Variabile	Si
0.95	SLE RA 14	0	1.5	10000	350	Variabile	Si

Superelemento in acciaio a quota "640" (73; 1453)-(182; 1351)

Caratteristiche del materiale

Acciaio: S275, fyk = 275000

Caratteristiche geometriche

Lunghezza: 1.5

Nodo iniziale: 957 Nodo finale: 939

Cerniera iniziale: Mmomenti 1% Cerniera finale: Mmomenti 1%

Sovreresistenza: 0% Sisma Z: No

Caratteristiche della sezione

Sezione	Rotazione	Area	Jx	Jy	ix	iy	Wx	Wy	Wplx	Wply
A1; L100*10; 1; Saldato; S275; 30; 1; 8; 8; 1	180	0.003832	0.0000035319	0.000007759	0.0304	0.045	0.0000492	0.0000739	0.00008974	0.00012727

Comportamento dei calastrelli

Accoppiamento imbottito con funzione statica (§C4.2.4.1.3.1.4 NTC18) nella campata compresa tra le ascisse 0 e 1.5 per sbandamento attorno all'asse y.

Verifiche di resistenza

Verifiche a forza assiale §4.2.4.1.2.1 - §4.2.4.1.2.2 NTC18

X	Comb.	Sfruttamento	Classe	NEd	Nc,Rd	Nt,Rd	Riduzione da taglio	px	py	Verifica
0	SLU 76	0.159		159.504		1003.522	1	0	0	Si

Verifiche a forza assiale SLD §4.2.4.1.2.1 - §4.2.4.1.2.2 NTC18

X	Comb.	Sfruttamento	Classe	NEd	Nc,Rd	Nt,Rd	Riduzione da taglio	px	py	Verifica
1.5	SLD 16	0.061		61.53		1003.522	1	0	0	Si

Verifica a taglio Y §4.2.4.1.2.4 NTC18

X	Comb.	Sfruttamento	VEd	Vc,Rd	Av	Interazione taglio-torsione	Riduzione torsione	Verifica
1.5	SLU 76	0.001	0.295	302.422	0.002	Non considerata		Si

Verifica a taglio Y SLD §4.2.4.1.2.4 NTC18

X	Comb.	Sfruttamento	VEd	Vc,Rd	Av	Interazione taglio-torsione	Riduzione torsione	Verifica
1.5	SLD 16	0.001	0.226	302.422	0.002	Non considerata		Si

Verifica a presso/tenso flessione retta X §§ 4.2.4.1.2.3 - 4.2.4.1.2.6 - 4.2.4.1.2.7 - 4.2.4.1.2.8 NTC18

Verifiche eseguite utilizzando la formula conservativa (6.2) §6.2.1 EN 1993-1-1:2005.

X	Comb.	Sfruttamento	Classe	NEd	NRd	Rid. NRd da VEd	Mx,Ed	Mx,Rd	Rid. Mx,Rd da VEd	Rid. Mx,Rd da NEd	px	py	Verifica
0.75	SLU 76	0.164	1	159.504	1003.522	1	0.1117	23.5037	1		0	0	Si

Verifica a presso/tenso flessione retta X SLD §§ 4.2.4.1.2.3 - 4.2.4.1.2.6 - 4.2.4.1.2.7 - 4.2.4.1.2.8 NTC18

Verifiche eseguite utilizzando la formula conservativa (6.2) §6.2.1 EN 1993-1-1:2005.

X	Comb.	Sfruttamento	Classe	NEd	NRd	Rid. NRd da VEd	Mx,Ed	Mx,Rd	Rid. Mx,Rd da VEd	Rid. Mx,Rd da NEd	px	py	Verifica
0.75	SLD 16	0.065	1	61.53	1003.522	1	0.0849	23.5037	1		0	0	Si

Verifica a presso/tenso flessione retta Y §§ 4.2.4.1.2.3 - 4.2.4.1.2.6 - 4.2.4.1.2.7 - 4.2.4.1.2.8 NTC18

Verifiche eseguite utilizzando la formula conservativa (6.2) §6.2.1 EN 1993-1-1:2005.

X	Comb.	Sfruttamento	Classe	NEd	NRd	Rid. NRd da VEd	My,Ed	My,Rd	Rid. My,Rd da VEd	Rid. My,Rd da NEd	px	py	Verifica
1.5	SLU 76	0.159	1	159.504	1003.522	1	-0.0119	33.3316	1		0	0	Si

Verifica a presso/tenso flessione retta Y SLD §§ 4.2.4.1.2.3 - 4.2.4.1.2.6 - 4.2.4.1.2.7 - 4.2.4.1.2.8 NTC18

Verifiche eseguite utilizzando la formula conservativa (6.2) §6.2.1 EN 1993-1-1:2005.

X	Comb.	Sfruttamento	Classe	NEd	NRd	Rid. NRd da VEd	My,Ed	My,Rd	Rid. My,Rd da VEd	Rid. My,Rd da NEd	px	py	Verifica
1.5	SLD 16	0.062	1	61.53	1003.522	1	-0.0332	33.3316	1		0	0	Si

Verifica a presso/tenso flessione deviata §§ 4.2.4.1.2.3 - 4.2.4.1.2.6 - 4.2.4.1.2.7 - 4.2.4.1.2.8 NTC18

Verifiche eseguite utilizzando la formula conservativa (6.2) §6.2.1 EN 1993-1-1:2005.

X	Comb.	Sfruttamento	Classe	NEd	NRd	Rid. NRd da VEd	Mx,Ed	Mx,Rd	My,Ed	My,Rd	Rid. Mx,Rd da VEd	Rid. Mx,Rd da NEd	Rid. My,Rd da VEd	Rid. My,Rd da NEd	α	β	px	py	Verifica
1.1	SLU 76	0.163	1	159.504	1003.522	1	0.0873	23.5037	-0.0075	33.3316	1		1				0	0	Si

Verifica a presso/tenso flessione deviata SLD §§ 4.2.4.1.2.3 - 4.2.4.1.2.6 - 4.2.4.1.2.7 - 4.2.4.1.2.8 NTC18

Verifiche eseguite utilizzando la formula conservativa (6.2) §6.2.1 EN 1993-1-1:2005.

X	Comb.	Sfruttamento	Classe	NEd	NRd	Rid. NRd da VEd	Mx,Ed	Mx,Rd	My,Ed	My,Rd	Rid. Mx,Rd da VEd	Rid. Mx,Rd da NEd	Rid. My,Rd da VEd	Rid. My,Rd da NEd	α	β	px	py	Verifica
0.9	SLD 15	0.065	1	61.53	1003.522	1	0.0815	23.5037	-0.0083	33.3316	1		1				0	0	Si

Implementazione dei sistemi di confinamento delle emissioni odorigene diffuse dell'impianto di compostaggio esistente nel
Comune di Eboli (SA)
PROGETTO DEFINITIVO – Tabulati di calcolo Tomo 1

Verifiche ad instabilità

Caratteristiche iniziali

Membratura principale per controllo snellezza; Calcolo di snellezze ed N critici condotti secondo gli assi principali;
Curva X: c; Curva Y: c;
Svergolamento: Nessuno; la verifica a instabilità flessione-torsionale (svergolamento) non verrà eseguita.

Dati per instabilità attorno a x

Controllo della snellezza secondo §4.2.4.1.3.1 NTC18

Numero rit.	Presente	Ascissa	Campata	$\beta x/m$	Vincolo a entrambi estremi	$\lambda x/m$	λVer
1	Si	0					
			1-2	1	Si	49.4	Si, (<200)
2	Si	1.5					

Dati per instabilità attorno a y

Controllo della snellezza secondo §4.2.4.1.3.1 NTC18

Numero rit.	Presente	Ascissa	Campata	$\beta y/n$	k,LT	kw,LT	Vincolo a entrambi estremi
1	Si	0					
			1-2	1	Si	34.8	Si, (<200)
2	Si	1.5					

Verifica di stabilità per pressoflessione §C.4.2.4.1.3.3.1 NTC18

X	Comb.	Sfruttamento	Classe	NEd	MxEq,Ed	MyEq,Ed	Area	Wx	Wy	χ_{min}	$\lambda_{adim. x/m}$	$\lambda_{adim. y/n}$	N,crit x/m	N,crit y/n	Verifica
0	SLU 2	0.042	3	-26.751	0.072	0.063	0.003832	0.0000492	0.0000739	0.804	0.569	0.4	3253.47	6569.993	Si

Verifiche a deformabilità

Mensola X: No; Mensola Y: No.

Frecce lungo X

Ascissa freccia	Combinazione	Freccia	Luce	L/f	L/f,min	Tipo	Verifica
0.9	SLE RA 1	0	1.5	10000	250	Totale	Si
0.95	SLE RA 17	0	1.5	10000	250	Totale	Si
0.95	SLE RA 16	0	1.5	10000	250	Totale	Si
0.95	SLE RA 15	0	1.5	10000	250	Totale	Si
0.95	SLE RA 14	0	1.5	10000	250	Totale	Si
1	SLE RA 2	0	1.5	10000	350	Variabile	Si
1	SLE RA 17	0	1.5	10000	350	Variabile	Si
1	SLE RA 16	0	1.5	10000	350	Variabile	Si
1	SLE RA 15	0	1.5	10000	350	Variabile	Si
1	SLE RA 14	0	1.5	10000	350	Variabile	Si

Frecce lungo Y

Ascissa freccia	Combinazione	Freccia	Luce	L/f	L/f,min	Tipo	Verifica
0.75	SLE RA 1	0.00003	1.5	10000	250	Totale	Si
0.75	SLE RA 17	0.00003	1.5	10000	250	Totale	Si
0.75	SLE RA 16	0.00003	1.5	10000	250	Totale	Si
0.75	SLE RA 15	0.00003	1.5	10000	250	Totale	Si
0.75	SLE RA 14	0.00003	1.5	10000	250	Totale	Si
0.7	SLE RA 2	0	1.5	10000	350	Variabile	Si
0.7	SLE RA 17	0	1.5	10000	350	Variabile	Si
0.7	SLE RA 16	0	1.5	10000	350	Variabile	Si
0.7	SLE RA 15	0	1.5	10000	350	Variabile	Si
0.7	SLE RA 14	0	1.5	10000	350	Variabile	Si

Superelemento in acciaio a quota "640" (94; 164)-(221; 299)

Caratteristiche del materiale

Acciaio: S275, fyk = 275000

Caratteristiche geometriche

Lunghezza: 1.85
Nodo iniziale: 698 Nodo finale: 728
Cerniera iniziale: No Cerniera finale: No
Sovreresistenza: 0% Sisma Z: No

Caratteristiche della sezione

Sezione	Rotazione	Area	Jx	Jy	ix	iy	Wx	Wy	Wplx	Wply
HEA120	0	0.002537	0.0000060673	0.0000023091	0.0489	0.0302	0.00010644	0.00003849	0.00011962	0.00005887

Verifiche di resistenza

Verifiche a forza assiale §4.2.4.1.2.1 - §4.2.4.1.2.2 NTC18

X	Comb.	Sfruttamento	Classe	NEd	Nc,Rd	Nt,Rd	Riduzione da taglio	px	py	Verifica
1.788	SLV 9	0.052	1	-34.502	664.325		1	0	0	Si

Verifiche a forza assiale SLD §4.2.4.1.2.1 - §4.2.4.1.2.2 NTC18

X	Comb.	Sfruttamento	Classe	NEd	Nc,Rd	Nt,Rd	Riduzione da taglio	px	py	Verifica
1.788	SLD 9	0.019	1	-12.585	664.325		1	0	0	Si

Verifica a taglio Y §4.2.4.1.2.4 NTC18

X	Comb.	Sfruttamento	VEd	Vc,Rd	Av	Interazione taglio-torsione	Riduzione torsione	Verifica
1.85	SLV 6	0.005	-0.642	127.085	0.000849	Considerata	0.99	Si

**Implementazione dei sistemi di confinamento delle emissioni odorigene diffuse dell'impianto di compostaggio esistente nel
Comune di Eboli (SA)
PROGETTO DEFINITIVO – Tabulati di calcolo Tomo 1**

Verifica a taglio Y SLD §4.2.4.1.2.4 NTC18

X	Comb.	Sfruttamento	VEd	Vc,Rd	Av	Interazione taglio-torsione	Riduzione torsione	Verifica
1.85	SLD 5	0.003	-0.389	127.678	0.000849	Considerata	1	Si

Verifica a torsione §4.2.4.1.2.5 NTC18

X	Comb.	Sfruttamento torsione	TEd	TRd	Riduzione taglio resistente	Sfruttamento taglio-torsione	rEd,totale	rRd	Verifica
1.85	SLV 14	0.039	-0.03346	0.85138	Considerata				Si

Verifica a torsione SLD §4.2.4.1.2.5 NTC18

X	Comb.	Sfruttamento torsione	TEd	TRd	Riduzione taglio resistente	Sfruttamento taglio-torsione	rEd,totale	rRd	Verifica
1.788	SLD 13	0.017	-0.01471	0.85138	Considerata				Si

Verifica a flessione semplice X §§ 4.2.4.1.2.3 - 4.2.4.1.2.6 - 4.2.4.1.2.7 - 4.2.4.1.2.8 NTC18

X	Comb.	Sfruttamento	Classe	Mx,Ed	Mx,Rd	Rid. Mx,Rd da VEd	px	py	Verifica
1.665	SLU 59	0.004	1	0.1368	31.32907	1	0	0	Si

Verifica a flessione deviata §§ 4.2.4.1.2.3 - 4.2.4.1.2.6 - 4.2.4.1.2.7 - 4.2.4.1.2.8 NTC18

X	Comb.	Sfruttamento	Classe	Mx,Ed	Mx,Rd	My,Ed	My,Rd	Rid. Mx,Rd da VEd	Rid. My,Rd da VEd	α	β	px	py	Verifica
1.85	SLU 59	0.007	1	0.1985	31.3291	-0.0047	15.4191	1	1			0	0	Si

Verifica a presso/tenso flessione retta X §§ 4.2.4.1.2.3 - 4.2.4.1.2.6 - 4.2.4.1.2.7 - 4.2.4.1.2.8 NTC18

Verifiche eseguite utilizzando la formula conservativa (6.2) §6.2.1 EN 1993-1-1:2005.

X	Comb.	Sfruttamento	Classe	NEd	NRd	Rid. NRd da VEd	Mx,Ed	Mx,Rd	Rid. Mx,Rd da VEd	Rid. Mx,Rd da NEd	px	py	Verifica
1.788	SLV 6	0.058	1	-20.192	664.325	1	0.8769	31.3291	1		0	0	Si

Verifica a presso/tenso flessione retta X SLD §§ 4.2.4.1.2.3 - 4.2.4.1.2.6 - 4.2.4.1.2.7 - 4.2.4.1.2.8 NTC18

Verifiche eseguite utilizzando la formula conservativa (6.2) §6.2.1 EN 1993-1-1:2005.

X	Comb.	Sfruttamento	Classe	NEd	NRd	Rid. NRd da VEd	Mx,Ed	Mx,Rd	Rid. Mx,Rd da VEd	Rid. Mx,Rd da NEd	px	py	Verifica
1.418	SLD 10	0.024	1	-12.585	664.325	1	0.1684	31.3291	1		0	0	Si

Verifica a presso/tenso flessione retta Y §§ 4.2.4.1.2.3 - 4.2.4.1.2.6 - 4.2.4.1.2.7 - 4.2.4.1.2.8 NTC18

Verifiche eseguite utilizzando la formula conservativa (6.2) §6.2.1 EN 1993-1-1:2005.

X	Comb.	Sfruttamento	Classe	NEd	NRd	Rid. NRd da VEd	My,Ed	My,Rd	Rid. My,Rd da VEd	Rid. My,Rd da NEd	px	py	Verifica
0.123	SLU 76	0.017	1	-6.365	664.325	1	0.1117	15.4191	1		0	0	Si

Verifica a presso/tenso flessione retta Y SLD §§ 4.2.4.1.2.3 - 4.2.4.1.2.6 - 4.2.4.1.2.7 - 4.2.4.1.2.8 NTC18

Verifiche eseguite utilizzando la formula conservativa (6.2) §6.2.1 EN 1993-1-1:2005.

X	Comb.	Sfruttamento	Classe	NEd	NRd	Rid. NRd da VEd	My,Ed	My,Rd	Rid. My,Rd da VEd	Rid. My,Rd da NEd	px	py	Verifica
1.85	SLD 7	0.02	1	9.739	664.325	1	-0.0785	15.4191	1		0	0	Si

Verifica a presso/tenso flessione deviata §§ 4.2.4.1.2.3 - 4.2.4.1.2.6 - 4.2.4.1.2.7 - 4.2.4.1.2.8 NTC18

Verifiche eseguite utilizzando la formula conservativa (6.2) §6.2.1 EN 1993-1-1:2005.

X	Comb.	Sfruttamento	Classe	NEd	NRd	Rid. NRd da VEd	Mx,Ed	Mx,Rd	My,Ed	My,Rd	Rid. Mx,Rd da VEd	Rid. Mx,Rd da NEd	Rid. My,Rd da VEd	Rid. My,Rd da NEd	α	β	px	py	Verifica
1.357	SLV 7	0.073	1	31.655	664.325	1	0.6237	31.3291	-0.0879	15.4191	1		1				0	0	Si

Verifica a presso/tenso flessione deviata SLD §§ 4.2.4.1.2.3 - 4.2.4.1.2.6 - 4.2.4.1.2.7 - 4.2.4.1.2.8 NTC18

Verifiche eseguite utilizzando la formula conservativa (6.2) §6.2.1 EN 1993-1-1:2005.

X	Comb.	Sfruttamento	Classe	NEd	NRd	Rid. NRd da VEd	Mx,Ed	Mx,Rd	My,Ed	My,Rd	Rid. Mx,Rd da VEd	Rid. Mx,Rd da NEd	Rid. My,Rd da VEd	Rid. My,Rd da NEd	α	β	px	py	Verifica
1.85	SLD 9	0.03	1	-12.585	664.325	1	0.2931	31.3291	-0.0206	15.4191	1		1				0	0	Si

Verifiche ad instabilità

Caratteristiche iniziali

Membratura principale per controllo snellezza; Calcolo di snellezze ed N critici condotti secondo gli assi principali;

Curva X: b; Curva Y: c; Svergolamento: Carico all'estradosso; Curva svergolamento: b;

Dati per instabilità attorno a x

Controllo della snellezza secondo §4.2.4.1.3.1 NTC18

Numero rit.	Presente	Ascissa	Campata	βx/m	Vincolo a entrambi estremi	λx/m	λVer
1	Si	0					
			1-2		1	37.8	Si, (<200)
2	Si	1.85					

Dati per instabilità attorno a y

Controllo della snellezza secondo §4.2.4.1.3.1 NTC18

Numero rit.	Presente	Ascissa	Campata	βy/n	k _{LT}	kw _{LT}	Vincolo a entrambi estremi	λy/n	λVer
1	Si	0							
			1-2		1	1	1	61.3	Si, (<200)
2	Si	1.85							

Verifica a svergolamento con trazione §4.2.4.1.3.2 NTC18 § 5.5.3 ENV 1993-1-1:1992 + AC:1992 + A1:1994 + A2:1998

X	Comb.	Sfruttamento	Classe	Obblig.	NEd	Mx,Ed	Mx,Eff,Ed	Mb,Rd,x	χ _{LT}	λ _{adim. LT}	L _{LT}	M _{critico}	Verifica
1.603	SLU 21	0.003	1	Si	0.301	0.09167	0.08281	28.25853	0.902	0.633	1.85	82.10616	Si

Verifica di stabilità per tenso-flessione deviata §§ 5.5.3-5.5.4 ENV 1993-1-1:1992 + AC:1992 + A1:1994 + A2:1998

X	Comb.	Sfruttamento	Classe	NEd	Mx,Ed	Mx,Eff,Ed	My,Ed	χ _{LT}	k _{LT}	ky	M _{critico}	Wx	Wy	Verifica
1.85	SLV 1	0.02	1	14.649	0.881	0.45069	-0.09112	0.992	1	1	186.85018	0.0001196	0.0000589	Si

Verifica di stabilità per tenso-flessione deviata SLD §§ 5.5.3-5.5.4 ENV 1993-1-1:1992 + AC:1992 + A1:1994 + A2:1998

X	Comb.	Sfruttamento	Classe	NEd	Mx,Ed	Mx,Eff,Ed	My,Ed	χ _{LT}	k _{LT}	ky	M _{critico}	Wx	Wy	Verifica
1.85	SLD 1	0.013	1	4.04	0.39624	0.27758	-0.06444	0.992	1	1	186.40094	0.0001196	0.0000589	Si

Implementazione dei sistemi di confinamento delle emissioni odorigene diffuse dell'impianto di compostaggio esistente nel
Comune di Eboli (SA)
PROGETTO DEFINITIVO – Tabulati di calcolo Tomo 1

Verifica di stabilità per pressoflessione §C.4.2.4.1.3.3.2 NTC18

X	Comb.	Sfruttamento	Classe	NEd	NRk	Mx,Ed max	Mx,Rk	My,Ed max	My,Rk	χ,x	χ,y	kxx	kxy	kyy	χ,LT	Verifica	
0.925	SLV 9	0.097	1	-34.502	697.541	0.58307	32.89552	0.1034	16.19002	0.912	0.721	0.701	0.417	0.988	0.695	0.902	Si

Verifica di stabilità per pressoflessione SLD §C.4.2.4.1.3.3.2 NTC18

X	Comb.	Sfruttamento	Classe	NEd	NRk	Mx,Ed max	Mx,Rk	My,Ed max	My,Rk	χ,x	χ,y	kxx	kxy	kyy	χ,LT	Verifica	
1.85	SLD 10	0.039	1	-12.585	697.541	0.29306	32.89552	0.07271	16.19002	0.912	0.721	0.515	0.271	0.993	0.452	0.902	Si

Verifica di stabilità a taglio anima Y §4.2.4.1.2.4 [4.2.27] NTC18

η	hw	tw	hw/tw max	Verifica
1.2	0.098	0.005	55.46	Si

Verifica di stabilità a taglio anima Y SLD §4.2.4.1.2.4 [4.2.27] NTC18

η	hw	tw	hw/tw max	Verifica
1.2	0.098	0.005	55.46	Si

Verifiche a deformabilità

Mensola X: No; Mensola Y: No.

Frecce lungo X

Ascissa freccia	Combinazione	Freccia	Luce	L/f	L/f,min	Tipo	Verifica
0.432	SLE RA 1	-0.00001	1.85	10000	250	Totale	Si
0.432	SLE RA 17	-0.00001	1.85	10000	250	Totale	Si
0.432	SLE RA 16	-0.00001	1.85	10000	250	Totale	Si
0.493	SLE RA 15	-0.00001	1.85	10000	250	Totale	Si
0.37	SLE RA 14	-0.00001	1.85	10000	250	Totale	Si
0.432	SLE RA 2	0.00001	1.85	10000	350	Variabile	Si
0.432	SLE RA 17	0	1.85	10000	350	Variabile	Si
0.432	SLE RA 16	-0.00001	1.85	10000	350	Variabile	Si
0.678	SLE RA 15	0	1.85	10000	350	Variabile	Si
1.418	SLE RA 14	0.00001	1.85	10000	350	Variabile	Si

Frecce lungo Y

Ascissa freccia	Combinazione	Freccia	Luce	L/f	L/f,min	Tipo	Verifica
1.48	SLE RA 1	0	1.85	10000	250	Totale	Si
1.48	SLE RA 17	0	1.85	10000	250	Totale	Si
1.418	SLE RA 16	0.00001	1.85	10000	250	Totale	Si
0.74	SLE RA 15	-0.00001	1.85	10000	250	Totale	Si
1.233	SLE RA 14	0.00001	1.85	10000	250	Totale	Si
0.678	SLE RA 2	0	1.85	10000	350	Variabile	Si
0.678	SLE RA 17	0	1.85	10000	350	Variabile	Si
0.678	SLE RA 16	0	1.85	10000	350	Variabile	Si
1.048	SLE RA 15	-0.00001	1.85	10000	350	Variabile	Si
0.925	SLE RA 14	0.00001	1.85	10000	350	Variabile	Si

Superelemento in acciaio a quota "640" (109; 1929)-(218; 1826)

Caratteristiche del materiale

Acciaio: S275, fyk = 275000

Caratteristiche geometriche

Lunghezza: 1.504

Nodo iniziale: 1053 Nodo finale: 1030

Cerniera iniziale: Mmomenti 1% Cerniera finale: Mmomenti 1%

Sovreresistenza: 0% Sisma Z: No

Caratteristiche della sezione

Sezione	Rotazione	Area	Jx	Jy	ix	iy	Wx	Wy	Wplx	Wply
A1; L100*10; 1; Saldato; S275; 30; 1; 8; 8; 1	180	0.003832	0.0000035319	0.000007759	0.0304	0.045	0.0000492	0.0000739	0.00008974	0.00012727

Comportamento dei calastrelli

Accoppiamento imbottito con funzione statica (§C.4.2.4.1.3.1.4 NTC18) nella campata compresa tra le ascisse 0 e 1.504 per sbandamento attorno all'asse y.

Verifiche di resistenza

Verifiche a forza assiale §4.2.4.1.2.1 - §4.2.4.1.2.2 NTC18

X	Comb.	Sfruttamento	Classe	NEd	Nc,Rd	Nt,Rd	Riduzione da taglio	px	py	Verifica
1.454	SLV 14	0.005		5.435		1003.522	1	0	0	Si

Verifiche a forza assiale SLD §4.2.4.1.2.1 - §4.2.4.1.2.2 NTC18

X	Comb.	Sfruttamento	Classe	NEd	Nc,Rd	Nt,Rd	Riduzione da taglio	px	py	Verifica
0	SLD 14	0.002		1.928		1003.522	1	0	0	Si

Verifica a taglio Y §4.2.4.1.2.4 NTC18

X	Comb.	Sfruttamento	VEd	Vc,Rd	Av	Interazione taglio-torsione	Riduzione torsione	Verifica
0	SLV 3	0.001	-0.34	302.422	0.002	Non considerata		Si

Verifica a taglio Y SLD §4.2.4.1.2.4 NTC18

X	Comb.	Sfruttamento	VEd	Vc,Rd	Av	Interazione taglio-torsione	Riduzione torsione	Verifica
0	SLD 4	0.001	-0.269	302.422	0.002	Non considerata		Si

**Implementazione dei sistemi di confinamento delle emissioni odorigene diffuse dell'impianto di compostaggio esistente nel
Comune di Eboli (SA)
PROGETTO DEFINITIVO – Tabulati di calcolo Tomo 1**

Verifica a flessione semplice X §§ 4.2.4.1.2.3 - 4.2.4.1.2.6 - 4.2.4.1.2.7 - 4.2.4.1.2.8 NTC18

X	Comb.	Sfruttamento	Classe	Mx,Ed	Mx,Rd	Rid. Mx,Rd da VEd	px	py	Verifica
0.752	SLV 40	0.005	1	0.10902	23.50374	1	0	0	Si

Verifica a presso/tenso flessione retta X §§ 4.2.4.1.2.3 - 4.2.4.1.2.6 - 4.2.4.1.2.7 - 4.2.4.1.2.8 NTC18

Verifiche eseguite utilizzando la formula conservativa (6.2) §6.2.1 EN 1993-1-1:2005.

X	Comb.	Sfruttamento	Classe	NEd	NRd	Rid. NRd da VEd	Mx,Ed	Mx,Rd	Rid. Mx,Rd da VEd	Rid. Mx,Rd da NEd	px	py	Verifica
0.802	SLV 14	0.012	1	5.435	1003.522	1	0.1543	23.5037	1		0	0	Si

Verifica a presso/tenso flessione retta Y §§ 4.2.4.1.2.3 - 4.2.4.1.2.6 - 4.2.4.1.2.7 - 4.2.4.1.2.8 NTC18

Verifiche eseguite utilizzando la formula conservativa (6.2) §6.2.1 EN 1993-1-1:2005.

X	Comb.	Sfruttamento	Classe	NEd	NRd	Rid. NRd da VEd	Mx,Ed	Mx,Rd	Rid. Mx,Rd da VEd	Rid. Mx,Rd da NEd	px	py	Verifica
0.652	SLD 14	0.006	1	1.928	1003.522	1	0.1071	23.5037	1		0	0	Si

Verifica a presso/tenso flessione retta Y §§ 4.2.4.1.2.3 - 4.2.4.1.2.6 - 4.2.4.1.2.7 - 4.2.4.1.2.8 NTC18

Verifiche eseguite utilizzando la formula conservativa (6.2) §6.2.1 EN 1993-1-1:2005.

X	Comb.	Sfruttamento	Classe	NEd	NRd	Rid. NRd da VEd	My,Ed	My,Rd	Rid. My,Rd da VEd	Rid. My,Rd da NEd	px	py	Verifica
1.504	SLV 3	0.007	3	-4.963	1003.522	1	-0.0335	19.3536	1		0	0	Si

Verifica a presso/tenso flessione retta Y SLD §§ 4.2.4.1.2.3 - 4.2.4.1.2.6 - 4.2.4.1.2.7 - 4.2.4.1.2.8 NTC18

Verifiche eseguite utilizzando la formula conservativa (6.2) §6.2.1 EN 1993-1-1:2005.

X	Comb.	Sfruttamento	Classe	NEd	NRd	Rid. NRd da VEd	My,Ed	My,Rd	Rid. My,Rd da VEd	Rid. My,Rd da NEd	px	py	Verifica
1.504	SLD 3	0.002	3	-1.457	1003.522	1	-0.0115	19.3536	1		0	0	Si

Verifica a presso/tenso flessione deviata §§ 4.2.4.1.2.3 - 4.2.4.1.2.6 - 4.2.4.1.2.7 - 4.2.4.1.2.8 NTC18

Verifiche eseguite utilizzando la formula conservativa (6.2) §6.2.1 EN 1993-1-1:2005.

X	Comb.	Sfruttamento	Classe	NEd	NRd	Rid. NRd da VEd	Mx,Ed	Mx,Rd	My,Ed	My,Rd	Rid. Mx,Rd da VEd	Rid. Mx,Rd da NEd	Rid. My,Rd da VEd	Rid. My,Rd da NEd	α	β	px	py	Verifica
0	SLV 4	0.013	1	-4.963	1003.522	1	-0.1706	23.5037	-0.0389	33.3316	1		1				0	0	Si

Verifica a presso/tenso flessione deviata SLD §§ 4.2.4.1.2.3 - 4.2.4.1.2.6 - 4.2.4.1.2.7 - 4.2.4.1.2.8 NTC18

Verifiche eseguite utilizzando la formula conservativa (6.2) §6.2.1 EN 1993-1-1:2005.

X	Comb.	Sfruttamento	Classe	NEd	NRd	Rid. NRd da VEd	Mx,Ed	Mx,Rd	My,Ed	My,Rd	Rid. Mx,Rd da VEd	Rid. Mx,Rd da NEd	Rid. My,Rd da VEd	Rid. My,Rd da NEd	α	β	px	py	Verifica
0.652	SLD 6	0.005	1	1.121	1003.522	1	0.0931	23.5037	-0.0075	33.3316	1		1				0	0	Si

Verifiche ad instabilità

Caratteristiche iniziali

Membratura principale per controllo snellezza; Calcolo di snellezze ed N critici condotti secondo gli assi principali;

Curva X: c; Curva Y: c;

Svergolamento: Nessuno; la verifica a instabilità flessio-torsionale (svergolamento) non verrà eseguita.

Dati per instabilità attorno a x

Controllo della snellezza secondo §4.2.4.1.3.1 NTC18

Numero rit.	Presente	Ascissa	Campata	βx/m	Vincolo a entrambi estremi	λx/m	λVer
1	Si		0				
			1-2		1	49.5	Si, (<200)
2	Si	1.504					

Dati per instabilità attorno a y

Controllo della snellezza secondo §4.2.4.1.3.1 NTC18

Numero rit.	Presente	Ascissa	Campata	βy/n	k,LT	kw,LT	Vincolo a entrambi estremi
1	Si		0				
			1-2		1	34.8	Si, (<200)
2	Si	1.504					

Verifica di stabilità per pressoflessione §C.4.2.4.1.3.3.1 NTC18

X	Comb.	Sfruttamento	Classe	NEd	MxEq,Ed	MyEq,Ed	Area	Wx	Wy	x,min	λ adim. x/m	λ adim. y/n	N,crit x/m	N,crit y/n	Verifica
1.504	SLV 4	0.018	3	-4.963	-0.128	-0.0362	0.003832	0.0000492	0.0000739	0.803	0.571	0.401	3237.394	6540.14	Si

Verifica di stabilità per pressoflessione SLD §C.4.2.4.1.3.3.1 NTC18

X	Comb.	Sfruttamento	Classe	NEd	MxEq,Ed	MyEq,Ed	Area	Wx	Wy	x,min	λ adim. x/m	λ adim. y/n	N,crit x/m	N,crit y/n	Verifica
1.504	SLD 4	0.006	3	-1.457	-0.0472	-0.0125	0.003832	0.0000492	0.0000739	0.803	0.571	0.401	3237.394	6540.14	Si

Verifiche a deformabilità

Mensola X: No; Mensola Y: No.

Frecce lungo X

Ascissa freccia	Combinazione	Freccia	Luce	L/f	L/f,min	Tipo	Verifica
0.702	SLE RA 1	0	1.504	10000	250	Totale	Si
0.652	SLE RA 17	0	1.504	10000	250	Totale	Si
0.601	SLE RA 16	0	1.504	10000	250	Totale	Si
0.652	SLE RA 15	0	1.504	10000	250	Totale	Si
0.652	SLE RA 14	0	1.504	10000	250	Totale	Si
0.551	SLE RA 2	0	1.504	10000	350	Variabile	Si
0.551	SLE RA 17	0	1.504	10000	350	Variabile	Si
0.551	SLE RA 16	0	1.504	10000	350	Variabile	Si
0.601	SLE RA 15	0	1.504	10000	350	Variabile	Si
0.551	SLE RA 14	0	1.504	10000	350	Variabile	Si

Frecce lungo Y

Ascissa freccia	Combinazione	Freccia	Luce	L/f	L/f,min	Tipo	Verifica
0.752	SLE RA 1	0.00003	1.504	10000	250	Totale	Si
0.752	SLE RA 17	0.00003	1.504	10000	250	Totale	Si
0.752	SLE RA 16	0.00002	1.504	10000	250	Totale	Si

Implementazione dei sistemi di confinamento delle emissioni odorigene diffuse dell'impianto di compostaggio esistente nel
Comune di Eboli (SA)
PROGETTO DEFINITIVO – Tabulati di calcolo Tomo 1

Ascissa freccia	Combinazione	Freccia	Luce	L/f	L/f,min	Tipo	Verifica
0.752	SLE RA 15	0.00003	1.504	10000	250	Totale	Si
0.752	SLE RA 14	0.00002	1.504	10000	250	Totale	Si
0.601	SLE RA 2	0	1.504	10000	350	Variabile	Si
0.601	SLE RA 17	0	1.504	10000	350	Variabile	Si
0.601	SLE RA 16	0	1.504	10000	350	Variabile	Si
0.601	SLE RA 15	0	1.504	10000	350	Variabile	Si
0.601	SLE RA 14	0	1.504	10000	350	Variabile	Si

Superelemento in acciaio a quota "640" (109; 1929)-(236; 2064)

Caratteristiche del materiale

Acciaio: S275, fyk = 275000

Caratteristiche geometriche

Lunghezza: 1.85

Nodo iniziale: 1054 Nodo finale: 1083

Cerniera iniziale: No Cerniera finale: No

Sovraresistenza: 0% Sisma Z: No

Caratteristiche della sezione

Sezione	Rotazione	Area	Jx	Jy	ix	iy	Wx	Wy	Wplx	Wply
HEA120	0	0.002537	0.0000060673	0.0000023091	0.0489	0.0302	0.00010644	0.00003849	0.00011962	0.00005887

Verifiche di resistenza

Verifiche a forza assiale §4.2.4.1.2.1 - §4.2.4.1.2.2 NTC18

X	Comb.	Sfruttamento	Classe	NEd	Nc,Rd	Nt,Rd	Riduzione da taglio	px	py	Verifica
1.233	SLU 76	0.106		70.75		664.325	1	0	0	Si

Verifiche a forza assiale SLD §4.2.4.1.2.1 - §4.2.4.1.2.2 NTC18

X	Comb.	Sfruttamento	Classe	NEd	Nc,Rd	Nt,Rd	Riduzione da taglio	px	py	Verifica
1.85	SLD 10	0.035		23.005		664.325	1	0	0	Si

Verifica a taglio Y §4.2.4.1.2.4 NTC18

X	Comb.	Sfruttamento	VEd	Vc,Rd	Av	Interazione taglio-torsione	Riduzione torsione	Verifica
0	SLU 76	0.007	0.913	125.946	0.000849	Considerata	0.98	Si

Verifica a taglio Y SLD §4.2.4.1.2.4 NTC18

X	Comb.	Sfruttamento	VEd	Vc,Rd	Av	Interazione taglio-torsione	Riduzione torsione	Verifica
0	SLD 1	0.004	0.484	127.257	0.000849	Considerata	0.99	Si

Verifica a torsione §4.2.4.1.2.5 NTC18

X	Comb.	Sfruttamento torsione	TEd	TRd	Riduzione taglio resistente	Sfruttamento taglio-torsione	rEd,totale	rRd	Verifica
0	SLU 76	0.046	0.03876	0.85138	Considerata				Si

Verifica a torsione SLD §4.2.4.1.2.5 NTC18

X	Comb.	Sfruttamento torsione	TEd	TRd	Riduzione taglio resistente	Sfruttamento taglio-torsione	rEd,totale	rRd	Verifica
1.85	SLD 5	0.02	0.01735	0.85138	Considerata				Si

Verifica a flessione semplice X §§ 4.2.4.1.2.3 - 4.2.4.1.2.6 - 4.2.4.1.2.7 - 4.2.4.1.2.8 NTC18

X	Comb.	Sfruttamento	Classe	Mx,Ed	Mx,Rd	Rid. Mx,Rd da VEd	px	py	Verifica
0	SLU 5	0.005	1	0.14264	31.32907	1	0	0	Si

Verifica a flessione deviata §§ 4.2.4.1.2.3 - 4.2.4.1.2.6 - 4.2.4.1.2.7 - 4.2.4.1.2.8 NTC18

X	Comb.	Sfruttamento	Classe	Mx,Ed	Mx,Rd	My,Ed	My,Rd	Rid. Mx,Rd da VEd	Rid. My,Rd da VEd	α	β	px	py	Verifica
0	SLU 41	0.01	1	0.2836	31.3291	0.0121	15.4191	1	1			0	0	Si

Verifica a presso/tenso flessione retta X §§ 4.2.4.1.2.3 - 4.2.4.1.2.6 - 4.2.4.1.2.7 - 4.2.4.1.2.8 NTC18

Verifiche eseguite utilizzando la formula conservativa (6.2) §6.2.1 EN 1993-1-1:2005.

X	Comb.	Sfruttamento	Classe	NEd	NRd	Rid. NRd da VEd	Mx,Ed	Mx,Rd	Rid. Mx,Rd da VEd	Rid. Mx,Rd da NEd	px	py	Verifica
0.432	SLV 9	0.06	1	29.432	664.325	1	0.4932	31.3291	1		0	0	Si

Verifica a presso/tenso flessione retta X SLD §§ 4.2.4.1.2.3 - 4.2.4.1.2.6 - 4.2.4.1.2.7 - 4.2.4.1.2.8 NTC18

Verifiche eseguite utilizzando la formula conservativa (6.2) §6.2.1 EN 1993-1-1:2005.

X	Comb.	Sfruttamento	Classe	NEd	NRd	Rid. NRd da VEd	Mx,Ed	Mx,Rd	Rid. Mx,Rd da VEd	Rid. Mx,Rd da NEd	px	py	Verifica
0	SLD 9	0.053	1	23.005	664.325	1	0.5615	31.3291	1		0	0	Si

Verifica a presso/tenso flessione retta Y §§ 4.2.4.1.2.3 - 4.2.4.1.2.6 - 4.2.4.1.2.7 - 4.2.4.1.2.8 NTC18

Verifiche eseguite utilizzando la formula conservativa (6.2) §6.2.1 EN 1993-1-1:2005.

X	Comb.	Sfruttamento	Classe	NEd	NRd	Rid. NRd da VEd	My,Ed	My,Rd	Rid. My,Rd da VEd	Rid. My,Rd da NEd	px	py	Verifica
1.85	SLU 67	0.055	1	34.542	664.325	1	0.0426	15.4191	1		0	0	Si

Verifica a presso/tenso flessione retta Y SLD §§ 4.2.4.1.2.3 - 4.2.4.1.2.6 - 4.2.4.1.2.7 - 4.2.4.1.2.8 NTC18

Verifiche eseguite utilizzando la formula conservativa (6.2) §6.2.1 EN 1993-1-1:2005.

X	Comb.	Sfruttamento	Classe	NEd	NRd	Rid. NRd da VEd	My,Ed	My,Rd	Rid. My,Rd da VEd	Rid. My,Rd da NEd	px	py	Verifica
1.727	SLD 1	0.028	1	18.33	664.325	1	0.0126	15.4191	1		0	0	Si

Verifica a presso/tenso flessione deviata §§ 4.2.4.1.2.3 - 4.2.4.1.2.6 - 4.2.4.1.2.7 - 4.2.4.1.2.8 NTC18

Verifiche eseguite utilizzando la formula conservativa (6.2) §6.2.1 EN 1993-1-1:2005.

Implementazione dei sistemi di confinamento delle emissioni odorigene diffuse dell’impianto di compostaggio esistente nel
Comune di Eboli (SA)

PROGETTO DEFINITIVO – Tabulati di calcolo Tomo 1

X	Comb.	Sfruttamento	Classe	NEd	NRd	Rid. NRd da VEd	Mx,Ed	Mx,Rd	My,Ed	My,Rd	Rid. Mx,Rd da VEd	Rid. Mx,Rd da NEd	Rid. My,Rd da VEd	Rid. My,Rd da NEd	α	β	px	py	Verifica
0	SLU 76	0.151	1	70.75	664.325	1	1.311	31.3291	0.041	15.4191	1		1				0	0	Si

Verifica a presso/tenso flessione deviata SLD §§ 4.2.4.1.2.3 - 4.2.4.1.2.6 - 4.2.4.1.2.7 - 4.2.4.1.2.8 NTC18

Verifiche eseguite utilizzando la formula conservativa (6.2) §6.2.1 EN 1993-1-1:2005.

X	Comb.	Sfruttamento	Classe	NEd	NRd	Rid. NRd da VEd	Mx,Ed	Mx,Rd	My,Ed	My,Rd	Rid. Mx,Rd da VEd	Rid. Mx,Rd da NEd	Rid. My,Rd da VEd	Rid. My,Rd da NEd	α	β	px	py	Verifica
0.185	SLD 9	0.05	1	23.005	664.325	1	0.4756	31.3291	0.004	15.4191	1		1				0	0	Si

Verifiche ad instabilità

Caratteristiche iniziali

Membratura principale per controllo snellezza; Calcolo di snellezze ed N critici condotti secondo gli assi principali;

Curva X: b; Curva Y: c; Svergolamento: Carico all'estradosso; Curva svergolamento: b;

Dati per instabilità attorno a x

Controllo della snellezza secondo §4.2.4.1.3.1 NTC18

Numero rit.	Presente	Ascissa	Campata	βx/m	Vincolo a entrambi estremi	λx/m	λVer
1	Si	0					
			1-2	1	Si	37.8	Si, (<200)
2	Si	1.85					

Dati per instabilità attorno a y

Controllo della snellezza secondo §4.2.4.1.3.1 NTC18

Numero rit.	Presente	Ascissa	Campata	βy/n	k,LT	kw,LT	Vincolo a entrambi estremi	λy/n	λVer
1	Si	0							
			1-2	1	1	1	Si	61.3	Si, (<200)
2	Si	1.85							

Verifica a svergolamento §4.2.4.1.3.2 NTC18

X	Comb.	Sfruttamento	Classe	Obblig.	Mx,Ed	Mb,Rd,x	χ,LT	λ adim. LT	L,LT	M,critico	Verifica
0	SLU 5	0.005	1	Si	0.14264	28.25853	0.902	0.633	1.85	82.10616	Si

Verifica di stabilità per tenso-flessione deviata §§ 5.5.3-5.5.4 ENV 1993-1-1:1992 + AC:1992 + A1:1994 + A2:1998

X	Comb.	Sfruttamento	Classe	NEd	Mx,Ed	Mx,Eff,Ed	My,Ed	χ,LT	kLT	ky	M,critico	Wx	Wy	Verifica
0	SLU 60	0.008	1	5.68	0.37841	0.21155	0.01546	0.902	1	1	82.10616	0.0001196	0.0000589	Si

Verifica di stabilità per pressoflessione §C.4.2.4.1.3.3.2 NTC18

X	Comb.	Sfruttamento	Classe	NEd	NRk	M _{x,Ed} max	M _{x,Rk}	M _{y,Ed} max	M _{y,Rk}	χ _x	χ _y	k _{xx}	k _{xy}	k _{yy}	χ _{LT}	Verifica	
0	SLU 2	0.025	1	-9.941	697.541	0.11034	32.89552	0.01341	16.19002	0.912	0.721	0.966	0.419	0.998	0.698	0.902	Si

Verifica di stabilità a taglio anima Y §4.2.4.1.2.4 [4.2.27] NTC18

η	hw	tw	hw/tw max	Verifica
1.2	0.098	0.005	55.46	Si

Verifica di stabilità a taglio anima Y SLD §4.2.4.1.2.4 [4.2.27] NTC18

η	hw	tw	hw/tw max	Verifica
1.2	0.098	0.005	55.46	Si

Verifiche a deformabilità

Mensola X: No; Mensola Y: No.

Frecce lungo X

Ascissa freccia	Combinazione	Freccia	Luce	L/f	L/f,min	Tipo	Verifica
0.987	SLE RA 1	-0.00002	1.85	10000	250	Totale	Si
0.987	SLE RA 17	-0.00003	1.85	10000	250	Totale	Si
0.987	SLE RA 16	-0.00004	1.85	10000	250	Totale	Si
0.987	SLE RA 15	-0.00004	1.85	10000	250	Totale	Si
0.925	SLE RA 14	-0.00002	1.85	10000	250	Totale	Si
0.987	SLE RA 2	0.00002	1.85	10000	350	Variabile	Si
0.987	SLE RA 17	-0.00001	1.85	10000	350	Variabile	Si
0.987	SLE RA 16	-0.00002	1.85	10000	350	Variabile	Si
0.987	SLE RA 15	-0.00002	1.85	10000	350	Variabile	Si
0.863	SLE RA 14	0	1.85	10000	350	Variabile	Si

Frecce lungo Y

Ascissa freccia	Combinazione	Freccia	Luce	L/f	L/f,min	Tipo	Verifica
0.74	SLE RA 1	0.00006	1.85	10000	250	Totale	Si
0.74	SLE RA 17	0.00009	1.85	10000	250	Totale	Si
0.74	SLE RA 16	0.00012	1.85	10000	250	Totale	Si
0.74	SLE RA 15	0.00012	1.85	10000	250	Totale	Si
0.74	SLE RA 14	0.00008	1.85	10000	250	Totale	Si
0.802	SLE RA 2	-0.00006	1.85	10000	350	Variabile	Si
0.802	SLE RA 17	0.00003	1.85	10000	350	Variabile	Si
0.802	SLE RA 16	0.00006	1.85	10000	350	Variabile	Si
0.802	SLE RA 15	0.00006	1.85	10000	350	Variabile	Si
0.802	SLE RA 14	0.00002	1.85	10000	350	Variabile	Si

Superelemento in acciaio a quota "640" (111; 402)-(221; 298)

Caratteristiche del materiale

Acciaio: S275, fyk = 275000

Caratteristiche geometriche

Lunghezza: 1.51

Nodo iniziale: 748 Nodo finale: 726

Cerniera iniziale: Mmomenti 1% Cerniera finale: Mmomenti 1%

Implementazione dei sistemi di confinamento delle emissioni odorigene diffuse dell'impianto di compostaggio esistente nel
Comune di Eboli (SA)

PROGETTO DEFINITIVO – Tabulati di calcolo Tomo 1

Sovreresistenza: 0% Sisma Z: No

Caratteristiche della sezione

Sezione	Rotazione	Area	Jx	Jy	ix	iy	Wx	Wy	Wplx	Wply
A1; L100*10; 1; Saldato; S275; 30; 1; 8; 8; 1	180	0.003832	0.0000035319	0.000007759	0.0304	0.045	0.0000492	0.0000739	0.00008974	0.00012727

Comportamento dei calastrelli

Accoppiamento imbottito con funzione statica (§C4.2.4.1.3.1.4 NTC18) nella campata compresa tra le ascisse 0 e 1.51 per sbandamento attorno all'asse y.

Verifiche di resistenza

Verifiche a forza assiale §4.2.4.1.2.1 - §4.2.4.1.2.2 NTC18

X	Comb.	Sfruttamento	Classe	NEd	Nc,Rd	Nt,Rd	Riduzione da taglio	px	py	Verifica
1.51	SLV 8	0.001		0.984		1003.522	1	0	0	Si

Verifiche a forza assiale SLD §4.2.4.1.2.1 - §4.2.4.1.2.2 NTC18

X	Comb.	Sfruttamento	Classe	NEd	Nc,Rd	Nt,Rd	Riduzione da taglio	px	py	Verifica
1.51	SLD 7	0.001		0.517		1003.522	1	0	0	Si

Verifica a taglio Y §4.2.4.1.2.4 NTC18

X	Comb.	Sfruttamento	VEd	Vc,Rd	Av	Interazione taglio-torsione	Riduzione torsione	Verifica
1.51	SLU 75	0.001	0.367	302.422	0.002	Non considerata		Si

Verifica a taglio Y SLD §4.2.4.1.2.4 NTC18

X	Comb.	Sfruttamento	VEd	Vc,Rd	Av	Interazione taglio-torsione	Riduzione torsione	Verifica
1.51	SLD 5	0.001	0.27	302.422	0.002	Non considerata		Si

Verifica a flessione semplice X §§ 4.2.4.1.2.3 - 4.2.4.1.2.6 - 4.2.4.1.2.7 - 4.2.4.1.2.8 NTC18

X	Comb.	Sfruttamento	Classe	Mx,Ed	Mx,Rd	Rid. Mx,Rd da VEd	px	py	Verifica
0.755	SLU 40	0.005	1	0.1095	23.50374	1	0	0	Si

Verifica a flessione semplice X SLD §§ 4.2.4.1.2.3 - 4.2.4.1.2.6 - 4.2.4.1.2.7 - 4.2.4.1.2.8 NTC18

X	Comb.	Sfruttamento	Classe	Mx,Ed	Mx,Rd	Rid. Mx,Rd da VEd	px	py	Verifica
0.755	SLD 16	0.004	1	0.08229	23.50374	1	0	0	Si

Verifica a flessione semplice Y §§ 4.2.4.1.2.3 - 4.2.4.1.2.6 - 4.2.4.1.2.7 - 4.2.4.1.2.8 NTC18

X	Comb.	Sfruttamento	Classe	My,Ed	My,Rd	Rid. My,Rd da VEd	px	py	Verifica
1.057	SLV 6	0.001	1	-0.02513	33.33162	1	0	0	Si

Verifica a flessione semplice Y SLD §§ 4.2.4.1.2.3 - 4.2.4.1.2.6 - 4.2.4.1.2.7 - 4.2.4.1.2.8 NTC18

X	Comb.	Sfruttamento	Classe	My,Ed	My,Rd	Rid. My,Rd da VEd	px	py	Verifica
1.46	SLD 15	0	1	0.01475	33.33162	1	0	0	Si

Verifica a flessione deviata §§ 4.2.4.1.2.3 - 4.2.4.1.2.6 - 4.2.4.1.2.7 - 4.2.4.1.2.8 NTC18

X	Comb.	Sfruttamento	Classe	Mx,Ed	Mx,Rd	My,Ed	My,Rd	Rid. Mx,Rd da VEd	Rid. My,Rd da VEd	α	β	px	py	Verifica
1.51	SLV 5	0.006	1	-0.1078	23.5037	-0.0405	33.3316	1	1			0	0	Si

Verifica a flessione deviata SLD §§ 4.2.4.1.2.3 - 4.2.4.1.2.6 - 4.2.4.1.2.7 - 4.2.4.1.2.8 NTC18

X	Comb.	Sfruttamento	Classe	Mx,Ed	Mx,Rd	My,Ed	My,Rd	Rid. Mx,Rd da VEd	Rid. My,Rd da VEd	α	β	px	py	Verifica
0.956	SLD 16	0.003	1	0.075	23.5037	0.0079	33.3316	1	1			0	0	Si

Verifica a presso/tenso flessione retta X §§ 4.2.4.1.2.3 - 4.2.4.1.2.6 - 4.2.4.1.2.7 - 4.2.4.1.2.8 NTC18

Verifiche eseguite utilizzando la formula conservativa (6.2) §6.2.1 EN 1993-1-1:2005.

X	Comb.	Sfruttamento	Classe	NEd	NRd	Rid. NRd da VEd	Mx,Ed	Mx,Rd	Rid. Mx,Rd da VEd	Rid. Mx,Rd da NEd	px	py	Verifica
0.705	SLV 8	0.005	1	0.984	1003.522	1	0.0885	23.5037	1		0	0	Si

Verifica a presso/tenso flessione retta X SLD §§ 4.2.4.1.2.3 - 4.2.4.1.2.6 - 4.2.4.1.2.7 - 4.2.4.1.2.8 NTC18

Verifiche eseguite utilizzando la formula conservativa (6.2) §6.2.1 EN 1993-1-1:2005.

X	Comb.	Sfruttamento	Classe	NEd	NRd	Rid. NRd da VEd	Mx,Ed	Mx,Rd	Rid. Mx,Rd da VEd	Rid. Mx,Rd da NEd	px	py	Verifica
0.755	SLD 12	0.004	1	0.392	1003.522	1	0.0828	23.5037	1		0	0	Si

Verifica a presso/tenso flessione retta Y §§ 4.2.4.1.2.3 - 4.2.4.1.2.6 - 4.2.4.1.2.7 - 4.2.4.1.2.8 NTC18

Verifiche eseguite utilizzando la formula conservativa (6.2) §6.2.1 EN 1993-1-1:2005.

X	Comb.	Sfruttamento	Classe	NEd	NRd	Rid. NRd da VEd	My,Ed	My,Rd	Rid. My,Rd da VEd	Rid. My,Rd da NEd	px	py	Verifica
1.208	SLV 4	0.001	1	0.935	1003.522	1	-0.0155	33.3316	1		0	0	Si

Verifica a presso/tenso flessione retta Y SLD §§ 4.2.4.1.2.3 - 4.2.4.1.2.6 - 4.2.4.1.2.7 - 4.2.4.1.2.8 NTC18

Verifiche eseguite utilizzando la formula conservativa (6.2) §6.2.1 EN 1993-1-1:2005.

X	Comb.	Sfruttamento	Classe	NEd	NRd	Rid. NRd da VEd	My,Ed	My,Rd	Rid. My,Rd da VEd	Rid. My,Rd da NEd	px	py	Verifica
1.46	SLD 11	0.001	1	0.392	1003.522	1	0.0149	33.3316	1		0	0	Si

Verifica a presso/tenso flessione deviata §§ 4.2.4.1.2.3 - 4.2.4.1.2.6 - 4.2.4.1.2.7 - 4.2.4.1.2.8 NTC18

Verifiche eseguite utilizzando la formula conservativa (6.2) §6.2.1 EN 1993-1-1:2005.

X	Comb.	Sfruttamento	Classe	NEd	NRd	Rid. NRd da VEd	Mx,Ed	Mx,Rd	My,Ed	My,Rd	Rid. Mx,Rd da VEd	Rid. Mx,Rd da NEd	Rid. My,Rd da VEd	Rid. My,Rd da NEd	α	β	px	py	Verifica
1.51	SLV 1	0.006	1	0.572	1003.522	1	-0.105	23.5037	-0.0393	33.3316	1		1				0	0	Si

Verifica a presso/tenso flessione deviata SLD §§ 4.2.4.1.2.3 - 4.2.4.1.2.6 - 4.2.4.1.2.7 - 4.2.4.1.2.8 NTC18

Verifiche eseguite utilizzando la formula conservativa (6.2) §6.2.1 EN 1993-1-1:2005.

Implementazione dei sistemi di confinamento delle emissioni odorigene diffuse dell’impianto di compostaggio esistente nel
Comune di Eboli (SA)

PROGETTO DEFINITIVO – Tabulati di calcolo Tomo 1

X	Comb.	Sfruttamento	Classe	NEd	NRd	Rid. NRd da VEd	Mx,Ed	Mx,Rd	My,Ed	My,Rd	Rid. Mx,Rd da VEd	Rid. Mx,Rd da NEd	Rid. My,Rd da VEd	Rid. My,Rd da NEd	α	β	ρx	py	Verifica
0.956	SLD 11	0.004	1	0.392	1003.522	1	0.0756	23.5037	0.0079	33.3316	1		1				0	0	Si

Verifiche ad instabilità

Caratteristiche iniziali

Membratura principale per controllo snellezza; Calcolo di snellezze ed N critici condotti secondo gli assi principali;

Curva X: c; Curva Y: c;

Svergolamento: Nessuno; la verifica a instabilità flesso-torsionale (svergolamento) non verrà eseguita.

Dati per instabilità attorno a x

Controllo della snellezza secondo §4.2.4.1.3.1 NTC18

Numero rit.	Presente	Ascissa	Campata	βx/m	Vincolo a entrambi estremi	λx/m	λVer
1	Si	0					
			1-2	1	Si	49.7	Si, (<200)
2	Si	1.51					

Dati per instabilità attorno a y

Controllo della snellezza secondo §4.2.4.1.3.1 NTC18

Numero rit.	Presente	Ascissa	Campata	βy/n	k,LT	kw,LT	Vincolo a entrambi estremi
1	Si	0					
			1-2	1	Si	35	Si, (<200)
2	Si	1.51					

Verifica di stabilità per pressoflessione §C.4.2.4.1.3.3.1 NTC18

X	Comb.	Sfruttamento	Classe	NEd	MxEq,Ed	MyEq,Ed	Area	Wx	Wy	χ,min	λ adim. x/m	λ adim. y/n	N,crit x/m	N,crit y/n	Verifica
1.51	SLV 16	0.005	1	0	0.0969	0.0299	0.003832	0.0000897	0.0001273	0.801	0.573	0.403	3209.542	6488.361	Si

Verifica di stabilità per pressoflessione SLD §C.4.2.4.1.3.3.1 NTC18

X	Comb.	Sfruttamento	Classe	NEd	MxEq,Ed	MyEq,Ed	Area	Wx	Wy	χ,min	λ adim. x/m	λ adim. y/n	N,crit x/m	N,crit y/n	Verifica
1.51	SLD 16	0.003	1	0	0.0697	0.0116	0.003832	0.0000897	0.0001273	0.801	0.573	0.403	3209.542	6488.361	Si

Verifiche a deformabilità

Mensola X: No; Mensola Y: No.

Frecce lungo X

Ascissa freccia	Combinazione	Freccia	Luce	L/f	L/f,min	Tipo	Verifica
0.604	SLE RA 1	0	1.51	10000	250	Totale	Si
0.755	SLE RA 17	0	1.51	10000	250	Totale	Si
0.856	SLE RA 16	0	1.51	10000	250	Totale	Si
0.352	SLE RA 15	0	1.51	10000	250	Totale	Si
0.956	SLE RA 14	0	1.51	10000	250	Totale	Si
0.906	SLE RA 2	0	1.51	10000	350	Variabile	Si
0.906	SLE RA 17	0	1.51	10000	350	Variabile	Si
0.906	SLE RA 16	0	1.51	10000	350	Variabile	Si
1.108	SLE RA 15	0	1.51	10000	350	Variabile	Si
1.007	SLE RA 14	0	1.51	10000	350	Variabile	Si

Frecce lungo Y

Ascissa freccia	Combinazione	Freccia	Luce	L/f	L/f,min	Tipo	Verifica
0.705	SLE RA 1	0.00002	1.51	10000	250	Totale	Si
0.705	SLE RA 17	0.00002	1.51	10000	250	Totale	Si
0.705	SLE RA 16	0.00002	1.51	10000	250	Totale	Si
0.705	SLE RA 15	0.00002	1.51	10000	250	Totale	Si
0.705	SLE RA 14	0.00002	1.51	10000	250	Totale	Si
0.906	SLE RA 2	0	1.51	10000	350	Variabile	Si
0.906	SLE RA 17	0	1.51	10000	350	Variabile	Si
0.906	SLE RA 16	-0.00001	1.51	10000	350	Variabile	Si
0.906	SLE RA 15	0	1.51	10000	350	Variabile	Si
0.906	SLE RA 14	-0.00001	1.51	10000	350	Variabile	Si

Superelemento in acciaio a quota "640" (142; 872)-(251; 769)

Caratteristiche del materiale

Acciaio: S275, fyk = 275000

Caratteristiche geometriche

Lunghezza: 1.5

Nodo iniziale: 844 Nodo finale: 821

Cerniera iniziale: Mmomenti 1% Cerniera finale: Mmomenti 1%

Sovraresistenza: 0% Sisma Z: No

Caratteristiche della sezione

Sezione	Rotazione	Area	Jx	Jy	ix	iy	Wx	Wy	Wplx	Wply
A1; L100*10; 1; Saldato; S275; 30; 1; 8; 8; 1	180	0.003832	0.0000035319	0.000007759	0.0304	0.045	0.0000492	0.0000739	0.00008974	0.00012727

Comportamento dei calastrelli

Accoppiamento imbottito con funzione statica (§C4.2.4.1.3.1.4 NTC18) nella campata compresa tra le ascisse 0 e 1.5 per sbandamento attorno all'asse y.

**Implementazione dei sistemi di confinamento delle emissioni odorigene diffuse dell'impianto di compostaggio esistente nel
Comune di Eboli (SA)
PROGETTO DEFINITIVO – Tabulati di calcolo Tomo 1**

Verifiche di resistenza

Verifiche a forza assiale §4.2.4.1.2.1 - §4.2.4.1.2.2 NTC18

X	Comb.	Sfruttamento	Classe	NEd	Nc,Rd	Nt,Rd	Riduzione da taglio	px	py	Verifica
0.9	SLU 75	0.06		60.316		1003.522	1	0	0	Si

Verifiche a forza assiale SLD §4.2.4.1.2.1 - §4.2.4.1.2.2 NTC18

X	Comb.	Sfruttamento	Classe	NEd	Nc,Rd	Nt,Rd	Riduzione da taglio	px	py	Verifica
1.5	SLD 16	0.014		13.569		1003.522	1	0	0	Si

Verifica a taglio Y §4.2.4.1.2.4 NTC18

X	Comb.	Sfruttamento	VEd	Vc,Rd	Av	Interazione taglio-torsione	Riduzione torsione	Verifica
0	SLU 75	0.001	-0.294	302.422	0.002	Non considerata		Si

Verifica a taglio Y SLD §4.2.4.1.2.4 NTC18

X	Comb.	Sfruttamento	VEd	Vc,Rd	Av	Interazione taglio-torsione	Riduzione torsione	Verifica
0	SLD 16	0.001	-0.226	302.422	0.002	Non considerata		Si

Verifica a presso/tenso flessione retta X §§ 4.2.4.1.2.3 - 4.2.4.1.2.6 - 4.2.4.1.2.7 - 4.2.4.1.2.8 NTC18

Verifiche eseguite utilizzando la formula conservativa (6.2) §6.2.1 EN 1993-1-1:2005.

X	Comb.	Sfruttamento	Classe	NEd	NRd	Rid. NRd da VEd	Mx,Ed	Mx,Rd	Rid. Mx,Rd da VEd	Rid. Mx,Rd da NEd	px	py	Verifica
0.75	SLU 75	0.065	1	60.316	1003.522	1	0.1104	23.5037	1		0	0	Si

Verifica a presso/tenso flessione retta Y §§ 4.2.4.1.2.3 - 4.2.4.1.2.6 - 4.2.4.1.2.7 - 4.2.4.1.2.8 NTC18

Verifiche eseguite utilizzando la formula conservativa (6.2) §6.2.1 EN 1993-1-1:2005.

X	Comb.	Sfruttamento	Classe	NEd	NRd	Rid. NRd da VEd	My,Ed	My,Rd	Rid. My,Rd da VEd	Rid. My,Rd da NEd	px	py	Verifica
1.5	SLU 4	0.022	3	-18.904	1003.522	1	-0.0576	19.3536	1		0	0	Si

Verifica a presso/tenso flessione retta Y SLD §§ 4.2.4.1.2.3 - 4.2.4.1.2.6 - 4.2.4.1.2.7 - 4.2.4.1.2.8 NTC18

Verifiche eseguite utilizzando la formula conservativa (6.2) §6.2.1 EN 1993-1-1:2005.

X	Comb.	Sfruttamento	Classe	NEd	NRd	Rid. NRd da VEd	My,Ed	My,Rd	Rid. My,Rd da VEd	Rid. My,Rd da NEd	px	py	Verifica
1.5	SLD 16	0.015	1	13.569	1003.522	1	-0.0633	33.3316	1		0	0	Si

Verifica a presso/tenso flessione deviata §§ 4.2.4.1.2.3 - 4.2.4.1.2.6 - 4.2.4.1.2.7 - 4.2.4.1.2.8 NTC18

Verifiche eseguite utilizzando la formula conservativa (6.2) §6.2.1 EN 1993-1-1:2005.

X	Comb.	Sfruttamento	Classe	NEd	NRd	Rid. NRd da VEd	Mx,Ed	Mx,Rd	My,Ed	My,Rd	Rid. Mx,Rd da VEd	Rid. Mx,Rd da NEd	Rid. My,Rd da VEd	Rid. My,Rd da NEd	α	β	px	py	Verifica
0.75	SLU 42	0.028	3	-17.259	1003.522	1	0.1091	12.886	-0.0525	19.3536	1		1				0	0	Si

Verifica a presso/tenso flessione deviata SLD §§ 4.2.4.1.2.3 - 4.2.4.1.2.6 - 4.2.4.1.2.7 - 4.2.4.1.2.8 NTC18

Verifiche eseguite utilizzando la formula conservativa (6.2) §6.2.1 EN 1993-1-1:2005.

X	Comb.	Sfruttamento	Classe	NEd	NRd	Rid. NRd da VEd	Mx,Ed	Mx,Rd	My,Ed	My,Rd	Rid. Mx,Rd da VEd	Rid. Mx,Rd da NEd	Rid. My,Rd da VEd	Rid. My,Rd da NEd	α	β	px	py	Verifica
0.85	SLD 16	0.018	1	13.569	1003.522	1	0.0828	23.5037	-0.0271	33.3316	1		1				0	0	Si

Verifiche ad instabilità

Caratteristiche iniziali

Membratura principale per controllo snellezza; Calcolo di snellezze ed N critici condotti secondo gli assi principali;

Curva X: c; Curva Y: c;

Svergolamento: Nessuno; la verifica a instabilità flesso-torsionale (svergolamento) non verrà eseguita.

Dati per instabilità attorno a x

Controllo della snellezza secondo §4.2.4.1.3.1 NTC18

Numero rit.	Presente	Ascissa	Campata	βx/m	Vincolo a entrambi estremi	λx/m	λVer
1	Si	0					
			1-2		1	49.4	Si, (<200)
2	Si	1.5					

Dati per instabilità attorno a y

Controllo della snellezza secondo §4.2.4.1.3.1 NTC18

Numero rit.	Presente	Ascissa	Campata	βy/n	k,LT	kw,LT	Vincolo a entrambi estremi
1	Si	0					
			1-2		1	34.8	Si, (<200)
2	Si	1.5					

Verifica di stabilità per pressoflessione §C.4.2.4.1.3.3.1 NTC18

X	Comb.	Sfruttamento	Classe	NEd	MxEq,Ed	MyEq,Ed	Area	Wx	Wy	χ,min	λ adim. x/m	λ adim. y/n	N,crit x/m	N,crit y/n	Verifica
0.75	SLU 4	0.032	3	-18.904	0.0722	-0.0575	0.003832	0.0000492	0.0000739	0.804	0.569	0.4	3253.47	6569.993	Si

Verifiche a deformabilità

Mensola X: No; Mensola Y: No.

Freccie lungo X

Ascissa freccia	Combinazione	Freccia	Luce	L/f	L/f,min	Tipo	Verifica
0.95	SLE RA 1	0	1.5	10000	250	Totale	Si
1.05	SLE RA 17	0	1.5	10000	250	Totale	Si
1.15	SLE RA 16	0	1.5	10000	250	Totale	Si
0.9	SLE RA 15	0	1.5	10000	250	Totale	Si
0.5	SLE RA 14	0	1.5	10000	250	Totale	Si
0.5	SLE RA 2	0	1.5	10000	350	Variabile	Si
0.5	SLE RA 17	0	1.5	10000	350	Variabile	Si
0.5	SLE RA 16	0	1.5	10000	350	Variabile	Si
0.85	SLE RA 15	0	1.5	10000	350	Variabile	Si
0.65	SLE RA 14	0	1.5	10000	350	Variabile	Si

Implementazione dei sistemi di confinamento delle emissioni odorigene diffuse dell'impianto di compostaggio esistente nel
Comune di Eboli (SA)
PROGETTO DEFINITIVO – Tabulati di calcolo Tomo 1

Frecce lungo Y

Ascissa freccia	Combinazione	Freccia	Luce	L/f	L/f,min	Tipo	Verifica
0.75	SLE RA 1	0.00003	1.5	10000	250	Totale	Si
0.75	SLE RA 17	0.00003	1.5	10000	250	Totale	Si
0.75	SLE RA 16	0.00003	1.5	10000	250	Totale	Si
0.75	SLE RA 15	0.00003	1.5	10000	250	Totale	Si
0.75	SLE RA 14	0.00003	1.5	10000	250	Totale	Si
0.8	SLE RA 2	0	1.5	10000	350	Variabile	Si
0.85	SLE RA 17	0	1.5	10000	350	Variabile	Si
0.85	SLE RA 16	0	1.5	10000	350	Variabile	Si
0.75	SLE RA 15	0	1.5	10000	350	Variabile	Si
0.85	SLE RA 14	0	1.5	10000	350	Variabile	Si

Superelemento in acciaio a quota "640" (182; 1351)-(292; 1248)

Caratteristiche del materiale

Acciaio: S275, fyk = 275000

Caratteristiche geometriche

Lunghezza: 1.5

Nodo iniziale: 936 Nodo finale: 921

Cerniera iniziale: Mmomenti 1% Cerniera finale: Mmomenti 1%

Sovreresistenza: 0% Sisma Z: No

Caratteristiche della sezione

Sezione	Rotazione	Area	Jx	Jy	ix	iy	Wx	Wy	Wplx	Wply
A1; L100*10; 1; Saldato; S275; 30; 1; 8; 8; 1	180	0.003832	0.0000035319	0.000007759	0.0304	0.045	0.0000492	0.0000739	0.00008974	0.00012727

Comportamento dei calastrelli

Accoppiamento imbottito con funzione statica (§C4.2.4.1.3.1.4 NTC18) nella campata compresa tra le ascisse 0 e 1.5 per sbandamento attorno all'asse y.

Verifiche di resistenza

Verifiche a forza assiale §4.2.4.1.2.1 - §4.2.4.1.2.2 NTC18

X	Comb.	Sfruttamento	Classe	NEd	Nc,Rd	Nt,Rd	Riduzione da taglio	px	py	Verifica
0	SLU 76	0.165		165.688		1003.522	1	0	0	Si

Verifiche a forza assiale SLD §4.2.4.1.2.1 - §4.2.4.1.2.2 NTC18

X	Comb.	Sfruttamento	Classe	NEd	Nc,Rd	Nt,Rd	Riduzione da taglio	px	py	Verifica
1.5	SLD 16	0.068		68.026		1003.522	1	0	0	Si

Verifica a taglio Y §4.2.4.1.2.4 NTC18

X	Comb.	Sfruttamento	VEd	Vc,Rd	Av	Interazione taglio-torsione	Riduzione torsione	Verifica
1.5	SLU 76	0.001	0.296	302.422	0.002	Non considerata		Si

Verifica a taglio Y SLD §4.2.4.1.2.4 NTC18

X	Comb.	Sfruttamento	VEd	Vc,Rd	Av	Interazione taglio-torsione	Riduzione torsione	Verifica
1.5	SLD 16	0.001	0.226	302.422	0.002	Non considerata		Si

Verifica a presso/tenso flessione retta X §§ 4.2.4.1.2.3 - 4.2.4.1.2.6 - 4.2.4.1.2.7 - 4.2.4.1.2.8 NTC18

Verifiche eseguite utilizzando la formula conservativa (6.2) §6.2.1 EN 1993-1-1:2005.

X	Comb.	Sfruttamento	Classe	NEd	NRd	Rid. NRd da VEd	Mx,Ed	Mx,Rd	Rid. Mx,Rd da VEd	Rid. Mx,Rd da NEd	px	py	Verifica
0.75	SLU 76	0.17	1	165.688	1003.522	1	0.1108	23.5037	1		0	0	Si

Verifica a presso/tenso flessione retta Y §§ 4.2.4.1.2.3 - 4.2.4.1.2.6 - 4.2.4.1.2.7 - 4.2.4.1.2.8 NTC18

Verifiche eseguite utilizzando la formula conservativa (6.2) §6.2.1 EN 1993-1-1:2005.

X	Comb.	Sfruttamento	Classe	NEd	NRd	Rid. NRd da VEd	My,Ed	My,Rd	Rid. My,Rd da VEd	Rid. My,Rd da NEd	px	py	Verifica
0	SLU 76	0.166	1	165.688	1003.522	1	-0.0146	33.3316	1		0	0	Si

Verifica a presso/tenso flessione retta Y SLD §§ 4.2.4.1.2.3 - 4.2.4.1.2.6 - 4.2.4.1.2.7 - 4.2.4.1.2.8 NTC18

Verifiche eseguite utilizzando la formula conservativa (6.2) §6.2.1 EN 1993-1-1:2005.

X	Comb.	Sfruttamento	Classe	NEd	NRd	Rid. NRd da VEd	My,Ed	My,Rd	Rid. My,Rd da VEd	Rid. My,Rd da NEd	px	py	Verifica
1.5	SLD 16	0.069	1	68.026	1003.522	1	-0.0308	33.3316	1		0	0	Si

Verifica a presso/tenso flessione deviata §§ 4.2.4.1.2.3 - 4.2.4.1.2.6 - 4.2.4.1.2.7 - 4.2.4.1.2.8 NTC18

Verifiche eseguite utilizzando la formula conservativa (6.2) §6.2.1 EN 1993-1-1:2005.

X	Comb.	Sfruttamento	Classe	NEd	NRd	Rid. NRd da VEd	Mx,Ed	Mx,Rd	My,Ed	My,Rd	Rid. Mx,Rd da VEd	Rid. Mx,Rd da NEd	Rid. My,Rd da VEd	Rid. My,Rd da NEd	α	β	px	py	Verifica
0.5	SLU 76	0.17	1	165.688	1003.522	1	0.0992	23.5037	-0.0075	33.3316	1		1				0	0	Si

Verifica a presso/tenso flessione deviata SLD §§ 4.2.4.1.2.3 - 4.2.4.1.2.6 - 4.2.4.1.2.7 - 4.2.4.1.2.8 NTC18

Verifiche eseguite utilizzando la formula conservativa (6.2) §6.2.1 EN 1993-1-1:2005.

X	Comb.	Sfruttamento	Classe	NEd	NRd	Rid. NRd da VEd	Mx,Ed	Mx,Rd	My,Ed	My,Rd	Rid. Mx,Rd da VEd	Rid. Mx,Rd da NEd	Rid. My,Rd da VEd	Rid. My,Rd da NEd	α	β	px	py	Verifica
0.75	SLD 15	0.072	1	68.026	1003.522	1	0.0846	23.5037	-0.0257	33.3316	1		1				0	0	Si

Implementazione dei sistemi di confinamento delle emissioni odorigene diffuse dell'impianto di compostaggio esistente nel
Comune di Eboli (SA)
PROGETTO DEFINITIVO – Tabulati di calcolo Tomo 1

Verifiche ad instabilità

Caratteristiche iniziali

Membratura principale per controllo snellezza; Calcolo di snellezze ed N critici condotti secondo gli assi principali;
Curva X: c; Curva Y: c;
Svergolamento: Nessuno; la verifica a instabilità flesso-torsionale (svergolamento) non verrà eseguita.

Dati per instabilità attorno a x

Controllo della snellezza secondo §4.2.4.1.3.1 NTC18

Numero rit.	Presente	Ascissa	Campata	βx/m	Vincolo a entrambi estremi	λx/m	λVer
1	Si	0					
			1-2	1	Si	49.4	Si, (<200)
2	Si	1.5					

Dati per instabilità attorno a y

Controllo della snellezza secondo §4.2.4.1.3.1 NTC18

Numero rit.	Presente	Ascissa	Campata	βy/n	k,LT	kw,LT	Vincolo a entrambi estremi
1	Si	0					
			1-2	1	Si	34.8	Si, (<200)
2	Si	1.5					

Verifica di stabilità per pressoflessione §C.4.2.4.1.3.3.1 NTC18

X	Comb.	Sfruttamento	Classe	NEd	MxEq,Ed	MyEq,Ed	Area	Wx	Wy	χ,min	λ adim. x/m	λ adim. y/n	N,crit x/m	N,crit y/n	Verifica
0	SLU 2	0.045	3	-28.939	0.072	0.0683	0.003832	0.0000492	0.0000739	0.804	0.569	0.4	3253.47	6569.993	Si

Verifiche a deformabilità

Mensola X: No; Mensola Y: No.

Frecce lungo X

Ascissa freccia	Combinazione	Freccia	Luce	L/f	L/f,min	Tipo	Verifica
0.5	SLE RA 1	0	1.5	10000	250	Totale	Si
0.5	SLE RA 17	0	1.5	10000	250	Totale	Si
0.55	SLE RA 16	0	1.5	10000	250	Totale	Si
0.5	SLE RA 15	0	1.5	10000	250	Totale	Si
0.55	SLE RA 14	0	1.5	10000	250	Totale	Si
0.55	SLE RA 2	0	1.5	10000	350	Variabile	Si
0.55	SLE RA 17	0	1.5	10000	350	Variabile	Si
0.55	SLE RA 16	0	1.5	10000	350	Variabile	Si
0.5	SLE RA 15	0	1.5	10000	350	Variabile	Si
0.65	SLE RA 14	0	1.5	10000	350	Variabile	Si

Frecce lungo Y

Ascissa freccia	Combinazione	Freccia	Luce	L/f	L/f,min	Tipo	Verifica
0.75	SLE RA 1	0.00003	1.5	10000	250	Totale	Si
0.75	SLE RA 17	0.00003	1.5	10000	250	Totale	Si
0.75	SLE RA 16	0.00003	1.5	10000	250	Totale	Si
0.75	SLE RA 15	0.00003	1.5	10000	250	Totale	Si
0.75	SLE RA 14	0.00003	1.5	10000	250	Totale	Si
0.65	SLE RA 2	0	1.5	10000	350	Variabile	Si
0.65	SLE RA 17	0	1.5	10000	350	Variabile	Si
0.65	SLE RA 16	0	1.5	10000	350	Variabile	Si
0.6	SLE RA 15	0	1.5	10000	350	Variabile	Si
0.65	SLE RA 14	0	1.5	10000	350	Variabile	Si

Superelemento in acciaio a quota "640" (218; 1826)-(328; 1723)

Caratteristiche del materiale

Acciaio: S275, fyk = 275000

Caratteristiche geometriche

Lunghezza: 1.5

Nodo iniziale: 1029 Nodo finale: 1010

Cerniera iniziale: Mmomenti 1% Cerniera finale: Mmomenti 1%

Sovraresistenza: 0% Sisma Z: No

Caratteristiche della sezione

Sezione	Rotazione	Area	Jx	Jy	ix	iy	Wx	Wy	Wplx	Wply
A1; L100*10; 1; Saldato; S275; 30; 1; 8; 8; 1	180	0.003832	0.0000035319	0.000007759	0.0304	0.045	0.0000492	0.0000739	0.00008974	0.00012727

Comportamento dei calastrelli

Accoppiamento imbottito con funzione statica (§C4.2.4.1.3.1.4 NTC18) nella campata compresa tra le ascisse 0 e 1.5 per sbandamento attorno all'asse y.

Verifiche di resistenza

Verifiche a forza assiale §4.2.4.1.2.1 - §4.2.4.1.2.2 NTC18

X	Comb.	Sfruttamento	Classe	NEd	Nc,Rd	Nt,Rd	Riduzione da taglio	px	py	Verifica
0.7	SLU 76	0.147		147.383		1003.522	1	0	0	Si

Verifiche a forza assiale SLD §4.2.4.1.2.1 - §4.2.4.1.2.2 NTC18

X	Comb.	Sfruttamento	Classe	NEd	Nc,Rd	Nt,Rd	Riduzione da taglio	px	py	Verifica
1.45	SLD 14	0.049		49.42		1003.522	1	0	0	Si

Implementazione dei sistemi di confinamento delle emissioni odorigene diffuse dell'impianto di compostaggio esistente nel
Comune di Eboli (SA)
PROGETTO DEFINITIVO – Tabulati di calcolo Tomo 1

Verifica a taglio Y §4.2.4.1.2.4 NTC18

X	Comb.	Sfruttamento	VEd	Vc,Rd	Av	Interazione taglio-torsione	Riduzione torsione	Verifica
0	SLU 42	0.001	-0.293	302.422	0.002	Non considerata		Si

Verifica a taglio Y SLD §4.2.4.1.2.4 NTC18

X	Comb.	Sfruttamento	VEd	Vc,Rd	Av	Interazione taglio-torsione	Riduzione torsione	Verifica
0	SLD 8	0.001	-0.226	302.422	0.002	Non considerata		Si

Verifica a presso/tenso flessione retta X §§ 4.2.4.1.2.3 - 4.2.4.1.2.6 - 4.2.4.1.2.7 - 4.2.4.1.2.8 NTC18

Verifiche eseguite utilizzando la formula conservativa (6.2) §6.2.1 EN 1993-1-1:2005.

X	Comb.	Sfruttamento	Classe	NEd	NRd	Rid. NRd da VEd	Mx,Ed	Mx,Rd	Rid. Mx,Rd da VEd	Rid. Mx,Rd da NEd	px	py	Verifica
0.75	SLU 76	0.152	1	147.383	1003.522	1	0.1119	23.5037	1		0	0	Si

Verifica a presso/tenso flessione retta X SLD §§ 4.2.4.1.2.3 - 4.2.4.1.2.6 - 4.2.4.1.2.7 - 4.2.4.1.2.8 NTC18

Verifiche eseguite utilizzando la formula conservativa (6.2) §6.2.1 EN 1993-1-1:2005.

X	Comb.	Sfruttamento	Classe	NEd	NRd	Rid. NRd da VEd	Mx,Ed	Mx,Rd	Rid. Mx,Rd da VEd	Rid. Mx,Rd da NEd	px	py	Verifica
0.75	SLD 13	0.053	1	49.42	1003.522	1	0.085	23.5037	1		0	0	Si

Verifica a presso/tenso flessione retta Y §§ 4.2.4.1.2.3 - 4.2.4.1.2.6 - 4.2.4.1.2.7 - 4.2.4.1.2.8 NTC18

Verifiche eseguite utilizzando la formula conservativa (6.2) §6.2.1 EN 1993-1-1:2005.

X	Comb.	Sfruttamento	Classe	NEd	NRd	Rid. NRd da VEd	My,Ed	My,Rd	Rid. My,Rd da VEd	Rid. My,Rd da NEd	px	py	Verifica
1.5	SLV 14	0.054	1	53.097	1003.522	1	-0.0232	33.3316	1		0	0	Si

Verifica a presso/tenso flessione retta Y SLD §§ 4.2.4.1.2.3 - 4.2.4.1.2.6 - 4.2.4.1.2.7 - 4.2.4.1.2.8 NTC18

Verifiche eseguite utilizzando la formula conservativa (6.2) §6.2.1 EN 1993-1-1:2005.

X	Comb.	Sfruttamento	Classe	NEd	NRd	Rid. NRd da VEd	My,Ed	My,Rd	Rid. My,Rd da VEd	Rid. My,Rd da NEd	px	py	Verifica
1.5	SLD 14	0.05	1	49.42	1003.522	1	-0.0093	33.3316	1		0	0	Si

Verifica a presso/tenso flessione deviata §§ 4.2.4.1.2.3 - 4.2.4.1.2.6 - 4.2.4.1.2.7 - 4.2.4.1.2.8 NTC18

Verifiche eseguite utilizzando la formula conservativa (6.2) §6.2.1 EN 1993-1-1:2005.

X	Comb.	Sfruttamento	Classe	NEd	NRd	Rid. NRd da VEd	Mx,Ed	Mx,Rd	My,Ed	My,Rd	Rid. Mx,Rd da VEd	Rid. Mx,Rd da NEd	Rid. My,Rd da VEd	Rid. My,Rd da NEd	α	β	px	py	Verifica
0.8	SLV 14	0.057	1	53.097	1003.522	1	0.0847	23.5037	0.0186	33.3316	1		1				0	0	Si

Verifica a presso/tenso flessione deviata SLD §§ 4.2.4.1.2.3 - 4.2.4.1.2.6 - 4.2.4.1.2.7 - 4.2.4.1.2.8 NTC18

Verifiche eseguite utilizzando la formula conservativa (6.2) §6.2.1 EN 1993-1-1:2005.

X	Comb.	Sfruttamento	Classe	NEd	NRd	Rid. NRd da VEd	Mx,Ed	Mx,Rd	My,Ed	My,Rd	Rid. Mx,Rd da VEd	Rid. Mx,Rd da NEd	Rid. My,Rd da VEd	Rid. My,Rd da NEd	α	β	px	py	Verifica
0.8	SLD 13	0.053	1	49.42	1003.522	1	0.0846	23.5037	0.0074	33.3316	1		1				0	0	Si

Verifiche ad instabilità

Caratteristiche iniziali

Membratura principale per controllo snellezza; Calcolo di snellezze ed N critici condotti secondo gli assi principali;

Curva X: c; Curva Y: c;

Svergolamento: Nessuno; la verifica a instabilità flesso-torsionale (svergolamento) non verrà eseguita.

Dati per instabilità attorno a x

Controllo della snellezza secondo §4.2.4.1.3.1 NTC18

Numero rit.	Presente	Ascissa	Campata	βx/m	Vincolo a entrambi estremi	λx/m	λVer
1	Si	0					
			1-2		1	49.4	Si, (<200)
2	Si	1.5					

Dati per instabilità attorno a y

Controllo della snellezza secondo §4.2.4.1.3.1 NTC18

Numero rit.	Presente	Ascissa	Campata	βy/n	k,LT	kw,LT	Vincolo a entrambi estremi
1	Si	0					
			1-2		1	34.8	Si, (<200)
2	Si	1.5					

Verifica di stabilità per pressoflessione §C.4.2.4.1.3.3.1 NTC18

X	Comb.	Sfruttamento	Classe	NEd	MxEq,Ed	MyEq,Ed	Area	Wx	Wy	χ,min	λ adim. x/m	λ adim. y/n	N,crit x/m	N,crit y/n	Verifica
0	SLU 2	0.037	3	-22.646	0.072	-0.0685	0.003832	0.0000492	0.0000739	0.804	0.569	0.4	3253.47	6569.993	Si

Verifiche a deformabilità

Mensola X: No; Mensola Y: No.

Frecce lungo X

Ascissa freccia	Combinazione	Freccia	Luce	L/f	L/f,min	Tipo	Verifica
0.55	SLE RA 1	0	1.5	10000	250	Totale	Si
1.1	SLE RA 17	0	1.5	10000	250	Totale	Si
0.9	SLE RA 16	0	1.5	10000	250	Totale	Si
0.9	SLE RA 15	0	1.5	10000	250	Totale	Si
1.05	SLE RA 14	0	1.5	10000	250	Totale	Si
0.75	SLE RA 2	0	1.5	10000	350	Variabile	Si
0.75	SLE RA 17	0	1.5	10000	350	Variabile	Si
0.75	SLE RA 16	0	1.5	10000	350	Variabile	Si
0.8	SLE RA 15	0	1.5	10000	350	Variabile	Si
0.7	SLE RA 14	0	1.5	10000	350	Variabile	Si

Frecce lungo Y

Ascissa freccia	Combinazione	Freccia	Luce	L/f	L/f,min	Tipo	Verifica
0.75	SLE RA 1	0.00003	1.5	10000	250	Totale	Si
0.75	SLE RA 17	0.00003	1.5	10000	250	Totale	Si
0.75	SLE RA 16	0.00003	1.5	10000	250	Totale	Si

Implementazione dei sistemi di confinamento delle emissioni odorigene diffuse dell'impianto di compostaggio esistente nel
Comune di Eboli (SA)
PROGETTO DEFINITIVO – Tabulati di calcolo Tomo 1

Ascissa freccia	Combinazione	Freccia	Luce	L/f	L/f,min	Tipo	Verifica
0.75	SLE RA 15	0.00003	1.5	10000	250	Totale	Si
0.75	SLE RA 14	0.00003	1.5	10000	250	Totale	Si
0.75	SLE RA 2	0	1.5	10000	350	Variabile	Si
0.75	SLE RA 17	0	1.5	10000	350	Variabile	Si
0.75	SLE RA 16	0	1.5	10000	350	Variabile	Si
0.75	SLE RA 15	0	1.5	10000	350	Variabile	Si
0.75	SLE RA 14	0	1.5	10000	350	Variabile	Si

Superelemento in acciaio a quota "640" (221; 299)-(348; 433)

Caratteristiche del materiale

Acciaio: S275, fyk = 275000

Caratteristiche geometriche

Lunghezza: 1.85

Nodo iniziale: 728 Nodo finale: 753

Cerniera iniziale: No Cerniera finale: No

Sovraresistenza: 0% Sisma Z: No

Caratteristiche della sezione

Sezione	Rotazione	Area	Jx	Jy	ix	iy	Wx	Wy	Wplx	Wply
HEA120	0	0.002537	0.0000060673	0.0000023091	0.0489	0.0302	0.00010644	0.00003849	0.00011962	0.00005887

Verifiche di resistenza

Verifiche a forza assiale §4.2.4.1.2.1 - §4.2.4.1.2.2 NTC18

X	Comb.	Sfruttamento	Classe	NEd	Nc,Rd	Nt,Rd	Riduzione da taglio	px	py	Verifica
1.85	SLU 75	0.084	1	-55.865	664.325		1	0	0	Si

Verifiche a forza assiale SLD §4.2.4.1.2.1 - §4.2.4.1.2.2 NTC18

X	Comb.	Sfruttamento	Classe	NEd	Nc,Rd	Nt,Rd	Riduzione da taglio	px	py	Verifica
1.85	SLD 10	0.033	1	-21.993	664.325		1	0	0	Si

Verifica a taglio Y §4.2.4.1.2.4 NTC18

X	Comb.	Sfruttamento	VEd	Vc,Rd	Av	Interazione taglio-torsione	Riduzione torsione	Verifica
0	SLV 6	0.006	0.724	128.109	0.000849	Considerata	1	Si

Verifica a taglio Y SLD §4.2.4.1.2.4 NTC18

X	Comb.	Sfruttamento	VEd	Vc,Rd	Av	Interazione taglio-torsione	Riduzione torsione	Verifica
0	SLD 5	0.003	0.431	128.21	0.000849	Considerata	1	Si

Verifica a torsione §4.2.4.1.2.5 NTC18

X	Comb.	Sfruttamento torsione	TEd	TRd	Riduzione taglio resistente	Sfruttamento taglio-torsione	rEd,totale	rRd	Verifica
0.123	SLV 8	0.021	0.01782	0.85138	Considerata				Si

Verifica a torsione SLD §4.2.4.1.2.5 NTC18

X	Comb.	Sfruttamento torsione	TEd	TRd	Riduzione taglio resistente	Sfruttamento taglio-torsione	rEd,totale	rRd	Verifica
1.85	SLD 7	0.011	0.00898	0.85138	Considerata				Si

Verifica a presso/tenso flessione retta X §§ 4.2.4.1.2.3 - 4.2.4.1.2.6 - 4.2.4.1.2.7 - 4.2.4.1.2.8 NTC18

Verifiche eseguite utilizzando la formula conservativa (6.2) §6.2.1 EN 1993-1-1:2005.

X	Comb.	Sfruttamento	Classe	NEd	NRd	Rid. NRd da VEd	Mx,Ed	Mx,Rd	Rid. Mx,Rd da VEd	Rid. Mx,Rd da NEd	px	py	Verifica
0	SLV 9	0.07	1	-30.268	664.325	1	0.7746	31.3291	1		0	0	Si

Verifica a presso/tenso flessione retta X SLD §§ 4.2.4.1.2.3 - 4.2.4.1.2.6 - 4.2.4.1.2.7 - 4.2.4.1.2.8 NTC18

Verifiche eseguite utilizzando la formula conservativa (6.2) §6.2.1 EN 1993-1-1:2005.

X	Comb.	Sfruttamento	Classe	NEd	NRd	Rid. NRd da VEd	Mx,Ed	Mx,Rd	Rid. Mx,Rd da VEd	Rid. Mx,Rd da NEd	px	py	Verifica
1.665	SLD 3	0.023	1	-13.956	664.325	1	0.0564	31.3291	1		0	0	Si

Verifica a presso/tenso flessione retta Y §§ 4.2.4.1.2.3 - 4.2.4.1.2.6 - 4.2.4.1.2.7 - 4.2.4.1.2.8 NTC18

Verifiche eseguite utilizzando la formula conservativa (6.2) §6.2.1 EN 1993-1-1:2005.

X	Comb.	Sfruttamento	Classe	NEd	NRd	Rid. NRd da VEd	My,Ed	My,Rd	Rid. My,Rd da VEd	Rid. My,Rd da NEd	px	py	Verifica
0.863	SLU 57	0.051	1	-31.419	664.325	1	-0.063	15.4191	1		0	0	Si

Verifica a presso/tenso flessione retta Y SLD §§ 4.2.4.1.2.3 - 4.2.4.1.2.6 - 4.2.4.1.2.7 - 4.2.4.1.2.8 NTC18

Verifiche eseguite utilizzando la formula conservativa (6.2) §6.2.1 EN 1993-1-1:2005.

X	Comb.	Sfruttamento	Classe	NEd	NRd	Rid. NRd da VEd	My,Ed	My,Rd	Rid. My,Rd da VEd	Rid. My,Rd da NEd	px	py	Verifica
0.062	SLD 13	0.035	1	-21.818	664.325	1	-0.0302	15.4191	1		0	0	Si

Verifica a presso/tenso flessione deviata §§ 4.2.4.1.2.3 - 4.2.4.1.2.6 - 4.2.4.1.2.7 - 4.2.4.1.2.8 NTC18

Verifiche eseguite utilizzando la formula conservativa (6.2) §6.2.1 EN 1993-1-1:2005.

X	Comb.	Sfruttamento	Classe	NEd	NRd	Rid. NRd da VEd	Mx,Ed	Mx,Rd	My,Ed	My,Rd	Rid. Mx,Rd da VEd	Rid. Mx,Rd da NEd	Rid. My,Rd da VEd	Rid. My,Rd da NEd	α	β	px	py	Verifica
0	SLU 75	0.11	1	-55.865	664.325	1	0.5053	31.3291	-0.146	15.4191	1		1				0	0	Si

Verifica a presso/tenso flessione deviata SLD §§ 4.2.4.1.2.3 - 4.2.4.1.2.6 - 4.2.4.1.2.7 - 4.2.4.1.2.8 NTC18

Verifiche eseguite utilizzando la formula conservativa (6.2) §6.2.1 EN 1993-1-1:2005.

X	Comb.	Sfruttamento	Classe	NEd	NRd	Rid. NRd da VEd	Mx,Ed	Mx,Rd	My,Ed	My,Rd	Rid. Mx,Rd da VEd	Rid. Mx,Rd da NEd	Rid. My,Rd da VEd	Rid. My,Rd da NEd	α	β	px	py	Verifica
0	SLD 6	0.05	1	-20.214	664.325	1	0.5478	31.3291	-0.0374	15.4191	1		1				0	0	Si

Implementazione dei sistemi di confinamento delle emissioni odorigene diffuse dell'impianto di compostaggio esistente nel
Comune di Eboli (SA)
PROGETTO DEFINITIVO – Tabulati di calcolo Tomo 1

Verifiche ad instabilità

Caratteristiche iniziali

Membratura principale per controllo snellezza; Calcolo di snellezze ed N critici condotti secondo gli assi principali;
Curva X: b; Curva Y: c; Svergolamento: Carico all'estradosso; Curva svergolamento: b;

Dati per instabilità attorno a x

Controllo della snellezza secondo §4.2.4.1.3.1 NTC18

Numero rit.	Presente	Ascissa	Campata	$\beta x/m$	Vincolo a entrambi estremi	$\lambda x/m$	λVer
1	Si	0					
			1-2	1	Si	37.8	Si, (<200)
2	Si	1.85					

Dati per instabilità attorno a y

Controllo della snellezza secondo §4.2.4.1.3.1 NTC18

Numero rit.	Presente	Ascissa	Campata	$\beta y/n$	k,LT	kw,LT	Vincolo a entrambi estremi	$\lambda y/n$	λVer
1	Si	0							
			1-2	1	1	1	Si	61.3	Si, (<200)
2	Si	1.85							

Verifica di stabilità per tenso-flessione deviata §§ 5.5.3-5.5.4 ENV 1993-1-1:1992 + AC:1992 + A1:1994 + A2:1998

X	Comb.	Sfruttamento	Classe	NEd	Mx,Ed	Mx,Eff,Ed	My,Ed	χ_{LT}	kLT	ky	M,critico	Wx	Wy	Verifica
0.863	SLU 4	0.005	1	0.313	-0.14071	-0.1315	-0.00716	0.902	1	1	82.10616	0.0001196	0.0000589	Si

Verifica di stabilità per pressoflessione §C.4.2.4.1.3.3.2 NTC18

X	Comb.	Sfruttamento	Classe	NEd	NRk	Mx,Ed max	Mx,Rk	My,Ed max	My,Rk	χ_x	χ_y	kxx	kxy	kyy	χ_{LT}	Verifica	
0.555	SLU 75	0.14	1	-55.865	697.541	0.50529	32.89552	0.146	16.19002	0.912	0.721	0.537	0.469	0.97	0.782	0.979	Si

Verifica di stabilità per pressoflessione SLD §C.4.2.4.1.3.3.2 NTC18

X	Comb.	Sfruttamento	Classe	NEd	NRk	Mx,Ed max	Mx,Rk	My,Ed max	My,Rk	χ_x	χ_y	kxx	kxy	kyy	χ_{LT}	Verifica	
1.788	SLD 5	0.063	1	-20.214	697.541	0.54777	32.89552	0.04557	16.19002	0.912	0.721	0.547	0.579	0.99	0.964	0.985	Si

Verifica di stabilità a taglio anima Y §4.2.4.1.2.4 [4.2.27] NTC18

η	hw	tw	hw/tw max	Verifica
1.2	0.098	0.005	55.46	Si

Verifica di stabilità a taglio anima Y SLD §4.2.4.1.2.4 [4.2.27] NTC18

η	hw	tw	hw/tw max	Verifica
1.2	0.098	0.005	55.46	Si

Verifiche a deformabilità

Mensola X: No; Mensola Y: No.

Frecce lungo X

Ascissa freccia	Combinazione	Freccia	Luce	L/f	L/f,min	Tipo	Verifica
0.863	SLE RA 1	0.00003	1.85	10000	250	Totale	Si
0.863	SLE RA 17	0.00004	1.85	10000	250	Totale	Si
0.863	SLE RA 16	0.00005	1.85	10000	250	Totale	Si
0.863	SLE RA 15	0.00004	1.85	10000	250	Totale	Si
0.863	SLE RA 14	0.00005	1.85	10000	250	Totale	Si
0.863	SLE RA 2	-0.00002	1.85	10000	350	Variabile	Si
0.863	SLE RA 17	0.00001	1.85	10000	350	Variabile	Si
0.863	SLE RA 16	0.00002	1.85	10000	350	Variabile	Si
0.925	SLE RA 15	0.00001	1.85	10000	350	Variabile	Si
0.863	SLE RA 14	0.00002	1.85	10000	350	Variabile	Si

Frecce lungo Y

Ascissa freccia	Combinazione	Freccia	Luce	L/f	L/f,min	Tipo	Verifica
0.555	SLE RA 1	0.00001	1.85	10000	250	Totale	Si
0.678	SLE RA 17	0.00002	1.85	10000	250	Totale	Si
0.74	SLE RA 16	0.00003	1.85	10000	250	Totale	Si
0.37	SLE RA 15	0	1.85	10000	250	Totale	Si
0.74	SLE RA 14	0.00004	1.85	10000	250	Totale	Si
0.925	SLE RA 2	-0.00002	1.85	10000	350	Variabile	Si
0.925	SLE RA 17	0.00001	1.85	10000	350	Variabile	Si
0.925	SLE RA 16	0.00002	1.85	10000	350	Variabile	Si
0.74	SLE RA 15	-0.00001	1.85	10000	350	Variabile	Si
0.863	SLE RA 14	0.00003	1.85	10000	350	Variabile	Si

Superelemento in acciaio a quota "640" (236; 2064)-(363; 2199)

Caratteristiche del materiale

Acciaio: S275, fyk = 275000

Caratteristiche geometriche

Lunghezza: 1.855

Nodo iniziale: 1083 Nodo finale: 1145

Cerniera iniziale: No Cerniera finale: No

Sovreresistenza: 0% Sisma Z: No

Caratteristiche della sezione

Sezione	Rotazione	Area	Jx	Jy	ix	iy	Wx	Wy	Wplx	Wply
HEA120	0	0.002537	0.0000060673	0.0000023091	0.0489	0.0302	0.00010644	0.00003849	0.00011962	0.00005887

Implementazione dei sistemi di confinamento delle emissioni odorigene diffuse dell'impianto di compostaggio esistente nel
Comune di Eboli (SA)
PROGETTO DEFINITIVO – Tabulati di calcolo Tomo 1

Verifiche di resistenza

Verifiche a forza assiale §4.2.4.1.2.1 - §4.2.4.1.2.2 NTC18

X	Comb.	Sfruttamento	Classe	NEd	Nc,Rd	Nt,Rd	Riduzione da taglio	px	py	Verifica
1.855	SLV 9	0.067		44.651		664.325	1	0	0	Si

Verifiche a forza assiale SLD §4.2.4.1.2.1 - §4.2.4.1.2.2 NTC18

X	Comb.	Sfruttamento	Classe	NEd	Nc,Rd	Nt,Rd	Riduzione da taglio	px	py	Verifica
1.855	SLD 10	0.033		21.972		664.325	1	0	0	Si

Verifica a taglio Y §4.2.4.1.2.4 NTC18

X	Comb.	Sfruttamento	VEd	Vc,Rd	Av	Interazione taglio-torsione	Riduzione torsione	Verifica
1.855	SLV 9	0.008	-0.952	126.773	0.000849	Considerata	0.99	Si

Verifica a taglio Y SLD §4.2.4.1.2.4 NTC18

X	Comb.	Sfruttamento	VEd	Vc,Rd	Av	Interazione taglio-torsione	Riduzione torsione	Verifica
1.855	SLD 9	0.005	-0.613	127.768	0.000849	Considerata	1	Si

Verifica a torsione §4.2.4.1.2.5 NTC18

X	Comb.	Sfruttamento torsione	TEd	TRd	Riduzione taglio resistente	Sfruttamento taglio-torsione	τEd,totale	τRd	Verifica
1.855	SLV 13	0.03	-0.02556	0.85138	Considerata				Si

Verifica a torsione SLD §4.2.4.1.2.5 NTC18

X	Comb.	Sfruttamento torsione	TEd	TRd	Riduzione taglio resistente	Sfruttamento taglio-torsione	τEd,totale	τRd	Verifica
0	SLD 14	0.011	-0.00898	0.85138	Considerata				Si

Verifica a flessione semplice X §§ 4.2.4.1.2.3 - 4.2.4.1.2.6 - 4.2.4.1.2.7 - 4.2.4.1.2.8 NTC18

X	Comb.	Sfruttamento	Classe	Mx,Ed	Mx,Rd	Rid. Mx,Rd da VEd	px	py	Verifica
1.855	SLU 40	0.005	1	0.15719	31.32907	1	0	0	Si

Verifica a flessione semplice Y §§ 4.2.4.1.2.3 - 4.2.4.1.2.6 - 4.2.4.1.2.7 - 4.2.4.1.2.8 NTC18

X	Comb.	Sfruttamento	Classe	My,Ed	My,Rd	Rid. My,Rd da VEd	px	py	Verifica
1.237	SLU 40	0	1	-0.00418	15.41907	1	0	0	Si

Verifica a flessione deviata §§ 4.2.4.1.2.3 - 4.2.4.1.2.6 - 4.2.4.1.2.7 - 4.2.4.1.2.8 NTC18

X	Comb.	Sfruttamento	Classe	Mx,Ed	Mx,Rd	My,Ed	My,Rd	Rid. Mx,Rd da VEd	Rid. My,Rd da VEd	α	β	px	py	Verifica
0.495	SLU 40	0.002	1	-0.0635	31.3291	-0.007	15.4191	1	1			0	0	Si

Verifica a presso/tenso flessione retta X §§ 4.2.4.1.2.3 - 4.2.4.1.2.6 - 4.2.4.1.2.7 - 4.2.4.1.2.8 NTC18

Verifiche eseguite utilizzando la formula conservativa (6.2) §6.2.1 EN 1993-1-1:2005.

X	Comb.	Sfruttamento	Classe	NEd	NRd	Rid. NRd da VEd	Mx,Ed	Mx,Rd	Rid. Mx,Rd da VEd	Rid. Mx,Rd da NEd	px	py	Verifica
1.855	SLU 14	0.031	1	10.728	664.325	1	0.4792	31.3291	1		0	0	Si

Verifica a presso/tenso flessione retta X SLD §§ 4.2.4.1.2.3 - 4.2.4.1.2.6 - 4.2.4.1.2.7 - 4.2.4.1.2.8 NTC18

Verifiche eseguite utilizzando la formula conservativa (6.2) §6.2.1 EN 1993-1-1:2005.

X	Comb.	Sfruttamento	Classe	NEd	NRd	Rid. NRd da VEd	Mx,Ed	Mx,Rd	Rid. Mx,Rd da VEd	Rid. Mx,Rd da NEd	px	py	Verifica
1.67	SLD 2	0.015	1	4.843	664.325	1	0.2371	31.3291	1		0	0	Si

Verifica a presso/tenso flessione retta Y §§ 4.2.4.1.2.3 - 4.2.4.1.2.6 - 4.2.4.1.2.7 - 4.2.4.1.2.8 NTC18

Verifiche eseguite utilizzando la formula conservativa (6.2) §6.2.1 EN 1993-1-1:2005.

X	Comb.	Sfruttamento	Classe	NEd	NRd	Rid. NRd da VEd	My,Ed	My,Rd	Rid. My,Rd da VEd	Rid. My,Rd da NEd	px	py	Verifica
0	SLU 71	0.026	1	15.303	664.325	1	0.05	15.4191	1		0	0	Si

Verifica a presso/tenso flessione retta Y SLD §§ 4.2.4.1.2.3 - 4.2.4.1.2.6 - 4.2.4.1.2.7 - 4.2.4.1.2.8 NTC18

Verifiche eseguite utilizzando la formula conservativa (6.2) §6.2.1 EN 1993-1-1:2005.

X	Comb.	Sfruttamento	Classe	NEd	NRd	Rid. NRd da VEd	My,Ed	My,Rd	Rid. My,Rd da VEd	Rid. My,Rd da NEd	px	py	Verifica
0	SLD 9	0.037	1	21.972	664.325	1	0.0562	15.4191	1		0	0	Si

Verifica a presso/tenso flessione deviata §§ 4.2.4.1.2.3 - 4.2.4.1.2.6 - 4.2.4.1.2.7 - 4.2.4.1.2.8 NTC18

Verifiche eseguite utilizzando la formula conservativa (6.2) §6.2.1 EN 1993-1-1:2005.

X	Comb.	Sfruttamento	Classe	NEd	NRd	Rid. NRd da VEd	Mx,Ed	Mx,Rd	My,Ed	My,Rd	Rid. Mx,Rd da VEd	Rid. Mx,Rd da NEd	Rid. My,Rd da VEd	Rid. My,Rd da NEd	α	β	px	py	Verifica
1.855	SLV 9	0.119	1	44.651	664.325	1	1.4567	31.3291	0.0846	15.4191	1		1				0	0	Si

Verifica a presso/tenso flessione deviata SLD §§ 4.2.4.1.2.3 - 4.2.4.1.2.6 - 4.2.4.1.2.7 - 4.2.4.1.2.8 NTC18

Verifiche eseguite utilizzando la formula conservativa (6.2) §6.2.1 EN 1993-1-1:2005.

X	Comb.	Sfruttamento	Classe	NEd	NRd	Rid. NRd da VEd	Mx,Ed	Mx,Rd	My,Ed	My,Rd	Rid. Mx,Rd da VEd	Rid. Mx,Rd da NEd	Rid. My,Rd da VEd	Rid. My,Rd da NEd	α	β	px	py	Verifica
1.855	SLD 9	0.061	1	21.972	664.325	1	0.8064	31.3291	0.0334	15.4191	1		1				0	0	Si

Verifiche ad instabilità

Caratteristiche iniziali

Membratura principale per controllo snellezza; Calcolo di snellezze ed N critici condotti secondo gli assi principali;

Curva X: b; Curva Y: c; Svergolamento: Carico all'estradosso; Curva svergolamento: b;

Dati per instabilità attorno a x

Controllo della snellezza secondo §4.2.4.1.3.1 NTC18

Numero rit.	Presente	Ascissa	Campata	βx/m	Vincolo a entrambi estremi	λx/m	λVer
1	Si	0					
			1-2		1	Si	37.9
2	Si	1.855					Si, (<200)

Implementazione dei sistemi di confinamento delle emissioni odorigene diffuse dell'impianto di compostaggio esistente nel
Comune di Eboli (SA)

PROGETTO DEFINITIVO – Tabulati di calcolo Tomo 1

Dati per instabilità attorno a y

Controllo della snellezza secondo §4.2.4.1.3.1 NTC18

Numero rit.	Presente	Ascissa	Campata	$\beta y/n$	k,LT	kw,LT	Vincolo a entrambi estremi	$\lambda y/n$	λVer
1	Si	0							
			1-2	1	1	1	Si	61.5	Si, (<200)
2	Si	1.855							

Verifica a svergolamento con trazione §4.2.4.1.3.2 NTC18 § 5.5.3 ENV 1993-1-1:1992 + AC:1992 + A1:1994 + A2:1998

X	Comb.	Sfruttamento	Classe	Obblig.	NEd	Mx,Ed	Mx,Eff,Ed	Mb,Rd,x	χ_{LT}	λ adim. LT	L,LT	M,critico	Verifica
1.855	SLU 43	0.006	1	Si	4.341	0.29961	0.1721	28.24036	0.901	0.634	1.855	81.78455	Si

Verifica a svergolamento con trazione SLD §4.2.4.1.3.2 NTC18 § 5.5.3 ENV 1993-1-1:1992 + AC:1992 + A1:1994 + A2:1998

X	Comb.	Sfruttamento	Classe	Obblig.	NEd	Mx,Ed	Mx,Eff,Ed	Mb,Rd,x	χ_{LT}	λ adim. LT	L,LT	M,critico	Verifica
1.67	SLD 2	0.003	1	Si	4.843	0.23705	0.09479	28.24036	0.901	0.634	1.855	81.78455	Si

Verifica di stabilità per tenso-flessione deviata §§ 5.5.3-5.5.4 ENV 1993-1-1:1992 + AC:1992 + A1:1994 + A2:1998

X	Comb.	Sfruttamento	Classe	NEd	Mx,Ed	Mx,Eff,Ed	My,Ed	χ_{LT}	kLT	ky	M,critico	Wx	Wy	Verifica
1.855	SLU 76	0.011	1	35.341	1.31736	0.2792	0.03242	0.992	1	1	185.78676	0.0001196	0.0000589	Si

Verifica di stabilità per tenso-flessione deviata SLD §§ 5.5.3-5.5.4 ENV 1993-1-1:1992 + AC:1992 + A1:1994 + A2:1998

X	Comb.	Sfruttamento	Classe	NEd	Mx,Ed	Mx,Eff,Ed	My,Ed	χ_{LT}	kLT	ky	M,critico	Wx	Wy	Verifica
1.855	SLD 10	0.008	1	21.972	0.80642	0.16098	0.03341	0.901	1	1	81.78455	0.0001196	0.0000589	Si

Verifica di stabilità per pressoflessione §C.4.2.4.1.3.3.2 NTC18

X	Comb.	Sfruttamento	Classe	NEd	NRk	Mx,Ed max	Mx,Rk	My,Ed max	My,Rk	χ_x	χ_y	kxx	kxy	kyy	χ_{LT}	Verifica	
1.361	SLV 7	0.071	1	-23.361	697.541	0.51373	32.89552	0.06946	16.19002	0.911	0.72	0.758	0.515	0.993	0.859	0.901	Si

Verifica di stabilità per pressoflessione SLD §C.4.2.4.1.3.3.2 NTC18

X	Comb.	Sfruttamento	Classe	NEd	NRk	Mx,Ed max	Mx,Rk	My,Ed max	My,Rk	χ_x	χ_y	kxx	kxy	kyy	χ_{LT}	Verifica	
0	SLD 3	0.006	1	-0.434	697.541	0.14167	32.89552	0.01816	16.19002	0.911	0.72	0.4	0.269	1	0.448	0.901	Si

Verifica di stabilità a taglio anima Y §4.2.4.1.2.4 [4.2.27] NTC18

η	hw	tw	hw/tw max	Verifica
1.2	0.098	0.005	55.46	Si

Verifica di stabilità a taglio anima Y SLD §4.2.4.1.2.4 [4.2.27] NTC18

η	hw	tw	hw/tw max	Verifica
1.2	0.098	0.005	55.46	Si

Verifiche a deformabilità

Mensola X: No; Mensola Y: No.

Frecce lungo X

Ascissa freccia	Combinazione	Freccia	Luce	L/f	L/f,min	Tipo	Verifica
0.866	SLE RA 1	-0.00002	1.855	10000	250	Totale	Si
0.866	SLE RA 17	-0.00002	1.855	10000	250	Totale	Si
0.866	SLE RA 16	-0.00003	1.855	10000	250	Totale	Si
0.866	SLE RA 15	-0.00004	1.855	10000	250	Totale	Si
0.804	SLE RA 14	-0.00002	1.855	10000	250	Totale	Si
0.866	SLE RA 2	0.00002	1.855	10000	350	Variabile	Si
0.866	SLE RA 17	-0.00001	1.855	10000	350	Variabile	Si
0.866	SLE RA 16	-0.00002	1.855	10000	350	Variabile	Si
0.866	SLE RA 15	-0.00002	1.855	10000	350	Variabile	Si
0.618	SLE RA 14	0	1.855	10000	350	Variabile	Si

Frecce lungo Y

Ascissa freccia	Combinazione	Freccia	Luce	L/f	L/f,min	Tipo	Verifica
1.113	SLE RA 1	0.00006	1.855	10000	250	Totale	Si
1.113	SLE RA 17	0.00008	1.855	10000	250	Totale	Si
1.113	SLE RA 16	0.00011	1.855	10000	250	Totale	Si
1.113	SLE RA 15	0.00012	1.855	10000	250	Totale	Si
1.113	SLE RA 14	0.00006	1.855	10000	250	Totale	Si
1.051	SLE RA 2	-0.00005	1.855	10000	350	Variabile	Si
1.051	SLE RA 17	0.00002	1.855	10000	350	Variabile	Si
1.051	SLE RA 16	0.00005	1.855	10000	350	Variabile	Si
1.051	SLE RA 15	0.00007	1.855	10000	350	Variabile	Si
1.051	SLE RA 14	0	1.855	10000	350	Variabile	Si

Superelemento in acciaio a quota "640" (251; 769)-(360; 666)

Caratteristiche del materiale

Acciaio: S275, fyk = 275000

Caratteristiche geometriche

Lunghezza: 1.5

Nodo iniziale: 823 Nodo finale: 803

Cerniera iniziale: Mmomenti 1% Cerniera finale: Mmomenti 1%

Sovraresistenza: 0% Sisma Z: No

Caratteristiche della sezione

Sezione	Rotazione	Area	Jx	Jy	ix	iy	Wx	Wy	Wplx	Wply
A1; L100*10; 1; Saldato; S275; 30; 1; 8; 8; 1	180	0.003832	0.0000035319	0.000007759	0.0304	0.045	0.0000492	0.0000739	0.00008974	0.00012727

Comportamento dei calastrelli

Accoppiamento imbottito con funzione statica (§C4.2.4.1.3.1.4 NTC18) nella campata compresa tra le ascisse 0 e 1.5 per sbandamento attorno all'asse y.

**Implementazione dei sistemi di confinamento delle emissioni odorigene diffuse dell'impianto di compostaggio esistente nel
Comune di Eboli (SA)
PROGETTO DEFINITIVO – Tabulati di calcolo Tomo 1**

Verifiche di resistenza

Verifiche a forza assiale §4.2.4.1.2.1 - §4.2.4.1.2.2 NTC18

X	Comb.	Sfruttamento	Classe	NEd	Nc,Rd	Nt,Rd	Riduzione da taglio	px	py	Verifica
1.5	SLU 75	0.051		50.742		1003.522	1	0	0	Si

Verifiche a forza assiale SLD §4.2.4.1.2.1 - §4.2.4.1.2.2 NTC18

X	Comb.	Sfruttamento	Classe	NEd	Nc,Rd	Nt,Rd	Riduzione da taglio	px	py	Verifica
1.5	SLD 16	0.012		11.698		1003.522	1	0	0	Si

Verifica a taglio X §4.2.4.1.2.4 NTC18

X	Comb.	Sfruttamento	VEd	Vc,Rd	Av	Interazione taglio-torsione	Riduzione torsione	Verifica
0	SLV 1	0.001	-0.205	302.422	0.002	Non considerata		Si

Verifica a taglio Y §4.2.4.1.2.4 NTC18

X	Comb.	Sfruttamento	VEd	Vc,Rd	Av	Interazione taglio-torsione	Riduzione torsione	Verifica
0	SLU 75	0.001	-0.294	302.422	0.002	Non considerata		Si

Verifica a taglio Y SLD §4.2.4.1.2.4 NTC18

X	Comb.	Sfruttamento	VEd	Vc,Rd	Av	Interazione taglio-torsione	Riduzione torsione	Verifica
0	SLD 12	0.001	-0.226	302.422	0.002	Non considerata		Si

Verifica a presso/tenso flessione retta X §§ 4.2.4.1.2.3 - 4.2.4.1.2.6 - 4.2.4.1.2.7 - 4.2.4.1.2.8 NTC18

Verifiche eseguite utilizzando la formula conservativa (6.2) §6.2.1 EN 1993-1-1:2005.

X	Comb.	Sfruttamento	Classe	NEd	NRd	Rid. NRd da VEd	Mx,Ed	Mx,Rd	Rid. Mx,Rd da VEd	Rid. Mx,Rd da NEd	px	py	Verifica
0.75	SLU 75	0.055	1	50.742	1003.522	1	0.1107	23.5037	1		0	0	Si

Verifica a presso/tenso flessione retta X SLD §§ 4.2.4.1.2.3 - 4.2.4.1.2.6 - 4.2.4.1.2.7 - 4.2.4.1.2.8 NTC18

Verifiche eseguite utilizzando la formula conservativa (6.2) §6.2.1 EN 1993-1-1:2005.

X	Comb.	Sfruttamento	Classe	NEd	NRd	Rid. NRd da VEd	Mx,Ed	Mx,Rd	Rid. Mx,Rd da VEd	Rid. Mx,Rd da NEd	px	py	Verifica
0.8	SLD 16	0.015	1	11.698	1003.522	1	0.084	23.5037	1		0	0	Si

Verifica a presso/tenso flessione retta Y §§ 4.2.4.1.2.3 - 4.2.4.1.2.6 - 4.2.4.1.2.7 - 4.2.4.1.2.8 NTC18

Verifiche eseguite utilizzando la formula conservativa (6.2) §6.2.1 EN 1993-1-1:2005.

X	Comb.	Sfruttamento	Classe	NEd	NRd	Rid. NRd da VEd	My,Ed	My,Rd	Rid. My,Rd da VEd	Rid. My,Rd da NEd	px	py	Verifica
0	SLV 16	0.018	1	13.048	1003.522	1	-0.1711	33.3316	1		0	0	Si

Verifica a presso/tenso flessione retta Y SLD §§ 4.2.4.1.2.3 - 4.2.4.1.2.6 - 4.2.4.1.2.7 - 4.2.4.1.2.8 NTC18

Verifiche eseguite utilizzando la formula conservativa (6.2) §6.2.1 EN 1993-1-1:2005.

X	Comb.	Sfruttamento	Classe	NEd	NRd	Rid. NRd da VEd	My,Ed	My,Rd	Rid. My,Rd da VEd	Rid. My,Rd da NEd	px	py	Verifica
0	SLD 15	0.014	1	11.698	1003.522	1	-0.0691	33.3316	1		0	0	Si

Verifica a presso/tenso flessione deviata §§ 4.2.4.1.2.3 - 4.2.4.1.2.6 - 4.2.4.1.2.7 - 4.2.4.1.2.8 NTC18

Verifiche eseguite utilizzando la formula conservativa (6.2) §6.2.1 EN 1993-1-1:2005.

X	Comb.	Sfruttamento	Classe	NEd	NRd	Rid. NRd da VEd	Mx,Ed	Mx,Rd	My,Ed	My,Rd	Rid. Mx,Rd da VEd	Rid. Mx,Rd da NEd	Rid. My,Rd da VEd	Rid. My,Rd da NEd	α	β	px	py	Verifica
0.75	SLU 42	0.024	3	-13.205	1003.522	1	0.109	12.886	-0.0419	19.3536	1		1				0	0	Si

Verifica a presso/tenso flessione deviata SLD §§ 4.2.4.1.2.3 - 4.2.4.1.2.6 - 4.2.4.1.2.7 - 4.2.4.1.2.8 NTC18

Verifiche eseguite utilizzando la formula conservativa (6.2) §6.2.1 EN 1993-1-1:2005.

X	Comb.	Sfruttamento	Classe	NEd	NRd	Rid. NRd da VEd	Mx,Ed	Mx,Rd	My,Ed	My,Rd	Rid. Mx,Rd da VEd	Rid. Mx,Rd da NEd	Rid. My,Rd da VEd	Rid. My,Rd da NEd	α	β	px	py	Verifica
0.55	SLD 16	0.016	1	11.698	1003.522	1	0.0783	23.5037	-0.0243	33.3316	1		1				0	0	Si

Verifiche ad instabilità

Caratteristiche iniziali

Membratura principale per controllo snellezza; Calcolo di snellezze ed N critici condotti secondo gli assi principali;

Curva X: c; Curva Y: c;

Svergolamento: Nessuno; la verifica a instabilità flesso-torsionale (svergolamento) non verrà eseguita.

Dati per instabilità attorno a x

Controllo della snellezza secondo §4.2.4.1.3.1 NTC18

Numero rit.	Presente	Ascissa	Campata	βx/m	Vincolo a entrambi estremi	λx/m	λVer
1	Si	0					
			1-2	1	Si	49.4	Si, (<200)
2	Si	1.5					

Dati per instabilità attorno a y

Controllo della snellezza secondo §4.2.4.1.3.1 NTC18

Numero rit.	Presente	Ascissa	Campata	βy/n	k,LT	kw,LT	Vincolo a entrambi estremi
1	Si	0					
			1-2	1	Si	34.8	Si, (<200)
2	Si	1.5					

Verifica di stabilità per pressoflessione §C.4.2.4.1.3.3.1 NTC18

X	Comb.	Sfruttamento	Classe	NEd	MxEq,Ed	MyEq,Ed	Area	Wx	Wy	x,min	λ adim. x/m	λ adim. y/n	N,crit x/m	N,crit y/n	Verifica
0.75	SLU 4	0.026	3	-14.773	0.0721	-0.0465	0.003832	0.0000492	0.0000739	0.804	0.569	0.4	3253.47	6569.993	Si

Verifiche a deformabilità

Mensola X: No; Mensola Y: No.

Implementazione dei sistemi di confinamento delle emissioni odorigene diffuse dell'impianto di compostaggio esistente nel
Comune di Eboli (SA)
PROGETTO DEFINITIVO – Tabulati di calcolo Tomo 1

Frecce lungo X

Ascissa freccia	Combinazione	Freccia	Luce	L/f	L/f,min	Tipo	Verifica
0.8	SLE RA 1	0	1.5	10000	250	Totale	Si
0.8	SLE RA 17	0	1.5	10000	250	Totale	Si
0.8	SLE RA 16	0	1.5	10000	250	Totale	Si
0.8	SLE RA 15	0	1.5	10000	250	Totale	Si
0.8	SLE RA 14	0	1.5	10000	250	Totale	Si
0.75	SLE RA 2	0	1.5	10000	350	Variabile	Si
0.75	SLE RA 17	0	1.5	10000	350	Variabile	Si
0.75	SLE RA 16	0	1.5	10000	350	Variabile	Si
0.75	SLE RA 15	0	1.5	10000	350	Variabile	Si
0.8	SLE RA 14	0	1.5	10000	350	Variabile	Si

Frecce lungo Y

Ascissa freccia	Combinazione	Freccia	Luce	L/f	L/f,min	Tipo	Verifica
0.75	SLE RA 1	0.00003	1.5	10000	250	Totale	Si
0.75	SLE RA 17	0.00003	1.5	10000	250	Totale	Si
0.75	SLE RA 16	0.00003	1.5	10000	250	Totale	Si
0.75	SLE RA 15	0.00003	1.5	10000	250	Totale	Si
0.75	SLE RA 14	0.00003	1.5	10000	250	Totale	Si
0.8	SLE RA 2	0	1.5	10000	350	Variabile	Si
0.8	SLE RA 17	0	1.5	10000	350	Variabile	Si
0.8	SLE RA 16	0	1.5	10000	350	Variabile	Si
0.55	SLE RA 15	0	1.5	10000	350	Variabile	Si
0.8	SLE RA 14	0	1.5	10000	350	Variabile	Si

Superelemento in acciaio a quota "640" (292; 1248)-(401; 1145)

Caratteristiche del materiale

Acciaio: S275, fyk = 275000

Caratteristiche geometriche

Lunghezza: 1.5

Nodo iniziale: 920 Nodo finale: 900

Cerniera iniziale: Mmomenti 1% Cerniera finale: Mmomenti 1%

Sovreresistenza: 0% Sisma Z: No

Caratteristiche della sezione

Sezione	Rotazione	Area	Jx	Jy	ix	iy	Wx	Wy	Wplx	Wply
A1; L100*10; 1; Saldato; S275; 30; 1; 8; 8; 1	180	0.003832	0.0000035319	0.000007759	0.0304	0.045	0.0000492	0.0000739	0.00008974	0.00012727

Comportamento dei calastrelli

Accoppiamento imbottito con funzione statica (§C4.2.4.1.3.1.4 NTC18) nella campata compresa tra le ascisse 0 e 1.5 per sbandamento attorno all'asse y.

Verifiche di resistenza

Verifiche a forza assiale §4.2.4.1.2.1 - §4.2.4.1.2.2 NTC18

X	Comb.	Sfruttamento	Classe	NEd	Nc,Rd	Nt,Rd	Riduzione da taglio	px	py	Verifica
0.75	SLU 75	0.173		173.475		1003.522	1	0	0	Si

Verifiche a forza assiale SLD §4.2.4.1.2.1 - §4.2.4.1.2.2 NTC18

X	Comb.	Sfruttamento	Classe	NEd	Nc,Rd	Nt,Rd	Riduzione da taglio	px	py	Verifica
1.5	SLD 16	0.069		69.503		1003.522	1	0	0	Si

Verifica a taglio Y §4.2.4.1.2.4 NTC18

X	Comb.	Sfruttamento	VEd	Vc,Rd	Av	Interazione taglio-torsione	Riduzione torsione	Verifica
0	SLU 75	0.001	-0.296	302.422	0.002	Non considerata		Si

Verifica a taglio Y SLD §4.2.4.1.2.4 NTC18

X	Comb.	Sfruttamento	VEd	Vc,Rd	Av	Interazione taglio-torsione	Riduzione torsione	Verifica
0	SLD 16	0.001	-0.226	302.422	0.002	Non considerata		Si

Verifica a presso/tenso flessione retta X §§ 4.2.4.1.2.3 - 4.2.4.1.2.6 - 4.2.4.1.2.7 - 4.2.4.1.2.8 NTC18

Verifiche eseguite utilizzando la formula conservativa (6.2) §6.2.1 EN 1993-1-1:2005.

X	Comb.	Sfruttamento	Classe	NEd	NRd	Rid. NRd da VEd	Mx,Ed	Mx,Rd	Rid. Mx,Rd da VEd	Rid. Mx,Rd da NEd	px	py	Verifica
0.75	SLU 75	0.178	1	173.475	1003.522	1	0.1109	23.5037	1		0	0	Si

Verifica a presso/tenso flessione retta X SLD §§ 4.2.4.1.2.3 - 4.2.4.1.2.6 - 4.2.4.1.2.7 - 4.2.4.1.2.8 NTC18

Verifiche eseguite utilizzando la formula conservativa (6.2) §6.2.1 EN 1993-1-1:2005.

X	Comb.	Sfruttamento	Classe	NEd	NRd	Rid. NRd da VEd	Mx,Ed	Mx,Rd	Rid. Mx,Rd da VEd	Rid. Mx,Rd da NEd	px	py	Verifica
0.85	SLD 16	0.073	1	69.503	1003.522	1	0.0832	23.5037	1		0	0	Si

Verifica a presso/tenso flessione retta Y §§ 4.2.4.1.2.3 - 4.2.4.1.2.6 - 4.2.4.1.2.7 - 4.2.4.1.2.8 NTC18

Verifiche eseguite utilizzando la formula conservativa (6.2) §6.2.1 EN 1993-1-1:2005.

X	Comb.	Sfruttamento	Classe	NEd	NRd	Rid. NRd da VEd	My,Ed	My,Rd	Rid. My,Rd da VEd	Rid. My,Rd da NEd	px	py	Verifica
0	SLV 15	0.094	1	90.758	1003.522	1	-0.1309	33.3316	1		0	0	Si

Verifica a presso/tenso flessione retta Y SLD §§ 4.2.4.1.2.3 - 4.2.4.1.2.6 - 4.2.4.1.2.7 - 4.2.4.1.2.8 NTC18

Verifiche eseguite utilizzando la formula conservativa (6.2) §6.2.1 EN 1993-1-1:2005.

X	Comb.	Sfruttamento	Classe	NEd	NRd	Rid. NRd da VEd	My,Ed	My,Rd	Rid. My,Rd da VEd	Rid. My,Rd da NEd	px	py	Verifica
---	-------	--------------	--------	-----	-----	-----------------	-------	-------	-------------------	-------------------	----	----	----------

**Implementazione dei sistemi di confinamento delle emissioni odorigene diffuse dell'impianto di compostaggio esistente nel
Comune di Eboli (SA)**

PROGETTO DEFINITIVO – Tabulati di calcolo Tomo 1

X	Comb.	Sfruttamento	Classe	NEd	NRd	Rid. NRd da VEd	My,Ed	My,Rd	Rid. My,Rd da VEd	Rid. My,Rd da NEd	px	py	Verifica
0	SLD 15	0.071	1	69.503	1003.522	1	-0.0529	33.3316	1		0	0	Si

Verifica a presso/tenso flessione deviata §§ 4.2.4.1.2.3 - 4.2.4.1.2.6 - 4.2.4.1.2.7 - 4.2.4.1.2.8 NTC18

Verifiche eseguite utilizzando la formula conservativa (6.2) §6.2.1 EN 1993-1-1:2005.

X	Comb.	Sfruttamento	Classe	NEd	NRd	Rid. NRd da VEd	Mx,Ed	Mx,Rd	My,Ed	My,Rd	Rid. Mx,Rd da VEd	Rid. Mx,Rd da NEd	Rid. My,Rd da VEd	Rid. My,Rd da NEd	α	β	px	py	Verifica
0.45	SLV 16	0.096	1	90.758	1003.522	1	0.071	23.5037	-0.0696	33.3316	1		1				0	0	Si

Verifica a presso/tenso flessione deviata SLD §§ 4.2.4.1.2.3 - 4.2.4.1.2.6 - 4.2.4.1.2.7 - 4.2.4.1.2.8 NTC18

Verifiche eseguite utilizzando la formula conservativa (6.2) §6.2.1 EN 1993-1-1:2005.

X	Comb.	Sfruttamento	Classe	NEd	NRd	Rid. NRd da VEd	Mx,Ed	Mx,Rd	My,Ed	My,Rd	Rid. Mx,Rd da VEd	Rid. Mx,Rd da NEd	Rid. My,Rd da VEd	Rid. My,Rd da NEd	α	β	px	py	Verifica
0.6	SLD 15	0.073	1	69.503	1003.522	1	0.0811	23.5037	-0.0198	33.3316	1		1				0	0	Si

Verifiche ad instabilità

Caratteristiche iniziali

Membratura principale per controllo snellezza; Calcolo di snellezze ed N critici condotti secondo gli assi principali;

Curva X: c; Curva Y: c;

Svergolamento: Nessuno; la verifica a instabilità flesso-torsionale (svergolamento) non verrà eseguita.

Dati per instabilità attorno a x

Controllo della snellezza secondo §4.2.4.1.3.1 NTC18

Numero rit.	Presente	Ascissa	Campata	βx/m	Vincolo a entrambi estremi	λx/m	λVer
1	Si	0					
			1-2	1	Si	49.4	Si, (<200)
2	Si	1.5					

Dati per instabilità attorno a y

Controllo della snellezza secondo §4.2.4.1.3.1 NTC18

Numero rit.	Presente	Ascissa	Campata	βy/n	k,LT	kw,LT	Vincolo a entrambi estremi
1	Si	0					
			1-2	1	Si	34.8	Si, (<200)
2	Si	1.5					

Verifica di stabilità per pressoflessione §C.4.2.4.1.3.3.1 NTC18

X	Comb.	Sfruttamento	Classe	NEd	MxEq,Ed	MyEq,Ed	Area	Wx	Wy	χ,min	λ adim. x/m	λ adim. y/n	N,crit x/m	N,crit y/n	Verifica
0	SLU 2	0.046	3	-30.058	0.072	-0.0689	0.003832	0.0000492	0.0000739	0.804	0.569	0.4	3253.47	6569.993	Si

Verifiche a deformabilità

Mensola X: No; Mensola Y: No.

Frecce lungo X

Ascissa freccia	Combinazione	Freccia	Luce	L/f	L/f,min	Tipo	Verifica
1	SLE RA 1	0	1.5	10000	250	Totale	Si
1.05	SLE RA 17	0	1.5	10000	250	Totale	Si
1.05	SLE RA 16	0	1.5	10000	250	Totale	Si
1	SLE RA 15	0	1.5	10000	250	Totale	Si
1.15	SLE RA 14	0	1.5	10000	250	Totale	Si
1.05	SLE RA 2	0	1.5	10000	350	Variabile	Si
1.05	SLE RA 17	0	1.5	10000	350	Variabile	Si
1.05	SLE RA 16	0	1.5	10000	350	Variabile	Si
0.95	SLE RA 15	0	1.5	10000	350	Variabile	Si
0.5	SLE RA 14	0	1.5	10000	350	Variabile	Si

Frecce lungo Y

Ascissa freccia	Combinazione	Freccia	Luce	L/f	L/f,min	Tipo	Verifica
0.75	SLE RA 1	0.00003	1.5	10000	250	Totale	Si
0.75	SLE RA 17	0.00003	1.5	10000	250	Totale	Si
0.75	SLE RA 16	0.00003	1.5	10000	250	Totale	Si
0.75	SLE RA 15	0.00003	1.5	10000	250	Totale	Si
0.75	SLE RA 14	0.00003	1.5	10000	250	Totale	Si
0.9	SLE RA 2	0	1.5	10000	350	Variabile	Si
0.85	SLE RA 17	0	1.5	10000	350	Variabile	Si
0.85	SLE RA 16	0	1.5	10000	350	Variabile	Si
0.85	SLE RA 15	0	1.5	10000	350	Variabile	Si
0.9	SLE RA 14	0	1.5	10000	350	Variabile	Si

Superelemento in acciaio a quota "640" (328; 1723)-(437; 1620)

Caratteristiche del materiale

Acciaio: S275, fyk = 275000

Caratteristiche geometriche

Lunghezza: 1.5

Nodo iniziale: 1009 Nodo finale: 991

Cerniera iniziale: Mmomenti 1% Cerniera finale: Mmomenti 1%

Sovraresistenza: 0% Sisma Z: No

Caratteristiche della sezione

Sezione	Rotazione	Area	Jx	Jy	ix	iy	Wx	Wy	Wplx	Wply
---------	-----------	------	----	----	----	----	----	----	------	------

**Implementazione dei sistemi di confinamento delle emissioni odorigene diffuse dell'impianto di compostaggio esistente nel
Comune di Eboli (SA)**

PROGETTO DEFINITIVO – Tabulati di calcolo Tomo 1

Sezione	Rotazione	Area	Jx	Jy	ix	iy	Wx	Wy	Wplx	Wply
A1; L100*10; 1; Saldato; S275; 30; 1; 8; 8; 1	180	0.003832	0.0000035319	0.000007759	0.0304	0.045	0.0000492	0.0000739	0.00008974	0.00012727

Comportamento dei calastrelli

Accoppiamento imbottito con funzione statica (§C4.2.4.1.3.1.4 NTC18) nella campata compresa tra le ascisse 0 e 1.5 per sbandamento attorno all'asse y.

Verifiche di resistenza

Verifiche a forza assiale §4.2.4.1.2.1 - §4.2.4.1.2.2 NTC18

X	Comb.	Sfruttamento	Classe	NEd	Nc,Rd	Nt,Rd	Riduzione da taglio	px	py	Verifica
0	SLU 76	0.219		219.806		1003.522	1	0	0	Si

Verifiche a forza assiale SLD §4.2.4.1.2.1 - §4.2.4.1.2.2 NTC18

X	Comb.	Sfruttamento	Classe	NEd	Nc,Rd	Nt,Rd	Riduzione da taglio	px	py	Verifica
1.45	SLD 14	0.073		73.709		1003.522	1	0	0	Si

Verifica a taglio X §4.2.4.1.2.4 NTC18

X	Comb.	Sfruttamento	VEd	Vc,Rd	Av	Interazione taglio-torsione	Riduzione torsione	Verifica
0	SLU 2	0.001	0.219	302.422	0.002	Non considerata		Si

Verifica a taglio Y §4.2.4.1.2.4 NTC18

X	Comb.	Sfruttamento	VEd	Vc,Rd	Av	Interazione taglio-torsione	Riduzione torsione	Verifica
1.5	SLU 76	0.001	0.295	302.422	0.002	Non considerata		Si

Verifica a taglio Y SLD §4.2.4.1.2.4 NTC18

X	Comb.	Sfruttamento	VEd	Vc,Rd	Av	Interazione taglio-torsione	Riduzione torsione	Verifica
1.5	SLD 14	0.001	0.226	302.422	0.002	Non considerata		Si

Verifica a presso/tenso flessione retta X §§ 4.2.4.1.2.3 - 4.2.4.1.2.6 - 4.2.4.1.2.7 - 4.2.4.1.2.8 NTC18

Verifiche eseguite utilizzando la formula conservativa (6.2) §6.2.1 EN 1993-1-1:2005.

X	Comb.	Sfruttamento	Classe	NEd	NRd	Rid. NRd da VEd	Mx,Ed	Mx,Rd	Rid. Mx,Rd da VEd	Rid. Mx,Rd da NEd	px	py	Verifica
0.75	SLU 76	0.224	1	219.806	1003.522	1	0.1124	23.5037	1		0	0	Si

Verifica a presso/tenso flessione retta X SLD §§ 4.2.4.1.2.3 - 4.2.4.1.2.6 - 4.2.4.1.2.7 - 4.2.4.1.2.8 NTC18

Verifiche eseguite utilizzando la formula conservativa (6.2) §6.2.1 EN 1993-1-1:2005.

X	Comb.	Sfruttamento	Classe	NEd	NRd	Rid. NRd da VEd	Mx,Ed	Mx,Rd	Rid. Mx,Rd da VEd	Rid. Mx,Rd da NEd	px	py	Verifica
0.9	SLD 9	0.077	1	73.705	1003.522	1	0.0816	23.5037	1		0	0	Si

Verifica a presso/tenso flessione retta Y §§ 4.2.4.1.2.3 - 4.2.4.1.2.6 - 4.2.4.1.2.7 - 4.2.4.1.2.8 NTC18

Verifiche eseguite utilizzando la formula conservativa (6.2) §6.2.1 EN 1993-1-1:2005.

X	Comb.	Sfruttamento	Classe	NEd	NRd	Rid. NRd da VEd	My,Ed	My,Rd	Rid. My,Rd da VEd	Rid. My,Rd da NEd	px	py	Verifica
0	SLV 14	0.078	1	77.387	1003.522	1	0.0342	33.3316	1		0	0	Si

Verifica a presso/tenso flessione retta Y SLD §§ 4.2.4.1.2.3 - 4.2.4.1.2.6 - 4.2.4.1.2.7 - 4.2.4.1.2.8 NTC18

Verifiche eseguite utilizzando la formula conservativa (6.2) §6.2.1 EN 1993-1-1:2005.

X	Comb.	Sfruttamento	Classe	NEd	NRd	Rid. NRd da VEd	My,Ed	My,Rd	Rid. My,Rd da VEd	Rid. My,Rd da NEd	px	py	Verifica
0	SLD 14	0.074	1	73.709	1003.522	1	0.0138	33.3316	1		0	0	Si

Verifica a presso/tenso flessione deviata §§ 4.2.4.1.2.3 - 4.2.4.1.2.6 - 4.2.4.1.2.7 - 4.2.4.1.2.8 NTC18

Verifiche eseguite utilizzando la formula conservativa (6.2) §6.2.1 EN 1993-1-1:2005.

X	Comb.	Sfruttamento	Classe	NEd	NRd	Rid. NRd da VEd	Mx,Ed	Mx,Rd	My,Ed	My,Rd	Rid. Mx,Rd da VEd	Rid. Mx,Rd da NEd	Rid. My,Rd da VEd	Rid. My,Rd da NEd	α	β	px	py	Verifica
0.7	SLV 13	0.081	1	77.387	1003.522	1	0.0848	23.5037	0.0219	33.3316	1		1				0	0	Si

Verifica a presso/tenso flessione deviata SLD §§ 4.2.4.1.2.3 - 4.2.4.1.2.6 - 4.2.4.1.2.7 - 4.2.4.1.2.8 NTC18

Verifiche eseguite utilizzando la formula conservativa (6.2) §6.2.1 EN 1993-1-1:2005.

X	Comb.	Sfruttamento	Classe	NEd	NRd	Rid. NRd da VEd	Mx,Ed	Mx,Rd	My,Ed	My,Rd	Rid. Mx,Rd da VEd	Rid. Mx,Rd da NEd	Rid. My,Rd da VEd	Rid. My,Rd da NEd	α	β	px	py	Verifica
0.75	SLD 13	0.077	1	73.709	1003.522	1	0.0851	23.5037	0.0084	33.3316	1		1				0	0	Si

Verifiche ad instabilità

Caratteristiche iniziali

Membratura principale per controllo snellezza; Calcolo di snellezze ed N critici condotti secondo gli assi principali;

Curva X: c; Curva Y: c;

Svergolamento: Nessuno; la verifica a instabilità flesso-torsionale (svergolamento) non verrà eseguita.

Dati per instabilità attorno a x

Controllo della snellezza secondo §4.2.4.1.3.1 NTC18

Numero rit.	Presente	Ascissa	Campata	βx/m	Vincolo a entrambi estremi	λx/m	λVer
1	Si	0	1-2	1	Si	49.4	Si, (<200)
2	Si	1.5					

Dati per instabilità attorno a y

Controllo della snellezza secondo §4.2.4.1.3.1 NTC18

Numero rit.	Presente	Ascissa	Campata	βy/n	k,LT	kw,LT	Vincolo a entrambi estremi
1	Si	0	1-2	1	Si	34.8	Si, (<200)
2	Si	1.5					

Implementazione dei sistemi di confinamento delle emissioni odorigene diffuse dell'impianto di compostaggio esistente nel
Comune di Eboli (SA)
PROGETTO DEFINITIVO – Tabulati di calcolo Tomo 1

Verifica di stabilità per pressoflessione §C.4.2.4.1.3.3.1 NTC18

X	Comb.	Sfruttamento	Classe	NEd	MxEq,Ed	MyEq,Ed	Area	Wx	Wy	x,min	λ adim. x/m	λ adim. y/n	N,crit x/m	N,crit y/n	Verifica
0	SLU 2	0.053	3	-34.663	0.0719	0.0785	0.003832	0.0000492	0.0000739	0.804	0.569	0.4	3253.47	6569.993	Si

Verifiche a deformabilità

Mensola X: No; Mensola Y: No.

Frecce lungo X

Ascissa freccia	Combinazione	Freccia	Luce	L/f	L/f,min	Tipo	Verifica
1	SLE RA 1	0	1.5	10000	250	Totale	Si
1	SLE RA 17	0	1.5	10000	250	Totale	Si
1	SLE RA 16	0	1.5	10000	250	Totale	Si
1.15	SLE RA 15	0	1.5	10000	250	Totale	Si
0.9	SLE RA 14	0	1.5	10000	250	Totale	Si
1	SLE RA 2	0	1.5	10000	350	Variabile	Si
1	SLE RA 17	0	1.5	10000	350	Variabile	Si
1	SLE RA 16	0	1.5	10000	350	Variabile	Si
0.55	SLE RA 15	0	1.5	10000	350	Variabile	Si
0.85	SLE RA 14	0	1.5	10000	350	Variabile	Si

Frecce lungo Y

Ascissa freccia	Combinazione	Freccia	Luce	L/f	L/f,min	Tipo	Verifica
0.75	SLE RA 1	0.00003	1.5	10000	250	Totale	Si
0.75	SLE RA 17	0.00003	1.5	10000	250	Totale	Si
0.75	SLE RA 16	0.00003	1.5	10000	250	Totale	Si
0.75	SLE RA 15	0.00003	1.5	10000	250	Totale	Si
0.75	SLE RA 14	0.00003	1.5	10000	250	Totale	Si
0.7	SLE RA 2	0	1.5	10000	350	Variabile	Si
0.7	SLE RA 17	0	1.5	10000	350	Variabile	Si
0.7	SLE RA 16	0	1.5	10000	350	Variabile	Si
0.7	SLE RA 15	0	1.5	10000	350	Variabile	Si
0.7	SLE RA 14	0	1.5	10000	350	Variabile	Si

Superelemento in acciaio a quota "640" (348; 433)-(475; 568)

Caratteristiche del materiale

Acciaio: S275, fyk = 275000

Caratteristiche geometriche

Lunghezza: 1.85

Nodo iniziale: 753 Nodo finale: 782

Cerniera iniziale: No Cerniera finale: No

Sovreresistenza: 0% Sisma Z: No

Caratteristiche della sezione

Sezione	Rotazione	Area	Jx	Jy	ix	iy	Wx	Wy	Wplx	Wply
HEA120	0	0.002537	0.0000060673	0.0000023091	0.0489	0.0302	0.00010644	0.00003849	0.00011962	0.00005887

Verifiche di resistenza

Verifiche a forza assiale §4.2.4.1.2.1 - §4.2.4.1.2.2 NTC18

X	Comb.	Sfruttamento	Classe	NEd	Nc,Rd	Nt,Rd	Riduzione da taglio	px	py	Verifica
1.788	SLU 75	0.151	1	-100.179	664.325		1	0	0	Si

Verifiche a forza assiale SLD §4.2.4.1.2.1 - §4.2.4.1.2.2 NTC18

X	Comb.	Sfruttamento	Classe	NEd	Nc,Rd	Nt,Rd	Riduzione da taglio	px	py	Verifica
1.85	SLD 5	0.051	1	-33.877	664.325		1	0	0	Si

Verifica a taglio Y §4.2.4.1.2.4 NTC18

X	Comb.	Sfruttamento	VEd	Vc,Rd	Av	Interazione taglio-torsione	Riduzione torsione	Verifica
0	SLU 75	0.016	2.017	126.487	0.000849	Considerata	0.99	Si

Verifica a taglio Y SLD §4.2.4.1.2.4 NTC18

X	Comb.	Sfruttamento	VEd	Vc,Rd	Av	Interazione taglio-torsione	Riduzione torsione	Verifica
0	SLD 6	0.006	0.711	127.397	0.000849	Considerata	0.99	Si

Verifica a torsione §4.2.4.1.2.5 NTC18

X	Comb.	Sfruttamento torsione	TEd	TRd	Riduzione taglio resistente	Sfruttamento taglio-torsione	τEd,totale	τRd	Verifica
0.062	SLU 75	0.035	-0.02993	0.85138	Considerata				Si

Verifica a torsione SLD §4.2.4.1.2.5 NTC18

X	Comb.	Sfruttamento torsione	TEd	TRd	Riduzione taglio resistente	Sfruttamento taglio-torsione	τEd,totale	τRd	Verifica
1.85	SLD 5	0.018	-0.01499	0.85138	Considerata				Si

Verifica a presso/tenso flessione retta X §§ 4.2.4.1.2.3 - 4.2.4.1.2.6 - 4.2.4.1.2.7 - 4.2.4.1.2.8 NTC18

Verifiche eseguite utilizzando la formula conservativa (6.2) §6.2.1 EN 1993-1-1:2005.

X	Comb.	Sfruttamento	Classe	NEd	NRd	Rid. NRd da VEd	Mx,Ed	Mx,Rd	Rid. Mx,Rd da VEd	Rid. Mx,Rd da NEd	px	py	Verifica
0.678	SLU 75	0.188	1	-100.179	664.325	1	-1.1537	31.3291	1		0	0	Si

Verifica a presso/tenso flessione retta X SLD §§ 4.2.4.1.2.3 - 4.2.4.1.2.6 - 4.2.4.1.2.7 - 4.2.4.1.2.8 NTC18

Verifiche eseguite utilizzando la formula conservativa (6.2) §6.2.1 EN 1993-1-1:2005.

X	Comb.	Sfruttamento	Classe	NEd	NRd	Rid. NRd da VEd	Mx,Ed	Mx,Rd	Rid. Mx,Rd da VEd	Rid. Mx,Rd da NEd	px	py	Verifica
1.357	SLD 2	0.072	1	-33.748	664.325	1	-0.6782	31.3291	1		0	0	Si

**Implementazione dei sistemi di confinamento delle emissioni odorigene diffuse dell'impianto di compostaggio esistente nel
Comune di Eboli (SA)
PROGETTO DEFINITIVO – Tabulati di calcolo Tomo 1**

Verifica a presso/tenso flessione retta Y §§ 4.2.4.1.2.3 - 4.2.4.1.2.6 - 4.2.4.1.2.7 - 4.2.4.1.2.8 NTC18

Verifiche eseguite utilizzando la formula conservativa (6.2) §6.2.1 EN 1993-1-1:2005.

X	Comb.	Sfruttamento	Classe	NEd	NRd	Rid. NRd da VEd	My,Ed	My,Rd	Rid. My,Rd da VEd	Rid. My,Rd da NEd	px	py	Verifica
0.062	SLU 44	0.125	1	-81.901	664.325	1	-0.0319	15.4191	1		0	0	Si

Verifica a presso/tenso flessione retta Y SLD §§ 4.2.4.1.2.3 - 4.2.4.1.2.6 - 4.2.4.1.2.7 - 4.2.4.1.2.8 NTC18

Verifiche eseguite utilizzando la formula conservativa (6.2) §6.2.1 EN 1993-1-1:2005.

X	Comb.	Sfruttamento	Classe	NEd	NRd	Rid. NRd da VEd	My,Ed	My,Rd	Rid. My,Rd da VEd	Rid. My,Rd da NEd	px	py	Verifica
0	SLD 13	0.043	1	-27.227	664.325	1	-0.0371	15.4191	1		0	0	Si

Verifica a presso/tenso flessione deviata §§ 4.2.4.1.2.3 - 4.2.4.1.2.6 - 4.2.4.1.2.7 - 4.2.4.1.2.8 NTC18

Verifiche eseguite utilizzando la formula conservativa (6.2) §6.2.1 EN 1993-1-1:2005.

X	Comb.	Sfruttamento	Classe	NEd	NRd	Rid. NRd da VEd	Mx,Ed	Mx,Rd	My,Ed	My,Rd	Rid. Mx,Rd da VEd	Rid. Mx,Rd da NEd	Rid. My,Rd da VEd	Rid. My,Rd da NEd	α	β	px	py	Verifica
1.85	SLU 75	0.257	1	-100.179	664.325	1	-3.1335	31.3291	0.0997	15.4191	1		1				0	0	Si

Verifica a presso/tenso flessione deviata SLD §§ 4.2.4.1.2.3 - 4.2.4.1.2.6 - 4.2.4.1.2.7 - 4.2.4.1.2.8 NTC18

Verifiche eseguite utilizzando la formula conservativa (6.2) §6.2.1 EN 1993-1-1:2005.

X	Comb.	Sfruttamento	Classe	NEd	NRd	Rid. NRd da VEd	Mx,Ed	Mx,Rd	My,Ed	My,Rd	Rid. Mx,Rd da VEd	Rid. Mx,Rd da NEd	Rid. My,Rd da VEd	Rid. My,Rd da NEd	α	β	px	py	Verifica
1.85	SLD 5	0.082	1	-33.877	664.325	1	-0.8732	31.3291	0.0482	15.4191	1		1				0	0	Si

Verifiche ad instabilità

Caratteristiche iniziali

Membratura principale per controllo snellezza; Calcolo di snellezze ed N critici condotti secondo gli assi principali;

Curva X: b; Curva Y: c; Svergolamento: Carico all'estradosso; Curva svergolamento: b;

Dati per instabilità attorno a x

Controllo della snellezza secondo §4.2.4.1.3.1 NTC18

Numero rit.	Presente	Ascissa	Campata	βx/m	Vincolo a entrambi estremi	λx/m	λVer
1	Si	0					
2	Si	1.85	1-2		1	37.8	Si, (<200)

Dati per instabilità attorno a y

Controllo della snellezza secondo §4.2.4.1.3.1 NTC18

Numero rit.	Presente	Ascissa	Campata	βy/n	k,LT	kw,LT	Vincolo a entrambi estremi	λy/n	λVer
1	Si	0							
2	Si	1.85	1-2		1	1	Si	61.3	Si, (<200)

Verifica a svergolamento con trazione §4.2.4.1.3.2 NTC18 § 5.5.3 ENV 1993-1-1:1992 + AC:1992 + A1:1994 + A2:1998

X	Comb.	Sfruttamento	Classe	Obblig.	NEd	Mx,Ed	Mx,Eff,Ed	Mb,Rd,x	χ,LT	λ adim. LT	L,LT	M,critico	Verifica
1.85	SLU 40	0.01	1	Si	2.536	0.3541	0.27962	28.25853	0.902	0.633	1.85	82.10616	Si

Verifica di stabilità per tenso-flessione deviata §§ 5.5.3-5.5.4 ENV 1993-1-1:1992 + AC:1992 + A1:1994 + A2:1998

X	Comb.	Sfruttamento	Classe	NEd	Mx,Ed	Mx,Eff,Ed	My,Ed	χ,LT	kLT	ky	M,critico	Wx	Wy	Verifica
1.85	SLU 42	0.016	1	2.768	0.51891	0.43759	-0.01079	0.902	1	1	82.10616	0.0001196	0.0000589	Si

Verifica di stabilità per pressoflessione §C.4.2.4.1.3.3.2 NTC18

X	Comb.	Sfruttamento	Classe	NEd	NRk	Mx,Ed max	Mx,Rk	My,Ed max	My,Rk	χ,x	χ,y	kxx	kxy	kyy	χ,LT	Verifica	
1.85	SLU 75	0.319	1	-100.179	697.541	3.13345	32.89552	0.09965	16.19002	0.912	0.721	0.632	0.281	0.959	0.468	0.902	Si

Verifica di stabilità per pressoflessione SLD §C.4.2.4.1.3.3.2 NTC18

X	Comb.	Sfruttamento	Classe	NEd	NRk	Mx,Ed max	Mx,Rk	My,Ed max	My,Rk	χ,x	χ,y	kxx	kxy	kyy	χ,LT	Verifica	
1.85	SLD 5	0.103	1	-33.877	697.541	0.87319	32.89552	0.04824	16.19002	0.912	0.721	0.614	0.254	0.986	0.423	0.902	Si

Verifica di stabilità a taglio anima Y §4.2.4.1.2.4 [4.2.27] NTC18

η	hw	tw	hw/tw max	Verifica
1.2	0.098	0.005	55.46	Si

Verifica di stabilità a taglio anima Y SLD §4.2.4.1.2.4 [4.2.27] NTC18

η	hw	tw	hw/tw max	Verifica
1.2	0.098	0.005	55.46	Si

Verifiche a deformabilità

Mensola X: No; Mensola Y: No.

Frecce lungo X

Ascissa freccia	Combinazione	Freccia	Luce	L/f	L/f,min	Tipo	Verifica
1.295	SLE RA 1	-0.00001	1.85	10000	250	Totale	Si
1.295	SLE RA 17	-0.00001	1.85	10000	250	Totale	Si
1.295	SLE RA 16	-0.00001	1.85	10000	250	Totale	Si
0.432	SLE RA 15	0	1.85	10000	250	Totale	Si
1.233	SLE RA 14	-0.00002	1.85	10000	250	Totale	Si
1.357	SLE RA 2	0	1.85	10000	350	Variabile	Si
1.357	SLE RA 17	0	1.85	10000	350	Variabile	Si
1.357	SLE RA 16	0	1.85	10000	350	Variabile	Si
0.863	SLE RA 15	0.00001	1.85	10000	350	Variabile	Si
1.233	SLE RA 14	-0.00001	1.85	10000	350	Variabile	Si

Frecce lungo Y

Ascissa freccia	Combinazione	Freccia	Luce	L/f	L/f,min	Tipo	Verifica
1.048	SLE RA 18	-0.00038	1.85	4888.9	250	Totale	Si
1.048	SLE RA 6	-0.00035	1.85	5342.9	250	Totale	Si
1.048	SLE RA 10	-0.00033	1.85	5560.3	250	Totale	Si
1.048	SLE RA 14	-0.00033	1.85	5560.3	250	Totale	Si
1.048	SLE RA 3	-0.0003	1.85	6155.1	250	Totale	Si

Implementazione dei sistemi di confinamento delle emissioni odorigene diffuse dell'impianto di compostaggio esistente nel
Comune di Eboli (SA)
PROGETTO DEFINITIVO – Tabulati di calcolo Tomo 1

Ascissa freccia	Combinazione	Freccia	Luce	L/f	L/f,min	Tipo	Verifica
1.11	SLE RA 18	-0.00023	1.85	8184.8	350	Variabile	Si
1.11	SLE RA 6	-0.00019	1.85	9545.6	350	Variabile	Si
1.11	SLE RA 2	0.00013	1.85	10000	350	Variabile	Si
1.11	SLE RA 17	-0.00006	1.85	10000	350	Variabile	Si
1.11	SLE RA 16	-0.00014	1.85	10000	350	Variabile	Si

Superelemento in acciaio a quota "640" (360; 666)-(469; 563)

Caratteristiche del materiale

Acciaio: S275, fyk = 275000

Caratteristiche geometriche

Lunghezza: 1.5

Nodo iniziale: 802 Nodo finale: 780

Cerniera iniziale: Mmomenti 1% Cerniera finale: Mmomenti 1%

Sovreresistenza: 0% Sisma Z: No

Caratteristiche della sezione

Sezione	Rotazione	Area	Jx	Jy	ix	iy	Wx	Wy	Wplx	Wply
Al; L100*10; 1; Saldato; S275; 30; 1; 8; 8; 1	180	0.003832	0.0000035319	0.000007759	0.0304	0.045	0.0000492	0.0000739	0.00008974	0.00012727

Comportamento dei calastrelli

Accoppiamento imbottito con funzione statica (§C4.2.4.1.3.1.4 NTC18) nella campata compresa tra le ascisse 0 e 1.5 per sbandamento attorno all'asse y.

Verifiche di resistenza

Verifiche a forza assiale §4.2.4.1.2.1 - §4.2.4.1.2.2 NTC18

X	Comb.	Sfruttamento	Classe	NEd	Nc,Rd	Nt,Rd	Riduzione da taglio	px	py	Verifica
1.5	SLV 7	0.001	1	-0.997	1003.522		1	0	0	Si

Verifiche a forza assiale SLD §4.2.4.1.2.1 - §4.2.4.1.2.2 NTC18

X	Comb.	Sfruttamento	Classe	NEd	Nc,Rd	Nt,Rd	Riduzione da taglio	px	py	Verifica
1.5	SLD 8	0	1	-0.422	1003.522		1	0	0	Si

Verifica a taglio Y §4.2.4.1.2.4 NTC18

X	Comb.	Sfruttamento	VEd	Vc,Rd	Av	Interazione taglio-torsione	Riduzione torsione	Verifica
1.5	SLU 76	0.001	0.304	302.422	0.002	Non considerata		Si

Verifica a taglio Y SLD §4.2.4.1.2.4 NTC18

X	Comb.	Sfruttamento	VEd	Vc,Rd	Av	Interazione taglio-torsione	Riduzione torsione	Verifica
1.5	SLD 7	0.001	0.242	302.422	0.002	Non considerata		Si

Verifica a flessione semplice X §§ 4.2.4.1.2.3 - 4.2.4.1.2.6 - 4.2.4.1.2.7 - 4.2.4.1.2.8 NTC18

X	Comb.	Sfruttamento	Classe	Mx,Ed	Mx,Rd	Rid. Mx,Rd da VEd	px	py	Verifica
0.75	SLU 41	0.005	1	0.10995	23.50374	1	0	0	Si

Verifica a flessione semplice X SLD §§ 4.2.4.1.2.3 - 4.2.4.1.2.6 - 4.2.4.1.2.7 - 4.2.4.1.2.8 NTC18

X	Comb.	Sfruttamento	Classe	Mx,Ed	Mx,Rd	Rid. Mx,Rd da VEd	px	py	Verifica
1.1	SLD 9	0.003	1	0.07543	23.50374	1	0	0	Si

Verifica a flessione semplice Y §§ 4.2.4.1.2.3 - 4.2.4.1.2.6 - 4.2.4.1.2.7 - 4.2.4.1.2.8 NTC18

X	Comb.	Sfruttamento	Classe	My,Ed	My,Rd	Rid. My,Rd da VEd	px	py	Verifica
0	SLV 16	0.001	1	-0.03599	33.33162	1	0	0	Si

Verifica a flessione semplice Y SLD §§ 4.2.4.1.2.3 - 4.2.4.1.2.6 - 4.2.4.1.2.7 - 4.2.4.1.2.8 NTC18

X	Comb.	Sfruttamento	Classe	My,Ed	My,Rd	Rid. My,Rd da VEd	px	py	Verifica
1.5	SLD 16	0.001	1	0.02739	33.33162	1	0	0	Si

Verifica a flessione deviata §§ 4.2.4.1.2.3 - 4.2.4.1.2.6 - 4.2.4.1.2.7 - 4.2.4.1.2.8 NTC18

X	Comb.	Sfruttamento	Classe	Mx,Ed	Mx,Rd	My,Ed	My,Rd	Rid. Mx,Rd da VEd	Rid. My,Rd da VEd	α	β	px	py	Verifica
0.8	SLV 16	0.006	1	0.094	23.5037	0.0529	33.3316	1	1			0	0	Si

Verifica a flessione deviata SLD §§ 4.2.4.1.2.3 - 4.2.4.1.2.6 - 4.2.4.1.2.7 - 4.2.4.1.2.8 NTC18

X	Comb.	Sfruttamento	Classe	Mx,Ed	Mx,Rd	My,Ed	My,Rd	Rid. Mx,Rd da VEd	Rid. My,Rd da VEd	α	β	px	py	Verifica
0.75	SLD 16	0.004	1	0.0861	23.5037	0.022	33.3316	1	1			0	0	Si

Verifica a presso/tenso flessione retta X SLD §§ 4.2.4.1.2.3 - 4.2.4.1.2.6 - 4.2.4.1.2.7 - 4.2.4.1.2.8 NTC18

Verifiche eseguite utilizzando la formula conservativa (6.2) §6.2.1 EN 1993-1-1:2005.

X	Comb.	Sfruttamento	Classe	NEd	NRd	Rid. NRd da VEd	Mx,Ed	Mx,Rd	Rid. Mx,Rd da VEd	Rid. Mx,Rd da NEd	px	py	Verifica
1.5	SLD 3	0.001	1	-0.413	1003.522	1	-0.0237	23.5037	1		0	0	Si

Verifica a presso/tenso flessione retta Y §§ 4.2.4.1.2.3 - 4.2.4.1.2.6 - 4.2.4.1.2.7 - 4.2.4.1.2.8 NTC18

Verifiche eseguite utilizzando la formula conservativa (6.2) §6.2.1 EN 1993-1-1:2005.

X	Comb.	Sfruttamento	Classe	NEd	NRd	Rid. NRd da VEd	My,Ed	My,Rd	Rid. My,Rd da VEd	Rid. My,Rd da NEd	px	py	Verifica
0	SLV 4	0.003	1	-0.979	1003.522	1	0.0604	33.3316	1		0	0	Si

Implementazione dei sistemi di confinamento delle emissioni odorigene diffuse dell'impianto di compostaggio esistente nel
Comune di Eboli (SA)

PROGETTO DEFINITIVO – Tabulati di calcolo Tomo 1

Verifica a presso/tenso flessione retta Y SLD §§ 4.2.4.1.2.3 - 4.2.4.1.2.6 - 4.2.4.1.2.7 - 4.2.4.1.2.8 NTC18

Verifiche eseguite utilizzando la formula conservativa (6.2) §6.2.1 EN 1993-1-1:2005.

X	Comb.	Sfruttamento	Classe	NEd	NRd	Rid. NRd da VEd	My,Ed	My,Rd	Rid. My,Rd da VEd	Rid. My,Rd da NEd	px	py	Verifica
0	SLD 7	0.001	1	-0.422	1003.522	1	0.0221	33.3316	1		0	0	Si

Verifica a presso/tenso flessione deviata §§ 4.2.4.1.2.3 - 4.2.4.1.2.6 - 4.2.4.1.2.7 - 4.2.4.1.2.8 NTC18

Verifiche eseguite utilizzando la formula conservativa (6.2) §6.2.1 EN 1993-1-1:2005.

X	Comb.	Sfruttamento	Classe	NEd	NRd	Rid. NRd da VEd	Mx,Ed	My,Ed	My,Rd	Rid. Mx,Rd da VEd	Rid. Mx,Rd da NEd	Rid. My,Rd da VEd	Rid. My,Rd da NEd	α	β	px	py	Verifica
0.85	SLV 14	0.006	1	0.768	1003.522	1	0.1068	23.5037	0.0298	33.3316	1	1				0	0	Si

Verifica a presso/tenso flessione deviata SLD §§ 4.2.4.1.2.3 - 4.2.4.1.2.6 - 4.2.4.1.2.7 - 4.2.4.1.2.8 NTC18

Verifiche eseguite utilizzando la formula conservativa (6.2) §6.2.1 EN 1993-1-1:2005.

X	Comb.	Sfruttamento	Classe	NEd	NRd	Rid. NRd da VEd	Mx,Ed	Mx,Rd	My,Ed	My,Rd	Rid. Mx,Rd da VEd	Rid. Mx,Rd da NEd	Rid. My,Rd da VEd	Rid. My,Rd da NEd	α	β	px	py	Verifica
0.7	SLD 7	0.004	1	-0.422	1003.522	1	0.0728	23.5037	0.0133	33.3316	1		1				0	0	Si

Verifiche ad instabilità

Caratteristiche iniziali

Membratura principale per controllo snellezza; Calcolo di snellezze ed N critici condotti secondo gli assi principali;

Curva X: c; Curva Y: c;

Svergolamento: Nessuno; la verifica a instabilità flesso-torsionale (svergolamento) non verrà eseguita.

Dati per instabilità attorno a x

Controllo della snellezza secondo §4.2.4.1.3.1 NTC18

Numero rit.	Presente	Ascissa	Campata	βx/m	Vincolo a entrambi estremi	λx/m	λVer
1	Si	0					
			1-2	1	Si	49.4	Si, (<200)
2	Si	1.5					

Dati per instabilità attorno a y

Controllo della snellezza secondo §4.2.4.1.3.1 NTC18

Numero rit.	Presente	Ascissa	Campata	βy/n	k,LT	kw,LT	Vincolo a entrambi estremi
1	Si	0					
			1-2	1	Si	34.8	Si, (<200)
2	Si	1.5					

Verifica di stabilità per pressoflessione §C.4.2.4.1.3.3.1 NTC18

X	Comb.	Sfruttamento	Classe	NEd	MxEq,Ed	MyEq,Ed	Area	Wx	Wy	χ,min	λ adim. x/m	λ adim. y/n	N,crit x/m	N,crit y/n	Verifica
1.5	SLV 16	0.005	1	0	0.0852	0.0499	0.003832	0.0000897	0.0001273	0.804	0.569	0.4	3253.47	6569.993	Si

Verifica di stabilità per pressoflessione SLD §C.4.2.4.1.3.3.1 NTC18

X	Comb.	Sfruttamento	Classe	NEd	MxEq,Ed	MyEq,Ed	Area	Wx	Wy	χ,min	λ adim. x/m	λ adim. y/n	N,crit x/m	N,crit y/n	Verifica
1.4	SLD 3	0.006	3	-0.413	0.0579	0.0168	0.003832	0.0000492	0.0000739	0.804	0.569	0.4	3253.47	6569.993	Si

Verifiche a deformabilità

Mensola X: No; Mensola Y: No.

Freccie lungo X

Ascissa freccia	Combinazione	Freccia	Luce	L/f	L/f,min	Tipo	Verifica
1	SLE RA 1	0	1.5	10000	250	Totale	Si
1	SLE RA 17	0	1.5	10000	250	Totale	Si
1	SLE RA 16	0	1.5	10000	250	Totale	Si
1	SLE RA 15	0	1.5	10000	250	Totale	Si
0.95	SLE RA 14	0	1.5	10000	250	Totale	Si
0.95	SLE RA 2	0	1.5	10000	350	Variabile	Si
0.95	SLE RA 17	0	1.5	10000	350	Variabile	Si
0.95	SLE RA 16	0	1.5	10000	350	Variabile	Si
1	SLE RA 15	0	1.5	10000	350	Variabile	Si
1.15	SLE RA 14	0	1.5	10000	350	Variabile	Si

Freccie lungo Y

Ascissa freccia	Combinazione	Freccia	Luce	L/f	L/f,min	Tipo	Verifica
0.75	SLE RA 1	0.00003	1.5	10000	250	Totale	Si
0.75	SLE RA 17	0.00003	1.5	10000	250	Totale	Si
0.75	SLE RA 16	0.00003	1.5	10000	250	Totale	Si
0.75	SLE RA 15	0.00003	1.5	10000	250	Totale	Si
0.75	SLE RA 14	0.00003	1.5	10000	250	Totale	Si
0.95	SLE RA 2	0	1.5	10000	350	Variabile	Si
0.95	SLE RA 17	0	1.5	10000	350	Variabile	Si
0.95	SLE RA 16	0	1.5	10000	350	Variabile	Si
0.85	SLE RA 15	0	1.5	10000	350	Variabile	Si
0.75	SLE RA 14	0	1.5	10000	350	Variabile	Si

Superelemento in acciaio a quota "640" (363; 2199)-(472; 2096)

Caratteristiche del materiale

Acciaio: S275, fyk = 275000

Caratteristiche geometriche

Lunghezza: 1.502

Nodo iniziale: 1147 Nodo finale: 1084

Cerniera iniziale: Mmomenti 1% Cerniera finale: Mmomenti 1%

**Implementazione dei sistemi di confinamento delle emissioni odorigene diffuse dell'impianto di compostaggio esistente nel
Comune di Eboli (SA)
PROGETTO DEFINITIVO – Tabulati di calcolo Tomo 1**

Sovreresistenza: 0% Sisma Z: No

Caratteristiche della sezione

Sezione	Rotazione	Area	Jx	Jy	ix	iy	Wx	Wy	Wplx	Wply
A1; L100*10; 1; Saldato; S275; 30; 1; 8; 8; 1	180	0.003832	0.0000035319	0.000007759	0.0304	0.045	0.0000492	0.0000739	0.00008974	0.00012727

Comportamento dei calastrelli

Accoppiamento imbottito con funzione statica (§C4.2.4.1.3.1.4 NTC18) nella campata compresa tra le ascisse 0 e 1.502 per sbandamento attorno all'asse y.

Verifiche di resistenza

Verifiche a forza assiale §4.2.4.1.2.1 - §4.2.4.1.2.2 NTC18

X	Comb.	Sfruttamento	Classe	NEd	Nc,Rd	Nt,Rd	Riduzione da taglio	px	py	Verifica
0.751	SLV 7	0.001	1	-0.734	1003.522		1	0	0	Si

Verifica a taglio Y §4.2.4.1.2.4 NTC18

X	Comb.	Sfruttamento	VEd	Vc,Rd	Av	Interazione taglio-torsione	Riduzione torsione	Verifica
1.502	SLU 76	0.001	0.394	302.422	0.002	Non considerata		Si

Verifica a taglio Y SLD §4.2.4.1.2.4 NTC18

X	Comb.	Sfruttamento	VEd	Vc,Rd	Av	Interazione taglio-torsione	Riduzione torsione	Verifica
1.502	SLD 10	0.001	0.277	302.422	0.002	Non considerata		Si

Verifica a flessione semplice X §§ 4.2.4.1.2.3 - 4.2.4.1.2.6 - 4.2.4.1.2.7 - 4.2.4.1.2.8 NTC18

X	Comb.	Sfruttamento	Classe	Mx,Ed	Mx,Rd	Rid. Mx,Rd da VEd	px	py	Verifica
0.501	SLU 76	0.008	1	0.19898	23.50374	1	0	0	Si

Verifica a flessione semplice X SLD §§ 4.2.4.1.2.3 - 4.2.4.1.2.6 - 4.2.4.1.2.7 - 4.2.4.1.2.8 NTC18

X	Comb.	Sfruttamento	Classe	Mx,Ed	Mx,Rd	Rid. Mx,Rd da VEd	px	py	Verifica
0.601	SLD 10	0.005	1	0.12805	23.50374	1	0	0	Si

Verifica a flessione semplice Y §§ 4.2.4.1.2.3 - 4.2.4.1.2.6 - 4.2.4.1.2.7 - 4.2.4.1.2.8 NTC18

X	Comb.	Sfruttamento	Classe	My,Ed	My,Rd	Rid. My,Rd da VEd	px	py	Verifica
0	SLV 1	0.001	1	-0.04482	33.33162	1	0	0	Si

Verifica a flessione semplice Y SLD §§ 4.2.4.1.2.3 - 4.2.4.1.2.6 - 4.2.4.1.2.7 - 4.2.4.1.2.8 NTC18

X	Comb.	Sfruttamento	Classe	My,Ed	My,Rd	Rid. My,Rd da VEd	px	py	Verifica
1.502	SLD 13	0	1	0.0109	33.33162	1	0	0	Si

Verifica a flessione deviata §§ 4.2.4.1.2.3 - 4.2.4.1.2.6 - 4.2.4.1.2.7 - 4.2.4.1.2.8 NTC18

X	Comb.	Sfruttamento	Classe	Mx,Ed	Mx,Rd	My,Ed	My,Rd	Rid. Mx,Rd da VEd	Rid. My,Rd da VEd	α	β	px	py	Verifica
0.451	SLV 6	0.007	1	0.1364	23.5037	-0.0255	33.3316	1	1			0	0	Si

Verifica a flessione deviata SLD §§ 4.2.4.1.2.3 - 4.2.4.1.2.6 - 4.2.4.1.2.7 - 4.2.4.1.2.8 NTC18

X	Comb.	Sfruttamento	Classe	Mx,Ed	Mx,Rd	My,Ed	My,Rd	Rid. Mx,Rd da VEd	Rid. My,Rd da VEd	α	β	px	py	Verifica
0.601	SLD 6	0.005	1	0.1193	23.5037	-0.0079	33.3316	1	1			0	0	Si

Verifica a presso/tenso flessione retta X §§ 4.2.4.1.2.3 - 4.2.4.1.2.6 - 4.2.4.1.2.7 - 4.2.4.1.2.8 NTC18

Verifiche eseguite utilizzando la formula conservativa (6.2) §6.2.1 EN 1993-1-1:2005.

X	Comb.	Sfruttamento	Classe	NEd	NRd	Rid. NRd da VEd	Mx,Ed	Mx,Rd	Rid. Mx,Rd da VEd	Rid. Mx,Rd da NEd	px	py	Verifica
0.851	SLV 9	0.007	1	0.644	1003.522	1	0.1413	23.5037	1	1	0	0	Si

Verifica a presso/tenso flessione retta Y §§ 4.2.4.1.2.3 - 4.2.4.1.2.6 - 4.2.4.1.2.7 - 4.2.4.1.2.8 NTC18

Verifiche eseguite utilizzando la formula conservativa (6.2) §6.2.1 EN 1993-1-1:2005.

X	Comb.	Sfruttamento	Classe	NEd	NRd	Rid. NRd da VEd	My,Ed	My,Rd	Rid. My,Rd da VEd	Rid. My,Rd da NEd	px	py	Verifica
0	SLV 11	0.002	1	-0.436	1003.522	1	0.0428	33.3316	1	1	0	0	Si

Verifica a presso/tenso flessione deviata §§ 4.2.4.1.2.3 - 4.2.4.1.2.6 - 4.2.4.1.2.7 - 4.2.4.1.2.8 NTC18

Verifiche eseguite utilizzando la formula conservativa (6.2) §6.2.1 EN 1993-1-1:2005.

X	Comb.	Sfruttamento	Classe	NEd	NRd	Rid. NRd da VEd	Mx,Ed	Mx,Rd	My,Ed	My,Rd	Rid. Mx,Rd da VEd	Rid. Mx,Rd da NEd	Rid. My,Rd da VEd	Rid. My,Rd da NEd	α	β	px	py	Verifica
0.401	SLV 10	0.008	1	0.644	1003.522	1	0.1639	23.5037	-0.0148	33.3316	1	1	1	1			0	0	Si

Verifiche ad instabilità

Caratteristiche iniziali

Membratura principale per controllo snellezza; Calcolo di snellezze ed N critici condotti secondo gli assi principali;

Curva X: c; Curva Y: c;

Svergolamento: Nessuno; la verifica a instabilità flesso-torsionale (svergolamento) non verrà eseguita.

Dati per instabilità attorno a x

Controllo della snellezza secondo §4.2.4.1.3.1 NTC18

Numero rit.	Presente	Ascissa	Campata	βx/m	Vincolo a entrambi estremi	λx/m	λVer
1	Si	0					
			1-2	1	Si	49.5	Si, (<200)
2	Si	1.502					

Dati per instabilità attorno a y

Controllo della snellezza secondo §4.2.4.1.3.1 NTC18

Numero rit.	Presente	Ascissa	Campata	βy/n	k,LT	kw,LT	Vincolo a entrambi estremi
-------------	----------	---------	---------	------	------	-------	----------------------------

Implementazione dei sistemi di confinamento delle emissioni odorigene diffuse dell’impianto di compostaggio esistente nel
Comune di Eboli (SA)
PROGETTO DEFINITIVO – Tabulati di calcolo Tomo 1

Numero rit.	Presente	Ascissa	Campata	$\beta y/n$	k,LT	kw,LT	Vincolo a entrambi estremi
1	Si	0					
			1~2	1	Si	34.8	Si, (<200)
2	Si	1.502					

Verifica di stabilità per pressoflessione §C.4.2.4.1.3.3.1 NTC18

X	Comb.	Sfruttamento	Classe	NEd	MxEq,Ed	MyEq,Ed	Area	Wx	Wy	x_{min}	$\lambda_{adim. x/m}$	$\lambda_{adim. y/n}$	N,crit x/m	N,crit y/n	Verifica
1.502	SLV 6	0.007	1	0	0.1341	-0.0326	0.003832	0.0000897	0.0001273	0.803	0.57	0.401	3242.978	6550.511	Si

Verifica di stabilità per pressoflessione SLD §C.4.2.4.1.3.3.1 NTC18

X	Comb.	Sfruttamento	Classe	NEd	MxEq,Ed	MyEq,Ed	Area	Wx	Wy	x_{min}	$\lambda_{adim. x/m}$	$\lambda_{adim. y/n}$	N,crit x/m	N,crit y/n	Verifica
1.152	SLD 9	0.006	1	0	0.124	0.0081	0.003832	0.0000897	0.0001273	0.803	0.57	0.401	3242.978	6550.511	Si

Verifiche a deformabilità

Mensola X: No; Mensola Y: No.

Frecce lungo X

Ascissa freccia	Combinazione	Freccia	Luce	L/f	L/f,min	Tipo	Verifica
1.052	SLE RA 1	0	1.502	10000	250	Totale	Si
1.102	SLE RA 17	0	1.502	10000	250	Totale	Si
1.152	SLE RA 16	0	1.502	10000	250	Totale	Si
1.102	SLE RA 15	0	1.502	10000	250	Totale	Si
1.152	SLE RA 14	0	1.502	10000	250	Totale	Si
0.351	SLE RA 2	0	1.502	10000	350	Variabile	Si
0.351	SLE RA 17	0	1.502	10000	350	Variabile	Si
0.351	SLE RA 16	0	1.502	10000	350	Variabile	Si
1.152	SLE RA 15	0	1.502	10000	350	Variabile	Si
0.501	SLE RA 14	0	1.502	10000	350	Variabile	Si

Frecce lungo Y

Ascissa freccia	Combinazione	Freccia	Luce	L/f	L/f,min	Tipo	Verifica
0.701	SLE RA 1	0.00004	1.502	10000	250	Totale	Si
0.701	SLE RA 17	0.00004	1.502	10000	250	Totale	Si
0.701	SLE RA 16	0.00004	1.502	10000	250	Totale	Si
0.701	SLE RA 15	0.00004	1.502	10000	250	Totale	Si
0.701	SLE RA 14	0.00004	1.502	10000	250	Totale	Si
0.651	SLE RA 2	-0.00001	1.502	10000	350	Variabile	Si
0.651	SLE RA 17	0	1.502	10000	350	Variabile	Si
0.651	SLE RA 16	0.00001	1.502	10000	350	Variabile	Si
0.651	SLE RA 15	0.00001	1.502	10000	350	Variabile	Si
0.651	SLE RA 14	0	1.502	10000	350	Variabile	Si

Superelemento in acciaio a quota "640" (364; 2199)-(490; 2333)

Caratteristiche del materiale

Acciaio: S275, fyk = 275000

Caratteristiche geometriche

Lunghezza: 1.845

Nodo iniziale: 1145 Nodo finale: 1197

Cerniera iniziale: No Cerniera finale: No

Sovraresistenza: 0% Sisma Z: No

Caratteristiche della sezione

Sezione	Rotazione	Area	Jx	Jy	ix	iy	Wx	Wy	Wplx	Wply
HEA120	0	0.002537	0.0000060673	0.0000023091	0.0489	0.0302	0.00010644	0.00003849	0.00011962	0.00005887

Verifiche di resistenza

Verifiche a forza assiale §4.2.4.1.2.1 - §4.2.4.1.2.2 NTC18

X	Comb.	Sfruttamento	Classe	NEd	Nc,Rd	Nt,Rd	Riduzione da taglio	px	py	Verifica
0.123	SLU 76	0.079	1	-52.418	664.325		1	0	0	Si

Verifiche a forza assiale SLD §4.2.4.1.2.1 - §4.2.4.1.2.2 NTC18

X	Comb.	Sfruttamento	Classe	NEd	Nc,Rd	Nt,Rd	Riduzione da taglio	px	py	Verifica
1.845	SLD 8	0.028	1	-18.899	664.325		1	0	0	Si

Verifica a taglio Y §4.2.4.1.2.4 NTC18

X	Comb.	Sfruttamento	VEd	Vc,Rd	Av	Interazione taglio-torsione	Riduzione torsione	Verifica
0	SLU 76	0.009	1.162	128.232	0.000849	Considerata	1	Si

Verifica a taglio Y SLD §4.2.4.1.2.4 NTC18

X	Comb.	Sfruttamento	VEd	Vc,Rd	Av	Interazione taglio-torsione	Riduzione torsione	Verifica
0	SLD 9	0.005	0.67	128.173	0.000849	Considerata	1	Si

Verifica a torsione §4.2.4.1.2.5 NTC18

X	Comb.	Sfruttamento torsione	TEd	TRd	Riduzione taglio resistente	Sfruttamento taglio-torsione	$\tau_{Ed,totale}$	τ_{Rd}	Verifica
1.783	SLV 7	0.012	0.01054	0.85138	Considerata				Si

Verifica a torsione SLD §4.2.4.1.2.5 NTC18

X	Comb.	Sfruttamento torsione	TEd	TRd	Riduzione taglio resistente	Sfruttamento taglio-torsione	$\tau_{Ed,totale}$	τ_{Rd}	Verifica
1.845	SLD 8	0.005	0.00446	0.85138	Considerata				Si

**Implementazione dei sistemi di confinamento delle emissioni odorigene diffuse dell'impianto di compostaggio esistente nel
Comune di Eboli (SA)
PROGETTO DEFINITIVO – Tabulati di calcolo Tomo 1**

Verifica a presso/tenso flessione retta X §§ 4.2.4.1.2.3 - 4.2.4.1.2.6 - 4.2.4.1.2.7 - 4.2.4.1.2.8 NTC18

Verifiche eseguite utilizzando la formula conservativa (6.2) §6.2.1 EN 1993-1-1:2005.

X	Comb.	Sfruttamento	Classe	NEd	NRd	Rid. NRd da VEd	Mx,Ed	Mx,Rd	Rid. Mx,Rd da VEd	Rid. Mx,Rd da NEd	px	py	Verifica
0.553	SLU 76	0.107	1	-52.418	664.325	1	0.8924	31.3291	1		0	0	Si

Verifica a presso/tenso flessione retta X SLD §§ 4.2.4.1.2.3 - 4.2.4.1.2.6 - 4.2.4.1.2.7 - 4.2.4.1.2.8 NTC18

Verifiche eseguite utilizzando la formula conservativa (6.2) §6.2.1 EN 1993-1-1:2005.

X	Comb.	Sfruttamento	Classe	NEd	NRd	Rid. NRd da VEd	Mx,Ed	Mx,Rd	Rid. Mx,Rd da VEd	Rid. Mx,Rd da NEd	px	py	Verifica
0.738	SLD 14	0.035	1	-12.459	664.325	1	0.5126	31.3291	1		0	0	Si

Verifica a presso/tenso flessione retta Y §§ 4.2.4.1.2.3 - 4.2.4.1.2.6 - 4.2.4.1.2.7 - 4.2.4.1.2.8 NTC18

Verifiche eseguite utilizzando la formula conservativa (6.2) §6.2.1 EN 1993-1-1:2005.

X	Comb.	Sfruttamento	Classe	NEd	NRd	Rid. NRd da VEd	My,Ed	My,Rd	Rid. My,Rd da VEd	Rid. My,Rd da NEd	px	py	Verifica
1.537	SLU 72	0.07	1	-45.36	664.325	1	-0.027	15.4191	1		0	0	Si

Verifica a presso/tenso flessione retta Y SLD §§ 4.2.4.1.2.3 - 4.2.4.1.2.6 - 4.2.4.1.2.7 - 4.2.4.1.2.8 NTC18

Verifiche eseguite utilizzando la formula conservativa (6.2) §6.2.1 EN 1993-1-1:2005.

X	Comb.	Sfruttamento	Classe	NEd	NRd	Rid. NRd da VEd	My,Ed	My,Rd	Rid. My,Rd da VEd	Rid. My,Rd da NEd	px	py	Verifica
0.246	SLD 7	0.029	1	-18.899	664.325	1	-0.0098	15.4191	1		0	0	Si

Verifica a presso/tenso flessione deviata §§ 4.2.4.1.2.3 - 4.2.4.1.2.6 - 4.2.4.1.2.7 - 4.2.4.1.2.8 NTC18

Verifiche eseguite utilizzando la formula conservativa (6.2) §6.2.1 EN 1993-1-1:2005.

X	Comb.	Sfruttamento	Classe	NEd	NRd	Rid. NRd da VEd	Mx,Ed	Mx,Rd	My,Ed	My,Rd	Rid. Mx,Rd da VEd	Rid. Mx,Rd da NEd	Rid. My,Rd da VEd	Rid. My,Rd da NEd	α	β	px	py	Verifica
0	SLU 76	0.128	1	-52.418	664.325	1	1.4959	31.3291	0.0214	15.4191	1		1				0	0	Si

Verifica a presso/tenso flessione deviata SLD §§ 4.2.4.1.2.3 - 4.2.4.1.2.6 - 4.2.4.1.2.7 - 4.2.4.1.2.8 NTC18

Verifiche eseguite utilizzando la formula conservativa (6.2) §6.2.1 EN 1993-1-1:2005.

X	Comb.	Sfruttamento	Classe	NEd	NRd	Rid. NRd da VEd	Mx,Ed	Mx,Rd	My,Ed	My,Rd	Rid. Mx,Rd da VEd	Rid. Mx,Rd da NEd	Rid. My,Rd da VEd	Rid. My,Rd da NEd	α	β	px	py	Verifica
0	SLD 13	0.051	1	-12.459	664.325	1	0.9516	31.3291	0.0231	15.4191	1		1				0	0	Si

Verifiche ad instabilità

Caratteristiche iniziali

Membratura principale per controllo snellezza; Calcolo di snellezze ed N critici condotti secondo gli assi principali;

Curva X: b; Curva Y: c; Svergolamento: Carico all'estradosso; Curva svergolamento: b;

Dati per instabilità attorno a x

Controllo della snellezza secondo §4.2.4.1.3.1 NTC18

Numero rit.	Presente	Ascissa	Campata	βx/m	Vincolo a entrambi estremi	λx/m	λVer
1	Si	0					
			1-2	1	Si	37.7	Si, (<200)
2	Si	1.845					

Dati per instabilità attorno a y

Controllo della snellezza secondo §4.2.4.1.3.1 NTC18

Numero rit.	Presente	Ascissa	Campata	βy/n	k,LT	kw,LT	Vincolo a entrambi estremi	λy/n	λVer
1	Si	0							
			1-2	1	1	1	Si	61.1	Si, (<200)
2	Si	1.845							

Verifica a svergolamento con trazione §4.2.4.1.3.2 NTC18 § 5.5.3 ENV 1993-1-1:1992 + AC:1992 + A1:1994 + A2:1998

X	Comb.	Sfruttamento	Classe	Obblig.	NEd	Mx,Ed	Mx,Eff,Ed	Mb,Rd,x	χ,LT	λ adim. LT	L,LT	M,critico	Verifica
0	SLU 21	0.002	1	Si	1.331	0.10487	0.06577	30.75988	0.982	0.446	1.845	165.05056	Si

Verifica di stabilità per tenso-flessione deviata §§ 5.5.3-5.5.4 ENV 1993-1-1:1992 + AC:1992 + A1:1994 + A2:1998

X	Comb.	Sfruttamento	Classe	NEd	Mx,Ed	Mx,Eff,Ed	My,Ed	χ,LT	kLT	ky	M,critico	Wx	Wy	Verifica
1.845	SLU 3	0.001	1	1.901	0.06863	0.01278	0.00778	0.903	1	1	82.43039	0.0001196	0.0000589	Si

Verifica di stabilità per pressoflessione §C.4.2.4.1.3.3.2 NTC18

X	Comb.	Sfruttamento	Classe	NEd	NRk	Mx,Ed max	Mx,Rk	My,Ed max	My,Rk	χ,x	χ,y	kxx	kxy	kyx	kyy	χ,LT	Verifica
1.722	SLU 76	0.162	1	-52.418	697.541	1.49594	32.89552	0.042	16.19002	0.912	0.722	0.496	0.261	0.967	0.435	0.903	Si

Verifica di stabilità per pressoflessione SLD §C.4.2.4.1.3.3.2 NTC18

X	Comb.	Sfruttamento	Classe	NEd	NRk	Mx,Ed max	Mx,Rk	My,Ed max	My,Rk	χ,x	χ,y	kxx	kxy	kyx	kyy	χ,LT	Verifica
1.783	SLD 14	0.057	1	-12.459	697.541	0.95161	32.89552	0.02997	16.19002	0.912	0.722	0.556	0.246	0.994	0.411	0.992	Si

Verifica di stabilità a taglio anima Y §4.2.4.1.2.4 [4.2.27] NTC18

η	hw	tw	hw/tw max	Verifica
1.2	0.098	0.005	55.46	Si

Verifica di stabilità a taglio anima Y SLD §4.2.4.1.2.4 [4.2.27] NTC18

η	hw	tw	hw/tw max	Verifica
1.2	0.098	0.005	55.46	Si

Verifiche a deformabilità

Mensola X: No; Mensola Y: No.

Frecce lungo X

Ascissa freccia	Combinazione	Freccia	Luce	L/f	L/f,min	Tipo	Verifica
1.23	SLE RA 1	0	1.845	10000	250	Totale	Si
1.23	SLE RA 17	0	1.845	10000	250	Totale	Si
1.168	SLE RA 16	0.00001	1.845	10000	250	Totale	Si
1.23	SLE RA 15	0.00001	1.845	10000	250	Totale	Si
1.107	SLE RA 14	0	1.845	10000	250	Totale	Si
1.168	SLE RA 2	0	1.845	10000	350	Variabile	Si

Implementazione dei sistemi di confinamento delle emissioni odorigene diffuse dell'impianto di compostaggio esistente nel
Comune di Eboli (SA)
PROGETTO DEFINITIVO – Tabulati di calcolo Tomo 1

Ascissa freccia	Combinazione	Freccia	Luce	L/f	L/f,min	Tipo	Verifica
1.168	SLE RA 17	0	1.845	10000	350	Variabile	Si
1.168	SLE RA 16	0	1.845	10000	350	Variabile	Si
1.23	SLE RA 15	0	1.845	10000	350	Variabile	Si
0.799	SLE RA 14	0	1.845	10000	350	Variabile	Si

Frecce lungo Y

Ascissa freccia	Combinazione	Freccia	Luce	L/f	L/f,min	Tipo	Verifica
0.676	SLE RA 1	0.00006	1.845	10000	250	Totale	Si
0.676	SLE RA 17	0.00008	1.845	10000	250	Totale	Si
0.738	SLE RA 16	0.00011	1.845	10000	250	Totale	Si
0.738	SLE RA 15	0.00012	1.845	10000	250	Totale	Si
0.676	SLE RA 14	0.00006	1.845	10000	250	Totale	Si
0.738	SLE RA 2	-0.00005	1.845	10000	350	Variabile	Si
0.738	SLE RA 17	0.00002	1.845	10000	350	Variabile	Si
0.738	SLE RA 16	0.00005	1.845	10000	350	Variabile	Si
0.738	SLE RA 15	0.00006	1.845	10000	350	Variabile	Si
0.799	SLE RA 14	0.00001	1.845	10000	350	Variabile	Si

Superelemento in acciaio a quota "640" (401; 1145)-(510; 1042)

Caratteristiche del materiale

Acciaio: S275, fyk = 275000

Caratteristiche geometriche

Lunghezza: 1.5

Nodo iniziale: 902 Nodo finale: 876

Cerniera iniziale: Mmomenti 1% Cerniera finale: Mmomenti 1%

Sovraresistenza: 0% Sisma Z: No

Caratteristiche della sezione

Sezione	Rotazione	Area	Jx	Jy	ix	iy	Wx	Wy	Wplx	Wply
A1; L100*10; 1; Saldato; S275; 30; 1; 8; 8; 1	180	0.003832	0.0000035319	0.000007759	0.0304	0.045	0.0000492	0.0000739	0.00008974	0.00012727

Comportamento dei calastrelli

Accoppiamento imbottito con funzione statica (§C4.2.4.1.3.1.4 NTC18) nella campata compresa tra le ascisse 0 e 1.5 per sbandamento attorno all'asse y.

Verifiche di resistenza

Verifiche a forza assiale §4.2.4.1.2.1 - §4.2.4.1.2.2 NTC18

X	Comb.	Sfruttamento	Classe	NEd	Nc,Rd	Nt,Rd	Riduzione da taglio	px	py	Verifica
1.5	SLU 75	0.165		165.428		1003.522	1	0	0	Si

Verifiche a forza assiale SLD §4.2.4.1.2.1 - §4.2.4.1.2.2 NTC18

X	Comb.	Sfruttamento	Classe	NEd	Nc,Rd	Nt,Rd	Riduzione da taglio	px	py	Verifica
1.5	SLD 16	0.062		62.302		1003.522	1	0	0	Si

Verifica a taglio Y §4.2.4.1.2.4 NTC18

X	Comb.	Sfruttamento	VEd	Vc,Rd	Av	Interazione taglio-torsione	Riduzione torsione	Verifica
0	SLU 75	0.001	-0.295	302.422	0.002	Non considerata		Si

Verifica a taglio Y SLD §4.2.4.1.2.4 NTC18

X	Comb.	Sfruttamento	VEd	Vc,Rd	Av	Interazione taglio-torsione	Riduzione torsione	Verifica
0	SLD 16	0.001	-0.226	302.422	0.002	Non considerata		Si

Verifica a presso/tenso flessione retta X §§ 4.2.4.1.2.3 - 4.2.4.1.2.6 - 4.2.4.1.2.7 - 4.2.4.1.2.8 NTC18

Verifiche eseguite utilizzando la formula conservativa (6.2) §6.2.1 EN 1993-1-1:2005.

X	Comb.	Sfruttamento	Classe	NEd	NRd	Rid. NRd da VEd	Mx,Ed	Mx,Rd	Rid. Mx,Rd da VEd	Rid. Mx,Rd da NEd	px	py	Verifica
0.75	SLU 75	0.17	1	165.428	1003.522	1	0.1122	23.5037	1		0	0	Si

Verifica a presso/tenso flessione retta X SLD §§ 4.2.4.1.2.3 - 4.2.4.1.2.6 - 4.2.4.1.2.7 - 4.2.4.1.2.8 NTC18

Verifiche eseguite utilizzando la formula conservativa (6.2) §6.2.1 EN 1993-1-1:2005.

X	Comb.	Sfruttamento	Classe	NEd	NRd	Rid. NRd da VEd	Mx,Ed	Mx,Rd	Rid. Mx,Rd da VEd	Rid. Mx,Rd da NEd	px	py	Verifica
0.5	SLD 14	0.06	1	57.146	1003.522	1	0.0755	23.5037	1		0	0	Si

Verifica a presso/tenso flessione retta Y §§ 4.2.4.1.2.3 - 4.2.4.1.2.6 - 4.2.4.1.2.7 - 4.2.4.1.2.8 NTC18

Verifiche eseguite utilizzando la formula conservativa (6.2) §6.2.1 EN 1993-1-1:2005.

X	Comb.	Sfruttamento	Classe	NEd	NRd	Rid. NRd da VEd	My,Ed	My,Rd	Rid. My,Rd da VEd	Rid. My,Rd da NEd	px	py	Verifica
1.5	SLU 75	0.165	1	165.428	1003.522	1	0.0086	33.3316	1		0	0	Si

Verifica a presso/tenso flessione retta Y SLD §§ 4.2.4.1.2.3 - 4.2.4.1.2.6 - 4.2.4.1.2.7 - 4.2.4.1.2.8 NTC18

Verifiche eseguite utilizzando la formula conservativa (6.2) §6.2.1 EN 1993-1-1:2005.

X	Comb.	Sfruttamento	Classe	NEd	NRd	Rid. NRd da VEd	My,Ed	My,Rd	Rid. My,Rd da VEd	Rid. My,Rd da NEd	px	py	Verifica
1.5	SLD 16	0.063	1	62.302	1003.522	1	0.023	33.3316	1		0	0	Si

Verifica a presso/tenso flessione deviata §§ 4.2.4.1.2.3 - 4.2.4.1.2.6 - 4.2.4.1.2.7 - 4.2.4.1.2.8 NTC18

Verifiche eseguite utilizzando la formula conservativa (6.2) §6.2.1 EN 1993-1-1:2005.

X	Comb.	Sfruttamento	Classe	NEd	NRd	Rid. NRd da VEd	Mx,Ed	Mx,Rd	My,Ed	My,Rd	Rid. Mx,Rd da VEd	Rid. Mx,Rd da NEd	Rid. My,Rd da VEd	Rid. My,Rd da NEd	α	β	px	py	Verifica

Implementazione dei sistemi di confinamento delle emissioni odorigene diffuse dell'impianto di compostaggio esistente nel
Comune di Eboli (SA)
PROGETTO DEFINITIVO – Tabulati di calcolo Tomo 1

X	Comb.	Sfruttamento	Classe	NEd	NRd	Rid. NRd da VEd	Mx,Ed	Mx,Rd	My,Ed	My,Rd	Rid. Mx,Rd da VEd	Rid. Mx,Rd da NEd	Rid. My,Rd da VEd	Rid. My,Rd da NEd	α	β	ρ_x	ρ_y	Verifica
1.3	SLU 75	0.167	1	165.428	1003.522	1	0.0541	23.5037	0.0075	33.3316	1		1				0	0	Si

Verifica a presso/tenso flessione deviata SLD §§ 4.2.4.1.2.3 - 4.2.4.1.2.6 - 4.2.4.1.2.7 - 4.2.4.1.2.8 NTC18

Verifiche eseguite utilizzando la formula conservativa (6.2) §6.2.1 EN 1993-1-1:2005.

X	Comb.	Sfruttamento	Classe	NEd	NRd	Rid. NRd da VEd	Mx,Ed	Mx,Rd	My,Ed	My,Rd	Rid. Mx,Rd da VEd	Rid. Mx,Rd da NEd	Rid. My,Rd da VEd	Rid. My,Rd da NEd	α	β	ρ_x	ρ_y	Verifica
0.8	SLD 15	0.066	1	62.302	1003.522	1	0.0848	23.5037	0.0154	33.3316	1		1				0	0	Si

Verifiche ad instabilità

Caratteristiche iniziali

Membratura principale per controllo snellezza; Calcolo di snellezze ed N critici condotti secondo gli assi principali;

Curva X: c; Curva Y: c;

Svergolamento: Nessuno; la verifica a instabilità flesso-torsionale (svergolamento) non verrà eseguita.

Dati per instabilità attorno a x

Controllo della snellezza secondo §4.2.4.1.3.1 NTC18

Numero rit.	Presente	Ascissa	Campata	$\beta x/m$	Vincolo a entrambi estremi	$\lambda x/m$	λVer
1	Si	0					
2	Si	1.5	1-2	1	Si	49.4	Si, (<200)

Dati per instabilità attorno a y

Controllo della snellezza secondo §4.2.4.1.3.1 NTC18

Numero rit.	Presente	Ascissa	Campata	$\beta y/n$	k,LT	kw,LT	Vincolo a entrambi estremi
1	Si	0					
2	Si	1.5	1-2	1	Si	34.8	Si, (<200)

Verifica di stabilità per pressoflessione §C.4.2.4.1.3.3.1 NTC18

X	Comb.	Sfruttamento	Classe	NEd	MxEq,Ed	MyEq,Ed	Area	Wx	Wy	x_{min}	$\lambda_{adim. x/m}$	$\lambda_{adim. y/n}$	N,crit x/m	N,crit y/n	Verifica
0	SLU 2	0.044	3	-27.688	0.0719	-0.085	0.003832	0.0000492	0.0000739	0.804	0.569	0.4	3253.47	6569.993	Si

Verifiche a deformabilità

Mensola X: No; Mensola Y: No.

Frecce lungo X

Ascissa freccia	Combinazione	Freccia	Luce	L/f	L/f,min	Tipo	Verifica
0.85	SLE RA 1	0	1.5	10000	250	Totale	Si
0.85	SLE RA 17	0	1.5	10000	250	Totale	Si
0.85	SLE RA 16	0	1.5	10000	250	Totale	Si
0.8	SLE RA 15	0	1.5	10000	250	Totale	Si
0.85	SLE RA 14	0	1.5	10000	250	Totale	Si
0.85	SLE RA 2	0	1.5	10000	350	Variabile	Si
0.85	SLE RA 17	0	1.5	10000	350	Variabile	Si
0.85	SLE RA 16	0	1.5	10000	350	Variabile	Si
0.8	SLE RA 15	0	1.5	10000	350	Variabile	Si
0.9	SLE RA 14	0	1.5	10000	350	Variabile	Si

Frecce lungo Y

Ascissa freccia	Combinazione	Freccia	Luce	L/f	L/f,min	Tipo	Verifica
0.75	SLE RA 1	0.00003	1.5	10000	250	Totale	Si
0.75	SLE RA 17	0.00003	1.5	10000	250	Totale	Si
0.75	SLE RA 16	0.00003	1.5	10000	250	Totale	Si
0.75	SLE RA 15	0.00003	1.5	10000	250	Totale	Si
0.75	SLE RA 14	0.00003	1.5	10000	250	Totale	Si
0.8	SLE RA 2	0	1.5	10000	350	Variabile	Si
0.8	SLE RA 17	0	1.5	10000	350	Variabile	Si
0.8	SLE RA 16	0	1.5	10000	350	Variabile	Si
0.8	SLE RA 15	0	1.5	10000	350	Variabile	Si
0.85	SLE RA 14	0	1.5	10000	350	Variabile	Si

Superelemento in acciaio a quota "640" (437; 1620)-(546; 1518)

Caratteristiche del materiale

Acciaio: S275, fyk = 275000

Caratteristiche geometriche

Lunghezza: 1.5

Nodo iniziale: 987 Nodo finale: 970

Cerniera iniziale: Mmomenti 1% Cerniera finale: Mmomenti 1%

Sovreresistenza: 0% Sisma Z: No

Caratteristiche della sezione

Sezione	Rotazione	Area	Jx	Jy	ix	iy	Wx	Wy	Wplx	Wply
A1; L100*10; 1; Saldato; S275; 30; 1; 8; 8; 1	180	0.003832	0.0000035319	0.000007759	0.0304	0.045	0.0000492	0.0000739	0.00008974	0.00012727

Comportamento dei calastrelli

Accoppiamento imbottito con funzione statica (§C4.2.4.1.3.1.4 NTC18) nella campata compresa tra le ascisse 0 e 1.5 per sbandamento attorno all'asse y.

Implementazione dei sistemi di confinamento delle emissioni odorigene diffuse dell'impianto di compostaggio esistente nel
Comune di Eboli (SA)
PROGETTO DEFINITIVO – Tabulati di calcolo Tomo 1

Verifiche di resistenza

Verifiche a forza assiale §4.2.4.1.2.1 - §4.2.4.1.2.2 NTC18

X	Comb.	Sfruttamento	Classe	NEd	Nc,Rd	Nt,Rd	Riduzione da taglio	px	py	Verifica
0.65	SLU 76	0.243		244.245		1003.522	1	0	0	Si

Verifiche a forza assiale SLD §4.2.4.1.2.1 - §4.2.4.1.2.2 NTC18

X	Comb.	Sfruttamento	Classe	NEd	Nc,Rd	Nt,Rd	Riduzione da taglio	px	py	Verifica
1.45	SLD 14	0.084		83.805		1003.522	1	0	0	Si

Verifica a taglio X §4.2.4.1.2.4 NTC18

X	Comb.	Sfruttamento	VEd	Vc,Rd	Av	Interazione taglio-torsione	Riduzione torsione	Verifica
0	SLU 2	0.001	-0.25	302.422	0.002	Non considerata		Si

Verifica a taglio Y §4.2.4.1.2.4 NTC18

X	Comb.	Sfruttamento	VEd	Vc,Rd	Av	Interazione taglio-torsione	Riduzione torsione	Verifica
1.5	SLU 76	0.001	0.296	302.422	0.002	Non considerata		Si

Verifica a taglio Y SLD §4.2.4.1.2.4 NTC18

X	Comb.	Sfruttamento	VEd	Vc,Rd	Av	Interazione taglio-torsione	Riduzione torsione	Verifica
1.5	SLD 14	0.001	0.226	302.422	0.002	Non considerata		Si

Verifica a presso/tenso flessione retta X §§ 4.2.4.1.2.3 - 4.2.4.1.2.6 - 4.2.4.1.2.7 - 4.2.4.1.2.8 NTC18

Verifiche eseguite utilizzando la formula conservativa (6.2) §6.2.1 EN 1993-1-1:2005.

X	Comb.	Sfruttamento	Classe	NEd	NRd	Rid. NRd da VEd	Mx,Ed	Mx,Rd	Rid. Mx,Rd da VEd	Rid. Mx,Rd da NEd	px	py	Verifica
0.75	SLU 76	0.248	1	244.245	1003.522	1	0.1116	23.5037	1		0	0	Si

Verifica a presso/tenso flessione retta X SLD §§ 4.2.4.1.2.3 - 4.2.4.1.2.6 - 4.2.4.1.2.7 - 4.2.4.1.2.8 NTC18

Verifiche eseguite utilizzando la formula conservativa (6.2) §6.2.1 EN 1993-1-1:2005.

X	Comb.	Sfruttamento	Classe	NEd	NRd	Rid. NRd da VEd	Mx,Ed	Mx,Rd	Rid. Mx,Rd da VEd	Rid. Mx,Rd da NEd	px	py	Verifica
0.75	SLD 14	0.087	1	83.805	1003.522	1	0.0848	23.5037	1		0	0	Si

Verifica a presso/tenso flessione retta Y §§ 4.2.4.1.2.3 - 4.2.4.1.2.6 - 4.2.4.1.2.7 - 4.2.4.1.2.8 NTC18

Verifiche eseguite utilizzando la formula conservativa (6.2) §6.2.1 EN 1993-1-1:2005.

X	Comb.	Sfruttamento	Classe	NEd	NRd	Rid. NRd da VEd	My,Ed	My,Rd	Rid. My,Rd da VEd	Rid. My,Rd da NEd	px	py	Verifica
1.5	SLV 14	0.089	1	87.493	1003.522	1	-0.0745	33.3316	1		0	0	Si

Verifica a presso/tenso flessione retta Y SLD §§ 4.2.4.1.2.3 - 4.2.4.1.2.6 - 4.2.4.1.2.7 - 4.2.4.1.2.8 NTC18

Verifiche eseguite utilizzando la formula conservativa (6.2) §6.2.1 EN 1993-1-1:2005.

X	Comb.	Sfruttamento	Classe	NEd	NRd	Rid. NRd da VEd	My,Ed	My,Rd	Rid. My,Rd da VEd	Rid. My,Rd da NEd	px	py	Verifica
1.5	SLD 13	0.084	1	83.805	1003.522	1	-0.0299	33.3316	1		0	0	Si

Verifica a presso/tenso flessione deviata §§ 4.2.4.1.2.3 - 4.2.4.1.2.6 - 4.2.4.1.2.7 - 4.2.4.1.2.8 NTC18

Verifiche eseguite utilizzando la formula conservativa (6.2) §6.2.1 EN 1993-1-1:2005.

X	Comb.	Sfruttamento	Classe	NEd	NRd	Rid. NRd da VEd	Mx,Ed	Mx,Rd	My,Ed	My,Rd	Rid. Mx,Rd da VEd	Rid. Mx,Rd da NEd	Rid. My,Rd da VEd	Rid. My,Rd da NEd	α	β	px	py	Verifica
0.95	SLV 14	0.091	1	87.493	1003.522	1	0.0786	23.5037	-0.0322	33.3316	1		1				0	0	Si

Verifica a presso/tenso flessione deviata SLD §§ 4.2.4.1.2.3 - 4.2.4.1.2.6 - 4.2.4.1.2.7 - 4.2.4.1.2.8 NTC18

Verifiche eseguite utilizzando la formula conservativa (6.2) §6.2.1 EN 1993-1-1:2005.

X	Comb.	Sfruttamento	Classe	NEd	NRd	Rid. NRd da VEd	Mx,Ed	Mx,Rd	My,Ed	My,Rd	Rid. Mx,Rd da VEd	Rid. Mx,Rd da NEd	Rid. My,Rd da VEd	Rid. My,Rd da NEd	α	β	px	py	Verifica
0.8	SLD 13	0.087	1	83.805	1003.522	1	0.0844	23.5037	-0.0085	33.3316	1		1				0	0	Si

Verifiche ad instabilità

Caratteristiche iniziali

Membratura principale per controllo snellezza; Calcolo di snellezze ed N critici condotti secondo gli assi principali;

Curva X: c; Curva Y: c;

Svergolamento: Nessuno; la verifica a instabilità flesso-torsionale (svergolamento) non verrà eseguita.

Dati per instabilità attorno a x

Controllo della snellezza secondo §4.2.4.1.3.1 NTC18

Numero rit.	Presente	Ascissa	Campata	βx/m	Vincolo a entrambi estremi	λx/m	λVer
1	Si	0					
			1-2		1	49.4	Si, (<200)
2	Si	1.5					

Dati per instabilità attorno a y

Controllo della snellezza secondo §4.2.4.1.3.1 NTC18

Numero rit.	Presente	Ascissa	Campata	βy/n	k,LT	kw,LT	Vincolo a entrambi estremi
1	Si	0					
			1-2		1	34.8	Si, (<200)
2	Si	1.5					

Verifica di stabilità per pressoflessione §C.4.2.4.1.3.3.1 NTC18

X	Comb.	Sfruttamento	Classe	NEd	MxEq,Ed	MyEq,Ed	Area	Wx	Wy	χ,min	λ adim. x/m	λ adim. y/n	N,crit x/m	N,crit y/n	Verifica
0	SLU 2	0.061	3	-39.41	0.0719	0.1191	0.003832	0.0000492	0.0000739	0.804	0.569	0.4	3253.47	6569.993	Si

Verifiche a deformabilità

Mensola X: No; Mensola Y: No.

Implementazione dei sistemi di confinamento delle emissioni odorigene diffuse dell'impianto di compostaggio esistente nel
Comune di Eboli (SA)
PROGETTO DEFINITIVO – Tabulati di calcolo Tomo 1

Frecce lungo X

Ascissa freccia	Combinazione	Freccia	Luce	L/f	L/f,min	Tipo	Verifica
0.65	SLE RA 1	0	1.5	10000	250	Totale	Si
0.65	SLE RA 17	0	1.5	10000	250	Totale	Si
0.65	SLE RA 16	0	1.5	10000	250	Totale	Si
0.65	SLE RA 15	0	1.5	10000	250	Totale	Si
0.65	SLE RA 14	0	1.5	10000	250	Totale	Si
0.65	SLE RA 2	0	1.5	10000	350	Variabile	Si
0.65	SLE RA 17	0	1.5	10000	350	Variabile	Si
0.65	SLE RA 16	0	1.5	10000	350	Variabile	Si
0.7	SLE RA 15	0	1.5	10000	350	Variabile	Si
0.65	SLE RA 14	0	1.5	10000	350	Variabile	Si

Frecce lungo Y

Ascissa freccia	Combinazione	Freccia	Luce	L/f	L/f,min	Tipo	Verifica
0.75	SLE RA 1	0.00003	1.5	10000	250	Totale	Si
0.75	SLE RA 17	0.00003	1.5	10000	250	Totale	Si
0.75	SLE RA 16	0.00003	1.5	10000	250	Totale	Si
0.75	SLE RA 15	0.00003	1.5	10000	250	Totale	Si
0.75	SLE RA 14	0.00003	1.5	10000	250	Totale	Si
0.65	SLE RA 2	0	1.5	10000	350	Variabile	Si
0.65	SLE RA 17	0	1.5	10000	350	Variabile	Si
0.65	SLE RA 16	0	1.5	10000	350	Variabile	Si
0.65	SLE RA 15	0	1.5	10000	350	Variabile	Si
0.65	SLE RA 14	0	1.5	10000	350	Variabile	Si

Superelemento in acciaio a quota "640" (473; 2096)-(582; 1993)

Caratteristiche del materiale

Acciaio: S275, fyk = 275000

Caratteristiche geometriche

Lunghezza: 1.5

Nodo iniziale: 1085 Nodo finale: 1065

Cerniera iniziale: Mmomenti 1% Cerniera finale: Mmomenti 1%

Sovreresistenza: 0% Sisma Z: No

Caratteristiche della sezione

Sezione	Rotazione	Area	Jx	Jy	ix	iy	Wx	Wy	Wplx	Wply
A1; L100*10; 1; Saldato; S275; 30; 1; 8; 8; 1	180	0.003832	0.0000035319	0.000007759	0.0304	0.045	0.0000492	0.0000739	0.00008974	0.00012727

Comportamento dei calastrelli

Accoppiamento imbottito con funzione statica (§C4.2.4.1.3.1.4 NTC18) nella campata compresa tra le ascisse 0 e 1.5 per sbandamento attorno all'asse y.

Verifiche di resistenza

Verifiche a forza assiale §4.2.4.1.2.1 - §4.2.4.1.2.2 NTC18

X	Comb.	Sfruttamento	Classe	NEd	Nc,Rd	Nt,Rd	Riduzione da taglio	px	py	Verifica
0.05	SLU 76	0.116		116.532		1003.522	1	0	0	Si

Verifiche a forza assiale SLD §4.2.4.1.2.1 - §4.2.4.1.2.2 NTC18

X	Comb.	Sfruttamento	Classe	NEd	Nc,Rd	Nt,Rd	Riduzione da taglio	px	py	Verifica
0	SLD 1	0.046		45.778		1003.522	1	0	0	Si

Verifica a taglio Y §4.2.4.1.2.4 NTC18

X	Comb.	Sfruttamento	VEd	Vc,Rd	Av	Interazione taglio-torsione	Riduzione torsione	Verifica
0	SLU 76	0.001	-0.294	302.422	0.002	Non considerata		Si

Verifica a taglio Y SLD §4.2.4.1.2.4 NTC18

X	Comb.	Sfruttamento	VEd	Vc,Rd	Av	Interazione taglio-torsione	Riduzione torsione	Verifica
0	SLD 16	0.001	-0.226	302.422	0.002	Non considerata		Si

Verifica a presso/tenso flessione retta X §§ 4.2.4.1.2.3 - 4.2.4.1.2.6 - 4.2.4.1.2.7 - 4.2.4.1.2.8 NTC18

Verifiche eseguite utilizzando la formula conservativa (6.2) §6.2.1 EN 1993-1-1:2005.

X	Comb.	Sfruttamento	Classe	NEd	NRd	Rid. NRd da VEd	Mx,Ed	Mx,Rd	Rid. Mx,Rd da VEd	Rid. Mx,Rd da NEd	px	py	Verifica
0.75	SLU 76	0.121	1	116.532	1003.522	1	0.1112	23.5037	1		0	0	Si

Verifica a presso/tenso flessione retta X SLD §§ 4.2.4.1.2.3 - 4.2.4.1.2.6 - 4.2.4.1.2.7 - 4.2.4.1.2.8 NTC18

Verifiche eseguite utilizzando la formula conservativa (6.2) §6.2.1 EN 1993-1-1:2005.

X	Comb.	Sfruttamento	Classe	NEd	NRd	Rid. NRd da VEd	Mx,Ed	Mx,Rd	Rid. Mx,Rd da VEd	Rid. Mx,Rd da NEd	px	py	Verifica
0.75	SLD 2	0.049	1	45.778	1003.522	1	0.0849	23.5037	1		0	0	Si

Verifica a presso/tenso flessione retta Y §§ 4.2.4.1.2.3 - 4.2.4.1.2.6 - 4.2.4.1.2.7 - 4.2.4.1.2.8 NTC18

Verifiche eseguite utilizzando la formula conservativa (6.2) §6.2.1 EN 1993-1-1:2005.

X	Comb.	Sfruttamento	Classe	NEd	NRd	Rid. NRd da VEd	My,Ed	My,Rd	Rid. My,Rd da VEd	Rid. My,Rd da NEd	px	py	Verifica
0	SLV 1	0.06	1	59.314	1003.522	1	-0.0182	33.3316	1		0	0	Si

Verifica a presso/tenso flessione retta Y SLD §§ 4.2.4.1.2.3 - 4.2.4.1.2.6 - 4.2.4.1.2.7 - 4.2.4.1.2.8 NTC18

Verifiche eseguite utilizzando la formula conservativa (6.2) §6.2.1 EN 1993-1-1:2005.

X	Comb.	Sfruttamento	Classe	NEd	NRd	Rid. NRd da VEd	My,Ed	My,Rd	Rid. My,Rd da VEd	Rid. My,Rd da NEd	px	py	Verifica
---	-------	--------------	--------	-----	-----	-----------------	-------	-------	-------------------	-------------------	----	----	----------

Implementazione dei sistemi di confinamento delle emissioni odorigene diffuse dell'impianto di compostaggio esistente nel
Comune di Eboli (SA)
PROGETTO DEFINITIVO – Tabulati di calcolo Tomo 1

X	Comb.	Sfruttamento	Classe	NEd	NRd	Rid. NRd da VEd	My,Ed	My,Rd	Rid. My,Rd da VEd	Rid. My,Rd da NEd	px	py	Verifica
0	SLD 3	0.042	1	41.701	1003.522	1	-0.0132	33.3316	1		0	0	Si

Verifica a presso/tenso flessione deviata §§ 4.2.4.1.2.3 - 4.2.4.1.2.6 - 4.2.4.1.2.7 - 4.2.4.1.2.8 NTC18

Verifiche eseguite utilizzando la formula conservativa (6.2) §6.2.1 EN 1993-1-1:2005.

X	Comb.	Sfruttamento	Classe	NEd	NRd	Rid. NRd da VEd	Mx,Ed	Mx,Rd	My,Ed	My,Rd	Rid. Mx,Rd da VEd	Rid. Mx,Rd da NEd	Rid. My,Rd da VEd	Rid. My,Rd da NEd	α	β	px	py	Verifica
0.75	SLV 1	0.063	1	59.314	1003.522	1	0.0852	23.5037	-0.0164	33.3316	1		1				0	0	Si

Verifica a presso/tenso flessione deviata SLD §§ 4.2.4.1.2.3 - 4.2.4.1.2.6 - 4.2.4.1.2.7 - 4.2.4.1.2.8 NTC18

Verifiche eseguite utilizzando la formula conservativa (6.2) §6.2.1 EN 1993-1-1:2005.

X	Comb.	Sfruttamento	Classe	NEd	NRd	Rid. NRd da VEd	Mx,Ed	Mx,Rd	My,Ed	My,Rd	Rid. Mx,Rd da VEd	Rid. Mx,Rd da NEd	Rid. My,Rd da VEd	Rid. My,Rd da NEd	α	β	px	py	Verifica
0.75	SLD 4	0.046	1	41.701	1003.522	1	0.0848	23.5037	-0.0119	33.3316	1		1				0	0	Si

Verifiche ad instabilità

Caratteristiche iniziali

Membratura principale per controllo snellezza; Calcolo di snellezze ed N critici condotti secondo gli assi principali;

Curva X: c; Curva Y: c;

Svergolamento: Nessuno; la verifica a instabilità flesso-torsionale (svergolamento) non verrà eseguita.

Dati per instabilità attorno a x

Controllo della snellezza secondo §4.2.4.1.3.1 NTC18

Numero rit.	Presente	Ascissa	Campata	βx/m	Vincolo a entrambi estremi	λx/m	λVer
1	Si	0					
			1-2	1	Si	49.4	Si, (<200)
2	Si	1.5					

Dati per instabilità attorno a y

Controllo della snellezza secondo §4.2.4.1.3.1 NTC18

Numero rit.	Presente	Ascissa	Campata	βy/n	k,LT	kw,LT	Vincolo a entrambi estremi
1	Si	0					
			1-2	1	Si	34.8	Si, (<200)
2	Si	1.5					

Verifica di stabilità per pressoflessione §C.4.2.4.1.3.3.1 NTC18

X	Comb.	Sfruttamento	Classe	NEd	MxEq,Ed	MyEq,Ed	Area	Wx	Wy	χ,min	λ adim. x/m	λ adim. y/n	N,crit x/m	N,crit y/n	Verifica
0	SLU 2	0.029	3	-17.56	0.0722	0.04	0.003832	0.0000492	0.0000739	0.804	0.569	0.4	3253.47	6569.993	Si

Verifiche a deformabilità

Mensola X: No; Mensola Y: No.

Frecce lungo X

Ascissa freccia	Combinazione	Freccia	Luce	L/f	L/f,min	Tipo	Verifica
0.6	SLE RA 1	0	1.5	10000	250	Totale	Si
0.5	SLE RA 17	0	1.5	10000	250	Totale	Si
0.4	SLE RA 16	0	1.5	10000	250	Totale	Si
1.15	SLE RA 15	0	1.5	10000	250	Totale	Si
0.75	SLE RA 14	0	1.5	10000	250	Totale	Si
1.05	SLE RA 2	0	1.5	10000	350	Variabile	Si
1.1	SLE RA 17	0	1.5	10000	350	Variabile	Si
1.05	SLE RA 16	0	1.5	10000	350	Variabile	Si
1.05	SLE RA 15	0	1.5	10000	350	Variabile	Si
1	SLE RA 14	0	1.5	10000	350	Variabile	Si

Frecce lungo Y

Ascissa freccia	Combinazione	Freccia	Luce	L/f	L/f,min	Tipo	Verifica
0.75	SLE RA 1	0.00003	1.5	10000	250	Totale	Si
0.75	SLE RA 17	0.00003	1.5	10000	250	Totale	Si
0.75	SLE RA 16	0.00003	1.5	10000	250	Totale	Si
0.75	SLE RA 15	0.00003	1.5	10000	250	Totale	Si
0.75	SLE RA 14	0.00003	1.5	10000	250	Totale	Si
0.75	SLE RA 2	0	1.5	10000	350	Variabile	Si
0.75	SLE RA 17	0	1.5	10000	350	Variabile	Si
0.75	SLE RA 16	0	1.5	10000	350	Variabile	Si
0.8	SLE RA 15	0	1.5	10000	350	Variabile	Si
0.75	SLE RA 14	0	1.5	10000	350	Variabile	Si

Superelemento in acciaio a quota "640" (475; 568)-(602; 702)

Caratteristiche del materiale

Acciaio: S275, fyk = 275000

Caratteristiche geometriche

Lunghezza: 1.85

Nodo iniziale: 782 Nodo finale: 806

Cerniera iniziale: No Cerniera finale: No

Sovraresistenza: 0% Sisma Z: No

Caratteristiche della sezione

Sezione	Rotazione	Area	Jx	Jy	ix	iy	Wx	Wy	Wplx	Wply
HEA120	0	0.002537	0.0000060673	0.0000023091	0.0489	0.0302	0.00010644	0.00003849	0.00011962	0.00005887

**Implementazione dei sistemi di confinamento delle emissioni odorigene diffuse dell'impianto di compostaggio esistente nel
Comune di Eboli (SA)
PROGETTO DEFINITIVO – Tabulati di calcolo Tomo 1**

Verifiche di resistenza

Verifiche a forza assiale §4.2.4.1.2.1 - §4.2.4.1.2.2 NTC18

X	Comb.	Sfruttamento	Classe	NEd	Nc,Rd	Nt,Rd	Riduzione da taglio	px	py	Verifica
1.788	SLU 75	0.151	1	-100.434	664.325		1	0	0	Si

Verifiche a forza assiale SLD §4.2.4.1.2.1 - §4.2.4.1.2.2 NTC18

X	Comb.	Sfruttamento	Classe	NEd	Nc,Rd	Nt,Rd	Riduzione da taglio	px	py	Verifica
1.85	SLD 5	0.051	1	-33.7	664.325		1	0	0	Si

Verifica a taglio Y §4.2.4.1.2.4 NTC18

X	Comb.	Sfruttamento	VEd	Vc,Rd	Av	Interazione taglio-torsione	Riduzione torsione	Verifica
1.85	SLU 75	0.005	-0.693	128.127	0.000849	Considerata	1	Si

Verifica a taglio Y SLD §4.2.4.1.2.4 NTC18

X	Comb.	Sfruttamento	VEd	Vc,Rd	Av	Interazione taglio-torsione	Riduzione torsione	Verifica
1.85	SLD 10	0.003	-0.344	128.153	0.000849	Considerata	1	Si

Verifica a torsione §4.2.4.1.2.5 NTC18

X	Comb.	Sfruttamento torsione	TEd	TRd	Riduzione taglio resistente	Sfruttamento taglio-torsione	τEd,totale	τRd	Verifica
1.85	SLV 5	0.008	-0.00702	0.85138	Considerata				Si

Verifica a torsione SLD §4.2.4.1.2.5 NTC18

X	Comb.	Sfruttamento torsione	TEd	TRd	Riduzione taglio resistente	Sfruttamento taglio-torsione	τEd,totale	τRd	Verifica
0	SLD 1	0.004	-0.00352	0.85138	Considerata				Si

Verifica a presso/tenso flessione retta X §§ 4.2.4.1.2.3 - 4.2.4.1.2.6 - 4.2.4.1.2.7 - 4.2.4.1.2.8 NTC18

Verifiche eseguite utilizzando la formula conservativa (6.2) §6.2.1 EN 1993-1-1:2005.

X	Comb.	Sfruttamento	Classe	NEd	NRd	Rid. NRd da VEd	Mx,Ed	Mx,Rd	Rid. Mx,Rd da VEd	Rid. Mx,Rd da NEd	px	py	Verifica
1.048	SLV 5	0.072	1	-40.93	664.325	1	-0.3378	31.3291	1		0	0	Si

Verifica a presso/tenso flessione retta X SLD §§ 4.2.4.1.2.3 - 4.2.4.1.2.6 - 4.2.4.1.2.7 - 4.2.4.1.2.8 NTC18

Verifiche eseguite utilizzando la formula conservativa (6.2) §6.2.1 EN 1993-1-1:2005.

X	Comb.	Sfruttamento	Classe	NEd	NRd	Rid. NRd da VEd	Mx,Ed	Mx,Rd	Rid. Mx,Rd da VEd	Rid. Mx,Rd da NEd	px	py	Verifica
1.418	SLD 9	0.054	1	-31.908	664.325	1	-0.2023	31.3291	1		0	0	Si

Verifica a presso/tenso flessione retta Y §§ 4.2.4.1.2.3 - 4.2.4.1.2.6 - 4.2.4.1.2.7 - 4.2.4.1.2.8 NTC18

Verifiche eseguite utilizzando la formula conservativa (6.2) §6.2.1 EN 1993-1-1:2005.

X	Comb.	Sfruttamento	Classe	NEd	NRd	Rid. NRd da VEd	My,Ed	My,Rd	Rid. My,Rd da VEd	Rid. My,Rd da NEd	px	py	Verifica
1.788	SLV 6	0.063	1	-40.93	664.325	1	-0.0249	15.4191	1		0	0	Si

Verifica a presso/tenso flessione deviata §§ 4.2.4.1.2.3 - 4.2.4.1.2.6 - 4.2.4.1.2.7 - 4.2.4.1.2.8 NTC18

Verifiche eseguite utilizzando la formula conservativa (6.2) §6.2.1 EN 1993-1-1:2005.

X	Comb.	Sfruttamento	Classe	NEd	NRd	Rid. NRd da VEd	Mx,Ed	Mx,Rd	My,Ed	My,Rd	Rid. Mx,Rd da VEd	Rid. Mx,Rd da NEd	Rid. My,Rd da VEd	Rid. My,Rd da NEd	α	β	px	py	Verifica
0	SLU 75	0.193	1	-100.434	664.325	1	-1.0728	31.3291	0.1128	15.4191	1		1				0	0	Si

Verifica a presso/tenso flessione deviata SLD §§ 4.2.4.1.2.3 - 4.2.4.1.2.6 - 4.2.4.1.2.7 - 4.2.4.1.2.8 NTC18

Verifiche eseguite utilizzando la formula conservativa (6.2) §6.2.1 EN 1993-1-1:2005.

X	Comb.	Sfruttamento	Classe	NEd	NRd	Rid. NRd da VEd	Mx,Ed	Mx,Rd	My,Ed	My,Rd	Rid. Mx,Rd da VEd	Rid. Mx,Rd da NEd	Rid. My,Rd da VEd	Rid. My,Rd da NEd	α	β	px	py	Verifica
0.493	SLD 6	0.064	1	-33.7	664.325	1	-0.334	31.3291	0.0403	15.4191	1		1				0	0	Si

Verifiche ad instabilità

Caratteristiche iniziali

Membratura principale per controllo snellezza; Calcolo di snellezze ed N critici condotti secondo gli assi principali;

Curva X: b; Curva Y: c; Svergolamento: Carico all'estradosso; Curva svergolamento: b;

Dati per instabilità attorno a x

Controllo della snellezza secondo §4.2.4.1.3.1 NTC18

Numero rit.	Presente	Ascissa	Campata	βx/m	Vincolo a entrambi estremi	λx/m	λVer
1	Si	0					
2	Si	1.85	1-2	1	Si	37.8	Si, (<200)

Dati per instabilità attorno a y

Controllo della snellezza secondo §4.2.4.1.3.1 NTC18

Numero rit.	Presente	Ascissa	Campata	βy/n	k,LT	kw,LT	Vincolo a entrambi estremi	λy/n	λVer
1	Si	0							
2	Si	1.85	1-2	1		1	Si	61.3	Si, (<200)

Verifica a svergolamento con trazione §4.2.4.1.3.2 NTC18 § 5.5.3 ENV 1993-1-1:1992 + AC:1992 + A1:1994 + A2:1998

X	Comb.	Sfruttamento	Classe	Obblig.	NEd	Mx,Ed	Mx,Ed,Ed	Mb,Rd,x	χ,LT	λ adim. LT	L,LT	M,critico	Verifica
0.987	SLU 21	0.001	1	Si	1.073	-0.06757	-0.03604	28.25853	0.902	0.633	1.85	82.10616	Si

Verifica di stabilità per tenso-flessione deviata § 5.5.3-5.5.4 ENV 1993-1-1:1992 + AC:1992 + A1:1994 + A2:1998

X	Comb.	Sfruttamento	Classe	NEd	Mx,Ed	Mx,Ed,Ed	My,Ed	χ,LT	kLT	ky	M,critico	Wx	Wy	Verifica
0.555	SLU 23	0.003	1	0.97	-0.09524	-0.06675	-0.0155	0.902	1	1	82.10616	0.0001196	0.0000589	Si

Verifica di stabilità per pressoflessione §C.4.2.4.1.3.3.2 NTC18

X	Comb.	Sfruttamento	Classe	NEd	NRd	Mx,Ed max	Mx,Rd	My,Ed max	My,Rd	χ,x	χ,y	kxx	kxy	kyy	χ,LT	Verifica
1.85	SLU 75	0.251	1	-100.434	697.541	1.0728	32.89552	0.11278	16.19002	0.912	0.721	0.8	0.621	0.972	1.036	0.981

Implementazione dei sistemi di confinamento delle emissioni odorigene diffuse dell’impianto di compostaggio esistente nel
Comune di Eboli (SA)
PROGETTO DEFINITIVO – Tabulati di calcolo Tomo 1

Verifica di stabilità per pressoflessione SLD §C.4.2.4.1.3.3.2 NTC18

X	Comb.	Sfruttamento	Classe	NEd	NRk	Mx,Ed max	Mx,Rk	My,Ed max	My,Rk	χ,x	χ,y	kxx	kxy	kyy	χ,LT	Verifica	
1.85	SLD 5	0.084	1	-33.7	697.541	0.33685	32.89552	0.04098	16.19002	0.912	0.721	0.949	0.633	0.993	1.055	0.988	Si

Verifica di stabilità a taglio anima Y §4.2.4.1.2.4 [4.2.27] NTC18

η	hw	tw	hw/tw max	Verifica
1.2	0.098	0.005	55.46	Si

Verifica di stabilità a taglio anima Y SLD §4.2.4.1.2.4 [4.2.27] NTC18

η	hw	tw	hw/tw max	Verifica
1.2	0.098	0.005	55.46	Si

Verifiche a deformabilità

Mensola X: No; Mensola Y: No.

Frecce lungo X

Ascissa freccia	Combinazione	Freccia	Luce	L/f	L/f,min	Tipo	Verifica
0.925	SLE RA 1	-0.00002	1.85	10000	250	Totale	Si
0.925	SLE RA 17	-0.00003	1.85	10000	250	Totale	Si
0.925	SLE RA 16	-0.00004	1.85	10000	250	Totale	Si
0.925	SLE RA 15	-0.00002	1.85	10000	250	Totale	Si
0.925	SLE RA 14	-0.00005	1.85	10000	250	Totale	Si
0.925	SLE RA 2	0.00002	1.85	10000	350	Variabile	Si
0.925	SLE RA 17	-0.00001	1.85	10000	350	Variabile	Si
0.925	SLE RA 16	-0.00002	1.85	10000	350	Variabile	Si
0.555	SLE RA 15	0	1.85	10000	350	Variabile	Si
0.863	SLE RA 14	-0.00003	1.85	10000	350	Variabile	Si

Frecce lungo Y

Ascissa freccia	Combinazione	Freccia	Luce	L/f	L/f,min	Tipo	Verifica
0.863	SLE RA 1	-0.00009	1.85	10000	250	Totale	Si
0.863	SLE RA 17	-0.00012	1.85	10000	250	Totale	Si
0.863	SLE RA 16	-0.00015	1.85	10000	250	Totale	Si
0.863	SLE RA 15	-0.0001	1.85	10000	250	Totale	Si
0.863	SLE RA 14	-0.00016	1.85	10000	250	Totale	Si
0.802	SLE RA 2	0.00006	1.85	10000	350	Variabile	Si
0.802	SLE RA 17	-0.00003	1.85	10000	350	Variabile	Si
0.802	SLE RA 16	-0.00006	1.85	10000	350	Variabile	Si
0.74	SLE RA 15	-0.00001	1.85	10000	350	Variabile	Si
0.863	SLE RA 14	-0.00007	1.85	10000	350	Variabile	Si

Superelemento in acciaio a quota "640" (490; 2333)-(617; 2467)

Caratteristiche del materiale

Acciaio: S275, fyk = 275000

Caratteristiche geometriche

Lunghezza: 1.85

Nodo iniziale: 1197 Nodo finale: 1240

Cerniera iniziale: No Cerniera finale: No

Sovreresistenza: 0% Sisma Z: No

Caratteristiche della sezione

Sezione	Rotazione	Area	Jx	Jy	ix	iy	Wx	Wy	Wplx	Wply
HEA120	0	0.002537	0.0000060673	0.0000023091	0.0489	0.0302	0.00010644	0.00003849	0.00011962	0.00005887

Verifiche di resistenza

Verifiche a forza assiale §4.2.4.1.2.1 - §4.2.4.1.2.2 NTC18

X	Comb.	Sfruttamento	Classe	NEd	Nc,Rd	Nt,Rd	Riduzione da taglio	px	py	Verifica
1.85	SLU 76	0.209	1	-138.757	664.325		1	0	0	Si

Verifiche a forza assiale SLD §4.2.4.1.2.1 - §4.2.4.1.2.2 NTC18

X	Comb.	Sfruttamento	Classe	NEd	Nc,Rd	Nt,Rd	Riduzione da taglio	px	py	Verifica
1.788	SLD 14	0.07	1	-46.344	664.325		1	0	0	Si

Verifica a taglio Y §4.2.4.1.2.4 NTC18

X	Comb.	Sfruttamento	VEd	Vc,Rd	Av	Interazione taglio-torsione	Riduzione torsione	Verifica
0	SLU 76	0.008	0.994	126.073	0.000849	Considerata	0.98	Si

Verifica a taglio Y SLD §4.2.4.1.2.4 NTC18

X	Comb.	Sfruttamento	VEd	Vc,Rd	Av	Interazione taglio-torsione	Riduzione torsione	Verifica
0	SLD 9	0.004	0.541	127.345	0.000849	Considerata	0.99	Si

Verifica a torsione §4.2.4.1.2.5 NTC18

X	Comb.	Sfruttamento torsione	TEd	TRd	Riduzione taglio resistente	Sfruttamento taglio-torsione	τEd,totale	τRd	Verifica
0.925	SLU 76	0.043	-0.03669	0.85138	Considerata				Si

Verifica a torsione SLD §4.2.4.1.2.5 NTC18

X	Comb.	Sfruttamento torsione	TEd	TRd	Riduzione taglio resistente	Sfruttamento taglio-torsione	τEd,totale	τRd	Verifica
1.85	SLD 10	0.019	-0.01586	0.85138	Considerata				Si

Verifica a flessione semplice Y §§ 4.2.4.1.2.3 - 4.2.4.1.2.6 - 4.2.4.1.2.7 - 4.2.4.1.2.8 NTC18

X	Comb.	Sfruttamento	Classe	My,Ed	My,Rd	Rid. My,Rd da VEd	px	py	Verifica
1.727	SLU 22	0.001	1	0.01828	15.41907	1	0	0	Si

**Implementazione dei sistemi di confinamento delle emissioni odorigene diffuse dell'impianto di compostaggio esistente nel
Comune di Eboli (SA)**

PROGETTO DEFINITIVO – Tabulati di calcolo Tomo 1

Verifica a flessione deviata §§ 4.2.4.1.2.3 - 4.2.4.1.2.6 - 4.2.4.1.2.7 - 4.2.4.1.2.8 NTC18

X	Comb.	Sfruttamento	Classe	Mx,Ed	Mx,Rd	My,Ed	My,Rd	Rid. Mx,Rd da VEd	Rid. My,Rd da VEd	α	β	px	py	Verifica
1.11	SLU 22	0.002	1	-0.0453	31.3291	0.0133	15.4191	1	1			0	0	Si

Verifica a presso/tenso flessione retta X §§ 4.2.4.1.2.3 - 4.2.4.1.2.6 - 4.2.4.1.2.7 - 4.2.4.1.2.8 NTC18

Verifiche eseguite utilizzando la formula conservativa (6.2) §6.2.1 EN 1993-1-1:2005.

X	Comb.	Sfruttamento	Classe	NEd	NRd	Rid. NRd da VEd	Mx,Ed	Mx,Rd	Rid. Mx,Rd da VEd	Rid. Mx,Rd da NEd	px	py	Verifica
1.85	SLU 75	0.154	1	-82.598	664.325	1	-0.931	31.3291	1		0	0	Si

Verifica a presso/tenso flessione retta Y SLD §§ 4.2.4.1.2.3 - 4.2.4.1.2.6 - 4.2.4.1.2.7 - 4.2.4.1.2.8 NTC18

Verifiche eseguite utilizzando la formula conservativa (6.2) §6.2.1 EN 1993-1-1:2005.

X	Comb.	Sfruttamento	Classe	NEd	NRd	Rid. NRd da VEd	Mx,Ed	Mx,Rd	Rid. Mx,Rd da VEd	Rid. Mx,Rd da NEd	px	py	Verifica
1.48	SLD 14	0.086	1	-46.344	664.325	1	-0.513	31.3291	1		0	0	Si

Verifica a presso/tenso flessione retta Y §§ 4.2.4.1.2.3 - 4.2.4.1.2.6 - 4.2.4.1.2.7 - 4.2.4.1.2.8 NTC18

Verifiche eseguite utilizzando la formula conservativa (6.2) §6.2.1 EN 1993-1-1:2005.

X	Comb.	Sfruttamento	Classe	NEd	NRd	Rid. NRd da VEd	My,Ed	My,Rd	Rid. My,Rd da VEd	Rid. My,Rd da NEd	px	py	Verifica
0.062	SLU 63	0.04	1	-26.132	664.325	1	-0.004	15.4191	1		0	0	Si

Verifica a presso/tenso flessione retta Y SLD §§ 4.2.4.1.2.3 - 4.2.4.1.2.6 - 4.2.4.1.2.7 - 4.2.4.1.2.8 NTC18

Verifiche eseguite utilizzando la formula conservativa (6.2) §6.2.1 EN 1993-1-1:2005.

X	Comb.	Sfruttamento	Classe	NEd	NRd	Rid. NRd da VEd	My,Ed	My,Rd	Rid. My,Rd da VEd	Rid. My,Rd da NEd	px	py	Verifica
0.123	SLD 9	0.072	1	-46.337	664.325	1	-0.0311	15.4191	1		0	0	Si

Verifica a presso/tenso flessione deviata §§ 4.2.4.1.2.3 - 4.2.4.1.2.6 - 4.2.4.1.2.7 - 4.2.4.1.2.8 NTC18

Verifiche eseguite utilizzando la formula conservativa (6.2) §6.2.1 EN 1993-1-1:2005.

X	Comb.	Sfruttamento	Classe	NEd	NRd	Rid. NRd da VEd	Mx,Ed	Mx,Rd	My,Ed	My,Rd	Rid. Mx,Rd da VEd	Rid. Mx,Rd da NEd	Rid. My,Rd da VEd	Rid. My,Rd da NEd	α	β	px	py	Verifica
1.85	SLU 76	0.261	1	-138.757	664.325	1	-1.5732	31.3291	-0.0313	15.4191	1		1				0	0	Si

Verifica a presso/tenso flessione deviata SLD §§ 4.2.4.1.2.3 - 4.2.4.1.2.6 - 4.2.4.1.2.7 - 4.2.4.1.2.8 NTC18

Verifiche eseguite utilizzando la formula conservativa (6.2) §6.2.1 EN 1993-1-1:2005.

X	Comb.	Sfruttamento	Classe	NEd	NRd	Rid. NRd da VEd	Mx,Ed	Mx,Rd	My,Ed	My,Rd	Rid. Mx,Rd da VEd	Rid. Mx,Rd da NEd	Rid. My,Rd da VEd	Rid. My,Rd da NEd	α	β	px	py	Verifica
1.85	SLD 9	0.089	1	-46.337	664.325	1	-0.5903	31.3291	0.0096	15.4191	1		1				0	0	Si

Verifiche ad instabilità

Caratteristiche iniziali

Membratura principale per controllo snellezza; Calcolo di snellezze ed N critici condotti secondo gli assi principali;

Curva X: b; Curva Y: c; Svergolamento: Carico all'estradosso; Curva svergolamento: b;

Dati per instabilità attorno a x

Controllo della snellezza secondo §4.2.4.1.3.1 NTC18

Numero rit.	Presente	Ascissa	Campata	βx/m	Vincolo a entrambi estremi	λx/m	λVer
1	Si	0					
2	Si	1.85	1-2		1	37.8	Si, (<200)

Dati per instabilità attorno a y

Controllo della snellezza secondo §4.2.4.1.3.1 NTC18

Numero rit.	Presente	Ascissa	Campata	βy/n	k,LT	kw,LT	Vincolo a entrambi estremi	λy/n	λVer
1	Si	0							
2	Si	1.85	1-2		1	1	Si	61.3	Si, (<200)

Verifica di stabilità per pressoflessione §C.4.2.4.1.3.3.2 NTC18

X	Comb.	Sfruttamento	Classe	NEd	NRk	Mx,Ed max	Mx,Rk	My,Ed max	My,Rk	χ,x	χ,y	kxx	kxy	kyy	χ,LT	Verifica
1.665	SLU 76	0.342	1	-138.757	697.541	1.57318	32.89552	0.04959	16.19002	0.912	0.721	0.739	0.632	0.955	1.053	0.988

Verifica di stabilità per pressoflessione SLD §C.4.2.4.1.3.3.2 NTC18

X	Comb.	Sfruttamento	Classe	NEd	NRk	Mx,Ed max	Mx,Rk	My,Ed max	My,Rk	χ,x	χ,y	kxx	kxy	kyy	χ,LT	Verifica
1.788	SLD 14	0.119	1	-46.344	697.541	0.5906	32.89552	0.03301	16.19002	0.912	0.721	0.68	0.416	0.984	0.693	0.902

Verifica di stabilità a taglio anima Y §4.2.4.1.2.4 [4.2.27] NTC18

η	hw	tw	hw/tw max	Verifica
1.2	0.098	0.005	55.46	Si

Verifica di stabilità a taglio anima Y SLD §4.2.4.1.2.4 [4.2.27] NTC18

η	hw	tw	hw/tw max	Verifica
1.2	0.098	0.005	55.46	Si

Verifiche a deformabilità

Mensola X: No; Mensola Y: No.

Frecce lungo X

Ascissa freccia	Combinazione	Freccia	Luce	L/f	L/f,min	Tipo	Verifica
0.863	SLE RA 1	0.00001	1.85	10000	250	Totale	Si
0.863	SLE RA 17	0.00001	1.85	10000	250	Totale	Si
0.863	SLE RA 16	0.00002	1.85	10000	250	Totale	Si
0.863	SLE RA 15	0.00002	1.85	10000	250	Totale	Si
0.74	SLE RA 14	0.00001	1.85	10000	250	Totale	Si
0.863	SLE RA 2	-0.00001	1.85	10000	350	Variabile	Si
0.863	SLE RA 17	0	1.85	10000	350	Variabile	Si
0.863	SLE RA 16	0.00001	1.85	10000	350	Variabile	Si
0.925	SLE RA 15	0.00001	1.85	10000	350	Variabile	Si

Implementazione dei sistemi di confinamento delle emissioni odorigene diffuse dell'impianto di compostaggio esistente nel
Comune di Eboli (SA)

PROGETTO DEFINITIVO – Tabulati di calcolo Tomo 1

Ascissa freccia	Combinazione	Freccia	Luce	L/f	L/f,min	Tipo	Verifica
1.11	SLE RA 14	0	1.85	10000	350	Variabile	Si

Frecce lungo Y

Ascissa freccia	Combinazione	Freccia	Luce	L/f	L/f,min	Tipo	Verifica
1.048	SLE RA 19	-0.00023	1.85	8032.7	250	Totale	Si
1.048	SLE RA 7	-0.0002	1.85	9122.6	250	Totale	Si
1.048	SLE RA 15	-0.0002	1.85	9148.2	250	Totale	Si
1.048	SLE RA 11	-0.0002	1.85	9148.2	250	Totale	Si
1.048	SLE RA 16	-0.00019	1.85	9875.5	250	Totale	Si
1.048	SLE RA 2	0.00008	1.85	10000	350	Variabile	Si
1.048	SLE RA 17	-0.00004	1.85	10000	350	Variabile	Si
1.048	SLE RA 16	-0.00008	1.85	10000	350	Variabile	Si
1.048	SLE RA 15	-0.0001	1.85	10000	350	Variabile	Si
1.11	SLE RA 14	-0.00001	1.85	10000	350	Variabile	Si

Superelemento in acciaio a quota "640" (510; 1042)-(619; 939)

Caratteristiche del materiale

Acciaio: S275, fyk = 275000

Caratteristiche geometriche

Lunghezza: 1.5

Nodo iniziale: 879 Nodo finale: 858

Cerniera iniziale: Mmomenti 1% Cerniera finale: Mmomenti 1%

Sovreresistenza: 0% Sisma Z: No

Caratteristiche della sezione

Sezione	Rotazione	Area	Jx	Jy	ix	iy	Wx	Wy	Wplx	Wply
A1; L100*10; 1; Saldato; S275; 30; 1; 8; 8; 1	180	0.003832	0.0000035319	0.000007759	0.0304	0.045	0.0000492	0.0000739	0.00008974	0.00012727

Comportamento dei calastrelli

Accoppiamento imbottito con funzione statica (§C4.2.4.1.3.1.4 NTC18) nella campata compresa tra le ascisse 0 e 1.5 per sbandamento attorno all'asse y.

Verifiche di resistenza

Verifiche a forza assiale §4.2.4.1.2.1 - §4.2.4.1.2.2 NTC18

X	Comb.	Sfruttamento	Classe	NEd	Nc,Rd	Nt,Rd	Riduzione da taglio	px	py	Verifica
0	SLU 75	0.12		120.536		1003.522	1	0	0	Si

Verifiche a forza assiale SLD §4.2.4.1.2.1 - §4.2.4.1.2.2 NTC18

X	Comb.	Sfruttamento	Classe	NEd	Nc,Rd	Nt,Rd	Riduzione da taglio	px	py	Verifica
1.5	SLD 16	0.043		43.233		1003.522	1	0	0	Si

Verifica a taglio Y §4.2.4.1.2.4 NTC18

X	Comb.	Sfruttamento	VEd	Vc,Rd	Av	Interazione taglio-torsione	Riduzione torsione	Verifica
1.5	SLU 42	0.001	0.294	302.422	0.002	Non considerata		Si

Verifica a taglio Y SLD §4.2.4.1.2.4 NTC18

X	Comb.	Sfruttamento	VEd	Vc,Rd	Av	Interazione taglio-torsione	Riduzione torsione	Verifica
1.5	SLD 16	0.001	0.226	302.422	0.002	Non considerata		Si

Verifica a presso/tenso flessione retta X §§ 4.2.4.1.2.3 - 4.2.4.1.2.6 - 4.2.4.1.2.7 - 4.2.4.1.2.8 NTC18

Verifiche eseguite utilizzando la formula conservativa (6.2) §6.2.1 EN 1993-1-1:2005.

X	Comb.	Sfruttamento	Classe	NEd	NRd	Rid. NRd da VEd	Mx,Ed	Mx,Rd	Rid. Mx,Rd da VEd	Rid. Mx,Rd da NEd	px	py	Verifica
0.75	SLU 75	0.125	1	120.536	1003.522	1	0.1129	23.5037	1		0	0	Si

Verifica a presso/tenso flessione retta X SLD §§ 4.2.4.1.2.3 - 4.2.4.1.2.6 - 4.2.4.1.2.7 - 4.2.4.1.2.8 NTC18

Verifiche eseguite utilizzando la formula conservativa (6.2) §6.2.1 EN 1993-1-1:2005.

X	Comb.	Sfruttamento	Classe	NEd	NRd	Rid. NRd da VEd	Mx,Ed	Mx,Rd	Rid. Mx,Rd da VEd	Rid. Mx,Rd da NEd	px	py	Verifica
0.3	SLD 16	0.045	1	43.233	1003.522	1	0.055	23.5037	1		0	0	Si

Verifica a presso/tenso flessione retta Y §§ 4.2.4.1.2.3 - 4.2.4.1.2.6 - 4.2.4.1.2.7 - 4.2.4.1.2.8 NTC18

Verifiche eseguite utilizzando la formula conservativa (6.2) §6.2.1 EN 1993-1-1:2005.

X	Comb.	Sfruttamento	Classe	NEd	NRd	Rid. NRd da VEd	My,Ed	My,Rd	Rid. My,Rd da VEd	Rid. My,Rd da NEd	px	py	Verifica
1.5	SLU 75	0.121	1	120.536	1003.522	1	-0.0225	33.3316	1		0	0	Si

Verifica a presso/tenso flessione retta Y SLD §§ 4.2.4.1.2.3 - 4.2.4.1.2.6 - 4.2.4.1.2.7 - 4.2.4.1.2.8 NTC18

Verifiche eseguite utilizzando la formula conservativa (6.2) §6.2.1 EN 1993-1-1:2005.

X	Comb.	Sfruttamento	Classe	NEd	NRd	Rid. NRd da VEd	My,Ed	My,Rd	Rid. My,Rd da VEd	Rid. My,Rd da NEd	px	py	Verifica
1.5	SLD 16	0.043	1	43.233	1003.522	1	-0.0138	33.3316	1		0	0	Si

Verifica a presso/tenso flessione deviata §§ 4.2.4.1.2.3 - 4.2.4.1.2.6 - 4.2.4.1.2.7 - 4.2.4.1.2.8 NTC18

Verifiche eseguite utilizzando la formula conservativa (6.2) §6.2.1 EN 1993-1-1:2005.

X	Comb.	Sfruttamento	Classe	NEd	NRd	Rid. NRd da VEd	Mx,Ed	Mx,Rd	My,Ed	My,Rd	Rid. Mx,Rd da VEd	Rid. Mx,Rd da NEd	Rid. My,Rd da VEd	Rid. My,Rd da NEd	α	β	px	py	Verifica
0.9	SLU 75	0.125	1	120.536	1003.522	1	0.1085	23.5037	-0.0085	33.3316	1		1				0	0	Si

Verifica a presso/tenso flessione deviata SLD §§ 4.2.4.1.2.3 - 4.2.4.1.2.6 - 4.2.4.1.2.7 - 4.2.4.1.2.8 NTC18

Verifiche eseguite utilizzando la formula conservativa (6.2) §6.2.1 EN 1993-1-1:2005.

Implementazione dei sistemi di confinamento delle emissioni odorigene diffuse dell'impianto di compostaggio esistente nel
Comune di Eboli (SA)
PROGETTO DEFINITIVO – Tabulati di calcolo Tomo 1

X	Comb.	Sfruttamento	Classe	NEd	NRd	Rid. NRd da VEd	Mx,Ed	Mx,Rd	My,Ed	My,Rd	Rid. Mx,Rd da VEd	Rid. Mx,Rd da NEd	Rid. My,Rd da VEd	Rid. My,Rd da NEd	α	β	px	py	Verifica
0.75	SLD 15	0.047	1	43.233	1003.522	1	0.0854	23.5037	-0.0092	33.3316	1		1				0	0	Si

Verifiche ad instabilità

Caratteristiche iniziali

Membratura principale per controllo snellezza; Calcolo di snellezze ed N critici condotti secondo gli assi principali;

Curva X: c; Curva Y: c;

Svergolamento: Nessuno; la verifica a instabilità flessione-torsionale (svergolamento) non verrà eseguita.

Dati per instabilità attorno a x

Controllo della snellezza secondo §4.2.4.1.3.1 NTC18

Numero rit.	Presente	Ascissa	Campata	βx/m	Vincolo a entrambi estremi	λx/m	λVer
1	Si	0					
			1-2	1	Si	49.4	Si, (<200)
2	Si	1.5					

Dati per instabilità attorno a y

Controllo della snellezza secondo §4.2.4.1.3.1 NTC18

Numero rit.	Presente	Ascissa	Campata	βy/n	k,LT	kw,LT	Vincolo a entrambi estremi
1	Si	0					
			1-2	1	Si	34.8	Si, (<200)
2	Si	1.5					

Verifica di stabilità per pressoflessione §C.4.2.4.1.3.3.1 NTC18

X	Comb.	Sfruttamento	Classe	NEd	MxEq,Ed	MyEq,Ed	Area	Wx	Wy	χ,min	λ adim. x/m	λ adim. y/n	N,crit x/m	N,crit y/n	Verifica
0	SLU 2	0.032	3	-19.604	0.0717	-0.0463	0.003832	0.0000492	0.0000739	0.804	0.569	0.4	3253.47	6569.993	Si

Verifiche a deformabilità

Mensola X: No; Mensola Y: No.

Frecce lungo X

Ascissa freccia	Combinazione	Freccia	Luce	L/f	L/f,min	Tipo	Verifica
0.95	SLE RA 1	0	1.5	10000	250	Totale	Si
1	SLE RA 17	0	1.5	10000	250	Totale	Si
1	SLE RA 16	0	1.5	10000	250	Totale	Si
1	SLE RA 15	0	1.5	10000	250	Totale	Si
1	SLE RA 14	0	1.5	10000	250	Totale	Si
1.05	SLE RA 2	0	1.5	10000	350	Variabile	Si
1.05	SLE RA 17	0	1.5	10000	350	Variabile	Si
1.05	SLE RA 16	0	1.5	10000	350	Variabile	Si
1	SLE RA 15	0	1.5	10000	350	Variabile	Si
1.1	SLE RA 14	0	1.5	10000	350	Variabile	Si

Frecce lungo Y

Ascissa freccia	Combinazione	Freccia	Luce	L/f	L/f,min	Tipo	Verifica
0.75	SLE RA 1	0.00003	1.5	10000	250	Totale	Si
0.75	SLE RA 17	0.00003	1.5	10000	250	Totale	Si
0.75	SLE RA 16	0.00003	1.5	10000	250	Totale	Si
0.75	SLE RA 15	0.00003	1.5	10000	250	Totale	Si
0.75	SLE RA 14	0.00003	1.5	10000	250	Totale	Si
0.75	SLE RA 2	0	1.5	10000	350	Variabile	Si
0.75	SLE RA 17	0	1.5	10000	350	Variabile	Si
0.75	SLE RA 16	0	1.5	10000	350	Variabile	Si
0.75	SLE RA 15	0	1.5	10000	350	Variabile	Si
0.75	SLE RA 14	0	1.5	10000	350	Variabile	Si

Superelemento in acciaio a quota "640" (546; 1518)-(655; 1415)

Caratteristiche del materiale

Acciaio: S275, fyk = 275000

Caratteristiche geometriche

Lunghezza: 1.5

Nodo iniziale: 972 Nodo finale: 952

Cerniera iniziale: Mmomenti 1% Cerniera finale: Mmomenti 1%

Sovraresistenza: 0% Sisma Z: No

Caratteristiche della sezione

Sezione	Rotazione	Area	Jx	Jy	ix	iy	Wx	Wy	Wplx	Wply
A1; L100*10; 1; Saldato; S275; 30; 1; 8; 8; 1	180	0.003832	0.0000035319	0.000007759	0.0304	0.045	0.0000492	0.0000739	0.00008974	0.00012727

Comportamento dei calastrelli

Accoppiamento imbottito con funzione statica (§C4.2.4.1.3.1.4 NTC18) nella campata compresa tra le ascisse 0 e 1.5 per sbandamento attorno all'asse y.

Verifiche di resistenza

Verifiche a forza assiale §4.2.4.1.2.1 - §4.2.4.1.2.2 NTC18

X	Comb.	Sfruttamento	Classe	NEd	Nc,Rd	Nt,Rd	Riduzione da taglio	px	py	Verifica
0.25	SLU 75	0.243		243.861		1003.522	1	0	0	Si

Implementazione dei sistemi di confinamento delle emissioni odorigene diffuse dell'impianto di compostaggio esistente nel
Comune di Eboli (SA)

PROGETTO DEFINITIVO – Tabulati di calcolo Tomo 1

Verifiche a forza assiale SLD §4.2.4.1.2.1 - §4.2.4.1.2.2 NTC18

X	Comb.	Sfruttamento	Classe	NEd	Nc,Rd	Nt,Rd	Riduzione da taglio	px	py	Verifica
1.45	SLD 14	0.083		83.447		1003.522	1	0	0	Si

Verifica a taglio X §4.2.4.1.2.4 NTC18

X	Comb.	Sfruttamento	VEd	Vc,Rd	Av	Interazione taglio-torsione	Riduzione torsione	Verifica
0	SLU 2	0.001	-0.253	302.422	0.002	Non considerata		Si

Verifica a taglio Y §4.2.4.1.2.4 NTC18

X	Comb.	Sfruttamento	VEd	Vc,Rd	Av	Interazione taglio-torsione	Riduzione torsione	Verifica
0	SLU 75	0.001	-0.296	302.422	0.002	Non considerata		Si

Verifica a taglio Y SLD §4.2.4.1.2.4 NTC18

X	Comb.	Sfruttamento	VEd	Vc,Rd	Av	Interazione taglio-torsione	Riduzione torsione	Verifica
0	SLD 4	0.001	-0.226	302.422	0.002	Non considerata		Si

Verifica a presso/tenso flessione retta X §§ 4.2.4.1.2.3 - 4.2.4.1.2.6 - 4.2.4.1.2.7 - 4.2.4.1.2.8 NTC18

Verifiche eseguite utilizzando la formula conservativa (6.2) §6.2.1 EN 1993-1-1:2005.

X	Comb.	Sfruttamento	Classe	NEd	NRd	Rid. NRd da VEd	Mx,Ed	Mx,Rd	Rid. Mx,Rd da VEd	Rid. Mx,Rd da NEd	px	py	Verifica
0.75	SLU 75	0.248	1	243.861	1003.522	1	0.1115	23.5037	1		0	0	Si

Verifica a presso/tenso flessione retta Y §§ 4.2.4.1.2.3 - 4.2.4.1.2.6 - 4.2.4.1.2.7 - 4.2.4.1.2.8 NTC18

Verifiche eseguite utilizzando la formula conservativa (6.2) §6.2.1 EN 1993-1-1:2005.

X	Comb.	Sfruttamento	Classe	NEd	NRd	Rid. NRd da VEd	My,Ed	My,Rd	Rid. My,Rd da VEd	Rid. My,Rd da NEd	px	py	Verifica
0	SLV 14	0.087	1	86.401	1003.522	1	-0.0465	33.3316	1		0	0	Si

Verifica a presso/tenso flessione retta Y SLD §§ 4.2.4.1.2.3 - 4.2.4.1.2.6 - 4.2.4.1.2.7 - 4.2.4.1.2.8 NTC18

Verifiche eseguite utilizzando la formula conservativa (6.2) §6.2.1 EN 1993-1-1:2005.

X	Comb.	Sfruttamento	Classe	NEd	NRd	Rid. NRd da VEd	My,Ed	My,Rd	Rid. My,Rd da VEd	Rid. My,Rd da NEd	px	py	Verifica
0	SLD 14	0.084	1	83.447	1003.522	1	-0.019	33.3316	1		0	0	Si

Verifica a presso/tenso flessione deviata §§ 4.2.4.1.2.3 - 4.2.4.1.2.6 - 4.2.4.1.2.7 - 4.2.4.1.2.8 NTC18

Verifiche eseguite utilizzando la formula conservativa (6.2) §6.2.1 EN 1993-1-1:2005.

X	Comb.	Sfruttamento	Classe	NEd	NRd	Rid. NRd da VEd	Mx,Ed	Mx,Rd	My,Ed	My,Rd	Rid. Mx,Rd da VEd	Rid. Mx,Rd da NEd	Rid. My,Rd da VEd	Rid. My,Rd da NEd	α	β	px	py	Verifica
0.7	SLV 14	0.091	1	86.401	1003.522	1	0.0843	23.5037	-0.0343	33.3316	1		1				0	0	Si

Verifica a presso/tenso flessione deviata SLD §§ 4.2.4.1.2.3 - 4.2.4.1.2.6 - 4.2.4.1.2.7 - 4.2.4.1.2.8 NTC18

Verifiche eseguite utilizzando la formula conservativa (6.2) §6.2.1 EN 1993-1-1:2005.

X	Comb.	Sfruttamento	Classe	NEd	NRd	Rid. NRd da VEd	Mx,Ed	Mx,Rd	My,Ed	My,Rd	Rid. Mx,Rd da VEd	Rid. Mx,Rd da NEd	Rid. My,Rd da VEd	Rid. My,Rd da NEd	α	β	px	py	Verifica
0.75	SLD 14	0.087	1	83.447	1003.522	1	0.0847	23.5037	-0.0134	33.3316	1		1				0	0	Si

Verifiche ad instabilità

Caratteristiche iniziali

Membratura principale per controllo snellezza; Calcolo di snellezze ed N critici condotti secondo gli assi principali;

Curva X: c; Curva Y: c;

Svergolamento: Nessuno; la verifica a instabilità flesso-torsionale (svergolamento) non verrà eseguita.

Dati per instabilità attorno a x

Controllo della snellezza secondo §4.2.4.1.3.1 NTC18

Numero rit.	Presente	Ascissa	Campata	$\beta x/m$	Vincolo a entrambi estremi	$\lambda x/m$	λVer
1	Si		0				
			1-2		1	Si	49.4
2	Si		1.5				Si, (<200)

Dati per instabilità attorno a y

Controllo della snellezza secondo §4.2.4.1.3.1 NTC18

Numero rit.	Presente	Ascissa	Campata	$\beta y/n$	k,LT	kw,LT	Vincolo a entrambi estremi
1	Si		0				
			1-2		1	Si	34.8
2	Si		1.5				Si, (<200)

Verifica di stabilità per pressoflessione §C.4.2.4.1.3.3.1 NTC18

X	Comb.	Sfruttamento	Classe	NEd	MxEq,Ed	MyEq,Ed	Area	Wx	Wy	x_{min}	$\lambda_{adm. x/m}$	$\lambda_{adm. y/n}$	N,crit x/m	N,crit y/n	Verifica
0	SLU 2	0.059	3	-39.414	0.0719	-0.09	0.003832	0.0000492	0.0000739	0.804	0.569	0.4	3253.47	6569.993	Si

Verifiche a deformabilità

Mensola X: No; Mensola Y: No.

Frecce lungo X

Ascissa freccia	Combinazione	Freccia	Luce	L/f	L/f,min	Tipo	Verifica
1.1	SLE RA 1	0	1.5	10000	250	Totale	Si
1.1	SLE RA 17	0	1.5	10000	250	Totale	Si
1.1	SLE RA 16	0	1.5	10000	250	Totale	Si
1.15	SLE RA 15	0	1.5	10000	250	Totale	Si
1.1	SLE RA 14	0	1.5	10000	250	Totale	Si
1.1	SLE RA 2	0	1.5	10000	350	Variabile	Si
1.1	SLE RA 17	0	1.5	10000	350	Variabile	Si
1.1	SLE RA 16	0	1.5	10000	350	Variabile	Si
0.85	SLE RA 15	0	1.5	10000	350	Variabile	Si
1.05	SLE RA 14	0	1.5	10000	350	Variabile	Si

Implementazione dei sistemi di confinamento delle emissioni odorigene diffuse dell'impianto di compostaggio esistente nel
Comune di Eboli (SA)
PROGETTO DEFINITIVO – Tabulati di calcolo Tomo 1

Frecce lungo Y

Ascissa freccia	Combinazione	Freccia	Luce	L/f	L/f,min	Tipo	Verifica
0.75	SLE RA 1	0.00003	1.5	10000	250	Totale	Si
0.75	SLE RA 17	0.00003	1.5	10000	250	Totale	Si
0.75	SLE RA 16	0.00003	1.5	10000	250	Totale	Si
0.75	SLE RA 15	0.00003	1.5	10000	250	Totale	Si
0.75	SLE RA 14	0.00003	1.5	10000	250	Totale	Si
0.85	SLE RA 2	0	1.5	10000	350	Variabile	Si
0.85	SLE RA 17	0	1.5	10000	350	Variabile	Si
0.85	SLE RA 16	0	1.5	10000	350	Variabile	Si
0.8	SLE RA 15	0	1.5	10000	350	Variabile	Si
0.85	SLE RA 14	0	1.5	10000	350	Variabile	Si

Superelemento in acciaio a quota "640" (582; 1993)-(691; 1890)

Caratteristiche del materiale

Acciaio: S275, fyk = 275000

Caratteristiche geometriche

Lunghezza: 1.5

Nodo iniziale: 1064 Nodo finale: 1043

Cerniera iniziale: Mmomenti 1% Cerniera finale: Mmomenti 1%

Sovreresistenza: 0% Sisma Z: No

Caratteristiche della sezione

Sezione	Rotazione	Area	Jx	Jy	ix	iy	Wx	Wy	Wplx	Wply
A1; L100*10; 1; Saldato; S275; 30; 1; 8; 8; 1	180	0.003832	0.0000035319	0.000007759	0.0304	0.045	0.0000492	0.0000739	0.00008974	0.00012727

Comportamento dei calastrelli

Accoppiamento imbottito con funzione statica (§C4.2.4.1.3.1.4 NTC18) nella campata compresa tra le ascisse 0 e 1.5 per sbandamento attorno all'asse y.

Verifiche di resistenza

Verifiche a forza assiale §4.2.4.1.2.1 - §4.2.4.1.2.2 NTC18

X	Comb.	Sfruttamento	Classe	NEd	Nc,Rd	Nt,Rd	Riduzione da taglio	px	py	Verifica
1.4	SLU 76	0.172		172.163		1003.522	1	0	0	Si

Verifiche a forza assiale SLD §4.2.4.1.2.1 - §4.2.4.1.2.2 NTC18

X	Comb.	Sfruttamento	Classe	NEd	Nc,Rd	Nt,Rd	Riduzione da taglio	px	py	Verifica
0	SLD 1	0.069		68.939		1003.522	1	0	0	Si

Verifica a taglio Y §4.2.4.1.2.4 NTC18

X	Comb.	Sfruttamento	VEd	Vc,Rd	Av	Interazione taglio-torsione	Riduzione torsione	Verifica
1.5	SLU 76	0.001	0.295	302.422	0.002	Non considerata		Si

Verifica a taglio Y SLD §4.2.4.1.2.4 NTC18

X	Comb.	Sfruttamento	VEd	Vc,Rd	Av	Interazione taglio-torsione	Riduzione torsione	Verifica
1.5	SLD 1	0.001	0.226	302.422	0.002	Non considerata		Si

Verifica a presso/tenso flessione retta X §§ 4.2.4.1.2.3 - 4.2.4.1.2.6 - 4.2.4.1.2.7 - 4.2.4.1.2.8 NTC18

Verifiche eseguite utilizzando la formula conservativa (6.2) §6.2.1 EN 1993-1-1:2005.

X	Comb.	Sfruttamento	Classe	NEd	NRd	Rid. NRd da VEd	Mx,Ed	Mx,Rd	Rid. Mx,Rd da VEd	Rid. Mx,Rd da NEd	px	py	Verifica
0.75	SLU 76	0.176	1	172.163	1003.522	1	0.1119	23.5037	1		0	0	Si

Verifica a presso/tenso flessione retta X SLD §§ 4.2.4.1.2.3 - 4.2.4.1.2.6 - 4.2.4.1.2.7 - 4.2.4.1.2.8 NTC18

Verifiche eseguite utilizzando la formula conservativa (6.2) §6.2.1 EN 1993-1-1:2005.

X	Comb.	Sfruttamento	Classe	NEd	NRd	Rid. NRd da VEd	Mx,Ed	Mx,Rd	Rid. Mx,Rd da VEd	Rid. Mx,Rd da NEd	px	py	Verifica
0.75	SLD 1	0.072	1	68.939	1003.522	1	0.085	23.5037	1		0	0	Si

Verifica a presso/tenso flessione retta Y §§ 4.2.4.1.2.3 - 4.2.4.1.2.6 - 4.2.4.1.2.7 - 4.2.4.1.2.8 NTC18

Verifiche eseguite utilizzando la formula conservativa (6.2) §6.2.1 EN 1993-1-1:2005.

X	Comb.	Sfruttamento	Classe	NEd	NRd	Rid. NRd da VEd	My,Ed	My,Rd	Rid. My,Rd da VEd	Rid. My,Rd da NEd	px	py	Verifica
1.5	SLU 76	0.172	1	172.163	1003.522	1	0.013	33.3316	1		0	0	Si

Verifica a presso/tenso flessione retta Y SLD §§ 4.2.4.1.2.3 - 4.2.4.1.2.6 - 4.2.4.1.2.7 - 4.2.4.1.2.8 NTC18

Verifiche eseguite utilizzando la formula conservativa (6.2) §6.2.1 EN 1993-1-1:2005.

X	Comb.	Sfruttamento	Classe	NEd	NRd	Rid. NRd da VEd	My,Ed	My,Rd	Rid. My,Rd da VEd	Rid. My,Rd da NEd	px	py	Verifica
0	SLD 1	0.07	1	68.939	1003.522	1	-0.034	33.3316	1		0	0	Si

Verifica a presso/tenso flessione deviata §§ 4.2.4.1.2.3 - 4.2.4.1.2.6 - 4.2.4.1.2.7 - 4.2.4.1.2.8 NTC18

Verifiche eseguite utilizzando la formula conservativa (6.2) §6.2.1 EN 1993-1-1:2005.

X	Comb.	Sfruttamento	Classe	NEd	NRd	Rid. NRd da VEd	Mx,Ed	Mx,Rd	My,Ed	My,Rd	Rid. Mx,Rd da VEd	Rid. Mx,Rd da NEd	Rid. My,Rd da VEd	Rid. My,Rd da NEd	α	β	px	py	Verifica
1.05	SLU 76	0.176	1	172.163	1003.522	1	0.0938	23.5037	0.0076	33.3316	1		1				0	0	Si

Verifica a presso/tenso flessione deviata SLD §§ 4.2.4.1.2.3 - 4.2.4.1.2.6 - 4.2.4.1.2.7 - 4.2.4.1.2.8 NTC18

Verifiche eseguite utilizzando la formula conservativa (6.2) §6.2.1 EN 1993-1-1:2005.

Implementazione dei sistemi di confinamento delle emissioni odorigene diffuse dell'impianto di compostaggio esistente nel
Comune di Eboli (SA)

PROGETTO DEFINITIVO – Tabulati di calcolo Tomo 1

X	Comb.	Sfruttamento	Classe	NEd	NRd	Rid. NRd da VEd	Mx,Ed	Mx,Rd	My,Ed	My,Rd	Rid. Mx,Rd da VEd	Rid. Mx,Rd da NEd	Rid. My,Rd da VEd	Rid. My,Rd da NEd	α	β	px	py	Verifica
0.6	SLD 2	0.072	1	68.939	1003.522	1	0.0817	23.5037	-0.0098	33.3316	1		1				0	0	Si

Verifiche ad instabilità

Caratteristiche iniziali

Membratura principale per controllo snellezza; Calcolo di snellezze ed N critici condotti secondo gli assi principali;

Curva X: c; Curva Y: c;

Svergolamento: Nessuno; la verifica a instabilità flessione-torsionale (svergolamento) non verrà eseguita.

Dati per instabilità attorno a x

Controllo della snellezza secondo §4.2.4.1.3.1 NTC18

Numero rit.	Presente	Ascissa	Campata	βx/m	Vincolo a entrambi estremi	λx/m	λVer
1	Si	0					
			1-2	1	Si	49.4	Si, (<200)
2	Si	1.5					

Dati per instabilità attorno a y

Controllo della snellezza secondo §4.2.4.1.3.1 NTC18

Numero rit.	Presente	Ascissa	Campata	βy/n	k,LT	kw,LT	Vincolo a entrambi estremi
1	Si	0					
			1-2	1	Si	34.8	Si, (<200)
2	Si	1.5					

Verifica di stabilità per pressoflessione §C.4.2.4.1.3.3.1 NTC18

X	Comb.	Sfruttamento	Classe	NEd	MxEq,Ed	MyEq,Ed	Area	Wx	Wy	χ,min	λ adim. x/m	λ adim. y/n	N,crit x/m	N,crit y/n	Verifica
0	SLV 2	0.042	3	-26.924	0.072	-0.0636	0.003832	0.0000492	0.0000739	0.804	0.569	0.4	3253.47	6569.993	Si

Verifiche a deformabilità

Mensola X: No; Mensola Y: No.

Frecce lungo X

Ascissa freccia	Combinazione	Freccia	Luce	L/f	L/f,min	Tipo	Verifica
0.95	SLE RA 1	0	1.5	10000	250	Totale	Si
0.95	SLE RA 17	0	1.5	10000	250	Totale	Si
0.95	SLE RA 16	0	1.5	10000	250	Totale	Si
0.95	SLE RA 15	0	1.5	10000	250	Totale	Si
0.9	SLE RA 14	0	1.5	10000	250	Totale	Si
0.95	SLE RA 2	0	1.5	10000	350	Variabile	Si
0.95	SLE RA 17	0	1.5	10000	350	Variabile	Si
0.95	SLE RA 16	0	1.5	10000	350	Variabile	Si
1	SLE RA 15	0	1.5	10000	350	Variabile	Si
0.9	SLE RA 14	0	1.5	10000	350	Variabile	Si

Frecce lungo Y

Ascissa freccia	Combinazione	Freccia	Luce	L/f	L/f,min	Tipo	Verifica
0.75	SLE RA 1	0.00003	1.5	10000	250	Totale	Si
0.75	SLE RA 17	0.00003	1.5	10000	250	Totale	Si
0.75	SLE RA 16	0.00003	1.5	10000	250	Totale	Si
0.75	SLE RA 15	0.00003	1.5	10000	250	Totale	Si
0.75	SLE RA 14	0.00003	1.5	10000	250	Totale	Si
0.7	SLE RA 2	0	1.5	10000	350	Variabile	Si
0.7	SLE RA 17	0	1.5	10000	350	Variabile	Si
0.7	SLE RA 16	0	1.5	10000	350	Variabile	Si
0.7	SLE RA 15	0	1.5	10000	350	Variabile	Si
0.7	SLE RA 14	0	1.5	10000	350	Variabile	Si

Superelemento in acciaio a quota "640" (602; 702)-(728; 837)

Caratteristiche del materiale

Acciaio: S275, fyk = 275000

Caratteristiche geometriche

Lunghezza: 1.846

Nodo iniziale: 806 Nodo finale: 834

Cerniera iniziale: No Cerniera finale: No

Sovraresistenza: 0% Sisma Z: No

Caratteristiche della sezione

Sezione	Rotazione	Area	Jx	Jy	ix	iy	Wx	Wy	Wplx	Wply
HEA120	0	0.002537	0.0000060673	0.0000023091	0.0489	0.0302	0.00010644	0.00003849	0.00011962	0.00005887

Verifiche di resistenza

Verifiche a forza assiale §4.2.4.1.2.1 - §4.2.4.1.2.2 NTC18

X	Comb.	Sfruttamento	Classe	NEd	Nc,Rd	Nt,Rd	Riduzione da taglio	px	py	Verifica
0.923	SLV 6	0.077	1	-51.313	664.325		1	0	0	Si

Verifiche a forza assiale SLD §4.2.4.1.2.1 - §4.2.4.1.2.2 NTC18

X	Comb.	Sfruttamento	Classe	NEd	Nc,Rd	Nt,Rd	Riduzione da taglio	px	py	Verifica
1.846	SLD 5	0.041	1	-27.135	664.325		1	0	0	Si

**Implementazione dei sistemi di confinamento delle emissioni odorigene diffuse dell'impianto di compostaggio esistente nel
Comune di Eboli (SA)
PROGETTO DEFINITIVO – Tabulati di calcolo Tomo 1**

Verifica a taglio Y §4.2.4.1.2.4 NTC18

X	Comb.	Sfruttamento	VEd	Vc,Rd	Av	Interazione taglio-torsione	Riduzione torsione	Verifica
1.846	SLU 75	0.008	-0.963	128.139	0.000849	Considerata	1	Si

Verifica a taglio Y SLD §4.2.4.1.2.4 NTC18

X	Comb.	Sfruttamento	VEd	Vc,Rd	Av	Interazione taglio-torsione	Riduzione torsione	Verifica
1.846	SLD 11	0.005	-0.605	128.101	0.000849	Considerata	1	Si

Verifica a torsione §4.2.4.1.2.5 NTC18

X	Comb.	Sfruttamento torsione	TEd	TRd	Riduzione taglio resistente	Sfruttamento taglio-torsione	τEd,totale	τRd	Verifica
1.846	SLV 7	0.015	-0.01242	0.85138	Considerata				Si

Verifica a torsione SLD §4.2.4.1.2.5 NTC18

X	Comb.	Sfruttamento torsione	TEd	TRd	Riduzione taglio resistente	Sfruttamento taglio-torsione	τEd,totale	τRd	Verifica
1.846	SLD 8	0.006	-0.00509	0.85138	Considerata				Si

Verifica a presso/tenso flessione retta X §§ 4.2.4.1.2.3 - 4.2.4.1.2.6 - 4.2.4.1.2.7 - 4.2.4.1.2.8 NTC18

Verifiche eseguite utilizzando la formula conservativa (6.2) §6.2.1 EN 1993-1-1:2005.

X	Comb.	Sfruttamento	Classe	NEd	NRd	Rid. NRd da VEd	Mx,Ed	Mx,Rd	Rid. Mx,Rd da VEd	Rid. Mx,Rd da NEd	px	py	Verifica
1.846	SLU 75	0.098	1	-42.093	664.325	1	1.0799	31.3291	1		0	0	Si

Verifica a presso/tenso flessione retta X SLD §§ 4.2.4.1.2.3 - 4.2.4.1.2.6 - 4.2.4.1.2.7 - 4.2.4.1.2.8 NTC18

Verifiche eseguite utilizzando la formula conservativa (6.2) §6.2.1 EN 1993-1-1:2005.

X	Comb.	Sfruttamento	Classe	NEd	NRd	Rid. NRd da VEd	Mx,Ed	Mx,Rd	Rid. Mx,Rd da VEd	Rid. Mx,Rd da NEd	px	py	Verifica
1.477	SLD 6	0.042	1	-27.135	664.325	1	-0.0349	31.3291	1		0	0	Si

Verifica a presso/tenso flessione retta Y §§ 4.2.4.1.2.3 - 4.2.4.1.2.6 - 4.2.4.1.2.7 - 4.2.4.1.2.8 NTC18

Verifiche eseguite utilizzando la formula conservativa (6.2) §6.2.1 EN 1993-1-1:2005.

X	Comb.	Sfruttamento	Classe	NEd	NRd	Rid. NRd da VEd	My,Ed	My,Rd	Rid. My,Rd da VEd	Rid. My,Rd da NEd	px	py	Verifica
0	SLV 6	0.079	1	-51.313	664.325	1	-0.0269	15.4191	1		0	0	Si

Verifica a presso/tenso flessione retta Y SLD §§ 4.2.4.1.2.3 - 4.2.4.1.2.6 - 4.2.4.1.2.7 - 4.2.4.1.2.8 NTC18

Verifiche eseguite utilizzando la formula conservativa (6.2) §6.2.1 EN 1993-1-1:2005.

X	Comb.	Sfruttamento	Classe	NEd	NRd	Rid. NRd da VEd	My,Ed	My,Rd	Rid. My,Rd da VEd	Rid. My,Rd da NEd	px	py	Verifica
0.985	SLD 3	0.032	1	-20.442	664.325	1	0.0249	15.4191	1		0	0	Si

Verifica a presso/tenso flessione deviata §§ 4.2.4.1.2.3 - 4.2.4.1.2.6 - 4.2.4.1.2.7 - 4.2.4.1.2.8 NTC18

Verifiche eseguite utilizzando la formula conservativa (6.2) §6.2.1 EN 1993-1-1:2005.

X	Comb.	Sfruttamento	Classe	NEd	NRd	Rid. NRd da VEd	Mx,Ed	Mx,Rd	My,Ed	My,Rd	Rid. Mx,Rd da VEd	Rid. Mx,Rd da NEd	Rid. My,Rd da VEd	Rid. My,Rd da NEd	α	β	px	py	Verifica
1.846	SLV 6	0.098	1	-51.313	664.325	1	-0.596	31.3291	-0.026	15.4191	1		1				0	0	Si

Verifica a presso/tenso flessione deviata SLD §§ 4.2.4.1.2.3 - 4.2.4.1.2.6 - 4.2.4.1.2.7 - 4.2.4.1.2.8 NTC18

Verifiche eseguite utilizzando la formula conservativa (6.2) §6.2.1 EN 1993-1-1:2005.

X	Comb.	Sfruttamento	Classe	NEd	NRd	Rid. NRd da VEd	Mx,Ed	Mx,Rd	My,Ed	My,Rd	Rid. Mx,Rd da VEd	Rid. Mx,Rd da NEd	Rid. My,Rd da VEd	Rid. My,Rd da NEd	α	β	px	py	Verifica
0.246	SLD 1	0.046	1	-26.661	664.325	1	-0.1249	31.3291	0.0346	15.4191	1		1				0	0	Si

Verifiche ad instabilità

Caratteristiche iniziali

Membratura principale per controllo snellezza; Calcolo di snellezze ed N critici condotti secondo gli assi principali;

Curva X: b; Curva Y: c; Svergolamento: Carico all'estradosso; Curva svergolamento: b;

Dati per instabilità attorno a x

Controllo della snellezza secondo §4.2.4.1.3.1 NTC18

Numero rit.	Presente	Ascissa	Campata	βx/m	Vincolo a entrambi estremi	λx/m	λVer
1	Si	0					
			1-2		1	37.7	Si, (<200)
2	Si	1.846					

Dati per instabilità attorno a y

Controllo della snellezza secondo §4.2.4.1.3.1 NTC18

Numero rit.	Presente	Ascissa	Campata	βy/n	k,LT	kw,LT	Vincolo a entrambi estremi	λy/n	λVer
1	Si	0							
			1-2		1	1	Si	61.2	Si, (<200)
2	Si	1.846							

Verifica a svergolamento con trazione §4.2.4.1.3.2 NTC18 § 5.5.3 ENV 1993-1-1:1992 + AC:1992 + A1:1994 + A2:1998

X	Comb.	Sfruttamento	Classe	Obblig.	NEd	Mx,Ed	Mx,Eff,Ed	Mb,Rd,x	χ ,LT	λ adim. LT	L,LT	M,critico	Verifica
1.415	SLV 15	0.012	1	Si	21.966	0.99048	0.34521	28.27218	0.902	0.632	1.846	82.34911	Si

Verifica di stabilità per tenso-flessione deviata §§ 5.5.3-5.5.4 ENV 1993-1-1:1992 + AC:1992 + A1:1994 + A2:1998

X	Comb.	Sfruttamento	Classe	NEd	Mx,Ed	Mx,Ed	My,Ed	χ,LT	kLT	ky	M,critico	Wx	Wy	Verifica
1.846	SLV 8	0.028	1	7.366	0.96835	0.75197	0.01959	0.902	1	1	82.34911	0.0001196	0.0000589	Si

Verifica di stabilità per pressoflessione §C.4.2.4.1.3.3.2 NTC18

X	Comb.	Sfruttamento	Classe	NEd	NRk	Mx,Ed max	Mx,Rk	My,Ed max	My,Rk	χ,x	χ,y	kxx	kxy	kyy	χ,LT	Verifica
1.846	SLV 6	0.129	1	-51.313	697.541	0.59602	32.89552	0.02691	16.19002	0.912	0.722	0.86	0.291	0.987	0.485	0.902

Verifica di stabilità per pressoflessione SLD §C.4.2.4.1.3.3.2 NTC18

X	Comb.	Sfruttamento	Classe	NEd	NRk	Mx,Ed max	Mx,Rk	My,Ed max	My,Rk	χ,x	χ,y	kxx	kxy	kyy	χ,LT	Verifica
0	SLD 1	0.062	1	-26.661	697.541	0.12889	32.89552	0.03992	16.19002	0.912	0.722	1.002	0.382	0.995	0.637	0.902

Implementazione dei sistemi di confinamento delle emissioni odorigene diffuse dell'impianto di compostaggio esistente nel
Comune di Eboli (SA)
PROGETTO DEFINITIVO – Tabulati di calcolo Tomo 1

Verifica di stabilità a taglio anima Y §4.2.4.1.2.4 [4.2.27] NTC18

η	hw	tw	hw/tw max	Verifica
1.2	0.098	0.005	55.46	Si

Verifica di stabilità a taglio anima Y SLD §4.2.4.1.2.4 [4.2.27] NTC18

η	hw	tw	hw/tw max	Verifica
1.2	0.098	0.005	55.46	Si

Verifiche a deformabilità

Mensola X: No; Mensola Y: No.

Frecce lungo X

Ascissa freccia	Combinazione	Freccia	Luce	L/f	L/f,min	Tipo	Verifica
0.8	SLE RA 1	-0.00001	1.846	10000	250	Totale	Si
0.8	SLE RA 17	-0.00002	1.846	10000	250	Totale	Si
0.8	SLE RA 16	-0.00002	1.846	10000	250	Totale	Si
0.861	SLE RA 15	-0.00002	1.846	10000	250	Totale	Si
0.738	SLE RA 14	-0.00002	1.846	10000	250	Totale	Si
0.8	SLE RA 2	0.00001	1.846	10000	350	Variabile	Si
0.8	SLE RA 17	0	1.846	10000	350	Variabile	Si
0.8	SLE RA 16	-0.00001	1.846	10000	350	Variabile	Si
0.985	SLE RA 15	-0.00001	1.846	10000	350	Variabile	Si
0.677	SLE RA 14	-0.00001	1.846	10000	350	Variabile	Si

Frecce lungo Y

Ascissa freccia	Combinazione	Freccia	Luce	L/f	L/f,min	Tipo	Verifica
1.231	SLE RA 1	0.00004	1.846	10000	250	Totale	Si
1.231	SLE RA 17	0.00005	1.846	10000	250	Totale	Si
1.169	SLE RA 16	0.00006	1.846	10000	250	Totale	Si
1.231	SLE RA 15	0.00003	1.846	10000	250	Totale	Si
1.169	SLE RA 14	0.00007	1.846	10000	250	Totale	Si
1.169	SLE RA 2	-0.00003	1.846	10000	350	Variabile	Si
1.169	SLE RA 17	0.00001	1.846	10000	350	Variabile	Si
1.169	SLE RA 16	0.00003	1.846	10000	350	Variabile	Si
1.354	SLE RA 15	0	1.846	10000	350	Variabile	Si
1.169	SLE RA 14	0.00004	1.846	10000	350	Variabile	Si

Superelemento in acciaio a quota "640" (617; 2467)-(744; 2602)

Caratteristiche del materiale

Acciaio: S275, fyk = 275000

Caratteristiche geometriche

Lunghezza: 1.85

Nodo iniziale: 1240 Nodo finale: 1317

Cerniera iniziale: No Cerniera finale: No

Sovvaresistenza: 0% Sisma Z: No

Caratteristiche della sezione

Sezione	Rotazione	Area	Jx	Jy	ix	iy	Wx	Wy	Wplx	Wply
HEA120	0	0.002537	0.0000060673	0.0000023091	0.0489	0.0302	0.00010644	0.00003849	0.00011962	0.00005887

Verifiche di resistenza

Verifiche a forza assiale §4.2.4.1.2.1 - §4.2.4.1.2.2 NTC18

X	Comb.	Sfruttamento	Classe	NEd	Nc,Rd	Nt,Rd	Riduzione da taglio	px	py	Verifica
0.987	SLU 76	0.209	1	-138.725	664.325		1	0	0	Si

Verifiche a forza assiale SLD §4.2.4.1.2.1 - §4.2.4.1.2.2 NTC18

X	Comb.	Sfruttamento	Classe	NEd	Nc,Rd	Nt,Rd	Riduzione da taglio	px	py	Verifica
1.788	SLD 14	0.069	1	-45.881	664.325		1	0	0	Si

Verifica a taglio Y §4.2.4.1.2.4 NTC18

X	Comb.	Sfruttamento	VEd	Vc,Rd	Av	Interazione taglio-torsione	Riduzione torsione	Verifica
1.85	SLU 76	0.02	-2.472	126.015	0.000849	Considerata	0.98	Si

Verifica a taglio Y SLD §4.2.4.1.2.4 NTC18

X	Comb.	Sfruttamento	VEd	Vc,Rd	Av	Interazione taglio-torsione	Riduzione torsione	Verifica
1.85	SLD 8	0.006	-0.738	127.387	0.000849	Considerata	0.99	Si

Verifica a torsione §4.2.4.1.2.5 NTC18

X	Comb.	Sfruttamento torsione	TEd	TRd	Riduzione taglio resistente	Sfruttamento taglio-torsione	τEd,totale	τRd	Verifica
0.123	SLU 76	0.044	0.03764	0.85138	Considerata				Si

Verifica a torsione SLD §4.2.4.1.2.5 NTC18

X	Comb.	Sfruttamento torsione	TEd	TRd	Riduzione taglio resistente	Sfruttamento taglio-torsione	τEd,totale	τRd	Verifica
1.85	SLD 8	0.018	0.01517	0.85138	Considerata				Si

Verifica a flessione semplice X §§ 4.2.4.1.2.3 - 4.2.4.1.2.6 - 4.2.4.1.2.7 - 4.2.4.1.2.8 NTC18

X	Comb.	Sfruttamento	Classe	Mx,Ed	Mx,Rd	Rid. Mx,Rd da VEd	px	py	Verifica
1.788	SLU 22	0.002	1	-0.05398	31.32907	1	0	0	Si

Verifica a flessione semplice Y §§ 4.2.4.1.2.3 - 4.2.4.1.2.6 - 4.2.4.1.2.7 - 4.2.4.1.2.8 NTC18

X	Comb.	Sfruttamento	Classe	My,Ed	My,Rd	Rid. My,Rd da VEd	px	py	Verifica
1.11	SLU 22	0	1	0.00493	15.41907	1	0	0	Si

**Implementazione dei sistemi di confinamento delle emissioni odorigene diffuse dell'impianto di compostaggio esistente nel
Comune di Eboli (SA)
PROGETTO DEFINITIVO – Tabulati di calcolo Tomo 1**

Verifica a flessione deviata §§ 4.2.4.1.2.3 - 4.2.4.1.2.6 - 4.2.4.1.2.7 - 4.2.4.1.2.8 NTC18

X	Comb.	Sfruttamento	Classe	Mx,Ed	Mx,Rd	My,Ed	My,Rd	Rid. Mx,Rd da VEd	Rid. My,Rd da VEd	α	β	px	py	Verifica
0	SLU 22	0.011	1	0.2901	31.3291	0.0192	15.4191	1	1			0	0	Si

Verifica a presso/tenso flessione retta X §§ 4.2.4.1.2.3 - 4.2.4.1.2.6 - 4.2.4.1.2.7 - 4.2.4.1.2.8 NTC18

Verifiche eseguite utilizzando la formula conservativa (6.2) §6.2.1 EN 1993-1-1:2005.

X	Comb.	Sfruttamento	Classe	NEd	NRd	Rid. NRd da VEd	Mx,Ed	Mx,Rd	Rid. Mx,Rd da VEd	Rid. Mx,Rd da NEd	px	py	Verifica
0.555	SLV 9	0.116	1	-57.871	664.325	1	-0.9013	31.3291	1		0	0	Si

Verifica a presso/tenso flessione retta Y §§ 4.2.4.1.2.3 - 4.2.4.1.2.6 - 4.2.4.1.2.7 - 4.2.4.1.2.8 NTC18

Verifiche eseguite utilizzando la formula conservativa (6.2) §6.2.1 EN 1993-1-1:2005.

X	Comb.	Sfruttamento	Classe	NEd	NRd	Rid. NRd da VEd	My,Ed	My,Rd	Rid. My,Rd da VEd	Rid. My,Rd da NEd	px	py	Verifica
1.788	SLV 11	0.045	1	-29.24	664.325	1	-0.0135	15.4191	1		0	0	Si

Verifica a presso/tenso flessione retta Y SLD §§ 4.2.4.1.2.3 - 4.2.4.1.2.6 - 4.2.4.1.2.7 - 4.2.4.1.2.8 NTC18

Verifiche eseguite utilizzando la formula conservativa (6.2) §6.2.1 EN 1993-1-1:2005.

X	Comb.	Sfruttamento	Classe	NEd	NRd	Rid. NRd da VEd	My,Ed	My,Rd	Rid. My,Rd da VEd	Rid. My,Rd da NEd	px	py	Verifica
1.85	SLD 3	0.051	1	-32.669	664.325	1	-0.0231	15.4191	1		0	0	Si

Verifica a presso/tenso flessione deviata §§ 4.2.4.1.2.3 - 4.2.4.1.2.6 - 4.2.4.1.2.7 - 4.2.4.1.2.8 NTC18

Verifiche eseguite utilizzando la formula conservativa (6.2) §6.2.1 EN 1993-1-1:2005.

X	Comb.	Sfruttamento	Classe	NEd	NRd	Rid. NRd da VEd	Mx,Ed	Mx,Rd	My,Ed	My,Rd	Rid. Mx,Rd da VEd	Rid. Mx,Rd da NEd	Rid. My,Rd da VEd	Rid. My,Rd da NEd	α	β	px	py	Verifica
0	SLU 76	0.349	1	-138.725	664.325	1	-4.1776	31.3291	-0.105	15.4191	1			1			0	0	Si

Verifica a presso/tenso flessione deviata SLD §§ 4.2.4.1.2.3 - 4.2.4.1.2.6 - 4.2.4.1.2.7 - 4.2.4.1.2.8 NTC18

Verifiche eseguite utilizzando la formula conservativa (6.2) §6.2.1 EN 1993-1-1:2005.

X	Comb.	Sfruttamento	Classe	NEd	NRd	Rid. NRd da VEd	Mx,Ed	Mx,Rd	My,Ed	My,Rd	Rid. Mx,Rd da VEd	Rid. Mx,Rd da NEd	Rid. My,Rd da VEd	Rid. My,Rd da NEd	α	β	px	py	Verifica
0	SLD 13	0.103	1	-45.881	664.325	1	-1.0617	31.3291	-0.0055	15.4191	1			1			0	0	Si

Verifiche ad instabilità

Caratteristiche iniziali

Membratura principale per controllo snellezza; Calcolo di snellezze ed N critici condotti secondo gli assi principali;

Curva X: b; Curva Y: c; Svergolamento: Carico all'estradosso; Curva svergolamento: b;

Dati per instabilità attorno a x

Controllo della snellezza secondo §4.2.4.1.3.1 NTC18

Numero rit.	Presente	Ascissa	Campata	βx/m	Vincolo a entrambi estremi	λx/m	λVer
1	Si	0					
			1-2		1	37.8	Si, (<200)
2	Si	1.85					

Dati per instabilità attorno a y

Controllo della snellezza secondo §4.2.4.1.3.1 NTC18

Numero rit.	Presente	Ascissa	Campata	βy/n	k _{LT}	k _{w,LT}	Vincolo a entrambi estremi	λy/n	λVer
1	Si	0							
			1-2		1	1	Si	61.3	Si, (<200)
2	Si	1.85							

Verifica di stabilità per tenso-flessione deviata §§ 5.5.3-5.5.4 ENV 1993-1-1:1992 + AC:1992 + A1:1994 + A2:1998

X	Comb.	Sfruttamento	Classe	NEd	Mx,Ed	Mx,Eff,Ed	My,Ed	χ _{LT}	k _{LT}	k _y	M _{critico}	W _x	W _y	Verifica
0	SLU 41	0.014	1	3.279	0.4557	0.35938	0.0224	0.902	1	1	82.10616	0.0001196	0.0000589	Si

Verifica di stabilità per pressoflessione §C.4.2.4.1.3.3.2 NTC18

X	Comb.	Sfruttamento	Classe	NEd	NRk	Mx,Ed max	Mx,Rk	My,Ed max	My,Rk	χ _x	χ _y	k _{xx}	k _{xy}	k _{yx}	k _{yy}	χ _{LT}	Verifica
0.802	SLU 76	0.426	1	-138.725	697.541	4.1776	32.89552	0.12982	16.19002	0.912	0.721	0.659	0.685	0.946	1.141	0.994	Si

Verifica di stabilità per pressoflessione SLD §C.4.2.4.1.3.3.2 NTC18

X	Comb.	Sfruttamento	Classe	NEd	NRk	Mx,Ed max	Mx,Rk	My,Ed max	My,Rk	χ _x	χ _y	k _{xx}	k _{xy}	k _{yx}	k _{yy}	χ _{LT}	Verifica
1.85	SLD 10	0.132	1	-45.876	697.541	1.06217	32.89552	0.05674	16.19002	0.912	0.721	0.71	0.361	0.985	0.601	0.99	Si

Verifica di stabilità a taglio anima Y §4.2.4.1.2.4 [4.2.27] NTC18

η	hw	tw	hw/tw max	Verifica
1.2		0.098	0.005	55.46
				Si

Verifica di stabilità a taglio anima Y SLD §4.2.4.1.2.4 [4.2.27] NTC18

η	hw	tw	hw/tw max	Verifica
1.2		0.098	0.005	55.46
				Si

Verifiche a deformabilità

Mensola X: No; Mensola Y: No.

Frecce lungo X

Ascissa freccia	Combinazione	Freccia	Luce	L/f	L/f,min	Tipo	Verifica
0.987	SLE RA 1	0.00003	1.85	10000	250	Totale	Si
0.925	SLE RA 17	0.00004	1.85	10000	250	Totale	Si
0.925	SLE RA 16	0.00006	1.85	10000	250	Totale	Si
0.925	SLE RA 15	0.00006	1.85	10000	250	Totale	Si
0.987	SLE RA 14	0.00003	1.85	10000	250	Totale	Si
0.925	SLE RA 2	-0.00002	1.85	10000	350	Variabile	Si
0.925	SLE RA 17	0.00001	1.85	10000	350	Variabile	Si
0.925	SLE RA 16	0.00003	1.85	10000	350	Variabile	Si
0.925	SLE RA 15	0.00003	1.85	10000	350	Variabile	Si
1.172	SLE RA 14	0	1.85	10000	350	Variabile	Si

Implementazione dei sistemi di confinamento delle emissioni odorigene diffuse dell'impianto di compostaggio esistente nel
Comune di Eboli (SA)

PROGETTO DEFINITIVO – Tabulati di calcolo Tomo 1

Frecce lungo Y

Ascissa freccia	Combinazione	Freccia	Luce	L/f	L/f,min	Tipo	Verifica
0.802	SLE RA 19	-0.00052	1.85	3533.4	250	Totale	Si
0.802	SLE RA 7	-0.00046	1.85	4041	250	Totale	Si
0.802	SLE RA 15	-0.00045	1.85	4066.2	250	Totale	Si
0.802	SLE RA 11	-0.00045	1.85	4066.2	250	Totale	Si
0.802	SLE RA 16	-0.00042	1.85	4442.6	250	Totale	Si
0.802	SLE RA 19	-0.00031	1.85	5910.9	350	Variabile	Si
0.802	SLE RA 7	-0.00025	1.85	7483.6	350	Variabile	Si
0.802	SLE RA 15	-0.00024	1.85	7570.4	350	Variabile	Si
0.802	SLE RA 11	-0.00024	1.85	7570.4	350	Variabile	Si
0.802	SLE RA 16	-0.00021	1.85	8988.4	350	Variabile	Si

Superelemento in acciaio a quota "640" (619; 939)-(729; 837)

Caratteristiche del materiale

Acciaio: S275, fyk = 275000

Caratteristiche geometriche

Lunghezza: 1.5

Nodo iniziale: 855 Nodo finale: 833

Cerniera iniziale: Mmomenti 1% Cerniera finale: Mmomenti 1%

Sovreresistenza: 0% Sisma Z: No

Caratteristiche della sezione

Sezione	Rotazione	Area	Jx	Jy	ix	iy	Wx	Wy	Wplx	Wply
A1; L100*10; 1; Saldato; S275; 30; 1; 8; 8; 1	180	0.003832	0.0000035319	0.000007759	0.0304	0.045	0.0000492	0.0000739	0.00008974	0.00012727

Comportamento dei calastrelli

Accoppiamento imbottito con funzione statica (§C4.2.4.1.3.1.4 NTC18) nella campata compresa tra le ascisse 0 e 1.5 per sbandamento attorno all'asse y.

Verifiche di resistenza

Verifiche a forza assiale §4.2.4.1.2.1 - §4.2.4.1.2.2 NTC18

X	Comb.	Sfruttamento	Classe	NEd	Nc,Rd	Nt,Rd	Riduzione da taglio	px	py	Verifica
0.75	SLU 75	0.001		0.914		1003.522	1	0	0	Si

Verifiche a forza assiale SLD §4.2.4.1.2.1 - §4.2.4.1.2.2 NTC18

X	Comb.	Sfruttamento	Classe	NEd	Nc,Rd	Nt,Rd	Riduzione da taglio	px	py	Verifica
0	SLD 3	0		0.446		1003.522	1	0	0	Si

Verifica a taglio Y §4.2.4.1.2.4 NTC18

X	Comb.	Sfruttamento	VEd	Vc,Rd	Av	Interazione taglio-torsione	Riduzione torsione	Verifica
0	SLU 41	0.001	-0.295	302.422	0.002	Non considerata		Si

Verifica a taglio Y SLD §4.2.4.1.2.4 NTC18

X	Comb.	Sfruttamento	VEd	Vc,Rd	Av	Interazione taglio-torsione	Riduzione torsione	Verifica
0	SLD 8	0.001	-0.235	302.422	0.002	Non considerata		Si

Verifica a flessione semplice X §§ 4.2.4.1.2.3 - 4.2.4.1.2.6 - 4.2.4.1.2.7 - 4.2.4.1.2.8 NTC18

X	Comb.	Sfruttamento	Classe	Mx,Ed	Mx,Rd	Rid. Mx,Rd da VEd	px	py	Verifica
0.75	SLU 51	0.005	1	0.11225	23.50374	1	0	0	Si

Verifica a flessione semplice X SLD §§ 4.2.4.1.2.3 - 4.2.4.1.2.6 - 4.2.4.1.2.7 - 4.2.4.1.2.8 NTC18

X	Comb.	Sfruttamento	Classe	Mx,Ed	Mx,Rd	Rid. Mx,Rd da VEd	px	py	Verifica
0.75	SLD 12	0.004	1	0.08991	23.50374	1	0	0	Si

Verifica a flessione semplice Y §§ 4.2.4.1.2.3 - 4.2.4.1.2.6 - 4.2.4.1.2.7 - 4.2.4.1.2.8 NTC18

X	Comb.	Sfruttamento	Classe	My,Ed	My,Rd	Rid. My,Rd da VEd	px	py	Verifica
1.4	SLV 16	0.002	1	0.05372	33.33162	1	0	0	Si

Verifica a flessione semplice Y SLD §§ 4.2.4.1.2.3 - 4.2.4.1.2.6 - 4.2.4.1.2.7 - 4.2.4.1.2.8 NTC18

X	Comb.	Sfruttamento	Classe	My,Ed	My,Rd	Rid. My,Rd da VEd	px	py	Verifica
1.5	SLD 15	0.001	1	0.03077	33.33162	1	0	0	Si

Verifica a flessione deviata §§ 4.2.4.1.2.3 - 4.2.4.1.2.6 - 4.2.4.1.2.7 - 4.2.4.1.2.8 NTC18

X	Comb.	Sfruttamento	Classe	Mx,Ed	Mx,Rd	My,Ed	My,Rd	Rid. Mx,Rd da VEd	Rid. My,Rd da VEd	α	β	px	py	Verifica
0.9	SLU 64	0.005	1	0.107	23.5037	0.008	33.3316	1	1			0	0	Si

Verifica a flessione deviata SLD §§ 4.2.4.1.2.3 - 4.2.4.1.2.6 - 4.2.4.1.2.7 - 4.2.4.1.2.8 NTC18

X	Comb.	Sfruttamento	Classe	Mx,Ed	Mx,Rd	My,Ed	My,Rd	Rid. Mx,Rd da VEd	Rid. My,Rd da VEd	α	β	px	py	Verifica
0.85	SLD 12	0.004	1	0.089	23.5037	0.0091	33.3316	1	1			0	0	Si

Verifica a presso/tenso flessione retta X §§ 4.2.4.1.2.3 - 4.2.4.1.2.6 - 4.2.4.1.2.7 - 4.2.4.1.2.8 NTC18

Verifiche eseguite utilizzando la formula conservativa (6.2) §6.2.1 EN 1993-1-1:2005.

X	Comb.	Sfruttamento	Classe	NEd	NRd	Rid. NRd da VEd	Mx,Ed	Mx,Rd	Rid. Mx,Rd da VEd	Rid. Mx,Rd da NEd	px	py	Verifica
0.75	SLU 75	0.006	1	0.914	1003.522	1	0.1159	23.5037	1		0	0	Si

Implementazione dei sistemi di confinamento delle emissioni odorigene diffuse dell'impianto di compostaggio esistente nel
Comune di Eboli (SA)
PROGETTO DEFINITIVO – Tabulati di calcolo Tomo 1

Verifica a presso/tenso flessione retta X SLD §§ 4.2.4.1.2.3 - 4.2.4.1.2.6 - 4.2.4.1.2.7 - 4.2.4.1.2.8 NTC18

Verifiche eseguite utilizzando la formula conservativa (6.2) §6.2.1 EN 1993-1-1:2005.

X	Comb.	Sfruttamento	Classe	NEd	NRd	Rid. NRd da VEd	Mx,Ed	Mx,Rd	Rid. Mx,Rd da VEd	Rid. Mx,Rd da NEd	px	py	Verifica
0.8	SLD 3	0.004	1	0.446	1003.522	1	0.093	23.5037	1		0	0	Si

Verifica a presso/tenso flessione retta Y §§ 4.2.4.1.2.3 - 4.2.4.1.2.6 - 4.2.4.1.2.7 - 4.2.4.1.2.8 NTC18

Verifiche eseguite utilizzando la formula conservativa (6.2) §6.2.1 EN 1993-1-1:2005.

X	Comb.	Sfruttamento	Classe	NEd	NRd	Rid. NRd da VEd	My,Ed	My,Rd	Rid. My,Rd da VEd	Rid. My,Rd da NEd	px	py	Verifica
0	SLU 75	0.002	1	0.914	1003.522	1	-0.0249	33.3316	1		0	0	Si

Verifica a presso/tenso flessione retta Y SLD §§ 4.2.4.1.2.3 - 4.2.4.1.2.6 - 4.2.4.1.2.7 - 4.2.4.1.2.8 NTC18

Verifiche eseguite utilizzando la formula conservativa (6.2) §6.2.1 EN 1993-1-1:2005.

X	Comb.	Sfruttamento	Classe	NEd	NRd	Rid. NRd da VEd	My,Ed	My,Rd	Rid. My,Rd da VEd	Rid. My,Rd da NEd	px	py	Verifica
0	SLD 7	0.001	1	0.444	1003.522	1	-0.0159	33.3316	1		0	0	Si

Verifica a presso/tenso flessione deviata §§ 4.2.4.1.2.3 - 4.2.4.1.2.6 - 4.2.4.1.2.7 - 4.2.4.1.2.8 NTC18

Verifiche eseguite utilizzando la formula conservativa (6.2) §6.2.1 EN 1993-1-1:2005.

X	Comb.	Sfruttamento	Classe	NEd	NRd	Rid. NRd da VEd	Mx,Ed	Mx,Rd	My,Ed	My,Rd	Rid. Mx,Rd da VEd	Rid. Mx,Rd da NEd	Rid. My,Rd da VEd	Rid. My,Rd da NEd	α	β	px	py	Verifica
0.55	SLU 75	0.006	1	0.914	1003.522	1	0.1078	23.5037	-0.0076	33.3316	1		1				0	0	Si

Verifica a presso/tenso flessione deviata SLD §§ 4.2.4.1.2.3 - 4.2.4.1.2.6 - 4.2.4.1.2.7 - 4.2.4.1.2.8 NTC18

Verifiche eseguite utilizzando la formula conservativa (6.2) §6.2.1 EN 1993-1-1:2005.

X	Comb.	Sfruttamento	Classe	NEd	NRd	Rid. NRd da VEd	Mx,Ed	Mx,Rd	My,Ed	My,Rd	Rid. Mx,Rd da VEd	Rid. Mx,Rd da NEd	Rid. My,Rd da VEd	Rid. My,Rd da NEd	α	β	px	py	Verifica
0.95	SLD 8	0.004	1	0.444	1003.522	1	0.0888	23.5037	0.0083	33.3316	1		1				0	0	Si

Verifiche ad instabilità

Caratteristiche iniziali

Membratura principale per controllo snellezza; Calcolo di snellezze ed N critici condotti secondo gli assi principali;

Curva X: c; Curva Y: c;

Svergolamento: Nessuno; la verifica a instabilità flesso-torsionale (svergolamento) non verrà eseguita.

Dati per instabilità attorno a x

Controllo della snellezza secondo §4.2.4.1.3.1 NTC18

Numero rit.	Presente	Ascissa	Campata	βx/m	Vincolo a entrambi estremi	λx/m	λVer
1	Si		0				
			1-2	1	Si	49.4	Si, (<200)
2	Si		1.5				

Dati per instabilità attorno a y

Controllo della snellezza secondo §4.2.4.1.3.1 NTC18

Numero rit.	Presente	Ascissa	Campata	βy/n	k,LT	kw,LT	Vincolo a entrambi estremi
1	Si		0				
			1-2	1	Si	34.8	Si, (<200)
2	Si		1.5				

Verifica di stabilità per pressoflessione §C.4.2.4.1.3.3.1 NTC18

X	Comb.	Sfruttamento	Classe	NEd	MxEq,Ed	MyEq,Ed	Area	Wx	Wy	χ,min	λ adim. x/m	λ adim. y/n	N,crit x/m	N,crit y/n	Verifica
0.05	SLU 64	0.004	1	0	0.0971	0.0109	0.003832	0.0000897	0.0001273	0.804	0.569	0.4	3253.47	6569.993	Si

Verifica di stabilità per pressoflessione SLD §C.4.2.4.1.3.3.1 NTC18

X	Comb.	Sfruttamento	Classe	NEd	MxEq,Ed	MyEq,Ed	Area	Wx	Wy	χ,min	λ adim. x/m	λ adim. y/n	N,crit x/m	N,crit y/n	Verifica
0	SLD 11	0.004	1	0	0.0802	0.0231	0.003832	0.0000897	0.0001273	0.804	0.569	0.4	3253.47	6569.993	Si

Verifiche a deformabilità

Mensola X: No; Mensola Y: No.

Frecce lungo X

Ascissa freccia	Combinazione	Freccia	Luce	L/f	L/f,min	Tipo	Verifica
1.15	SLE RA 1	0	1.5	10000	250	Totale	Si
1.15	SLE RA 17	0	1.5	10000	250	Totale	Si
1.15	SLE RA 16	0	1.5	10000	250	Totale	Si
1.15	SLE RA 15	0	1.5	10000	250	Totale	Si
0.35	SLE RA 14	0	1.5	10000	250	Totale	Si
0.35	SLE RA 2	0	1.5	10000	350	Variabile	Si
0.35	SLE RA 17	0	1.5	10000	350	Variabile	Si
0.35	SLE RA 16	0	1.5	10000	350	Variabile	Si
1.1	SLE RA 15	0	1.5	10000	350	Variabile	Si
0.55	SLE RA 14	0	1.5	10000	350	Variabile	Si

Frecce lungo Y

Ascissa freccia	Combinazione	Freccia	Luce	L/f	L/f,min	Tipo	Verifica
0.75	SLE RA 1	0.00003	1.5	10000	250	Totale	Si
0.75	SLE RA 17	0.00003	1.5	10000	250	Totale	Si
0.75	SLE RA 16	0.00003	1.5	10000	250	Totale	Si
0.75	SLE RA 15	0.00003	1.5	10000	250	Totale	Si
0.75	SLE RA 14	0.00003	1.5	10000	250	Totale	Si
0.75	SLE RA 2	0	1.5	10000	350	Variabile	Si
0.75	SLE RA 17	0	1.5	10000	350	Variabile	Si
0.75	SLE RA 16	0	1.5	10000	350	Variabile	Si
0.6	SLE RA 15	0	1.5	10000	350	Variabile	Si
0.75	SLE RA 14	0	1.5	10000	350	Variabile	Si

Implementazione dei sistemi di confinamento delle emissioni odorigene diffuse dell'impianto di compostaggio esistente nel
Comune di Eboli (SA)
PROGETTO DEFINITIVO – Tabulati di calcolo Tomo 1

Superelemento in acciaio a quota "640" (620; 2473)-(729; 2371)

Caratteristiche del materiale

Acciaio: S275, fyk = 275000

Caratteristiche geometriche

Lunghezza: 1.5

Nodo iniziale: 1243 Nodo finale: 1203

Cerniera iniziale: Mmomenti 1% Cerniera finale: Mmomenti 1%

Sovraresistenza: 0% Sisma Z: No

Caratteristiche della sezione

Sezione	Rotazione	Area	Jx	Jy	ix	iy	Wx	Wy	Wplx	Wply
A1; L100*10; 1; Saldato; S275; 30; 1; 8; 8; 1	180	0.003832	0.0000035319	0.000007759	0.0304	0.045	0.0000492	0.0000739	0.00008974	0.00012727

Comportamento dei calastrelli

Accoppiamento imbottito con funzione statica (§C4.2.4.1.3.1.4 NTC18) nella campata compresa tra le ascisse 0 e 1.5 per sbandamento attorno all'asse y.

Verifiche di resistenza

Verifiche a forza assiale §4.2.4.1.2.1 - §4.2.4.1.2.2 NTC18

X	Comb.	Sfruttamento	Classe	NEd	Nc,Rd	Nt,Rd	Riduzione da taglio	px	py	Verifica
0.7	SLV 7	0.001		0.934		1003.522	1	0	0	Si

Verifiche a forza assiale SLD §4.2.4.1.2.1 - §4.2.4.1.2.2 NTC18

X	Comb.	Sfruttamento	Classe	NEd	Nc,Rd	Nt,Rd	Riduzione da taglio	px	py	Verifica
1.4	SLD 8	0.001		0.525		1003.522	1	0	0	Si

Verifica a taglio Y §4.2.4.1.2.4 NTC18

X	Comb.	Sfruttamento	VEd	Vc,Rd	Av	Interazione taglio-torsione	Riduzione torsione	Verifica
1.5	SLU 41	0.001	0.311	302.422	0.002	Non considerata		Si

Verifica a taglio Y SLD §4.2.4.1.2.4 NTC18

X	Comb.	Sfruttamento	VEd	Vc,Rd	Av	Interazione taglio-torsione	Riduzione torsione	Verifica
1.5	SLD 8	0.001	0.239	302.422	0.002	Non considerata		Si

Verifica a flessione semplice X §§ 4.2.4.1.2.3 - 4.2.4.1.2.6 - 4.2.4.1.2.7 - 4.2.4.1.2.8 NTC18

X	Comb.	Sfruttamento	Classe	Mx,Ed	Mx,Rd	Rid. Mx,Rd da VEd	px	py	Verifica
0.7	SLU 41	0.005	1	0.12308	23.50374	1	0	0	Si

Verifica a flessione semplice X SLD §§ 4.2.4.1.2.3 - 4.2.4.1.2.6 - 4.2.4.1.2.7 - 4.2.4.1.2.8 NTC18

X	Comb.	Sfruttamento	Classe	Mx,Ed	Mx,Rd	Rid. Mx,Rd da VEd	px	py	Verifica
0.75	SLD 14	0.003	1	0.0796	23.50374	1	0	0	Si

Verifica a flessione semplice Y §§ 4.2.4.1.2.3 - 4.2.4.1.2.6 - 4.2.4.1.2.7 - 4.2.4.1.2.8 NTC18

X	Comb.	Sfruttamento	Classe	My,Ed	My,Rd	Rid. My,Rd da VEd	px	py	Verifica
0.05	SLV 15	0.001	1	0.04493	33.33162	1	0	0	Si

Verifica a flessione semplice Y SLD §§ 4.2.4.1.2.3 - 4.2.4.1.2.6 - 4.2.4.1.2.7 - 4.2.4.1.2.8 NTC18

X	Comb.	Sfruttamento	Classe	My,Ed	My,Rd	Rid. My,Rd da VEd	px	py	Verifica
0	SLD 15	0.001	1	0.01864	33.33162	1	0	0	Si

Verifica a flessione deviata §§ 4.2.4.1.2.3 - 4.2.4.1.2.6 - 4.2.4.1.2.7 - 4.2.4.1.2.8 NTC18

X	Comb.	Sfruttamento	Classe	Mx,Ed	Mx,Rd	My,Ed	My,Rd	Rid. Mx,Rd da VEd	Rid. My,Rd da VEd	α	β	px	py	Verifica
0.75	SLV 15	0.004	1	0.0769	23.5037	0.0236	33.3316	1	1			0	0	Si

Verifica a flessione deviata SLD §§ 4.2.4.1.2.3 - 4.2.4.1.2.6 - 4.2.4.1.2.7 - 4.2.4.1.2.8 NTC18

X	Comb.	Sfruttamento	Classe	Mx,Ed	Mx,Rd	My,Ed	My,Rd	Rid. Mx,Rd da VEd	Rid. My,Rd da VEd	α	β	px	py	Verifica
0.75	SLD 16	0.004	1	0.083	23.5037	0.0097	33.3316	1	1			0	0	Si

Verifica a presso/tenso flessione retta X §§ 4.2.4.1.2.3 - 4.2.4.1.2.6 - 4.2.4.1.2.7 - 4.2.4.1.2.8 NTC18

Verifiche eseguite utilizzando la formula conservativa (6.2) §6.2.1 EN 1993-1-1:2005.

X	Comb.	Sfruttamento	Classe	NEd	NRd	Rid. NRd da VEd	Mx,Ed	Mx,Rd	Rid. Mx,Rd da VEd	Rid. Mx,Rd da NEd	px	py	Verifica
0.75	SLU 75	0.006	1	0.628	1003.522	1	0.1148	23.5037	1		0	0	Si

Verifica a presso/tenso flessione retta X SLD §§ 4.2.4.1.2.3 - 4.2.4.1.2.6 - 4.2.4.1.2.7 - 4.2.4.1.2.8 NTC18

Verifiche eseguite utilizzando la formula conservativa (6.2) §6.2.1 EN 1993-1-1:2005.

X	Comb.	Sfruttamento	Classe	NEd	NRd	Rid. NRd da VEd	Mx,Ed	Mx,Rd	Rid. Mx,Rd da VEd	Rid. Mx,Rd da NEd	px	py	Verifica
0.7	SLD 7	0.005	1	0.525	1003.522	1	0.0944	23.5037	1		0	0	Si

Verifica a presso/tenso flessione retta Y §§ 4.2.4.1.2.3 - 4.2.4.1.2.6 - 4.2.4.1.2.7 - 4.2.4.1.2.8 NTC18

Verifiche eseguite utilizzando la formula conservativa (6.2) §6.2.1 EN 1993-1-1:2005.

X	Comb.	Sfruttamento	Classe	NEd	NRd	Rid. NRd da VEd	My,Ed	My,Rd	Rid. My,Rd da VEd	Rid. My,Rd da NEd	px	py	Verifica
1.5	SLV 7	0.002	1	0.934	1003.522	1	-0.0396	33.3316	1		0	0	Si

Verifica a presso/tenso flessione retta Y SLD §§ 4.2.4.1.2.3 - 4.2.4.1.2.6 - 4.2.4.1.2.7 - 4.2.4.1.2.8 NTC18

Verifiche eseguite utilizzando la formula conservativa (6.2) §6.2.1 EN 1993-1-1:2005.

X	Comb.	Sfruttamento	Classe	NEd	NRd	Rid. NRd da VEd	My,Ed	My,Rd	Rid. My,Rd da VEd	Rid. My,Rd da NEd	px	py	Verifica
---	-------	--------------	--------	-----	-----	-----------------	-------	-------	-------------------	-------------------	----	----	----------

Implementazione dei sistemi di confinamento delle emissioni odorigene diffuse dell'impianto di compostaggio esistente nel
Comune di Eboli (SA)

PROGETTO DEFINITIVO – Tabulati di calcolo Tomo 1

X	Comb.	Sfruttamento	Classe	NEd	NRd	Rid. NRd da VEd	My,Ed	My,Rd	Rid. My,Rd da VEd	Rid. My,Rd da NEd	px	py	Verifica
1.5	SLD 7	0.001	1	0.525	1003.522	1	-0.0158	33.3316	1		0	0	Si

Verifica a presso/tenso flessione deviata §§ 4.2.4.1.2.3 - 4.2.4.1.2.6 - 4.2.4.1.2.7 - 4.2.4.1.2.8 NTC18

Verifiche eseguite utilizzando la formula conservativa (6.2) §6.2.1 EN 1993-1-1:2005.

X	Comb.	Sfruttamento	Classe	NEd	NRd	Rid. NRd da VEd	Mx,Ed	Mx,Rd	My,Ed	My,Rd	Rid. Mx,Rd da VEd	Rid. Mx,Rd da NEd	Rid. My,Rd da VEd	Rid. My,Rd da NEd	α	β	px	py	Verifica
0.6	SLV 7	0.006	1	0.934	1003.522	1	0.1069	23.5037	0.0141	33.3316	1		1				0	0	Si

Verifica a presso/tenso flessione deviata SLD §§ 4.2.4.1.2.3 - 4.2.4.1.2.6 - 4.2.4.1.2.7 - 4.2.4.1.2.8 NTC18

Verifiche eseguite utilizzando la formula conservativa (6.2) §6.2.1 EN 1993-1-1:2005.

X	Comb.	Sfruttamento	Classe	NEd	NRd	Rid. NRd da VEd	Mx,Ed	Mx,Rd	My,Ed	My,Rd	Rid. Mx,Rd da VEd	Rid. Mx,Rd da NEd	Rid. My,Rd da VEd	Rid. My,Rd da NEd	α	β	px	py	Verifica
0.7	SLD 12	0.005	1	0.421	1003.522	1	0.0909	23.5037	0.0098	33.3316	1		1				0	0	Si

Verifiche ad instabilità

Caratteristiche iniziali

Membratura principale per controllo snellezza; Calcolo di snellezze ed N critici condotti secondo gli assi principali;

Curva X: c; Curva Y: c;

Svergolamento: Nessuno; la verifica a instabilità flesso-torsionale (svergolamento) non verrà eseguita.

Dati per instabilità attorno a x

Controllo della snellezza secondo §4.2.4.1.3.1 NTC18

Numero rit.	Presente	Ascissa	Campata	βx/m	Vincolo a entrambi estremi	λx/m	λVer
1	Si	0					
			1-2	1	Si	49.4	Si, (<200)
2	Si	1.5					

Dati per instabilità attorno a y

Controllo della snellezza secondo §4.2.4.1.3.1 NTC18

Numero rit.	Presente	Ascissa	Campata	βy/n	k,LT	kw,LT	Vincolo a entrambi estremi
1	Si	0					
			1-2	1	Si	34.8	Si, (<200)
2	Si	1.5					

Verifica di stabilità per pressoflessione §C.4.2.4.1.3.3.1 NTC18

X	Comb.	Sfruttamento	Classe	NEd	MxEq,Ed	MyEq,Ed	Area	Wx	Wy	χ,min	λ adim. x/m	λ adim. y/n	N,crit x/m	N,crit y/n	Verifica
1.5	SLV 16	0.004	1	0	0.0633	0.0353	0.003832	0.0000897	0.0001273	0.804	0.569	0.4	3253.47	6569.993	Si

Verifica di stabilità per pressoflessione SLD §C.4.2.4.1.3.3.1 NTC18

X	Comb.	Sfruttamento	Classe	NEd	MxEq,Ed	MyEq,Ed	Area	Wx	Wy	χ,min	λ adim. x/m	λ adim. y/n	N,crit x/m	N,crit y/n	Verifica
1.5	SLD 16	0.003	1	0	0.0711	0.014	0.003832	0.0000897	0.0001273	0.804	0.569	0.4	3253.47	6569.993	Si

Verifiche a deformabilità

Mensola X: No; Mensola Y: No.

Frecce lungo X

Ascissa freccia	Combinazione	Freccia	Luce	L/f	L/f,min	Tipo	Verifica
0.5	SLE RA 1	0	1.5	10000	250	Totale	Si
0.55	SLE RA 17	0	1.5	10000	250	Totale	Si
0.55	SLE RA 16	0	1.5	10000	250	Totale	Si
0.55	SLE RA 15	0	1.5	10000	250	Totale	Si
0.55	SLE RA 14	0	1.5	10000	250	Totale	Si
0.65	SLE RA 2	0	1.5	10000	350	Variabile	Si
0.6	SLE RA 17	0	1.5	10000	350	Variabile	Si
0.6	SLE RA 16	0	1.5	10000	350	Variabile	Si
0.55	SLE RA 15	0	1.5	10000	350	Variabile	Si
0.4	SLE RA 14	0	1.5	10000	350	Variabile	Si

Frecce lungo Y

Ascissa freccia	Combinazione	Freccia	Luce	L/f	L/f,min	Tipo	Verifica
0.75	SLE RA 1	0.00003	1.5	10000	250	Totale	Si
0.75	SLE RA 17	0.00003	1.5	10000	250	Totale	Si
0.75	SLE RA 16	0.00003	1.5	10000	250	Totale	Si
0.75	SLE RA 15	0.00003	1.5	10000	250	Totale	Si
0.75	SLE RA 14	0.00003	1.5	10000	250	Totale	Si
0.65	SLE RA 2	0	1.5	10000	350	Variabile	Si
0.65	SLE RA 17	0	1.5	10000	350	Variabile	Si
0.65	SLE RA 16	0	1.5	10000	350	Variabile	Si
0.65	SLE RA 15	0	1.5	10000	350	Variabile	Si
0.65	SLE RA 14	0	1.5	10000	350	Variabile	Si

Superelemento in acciaio a quota "640" (655; 1415)-(764; 1312)

Caratteristiche del materiale

Acciaio: S275, fyk = 275000

Caratteristiche geometriche

Lunghezza: 1.5

Nodo iniziale: 953 Nodo finale: 930

Cerniera iniziale: Mmomenti 1% Cerniera finale: Mmomenti 1%

Sovreresistenza: 0% Sisma Z: No

Implementazione dei sistemi di confinamento delle emissioni odorigene diffuse dell'impianto di compostaggio esistente nel
Comune di Eboli (SA)
PROGETTO DEFINITIVO – Tabulati di calcolo Tomo 1

Caratteristiche della sezione

Sezione	Rotazione	Area	Jx	Jy	ix	iy	Wx	Wy	Wplx	Wply
A1; L100*10; 1; Saldato; S275; 30; 1; 8; 8; 1	180	0.003832	0.0000035319	0.000007759	0.0304	0.045	0.0000492	0.0000739	0.00008974	0.00012727

Comportamento dei calastrelli

Accoppiamento imbottito con funzione statica (§C4.2.4.1.3.1.4 NTC18) nella campata compresa tra le ascisse 0 e 1.5 per sbandamento attorno all'asse y.

Verifiche di resistenza

Verifiche a forza assiale §4.2.4.1.2.1 - §4.2.4.1.2.2 NTC18

X	Comb.	Sfruttamento	Classe	NEd	Nc,Rd	Nt,Rd	Riduzione da taglio	px	py	Verifica
1.05	SLU 75	0.224		224.327		1003.522	1	0	0	Si

Verifiche a forza assiale SLD §4.2.4.1.2.1 - §4.2.4.1.2.2 NTC18

X	Comb.	Sfruttamento	Classe	NEd	Nc,Rd	Nt,Rd	Riduzione da taglio	px	py	Verifica
0	SLD 1	0.074		74.282		1003.522	1	0	0	Si

Verifica a taglio X §4.2.4.1.2.4 NTC18

X	Comb.	Sfruttamento	VEd	Vc,Rd	Av	Interazione taglio-torsione	Riduzione torsione	Verifica
0	SLU 2	0.001	0.226	302.422	0.002	Non considerata		Si

Verifica a taglio Y §4.2.4.1.2.4 NTC18

X	Comb.	Sfruttamento	VEd	Vc,Rd	Av	Interazione taglio-torsione	Riduzione torsione	Verifica
0	SLU 75	0.001	-0.295	302.422	0.002	Non considerata		Si

Verifica a taglio Y SLD §4.2.4.1.2.4 NTC18

X	Comb.	Sfruttamento	VEd	Vc,Rd	Av	Interazione taglio-torsione	Riduzione torsione	Verifica
0	SLD 4	0.001	-0.226	302.422	0.002	Non considerata		Si

Verifica a presso/tenso flessione retta X §§ 4.2.4.1.2.3 - 4.2.4.1.2.6 - 4.2.4.1.2.7 - 4.2.4.1.2.8 NTC18

Verifiche eseguite utilizzando la formula conservativa (6.2) §6.2.1 EN 1993-1-1:2005.

X	Comb.	Sfruttamento	Classe	NEd	NRd	Rid. NRd da VEd	Mx,Ed	Mx,Rd	Rid. Mx,Rd da VEd	Rid. Mx,Rd da NEd	px	py	Verifica
0.75	SLU 75	0.228	1	224.327	1003.522	1	0.1125	23.5037	1		0	0	Si

Verifica a presso/tenso flessione retta X SLD §§ 4.2.4.1.2.3 - 4.2.4.1.2.6 - 4.2.4.1.2.7 - 4.2.4.1.2.8 NTC18

Verifiche eseguite utilizzando la formula conservativa (6.2) §6.2.1 EN 1993-1-1:2005.

X	Comb.	Sfruttamento	Classe	NEd	NRd	Rid. NRd da VEd	Mx,Ed	Mx,Rd	Rid. Mx,Rd da VEd	Rid. Mx,Rd da NEd	px	py	Verifica
0.75	SLD 1	0.078	1	74.282	1003.522	1	0.0851	23.5037	1		0	0	Si

Verifica a presso/tenso flessione retta Y §§ 4.2.4.1.2.3 - 4.2.4.1.2.6 - 4.2.4.1.2.7 - 4.2.4.1.2.8 NTC18

Verifiche eseguite utilizzando la formula conservativa (6.2) §6.2.1 EN 1993-1-1:2005.

X	Comb.	Sfruttamento	Classe	NEd	NRd	Rid. NRd da VEd	My,Ed	My,Rd	Rid. My,Rd da VEd	Rid. My,Rd da NEd	px	py	Verifica
1.5	SLV 1	0.078	1	76.292	1003.522	1	-0.0753	33.3316	1		0	0	Si

Verifica a presso/tenso flessione retta Y SLD §§ 4.2.4.1.2.3 - 4.2.4.1.2.6 - 4.2.4.1.2.7 - 4.2.4.1.2.8 NTC18

Verifiche eseguite utilizzando la formula conservativa (6.2) §6.2.1 EN 1993-1-1:2005.

X	Comb.	Sfruttamento	Classe	NEd	NRd	Rid. NRd da VEd	My,Ed	My,Rd	Rid. My,Rd da VEd	Rid. My,Rd da NEd	px	py	Verifica
1.5	SLD 1	0.075	1	74.282	1003.522	1	-0.0304	33.3316	1		0	0	Si

Verifica a presso/tenso flessione deviata §§ 4.2.4.1.2.3 - 4.2.4.1.2.6 - 4.2.4.1.2.7 - 4.2.4.1.2.8 NTC18

Verifiche eseguite utilizzando la formula conservativa (6.2) §6.2.1 EN 1993-1-1:2005.

X	Comb.	Sfruttamento	Classe	NEd	NRd	Rid. NRd da VEd	Mx,Ed	Mx,Rd	My,Ed	My,Rd	Rid. Mx,Rd da VEd	Rid. Mx,Rd da NEd	Rid. My,Rd da VEd	Rid. My,Rd da NEd	α	β	px	py	Verifica
0.95	SLV 1	0.08	1	76.292	1003.522	1	0.0792	23.5037	-0.0226	33.3316	1		1				0	0	Si

Verifica a presso/tenso flessione deviata SLD §§ 4.2.4.1.2.3 - 4.2.4.1.2.6 - 4.2.4.1.2.7 - 4.2.4.1.2.8 NTC18

Verifiche eseguite utilizzando la formula conservativa (6.2) §6.2.1 EN 1993-1-1:2005.

X	Comb.	Sfruttamento	Classe	NEd	NRd	Rid. NRd da VEd	Mx,Ed	Mx,Rd	My,Ed	My,Rd	Rid. Mx,Rd da VEd	Rid. Mx,Rd da NEd	Rid. My,Rd da VEd	Rid. My,Rd da NEd	α	β	px	py	Verifica
0.95	SLD 2	0.078	1	74.282	1003.522	1	0.0792	23.5037	-0.0091	33.3316	1		1				0	0	Si

Verifiche ad instabilità

Caratteristiche iniziali

Membratura principale per controllo snellezza; Calcolo di snellezze ed N critici condotti secondo gli assi principali;

Curva X: c; Curva Y: c;

Svergolamento: Nessuno; la verifica a instabilità flesso-torsionale (svergolamento) non verrà eseguita.

Dati per instabilità attorno a x

Controllo della snellezza secondo §4.2.4.1.3.1 NTC18

Numero rit.	Presente	Ascissa	Campata	βx/m	Vincolo a entrambi estremi	λx/m	λVer
1	Si	0					
			1-2	1	Si	49.4	Si, (<200)
2	Si	1.5					

Dati per instabilità attorno a y

Controllo della snellezza secondo §4.2.4.1.3.1 NTC18

Numero rit.	Presente	Ascissa	Campata	βy/n	k,LT	kw,LT	Vincolo a entrambi estremi
1	Si	0					
			1-2	1	Si	34.8	Si, (<200)

Implementazione dei sistemi di confinamento delle emissioni odorigene diffuse dell’impianto di compostaggio esistente nel
Comune di Eboli (SA)
PROGETTO DEFINITIVO – Tabulati di calcolo Tomo 1

Numero rit.	Presente	Ascissa	Campata	$\beta y/n$	k,LT	kw,LT	Vincolo a entrambi estremi
2	Si	1.5					

Verifica di stabilità per pressoflessione §C.4.2.4.1.3.3.1 NTC18

X	Comb.	Sfruttamento	Classe	NEd	MxEq,Ed	MyEq,Ed	Area	Wx	Wy	χ_{min}	λ adim. x/m	λ adim. y/n	N,crit x/m	N,crit y/n	Verifica
0	SLU 2	0.055	3	-35.552	0.0719	-0.1077	0.003832	0.0000492	0.0000739	0.804	0.569	0.4	3253.47	6569.993	Si

Verifiche a deformabilità

Mensola X: No; Mensola Y: No.

Frecce lungo X

Ascissa freccia	Combinazione	Freccia	Luce	L/f	L/f,min	Tipo	Verifica
1.15	SLE RA 1	0	1.5	10000	250	Totale	Si
0.45	SLE RA 17	0	1.5	10000	250	Totale	Si
0.55	SLE RA 16	0	1.5	10000	250	Totale	Si
0.95	SLE RA 15	0	1.5	10000	250	Totale	Si
0.6	SLE RA 14	0	1.5	10000	250	Totale	Si
0.6	SLE RA 2	0	1.5	10000	350	Variabile	Si
0.6	SLE RA 17	0	1.5	10000	350	Variabile	Si
0.6	SLE RA 16	0	1.5	10000	350	Variabile	Si
0.85	SLE RA 15	0	1.5	10000	350	Variabile	Si
0.7	SLE RA 14	0	1.5	10000	350	Variabile	Si

Frecce lungo Y

Ascissa freccia	Combinazione	Freccia	Luce	L/f	L/f,min	Tipo	Verifica
0.75	SLE RA 1	0.00003	1.5	10000	250	Totale	Si
0.75	SLE RA 17	0.00003	1.5	10000	250	Totale	Si
0.75	SLE RA 16	0.00003	1.5	10000	250	Totale	Si
0.75	SLE RA 15	0.00003	1.5	10000	250	Totale	Si
0.75	SLE RA 14	0.00003	1.5	10000	250	Totale	Si
0.8	SLE RA 2	0	1.5	10000	350	Variabile	Si
0.8	SLE RA 17	0	1.5	10000	350	Variabile	Si
0.8	SLE RA 16	0	1.5	10000	350	Variabile	Si
0.8	SLE RA 15	0	1.5	10000	350	Variabile	Si
0.8	SLE RA 14	0	1.5	10000	350	Variabile	Si

Superelemento in acciaio a quota "640" (691; 1890)-(800; 1787)

Caratteristiche del materiale

Acciaio: S275, fyk = 275000

Caratteristiche geometriche

Lunghezza: 1.5

Nodo iniziale: 1042 Nodo finale: 1025

Cerniera iniziale: Mmomenti 1% Cerniera finale: Mmomenti 1%

Sovraresistenza: 0% Sisma Z: No

Caratteristiche della sezione

Sezione	Rotazione	Area	Jx	Jy	ix	iy	Wx	Wy	Wplx	Wply
A1; L100*10; 1; Saldato; S275; 30; 1; 8; 8; 1	180	0.003832	0.0000035319	0.000007759	0.0304	0.045	0.0000492	0.0000739	0.00008974	0.00012727

Comportamento dei calastrelli

Accoppiamento imbottito con funzione statica (§C4.2.4.1.3.1.4 NTC18) nella campata compresa tra le ascisse 0 e 1.5 per sbandamento attorno all'asse y.

Verifiche di resistenza

Verifiche a forza assiale §4.2.4.1.2.1 - §4.2.4.1.2.2 NTC18

X	Comb.	Sfruttamento	Classe	NEd	Nc,Rd	Nt,Rd	Riduzione da taglio	px	py	Verifica
0.75	SLU 76	0.181		181.661		1003.522	1	0	0	Si

Verifiche a forza assiale SLD §4.2.4.1.2.1 - §4.2.4.1.2.2 NTC18

X	Comb.	Sfruttamento	Classe	NEd	Nc,Rd	Nt,Rd	Riduzione da taglio	px	py	Verifica
0	SLD 1	0.077		77.308		1003.522	1	0	0	Si

Verifica a taglio Y §4.2.4.1.2.4 NTC18

X	Comb.	Sfruttamento	VEd	Vc,Rd	Av	Interazione taglio-torsione	Riduzione torsione	Verifica
1.5	SLU 76	0.001	0.296	302.422	0.002	Non considerata		Si

Verifica a taglio Y SLD §4.2.4.1.2.4 NTC18

X	Comb.	Sfruttamento	VEd	Vc,Rd	Av	Interazione taglio-torsione	Riduzione torsione	Verifica
1.5	SLD 1	0.001	0.226	302.422	0.002	Non considerata		Si

Verifica a presso/tenso flessione retta X §§ 4.2.4.1.2.3 - 4.2.4.1.2.6 - 4.2.4.1.2.7 - 4.2.4.1.2.8 NTC18

Verifiche eseguite utilizzando la formula conservativa (6.2) §6.2.1 EN 1993-1-1:2005.

X	Comb.	Sfruttamento	Classe	NEd	NRd	Rid. NRd da VEd	Mx,Ed	Mx,Rd	Rid. Mx,Rd da VEd	Rid. Mx,Rd da NEd	px	py	Verifica
0.75	SLU 76	0.186	1	181.661	1003.522	1	0.111	23.5037	1		0	0	Si

Verifica a presso/tenso flessione retta X SLD §§ 4.2.4.1.2.3 - 4.2.4.1.2.6 - 4.2.4.1.2.7 - 4.2.4.1.2.8 NTC18

Verifiche eseguite utilizzando la formula conservativa (6.2) §6.2.1 EN 1993-1-1:2005.

X	Comb.	Sfruttamento	Classe	NEd	NRd	Rid. NRd da VEd	Mx,Ed	Mx,Rd	Rid. Mx,Rd da VEd	Rid. Mx,Rd da NEd	px	py	Verifica
---	-------	--------------	--------	-----	-----	-----------------	-------	-------	-------------------	-------------------	----	----	----------

Implementazione dei sistemi di confinamento delle emissioni odorigene diffuse dell'impianto di compostaggio esistente nel
Comune di Eboli (SA)

PROGETTO DEFINITIVO – Tabulati di calcolo Tomo 1

X	Comb.	Sfruttamento	Classe	NEd	NRd	Rid. NRd da VEd	Mx,Ed	Mx,Rd	Rid. Mx,Rd da VEd	Rid. Mx,Rd da NEd	px	py	Verifica
0.5	SLD 8	0.054	1	50.78	1003.522	1	0.0752	23.5037	1		0	0	Si

Verifica a presso/tenso flessione retta Y §§ 4.2.4.1.2.3 - 4.2.4.1.2.6 - 4.2.4.1.2.7 - 4.2.4.1.2.8 NTC18

Verifiche eseguite utilizzando la formula conservativa (6.2) §6.2.1 EN 1993-1-1:2005.

X	Comb.	Sfruttamento	Classe	NEd	NRd	Rid. NRd da VEd	My,Ed	My,Rd	Rid. My,Rd da VEd	Rid. My,Rd da NEd	px	py	Verifica
0	SLU 76	0.182	1	181.661	1003.522	1	0.0163	33.3316	1		0	0	Si

Verifica a presso/tenso flessione retta Y SLD §§ 4.2.4.1.2.3 - 4.2.4.1.2.6 - 4.2.4.1.2.7 - 4.2.4.1.2.8 NTC18

Verifiche eseguite utilizzando la formula conservativa (6.2) §6.2.1 EN 1993-1-1:2005.

X	Comb.	Sfruttamento	Classe	NEd	NRd	Rid. NRd da VEd	My,Ed	My,Rd	Rid. My,Rd da VEd	Rid. My,Rd da NEd	px	py	Verifica
1.5	SLD 1	0.078	1	77.308	1003.522	1	0.0351	33.3316	1		0	0	Si

Verifica a presso/tenso flessione deviata §§ 4.2.4.1.2.3 - 4.2.4.1.2.6 - 4.2.4.1.2.7 - 4.2.4.1.2.8 NTC18

Verifiche eseguite utilizzando la formula conservativa (6.2) §6.2.1 EN 1993-1-1:2005.

X	Comb.	Sfruttamento	Classe	NEd	NRd	Rid. NRd da VEd	Mx,Ed	Mx,Rd	My,Ed	My,Rd	Rid. Mx,Rd da VEd	Rid. Mx,Rd da NEd	Rid. My,Rd da VEd	Rid. My,Rd da NEd	α	β	px	py	Verifica
0.55	SLU 76	0.186	1	181.661	1003.522	1	0.1036	23.5037	0.0076	33.3316	1		1				0	0	Si

Verifica a presso/tenso flessione deviata SLD §§ 4.2.4.1.2.3 - 4.2.4.1.2.6 - 4.2.4.1.2.7 - 4.2.4.1.2.8 NTC18

Verifiche eseguite utilizzando la formula conservativa (6.2) §6.2.1 EN 1993-1-1:2005.

X	Comb.	Sfruttamento	Classe	NEd	NRd	Rid. NRd da VEd	Mx,Ed	Mx,Rd	My,Ed	My,Rd	Rid. Mx,Rd da VEd	Rid. Mx,Rd da NEd	Rid. My,Rd da VEd	Rid. My,Rd da NEd	α	β	px	py	Verifica
0.8	SLD 2	0.081	1	77.308	1003.522	1	0.0843	23.5037	0.0234	33.3316	1		1				0	0	Si

Verifiche ad instabilità

Caratteristiche iniziali

Membratura principale per controllo snellezza; Calcolo di snellezze ed N critici condotti secondo gli assi principali;

Curva X: c; Curva Y: c;

Svergolamento: Nessuno; la verifica a instabilità flesso-torsionale (svergolamento) non verrà eseguita.

Dati per instabilità attorno a x

Controllo della snellezza secondo §4.2.4.1.3.1 NTC18

Numero rit.	Presente	Ascissa	Campata	βx/m	Vincolo a entrambi estremi	λx/m	λVer
1	Si		0				
			1-2		1	49.4	Si, (<200)
2	Si		1.5				

Dati per instabilità attorno a y

Controllo della snellezza secondo §4.2.4.1.3.1 NTC18

Numero rit.	Presente	Ascissa	Campata	βy/n	k,LT	kw,LT	Vincolo a entrambi estremi
1	Si		0				
			1-2		1	34.8	Si, (<200)
2	Si		1.5				

Verifica di stabilità per pressoflessione §C.4.2.4.1.3.3.1 NTC18

X	Comb.	Sfruttamento	Classe	NEd	MxEq,Ed	MyEq,Ed	Area	Wx	Wy	χ,min	λ adim. x/m	λ adim. y/n	N,crit x/m	N,crit y/n	Verifica
0	SLU 2	0.045	3	-29.165	0.0721	-0.0692	0.003832	0.0000492	0.0000739	0.804	0.569	0.4	3253.47	6569.993	Si

Verifiche a deformabilità

Mensola X: No; Mensola Y: No.

Frecce lungo X

Ascissa freccia	Combinazione	Freccia	Luce	L/f	L/f,min	Tipo	Verifica
0.5	SLE RA 1	0	1.5	10000	250	Totale	Si
0.5	SLE RA 17	0	1.5	10000	250	Totale	Si
0.5	SLE RA 16	0	1.5	10000	250	Totale	Si
0.5	SLE RA 15	0	1.5	10000	250	Totale	Si
0.55	SLE RA 14	0	1.5	10000	250	Totale	Si
0.5	SLE RA 2	0	1.5	10000	350	Variabile	Si
0.5	SLE RA 17	0	1.5	10000	350	Variabile	Si
0.5	SLE RA 16	0	1.5	10000	350	Variabile	Si
0.5	SLE RA 15	0	1.5	10000	350	Variabile	Si
0.55	SLE RA 14	0	1.5	10000	350	Variabile	Si

Frecce lungo Y

Ascissa freccia	Combinazione	Freccia	Luce	L/f	L/f,min	Tipo	Verifica
0.75	SLE RA 1	0.00003	1.5	10000	250	Totale	Si
0.75	SLE RA 17	0.00003	1.5	10000	250	Totale	Si
0.75	SLE RA 16	0.00003	1.5	10000	250	Totale	Si
0.75	SLE RA 15	0.00003	1.5	10000	250	Totale	Si
0.75	SLE RA 14	0.00003	1.5	10000	250	Totale	Si
0.65	SLE RA 2	0	1.5	10000	350	Variabile	Si
0.65	SLE RA 17	0	1.5	10000	350	Variabile	Si
0.65	SLE RA 16	0	1.5	10000	350	Variabile	Si
0.6	SLE RA 15	0	1.5	10000	350	Variabile	Si
0.65	SLE RA 14	0	1.5	10000	350	Variabile	Si

Superelemento in acciaio a quota "640" (728; 836)-(855; 971)

Caratteristiche del materiale

Acciaio: S275, fyk = 275000

**Implementazione dei sistemi di confinamento delle emissioni odorigene diffuse dell'impianto di compostaggio esistente nel
Comune di Eboli (SA)
PROGETTO DEFINITIVO – Tabulati di calcolo Tomo 1**

Caratteristiche geometriche

Lunghezza: 1.854
 Nodo iniziale: 834 Nodo finale: 861
 Cerniera iniziale: No Cerniera finale: No
 Sovraresistenza: 0% Sisma Z: No

Caratteristiche della sezione

Sezione	Rotazione	Area	Jx	Jy	ix	iy	Wx	Wy	Wplx	Wply
HEA120	0	0.002537	0.0000060673	0.0000023091	0.0489	0.0302	0.00010644	0.00003849	0.00011962	0.00005887

Verifiche di resistenza

Verifiche a forza assiale §4.2.4.1.2.1 - §4.2.4.1.2.2 NTC18

X	Comb.	Sfruttamento	Classe	NEd	Nc,Rd	Nt,Rd	Riduzione da taglio	px	py	Verifica
1.792	SLV 12	0.099		65.651		664.325	1	0	0	Si

Verifiche a forza assiale SLD §4.2.4.1.2.1 - §4.2.4.1.2.2 NTC18

X	Comb.	Sfruttamento	Classe	NEd	Nc,Rd	Nt,Rd	Riduzione da taglio	px	py	Verifica
1.854	SLD 11	0.041		27.085		664.325	1	0	0	Si

Verifica a taglio Y §4.2.4.1.2.4 NTC18

X	Comb.	Sfruttamento	VEd	Vc,Rd	Av	Interazione taglio-torsione	Riduzione torsione	Verifica
0	SLV 11	0.005	0.68	127.405	0.000849	Considerata	0.99	Si

Verifica a taglio Y SLD §4.2.4.1.2.4 NTC18

X	Comb.	Sfruttamento	VEd	Vc,Rd	Av	Interazione taglio-torsione	Riduzione torsione	Verifica
0	SLD 12	0.004	0.455	127.931	0.000849	Considerata	1	Si

Verifica a torsione §4.2.4.1.2.5 NTC18

X	Comb.	Sfruttamento torsione	TEd	TRd	Riduzione taglio resistente	Sfruttamento taglio-torsione	τEd,totale	τRd	Verifica
0.927	SLV 3	0.031	-0.02677	0.85138	Considerata				Si

Verifica a torsione SLD §4.2.4.1.2.5 NTC18

X	Comb.	Sfruttamento torsione	TEd	TRd	Riduzione taglio resistente	Sfruttamento taglio-torsione	τEd,totale	τRd	Verifica
1.854	SLD 4	0.012	-0.01005	0.85138	Considerata				Si

Verifica a presso/tenso flessione retta X §§ 4.2.4.1.2.3 - 4.2.4.1.2.6 - 4.2.4.1.2.7 - 4.2.4.1.2.8 NTC18

Verifiche eseguite utilizzando la formula conservativa (6.2) §6.2.1 EN 1993-1-1:2005.

X	Comb.	Sfruttamento	Classe	NEd	NRd	Rid. NRd da VEd	Mx,Ed	Mx,Rd	Rid. Mx,Rd da VEd	Rid. Mx,Rd da NEd	px	py	Verifica
0.68	SLV 9	0.048	1	-27.852	664.325	1	-0.1976	31.3291	1		0	0	Si

Verifica a presso/tenso flessione retta X SLD §§ 4.2.4.1.2.3 - 4.2.4.1.2.6 - 4.2.4.1.2.7 - 4.2.4.1.2.8 NTC18

Verifiche eseguite utilizzando la formula conservativa (6.2) §6.2.1 EN 1993-1-1:2005.

X	Comb.	Sfruttamento	Classe	NEd	NRd	Rid. NRd da VEd	Mx,Ed	Mx,Rd	Rid. Mx,Rd da VEd	Rid. Mx,Rd da NEd	px	py	Verifica
0	SLD 16	0.057	1	26.303	664.325	1	0.5576	31.3291	1		0	0	Si

Verifica a presso/tenso flessione retta Y §§ 4.2.4.1.2.3 - 4.2.4.1.2.6 - 4.2.4.1.2.7 - 4.2.4.1.2.8 NTC18

Verifiche eseguite utilizzando la formula conservativa (6.2) §6.2.1 EN 1993-1-1:2005.

X	Comb.	Sfruttamento	Classe	NEd	NRd	Rid. NRd da VEd	My,Ed	My,Rd	Rid. My,Rd da VEd	Rid. My,Rd da NEd	px	py	Verifica
1.669	SLU 72	0.01	1	4.926	664.325	1	-0.0466	15.4191	1		0	0	Si

Verifica a presso/tenso flessione retta Y SLD §§ 4.2.4.1.2.3 - 4.2.4.1.2.6 - 4.2.4.1.2.7 - 4.2.4.1.2.8 NTC18

Verifiche eseguite utilizzando la formula conservativa (6.2) §6.2.1 EN 1993-1-1:2005.

X	Comb.	Sfruttamento	Classe	NEd	NRd	Rid. NRd da VEd	My,Ed	My,Rd	Rid. My,Rd da VEd	Rid. My,Rd da NEd	px	py	Verifica
0.803	SLD 9	0.01	1	-5.854	664.325	1	-0.0127	15.4191	1		0	0	Si

Verifica a presso/tenso flessione deviata §§ 4.2.4.1.2.3 - 4.2.4.1.2.6 - 4.2.4.1.2.7 - 4.2.4.1.2.8 NTC18

Verifiche eseguite utilizzando la formula conservativa (6.2) §6.2.1 EN 1993-1-1:2005.

X	Comb.	Sfruttamento	Classe	NEd	NRd	Rid. NRd da VEd	Mx,Ed	Mx,Rd	My,Ed	My,Rd	Rid. Mx,Rd da VEd	Rid. Mx,Rd da NEd	Rid. My,Rd da VEd	Rid. My,Rd da NEd	α	β	px	py	Verifica
0	SLV 12	0.135	1	65.651	664.325	1	1.0801	31.3291	-0.0297	15.4191	1		1				0	0	Si

Verifica a presso/tenso flessione deviata SLD §§ 4.2.4.1.2.3 - 4.2.4.1.2.6 - 4.2.4.1.2.7 - 4.2.4.1.2.8 NTC18

Verifiche eseguite utilizzando la formula conservativa (6.2) §6.2.1 EN 1993-1-1:2005.

X	Comb.	Sfruttamento	Classe	NEd	NRd	Rid. NRd da VEd	Mx,Ed	Mx,Rd	My,Ed	My,Rd	Rid. Mx,Rd da VEd	Rid. Mx,Rd da NEd	Rid. My,Rd da VEd	Rid. My,Rd da NEd	α	β	px	py	Verifica
0	SLD 12	0.06	1	27.085	664.325	1	0.5686	31.3291	-0.0168	15.4191	1		1				0	0	Si

Verifiche ad instabilità

Caratteristiche iniziali

Membratura principale per controllo snellezza; Calcolo di snellezze ed N critici condotti secondo gli assi principali;
 Curva X: b; Curva Y: c; Svergolamento: Carico all'estradosso; Curva svergolamento: b;

Dati per instabilità attorno a x

Controllo della snellezza secondo §4.2.4.1.3.1 NTC18

Numero rit.	Presente	Ascissa	Campata	βx/m	Vincolo a entrambi estremi	λx/m	λVer
1	Si		0				
			1-2		1	37.9	Si, (<200)
2	Si	1.854					

Dati per instabilità attorno a y

Controllo della snellezza secondo §4.2.4.1.3.1 NTC18

Implementazione dei sistemi di confinamento delle emissioni odorigene diffuse dell'impianto di compostaggio esistente nel
Comune di Eboli (SA)
PROGETTO DEFINITIVO – Tabulati di calcolo Tomo 1

Numero rit.	Presente	Ascissa	Campata	$\beta y/n$	k,LT	kw,LT	Vincolo a entrambi estremi	$\lambda y/n$	λVer
1	Si	0	1-2	1	1	1	Si	61.4	Si, (<200)
2	Si	1.854							

Verifica a svergolamento con trazione §4.2.4.1.3.2 NTC18 § 5.5.3 ENV 1993-1-1:1992 + AC:1992 + A1:1994 + A2:1998

X	Comb.	Sfruttamento	Classe	Obblig.	NEd	Mx,Ed	Mx,Eff,Ed	Mb,Rd,x	χ ,LT	λ adim. LT	L,LT	M,critico	Verifica
0	SLU 21	0.004	1	Si	0.607	0.11954	0.10171	28.2449	0.902	0.634	1.854	81.86469	Si

Verifica di stabilità per tenso-flessione deviata §§ 5.5.3-5.5.4 ENV 1993-1-1:1992 + AC:1992 + A1:1994 + A2:1998

X	Comb.	Sfruttamento	Classe	NEd	Mx,Ed	Mx,Eff,Ed	My,Ed	χ ,LT	kLT	ky	M,critico	Wx	Wy	Verifica
0	SLU 75	0.008	1	22.677	0.86323	0.19708	-0.02736	0.988	1	1	177.84825	0.0001196	0.0000589	Si

Verifica di stabilità per pressoflessione §C.4.2.4.1.3.3.2 NTC18

X	Comb.	Sfruttamento	Classe	NEd	NRk	Mx,Ed max	Mx,Rk	My,Ed max	My,Rk	χ ,x	χ ,y	kxx	kxy	kyy	kyy	χ ,LT	Verifica
1.854	SLV 6	0.13	1	-53.631	697.541	0.48572	32.89552	0.02604	16.19002	0.911	0.72	0.864	0.632	0.987	1.053	0.978	Si

Verifica di stabilità per pressoflessione SLD §C.4.2.4.1.3.3.2 NTC18

X	Comb.	Sfruttamento	Classe	NEd	NRk	Mx,Ed max	Mx,Rk	My,Ed max	My,Rk	χ ,x	χ ,y	kxx	kxy	kyy	kyy	χ ,LT	Verifica
1.73	SLD 6	0.035	1	-15.065	697.541	0.09153	32.89552	0.01766	16.19002	0.911	0.72	0.974	0.386	0.997	0.644	0.902	Si

Verifica di stabilità a taglio anima Y §4.2.4.1.2.4 [4.2.27] NTC18

η	hw	tw	hw/tw max	Verifica
1.2	0.098	0.005	55.46	Si

Verifica di stabilità a taglio anima Y SLD §4.2.4.1.2.4 [4.2.27] NTC18

η	hw	tw	hw/tw max	Verifica
1.2	0.098	0.005	55.46	Si

Verifiche a deformabilità

Mensola X: No; Mensola Y: No.

Frecce lungo X

Ascissa freccia	Combinazione	Freccia	Luce	L/f	L/f,min	Tipo	Verifica
0.989	SLE RA 1	0.00002	1.854	10000	250	Totale	Si
0.989	SLE RA 17	0.00003	1.854	10000	250	Totale	Si
1.051	SLE RA 16	0.00003	1.854	10000	250	Totale	Si
1.051	SLE RA 15	0.00002	1.854	10000	250	Totale	Si
0.989	SLE RA 14	0.00004	1.854	10000	250	Totale	Si
1.051	SLE RA 2	-0.00001	1.854	10000	350	Variabile	Si
1.051	SLE RA 17	0.00001	1.854	10000	350	Variabile	Si
1.051	SLE RA 16	0.00001	1.854	10000	350	Variabile	Si
1.36	SLE RA 15	0	1.854	10000	350	Variabile	Si
0.989	SLE RA 14	0.00002	1.854	10000	350	Variabile	Si

Frecce lungo Y

Ascissa freccia	Combinazione	Freccia	Luce	L/f	L/f,min	Tipo	Verifica
0.68	SLE RA 1	0.00003	1.854	10000	250	Totale	Si
0.742	SLE RA 17	0.00004	1.854	10000	250	Totale	Si
0.742	SLE RA 16	0.00006	1.854	10000	250	Totale	Si
0.618	SLE RA 15	0.00002	1.854	10000	250	Totale	Si
0.742	SLE RA 14	0.00008	1.854	10000	250	Totale	Si
0.803	SLE RA 2	-0.00003	1.854	10000	350	Variabile	Si
0.803	SLE RA 17	0.00001	1.854	10000	350	Variabile	Si
0.803	SLE RA 16	0.00003	1.854	10000	350	Variabile	Si
0.803	SLE RA 15	-0.00001	1.854	10000	350	Variabile	Si
0.803	SLE RA 14	0.00005	1.854	10000	350	Variabile	Si

Superelemento in acciaio a quota "640" (729; 2371)-(838; 2268)

Caratteristiche del materiale

Acciaio: S275, fyk = 275000

Caratteristiche geometriche

Lunghezza: 1.5

Nodo iniziale: 1201 Nodo finale: 1155

Cerniera iniziale: Mmomenti 1% Cerniera finale: Mmomenti 1%

Sovreresistenza: 0% Sisma Z: No

Caratteristiche della sezione

Sezione	Rotazione	Area	Jx	Jy	ix	iy	Wx	Wy	Wplx	Wply
A1; L100*10; 1; Saldato; S275; 30; 1; 8; 8; 1	180	0.003832	0.0000035319	0.000007759	0.0304	0.045	0.0000492	0.0000739	0.00008974	0.00012727

Comportamento dei calastrelli

Accoppiamento imbottito con funzione statica (§C4.2.4.1.3.1.4 NTC18) nella campata compresa tra le ascisse 0 e 1.5 per sbandamento attorno all'asse y.

Verifiche di resistenza

Verifiche a forza assiale §4.2.4.1.2.1 - §4.2.4.1.2.2 NTC18

X	Comb.	Sfruttamento	Classe	NEd	Nc,Rd	Nt,Rd	Riduzione da taglio	px	py	Verifica
0.05	SLU 76	0.033		32.827		1003.522	1	0	0	Si

Verifiche a forza assiale SLD §4.2.4.1.2.1 - §4.2.4.1.2.2 NTC18

X	Comb.	Sfruttamento	Classe	NEd	Nc,Rd	Nt,Rd	Riduzione da taglio	px	py	Verifica
---	-------	--------------	--------	-----	-------	-------	---------------------	----	----	----------

Implementazione dei sistemi di confinamento delle emissioni odorigene diffuse dell'impianto di compostaggio esistente nel
Comune di Eboli (SA)

PROGETTO DEFINITIVO – Tabulati di calcolo Tomo 1

X	Comb.	Sfruttamento	Classe	NEd	Nc,Rd	Nt,Rd	Riduzione da taglio	px	py	Verifica
1.5	SLD 11	0.008		8.356		1003.522	1	0	0	Si

Verifica a taglio Y §4.2.4.1.2.4 NTC18

X	Comb.	Sfruttamento	VEd	Vc,Rd	Av	Interazione taglio-torsione	Riduzione torsione	Verifica
0	SLU 76	0.001	-0.294	302.422	0.002	Non considerata		Si

Verifica a taglio Y SLD §4.2.4.1.2.4 NTC18

X	Comb.	Sfruttamento	VEd	Vc,Rd	Av	Interazione taglio-torsione	Riduzione torsione	Verifica
0	SLD 14	0.001	-0.226	302.422	0.002	Non considerata		Si

Verifica a flessione semplice X §§ 4.2.4.1.2.3 - 4.2.4.1.2.6 - 4.2.4.1.2.7 - 4.2.4.1.2.8 NTC18

X	Comb.	Sfruttamento	Classe	Mx,Ed	Mx,Rd	Rid. Mx,Rd da VEd	px	py	Verifica
0.75	SLU 44	0.005	1	0.10931	23.50374	1	0	0	Si

Verifica a presso/tenso flessione retta X §§ 4.2.4.1.2.3 - 4.2.4.1.2.6 - 4.2.4.1.2.7 - 4.2.4.1.2.8 NTC18

Verifiche eseguite utilizzando la formula conservativa (6.2) §6.2.1 EN 1993-1-1:2005.

X	Comb.	Sfruttamento	Classe	NEd	NRd	Rid. NRd da VEd	Mx,Ed	Mx,Rd	Rid. Mx,Rd da VEd	Rid. Mx,Rd da NEd	px	py	Verifica
0.75	SLU 76	0.037	1	32.827	1003.522	1	0.1094	23.5037	1		0	0	Si

Verifica a presso/tenso flessione retta Y §§ 4.2.4.1.2.3 - 4.2.4.1.2.6 - 4.2.4.1.2.7 - 4.2.4.1.2.8 NTC18

Verifiche eseguite utilizzando la formula conservativa (6.2) §6.2.1 EN 1993-1-1:2005.

X	Comb.	Sfruttamento	Classe	NEd	NRd	Rid. NRd da VEd	My,Ed	My,Rd	Rid. My,Rd da VEd	Rid. My,Rd da NEd	px	py	Verifica
1.5	SLV 11	0.012	1	9.524	1003.522	1	0.0743	33.3316	1		0	0	Si

Verifica a presso/tenso flessione retta Y SLD §§ 4.2.4.1.2.3 - 4.2.4.1.2.6 - 4.2.4.1.2.7 - 4.2.4.1.2.8 NTC18

Verifiche eseguite utilizzando la formula conservativa (6.2) §6.2.1 EN 1993-1-1:2005.

X	Comb.	Sfruttamento	Classe	NEd	NRd	Rid. NRd da VEd	My,Ed	My,Rd	Rid. My,Rd da VEd	Rid. My,Rd da NEd	px	py	Verifica
1.5	SLD 16	0.009	1	8.349	1003.522	1	0.0306	33.3316	1		0	0	Si

Verifica a presso/tenso flessione deviata §§ 4.2.4.1.2.3 - 4.2.4.1.2.6 - 4.2.4.1.2.7 - 4.2.4.1.2.8 NTC18

Verifiche eseguite utilizzando la formula conservativa (6.2) §6.2.1 EN 1993-1-1:2005.

X	Comb.	Sfruttamento	Classe	NEd	NRd	Rid. NRd da VEd	Mx,Ed	Mx,Rd	My,Ed	My,Rd	Rid. Mx,Rd da VEd	Rid. Mx,Rd da NEd	Rid. My,Rd da VEd	Rid. My,Rd da NEd	α	β	px	py	Verifica
0.75	SLV 16	0.015	1	9.506	1003.522	1	0.0841	23.5037	0.0681	33.3316	1		1				0	0	Si

Verifica a presso/tenso flessione deviata SLD §§ 4.2.4.1.2.3 - 4.2.4.1.2.6 - 4.2.4.1.2.7 - 4.2.4.1.2.8 NTC18

Verifiche eseguite utilizzando la formula conservativa (6.2) §6.2.1 EN 1993-1-1:2005.

X	Comb.	Sfruttamento	Classe	NEd	NRd	Rid. NRd da VEd	Mx,Ed	Mx,Rd	My,Ed	My,Rd	Rid. Mx,Rd da VEd	Rid. Mx,Rd da NEd	Rid. My,Rd da VEd	Rid. My,Rd da NEd	α	β	px	py	Verifica
0.75	SLD 15	0.013	1	8.349	1003.522	1	0.0841	23.5037	0.0273	33.3316	1		1				0	0	Si

Verifiche ad instabilità

Caratteristiche iniziali

Membratura principale per controllo snellezza; Calcolo di snellezze ed N critici condotti secondo gli assi principali;

Curva X: c; Curva Y: c;

Svergolamento: Nessuno; la verifica a instabilità flesso-torsionale (svergolamento) non verrà eseguita.

Dati per instabilità attorno a x

Controllo della snellezza secondo §4.2.4.1.3.1 NTC18

Numero rit.	Presente	Ascissa	Campata	βx/m	Vincolo a entrambi estremi	λx/m	λVer
1	Si		0				
2	Si		1-2		1	49.4	Si, (<200)

Dati per instabilità attorno a y

Controllo della snellezza secondo §4.2.4.1.3.1 NTC18

Numero rit.	Presente	Ascissa	Campata	βy/n	k,LT	kw,LT	Vincolo a entrambi estremi
1	Si		0				
2	Si		1-2		1	34.8	Si, (<200)

Verifica di stabilità per pressoflessione §C.4.2.4.1.3.3.1 NTC18

X	Comb.	Sfruttamento	Classe	NEd	MxEq,Ed	MyEq,Ed	Area	Wx	Wy	x,min	λ adim. x/m	λ adim. y/n	N,crit x/m	N,crit y/n	Verifica
0	SLU 40	0.015	3	-5.515	0.0943	-0.0169	0.003832	0.0000492	0.0000739	0.804	0.569	0.4	3253.47	6569.993	Si

Verifiche a deformabilità

Mensola X: No; Mensola Y: No.

Frecce lungo X

Ascissa freccia	Combinazione	Freccia	Luce	L/f	L/f,min	Tipo	Verifica
1.15	SLE RA 1	0	1.5	10000	250	Totale	Si
1.1	SLE RA 17	0	1.5	10000	250	Totale	Si
1.1	SLE RA 16	0	1.5	10000	250	Totale	Si
1.1	SLE RA 15	0	1.5	10000	250	Totale	Si
1.1	SLE RA 14	0	1.5	10000	250	Totale	Si
1.05	SLE RA 2	0	1.5	10000	350	Variabile	Si
1.05	SLE RA 17	0	1.5	10000	350	Variabile	Si
1.05	SLE RA 16	0	1.5	10000	350	Variabile	Si
1.05	SLE RA 15	0	1.5	10000	350	Variabile	Si
0.95	SLE RA 14	0	1.5	10000	350	Variabile	Si

Frecce lungo Y

Ascissa freccia	Combinazione	Freccia	Luce	L/f	L/f,min	Tipo	Verifica
0.75	SLE RA 1	0.00003	1.5	10000	250	Totale	Si

Implementazione dei sistemi di confinamento delle emissioni odorigene diffuse dell'impianto di compostaggio esistente nel
Comune di Eboli (SA)
PROGETTO DEFINITIVO – Tabulati di calcolo Tomo 1

Ascissa freccia	Combinazione	Freccia	Luce	L/f	L/f,min	Tipo	Verifica
0.75	SLE RA 17	0.00003	1.5	10000	250	Totale	Si
0.75	SLE RA 16	0.00003	1.5	10000	250	Totale	Si
0.75	SLE RA 15	0.00003	1.5	10000	250	Totale	Si
0.75	SLE RA 14	0.00003	1.5	10000	250	Totale	Si
1.05	SLE RA 2	0	1.5	10000	350	Variabile	Si
1	SLE RA 17	0	1.5	10000	350	Variabile	Si
1	SLE RA 16	0	1.5	10000	350	Variabile	Si
1.05	SLE RA 15	0	1.5	10000	350	Variabile	Si
0.95	SLE RA 14	0	1.5	10000	350	Variabile	Si

Superelemento in acciaio a quota "640" (744; 2602)-(870; 2736)

Caratteristiche del materiale

Acciaio: S275, fyk = 275000

Caratteristiche geometriche

Lunghezza: 1.843

Nodo iniziale: 1317 Nodo finale: 1353

Cerniera iniziale: No Cerniera finale: No

Sovraresistenza: 0% Sisma Z: No

Caratteristiche della sezione

Sezione	Rotazione	Area	Jx	Jy	ix	iy	Wx	Wy	Wplx	Wply
HEA120	0	0.002537	0.0000060673	0.0000023091	0.0489	0.0302	0.00010644	0.00003849	0.00011962	0.00005887

Verifiche di resistenza

Verifiche a forza assiale §4.2.4.1.2.1 - §4.2.4.1.2.2 NTC18

X	Comb.	Sfruttamento	Classe	NEd	Nc,Rd	Nt,Rd	Riduzione da taglio	px	py	Verifica
0	SLU 76	0.134	1	-89.159	664.325		1	0	0	Si

Verifiche a forza assiale SLD §4.2.4.1.2.1 - §4.2.4.1.2.2 NTC18

X	Comb.	Sfruttamento	Classe	NEd	Nc,Rd	Nt,Rd	Riduzione da taglio	px	py	Verifica
1.843	SLD 10	0.069	1	-45.756	664.325		1	0	0	Si

Verifica a taglio Y §4.2.4.1.2.4 NTC18

X	Comb.	Sfruttamento	VEd	Vc,Rd	Av	Interazione taglio-torsione	Riduzione torsione	Verifica
1.843	SLV 8	0.007	-0.878	127.852	0.000849	Considerata	1	Si

Verifica a taglio Y SLD §4.2.4.1.2.4 NTC18

X	Comb.	Sfruttamento	VEd	Vc,Rd	Av	Interazione taglio-torsione	Riduzione torsione	Verifica
1.843	SLD 8	0.004	-0.542	128.114	0.000849	Considerata	1	Si

Verifica a torsione §4.2.4.1.2.5 NTC18

X	Comb.	Sfruttamento torsione	TEd	TRd	Riduzione taglio resistente	Sfruttamento taglio-torsione	τEd,totale	τRd	Verifica
1.843	SLV 7	0.009	-0.00749	0.85138	Considerata				Si

Verifica a torsione SLD §4.2.4.1.2.5 NTC18

X	Comb.	Sfruttamento torsione	TEd	TRd	Riduzione taglio resistente	Sfruttamento taglio-torsione	τEd,totale	τRd	Verifica
1.843	SLD 8	0.004	-0.00315	0.85138	Considerata				Si

Verifica a flessione deviata §§ 4.2.4.1.2.3 - 4.2.4.1.2.6 - 4.2.4.1.2.7 - 4.2.4.1.2.8 NTC18

X	Comb.	Sfruttamento	Classe	Mx,Ed	Mx,Rd	My,Ed	My,Rd	Rid. Mx,Rd da VEd	Rid. My,Rd da VEd	α	β	px	py	Verifica
1.843	SLV 11	0.034	1	0.8792	31.3291	-0.084	15.4191	1	1			0	0	Si

Verifica a presso/tenso flessione retta X §§ 4.2.4.1.2.3 - 4.2.4.1.2.6 - 4.2.4.1.2.7 - 4.2.4.1.2.8 NTC18

Verifiche eseguite utilizzando la formula conservativa (6.2) §6.2.1 EN 1993-1-1:2005.

X	Comb.	Sfruttamento	Classe	NEd	NRd	Rid. NRd da VEd	Mx,Ed	Mx,Rd	Rid. Mx,Rd da VEd	Rid. Mx,Rd da NEd	px	py	Verifica
1.167	SLV 6	0.094	1	-55.703	664.325	1	-0.3226	31.3291	1		0	0	Si

Verifica a presso/tenso flessione retta X SLD §§ 4.2.4.1.2.3 - 4.2.4.1.2.6 - 4.2.4.1.2.7 - 4.2.4.1.2.8 NTC18

Verifiche eseguite utilizzando la formula conservativa (6.2) §6.2.1 EN 1993-1-1:2005.

X	Comb.	Sfruttamento	Classe	NEd	NRd	Rid. NRd da VEd	Mx,Ed	Mx,Rd	Rid. Mx,Rd da VEd	Rid. Mx,Rd da NEd	px	py	Verifica
1.29	SLD 9	0.074	1	-45.756	664.325	1	-0.1631	31.3291	1		0	0	Si

Verifica a presso/tenso flessione retta Y §§ 4.2.4.1.2.3 - 4.2.4.1.2.6 - 4.2.4.1.2.7 - 4.2.4.1.2.8 NTC18

Verifiche eseguite utilizzando la formula conservativa (6.2) §6.2.1 EN 1993-1-1:2005.

X	Comb.	Sfruttamento	Classe	NEd	NRd	Rid. NRd da VEd	My,Ed	My,Rd	Rid. My,Rd da VEd	Rid. My,Rd da NEd	px	py	Verifica
0.246	SLU 76	0.142	1	-89.159	664.325	1	-0.1148	15.4191	1		0	0	Si

Verifica a presso/tenso flessione retta Y SLD §§ 4.2.4.1.2.3 - 4.2.4.1.2.6 - 4.2.4.1.2.7 - 4.2.4.1.2.8 NTC18

Verifiche eseguite utilizzando la formula conservativa (6.2) §6.2.1 EN 1993-1-1:2005.

X	Comb.	Sfruttamento	Classe	NEd	NRd	Rid. NRd da VEd	My,Ed	My,Rd	Rid. My,Rd da VEd	Rid. My,Rd da NEd	px	py	Verifica
1.474	SLD 6	0.057	1	-37.597	664.325	1	-0.0131	15.4191	1		0	0	Si

Verifica a presso/tenso flessione deviata §§ 4.2.4.1.2.3 - 4.2.4.1.2.6 - 4.2.4.1.2.7 - 4.2.4.1.2.8 NTC18

Verifiche eseguite utilizzando la formula conservativa (6.2) §6.2.1 EN 1993-1-1:2005.

X	Comb.	Sfruttamento	Classe	NEd	NRd	Rid. NRd da VEd	Mx,Ed	Mx,Rd	My,Ed	My,Rd	Rid. Mx,Rd da VEd	Rid. Mx,Rd da NEd	Rid. My,Rd da VEd	Rid. My,Rd da NEd	α	β	px	py	Verifica
1.843	SLU 76	0.166	1	-89.159	664.325	1	0.8572	31.3291	-0.0661	15.4191	1		1				0	0	Si

Implementazione dei sistemi di confinamento delle emissioni odorigene diffuse dell'impianto di compostaggio esistente nel
Comune di Eboli (SA)
PROGETTO DEFINITIVO – Tabulati di calcolo Tomo 1

Verifica a presso/tenso flessione deviata SLD §§ 4.2.4.1.2.3 - 4.2.4.1.2.6 - 4.2.4.1.2.7 - 4.2.4.1.2.8 NTC18

Verifiche eseguite utilizzando la formula conservativa (6.2) §6.2.1 EN 1993-1-1:2005.

X	Comb.	Sfruttamento	Classe	NEd	NRd	Rid. NRd da VEd	Mx,Ed	Mx,Rd	My,Ed	My,Rd	Rid. Mx,Rd da VEd	Rid. Mx,Rd da NEd	Rid. My,Rd da VEd	Rid. My,Rd da NEd	α	β	px	py	Verifica
0.799	SLD 9	0.078	1	-45.756	664.325	1	-0.1773	31.3291	-0.054	15.4191	1		1				0	0	Si

Verifiche ad instabilità

Caratteristiche iniziali

Membratura principale per controllo snellezza; Calcolo di snellezze ed N critici condotti secondo gli assi principali;
Curva X: b; Curva Y: c; Svergolamento: Carico all'estradosso; Curva svergolamento: b;

Dati per instabilità attorno a x

Controllo della snellezza secondo §4.2.4.1.3.1 NTC18

Numero rit.	Presente	Ascissa	Campata	βx/m	Vincolo a entrambi estremi	λx/m	λVer
1	Si		0				
2	Si	1.843	1-2	1	Si	37.7	Si, (<200)

Dati per instabilità attorno a y

Controllo della snellezza secondo §4.2.4.1.3.1 NTC18

Numero rit.	Presente	Ascissa	Campata	βy/n	k,LT	kw,LT	Vincolo a entrambi estremi	λy/n	λVer
1	Si	0							
2	Si	1.843	1-2	1	1	1	Si	61.1	Si, (<200)

Verifica a svergolamento con trazione §4.2.4.1.3.2 NTC18 § 5.5.3 ENV 1993-1-1:1992 + AC:1992 + A1:1994 + A2:1998

X	Comb.	Sfruttamento	Classe	Obblig.	NEd	Mx,Ed	Mx,Eff,Ed	Mb,Rd,x	χ,LT	λ adim. LT	L,LT	M,critico	Verifica
0.676	SLU 21	0.002	1	Si	0.499	-0.07812	-0.06345	28.28332	0.903	0.631	1.843	82.54855	Si

Verifica di stabilità per tenso-flessione deviata §§ 5.5.3-5.5.4 ENV 1993-1-1:1992 + AC:1992 + A1:1994 + A2:1998

X	Comb.	Sfruttamento	Classe	NEd	Mx,Ed	Mx,Eff,Ed	My,Ed	χ,LT	kLT	ky	M,critico	Wx	Wy	Verifica
1.843	SLV 8	0.031	1	23.083	1.37006	0.69198	-0.13249	0.992	1	1	185.11477	0.0001196	0.0000589	Si

Verifica di stabilità per pressoflessione §C.4.2.4.1.3.3.2 NTC18

X	Comb.	Sfruttamento	Classe	NEd	NRk	Mx,Ed max	Mx,Rk	My,Ed max	My,Rk	χ,x	χ,y	kxx	kxy	kyy	χ,LT	Verifica
0	SLU 76	0.222	1	-89.159	697.541	0.85716	32.89552	0.12231	16.19002	0.912	0.723	0.474	0.563	0.937	0.903	Si

Verifica di stabilità per pressoflessione SLD §C.4.2.4.1.3.3.2 NTC18

X	Comb.	Sfruttamento	Classe	NEd	NRk	Mx,Ed max	Mx,Rk	My,Ed max	My,Rk	χ,x	χ,y	kxx	kxy	kyy	χ,LT	Verifica	
1.843	SLD 10	0.103	1	-45.756	697.541	0.17824	32.89552	0.05541	16.19002	0.912	0.723	0.995	0.258	0.991	0.431	0.937	Si

Verifica di stabilità a taglio anima Y §4.2.4.1.2.4 [4.2.27] NTC18

η	hw	tw	hw/tw max	Verifica
1.2	0.098	0.005	55.46	Si

Verifica di stabilità a taglio anima Y SLD §4.2.4.1.2.4 [4.2.27] NTC18

η	hw	tw	hw/tw max	Verifica
1.2	0.098	0.005	55.46	Si

Verifiche a deformabilità

Mensola X: No; Mensola Y: No.

Frecce lungo X

Ascissa freccia	Combinazione	Freccia	Luce	L/f	L/f,min	Tipo	Verifica
0.921	SLE RA 1	0.00003	1.843	10000	250	Totale	Si
0.921	SLE RA 17	0.00004	1.843	10000	250	Totale	Si
0.86	SLE RA 16	0.00005	1.843	10000	250	Totale	Si
0.86	SLE RA 15	0.00005	1.843	10000	250	Totale	Si
0.921	SLE RA 14	0.00003	1.843	10000	250	Totale	Si
0.86	SLE RA 2	-0.00002	1.843	10000	350	Variabile	Si
0.86	SLE RA 17	0.00001	1.843	10000	350	Variabile	Si
0.86	SLE RA 16	0.00002	1.843	10000	350	Variabile	Si
0.86	SLE RA 15	0.00002	1.843	10000	350	Variabile	Si
0.921	SLE RA 14	0.00001	1.843	10000	350	Variabile	Si

Frecce lungo Y

Ascissa freccia	Combinazione	Freccia	Luce	L/f	L/f,min	Tipo	Verifica
1.29	SLE RA 1	0.00002	1.843	10000	250	Totale	Si
1.228	SLE RA 17	0.00003	1.843	10000	250	Totale	Si
1.167	SLE RA 16	0.00005	1.843	10000	250	Totale	Si
1.167	SLE RA 15	0.00006	1.843	10000	250	Totale	Si
1.351	SLE RA 14	0.00002	1.843	10000	250	Totale	Si
1.106	SLE RA 2	-0.00003	1.843	10000	350	Variabile	Si
1.106	SLE RA 17	0.00001	1.843	10000	350	Variabile	Si
1.106	SLE RA 16	0.00003	1.843	10000	350	Variabile	Si
1.044	SLE RA 15	0.00004	1.843	10000	350	Variabile	Si
0.921	SLE RA 14	0	1.843	10000	350	Variabile	Si

Superelemento in acciaio a quota "640" (764; 1312)-(874; 1209)

Caratteristiche del materiale

Acciaio: S275, fyk = 275000

Caratteristiche geometriche

Lunghezza: 1.5

Nodo iniziale: 933 Nodo finale: 912

Implementazione dei sistemi di confinamento delle emissioni odorigene diffuse dell'impianto di compostaggio esistente nel
Comune di Eboli (SA)
PROGETTO DEFINITIVO – Tabulati di calcolo Tomo 1

Cerniera iniziale: Mmomenti 1% Cerniera finale: Mmomenti 1%
Sovreresistenza: 0% Sisma Z: No

Caratteristiche della sezione

Sezione	Rotazione	Area	Jx	Jy	ix	iy	Wx	Wy	Wplx	Wply
A1; L100*10; 1; Saldato; S275; 30; 1; 8; 8; 1	180	0.003832	0.0000035319	0.000007759	0.0304	0.045	0.0000492	0.0000739	0.00008974	0.00012727

Comportamento dei calastrelli

Accoppiamento imbottito con funzione statica (§C4.2.4.1.3.1.4 NTC18) nella campata compresa tra le ascisse 0 e 1.5 per sbandamento attorno all'asse y.

Verifiche di resistenza

Verifiche a forza assiale §4.2.4.1.2.1 - §4.2.4.1.2.2 NTC18

X	Comb.	Sfruttamento	Classe	NEd	Nc,Rd	Nt,Rd	Riduzione da taglio	px	py	Verifica
1.4	SLU 75	0.153		153.765		1003.522	1	0	0	Si

Verifiche a forza assiale SLD §4.2.4.1.2.1 - §4.2.4.1.2.2 NTC18

X	Comb.	Sfruttamento	Classe	NEd	Nc,Rd	Nt,Rd	Riduzione da taglio	px	py	Verifica
1.5	SLD 4	0.049		49.672		1003.522	1	0	0	Si

Verifica a taglio Y §4.2.4.1.2.4 NTC18

X	Comb.	Sfruttamento	Classe	VEd	Vc,Rd	Av	Interazione taglio-torsione	Riduzione torsione	Verifica
0	SLU 75	0.001		-0.295	302.422	0.002	Non considerata		Si

Verifica a taglio Y SLD §4.2.4.1.2.4 NTC18

X	Comb.	Sfruttamento	Classe	VEd	Vc,Rd	Av	Interazione taglio-torsione	Riduzione torsione	Verifica
0	SLD 12	0.001		-0.226	302.422	0.002	Non considerata		Si

Verifica a presso/tenso flessione retta X §§ 4.2.4.1.2.3 - 4.2.4.1.2.6 - 4.2.4.1.2.7 - 4.2.4.1.2.8 NTC18

Verifiche eseguite utilizzando la formula conservativa (6.2) §6.2.1 EN 1993-1-1:2005.

X	Comb.	Sfruttamento	Classe	NEd	NRd	Rid. NRd da VEd	Mx,Ed	Mx,Rd	Rid. Mx,Rd da VEd	Rid. Mx,Rd da NEd	px	py	Verifica
0.75	SLU 75	0.158	1	153.765	1003.522	1	0.113	23.5037	1		0	0	Si

Verifica a presso/tenso flessione retta X SLD §§ 4.2.4.1.2.3 - 4.2.4.1.2.6 - 4.2.4.1.2.7 - 4.2.4.1.2.8 NTC18

Verifiche eseguite utilizzando la formula conservativa (6.2) §6.2.1 EN 1993-1-1:2005.

X	Comb.	Sfruttamento	Classe	NEd	NRd	Rid. NRd da VEd	Mx,Ed	Mx,Rd	Rid. Mx,Rd da VEd	Rid. Mx,Rd da NEd	px	py	Verifica
0.75	SLD 4	0.053	1	49.672	1003.522	1	0.0852	23.5037	1		0	0	Si

Verifica a presso/tenso flessione retta Y §§ 4.2.4.1.2.3 - 4.2.4.1.2.6 - 4.2.4.1.2.7 - 4.2.4.1.2.8 NTC18

Verifiche eseguite utilizzando la formula conservativa (6.2) §6.2.1 EN 1993-1-1:2005.

X	Comb.	Sfruttamento	Classe	NEd	NRd	Rid. NRd da VEd	My,Ed	My,Rd	Rid. My,Rd da VEd	Rid. My,Rd da NEd	px	py	Verifica
1.5	SLV 4	0.051	1	51.065	1003.522	1	-0.0188	33.3316	1		0	0	Si

Verifica a presso/tenso flessione retta Y SLD §§ 4.2.4.1.2.3 - 4.2.4.1.2.6 - 4.2.4.1.2.7 - 4.2.4.1.2.8 NTC18

Verifiche eseguite utilizzando la formula conservativa (6.2) §6.2.1 EN 1993-1-1:2005.

X	Comb.	Sfruttamento	Classe	NEd	NRd	Rid. NRd da VEd	My,Ed	My,Rd	Rid. My,Rd da VEd	Rid. My,Rd da NEd	px	py	Verifica
1.5	SLD 3	0.05	1	49.672	1003.522	1	-0.0083	33.3316	1		0	0	Si

Verifica a presso/tenso flessione deviata §§ 4.2.4.1.2.3 - 4.2.4.1.2.6 - 4.2.4.1.2.7 - 4.2.4.1.2.8 NTC18

Verifiche eseguite utilizzando la formula conservativa (6.2) §6.2.1 EN 1993-1-1:2005.

X	Comb.	Sfruttamento	Classe	NEd	NRd	Rid. NRd da VEd	Mx,Ed	Mx,Rd	My,Ed	My,Rd	Rid. Mx,Rd da VEd	Rid. Mx,Rd da NEd	Rid. My,Rd da VEd	Rid. My,Rd da NEd	α	β	px	py	Verifica
0.75	SLV 4	0.055	1	51.065	1003.522	1	0.0852	23.5037	-0.016	33.3316	1		1				0	0	Si

Verifica a presso/tenso flessione deviata SLD §§ 4.2.4.1.2.3 - 4.2.4.1.2.6 - 4.2.4.1.2.7 - 4.2.4.1.2.8 NTC18

Verifiche eseguite utilizzando la formula conservativa (6.2) §6.2.1 EN 1993-1-1:2005.

X	Comb.	Sfruttamento	Classe	NEd	NRd	Rid. NRd da VEd	Mx,Ed	Mx,Rd	My,Ed	My,Rd	Rid. Mx,Rd da VEd	Rid. Mx,Rd da NEd	Rid. My,Rd da VEd	Rid. My,Rd da NEd	α	β	px	py	Verifica
0.75	SLD 1	0.053	1	49.308	1003.522	1	0.0852	23.5037	-0.0119	33.3316	1		1				0	0	Si

Verifiche ad instabilità

Caratteristiche iniziali

Membratura principale per controllo snellezza; Calcolo di snellezze ed N critici condotti secondo gli assi principali;

Curva X: c; Curva Y: c;

Svergolamento: Nessuno; la verifica a instabilità flesso-torsionale (svergolamento) non verrà eseguita.

Dati per instabilità attorno a x

Controllo della snellezza secondo §4.2.4.1.3.1 NTC18

Numero rit.	Presente	Ascissa	Campata	βx/m	Vincolo a entrambi estremi	λx/m	λVer
1	Si	0					
			1-2	1	Si	49.4	Si, (<200)
2	Si	1.5					

Dati per instabilità attorno a y

Controllo della snellezza secondo §4.2.4.1.3.1 NTC18

Numero rit.	Presente	Ascissa	Campata	βy/n	k,LT	kw,LT	Vincolo a entrambi estremi
1	Si	0					
			1-2	1	Si	34.8	Si, (<200)
2	Si	1.5					

Implementazione dei sistemi di confinamento delle emissioni odorigene diffuse dell'impianto di compostaggio esistente nel
Comune di Eboli (SA)
PROGETTO DEFINITIVO – Tabulati di calcolo Tomo 1

Verifica di stabilità per pressoflessione §C.4.2.4.1.3.3.1 NTC18

X	Comb.	Sfruttamento	Classe	NEd	MxEq,Ed	MyEq,Ed	Area	Wx	Wy	x,min	λ adim. x/m	λ adim. y/n	N,crit x/m	N,crit y/n	Verifica
0	SLU 2	0.039	3	-24.053	0.0718	-0.0728	0.003832	0.0000492	0.0000739	0.804	0.569	0.4	3253.47	6569.993	Si

Verifiche a deformabilità

Mensola X: No; Mensola Y: No.

Frecce lungo X

Ascissa freccia	Combinazione	Freccia	Luce	L/f	L/f,min	Tipo	Verifica
0.8	SLE RA 1	0	1.5	10000	250	Totale	Si
0.8	SLE RA 17	0	1.5	10000	250	Totale	Si
0.8	SLE RA 16	0	1.5	10000	250	Totale	Si
0.8	SLE RA 15	0	1.5	10000	250	Totale	Si
0.85	SLE RA 14	0	1.5	10000	250	Totale	Si
0.85	SLE RA 2	0	1.5	10000	350	Variabile	Si
0.85	SLE RA 17	0	1.5	10000	350	Variabile	Si
0.85	SLE RA 16	0	1.5	10000	350	Variabile	Si
0.75	SLE RA 15	0	1.5	10000	350	Variabile	Si
0.55	SLE RA 14	0	1.5	10000	350	Variabile	Si

Frecce lungo Y

Ascissa freccia	Combinazione	Freccia	Luce	L/f	L/f,min	Tipo	Verifica
0.75	SLE RA 1	0.00003	1.5	10000	250	Totale	Si
0.75	SLE RA 17	0.00003	1.5	10000	250	Totale	Si
0.75	SLE RA 16	0.00003	1.5	10000	250	Totale	Si
0.75	SLE RA 15	0.00003	1.5	10000	250	Totale	Si
0.75	SLE RA 14	0.00003	1.5	10000	250	Totale	Si
0.8	SLE RA 2	0	1.5	10000	350	Variabile	Si
0.8	SLE RA 17	0	1.5	10000	350	Variabile	Si
0.8	SLE RA 16	0	1.5	10000	350	Variabile	Si
0.75	SLE RA 15	0	1.5	10000	350	Variabile	Si
0.8	SLE RA 14	0	1.5	10000	350	Variabile	Si

Superelemento in acciaio a quota "640" (800; 1787)-(909; 1684)

Caratteristiche del materiale

Acciaio: S275, fyk = 275000

Caratteristiche geometriche

Lunghezza: 1.5

Nodo iniziale: 1022 Nodo finale: 1004

Cerniera iniziale: Mmomenti 1% Cerniera finale: Mmomenti 1%

Sovreresistenza: 0% Sisma Z: No

Caratteristiche della sezione

Sezione	Rotazione	Area	Jx	Jy	ix	iy	Wx	Wy	Wplx	Wply
Al; L100*10; 1; Saldato; S275; 30; 1; 8; 8; 1	180	0.003832	0.0000035319	0.000007759	0.0304	0.045	0.0000492	0.0000739	0.00008974	0.00012727

Comportamento dei calastrelli

Accoppiamento imbottito con funzione statica (§C4.2.4.1.3.1.4 NTC18) nella campata compresa tra le ascisse 0 e 1.5 per sbandamento attorno all'asse y.

Verifiche di resistenza

Verifiche a forza assiale §4.2.4.1.2.1 - §4.2.4.1.2.2 NTC18

X	Comb.	Sfruttamento	Classe	NEd	Nc,Rd	Nt,Rd	Riduzione da taglio	px	py	Verifica
0.75	SLU 75	0.183		183.802		1003.522	1	0	0	Si

Verifiche a forza assiale SLD §4.2.4.1.2.1 - §4.2.4.1.2.2 NTC18

X	Comb.	Sfruttamento	Classe	NEd	Nc,Rd	Nt,Rd	Riduzione da taglio	px	py	Verifica
0	SLD 1	0.077		77.537		1003.522	1	0	0	Si

Verifica a taglio Y §4.2.4.1.2.4 NTC18

X	Comb.	Sfruttamento	VEd	Vc,Rd	Av	Interazione taglio-torsione	Riduzione torsione	Verifica
0	SLU 75	0.001	-0.296	302.422	0.002	Non considerata		Si

Verifica a taglio Y SLD §4.2.4.1.2.4 NTC18

X	Comb.	Sfruttamento	VEd	Vc,Rd	Av	Interazione taglio-torsione	Riduzione torsione	Verifica
0	SLD 1	0.001	-0.226	302.422	0.002	Non considerata		Si

Verifica a presso/tenso flessione retta X §§ 4.2.4.1.2.3 - 4.2.4.1.2.6 - 4.2.4.1.2.7 - 4.2.4.1.2.8 NTC18

Verifiche eseguite utilizzando la formula conservativa (6.2) §6.2.1 EN 1993-1-1:2005.

X	Comb.	Sfruttamento	Classe	NEd	NRd	Rid. NRd da VEd	Mx,Ed	Mx,Rd	Rid. Mx,Rd da VEd	Rid. Mx,Rd da NEd	px	py	Verifica
0.75	SLU 75	0.188	1	183.802	1003.522	1	0.111	23.5037	1		0	0	Si

Verifica a presso/tenso flessione retta X SLD §§ 4.2.4.1.2.3 - 4.2.4.1.2.6 - 4.2.4.1.2.7 - 4.2.4.1.2.8 NTC18

Verifiche eseguite utilizzando la formula conservativa (6.2) §6.2.1 EN 1993-1-1:2005.

X	Comb.	Sfruttamento	Classe	NEd	NRd	Rid. NRd da VEd	Mx,Ed	Mx,Rd	Rid. Mx,Rd da VEd	Rid. Mx,Rd da NEd	px	py	Verifica
1.25	SLD 1	0.079	1	77.537	1003.522	1	0.0475	23.5037	1		0	0	Si

PROGETTO DEFINITIVO – Tabulati di calcolo Tomo 1

Verifica a presso/tenso flessione retta Y §§ 4.2.4.1.2.3 - 4.2.4.1.2.6 - 4.2.4.1.2.7 - 4.2.4.1.2.8 NTC18

Verifiche eseguite utilizzando la formula conservativa (6.2) §6.2.1 EN 1993-1-1:2005.

X	Comb.	Sfruttamento	Classe	NEd	NRd	Rid. NRd da VEd	My,Ed	My,Rd	Rid. My,Rd da VEd	Rid. My,Rd da NEd	px	py	Verifica
1.5	SLU 75	0.184	1	183.802	1003.522	1	-0.0129	33.3316	1		0	0	Si

Verifica a presso/tenso flessione retta Y SLD §§ 4.2.4.1.2.3 - 4.2.4.1.2.6 - 4.2.4.1.2.7 - 4.2.4.1.2.8 NTC18

Verifiche eseguite utilizzando la formula conservativa (6.2) §6.2.1 EN 1993-1-1:2005.

X	Comb.	Sfruttamento	Classe	NEd	NRd	Rid. NRd da VEd	My,Ed	My,Rd	Rid. My,Rd da VEd	Rid. My,Rd da NEd	px	py	Verifica
0	SLD 1	0.078	1	77.537	1003.522	1	0.0409	33.3316	1		0	0	Si

Verifica a presso/tenso flessione deviata §§ 4.2.4.1.2.3 - 4.2.4.1.2.6 - 4.2.4.1.2.7 - 4.2.4.1.2.8 NTC18

Verifiche eseguite utilizzando la formula conservativa (6.2) §6.2.1 EN 1993-1-1:2005.

X	Comb.	Sfruttamento	Classe	NEd	NRd	Rid. NRd da VEd	Mx,Ed	Mx,Rd	My,Ed	My,Rd	Rid. Mx,Rd da VEd	Rid. Mx,Rd da NEd	Rid. My,Rd da VEd	Rid. My,Rd da NEd	α	β	px	py	Verifica
1.05	SLU 75	0.187	1	183.802	1003.522	1	0.0941	23.5037	-0.0077	33.3316	1		1				0	0	Si

Verifica a presso/tenso flessione deviata SLD §§ 4.2.4.1.2.3 - 4.2.4.1.2.6 - 4.2.4.1.2.7 - 4.2.4.1.2.8 NTC18

Verifiche eseguite utilizzando la formula conservativa (6.2) §6.2.1 EN 1993-1-1:2005.

X	Comb.	Sfruttamento	Classe	NEd	NRd	Rid. NRd da VEd	Mx,Ed	Mx,Rd	My,Ed	My,Rd	Rid. Mx,Rd da VEd	Rid. Mx,Rd da NEd	Rid. My,Rd da VEd	Rid. My,Rd da NEd	α	β	px	py	Verifica
0.7	SLD 2	0.081	1	77.537	1003.522	1	0.0843	23.5037	0.0201	33.3316	1		1				0	0	Si

Verifiche ad instabilità

Caratteristiche iniziali

Membratura principale per controllo snellezza; Calcolo di snellezze ed N critici condotti secondo gli assi principali;

Curva X: c; Curva Y: c;

Svergolamento: Nessuno; la verifica a instabilità flessio-torsionale (svergolamento) non verrà eseguita.

Dati per instabilità attorno a x

Controllo della snellezza secondo §4.2.4.1.3.1 NTC18

Numero rit.	Presente	Ascissa	Campata	βx/m	Vincolo a entrambi estremi	λx/m	λVer
1	Si		0				
			1-2		1	49.4	Si, (<200)
2	Si		1.5				

Dati per instabilità attorno a y

Controllo della snellezza secondo §4.2.4.1.3.1 NTC18

Numero rit.	Presente	Ascissa	Campata	βy/n	k,LT	kw,LT	Vincolo a entrambi estremi
1	Si		0				
			1-2		1	34.8	Si, (<200)
2	Si		1.5				

Verifica di stabilità per pressoflessione §C.4.2.4.1.3.3.1 NTC18

X	Comb.	Sfruttamento	Classe	NEd	MxEq,Ed	MyEq,Ed	Area	Wx	Wy	x,min	λ adim. x/m	λ adim. y/n	N,crit x/m	N,crit y/n	Verifica
0	SLU 2	0.046	3	-29.587	0.072	0.0694	0.003832	0.0000492	0.0000739	0.804	0.569	0.4	3253.47	6569.993	Si

Verifiche a deformabilità

Mensola X: No; Mensola Y: No.

Frecce lungo X

Ascissa freccia	Combinazione	Freccia	Luce	L/f	L/f,min	Tipo	Verifica
0.95	SLE RA 1	0	1.5	10000	250	Totale	Si
0.95	SLE RA 17	0	1.5	10000	250	Totale	Si
0.95	SLE RA 16	0	1.5	10000	250	Totale	Si
0.95	SLE RA 15	0	1.5	10000	250	Totale	Si
0.95	SLE RA 14	0	1.5	10000	250	Totale	Si
0.95	SLE RA 2	0	1.5	10000	350	Variabile	Si
0.95	SLE RA 17	0	1.5	10000	350	Variabile	Si
0.95	SLE RA 16	0	1.5	10000	350	Variabile	Si
0.95	SLE RA 15	0	1.5	10000	350	Variabile	Si
0.95	SLE RA 14	0	1.5	10000	350	Variabile	Si

Frecce lungo Y

Ascissa freccia	Combinazione	Freccia	Luce	L/f	L/f,min	Tipo	Verifica
0.75	SLE RA 1	0.00003	1.5	10000	250	Totale	Si
0.75	SLE RA 17	0.00003	1.5	10000	250	Totale	Si
0.75	SLE RA 16	0.00003	1.5	10000	250	Totale	Si
0.75	SLE RA 15	0.00003	1.5	10000	250	Totale	Si
0.75	SLE RA 14	0.00003	1.5	10000	250	Totale	Si
0.85	SLE RA 2	0	1.5	10000	350	Variabile	Si
0.85	SLE RA 17	0	1.5	10000	350	Variabile	Si
0.85	SLE RA 16	0	1.5	10000	350	Variabile	Si
0.85	SLE RA 15	0	1.5	10000	350	Variabile	Si
0.9	SLE RA 14	0	1.5	10000	350	Variabile	Si

Superelemento in acciaio a quota "640" (838; 2268)-(948; 2165)

Caratteristiche del materiale

Acciaio: S275, fyk = 275000

Caratteristiche geometriche

Lunghezza: 1.5

Nodo iniziale: 1158 Nodo finale: 1097

**Implementazione dei sistemi di confinamento delle emissioni odorigene diffuse dell'impianto di compostaggio esistente nel
Comune di Eboli (SA)
PROGETTO DEFINITIVO – Tabulati di calcolo Tomo 1**

Cerniera iniziale: Mmomenti 1% Cerniera finale: Mmomenti 1%
Sovreresistenza: 0% Sisma Z: No

Caratteristiche della sezione

Sezione	Rotazione	Area	Jx	Jy	ix	iy	Wx	Wy	Wplx	Wply
A1; L100*10; 1; Saldato; S275; 30; 1; 8; 8; 1	180	0.003832	0.0000035319	0.000007759	0.0304	0.045	0.0000492	0.0000739	0.00008974	0.00012727

Comportamento dei calastrelli

Accoppiamento imbottito con funzione statica (§C4.2.4.1.3.1.4 NTC18) nella campata compresa tra le ascisse 0 e 1.5 per sbandamento attorno all'asse y.

Verifiche di resistenza

Verifiche a forza assiale §4.2.4.1.2.1 - §4.2.4.1.2.2 NTC18

X	Comb.	Sfruttamento	Classe	NEd	Nc,Rd	Nt,Rd	Riduzione da taglio	px	py	Verifica
0.7	SLU 76	0.041		41.3		1003.522	1	0	0	Si

Verifiche a forza assiale SLD §4.2.4.1.2.1 - §4.2.4.1.2.2 NTC18

X	Comb.	Sfruttamento	Classe	NEd	Nc,Rd	Nt,Rd	Riduzione da taglio	px	py	Verifica
1.5	SLD 11	0.01		10.244		1003.522	1	0	0	Si

Verifica a taglio X §4.2.4.1.2.4 NTC18

X	Comb.	Sfruttamento	VEd	Vc,Rd	Av	Interazione taglio-torsione	Riduzione torsione	Verifica
1.5	SLV 16	0.001	-0.303	302.422	0.002	Non considerata		Si

Verifica a taglio Y §4.2.4.1.2.4 NTC18

X	Comb.	Sfruttamento	VEd	Vc,Rd	Av	Interazione taglio-torsione	Riduzione torsione	Verifica
1.5	SLU 76	0.001	0.294	302.422	0.002	Non considerata		Si

Verifica a taglio Y SLD §4.2.4.1.2.4 NTC18

X	Comb.	Sfruttamento	VEd	Vc,Rd	Av	Interazione taglio-torsione	Riduzione torsione	Verifica
1.5	SLD 12	0.001	0.226	302.422	0.002	Non considerata		Si

Verifica a flessione semplice X §§ 4.2.4.1.2.3 - 4.2.4.1.2.6 - 4.2.4.1.2.7 - 4.2.4.1.2.8 NTC18

X	Comb.	Sfruttamento	Classe	Mx,Ed	Mx,Rd	Rid. Mx,Rd da VEd	px	py	Verifica
0.75	SLU 6	0.004	1	0.08412	23.50374	1	0	0	Si

Verifica a presso/tenso flessione retta X §§ 4.2.4.1.2.3 - 4.2.4.1.2.6 - 4.2.4.1.2.7 - 4.2.4.1.2.8 NTC18

Verifiche eseguite utilizzando la formula conservativa (6.2) §6.2.1 EN 1993-1-1:2005.

X	Comb.	Sfruttamento	Classe	NEd	NRd	Rid. NRd da VEd	Mx,Ed	Mx,Rd	Rid. Mx,Rd da VEd	Rid. Mx,Rd da NEd	px	py	Verifica
0.75	SLU 76	0.046	1	41.3	1003.522	1	0.1103	23.5037	1		0	0	Si

Verifica a presso/tenso flessione retta X SLD §§ 4.2.4.1.2.3 - 4.2.4.1.2.6 - 4.2.4.1.2.7 - 4.2.4.1.2.8 NTC18

Verifiche eseguite utilizzando la formula conservativa (6.2) §6.2.1 EN 1993-1-1:2005.

X	Comb.	Sfruttamento	Classe	NEd	NRd	Rid. NRd da VEd	Mx,Ed	Mx,Rd	Rid. Mx,Rd da VEd	Rid. Mx,Rd da NEd	px	py	Verifica
0.65	SLD 12	0.014	1	10.244	1003.522	1	0.0828	23.5037	1		0	0	Si

Verifica a presso/tenso flessione retta Y §§ 4.2.4.1.2.3 - 4.2.4.1.2.6 - 4.2.4.1.2.7 - 4.2.4.1.2.8 NTC18

Verifiche eseguite utilizzando la formula conservativa (6.2) §6.2.1 EN 1993-1-1:2005.

X	Comb.	Sfruttamento	Classe	NEd	NRd	Rid. NRd da VEd	My,Ed	My,Rd	Rid. My,Rd da VEd	Rid. My,Rd da NEd	px	py	Verifica
1.5	SLV 16	0.02	1	11.898	1003.522	1	-0.2645	33.3316	1		0	0	Si

Verifica a presso/tenso flessione retta Y SLD §§ 4.2.4.1.2.3 - 4.2.4.1.2.6 - 4.2.4.1.2.7 - 4.2.4.1.2.8 NTC18

Verifiche eseguite utilizzando la formula conservativa (6.2) §6.2.1 EN 1993-1-1:2005.

X	Comb.	Sfruttamento	Classe	NEd	NRd	Rid. NRd da VEd	My,Ed	My,Rd	Rid. My,Rd da VEd	Rid. My,Rd da NEd	px	py	Verifica
1.5	SLD 16	0.013	1	10.24	1003.522	1	-0.1063	33.3316	1		0	0	Si

Verifica a presso/tenso flessione deviata §§ 4.2.4.1.2.3 - 4.2.4.1.2.6 - 4.2.4.1.2.7 - 4.2.4.1.2.8 NTC18

Verifiche eseguite utilizzando la formula conservativa (6.2) §6.2.1 EN 1993-1-1:2005.

X	Comb.	Sfruttamento	Classe	NEd	NRd	Rid. NRd da VEd	Mx,Ed	Mx,Rd	My,Ed	My,Rd	Rid. Mx,Rd da VEd	Rid. Mx,Rd da NEd	Rid. My,Rd da VEd	Rid. My,Rd da NEd	α	β	px	py	Verifica
1.45	SLV 16	0.02	1	11.898	1003.522	1	0.0106	23.5037	-0.2493	33.3316	1		1				0	0	Si

Verifica a presso/tenso flessione deviata SLD §§ 4.2.4.1.2.3 - 4.2.4.1.2.6 - 4.2.4.1.2.7 - 4.2.4.1.2.8 NTC18

Verifiche eseguite utilizzando la formula conservativa (6.2) §6.2.1 EN 1993-1-1:2005.

X	Comb.	Sfruttamento	Classe	NEd	NRd	Rid. NRd da VEd	Mx,Ed	Mx,Rd	My,Ed	My,Rd	Rid. Mx,Rd da VEd	Rid. Mx,Rd da NEd	Rid. My,Rd da VEd	Rid. My,Rd da NEd	α	β	px	py	Verifica
1.05	SLD 15	0.015	1	10.24	1003.522	1	0.0708	23.5037	-0.0514	33.3316	1		1				0	0	Si

Verifiche ad instabilità

Caratteristiche iniziali

Membratura principale per controllo snellezza; Calcolo di snellezze ed N critici condotti secondo gli assi principali;

Curva X: c; Curva Y: c;

Svergolamento: Nessuno; la verifica a instabilità flesso-torsionale (svergolamento) non verrà eseguita.

Dati per instabilità attorno a x

Controllo della snellezza secondo §4.2.4.1.3.1 NTC18

Numero rit.	Presente	Ascissa	Campata	βx/m	Vincolo a entrambi estremi	λx/m	λVer
1	Si	0					
			1-2	1	Si	49.4	Si, (<200)

Implementazione dei sistemi di confinamento delle emissioni odorigene diffuse dell'impianto di compostaggio esistente nel
Comune di Eboli (SA)
PROGETTO DEFINITIVO – Tabulati di calcolo Tomo 1

Numero rit.	Presente	Ascissa	Campata	$\beta x/m$	Vincolo a entrambi estremi	$\lambda x/m$	λVer
2	Si	1.5					

Dati per instabilità attorno a y

Controllo della snellezza secondo §4.2.4.1.3.1 NTC18

Numero rit.	Presente	Ascissa	Campata	$\beta y/n$	k,LT	kw,LT	Vincolo a entrambi estremi
1	Si	0					
			1-2	1	Si	34.8	Si, (<200)
2	Si	1.5					

Verifica di stabilità per pressoflessione §C.4.2.4.1.3.3.1 NTC18

X	Comb.	Sfruttamento	Classe	NEd	MxEq,Ed	MyEq,Ed	Area	Wx	Wy	χ_{min}	$\lambda_{adim. x/m}$	$\lambda_{adim. y/n}$	N,crit x/m	N,crit y/n	Verifica
0.45	SLU 40	0.02	3	-8.722	0.0941	-0.0265	0.003832	0.0000492	0.0000739	0.804	0.569	0.4	3253.47	6569.993	Si

Verifiche a deformabilità

Mensola X: No; Mensola Y: No.

Frecce lungo X

Ascissa freccia	Combinazione	Freccia	Luce	L/f	L/f,min	Tipo	Verifica
0.6	SLE RA 1	0	1.5	10000	250	Totale	Si
0.6	SLE RA 17	0	1.5	10000	250	Totale	Si
0.6	SLE RA 16	0	1.5	10000	250	Totale	Si
0.6	SLE RA 15	0	1.5	10000	250	Totale	Si
0.6	SLE RA 14	0	1.5	10000	250	Totale	Si
0.65	SLE RA 2	0	1.5	10000	350	Variabile	Si
0.65	SLE RA 17	0	1.5	10000	350	Variabile	Si
0.65	SLE RA 16	0	1.5	10000	350	Variabile	Si
0.65	SLE RA 15	0	1.5	10000	350	Variabile	Si
0.65	SLE RA 14	0	1.5	10000	350	Variabile	Si

Frecce lungo Y

Ascissa freccia	Combinazione	Freccia	Luce	L/f	L/f,min	Tipo	Verifica
0.75	SLE RA 1	0.00003	1.5	10000	250	Totale	Si
0.75	SLE RA 17	0.00003	1.5	10000	250	Totale	Si
0.75	SLE RA 16	0.00003	1.5	10000	250	Totale	Si
0.75	SLE RA 15	0.00003	1.5	10000	250	Totale	Si
0.75	SLE RA 14	0.00003	1.5	10000	250	Totale	Si
0.7	SLE RA 2	0	1.5	10000	350	Variabile	Si
0.65	SLE RA 17	0	1.5	10000	350	Variabile	Si
0.65	SLE RA 16	0	1.5	10000	350	Variabile	Si
0.65	SLE RA 15	0	1.5	10000	350	Variabile	Si
0.75	SLE RA 14	0	1.5	10000	350	Variabile	Si

Superelemento in acciaio a quota "640" (856; 972)-(983; 1106)

Caratteristiche del materiale

Acciaio: S275, fyk = 275000

Caratteristiche geometriche

Lunghezza: 1.855

Nodo iniziale: 861 Nodo finale: 887

Cerniera iniziale: No Cerniera finale: No

Sovraresistenza: 0% Sisma Z: No

Caratteristiche della sezione

Sezione	Rotazione	Area	Jx	Jy	ix	iy	Wx	Wy	Wplx	Wply
HEA120	0	0.002537	0.0000060673	0.0000023091	0.0489	0.0302	0.00010644	0.00003849	0.00011962	0.00005887

Verifiche di resistenza

Verifiche a forza assiale §4.2.4.1.2.1 - §4.2.4.1.2.2 NTC18

X	Comb.	Sfruttamento	Classe	NEd	Nc,Rd	Nt,Rd	Riduzione da taglio	px	py	Verifica
1.855	SLV 12	0.09		59.548		664.325	1	0	0	Si

Verifiche a forza assiale SLD §4.2.4.1.2.1 - §4.2.4.1.2.2 NTC18

X	Comb.	Sfruttamento	Classe	NEd	Nc,Rd	Nt,Rd	Riduzione da taglio	px	py	Verifica
1.855	SLD 12	0.047		31.165		664.325	1	0	0	Si

Verifica a taglio Y §4.2.4.1.2.4 NTC18

X	Comb.	Sfruttamento	VEd	Vc,Rd	Av	Interazione taglio-torsione	Riduzione torsione	Verifica
1.855	SLU 75	0.006	-0.787	127.761	0.000849	Considerata	1	Si

Verifica a taglio Y SLD §4.2.4.1.2.4 NTC18

X	Comb.	Sfruttamento	VEd	Vc,Rd	Av	Interazione taglio-torsione	Riduzione torsione	Verifica
1.855	SLD 5	0.004	-0.458	127.966	0.000849	Considerata	1	Si

Verifica a torsione §4.2.4.1.2.5 NTC18

X	Comb.	Sfruttamento torsione	TEd	TRd	Riduzione taglio resistente	Sfruttamento taglio-torsione	$\tau Ed,totale$	τRd	Verifica
1.855	SLV 5	0.011	0.00965	0.85138	Considerata				Si

Verifica a torsione SLD §4.2.4.1.2.5 NTC18

X	Comb.	Sfruttamento torsione	TEd	TRd	Riduzione taglio resistente	Sfruttamento taglio-torsione	$\tau Ed,totale$	τRd	Verifica
1.855	SLD 6	0.007	0.0056	0.85138	Considerata				Si

**Implementazione dei sistemi di confinamento delle emissioni odorigene diffuse dell'impianto di compostaggio esistente nel
Comune di Eboli (SA)
PROGETTO DEFINITIVO – Tabulati di calcolo Tomo 1**

Verifica a flessione semplice X SLD §§ 4.2.4.1.2.3 - 4.2.4.1.2.6 - 4.2.4.1.2.7 - 4.2.4.1.2.8 NTC18

X	Comb.	Sfruttamento	Classe	Mx,Ed	Mx,Rd	Rid. Mx,Rd da VEd	px	py	Verifica
1.546	SLD 1	0.011	1	0.32928	31.32907	1	0	0	Si

Verifica a flessione semplice Y SLD §§ 4.2.4.1.2.3 - 4.2.4.1.2.6 - 4.2.4.1.2.7 - 4.2.4.1.2.8 NTC18

X	Comb.	Sfruttamento	Classe	My,Ed	My,Rd	Rid. My,Rd da VEd	px	py	Verifica
0.247	SLD 1	0.001	1	-0.01828	15.41907	1	0	0	Si

Verifica a flessione deviata SLD §§ 4.2.4.1.2.3 - 4.2.4.1.2.6 - 4.2.4.1.2.7 - 4.2.4.1.2.8 NTC18

X	Comb.	Sfruttamento	Classe	Mx,Ed	Mx,Rd	My,Ed	My,Rd	Rid. Mx,Rd da VEd	Rid. My,Rd da VEd	α	β	px	py	Verifica
1.855	SLD 1	0.016	1	0.4765	31.3291	0.0119	15.4191	1	1			0	0	Si

Verifica a presso/tenso flessione retta X §§ 4.2.4.1.2.3 - 4.2.4.1.2.6 - 4.2.4.1.2.7 - 4.2.4.1.2.8 NTC18

Verifiche eseguite utilizzando la formula conservativa (6.2) §6.2.1 EN 1993-1-1:2005.

X	Comb.	Sfruttamento	Classe	NEd	NRd	Rid. NRd da VEd	Mx,Ed	Mx,Rd	Rid. Mx,Rd da VEd	Rid. Mx,Rd da NEd	px	py	Verifica
1.793	SLU 75	0.115	1	54.035	664.325	1	1.0587	31.3291	1		0	0	Si

Verifica a presso/tenso flessione retta X SLD §§ 4.2.4.1.2.3 - 4.2.4.1.2.6 - 4.2.4.1.2.7 - 4.2.4.1.2.8 NTC18

Verifiche eseguite utilizzando la formula conservativa (6.2) §6.2.1 EN 1993-1-1:2005.

X	Comb.	Sfruttamento	Classe	NEd	NRd	Rid. NRd da VEd	Mx,Ed	Mx,Rd	Rid. Mx,Rd da VEd	Rid. Mx,Rd da NEd	px	py	Verifica
1.546	SLD 12	0.057	1	31.165	664.325	1	0.329	31.3291	1		0	0	Si

Verifica a presso/tenso flessione retta Y §§ 4.2.4.1.2.3 - 4.2.4.1.2.6 - 4.2.4.1.2.7 - 4.2.4.1.2.8 NTC18

Verifiche eseguite utilizzando la formula conservativa (6.2) §6.2.1 EN 1993-1-1:2005.

X	Comb.	Sfruttamento	Classe	NEd	NRd	Rid. NRd da VEd	My,Ed	My,Rd	Rid. My,Rd da VEd	Rid. My,Rd da NEd	px	py	Verifica
0.618	SLV 8	0.063	1	40.392	664.325	1	-0.0356	15.4191	1		0	0	Si

Verifica a presso/tenso flessione retta Y SLD §§ 4.2.4.1.2.3 - 4.2.4.1.2.6 - 4.2.4.1.2.7 - 4.2.4.1.2.8 NTC18

Verifiche eseguite utilizzando la formula conservativa (6.2) §6.2.1 EN 1993-1-1:2005.

X	Comb.	Sfruttamento	Classe	NEd	NRd	Rid. NRd da VEd	My,Ed	My,Rd	Rid. My,Rd da VEd	Rid. My,Rd da NEd	px	py	Verifica
0	SLD 3	0.013	1	7.516	664.325	1	-0.028	15.4191	1		0	0	Si

Verifica a presso/tenso flessione deviata §§ 4.2.4.1.2.3 - 4.2.4.1.2.6 - 4.2.4.1.2.7 - 4.2.4.1.2.8 NTC18

Verifiche eseguite utilizzando la formula conservativa (6.2) §6.2.1 EN 1993-1-1:2005.

X	Comb.	Sfruttamento	Classe	NEd	NRd	Rid. NRd da VEd	Mx,Ed	Mx,Rd	My,Ed	My,Rd	Rid. Mx,Rd da VEd	Rid. Mx,Rd da NEd	Rid. My,Rd da VEd	Rid. My,Rd da NEd	α	β	px	py	Verifica
1.855	SLU 75	0.117	1	54.035	664.325	1	1.1069	31.3291	0.0051	15.4191	1		1				0	0	Si

Verifica a presso/tenso flessione deviata SLD §§ 4.2.4.1.2.3 - 4.2.4.1.2.6 - 4.2.4.1.2.7 - 4.2.4.1.2.8 NTC18

Verifiche eseguite utilizzando la formula conservativa (6.2) §6.2.1 EN 1993-1-1:2005.

X	Comb.	Sfruttamento	Classe	NEd	NRd	Rid. NRd da VEd	Mx,Ed	Mx,Rd	My,Ed	My,Rd	Rid. Mx,Rd da VEd	Rid. Mx,Rd da NEd	Rid. My,Rd da VEd	Rid. My,Rd da NEd	α	β	px	py	Verifica
1.855	SLD 11	0.062	1	31.165	664.325	1	0.4374	31.3291	0.0124	15.4191	1		1				0	0	Si

Verifiche ad instabilità

Caratteristiche iniziali

Membratura principale per controllo snellezza; Calcolo di snellezze ed N critici condotti secondo gli assi principali;

Curva X: b; Curva Y: c; Svergolamento: Carico all'estradosso; Curva svergolamento: b;

Dati per instabilità attorno a x

Controllo della snellezza secondo §4.2.4.1.3.1 NTC18

Numero rit.	Presente	Ascissa	Campata	βx/m	Vincolo a entrambi estremi	λx/m	λVer
1	Si		0				
			1-2		1	37.9	Si, (<200)
2	Si	1.855					

Dati per instabilità attorno a y

Controllo della snellezza secondo §4.2.4.1.3.1 NTC18

Numero rit.	Presente	Ascissa	Campata	βy/n	k _{LT}	k _{w,LT}	Vincolo a entrambi estremi	λy/n	λVer
1	Si	0							
			1-2		1	1	Si	61.5	Si, (<200)
2	Si	1.855							

Verifica a svergolamento con trazione §4.2.4.1.3.2 NTC18 § 5.5.3 ENV 1993-1-1:1992 + AC:1992 + A1:1994 + A2:1998

X	Comb.	Sfruttamento	Classe	Obblig.	NEd	Mx,Ed	Mx,Eff,Ed	Mb,Rd,x	χ _{LT}	λ adim. LT	L _{LT}	M _{critico}	Verifica
1.855	SLU 7	0.013	1	Si	2.828	0.44347	0.36039	28.24224	0.901	0.634	1.855	81.8177	Si

Verifica a svergolamento con trazione SLD §4.2.4.1.3.2 NTC18 § 5.5.3 ENV 1993-1-1:1992 + AC:1992 + A1:1994 + A2:1998

X	Comb.	Sfruttamento	Classe	Obblig.	NEd	Mx,Ed	Mx,Eff,Ed	Mb,Rd,x	χ _{LT}	λ adim. LT	L _{LT}	M _{critico}	Verifica
1.36	SLD 3	0.001	1	Si	7.516	0.25993	0.03915	28.24224	0.901	0.634	1.855	81.8177	Si

Verifica di stabilità per tenso-flessione deviata §§ 5.5.3-5.5.4 ENV 1993-1-1:1992 + AC:1992 + A1:1994 + A2:1998

X	Comb.	Sfruttamento	Classe	NEd	Mx,Ed	Mx,Eff,Ed	My,Ed	χ _{LT}	k _{LT}	ky	M _{critico}	W _x	W _y	Verifica
1.855	SLU 61	0.015	1	2.515	0.48705	0.41317	0.00498	0.901	1	1	81.8177	0.0001196	0.0000589	Si

Verifica di stabilità per tenso-flessione deviata SLD §§ 5.5.3-5.5.4 ENV 1993-1-1:1992 + AC:1992 + A1:1994 + A2:1998

X	Comb.	Sfruttamento	Classe	NEd	Mx,Ed	Mx,Eff,Ed	My,Ed	χ _{LT}	k _{LT}	ky	M _{critico}	W _x	W _y	Verifica
1.855	SLD 10	0.011	1	6.504	0.4682	0.27715	-0.0112	0.901	1	1	81.8177	0.0001196	0.0000589	Si

Verifica di stabilità per pressoflessione §C.4.2.4.1.3.3.2 NTC18

X	Comb.	Sfruttamento	Classe	NEd	NRk	Mx,Ed max	Mx,Rk	My,Ed max	My,Rk	χ _x	χ _y	k _{xx}	k _{xy}	k _{yx}	k _{yy}	χ _{LT}	Verifica
1.855	SLV 5	0.08	1	-28.81	697.541	0.50839	32.89552	0.02931	16.19002	0.911	0.72	0.505	0.621	0.983	1.034	0.901	Si

Verifica di stabilità per pressoflessione SLD §C.4.2.4.1.3.3.2 NTC18

X	Comb.	Sfruttamento	Classe	NEd	NRk	Mx,Ed max	Mx,Rk	My,Ed max	My,Rk	χ _x	χ _y	k _{xx}	k _{xy}	k _{yx}	k _{yy}	χ _{LT}	Verifica
---	-------	--------------	--------	-----	-----	-----------	-------	-----------	-------	----------------	----------------	-----------------	-----------------	-----------------	-----------------	-----------------	----------

Implementazione dei sistemi di confinamento delle emissioni odorigene diffuse dell'impianto di compostaggio esistente nel
Comune di Eboli (SA)

PROGETTO DEFINITIVO – Tabulati di calcolo Tomo 1

X	Comb.	Sfruttamento	Classe	NEd	NRk	Mx,Ed max	Mx,Rk	My,Ed max	My,Rk	X,x	X,y	kxx	kxy	kyy	kyy	X,LT	Verifica
1.855	SLD 6	0.019	1	-0.427	697.541	0.47702	32.89552	0.02203	16.19002	0.911	0.72	0.476	0,6	1	1.001	0.901	Si

Verifica di stabilità a taglio anima Y §4.2.4.1.2.4 [4.2.27] NTC18

η	hw	tw	hw/tw max	Verifica
1.2	0.098	0.005	55.46	Si

Verifica di stabilità a taglio anima Y SLD §4.2.4.1.2.4 [4.2.27] NTC18

η	hw	tw	hw/tw max	Verifica
1.2	0.098	0.005	55.46	Si

Verifiche a deformabilità

Mensola X: No; Mensola Y: No.

Frecce lungo X

Ascissa freccia	Combinazione	Freccia	Luce	L/f	L/f,min	Tipo	Verifica
0.742	SLE RA 1	0.00001	1.855	10000	250	Totale	Si
0.742	SLE RA 17	0.00002	1.855	10000	250	Totale	Si
0.742	SLE RA 16	0.00003	1.855	10000	250	Totale	Si
0.742	SLE RA 15	0.00002	1.855	10000	250	Totale	Si
0.742	SLE RA 14	0.00003	1.855	10000	250	Totale	Si
0.804	SLE RA 2	-0.00001	1.855	10000	350	Variabile	Si
0.804	SLE RA 17	0.00001	1.855	10000	350	Variabile	Si
0.804	SLE RA 16	0.00001	1.855	10000	350	Variabile	Si
0.804	SLE RA 15	0	1.855	10000	350	Variabile	Si
0.804	SLE RA 14	0.00002	1.855	10000	350	Variabile	Si

Frecce lungo Y

Ascissa freccia	Combinazione	Freccia	Luce	L/f	L/f,min	Tipo	Verifica
1.113	SLE RA 1	0.00006	1.855	10000	250	Totale	Si
1.113	SLE RA 17	0.00008	1.855	10000	250	Totale	Si
1.113	SLE RA 16	0.00011	1.855	10000	250	Totale	Si
1.113	SLE RA 15	0.00008	1.855	10000	250	Totale	Si
1.113	SLE RA 14	0.0001	1.855	10000	250	Totale	Si
1.051	SLE RA 2	-0.00005	1.855	10000	350	Variabile	Si
1.051	SLE RA 17	0.00002	1.855	10000	350	Variabile	Si
1.051	SLE RA 16	0.00005	1.855	10000	350	Variabile	Si
1.051	SLE RA 15	0.00002	1.855	10000	350	Variabile	Si
1.051	SLE RA 14	0.00005	1.855	10000	350	Variabile	Si

Superelemento in acciaio a quota "640" (870; 2735)-(997; 2871)

Caratteristiche del materiale

Acciaio: S275, fyk = 275000

Caratteristiche geometriche

Lunghezza: 1.857

Nodo iniziale: 1353 Nodo finale: 1390

Cerniera iniziale: No Cerniera finale: No

Sovreresistenza: 0% Sisma Z: No

Caratteristiche della sezione

Sezione	Rotazione	Area	Jx	Jy	ix	iy	Wx	Wy	Wplx	Wply
HEA120	0	0.002537	0.0000060673	0.0000023091	0.0489	0.0302	0.00010644	0.00003849	0.00011962	0.00005887

Verifiche di resistenza

Verifiche a forza assiale §4.2.4.1.2.1 - §4.2.4.1.2.2 NTC18

X	Comb.	Sfruttamento	Classe	NEd	Nc,Rd	Nt,Rd	Riduzione da taglio	px	py	Verifica
1.857	SLV 10	0.134	1	-89.212	664.325		1	0	0	Si

Verifiche a forza assiale SLD §4.2.4.1.2.1 - §4.2.4.1.2.2 NTC18

X	Comb.	Sfruttamento	Classe	NEd	Nc,Rd	Nt,Rd	Riduzione da taglio	px	py	Verifica
1.857	SLD 10	0.056	1	-37.488	664.325		1	0	0	Si

Verifica a taglio Y §4.2.4.1.2.4 NTC18

X	Comb.	Sfruttamento	VEd	Vc,Rd	Av	Interazione taglio-torsione	Riduzione torsione	Verifica
0	SLU 76	0.009	1.146	127.396	0.000849	Considerata	0.99	Si

Verifica a taglio Y SLD §4.2.4.1.2.4 NTC18

X	Comb.	Sfruttamento	VEd	Vc,Rd	Av	Interazione taglio-torsione	Riduzione torsione	Verifica
0	SLD 8	0.005	0.583	128.074	0.000849	Considerata	1	Si

Verifica a torsione §4.2.4.1.2.5 NTC18

X	Comb.	Sfruttamento torsione	TEd	TRd	Riduzione taglio resistente	Sfruttamento taglio-torsione	τEd,totale	τRd	Verifica
0	SLU 76	0.018	0.01501	0.85138	Considerata				Si

Verifica a torsione SLD §4.2.4.1.2.5 NTC18

X	Comb.	Sfruttamento torsione	TEd	TRd	Riduzione taglio resistente	Sfruttamento taglio-torsione	τEd,totale	τRd	Verifica
1.795	SLD 14	0.007	0.00597	0.85138	Considerata				Si

Verifica a presso/tenso flessione retta X §§ 4.2.4.1.2.3 - 4.2.4.1.2.6 - 4.2.4.1.2.7 - 4.2.4.1.2.8 NTC18

Verifiche eseguite utilizzando la formula conservativa (6.2) §6.2.1 EN 1993-1-1:2005.

X	Comb.	Sfruttamento	Classe	NEd	NRd	Rid. NRd da VEd	Mx,Ed	Mx,Rd	Rid. Mx,Rd da VEd	Rid. Mx,Rd da NEd	px	py	Verifica
0.433	SLU 76	0.04	1	-23.425	664.325	1	0.1492	31.3291	1		0	0	Si

**Implementazione dei sistemi di confinamento delle emissioni odorigene diffuse dell'impianto di compostaggio esistente nel
Comune di Eboli (SA)
PROGETTO DEFINITIVO – Tabulati di calcolo Tomo 1**

Verifica a presso/tenso flessione retta X SLD §§ 4.2.4.1.2.3 - 4.2.4.1.2.6 - 4.2.4.1.2.7 - 4.2.4.1.2.8 NTC18

Verifiche eseguite utilizzando la formula conservativa (6.2) §6.2.1 EN 1993-1-1:2005.

X	Comb.	Sfruttamento	Classe	NEd	NRd	Rid. NRd da VEd	Mx,Ed	Mx,Rd	Rid. Mx,Rd da VEd	Rid. Mx,Rd da NEd	px	py	Verifica
0.31	SLD 13	0.062	1	-37.321	664.325	1	-0.1858	31.3291	1		0	0	Si

Verifica a presso/tenso flessione retta Y §§ 4.2.4.1.2.3 - 4.2.4.1.2.6 - 4.2.4.1.2.7 - 4.2.4.1.2.8 NTC18

Verifiche eseguite utilizzando la formula conservativa (6.2) §6.2.1 EN 1993-1-1:2005.

X	Comb.	Sfruttamento	Classe	NEd	NRd	Rid. NRd da VEd	My,Ed	My,Rd	Rid. My,Rd da VEd	Rid. My,Rd da NEd	px	py	Verifica
1.857	SLV 8	0.12	1	69.32	664.325	1	0.241	15.4191	1		0	0	Si

Verifica a presso/tenso flessione retta Y SLD §§ 4.2.4.1.2.3 - 4.2.4.1.2.6 - 4.2.4.1.2.7 - 4.2.4.1.2.8 NTC18

Verifiche eseguite utilizzando la formula conservativa (6.2) §6.2.1 EN 1993-1-1:2005.

X	Comb.	Sfruttamento	Classe	NEd	NRd	Rid. NRd da VEd	My,Ed	My,Rd	Rid. My,Rd da VEd	Rid. My,Rd da NEd	px	py	Verifica
1.052	SLD 7	0.029	1	17.596	664.325	1	0.0457	15.4191	1		0	0	Si

Verifica a presso/tenso flessione deviata §§ 4.2.4.1.2.3 - 4.2.4.1.2.6 - 4.2.4.1.2.7 - 4.2.4.1.2.8 NTC18

Verifiche eseguite utilizzando la formula conservativa (6.2) §6.2.1 EN 1993-1-1:2005.

X	Comb.	Sfruttamento	Classe	NEd	NRd	Rid. NRd da VEd	Mx,Ed	Mx,Rd	My,Ed	My,Rd	Rid. Mx,Rd da VEd	Rid. Mx,Rd da NEd	Rid. My,Rd da VEd	Rid. My,Rd da NEd	α	β	px	py	Verifica
1.857	SLV 9	0.166	1	-89.212	664.325	1	-0.7209	31.3291	-0.1384	15.4191	1		1				0	0	Si

Verifica a presso/tenso flessione deviata SLD §§ 4.2.4.1.2.3 - 4.2.4.1.2.6 - 4.2.4.1.2.7 - 4.2.4.1.2.8 NTC18

Verifiche eseguite utilizzando la formula conservativa (6.2) §6.2.1 EN 1993-1-1:2005.

X	Comb.	Sfruttamento	Classe	NEd	NRd	Rid. NRd da VEd	Mx,Ed	Mx,Rd	My,Ed	My,Rd	Rid. Mx,Rd da VEd	Rid. Mx,Rd da NEd	Rid. My,Rd da VEd	Rid. My,Rd da NEd	α	β	px	py	Verifica
1.857	SLD 10	0.073	1	-37.488	664.325	1	-0.4876	31.3291	-0.0172	15.4191	1		1				0	0	Si

Verifiche ad instabilità

Caratteristiche iniziali

Membratura principale per controllo snellezza; Calcolo di snellezze ed N critici condotti secondo gli assi principali;

Curva X: b; Curva Y: c; Svergolamento: Carico all'estradosso; Curva svergolamento: b;

Dati per instabilità attorno a x

Controllo della snellezza secondo §4.2.4.1.3.1 NTC18

Numero rit.	Presente	Ascissa	Campata	βx/m	Vincolo a entrambi estremi	λx/m	λVer
1	Si		0				
			1-2		1	38	Si, (<200)
2	Si		1.857				

Dati per instabilità attorno a y

Controllo della snellezza secondo §4.2.4.1.3.1 NTC18

Numero rit.	Presente	Ascissa	Campata	βy/n	k _i LT	k _w LT	Vincolo a entrambi estremi	λy/n	λVer
1	Si		0						
			1-2		1	1	Si	61.6	Si, (<200)
2	Si		1.857						

Verifica di stabilità per tenso-flessione deviata SLD §§ 5.5.3-5.5.4 ENV 1993-1-1:1992 + AC:1992 + A1:1994 + A2:1998

X	Comb.	Sfruttamento	Classe	NEd	Mx,Ed	Mx,Eff,Ed	My,Ed	χ _i LT	kLT	ky	M _{critico}	W _x	W _y	Verifica
1.857	SLD 2	0.011	1	4.683	-0.29865	-0.16109	0.08843	0.901		1	81.66863	0.0001196	0.0000589	Si

Verifica di stabilità per pressoflessione §C.4.2.4.1.3.3.2 NTC18

X	Comb.	Sfruttamento	Classe	NEd	NRk	M _x ,Ed max	M _x ,Rk	M _y ,Ed max	M _y ,Rk	χ _x	χ _y	k _{xx}	k _{xy}	k _{yx}	k _{yy}	χ _i LT	Verifica
0.929	SLV 10	0.217	1	-89.212	697.541	0.761	32.89552	0.13839	16.19002	0.911	0.719	1.033	0.353	0.982	0.588	0.939	Si

Verifica di stabilità per pressoflessione SLD §C.4.2.4.1.3.3.2 NTC18

X	Comb.	Sfruttamento	Classe	NEd	NRk	M _x ,Ed max	M _x ,Rk	M _y ,Ed max	M _y ,Rk	χ _x	χ _y	k _{xx}	k _{xy}	k _{yx}	k _{yy}	χ _i LT	Verifica
1.857	SLD 10	0.095	1	-37.488	697.541	0.48761	32.89552	0.02749	16.19002	0.911	0.719	0.812	0.401	0.99	0.668	0.985	Si

Verifica di stabilità a taglio anima Y §4.2.4.1.2.4 [4.2.27] NTC18

η	hw	tw	hw/tw max	Verifica
1.2		0.098	0.005	55.46
				Si

Verifica di stabilità a taglio anima Y SLD §4.2.4.1.2.4 [4.2.27] NTC18

η	hw	tw	hw/tw max	Verifica
1.2		0.098	0.005	55.46
				Si

Verifiche a deformabilità

Mensola X: No; Mensola Y: No.

Frecce lungo X

Ascissa freccia	Combinazione	Freccia	Luce	L/f	L/f,min	Tipo	Verifica
1.238	SLE RA 1	-0.00001	1.857	10000	250	Totale	Si
1.238	SLE RA 17	-0.00002	1.857	10000	250	Totale	Si
1.176	SLE RA 16	-0.00003	1.857	10000	250	Totale	Si
1.176	SLE RA 15	-0.00003	1.857	10000	250	Totale	Si
1.238	SLE RA 14	-0.00002	1.857	10000	250	Totale	Si
1.176	SLE RA 2	0.00001	1.857	10000	350	Variabile	Si
1.176	SLE RA 17	-0.00001	1.857	10000	350	Variabile	Si
1.176	SLE RA 16	-0.00002	1.857	10000	350	Variabile	Si
1.114	SLE RA 15	-0.00002	1.857	10000	350	Variabile	Si
1.362	SLE RA 14	0	1.857	10000	350	Variabile	Si

Frecce lungo Y

Ascissa freccia	Combinazione	Freccia	Luce	L/f	L/f,min	Tipo	Verifica
1.176	SLE RA 1	-0.00006	1.857	10000	250	Totale	Si
1.176	SLE RA 17	-0.00007	1.857	10000	250	Totale	Si
1.176	SLE RA 16	-0.00009	1.857	10000	250	Totale	Si

Implementazione dei sistemi di confinamento delle emissioni odorigene diffuse dell'impianto di compostaggio esistente nel
Comune di Eboli (SA)

PROGETTO DEFINITIVO – Tabulati di calcolo Tomo 1

Ascissa freccia	Combinazione	Freccia	Luce	L/f	L/f,min	Tipo	Verifica
1.176	SLE RA 15	-0.00008	1.857	10000	250	Totale	Si
1.114	SLE RA 14	-0.00007	1.857	10000	250	Totale	Si
1.238	SLE RA 2	0.00003	1.857	10000	350	Variabile	Si
1.238	SLE RA 17	-0.00001	1.857	10000	350	Variabile	Si
1.238	SLE RA 16	-0.00003	1.857	10000	350	Variabile	Si
1.3	SLE RA 15	-0.00002	1.857	10000	350	Variabile	Si
1.052	SLE RA 14	-0.00002	1.857	10000	350	Variabile	Si

Superelemento in acciaio a quota "640" (871; 2735)-(979; 2633)

Caratteristiche del materiale

Acciaio: S275, fyk = 275000

Caratteristiche geometriche

Lunghezza: 1.492

Nodo iniziale: 1355 Nodo finale: 1319

Cerniera iniziale: Mmomenti 1% Cerniera finale: Mmomenti 1%

Sovraresistenza: 0% Sisma Z: No

Caratteristiche della sezione

Sezione	Rotazione	Area	Jx	Jy	ix	iy	Wx	Wy	Wplx	Wply
A1; L100*10; 1; Saldato; S275; 30; 1; 8; 8; 1	180	0.003832	0.0000035319	0.000007759	0.0304	0.045	0.0000492	0.0000739	0.00008974	0.00012727

Comportamento dei calastrelli

Accoppiamento imbottito con funzione statica (§C4.2.4.1.3.1.4 NTC18) nella campata compresa tra le ascisse 0 e 1.492 per sbandamento attorno all'asse y.

Verifiche di resistenza

Verifiche a forza assiale §4.2.4.1.2.1 - §4.2.4.1.2.2 NTC18

X	Comb.	Sfruttamento	Classe	NEd	Nc,Rd	Nt,Rd	Riduzione da taglio	px	py	Verifica
0.05	SLU 76	0.002	1	-1.553	1003.522		1	0	0	Si

Verifiche a forza assiale SLD §4.2.4.1.2.1 - §4.2.4.1.2.2 NTC18

X	Comb.	Sfruttamento	Classe	NEd	Nc,Rd	Nt,Rd	Riduzione da taglio	px	py	Verifica
1.492	SLD 10	0.001	3	-0.679	1003.522		1	0	0	Si

Verifica a taglio Y §4.2.4.1.2.4 NTC18

X	Comb.	Sfruttamento	VEd	Vc,Rd	Av	Interazione taglio-torsione	Riduzione torsione	Verifica
1.492	SLU 76	0.001	0.401	302.422	0.002	Non considerata		Si

Verifica a taglio Y SLD §4.2.4.1.2.4 NTC18

X	Comb.	Sfruttamento	VEd	Vc,Rd	Av	Interazione taglio-torsione	Riduzione torsione	Verifica
1.492	SLD 8	0.001	0.271	302.422	0.002	Non considerata		Si

Verifica a flessione semplice X §§ 4.2.4.1.2.3 - 4.2.4.1.2.6 - 4.2.4.1.2.7 - 4.2.4.1.2.8 NTC18

X	Comb.	Sfruttamento	Classe	Mx,Ed	Mx,Rd	Rid. Mx,Rd da VEd	px	py	Verifica
0.646	SLU 39	0.006	1	0.13994	23.50374	1	0	0	Si

Verifica a flessione semplice X SLD §§ 4.2.4.1.2.3 - 4.2.4.1.2.6 - 4.2.4.1.2.7 - 4.2.4.1.2.8 NTC18

X	Comb.	Sfruttamento	Classe	Mx,Ed	Mx,Rd	Rid. Mx,Rd da VEd	px	py	Verifica
0.597	SLD 8	0.005	1	0.12258	23.50374	1	0	0	Si

Verifica a flessione semplice Y §§ 4.2.4.1.2.3 - 4.2.4.1.2.6 - 4.2.4.1.2.7 - 4.2.4.1.2.8 NTC18

X	Comb.	Sfruttamento	Classe	My,Ed	My,Rd	Rid. My,Rd da VEd	px	py	Verifica
1.492	SLV 1	0.001	1	-0.02375	33.33162	1	0	0	Si

Verifica a flessione semplice Y SLD §§ 4.2.4.1.2.3 - 4.2.4.1.2.6 - 4.2.4.1.2.7 - 4.2.4.1.2.8 NTC18

X	Comb.	Sfruttamento	Classe	My,Ed	My,Rd	Rid. My,Rd da VEd	px	py	Verifica
1.492	SLD 3	0.001	1	-0.01836	33.33162	1	0	0	Si

Verifica a flessione deviata §§ 4.2.4.1.2.3 - 4.2.4.1.2.6 - 4.2.4.1.2.7 - 4.2.4.1.2.8 NTC18

X	Comb.	Sfruttamento	Classe	Mx,Ed	Mx,Rd	My,Ed	My,Rd	Rid. Mx,Rd da VEd	Rid. My,Rd da VEd	α	β	px	py	Verifica
0.497	SLV 11	0.006	1	0.127	23.5037	0.0252	33.3316	1	1			0	0	Si

Verifica a flessione deviata SLD §§ 4.2.4.1.2.3 - 4.2.4.1.2.6 - 4.2.4.1.2.7 - 4.2.4.1.2.8 NTC18

X	Comb.	Sfruttamento	Classe	Mx,Ed	Mx,Rd	My,Ed	My,Rd	Rid. Mx,Rd da VEd	Rid. My,Rd da VEd	α	β	px	py	Verifica
0.597	SLD 11	0.005	1	0.1176	23.5037	0.0098	33.3316	1	1			0	0	Si

Verifica a presso/tenso flessione retta X §§ 4.2.4.1.2.3 - 4.2.4.1.2.6 - 4.2.4.1.2.7 - 4.2.4.1.2.8 NTC18

Verifiche eseguite utilizzando la formula conservativa (6.2) §6.2.1 EN 1993-1-1:2005.

X	Comb.	Sfruttamento	Classe	NEd	NRd	Rid. NRd da VEd	Mx,Ed	Mx,Rd	Rid. Mx,Rd da VEd	Rid. Mx,Rd da NEd	px	py	Verifica
0.497	SLU 76	0.01	1	-1.553	1003.522	1	0.2066	23.5037	1		0	0	Si

Verifica a presso/tenso flessione retta X SLD §§ 4.2.4.1.2.3 - 4.2.4.1.2.6 - 4.2.4.1.2.7 - 4.2.4.1.2.8 NTC18

Verifiche eseguite utilizzando la formula conservativa (6.2) §6.2.1 EN 1993-1-1:2005.

X	Comb.	Sfruttamento	Classe	NEd	NRd	Rid. NRd da VEd	Mx,Ed	Mx,Rd	Rid. Mx,Rd da VEd	Rid. Mx,Rd da NEd	px	py	Verifica
0.696	SLD 14	0.005	1	-0.672	1003.522	1	0.1013	23.5037	1		0	0	Si

Implementazione dei sistemi di confinamento delle emissioni odorigene diffuse dell'impianto di compostaggio esistente nel
Comune di Eboli (SA)

PROGETTO DEFINITIVO – Tabulati di calcolo Tomo 1

Verifica a presso/tenso flessione retta Y §§ 4.2.4.1.2.3 - 4.2.4.1.2.6 - 4.2.4.1.2.7 - 4.2.4.1.2.8 NTC18

Verifiche eseguite utilizzando la formula conservativa (6.2) §6.2.1 EN 1993-1-1:2005.

X	Comb.	Sfruttamento	Classe	NEd	NRd	Rid. NRd da VEd	My,Ed	My,Rd	Rid. My,Rd da VEd	Rid. My,Rd da NEd	px	py	Verifica
1.492	SLU 76	0.002	3	-1.553	1003.522	1	-0.0165	19.3536	1		0	0	Si

Verifica a presso/tenso flessione retta Y SLD §§ 4.2.4.1.2.3 - 4.2.4.1.2.6 - 4.2.4.1.2.7 - 4.2.4.1.2.8 NTC18

Verifiche eseguite utilizzando la formula conservativa (6.2) §6.2.1 EN 1993-1-1:2005.

X	Comb.	Sfruttamento	Classe	NEd	NRd	Rid. NRd da VEd	My,Ed	My,Rd	Rid. My,Rd da VEd	Rid. My,Rd da NEd	px	py	Verifica
1.492	SLD 9	0.001	3	-0.679	1003.522	1	0.0124	19.3536	1		0	0	Si

Verifica a presso/tenso flessione deviata §§ 4.2.4.1.2.3 - 4.2.4.1.2.6 - 4.2.4.1.2.7 - 4.2.4.1.2.8 NTC18

Verifiche eseguite utilizzando la formula conservativa (6.2) §6.2.1 EN 1993-1-1:2005.

X	Comb.	Sfruttamento	Classe	NEd	NRd	Rid. NRd da VEd	Mx,Ed	Mx,Rd	My,Ed	My,Rd	Rid. Mx,Rd da VEd	Rid. Mx,Rd da NEd	Rid. My,Rd da VEd	Rid. My,Rd da NEd	α	β	px	py	Verifica
0.447	SLU 76	0.011	1	-1.553	1003.522	1	0.2067	23.5037	0.008	33.3316	1		1				0	0	Si

Verifica a presso/tenso flessione deviata SLD §§ 4.2.4.1.2.3 - 4.2.4.1.2.6 - 4.2.4.1.2.7 - 4.2.4.1.2.8 NTC18

Verifiche eseguite utilizzando la formula conservativa (6.2) §6.2.1 EN 1993-1-1:2005.

X	Comb.	Sfruttamento	Classe	NEd	NRd	Rid. NRd da VEd	Mx,Ed	Mx,Rd	My,Ed	My,Rd	Rid. Mx,Rd da VEd	Rid. Mx,Rd da NEd	Rid. My,Rd da VEd	Rid. My,Rd da NEd	α	β	px	py	Verifica
0.646	SLD 16	0.005	1	-0.524	1003.522	1	0.1062	23.5037	0.0104	33.3316	1		1				0	0	Si

Verifiche ad instabilità

Caratteristiche iniziali

Membratura principale per controllo snellezza; Calcolo di snellezze ed N critici condotti secondo gli assi principali;

Curva X: c; Curva Y: c;

Svergolamento: Nessuno; la verifica a instabilità flessio-torsionale (svergolamento) non verrà eseguita.

Dati per instabilità attorno a x

Controllo della snellezza secondo §4.2.4.1.3.1 NTC18

Numero rit.	Presente	Ascissa	Campata	βx/m	Vincolo a entrambi estremi	λx/m	λVer
1	Si		0				
			1-2		1	Si	49.1
2	Si	1.492					Si, (<200)

Dati per instabilità attorno a y

Controllo della snellezza secondo §4.2.4.1.3.1 NTC18

Numero rit.	Presente	Ascissa	Campata	βy/n	k,LT	kw,LT	Vincolo a entrambi estremi
1	Si		0				
			1-2		1	Si	34.6
2	Si	1.492					Si, (<200)

Verifica di stabilità per pressoflessione §C.4.2.4.1.3.3.1 NTC18

X	Comb.	Sfruttamento	Classe	NEd	MxEq,Ed	MyEq,Ed	Area	Wx	Wy	χ,min	λ adim. x/m	λ adim. y/n	N,crit x/m	N,crit y/n	Verifica
1.492	SLU 76	0.018	3	-1.553	0.2017	-0.0124	0.003832	0.0000492	0.0000739	0.805	0.566	0.398	3290.424	6638.526	Si

Verifica di stabilità per pressoflessione SLD §C.4.2.4.1.3.3.1 NTC18

X	Comb.	Sfruttamento	Classe	NEd	MxEq,Ed	MyEq,Ed	Area	Wx	Wy	χ,min	λ adim. x/m	λ adim. y/n	N,crit x/m	N,crit y/n	Verifica
1.492	SLD 16	0.009	3	-0.524	0.1001	0.0145	0.003832	0.0000492	0.0000739	0.805	0.566	0.398	3290.424	6638.526	Si

Verifiche a deformabilità

Mensola X: No; Mensola Y: No.

Frecce lungo X

Ascissa freccia	Combinazione	Freccia	Luce	L/f	L/f,min	Tipo	Verifica
1.044	SLE RA 1	0	1.492	10000	250	Totale	Si
1.094	SLE RA 17	0	1.492	10000	250	Totale	Si
1.094	SLE RA 16	0	1.492	10000	250	Totale	Si
1.094	SLE RA 15	0	1.492	10000	250	Totale	Si
1.044	SLE RA 14	0	1.492	10000	250	Totale	Si
1.144	SLE RA 2	0	1.492	10000	350	Variabile	Si
1.144	SLE RA 17	0	1.492	10000	350	Variabile	Si
1.144	SLE RA 16	0	1.492	10000	350	Variabile	Si
1.144	SLE RA 15	0	1.492	10000	350	Variabile	Si
0.895	SLE RA 14	0	1.492	10000	350	Variabile	Si

Frecce lungo Y

Ascissa freccia	Combinazione	Freccia	Luce	L/f	L/f,min	Tipo	Verifica
0.696	SLE RA 1	0.00004	1.492	10000	250	Totale	Si
0.696	SLE RA 17	0.00004	1.492	10000	250	Totale	Si
0.696	SLE RA 16	0.00004	1.492	10000	250	Totale	Si
0.696	SLE RA 15	0.00005	1.492	10000	250	Totale	Si
0.696	SLE RA 14	0.00004	1.492	10000	250	Totale	Si
0.646	SLE RA 2	-0.00001	1.492	10000	350	Variabile	Si
0.646	SLE RA 17	0	1.492	10000	350	Variabile	Si
0.646	SLE RA 16	0.00001	1.492	10000	350	Variabile	Si
0.646	SLE RA 15	0.00001	1.492	10000	350	Variabile	Si
0.646	SLE RA 14	0	1.492	10000	350	Variabile	Si

Superelemento in acciaio a quota "640" (874; 1209)-(983; 1106)

Caratteristiche del materiale

Acciaio: S275, fyk = 275000

Implementazione dei sistemi di confinamento delle emissioni odorigene diffuse dell'impianto di compostaggio esistente nel
Comune di Eboli (SA)
PROGETTO DEFINITIVO – Tabulati di calcolo Tomo 1

Caratteristiche geometriche

Lunghezza: 1.501
Nodo iniziale: 911 Nodo finale: 890
Cerniera iniziale: Mmomenti 1% Cerniera finale: Mmomenti 1%
Sovraresistenza: 0% Sisma Z: No

Caratteristiche della sezione

Sezione	Rotazione	Area	Jx	Jy	ix	iy	Wx	Wy	Wplx	Wply
A1; L100*10; 1; Saldato; S275; 30; 1; 8; 8; 1	180	0.003832	0.0000035319	0.000007759	0.0304	0.045	0.0000492	0.0000739	0.00008974	0.00012727

Comportamento dei calastrelli

Accoppiamento imbottito con funzione statica (§C4.2.4.1.3.1.4 NTC18) nella campata compresa tra le ascisse 0 e 1.501 per sbandamento attorno all'asse y.

Verifiche di resistenza

Verifiche a forza assiale §4.2.4.1.2.1 - §4.2.4.1.2.2 NTC18

X	Comb.	Sfruttamento	Classe	NEd	Nc,Rd	Nt,Rd	Riduzione da taglio	px	py	Verifica
1.501	SLV 4	0.005		4.991		1003.522	1	0	0	Si

Verifiche a forza assiale SLD §4.2.4.1.2.1 - §4.2.4.1.2.2 NTC18

X	Comb.	Sfruttamento	Classe	NEd	Nc,Rd	Nt,Rd	Riduzione da taglio	px	py	Verifica
1.501	SLD 4	0.002		1.65		1003.522	1	0	0	Si

Verifica a taglio Y §4.2.4.1.2.4 NTC18

X	Comb.	Sfruttamento	VEd	Vc,Rd	Av	Interazione taglio-torsione	Riduzione torsione	Verifica
1.501	SLV 13	0.001	0.333	302.422	0.002	Non considerata		Si

Verifica a taglio Y SLD §4.2.4.1.2.4 NTC18

X	Comb.	Sfruttamento	VEd	Vc,Rd	Av	Interazione taglio-torsione	Riduzione torsione	Verifica
1.501	SLD 14	0.001	0.263	302.422	0.002	Non considerata		Si

Verifica a flessione semplice X §§ 4.2.4.1.2.3 - 4.2.4.1.2.6 - 4.2.4.1.2.7 - 4.2.4.1.2.8 NTC18

X	Comb.	Sfruttamento	Classe	Mx,Ed	Mx,Rd	Rid. Mx,Rd da VEd	px	py	Verifica
0.75	SLV 40	0.005	1	0.1117	23.50374	1	0	0	Si

Verifica a flessione semplice Y §§ 4.2.4.1.2.3 - 4.2.4.1.2.6 - 4.2.4.1.2.7 - 4.2.4.1.2.8 NTC18

X	Comb.	Sfruttamento	Classe	My,Ed	My,Rd	Rid. My,Rd da VEd	px	py	Verifica
1.501	SLV 64	0.001	1	0.01705	33.33162	1	0	0	Si

Verifica a flessione deviata §§ 4.2.4.1.2.3 - 4.2.4.1.2.6 - 4.2.4.1.2.7 - 4.2.4.1.2.8 NTC18

X	Comb.	Sfruttamento	Classe	Mx,Ed	Mx,Rd	My,Ed	My,Rd	Rid. Mx,Rd da VEd	Rid. My,Rd da VEd	α	β	px	py	Verifica
1	SLV 61	0.004	1	0.097	23.5037	0.0074	33.3316	1	1			0	0	Si

Verifica a presso/tenso flessione retta X §§ 4.2.4.1.2.3 - 4.2.4.1.2.6 - 4.2.4.1.2.7 - 4.2.4.1.2.8 NTC18

Verifiche eseguite utilizzando la formula conservativa (6.2) §6.2.1 EN 1993-1-1:2005.

X	Comb.	Sfruttamento	Classe	NEd	NRd	Rid. NRd da VEd	Mx,Ed	Mx,Rd	Rid. Mx,Rd da VEd	Rid. Mx,Rd da NEd	px	py	Verifica
1	SLV 3	0.012	1	4.991	1003.522	1	0.176	23.5037	1		0	0	Si

Verifica a presso/tenso flessione retta X SLD §§ 4.2.4.1.2.3 - 4.2.4.1.2.6 - 4.2.4.1.2.7 - 4.2.4.1.2.8 NTC18

Verifiche eseguite utilizzando la formula conservativa (6.2) §6.2.1 EN 1993-1-1:2005.

X	Comb.	Sfruttamento	Classe	NEd	NRd	Rid. NRd da VEd	Mx,Ed	Mx,Rd	Rid. Mx,Rd da VEd	Rid. Mx,Rd da NEd	px	py	Verifica
0.85	SLD 4	0.006	1	1.65	1003.522	1	0.1101	23.5037	1		0	0	Si

Verifica a presso/tenso flessione retta Y §§ 4.2.4.1.2.3 - 4.2.4.1.2.6 - 4.2.4.1.2.7 - 4.2.4.1.2.8 NTC18

Verifiche eseguite utilizzando la formula conservativa (6.2) §6.2.1 EN 1993-1-1:2005.

X	Comb.	Sfruttamento	Classe	NEd	NRd	Rid. NRd da VEd	My,Ed	My,Rd	Rid. My,Rd da VEd	Rid. My,Rd da NEd	px	py	Verifica
0	SLV 14	0.006	3	-4.918	1003.522	1	-0.0279	19.3536	1		0	0	Si

Verifica a presso/tenso flessione retta Y SLD §§ 4.2.4.1.2.3 - 4.2.4.1.2.6 - 4.2.4.1.2.7 - 4.2.4.1.2.8 NTC18

Verifiche eseguite utilizzando la formula conservativa (6.2) §6.2.1 EN 1993-1-1:2005.

X	Comb.	Sfruttamento	Classe	NEd	NRd	Rid. NRd da VEd	My,Ed	My,Rd	Rid. My,Rd da VEd	Rid. My,Rd da NEd	px	py	Verifica
1.25	SLD 13	0.002	3	-1.577	1003.522	1	0.0147	19.3536	1		0	0	Si

Verifica a presso/tenso flessione deviata §§ 4.2.4.1.2.3 - 4.2.4.1.2.6 - 4.2.4.1.2.7 - 4.2.4.1.2.8 NTC18

Verifiche eseguite utilizzando la formula conservativa (6.2) §6.2.1 EN 1993-1-1:2005.

X	Comb.	Sfruttamento	Classe	NEd	NRd	Rid. NRd da VEd	Mx,Ed	Mx,Rd	My,Ed	My,Rd	Rid. Mx,Rd da VEd	Rid. Mx,Rd da NEd	Rid. My,Rd da VEd	Rid. My,Rd da NEd	α	β	px	py	Verifica
1.1	SLV 7	0.013	1	4.932	1003.522	1	0.1756	23.5037	0.0154	33.3316	1		1				0	0	Si

Verifica a presso/tenso flessione deviata SLD §§ 4.2.4.1.2.3 - 4.2.4.1.2.6 - 4.2.4.1.2.7 - 4.2.4.1.2.8 NTC18

Verifiche eseguite utilizzando la formula conservativa (6.2) §6.2.1 EN 1993-1-1:2005.

X	Comb.	Sfruttamento	Classe	NEd	NRd	Rid. NRd da VEd	Mx,Ed	Mx,Rd	My,Ed	My,Rd	Rid. Mx,Rd da VEd	Rid. Mx,Rd da NEd	Rid. My,Rd da VEd	Rid. My,Rd da NEd	α	β	px	py	Verifica
1.05	SLD 8	0.006	1	1.631	1003.522	1	0.1036	23.5037	0.0077	33.3316	1		1				0	0	Si

Verifiche ad instabilità

Caratteristiche iniziali

Membratura principale per controllo snellezza; Calcolo di snellezze ed N critici condotti secondo gli assi principali;

Implementazione dei sistemi di confinamento delle emissioni odorigene diffuse dell'impianto di compostaggio esistente nel
Comune di Eboli (SA)
PROGETTO DEFINITIVO – Tabulati di calcolo Tomo 1

Curva X: c; Curva Y: c;
Svergolamento: Nessuno; la verifica a instabilità flessione-torsionale (svergolamento) non verrà eseguita.
Dati per instabilità attorno a x

Controllo della snellezza secondo §4.2.4.1.3.1 NTC18

Numero rit.	Presente	Ascissa	Campata	$\beta x/m$	Vincolo a entrambi estremi	$\lambda x/m$	λVer
1	Si	0					
			1-2	1	Si	49.4	Si, (<200)
2	Si	1.501					

Dati per instabilità attorno a y

Controllo della snellezza secondo §4.2.4.1.3.1 NTC18

Numero rit.	Presente	Ascissa	Campata	$\beta y/n$	k,LT	kw,LT	Vincolo a entrambi estremi
1	Si	0					
			1-2	1	Si	34.8	Si, (<200)
2	Si	1.501					

Verifica di stabilità per pressoflessione §C.4.2.4.1.3.3.1 NTC18

X	Comb.	Sfruttamento	Classe	NEd	MxEq,Ed	MyEq,Ed	Area	Wx	Wy	χ_{min}	$\lambda_{adim. x/m}$	$\lambda_{adim. y/n}$	N,crit x/m	N,crit y/n	Verifica
0.4	SLV 13	0.017	3	-4.918	-0.1187	0.0281	0.003832	0.0000492	0.0000739	0.803	0.569	0.401	3250.973	6565.358	Si

Verifica di stabilità per pressoflessione SLD §C.4.2.4.1.3.3.1 NTC18

X	Comb.	Sfruttamento	Classe	NEd	MxEq,Ed	MyEq,Ed	Area	Wx	Wy	χ_{min}	$\lambda_{adim. x/m}$	$\lambda_{adim. y/n}$	N,crit x/m	N,crit y/n	Verifica
1.1	SLD 13	0.006	3	-1.577	0.0456	0.0132	0.003832	0.0000492	0.0000739	0.803	0.569	0.401	3250.973	6565.358	Si

Verifiche a deformabilità

Mensola X: No; Mensola Y: No.

Frecce lungo X

Ascissa freccia	Combinazione	Freccia	Luce	L/f	L/f,min	Tipo	Verifica
1	SLE RA 1	0	1.501	10000	250	Totale	Si
1	SLE RA 17	0	1.501	10000	250	Totale	Si
1	SLE RA 16	0	1.501	10000	250	Totale	Si
1.05	SLE RA 15	0	1.501	10000	250	Totale	Si
1	SLE RA 14	0	1.501	10000	250	Totale	Si
1.05	SLE RA 2	0	1.501	10000	350	Variabile	Si
1.05	SLE RA 17	0	1.501	10000	350	Variabile	Si
1.05	SLE RA 16	0	1.501	10000	350	Variabile	Si
1.05	SLE RA 15	0	1.501	10000	350	Variabile	Si
1.05	SLE RA 14	0	1.501	10000	350	Variabile	Si

Frecce lungo Y

Ascissa freccia	Combinazione	Freccia	Luce	L/f	L/f,min	Tipo	Verifica
0.75	SLE RA 1	0.00003	1.501	10000	250	Totale	Si
0.75	SLE RA 17	0.00003	1.501	10000	250	Totale	Si
0.75	SLE RA 16	0.00003	1.501	10000	250	Totale	Si
0.75	SLE RA 15	0.00003	1.501	10000	250	Totale	Si
0.75	SLE RA 14	0.00003	1.501	10000	250	Totale	Si
0.95	SLE RA 2	0	1.501	10000	350	Variabile	Si
0.95	SLE RA 17	0	1.501	10000	350	Variabile	Si
0.95	SLE RA 16	0	1.501	10000	350	Variabile	Si
0.95	SLE RA 15	0	1.501	10000	350	Variabile	Si
0.95	SLE RA 14	0	1.501	10000	350	Variabile	Si

Superelemento in acciaio a quota "640" (909; 1684)-(1019; 1582)

Caratteristiche del materiale

Acciaio: S275, fyk = 275000

Caratteristiche geometriche

Lunghezza: 1.5

Nodo iniziale: 1006 Nodo finale: 984

Cerniera iniziale: Mmomenti 1% Cerniera finale: Mmomenti 1%

Sovreresistenza: 0% Sisma Z: No

Caratteristiche della sezione

Sezione	Rotazione	Area	Jx	Jy	ix	iy	Wx	Wy	Wplx	Wply
A1; L100*10; 1; Saldato; S275; 30; 1; 8; 8; 1	180	0.003832	0.0000035319	0.000007759	0.0304	0.045	0.0000492	0.0000739	0.00008974	0.00012727

Comportamento dei calastrelli

Accoppiamento imbottito con funzione statica (§C4.2.4.1.3.1.4 NTC18) nella campata compresa tra le ascisse 0 e 1.5 per sbandamento attorno all'asse y.

Verifiche di resistenza

Verifiche a forza assiale §4.2.4.1.2.1 - §4.2.4.1.2.2 NTC18

X	Comb.	Sfruttamento	Classe	NEd	Nc,Rd	Nt,Rd	Riduzione da taglio	px	py	Verifica
1.5	SLU 75	0.176		176.922		1003.522	1	0	0	Si

Verifiche a forza assiale SLD §4.2.4.1.2.1 - §4.2.4.1.2.2 NTC18

X	Comb.	Sfruttamento	Classe	NEd	Nc,Rd	Nt,Rd	Riduzione da taglio	px	py	Verifica
0	SLD 1	0.069		69.639		1003.522	1	0	0	Si

Implementazione dei sistemi di confinamento delle emissioni odorigene diffuse dell'impianto di compostaggio esistente nel
Comune di Eboli (SA)
PROGETTO DEFINITIVO – Tabulati di calcolo Tomo 1

Verifica a taglio Y §4.2.4.1.2.4 NTC18

X	Comb.	Sfruttamento	VEd	Vc,Rd	Av	Interazione taglio-torsione	Riduzione torsione	Verifica
0	SLU 75	0.001	-0.295	302.422	0.002	Non considerata		Si

Verifica a taglio Y SLD §4.2.4.1.2.4 NTC18

X	Comb.	Sfruttamento	VEd	Vc,Rd	Av	Interazione taglio-torsione	Riduzione torsione	Verifica
0	SLD 1	0.001	-0.226	302.422	0.002	Non considerata		Si

Verifica a presso/tenso flessione retta X §§ 4.2.4.1.2.3 - 4.2.4.1.2.6 - 4.2.4.1.2.7 - 4.2.4.1.2.8 NTC18

Verifiche eseguite utilizzando la formula conservativa (6.2) §6.2.1 EN 1993-1-1:2005.

X	Comb.	Sfruttamento	Classe	NEd	NRd	Rid. NRd da VEd	Mx,Ed	Mx,Rd	Rid. Mx,Rd da VEd	Rid. Mx,Rd da NEd	px	py	Verifica
0.75	SLU 75	0.181	1	176.922	1003.522	1	0.1119	23.5037	1		0	0	Si

Verifica a presso/tenso flessione retta X SLD §§ 4.2.4.1.2.3 - 4.2.4.1.2.6 - 4.2.4.1.2.7 - 4.2.4.1.2.8 NTC18

Verifiche eseguite utilizzando la formula conservativa (6.2) §6.2.1 EN 1993-1-1:2005.

X	Comb.	Sfruttamento	Classe	NEd	NRd	Rid. NRd da VEd	Mx,Ed	Mx,Rd	Rid. Mx,Rd da VEd	Rid. Mx,Rd da NEd	px	py	Verifica
0.75	SLD 2	0.073	1	69.639	1003.522	1	0.085	23.5037	1		0	0	Si

Verifica a presso/tenso flessione retta Y §§ 4.2.4.1.2.3 - 4.2.4.1.2.6 - 4.2.4.1.2.7 - 4.2.4.1.2.8 NTC18

Verifiche eseguite utilizzando la formula conservativa (6.2) §6.2.1 EN 1993-1-1:2005.

X	Comb.	Sfruttamento	Classe	NEd	NRd	Rid. NRd da VEd	My,Ed	My,Rd	Rid. My,Rd da VEd	Rid. My,Rd da NEd	px	py	Verifica
0	SLU 75	0.177	1	176.922	1003.522	1	-0.0125	33.3316	1		0	0	Si

Verifica a presso/tenso flessione retta Y SLD §§ 4.2.4.1.2.3 - 4.2.4.1.2.6 - 4.2.4.1.2.7 - 4.2.4.1.2.8 NTC18

Verifiche eseguite utilizzando la formula conservativa (6.2) §6.2.1 EN 1993-1-1:2005.

X	Comb.	Sfruttamento	Classe	NEd	NRd	Rid. NRd da VEd	My,Ed	My,Rd	Rid. My,Rd da VEd	Rid. My,Rd da NEd	px	py	Verifica
1.5	SLD 1	0.07	1	69.639	1003.522	1	-0.0308	33.3316	1		0	0	Si

Verifica a presso/tenso flessione deviata §§ 4.2.4.1.2.3 - 4.2.4.1.2.6 - 4.2.4.1.2.7 - 4.2.4.1.2.8 NTC18

Verifiche eseguite utilizzando la formula conservativa (6.2) §6.2.1 EN 1993-1-1:2005.

X	Comb.	Sfruttamento	Classe	NEd	NRd	Rid. NRd da VEd	Mx,Ed	Mx,Rd	My,Ed	My,Rd	Rid. Mx,Rd da VEd	Rid. Mx,Rd da NEd	Rid. My,Rd da VEd	Rid. My,Rd da NEd	α	β	px	py	Verifica
0.35	SLU 75	0.18	1	176.922	1003.522	1	0.0801	23.5037	-0.0076	33.3316	1		1				0	0	Si

Verifica a presso/tenso flessione deviata SLD §§ 4.2.4.1.2.3 - 4.2.4.1.2.6 - 4.2.4.1.2.7 - 4.2.4.1.2.8 NTC18

Verifiche eseguite utilizzando la formula conservativa (6.2) §6.2.1 EN 1993-1-1:2005.

X	Comb.	Sfruttamento	Classe	NEd	NRd	Rid. NRd da VEd	Mx,Ed	Mx,Rd	My,Ed	My,Rd	Rid. Mx,Rd da VEd	Rid. Mx,Rd da NEd	Rid. My,Rd da VEd	Rid. My,Rd da NEd	α	β	px	py	Verifica
0.85	SLD 2	0.073	1	69.639	1003.522	1	0.0836	23.5037	-0.0105	33.3316	1		1				0	0	Si

Verifiche ad instabilità

Caratteristiche iniziali

Membratura principale per controllo snellezza; Calcolo di snellezze ed N critici condotti secondo gli assi principali;

Curva X: c; Curva Y: c;

Svergolamento: Nessuno; la verifica a instabilità flesso-torsionale (svergolamento) non verrà eseguita.

Dati per instabilità attorno a x

Controllo della snellezza secondo §4.2.4.1.3.1 NTC18

Numero rit.	Presente	Ascissa	Campata	βx/m	Vincolo a entrambi estremi	λx/m	λVer
1	Si	0					
			1-2		1	49.4	Si, (<200)
2	Si	1.5					

Dati per instabilità attorno a y

Controllo della snellezza secondo §4.2.4.1.3.1 NTC18

Numero rit.	Presente	Ascissa	Campata	βy/n	k,LT	kw,LT	Vincolo a entrambi estremi
1	Si	0					
			1-2		1	34.8	Si, (<200)
2	Si	1.5					

Verifica di stabilità per pressoflessione §C.4.2.4.1.3.3.1 NTC18

X	Comb.	Sfruttamento	Classe	NEd	MxEq,Ed	MyEq,Ed	Area	Wx	Wy	χ,min	λ adim. x/m	λ adim. y/n	N,crit x/m	N,crit y/n	Verifica
0	SLU 2	0.044	3	-27.851	0.072	0.0651	0.003832	0.0000492	0.0000739	0.804	0.569	0.4	3253.47	6569.993	Si

Verifiche a deformabilità

Mensola X: No; Mensola Y: No.

Frecce lungo X

Ascissa freccia	Combinazione	Freccia	Luce	L/f	L/f,min	Tipo	Verifica
0.5	SLE RA 1	0	1.5	10000	250	Totale	Si
0.5	SLE RA 17	0	1.5	10000	250	Totale	Si
0.45	SLE RA 16	0	1.5	10000	250	Totale	Si
0.55	SLE RA 15	0	1.5	10000	250	Totale	Si
0.45	SLE RA 14	0	1.5	10000	250	Totale	Si
0.45	SLE RA 2	0	1.5	10000	350	Variabile	Si
0.45	SLE RA 17	0	1.5	10000	350	Variabile	Si
0.45	SLE RA 16	0	1.5	10000	350	Variabile	Si
0.6	SLE RA 15	0	1.5	10000	350	Variabile	Si
0.4	SLE RA 14	0	1.5	10000	350	Variabile	Si

Frecce lungo Y

Ascissa freccia	Combinazione	Freccia	Luce	L/f	L/f,min	Tipo	Verifica
0.75	SLE RA 1	0.00003	1.5	10000	250	Totale	Si
0.75	SLE RA 17	0.00003	1.5	10000	250	Totale	Si
0.75	SLE RA 16	0.00003	1.5	10000	250	Totale	Si

Implementazione dei sistemi di confinamento delle emissioni odorigene diffuse dell'impianto di compostaggio esistente nel
Comune di Eboli (SA)
PROGETTO DEFINITIVO – Tabulati di calcolo Tomo 1

Ascissa freccia	Combinazione	Freccia	Luce	L/f	L/f,min	Tipo	Verifica
0.75	SLE RA 15	0.00003	1.5	10000	250	Totale	Si
0.75	SLE RA 14	0.00003	1.5	10000	250	Totale	Si
0.8	SLE RA 2	0	1.5	10000	350	Variabile	Si
0.8	SLE RA 17	0	1.5	10000	350	Variabile	Si
0.8	SLE RA 16	0	1.5	10000	350	Variabile	Si
0.8	SLE RA 15	0	1.5	10000	350	Variabile	Si
0.8	SLE RA 14	0	1.5	10000	350	Variabile	Si

Superelemento in acciaio a quota "640" (948; 2165)-(1057; 2062)

Caratteristiche del materiale

Acciaio: S275, fyk = 275000

Caratteristiche geometriche

Lunghezza: 1.5

Nodo iniziale: 1096 Nodo finale: 1080

Cerniera iniziale: Mmomenti 1% Cerniera finale: Mmomenti 1%

Sovreresistenza: 0% Sisma Z: No

Caratteristiche della sezione

Sezione	Rotazione	Area	Jx	Jy	ix	iy	Wx	Wy	Wplx	Wply
A1; L100*10; 1; Saldato; S275; 30; 1; 8; 8; 1	180	0.003832	0.0000035319	0.000007759	0.0304	0.045	0.0000492	0.0000739	0.00008974	0.00012727

Comportamento dei calastrelli

Accoppiamento imbottito con funzione statica (§C4.2.4.1.3.1.4 NTC18) nella campata compresa tra le ascisse 0 e 1.5 per sbandamento attorno all'asse y.

Verifiche di resistenza

Verifiche a forza assiale §4.2.4.1.2.1 - §4.2.4.1.2.2 NTC18

X	Comb.	Sfruttamento	Classe	NEd	Nc,Rd	Nt,Rd	Riduzione da taglio	px	py	Verifica
1.5	SLU 38	0.018		18.04		1003.522	1	0	0	Si

Verifiche a forza assiale SLD §4.2.4.1.2.1 - §4.2.4.1.2.2 NTC18

X	Comb.	Sfruttamento	Classe	NEd	Nc,Rd	Nt,Rd	Riduzione da taglio	px	py	Verifica
1.5	SLD 11	0.004		3.686		1003.522	1	0	0	Si

Verifica a taglio X §4.2.4.1.2.4 NTC18

X	Comb.	Sfruttamento	VEd	Vc,Rd	Av	Interazione taglio-torsione	Riduzione torsione	Verifica
0	SLV 1	0.002	-0.725	302.422	0.002	Non considerata		Si

Verifica a taglio Y §4.2.4.1.2.4 NTC18

X	Comb.	Sfruttamento	VEd	Vc,Rd	Av	Interazione taglio-torsione	Riduzione torsione	Verifica
1.5	SLU 76	0.001	0.295	302.422	0.002	Non considerata		Si

Verifica a taglio Y SLD §4.2.4.1.2.4 NTC18

X	Comb.	Sfruttamento	VEd	Vc,Rd	Av	Interazione taglio-torsione	Riduzione torsione	Verifica
1.5	SLD 12	0.001	0.226	302.422	0.002	Non considerata		Si

Verifica a presso/tenso flessione retta X §§ 4.2.4.1.2.3 - 4.2.4.1.2.6 - 4.2.4.1.2.7 - 4.2.4.1.2.8 NTC18

Verifiche eseguite utilizzando la formula conservativa (6.2) §6.2.1 EN 1993-1-1:2005.

X	Comb.	Sfruttamento	Classe	NEd	NRd	Rid. NRd da VEd	Mx,Ed	Mx,Rd	Rid. Mx,Rd da VEd	Rid. Mx,Rd da NEd	px	py	Verifica
0.75	SLU 76	0.023	1	17.91	1003.522	1	0.1094	23.5037	1		0	0	Si

Verifica a presso/tenso flessione retta X SLD §§ 4.2.4.1.2.3 - 4.2.4.1.2.6 - 4.2.4.1.2.7 - 4.2.4.1.2.8 NTC18

Verifiche eseguite utilizzando la formula conservativa (6.2) §6.2.1 EN 1993-1-1:2005.

X	Comb.	Sfruttamento	Classe	NEd	NRd	Rid. NRd da VEd	Mx,Ed	Mx,Rd	Rid. Mx,Rd da VEd	Rid. Mx,Rd da NEd	px	py	Verifica
1.2	SLD 7	0.005	1	3.072	1003.522	1	0.0534	23.5037	1		0	0	Si

Verifica a presso/tenso flessione retta Y §§ 4.2.4.1.2.3 - 4.2.4.1.2.6 - 4.2.4.1.2.7 - 4.2.4.1.2.8 NTC18

Verifiche eseguite utilizzando la formula conservativa (6.2) §6.2.1 EN 1993-1-1:2005.

X	Comb.	Sfruttamento	Classe	NEd	NRd	Rid. NRd da VEd	My,Ed	My,Rd	Rid. My,Rd da VEd	Rid. My,Rd da NEd	px	py	Verifica
0	SLV 15	0.013	1	5.787	1003.522	1	-0.2518	33.3316	1		0	0	Si

Verifica a presso/tenso flessione retta Y SLD §§ 4.2.4.1.2.3 - 4.2.4.1.2.6 - 4.2.4.1.2.7 - 4.2.4.1.2.8 NTC18

Verifiche eseguite utilizzando la formula conservativa (6.2) §6.2.1 EN 1993-1-1:2005.

X	Comb.	Sfruttamento	Classe	NEd	NRd	Rid. NRd da VEd	My,Ed	My,Rd	Rid. My,Rd da VEd	Rid. My,Rd da NEd	px	py	Verifica
0	SLD 15	0.007	1	3.684	1003.522	1	-0.1009	33.3316	1		0	0	Si

Verifica a presso/tenso flessione deviata §§ 4.2.4.1.2.3 - 4.2.4.1.2.6 - 4.2.4.1.2.7 - 4.2.4.1.2.8 NTC18

Verifiche eseguite utilizzando la formula conservativa (6.2) §6.2.1 EN 1993-1-1:2005.

X	Comb.	Sfruttamento	Classe	NEd	NRd	Rid. NRd da VEd	Mx,Ed	Mx,Rd	My,Ed	My,Rd	Rid. Mx,Rd da VEd	Rid. Mx,Rd da NEd	Rid. My,Rd da VEd	Rid. My,Rd da NEd	α	β	px	py	Verifica
0.75	SLU 40	0.018	3	-8.089	1003.522	1	0.1091	12.886	-0.0244	19.3536	1		1				0	0	Si

Verifica a presso/tenso flessione deviata SLD §§ 4.2.4.1.2.3 - 4.2.4.1.2.6 - 4.2.4.1.2.7 - 4.2.4.1.2.8 NTC18

Verifiche eseguite utilizzando la formula conservativa (6.2) §6.2.1 EN 1993-1-1:2005.

Implementazione dei sistemi di confinamento delle emissioni odorigene diffuse dell'impianto di compostaggio esistente nel
Comune di Eboli (SA)

PROGETTO DEFINITIVO – Tabulati di calcolo Tomo 1

X	Comb.	Sfruttamento	Classe	NEd	NRd	Rid. NRd da VEd	Mx,Ed	Mx,Rd	My,Ed	My,Rd	Rid. Mx,Rd da VEd	Rid. Mx,Rd da NEd	Rid. My,Rd da VEd	Rid. My,Rd da NEd	α	β	px	py	Verifica
0.55	SLD 15	0.009	1	3.684	1003.522	1	0.0781	23.5037	-0.0597	33.3316	1		1				0	0	Si

Verifiche ad instabilità

Caratteristiche iniziali

Membratura principale per controllo snellezza; Calcolo di snellezze ed N critici condotti secondo gli assi principali;

Curva X: c; Curva Y: c;

Svergolamento: Nessuno; la verifica a instabilità flessione-torsionale (svergolamento) non verrà eseguita.

Dati per instabilità attorno a x

Controllo della snellezza secondo §4.2.4.1.3.1 NTC18

Numero rit.	Presente	Ascissa	Campata	βx/m	Vincolo a entrambi estremi	λx/m	λVer
1	Si	0					
			1-2	1	Si	49.4	Si, (<200)
2	Si	1.5					

Dati per instabilità attorno a y

Controllo della snellezza secondo §4.2.4.1.3.1 NTC18

Numero rit.	Presente	Ascissa	Campata	βy/n	k,LT	kw,LT	Vincolo a entrambi estremi
1	Si	0					
			1-2	1	Si	34.8	Si, (<200)
2	Si	1.5					

Verifica di stabilità per pressoflessione §C.4.2.4.1.3.3.1 NTC18

X	Comb.	Sfruttamento	Classe	NEd	MxEq,Ed	MyEq,Ed	Area	Wx	Wy	χ,min	λ adim. x/m	λ adim. y/n	N,crit x/m	N,crit y/n	Verifica
0	SLU 40	0.018	3	-8.089	0.094	-0.0186	0.003832	0.0000492	0.0000739	0.804	0.569	0.4	3253.47	6569.993	Si

Verifiche a deformabilità

Mensola X: No; Mensola Y: No.

Frecce lungo X

Ascissa freccia	Combinazione	Freccia	Luce	L/f	L/f,min	Tipo	Verifica
0.35	SLE RA 1	0	1.5	10000	250	Totale	Si
0.35	SLE RA 17	0	1.5	10000	250	Totale	Si
0.35	SLE RA 16	0	1.5	10000	250	Totale	Si
0.3	SLE RA 15	0	1.5	10000	250	Totale	Si
0.4	SLE RA 14	0	1.5	10000	250	Totale	Si
0.4	SLE RA 2	0	1.5	10000	350	Variabile	Si
0.4	SLE RA 17	0	1.5	10000	350	Variabile	Si
0.4	SLE RA 16	0	1.5	10000	350	Variabile	Si
1.2	SLE RA 15	0	1.5	10000	350	Variabile	Si
0.55	SLE RA 14	0	1.5	10000	350	Variabile	Si

Frecce lungo Y

Ascissa freccia	Combinazione	Freccia	Luce	L/f	L/f,min	Tipo	Verifica
0.75	SLE RA 1	0.00003	1.5	10000	250	Totale	Si
0.75	SLE RA 17	0.00003	1.5	10000	250	Totale	Si
0.75	SLE RA 16	0.00003	1.5	10000	250	Totale	Si
0.75	SLE RA 15	0.00003	1.5	10000	250	Totale	Si
0.75	SLE RA 14	0.00003	1.5	10000	250	Totale	Si
0.5	SLE RA 2	0	1.5	10000	350	Variabile	Si
0.5	SLE RA 17	0	1.5	10000	350	Variabile	Si
0.5	SLE RA 16	0	1.5	10000	350	Variabile	Si
0.5	SLE RA 15	0	1.5	10000	350	Variabile	Si
0.45	SLE RA 14	0	1.5	10000	350	Variabile	Si

Superelemento in acciaio a quota "640" (979; 2634)-(1088; 2531)

Caratteristiche del materiale

Acciaio: S275, fyk = 275000

Caratteristiche geometriche

Lunghezza: 1.5

Nodo iniziale: 1321 Nodo finale: 1275

Cerniera iniziale: Mmomenti 1% Cerniera finale: Mmomenti 1%

Sovraresistenza: 0% Sisma Z: No

Caratteristiche della sezione

Sezione	Rotazione	Area	Jx	Jy	ix	iy	Wx	Wy	Wplx	Wply
A1; L100*10; 1; Saldato; S275; 30; 1; 8; 8; 1	180	0.003832	0.0000035319	0.000007759	0.0304	0.045	0.0000492	0.0000739	0.00008974	0.00012727

Comportamento dei calastrelli

Accoppiamento imbottito con funzione statica (§C4.2.4.1.3.1.4 NTC18) nella campata compresa tra le ascisse 0 e 1.5 per sbandamento attorno all'asse y.

Verifiche di resistenza

Verifiche a forza assiale §4.2.4.1.2.1 - §4.2.4.1.2.2 NTC18

X	Comb.	Sfruttamento	Classe	NEd	Nc,Rd	Nt,Rd	Riduzione da taglio	px	py	Verifica
0	SLU 76	0.115		115.663		1003.522	1	0	0	Si

Implementazione dei sistemi di confinamento delle emissioni odorigene diffuse dell'impianto di compostaggio esistente nel
Comune di Eboli (SA)

PROGETTO DEFINITIVO – Tabulati di calcolo Tomo 1

Verifiche a forza assiale SLD §4.2.4.1.2.1 - §4.2.4.1.2.2 NTC18

X	Comb.	Sfruttamento	Classe	NEd	Nc,Rd	Nt,Rd	Riduzione da taglio	px	py	Verifica
1.5	SLD 16	0.045		45.124		1003.522	1	0	0	Si

Verifica a taglio Y §4.2.4.1.2.4 NTC18

X	Comb.	Sfruttamento	VEd	Vc,Rd	Av	Interazione taglio-torsione	Riduzione torsione	Verifica
0	SLU 76	0.001	-0.294	302.422	0.002	Non considerata		Si

Verifica a taglio Y SLD §4.2.4.1.2.4 NTC18

X	Comb.	Sfruttamento	VEd	Vc,Rd	Av	Interazione taglio-torsione	Riduzione torsione	Verifica
0	SLD 1	0.001	-0.226	302.422	0.002	Non considerata		Si

Verifica a presso/tenso flessione retta X §§ 4.2.4.1.2.3 - 4.2.4.1.2.6 - 4.2.4.1.2.7 - 4.2.4.1.2.8 NTC18

Verifiche eseguite utilizzando la formula conservativa (6.2) §6.2.1 EN 1993-1-1:2005.

X	Comb.	Sfruttamento	Classe	NEd	NRd	Rid. NRd da VEd	Mx,Ed	Mx,Rd	Rid. Mx,Rd da VEd	Rid. Mx,Rd da NEd	px	py	Verifica
0.75	SLU 76	0.12	1	115.663	1003.522	1	0.1112	23.5037	1		0	0	Si

Verifica a presso/tenso flessione retta Y §§ 4.2.4.1.2.3 - 4.2.4.1.2.6 - 4.2.4.1.2.7 - 4.2.4.1.2.8 NTC18

Verifiche eseguite utilizzando la formula conservativa (6.2) §6.2.1 EN 1993-1-1:2005.

X	Comb.	Sfruttamento	Classe	NEd	NRd	Rid. NRd da VEd	My,Ed	My,Rd	Rid. My,Rd da VEd	Rid. My,Rd da NEd	px	py	Verifica
1.5	SLV 16	0.059	1	56.763	1003.522	1	0.0737	33.3316	1		0	0	Si

Verifica a presso/tenso flessione retta Y SLD §§ 4.2.4.1.2.3 - 4.2.4.1.2.6 - 4.2.4.1.2.7 - 4.2.4.1.2.8 NTC18

Verifiche eseguite utilizzando la formula conservativa (6.2) §6.2.1 EN 1993-1-1:2005.

X	Comb.	Sfruttamento	Classe	NEd	NRd	Rid. NRd da VEd	My,Ed	My,Rd	Rid. My,Rd da VEd	Rid. My,Rd da NEd	px	py	Verifica
1.5	SLD 16	0.046	1	45.124	1003.522	1	0.0297	33.3316	1		0	0	Si

Verifica a presso/tenso flessione deviata §§ 4.2.4.1.2.3 - 4.2.4.1.2.6 - 4.2.4.1.2.7 - 4.2.4.1.2.8 NTC18

Verifiche eseguite utilizzando la formula conservativa (6.2) §6.2.1 EN 1993-1-1:2005.

X	Comb.	Sfruttamento	Classe	NEd	NRd	Rid. NRd da VEd	Mx,Ed	Mx,Rd	My,Ed	My,Rd	Rid. Mx,Rd da VEd	Rid. Mx,Rd da NEd	Rid. My,Rd da VEd	Rid. My,Rd da NEd	α	β	px	py	Verifica
0.75	SLV 16	0.062	1	56.763	1003.522	1	0.0851	23.5037	0.0666	33.3316	1		1				0	0	Si

Verifica a presso/tenso flessione deviata SLD §§ 4.2.4.1.2.3 - 4.2.4.1.2.6 - 4.2.4.1.2.7 - 4.2.4.1.2.8 NTC18

Verifiche eseguite utilizzando la formula conservativa (6.2) §6.2.1 EN 1993-1-1:2005.

X	Comb.	Sfruttamento	Classe	NEd	NRd	Rid. NRd da VEd	Mx,Ed	Mx,Rd	My,Ed	My,Rd	Rid. Mx,Rd da VEd	Rid. Mx,Rd da NEd	Rid. My,Rd da VEd	Rid. My,Rd da NEd	α	β	px	py	Verifica
0.75	SLD 15	0.049	1	45.124	1003.522	1	0.0849	23.5037	0.0263	33.3316	1		1				0	0	Si

Verifiche ad instabilità

Caratteristiche iniziali

Membratura principale per controllo snellezza; Calcolo di snellezze ed N critici condotti secondo gli assi principali;

Curva X: c; Curva Y: c;

Svergolamento: Nessuno; la verifica a instabilità flessio-torsionale (svergolamento) non verrà eseguita.

Dati per instabilità attorno a x

Controllo della snellezza secondo §4.2.4.1.3.1 NTC18

Numero rit.	Presente	Ascissa	Campata	βx/m	Vincolo a entrambi estremi	λx/m	λVer
1	Si		0				
			1-2		1	Si	49.4
2	Si		1.5				Si, (<200)

Dati per instabilità attorno a y

Controllo della snellezza secondo §4.2.4.1.3.1 NTC18

Numero rit.	Presente	Ascissa	Campata	βy/n	k,LT	kw,LT	Vincolo a entrambi estremi
1	Si		0				
			1-2		1	Si	34.8
2	Si		1.5				Si, (<200)

Verifica di stabilità per pressoflessione §C.4.2.4.1.3.3.1 NTC18

X	Comb.	Sfruttamento	Classe	NEd	MxEq,Ed	MyEq,Ed	Area	Wx	Wy	χ,min	λ adim. x/m	λ adim. y/n	N,crit x/m	N,crit y/n	Verifica
0	SLU 2	0.022	3	-12.182	0.0723	0.0292	0.003832	0.0000492	0.0000739	0.804	0.569	0.4	3253.47	6569.993	Si

Verifiche a deformabilità

Mensola X: No; Mensola Y: No.

Frecce lungo X

Ascissa freccia	Combinazione	Freccia	Luce	L/f	L/f,min	Tipo	Verifica
0.6	SLE RA 1	0	1.5	10000	250	Totale	Si
0.7	SLE RA 17	0	1.5	10000	250	Totale	Si
0.75	SLE RA 16	0	1.5	10000	250	Totale	Si
0.7	SLE RA 15	0	1.5	10000	250	Totale	Si
0.65	SLE RA 14	0	1.5	10000	250	Totale	Si
0.8	SLE RA 2	0	1.5	10000	350	Variabile	Si
0.8	SLE RA 17	0	1.5	10000	350	Variabile	Si
0.8	SLE RA 16	0	1.5	10000	350	Variabile	Si
0.8	SLE RA 15	0	1.5	10000	350	Variabile	Si
0.45	SLE RA 14	0	1.5	10000	350	Variabile	Si

Frecce lungo Y

Ascissa freccia	Combinazione	Freccia	Luce	L/f	L/f,min	Tipo	Verifica
0.75	SLE RA 1	0.00003	1.5	10000	250	Totale	Si
0.75	SLE RA 17	0.00003	1.5	10000	250	Totale	Si
0.75	SLE RA 16	0.00003	1.5	10000	250	Totale	Si
0.75	SLE RA 15	0.00003	1.5	10000	250	Totale	Si

Implementazione dei sistemi di confinamento delle emissioni odorigene diffuse dell'impianto di compostaggio esistente nel
Comune di Eboli (SA)

PROGETTO DEFINITIVO – Tabulati di calcolo Tomo 1

Ascissa freccia	Combinazione	Freccia	Luce	L/f	L/f,min	Tipo	Verifica
0.75	SLE RA 14	0.00003	1.5	10000	250	Totale	Si
0.75	SLE RA 2	0	1.5	10000	350	Variabile	Si
0.75	SLE RA 17	0	1.5	10000	350	Variabile	Si
0.75	SLE RA 16	0	1.5	10000	350	Variabile	Si
0.75	SLE RA 15	0	1.5	10000	350	Variabile	Si
0.75	SLE RA 14	0	1.5	10000	350	Variabile	Si

Superelemento in acciaio a quota "640" (983; 1106)-(1110; 1241)

Caratteristiche del materiale

Acciaio: S275, fyk = 275000

Caratteristiche geometriche

Lunghezza: 1.85

Nodo iniziale: 887 Nodo finale: 913

Cerniera iniziale: No Cerniera finale: No

Sovreresistenza: 0% Sisma Z: No

Caratteristiche della sezione

Sezione	Rotazione	Area	Jx	Jy	ix	iy	Wx	Wy	Wplx	Wply
HEA120	0	0.002537	0.0000060673	0.0000023091	0.0489	0.0302	0.00010644	0.00003849	0.00011962	0.00005887

Verifiche di resistenza

Verifiche a forza assiale §4.2.4.1.2.1 - §4.2.4.1.2.2 NTC18

X	Comb.	Sfruttamento	Classe	NEd	Nc,Rd	Nt,Rd	Riduzione da taglio	px	py	Verifica
0.062	SLU 75	0.075		49.593		664.325	1	0	0	Si

Verifiche a forza assiale SLD §4.2.4.1.2.1 - §4.2.4.1.2.2 NTC18

X	Comb.	Sfruttamento	Classe	NEd	Nc,Rd	Nt,Rd	Riduzione da taglio	px	py	Verifica
1.85	SLD 8	0.026		17.11		664.325	1	0	0	Si

Verifica a taglio Y §4.2.4.1.2.4 NTC18

X	Comb.	Sfruttamento	VEd	Vc,Rd	Av	Interazione taglio-torsione	Riduzione torsione	Verifica
0	SLU 75	0.006	0.779	126.53	0.000849	Considerata	0.99	Si

Verifica a taglio Y SLD §4.2.4.1.2.4 NTC18

X	Comb.	Sfruttamento	VEd	Vc,Rd	Av	Interazione taglio-torsione	Riduzione torsione	Verifica
0	SLD 6	0.003	0.438	127.37	0.000849	Considerata	0.99	Si

Verifica a torsione §4.2.4.1.2.5 NTC18

X	Comb.	Sfruttamento torsione	TEd	TRd	Riduzione taglio resistente	Sfruttamento taglio-torsione	rEd,totale	rRd	Verifica
0.678	SLU 75	0.034	0.02923	0.85138	Considerata				Si

Verifica a torsione SLD §4.2.4.1.2.5 NTC18

X	Comb.	Sfruttamento torsione	TEd	TRd	Riduzione taglio resistente	Sfruttamento taglio-torsione	rEd,totale	rRd	Verifica
1.85	SLD 5	0.018	0.01544	0.85138	Considerata				Si

Verifica a presso/tenso flessione retta X §§ 4.2.4.1.2.3 - 4.2.4.1.2.6 - 4.2.4.1.2.7 - 4.2.4.1.2.8 NTC18

Verifiche eseguite utilizzando la formula conservativa (6.2) §6.2.1 EN 1993-1-1:2005.

X	Comb.	Sfruttamento	Classe	NEd	NRd	Rid. NRd da VEd	Mx,Ed	Mx,Rd	Rid. Mx,Rd da VEd	Rid. Mx,Rd da NEd	px	py	Verifica
1.788	SLU 63	0.066	1	42.719	664.325	1	0.0411	31.3291	1		0	0	Si

Verifica a presso/tenso flessione retta X SLD §§ 4.2.4.1.2.3 - 4.2.4.1.2.6 - 4.2.4.1.2.7 - 4.2.4.1.2.8 NTC18

Verifiche eseguite utilizzando la formula conservativa (6.2) §6.2.1 EN 1993-1-1:2005.

X	Comb.	Sfruttamento	Classe	NEd	NRd	Rid. NRd da VEd	Mx,Ed	Mx,Rd	Rid. Mx,Rd da VEd	Rid. Mx,Rd da NEd	px	py	Verifica
0	SLD 5	0.034	1	12.812	664.325	1	0.4547	31.3291	1		0	0	Si

Verifica a presso/tenso flessione retta Y §§ 4.2.4.1.2.3 - 4.2.4.1.2.6 - 4.2.4.1.2.7 - 4.2.4.1.2.8 NTC18

Verifiche eseguite utilizzando la formula conservativa (6.2) §6.2.1 EN 1993-1-1:2005.

X	Comb.	Sfruttamento	Classe	NEd	NRd	Rid. NRd da VEd	My,Ed	My,Rd	Rid. My,Rd da VEd	Rid. My,Rd da NEd	px	py	Verifica
1.85	SLU 73	0.06	1	39.809	664.325	1	0.0082	15.4191	1		0	0	Si

Verifica a presso/tenso flessione retta Y SLD §§ 4.2.4.1.2.3 - 4.2.4.1.2.6 - 4.2.4.1.2.7 - 4.2.4.1.2.8 NTC18

Verifiche eseguite utilizzando la formula conservativa (6.2) §6.2.1 EN 1993-1-1:2005.

X	Comb.	Sfruttamento	Classe	NEd	NRd	Rid. NRd da VEd	My,Ed	My,Rd	Rid. My,Rd da VEd	Rid. My,Rd da NEd	px	py	Verifica
1.85	SLD 12	0.024	1	15.868	664.325	1	-0.0079	15.4191	1		0	0	Si

Verifica a presso/tenso flessione deviata §§ 4.2.4.1.2.3 - 4.2.4.1.2.6 - 4.2.4.1.2.7 - 4.2.4.1.2.8 NTC18

Verifiche eseguite utilizzando la formula conservativa (6.2) §6.2.1 EN 1993-1-1:2005.

X	Comb.	Sfruttamento	Classe	NEd	NRd	Rid. NRd da VEd	Mx,Ed	Mx,Rd	My,Ed	My,Rd	Rid. Mx,Rd da VEd	Rid. Mx,Rd da NEd	Rid. My,Rd da VEd	Rid. My,Rd da NEd	α	β	px	py	Verifica
0	SLU 75	0.109	1	49.593	664.325	1	1.0199	31.3291	0.0226	15.4191	1		1				0	0	Si

Verifica a presso/tenso flessione deviata SLD §§ 4.2.4.1.2.3 - 4.2.4.1.2.6 - 4.2.4.1.2.7 - 4.2.4.1.2.8 NTC18

Verifiche eseguite utilizzando la formula conservativa (6.2) §6.2.1 EN 1993-1-1:2005.

X	Comb.	Sfruttamento	Classe	NEd	NRd	Rid. NRd da VEd	Mx,Ed	Mx,Rd	My,Ed	My,Rd	Rid. Mx,Rd da VEd	Rid. Mx,Rd da NEd	Rid. My,Rd da VEd	Rid. My,Rd da NEd	α	β	px	py	Verifica
0	SLD 3	0.04	1	17.054	664.325	1	0.4234	31.3291	0.0175	15.4191	1		1				0	0	Si

Implementazione dei sistemi di confinamento delle emissioni odorigene diffuse dell'impianto di compostaggio esistente nel
Comune di Eboli (SA)
PROGETTO DEFINITIVO – Tabulati di calcolo Tomo 1

Verifiche ad instabilità

Caratteristiche iniziali

Membratura principale per controllo snellezza; Calcolo di snellezze ed N critici condotti secondo gli assi principali;
Curva X: b; Curva Y: c; Svergolamento: Carico all'estradosso; Curva svergolamento: b;

Dati per instabilità attorno a x

Controllo della snellezza secondo §4.2.4.1.3.1 NTC18

Numero rit.	Presente	Ascissa	Campata	$\beta x/m$	Vincolo a entrambi estremi	$\lambda x/m$	λVer
1	Si	0					
			1-2	1	Si	37.8	Si, (<200)
2	Si	1.85					

Dati per instabilità attorno a y

Controllo della snellezza secondo §4.2.4.1.3.1 NTC18

Numero rit.	Presente	Ascissa	Campata	$\beta y/n$	k_{LT}	$k_{w,LT}$	Vincolo a entrambi estremi	$\lambda y/n$	λVer
1	Si	0							
			1-2	1	1	1	Si	61.3	Si, (<200)
2	Si	1.85							

Verifica a svergolamento con trazione §4.2.4.1.3.2 NTC18 § 5.5.3 ENV 1993-1-1:1992 + AC:1992 + A1:1994 + A2:1998

X	Comb.	Sfruttamento	Classe	Obblig.	NEd	Mx,Ed	Mx,Eff,Ed	Mb,Rd,x	χ_{LT}	λ adim. LT	L _{LT}	M _{critico}	Verifica
0.062	SLU 45	0.005	1	Si	6.354	0.34182	0.15516	28.25918	0.902	0.633	1.85	82.11773	Si

Verifica a svergolamento con trazione SLD §4.2.4.1.3.2 NTC18 § 5.5.3 ENV 1993-1-1:1992 + AC:1992 + A1:1994 + A2:1998

X	Comb.	Sfruttamento	Classe	Obblig.	NEd	Mx,Ed	Mx,Eff,Ed	Mb,Rd,x	χ_{LT}	λ adim. LT	L _{LT}	M _{critico}	Verifica
0	SLD 5	0.003	1	Si	12.812	0.45473	0.07838	28.25918	0.902	0.633	1.85	82.11773	Si

Verifica di stabilità per tenso-flessione deviata §§ 5.5.3-5.5.4 ENV 1993-1-1:1992 + AC:1992 + A1:1994 + A2:1998

X	Comb.	Sfruttamento	Classe	NEd	Mx,Ed	Mx,Eff,Ed	My,Ed	χ_{LT}	k _{LT}	ky	M _{critico}	W _x	W _y	Verifica
0	SLV 10	0.013	1	5.99	0.48366	0.30771	-0.02729	0.902	1	1	82.11773	0.0001196	0.0000589	Si

Verifica di stabilità per tenso-flessione deviata SLD §§ 5.5.3-5.5.4 ENV 1993-1-1:1992 + AC:1992 + A1:1994 + A2:1998

X	Comb.	Sfruttamento	Classe	NEd	Mx,Ed	Mx,Eff,Ed	My,Ed	χ_{LT}	k _{LT}	ky	M _{critico}	W _x	W _y	Verifica
0	SLD 9	0.003	1	11.57	0.42544	0.08556	-0.00511	0.902	1	1	82.11773	0.0001196	0.0000589	Si

Verifica di stabilità per pressoflessione §C.4.2.4.1.3.3.2 NTC18

X	Comb.	Sfruttamento	Classe	NEd	NRk	Mx,Ed max	Mx,Rk	My,Ed max	My,Rk	χ_x	χ_y	k _{xx}	k _{xy}	k _{yx}	k _{yy}	χ_{LT}	Verifica
0	SLU 2	0.014	1	-5.487	697.541	0.08129	32.89552	0.00247	16.19002	0.912	0.721	0.956	0.397	0.999	0.661	0.902	Si

Verifica di stabilità a taglio anima Y §4.2.4.1.2.4 [4.2.27] NTC18

η	hw	tw	hw/tw max	Verifica
1.2	0.098	0.005	55.46	Si

Verifica di stabilità a taglio anima Y SLD §4.2.4.1.2.4 [4.2.27] NTC18

η	hw	tw	hw/tw max	Verifica
1.2	0.098	0.005	55.46	Si

Verifiche a deformabilità

Mensola X: No; Mensola Y: No.

Frecce lungo X

Ascissa freccia	Combinazione	Freccia	Luce	L/f	L/f,min	Tipo	Verifica
0.863	SLE RA 1	0	1.85	10000	250	Totale	Si
0.863	SLE RA 17	-0.00001	1.85	10000	250	Totale	Si
0.863	SLE RA 16	-0.00001	1.85	10000	250	Totale	Si
0.925	SLE RA 15	0	1.85	10000	250	Totale	Si
0.863	SLE RA 14	-0.00001	1.85	10000	250	Totale	Si
0.925	SLE RA 2	0	1.85	10000	350	Variabile	Si
0.925	SLE RA 17	0	1.85	10000	350	Variabile	Si
0.925	SLE RA 16	0	1.85	10000	350	Variabile	Si
1.357	SLE RA 15	0	1.85	10000	350	Variabile	Si
0.802	SLE RA 14	0	1.85	10000	350	Variabile	Si

Frecce lungo Y

Ascissa freccia	Combinazione	Freccia	Luce	L/f	L/f,min	Tipo	Verifica
0.678	SLE RA 1	0.00004	1.85	10000	250	Totale	Si
0.74	SLE RA 17	0.00006	1.85	10000	250	Totale	Si
0.74	SLE RA 16	0.00008	1.85	10000	250	Totale	Si
0.678	SLE RA 15	0.00005	1.85	10000	250	Totale	Si
0.74	SLE RA 14	0.00009	1.85	10000	250	Totale	Si
0.802	SLE RA 2	-0.00004	1.85	10000	350	Variabile	Si
0.802	SLE RA 17	0.00002	1.85	10000	350	Variabile	Si
0.802	SLE RA 16	0.00004	1.85	10000	350	Variabile	Si
0.74	SLE RA 15	0.00001	1.85	10000	350	Variabile	Si
0.802	SLE RA 14	0.00005	1.85	10000	350	Variabile	Si

Superelemento in acciaio a quota "640" (997; 2871)-(1124; 3006)

Caratteristiche del materiale

Acciaio: S275, fyk = 275000

Caratteristiche geometriche

Lunghezza: 1.85

Nodo iniziale: 1390 Nodo finale: 1465

Cerniera iniziale: No Cerniera finale: No

Sovreresistenza: 0% Sisma Z: No

Implementazione dei sistemi di confinamento delle emissioni odorigene diffuse dell'impianto di compostaggio esistente nel
Comune di Eboli (SA)
PROGETTO DEFINITIVO – Tabulati di calcolo Tomo 1

Caratteristiche della sezione

Sezione	Rotazione	Area	Jx	Jy	ix	iy	Wx	Wy	Wplx	Wply
HEA120	0	0.002537	0.0000060673	0.0000023091	0.0489	0.0302	0.00010644	0.00003849	0.00011962	0.00005887

Verifiche di resistenza

Verifiche a forza assiale §4.2.4.1.2.1 - §4.2.4.1.2.2 NTC18

X	Comb.	Sfruttamento	Classe	NEd	Nc,Rd	Nt,Rd	Riduzione da taglio	px	py	Verifica
1.85	SLV 10	0.112	1	-74.501	664.325		1	0	0	Si

Verifiche a forza assiale SLD §4.2.4.1.2.1 - §4.2.4.1.2.2 NTC18

X	Comb.	Sfruttamento	Classe	NEd	Nc,Rd	Nt,Rd	Riduzione da taglio	px	py	Verifica
1.788	SLD 9	0.042	1	-28.032	664.325		1	0	0	Si

Verifica a taglio Y §4.2.4.1.2.4 NTC18

X	Comb.	Sfruttamento	VEd	Vc,Rd	Av	Interazione taglio-torsione	Riduzione torsione	Verifica
1.85	SLU 76	0.022	-2.754	126.065	0.000849	Considerata	0.98	Si

Verifica a taglio Y SLD §4.2.4.1.2.4 NTC18

X	Comb.	Sfruttamento	VEd	Vc,Rd	Av	Interazione taglio-torsione	Riduzione torsione	Verifica
1.85	SLD 9	0.009	-1.156	127.922	0.000849	Considerata	1	Si

Verifica a torsione §4.2.4.1.2.5 NTC18

X	Comb.	Sfruttamento torsione	TEd	TRd	Riduzione taglio resistente	Sfruttamento taglio-torsione	rEd,totale	rRd	Verifica
1.788	SLU 76	0.043	-0.03682	0.85138	Considerata				Si

Verifica a torsione SLD §4.2.4.1.2.5 NTC18

X	Comb.	Sfruttamento torsione	TEd	TRd	Riduzione taglio resistente	Sfruttamento taglio-torsione	rEd,totale	rRd	Verifica
1.85	SLD 8	0.018	-0.01522	0.85138	Considerata				Si

Verifica a flessione deviata §§ 4.2.4.1.2.3 - 4.2.4.1.2.6 - 4.2.4.1.2.7 - 4.2.4.1.2.8 NTC18

X	Comb.	Sfruttamento	Classe	Mx,Ed	Mx,Rd	My,Ed	My,Rd	Rid. Mx,Rd da VEd	Rid. My,Rd da VEd	α	β	px	py	Verifica
1.85	SLU 11	0.092	1	2.5891	31.3291	0.1483	15.4191	1	1			0	0	Si

Verifica a presso/tenso flessione retta X §§ 4.2.4.1.2.3 - 4.2.4.1.2.6 - 4.2.4.1.2.7 - 4.2.4.1.2.8 NTC18

Verifiche eseguite utilizzando la formula conservativa (6.2) §6.2.1 EN 1993-1-1:2005.

X	Comb.	Sfruttamento	Classe	NEd	NRd	Rid. NRd da VEd	Mx,Ed	Mx,Rd	Rid. Mx,Rd da VEd	Rid. Mx,Rd da NEd	px	py	Verifica
1.85	SLU 40	0.015	1	-4.603	664.325	1	0.2412	31.3291	1		0	0	Si

Verifica a presso/tenso flessione retta X SLD §§ 4.2.4.1.2.3 - 4.2.4.1.2.6 - 4.2.4.1.2.7 - 4.2.4.1.2.8 NTC18

Verifiche eseguite utilizzando la formula conservativa (6.2) §6.2.1 EN 1993-1-1:2005.

X	Comb.	Sfruttamento	Classe	NEd	NRd	Rid. NRd da VEd	Mx,Ed	Mx,Rd	Rid. Mx,Rd da VEd	Rid. Mx,Rd da NEd	px	py	Verifica
1.665	SLD 16	0.06	1	-16.428	664.325	1	1.0956	31.3291	1		0	0	Si

Verifica a presso/tenso flessione retta Y §§ 4.2.4.1.2.3 - 4.2.4.1.2.6 - 4.2.4.1.2.7 - 4.2.4.1.2.8 NTC18

Verifiche eseguite utilizzando la formula conservativa (6.2) §6.2.1 EN 1993-1-1:2005.

X	Comb.	Sfruttamento	Classe	NEd	NRd	Rid. NRd da VEd	My,Ed	My,Rd	Rid. My,Rd da VEd	Rid. My,Rd da NEd	px	py	Verifica
0.74	SLV 10	0.125	1	-74.501	664.325	1	-0.2025	15.4191	1		0	0	Si

Verifica a presso/tenso flessione deviata §§ 4.2.4.1.2.3 - 4.2.4.1.2.6 - 4.2.4.1.2.7 - 4.2.4.1.2.8 NTC18

Verifiche eseguite utilizzando la formula conservativa (6.2) §6.2.1 EN 1993-1-1:2005.

X	Comb.	Sfruttamento	Classe	NEd	NRd	Rid. NRd da VEd	Mx,Ed	Mx,Rd	My,Ed	My,Rd	Rid. Mx,Rd da VEd	Rid. Mx,Rd da NEd	Rid. My,Rd da VEd	Rid. My,Rd da NEd	α	β	px	py	Verifica
1.85	SLV 7	0.175	1	68.609	664.325	1	1.3522	31.3291	0.4479	15.4191	1		1				0	0	Si

Verifica a presso/tenso flessione deviata SLD §§ 4.2.4.1.2.3 - 4.2.4.1.2.6 - 4.2.4.1.2.7 - 4.2.4.1.2.8 NTC18

Verifiche eseguite utilizzando la formula conservativa (6.2) §6.2.1 EN 1993-1-1:2005.

X	Comb.	Sfruttamento	Classe	NEd	NRd	Rid. NRd da VEd	Mx,Ed	Mx,Rd	My,Ed	My,Rd	Rid. Mx,Rd da VEd	Rid. Mx,Rd da NEd	Rid. My,Rd da VEd	Rid. My,Rd da NEd	α	β	px	py	Verifica
1.85	SLD 8	0.089	1	22.14	664.325	1	1.3215	31.3291	0.2077	15.4191	1		1				0	0	Si

Verifiche ad instabilità

Caratteristiche iniziali

Membratura principale per controllo snellezza; Calcolo di snellezze ed N critici condotti secondo gli assi principali;

Curva X: b; Curva Y: c; Svergolamento: Carico all'estradosso; Curva svergolamento: b;

Dati per instabilità attorno a x

Controllo della snellezza secondo §4.2.4.1.3.1 NTC18

Numero rit.	Presente	Ascissa	Campata	βx/m	Vincolo a entrambi estremi	λx/m	λVer
1	Si	0					
			1-2		1	37.8	Si, (<200)
2	Si	1.85					

Dati per instabilità attorno a y

Controllo della snellezza secondo §4.2.4.1.3.1 NTC18

Numero rit.	Presente	Ascissa	Campata	βy/n	k,LT	kw,LT	Vincolo a entrambi estremi	λy/n	λVer
1	Si	0							
			1-2		1	1	Si	61.3	Si, (<200)
2	Si	1.85							

Verifica di stabilità per tenso-flessione deviata §§ 5.5.3-5.5.4 ENV 1993-1-1:1992 + AC:1992 + A1:1994 + A2:1998

X	Comb.	Sfruttamento	Classe	NEd	Mx,Ed	Mx,Eff,Ed	My,Ed	χ,LT	kLT	ky	M,critico	Wx	Wy	Verifica
1.85	SLU 38	0.129	1	0.52	3.29887	3.28361	0.19067	0.902	1	1	82.10616	0.0001196	0.0000589	Si

Implementazione dei sistemi di confinamento delle emissioni odorigene diffuse dell'impianto di compostaggio esistente nel
Comune di Eboli (SA)
PROGETTO DEFINITIVO – Tabulati di calcolo Tomo 1

Verifica di stabilità per tenso-flessione deviata SLD §§ 5.5.3-5.5.4 ENV 1993-1-1:1992 + AC:1992 + A1:1994 + A2:1998														
X	Comb.	Sfruttamento	Classe	NEd	Mx,Ed	Mx,Eff,Ed	My,Ed	χ _{LT}	kLT	ky	M _{critico}	W _x	W _y	Verifica
1.85	SLD 12	0.045	1	10.576	1.31422	1.00355	0.14453	0.902	1	1	82.10616	0.0001196	0.0000589	Si

Verifica di stabilità per pressoflessione §C.4.2.4.1.3.3.2 NTC18																	
X	Comb.	Sfruttamento	Classe	NEd	NRk	Mx,Ed max	Mx,Rk	My,Ed max	My,Rk	χ,x	χ,y	kxx	kxy	kyy	χ,LT	Verifica	
0	SLV 9	0.214	1	-74.501	697.541	1.25858	32.89552	0.31454	16.19002	0.912	0.721	0.412	0.514	0.927	0.857	0.902	Si

Verifica di stabilità per pressoflessione SLD §C.4.2.4.1.3.3.2 NTC18																	
X	Comb.	Sfruttamento	Classe	NEd	NRk	Mx,Ed max	Mx,Rk	My,Ed max	My,Rk	χ,x	χ,y	kxx	kxy	kyy	χ,LT	Verifica	
1.85	SLD 10	0.106	1	-28.032	697.541	1.2893	32.89552	0.07427	16.19002	0.912	0.721	0.404	0.427	0.972	0.711	0.902	Si

Verifica di stabilità a taglio anima Y §4.2.4.1.2.4 [4.2.27] NTC18														
η		hw		tw		hw/tw max		Verifica						
1.2		0.098		0.005		55.46		Si						

Verifica di stabilità a taglio anima Y SLD §4.2.4.1.2.4 [4.2.27] NTC18														
η		hw		tw		hw/tw max		Verifica						
1.2		0.098		0.005		55.46		Si						

Verifiche a deformabilità														
Mensola X: No; Mensola Y: No.														
Frecce lungo X														
Ascissa freccia	Combinazione	Freccia	Luce	L/f	L/f,min	Tipo	Verifica							
0.925	SLE RA 1	-0.00005	1.85	10000	250	Totale	Si							
0.925	SLE RA 17	-0.00007	1.85	10000	250	Totale	Si							
0.925	SLE RA 16	-0.00009	1.85	10000	250	Totale	Si							
0.925	SLE RA 15	-0.0001	1.85	10000	250	Totale	Si							
0.925	SLE RA 14	-0.00006	1.85	10000	250	Totale	Si							
0.925	SLE RA 2	0.00004	1.85	10000	350	Variabile	Si							
0.925	SLE RA 17	-0.00002	1.85	10000	350	Variabile	Si							
0.925	SLE RA 16	-0.00004	1.85	10000	350	Variabile	Si							
0.925	SLE RA 15	-0.00005	1.85	10000	350	Variabile	Si							
0.987	SLE RA 14	-0.00001	1.85	10000	350	Variabile	Si							

Frecce lungo Y														
Ascissa freccia	Combinazione	Freccia	Luce	L/f	L/f,min	Tipo	Verifica							
1.172	SLE RA 19	0.0003	1.85	6232	250	Totale	Si							
1.172	SLE RA 16	0.00026	1.85	7117.4	250	Totale	Si							
1.172	SLE RA 15	0.00026	1.85	7150	250	Totale	Si							
1.172	SLE RA 11	0.00026	1.85	7150	250	Totale	Si							
1.172	SLE RA 7	0.00025	1.85	7543.5	250	Totale	Si							
1.172	SLE RA 2	-0.00011	1.85	10000	350	Variabile	Si							
1.172	SLE RA 17	0.00005	1.85	10000	350	Variabile	Si							
1.172	SLE RA 16	0.00011	1.85	10000	350	Variabile	Si							
1.172	SLE RA 15	0.00011	1.85	10000	350	Variabile	Si							
1.172	SLE RA 14	0.00004	1.85	10000	350	Variabile	Si							

Superelemento in acciaio a quota "640" (1019; 1582)-(1128; 1479)

Caratteristiche del materiale

Acciaio: S275, fyk = 275000

Caratteristiche geometriche

Lunghezza: 1.5

Nodo iniziale: 983 Nodo finale: 961

Cerniera iniziale: Mmomenti 1% Cerniera finale: Mmomenti 1%

Sovreresistenza: 0% Sisma Z: No

Caratteristiche della sezione

Sezione	Rotazione	Area	Jx	Jy	ix	iy	W _x	W _y	W _{plx}	W _{ply}
Al; L100*10; 1; Saldato; S275; 30; 1; 8; 8; 1	180	0.003832	0.0000035319	0.000007759	0.0304	0.045	0.0000492	0.0000739	0.00008974	0.00012727

Comportamento dei calastrelli

Accoppiamento imbottito con funzione statica (§C4.2.4.1.3.1.4 NTC18) nella campata compresa tra le ascisse 0 e 1.5 per sbandamento attorno all'asse y.

Verifiche di resistenza

Verifiche a forza assiale §4.2.4.1.2.1 - §4.2.4.1.2.2 NTC18

X	Comb.	Sfruttamento	Classe	NEd	Nc,Rd	Nt,Rd	Riduzione da taglio	px	py	Verifica
1.25	SLU 75	0.125		125.375		1003.522	1	0	0	Si

Verifiche a forza assiale SLD §4.2.4.1.2.1 - §4.2.4.1.2.2 NTC18

X	Comb.	Sfruttamento	Classe	NEd	Nc,Rd	Nt,Rd	Riduzione da taglio	px	py	Verifica
0	SLD 1	0.047		47.165		1003.522	1	0	0	Si

Verifica a taglio Y §4.2.4.1.2.4 NTC18

X	Comb.	Sfruttamento	VEd	Vc,Rd	Av	Interazione taglio-torsione	Riduzione torsione	Verifica
0	SLU 75	0.001	-0.294	302.422	0.002	Non considerata		Si

Implementazione dei sistemi di confinamento delle emissioni odorigene diffuse dell'impianto di compostaggio esistente nel
Comune di Eboli (SA)

PROGETTO DEFINITIVO – Tabulati di calcolo Tomo 1

Verifica a taglio Y SLD §4.2.4.1.2.4 NTC18

X	Comb.	Sfruttamento	VEd	Vc,Rd	Av	Interazione taglio-torsione	Riduzione torsione	Verifica
0	SLD 6	0.001	-0.226	302.422	0.002	Non considerata		Si

Verifica a flessione semplice X §§ 4.2.4.1.2.3 - 4.2.4.1.2.6 - 4.2.4.1.2.7 - 4.2.4.1.2.8 NTC18

X	Comb.	Sfruttamento	Classe	Mx,Ed	Mx,Rd	Rid. Mx,Rd da VEd	px	py	Verifica
0.75	SLU 5	0.004	1	0.08404	23.50374	1	0	0	Si

Verifica a presso/tenso flessione retta X §§ 4.2.4.1.2.3 - 4.2.4.1.2.6 - 4.2.4.1.2.7 - 4.2.4.1.2.8 NTC18

Verifiche eseguite utilizzando la formula conservativa (6.2) §6.2.1 EN 1993-1-1:2005.

X	Comb.	Sfruttamento	Classe	NEd	NRd	Rid. NRd da VEd	Mx,Ed	Mx,Rd	Rid. Mx,Rd da VEd	Rid. Mx,Rd da NEd	px	py	Verifica
0.75	SLU 75	0.13	1	125.375	1003.522	1	0.1124	23.5037	1		0	0	Si

Verifica a presso/tenso flessione retta X SLD §§ 4.2.4.1.2.3 - 4.2.4.1.2.6 - 4.2.4.1.2.7 - 4.2.4.1.2.8 NTC18

Verifiche eseguite utilizzando la formula conservativa (6.2) §6.2.1 EN 1993-1-1:2005.

X	Comb.	Sfruttamento	Classe	NEd	NRd	Rid. NRd da VEd	Mx,Ed	Mx,Rd	Rid. Mx,Rd da VEd	Rid. Mx,Rd da NEd	px	py	Verifica
0.75	SLD 2	0.051	1	47.165	1003.522	1	0.0852	23.5037	1		0	0	Si

Verifica a presso/tenso flessione retta Y §§ 4.2.4.1.2.3 - 4.2.4.1.2.6 - 4.2.4.1.2.7 - 4.2.4.1.2.8 NTC18

Verifiche eseguite utilizzando la formula conservativa (6.2) §6.2.1 EN 1993-1-1:2005.

X	Comb.	Sfruttamento	Classe	NEd	NRd	Rid. NRd da VEd	My,Ed	My,Rd	Rid. My,Rd da VEd	Rid. My,Rd da NEd	px	py	Verifica
0	SLV 1	0.061	1	59.854	1003.522	1	0.0347	33.3316	1		0	0	Si

Verifica a presso/tenso flessione retta Y SLD §§ 4.2.4.1.2.3 - 4.2.4.1.2.6 - 4.2.4.1.2.7 - 4.2.4.1.2.8 NTC18

Verifiche eseguite utilizzando la formula conservativa (6.2) §6.2.1 EN 1993-1-1:2005.

X	Comb.	Sfruttamento	Classe	NEd	NRd	Rid. NRd da VEd	My,Ed	My,Rd	Rid. My,Rd da VEd	Rid. My,Rd da NEd	px	py	Verifica
0	SLD 1	0.047	1	47.165	1003.522	1	0.0144	33.3316	1		0	0	Si

Verifica a presso/tenso flessione deviata §§ 4.2.4.1.2.3 - 4.2.4.1.2.6 - 4.2.4.1.2.7 - 4.2.4.1.2.8 NTC18

Verifiche eseguite utilizzando la formula conservativa (6.2) §6.2.1 EN 1993-1-1:2005.

X	Comb.	Sfruttamento	Classe	NEd	NRd	Rid. NRd da VEd	Mx,Ed	Mx,Rd	My,Ed	My,Rd	Rid. Mx,Rd da VEd	Rid. Mx,Rd da NEd	Rid. My,Rd da VEd	Rid. My,Rd da NEd	α	β	px	py	Verifica
0.75	SLV 2	0.064	1	59.854	1003.522	1	0.0855	23.5037	0.0158	33.3316	1		1				0	0	Si

Verifica a presso/tenso flessione deviata SLD §§ 4.2.4.1.2.3 - 4.2.4.1.2.6 - 4.2.4.1.2.7 - 4.2.4.1.2.8 NTC18

Verifiche eseguite utilizzando la formula conservativa (6.2) §6.2.1 EN 1993-1-1:2005.

X	Comb.	Sfruttamento	Classe	NEd	NRd	Rid. NRd da VEd	Mx,Ed	Mx,Rd	My,Ed	My,Rd	Rid. Mx,Rd da VEd	Rid. Mx,Rd da NEd	Rid. My,Rd da VEd	Rid. My,Rd da NEd	α	β	px	py	Verifica
1.2	SLD 1	0.05	1	47.165	1003.522	1	0.0549	23.5037	-0.0115	33.3316	1		1				0	0	Si

Verifiche ad instabilità

Caratteristiche iniziali

Membratura principale per controllo snellezza; Calcolo di snellezze ed N critici condotti secondo gli assi principali;

Curva X: c; Curva Y: c;

Svergolamento: Nessuno; la verifica a instabilità flesso-torsionale (svergolamento) non verrà eseguita.

Dati per instabilità attorno a x

Controllo della snellezza secondo §4.2.4.1.3.1 NTC18

Numero rit.	Presente	Ascissa	Campata	βx/m	Vincolo a entrambi estremi	λx/m	λVer
1	Si	0	1-2	1	Si	49.4	Si, (<200)
2	Si	1.5					

Dati per instabilità attorno a y

Controllo della snellezza secondo §4.2.4.1.3.1 NTC18

Numero rit.	Presente	Ascissa	Campata	βy/n	k,LT	kw,LT	Vincolo a entrambi estremi
1	Si	0	1-2	1	Si	34.8	Si, (<200)
2	Si	1.5					

Verifica di stabilità per pressoflessione §C.4.2.4.1.3.3.1 NTC18

X	Comb.	Sfruttamento	Classe	NEd	MxEq,Ed	MyEq,Ed	Area	Wx	Wy	χ,min	λ adim. x/m	λ adim. y/n	N,crit x/m	N,crit y/n	Verifica
0	SLU 2	0.033	3	-19.436	0.0719	-0.0594	0.003832	0.0000492	0.0000739	0.804	0.569	0.4	3253.47	6569.993	Si

Verifiche a deformabilità

Mensola X: No; Mensola Y: No.

Frecce lungo X

Ascissa freccia	Combinazione	Freccia	Luce	L/f	L/f,min	Tipo	Verifica
0.5	SLE RA 1	0	1.5	10000	250	Totale	Si
0.6	SLE RA 17	0	1.5	10000	250	Totale	Si
0.6	SLE RA 16	0	1.5	10000	250	Totale	Si
0.95	SLE RA 15	0	1.5	10000	250	Totale	Si
0.7	SLE RA 14	0	1.5	10000	250	Totale	Si
0.65	SLE RA 2	0	1.5	10000	350	Variabile	Si
0.65	SLE RA 17	0	1.5	10000	350	Variabile	Si
0.65	SLE RA 16	0	1.5	10000	350	Variabile	Si
0.85	SLE RA 15	0	1.5	10000	350	Variabile	Si
0.75	SLE RA 14	0	1.5	10000	350	Variabile	Si

Frecce lungo Y

Ascissa freccia	Combinazione	Freccia	Luce	L/f	L/f,min	Tipo	Verifica
0.75	SLE RA 1	0.00003	1.5	10000	250	Totale	Si
0.75	SLE RA 17	0.00003	1.5	10000	250	Totale	Si
0.75	SLE RA 16	0.00003	1.5	10000	250	Totale	Si

Implementazione dei sistemi di confinamento delle emissioni odorigene diffuse dell'impianto di compostaggio esistente nel
Comune di Eboli (SA)

PROGETTO DEFINITIVO – Tabulati di calcolo Tomo 1

Ascissa freccia	Combinazione	Freccia	Luce	L/f	L/f,min	Tipo	Verifica
0.75	SLE RA 15	0.00003	1.5	10000	250	Totale	Si
0.75	SLE RA 14	0.00003	1.5	10000	250	Totale	Si
0.8	SLE RA 2	0	1.5	10000	350	Variabile	Si
0.8	SLE RA 17	0	1.5	10000	350	Variabile	Si
0.8	SLE RA 16	0	1.5	10000	350	Variabile	Si
0.75	SLE RA 15	0	1.5	10000	350	Variabile	Si
0.8	SLE RA 14	0	1.5	10000	350	Variabile	Si

Superelemento in acciaio a quota "640" (1057; 2062)-(1166; 1959)

Caratteristiche del materiale

Acciaio: S275, fyk = 275000

Caratteristiche geometriche

Lunghezza: 1.5

Nodo iniziale: 1075 Nodo finale: 1061

Cerniera iniziale: Mmomenti 1% Cerniera finale: Mmomenti 1%

Sovreresistenza: 0% Sisma Z: No

Caratteristiche della sezione

Sezione	Rotazione	Area	Jx	Jy	ix	iy	Wx	Wy	Wplx	Wply
A1; L100*10; 1; Saldato; S275; 30; 1; 8; 8; 1	180	0.003832	0.0000035319	0.000007759	0.0304	0.045	0.0000492	0.0000739	0.00008974	0.00012727

Comportamento dei calastrelli

Accoppiamento imbottito con funzione statica (§C4.2.4.1.3.1.4 NTC18) nella campata compresa tra le ascisse 0 e 1.5 per sbandamento attorno all'asse y.

Verifiche di resistenza

Verifiche a forza assiale §4.2.4.1.2.1 - §4.2.4.1.2.2 NTC18

X	Comb.	Sfruttamento	Classe	NEd	Nc,Rd	Nt,Rd	Riduzione da taglio	px	py	Verifica
1.5	SLU 75	0.035		35.251		1003.522	1	0	0	Si

Verifiche a forza assiale SLD §4.2.4.1.2.1 - §4.2.4.1.2.2 NTC18

X	Comb.	Sfruttamento	Classe	NEd	Nc,Rd	Nt,Rd	Riduzione da taglio	px	py	Verifica
1.5	SLD 16	0.006		6.219		1003.522	1	0	0	Si

Verifica a taglio Y §4.2.4.1.2.4 NTC18

X	Comb.	Sfruttamento	VEd	Vc,Rd	Av	Interazione taglio-torsione	Riduzione torsione	Verifica
0	SLU 75	0.001	-0.295	302.422	0.002	Non considerata		Si

Verifica a taglio Y SLD §4.2.4.1.2.4 NTC18

X	Comb.	Sfruttamento	VEd	Vc,Rd	Av	Interazione taglio-torsione	Riduzione torsione	Verifica
0	SLD 16	0.001	-0.226	302.422	0.002	Non considerata		Si

Verifica a presso/tenso flessione retta X §§ 4.2.4.1.2.3 - 4.2.4.1.2.6 - 4.2.4.1.2.7 - 4.2.4.1.2.8 NTC18

Verifiche eseguite utilizzando la formula conservativa (6.2) §6.2.1 EN 1993-1-1:2005.

X	Comb.	Sfruttamento	Classe	NEd	NRd	Rid. NRd da VEd	Mx,Ed	Mx,Rd	Rid. Mx,Rd da VEd	Rid. Mx,Rd da NEd	px	py	Verifica
0.75	SLU 75	0.04	1	35.251	1003.522	1	0.1097	23.5037	1		0	0	Si

Verifica a presso/tenso flessione retta X SLD §§ 4.2.4.1.2.3 - 4.2.4.1.2.6 - 4.2.4.1.2.7 - 4.2.4.1.2.8 NTC18

Verifiche eseguite utilizzando la formula conservativa (6.2) §6.2.1 EN 1993-1-1:2005.

X	Comb.	Sfruttamento	Classe	NEd	NRd	Rid. NRd da VEd	Mx,Ed	Mx,Rd	Rid. Mx,Rd da VEd	Rid. Mx,Rd da NEd	px	py	Verifica
0.75	SLD 16	0.01	1	6.219	1003.522	1	0.0841	23.5037	1		0	0	Si

Verifica a presso/tenso flessione retta Y §§ 4.2.4.1.2.3 - 4.2.4.1.2.6 - 4.2.4.1.2.7 - 4.2.4.1.2.8 NTC18

Verifiche eseguite utilizzando la formula conservativa (6.2) §6.2.1 EN 1993-1-1:2005.

X	Comb.	Sfruttamento	Classe	NEd	NRd	Rid. NRd da VEd	My,Ed	My,Rd	Rid. My,Rd da VEd	Rid. My,Rd da NEd	px	py	Verifica
1.5	SLU 4	0.021	3	-18.04	1003.522	1	-0.0545	19.3536	1		0	0	Si

Verifica a presso/tenso flessione retta Y SLD §§ 4.2.4.1.2.3 - 4.2.4.1.2.6 - 4.2.4.1.2.7 - 4.2.4.1.2.8 NTC18

Verifiche eseguite utilizzando la formula conservativa (6.2) §6.2.1 EN 1993-1-1:2005.

X	Comb.	Sfruttamento	Classe	NEd	NRd	Rid. NRd da VEd	My,Ed	My,Rd	Rid. My,Rd da VEd	Rid. My,Rd da NEd	px	py	Verifica
0	SLD 15	0.008	1	6.219	1003.522	1	-0.049	33.3316	1		0	0	Si

Verifica a presso/tenso flessione deviata §§ 4.2.4.1.2.3 - 4.2.4.1.2.6 - 4.2.4.1.2.7 - 4.2.4.1.2.8 NTC18

Verifiche eseguite utilizzando la formula conservativa (6.2) §6.2.1 EN 1993-1-1:2005.

X	Comb.	Sfruttamento	Classe	NEd	NRd	Rid. NRd da VEd	Mx,Ed	Mx,Rd	My,Ed	My,Rd	Rid. Mx,Rd da VEd	Rid. Mx,Rd da NEd	Rid. My,Rd da VEd	Rid. My,Rd da NEd	α	β	px	py	Verifica
0.75	SLU 42	0.029	3	-17.737	1003.522	1	0.1089	12.886	-0.0534	19.3536	1		1				0	0	Si

Verifica a presso/tenso flessione deviata SLD §§ 4.2.4.1.2.3 - 4.2.4.1.2.6 - 4.2.4.1.2.7 - 4.2.4.1.2.8 NTC18

Verifiche eseguite utilizzando la formula conservativa (6.2) §6.2.1 EN 1993-1-1:2005.

X	Comb.	Sfruttamento	Classe	NEd	NRd	Rid. NRd da VEd	Mx,Ed	Mx,Rd	My,Ed	My,Rd	Rid. Mx,Rd da VEd	Rid. Mx,Rd da NEd	Rid. My,Rd da VEd	Rid. My,Rd da NEd	α	β	px	py	Verifica
0.6	SLD 15	0.01	1	6.219	1003.522	1	0.0806	23.5037	-0.0108	33.3316	1		1				0	0	Si

Implementazione dei sistemi di confinamento delle emissioni odorigene diffuse dell'impianto di compostaggio esistente nel
Comune di Eboli (SA)
PROGETTO DEFINITIVO – Tabulati di calcolo Tomo 1

Verifiche ad instabilità

Caratteristiche iniziali

Membratura principale per controllo snellezza; Calcolo di snellezze ed N critici condotti secondo gli assi principali;
Curva X: c; Curva Y: c;
Svergolamento: Nessuno; la verifica a instabilità flesso-torsionale (svergolamento) non verrà eseguita.

Dati per instabilità attorno a x

Controllo della snellezza secondo §4.2.4.1.3.1 NTC18

Numero rit.	Presente	Ascissa	Campata	$\beta x/m$	Vincolo a entrambi estremi	$\lambda x/m$	λVer
1	Si	0					
			1-2	1	Si	49.4	Si, (<200)
2	Si	1.5					

Dati per instabilità attorno a y

Controllo della snellezza secondo §4.2.4.1.3.1 NTC18

Numero rit.	Presente	Ascissa	Campata	$\beta y/n$	k,LT	kw,LT	Vincolo a entrambi estremi
1	Si	0					
			1-2	1	Si	34.8	Si, (<200)
2	Si	1.5					

Verifica di stabilità per pressoflessione §C.4.2.4.1.3.3.1 NTC18

X	Comb.	Sfruttamento	Classe	NEd	MxEq,Ed	MyEq,Ed	Area	Wx	Wy	χ_{min}	$\lambda_{adim. x/m}$	$\lambda_{adim. y/n}$	N,crit x/m	N,crit y/n	Verifica
1.05	SLU 42	0.031	3	-17.737	0.0939	-0.0403	0.003832	0.0000492	0.0000739	0.804	0.569	0.4	3253.47	6569.993	Si

Verifiche a deformabilità

Mensola X: No; Mensola Y: No.

Frecce lungo X

Ascissa freccia	Combinazione	Freccia	Luce	L/f	L/f,min	Tipo	Verifica
1.1	SLE RA 1	0	1.5	10000	250	Totale	Si
1.1	SLE RA 17	0	1.5	10000	250	Totale	Si
1.05	SLE RA 16	0	1.5	10000	250	Totale	Si
1.05	SLE RA 15	0	1.5	10000	250	Totale	Si
1.1	SLE RA 14	0	1.5	10000	250	Totale	Si
1.05	SLE RA 2	0	1.5	10000	350	Variabile	Si
1.05	SLE RA 17	0	1.5	10000	350	Variabile	Si
1.05	SLE RA 16	0	1.5	10000	350	Variabile	Si
1.05	SLE RA 15	0	1.5	10000	350	Variabile	Si
1.05	SLE RA 14	0	1.5	10000	350	Variabile	Si

Frecce lungo Y

Ascissa freccia	Combinazione	Freccia	Luce	L/f	L/f,min	Tipo	Verifica
0.75	SLE RA 1	0.00003	1.5	10000	250	Totale	Si
0.75	SLE RA 17	0.00003	1.5	10000	250	Totale	Si
0.75	SLE RA 16	0.00003	1.5	10000	250	Totale	Si
0.75	SLE RA 15	0.00003	1.5	10000	250	Totale	Si
0.75	SLE RA 14	0.00003	1.5	10000	250	Totale	Si
1	SLE RA 2	0	1.5	10000	350	Variabile	Si
1.05	SLE RA 17	0	1.5	10000	350	Variabile	Si
1	SLE RA 16	0	1.5	10000	350	Variabile	Si
0.5	SLE RA 15	0	1.5	10000	350	Variabile	Si
0.95	SLE RA 14	0	1.5	10000	350	Variabile	Si

Superelemento in acciaio a quota "640" (1088; 2531)-(1197; 2428)

Caratteristiche del materiale

Acciaio: S275, fyk = 275000

Caratteristiche geometriche

Lunghezza: 1.5
Nodo iniziale: 1274 Nodo finale: 1237
Cerniera iniziale: Mmomenti 1% Cerniera finale: Mmomenti 1%
Sovraresistenza: 0% Sisma Z: No

Caratteristiche della sezione

Sezione	Rotazione	Area	Jx	Jy	ix	iy	Wx	Wy	Wplx	Wply
A1; L100*10; 1; Saldato; S275; 30; 1; 8; 8; 1	180	0.003832	0.0000035319	0.000007759	0.0304	0.045	0.0000492	0.0000739	0.00008974	0.00012727

Comportamento dei calastrelli

Accoppiamento imbottito con funzione statica (§C4.2.4.1.3.1.4 NTC18) nella campata compresa tra le ascisse 0 e 1.5 per sbandamento attorno all'asse y.

Verifiche di resistenza

Verifiche a forza assiale §4.2.4.1.2.1 - §4.2.4.1.2.2 NTC18

X	Comb.	Sfruttamento	Classe	NEd	Nc,Rd	Nt,Rd	Riduzione da taglio	px	py	Verifica
0.4	SLU 76	0.171		172.013		1003.522	1	0	0	Si

Verifiche a forza assiale SLD §4.2.4.1.2.1 - §4.2.4.1.2.2 NTC18

X	Comb.	Sfruttamento	Classe	NEd	Nc,Rd	Nt,Rd	Riduzione da taglio	px	py	Verifica
1.5	SLD 16	0.068		68.421		1003.522	1	0	0	Si

Implementazione dei sistemi di confinamento delle emissioni odorigene diffuse dell'impianto di compostaggio esistente nel
Comune di Eboli (SA)
PROGETTO DEFINITIVO – Tabulati di calcolo Tomo 1

Verifica a taglio X §4.2.4.1.2.4 NTC18

X	Comb.	Sfruttamento	VEd	Vc,Rd	Av	Interazione taglio-torsione	Riduzione torsione	Verifica
1.5	SLV 16	0.001	-0.288	302.422	0.002	Non considerata		Si

Verifica a taglio Y §4.2.4.1.2.4 NTC18

X	Comb.	Sfruttamento	VEd	Vc,Rd	Av	Interazione taglio-torsione	Riduzione torsione	Verifica
1.5	SLU 76	0.001	0.295	302.422	0.002	Non considerata		Si

Verifica a taglio Y SLD §4.2.4.1.2.4 NTC18

X	Comb.	Sfruttamento	VEd	Vc,Rd	Av	Interazione taglio-torsione	Riduzione torsione	Verifica
1.5	SLD 16	0.001	0.226	302.422	0.002	Non considerata		Si

Verifica a presso/tenso flessione retta X §§ 4.2.4.1.2.3 - 4.2.4.1.2.6 - 4.2.4.1.2.7 - 4.2.4.1.2.8 NTC18

Verifiche eseguite utilizzando la formula conservativa (6.2) §6.2.1 EN 1993-1-1:2005.

X	Comb.	Sfruttamento	Classe	NEd	NRd	Rid. NRd da VEd	Mx,Ed	Mx,Rd	Rid. Mx,Rd da VEd	Rid. Mx,Rd da NEd	px	py	Verifica
0.75	SLU 76	0.176	1	172.013	1003.522	1	0.1118	23.5037	1		0	0	Si

Verifica a presso/tenso flessione retta X SLD §§ 4.2.4.1.2.3 - 4.2.4.1.2.6 - 4.2.4.1.2.7 - 4.2.4.1.2.8 NTC18

Verifiche eseguite utilizzando la formula conservativa (6.2) §6.2.1 EN 1993-1-1:2005.

X	Comb.	Sfruttamento	Classe	NEd	NRd	Rid. NRd da VEd	Mx,Ed	Mx,Rd	Rid. Mx,Rd da VEd	Rid. Mx,Rd da NEd	px	py	Verifica
0.7	SLD 16	0.072	1	68.421	1003.522	1	0.0846	23.5037	1		0	0	Si

Verifica a presso/tenso flessione retta Y §§ 4.2.4.1.2.3 - 4.2.4.1.2.6 - 4.2.4.1.2.7 - 4.2.4.1.2.8 NTC18

Verifiche eseguite utilizzando la formula conservativa (6.2) §6.2.1 EN 1993-1-1:2005.

X	Comb.	Sfruttamento	Classe	NEd	NRd	Rid. NRd da VEd	My,Ed	My,Rd	Rid. My,Rd da VEd	Rid. My,Rd da NEd	px	py	Verifica
1.5	SLV 16	0.093	1	86.45	1003.522	1	-0.2437	33.3316	1		0	0	Si

Verifica a presso/tenso flessione retta Y SLD §§ 4.2.4.1.2.3 - 4.2.4.1.2.6 - 4.2.4.1.2.7 - 4.2.4.1.2.8 NTC18

Verifiche eseguite utilizzando la formula conservativa (6.2) §6.2.1 EN 1993-1-1:2005.

X	Comb.	Sfruttamento	Classe	NEd	NRd	Rid. NRd da VEd	My,Ed	My,Rd	Rid. My,Rd da VEd	Rid. My,Rd da NEd	px	py	Verifica
1.5	SLD 16	0.071	1	68.421	1003.522	1	-0.0993	33.3316	1		0	0	Si

Verifica a presso/tenso flessione deviata §§ 4.2.4.1.2.3 - 4.2.4.1.2.6 - 4.2.4.1.2.7 - 4.2.4.1.2.8 NTC18

Verifiche eseguite utilizzando la formula conservativa (6.2) §6.2.1 EN 1993-1-1:2005.

X	Comb.	Sfruttamento	Classe	NEd	NRd	Rid. NRd da VEd	Mx,Ed	Mx,Rd	My,Ed	My,Rd	Rid. Mx,Rd da VEd	Rid. Mx,Rd da NEd	Rid. My,Rd da VEd	Rid. My,Rd da NEd	α	β	px	py	Verifica
1.4	SLV 15	0.094	1	86.45	1003.522	1	0.0213	23.5037	-0.2149	33.3316	1		1				0	0	Si

Verifica a presso/tenso flessione deviata SLD §§ 4.2.4.1.2.3 - 4.2.4.1.2.6 - 4.2.4.1.2.7 - 4.2.4.1.2.8 NTC18

Verifiche eseguite utilizzando la formula conservativa (6.2) §6.2.1 EN 1993-1-1:2005.

X	Comb.	Sfruttamento	Classe	NEd	NRd	Rid. NRd da VEd	Mx,Ed	Mx,Rd	My,Ed	My,Rd	Rid. Mx,Rd da VEd	Rid. Mx,Rd da NEd	Rid. My,Rd da VEd	Rid. My,Rd da NEd	α	β	px	py	Verifica
1	SLD 15	0.073	1	68.421	1003.522	1	0.0755	23.5037	-0.0408	33.3316	1		1				0	0	Si

Verifiche ad instabilità

Caratteristiche iniziali

Membratura principale per controllo snellezza; Calcolo di snellezze ed N critici condotti secondo gli assi principali;

Curva X: c; Curva Y: c;

Svergolamento: Nessuno; la verifica a instabilità flesso-torsionale (svergolamento) non verrà eseguita.

Dati per instabilità attorno a x

Controllo della snellezza secondo §4.2.4.1.3.1 NTC18

Numero rit.	Presente	Ascissa	Campata	βx/m	Vincolo a entrambi estremi	λx/m	λVer
1	Si	0					
			1-2		1	49.4	Si, (<200)
2	Si	1.5					

Dati per instabilità attorno a y

Controllo della snellezza secondo §4.2.4.1.3.1 NTC18

Numero rit.	Presente	Ascissa	Campata	βy/n	k,LT	kw,LT	Vincolo a entrambi estremi
1	Si	0					
			1-2		1	34.8	Si, (<200)
2	Si	1.5					

Verifica di stabilità per pressoflessione §C.4.2.4.1.3.3.1 NTC18

X	Comb.	Sfruttamento	Classe	NEd	MxEq,Ed	MyEq,Ed	Area	Wx	Wy	χ,min	λ adim. x/m	λ adim. y/n	N,crit x/m	N,crit y/n	Verifica
0	SLU 2	0.031	3	-18.406	0.0721	0.0435	0.003832	0.0000492	0.0000739	0.804	0.569	0.4	3253.47	6569.993	Si

Verifiche a deformabilità

Mensola X: No; Mensola Y: No.

Frecce lungo X

Ascissa freccia	Combinazione	Freccia	Luce	L/f	L/f,min	Tipo	Verifica
0.95	SLE RA 1	0	1.5	10000	250	Totale	Si
0.9	SLE RA 17	0	1.5	10000	250	Totale	Si
0.85	SLE RA 16	0	1.5	10000	250	Totale	Si
0.8	SLE RA 15	0	1.5	10000	250	Totale	Si
0.95	SLE RA 14	0	1.5	10000	250	Totale	Si
0.7	SLE RA 2	0	1.5	10000	350	Variabile	Si
0.7	SLE RA 17	0	1.5	10000	350	Variabile	Si
0.7	SLE RA 16	0	1.5	10000	350	Variabile	Si
0.7	SLE RA 15	0	1.5	10000	350	Variabile	Si
0.95	SLE RA 14	0	1.5	10000	350	Variabile	Si

PROGETTO DEFINITIVO – Tabulati di calcolo Tomo 1

Frecce lungo Y

Ascissa freccia	Combinazione	Freccia	Luce	L/f	L/f,min	Tipo	Verifica
0.75	SLE RA 1	0.00003	1.5	10000	250	Totale	Si
0.75	SLE RA 17	0.00003	1.5	10000	250	Totale	Si
0.75	SLE RA 16	0.00003	1.5	10000	250	Totale	Si
0.75	SLE RA 15	0.00003	1.5	10000	250	Totale	Si
0.75	SLE RA 14	0.00003	1.5	10000	250	Totale	Si
0.7	SLE RA 2	0	1.5	10000	350	Variabile	Si
0.7	SLE RA 17	0	1.5	10000	350	Variabile	Si
0.7	SLE RA 16	0	1.5	10000	350	Variabile	Si
0.7	SLE RA 15	0	1.5	10000	350	Variabile	Si
0.7	SLE RA 14	0	1.5	10000	350	Variabile	Si

Superelemento in acciaio a quota "640" (1110; 1241)-(1237; 1376)

Caratteristiche del materiale

Acciaio: S275, fyk = 275000

Caratteristiche geometriche

Lunghezza: 1.85

Nodo iniziale: 913 Nodo finale: 942

Cerniera iniziale: No Cerniera finale: No

Sovreresistenza: 0% Sisma Z: No

Caratteristiche della sezione

Sezione	Rotazione	Area	Jx	Jy	ix	iy	Wx	Wy	Wplx	Wply
HEA120	0	0.002537	0.0000060673	0.0000023091	0.0489	0.0302	0.00010644	0.00003849	0.00011962	0.00005887

Verifiche di resistenza

Verifiche a forza assiale §4.2.4.1.2.1 - §4.2.4.1.2.2 NTC18

X	Comb.	Sfruttamento	Classe	NEd	Nc,Rd	Nt,Rd	Riduzione da taglio	px	py	Verifica
1.85	SLV 8	0.056		37.093		664.325	1	0	0	Si

Verifiche a forza assiale SLD §4.2.4.1.2.1 - §4.2.4.1.2.2 NTC18

X	Comb.	Sfruttamento	Classe	NEd	Nc,Rd	Nt,Rd	Riduzione da taglio	px	py	Verifica
1.85	SLD 7	0.024		15.843		664.325	1	0	0	Si

Verifica a taglio Y §4.2.4.1.2.4 NTC18

X	Comb.	Sfruttamento	VEd	Vc,Rd	Av	Interazione taglio-torsione	Riduzione torsione	Verifica
1.85	SLV 6	0.007	-0.91	127.486	0.000849	Considerata	0.99	Si

Verifica a taglio Y SLD §4.2.4.1.2.4 NTC18

X	Comb.	Sfruttamento	VEd	Vc,Rd	Av	Interazione taglio-torsione	Riduzione torsione	Verifica
1.85	SLD 6	0.004	-0.565	127.967	0.000849	Considerata	1	Si

Verifica a torsione §4.2.4.1.2.5 NTC18

X	Comb.	Sfruttamento torsione	TEd	TRd	Riduzione taglio resistente	Sfruttamento taglio-torsione	τEd,totale	τRd	Verifica
1.85	SLV 13	0.028	-0.02404	0.85138	Considerata				Si

Verifica a torsione SLD §4.2.4.1.2.5 NTC18

X	Comb.	Sfruttamento torsione	TEd	TRd	Riduzione taglio resistente	Sfruttamento taglio-torsione	τEd,totale	τRd	Verifica
1.788	SLD 13	0.011	-0.00901	0.85138	Considerata				Si

Verifica a flessione semplice X §§ 4.2.4.1.2.3 - 4.2.4.1.2.6 - 4.2.4.1.2.7 - 4.2.4.1.2.8 NTC18

X	Comb.	Sfruttamento	Classe	Mx,Ed	Mx,Rd	Rid. Mx,Rd da VEd	px	py	Verifica
0.555	SLU 2	0.001	1	-0.04681	31.32907	1	0	0	Si

Verifica a flessione semplice X SLD §§ 4.2.4.1.2.3 - 4.2.4.1.2.6 - 4.2.4.1.2.7 - 4.2.4.1.2.8 NTC18

X	Comb.	Sfruttamento	Classe	Mx,Ed	Mx,Rd	Rid. Mx,Rd da VEd	px	py	Verifica
0.987	SLD 15	0.002	1	-0.07588	31.32907	1	0	0	Si

Verifica a flessione deviata §§ 4.2.4.1.2.3 - 4.2.4.1.2.6 - 4.2.4.1.2.7 - 4.2.4.1.2.8 NTC18

X	Comb.	Sfruttamento	Classe	Mx,Ed	Mx,Rd	My,Ed	My,Rd	Rid. Mx,Rd da VEd	Rid. My,Rd da VEd	α	β	px	py	Verifica
1.85	SLU 2	0.004	1	0.1232	31.3291	0.0053	15.4191	1	1			0	0	Si

Verifica a flessione deviata SLD §§ 4.2.4.1.2.3 - 4.2.4.1.2.6 - 4.2.4.1.2.7 - 4.2.4.1.2.8 NTC18

X	Comb.	Sfruttamento	Classe	Mx,Ed	Mx,Rd	My,Ed	My,Rd	Rid. Mx,Rd da VEd	Rid. My,Rd da VEd	α	β	px	py	Verifica
0.74	SLD 16	0.003	1	-0.077	31.3291	0.0054	15.4191	1	1			0	0	Si

Verifica a presso/tenso flessione retta X §§ 4.2.4.1.2.3 - 4.2.4.1.2.6 - 4.2.4.1.2.7 - 4.2.4.1.2.8 NTC18

Verifiche eseguite utilizzando la formula conservativa (6.2) §6.2.1 EN 1993-1-1:2005.

X	Comb.	Sfruttamento	Classe	NEd	NRd	Rid. NRd da VEd	Mx,Ed	Mx,Rd	Rid. Mx,Rd da VEd	Rid. Mx,Rd da NEd	px	py	Verifica
0.432	SLU 75	0.031	1	17.457	664.325	1	0.1372	31.3291	1		0	0	Si

Verifica a presso/tenso flessione retta X SLD §§ 4.2.4.1.2.3 - 4.2.4.1.2.6 - 4.2.4.1.2.7 - 4.2.4.1.2.8 NTC18

Verifiche eseguite utilizzando la formula conservativa (6.2) §6.2.1 EN 1993-1-1:2005.

X	Comb.	Sfruttamento	Classe	NEd	NRd	Rid. NRd da VEd	Mx,Ed	Mx,Rd	Rid. Mx,Rd da VEd	Rid. Mx,Rd da NEd	px	py	Verifica
1.85	SLD 5	0.024	1	-0.939	664.325	1	0.6981	31.3291	1		0	0	Si

**Implementazione dei sistemi di confinamento delle emissioni odorigene diffuse dell'impianto di compostaggio esistente nel
Comune di Eboli (SA)
PROGETTO DEFINITIVO – Tabulati di calcolo Tomo 1**

Verifica a presso/tenso flessione retta Y §§ 4.2.4.1.2.3 - 4.2.4.1.2.6 - 4.2.4.1.2.7 - 4.2.4.1.2.8 NTC18

Verifiche eseguite utilizzando la formula conservativa (6.2) §6.2.1 EN 1993-1-1:2005.

X	Comb.	Sfruttamento	Classe	NEd	NRd	Rid. NRd da VEd	My,Ed	My,Rd	Rid. My,Rd da VEd	Rid. My,Rd da NEd	px	py	Verifica
0	SLU 73	0.019	1	11.901	664.325	1	0.0152	15.4191	1		0	0	Si

Verifica a presso/tenso flessione retta Y SLD §§ 4.2.4.1.2.3 - 4.2.4.1.2.6 - 4.2.4.1.2.7 - 4.2.4.1.2.8 NTC18

Verifiche eseguite utilizzando la formula conservativa (6.2) §6.2.1 EN 1993-1-1:2005.

X	Comb.	Sfruttamento	Classe	NEd	NRd	Rid. NRd da VEd	My,Ed	My,Rd	Rid. My,Rd da VEd	Rid. My,Rd da NEd	px	py	Verifica
1.048	SLD 7	0.025	1	15.843	664.325	1	-0.0251	15.4191	1		0	0	Si

Verifica a presso/tenso flessione deviata §§ 4.2.4.1.2.3 - 4.2.4.1.2.6 - 4.2.4.1.2.7 - 4.2.4.1.2.8 NTC18

Verifiche eseguite utilizzando la formula conservativa (6.2) §6.2.1 EN 1993-1-1:2005.

X	Comb.	Sfruttamento	Classe	NEd	NRd	Rid. NRd da VEd	Mx,Ed	Mx,Rd	My,Ed	My,Rd	Rid. Mx,Rd da VEd	Rid. Mx,Rd da NEd	Rid. My,Rd da VEd	Rid. My,Rd da NEd	α	β	px	py	Verifica
1.85	SLV 3	0.087	1	35.8	664.325	1	0.8391	31.3291	-0.0939	15.4191	1		1				0	0	Si

Verifica a presso/tenso flessione deviata SLD §§ 4.2.4.1.2.3 - 4.2.4.1.2.6 - 4.2.4.1.2.7 - 4.2.4.1.2.8 NTC18

Verifiche eseguite utilizzando la formula conservativa (6.2) §6.2.1 EN 1993-1-1:2005.

X	Comb.	Sfruttamento	Classe	NEd	NRd	Rid. NRd da VEd	Mx,Ed	Mx,Rd	My,Ed	My,Rd	Rid. Mx,Rd da VEd	Rid. Mx,Rd da NEd	Rid. My,Rd da VEd	Rid. My,Rd da NEd	α	β	px	py	Verifica
1.85	SLD 4	0.043	1	15.435	664.325	1	0.5243	31.3291	-0.0441	15.4191	1		1				0	0	Si

Verifiche ad instabilità

Caratteristiche iniziali

Membratura principale per controllo snellezza; Calcolo di snellezze ed N critici condotti secondo gli assi principali;

Curva X: b; Curva Y: c; Svergolamento: Carico all'estradosso; Curva svergolamento: b;

Dati per instabilità attorno a x

Controllo della snellezza secondo §4.2.4.1.3.1 NTC18

Numero rit.	Presente	Ascissa	Campata	βx/m	Vincolo a entrambi estremi	λx/m	λVer
1	Si		0				
			1-2		1	37.8	Si, (<200)
2	Si	1.85					

Dati per instabilità attorno a y

Controllo della snellezza secondo §4.2.4.1.3.1 NTC18

Numero rit.	Presente	Ascissa	Campata	βy/n	k,LT	kw,LT	Vincolo a entrambi estremi	λy/n	λVer
1	Si		0						
			1-2		1	1	Si	61.3	Si, (<200)
2	Si	1.85							

Verifica a svergolamento con trazione §4.2.4.1.3.2 NTC18 § 5.5.3 ENV 1993-1-1:1992 + AC:1992 + A1:1994 + A2:1998

X	Comb.	Sfruttamento	Classe	Obblig.	NEd	Mx,Ed	Mx,Eff,Ed	Mb,Rd,x	χ,LT	λ adim. LT	L,LT	M,critico	Verifica
1.85	SLU 59	0.007	1	Si	2.25	0.2544	0.18832	28.25853	0.902	0.633	1.85	82.10616	Si

Verifica di stabilità per tenso-flessione deviata §§ 5.5.3-5.5.4 ENV 1993-1-1:1992 + AC:1992 + A1:1994 + A2:1998

X	Comb.	Sfruttamento	Classe	NEd	Mx,Ed	Mx,Eff,Ed	My,Ed	χ,LT	kLT	ky	M,critico	Wx	Wy	Verifica
1.85	SLV 2	0.028	1	20.783	1.30548	0.69497	-0.05791	0.902	1	1	82.10616	0.0001196	0.0000589	Si

Verifica di stabilità per tenso-flessione deviata SLD §§ 5.5.3-5.5.4 ENV 1993-1-1:1992 + AC:1992 + A1:1994 + A2:1998

X	Comb.	Sfruttamento	Classe	NEd	Mx,Ed	Mx,Eff,Ed	My,Ed	χ,LT	kLT	ky	M,critico	Wx	Wy	Verifica
1.85	SLD 2	0.015	1	10.401	0.68553	0.38	-0.03103	0.902	1	1	82.10616	0.0001196	0.0000589	Si

Verifica di stabilità per pressoflessione §C.4.2.4.1.3.3.2 NTC18

X	Comb.	Sfruttamento	Classe	NEd	NRk	Mx,Ed max	Mx,Rk	My,Ed max	My,Rk	χ,x	χ,y	kxx	kxy	kyy	kyx	χ,LT	Verifica
1.85	SLV 10	0.091	1	-26.873	697.541	0.91602	32.89552	0.06236	16.19002	0.912	0.721	0.532	0.499	0.986	0.832	0.902	Si

Verifica di stabilità per pressoflessione SLD §C.4.2.4.1.3.3.2 NTC18

X	Comb.	Sfruttamento	Classe	NEd	NRk	Mx,Ed max	Mx,Rk	My,Ed max	My,Rk	χ,x	χ,y	kxx	kxy	kyy	kyx	χ,LT	Verifica
1.85	SLD 10	0.032	1	-5.623	697.541	0.54762	32.89552	0.02166	16.19002	0.912	0.721	0.473	0.393	0.996	0.655	0.902	Si

Verifica di stabilità a taglio anima Y §4.2.4.1.2.4 [4.2.27] NTC18

η	hw	tw	hw/tw max	Verifica
1.2	0.098	0.005	55.46	Si

Verifica di stabilità a taglio anima Y SLD §4.2.4.1.2.4 [4.2.27] NTC18

η	hw	tw	hw/tw max	Verifica
1.2	0.098	0.005	55.46	Si

Verifiche a deformabilità

Mensola X: No; Mensola Y: No.

Frecce lungo X

Ascissa freccia	Combinazione	Freccia	Luce	L/f	L/f,min	Tipo	Verifica
1.172	SLE RA 1	0.00001	1.85	10000	250	Totale	Si
1.172	SLE RA 17	0.00001	1.85	10000	250	Totale	Si
1.172	SLE RA 16	0.00001	1.85	10000	250	Totale	Si
1.357	SLE RA 15	0	1.85	10000	250	Totale	Si
1.111	SLE RA 14	0.00001	1.85	10000	250	Totale	Si
1.172	SLE RA 2	0	1.85	10000	350	Variabile	Si
1.172	SLE RA 17	0	1.85	10000	350	Variabile	Si
1.172	SLE RA 16	0	1.85	10000	350	Variabile	Si
0.925	SLE RA 15	0	1.85	10000	350	Variabile	Si
1.111	SLE RA 14	0.00001	1.85	10000	350	Variabile	Si

Frecce lungo Y

Ascissa freccia	Combinazione	Freccia	Luce	L/f	L/f,min	Tipo	Verifica
1.172	SLE RA 1	0.00004	1.85	10000	250	Totale	Si
1.172	SLE RA 17	0.00005	1.85	10000	250	Totale	Si

Implementazione dei sistemi di confinamento delle emissioni odorigene diffuse dell'impianto di compostaggio esistente nel
Comune di Eboli (SA)

PROGETTO DEFINITIVO – Tabulati di calcolo Tomo 1

Ascissa freccia	Combinazione	Freccia	Luce	L/f	L/f,min	Tipo	Verifica
1.11	SLE RA 16	0.00006	1.85	10000	250	Totale	Si
1.172	SLE RA 15	0.00004	1.85	10000	250	Totale	Si
1.11	SLE RA 14	0.00007	1.85	10000	250	Totale	Si
1.048	SLE RA 2	-0.00003	1.85	10000	350	Variabile	Si
1.048	SLE RA 17	0.00001	1.85	10000	350	Variabile	Si
1.048	SLE RA 16	0.00003	1.85	10000	350	Variabile	Si
0.493	SLE RA 15	0	1.85	10000	350	Variabile	Si
1.048	SLE RA 14	0.00004	1.85	10000	350	Variabile	Si

Superelemento in acciaio a quota "640" (1125; 3008)-(1349; 3005)

Caratteristiche del materiale

Acciaio: S275, fyk = 275000

Caratteristiche geometriche

Lunghezza: 2.241

Nodo iniziale: 1469 Nodo finale: 1460

Cerniera iniziale: No Cerniera finale: No

Sovreresistenza: 0% Sisma Z: No

Caratteristiche della sezione

Sezione	Rotazione	Area	Jx	Jy	ix	iy	Wx	Wy	Wplx	Wply
HEA120	0	0.002537	0.0000060673	0.0000023091	0.0489	0.0302	0.00010644	0.00003849	0.00011962	0.00005887

Verifiche di resistenza

Verifiche a forza assiale §4.2.4.1.2.1 - §4.2.4.1.2.2 NTC18

X	Comb.	Sfruttamento	Classe	NEd	Nc,Rd	Nt,Rd	Riduzione da taglio	px	py	Verifica
2.167	SLV 14	0.182	1	-121.033	664.325		1	0	0	Si

Verifiche a forza assiale SLD §4.2.4.1.2.1 - §4.2.4.1.2.2 NTC18

X	Comb.	Sfruttamento	Classe	NEd	Nc,Rd	Nt,Rd	Riduzione da taglio	px	py	Verifica
2.167	SLD 14	0.091	1	-60.22	664.325		1	0	0	Si

Verifica a taglio X §4.2.4.1.2.4 NTC18

X	Comb.	Sfruttamento	VEd	Vc,Rd	Av	Interazione taglio-torsione	Riduzione torsione	Verifica
0	SLV 14	0.001	-0.432	309.231	0.002047	Considerata	1	Si

Verifica a taglio Y §4.2.4.1.2.4 NTC18

X	Comb.	Sfruttamento	VEd	Vc,Rd	Av	Interazione taglio-torsione	Riduzione torsione	Verifica
0	SLU 76	0.02	2.548	127.764	0.000849	Considerata	1	Si

Verifica a taglio Y SLD §4.2.4.1.2.4 NTC18

X	Comb.	Sfruttamento	VEd	Vc,Rd	Av	Interazione taglio-torsione	Riduzione torsione	Verifica
0	SLD 13	0.011	1.463	128.225	0.000849	Considerata	1	Si

Verifica a torsione §4.2.4.1.2.5 NTC18

X	Comb.	Sfruttamento torsione	TEd	TRd	Riduzione taglio resistente	Sfruttamento taglio-torsione	τEd,totale	τRd	Verifica
2.167	SLV 6	0.014	-0.01209	0.85138	Considerata				Si

Verifica a torsione SLD §4.2.4.1.2.5 NTC18

X	Comb.	Sfruttamento torsione	TEd	TRd	Riduzione taglio resistente	Sfruttamento taglio-torsione	τEd,totale	τRd	Verifica
0	SLD 1	0.008	-0.00671	0.85138	Considerata				Si

Verifica a presso/tenso flessione retta X §§ 4.2.4.1.2.3 - 4.2.4.1.2.6 - 4.2.4.1.2.7 - 4.2.4.1.2.8 NTC18

Verifiche eseguite utilizzando la formula conservativa (6.2) §6.2.1 EN 1993-1-1:2005.

X	Comb.	Sfruttamento	Classe	NEd	NRd	Rid. NRd da VEd	Mx,Ed	Mx,Rd	Rid. Mx,Rd da VEd	Rid. Mx,Rd da NEd	px	py	Verifica
1.494	SLU 57	0.119	1	-55.302	664.325	1	-1.105	31.3291	1		0	0	Si

Verifica a presso/tenso flessione retta Y §§ 4.2.4.1.2.3 - 4.2.4.1.2.6 - 4.2.4.1.2.7 - 4.2.4.1.2.8 NTC18

Verifiche eseguite utilizzando la formula conservativa (6.2) §6.2.1 EN 1993-1-1:2005.

X	Comb.	Sfruttamento	Classe	NEd	NRd	Rid. NRd da VEd	My,Ed	My,Rd	Rid. My,Rd da VEd	Rid. My,Rd da NEd	px	py	Verifica
0.971	SLU 76	0.092	1	-58.491	664.325	1	0.0619	15.4191	1		0	0	Si

Verifica a presso/tenso flessione retta Y SLD §§ 4.2.4.1.2.3 - 4.2.4.1.2.6 - 4.2.4.1.2.7 - 4.2.4.1.2.8 NTC18

Verifiche eseguite utilizzando la formula conservativa (6.2) §6.2.1 EN 1993-1-1:2005.

X	Comb.	Sfruttamento	Classe	NEd	NRd	Rid. NRd da VEd	My,Ed	My,Rd	Rid. My,Rd da VEd	Rid. My,Rd da NEd	px	py	Verifica
0.672	SLD 13	0.104	1	-60.22	664.325	1	0.2077	15.4191	1		0	0	Si

Verifica a presso/tenso flessione deviata §§ 4.2.4.1.2.3 - 4.2.4.1.2.6 - 4.2.4.1.2.7 - 4.2.4.1.2.8 NTC18

Verifiche eseguite utilizzando la formula conservativa (6.2) §6.2.1 EN 1993-1-1:2005.

X	Comb.	Sfruttamento	Classe	NEd	NRd	Rid. NRd da VEd	Mx,Ed	Mx,Rd	My,Ed	My,Rd	Rid. Mx,Rd da VEd	Rid. Mx,Rd da NEd	Rid. My,Rd da VEd	Rid. My,Rd da NEd	α	β	px	py	Verifica
2.241	SLV 14	0.299	1	-121.033	664.325	1	-3.1646	31.3291	-0.2375	15.4191	1		1				0	0	Si

Verifica a presso/tenso flessione deviata SLD §§ 4.2.4.1.2.3 - 4.2.4.1.2.6 - 4.2.4.1.2.7 - 4.2.4.1.2.8 NTC18

Verifiche eseguite utilizzando la formula conservativa (6.2) §6.2.1 EN 1993-1-1:2005.

X	Comb.	Sfruttamento	Classe	NEd	NRd	Rid. NRd da VEd	Mx,Ed	Mx,Rd	My,Ed	My,Rd	Rid. Mx,Rd da VEd	Rid. Mx,Rd da NEd	Rid. My,Rd da VEd	Rid. My,Rd da NEd	α	β	px	py	Verifica
2.241	SLD 13	0.156	1	-60.22	664.325	1	-1.8342	31.3291	-0.1087	15.4191	1		1				0	0	Si

Implementazione dei sistemi di confinamento delle emissioni odorigene diffuse dell'impianto di compostaggio esistente nel
Comune di Eboli (SA)
PROGETTO DEFINITIVO – Tabulati di calcolo Tomo 1

Verifiche ad instabilità

Caratteristiche iniziali

Membratura principale per controllo snellezza; Calcolo di snellezze ed N critici condotti secondo gli assi principali;
Curva X: b; Curva Y: c; Svergolamento: Carico all'estradosso; Curva svergolamento: b;

Dati per instabilità attorno a x

Controllo della snellezza secondo §4.2.4.1.3.1 NTC18

Numero rit.	Presente	Ascissa	Campata	βx/m	Vincolo a entrambi estremi	λx/m	λVer
1	Si	0					
			1-2	1	Si	45.8	Si, (<200)
2	Si	2.241					

Dati per instabilità attorno a y

Controllo della snellezza secondo §4.2.4.1.3.1 NTC18

Numero rit.	Presente	Ascissa	Campata	βy/n	k,LT	kw,LT	Vincolo a entrambi estremi	λy/n	λVer
1	Si	0							
			1-2	1	1	1	Si	74.3	Si, (<200)
2	Si	2.241							

Verifica di stabilità per tenso-flessione deviata §§ 5.5.3-5.5.4 ENV 1993-1-1:1992 + AC:1992 + A1:1994 + A2:1998

X	Comb.	Sfruttamento	Classe	NEd	Mx,Ed	Mx,Eff,Ed	My,Ed	χ,LT	kLT	ky	M,critico	Wx	Wy	Verifica
0.075	SLV 1	0.027	1	23.919	0.90949	0.20685	-0.29894	0.861	1	1	63.9634	0.0001196	0.0000589	Si

Verifica di stabilità per tenso-flessione deviata SLD §§ 5.5.3-5.5.4 ENV 1993-1-1:1992 + AC:1992 + A1:1994 + A2:1998

X	Comb.	Sfruttamento	Classe	NEd	Mx,Ed	Mx,Eff,Ed	My,Ed	χ,LT	kLT	ky	M,critico	Wx	Wy	Verifica
0	SLD 3	0.035	1	6.237	0.813	0.62979	-0.18698	0.861	1	1	63.9634	0.0001196	0.0000589	Si

Verifica di stabilità per pressoflessione §C.4.2.4.1.3.3.2 NTC18

X	Comb.	Sfruttamento	Classe	NEd	NRk	Mx,Ed max	Mx,Rk	My,Ed max	My,Rk	χ,x	χ,y	kxx	kxy	kyy	χ,LT	Verifica	
1.121	SLV 13	0.43	1	-121.033	697.541	3.16463	32.89552	0.77329	16.19002	0.872	0.627	0.532	0.409	0.9	0.681	0.861	Si

Verifica di stabilità per pressoflessione SLD §C.4.2.4.1.3.3.2 NTC18

X	Comb.	Sfruttamento	Classe	NEd	NRk	Mx,Ed max	Mx,Rk	My,Ed max	My,Rk	χ,x	χ,y	kxx	kxy	kyy	χ,LT	Verifica	
2.241	SLD 13	0.221	1	-60.22	697.541	1.83417	32.89552	0.33405	16.19002	0.872	0.627	0.464	0.349	0.938	0.581	0.861	Si

Verifica di stabilità a taglio anima Y §4.2.4.1.2.4 [4.2.27] NTC18

η	hw	tw	hw/tw max	Verifica
1.2	0.098	0.005	55.46	Si

Verifica di stabilità a taglio anima Y SLD §4.2.4.1.2.4 [4.2.27] NTC18

η	hw	tw	hw/tw max	Verifica
1.2	0.098	0.005	55.46	Si

Verifiche a deformabilità

Mensola X: No; Mensola Y: No.

Frecce lungo X

Ascissa freccia	Combinazione	Freccia	Luce	L/f	L/f,min	Tipo	Verifica
0.822	SLE RA 1	-0.00003	2.241	10000	250	Totale	Si
0.822	SLE RA 17	-0.00004	2.241	10000	250	Totale	Si
0.747	SLE RA 16	-0.00005	2.241	10000	250	Totale	Si
0.747	SLE RA 15	-0.00004	2.241	10000	250	Totale	Si
0.822	SLE RA 14	-0.00004	2.241	10000	250	Totale	Si
0.598	SLE RA 2	0.00001	2.241	10000	350	Variabile	Si
0.598	SLE RA 17	-0.00001	2.241	10000	350	Variabile	Si
0.598	SLE RA 16	-0.00001	2.241	10000	350	Variabile	Si
0.598	SLE RA 15	-0.00001	2.241	10000	350	Variabile	Si
0.672	SLE RA 14	-0.00001	2.241	10000	350	Variabile	Si

Frecce lungo Y

Ascissa freccia	Combinazione	Freccia	Luce	L/f	L/f,min	Tipo	Verifica
1.569	SLE RA 1	-0.00015	2.241	10000	250	Totale	Si
1.569	SLE RA 17	-0.00016	2.241	10000	250	Totale	Si
1.644	SLE RA 16	-0.00018	2.241	10000	250	Totale	Si
1.644	SLE RA 15	-0.00019	2.241	10000	250	Totale	Si
1.569	SLE RA 14	-0.00016	2.241	10000	250	Totale	Si
0.448	SLE RA 2	-0.00003	2.241	10000	350	Variabile	Si
0.448	SLE RA 17	0.00002	2.241	10000	350	Variabile	Si
0.448	SLE RA 16	0.00004	2.241	10000	350	Variabile	Si
1.718	SLE RA 15	-0.00004	2.241	10000	350	Variabile	Si
0.523	SLE RA 14	0.00002	2.241	10000	350	Variabile	Si

Superelemento in acciaio a quota "640" (1127; 3006)-(1235; 2904)

Caratteristiche del materiale

Acciaio: S275, fyk = 275000

Caratteristiche geometriche

Lunghezza: 1.481

Nodo iniziale: 1467 Nodo finale: 1420

Cerniera iniziale: Mmomenti 1% Cerniera finale: Mmomenti 1%

Sovraresistenza: 0% Sisma Z: No

Caratteristiche della sezione

Sezione	Rotazione	Area	Jx	Jy	ix	iy	Wx	Wy	Wplx	Wply
---------	-----------	------	----	----	----	----	----	----	------	------

**Implementazione dei sistemi di confinamento delle emissioni odorigene diffuse dell'impianto di compostaggio esistente nel
Comune di Eboli (SA)**

PROGETTO DEFINITIVO – Tabulati di calcolo Tomo 1

Sezione	Rotazione	Area	Jx	Jy	ix	iy	Wx	Wy	Wplx	Wply
A1; L100*10; 1; Saldato; S275; 30; 1; 8; 8; 1	180	0.003832	0.0000035319	0.000007759	0.0304	0.045	0.0000492	0.0000739	0.00008974	0.00012727

Comportamento dei calastrelli

Accoppiamento imbottito con funzione statica (§C4.2.4.1.3.1.4 NTC18) nella campata compresa tra le ascisse 0 e 1.481 per sbandamento attorno all'asse y.

Verifiche di resistenza

Verifiche a forza assiale §4.2.4.1.2.1 - §4.2.4.1.2.2 NTC18

X	Comb.	Sfruttamento	Classe	NEd	Nc,Rd	Nt,Rd	Riduzione da taglio	px	py	Verifica
1.481	SLV 13	0.067		67.145		1003.522	1	0	0	Si

Verifiche a forza assiale SLD §4.2.4.1.2.1 - §4.2.4.1.2.2 NTC18

X	Comb.	Sfruttamento	Classe	NEd	Nc,Rd	Nt,Rd	Riduzione da taglio	px	py	Verifica
0	SLD 14	0.025		24.958		1003.522	1	0	0	Si

Verifica a taglio X §4.2.4.1.2.4 NTC18

X	Comb.	Sfruttamento	VEd	Vc,Rd	Av	Interazione taglio-torsione	Riduzione torsione	Verifica
1.382	SLV 8	0.002	-0.553	302.422	0.002	Non considerata		Si

Verifica a taglio X SLD §4.2.4.1.2.4 NTC18

X	Comb.	Sfruttamento	VEd	Vc,Rd	Av	Interazione taglio-torsione	Riduzione torsione	Verifica
0	SLD 7	0.001	-0.208	302.422	0.002	Non considerata		Si

Verifica a taglio Y §4.2.4.1.2.4 NTC18

X	Comb.	Sfruttamento	VEd	Vc,Rd	Av	Interazione taglio-torsione	Riduzione torsione	Verifica
1.481	SLU 76	0.001	0.306	302.422	0.002	Non considerata		Si

Verifica a taglio Y SLD §4.2.4.1.2.4 NTC18

X	Comb.	Sfruttamento	VEd	Vc,Rd	Av	Interazione taglio-torsione	Riduzione torsione	Verifica
1.481	SLD 14	0.001	0.236	302.422	0.002	Non considerata		Si

Verifica a flessione semplice X §§ 4.2.4.1.2.3 - 4.2.4.1.2.6 - 4.2.4.1.2.7 - 4.2.4.1.2.8 NTC18

X	Comb.	Sfruttamento	Classe	Mx,Ed	Mx,Rd	Rid. Mx,Rd da VEd	px	py	Verifica
0.691	SLU 42	0.005	1	0.12185	23.50374	1	0	0	Si

Verifica a flessione semplice Y §§ 4.2.4.1.2.3 - 4.2.4.1.2.6 - 4.2.4.1.2.7 - 4.2.4.1.2.8 NTC18

X	Comb.	Sfruttamento	Classe	My,Ed	My,Rd	Rid. My,Rd da VEd	px	py	Verifica
1.481	SLU 26	0.001	1	-0.01772	33.33162	1	0	0	Si

Verifica a flessione deviata §§ 4.2.4.1.2.3 - 4.2.4.1.2.6 - 4.2.4.1.2.7 - 4.2.4.1.2.8 NTC18

X	Comb.	Sfruttamento	Classe	Mx,Ed	Mx,Rd	My,Ed	My,Rd	Rid. Mx,Rd da VEd	Rid. My,Rd da VEd	α	β	px	py	Verifica
0.395	SLU 42	0.005	1	0.1033	23.5037	0.0078	33.3316	1	1			0	0	Si

Verifica a presso/tenso flessione retta X §§ 4.2.4.1.2.3 - 4.2.4.1.2.6 - 4.2.4.1.2.7 - 4.2.4.1.2.8 NTC18

Verifiche eseguite utilizzando la formula conservativa (6.2) §6.2.1 EN 1993-1-1:2005.

X	Comb.	Sfruttamento	Classe	NEd	NRd	Rid. NRd da VEd	Mx,Ed	Mx,Rd	Rid. Mx,Rd da VEd	Rid. Mx,Rd da NEd	px	py	Verifica
0.741	SLU 63	0.009	1	4.155	1003.522	1	0.1148	23.5037	1		0	0	Si

Verifica a presso/tenso flessione retta X SLD §§ 4.2.4.1.2.3 - 4.2.4.1.2.6 - 4.2.4.1.2.7 - 4.2.4.1.2.8 NTC18

Verifiche eseguite utilizzando la formula conservativa (6.2) §6.2.1 EN 1993-1-1:2005.

X	Comb.	Sfruttamento	Classe	NEd	NRd	Rid. NRd da VEd	Mx,Ed	Mx,Rd	Rid. Mx,Rd da VEd	Rid. Mx,Rd da NEd	px	py	Verifica
0.987	SLD 13	0.028	1	24.958	1003.522	1	0.082	23.5037	1		0	0	Si

Verifica a presso/tenso flessione retta Y §§ 4.2.4.1.2.3 - 4.2.4.1.2.6 - 4.2.4.1.2.7 - 4.2.4.1.2.8 NTC18

Verifiche eseguite utilizzando la formula conservativa (6.2) §6.2.1 EN 1993-1-1:2005.

X	Comb.	Sfruttamento	Classe	NEd	NRd	Rid. NRd da VEd	My,Ed	My,Rd	Rid. My,Rd da VEd	Rid. My,Rd da NEd	px	py	Verifica
1.481	SLV 3	0.076	3	-63.743	1003.522	1	-0.2457	19.3536	1		0	0	Si

Verifica a presso/tenso flessione retta Y SLD §§ 4.2.4.1.2.3 - 4.2.4.1.2.6 - 4.2.4.1.2.7 - 4.2.4.1.2.8 NTC18

Verifiche eseguite utilizzando la formula conservativa (6.2) §6.2.1 EN 1993-1-1:2005.

X	Comb.	Sfruttamento	Classe	NEd	NRd	Rid. NRd da VEd	My,Ed	My,Rd	Rid. My,Rd da VEd	Rid. My,Rd da NEd	px	py	Verifica
1.481	SLD 3	0.026	3	-21.556	1003.522	1	-0.0899	19.3536	1		0	0	Si

Verifica a presso/tenso flessione deviata §§ 4.2.4.1.2.3 - 4.2.4.1.2.6 - 4.2.4.1.2.7 - 4.2.4.1.2.8 NTC18

Verifiche eseguite utilizzando la formula conservativa (6.2) §6.2.1 EN 1993-1-1:2005.

X	Comb.	Sfruttamento	Classe	NEd	NRd	Rid. NRd da VEd	Mx,Ed	Mx,Rd	My,Ed	My,Rd	Rid. Mx,Rd da VEd	Rid. Mx,Rd da NEd	Rid. My,Rd da VEd	Rid. My,Rd da NEd	α	β	px	py	Verifica
0.79	SLV 3	0.081	3	-63.743	1003.522	1	0.0784	12.886	-0.2153	19.3536	1		1				0	0	Si

Verifica a presso/tenso flessione deviata SLD §§ 4.2.4.1.2.3 - 4.2.4.1.2.6 - 4.2.4.1.2.7 - 4.2.4.1.2.8 NTC18

Verifiche eseguite utilizzando la formula conservativa (6.2) §6.2.1 EN 1993-1-1:2005.

X	Comb.	Sfruttamento	Classe	NEd	NRd	Rid. NRd da VEd	Mx,Ed	Mx,Rd	My,Ed	My,Rd	Rid. Mx,Rd da VEd	Rid. Mx,Rd da NEd	Rid. My,Rd da VEd	Rid. My,Rd da NEd	α	β	px	py	Verifica
0.741	SLD 3	0.032	3	-21.556	1003.522	1	0.0863	12.886	-0.0736	19.3536	1		1				0	0	Si

Verifiche ad instabilità

Caratteristiche iniziali

Membratura principale per controllo snellezza; Calcolo di snellezze ed N critici condotti secondo gli assi principali;

Implementazione dei sistemi di confinamento delle emissioni odorigene diffuse dell'impianto di compostaggio esistente nel
Comune di Eboli (SA)
PROGETTO DEFINITIVO – Tabulati di calcolo Tomo 1

Curva X: c; Curva Y: c;
Svergolamento: Nessuno; la verifica a instabilità flessione-torsionale (svergolamento) non verrà eseguita.
Dati per instabilità attorno a x

Controllo della snellezza secondo §4.2.4.1.3.1 NTC18

Numero rit.	Presente	Ascissa	Campata	$\beta x/m$	Vincolo a entrambi estremi	$\lambda x/m$	λVer
1	Si	0					
			1-2	1	Si	48.8	Si, (<200)
2	Si	1.481					

Dati per instabilità attorno a y

Controllo della snellezza secondo §4.2.4.1.3.1 NTC18

Numero rit.	Presente	Ascissa	Campata	$\beta y/n$	k,LT	kw,LT	Vincolo a entrambi estremi
1	Si	0					
			1-2	1	Si	34.4	Si, (<200)
2	Si	1.481					

Verifica di stabilità per pressoflessione §C.4.2.4.1.3.3.1 NTC18

X	Comb.	Sfruttamento	Classe	NEd	MxEq,Ed	MyEq,Ed	Area	Wx	Wy	χ_{min}	$\lambda_{adim. x/m}$	$\lambda_{adim. y/n}$	N,crit x/m	N,crit y/n	Verifica
0.592	SLV 4	0.097	3	-63.743	0.066	-0.2457	0.003832	0.0000492	0.0000739	0.808	0.562	0.396	3336.587	6723.961	Si

Verifica di stabilità per pressoflessione SLD §C.4.2.4.1.3.3.1 NTC18

X	Comb.	Sfruttamento	Classe	NEd	MxEq,Ed	MyEq,Ed	Area	Wx	Wy	χ_{min}	$\lambda_{adim. x/m}$	$\lambda_{adim. y/n}$	N,crit x/m	N,crit y/n	Verifica
1.481	SLD 4	0.037	3	-21.556	0.0764	-0.0899	0.003832	0.0000492	0.0000739	0.808	0.562	0.396	3336.587	6723.961	Si

Verifiche a deformabilità

Mensola X: No; Mensola Y: No.

Frecce lungo X

Ascissa freccia	Combinazione	Freccia	Luce	L/f	L/f,min	Tipo	Verifica
0.346	SLE RA 1	0	1.481	10000	250	Totale	Si
0.346	SLE RA 17	0	1.481	10000	250	Totale	Si
0.395	SLE RA 16	0	1.481	10000	250	Totale	Si
0.395	SLE RA 15	0	1.481	10000	250	Totale	Si
0.346	SLE RA 14	0	1.481	10000	250	Totale	Si
0.395	SLE RA 2	0	1.481	10000	350	Variabile	Si
0.395	SLE RA 17	0	1.481	10000	350	Variabile	Si
0.395	SLE RA 16	0	1.481	10000	350	Variabile	Si
0.395	SLE RA 15	0	1.481	10000	350	Variabile	Si
0.444	SLE RA 14	0	1.481	10000	350	Variabile	Si

Frecce lungo Y

Ascissa freccia	Combinazione	Freccia	Luce	L/f	L/f,min	Tipo	Verifica
0.741	SLE RA 1	0.00003	1.481	10000	250	Totale	Si
0.741	SLE RA 17	0.00003	1.481	10000	250	Totale	Si
0.741	SLE RA 16	0.00003	1.481	10000	250	Totale	Si
0.741	SLE RA 15	0.00003	1.481	10000	250	Totale	Si
0.741	SLE RA 14	0.00003	1.481	10000	250	Totale	Si
0.691	SLE RA 2	0	1.481	10000	350	Variabile	Si
0.691	SLE RA 17	0	1.481	10000	350	Variabile	Si
0.691	SLE RA 16	0	1.481	10000	350	Variabile	Si
0.691	SLE RA 15	0	1.481	10000	350	Variabile	Si
0.839	SLE RA 14	0	1.481	10000	350	Variabile	Si

Superelemento in acciaio a quota "640" (1128; 1479)-(1237; 1376)

Caratteristiche del materiale

Acciaio: S275, fyk = 275000

Caratteristiche geometriche

Lunghezza: 1.501

Nodo iniziale: 960 Nodo finale: 943

Cerniera iniziale: Mmomenti 1% Cerniera finale: Mmomenti 1%

Sovreresistenza: 0% Sisma Z: No

Caratteristiche della sezione

Sezione	Rotazione	Area	Jx	Jy	ix	iy	Wx	Wy	Wplx	Wply
Al; L100*10; 1; Saldato; S275; 30; 1; 8; 8; 1	180	0.003832	0.0000035319	0.000007759	0.0304	0.045	0.0000492	0.0000739	0.00008974	0.00012727

Comportamento dei calastrelli

Accoppiamento imbottito con funzione statica (§C4.2.4.1.3.1.4 NTC18) nella campata compresa tra le ascisse 0 e 1.501 per sbandamento attorno all'asse y.

Verifiche di resistenza

Verifiche a forza assiale §4.2.4.1.2.1 - §4.2.4.1.2.2 NTC18

X	Comb.	Sfruttamento	Classe	NEd	Nc,Rd	Nt,Rd	Riduzione da taglio	px	py	Verifica
1.501	SLV 7	0.001		0.973		1003.522	1	0	0	Si

Verifiche a forza assiale SLD §4.2.4.1.2.1 - §4.2.4.1.2.2 NTC18

X	Comb.	Sfruttamento	Classe	NEd	Nc,Rd	Nt,Rd	Riduzione da taglio	px	py	Verifica
1.501	SLD 8	0.001		0.508		1003.522	1	0	0	Si

Implementazione dei sistemi di confinamento delle emissioni odorigene diffuse dell'impianto di compostaggio esistente nel
Comune di Eboli (SA)
PROGETTO DEFINITIVO – Tabulati di calcolo Tomo 1

Verifica a taglio Y §4.2.4.1.2.4 NTC18

X	Comb.	Sfruttamento	VEd	Vc,Rd	Av	Interazione taglio-torsione	Riduzione torsione	Verifica
1.501	SLU 75	0.001	0.381	302.422	0.002	Non considerata		Si

Verifica a taglio Y SLD §4.2.4.1.2.4 NTC18

X	Comb.	Sfruttamento	VEd	Vc,Rd	Av	Interazione taglio-torsione	Riduzione torsione	Verifica
1.501	SLD 5	0.001	0.274	302.422	0.002	Non considerata		Si

Verifica a flessione semplice X §§ 4.2.4.1.2.3 - 4.2.4.1.2.6 - 4.2.4.1.2.7 - 4.2.4.1.2.8 NTC18

X	Comb.	Sfruttamento	Classe	Mx,Ed	Mx,Rd	Rid. Mx,Rd da VEd	px	py	Verifica
0.75	SLU 40	0.005	1	0.11055	23.50374	1	0	0	Si

Verifica a flessione semplice X SLD §§ 4.2.4.1.2.3 - 4.2.4.1.2.6 - 4.2.4.1.2.7 - 4.2.4.1.2.8 NTC18

X	Comb.	Sfruttamento	Classe	Mx,Ed	Mx,Rd	Rid. Mx,Rd da VEd	px	py	Verifica
0.7	SLD 11	0.003	1	0.07892	23.50374	1	0	0	Si

Verifica a flessione semplice Y §§ 4.2.4.1.2.3 - 4.2.4.1.2.6 - 4.2.4.1.2.7 - 4.2.4.1.2.8 NTC18

X	Comb.	Sfruttamento	Classe	My,Ed	My,Rd	Rid. My,Rd da VEd	px	py	Verifica
0	SLV 16	0.001	1	-0.02086	33.33162	1	0	0	Si

Verifica a flessione semplice Y SLD §§ 4.2.4.1.2.3 - 4.2.4.1.2.6 - 4.2.4.1.2.7 - 4.2.4.1.2.8 NTC18

X	Comb.	Sfruttamento	Classe	My,Ed	My,Rd	Rid. My,Rd da VEd	px	py	Verifica
1.451	SLD 11	0	1	0.01637	33.33162	1	0	0	Si

Verifica a flessione deviata §§ 4.2.4.1.2.3 - 4.2.4.1.2.6 - 4.2.4.1.2.7 - 4.2.4.1.2.8 NTC18

X	Comb.	Sfruttamento	Classe	Mx,Ed	Mx,Rd	My,Ed	My,Rd	Rid. Mx,Rd da VEd	Rid. My,Rd da VEd	α	β	px	py	Verifica
1.501	SLV 6	0.006	1	-0.1162	23.5037	-0.029	33.3316	1	1			0	0	Si

Verifica a flessione deviata SLD §§ 4.2.4.1.2.3 - 4.2.4.1.2.6 - 4.2.4.1.2.7 - 4.2.4.1.2.8 NTC18

X	Comb.	Sfruttamento	Classe	Mx,Ed	Mx,Rd	My,Ed	My,Rd	Rid. Mx,Rd da VEd	Rid. My,Rd da VEd	α	β	px	py	Verifica
0.851	SLD 12	0.003	1	0.0764	23.5037	0.0078	33.3316	1	1			0	0	Si

Verifica a presso/tenso flessione retta X §§ 4.2.4.1.2.3 - 4.2.4.1.2.6 - 4.2.4.1.2.7 - 4.2.4.1.2.8 NTC18

Verifiche eseguite utilizzando la formula conservativa (6.2) §6.2.1 EN 1993-1-1:2005.

X	Comb.	Sfruttamento	Classe	NEd	NRd	Rid. NRd da VEd	Mx,Ed	Mx,Rd	Rid. Mx,Rd da VEd	Rid. Mx,Rd da NEd	px	py	Verifica
1.501	SLU 75	0.006	1	0.688	1003.522	1	-0.1254	23.5037	1		0	0	Si

Verifica a presso/tenso flessione retta X SLD §§ 4.2.4.1.2.3 - 4.2.4.1.2.6 - 4.2.4.1.2.7 - 4.2.4.1.2.8 NTC18

Verifiche eseguite utilizzando la formula conservativa (6.2) §6.2.1 EN 1993-1-1:2005.

X	Comb.	Sfruttamento	Classe	NEd	NRd	Rid. NRd da VEd	Mx,Ed	Mx,Rd	Rid. Mx,Rd da VEd	Rid. Mx,Rd da NEd	px	py	Verifica
0.7	SLD 7	0.004	1	0.508	1003.522	1	0.0729	23.5037	1		0	0	Si

Verifica a presso/tenso flessione retta Y §§ 4.2.4.1.2.3 - 4.2.4.1.2.6 - 4.2.4.1.2.7 - 4.2.4.1.2.8 NTC18

Verifiche eseguite utilizzando la formula conservativa (6.2) §6.2.1 EN 1993-1-1:2005.

X	Comb.	Sfruttamento	Classe	NEd	NRd	Rid. NRd da VEd	My,Ed	My,Rd	Rid. My,Rd da VEd	Rid. My,Rd da NEd	px	py	Verifica
1.501	SLV 7	0.002	1	0.973	1003.522	1	0.0223	33.3316	1		0	0	Si

Verifica a presso/tenso flessione retta Y SLD §§ 4.2.4.1.2.3 - 4.2.4.1.2.6 - 4.2.4.1.2.7 - 4.2.4.1.2.8 NTC18

Verifiche eseguite utilizzando la formula conservativa (6.2) §6.2.1 EN 1993-1-1:2005.

X	Comb.	Sfruttamento	Classe	NEd	NRd	Rid. NRd da VEd	My,Ed	My,Rd	Rid. My,Rd da VEd	Rid. My,Rd da NEd	px	py	Verifica
1.401	SLD 7	0.001	1	0.508	1003.522	1	0.0103	33.3316	1		0	0	Si

Verifica a presso/tenso flessione deviata §§ 4.2.4.1.2.3 - 4.2.4.1.2.6 - 4.2.4.1.2.7 - 4.2.4.1.2.8 NTC18

Verifiche eseguite utilizzando la formula conservativa (6.2) §6.2.1 EN 1993-1-1:2005.

X	Comb.	Sfruttamento	Classe	NEd	NRd	Rid. NRd da VEd	Mx,Ed	Mx,Rd	My,Ed	My,Rd	Rid. Mx,Rd da VEd	Rid. Mx,Rd da NEd	Rid. My,Rd da VEd	Rid. My,Rd da NEd	α	β	px	py	Verifica
1.501	SLV 2	0.006	1	0.567	1003.522	1	-0.1142	23.5037	-0.0278	33.3316	1			1			0	0	Si

Verifica a presso/tenso flessione deviata SLD §§ 4.2.4.1.2.3 - 4.2.4.1.2.6 - 4.2.4.1.2.7 - 4.2.4.1.2.8 NTC18

Verifiche eseguite utilizzando la formula conservativa (6.2) §6.2.1 EN 1993-1-1:2005.

X	Comb.	Sfruttamento	Classe	NEd	NRd	Rid. NRd da VEd	Mx,Ed	Mx,Rd	My,Ed	My,Rd	Rid. Mx,Rd da VEd	Rid. Mx,Rd da NEd	Rid. My,Rd da VEd	Rid. My,Rd da NEd	α	β	px	py	Verifica
1.151	SLD 7	0.002	1	0.508	1003.522	1	0.0411	23.5037	0.0078	33.3316	1			1			0	0	Si

Verifiche ad instabilità

Caratteristiche iniziali

Membratura principale per controllo snellezza; Calcolo di snellezze ed N critici condotti secondo gli assi principali;

Curva X: c; Curva Y: c;

Svergolamento: Nessuno; la verifica a instabilità flesso-torsionale (svergolamento) non verrà eseguita.

Dati per instabilità attorno a x

Controllo della snellezza secondo §4.2.4.1.3.1 NTC18

Numero rit.	Presente	Ascissa	Campata	$\beta x/m$	Vincolo a entrambi estremi	$\lambda x/m$	λVer
1	Si	0					
			1-2		1	Si	49.4
2	Si	1.501					Si, (<200)

Dati per instabilità attorno a y

Controllo della snellezza secondo §4.2.4.1.3.1 NTC18

Numero rit.	Presente	Ascissa	Campata	$\beta y/n$	k,LT	kw,LT	Vincolo a entrambi estremi
1	Si	0					

**Implementazione dei sistemi di confinamento delle emissioni odorigene diffuse dell'impianto di compostaggio esistente nel
Comune di Eboli (SA)
PROGETTO DEFINITIVO – Tabulati di calcolo Tomo 1**

Numero rit.	Presente	Ascissa	Campata	$\beta y/n$	k,LT	kw,LT	Vincolo a entrambi estremi
2	Si	1.501	1-2	1	Si	34.8	Si, (<200)

Verifica di stabilità per pressoflessione §C.4.2.4.1.3.3.1 NTC18

X	Comb.	Sfruttamento	Classe	NEd	MxEq,Ed	MyEq,Ed	Area	Wx	Wy	χ_{min}	λ adim. x/m	λ adim. y/n	N,crit x/m	N,crit y/n	Verifica
1.151	SLV 9	0.006	3	-0.562	-0.0624	-0.0114	0.003832	0.0000492	0.0000739	0.803	0.569	0.401	3249.571	6562.755	Si

Verifica di stabilità per pressoflessione SLD §C.4.2.4.1.3.3.1 NTC18

X	Comb.	Sfruttamento	Classe	NEd	MxEq,Ed	MyEq,Ed	Area	Wx	Wy	χ_{min}	λ adim. x/m	λ adim. y/n	N,crit x/m	N,crit y/n	Verifica
1.051	SLD 12	0.003	1	0	0.0657	0.0129	0.003832	0.0000897	0.0001273	0.803	0.569	0.401	3249.571	6562.755	Si

Verifiche a deformabilità

Mensola X: No; Mensola Y: No.

Frecce lungo X

Ascissa freccia	Combinazione	Freccia	Luce	L/f	L/f,min	Tipo	Verifica
1.001	SLE RA 1	0	1.501	10000	250	Totale	Si
1.001	SLE RA 17	0	1.501	10000	250	Totale	Si
1.001	SLE RA 16	0	1.501	10000	250	Totale	Si
1.051	SLE RA 15	0	1.501	10000	250	Totale	Si
0.851	SLE RA 14	0	1.501	10000	250	Totale	Si
0.951	SLE RA 2	0	1.501	10000	350	Variabile	Si
0.951	SLE RA 17	0	1.501	10000	350	Variabile	Si
0.951	SLE RA 16	0	1.501	10000	350	Variabile	Si
1.051	SLE RA 15	0	1.501	10000	350	Variabile	Si
1.151	SLE RA 14	0	1.501	10000	350	Variabile	Si

Frecce lungo Y

Ascissa freccia	Combinazione	Freccia	Luce	L/f	L/f,min	Tipo	Verifica
0.7	SLE RA 1	0.00002	1.501	10000	250	Totale	Si
0.7	SLE RA 17	0.00002	1.501	10000	250	Totale	Si
0.65	SLE RA 16	0.00001	1.501	10000	250	Totale	Si
0.7	SLE RA 15	0.00002	1.501	10000	250	Totale	Si
0.65	SLE RA 14	0.00001	1.501	10000	250	Totale	Si
0.901	SLE RA 2	0.00001	1.501	10000	350	Variabile	Si
0.901	SLE RA 17	0	1.501	10000	350	Variabile	Si
0.901	SLE RA 16	-0.00001	1.501	10000	350	Variabile	Si
0.901	SLE RA 15	0	1.501	10000	350	Variabile	Si
0.901	SLE RA 14	-0.00001	1.501	10000	350	Variabile	Si

Superelemento in acciaio a quota "640" (1166; 1959)-(1275; 1857)

Caratteristiche del materiale

Acciaio: S275, fyk = 275000

Caratteristiche geometriche

Lunghezza: 1.5

Nodo iniziale: 1060 Nodo finale: 1037

Cerniera iniziale: Mmomenti 1% Cerniera finale: Mmomenti 1%

Sovraresistenza: 0% Sisma Z: No

Caratteristiche della sezione

Sezione	Rotazione	Area	Jx	Jy	ix	iy	Wx	Wy	Wplx	Wply
A1; L100*10; 1; Saldato; S275; 30; 1; 8; 8; 1	180	0.003832	0.0000035319	0.000007759	0.0304	0.045	0.0000492	0.0000739	0.00008974	0.00012727

Comportamento dei calastrelli

Accoppiamento imbottito con funzione statica (§C4.2.4.1.3.1.4 NTC18) nella campata compresa tra le ascisse 0 e 1.5 per sbandamento attorno all'asse y.

Verifiche di resistenza

Verifiche a forza assiale §4.2.4.1.2.1 - §4.2.4.1.2.2 NTC18

X	Comb.	Sfruttamento	Classe	NEd	Nc,Rd	Nt,Rd	Riduzione da taglio	px	py	Verifica
0.75	SLU 75	0.055		55.539		1003.522	1	0	0	Si

Verifiche a forza assiale SLD §4.2.4.1.2.1 - §4.2.4.1.2.2 NTC18

X	Comb.	Sfruttamento	Classe	NEd	Nc,Rd	Nt,Rd	Riduzione da taglio	px	py	Verifica
1.5	SLD 16	0.012		12.186		1003.522	1	0	0	Si

Verifica a taglio Y §4.2.4.1.2.4 NTC18

X	Comb.	Sfruttamento	VEd	Vc,Rd	Av	Interazione taglio-torsione	Riduzione torsione	Verifica
0	SLU 75	0.001	-0.294	302.422	0.002	Non considerata		Si

Verifica a taglio Y SLD §4.2.4.1.2.4 NTC18

X	Comb.	Sfruttamento	VEd	Vc,Rd	Av	Interazione taglio-torsione	Riduzione torsione	Verifica
0	SLD 16	0.001	-0.226	302.422	0.002	Non considerata		Si

Verifica a presso/tenso flessione retta X §§ 4.2.4.1.2.3 - 4.2.4.1.2.6 - 4.2.4.1.2.7 - 4.2.4.1.2.8 NTC18

Verifiche eseguite utilizzando la formula conservativa (6.2) §6.2.1 EN 1993-1-1:2005.

X	Comb.	Sfruttamento	Classe	NEd	NRd	Rid. NRd da VEd	Mx,Ed	Mx,Rd	Rid. Mx,Rd da VEd	Rid. Mx,Rd da NEd	px	py	Verifica
---	-------	--------------	--------	-----	-----	-----------------	-------	-------	-------------------	-------------------	----	----	----------

Implementazione dei sistemi di confinamento delle emissioni odorigene diffuse dell'impianto di compostaggio esistente nel
Comune di Eboli (SA)

PROGETTO DEFINITIVO – Tabulati di calcolo Tomo 1

X	Comb.	Sfruttamento	Classe	NEd	NRd	Rid. NRd da VEd	Mx,Ed	Mx,Rd	Rid. Mx,Rd da VEd	Rid. Mx,Rd da NEd	px	py	Verifica
0.75	SLU 75	0.06	1	55.539	1003.522	1	0.1104	23.5037	1		0	0	Si

Verifica a presso/tenso flessione retta Y §§ 4.2.4.1.2.3 - 4.2.4.1.2.6 - 4.2.4.1.2.7 - 4.2.4.1.2.8 NTC18

Verifiche eseguite utilizzando la formula conservativa (6.2) §6.2.1 EN 1993-1-1:2005.

X	Comb.	Sfruttamento	Classe	NEd	NRd	Rid. NRd da VEd	My,Ed	My,Rd	Rid. My,Rd da VEd	Rid. My,Rd da NEd	px	py	Verifica
1.5	SLU 4	0.022	3	-18.771	1003.522	1	-0.0585	19.3536	1		0	0	Si

Verifica a presso/tenso flessione retta Y SLD §§ 4.2.4.1.2.3 - 4.2.4.1.2.6 - 4.2.4.1.2.7 - 4.2.4.1.2.8 NTC18

Verifiche eseguite utilizzando la formula conservativa (6.2) §6.2.1 EN 1993-1-1:2005.

X	Comb.	Sfruttamento	Classe	NEd	NRd	Rid. NRd da VEd	My,Ed	My,Rd	Rid. My,Rd da VEd	Rid. My,Rd da NEd	px	py	Verifica
1.5	SLD 16	0.013	1	12.186	1003.522	1	-0.023	33.3316	1		0	0	Si

Verifica a presso/tenso flessione deviata §§ 4.2.4.1.2.3 - 4.2.4.1.2.6 - 4.2.4.1.2.7 - 4.2.4.1.2.8 NTC18

Verifiche eseguite utilizzando la formula conservativa (6.2) §6.2.1 EN 1993-1-1:2005.

X	Comb.	Sfruttamento	Classe	NEd	NRd	Rid. NRd da VEd	Mx,Ed	Mx,Rd	My,Ed	My,Rd	Rid. Mx,Rd da VEd	Rid. Mx,Rd da NEd	Rid. My,Rd da VEd	Rid. My,Rd da NEd	α	β	px	py	Verifica
0.75	SLU 42	0.028	3	-17.269	1003.522	1	0.1091	12.886	-0.053	19.3536	1		1				0	0	Si

Verifica a presso/tenso flessione deviata SLD §§ 4.2.4.1.2.3 - 4.2.4.1.2.6 - 4.2.4.1.2.7 - 4.2.4.1.2.8 NTC18

Verifiche eseguite utilizzando la formula conservativa (6.2) §6.2.1 EN 1993-1-1:2005.

X	Comb.	Sfruttamento	Classe	NEd	NRd	Rid. NRd da VEd	Mx,Ed	Mx,Rd	My,Ed	My,Rd	Rid. Mx,Rd da VEd	Rid. Mx,Rd da NEd	Rid. My,Rd da VEd	Rid. My,Rd da NEd	α	β	px	py	Verifica
0.75	SLD 15	0.016	1	12.186	1003.522	1	0.0843	23.5037	0.0192	33.3316	1		1				0	0	Si

Verifiche ad instabilità

Caratteristiche iniziali

Membratura principale per controllo snellezza; Calcolo di snellezze ed N critici condotti secondo gli assi principali;

Curva X: c; Curva Y: c;

Svergolamento: Nessuno; la verifica a instabilità flesso-torsionale (svergolamento) non verrà eseguita.

Dati per instabilità attorno a x

Controllo della snellezza secondo §4.2.4.1.3.1 NTC18

Numero rit.	Presente	Ascissa	Campata	βx/m	Vincolo a entrambi estremi	λx/m	λVer
1	Si		0				
			1-2		1	49.4	Si, (<200)
2	Si		1.5				

Dati per instabilità attorno a y

Controllo della snellezza secondo §4.2.4.1.3.1 NTC18

Numero rit.	Presente	Ascissa	Campata	βy/n	k,LT	kw,LT	Vincolo a entrambi estremi
1	Si		0				
			1-2		1	34.8	Si, (<200)
2	Si		1.5				

Verifica di stabilità per pressoflessione §C.4.2.4.1.3.3.1 NTC18

X	Comb.	Sfruttamento	Classe	NEd	MxEq,Ed	MyEq,Ed	Area	Wx	Wy	χ,min	λ adim. x/m	λ adim. y/n	N,crit x/m	N,crit y/n	Verifica
0.75	SLU 4	0.032	3	-18.771	0.0722	-0.0574	0.003832	0.0000492	0.0000739	0.804	0.569	0.4	3253.47	6569.993	Si

Verifiche a deformabilità

Mensola X: No; Mensola Y: No.

Freccie lungo X

Ascissa freccia	Combinazione	Freccia	Luce	L/f	L/f,min	Tipo	Verifica
0.85	SLE RA 1	0	1.5	10000	250	Totale	Si
0.85	SLE RA 17	0	1.5	10000	250	Totale	Si
0.85	SLE RA 16	0	1.5	10000	250	Totale	Si
0.85	SLE RA 15	0	1.5	10000	250	Totale	Si
0.8	SLE RA 14	0	1.5	10000	250	Totale	Si
0.8	SLE RA 2	0	1.5	10000	350	Variabile	Si
0.8	SLE RA 17	0	1.5	10000	350	Variabile	Si
0.8	SLE RA 16	0	1.5	10000	350	Variabile	Si
0.85	SLE RA 15	0	1.5	10000	350	Variabile	Si
0.75	SLE RA 14	0	1.5	10000	350	Variabile	Si

Freccie lungo Y

Ascissa freccia	Combinazione	Freccia	Luce	L/f	L/f,min	Tipo	Verifica
0.75	SLE RA 1	0.00003	1.5	10000	250	Totale	Si
0.75	SLE RA 17	0.00003	1.5	10000	250	Totale	Si
0.75	SLE RA 16	0.00003	1.5	10000	250	Totale	Si
0.75	SLE RA 15	0.00003	1.5	10000	250	Totale	Si
0.75	SLE RA 14	0.00003	1.5	10000	250	Totale	Si
0.85	SLE RA 2	0	1.5	10000	350	Variabile	Si
0.85	SLE RA 17	0	1.5	10000	350	Variabile	Si
0.85	SLE RA 16	0	1.5	10000	350	Variabile	Si
0.7	SLE RA 15	0	1.5	10000	350	Variabile	Si
0.85	SLE RA 14	0	1.5	10000	350	Variabile	Si

Superelemento in acciaio a quota "640" (1197; 2428)-(1306; 2325)

Caratteristiche del materiale

Acciaio: S275, fyk = 275000

**Implementazione dei sistemi di confinamento delle emissioni odorigene diffuse dell'impianto di compostaggio esistente nel
Comune di Eboli (SA)
PROGETTO DEFINITIVO – Tabulati di calcolo Tomo 1**

Caratteristiche geometriche

Lunghezza: 1.5
 Nodo iniziale: 1238 Nodo finale: 1195
 Cerniera iniziale: Mmomenti 1% Cerniera finale: Mmomenti 1%
 Sovraresistenza: 0% Sisma Z: No

Caratteristiche della sezione

Sezione	Rotazione	Area	Jx	Jy	ix	iy	Wx	Wy	Wplx	Wply
A1; L100*10; 1; Saldato; S275; 30; 1; 8; 8; 1	180	0.003832	0.0000035319	0.000007759	0.0304	0.045	0.0000492	0.0000739	0.00008974	0.00012727

Comportamento dei calastrelli

Accoppiamento imbottito con funzione statica (§C4.2.4.1.3.1.4 NTC18) nella campata compresa tra le ascisse 0 e 1.5 per sbandamento attorno all'asse y.

Verifiche di resistenza

Verifiche a forza assiale §4.2.4.1.2.1 - §4.2.4.1.2.2 NTC18

X	Comb.	Sfruttamento	Classe	NEd	Nc,Rd	Nt,Rd	Riduzione da taglio	px	py	Verifica
0	SLU 76	0.183		183.18		1003.522	1	0	0	Si

Verifiche a forza assiale SLD §4.2.4.1.2.1 - §4.2.4.1.2.2 NTC18

X	Comb.	Sfruttamento	Classe	NEd	Nc,Rd	Nt,Rd	Riduzione da taglio	px	py	Verifica
1.5	SLD 16	0.077		77.225		1003.522	1	0	0	Si

Verifica a taglio Y §4.2.4.1.2.4 NTC18

X	Comb.	Sfruttamento	VEd	Vc,Rd	Av	Interazione taglio-torsione	Riduzione torsione	Verifica
1.5	SLU 76	0.001	0.296	302.422	0.002	Non considerata		Si

Verifica a taglio Y SLD §4.2.4.1.2.4 NTC18

X	Comb.	Sfruttamento	VEd	Vc,Rd	Av	Interazione taglio-torsione	Riduzione torsione	Verifica
1.5	SLD 16	0.001	0.226	302.422	0.002	Non considerata		Si

Verifica a presso/tenso flessione retta X §§ 4.2.4.1.2.3 - 4.2.4.1.2.6 - 4.2.4.1.2.7 - 4.2.4.1.2.8 NTC18

Verifiche eseguite utilizzando la formula conservativa (6.2) §6.2.1 EN 1993-1-1:2005.

X	Comb.	Sfruttamento	Classe	NEd	NRd	Rid. NRd da VEd	Mx,Ed	Mx,Rd	Rid. Mx,Rd da VEd	Rid. Mx,Rd da NEd	px	py	Verifica
0.75	SLU 76	0.187	1	183.18	1003.522	1	0.1109	23.5037	1		0	0	Si

Verifica a presso/tenso flessione retta X SLD §§ 4.2.4.1.2.3 - 4.2.4.1.2.6 - 4.2.4.1.2.7 - 4.2.4.1.2.8 NTC18

Verifiche eseguite utilizzando la formula conservativa (6.2) §6.2.1 EN 1993-1-1:2005.

X	Comb.	Sfruttamento	Classe	NEd	NRd	Rid. NRd da VEd	Mx,Ed	Mx,Rd	Rid. Mx,Rd da VEd	Rid. Mx,Rd da NEd	px	py	Verifica
1.3	SLD 16	0.079	1	77.225	1003.522	1	0.0388	23.5037	1		0	0	Si

Verifica a presso/tenso flessione retta Y §§ 4.2.4.1.2.3 - 4.2.4.1.2.6 - 4.2.4.1.2.7 - 4.2.4.1.2.8 NTC18

Verifiche eseguite utilizzando la formula conservativa (6.2) §6.2.1 EN 1993-1-1:2005.

X	Comb.	Sfruttamento	Classe	NEd	NRd	Rid. NRd da VEd	My,Ed	My,Rd	Rid. My,Rd da VEd	Rid. My,Rd da NEd	px	py	Verifica
0	SLU 76	0.183	1	183.18	1003.522	1	-0.0092	33.3316	1		0	0	Si

Verifica a presso/tenso flessione retta Y SLD §§ 4.2.4.1.2.3 - 4.2.4.1.2.6 - 4.2.4.1.2.7 - 4.2.4.1.2.8 NTC18

Verifiche eseguite utilizzando la formula conservativa (6.2) §6.2.1 EN 1993-1-1:2005.

X	Comb.	Sfruttamento	Classe	NEd	NRd	Rid. NRd da VEd	My,Ed	My,Rd	Rid. My,Rd da VEd	Rid. My,Rd da NEd	px	py	Verifica
0	SLD 15	0.08	1	77.225	1003.522	1	-0.0897	33.3316	1		0	0	Si

Verifica a presso/tenso flessione deviata §§ 4.2.4.1.2.3 - 4.2.4.1.2.6 - 4.2.4.1.2.7 - 4.2.4.1.2.8 NTC18

Verifiche eseguite utilizzando la formula conservativa (6.2) §6.2.1 EN 1993-1-1:2005.

X	Comb.	Sfruttamento	Classe	NEd	NRd	Rid. NRd da VEd	Mx,Ed	Mx,Rd	My,Ed	My,Rd	Rid. Mx,Rd da VEd	Rid. Mx,Rd da NEd	Rid. My,Rd da VEd	Rid. My,Rd da NEd	α	β	px	py	Verifica
0.15	SLU 76	0.185	1	183.18	1003.522	1	0.0419	23.5037	-0.0076	33.3316	1		1				0	0	Si

Verifica a presso/tenso flessione deviata SLD §§ 4.2.4.1.2.3 - 4.2.4.1.2.6 - 4.2.4.1.2.7 - 4.2.4.1.2.8 NTC18

Verifiche eseguite utilizzando la formula conservativa (6.2) §6.2.1 EN 1993-1-1:2005.

X	Comb.	Sfruttamento	Classe	NEd	NRd	Rid. NRd da VEd	Mx,Ed	Mx,Rd	My,Ed	My,Rd	Rid. Mx,Rd da VEd	Rid. Mx,Rd da NEd	Rid. My,Rd da VEd	Rid. My,Rd da NEd	α	β	px	py	Verifica
0.6	SLD 15	0.082	1	77.225	1003.522	1	0.0814	23.5037	-0.0507	33.3316	1		1				0	0	Si

Verifiche ad instabilità

Caratteristiche iniziali

Membratura principale per controllo snellezza; Calcolo di snellezze ed N critici condotti secondo gli assi principali;
 Curva X: c; Curva Y: c;
 Svergolamento: Nessuno; la verifica a instabilità flesso-torsionale (svergolamento) non verrà eseguita.

Dati per instabilità attorno a x

Controllo della snellezza secondo §4.2.4.1.3.1 NTC18

Numero rit.	Presente	Ascissa	Campata	βx/m	Vincolo a entrambi estremi	λx/m	λVer
1	Si	0					
			1-2		1	49.4	Si, (<200)
2	Si	1.5					

Dati per instabilità attorno a y

Controllo della snellezza secondo §4.2.4.1.3.1 NTC18

Implementazione dei sistemi di confinamento delle emissioni odorigene diffuse dell’impianto di compostaggio esistente nel
Comune di Eboli (SA)
PROGETTO DEFINITIVO – Tabulati di calcolo Tomo 1

Numero rit.	Presente	Ascissa	Campata	$\beta y/n$	k,LT	kw,LT	Vincolo a entrambi estremi
1	Si	0	1-2	1	Si	34.8	Si, (<200)
2	Si	1.5					

Verifica di stabilità per pressoflessione §C.4.2.4.1.3.3.1 NTC18

X	Comb.	Sfruttamento	Classe	NEd	MxEq,Ed	MyEq,Ed	Area	Wx	Wy	x,min	λ adim. x/m	λ adim. y/n	N,crit x/m	N,crit y/n	Verifica
0	SLU 2	0.032	3	-18.739	0.0722	-0.0569	0.003832	0.0000492	0.0000739	0.804	0.569	0.4	3253.47	6569.993	Si

Verifiche a deformabilità

Mensola X: No; Mensola Y: No.

Frecce lungo X

Ascissa freccia	Combinazione	Freccia	Luce	L/f	L/f,min	Tipo	Verifica
0.45	SLE RA 1	0	1.5	10000	250	Totale	Si
0.4	SLE RA 17	0	1.5	10000	250	Totale	Si
0.4	SLE RA 16	0	1.5	10000	250	Totale	Si
0.4	SLE RA 15	0	1.5	10000	250	Totale	Si
0.45	SLE RA 14	0	1.5	10000	250	Totale	Si
0.35	SLE RA 2	0	1.5	10000	350	Variabile	Si
0.35	SLE RA 17	0	1.5	10000	350	Variabile	Si
0.35	SLE RA 16	0	1.5	10000	350	Variabile	Si
0.35	SLE RA 15	0	1.5	10000	350	Variabile	Si
0.95	SLE RA 14	0	1.5	10000	350	Variabile	Si

Frecce lungo Y

Ascissa freccia	Combinazione	Freccia	Luce	L/f	L/f,min	Tipo	Verifica
0.75	SLE RA 1	0.00003	1.5	10000	250	Totale	Si
0.75	SLE RA 17	0.00003	1.5	10000	250	Totale	Si
0.75	SLE RA 16	0.00003	1.5	10000	250	Totale	Si
0.75	SLE RA 15	0.00003	1.5	10000	250	Totale	Si
0.75	SLE RA 14	0.00003	1.5	10000	250	Totale	Si
0.65	SLE RA 2	0	1.5	10000	350	Variabile	Si
0.65	SLE RA 17	0	1.5	10000	350	Variabile	Si
0.65	SLE RA 16	0	1.5	10000	350	Variabile	Si
0.6	SLE RA 15	0	1.5	10000	350	Variabile	Si
0.65	SLE RA 14	0	1.5	10000	350	Variabile	Si

Superelemento in acciaio a quota "640" (1233; 2905)-(1343; 2802)

Caratteristiche del materiale

Acciaio: S275, fyk = 275000

Caratteristiche geometriche

Lunghezza: 1.5

Nodo iniziale: 1417 Nodo finale: 1386

Cerniera iniziale: Mmomenti 1% Cerniera finale: Mmomenti 1%

Sovreresistenza: 0% Sisma Z: No

Caratteristiche della sezione

Sezione	Rotazione	Area	Jx	Jy	ix	iy	Wx	Wy	Wplx	Wply
A1; L100*10; 1; Saldato; S275; 30; 1; 8; 8; 1	180	0.003832	0.0000035319	0.000007759	0.0304	0.045	0.0000492	0.0000739	0.00008974	0.00012727

Comportamento dei calastrelli

Accoppiamento imbottito con funzione statica (§C4.2.4.1.3.1.4 NTC18) nella campata compresa tra le ascisse 0 e 1.5 per sbandamento attorno all'asse y.

Verifiche di resistenza

Verifiche a forza assiale §4.2.4.1.2.1 - §4.2.4.1.2.2 NTC18

X	Comb.	Sfruttamento	Classe	NEd	Nc,Rd	Nt,Rd	Riduzione da taglio	px	py	Verifica
0	SLU 76	0.23		230.732		1003.522	1	0	0	Si

Verifiche a forza assiale SLD §4.2.4.1.2.1 - §4.2.4.1.2.2 NTC18

X	Comb.	Sfruttamento	Classe	NEd	Nc,Rd	Nt,Rd	Riduzione da taglio	px	py	Verifica
1.5	SLD 5	0.101		101.637		1003.522	1	0	0	Si

Verifica a taglio Y §4.2.4.1.2.4 NTC18

X	Comb.	Sfruttamento	VEd	Vc,Rd	Av	Interazione taglio-torsione	Riduzione torsione	Verifica
0	SLU 76	0.001	-0.294	302.422	0.002	Non considerata		Si

Verifica a taglio Y SLD §4.2.4.1.2.4 NTC18

X	Comb.	Sfruttamento	VEd	Vc,Rd	Av	Interazione taglio-torsione	Riduzione torsione	Verifica
0	SLD 3	0.001	-0.226	302.422	0.002	Non considerata		Si

Verifica a presso/tenso flessione retta X §§ 4.2.4.1.2.3 - 4.2.4.1.2.6 - 4.2.4.1.2.7 - 4.2.4.1.2.8 NTC18

Verifiche eseguite utilizzando la formula conservativa (6.2) §6.2.1 EN 1993-1-1:2005.

X	Comb.	Sfruttamento	Classe	NEd	NRd	Rid. NRd da VEd	Mx,Ed	Mx,Rd	Rid. Mx,Rd da VEd	Rid. Mx,Rd da NEd	px	py	Verifica
1.1	SLV 6	0.135	1	132.63	1003.522	1	0.0677	23.5037	1		0	0	Si

Verifica a presso/tenso flessione retta X SLD §§ 4.2.4.1.2.3 - 4.2.4.1.2.6 - 4.2.4.1.2.7 - 4.2.4.1.2.8 NTC18

Verifiche eseguite utilizzando la formula conservativa (6.2) §6.2.1 EN 1993-1-1:2005.

Implementazione dei sistemi di confinamento delle emissioni odorigene diffuse dell'impianto di compostaggio esistente nel
Comune di Eboli (SA)

PROGETTO DEFINITIVO – Tabulati di calcolo Tomo 1

X	Comb.	Sfruttamento	Classe	NEd	NRd	Rid. NRd da VEd	Mx,Ed	Mx,Rd	Rid. Mx,Rd da VEd	Rid. Mx,Rd da NEd	px	py	Verifica
0.75	SLD 6	0.105	1	101.637	1003.522	1	0.086	23.5037	1		0	0	Si

Verifica a presso/tenso flessione retta Y §§ 4.2.4.1.2.3 - 4.2.4.1.2.6 - 4.2.4.1.2.7 - 4.2.4.1.2.8 NTC18

Verifiche eseguite utilizzando la formula conservativa (6.2) §6.2.1 EN 1993-1-1:2005.

X	Comb.	Sfruttamento	Classe	NEd	NRd	Rid. NRd da VEd	My,Ed	My,Rd	Rid. My,Rd da VEd	Rid. My,Rd da NEd	px	py	Verifica
0	SLU 76	0.231	1	230.732	1003.522	1	-0.0243	33.3316	1		0	0	Si

Verifica a presso/tenso flessione retta Y SLD §§ 4.2.4.1.2.3 - 4.2.4.1.2.6 - 4.2.4.1.2.7 - 4.2.4.1.2.8 NTC18

Verifiche eseguite utilizzando la formula conservativa (6.2) §6.2.1 EN 1993-1-1:2005.

X	Comb.	Sfruttamento	Classe	NEd	NRd	Rid. NRd da VEd	My,Ed	My,Rd	Rid. My,Rd da VEd	Rid. My,Rd da NEd	px	py	Verifica
0	SLD 6	0.103	1	101.637	1003.522	1	-0.0497	33.3316	1		0	0	Si

Verifica a presso/tenso flessione deviata §§ 4.2.4.1.2.3 - 4.2.4.1.2.6 - 4.2.4.1.2.7 - 4.2.4.1.2.8 NTC18

Verifiche eseguite utilizzando la formula conservativa (6.2) §6.2.1 EN 1993-1-1:2005.

X	Comb.	Sfruttamento	Classe	NEd	NRd	Rid. NRd da VEd	Mx,Ed	Mx,Rd	My,Ed	My,Rd	Rid. Mx,Rd da VEd	Rid. Mx,Rd da NEd	Rid. My,Rd da VEd	Rid. My,Rd da NEd	α	β	px	py	Verifica
0.75	SLU 76	0.235	1	230.732	1003.522	1	0.114	23.5037	-0.0209	33.3316	1		1				0	0	Si

Verifica a presso/tenso flessione deviata SLD §§ 4.2.4.1.2.3 - 4.2.4.1.2.6 - 4.2.4.1.2.7 - 4.2.4.1.2.8 NTC18

Verifiche eseguite utilizzando la formula conservativa (6.2) §6.2.1 EN 1993-1-1:2005.

X	Comb.	Sfruttamento	Classe	NEd	NRd	Rid. NRd da VEd	Mx,Ed	Mx,Rd	My,Ed	My,Rd	Rid. Mx,Rd da VEd	Rid. Mx,Rd da NEd	Rid. My,Rd da VEd	Rid. My,Rd da NEd	α	β	px	py	Verifica
0.6	SLD 6	0.106	1	101.637	1003.522	1	0.0826	23.5037	-0.0307	33.3316	1		1				0	0	Si

Verifiche ad instabilità

Caratteristiche iniziali

Membratura principale per controllo snellezza; Calcolo di snellezze ed N critici condotti secondo gli assi principali;

Curva X: c; Curva Y: c;

Svergolamento: Nessuno; la verifica a instabilità flesso-torsionale (svergolamento) non verrà eseguita.

Dati per instabilità attorno a x

Controllo della snellezza secondo §4.2.4.1.3.1 NTC18

Numero rit.	Presente	Ascissa	Campata	βx/m	Vincolo a entrambi estremi	λx/m	λVer
1	Si		0				
			1-2		1	49.4	Si, (<200)
2	Si		1.5				

Dati per instabilità attorno a y

Controllo della snellezza secondo §4.2.4.1.3.1 NTC18

Numero rit.	Presente	Ascissa	Campata	βy/n	k,LT	kw,LT	Vincolo a entrambi estremi
1	Si		0				
			1-2		1	34.8	Si, (<200)
2	Si		1.5				

Verifica di stabilità per pressoflessione §C.4.2.4.1.3.3.1 NTC18

X	Comb.	Sfruttamento	Classe	NEd	MxEq,Ed	MyEq,Ed	Area	Wx	Wy	χ,min	λ adim. x/m	λ adim. y/n	N,crit x/m	N,crit y/n	Verifica
0	SLU 2	0.016	3	-7.248	0.0723	0.0229	0.003832	0.0000492	0.0000739	0.804	0.569	0.4	3253.47	6569.993	Si

Verifiche a deformabilità

Mensola X: No; Mensola Y: No.

Freccie lungo X

Ascissa freccia	Combinazione	Freccia	Luce	L/f	L/f,min	Tipo	Verifica
0.75	SLE RA 1	0	1.5	10000	250	Totale	Si
0.75	SLE RA 17	0	1.5	10000	250	Totale	Si
0.75	SLE RA 16	0	1.5	10000	250	Totale	Si
0.75	SLE RA 15	0	1.5	10000	250	Totale	Si
0.75	SLE RA 14	0	1.5	10000	250	Totale	Si
0.75	SLE RA 2	0	1.5	10000	350	Variabile	Si
0.75	SLE RA 17	0	1.5	10000	350	Variabile	Si
0.75	SLE RA 16	0	1.5	10000	350	Variabile	Si
0.7	SLE RA 15	0	1.5	10000	350	Variabile	Si
0.8	SLE RA 14	0	1.5	10000	350	Variabile	Si

Freccie lungo Y

Ascissa freccia	Combinazione	Freccia	Luce	L/f	L/f,min	Tipo	Verifica
0.75	SLE RA 1	0.00003	1.5	10000	250	Totale	Si
0.75	SLE RA 17	0.00003	1.5	10000	250	Totale	Si
0.75	SLE RA 16	0.00003	1.5	10000	250	Totale	Si
0.75	SLE RA 15	0.00003	1.5	10000	250	Totale	Si
0.75	SLE RA 14	0.00003	1.5	10000	250	Totale	Si
0.75	SLE RA 2	0	1.5	10000	350	Variabile	Si
0.75	SLE RA 17	0	1.5	10000	350	Variabile	Si
0.75	SLE RA 16	0	1.5	10000	350	Variabile	Si
0.75	SLE RA 15	0	1.5	10000	350	Variabile	Si
0.75	SLE RA 14	0	1.5	10000	350	Variabile	Si

Superelemento in acciaio a quota "640" (1237; 1376)-(1364; 1510)

Caratteristiche del materiale

Acciaio: S275, fyk = 275000

**Implementazione dei sistemi di confinamento delle emissioni odorigene diffuse dell'impianto di compostaggio esistente nel
Comune di Eboli (SA)
PROGETTO DEFINITIVO – Tabulati di calcolo Tomo 1**

Caratteristiche geometriche

Lunghezza: 1.85
 Nodo iniziale: 942 Nodo finale: 966
 Cerniera iniziale: No Cerniera finale: No
 Sovreresistenza: 0% Sisma Z: No

Caratteristiche della sezione

Sezione	Rotazione	Area	Jx	Jy	ix	iy	Wx	Wy	Wplx	Wply
HEA120	0	0.002537	0.0000060673	0.0000023091	0.0489	0.0302	0.00010644	0.00003849	0.00011962	0.00005887

Verifiche di resistenza

Verifiche a forza assiale §4.2.4.1.2.1 - §4.2.4.1.2.2 NTC18

X	Comb.	Sfruttamento	Classe	NEd	Nc,Rd	Nt,Rd	Riduzione da taglio	px	py	Verifica
1.85	SLU 75	0.063	1	-41.724	664.325		1	0	0	Si

Verifiche a forza assiale SLD §4.2.4.1.2.1 - §4.2.4.1.2.2 NTC18

X	Comb.	Sfruttamento	Classe	NEd	Nc,Rd	Nt,Rd	Riduzione da taglio	px	py	Verifica
1.85	SLD 10	0.025	1	-16.929	664.325		1	0	0	Si

Verifica a taglio Y §4.2.4.1.2.4 NTC18

X	Comb.	Sfruttamento	VEd	Vc,Rd	Av	Interazione taglio-torsione	Riduzione torsione	Verifica
0	SLV 5	0.007	0.876	127.967	0.000849	Considerata	1	Si

Verifica a taglio Y SLD §4.2.4.1.2.4 NTC18

X	Comb.	Sfruttamento	VEd	Vc,Rd	Av	Interazione taglio-torsione	Riduzione torsione	Verifica
0	SLD 6	0.004	0.552	128.187	0.000849	Considerata	1	Si

Verifica a torsione §4.2.4.1.2.5 NTC18

X	Comb.	Sfruttamento torsione	TEd	TRd	Riduzione taglio resistente	Sfruttamento taglio-torsione	τEd,totale	τRd	Verifica
0	SLV 8	0.012	0.01063	0.85138	Considerata				Si

Verifica a torsione SLD §4.2.4.1.2.5 NTC18

X	Comb.	Sfruttamento torsione	TEd	TRd	Riduzione taglio resistente	Sfruttamento taglio-torsione	τEd,totale	τRd	Verifica
1.85	SLD 8	0.005	0.00394	0.85138	Considerata				Si

Verifica a presso/tenso flessione retta X §§ 4.2.4.1.2.3 - 4.2.4.1.2.6 - 4.2.4.1.2.7 - 4.2.4.1.2.8 NTC18

Verifiche eseguite utilizzando la formula conservativa (6.2) §6.2.1 EN 1993-1-1:2005.

X	Comb.	Sfruttamento	Classe	NEd	NRd	Rid. NRd da VEd	Mx,Ed	Mx,Rd	Rid. Mx,Rd da VEd	Rid. Mx,Rd da NEd	px	py	Verifica
1.542	SLU 75	0.065	1	-41.724	664.325	1	-0.0542	31.3291	1		0	0	Si

Verifica a presso/tenso flessione retta X SLD §§ 4.2.4.1.2.3 - 4.2.4.1.2.6 - 4.2.4.1.2.7 - 4.2.4.1.2.8 NTC18

Verifiche eseguite utilizzando la formula conservativa (6.2) §6.2.1 EN 1993-1-1:2005.

X	Comb.	Sfruttamento	Classe	NEd	NRd	Rid. NRd da VEd	Mx,Ed	Mx,Rd	Rid. Mx,Rd da VEd	Rid. Mx,Rd da NEd	px	py	Verifica
0	SLD 9	0.043	1	-16.929	664.325	1	0.5551	31.3291	1		0	0	Si

Verifica a presso/tenso flessione retta Y §§ 4.2.4.1.2.3 - 4.2.4.1.2.6 - 4.2.4.1.2.7 - 4.2.4.1.2.8 NTC18

Verifiche eseguite utilizzando la formula conservativa (6.2) §6.2.1 EN 1993-1-1:2005.

X	Comb.	Sfruttamento	Classe	NEd	NRd	Rid. NRd da VEd	My,Ed	My,Rd	Rid. My,Rd da VEd	Rid. My,Rd da NEd	px	py	Verifica
1.357	SLU 54	0.048	1	-31.535	664.325	1	-0.0042	15.4191	1		0	0	Si

Verifica a presso/tenso flessione retta Y SLD §§ 4.2.4.1.2.3 - 4.2.4.1.2.6 - 4.2.4.1.2.7 - 4.2.4.1.2.8 NTC18

Verifiche eseguite utilizzando la formula conservativa (6.2) §6.2.1 EN 1993-1-1:2005.

X	Comb.	Sfruttamento	Classe	NEd	NRd	Rid. NRd da VEd	My,Ed	My,Rd	Rid. My,Rd da VEd	Rid. My,Rd da NEd	px	py	Verifica
0.37	SLD 7	0.018	1	-10.671	664.325	1	-0.0258	15.4191	1		0	0	Si

Verifica a presso/tenso flessione deviata §§ 4.2.4.1.2.3 - 4.2.4.1.2.6 - 4.2.4.1.2.7 - 4.2.4.1.2.8 NTC18

Verifiche eseguite utilizzando la formula conservativa (6.2) §6.2.1 EN 1993-1-1:2005.

X	Comb.	Sfruttamento	Classe	NEd	NRd	Rid. NRd da VEd	Mx,Ed	Mx,Rd	My,Ed	My,Rd	Rid. Mx,Rd da VEd	Rid. Mx,Rd da NEd	Rid. My,Rd da VEd	Rid. My,Rd da NEd	α	β	px	py	Verifica
0	SLU 75	0.095	1	-41.724	664.325	1	0.8822	31.3291	-0.0635	15.4191	1		1				0	0	Si

Verifica a presso/tenso flessione deviata SLD §§ 4.2.4.1.2.3 - 4.2.4.1.2.6 - 4.2.4.1.2.7 - 4.2.4.1.2.8 NTC18

Verifiche eseguite utilizzando la formula conservativa (6.2) §6.2.1 EN 1993-1-1:2005.

X	Comb.	Sfruttamento	Classe	NEd	NRd	Rid. NRd da VEd	Mx,Ed	Mx,Rd	My,Ed	My,Rd	Rid. Mx,Rd da VEd	Rid. Mx,Rd da NEd	Rid. My,Rd da VEd	Rid. My,Rd da NEd	α	β	px	py	Verifica
0	SLD 6	0.048	1	-15.547	664.325	1	0.7371	31.3291	-0.0092	15.4191	1		1				0	0	Si

Verifiche ad instabilità

Caratteristiche iniziali

Membratura principale per controllo snellezza; Calcolo di snellezze ed N critici condotti secondo gli assi principali;
 Curva X: b; Curva Y: c; Svergolamento: Carico all'estradosso; Curva svergolamento: b;

Dati per instabilità attorno a x

Controllo della snellezza secondo §4.2.4.1.3.1 NTC18

Numero rit.	Presente	Ascissa	Campata	βx/m	Vincolo a entrambi estremi	λx/m	λVer
1	Si	0					
			1-2	1	Si	37.8	Si, (<200)
2	Si	1.85					

Dati per instabilità attorno a y

Controllo della snellezza secondo §4.2.4.1.3.1 NTC18

Implementazione dei sistemi di confinamento delle emissioni odorigene diffuse dell’impianto di compostaggio esistente nel
Comune di Eboli (SA)
PROGETTO DEFINITIVO – Tabulati di calcolo Tomo 1

Numero rit.	Presente	Ascissa	Campata	$\beta y/n$	k,LT	kw,LT	Vincolo a entrambi estremi	$\lambda y/n$	λVer
1	Si	0	1-2	1	1	1	Si	61.3	Si, (<200)
2	Si	1.85							

Verifica a svergolamento con trazione §4.2.4.1.3.2 NTC18 § 5.5.3 ENV 1993-1-1:1992 + AC:1992 + A1:1994 + A2:1998

X	Comb.	Sfruttamento	Classe	Obblig.	NEd	Mx,Ed	Mx,Eff,Ed	Mb,Rd,x	χ ,LT	λ adim. LT	L,LT	M,critico	Verifica
0	SLU 2	0.001	1	Si	1.678	0.09199	0.04269	30.93721	0.987	0.432	1.85	176.18301	Si

Verifica di stabilità per pressoflessione §C.4.2.4.1.3.3.2 NTC18

X	Comb.	Sfruttamento	Classe	NEd	NRk	Mx,Ed max	Mx,Rk	My,Ed max	My,Rk	χ_x	χ_y	kxx	kxy	kyy	χ_{LT}	Verifica	
0.062	SLU 75	0.119	1	-41.724	697.541	0.88223	32.89552	0.06345	16.19002	0.912	0.721	0.43	0.325	0.965	0.542	0.902	Si

Verifica di stabilità per pressoflessione SLD §C.4.2.4.1.3.3.2 NTC18

X	Comb.	Sfruttamento	Classe	NEd	NRk	Mx,Ed max	Mx,Rk	My,Ed max	My,Rk	χ_x	χ_y	kxx	kxy	kyy	χ_{LT}	Verifica	
1.788	SLD 6	0.057	1	-15.547	697.541	0.73708	32.89552	0.02031	16.19002	0.912	0.721	0.542	0.603	0.992	1.005	0.99	Si

Verifica di stabilità a taglio anima Y §4.2.4.1.2.4 [4.2.27] NTC18

η	hw	tw	hw/tw max	Verifica
1.2	0.098	0.005	55.46	Si

Verifica di stabilità a taglio anima Y SLD §4.2.4.1.2.4 [4.2.27] NTC18

η	hw	tw	hw/tw max	Verifica
1.2	0.098	0.005	55.46	Si

Verifiche a deformabilità

Mensola X: No; Mensola Y: No.

Frecce lungo X

Ascissa freccia	Combinazione	Freccia	Luce	L/f	L/f,min	Tipo	Verifica
0.74	SLE RA 1	0.00001	1.85	10000	250	Totale	Si
0.74	SLE RA 17	0.00001	1.85	10000	250	Totale	Si
0.74	SLE RA 16	0.00001	1.85	10000	250	Totale	Si
0.74	SLE RA 15	0.00001	1.85	10000	250	Totale	Si
0.74	SLE RA 14	0.00001	1.85	10000	250	Totale	Si
0.74	SLE RA 2	-0.00001	1.85	10000	350	Variabile	Si
0.74	SLE RA 17	0	1.85	10000	350	Variabile	Si
0.74	SLE RA 16	0.00001	1.85	10000	350	Variabile	Si
0.555	SLE RA 15	0	1.85	10000	350	Variabile	Si
0.74	SLE RA 14	0.00001	1.85	10000	350	Variabile	Si

Frecce lungo Y

Ascissa freccia	Combinazione	Freccia	Luce	L/f	L/f,min	Tipo	Verifica
0.617	SLE RA 1	0.00003	1.85	10000	250	Totale	Si
0.617	SLE RA 17	0.00004	1.85	10000	250	Totale	Si
0.678	SLE RA 16	0.00005	1.85	10000	250	Totale	Si
0.617	SLE RA 15	0.00002	1.85	10000	250	Totale	Si
0.678	SLE RA 14	0.00006	1.85	10000	250	Totale	Si
0.74	SLE RA 2	-0.00002	1.85	10000	350	Variabile	Si
0.74	SLE RA 17	0.00001	1.85	10000	350	Variabile	Si
0.74	SLE RA 16	0.00002	1.85	10000	350	Variabile	Si
0.617	SLE RA 15	0	1.85	10000	350	Variabile	Si
0.678	SLE RA 14	0.00003	1.85	10000	350	Variabile	Si

Superelemento in acciaio a quota "640" (1275; 1857)-(1384; 1754)

Caratteristiche del materiale

Acciaio: S275, fyk = 275000

Caratteristiche geometriche

Lunghezza: 1.5

Nodo iniziale: 1035 Nodo finale: 1013

Cerniera iniziale: Mmomenti 1% Cerniera finale: Mmomenti 1%

Sovreresistenza: 0% Sisma Z: No

Caratteristiche della sezione

Sezione	Rotazione	Area	Jx	Jy	ix	iy	Wx	Wy	Wplx	Wply
A1; L100*10; 1; Saldato; S275; 30; 1; 8; 8; 1	180	0.003832	0.0000035319	0.000007759	0.0304	0.045	0.0000492	0.0000739	0.00008974	0.00012727

Comportamento dei calastrelli

Accoppiamento imbottito con funzione statica (§C4.2.4.1.3.1.4 NTC18) nella campata compresa tra le ascisse 0 e 1.5 per sbandamento attorno all'asse y.

Verifiche di resistenza

Verifiche a forza assiale §4.2.4.1.2.1 - §4.2.4.1.2.2 NTC18

X	Comb.	Sfruttamento	Classe	NEd	Nc,Rd	Nt,Rd	Riduzione da taglio	px	py	Verifica
1.5	SLU 75	0.048		48.196		1003.522	1	0	0	Si

Verifiche a forza assiale SLD §4.2.4.1.2.1 - §4.2.4.1.2.2 NTC18

X	Comb.	Sfruttamento	Classe	NEd	Nc,Rd	Nt,Rd	Riduzione da taglio	px	py	Verifica
1.5	SLD 16	0.011		11.066		1003.522	1	0	0	Si

Implementazione dei sistemi di confinamento delle emissioni odorigene diffuse dell'impianto di compostaggio esistente nel
Comune di Eboli (SA)
PROGETTO DEFINITIVO – Tabulati di calcolo Tomo 1

Verifica a taglio Y §4.2.4.1.2.4 NTC18

X	Comb.	Sfruttamento	VEd	Vc,Rd	Av	Interazione taglio-torsione	Riduzione torsione	Verifica
0	SLU 75	0.001	-0.294	302.422	0.002	Non considerata		Si

Verifica a taglio Y SLD §4.2.4.1.2.4 NTC18

X	Comb.	Sfruttamento	VEd	Vc,Rd	Av	Interazione taglio-torsione	Riduzione torsione	Verifica
0	SLD 12	0.001	-0.226	302.422	0.002	Non considerata		Si

Verifica a presso/tenso flessione retta X §§ 4.2.4.1.2.3 - 4.2.4.1.2.6 - 4.2.4.1.2.7 - 4.2.4.1.2.8 NTC18

Verifiche eseguite utilizzando la formula conservativa (6.2) §6.2.1 EN 1993-1-1:2005.

X	Comb.	Sfruttamento	Classe	NEd	NRd	Rid. NRd da VEd	Mx,Ed	Mx,Rd	Rid. Mx,Rd da VEd	Rid. Mx,Rd da NEd	px	py	Verifica
0.75	SLU 75	0.053	1	48.196	1003.522	1	0.1106	23.5037	1		0	0	Si

Verifica a presso/tenso flessione retta X SLD §§ 4.2.4.1.2.3 - 4.2.4.1.2.6 - 4.2.4.1.2.7 - 4.2.4.1.2.8 NTC18

Verifiche eseguite utilizzando la formula conservativa (6.2) §6.2.1 EN 1993-1-1:2005.

X	Comb.	Sfruttamento	Classe	NEd	NRd	Rid. NRd da VEd	Mx,Ed	Mx,Rd	Rid. Mx,Rd da VEd	Rid. Mx,Rd da NEd	px	py	Verifica
0.75	SLD 16	0.015	1	11.066	1003.522	1	0.0844	23.5037	1		0	0	Si

Verifica a presso/tenso flessione retta Y §§ 4.2.4.1.2.3 - 4.2.4.1.2.6 - 4.2.4.1.2.7 - 4.2.4.1.2.8 NTC18

Verifiche eseguite utilizzando la formula conservativa (6.2) §6.2.1 EN 1993-1-1:2005.

X	Comb.	Sfruttamento	Classe	NEd	NRd	Rid. NRd da VEd	My,Ed	My,Rd	Rid. My,Rd da VEd	Rid. My,Rd da NEd	px	py	Verifica
0	SLU 4	0.017	3	-14.455	1003.522	1	-0.046	19.3536	1		0	0	Si

Verifica a presso/tenso flessione retta Y SLD §§ 4.2.4.1.2.3 - 4.2.4.1.2.6 - 4.2.4.1.2.7 - 4.2.4.1.2.8 NTC18

Verifiche eseguite utilizzando la formula conservativa (6.2) §6.2.1 EN 1993-1-1:2005.

X	Comb.	Sfruttamento	Classe	NEd	NRd	Rid. NRd da VEd	My,Ed	My,Rd	Rid. My,Rd da VEd	Rid. My,Rd da NEd	px	py	Verifica
0	SLD 15	0.012	1	11.066	1003.522	1	-0.0198	33.3316	1		0	0	Si

Verifica a presso/tenso flessione deviata §§ 4.2.4.1.2.3 - 4.2.4.1.2.6 - 4.2.4.1.2.7 - 4.2.4.1.2.8 NTC18

Verifiche eseguite utilizzando la formula conservativa (6.2) §6.2.1 EN 1993-1-1:2005.

X	Comb.	Sfruttamento	Classe	NEd	NRd	Rid. NRd da VEd	Mx,Ed	Mx,Rd	My,Ed	My,Rd	Rid. Mx,Rd da VEd	Rid. Mx,Rd da NEd	Rid. My,Rd da VEd	Rid. My,Rd da NEd	α	β	px	py	Verifica
0.75	SLU 42	0.023	3	-12.936	1003.522	1	0.109	12.886	-0.041	19.3536	1		1				0	0	Si

Verifica a presso/tenso flessione deviata SLD §§ 4.2.4.1.2.3 - 4.2.4.1.2.6 - 4.2.4.1.2.7 - 4.2.4.1.2.8 NTC18

Verifiche eseguite utilizzando la formula conservativa (6.2) §6.2.1 EN 1993-1-1:2005.

X	Comb.	Sfruttamento	Classe	NEd	NRd	Rid. NRd da VEd	Mx,Ed	Mx,Rd	My,Ed	My,Rd	Rid. Mx,Rd da VEd	Rid. Mx,Rd da NEd	Rid. My,Rd da VEd	Rid. My,Rd da NEd	α	β	px	py	Verifica
0.7	SLD 15	0.015	1	11.066	1003.522	1	0.084	23.5037	-0.0076	33.3316	1		1				0	0	Si

Verifiche ad instabilità

Caratteristiche iniziali

Membratura principale per controllo snellezza; Calcolo di snellezze ed N critici condotti secondo gli assi principali;

Curva X: c; Curva Y: c;

Svergolamento: Nessuno; la verifica a instabilità flesso-torsionale (svergolamento) non verrà eseguita.

Dati per instabilità attorno a x

Controllo della snellezza secondo §4.2.4.1.3.1 NTC18

Numero rit.	Presente	Ascissa	Campata	βx/m	Vincolo a entrambi estremi	λx/m	λVer
1	Si	0	1-2	1	Si	49.4	Si, (<200)
2	Si	1.5					

Dati per instabilità attorno a y

Controllo della snellezza secondo §4.2.4.1.3.1 NTC18

Numero rit.	Presente	Ascissa	Campata	βy/n	k,LT	kw,LT	Vincolo a entrambi estremi
1	Si	0	1-2	1	Si	34.8	Si, (<200)
2	Si	1.5					

Verifica di stabilità per pressoflessione §C.4.2.4.1.3.3.1 NTC18

X	Comb.	Sfruttamento	Classe	NEd	MxEq,Ed	MyEq,Ed	Area	Wx	Wy	χ,min	λ adim. x/m	λ adim. y/n	N,crit x/m	N,crit y/n	Verifica
0.75	SLU 4	0.026	3	-14.455	0.0721	-0.0455	0.003832	0.0000492	0.0000739	0.804	0.569	0.4	3253.47	6569.993	Si

Verifiche a deformabilità

Mensola X: No; Mensola Y: No.

Frecce lungo X

Ascissa freccia	Combinazione	Freccia	Luce	L/f	L/f,min	Tipo	Verifica
0.65	SLE RA 1	0	1.5	10000	250	Totale	Si
0.65	SLE RA 17	0	1.5	10000	250	Totale	Si
0.6	SLE RA 16	0	1.5	10000	250	Totale	Si
0.65	SLE RA 15	0	1.5	10000	250	Totale	Si
0.6	SLE RA 14	0	1.5	10000	250	Totale	Si
0.55	SLE RA 2	0	1.5	10000	350	Variabile	Si
0.55	SLE RA 17	0	1.5	10000	350	Variabile	Si
0.55	SLE RA 16	0	1.5	10000	350	Variabile	Si
0.65	SLE RA 15	0	1.5	10000	350	Variabile	Si
1.1	SLE RA 14	0	1.5	10000	350	Variabile	Si

Frecce lungo Y

Ascissa freccia	Combinazione	Freccia	Luce	L/f	L/f,min	Tipo	Verifica
0.75	SLE RA 1	0.00003	1.5	10000	250	Totale	Si
0.75	SLE RA 17	0.00003	1.5	10000	250	Totale	Si
0.75	SLE RA 16	0.00003	1.5	10000	250	Totale	Si

Implementazione dei sistemi di confinamento delle emissioni odorigene diffuse dell'impianto di compostaggio esistente nel
Comune di Eboli (SA)

PROGETTO DEFINITIVO – Tabulati di calcolo Tomo 1

Ascissa freccia	Combinazione	Freccia	Luce	L/f	L/f,min	Tipo	Verifica
0.75	SLE RA 15	0.00003	1.5	10000	250	Totale	Si
0.75	SLE RA 14	0.00003	1.5	10000	250	Totale	Si
0.8	SLE RA 2	0	1.5	10000	350	Variabile	Si
0.8	SLE RA 17	0	1.5	10000	350	Variabile	Si
0.8	SLE RA 16	0	1.5	10000	350	Variabile	Si
0.6	SLE RA 15	0	1.5	10000	350	Variabile	Si
0.8	SLE RA 14	0	1.5	10000	350	Variabile	Si

Superelemento in acciaio a quota "640" (1306; 2325)-(1416; 2223)

Caratteristiche del materiale

Acciaio: S275, fyk = 275000

Caratteristiche geometriche

Lunghezza: 1.5

Nodo iniziale: 1191 Nodo finale: 1152

Cerniera iniziale: Mmomenti 1% Cerniera finale: Mmomenti 1%

Sovreresistenza: 0% Sisma Z: No

Caratteristiche della sezione

Sezione	Rotazione	Area	Jx	Jy	ix	iy	Wx	Wy	Wplx	Wply
A1; L100*10; 1; Saldato; S275; 30; 1; 8; 8; 1	180	0.003832	0.0000035319	0.000007759	0.0304	0.045	0.0000492	0.0000739	0.00008974	0.00012727

Comportamento dei calastrelli

Accoppiamento imbottito con funzione statica (§C4.2.4.1.3.1.4 NTC18) nella campata compresa tra le ascisse 0 e 1.5 per sbandamento attorno all'asse y.

Verifiche di resistenza

Verifiche a forza assiale §4.2.4.1.2.1 - §4.2.4.1.2.2 NTC18

X	Comb.	Sfruttamento	Classe	NEd	Nc,Rd	Nt,Rd	Riduzione da taglio	px	py	Verifica
0.7	SLU 75	0.174		174.189		1003.522	1	0	0	Si

Verifiche a forza assiale SLD §4.2.4.1.2.1 - §4.2.4.1.2.2 NTC18

X	Comb.	Sfruttamento	Classe	NEd	Nc,Rd	Nt,Rd	Riduzione da taglio	px	py	Verifica
1.5	SLD 16	0.078		78.418		1003.522	1	0	0	Si

Verifica a taglio Y §4.2.4.1.2.4 NTC18

X	Comb.	Sfruttamento	VEd	Vc,Rd	Av	Interazione taglio-torsione	Riduzione torsione	Verifica
0	SLU 75	0.001	-0.296	302.422	0.002	Non considerata		Si

Verifica a taglio Y SLD §4.2.4.1.2.4 NTC18

X	Comb.	Sfruttamento	VEd	Vc,Rd	Av	Interazione taglio-torsione	Riduzione torsione	Verifica
0	SLD 16	0.001	-0.226	302.422	0.002	Non considerata		Si

Verifica a presso/tenso flessione retta X §§ 4.2.4.1.2.3 - 4.2.4.1.2.6 - 4.2.4.1.2.7 - 4.2.4.1.2.8 NTC18

Verifiche eseguite utilizzando la formula conservativa (6.2) §6.2.1 EN 1993-1-1:2005.

X	Comb.	Sfruttamento	Classe	NEd	NRd	Rid. NRd da VEd	Mx,Ed	Mx,Rd	Rid. Mx,Rd da VEd	Rid. Mx,Rd da NEd	px	py	Verifica
0.75	SLU 75	0.178	1	174.189	1003.522	1	0.1109	23.5037	1		0	0	Si

Verifica a presso/tenso flessione retta X SLD §§ 4.2.4.1.2.3 - 4.2.4.1.2.6 - 4.2.4.1.2.7 - 4.2.4.1.2.8 NTC18

Verifiche eseguite utilizzando la formula conservativa (6.2) §6.2.1 EN 1993-1-1:2005.

X	Comb.	Sfruttamento	Classe	NEd	NRd	Rid. NRd da VEd	Mx,Ed	Mx,Rd	Rid. Mx,Rd da VEd	Rid. Mx,Rd da NEd	px	py	Verifica
0.75	SLD 16	0.082	1	78.418	1003.522	1	0.0847	23.5037	1		0	0	Si

Verifica a presso/tenso flessione retta Y §§ 4.2.4.1.2.3 - 4.2.4.1.2.6 - 4.2.4.1.2.7 - 4.2.4.1.2.8 NTC18

Verifiche eseguite utilizzando la formula conservativa (6.2) §6.2.1 EN 1993-1-1:2005.

X	Comb.	Sfruttamento	Classe	NEd	NRd	Rid. NRd da VEd	My,Ed	My,Rd	Rid. My,Rd da VEd	Rid. My,Rd da NEd	px	py	Verifica
1.5	SLV 16	0.104	1	100.837	1003.522	1	0.1033	33.3316	1		0	0	Si

Verifica a presso/tenso flessione retta Y SLD §§ 4.2.4.1.2.3 - 4.2.4.1.2.6 - 4.2.4.1.2.7 - 4.2.4.1.2.8 NTC18

Verifiche eseguite utilizzando la formula conservativa (6.2) §6.2.1 EN 1993-1-1:2005.

X	Comb.	Sfruttamento	Classe	NEd	NRd	Rid. NRd da VEd	My,Ed	My,Rd	Rid. My,Rd da VEd	Rid. My,Rd da NEd	px	py	Verifica
1.5	SLD 16	0.079	1	78.418	1003.522	1	0.0418	33.3316	1		0	0	Si

Verifica a presso/tenso flessione deviata §§ 4.2.4.1.2.3 - 4.2.4.1.2.6 - 4.2.4.1.2.7 - 4.2.4.1.2.8 NTC18

Verifiche eseguite utilizzando la formula conservativa (6.2) §6.2.1 EN 1993-1-1:2005.

X	Comb.	Sfruttamento	Classe	NEd	NRd	Rid. NRd da VEd	Mx,Ed	Mx,Rd	My,Ed	My,Rd	Rid. Mx,Rd da VEd	Rid. Mx,Rd da NEd	Rid. My,Rd da VEd	Rid. My,Rd da NEd	α	β	px	py	Verifica
1.05	SLV 15	0.105	1	100.837	1003.522	1	0.0717	23.5037	0.0475	33.3316	1		1				0	0	Si

Verifica a presso/tenso flessione deviata SLD §§ 4.2.4.1.2.3 - 4.2.4.1.2.6 - 4.2.4.1.2.7 - 4.2.4.1.2.8 NTC18

Verifiche eseguite utilizzando la formula conservativa (6.2) §6.2.1 EN 1993-1-1:2005.

X	Comb.	Sfruttamento	Classe	NEd	NRd	Rid. NRd da VEd	Mx,Ed	Mx,Rd	My,Ed	My,Rd	Rid. Mx,Rd da VEd	Rid. Mx,Rd da NEd	Rid. My,Rd da VEd	Rid. My,Rd da NEd	α	β	px	py	Verifica
0.85	SLD 15	0.082	1	78.418	1003.522	1	0.0833	23.5037	0.0101	33.3316	1		1				0	0	Si

Implementazione dei sistemi di confinamento delle emissioni odorigene diffuse dell'impianto di compostaggio esistente nel
Comune di Eboli (SA)
PROGETTO DEFINITIVO – Tabulati di calcolo Tomo 1

Verifiche ad instabilità

Caratteristiche iniziali

Membratura principale per controllo snellezza; Calcolo di snellezze ed N critici condotti secondo gli assi principali;
Curva X: c; Curva Y: c;
Svergolamento: Nessuno; la verifica a instabilità flesso-torsionale (svergolamento) non verrà eseguita.

Dati per instabilità attorno a x

Controllo della snellezza secondo §4.2.4.1.3.1 NTC18

Numero rit.	Presente	Ascissa	Campata	$\beta x/m$	Vincolo a entrambi estremi	$\lambda x/m$	λVer
1	Si	0					
			1-2	1	Si	49.4	Si, (<200)
2	Si	1.5					

Dati per instabilità attorno a y

Controllo della snellezza secondo §4.2.4.1.3.1 NTC18

Numero rit.	Presente	Ascissa	Campata	$\beta y/n$	k,LT	kw,LT	Vincolo a entrambi estremi
1	Si	0					
			1-2	1	Si	34.8	Si, (<200)
2	Si	1.5					

Verifica di stabilità per pressoflessione §C.4.2.4.1.3.3.1 NTC18

X	Comb.	Sfruttamento	Classe	NEd	MxEq,Ed	MyEq,Ed	Area	Wx	Wy	χ_{min}	$\lambda_{adim. x/m}$	$\lambda_{adim. y/n}$	N,crit x/m	N,crit y/n	Verifica
0	SLU 2	0.033	3	-19.932	0.0721	-0.0453	0.003832	0.0000492	0.0000739	0.804	0.569	0.4	3253.47	6569.993	Si

Verifiche a deformabilità

Mensola X: No; Mensola Y: No.

Frecce lungo X

Ascissa freccia	Combinazione	Freccia	Luce	L/f	L/f,min	Tipo	Verifica
0.75	SLE RA 1	0	1.5	10000	250	Totale	Si
0.7	SLE RA 17	0	1.5	10000	250	Totale	Si
0.7	SLE RA 16	0	1.5	10000	250	Totale	Si
0.8	SLE RA 15	0	1.5	10000	250	Totale	Si
0.6	SLE RA 14	0	1.5	10000	250	Totale	Si
0.7	SLE RA 2	0	1.5	10000	350	Variabile	Si
0.7	SLE RA 17	0	1.5	10000	350	Variabile	Si
0.7	SLE RA 16	0	1.5	10000	350	Variabile	Si
0.85	SLE RA 15	0	1.5	10000	350	Variabile	Si
0.35	SLE RA 14	0	1.5	10000	350	Variabile	Si

Frecce lungo Y

Ascissa freccia	Combinazione	Freccia	Luce	L/f	L/f,min	Tipo	Verifica
0.75	SLE RA 1	0.00003	1.5	10000	250	Totale	Si
0.75	SLE RA 17	0.00003	1.5	10000	250	Totale	Si
0.75	SLE RA 16	0.00003	1.5	10000	250	Totale	Si
0.75	SLE RA 15	0.00003	1.5	10000	250	Totale	Si
0.75	SLE RA 14	0.00003	1.5	10000	250	Totale	Si
0.85	SLE RA 2	0	1.5	10000	350	Variabile	Si
0.85	SLE RA 17	0	1.5	10000	350	Variabile	Si
0.85	SLE RA 16	0	1.5	10000	350	Variabile	Si
0.85	SLE RA 15	0	1.5	10000	350	Variabile	Si
0.9	SLE RA 14	0	1.5	10000	350	Variabile	Si

Superelemento in acciaio a quota "640" (1343; 2802)-(1452; 2700)

Caratteristiche del materiale

Acciaio: S275, fyk = 275000

Caratteristiche geometriche

Lunghezza: 1.5
Nodo iniziale: 1387 Nodo finale: 1348
Cerniera iniziale: Mmomenti 1% Cerniera finale: Mmomenti 1%
Sovraresistenza: 0% Sisma Z: No

Caratteristiche della sezione

Sezione	Rotazione	Area	Jx	Jy	ix	iy	Wx	Wy	Wplx	Wply
A1; L100*10; 1; Saldato; S275; 30; 1; 8; 8; 1	180	0.003832	0.0000035319	0.000007759	0.0304	0.045	0.0000492	0.0000739	0.00008974	0.00012727

Comportamento dei calastrelli

Accoppiamento imbottito con funzione statica (§C4.2.4.1.3.1.4 NTC18) nella campata compresa tra le ascisse 0 e 1.5 per sbandamento attorno all'asse y.

Verifiche di resistenza

Verifiche a forza assiale §4.2.4.1.2.1 - §4.2.4.1.2.2 NTC18

X	Comb.	Sfruttamento	Classe	NEd	Nc,Rd	Nt,Rd	Riduzione da taglio	px	py	Verifica
0	SLU 76	0.369		369.916		1003.522	1	0	0	Si

Verifiche a forza assiale SLD §4.2.4.1.2.1 - §4.2.4.1.2.2 NTC18

X	Comb.	Sfruttamento	Classe	NEd	Nc,Rd	Nt,Rd	Riduzione da taglio	px	py	Verifica
1.5	SLD 5	0.147		147.632		1003.522	1	0	0	Si

Implementazione dei sistemi di confinamento delle emissioni odorigene diffuse dell'impianto di compostaggio esistente nel
Comune di Eboli (SA)

PROGETTO DEFINITIVO – Tabulati di calcolo Tomo 1

Verifica a taglio X §4.2.4.1.2.4 NTC18

X	Comb.	Sfruttamento	VEd	Vc,Rd	Av	Interazione taglio-torsione	Riduzione torsione	Verifica
0	SLV 1	0.001	0.221	302.422	0.002	Non considerata		Si

Verifica a taglio Y §4.2.4.1.2.4 NTC18

X	Comb.	Sfruttamento	VEd	Vc,Rd	Av	Interazione taglio-torsione	Riduzione torsione	Verifica
1.5	SLU 76	0.001	0.295	302.422	0.002	Non considerata		Si

Verifica a taglio Y SLD §4.2.4.1.2.4 NTC18

X	Comb.	Sfruttamento	VEd	Vc,Rd	Av	Interazione taglio-torsione	Riduzione torsione	Verifica
1.5	SLD 14	0.001	0.226	302.422	0.002	Non considerata		Si

Verifica a presso/tenso flessione retta X §§ 4.2.4.1.2.3 - 4.2.4.1.2.6 - 4.2.4.1.2.7 - 4.2.4.1.2.8 NTC18

Verifiche eseguite utilizzando la formula conservativa (6.2) §6.2.1 EN 1993-1-1:2005.

X	Comb.	Sfruttamento	Classe	NEd	NRd	Rid. NRd da VEd	Mx,Ed	Mx,Rd	Rid. Mx,Rd da VEd	Rid. Mx,Rd da NEd	px	py	Verifica
0.65	SLU 76	0.373	1	369.916	1003.522	1	0.1128	23.5037	1		0	0	Si

Verifica a presso/tenso flessione retta X SLD §§ 4.2.4.1.2.3 - 4.2.4.1.2.6 - 4.2.4.1.2.7 - 4.2.4.1.2.8 NTC18

Verifiche eseguite utilizzando la formula conservativa (6.2) §6.2.1 EN 1993-1-1:2005.

X	Comb.	Sfruttamento	Classe	NEd	NRd	Rid. NRd da VEd	Mx,Ed	Mx,Rd	Rid. Mx,Rd da VEd	Rid. Mx,Rd da NEd	px	py	Verifica
0.5	SLD 6	0.15	1	147.632	1003.522	1	0.0769	23.5037	1		0	0	Si

Verifica a presso/tenso flessione retta Y §§ 4.2.4.1.2.3 - 4.2.4.1.2.6 - 4.2.4.1.2.7 - 4.2.4.1.2.8 NTC18

Verifiche eseguite utilizzando la formula conservativa (6.2) §6.2.1 EN 1993-1-1:2005.

X	Comb.	Sfruttamento	Classe	NEd	NRd	Rid. NRd da VEd	My,Ed	My,Rd	Rid. My,Rd da VEd	Rid. My,Rd da NEd	px	py	Verifica
1.5	SLU 76	0.371	1	369.916	1003.522	1	0.0768	33.3316	1		0	0	Si

Verifica a presso/tenso flessione retta Y SLD §§ 4.2.4.1.2.3 - 4.2.4.1.2.6 - 4.2.4.1.2.7 - 4.2.4.1.2.8 NTC18

Verifiche eseguite utilizzando la formula conservativa (6.2) §6.2.1 EN 1993-1-1:2005.

X	Comb.	Sfruttamento	Classe	NEd	NRd	Rid. NRd da VEd	My,Ed	My,Rd	Rid. My,Rd da VEd	Rid. My,Rd da NEd	px	py	Verifica
1.5	SLD 6	0.15	1	147.632	1003.522	1	0.1068	33.3316	1		0	0	Si

Verifica a presso/tenso flessione deviata §§ 4.2.4.1.2.3 - 4.2.4.1.2.6 - 4.2.4.1.2.7 - 4.2.4.1.2.8 NTC18

Verifiche eseguite utilizzando la formula conservativa (6.2) §6.2.1 EN 1993-1-1:2005.

X	Comb.	Sfruttamento	Classe	NEd	NRd	Rid. NRd da VEd	Mx,Ed	Mx,Rd	My,Ed	My,Rd	Rid. Mx,Rd da VEd	Rid. Mx,Rd da NEd	Rid. My,Rd da VEd	Rid. My,Rd da NEd	α	β	px	py	Verifica
0.9	SLU 76	0.374	1	369.916	1003.522	1	0.11	23.5037	0.027	33.3316	1		1				0	0	Si

Verifica a presso/tenso flessione deviata SLD §§ 4.2.4.1.2.3 - 4.2.4.1.2.6 - 4.2.4.1.2.7 - 4.2.4.1.2.8 NTC18

Verifiche eseguite utilizzando la formula conservativa (6.2) §6.2.1 EN 1993-1-1:2005.

X	Comb.	Sfruttamento	Classe	NEd	NRd	Rid. NRd da VEd	Mx,Ed	Mx,Rd	My,Ed	My,Rd	Rid. Mx,Rd da VEd	Rid. Mx,Rd da NEd	Rid. My,Rd da VEd	Rid. My,Rd da NEd	α	β	px	py	Verifica
1	SLD 6	0.152	1	147.632	1003.522	1	0.0766	23.5037	0.0536	33.3316	1		1				0	0	Si

Verifiche ad instabilità

Caratteristiche iniziali

Membratura principale per controllo snellezza; Calcolo di snellezze ed N critici condotti secondo gli assi principali;

Curva X: c; Curva Y: c;

Svergolamento: Nessuno; la verifica a instabilità flesso-torsionale (svergolamento) non verrà eseguita.

Dati per instabilità attorno a x

Controllo della snellezza secondo §4.2.4.1.3.1 NTC18

Numero rit.	Presente	Ascissa	Campata	βx/m	Vincolo a entrambi estremi	λx/m	λVer
1	Si	0	1-2		Si	49.4	Si, (<200)
2	Si	1.5					

Dati per instabilità attorno a y

Controllo della snellezza secondo §4.2.4.1.3.1 NTC18

Numero rit.	Presente	Ascissa	Campata	βy/n	k,LT	kw,LT	Vincolo a entrambi estremi
1	Si	0	1-2			34.8	Si, (<200)
2	Si	1.5					

Verifica di stabilità per pressoflessione §C.4.2.4.1.3.3.1 NTC18

X	Comb.	Sfruttamento	Classe	NEd	MxEq,Ed	MyEq,Ed	Area	Wx	Wy	χ,min	λ adim. x/m	λ adim. y/n	N,crit x/m	N,crit y/n	Verifica
0	SLU 2	0.021	3	-11.34	0.0723	0.0262	0.003832	0.0000492	0.0000739	0.804	0.569	0.4	3253.47	6569.993	Si

Verifiche a deformabilità

Mensola X: No; Mensola Y: No.

Frecce lungo X

Ascissa freccia	Combinazione	Freccia	Luce	L/f	L/f,min	Tipo	Verifica
1.05	SLE RA 1	0	1.5	10000	250	Totale	Si
1.05	SLE RA 17	0	1.5	10000	250	Totale	Si
1.05	SLE RA 16	0	1.5	10000	250	Totale	Si
1.05	SLE RA 15	0	1.5	10000	250	Totale	Si
1.05	SLE RA 14	0	1.5	10000	250	Totale	Si
1.05	SLE RA 2	0	1.5	10000	350	Variabile	Si
1.05	SLE RA 17	0	1.5	10000	350	Variabile	Si
1.05	SLE RA 16	0	1.5	10000	350	Variabile	Si
1.05	SLE RA 15	0	1.5	10000	350	Variabile	Si
1.05	SLE RA 14	0	1.5	10000	350	Variabile	Si

Implementazione dei sistemi di confinamento delle emissioni odorigene diffuse dell'impianto di compostaggio esistente nel
Comune di Eboli (SA)
PROGETTO DEFINITIVO – Tabulati di calcolo Tomo 1

Frecce lungo Y

Ascissa freccia	Combinazione	Freccia	Luce	L/f	L/f,min	Tipo	Verifica
0.75	SLE RA 1	0.00003	1.5	10000	250	Totale	Si
0.75	SLE RA 17	0.00003	1.5	10000	250	Totale	Si
0.75	SLE RA 16	0.00003	1.5	10000	250	Totale	Si
0.75	SLE RA 15	0.00003	1.5	10000	250	Totale	Si
0.75	SLE RA 14	0.00003	1.5	10000	250	Totale	Si
0.7	SLE RA 2	0	1.5	10000	350	Variabile	Si
0.7	SLE RA 17	0	1.5	10000	350	Variabile	Si
0.7	SLE RA 16	0	1.5	10000	350	Variabile	Si
0.7	SLE RA 15	0	1.5	10000	350	Variabile	Si
0.75	SLE RA 14	0	1.5	10000	350	Variabile	Si

Superelemento in acciaio a quota "640" (1349; 3005)-(1574; 3003)

Caratteristiche del materiale

Acciaio: S275, fyk = 275000

Caratteristiche geometriche

Lunghezza: 2.25

Nodo iniziale: 1460 Nodo finale: 1458

Cerniera iniziale: No Cerniera finale: No

Sovraresistenza: 0% Sisma Z: No

Caratteristiche della sezione

Sezione	Rotazione	Area	Jx	Jy	ix	iy	Wx	Wy	Wplx	Wply
HEA120	0	0.002537	0.0000060673	0.0000023091	0.0489	0.0302	0.00010644	0.00003849	0.00011962	0.00005887

Verifiche di resistenza

Verifiche a forza assiale §4.2.4.1.2.1 - §4.2.4.1.2.2 NTC18

X	Comb.	Sfruttamento	Classe	NEd	Nc,Rd	Nt,Rd	Riduzione da taglio	px	py	Verifica
2.175	SLV 14	0.051	1	-34.102	664.325		1	0	0	Si

Verifiche a forza assiale SLD §4.2.4.1.2.1 - §4.2.4.1.2.2 NTC18

X	Comb.	Sfruttamento	Classe	NEd	Nc,Rd	Nt,Rd	Riduzione da taglio	px	py	Verifica
2.175	SLD 14	0.026	1	-16.959	664.325		1	0	0	Si

Verifica a taglio Y §4.2.4.1.2.4 NTC18

X	Comb.	Sfruttamento	VEd	Vc,Rd	Av	Interazione taglio-torsione	Riduzione torsione	Verifica
0	SLU 76	0.004	0.531	128.304	0.000849	Considerata	1	Si

Verifica a taglio Y SLD §4.2.4.1.2.4 NTC18

X	Comb.	Sfruttamento	VEd	Vc,Rd	Av	Interazione taglio-torsione	Riduzione torsione	Verifica
0	SLD 7	0.003	0.362	128.181	0.000849	Considerata	1	Si

Verifica a torsione §4.2.4.1.2.5 NTC18

X	Comb.	Sfruttamento torsione	TEd	TRd	Riduzione taglio resistente	Sfruttamento taglio-torsione	τEd,totale	τRd	Verifica
2.175	SLV 14	0.008	-0.00661	0.85138	Considerata				Si

Verifica a torsione SLD §4.2.4.1.2.5 NTC18

X	Comb.	Sfruttamento torsione	TEd	TRd	Riduzione taglio resistente	Sfruttamento taglio-torsione	τEd,totale	τRd	Verifica
0	SLD 14	0.003	-0.00281	0.85138	Considerata				Si

Verifica a presso/tenso flessione retta X §§ 4.2.4.1.2.3 - 4.2.4.1.2.6 - 4.2.4.1.2.7 - 4.2.4.1.2.8 NTC18

Verifiche eseguite utilizzando la formula conservativa (6.2) §6.2.1 EN 1993-1-1:2005.

X	Comb.	Sfruttamento	Classe	NEd	NRd	Rid. NRd da VEd	Mx,Ed	Mx,Rd	Rid. Mx,Rd da VEd	Rid. Mx,Rd da NEd	px	py	Verifica
2.1	SLU 76	0.041	1	-17.273	664.325	1	-0.4553	31.3291	1		0	0	Si

Verifica a presso/tenso flessione retta Y §§ 4.2.4.1.2.3 - 4.2.4.1.2.6 - 4.2.4.1.2.7 - 4.2.4.1.2.8 NTC18

Verifiche eseguite utilizzando la formula conservativa (6.2) §6.2.1 EN 1993-1-1:2005.

X	Comb.	Sfruttamento	Classe	NEd	NRd	Rid. NRd da VEd	My,Ed	My,Rd	Rid. My,Rd da VEd	Rid. My,Rd da NEd	px	py	Verifica
0	SLV 16	0.042	1	-21.832	664.325	1	-0.134	15.4191	1		0	0	Si

Verifica a presso/tenso flessione retta Y SLD §§ 4.2.4.1.2.3 - 4.2.4.1.2.6 - 4.2.4.1.2.7 - 4.2.4.1.2.8 NTC18

Verifiche eseguite utilizzando la formula conservativa (6.2) §6.2.1 EN 1993-1-1:2005.

X	Comb.	Sfruttamento	Classe	NEd	NRd	Rid. NRd da VEd	My,Ed	My,Rd	Rid. My,Rd da VEd	Rid. My,Rd da NEd	px	py	Verifica
0.075	SLD 13	0.032	1	-16.959	664.325	1	-0.104	15.4191	1		0	0	Si

Verifica a presso/tenso flessione deviata §§ 4.2.4.1.2.3 - 4.2.4.1.2.6 - 4.2.4.1.2.7 - 4.2.4.1.2.8 NTC18

Verifiche eseguite utilizzando la formula conservativa (6.2) §6.2.1 EN 1993-1-1:2005.

X	Comb.	Sfruttamento	Classe	NEd	NRd	Rid. NRd da VEd	Mx,Ed	Mx,Rd	My,Ed	My,Rd	Rid. Mx,Rd da VEd	Rid. Mx,Rd da NEd	Rid. My,Rd da VEd	Rid. My,Rd da NEd	α	β	px	py	Verifica
0.075	SLV 9	0.069	1	-34.06	664.325	1	-0.0929	31.3291	-0.2276	15.4191	1		1				0	0	Si

Verifica a presso/tenso flessione deviata SLD §§ 4.2.4.1.2.3 - 4.2.4.1.2.6 - 4.2.4.1.2.7 - 4.2.4.1.2.8 NTC18

Verifiche eseguite utilizzando la formula conservativa (6.2) §6.2.1 EN 1993-1-1:2005.

X	Comb.	Sfruttamento	Classe	NEd	NRd	Rid. NRd da VEd	Mx,Ed	Mx,Rd	My,Ed	My,Rd	Rid. Mx,Rd da VEd	Rid. Mx,Rd da NEd	Rid. My,Rd da VEd	Rid. My,Rd da NEd	α	β	px	py	Verifica
1.05	SLD 10	0.034	1	-16.928	664.325	1	-0.1683	31.3291	-0.0535	15.4191	1		1				0	0	Si

Implementazione dei sistemi di confinamento delle emissioni odorigene diffuse dell'impianto di compostaggio esistente nel
Comune di Eboli (SA)
PROGETTO DEFINITIVO – Tabulati di calcolo Tomo 1

Verifiche ad instabilità

Caratteristiche iniziali

Membratura principale per controllo snellezza; Calcolo di snellezze ed N critici condotti secondo gli assi principali;
Curva X: b; Curva Y: c; Svergolamento: Carico all'estradosso; Curva svergolamento: b;

Dati per instabilità attorno a x

Controllo della snellezza secondo §4.2.4.1.3.1 NTC18

Numero rit.	Presente	Ascissa	Campata	$\beta x/m$	Vincolo a entrambi estremi	$\lambda x/m$	λVer
1	Si	0					
			1-2	1	Si	46	Si, (<200)
2	Si	2.25					

Dati per instabilità attorno a y

Controllo della snellezza secondo §4.2.4.1.3.1 NTC18

Numero rit.	Presente	Ascissa	Campata	$\beta y/n$	k,LT	kw,LT	Vincolo a entrambi estremi	$\lambda y/n$	λVer
1	Si	0							
			1-2	1	1	1	Si	74.6	Si, (<200)
2	Si	2.25							

Verifica di stabilità per tenso-flessione deviata §§ 5.5.3-5.5.4 ENV 1993-1-1:1992 + AC:1992 + A1:1994 + A2:1998

X	Comb.	Sfruttamento	Classe	NEd	Mx,Ed	Mx,Eff,Ed	My,Ed	χ_{LT}	kLT	ky	M,critico	Wx	Wy	Verifica
2.175	SLV 11	0.014	1	6.842	-0.2108	-0.00981	0.21533	0.86	1	1	63.65876	0.0001196	0.0000589	Si

Verifica di stabilità per tenso-flessione deviata SLD §§ 5.5.3-5.5.4 ENV 1993-1-1:1992 + AC:1992 + A1:1994 + A2:1998

X	Comb.	Sfruttamento	Classe	NEd	Mx,Ed	Mx,Eff,Ed	My,Ed	χ_{LT}	kLT	ky	M,critico	Wx	Wy	Verifica
1.65	SLD 4	0.008	1	2.047	-0.19799	-0.13785	-0.04792	0.86	1	1	63.65876	0.0001196	0.0000589	Si

Verifica di stabilità per pressoflessione §C.4.2.4.1.3.3.2 NTC18

X	Comb.	Sfruttamento	Classe	NEd	NRk	Mx,Ed max	Mx,Rk	My,Ed max	My,Rk	χ_x	χ_y	kxx	kxy	kyy	χ_{LT}	Verifica	
2.25	SLV 9	0.099	1	-34.06	697.541	0.19396	32.89552	0.22884	16.19002	0.871	0.625	0.996	0.403	0.99	0.672	0.86	Si

Verifica di stabilità per pressoflessione SLD §C.4.2.4.1.3.3.2 NTC18

X	Comb.	Sfruttamento	Classe	NEd	NRk	Mx,Ed max	Mx,Rk	My,Ed max	My,Rk	χ_x	χ_y	kxx	kxy	kyy	χ_{LT}	Verifica	
2.25	SLD 10	0.052	1	-16.928	697.541	0.17732	32.89552	0.10471	16.19002	0.871	0.625	0.997	0.377	0.995	0.629	0.86	Si

Verifica di stabilità a taglio anima Y §4.2.4.1.2.4 [4.2.27] NTC18

η	hw	tw	hw/tw max	Verifica
1.2	0.098	0.005	55.46	Si

Verifica di stabilità a taglio anima Y SLD §4.2.4.1.2.4 [4.2.27] NTC18

η	hw	tw	hw/tw max	Verifica
1.2	0.098	0.005	55.46	Si

Verifiche a deformabilità

Mensola X: No; Mensola Y: No.

Frecce lungo X

Ascissa freccia	Combinazione	Freccia	Luce	L/f	L/f,min	Tipo	Verifica
0.9	SLE RA 1	0.00001	2.25	10000	250	Totale	Si
0.9	SLE RA 17	0.00002	2.25	10000	250	Totale	Si
0.975	SLE RA 16	0.00004	2.25	10000	250	Totale	Si
0.9	SLE RA 15	0.00004	2.25	10000	250	Totale	Si
0.9	SLE RA 14	0.00002	2.25	10000	250	Totale	Si
0.975	SLE RA 2	-0.00002	2.25	10000	350	Variabile	Si
0.975	SLE RA 17	0.00001	2.25	10000	350	Variabile	Si
0.975	SLE RA 16	0.00003	2.25	10000	350	Variabile	Si
0.975	SLE RA 15	0.00002	2.25	10000	350	Variabile	Si
1.05	SLE RA 14	0.00001	2.25	10000	350	Variabile	Si

Frecce lungo Y

Ascissa freccia	Combinazione	Freccia	Luce	L/f	L/f,min	Tipo	Verifica
1.275	SLE RA 1	-0.00007	2.25	10000	250	Totale	Si
1.275	SLE RA 17	-0.00009	2.25	10000	250	Totale	Si
1.275	SLE RA 16	-0.0001	2.25	10000	250	Totale	Si
1.275	SLE RA 15	-0.00011	2.25	10000	250	Totale	Si
1.275	SLE RA 14	-0.00008	2.25	10000	250	Totale	Si
1.275	SLE RA 2	0.00003	2.25	10000	350	Variabile	Si
1.275	SLE RA 17	-0.00001	2.25	10000	350	Variabile	Si
1.275	SLE RA 16	-0.00003	2.25	10000	350	Variabile	Si
1.275	SLE RA 15	-0.00003	2.25	10000	350	Variabile	Si
1.425	SLE RA 14	-0.00001	2.25	10000	350	Variabile	Si

Superelemento in acciaio a quota "640" (1364; 1510)-(1491; 1645)

Caratteristiche del materiale

Acciaio: S275, fyk = 275000

Caratteristiche geometriche

Lunghezza: 1.85

Nodo iniziale: 966 Nodo finale: 992

Cerniera iniziale: No Cerniera finale: No

Sovreresistenza: 0% Sisma Z: No

Caratteristiche della sezione

Sezione	Rotazione	Area	Jx	Jy	ix	iy	Wx	Wy	Wplx	Wply
HEA120	0	0.002537	0.0000060673	0.0000023091	0.0489	0.0302	0.00010644	0.00003849	0.00011962	0.00005887

Implementazione dei sistemi di confinamento delle emissioni odorigene diffuse dell'impianto di compostaggio esistente nel
Comune di Eboli (SA)
PROGETTO DEFINITIVO – Tabulati di calcolo Tomo 1

Verifiche di resistenza

Verifiche a forza assiale §4.2.4.1.2.1 - §4.2.4.1.2.2 NTC18

X	Comb.	Sfruttamento	Classe	NEd	Nc,Rd	Nt,Rd	Riduzione da taglio	px	py	Verifica
1.233	SLU 75	0.149	1	-99.231	664.325		1	0	0	Si

Verifiche a forza assiale SLD §4.2.4.1.2.1 - §4.2.4.1.2.2 NTC18

X	Comb.	Sfruttamento	Classe	NEd	Nc,Rd	Nt,Rd	Riduzione da taglio	px	py	Verifica
1.85	SLD 5	0.056	1	-37.205	664.325		1	0	0	Si

Verifica a taglio Y §4.2.4.1.2.4 NTC18

X	Comb.	Sfruttamento	VEd	Vc,Rd	Av	Interazione taglio-torsione	Riduzione torsione	Verifica
0	SLU 75	0.006	0.731	126.541	0.000849	Considerata	0.99	Si

Verifica a taglio Y SLD §4.2.4.1.2.4 NTC18

X	Comb.	Sfruttamento	VEd	Vc,Rd	Av	Interazione taglio-torsione	Riduzione torsione	Verifica
0	SLD 6	0.004	0.455	127.465	0.000849	Considerata	0.99	Si

Verifica a torsione §4.2.4.1.2.5 NTC18

X	Comb.	Sfruttamento torsione	TEd	TRd	Riduzione taglio resistente	Sfruttamento taglio-torsione	τEd,totale	τRd	Verifica
0.123	SLU 75	0.034	-0.02905	0.85138	Considerata				Si

Verifica a torsione SLD §4.2.4.1.2.5 NTC18

X	Comb.	Sfruttamento torsione	TEd	TRd	Riduzione taglio resistente	Sfruttamento taglio-torsione	τEd,totale	τRd	Verifica
1.85	SLD 5	0.016	-0.01388	0.85138	Considerata				Si

Verifica a flessione semplice X §§ 4.2.4.1.2.3 - 4.2.4.1.2.6 - 4.2.4.1.2.7 - 4.2.4.1.2.8 NTC18

X	Comb.	Sfruttamento	Classe	Mx,Ed	Mx,Rd	Rid. Mx,Rd da VEd	px	py	Verifica
0.802	SLU 21	0.002	1	-0.05845	31.32907	1	0	0	Si

Verifica a presso/tenso flessione retta X §§ 4.2.4.1.2.3 - 4.2.4.1.2.6 - 4.2.4.1.2.7 - 4.2.4.1.2.8 NTC18

Verifiche eseguite utilizzando la formula conservativa (6.2) §6.2.1 EN 1993-1-1:2005.

X	Comb.	Sfruttamento	Classe	NEd	NRd	Rid. NRd da VEd	Mx,Ed	Mx,Rd	Rid. Mx,Rd da VEd	Rid. Mx,Rd da NEd	px	py	Verifica
0	SLU 73	0.121	1	-78.536	664.325	1	-0.0871	31.3291	1		0	0	Si

Verifica a presso/tenso flessione retta X SLD §§ 4.2.4.1.2.3 - 4.2.4.1.2.6 - 4.2.4.1.2.7 - 4.2.4.1.2.8 NTC18

Verifiche eseguite utilizzando la formula conservativa (6.2) §6.2.1 EN 1993-1-1:2005.

X	Comb.	Sfruttamento	Classe	NEd	NRd	Rid. NRd da VEd	Mx,Ed	Mx,Rd	Rid. Mx,Rd da VEd	Rid. Mx,Rd da NEd	px	py	Verifica
0.617	SLD 5	0.062	1	-37.205	664.325	1	-0.1733	31.3291	1		0	0	Si

Verifica a presso/tenso flessione retta Y §§ 4.2.4.1.2.3 - 4.2.4.1.2.6 - 4.2.4.1.2.7 - 4.2.4.1.2.8 NTC18

Verifiche eseguite utilizzando la formula conservativa (6.2) §6.2.1 EN 1993-1-1:2005.

X	Comb.	Sfruttamento	Classe	NEd	NRd	Rid. NRd da VEd	My,Ed	My,Rd	Rid. My,Rd da VEd	Rid. My,Rd da NEd	px	py	Verifica
0.37	SLV 6	0.076	1	-49.714	664.325	1	-0.0167	15.4191	1		0	0	Si

Verifica a presso/tenso flessione retta Y SLD §§ 4.2.4.1.2.3 - 4.2.4.1.2.6 - 4.2.4.1.2.7 - 4.2.4.1.2.8 NTC18

Verifiche eseguite utilizzando la formula conservativa (6.2) §6.2.1 EN 1993-1-1:2005.

X	Comb.	Sfruttamento	Classe	NEd	NRd	Rid. NRd da VEd	My,Ed	My,Rd	Rid. My,Rd da VEd	Rid. My,Rd da NEd	px	py	Verifica
0.062	SLD 9	0.052	1	-33.979	664.325	1	-0.0161	15.4191	1		0	0	Si

Verifica a presso/tenso flessione deviata §§ 4.2.4.1.2.3 - 4.2.4.1.2.6 - 4.2.4.1.2.7 - 4.2.4.1.2.8 NTC18

Verifiche eseguite utilizzando la formula conservativa (6.2) §6.2.1 EN 1993-1-1:2005.

X	Comb.	Sfruttamento	Classe	NEd	NRd	Rid. NRd da VEd	Mx,Ed	Mx,Rd	My,Ed	My,Rd	Rid. Mx,Rd da VEd	Rid. Mx,Rd da NEd	Rid. My,Rd da VEd	Rid. My,Rd da NEd	α	β	px	py	Verifica
1.85	SLU 75	0.192	1	-99.231	664.325	1	-1.057	31.3291	0.1439	15.4191	1		1				0	0	Si

Verifica a presso/tenso flessione deviata SLD §§ 4.2.4.1.2.3 - 4.2.4.1.2.6 - 4.2.4.1.2.7 - 4.2.4.1.2.8 NTC18

Verifiche eseguite utilizzando la formula conservativa (6.2) §6.2.1 EN 1993-1-1:2005.

X	Comb.	Sfruttamento	Classe	NEd	NRd	Rid. NRd da VEd	Mx,Ed	Mx,Rd	My,Ed	My,Rd	Rid. Mx,Rd da VEd	Rid. Mx,Rd da NEd	Rid. My,Rd da VEd	Rid. My,Rd da NEd	α	β	px	py	Verifica
1.85	SLD 6	0.073	1	-37.205	664.325	1	-0.4329	31.3291	0.0557	15.4191	1		1				0	0	Si

Verifiche ad instabilità

Caratteristiche iniziali

Membratura principale per controllo snellezza; Calcolo di snellezze ed N critici condotti secondo gli assi principali;

Curva X: b; Curva Y: c; Svergolamento: Carico all'estradosso; Curva svergolamento: b;

Dati per instabilità attorno a x

Controllo della snellezza secondo §4.2.4.1.3.1 NTC18

Numero rit.	Presente	Ascissa	Campata	βx/m	Vincolo a entrambi estremi	λx/m	λVer
1	Si	0					
			1-2		1	37.8	Si, (<200)
2	Si	1.85					

Dati per instabilità attorno a y

Controllo della snellezza secondo §4.2.4.1.3.1 NTC18

Numero rit.	Presente	Ascissa	Campata	βy/n	k,LT	kw,LT	Vincolo a entrambi estremi	λy/n	λVer
1	Si	0							
			1-2		1	1	1	61.3	Si, (<200)
2	Si	1.85							

Implementazione dei sistemi di confinamento delle emissioni odorigene diffuse dell'impianto di compostaggio esistente nel
Comune di Eboli (SA)

PROGETTO DEFINITIVO – Tabulati di calcolo Tomo 1

Verifica a svergolamento §4.2.4.1.3.2 NTC18

X	Comb.	Sfruttamento	Classe	Obblig.	Mx,Ed	Mb,Rd,x	χ,LT	λ adim. LT	L,LT	M,critico	Verifica
0.802	SLU 21	0.002	1	Si	-0.05845	28.25853	0.902	0.633	1.85	82.10616	Si

Verifica a svergolamento con trazione §4.2.4.1.3.2 NTC18 § 5.5.3 ENV 1993-1-1:1992 + AC:1992 + A1:1994 + A2:1998

X	Comb.	Sfruttamento	Classe	Obblig.	NEd	Mx,Ed	Mx,Eff,Ed	Mb,Rd,x	χ,LT	λ adim. LT	L,LT	M,critico	Verifica
1.85	SLU 40	0.002	1	Si	1.117	0.08329	0.05048	28.25853	0.902	0.633	1.85	82.10616	Si

Verifica di stabilità per tenso-flessione deviata §§ 5.5.3-5.5.4 ENV 1993-1-1:1992 + AC:1992 + A1:1994 + A2:1998

X	Comb.	Sfruttamento	Classe	NEd	Mx,Ed	Mx,Eff,Ed	My,Ed	χ,LT	kLT	ky	M,critico	Wx	Wy	Verifica
1.85	SLU 42	0.004	1	0.54	0.10974	0.09387	-0.00943	0.902	1	1	82.10616	0.0001196	0.0000589	Si

Verifica di stabilità per pressoflessione §C.4.2.4.1.3.3.2 NTC18

X	Comb.	Sfruttamento	Classe	NEd	NRk	Mx,Ed max	Mx,Rk	My,Ed max	My,Rk	χ,x	χ,y	kxx	kxy	kyy	χ,LT	Verifica	
1.85	SLU 75	0.247	1	-99.231	697.541	1.05698	32.89552	0.14394	16.19002	0.912	0.721	0.768	0.43	0.97	0.717	0.987	Si

Verifica di stabilità per pressoflessione SLD §C.4.2.4.1.3.3.2 NTC18

X	Comb.	Sfruttamento	Classe	NEd	NRk	Mx,Ed max	Mx,Rk	My,Ed max	My,Rk	χ,x	χ,y	kxx	kxy	kyy	χ,LT	Verifica	
1.85	SLD 5	0.094	1	-37.205	697.541	0.4329	32.89552	0.05572	16.19002	0.912	0.721	0.705	0.255	0.988	0.425	0.902	Si

Verifica di stabilità a taglio anima Y §4.2.4.1.2.4 [4.2.27] NTC18

η	hw	tw	hw/tw max	Verifica
1.2	0.098	0.005	55.46	Si

Verifica di stabilità a taglio anima Y SLD §4.2.4.1.2.4 [4.2.27] NTC18

η	hw	tw	hw/tw max	Verifica
1.2	0.098	0.005	55.46	Si

Verifiche a deformabilità

Mensola X: No; Mensola Y: No.

Frecce lungo X

Ascissa freccia	Combinazione	Freccia	Luce	L/f	L/f,min	Tipo	Verifica
1.048	SLE RA 1	-0.00002	1.85	10000	250	Totale	Si
1.048	SLE RA 17	-0.00003	1.85	10000	250	Totale	Si
1.048	SLE RA 16	-0.00004	1.85	10000	250	Totale	Si
1.048	SLE RA 15	-0.00002	1.85	10000	250	Totale	Si
1.048	SLE RA 14	-0.00004	1.85	10000	250	Totale	Si
1.048	SLE RA 2	0.00001	1.85	10000	350	Variabile	Si
1.048	SLE RA 17	-0.00001	1.85	10000	350	Variabile	Si
1.048	SLE RA 16	-0.00002	1.85	10000	350	Variabile	Si
0.802	SLE RA 15	0	1.85	10000	350	Variabile	Si
1.048	SLE RA 14	-0.00002	1.85	10000	350	Variabile	Si

Frecce lungo Y

Ascissa freccia	Combinazione	Freccia	Luce	L/f	L/f,min	Tipo	Verifica
0.987	SLE RA 1	-0.00008	1.85	10000	250	Totale	Si
0.987	SLE RA 17	-0.00001	1.85	10000	250	Totale	Si
1.048	SLE RA 16	-0.00013	1.85	10000	250	Totale	Si
0.987	SLE RA 15	-0.00008	1.85	10000	250	Totale	Si
0.987	SLE RA 14	-0.00015	1.85	10000	250	Totale	Si
1.048	SLE RA 2	0.00005	1.85	10000	350	Variabile	Si
1.048	SLE RA 17	-0.00002	1.85	10000	350	Variabile	Si
1.048	SLE RA 16	-0.00005	1.85	10000	350	Variabile	Si
0.432	SLE RA 15	0	1.85	10000	350	Variabile	Si
1.048	SLE RA 14	-0.00007	1.85	10000	350	Variabile	Si

Superelemento in acciaio a quota "640" (1384; 1754)-(1494; 1651)

Caratteristiche del materiale

Acciaio: S275, fyk = 275000

Caratteristiche geometriche

Lunghezza: 1.5

Nodo iniziale: 1015 Nodo finale: 995

Cerniera iniziale: Mmomenti 1% Cerniera finale: Mmomenti 1%

Sovraresistenza: 0% Sisma Z: No

Caratteristiche della sezione

Sezione	Rotazione	Area	Jx	Jy	ix	iy	Wx	Wy	Wplx	Wply
A1; L100*10; 1; Saldato; S275; 30; 1; 8; 8; 1	180	0.003832	0.0000035319	0.000007759	0.0304	0.045	0.0000492	0.0000739	0.00008974	0.00012727

Comportamento dei calastrelli

Accoppiamento imbottito con funzione statica (§C4.2.4.1.3.1.4 NTC18) nella campata compresa tra le ascisse 0 e 1.5 per sbandamento attorno all'asse y.

Verifiche di resistenza

Verifiche a forza assiale §4.2.4.1.2.1 - §4.2.4.1.2.2 NTC18

X	Comb.	Sfruttamento	Classe	NEd	Nc,Rd	Nt,Rd	Riduzione da taglio	px	py	Verifica
1.5	SLV 8	0.001	1	-0.874	1003.522		1	0	0	Si

Verifiche a forza assiale SLD §4.2.4.1.2.1 - §4.2.4.1.2.2 NTC18

X	Comb.	Sfruttamento	Classe	NEd	Nc,Rd	Nt,Rd	Riduzione da taglio	px	py	Verifica
1.5	SLD 8	0	1	-0.4	1003.522		1	0	0	Si

Implementazione dei sistemi di confinamento delle emissioni odorigene diffuse dell'impianto di compostaggio esistente nel
Comune di Eboli (SA)
PROGETTO DEFINITIVO – Tabulati di calcolo Tomo 1

Verifica a taglio Y §4.2.4.1.2.4 NTC18

X	Comb.	Sfruttamento	VEd	Vc,Rd	Av	Interazione taglio-torsione	Riduzione torsione	Verifica
0	SLU 63	0.001	-0.324	302.422	0.002	Non considerata		Si

Verifica a taglio Y SLD §4.2.4.1.2.4 NTC18

X	Comb.	Sfruttamento	VEd	Vc,Rd	Av	Interazione taglio-torsione	Riduzione torsione	Verifica
0	SLD 9	0.001	-0.24	302.422	0.002	Non considerata		Si

Verifica a flessione semplice X §§ 4.2.4.1.2.3 - 4.2.4.1.2.6 - 4.2.4.1.2.7 - 4.2.4.1.2.8 NTC18

X	Comb.	Sfruttamento	Classe	Mx,Ed	Mx,Rd	Rid. Mx,Rd da VEd	px	py	Verifica
0.85	SLU 63	0.006	1	0.13545	23.50374	1	0	0	Si

Verifica a flessione semplice X SLD §§ 4.2.4.1.2.3 - 4.2.4.1.2.6 - 4.2.4.1.2.7 - 4.2.4.1.2.8 NTC18

X	Comb.	Sfruttamento	Classe	Mx,Ed	Mx,Rd	Rid. Mx,Rd da VEd	px	py	Verifica
0.8	SLD 9	0.004	1	0.09554	23.50374	1	0	0	Si

Verifica a flessione semplice Y §§ 4.2.4.1.2.3 - 4.2.4.1.2.6 - 4.2.4.1.2.7 - 4.2.4.1.2.8 NTC18

X	Comb.	Sfruttamento	Classe	My,Ed	My,Rd	Rid. My,Rd da VEd	px	py	Verifica
0	SLV 16	0.001	1	-0.01997	33.33162	1	0	0	Si

Verifica a flessione semplice Y SLD §§ 4.2.4.1.2.3 - 4.2.4.1.2.6 - 4.2.4.1.2.7 - 4.2.4.1.2.8 NTC18

X	Comb.	Sfruttamento	Classe	My,Ed	My,Rd	Rid. My,Rd da VEd	px	py	Verifica
1.5	SLD 11	0.001	1	0.02044	33.33162	1	0	0	Si

Verifica a flessione deviata §§ 4.2.4.1.2.3 - 4.2.4.1.2.6 - 4.2.4.1.2.7 - 4.2.4.1.2.8 NTC18

X	Comb.	Sfruttamento	Classe	Mx,Ed	Mx,Rd	My,Ed	My,Rd	Rid. Mx,Rd da VEd	Rid. My,Rd da VEd	α	β	px	py	Verifica
1.05	SLU 73	0.005	1	0.1102	23.5037	0.0075	33.3316	1	1			0	0	Si

Verifica a flessione deviata SLD §§ 4.2.4.1.2.3 - 4.2.4.1.2.6 - 4.2.4.1.2.7 - 4.2.4.1.2.8 NTC18

X	Comb.	Sfruttamento	Classe	Mx,Ed	Mx,Rd	My,Ed	My,Rd	Rid. Mx,Rd da VEd	Rid. My,Rd da VEd	α	β	px	py	Verifica
0.8	SLD 15	0.004	1	0.0912	23.5037	0.0089	33.3316	1	1			0	0	Si

Verifica a presso/tenso flessione retta X §§ 4.2.4.1.2.3 - 4.2.4.1.2.6 - 4.2.4.1.2.7 - 4.2.4.1.2.8 NTC18

Verifiche eseguite utilizzando la formula conservativa (6.2) §6.2.1 EN 1993-1-1:2005.

X	Comb.	Sfruttamento	Classe	NEd	NRd	Rid. NRd da VEd	Mx,Ed	Mx,Rd	Rid. Mx,Rd da VEd	Rid. Mx,Rd da NEd	px	py	Verifica
0.5	SLV 13	0.004	1	0.62	1003.522	1	0.0906	23.5037	1		0	0	Si

Verifica a presso/tenso flessione retta X SLD §§ 4.2.4.1.2.3 - 4.2.4.1.2.6 - 4.2.4.1.2.7 - 4.2.4.1.2.8 NTC18

Verifiche eseguite utilizzando la formula conservativa (6.2) §6.2.1 EN 1993-1-1:2005.

X	Comb.	Sfruttamento	Classe	NEd	NRd	Rid. NRd da VEd	Mx,Ed	Mx,Rd	Rid. Mx,Rd da VEd	Rid. Mx,Rd da NEd	px	py	Verifica
0.7	SLD 4	0.004	1	-0.394	1003.522	1	0.0789	23.5037	1		0	0	Si

Verifica a presso/tenso flessione retta Y §§ 4.2.4.1.2.3 - 4.2.4.1.2.6 - 4.2.4.1.2.7 - 4.2.4.1.2.8 NTC18

Verifiche eseguite utilizzando la formula conservativa (6.2) §6.2.1 EN 1993-1-1:2005.

X	Comb.	Sfruttamento	Classe	NEd	NRd	Rid. NRd da VEd	My,Ed	My,Rd	Rid. My,Rd da VEd	Rid. My,Rd da NEd	px	py	Verifica
1.4	SLV 11	0.002	1	-0.536	1003.522	1	0.0393	33.3316	1		0	0	Si

Verifica a presso/tenso flessione retta Y SLD §§ 4.2.4.1.2.3 - 4.2.4.1.2.6 - 4.2.4.1.2.7 - 4.2.4.1.2.8 NTC18

Verifiche eseguite utilizzando la formula conservativa (6.2) §6.2.1 EN 1993-1-1:2005.

X	Comb.	Sfruttamento	Classe	NEd	NRd	Rid. NRd da VEd	My,Ed	My,Rd	Rid. My,Rd da VEd	Rid. My,Rd da NEd	px	py	Verifica
1.45	SLD 7	0.001	1	-0.4	1003.522	1	0.0139	33.3316	1		0	0	Si

Verifica a presso/tenso flessione deviata §§ 4.2.4.1.2.3 - 4.2.4.1.2.6 - 4.2.4.1.2.7 - 4.2.4.1.2.8 NTC18

Verifiche eseguite utilizzando la formula conservativa (6.2) §6.2.1 EN 1993-1-1:2005.

X	Comb.	Sfruttamento	Classe	NEd	NRd	Rid. NRd da VEd	Mx,Ed	Mx,Rd	My,Ed	My,Rd	Rid. Mx,Rd da VEd	Rid. Mx,Rd da NEd	Rid. My,Rd da VEd	Rid. My,Rd da NEd	α	β	px	py	Verifica
0.9	SLV 14	0.006	1	0.62	1003.522	1	0.109	23.5037	0.0131	33.3316	1		1				0	0	Si

Verifica a presso/tenso flessione deviata SLD §§ 4.2.4.1.2.3 - 4.2.4.1.2.6 - 4.2.4.1.2.7 - 4.2.4.1.2.8 NTC18

Verifiche eseguite utilizzando la formula conservativa (6.2) §6.2.1 EN 1993-1-1:2005.

X	Comb.	Sfruttamento	Classe	NEd	NRd	Rid. NRd da VEd	Mx,Ed	Mx,Rd	My,Ed	My,Rd	Rid. Mx,Rd da VEd	Rid. Mx,Rd da NEd	Rid. My,Rd da VEd	Rid. My,Rd da NEd	α	β	px	py	Verifica
0.9	SLD 7	0.004	1	-0.4	1003.522	1	0.074	23.5037	0.0077	33.3316	1		1				0	0	Si

Verifiche ad instabilità

Caratteristiche iniziali

Membratura principale per controllo snellezza; Calcolo di snellezze ed N critici condotti secondo gli assi principali;

Curva X: c; Curva Y: c;

Svergolamento: Nessuno; la verifica a instabilità flesso-torsionale (svergolamento) non verrà eseguita.

Dati per instabilità attorno a x

Controllo della snellezza secondo §4.2.4.1.3.1 NTC18

Numero rit.	Presente	Ascissa	Campata	$\beta x/m$	Vincolo a entrambi estremi	$\lambda x/m$	λVer
1	Si	0					
			1-2		1	Si	49.4
2	Si	1.5					Si, (<200)

Dati per instabilità attorno a y

Controllo della snellezza secondo §4.2.4.1.3.1 NTC18

Numero rit.	Presente	Ascissa	Campata	$\beta y/n$	k,LT	kw,LT	Vincolo a entrambi estremi
1	Si	0					

**Implementazione dei sistemi di confinamento delle emissioni odorigene diffuse dell'impianto di compostaggio esistente nel
Comune di Eboli (SA)
PROGETTO DEFINITIVO – Tabulati di calcolo Tomo 1**

Numero rit.	Presente	Ascissa	Campata	$\beta y/n$	k,LT	kw,LT	Vincolo a entrambi estremi
2	Si	1.5	1-2	1	Si	34.8	Si, (<200)

Verifica di stabilità per pressoflessione §C.4.2.4.1.3.3.1 NTC18

X	Comb.	Sfruttamento	Classe	NEd	MxEq,Ed	MyEq,Ed	Area	Wx	Wy	x_{min}	λ adim. x/m	λ adim. y/n	N,crit x/m	N,crit y/n	Verifica
0	SLV 8	0.006	3	-0.874	0.05	0.0206	0.003832	0.0000492	0.0000739	0.804	0.569	0.4	3253.47	6569.993	Si

Verifica di stabilità per pressoflessione SLD §C.4.2.4.1.3.3.1 NTC18

X	Comb.	Sfruttamento	Classe	NEd	MxEq,Ed	MyEq,Ed	Area	Wx	Wy	x_{min}	λ adim. x/m	λ adim. y/n	N,crit x/m	N,crit y/n	Verifica
1.45	SLD 4	0.006	3	-0.394	0.0658	0.0045	0.003832	0.0000492	0.0000739	0.804	0.569	0.4	3253.47	6569.993	Si

Verifiche a deformabilità

Mensola X: No; Mensola Y: No.

Frecce lungo X

Ascissa freccia	Combinazione	Freccia	Luce	L/f	L/f,min	Tipo	Verifica
1	SLE RA 1	0	1.5	10000	250	Totale	Si
1	SLE RA 17	0	1.5	10000	250	Totale	Si
1	SLE RA 16	0	1.5	10000	250	Totale	Si
1	SLE RA 15	0	1.5	10000	250	Totale	Si
1	SLE RA 14	0	1.5	10000	250	Totale	Si
1	SLE RA 2	0	1.5	10000	350	Variabile	Si
1	SLE RA 17	0	1.5	10000	350	Variabile	Si
1	SLE RA 16	0	1.5	10000	350	Variabile	Si
1	SLE RA 15	0	1.5	10000	350	Variabile	Si
0.6	SLE RA 14	0	1.5	10000	350	Variabile	Si

Frecce lungo Y

Ascissa freccia	Combinazione	Freccia	Luce	L/f	L/f,min	Tipo	Verifica
0.75	SLE RA 1	0.00003	1.5	10000	250	Totale	Si
0.75	SLE RA 17	0.00003	1.5	10000	250	Totale	Si
0.75	SLE RA 16	0.00003	1.5	10000	250	Totale	Si
0.75	SLE RA 15	0.00003	1.5	10000	250	Totale	Si
0.75	SLE RA 14	0.00003	1.5	10000	250	Totale	Si
0.85	SLE RA 2	0	1.5	10000	350	Variabile	Si
0.85	SLE RA 17	0	1.5	10000	350	Variabile	Si
0.85	SLE RA 16	0	1.5	10000	350	Variabile	Si
0.85	SLE RA 15	0	1.5	10000	350	Variabile	Si
0.85	SLE RA 14	0	1.5	10000	350	Variabile	Si

Superelemento in acciaio a quota "640" (1416; 2223)-(1525; 2120)

Caratteristiche del materiale

Acciaio: S275, fyk = 275000

Caratteristiche geometriche

Lunghezza: 1.5

Nodo iniziale: 1154 Nodo finale: 1089

Cerniera iniziale: Mmomenti 1% Cerniera finale: Mmomenti 1%

Sovraresistenza: 0% Sisma Z: No

Caratteristiche della sezione

Sezione	Rotazione	Area	Jx	Jy	ix	iy	Wx	Wy	Wplx	Wply
A1; L100*10; 1; Saldato; S275; 30; 1; 8; 8; 1	180	0.003832	0.0000035319	0.000007759	0.0304	0.045	0.0000492	0.0000739	0.00008974	0.00012727

Comportamento dei calastrelli

Accoppiamento imbottito con funzione statica (§C4.2.4.1.3.1.4 NTC18) nella campata compresa tra le ascisse 0 e 1.5 per sbandamento attorno all'asse y.

Verifiche di resistenza

Verifiche a forza assiale §4.2.4.1.2.1 - §4.2.4.1.2.2 NTC18

X	Comb.	Sfruttamento	Classe	NEd	Nc,Rd	Nt,Rd	Riduzione da taglio	px	py	Verifica
1.5	SLU 75	0.165		165.606		1003.522	1	0	0	Si

Verifiche a forza assiale SLD §4.2.4.1.2.1 - §4.2.4.1.2.2 NTC18

X	Comb.	Sfruttamento	Classe	NEd	Nc,Rd	Nt,Rd	Riduzione da taglio	px	py	Verifica
1.5	SLD 16	0.069		69.162		1003.522	1	0	0	Si

Verifica a taglio Y §4.2.4.1.2.4 NTC18

X	Comb.	Sfruttamento	VEd	Vc,Rd	Av	Interazione taglio-torsione	Riduzione torsione	Verifica
0	SLU 75	0.001	-0.295	302.422	0.002	Non considerata		Si

Verifica a taglio Y SLD §4.2.4.1.2.4 NTC18

X	Comb.	Sfruttamento	VEd	Vc,Rd	Av	Interazione taglio-torsione	Riduzione torsione	Verifica
0	SLD 16	0.001	-0.226	302.422	0.002	Non considerata		Si

Verifica a presso/tenso flessione retta X §§ 4.2.4.1.2.3 - 4.2.4.1.2.6 - 4.2.4.1.2.7 - 4.2.4.1.2.8 NTC18

Verifiche eseguite utilizzando la formula conservativa (6.2) §6.2.1 EN 1993-1-1:2005.

X	Comb.	Sfruttamento	Classe	NEd	NRd	Rid. NRd da VEd	Mx,Ed	Mx,Rd	Rid. Mx,Rd da VEd	Rid. Mx,Rd da NEd	px	py	Verifica
---	-------	--------------	--------	-----	-----	-----------------	-------	-------	-------------------	-------------------	----	----	----------

Implementazione dei sistemi di confinamento delle emissioni odorigene diffuse dell'impianto di compostaggio esistente nel
Comune di Eboli (SA)

PROGETTO DEFINITIVO – Tabulati di calcolo Tomo 1

X	Comb.	Sfruttamento	Classe	NEd	NRd	Rid. NRd da VEd	Mx,Ed	Mx,Rd	Rid. Mx,Rd da VEd	Rid. Mx,Rd da NEd	px	py	Verifica
0.75	SLU 75	0.17	1	165.606	1003.522	1	0.1117	23.5037	1		0	0	Si

Verifica a presso/tenso flessione retta X SLD §§ 4.2.4.1.2.3 - 4.2.4.1.2.6 - 4.2.4.1.2.7 - 4.2.4.1.2.8 NTC18

Verifiche eseguite utilizzando la formula conservativa (6.2) §6.2.1 EN 1993-1-1:2005.

X	Comb.	Sfruttamento	Classe	NEd	NRd	Rid. NRd da VEd	Mx,Ed	Mx,Rd	Rid. Mx,Rd da VEd	Rid. Mx,Rd da NEd	px	py	Verifica
0.65	SLD 14	0.067	1	63.842	1003.522	1	0.0834	23.5037	1		0	0	Si

Verifica a presso/tenso flessione retta Y §§ 4.2.4.1.2.3 - 4.2.4.1.2.6 - 4.2.4.1.2.7 - 4.2.4.1.2.8 NTC18

Verifiche eseguite utilizzando la formula conservativa (6.2) §6.2.1 EN 1993-1-1:2005.

X	Comb.	Sfruttamento	Classe	NEd	NRd	Rid. NRd da VEd	My,Ed	My,Rd	Rid. My,Rd da VEd	Rid. My,Rd da NEd	px	py	Verifica
1.5	SLV 16	0.091	1	86.894	1003.522	1	-0.1448	33.3316	1		0	0	Si

Verifica a presso/tenso flessione retta Y SLD §§ 4.2.4.1.2.3 - 4.2.4.1.2.6 - 4.2.4.1.2.7 - 4.2.4.1.2.8 NTC18

Verifiche eseguite utilizzando la formula conservativa (6.2) §6.2.1 EN 1993-1-1:2005.

X	Comb.	Sfruttamento	Classe	NEd	NRd	Rid. NRd da VEd	My,Ed	My,Rd	Rid. My,Rd da VEd	Rid. My,Rd da NEd	px	py	Verifica
1.5	SLD 16	0.071	1	69.162	1003.522	1	-0.059	33.3316	1		0	0	Si

Verifica a presso/tenso flessione deviata §§ 4.2.4.1.2.3 - 4.2.4.1.2.6 - 4.2.4.1.2.7 - 4.2.4.1.2.8 NTC18

Verifiche eseguite utilizzando la formula conservativa (6.2) §6.2.1 EN 1993-1-1:2005.

X	Comb.	Sfruttamento	Classe	NEd	NRd	Rid. NRd da VEd	Mx,Ed	Mx,Rd	My,Ed	My,Rd	Rid. Mx,Rd da VEd	Rid. Mx,Rd da NEd	Rid. My,Rd da VEd	Rid. My,Rd da NEd	α	β	px	py	Verifica
1.1	SLV 15	0.092	1	86.894	1003.522	1	0.067	23.5037	-0.0871	33.3316	1			1			0	0	Si

Verifica a presso/tenso flessione deviata SLD §§ 4.2.4.1.2.3 - 4.2.4.1.2.6 - 4.2.4.1.2.7 - 4.2.4.1.2.8 NTC18

Verifiche eseguite utilizzando la formula conservativa (6.2) §6.2.1 EN 1993-1-1:2005.

X	Comb.	Sfruttamento	Classe	NEd	NRd	Rid. NRd da VEd	Mx,Ed	Mx,Rd	My,Ed	My,Rd	Rid. Mx,Rd da VEd	Rid. Mx,Rd da NEd	Rid. My,Rd da VEd	Rid. My,Rd da NEd	α	β	px	py	Verifica
0.9	SLD 15	0.073	1	69.162	1003.522	1	0.0817	23.5037	-0.0242	33.3316	1			1			0	0	Si

Verifiche ad instabilità

Caratteristiche iniziali

Membratura principale per controllo snellezza; Calcolo di snellezze ed N critici condotti secondo gli assi principali;

Curva X: c; Curva Y: c;

Svergolamento: Nessuno; la verifica a instabilità flesso-torsionale (svergolamento) non verrà eseguita.

Dati per instabilità attorno a x

Controllo della snellezza secondo §4.2.4.1.3.1 NTC18

Numero rit.	Presente	Ascissa	Campata	βx/m	Vincolo a entrambi estremi	λx/m	λVer
1	Si	0					
			1-2	1	Si	49.4	Si, (<200)
2	Si	1.5					

Dati per instabilità attorno a y

Controllo della snellezza secondo §4.2.4.1.3.1 NTC18

Numero rit.	Presente	Ascissa	Campata	βy/n	k,LT	kw,LT	Vincolo a entrambi estremi
1	Si	0					
			1-2	1	Si	34.8	Si, (<200)
2	Si	1.5					

Verifica di stabilità per pressoflessione §C.4.2.4.1.3.3.1 NTC18

X	Comb.	Sfruttamento	Classe	NEd	MxEq,Ed	MyEq,Ed	Area	Wx	Wy	x,min	λ adim. x/m	λ adim. y/n	N,crit x/m	N,crit y/n	Verifica
0	SLU 2	0.033	3	-19.621	0.0721	0.0592	0.003832	0.0000492	0.0000739	0.804	0.569	0.4	3253.47	6569.993	Si

Verifiche a deformabilità

Mensola X: No; Mensola Y: No.

Frecce lungo X

Ascissa freccia	Combinazione	Freccia	Luce	L/f	L/f,min	Tipo	Verifica
1.05	SLE RA 1	0	1.5	10000	250	Totale	Si
1.05	SLE RA 17	0	1.5	10000	250	Totale	Si
1.05	SLE RA 16	0	1.5	10000	250	Totale	Si
1.15	SLE RA 15	0	1.5	10000	250	Totale	Si
0.95	SLE RA 14	0	1.5	10000	250	Totale	Si
1	SLE RA 2	0	1.5	10000	350	Variabile	Si
1	SLE RA 17	0	1.5	10000	350	Variabile	Si
1	SLE RA 16	0	1.5	10000	350	Variabile	Si
0.5	SLE RA 15	0	1.5	10000	350	Variabile	Si
0.85	SLE RA 14	0	1.5	10000	350	Variabile	Si

Frecce lungo Y

Ascissa freccia	Combinazione	Freccia	Luce	L/f	L/f,min	Tipo	Verifica
0.75	SLE RA 1	0.00003	1.5	10000	250	Totale	Si
0.75	SLE RA 17	0.00003	1.5	10000	250	Totale	Si
0.75	SLE RA 16	0.00003	1.5	10000	250	Totale	Si
0.75	SLE RA 15	0.00003	1.5	10000	250	Totale	Si
0.75	SLE RA 14	0.00003	1.5	10000	250	Totale	Si
0.8	SLE RA 2	0	1.5	10000	350	Variabile	Si
0.8	SLE RA 17	0	1.5	10000	350	Variabile	Si
0.8	SLE RA 16	0	1.5	10000	350	Variabile	Si
0.8	SLE RA 15	0	1.5	10000	350	Variabile	Si
0.8	SLE RA 14	0	1.5	10000	350	Variabile	Si

Superelemento in acciaio a quota "640" (1452; 2700)-(1561; 2597)

Caratteristiche del materiale

Acciaio: S275, fyk = 275000

Caratteristiche geometriche

Lunghezza: 1.5

Nodo iniziale: 1350 Nodo finale: 1312

Cerniera iniziale: Mmomenti 1% Cerniera finale: Mmomenti 1%

Sovraresistenza: 0% Sisma Z: No

Caratteristiche della sezione

Sezione	Rotazione	Area	Jx	Jy	ix	iy	Wx	Wy	Wplx	Wply
A1; L100*10; 1; Saldato; S275; 30; 1; 8; 8; 1	180	0.003832	0.0000035319	0.000007759	0.0304	0.045	0.0000492	0.0000739	0.00008974	0.00012727

Comportamento dei calastrelli

Accoppiamento imbottito con funzione statica (§C4.2.4.1.3.1.4 NTC18) nella campata compresa tra le ascisse 0 e 1.5 per sbandamento attorno all'asse y.

Verifiche di resistenza

Verifiche a forza assiale §4.2.4.1.2.1 - §4.2.4.1.2.2 NTC18

X	Comb.	Sfruttamento	Classe	NEd	Nc,Rd	Nt,Rd	Riduzione da taglio	px	py	Verifica
0	SLU 76	0.458		459.374		1003.522	1	0	0	Si

Verifiche a forza assiale SLD §4.2.4.1.2.1 - §4.2.4.1.2.2 NTC18

X	Comb.	Sfruttamento	Classe	NEd	Nc,Rd	Nt,Rd	Riduzione da taglio	px	py	Verifica
1.5	SLD 5	0.179		179.281		1003.522	1	0	0	Si

Verifica a taglio Y §4.2.4.1.2.4 NTC18

X	Comb.	Sfruttamento	VEd	Vc,Rd	Av	Interazione taglio-torsione	Riduzione torsione	Verifica
1.5	SLU 76	0.001	0.297	302.422	0.002	Non considerata		Si

Verifica a taglio Y SLD §4.2.4.1.2.4 NTC18

X	Comb.	Sfruttamento	VEd	Vc,Rd	Av	Interazione taglio-torsione	Riduzione torsione	Verifica
1.5	SLD 6	0.001	0.227	302.422	0.002	Non considerata		Si

Verifica a presso/tenso flessione retta X §§ 4.2.4.1.2.3 - 4.2.4.1.2.6 - 4.2.4.1.2.7 - 4.2.4.1.2.8 NTC18

Verifiche eseguite utilizzando la formula conservativa (6.2) §6.2.1 EN 1993-1-1:2005.

X	Comb.	Sfruttamento	Classe	NEd	NRd	Rid. NRd da VEd	Mx,Ed	Mx,Rd	Rid. Mx,Rd da VEd	Rid. Mx,Rd da NEd	px	py	Verifica
1	SLU 76	0.462	1	459.374	1003.522	1	0.1008	23.5037	1		0	0	Si

Verifica a presso/tenso flessione retta X SLD §§ 4.2.4.1.2.3 - 4.2.4.1.2.6 - 4.2.4.1.2.7 - 4.2.4.1.2.8 NTC18

Verifiche eseguite utilizzando la formula conservativa (6.2) §6.2.1 EN 1993-1-1:2005.

X	Comb.	Sfruttamento	Classe	NEd	NRd	Rid. NRd da VEd	Mx,Ed	Mx,Rd	Rid. Mx,Rd da VEd	Rid. Mx,Rd da NEd	px	py	Verifica
1.2	SLD 6	0.181	1	179.281	1003.522	1	0.0547	23.5037	1		0	0	Si

Verifica a presso/tenso flessione retta Y §§ 4.2.4.1.2.3 - 4.2.4.1.2.6 - 4.2.4.1.2.7 - 4.2.4.1.2.8 NTC18

Verifiche eseguite utilizzando la formula conservativa (6.2) §6.2.1 EN 1993-1-1:2005.

X	Comb.	Sfruttamento	Classe	NEd	NRd	Rid. NRd da VEd	My,Ed	My,Rd	Rid. My,Rd da VEd	Rid. My,Rd da NEd	px	py	Verifica
1.5	SLU 76	0.459	1	459.374	1003.522	1	-0.033	33.3316	1		0	0	Si

Verifica a presso/tenso flessione retta Y SLD §§ 4.2.4.1.2.3 - 4.2.4.1.2.6 - 4.2.4.1.2.7 - 4.2.4.1.2.8 NTC18

Verifiche eseguite utilizzando la formula conservativa (6.2) §6.2.1 EN 1993-1-1:2005.

X	Comb.	Sfruttamento	Classe	NEd	NRd	Rid. NRd da VEd	My,Ed	My,Rd	Rid. My,Rd da VEd	Rid. My,Rd da NEd	px	py	Verifica
0	SLD 6	0.182	1	179.281	1003.522	1	0.1119	33.3316	1		0	0	Si

Verifica a presso/tenso flessione deviata §§ 4.2.4.1.2.3 - 4.2.4.1.2.6 - 4.2.4.1.2.7 - 4.2.4.1.2.8 NTC18

Verifiche eseguite utilizzando la formula conservativa (6.2) §6.2.1 EN 1993-1-1:2005.

X	Comb.	Sfruttamento	Classe	NEd	NRd	Rid. NRd da VEd	Mx,Ed	My,Ed	My,Rd	Rid. Mx,Rd da VEd	Rid. Mx,Rd da NEd	Rid. My,Rd da VEd	Rid. My,Rd da NEd	α	β	px	py	Verifica
0.6	SLU 76	0.463	1	459.374	1003.522	1	0.11	23.5037	0.0343	33.3316	1	1				0	0	Si

Verifica a presso/tenso flessione deviata SLD §§ 4.2.4.1.2.3 - 4.2.4.1.2.6 - 4.2.4.1.2.7 - 4.2.4.1.2.8 NTC18

Verifiche eseguite utilizzando la formula conservativa (6.2) §6.2.1 EN 1993-1-1:2005.

X	Comb.	Sfruttamento	Classe	NEd	NRd	Rid. NRd da VEd	Mx,Ed	My,Ed	My,Rd	Rid. Mx,Rd da VEd	Rid. Mx,Rd da NEd	Rid. My,Rd da VEd	Rid. My,Rd da NEd	α	β	px	py	Verifica
0.55	SLD 6	0.184	1	179.281	1003.522	1	0.08	23.5037	0.0609	33.3316	1	1				0	0	Si

Verifiche ad instabilità

Caratteristiche iniziali

Membratura principale per controllo snellezza; Calcolo di snellezze ed N critici condotti secondo gli assi principali;

Curva X: c; Curva Y: c;

Svergolamento: Nessuno; la verifica a instabilità flesso-torsionale (svergolamento) non verrà eseguita.

Dati per instabilità attorno a x

Controllo della snellezza secondo §4.2.4.1.3.1 NTC18

Numero rit.	Presente	Ascissa	Campata	βx/m	Vincolo a entrambi estremi	λx/m	λVer
-------------	----------	---------	---------	------	----------------------------	------	------

Implementazione dei sistemi di confinamento delle emissioni odorigene diffuse dell’impianto di compostaggio esistente nel
Comune di Eboli (SA)
PROGETTO DEFINITIVO – Tabulati di calcolo Tomo 1

Numero rit.	Presente	Ascissa	Campata	$\beta x/m$	Vincolo a entrambi estremi	$\lambda x/m$	λVer
1	Si	0	1-2	1	Si	49.4	Si, (<200)
2	Si	1.5					

Dati per instabilità attorno a y

Controllo della snellezza secondo §4.2.4.1.3.1 NTC18

Numero rit.	Presente	Ascissa	Campata	$\beta y/n$	k,LT	kw,LT	Vincolo a entrambi estremi
1	Si	0	1-2	1	Si	34.8	Si, (<200)
2	Si	1.5					

Verifica di stabilità per pressoflessione §C.4.2.4.1.3.3.1 NTC18

X	Comb.	Sfruttamento	Classe	NEd	MxEq,Ed	MyEq,Ed	Area	Wx	Wy	$\chi_{,min}$	λ adim. x/m	λ adim. y/n	N,crit x/m	N,crit y/n	Verifica
0	SLU 2	0.023	3	-12.535	0.0723	-0.0289	0.003832	0.0000492	0.0000739	0.804	0.569	0.4	3253.47	6569.993	Si

Verifiche a deformabilità

Mensola X: No; Mensola Y: No.

Frecce lungo X

Ascissa freccia	Combinazione	Freccia	Luce	L/f	L/f,min	Tipo	Verifica
0.5	SLE RA 1	0	1.5	10000	250	Totale	Si
0.55	SLE RA 17	0	1.5	10000	250	Totale	Si
0.55	SLE RA 16	0	1.5	10000	250	Totale	Si
0.55	SLE RA 15	0	1.5	10000	250	Totale	Si
0.55	SLE RA 14	0	1.5	10000	250	Totale	Si
0.55	SLE RA 2	0	1.5	10000	350	Variabile	Si
0.55	SLE RA 17	0	1.5	10000	350	Variabile	Si
0.55	SLE RA 16	0	1.5	10000	350	Variabile	Si
0.55	SLE RA 15	0	1.5	10000	350	Variabile	Si
0.55	SLE RA 14	0	1.5	10000	350	Variabile	Si

Frecce lungo Y

Ascissa freccia	Combinazione	Freccia	Luce	L/f	L/f,min	Tipo	Verifica
0.75	SLE RA 1	0.00003	1.5	10000	250	Totale	Si
0.75	SLE RA 17	0.00003	1.5	10000	250	Totale	Si
0.75	SLE RA 16	0.00003	1.5	10000	250	Totale	Si
0.75	SLE RA 15	0.00003	1.5	10000	250	Totale	Si
0.75	SLE RA 14	0.00003	1.5	10000	250	Totale	Si
0.7	SLE RA 2	0	1.5	10000	350	Variabile	Si
0.7	SLE RA 17	0	1.5	10000	350	Variabile	Si
0.7	SLE RA 16	0	1.5	10000	350	Variabile	Si
0.7	SLE RA 15	0	1.5	10000	350	Variabile	Si
0.7	SLE RA 14	0	1.5	10000	350	Variabile	Si

Superelemento in acciaio a quota "640" (1491; 1645)-(1618; 1779)

Caratteristiche del materiale

Acciaio: S275, fyk = 275000

Caratteristiche geometriche

Lunghezza: 1.85

Nodo iniziale: 992 Nodo finale: 1018

Cerniera iniziale: No Cerniera finale: No

Sovraresistenza: 0% Sisma Z: No

Caratteristiche della sezione

Sezione	Rotazione	Area	Jx	Jy	ix	iy	Wx	Wy	Wplx	Wply
HEA120	0	0.002537	0.0000060673	0.0000023091	0.0489	0.0302	0.00010644	0.00003849	0.00011962	0.00005887

Verifiche di resistenza

Verifiche a forza assiale §4.2.4.1.2.1 - §4.2.4.1.2.2 NTC18

X	Comb.	Sfruttamento	Classe	NEd	Nc,Rd	Nt,Rd	Riduzione da taglio	px	py	Verifica
1.295	SLU 75	0.15	1	-99.439	664.325		1	0	0	Si

Verifiche a forza assiale SLD §4.2.4.1.2.1 - §4.2.4.1.2.2 NTC18

X	Comb.	Sfruttamento	Classe	NEd	Nc,Rd	Nt,Rd	Riduzione da taglio	px	py	Verifica
1.85	SLD 5	0.056	1	-37.119	664.325		1	0	0	Si

Verifica a taglio Y §4.2.4.1.2.4 NTC18

X	Comb.	Sfruttamento	VEd	Vc,Rd	Av	Interazione taglio-torsione	Riduzione torsione	Verifica
1.85	SLU 75	0.015	-1.868	127.154	0.000849	Considerata	0.99	Si

Verifica a taglio Y SLD §4.2.4.1.2.4 NTC18

X	Comb.	Sfruttamento	VEd	Vc,Rd	Av	Interazione taglio-torsione	Riduzione torsione	Verifica
1.85	SLD 8	0.005	-0.606	127.868	0.000849	Considerata	1	Si

Verifica a torsione §4.2.4.1.2.5 NTC18

X	Comb.	Sfruttamento torsione	TEd	TRd	Riduzione taglio resistente	Sfruttamento taglio-torsione	rEd,totale	rRd	Verifica
1.85	SLU 75	0.022	0.01899	0.85138	Considerata				Si

Verifica a torsione SLD §4.2.4.1.2.5 NTC18

X	Comb.	Sfruttamento torsione	TEd	TRd	Riduzione taglio resistente	Sfruttamento taglio-torsione	rEd,totale	rRd	Verifica
---	-------	-----------------------	-----	-----	-----------------------------	------------------------------	------------	-----	----------

**Implementazione dei sistemi di confinamento delle emissioni odorigene diffuse dell'impianto di compostaggio esistente nel
Comune di Eboli (SA)**

PROGETTO DEFINITIVO – Tabulati di calcolo Tomo 1

X	Comb.	Sfruttamento torsione	TEd	TRd	Riduzione taglio resistente	Sfruttamento taglio-torsione	rEd,totale	rRd	Verifica
1.85	SLD 11	0.01	0.00858	0.85138	Considerata				Si

Verifica a flessione semplice X §§ 4.2.4.1.2.3 - 4.2.4.1.2.6 - 4.2.4.1.2.7 - 4.2.4.1.2.8 NTC18

X	Comb.	Sfruttamento	Classe	Mx,Ed	Mx,Rd	Rid. Mx,Rd da VEd	px	py	Verifica
0	SLU 21	0.006	1	0.17914	31.32907	1	0	0	Si

Verifica a flessione semplice Y §§ 4.2.4.1.2.3 - 4.2.4.1.2.6 - 4.2.4.1.2.7 - 4.2.4.1.2.8 NTC18

X	Comb.	Sfruttamento	Classe	My,Ed	My,Rd	Rid. My,Rd da VEd	px	py	Verifica
1.048	SLU 42	0.001	1	-0.00998	15.41907	1	0	0	Si

Verifica a flessione deviata §§ 4.2.4.1.2.3 - 4.2.4.1.2.6 - 4.2.4.1.2.7 - 4.2.4.1.2.8 NTC18

X	Comb.	Sfruttamento	Classe	Mx,Ed	Mx,Rd	My,Ed	My,Rd	Rid. Mx,Rd da VEd	Rid. My,Rd da VEd	α	β	px	py	Verifica
0	SLU 42	0.012	1	0.319	31.3291	-0.0317	15.4191	1	1			0	0	Si

Verifica a presso/tenso flessione retta X §§ 4.2.4.1.2.3 - 4.2.4.1.2.6 - 4.2.4.1.2.7 - 4.2.4.1.2.8 NTC18

Verifiche eseguite utilizzando la formula conservativa (6.2) §6.2.1 EN 1993-1-1:2005.

X	Comb.	Sfruttamento	Classe	NEd	NRd	Rid. NRd da VEd	Mx,Ed	Mx,Rd	Rid. Mx,Rd da VEd	Rid. Mx,Rd da NEd	px	py	Verifica
0.432	SLV 2	0.099	1	-48.599	664.325	1	-0.8024	31.3291	1		0	0	Si

Verifica a presso/tenso flessione retta X SLD §§ 4.2.4.1.2.3 - 4.2.4.1.2.6 - 4.2.4.1.2.7 - 4.2.4.1.2.8 NTC18

Verifiche eseguite utilizzando la formula conservativa (6.2) §6.2.1 EN 1993-1-1:2005.

X	Comb.	Sfruttamento	Classe	NEd	NRd	Rid. NRd da VEd	Mx,Ed	Mx,Rd	Rid. Mx,Rd da VEd	Rid. Mx,Rd da NEd	px	py	Verifica
0	SLD 3	0.077	1	-33.693	664.325	1	-0.8345	31.3291	1		0	0	Si

Verifica a presso/tenso flessione retta Y §§ 4.2.4.1.2.3 - 4.2.4.1.2.6 - 4.2.4.1.2.7 - 4.2.4.1.2.8 NTC18

Verifiche eseguite utilizzando la formula conservativa (6.2) §6.2.1 EN 1993-1-1:2005.

X	Comb.	Sfruttamento	Classe	NEd	NRd	Rid. NRd da VEd	My,Ed	My,Rd	Rid. My,Rd da VEd	Rid. My,Rd da NEd	px	py	Verifica
1.85	SLU 75	0.15	1	-99.439	664.325	1	0.0078	15.4191	1		0	0	Si

Verifica a presso/tenso flessione retta Y SLD §§ 4.2.4.1.2.3 - 4.2.4.1.2.6 - 4.2.4.1.2.7 - 4.2.4.1.2.8 NTC18

Verifiche eseguite utilizzando la formula conservativa (6.2) §6.2.1 EN 1993-1-1:2005.

X	Comb.	Sfruttamento	Classe	NEd	NRd	Rid. NRd da VEd	My,Ed	My,Rd	Rid. My,Rd da VEd	Rid. My,Rd da NEd	px	py	Verifica
1.85	SLD 7	0.042	1	-26.252	664.325	1	0.0357	15.4191	1		0	0	Si

Verifica a presso/tenso flessione deviata §§ 4.2.4.1.2.3 - 4.2.4.1.2.6 - 4.2.4.1.2.7 - 4.2.4.1.2.8 NTC18

Verifiche eseguite utilizzando la formula conservativa (6.2) §6.2.1 EN 1993-1-1:2005.

X	Comb.	Sfruttamento	Classe	NEd	NRd	Rid. NRd da VEd	Mx,Ed	Mx,Rd	My,Ed	My,Rd	Rid. Mx,Rd da VEd	Rid. Mx,Rd da NEd	Rid. My,Rd da VEd	Rid. My,Rd da NEd	α	β	px	py	Verifica
0	SLU 75	0.252	1	-99.439	664.325	1	-3.0038	31.3291	0.0918	15.4191	1		1				0	0	Si

Verifica a presso/tenso flessione deviata SLD §§ 4.2.4.1.2.3 - 4.2.4.1.2.6 - 4.2.4.1.2.7 - 4.2.4.1.2.8 NTC18

Verifiche eseguite utilizzando la formula conservativa (6.2) §6.2.1 EN 1993-1-1:2005.

X	Comb.	Sfruttamento	Classe	NEd	NRd	Rid. NRd da VEd	Mx,Ed	Mx,Rd	My,Ed	My,Rd	Rid. Mx,Rd da VEd	Rid. Mx,Rd da NEd	Rid. My,Rd da VEd	Rid. My,Rd da NEd	α	β	px	py	Verifica
0	SLD 5	0.082	1	-37.119	664.325	1	-0.7607	31.3291	0.0345	15.4191	1		1				0	0	Si

Verifiche ad instabilità

Caratteristiche iniziali

Membratura principale per controllo snellezza; Calcolo di snellezze ed N critici condotti secondo gli assi principali;

Curva X: b; Curva Y: c; Svergolamento: Carico all'estradosso; Curva svergolamento: b;

Dati per instabilità attorno a x

Controllo della snellezza secondo §4.2.4.1.3.1 NTC18

Numero rit.	Presente	Ascissa	Campata	βx/m	Vincolo a entrambi estremi	λx/m	λVer
1	Si	0					
			1-2		1	37.8	Si, (<200)
2	Si	1.85					

Dati per instabilità attorno a y

Controllo della snellezza secondo §4.2.4.1.3.1 NTC18

Numero rit.	Presente	Ascissa	Campata	βy/n	k,LT	kw,LT	Vincolo a entrambi estremi	λy/n	λVer
1	Si	0							
			1-2		1	1	Si	61.3	Si, (<200)
2	Si	1.85							

Verifica a svergolamento con trazione §4.2.4.1.3.2 NTC18 § 5.5.3 ENV 1993-1-1:1992 + AC:1992 + A1:1994 + A2:1998

X	Comb.	Sfruttamento	Classe	Obblig.	NEd	Mx,Ed	Mx,Ed	Mx,Ed	Mb,Rd,x	χ,LT	λ adim. LT	L,LT	M,critico	Verifica
0	SLU 40	0.008	1	Si	1.026	0.26509	0.23496	28.25853	0.902	0.902	0.633	1.85	82.10616	Si

Verifica di stabilità per tenso-flessione deviata §§ 5.5.3-5.5.4 ENV 1993-1-1:1992 + AC:1992 + A1:1994 + A2:1998

X	Comb.	Sfruttamento	Classe	NEd	Mx,Ed	Mx,Ed	My,Ed	χ,LT	kLT	ky	M,critico	Wx	Wy	Verifica
0	SLU 4	0.012	1	6.193	0.45851	0.27659	-0.03582	0.902	1	1	82.10616	0.0001196	0.0000589	Si

Verifica di stabilità per pressoflessione §C.4.2.4.1.3.3.2 NTC18

X	Comb.	Sfruttamento	Classe	NEd	NRk	Mx,Ed max	Mx,Rk	My,Ed max	My,Rk	χ,x	χ,y	kxx	kxy	kyy	χ,LT	Verifica
0.925	SLU 75	0.314	1	-99.439	697.541	3.00382	32.89552	0.09183	16.19002	0.912	0.721	0.653	0.445	0.961	0.741	0.902

Verifica di stabilità per pressoflessione SLD §C.4.2.4.1.3.3.2 NTC18

X	Comb.	Sfruttamento	Classe	NEd	NRk	Mx,Ed max	Mx,Rk	My,Ed max	My,Rk	χ,x	χ,y	kxx	kxy	kyy	χ,LT	Verifica
0	SLD 1	0.105	1	-36.953	697.541	0.81221	32.89552	0.02568	16.19002	0.912	0.721	0.737	0.637	0.989	1.062	0.99

Verifica di stabilità a taglio anima Y §4.2.4.1.2.4 [4.2.27] NTC18

η	hw	tw	hw/tw max	Verifica
---	----	----	-----------	----------

Implementazione dei sistemi di confinamento delle emissioni odorigene diffuse dell'impianto di compostaggio esistente nel
Comune di Eboli (SA)
PROGETTO DEFINITIVO – Tabulati di calcolo Tomo 1

η	hw	tw	hw/tw max	Verifica
1.2	0.098	0.005	55.46	Si

Verifica di stabilità a taglio anima Y SLD §4.2.4.1.2.4 [4.2.27] NTC18

η	hw	tw	hw/tw max	Verifica
1.2	0.098	0.005	55.46	Si

Verifiche a deformabilità

Mensola X: No; Mensola Y: No.

Frecce lungo X

Ascissa freccia	Combinazione	Freccia	Luce	L/f	L/f,min	Tipo	Verifica
0.863	SLE RA 1	-0.00001	1.85	10000	250	Totale	Si
0.802	SLE RA 17	-0.00002	1.85	10000	250	Totale	Si
0.802	SLE RA 16	-0.00002	1.85	10000	250	Totale	Si
0.863	SLE RA 15	-0.00001	1.85	10000	250	Totale	Si
0.802	SLE RA 14	-0.00003	1.85	10000	250	Totale	Si
0.802	SLE RA 2	0.00001	1.85	10000	350	Variabile	Si
0.802	SLE RA 17	0	1.85	10000	350	Variabile	Si
0.802	SLE RA 16	-0.00001	1.85	10000	350	Variabile	Si
0.74	SLE RA 15	0	1.85	10000	350	Variabile	Si
0.802	SLE RA 14	-0.00002	1.85	10000	350	Variabile	Si

Frecce lungo Y

Ascissa freccia	Combinazione	Freccia	Luce	L/f	L/f,min	Tipo	Verifica
0.802	SLE RA 18	-0.00038	1.85	4864.4	250	Totale	Si
0.802	SLE RA 6	-0.00034	1.85	5400.5	250	Totale	Si
0.802	SLE RA 10	-0.00033	1.85	5526.6	250	Totale	Si
0.802	SLE RA 14	-0.00033	1.85	5526.6	250	Totale	Si
0.802	SLE RA 16	-0.0003	1.85	6161.7	250	Totale	Si
0.802	SLE RA 18	-0.00022	1.85	8534.4	350	Variabile	Si
0.802	SLE RA 2	0.00013	1.85	10000	350	Variabile	Si
0.802	SLE RA 17	-0.00006	1.85	10000	350	Variabile	Si
0.802	SLE RA 16	-0.00014	1.85	10000	350	Variabile	Si
0.802	SLE RA 15	-0.00001	1.85	10000	350	Variabile	Si

Superelemento in acciaio a quota "640" (1525; 2120)-(1634; 2017)

Caratteristiche del materiale

Acciaio: S275, fyk = 275000

Caratteristiche geometriche

Lunghezza: 1.5

Nodo iniziale: 1090 Nodo finale: 1067

Cerniera iniziale: Mmomenti 1% Cerniera finale: Mmomenti 1%

Sovraresistenza: 0% Sisma Z: No

Caratteristiche della sezione

Sezione	Rotazione	Area	Jx	Jy	ix	iy	Wx	Wy	Wplx	Wply
A1; L100*10; 1; Saldato; S275; 30; 1; 8; 8; 1	180	0.003832	0.0000035319	0.000007759	0.0304	0.045	0.0000492	0.0000739	0.00008974	0.00012727

Comportamento dei calastrelli

Accoppiamento imbottito con funzione statica (§C4.2.4.1.3.1.4 NTC18) nella campata compresa tra le ascisse 0 e 1.5 per sbandamento attorno all'asse y.

Verifiche di resistenza

Verifiche a forza assiale §4.2.4.1.2.1 - §4.2.4.1.2.2 NTC18

X	Comb.	Sfruttamento	Classe	NEd	Nc,Rd	Nt,Rd	Riduzione da taglio	px	py	Verifica
0.75	SLU 75	0.117		117.219		1003.522	1	0	0	Si

Verifiche a forza assiale SLD §4.2.4.1.2.1 - §4.2.4.1.2.2 NTC18

X	Comb.	Sfruttamento	Classe	NEd	Nc,Rd	Nt,Rd	Riduzione da taglio	px	py	Verifica
1.5	SLD 16	0.046		46.564		1003.522	1	0	0	Si

Verifica a taglio X §4.2.4.1.2.4 NTC18

X	Comb.	Sfruttamento	VEd	Vc,Rd	Av	Interazione taglio-torsione	Riduzione torsione	Verifica
0	SLV 1	0.001	-0.208	302.422	0.002	Non considerata		Si

Verifica a taglio Y §4.2.4.1.2.4 NTC18

X	Comb.	Sfruttamento	VEd	Vc,Rd	Av	Interazione taglio-torsione	Riduzione torsione	Verifica
0	SLU 75	0.001	-0.294	302.422	0.002	Non considerata		Si

Verifica a taglio Y SLD §4.2.4.1.2.4 NTC18

X	Comb.	Sfruttamento	VEd	Vc,Rd	Av	Interazione taglio-torsione	Riduzione torsione	Verifica
0	SLD 16	0.001	-0.226	302.422	0.002	Non considerata		Si

Verifica a presso/tenso flessione retta X §§ 4.2.4.1.2.3 - 4.2.4.1.2.6 - 4.2.4.1.2.7 - 4.2.4.1.2.8 NTC18

Verifiche eseguite utilizzando la formula conservativa (6.2) §6.2.1 EN 1993-1-1:2005.

X	Comb.	Sfruttamento	Classe	NEd	NRd	Rid. NRd da VEd	Mx,Ed	Mx,Rd	Rid. Mx,Rd da VEd	Rid. Mx,Rd da NEd	px	py	Verifica
0.75	SLU 75	0.122	1	117.219	1003.522	1	0.1121	23.5037	1		0	0	Si

PROGETTO DEFINITIVO – Tabulati di calcolo Tomo 1

Verifica a presso/tenso flessione retta X SLD §§ 4.2.4.1.2.3 - 4.2.4.1.2.6 - 4.2.4.1.2.7 - 4.2.4.1.2.8 NTC18

Verifiche eseguite utilizzando la formula conservativa (6.2) §6.2.1 EN 1993-1-1:2005.

X	Comb.	Sfruttamento	Classe	NEd	NRd	Rid. NRd da VEd	Mx,Ed	Mx,Rd	Rid. Mx,Rd da VEd	Rid. Mx,Rd da NEd	px	py	Verifica
0.8	SLD 16	0.05	1	46.564	1003.522	1	0.0848	23.5037	1		0	0	Si

Verifica a presso/tenso flessione retta Y §§ 4.2.4.1.2.3 - 4.2.4.1.2.6 - 4.2.4.1.2.7 - 4.2.4.1.2.8 NTC18

Verifiche eseguite utilizzando la formula conservativa (6.2) §6.2.1 EN 1993-1-1:2005.

X	Comb.	Sfruttamento	Classe	NEd	NRd	Rid. NRd da VEd	My,Ed	My,Rd	Rid. My,Rd da VEd	Rid. My,Rd da NEd	px	py	Verifica
1.5	SLU 75	0.117	1	117.219	1003.522	1	-0.0081	33.3316	1		0	0	Si

Verifica a presso/tenso flessione retta Y SLD §§ 4.2.4.1.2.3 - 4.2.4.1.2.6 - 4.2.4.1.2.7 - 4.2.4.1.2.8 NTC18

Verifiche eseguite utilizzando la formula conservativa (6.2) §6.2.1 EN 1993-1-1:2005.

X	Comb.	Sfruttamento	Classe	NEd	NRd	Rid. NRd da VEd	My,Ed	My,Rd	Rid. My,Rd da VEd	Rid. My,Rd da NEd	px	py	Verifica
0	SLD 15	0.048	1	46.564	1003.522	1	-0.0677	33.3316	1		0	0	Si

Verifica a presso/tenso flessione deviata §§ 4.2.4.1.2.3 - 4.2.4.1.2.6 - 4.2.4.1.2.7 - 4.2.4.1.2.8 NTC18

Verifiche eseguite utilizzando la formula conservativa (6.2) §6.2.1 EN 1993-1-1:2005.

X	Comb.	Sfruttamento	Classe	NEd	NRd	Rid. NRd da VEd	Mx,Ed	Mx,Rd	My,Ed	My,Rd	Rid. Mx,Rd da VEd	Rid. Mx,Rd da NEd	Rid. My,Rd da VEd	Rid. My,Rd da NEd	α	β	px	py	Verifica
1.35	SLU 75	0.119	1	117.219	1003.522	1	0.0424	23.5037	-0.0075	33.3316	1		1				0	0	Si

Verifica a presso/tenso flessione deviata SLD §§ 4.2.4.1.2.3 - 4.2.4.1.2.6 - 4.2.4.1.2.7 - 4.2.4.1.2.8 NTC18

Verifiche eseguite utilizzando la formula conservativa (6.2) §6.2.1 EN 1993-1-1:2005.

X	Comb.	Sfruttamento	Classe	NEd	NRd	Rid. NRd da VEd	Mx,Ed	Mx,Rd	My,Ed	My,Rd	Rid. Mx,Rd da VEd	Rid. Mx,Rd da NEd	Rid. My,Rd da VEd	Rid. My,Rd da NEd	α	β	px	py	Verifica
0.55	SLD 15	0.05	1	46.564	1003.522	1	0.0791	23.5037	-0.0233	33.3316	1		1				0	0	Si

Verifiche ad instabilità

Caratteristiche iniziali

Membratura principale per controllo snellezza; Calcolo di snellezze ed N critici condotti secondo gli assi principali;

Curva X: c; Curva Y: c;

Svergolamento: Nessuno; la verifica a instabilità flesso-torsionale (svergolamento) non verrà eseguita.

Dati per instabilità attorno a x

Controllo della snellezza secondo §4.2.4.1.3.1 NTC18

Numero rit.	Presente	Ascissa	Campata	βx/m	Vincolo a entrambi estremi	λx/m	λVer
1	Si	0					
			1-2	1	Si	49.4	Si, (<200)
2	Si	1.5					

Dati per instabilità attorno a y

Controllo della snellezza secondo §4.2.4.1.3.1 NTC18

Numero rit.	Presente	Ascissa	Campata	βy/n	k,LT	kw,LT	Vincolo a entrambi estremi
1	Si	0					
			1-2	1	Si	34.8	Si, (<200)
2	Si	1.5					

Verifica di stabilità per pressoflessione §C.4.2.4.1.3.3.1 NTC18

X	Comb.	Sfruttamento	Classe	NEd	MxEq,Ed	MyEq,Ed	Area	Wx	Wy	χ,min	λ adim. x/m	λ adim. y/n	N,crit x/m	N,crit y/n	Verifica
0	SLU 2	0.025	3	-14.199	0.072	-0.0322	0.003832	0.0000492	0.0000739	0.804	0.569	0.4	3253.47	6569.993	Si

Verifiche a deformabilità

Mensola X: No; Mensola Y: No.

Frecce lungo X

Ascissa freccia	Combinazione	Freccia	Luce	L/f	L/f,min	Tipo	Verifica
0.8	SLE RA 1	0	1.5	10000	250	Totale	Si
0.8	SLE RA 17	0	1.5	10000	250	Totale	Si
0.8	SLE RA 16	0	1.5	10000	250	Totale	Si
0.8	SLE RA 15	0	1.5	10000	250	Totale	Si
0.8	SLE RA 14	0	1.5	10000	250	Totale	Si
0.8	SLE RA 2	0	1.5	10000	350	Variabile	Si
0.8	SLE RA 17	0	1.5	10000	350	Variabile	Si
0.8	SLE RA 16	0	1.5	10000	350	Variabile	Si
0.8	SLE RA 15	0	1.5	10000	350	Variabile	Si
0.8	SLE RA 14	0	1.5	10000	350	Variabile	Si

Frecce lungo Y

Ascissa freccia	Combinazione	Freccia	Luce	L/f	L/f,min	Tipo	Verifica
0.75	SLE RA 1	0.00003	1.5	10000	250	Totale	Si
0.75	SLE RA 17	0.00003	1.5	10000	250	Totale	Si
0.75	SLE RA 16	0.00003	1.5	10000	250	Totale	Si
0.75	SLE RA 15	0.00003	1.5	10000	250	Totale	Si
0.75	SLE RA 14	0.00003	1.5	10000	250	Totale	Si
0.8	SLE RA 2	0	1.5	10000	350	Variabile	Si
0.8	SLE RA 17	0	1.5	10000	350	Variabile	Si
0.8	SLE RA 16	0	1.5	10000	350	Variabile	Si
0.75	SLE RA 15	0	1.5	10000	350	Variabile	Si
0.8	SLE RA 14	0	1.5	10000	350	Variabile	Si

Superelemento in acciaio a quota "640" (1561; 2597)-(1670; 2494)

Caratteristiche del materiale

Acciaio: S275, fyk = 275000

Caratteristiche geometriche

Lunghezza: 1.5

Nodo iniziale: 1311 Nodo finale: 1273

Cerniera iniziale: Mmomenti 1% Cerniera finale: Mmomenti 1%

Sovreresistenza: 0% Sisma Z: No

Caratteristiche della sezione

Sezione	Rotazione	Area	Jx	Jy	ix	iy	Wx	Wy	Wplx	Wply
A1; L100*10; 1; Saldato; S275; 30; 1; 8; 8; 1	180	0.003832	0.0000035319	0.000007759	0.0304	0.045	0.0000492	0.0000739	0.00008974	0.00012727

Comportamento dei calastrelli

Accoppiamento imbottito con funzione statica (§C4.2.4.1.3.1.4 NTC18) nella campata compresa tra le ascisse 0 e 1.5 per sbandamento attorno all'asse y.

Verifiche di resistenza

Verifiche a forza assiale §4.2.4.1.2.1 - §4.2.4.1.2.2 NTC18

X	Comb.	Sfruttamento	Classe	NEd	Nc,Rd	Nt,Rd	Riduzione da taglio	px	py	Verifica
1.5	SLU 76	0.448		449.084		1003.522	1	0	0	Si

Verifiche a forza assiale SLD §4.2.4.1.2.1 - §4.2.4.1.2.2 NTC18

X	Comb.	Sfruttamento	Classe	NEd	Nc,Rd	Nt,Rd	Riduzione da taglio	px	py	Verifica
1.5	SLD 4	0.179		179.417		1003.522	1	0	0	Si

Verifica a taglio Y §4.2.4.1.2.4 NTC18

X	Comb.	Sfruttamento	VEd	Vc,Rd	Av	Interazione taglio-torsione	Riduzione torsione	Verifica
0	SLU 76	0.001	-0.296	302.422	0.002	Non considerata		Si

Verifica a taglio Y SLD §4.2.4.1.2.4 NTC18

X	Comb.	Sfruttamento	VEd	Vc,Rd	Av	Interazione taglio-torsione	Riduzione torsione	Verifica
0	SLD 4	0.001	-0.227	302.422	0.002	Non considerata		Si

Verifica a presso/tenso flessione retta X §§ 4.2.4.1.2.3 - 4.2.4.1.2.6 - 4.2.4.1.2.7 - 4.2.4.1.2.8 NTC18

Verifiche eseguite utilizzando la formula conservativa (6.2) §6.2.1 EN 1993-1-1:2005.

X	Comb.	Sfruttamento	Classe	NEd	NRd	Rid. NRd da VEd	Mx,Ed	Mx,Rd	Rid. Mx,Rd da VEd	Rid. Mx,Rd da NEd	px	py	Verifica
0.65	SLU 76	0.452	1	449.084	1003.522	1	0.1111	23.5037	1		0	0	Si

Verifica a presso/tenso flessione retta X SLD §§ 4.2.4.1.2.3 - 4.2.4.1.2.6 - 4.2.4.1.2.7 - 4.2.4.1.2.8 NTC18

Verifiche eseguite utilizzando la formula conservativa (6.2) §6.2.1 EN 1993-1-1:2005.

X	Comb.	Sfruttamento	Classe	NEd	NRd	Rid. NRd da VEd	Mx,Ed	Mx,Rd	Rid. Mx,Rd da VEd	Rid. Mx,Rd da NEd	px	py	Verifica
0.75	SLD 4	0.182	1	179.417	1003.522	1	0.0856	23.5037	1		0	0	Si

Verifica a presso/tenso flessione retta Y §§ 4.2.4.1.2.3 - 4.2.4.1.2.6 - 4.2.4.1.2.7 - 4.2.4.1.2.8 NTC18

Verifiche eseguite utilizzando la formula conservativa (6.2) §6.2.1 EN 1993-1-1:2005.

X	Comb.	Sfruttamento	Classe	NEd	NRd	Rid. NRd da VEd	My,Ed	My,Rd	Rid. My,Rd da VEd	Rid. My,Rd da NEd	px	py	Verifica
1.5	SLU 72	0.386	1	387.155	1003.522	1	-0.0205	33.3316	1		0	0	Si

Verifica a presso/tenso flessione retta Y SLD §§ 4.2.4.1.2.3 - 4.2.4.1.2.6 - 4.2.4.1.2.7 - 4.2.4.1.2.8 NTC18

Verifiche eseguite utilizzando la formula conservativa (6.2) §6.2.1 EN 1993-1-1:2005.

X	Comb.	Sfruttamento	Classe	NEd	NRd	Rid. NRd da VEd	My,Ed	My,Rd	Rid. My,Rd da VEd	Rid. My,Rd da NEd	px	py	Verifica
1.5	SLD 3	0.18	1	179.417	1003.522	1	-0.0464	33.3316	1		0	0	Si

Verifica a presso/tenso flessione deviata §§ 4.2.4.1.2.3 - 4.2.4.1.2.6 - 4.2.4.1.2.7 - 4.2.4.1.2.8 NTC18

Verifiche eseguite utilizzando la formula conservativa (6.2) §6.2.1 EN 1993-1-1:2005.

X	Comb.	Sfruttamento	Classe	NEd	NRd	Rid. NRd da VEd	Mx,Ed	Mx,Rd	My,Ed	My,Rd	Rid. Mx,Rd da VEd	Rid. Mx,Rd da NEd	Rid. My,Rd da VEd	Rid. My,Rd da NEd	α	β	px	py	Verifica
0.8	SLU 76	0.453	1	449.084	1003.522	1	0.113	23.5037	-0.01	33.3316	1		1				0	0	Si

Verifica a presso/tenso flessione deviata SLD §§ 4.2.4.1.2.3 - 4.2.4.1.2.6 - 4.2.4.1.2.7 - 4.2.4.1.2.8 NTC18

Verifiche eseguite utilizzando la formula conservativa (6.2) §6.2.1 EN 1993-1-1:2005.

X	Comb.	Sfruttamento	Classe	NEd	NRd	Rid. NRd da VEd	Mx,Ed	Mx,Rd	My,Ed	My,Rd	Rid. Mx,Rd da VEd	Rid. Mx,Rd da NEd	Rid. My,Rd da VEd	Rid. My,Rd da NEd	α	β	px	py	Verifica
0.85	SLD 7	0.183	1	179.391	1003.522	1	0.0842	23.5037	-0.0079	33.3316	1		1				0	0	Si

Verifiche ad instabilità

Caratteristiche iniziali

Membratura principale per controllo snellezza; Calcolo di snellezze ed N critici condotti secondo gli assi principali;

Curva X: c; Curva Y: c;

Svergolamento: Nessuno; la verifica a instabilità flesso-torsionale (svergolamento) non verrà eseguita.

Dati per instabilità attorno a x

Controllo della snellezza secondo §4.2.4.1.3.1 NTC18

Numero rit.	Presente	Ascissa	Campata	βx/m	Vincolo a entrambi estremi	λx/m	λVer
-------------	----------	---------	---------	------	----------------------------	------	------

Implementazione dei sistemi di confinamento delle emissioni odorigene diffuse dell'impianto di compostaggio esistente nel
Comune di Eboli (SA)
PROGETTO DEFINITIVO – Tabulati di calcolo Tomo 1

Numero rit.	Presente	Ascissa	Campata	$\beta x/m$	Vincolo a entrambi estremi	$\lambda x/m$	λVer
1	Si	0	1-2	1	Si	49.4	Si, (<200)
2	Si	1.5					

Dati per instabilità attorno a y

Controllo della snellezza secondo §4.2.4.1.3.1 NTC18

Numero rit.	Presente	Ascissa	Campata	$\beta y/n$	k,LT	kw,LT	Vincolo a entrambi estremi
1	Si	0	1-2	1	Si	34.8	Si, (<200)
2	Si	1.5					

Verifica di stabilità per pressoflessione §C.4.2.4.1.3.3.1 NTC18

X	Comb.	Sfruttamento	Classe	NEd	MxEq,Ed	MyEq,Ed	Area	Wx	Wy	χ_{min}	$\lambda_{adim. x/m}$	$\lambda_{adim. y/n}$	N,crit x/m	N,crit y/n	Verifica
0	SLU 2	0.023	3	-12.192	0.0723	-0.037	0.003832	0.0000492	0.0000739	0.804	0.569	0.4	3253.47	6569.993	Si

Verifiche a deformabilità

Mensola X: No; Mensola Y: No.

Frecce lungo X

Ascissa freccia	Combinazione	Freccia	Luce	L/f	L/f,min	Tipo	Verifica
0.9	SLE RA 1	0	1.5	10000	250	Totale	Si
0.9	SLE RA 17	0	1.5	10000	250	Totale	Si
0.95	SLE RA 16	0	1.5	10000	250	Totale	Si
0.9	SLE RA 15	0	1.5	10000	250	Totale	Si
0.95	SLE RA 14	0	1.5	10000	250	Totale	Si
0.95	SLE RA 2	0	1.5	10000	350	Variabile	Si
0.95	SLE RA 17	0	1.5	10000	350	Variabile	Si
0.95	SLE RA 16	0	1.5	10000	350	Variabile	Si
0.9	SLE RA 15	0	1.5	10000	350	Variabile	Si
0.95	SLE RA 14	0	1.5	10000	350	Variabile	Si

Frecce lungo Y

Ascissa freccia	Combinazione	Freccia	Luce	L/f	L/f,min	Tipo	Verifica
0.75	SLE RA 1	0.00003	1.5	10000	250	Totale	Si
0.75	SLE RA 17	0.00003	1.5	10000	250	Totale	Si
0.75	SLE RA 16	0.00003	1.5	10000	250	Totale	Si
0.75	SLE RA 15	0.00003	1.5	10000	250	Totale	Si
0.75	SLE RA 14	0.00003	1.5	10000	250	Totale	Si
0.8	SLE RA 2	0	1.5	10000	350	Variabile	Si
0.85	SLE RA 17	0	1.5	10000	350	Variabile	Si
0.8	SLE RA 16	0	1.5	10000	350	Variabile	Si
0.8	SLE RA 15	0	1.5	10000	350	Variabile	Si
0.85	SLE RA 14	0	1.5	10000	350	Variabile	Si

Superelemento in acciaio a quota "640" (1574; 3003)-(1799; 3001)

Caratteristiche del materiale

Acciaio: S275, fyk = 275000

Caratteristiche geometriche

Lunghezza: 2.25

Nodo iniziale: 1458 Nodo finale: 1454

Cerniera iniziale: No Cerniera finale: No

Sovraresistenza: 0% Sisma Z: No

Caratteristiche della sezione

Sezione	Rotazione	Area	Jx	Jy	ix	iy	Wx	Wy	Wplx	Wply
HEA120	0	0.002537	0.0000060673	0.0000023091	0.0489	0.0302	0.00010644	0.00003849	0.00011962	0.00005887

Verifiche di resistenza

Verifiche a forza assiale §4.2.4.1.2.1 - §4.2.4.1.2.2 NTC18

X	Comb.	Sfruttamento	Classe	NEd	Nc,Rd	Nt,Rd	Riduzione da taglio	px	py	Verifica
2.25	SLU 76	0.092	1	-61.335	664.325		1	0	0	Si

Verifiche a forza assiale SLD §4.2.4.1.2.1 - §4.2.4.1.2.2 NTC18

X	Comb.	Sfruttamento	Classe	NEd	Nc,Rd	Nt,Rd	Riduzione da taglio	px	py	Verifica
2.25	SLD 11	0.038	1	-25.045	664.325		1	0	0	Si

Verifica a taglio Y §4.2.4.1.2.4 NTC18

X	Comb.	Sfruttamento	VEd	Vc,Rd	Av	Interazione taglio-torsione	Riduzione torsione	Verifica
2.25	SLU 75	0.003	-0.43	128.246	0.000849	Considerata	1	Si

Verifica a taglio Y SLD §4.2.4.1.2.4 NTC18

X	Comb.	Sfruttamento	VEd	Vc,Rd	Av	Interazione taglio-torsione	Riduzione torsione	Verifica
2.25	SLD 11	0.002	-0.313	128.304	0.000849	Considerata	1	Si

Verifica a torsione §4.2.4.1.2.5 NTC18

X	Comb.	Sfruttamento torsione	TEd	TRd	Riduzione taglio resistente	Sfruttamento taglio-torsione	rEd,totale	rRd	Verifica
1.05	SLV 10	0.006	-0.00512	0.85138	Considerata				Si

Verifica a torsione SLD §4.2.4.1.2.5 NTC18

X	Comb.	Sfruttamento torsione	TEd	TRd	Riduzione taglio resistente	Sfruttamento taglio-torsione	rEd,totale	rRd	Verifica
---	-------	-----------------------	-----	-----	-----------------------------	------------------------------	------------	-----	----------

Implementazione dei sistemi di confinamento delle emissioni odorigene diffuse dell'impianto di compostaggio esistente nel
Comune di Eboli (SA)

PROGETTO DEFINITIVO – Tabulati di calcolo Tomo 1

X	Comb.	Sfruttamento torsione	TEd	TRd	Riduzione taglio resistente	Sfruttamento taglio-torsione	rEd,totale	rRd	Verifica
2.25	SLD 10	0.003	-0.00237	0.85138	Considerata				Si

Verifica a presso/tenso flessione retta X §§ 4.2.4.1.2.3 - 4.2.4.1.2.6 - 4.2.4.1.2.7 - 4.2.4.1.2.8 NTC18

Verifiche eseguite utilizzando la formula conservativa (6.2) §6.2.1 EN 1993-1-1:2005.

X	Comb.	Sfruttamento	Classe	NEd	NRd	Rid. NRd da VEd	Mx,Ed	Mx,Rd	Rid. Mx,Rd da VEd	Rid. Mx,Rd da NEd	px	py	Verifica
0	SLU 38	0.085	1	-56.041	664.325	1	-0.0111	31.3291	1		0	0	Si

Verifica a presso/tenso flessione retta Y §§ 4.2.4.1.2.3 - 4.2.4.1.2.6 - 4.2.4.1.2.7 - 4.2.4.1.2.8 NTC18

Verifiche eseguite utilizzando la formula conservativa (6.2) §6.2.1 EN 1993-1-1:2005.

X	Comb.	Sfruttamento	Classe	NEd	NRd	Rid. NRd da VEd	My,Ed	My,Rd	Rid. My,Rd da VEd	Rid. My,Rd da NEd	px	py	Verifica
1.425	SLU 76	0.099	1	-61.335	664.325	1	0.0976	15.4191	1		0	0	Si

Verifica a presso/tenso flessione retta Y SLD §§ 4.2.4.1.2.3 - 4.2.4.1.2.6 - 4.2.4.1.2.7 - 4.2.4.1.2.8 NTC18

Verifiche eseguite utilizzando la formula conservativa (6.2) §6.2.1 EN 1993-1-1:2005.

X	Comb.	Sfruttamento	Classe	NEd	NRd	Rid. NRd da VEd	My,Ed	My,Rd	Rid. My,Rd da VEd	Rid. My,Rd da NEd	px	py	Verifica
1.65	SLD 8	0.048	1	-24.484	664.325	1	0.1674	15.4191	1		0	0	Si

Verifica a presso/tenso flessione deviata §§ 4.2.4.1.2.3 - 4.2.4.1.2.6 - 4.2.4.1.2.7 - 4.2.4.1.2.8 NTC18

Verifiche eseguite utilizzando la formula conservativa (6.2) §6.2.1 EN 1993-1-1:2005.

X	Comb.	Sfruttamento	Classe	NEd	NRd	Rid. NRd da VEd	Mx,Ed	Mx,Rd	My,Ed	My,Rd	Rid. Mx,Rd da VEd	Rid. Mx,Rd da NEd	Rid. My,Rd da VEd	Rid. My,Rd da NEd	α	β	px	py	Verifica
2.25	SLU 76	0.11	1	-61.335	664.325	1	0.2433	31.3291	0.1528	15.4191	1		1				0	0	Si

Verifica a presso/tenso flessione deviata SLD §§ 4.2.4.1.2.3 - 4.2.4.1.2.6 - 4.2.4.1.2.7 - 4.2.4.1.2.8 NTC18

Verifiche eseguite utilizzando la formula conservativa (6.2) §6.2.1 EN 1993-1-1:2005.

X	Comb.	Sfruttamento	Classe	NEd	NRd	Rid. NRd da VEd	Mx,Ed	Mx,Rd	My,Ed	My,Rd	Rid. Mx,Rd da VEd	Rid. Mx,Rd da NEd	Rid. My,Rd da VEd	Rid. My,Rd da NEd	α	β	px	py	Verifica
2.25	SLD 8	0.055	1	-24.484	664.325	1	0.1609	31.3291	0.1985	15.4191	1		1				0	0	Si

Verifiche ad instabilità

Caratteristiche iniziali

Membratura principale per controllo snellezza; Calcolo di snellezze ed N critici condotti secondo gli assi principali;

Curva X: b; Curva Y: c; Svergolamento: Carico all'estradosso; Curva svergolamento: b;

Dati per instabilità attorno a x

Controllo della snellezza secondo §4.2.4.1.3.1 NTC18

Numero rit.	Presente	Ascissa	Campata	βx/m	Vincolo a entrambi estremi	λx/m	λVer
1	Si	0					
			1-2	1	Si	46	Si, (<200)
2	Si	2.25					

Dati per instabilità attorno a y

Controllo della snellezza secondo §4.2.4.1.3.1 NTC18

Numero rit.	Presente	Ascissa	Campata	βy/n	k,LT	kw,LT	Vincolo a entrambi estremi	λy/n	λVer
1	Si	0							
			1-2	1	1	1	Si	74.6	Si, (<200)
2	Si	2.25							

Verifica di stabilità per pressoflessione §C.4.2.4.1.3.3.2 NTC18

X	Comb.	Sfruttamento	Classe	NEd	NRk	Mx,Ed max	Mx,Rk	My,Ed max	My,Rk	χ,x	χ,y	kxx	kxy	kyy	χ,LT	Verifica	
2.25	SLU 76	0.163	1	-61.335	697.541	0.24326	32.89552	0.15279	16.19002	0.871	0.625	0.414	0.424	0.915	0.706	0.86	Si

Verifica di stabilità per pressoflessione SLD §C.4.2.4.1.3.3.2 NTC18

X	Comb.	Sfruttamento	Classe	NEd	NRk	Mx,Ed max	Mx,Rk	My,Ed max	My,Rk	χ,x	χ,y	kxx	kxy	kyy	χ,LT	Verifica	
2.25	SLD 11	0.077	1	-25.045	697.541	0.17386	32.89552	0.1521	16.19002	0.871	0.625	0.406	0.636	0.965	1.059	0.86	Si

Verifica di stabilità a taglio anima Y §4.2.4.1.2.4 [4.2.27] NTC18

η	hw	tw	hw/tw max	Verifica
1.2	0.098	0.005	55.46	Si

Verifica di stabilità a taglio anima Y SLD §4.2.4.1.2.4 [4.2.27] NTC18

η	hw	tw	hw/tw max	Verifica
1.2	0.098	0.005	55.46	Si

Verifiche a deformabilità

Mensola X: No; Mensola Y: No.

Frecce lungo X

Ascissa freccia	Combinazione	Freccia	Luce	L/f	L/f,min	Tipo	Verifica
1.275	SLE RA 1	-0.00002	2.25	10000	250	Totale	Si
1.275	SLE RA 17	-0.00004	2.25	10000	250	Totale	Si
1.275	SLE RA 16	-0.00006	2.25	10000	250	Totale	Si
1.275	SLE RA 15	-0.00006	2.25	10000	250	Totale	Si
1.275	SLE RA 14	-0.00003	2.25	10000	250	Totale	Si
1.35	SLE RA 2	0.00004	2.25	10000	350	Variabile	Si
1.35	SLE RA 17	-0.00002	2.25	10000	350	Variabile	Si
1.35	SLE RA 16	-0.00004	2.25	10000	350	Variabile	Si
1.275	SLE RA 15	-0.00004	2.25	10000	350	Variabile	Si
1.35	SLE RA 14	-0.00001	2.25	10000	350	Variabile	Si

Frecce lungo Y

Ascissa freccia	Combinazione	Freccia	Luce	L/f	L/f,min	Tipo	Verifica
0.9	SLE RA 1	-0.00001	2.25	10000	250	Totale	Si
0.825	SLE RA 17	-0.00001	2.25	10000	250	Totale	Si
1.875	SLE RA 16	0.00001	2.25	10000	250	Totale	Si
0.9	SLE RA 15	-0.00002	2.25	10000	250	Totale	Si

Implementazione dei sistemi di confinamento delle emissioni odorigene diffuse dell'impianto di compostaggio esistente nel
Comune di Eboli (SA)
PROGETTO DEFINITIVO – Tabulati di calcolo Tomo 1

Ascissa freccia	Combinazione	Freccia	Luce	L/f	L/f,min	Tipo	Verifica
1.8	SLE RA 14	0.00001	2.25	10000	250	Totale	Si
1.425	SLE RA 2	-0.00001	2.25	10000	350	Variabile	Si
1.425	SLE RA 17	0	2.25	10000	350	Variabile	Si
1.425	SLE RA 16	0.00001	2.25	10000	350	Variabile	Si
0.525	SLE RA 15	0	2.25	10000	350	Variabile	Si
1.35	SLE RA 14	0.00001	2.25	10000	350	Variabile	Si

Superelemento in acciaio a quota "640" (1618; 1779)-(1745; 1914)

Caratteristiche del materiale

Acciaio: S275, fyk = 275000

Caratteristiche geometriche

Lunghezza: 1.85

Nodo iniziale: 1018 Nodo finale: 1047

Cerniera iniziale: No Cerniera finale: No

Sovraresistenza: 0% Sisma Z: No

Caratteristiche della sezione

Sezione	Rotazione	Area	Jx	Jy	ix	iy	Wx	Wy	Wplx	Wply
HEA120	0	0.002537	0.0000060673	0.0000023091	0.0489	0.0302	0.00010644	0.00003849	0.00011962	0.00005887

Verifiche di resistenza

Verifiche a forza assiale §4.2.4.1.2.1 - §4.2.4.1.2.2 NTC18

X	Comb.	Sfruttamento	Classe	NEd	Nc,Rd	Nt,Rd	Riduzione da taglio	px	py	Verifica
0	SLV 6	0.104	1	-69.304	664.325		1	0	0	Si

Verifiche a forza assiale SLD §4.2.4.1.2.1 - §4.2.4.1.2.2 NTC18

X	Comb.	Sfruttamento	Classe	NEd	Nc,Rd	Nt,Rd	Riduzione da taglio	px	py	Verifica
1.85	SLD 5	0.057	1	-37.936	664.325		1	0	0	Si

Verifica a taglio Y §4.2.4.1.2.4 NTC18

X	Comb.	Sfruttamento	VEd	Vc,Rd	Av	Interazione taglio-torsione	Riduzione torsione	Verifica
1.85	SLV 12	0.006	-0.756	127.836	0.000849	Considerata	1	Si

Verifica a taglio Y SLD §4.2.4.1.2.4 NTC18

X	Comb.	Sfruttamento	VEd	Vc,Rd	Av	Interazione taglio-torsione	Riduzione torsione	Verifica
1.85	SLD 12	0.004	-0.488	127.99	0.000849	Considerata	1	Si

Verifica a torsione §4.2.4.1.2.5 NTC18

X	Comb.	Sfruttamento torsione	TEd	TRd	Riduzione taglio resistente	Sfruttamento taglio-torsione	rEd,totale	rRd	Verifica
0	SLV 8	0.013	-0.01079	0.85138	Considerata				Si

Verifica a torsione SLD §4.2.4.1.2.5 NTC18

X	Comb.	Sfruttamento torsione	TEd	TRd	Riduzione taglio resistente	Sfruttamento taglio-torsione	rEd,totale	rRd	Verifica
1.85	SLD 8	0.007	-0.00633	0.85138	Considerata				Si

Verifica a presso/tenso flessione retta X §§ 4.2.4.1.2.3 - 4.2.4.1.2.6 - 4.2.4.1.2.7 - 4.2.4.1.2.8 NTC18

Verifiche eseguite utilizzando la formula conservativa (6.2) §6.2.1 EN 1993-1-1:2005.

X	Comb.	Sfruttamento	Classe	NEd	NRd	Rid. NRd da VEd	Mx,Ed	Mx,Rd	Rid. Mx,Rd da VEd	Rid. Mx,Rd da NEd	px	py	Verifica
1.603	SLV 63	0.095	1	-50.444	664.325	1	0.5991	31.3291	1		0	0	Si

Verifica a presso/tenso flessione retta Y §§ 4.2.4.1.2.3 - 4.2.4.1.2.6 - 4.2.4.1.2.7 - 4.2.4.1.2.8 NTC18

Verifiche eseguite utilizzando la formula conservativa (6.2) §6.2.1 EN 1993-1-1:2005.

X	Comb.	Sfruttamento	Classe	NEd	NRd	Rid. NRd da VEd	My,Ed	My,Rd	Rid. My,Rd da VEd	Rid. My,Rd da NEd	px	py	Verifica
0.123	SLV 75	0.091	1	-59.951	664.325	1	0.0113	15.4191	1		0	0	Si

Verifica a presso/tenso flessione retta Y SLD §§ 4.2.4.1.2.3 - 4.2.4.1.2.6 - 4.2.4.1.2.7 - 4.2.4.1.2.8 NTC18

Verifiche eseguite utilizzando la formula conservativa (6.2) §6.2.1 EN 1993-1-1:2005.

X	Comb.	Sfruttamento	Classe	NEd	NRd	Rid. NRd da VEd	My,Ed	My,Rd	Rid. My,Rd da VEd	Rid. My,Rd da NEd	px	py	Verifica
1.418	SLD 10	0.048	1	-30.21	664.325	1	0.0396	15.4191	1		0	0	Si

Verifica a presso/tenso flessione deviata §§ 4.2.4.1.2.3 - 4.2.4.1.2.6 - 4.2.4.1.2.7 - 4.2.4.1.2.8 NTC18

Verifiche eseguite utilizzando la formula conservativa (6.2) §6.2.1 EN 1993-1-1:2005.

X	Comb.	Sfruttamento	Classe	NEd	NRd	Rid. NRd da VEd	Mx,Ed	Mx,Rd	My,Ed	My,Rd	Rid. Mx,Rd da VEd	Rid. Mx,Rd da NEd	Rid. My,Rd da VEd	Rid. My,Rd da NEd	α	β	px	py	Verifica
1.85	SLV 5	0.134	1	-69.304	664.325	1	-0.616	31.3291	0.1589	15.4191	1		1				0	0	Si

Verifica a presso/tenso flessione deviata SLD §§ 4.2.4.1.2.3 - 4.2.4.1.2.6 - 4.2.4.1.2.7 - 4.2.4.1.2.8 NTC18

Verifiche eseguite utilizzando la formula conservativa (6.2) §6.2.1 EN 1993-1-1:2005.

X	Comb.	Sfruttamento	Classe	NEd	NRd	Rid. NRd da VEd	Mx,Ed	Mx,Rd	My,Ed	My,Rd	Rid. Mx,Rd da VEd	Rid. Mx,Rd da NEd	Rid. My,Rd da VEd	Rid. My,Rd da NEd	α	β	px	py	Verifica
0.987	SLD 5	0.065	1	-37.936	664.325	1	-0.1364	31.3291	0.0499	15.4191	1		1				0	0	Si

Verifiche ad instabilità

Caratteristiche iniziali

Membratura principale per controllo snellezza; Calcolo di snellezze ed N critici condotti secondo gli assi principali;

Curva X: b; Curva Y: c; Svergolamento: Carico all'estradosso; Curva svergolamento: b;

Implementazione dei sistemi di confinamento delle emissioni odorigene diffuse dell'impianto di compostaggio esistente nel
Comune di Eboli (SA)
PROGETTO DEFINITIVO – Tabulati di calcolo Tomo 1

Dati per instabilità attorno a x

Controllo della snellezza secondo §4.2.4.1.3.1 NTC18

Numero rit.	Presente	Ascissa	Campata	$\beta x/m$	Vincolo a entrambi estremi	$\lambda x/m$	λVer
1	Si	0	1-2	1	Si	37.8	Si, (<200)
2	Si	1.85					

Dati per instabilità attorno a y

Controllo della snellezza secondo §4.2.4.1.3.1 NTC18

Numero rit.	Presente	Ascissa	Campata	$\beta y/n$	k,LT	kw,LT	Vincolo a entrambi estremi	$\lambda y/n$	λVer
1	Si	0	1-2	1	1	1	Si	61.3	Si, (<200)
2	Si	1.85							

Verifica di stabilità per tenso-flessione deviata §§ 5.5.3-5.5.4 ENV 1993-1-1:1992 + AC:1992 + A1:1994 + A2:1998

X	Comb.	Sfruttamento	Classe	NEd	Mx,Ed	Mx,Eff,Ed	My,Ed	χ_x,LT	kLT	ky	M,critico	Wx	Wy	Verifica
1.85	SLV 14	0.023	1	3.611	0.71459	0.60852	-0.04673	0.992	1	1	185.09178	0.0001196	0.0000589	Si

Verifica di stabilità per pressoflessione §C.4.2.4.1.3.3.2 NTC18

X	Comb.	Sfruttamento	Classe	NEd	NRk	Mx,Ed max	Mx,Rk	My,Ed max	My,Rk	χ_x,x	χ_x,y	kxx	kxy	kyy	χ_x,LT	Verifica	
0.863	SLV 5	0.174	1	-69.304	697.541	0.61601	32.89552	0.15892	16.19002	0.912	0.721	0.839	0.526	0.982	0.877	0.978	Si

Verifica di stabilità per pressoflessione SLD §C.4.2.4.1.3.3.2 NTC18

X	Comb.	Sfruttamento	Classe	NEd	NRk	Mx,Ed max	Mx,Rk	My,Ed max	My,Rk	χ_x,x	χ_x,y	kxx	kxy	kyy	χ_x,LT	Verifica	
1.85	SLD 5	0.088	1	-37.936	697.541	0.13943	32.89552	0.06771	16.19002	0.912	0.721	0.991	0.496	0.992	0.826	0.902	Si

Verifica di stabilità a taglio anima Y §4.2.4.1.2.4 [4.2.27] NTC18

η	hw	tw	hw/tw max	Verifica
1.2	0.098	0.005	55.46	Si

Verifica di stabilità a taglio anima Y SLD §4.2.4.1.2.4 [4.2.27] NTC18

η	hw	tw	hw/tw max	Verifica
1.2	0.098	0.005	55.46	Si

Verifiche a deformabilità

Mensola X: No; Mensola Y: No.

Frecce lungo X

Ascissa freccia	Combinazione	Freccia	Luce	L/f	L/f,min	Tipo	Verifica
0.987	SLE RA 1	-0.00001	1.85	10000	250	Totale	Si
0.987	SLE RA 17	-0.00001	1.85	10000	250	Totale	Si
0.987	SLE RA 16	-0.00001	1.85	10000	250	Totale	Si
1.048	SLE RA 15	-0.00002	1.85	10000	250	Totale	Si
0.925	SLE RA 14	-0.00001	1.85	10000	250	Totale	Si
1.048	SLE RA 2	0	1.85	10000	350	Variabile	Si
1.048	SLE RA 17	0	1.85	10000	350	Variabile	Si
1.048	SLE RA 16	0	1.85	10000	350	Variabile	Si
1.048	SLE RA 15	-0.00001	1.85	10000	350	Variabile	Si
1.11	SLE RA 14	0	1.85	10000	350	Variabile	Si

Frecce lungo Y

Ascissa freccia	Combinazione	Freccia	Luce	L/f	L/f,min	Tipo	Verifica
1.295	SLE RA 1	0.00002	1.85	10000	250	Totale	Si
1.233	SLE RA 17	0.00003	1.85	10000	250	Totale	Si
1.172	SLE RA 16	0.00004	1.85	10000	250	Totale	Si
1.357	SLE RA 15	0.00001	1.85	10000	250	Totale	Si
1.172	SLE RA 14	0.00006	1.85	10000	250	Totale	Si
1.048	SLE RA 2	-0.00002	1.85	10000	350	Variabile	Si
1.048	SLE RA 17	0.00001	1.85	10000	350	Variabile	Si
1.048	SLE RA 16	0.00002	1.85	10000	350	Variabile	Si
1.048	SLE RA 15	-0.00001	1.85	10000	350	Variabile	Si
1.048	SLE RA 14	0.00004	1.85	10000	350	Variabile	Si

Superelemento in acciaio a quota "640" (1634; 2017)-(1744; 1913)

Caratteristiche del materiale

Acciaio: S275, fyk = 275000

Caratteristiche geometriche

Lunghezza: 1.512

Nodo iniziale: 1069 Nodo finale: 1045

Cerniera iniziale: Mmomenti 1% Cerniera finale: Mmomenti 1%

Sovraresistenza: 0% Sisma Z: No

Caratteristiche della sezione

Sezione	Rotazione	Area	Jx	Jy	ix	iy	Wx	Wy	Wplx	Wply
A1; L100*10; 1; Saldato; S275; 30; 1; 8; 8; 1	180	0.003832	0.0000035319	0.000007759	0.0304	0.045	0.0000492	0.0000739	0.00008974	0.00012727

Comportamento dei calastrelli

Accoppiamento imbottito con funzione statica (§C4.2.4.1.3.1.4 NTC18) nella campata compresa tra le ascisse 0 e 1.512 per sbandamento attorno all'asse y.

Implementazione dei sistemi di confinamento delle emissioni odorigene diffuse dell'impianto di compostaggio esistente nel
Comune di Eboli (SA)
PROGETTO DEFINITIVO – Tabulati di calcolo Tomo 1

Verifiche di resistenza

Verifiche a forza assiale §4.2.4.1.2.1 - §4.2.4.1.2.2 NTC18

X	Comb.	Sfruttamento	Classe	NEd	Nc,Rd	Nt,Rd	Riduzione da taglio	px	py	Verifica
1.512	SLU 75	0.001		0.858		1003.522	1	0	0	Si

Verifiche a forza assiale SLD §4.2.4.1.2.1 - §4.2.4.1.2.2 NTC18

X	Comb.	Sfruttamento	Classe	NEd	Nc,Rd	Nt,Rd	Riduzione da taglio	px	py	Verifica
1.512	SLD 10	0		0.494		1003.522	1	0	0	Si

Verifica a taglio Y §4.2.4.1.2.4 NTC18

X	Comb.	Sfruttamento	VEd	Vc,Rd	Av	Interazione taglio-torsione	Riduzione torsione	Verifica
1.512	SLU 63	0.001	0.312	302.422	0.002	Non considerata		Si

Verifica a taglio Y SLD §4.2.4.1.2.4 NTC18

X	Comb.	Sfruttamento	VEd	Vc,Rd	Av	Interazione taglio-torsione	Riduzione torsione	Verifica
1.512	SLD 12	0.001	0.241	302.422	0.002	Non considerata		Si

Verifica a flessione semplice X §§ 4.2.4.1.2.3 - 4.2.4.1.2.6 - 4.2.4.1.2.7 - 4.2.4.1.2.8 NTC18

X	Comb.	Sfruttamento	Classe	Mx,Ed	Mx,Rd	Rid. Mx,Rd da VEd	px	py	Verifica
0.756	SLU 42	0.005	1	0.11207	23.50374	1	0	0	Si

Verifica a flessione semplice X SLD §§ 4.2.4.1.2.3 - 4.2.4.1.2.6 - 4.2.4.1.2.7 - 4.2.4.1.2.8 NTC18

X	Comb.	Sfruttamento	Classe	Mx,Ed	Mx,Rd	Rid. Mx,Rd da VEd	px	py	Verifica
1.008	SLD 3	0.003	1	0.07469	23.50374	1	0	0	Si

Verifica a flessione semplice Y §§ 4.2.4.1.2.3 - 4.2.4.1.2.6 - 4.2.4.1.2.7 - 4.2.4.1.2.8 NTC18

X	Comb.	Sfruttamento	Classe	My,Ed	My,Rd	Rid. My,Rd da VEd	px	py	Verifica
1.31	SLV 12	0.002	1	0.05812	33.33162	1	0	0	Si

Verifica a flessione semplice Y SLD §§ 4.2.4.1.2.3 - 4.2.4.1.2.6 - 4.2.4.1.2.7 - 4.2.4.1.2.8 NTC18

X	Comb.	Sfruttamento	Classe	My,Ed	My,Rd	Rid. My,Rd da VEd	px	py	Verifica
1.411	SLD 11	0.001	1	0.02884	33.33162	1	0	0	Si

Verifica a flessione deviata §§ 4.2.4.1.2.3 - 4.2.4.1.2.6 - 4.2.4.1.2.7 - 4.2.4.1.2.8 NTC18

X	Comb.	Sfruttamento	Classe	Mx,Ed	Mx,Rd	My,Ed	My,Rd	Rid. Mx,Rd da VEd	Rid. My,Rd da VEd	α	β	px	py	Verifica
0.756	SLV 1	0.006	1	0.0968	23.5037	-0.0519	33.3316	1	1			0	0	Si

Verifica a flessione deviata SLD §§ 4.2.4.1.2.3 - 4.2.4.1.2.6 - 4.2.4.1.2.7 - 4.2.4.1.2.8 NTC18

X	Comb.	Sfruttamento	Classe	Mx,Ed	Mx,Rd	My,Ed	My,Rd	Rid. Mx,Rd da VEd	Rid. My,Rd da VEd	α	β	px	py	Verifica
0.705	SLD 1	0.004	1	0.0874	23.5037	-0.0209	33.3316	1	1			0	0	Si

Verifica a presso/tenso flessione retta X §§ 4.2.4.1.2.3 - 4.2.4.1.2.6 - 4.2.4.1.2.7 - 4.2.4.1.2.8 NTC18

Verifiche eseguite utilizzando la formula conservativa (6.2) §6.2.1 EN 1993-1-1:2005.

X	Comb.	Sfruttamento	Classe	NEd	NRd	Rid. NRd da VEd	Mx,Ed	Mx,Rd	Rid. Mx,Rd da VEd	Rid. Mx,Rd da NEd	px	py	Verifica
0.756	SLU 76	0.005	1	0.74	1003.522	1	0.11	23.5037	1		0	0	Si

Verifica a presso/tenso flessione retta X SLD §§ 4.2.4.1.2.3 - 4.2.4.1.2.6 - 4.2.4.1.2.7 - 4.2.4.1.2.8 NTC18

Verifiche eseguite utilizzando la formula conservativa (6.2) §6.2.1 EN 1993-1-1:2005.

X	Comb.	Sfruttamento	Classe	NEd	NRd	Rid. NRd da VEd	Mx,Ed	Mx,Rd	Rid. Mx,Rd da VEd	Rid. Mx,Rd da NEd	px	py	Verifica
0.957	SLD 9	0.004	1	0.494	1003.522	1	0.0798	23.5037	1		0	0	Si

Verifica a presso/tenso flessione retta Y §§ 4.2.4.1.2.3 - 4.2.4.1.2.6 - 4.2.4.1.2.7 - 4.2.4.1.2.8 NTC18

Verifiche eseguite utilizzando la formula conservativa (6.2) §6.2.1 EN 1993-1-1:2005.

X	Comb.	Sfruttamento	Classe	NEd	NRd	Rid. NRd da VEd	My,Ed	My,Rd	Rid. My,Rd da VEd	Rid. My,Rd da NEd	px	py	Verifica
0	SLV 9	0.003	1	0.84	1003.522	1	-0.0708	33.3316	1		0	0	Si

Verifica a presso/tenso flessione retta Y SLD §§ 4.2.4.1.2.3 - 4.2.4.1.2.6 - 4.2.4.1.2.7 - 4.2.4.1.2.8 NTC18

Verifiche eseguite utilizzando la formula conservativa (6.2) §6.2.1 EN 1993-1-1:2005.

X	Comb.	Sfruttamento	Classe	NEd	NRd	Rid. NRd da VEd	My,Ed	My,Rd	Rid. My,Rd da VEd	Rid. My,Rd da NEd	px	py	Verifica
0	SLD 9	0.001	1	0.494	1003.522	1	-0.0329	33.3316	1		0	0	Si

Verifica a presso/tenso flessione deviata §§ 4.2.4.1.2.3 - 4.2.4.1.2.6 - 4.2.4.1.2.7 - 4.2.4.1.2.8 NTC18

Verifiche eseguite utilizzando la formula conservativa (6.2) §6.2.1 EN 1993-1-1:2005.

X	Comb.	Sfruttamento	Classe	NEd	NRd	Rid. NRd da VEd	Mx,Ed	Mx,Rd	My,Ed	My,Rd	Rid. Mx,Rd da VEd	Rid. Mx,Rd da NEd	Rid. My,Rd da VEd	Rid. My,Rd da NEd	α	β	px	py	Verifica
0.756	SLV 6	0.006	1	0.621	1003.522	1	0.0987	23.5037	-0.0514	33.3316	1		1				0	0	Si

Verifica a presso/tenso flessione deviata SLD §§ 4.2.4.1.2.3 - 4.2.4.1.2.6 - 4.2.4.1.2.7 - 4.2.4.1.2.8 NTC18

Verifiche eseguite utilizzando la formula conservativa (6.2) §6.2.1 EN 1993-1-1:2005.

X	Comb.	Sfruttamento	Classe	NEd	NRd	Rid. NRd da VEd	Mx,Ed	Mx,Rd	My,Ed	My,Rd	Rid. Mx,Rd da VEd	Rid. Mx,Rd da NEd	Rid. My,Rd da VEd	Rid. My,Rd da NEd	α	β	px	py	Verifica
0.705	SLD 6	0.005	1	0.413	1003.522	1	0.088	23.5037	-0.0207	33.3316	1		1				0	0	Si

Verifiche ad instabilità

Caratteristiche iniziali

Membratura principale per controllo snellezza; Calcolo di snellezze ed N critici condotti secondo gli assi principali;

Curva X: c; Curva Y: c;

Svergolamento: Nessuno; la verifica a instabilità flesso-torsionale (svergolamento) non verrà eseguita.

Dati per instabilità attorno a x

Controllo della snellezza secondo §4.2.4.1.3.1 NTC18

Implementazione dei sistemi di confinamento delle emissioni odorigene diffuse dell'impianto di compostaggio esistente nel
Comune di Eboli (SA)
PROGETTO DEFINITIVO – Tabulati di calcolo Tomo 1

Numero rit.	Presente	Ascissa	Campata	$\beta x/m$	Vincolo a entrambi estremi	$\lambda x/m$	λVer
1	Si	0	1-2	1	Si	49.8	Si, (<200)
2	Si	1.512					

Dati per instabilità attorno a y

Controllo della snellezza secondo §4.2.4.1.3.1 NTC18

Numero rit.	Presente	Ascissa	Campata	$\beta y/n$	k,LT	kw,LT	Vincolo a entrambi estremi
1	Si	0	1-2	1	Si	35	Si, (<200)
2	Si	1.512					

Verifica di stabilità per pressoflessione §C.4.2.4.1.3.3.1 NTC18

X	Comb.	Sfruttamento	Classe	NEd	MxEq,Ed	MyEq,Ed	Area	Wx	Wy	χ_{min}	λ adim. x/m	λ adim. y/n	N,crit x/m	N,crit y/n	Verifica
0.907	SLV 2	0.006	1	0	0.0884	-0.0672	0.003832	0.0000897	0.0001273	0.801	0.574	0.403	3203.003	6476.195	Si

Verifica di stabilità per pressoflessione SLD §C.4.2.4.1.3.3.1 NTC18

X	Comb.	Sfruttamento	Classe	NEd	MxEq,Ed	MyEq,Ed	Area	Wx	Wy	χ_{min}	λ adim. x/m	λ adim. y/n	N,crit x/m	N,crit y/n	Verifica
0	SLD 1	0.004	1	0	0.0768	-0.026	0.003832	0.0000897	0.0001273	0.801	0.574	0.403	3203.003	6476.195	Si

Verifiche a deformabilità

Mensola X: No; Mensola Y: No.

Frecce lungo X

Ascissa freccia	Combinazione	Freccia	Luce	L/f	L/f,min	Tipo	Verifica
1.109	SLE RA 1	0	1.512	10000	250	Totale	Si
1.109	SLE RA 17	0	1.512	10000	250	Totale	Si
1.109	SLE RA 16	0	1.512	10000	250	Totale	Si
1.109	SLE RA 15	0	1.512	10000	250	Totale	Si
1.109	SLE RA 14	0	1.512	10000	250	Totale	Si
1.109	SLE RA 2	0	1.512	10000	350	Variabile	Si
1.109	SLE RA 17	0	1.512	10000	350	Variabile	Si
1.109	SLE RA 16	0	1.512	10000	350	Variabile	Si
1.058	SLE RA 15	0	1.512	10000	350	Variabile	Si
1.109	SLE RA 14	0	1.512	10000	350	Variabile	Si

Frecce lungo Y

Ascissa freccia	Combinazione	Freccia	Luce	L/f	L/f,min	Tipo	Verifica
0.756	SLE RA 1	0.00003	1.512	10000	250	Totale	Si
0.756	SLE RA 17	0.00003	1.512	10000	250	Totale	Si
0.756	SLE RA 16	0.00003	1.512	10000	250	Totale	Si
0.756	SLE RA 15	0.00003	1.512	10000	250	Totale	Si
0.756	SLE RA 14	0.00003	1.512	10000	250	Totale	Si
1.159	SLE RA 2	0	1.512	10000	350	Variabile	Si
1.159	SLE RA 17	0	1.512	10000	350	Variabile	Si
1.159	SLE RA 16	0	1.512	10000	350	Variabile	Si
0.806	SLE RA 15	0	1.512	10000	350	Variabile	Si
0.957	SLE RA 14	0	1.512	10000	350	Variabile	Si

Superelemento in acciaio a quota "640" (1670; 2494)-(1779; 2391)

Caratteristiche del materiale

Acciaio: S275, fyk = 275000

Caratteristiche geometriche

Lunghezza: 1.5

Nodo iniziale: 1272 Nodo finale: 1206

Cerniera iniziale: Mmomenti 1% Cerniera finale: Mmomenti 1%

Sovraresistenza: 0% Sisma Z: No

Caratteristiche della sezione

Sezione	Rotazione	Area	Jx	Jy	ix	iy	Wx	Wy	Wplx	Wply
A1; L100*10; 1; Saldato; S275; 30; 1; 8; 8; 1	180	0.003832	0.0000035319	0.000007759	0.0304	0.045	0.0000492	0.0000739	0.00008974	0.00012727

Comportamento dei calastrelli

Accoppiamento imbottito con funzione statica (§C4.2.4.1.3.1.4 NTC18) nella campata compresa tra le ascisse 0 e 1.5 per sbandamento attorno all'asse y.

Verifiche di resistenza

Verifiche a forza assiale §4.2.4.1.2.1 - §4.2.4.1.2.2 NTC18

X	Comb.	Sfruttamento	Classe	NEd	Nc,Rd	Nt,Rd	Riduzione da taglio	px	py	Verifica
0.6	SLU 76	0.363		364.504		1003.522	1	0	0	Si

Verifiche a forza assiale SLD §4.2.4.1.2.1 - §4.2.4.1.2.2 NTC18

X	Comb.	Sfruttamento	Classe	NEd	Nc,Rd	Nt,Rd	Riduzione da taglio	px	py	Verifica
1.5	SLD 4	0.15		150.381		1003.522	1	0	0	Si

Verifica a taglio Y §4.2.4.1.2.4 NTC18

X	Comb.	Sfruttamento	VEd	Vc,Rd	Av	Interazione taglio-torsione	Riduzione torsione	Verifica
0	SLU 76	0.001	-0.295	302.422	0.002	Non considerata		Si

**Implementazione dei sistemi di confinamento delle emissioni odorigene diffuse dell'impianto di compostaggio esistente nel
Comune di Eboli (SA)
PROGETTO DEFINITIVO – Tabulati di calcolo Tomo 1**

Verifica a taglio Y SLD §4.2.4.1.2.4 NTC18

X	Comb.	Sfruttamento	VEd	Vc,Rd	Av	Interazione taglio-torsione	Riduzione torsione	Verifica
0	SLD 4	0.001	-0.226	302.422	0.002	Non considerata		Si

Verifica a presso/tenso flessione retta X §§ 4.2.4.1.2.3 - 4.2.4.1.2.6 - 4.2.4.1.2.7 - 4.2.4.1.2.8 NTC18

Verifiche eseguite utilizzando la formula conservativa (6.2) §6.2.1 EN 1993-1-1:2005.

X	Comb.	Sfruttamento	Classe	NEd	NRd	Rid. NRd da VEd	Mx,Ed	Mx,Rd	Rid. Mx,Rd da VEd	Rid. Mx,Rd da NEd	px	py	Verifica
0.8	SLU 76	0.368	1	364.504	1003.522	1	0.1134	23.5037	1		0	0	Si

Verifica a presso/tenso flessione retta X SLD §§ 4.2.4.1.2.3 - 4.2.4.1.2.6 - 4.2.4.1.2.7 - 4.2.4.1.2.8 NTC18

Verifiche eseguite utilizzando la formula conservativa (6.2) §6.2.1 EN 1993-1-1:2005.

X	Comb.	Sfruttamento	Classe	NEd	NRd	Rid. NRd da VEd	Mx,Ed	Mx,Rd	Rid. Mx,Rd da VEd	Rid. Mx,Rd da NEd	px	py	Verifica
0.75	SLD 7	0.153	1	150.226	1003.522	1	0.0859	23.5037	1		0	0	Si

Verifica a presso/tenso flessione retta Y §§ 4.2.4.1.2.3 - 4.2.4.1.2.6 - 4.2.4.1.2.7 - 4.2.4.1.2.8 NTC18

Verifiche eseguite utilizzando la formula conservativa (6.2) §6.2.1 EN 1993-1-1:2005.

X	Comb.	Sfruttamento	Classe	NEd	NRd	Rid. NRd da VEd	My,Ed	My,Rd	Rid. My,Rd da VEd	Rid. My,Rd da NEd	px	py	Verifica
0	SLU 76	0.364	1	364.504	1003.522	1	-0.014	33.3316	1		0	0	Si

Verifica a presso/tenso flessione retta Y SLD §§ 4.2.4.1.2.3 - 4.2.4.1.2.6 - 4.2.4.1.2.7 - 4.2.4.1.2.8 NTC18

Verifiche eseguite utilizzando la formula conservativa (6.2) §6.2.1 EN 1993-1-1:2005.

X	Comb.	Sfruttamento	Classe	NEd	NRd	Rid. NRd da VEd	My,Ed	My,Rd	Rid. My,Rd da VEd	Rid. My,Rd da NEd	px	py	Verifica
1.5	SLD 3	0.15	1	150.381	1003.522	1	-0.0132	33.3316	1		0	0	Si

Verifica a presso/tenso flessione deviata §§ 4.2.4.1.2.3 - 4.2.4.1.2.6 - 4.2.4.1.2.7 - 4.2.4.1.2.8 NTC18

Verifiche eseguite utilizzando la formula conservativa (6.2) §6.2.1 EN 1993-1-1:2005.

X	Comb.	Sfruttamento	Classe	NEd	NRd	Rid. NRd da VEd	Mx,Ed	Mx,Rd	My,Ed	My,Rd	Rid. Mx,Rd da VEd	Rid. Mx,Rd da NEd	Rid. My,Rd da VEd	Rid. My,Rd da NEd	α	β	px	py	Verifica
0.75	SLU 76	0.368	1	364.504	1003.522	1	0.1138	23.5037	-0.0074	33.3316	1		1				0	0	Si

Verifica a presso/tenso flessione deviata SLD §§ 4.2.4.1.2.3 - 4.2.4.1.2.6 - 4.2.4.1.2.7 - 4.2.4.1.2.8 NTC18

Verifiche eseguite utilizzando la formula conservativa (6.2) §6.2.1 EN 1993-1-1:2005.

X	Comb.	Sfruttamento	Classe	NEd	NRd	Rid. NRd da VEd	Mx,Ed	Mx,Rd	My,Ed	My,Rd	Rid. Mx,Rd da VEd	Rid. Mx,Rd da NEd	Rid. My,Rd da VEd	Rid. My,Rd da NEd	α	β	px	py	Verifica
0.6	SLD 4	0.154	1	150.381	1003.522	1	0.0824	23.5037	-0.0184	33.3316	1		1				0	0	Si

Verifiche ad instabilità

Caratteristiche iniziali

Membratura principale per controllo snellezza; Calcolo di snellezze ed N critici condotti secondo gli assi principali;

Curva X: c; Curva Y: c;

Svergolamento: Nessuno; la verifica a instabilità flesso-torsionale (svergolamento) non verrà eseguita.

Dati per instabilità attorno a x

Controllo della snellezza secondo §4.2.4.1.3.1 NTC18

Numero rit.	Presente	Ascissa	Campata	βx/m	Vincolo a entrambi estremi	λx/m	λVer
1	Si		0				
			1-2		1	49.4	Si, (<200)
2	Si	1.5					

Dati per instabilità attorno a y

Controllo della snellezza secondo §4.2.4.1.3.1 NTC18

Numero rit.	Presente	Ascissa	Campata	βy/n	k,LT	kw,LT	Vincolo a entrambi estremi
1	Si		0				
			1-2		1	34.8	Si, (<200)
2	Si	1.5					

Verifica di stabilità per pressoflessione §C.4.2.4.1.3.3.1 NTC18

X	Comb.	Sfruttamento	Classe	NEd	MxEq,Ed	MyEq,Ed	Area	Wx	Wy	x,min	λ adim. x/m	λ adim. y/n	N,crit x/m	N,crit y/n	Verifica
0	SLU 2	0.018	3	-9.373	0.0723	0.0222	0.003832	0.0000492	0.0000739	0.804	0.569	0.4	3253.47	6569.993	Si

Verifiche a deformabilità

Mensola X: No; Mensola Y: No.

Frecce lungo X

Ascissa freccia	Combinazione	Freccia	Luce	L/f	L/f,min	Tipo	Verifica
0.65	SLE RA 1	0	1.5	10000	250	Totale	Si
0.65	SLE RA 17	0	1.5	10000	250	Totale	Si
0.65	SLE RA 16	0	1.5	10000	250	Totale	Si
0.65	SLE RA 15	0	1.5	10000	250	Totale	Si
0.65	SLE RA 14	0	1.5	10000	250	Totale	Si
0.7	SLE RA 2	0	1.5	10000	350	Variabile	Si
0.7	SLE RA 17	0	1.5	10000	350	Variabile	Si
0.7	SLE RA 16	0	1.5	10000	350	Variabile	Si
0.65	SLE RA 15	0	1.5	10000	350	Variabile	Si
0.7	SLE RA 14	0	1.5	10000	350	Variabile	Si

Frecce lungo Y

Ascissa freccia	Combinazione	Freccia	Luce	L/f	L/f,min	Tipo	Verifica
0.75	SLE RA 1	0.00003	1.5	10000	250	Totale	Si
0.75	SLE RA 17	0.00003	1.5	10000	250	Totale	Si
0.75	SLE RA 16	0.00003	1.5	10000	250	Totale	Si
0.75	SLE RA 15	0.00003	1.5	10000	250	Totale	Si
0.75	SLE RA 14	0.00003	1.5	10000	250	Totale	Si
0.8	SLE RA 2	0	1.5	10000	350	Variabile	Si
0.8	SLE RA 17	0	1.5	10000	350	Variabile	Si

Implementazione dei sistemi di confinamento delle emissioni odorigene diffuse dell'impianto di compostaggio esistente nel
Comune di Eboli (SA)
PROGETTO DEFINITIVO – Tabulati di calcolo Tomo 1

Ascissa freccia	Combinazione	Freccia	Luce	L/f	L/f,min	Tipo	Verifica
0.8	SLE RA 16	0	1.5	10000	350	Variabile	Si
0.8	SLE RA 15	0	1.5	10000	350	Variabile	Si
0.8	SLE RA 14	0	1.5	10000	350	Variabile	Si

Superelemento in acciaio a quota "640" (1745; 1914)-(1872; 2048)

Caratteristiche del materiale

Acciaio: S275, fyk = 275000

Caratteristiche geometriche

Lunghezza: 1.85

Nodo iniziale: 1047 Nodo finale: 1074

Cerniera iniziale: No Cerniera finale: No

Sovreresistenza: 0% Sisma Z: No

Caratteristiche della sezione

Sezione	Rotazione	Area	Jx	Jy	ix	iy	Wx	Wy	Wplx	Wply
HEA120	0	0.002537	0.0000060673	0.0000023091	0.0489	0.0302	0.00010644	0.00003849	0.00011962	0.00005887

Verifiche di resistenza

Verifiche a forza assiale §4.2.4.1.2.1 - §4.2.4.1.2.2 NTC18

X	Comb.	Sfruttamento	Classe	NEd	Nc,Rd	Nt,Rd	Riduzione da taglio	px	py	Verifica
1.85	SLV 5	0.121	1	-80.287	664.325		1	0	0	Si

Verifiche a forza assiale SLD §4.2.4.1.2.1 - §4.2.4.1.2.2 NTC18

X	Comb.	Sfruttamento	Classe	NEd	Nc,Rd	Nt,Rd	Riduzione da taglio	px	py	Verifica
1.665	SLD 6	0.048	1	-31.935	664.325		1	0	0	Si

Verifica a taglio Y §4.2.4.1.2.4 NTC18

X	Comb.	Sfruttamento	VEd	Vc,Rd	Av	Interazione taglio-torsione	Riduzione torsione	Verifica
0	SLU 75	0.01	1.295	126.813	0.000849	Considerata	0.99	Si

Verifica a taglio Y SLD §4.2.4.1.2.4 NTC18

X	Comb.	Sfruttamento	VEd	Vc,Rd	Av	Interazione taglio-torsione	Riduzione torsione	Verifica
0	SLD 5	0.004	0.563	127.892	0.000849	Considerata	1	Si

Verifica a torsione §4.2.4.1.2.5 NTC18

X	Comb.	Sfruttamento torsione	TEd	TRd	Riduzione taglio resistente	Sfruttamento taglio-torsione	τEd,totale	τRd	Verifica
0	SLU 75	0.029	0.0246	0.85138	Considerata				Si

Verifica a torsione SLD §4.2.4.1.2.5 NTC18

X	Comb.	Sfruttamento torsione	TEd	TRd	Riduzione taglio resistente	Sfruttamento torsione	τEd,totale	τRd	Verifica
1.85	SLD 11	0.01	0.00863	0.85138	Considerata				Si

Verifica a flessione semplice X §§ 4.2.4.1.2.3 - 4.2.4.1.2.6 - 4.2.4.1.2.7 - 4.2.4.1.2.8 NTC18

X	Comb.	Sfruttamento	Classe	Mx,Ed	Mx,Rd	Rid. Mx,Rd da VEd	px	py	Verifica
1.48	SLU 60	0.018	1	-0.56072	31.32907	1	0	0	Si

Verifica a flessione deviata §§ 4.2.4.1.2.3 - 4.2.4.1.2.6 - 4.2.4.1.2.7 - 4.2.4.1.2.8 NTC18

X	Comb.	Sfruttamento	Classe	Mx,Ed	Mx,Rd	My,Ed	My,Rd	Rid. Mx,Rd da VEd	Rid. My,Rd da VEd	α	β	px	py	Verifica
0	SLU 60	0.027	1	0.791	31.3291	-0.0286	15.4191	1	1			0	0	Si

Verifica a presso/tenso flessione retta X §§ 4.2.4.1.2.3 - 4.2.4.1.2.6 - 4.2.4.1.2.7 - 4.2.4.1.2.8 NTC18

Verifiche eseguite utilizzando la formula conservativa (6.2) §6.2.1 EN 1993-1-1:2005.

X	Comb.	Sfruttamento	Classe	NEd	NRd	Rid. NRd da VEd	Mx,Ed	Mx,Rd	Rid. Mx,Rd da VEd	Rid. Mx,Rd da NEd	px	py	Verifica
0	SLU 73	0.039	1	-12.683	664.325	1	0.6156	31.3291	1	1	0	0	Si

Verifica a presso/tenso flessione retta X SLD §§ 4.2.4.1.2.3 - 4.2.4.1.2.6 - 4.2.4.1.2.7 - 4.2.4.1.2.8 NTC18

Verifiche eseguite utilizzando la formula conservativa (6.2) §6.2.1 EN 1993-1-1:2005.

X	Comb.	Sfruttamento	Classe	NEd	NRd	Rid. NRd da VEd	Mx,Ed	Mx,Rd	Rid. Mx,Rd da VEd	Rid. Mx,Rd da NEd	px	py	Verifica
1.295	SLD 6	0.064	1	-31.935	664.325	1	-0.4949	31.3291	1	1	0	0	Si

Verifica a presso/tenso flessione retta Y §§ 4.2.4.1.2.3 - 4.2.4.1.2.6 - 4.2.4.1.2.7 - 4.2.4.1.2.8 NTC18

Verifiche eseguite utilizzando la formula conservativa (6.2) §6.2.1 EN 1993-1-1:2005.

X	Comb.	Sfruttamento	Classe	NEd	NRd	Rid. NRd da VEd	My,Ed	My,Rd	Rid. My,Rd da VEd	Rid. My,Rd da NEd	px	py	Verifica
0.493	SLU 76	0.027	1	-16.892	664.325	1	0.0183	15.4191	1	1	0	0	Si

Verifica a presso/tenso flessione retta Y SLD §§ 4.2.4.1.2.3 - 4.2.4.1.2.6 - 4.2.4.1.2.7 - 4.2.4.1.2.8 NTC18

Verifiche eseguite utilizzando la formula conservativa (6.2) §6.2.1 EN 1993-1-1:2005.

X	Comb.	Sfruttamento	Classe	NEd	NRd	Rid. NRd da VEd	My,Ed	My,Rd	Rid. My,Rd da VEd	Rid. My,Rd da NEd	px	py	Verifica
0.062	SLD 1	0.051	1	-31.026	664.325	1	0.0641	15.4191	1	1	0	0	Si

Verifica a presso/tenso flessione deviata §§ 4.2.4.1.2.3 - 4.2.4.1.2.6 - 4.2.4.1.2.7 - 4.2.4.1.2.8 NTC18

Verifiche eseguite utilizzando la formula conservativa (6.2) §6.2.1 EN 1993-1-1:2005.

X	Comb.	Sfruttamento	Classe	NEd	NRd	Rid. NRd da VEd	Mx,Ed	Mx,Rd	My,Ed	My,Rd	Rid. Mx,Rd da VEd	Rid. Mx,Rd da NEd	Rid. My,Rd da VEd	Rid. My,Rd da NEd	α	β	px	py	Verifica
1.85	SLV 6	0.163	1	-80.287	664.325	1	-1.0926	31.3291	-0.119	15.4191	1	1	1	1			0	0	Si

Implementazione dei sistemi di confinamento delle emissioni odorigene diffuse dell'impianto di compostaggio esistente nel
Comune di Eboli (SA)
PROGETTO DEFINITIVO – Tabulati di calcolo Tomo 1

Verifica a presso/tenso flessione deviata SLD §§ 4.2.4.1.2.3 - 4.2.4.1.2.6 - 4.2.4.1.2.7 - 4.2.4.1.2.8 NTC18

Verifiche eseguite utilizzando la formula conservativa (6.2) §6.2.1 EN 1993-1-1:2005.

X	Comb.	Sfruttamento	Classe	NEd	NRd	Rid. NRd da VEd	Mx,Ed	Mx,Rd	My,Ed	My,Rd	Rid. Mx,Rd da VEd	Rid. Mx,Rd da NEd	Rid. My,Rd da VEd	Rid. My,Rd da NEd	α	β	px	py	Verifica
1.85	SLD 5	0.07	1	-31.935	664.325	1	-0.6163	31.3291	-0.0398	15.4191	1		1				0	0	Si

Verifiche ad instabilità

Caratteristiche iniziali

Membratura principale per controllo snellezza; Calcolo di snellezza ed N critici condotti secondo gli assi principali;
Curva X: b; Curva Y: c; Svergolamento: Carico all'estradosso; Curva svergolamento: b;

Dati per instabilità attorno a x

Controllo della snellezza secondo §4.2.4.1.3.1 NTC18

Numero rit.	Presente	Ascissa	Campata	βx/m	Vincolo a entrambi estremi	λx/m	λVer
1	Si		0				
			1-2	1	Si	37.8	Si, (<200)
2	Si		1.85				

Dati per instabilità attorno a y

Controllo della snellezza secondo §4.2.4.1.3.1 NTC18

Numero rit.	Presente	Ascissa	Campata	βy/n	k,LT	kw,LT	Vincolo a entrambi estremi	λy/n	λVer
1	Si		0						
			1-2	1	1	1	Si	61.3	Si, (<200)
2	Si		1.85						

Verifica a svergolamento con trazione §4.2.4.1.3.2 NTC18 § 5.5.3 ENV 1993-1-1:1992 + AC:1992 + A1:1994 + A2:1998

X	Comb.	Sfruttamento	Classe	Obblig.	NEd	Mx,Ed	Mx,Eff,Ed	Mb,Rd,x	χ,LT	λ adim. LT	L,LT	M,critico	Verifica
1.48	SLU 6	0.019	1	Si	0.311	-0.5447	-0.53557	28.25853	0.902	0.633	1.85	82.10616	Si

Verifica di stabilità per tenso-flessione deviata §§ 5.5.3-5.5.4 ENV 1993-1-1:1992 + AC:1992 + A1:1994 + A2:1998

X	Comb.	Sfruttamento	Classe	NEd	Mx,Ed	Mx,Eff,Ed	My,Ed	χ,LT	kLT	ky	M,critico	Wx	Wy	Verifica
1.85	SLU 6	0.029	1	0.311	-0.80226	-0.79313	0.01188	0.902	1	1	82.10616	0.0001196	0.0000589	Si

Verifica di stabilità per tenso-flessione deviata SLD §§ 5.5.3-5.5.4 ENV 1993-1-1:1992 + AC:1992 + A1:1994 + A2:1998

X	Comb.	Sfruttamento	Classe	NEd	Mx,Ed	Mx,Eff,Ed	My,Ed	χ,LT	kLT	ky	M,critico	Wx	Wy	Verifica
0	SLD 13	0.008	1	8.27	0.41653	0.17359	-0.03083	0.902	1	1	82.10616	0.0001196	0.0000589	Si

Verifica di stabilità per pressoflessione §C.4.2.4.1.3.3.2 NTC18

X	Comb.	Sfruttamento	Classe	NEd	NRk	Mx,Ed max	Mx,Rk	My,Ed max	My,Rk	χ,x	χ,y	kxx	kxy	kyy	χ,LT	Verifica	
1.788	SLV 6	0.209	1	-80.287	697.541	1.09262	32.89552	0.18912	16.19002	0.912	0.721	0.86	0.273	0.98	0.454	0.967	Si

Verifica di stabilità per pressoflessione SLD §C.4.2.4.1.3.3.2 NTC18

X	Comb.	Sfruttamento	Classe	NEd	NRk	Mx,Ed max	Mx,Rk	My,Ed max	My,Rk	χ,x	χ,y	kxx	kxy	kyy	χ,LT	Verifica	
1.727	SLD 6	0.09	1	-31.935	697.541	0.61626	32.89552	0.07047	16.19002	0.912	0.721	0.703	0.253	0.989	0.422	0.902	Si

Verifica di stabilità a taglio anima Y §4.2.4.1.2.4 [4.2.27] NTC18

η	hw	tw	hw/tw max	Verifica
1.2	0.098	0.005	55.46	Si

Verifica di stabilità a taglio anima Y SLD §4.2.4.1.2.4 [4.2.27] NTC18

η	hw	tw	hw/tw max	Verifica
1.2	0.098	0.005	55.46	Si

Verifiche a deformabilità

Mensola X: No; Mensola Y: No.

Frecce lungo X

Ascissa freccia	Combinazione	Freccia	Luce	L/f	L/f,min	Tipo	Verifica
0.987	SLE RA 1	0	1.85	10000	250	Totale	Si
1.048	SLE RA 17	-0.00001	1.85	10000	250	Totale	Si
1.048	SLE RA 16	-0.00001	1.85	10000	250	Totale	Si
0.925	SLE RA 15	-0.00001	1.85	10000	250	Totale	Si
1.418	SLE RA 14	0	1.85	10000	250	Totale	Si
1.172	SLE RA 2	0	1.85	10000	350	Variabile	Si
1.172	SLE RA 17	0	1.85	10000	350	Variabile	Si
1.172	SLE RA 16	0	1.85	10000	350	Variabile	Si
0.863	SLE RA 15	-0.00001	1.85	10000	350	Variabile	Si
0.678	SLE RA 14	0	1.85	10000	350	Variabile	Si

Frecce lungo Y

Ascissa freccia	Combinazione	Freccia	Luce	L/f	L/f,min	Tipo	Verifica
1.233	SLE RA 1	-0.00004	1.85	10000	250	Totale	Si
1.233	SLE RA 17	-0.00005	1.85	10000	250	Totale	Si
1.233	SLE RA 16	-0.00007	1.85	10000	250	Totale	Si
1.172	SLE RA 15	-0.00006	1.85	10000	250	Totale	Si
1.295	SLE RA 14	-0.00006	1.85	10000	250	Totale	Si
1.233	SLE RA 2	0.00002	1.85	10000	350	Variabile	Si
1.233	SLE RA 17	-0.00001	1.85	10000	350	Variabile	Si
1.233	SLE RA 16	-0.00003	1.85	10000	350	Variabile	Si
0.925	SLE RA 15	-0.00002	1.85	10000	350	Variabile	Si
1.357	SLE RA 14	-0.00002	1.85	10000	350	Variabile	Si

Superelemento in acciaio a quota "640" (1779; 2391)-(1889; 2288)

Caratteristiche del materiale

Acciaio: S275, fyk = 275000

Implementazione dei sistemi di confinamento delle emissioni odorigene diffuse dell'impianto di compostaggio esistente nel
Comune di Eboli (SA)
PROGETTO DEFINITIVO – Tabulati di calcolo Tomo 1

Caratteristiche geometriche

Lunghezza: 1.5
Nodo iniziale: 1205 Nodo finale: 1162
Cerniera iniziale: Mmomenti 1% Cerniera finale: Mmomenti 1%
Sovraresistenza: 0% Sisma Z: No

Caratteristiche della sezione

Sezione	Rotazione	Area	Jx	Jy	ix	iy	Wx	Wy	Wplx	Wply
A1; L100*10; 1; Saldato; S275; 30; 1; 8; 8; 1	180	0.003832	0.0000035319	0.000007759	0.0304	0.045	0.0000492	0.0000739	0.00008974	0.00012727

Comportamento dei calastrelli

Accoppiamento imbottito con funzione statica (§C4.2.4.1.3.1.4 NTC18) nella campata compresa tra le ascisse 0 e 1.5 per sbandamento attorno all'asse y.

Verifiche di resistenza

Verifiche a forza assiale §4.2.4.1.2.1 - §4.2.4.1.2.2 NTC18

X	Comb.	Sfruttamento	Classe	NEd	Nc,Rd	Nt,Rd	Riduzione da taglio	px	py	Verifica
1.5	SLU 76	0.231		232.138		1003.522	1	0	0	Si

Verifiche a forza assiale SLD §4.2.4.1.2.1 - §4.2.4.1.2.2 NTC18

X	Comb.	Sfruttamento	Classe	NEd	Nc,Rd	Nt,Rd	Riduzione da taglio	px	py	Verifica
1.5	SLD 4	0.104		104.525		1003.522	1	0	0	Si

Verifica a taglio Y §4.2.4.1.2.4 NTC18

X	Comb.	Sfruttamento	VEd	Vc,Rd	Av	Interazione taglio-torsione	Riduzione torsione	Verifica
1.5	SLU 63	0.001	0.293	302.422	0.002	Non considerata		Si

Verifica a taglio Y SLD §4.2.4.1.2.4 NTC18

X	Comb.	Sfruttamento	VEd	Vc,Rd	Av	Interazione taglio-torsione	Riduzione torsione	Verifica
1.5	SLD 14	0.001	0.226	302.422	0.002	Non considerata		Si

Verifica a presso/tenso flessione retta X §§ 4.2.4.1.2.3 - 4.2.4.1.2.6 - 4.2.4.1.2.7 - 4.2.4.1.2.8 NTC18

Verifiche eseguite utilizzando la formula conservativa (6.2) §6.2.1 EN 1993-1-1:2005.

X	Comb.	Sfruttamento	Classe	NEd	NRd	Rid. NRd da VEd	Mx,Ed	Mx,Rd	Rid. Mx,Rd da VEd	Rid. Mx,Rd da NEd	px	py	Verifica
0.75	SLU 76	0.236	1	232.138	1003.522	1	0.1132	23.5037	1		0	0	Si

Verifica a presso/tenso flessione retta X SLD §§ 4.2.4.1.2.3 - 4.2.4.1.2.6 - 4.2.4.1.2.7 - 4.2.4.1.2.8 NTC18

Verifiche eseguite utilizzando la formula conservativa (6.2) §6.2.1 EN 1993-1-1:2005.

X	Comb.	Sfruttamento	Classe	NEd	NRd	Rid. NRd da VEd	Mx,Ed	Mx,Rd	Rid. Mx,Rd da VEd	Rid. Mx,Rd da NEd	px	py	Verifica
0.75	SLD 3	0.108	1	104.525	1003.522	1	0.0858	23.5037	1		0	0	Si

Verifica a presso/tenso flessione retta Y §§ 4.2.4.1.2.3 - 4.2.4.1.2.6 - 4.2.4.1.2.7 - 4.2.4.1.2.8 NTC18

Verifiche eseguite utilizzando la formula conservativa (6.2) §6.2.1 EN 1993-1-1:2005.

X	Comb.	Sfruttamento	Classe	NEd	NRd	Rid. NRd da VEd	My,Ed	My,Rd	Rid. My,Rd da VEd	Rid. My,Rd da NEd	px	py	Verifica
0	SLV 3	0.132	1	131.643	1003.522	1	-0.0165	33.3316	1		0	0	Si

Verifica a presso/tenso flessione retta Y SLD §§ 4.2.4.1.2.3 - 4.2.4.1.2.6 - 4.2.4.1.2.7 - 4.2.4.1.2.8 NTC18

Verifiche eseguite utilizzando la formula conservativa (6.2) §6.2.1 EN 1993-1-1:2005.

X	Comb.	Sfruttamento	Classe	NEd	NRd	Rid. NRd da VEd	My,Ed	My,Rd	Rid. My,Rd da VEd	Rid. My,Rd da NEd	px	py	Verifica
0	SLD 1	0.098	1	97.891	1003.522	1	-0.0122	33.3316	1		0	0	Si

Verifica a presso/tenso flessione deviata §§ 4.2.4.1.2.3 - 4.2.4.1.2.6 - 4.2.4.1.2.7 - 4.2.4.1.2.8 NTC18

Verifiche eseguite utilizzando la formula conservativa (6.2) §6.2.1 EN 1993-1-1:2005.

X	Comb.	Sfruttamento	Classe	NEd	NRd	Rid. NRd da VEd	Mx,Ed	My,Ed	My,Rd	Rid. Mx,Rd da VEd	Rid. Mx,Rd da NEd	Rid. My,Rd da VEd	Rid. My,Rd da NEd	α	β	px	py	Verifica
0.75	SLV 4	0.135	1	131.643	1003.522	1	0.0861	23.5037	-0.0123	33.3316	1		1			0	0	Si

Verifica a presso/tenso flessione deviata SLD §§ 4.2.4.1.2.3 - 4.2.4.1.2.6 - 4.2.4.1.2.7 - 4.2.4.1.2.8 NTC18

Verifiche eseguite utilizzando la formula conservativa (6.2) §6.2.1 EN 1993-1-1:2005.

X	Comb.	Sfruttamento	Classe	NEd	NRd	Rid. NRd da VEd	Mx,Ed	My,Ed	My,Rd	Rid. Mx,Rd da VEd	Rid. Mx,Rd da NEd	Rid. My,Rd da VEd	Rid. My,Rd da NEd	α	β	px	py	Verifica
0.75	SLD 2	0.101	1	97.891	1003.522	1	0.0857	23.5037	-0.0094	33.3316	1		1			0	0	Si

Verifiche ad instabilità

Caratteristiche iniziali

Membratura principale per controllo snellezza; Calcolo di snellezze ed N critici condotti secondo gli assi principali;

Curva X: c; Curva Y: c;

Svergolamento: Nessuno; la verifica a instabilità flesso-torsionale (svergolamento) non verrà eseguita.

Dati per instabilità attorno a x

Controllo della snellezza secondo §4.2.4.1.3.1 NTC18

Numero rit.	Presente	Ascissa	Campata	βx/m	Vincolo a entrambi estremi	λx/m	λVer
1	Si	0					
			1-2		1	49.4	Si, (<200)
2	Si	1.5					

Dati per instabilità attorno a y

Controllo della snellezza secondo §4.2.4.1.3.1 NTC18

Implementazione dei sistemi di confinamento delle emissioni odorigene diffuse dell’impianto di compostaggio esistente nel
Comune di Eboli (SA)
PROGETTO DEFINITIVO – Tabulati di calcolo Tomo 1

Numero rit.	Presente	Ascissa	Campata	$\beta y/n$	k,LT	kw,LT	Vincolo a entrambi estremi
1	Si	0	1-2	1	Si	34.8	Si, (<200)
2	Si	1.5					

Verifica di stabilità per pressoflessione §C.4.2.4.1.3.3.1 NTC18

X	Comb.	Sfruttamento	Classe	NEd	MxEq,Ed	MyEq,Ed	Area	Wx	Wy	x_{min}	$\lambda_{adim. x/m}$	$\lambda_{adim. y/n}$	N _{crit} x/m	N _{crit} y/n	Verifica
0	SLU 2	0.012	3	-4.732	0.0724	-0.0119	0.003832	0.0000492	0.0000739	0.804	0.569	0.4	3253.47	6569.993	Si

Verifiche a deformabilità

Mensola X: No; Mensola Y: No.

Frecce lungo X

Ascissa freccia	Combinazione	Freccia	Luce	L/f	L/f,min	Tipo	Verifica
0.85	SLE RA 1	0	1.5	10000	250	Totale	Si
0.8	SLE RA 17	0	1.5	10000	250	Totale	Si
0.8	SLE RA 16	0	1.5	10000	250	Totale	Si
0.85	SLE RA 15	0	1.5	10000	250	Totale	Si
0.75	SLE RA 14	0	1.5	10000	250	Totale	Si
0.7	SLE RA 2	0	1.5	10000	350	Variabile	Si
0.7	SLE RA 17	0	1.5	10000	350	Variabile	Si
0.7	SLE RA 16	0	1.5	10000	350	Variabile	Si
0.85	SLE RA 15	0	1.5	10000	350	Variabile	Si
0.45	SLE RA 14	0	1.5	10000	350	Variabile	Si

Frecce lungo Y

Ascissa freccia	Combinazione	Freccia	Luce	L/f	L/f,min	Tipo	Verifica
0.75	SLE RA 1	0.00003	1.5	10000	250	Totale	Si
0.75	SLE RA 17	0.00003	1.5	10000	250	Totale	Si
0.75	SLE RA 16	0.00003	1.5	10000	250	Totale	Si
0.75	SLE RA 15	0.00003	1.5	10000	250	Totale	Si
0.75	SLE RA 14	0.00003	1.5	10000	250	Totale	Si
0.75	SLE RA 2	0	1.5	10000	350	Variabile	Si
0.75	SLE RA 17	0	1.5	10000	350	Variabile	Si
0.75	SLE RA 16	0	1.5	10000	350	Variabile	Si
0.75	SLE RA 15	0	1.5	10000	350	Variabile	Si
0.75	SLE RA 14	0	1.5	10000	350	Variabile	Si

Superelemento in acciaio a quota "640" (1799; 3001)-(2224; 2996)

Caratteristiche del materiale

Acciaio: S275, fyk = 275000

Caratteristiche geometriche

Lunghezza: 2.249

Nodo iniziale: 1454 Nodo finale: 1452

Cerniera iniziale: No Cerniera finale: No

Sovreresistenza: 0% Sisma Z: No

Caratteristiche della sezione

Sezione	Rotazione	Area	Jx	Jy	ix	iy	Wx	Wy	Wplx	Wply
HEA120	0	0.002537	0.0000060673	0.0000023091	0.0489	0.0302	0.00010644	0.00003849	0.00011962	0.00005887

Verifiche di resistenza

Verifiche a forza assiale §4.2.4.1.2.1 - §4.2.4.1.2.2 NTC18

X	Comb.	Sfruttamento	Classe	NEd	Nc,Rd	Nt,Rd	Riduzione da taglio	px	py	Verifica
2.109	SLU 76	0.205	1	-135.859	664.325		1	0	0	Si

Verifiche a forza assiale SLD §4.2.4.1.2.1 - §4.2.4.1.2.2 NTC18

X	Comb.	Sfruttamento	Classe	NEd	Nc,Rd	Nt,Rd	Riduzione da taglio	px	py	Verifica
2.249	SLD 3	0.085	1	-56.362	664.325		1	0	0	Si

Verifica a taglio X §4.2.4.1.2.4 NTC18

X	Comb.	Sfruttamento	VEd	Vc,Rd	Av	Interazione taglio-torsione	Riduzione torsione	Verifica
2.126	SLV 8	0.003	0.769	296.278	0.002047	Considerata	0.96	Si

Verifica a taglio X SLD §4.2.4.1.2.4 NTC18

X	Comb.	Sfruttamento	VEd	Vc,Rd	Av	Interazione taglio-torsione	Riduzione torsione	Verifica
2.233	SLD 7	0.001	0.341	304.132	0.002047	Considerata	0.98	Si

Verifica a taglio Y §4.2.4.1.2.4 NTC18

X	Comb.	Sfruttamento	VEd	Vc,Rd	Av	Interazione taglio-torsione	Riduzione torsione	Verifica
2.249	SLU 37	0.041	-5.207	125.719	0.000849	Considerata	0.98	Si

Verifica a taglio Y SLD §4.2.4.1.2.4 NTC18

X	Comb.	Sfruttamento	VEd	Vc,Rd	Av	Interazione taglio-torsione	Riduzione torsione	Verifica
2.002	SLD 12	0.007	-0.919	128.25	0.000849	Considerata	1	Si

Verifica a torsione §4.2.4.1.2.5 NTC18

X	Comb.	Sfruttamento torsione	TEd	TRd	Riduzione taglio resistente	Sfruttamento taglio-torsione	rEd,totale	rRd	Verifica
2.027	SLV 8	0.104	0.0887	0.85138	Considerata				Si

Implementazione dei sistemi di confinamento delle emissioni odorigene diffuse dell'impianto di compostaggio esistente nel
Comune di Eboli (SA)

PROGETTO DEFINITIVO – Tabulati di calcolo Tomo 1

Verifica a torsione SLD §4.2.4.1.2.5 NTC18

X	Comb.	Sfruttamento torsione	TEd	TRd	Riduzione taglio resistente	Sfruttamento taglio-torsione	τEd,totale	τRd	Verifica
2.249	SLD 8	0.043	0.0363	0.85138	Considerata				Si

Verifica a presso/tenso flessione retta X §§ 4.2.4.1.2.3 - 4.2.4.1.2.6 - 4.2.4.1.2.7 - 4.2.4.1.2.8 NTC18

Verifiche eseguite utilizzando la formula conservativa (6.2) §6.2.1 EN 1993-1-1:2005.

X	Comb.	Sfruttamento	Classe	NEd	NRd	Rid. NRd da VEd	Mx,Ed	Mx,Rd	Rid. Mx,Rd da VEd	Rid. Mx,Rd da NEd	px	py	Verifica
0.534	SLU 38	0.275	1	-123.106	664.325	1	-2.8231	31.3291	1		0	0	Si

Verifica a presso/tenso flessione retta X SLD §§ 4.2.4.1.2.3 - 4.2.4.1.2.6 - 4.2.4.1.2.7 - 4.2.4.1.2.8 NTC18

Verifiche eseguite utilizzando la formula conservativa (6.2) §6.2.1 EN 1993-1-1:2005.

X	Comb.	Sfruttamento	Classe	NEd	NRd	Rid. NRd da VEd	Mx,Ed	Mx,Rd	Rid. Mx,Rd da VEd	Rid. Mx,Rd da NEd	px	py	Verifica
1.068	SLD 1	0.113	1	-54.115	664.325	1	-0.9955	31.3291	1		0	0	Si

Verifica a presso/tenso flessione retta Y §§ 4.2.4.1.2.3 - 4.2.4.1.2.6 - 4.2.4.1.2.7 - 4.2.4.1.2.8 NTC18

Verifiche eseguite utilizzando la formula conservativa (6.2) §6.2.1 EN 1993-1-1:2005.

X	Comb.	Sfruttamento	Classe	NEd	NRd	Rid. NRd da VEd	My,Ed	My,Rd	Rid. My,Rd da VEd	Rid. My,Rd da NEd	px	py	Verifica
2.002	SLU 7	0.149	1	-87.299	664.325	1	-0.2708	15.4191	1		0	0	Si

Verifica a presso/tenso flessione deviata §§ 4.2.4.1.2.3 - 4.2.4.1.2.6 - 4.2.4.1.2.7 - 4.2.4.1.2.8 NTC18

Verifiche eseguite utilizzando la formula conservativa (6.2) §6.2.1 EN 1993-1-1:2005.

X	Comb.	Sfruttamento	Classe	NEd	NRd	Rid. NRd da VEd	Mx,Ed	Mx,Rd	My,Ed	My,Rd	Rid. Mx,Rd da VEd	Rid. Mx,Rd da NEd	Rid. My,Rd da VEd	Rid. My,Rd da NEd	α	β	px	py	Verifica
0	SLU 76	0.333	1	-134.604	664.325	1	-3.758	31.3291	0.1554	15.4191	1			1			0	0	Si

Verifica a presso/tenso flessione deviata SLD §§ 4.2.4.1.2.3 - 4.2.4.1.2.6 - 4.2.4.1.2.7 - 4.2.4.1.2.8 NTC18

Verifiche eseguite utilizzando la formula conservativa (6.2) §6.2.1 EN 1993-1-1:2005.

X	Comb.	Sfruttamento	Classe	NEd	NRd	Rid. NRd da VEd	Mx,Ed	Mx,Rd	My,Ed	My,Rd	Rid. Mx,Rd da VEd	Rid. Mx,Rd da NEd	Rid. My,Rd da VEd	Rid. My,Rd da NEd	α	β	px	py	Verifica
0	SLD 7	0.148	1	-55.795	664.325	1	-1.5808	31.3291	0.2043	15.4191	1			1			0	0	Si

Verifiche ad instabilità

Caratteristiche iniziali

Membratura principale per controllo snellezza; Calcolo di snellezze ed N critici condotti secondo gli assi principali;

Curva X: b; Curva Y: c; Svergolamento: Carico all'estradosso; Curva svergolamento: b;

Dati per instabilità attorno a x

Controllo della snellezza secondo §4.2.4.1.3.1 NTC18

Numero rit.	Presente	Ascissa	Campata	βx/m	Vincolo a entrambi estremi	λx/m	λVer
1	Si		0				
			1-2		1	46	Si, (<200)
2	Si		2.249				

Dati per instabilità attorno a y

Controllo della snellezza secondo §4.2.4.1.3.1 NTC18

Numero rit.	Presente	Ascissa	Campata	βy/n	k,LT	kw,LT	Vincolo a entrambi estremi	λy/n	λVer
1	Si		0						
			1-2		1	1	Si	74.6	Si, (<200)
2	Si		2.249						

Verifica di stabilità per pressoflessione §C.4.2.4.1.3.3.2 NTC18

X	Comb.	Sfruttamento	Classe	NEd	NRk	Mx,Ed max	Mx,Rk	My,Ed max	My,Rk	χ,x	χ,y	kxx	kxy	kyy	χ,LT	Verifica	
2.052	SLU 76	0.478	1	-135.859	697.541	3.75797	32.89552	0.44963	16.19002	0.871	0.625	0.742	0.683	0.936	1.138	0.949	Si

Verifica di stabilità per pressoflessione SLD §C.4.2.4.1.3.3.2 NTC18

X	Comb.	Sfruttamento	Classe	NEd	NRk	Mx,Ed max	Mx,Rk	My,Ed max	My,Rk	χ,x	χ,y	kxx	kxy	kyy	χ,LT	Verifica	
2.241	SLD 11	0.215	1	-54.594	697.541	1.69456	32.89552	0.44036	16.19002	0.871	0.625	0.673	0.601	0.972	1.001	0.953	Si

Verifica di stabilità a taglio anima Y §4.2.4.1.2.4 [4.2.27] NTC18

η	hw	tw	hw/tw max	Verifica
1.2	0.098	0.005	55.46	Si

Verifica di stabilità a taglio anima Y SLD §4.2.4.1.2.4 [4.2.27] NTC18

η	hw	tw	hw/tw max	Verifica
1.2	0.098	0.005	55.46	Si

Verifiche a deformabilità

Mensola X: No; Mensola Y: No.

Frecce lungo X

Ascissa freccia	Combinazione	Freccia	Luce	L/f	L/f,min	Tipo	Verifica
1.335	SLE RA 1	0.0001	2.249	10000	250	Totale	Si
1.335	SLE RA 17	0.00013	2.249	10000	250	Totale	Si
1.402	SLE RA 16	0.00017	2.249	10000	250	Totale	Si
1.402	SLE RA 15	0.00016	2.249	10000	250	Totale	Si
1.335	SLE RA 14	0.00014	2.249	10000	250	Totale	Si
1.402	SLE RA 2	-0.00007	2.249	10000	350	Variabile	Si
1.402	SLE RA 17	0.00003	2.249	10000	350	Variabile	Si
1.402	SLE RA 16	0.00007	2.249	10000	350	Variabile	Si
1.468	SLE RA 15	0.00006	2.249	10000	350	Variabile	Si
1.402	SLE RA 14	0.00004	2.249	10000	350	Variabile	Si

Frecce lungo Y

Ascissa freccia	Combinazione	Freccia	Luce	L/f	L/f,min	Tipo	Verifica
1.001	SLE RA 19	-0.00081	2.249	2786.5	250	Totale	Si
1.001	SLE RA 16	-0.00077	2.249	2923.1	250	Totale	Si

Implementazione dei sistemi di confinamento delle emissioni odorigene diffuse dell'impianto di compostaggio esistente nel
Comune di Eboli (SA)
PROGETTO DEFINITIVO – Tabulati di calcolo Tomo 1

Ascissa freccia	Combinazione	Freccia	Luce	L/f	L/f,min	Tipo	Verifica
1.068	SLE RA 18	-0.00074	2.249	3059.8	250	Totale	Si
1.001	SLE RA 15	-0.0007	2.249	3210	250	Totale	Si
1.001	SLE RA 11	-0.0007	2.249	3210	250	Totale	Si
1.001	SLE RA 19	-0.00036	2.249	6296	350	Variabile	Si
1.068	SLE RA 16	-0.00032	2.249	6997	350	Variabile	Si
1.068	SLE RA 2	0.0003	2.249	7496.8	350	Variabile	Si
1.201	SLE RA 18	-0.00029	2.249	7703.1	350	Variabile	Si
0.934	SLE RA 11	-0.00025	2.249	8962.4	350	Variabile	Si

Superelemento in acciaio a quota "640" (1872; 2048)-(1998; 2183)

Caratteristiche del materiale

Acciaio: S275, fyk = 275000

Caratteristiche geometriche

Lunghezza: 1.85

Nodo iniziale: 1074 Nodo finale: 1101

Cerniera iniziale: No Cerniera finale: No

Sovreresistenza: 0% Sisma Z: No

Caratteristiche della sezione

Sezione	Rotazione	Area	Jx	Jy	ix	iy	Wx	Wy	Wplx	Wply
HEA120	0	0.002537	0.0000060673	0.0000023091	0.0489	0.0302	0.00010644	0.00003849	0.00011962	0.00005887

Verifiche di resistenza

Verifiche a forza assiale §4.2.4.1.2.1 - §4.2.4.1.2.2 NTC18

X	Comb.	Sfruttamento	Classe	NEd	Nc,Rd	Nt,Rd	Riduzione da taglio	px	py	Verifica
0.925	SLV 5	0.096	1	-64.101	664.325		1	0	0	Si

Verifiche a forza assiale SLD §4.2.4.1.2.1 - §4.2.4.1.2.2 NTC18

X	Comb.	Sfruttamento	Classe	NEd	Nc,Rd	Nt,Rd	Riduzione da taglio	px	py	Verifica
1.665	SLD 6	0.035	1	-23.581	664.325		1	0	0	Si

Verifica a taglio X §4.2.4.1.2.4 NTC18

X	Comb.	Sfruttamento	VEd	Vc,Rd	Av	Interazione taglio-torsione	Riduzione torsione	Verifica
0	SLV 3	0.001	-0.206	307.57	0.002047	Considerata	0.99	Si

Verifica a taglio Y §4.2.4.1.2.4 NTC18

X	Comb.	Sfruttamento	VEd	Vc,Rd	Av	Interazione taglio-torsione	Riduzione torsione	Verifica
1.85	SLU 75	0.024	-3.044	126.619	0.000849	Considerata	0.99	Si

Verifica a taglio Y SLD §4.2.4.1.2.4 NTC18

X	Comb.	Sfruttamento	VEd	Vc,Rd	Av	Interazione taglio-torsione	Riduzione torsione	Verifica
1.85	SLD 6	0.013	-1.673	127.848	0.000849	Considerata	1	Si

Verifica a torsione §4.2.4.1.2.5 NTC18

X	Comb.	Sfruttamento torsione	TEd	TRd	Riduzione taglio resistente	Sfruttamento taglio-torsione	τEd,totale	τRd	Verifica
1.788	SLU 75	0.033	-0.02778	0.85138	Considerata				Si

Verifica a torsione SLD §4.2.4.1.2.5 NTC18

X	Comb.	Sfruttamento torsione	TEd	TRd	Riduzione taglio resistente	Sfruttamento taglio-torsione	τEd,totale	τRd	Verifica
1.85	SLD 8	0.012	-0.01057	0.85138	Considerata				Si

Verifica a flessione semplice X §§ 4.2.4.1.2.3 - 4.2.4.1.2.6 - 4.2.4.1.2.7 - 4.2.4.1.2.8 NTC18

X	Comb.	Sfruttamento	Classe	Mx,Ed	Mx,Rd	Rid. Mx,Rd da VEd	px	py	Verifica
0.247	SLU 55	0.009	1	-0.2761	31.32907	1	0	0	Si

Verifica a flessione deviata §§ 4.2.4.1.2.3 - 4.2.4.1.2.6 - 4.2.4.1.2.7 - 4.2.4.1.2.8 NTC18

X	Comb.	Sfruttamento	Classe	Mx,Ed	Mx,Rd	My,Ed	My,Rd	Rid. Mx,Rd da VEd	Rid. My,Rd da VEd	α	β	px	py	Verifica
1.85	SLU 55	0.07	1	2.0849	31.3291	-0.0501	15.4191	1	1			0	0	Si

Verifica a presso/tenso flessione retta X §§ 4.2.4.1.2.3 - 4.2.4.1.2.6 - 4.2.4.1.2.7 - 4.2.4.1.2.8 NTC18

Verifiche eseguite utilizzando la formula conservativa (6.2) §6.2.1 EN 1993-1-1:2005.

X	Comb.	Sfruttamento	Classe	NEd	NRd	Rid. NRd da VEd	Mx,Ed	Mx,Rd	Rid. Mx,Rd da VEd	Rid. Mx,Rd da NEd	px	py	Verifica
0.123	SLU 3	0.028	1	8.496	664.325	1	-0.4671	31.3291	1		0	0	Si

Verifica a presso/tenso flessione retta Y §§ 4.2.4.1.2.3 - 4.2.4.1.2.6 - 4.2.4.1.2.7 - 4.2.4.1.2.8 NTC18

Verifiche eseguite utilizzando la formula conservativa (6.2) §6.2.1 EN 1993-1-1:2005.

X	Comb.	Sfruttamento	Classe	NEd	NRd	Rid. NRd da VEd	My,Ed	My,Rd	Rid. My,Rd da VEd	Rid. My,Rd da NEd	px	py	Verifica
0.432	SLV 2	0.104	1	-61.051	664.325	1	-0.1796	15.4191	1		0	0	Si

Verifica a presso/tenso flessione retta Y SLD §§ 4.2.4.1.2.3 - 4.2.4.1.2.6 - 4.2.4.1.2.7 - 4.2.4.1.2.8 NTC18

Verifiche eseguite utilizzando la formula conservativa (6.2) §6.2.1 EN 1993-1-1:2005.

X	Comb.	Sfruttamento	Classe	NEd	NRd	Rid. NRd da VEd	My,Ed	My,Rd	Rid. My,Rd da VEd	Rid. My,Rd da NEd	px	py	Verifica
0.493	SLD 5	0.04	1	-23.581	664.325	1	-0.0758	15.4191	1		0	0	Si

Verifica a presso/tenso flessione deviata §§ 4.2.4.1.2.3 - 4.2.4.1.2.6 - 4.2.4.1.2.7 - 4.2.4.1.2.8 NTC18

Verifiche eseguite utilizzando la formula conservativa (6.2) §6.2.1 EN 1993-1-1:2005.

Implementazione dei sistemi di confinamento delle emissioni odorigene diffuse dell'impianto di compostaggio esistente nel
Comune di Eboli (SA)

PROGETTO DEFINITIVO – Tabulati di calcolo Tomo 1

X	Comb.	Sfruttamento	Classe	NEd	NRd	Rid. NRd da VEd	Mx,Ed	Mx,Rd	My,Ed	My,Rd	Rid. Mx,Rd da VEd	Rid. Mx,Rd da NEd	Rid. My,Rd da VEd	Rid. My,Rd da NEd	α	β	px	py	Verifica
1.85	SLV 6	0.243	1	-64.101	664.325	1	3.6617	31.3291	-0.4644	15.4191	1		1				0	0	Si

Verifica a presso/tenso flessione deviata SLD §§ 4.2.4.1.2.3 - 4.2.4.1.2.6 - 4.2.4.1.2.7 - 4.2.4.1.2.8 NTC18

Verifiche eseguite utilizzando la formula conservativa (6.2) §6.2.1 EN 1993-1-1:2005.

X	Comb.	Sfruttamento	Classe	NEd	NRd	Rid. NRd da VEd	Mx,Ed	Mx,Rd	My,Ed	My,Rd	Rid. Mx,Rd da VEd	Rid. Mx,Rd da NEd	Rid. My,Rd da VEd	Rid. My,Rd da NEd	α	β	px	py	Verifica
1.85	SLD 5	0.116	1	-23.581	664.325	1	2.1302	31.3291	-0.1898	15.4191	1		1				0	0	Si

Verifiche ad instabilità

Caratteristiche iniziali

Membratura principale per controllo snellezza; Calcolo di snellezze ed N critici condotti secondo gli assi principali;

Curva X: b; Curva Y: c; Svergolamento: Carico all'estradosso; Curva svergolamento: b;

Dati per instabilità attorno a x

Controllo della snellezza secondo §4.2.4.1.3.1 NTC18

Numero rit.	Presente	Ascissa	Campata	βx/m	Vincolo a entrambi estremi	λx/m	λVer
1	Si	0					
			1-2		1	37.8	Si, (<200)
2	Si	1.85					

Dati per instabilità attorno a y

Controllo della snellezza secondo §4.2.4.1.3.1 NTC18

Numero rit.	Presente	Ascissa	Campata	βy/n	k,LT	kw,LT	Vincolo a entrambi estremi	λy/n	λVer
1	Si	0							
			1-2		1	1	Si	61.3	Si, (<200)
2	Si	1.85							

Verifica a svergolamento con trazione §4.2.4.1.3.2 NTC18 § 5.5.3 ENV 1993-1-1:1992 + AC:1992 + A1:1994 + A2:1998

X	Comb.	Sfruttamento	Classe	Obblig.	NEd	Mx,Ed	Mx,Eff,Ed	Mb,Rd,x	χ,LT	λ adim. LT	L,LT	M,critico	Verifica
0.247	SLU 17	0.008	1	Si	0.375	-0.23791	-0.22691	28.25853	0.902	0.633	1.85	82.10616	Si

Verifica di stabilità per tenso-flessione deviata §§ 5.5.3-5.5.4 ENV 1993-1-1:1992 + AC:1992 + A1:1994 + A2:1998

X	Comb.	Sfruttamento	Classe	NEd	Mx,Ed	Mx,Eff,Ed	My,Ed	χ,LT	kLT	ky	M,critico	Wx	Wy	Verifica
1.85	SLU 75	0.143	1	7.099	4.08589	3.87734	-0.0859	0.902	1	1	82.10616	0.0001196	0.0000589	Si

Verifica di stabilità per tenso-flessione deviata SLD §§ 5.5.3-5.5.4 ENV 1993-1-1:1992 + AC:1992 + A1:1994 + A2:1998

X	Comb.	Sfruttamento	Classe	NEd	Mx,Ed	Mx,Eff,Ed	My,Ed	χ,LT	kLT	ky	M,critico	Wx	Wy	Verifica
1.85	SLD 14	0.02	1	10.962	0.78844	0.46642	0.05196	0.902	1	1	82.10616	0.0001196	0.0000589	Si

Verifica di stabilità per pressoflessione §C.4.2.4.1.3.3.2 NTC18

X	Comb.	Sfruttamento	Classe	NEd	NRk	Mx,Ed max	Mx,Rk	My,Ed max	My,Rk	χ,x	χ,y	kxx	kxy	kyy	χ,LT	Verifica	
0.987	SLV 5	0.28	1	-64.101	697.541	3.66175	32.89552	0.46436	16.19002	0.912	0.721	0.472	0.454	0.955	0.757	0.902	Si

Verifica di stabilità per pressoflessione SLD §C.4.2.4.1.3.3.2 NTC18

X	Comb.	Sfruttamento	Classe	NEd	NRk	Mx,Ed max	Mx,Rk	My,Ed max	My,Rk	χ,x	χ,y	kxx	kxy	kyy	χ,LT	Verifica	
1.727	SLD 6	0.132	1	-23.581	697.541	2.1302	32.89552	0.18978	16.19002	0.912	0.721	0.455	0.417	0.983	0.695	0.902	Si

Verifica di stabilità a taglio anima Y §4.2.4.1.2.4 [4.2.27] NTC18

η	hw	tw	hw/tw max	Verifica
1.2	0.098	0.005	55.46	Si

Verifica di stabilità a taglio anima Y SLD §4.2.4.1.2.4 [4.2.27] NTC18

η	hw	tw	hw/tw max	Verifica
1.2	0.098	0.005	55.46	Si

Verifiche a deformabilità

Mensola X: No; Mensola Y: No.

Frecce lungo X

Ascissa freccia	Combinazione	Freccia	Luce	L/f	L/f,min	Tipo	Verifica
1.11	SLE RA 1	0.00001	1.85	10000	250	Totale	Si
1.11	SLE RA 17	0.00001	1.85	10000	250	Totale	Si
1.172	SLE RA 16	0.00002	1.85	10000	250	Totale	Si
1.172	SLE RA 15	0.00001	1.85	10000	250	Totale	Si
1.11	SLE RA 14	0.00002	1.85	10000	250	Totale	Si
1.172	SLE RA 2	-0.00001	1.85	10000	350	Variabile	Si
1.172	SLE RA 17	0	1.85	10000	350	Variabile	Si
1.172	SLE RA 16	0.00001	1.85	10000	350	Variabile	Si
1.357	SLE RA 15	0	1.85	10000	350	Variabile	Si
1.11	SLE RA 14	0.00001	1.85	10000	350	Variabile	Si

Frecce lungo Y

Ascissa freccia	Combinazione	Freccia	Luce	L/f	L/f,min	Tipo	Verifica
1.172	SLE RA 18	0.00035	1.85	5295.3	250	Totale	Si
1.172	SLE RA 6	0.00032	1.85	5815.6	250	Totale	Si
1.172	SLE RA 10	0.00031	1.85	6033	250	Totale	Si
1.172	SLE RA 14	0.00031	1.85	6033	250	Totale	Si
1.172	SLE RA 3	0.00028	1.85	6717.7	250	Totale	Si
1.172	SLE RA 18	0.00021	1.85	8833.3	350	Variabile	Si
1.172	SLE RA 2	-0.00012	1.85	10000	350	Variabile	Si
1.172	SLE RA 17	0.00006	1.85	10000	350	Variabile	Si
1.172	SLE RA 16	0.00013	1.85	10000	350	Variabile	Si
1.357	SLE RA 15	0	1.85	10000	350	Variabile	Si

Implementazione dei sistemi di confinamento delle emissioni odorigene diffuse dell'impianto di compostaggio esistente nel
Comune di Eboli (SA)
PROGETTO DEFINITIVO – Tabulati di calcolo Tomo 1

Superelemento in acciaio a quota "640" (1889; 2288)-(2000; 2184)

Caratteristiche del materiale

Acciaio: S275, fyk = 275000

Caratteristiche geometriche

Lunghezza: 1.522

Nodo iniziale: 1160 Nodo finale: 1103

Cerniera iniziale: Mmomenti 1% Cerniera finale: Mmomenti 1%

Sovraresistenza: 0% Sisma Z: No

Caratteristiche della sezione

Sezione	Rotazione	Area	Jx	Jy	ix	iy	Wx	Wy	Wplx	Wply
A1; L100*10; 1; Saldato; S275; 30; 1; 8; 8; 1	180	0.003832	0.0000035319	0.000007759	0.0304	0.045	0.0000492	0.0000739	0.00008974	0.00012727

Comportamento dei calastrelli

Accoppiamento imbottito con funzione statica (§C4.2.4.1.3.1.4 NTC18) nella campata compresa tra le ascisse 0 e 1.522 per sbandamento attorno all'asse y.

Verifiche di resistenza

Verifiche a forza assiale §4.2.4.1.2.1 - §4.2.4.1.2.2 NTC18

X	Comb.	Sfruttamento	Classe	NEd	Nc,Rd	Nt,Rd	Riduzione da taglio	px	py	Verifica
0.101	SLV 4	0.076		75.853		1003.522	1	0	0	Si

Verifiche a forza assiale SLD §4.2.4.1.2.1 - §4.2.4.1.2.2 NTC18

X	Comb.	Sfruttamento	Classe	NEd	Nc,Rd	Nt,Rd	Riduzione da taglio	px	py	Verifica
1.522	SLD 4	0.027		27.161		1003.522	1	0	0	Si

Verifica a taglio X §4.2.4.1.2.4 NTC18

X	Comb.	Sfruttamento	VEd	Vc,Rd	Av	Interazione taglio-torsione	Riduzione torsione	Verifica
1.421	SLV 14	0.002	0.513	302.422	0.002	Non considerata		Si

Verifica a taglio Y §4.2.4.1.2.4 NTC18

X	Comb.	Sfruttamento	VEd	Vc,Rd	Av	Interazione taglio-torsione	Riduzione torsione	Verifica
1.522	SLU 76	0.001	0.316	302.422	0.002	Non considerata		Si

Verifica a taglio Y SLD §4.2.4.1.2.4 NTC18

X	Comb.	Sfruttamento	VEd	Vc,Rd	Av	Interazione taglio-torsione	Riduzione torsione	Verifica
1.522	SLD 16	0.001	0.238	302.422	0.002	Non considerata		Si

Verifica a presso/tenso flessione retta X §§ 4.2.4.1.2.3 - 4.2.4.1.2.6 - 4.2.4.1.2.7 - 4.2.4.1.2.8 NTC18

Verifiche eseguite utilizzando la formula conservativa (6.2) §6.2.1 EN 1993-1-1:2005.

X	Comb.	Sfruttamento	Classe	NEd	NRd	Rid. NRd da VEd	Mx,Ed	Mx,Rd	Rid. Mx,Rd da VEd	Rid. Mx,Rd da NEd	px	py	Verifica
0.71	SLV 3	0.079	1	75.853	1003.522	1	0.0857	23.5037	1		0	0	Si

Verifica a presso/tenso flessione retta X SLD §§ 4.2.4.1.2.3 - 4.2.4.1.2.6 - 4.2.4.1.2.7 - 4.2.4.1.2.8 NTC18

Verifiche eseguite utilizzando la formula conservativa (6.2) §6.2.1 EN 1993-1-1:2005.

X	Comb.	Sfruttamento	Classe	NEd	NRd	Rid. NRd da VEd	Mx,Ed	Mx,Rd	Rid. Mx,Rd da VEd	Rid. Mx,Rd da NEd	px	py	Verifica
0.761	SLD 3	0.031	1	27.161	1003.522	1	0.0845	23.5037	1		0	0	Si

Verifica a presso/tenso flessione retta Y §§ 4.2.4.1.2.3 - 4.2.4.1.2.6 - 4.2.4.1.2.7 - 4.2.4.1.2.8 NTC18

Verifiche eseguite utilizzando la formula conservativa (6.2) §6.2.1 EN 1993-1-1:2005.

X	Comb.	Sfruttamento	Classe	NEd	NRd	Rid. NRd da VEd	My,Ed	My,Rd	Rid. My,Rd da VEd	Rid. My,Rd da NEd	px	py	Verifica
1.471	SLV 14	0.086	3	-74.192	1003.522	1	0.2412	19.3536	1		0	0	Si

Verifica a presso/tenso flessione retta Y SLD §§ 4.2.4.1.2.3 - 4.2.4.1.2.6 - 4.2.4.1.2.7 - 4.2.4.1.2.8 NTC18

Verifiche eseguite utilizzando la formula conservativa (6.2) §6.2.1 EN 1993-1-1:2005.

X	Comb.	Sfruttamento	Classe	NEd	NRd	Rid. NRd da VEd	My,Ed	My,Rd	Rid. My,Rd da VEd	Rid. My,Rd da NEd	px	py	Verifica
1.471	SLD 14	0.03	3	-25.5	1003.522	1	0.0861	19.3536	1		0	0	Si

Verifica a presso/tenso flessione deviata §§ 4.2.4.1.2.3 - 4.2.4.1.2.6 - 4.2.4.1.2.7 - 4.2.4.1.2.8 NTC18

Verifiche eseguite utilizzando la formula conservativa (6.2) §6.2.1 EN 1993-1-1:2005.

X	Comb.	Sfruttamento	Classe	NEd	NRd	Rid. NRd da VEd	Mx,Ed	Mx,Rd	My,Ed	My,Rd	Rid. Mx,Rd da VEd	Rid. Mx,Rd da NEd	Rid. My,Rd da VEd	Rid. My,Rd da NEd	α	β	px	py	Verifica
0.71	SLV 13	0.092	3	-74.192	1003.522	1	0.0815	12.886	-0.2353	19.3536	1		1				0	0	Si

Verifica a presso/tenso flessione deviata SLD §§ 4.2.4.1.2.3 - 4.2.4.1.2.6 - 4.2.4.1.2.7 - 4.2.4.1.2.8 NTC18

Verifiche eseguite utilizzando la formula conservativa (6.2) §6.2.1 EN 1993-1-1:2005.

X	Comb.	Sfruttamento	Classe	NEd	NRd	Rid. NRd da VEd	Mx,Ed	Mx,Rd	My,Ed	My,Rd	Rid. Mx,Rd da VEd	Rid. Mx,Rd da NEd	Rid. My,Rd da VEd	Rid. My,Rd da NEd	α	β	px	py	Verifica
0.71	SLD 14	0.036	3	-25.5	1003.522	1	0.0828	12.886	-0.0804	19.3536	1		1				0	0	Si

Verifiche ad instabilità

Caratteristiche iniziali

Membratura principale per controllo snellezza; Calcolo di snellezze ed N critici condotti secondo gli assi principali;

Curva X: c; Curva Y: c;

Svergolamento: Nessuno; la verifica a instabilità flesso-torsionale (svergolamento) non verrà eseguita.

Implementazione dei sistemi di confinamento delle emissioni odorigene diffuse dell’impianto di compostaggio esistente nel
Comune di Eboli (SA)
PROGETTO DEFINITIVO – Tabulati di calcolo Tomo 1

Dati per instabilità attorno a x

Controllo della snellezza secondo §4.2.4.1.3.1 NTC18

Numero rit.	Presente	Ascissa	Campata	$\beta x/m$	Vincolo a entrambi estremi	$\lambda x/m$	λVer
1	Si	0	1-2	1	Si	50.1	Si, (<200)
2	Si	1.522					

Dati per instabilità attorno a y

Controllo della snellezza secondo §4.2.4.1.3.1 NTC18

Numero rit.	Presente	Ascissa	Campata	$\beta y/n$	k,LT	kw,LT	Vincolo a entrambi estremi
1	Si	0	1-2	1	Si	35.2	Si, (<200)
2	Si	1.522					

Verifica di stabilità per pressoflessione §C.4.2.4.1.3.3.1 NTC18

X	Comb.	Sfruttamento	Classe	NEd	MxEq,Ed	MyEq,Ed	Area	Wx	Wy	χ_{min}	$\lambda_{adim. x/m}$	$\lambda_{adim. y/n}$	N,crit x/m	N,crit y/n	Verifica
0.761	SLV 13	0.107	3	-74.192	0.0679	0.1814	0.003832	0.0000492	0.0000739	0.799	0.577	0.406	3159.575	6395.292	Si

Verifica di stabilità per pressoflessione SLD §C.4.2.4.1.3.3.1 NTC18

X	Comb.	Sfruttamento	Classe	NEd	MxEq,Ed	MyEq,Ed	Area	Wx	Wy	χ_{min}	$\lambda_{adim. x/m}$	$\lambda_{adim. y/n}$	N,crit x/m	N,crit y/n	Verifica
1.421	SLD 14	0.041	3	-25.5	0.0698	0.0649	0.003832	0.0000492	0.0000739	0.799	0.577	0.406	3159.575	6395.292	Si

Verifiche a deformabilità

Mensola X: No; Mensola Y: No.

Frecce lungo X

Ascissa freccia	Combinazione	Freccia	Luce	L/f	L/f,min	Tipo	Verifica
1.116	SLE RA 1	0	1.522	10000	250	Totale	Si
1.116	SLE RA 17	0	1.522	10000	250	Totale	Si
1.116	SLE RA 16	0	1.522	10000	250	Totale	Si
1.116	SLE RA 15	0	1.522	10000	250	Totale	Si
1.065	SLE RA 14	0	1.522	10000	250	Totale	Si
1.065	SLE RA 2	0	1.522	10000	350	Variabile	Si
1.065	SLE RA 17	0	1.522	10000	350	Variabile	Si
1.065	SLE RA 16	0	1.522	10000	350	Variabile	Si
1.167	SLE RA 15	0	1.522	10000	350	Variabile	Si
0.913	SLE RA 14	0	1.522	10000	350	Variabile	Si

Frecce lungo Y

Ascissa freccia	Combinazione	Freccia	Luce	L/f	L/f,min	Tipo	Verifica
0.761	SLE RA 1	0.00003	1.522	10000	250	Totale	Si
0.761	SLE RA 17	0.00003	1.522	10000	250	Totale	Si
0.761	SLE RA 16	0.00003	1.522	10000	250	Totale	Si
0.761	SLE RA 15	0.00003	1.522	10000	250	Totale	Si
0.761	SLE RA 14	0.00003	1.522	10000	250	Totale	Si
0.964	SLE RA 2	0	1.522	10000	350	Variabile	Si
0.964	SLE RA 17	0	1.522	10000	350	Variabile	Si
0.964	SLE RA 16	0	1.522	10000	350	Variabile	Si
0.913	SLE RA 15	0	1.522	10000	350	Variabile	Si
0.71	SLE RA 14	0	1.522	10000	350	Variabile	Si

Superelemento in acciaio a quota "640" (1999; 2185)-(2115; 2186)

Caratteristiche del materiale

Acciaio: S275, fyk = 275000

Caratteristiche geometriche

Lunghezza: 1.158

Nodo iniziale: 1105 Nodo finale: 1107

Cerniera iniziale: No Cerniera finale: No

Sovreresistenza: 0% Sisma Z: No

Caratteristiche della sezione

Sezione	Rotazione	Area	Jx	Jy	ix	iy	Wx	Wy	Wplx	Wply
HEA100	0	0.00256	0.0000040418	0.0000015945	0.0397	0.025	0.0000842	0.00003189	0.00009801	0.00004946

Verifiche di resistenza

Verifiche a forza assiale §4.2.4.1.2.1 - §4.2.4.1.2.2 NTC18

X	Comb.	Sfruttamento	Classe	NEd	Nc,Rd	Nt,Rd	Riduzione da taglio	px	py	Verifica
1.12	SLV 4	0.069		46.318		670.391	1	0	0	Si

Verifiche a forza assiale SLD §4.2.4.1.2.1 - §4.2.4.1.2.2 NTC18

X	Comb.	Sfruttamento	Classe	NEd	Nc,Rd	Nt,Rd	Riduzione da taglio	px	py	Verifica
1.158	SLD 4	0.023		15.182		670.391	1	0	0	Si

Verifica a taglio X §4.2.4.1.2.4 NTC18

X	Comb.	Sfruttamento	VEd	Vc,Rd	Av	Interazione taglio-torsione	Riduzione torsione	Verifica
0	SLV 11	0.001	0.307	316.831	0.002098	Considerata	1	Si

Verifica a taglio Y §4.2.4.1.2.4 NTC18

X	Comb.	Sfruttamento	VEd	Vc,Rd	Av	Interazione taglio-torsione	Riduzione torsione	Verifica
0	SLU 75	0.022	3.336	150.586	0.001002	Considerata	0.99	Si

**Implementazione dei sistemi di confinamento delle emissioni odorigene diffuse dell'impianto di compostaggio esistente nel
Comune di Eboli (SA)
PROGETTO DEFINITIVO – Tabulati di calcolo Tomo 1**

Verifica a taglio Y SLD §4.2.4.1.2.4 NTC18

X	Comb.	Sfruttamento	VEd	Vc,Rd	Av	Interazione taglio-torsione	Riduzione torsione	Verifica
0	SLD 6	0.011	1.636	151.142	0.001002	Considerata	1	Si

Verifica a torsione §4.2.4.1.2.5 NTC18

X	Comb.	Sfruttamento torsione	TEd	TRd	Riduzione taglio resistente	Sfruttamento taglio-torsione	τEd,totale	τRd	Verifica
1.158	SLU 75	0.014	-0.01443	0.99803	Considerata				Si

Verifica a torsione SLD §4.2.4.1.2.5 NTC18

X	Comb.	Sfruttamento torsione	TEd	TRd	Riduzione taglio resistente	Sfruttamento taglio-torsione	τEd,totale	τRd	Verifica
1.158	SLD 10	0.007	-0.00708	0.99803	Considerata				Si

Verifica a flessione deviata §§ 4.2.4.1.2.3 - 4.2.4.1.2.6 - 4.2.4.1.2.7 - 4.2.4.1.2.8 NTC18

X	Comb.	Sfruttamento	Classe	Mx,Ed	Mx,Rd	My,Ed	My,Rd	Rid. Mx,Rd da VEd	Rid. My,Rd da VEd	α	β	px	py	Verifica
0	SLU 58	0.065	1	1.3817	25.6685	-0.1394	12.9533	1	1			0	0	Si

Verifica a presso/tenso flessione retta X §§ 4.2.4.1.2.3 - 4.2.4.1.2.6 - 4.2.4.1.2.7 - 4.2.4.1.2.8 NTC18

Verifiche eseguite utilizzando la formula conservativa (6.2) §6.2.1 EN 1993-1-1:2005.

X	Comb.	Sfruttamento	Classe	NEd	NRd	Rid. NRd da VEd	Mx,Ed	Mx,Rd	Rid. Mx,Rd da VEd	Rid. Mx,Rd da NEd	px	py	Verifica
0.348	SLU 2	0.007	1	-1.129	670.391	1	-0.1304	25.6685	1		0	0	Si

Verifica a presso/tenso flessione retta X SLD §§ 4.2.4.1.2.3 - 4.2.4.1.2.6 - 4.2.4.1.2.7 - 4.2.4.1.2.8 NTC18

Verifiche eseguite utilizzando la formula conservativa (6.2) §6.2.1 EN 1993-1-1:2005.

X	Comb.	Sfruttamento	Classe	NEd	NRd	Rid. NRd da VEd	Mx,Ed	Mx,Rd	Rid. Mx,Rd da VEd	Rid. Mx,Rd da NEd	px	py	Verifica
1.158	SLD 5	0.021	1	-7.926	670.391	1	-0.2427	25.6685	1		0	0	Si

Verifica a presso/tenso flessione retta Y §§ 4.2.4.1.2.3 - 4.2.4.1.2.6 - 4.2.4.1.2.7 - 4.2.4.1.2.8 NTC18

Verifiche eseguite utilizzando la formula conservativa (6.2) §6.2.1 EN 1993-1-1:2005.

X	Comb.	Sfruttamento	Classe	NEd	NRd	Rid. NRd da VEd	My,Ed	My,Rd	Rid. My,Rd da VEd	Rid. My,Rd da NEd	px	py	Verifica
0.463	SLV 16	0.064	1	-24.83	670.391	1	-0.3546	12.9533	1		0	0	Si

Verifica a presso/tenso flessione retta Y SLD §§ 4.2.4.1.2.3 - 4.2.4.1.2.6 - 4.2.4.1.2.7 - 4.2.4.1.2.8 NTC18

Verifiche eseguite utilizzando la formula conservativa (6.2) §6.2.1 EN 1993-1-1:2005.

X	Comb.	Sfruttamento	Classe	NEd	NRd	Rid. NRd da VEd	My,Ed	My,Rd	Rid. My,Rd da VEd	Rid. My,Rd da NEd	px	py	Verifica
0.772	SLD 13	0.03	1	-14.931	670.391	1	-0.1025	12.9533	1		0	0	Si

Verifica a presso/tenso flessione deviata §§ 4.2.4.1.2.3 - 4.2.4.1.2.6 - 4.2.4.1.2.7 - 4.2.4.1.2.8 NTC18

Verifiche eseguite utilizzando la formula conservativa (6.2) §6.2.1 EN 1993-1-1:2005.

X	Comb.	Sfruttamento	Classe	NEd	NRd	Rid. NRd da VEd	Mx,Ed	Mx,Rd	My,Ed	My,Rd	Rid. Mx,Rd da VEd	Rid. Mx,Rd da NEd	Rid. My,Rd da VEd	Rid. My,Rd da NEd	α	β	px	py	Verifica
0.309	SLV 8	0.16	1	46.193	670.391	1	1.8135	25.6685	-0.2676	12.9533	1			1			0	0	Si

Verifica a presso/tenso flessione deviata SLD §§ 4.2.4.1.2.3 - 4.2.4.1.2.6 - 4.2.4.1.2.7 - 4.2.4.1.2.8 NTC18

Verifiche eseguite utilizzando la formula conservativa (6.2) §6.2.1 EN 1993-1-1:2005.

X	Comb.	Sfruttamento	Classe	NEd	NRd	Rid. NRd da VEd	Mx,Ed	Mx,Rd	My,Ed	My,Rd	Rid. Mx,Rd da VEd	Rid. Mx,Rd da NEd	Rid. My,Rd da VEd	Rid. My,Rd da NEd	α	β	px	py	Verifica
0	SLD 1	0.077	1	8.264	670.391	1	1.5721	25.6685	0.0454	12.9533	1			1			0	0	Si

Verifiche ad instabilità

Caratteristiche iniziali

Membratura principale per controllo snellezza; Calcolo di snellezze ed N critici condotti secondo gli assi principali;

Curva X: b; Curva Y: c; Svergolamento: Carico all'estradosso; Curva svergolamento: b;

Dati per instabilità attorno a x

Controllo della snellezza secondo §4.2.4.1.3.1 NTC18

Numero rit.	Presente	Ascissa	Campata	βx/m	Vincolo a entrambi estremi	λx/m	λVer
1	Si	0					
			1-2		1	29.2	Si, (<200)
2	Si	1.158					

Dati per instabilità attorno a y

Controllo della snellezza secondo §4.2.4.1.3.1 NTC18

Numero rit.	Presente	Ascissa	Campata	βy/n	k,LT	kw,LT	Vincolo a entrambi estremi	λy/n	λVer
1	Si	0							
			1-2		1	1	Si	46.4	Si, (<200)
2	Si	1.158							

Verifica di stabilità per tenso-flessione deviata §§ 5.5.3-5.5.4 ENV 1993-1-1:1992 + AC:1992 + A1:1994 + A2:1998

X	Comb.	Sfruttamento	Classe	NEd	Mx,Ed	Mx,Ed,Ed	My,Ed	χ,LT	kLT	ky	M,critico	Wx	Wy	Verifica
0	SLU 73	0.121	1	1.502	2.57616	2.54156	-0.24879	0.974	1	1	123.47992	0.000098	0.0000495	Si

Verifica di stabilità per tenso-flessione deviata SLD §§ 5.5.3-5.5.4 ENV 1993-1-1:1992 + AC:1992 + A1:1994 + A2:1998

X	Comb.	Sfruttamento	Classe	NEd	Mx,Ed	Mx,Ed,Ed	My,Ed	χ,LT	kLT	ky	M,critico	Wx	Wy	Verifica
0	SLD 1	0.059	1	8.264	1.57215	1.38184	0.04536	0.974	1	1	123.47992	0.000098	0.0000495	Si

Verifica di stabilità per pressoflessione §C.4.2.4.1.3.3.2 NTC18

X	Comb.	Sfruttamento	Classe	NEd	NRk	Mx,Ed max	Mx,Rk	My,Ed max	My,Rk	χ,x	χ,y	kxx	kxy	kyy	χ,LT	Verifica
1.158	SLV 9	0.161	1	-45.942	703.911	1.84838	26.95195	0.12176	13.60093	0.951	0.823	0.404	0.412	0.97	0.686	0.974

Verifica di stabilità per pressoflessione SLD §C.4.2.4.1.3.3.2 NTC18

X	Comb.	Sfruttamento	Classe	NEd	NRk	Mx,Ed max	Mx,Rk	My,Ed max	My,Rk	χ,x	χ,y	kxx	kxy	kyy	χ,LT	Verifica
1.158	SLD 10	0.081	1	-14.884	703.911	1.31801	26.95195	0.01955	13.60093	0.951	0.823	0.401	0.607	0.99	1.012	0.974

Implementazione dei sistemi di confinamento delle emissioni odorigene diffuse dell'impianto di compostaggio esistente nel
Comune di Eboli (SA)
PROGETTO DEFINITIVO – Tabulati di calcolo Tomo 1

Verifica di stabilità a taglio anima Y §4.2.4.1.2.4 [4.2.27] NTC18

η	hw	tw	hw/tw max	Verifica
1.2	0.077	0.006	55.46	Si

Verifica di stabilità a taglio anima Y SLD §4.2.4.1.2.4 [4.2.27] NTC18

η	hw	tw	hw/tw max	Verifica
1.2	0.077	0.006	55.46	Si

Verifiche a deformabilità

Mensola X: No; Mensola Y: No.

Frecce lungo X

Ascissa freccia	Combinazione	Freccia	Luce	L/f	L/f,min	Tipo	Verifica
0.541	SLE RA 1	0.00004	1.158	10000	250	Totale	Si
0.541	SLE RA 17	0.00005	1.158	10000	250	Totale	Si
0.541	SLE RA 16	0.00006	1.158	10000	250	Totale	Si
0.541	SLE RA 15	0.00005	1.158	10000	250	Totale	Si
0.541	SLE RA 14	0.00006	1.158	10000	250	Totale	Si
0.541	SLE RA 2	-0.00002	1.158	10000	350	Variabile	Si
0.541	SLE RA 17	0.00001	1.158	10000	350	Variabile	Si
0.541	SLE RA 16	0.00003	1.158	10000	350	Variabile	Si
0.579	SLE RA 15	0.00001	1.158	10000	350	Variabile	Si
0.502	SLE RA 14	0.00002	1.158	10000	350	Variabile	Si

Frecce lungo Y

Ascissa freccia	Combinazione	Freccia	Luce	L/f	L/f,min	Tipo	Verifica
0.463	SLE RA 18	0.00018	1.158	6306.6	250	Totale	Si
0.463	SLE RA 10	0.00016	1.158	7206.7	250	Totale	Si
0.463	SLE RA 14	0.00016	1.158	7206.7	250	Totale	Si
0.463	SLE RA 6	0.00016	1.158	7285.2	250	Totale	Si
0.463	SLE RA 16	0.00015	1.158	7627.8	250	Totale	Si
0.463	SLE RA 2	-0.00006	1.158	10000	350	Variabile	Si
0.463	SLE RA 17	0.00003	1.158	10000	350	Variabile	Si
0.463	SLE RA 16	0.00007	1.158	10000	350	Variabile	Si
0.502	SLE RA 15	0.00001	1.158	10000	350	Variabile	Si
0.463	SLE RA 14	0.00008	1.158	10000	350	Variabile	Si

Superelemento in acciaio a quota "640" (1999; 2193)-(1999; 2293)

Caratteristiche del materiale

Acciaio: S275, fyk = 275000

Caratteristiche geometriche

Lunghezza: 1

Nodo iniziale: 1137 Nodo finale: 1167

Cerniera iniziale: Mmomenti 1% Cerniera finale: Mmomenti 1%

Sovraresistenza: 0% Sisma Z: No

Caratteristiche della sezione

Sezione	Rotazione	Area	Jx	Jy	ix	iy	Wx	Wy	Wplx	Wply
A1; L100*10; 1; Saldato; S275; 20; 1; 8; 8; 1	180	0.003832	0.0000035319	0.000007759	0.0304	0.045	0.0000492	0.0000739	0.00008974	0.00012727

Comportamento dei calastrelli

Accoppiamento imbottito avendo passo inferiore al minimo richiesto (§C4.2.4.1.3.1.5 NTC18) nella campata compresa tra le ascisse 0 e 1 per sbandamento attorno all'asse y.

Verifiche di resistenza

Verifiche a forza assiale §4.2.4.1.2.1 - §4.2.4.1.2.2 NTC18

X	Comb.	Sfruttamento	Classe	NEd	Nc,Rd	Nt,Rd	Riduzione da taglio	px	py	Verifica
0.433	SLV 6	0.089	3	-89.545	1003.522		1	0	0	Si

Verifiche a forza assiale SLD §4.2.4.1.2.1 - §4.2.4.1.2.2 NTC18

X	Comb.	Sfruttamento	Classe	NEd	Nc,Rd	Nt,Rd	Riduzione da taglio	px	py	Verifica
0.9	SLD 6	0.033	3	-33.21	1003.522		1	0	0	Si

Verifica a taglio Y §4.2.4.1.2.4 NTC18

X	Comb.	Sfruttamento	VEd	Vc,Rd	Av	Interazione taglio-torsione	Riduzione torsione	Verifica
0	SLU 76	0.001	-0.237	302.422	0.002	Non considerata		Si

Verifica a presso/tenso flessione retta X §§ 4.2.4.1.2.3 - 4.2.4.1.2.6 - 4.2.4.1.2.7 - 4.2.4.1.2.8 NTC18

Verifiche eseguite utilizzando la formula conservativa (6.2) §6.2.1 EN 1993-1-1:2005.

X	Comb.	Sfruttamento	Classe	NEd	NRd	Rid. NRd da VEd	Mx,Ed	Mx,Rd	Rid. Mx,Rd da VEd	Rid. Mx,Rd da NEd	px	py	Verifica
0.6	SLU 42	0.012	3	-9.133	1003.522	1	0.031	12.886	1		0	0	Si

Verifica a presso/tenso flessione retta X SLD §§ 4.2.4.1.2.3 - 4.2.4.1.2.6 - 4.2.4.1.2.7 - 4.2.4.1.2.8 NTC18

Verifiche eseguite utilizzando la formula conservativa (6.2) §6.2.1 EN 1993-1-1:2005.

X	Comb.	Sfruttamento	Classe	NEd	NRd	Rid. NRd da VEd	Mx,Ed	Mx,Rd	Rid. Mx,Rd da VEd	Rid. Mx,Rd da NEd	px	py	Verifica
0.5	SLD 1	0.035	3	-32.915	1003.522	1	0.032	12.886	1		0	0	Si

Verifica a presso/tenso flessione retta Y §§ 4.2.4.1.2.3 - 4.2.4.1.2.6 - 4.2.4.1.2.7 - 4.2.4.1.2.8 NTC18

Verifiche eseguite utilizzando la formula conservativa (6.2) §6.2.1 EN 1993-1-1:2005.

Implementazione dei sistemi di confinamento delle emissioni odorigene diffuse dell'impianto di compostaggio esistente nel
Comune di Eboli (SA)
PROGETTO DEFINITIVO – Tabulati di calcolo Tomo 1

X	Comb.	Sfruttamento	Classe	NEd	NRd	Rid. NRd da VEd	My,Ed	My,Rd	Rid. My,Rd da VEd	Rid. My,Rd da NEd	px	py	Verifica
0	SLV 5	0.092	3	-89.545	1003.522	1	-0.0517	19.3536	1		0	0	Si

Verifica a presso/tenso flessione retta Y SLD §§ 4.2.4.1.2.3 - 4.2.4.1.2.6 - 4.2.4.1.2.7 - 4.2.4.1.2.8 NTC18

Verifiche eseguite utilizzando la formula conservativa (6.2) §6.2.1 EN 1993-1-1:2005.

X	Comb.	Sfruttamento	Classe	NEd	NRd	Rid. NRd da VEd	My,Ed	My,Rd	Rid. My,Rd da VEd	Rid. My,Rd da NEd	px	py	Verifica
0.067	SLD 6	0.034	3	-33.21	1003.522	1	-0.0264	19.3536	1		0	0	Si

Verifica a presso/tenso flessione deviata §§ 4.2.4.1.2.3 - 4.2.4.1.2.6 - 4.2.4.1.2.7 - 4.2.4.1.2.8 NTC18

Verifiche eseguite utilizzando la formula conservativa (6.2) §6.2.1 EN 1993-1-1:2005.

X	Comb.	Sfruttamento	Classe	NEd	NRd	Rid. NRd da VEd	Mx,Ed	Mx,Rd	My,Ed	My,Rd	Rid. Mx,Rd da VEd	Rid. Mx,Rd da NEd	Rid. My,Rd da VEd	Rid. My,Rd da NEd	α	β	px	py	Verifica
0.433	SLV 6	0.094	3	-89.545	1003.522	1	0.0356	12.886	-0.0322	19.3536	1		1				0	0	Si

Verifica a presso/tenso flessione deviata SLD §§ 4.2.4.1.2.3 - 4.2.4.1.2.6 - 4.2.4.1.2.7 - 4.2.4.1.2.8 NTC18

Verifiche eseguite utilizzando la formula conservativa (6.2) §6.2.1 EN 1993-1-1:2005.

X	Comb.	Sfruttamento	Classe	NEd	NRd	Rid. NRd da VEd	Mx,Ed	Mx,Rd	My,Ed	My,Rd	Rid. Mx,Rd da VEd	Rid. Mx,Rd da NEd	Rid. My,Rd da VEd	Rid. My,Rd da NEd	α	β	px	py	Verifica
0.467	SLD 6	0.036	3	-33.21	1003.522	1	0.0314	12.886	-0.0144	19.3536	1		1				0	0	Si

Verifiche ad instabilità

Caratteristiche iniziali

Membratura principale per controllo snellezza; Calcolo di snellezze ed N critici condotti secondo gli assi principali;

Curva X: c; Curva Y: c;

Svergolamento: Nessuno; la verifica a instabilità flesso-torsionale (svergolamento) non verrà eseguita.

Dati per instabilità attorno a x

Controllo della snellezza secondo §4.2.4.1.3.1 NTC18

Numero rit.	Presente	Ascissa	Campata	βx/m	Vincolo a entrambi estremi	λx/m	λVer
1	Si		0				
			1-2		1	Si	32.9
2	Si		1				Si, (<200)

Dati per instabilità attorno a y

Controllo della snellezza secondo §4.2.4.1.3.1 NTC18

Numero rit.	Presente	Ascissa	Campata	βy/n	k,LT	kw,LT	Vincolo a entrambi estremi
1	Si		0				
			1-2		1	Si	22.2
2	Si		1				Si, (<200)

Verifica di stabilità per pressoflessione §C.4.2.4.1.3.3.1 NTC18

X	Comb.	Sfruttamento	Classe	NEd	MxEq,Ed	MyEq,Ed	Area	Wx	Wy	x,min	λ adim. x/m	λ adim. y/n	N,crit x/m	N,crit y/n	Verifica
1	SLV 5	0.103	3	-89.545	0.0311	-0.0436	0.003832	0.0000492	0.0000739	0.908	0.379	0.256	7320.307	16081.468	Si

Verifica di stabilità per pressoflessione SLD §C.4.2.4.1.3.3.1 NTC18

X	Comb.	Sfruttamento	Classe	NEd	MxEq,Ed	MyEq,Ed	Area	Wx	Wy	x,min	λ adim. x/m	λ adim. y/n	N,crit x/m	N,crit y/n	Verifica
0.933	SLD 6	0.04	3	-33.21	0.0252	-0.0213	0.003832	0.0000492	0.0000739	0.908	0.379	0.256	7320.307	16081.468	Si

Verifiche a deformabilità

Mensola X: No; Mensola Y: No.

Frecce lungo X

Ascissa freccia	Combinazione	Freccia	Luce	L/f	L/f,min	Tipo	Verifica
0.333	SLE RA 1	0	1	10000	250	Totale	Si
0.333	SLE RA 17	0	1	10000	250	Totale	Si
0.333	SLE RA 16	0	1	10000	250	Totale	Si
0.3	SLE RA 15	0	1	10000	250	Totale	Si
0.333	SLE RA 14	0	1	10000	250	Totale	Si
0.333	SLE RA 2	0	1	10000	350	Variabile	Si
0.333	SLE RA 17	0	1	10000	350	Variabile	Si
0.333	SLE RA 16	0	1	10000	350	Variabile	Si
0.3	SLE RA 15	0	1	10000	350	Variabile	Si
0.4	SLE RA 14	0	1	10000	350	Variabile	Si

Frecce lungo Y

Ascissa freccia	Combinazione	Freccia	Luce	L/f	L/f,min	Tipo	Verifica
0.533	SLE RA 1	0	1	10000	250	Totale	Si
0.533	SLE RA 17	0	1	10000	250	Totale	Si
0.533	SLE RA 16	0	1	10000	250	Totale	Si
0.533	SLE RA 15	0	1	10000	250	Totale	Si
0.533	SLE RA 14	0	1	10000	250	Totale	Si
0.433	SLE RA 2	0	1	10000	350	Variabile	Si
0.433	SLE RA 17	0	1	10000	350	Variabile	Si
0.433	SLE RA 16	0	1	10000	350	Variabile	Si
0.433	SLE RA 15	0	1	10000	350	Variabile	Si
0.467	SLE RA 14	0	1	10000	350	Variabile	Si

Superelemento in acciaio a quota "640" (1999; 2293)-(1999; 2393)

Caratteristiche del materiale

Acciaio: S275, fyk = 275000

**Implementazione dei sistemi di confinamento delle emissioni odorigene diffuse dell'impianto di compostaggio esistente nel
Comune di Eboli (SA)
PROGETTO DEFINITIVO – Tabulati di calcolo Tomo 1**

Caratteristiche geometriche

Lunghezza: 1
Nodo iniziale: 1168 Nodo finale: 1211
Cerniera iniziale: Mmomenti 1% Cerniera finale: Mmomenti 1%
Sovraresistenza: 0% Sisma Z: No

Caratteristiche della sezione

Sezione	Rotazione	Area	Jx	Jy	ix	iy	Wx	Wy	Wplx	Wply
A1; L100*10; 1; Saldato; S275; 20; 1; 8; 8; 1	180	0.003832	0.0000035319	0.000007759	0.0304	0.045	0.0000492	0.0000739	0.00008974	0.00012727

Comportamento dei calastrelli

Accoppiamento imbottito avendo passo inferiore al minimo richiesto (§C4.2.4.1.3.1.5 NTC18) nella campata compresa tra le ascisse 0 e 1 per sbandamento attorno all'asse y.

Verifiche di resistenza

Verifiche a forza assiale §4.2.4.1.2.1 - §4.2.4.1.2.2 NTC18

X	Comb.	Sfruttamento	Classe	NEd	Nc,Rd	Nt,Rd	Riduzione da taglio	px	py	Verifica
1	SLV 5	0.062	3	-62.71	1003.522		1	0	0	Si

Verifiche a forza assiale SLD §4.2.4.1.2.1 - §4.2.4.1.2.2 NTC18

X	Comb.	Sfruttamento	Classe	NEd	Nc,Rd	Nt,Rd	Riduzione da taglio	px	py	Verifica
0.967	SLD 6	0.03	3	-30.184	1003.522		1	0	0	Si

Verifica a presso/tenso flessione retta X §§ 4.2.4.1.2.3 - 4.2.4.1.2.6 - 4.2.4.1.2.7 - 4.2.4.1.2.8 NTC18

Verifiche eseguite utilizzando la formula conservativa (6.2) §6.2.1 EN 1993-1-1:2005.

X	Comb.	Sfruttamento	Classe	NEd	NRd	Rid. NRd da VEd	Mx,Ed	Mx,Rd	Rid. Mx,Rd da VEd	Rid. Mx,Rd da NEd	px	py	Verifica
0.8	SLV 1	0.063	3	-61.488	1003.522	1	0.0239	12.886	1		0	0	Si

Verifica a presso/tenso flessione retta X SLD §§ 4.2.4.1.2.3 - 4.2.4.1.2.6 - 4.2.4.1.2.7 - 4.2.4.1.2.8 NTC18

Verifiche eseguite utilizzando la formula conservativa (6.2) §6.2.1 EN 1993-1-1:2005.

X	Comb.	Sfruttamento	Classe	NEd	NRd	Rid. NRd da VEd	Mx,Ed	Mx,Rd	Rid. Mx,Rd da VEd	Rid. Mx,Rd da NEd	px	py	Verifica
0.5	SLD 6	0.033	3	-30.184	1003.522	1	0.0371	12.886	1		0	0	Si

Verifica a presso/tenso flessione retta Y §§ 4.2.4.1.2.3 - 4.2.4.1.2.6 - 4.2.4.1.2.7 - 4.2.4.1.2.8 NTC18

Verifiche eseguite utilizzando la formula conservativa (6.2) §6.2.1 EN 1993-1-1:2005.

X	Comb.	Sfruttamento	Classe	NEd	NRd	Rid. NRd da VEd	My,Ed	My,Rd	Rid. My,Rd da VEd	Rid. My,Rd da NEd	px	py	Verifica
0	SLV 5	0.065	3	-62.71	1003.522	1	-0.042	19.3536	1		0	0	Si

Verifica a presso/tenso flessione retta Y SLD §§ 4.2.4.1.2.3 - 4.2.4.1.2.6 - 4.2.4.1.2.7 - 4.2.4.1.2.8 NTC18

Verifiche eseguite utilizzando la formula conservativa (6.2) §6.2.1 EN 1993-1-1:2005.

X	Comb.	Sfruttamento	Classe	NEd	NRd	Rid. NRd da VEd	My,Ed	My,Rd	Rid. My,Rd da VEd	Rid. My,Rd da NEd	px	py	Verifica
0	SLD 1	0.031	3	-29.84	1003.522	1	0.0226	19.3536	1		0	0	Si

Verifica a presso/tenso flessione deviata §§ 4.2.4.1.2.3 - 4.2.4.1.2.6 - 4.2.4.1.2.7 - 4.2.4.1.2.8 NTC18

Verifiche eseguite utilizzando la formula conservativa (6.2) §6.2.1 EN 1993-1-1:2005.

X	Comb.	Sfruttamento	Classe	NEd	NRd	Rid. NRd da VEd	Mx,Ed	Mx,Rd	My,Ed	My,Rd	Rid. Mx,Rd da VEd	Rid. Mx,Rd da NEd	Rid. My,Rd da VEd	Rid. My,Rd da NEd	α	β	px	py	Verifica
0.533	SLV 5	0.067	3	-62.71	1003.522	1	0.0366	12.886	-0.034	19.3536	1		1				0	0	Si

Verifica a presso/tenso flessione deviata SLD §§ 4.2.4.1.2.3 - 4.2.4.1.2.6 - 4.2.4.1.2.7 - 4.2.4.1.2.8 NTC18

Verifiche eseguite utilizzando la formula conservativa (6.2) §6.2.1 EN 1993-1-1:2005.

X	Comb.	Sfruttamento	Classe	NEd	NRd	Rid. NRd da VEd	Mx,Ed	Mx,Rd	My,Ed	My,Rd	Rid. Mx,Rd da VEd	Rid. Mx,Rd da NEd	Rid. My,Rd da VEd	Rid. My,Rd da NEd	α	β	px	py	Verifica
0.533	SLD 5	0.034	3	-30.184	1003.522	1	0.0369	12.886	-0.011	19.3536	1		1				0	0	Si

Verifiche ad instabilità

Caratteristiche iniziali

Membratura principale per controllo snellezza; Calcolo di snellezze ed N critici condotti secondo gli assi principali;

Curva X: c; Curva Y: c;

Svergolamento: Nessuno; la verifica a instabilità flesso-torsionale (svergolamento) non verrà eseguita.

Dati per instabilità attorno a x

Controllo della snellezza secondo §4.2.4.1.3.1 NTC18

Numero rit.	Presente	Ascissa	Campata	βx/m	Vincolo a entrambi estremi	λx/m	λVer
1	Si	0					
			1-2		1	32.9	Si, (<200)
2	Si	1					

Dati per instabilità attorno a y

Controllo della snellezza secondo §4.2.4.1.3.1 NTC18

Numero rit.	Presente	Ascissa	Campata	βy/n	k,LT	kw,LT	Vincolo a entrambi estremi
1	Si	0					
			1-2		1	22.2	Si, (<200)
2	Si	1					

Verifica di stabilità per pressoflessione §C.4.2.4.1.3.3.1 NTC18

X	Comb.	Sfruttamento	Classe	NEd	MxEq,Ed	MyEq,Ed	Area	Wx	Wy	χ,min	λ adim. x/m	λ adim. y/n	N,crit x/m	N,crit y/n	Verifica
0.5	SLV 5	0.073	3	-62.71	0.0312	-0.0315	0.003832	0.0000492	0.0000739	0.908	0.379	0.256	7320.307	16081.468	Si

Implementazione dei sistemi di confinamento delle emissioni odorigene diffuse dell'impianto di compostaggio esistente nel
Comune di Eboli (SA)
PROGETTO DEFINITIVO – Tabulati di calcolo Tomo 1

Verifica di stabilità per pressoflessione SLD §C.4.2.4.1.3.3.1 NTC18

X	Comb.	Sfruttamento	Classe	NEd	MxEq,Ed	MyEq,Ed	Area	Wx	Wy	χ,min	λ adim. x/m	λ adim. y/n	N _c crit x/m	N _c crit y/n	Verifica
1	SLD 6	0.036	3	-30.184	0.0318	-0.0108	0.003832	0.0000492	0.0000739	0.908	0.379	0.256	7320.307	16081.468	Si

Verifiche a deformabilità

Mensola X: No; Mensola Y: No.

Frecce lungo X

Ascissa freccia	Combinazione	Freccia	Luce	L/f	L/f,min	Tipo	Verifica
0.5	SLE RA 1	0	1	10000	250	Totale	Si
0.5	SLE RA 17	0	1	10000	250	Totale	Si
0.533	SLE RA 16	0	1	10000	250	Totale	Si
0.5	SLE RA 15	0	1	10000	250	Totale	Si
0.567	SLE RA 14	0	1	10000	250	Totale	Si
0.533	SLE RA 2	0	1	10000	350	Variabile	Si
0.533	SLE RA 17	0	1	10000	350	Variabile	Si
0.533	SLE RA 16	0	1	10000	350	Variabile	Si
0.467	SLE RA 15	0	1	10000	350	Variabile	Si
0.7	SLE RA 14	0	1	10000	350	Variabile	Si

Frecce lungo Y

Ascissa freccia	Combinazione	Freccia	Luce	L/f	L/f,min	Tipo	Verifica
0.5	SLE RA 1	0.00001	1	10000	250	Totale	Si
0.5	SLE RA 17	0.00001	1	10000	250	Totale	Si
0.5	SLE RA 16	0.00001	1	10000	250	Totale	Si
0.5	SLE RA 15	0.00001	1	10000	250	Totale	Si
0.5	SLE RA 14	0.00001	1	10000	250	Totale	Si
0.667	SLE RA 2	0	1	10000	350	Variabile	Si
0.7	SLE RA 17	0	1	10000	350	Variabile	Si
0.667	SLE RA 16	0	1	10000	350	Variabile	Si
0.467	SLE RA 15	0	1	10000	350	Variabile	Si
0.5	SLE RA 14	0	1	10000	350	Variabile	Si

Superelemento in acciaio a quota "640" (1999; 2393)-(1999; 2493)

Caratteristiche del materiale

Acciaio: S275, fyk = 275000

Caratteristiche geometriche

Lunghezza: 1

Nodo iniziale: 1209 Nodo finale: 1245

Cerniera iniziale: Mmomenti 1% Cerniera finale: Mmomenti 1%

Sovreresistenza: 0% Sisma Z: No

Caratteristiche della sezione

Sezione	Rotazione	Area	Jx	Jy	ix	iy	Wx	Wy	Wplx	Wply
Al; L100*10; 1; Saldato; S275; 20; 1; 8; 8; 1	180	0.003832	0.0000035319	0.000007759	0.0304	0.045	0.0000492	0.0000739	0.00008974	0.00012727

Comportamento dei calastrelli

Accoppiamento imbottito avendo passo inferiore al minimo richiesto (§C4.2.4.1.3.1.5 NTC18) nella campata compresa tra le ascisse 0 e 1 per sbandamento attorno all'asse y.

Verifiche di resistenza

Verifiche a forza assiale §4.2.4.1.2.1 - §4.2.4.1.2.2 NTC18

X	Comb.	Sfruttamento	Classe	NEd	Nc,Rd	Nt,Rd	Riduzione da taglio	px	py	Verifica
0	SLU 64	0.069	3	-68.86	1003.522		1	0	0	Si

Verifiche a forza assiale SLD §4.2.4.1.2.1 - §4.2.4.1.2.2 NTC18

X	Comb.	Sfruttamento	Classe	NEd	Nc,Rd	Nt,Rd	Riduzione da taglio	px	py	Verifica
1	SLD 5	0.027	3	-27.563	1003.522		1	0	0	Si

Verifica a presso/tenso flessione retta X §§ 4.2.4.1.2.3 - 4.2.4.1.2.6 - 4.2.4.1.2.7 - 4.2.4.1.2.8 NTC18

Verifiche eseguite utilizzando la formula conservativa (6.2) §6.2.1 EN 1993-1-1:2005.

X	Comb.	Sfruttamento	Classe	NEd	NRd	Rid. NRd da VEd	Mx,Ed	Mx,Rd	Rid. Mx,Rd da VEd	Rid. Mx,Rd da NEd	px	py	Verifica
0.5	SLU 64	0.072	3	-68.86	1003.522	1	0.048	12.886	1		0	0	Si

Verifica a presso/tenso flessione retta X SLD §§ 4.2.4.1.2.3 - 4.2.4.1.2.6 - 4.2.4.1.2.7 - 4.2.4.1.2.8 NTC18

Verifiche eseguite utilizzando la formula conservativa (6.2) §6.2.1 EN 1993-1-1:2005.

X	Comb.	Sfruttamento	Classe	NEd	NRd	Rid. NRd da VEd	Mx,Ed	Mx,Rd	Rid. Mx,Rd da VEd	Rid. Mx,Rd da NEd	px	py	Verifica
0.467	SLD 6	0.03	3	-27.563	1003.522	1	0.037	12.886	1		0	0	Si

Verifica a presso/tenso flessione retta Y §§ 4.2.4.1.2.3 - 4.2.4.1.2.6 - 4.2.4.1.2.7 - 4.2.4.1.2.8 NTC18

Verifiche eseguite utilizzando la formula conservativa (6.2) §6.2.1 EN 1993-1-1:2005.

X	Comb.	Sfruttamento	Classe	NEd	NRd	Rid. NRd da VEd	My,Ed	My,Rd	Rid. My,Rd da VEd	Rid. My,Rd da NEd	px	py	Verifica
0	SLU 64	0.069	3	-68.86	1003.522	1	0.0081	19.3536	1		0	0	Si

Verifica a presso/tenso flessione retta Y SLD §§ 4.2.4.1.2.3 - 4.2.4.1.2.6 - 4.2.4.1.2.7 - 4.2.4.1.2.8 NTC18

Verifiche eseguite utilizzando la formula conservativa (6.2) §6.2.1 EN 1993-1-1:2005.

X	Comb.	Sfruttamento	Classe	NEd	NRd	Rid. NRd da VEd	My,Ed	My,Rd	Rid. My,Rd da VEd	Rid. My,Rd da NEd	px	py	Verifica
1	SLD 6	0.029	3	-27.563	1003.522	1	0.0211	19.3536	1		0	0	Si

Implementazione dei sistemi di confinamento delle emissioni odorigene diffuse dell'impianto di compostaggio esistente nel
Comune di Eboli (SA)
PROGETTO DEFINITIVO – Tabulati di calcolo Tomo 1

Verifica a presso/tenso flessione deviata §§ 4.2.4.1.2.3 - 4.2.4.1.2.6 - 4.2.4.1.2.7 - 4.2.4.1.2.8 NTC18

Verifiche eseguite utilizzando la formula conservativa (6.2) §6.2.1 EN 1993-1-1:2005.

X	Comb.	Sfruttamento	Classe	NEd	NRd	Rid. NRd da VEd	Mx,Ed	Mx,Rd	My,Ed	My,Rd	Rid. Mx,Rd da VEd	Rid. Mx,Rd da NEd	Rid. My,Rd da VEd	Rid. My,Rd da NEd	α	β	px	py	Verifica
0.033	SLU 64	0.069	3	-68.86	1003.522	1	0.0054	12.886	0.0075	19.3536	1		1				0	0	Si

Verifica a presso/tenso flessione deviata SLD §§ 4.2.4.1.2.3 - 4.2.4.1.2.6 - 4.2.4.1.2.7 - 4.2.4.1.2.8 NTC18

Verifiche eseguite utilizzando la formula conservativa (6.2) §6.2.1 EN 1993-1-1:2005.

X	Comb.	Sfruttamento	Classe	NEd	NRd	Rid. NRd da VEd	Mx,Ed	Mx,Rd	My,Ed	My,Rd	Rid. Mx,Rd da VEd	Rid. Mx,Rd da NEd	Rid. My,Rd da VEd	Rid. My,Rd da NEd	α	β	px	py	Verifica
0.567	SLD 5	0.031	3	-27.563	1003.522	1	0.0365	12.886	0.0092	19.3536	1		1				0	0	Si

Verifiche ad instabilità

Caratteristiche iniziali

Membratura principale per controllo snellezza; Calcolo di snellezze ed N critici condotti secondo gli assi principali;

Curva X: c; Curva Y: c;

Svergolamento: Nessuno; la verifica a instabilità flesso-torsionale (svergolamento) non verrà eseguita.

Dati per instabilità attorno a x

Controllo della snellezza secondo §4.2.4.1.3.1 NTC18

Numero rit.	Presente	Ascissa	Campata	βx/m	Vincolo a entrambi estremi	λx/m	λVer
1	Si		0				
			1-2		1	32.9	Si, (<200)
2	Si		1				

Dati per instabilità attorno a y

Controllo della snellezza secondo §4.2.4.1.3.1 NTC18

Numero rit.	Presente	Ascissa	Campata	βy/n	k,LT	kw,LT	Vincolo a entrambi estremi
1	Si		0				
			1-2		1	22.2	Si, (<200)
2	Si		1				

Verifica di stabilità per pressoflessione §C.4.2.4.1.3.3.1 NTC18

X	Comb.	Sfruttamento	Classe	NEd	MxEq,Ed	MyEq,Ed	Area	Wx	Wy	χ,min	λ adim. x/m	λ adim. y/n	N,crit x/m	N,crit y/n	Verifica
1	SLU 64	0.079	3	-68.86	0.0412	0.0032	0.003832	0.0000492	0.0000739	0.908	0.379	0.256	7320.307	16081.468	Si

Verifica di stabilità per pressoflessione SLD §C.4.2.4.1.3.3.1 NTC18

X	Comb.	Sfruttamento	Classe	NEd	MxEq,Ed	MyEq,Ed	Area	Wx	Wy	χ,min	λ adim. x/m	λ adim. y/n	N,crit x/m	N,crit y/n	Verifica
1	SLD 5	0.034	3	-27.563	0.032	0.0158	0.003832	0.0000492	0.0000739	0.908	0.379	0.256	7320.307	16081.468	Si

Verifiche a deformabilità

Mensola X: No; Mensola Y: No.

Frecce lungo X

Ascissa freccia	Combinazione	Freccia	Luce	L/f	L/f,min	Tipo	Verifica
0.367	SLE RA 1	0	1	10000	250	Totale	Si
0.4	SLE RA 17	0	1	10000	250	Totale	Si
0.4	SLE RA 16	0	1	10000	250	Totale	Si
0.333	SLE RA 15	0	1	10000	250	Totale	Si
0.433	SLE RA 14	0	1	10000	250	Totale	Si
0.433	SLE RA 2	0	1	10000	350	Variabile	Si
0.433	SLE RA 17	0	1	10000	350	Variabile	Si
0.433	SLE RA 16	0	1	10000	350	Variabile	Si
0.767	SLE RA 15	0	1	10000	350	Variabile	Si
0.5	SLE RA 14	0	1	10000	350	Variabile	Si

Frecce lungo Y

Ascissa freccia	Combinazione	Freccia	Luce	L/f	L/f,min	Tipo	Verifica
0.5	SLE RA 1	0.00001	1	10000	250	Totale	Si
0.5	SLE RA 17	0.00001	1	10000	250	Totale	Si
0.5	SLE RA 16	0.00001	1	10000	250	Totale	Si
0.5	SLE RA 15	0.00001	1	10000	250	Totale	Si
0.5	SLE RA 14	0.00001	1	10000	250	Totale	Si
0.333	SLE RA 2	0	1	10000	350	Variabile	Si
0.367	SLE RA 17	0	1	10000	350	Variabile	Si
0.333	SLE RA 16	0	1	10000	350	Variabile	Si
0.5	SLE RA 15	0	1	10000	350	Variabile	Si
0.467	SLE RA 14	0	1	10000	350	Variabile	Si

Superelemento in acciaio a quota "640" (1999; 2493)-(1999; 2593)

Caratteristiche del materiale

Acciaio: S275, fyk = 275000

Caratteristiche geometriche

Lunghezza: 1

Nodo iniziale: 1247 Nodo finale: 1283

Cerniera iniziale: Mmomenti 1% Cerniera finale: Mmomenti 1%

Sovraresistenza: 0% Sisma Z: No

Caratteristiche della sezione

Sezione	Rotazione	Area	Jx	Jy	ix	iy	Wx	Wy	Wplx	Wply
---------	-----------	------	----	----	----	----	----	----	------	------

**Implementazione dei sistemi di confinamento delle emissioni odorigene diffuse dell'impianto di compostaggio esistente nel
Comune di Eboli (SA)
PROGETTO DEFINITIVO – Tabulati di calcolo Tomo 1**

Sezione	Rotazione	Area	Jx	Jy	ix	iy	Wx	Wy	Wpx	Wpy
A1; L100*10; 1; Saldato; S275; 20; 1; 8; 8; 1	180	0.003832	0.0000035319	0.000007759	0.0304	0.045	0.0000492	0.0000739	0.00008974	0.00012727

Comportamento dei calastrelli

Accoppiamento imbottito avendo passo inferiore al minimo richiesto (§C4.2.4.1.3.1.5 NTC18) nella campata compresa tra le ascisse 0 e 1 per sbandamento attorno all'asse y.

Verifiche di resistenza

Verifiche a forza assiale §4.2.4.1.2.1 - §4.2.4.1.2.2 NTC18

X	Comb.	Sfruttamento	Classe	NEd	Nc,Rd	Nt,Rd	Riduzione da taglio	px	py	Verifica
0	SLU 64	0.086	3	-86.636	1003.522		1	0	0	Si

Verifiche a forza assiale SLD §4.2.4.1.2.1 - §4.2.4.1.2.2 NTC18

X	Comb.	Sfruttamento	Classe	NEd	Nc,Rd	Nt,Rd	Riduzione da taglio	px	py	Verifica
1	SLD 5	0.03	3	-30.116	1003.522		1	0	0	Si

Verifica a presso/tenso flessione retta X §§ 4.2.4.1.2.3 - 4.2.4.1.2.6 - 4.2.4.1.2.7 - 4.2.4.1.2.8 NTC18

Verifiche eseguite utilizzando la formula conservativa (6.2) §6.2.1 EN 1993-1-1:2005.

X	Comb.	Sfruttamento	Classe	NEd	NRd	Rid. NRd da VEd	Mx,Ed	Mx,Rd	Rid. Mx,Rd da VEd	Rid. Mx,Rd da NEd	px	py	Verifica
0.5	SLU 64	0.09	3	-86.636	1003.522	1	0.0477	12.886	1		0	0	Si

Verifica a presso/tenso flessione retta Y §§ 4.2.4.1.2.3 - 4.2.4.1.2.6 - 4.2.4.1.2.7 - 4.2.4.1.2.8 NTC18

Verifiche eseguite utilizzando la formula conservativa (6.2) §6.2.1 EN 1993-1-1:2005.

X	Comb.	Sfruttamento	Classe	NEd	NRd	Rid. NRd da VEd	My,Ed	My,Rd	Rid. My,Rd da VEd	Rid. My,Rd da NEd	px	py	Verifica
1	SLV 5	0.044	3	-39.375	1003.522	1	-0.0928	19.3536	1		0	0	Si

Verifica a presso/tenso flessione retta Y SLD §§ 4.2.4.1.2.3 - 4.2.4.1.2.6 - 4.2.4.1.2.7 - 4.2.4.1.2.8 NTC18

Verifiche eseguite utilizzando la formula conservativa (6.2) §6.2.1 EN 1993-1-1:2005.

X	Comb.	Sfruttamento	Classe	NEd	NRd	Rid. NRd da VEd	My,Ed	My,Rd	Rid. My,Rd da VEd	Rid. My,Rd da NEd	px	py	Verifica
1	SLD 6	0.032	3	-30.116	1003.522	1	-0.038	19.3536	1		0	0	Si

Verifica a presso/tenso flessione deviata §§ 4.2.4.1.2.3 - 4.2.4.1.2.6 - 4.2.4.1.2.7 - 4.2.4.1.2.8 NTC18

Verifiche eseguite utilizzando la formula conservativa (6.2) §6.2.1 EN 1993-1-1:2005.

X	Comb.	Sfruttamento	Classe	NEd	NRd	Rid. NRd da VEd	Mx,Ed	Mx,Rd	My,Ed	My,Rd	Rid. Mx,Rd da VEd	Rid. Mx,Rd da NEd	Rid. My,Rd da VEd	Rid. My,Rd da NEd	α	β	px	py	Verifica
0.833	SLV 5	0.046	3	-39.375	1003.522	1	0.0206	12.886	-0.0918	19.3536	1		1				0	0	Si

Verifica a presso/tenso flessione deviata SLD §§ 4.2.4.1.2.3 - 4.2.4.1.2.6 - 4.2.4.1.2.7 - 4.2.4.1.2.8 NTC18

Verifiche eseguite utilizzando la formula conservativa (6.2) §6.2.1 EN 1993-1-1:2005.

X	Comb.	Sfruttamento	Classe	NEd	NRd	Rid. NRd da VEd	Mx,Ed	Mx,Rd	My,Ed	My,Rd	Rid. Mx,Rd da VEd	Rid. Mx,Rd da NEd	Rid. My,Rd da VEd	Rid. My,Rd da NEd	α	β	px	py	Verifica
0.5	SLD 5	0.034	3	-30.116	1003.522	1	0.037	12.886	0.0183	19.3536	1		1				0	0	Si

Verifiche ad instabilità

Caratteristiche iniziali

Membratura principale per controllo snellezza; Calcolo di snellezze ed N critici condotti secondo gli assi principali;

Curva X: c; Curva Y: c;

Svergolamento: Nessuno; la verifica a instabilità flesso-torsionale (svergolamento) non verrà eseguita.

Dati per instabilità attorno a x

Controllo della snellezza secondo §4.2.4.1.3.1 NTC18

Numero rit.	Presente	Ascissa	Campata	βx/m	Vincolo a entrambi estremi	λx/m	λVer
1	Si	0					
			1-2	1	Si	32.9	Si, (<200)
2	Si	1					

Dati per instabilità attorno a y

Controllo della snellezza secondo §4.2.4.1.3.1 NTC18

Numero rit.	Presente	Ascissa	Campata	βy/n	k,LT	kw,LT	Vincolo a entrambi estremi
1	Si	0					
			1-2	1	Si	22.2	Si, (<200)
2	Si	1					

Verifica di stabilità per pressoflessione §C.4.2.4.1.3.3.1 NTC18

X	Comb.	Sfruttamento	Classe	NEd	MxEq,Ed	MyEq,Ed	Area	Wx	Wy	χ,min	λ adim. x/m	λ adim. y/n	N,crit x/m	N,crit y/n	Verifica
0.433	SLU 64	0.098	3	-86.636	0.0407	-0.0042	0.003832	0.0000492	0.0000739	0.908	0.379	0.256	7320.307	16081.468	Si

Verifica di stabilità per pressoflessione SLD §C.4.2.4.1.3.3.1 NTC18

X	Comb.	Sfruttamento	Classe	NEd	MxEq,Ed	MyEq,Ed	Area	Wx	Wy	χ,min	λ adim. x/m	λ adim. y/n	N,crit x/m	N,crit y/n	Verifica
1	SLD 5	0.037	3	-30.116	0.0318	-0.0285	0.003832	0.0000492	0.0000739	0.908	0.379	0.256	7320.307	16081.468	Si

Verifiche a deformabilità

Mensola X: No; Mensola Y: No.

Frecce lungo X

Ascissa freccia	Combinazione	Freccia	Luce	L/f	L/f,min	Tipo	Verifica
0.567	SLE RA 1	0	1	10000	250	Totale	Si
0.6	SLE RA 17	0	1	10000	250	Totale	Si
0.633	SLE RA 16	0	1	10000	250	Totale	Si
0.5	SLE RA 15	0	1	10000	250	Totale	Si
0.767	SLE RA 14	0	1	10000	250	Totale	Si

Implementazione dei sistemi di confinamento delle emissioni odorigene diffuse dell'impianto di compostaggio esistente nel
Comune di Eboli (SA)
PROGETTO DEFINITIVO – Tabulati di calcolo Tomo 1

Ascissa freccia	Combinazione	Freccia	Luce	L/f	L/f,min	Tipo	Verifica
0.667	SLE RA 2	0	1	10000	350	Variabile	Si
0.7	SLE RA 17	0	1	10000	350	Variabile	Si
0.7	SLE RA 16	0	1	10000	350	Variabile	Si
0.433	SLE RA 15	0	1	10000	350	Variabile	Si
0.3	SLE RA 14	0	1	10000	350	Variabile	Si

Frecce lungo Y

Ascissa freccia	Combinazione	Freccia	Luce	L/f	L/f,min	Tipo	Verifica
0.5	SLE RA 1	0.00001	1	10000	250	Totale	Si
0.5	SLE RA 17	0.00001	1	10000	250	Totale	Si
0.5	SLE RA 16	0.00001	1	10000	250	Totale	Si
0.5	SLE RA 15	0.00001	1	10000	250	Totale	Si
0.5	SLE RA 14	0.00001	1	10000	250	Totale	Si
0.633	SLE RA 2	0	1	10000	350	Variabile	Si
0.667	SLE RA 17	0	1	10000	350	Variabile	Si
0.667	SLE RA 16	0	1	10000	350	Variabile	Si
0.5	SLE RA 15	0	1	10000	350	Variabile	Si
0.4	SLE RA 14	0	1	10000	350	Variabile	Si

Superelemento in acciaio a quota "640" (1999; 2593)-(1999; 2693)

Caratteristiche del materiale

Acciaio: S275, fyk = 275000

Caratteristiche geometriche

Lunghezza: 1

Nodo iniziale: 1282 Nodo finale: 1327

Cerniera iniziale: Mmomenti 1% Cerniera finale: Mmomenti 1%

Sovraresistenza: 0% Sisma Z: No

Caratteristiche della sezione

Sezione	Rotazione	Area	Jx	Jy	ix	iy	Wx	Wy	Wplx	Wply
A1; L100*10; 1; Saldato; S275; 20; 1; 8; 8; 1	180	0.003832	0.0000035319	0.000007759	0.0304	0.045	0.0000492	0.0000739	0.00008974	0.00012727

Comportamento dei calastrelli

Accoppiamento imbottito avendo passo inferiore al minimo richiesto (§C4.2.4.1.3.1.5 NTC18) nella campata compresa tra le ascisse 0 e 1 per sbandamento attorno all'asse y.

Verifiche di resistenza

Verifiche a forza assiale §4.2.4.1.2.1 - §4.2.4.1.2.2 NTC18

X	Comb.	Sfruttamento	Classe	NEd	Nc,Rd	Nt,Rd	Riduzione da taglio	px	py	Verifica
0.967	SLU 64	0.077	3	-77.576	1003.522		1	0	0	Si

Verifiche a forza assiale SLD §4.2.4.1.2.1 - §4.2.4.1.2.2 NTC18

X	Comb.	Sfruttamento	Classe	NEd	Nc,Rd	Nt,Rd	Riduzione da taglio	px	py	Verifica
1	SLD 10	0.028	3	-28.499	1003.522		1	0	0	Si

Verifica a presso/tenso flessione retta X §§ 4.2.4.1.2.3 - 4.2.4.1.2.6 - 4.2.4.1.2.7 - 4.2.4.1.2.8 NTC18

Verifiche eseguite utilizzando la formula conservativa (6.2) §6.2.1 EN 1993-1-1:2005.

X	Comb.	Sfruttamento	Classe	NEd	NRd	Rid. NRd da VEd	Mx,Ed	Mx,Rd	Rid. Mx,Rd da VEd	Rid. Mx,Rd da NEd	px	py	Verifica
0.5	SLU 64	0.081	3	-77.576	1003.522	1	0.0477	12.886	1		0	0	Si

Verifica a presso/tenso flessione retta X SLD §§ 4.2.4.1.2.3 - 4.2.4.1.2.6 - 4.2.4.1.2.7 - 4.2.4.1.2.8 NTC18

Verifiche eseguite utilizzando la formula conservativa (6.2) §6.2.1 EN 1993-1-1:2005.

X	Comb.	Sfruttamento	Classe	NEd	NRd	Rid. NRd da VEd	Mx,Ed	Mx,Rd	Rid. Mx,Rd da VEd	Rid. Mx,Rd da NEd	px	py	Verifica
0.7	SLD 10	0.031	3	-28.499	1003.522	1	0.0311	12.886	1		0	0	Si

Verifica a presso/tenso flessione retta Y §§ 4.2.4.1.2.3 - 4.2.4.1.2.6 - 4.2.4.1.2.7 - 4.2.4.1.2.8 NTC18

Verifiche eseguite utilizzando la formula conservativa (6.2) §6.2.1 EN 1993-1-1:2005.

X	Comb.	Sfruttamento	Classe	NEd	NRd	Rid. NRd da VEd	My,Ed	My,Rd	Rid. My,Rd da VEd	Rid. My,Rd da NEd	px	py	Verifica
0	SLV 10	0.037	3	-34.067	1003.522	1	-0.068	19.3536	1		0	0	Si

Verifica a presso/tenso flessione retta Y SLD §§ 4.2.4.1.2.3 - 4.2.4.1.2.6 - 4.2.4.1.2.7 - 4.2.4.1.2.8 NTC18

Verifiche eseguite utilizzando la formula conservativa (6.2) §6.2.1 EN 1993-1-1:2005.

X	Comb.	Sfruttamento	Classe	NEd	NRd	Rid. NRd da VEd	My,Ed	My,Rd	Rid. My,Rd da VEd	Rid. My,Rd da NEd	px	py	Verifica
0	SLD 5	0.03	3	-27.368	1003.522	1	-0.0513	19.3536	1		0	0	Si

Verifica a presso/tenso flessione deviata §§ 4.2.4.1.2.3 - 4.2.4.1.2.6 - 4.2.4.1.2.7 - 4.2.4.1.2.8 NTC18

Verifiche eseguite utilizzando la formula conservativa (6.2) §6.2.1 EN 1993-1-1:2005.

X	Comb.	Sfruttamento	Classe	NEd	NRd	Rid. NRd da VEd	Mx,Ed	Mx,Rd	My,Ed	My,Rd	Rid. Mx,Rd da VEd	Rid. Mx,Rd da NEd	Rid. My,Rd da VEd	Rid. My,Rd da NEd	α	β	px	py	Verifica
0.333	SLV 10	0.039	3	-34.067	1003.522	1	0.0327	12.886	-0.0447	19.3536	1		1				0	0	Si

Verifica a presso/tenso flessione deviata SLD §§ 4.2.4.1.2.3 - 4.2.4.1.2.6 - 4.2.4.1.2.7 - 4.2.4.1.2.8 NTC18

Verifiche eseguite utilizzando la formula conservativa (6.2) §6.2.1 EN 1993-1-1:2005.

X	Comb.	Sfruttamento	Classe	NEd	NRd	Rid. NRd da VEd	Mx,Ed	Mx,Rd	My,Ed	My,Rd	Rid. Mx,Rd da VEd	Rid. Mx,Rd da NEd	Rid. My,Rd da VEd	Rid. My,Rd da NEd	α	β	px	py	Verifica
0.433	SLD 10	0.032	3	-28.499	1003.522	1	0.0363	12.886	-0.015	19.3536	1		1				0	0	Si

Implementazione dei sistemi di confinamento delle emissioni odorigene diffuse dell'impianto di compostaggio esistente nel
Comune di Eboli (SA)

PROGETTO DEFINITIVO – Tabulati di calcolo Tomo 1

Verifiche ad instabilità

Caratteristiche iniziali

Membratura principale per controllo snellezza; Calcolo di snellezze ed N critici condotti secondo gli assi principali;
Curva X: c; Curva Y: c;
Svergolamento: Nessuno; la verifica a instabilità flessione-torsionale (svergolamento) non verrà eseguita.

Dati per instabilità attorno a x

Controllo della snellezza secondo §4.2.4.1.3.1 NTC18

Numero rit.	Presente	Ascissa	Campata	$\beta x/m$	Vincolo a entrambi estremi	$\lambda x/m$	λVer
1	Si	0					
			1-2	1	Si	32.9	Si, (<200)
2	Si	1					

Dati per instabilità attorno a y

Controllo della snellezza secondo §4.2.4.1.3.1 NTC18

Numero rit.	Presente	Ascissa	Campata	$\beta y/n$	k,LT	kw,LT	Vincolo a entrambi estremi
1	Si	0					
			1-2	1	Si	22.2	Si, (<200)
2	Si	1					

Verifica di stabilità per pressoflessione §C.4.2.4.1.3.3.1 NTC18

X	Comb.	Sfruttamento	Classe	NEd	MxEq,Ed	MyEq,Ed	Area	Wx	Wy	χ_{min}	$\lambda_{adim. x/m}$	$\lambda_{adim. y/n}$	N,crit x/m	N,crit y/n	Verifica
0.967	SLU 64	0.088	3	-77.576	0.0408	0.0028	0.003832	0.0000492	0.0000739	0.908	0.379	0.256	7320.307	16081.468	Si

Verifica di stabilità per pressoflessione SLD §C.4.2.4.1.3.3.1 NTC18

X	Comb.	Sfruttamento	Classe	NEd	MxEq,Ed	MyEq,Ed	Area	Wx	Wy	χ_{min}	$\lambda_{adim. x/m}$	$\lambda_{adim. y/n}$	N,crit x/m	N,crit y/n	Verifica
1	SLD 10	0.035	3	-28.499	0.0318	-0.021	0.003832	0.0000492	0.0000739	0.908	0.379	0.256	7320.307	16081.468	Si

Verifiche a deformabilità

Mensola X: No; Mensola Y: No.

Frecce lungo X

Ascissa freccia	Combinazione	Freccia	Luce	L/f	L/f,min	Tipo	Verifica
0.7	SLE RA 1	0	1	10000	250	Totale	Si
0.733	SLE RA 17	0	1	10000	250	Totale	Si
0.767	SLE RA 16	0	1	10000	250	Totale	Si
0.767	SLE RA 15	0	1	10000	250	Totale	Si
0.7	SLE RA 14	0	1	10000	250	Totale	Si
0.267	SLE RA 2	0	1	10000	350	Variabile	Si
0.267	SLE RA 17	0	1	10000	350	Variabile	Si
0.267	SLE RA 16	0	1	10000	350	Variabile	Si
0.233	SLE RA 15	0	1	10000	350	Variabile	Si
0.7	SLE RA 14	0	1	10000	350	Variabile	Si

Frecce lungo Y

Ascissa freccia	Combinazione	Freccia	Luce	L/f	L/f,min	Tipo	Verifica
0.5	SLE RA 1	0.00001	1	10000	250	Totale	Si
0.5	SLE RA 17	0.00001	1	10000	250	Totale	Si
0.5	SLE RA 16	0.00001	1	10000	250	Totale	Si
0.5	SLE RA 15	0.00001	1	10000	250	Totale	Si
0.5	SLE RA 14	0.00001	1	10000	250	Totale	Si
0.433	SLE RA 2	0	1	10000	350	Variabile	Si
0.4	SLE RA 17	0	1	10000	350	Variabile	Si
0.4	SLE RA 16	0	1	10000	350	Variabile	Si
0.433	SLE RA 15	0	1	10000	350	Variabile	Si
0.533	SLE RA 14	0	1	10000	350	Variabile	Si

Superelemento in acciaio a quota "640" (1999; 2693)-(1999; 2793)

Caratteristiche del materiale

Acciaio: S275, fyk = 275000

Caratteristiche geometriche

Lunghezza: 1

Nodo iniziale: 1325 Nodo finale: 1359

Cerniera iniziale: Mmomenti 1% Cerniera finale: Mmomenti 1%

Sovreresistenza: 0% Sisma Z: No

Caratteristiche della sezione

Sezione	Rotazione	Area	Jx	Jy	ix	iy	Wx	Wy	Wplx	Wply
A1; L100*10; 1; Saldato; S275; 20; 1; 8; 8; 1	180	0.003832	0.0000035319	0.0000077759	0.0304	0.045	0.0000492	0.0000739	0.00008974	0.00012727

Comportamento dei calastrelli

Accoppiamento imbottito avendo passo inferiore al minimo richiesto (§C4.2.4.1.3.1.5 NTC18) nella campata compresa tra le ascisse 0 e 1 per sbandamento attorno all'asse y.

Verifiche di resistenza

Verifiche a forza assiale §4.2.4.1.2.1 - §4.2.4.1.2.2 NTC18

X	Comb.	Sfruttamento	Classe	NEd	Nc,Rd	Nt,Rd	Riduzione da taglio	px	py	Verifica
0.533	SLU 64	0.05	3	-50.516	1003.522		1	0	0	Si

Implementazione dei sistemi di confinamento delle emissioni odorigene diffuse dell'impianto di compostaggio esistente nel
Comune di Eboli (SA)
PROGETTO DEFINITIVO – Tabulati di calcolo Tomo 1

Verifiche a forza assiale SLD §4.2.4.1.2.1 - §4.2.4.1.2.2 NTC18

X	Comb.	Sfruttamento	Classe	NEd	Nc,Rd	Nt,Rd	Riduzione da taglio	px	py	Verifica
1	SLD 10	0.019	3	-18.666	1003.522		1	0	0	Si

Verifica a presso/tenso flessione retta X §§ 4.2.4.1.2.3 - 4.2.4.1.2.6 - 4.2.4.1.2.7 - 4.2.4.1.2.8 NTC18

Verifiche eseguite utilizzando la formula conservativa (6.2) §6.2.1 EN 1993-1-1:2005.

X	Comb.	Sfruttamento	Classe	NEd	NRd	Rid. NRd da VEd	Mx,Ed	Mx,Rd	Rid. Mx,Rd da VEd	Rid. Mx,Rd da NEd	px	py	Verifica
0.333	SLU 64	0.054	3	-50.516	1003.522	1	0.0426	12.886	1		0	0	Si

Verifica a presso/tenso flessione retta X SLD §§ 4.2.4.1.2.3 - 4.2.4.1.2.6 - 4.2.4.1.2.7 - 4.2.4.1.2.8 NTC18

Verifiche eseguite utilizzando la formula conservativa (6.2) §6.2.1 EN 1993-1-1:2005.

X	Comb.	Sfruttamento	Classe	NEd	NRd	Rid. NRd da VEd	Mx,Ed	Mx,Rd	Rid. Mx,Rd da VEd	Rid. Mx,Rd da NEd	px	py	Verifica
0.5	SLD 9	0.021	3	-18.666	1003.522	1	0.0372	12.886	1		0	0	Si

Verifica a presso/tenso flessione retta Y §§ 4.2.4.1.2.3 - 4.2.4.1.2.6 - 4.2.4.1.2.7 - 4.2.4.1.2.8 NTC18

Verifiche eseguite utilizzando la formula conservativa (6.2) §6.2.1 EN 1993-1-1:2005.

X	Comb.	Sfruttamento	Classe	NEd	NRd	Rid. NRd da VEd	My,Ed	My,Rd	Rid. My,Rd da VEd	Rid. My,Rd da NEd	px	py	Verifica
1	SLU 64	0.051	3	-50.516	1003.522	1	0.0171	19.3536	1		0	0	Si

Verifica a presso/tenso flessione retta Y SLD §§ 4.2.4.1.2.3 - 4.2.4.1.2.6 - 4.2.4.1.2.7 - 4.2.4.1.2.8 NTC18

Verifiche eseguite utilizzando la formula conservativa (6.2) §6.2.1 EN 1993-1-1:2005.

X	Comb.	Sfruttamento	Classe	NEd	NRd	Rid. NRd da VEd	My,Ed	My,Rd	Rid. My,Rd da VEd	Rid. My,Rd da NEd	px	py	Verifica
1	SLD 10	0.02	3	-18.666	1003.522	1	-0.0223	19.3536	1		0	0	Si

Verifica a presso/tenso flessione deviata §§ 4.2.4.1.2.3 - 4.2.4.1.2.6 - 4.2.4.1.2.7 - 4.2.4.1.2.8 NTC18

Verifiche eseguite utilizzando la formula conservativa (6.2) §6.2.1 EN 1993-1-1:2005.

X	Comb.	Sfruttamento	Classe	NEd	NRd	Rid. NRd da VEd	Mx,Ed	Mx,Rd	My,Ed	My,Rd	Rid. Mx,Rd da VEd	Rid. Mx,Rd da NEd	Rid. My,Rd da VEd	Rid. My,Rd da NEd	α	β	px	py	Verifica
0.533	SLU 64	0.055	3	-50.516	1003.522	1	0.048	12.886	0.0103	19.3536	1		1				0	0	Si

Verifica a presso/tenso flessione deviata SLD §§ 4.2.4.1.2.3 - 4.2.4.1.2.6 - 4.2.4.1.2.7 - 4.2.4.1.2.8 NTC18

Verifiche eseguite utilizzando la formula conservativa (6.2) §6.2.1 EN 1993-1-1:2005.

X	Comb.	Sfruttamento	Classe	NEd	NRd	Rid. NRd da VEd	Mx,Ed	Mx,Rd	My,Ed	My,Rd	Rid. Mx,Rd da VEd	Rid. Mx,Rd da NEd	Rid. My,Rd da VEd	Rid. My,Rd da NEd	α	β	px	py	Verifica
0.633	SLD 9	0.022	3	-18.666	1003.522	1	0.0346	12.886	-0.0084	19.3536	1		1				0	0	Si

Verifiche ad instabilità

Caratteristiche iniziali

Membratura principale per controllo snellezza; Calcolo di snellezze ed N critici condotti secondo gli assi principali;

Curva X: c; Curva Y: c;

Svergolamento: Nessuno; la verifica a instabilità flesso-torsionale (svergolamento) non verrà eseguita.

Dati per instabilità attorno a x

Controllo della snellezza secondo §4.2.4.1.3.1 NTC18

Numero rit.	Presente	Ascissa	Campata	βx/m	Vincolo a entrambi estremi	λx/m	λVer
1	Si		0				
			1-2		1	32.9	Si, (<200)
2	Si		1				

Dati per instabilità attorno a y

Controllo della snellezza secondo §4.2.4.1.3.1 NTC18

Numero rit.	Presente	Ascissa	Campata	βy/n	k,LT	kw,LT	Vincolo a entrambi estremi
1	Si		0				
			1-2		1	22.2	Si, (<200)
2	Si		1				

Verifica di stabilità per pressoflessione §C.4.2.4.1.3.3.1 NTC18

X	Comb.	Sfruttamento	Classe	NEd	MxEq,Ed	MyEq,Ed	Area	Wx	Wy	χ,min	λ adim. x/m	λ adim. y/n	N,crit x/m	N,crit y/n	Verifica
0.5	SLU 64	0.059	3	-50.516	0.0414	0.0113	0.003832	0.0000492	0.0000739	0.908	0.379	0.256	7320.307	16081.468	Si

Verifica di stabilità per pressoflessione SLD §C.4.2.4.1.3.3.1 NTC18

X	Comb.	Sfruttamento	Classe	NEd	MxEq,Ed	MyEq,Ed	Area	Wx	Wy	χ,min	λ adim. x/m	λ adim. y/n	N,crit x/m	N,crit y/n	Verifica
1	SLD 10	0.024	3	-18.666	0.032	-0.0168	0.003832	0.0000492	0.0000739	0.908	0.379	0.256	7320.307	16081.468	Si

Verifiche a deformabilità

Mensola X: No; Mensola Y: No.

Frecce lungo X

Ascissa freccia	Combinazione	Freccia	Luce	L/f	L/f,min	Tipo	Verifica
0.533	SLE RA 1	0	1	10000	250	Totale	Si
0.567	SLE RA 17	0	1	10000	250	Totale	Si
0.567	SLE RA 16	0	1	10000	250	Totale	Si
0.567	SLE RA 15	0	1	10000	250	Totale	Si
0.533	SLE RA 14	0	1	10000	250	Totale	Si
0.567	SLE RA 2	0	1	10000	350	Variabile	Si
0.567	SLE RA 17	0	1	10000	350	Variabile	Si
0.567	SLE RA 16	0	1	10000	350	Variabile	Si
0.567	SLE RA 15	0	1	10000	350	Variabile	Si
0.6	SLE RA 14	0	1	10000	350	Variabile	Si

Frecce lungo Y

Ascissa freccia	Combinazione	Freccia	Luce	L/f	L/f,min	Tipo	Verifica
0.5	SLE RA 1	0.00001	1	10000	250	Totale	Si
0.5	SLE RA 17	0.00001	1	10000	250	Totale	Si
0.5	SLE RA 16	0.00001	1	10000	250	Totale	Si

Implementazione dei sistemi di confinamento delle emissioni odorigene diffuse dell'impianto di compostaggio esistente nel
Comune di Eboli (SA)

PROGETTO DEFINITIVO – Tabulati di calcolo Tomo 1

Ascissa freccia	Combinazione	Freccia	Luce	L/f	L/f,min	Tipo	Verifica
0.5	SLE RA 15	0.00001	1	10000	250	Totale	Si
0.5	SLE RA 14	0.00001	1	10000	250	Totale	Si
0.367	SLE RA 2	0	1	10000	350	Variabile	Si
0.267	SLE RA 17	0	1	10000	350	Variabile	Si
0.267	SLE RA 16	0	1	10000	350	Variabile	Si
0.433	SLE RA 15	0	1	10000	350	Variabile	Si
0.5	SLE RA 14	0	1	10000	350	Variabile	Si

Superelemento in acciaio a quota "640" (1999; 2793)-(1999; 2893)

Caratteristiche del materiale

Acciaio: S275, fyk = 275000

Caratteristiche geometriche

Lunghezza: 1

Nodo iniziale: 1358 Nodo finale: 1395

Cerniera iniziale: Mmomenti 1% Cerniera finale: Mmomenti 1%

Sovraresistenza: 0% Sisma Z: No

Caratteristiche della sezione

Sezione	Rotazione	Area	Jx	Jy	ix	iy	Wx	Wy	Wplx	Wply
A1; L100*10; 1; Saldato; S275; 20; 1; 8; 8; 1	180	0.003832	0.0000035319	0.000007759	0.0304	0.045	0.0000492	0.0000739	0.00008974	0.00012727

Comportamento dei calastrelli

Accoppiamento imbottito avendo passo inferiore al minimo richiesto (§C4.2.4.1.3.1.5 NTC18) nella campata compresa tra le ascisse 0 e 1 per sbandamento attorno all'asse y.

Verifiche di resistenza

Verifiche a forza assiale §4.2.4.1.2.1 - §4.2.4.1.2.2 NTC18

X	Comb.	Sfruttamento	Classe	NEd	Nc,Rd	Nt,Rd	Riduzione da taglio	px	py	Verifica
1	SLU 64	0.022	3	-21.902	1003.522		1	0	0	Si

Verifiche a forza assiale SLD §4.2.4.1.2.1 - §4.2.4.1.2.2 NTC18

X	Comb.	Sfruttamento	Classe	NEd	Nc,Rd	Nt,Rd	Riduzione da taglio	px	py	Verifica
1	SLD 10	0.008	3	-8.515	1003.522		1	0	0	Si

Verifica a presso/tenso flessione retta X §§ 4.2.4.1.2.3 - 4.2.4.1.2.6 - 4.2.4.1.2.7 - 4.2.4.1.2.8 NTC18

Verifiche eseguite utilizzando la formula conservativa (6.2) §6.2.1 EN 1993-1-1:2005.

X	Comb.	Sfruttamento	Classe	NEd	NRd	Rid. NRd da VEd	Mx,Ed	Mx,Rd	Rid. Mx,Rd da VEd	Rid. Mx,Rd da NEd	px	py	Verifica
0.5	SLU 58	0.013	3	-9.28	1003.522	1	0.0485	12.886	1		0	0	Si

Verifica a presso/tenso flessione retta X SLD §§ 4.2.4.1.2.3 - 4.2.4.1.2.6 - 4.2.4.1.2.7 - 4.2.4.1.2.8 NTC18

Verifiche eseguite utilizzando la formula conservativa (6.2) §6.2.1 EN 1993-1-1:2005.

X	Comb.	Sfruttamento	Classe	NEd	NRd	Rid. NRd da VEd	Mx,Ed	Mx,Rd	Rid. Mx,Rd da VEd	Rid. Mx,Rd da NEd	px	py	Verifica
0.333	SLD 10	0.011	3	-8.515	1003.522	1	0.033	12.886	1		0	0	Si

Verifica a presso/tenso flessione retta Y §§ 4.2.4.1.2.3 - 4.2.4.1.2.6 - 4.2.4.1.2.7 - 4.2.4.1.2.8 NTC18

Verifiche eseguite utilizzando la formula conservativa (6.2) §6.2.1 EN 1993-1-1:2005.

X	Comb.	Sfruttamento	Classe	NEd	NRd	Rid. NRd da VEd	My,Ed	My,Rd	Rid. My,Rd da VEd	Rid. My,Rd da NEd	px	py	Verifica
0	SLU 64	0.023	3	-21.902	1003.522	1	0.0184	19.3536	1		0	0	Si

Verifica a presso/tenso flessione retta Y SLD §§ 4.2.4.1.2.3 - 4.2.4.1.2.6 - 4.2.4.1.2.7 - 4.2.4.1.2.8 NTC18

Verifiche eseguite utilizzando la formula conservativa (6.2) §6.2.1 EN 1993-1-1:2005.

X	Comb.	Sfruttamento	Classe	NEd	NRd	Rid. NRd da VEd	My,Ed	My,Rd	Rid. My,Rd da VEd	Rid. My,Rd da NEd	px	py	Verifica
1	SLD 6	0.009	3	-7.956	1003.522	1	0.0285	19.3536	1		0	0	Si

Verifica a presso/tenso flessione deviata §§ 4.2.4.1.2.3 - 4.2.4.1.2.6 - 4.2.4.1.2.7 - 4.2.4.1.2.8 NTC18

Verifiche eseguite utilizzando la formula conservativa (6.2) §6.2.1 EN 1993-1-1:2005.

X	Comb.	Sfruttamento	Classe	NEd	NRd	Rid. NRd da VEd	Mx,Ed	Mx,Rd	My,Ed	My,Rd	Rid. Mx,Rd da VEd	Rid. Mx,Rd da NEd	Rid. My,Rd da VEd	Rid. My,Rd da NEd	α	β	px	py	Verifica
0.5	SLU 64	0.026	3	-21.902	1003.522	1	0.0483	12.886	0.0152	19.3536	1		1				0	0	Si

Verifica a presso/tenso flessione deviata SLD §§ 4.2.4.1.2.3 - 4.2.4.1.2.6 - 4.2.4.1.2.7 - 4.2.4.1.2.8 NTC18

Verifiche eseguite utilizzando la formula conservativa (6.2) §6.2.1 EN 1993-1-1:2005.

X	Comb.	Sfruttamento	Classe	NEd	NRd	Rid. NRd da VEd	Mx,Ed	Mx,Rd	My,Ed	My,Rd	Rid. Mx,Rd da VEd	Rid. Mx,Rd da NEd	Rid. My,Rd da VEd	Rid. My,Rd da NEd	α	β	px	py	Verifica
0.533	SLD 9	0.012	3	-8.515	1003.522	1	0.0371	12.886	-0.0111	19.3536	1		1				0	0	Si

Verifiche ad instabilità

Caratteristiche iniziali

Membratura principale per controllo snellezza; Calcolo di snellezze ed N critici condotti secondo gli assi principali;

Curva X: c; Curva Y: c;

Svergolamento: Nessuno; la verifica a instabilità flesso-torsionale (svergolamento) non verrà eseguita.

Dati per instabilità attorno a x

Controllo della snellezza secondo §4.2.4.1.3.1 NTC18

Implementazione dei sistemi di confinamento delle emissioni odorigene diffuse dell’impianto di compostaggio esistente nel
Comune di Eboli (SA)
PROGETTO DEFINITIVO – Tabulati di calcolo Tomo 1

Numero rit.	Presente	Ascissa	Campata	$\beta x/m$	Vincolo a entrambi estremi	$\lambda x/m$	λVer
1	Si	0	1-2	1	Si	32.9	Si, (<200)
2	Si	1					

Dati per instabilità attorno a y

Controllo della snellezza secondo §4.2.4.1.3.1 NTC18

Numero rit.	Presente	Ascissa	Campata	$\beta y/n$	k,LT	kw,LT	Vincolo a entrambi estremi
1	Si	0	1-2	1	Si	22.2	Si, (<200)
2	Si	1					

Verifica di stabilità per pressoflessione §C.4.2.4.1.3.3.1 NTC18

X	Comb.	Sfruttamento	Classe	NEd	MxEq,Ed	MyEq,Ed	Area	Wx	Wy	χ_{min}	λ adim. x/m	λ adim. y/n	N,crit x/m	N,crit y/n	Verifica
0	SLU 64	0.028	3	-21.902	0.0415	0.0159	0.003832	0.0000492	0.0000739	0.908	0.379	0.256	7320.307	16081.468	Si

Verifica di stabilità per pressoflessione SLD §C.4.2.4.1.3.3.1 NTC18

X	Comb.	Sfruttamento	Classe	NEd	MxEq,Ed	MyEq,Ed	Area	Wx	Wy	χ_{min}	λ adim. x/m	λ adim. y/n	N,crit x/m	N,crit y/n	Verifica
1	SLD 10	0.012	3	-8.515	0.0321	0.0128	0.003832	0.0000492	0.0000739	0.908	0.379	0.256	7320.307	16081.468	Si

Verifiche a deformabilità

Mensola X: No; Mensola Y: No.

Frecce lungo X

Ascissa freccia	Combinazione	Freccia	Luce	L/f	L/f,min	Tipo	Verifica
0.467	SLE RA 1	0	1	10000	250	Totale	Si
0.467	SLE RA 17	0	1	10000	250	Totale	Si
0.467	SLE RA 16	0	1	10000	250	Totale	Si
0.467	SLE RA 15	0	1	10000	250	Totale	Si
0.467	SLE RA 14	0	1	10000	250	Totale	Si
0.467	SLE RA 2	0	1	10000	350	Variabile	Si
0.467	SLE RA 17	0	1	10000	350	Variabile	Si
0.467	SLE RA 16	0	1	10000	350	Variabile	Si
0.5	SLE RA 15	0	1	10000	350	Variabile	Si
0.433	SLE RA 14	0	1	10000	350	Variabile	Si

Frecce lungo Y

Ascissa freccia	Combinazione	Freccia	Luce	L/f	L/f,min	Tipo	Verifica
0.5	SLE RA 1	0.00001	1	10000	250	Totale	Si
0.5	SLE RA 17	0.00001	1	10000	250	Totale	Si
0.5	SLE RA 16	0.00001	1	10000	250	Totale	Si
0.5	SLE RA 15	0.00001	1	10000	250	Totale	Si
0.5	SLE RA 14	0.00001	1	10000	250	Totale	Si
0.767	SLE RA 2	0	1	10000	350	Variabile	Si
0.733	SLE RA 17	0	1	10000	350	Variabile	Si
0.7	SLE RA 16	0	1	10000	350	Variabile	Si
0.3	SLE RA 15	0	1	10000	350	Variabile	Si
0.433	SLE RA 14	0	1	10000	350	Variabile	Si

Superelemento in acciaio a quota "640" (1999; 2893)-(1999; 2993)

Caratteristiche del materiale

Acciaio: S275, fyk = 275000

Caratteristiche geometriche

Lunghezza: 1

Nodo iniziale: 1392 Nodo finale: 1433

Cerniera iniziale: Mmomenti 1% Cerniera finale: Mmomenti 1%

Sovreresistenza: 0% Sisma Z: No

Caratteristiche della sezione

Sezione	Rotazione	Area	Jx	Jy	ix	iy	Wx	Wy	Wplx	Wply
A1; L100*10; 1; Saldato; S275; 20; 1; 8; 8; 1	180	0.003832	0.0000035319	0.000007759	0.0304	0.045	0.0000492	0.0000739	0.00008974	0.00012727

Comportamento dei calastrelli

Accoppiamento imbottito avendo passo inferiore al minimo richiesto (§C4.2.4.1.3.1.5 NTC18) nella campata compresa tra le ascisse 0 e 1 per sbandamento attorno all'asse y.

Verifiche di resistenza

Verifiche a forza assiale §4.2.4.1.2.1 - §4.2.4.1.2.2 NTC18

X	Comb.	Sfruttamento	Classe	NEd	Nc,Rd	Nt,Rd	Riduzione da taglio	px	py	Verifica
0	SLV 8	0.002		1.571		1003.522	1	0	0	Si

Verifiche a forza assiale SLD §4.2.4.1.2.1 - §4.2.4.1.2.2 NTC18

X	Comb.	Sfruttamento	Classe	NEd	Nc,Rd	Nt,Rd	Riduzione da taglio	px	py	Verifica
0.5	SLD 7	0.001		0.649		1003.522	1	0	0	Si

Verifica a taglio Y §4.2.4.1.2.4 NTC18

X	Comb.	Sfruttamento	VEd	Vc,Rd	Av	Interazione taglio-torsione	Riduzione torsione	Verifica
1	SLU 42	0.001	0.268	302.422	0.002	Non considerata		Si

**Implementazione dei sistemi di confinamento delle emissioni odorigene diffuse dell'impianto di compostaggio esistente nel
Comune di Eboli (SA)**

PROGETTO DEFINITIVO – Tabulati di calcolo Tomo 1

Verifica a flessione semplice X §§ 4.2.4.1.2.3 - 4.2.4.1.2.6 - 4.2.4.1.2.7 - 4.2.4.1.2.8 NTC18

X	Comb.	Sfruttamento	Classe	Mx,Ed	Mx,Rd	Rid. Mx,Rd da VEd	px	py	Verifica
0.533	SLU 44	0.003	1	0.07628	23.50374	1	0	0	Si

Verifica a flessione semplice X SLD §§ 4.2.4.1.2.3 - 4.2.4.1.2.6 - 4.2.4.1.2.7 - 4.2.4.1.2.8 NTC18

X	Comb.	Sfruttamento	Classe	Mx,Ed	Mx,Rd	Rid. Mx,Rd da VEd	px	py	Verifica
0.5	SLD 1	0.002	1	0.03596	23.50374	1	0	0	Si

Verifica a flessione semplice Y §§ 4.2.4.1.2.3 - 4.2.4.1.2.6 - 4.2.4.1.2.7 - 4.2.4.1.2.8 NTC18

X	Comb.	Sfruttamento	Classe	My,Ed	My,Rd	Rid. My,Rd da VEd	px	py	Verifica
0.967	SLU 76	0.003	1	-0.09682	33.33162	1	0	0	Si

Verifica a flessione semplice Y SLD §§ 4.2.4.1.2.3 - 4.2.4.1.2.6 - 4.2.4.1.2.7 - 4.2.4.1.2.8 NTC18

X	Comb.	Sfruttamento	Classe	My,Ed	My,Rd	Rid. My,Rd da VEd	px	py	Verifica
0.9	SLD 15	0.001	1	-0.04841	33.33162	1	0	0	Si

Verifica a flessione deviata §§ 4.2.4.1.2.3 - 4.2.4.1.2.6 - 4.2.4.1.2.7 - 4.2.4.1.2.8 NTC18

X	Comb.	Sfruttamento	Classe	Mx,Ed	Mx,Rd	My,Ed	My,Rd	Rid. Mx,Rd da VEd	Rid. My,Rd da VEd	α	β	px	py	Verifica
1	SLU 42	0.005	1	-0.0735	23.5037	-0.0658	33.3316	1	1			0	0	Si

Verifica a flessione deviata SLD §§ 4.2.4.1.2.3 - 4.2.4.1.2.6 - 4.2.4.1.2.7 - 4.2.4.1.2.8 NTC18

X	Comb.	Sfruttamento	Classe	Mx,Ed	Mx,Rd	My,Ed	My,Rd	Rid. Mx,Rd da VEd	Rid. My,Rd da VEd	α	β	px	py	Verifica
1	SLD 16	0.002	1	-0.0157	23.5037	-0.0547	33.3316	1	1			0	0	Si

Verifica a presso/tenso flessione retta X §§ 4.2.4.1.2.3 - 4.2.4.1.2.6 - 4.2.4.1.2.7 - 4.2.4.1.2.8 NTC18

Verifiche eseguite utilizzando la formula conservativa (6.2) §6.2.1 EN 1993-1-1:2005.

X	Comb.	Sfruttamento	Classe	NEd	NRd	Rid. NRd da VEd	Mx,Ed	Mx,Rd	Rid. Mx,Rd da VEd	Rid. Mx,Rd da NEd	px	py	Verifica
0.633	SLV 4	0.004	1	1.523	1003.522	1	0.0548	23.5037	1		0	0	Si

Verifica a presso/tenso flessione retta X SLD §§ 4.2.4.1.2.3 - 4.2.4.1.2.6 - 4.2.4.1.2.7 - 4.2.4.1.2.8 NTC18

Verifiche eseguite utilizzando la formula conservativa (6.2) §6.2.1 EN 1993-1-1:2005.

X	Comb.	Sfruttamento	Classe	NEd	NRd	Rid. NRd da VEd	Mx,Ed	Mx,Rd	Rid. Mx,Rd da VEd	Rid. Mx,Rd da NEd	px	py	Verifica
0.533	SLD 4	0.002	1	0.638	1003.522	1	0.0398	23.5037	1		0	0	Si

Verifica a presso/tenso flessione retta Y §§ 4.2.4.1.2.3 - 4.2.4.1.2.6 - 4.2.4.1.2.7 - 4.2.4.1.2.8 NTC18

Verifiche eseguite utilizzando la formula conservativa (6.2) §6.2.1 EN 1993-1-1:2005.

X	Comb.	Sfruttamento	Classe	NEd	NRd	Rid. NRd da VEd	My,Ed	My,Rd	Rid. My,Rd da VEd	Rid. My,Rd da NEd	px	py	Verifica
0.833	SLV 16	0.003	1	-0.668	1003.522	1	-0.0735	33.3316	1		0	0	Si

Verifica a presso/tenso flessione retta Y SLD §§ 4.2.4.1.2.3 - 4.2.4.1.2.6 - 4.2.4.1.2.7 - 4.2.4.1.2.8 NTC18

Verifiche eseguite utilizzando la formula conservativa (6.2) §6.2.1 EN 1993-1-1:2005.

X	Comb.	Sfruttamento	Classe	NEd	NRd	Rid. NRd da VEd	My,Ed	My,Rd	Rid. My,Rd da VEd	Rid. My,Rd da NEd	px	py	Verifica
1	SLD 12	0.002	1	0.393	1003.522	1	-0.0548	33.3316	1		0	0	Si

Verifica a presso/tenso flessione deviata §§ 4.2.4.1.2.3 - 4.2.4.1.2.6 - 4.2.4.1.2.7 - 4.2.4.1.2.8 NTC18

Verifiche eseguite utilizzando la formula conservativa (6.2) §6.2.1 EN 1993-1-1:2005.

X	Comb.	Sfruttamento	Classe	NEd	NRd	Rid. NRd da VEd	Mx,Ed	Mx,Rd	My,Ed	My,Rd	Rid. Mx,Rd da VEd	Rid. Mx,Rd da NEd	Rid. My,Rd da VEd	Rid. My,Rd da NEd	α	β	px	py	Verifica
0.833	SLU 75	0.005	1	0.542	1003.522	1	0.0772	23.5037	-0.0513	33.3316	1		1				0	0	Si

Verifica a presso/tenso flessione deviata SLD §§ 4.2.4.1.2.3 - 4.2.4.1.2.6 - 4.2.4.1.2.7 - 4.2.4.1.2.8 NTC18

Verifiche eseguite utilizzando la formula conservativa (6.2) §6.2.1 EN 1993-1-1:2005.

X	Comb.	Sfruttamento	Classe	NEd	NRd	Rid. NRd da VEd	Mx,Ed	Mx,Rd	My,Ed	My,Rd	Rid. Mx,Rd da VEd	Rid. Mx,Rd da NEd	Rid. My,Rd da VEd	Rid. My,Rd da NEd	α	β	px	py	Verifica
0.667	SLD 7	0.003	1	0.649	1003.522	1	0.0376	23.5037	-0.0264	33.3316	1		1				0	0	Si

Verifiche ad instabilità

Caratteristiche iniziali

Membratura principale per controllo snellezza; Calcolo di snellezze ed N critici condotti secondo gli assi principali;

Curva X: c; Curva Y: c;

Svergolamento: Nessuno; la verifica a instabilità flessio-torsionale (svergolamento) non verrà eseguita.

Dati per instabilità attorno a x

Controllo della snellezza secondo §4.2.4.1.3.1 NTC18

Numero rit.	Presente	Ascissa	Campata	βx/m	Vincolo a entrambi estremi	λx/m	λVer
1	Si		0				
			1-2		1	Si	32.9
2	Si		1				Si, (<200)

Dati per instabilità attorno a y

Controllo della snellezza secondo §4.2.4.1.3.1 NTC18

Numero rit.	Presente	Ascissa	Campata	βy/n	k,LT	kw,LT	Vincolo a entrambi estremi
1	Si		0				
			1-2		1	Si	22.2
2	Si		1				Si, (<200)

Verifica di stabilità per pressoflessione §C.4.2.4.1.3.3.1 NTC18

X	Comb.	Sfruttamento	Classe	NEd	MxEq,Ed	MyEq,Ed	Area	Wx	Wy	χ,min	λ adim. x/m	λ adim. y/n	N,crit x/m	N,crit y/n	Verifica
0.067	SLV 13	0.007	3	-1.366	-0.0375	-0.0465	0.003832	0.0000492	0.0000739	0.908	0.379	0.256	7320.307	16081.468	Si

PROGETTO DEFINITIVO – Tabulati di calcolo Tomo 1

Verifica di stabilità per pressoflessione SLD §C.4.2.4.1.3.3.1 NTC18

X	Comb.	Sfruttamento	Classe	NEd	MxEq,Ed	MyEq,Ed	Area	Wx	Wy	χ,min	λ adim. x/m	λ adim. y/n	N _{crit} x/m	N _{crit} y/n	Verifica
0.1	SLD 13	0.004	3	-0.482	0.0199	-0.0333	0.003832	0.0000492	0.0000739	0.908	0.379	0.256	7320.307	16081.468	Si

Verifiche a deformabilità

Mensola X: No; Mensola Y: No.

Frecce lungo X

Ascissa freccia	Combinazione	Freccia	Luce	L/f	L/f,min	Tipo	Verifica
0.667	SLE RA 1	0	1	10000	250	Totale	Si
0.667	SLE RA 17	0	1	10000	250	Totale	Si
0.667	SLE RA 16	0	1	10000	250	Totale	Si
0.667	SLE RA 15	0	1	10000	250	Totale	Si
0.667	SLE RA 14	0	1	10000	250	Totale	Si
0.633	SLE RA 2	0	1	10000	350	Variabile	Si
0.633	SLE RA 17	0	1	10000	350	Variabile	Si
0.633	SLE RA 16	0	1	10000	350	Variabile	Si
0.633	SLE RA 15	0	1	10000	350	Variabile	Si
0.633	SLE RA 14	0	1	10000	350	Variabile	Si

Frecce lungo Y

Ascissa freccia	Combinazione	Freccia	Luce	L/f	L/f,min	Tipo	Verifica
0.5	SLE RA 1	0	1	10000	250	Totale	Si
0.5	SLE RA 17	0.00001	1	10000	250	Totale	Si
0.5	SLE RA 16	0.00001	1	10000	250	Totale	Si
0.467	SLE RA 15	0	1	10000	250	Totale	Si
0.533	SLE RA 14	0.00001	1	10000	250	Totale	Si
0.567	SLE RA 2	0	1	10000	350	Variabile	Si
0.567	SLE RA 17	0	1	10000	350	Variabile	Si
0.567	SLE RA 16	0	1	10000	350	Variabile	Si
0.567	SLE RA 15	0	1	10000	350	Variabile	Si
0.567	SLE RA 14	0	1	10000	350	Variabile	Si

Superelemento in acciaio a quota "640" (2023; 2998)-(2456; 2994)

Caratteristiche del materiale

Acciaio: S275, fyk = 275000

Caratteristiche geometriche

Lunghezza: 2.25

Nodo iniziale: 1452 Nodo finale: 1447

Cerniera iniziale: No Cerniera finale: No

Sovreresistenza: 0% Sisma Z: No

Caratteristiche della sezione

Sezione	Rotazione	Area	Jx	Jy	ix	iy	Wx	Wy	Wplx	Wply
HEA120	0	0.002537	0.0000060673	0.0000023091	0.0489	0.0302	0.00010644	0.00003849	0.00011962	0.00005887

Verifiche di resistenza

Verifiche a forza assiale §4.2.4.1.2.1 - §4.2.4.1.2.2 NTC18

X	Comb.	Sfruttamento	Classe	NEd	Nc,Rd	Nt,Rd	Riduzione da taglio	px	py	Verifica
0	SLU 76	0.204	1	-135.833	664.325		1	0	0	Si

Verifiche a forza assiale SLD §4.2.4.1.2.1 - §4.2.4.1.2.2 NTC18

X	Comb.	Sfruttamento	Classe	NEd	Nc,Rd	Nt,Rd	Riduzione da taglio	px	py	Verifica
1.52	SLD 4	0.085	1	-56.356	664.325		1	0	0	Si

Verifica a taglio X §4.2.4.1.2.4 NTC18

X	Comb.	Sfruttamento	VEd	Vc,Rd	Av	Interazione taglio-torsione	Riduzione torsione	Verifica
2.25	SLV 16	0.002	-0.508	296.068	0.002047	Considerata	0.96	Si

Verifica a taglio X SLD §4.2.4.1.2.4 NTC18

X	Comb.	Sfruttamento	VEd	Vc,Rd	Av	Interazione taglio-torsione	Riduzione torsione	Verifica
2.25	SLD 16	0.001	-0.279	300.658	0.002047	Considerata	0.97	Si

Verifica a taglio Y §4.2.4.1.2.4 NTC18

X	Comb.	Sfruttamento	VEd	Vc,Rd	Av	Interazione taglio-torsione	Riduzione torsione	Verifica
2.25	SLU 76	0.046	-5.513	120.563	0.000849	Considerata	0.94	Si

Verifica a taglio Y SLD §4.2.4.1.2.4 NTC18

X	Comb.	Sfruttamento	VEd	Vc,Rd	Av	Interazione taglio-torsione	Riduzione torsione	Verifica
2.25	SLD 16	0.017	-2.086	124.657	0.000849	Considerata	0.97	Si

Verifica a torsione §4.2.4.1.2.5 NTC18

X	Comb.	Sfruttamento torsione	TEd	TRd	Riduzione taglio resistente	Sfruttamento taglio-torsione	τEd,totale	τRd	Verifica
2.079	SLV 9	0.165	-0.14087	0.85138	Considerata				Si

Verifica a torsione SLD §4.2.4.1.2.5 NTC18

X	Comb.	Sfruttamento torsione	TEd	TRd	Riduzione taglio resistente	Sfruttamento taglio-torsione	τEd,totale	τRd	Verifica
2.203	SLD 10	0.09	-0.07625	0.85138	Considerata				Si

**Implementazione dei sistemi di confinamento delle emissioni odorigene diffuse dell'impianto di compostaggio esistente nel
Comune di Eboli (SA)
PROGETTO DEFINITIVO – Tabulati di calcolo Tomo 1**

Verifica a presso/tenso flessione retta X §§ 4.2.4.1.2.3 - 4.2.4.1.2.6 - 4.2.4.1.2.7 - 4.2.4.1.2.8 NTC18

Verifiche eseguite utilizzando la formula conservativa (6.2) §6.2.1 EN 1993-1-1:2005.

X	Comb.	Sfruttamento	Classe	NEd	NRd	Rid. NRd da VEd	Mx,Ed	Mx,Rd	Rid. Mx,Rd da VEd	Rid. Mx,Rd da NEd	px	py	Verifica
1.589	SLU 76	0.223	1	-135.833	664.325	1	-0.5823	31.3291	1		0	0	Si

Verifica a presso/tenso flessione retta X SLD §§ 4.2.4.1.2.3 - 4.2.4.1.2.6 - 4.2.4.1.2.7 - 4.2.4.1.2.8 NTC18

Verifiche eseguite utilizzando la formula conservativa (6.2) §6.2.1 EN 1993-1-1:2005.

X	Comb.	Sfruttamento	Classe	NEd	NRd	Rid. NRd da VEd	Mx,Ed	Mx,Rd	Rid. Mx,Rd da VEd	Rid. Mx,Rd da NEd	px	py	Verifica
1.244	SLD 8	0.095	1	-56.337	664.325	1	-0.3079	31.3291	1		0	0	Si

Verifica a presso/tenso flessione retta Y §§ 4.2.4.1.2.3 - 4.2.4.1.2.6 - 4.2.4.1.2.7 - 4.2.4.1.2.8 NTC18

Verifiche eseguite utilizzando la formula conservativa (6.2) §6.2.1 EN 1993-1-1:2005.

X	Comb.	Sfruttamento	Classe	NEd	NRd	Rid. NRd da VEd	My,Ed	My,Rd	Rid. My,Rd da VEd	Rid. My,Rd da NEd	px	py	Verifica
2.073	SLU 71	0.148	1	-93.302	664.325	1	0.1219	15.4191	1		0	0	Si

Verifica a presso/tenso flessione retta Y SLD §§ 4.2.4.1.2.3 - 4.2.4.1.2.6 - 4.2.4.1.2.7 - 4.2.4.1.2.8 NTC18

Verifiche eseguite utilizzando la formula conservativa (6.2) §6.2.1 EN 1993-1-1:2005.

X	Comb.	Sfruttamento	Classe	NEd	NRd	Rid. NRd da VEd	My,Ed	My,Rd	Rid. My,Rd da VEd	Rid. My,Rd da NEd	px	py	Verifica
2.004	SLD 9	0.082	1	-48.801	664.325	1	-0.1331	15.4191	1		0	0	Si

Verifica a presso/tenso flessione deviata §§ 4.2.4.1.2.3 - 4.2.4.1.2.6 - 4.2.4.1.2.7 - 4.2.4.1.2.8 NTC18

Verifiche eseguite utilizzando la formula conservativa (6.2) §6.2.1 EN 1993-1-1:2005.

X	Comb.	Sfruttamento	Classe	NEd	NRd	Rid. NRd da VEd	Mx,Ed	Mx,Rd	My,Ed	My,Rd	Rid. Mx,Rd da VEd	Rid. Mx,Rd da NEd	Rid. My,Rd da VEd	Rid. My,Rd da NEd	α	β	px	py	Verifica
0	SLU 76	0.252	1	-135.833	664.325	1	-1.0233	31.3291	-0.2329	15.4191	1		1				0	0	Si

Verifica a presso/tenso flessione deviata SLD §§ 4.2.4.1.2.3 - 4.2.4.1.2.6 - 4.2.4.1.2.7 - 4.2.4.1.2.8 NTC18

Verifiche eseguite utilizzando la formula conservativa (6.2) §6.2.1 EN 1993-1-1:2005.

X	Comb.	Sfruttamento	Classe	NEd	NRd	Rid. NRd da VEd	Mx,Ed	Mx,Rd	My,Ed	My,Rd	Rid. Mx,Rd da VEd	Rid. Mx,Rd da NEd	Rid. My,Rd da VEd	Rid. My,Rd da NEd	α	β	px	py	Verifica
0	SLD 7	0.115	1	-56.337	664.325	1	-0.3719	31.3291	-0.2839	15.4191	1		1				0	0	Si

Verifiche ad instabilità

Caratteristiche iniziali

Membratura principale per controllo snellezza; Calcolo di snellezze ed N critici condotti secondo gli assi principali;

Curva X: b; Curva Y: c; Svergolamento: Carico all'estradosso; Curva svergolamento: b;

Dati per instabilità attorno a x

Controllo della snellezza secondo §4.2.4.1.3.1 NTC18

Numero rit.	Presente	Ascissa	Campata	βx/m	Vincolo a entrambi estremi	λx/m	λVer
1	Si		0				
			1-2		1	46	Si, (<200)
2	Si		2.25				

Dati per instabilità attorno a y

Controllo della snellezza secondo §4.2.4.1.3.1 NTC18

Numero rit.	Presente	Ascissa	Campata	βy/n	k,LT	kw,LT	Vincolo a entrambi estremi	λy/n	λVer
1	Si		0						
			1-2		1	1	Si	74.6	Si, (<200)
2	Si		2.25						

Verifica di stabilità per pressoflessione §C.4.2.4.1.3.3.2 NTC18

X	Comb.	Sfruttamento	Classe	NEd	NRk	Mx,Ed max	Mx,Rk	My,Ed max	My,Rk	χ,x	χ,y	kxx	kxy	kyx	kyy	χ,LT	Verifica
0.622	SLU 76	0.414	1	-135.833	697.541	2.41884	32.89552	0.23289	16.19002	0.871	0.625	0.68	0.353	0.926	0.589	0.913	Si

Verifica di stabilità per pressoflessione SLD §C.4.2.4.1.3.3.2 NTC18

X	Comb.	Sfruttamento	Classe	NEd	NRk	Mx,Ed max	Mx,Rk	My,Ed max	My,Rk	χ,x	χ,y	kxx	kxy	kyx	kyy	χ,LT	Verifica
1.52	SLD 4	0.177	1	-56.356	697.541	0.97847	32.89552	0.28314	16.19002	0.871	0.625	0.637	0.276	0.968	0.461	0.923	Si

Verifica di stabilità a taglio anima Y §4.2.4.1.2.4 [4.2.27] NTC18

η	hw	tw	hw/tw max	Verifica
1.2	0.098	0.005	55.46	Si

Verifica di stabilità a taglio anima Y SLD §4.2.4.1.2.4 [4.2.27] NTC18

η	hw	tw	hw/tw max	Verifica
1.2	0.098	0.005	55.46	Si

Verifiche a deformabilità

Mensola X: No; Mensola Y: No.

Frecce lungo X

Ascissa freccia	Combinazione	Freccia	Luce	L/f	L/f,min	Tipo	Verifica
0.76	SLE RA 1	0.00003	2.25	10000	250	Totale	Si
0.691	SLE RA 17	0.00004	2.25	10000	250	Totale	Si
0.691	SLE RA 16	0.00006	2.25	10000	250	Totale	Si
0.829	SLE RA 15	0.00006	2.25	10000	250	Totale	Si
0.622	SLE RA 14	0.00003	2.25	10000	250	Totale	Si
0.691	SLE RA 2	-0.00003	2.25	10000	350	Variabile	Si
0.691	SLE RA 17	0.00001	2.25	10000	350	Variabile	Si
0.691	SLE RA 16	0.00003	2.25	10000	350	Variabile	Si
0.898	SLE RA 15	0.00003	2.25	10000	350	Variabile	Si
1.727	SLE RA 14	-0.00001	2.25	10000	350	Variabile	Si

Frecce lungo Y

Ascissa freccia	Combinazione	Freccia	Luce	L/f	L/f,min	Tipo	Verifica
1.036	SLE RA 19	-0.00028	2.25	7955.3	250	Totale	Si

Implementazione dei sistemi di confinamento delle emissioni odorigene diffuse dell'impianto di compostaggio esistente nel
Comune di Eboli (SA)
PROGETTO DEFINITIVO – Tabulati di calcolo Tomo 1

Ascissa freccia	Combinazione	Freccia	Luce	L/f	L/f,min	Tipo	Verifica
1.036	SLE RA 7	-0.00027	2.25	8368.5	250	Totale	Si
1.036	SLE RA 15	-0.00026	2.25	8723.7	250	Totale	Si
1.036	SLE RA 11	-0.00026	2.25	8723.7	250	Totale	Si
1.036	SLE RA 4	-0.00024	2.25	9223.2	250	Totale	Si
1.105	SLE RA 2	0.00007	2.25	10000	350	Variabile	Si
1.105	SLE RA 17	-0.00003	2.25	10000	350	Variabile	Si
1.105	SLE RA 16	-0.00008	2.25	10000	350	Variabile	Si
1.105	SLE RA 15	-0.0001	2.25	10000	350	Variabile	Si
1.105	SLE RA 14	0	2.25	10000	350	Variabile	Si

Superelemento in acciaio a quota "640" (2114; 2186)-(2231; 2187)

Caratteristiche del materiale

Acciaio: S275, fyk = 275000

Caratteristiche geometriche

Lunghezza: 1.163

Nodo iniziale: 1107 Nodo finale: 1111

Cerniera iniziale: No Cerniera finale: No

Sovreresistenza: 0% Sisma Z: No

Caratteristiche della sezione

Sezione	Rotazione	Area	Jx	Jy	ix	iy	Wx	Wy	Wplx	Wply
HEA100	0	0.00256	0.0000040418	0.0000015945	0.0397	0.025	0.0000842	0.00003189	0.00009801	0.00004946

Verifiche di resistenza

Verifiche a forza assiale §4.2.4.1.2.1 - §4.2.4.1.2.2 NTC18

X	Comb.	Sfruttamento	Classe	NEd	Nc,Rd	Nt,Rd	Riduzione da taglio	px	py	Verifica
1.124	SLU 63	0.053	1	-35.235	670.391		1	0	0	Si

Verifiche a forza assiale SLD §4.2.4.1.2.1 - §4.2.4.1.2.2 NTC18

X	Comb.	Sfruttamento	Classe	NEd	Nc,Rd	Nt,Rd	Riduzione da taglio	px	py	Verifica
1.163	SLD 10	0.018	1	-12.058	670.391		1	0	0	Si

Verifica a taglio X §4.2.4.1.2.4 NTC18

X	Comb.	Sfruttamento	VEd	Vc,Rd	Av	Interazione taglio-torsione	Riduzione torsione	Verifica
0	SLV 11	0.001	0.292	317.093	0.002098	Considerata	1	Si

Verifica a taglio Y §4.2.4.1.2.4 NTC18

X	Comb.	Sfruttamento	VEd	Vc,Rd	Av	Interazione taglio-torsione	Riduzione torsione	Verifica
1.163	SLV 10	0.005	-0.759	151.316	0.001002	Considerata	1	Si

Verifica a taglio Y SLD §4.2.4.1.2.4 NTC18

X	Comb.	Sfruttamento	VEd	Vc,Rd	Av	Interazione taglio-torsione	Riduzione torsione	Verifica
1.163	SLD 9	0.003	-0.433	151.358	0.001002	Considerata	1	Si

Verifica a torsione §4.2.4.1.2.5 NTC18

X	Comb.	Sfruttamento torsione	TEd	TRd	Riduzione taglio resistente	Sfruttamento taglio-torsione	rEd,totale	rRd	Verifica
0.814	SLU 25	0.021	-0.02105	0.99803	Considerata				Si

Verifica a torsione SLD §4.2.4.1.2.5 NTC18

X	Comb.	Sfruttamento torsione	TEd	TRd	Riduzione taglio resistente	Sfruttamento taglio-torsione	rEd,totale	rRd	Verifica
1.163	SLD 6	0.002	-0.0021	0.99803	Considerata				Si

Verifica a flessione semplice Y SLD §§ 4.2.4.1.2.3 - 4.2.4.1.2.6 - 4.2.4.1.2.7 - 4.2.4.1.2.8 NTC18

X	Comb.	Sfruttamento	Classe	My,Ed	My,Rd	Rid. My,Rd da VEd	px	py	Verifica
0.039	SLD 7	0.005	1	-0.06584	12.95326	1	0	0	Si

Verifica a flessione deviata SLD §§ 4.2.4.1.2.3 - 4.2.4.1.2.6 - 4.2.4.1.2.7 - 4.2.4.1.2.8 NTC18

X	Comb.	Sfruttamento	Classe	Mx,Ed	Mx,Rd	My,Ed	My,Rd	Rid. Mx,Rd da VEd	Rid. My,Rd da VEd	α	β	px	py	Verifica
0	SLD 7	0.006	1	0.0089	25.6685	-0.0698	12.9533	1	1			0	0	Si

Verifica a presso/tenso flessione retta X §§ 4.2.4.1.2.3 - 4.2.4.1.2.6 - 4.2.4.1.2.7 - 4.2.4.1.2.8 NTC18

Verifiche eseguite utilizzando la formula conservativa (6.2) §6.2.1 EN 1993-1-1:2005.

X	Comb.	Sfruttamento	Classe	NEd	NRd	Rid. NRd da VEd	Mx,Ed	Mx,Rd	Rid. Mx,Rd da VEd	Rid. Mx,Rd da NEd	px	py	Verifica
0.543	SLU 63	0.068	1	-35.235	670.391	1	-0.393	25.6685	1		0	0	Si

Verifica a presso/tenso flessione retta X SLD §§ 4.2.4.1.2.3 - 4.2.4.1.2.6 - 4.2.4.1.2.7 - 4.2.4.1.2.8 NTC18

Verifiche eseguite utilizzando la formula conservativa (6.2) §6.2.1 EN 1993-1-1:2005.

X	Comb.	Sfruttamento	Classe	NEd	NRd	Rid. NRd da VEd	Mx,Ed	Mx,Rd	Rid. Mx,Rd da VEd	Rid. Mx,Rd da NEd	px	py	Verifica
0.543	SLD 9	0.025	1	-12.058	670.391	1	-0.169	25.6685	1		0	0	Si

Verifica a presso/tenso flessione retta Y §§ 4.2.4.1.2.3 - 4.2.4.1.2.6 - 4.2.4.1.2.7 - 4.2.4.1.2.8 NTC18

Verifiche eseguite utilizzando la formula conservativa (6.2) §6.2.1 EN 1993-1-1:2005.

X	Comb.	Sfruttamento	Classe	NEd	NRd	Rid. NRd da VEd	My,Ed	My,Rd	Rid. My,Rd da VEd	Rid. My,Rd da NEd	px	py	Verifica
0.969	SLV 14	0.047	1	-24.403	670.391	1	0.1332	12.9533	1		0	0	Si

Verifica a presso/tenso flessione retta Y SLD §§ 4.2.4.1.2.3 - 4.2.4.1.2.6 - 4.2.4.1.2.7 - 4.2.4.1.2.8 NTC18

Verifiche eseguite utilizzando la formula conservativa (6.2) §6.2.1 EN 1993-1-1:2005.

Implementazione dei sistemi di confinamento delle emissioni odorigene diffuse dell'impianto di compostaggio esistente nel
Comune di Eboli (SA)
PROGETTO DEFINITIVO – Tabulati di calcolo Tomo 1

X	Comb.	Sfruttamento	Classe	NEd	NRd	Rid. NRd da VEd	My,Ed	My,Rd	Rid. My,Rd da VEd	Rid. My,Rd da NEd	px	py	Verifica
1.008	SLD 14	0.023	1	-12.047	670.391	1	0.0608	12.9533	1		0	0	Si

Verifica a presso/tenso flessione deviata §§ 4.2.4.1.2.3 - 4.2.4.1.2.6 - 4.2.4.1.2.7 - 4.2.4.1.2.8 NTC18

Verifiche eseguite utilizzando la formula conservativa (6.2) §6.2.1 EN 1993-1-1:2005.

X	Comb.	Sfruttamento	Classe	NEd	NRd	Rid. NRd da VEd	Mx,Ed	Mx,Rd	My,Ed	My,Rd	Rid. Mx,Rd da VEd	Rid. Mx,Rd da NEd	Rid. My,Rd da VEd	Rid. My,Rd da NEd	α	β	px	py	Verifica
0	SLU 63	0.077	1	-35.235	670.391	1	-0.4685	25.6685	-0.0796	12.9533	1		1				0	0	Si

Verifica a presso/tenso flessione deviata SLD §§ 4.2.4.1.2.3 - 4.2.4.1.2.6 - 4.2.4.1.2.7 - 4.2.4.1.2.8 NTC18

Verifiche eseguite utilizzando la formula conservativa (6.2) §6.2.1 EN 1993-1-1:2005.

X	Comb.	Sfruttamento	Classe	NEd	NRd	Rid. NRd da VEd	Mx,Ed	Mx,Rd	My,Ed	My,Rd	Rid. Mx,Rd da VEd	Rid. Mx,Rd da NEd	Rid. My,Rd da VEd	Rid. My,Rd da NEd	α	β	px	py	Verifica
0	SLD 14	0.035	1	-12.047	670.391	1	-0.2986	25.6685	-0.0681	12.9533	1		1				0	0	Si

Verifiche ad instabilità

Caratteristiche iniziali

Membratura principale per controllo snellezza; Calcolo di snellezze ed N critici condotti secondo gli assi principali;

Curva X: b; Curva Y: c; Svergolamento: Carico all'estradosso; Curva svergolamento: b;

Dati per instabilità attorno a x

Controllo della snellezza secondo §4.2.4.1.3.1 NTC18

Numero rit.	Presente	Ascissa	Campata	βx/m	Vincolo a entrambi estremi	λx/m	λVer
1	Si		0				
			1-2		1	29.3	Si, (<200)
2	Si		1.163				

Dati per instabilità attorno a y

Controllo della snellezza secondo §4.2.4.1.3.1 NTC18

Numero rit.	Presente	Ascissa	Campata	βy/n	k,LT	kw,LT	Vincolo a entrambi estremi	λy/n	λVer
1	Si		0						
			1-2		1	1	Si	46.6	Si, (<200)
2	Si		1.163						

Verifica a svergolamento con trazione §4.2.4.1.3.2 NTC18 § 5.5.3 ENV 1993-1-1:1992 + AC:1992 + A1:1994 + A2:1998

X	Comb.	Sfruttamento	Classe	Obblig.	NEd	Mx,Ed	Mx,Eff,Ed	Mb,Rd,x	χ,LT	λ adim. LT	L,LT	M,critico	Verifica
0.969	SLU 76	0.002	1	Si	1.684	0.09121	0.05243	24.97844	0.973	0.468	1.163	122.9218	Si

Verifica di stabilità per tenso-flessione deviata §§ 5.5.3-5.5.4 ENV 1993-1-1:1992 + AC:1992 + A1:1994 + A2:1998

X	Comb.	Sfruttamento	Classe	NEd	Mx,Ed	Mx,Eff,Ed	My,Ed	χ,LT	kLT	ky	M,critico	Wx	Wy	Verifica
0	SLU 76	0.018	1	1.684	-0.27756	-0.23877	-0.10828	0.973	1	1	122.9218	0.000098	0.0000495	Si

Verifica di stabilità per pressoflessione §C.4.2.4.1.3.3.2 NTC18

X	Comb.	Sfruttamento	Classe	NEd	NRk	Mx,Ed max	Mx,Rk	My,Ed max	My,Rk	χ,x	χ,y	kxx	kxy	kyy	χ,LT	Verifica	
0.736	SLU 63	0.085	1	-35.235	703.911	0.46852	26.95195	0.08885	13.60093	0.95	0.822	0.863	0.247	0.994	0.412	1	Si

Verifica di stabilità per pressoflessione SLD §C.4.2.4.1.3.3.2 NTC18

X	Comb.	Sfruttamento	Classe	NEd	NRk	Mx,Ed max	Mx,Rk	My,Ed max	My,Rk	χ,x	χ,y	kxx	kxy	kyy	χ,LT	Verifica	
1.163	SLD 10	0.036	1	-12.058	703.911	0.30593	26.95195	0.07154	13.60093	0.95	0.822	0.612	0.242	0.997	0.404	0.973	Si

Verifica di stabilità a taglio anima Y §4.2.4.1.2.4 [4.2.27] NTC18

η	hw	tw	hw/tw max	Verifica
1.2	0.077	0.006	55.46	Si

Verifica di stabilità a taglio anima Y SLD §4.2.4.1.2.4 [4.2.27] NTC18

η	hw	tw	hw/tw max	Verifica
1.2	0.077	0.006	55.46	Si

Verifiche a deformabilità

Mensola X: No; Mensola Y: No.

Frecce lungo X

Ascissa freccia	Combinazione	Freccia	Luce	L/f	L/f,min	Tipo	Verifica
0.388	SLE RA 1	0.00001	1.163	10000	250	Totale	Si
0.388	SLE RA 17	0.00001	1.163	10000	250	Totale	Si
0.388	SLE RA 16	0.00001	1.163	10000	250	Totale	Si
0.465	SLE RA 15	0.00001	1.163	10000	250	Totale	Si
0.31	SLE RA 14	0.00001	1.163	10000	250	Totale	Si
0.388	SLE RA 2	0	1.163	10000	350	Variabile	Si
0.388	SLE RA 17	0	1.163	10000	350	Variabile	Si
0.388	SLE RA 16	0	1.163	10000	350	Variabile	Si
0.543	SLE RA 15	0.00001	1.163	10000	350	Variabile	Si
0.814	SLE RA 14	0	1.163	10000	350	Variabile	Si

Frecce lungo Y

Ascissa freccia	Combinazione	Freccia	Luce	L/f	L/f,min	Tipo	Verifica
0.504	SLE RA 1	-0.00002	1.163	10000	250	Totale	Si
0.504	SLE RA 17	-0.00002	1.163	10000	250	Totale	Si
0.504	SLE RA 16	-0.00003	1.163	10000	250	Totale	Si
0.388	SLE RA 15	-0.00001	1.163	10000	250	Totale	Si
0.543	SLE RA 14	-0.00005	1.163	10000	250	Totale	Si
0.504	SLE RA 2	0.00001	1.163	10000	350	Variabile	Si
0.504	SLE RA 17	-0.00001	1.163	10000	350	Variabile	Si
0.504	SLE RA 16	-0.00001	1.163	10000	350	Variabile	Si
0.698	SLE RA 15	0.00001	1.163	10000	350	Variabile	Si
0.543	SLE RA 14	-0.00003	1.163	10000	350	Variabile	Si

Superelemento in acciaio a quota "640" (2231; 2187)-(2347; 2188)

Caratteristiche del materiale

Acciaio: S275, fyk = 275000

Caratteristiche geometriche

Lunghezza: 1.163

Nodo iniziale: 1111 Nodo finale: 1116

Cerniera iniziale: No Cerniera finale: No

Sovreresistenza: 0% Sisma Z: No

Caratteristiche della sezione

Sezione	Rotazione	Area	Jx	Jy	Ix	Iy	Wx	Wy	Wplx	Wply
HEA100	0	0.00256	0.0000040418	0.0000015945	0.0397	0.025	0.0000842	0.00003189	0.00009801	0.00004946

Verifiche di resistenza

Verifiche a forza assiale §4.2.4.1.2.1 - §4.2.4.1.2.2 NTC18

X	Comb.	Sfruttamento	Classe	NEd	Nc,Rd	Nt,Rd	Riduzione da taglio	px	py	Verifica
0.62	SLU 63	0.064	1	-42.87	670.391		1	0	0	Si

Verifiche a forza assiale SLD §4.2.4.1.2.1 - §4.2.4.1.2.2 NTC18

X	Comb.	Sfruttamento	Classe	NEd	Nc,Rd	Nt,Rd	Riduzione da taglio	px	py	Verifica
1.163	SLD 8	0.018	1	-11.864	670.391		1	0	0	Si

Verifica a taglio Y §4.2.4.1.2.4 NTC18

X	Comb.	Sfruttamento	VEd	Vc,Rd	Av	Interazione taglio-torsione	Riduzione torsione	Verifica
0	SLU 64	0.002	0.339	150.255	0.001002	Considerata	0.99	Si

Verifica a taglio Y SLD §4.2.4.1.2.4 NTC18

X	Comb.	Sfruttamento	VEd	Vc,Rd	Av	Interazione taglio-torsione	Riduzione torsione	Verifica
0	SLD 4	0.001	0.212	151.146	0.001002	Considerata	1	Si

Verifica a torsione §4.2.4.1.2.5 NTC18

X	Comb.	Sfruttamento torsione	TEd	TRd	Riduzione taglio resistente	Sfruttamento taglio-torsione	τEd,totale	τRd	Verifica
0	SLU 76	0.023	-0.02318	0.99803	Considerata				Si

Verifica a torsione SLD §4.2.4.1.2.5 NTC18

X	Comb.	Sfruttamento torsione	TEd	TRd	Riduzione taglio resistente	Sfruttamento taglio-torsione	τEd,totale	τRd	Verifica
1.163	SLD 10	0.014	-0.0135	0.99803	Considerata				Si

Verifica a presso/tenso flessione retta X §§ 4.2.4.1.2.3 - 4.2.4.1.2.6 - 4.2.4.1.2.7 - 4.2.4.1.2.8 NTC18

Verifiche eseguite utilizzando la formula conservativa (6.2) §6.2.1 EN 1993-1-1:2005.

X	Comb.	Sfruttamento	Classe	NEd	NRd	Rid. NRd da VEd	Mx,Ed	Mx,Rd	Rid. Mx,Rd da VEd	Rid. Mx,Rd da NEd	px	py	Verifica
0.581	SLU 73	0.041	1	-24.473	670.391	1	-0.107	25.6685	1		0	0	Si

Verifica a presso/tenso flessione retta Y §§ 4.2.4.1.2.3 - 4.2.4.1.2.6 - 4.2.4.1.2.7 - 4.2.4.1.2.8 NTC18

Verifiche eseguite utilizzando la formula conservativa (6.2) §6.2.1 EN 1993-1-1:2005.

X	Comb.	Sfruttamento	Classe	NEd	NRd	Rid. NRd da VEd	My,Ed	My,Rd	Rid. My,Rd da VEd	Rid. My,Rd da NEd	px	py	Verifica
0	SLU 73	0.037	1	-24.473	670.391	1	0.004	12.9533	1		0	0	Si

Verifica a presso/tenso flessione retta Y SLD §§ 4.2.4.1.2.3 - 4.2.4.1.2.6 - 4.2.4.1.2.7 - 4.2.4.1.2.8 NTC18

Verifiche eseguite utilizzando la formula conservativa (6.2) §6.2.1 EN 1993-1-1:2005.

X	Comb.	Sfruttamento	Classe	NEd	NRd	Rid. NRd da VEd	My,Ed	My,Rd	Rid. My,Rd da VEd	Rid. My,Rd da NEd	px	py	Verifica
0.194	SLD 1	0.02	1	-11.537	670.391	1	-0.0305	12.9533	1		0	0	Si

Verifica a presso/tenso flessione deviata §§ 4.2.4.1.2.3 - 4.2.4.1.2.6 - 4.2.4.1.2.7 - 4.2.4.1.2.8 NTC18

Verifiche eseguite utilizzando la formula conservativa (6.2) §6.2.1 EN 1993-1-1:2005.

X	Comb.	Sfruttamento	Classe	NEd	NRd	Rid. NRd da VEd	Mx,Ed	Mx,Rd	My,Ed	My,Rd	Rid. Mx,Rd da VEd	Rid. Mx,Rd da NEd	Rid. My,Rd da VEd	Rid. My,Rd da NEd	α	β	px	py	Verifica
0.233	SLU 63	0.078	1	-42.87	670.391	1	-0.2548	25.6685	0.0576	12.9533	1		1				0	0	Si

Verifica a presso/tenso flessione deviata SLD §§ 4.2.4.1.2.3 - 4.2.4.1.2.6 - 4.2.4.1.2.7 - 4.2.4.1.2.8 NTC18

Verifiche eseguite utilizzando la formula conservativa (6.2) §6.2.1 EN 1993-1-1:2005.

X	Comb.	Sfruttamento	Classe	NEd	NRd	Rid. NRd da VEd	Mx,Ed	Mx,Rd	My,Ed	My,Rd	Rid. Mx,Rd da VEd	Rid. Mx,Rd da NEd	Rid. My,Rd da VEd	Rid. My,Rd da NEd	α	β	px	py	Verifica
0.891	SLD 1	0.022	1	-11.537	670.391	1	-0.0746	25.6685	-0.027	12.9533	1		1				0	0	Si

Verifiche ad instabilità

Caratteristiche iniziali

Membratura principale per controllo snellezza; Calcolo di snellezze ed N critici condotti secondo gli assi principali;

Curva X: b; Curva Y: c; Svergolamento: Carico all'estradosso; Curva svergolamento: b;

Dati per instabilità attorno a x

Controllo della snellezza secondo §4.2.4.1.3.1 NTC18

Numero rit.	Presente	Ascissa	Campata	βx/m	Vincolo a entrambi estremi	λx/m	λVer
1	Si	0					
			1-2		1	29.3	Si, (<200)
2	Si	1.163					

PROGETTO DEFINITIVO – Tabulati di calcolo Tomo 1

Dati per instabilità attorno a y

Controllo della snellezza secondo §4.2.4.1.3.1 NTC18

Numero rit.	Presente	Ascissa	Campata	$\beta y/n$	k_{LT}	$k_{w,LT}$	Vincolo a entrambi estremi	$\lambda y/n$	λVer
1	Si	0							
			1-2	1	1	1	Si	46.6	Si, (<200)
2	Si	1.163							

Verifica di stabilità per tenso-flessione deviata §§ 5.5.3-5.5.4 ENV 1993-1-1:1992 + AC:1992 + A1:1994 + A2:1998

X	Comb.	Sfruttamento	Classe	NEd	Mx,Ed	Mx,Eff,Ed	My,Ed	χ_{LT}	kLT	ky	M,critico	Wx	Wy	Verifica
0	SLU 64	0.009	1	6.404	0.2425	0.09503	-0.06597	1	1	1	266.74779	0.000098	0.0000495	Si

Verifica di stabilità per pressoflessione §C.4.2.4.1.3.3.2 NTC18

X	Comb.	Sfruttamento	Classe	NEd	NRk	Mx,Ed max	Mx,Rk	My,Ed max	My,Rk	χ_x	χ_y	kxx	kxy	kyy	χ_{LT}	Verifica	
1.085	SLU 63	0.092	1	-42.87	703.911	0.26281	26.95195	0.06511	13.60093	0.95	0.822	1.004	0.479	0.994	0.798	0.997	Si

Verifica di stabilità per pressoflessione SLD §C.4.2.4.1.3.3.2 NTC18

X	Comb.	Sfruttamento	Classe	NEd	NRk	Mx,Ed max	Mx,Rk	My,Ed max	My,Rk	χ_x	χ_y	kxx	kxy	kyy	χ_{LT}	Verifica	
0	SLD 1	0.026	1	-11.537	703.911	0.07475	26.95195	0.032	13.60093	0.95	0.822	0.951	0.548	0.998	0.914	0.973	Si

Verifica di stabilità a taglio anima Y §4.2.4.1.2.4 [4.2.27] NTC18

η	hw	tw	hw/tw max	Verifica
1.2	0.077	0.006	55.46	Si

Verifica di stabilità a taglio anima Y SLD §4.2.4.1.2.4 [4.2.27] NTC18

η	hw	tw	hw/tw max	Verifica
1.2	0.077	0.006	55.46	Si

Verifiche a deformabilità

Mensola X: No; Mensola Y: No.

Frecce lungo X

Ascissa freccia	Combinazione	Freccia	Luce	L/f	L/f,min	Tipo	Verifica
0.62	SLE RA 1	0	1.163	10000	250	Totale	Si
0.659	SLE RA 17	0	1.163	10000	250	Totale	Si
0.736	SLE RA 16	0	1.163	10000	250	Totale	Si
0.581	SLE RA 15	0.00001	1.163	10000	250	Totale	Si
0.542	SLE RA 14	-0.00001	1.163	10000	250	Totale	Si
0.426	SLE RA 2	0	1.163	10000	350	Variabile	Si
0.426	SLE RA 17	0	1.163	10000	350	Variabile	Si
0.426	SLE RA 16	0	1.163	10000	350	Variabile	Si
0.542	SLE RA 15	0.00001	1.163	10000	350	Variabile	Si
0.542	SLE RA 14	-0.00001	1.163	10000	350	Variabile	Si

Frecce lungo Y

Ascissa freccia	Combinazione	Freccia	Luce	L/f	L/f,min	Tipo	Verifica
0.62	SLE RA 1	-0.00001	1.163	10000	250	Totale	Si
0.62	SLE RA 17	-0.00001	1.163	10000	250	Totale	Si
0.62	SLE RA 16	-0.00002	1.163	10000	250	Totale	Si
0.233	SLE RA 15	0	1.163	10000	250	Totale	Si
0.581	SLE RA 14	-0.00003	1.163	10000	250	Totale	Si
0.62	SLE RA 2	0	1.163	10000	350	Variabile	Si
0.62	SLE RA 17	0	1.163	10000	350	Variabile	Si
0.62	SLE RA 16	0	1.163	10000	350	Variabile	Si
0.542	SLE RA 15	0.00001	1.163	10000	350	Variabile	Si
0.542	SLE RA 14	-0.00002	1.163	10000	350	Variabile	Si

Superelemento in acciaio a quota "640" (2231; 2193)-(2231; 2293)

Caratteristiche del materiale

Acciaio: S275, fyk = 275000

Caratteristiche geometriche

Lunghezza: 1

Nodo iniziale: 1139 Nodo finale: 1172

Cerniera iniziale: Mmomenti 1% Cerniera finale: Mmomenti 1%

Sovreresistenza: 0% Sisma Z: No

Caratteristiche della sezione

Sezione	Rotazione	Area	Jx	Jy	ix	iy	Wx	Wy	Wplx	Wply
A1; L100*10; 1; Saldato; S275; 20; 1; 8; 8; 1	180	0.003832	0.0000035319	0.000007759	0.0304	0.045	0.0000492	0.0000739	0.00008974	0.00012727

Comportamento dei calastrelli

Accoppiamento imbottito avendo passo inferiore al minimo richiesto (§C4.2.4.1.3.1.5 NTC18) nella campata compresa tra le ascisse 0 e 1 per sbandamento attorno all'asse y.

Verifiche di resistenza

Verifiche a forza assiale §4.2.4.1.2.1 - §4.2.4.1.2.2 NTC18

X	Comb.	Sfruttamento	Classe	NEd	Nc,Rd	Nt,Rd	Riduzione da taglio	px	py	Verifica
0	SLV 14	0.001		0.652		1003.522	1	0	0	Si

Verifica a taglio Y §4.2.4.1.2.4 NTC18

X	Comb.	Sfruttamento	VEd	Vc,Rd	Av	Interazione taglio-torsione	Riduzione torsione	Verifica
1	SLU 63	0.001	0.318	302.422	0.002	Non considerata		Si

Implementazione dei sistemi di confinamento delle emissioni odorigene diffuse dell'impianto di compostaggio esistente nel
Comune di Eboli (SA)

PROGETTO DEFINITIVO – Tabulati di calcolo Tomo 1

Verifica a flessione semplice X §§ 4.2.4.1.2.3 - 4.2.4.1.2.6 - 4.2.4.1.2.7 - 4.2.4.1.2.8 NTC18

X	Comb.	Sfruttamento	Classe	Mx,Ed	Mx,Rd	Rid. Mx,Rd da VEd	px	py	Verifica
0	SLU 42	0.005	1	-0.11308	23.50374	1	0	0	Si

Verifica a flessione semplice Y §§ 4.2.4.1.2.3 - 4.2.4.1.2.6 - 4.2.4.1.2.7 - 4.2.4.1.2.8 NTC18

X	Comb.	Sfruttamento	Classe	My,Ed	My,Rd	Rid. My,Rd da VEd	px	py	Verifica
0.067	SLV 12	0.003	1	-0.08569	33.33162	1	0	0	Si

Verifica a flessione semplice Y SLD §§ 4.2.4.1.2.3 - 4.2.4.1.2.6 - 4.2.4.1.2.7 - 4.2.4.1.2.8 NTC18

X	Comb.	Sfruttamento	Classe	My,Ed	My,Rd	Rid. My,Rd da VEd	px	py	Verifica
0.033	SLD 3	0.001	1	0.03061	33.33162	1	0	0	Si

Verifica a flessione deviata §§ 4.2.4.1.2.3 - 4.2.4.1.2.6 - 4.2.4.1.2.7 - 4.2.4.1.2.8 NTC18

X	Comb.	Sfruttamento	Classe	Mx,Ed	Mx,Rd	My,Ed	My,Rd	Rid. Mx,Rd da VEd	Rid. My,Rd da VEd	α	β	px	py	Verifica
0	SLV 7	0.003	1	-0.0225	23.5037	0.083	33.3316	1	1			0	0	Si

Verifica a flessione deviata SLD §§ 4.2.4.1.2.3 - 4.2.4.1.2.6 - 4.2.4.1.2.7 - 4.2.4.1.2.8 NTC18

X	Comb.	Sfruttamento	Classe	Mx,Ed	Mx,Rd	My,Ed	My,Rd	Rid. Mx,Rd da VEd	Rid. My,Rd da VEd	α	β	px	py	Verifica
0.433	SLD 15	0.003	1	0.0393	23.5037	-0.028	33.3316	1	1			0	0	Si

Verifica a presso/tenso flessione retta X §§ 4.2.4.1.2.3 - 4.2.4.1.2.6 - 4.2.4.1.2.7 - 4.2.4.1.2.8 NTC18

Verifiche eseguite utilizzando la formula conservativa (6.2) §6.2.1 EN 1993-1-1:2005.

X	Comb.	Sfruttamento	Classe	NEd	NRd	Rid. NRd da VEd	Mx,Ed	Mx,Rd	Rid. Mx,Rd da VEd	Rid. Mx,Rd da NEd	px	py	Verifica
0.2	SLU 63	0.006	1	0.644	1003.522	1	0.1288	23.5037	1		0	0	Si

Verifica a presso/tenso flessione retta Y §§ 4.2.4.1.2.3 - 4.2.4.1.2.6 - 4.2.4.1.2.7 - 4.2.4.1.2.8 NTC18

Verifiche eseguite utilizzando la formula conservativa (6.2) §6.2.1 EN 1993-1-1:2005.

X	Comb.	Sfruttamento	Classe	NEd	NRd	Rid. NRd da VEd	My,Ed	My,Rd	Rid. My,Rd da VEd	Rid. My,Rd da NEd	px	py	Verifica
1	SLV 13	0.002	1	0.652	1003.522	1	0.0442	33.3316	1		0	0	Si

Verifica a presso/tenso flessione deviata §§ 4.2.4.1.2.3 - 4.2.4.1.2.6 - 4.2.4.1.2.7 - 4.2.4.1.2.8 NTC18

Verifiche eseguite utilizzando la formula conservativa (6.2) §6.2.1 EN 1993-1-1:2005.

X	Comb.	Sfruttamento	Classe	NEd	NRd	Rid. NRd da VEd	Mx,Ed	Mx,Rd	My,Ed	My,Rd	Rid. Mx,Rd da VEd	Rid. Mx,Rd da NEd	Rid. My,Rd da VEd	Rid. My,Rd da NEd	α	β	px	py	Verifica
0.033	SLV 10	0.004	1	0.649	1003.522	1	0.0282	23.5037	-0.0876	33.3316	1		1				0	0	Si

Verifiche ad instabilità

Caratteristiche iniziali

Membratura principale per controllo snellezza; Calcolo di snellezze ed N critici condotti secondo gli assi principali;

Curva X: c; Curva Y: c;

Svergolamento: Nessuno; la verifica a instabilità flessio-torsionale (svergolamento) non verrà eseguita.

Dati per instabilità attorno a x

Controllo della snellezza secondo §4.2.4.1.3.1 NTC18

Numero rit.	Presente	Ascissa	Campata	βx/m	Vincolo a entrambi estremi	λx/m	λVer
1	Si		0				
			1-2		1	Si	32.9
2	Si		1				Si, (<200)

Dati per instabilità attorno a y

Controllo della snellezza secondo §4.2.4.1.3.1 NTC18

Numero rit.	Presente	Ascissa	Campata	βy/n	k,LT	kw,LT	Vincolo a entrambi estremi
1	Si		0				
			1-2		1	Si	22.2
2	Si		1				Si, (<200)

Verifica di stabilità per pressoflessione §C.4.2.4.1.3.3.1 NTC18

X	Comb.	Sfruttamento	Classe	NEd	MxEq,Ed	MyEq,Ed	Area	Wx	Wy	χ,min	λ adim. x/m	λ adim. y/n	N,crit x/m	N,crit y/n	Verifica
1	SLV 12	0.003	1	0	0.0242	-0.0705	0.003832	0.0000897	0.0001273	0.908	0.379	0.256	7320.307	16081.468	Si

Verifica di stabilità per pressoflessione SLD §C.4.2.4.1.3.3.1 NTC18

X	Comb.	Sfruttamento	Classe	NEd	MxEq,Ed	MyEq,Ed	Area	Wx	Wy	χ,min	λ adim. x/m	λ adim. y/n	N,crit x/m	N,crit y/n	Verifica
1	SLD 10	0.002	1	0	0.0381	-0.028	0.003832	0.0000897	0.0001273	0.908	0.379	0.256	7320.307	16081.468	Si

Verifiche a deformabilità

Mensola X: No; Mensola Y: No.

Frecce lungo X

Ascissa freccia	Combinazione	Freccia	Luce	L/f	L/f,min	Tipo	Verifica
0.467	SLE RA 1	0	1	10000	250	Totale	Si
0.467	SLE RA 17	0	1	10000	250	Totale	Si
0.467	SLE RA 16	0	1	10000	250	Totale	Si
0.433	SLE RA 15	0	1	10000	250	Totale	Si
0.5	SLE RA 14	0	1	10000	250	Totale	Si
0.5	SLE RA 2	0	1	10000	350	Variabile	Si
0.533	SLE RA 17	0	1	10000	350	Variabile	Si
0.5	SLE RA 16	0	1	10000	350	Variabile	Si
0.4	SLE RA 15	0	1	10000	350	Variabile	Si
0.6	SLE RA 14	0	1	10000	350	Variabile	Si

Frecce lungo Y

Ascissa freccia	Combinazione	Freccia	Luce	L/f	L/f,min	Tipo	Verifica
0.5	SLE RA 1	0.00001	1	10000	250	Totale	Si
0.5	SLE RA 17	0.00001	1	10000	250	Totale	Si
0.5	SLE RA 16	0.00001	1	10000	250	Totale	Si

Implementazione dei sistemi di confinamento delle emissioni odorigene diffuse dell'impianto di compostaggio esistente nel
Comune di Eboli (SA)
PROGETTO DEFINITIVO – Tabulati di calcolo Tomo 1

Ascissa freccia	Combinazione	Freccia	Luce	L/f	L/f,min	Tipo	Verifica
0.567	SLE RA 15	0	1	10000	250	Totale	Si
0.467	SLE RA 14	0.00001	1	10000	250	Totale	Si
0.433	SLE RA 2	0	1	10000	350	Variabile	Si
0.433	SLE RA 17	0	1	10000	350	Variabile	Si
0.433	SLE RA 16	0	1	10000	350	Variabile	Si
0.433	SLE RA 15	0	1	10000	350	Variabile	Si
0.433	SLE RA 14	0	1	10000	350	Variabile	Si

Superelemento in acciaio a quota "640" (2231; 2293)-(2231; 2393)

Caratteristiche del materiale

Acciaio: S275, fyk = 275000

Caratteristiche geometriche

Lunghezza: 1

Nodo iniziale: 1174 Nodo finale: 1218

Cerniera iniziale: Mmomenti 1% Cerniera finale: Mmomenti 1%

Sovraresistenza: 0% Sisma Z: No

Caratteristiche della sezione

Sezione	Rotazione	Area	Jx	Jy	ix	iy	Wx	Wy	Wplx	Wply
A1; L100*10; 1; Saldato; S275; 20; 1; 8; 8; 1	180	0.003832	0.0000035319	0.000007759	0.0304	0.045	0.0000492	0.0000739	0.00008974	0.00012727

Comportamento dei calastrelli

Accoppiamento imbottito avendo passo inferiore al minimo richiesto (§C4.2.4.1.3.1.5 NTC18) nella campata compresa tra le ascisse 0 e 1 per sbandamento attorno all'asse y.

Verifiche di resistenza

Verifiche a forza assiale §4.2.4.1.2.1 - §4.2.4.1.2.2 NTC18

X	Comb.	Sfruttamento	Classe	NEd	Nc,Rd	Nt,Rd	Riduzione da taglio	px	py	Verifica
0.5	SLU 64	0.015	3	-14.93	1003.522		1	0	0	Si

Verifiche a forza assiale SLD §4.2.4.1.2.1 - §4.2.4.1.2.2 NTC18

X	Comb.	Sfruttamento	Classe	NEd	Nc,Rd	Nt,Rd	Riduzione da taglio	px	py	Verifica
1	SLD 10	0.004	3	-4.447	1003.522		1	0	0	Si

Verifica a flessione semplice X §§ 4.2.4.1.2.3 - 4.2.4.1.2.6 - 4.2.4.1.2.7 - 4.2.4.1.2.8 NTC18

X	Comb.	Sfruttamento	Classe	Mx,Ed	Mx,Rd	Rid. Mx,Rd da VEd	px	py	Verifica
0.5	SLU 37	0.002	1	0.03749	23.50374	1	0	0	Si

Verifica a presso/tenso flessione retta X §§ 4.2.4.1.2.3 - 4.2.4.1.2.6 - 4.2.4.1.2.7 - 4.2.4.1.2.8 NTC18

Verifiche eseguite utilizzando la formula conservativa (6.2) §6.2.1 EN 1993-1-1:2005.

X	Comb.	Sfruttamento	Classe	NEd	NRd	Rid. NRd da VEd	Mx,Ed	Mx,Rd	Rid. Mx,Rd da VEd	Rid. Mx,Rd da NEd	px	py	Verifica
0.5	SLU 64	0.019	3	-14.93	1003.522	1	0.0484	12.886	1		0	0	Si

Verifica a presso/tenso flessione retta X SLD §§ 4.2.4.1.2.3 - 4.2.4.1.2.6 - 4.2.4.1.2.7 - 4.2.4.1.2.8 NTC18

Verifiche eseguite utilizzando la formula conservativa (6.2) §6.2.1 EN 1993-1-1:2005.

X	Comb.	Sfruttamento	Classe	NEd	NRd	Rid. NRd da VEd	Mx,Ed	Mx,Rd	Rid. Mx,Rd da VEd	Rid. Mx,Rd da NEd	px	py	Verifica
0.6	SLD 10	0.007	3	-4.447	1003.522	1	0.0359	12.886	1		0	0	Si

Verifica a presso/tenso flessione retta Y §§ 4.2.4.1.2.3 - 4.2.4.1.2.6 - 4.2.4.1.2.7 - 4.2.4.1.2.8 NTC18

Verifiche eseguite utilizzando la formula conservativa (6.2) §6.2.1 EN 1993-1-1:2005.

X	Comb.	Sfruttamento	Classe	NEd	NRd	Rid. NRd da VEd	My,Ed	My,Rd	Rid. My,Rd da VEd	Rid. My,Rd da NEd	px	py	Verifica
0	SLV 14	0.008	3	-5.16	1003.522	1	-0.0602	19.3536	1		0	0	Si

Verifica a presso/tenso flessione retta Y SLD §§ 4.2.4.1.2.3 - 4.2.4.1.2.6 - 4.2.4.1.2.7 - 4.2.4.1.2.8 NTC18

Verifiche eseguite utilizzando la formula conservativa (6.2) §6.2.1 EN 1993-1-1:2005.

X	Comb.	Sfruttamento	Classe	NEd	NRd	Rid. NRd da VEd	My,Ed	My,Rd	Rid. My,Rd da VEd	Rid. My,Rd da NEd	px	py	Verifica
0	SLD 15	0.007	3	-4.253	1003.522	1	-0.0442	19.3536	1		0	0	Si

Verifica a presso/tenso flessione deviata §§ 4.2.4.1.2.3 - 4.2.4.1.2.6 - 4.2.4.1.2.7 - 4.2.4.1.2.8 NTC18

Verifiche eseguite utilizzando la formula conservativa (6.2) §6.2.1 EN 1993-1-1:2005.

X	Comb.	Sfruttamento	Classe	NEd	NRd	Rid. NRd da VEd	Mx,Ed	Mx,Rd	My,Ed	My,Rd	Rid. Mx,Rd da VEd	Rid. Mx,Rd da NEd	Rid. My,Rd da VEd	Rid. My,Rd da NEd	α	β	px	py	Verifica
0.367	SLV 15	0.011	3	-4.626	1003.522	1	0.0347	12.886	-0.0676	19.3536	1		1				0	0	Si

Verifica a presso/tenso flessione deviata SLD §§ 4.2.4.1.2.3 - 4.2.4.1.2.6 - 4.2.4.1.2.7 - 4.2.4.1.2.8 NTC18

Verifiche eseguite utilizzando la formula conservativa (6.2) §6.2.1 EN 1993-1-1:2005.

X	Comb.	Sfruttamento	Classe	NEd	NRd	Rid. NRd da VEd	Mx,Ed	Mx,Rd	My,Ed	My,Rd	Rid. Mx,Rd da VEd	Rid. Mx,Rd da NEd	Rid. My,Rd da VEd	Rid. My,Rd da NEd	α	β	px	py	Verifica
0.4	SLD 15	0.008	3	-4.253	1003.522	1	0.0358	12.886	-0.0268	19.3536	1		1				0	0	Si

Verifiche ad instabilità

Caratteristiche iniziali

Membratura principale per controllo snellezza; Calcolo di snellezze ed N critici condotti secondo gli assi principali;

Curva X: c; Curva Y: c;

Implementazione dei sistemi di confinamento delle emissioni odorigene diffuse dell'impianto di compostaggio esistente nel
Comune di Eboli (SA)
PROGETTO DEFINITIVO – Tabulati di calcolo Tomo 1

Svergolamento: Nessuno; la verifica a instabilità flessione-torsionale (svergolamento) non verrà eseguita.

Dati per instabilità attorno a x

Controllo della snellezza secondo §4.2.4.1.3.1 NTC18

Numero rit.	Presente	Ascissa	Campata	$\beta x/m$	Vincolo a entrambi estremi	$\lambda x/m$	λVer
1	Si	0	1-2	1	Si	32.9	Si, (<200)
2	Si	1					

Dati per instabilità attorno a y

Controllo della snellezza secondo §4.2.4.1.3.1 NTC18

Numero rit.	Presente	Ascissa	Campata	$\beta y/n$	k,LT	kw,LT	Vincolo a entrambi estremi
1	Si	0	1-2	1	Si	22.2	Si, (<200)
2	Si	1					

Verifica di stabilità per pressoflessione §C.4.2.4.1.3.3.1 NTC18

X	Comb.	Sfruttamento	Classe	NEd	MxEq,Ed	MyEq,Ed	Area	Wx	Wy	χ_{min}	$\lambda_{adim. x/m}$	$\lambda_{adim. y/n}$	N,crit x/m	N,crit y/n	Verifica
0.5	SLU 64	0.02	3	-14.93	0.0417	-0.0018	0.003832	0.0000492	0.0000739	0.908	0.379	0.256	7320.307	16081.468	Si

Verifica di stabilità per pressoflessione SLD §C.4.2.4.1.3.3.1 NTC18

X	Comb.	Sfruttamento	Classe	NEd	MxEq,Ed	MyEq,Ed	Area	Wx	Wy	χ_{min}	$\lambda_{adim. x/m}$	$\lambda_{adim. y/n}$	N,crit x/m	N,crit y/n	Verifica
1	SLD 16	0.009	3	-4.253	0.0322	-0.0332	0.003832	0.0000492	0.0000739	0.908	0.379	0.256	7320.307	16081.468	Si

Verifiche a deformabilità

Mensola X: No; Mensola Y: No.

Frecce lungo X

Ascissa freccia	Combinazione	Freccia	Luce	L/f	L/f,min	Tipo	Verifica
0.467	SLE RA 1	0	1	10000	250	Totale	Si
0.467	SLE RA 17	0	1	10000	250	Totale	Si
0.467	SLE RA 16	0	1	10000	250	Totale	Si
0.467	SLE RA 15	0	1	10000	250	Totale	Si
0.467	SLE RA 14	0	1	10000	250	Totale	Si
0.467	SLE RA 2	0	1	10000	350	Variabile	Si
0.467	SLE RA 17	0	1	10000	350	Variabile	Si
0.467	SLE RA 16	0	1	10000	350	Variabile	Si
0.467	SLE RA 15	0	1	10000	350	Variabile	Si
0.467	SLE RA 14	0	1	10000	350	Variabile	Si

Frecce lungo Y

Ascissa freccia	Combinazione	Freccia	Luce	L/f	L/f,min	Tipo	Verifica
0.5	SLE RA 1	0.00001	1	10000	250	Totale	Si
0.5	SLE RA 17	0.00001	1	10000	250	Totale	Si
0.5	SLE RA 16	0.00001	1	10000	250	Totale	Si
0.5	SLE RA 15	0.00001	1	10000	250	Totale	Si
0.5	SLE RA 14	0.00001	1	10000	250	Totale	Si
0.433	SLE RA 2	0	1	10000	350	Variabile	Si
0.4	SLE RA 17	0	1	10000	350	Variabile	Si
0.4	SLE RA 16	0	1	10000	350	Variabile	Si
0.5	SLE RA 15	0	1	10000	350	Variabile	Si
0.467	SLE RA 14	0	1	10000	350	Variabile	Si

Superelemento in acciaio a quota "640" (2231; 2393)-(2231; 2493)

Caratteristiche del materiale

Acciaio: S275, fyk = 275000

Caratteristiche geometriche

Lunghezza: 1

Nodo iniziale: 1215 Nodo finale: 1252

Cerniera iniziale: Mmomenti 1% Cerniera finale: Mmomenti 1%

Sovraresistenza: 0% Sisma Z: No

Caratteristiche della sezione

Sezione	Rotazione	Area	Jx	Jy	ix	iy	Wx	Wy	Wplx	Wply
A1; L100*10; 1; Saldato; S275; 20; 1; 8; 8; 1	180	0.003832	0.0000035319	0.000007759	0.0304	0.045	0.0000492	0.0000739	0.00008974	0.00012727

Comportamento dei calastrelli

Accoppiamento imbottito avendo passo inferiore al minimo richiesto (§C4.2.4.1.3.1.5 NTC18) nella campata compresa tra le ascisse 0 e 1 per sbandamento attorno all'asse y.

Verifiche di resistenza

Verifiche a forza assiale §4.2.4.1.2.1 - §4.2.4.1.2.2 NTC18

X	Comb.	Sfruttamento	Classe	NEd	Nc,Rd	Nt,Rd	Riduzione da taglio	px	py	Verifica
0.5	SLU 64	0.024	3	-24.07	1003.522		1	0	0	Si

Verifiche a forza assiale SLD §4.2.4.1.2.1 - §4.2.4.1.2.2 NTC18

X	Comb.	Sfruttamento	Classe	NEd	Nc,Rd	Nt,Rd	Riduzione da taglio	px	py	Verifica
1	SLD 10	0.009	3	-9.069	1003.522		1	0	0	Si

**Implementazione dei sistemi di confinamento delle emissioni odorigene diffuse dell'impianto di compostaggio esistente nel
Comune di Eboli (SA)
PROGETTO DEFINITIVO – Tabulati di calcolo Tomo 1**

Verifica a taglio X §4.2.4.1.2.4 NTC18

X	Comb.	Sfruttamento	VEd	Vc,Rd	Av	Interazione taglio-torsione	Riduzione torsione	Verifica
1	SLV 16	0.001	0.22	302.422	0.002	Non considerata		Si

Verifica a flessione semplice X §§ 4.2.4.1.2.3 - 4.2.4.1.2.6 - 4.2.4.1.2.7 - 4.2.4.1.2.8 NTC18

X	Comb.	Sfruttamento	Classe	Mx,Ed	Mx,Rd	Rid. Mx,Rd da VEd	px	py	Verifica
0.5	SLU 44	0.002	1	0.04881	23.50374	1	0	0	Si

Verifica a presso/tenso flessione retta X §§ 4.2.4.1.2.3 - 4.2.4.1.2.6 - 4.2.4.1.2.7 - 4.2.4.1.2.8 NTC18

Verifiche eseguite utilizzando la formula conservativa (6.2) §6.2.1 EN 1993-1-1:2005.

X	Comb.	Sfruttamento	Classe	NEd	NRd	Rid. NRd da VEd	Mx,Ed	Mx,Rd	Rid. Mx,Rd da VEd	Rid. Mx,Rd da NEd	px	py	Verifica
0.5	SLU 64	0.028	3	-24.07	1003.522	1	0.0484	12.886	1		0	0	Si

Verifica a presso/tenso flessione retta X SLD §§ 4.2.4.1.2.3 - 4.2.4.1.2.6 - 4.2.4.1.2.7 - 4.2.4.1.2.8 NTC18

Verifiche eseguite utilizzando la formula conservativa (6.2) §6.2.1 EN 1993-1-1:2005.

X	Comb.	Sfruttamento	Classe	NEd	NRd	Rid. NRd da VEd	Mx,Ed	Mx,Rd	Rid. Mx,Rd da VEd	Rid. Mx,Rd da NEd	px	py	Verifica
0.433	SLD 9	0.012	3	-9.069	1003.522	1	0.0367	12.886	1		0	0	Si

Verifica a presso/tenso flessione retta Y §§ 4.2.4.1.2.3 - 4.2.4.1.2.6 - 4.2.4.1.2.7 - 4.2.4.1.2.8 NTC18

Verifiche eseguite utilizzando la formula conservativa (6.2) §6.2.1 EN 1993-1-1:2005.

X	Comb.	Sfruttamento	Classe	NEd	NRd	Rid. NRd da VEd	My,Ed	My,Rd	Rid. My,Rd da VEd	Rid. My,Rd da NEd	px	py	Verifica
0	SLU 76	0.023	3	-22.502	1003.522	1	-0.0075	19.3536	1		0	0	Si

Verifica a presso/tenso flessione retta Y SLD §§ 4.2.4.1.2.3 - 4.2.4.1.2.6 - 4.2.4.1.2.7 - 4.2.4.1.2.8 NTC18

Verifiche eseguite utilizzando la formula conservativa (6.2) §6.2.1 EN 1993-1-1:2005.

X	Comb.	Sfruttamento	Classe	NEd	NRd	Rid. NRd da VEd	My,Ed	My,Rd	Rid. My,Rd da VEd	Rid. My,Rd da NEd	px	py	Verifica
1	SLD 14	0.012	3	-9.063	1003.522	1	0.0576	19.3536	1		0	0	Si

Verifica a presso/tenso flessione deviata §§ 4.2.4.1.2.3 - 4.2.4.1.2.6 - 4.2.4.1.2.7 - 4.2.4.1.2.8 NTC18

Verifiche eseguite utilizzando la formula conservativa (6.2) §6.2.1 EN 1993-1-1:2005.

X	Comb.	Sfruttamento	Classe	NEd	NRd	Rid. NRd da VEd	Mx,Ed	Mx,Rd	My,Ed	My,Rd	Rid. Mx,Rd da VEd	Rid. Mx,Rd da NEd	Rid. My,Rd da VEd	Rid. My,Rd da NEd	α	β	px	py	Verifica
0.933	SLV 14	0.018	3	-10.334	1003.522	1	0.0091	12.886	0.1272	19.3536	1		1				0	0	Si

Verifica a presso/tenso flessione deviata SLD §§ 4.2.4.1.2.3 - 4.2.4.1.2.6 - 4.2.4.1.2.7 - 4.2.4.1.2.8 NTC18

Verifiche eseguite utilizzando la formula conservativa (6.2) §6.2.1 EN 1993-1-1:2005.

X	Comb.	Sfruttamento	Classe	NEd	NRd	Rid. NRd da VEd	Mx,Ed	Mx,Rd	My,Ed	My,Rd	Rid. Mx,Rd da VEd	Rid. Mx,Rd da NEd	Rid. My,Rd da VEd	Rid. My,Rd da NEd	α	β	px	py	Verifica
0.7	SLD 14	0.013	3	-9.063	1003.522	1	0.0313	12.886	0.0304	19.3536	1		1				0	0	Si

Verifiche ad instabilità

Caratteristiche iniziali

Membratura principale per controllo snellezza; Calcolo di snellezze ed N critici condotti secondo gli assi principali;

Curva X: c; Curva Y: c;

Svergolamento: Nessuno; la verifica a instabilità flesso-torsionale (svergolamento) non verrà eseguita.

Dati per instabilità attorno a x

Controllo della snellezza secondo §4.2.4.1.3.1 NTC18

Numero rit.	Presente	Ascissa	Campata	βx/m	Vincolo a entrambi estremi	λx/m	λVer
1	Si	0	1-2		1	32.9	Si, (<200)
2	Si	1					

Dati per instabilità attorno a y

Controllo della snellezza secondo §4.2.4.1.3.1 NTC18

Numero rit.	Presente	Ascissa	Campata	βy/n	k,LT	kw,LT	Vincolo a entrambi estremi
1	Si	0	1-2		1	22.2	Si, (<200)
2	Si	1					

Verifica di stabilità per pressoflessione §C.4.2.4.1.3.3.1 NTC18

X	Comb.	Sfruttamento	Classe	NEd	MxEq,Ed	MyEq,Ed	Area	Wx	Wy	χ,min	λ adim. x/m	λ adim. y/n	N,crit x/m	N,crit y/n	Verifica
0.033	SLU 64	0.03	3	-24.07	0.0418	-0.0018	0.003832	0.0000492	0.0000739	0.908	0.379	0.256	7320.307	16081.468	Si

Verifica di stabilità per pressoflessione SLD §C.4.2.4.1.3.3.1 NTC18

X	Comb.	Sfruttamento	Classe	NEd	MxEq,Ed	MyEq,Ed	Area	Wx	Wy	χ,min	λ adim. x/m	λ adim. y/n	N,crit x/m	N,crit y/n	Verifica
0.967	SLD 13	0.015	3	-9.063	0.0323	0.0432	0.003832	0.0000492	0.0000739	0.908	0.379	0.256	7320.307	16081.468	Si

Verifiche a deformabilità

Mensola X: No; Mensola Y: No.

Frecce lungo X

Ascissa freccia	Combinazione	Freccia	Luce	L/f	L/f,min	Tipo	Verifica
0.367	SLE RA 1	0	1	10000	250	Totale	Si
0.367	SLE RA 17	0	1	10000	250	Totale	Si
0.367	SLE RA 16	0	1	10000	250	Totale	Si
0.333	SLE RA 15	0	1	10000	250	Totale	Si
0.367	SLE RA 14	0	1	10000	250	Totale	Si
0.367	SLE RA 2	0	1	10000	350	Variabile	Si
0.367	SLE RA 17	0	1	10000	350	Variabile	Si
0.367	SLE RA 16	0	1	10000	350	Variabile	Si
0.3	SLE RA 15	0	1	10000	350	Variabile	Si
0.4	SLE RA 14	0	1	10000	350	Variabile	Si

Implementazione dei sistemi di confinamento delle emissioni odorigene diffuse dell'impianto di compostaggio esistente nel
Comune di Eboli (SA)
PROGETTO DEFINITIVO – Tabulati di calcolo Tomo 1

Frecce lungo Y

Ascissa freccia	Combinazione	Freccia	Luce	L/f	L/f,min	Tipo	Verifica
0.5	SLE RA 1	0.00001	1	10000	250	Totale	Si
0.5	SLE RA 17	0.00001	1	10000	250	Totale	Si
0.5	SLE RA 16	0.00001	1	10000	250	Totale	Si
0.5	SLE RA 15	0.00001	1	10000	250	Totale	Si
0.5	SLE RA 14	0.00001	1	10000	250	Totale	Si
0.367	SLE RA 2	0	1	10000	350	Variabile	Si
0.433	SLE RA 17	0	1	10000	350	Variabile	Si
0.433	SLE RA 16	0	1	10000	350	Variabile	Si
0.533	SLE RA 15	0	1	10000	350	Variabile	Si
0.433	SLE RA 14	0	1	10000	350	Variabile	Si

Superelemento in acciaio a quota "640" (2231; 2493)-(2231; 2593)

Caratteristiche del materiale

Acciaio: S275, fyk = 275000

Caratteristiche geometriche

Lunghezza: 1

Nodo iniziale: 1250 Nodo finale: 1285

Cerniera iniziale: Mmomenti 1% Cerniera finale: Mmomenti 1%

Sovreresistenza: 0% Sisma Z: No

Caratteristiche della sezione

Sezione	Rotazione	Area	Jx	Jy	ix	iy	Wx	Wy	Wplx	Wply
A1; L100*10; 1; Saldato; S275; 20; 1; 8; 8; 1	180	0.003832	0.0000035319	0.000007759	0.0304	0.045	0.0000492	0.0000739	0.00008974	0.00012727

Comportamento dei calastrelli

Accoppiamento imbottito avendo passo inferiore al minimo richiesto (§C4.2.4.1.3.1.5 NTC18) nella campata compresa tra le ascisse 0 e 1 per sbandamento attorno all'asse y.

Verifiche di resistenza

Verifiche a forza assiale §4.2.4.1.2.1 - §4.2.4.1.2.2 NTC18

X	Comb.	Sfruttamento	Classe	NEd	Nc,Rd	Nt,Rd	Riduzione da taglio	px	py	Verifica
0.5	SLU 76	0.036	3	-35.759	1003.522		1	0	0	Si

Verifiche a forza assiale SLD §4.2.4.1.2.1 - §4.2.4.1.2.2 NTC18

X	Comb.	Sfruttamento	Classe	NEd	Nc,Rd	Nt,Rd	Riduzione da taglio	px	py	Verifica
1	SLD 10	0.015	3	-15.416	1003.522		1	0	0	Si

Verifica a presso/tenso flessione retta X §§ 4.2.4.1.2.3 - 4.2.4.1.2.6 - 4.2.4.1.2.7 - 4.2.4.1.2.8 NTC18

Verifiche eseguite utilizzando la formula conservativa (6.2) §6.2.1 EN 1993-1-1:2005.

X	Comb.	Sfruttamento	Classe	NEd	NRd	Rid. NRd da VEd	Mx,Ed	Mx,Rd	Rid. Mx,Rd da VEd	Rid. Mx,Rd da NEd	px	py	Verifica
0.5	SLU 76	0.039	3	-35.759	1003.522	1	0.0482	12.886	1		0	0	Si

Verifica a presso/tenso flessione retta Y §§ 4.2.4.1.2.3 - 4.2.4.1.2.6 - 4.2.4.1.2.7 - 4.2.4.1.2.8 NTC18

Verifiche eseguite utilizzando la formula conservativa (6.2) §6.2.1 EN 1993-1-1:2005.

X	Comb.	Sfruttamento	Classe	NEd	NRd	Rid. NRd da VEd	My,Ed	My,Rd	Rid. My,Rd da VEd	Rid. My,Rd da NEd	px	py	Verifica
0	SLV 13	0.023	3	-17.019	1003.522	1	0.1219	19.3536	1		0	0	Si

Verifica a presso/tenso flessione retta Y SLD §§ 4.2.4.1.2.3 - 4.2.4.1.2.6 - 4.2.4.1.2.7 - 4.2.4.1.2.8 NTC18

Verifiche eseguite utilizzando la formula conservativa (6.2) §6.2.1 EN 1993-1-1:2005.

X	Comb.	Sfruttamento	Classe	NEd	NRd	Rid. NRd da VEd	My,Ed	My,Rd	Rid. My,Rd da VEd	Rid. My,Rd da NEd	px	py	Verifica
0	SLD 13	0.018	3	-15.412	1003.522	1	0.0484	19.3536	1		0	0	Si

Verifica a presso/tenso flessione deviata §§ 4.2.4.1.2.3 - 4.2.4.1.2.6 - 4.2.4.1.2.7 - 4.2.4.1.2.8 NTC18

Verifiche eseguite utilizzando la formula conservativa (6.2) §6.2.1 EN 1993-1-1:2005.

X	Comb.	Sfruttamento	Classe	NEd	NRd	Rid. NRd da VEd	Mx,Ed	Mx,Rd	My,Ed	My,Rd	Rid. Mx,Rd da VEd	Rid. Mx,Rd da NEd	Rid. My,Rd da VEd	Rid. My,Rd da NEd	α	β	px	py	Verifica
0.467	SLV 13	0.026	3	-17.019	1003.522	1	0.037	12.886	0.1145	19.3536	1		1				0	0	Si

Verifica a presso/tenso flessione deviata SLD §§ 4.2.4.1.2.3 - 4.2.4.1.2.6 - 4.2.4.1.2.7 - 4.2.4.1.2.8 NTC18

Verifiche eseguite utilizzando la formula conservativa (6.2) §6.2.1 EN 1993-1-1:2005.

X	Comb.	Sfruttamento	Classe	NEd	NRd	Rid. NRd da VEd	Mx,Ed	Mx,Rd	My,Ed	My,Rd	Rid. Mx,Rd da VEd	Rid. Mx,Rd da NEd	Rid. My,Rd da VEd	Rid. My,Rd da NEd	α	β	px	py	Verifica
0.5	SLD 13	0.021	3	-15.412	1003.522	1	0.0372	12.886	0.0462	19.3536	1		1				0	0	Si

Verifiche ad instabilità

Caratteristiche iniziali

Membratura principale per controllo snellezza; Calcolo di snellezze ed N critici condotti secondo gli assi principali;

Curva X: c; Curva Y: c;

Svergolamento: Nessuno; la verifica a instabilità flesso-torsionale (svergolamento) non verrà eseguita.

Dati per instabilità attorno a x

Controllo della snellezza secondo §4.2.4.1.3.1 NTC18

Numero rit.	Presente	Ascissa	Campata	βx/m	Vincolo a entrambi estremi	λx/m	λVer
-------------	----------	---------	---------	------	----------------------------	------	------

Implementazione dei sistemi di confinamento delle emissioni odorigene diffuse dell’impianto di compostaggio esistente nel
Comune di Eboli (SA)
PROGETTO DEFINITIVO – Tabulati di calcolo Tomo 1

Numero rit.	Presente	Ascissa	Campata	$\beta x/m$	Vincolo a entrambi estremi	$\lambda x/m$	λVer
1	Si	0	1-2	1	Si	32.9	Si, (<200)
2	Si	1					

Dati per instabilità attorno a y

Controllo della snellezza secondo §4.2.4.1.3.1 NTC18

Numero rit.	Presente	Ascissa	Campata	$\beta y/n$	k,LT	kw,LT	Vincolo a entrambi estremi
1	Si	0	1-2	1	Si	22.2	Si, (<200)
2	Si	1					

Verifica di stabilità per pressoflessione §C.4.2.4.1.3.3.1 NTC18

X	Comb.	Sfruttamento	Classe	NEd	MxEq,Ed	MyEq,Ed	Area	Wx	Wy	χ_{min}	λ adim. x/m	λ adim. y/n	N,crit x/m	N,crit y/n	Verifica
0.5	SLU 76	0.043	3	-35.759	0.0415	0.0024	0.003832	0.0000492	0.0000739	0.908	0.379	0.256	7320.307	16081.468	Si

Verifica di stabilità per pressoflessione SLD §C.4.2.4.1.3.3.1 NTC18

X	Comb.	Sfruttamento	Classe	NEd	MxEq,Ed	MyEq,Ed	Area	Wx	Wy	χ_{min}	λ adim. x/m	λ adim. y/n	N,crit x/m	N,crit y/n	Verifica
0.967	SLD 13	0.022	3	-15.412	0.032	0.0484	0.003832	0.0000492	0.0000739	0.908	0.379	0.256	7320.307	16081.468	Si

Verifiche a deformabilità

Mensola X: No; Mensola Y: No.

Frecce lungo X

Ascissa freccia	Combinazione	Freccia	Luce	L/f	L/f,min	Tipo	Verifica
0.633	SLE RA 1	0	1	10000	250	Totale	Si
0.633	SLE RA 17	0	1	10000	250	Totale	Si
0.633	SLE RA 16	0	1	10000	250	Totale	Si
0.633	SLE RA 15	0	1	10000	250	Totale	Si
0.633	SLE RA 14	0	1	10000	250	Totale	Si
0.633	SLE RA 2	0	1	10000	350	Variabile	Si
0.633	SLE RA 17	0	1	10000	350	Variabile	Si
0.633	SLE RA 16	0	1	10000	350	Variabile	Si
0.567	SLE RA 15	0	1	10000	350	Variabile	Si
0.667	SLE RA 14	0	1	10000	350	Variabile	Si

Frecce lungo Y

Ascissa freccia	Combinazione	Freccia	Luce	L/f	L/f,min	Tipo	Verifica
0.5	SLE RA 1	0.00001	1	10000	250	Totale	Si
0.5	SLE RA 17	0.00001	1	10000	250	Totale	Si
0.5	SLE RA 16	0.00001	1	10000	250	Totale	Si
0.5	SLE RA 15	0.00001	1	10000	250	Totale	Si
0.5	SLE RA 14	0.00001	1	10000	250	Totale	Si
0.667	SLE RA 2	0	1	10000	350	Variabile	Si
0.767	SLE RA 17	0	1	10000	350	Variabile	Si
0.7	SLE RA 16	0	1	10000	350	Variabile	Si
0.533	SLE RA 15	0	1	10000	350	Variabile	Si
0.3	SLE RA 14	0	1	10000	350	Variabile	Si

Superelemento in acciaio a quota "640" (2231; 2593)-(2231; 2693)

Caratteristiche del materiale

Acciaio: S275, fyk = 275000

Caratteristiche geometriche

Lunghezza: 1

Nodo iniziale: 1290 Nodo finale: 1331

Cerniera iniziale: Mmomenti 1% Cerniera finale: Mmomenti 1%

Sovraresistenza: 0% Sisma Z: No

Caratteristiche della sezione

Sezione	Rotazione	Area	Jx	Jy	ix	iy	Wx	Wy	Wplx	Wply
A1; L100*10; 1; Saldato; S275; 20; 1; 8; 8; 1	180	0.003832	0.0000035319	0.000007759	0.0304	0.045	0.0000492	0.0000739	0.00008974	0.00012727

Comportamento dei calastrelli

Accoppiamento imbottito avendo passo inferiore al minimo richiesto (§C4.2.4.1.3.1.5 NTC18) nella campata compresa tra le ascisse 0 e 1 per sbandamento attorno all'asse y.

Verifiche di resistenza

Verifiche a forza assiale §4.2.4.1.2.1 - §4.2.4.1.2.2 NTC18

X	Comb.	Sfruttamento	Classe	NEd	Nc,Rd	Nt,Rd	Riduzione da taglio	px	py	Verifica
0	SLU 76	0.028	3	-28.144	1003.522		1	0	0	Si

Verifiche a forza assiale SLD §4.2.4.1.2.1 - §4.2.4.1.2.2 NTC18

X	Comb.	Sfruttamento	Classe	NEd	Nc,Rd	Nt,Rd	Riduzione da taglio	px	py	Verifica
1	SLD 10	0.014	3	-14.164	1003.522		1	0	0	Si

Verifica a presso/tenso flessione retta X §§ 4.2.4.1.2.3 - 4.2.4.1.2.6 - 4.2.4.1.2.7 - 4.2.4.1.2.8 NTC18

Verifiche eseguite utilizzando la formula conservativa (6.2) §6.2.1 EN 1993-1-1:2005.

X	Comb.	Sfruttamento	Classe	NEd	NRd	Rid. NRd da VEd	Mx,Ed	Mx,Rd	Rid. Mx,Rd da VEd	Rid. Mx,Rd da NEd	px	py	Verifica
0.5	SLU 76	0.032	3	-28.144	1003.522	1	0.0483	12.886	1		0	0	Si

Implementazione dei sistemi di confinamento delle emissioni odorigene diffuse dell'impianto di compostaggio esistente nel
Comune di Eboli (SA)
PROGETTO DEFINITIVO – Tabulati di calcolo Tomo 1

Verifica a presso/tenso flessione retta X SLD §§ 4.2.4.1.2.3 - 4.2.4.1.2.6 - 4.2.4.1.2.7 - 4.2.4.1.2.8 NTC18

Verifiche eseguite utilizzando la formula conservativa (6.2) §6.2.1 EN 1993-1-1:2005.

X	Comb.	Sfruttamento	Classe	NEd	NRd	Rid. NRd da VEd	Mx,Ed	Mx,Rd	Rid. Mx,Rd da VEd	Rid. Mx,Rd da NEd	px	py	Verifica
0.633	SLD 9	0.017	3	-14.164	1003.522	1	0.0346	12.886	1		0	0	Si

Verifica a presso/tenso flessione retta Y §§ 4.2.4.1.2.3 - 4.2.4.1.2.6 - 4.2.4.1.2.7 - 4.2.4.1.2.8 NTC18

Verifiche eseguite utilizzando la formula conservativa (6.2) §6.2.1 EN 1993-1-1:2005.

X	Comb.	Sfruttamento	Classe	NEd	NRd	Rid. NRd da VEd	My,Ed	My,Rd	Rid. My,Rd da VEd	Rid. My,Rd da NEd	px	py	Verifica
1	SLU 76	0.028	3	-28.144	1003.522	1	0.0076	19.3536	1		0	0	Si

Verifica a presso/tenso flessione retta Y SLD §§ 4.2.4.1.2.3 - 4.2.4.1.2.6 - 4.2.4.1.2.7 - 4.2.4.1.2.8 NTC18

Verifiche eseguite utilizzando la formula conservativa (6.2) §6.2.1 EN 1993-1-1:2005.

X	Comb.	Sfruttamento	Classe	NEd	NRd	Rid. NRd da VEd	My,Ed	My,Rd	Rid. My,Rd da VEd	Rid. My,Rd da NEd	px	py	Verifica
0	SLD 14	0.017	3	-14.158	1003.522	1	0.0617	19.3536	1		0	0	Si

Verifica a presso/tenso flessione deviata §§ 4.2.4.1.2.3 - 4.2.4.1.2.6 - 4.2.4.1.2.7 - 4.2.4.1.2.8 NTC18

Verifiche eseguite utilizzando la formula conservativa (6.2) §6.2.1 EN 1993-1-1:2005.

X	Comb.	Sfruttamento	Classe	NEd	NRd	Rid. NRd da VEd	Mx,Ed	Mx,Rd	My,Ed	My,Rd	Rid. Mx,Rd da VEd	Rid. Mx,Rd da NEd	Rid. My,Rd da VEd	Rid. My,Rd da NEd	α	β	px	py	Verifica
0.967	SLU 75	0.026	3	-25.662	1003.522	1	0.0061	12.886	0.0074	19.3536	1		1				0	0	Si

Verifica a presso/tenso flessione deviata SLD §§ 4.2.4.1.2.3 - 4.2.4.1.2.6 - 4.2.4.1.2.7 - 4.2.4.1.2.8 NTC18

Verifiche eseguite utilizzando la formula conservativa (6.2) §6.2.1 EN 1993-1-1:2005.

X	Comb.	Sfruttamento	Classe	NEd	NRd	Rid. NRd da VEd	Mx,Ed	Mx,Rd	My,Ed	My,Rd	Rid. Mx,Rd da VEd	Rid. Mx,Rd da NEd	Rid. My,Rd da VEd	Rid. My,Rd da NEd	α	β	px	py	Verifica
0.367	SLD 13	0.019	3	-14.158	1003.522	1	0.0345	12.886	0.0371	19.3536	1		1				0	0	Si

Verifiche ad instabilità

Caratteristiche iniziali

Membratura principale per controllo snellezza; Calcolo di snellezze ed N critici condotti secondo gli assi principali;

Curva X: c; Curva Y: c;

Svergolamento: Nessuno; la verifica a instabilità flesso-torsionale (svergolamento) non verrà eseguita.

Dati per instabilità attorno a x

Controllo della snellezza secondo §4.2.4.1.3.1 NTC18

Numero rit.	Presente	Ascissa	Campata	βx/m	Vincolo a entrambi estremi	λx/m	λVer
1	Si	0					
			1-2	1	Si	32.9	Si, (<200)
2	Si	1					

Dati per instabilità attorno a y

Controllo della snellezza secondo §4.2.4.1.3.1 NTC18

Numero rit.	Presente	Ascissa	Campata	βy/n	k,LT	kw,LT	Vincolo a entrambi estremi
1	Si	0					
			1-2	1	Si	22.2	Si, (<200)
2	Si	1					

Verifica di stabilità per pressoflessione §C.4.2.4.1.3.3.1 NTC18

X	Comb.	Sfruttamento	Classe	NEd	MxEq,Ed	MyEq,Ed	Area	Wx	Wy	χ,min	λ adim. x/m	λ adim. y/n	N _{crit} x/m	N _{crit} y/n	Verifica
1	SLU 76	0.034	3	-28.144	0.0415	0.0042	0.003832	0.0000492	0.0000739	0.908	0.379	0.256	7320.307	16081.468	Si

Verifica di stabilità per pressoflessione SLD §C.4.2.4.1.3.3.1 NTC18

X	Comb.	Sfruttamento	Classe	NEd	MxEq,Ed	MyEq,Ed	Area	Wx	Wy	χ,min	λ adim. x/m	λ adim. y/n	N _{crit} x/m	N _{crit} y/n	Verifica
0.967	SLD 13	0.02	3	-14.158	0.032	0.0462	0.003832	0.0000492	0.0000739	0.908	0.379	0.256	7320.307	16081.468	Si

Verifiche a deformabilità

Mensola X: No; Mensola Y: No.

Frecce lungo X

Ascissa freccia	Combinazione	Freccia	Luce	L/f	L/f,min	Tipo	Verifica
0.6	SLE RA 1	0	1	10000	250	Totale	Si
0.6	SLE RA 17	0	1	10000	250	Totale	Si
0.6	SLE RA 16	0	1	10000	250	Totale	Si
0.6	SLE RA 15	0	1	10000	250	Totale	Si
0.6	SLE RA 14	0	1	10000	250	Totale	Si
0.6	SLE RA 2	0	1	10000	350	Variabile	Si
0.6	SLE RA 17	0	1	10000	350	Variabile	Si
0.6	SLE RA 16	0	1	10000	350	Variabile	Si
0.6	SLE RA 15	0	1	10000	350	Variabile	Si
0.6	SLE RA 14	0	1	10000	350	Variabile	Si

Frecce lungo Y

Ascissa freccia	Combinazione	Freccia	Luce	L/f	L/f,min	Tipo	Verifica
0.5	SLE RA 1	0.00001	1	10000	250	Totale	Si
0.5	SLE RA 17	0.00001	1	10000	250	Totale	Si
0.5	SLE RA 16	0.00001	1	10000	250	Totale	Si
0.5	SLE RA 15	0.00001	1	10000	250	Totale	Si
0.5	SLE RA 14	0.00001	1	10000	250	Totale	Si
0.3	SLE RA 2	0	1	10000	350	Variabile	Si
0.333	SLE RA 17	0	1	10000	350	Variabile	Si
0.333	SLE RA 16	0	1	10000	350	Variabile	Si
0.3	SLE RA 15	0	1	10000	350	Variabile	Si
0.467	SLE RA 14	0	1	10000	350	Variabile	Si

Superelemento in acciaio a quota "640" (2231; 2693)-(2231; 2793)

Caratteristiche del materiale

Acciaio: S275, fyk = 275000

Caratteristiche geometriche

Lunghezza: 1

Nodo iniziale: 1329 Nodo finale: 1364

Cerniera iniziale: Mmomenti 1% Cerniera finale: Mmomenti 1%

Sovraresistenza: 0% Sisma Z: No

Caratteristiche della sezione

Sezione	Rotazione	Area	Jx	Jy	ix	iy	Wx	Wy	Wplx	Wply
A1; L100*10; 1; Saldato; S275; 20; 1; 8; 8; 1	180	0.003832	0.0000035319	0.000007759	0.0304	0.045	0.0000492	0.0000739	0.00008974	0.00012727

Comportamento dei calastrelli

Accoppiamento imbottito avendo passo inferiore al minimo richiesto (§C4.2.4.1.3.1.5 NTC18) nella campata compresa tra le ascisse 0 e 1 per sbandamento attorno all'asse y.

Verifiche di resistenza

Verifiche a forza assiale §4.2.4.1.2.1 - §4.2.4.1.2.2 NTC18

X	Comb.	Sfruttamento	Classe	NEd	Nc,Rd	Nt,Rd	Riduzione da taglio	px	py	Verifica
0.467	SLU 75	0.016	3	-15.842	1003.522		1	0	0	Si

Verifiche a forza assiale SLD §4.2.4.1.2.1 - §4.2.4.1.2.2 NTC18

X	Comb.	Sfruttamento	Classe	NEd	Nc,Rd	Nt,Rd	Riduzione da taglio	px	py	Verifica
1	SLD 10	0.009	3	-8.84	1003.522		1	0	0	Si

Verifica a presso/tenso flessione retta X §§ 4.2.4.1.2.3 - 4.2.4.1.2.6 - 4.2.4.1.2.7 - 4.2.4.1.2.8 NTC18

Verifiche eseguite utilizzando la formula conservativa (6.2) §6.2.1 EN 1993-1-1:2005.

X	Comb.	Sfruttamento	Classe	NEd	NRd	Rid. NRd da VEd	Mx,Ed	Mx,Rd	Rid. Mx,Rd da VEd	Rid. Mx,Rd da NEd	px	py	Verifica
0.333	SLU 67	0.018	3	-14.359	1003.522	1	0.0431	12.886	1		0	0	Si

Verifica a presso/tenso flessione retta X SLD §§ 4.2.4.1.2.3 - 4.2.4.1.2.6 - 4.2.4.1.2.7 - 4.2.4.1.2.8 NTC18

Verifiche eseguite utilizzando la formula conservativa (6.2) §6.2.1 EN 1993-1-1:2005.

X	Comb.	Sfruttamento	Classe	NEd	NRd	Rid. NRd da VEd	Mx,Ed	Mx,Rd	Rid. Mx,Rd da VEd	Rid. Mx,Rd da NEd	px	py	Verifica
0.5	SLD 10	0.012	3	-8.84	1003.522	1	0.0373	12.886	1		0	0	Si

Verifica a presso/tenso flessione retta Y §§ 4.2.4.1.2.3 - 4.2.4.1.2.6 - 4.2.4.1.2.7 - 4.2.4.1.2.8 NTC18

Verifiche eseguite utilizzando la formula conservativa (6.2) §6.2.1 EN 1993-1-1:2005.

X	Comb.	Sfruttamento	Classe	NEd	NRd	Rid. NRd da VEd	My,Ed	My,Rd	Rid. My,Rd da VEd	Rid. My,Rd da NEd	px	py	Verifica
1	SLU 75	0.016	3	-15.842	1003.522	1	0.0125	19.3536	1		0	0	Si

Verifica a presso/tenso flessione retta Y SLD §§ 4.2.4.1.2.3 - 4.2.4.1.2.6 - 4.2.4.1.2.7 - 4.2.4.1.2.8 NTC18

Verifiche eseguite utilizzando la formula conservativa (6.2) §6.2.1 EN 1993-1-1:2005.

X	Comb.	Sfruttamento	Classe	NEd	NRd	Rid. NRd da VEd	My,Ed	My,Rd	Rid. My,Rd da VEd	Rid. My,Rd da NEd	px	py	Verifica
1	SLD 13	0.01	3	-8.837	1003.522	1	-0.0239	19.3536	1		0	0	Si

Verifica a presso/tenso flessione deviata §§ 4.2.4.1.2.3 - 4.2.4.1.2.6 - 4.2.4.1.2.7 - 4.2.4.1.2.8 NTC18

Verifiche eseguite utilizzando la formula conservativa (6.2) §6.2.1 EN 1993-1-1:2005.

X	Comb.	Sfruttamento	Classe	NEd	NRd	Rid. NRd da VEd	Mx,Ed	Mx,Rd	My,Ed	My,Rd	Rid. Mx,Rd da VEd	Rid. Mx,Rd da NEd	Rid. My,Rd da VEd	Rid. My,Rd da NEd	α	β	px	py	Verifica
0.5	SLU 75	0.02	3	-15.842	1003.522	1	0.0485	12.886	0.0096	19.3536	1		1				0	0	Si

Verifica a presso/tenso flessione deviata SLD §§ 4.2.4.1.2.3 - 4.2.4.1.2.6 - 4.2.4.1.2.7 - 4.2.4.1.2.8 NTC18

Verifiche eseguite utilizzando la formula conservativa (6.2) §6.2.1 EN 1993-1-1:2005.

X	Comb.	Sfruttamento	Classe	NEd	NRd	Rid. NRd da VEd	Mx,Ed	Mx,Rd	My,Ed	My,Rd	Rid. Mx,Rd da VEd	Rid. Mx,Rd da NEd	Rid. My,Rd da VEd	Rid. My,Rd da NEd	α	β	px	py	Verifica
0.567	SLD 13	0.012	3	-8.837	1003.522	1	0.0366	12.886	-0.008	19.3536	1		1				0	0	Si

Verifiche ad instabilità

Caratteristiche iniziali

Membratura principale per controllo snellezza; Calcolo di snellezze ed N critici condotti secondo gli assi principali;

Curva X: c; Curva Y: c;

Svergolamento: Nessuno; la verifica a instabilità flesso-torsionale (svergolamento) non verrà eseguita.

Dati per instabilità attorno a x

Controllo della snellezza secondo §4.2.4.1.3.1 NTC18

Numero rit.	Presente	Ascissa	Campata	βx/m	Vincolo a entrambi estremi	λx/m	λVer
1	Si	0					
			1-2		1	32.9	Si, (<200)
2	Si	1					

Dati per instabilità attorno a y

Controllo della snellezza secondo §4.2.4.1.3.1 NTC18

Numero rit.	Presente	Ascissa	Campata	βy/n	k,LT	kw,LT	Vincolo a entrambi estremi
1	Si	0					
			1-2		1	22.2	Si, (<200)

Implementazione dei sistemi di confinamento delle emissioni odorigene diffuse dell'impianto di compostaggio esistente nel
Comune di Eboli (SA)
PROGETTO DEFINITIVO – Tabulati di calcolo Tomo 1

Numero rit.	Presente	Ascissa	Campata	$\beta y/n$	k,LT	kw,LT	Vincolo a entrambi estremi
2	Si	1					

Verifica di stabilità per pressoflessione §C.4.2.4.1.3.3.1 NTC18

X	Comb.	Sfruttamento	Classe	NEd	MxEq,Ed	MyEq,Ed	Area	Wx	Wy	χ_{min}	$\lambda_{adim. x/m}$	$\lambda_{adim. y/n}$	N,crit x/m	N,crit y/n	Verifica
0.533	SLU 75	0.021	3	-15.842	0.0418	0.0102	0.003832	0.0000492	0.0000739	0.908	0.379	0.256	7320.307	16081.468	Si

Verifica di stabilità per pressoflessione SLD §C.4.2.4.1.3.3.1 NTC18

X	Comb.	Sfruttamento	Classe	NEd	MxEq,Ed	MyEq,Ed	Area	Wx	Wy	χ_{min}	$\lambda_{adim. x/m}$	$\lambda_{adim. y/n}$	N,crit x/m	N,crit y/n	Verifica
0.967	SLD 13	0.013	3	-8.837	0.0322	-0.0179	0.003832	0.0000492	0.0000739	0.908	0.379	0.256	7320.307	16081.468	Si

Verifiche a deformabilità

Mensola X: No; Mensola Y: No.

Frecce lungo X

Ascissa freccia	Combinazione	Freccia	Luce	L/f	L/f,min	Tipo	Verifica
0.533	SLE RA 1	0	1	10000	250	Totale	Si
0.533	SLE RA 17	0	1	10000	250	Totale	Si
0.533	SLE RA 16	0	1	10000	250	Totale	Si
0.533	SLE RA 15	0	1	10000	250	Totale	Si
0.533	SLE RA 14	0	1	10000	250	Totale	Si
0.533	SLE RA 2	0	1	10000	350	Variabile	Si
0.533	SLE RA 17	0	1	10000	350	Variabile	Si
0.533	SLE RA 16	0	1	10000	350	Variabile	Si
0.533	SLE RA 15	0	1	10000	350	Variabile	Si
0.533	SLE RA 14	0	1	10000	350	Variabile	Si

Frecce lungo Y

Ascissa freccia	Combinazione	Freccia	Luce	L/f	L/f,min	Tipo	Verifica
0.5	SLE RA 1	0.00001	1	10000	250	Totale	Si
0.5	SLE RA 17	0.00001	1	10000	250	Totale	Si
0.5	SLE RA 16	0.00001	1	10000	250	Totale	Si
0.5	SLE RA 15	0.00001	1	10000	250	Totale	Si
0.5	SLE RA 14	0.00001	1	10000	250	Totale	Si
0.667	SLE RA 2	0	1	10000	350	Variabile	Si
0.633	SLE RA 17	0	1	10000	350	Variabile	Si
0.733	SLE RA 16	0	1	10000	350	Variabile	Si
0.7	SLE RA 15	0	1	10000	350	Variabile	Si
0.567	SLE RA 14	0	1	10000	350	Variabile	Si

Superelemento in acciaio a quota "640" (2231; 2793)-(2231; 2893)

Caratteristiche del materiale

Acciaio: S275, fyk = 275000

Caratteristiche geometriche

Lunghezza: 1

Nodo iniziale: 1366 Nodo finale: 1397

Cerniera iniziale: Mmomenti 1% Cerniera finale: Mmomenti 1%

Sovraresistenza: 0% Sisma Z: No

Caratteristiche della sezione

Sezione	Rotazione	Area	Jx	Jy	ix	iy	Wx	Wy	Wplx	Wply
A1; L100*10; 1; Saldato; S275; 20; 1; 8; 8; 1	180	0.003832	0.0000035319	0.000007759	0.0304	0.045	0.0000492	0.0000739	0.00008974	0.00012727

Comportamento dei calastrelli

Accoppiamento imbottito avendo passo inferiore al minimo richiesto (§C4.2.4.1.3.1.5 NTC18) nella campata compresa tra le ascisse 0 e 1 per sbandamento attorno all'asse y.

Verifiche di resistenza

Verifiche a forza assiale §4.2.4.1.2.1 - §4.2.4.1.2.2 NTC18

X	Comb.	Sfruttamento	Classe	NEd	Nc,Rd	Nt,Rd	Riduzione da taglio	px	py	Verifica
0.033	SLU 75	0.008	3	-8.143	1003.522		1	0	0	Si

Verifiche a forza assiale SLD §4.2.4.1.2.1 - §4.2.4.1.2.2 NTC18

X	Comb.	Sfruttamento	Classe	NEd	Nc,Rd	Nt,Rd	Riduzione da taglio	px	py	Verifica
1	SLD 10	0.005	3	-4.557	1003.522		1	0	0	Si

Verifica a presso/tenso flessione retta X §§ 4.2.4.1.2.3 - 4.2.4.1.2.6 - 4.2.4.1.2.7 - 4.2.4.1.2.8 NTC18

Verifiche eseguite utilizzando la formula conservativa (6.2) §6.2.1 EN 1993-1-1:2005.

X	Comb.	Sfruttamento	Classe	NEd	NRd	Rid. NRd da VEd	Mx,Ed	Mx,Rd	Rid. Mx,Rd da VEd	Rid. Mx,Rd da NEd	px	py	Verifica
0.533	SLU 75	0.012	3	-8.143	1003.522	1	0.0483	12.886	1		0	0	Si

Verifica a presso/tenso flessione retta X SLD §§ 4.2.4.1.2.3 - 4.2.4.1.2.6 - 4.2.4.1.2.7 - 4.2.4.1.2.8 NTC18

Verifiche eseguite utilizzando la formula conservativa (6.2) §6.2.1 EN 1993-1-1:2005.

X	Comb.	Sfruttamento	Classe	NEd	NRd	Rid. NRd da VEd	Mx,Ed	Mx,Rd	Rid. Mx,Rd da VEd	Rid. Mx,Rd da NEd	px	py	Verifica
0.5	SLD 6	0.007	3	-4.328	1003.522	1	0.0373	12.886	1		0	0	Si

Verifica a presso/tenso flessione retta Y §§ 4.2.4.1.2.3 - 4.2.4.1.2.6 - 4.2.4.1.2.7 - 4.2.4.1.2.8 NTC18

Verifiche eseguite utilizzando la formula conservativa (6.2) §6.2.1 EN 1993-1-1:2005.

Implementazione dei sistemi di confinamento delle emissioni odorigene diffuse dell'impianto di compostaggio esistente nel
Comune di Eboli (SA)
PROGETTO DEFINITIVO – Tabulati di calcolo Tomo 1

X	Comb.	Sfruttamento	Classe	NEd	NRd	Rid. NRd da VEd	My,Ed	My,Rd	Rid. My,Rd da VEd	Rid. My,Rd da NEd	px	py	Verifica
0	SLU 75	0.009	3	-8.143	1003.522	1	0.0197	19.3536	1		0	0	Si

Verifica a presso/tenso flessione retta Y SLD §§ 4.2.4.1.2.3 - 4.2.4.1.2.6 - 4.2.4.1.2.7 - 4.2.4.1.2.8 NTC18

Verifiche eseguite utilizzando la formula conservativa (6.2) §6.2.1 EN 1993-1-1:2005.

X	Comb.	Sfruttamento	Classe	NEd	NRd	Rid. NRd da VEd	My,Ed	My,Rd	Rid. My,Rd da VEd	Rid. My,Rd da NEd	px	py	Verifica
1	SLD 16	0.006	3	-4.317	1003.522	1	-0.0302	19.3536	1		0	0	Si

Verifica a presso/tenso flessione deviata §§ 4.2.4.1.2.3 - 4.2.4.1.2.6 - 4.2.4.1.2.7 - 4.2.4.1.2.8 NTC18

Verifiche eseguite utilizzando la formula conservativa (6.2) §6.2.1 EN 1993-1-1:2005.

X	Comb.	Sfruttamento	Classe	NEd	NRd	Rid. NRd da VEd	Mx,Ed	Mx,Rd	My,Ed	My,Rd	Rid. Mx,Rd da VEd	Rid. Mx,Rd da NEd	Rid. My,Rd da VEd	Rid. My,Rd da NEd	α	β	px	py	Verifica
0.467	SLU 75	0.012	3	-8.143	1003.522	1	0.0483	12.886	0.0086	19.3536	1		1				0	0	Si

Verifica a presso/tenso flessione deviata SLD §§ 4.2.4.1.2.3 - 4.2.4.1.2.6 - 4.2.4.1.2.7 - 4.2.4.1.2.8 NTC18

Verifiche eseguite utilizzando la formula conservativa (6.2) §6.2.1 EN 1993-1-1:2005.

X	Comb.	Sfruttamento	Classe	NEd	NRd	Rid. NRd da VEd	Mx,Ed	Mx,Rd	My,Ed	My,Rd	Rid. Mx,Rd da VEd	Rid. Mx,Rd da NEd	Rid. My,Rd da VEd	Rid. My,Rd da NEd	α	β	px	py	Verifica
0.567	SLD 14	0.008	3	-4.55	1003.522	1	0.0367	12.886	-0.0158	19.3536	1		1				0	0	Si

Verifiche ad instabilità

Caratteristiche iniziali

Membratura principale per controllo snellezza; Calcolo di snellezze ed N critici condotti secondo gli assi principali;

Curva X: c; Curva Y: c;

Svergolamento: Nessuno; la verifica a instabilità flesso-torsionale (svergolamento) non verrà eseguita.

Dati per instabilità attorno a x

Controllo della snellezza secondo §4.2.4.1.3.1 NTC18

Numero rit.	Presente	Ascissa	Campata	βx/m	Vincolo a entrambi estremi	λx/m	λVer
1	Si		0				
			1-2		1	Si	32.9
2	Si		1				Si, (<200)

Dati per instabilità attorno a y

Controllo della snellezza secondo §4.2.4.1.3.1 NTC18

Numero rit.	Presente	Ascissa	Campata	βy/n	k,LT	kw,LT	Vincolo a entrambi estremi
1	Si		0				
			1-2		1	Si	22.2
2	Si		1				Si, (<200)

Verifica di stabilità per pressoflessione §C.4.2.4.1.3.3.1 NTC18

X	Comb.	Sfruttamento	Classe	NEd	MxEq,Ed	MyEq,Ed	Area	Wx	Wy	χ,min	λ adim. x/m	λ adim. y/n	N,crit x/m	N,crit y/n	Verifica
1	SLU 75	0.013	3	-8.143	0.0418	0.0102	0.003832	0.0000492	0.0000739	0.908	0.379	0.256	7320.307	16081.468	Si

Verifica di stabilità per pressoflessione SLD §C.4.2.4.1.3.3.1 NTC18

X	Comb.	Sfruttamento	Classe	NEd	MxEq,Ed	MyEq,Ed	Area	Wx	Wy	χ,min	λ adim. x/m	λ adim. y/n	N,crit x/m	N,crit y/n	Verifica
1	SLD 16	0.008	3	-4.317	0.0322	-0.0227	0.003832	0.0000492	0.0000739	0.908	0.379	0.256	7320.307	16081.468	Si

Verifiche a deformabilità

Mensola X: No; Mensola Y: No.

Frecce lungo X

Ascissa freccia	Combinazione	Freccia	Luce	L/f	L/f,min	Tipo	Verifica
0.4	SLE RA 1	0		10000	250	Totale	Si
0.4	SLE RA 17	0		10000	250	Totale	Si
0.4	SLE RA 16	0		10000	250	Totale	Si
0.4	SLE RA 15	0		10000	250	Totale	Si
0.4	SLE RA 14	0		10000	250	Totale	Si
0.4	SLE RA 2	0		10000	350	Variabile	Si
0.4	SLE RA 17	0		10000	350	Variabile	Si
0.4	SLE RA 16	0		10000	350	Variabile	Si
0.4	SLE RA 15	0		10000	350	Variabile	Si
0.4	SLE RA 14	0		10000	350	Variabile	Si

Frecce lungo Y

Ascissa freccia	Combinazione	Freccia	Luce	L/f	L/f,min	Tipo	Verifica
0.5	SLE RA 1	0.00001		10000	250	Totale	Si
0.5	SLE RA 17	0.00001		10000	250	Totale	Si
0.5	SLE RA 16	0.00001		10000	250	Totale	Si
0.5	SLE RA 15	0.00001		10000	250	Totale	Si
0.5	SLE RA 14	0.00001		10000	250	Totale	Si
0.567	SLE RA 2	0		10000	350	Variabile	Si
0.633	SLE RA 17	0		10000	350	Variabile	Si
0.633	SLE RA 16	0		10000	350	Variabile	Si
0.633	SLE RA 15	0		10000	350	Variabile	Si
0.467	SLE RA 14	0		10000	350	Variabile	Si

Superelemento in acciaio a quota "640" (2231; 2893)-(2231; 2993)

Caratteristiche del materiale

Acciaio: S275, fyk = 275000

**Implementazione dei sistemi di confinamento delle emissioni odorigene diffuse dell'impianto di compostaggio esistente nel
Comune di Eboli (SA)
PROGETTO DEFINITIVO – Tabulati di calcolo Tomo 1**

Caratteristiche geometriche

Lunghezza: 1
Nodo iniziale: 1399 Nodo finale: 1434
Cerniera iniziale: Mmomenti 1% Cerniera finale: Mmomenti 1%
Sovreresistenza: 0% Sisma Z: No

Caratteristiche della sezione

Sezione	Rotazione	Area	Jx	Jy	ix	iy	Wx	Wy	Wplx	Wply
A1; L100*10; 1; Saldato; S275; 20; 1; 8; 8; 1	180	0.003832	0.0000035319	0.000007759	0.0304	0.045	0.0000492	0.0000739	0.00008974	0.00012727

Comportamento dei calastrelli

Accoppiamento imbottito avendo passo inferiore al minimo richiesto (§C4.2.4.1.3.1.5 NTC18) nella campata compresa tra le ascisse 0 e 1 per sbandamento attorno all'asse y.

Verifiche di resistenza

Verifiche a forza assiale §4.2.4.1.2.1 - §4.2.4.1.2.2 NTC18

X	Comb.	Sfruttamento	Classe	NEd	Nc,Rd	Nt,Rd	Riduzione da taglio	px	py	Verifica
1	SLV 10	0.001	1	-0.796	1003.522		1	0	0	Si

Verifiche a forza assiale SLD §4.2.4.1.2.1 - §4.2.4.1.2.2 NTC18

X	Comb.	Sfruttamento	Classe	NEd	Nc,Rd	Nt,Rd	Riduzione da taglio	px	py	Verifica
0	SLD 9	0	3	-0.392	1003.522		1	0	0	Si

Verifica a taglio Y §4.2.4.1.2.4 NTC18

X	Comb.	Sfruttamento	VEd	Vc,Rd	Av	Interazione taglio-torsione	Riduzione torsione	Verifica
1	SLV 9	0.001	0.241	302.422	0.002	Non considerata		Si

Verifica a flessione semplice X §§ 4.2.4.1.2.3 - 4.2.4.1.2.6 - 4.2.4.1.2.7 - 4.2.4.1.2.8 NTC18

X	Comb.	Sfruttamento	Classe	Mx,Ed	Mx,Rd	Rid. Mx,Rd da VEd	px	py	Verifica
0.433	SLU 42	0.002	1	0.04126	23.50374	1	0	0	Si

Verifica a flessione semplice X SLD §§ 4.2.4.1.2.3 - 4.2.4.1.2.6 - 4.2.4.1.2.7 - 4.2.4.1.2.8 NTC18

X	Comb.	Sfruttamento	Classe	Mx,Ed	Mx,Rd	Rid. Mx,Rd da VEd	px	py	Verifica
0.533	SLD 3	0.002	1	0.04142	23.50374	1	0	0	Si

Verifica a flessione semplice Y §§ 4.2.4.1.2.3 - 4.2.4.1.2.6 - 4.2.4.1.2.7 - 4.2.4.1.2.8 NTC18

X	Comb.	Sfruttamento	Classe	My,Ed	My,Rd	Rid. My,Rd da VEd	px	py	Verifica
0.933	SLU 19	0.001	1	-0.04394	33.33162	1	0	0	Si

Verifica a flessione semplice Y SLD §§ 4.2.4.1.2.3 - 4.2.4.1.2.6 - 4.2.4.1.2.7 - 4.2.4.1.2.8 NTC18

X	Comb.	Sfruttamento	Classe	My,Ed	My,Rd	Rid. My,Rd da VEd	px	py	Verifica
1	SLD 11	0.001	1	-0.04403	33.33162	1	0	0	Si

Verifica a flessione deviata §§ 4.2.4.1.2.3 - 4.2.4.1.2.6 - 4.2.4.1.2.7 - 4.2.4.1.2.8 NTC18

X	Comb.	Sfruttamento	Classe	Mx,Ed	Mx,Rd	My,Ed	My,Rd	Rid. Mx,Rd da VEd	Rid. My,Rd da VEd	α	β	px	py	Verifica
0.733	SLV 12	0.004	1	0.0483	23.5037	-0.0583	33.3316	1	1			0	0	Si

Verifica a flessione deviata SLD §§ 4.2.4.1.2.3 - 4.2.4.1.2.6 - 4.2.4.1.2.7 - 4.2.4.1.2.8 NTC18

X	Comb.	Sfruttamento	Classe	Mx,Ed	Mx,Rd	My,Ed	My,Rd	Rid. Mx,Rd da VEd	Rid. My,Rd da VEd	α	β	px	py	Verifica
1	SLD 13	0.003	1	-0.042	23.5037	-0.0344	33.3316	1	1			0	0	Si

Verifica a presso/tenso flessione retta X §§ 4.2.4.1.2.3 - 4.2.4.1.2.6 - 4.2.4.1.2.7 - 4.2.4.1.2.8 NTC18

Verifiche eseguite utilizzando la formula conservativa (6.2) §6.2.1 EN 1993-1-1:2005.

X	Comb.	Sfruttamento	Classe	NEd	NRd	Rid. NRd da VEd	Mx,Ed	Mx,Rd	Rid. Mx,Rd da VEd	Rid. Mx,Rd da NEd	px	py	Verifica
1	SLV 10	0.005	1	-0.796	1003.522	1	-0.091	23.5037	1	1	0	0	Si

Verifica a presso/tenso flessione retta X SLD §§ 4.2.4.1.2.3 - 4.2.4.1.2.6 - 4.2.4.1.2.7 - 4.2.4.1.2.8 NTC18

Verifiche eseguite utilizzando la formula conservativa (6.2) §6.2.1 EN 1993-1-1:2005.

X	Comb.	Sfruttamento	Classe	NEd	NRd	Rid. NRd da VEd	Mx,Ed	Mx,Rd	Rid. Mx,Rd da VEd	Rid. Mx,Rd da NEd	px	py	Verifica
0.567	SLD 10	0.001	3	-0.392	1003.522	1	0.0122	12.886	1	1	0	0	Si

Verifica a presso/tenso flessione retta Y §§ 4.2.4.1.2.3 - 4.2.4.1.2.6 - 4.2.4.1.2.7 - 4.2.4.1.2.8 NTC18

Verifiche eseguite utilizzando la formula conservativa (6.2) §6.2.1 EN 1993-1-1:2005.

X	Comb.	Sfruttamento	Classe	NEd	NRd	Rid. NRd da VEd	My,Ed	My,Rd	Rid. My,Rd da VEd	Rid. My,Rd da NEd	px	py	Verifica
0.7	SLV 16	0.002	1	-0.453	1003.522	1	-0.0565	33.3316	1	1	0	0	Si

Verifica a presso/tenso flessione deviata §§ 4.2.4.1.2.3 - 4.2.4.1.2.6 - 4.2.4.1.2.7 - 4.2.4.1.2.8 NTC18

Verifiche eseguite utilizzando la formula conservativa (6.2) §6.2.1 EN 1993-1-1:2005.

X	Comb.	Sfruttamento	Classe	NEd	NRd	Rid. NRd da VEd	Mx,Ed	Mx,Rd	My,Ed	My,Rd	Rid. Mx,Rd da VEd	Rid. Mx,Rd da NEd	Rid. My,Rd da VEd	Rid. My,Rd da NEd	α	β	px	py	Verifica
1	SLV 14	0.006	1	-0.748	1003.522	1	-0.0862	23.5037	-0.0518	33.3316	1	1	1	1			0	0	Si

Verifica a presso/tenso flessione deviata SLD §§ 4.2.4.1.2.3 - 4.2.4.1.2.6 - 4.2.4.1.2.7 - 4.2.4.1.2.8 NTC18

Verifiche eseguite utilizzando la formula conservativa (6.2) §6.2.1 EN 1993-1-1:2005.

X	Comb.	Sfruttamento	Classe	NEd	NRd	Rid. NRd da VEd	Mx,Ed	Mx,Rd	My,Ed	My,Rd	Rid. Mx,Rd da VEd	Rid. Mx,Rd da NEd	Rid. My,Rd da VEd	Rid. My,Rd da NEd	α	β	px	py	Verifica
1	SLD 9	0.003	1	-0.392	1003.522	1	-0.0434	23.5037	-0.0116	33.3316	1	1	1	1			0	0	Si

Implementazione dei sistemi di confinamento delle emissioni odorigene diffuse dell'impianto di compostaggio esistente nel
Comune di Eboli (SA)
PROGETTO DEFINITIVO – Tabulati di calcolo Tomo 1

Verifiche ad instabilità

Caratteristiche iniziali

Membratura principale per controllo snellezza; Calcolo di snellezze ed N critici condotti secondo gli assi principali;
Curva X: c; Curva Y: c;
Svergolamento: Nessuno; la verifica a instabilità flesso-torsionale (svergolamento) non verrà eseguita.

Dati per instabilità attorno a x

Controllo della snellezza secondo §4.2.4.1.3.1 NTC18

Numero rit.	Presente	Ascissa	Campata	$\beta x/m$	Vincolo a entrambi estremi	$\lambda x/m$	λVer
1	Si	0					
			1-2	1	Si	32.9	Si, (<200)
2	Si	1					

Dati per instabilità attorno a y

Controllo della snellezza secondo §4.2.4.1.3.1 NTC18

Numero rit.	Presente	Ascissa	Campata	$\beta y/n$	k,LT	kw,LT	Vincolo a entrambi estremi
1	Si	0					
			1-2	1	Si	22.2	Si, (<200)
2	Si	1					

Verifica di stabilità per pressoflessione §C.4.2.4.1.3.3.1 NTC18

X	Comb.	Sfruttamento	Classe	NEd	MxEq,Ed	MyEq,Ed	Area	Wx	Wy	χ_{min}	$\lambda_{adim. x/m}$	$\lambda_{adim. y/n}$	N,crit x/m	N,crit y/n	Verifica
0	SLV 9	0.007	3	-0.796	-0.0683	-0.0218	0.003832	0.0000492	0.0000739	0.908	0.379	0.256	7320.307	16081.468	Si

Verifica di stabilità per pressoflessione SLD §C.4.2.4.1.3.3.1 NTC18

X	Comb.	Sfruttamento	Classe	NEd	MxEq,Ed	MyEq,Ed	Area	Wx	Wy	χ_{min}	$\lambda_{adim. x/m}$	$\lambda_{adim. y/n}$	N,crit x/m	N,crit y/n	Verifica
0.7	SLD 9	0.003	3	-0.392	-0.0326	-0.0087	0.003832	0.0000492	0.0000739	0.908	0.379	0.256	7320.307	16081.468	Si

Verifiche a deformabilità

Mensola X: No; Mensola Y: No.

Frecce lungo X

Ascissa freccia	Combinazione	Freccia	Luce	L/f	L/f,min	Tipo	Verifica
0.667	SLE RA 1	0	1	10000	250	Totale	Si
0.667	SLE RA 17	0	1	10000	250	Totale	Si
0.667	SLE RA 16	0	1	10000	250	Totale	Si
0.667	SLE RA 15	0	1	10000	250	Totale	Si
0.667	SLE RA 14	0	1	10000	250	Totale	Si
0.667	SLE RA 2	0	1	10000	350	Variabile	Si
0.667	SLE RA 17	0	1	10000	350	Variabile	Si
0.667	SLE RA 16	0	1	10000	350	Variabile	Si
0.667	SLE RA 15	0	1	10000	350	Variabile	Si
0.667	SLE RA 14	0	1	10000	350	Variabile	Si

Frecce lungo Y

Ascissa freccia	Combinazione	Freccia	Luce	L/f	L/f,min	Tipo	Verifica
0.467	SLE RA 1	0	1	10000	250	Totale	Si
0.467	SLE RA 17	0	1	10000	250	Totale	Si
0.467	SLE RA 16	0	1	10000	250	Totale	Si
0.467	SLE RA 15	0	1	10000	250	Totale	Si
0.467	SLE RA 14	0	1	10000	250	Totale	Si
0.567	SLE RA 2	0	1	10000	350	Variabile	Si
0.567	SLE RA 17	0	1	10000	350	Variabile	Si
0.567	SLE RA 16	0	1	10000	350	Variabile	Si
0.567	SLE RA 15	0	1	10000	350	Variabile	Si
0.567	SLE RA 14	0	1	10000	350	Variabile	Si

Superelemento in acciaio a quota "640" (2248; 2996)-(2473; 2993)

Caratteristiche del materiale

Acciaio: S275, fyk = 275000

Caratteristiche geometriche

Lunghezza: 2.25
Nodo iniziale: 1447 Nodo finale: 1444
Cerniera iniziale: No Cerniera finale: No
Sovreresistenza: 0% Sisma Z: No

Caratteristiche della sezione

Sezione	Rotazione	Area	Jx	Jy	ix	iy	Wx	Wy	Wplx	Wply
HEA120	0	0.002537	0.0000060673	0.0000023091	0.0489	0.0302	0.00010644	0.00003849	0.00011962	0.00005887

Verifiche di resistenza

Verifiche a forza assiale §4.2.4.1.2.1 - §4.2.4.1.2.2 NTC18

X	Comb.	Sfruttamento	Classe	NEd	Nc,Rd	Nt,Rd	Riduzione da taglio	px	py	Verifica
1.65	SLU 76	0.174	1	-115.366	664.325		1	0	0	Si

Verifiche a forza assiale SLD §4.2.4.1.2.1 - §4.2.4.1.2.2 NTC18

X	Comb.	Sfruttamento	Classe	NEd	Nc,Rd	Nt,Rd	Riduzione da taglio	px	py	Verifica
2.25	SLD 8	0.067	1	-44.308	664.325		1	0	0	Si

**Implementazione dei sistemi di confinamento delle emissioni odorigene diffuse dell'impianto di compostaggio esistente nel
Comune di Eboli (SA)
PROGETTO DEFINITIVO – Tabulati di calcolo Tomo 1**

Verifica a taglio Y §4.2.4.1.2.4 NTC18

X	Comb.	Sfruttamento	VEd	Vc,Rd	Av	Interazione taglio-torsione	Riduzione torsione	Verifica
2.25	SLV 8	0.005	-0.686	127.832	0.000849	Considerata	1	Si

Verifica a taglio Y SLD §4.2.4.1.2.4 NTC18

X	Comb.	Sfruttamento	VEd	Vc,Rd	Av	Interazione taglio-torsione	Riduzione torsione	Verifica
2.25	SLD 7	0.003	-0.428	127.974	0.000849	Considerata	1	Si

Verifica a torsione §4.2.4.1.2.5 NTC18

X	Comb.	Sfruttamento torsione	TEd	TRd	Riduzione taglio resistente	Sfruttamento taglio-torsione	τEd,totale	τRd	Verifica
2.25	SLU 76	0.014	-0.01174	0.85138	Considerata				Si

Verifica a torsione SLD §4.2.4.1.2.5 NTC18

X	Comb.	Sfruttamento torsione	TEd	TRd	Riduzione taglio resistente	Sfruttamento taglio-torsione	τEd,totale	τRd	Verifica
2.25	SLD 11	0.008	-0.0066	0.85138	Considerata				Si

Verifica a presso/tenso flessione retta X §§ 4.2.4.1.2.3 - 4.2.4.1.2.6 - 4.2.4.1.2.7 - 4.2.4.1.2.8 NTC18

Verifiche eseguite utilizzando la formula conservativa (6.2) §6.2.1 EN 1993-1-1:2005.

X	Comb.	Sfruttamento	Classe	NEd	NRd	Rid. NRd da VEd	Mx,Ed	Mx,Rd	Rid. Mx,Rd da VEd	Rid. Mx,Rd da NEd	px	py	Verifica
2.25	SLU 56	0.128	1	-74.596	664.325	1	-0.4855	31.3291	1		0	0	Si

Verifica a presso/tenso flessione retta X SLD §§ 4.2.4.1.2.3 - 4.2.4.1.2.6 - 4.2.4.1.2.7 - 4.2.4.1.2.8 NTC18

Verifiche eseguite utilizzando la formula conservativa (6.2) §6.2.1 EN 1993-1-1:2005.

X	Comb.	Sfruttamento	Classe	NEd	NRd	Rid. NRd da VEd	Mx,Ed	Mx,Rd	Rid. Mx,Rd da VEd	Rid. Mx,Rd da NEd	px	py	Verifica
1.2	SLD 13	0.081	1	-40.99	664.325	1	-0.6187	31.3291	1		0	0	Si

Verifica a presso/tenso flessione retta Y §§ 4.2.4.1.2.3 - 4.2.4.1.2.6 - 4.2.4.1.2.7 - 4.2.4.1.2.8 NTC18

Verifiche eseguite utilizzando la formula conservativa (6.2) §6.2.1 EN 1993-1-1:2005.

X	Comb.	Sfruttamento	Classe	NEd	NRd	Rid. NRd da VEd	My,Ed	My,Rd	Rid. My,Rd da VEd	Rid. My,Rd da NEd	px	py	Verifica
1.95	SLV 7	0.073	1	-47.221	664.325	1	-0.0348	15.4191	1		0	0	Si

Verifica a presso/tenso flessione deviata §§ 4.2.4.1.2.3 - 4.2.4.1.2.6 - 4.2.4.1.2.7 - 4.2.4.1.2.8 NTC18

Verifiche eseguite utilizzando la formula conservativa (6.2) §6.2.1 EN 1993-1-1:2005.

X	Comb.	Sfruttamento	Classe	NEd	NRd	Rid. NRd da VEd	Mx,Ed	Mx,Rd	My,Ed	My,Rd	Rid. Mx,Rd da VEd	Rid. Mx,Rd da NEd	Rid. My,Rd da VEd	Rid. My,Rd da NEd	α	β	px	py	Verifica
0.75	SLU 76	0.228	1	-115.366	664.325	1	-1.5477	31.3291	-0.0742	15.4191	1		1				0	0	Si

Verifica a presso/tenso flessione deviata SLD §§ 4.2.4.1.2.3 - 4.2.4.1.2.6 - 4.2.4.1.2.7 - 4.2.4.1.2.8 NTC18

Verifiche eseguite utilizzando la formula conservativa (6.2) §6.2.1 EN 1993-1-1:2005.

X	Comb.	Sfruttamento	Classe	NEd	NRd	Rid. NRd da VEd	Mx,Ed	Mx,Rd	My,Ed	My,Rd	Rid. Mx,Rd da VEd	Rid. Mx,Rd da NEd	Rid. My,Rd da VEd	Rid. My,Rd da NEd	α	β	px	py	Verifica
0	SLD 7	0.093	1	-44.308	664.325	1	-0.6327	31.3291	-0.0958	15.4191	1		1				0	0	Si

Verifiche ad instabilità

Caratteristiche iniziali

Membratura principale per controllo snellezza; Calcolo di snellezze ed N critici condotti secondo gli assi principali;

Curva X: b; Curva Y: c; Svergolamento: Carico all'estradosso; Curva svergolamento: b;

Dati per instabilità attorno a x

Controllo della snellezza secondo §4.2.4.1.3.1 NTC18

Numero rit.	Presente	Ascissa	Campata	βx/m	Vincolo a entrambi estremi	λx/m	λVer
1	Si	0					
2	Si	2.25	1-2		1	46	Si, (<200)

Dati per instabilità attorno a y

Controllo della snellezza secondo §4.2.4.1.3.1 NTC18

Numero rit.	Presente	Ascissa	Campata	βy/n	k,LT	kw,LT	Vincolo a entrambi estremi	λy/n	λVer
1	Si	0							
2	Si	2.25	1-2		1	1	Si	74.6	Si, (<200)

Verifica di stabilità per pressoflessione §C.4.2.4.1.3.3.2 NTC18

X	Comb.	Sfruttamento	Classe	NEd	NRk	Mx,Ed max	Mx,Rk	My,Ed max	My,Rk	χ,x	χ,y	kxx	kxy	kyy	χ,LT	Verifica	
0.075	SLU 76	0.337	1	-115.366	697.541	1.55069	32.89552	0.08888	16.19002	0.871	0.625	1.062	0.63	0.968	1.051	0.898	Si

Verifica di stabilità per pressoflessione SLD §C.4.2.4.1.3.3.2 NTC18

X	Comb.	Sfruttamento	Classe	NEd	NRk	Mx,Ed max	Mx,Rk	My,Ed max	My,Rk	χ,x	χ,y	kxx	kxy	kyy	χ,LT	Verifica	
2.25	SLD 8	0.132	1	-44.308	697.541	0.63416	32.89552	0.09585	16.19002	0.871	0.625	0.88	0.392	0.985	0.654	0.949	Si

Verifica di stabilità a taglio anima Y §4.2.4.1.2.4 [4.2.27] NTC18

η	hw	tw	hw/tw max	Verifica
1.2	0.098	0.005	55.46	Si

Verifica di stabilità a taglio anima Y SLD §4.2.4.1.2.4 [4.2.27] NTC18

η	hw	tw	hw/tw max	Verifica
1.2	0.098	0.005	55.46	Si

Verifiche a deformabilità

Mensola X: No; Mensola Y: No.

Frecce lungo X

Ascissa freccia	Combinazione	Freccia	Luce	L/f	L/f,min	Tipo	Verifica
1.05	SLE RA 1	0.00003	2.25	10000	250	Totale	Si

Implementazione dei sistemi di confinamento delle emissioni odorigene diffuse dell'impianto di compostaggio esistente nel
Comune di Eboli (SA)
PROGETTO DEFINITIVO – Tabulati di calcolo Tomo 1

Ascissa freccia	Combinazione	Freccia	Luce	L/f	L/f,min	Tipo	Verifica
1.05	SLE RA 17	0.00004	2.25	10000	250	Totale	Si
1.05	SLE RA 16	0.00005	2.25	10000	250	Totale	Si
1.05	SLE RA 15	0.00006	2.25	10000	250	Totale	Si
0.975	SLE RA 14	0.00003	2.25	10000	250	Totale	Si
1.05	SLE RA 2	-0.00002	2.25	10000	350	Variabile	Si
1.05	SLE RA 17	0.00001	2.25	10000	350	Variabile	Si
1.05	SLE RA 16	0.00002	2.25	10000	350	Variabile	Si
1.125	SLE RA 15	0.00003	2.25	10000	350	Variabile	Si
1.65	SLE RA 14	0	2.25	10000	350	Variabile	Si

Frecce lungo Y

Ascissa freccia	Combinazione	Freccia	Luce	L/f	L/f,min	Tipo	Verifica
1.125	SLE RA 19	-0.00053	2.25	4227.9	250	Totale	Si
1.125	SLE RA 15	-0.00047	2.25	4737.5	250	Totale	Si
1.125	SLE RA 11	-0.00047	2.25	4737.5	250	Totale	Si
1.125	SLE RA 7	-0.00047	2.25	4737.6	250	Totale	Si
1.125	SLE RA 16	-0.00045	2.25	5041.1	250	Totale	Si
1.125	SLE RA 19	-0.00026	2.25	8735.1	350	Variabile	Si
1.125	SLE RA 17	-0.00008	2.25	10000	350	Variabile	Si
1.125	SLE RA 16	-0.00017	2.25	10000	350	Variabile	Si
1.125	SLE RA 15	-0.0002	2.25	10000	350	Variabile	Si
0.825	SLE RA 14	-0.00003	2.25	10000	350	Variabile	Si

Superelemento in acciaio a quota "640" (2347; 2188)-(2463; 2189)

Caratteristiche del materiale

Acciaio: S275, fyk = 275000

Caratteristiche geometriche

Lunghezza: 1.161

Nodo iniziale: 1116 Nodo finale: 1119

Cerniera iniziale: No Cerniera finale: No

Sovraresistenza: 0% Sisma Z: No

Caratteristiche della sezione

Sezione	Rotazione	Area	Jx	Jy	ix	iy	Wx	Wy	Wplx	Wply
HEA100	0	0.00256	0.0000040418	0.0000015945	0.0397	0.025	0.0000842	0.00003189	0.00009801	0.00004946

Verifiche di resistenza

Verifiche a forza assiale §4.2.4.1.2.1 - §4.2.4.1.2.2 NTC18

X	Comb.	Sfruttamento	Classe	NEd	Nc,Rd	Nt,Rd	Riduzione da taglio	px	py	Verifica
1.084	SLU 63	0.07	1	-46.845	670.391		1	0	0	Si

Verifiche a forza assiale SLD §4.2.4.1.2.1 - §4.2.4.1.2.2 NTC18

X	Comb.	Sfruttamento	Classe	NEd	Nc,Rd	Nt,Rd	Riduzione da taglio	px	py	Verifica
1.161	SLD 4	0.033	1	-21.923	670.391		1	0	0	Si

Verifica a taglio Y §4.2.4.1.2.4 NTC18

X	Comb.	Sfruttamento	VEd	Vc,Rd	Av	Interazione taglio-torsione	Riduzione torsione	Verifica
0	SLU 75	0.002	0.344	151.248	0.001002	Considerata	1	Si

Verifica a taglio Y SLD §4.2.4.1.2.4 NTC18

X	Comb.	Sfruttamento	VEd	Vc,Rd	Av	Interazione taglio-torsione	Riduzione torsione	Verifica
0	SLD 7	0.001	0.167	151.396	0.001002	Considerata	1	Si

Verifica a torsione §4.2.4.1.2.5 NTC18

X	Comb.	Sfruttamento torsione	TEd	TRd	Riduzione taglio resistente	Sfruttamento taglio-torsione	τEd,totale	τRd	Verifica
1.123	SLU 76	0.007	-0.00728	0.99803	Considerata				Si

Verifica a torsione SLD §4.2.4.1.2.5 NTC18

X	Comb.	Sfruttamento torsione	TEd	TRd	Riduzione taglio resistente	Sfruttamento taglio-torsione	τEd,totale	τRd	Verifica
1.161	SLD 10	0.004	-0.00386	0.99803	Considerata				Si

Verifica a presso/tenso flessione retta X §§ 4.2.4.1.2.3 - 4.2.4.1.2.6 - 4.2.4.1.2.7 - 4.2.4.1.2.8 NTC18

Verifiche eseguite utilizzando la formula conservativa (6.2) §6.2.1 EN 1993-1-1:2005.

X	Comb.	Sfruttamento	Classe	NEd	NRd	Rid. NRd da VEd	Mx,Ed	Mx,Rd	Rid. Mx,Rd da VEd	Rid. Mx,Rd da NEd	px	py	Verifica
0.929	SLU 73	0.059	1	-32.518	670.391	1	-0.2648	25.6685	1		0	0	Si

Verifica a presso/tenso flessione retta X SLD §§ 4.2.4.1.2.3 - 4.2.4.1.2.6 - 4.2.4.1.2.7 - 4.2.4.1.2.8 NTC18

Verifiche eseguite utilizzando la formula conservativa (6.2) §6.2.1 EN 1993-1-1:2005.

X	Comb.	Sfruttamento	Classe	NEd	NRd	Rid. NRd da VEd	Mx,Ed	Mx,Rd	Rid. Mx,Rd da VEd	Rid. Mx,Rd da NEd	px	py	Verifica
0.194	SLD 13	0.012	1	-6.972	670.391	1	-0.0496	25.6685	1		0	0	Si

Verifica a presso/tenso flessione retta Y §§ 4.2.4.1.2.3 - 4.2.4.1.2.6 - 4.2.4.1.2.7 - 4.2.4.1.2.8 NTC18

Verifiche eseguite utilizzando la formula conservativa (6.2) §6.2.1 EN 1993-1-1:2005.

X	Comb.	Sfruttamento	Classe	NEd	NRd	Rid. NRd da VEd	My,Ed	My,Rd	Rid. My,Rd da VEd	Rid. My,Rd da NEd	px	py	Verifica
1.123	SLV 9	0.019	1	8.298	670.391	1	0.0851	12.9533	1		0	0	Si

Verifica a presso/tenso flessione deviata §§ 4.2.4.1.2.3 - 4.2.4.1.2.6 - 4.2.4.1.2.7 - 4.2.4.1.2.8 NTC18

Verifiche eseguite utilizzando la formula conservativa (6.2) §6.2.1 EN 1993-1-1:2005.

Implementazione dei sistemi di confinamento delle emissioni odorigene diffuse dell'impianto di compostaggio esistente nel
Comune di Eboli (SA)

PROGETTO DEFINITIVO – Tabulati di calcolo Tomo 1

X	Comb.	Sfruttamento	Classe	NEd	NRd	Rid. NRd da VEd	Mx,Ed	Mx,Rd	My,Ed	My,Rd	Rid. Mx,Rd da VEd	Rid. Mx,Rd da NEd	Rid. My,Rd da VEd	Rid. My,Rd da NEd	α	β	ρ_x	ρ_y	Verifica
1.161	SLU 63	0.088	1	-46.845	670.391	1	-0.4136	25.6685	0.0234	12.9533	1		1				0	0	Si

Verifica a presso/tenso flessione deviata SLD §§ 4.2.4.1.2.3 - 4.2.4.1.2.6 - 4.2.4.1.2.7 - 4.2.4.1.2.8 NTC18

Verifiche eseguite utilizzando la formula conservativa (6.2) §6.2.1 EN 1993-1-1:2005.

X	Comb.	Sfruttamento	Classe	NEd	NRd	Rid. NRd da VEd	Mx,Ed	Mx,Rd	My,Ed	My,Rd	Rid. Mx,Rd da VEd	Rid. Mx,Rd da NEd	Rid. My,Rd da VEd	Rid. My,Rd da NEd	α	β	ρ_x	ρ_y	Verifica
0.89	SLD 4	0.04	1	-21.923	670.391	1	-0.1464	25.6685	-0.0194	12.9533	1		1				0	0	Si

Verifiche ad instabilità

Caratteristiche iniziali

Membratura principale per controllo snellezza; Calcolo di snellezze ed N critici condotti secondo gli assi principali;

Curva X: b; Curva Y: c; Svergolamento: Carico all'estradosso; Curva svergolamento: b;

Dati per instabilità attorno a x

Controllo della snellezza secondo §4.2.4.1.3.1 NTC18

Numero rit.	Presente	Ascissa	Campata	$\beta x/m$	Vincolo a entrambi estremi	$\lambda x/m$	λVer
1	Si	0					
			1-2		1	29.2	Si, (<200)
2	Si	1.161					

Dati per instabilità attorno a y

Controllo della snellezza secondo §4.2.4.1.3.1 NTC18

Numero rit.	Presente	Ascissa	Campata	$\beta y/n$	k_{LT}	$k_{w,LT}$	Vincolo a entrambi estremi	$\lambda y/n$	λVer
1	Si	0							
			1-2		1	1	Si	46.5	Si, (<200)
2	Si	1.161							

Verifica di stabilità per tenso-flessione deviata §§ 5.5.3-5.5.4 ENV 1993-1-1:1992 + AC:1992 + A1:1994 + A2:1998

X	Comb.	Sfruttamento	Classe	NEd	Mx,Ed	Mx,Eff,Ed	My,Ed	χ_{LT}	kLT	ky	M,critico	Wx	Wy	Verifica
1.161	SLU 45	0.002	1	1.63	0.07898	0.04143	-0.01095	1	1	1	209.42822	0.000098	0.0000495	Si

Verifica di stabilità per pressoflessione §C.4.2.4.1.3.3.2 NTC18

X	Comb.	Sfruttamento	Classe	NEd	NRk	Mx,Ed max	Mx,Rk	My,Ed max	My,Rk	χ_x	χ_y	kxx	kxy	kyy	χ_{LT}	Verifica
1.161	SLU 63	0.103	1	-46.845	703.911	0.41358	26.95195	0.02382	13.60093	0.951	0.823	0.884	0.62	0.993	1.033	1 Si

Verifica di stabilità per pressoflessione SLD §C.4.2.4.1.3.3.2 NTC18

X	Comb.	Sfruttamento	Classe	NEd	NRk	Mx,Ed max	Mx,Rk	My,Ed max	My,Rk	χ_x	χ_y	kxx	kxy	kyy	χ_{LT}	Verifica
1.161	SLD 4	0.047	1	-21.923	703.911	0.14687	26.95195	0.02206	13.60093	0.951	0.823	1.003	0.54	0.997	0.9	1 Si

Verifica di stabilità a taglio anima Y §4.2.4.1.2.4 [4.2.27] NTC18

η	hw	tw	hw/tw max	Verifica
1.2	0.077	0.006	55.46	Si

Verifica di stabilità a taglio anima Y SLD §4.2.4.1.2.4 [4.2.27] NTC18

η	hw	tw	hw/tw max	Verifica
1.2	0.077	0.006	55.46	Si

Verifiche a deformabilità

Mensola X: No; Mensola Y: No.

Frecce lungo X

Ascissa freccia	Combinazione	Freccia	Luce	L/f	L/f,min	Tipo	Verifica
0.387	SLE RA 1	0	1.161	10000	250	Totale	Si
0.387	SLE RA 17	0	1.161	10000	250	Totale	Si
0.387	SLE RA 16	0	1.161	10000	250	Totale	Si
0.503	SLE RA 15	0.00001	1.161	10000	250	Totale	Si
0.619	SLE RA 14	0	1.161	10000	250	Totale	Si
0.426	SLE RA 2	0	1.161	10000	350	Variabile	Si
0.426	SLE RA 17	0	1.161	10000	350	Variabile	Si
0.426	SLE RA 16	0	1.161	10000	350	Variabile	Si
0.542	SLE RA 15	0.00001	1.161	10000	350	Variabile	Si
0.542	SLE RA 14	-0.00001	1.161	10000	350	Variabile	Si

Frecce lungo Y

Ascissa freccia	Combinazione	Freccia	Luce	L/f	L/f,min	Tipo	Verifica
0.619	SLE RA 1	-0.00002	1.161	10000	250	Totale	Si
0.619	SLE RA 17	-0.00003	1.161	10000	250	Totale	Si
0.619	SLE RA 16	-0.00003	1.161	10000	250	Totale	Si
0.619	SLE RA 15	-0.00002	1.161	10000	250	Totale	Si
0.619	SLE RA 14	-0.00004	1.161	10000	250	Totale	Si
0.619	SLE RA 2	0.00001	1.161	10000	350	Variabile	Si
0.619	SLE RA 17	-0.00001	1.161	10000	350	Variabile	Si
0.619	SLE RA 16	-0.00001	1.161	10000	350	Variabile	Si
0.581	SLE RA 15	0.00001	1.161	10000	350	Variabile	Si
0.619	SLE RA 14	-0.00002	1.161	10000	350	Variabile	Si

Superelemento in acciaio a quota "640" (2463; 2184)-(2463; 2289)

Caratteristiche del materiale

Acciaio: S275, fyk = 275000

Caratteristiche geometriche

Lunghezza: 1.046

Nodo iniziale: 1118 Nodo finale: 1175

**Implementazione dei sistemi di confinamento delle emissioni odorigene diffuse dell'impianto di compostaggio esistente nel
Comune di Eboli (SA)
PROGETTO DEFINITIVO – Tabulati di calcolo Tomo 1**

Cerniera iniziale: Mmomenti 1% Cerniera finale: Mmomenti 1%
Sovreresistenza: 0% Sisma Z: No

Caratteristiche della sezione

Sezione	Rotazione	Area	Jx	Jy	ix	iy	Wx	Wy	Wplx	Wply
A1; L100*10; 1; Saldato; S275; 20; 1; 8; 8; 1	180	0.003832	0.0000035319	0.000007759	0.0304	0.045	0.0000492	0.0000739	0.00008974	0.00012727

Comportamento dei calastrelli

Accoppiamento imbottito avendo passo inferiore al minimo richiesto (§C4.2.4.1.3.1.5 NTC18) nella campata compresa tra le ascisse 0 e 1.046 per sbandamento attorno all'asse y.

Verifiche di resistenza

Verifiche a forza assiale §4.2.4.1.2.1 - §4.2.4.1.2.2 NTC18

X	Comb.	Sfruttamento	Classe	NEd	Nc,Rd	Nt,Rd	Riduzione da taglio	px	py	Verifica
0.314	SLU 75	0.001		0.795		1003.522	1	0	0	Si

Verifiche a forza assiale SLD §4.2.4.1.2.1 - §4.2.4.1.2.2 NTC18

X	Comb.	Sfruttamento	Classe	NEd	Nc,Rd	Nt,Rd	Riduzione da taglio	px	py	Verifica
0	SLD 9	0		0.387		1003.522	1	0	0	Si

Verifica a taglio Y §4.2.4.1.2.4 NTC18

X	Comb.	Sfruttamento	Classe	VEd	Vc,Rd	Av	Interazione taglio-torsione	Riduzione torsione	Verifica
1.046	SLU 75	0.001		0.353	302.422	0.002	Non considerata		Si

Verifica a taglio Y SLD §4.2.4.1.2.4 NTC18

X	Comb.	Sfruttamento	Classe	VEd	Vc,Rd	Av	Interazione taglio-torsione	Riduzione torsione	Verifica
1.046	SLD 9	0.001		0.214	302.422	0.002	Non considerata		Si

Verifica a flessione semplice X §§ 4.2.4.1.2.3 - 4.2.4.1.2.6 - 4.2.4.1.2.7 - 4.2.4.1.2.8 NTC18

X	Comb.	Sfruttamento	Classe	Mx,Ed	Mx,Rd	Rid. Mx,Rd da VEd	px	py	Verifica
0.627	SLU 55	0.003	1	0.08184	23.50374	1	0	0	Si

Verifica a flessione semplice X SLD §§ 4.2.4.1.2.3 - 4.2.4.1.2.6 - 4.2.4.1.2.7 - 4.2.4.1.2.8 NTC18

X	Comb.	Sfruttamento	Classe	Mx,Ed	Mx,Rd	Rid. Mx,Rd da VEd	px	py	Verifica
0.453	SLD 4	0.002	1	0.05326	23.50374	1	0	0	Si

Verifica a flessione semplice Y §§ 4.2.4.1.2.3 - 4.2.4.1.2.6 - 4.2.4.1.2.7 - 4.2.4.1.2.8 NTC18

X	Comb.	Sfruttamento	Classe	My,Ed	My,Rd	Rid. My,Rd da VEd	px	py	Verifica
0.105	SLV 8	0.002	1	-0.06295	33.33162	1	0	0	Si

Verifica a flessione semplice Y SLD §§ 4.2.4.1.2.3 - 4.2.4.1.2.6 - 4.2.4.1.2.7 - 4.2.4.1.2.8 NTC18

X	Comb.	Sfruttamento	Classe	My,Ed	My,Rd	Rid. My,Rd da VEd	px	py	Verifica
1.046	SLD 13	0.001	1	0.01754	33.33162	1	0	0	Si

Verifica a flessione deviata §§ 4.2.4.1.2.3 - 4.2.4.1.2.6 - 4.2.4.1.2.7 - 4.2.4.1.2.8 NTC18

X	Comb.	Sfruttamento	Classe	Mx,Ed	Mx,Rd	My,Ed	My,Rd	Rid. Mx,Rd da VEd	Rid. My,Rd da VEd	α	β	px	py	Verifica
0.279	SLU 76	0.005	1	0.0953	23.5037	-0.0252	33.3316	1	1			0	0	Si

Verifica a flessione deviata SLD §§ 4.2.4.1.2.3 - 4.2.4.1.2.6 - 4.2.4.1.2.7 - 4.2.4.1.2.8 NTC18

X	Comb.	Sfruttamento	Classe	Mx,Ed	Mx,Rd	My,Ed	My,Rd	Rid. Mx,Rd da VEd	Rid. My,Rd da VEd	α	β	px	py	Verifica
0.244	SLD 15	0.004	1	0.0697	23.5037	-0.0429	33.3316	1	1			0	0	Si

Verifica a presso/tenso flessione retta X §§ 4.2.4.1.2.3 - 4.2.4.1.2.6 - 4.2.4.1.2.7 - 4.2.4.1.2.8 NTC18

Verifiche eseguite utilizzando la formula conservativa (6.2) §6.2.1 EN 1993-1-1:2005.

X	Comb.	Sfruttamento	Classe	NEd	NRd	Rid. NRd da VEd	Mx,Ed	Mx,Rd	Rid. Mx,Rd da VEd	Rid. Mx,Rd da NEd	px	py	Verifica
0.523	SLU 63	0.006	1	0.748	1003.522	1	0.1322	23.5037	1	1	0	0	Si

Verifica a presso/tenso flessione retta X SLD §§ 4.2.4.1.2.3 - 4.2.4.1.2.6 - 4.2.4.1.2.7 - 4.2.4.1.2.8 NTC18

Verifiche eseguite utilizzando la formula conservativa (6.2) §6.2.1 EN 1993-1-1:2005.

X	Comb.	Sfruttamento	Classe	NEd	NRd	Rid. NRd da VEd	Mx,Ed	Mx,Rd	Rid. Mx,Rd da VEd	Rid. Mx,Rd da NEd	px	py	Verifica
0.349	SLD 10	0.004	1	0.387	1003.522	1	0.0786	23.5037	1	1	0	0	Si

Verifica a presso/tenso flessione retta Y §§ 4.2.4.1.2.3 - 4.2.4.1.2.6 - 4.2.4.1.2.7 - 4.2.4.1.2.8 NTC18

Verifiche eseguite utilizzando la formula conservativa (6.2) §6.2.1 EN 1993-1-1:2005.

X	Comb.	Sfruttamento	Classe	NEd	NRd	Rid. NRd da VEd	My,Ed	My,Rd	Rid. My,Rd da VEd	Rid. My,Rd da NEd	px	py	Verifica
1.046	SLV 9	0.002	1	0.699	1003.522	1	0.0389	33.3316	1	1	0	0	Si

Verifica a presso/tenso flessione retta Y SLD §§ 4.2.4.1.2.3 - 4.2.4.1.2.6 - 4.2.4.1.2.7 - 4.2.4.1.2.8 NTC18

Verifiche eseguite utilizzando la formula conservativa (6.2) §6.2.1 EN 1993-1-1:2005.

X	Comb.	Sfruttamento	Classe	NEd	NRd	Rid. NRd da VEd	My,Ed	My,Rd	Rid. My,Rd da VEd	Rid. My,Rd da NEd	px	py	Verifica
1.046	SLD 9	0.001	1	0.387	1003.522	1	0.0174	33.3316	1	1	0	0	Si

Verifica a presso/tenso flessione deviata §§ 4.2.4.1.2.3 - 4.2.4.1.2.6 - 4.2.4.1.2.7 - 4.2.4.1.2.8 NTC18

Verifiche eseguite utilizzando la formula conservativa (6.2) §6.2.1 EN 1993-1-1:2005.

X	Comb.	Sfruttamento	Classe	NEd	NRd	Rid. NRd da VEd	Mx,Ed	Mx,Rd	My,Ed	My,Rd	Rid. Mx,Rd da VEd	Rid. Mx,Rd da NEd	Rid. My,Rd da VEd	Rid. My,Rd da NEd	α	β	px	py	Verifica
0.07	SLU 75	0.009	1	0.795	1003.522	1	0.1645	23.5037	-0.0288	33.3316	1	1	1	1			0	0	Si

Verifica a presso/tenso flessione deviata SLD §§ 4.2.4.1.2.3 - 4.2.4.1.2.6 - 4.2.4.1.2.7 - 4.2.4.1.2.8 NTC18

Verifiche eseguite utilizzando la formula conservativa (6.2) §6.2.1 EN 1993-1-1:2005.

Implementazione dei sistemi di confinamento delle emissioni odorigene diffuse dell'impianto di compostaggio esistente nel
Comune di Eboli (SA)

PROGETTO DEFINITIVO – Tabulati di calcolo Tomo 1

X	Comb.	Sfruttamento	Classe	NEd	NRd	Rid. NRd da VEd	Mx,Ed	Mx,Rd	My,Ed	My,Rd	Rid. Mx,Rd da VEd	Rid. Mx,Rd da NEd	Rid. My,Rd da VEd	Rid. My,Rd da NEd	α	β	ρx	py	Verifica
0.523	SLD 9	0.004	1	0.387	1003.522	1	0.0732	23.5037	0.0075	33.3316	1		1				0	0	Si

Verifiche ad instabilità

Caratteristiche iniziali

Membratura principale per controllo snellezza; Calcolo di snellezze ed N critici condotti secondo gli assi principali;

Curva X: c; Curva Y: c;

Svergolamento: Nessuno; la verifica a instabilità flesso-torsionale (svergolamento) non verrà eseguita.

Dati per instabilità attorno a x

Controllo della snellezza secondo §4.2.4.1.3.1 NTC18

Numero rit.	Presente	Ascissa	Campata	βx/m	Vincolo a entrambi estremi	λx/m	λVer
1	Si	0					
			1-2		1	34.4	Si, (<200)
2	Si	1.046					

Dati per instabilità attorno a y

Controllo della snellezza secondo §4.2.4.1.3.1 NTC18

Numero rit.	Presente	Ascissa	Campata	βy/n	k,LT	kw,LT	Vincolo a entrambi estremi
1	Si	0					
			1-2		1	23.2	Si, (<200)
2	Si	1.046					

Verifica di stabilità per pressoflessione §C.4.2.4.1.3.3.1 NTC18

X	Comb.	Sfruttamento	Classe	NEd	MxEq,Ed	MyEq,Ed	Area	Wx	Wy	χ,min	λ adim. x/m	λ adim. y/n	N,crit x/m	N,crit y/n	Verifica
1.011	SLU 76	0.005	1	0	0.0947	-0.0196	0.003832	0.0000897	0.0001273	0.899	0.397	0.268	6695.215	14708.247	Si

Verifica di stabilità per pressoflessione SLD §C.4.2.4.1.3.3.1 NTC18

X	Comb.	Sfruttamento	Classe	NEd	MxEq,Ed	MyEq,Ed	Area	Wx	Wy	χ,min	λ adim. x/m	λ adim. y/n	N,crit x/m	N,crit y/n	Verifica
1.046	SLD 16	0.004	1	0	0.0705	-0.0403	0.003832	0.0000897	0.0001273	0.899	0.397	0.268	6695.215	14708.247	Si

Verifiche a deformabilità

Mensola X: No; Mensola Y: No.

Frecce lungo X

Ascissa freccia	Combinazione	Freccia	Luce	L/f	L/f,min	Tipo	Verifica
0.418	SLE RA 1	0	1.046	10000	250	Totale	Si
0.418	SLE RA 17	0	1.046	10000	250	Totale	Si
0.418	SLE RA 16	0	1.046	10000	250	Totale	Si
0.418	SLE RA 15	0	1.046	10000	250	Totale	Si
0.383	SLE RA 14	0	1.046	10000	250	Totale	Si
0.418	SLE RA 2	0	1.046	10000	350	Variabile	Si
0.418	SLE RA 17	0	1.046	10000	350	Variabile	Si
0.418	SLE RA 16	0	1.046	10000	350	Variabile	Si
0.418	SLE RA 15	0	1.046	10000	350	Variabile	Si
0.349	SLE RA 14	0	1.046	10000	350	Variabile	Si

Frecce lungo Y

Ascissa freccia	Combinazione	Freccia	Luce	L/f	L/f,min	Tipo	Verifica
0.488	SLE RA 1	0.00001	1.046	10000	250	Totale	Si
0.488	SLE RA 17	0.00001	1.046	10000	250	Totale	Si
0.488	SLE RA 16	0.00001	1.046	10000	250	Totale	Si
0.488	SLE RA 15	0.00001	1.046	10000	250	Totale	Si
0.488	SLE RA 14	0.00002	1.046	10000	250	Totale	Si
0.453	SLE RA 2	0	1.046	10000	350	Variabile	Si
0.453	SLE RA 17	0	1.046	10000	350	Variabile	Si
0.453	SLE RA 16	0	1.046	10000	350	Variabile	Si
0.453	SLE RA 15	0	1.046	10000	350	Variabile	Si
0.453	SLE RA 14	0.00001	1.046	10000	350	Variabile	Si

Superelemento in acciaio a quota "640" (2463; 2189)-(2579; 2190)

Caratteristiche del materiale

Acciaio: S275, fyk = 275000

Caratteristiche geometriche

Lunghezza: 1.164

Nodo iniziale: 1119 Nodo finale: 1122

Cerniera iniziale: No Cerniera finale: No

Sovraresistenza: 0% Sisma Z: No

Caratteristiche della sezione

Sezione	Rotazione	Area	Jx	Jy	ix	iy	Wx	Wy	Wplx	Wply
HEA100	0	0.00256	0.0000040418	0.0000015945	0.0397	0.025	0.0000842	0.00003189	0.00009801	0.00004946

Verifiche di resistenza

Verifiche a forza assiale §4.2.4.1.2.1 - §4.2.4.1.2.2 NTC18

X	Comb.	Sfruttamento	Classe	NEd	Nc,Rd	Nt,Rd	Riduzione da taglio	ρx	py	Verifica
1.086	SLU 63	0.07	1	-47.123	670.391		1	0	0	Si

**Implementazione dei sistemi di confinamento delle emissioni odorigene diffuse dell'impianto di compostaggio esistente nel
Comune di Eboli (SA)
PROGETTO DEFINITIVO – Tabulati di calcolo Tomo 1**

Verifiche a forza assiale SLD §4.2.4.1.2.1 - §4.2.4.1.2.2 NTC18

X	Comb.	Sfruttamento	Classe	NEd	Nc,Rd	Nt,Rd	Riduzione da taglio	px	py	Verifica
1.164	SLD 4	0.033	1	-21.962	670.391		1	0	0	Si

Verifica a taglio Y §4.2.4.1.2.4 NTC18

X	Comb.	Sfruttamento	VEd	Vc,Rd	Av	Interazione taglio-torsione	Riduzione torsione	Verifica
1.164	SLU 75	0.004	-0.596	150.825	0.001002	Considerata	1	Si

Verifica a taglio Y SLD §4.2.4.1.2.4 NTC18

X	Comb.	Sfruttamento	VEd	Vc,Rd	Av	Interazione taglio-torsione	Riduzione torsione	Verifica
1.164	SLD 14	0.002	-0.344	151.372	0.001002	Considerata	1	Si

Verifica a torsione §4.2.4.1.2.5 NTC18

X	Comb.	Sfruttamento torsione	TEd	TRd	Riduzione taglio resistente	Sfruttamento taglio-torsione	rEd,totale	rRd	Verifica
1.164	SLV 8	0.028	-0.0275	0.99803	Considerata				Si

Verifica a torsione SLD §4.2.4.1.2.5 NTC18

X	Comb.	Sfruttamento torsione	TEd	TRd	Riduzione taglio resistente	Sfruttamento taglio-torsione	rEd,totale	rRd	Verifica
1.164	SLD 7	0.014	-0.01398	0.99803	Considerata				Si

Verifica a presso/tenso flessione retta X §§ 4.2.4.1.2.3 - 4.2.4.1.2.6 - 4.2.4.1.2.7 - 4.2.4.1.2.8 NTC18

Verifiche eseguite utilizzando la formula conservativa (6.2) §6.2.1 EN 1993-1-1:2005.

X	Comb.	Sfruttamento	Classe	NEd	NRd	Rid. NRd da VEd	Mx,Ed	Mx,Rd	Rid. Mx,Rd da VEd	Rid. Mx,Rd da NEd	px	py	Verifica
0.582	SLU 63	0.083	1	-47.123	670.391	1	-0.339	25.6685	1		0	0	Si

Verifica a presso/tenso flessione retta X SLD §§ 4.2.4.1.2.3 - 4.2.4.1.2.6 - 4.2.4.1.2.7 - 4.2.4.1.2.8 NTC18

Verifiche eseguite utilizzando la formula conservativa (6.2) §6.2.1 EN 1993-1-1:2005.

X	Comb.	Sfruttamento	Classe	NEd	NRd	Rid. NRd da VEd	Mx,Ed	Mx,Rd	Rid. Mx,Rd da VEd	Rid. Mx,Rd da NEd	px	py	Verifica
0.116	SLD 4	0.04	1	-21.962	670.391	1	-0.1782	25.6685	1		0	0	Si

Verifica a presso/tenso flessione retta Y §§ 4.2.4.1.2.3 - 4.2.4.1.2.6 - 4.2.4.1.2.7 - 4.2.4.1.2.8 NTC18

Verifiche eseguite utilizzando la formula conservativa (6.2) §6.2.1 EN 1993-1-1:2005.

X	Comb.	Sfruttamento	Classe	NEd	NRd	Rid. NRd da VEd	My,Ed	My,Rd	Rid. My,Rd da VEd	Rid. My,Rd da NEd	px	py	Verifica
1.164	SLU 73	0.05	1	-32.898	670.391	1	0.0118	12.9533	1		0	0	Si

Verifica a presso/tenso flessione retta Y SLD §§ 4.2.4.1.2.3 - 4.2.4.1.2.6 - 4.2.4.1.2.7 - 4.2.4.1.2.8 NTC18

Verifiche eseguite utilizzando la formula conservativa (6.2) §6.2.1 EN 1993-1-1:2005.

X	Comb.	Sfruttamento	Classe	NEd	NRd	Rid. NRd da VEd	My,Ed	My,Rd	Rid. My,Rd da VEd	Rid. My,Rd da NEd	px	py	Verifica
0.97	SLD 5	0.017	1	-10.757	670.391	1	-0.009	12.9533	1		0	0	Si

Verifica a presso/tenso flessione deviata §§ 4.2.4.1.2.3 - 4.2.4.1.2.6 - 4.2.4.1.2.7 - 4.2.4.1.2.8 NTC18

Verifiche eseguite utilizzando la formula conservativa (6.2) §6.2.1 EN 1993-1-1:2005.

X	Comb.	Sfruttamento	Classe	NEd	NRd	Rid. NRd da VEd	Mx,Ed	Mx,Rd	My,Ed	My,Rd	Rid. Mx,Rd da VEd	Rid. Mx,Rd da NEd	Rid. My,Rd da VEd	Rid. My,Rd da NEd	α	β	px	py	Verifica
0	SLU 75	0.094	1	-46.707	670.391	1	-0.5528	25.6685	-0.0302	12.9533	1		1				0	0	Si

Verifica a presso/tenso flessione deviata SLD §§ 4.2.4.1.2.3 - 4.2.4.1.2.6 - 4.2.4.1.2.7 - 4.2.4.1.2.8 NTC18

Verifiche eseguite utilizzando la formula conservativa (6.2) §6.2.1 EN 1993-1-1:2005.

X	Comb.	Sfruttamento	Classe	NEd	NRd	Rid. NRd da VEd	Mx,Ed	Mx,Rd	My,Ed	My,Rd	Rid. Mx,Rd da VEd	Rid. Mx,Rd da NEd	Rid. My,Rd da VEd	Rid. My,Rd da NEd	α	β	px	py	Verifica
0	SLD 7	0.042	1	-21.89	670.391	1	-0.1719	25.6685	-0.04	12.9533	1		1				0	0	Si

Verifiche ad instabilità

Caratteristiche iniziali

Membratura principale per controllo snellezza; Calcolo di snellezze ed N critici condotti secondo gli assi principali;

Curva X: b; Curva Y: c; Svergolamento: Carico all'estradosso; Curva svergolamento: b;

Dati per instabilità attorno a x

Controllo della snellezza secondo §4.2.4.1.3.1 NTC18

Numero rit.	Presente	Ascissa	Campata	βx/m	Vincolo a entrambi estremi	λx/m	λVer
1	Si	0					
			1-2	1	Si	29.3	Si, (<200)
2	Si	1.164					

Dati per instabilità attorno a y

Controllo della snellezza secondo §4.2.4.1.3.1 NTC18

Numero rit.	Presente	Ascissa	Campata	βy/n	k _{LT}	k _{w,LT}	Vincolo a entrambi estremi	λy/n	λVer
1	Si	0							
			1-2	1	1	1	Si	46.6	Si, (<200)
2	Si	1.164							

Verifica di stabilità per tenso-flessione deviata §§ 5.5.3-5.5.4 ENV 1993-1-1:1992 + AC:1992 + A1:1994 + A2:1998

X	Comb.	Sfruttamento	Classe	NEd	Mx,Ed	Mx,Ed max	My,Ed	χ _{LT}	k _{LT}	ky	M _{critico}	W _x	W _y	Verifica
1.164	SLV 10	0.011	1	7.73	0.31107	0.13307	-0.07097	0.973	1	1	122.7534	0.000098	0.0000495	Si

Verifica di stabilità per pressoflessione §C.4.2.4.1.3.3.2 NTC18

X	Comb.	Sfruttamento	Classe	NEd	NRk	Mx,Ed max	Mx,Rk	My,Ed max	My,Rk	χ _x	χ _y	k _{xx}	k _{xy}	k _{yx}	k _{yy}	χ _{LT}	Verifica
1.164	SLU 75	0.107	1	-46.707	703.911	0.55281	26.95195	0.03016	13.60093	0.95	0.822	0.697	0.304	0.99	0.507	1	Si

Verifica di stabilità per pressoflessione SLD §C.4.2.4.1.3.3.2 NTC18

X	Comb.	Sfruttamento	Classe	NEd	NRk	Mx,Ed max	Mx,Rk	My,Ed max	My,Rk	χ _x	χ _y	k _{xx}	k _{xy}	k _{yx}	k _{yy}	χ _{LT}	Verifica
1.164	SLD 3	0.048	1	-21.962	703.911	0.17824	26.95195	0.03082	13.60093	0.95	0.822	1	0.339	0.997	0.565	1	Si

Implementazione dei sistemi di confinamento delle emissioni odorigene diffuse dell'impianto di compostaggio esistente nel
Comune di Eboli (SA)
PROGETTO DEFINITIVO – Tabulati di calcolo Tomo 1

Verifica di stabilità a taglio anima Y §4.2.4.1.2.4 [4.2.27] NTC18

η	hw	tw	hw/tw max	Verifica
1.2	0.077	0.006	55.46	Si

Verifica di stabilità a taglio anima Y SLD §4.2.4.1.2.4 [4.2.27] NTC18

η	hw	tw	hw/tw max	Verifica
1.2	0.077	0.006	55.46	Si

Verifiche a deformabilità

Mensola X: No; Mensola Y: No.

Frecce lungo X

Ascissa freccia	Combinazione	Freccia	Luce	L/f	L/f,min	Tipo	Verifica
0.427	SLE RA 1	0	1.164	10000	250	Totale	Si
0.427	SLE RA 17	0	1.164	10000	250	Totale	Si
0.427	SLE RA 16	0.00001	1.164	10000	250	Totale	Si
0.427	SLE RA 15	0.00001	1.164	10000	250	Totale	Si
0.427	SLE RA 14	0	1.164	10000	250	Totale	Si
0.465	SLE RA 2	0	1.164	10000	350	Variabile	Si
0.465	SLE RA 17	0	1.164	10000	350	Variabile	Si
0.465	SLE RA 16	0	1.164	10000	350	Variabile	Si
0.465	SLE RA 15	0	1.164	10000	350	Variabile	Si
0.815	SLE RA 14	0	1.164	10000	350	Variabile	Si

Frecce lungo Y

Ascissa freccia	Combinazione	Freccia	Luce	L/f	L/f,min	Tipo	Verifica
0.504	SLE RA 1	-0.00002	1.164	10000	250	Totale	Si
0.504	SLE RA 17	-0.00003	1.164	10000	250	Totale	Si
0.504	SLE RA 16	-0.00004	1.164	10000	250	Totale	Si
0.504	SLE RA 15	-0.00002	1.164	10000	250	Totale	Si
0.504	SLE RA 14	-0.00004	1.164	10000	250	Totale	Si
0.504	SLE RA 2	0.00001	1.164	10000	350	Variabile	Si
0.504	SLE RA 17	-0.00001	1.164	10000	350	Variabile	Si
0.504	SLE RA 16	-0.00001	1.164	10000	350	Variabile	Si
0.582	SLE RA 15	0	1.164	10000	350	Variabile	Si
0.504	SLE RA 14	-0.00002	1.164	10000	350	Variabile	Si

Superelemento in acciaio a quota "640" (2463; 2293)-(2463; 2393)

Caratteristiche del materiale

Acciaio: S275, fyk = 275000

Caratteristiche geometriche

Lunghezza: 1

Nodo iniziale: 1178 Nodo finale: 1223

Cerniera iniziale: Mmomenti 1% Cerniera finale: Mmomenti 1%

Sovreresistenza: 0% Sisma Z: No

Caratteristiche della sezione

Sezione	Rotazione	Area	Jx	Jy	ix	iy	Wx	Wy	Wplx	Wply
A1; L100*10; 1; Saldato; S275; 20; 1; 8; 8; 1	180	0.003832	0.0000035319	0.000007759	0.0304	0.045	0.0000492	0.0000739	0.00008974	0.00012727

Comportamento dei calastrelli

Accoppiamento imbottito avendo passo inferiore al minimo richiesto (§C4.2.4.1.3.1.5 NTC18) nella campata compresa tra le ascisse 0 e 1 per sbandamento attorno all'asse y.

Verifiche di resistenza

Verifiche a forza assiale §4.2.4.1.2.1 - §4.2.4.1.2.2 NTC18

X	Comb.	Sfruttamento	Classe	NEd	Nc,Rd	Nt,Rd	Riduzione da taglio	px	py	Verifica
0.433	SLV 9	0.01		10.179		1003.522	1	0	0	Si

Verifiche a forza assiale SLD §4.2.4.1.2.1 - §4.2.4.1.2.2 NTC18

X	Comb.	Sfruttamento	Classe	NEd	Nc,Rd	Nt,Rd	Riduzione da taglio	px	py	Verifica
1	SLD 10	0.004		4.315		1003.522	1	0	0	Si

Verifica a flessione semplice X §§ 4.2.4.1.2.3 - 4.2.4.1.2.6 - 4.2.4.1.2.7 - 4.2.4.1.2.8 NTC18

X	Comb.	Sfruttamento	Classe	Mx,Ed	Mx,Rd	Rid. Mx,Rd da VEd	px	py	Verifica
0.5	SLU 49	0.002	1	0.04876	23.50374	1	0	0	Si

Verifica a flessione semplice X SLD §§ 4.2.4.1.2.3 - 4.2.4.1.2.6 - 4.2.4.1.2.7 - 4.2.4.1.2.8 NTC18

X	Comb.	Sfruttamento	Classe	Mx,Ed	Mx,Rd	Rid. Mx,Rd da VEd	px	py	Verifica
0.567	SLD 1	0.002	1	0.03681	23.50374	1	0	0	Si

Verifica a flessione semplice Y SLD §§ 4.2.4.1.2.3 - 4.2.4.1.2.6 - 4.2.4.1.2.7 - 4.2.4.1.2.8 NTC18

X	Comb.	Sfruttamento	Classe	My,Ed	My,Rd	Rid. My,Rd da VEd	px	py	Verifica
0	SLD 11	0.001	1	-0.04277	33.33162	1	0	0	Si

Verifica a flessione deviata SLD §§ 4.2.4.1.2.3 - 4.2.4.1.2.6 - 4.2.4.1.2.7 - 4.2.4.1.2.8 NTC18

X	Comb.	Sfruttamento	Classe	Mx,Ed	Mx,Rd	My,Ed	My,Rd	Rid. Mx,Rd da VEd	Rid. My,Rd da VEd	α	β	px	py	Verifica
0.367	SLD 12	0.002	1	0.0349	23.5037	-0.022	33.3316	1	1			0	0	Si

**Implementazione dei sistemi di confinamento delle emissioni odorigene diffuse dell'impianto di compostaggio esistente nel
Comune di Eboli (SA)
PROGETTO DEFINITIVO – Tabulati di calcolo Tomo 1**

Verifica a presso/tenso flessione retta X §§ 4.2.4.1.2.3 - 4.2.4.1.2.6 - 4.2.4.1.2.7 - 4.2.4.1.2.8 NTC18

Verifiche eseguite utilizzando la formula conservativa (6.2) §6.2.1 EN 1993-1-1:2005.

X	Comb.	Sfruttamento	Classe	NEd	NRd	Rid. NRd da VEd	Mx,Ed	Mx,Rd	Rid. Mx,Rd da VEd	Rid. Mx,Rd da NEd	px	py	Verifica
0.5	SLU 63	0.012	1	9.976	1003.522	1	0.0493	23.5037	1		0	0	Si

Verifica a presso/tenso flessione retta X SLD §§ 4.2.4.1.2.3 - 4.2.4.1.2.6 - 4.2.4.1.2.7 - 4.2.4.1.2.8 NTC18

Verifiche eseguite utilizzando la formula conservativa (6.2) §6.2.1 EN 1993-1-1:2005.

X	Comb.	Sfruttamento	Classe	NEd	NRd	Rid. NRd da VEd	Mx,Ed	Mx,Rd	Rid. Mx,Rd da VEd	Rid. Mx,Rd da NEd	px	py	Verifica
0.533	SLD 9	0.006	1	4.315	1003.522	1	0.0375	23.5037	1		0	0	Si

Verifica a presso/tenso flessione retta Y §§ 4.2.4.1.2.3 - 4.2.4.1.2.6 - 4.2.4.1.2.7 - 4.2.4.1.2.8 NTC18

Verifiche eseguite utilizzando la formula conservativa (6.2) §6.2.1 EN 1993-1-1:2005.

X	Comb.	Sfruttamento	Classe	NEd	NRd	Rid. NRd da VEd	My,Ed	My,Rd	Rid. My,Rd da VEd	Rid. My,Rd da NEd	px	py	Verifica
0	SLV 14	0.012	1	10.161	1003.522	1	-0.0562	33.3316	1		0	0	Si

Verifica a presso/tenso flessione retta Y SLD §§ 4.2.4.1.2.3 - 4.2.4.1.2.6 - 4.2.4.1.2.7 - 4.2.4.1.2.8 NTC18

Verifiche eseguite utilizzando la formula conservativa (6.2) §6.2.1 EN 1993-1-1:2005.

X	Comb.	Sfruttamento	Classe	NEd	NRd	Rid. NRd da VEd	My,Ed	My,Rd	Rid. My,Rd da VEd	Rid. My,Rd da NEd	px	py	Verifica
0	SLD 14	0.005	1	4.312	1003.522	1	-0.0244	33.3316	1		0	0	Si

Verifica a presso/tenso flessione deviata §§ 4.2.4.1.2.3 - 4.2.4.1.2.6 - 4.2.4.1.2.7 - 4.2.4.1.2.8 NTC18

Verifiche eseguite utilizzando la formula conservativa (6.2) §6.2.1 EN 1993-1-1:2005.

X	Comb.	Sfruttamento	Classe	NEd	NRd	Rid. NRd da VEd	Mx,Ed	Mx,Rd	My,Ed	My,Rd	Rid. Mx,Rd da VEd	Rid. Mx,Rd da NEd	Rid. My,Rd da VEd	Rid. My,Rd da NEd	α	β	px	py	Verifica
0.567	SLV 9	0.013	1	10.179	1003.522	1	0.0372	23.5037	0.0278	33.3316	1		1				0	0	Si

Verifica a presso/tenso flessione deviata SLD §§ 4.2.4.1.2.3 - 4.2.4.1.2.6 - 4.2.4.1.2.7 - 4.2.4.1.2.8 NTC18

Verifiche eseguite utilizzando la formula conservativa (6.2) §6.2.1 EN 1993-1-1:2005.

X	Comb.	Sfruttamento	Classe	NEd	NRd	Rid. NRd da VEd	Mx,Ed	Mx,Rd	My,Ed	My,Rd	Rid. Mx,Rd da VEd	Rid. Mx,Rd da NEd	Rid. My,Rd da VEd	Rid. My,Rd da NEd	α	β	px	py	Verifica
0.567	SLD 10	0.006	1	4.315	1003.522	1	0.037	23.5037	0.0112	33.3316	1		1				0	0	Si

Verifiche ad instabilità

Caratteristiche iniziali

Membratura principale per controllo snellezza; Calcolo di snellezze ed N critici condotti secondo gli assi principali;

Curva X: c; Curva Y: c;

Svergolamento: Nessuno; la verifica a instabilità flesso-torsionale (svergolamento) non verrà eseguita.

Dati per instabilità attorno a x

Controllo della snellezza secondo §4.2.4.1.3.1 NTC18

Numero rit.	Presente	Ascissa	Campata	βx/m	Vincolo a entrambi estremi	λx/m	λVer
1	Si		0				
			1-2		1	32.9	Si, (<200)
2	Si		1				

Dati per instabilità attorno a y

Controllo della snellezza secondo §4.2.4.1.3.1 NTC18

Numero rit.	Presente	Ascissa	Campata	βy/n	k,LT	kw,LT	Vincolo a entrambi estremi
1	Si		0				
			1-2		1	22.2	Si, (<200)
2	Si		1				

Verifica di stabilità per pressoflessione §C.4.2.4.1.3.3.1 NTC18

X	Comb.	Sfruttamento	Classe	NEd	MxEq,Ed	MyEq,Ed	Area	Wx	Wy	χ,min	λ adim. x/m	λ adim. y/n	N,crit x/m	N,crit y/n	Verifica
0.033	SLV 7	0.013	3	-7.276	0.032	-0.0424	0.003832	0.0000492	0.0000739	0.908	0.379	0.256	7320.307	16081.468	Si

Verifica di stabilità per pressoflessione SLD §C.4.2.4.1.3.3.1 NTC18

X	Comb.	Sfruttamento	Classe	NEd	MxEq,Ed	MyEq,Ed	Area	Wx	Wy	χ,min	λ adim. x/m	λ adim. y/n	N,crit x/m	N,crit y/n	Verifica
0.933	SLD 8	0.005	3	-1.412	0.0323	-0.0184	0.003832	0.0000492	0.0000739	0.908	0.379	0.256	7320.307	16081.468	Si

Verifiche a deformabilità

Mensola X: No; Mensola Y: No.

Frecce lungo X

Ascissa freccia	Combinazione	Freccia	Luce	L/f	L/f,min	Tipo	Verifica
0.233	SLE RA 1	0		1	10000	250	Totale Si
0.233	SLE RA 17	0		1	10000	250	Totale Si
0.233	SLE RA 16	0		1	10000	250	Totale Si
0.3	SLE RA 15	0		1	10000	250	Totale Si
0.767	SLE RA 14	0		1	10000	250	Totale Si
0.267	SLE RA 2	0		1	10000	350	Variabile Si
0.267	SLE RA 17	0		1	10000	350	Variabile Si
0.267	SLE RA 16	0		1	10000	350	Variabile Si
0.367	SLE RA 15	0		1	10000	350	Variabile Si
0.6	SLE RA 14	0		1	10000	350	Variabile Si

Frecce lungo Y

Ascissa freccia	Combinazione	Freccia	Luce	L/f	L/f,min	Tipo	Verifica
0.5	SLE RA 1	0.00001		1	10000	250	Totale Si
0.5	SLE RA 17	0.00001		1	10000	250	Totale Si
0.5	SLE RA 16	0.00001		1	10000	250	Totale Si
0.5	SLE RA 15	0.00001		1	10000	250	Totale Si
0.5	SLE RA 14	0.00001		1	10000	250	Totale Si
0.433	SLE RA 2	0		1	10000	350	Variabile Si
0.433	SLE RA 17	0		1	10000	350	Variabile Si

Implementazione dei sistemi di confinamento delle emissioni odorigene diffuse dell'impianto di compostaggio esistente nel
Comune di Eboli (SA)
PROGETTO DEFINITIVO – Tabulati di calcolo Tomo 1

Ascissa freccia	Combinazione	Freccia	Luce	L/f	L/f,min	Tipo	Verifica
0.433	SLE RA 16	0	1	10000	350	Variabile	Si
0.533	SLE RA 15	0	1	10000	350	Variabile	Si
0.433	SLE RA 14	0	1	10000	350	Variabile	Si

Superelemento in acciaio a quota "640" (2463; 2393)-(2463; 2493)

Caratteristiche del materiale

Acciaio: S275, fyk = 275000

Caratteristiche geometriche

Lunghezza: 1

Nodo iniziale: 1222 Nodo finale: 1258

Cerniera iniziale: Mmomenti 1% Cerniera finale: Mmomenti 1%

Sovreresistenza: 0% Sisma Z: No

Caratteristiche della sezione

Sezione	Rotazione	Area	Jx	Jy	ix	iy	Wx	Wy	Wplx	Wply
A1; L100*10; 1; Saldato; S275; 20; 1; 8; 8; 1	180	0.003832	0.0000035319	0.000007759	0.0304	0.045	0.0000492	0.0000739	0.00008974	0.00012727

Comportamento dei calastrelli

Accoppiamento imbottito avendo passo inferiore al minimo richiesto (§C4.2.4.1.3.1.5 NTC18) nella campata compresa tra le ascisse 0 e 1 per sbandamento attorno all'asse y.

Verifiche di resistenza

Verifiche a forza assiale §4.2.4.1.2.1 - §4.2.4.1.2.2 NTC18

X	Comb.	Sfruttamento	Classe	NEd	Nc,Rd	Nt,Rd	Riduzione da taglio	px	py	Verifica
1	SLV 8	0.014	3	-14.114	1003.522		1	0	0	Si

Verifiche a forza assiale SLD §4.2.4.1.2.1 - §4.2.4.1.2.2 NTC18

X	Comb.	Sfruttamento	Classe	NEd	Nc,Rd	Nt,Rd	Riduzione da taglio	px	py	Verifica
1	SLD 8	0.005	3	-4.979	1003.522		1	0	0	Si

Verifica a flessione semplice X §§ 4.2.4.1.2.3 - 4.2.4.1.2.6 - 4.2.4.1.2.7 - 4.2.4.1.2.8 NTC18

X	Comb.	Sfruttamento	Classe	Mx,Ed	Mx,Rd	Rid. Mx,Rd da VEd	px	py	Verifica
0.5	SLU 55	0.002	1	0.04868	23.50374	1	0	0	Si

Verifica a presso/tenso flessione retta X §§ 4.2.4.1.2.3 - 4.2.4.1.2.6 - 4.2.4.1.2.7 - 4.2.4.1.2.8 NTC18

Verifiche eseguite utilizzando la formula conservativa (6.2) §6.2.1 EN 1993-1-1:2005.

X	Comb.	Sfruttamento	Classe	NEd	NRd	Rid. NRd da VEd	Mx,Ed	Mx,Rd	Rid. Mx,Rd da VEd	Rid. Mx,Rd da NEd	px	py	Verifica
0.5	SLU 42	0.012	3	-8.262	1003.522	1	0.0485	12.886	1		0	0	Si

Verifica a presso/tenso flessione retta X SLD §§ 4.2.4.1.2.3 - 4.2.4.1.2.6 - 4.2.4.1.2.7 - 4.2.4.1.2.8 NTC18

Verifiche eseguite utilizzando la formula conservativa (6.2) §6.2.1 EN 1993-1-1:2005.

X	Comb.	Sfruttamento	Classe	NEd	NRd	Rid. NRd da VEd	Mx,Ed	Mx,Rd	Rid. Mx,Rd da VEd	Rid. Mx,Rd da NEd	px	py	Verifica
0.3	SLD 7	0.007	3	-4.979	1003.522	1	0.0314	12.886	1		0	0	Si

Verifica a presso/tenso flessione retta Y §§ 4.2.4.1.2.3 - 4.2.4.1.2.6 - 4.2.4.1.2.7 - 4.2.4.1.2.8 NTC18

Verifiche eseguite utilizzando la formula conservativa (6.2) §6.2.1 EN 1993-1-1:2005.

X	Comb.	Sfruttamento	Classe	NEd	NRd	Rid. NRd da VEd	My,Ed	My,Rd	Rid. My,Rd da VEd	Rid. My,Rd da NEd	px	py	Verifica
1	SLV 8	0.018	3	-14.114	1003.522	1	0.0686	19.3536	1		0	0	Si

Verifica a presso/tenso flessione retta Y SLD §§ 4.2.4.1.2.3 - 4.2.4.1.2.6 - 4.2.4.1.2.7 - 4.2.4.1.2.8 NTC18

Verifiche eseguite utilizzando la formula conservativa (6.2) §6.2.1 EN 1993-1-1:2005.

X	Comb.	Sfruttamento	Classe	NEd	NRd	Rid. NRd da VEd	My,Ed	My,Rd	Rid. My,Rd da VEd	Rid. My,Rd da NEd	px	py	Verifica
1	SLD 8	0.006	3	-4.979	1003.522	1	0.0286	19.3536	1		0	0	Si

Verifica a presso/tenso flessione deviata §§ 4.2.4.1.2.3 - 4.2.4.1.2.6 - 4.2.4.1.2.7 - 4.2.4.1.2.8 NTC18

Verifiche eseguite utilizzando la formula conservativa (6.2) §6.2.1 EN 1993-1-1:2005.

X	Comb.	Sfruttamento	Classe	NEd	NRd	Rid. NRd da VEd	Mx,Ed	Mx,Rd	My,Ed	My,Rd	Rid. Mx,Rd da VEd	Rid. Mx,Rd da NEd	Rid. My,Rd da VEd	Rid. My,Rd da NEd	α	β	px	py	Verifica
0.6	SLV 7	0.02	3	-14.114	1003.522	1	0.0357	12.886	-0.0595	19.3536	1		1				0	0	Si

Verifica a presso/tenso flessione deviata SLD §§ 4.2.4.1.2.3 - 4.2.4.1.2.6 - 4.2.4.1.2.7 - 4.2.4.1.2.8 NTC18

Verifiche eseguite utilizzando la formula conservativa (6.2) §6.2.1 EN 1993-1-1:2005.

X	Comb.	Sfruttamento	Classe	NEd	NRd	Rid. NRd da VEd	Mx,Ed	Mx,Rd	My,Ed	My,Rd	Rid. Mx,Rd da VEd	Rid. Mx,Rd da NEd	Rid. My,Rd da VEd	Rid. My,Rd da NEd	α	β	px	py	Verifica
0.6	SLD 8	0.009	3	-4.979	1003.522	1	0.0359	12.886	-0.0233	19.3536	1		1				0	0	Si

Verifiche ad instabilità

Caratteristiche iniziali

Membratura principale per controllo snellezza; Calcolo di snellezze ed N critici condotti secondo gli assi principali;

Curva X: c; Curva Y: c;

Svergolamento: Nessuno; la verifica a instabilità flesso-torsionale (svergolamento) non verrà eseguita.

Dati per instabilità attorno a x

Controllo della snellezza secondo §4.2.4.1.3.1 NTC18

Implementazione dei sistemi di confinamento delle emissioni odorigene diffuse dell’impianto di compostaggio esistente nel
Comune di Eboli (SA)
PROGETTO DEFINITIVO – Tabulati di calcolo Tomo 1

Numero rit.	Presente	Ascissa	Campata	$\beta x/m$	Vincolo a entrambi estremi	$\lambda x/m$	λVer
1	Si	0	1-2	1	Si	32.9	Si, (<200)
2	Si	1					

Dati per instabilità attorno a y

Controllo della snellezza secondo §4.2.4.1.3.1 NTC18

Numero rit.	Presente	Ascissa	Campata	$\beta y/n$	k,LT	kw,LT	Vincolo a entrambi estremi
1	Si	0	1-2	1	Si	22.2	Si, (<200)
2	Si	1					

Verifica di stabilità per pressoflessione §C.4.2.4.1.3.3.1 NTC18

X	Comb.	Sfruttamento	Classe	NEd	MxEq,Ed	MyEq,Ed	Area	Wx	Wy	χ_{min}	$\lambda_{adim. x/m}$	$\lambda_{adim. y/n}$	N,crit x/m	N,crit y/n	Verifica
0.967	SLV 8	0.021	3	-14.114	0.0321	0.0515	0.003832	0.0000492	0.0000739	0.908	0.379	0.256	7320.307	16081.468	Si

Verifica di stabilità per pressoflessione SLD §C.4.2.4.1.3.3.1 NTC18

X	Comb.	Sfruttamento	Classe	NEd	MxEq,Ed	MyEq,Ed	Area	Wx	Wy	χ_{min}	$\lambda_{adim. x/m}$	$\lambda_{adim. y/n}$	N,crit x/m	N,crit y/n	Verifica
0.933	SLD 8	0.009	3	-4.979	0.0322	0.0214	0.003832	0.0000492	0.0000739	0.908	0.379	0.256	7320.307	16081.468	Si

Verifiche a deformabilità

Mensola X: No; Mensola Y: No.

Frecce lungo X

Ascissa freccia	Combinazione	Freccia	Luce	L/f	L/f,min	Tipo	Verifica
0.633	SLE RA 1	0	1	10000	250	Totale	Si
0.667	SLE RA 17	0	1	10000	250	Totale	Si
0.667	SLE RA 16	0	1	10000	250	Totale	Si
0.7	SLE RA 15	0	1	10000	250	Totale	Si
0.6	SLE RA 14	0	1	10000	250	Totale	Si
0.7	SLE RA 2	0	1	10000	350	Variabile	Si
0.7	SLE RA 17	0	1	10000	350	Variabile	Si
0.7	SLE RA 16	0	1	10000	350	Variabile	Si
0.267	SLE RA 15	0	1	10000	350	Variabile	Si
0.5	SLE RA 14	0	1	10000	350	Variabile	Si

Frecce lungo Y

Ascissa freccia	Combinazione	Freccia	Luce	L/f	L/f,min	Tipo	Verifica
0.5	SLE RA 1	0.00001	1	10000	250	Totale	Si
0.5	SLE RA 17	0.00001	1	10000	250	Totale	Si
0.5	SLE RA 16	0.00001	1	10000	250	Totale	Si
0.5	SLE RA 15	0.00001	1	10000	250	Totale	Si
0.5	SLE RA 14	0.00001	1	10000	250	Totale	Si
0.433	SLE RA 2	0	1	10000	350	Variabile	Si
0.4	SLE RA 17	0	1	10000	350	Variabile	Si
0.467	SLE RA 16	0	1	10000	350	Variabile	Si
0.5	SLE RA 15	0	1	10000	350	Variabile	Si
0.467	SLE RA 14	0	1	10000	350	Variabile	Si

Superelemento in acciaio a quota "640" (2463; 2493)-(2463; 2593)

Caratteristiche del materiale

Acciaio: S275, fyk = 275000

Caratteristiche geometriche

Lunghezza: 1

Nodo iniziale: 1257 Nodo finale: 1292

Cerniera iniziale: Mmomenti 1% Cerniera finale: Mmomenti 1%

Sovraresistenza: 0% Sisma Z: No

Caratteristiche della sezione

Sezione	Rotazione	Area	Jx	Jy	ix	iy	Wx	Wy	Wplx	Wply
A1; L100*10; 1; Saldato; S275; 20; 1; 8; 8; 1	180	0.003832	0.0000035319	0.000007759	0.0304	0.045	0.0000492	0.0000739	0.00008974	0.00012727

Comportamento dei calastrelli

Accoppiamento imbottito avendo passo inferiore al minimo richiesto (§C4.2.4.1.3.1.5 NTC18) nella campata compresa tra le ascisse 0 e 1 per sbandamento attorno all'asse y.

Verifiche di resistenza

Verifiche a forza assiale §4.2.4.1.2.1 - §4.2.4.1.2.2 NTC18

X	Comb.	Sfruttamento	Classe	NEd	Nc,Rd	Nt,Rd	Riduzione da taglio	px	py	Verifica
0.967	SLV 8	0.021	3	-21.438	1003.522		1	0	0	Si

Verifiche a forza assiale SLD §4.2.4.1.2.1 - §4.2.4.1.2.2 NTC18

X	Comb.	Sfruttamento	Classe	NEd	Nc,Rd	Nt,Rd	Riduzione da taglio	px	py	Verifica
1	SLD 8	0.01	3	-9.929	1003.522		1	0	0	Si

Verifica a flessione semplice X §§ 4.2.4.1.2.3 - 4.2.4.1.2.6 - 4.2.4.1.2.7 - 4.2.4.1.2.8 NTC18

X	Comb.	Sfruttamento	Classe	Mx,Ed	Mx,Rd	Rid. Mx,Rd da VEd	px	py	Verifica
0.5	SLU 25	0.002	1	0.03738	23.50374	1	0	0	Si

Implementazione dei sistemi di confinamento delle emissioni odorigene diffuse dell'impianto di compostaggio esistente nel
Comune di Eboli (SA)
PROGETTO DEFINITIVO – Tabulati di calcolo Tomo 1

Verifica a presso/tenso flessione retta X §§ 4.2.4.1.2.3 - 4.2.4.1.2.6 - 4.2.4.1.2.7 - 4.2.4.1.2.8 NTC18

Verifiche eseguite utilizzando la formula conservativa (6.2) §6.2.1 EN 1993-1-1:2005.

X	Comb.	Sfruttamento	Classe	NEd	NRd	Rid. NRd da VEd	Mx,Ed	Mx,Rd	Rid. Mx,Rd da VEd	Rid. Mx,Rd da NEd	px	py	Verifica
0.5	SLV 64	0.015	3	-10.979	1003.522	1	0.0484	12.886	1		0	0	Si

Verifica a presso/tenso flessione retta Y §§ 4.2.4.1.2.3 - 4.2.4.1.2.6 - 4.2.4.1.2.7 - 4.2.4.1.2.8 NTC18

Verifiche eseguite utilizzando la formula conservativa (6.2) §6.2.1 EN 1993-1-1:2005.

X	Comb.	Sfruttamento	Classe	NEd	NRd	Rid. NRd da VEd	My,Ed	My,Rd	Rid. My,Rd da VEd	Rid. My,Rd da NEd	px	py	Verifica
0	SLV 7	0.027	3	-21.438	1003.522	1	-0.1172	19.3536	1		0	0	Si

Verifica a presso/tenso flessione retta Y SLD §§ 4.2.4.1.2.3 - 4.2.4.1.2.6 - 4.2.4.1.2.7 - 4.2.4.1.2.8 NTC18

Verifiche eseguite utilizzando la formula conservativa (6.2) §6.2.1 EN 1993-1-1:2005.

X	Comb.	Sfruttamento	Classe	NEd	NRd	Rid. NRd da VEd	My,Ed	My,Rd	Rid. My,Rd da VEd	Rid. My,Rd da NEd	px	py	Verifica
0	SLD 8	0.012	3	-9.929	1003.522	1	-0.0467	19.3536	1		0	0	Si

Verifica a presso/tenso flessione deviata §§ 4.2.4.1.2.3 - 4.2.4.1.2.6 - 4.2.4.1.2.7 - 4.2.4.1.2.8 NTC18

Verifiche eseguite utilizzando la formula conservativa (6.2) §6.2.1 EN 1993-1-1:2005.

X	Comb.	Sfruttamento	Classe	NEd	NRd	Rid. NRd da VEd	Mx,Ed	Mx,Rd	My,Ed	My,Rd	Rid. Mx,Rd da VEd	Rid. Mx,Rd da NEd	Rid. My,Rd da VEd	Rid. My,Rd da NEd	α	β	px	py	Verifica
0.1	SLV 7	0.028	3	-21.438	1003.522	1	0.0132	12.886	-0.1124	19.3536	1		1				0	0	Si

Verifica a presso/tenso flessione deviata SLD §§ 4.2.4.1.2.3 - 4.2.4.1.2.6 - 4.2.4.1.2.7 - 4.2.4.1.2.8 NTC18

Verifiche eseguite utilizzando la formula conservativa (6.2) §6.2.1 EN 1993-1-1:2005.

X	Comb.	Sfruttamento	Classe	NEd	NRd	Rid. NRd da VEd	Mx,Ed	Mx,Rd	My,Ed	My,Rd	Rid. Mx,Rd da VEd	Rid. Mx,Rd da NEd	Rid. My,Rd da VEd	Rid. My,Rd da NEd	α	β	px	py	Verifica
0.5	SLD 7	0.014	3	-9.929	1003.522	1	0.0372	12.886	0.0226	19.3536	1		1				0	0	Si

Verifiche ad instabilità

Caratteristiche iniziali

Membratura principale per controllo snellezza; Calcolo di snellezze ed N critici condotti secondo gli assi principali;

Curva X: c; Curva Y: c;

Svergolamento: Nessuno; la verifica a instabilità flesso-torsionale (svergolamento) non verrà eseguita.

Dati per instabilità attorno a x

Controllo della snellezza secondo §4.2.4.1.3.1 NTC18

Numero rit.	Presente	Ascissa	Campata	βx/m	Vincolo a entrambi estremi	λx/m	λVer
1	Si		0				
			1-2	1	Si	32.9	Si, (<200)
2	Si		1				

Dati per instabilità attorno a y

Controllo della snellezza secondo §4.2.4.1.3.1 NTC18

Numero rit.	Presente	Ascissa	Campata	βy/n	k,LT	kw,LT	Vincolo a entrambi estremi
1	Si		0				
			1-2	1	Si	22.2	Si, (<200)
2	Si		1				

Verifica di stabilità per pressoflessione §C.4.2.4.1.3.3.1 NTC18

X	Comb.	Sfruttamento	Classe	NEd	MxEq,Ed	MyEq,Ed	Area	Wx	Wy	χ,min	λ adim. x/m	λ adim. y/n	N _{crit} x/m	N _{crit} y/n	Verifica
0.967	SLV 8	0.031	3	-21.438	0.0319	-0.0879	0.003832	0.0000492	0.0000739	0.908	0.379	0.256	7320.307	16081.468	Si

Verifica di stabilità per pressoflessione SLD §C.4.2.4.1.3.3.1 NTC18

X	Comb.	Sfruttamento	Classe	NEd	MxEq,Ed	MyEq,Ed	Area	Wx	Wy	χ,min	λ adim. x/m	λ adim. y/n	N _{crit} x/m	N _{crit} y/n	Verifica
0.867	SLD 8	0.015	3	-9.929	0.0321	-0.0351	0.003832	0.0000492	0.0000739	0.908	0.379	0.256	7320.307	16081.468	Si

Verifiche a deformabilità

Mensola X: No; Mensola Y: No.

Frecce lungo X

Ascissa freccia	Combinazione	Freccia	Luce	L/f	L/f,min	Tipo	Verifica
0.567	SLE RA 1	0	1	10000	250	Totale	Si
0.567	SLE RA 17	0	1	10000	250	Totale	Si
0.567	SLE RA 16	0	1	10000	250	Totale	Si
0.567	SLE RA 15	0	1	10000	250	Totale	Si
0.567	SLE RA 14	0	1	10000	250	Totale	Si
0.567	SLE RA 2	0	1	10000	350	Variabile	Si
0.6	SLE RA 17	0	1	10000	350	Variabile	Si
0.567	SLE RA 16	0	1	10000	350	Variabile	Si
0.6	SLE RA 15	0	1	10000	350	Variabile	Si
0.567	SLE RA 14	0	1	10000	350	Variabile	Si

Frecce lungo Y

Ascissa freccia	Combinazione	Freccia	Luce	L/f	L/f,min	Tipo	Verifica
0.5	SLE RA 1	0.00001	1	10000	250	Totale	Si
0.5	SLE RA 17	0.00001	1	10000	250	Totale	Si
0.5	SLE RA 16	0.00001	1	10000	250	Totale	Si
0.5	SLE RA 15	0.00001	1	10000	250	Totale	Si
0.5	SLE RA 14	0.00001	1	10000	250	Totale	Si
0.233	SLE RA 2	0	1	10000	350	Variabile	Si
0.267	SLE RA 17	0	1	10000	350	Variabile	Si
0.2	SLE RA 16	0	1	10000	350	Variabile	Si
0.533	SLE RA 15	0	1	10000	350	Variabile	Si
0.3	SLE RA 14	0	1	10000	350	Variabile	Si

Superelemento in acciaio a quota "640" (2463; 2593)-(2463; 2693)

Caratteristiche del materiale

Acciaio: S275, fyk = 275000

Caratteristiche geometriche

Lunghezza: 1

Nodo iniziale: 1296 Nodo finale: 1333

Cerniera iniziale: Mmomenti 1% Cerniera finale: Mmomenti 1%

Sovraresistenza: 0% Sisma Z: No

Caratteristiche della sezione

Sezione	Rotazione	Area	Jx	Jy	ix	iy	Wx	Wy	Wplx	Wply
A1; L100*10; 1; Saldato; S275; 20; 1; 8; 8; 1	180	0.003832	0.0000035319	0.000007759	0.0304	0.045	0.0000492	0.0000739	0.00008974	0.00012727

Comportamento dei calastrelli

Accoppiamento imbottito avendo passo inferiore al minimo richiesto (§C4.2.4.1.3.1.5 NTC18) nella campata compresa tra le ascisse 0 e 1 per sbandamento attorno all'asse y.

Verifiche di resistenza

Verifiche a forza assiale §4.2.4.1.2.1 - §4.2.4.1.2.2 NTC18

X	Comb.	Sfruttamento	Classe	NEd	Nc,Rd	Nt,Rd	Riduzione da taglio	px	py	Verifica
0.033	SLV 7	0.021	3	-21.377	1003.522		1	0	0	Si

Verifiche a forza assiale SLD §4.2.4.1.2.1 - §4.2.4.1.2.2 NTC18

X	Comb.	Sfruttamento	Classe	NEd	Nc,Rd	Nt,Rd	Riduzione da taglio	px	py	Verifica
1	SLD 8	0.01	3	-10.159	1003.522		1	0	0	Si

Verifica a presso/tenso flessione retta X §§ 4.2.4.1.2.3 - 4.2.4.1.2.6 - 4.2.4.1.2.7 - 4.2.4.1.2.8 NTC18

Verifiche eseguite utilizzando la formula conservativa (6.2) §6.2.1 EN 1993-1-1:2005.

X	Comb.	Sfruttamento	Classe	NEd	NRd	Rid. NRd da VEd	Mx,Ed	Mx,Rd	Rid. Mx,Rd da VEd	Rid. Mx,Rd da NEd	px	py	Verifica
0.767	SLV 4	0.023	3	-21.332	1003.522	1	0.0265	12.886	1		0	0	Si

Verifica a presso/tenso flessione retta X SLD §§ 4.2.4.1.2.3 - 4.2.4.1.2.6 - 4.2.4.1.2.7 - 4.2.4.1.2.8 NTC18

Verifiche eseguite utilizzando la formula conservativa (6.2) §6.2.1 EN 1993-1-1:2005.

X	Comb.	Sfruttamento	Classe	NEd	NRd	Rid. NRd da VEd	Mx,Ed	Mx,Rd	Rid. Mx,Rd da VEd	Rid. Mx,Rd da NEd	px	py	Verifica
0.567	SLD 4	0.013	3	-10.15	1003.522	1	0.0366	12.886	1		0	0	Si

Verifica a presso/tenso flessione retta Y §§ 4.2.4.1.2.3 - 4.2.4.1.2.6 - 4.2.4.1.2.7 - 4.2.4.1.2.8 NTC18

Verifiche eseguite utilizzando la formula conservativa (6.2) §6.2.1 EN 1993-1-1:2005.

X	Comb.	Sfruttamento	Classe	NEd	NRd	Rid. NRd da VEd	My,Ed	My,Rd	Rid. My,Rd da VEd	Rid. My,Rd da NEd	px	py	Verifica
0	SLV 7	0.025	3	-21.377	1003.522	1	0.0737	19.3536	1		0	0	Si

Verifica a presso/tenso flessione retta Y SLD §§ 4.2.4.1.2.3 - 4.2.4.1.2.6 - 4.2.4.1.2.7 - 4.2.4.1.2.8 NTC18

Verifiche eseguite utilizzando la formula conservativa (6.2) §6.2.1 EN 1993-1-1:2005.

X	Comb.	Sfruttamento	Classe	NEd	NRd	Rid. NRd da VEd	My,Ed	My,Rd	Rid. My,Rd da VEd	Rid. My,Rd da NEd	px	py	Verifica
0	SLD 8	0.012	3	-10.159	1003.522	1	0.0306	19.3536	1		0	0	Si

Verifica a presso/tenso flessione deviata §§ 4.2.4.1.2.3 - 4.2.4.1.2.6 - 4.2.4.1.2.7 - 4.2.4.1.2.8 NTC18

Verifiche eseguite utilizzando la formula conservativa (6.2) §6.2.1 EN 1993-1-1:2005.

X	Comb.	Sfruttamento	Classe	NEd	NRd	Rid. NRd da VEd	Mx,Ed	Mx,Rd	My,Ed	My,Rd	Rid. Mx,Rd da VEd	Rid. Mx,Rd da NEd	Rid. My,Rd da VEd	Rid. My,Rd da NEd	α	β	px	py	Verifica
0.333	SLV 7	0.026	3	-21.377	1003.522	1	0.0328	12.886	0.0477	19.3536	1		1				0	0	Si

Verifica a presso/tenso flessione deviata SLD §§ 4.2.4.1.2.3 - 4.2.4.1.2.6 - 4.2.4.1.2.7 - 4.2.4.1.2.8 NTC18

Verifiche eseguite utilizzando la formula conservativa (6.2) §6.2.1 EN 1993-1-1:2005.

X	Comb.	Sfruttamento	Classe	NEd	NRd	Rid. NRd da VEd	Mx,Ed	Mx,Rd	My,Ed	My,Rd	Rid. Mx,Rd da VEd	Rid. Mx,Rd da NEd	Rid. My,Rd da VEd	Rid. My,Rd da NEd	α	β	px	py	Verifica
0.433	SLD 7	0.014	3	-10.159	1003.522	1	0.0365	12.886	0.018	19.3536	1		1				0	0	Si

Verifiche ad instabilità

Caratteristiche iniziali

Membratura principale per controllo snellezza; Calcolo di snellezze ed N critici condotti secondo gli assi principali;

Curva X: c; Curva Y: c;

Svergolamento: Nessuno; la verifica a instabilità flesso-torsionale (svergolamento) non verrà eseguita.

Dati per instabilità attorno a x

Controllo della snellezza secondo §4.2.4.1.3.1 NTC18

Numero rit.	Presente	Ascissa	Campata	$\beta x/m$	Vincolo a entrambi estremi	$\lambda x/m$	λVer
1	Si	0					
			1-2		1	32.9	Si, (<200)
2	Si	1					

Dati per instabilità attorno a y

Controllo della snellezza secondo §4.2.4.1.3.1 NTC18

Numero rit.	Presente	Ascissa	Campata	$\beta y/n$	k,LT	kw,LT	Vincolo a entrambi estremi
1	Si	0					
			1-2		1	22.2	Si, (<200)

Implementazione dei sistemi di confinamento delle emissioni odorigene diffuse dell'impianto di compostaggio esistente nel
Comune di Eboli (SA)
PROGETTO DEFINITIVO – Tabulati di calcolo Tomo 1

Numero rit.	Presente	Ascissa	Campata	$\beta y/n$	k,LT	kw,LT	Vincolo a entrambi estremi
2	Si	1					

Verifica di stabilità per pressoflessione §C.4.2.4.1.3.3.1 NTC18

X	Comb.	Sfruttamento	Classe	NEd	MxEq,Ed	MyEq,Ed	Area	Wx	Wy	χ_{min}	λ adim. x/m	λ adim. y/n	N,crit x/m	N,crit y/n	Verifica
1	SLV 7	0.029	3	-21.377	0.0319	0.0553	0.003832	0.0000492	0.0000739	0.908	0.379	0.256	7320.307	16081.468	Si

Verifica di stabilità per pressoflessione SLD §C.4.2.4.1.3.3.1 NTC18

X	Comb.	Sfruttamento	Classe	NEd	MxEq,Ed	MyEq,Ed	Area	Wx	Wy	χ_{min}	λ adim. x/m	λ adim. y/n	N,crit x/m	N,crit y/n	Verifica
1	SLD 7	0.015	3	-10.159	0.032	0.0229	0.003832	0.0000492	0.0000739	0.908	0.379	0.256	7320.307	16081.468	Si

Verifiche a deformabilità

Mensola X: No; Mensola Y: No.

Frecce lungo X

Ascissa freccia	Combinazione	Freccia	Luce	L/f	L/f,min	Tipo	Verifica
0.533	SLE RA 1	0	1	10000	250	Totale	Si
0.533	SLE RA 17	0	1	10000	250	Totale	Si
0.533	SLE RA 16	0	1	10000	250	Totale	Si
0.533	SLE RA 15	0	1	10000	250	Totale	Si
0.533	SLE RA 14	0	1	10000	250	Totale	Si
0.533	SLE RA 2	0	1	10000	350	Variabile	Si
0.533	SLE RA 17	0	1	10000	350	Variabile	Si
0.533	SLE RA 16	0	1	10000	350	Variabile	Si
0.533	SLE RA 15	0	1	10000	350	Variabile	Si
0.533	SLE RA 14	0	1	10000	350	Variabile	Si

Frecce lungo Y

Ascissa freccia	Combinazione	Freccia	Luce	L/f	L/f,min	Tipo	Verifica
0.5	SLE RA 1	0.00001	1	10000	250	Totale	Si
0.5	SLE RA 17	0.00001	1	10000	250	Totale	Si
0.5	SLE RA 16	0.00001	1	10000	250	Totale	Si
0.5	SLE RA 15	0.00001	1	10000	250	Totale	Si
0.5	SLE RA 14	0.00001	1	10000	250	Totale	Si
0.267	SLE RA 2	0	1	10000	350	Variabile	Si
0.2	SLE RA 17	0	1	10000	350	Variabile	Si
0.2	SLE RA 16	0	1	10000	350	Variabile	Si
0.733	SLE RA 15	0	1	10000	350	Variabile	Si
0.4	SLE RA 14	0	1	10000	350	Variabile	Si

Superelemento in acciaio a quota "640" (2463; 2693)-(2463; 2793)

Caratteristiche del materiale

Acciaio: S275, fyk = 275000

Caratteristiche geometriche

Lunghezza: 1

Nodo iniziale: 1337 Nodo finale: 1369

Cerniera iniziale: Mmomenti 1% Cerniera finale: Mmomenti 1%

Sovraresistenza: 0% Sisma Z: No

Caratteristiche della sezione

Sezione	Rotazione	Area	Jx	Jy	ix	iy	Wx	Wy	Wplx	Wply
A1; L100*10; 1; Saldato; S275; 20; 1; 8; 8; 1	180	0.003832	0.0000035319	0.000007759	0.0304	0.045	0.0000492	0.0000739	0.00008974	0.00012727

Comportamento dei calastrelli

Accoppiamento imbottito avendo passo inferiore al minimo richiesto (§C4.2.4.1.3.1.5 NTC18) nella campata compresa tra le ascisse 0 e 1 per sbandamento attorno all'asse y.

Verifiche di resistenza

Verifiche a forza assiale §4.2.4.1.2.1 - §4.2.4.1.2.2 NTC18

X	Comb.	Sfruttamento	Classe	NEd	Nc,Rd	Nt,Rd	Riduzione da taglio	px	py	Verifica
0.733	SLV 7	0.014	3	-13.609	1003.522		1	0	0	Si

Verifiche a forza assiale SLD §4.2.4.1.2.1 - §4.2.4.1.2.2 NTC18

X	Comb.	Sfruttamento	Classe	NEd	Nc,Rd	Nt,Rd	Riduzione da taglio	px	py	Verifica
1	SLD 8	0.005	3	-4.964	1003.522		1	0	0	Si

Verifica a flessione semplice X §§ 4.2.4.1.2.3 - 4.2.4.1.2.6 - 4.2.4.1.2.7 - 4.2.4.1.2.8 NTC18

X	Comb.	Sfruttamento	Classe	Mx,Ed	Mx,Rd	Rid. Mx,Rd da VEd	px	py	Verifica
0.5	SLU 17	0.002	1	0.03747	23.50374	1	0	0	Si

Verifica a flessione semplice Y §§ 4.2.4.1.2.3 - 4.2.4.1.2.6 - 4.2.4.1.2.7 - 4.2.4.1.2.8 NTC18

X	Comb.	Sfruttamento	Classe	My,Ed	My,Rd	Rid. My,Rd da VEd	px	py	Verifica
0	SLU 46	0	1	0.01061	33.33162	1	0	0	Si

Verifica a flessione deviata §§ 4.2.4.1.2.3 - 4.2.4.1.2.6 - 4.2.4.1.2.7 - 4.2.4.1.2.8 NTC18

X	Comb.	Sfruttamento	Classe	Mx,Ed	Mx,Rd	My,Ed	My,Rd	Rid. Mx,Rd da VEd	Rid. My,Rd da VEd	α	β	px	py	Verifica
0.5	SLU 46	0.002	1	0.0487	23.5037	0.0093	33.3316	1	1			0	0	Si

**Implementazione dei sistemi di confinamento delle emissioni odorigene diffuse dell'impianto di compostaggio esistente nel
Comune di Eboli (SA)
PROGETTO DEFINITIVO – Tabulati di calcolo Tomo 1**

Verifica a presso/tenso flessione retta X §§ 4.2.4.1.2.3 - 4.2.4.1.2.6 - 4.2.4.1.2.7 - 4.2.4.1.2.8 NTC18

Verifiche eseguite utilizzando la formula conservativa (6.2) §6.2.1 EN 1993-1-1:2005.

X	Comb.	Sfruttamento	Classe	NEd	NRd	Rid. NRd da VEd	Mx,Ed	Mx,Rd	Rid. Mx,Rd da VEd	Rid. Mx,Rd da NEd	px	py	Verifica
0.4	SLV 3	0.016	3	-13.576	1003.522	1	0.0357	12.886	1		0	0	Si

Verifica a presso/tenso flessione retta X SLD §§ 4.2.4.1.2.3 - 4.2.4.1.2.6 - 4.2.4.1.2.7 - 4.2.4.1.2.8 NTC18

Verifiche eseguite utilizzando la formula conservativa (6.2) §6.2.1 EN 1993-1-1:2005.

X	Comb.	Sfruttamento	Classe	NEd	NRd	Rid. NRd da VEd	Mx,Ed	Mx,Rd	Rid. Mx,Rd da VEd	Rid. Mx,Rd da NEd	px	py	Verifica
0.4	SLD 4	0.008	3	-4.958	1003.522	1	0.0359	12.886	1		0	0	Si

Verifica a presso/tenso flessione retta Y §§ 4.2.4.1.2.3 - 4.2.4.1.2.6 - 4.2.4.1.2.7 - 4.2.4.1.2.8 NTC18

Verifiche eseguite utilizzando la formula conservativa (6.2) §6.2.1 EN 1993-1-1:2005.

X	Comb.	Sfruttamento	Classe	NEd	NRd	Rid. NRd da VEd	My,Ed	My,Rd	Rid. My,Rd da VEd	Rid. My,Rd da NEd	px	py	Verifica
1	SLV 8	0.018	3	-13.609	1003.522	1	0.0846	19.3536	1		0	0	Si

Verifica a presso/tenso flessione retta Y SLD §§ 4.2.4.1.2.3 - 4.2.4.1.2.6 - 4.2.4.1.2.7 - 4.2.4.1.2.8 NTC18

Verifiche eseguite utilizzando la formula conservativa (6.2) §6.2.1 EN 1993-1-1:2005.

X	Comb.	Sfruttamento	Classe	NEd	NRd	Rid. NRd da VEd	My,Ed	My,Rd	Rid. My,Rd da VEd	Rid. My,Rd da NEd	px	py	Verifica
1	SLD 8	0.007	3	-4.964	1003.522	1	0.0365	19.3536	1		0	0	Si

Verifica a presso/tenso flessione deviata §§ 4.2.4.1.2.3 - 4.2.4.1.2.6 - 4.2.4.1.2.7 - 4.2.4.1.2.8 NTC18

Verifiche eseguite utilizzando la formula conservativa (6.2) §6.2.1 EN 1993-1-1:2005.

X	Comb.	Sfruttamento	Classe	NEd	NRd	Rid. NRd da VEd	Mx,Ed	Mx,Rd	My,Ed	My,Rd	Rid. Mx,Rd da VEd	Rid. Mx,Rd da NEd	Rid. My,Rd da VEd	Rid. My,Rd da NEd	α	β	px	py	Verifica
0.733	SLV 8	0.019	3	-13.609	1003.522	1	0.0291	12.886	0.0566	19.3536	1		1				0	0	Si

Verifica a presso/tenso flessione deviata SLD §§ 4.2.4.1.2.3 - 4.2.4.1.2.6 - 4.2.4.1.2.7 - 4.2.4.1.2.8 NTC18

Verifiche eseguite utilizzando la formula conservativa (6.2) §6.2.1 EN 1993-1-1:2005.

X	Comb.	Sfruttamento	Classe	NEd	NRd	Rid. NRd da VEd	Mx,Ed	Mx,Rd	My,Ed	My,Rd	Rid. Mx,Rd da VEd	Rid. Mx,Rd da NEd	Rid. My,Rd da VEd	Rid. My,Rd da NEd	α	β	px	py	Verifica
0.6	SLD 7	0.009	3	-4.964	1003.522	1	0.0359	12.886	0.0201	19.3536	1		1				0	0	Si

Verifiche ad instabilità

Caratteristiche iniziali

Membratura principale per controllo snellezza; Calcolo di snellezze ed N critici condotti secondo gli assi principali;

Curva X: c; Curva Y: c;

Svergolamento: Nessuno; la verifica a instabilità flesso-torsionale (svergolamento) non verrà eseguita.

Dati per instabilità attorno a x

Controllo della snellezza secondo §4.2.4.1.3.1 NTC18

Numero rit.	Presente	Ascissa	Campata	βx/m	Vincolo a entrambi estremi	λx/m	λVer
1	Si		0				
			1-2		1	32.9	Si, (<200)
2	Si		1				

Dati per instabilità attorno a y

Controllo della snellezza secondo §4.2.4.1.3.1 NTC18

Numero rit.	Presente	Ascissa	Campata	βy/n	k,LT	kw,LT	Vincolo a entrambi estremi
1	Si		0				
			1-2		1	22.2	Si, (<200)
2	Si		1				

Verifica di stabilità per pressoflessione §C.4.2.4.1.3.3.1 NTC18

X	Comb.	Sfruttamento	Classe	NEd	MxEq,Ed	MyEq,Ed	Area	Wx	Wy	χ,min	λ adim. x/m	λ adim. y/n	N,crit x/m	N,crit y/n	Verifica
0.467	SLV 7	0.021	3	-13.609	0.0321	0.0634	0.003832	0.0000492	0.0000739	0.908	0.379	0.256	7320.307	16081.468	Si

Verifica di stabilità per pressoflessione SLD §C.4.2.4.1.3.3.1 NTC18

X	Comb.	Sfruttamento	Classe	NEd	MxEq,Ed	MyEq,Ed	Area	Wx	Wy	χ,min	λ adim. x/m	λ adim. y/n	N,crit x/m	N,crit y/n	Verifica
0.933	SLD 8	0.009	3	-4.964	0.0323	0.0274	0.003832	0.0000492	0.0000739	0.908	0.379	0.256	7320.307	16081.468	Si

Verifiche a deformabilità

Mensola X: No; Mensola Y: No.

Frecce lungo X

Ascissa freccia	Combinazione	Freccia	Luce	L/f	L/f,min	Tipo	Verifica
0.5	SLE RA 1	0		10000	250	Totale	Si
0.5	SLE RA 17	0		10000	250	Totale	Si
0.5	SLE RA 16	0		10000	250	Totale	Si
0.5	SLE RA 15	0		10000	250	Totale	Si
0.5	SLE RA 14	0		10000	250	Totale	Si
0.5	SLE RA 2	0		10000	350	Variabile	Si
0.5	SLE RA 17	0		10000	350	Variabile	Si
0.5	SLE RA 16	0		10000	350	Variabile	Si
0.5	SLE RA 15	0		10000	350	Variabile	Si
0.5	SLE RA 14	0		10000	350	Variabile	Si

Frecce lungo Y

Ascissa freccia	Combinazione	Freccia	Luce	L/f	L/f,min	Tipo	Verifica
0.5	SLE RA 1	0.00001		10000	250	Totale	Si
0.5	SLE RA 17	0.00001		10000	250	Totale	Si
0.5	SLE RA 16	0.00001		10000	250	Totale	Si
0.5	SLE RA 15	0.00001		10000	250	Totale	Si
0.5	SLE RA 14	0.00001		10000	250	Totale	Si
0.6	SLE RA 2	0		10000	350	Variabile	Si
0.6	SLE RA 17	0		10000	350	Variabile	Si

Implementazione dei sistemi di confinamento delle emissioni odorigene diffuse dell'impianto di compostaggio esistente nel
Comune di Eboli (SA)

PROGETTO DEFINITIVO – Tabulati di calcolo Tomo 1

Ascissa freccia	Combinazione	Freccia	Luce	L/f	L/f,min	Tipo	Verifica
0.6	SLE RA 16	0	1	10000	350	Variabile	Si
0.6	SLE RA 15	0	1	10000	350	Variabile	Si
0.7	SLE RA 14	0	1	10000	350	Variabile	Si

Superelemento in acciaio a quota "640" (2463; 2793)-(2463; 2893)

Caratteristiche del materiale

Acciaio: S275, fyk = 275000

Caratteristiche geometriche

Lunghezza: 1

Nodo iniziale: 1371 Nodo finale: 1405

Cerniera iniziale: Mmomenti 1% Cerniera finale: Mmomenti 1%

Sovreresistenza: 0% Sisma Z: No

Caratteristiche della sezione

Sezione	Rotazione	Area	Jx	Jy	ix	iy	Wx	Wy	Wplx	Wply
A1; L100*10; 1; Saldato; S275; 20; 1; 8; 8; 1	180	0.003832	0.0000035319	0.000007759	0.0304	0.045	0.0000492	0.0000739	0.00008974	0.00012727

Comportamento dei calastrelli

Accoppiamento imbottito avendo passo inferiore al minimo richiesto (§C4.2.4.1.3.1.5 NTC18) nella campata compresa tra le ascisse 0 e 1 per sbandamento attorno all'asse y.

Verifiche di resistenza

Verifiche a forza assiale §4.2.4.1.2.1 - §4.2.4.1.2.2 NTC18

X	Comb.	Sfruttamento	Classe	NEd	Nc,Rd	Nt,Rd	Riduzione da taglio	px	py	Verifica
0	SLV 9	0.008		7.982		1003.522	1	0	0	Si

Verifiche a forza assiale SLD §4.2.4.1.2.1 - §4.2.4.1.2.2 NTC18

X	Comb.	Sfruttamento	Classe	NEd	Nc,Rd	Nt,Rd	Riduzione da taglio	px	py	Verifica
0	SLD 14	0.003		2.99		1003.522	1	0	0	Si

Verifica a flessione semplice X §§ 4.2.4.1.2.3 - 4.2.4.1.2.6 - 4.2.4.1.2.7 - 4.2.4.1.2.8 NTC18

X	Comb.	Sfruttamento	Classe	Mx,Ed	Mx,Rd	Rid. Mx,Rd da VEd	px	py	Verifica
0.5	SLU 56	0.002	1	0.04872	23.50374	1	0	0	Si

Verifica a flessione semplice Y §§ 4.2.4.1.2.3 - 4.2.4.1.2.6 - 4.2.4.1.2.7 - 4.2.4.1.2.8 NTC18

X	Comb.	Sfruttamento	Classe	My,Ed	My,Rd	Rid. My,Rd da VEd	px	py	Verifica
0	SLU 56	0.001	1	0.01889	33.33162	1	0	0	Si

Verifica a flessione deviata §§ 4.2.4.1.2.3 - 4.2.4.1.2.6 - 4.2.4.1.2.7 - 4.2.4.1.2.8 NTC18

X	Comb.	Sfruttamento	Classe	Mx,Ed	Mx,Rd	My,Ed	My,Rd	Rid. Mx,Rd da VEd	Rid. My,Rd da VEd	α	β	px	py	Verifica
0.467	SLU 56	0.002	1	0.0485	23.5037	0.0075	33.3316	1	1			0	0	Si

Verifica a presso/tenso flessione retta X §§ 4.2.4.1.2.3 - 4.2.4.1.2.6 - 4.2.4.1.2.7 - 4.2.4.1.2.8 NTC18

Verifiche eseguite utilizzando la formula conservativa (6.2) §6.2.1 EN 1993-1-1:2005.

X	Comb.	Sfruttamento	Classe	NEd	NRd	Rid. NRd da VEd	Mx,Ed	Mx,Rd	Rid. Mx,Rd da VEd	Rid. Mx,Rd da NEd	px	py	Verifica
0.533	SLU 64	0.009	1	6.715	1003.522	1	0.0487	23.5037	1		0	0	Si

Verifica a presso/tenso flessione retta X SLD §§ 4.2.4.1.2.3 - 4.2.4.1.2.6 - 4.2.4.1.2.7 - 4.2.4.1.2.8 NTC18

Verifiche eseguite utilizzando la formula conservativa (6.2) §6.2.1 EN 1993-1-1:2005.

X	Comb.	Sfruttamento	Classe	NEd	NRd	Rid. NRd da VEd	Mx,Ed	Mx,Rd	Rid. Mx,Rd da VEd	Rid. Mx,Rd da NEd	px	py	Verifica
0.233	SLD 13	0.004	1	2.99	1003.522	1	0.0268	23.5037	1		0	0	Si

Verifica a presso/tenso flessione retta Y §§ 4.2.4.1.2.3 - 4.2.4.1.2.6 - 4.2.4.1.2.7 - 4.2.4.1.2.8 NTC18

Verifiche eseguite utilizzando la formula conservativa (6.2) §6.2.1 EN 1993-1-1:2005.

X	Comb.	Sfruttamento	Classe	NEd	NRd	Rid. NRd da VEd	My,Ed	My,Rd	Rid. My,Rd da VEd	Rid. My,Rd da NEd	px	py	Verifica
1	SLV 9	0.01	1	7.982	1003.522	1	-0.0597	33.3316	1		0	0	Si

Verifica a presso/tenso flessione retta Y SLD §§ 4.2.4.1.2.3 - 4.2.4.1.2.6 - 4.2.4.1.2.7 - 4.2.4.1.2.8 NTC18

Verifiche eseguite utilizzando la formula conservativa (6.2) §6.2.1 EN 1993-1-1:2005.

X	Comb.	Sfruttamento	Classe	NEd	NRd	Rid. NRd da VEd	My,Ed	My,Rd	Rid. My,Rd da VEd	Rid. My,Rd da NEd	px	py	Verifica
1	SLD 10	0.004	1	2.99	1003.522	1	-0.0257	33.3316	1		0	0	Si

Verifica a presso/tenso flessione deviata §§ 4.2.4.1.2.3 - 4.2.4.1.2.6 - 4.2.4.1.2.7 - 4.2.4.1.2.8 NTC18

Verifiche eseguite utilizzando la formula conservativa (6.2) §6.2.1 EN 1993-1-1:2005.

X	Comb.	Sfruttamento	Classe	NEd	NRd	Rid. NRd da VEd	Mx,Ed	Mx,Rd	My,Ed	My,Rd	Rid. Mx,Rd da VEd	Rid. Mx,Rd da NEd	Rid. My,Rd da VEd	Rid. My,Rd da NEd	α	β	px	py	Verifica
0.533	SLV 7	0.012	3	-6.88	1003.522	1	0.0371	12.886	0.0464	19.3536	1		1				0	0	Si

Verifica a presso/tenso flessione deviata SLD §§ 4.2.4.1.2.3 - 4.2.4.1.2.6 - 4.2.4.1.2.7 - 4.2.4.1.2.8 NTC18

Verifiche eseguite utilizzando la formula conservativa (6.2) §6.2.1 EN 1993-1-1:2005.

X	Comb.	Sfruttamento	Classe	NEd	NRd	Rid. NRd da VEd	Mx,Ed	Mx,Rd	My,Ed	My,Rd	Rid. Mx,Rd da VEd	Rid. Mx,Rd da NEd	Rid. My,Rd da VEd	Rid. My,Rd da NEd	α	β	px	py	Verifica
0.567	SLD 14	0.005	1	2.99	1003.522	1	0.0368	23.5037	-0.0149	33.3316	1		1				0	0	Si

Implementazione dei sistemi di confinamento delle emissioni odorigene diffuse dell'impianto di compostaggio esistente nel
Comune di Eboli (SA)
PROGETTO DEFINITIVO – Tabulati di calcolo Tomo 1

Verifiche ad instabilità

Caratteristiche iniziali

Membratura principale per controllo snellezza; Calcolo di snellezze ed N critici condotti secondo gli assi principali;
Curva X: c; Curva Y: c;
Svergolamento: Nessuno; la verifica a instabilità flesso-torsionale (svergolamento) non verrà eseguita.

Dati per instabilità attorno a x

Controllo della snellezza secondo §4.2.4.1.3.1 NTC18

Numero rit.	Presente	Ascissa	Campata	$\beta x/m$	Vincolo a entrambi estremi	$\lambda x/m$	λVer
1	Si	0					
			1-2	1	Si	32.9	Si, (<200)
2	Si	1					

Dati per instabilità attorno a y

Controllo della snellezza secondo §4.2.4.1.3.1 NTC18

Numero rit.	Presente	Ascissa	Campata	$\beta y/n$	k,LT	kw,LT	Vincolo a entrambi estremi
1	Si	0					
			1-2	1	Si	22.2	Si, (<200)
2	Si	1					

Verifica di stabilità per pressoflessione §C.4.2.4.1.3.3.1 NTC18

X	Comb.	Sfruttamento	Classe	NEd	MxEq,Ed	MyEq,Ed	Area	Wx	Wy	χ_{min}	$\lambda_{adim. x/m}$	$\lambda_{adim. y/n}$	N,crit x/m	N,crit y/n	Verifica
0	SIV 8	0.013	3	-6.88	0.0321	0.0536	0.003832	0.0000492	0.0000739	0.908	0.379	0.256	7320.307	16081.468	Si

Verifica di stabilità per pressoflessione SLD §C.4.2.4.1.3.3.1 NTC18

X	Comb.	Sfruttamento	Classe	NEd	MxEq,Ed	MyEq,Ed	Area	Wx	Wy	χ_{min}	$\lambda_{adim. x/m}$	$\lambda_{adim. y/n}$	N,crit x/m	N,crit y/n	Verifica
1	SLD 4	0.006	3	-1.888	0.0323	0.0227	0.003832	0.0000492	0.0000739	0.908	0.379	0.256	7320.307	16081.468	Si

Verifiche a deformabilità

Mensola X: No; Mensola Y: No.

Frecce lungo X

Ascissa freccia	Combinazione	Freccia	Luce	L/f	L/f,min	Tipo	Verifica
0.367	SLE RA 1	0	1	10000	250	Totale	Si
0.367	SLE RA 17	0	1	10000	250	Totale	Si
0.367	SLE RA 16	0	1	10000	250	Totale	Si
0.367	SLE RA 15	0	1	10000	250	Totale	Si
0.367	SLE RA 14	0	1	10000	250	Totale	Si
0.367	SLE RA 2	0	1	10000	350	Variabile	Si
0.367	SLE RA 17	0	1	10000	350	Variabile	Si
0.367	SLE RA 16	0	1	10000	350	Variabile	Si
0.367	SLE RA 15	0	1	10000	350	Variabile	Si
0.367	SLE RA 14	0	1	10000	350	Variabile	Si

Frecce lungo Y

Ascissa freccia	Combinazione	Freccia	Luce	L/f	L/f,min	Tipo	Verifica
0.5	SLE RA 1	0.00001	1	10000	250	Totale	Si
0.5	SLE RA 17	0.00001	1	10000	250	Totale	Si
0.5	SLE RA 16	0.00001	1	10000	250	Totale	Si
0.5	SLE RA 15	0.00001	1	10000	250	Totale	Si
0.5	SLE RA 14	0.00001	1	10000	250	Totale	Si
0.5	SLE RA 2	0	1	10000	350	Variabile	Si
0.533	SLE RA 17	0	1	10000	350	Variabile	Si
0.533	SLE RA 16	0	1	10000	350	Variabile	Si
0.533	SLE RA 15	0	1	10000	350	Variabile	Si
0.267	SLE RA 14	0	1	10000	350	Variabile	Si

Superelemento in acciaio a quota "640" (2463; 2893)-(2463; 2993)

Caratteristiche del materiale

Acciaio: S275, fyk = 275000

Caratteristiche geometriche

Lunghezza: 1

Nodo iniziale: 1403 Nodo finale: 1439

Cerniera iniziale: Mmomenti 1% Cerniera finale: Mmomenti 1%

Sovreresistenza: 0% Sisma Z: No

Caratteristiche della sezione

Sezione	Rotazione	Area	Jx	Jy	ix	iy	Wx	Wy	Wplx	Wply
A1; L100*10; 1; Saldato; S275; 20; 1; 8; 8; 1	180	0.003832	0.0000035319	0.000007759	0.0304	0.045	0.0000492	0.0000739	0.00008974	0.00012727

Comportamento dei calastrelli

Accoppiamento imbottito avendo passo inferiore al minimo richiesto (§C4.2.4.1.3.1.5 NTC18) nella campata compresa tra le ascisse 0 e 1 per sbandamento attorno all'asse y.

Verifiche di resistenza

Verifiche a forza assiale §4.2.4.1.2.1 - §4.2.4.1.2.2 NTC18

X	Comb.	Sfruttamento	Classe	NEd	Nc,Rd	Nt,Rd	Riduzione da taglio	px	py	Verifica
0.8	SLD 76	0.002	1	-2.159	1003.522		1	0	0	Si

**Implementazione dei sistemi di confinamento delle emissioni odorigene diffuse dell'impianto di compostaggio esistente nel
Comune di Eboli (SA)**

PROGETTO DEFINITIVO – Tabulati di calcolo Tomo 1

Verifiche a forza assiale SLD §4.2.4.1.2.1 - §4.2.4.1.2.2 NTC18

X	Comb.	Sfruttamento	Classe	NEd	Nc,Rd	Nt,Rd	Riduzione da taglio	px	py	Verifica
1	SLD 10	0.001	1	-1.242	1003.522		1	0	0	Si

Verifica a taglio Y §4.2.4.1.2.4 NTC18

X	Comb.	Sfruttamento	VEd	Vc,Rd	Av	Interazione taglio-torsione	Riduzione torsione	Verifica
1	SLU 76	0.001	0.431	302.422	0.002	Non considerata		Si

Verifica a taglio Y SLD §4.2.4.1.2.4 NTC18

X	Comb.	Sfruttamento	VEd	Vc,Rd	Av	Interazione taglio-torsione	Riduzione torsione	Verifica
1	SLD 10	0.001	0.281	302.422	0.002	Non considerata		Si

Verifica a flessione semplice X §§ 4.2.4.1.2.3 - 4.2.4.1.2.6 - 4.2.4.1.2.7 - 4.2.4.1.2.8 NTC18

X	Comb.	Sfruttamento	Classe	Mx,Ed	Mx,Rd	Rid. Mx,Rd da VEd	px	py	Verifica
0.567	SLV 4	0.002	1	0.04684	23.50374	1	0	0	Si

Verifica a flessione semplice Y §§ 4.2.4.1.2.3 - 4.2.4.1.2.6 - 4.2.4.1.2.7 - 4.2.4.1.2.8 NTC18

X	Comb.	Sfruttamento	Classe	My,Ed	My,Rd	Rid. My,Rd da VEd	px	py	Verifica
0.833	SLV 12	0.002	1	-0.06029	33.33162	1	0	0	Si

Verifica a flessione deviata §§ 4.2.4.1.2.3 - 4.2.4.1.2.6 - 4.2.4.1.2.7 - 4.2.4.1.2.8 NTC18

X	Comb.	Sfruttamento	Classe	Mx,Ed	Mx,Rd	My,Ed	My,Rd	Rid. Mx,Rd da VEd	Rid. My,Rd da VEd	α	β	px	py	Verifica
1	SLV 12	0.003	1	-0.0289	23.5037	-0.0728	33.3316	1	1			0	0	Si

Verifica a presso/tenso flessione retta X §§ 4.2.4.1.2.3 - 4.2.4.1.2.6 - 4.2.4.1.2.7 - 4.2.4.1.2.8 NTC18

Verifiche eseguite utilizzando la formula conservativa (6.2) §6.2.1 EN 1993-1-1:2005.

X	Comb.	Sfruttamento	Classe	NEd	NRd	Rid. NRd da VEd	Mx,Ed	Mx,Rd	Rid. Mx,Rd da VEd	Rid. Mx,Rd da NEd	px	py	Verifica
1	SLV 10	0.011	1	-2.031	1003.522	1	-0.2081	23.5037	1		0	0	Si

Verifica a presso/tenso flessione retta X SLD §§ 4.2.4.1.2.3 - 4.2.4.1.2.6 - 4.2.4.1.2.7 - 4.2.4.1.2.8 NTC18

Verifiche eseguite utilizzando la formula conservativa (6.2) §6.2.1 EN 1993-1-1:2005.

X	Comb.	Sfruttamento	Classe	NEd	NRd	Rid. NRd da VEd	Mx,Ed	Mx,Rd	Rid. Mx,Rd da VEd	Rid. Mx,Rd da NEd	px	py	Verifica
0.833	SLD 5	0.004	1	-1.076	1003.522	1	-0.0742	23.5037	1		0	0	Si

Verifica a presso/tenso flessione retta Y §§ 4.2.4.1.2.3 - 4.2.4.1.2.6 - 4.2.4.1.2.7 - 4.2.4.1.2.8 NTC18

Verifiche eseguite utilizzando la formula conservativa (6.2) §6.2.1 EN 1993-1-1:2005.

X	Comb.	Sfruttamento	Classe	NEd	NRd	Rid. NRd da VEd	My,Ed	My,Rd	Rid. My,Rd da VEd	Rid. My,Rd da NEd	px	py	Verifica
0	SLU 76	0.004	3	-2.159	1003.522	1	0.0385	19.3536	1		0	0	Si

Verifica a presso/tenso flessione retta Y SLD §§ 4.2.4.1.2.3 - 4.2.4.1.2.6 - 4.2.4.1.2.7 - 4.2.4.1.2.8 NTC18

Verifiche eseguite utilizzando la formula conservativa (6.2) §6.2.1 EN 1993-1-1:2005.

X	Comb.	Sfruttamento	Classe	NEd	NRd	Rid. NRd da VEd	My,Ed	My,Rd	Rid. My,Rd da VEd	Rid. My,Rd da NEd	px	py	Verifica
0.267	SLD 14	0.002	3	-1.226	1003.522	1	-0.0077	19.3536	1		0	0	Si

Verifica a presso/tenso flessione deviata §§ 4.2.4.1.2.3 - 4.2.4.1.2.6 - 4.2.4.1.2.7 - 4.2.4.1.2.8 NTC18

Verifiche eseguite utilizzando la formula conservativa (6.2) §6.2.1 EN 1993-1-1:2005.

X	Comb.	Sfruttamento	Classe	NEd	NRd	Rid. NRd da VEd	Mx,Ed	Mx,Rd	My,Ed	My,Rd	Rid. Mx,Rd da VEd	Rid. Mx,Rd da NEd	Rid. My,Rd da VEd	Rid. My,Rd da NEd	α	β	px	py	Verifica
1	SLU 76	0.014	1	-2.159	1003.522	1	-0.2351	23.5037	-0.0756	33.3316	1		1				0	0	Si

Verifica a presso/tenso flessione deviata SLD §§ 4.2.4.1.2.3 - 4.2.4.1.2.6 - 4.2.4.1.2.7 - 4.2.4.1.2.8 NTC18

Verifiche eseguite utilizzando la formula conservativa (6.2) §6.2.1 EN 1993-1-1:2005.

X	Comb.	Sfruttamento	Classe	NEd	NRd	Rid. NRd da VEd	Mx,Ed	Mx,Rd	My,Ed	My,Rd	Rid. Mx,Rd da VEd	Rid. Mx,Rd da NEd	Rid. My,Rd da VEd	Rid. My,Rd da NEd	α	β	px	py	Verifica
1	SLD 13	0.008	1	-1.226	1003.522	1	-0.1295	23.5037	-0.0383	33.3316	1		1				0	0	Si

Verifiche ad instabilità

Caratteristiche iniziali

Membratura principale per controllo snellezza; Calcolo di snellezze ed N critici condotti secondo gli assi principali;

Curva X: c; Curva Y: c;

Svergolamento: Nessuno; la verifica a instabilità flesso-torsionale (svergolamento) non verrà eseguita.

Dati per instabilità attorno a x

Controllo della snellezza secondo §4.2.4.1.3.1 NTC18

Numero rit.	Presente	Ascissa	Campata	βx/m	Vincolo a entrambi estremi	λx/m	λVer
1	Si		0				
			1-2		1	Si	32.9
2	Si		1				Si, (<200)

Dati per instabilità attorno a y

Controllo della snellezza secondo §4.2.4.1.3.1 NTC18

Numero rit.	Presente	Ascissa	Campata	βy/n	k,LT	kw,LT	Vincolo a entrambi estremi
1	Si		0				
			1-2		1	Si	22.2
2	Si		1				Si, (<200)

Verifica di stabilità per pressoflessione §C.4.2.4.1.3.3.1 NTC18

X	Comb.	Sfruttamento	Classe	NEd	MxEq,Ed	MyEq,Ed	Area	Wx	Wy	χ,min	λ adim. x/m	λ adim. y/n	N,crit x/m	N,crit y/n	Verifica
0.233	SLU 76	0.018	3	-2.159	-0.1763	-0.0302	0.003832	0.0000492	0.0000739	0.908	0.379	0.256	7320.307	16081.468	Si

Implementazione dei sistemi di confinamento delle emissioni odorigene diffuse dell'impianto di compostaggio esistente nel
Comune di Eboli (SA)
PROGETTO DEFINITIVO – Tabulati di calcolo Tomo 1

Verifica di stabilità per pressoflessione SLD §C.4.2.4.1.3.3.1 NTC18

X	Comb.	Sfruttamento	Classe	NEd	MxEq,Ed	MyEq,Ed	Area	Wx	Wy	x,min	λ adim. x/m	λ adim. y/n	N _{crit} x/m	N _{crit} y/n	Verifica
0.367	SLD 14	0.01	3	-1.226	-0.0972	-0.0287	0.003832	0.0000492	0.0000739	0.908	0.379	0.256	7320.307	16081.468	Si

Verifiche a deformabilità

Mensola X: No; Mensola Y: No.

Frecce lungo X

Ascissa freccia	Combinazione	Freccia	Luce	L/f	L/f,min	Tipo	Verifica
0.667	SLE RA 1	0	1	10000	250	Totale	Si
0.667	SLE RA 17	0	1	10000	250	Totale	Si
0.667	SLE RA 16	0	1	10000	250	Totale	Si
0.667	SLE RA 15	0	1	10000	250	Totale	Si
0.667	SLE RA 14	0	1	10000	250	Totale	Si
0.667	SLE RA 2	0	1	10000	350	Variabile	Si
0.667	SLE RA 17	0	1	10000	350	Variabile	Si
0.667	SLE RA 16	0	1	10000	350	Variabile	Si
0.667	SLE RA 15	0	1	10000	350	Variabile	Si
0.667	SLE RA 14	0	1	10000	350	Variabile	Si

Frecce lungo Y

Ascissa freccia	Combinazione	Freccia	Luce	L/f	L/f,min	Tipo	Verifica
0.7	SLE RA 1	0	1	10000	250	Totale	Si
0.667	SLE RA 17	0	1	10000	250	Totale	Si
0.633	SLE RA 16	-0.00001	1	10000	250	Totale	Si
0.633	SLE RA 15	-0.00001	1	10000	250	Totale	Si
0.667	SLE RA 14	0	1	10000	250	Totale	Si
0.567	SLE RA 2	0	1	10000	350	Variabile	Si
0.567	SLE RA 17	0	1	10000	350	Variabile	Si
0.567	SLE RA 16	0	1	10000	350	Variabile	Si
0.567	SLE RA 15	0	1	10000	350	Variabile	Si
0.567	SLE RA 14	0	1	10000	350	Variabile	Si

Superelemento in acciaio a quota "640" (2473; 2993)-(2698; 2991)

Caratteristiche del materiale

Acciaio: S275, fyk = 275000

Caratteristiche geometriche

Lunghezza: 2.25

Nodo iniziale: 1444 Nodo finale: 1428

Cerniera iniziale: No Cerniera finale: No

Sovreresistenza: 0% Sisma Z: No

Caratteristiche della sezione

Sezione	Rotazione	Area	Jx	Jy	ix	iy	Wx	Wy	Wplx	Wply
HEA120	0	0.002537	0.0000060673	0.0000023091	0.0489	0.0302	0.00010644	0.00003849	0.00011962	0.00005887

Verifiche di resistenza

Verifiche a forza assiale §4.2.4.1.2.1 - §4.2.4.1.2.2 NTC18

X	Comb.	Sfruttamento	Classe	NEd	Nc,Rd	Nt,Rd	Riduzione da taglio	px	py	Verifica
0.075	SLU 76	0.132	1	-87.755	664.325		1	0	0	Si

Verifiche a forza assiale SLD §4.2.4.1.2.1 - §4.2.4.1.2.2 NTC18

X	Comb.	Sfruttamento	Classe	NEd	Nc,Rd	Nt,Rd	Riduzione da taglio	px	py	Verifica
2.25	SLD 8	0.051	1	-34.069	664.325		1	0	0	Si

Verifica a taglio Y §4.2.4.1.2.4 NTC18

X	Comb.	Sfruttamento	VEd	Vc,Rd	Av	Interazione taglio-torsione	Riduzione torsione	Verifica
2.25	SLU 76	0.008	-1.008	126.702	0.000849	Considerata	0.99	Si

Verifica a taglio Y SLD §4.2.4.1.2.4 NTC18

X	Comb.	Sfruttamento	VEd	Vc,Rd	Av	Interazione taglio-torsione	Riduzione torsione	Verifica
2.25	SLD 10	0.005	-0.599	127.787	0.000849	Considerata	1	Si

Verifica a torsione §4.2.4.1.2.5 NTC18

X	Comb.	Sfruttamento torsione	TEd	TRd	Riduzione taglio resistente	Sfruttamento taglio-torsione	τEd,totale	τRd	Verifica
0.075	SLU 76	0.031	-0.02641	0.85138	Considerata				Si

Verifica a torsione SLD §4.2.4.1.2.5 NTC18

X	Comb.	Sfruttamento torsione	TEd	TRd	Riduzione taglio resistente	Sfruttamento taglio-torsione	τEd,totale	τRd	Verifica
2.25	SLD 11	0.015	-0.01259	0.85138	Considerata				Si

Verifica a presso/tenso flessione retta X §§ 4.2.4.1.2.3 - 4.2.4.1.2.6 - 4.2.4.1.2.7 - 4.2.4.1.2.8 NTC18

Verifiche eseguite utilizzando la formula conservativa (6.2) §6.2.1 EN 1993-1-1:2005.

X	Comb.	Sfruttamento	Classe	NEd	NRd	Rid. NRd da VEd	Mx,Ed	Mx,Rd	Rid. Mx,Rd da VEd	Rid. Mx,Rd da NEd	px	py	Verifica
1.575	SLU 76	0.139	1	-87.755	664.325	1	-0.2185	31.3291	1		0	0	Si

Verifica a presso/tenso flessione retta X SLD §§ 4.2.4.1.2.3 - 4.2.4.1.2.6 - 4.2.4.1.2.7 - 4.2.4.1.2.8 NTC18

Verifiche eseguite utilizzando la formula conservativa (6.2) §6.2.1 EN 1993-1-1:2005.

X	Comb.	Sfruttamento	Classe	NEd	NRd	Rid. NRd da VEd	Mx,Ed	Mx,Rd	Rid. Mx,Rd da VEd	Rid. Mx,Rd da NEd	px	py	Verifica
0.075	SLD 7	0.066	1	-34.069	664.325	1	-0.4623	31.3291	1		0	0	Si

Implementazione dei sistemi di confinamento delle emissioni odorigene diffuse dell'impianto di compostaggio esistente nel
Comune di Eboli (SA)
PROGETTO DEFINITIVO – Tabulati di calcolo Tomo 1

Verifica a presso/tenso flessione retta Y §§ 4.2.4.1.2.3 - 4.2.4.1.2.6 - 4.2.4.1.2.7 - 4.2.4.1.2.8 NTC18

Verifiche eseguite utilizzando la formula conservativa (6.2) §6.2.1 EN 1993-1-1:2005.

X	Comb.	Sfruttamento	Classe	NEd	NRd	Rid. NRd da VEd	My,Ed	My,Rd	Rid. My,Rd da VEd	Rid. My,Rd da NEd	px	py	Verifica
1.875	SLU 73	0.111	1	-73.098	664.325	1	0.0117	15.4191	1		0	0	Si

Verifica a presso/tenso flessione retta Y SLD §§ 4.2.4.1.2.3 - 4.2.4.1.2.6 - 4.2.4.1.2.7 - 4.2.4.1.2.8 NTC18

Verifiche eseguite utilizzando la formula conservativa (6.2) §6.2.1 EN 1993-1-1:2005.

X	Comb.	Sfruttamento	Classe	NEd	NRd	Rid. NRd da VEd	My,Ed	My,Rd	Rid. My,Rd da VEd	Rid. My,Rd da NEd	px	py	Verifica
2.1	SLD 11	0.051	1	-33.243	664.325	1	0.0176	15.4191	1		0	0	Si

Verifica a presso/tenso flessione deviata §§ 4.2.4.1.2.3 - 4.2.4.1.2.6 - 4.2.4.1.2.7 - 4.2.4.1.2.8 NTC18

Verifiche eseguite utilizzando la formula conservativa (6.2) §6.2.1 EN 1993-1-1:2005.

X	Comb.	Sfruttamento	Classe	NEd	NRd	Rid. NRd da VEd	Mx,Ed	Mx,Rd	My,Ed	My,Rd	Rid. Mx,Rd da VEd	Rid. Mx,Rd da NEd	Rid. My,Rd da VEd	Rid. My,Rd da NEd	α	β	px	py	Verifica
0	SLU 76	0.177	1	-87.755	664.325	1	-1.2106	31.3291	-0.0954	15.4191	1		1				0	0	Si

Verifica a presso/tenso flessione deviata SLD §§ 4.2.4.1.2.3 - 4.2.4.1.2.6 - 4.2.4.1.2.7 - 4.2.4.1.2.8 NTC18

Verifiche eseguite utilizzando la formula conservativa (6.2) §6.2.1 EN 1993-1-1:2005.

X	Comb.	Sfruttamento	Classe	NEd	NRd	Rid. NRd da VEd	Mx,Ed	Mx,Rd	My,Ed	My,Rd	Rid. Mx,Rd da VEd	Rid. Mx,Rd da NEd	Rid. My,Rd da VEd	Rid. My,Rd da NEd	α	β	px	py	Verifica
0	SLD 11	0.066	1	-33.243	664.325	1	-0.4647	31.3291	-0.0142	15.4191	1		1				0	0	Si

Verifiche ad instabilità

Caratteristiche iniziali

Membratura principale per controllo snellezza; Calcolo di snellezze ed N critici condotti secondo gli assi principali;

Curva X: b; Curva Y: c; Svergolamento: Carico all'estradosso; Curva svergolamento: b;

Dati per instabilità attorno a x

Controllo della snellezza secondo §4.2.4.1.3.1 NTC18

Numero rit.	Presente	Ascissa	Campata	βx/m	Vincolo a entrambi estremi	λx/m	λVer
1	Si		0				
			1-2		1	46	Si, (<200)
2	Si	2.25					

Dati per instabilità attorno a y

Controllo della snellezza secondo §4.2.4.1.3.1 NTC18

Numero rit.	Presente	Ascissa	Campata	βy/n	k,LT	kw,LT	Vincolo a entrambi estremi	λy/n	λVer
1	Si	0							
			1-2		1	1	Si	74.6	Si, (<200)
2	Si	2.25							

Verifica di stabilità per pressoflessione §C.4.2.4.1.3.3.2 NTC18

X	Comb.	Sfruttamento	Classe	NEd	NRk	Mx,Ed max	Mx,Rk	My,Ed max	My,Rk	χ,x	χ,y	kxx	kxy	kyy	χ,LT	Verifica	
0.3	SLU 76	0.257	1	-87.755	697.541	1.21055	32.89552	0.09541	16.19002	0.871	0.625	0.604	0.333	0.944	0.555	0.86	Si

Verifica di stabilità per pressoflessione SLD §C.4.2.4.1.3.3.2 NTC18

X	Comb.	Sfruttamento	Classe	NEd	NRk	Mx,Ed max	Mx,Rk	My,Ed max	My,Rk	χ,x	χ,y	kxx	kxy	kyy	χ,LT	Verifica	
2.25	SLD 8	0.098	1	-34.069	697.541	0.4623	32.89552	0.02742	16.19002	0.871	0.625	0.86	0.306	0.988	0.51	0.965	Si

Verifica di stabilità a taglio anima Y §4.2.4.1.2.4 [4.2.27] NTC18

η	hw	tw	hw/tw max	Verifica
1.2	0.098	0.005	55.46	Si

Verifica di stabilità a taglio anima Y SLD §4.2.4.1.2.4 [4.2.27] NTC18

η	hw	tw	hw/tw max	Verifica
1.2	0.098	0.005	55.46	Si

Verifiche a deformabilità

Mensola X: No; Mensola Y: No.

Frecce lungo X

Ascissa freccia	Combinazione	Freccia	Luce	L/f	L/f,min	Tipo	Verifica
0.825	SLE RA 1	0.00001	2.25	10000	250	Totale	Si
0.825	SLE RA 17	0.00002	2.25	10000	250	Totale	Si
0.825	SLE RA 16	0.00002	2.25	10000	250	Totale	Si
0.825	SLE RA 15	0.00003	2.25	10000	250	Totale	Si
0.75	SLE RA 14	0.00001	2.25	10000	250	Totale	Si
0.825	SLE RA 2	-0.00001	2.25	10000	350	Variabile	Si
0.825	SLE RA 17	0	2.25	10000	350	Variabile	Si
0.825	SLE RA 16	0.00001	2.25	10000	350	Variabile	Si
0.825	SLE RA 15	0.00001	2.25	10000	350	Variabile	Si
0.9	SLE RA 14	0	2.25	10000	350	Variabile	Si

Frecce lungo Y

Ascissa freccia	Combinazione	Freccia	Luce	L/f	L/f,min	Tipo	Verifica
0.9	SLE RA 1	-0.00012	2.25	10000	250	Totale	Si
0.9	SLE RA 17	-0.00015	2.25	10000	250	Totale	Si
0.9	SLE RA 16	-0.00018	2.25	10000	250	Totale	Si
0.9	SLE RA 15	-0.00018	2.25	10000	250	Totale	Si
0.975	SLE RA 14	-0.00014	2.25	10000	250	Totale	Si
0.9	SLE RA 2	0.00006	2.25	10000	350	Variabile	Si
0.9	SLE RA 17	-0.00003	2.25	10000	350	Variabile	Si
0.9	SLE RA 16	-0.00006	2.25	10000	350	Variabile	Si
0.825	SLE RA 15	-0.00006	2.25	10000	350	Variabile	Si
1.05	SLE RA 14	-0.00002	2.25	10000	350	Variabile	Si

Superelemento in acciaio a quota "640" (2579; 2190)-(2695; 2191)

Caratteristiche del materiale

Acciaio: S275, fyk = 275000

Caratteristiche geometriche

Lunghezza: 1.159

Nodo iniziale: 1122 Nodo finale: 1126

Cerniera iniziale: No Cerniera finale: No

Sovreresistenza: 0% Sisma Z: No

Caratteristiche della sezione

Sezione	Rotazione	Area	Jx	Jy	ix	iy	Wx	Wy	Wplx	Wply
HEA100	0	0.00256	0.0000040418	0.0000015945	0.0397	0.025	0.0000842	0.00003189	0.00009801	0.00004946

Verifiche di resistenza

Verifiche a forza assiale §4.2.4.1.2.1 - §4.2.4.1.2.2 NTC18

X	Comb.	Sfruttamento	Classe	NEd	Nc,Rd	Nt,Rd	Riduzione da taglio	px	py	Verifica
0	SLV 3	0.098	1	-65.389	670.391		1	0	0	Si

Verifiche a forza assiale SLD §4.2.4.1.2.1 - §4.2.4.1.2.2 NTC18

X	Comb.	Sfruttamento	Classe	NEd	Nc,Rd	Nt,Rd	Riduzione da taglio	px	py	Verifica
1.159	SLD 4	0.043	1	-28.929	670.391		1	0	0	Si

Verifica a taglio Y §4.2.4.1.2.4 NTC18

X	Comb.	Sfruttamento	VEd	Vc,Rd	Av	Interazione taglio-torsione	Riduzione torsione	Verifica
0	SLV 4	0.007	1.098	151.182	0.001002	Considerata	1	Si

Verifica a taglio Y SLD §4.2.4.1.2.4 NTC18

X	Comb.	Sfruttamento	VEd	Vc,Rd	Av	Interazione taglio-torsione	Riduzione torsione	Verifica
0	SLD 3	0.004	0.533	151.117	0.001002	Considerata	1	Si

Verifica a torsione §4.2.4.1.2.5 NTC18

X	Comb.	Sfruttamento torsione	TEd	TRd	Riduzione taglio resistente	Sfruttamento taglio-torsione	τEd,totale	τRd	Verifica
0.579	SLU 64	0.018	-0.01803	0.99803	Considerata				Si

Verifica a torsione SLD §4.2.4.1.2.5 NTC18

X	Comb.	Sfruttamento torsione	TEd	TRd	Riduzione taglio resistente	Sfruttamento taglio-torsione	τEd,totale	τRd	Verifica
1.159	SLD 11	0.009	-0.00896	0.99803	Considerata				Si

Verifica a flessione semplice Y §§ 4.2.4.1.2.3 - 4.2.4.1.2.6 - 4.2.4.1.2.7 - 4.2.4.1.2.8 NTC18

X	Comb.	Sfruttamento	Classe	My,Ed	My,Rd	Rid. My,Rd da VEd	px	py	Verifica
0.155	SLU 4	0.001	1	0.01122	12.95326	1	0	0	Si

Verifica a flessione deviata §§ 4.2.4.1.2.3 - 4.2.4.1.2.6 - 4.2.4.1.2.7 - 4.2.4.1.2.8 NTC18

X	Comb.	Sfruttamento	Classe	Mx,Ed	Mx,Rd	My,Ed	My,Rd	Rid. Mx,Rd da VEd	Rid. My,Rd da VEd	α	β	px	py	Verifica
1.159	SLU 4	0.015	1	-0.2696	25.6685	0.0537	12.9533	1	1			0	0	Si

Verifica a presso/tenso flessione retta X §§ 4.2.4.1.2.3 - 4.2.4.1.2.6 - 4.2.4.1.2.7 - 4.2.4.1.2.8 NTC18

Verifiche eseguite utilizzando la formula conservativa (6.2) §6.2.1 EN 1993-1-1:2005.

X	Comb.	Sfruttamento	Classe	NEd	NRd	Rid. NRd da VEd	Mx,Ed	Mx,Rd	Rid. Mx,Rd da VEd	Rid. Mx,Rd da NEd	px	py	Verifica
0	SLU 6	0.039	1	-24.728	670.391	1	-0.0611	25.6685	1		0	0	Si

Verifica a presso/tenso flessione retta X SLD §§ 4.2.4.1.2.3 - 4.2.4.1.2.6 - 4.2.4.1.2.7 - 4.2.4.1.2.8 NTC18

Verifiche eseguite utilizzando la formula conservativa (6.2) §6.2.1 EN 1993-1-1:2005.

X	Comb.	Sfruttamento	Classe	NEd	NRd	Rid. NRd da VEd	Mx,Ed	Mx,Rd	Rid. Mx,Rd da VEd	Rid. Mx,Rd da NEd	px	py	Verifica
0.348	SLD 5	0.004	1	-1.976	670.391	1	0.0245	25.6685	1		0	0	Si

Verifica a presso/tenso flessione retta Y §§ 4.2.4.1.2.3 - 4.2.4.1.2.6 - 4.2.4.1.2.7 - 4.2.4.1.2.8 NTC18

Verifiche eseguite utilizzando la formula conservativa (6.2) §6.2.1 EN 1993-1-1:2005.

X	Comb.	Sfruttamento	Classe	NEd	NRd	Rid. NRd da VEd	My,Ed	My,Rd	Rid. My,Rd da VEd	Rid. My,Rd da NEd	px	py	Verifica
0	SLU 73	0.038	1	-24.943	670.391	1	0.0063	12.9533	1		0	0	Si

Verifica a presso/tenso flessione deviata §§ 4.2.4.1.2.3 - 4.2.4.1.2.6 - 4.2.4.1.2.7 - 4.2.4.1.2.8 NTC18

Verifiche eseguite utilizzando la formula conservativa (6.2) §6.2.1 EN 1993-1-1:2005.

X	Comb.	Sfruttamento	Classe	NEd	NRd	Rid. NRd da VEd	Mx,Ed	Mx,Rd	My,Ed	My,Rd	Rid. Mx,Rd da VEd	Rid. Mx,Rd da NEd	Rid. My,Rd da VEd	Rid. My,Rd da NEd	α	β	px	py	Verifica
1.159	SLV 4	0.167	1	-65.389	670.391	1	-1.4485	25.6685	0.171	12.9533	1		1				0	0	Si

Verifica a presso/tenso flessione deviata SLD §§ 4.2.4.1.2.3 - 4.2.4.1.2.6 - 4.2.4.1.2.7 - 4.2.4.1.2.8 NTC18

Verifiche eseguite utilizzando la formula conservativa (6.2) §6.2.1 EN 1993-1-1:2005.

X	Comb.	Sfruttamento	Classe	NEd	NRd	Rid. NRd da VEd	Mx,Ed	Mx,Rd	My,Ed	My,Rd	Rid. Mx,Rd da VEd	Rid. Mx,Rd da NEd	Rid. My,Rd da VEd	Rid. My,Rd da NEd	α	β	px	py	Verifica
1.159	SLD 4	0.072	1	-28.929	670.391	1	-0.5847	25.6685	0.0809	12.9533	1		1				0	0	Si

Verifiche ad instabilità

Caratteristiche iniziali

Membratura principale per controllo snellezza; Calcolo di snellezze ed N critici condotti secondo gli assi principali;

Curva X: b; Curva Y: c; Svergolamento: Carico all'estradosso; Curva svergolamento: b;

Implementazione dei sistemi di confinamento delle emissioni odorigene diffuse dell'impianto di compostaggio esistente nel
Comune di Eboli (SA)

PROGETTO DEFINITIVO – Tabulati di calcolo Tomo 1

Dati per instabilità attorno a x

Controllo della snellezza secondo §4.2.4.1.3.1 NTC18

Numero rit.	Presente	Ascissa	Campata	$\beta x/m$	Vincolo a entrambi estremi	$\lambda x/m$	λVer
1	Si	0	1-2	1	Si	29.2	Si, (<200)
2	Si	1.159					

Dati per instabilità attorno a y

Controllo della snellezza secondo §4.2.4.1.3.1 NTC18

Numero rit.	Presente	Ascissa	Campata	$\beta y/n$	k,LT	kw,LT	Vincolo a entrambi estremi	$\lambda y/n$	λVer
1	Si	0	1-2	1	1	1	Si	46.4	Si, (<200)
2	Si	1.159							

Verifica di stabilità per tenso-flessione deviata §§ 5.5.3-5.5.4 ENV 1993-1-1:1992 + AC:1992 + A1:1994 + A2:1998

X	Comb.	Sfruttamento	Classe	NEd	Mx,Ed	Mx,Eff,Ed	My,Ed	χ_{LT}	kLT	ky	M,critico	Wx	Wy	Verifica
1.159	SLV 10	0.013	1	42.398	1.10868	0.13234	-0.10703	1	1	1	236.26136	0.000098	0.0000495	Si

Verifica di stabilità per tenso-flessione deviata SLD §§ 5.5.3-5.5.4 ENV 1993-1-1:1992 + AC:1992 + A1:1994 + A2:1998

X	Comb.	Sfruttamento	Classe	NEd	Mx,Ed	Mx,Eff,Ed	My,Ed	χ_{LT}	kLT	ky	M,critico	Wx	Wy	Verifica
1.159	SLD 10	0.005	1	6.18	0.24981	0.10748	-0.01076	1	1	1	217.23565	0.000098	0.0000495	Si

Verifica di stabilità per pressoflessione §C.4.2.4.1.3.3.2 NTC18

X	Comb.	Sfruttamento	Classe	NEd	NRk	Mx,Ed max	Mx,Rk	My,Ed max	My,Rk	χ_x	χ_y	kxx	kxy	kyy	χ_{LT}	Verifica
1.12	SLV 3	0.185	1	-65.389	703.911	1.44851	26.95195	0.17099	13.60093	0.951	0.823	0.714	0.478	0.986	0.796	1 Si

Verifica di stabilità per pressoflessione SLD §C.4.2.4.1.3.3.2 NTC18

X	Comb.	Sfruttamento	Classe	NEd	NRk	Mx,Ed max	Mx,Rk	My,Ed max	My,Rk	χ_x	χ_y	kxx	kxy	kyy	χ_{LT}	Verifica
1.159	SLD 4	0.08	1	-28.929	703.911	0.58465	26.95195	0.08085	13.60093	0.951	0.823	0.721	0.441	0.994	0.734	1 Si

Verifica di stabilità a taglio anima Y §4.2.4.1.2.4 [4.2.27] NTC18

η	hw	tw	hw/tw max	Verifica
1.2	0.077	0.006	55.46	Si

Verifica di stabilità a taglio anima Y SLD §4.2.4.1.2.4 [4.2.27] NTC18

η	hw	tw	hw/tw max	Verifica
1.2	0.077	0.006	55.46	Si

Verifiche a deformabilità

Mensola X: No; Mensola Y: No.

Frecce lungo X

Ascissa freccia	Combinazione	Freccia	Luce	L/f	L/f,min	Tipo	Verifica
0.657	SLE RA 1	-0.00001	1.159	10000	250	Totale	Si
0.657	SLE RA 17	-0.00001	1.159	10000	250	Totale	Si
0.657	SLE RA 16	-0.00002	1.159	10000	250	Totale	Si
0.657	SLE RA 15	-0.00002	1.159	10000	250	Totale	Si
0.657	SLE RA 14	-0.00001	1.159	10000	250	Totale	Si
0.657	SLE RA 2	0.00001	1.159	10000	350	Variabile	Si
0.657	SLE RA 17	0	1.159	10000	350	Variabile	Si
0.657	SLE RA 16	-0.00001	1.159	10000	350	Variabile	Si
0.657	SLE RA 15	-0.00001	1.159	10000	350	Variabile	Si
0.657	SLE RA 14	0	1.159	10000	350	Variabile	Si

Frecce lungo Y

Ascissa freccia	Combinazione	Freccia	Luce	L/f	L/f,min	Tipo	Verifica
0.657	SLE RA 1	-0.00002	1.159	10000	250	Totale	Si
0.657	SLE RA 17	-0.00003	1.159	10000	250	Totale	Si
0.657	SLE RA 16	-0.00004	1.159	10000	250	Totale	Si
0.657	SLE RA 15	-0.00003	1.159	10000	250	Totale	Si
0.618	SLE RA 14	-0.00003	1.159	10000	250	Totale	Si
0.657	SLE RA 2	0.00001	1.159	10000	350	Variabile	Si
0.657	SLE RA 17	-0.00001	1.159	10000	350	Variabile	Si
0.657	SLE RA 16	-0.00001	1.159	10000	350	Variabile	Si
0.695	SLE RA 15	-0.00001	1.159	10000	350	Variabile	Si
0.579	SLE RA 14	-0.00001	1.159	10000	350	Variabile	Si

Superelemento in acciaio a quota "640" (2695; 2188)-(2695; 2291)

Caratteristiche del materiale

Acciaio: S275, fyk = 275000

Caratteristiche geometriche

Lunghezza: 1.025

Nodo iniziale: 1123 Nodo finale: 1182

Cerniera iniziale: Mmomenti 1% Cerniera finale: Mmomenti 1%

Sovreresistenza: 0% Sisma Z: No

Caratteristiche della sezione

Sezione	Rotazione	Area	Jx	Jy	ix	iy	Wx	Wy	Wplx	Wply
A1; L100*10; 1; Saldato; S275; 20; 1; 8; 8; 1	180	0.003832	0.0000035319	0.000007759	0.0304	0.045	0.0000492	0.0000739	0.00008974	0.00012727

Comportamento dei calastrelli

Accoppiamento imbottito avendo passo inferiore al minimo richiesto (§C4.2.4.1.3.1.5 NTC18) nella campata compresa tra le ascisse 0 e 1.025 per sbandamento attorno all'asse y.

Implementazione dei sistemi di confinamento delle emissioni odorigene diffuse dell'impianto di compostaggio esistente nel
Comune di Eboli (SA)
PROGETTO DEFINITIVO – Tabulati di calcolo Tomo 1

Verifiche di resistenza

Verifiche a forza assiale §4.2.4.1.2.1 - §4.2.4.1.2.2 NTC18

X	Comb.	Sfruttamento	Classe	NEd	Nc,Rd	Nt,Rd	Riduzione da taglio	px	py	Verifica
0.034	SLV 7	0.002		1.569		1003.522	1	0	0	Si

Verifiche a forza assiale SLD §4.2.4.1.2.1 - §4.2.4.1.2.2 NTC18

X	Comb.	Sfruttamento	Classe	NEd	Nc,Rd	Nt,Rd	Riduzione da taglio	px	py	Verifica
0.957	SLD 8	0.001		0.817		1003.522	1	0	0	Si

Verifica a taglio Y §4.2.4.1.2.4 NTC18

X	Comb.	Sfruttamento	VEd	Vc,Rd	Av	Interazione taglio-torsione	Riduzione torsione	Verifica
1.025	SLU 75	0.001	0.419	302.422	0.002	Non considerata		Si

Verifica a taglio Y SLD §4.2.4.1.2.4 NTC18

X	Comb.	Sfruttamento	VEd	Vc,Rd	Av	Interazione taglio-torsione	Riduzione torsione	Verifica
1.025	SLD 12	0.001	0.263	302.422	0.002	Non considerata		Si

Verifica a flessione semplice X §§ 4.2.4.1.2.3 - 4.2.4.1.2.6 - 4.2.4.1.2.7 - 4.2.4.1.2.8 NTC18

X	Comb.	Sfruttamento	Classe	Mx,Ed	Mx,Rd	Rid. Mx,Rd da VEd	px	py	Verifica
0.342	SLU 62	0.004	1	0.0917	23.50374	1	0	0	Si

Verifica a flessione semplice X SLD §§ 4.2.4.1.2.3 - 4.2.4.1.2.6 - 4.2.4.1.2.7 - 4.2.4.1.2.8 NTC18

X	Comb.	Sfruttamento	Classe	Mx,Ed	Mx,Rd	Rid. Mx,Rd da VEd	px	py	Verifica
0.889	SLD 5	0.001	1	0.02927	23.50374	1	0	0	Si

Verifica a flessione semplice Y §§ 4.2.4.1.2.3 - 4.2.4.1.2.6 - 4.2.4.1.2.7 - 4.2.4.1.2.8 NTC18

X	Comb.	Sfruttamento	Classe	My,Ed	My,Rd	Rid. My,Rd da VEd	px	py	Verifica
1.025	SLV 15	0.001	1	0.04124	33.33162	1	0	0	Si

Verifica a flessione semplice Y SLD §§ 4.2.4.1.2.3 - 4.2.4.1.2.6 - 4.2.4.1.2.7 - 4.2.4.1.2.8 NTC18

X	Comb.	Sfruttamento	Classe	My,Ed	My,Rd	Rid. My,Rd da VEd	px	py	Verifica
1.025	SLD 15	0.001	1	0.0181	33.33162	1	0	0	Si

Verifica a flessione deviata §§ 4.2.4.1.2.3 - 4.2.4.1.2.6 - 4.2.4.1.2.7 - 4.2.4.1.2.8 NTC18

X	Comb.	Sfruttamento	Classe	Mx,Ed	Mx,Rd	My,Ed	My,Rd	Rid. Mx,Rd da VEd	Rid. My,Rd da VEd	α	β	px	py	Verifica
0	SLV 15	0.008	1	0.1479	23.5037	-0.0419	33.3316	1	1			0	0	Si

Verifica a flessione deviata SLD §§ 4.2.4.1.2.3 - 4.2.4.1.2.6 - 4.2.4.1.2.7 - 4.2.4.1.2.8 NTC18

X	Comb.	Sfruttamento	Classe	Mx,Ed	Mx,Rd	My,Ed	My,Rd	Rid. Mx,Rd da VEd	Rid. My,Rd da VEd	α	β	px	py	Verifica
0.103	SLD 16	0.005	1	0.1144	23.5037	-0.0204	33.3316	1	1			0	0	Si

Verifica a presso/tenso flessione retta X §§ 4.2.4.1.2.3 - 4.2.4.1.2.6 - 4.2.4.1.2.7 - 4.2.4.1.2.8 NTC18

Verifiche eseguite utilizzando la formula conservativa (6.2) §6.2.1 EN 1993-1-1:2005.

X	Comb.	Sfruttamento	Classe	NEd	NRd	Rid. NRd da VEd	Mx,Ed	Mx,Rd	Rid. Mx,Rd da VEd	Rid. Mx,Rd da NEd	px	py	Verifica
0.513	SLU 75	0.008	1	1.088	1003.522	1	0.1703	23.5037	1		0	0	Si

Verifica a presso/tenso flessione retta X SLD §§ 4.2.4.1.2.3 - 4.2.4.1.2.6 - 4.2.4.1.2.7 - 4.2.4.1.2.8 NTC18

Verifiche eseguite utilizzando la formula conservativa (6.2) §6.2.1 EN 1993-1-1:2005.

X	Comb.	Sfruttamento	Classe	NEd	NRd	Rid. NRd da VEd	Mx,Ed	Mx,Rd	Rid. Mx,Rd da VEd	Rid. Mx,Rd da NEd	px	py	Verifica
0.137	SLD 11	0.006	1	0.682	1003.522	1	0.1181	23.5037	1		0	0	Si

Verifica a presso/tenso flessione retta Y §§ 4.2.4.1.2.3 - 4.2.4.1.2.6 - 4.2.4.1.2.7 - 4.2.4.1.2.8 NTC18

Verifiche eseguite utilizzando la formula conservativa (6.2) §6.2.1 EN 1993-1-1:2005.

X	Comb.	Sfruttamento	Classe	NEd	NRd	Rid. NRd da VEd	My,Ed	My,Rd	Rid. My,Rd da VEd	Rid. My,Rd da NEd	px	py	Verifica
1.025	SLV 11	0.002	1	1.157	1003.522	1	0.0409	33.3316	1		0	0	Si

Verifica a presso/tenso flessione retta Y SLD §§ 4.2.4.1.2.3 - 4.2.4.1.2.6 - 4.2.4.1.2.7 - 4.2.4.1.2.8 NTC18

Verifiche eseguite utilizzando la formula conservativa (6.2) §6.2.1 EN 1993-1-1:2005.

X	Comb.	Sfruttamento	Classe	NEd	NRd	Rid. NRd da VEd	My,Ed	My,Rd	Rid. My,Rd da VEd	Rid. My,Rd da NEd	px	py	Verifica
1.025	SLD 11	0.001	1	0.682	1003.522	1	0.0179	33.3316	1		0	0	Si

Verifica a presso/tenso flessione deviata §§ 4.2.4.1.2.3 - 4.2.4.1.2.6 - 4.2.4.1.2.7 - 4.2.4.1.2.8 NTC18

Verifiche eseguite utilizzando la formula conservativa (6.2) §6.2.1 EN 1993-1-1:2005.

X	Comb.	Sfruttamento	Classe	NEd	NRd	Rid. NRd da VEd	Mx,Ed	Mx,Rd	My,Ed	My,Rd	Rid. Mx,Rd da VEd	Rid. Mx,Rd da NEd	Rid. My,Rd da VEd	Rid. My,Rd da NEd	α	β	px	py	Verifica
0	SLU 75	0.012	1	1.088	1003.522	1	0.2311	23.5037	-0.0223	33.3316	1		1				0	0	Si

Verifica a presso/tenso flessione deviata SLD §§ 4.2.4.1.2.3 - 4.2.4.1.2.6 - 4.2.4.1.2.7 - 4.2.4.1.2.8 NTC18

Verifiche eseguite utilizzando la formula conservativa (6.2) §6.2.1 EN 1993-1-1:2005.

X	Comb.	Sfruttamento	Classe	NEd	NRd	Rid. NRd da VEd	Mx,Ed	Mx,Rd	My,Ed	My,Rd	Rid. Mx,Rd da VEd	Rid. Mx,Rd da NEd	Rid. My,Rd da VEd	Rid. My,Rd da NEd	α	β	px	py	Verifica
0.171	SLD 7	0.006	1	0.817	1003.522	1	0.1112	23.5037	0.0134	33.3316	1		1				0	0	Si

Verifiche ad instabilità

Caratteristiche iniziali

Membratura principale per controllo snellezza; Calcolo di snellezze ed N critici condotti secondo gli assi principali;

Curva X: c; Curva Y: c;

Svergolamento: Nessuno; la verifica a instabilità flesso-torsionale (svergolamento) non verrà eseguita.

Dati per instabilità attorno a x

Controllo della snellezza secondo §4.2.4.1.3.1 NTC18

Implementazione dei sistemi di confinamento delle emissioni odorigene diffuse dell’impianto di compostaggio esistente nel
Comune di Eboli (SA)
PROGETTO DEFINITIVO – Tabulati di calcolo Tomo 1

Numero rit.	Presente	Ascissa	Campata	$\beta x/m$	Vincolo a entrambi estremi	$\lambda x/m$	λVer
1	Si	0	1-2	1	Si	33.8	Si, (<200)
2	Si	1.025					

Dati per instabilità attorno a y

Controllo della snellezza secondo §4.2.4.1.3.1 NTC18

Numero rit.	Presente	Ascissa	Campata	$\beta y/n$	k,LT	kw,LT	Vincolo a entrambi estremi
1	Si	0	1-2	1	Si	22.8	Si, (<200)
2	Si	1.025					

Verifica di stabilità per pressoflessione §C.4.2.4.1.3.3.1 NTC18

X	Comb.	Sfruttamento	Classe	NEd	MxEq,Ed	MyEq,Ed	Area	Wx	Wy	χ_{min}	λ adim. x/m	λ adim. y/n	N,crit x/m	N,crit y/n	Verifica
0.957	SLV 14	0.007	1	-0.52	0.1111	-0.0577	0.003832	0.0000897	0.0001273	0.903	0.389	0.262	6962.791	15296.065	Si

Verifica di stabilità per pressoflessione SLD §C.4.2.4.1.3.3.1 NTC18

X	Comb.	Sfruttamento	Classe	NEd	MxEq,Ed	MyEq,Ed	Area	Wx	Wy	χ_{min}	λ adim. x/m	λ adim. y/n	N,crit x/m	N,crit y/n	Verifica
1.025	SLD 16	0.005	1	0	0.1084	-0.0168	0.003832	0.0000897	0.0001273	0.903	0.389	0.262	6962.791	15296.065	Si

Verifiche a deformabilità

Mensola X: No; Mensola Y: No.

Frecce lungo X

Ascissa freccia	Combinazione	Freccia	Luce	L/f	L/f,min	Tipo	Verifica
0.376	SLE RA 1	0	1.025	10000	250	Totale	Si
0.376	SLE RA 17	0	1.025	10000	250	Totale	Si
0.376	SLE RA 16	0	1.025	10000	250	Totale	Si
0.41	SLE RA 15	0	1.025	10000	250	Totale	Si
0.376	SLE RA 14	0	1.025	10000	250	Totale	Si
0.376	SLE RA 2	0	1.025	10000	350	Variabile	Si
0.41	SLE RA 17	0	1.025	10000	350	Variabile	Si
0.376	SLE RA 16	0	1.025	10000	350	Variabile	Si
0.444	SLE RA 15	0	1.025	10000	350	Variabile	Si
0.342	SLE RA 14	0	1.025	10000	350	Variabile	Si

Frecce lungo Y

Ascissa freccia	Combinazione	Freccia	Luce	L/f	L/f,min	Tipo	Verifica
0.478	SLE RA 1	0.00001	1.025	10000	250	Totale	Si
0.478	SLE RA 17	0.00002	1.025	10000	250	Totale	Si
0.444	SLE RA 16	0.00002	1.025	10000	250	Totale	Si
0.478	SLE RA 15	0.00002	1.025	10000	250	Totale	Si
0.478	SLE RA 14	0.00002	1.025	10000	250	Totale	Si
0.444	SLE RA 2	-0.00001	1.025	10000	350	Variabile	Si
0.444	SLE RA 17	0	1.025	10000	350	Variabile	Si
0.444	SLE RA 16	0.00001	1.025	10000	350	Variabile	Si
0.444	SLE RA 15	0	1.025	10000	350	Variabile	Si
0.444	SLE RA 14	0	1.025	10000	350	Variabile	Si

Superelemento in acciaio a quota "640" (2695; 2191)-<div>

Caratteristiche del materiale

Acciaio: S275, fyk = 275000

Caratteristiche geometriche

Lunghezza: 1.166

Nodo iniziale: 1126 Nodo finale: 1129

Cerniera iniziale: No Cerniera finale: No

Sovreresistenza: 0% Sisma Z: No

Caratteristiche della sezione

Sezione	Rotazione	Area	Jx	Jy	ix	iy	Wx	Wy	Wplx	Wply
HEA100	0	0.00256	0.0000040418	0.0000015945	0.0397	0.025	0.0000842	0.00003189	0.00009801	0.00004946

Verifiche di resistenza

Verifiche a forza assiale §4.2.4.1.2.1 - §4.2.4.1.2.2 NTC18

X	Comb.	Sfruttamento	Classe	NEd	Nc,Rd	Nt,Rd	Riduzione da taglio	px	py	Verifica
1.127	SLV 4	0.136	1	-90.88	670.391		1	0	0	Si

Verifiche a forza assiale SLD §4.2.4.1.2.1 - §4.2.4.1.2.2 NTC18

X	Comb.	Sfruttamento	Classe	NEd	Nc,Rd	Nt,Rd	Riduzione da taglio	px	py	Verifica
1.166	SLD 4	0.051	1	-33.932	670.391		1	0	0	Si

Verifica a taglio X §4.2.4.1.2.4 NTC18

X	Comb.	Sfruttamento	VEd	Vc,Rd	Av	Interazione taglio-torsione	Riduzione torsione	Verifica
1.166	SLV 7	0.001	-0.309	309.447	0.002098	Considerata	0.98	Si

Verifica a taglio Y §4.2.4.1.2.4 NTC18

X	Comb.	Sfruttamento	VEd	Vc,Rd	Av	Interazione taglio-torsione	Riduzione torsione	Verifica
1.166	SLV 7	0.013	-1.927	147.766	0.001002	Considerata	0.98	Si

Verifica a taglio Y SLD §4.2.4.1.2.4 NTC18

X	Comb.	Sfruttamento	VEd	Vc,Rd	Av	Interazione taglio-torsione	Riduzione torsione	Verifica
---	-------	--------------	-----	-------	----	-----------------------------	--------------------	----------

1336

Sismicad 12.19 - Licenza assegnata a Arethusa Srl - Via G. Rossini, 14 - Casoria (NA)

**Implementazione dei sistemi di confinamento delle emissioni odorigene diffuse dell'impianto di compostaggio esistente nel
Comune di Eboli (SA)**

PROGETTO DEFINITIVO – Tabulati di calcolo Tomo 1

X	Comb.	Sfruttamento	VEd	Vc,Rd	Av	Interazione taglio-torsione	Riduzione torsione	Verifica
1.166	SLD 7	0.007	-1.104	150.504	0.001002	Considerata	0.99	Si

Verifica a torsione §4.2.4.1.2.5 NTC18

X	Comb.	Sfruttamento torsione	TEd	TRd	Riduzione taglio resistente	Sfruttamento taglio-torsione	rEd,totale	rRd	Verifica
0.272	SLV 10	0.072	0.07151	0.99803	Considerata				Si

Verifica a torsione SLD §4.2.4.1.2.5 NTC18

X	Comb.	Sfruttamento torsione	TEd	TRd	Riduzione taglio resistente	Sfruttamento taglio-torsione	rEd,totale	rRd	Verifica
1.088	SLD 10	0.027	0.0271	0.99803	Considerata				Si

Verifica a presso/flessione retta X §§ 4.2.4.1.2.3 - 4.2.4.1.2.6 - 4.2.4.1.2.7 - 4.2.4.1.2.8 NTC18

Verifiche eseguite utilizzando la formula conservativa (6.2) §6.2.1 EN 1993-1-1:2005.

X	Comb.	Sfruttamento	Classe	NEd	NRd	Rid. NRd da VEd	Mx,Ed	Mx,Rd	Rid. Mx,Rd da VEd	Rid. Mx,Rd da NEd	px	py	Verifica
0.7	SLV 3	0.149	1	-90.88	670.391	1	-0.3464	25.6685	1		0	0	Si

Verifica a presso/tenso flessione retta X SLD §§ 4.2.4.1.2.3 - 4.2.4.1.2.6 - 4.2.4.1.2.7 - 4.2.4.1.2.8 NTC18

Verifiche eseguite utilizzando la formula conservativa (6.2) §6.2.1 EN 1993-1-1:2005.

X	Comb.	Sfruttamento	Classe	NEd	NRd	Rid. NRd da VEd	Mx,Ed	Mx,Rd	Rid. Mx,Rd da VEd	Rid. Mx,Rd da NEd	px	py	Verifica
0.622	SLD 4	0.055	1	-33.932	670.391	1	-0.1178	25.6685	1		0	0	Si

Verifica a presso/tenso flessione retta Y §§ 4.2.4.1.2.3 - 4.2.4.1.2.6 - 4.2.4.1.2.7 - 4.2.4.1.2.8 NTC18

Verifiche eseguite utilizzando la formula conservativa (6.2) §6.2.1 EN 1993-1-1:2005.

X	Comb.	Sfruttamento	Classe	NEd	NRd	Rid. NRd da VEd	My,Ed	My,Rd	Rid. My,Rd da VEd	Rid. My,Rd da NEd	px	py	Verifica
0.544	SLU 76	0.025	1	-15.704	670.391	1	-0.0152	12.9533	1		0	0	Si

Verifica a presso/tenso flessione retta Y SLD §§ 4.2.4.1.2.3 - 4.2.4.1.2.6 - 4.2.4.1.2.7 - 4.2.4.1.2.8 NTC18

Verifiche eseguite utilizzando la formula conservativa (6.2) §6.2.1 EN 1993-1-1:2005.

X	Comb.	Sfruttamento	Classe	NEd	NRd	Rid. NRd da VEd	My,Ed	My,Rd	Rid. My,Rd da VEd	Rid. My,Rd da NEd	px	py	Verifica
0.739	SLD 3	0.053	1	-33.932	670.391	1	-0.0306	12.9533	1		0	0	Si

Verifica a presso/tenso flessione deviata §§ 4.2.4.1.2.3 - 4.2.4.1.2.6 - 4.2.4.1.2.7 - 4.2.4.1.2.8 NTC18

Verifiche eseguite utilizzando la formula conservativa (6.2) §6.2.1 EN 1993-1-1:2005.

X	Comb.	Sfruttamento	Classe	NEd	NRd	Rid. NRd da VEd	Mx,Ed	Mx,Rd	My,Ed	My,Rd	Rid. Mx,Rd da VEd	Rid. Mx,Rd da NEd	Rid. My,Rd da VEd	Rid. My,Rd da NEd	α	β	px	py	Verifica
0	SLV 3	0.211	1	-90.88	670.391	1	-1.5815	25.6685	0.1803	12.9533	1		1				0	0	Si

Verifica a presso/tenso flessione deviata SLD §§ 4.2.4.1.2.3 - 4.2.4.1.2.6 - 4.2.4.1.2.7 - 4.2.4.1.2.8 NTC18

Verifiche eseguite utilizzando la formula conservativa (6.2) §6.2.1 EN 1993-1-1:2005.

X	Comb.	Sfruttamento	Classe	NEd	NRd	Rid. NRd da VEd	Mx,Ed	Mx,Rd	My,Ed	My,Rd	Rid. Mx,Rd da VEd	Rid. Mx,Rd da NEd	Rid. My,Rd da VEd	Rid. My,Rd da NEd	α	β	px	py	Verifica
0	SLD 3	0.083	1	-33.932	670.391	1	-0.6978	25.6685	0.0722	12.9533	1		1				0	0	Si

Verifiche ad instabilità

Caratteristiche iniziali

Membratura principale per controllo snellezza; Calcolo di snellezze ed N critici condotti secondo gli assi principali;

Curva X: b; Curva Y: c; Svergolamento: Carico all'estradosso; Curva svergolamento: b;

Dati per instabilità attorno a x

Controllo della snellezza secondo §4.2.4.1.3.1 NTC18

Numero rit.	Presente	Ascissa	Campata	βx/m	Vincolo a entrambi estremi	λx/m	λVer
1	Si	0					
			1-2		1	29.3	Si, (<200)
2	Si	1.166					

Dati per instabilità attorno a y

Controllo della snellezza secondo §4.2.4.1.3.1 NTC18

Numero rit.	Presente	Ascissa	Campata	βy/n	k _{LT}	k _{w,LT}	Vincolo a entrambi estremi	λy/n	λVer
1	Si	0							
			1-2		1	1	Si	46.7	Si, (<200)
2	Si	1.166							

Verifica di stabilità per tenso-flessione deviata SLD §§ 5.5.3-5.5.4 ENV 1993-1-1:1992 + AC:1992 + A1:1994 + A2:1998

X	Comb.	Sfruttamento	Classe	NEd	Mx,Ed	Mx,Ed,Ed	My,Ed	χ _{LT}	k _{LT}	ky	M _{critico}	W _x	W _y	Verifica
1.166	SLD 16	0.01	1	8.547	0.39564	0.19882	-0.0212	0.973	1	1	122.41005	0.000098	0.0000495	Si

Verifica di stabilità per pressoflessione §C.4.2.4.1.3.3.2 NTC18

X	Comb.	Sfruttamento	Classe	NEd	NRk	Mx,Ed max	Mx,Rk	My,Ed max	My,Rk	χ _x	χ _y	k _{xx}	k _{xy}	k _{yx}	k _{yy}	χ _{LT}	Verifica
0.583	SLV 4	0.232	1	-90.88	703.911	1.58154	26.95195	0.18034	13.60093	0.95	0.821	0.492	0.259	0.962	0.431	0.973	Si

Verifica di stabilità per pressoflessione SLD §C.4.2.4.1.3.3.2 NTC18

X	Comb.	Sfruttamento	Classe	NEd	NRk	Mx,Ed max	Mx,Rk	My,Ed max	My,Rk	χ _x	χ _y	k _{xx}	k _{xy}	k _{yx}	k _{yy}	χ _{LT}	Verifica
1.166	SLD 4	0.091	1	-33.932	703.911	0.69784	26.95195	0.07845	13.60093	0.95	0.821	0.403	0.247	0.978	0.412	0.973	Si

Verifica di stabilità a taglio anima Y §4.2.4.1.2.4 [4.2.27] NTC18

η	hw	tw	hw/tw max	Verifica
1.2	0.077	0.006	55.46	Si

Verifica di stabilità a taglio anima Y SLD §4.2.4.1.2.4 [4.2.27] NTC18

η	hw	tw	hw/tw max	Verifica
1.2	0.077	0.006	55.46	Si

Verifiche a deformabilità

Mensola X: No; Mensola Y: No.

Implementazione dei sistemi di confinamento delle emissioni odorigene diffuse dell'impianto di compostaggio esistente nel
Comune di Eboli (SA)
PROGETTO DEFINITIVO – Tabulati di calcolo Tomo 1

Frecce lungo X

Ascissa freccia	Combinazione	Freccia	Luce	L/f	L/f,min	Tipo	Verifica
0.777	SLE RA 1	0.00001	1.166	10000	250	Totale	Si
0.777	SLE RA 17	0.00001	1.166	10000	250	Totale	Si
0.777	SLE RA 16	0.00001	1.166	10000	250	Totale	Si
0.777	SLE RA 15	0.00001	1.166	10000	250	Totale	Si
0.739	SLE RA 14	0.00001	1.166	10000	250	Totale	Si
0.777	SLE RA 2	0	1.166	10000	350	Variabile	Si
0.777	SLE RA 17	0	1.166	10000	350	Variabile	Si
0.777	SLE RA 16	0	1.166	10000	350	Variabile	Si
0.855	SLE RA 15	0	1.166	10000	350	Variabile	Si
0.7	SLE RA 14	0	1.166	10000	350	Variabile	Si

Frecce lungo Y

Ascissa freccia	Combinazione	Freccia	Luce	L/f	L/f,min	Tipo	Verifica
0.855	SLE RA 1	0.00001	1.166	10000	250	Totale	Si
0.855	SLE RA 17	0.00002	1.166	10000	250	Totale	Si
0.855	SLE RA 16	0.00002	1.166	10000	250	Totale	Si
0.894	SLE RA 15	0.00002	1.166	10000	250	Totale	Si
0.855	SLE RA 14	0.00002	1.166	10000	250	Totale	Si
0.855	SLE RA 2	-0.00001	1.166	10000	350	Variabile	Si
0.855	SLE RA 17	0	1.166	10000	350	Variabile	Si
0.855	SLE RA 16	0.00001	1.166	10000	350	Variabile	Si
0.272	SLE RA 15	0	1.166	10000	350	Variabile	Si
0.777	SLE RA 14	0.00001	1.166	10000	350	Variabile	Si

Superelemento in acciaio a quota "640" (2695; 2293)-(2695; 2393)

Caratteristiche del materiale

Acciaio: S275, fyk = 275000

Caratteristiche geometriche

Lunghezza: 1

Nodo iniziale: 1181 Nodo finale: 1226

Cerniera iniziale: Mmomenti 1% Cerniera finale: Mmomenti 1%

Sovraresistenza: 0% Sisma Z: No

Caratteristiche della sezione

Sezione	Rotazione	Area	Jx	Jy	ix	iy	Wx	Wy	Wplx	Wply
A1; L100*10; 1; Saldato; S275; 20; 1; 8; 8; 1	180	0.003832	0.0000035319	0.0000077759	0.0304	0.045	0.0000492	0.0000739	0.00008974	0.00012727

Comportamento dei calastrelli

Accoppiamento imbottito avendo passo inferiore al minimo richiesto (§C4.2.4.1.3.1.5 NTC18) nella campata compresa tra le ascisse 0 e 1 per sbandamento attorno all'asse y.

Verifiche di resistenza

Verifiche a forza assiale §4.2.4.1.2.1 - §4.2.4.1.2.2 NTC18

X	Comb.	Sfruttamento	Classe	NEd	Nc,Rd	Nt,Rd	Riduzione da taglio	px	py	Verifica
0.467	SLU 75	0.051		51.34		1003.522	1	0	0	Si

Verifiche a forza assiale SLD §4.2.4.1.2.1 - §4.2.4.1.2.2 NTC18

X	Comb.	Sfruttamento	Classe	NEd	Nc,Rd	Nt,Rd	Riduzione da taglio	px	py	Verifica
1	SLD 10	0.028		28.392		1003.522	1	0	0	Si

Verifica a flessione semplice X §§ 4.2.4.1.2.3 - 4.2.4.1.2.6 - 4.2.4.1.2.7 - 4.2.4.1.2.8 NTC18

X	Comb.	Sfruttamento	Classe	Mx,Ed	Mx,Rd	Rid. Mx,Rd da VEd	px	py	Verifica
0.5	SLU 2	0.002	1	0.03736	23.50374	1	0	0	Si

Verifica a presso/tenso flessione retta X §§ 4.2.4.1.2.3 - 4.2.4.1.2.6 - 4.2.4.1.2.7 - 4.2.4.1.2.8 NTC18

Verifiche eseguite utilizzando la formula conservativa (6.2) §6.2.1 EN 1993-1-1:2005.

X	Comb.	Sfruttamento	Classe	NEd	NRd	Rid. NRd da VEd	Mx,Ed	Mx,Rd	Rid. Mx,Rd da VEd	Rid. Mx,Rd da NEd	px	py	Verifica
0.5	SLU 75	0.053	1	51.34	1003.522	1	0.05	23.5037	1		0	0	Si

Verifica a presso/tenso flessione retta X SLD §§ 4.2.4.1.2.3 - 4.2.4.1.2.6 - 4.2.4.1.2.7 - 4.2.4.1.2.8 NTC18

Verifiche eseguite utilizzando la formula conservativa (6.2) §6.2.1 EN 1993-1-1:2005.

X	Comb.	Sfruttamento	Classe	NEd	NRd	Rid. NRd da VEd	Mx,Ed	Mx,Rd	Rid. Mx,Rd da VEd	Rid. Mx,Rd da NEd	px	py	Verifica
0.933	SLD 10	0.029	1	28.392	1003.522	1	0.0098	23.5037	1		0	0	Si

Verifica a presso/tenso flessione retta Y §§ 4.2.4.1.2.3 - 4.2.4.1.2.6 - 4.2.4.1.2.7 - 4.2.4.1.2.8 NTC18

Verifiche eseguite utilizzando la formula conservativa (6.2) §6.2.1 EN 1993-1-1:2005.

X	Comb.	Sfruttamento	Classe	NEd	NRd	Rid. NRd da VEd	My,Ed	My,Rd	Rid. My,Rd da VEd	Rid. My,Rd da NEd	px	py	Verifica
0	SLU 76	0.047	1	46.899	1003.522	1	-0.0086	33.3316	1		0	0	Si

Verifica a presso/tenso flessione retta Y SLD §§ 4.2.4.1.2.3 - 4.2.4.1.2.6 - 4.2.4.1.2.7 - 4.2.4.1.2.8 NTC18

Verifiche eseguite utilizzando la formula conservativa (6.2) §6.2.1 EN 1993-1-1:2005.

X	Comb.	Sfruttamento	Classe	NEd	NRd	Rid. NRd da VEd	My,Ed	My,Rd	Rid. My,Rd da VEd	Rid. My,Rd da NEd	px	py	Verifica
0	SLD 14	0.029	1	28.356	1003.522	1	-0.0209	33.3316	1		0	0	Si

Verifica a presso/tenso flessione deviata §§ 4.2.4.1.2.3 - 4.2.4.1.2.6 - 4.2.4.1.2.7 - 4.2.4.1.2.8 NTC18

Verifiche eseguite utilizzando la formula conservativa (6.2) §6.2.1 EN 1993-1-1:2005.

Implementazione dei sistemi di confinamento delle emissioni odorigene diffuse dell'impianto di compostaggio esistente nel
Comune di Eboli (SA)

PROGETTO DEFINITIVO – Tabulati di calcolo Tomo 1

X	Comb.	Sfruttamento	Classe	NEd	NRd	Rid. NRd da VEd	Mx,Ed	Mx,Rd	My,Ed	My,Rd	Rid. Mx,Rd da VEd	Rid. Mx,Rd da NEd	Rid. My,Rd da VEd	Rid. My,Rd da NEd	α	β	ρ_x	ρ_y	Verifica
0.1	SLU 76	0.048	1	46.899	1003.522	1	0.0188	23.5037	-0.0077	33.3316	1		1				0	0	Si

Verifica a presso/tenso flessione deviata SLD §§ 4.2.4.1.2.3 - 4.2.4.1.2.6 - 4.2.4.1.2.7 - 4.2.4.1.2.8 NTC18

Verifiche eseguite utilizzando la formula conservativa (6.2) §6.2.1 EN 1993-1-1:2005.

X	Comb.	Sfruttamento	Classe	NEd	NRd	Rid. NRd da VEd	Mx,Ed	Mx,Rd	My,Ed	My,Rd	Rid. Mx,Rd da VEd	Rid. Mx,Rd da NEd	Rid. My,Rd da VEd	Rid. My,Rd da NEd	α	β	ρ_x	ρ_y	Verifica
0.467	SLD 9	0.031	1	28.392	1003.522	1	0.0379	23.5037	-0.0233	33.3316	1		1				0	0	Si

Verifiche ad instabilità

Caratteristiche iniziali

Membratura principale per controllo snellezza; Calcolo di snellezze ed N critici condotti secondo gli assi principali;

Curva X: c; Curva Y: c;

Svergolamento: Nessuno; la verifica a instabilità flessione-torsionale (svergolamento) non verrà eseguita.

Dati per instabilità attorno a x

Controllo della snellezza secondo §4.2.4.1.3.1 NTC18

Numero rit.	Presente	Ascissa	Campata	$\beta x/m$	Vincolo a entrambi estremi	$\lambda x/m$	λVer
1	Si	0					
			1-2		1	32.9	Si, (<200)
2	Si	1					

Dati per instabilità attorno a y

Controllo della snellezza secondo §4.2.4.1.3.1 NTC18

Numero rit.	Presente	Ascissa	Campata	$\beta y/n$	k,LT	kw,LT	Vincolo a entrambi estremi
1	Si	0					
			1-2		1	22.2	Si, (<200)
2	Si	1					

Verifica di stabilità per pressoflessione §C.4.2.4.1.3.3.1 NTC18

X	Comb.	Sfruttamento	Classe	NEd	MxEq,Ed	MyEq,Ed	Area	Wx	Wy	χ_{min}	$\lambda_{adim. x/m}$	$\lambda_{adim. y/n}$	N,crit x/m	N,crit y/n	Verifica
0	SLV 3	0.008	3	-2.75	0.0324	0.0448	0.003832	0.0000492	0.0000739	0.908	0.379	0.256	7320.307	16081.468	Si

Verifiche a deformabilità

Mensola X: No; Mensola Y: No.

Frecce lungo X

Ascissa freccia	Combinazione	Freccia	Luce	L/f	L/f,min	Tipo	Verifica
0.367	SLE RA 1	0	1	10000	250	Totale	Si
0.367	SLE RA 17	0	1	10000	250	Totale	Si
0.367	SLE RA 16	0	1	10000	250	Totale	Si
0.4	SLE RA 15	0	1	10000	250	Totale	Si
0.333	SLE RA 14	0	1	10000	250	Totale	Si
0.4	SLE RA 2	0	1	10000	350	Variabile	Si
0.4	SLE RA 17	0	1	10000	350	Variabile	Si
0.4	SLE RA 16	0	1	10000	350	Variabile	Si
0.467	SLE RA 15	0	1	10000	350	Variabile	Si
0.633	SLE RA 14	0	1	10000	350	Variabile	Si

Frecce lungo Y

Ascissa freccia	Combinazione	Freccia	Luce	L/f	L/f,min	Tipo	Verifica
0.5	SLE RA 1	0.00001	1	10000	250	Totale	Si
0.5	SLE RA 17	0.00001	1	10000	250	Totale	Si
0.5	SLE RA 16	0.00001	1	10000	250	Totale	Si
0.5	SLE RA 15	0.00001	1	10000	250	Totale	Si
0.5	SLE RA 14	0.00001	1	10000	250	Totale	Si
0.467	SLE RA 2	0	1	10000	350	Variabile	Si
0.467	SLE RA 17	0	1	10000	350	Variabile	Si
0.467	SLE RA 16	0	1	10000	350	Variabile	Si
0.5	SLE RA 15	0	1	10000	350	Variabile	Si
0.467	SLE RA 14	0	1	10000	350	Variabile	Si

Superelemento in acciaio a quota "640" (2695; 2393)-(2695; 2493)

Caratteristiche del materiale

Acciaio: S275, fyk = 275000

Caratteristiche geometriche

Lunghezza: 1

Nodo iniziale: 1227 Nodo finale: 1259

Cerniera iniziale: Mmomenti 1% Cerniera finale: Mmomenti 1%

Sovreresistenza: 0% Sisma Z: No

Caratteristiche della sezione

Sezione	Rotazione	Area	Jx	Jy	ix	iy	Wx	Wy	Wplx	Wply
A1; L100*10; 1; Saldato; S275; 20; 1; 8; 8; 1	180	0.003832	0.0000035319	0.000007759	0.0304	0.045	0.0000492	0.0000739	0.00008974	0.00012727

Comportamento dei calastrelli

Accoppiamento imbottito avendo passo inferiore al minimo richiesto (§C4.2.4.1.3.1.5 NTC18) nella campata compresa tra le ascisse 0 e 1 per sbandamento attorno all'asse y.

Implementazione dei sistemi di confinamento delle emissioni odorigene diffuse dell'impianto di compostaggio esistente nel
Comune di Eboli (SA)
PROGETTO DEFINITIVO – Tabulati di calcolo Tomo 1

Verifiche di resistenza

Verifiche a forza assiale §4.2.4.1.2.1 - §4.2.4.1.2.2 NTC18

X	Comb.	Sfruttamento	Classe	NEd	Nc,Rd	Nt,Rd	Riduzione da taglio	px	py	Verifica
0.933	SLU 75	0.072		71.981		1003.522	1	0	0	Si

Verifiche a forza assiale SLD §4.2.4.1.2.1 - §4.2.4.1.2.2 NTC18

X	Comb.	Sfruttamento	Classe	NEd	Nc,Rd	Nt,Rd	Riduzione da taglio	px	py	Verifica
1	SLD 10	0.043		42.672		1003.522	1	0	0	Si

Verifica a presso/tenso flessione retta X §§ 4.2.4.1.2.3 - 4.2.4.1.2.6 - 4.2.4.1.2.7 - 4.2.4.1.2.8 NTC18

Verifiche eseguite utilizzando la formula conservativa (6.2) §6.2.1 EN 1993-1-1:2005.

X	Comb.	Sfruttamento	Classe	NEd	NRd	Rid. NRd da VEd	Mx,Ed	Mx,Rd	Rid. Mx,Rd da VEd	Rid. Mx,Rd da NEd	px	py	Verifica
0.5	SLU 75	0.074	1	71.981	1003.522	1	0.0496	23.5037	1		0	0	Si

Verifica a presso/tenso flessione retta X SLD §§ 4.2.4.1.2.3 - 4.2.4.1.2.6 - 4.2.4.1.2.7 - 4.2.4.1.2.8 NTC18

Verifiche eseguite utilizzando la formula conservativa (6.2) §6.2.1 EN 1993-1-1:2005.

X	Comb.	Sfruttamento	Classe	NEd	NRd	Rid. NRd da VEd	Mx,Ed	Mx,Rd	Rid. Mx,Rd da VEd	Rid. Mx,Rd da NEd	px	py	Verifica
0.5	SLD 9	0.044	1	42.672	1003.522	1	0.0379	23.5037	1		0	0	Si

Verifica a presso/tenso flessione retta Y §§ 4.2.4.1.2.3 - 4.2.4.1.2.6 - 4.2.4.1.2.7 - 4.2.4.1.2.8 NTC18

Verifiche eseguite utilizzando la formula conservativa (6.2) §6.2.1 EN 1993-1-1:2005.

X	Comb.	Sfruttamento	Classe	NEd	NRd	Rid. NRd da VEd	My,Ed	My,Rd	Rid. My,Rd da VEd	Rid. My,Rd da NEd	px	py	Verifica
0	SLV 10	0.071	1	68.351	1003.522	1	-0.0966	33.3316	1		0	0	Si

Verifica a presso/tenso flessione retta Y SLD §§ 4.2.4.1.2.3 - 4.2.4.1.2.6 - 4.2.4.1.2.7 - 4.2.4.1.2.8 NTC18

Verifiche eseguite utilizzando la formula conservativa (6.2) §6.2.1 EN 1993-1-1:2005.

X	Comb.	Sfruttamento	Classe	NEd	NRd	Rid. NRd da VEd	My,Ed	My,Rd	Rid. My,Rd da VEd	Rid. My,Rd da NEd	px	py	Verifica
0	SLD 10	0.044	1	42.672	1003.522	1	-0.0403	33.3316	1		0	0	Si

Verifica a presso/tenso flessione deviata §§ 4.2.4.1.2.3 - 4.2.4.1.2.6 - 4.2.4.1.2.7 - 4.2.4.1.2.8 NTC18

Verifiche eseguite utilizzando la formula conservativa (6.2) §6.2.1 EN 1993-1-1:2005.

X	Comb.	Sfruttamento	Classe	NEd	NRd	Rid. NRd da VEd	Mx,Ed	Mx,Rd	My,Ed	My,Rd	Rid. Mx,Rd da VEd	Rid. Mx,Rd da NEd	Rid. My,Rd da VEd	Rid. My,Rd da NEd	α	β	px	py	Verifica
0.067	SLV 9	0.071	1	68.351	1003.522	1	0.01	23.5037	-0.0845	33.3316	1		1				0	0	Si

Verifica a presso/tenso flessione deviata SLD §§ 4.2.4.1.2.3 - 4.2.4.1.2.6 - 4.2.4.1.2.7 - 4.2.4.1.2.8 NTC18

Verifiche eseguite utilizzando la formula conservativa (6.2) §6.2.1 EN 1993-1-1:2005.

X	Comb.	Sfruttamento	Classe	NEd	NRd	Rid. NRd da VEd	Mx,Ed	Mx,Rd	My,Ed	My,Rd	Rid. Mx,Rd da VEd	Rid. Mx,Rd da NEd	Rid. My,Rd da VEd	Rid. My,Rd da NEd	α	β	px	py	Verifica
0.333	SLD 10	0.044	1	42.672	1003.522	1	0.0338	23.5037	-0.0154	33.3316	1		1				0	0	Si

Verifiche ad instabilità

Caratteristiche iniziali

Membratura principale per controllo snellezza; Calcolo di snellezze ed N critici condotti secondo gli assi principali;

Curva X: c; Curva Y: c;

Svergolamento: Nessuno; la verifica a instabilità flesso-torsionale (svergolamento) non verrà eseguita.

Dati per instabilità attorno a x

Controllo della snellezza secondo §4.2.4.1.3.1 NTC18

Numero rit.	Presente	Ascissa	Campata	βx/m	Vincolo a entrambi estremi	λx/m	λVer
1	Si		0				
			1-2		1	32.9	Si, (<200)
2	Si		1				

Dati per instabilità attorno a y

Controllo della snellezza secondo §4.2.4.1.3.1 NTC18

Numero rit.	Presente	Ascissa	Campata	βy/n	k,LT	kw,LT	Vincolo a entrambi estremi
1	Si		0				
			1-2		1	22.2	Si, (<200)
2	Si		1				

Verifica di stabilità per pressoflessione §C.4.2.4.1.3.3.1 NTC18

X	Comb.	Sfruttamento	Classe	NEd	MxEq,Ed	MyEq,Ed	Area	Wx	Wy	x,min	λ adim. x/m	λ adim. y/n	N,crit x/m	N,crit y/n	Verifica
1	SLV 8	0.015	3	-8.079	0.0323	0.0683	0.003832	0.0000492	0.0000739	0.908	0.379	0.256	7320.307	16081.468	Si

Verifiche a deformabilità

Mensola X: No; Mensola Y: No.

Frecce lungo X

Ascissa freccia	Combinazione	Freccia	Luce	L/f	L/f,min	Tipo	Verifica
0.367	SLE RA 1	0		1	10000	250	Si
0.367	SLE RA 17	0		1	10000	250	Si
0.367	SLE RA 16	0		1	10000	250	Si
0.367	SLE RA 15	0		1	10000	250	Si
0.333	SLE RA 14	0		1	10000	250	Si
0.367	SLE RA 2	0		1	10000	350	Si
0.4	SLE RA 17	0		1	10000	350	Si
0.4	SLE RA 16	0		1	10000	350	Si
0.4	SLE RA 15	0		1	10000	350	Si
0.667	SLE RA 14	0		1	10000	350	Si

Frecce lungo Y

Ascissa freccia	Combinazione	Freccia	Luce	L/f	L/f,min	Tipo	Verifica
-----------------	--------------	---------	------	-----	---------	------	----------

Implementazione dei sistemi di confinamento delle emissioni odorigene diffuse dell'impianto di compostaggio esistente nel
Comune di Eboli (SA)

PROGETTO DEFINITIVO – Tabulati di calcolo Tomo 1

Ascissa freccia	Combinazione	Freccia	Luce	L/f	L/f,min	Tipo	Verifica
0.5	SLE RA 1	0.00001	1	10000	250	Totale	Si
0.5	SLE RA 17	0.00001	1	10000	250	Totale	Si
0.5	SLE RA 16	0.00001	1	10000	250	Totale	Si
0.5	SLE RA 15	0.00001	1	10000	250	Totale	Si
0.5	SLE RA 14	0.00001	1	10000	250	Totale	Si
0.467	SLE RA 2	0	1	10000	350	Variabile	Si
0.5	SLE RA 17	0	1	10000	350	Variabile	Si
0.5	SLE RA 16	0	1	10000	350	Variabile	Si
0.5	SLE RA 15	0	1	10000	350	Variabile	Si
0.467	SLE RA 14	0	1	10000	350	Variabile	Si

Superelemento in acciaio a quota "640" (2695; 2493)-(2695; 2593)

Caratteristiche del materiale

Acciaio: S275, fyk = 275000

Caratteristiche geometriche

Lunghezza: 1

Nodo iniziale: 1263 Nodo finale: 1297

Cerniera iniziale: Mmomenti 1% Cerniera finale: Mmomenti 1%

Sovreresistenza: 0% Sisma Z: No

Caratteristiche della sezione

Sezione	Rotazione	Area	Jx	Jy	ix	iy	Wx	Wy	Wplx	Wply
A1; L100*10; 1; Saldato; S275; 20; 1; 8; 8; 1	180	0.003832	0.0000035319	0.000007759	0.0304	0.045	0.0000492	0.0000739	0.00008974	0.00012727

Comportamento dei calastrelli

Accoppiamento imbottito avendo passo inferiore al minimo richiesto (§C4.2.4.1.3.1.5 NTC18) nella campata compresa tra le ascisse 0 e 1 per sbandamento attorno all'asse y.

Verifiche di resistenza

Verifiche a forza assiale §4.2.4.1.2.1 - §4.2.4.1.2.2 NTC18

X	Comb.	Sfruttamento	Classe	NEd	Nc,Rd	Nt,Rd	Riduzione da taglio	px	py	Verifica
0.033	SLV 10	0.082		82.092		1003.522	1	0	0	Si

Verifiche a forza assiale SLD §4.2.4.1.2.1 - §4.2.4.1.2.2 NTC18

X	Comb.	Sfruttamento	Classe	NEd	Nc,Rd	Nt,Rd	Riduzione da taglio	px	py	Verifica
1	SLD 10	0.049		49.371		1003.522	1	0	0	Si

Verifica a presso/tenso flessione retta X §§ 4.2.4.1.2.3 - 4.2.4.1.2.6 - 4.2.4.1.2.7 - 4.2.4.1.2.8 NTC18

Verifiche eseguite utilizzando la formula conservativa (6.2) §6.2.1 EN 1993-1-1:2005.

X	Comb.	Sfruttamento	Classe	NEd	NRd	Rid. NRd da VEd	Mx,Ed	Mx,Rd	Rid. Mx,Rd da VEd	Rid. Mx,Rd da NEd	px	py	Verifica
0.5	SLU 76	0.08	1	78.466	1003.522	1	0.0493	23.5037	1		0	0	Si

Verifica a presso/tenso flessione retta Y §§ 4.2.4.1.2.3 - 4.2.4.1.2.6 - 4.2.4.1.2.7 - 4.2.4.1.2.8 NTC18

Verifiche eseguite utilizzando la formula conservativa (6.2) §6.2.1 EN 1993-1-1:2005.

X	Comb.	Sfruttamento	Classe	NEd	NRd	Rid. NRd da VEd	My,Ed	My,Rd	Rid. My,Rd da VEd	Rid. My,Rd da NEd	px	py	Verifica
1	SLV 9	0.084	1	82.092	1003.522	1	-0.078	33.3316	1		0	0	Si

Verifica a presso/tenso flessione retta Y SLD §§ 4.2.4.1.2.3 - 4.2.4.1.2.6 - 4.2.4.1.2.7 - 4.2.4.1.2.8 NTC18

Verifiche eseguite utilizzando la formula conservativa (6.2) §6.2.1 EN 1993-1-1:2005.

X	Comb.	Sfruttamento	Classe	NEd	NRd	Rid. NRd da VEd	My,Ed	My,Rd	Rid. My,Rd da VEd	Rid. My,Rd da NEd	px	py	Verifica
1	SLD 14	0.05	1	49.248	1003.522	1	0.037	33.3316	1		0	0	Si

Verifica a presso/tenso flessione deviata §§ 4.2.4.1.2.3 - 4.2.4.1.2.6 - 4.2.4.1.2.7 - 4.2.4.1.2.8 NTC18

Verifiche eseguite utilizzando la formula conservativa (6.2) §6.2.1 EN 1993-1-1:2005.

X	Comb.	Sfruttamento	Classe	NEd	NRd	Rid. NRd da VEd	Mx,Ed	Mx,Rd	My,Ed	My,Rd	Rid. Mx,Rd da VEd	Rid. Mx,Rd da NEd	Rid. My,Rd da VEd	Rid. My,Rd da NEd	α	β	px	py	Verifica
0.633	SLV 9	0.085	1	82.092	1003.522	1	0.0354	23.5037	-0.0591	33.3316	1		1				0	0	Si

Verifica a presso/tenso flessione deviata SLD §§ 4.2.4.1.2.3 - 4.2.4.1.2.6 - 4.2.4.1.2.7 - 4.2.4.1.2.8 NTC18

Verifiche eseguite utilizzando la formula conservativa (6.2) §6.2.1 EN 1993-1-1:2005.

X	Comb.	Sfruttamento	Classe	NEd	NRd	Rid. NRd da VEd	Mx,Ed	Mx,Rd	My,Ed	My,Rd	Rid. Mx,Rd da VEd	Rid. Mx,Rd da NEd	Rid. My,Rd da VEd	Rid. My,Rd da NEd	α	β	px	py	Verifica
0.533	SLD 9	0.051	1	49.371	1003.522	1	0.0376	23.5037	-0.0207	33.3316	1		1				0	0	Si

Verifiche ad instabilità

Caratteristiche iniziali

Membratura principale per controllo snellezza; Calcolo di snellezze ed N critici condotti secondo gli assi principali;

Curva X: c; Curva Y: c;

Svergolamento: Nessuno; la verifica a instabilità flesso-torsionale (svergolamento) non verrà eseguita.

Dati per instabilità attorno a x

Controllo della snellezza secondo §4.2.4.1.3.1 NTC18

Numero rit.	Presente	Ascissa	Campata	βx/m	Vincolo a entrambi estremi	λx/m	λVer
1	Si	0					
			1-2	1	Si	32.9	Si, (<200)

Implementazione dei sistemi di confinamento delle emissioni odorigene diffuse dell'impianto di compostaggio esistente nel
Comune di Eboli (SA)
PROGETTO DEFINITIVO – Tabulati di calcolo Tomo 1

Numero rit.	Presente	Ascissa	Campata	$\beta x/m$	Vincolo a entrambi estremi	$\lambda x/m$	λVer
2	Si	1					

Dati per instabilità attorno a y

Controllo della snellezza secondo §4.2.4.1.3.1 NTC18

Numero rit.	Presente	Ascissa	Campata	$\beta y/n$	k,LT	kw,LT	Vincolo a entrambi estremi
1	Si	0					
			1-2	1	Si	22.2	Si, (<200)
2	Si	1					

Verifica di stabilità per pressoflessione §C.4.2.4.1.3.3.1 NTC18

X	Comb.	Sfruttamento	Classe	NEd	MxEq,Ed	MyEq,Ed	Area	Wx	Wy	χ_{min}	λ adim. x/m	λ adim. y/n	N,crit x/m	N,crit y/n	Verifica
1	SLV 8	0.023	3	-15.27	0.032	0.0712	0.003832	0.0000492	0.0000739	0.908	0.379	0.256	7320.307	16081.468	Si

Verifiche a deformabilità

Mensola X: No; Mensola Y: No.

Frecce lungo X

Ascissa freccia	Combinazione	Freccia	Luce	L/f	L/f,min	Tipo	Verifica
0.633	SLE RA 1	0	1	10000	250	Totale	Si
0.633	SLE RA 17	0	1	10000	250	Totale	Si
0.633	SLE RA 16	0	1	10000	250	Totale	Si
0.667	SLE RA 15	0	1	10000	250	Totale	Si
0.633	SLE RA 14	0	1	10000	250	Totale	Si
0.667	SLE RA 2	0	1	10000	350	Variabile	Si
0.667	SLE RA 17	0	1	10000	350	Variabile	Si
0.667	SLE RA 16	0	1	10000	350	Variabile	Si
0.7	SLE RA 15	0	1	10000	350	Variabile	Si
0.6	SLE RA 14	0	1	10000	350	Variabile	Si

Frecce lungo Y

Ascissa freccia	Combinazione	Freccia	Luce	L/f	L/f,min	Tipo	Verifica
0.5	SLE RA 1	0.00001	1	10000	250	Totale	Si
0.5	SLE RA 17	0.00001	1	10000	250	Totale	Si
0.5	SLE RA 16	0.00001	1	10000	250	Totale	Si
0.5	SLE RA 15	0.00001	1	10000	250	Totale	Si
0.5	SLE RA 14	0.00001	1	10000	250	Totale	Si
0.433	SLE RA 2	0	1	10000	350	Variabile	Si
0.433	SLE RA 17	0	1	10000	350	Variabile	Si
0.433	SLE RA 16	0	1	10000	350	Variabile	Si
0.467	SLE RA 15	0	1	10000	350	Variabile	Si
0.4	SLE RA 14	0	1	10000	350	Variabile	Si

Superelemento in acciaio a quota "640" (2695; 2593)-(2695; 2693)

Caratteristiche del materiale

Acciaio: S275, fyk = 275000

Caratteristiche geometriche

Lunghezza: 1

Nodo iniziale: 1301 Nodo finale: 1338

Cerniera iniziale: Mmomenti 1% Cerniera finale: Mmomenti 1%

Sovraresistenza: 0% Sisma Z: No

Caratteristiche della sezione

Sezione	Rotazione	Area	Jx	Jy	ix	iy	Wx	Wy	Wplx	Wply
A1; L100*10; 1; Saldato; S275; 20; 1; 8; 8; 1	180	0.003832	0.0000035319	0.000007759	0.0304	0.045	0.0000492	0.0000739	0.00008974	0.00012727

Comportamento dei calastrelli

Accoppiamento imbottito avendo passo inferiore al minimo richiesto (§C4.2.4.1.3.1.5 NTC18) nella campata compresa tra le ascisse 0 e 1 per sbandamento attorno all'asse y.

Verifiche di resistenza

Verifiche a forza assiale §4.2.4.1.2.1 - §4.2.4.1.2.2 NTC18

X	Comb.	Sfruttamento	Classe	NEd	Nc,Rd	Nt,Rd	Riduzione da taglio	px	py	Verifica
0.767	SLU 76	0.083		83.286		1003.522	1	0	0	Si

Verifiche a forza assiale SLD §4.2.4.1.2.1 - §4.2.4.1.2.2 NTC18

X	Comb.	Sfruttamento	Classe	NEd	Nc,Rd	Nt,Rd	Riduzione da taglio	px	py	Verifica
1	SLD 10	0.049		49.306		1003.522	1	0	0	Si

Verifica a presso/tenso flessione retta X §§ 4.2.4.1.2.3 - 4.2.4.1.2.6 - 4.2.4.1.2.7 - 4.2.4.1.2.8 NTC18

Verifiche eseguite utilizzando la formula conservativa (6.2) §6.2.1 EN 1993-1-1:2005.

X	Comb.	Sfruttamento	Classe	NEd	NRd	Rid. NRd da VEd	Mx,Ed	Mx,Rd	Rid. Mx,Rd da VEd	Rid. Mx,Rd da NEd	px	py	Verifica
0.5	SLU 76	0.085	1	83.286	1003.522	1	0.0494	23.5037	1		0	0	Si

Verifica a presso/tenso flessione retta Y §§ 4.2.4.1.2.3 - 4.2.4.1.2.6 - 4.2.4.1.2.7 - 4.2.4.1.2.8 NTC18

Verifiche eseguite utilizzando la formula conservativa (6.2) §6.2.1 EN 1993-1-1:2005.

X	Comb.	Sfruttamento	Classe	NEd	NRd	Rid. NRd da VEd	My,Ed	My,Rd	Rid. My,Rd da VEd	Rid. My,Rd da NEd	px	py	Verifica
0	SLV 10	0.084	1	82.242	1003.522	1	-0.0817	33.3316	1		0	0	Si

Implementazione dei sistemi di confinamento delle emissioni odorigene diffuse dell'impianto di compostaggio esistente nel
Comune di Eboli (SA)
PROGETTO DEFINITIVO – Tabulati di calcolo Tomo 1

Verifica a presso/tenso flessione retta Y SLD §§ 4.2.4.1.2.3 - 4.2.4.1.2.6 - 4.2.4.1.2.7 - 4.2.4.1.2.8 NTC18

Verifiche eseguite utilizzando la formula conservativa (6.2) §6.2.1 EN 1993-1-1:2005.

X	Comb.	Sfruttamento	Classe	NEd	NRd	Rid. NRd da VEd	My,Ed	My,Rd	Rid. My,Rd da VEd	Rid. My,Rd da NEd	px	py	Verifica
0	SLD 10	0.05	1	49.306	1003.522	1	-0.0328	33.3316	1		0	0	Si

Verifica a presso/tenso flessione deviata §§ 4.2.4.1.2.3 - 4.2.4.1.2.6 - 4.2.4.1.2.7 - 4.2.4.1.2.8 NTC18

Verifiche eseguite utilizzando la formula conservativa (6.2) §6.2.1 EN 1993-1-1:2005.

X	Comb.	Sfruttamento	Classe	NEd	NRd	Rid. NRd da VEd	Mx,Ed	My,Ed	My,Rd	Rid. Mx,Rd da VEd	Rid. Mx,Rd da NEd	Rid. My,Rd da VEd	Rid. My,Rd da NEd	α	β	px	py	Verifica
0.567	SLU 76	0.085	1	83.286	1003.522	1	0.0486	23.5037	0.0078	33.3316	1	1				0	0	Si

Verifica a presso/tenso flessione deviata SLD §§ 4.2.4.1.2.3 - 4.2.4.1.2.6 - 4.2.4.1.2.7 - 4.2.4.1.2.8 NTC18

Verifiche eseguite utilizzando la formula conservativa (6.2) §6.2.1 EN 1993-1-1:2005.

X	Comb.	Sfruttamento	Classe	NEd	NRd	Rid. NRd da VEd	Mx,Ed	My,Ed	My,Rd	Rid. Mx,Rd da VEd	Rid. Mx,Rd da NEd	Rid. My,Rd da VEd	Rid. My,Rd da NEd	α	β	px	py	Verifica
0.467	SLD 13	0.051	1	49.167	1003.522	1	0.0376	23.5037	0.0254	33.3316	1	1				0	0	Si

Verifiche ad instabilità

Caratteristiche iniziali

Membratura principale per controllo snellezza; Calcolo di snellezze ed N critici condotti secondo gli assi principali;

Curva X: c; Curva Y: c;

Svergolamento: Nessuno; la verifica a instabilità flesso-torsionale (svergolamento) non verrà eseguita.

Dati per instabilità attorno a x

Controllo della snellezza secondo §4.2.4.1.3.1 NTC18

Numero rit.	Presente	Ascissa	Campata	βx/m	Vincolo a entrambi estremi	λx/m	λVer
1	Si	0	1-2	1	Si	32.9	Si, (<200)
2	Si	1					

Dati per instabilità attorno a y

Controllo della snellezza secondo §4.2.4.1.3.1 NTC18

Numero rit.	Presente	Ascissa	Campata	βy/n	k,LT	kw,LT	Vincolo a entrambi estremi
1	Si	0	1-2	1	Si	22.2	Si, (<200)
2	Si	1					

Verifica di stabilità per pressoflessione §C.4.2.4.1.3.3.1 NTC18

X	Comb.	Sfruttamento	Classe	NEd	MxEq,Ed	MyEq,Ed	Area	Wx	Wy	x,min	λ adim. x/m	λ adim. y/n	N,crit x/m	N,crit y/n	Verifica
1	SLV 8	0.024	3	-15.734	0.032	0.0762	0.003832	0.0000492	0.0000739	0.908	0.379	0.256	7320.307	16081.468	Si

Verifiche a deformabilità

Mensola X: No; Mensola Y: No.

Frecce lungo X

Ascissa freccia	Combinazione	Freccia	Luce	L/f	L/f,min	Tipo	Verifica
0.567	SLE RA 1	0	1	10000	250	Totale	Si
0.567	SLE RA 17	0	1	10000	250	Totale	Si
0.567	SLE RA 16	0	1	10000	250	Totale	Si
0.6	SLE RA 15	0	1	10000	250	Totale	Si
0.567	SLE RA 14	0	1	10000	250	Totale	Si
0.567	SLE RA 2	0	1	10000	350	Variabile	Si
0.6	SLE RA 17	0	1	10000	350	Variabile	Si
0.567	SLE RA 16	0	1	10000	350	Variabile	Si
0.6	SLE RA 15	0	1	10000	350	Variabile	Si
0.533	SLE RA 14	0	1	10000	350	Variabile	Si

Frecce lungo Y

Ascissa freccia	Combinazione	Freccia	Luce	L/f	L/f,min	Tipo	Verifica
0.5	SLE RA 1	0.00001	1	10000	250	Totale	Si
0.5	SLE RA 17	0.00001	1	10000	250	Totale	Si
0.5	SLE RA 16	0.00001	1	10000	250	Totale	Si
0.5	SLE RA 15	0.00001	1	10000	250	Totale	Si
0.5	SLE RA 14	0.00001	1	10000	250	Totale	Si
0.567	SLE RA 2	0	1	10000	350	Variabile	Si
0.567	SLE RA 17	0	1	10000	350	Variabile	Si
0.567	SLE RA 16	0	1	10000	350	Variabile	Si
0.567	SLE RA 15	0	1	10000	350	Variabile	Si
0.5	SLE RA 14	0	1	10000	350	Variabile	Si

Superelemento in acciaio a quota "640" (2695; 2693)-(2695; 2793)

Caratteristiche del materiale

Acciaio: S275, fyk = 275000

Caratteristiche geometriche

Lunghezza: 1

Nodo iniziale: 1341 Nodo finale: 1374

Cerniera iniziale: Mmomenti 1% Cerniera finale: Mmomenti 1%

Sovreresistenza: 0% Sisma Z: No

Caratteristiche della sezione

Sezione	Rotazione	Area	Jx	Jy	ix	iy	Wx	Wy	Wplx	Wply
---------	-----------	------	----	----	----	----	----	----	------	------

**Implementazione dei sistemi di confinamento delle emissioni odorigene diffuse dell'impianto di compostaggio esistente nel
Comune di Eboli (SA)**

PROGETTO DEFINITIVO – Tabulati di calcolo Tomo 1

Sezione	Rotazione	Area	Jx	Jy	ix	iy	Wx	Wy	Wplx	Wply
A1; L100*10; 1; Saldato; S275; 20; 1; 8; 8; 1	180	0.003832	0.0000035319	0.000007759	0.0304	0.045	0.0000492	0.0000739	0.00008974	0.00012727

Comportamento dei calastrelli

Accoppiamento imbottito avendo passo inferiore al minimo richiesto (§C4.2.4.1.3.1.5 NTC18) nella campata compresa tra le ascisse 0 e 1 per sbandamento attorno all'asse y.

Verifiche di resistenza

Verifiche a forza assiale §4.2.4.1.2.1 - §4.2.4.1.2.2 NTC18

X	Comb.	Sfruttamento	Classe	NEd	Nc,Rd	Nt,Rd	Riduzione da taglio	px	py	Verifica
0.9	SLU 76	0.076		76.449		1003.522	1	0	0	Si

Verifiche a forza assiale SLD §4.2.4.1.2.1 - §4.2.4.1.2.2 NTC18

X	Comb.	Sfruttamento	Classe	NEd	Nc,Rd	Nt,Rd	Riduzione da taglio	px	py	Verifica
1	SLD 10	0.042		42.457		1003.522	1	0	0	Si

Verifica a taglio X §4.2.4.1.2.4 NTC18

X	Comb.	Sfruttamento	Classe	NEd	Nc,Rd	Nt,Rd	Riduzione da taglio	px	py	Verifica
1	SLV 6	0.001		0.204	302.422	0.002	Non considerata			Si

Verifica a presso/tenso flessione retta X §§ 4.2.4.1.2.3 - 4.2.4.1.2.6 - 4.2.4.1.2.7 - 4.2.4.1.2.8 NTC18

Verifiche eseguite utilizzando la formula conservativa (6.2) §6.2.1 EN 1993-1-1:2005.

X	Comb.	Sfruttamento	Classe	NEd	NRd	Rid. NRd da VEd	Mx,Ed	Mx,Rd	Rid. Mx,Rd da VEd	Rid. Mx,Rd da NEd	px	py	Verifica
0.5	SLV 10	0.07	1	68.73	1003.522	1	0.0382	23.5037	1		0	0	Si

Verifica a presso/tenso flessione retta X SLD §§ 4.2.4.1.2.3 - 4.2.4.1.2.6 - 4.2.4.1.2.7 - 4.2.4.1.2.8 NTC18

Verifiche eseguite utilizzando la formula conservativa (6.2) §6.2.1 EN 1993-1-1:2005.

X	Comb.	Sfruttamento	Classe	NEd	NRd	Rid. NRd da VEd	Mx,Ed	Mx,Rd	Rid. Mx,Rd da VEd	Rid. Mx,Rd da NEd	px	py	Verifica
0.5	SLD 9	0.044	1	42.457	1003.522	1	0.0379	23.5037	1		0	0	Si

Verifica a presso/tenso flessione retta Y §§ 4.2.4.1.2.3 - 4.2.4.1.2.6 - 4.2.4.1.2.7 - 4.2.4.1.2.8 NTC18

Verifiche eseguite utilizzando la formula conservativa (6.2) §6.2.1 EN 1993-1-1:2005.

X	Comb.	Sfruttamento	Classe	NEd	NRd	Rid. NRd da VEd	My,Ed	My,Rd	Rid. My,Rd da VEd	Rid. My,Rd da NEd	px	py	Verifica
1	SLU 76	0.077	1	76.449	1003.522	1	0.0223	33.3316	1		0	0	Si

Verifica a presso/tenso flessione retta Y SLD §§ 4.2.4.1.2.3 - 4.2.4.1.2.6 - 4.2.4.1.2.7 - 4.2.4.1.2.8 NTC18

Verifiche eseguite utilizzando la formula conservativa (6.2) §6.2.1 EN 1993-1-1:2005.

X	Comb.	Sfruttamento	Classe	NEd	NRd	Rid. NRd da VEd	My,Ed	My,Rd	Rid. My,Rd da VEd	Rid. My,Rd da NEd	px	py	Verifica
1	SLD 10	0.043	1	42.457	1003.522	1	-0.0339	33.3316	1		0	0	Si

Verifica a presso/tenso flessione deviata §§ 4.2.4.1.2.3 - 4.2.4.1.2.6 - 4.2.4.1.2.7 - 4.2.4.1.2.8 NTC18

Verifiche eseguite utilizzando la formula conservativa (6.2) §6.2.1 EN 1993-1-1:2005.

X	Comb.	Sfruttamento	Classe	NEd	NRd	Rid. NRd da VEd	Mx,Ed	Mx,Rd	My,Ed	My,Rd	Rid. Mx,Rd da VEd	Rid. Mx,Rd da NEd	Rid. My,Rd da VEd	Rid. My,Rd da NEd	α	β	px	py	Verifica
0.533	SLU 76	0.079	1	76.449	1003.522	1	0.0495	23.5037	0.018	33.3316	1		1				0	0	Si

Verifica a presso/tenso flessione deviata SLD §§ 4.2.4.1.2.3 - 4.2.4.1.2.6 - 4.2.4.1.2.7 - 4.2.4.1.2.8 NTC18

Verifiche eseguite utilizzando la formula conservativa (6.2) §6.2.1 EN 1993-1-1:2005.

X	Comb.	Sfruttamento	Classe	NEd	NRd	Rid. NRd da VEd	Mx,Ed	Mx,Rd	My,Ed	My,Rd	Rid. Mx,Rd da VEd	Rid. Mx,Rd da NEd	Rid. My,Rd da VEd	Rid. My,Rd da NEd	α	β	px	py	Verifica
0.533	SLD 13	0.044	1	42.335	1003.522	1	0.0378	23.5037	0.0097	33.3316	1		1				0	0	Si

Verifiche ad instabilità

Caratteristiche iniziali

Membratura principale per controllo snellezza; Calcolo di snellezze ed N critici condotti secondo gli assi principali;

Curva X: c; Curva Y: c;

Svergolamento: Nessuno; la verifica a instabilità flesso-torsionale (svergolamento) non verrà eseguita.

Dati per instabilità attorno a x

Controllo della snellezza secondo §4.2.4.1.3.1 NTC18

Numero rit.	Presente	Ascissa	Campata	βx/m	Vincolo a entrambi estremi	λx/m	λVer
1	Si	0					
			1-2		1	32.9	Si, (<200)
2	Si	1					

Dati per instabilità attorno a y

Controllo della snellezza secondo §4.2.4.1.3.1 NTC18

Numero rit.	Presente	Ascissa	Campata	βy/n	k,LT	kw,LT	Vincolo a entrambi estremi
1	Si	0					
			1-2		1	22.2	Si, (<200)
2	Si	1					

Verifica di stabilità per pressoflessione §C.4.2.4.1.3.3.1 NTC18

X	Comb.	Sfruttamento	Classe	NEd	MxEq,Ed	MyEq,Ed	Area	Wx	Wy	χ,min	λ adim. x/m	λ adim. y/n	N,crit x/m	N,crit y/n	Verifica
1	SLV 8	0.017	3	-9.418	0.0322	0.0851	0.003832	0.0000492	0.0000739	0.908	0.379	0.256	7320.307	16081.468	Si

Verifiche a deformabilità

Mensola X: No; Mensola Y: No.

Implementazione dei sistemi di confinamento delle emissioni odorigene diffuse dell'impianto di compostaggio esistente nel
Comune di Eboli (SA)
PROGETTO DEFINITIVO – Tabulati di calcolo Tomo 1

Frecce lungo X

Ascissa freccia	Combinazione	Freccia	Luce	L/f	L/f,min	Tipo	Verifica
0.533	SLE RA 1	0	1	10000	250	Totale	Si
0.533	SLE RA 17	0	1	10000	250	Totale	Si
0.533	SLE RA 16	0	1	10000	250	Totale	Si
0.533	SLE RA 15	0	1	10000	250	Totale	Si
0.533	SLE RA 14	0	1	10000	250	Totale	Si
0.533	SLE RA 2	0	1	10000	350	Variabile	Si
0.533	SLE RA 17	0	1	10000	350	Variabile	Si
0.533	SLE RA 16	0	1	10000	350	Variabile	Si
0.533	SLE RA 15	0	1	10000	350	Variabile	Si
0.5	SLE RA 14	0	1	10000	350	Variabile	Si

Frecce lungo Y

Ascissa freccia	Combinazione	Freccia	Luce	L/f	L/f,min	Tipo	Verifica
0.5	SLE RA 1	0.00001	1	10000	250	Totale	Si
0.5	SLE RA 17	0.00001	1	10000	250	Totale	Si
0.5	SLE RA 16	0.00001	1	10000	250	Totale	Si
0.5	SLE RA 15	0.00001	1	10000	250	Totale	Si
0.5	SLE RA 14	0.00001	1	10000	250	Totale	Si
0.5	SLE RA 2	0	1	10000	350	Variabile	Si
0.533	SLE RA 17	0	1	10000	350	Variabile	Si
0.533	SLE RA 16	0	1	10000	350	Variabile	Si
0.533	SLE RA 15	0	1	10000	350	Variabile	Si
0.533	SLE RA 14	0	1	10000	350	Variabile	Si

Superelemento in acciaio a quota "640" (2695; 2793)-(2695; 2893)

Caratteristiche del materiale

Acciaio: S275, fyk = 275000

Caratteristiche geometriche

Lunghezza: 1

Nodo iniziale: 1373 Nodo finale: 1407

Cerniera iniziale: Mmomenti 1% Cerniera finale: Mmomenti 1%

Sovraresistenza: 0% Sisma Z: No

Caratteristiche della sezione

Sezione	Rotazione	Area	Jx	Jy	ix	iy	Wx	Wy	Wplx	Wply
A1; L100*10; 1; Saldato; S275; 20; 1; 8; 8; 1	180	0.003832	0.0000035319	0.000007759	0.0304	0.045	0.0000492	0.0000739	0.00008974	0.00012727

Comportamento dei calastrelli

Accoppiamento imbottito avendo passo inferiore al minimo richiesto (§C4.2.4.1.3.1.5 NTC18) nella campata compresa tra le ascisse 0 e 1 per sbandamento attorno all'asse y.

Verifiche di resistenza

Verifiche a forza assiale §4.2.4.1.2.1 - §4.2.4.1.2.2 NTC18

X	Comb.	Sfruttamento	Classe	NEd	Nc,Rd	Nt,Rd	Riduzione da taglio	px	py	Verifica
0.933	SLU 76	0.053		53.688		1003.522	1	0	0	Si

Verifiche a forza assiale SLD §4.2.4.1.2.1 - §4.2.4.1.2.2 NTC18

X	Comb.	Sfruttamento	Classe	NEd	Nc,Rd	Nt,Rd	Riduzione da taglio	px	py	Verifica
1	SLD 10	0.028		28.369		1003.522	1	0	0	Si

Verifica a flessione semplice X §§ 4.2.4.1.2.3 - 4.2.4.1.2.6 - 4.2.4.1.2.7 - 4.2.4.1.2.8 NTC18

X	Comb.	Sfruttamento	Classe	Mx,Ed	Mx,Rd	Rid. Mx,Rd da VEd	px	py	Verifica
0.5	SLU 2	0.002	1	0.03738	23.50374	1	0	0	Si

Verifica a presso/tenso flessione retta X §§ 4.2.4.1.2.3 - 4.2.4.1.2.6 - 4.2.4.1.2.7 - 4.2.4.1.2.8 NTC18

Verifiche eseguite utilizzando la formula conservativa (6.2) §6.2.1 EN 1993-1-1:2005.

X	Comb.	Sfruttamento	Classe	NEd	NRd	Rid. NRd da VEd	Mx,Ed	Mx,Rd	Rid. Mx,Rd da VEd	Rid. Mx,Rd da NEd	px	py	Verifica
0.733	SLU 76	0.055	1	53.688	1003.522	1	0.0406	23.5037	1		0	0	Si

Verifica a presso/tenso flessione retta X SLD §§ 4.2.4.1.2.3 - 4.2.4.1.2.6 - 4.2.4.1.2.7 - 4.2.4.1.2.8 NTC18

Verifiche eseguite utilizzando la formula conservativa (6.2) §6.2.1 EN 1993-1-1:2005.

X	Comb.	Sfruttamento	Classe	NEd	NRd	Rid. NRd da VEd	Mx,Ed	Mx,Rd	Rid. Mx,Rd da VEd	Rid. Mx,Rd da NEd	px	py	Verifica
0.2	SLD 9	0.029	1	28.369	1003.522	1	0.0247	23.5037	1		0	0	Si

Verifica a presso/tenso flessione retta Y §§ 4.2.4.1.2.3 - 4.2.4.1.2.6 - 4.2.4.1.2.7 - 4.2.4.1.2.8 NTC18

Verifiche eseguite utilizzando la formula conservativa (6.2) §6.2.1 EN 1993-1-1:2005.

X	Comb.	Sfruttamento	Classe	NEd	NRd	Rid. NRd da VEd	My,Ed	My,Rd	Rid. My,Rd da VEd	Rid. My,Rd da NEd	px	py	Verifica
0	SLU 76	0.055	1	53.688	1003.522	1	0.0362	33.3316	1		0	0	Si

Verifica a presso/tenso flessione retta Y SLD §§ 4.2.4.1.2.3 - 4.2.4.1.2.6 - 4.2.4.1.2.7 - 4.2.4.1.2.8 NTC18

Verifiche eseguite utilizzando la formula conservativa (6.2) §6.2.1 EN 1993-1-1:2005.

X	Comb.	Sfruttamento	Classe	NEd	NRd	Rid. NRd da VEd	My,Ed	My,Rd	Rid. My,Rd da VEd	Rid. My,Rd da NEd	px	py	Verifica
1	SLD 14	0.029	1	28.273	1003.522	1	-0.0195	33.3316	1		0	0	Si

Verifica a presso/tenso flessione deviata §§ 4.2.4.1.2.3 - 4.2.4.1.2.6 - 4.2.4.1.2.7 - 4.2.4.1.2.8 NTC18

Verifiche eseguite utilizzando la formula conservativa (6.2) §6.2.1 EN 1993-1-1:2005.

Implementazione dei sistemi di confinamento delle emissioni odorigene diffuse dell'impianto di compostaggio esistente nel
Comune di Eboli (SA)

PROGETTO DEFINITIVO – Tabulati di calcolo Tomo 1

X	Comb.	Sfruttamento	Classe	NEd	NRd	Rid. NRd da VEd	Mx,Ed	Mx,Rd	My,Ed	My,Rd	Rid. Mx,Rd da VEd	Rid. Mx,Rd da NEd	Rid. My,Rd da VEd	Rid. My,Rd da NEd	α	β	ρ_x	ρ_y	Verifica
0.433	SLU 76	0.056	1	53.688	1003.522	1	0.0498	23.5037	0.0185	33.3316	1		1				0	0	Si

Verifica a presso/tenso flessione deviata SLD §§ 4.2.4.1.2.3 - 4.2.4.1.2.6 - 4.2.4.1.2.7 - 4.2.4.1.2.8 NTC18

Verifiche eseguite utilizzando la formula conservativa (6.2) §6.2.1 EN 1993-1-1:2005.

X	Comb.	Sfruttamento	Classe	NEd	NRd	Rid. NRd da VEd	Mx,Ed	Mx,Rd	My,Ed	My,Rd	Rid. Mx,Rd da VEd	Rid. Mx,Rd da NEd	Rid. My,Rd da VEd	Rid. My,Rd da NEd	α	β	ρ_x	ρ_y	Verifica
0.6	SLD 10	0.03	1	28.369	1003.522	1	0.037	23.5037	-0.0206	33.3316	1		1				0	0	Si

Verifiche ad instabilità

Caratteristiche iniziali

Membratura principale per controllo snellezza; Calcolo di snellezze ed N critici condotti secondo gli assi principali;

Curva X: c; Curva Y: c;

Svergolamento: Nessuno; la verifica a instabilità flesso-torsionale (svergolamento) non verrà eseguita.

Dati per instabilità attorno a x

Controllo della snellezza secondo §4.2.4.1.3.1 NTC18

Numero rit.	Presente	Ascissa	Campata	$\beta x/m$	Vincolo a entrambi estremi	$\lambda x/m$	λVer
1	Si	0					
			1-2		1	32.9	Si, (<200)
2	Si	1					

Dati per instabilità attorno a y

Controllo della snellezza secondo §4.2.4.1.3.1 NTC18

Numero rit.	Presente	Ascissa	Campata	$\beta y/n$	k,LT	kw,LT	Vincolo a entrambi estremi
1	Si	0					
			1-2		1	22.2	Si, (<200)
2	Si	1					

Verifica di stabilità per pressoflessione §C.4.2.4.1.3.3.1 NTC18

X	Comb.	Sfruttamento	Classe	NEd	MxEq,Ed	MyEq,Ed	Area	Wx	Wy	χ_{min}	$\lambda_{adim. x/m}$	$\lambda_{adim. y/n}$	N,crit x/m	N,crit y/n	Verifica
0	SLV 3	0.011	3	-4.399	0.0324	0.0661	0.003832	0.0000492	0.0000739	0.908	0.379	0.256	7320.307	16081.468	Si

Verifiche a deformabilità

Mensola X: No; Mensola Y: No.

Frecce lungo X

Ascissa freccia	Combinazione	Freccia	Luce	L/f	L/f,min	Tipo	Verifica
0.4	SLE RA 1	0	1	10000	250	Totale	Si
0.4	SLE RA 17	0	1	10000	250	Totale	Si
0.4	SLE RA 16	0	1	10000	250	Totale	Si
0.4	SLE RA 15	0	1	10000	250	Totale	Si
0.4	SLE RA 14	0	1	10000	250	Totale	Si
0.4	SLE RA 2	0	1	10000	350	Variabile	Si
0.4	SLE RA 17	0	1	10000	350	Variabile	Si
0.4	SLE RA 16	0	1	10000	350	Variabile	Si
0.4	SLE RA 15	0	1	10000	350	Variabile	Si
0.367	SLE RA 14	0	1	10000	350	Variabile	Si

Frecce lungo Y

Ascissa freccia	Combinazione	Freccia	Luce	L/f	L/f,min	Tipo	Verifica
0.5	SLE RA 1	0.00001	1	10000	250	Totale	Si
0.5	SLE RA 17	0.00001	1	10000	250	Totale	Si
0.5	SLE RA 16	0.00001	1	10000	250	Totale	Si
0.5	SLE RA 15	0.00001	1	10000	250	Totale	Si
0.5	SLE RA 14	0.00001	1	10000	250	Totale	Si
0.533	SLE RA 2	0	1	10000	350	Variabile	Si
0.533	SLE RA 17	0	1	10000	350	Variabile	Si
0.533	SLE RA 16	0	1	10000	350	Variabile	Si
0.533	SLE RA 15	0	1	10000	350	Variabile	Si
0.5	SLE RA 14	0	1	10000	350	Variabile	Si

Superelemento in acciaio a quota "640" (2695; 2893)-(2695; 2991)

Caratteristiche del materiale

Acciaio: S275, fyk = 275000

Caratteristiche geometriche

Lunghezza: 0.978

Nodo iniziale: 1406 Nodo finale: 1429

Cerniera iniziale: Mmomenti 1% Cerniera finale: Mmomenti 1%

Sovreresistenza: 0% Sisma Z: No

Caratteristiche della sezione

Sezione	Rotazione	Area	Jx	Jy	ix	iy	Wx	Wy	Wplx	Wply
A1; L100*10; 1; Saldato; S275; 20; 1; 8; 8; 1	180	0.003832	0.0000035319	0.000007759	0.0304	0.045	0.0000492	0.0000739	0.00008974	0.00012727

Comportamento dei calastrelli

Accoppiamento imbottito avendo passo inferiore al minimo richiesto (§C4.2.4.1.3.1.5 NTC18) nella campata compresa tra le ascisse 0 e 0.978 per sbandamento attorno all'asse y.

Implementazione dei sistemi di confinamento delle emissioni odorigene diffuse dell'impianto di compostaggio esistente nel
Comune di Eboli (SA)
PROGETTO DEFINITIVO – Tabulati di calcolo Tomo 1

Verifiche di resistenza

Verifiche a forza assiale §4.2.4.1.2.1 - §4.2.4.1.2.2 NTC18

X	Comb.	Sfruttamento	Classe	NEd	Nc,Rd	Nt,Rd	Riduzione da taglio	px	py	Verifica
0.489	SLV 10	0.003		2.574		1003.522	1	0	0	Si

Verifiche a forza assiale SLD §4.2.4.1.2.1 - §4.2.4.1.2.2 NTC18

X	Comb.	Sfruttamento	Classe	NEd	Nc,Rd	Nt,Rd	Riduzione da taglio	px	py	Verifica
0.978	SLD 10	0.001		1.181		1003.522	1	0	0	Si

Verifica a taglio Y §4.2.4.1.2.4 NTC18

X	Comb.	Sfruttamento	VEd	Vc,Rd	Av	Interazione taglio-torsione	Riduzione torsione	Verifica
0.978	SLU 76	0.002	0.746	302.422	0.002	Non considerata		Si

Verifica a taglio Y SLD §4.2.4.1.2.4 NTC18

X	Comb.	Sfruttamento	VEd	Vc,Rd	Av	Interazione taglio-torsione	Riduzione torsione	Verifica
0.978	SLD 14	0.001	0.411	302.422	0.002	Non considerata		Si

Verifica a flessione semplice X §§ 4.2.4.1.2.3 - 4.2.4.1.2.6 - 4.2.4.1.2.7 - 4.2.4.1.2.8 NTC18

X	Comb.	Sfruttamento	Classe	Mx,Ed	Mx,Rd	Rid. Mx,Rd da VEd	px	py	Verifica
0.913	SLU 21	0.002	1	-0.0408	23.50374	1	0	0	Si

Verifica a flessione semplice X SLD §§ 4.2.4.1.2.3 - 4.2.4.1.2.6 - 4.2.4.1.2.7 - 4.2.4.1.2.8 NTC18

X	Comb.	Sfruttamento	Classe	Mx,Ed	Mx,Rd	Rid. Mx,Rd da VEd	px	py	Verifica
0.815	SLD 1	0.005	1	-0.12892	23.50374	1	0	0	Si

Verifica a flessione semplice Y §§ 4.2.4.1.2.3 - 4.2.4.1.2.6 - 4.2.4.1.2.7 - 4.2.4.1.2.8 NTC18

X	Comb.	Sfruttamento	Classe	My,Ed	My,Rd	Rid. My,Rd da VEd	px	py	Verifica
0	SLU 60	0	1	0.01496	33.33162	1	0	0	Si

Verifica a flessione semplice Y SLD §§ 4.2.4.1.2.3 - 4.2.4.1.2.6 - 4.2.4.1.2.7 - 4.2.4.1.2.8 NTC18

X	Comb.	Sfruttamento	Classe	My,Ed	My,Rd	Rid. My,Rd da VEd	px	py	Verifica
0	SLD 4	0.001	1	0.03466	33.33162	1	0	0	Si

Verifica a flessione deviata §§ 4.2.4.1.2.3 - 4.2.4.1.2.6 - 4.2.4.1.2.7 - 4.2.4.1.2.8 NTC18

X	Comb.	Sfruttamento	Classe	Mx,Ed	Mx,Rd	My,Ed	My,Rd	Rid. Mx,Rd da VEd	Rid. My,Rd da VEd	α	β	px	py	Verifica
0.978	SLU 60	0.008	1	-0.1721	23.5037	-0.0313	33.3316	1	1			0	0	Si

Verifica a flessione deviata SLD §§ 4.2.4.1.2.3 - 4.2.4.1.2.6 - 4.2.4.1.2.7 - 4.2.4.1.2.8 NTC18

X	Comb.	Sfruttamento	Classe	Mx,Ed	Mx,Rd	My,Ed	My,Rd	Rid. Mx,Rd da VEd	Rid. My,Rd da VEd	α	β	px	py	Verifica
0.978	SLD 12	0.009	1	-0.1805	23.5037	-0.0564	33.3316	1	1			0	0	Si

Verifica a presso/tenso flessione retta X §§ 4.2.4.1.2.3 - 4.2.4.1.2.6 - 4.2.4.1.2.7 - 4.2.4.1.2.8 NTC18

Verifiche eseguite utilizzando la formula conservativa (6.2) §6.2.1 EN 1993-1-1:2005.

X	Comb.	Sfruttamento	Classe	NEd	NRd	Rid. NRd da VEd	Mx,Ed	Mx,Rd	Rid. Mx,Rd da VEd	Rid. Mx,Rd da NEd	px	py	Verifica
0.978	SLV 10	0.017	1	2.574	1003.522	1	-0.3414	23.5037	1		0	0	Si

Verifica a presso/tenso flessione retta X SLD §§ 4.2.4.1.2.3 - 4.2.4.1.2.6 - 4.2.4.1.2.7 - 4.2.4.1.2.8 NTC18

Verifiche eseguite utilizzando la formula conservativa (6.2) §6.2.1 EN 1993-1-1:2005.

X	Comb.	Sfruttamento	Classe	NEd	NRd	Rid. NRd da VEd	Mx,Ed	Mx,Rd	Rid. Mx,Rd da VEd	Rid. Mx,Rd da NEd	px	py	Verifica
0.815	SLD 6	0.008	1	0.901	1003.522	1	-0.1704	23.5037	1		0	0	Si

Verifica a presso/tenso flessione retta Y §§ 4.2.4.1.2.3 - 4.2.4.1.2.6 - 4.2.4.1.2.7 - 4.2.4.1.2.8 NTC18

Verifiche eseguite utilizzando la formula conservativa (6.2) §6.2.1 EN 1993-1-1:2005.

X	Comb.	Sfruttamento	Classe	NEd	NRd	Rid. NRd da VEd	My,Ed	My,Rd	Rid. My,Rd da VEd	Rid. My,Rd da NEd	px	py	Verifica
0	SLV 8	0.003	1	-1.567	1003.522	1	0.0583	33.3316	1		0	0	Si

Verifica a presso/tenso flessione retta Y SLD §§ 4.2.4.1.2.3 - 4.2.4.1.2.6 - 4.2.4.1.2.7 - 4.2.4.1.2.8 NTC18

Verifiche eseguite utilizzando la formula conservativa (6.2) §6.2.1 EN 1993-1-1:2005.

X	Comb.	Sfruttamento	Classe	NEd	NRd	Rid. NRd da VEd	My,Ed	My,Rd	Rid. My,Rd da VEd	Rid. My,Rd da NEd	px	py	Verifica
0.033	SLD 5	0.001	1	0.901	1003.522	1	0.0083	33.3316	1		0	0	Si

Verifica a presso/tenso flessione deviata §§ 4.2.4.1.2.3 - 4.2.4.1.2.6 - 4.2.4.1.2.7 - 4.2.4.1.2.8 NTC18

Verifiche eseguite utilizzando la formula conservativa (6.2) §6.2.1 EN 1993-1-1:2005.

X	Comb.	Sfruttamento	Classe	NEd	NRd	Rid. NRd da VEd	Mx,Ed	Mx,Rd	My,Ed	My,Rd	Rid. Mx,Rd da VEd	Rid. Mx,Rd da NEd	Rid. My,Rd da VEd	Rid. My,Rd da NEd	α	β	px	py	Verifica
0.978	SLU 76	0.027	1	1.334	1003.522	1	-0.529	23.5037	-0.0911	33.3316	1		1				0	0	Si

Verifica a presso/tenso flessione deviata SLD §§ 4.2.4.1.2.3 - 4.2.4.1.2.6 - 4.2.4.1.2.7 - 4.2.4.1.2.8 NTC18

Verifiche eseguite utilizzando la formula conservativa (6.2) §6.2.1 EN 1993-1-1:2005.

X	Comb.	Sfruttamento	Classe	NEd	NRd	Rid. NRd da VEd	Mx,Ed	Mx,Rd	My,Ed	My,Rd	Rid. Mx,Rd da VEd	Rid. Mx,Rd da NEd	Rid. My,Rd da VEd	Rid. My,Rd da NEd	α	β	px	py	Verifica
0.978	SLD 13	0.013	1	1.132	1003.522	1	-0.2518	23.5037	-0.0462	33.3316	1		1				0	0	Si

Verifiche ad instabilità

Caratteristiche iniziali

Membratura principale per controllo snellezza; Calcolo di snellezze ed N critici condotti secondo gli assi principali;

Curva X: c; Curva Y: c;

Svergolamento: Nessuno; la verifica a instabilità flesso-torsionale (svergolamento) non verrà eseguita.

Dati per instabilità attorno a x

Controllo della snellezza secondo §4.2.4.1.3.1 NTC18

Implementazione dei sistemi di confinamento delle emissioni odorigene diffuse dell’impianto di compostaggio esistente nel
Comune di Eboli (SA)
PROGETTO DEFINITIVO – Tabulati di calcolo Tomo 1

Numero rit.	Presente	Ascissa	Campata	$\beta x/m$	Vincolo a entrambi estremi	$\lambda x/m$	λVer
1	Si	0	1-2	1	Si	32.2	Si, (<200)
2	Si	0.978					

Dati per instabilità attorno a y

Controllo della snellezza secondo §4.2.4.1.3.1 NTC18

Numero rit.	Presente	Ascissa	Campata	$\beta y/n$	k,LT	kw,LT	Vincolo a entrambi estremi
1	Si	0	1-2	1	Si	21.7	Si, (<200)
2	Si	0.978					

Verifica di stabilità per pressoflessione §C.4.2.4.1.3.3.1 NTC18

X	Comb.	Sfruttamento	Classe	NEd	MxEq,Ed	MyEq,Ed	Area	Wx	Wy	χ_{min}	λ adim. x/m	λ adim. y/n	N,crit x/m	N,crit y/n	Verifica
0.228	SLV 7	0.008	3	-1.567	-0.0515	-0.0485	0.003832	0.0000492	0.0000739	0.912	0.371	0.25	7646.734	16798.572	Si

Verifica di stabilità per pressoflessione SLD §C.4.2.4.1.3.3.1 NTC18

X	Comb.	Sfruttamento	Classe	NEd	MxEq,Ed	MyEq,Ed	Area	Wx	Wy	χ_{min}	λ adim. x/m	λ adim. y/n	N,crit x/m	N,crit y/n	Verifica
0.978	SLD 12	0.007	1	0	-0.1354	-0.0423	0.003832	0.0000897	0.0001273	0.912	0.371	0.25	7646.734	16798.572	Si

Verifiche a deformabilità

Mensola X: No; Mensola Y: No.

Frecce lungo X

Ascissa freccia	Combinazione	Freccia	Luce	L/f	L/f,min	Tipo	Verifica
0.652	SLE RA 1	0	0.978	10000	250	Totale	Si
0.652	SLE RA 17	0	0.978	10000	250	Totale	Si
0.652	SLE RA 16	0	0.978	10000	250	Totale	Si
0.652	SLE RA 15	0	0.978	10000	250	Totale	Si
0.652	SLE RA 14	0	0.978	10000	250	Totale	Si
0.652	SLE RA 2	0	0.978	10000	350	Variabile	Si
0.652	SLE RA 17	0	0.978	10000	350	Variabile	Si
0.652	SLE RA 16	0	0.978	10000	350	Variabile	Si
0.652	SLE RA 15	0	0.978	10000	350	Variabile	Si
0.652	SLE RA 14	0	0.978	10000	350	Variabile	Si

Frecce lungo Y

Ascissa freccia	Combinazione	Freccia	Luce	L/f	L/f,min	Tipo	Verifica
0.587	SLE RA 1	-0.00001	0.978	10000	250	Totale	Si
0.587	SLE RA 17	-0.00002	0.978	10000	250	Totale	Si
0.587	SLE RA 16	-0.00002	0.978	10000	250	Totale	Si
0.587	SLE RA 15	-0.00002	0.978	10000	250	Totale	Si
0.587	SLE RA 14	-0.00002	0.978	10000	250	Totale	Si
0.554	SLE RA 2	0.00001	0.978	10000	350	Variabile	Si
0.554	SLE RA 17	0	0.978	10000	350	Variabile	Si
0.554	SLE RA 16	-0.00001	0.978	10000	350	Variabile	Si
0.554	SLE RA 15	-0.00001	0.978	10000	350	Variabile	Si
0.554	SLE RA 14	0	0.978	10000	350	Variabile	Si

Superelemento in acciaio a quota "640" (2698; 2991)-(2923; 2989)

Caratteristiche del materiale

Acciaio: S275, fyk = 275000

Caratteristiche geometriche

Lunghezza: 2.25

Nodo iniziale: 1428 Nodo finale: 1423

Cerniera iniziale: No Cerniera finale: No

Sovraresistenza: 0% Sisma Z: No

Caratteristiche della sezione

Sezione	Rotazione	Area	Jx	Jy	ix	iy	Wx	Wy	Wplx	Wply
HEA120	0	0.002537	0.0000060673	0.0000023091	0.0489	0.0302	0.00010644	0.00003849	0.00011962	0.00005887

Verifiche di resistenza

Verifiche a forza assiale §4.2.4.1.2.1 - §4.2.4.1.2.2 NTC18

X	Comb.	Sfruttamento	Classe	NEd	Nc,Rd	Nt,Rd	Riduzione da taglio	px	py	Verifica
0.45	SLV 10	0.035		23.45		664.325	1	0	0	Si

Verifiche a forza assiale SLD §4.2.4.1.2.1 - §4.2.4.1.2.2 NTC18

X	Comb.	Sfruttamento	Classe	NEd	Nc,Rd	Nt,Rd	Riduzione da taglio	px	py	Verifica
0.075	SLD 9	0.012		7.858		664.325	1	0	0	Si

Verifica a taglio Y §4.2.4.1.2.4 NTC18

X	Comb.	Sfruttamento	VEd	Vc,Rd	Av	Interazione taglio-torsione	Riduzione torsione	Verifica
2.25	SLV 7	0.012	-1.507	125.744	0.000849	Considerata	0.98	Si

Verifica a taglio Y SLD §4.2.4.1.2.4 NTC18

X	Comb.	Sfruttamento	VEd	Vc,Rd	Av	Interazione taglio-torsione	Riduzione torsione	Verifica
2.25	SLD 7	0.007	-0.908	127.559	0.000849	Considerata	0.99	Si

Verifica a torsione §4.2.4.1.2.5 NTC18

X	Comb.	Sfruttamento torsione	TEd	TRd	Riduzione taglio resistente	Sfruttamento taglio-torsione	rEd,totale	rRd	Verifica
---	-------	-----------------------	-----	-----	-----------------------------	------------------------------	------------	-----	----------

**Implementazione dei sistemi di confinamento delle emissioni odorigene diffuse dell'impianto di compostaggio esistente nel
Comune di Eboli (SA)**

PROGETTO DEFINITIVO – Tabulati di calcolo Tomo 1

X	Comb.	Sfruttamento torsione	TEd	TRd	Riduzione taglio resistente	Sfruttamento taglio-torsione	rEd,totale	rRd	Verifica
1.2	SLV 9	0.054	0.04605	0.85138	Considerata				Si

Verifica a torsione SLD §4.2.4.1.2.5 NTC18

X	Comb.	Sfruttamento torsione	TEd	TRd	Riduzione taglio resistente	Sfruttamento taglio-torsione	rEd,totale	rRd	Verifica
2.175	SLD 9	0.019	0.01633	0.85138	Considerata				Si

Verifica a flessione semplice X §§ 4.2.4.1.2.3 - 4.2.4.1.2.6 - 4.2.4.1.2.7 - 4.2.4.1.2.8 NTC18

X	Comb.	Sfruttamento	Classe	Mx,Ed	Mx,Rd	Rid. Mx,Rd da VEd	px	py	Verifica
2.175	SLU 57	0.079	1	2.48592	31.32907	1	0	0	Si

Verifica a flessione deviata §§ 4.2.4.1.2.3 - 4.2.4.1.2.6 - 4.2.4.1.2.7 - 4.2.4.1.2.8 NTC18

X	Comb.	Sfruttamento	Classe	Mx,Ed	Mx,Rd	My,Ed	My,Rd	Rid. Mx,Rd da VEd	Rid. My,Rd da VEd	α	β	px	py	Verifica
2.25	SLU 57	0.083	1	2.5754	31.3291	-0.0089	15.4191	1	1			0	0	Si

Verifica a presso/tenso flessione retta X §§ 4.2.4.1.2.3 - 4.2.4.1.2.6 - 4.2.4.1.2.7 - 4.2.4.1.2.8 NTC18

Verifiche eseguite utilizzando la formula conservativa (6.2) §6.2.1 EN 1993-1-1:2005.

X	Comb.	Sfruttamento	Classe	NEd	NRd	Rid. NRd da VEd	Mx,Ed	Mx,Rd	Rid. Mx,Rd da VEd	Rid. Mx,Rd da NEd	px	py	Verifica
2.175	SLU 76	0.086	1	-0.285	664.325	1	2.6664	31.3291	1		0	0	Si

Verifica a presso/tenso flessione retta X SLD §§ 4.2.4.1.2.3 - 4.2.4.1.2.6 - 4.2.4.1.2.7 - 4.2.4.1.2.8 NTC18

Verifiche eseguite utilizzando la formula conservativa (6.2) §6.2.1 EN 1993-1-1:2005.

X	Comb.	Sfruttamento	Classe	NEd	NRd	Rid. NRd da VEd	Mx,Ed	Mx,Rd	Rid. Mx,Rd da VEd	Rid. Mx,Rd da NEd	px	py	Verifica
1.8	SLD 7	0.044	1	-7.297	664.325	1	1.0196	31.3291	1		0	0	Si

Verifica a presso/tenso flessione retta Y §§ 4.2.4.1.2.3 - 4.2.4.1.2.6 - 4.2.4.1.2.7 - 4.2.4.1.2.8 NTC18

Verifiche eseguite utilizzando la formula conservativa (6.2) §6.2.1 EN 1993-1-1:2005.

X	Comb.	Sfruttamento	Classe	NEd	NRd	Rid. NRd da VEd	My,Ed	My,Rd	Rid. My,Rd da VEd	Rid. My,Rd da NEd	px	py	Verifica
0.825	SLV 7	0.035	1	-22.889	664.325	1	-0.0054	15.4191	1		0	0	Si

Verifica a presso/tenso flessione retta Y SLD §§ 4.2.4.1.2.3 - 4.2.4.1.2.6 - 4.2.4.1.2.7 - 4.2.4.1.2.8 NTC18

Verifiche eseguite utilizzando la formula conservativa (6.2) §6.2.1 EN 1993-1-1:2005.

X	Comb.	Sfruttamento	Classe	NEd	NRd	Rid. NRd da VEd	My,Ed	My,Rd	Rid. My,Rd da VEd	Rid. My,Rd da NEd	px	py	Verifica
0.3	SLD 7	0.013	1	-7.297	664.325	1	0.0368	15.4191	1		0	0	Si

Verifica a presso/tenso flessione deviata §§ 4.2.4.1.2.3 - 4.2.4.1.2.6 - 4.2.4.1.2.7 - 4.2.4.1.2.8 NTC18

Verifiche eseguite utilizzando la formula conservativa (6.2) §6.2.1 EN 1993-1-1:2005.

X	Comb.	Sfruttamento	Classe	NEd	NRd	Rid. NRd da VEd	Mx,Ed	Mx,Rd	My,Ed	My,Rd	Rid. Mx,Rd da VEd	Rid. Mx,Rd da NEd	Rid. My,Rd da VEd	Rid. My,Rd da NEd	α	β	px	py	Verifica
2.25	SLV 8	0.1	1	-22.889	664.325	1	1.9718	31.3291	-0.0456	15.4191	1		1				0	0	Si

Verifica a presso/tenso flessione deviata SLD §§ 4.2.4.1.2.3 - 4.2.4.1.2.6 - 4.2.4.1.2.7 - 4.2.4.1.2.8 NTC18

Verifiche eseguite utilizzando la formula conservativa (6.2) §6.2.1 EN 1993-1-1:2005.

X	Comb.	Sfruttamento	Classe	NEd	NRd	Rid. NRd da VEd	Mx,Ed	Mx,Rd	My,Ed	My,Rd	Rid. Mx,Rd da VEd	Rid. Mx,Rd da NEd	Rid. My,Rd da VEd	Rid. My,Rd da NEd	α	β	px	py	Verifica
2.25	SLD 7	0.057	1	-7.297	664.325	1	1.4058	31.3291	-0.019	15.4191	1		1				0	0	Si

Verifiche ad instabilità

Caratteristiche iniziali

Membratura principale per controllo snellezza; Calcolo di snellezze ed N critici condotti secondo gli assi principali;

Curva X: b; Curva Y: c; Svergolamento: Carico all'estradosso; Curva svergolamento: b;

Dati per instabilità attorno a x

Controllo della snellezza secondo §4.2.4.1.3.1 NTC18

Numero rit.	Presente	Ascissa	Campata	βx/m	Vincolo a entrambi estremi	λx/m	λVer
1	Si	0					
			1-2		1	46	Si, (<200)
2	Si	2.25					

Dati per instabilità attorno a y

Controllo della snellezza secondo §4.2.4.1.3.1 NTC18

Numero rit.	Presente	Ascissa	Campata	βy/n	k,LT	kw,LT	Vincolo a entrambi estremi	λy/n	λVer
1	Si	0							
			1-2		1	1	Si	74.6	Si, (<200)
2	Si	2.25							

Verifica a svergolamento con trazione §4.2.4.1.3.2 NTC18 § 5.5.3 ENV 1993-1-1:1992 + AC:1992 + A1:1994 + A2:1998

X	Comb.	Sfruttamento	Classe	Obblig.	NEd	Mx,Ed	Mx,Eff,Ed	Mb,Rd,x	χ ,LT	λ adim. LT	L,LT	M,critico	Verifica
2.175	SLU 75	0.073	1	Si	0.635	2.19779	2.17915	30.01591	0.958	0.505	2.25	128.94588	Si

Verifica a svergolamento con trazione SLD §4.2.4.1.3.2 NTC18 § 5.5.3 ENV 1993-1-1:1992 + AC:1992 + A1:1994 + A2:1998

X	Comb.	Sfruttamento	Classe	Obblig.	NEd	Mx,Ed	Mx,Eff,Ed	Mb,Rd,x	χ_{LT}	λ adim. LT	L,LT	M,critico	Verifica
1.875	SLD 13	0.019	1	Si	7.21	0.75202	0.54021	28.60574	0.913	0.609	2.25	88.72149	Si

Verifica di stabilità per tenso-flessione deviata §§ 5.5.3-5.5.4 ENV 1993-1-1:1992 + AC:1992 + A1:1994 + A2:1998

X	Comb.	Sfruttamento	Classe	NEd	Mx,Ed	Mx,Ed	My,Ed	χ,LT	kLT	ky	M,critico	Wx	Wy	Verifica
2.25	SLU 75	0.076	1	0.635	2.28302	2.26438	-0.00426	0.958	1	1	128.94588	0.0001196	0.0000589	Si

Verifica di stabilità per tenso-flessione deviata SLD §§ 5.5.3-5.5.4 ENV 1993-1-1:1992 + AC:1992 + A1:1994 + A2:1998

X	Comb.	Sfruttamento	Classe	NEd	Mx,Ed	Mx,Ed	My,Ed	χ,LT	kLT	ky	M,critico	Wx	Wy	Verifica
2.25	SLD 16	0.032	1	3.585	0.99328	0.88797	-0.03104	0.936	1	1	105.60456	0.0001196	0.0000589	Si

Verifica di stabilità per pressoflessione §C.4.2.4.1.3.3.2 NTC18

X	Comb.	Sfruttamento	Classe	NEd	NRk	Mx,Ed max	Mx,Rk	My,Ed max	My,Rk	χ,x	χ,y	kxx	kxy	kyy	χ,LT	Verifica
2.25	SLV 7	0.127	1	-22.889	697.541	1.97181	32.89552	0.0456	16.19002	0.871	0.625	0.405	0.274	0.968	0.456	0.86

Implementazione dei sistemi di confinamento delle emissioni odorigene diffuse dell'impianto di compostaggio esistente nel
Comune di Eboli (SA)
PROGETTO DEFINITIVO – Tabulati di calcolo Tomo 1

Verifica di stabilità per pressoflessione SLD §C.4.2.4.1.3.3.2 NTC18

X	Comb.	Sfruttamento	Classe	NEd	NRk	Mx,Ed max	Mx,Rk	My,Ed max	My,Rk	χ,x	χ,y	kxx	kxy	kyy	χ,LT	Verifica	
2.1	SLD 8	0.071	1	-7.297	697.541	1.40576	32.89552	0.04136	16.19002	0.871	0.625	0.486	0.321	0.994	0.535	0.86	Si

Verifica di stabilità a taglio anima Y §4.2.4.1.2.4 [4.2.27] NTC18

η	hw	tw	hw/tw max	Verifica
1.2	0.098	0.005	55.46	Si

Verifica di stabilità a taglio anima Y SLD §4.2.4.1.2.4 [4.2.27] NTC18

η	hw	tw	hw/tw max	Verifica
1.2	0.098	0.005	55.46	Si

Verifiche a deformabilità

Mensola X: No; Mensola Y: No.

Frecce lungo X

Ascissa freccia	Combinazione	Freccia	Luce	L/f	L/f,min	Tipo	Verifica
0.975	SLE RA 1	-0.00004	2.25	10000	250	Totale	Si
0.975	SLE RA 17	-0.00005	2.25	10000	250	Totale	Si
0.9	SLE RA 16	-0.00007	2.25	10000	250	Totale	Si
0.9	SLE RA 15	-0.00007	2.25	10000	250	Totale	Si
0.975	SLE RA 14	-0.00005	2.25	10000	250	Totale	Si
0.9	SLE RA 2	0.00002	2.25	10000	350	Variabile	Si
0.9	SLE RA 17	-0.00001	2.25	10000	350	Variabile	Si
0.9	SLE RA 16	-0.00003	2.25	10000	350	Variabile	Si
0.9	SLE RA 15	-0.00003	2.25	10000	350	Variabile	Si
0.975	SLE RA 14	-0.00001	2.25	10000	350	Variabile	Si

Frecce lungo Y

Ascissa freccia	Combinazione	Freccia	Luce	L/f	L/f,min	Tipo	Verifica
1.275	SLE RA 19	0.00054	2.25	4193.6	250	Totale	Si
1.275	SLE RA 16	0.00048	2.25	4676	250	Totale	Si
1.275	SLE RA 15	0.00047	2.25	4751.2	250	Totale	Si
1.275	SLE RA 11	0.00047	2.25	4751.2	250	Totale	Si
1.275	SLE RA 7	0.00045	2.25	5027.9	250	Totale	Si
1.275	SLE RA 19	0.00024	2.25	9212.9	350	Variabile	Si
1.275	SLE RA 17	0.00008	2.25	10000	350	Variabile	Si
1.275	SLE RA 16	0.00019	2.25	10000	350	Variabile	Si
1.275	SLE RA 15	0.00018	2.25	10000	350	Variabile	Si
1.275	SLE RA 14	0.00007	2.25	10000	350	Variabile	Si

Superelemento in acciaio a quota "640" (2812; 2192)-(2929; 2193)

Caratteristiche del materiale

Acciaio: S275, fyk = 275000

Caratteristiche geometriche

Lunghezza: 1.17

Nodo iniziale: 1129 Nodo finale: 1134

Cerniera iniziale: No Cerniera finale: No

Sovreresistenza: 0% Sisma Z: No

Caratteristiche della sezione

Sezione	Rotazione	Area	Jx	Jy	ix	iy	Wx	Wy	Wplx	Wply
HEA100	0	0.00256	0.0000040418	0.0000015945	0.0397	0.025	0.0000842	0.00003189	0.00009801	0.00004946

Verifiche di resistenza

Verifiche a forza assiale §4.2.4.1.2.1 - §4.2.4.1.2.2 NTC18

X	Comb.	Sfruttamento	Classe	NEd	Nc,Rd	Nt,Rd	Riduzione da taglio	px	py	Verifica
0.585	SLV 14	0.072		48.166		670.391	1	0	0	Si

Verifiche a forza assiale SLD §4.2.4.1.2.1 - §4.2.4.1.2.2 NTC18

X	Comb.	Sfruttamento	Classe	NEd	Nc,Rd	Nt,Rd	Riduzione da taglio	px	py	Verifica
1.131	SLD 14	0.039		26.214		670.391	1	0	0	Si

Verifica a taglio Y §4.2.4.1.2.4 NTC18

X	Comb.	Sfruttamento	VEd	Vc,Rd	Av	Interazione taglio-torsione	Riduzione torsione	Verifica
0	SLU 76	0.005	0.795	149.811	0.001002	Considerata	0.99	Si

Verifica a taglio Y SLD §4.2.4.1.2.4 NTC18

X	Comb.	Sfruttamento	VEd	Vc,Rd	Av	Interazione taglio-torsione	Riduzione torsione	Verifica
0	SLD 1	0.003	0.434	150.648	0.001002	Considerata	0.99	Si

Verifica a torsione §4.2.4.1.2.5 NTC18

X	Comb.	Sfruttamento torsione	TEd	TRd	Riduzione taglio resistente	Sfruttamento taglio-torsione	τEd,totale	τRd	Verifica
0.039	SLU 75	0.03	0.02994	0.99803	Considerata				Si

Verifica a torsione SLD §4.2.4.1.2.5 NTC18

X	Comb.	Sfruttamento torsione	TEd	TRd	Riduzione taglio resistente	Sfruttamento taglio-torsione	τEd,totale	τRd	Verifica
1.17	SLD 8	0.017	0.01693	0.99803	Considerata				Si

Verifica a presso/tenso flessione retta X §§ 4.2.4.1.2.3 - 4.2.4.1.2.6 - 4.2.4.1.2.7 - 4.2.4.1.2.8 NTC18

Verifiche eseguite utilizzando la formula conservativa (6.2) §6.2.1 EN 1993-1-1:2005.

Implementazione dei sistemi di confinamento delle emissioni odorigene diffuse dell'impianto di compostaggio esistente nel
Comune di Eboli (SA)

PROGETTO DEFINITIVO – Tabulati di calcolo Tomo 1

X	Comb.	Sfruttamento	Classe	NEd	NRd	Rid. NRd da VEd	Mx,Ed	Mx,Rd	Rid. Mx,Rd da VEd	Rid. Mx,Rd da NEd	px	py	Verifica
0.936	SLU 75	0.064	1	35.882	670.391	1	0.2814	25.6685	1		0	0	Si

Verifica a presso/tenso flessione retta X SLD §§ 4.2.4.1.2.3 - 4.2.4.1.2.6 - 4.2.4.1.2.7 - 4.2.4.1.2.8 NTC18

Verifiche eseguite utilizzando la formula conservativa (6.2) §6.2.1 EN 1993-1-1:2005.

X	Comb.	Sfruttamento	Classe	NEd	NRd	Rid. NRd da VEd	Mx,Ed	Mx,Rd	Rid. Mx,Rd da VEd	Rid. Mx,Rd da NEd	px	py	Verifica
0.039	SLD 5	0.046	1	21.186	670.391	1	0.3817	25.6685	1		0	0	Si

Verifica a presso/tenso flessione retta Y §§ 4.2.4.1.2.3 - 4.2.4.1.2.6 - 4.2.4.1.2.7 - 4.2.4.1.2.8 NTC18

Verifiche eseguite utilizzando la formula conservativa (6.2) §6.2.1 EN 1993-1-1:2005.

X	Comb.	Sfruttamento	Classe	NEd	NRd	Rid. NRd da VEd	My,Ed	My,Rd	Rid. My,Rd da VEd	Rid. My,Rd da NEd	px	py	Verifica
0.897	SLV 9	0.077	1	47.895	670.391	1	0.0674	12.9533	1		0	0	Si

Verifica a presso/tenso flessione deviata §§ 4.2.4.1.2.3 - 4.2.4.1.2.6 - 4.2.4.1.2.7 - 4.2.4.1.2.8 NTC18

Verifiche eseguite utilizzando la formula conservativa (6.2) §6.2.1 EN 1993-1-1:2005.

X	Comb.	Sfruttamento	Classe	NEd	NRd	Rid. NRd da VEd	Mx,Ed	Mx,Rd	My,Ed	My,Rd	Rid. Mx,Rd da VEd	Rid. Mx,Rd da NEd	Rid. My,Rd da VEd	Rid. My,Rd da NEd	α	β	px	py	Verifica
0	SLU 75	0.095	1	35.882	670.391	1	0.9083	25.6685	-0.0749	12.9533	1		1				0	0	Si

Verifica a presso/tenso flessione deviata SLD §§ 4.2.4.1.2.3 - 4.2.4.1.2.6 - 4.2.4.1.2.7 - 4.2.4.1.2.8 NTC18

Verifiche eseguite utilizzando la formula conservativa (6.2) §6.2.1 EN 1993-1-1:2005.

X	Comb.	Sfruttamento	Classe	NEd	NRd	Rid. NRd da VEd	Mx,Ed	Mx,Rd	My,Ed	My,Rd	Rid. Mx,Rd da VEd	Rid. Mx,Rd da NEd	Rid. My,Rd da VEd	Rid. My,Rd da NEd	α	β	px	py	Verifica
0	SLD 9	0.055	1	26.12	670.391	1	0.3824	25.6685	0.0168	12.9533	1		1				0	0	Si

Verifiche ad instabilità

Caratteristiche iniziali

Membratura principale per controllo snellezza; Calcolo di snellezze ed N critici condotti secondo gli assi principali;

Curva X: b; Curva Y: c; Svergolamento: Carico all'estradosso; Curva svergolamento: b;

Dati per instabilità attorno a x

Controllo della snellezza secondo §4.2.4.1.3.1 NTC18

Numero rit.	Presente	Ascissa	Campata	βx/m	Vincolo a entrambi estremi	λx/m	λVer
1	Si		0				
			1-2		1	29.5	Si, (<200)
2	Si		1.17				

Dati per instabilità attorno a y

Controllo della snellezza secondo §4.2.4.1.3.1 NTC18

Numero rit.	Presente	Ascissa	Campata	βy/n	k,LT	kw,LT	Vincolo a entrambi estremi	λy/n	λVer
1	Si		0						
			1-2		1		1	46.9	Si, (<200)
2	Si		1.17						

Verifica di stabilità per tenso-flessione deviata §§ 5.5.3-5.5.4 ENV 1993-1-1:1992 + AC:1992 + A1:1994 + A2:1998

X	Comb.	Sfruttamento	Classe	NEd	Mx,Ed	Mx,Eff,Ed	My,Ed	χ,LT	kLT	ky	M,critico	Wx	Wy	Verifica
0	SLU 76	0.013	1	32.162	0.88269	0.14206	-0.09248	1	1	1	255.43407	0.000098	0.0000495	Si

Verifica di stabilità per tenso-flessione deviata SLD §§ 5.5.3-5.5.4 ENV 1993-1-1:1992 + AC:1992 + A1:1994 + A2:1998

X	Comb.	Sfruttamento	Classe	NEd	Mx,Ed	Mx,Eff,Ed	My,Ed	χ,LT	kLT	ky	M,critico	Wx	Wy	Verifica
0	SLD 7	0.02	1	5.007	0.45147	0.33616	-0.09127	1	1	1	237.95862	0.000098	0.0000495	Si

Verifica di stabilità per pressoflessione §C.4.2.4.1.3.3.2 NTC18

X	Comb.	Sfruttamento	Classe	NEd	NRk	Mx,Ed max	Mx,Rk	My,Ed max	My,Rk	χ,x	χ,y	kxx	kxy	kyy	χ,LT	Verifica
1.092	SLV 8	0.061	1	-16.768	703.911	0.52319	26.95195	0.20238	13.60093	0.95	0.82	0.696	0.397	0.996	0.661	1

Verifica di stabilità a taglio anima Y §4.2.4.1.2.4 [4.2.27] NTC18

η	hw	tw	hw/tw max	Verifica
1.2		0.077	0.006	55.46
				Si

Verifica di stabilità a taglio anima X SLD §4.2.4.1.2.4 [4.2.27] NTC18

η	hw	tw	hw/tw max	Verifica
1.2		0.077	0.006	55.46
				Si

Verifiche a deformabilità

Mensola X: No; Mensola Y: No.

Frecce lungo X

Ascissa freccia	Combinazione	Freccia	Luce	L/f	L/f,min	Tipo	Verifica
0.468	SLE RA 1	0.00001	1.17	10000	250	Totale	Si
0.468	SLE RA 17	0.00001	1.17	10000	250	Totale	Si
0.468	SLE RA 16	0.00001	1.17	10000	250	Totale	Si
0.468	SLE RA 15	0.00001	1.17	10000	250	Totale	Si
0.468	SLE RA 14	0.00001	1.17	10000	250	Totale	Si
0.468	SLE RA 2	0	1.17	10000	350	Variabile	Si
0.468	SLE RA 17	0	1.17	10000	350	Variabile	Si
0.468	SLE RA 16	0	1.17	10000	350	Variabile	Si
0.468	SLE RA 15	0	1.17	10000	350	Variabile	Si
0.429	SLE RA 14	0	1.17	10000	350	Variabile	Si

Frecce lungo Y

Ascissa freccia	Combinazione	Freccia	Luce	L/f	L/f,min	Tipo	Verifica
0.507	SLE RA 1	0.00004	1.17	10000	250	Totale	Si
0.507	SLE RA 17	0.00005	1.17	10000	250	Totale	Si
0.507	SLE RA 16	0.00007	1.17	10000	250	Totale	Si
0.507	SLE RA 15	0.00006	1.17	10000	250	Totale	Si
0.507	SLE RA 14	0.00006	1.17	10000	250	Totale	Si
0.507	SLE RA 2	-0.00002	1.17	10000	350	Variabile	Si
0.507	SLE RA 17	0.00001	1.17	10000	350	Variabile	Si

Implementazione dei sistemi di confinamento delle emissioni odorigene diffuse dell'impianto di compostaggio esistente nel
Comune di Eboli (SA)

PROGETTO DEFINITIVO – Tabulati di calcolo Tomo 1

Ascissa freccia	Combinazione	Freccia	Luce	L/f	L/f,min	Tipo	Verifica
0.507	SLE RA 16	0.00003	1.17	10000	350	Variabile	Si
0.507	SLE RA 15	0.00002	1.17	10000	350	Variabile	Si
0.507	SLE RA 14	0.00002	1.17	10000	350	Variabile	Si

Superelemento in acciaio a quota "640" (2929; 2192)-(2929; 2293)

Caratteristiche del materiale

Acciaio: S275, fyk = 275000

Caratteristiche geometriche

Lunghezza: 1.005

Nodo iniziale: 1130 Nodo finale: 1187

Cerniera iniziale: Mmomenti 1% Cerniera finale: Mmomenti 1%

Sovreresistenza: 0% Sisma Z: No

Caratteristiche della sezione

Sezione	Rotazione	Area	Jx	Jy	ix	iy	Wx	Wy	Wplx	Wply
A1; L100*10; 1; Saldato; S275; 20; 1; 8; 8; 1	180	0.003832	0.0000035319	0.000007759	0.0304	0.045	0.0000492	0.0000739	0.00008974	0.00012727

Comportamento dei calastrelli

Accoppiamento imbottito avendo passo inferiore al minimo richiesto (§C4.2.4.1.3.1.5 NTC18) nella campata compresa tra le ascisse 0 e 1.005 per sbandamento attorno all'asse y.

Verifiche di resistenza

Verifiche a forza assiale §4.2.4.1.2.1 - §4.2.4.1.2.2 NTC18

X	Comb.	Sfruttamento	Classe	NEd	Nc,Rd	Nt,Rd	Riduzione da taglio	px	py	Verifica
0.972	SLV 8	0.003		3.279		1003.522	1	0	0	Si

Verifiche a forza assiale SLD §4.2.4.1.2.1 - §4.2.4.1.2.2 NTC18

X	Comb.	Sfruttamento	Classe	NEd	Nc,Rd	Nt,Rd	Riduzione da taglio	px	py	Verifica
0.938	SLD 8	0.002		1.543		1003.522	1	0	0	Si

Verifica a taglio Y §4.2.4.1.2.4 NTC18

X	Comb.	Sfruttamento	VEd	Vc,Rd	Av	Interazione taglio-torsione	Riduzione torsione	Verifica
1.005	SLV 8	0.001	0.4	302.422	0.002	Non considerata		Si

Verifica a taglio Y SLD §4.2.4.1.2.4 NTC18

X	Comb.	Sfruttamento	VEd	Vc,Rd	Av	Interazione taglio-torsione	Riduzione torsione	Verifica
1.005	SLD 7	0.001	0.259	302.422	0.002	Non considerata		Si

Verifica a flessione semplice X §§ 4.2.4.1.2.3 - 4.2.4.1.2.6 - 4.2.4.1.2.7 - 4.2.4.1.2.8 NTC18

X	Comb.	Sfruttamento	Classe	Mx,Ed	Mx,Rd	Rid. Mx,Rd da VEd	px	py	Verifica
0.436	SLU 59	0.003	1	0.06058	23.50374	1	0	0	Si

Verifica a flessione semplice X SLD §§ 4.2.4.1.2.3 - 4.2.4.1.2.6 - 4.2.4.1.2.7 - 4.2.4.1.2.8 NTC18

X	Comb.	Sfruttamento	Classe	Mx,Ed	Mx,Rd	Rid. Mx,Rd da VEd	px	py	Verifica
0	SLD 10	0.001	1	-0.02794	23.50374	1	0	0	Si

Verifica a flessione semplice Y §§ 4.2.4.1.2.3 - 4.2.4.1.2.6 - 4.2.4.1.2.7 - 4.2.4.1.2.8 NTC18

X	Comb.	Sfruttamento	Classe	My,Ed	My,Rd	Rid. My,Rd da VEd	px	py	Verifica
0.235	SLV 15	0.002	1	-0.05882	33.33162	1	0	0	Si

Verifica a flessione semplice Y SLD §§ 4.2.4.1.2.3 - 4.2.4.1.2.6 - 4.2.4.1.2.7 - 4.2.4.1.2.8 NTC18

X	Comb.	Sfruttamento	Classe	My,Ed	My,Rd	Rid. My,Rd da VEd	px	py	Verifica
0.101	SLD 13	0.001	1	-0.02484	33.33162	1	0	0	Si

Verifica a flessione deviata §§ 4.2.4.1.2.3 - 4.2.4.1.2.6 - 4.2.4.1.2.7 - 4.2.4.1.2.8 NTC18

X	Comb.	Sfruttamento	Classe	Mx,Ed	Mx,Rd	My,Ed	My,Rd	Rid. Mx,Rd da VEd	Rid. My,Rd da VEd	α	β	px	py	Verifica
0	SLV 15	0.004	1	-0.042	23.5037	-0.0698	33.3316	1	1			0	0	Si

Verifica a flessione deviata SLD §§ 4.2.4.1.2.3 - 4.2.4.1.2.6 - 4.2.4.1.2.7 - 4.2.4.1.2.8 NTC18

X	Comb.	Sfruttamento	Classe	Mx,Ed	Mx,Rd	My,Ed	My,Rd	Rid. Mx,Rd da VEd	Rid. My,Rd da VEd	α	β	px	py	Verifica
0.402	SLD 16	0.003	1	0.0451	23.5037	-0.0258	33.3316	1	1			0	0	Si

Verifica a presso/tenso flessione retta X §§ 4.2.4.1.2.3 - 4.2.4.1.2.6 - 4.2.4.1.2.7 - 4.2.4.1.2.8 NTC18

Verifiche eseguite utilizzando la formula conservativa (6.2) §6.2.1 EN 1993-1-1:2005.

X	Comb.	Sfruttamento	Classe	NEd	NRd	Rid. NRd da VEd	Mx,Ed	Mx,Rd	Rid. Mx,Rd da VEd	Rid. Mx,Rd da NEd	px	py	Verifica
0.704	SLU 57	0.005	1	1.59	1003.522	1	0.0719	23.5037	1	1	0	0	Si

Verifica a presso/tenso flessione retta X SLD §§ 4.2.4.1.2.3 - 4.2.4.1.2.6 - 4.2.4.1.2.7 - 4.2.4.1.2.8 NTC18

Verifiche eseguite utilizzando la formula conservativa (6.2) §6.2.1 EN 1993-1-1:2005.

X	Comb.	Sfruttamento	Classe	NEd	NRd	Rid. NRd da VEd	Mx,Ed	Mx,Rd	Rid. Mx,Rd da VEd	Rid. Mx,Rd da NEd	px	py	Verifica
0.168	SLD 3	0.006	1	1.449	1003.522	1	0.1058	23.5037	1	1	0	0	Si

Verifica a presso/tenso flessione retta Y §§ 4.2.4.1.2.3 - 4.2.4.1.2.6 - 4.2.4.1.2.7 - 4.2.4.1.2.8 NTC18

Verifiche eseguite utilizzando la formula conservativa (6.2) §6.2.1 EN 1993-1-1:2005.

Implementazione dei sistemi di confinamento delle emissioni odorigene diffuse dell'impianto di compostaggio esistente nel
Comune di Eboli (SA)

PROGETTO DEFINITIVO – Tabulati di calcolo Tomo 1

X	Comb.	Sfruttamento	Classe	NEd	NRd	Rid. NRd da VEd	My,Ed	My,Rd	Rid. My,Rd da VEd	Rid. My,Rd da NEd	px	py	Verifica
1.005	SLV 8	0.004	1	3.279	1003.522	1	0.0234	33.3316	1		0	0	Si

Verifica a presso/tenso flessione retta Y SLD §§ 4.2.4.1.2.3 - 4.2.4.1.2.6 - 4.2.4.1.2.7 - 4.2.4.1.2.8 NTC18

Verifiche eseguite utilizzando la formula conservativa (6.2) §6.2.1 EN 1993-1-1:2005.

X	Comb.	Sfruttamento	Classe	NEd	NRd	Rid. NRd da VEd	My,Ed	My,Rd	Rid. My,Rd da VEd	Rid. My,Rd da NEd	px	py	Verifica
1.005	SLD 7	0.002	1	1.543	1003.522	1	0.0111	33.3316	1		0	0	Si

Verifica a presso/tenso flessione deviata §§ 4.2.4.1.2.3 - 4.2.4.1.2.6 - 4.2.4.1.2.7 - 4.2.4.1.2.8 NTC18

Verifiche eseguite utilizzando la formula conservativa (6.2) §6.2.1 EN 1993-1-1:2005.

X	Comb.	Sfruttamento	Classe	NEd	NRd	Rid. NRd da VEd	Mx,Ed	Mx,Rd	My,Ed	My,Rd	Rid. Mx,Rd da VEd	Rid. Mx,Rd da NEd	Rid. My,Rd da VEd	Rid. My,Rd da NEd	α	β	px	py	Verifica
0	SLV 7	0.015	1	3.279	1003.522	1	0.2513	23.5037	-0.0456	33.3316	1		1				0	0	Si

Verifica a presso/tenso flessione deviata SLD §§ 4.2.4.1.2.3 - 4.2.4.1.2.6 - 4.2.4.1.2.7 - 4.2.4.1.2.8 NTC18

Verifiche eseguite utilizzando la formula conservativa (6.2) §6.2.1 EN 1993-1-1:2005.

X	Comb.	Sfruttamento	Classe	NEd	NRd	Rid. NRd da VEd	Mx,Ed	Mx,Rd	My,Ed	My,Rd	Rid. Mx,Rd da VEd	Rid. Mx,Rd da NEd	Rid. My,Rd da VEd	Rid. My,Rd da NEd	α	β	px	py	Verifica
0.101	SLD 8	0.007	1	1.543	1003.522	1	0.1125	23.5037	-0.0252	33.3316	1		1				0	0	Si

Verifiche ad instabilità

Caratteristiche iniziali

Membratura principale per controllo snellezza; Calcolo di snellezze ed N critici condotti secondo gli assi principali;

Curva X: c; Curva Y: c;

Svergolamento: Nessuno; la verifica a instabilità flesso-torsionale (svergolamento) non verrà eseguita.

Dati per instabilità attorno a x

Controllo della snellezza secondo §4.2.4.1.3.1 NTC18

Numero rit.	Presente	Ascissa	Campata	βx/m	Vincolo a entrambi estremi	λx/m	λVer
1	Si		0				
			1-2		1	Si	33.1
2	Si		1.005				Si, (<200)

Dati per instabilità attorno a y

Controllo della snellezza secondo §4.2.4.1.3.1 NTC18

Numero rit.	Presente	Ascissa	Campata	βy/n	k,LT	kw,LT	Vincolo a entrambi estremi
1	Si		0				
			1-2		1	Si	22.3
2	Si		1.005				Si, (<200)

Verifica di stabilità per pressoflessione §C.4.2.4.1.3.3.1 NTC18

X	Comb.	Sfruttamento	Classe	NEd	MxEq,Ed	MyEq,Ed	Area	Wx	Wy	χ,min	λ adim. x/m	λ adim. y/n	N,crit x/m	N,crit y/n	Verifica
0.972	SLV 10	0.014	3	-1.877	-0.1271	-0.0308	0.003832	0.0000492	0.0000739	0.907	0.381	0.257	7246.703	15919.771	Si

Verifica di stabilità per pressoflessione SLD §C.4.2.4.1.3.3.1 NTC18

X	Comb.	Sfruttamento	Classe	NEd	MxEq,Ed	MyEq,Ed	Area	Wx	Wy	χ,min	λ adim. x/m	λ adim. y/n	N,crit x/m	N,crit y/n	Verifica
1.005	SLD 16	0.003	1	0	0.0424	-0.0281	0.003832	0.0000897	0.0001273	0.907	0.381	0.257	7246.703	15919.771	Si

Verifiche a deformabilità

Mensola X: No; Mensola Y: No.

Frecce lungo X

Ascissa freccia	Combinazione	Freccia	Luce	L/f	L/f,min	Tipo	Verifica
0.402	SLE RA 1	0	1.005	10000	250	Totale	Si
0.402	SLE RA 17	0	1.005	10000	250	Totale	Si
0.402	SLE RA 16	0	1.005	10000	250	Totale	Si
0.402	SLE RA 15	0	1.005	10000	250	Totale	Si
0.402	SLE RA 14	0	1.005	10000	250	Totale	Si
0.402	SLE RA 2	0	1.005	10000	350	Variabile	Si
0.402	SLE RA 17	0	1.005	10000	350	Variabile	Si
0.402	SLE RA 16	0	1.005	10000	350	Variabile	Si
0.436	SLE RA 15	0	1.005	10000	350	Variabile	Si
0.369	SLE RA 14	0	1.005	10000	350	Variabile	Si

Frecce lungo Y

Ascissa freccia	Combinazione	Freccia	Luce	L/f	L/f,min	Tipo	Verifica
0.469	SLE RA 1	0.00001	1.005	10000	250	Totale	Si
0.469	SLE RA 17	0.00001	1.005	10000	250	Totale	Si
0.469	SLE RA 16	0.00001	1.005	10000	250	Totale	Si
0.469	SLE RA 15	0.00001	1.005	10000	250	Totale	Si
0.469	SLE RA 14	0.00001	1.005	10000	250	Totale	Si
0.436	SLE RA 2	0	1.005	10000	350	Variabile	Si
0.436	SLE RA 17	0	1.005	10000	350	Variabile	Si
0.436	SLE RA 16	0	1.005	10000	350	Variabile	Si
0.436	SLE RA 15	0	1.005	10000	350	Variabile	Si
0.436	SLE RA 14	0	1.005	10000	350	Variabile	Si

Superelemento in acciaio a quota "640" (2929; 2293)-(2929; 2393)

Caratteristiche del materiale

Acciaio: S275, fyk = 275000

**Implementazione dei sistemi di confinamento delle emissioni odorigene diffuse dell'impianto di compostaggio esistente nel
Comune di Eboli (SA)
PROGETTO DEFINITIVO – Tabulati di calcolo Tomo 1**

Caratteristiche geometriche

Lunghezza: 1
 Nodo iniziale: 1185 Nodo finale: 1231
 Cerniera iniziale: Mmomenti 1% Cerniera finale: Mmomenti 1%
 Sovraresistenza: 0% Sisma Z: No

Caratteristiche della sezione

Sezione	Rotazione	Area	Jx	Jy	ix	iy	Wx	Wy	Wplx	Wply
A1; L100*10; 1; Saldato; S275; 20; 1; 8; 8; 1	180	0.003832	0.0000035319	0.000007759	0.0304	0.045	0.0000492	0.0000739	0.00008974	0.00012727

Comportamento dei calastrelli

Accoppiamento imbottito avendo passo inferiore al minimo richiesto (§C4.2.4.1.3.1.5 NTC18) nella campata compresa tra le ascisse 0 e 1 per sbandamento attorno all'asse y.

Verifiche di resistenza

Verifiche a forza assiale §4.2.4.1.2.1 - §4.2.4.1.2.2 NTC18

X	Comb.	Sfruttamento	Classe	NEd	Nc,Rd	Nt,Rd	Riduzione da taglio	px	py	Verifica
0.533	SLU 76	0.053		53.42		1003.522	1	0	0	Si

Verifiche a forza assiale SLD §4.2.4.1.2.1 - §4.2.4.1.2.2 NTC18

X	Comb.	Sfruttamento	Classe	NEd	Nc,Rd	Nt,Rd	Riduzione da taglio	px	py	Verifica
1	SLD 8	0.031		31.133		1003.522	1	0	0	Si

Verifica a presso/tenso flessione retta X §§ 4.2.4.1.2.3 - 4.2.4.1.2.6 - 4.2.4.1.2.7 - 4.2.4.1.2.8 NTC18

Verifiche eseguite utilizzando la formula conservativa (6.2) §6.2.1 EN 1993-1-1:2005.

X	Comb.	Sfruttamento	Classe	NEd	NRd	Rid. NRd da VEd	Mx,Ed	Mx,Rd	Rid. Mx,Rd da VEd	Rid. Mx,Rd da NEd	px	py	Verifica
0.5	SLU 76	0.055	1	53.42	1003.522	1	0.0497	23.5037	1		0	0	Si

Verifica a presso/tenso flessione retta X SLD §§ 4.2.4.1.2.3 - 4.2.4.1.2.6 - 4.2.4.1.2.7 - 4.2.4.1.2.8 NTC18

Verifiche eseguite utilizzando la formula conservativa (6.2) §6.2.1 EN 1993-1-1:2005.

X	Comb.	Sfruttamento	Classe	NEd	NRd	Rid. NRd da VEd	Mx,Ed	Mx,Rd	Rid. Mx,Rd da VEd	Rid. Mx,Rd da NEd	px	py	Verifica
0.8	SLD 16	0.021	1	19.994	1003.522	1	0.0243	23.5037	1		0	0	Si

Verifica a presso/tenso flessione retta Y §§ 4.2.4.1.2.3 - 4.2.4.1.2.6 - 4.2.4.1.2.7 - 4.2.4.1.2.8 NTC18

Verifiche eseguite utilizzando la formula conservativa (6.2) §6.2.1 EN 1993-1-1:2005.

X	Comb.	Sfruttamento	Classe	NEd	NRd	Rid. NRd da VEd	My,Ed	My,Rd	Rid. My,Rd da VEd	Rid. My,Rd da NEd	px	py	Verifica
0	SLU 76	0.054	1	53.42	1003.522	1	-0.0117	33.3316	1		0	0	Si

Verifica a presso/tenso flessione retta Y SLD §§ 4.2.4.1.2.3 - 4.2.4.1.2.6 - 4.2.4.1.2.7 - 4.2.4.1.2.8 NTC18

Verifiche eseguite utilizzando la formula conservativa (6.2) §6.2.1 EN 1993-1-1:2005.

X	Comb.	Sfruttamento	Classe	NEd	NRd	Rid. NRd da VEd	My,Ed	My,Rd	Rid. My,Rd da VEd	Rid. My,Rd da NEd	px	py	Verifica
0	SLD 7	0.032	1	31.133	1003.522	1	-0.0219	33.3316	1		0	0	Si

Verifica a presso/tenso flessione deviata §§ 4.2.4.1.2.3 - 4.2.4.1.2.6 - 4.2.4.1.2.7 - 4.2.4.1.2.8 NTC18

Verifiche eseguite utilizzando la formula conservativa (6.2) §6.2.1 EN 1993-1-1:2005.

X	Comb.	Sfruttamento	Classe	NEd	NRd	Rid. NRd da VEd	Mx,Ed	Mx,Rd	My,Ed	My,Rd	Rid. Mx,Rd da VEd	Rid. Mx,Rd da NEd	Rid. My,Rd da VEd	Rid. My,Rd da NEd	α	β	px	py	Verifica
0.8	SLU 75	0.055	1	53.374	1003.522	1	0.0322	23.5037	0.0078	33.3316	1		1				0	0	Si

Verifica a presso/tenso flessione deviata SLD §§ 4.2.4.1.2.3 - 4.2.4.1.2.6 - 4.2.4.1.2.7 - 4.2.4.1.2.8 NTC18

Verifiche eseguite utilizzando la formula conservativa (6.2) §6.2.1 EN 1993-1-1:2005.

X	Comb.	Sfruttamento	Classe	NEd	NRd	Rid. NRd da VEd	Mx,Ed	Mx,Rd	My,Ed	My,Rd	Rid. Mx,Rd da VEd	Rid. Mx,Rd da NEd	Rid. My,Rd da VEd	Rid. My,Rd da NEd	α	β	px	py	Verifica
0.467	SLD 7	0.033	1	31.133	1003.522	1	0.0378	23.5037	0.0236	33.3316	1		1				0	0	Si

Verifiche ad instabilità

Caratteristiche iniziali

Membratura principale per controllo snellezza; Calcolo di snellezze ed N critici condotti secondo gli assi principali;
 Curva X: c; Curva Y: c;
 Svergolamento: Nessuno; la verifica a instabilità flesso-torsionale (svergolamento) non verrà eseguita.

Dati per instabilità attorno a x

Controllo della snellezza secondo §4.2.4.1.3.1 NTC18

Numero rit.	Presente	Ascissa	Campata	βx/m	Vincolo a entrambi estremi	λx/m	λVer
1	Si	0					
			1-2		1	32.9	Si, (<200)
2	Si	1					

Dati per instabilità attorno a y

Controllo della snellezza secondo §4.2.4.1.3.1 NTC18

Numero rit.	Presente	Ascissa	Campata	βy/n	k,LT	kw,LT	Vincolo a entrambi estremi
1	Si	0					
			1-2		1	22.2	Si, (<200)
2	Si	1					

NB: superelemento non sollecitato. Verifiche non condotte.

Verifiche a deformabilità

Mensola X: No; Mensola Y: No.

Implementazione dei sistemi di confinamento delle emissioni odorigene diffuse dell'impianto di compostaggio esistente nel
Comune di Eboli (SA)

PROGETTO DEFINITIVO – Tabulati di calcolo Tomo 1

Frecce lungo X

Ascissa freccia	Combinazione	Freccia	Luce	L/f	L/f,min	Tipo	Verifica
0.767	SLE RA 1	0	1	10000	250	Totale	Si
0.767	SLE RA 17	0	1	10000	250	Totale	Si
0.767	SLE RA 16	0	1	10000	250	Totale	Si
0.233	SLE RA 15	0	1	10000	250	Totale	Si
0.733	SLE RA 14	0	1	10000	250	Totale	Si
0.767	SLE RA 2	0	1	10000	350	Variabile	Si
0.767	SLE RA 17	0	1	10000	350	Variabile	Si
0.767	SLE RA 16	0	1	10000	350	Variabile	Si
0.3	SLE RA 15	0	1	10000	350	Variabile	Si
0.667	SLE RA 14	0	1	10000	350	Variabile	Si

Frecce lungo Y

Ascissa freccia	Combinazione	Freccia	Luce	L/f	L/f,min	Tipo	Verifica
0.5	SLE RA 1	0.00001	1	10000	250	Totale	Si
0.5	SLE RA 17	0.00001	1	10000	250	Totale	Si
0.5	SLE RA 16	0.00001	1	10000	250	Totale	Si
0.5	SLE RA 15	0.00001	1	10000	250	Totale	Si
0.5	SLE RA 14	0.00001	1	10000	250	Totale	Si
0.5	SLE RA 2	0	1	10000	350	Variabile	Si
0.5	SLE RA 17	0	1	10000	350	Variabile	Si
0.5	SLE RA 16	0	1	10000	350	Variabile	Si
0.533	SLE RA 15	0	1	10000	350	Variabile	Si
0.5	SLE RA 14	0	1	10000	350	Variabile	Si

Superelemento in acciaio a quota "640" (2929; 2393)-(2929; 2493)

Caratteristiche del materiale

Acciaio: S275, fyk = 275000

Caratteristiche geometriche

Lunghezza: 1

Nodo iniziale: 1232 Nodo finale: 1266

Cerniera iniziale: Mmomenti 1% Cerniera finale: Mmomenti 1%

Sovraresistenza: 0% Sisma Z: No

Caratteristiche della sezione

Sezione	Rotazione	Area	Jx	Jy	ix	iy	Wx	Wy	Wplx	Wply
A1; L100*10; 1; Saldato; S275; 20; 1; 8; 8; 1	180	0.003832	0.0000035319	0.000007759	0.0304	0.045	0.0000492	0.0000739	0.00008974	0.00012727

Comportamento dei calastrelli

Accoppiamento imbottito avendo passo inferiore al minimo richiesto (§C4.2.4.1.3.1.5 NTC18) nella campata compresa tra le ascisse 0 e 1 per sbandamento attorno all'asse y.

Verifiche di resistenza

Verifiche a forza assiale §4.2.4.1.2.1 - §4.2.4.1.2.2 NTC18

X	Comb.	Sfruttamento	Classe	NEd	Nc,Rd	Nt,Rd	Riduzione da taglio	px	py	Verifica
1	SLU 76	0.081		81.608		1003.522	1	0	0	Si

Verifiche a forza assiale SLD §4.2.4.1.2.1 - §4.2.4.1.2.2 NTC18

X	Comb.	Sfruttamento	Classe	NEd	Nc,Rd	Nt,Rd	Riduzione da taglio	px	py	Verifica
1	SLD 8	0.047		47.212		1003.522	1	0	0	Si

Verifica a presso/tenso flessione retta X §§ 4.2.4.1.2.3 - 4.2.4.1.2.6 - 4.2.4.1.2.7 - 4.2.4.1.2.8 NTC18

Verifiche eseguite utilizzando la formula conservativa (6.2) §6.2.1 EN 1993-1-1:2005.

X	Comb.	Sfruttamento	Classe	NEd	NRd	Rid. NRd da VEd	Mx,Ed	Mx,Rd	Rid. Mx,Rd da VEd	Rid. Mx,Rd da NEd	px	py	Verifica
0.5	SLU 76	0.083	1	81.608	1003.522	1	0.0496	23.5037	1		0	0	Si

Verifica a presso/tenso flessione retta X SLD §§ 4.2.4.1.2.3 - 4.2.4.1.2.6 - 4.2.4.1.2.7 - 4.2.4.1.2.8 NTC18

Verifiche eseguite utilizzando la formula conservativa (6.2) §6.2.1 EN 1993-1-1:2005.

X	Comb.	Sfruttamento	Classe	NEd	NRd	Rid. NRd da VEd	Mx,Ed	Mx,Rd	Rid. Mx,Rd da VEd	Rid. Mx,Rd da NEd	px	py	Verifica
0.533	SLD 7	0.049	1	47.212	1003.522	1	0.0378	23.5037	1		0	0	Si

Verifica a presso/tenso flessione retta Y §§ 4.2.4.1.2.3 - 4.2.4.1.2.6 - 4.2.4.1.2.7 - 4.2.4.1.2.8 NTC18

Verifiche eseguite utilizzando la formula conservativa (6.2) §6.2.1 EN 1993-1-1:2005.

X	Comb.	Sfruttamento	Classe	NEd	NRd	Rid. NRd da VEd	My,Ed	My,Rd	Rid. My,Rd da VEd	Rid. My,Rd da NEd	px	py	Verifica
0	SLV 7	0.074	1	70.591	1003.522	1	0.1092	33.3316	1		0	0	Si

Verifica a presso/tenso flessione retta Y SLD §§ 4.2.4.1.2.3 - 4.2.4.1.2.6 - 4.2.4.1.2.7 - 4.2.4.1.2.8 NTC18

Verifiche eseguite utilizzando la formula conservativa (6.2) §6.2.1 EN 1993-1-1:2005.

X	Comb.	Sfruttamento	Classe	NEd	NRd	Rid. NRd da VEd	My,Ed	My,Rd	Rid. My,Rd da VEd	Rid. My,Rd da NEd	px	py	Verifica
0	SLD 8	0.048	1	47.212	1003.522	1	0.0446	33.3316	1		0	0	Si

Verifica a presso/tenso flessione deviata §§ 4.2.4.1.2.3 - 4.2.4.1.2.6 - 4.2.4.1.2.7 - 4.2.4.1.2.8 NTC18

Verifiche eseguite utilizzando la formula conservativa (6.2) §6.2.1 EN 1993-1-1:2005.

X	Comb.	Sfruttamento	Classe	NEd	NRd	Rid. NRd da VEd	Mx,Ed	Mx,Rd	My,Ed	My,Rd	Rid. Mx,Rd da VEd	Rid. Mx,Rd da NEd	Rid. My,Rd da VEd	Rid. My,Rd da NEd	α	β	px	py	Verifica
0.067	SLV 8	0.074	1	70.591	1003.522	1	0.0101	23.5037	0.0967	33.3316	1		1				0	0	Si

Implementazione dei sistemi di confinamento delle emissioni odorigene diffuse dell'impianto di compostaggio esistente nel
Comune di Eboli (SA)
PROGETTO DEFINITIVO – Tabulati di calcolo Tomo 1

Verifica a presso/tenso flessione deviata SLD §§ 4.2.4.1.2.3 - 4.2.4.1.2.6 - 4.2.4.1.2.7 - 4.2.4.1.2.8 NTC18

Verifiche eseguite utilizzando la formula conservativa (6.2) §6.2.1 EN 1993-1-1:2005.

X	Comb.	Sfruttamento	Classe	NEd	NRd	Rid. NRd da VEd	Mx,Ed	Mx,Rd	My,Ed	My,Rd	Rid. Mx,Rd da VEd	Rid. Mx,Rd da NEd	Rid. My,Rd da VEd	Rid. My,Rd da NEd	α	β	px	py	Verifica
0.333	SLD 8	0.049	1	47.212	1003.522	1	0.0338	23.5037	0.0196	33.3316	1		1				0	0	Si

Verifiche ad instabilità

Caratteristiche iniziali

Membratura principale per controllo snellezza; Calcolo di snellezze ed N critici condotti secondo gli assi principali;

Curva X: c; Curva Y: c;

Svergolamento: Nessuno; la verifica a instabilità flesso-torsionale (svergolamento) non verrà eseguita.

Dati per instabilità attorno a x

Controllo della snellezza secondo §4.2.4.1.3.1 NTC18

Numero rit.	Presente	Ascissa	Campata	βx/m	Vincolo a entrambi estremi	λx/m	λVer
1	Si	0					
			1-2	1	Si	32.9	Si, (<200)
2	Si	1					

Dati per instabilità attorno a y

Controllo della snellezza secondo §4.2.4.1.3.1 NTC18

Numero rit.	Presente	Ascissa	Campata	βy/n	k,LT	kw,LT	Vincolo a entrambi estremi
1	Si	0					
			1-2	1	Si	22.2	Si, (<200)
2	Si	1					

NB: superelemento non sollecitato. Verifiche non condotte.

Verifiche a deformabilità

Mensola X: No; Mensola Y: No.

Frecce lungo X

Ascissa freccia	Combinazione	Freccia	Luce	L/f	L/f,min	Tipo	Verifica
0.5	SLE RA 1	0	1	10000	250	Totale	Si
0.5	SLE RA 17	0	1	10000	250	Totale	Si
0.5	SLE RA 16	0	1	10000	250	Totale	Si
0.5	SLE RA 15	0	1	10000	250	Totale	Si
0.5	SLE RA 14	0	1	10000	250	Totale	Si
0.5	SLE RA 2	0	1	10000	350	Variabile	Si
0.5	SLE RA 17	0	1	10000	350	Variabile	Si
0.5	SLE RA 16	0	1	10000	350	Variabile	Si
0.6	SLE RA 15	0	1	10000	350	Variabile	Si
0.467	SLE RA 14	0	1	10000	350	Variabile	Si

Frecce lungo Y

Ascissa freccia	Combinazione	Freccia	Luce	L/f	L/f,min	Tipo	Verifica
0.5	SLE RA 1	0.00001	1	10000	250	Totale	Si
0.5	SLE RA 17	0.00001	1	10000	250	Totale	Si
0.5	SLE RA 16	0.00001	1	10000	250	Totale	Si
0.5	SLE RA 15	0.00001	1	10000	250	Totale	Si
0.5	SLE RA 14	0.00001	1	10000	250	Totale	Si
0.467	SLE RA 2	0	1	10000	350	Variabile	Si
0.467	SLE RA 17	0	1	10000	350	Variabile	Si
0.467	SLE RA 16	0	1	10000	350	Variabile	Si
0.467	SLE RA 15	0	1	10000	350	Variabile	Si
0.467	SLE RA 14	0	1	10000	350	Variabile	Si

Superelemento in acciaio a quota "640" (2929; 2493)-(2929; 2593)

Caratteristiche del materiale

Acciaio: S275, fyk = 275000

Caratteristiche geometriche

Lunghezza: 1

Nodo iniziale: 1267 Nodo finale: 1303

Cerniera iniziale: Mmomenti 1% Cerniera finale: Mmomenti 1%

Sovreresistenza: 0% Sisma Z: No

Caratteristiche della sezione

Sezione	Rotazione	Area	Jx	Jy	ix	iy	Wx	Wy	Wplx	Wply
A1; L100*10; 1; Saldato; S275; 20; 1; 8; 8; 1	180	0.003832	0.0000035319	0.000007759	0.0304	0.045	0.0000492	0.0000739	0.00008974	0.00012727

Comportamento dei calastrelli

Accoppiamento imbottito avendo passo inferiore al minimo richiesto (§C4.2.4.1.3.1.5 NTC18) nella campata compresa tra le ascisse 0 e 1 per sbandamento attorno all'asse y.

Verifiche di resistenza

Verifiche a forza assiale §4.2.4.1.2.1 - §4.2.4.1.2.2 NTC18

X	Comb.	Sfruttamento	Classe	NEd	Nc,Rd	Nt,Rd	Riduzione da taglio	px	py	Verifica
1	SLU 76	0.097		97.367		1003.522	1	0	0	Si

**Implementazione dei sistemi di confinamento delle emissioni odorigene diffuse dell'impianto di compostaggio esistente nel
Comune di Eboli (SA)
PROGETTO DEFINITIVO – Tabulati di calcolo Tomo 1**

Verifiche a forza assiale SLD §4.2.4.1.2.1 - §4.2.4.1.2.2 NTC18

X	Comb.	Sfruttamento	Classe	NEd	Nc,Rd	Nt,Rd	Riduzione da taglio	px	py	Verifica
1	SLD 8	0,056		56,15		1003,522	1	0	0	Si

Verifica a flessione semplice Y §§ 4.2.4.1.2.3 - 4.2.4.1.2.6 - 4.2.4.1.2.7 - 4.2.4.1.2.8 NTC18

X	Comb.	Sfruttamento	Classe	My,Ed	My,Rd	Rid. My,Rd da VEd	px	py	Verifica
1	SLV 13	0,005	1	0,17194	33,33162	1	0	0	Si

Verifica a flessione deviata §§ 4.2.4.1.2.3 - 4.2.4.1.2.6 - 4.2.4.1.2.7 - 4.2.4.1.2.8 NTC18

X	Comb.	Sfruttamento	Classe	Mx,Ed	Mx,Rd	My,Ed	My,Rd	Rid. Mx,Rd da VEd	Rid. My,Rd da VEd	α	β	px	py	Verifica
0,833	SLV 14	0,005	1	0,0206	23,5037	0,1489	33,3316	1	1			0	0	Si

Verifica a presso/tenso flessione retta X §§ 4.2.4.1.2.3 - 4.2.4.1.2.6 - 4.2.4.1.2.7 - 4.2.4.1.2.8 NTC18

Verifiche eseguite utilizzando la formula conservativa (6.2) §6.2.1 EN 1993-1-1:2005.

X	Comb.	Sfruttamento	Classe	NEd	NRd	Rid. NRd da VEd	Mx,Ed	Mx,Rd	Rid. Mx,Rd da VEd	Rid. Mx,Rd da NEd	px	py	Verifica
0,5	SLU 76	0,099	1	97,367	1003,522	1	0,0494	23,5037	1		0	0	Si

Verifica a presso/tenso flessione retta Y §§ 4.2.4.1.2.3 - 4.2.4.1.2.6 - 4.2.4.1.2.7 - 4.2.4.1.2.8 NTC18

Verifiche eseguite utilizzando la formula conservativa (6.2) §6.2.1 EN 1993-1-1:2005.

X	Comb.	Sfruttamento	Classe	NEd	NRd	Rid. NRd da VEd	My,Ed	My,Rd	Rid. My,Rd da VEd	Rid. My,Rd da NEd	px	py	Verifica
1	SLV 8	0,09	1	85,197	1003,522	1	-0,169	33,3316	1		0	0	Si

Verifica a presso/tenso flessione retta Y SLD §§ 4.2.4.1.2.3 - 4.2.4.1.2.6 - 4.2.4.1.2.7 - 4.2.4.1.2.8 NTC18

Verifiche eseguite utilizzando la formula conservativa (6.2) §6.2.1 EN 1993-1-1:2005.

X	Comb.	Sfruttamento	Classe	NEd	NRd	Rid. NRd da VEd	My,Ed	My,Rd	Rid. My,Rd da VEd	Rid. My,Rd da NEd	px	py	Verifica
1	SLD 8	0,058	1	56,15	1003,522	1	-0,0668	33,3316	1		0	0	Si

Verifica a presso/tenso flessione deviata §§ 4.2.4.1.2.3 - 4.2.4.1.2.6 - 4.2.4.1.2.7 - 4.2.4.1.2.8 NTC18

Verifiche eseguite utilizzando la formula conservativa (6.2) §6.2.1 EN 1993-1-1:2005.

X	Comb.	Sfruttamento	Classe	NEd	NRd	Rid. NRd da VEd	Mx,Ed	Mx,Rd	My,Ed	My,Rd	Rid. Mx,Rd da VEd	Rid. Mx,Rd da NEd	Rid. My,Rd da VEd	Rid. My,Rd da NEd	α	β	px	py	Verifica
0,8	SLV 8	0,09	1	85,197	1003,522	1	0,0244	23,5037	-0,1419	33,3316	1		1				0	0	Si

Verifica a presso/tenso flessione deviata SLD §§ 4.2.4.1.2.3 - 4.2.4.1.2.6 - 4.2.4.1.2.7 - 4.2.4.1.2.8 NTC18

Verifiche eseguite utilizzando la formula conservativa (6.2) §6.2.1 EN 1993-1-1:2005.

X	Comb.	Sfruttamento	Classe	NEd	NRd	Rid. NRd da VEd	Mx,Ed	Mx,Rd	My,Ed	My,Rd	Rid. Mx,Rd da VEd	Rid. Mx,Rd da NEd	Rid. My,Rd da VEd	Rid. My,Rd da NEd	α	β	px	py	Verifica
0,633	SLD 7	0,059	1	56,15	1003,522	1	0,0351	23,5037	-0,0473	33,3316	1		1				0	0	Si

Verifiche ad instabilità

Caratteristiche iniziali

Membratura principale per controllo snellezza; Calcolo di snellezze ed N critici condotti secondo gli assi principali;

Curva X: c; Curva Y: c;

Svergolamento: Nessuno; la verifica a instabilità flesso-torsionale (svergolamento) non verrà eseguita.

Dati per instabilità attorno a x

Controllo della snellezza secondo §4.2.4.1.3.1 NTC18

Numero rit.	Presente	Ascissa	Campata	βx/m	Vincolo a entrambi estremi	λx/m	λVer
1	Si		0				
			1-2		1	Si	32,9
2	Si		1				Si, (<200)

Dati per instabilità attorno a y

Controllo della snellezza secondo §4.2.4.1.3.1 NTC18

Numero rit.	Presente	Ascissa	Campata	βy/n	k,LT	kw,LT	Vincolo a entrambi estremi
1	Si		0				
			1-2		1	Si	22,2
2	Si		1				Si, (<200)

Verifica di stabilità per pressoflessione §C.4.2.4.1.3.3.1 NTC18

X	Comb.	Sfruttamento	Classe	NEd	MxEq,Ed	MyEq,Ed	Area	Wx	Wy	x,min	λ adim. x/m	λ adim. y/n	N,crit x/m	N,crit y/n	Verifica
0	SLV 9	0,006	1	-0,91	0,0322	0,1287	0,003832	0,0000897	0,0001273	0,908	0,379	0,256	7320,307	16081,468	Si

Verifiche a deformabilità

Mensola X: No; Mensola Y: No.

Frecce lungo X

Ascissa freccia	Combinazione	Freccia	Luce	L/f	L/f,min	Tipo	Verifica
0,567	SLE RA 1	0		1	10000	250	Totale
0,567	SLE RA 17	0		1	10000	250	Totale
0,567	SLE RA 16	0		1	10000	250	Totale
0,6	SLE RA 15	0		1	10000	250	Totale
0,5	SLE RA 14	0		1	10000	250	Totale
0,567	SLE RA 2	0		1	10000	350	Variabile
0,567	SLE RA 17	0		1	10000	350	Variabile
0,567	SLE RA 16	0		1	10000	350	Variabile
0,667	SLE RA 15	0		1	10000	350	Variabile
0,367	SLE RA 14	0		1	10000	350	Variabile

Frecce lungo Y

Ascissa freccia	Combinazione	Freccia	Luce	L/f	L/f,min	Tipo	Verifica
0,5	SLE RA 1	0,00001		1	10000	250	Totale
0,5	SLE RA 17	0,00001		1	10000	250	Totale
0,5	SLE RA 16	0,00001		1	10000	250	Totale
0,5	SLE RA 15	0,00001		1	10000	250	Totale

Implementazione dei sistemi di confinamento delle emissioni odorigene diffuse dell'impianto di compostaggio esistente nel
Comune di Eboli (SA)

PROGETTO DEFINITIVO – Tabulati di calcolo Tomo 1

Ascissa freccia	Combinazione	Freccia	Luce	L/f	L/f,min	Tipo	Verifica
0.5	SLE RA 14	0.00001	1	10000	250	Totale	Si
0.467	SLE RA 2	0	1	10000	350	Variabile	Si
0.467	SLE RA 17	0	1	10000	350	Variabile	Si
0.467	SLE RA 16	0	1	10000	350	Variabile	Si
0.467	SLE RA 15	0	1	10000	350	Variabile	Si
0.433	SLE RA 14	0	1	10000	350	Variabile	Si

Superelemento in acciaio a quota "640" (2929; 2593)-(2929; 2693)

Caratteristiche del materiale

Acciaio: S275, fyk = 275000

Caratteristiche geometriche

Lunghezza: 1

Nodo iniziale: 1308 Nodo finale: 1346

Cerniera iniziale: Mmomenti 1% Cerniera finale: Mmomenti 1%

Sovreresistenza: 0% Sisma Z: No

Caratteristiche della sezione

Sezione	Rotazione	Area	Jx	Jy	ix	iy	Wx	Wy	Wplx	Wply
A1; L100*10; 1; Saldato; S275; 20; 1; 8; 8; 1	180	0.003832	0.0000035319	0.000007759	0.0304	0.045	0.0000492	0.0000739	0.00008974	0.00012727

Comportamento dei calastrelli

Accoppiamento imbottito avendo passo inferiore al minimo richiesto (§C4.2.4.1.3.1.5 NTC18) nella campata compresa tra le ascisse 0 e 1 per sbandamento attorno all'asse y.

Verifiche di resistenza

Verifiche a forza assiale §4.2.4.1.2.1 - §4.2.4.1.2.2 NTC18

X	Comb.	Sfruttamento	Classe	NEd	Nc,Rd	Nt,Rd	Riduzione da taglio	px	py	Verifica
1	SLU 76	0.099		99.521		1003.522	1	0	0	Si

Verifiche a forza assiale SLD §4.2.4.1.2.1 - §4.2.4.1.2.2 NTC18

X	Comb.	Sfruttamento	Classe	NEd	Nc,Rd	Nt,Rd	Riduzione da taglio	px	py	Verifica
1	SLD 8	0.055		55.675		1003.522	1	0	0	Si

Verifica a flessione semplice Y §§ 4.2.4.1.2.3 - 4.2.4.1.2.6 - 4.2.4.1.2.7 - 4.2.4.1.2.8 NTC18

X	Comb.	Sfruttamento	Classe	My,Ed	My,Rd	Rid. My,Rd da VEd	px	py	Verifica
0	SLV 13	0.005	1	0.15485	33.33162	1	0	0	Si

Verifica a flessione deviata §§ 4.2.4.1.2.3 - 4.2.4.1.2.6 - 4.2.4.1.2.7 - 4.2.4.1.2.8 NTC18

X	Comb.	Sfruttamento	Classe	Mx,Ed	Mx,Rd	My,Ed	My,Rd	Rid. Mx,Rd da VEd	Rid. My,Rd da VEd	α	β	px	py	Verifica
0.333	SLV 13	0.005	1	0.0332	23.5037	0.1294	33.3316	1	1			0	0	Si

Verifica a presso/tenso flessione retta X §§ 4.2.4.1.2.3 - 4.2.4.1.2.6 - 4.2.4.1.2.7 - 4.2.4.1.2.8 NTC18

Verifiche eseguite utilizzando la formula conservativa (6.2) §6.2.1 EN 1993-1-1:2005.

X	Comb.	Sfruttamento	Classe	NEd	NRd	Rid. NRd da VEd	Mx,Ed	Mx,Rd	Rid. Mx,Rd da VEd	Rid. Mx,Rd da NEd	px	py	Verifica
0.5	SLU 76	0.101	1	99.521	1003.522	1	0.0494	23.5037	1		0	0	Si

Verifica a presso/tenso flessione retta Y §§ 4.2.4.1.2.3 - 4.2.4.1.2.6 - 4.2.4.1.2.7 - 4.2.4.1.2.8 NTC18

Verifiche eseguite utilizzando la formula conservativa (6.2) §6.2.1 EN 1993-1-1:2005.

X	Comb.	Sfruttamento	Classe	NEd	NRd	Rid. NRd da VEd	My,Ed	My,Rd	Rid. My,Rd da VEd	Rid. My,Rd da NEd	px	py	Verifica
1	SLU 76	0.099	1	99.521	1003.522	1	0.0103	33.3316	1		0	0	Si

Verifica a presso/tenso flessione retta Y SLD §§ 4.2.4.1.2.3 - 4.2.4.1.2.6 - 4.2.4.1.2.7 - 4.2.4.1.2.8 NTC18

Verifiche eseguite utilizzando la formula conservativa (6.2) §6.2.1 EN 1993-1-1:2005.

X	Comb.	Sfruttamento	Classe	NEd	NRd	Rid. NRd da VEd	My,Ed	My,Rd	Rid. My,Rd da VEd	Rid. My,Rd da NEd	px	py	Verifica
0	SLD 7	0.057	1	55.675	1003.522	1	-0.062	33.3316	1		0	0	Si

Verifica a presso/tenso flessione deviata §§ 4.2.4.1.2.3 - 4.2.4.1.2.6 - 4.2.4.1.2.7 - 4.2.4.1.2.8 NTC18

Verifiche eseguite utilizzando la formula conservativa (6.2) §6.2.1 EN 1993-1-1:2005.

X	Comb.	Sfruttamento	Classe	NEd	NRd	Rid. NRd da VEd	Mx,Ed	Mx,Rd	My,Ed	My,Rd	Rid. Mx,Rd da VEd	Rid. Mx,Rd da NEd	Rid. My,Rd da VEd	Rid. My,Rd da NEd	α	β	px	py	Verifica
0.767	SLU 76	0.101	1	99.521	1003.522	1	0.0358	23.5037	0.0076	33.3316	1		1				0	0	Si

Verifica a presso/tenso flessione deviata SLD §§ 4.2.4.1.2.3 - 4.2.4.1.2.6 - 4.2.4.1.2.7 - 4.2.4.1.2.8 NTC18

Verifiche eseguite utilizzando la formula conservativa (6.2) §6.2.1 EN 1993-1-1:2005.

X	Comb.	Sfruttamento	Classe	NEd	NRd	Rid. NRd da VEd	Mx,Ed	Mx,Rd	My,Ed	My,Rd	Rid. Mx,Rd da VEd	Rid. Mx,Rd da NEd	Rid. My,Rd da VEd	Rid. My,Rd da NEd	α	β	px	py	Verifica
0.433	SLD 8	0.058	1	55.675	1003.522	1	0.0371	23.5037	-0.0465	33.3316	1		1				0	0	Si

Verifiche ad instabilità

Caratteristiche iniziali

Membratura principale per controllo snellezza; Calcolo di snellezze ed N critici condotti secondo gli assi principali;

Curva X: c; Curva Y: c;

Svergolamento: Nessuno; la verifica a instabilità flesso-torsionale (svergolamento) non verrà eseguita.

Implementazione dei sistemi di confinamento delle emissioni odorigene diffuse dell'impianto di compostaggio esistente nel
Comune di Eboli (SA)
PROGETTO DEFINITIVO – Tabulati di calcolo Tomo 1

Dati per instabilità attorno a x

Controllo della snellezza secondo §4.2.4.1.3.1 NTC18

Numero rit.	Presente	Ascissa	Campata	$\beta x/m$	Vincolo a entrambi estremi	$\lambda x/m$	λVer
1	Si	0	1-2	1	Si	32.9	Si, (<200)
2	Si	1					

Dati per instabilità attorno a y

Controllo della snellezza secondo §4.2.4.1.3.1 NTC18

Numero rit.	Presente	Ascissa	Campata	$\beta y/n$	k,LT	kw,LT	Vincolo a entrambi estremi
1	Si	0	1-2	1	Si	22.2	Si, (<200)
2	Si	1					

Verifica di stabilità per pressoflessione §C.4.2.4.1.3.3.1 NTC18

X	Comb.	Sfruttamento	Classe	NEd	MxEq,Ed	MyEq,Ed	Area	Wx	Wy	χ_{min}	$\lambda_{adim. x/m}$	$\lambda_{adim. y/n}$	N,crit x/m	N,crit y/n	Verifica
1	SLV 14	0.005	1	0	0.0323	0.1331	0.003832	0.0000897	0.0001273	0.908	0.379	0.256	7320.307	16081.468	Si

Verifiche a deformabilità

Mensola X: No; Mensola Y: No.

Frecce lungo X

Ascissa freccia	Combinazione	Freccia	Luce	L/f	L/f,min	Tipo	Verifica
0.567	SLE RA 1	0	1	10000	250	Totale	Si
0.567	SLE RA 17	0	1	10000	250	Totale	Si
0.6	SLE RA 16	0	1	10000	250	Totale	Si
0.6	SLE RA 15	0	1	10000	250	Totale	Si
0.567	SLE RA 14	0	1	10000	250	Totale	Si
0.6	SLE RA 2	0	1	10000	350	Variabile	Si
0.6	SLE RA 17	0	1	10000	350	Variabile	Si
0.6	SLE RA 16	0	1	10000	350	Variabile	Si
0.6	SLE RA 15	0	1	10000	350	Variabile	Si
0.533	SLE RA 14	0	1	10000	350	Variabile	Si

Frecce lungo Y

Ascissa freccia	Combinazione	Freccia	Luce	L/f	L/f,min	Tipo	Verifica
0.5	SLE RA 1	0.00001	1	10000	250	Totale	Si
0.5	SLE RA 17	0.00001	1	10000	250	Totale	Si
0.5	SLE RA 16	0.00001	1	10000	250	Totale	Si
0.5	SLE RA 15	0.00001	1	10000	250	Totale	Si
0.5	SLE RA 14	0.00001	1	10000	250	Totale	Si
0.533	SLE RA 2	0	1	10000	350	Variabile	Si
0.533	SLE RA 17	0	1	10000	350	Variabile	Si
0.533	SLE RA 16	0	1	10000	350	Variabile	Si
0.533	SLE RA 15	0	1	10000	350	Variabile	Si
0.533	SLE RA 14	0	1	10000	350	Variabile	Si

Superelemento in acciaio a quota "640" (2929; 2693)-(2929; 2793)

Caratteristiche del materiale

Acciaio: S275, fyk = 275000

Caratteristiche geometriche

Lunghezza: 1

Nodo iniziale: 1345 Nodo finale: 1379

Cerniera iniziale: Mmomenti 1% Cerniera finale: Mmomenti 1%

Sovreresistenza: 0% Sisma Z: No

Caratteristiche della sezione

Sezione	Rotazione	Area	Jx	Jy	ix	iy	Wx	Wy	Wplx	Wply
Al; L100*10; 1; Saldato; S275; 20; 1; 8; 8; 1	180	0.003832	0.0000035319	0.000007759	0.0304	0.045	0.0000492	0.0000739	0.00008974	0.00012727

Comportamento dei calastrelli

Accoppiamento imbottito avendo passo inferiore al minimo richiesto (§C4.2.4.1.3.1.5 NTC18) nella campata compresa tra le ascisse 0 e 1 per sbandamento attorno all'asse y.

Verifiche di resistenza

Verifiche a forza assiale §4.2.4.1.2.1 - §4.2.4.1.2.2 NTC18

X	Comb.	Sfruttamento	Classe	NEd	Nc,Rd	Nt,Rd	Riduzione da taglio	px	py	Verifica
0.1	SLU 76	0.084		84.722		1003.522	1	0	0	Si

Verifiche a forza assiale SLD §4.2.4.1.2.1 - §4.2.4.1.2.2 NTC18

X	Comb.	Sfruttamento	Classe	NEd	Nc,Rd	Nt,Rd	Riduzione da taglio	px	py	Verifica
1	SLD 8	0.046		46.157		1003.522	1	0	0	Si

Verifica a taglio X §4.2.4.1.2.4 NTC18

X	Comb.	Sfruttamento	VEd	Vc,Rd	Av	Interazione taglio-torsione	Riduzione torsione	Verifica
0	SLV 3	0.001	0.22	302.422	0.002	Non considerata		Si

Verifica a presso/tenso flessione retta X §§ 4.2.4.1.2.3 - 4.2.4.1.2.6 - 4.2.4.1.2.7 - 4.2.4.1.2.8 NTC18

Verifiche eseguite utilizzando la formula conservativa (6.2) §6.2.1 EN 1993-1-1:2005.

Implementazione dei sistemi di confinamento delle emissioni odorigene diffuse dell'impianto di compostaggio esistente nel
Comune di Eboli (SA)

PROGETTO DEFINITIVO – Tabulati di calcolo Tomo 1

X	Comb.	Sfruttamento	Classe	NEd	NRd	Rid. NRd da VEd	Mx,Ed	Mx,Rd	Rid. Mx,Rd da VEd	Rid. Mx,Rd da NEd	px	py	Verifica
0.5	SLV 3	0.069	1	68.005	1003.522	1	0.0381	23.5037	1		0	0	Si

Verifica a presso/tenso flessione retta X SLD §§ 4.2.4.1.2.3 - 4.2.4.1.2.6 - 4.2.4.1.2.7 - 4.2.4.1.2.8 NTC18

Verifiche eseguite utilizzando la formula conservativa (6.2) §6.2.1 EN 1993-1-1:2005.

X	Comb.	Sfruttamento	Classe	NEd	NRd	Rid. NRd da VEd	Mx,Ed	Mx,Rd	Rid. Mx,Rd da VEd	Rid. Mx,Rd da NEd	px	py	Verifica
0.5	SLD 4	0.047	1	46.042	1003.522	1	0.0379	23.5037	1		0	0	Si

Verifica a presso/tenso flessione retta Y §§ 4.2.4.1.2.3 - 4.2.4.1.2.6 - 4.2.4.1.2.7 - 4.2.4.1.2.8 NTC18

Verifiche eseguite utilizzando la formula conservativa (6.2) §6.2.1 EN 1993-1-1:2005.

X	Comb.	Sfruttamento	Classe	NEd	NRd	Rid. NRd da VEd	My,Ed	My,Rd	Rid. My,Rd da VEd	Rid. My,Rd da NEd	px	py	Verifica
1	SLU 76	0.085	1	84.722	1003.522	1	0.02	33.3316	1		0	0	Si

Verifica a presso/tenso flessione retta Y SLD §§ 4.2.4.1.2.3 - 4.2.4.1.2.6 - 4.2.4.1.2.7 - 4.2.4.1.2.8 NTC18

Verifiche eseguite utilizzando la formula conservativa (6.2) §6.2.1 EN 1993-1-1:2005.

X	Comb.	Sfruttamento	Classe	NEd	NRd	Rid. NRd da VEd	My,Ed	My,Rd	Rid. My,Rd da VEd	Rid. My,Rd da NEd	px	py	Verifica
1	SLD 8	0.047	1	46.157	1003.522	1	0.0492	33.3316	1		0	0	Si

Verifica a presso/tenso flessione deviata §§ 4.2.4.1.2.3 - 4.2.4.1.2.6 - 4.2.4.1.2.7 - 4.2.4.1.2.8 NTC18

Verifiche eseguite utilizzando la formula conservativa (6.2) §6.2.1 EN 1993-1-1:2005.

X	Comb.	Sfruttamento	Classe	NEd	NRd	Rid. NRd da VEd	Mx,Ed	Mx,Rd	My,Ed	My,Rd	Rid. Mx,Rd da VEd	Rid. Mx,Rd da NEd	Rid. My,Rd da VEd	Rid. My,Rd da NEd	α	β	px	py	Verifica
0.533	SLU 76	0.087	1	84.722	1003.522	1	0.0494	23.5037	0.0159	33.3316	1		1				0	0	Si

Verifica a presso/tenso flessione deviata SLD §§ 4.2.4.1.2.3 - 4.2.4.1.2.6 - 4.2.4.1.2.7 - 4.2.4.1.2.8 NTC18

Verifiche eseguite utilizzando la formula conservativa (6.2) §6.2.1 EN 1993-1-1:2005.

X	Comb.	Sfruttamento	Classe	NEd	NRd	Rid. NRd da VEd	Mx,Ed	Mx,Rd	My,Ed	My,Rd	Rid. Mx,Rd da VEd	Rid. Mx,Rd da NEd	Rid. My,Rd da VEd	Rid. My,Rd da NEd	α	β	px	py	Verifica
0.7	SLD 7	0.048	1	46.157	1003.522	1	0.0319	23.5037	0.0224	33.3316	1		1				0	0	Si

Verifiche ad instabilità

Caratteristiche iniziali

Membratura principale per controllo snellezza; Calcolo di snellezze ed N critici condotti secondo gli assi principali;

Curva X: c; Curva Y: c;

Svergolamento: Nessuno; la verifica a instabilità flesso-torsionale (svergolamento) non verrà eseguita.

Dati per instabilità attorno a x

Controllo della snellezza secondo §4.2.4.1.3.1 NTC18

Numero rit.	Presente	Ascissa	Campata	βx/m	Vincolo a entrambi estremi	λx/m	λVer
1	Si	0					
			1-2	1	Si	32.9	Si, (<200)
2	Si	1					

Dati per instabilità attorno a y

Controllo della snellezza secondo §4.2.4.1.3.1 NTC18

Numero rit.	Presente	Ascissa	Campata	βy/n	k,LT	kw,LT	Vincolo a entrambi estremi
1	Si	0					
			1-2	1	Si	22.2	Si, (<200)
2	Si	1					

NB: superelemento non sollecitato. Verifiche non condotte.

Verifiche a deformabilità

Mensola X: No; Mensola Y: No.

Frecce lungo X

Ascissa freccia	Combinazione	Freccia	Luce	L/f	L/f,min	Tipo	Verifica
0.533	SLE RA 1	0	1	10000	250	Totale	Si
0.533	SLE RA 17	0	1	10000	250	Totale	Si
0.533	SLE RA 16	0	1	10000	250	Totale	Si
0.533	SLE RA 15	0	1	10000	250	Totale	Si
0.533	SLE RA 14	0	1	10000	250	Totale	Si
0.533	SLE RA 2	0	1	10000	350	Variabile	Si
0.533	SLE RA 17	0	1	10000	350	Variabile	Si
0.533	SLE RA 16	0	1	10000	350	Variabile	Si
0.533	SLE RA 15	0	1	10000	350	Variabile	Si
0.5	SLE RA 14	0	1	10000	350	Variabile	Si

Frecce lungo Y

Ascissa freccia	Combinazione	Freccia	Luce	L/f	L/f,min	Tipo	Verifica
0.5	SLE RA 1	0.00001	1	10000	250	Totale	Si
0.5	SLE RA 17	0.00001	1	10000	250	Totale	Si
0.5	SLE RA 16	0.00001	1	10000	250	Totale	Si
0.5	SLE RA 15	0.00001	1	10000	250	Totale	Si
0.5	SLE RA 14	0.00001	1	10000	250	Totale	Si
0.533	SLE RA 2	0	1	10000	350	Variabile	Si
0.533	SLE RA 17	0	1	10000	350	Variabile	Si
0.533	SLE RA 16	0	1	10000	350	Variabile	Si
0.533	SLE RA 15	0	1	10000	350	Variabile	Si
0.5	SLE RA 14	0	1	10000	350	Variabile	Si

Superelemento in acciaio a quota "640" (2929; 2793)-(2929; 2893)

Caratteristiche del materiale

Acciaio: S275, fyk = 275000

Caratteristiche geometriche

Lunghezza: 1

Nodo iniziale: 1381 Nodo finale: 1411

Cerniera iniziale: Mmomenti 1% Cerniera finale: Mmomenti 1%

Sovraresistenza: 0% Sisma Z: No

Caratteristiche della sezione

Sezione	Rotazione	Area	Jx	Jy	ix	iy	Wx	Wy	Wplx	Wply
A1; L100*10; 1; Saldato; S275; 20; 1; 8; 8; 1	180	0.003832	0.0000035319	0.000007759	0.0304	0.045	0.0000492	0.0000739	0.00008974	0.00012727

Comportamento dei calastrelli

Accoppiamento imbottito avendo passo inferiore al minimo richiesto (§C4.2.4.1.3.1.5 NTC18) nella campata compresa tra le ascisse 0 e 1 per sbandamento attorno all'asse y.

Verifiche di resistenza

Verifiche a forza assiale §4.2.4.1.2.1 - §4.2.4.1.2.2 NTC18

X	Comb.	Sfruttamento	Classe	NEd	Nc,Rd	Nt,Rd	Riduzione da taglio	px	py	Verifica
0	SLU 76	0.055		55.339		1003.522	1	0	0	Si

Verifiche a forza assiale SLD §4.2.4.1.2.1 - §4.2.4.1.2.2 NTC18

X	Comb.	Sfruttamento	Classe	NEd	Nc,Rd	Nt,Rd	Riduzione da taglio	px	py	Verifica
1	SLD 8	0.029		29.132		1003.522	1	0	0	Si

Verifica a presso/tenso flessione retta X §§ 4.2.4.1.2.3 - 4.2.4.1.2.6 - 4.2.4.1.2.7 - 4.2.4.1.2.8 NTC18

Verifiche eseguite utilizzando la formula conservativa (6.2) §6.2.1 EN 1993-1-1:2005.

X	Comb.	Sfruttamento	Classe	NEd	NRd	Rid. NRd da VEd	Mx,Ed	Mx,Rd	Rid. Mx,Rd da VEd	Rid. Mx,Rd da NEd	px	py	Verifica
0.6	SLU 76	0.057	1	55.339	1003.522	1	0.05	23.5037	1		0	0	Si

Verifica a presso/tenso flessione retta X SLD §§ 4.2.4.1.2.3 - 4.2.4.1.2.6 - 4.2.4.1.2.7 - 4.2.4.1.2.8 NTC18

Verifiche eseguite utilizzando la formula conservativa (6.2) §6.2.1 EN 1993-1-1:2005.

X	Comb.	Sfruttamento	Classe	NEd	NRd	Rid. NRd da VEd	Mx,Ed	Mx,Rd	Rid. Mx,Rd da VEd	Rid. Mx,Rd da NEd	px	py	Verifica
0.433	SLD 16	0.021	1	19.432	1003.522	1	0.0376	23.5037	1		0	0	Si

Verifica a presso/tenso flessione retta Y §§ 4.2.4.1.2.3 - 4.2.4.1.2.6 - 4.2.4.1.2.7 - 4.2.4.1.2.8 NTC18

Verifiche eseguite utilizzando la formula conservativa (6.2) §6.2.1 EN 1993-1-1:2005.

X	Comb.	Sfruttamento	Classe	NEd	NRd	Rid. NRd da VEd	My,Ed	My,Rd	Rid. My,Rd da VEd	Rid. My,Rd da NEd	px	py	Verifica
0	SLU 76	0.056	1	55.339	1003.522	1	0.0356	33.3316	1		0	0	Si

Verifica a presso/tenso flessione retta Y SLD §§ 4.2.4.1.2.3 - 4.2.4.1.2.6 - 4.2.4.1.2.7 - 4.2.4.1.2.8 NTC18

Verifiche eseguite utilizzando la formula conservativa (6.2) §6.2.1 EN 1993-1-1:2005.

X	Comb.	Sfruttamento	Classe	NEd	NRd	Rid. NRd da VEd	My,Ed	My,Rd	Rid. My,Rd da VEd	Rid. My,Rd da NEd	px	py	Verifica
1	SLD 8	0.03	1	29.132	1003.522	1	-0.0256	33.3316	1		0	0	Si

Verifica a presso/tenso flessione deviata §§ 4.2.4.1.2.3 - 4.2.4.1.2.6 - 4.2.4.1.2.7 - 4.2.4.1.2.8 NTC18

Verifiche eseguite utilizzando la formula conservativa (6.2) §6.2.1 EN 1993-1-1:2005.

X	Comb.	Sfruttamento	Classe	NEd	NRd	Rid. NRd da VEd	Mx,Ed	Mx,Rd	My,Ed	My,Rd	Rid. Mx,Rd da VEd	Rid. Mx,Rd da NEd	Rid. My,Rd da VEd	Rid. My,Rd da NEd	α	β	px	py	Verifica
0.433	SLU 76	0.058	1	55.339	1003.522	1	0.0506	23.5037	0.015	33.3316	1		1				0	0	Si

Verifica a presso/tenso flessione deviata SLD §§ 4.2.4.1.2.3 - 4.2.4.1.2.6 - 4.2.4.1.2.7 - 4.2.4.1.2.8 NTC18

Verifiche eseguite utilizzando la formula conservativa (6.2) §6.2.1 EN 1993-1-1:2005.

X	Comb.	Sfruttamento	Classe	NEd	NRd	Rid. NRd da VEd	Mx,Ed	Mx,Rd	My,Ed	My,Rd	Rid. Mx,Rd da VEd	Rid. Mx,Rd da NEd	Rid. My,Rd da VEd	Rid. My,Rd da NEd	α	β	px	py	Verifica
0.533	SLD 7	0.032	1	29.132	1003.522	1	0.0391	23.5037	0.0287	33.3316	1		1				0	0	Si

Verifiche ad instabilità

Caratteristiche iniziali

Membratura principale per controllo snellezza; Calcolo di snellezze ed N critici condotti secondo gli assi principali;

Curva X: c; Curva Y: c;

Svergolamento: Nessuno; la verifica a instabilità flesso-torsionale (svergolamento) non verrà eseguita.

Dati per instabilità attorno a x

Controllo della snellezza secondo §4.2.4.1.3.1 NTC18

Numero rit.	Presente	Ascissa	Campata	βx/m	Vincolo a entrambi estremi	λx/m	λVer
1	Si	0					
			1-2		1	32.9	Si, (<200)
2	Si	1					

Dati per instabilità attorno a y

Controllo della snellezza secondo §4.2.4.1.3.1 NTC18

Numero rit.	Presente	Ascissa	Campata	βy/n	k,LT	kw,LT	Vincolo a entrambi estremi
1	Si	0					
			1-2		1	22.2	Si, (<200)

Implementazione dei sistemi di confinamento delle emissioni odorigene diffuse dell'impianto di compostaggio esistente nel
Comune di Eboli (SA)

PROGETTO DEFINITIVO – Tabulati di calcolo Tomo 1

Numero rit.	Presente	Ascissa	Campata	$\beta y/n$	k,LT	kw,LT	Vincolo a entrambi estremi
2	Si	1					

NB: superelemento non sollecitato. Verifiche non condotte.

Verifiche a deformabilità

Mensola X: No; Mensola Y: No.

Frecce lungo X

Ascissa freccia	Combinazione	Freccia	Luce	L/f	L/f,min	Tipo	Verifica
0.367	SLE RA 1	0	1	10000	250	Totale	Si
0.367	SLE RA 17	0	1	10000	250	Totale	Si
0.367	SLE RA 16	0	1	10000	250	Totale	Si
0.367	SLE RA 15	0	1	10000	250	Totale	Si
0.333	SLE RA 14	0	1	10000	250	Totale	Si
0.367	SLE RA 2	0	1	10000	350	Variabile	Si
0.367	SLE RA 17	0	1	10000	350	Variabile	Si
0.367	SLE RA 16	0	1	10000	350	Variabile	Si
0.367	SLE RA 15	0	1	10000	350	Variabile	Si
0.3	SLE RA 14	0	1	10000	350	Variabile	Si

Frecce lungo Y

Ascissa freccia	Combinazione	Freccia	Luce	L/f	L/f,min	Tipo	Verifica
0.5	SLE RA 1	0.00001	1	10000	250	Totale	Si
0.5	SLE RA 17	0.00001	1	10000	250	Totale	Si
0.5	SLE RA 16	0.00001	1	10000	250	Totale	Si
0.5	SLE RA 15	0.00001	1	10000	250	Totale	Si
0.5	SLE RA 14	0.00001	1	10000	250	Totale	Si
0.533	SLE RA 2	0	1	10000	350	Variabile	Si
0.533	SLE RA 17	0	1	10000	350	Variabile	Si
0.533	SLE RA 16	0	1	10000	350	Variabile	Si
0.533	SLE RA 15	0	1	10000	350	Variabile	Si
0.533	SLE RA 14	0	1	10000	350	Variabile	Si

Superelemento in acciaio a quota "640" (2929; 2893)-(2929; 2989)

Caratteristiche del materiale

Acciaio: S275, fyk = 275000

Caratteristiche geometriche

Lunghezza: 0.954

Nodo iniziale: 1412 Nodo finale: 1422

Cerniera iniziale: Mmomenti 1% Cerniera finale: Mmomenti 1%

Sovraresistenza: 0% Sisma Z: No

Caratteristiche della sezione

Sezione	Rotazione	Area	Jx	Jy	ix	iy	Wx	Wy	Wplx	Wply
A1; L100*10; 1; Saldato; S275; 20; 1; 8; 8; 1	180	0.003832	0.0000035319	0.000007759	0.0304	0.045	0.0000492	0.0000739	0.00008974	0.00012727

Comportamento dei calastrelli

Accoppiamento imbottito avendo passo inferiore al minimo richiesto (§C4.2.4.1.3.1.5 NTC18) nella campata compresa tra le ascisse 0 e 0.954 per sbandamento attorno all'asse y.

Verifiche di resistenza

Verifiche a forza assiale §4.2.4.1.2.1 - §4.2.4.1.2.2 NTC18

X	Comb.	Sfruttamento	Classe	NEd	Nc,Rd	Nt,Rd	Riduzione da taglio	px	py	Verifica
0.923	SLV 7	0.003	1	-2.83	1003.522		1	0	0	Si

Verifiche a forza assiale SLD §4.2.4.1.2.1 - §4.2.4.1.2.2 NTC18

X	Comb.	Sfruttamento	Classe	NEd	Nc,Rd	Nt,Rd	Riduzione da taglio	px	py	Verifica
0.891	SLD 8	0.001	1	-1.243	1003.522		1	0	0	Si

Verifica a taglio Y §4.2.4.1.2.4 NTC18

X	Comb.	Sfruttamento	VEd	Vc,Rd	Av	Interazione taglio-torsione	Riduzione torsione	Verifica
0.954	SLV 7	0.002	0.736	302.422	0.002	Non considerata		Si

Verifica a taglio Y SLD §4.2.4.1.2.4 NTC18

X	Comb.	Sfruttamento	VEd	Vc,Rd	Av	Interazione taglio-torsione	Riduzione torsione	Verifica
0.954	SLD 7	0.002	0.486	302.422	0.002	Non considerata		Si

Verifica a flessione semplice X §§ 4.2.4.1.2.3 - 4.2.4.1.2.6 - 4.2.4.1.2.7 - 4.2.4.1.2.8 NTC18

X	Comb.	Sfruttamento	Classe	Mx,Ed	Mx,Rd	Rid. Mx,Rd da VEd	px	py	Verifica
0.923	SLV 21	0.002	1	-0.05418	23.50374	1	0	0	Si

Verifica a flessione semplice X SLD §§ 4.2.4.1.2.3 - 4.2.4.1.2.6 - 4.2.4.1.2.7 - 4.2.4.1.2.8 NTC18

X	Comb.	Sfruttamento	Classe	Mx,Ed	Mx,Rd	Rid. Mx,Rd da VEd	px	py	Verifica
0.891	SLD 6	0.005	1	-0.11763	23.50374	1	0	0	Si

Verifica a flessione semplice Y SLD §§ 4.2.4.1.2.3 - 4.2.4.1.2.6 - 4.2.4.1.2.7 - 4.2.4.1.2.8 NTC18

X	Comb.	Sfruttamento	Classe	My,Ed	My,Rd	Rid. My,Rd da VEd	px	py	Verifica
0.286	SLD 9	0.001	1	-0.01852	33.33162	1	0	0	Si

**Implementazione dei sistemi di confinamento delle emissioni odorigene diffuse dell'impianto di compostaggio esistente nel
Comune di Eboli (SA)
PROGETTO DEFINITIVO – Tabulati di calcolo Tomo 1**

Verifica a flessione deviata §§ 4.2.4.1.2.3 - 4.2.4.1.2.6 - 4.2.4.1.2.7 - 4.2.4.1.2.8 NTC18

X	Comb.	Sfruttamento	Classe	Mx,Ed	Mx,Rd	My,Ed	My,Rd	Rid. Mx,Rd da VEd	Rid. My,Rd da VEd	α	β	px	py	Verifica
0.954	SLU 41	0.008	1	-0.1713	23.5037	-0.0227	33.3316	1	1			0	0	Si

Verifica a flessione deviata SLD §§ 4.2.4.1.2.3 - 4.2.4.1.2.6 - 4.2.4.1.2.7 - 4.2.4.1.2.8 NTC18

X	Comb.	Sfruttamento	Classe	Mx,Ed	Mx,Rd	My,Ed	My,Rd	Rid. Mx,Rd da VEd	Rid. My,Rd da VEd	α	β	px	py	Verifica
0.954	SLD 16	0.008	1	-0.1531	23.5037	-0.0591	33.3316	1	1			0	0	Si

Verifica a presso/tenso flessione retta X §§ 4.2.4.1.2.3 - 4.2.4.1.2.6 - 4.2.4.1.2.7 - 4.2.4.1.2.8 NTC18

Verifiche eseguite utilizzando la formula conservativa (6.2) §6.2.1 EN 1993-1-1:2005.

X	Comb.	Sfruttamento	Classe	NEd	NRd	Rid. NRd da VEd	Mx,Ed	Mx,Rd	Rid. Mx,Rd da VEd	Rid. Mx,Rd da NEd	px	py	Verifica
0.954	SLV 3	0.024	1	-2.545	1003.522	1	-0.5128	23.5037	1		0	0	Si

Verifica a presso/tenso flessione retta X SLD §§ 4.2.4.1.2.3 - 4.2.4.1.2.6 - 4.2.4.1.2.7 - 4.2.4.1.2.8 NTC18

Verifiche eseguite utilizzando la formula conservativa (6.2) §6.2.1 EN 1993-1-1:2005.

X	Comb.	Sfruttamento	Classe	NEd	NRd	Rid. NRd da VEd	Mx,Ed	Mx,Rd	Rid. Mx,Rd da VEd	Rid. Mx,Rd da NEd	px	py	Verifica
0.891	SLD 2	0.01	1	-0.771	1003.522	1	-0.224	23.5037	1		0	0	Si

Verifica a presso/tenso flessione retta Y §§ 4.2.4.1.2.3 - 4.2.4.1.2.6 - 4.2.4.1.2.7 - 4.2.4.1.2.8 NTC18

Verifiche eseguite utilizzando la formula conservativa (6.2) §6.2.1 EN 1993-1-1:2005.

X	Comb.	Sfruttamento	Classe	NEd	NRd	Rid. NRd da VEd	My,Ed	My,Rd	Rid. My,Rd da VEd	Rid. My,Rd da NEd	px	py	Verifica
0.064	SLV 7	0.005	1	-2.83	1003.522	1	0.0575	33.3316	1		0	0	Si

Verifica a presso/tenso flessione retta Y SLD §§ 4.2.4.1.2.3 - 4.2.4.1.2.6 - 4.2.4.1.2.7 - 4.2.4.1.2.8 NTC18

Verifiche eseguite utilizzando la formula conservativa (6.2) §6.2.1 EN 1993-1-1:2005.

X	Comb.	Sfruttamento	Classe	NEd	NRd	Rid. NRd da VEd	My,Ed	My,Rd	Rid. My,Rd da VEd	Rid. My,Rd da NEd	px	py	Verifica
0.064	SLD 7	0.002	1	-1.243	1003.522	1	0.0303	33.3316	1		0	0	Si

Verifica a presso/tenso flessione deviata §§ 4.2.4.1.2.3 - 4.2.4.1.2.6 - 4.2.4.1.2.7 - 4.2.4.1.2.8 NTC18

Verifiche eseguite utilizzando la formula conservativa (6.2) §6.2.1 EN 1993-1-1:2005.

X	Comb.	Sfruttamento	Classe	NEd	NRd	Rid. NRd da VEd	Mx,Ed	Mx,Rd	My,Ed	My,Rd	Rid. Mx,Rd da VEd	Rid. Mx,Rd da NEd	Rid. My,Rd da VEd	Rid. My,Rd da NEd	α	β	px	py	Verifica
0.954	SLV 8	0.028	1	-2.83	1003.522	1	-0.5412	23.5037	-0.0694	33.3316	1		1				0	0	Si

Verifica a presso/tenso flessione deviata SLD §§ 4.2.4.1.2.3 - 4.2.4.1.2.6 - 4.2.4.1.2.7 - 4.2.4.1.2.8 NTC18

Verifiche eseguite utilizzando la formula conservativa (6.2) §6.2.1 EN 1993-1-1:2005.

X	Comb.	Sfruttamento	Classe	NEd	NRd	Rid. NRd da VEd	Mx,Ed	Mx,Rd	My,Ed	My,Rd	Rid. Mx,Rd da VEd	Rid. Mx,Rd da NEd	Rid. My,Rd da VEd	Rid. My,Rd da NEd	α	β	px	py	Verifica
0.954	SLD 7	0.016	1	-1.243	1003.522	1	-0.3123	23.5037	-0.048	33.3316	1		1				0	0	Si

Verifiche ad instabilità

Caratteristiche iniziali

Membratura principale per controllo snellezza; Calcolo di snellezze ed N critici condotti secondo gli assi principali;

Curva X: c; Curva Y: c;

Svergolamento: Nessuno; la verifica a instabilità flesso-torsionale (svergolamento) non verrà eseguita.

Dati per instabilità attorno a x

Controllo della snellezza secondo §4.2.4.1.3.1 NTC18

Numero rit.	Presente	Ascissa	Campata	βx/m	Vincolo a entrambi estremi	λx/m	λVer
1	Si		0				
			1-2		1	Si	31.4
2	Si	0.954					Si, (<200)

Dati per instabilità attorno a y

Controllo della snellezza secondo §4.2.4.1.3.1 NTC18

Numero rit.	Presente	Ascissa	Campata	βy/n	k,LT	kw,LT	Vincolo a entrambi estremi
1	Si	0					
			1-2		1	Si	21.2
2	Si	0.954					Si, (<200)

Verifica di stabilità per pressoflessione §C.4.2.4.1.3.3.1 NTC18

X	Comb.	Sfruttamento	Classe	NEd	MxEq,Ed	MyEq,Ed	Area	Wx	Wy	χ,min	λ adim. x/m	λ adim. y/n	N,crit x/m	N,crit y/n	Verifica
0.095	SLV 8	0.037	3	-2.83	-0.4059	-0.0521	0.003832	0.0000492	0.0000739	0.917	0.362	0.244	8035.312	17652.21	Si

Verifica di stabilità per pressoflessione SLD §C.4.2.4.1.3.3.1 NTC18

X	Comb.	Sfruttamento	Classe	NEd	MxEq,Ed	MyEq,Ed	Area	Wx	Wy	χ,min	λ adim. x/m	λ adim. y/n	N,crit x/m	N,crit y/n	Verifica
0.127	SLD 7	0.021	3	-1.243	-0.2343	-0.036	0.003832	0.0000492	0.0000739	0.917	0.362	0.244	8035.312	17652.21	Si

Verifiche a deformabilità

Mensola X: No; Mensola Y: No.

Frecce lungo X

Ascissa freccia	Combinazione	Freccia	Luce	L/f	L/f,min	Tipo	Verifica
0.636	SLE RA 1	0	0.954	10000	250	Totale	Si
0.636	SLE RA 17	0	0.954	10000	250	Totale	Si
0.636	SLE RA 16	0	0.954	10000	250	Totale	Si
0.636	SLE RA 15	0	0.954	10000	250	Totale	Si
0.636	SLE RA 14	0	0.954	10000	250	Totale	Si
0.636	SLE RA 2	0	0.954	10000	350	Variabile	Si
0.636	SLE RA 17	0	0.954	10000	350	Variabile	Si
0.636	SLE RA 16	0	0.954	10000	350	Variabile	Si
0.636	SLE RA 15	0	0.954	10000	350	Variabile	Si
0.604	SLE RA 14	0	0.954	10000	350	Variabile	Si

PROGETTO DEFINITIVO – Tabulati di calcolo Tomo 1

Frecce lungo Y

Ascissa freccia	Combinazione	Freccia	Luce	L/f	L/f,min	Tipo	Verifica
0.604	SLE RA 1	-0.00001	0.954	10000	250	Totale	Si
0.573	SLE RA 17	-0.00001	0.954	10000	250	Totale	Si
0.573	SLE RA 16	-0.00002	0.954	10000	250	Totale	Si
0.573	SLE RA 15	-0.00002	0.954	10000	250	Totale	Si
0.573	SLE RA 14	-0.00001	0.954	10000	250	Totale	Si
0.573	SLE RA 2	0.00001	0.954	10000	350	Variabile	Si
0.573	SLE RA 17	0	0.954	10000	350	Variabile	Si
0.573	SLE RA 16	-0.00001	0.954	10000	350	Variabile	Si
0.573	SLE RA 15	-0.00001	0.954	10000	350	Variabile	Si
0.573	SLE RA 14	0	0.954	10000	350	Variabile	Si

Superelemento in acciaio a quota "640" (-18; 1794)-(-109; 1929)

Caratteristiche del materiale

Acciaio: S275, fyk = 275000

Caratteristiche geometriche

Lunghezza: 1.855

Nodo iniziale: 1028 Nodo finale: 1054

Cerniera iniziale: No Cerniera finale: No

Sovreresistenza: 0% Sisma Z: No

Caratteristiche della sezione

Sezione	Rotazione	Area	Jx	Jy	ix	iy	Wx	Wy	Wplx	Wply
HEA120	0	0.002537	0.0000060673	0.0000023091	0.0489	0.0302	0.00010644	0.00003849	0.00011962	0.00005887

Verifiche di resistenza

Verifiche a forza assiale §4.2.4.1.2.1 - §4.2.4.1.2.2 NTC18

X	Comb.	Sfruttamento	Classe	NEd	Nc,Rd	Nt,Rd	Riduzione da taglio	px	py	Verifica
0.062	SLU 76	0.098		65.181		664.325	1	0	0	Si

Verifiche a forza assiale SLD §4.2.4.1.2.1 - §4.2.4.1.2.2 NTC18

X	Comb.	Sfruttamento	Classe	NEd	Nc,Rd	Nt,Rd	Riduzione da taglio	px	py	Verifica
1.855	SLD 8	0.05		32.959		664.325	1	0	0	Si

Verifica a taglio Y §4.2.4.1.2.4 NTC18

X	Comb.	Sfruttamento	VEd	Vc,Rd	Av	Interazione taglio-torsione	Riduzione torsione	Verifica
1.855	SLU 76	0.007	-0.884	127.293	0.000849	Considerata	0.99	Si

Verifica a taglio Y SLD §4.2.4.1.2.4 NTC18

X	Comb.	Sfruttamento	VEd	Vc,Rd	Av	Interazione taglio-torsione	Riduzione torsione	Verifica
1.855	SLD 10	0.004	-0.468	127.824	0.000849	Considerata	1	Si

Verifica a torsione §4.2.4.1.2.5 NTC18

X	Comb.	Sfruttamento torsione	TEd	TRd	Riduzione taglio resistente	Sfruttamento taglio-torsione	τEd,totale	τRd	Verifica
0.927	SLU 76	0.02	0.01671	0.85138	Considerata				Si

Verifica a torsione SLD §4.2.4.1.2.5 NTC18

X	Comb.	Sfruttamento torsione	TEd	TRd	Riduzione taglio resistente	Sfruttamento taglio-torsione	τEd,totale	τRd	Verifica
1.855	SLD 10	0.009	0.00795	0.85138	Considerata				Si

Verifica a presso/tenso flessione retta X §§ 4.2.4.1.2.3 - 4.2.4.1.2.6 - 4.2.4.1.2.7 - 4.2.4.1.2.8 NTC18

Verifiche eseguite utilizzando la formula conservativa (6.2) §6.2.1 EN 1993-1-1:2005.

X	Comb.	Sfruttamento	Classe	NEd	NRd	Rid. NRd da VEd	Mx,Ed	Mx,Rd	Rid. Mx,Rd da VEd	Rid. Mx,Rd da NEd	px	py	Verifica
1.669	SLU 76	0.135	1	65.181	664.325	1	1.1441	31.3291	1		0	0	Si

Verifica a presso/tenso flessione retta X SLD §§ 4.2.4.1.2.3 - 4.2.4.1.2.6 - 4.2.4.1.2.7 - 4.2.4.1.2.8 NTC18

Verifiche eseguite utilizzando la formula conservativa (6.2) §6.2.1 EN 1993-1-1:2005.

X	Comb.	Sfruttamento	Classe	NEd	NRd	Rid. NRd da VEd	Mx,Ed	Mx,Rd	Rid. Mx,Rd da VEd	Rid. Mx,Rd da NEd	px	py	Verifica
1.236	SLD 8	0.058	1	32.959	664.325	1	0.267	31.3291	1		0	0	Si

Verifica a presso/tenso flessione retta Y §§ 4.2.4.1.2.3 - 4.2.4.1.2.6 - 4.2.4.1.2.7 - 4.2.4.1.2.8 NTC18

Verifiche eseguite utilizzando la formula conservativa (6.2) §6.2.1 EN 1993-1-1:2005.

X	Comb.	Sfruttamento	Classe	NEd	NRd	Rid. NRd da VEd	My,Ed	My,Rd	Rid. My,Rd da VEd	Rid. My,Rd da NEd	px	py	Verifica
0.618	SLV 10	0.044	1	-28.309	664.325	1	-0.023	15.4191	1		0	0	Si

Verifica a presso/tenso flessione retta Y SLD §§ 4.2.4.1.2.3 - 4.2.4.1.2.6 - 4.2.4.1.2.7 - 4.2.4.1.2.8 NTC18

Verifiche eseguite utilizzando la formula conservativa (6.2) §6.2.1 EN 1993-1-1:2005.

X	Comb.	Sfruttamento	Classe	NEd	NRd	Rid. NRd da VEd	My,Ed	My,Rd	Rid. My,Rd da VEd	Rid. My,Rd da NEd	px	py	Verifica
0.062	SLD 5	0.015	1	8.513	664.325	1	-0.0303	15.4191	1		0	0	Si

Verifica a presso/tenso flessione deviata §§ 4.2.4.1.2.3 - 4.2.4.1.2.6 - 4.2.4.1.2.7 - 4.2.4.1.2.8 NTC18

Verifiche eseguite utilizzando la formula conservativa (6.2) §6.2.1 EN 1993-1-1:2005.

X	Comb.	Sfruttamento	Classe	NEd	NRd	Rid. NRd da VEd	Mx,Ed	Mx,Rd	My,Ed	My,Rd	Rid. Mx,Rd da VEd	Rid. Mx,Rd da NEd	Rid. My,Rd da VEd	Rid. My,Rd da NEd	α	β	px	py	Verifica
1.855	SLU 76	0.14	1	65.181	664.325	1	1.3035	31.3291	0.0086	15.4191	1		1				0	0	Si

Implementazione dei sistemi di confinamento delle emissioni odorigene diffuse dell'impianto di compostaggio esistente nel
Comune di Eboli (SA)
PROGETTO DEFINITIVO – Tabulati di calcolo Tomo 1

Verifica a presso/tenso flessione deviata SLD §§ 4.2.4.1.2.3 - 4.2.4.1.2.6 - 4.2.4.1.2.7 - 4.2.4.1.2.8 NTC18

Verifiche eseguite utilizzando la formula conservativa (6.2) §6.2.1 EN 1993-1-1:2005.

X	Comb.	Sfruttamento	Classe	NEd	NRd	Rid. NRd da VEd	Mx,Ed	Mx,Rd	My,Ed	My,Rd	Rid. Mx,Rd da VEd	Rid. Mx,Rd da NEd	Rid. My,Rd da VEd	Rid. My,Rd da NEd	α	β	px	py	Verifica
1.855	SLD 8	0.066	1	32.959	664.325	1	0.4735	31.3291	0.0149	15.4191	1		1				0	0	Si

Verifiche ad instabilità

Caratteristiche iniziali

Membratura principale per controllo snellezza; Calcolo di snellezze ed N critici condotti secondo gli assi principali;
Curva X: b; Curva Y: c; Svergolamento: Carico all'estradosso; Curva svergolamento: b;

Dati per instabilità attorno a x

Controllo della snellezza secondo §4.2.4.1.3.1 NTC18

Numero rit.	Presente	Ascissa	Campata	βx/m	Vincolo a entrambi estremi	λx/m	λVer
1	Si	0					
			1-2		1	37.9	Si, (<200)
2	Si	1.855					

Dati per instabilità attorno a y

Controllo della snellezza secondo §4.2.4.1.3.1 NTC18

Numero rit.	Presente	Ascissa	Campata	βy/n	k,LT	kw,LT	Vincolo a entrambi estremi	λy/n	λVer
1	Si	0							
			1-2		1	1	Si	61.5	Si, (<200)
2	Si	1.855							

Verifica a svergolamento con trazione §4.2.4.1.3.2 NTC18 § 5.5.3 ENV 1993-1-1:1992 + AC:1992 + A1:1994 + A2:1998

X	Comb.	Sfruttamento	Classe	Obblig.	NEd	Mx,Ed	Mx,Eff,Ed	Mb,Rd,x	χ,LT	λ adim. LT	L,LT	M,critico	Verifica
1.855	SLU 43	0.008	1	Si	1.319	0.26474	0.226	28.24289	0.901	0.634	1.855	81.82918	Si

Verifica a svergolamento con trazione SLD §4.2.4.1.3.2 NTC18 § 5.5.3 ENV 1993-1-1:1992 + AC:1992 + A1:1994 + A2:1998

X	Comb.	Sfruttamento	Classe	Obblig.	NEd	Mx,Ed	Mx,Eff,Ed	Mb,Rd,x	χ,LT	λ adim. LT	L,LT	M,critico	Verifica
1.855	SLD 6	0.008	1	Si	8.513	0.48659	0.23651	28.24289	0.901	0.634	1.855	81.82918	Si

Verifica di stabilità per tenso-flessione deviata §§ 5.5.3-5.5.4 ENV 1993-1-1:1992 + AC:1992 + A1:1994 + A2:1998

X	Comb.	Sfruttamento	Classe	NEd	Mx,Ed	Mx,Eff,Ed	My,Ed	χ,LT	kLT	ky	M,critico	Wx	Wy	Verifica
1.855	SLU 60	0.012	1	2.283	0.38921	0.32215	0.00922	0.901	1	1	81.82918	0.0001196	0.0000589	Si

Verifica di stabilità per tenso-flessione deviata SLD §§ 5.5.3-5.5.4 ENV 1993-1-1:1992 + AC:1992 + A1:1994 + A2:1998

X	Comb.	Sfruttamento	Classe	NEd	Mx,Ed	Mx,Eff,Ed	My,Ed	χ,LT	kLT	ky	M,critico	Wx	Wy	Verifica
1.855	SLD 9	0.016	1	1.258	0.48999	0.45303	-0.00678	0.901	1	1	81.82918	0.0001196	0.0000589	Si

Verifica di stabilità per pressoflessione §C.4.2.4.1.3.3.2 NTC18

X	Comb.	Sfruttamento	Classe	NEd	NRk	Mx,Ed max	Mx,Rk	My,Ed max	My,Rk	χ,x	χ,y	kxx	kxy	kyy	χ,LT	Verifica	
1.855	SLV 10	0.078	1	-28.309	697.541	0.50288	32.89552	0.03746	16.19002	0.911	0.72	0.404	0.473	0.972	0.789	0.901	Si

Verifica di stabilità a taglio anima Y §4.2.4.1.2.4 [4.2.27] NTC18

η	hw	tw	hw/tw max	Verifica
1.2	0.098	0.005	55.46	Si

Verifica di stabilità a taglio anima Y SLD §4.2.4.1.2.4 [4.2.27] NTC18

η	hw	tw	hw/tw max	Verifica
1.2	0.098	0.005	55.46	Si

Verifiche a deformabilità

Mensola X: No; Mensola Y: No.

Frecce lungo X

Ascissa freccia	Combinazione	Freccia	Luce	L/f	L/f,min	Tipo	Verifica
0.742	SLE RA 1	0.00001	1.855	10000	250	Totale	Si
0.742	SLE RA 17	0.00001	1.855	10000	250	Totale	Si
0.742	SLE RA 16	0.00001	1.855	10000	250	Totale	Si
0.742	SLE RA 15	0.00001	1.855	10000	250	Totale	Si
0.68	SLE RA 14	0.00001	1.855	10000	250	Totale	Si
0.742	SLE RA 2	0	1.855	10000	350	Variabile	Si
0.742	SLE RA 17	0	1.855	10000	350	Variabile	Si
0.742	SLE RA 16	0.00001	1.855	10000	350	Variabile	Si
0.742	SLE RA 15	0	1.855	10000	350	Variabile	Si
0.618	SLE RA 14	0	1.855	10000	350	Variabile	Si

Frecce lungo Y

Ascissa freccia	Combinazione	Freccia	Luce	L/f	L/f,min	Tipo	Verifica
1.113	SLE RA 1	0.00006	1.855	10000	250	Totale	Si
1.113	SLE RA 17	0.00009	1.855	10000	250	Totale	Si
1.113	SLE RA 16	0.00012	1.855	10000	250	Totale	Si
1.051	SLE RA 15	0.00012	1.855	10000	250	Totale	Si
1.113	SLE RA 14	0.00008	1.855	10000	250	Totale	Si
1.051	SLE RA 2	-0.00006	1.855	10000	350	Variabile	Si
1.051	SLE RA 17	0.00003	1.855	10000	350	Variabile	Si
1.051	SLE RA 16	0.00006	1.855	10000	350	Variabile	Si
1.051	SLE RA 15	0.00006	1.855	10000	350	Variabile	Si
1.051	SLE RA 14	0.00002	1.855	10000	350	Variabile	Si

Superelemento in acciaio a quota "640" (-33; 29)-(94; 164)

Caratteristiche del materiale

Acciaio: S275, fyk = 275000

Implementazione dei sistemi di confinamento delle emissioni odorigene diffuse dell'impianto di compostaggio esistente nel
Comune di Eboli (SA)
PROGETTO DEFINITIVO – Tabulati di calcolo Tomo 1

Caratteristiche geometriche

Lunghezza: 1.85
Nodo iniziale: 669 Nodo finale: 698
Cerniera iniziale: No Cerniera finale: No
Sovraresistenza: 0% Sisma Z: No

Caratteristiche della sezione

Sezione	Rotazione	Area	Jx	Jy	ix	iy	Wx	Wy	Wplx	Wply
HEA120	0	0.002537	0.0000060673	0.0000023091	0.0489	0.0302	0.00010644	0.00003849	0.00011962	0.00005887

Verifiche di resistenza

Verifiche a forza assiale §4.2.4.1.2.1 - §4.2.4.1.2.2 NTC18

X	Comb.	Sfruttamento	Classe	NEd	Nc,Rd	Nt,Rd	Riduzione da taglio	px	py	Verifica
0.925	SLU 75	0.064		42.217		664.325	1	0	0	Si

Verifiche a forza assiale SLD §4.2.4.1.2.1 - §4.2.4.1.2.2 NTC18

X	Comb.	Sfruttamento	Classe	NEd	Nc,Rd	Nt,Rd	Riduzione da taglio	px	py	Verifica
1.85	SLD 8	0.025		16.815		664.325	1	0	0	Si

Verifica a taglio Y §4.2.4.1.2.4 NTC18

X	Comb.	Sfruttamento	VEd	Vc,Rd	Av	Interazione taglio-torsione	Riduzione torsione	Verifica
0	SLU 75	0.007	0.885	125.963	0.000849	Considerata	0.98	Si

Verifica a taglio Y SLD §4.2.4.1.2.4 NTC18

X	Comb.	Sfruttamento	VEd	Vc,Rd	Av	Interazione taglio-torsione	Riduzione torsione	Verifica
0	SLD 5	0.004	0.47	127.149	0.000849	Considerata	0.99	Si

Verifica a torsione §4.2.4.1.2.5 NTC18

X	Comb.	Sfruttamento torsione	TEd	TRd	Riduzione taglio resistente	Sfruttamento taglio-torsione	τEd,totale	τRd	Verifica
0	SLU 75	0.045	0.03848	0.85138	Considerata				Si

Verifica a torsione SLD §4.2.4.1.2.5 NTC18

X	Comb.	Sfruttamento torsione	TEd	TRd	Riduzione taglio resistente	Sfruttamento taglio-torsione	τEd,totale	τRd	Verifica
1.85	SLD 5	0.022	0.01908	0.85138	Considerata				Si

Verifica a flessione semplice Y §§ 4.2.4.1.2.3 - 4.2.4.1.2.6 - 4.2.4.1.2.7 - 4.2.4.1.2.8 NTC18

X	Comb.	Sfruttamento	Classe	My,Ed	My,Rd	Rid. My,Rd da VEd	px	py	Verifica
0.74	SLU 59	0.001		0.01461	15.41907	1	0	0	Si

Verifica a flessione deviata §§ 4.2.4.1.2.3 - 4.2.4.1.2.6 - 4.2.4.1.2.7 - 4.2.4.1.2.8 NTC18

X	Comb.	Sfruttamento	Classe	Mx,Ed	Mx,Rd	My,Ed	My,Rd	Rid. Mx,Rd da VEd	Rid. My,Rd da VEd	α	β	px	py	Verifica
0	SLU 59	0.008	1	0.2008	31.3291	0.0199	15.4191	1	1			0	0	Si

Verifica a presso/tenso flessione retta X §§ 4.2.4.1.2.3 - 4.2.4.1.2.6 - 4.2.4.1.2.7 - 4.2.4.1.2.8 NTC18

Verifiche eseguite utilizzando la formula conservativa (6.2) §6.2.1 EN 1993-1-1:2005.

X	Comb.	Sfruttamento	Classe	NEd	NRd	Rid. NRd da VEd	Mx,Ed	Mx,Rd	Rid. Mx,Rd da VEd	Rid. Mx,Rd da NEd	px	py	Verifica
1.727	SLV 7	0.043	1	26.644	664.325	1	0.0931	31.3291	1		0	0	Si

Verifica a presso/tenso flessione retta Y §§ 4.2.4.1.2.3 - 4.2.4.1.2.6 - 4.2.4.1.2.7 - 4.2.4.1.2.8 NTC18

Verifiche eseguite utilizzando la formula conservativa (6.2) §6.2.1 EN 1993-1-1:2005.

X	Comb.	Sfruttamento	Classe	NEd	NRd	Rid. NRd da VEd	My,Ed	My,Rd	Rid. My,Rd da VEd	Rid. My,Rd da NEd	px	py	Verifica
1.357	SLV 7	0.042	1	26.644	664.325	1	0.0298	15.4191	1		0	0	Si

Verifica a presso/tenso flessione retta Y SLD §§ 4.2.4.1.2.3 - 4.2.4.1.2.6 - 4.2.4.1.2.7 - 4.2.4.1.2.8 NTC18

Verifiche eseguite utilizzando la formula conservativa (6.2) §6.2.1 EN 1993-1-1:2005.

X	Comb.	Sfruttamento	Classe	NEd	NRd	Rid. NRd da VEd	My,Ed	My,Rd	Rid. My,Rd da VEd	Rid. My,Rd da NEd	px	py	Verifica
1.665	SLD 16	0.019	1	9.485	664.325	1	0.0711	15.4191	1		0	0	Si

Verifica a presso/tenso flessione deviata §§ 4.2.4.1.2.3 - 4.2.4.1.2.6 - 4.2.4.1.2.7 - 4.2.4.1.2.8 NTC18

Verifiche eseguite utilizzando la formula conservativa (6.2) §6.2.1 EN 1993-1-1:2005.

X	Comb.	Sfruttamento	Classe	NEd	NRd	Rid. NRd da VEd	Mx,Ed	Mx,Rd	My,Ed	My,Rd	Rid. Mx,Rd da VEd	Rid. Mx,Rd da NEd	Rid. My,Rd da VEd	Rid. My,Rd da NEd	α	β	px	py	Verifica
0	SLU 75	0.133	1	42.217	664.325	1	1.263	31.3291	0.4433	15.4191	1		1				0	0	Si

Verifica a presso/tenso flessione deviata SLD §§ 4.2.4.1.2.3 - 4.2.4.1.2.6 - 4.2.4.1.2.7 - 4.2.4.1.2.8 NTC18

Verifiche eseguite utilizzando la formula conservativa (6.2) §6.2.1 EN 1993-1-1:2005.

X	Comb.	Sfruttamento	Classe	NEd	NRd	Rid. NRd da VEd	Mx,Ed	Mx,Rd	My,Ed	My,Rd	Rid. Mx,Rd da VEd	Rid. Mx,Rd da NEd	Rid. My,Rd da VEd	Rid. My,Rd da NEd	α	β	px	py	Verifica
0	SLD 4	0.052	1	16.632	664.325	1	0.5104	31.3291	0.1628	15.4191	1		1				0	0	Si

Verifiche ad instabilità

Caratteristiche iniziali

Membratura principale per controllo snellezza; Calcolo di snellezze ed N critici condotti secondo gli assi principali;
Curva X: b; Curva Y: c; Svergolamento: Carico all'estradosso; Curva svergolamento: b;

Dati per instabilità attorno a x

Controllo della snellezza secondo §4.2.4.1.3.1 NTC18

Numero rit.	Presente	Ascissa	Campata	βx/m	Vincolo a entrambi estremi	λx/m	λVer
1	Si	0					
			1-2	1	Si	37.8	Si, (<200)

Implementazione dei sistemi di confinamento delle emissioni odorigene diffuse dell'impianto di compostaggio esistente nel
Comune di Eboli (SA)
PROGETTO DEFINITIVO – Tabulati di calcolo Tomo 1

Numero rit.	Presente	Ascissa	Campata	$\beta x/m$	Vincolo a entrambi estremi	$\lambda x/m$	λVer
2	Si	1.85					

Dati per instabilità attorno a y

Controllo della snellezza secondo §4.2.4.1.3.1 NTC18

Numero rit.	Presente	Ascissa	Campata	$\beta y/n$	k,LT	kw,LT	Vincolo a entrambi estremi	$\lambda y/n$	λVer
1	Si	0							
			1-2	1	1	1	Si	61.3	Si, (<200)
2	Si	1.85							

Verifica di stabilità per tenso-flessione deviata §§ 5.5.3-5.5.4 ENV 1993-1-1:1992 + AC:1992 + A1:1994 + A2:1998

X	Comb.	Sfruttamento	Classe	NEd	Mx,Ed	Mx,Eff,Ed	My,Ed	χ,LT	kLT	ky	M,critico	Wx	Wy	Verifica
0	SLU 75	0.029	1	42.217	1.26297	0.02282	0.44334	0.992	1	1	185.61402	0.0001196	0.0000589	Si

Verifica di stabilità per tenso-flessione deviata SLD §§ 5.5.3-5.5.4 ENV 1993-1-1:1992 + AC:1992 + A1:1994 + A2:1998

X	Comb.	Sfruttamento	Classe	NEd	Mx,Ed	Mx,Eff,Ed	My,Ed	χ,LT	kLT	ky	M,critico	Wx	Wy	Verifica
0	SLD 9	0.018	1	7	0.51344	0.30781	0.11267	0.902	1	1	82.10616	0.0001196	0.0000589	Si

Verifica di stabilità per pressoflessione §C.4.2.4.1.3.3.2 NTC18

X	Comb.	Sfruttamento	Classe	NEd	NRk	Mx,Ed max	Mx,Rk	My,Ed max	My,Rk	χ_x	χ_y	kxx	kxy	kyy	χ_{LT}	Verifica	
1.85	SLV 10	0.033	1	-2.829	697.541	0.58897	32.89552	0.12987	16.19002	0.912	0.721	0.511	0.427	0.998	0.712	0.902	Si

Verifica di stabilità a taglio anima Y §4.2.4.1.2.4 [4.2.27] NTC18

η	hw	tw	hw/tw max	Verifica
1.2	0.098	0.005	55.46	Si

Verifica di stabilità a taglio anima Y SLD §4.2.4.1.2.4 [4.2.27] NTC18

η	hw	tw	hw/tw max	Verifica
1.2	0.098	0.005	55.46	Si

Verifiche a deformabilità

Mensola X: No; Mensola Y: No.

Frecce lungo X

Ascissa freccia	Combinazione	Freccia	Luce	L/f	L/f,min	Tipo	Verifica
0.863	SLE RA 18	-0.00019	1.85	9899.7	250	Totale	Si
0.863	SLE RA 1	-0.00008	1.85	10000	250	Totale	Si
0.863	SLE RA 17	-0.00012	1.85	10000	250	Totale	Si
0.863	SLE RA 16	-0.00016	1.85	10000	250	Totale	Si
0.863	SLE RA 15	-0.00011	1.85	10000	250	Totale	Si
0.863	SLE RA 2	0.00007	1.85	10000	350	Variabile	Si
0.863	SLE RA 17	-0.00003	1.85	10000	350	Variabile	Si
0.863	SLE RA 16	-0.00007	1.85	10000	350	Variabile	Si
0.863	SLE RA 15	-0.00002	1.85	10000	350	Variabile	Si
0.863	SLE RA 14	-0.00008	1.85	10000	350	Variabile	Si

Frecce lungo Y

Ascissa freccia	Combinazione	Freccia	Luce	L/f	L/f,min	Tipo	Verifica
0.74	SLE RA 1	0.00006	1.85	10000	250	Totale	Si
0.74	SLE RA 17	0.00008	1.85	10000	250	Totale	Si
0.74	SLE RA 16	0.00011	1.85	10000	250	Totale	Si
0.74	SLE RA 15	0.00007	1.85	10000	250	Totale	Si
0.74	SLE RA 14	0.00012	1.85	10000	250	Totale	Si
0.802	SLE RA 2	-0.00005	1.85	10000	350	Variabile	Si
0.802	SLE RA 17	0.00002	1.85	10000	350	Variabile	Si
0.802	SLE RA 16	0.00006	1.85	10000	350	Variabile	Si
0.802	SLE RA 15	0.00002	1.85	10000	350	Variabile	Si
0.802	SLE RA 14	0.00006	1.85	10000	350	Variabile	Si

Superelemento in acciaio a quota "640" (-36; 1556)-(-73; 1453)

Caratteristiche del materiale

Acciaio: S275, fyk = 275000

Caratteristiche geometriche

Lunghezza: 1.5

Nodo iniziale: 981 Nodo finale: 958

Cerniera iniziale: Mmomenti 1% Cerniera finale: Mmomenti 1%

Sovraresistenza: 0% Sisma Z: No

Caratteristiche della sezione

Sezione	Rotazione	Area	Jx	Jy	ix	iy	Wx	Wy	Wplx	Wply
A1; L100*10; 1; Saldato; S275; 30; 1; 8; 8; 1	180	0.003832	0.0000035319	0.000007759	0.0304	0.045	0.0000492	0.0000739	0.00008974	0.00012727

Comportamento dei calastrelli

Accoppiamento imbottito con funzione statica (§C4.2.4.1.3.1.4 NTC18) nella campata compresa tra le ascisse 0 e 1.5 per sbandamento attorno all'asse y.

Verifiche di resistenza

Verifiche a forza assiale §4.2.4.1.2.1 - §4.2.4.1.2.2 NTC18

X	Comb.	Sfruttamento	Classe	NEd	Nc,Rd	Nt,Rd	Riduzione da taglio	px	py	Verifica
0.7	SLU 76	0.108		108.066		1003.522	1	0	0	Si

**Implementazione dei sistemi di confinamento delle emissioni odorigene diffuse dell'impianto di compostaggio esistente nel
Comune di Eboli (SA)
PROGETTO DEFINITIVO – Tabulati di calcolo Tomo 1**

Verifiche a forza assiale SLD §4.2.4.1.2.1 - §4.2.4.1.2.2 NTC18

X	Comb.	Sfruttamento	Classe	NEd	Nc,Rd	Nt,Rd	Riduzione da taglio	px	py	Verifica
1.5	SLD 16	0.041		40.843		1003.522	1	0	0	Si

Verifica a taglio Y §4.2.4.1.2.4 NTC18

X	Comb.	Sfruttamento	VEd	Vc,Rd	Av	Interazione taglio-torsione	Riduzione torsione	Verifica
0	SLU 76	0.001	-0.294	302.422	0.002	Non considerata		Si

Verifica a taglio Y SLD §4.2.4.1.2.4 NTC18

X	Comb.	Sfruttamento	VEd	Vc,Rd	Av	Interazione taglio-torsione	Riduzione torsione	Verifica
0	SLD 1	0.001	-0.226	302.422	0.002	Non considerata		Si

Verifica a flessione semplice X §§ 4.2.4.1.2.3 - 4.2.4.1.2.6 - 4.2.4.1.2.7 - 4.2.4.1.2.8 NTC18

X	Comb.	Sfruttamento	Classe	Mx,Ed	Mx,Rd	Rid. Mx,Rd da VEd	px	py	Verifica
0.75	SLU 5	0.004	1	0.08409	23.50374	1	0	0	Si

Verifica a presso/tenso flessione retta X §§ 4.2.4.1.2.3 - 4.2.4.1.2.6 - 4.2.4.1.2.7 - 4.2.4.1.2.8 NTC18

Verifiche eseguite utilizzando la formula conservativa (6.2) §6.2.1 EN 1993-1-1:2005.

X	Comb.	Sfruttamento	Classe	NEd	NRd	Rid. NRd da VEd	Mx,Ed	Mx,Rd	Rid. Mx,Rd da VEd	Rid. Mx,Rd da NEd	px	py	Verifica
0.75	SLU 76	0.112	1	108.066	1003.522	1	0.1111	23.5037	1		0	0	Si

Verifica a presso/tenso flessione retta X SLD §§ 4.2.4.1.2.3 - 4.2.4.1.2.6 - 4.2.4.1.2.7 - 4.2.4.1.2.8 NTC18

Verifiche eseguite utilizzando la formula conservativa (6.2) §6.2.1 EN 1993-1-1:2005.

X	Comb.	Sfruttamento	Classe	NEd	NRd	Rid. NRd da VEd	Mx,Ed	Mx,Rd	Rid. Mx,Rd da VEd	Rid. Mx,Rd da NEd	px	py	Verifica
0.75	SLD 15	0.044	1	40.843	1003.522	1	0.0848	23.5037	1		0	0	Si

Verifica a presso/tenso flessione retta Y §§ 4.2.4.1.2.3 - 4.2.4.1.2.6 - 4.2.4.1.2.7 - 4.2.4.1.2.8 NTC18

Verifiche eseguite utilizzando la formula conservativa (6.2) §6.2.1 EN 1993-1-1:2005.

X	Comb.	Sfruttamento	Classe	NEd	NRd	Rid. NRd da VEd	My,Ed	My,Rd	Rid. My,Rd da VEd	Rid. My,Rd da NEd	px	py	Verifica
0	SLV 15	0.052	1	51.907	1003.522	1	0.0205	33.3316	1		0	0	Si

Verifica a presso/tenso flessione retta Y SLD §§ 4.2.4.1.2.3 - 4.2.4.1.2.6 - 4.2.4.1.2.7 - 4.2.4.1.2.8 NTC18

Verifiche eseguite utilizzando la formula conservativa (6.2) §6.2.1 EN 1993-1-1:2005.

X	Comb.	Sfruttamento	Classe	NEd	NRd	Rid. NRd da VEd	My,Ed	My,Rd	Rid. My,Rd da VEd	Rid. My,Rd da NEd	px	py	Verifica
0	SLD 16	0.041	1	40.843	1003.522	1	0.0083	33.3316	1		0	0	Si

Verifica a presso/tenso flessione deviata §§ 4.2.4.1.2.3 - 4.2.4.1.2.6 - 4.2.4.1.2.7 - 4.2.4.1.2.8 NTC18

Verifiche eseguite utilizzando la formula conservativa (6.2) §6.2.1 EN 1993-1-1:2005.

X	Comb.	Sfruttamento	Classe	NEd	NRd	Rid. NRd da VEd	Mx,Ed	Mx,Rd	My,Ed	My,Rd	Rid. Mx,Rd da VEd	Rid. Mx,Rd da NEd	Rid. My,Rd da VEd	Rid. My,Rd da NEd	α	β	px	py	Verifica
0.75	SLV 16	0.056	1	51.907	1003.522	1	0.0851	23.5037	0.0158	33.3316	1		1				0	0	Si

Verifica a presso/tenso flessione deviata SLD §§ 4.2.4.1.2.3 - 4.2.4.1.2.6 - 4.2.4.1.2.7 - 4.2.4.1.2.8 NTC18

Verifiche eseguite utilizzando la formula conservativa (6.2) §6.2.1 EN 1993-1-1:2005.

X	Comb.	Sfruttamento	Classe	NEd	NRd	Rid. NRd da VEd	Mx,Ed	Mx,Rd	My,Ed	My,Rd	Rid. Mx,Rd da VEd	Rid. Mx,Rd da NEd	Rid. My,Rd da VEd	Rid. My,Rd da NEd	α	β	px	py	Verifica
0.25	SLD 16	0.043	1	40.843	1003.522	1	0.0472	23.5037	0.0075	33.3316	1		1				0	0	Si

Verifiche ad instabilità

Caratteristiche iniziali

Membratura principale per controllo snellezza; Calcolo di snellezze ed N critici condotti secondo gli assi principali;

Curva X: c; Curva Y: c;

Svergolamento: Nessuno; la verifica a instabilità flesso-torsionale (svergolamento) non verrà eseguita.

Dati per instabilità attorno a x

Controllo della snellezza secondo §4.2.4.1.3.1 NTC18

Numero rit.	Presente	Ascissa	Campata	βx/m	Vincolo a entrambi estremi	λx/m	λVer
1	Si	0					
			1-2	1	Si	49.4	Si, (<200)
2	Si	1.5					

Dati per instabilità attorno a y

Controllo della snellezza secondo §4.2.4.1.3.1 NTC18

Numero rit.	Presente	Ascissa	Campata	βy/n	k,LT	kw,LT	Vincolo a entrambi estremi
1	Si	0					
			1-2	1	Si	34.8	Si, (<200)
2	Si	1.5					

Verifica di stabilità per pressoflessione §C.4.2.4.1.3.3.1 NTC18

X	Comb.	Sfruttamento	Classe	NEd	MxEq,Ed	MyEq,Ed	Area	Wx	Wy	x,min	λ adim. x/m	λ adim. y/n	N,crit x/m	N,crit y/n	Verifica
0	SLU 2	0.03	3	-17.513	0.0722	-0.0535	0.003832	0.0000492	0.0000739	0.804	0.569	0.4	3253.47	6569.993	Si

Verifiche a deformabilità

Mensola X: No; Mensola Y: No.

Frecce lungo X

Ascissa freccia	Combinazione	Freccia	Luce	L/f	L/f,min	Tipo	Verifica
1	SLE RA 1	0	1.5	10000	250	Totale	Si
0.55	SLE RA 17	0	1.5	10000	250	Totale	Si
0.65	SLE RA 16	0	1.5	10000	250	Totale	Si
0.75	SLE RA 15	0	1.5	10000	250	Totale	Si
0.5	SLE RA 14	0	1.5	10000	250	Totale	Si
0.75	SLE RA 2	0	1.5	10000	350	Variabile	Si

Implementazione dei sistemi di confinamento delle emissioni odorigene diffuse dell'impianto di compostaggio esistente nel
Comune di Eboli (SA)
PROGETTO DEFINITIVO – Tabulati di calcolo Tomo 1

Ascissa freccia	Combinazione	Freccia	Luce	L/f	L/f,min	Tipo	Verifica
0.75	SLE RA 17	0	1.5	10000	350	Variabile	Si
0.75	SLE RA 16	0	1.5	10000	350	Variabile	Si
0.8	SLE RA 15	0	1.5	10000	350	Variabile	Si
0.65	SLE RA 14	0	1.5	10000	350	Variabile	Si

Frecce lungo Y

Ascissa freccia	Combinazione	Freccia	Luce	L/f	L/f,min	Tipo	Verifica
0.75	SLE RA 1	0.00003	1.5	10000	250	Totale	Si
0.75	SLE RA 17	0.00003	1.5	10000	250	Totale	Si
0.75	SLE RA 16	0.00003	1.5	10000	250	Totale	Si
0.75	SLE RA 15	0.00003	1.5	10000	250	Totale	Si
0.75	SLE RA 14	0.00003	1.5	10000	250	Totale	Si
0.75	SLE RA 2	0	1.5	10000	350	Variabile	Si
0.75	SLE RA 17	0	1.5	10000	350	Variabile	Si
0.75	SLE RA 16	0	1.5	10000	350	Variabile	Si
0.8	SLE RA 15	0	1.5	10000	350	Variabile	Si
0.75	SLE RA 14	0	1.5	10000	350	Variabile	Si

Superelemento in acciaio a quota "640" (-77; 1077)-(32; 974)

Caratteristiche del materiale

Acciaio: S275, fyk = 275000

Caratteristiche geometriche

Lunghezza: 1.5

Nodo iniziale: 883 Nodo finale: 866

Cerniera iniziale: Mmomenti 1% Cerniera finale: Mmomenti 1%

Sovraresistenza: 0% Sisma Z: No

Caratteristiche della sezione

Sezione	Rotazione	Area	Jx	Jy	ix	iy	Wx	Wy	Wplx	Wply
Al; L100*10; 1; Saldato; S275; 30; 1; 8; 8; 1	180	0.003832	0.0000035319	0.000007759	0.0304	0.045	0.0000492	0.0000739	0.00008974	0.00012727

Comportamento dei calastrelli

Accoppiamento imbottito con funzione statica (§C4.2.4.1.3.1.4 NTC18) nella campata compresa tra le ascisse 0 e 1.5 per sbandamento attorno all'asse y.

Verifiche di resistenza

Verifiche a forza assiale §4.2.4.1.2.1 - §4.2.4.1.2.2 NTC18

X	Comb.	Sfruttamento	Classe	NEd	Nc,Rd	Nt,Rd	Riduzione da taglio	px	py	Verifica
0	SLU 76	0.023		22.876		1003.522	1	0	0	Si

Verifiche a forza assiale SLD §4.2.4.1.2.1 - §4.2.4.1.2.2 NTC18

X	Comb.	Sfruttamento	Classe	NEd	Nc,Rd	Nt,Rd	Riduzione da taglio	px	py	Verifica
1.5	SLD 16	0.006		5.716		1003.522	1	0	0	Si

Verifica a taglio X §4.2.4.1.2.4 NTC18

X	Comb.	Sfruttamento	VEd	Vc,Rd	Av	Interazione taglio-torsione	Riduzione torsione	Verifica
0	SLV 1	0.002	-0.745	302.422	0.002	Non considerata		Si

Verifica a taglio Y §4.2.4.1.2.4 NTC18

X	Comb.	Sfruttamento	VEd	Vc,Rd	Av	Interazione taglio-torsione	Riduzione torsione	Verifica
1.5	SLU 76	0.001	0.295	302.422	0.002	Non considerata		Si

Verifica a taglio Y SLD §4.2.4.1.2.4 NTC18

X	Comb.	Sfruttamento	VEd	Vc,Rd	Av	Interazione taglio-torsione	Riduzione torsione	Verifica
1.5	SLD 16	0.001	0.226	302.422	0.002	Non considerata		Si

Verifica a flessione semplice X §§ 4.2.4.1.2.3 - 4.2.4.1.2.6 - 4.2.4.1.2.7 - 4.2.4.1.2.8 NTC18

X	Comb.	Sfruttamento	Classe	Mx,Ed	Mx,Rd	Rid. Mx,Rd da VEd	px	py	Verifica
1.25	SLV 5	0.002	1	0.04624	23.50374	1	0	0	Si

Verifica a flessione semplice Y §§ 4.2.4.1.2.3 - 4.2.4.1.2.6 - 4.2.4.1.2.7 - 4.2.4.1.2.8 NTC18

X	Comb.	Sfruttamento	Classe	My,Ed	My,Rd	Rid. My,Rd da VEd	px	py	Verifica
0	SLV 1	0.008	1	0.26068	33.33162	1	0	0	Si

Verifica a flessione deviata §§ 4.2.4.1.2.3 - 4.2.4.1.2.6 - 4.2.4.1.2.7 - 4.2.4.1.2.8 NTC18

X	Comb.	Sfruttamento	Classe	Mx,Ed	Mx,Rd	My,Ed	My,Rd	Rid. Mx,Rd da VEd	Rid. My,Rd da VEd	α	β	px	py	Verifica
0.3	SLV 2	0.008	1	0.0537	23.5037	0.201	33.3316	1	1			0	0	Si

Verifica a presso/tenso flessione retta X §§ 4.2.4.1.2.3 - 4.2.4.1.2.6 - 4.2.4.1.2.7 - 4.2.4.1.2.8 NTC18

Verifiche eseguite utilizzando la formula conservativa (6.2) §6.2.1 EN 1993-1-1:2005.

X	Comb.	Sfruttamento	Classe	NEd	NRd	Rid. NRd da VEd	Mx,Ed	Mx,Rd	Rid. Mx,Rd da VEd	Rid. Mx,Rd da NEd	px	py	Verifica
0.75	SLU 76	0.027	1	22.876	1003.522	1	0.1095	23.5037	1		0	0	Si

Verifica a presso/tenso flessione retta X SLD §§ 4.2.4.1.2.3 - 4.2.4.1.2.6 - 4.2.4.1.2.7 - 4.2.4.1.2.8 NTC18

Verifiche eseguite utilizzando la formula conservativa (6.2) §6.2.1 EN 1993-1-1:2005.

X	Comb.	Sfruttamento	Classe	NEd	NRd	Rid. NRd da VEd	Mx,Ed	Mx,Rd	Rid. Mx,Rd da VEd	Rid. Mx,Rd da NEd	px	py	Verifica
1.25	SLD 16	0.008	1	5.716	1003.522	1	0.0463	23.5037	1		0	0	Si

Implementazione dei sistemi di confinamento delle emissioni odorigene diffuse dell'impianto di compostaggio esistente nel
Comune di Eboli (SA)

PROGETTO DEFINITIVO – Tabulati di calcolo Tomo 1

Verifica a presso/tenso flessione retta Y §§ 4.2.4.1.2.3 - 4.2.4.1.2.6 - 4.2.4.1.2.7 - 4.2.4.1.2.8 NTC18

Verifiche eseguite utilizzando la formula conservativa (6.2) §6.2.1 EN 1993-1-1:2005.

X	Comb.	Sfruttamento	Classe	NEd	NRd	Rid. NRd da VEd	My,Ed	My,Rd	Rid. My,Rd da VEd	Rid. My,Rd da NEd	px	py	Verifica
0	SLV 15	0.016	1	8.262	1003.522	1	-0.2603	33.3316	1		0	0	Si

Verifica a presso/tenso flessione retta Y SLD §§ 4.2.4.1.2.3 - 4.2.4.1.2.6 - 4.2.4.1.2.7 - 4.2.4.1.2.8 NTC18

Verifiche eseguite utilizzando la formula conservativa (6.2) §6.2.1 EN 1993-1-1:2005.

X	Comb.	Sfruttamento	Classe	NEd	NRd	Rid. NRd da VEd	My,Ed	My,Rd	Rid. My,Rd da VEd	Rid. My,Rd da NEd	px	py	Verifica
0	SLD 15	0.009	1	5.716	1003.522	1	-0.1045	33.3316	1		0	0	Si

Verifica a presso/tenso flessione deviata §§ 4.2.4.1.2.3 - 4.2.4.1.2.6 - 4.2.4.1.2.7 - 4.2.4.1.2.8 NTC18

Verifiche eseguite utilizzando la formula conservativa (6.2) §6.2.1 EN 1993-1-1:2005.

X	Comb.	Sfruttamento	Classe	NEd	NRd	Rid. NRd da VEd	Mx,Ed	Mx,Rd	My,Ed	My,Rd	Rid. Mx,Rd da VEd	Rid. Mx,Rd da NEd	Rid. My,Rd da VEd	Rid. My,Rd da NEd	α	β	px	py	Verifica
0.75	SLU 40	0.02	3	-9.691	1003.522	1	0.109	12.886	0.0291	19.3536	1		1				0	0	Si

Verifica a presso/tenso flessione deviata SLD §§ 4.2.4.1.2.3 - 4.2.4.1.2.6 - 4.2.4.1.2.7 - 4.2.4.1.2.8 NTC18

Verifiche eseguite utilizzando la formula conservativa (6.2) §6.2.1 EN 1993-1-1:2005.

X	Comb.	Sfruttamento	Classe	NEd	NRd	Rid. NRd da VEd	Mx,Ed	Mx,Rd	My,Ed	My,Rd	Rid. Mx,Rd da VEd	Rid. Mx,Rd da NEd	Rid. My,Rd da VEd	Rid. My,Rd da NEd	α	β	px	py	Verifica
0.55	SLD 15	0.011	1	5.716	1003.522	1	0.0781	23.5037	-0.0606	33.3316	1		1				0	0	Si

Verifiche ad instabilità

Caratteristiche iniziali

Membratura principale per controllo snellezza; Calcolo di snellezze ed N critici condotti secondo gli assi principali;

Curva X: c; Curva Y: c;

Svergolamento: Nessuno; la verifica a instabilità flessio-torsionale (svergolamento) non verrà eseguita.

Dati per instabilità attorno a x

Controllo della snellezza secondo §4.2.4.1.3.1 NTC18

Numero rit.	Presente	Ascissa	Campata	βx/m	Vincolo a entrambi estremi	λx/m	λVer
1	Si		0				
			1-2		1	Si	49.4
2	Si		1.5				Si, (<200)

Dati per instabilità attorno a y

Controllo della snellezza secondo §4.2.4.1.3.1 NTC18

Numero rit.	Presente	Ascissa	Campata	βy/n	k,LT	kw,LT	Vincolo a entrambi estremi
1	Si		0				
			1-2		1	Si	34.8
2	Si		1.5				Si, (<200)

Verifica di stabilità per pressoflessione §C.4.2.4.1.3.3.1 NTC18

X	Comb.	Sfruttamento	Classe	NEd	MxEq,Ed	MyEq,Ed	Area	Wx	Wy	x,min	λ adim. x/m	λ adim. y/n	N,crit x/m	N,crit y/n	Verifica
1.25	SLU 40	0.021	3	-9.691	0.094	0.029	0.003832	0.0000492	0.0000739	0.804	0.569	0.4	3253.47	6569.993	Si

Verifiche a deformabilità

Mensola X: No; Mensola Y: No.

Frecce lungo X

Ascissa freccia	Combinazione	Freccia	Luce	L/f	L/f,min	Tipo	Verifica
0.55	SLE RA 1	0	1.5	10000	250	Totale	Si
0.75	SLE RA 17	0	1.5	10000	250	Totale	Si
0.75	SLE RA 16	0	1.5	10000	250	Totale	Si
0.65	SLE RA 15	0	1.5	10000	250	Totale	Si
0.7	SLE RA 14	0	1.5	10000	250	Totale	Si
0.85	SLE RA 2	0	1.5	10000	350	Variabile	Si
0.75	SLE RA 17	0	1.5	10000	350	Variabile	Si
0.85	SLE RA 16	0	1.5	10000	350	Variabile	Si
0.65	SLE RA 15	0	1.5	10000	350	Variabile	Si
0.7	SLE RA 14	0	1.5	10000	350	Variabile	Si

Frecce lungo Y

Ascissa freccia	Combinazione	Freccia	Luce	L/f	L/f,min	Tipo	Verifica
0.75	SLE RA 1	0.00003	1.5	10000	250	Totale	Si
0.75	SLE RA 17	0.00003	1.5	10000	250	Totale	Si
0.75	SLE RA 16	0.00003	1.5	10000	250	Totale	Si
0.75	SLE RA 15	0.00003	1.5	10000	250	Totale	Si
0.75	SLE RA 14	0.00003	1.5	10000	250	Totale	Si
0.5	SLE RA 2	0	1.5	10000	350	Variabile	Si
0.5	SLE RA 17	0	1.5	10000	350	Variabile	Si
0.5	SLE RA 16	0	1.5	10000	350	Variabile	Si
0.5	SLE RA 15	0	1.5	10000	350	Variabile	Si
0.5	SLE RA 14	0	1.5	10000	350	Variabile	Si

Superelemento in acciaio a quota "640" (-108; 608)-(2; 505)

Caratteristiche del materiale

Acciaio: S275, fyk = 275000

Caratteristiche geometriche

Lunghezza: 1.5

Nodo iniziale: 792 Nodo finale: 773

**Implementazione dei sistemi di confinamento delle emissioni odorigene diffuse dell'impianto di compostaggio esistente nel
Comune di Eboli (SA)
PROGETTO DEFINITIVO – Tabulati di calcolo Tomo 1**

Cerniera iniziale: Mmomenti 1% Cerniera finale: Mmomenti 1%

Sovreresistenza: 0% Sisma Z: No

Caratteristiche della sezione

Sezione	Rotazione	Area	Jx	Jy	ix	iy	Wx	Wy	Wplx	Wply
A1; L100*10; 1; Saldato; S275; 30; 1; 8; 8; 1	180	0.003832	0.0000035319	0.000007759	0.0304	0.045	0.0000492	0.0000739	0.00008974	0.00012727

Comportamento dei calastrelli

Accoppiamento imbottito con funzione statica (§C4.2.4.1.3.1.4 NTC18) nella campata compresa tra le ascisse 0 e 1.5 per sbandamento attorno all'asse y.

Verifiche di resistenza

Verifiche a forza assiale §4.2.4.1.2.1 - §4.2.4.1.2.2 NTC18

X	Comb.	Sfruttamento	Classe	NEd	Nc,Rd	Nt,Rd	Riduzione da taglio	px	py	Verifica
1.45	SLU 75	0.164		164.584		1003.522	1	0	0	Si

Verifiche a forza assiale SLD §4.2.4.1.2.1 - §4.2.4.1.2.2 NTC18

X	Comb.	Sfruttamento	Classe	NEd	Nc,Rd	Nt,Rd	Riduzione da taglio	px	py	Verifica
0	SLD 1	0.062		61.847		1003.522	1	0	0	Si

Verifica a taglio Y §4.2.4.1.2.4 NTC18

X	Comb.	Sfruttamento	VEd	Vc,Rd	Av	Interazione taglio-torsione	Riduzione torsione	Verifica
0	SLU 75	0.001	-0.295	302.422	0.002	Non considerata		Si

Verifica a taglio Y SLD §4.2.4.1.2.4 NTC18

X	Comb.	Sfruttamento	VEd	Vc,Rd	Av	Interazione taglio-torsione	Riduzione torsione	Verifica
0	SLD 1	0.001	-0.226	302.422	0.002	Non considerata		Si

Verifica a flessione semplice X §§ 4.2.4.1.2.3 - 4.2.4.1.2.6 - 4.2.4.1.2.7 - 4.2.4.1.2.8 NTC18

X	Comb.	Sfruttamento	Classe	Mx,Ed	Mx,Rd	Rid. Mx,Rd da VEd	px	py	Verifica
0.75	SLU 5	0.004	1	0.08404	23.50374	1	0	0	Si

Verifica a presso/tenso flessione retta X §§ 4.2.4.1.2.3 - 4.2.4.1.2.6 - 4.2.4.1.2.7 - 4.2.4.1.2.8 NTC18

Verifiche eseguite utilizzando la formula conservativa (6.2) §6.2.1 EN 1993-1-1:2005.

X	Comb.	Sfruttamento	Classe	NEd	NRd	Rid. NRd da VEd	Mx,Ed	Mx,Rd	Rid. Mx,Rd da VEd	Rid. Mx,Rd da NEd	px	py	Verifica
0.75	SLU 75	0.169	1	164.584	1003.522	1	0.1117	23.5037	1		0	0	Si

Verifica a presso/tenso flessione retta X SLD §§ 4.2.4.1.2.3 - 4.2.4.1.2.6 - 4.2.4.1.2.7 - 4.2.4.1.2.8 NTC18

Verifiche eseguite utilizzando la formula conservativa (6.2) §6.2.1 EN 1993-1-1:2005.

X	Comb.	Sfruttamento	Classe	NEd	NRd	Rid. NRd da VEd	Mx,Ed	Mx,Rd	Rid. Mx,Rd da VEd	Rid. Mx,Rd da NEd	px	py	Verifica
0.75	SLD 1	0.065	1	61.847	1003.522	1	0.0849	23.5037	1		0	0	Si

Verifica a presso/tenso flessione retta Y §§ 4.2.4.1.2.3 - 4.2.4.1.2.6 - 4.2.4.1.2.7 - 4.2.4.1.2.8 NTC18

Verifiche eseguite utilizzando la formula conservativa (6.2) §6.2.1 EN 1993-1-1:2005.

X	Comb.	Sfruttamento	Classe	NEd	NRd	Rid. NRd da VEd	My,Ed	My,Rd	Rid. My,Rd da VEd	Rid. My,Rd da NEd	px	py	Verifica
1.5	SLV 2	0.08	1	77.572	1003.522	1	-0.0862	33.3316	1		0	0	Si

Verifica a presso/tenso flessione retta Y SLD §§ 4.2.4.1.2.3 - 4.2.4.1.2.6 - 4.2.4.1.2.7 - 4.2.4.1.2.8 NTC18

Verifiche eseguite utilizzando la formula conservativa (6.2) §6.2.1 EN 1993-1-1:2005.

X	Comb.	Sfruttamento	Classe	NEd	NRd	Rid. NRd da VEd	My,Ed	My,Rd	Rid. My,Rd da VEd	Rid. My,Rd da NEd	px	py	Verifica
1.5	SLD 1	0.063	1	61.847	1003.522	1	-0.0347	33.3316	1		0	0	Si

Verifica a presso/tenso flessione deviata §§ 4.2.4.1.2.3 - 4.2.4.1.2.6 - 4.2.4.1.2.7 - 4.2.4.1.2.8 NTC18

Verifiche eseguite utilizzando la formula conservativa (6.2) §6.2.1 EN 1993-1-1:2005.

X	Comb.	Sfruttamento	Classe	NEd	NRd	Rid. NRd da VEd	Mx,Ed	Mx,Rd	My,Ed	My,Rd	Rid. Mx,Rd da VEd	Rid. Mx,Rd da NEd	Rid. My,Rd da VEd	Rid. My,Rd da NEd	α	β	px	py	Verifica
0.95	SLV 2	0.082	1	77.572	1003.522	1	0.0792	23.5037	-0.0344	33.3316	1		1				0	0	Si

Verifica a presso/tenso flessione deviata SLD §§ 4.2.4.1.2.3 - 4.2.4.1.2.6 - 4.2.4.1.2.7 - 4.2.4.1.2.8 NTC18

Verifiche eseguite utilizzando la formula conservativa (6.2) §6.2.1 EN 1993-1-1:2005.

X	Comb.	Sfruttamento	Classe	NEd	NRd	Rid. NRd da VEd	Mx,Ed	Mx,Rd	My,Ed	My,Rd	Rid. Mx,Rd da VEd	Rid. Mx,Rd da NEd	Rid. My,Rd da VEd	Rid. My,Rd da NEd	α	β	px	py	Verifica
0.85	SLD 2	0.065	1	61.847	1003.522	1	0.0835	23.5037	-0.01	33.3316	1		1				0	0	Si

Verifiche ad instabilità

Caratteristiche iniziali

Membratura principale per controllo snellezza; Calcolo di snellezze ed N critici condotti secondo gli assi principali;

Curva X: c; Curva Y: c;

Svergolamento: Nessuno; la verifica a instabilità flesso-torsionale (svergolamento) non verrà eseguita.

Dati per instabilità attorno a x

Controllo della snellezza secondo §4.2.4.1.3.1 NTC18

Numero rit.	Presente	Ascissa	Campata	βx/m	Vincolo a entrambi estremi	λx/m	λVer
1	Si	0					
			1-2	1	Si	49.4	Si, (<200)
2	Si	1.5					

Dati per instabilità attorno a y

Controllo della snellezza secondo §4.2.4.1.3.1 NTC18

Implementazione dei sistemi di confinamento delle emissioni odorigene diffuse dell’impianto di compostaggio esistente nel
Comune di Eboli (SA)
PROGETTO DEFINITIVO – Tabulati di calcolo Tomo 1

Numero rit.	Presente	Ascissa	Campata	$\beta y/n$	k,LT	kw,LT	Vincolo a entrambi estremi
1	Si	0	1-2	1	Si	34.8	Si, (<200)
2	Si	1.5					

Verifica di stabilità per pressoflessione §C.4.2.4.1.3.3.1 NTC18

X	Comb.	Sfruttamento	Classe	NEd	MxEq,Ed	MyEq,Ed	Area	Wx	Wy	x_{min}	$\lambda_{adim. x/m}$	$\lambda_{adim. y/n}$	N,crit x/m	N,crit y/n	Verifica
0	SLU 2	0.042	3	-26.15	0.072	-0.0799	0.003832	0.0000492	0.0000739	0.804	0.569	0.4	3253.47	6569.993	Si

Verifiche a deformabilità

Mensola X: No; Mensola Y: No.

Frecce lungo X

Ascissa freccia	Combinazione	Freccia	Luce	L/f	L/f,min	Tipo	Verifica
0.65	SLE RA 1	0	1.5	10000	250	Totale	Si
0.7	SLE RA 17	0	1.5	10000	250	Totale	Si
0.75	SLE RA 16	0	1.5	10000	250	Totale	Si
0.35	SLE RA 15	0	1.5	10000	250	Totale	Si
0.85	SLE RA 14	0	1.5	10000	250	Totale	Si
0.8	SLE RA 2	0	1.5	10000	350	Variabile	Si
0.8	SLE RA 17	0	1.5	10000	350	Variabile	Si
0.8	SLE RA 16	0	1.5	10000	350	Variabile	Si
1.1	SLE RA 15	0	1.5	10000	350	Variabile	Si
0.9	SLE RA 14	0	1.5	10000	350	Variabile	Si

Frecce lungo Y

Ascissa freccia	Combinazione	Freccia	Luce	L/f	L/f,min	Tipo	Verifica
0.75	SLE RA 1	0.00003	1.5	10000	250	Totale	Si
0.75	SLE RA 17	0.00003	1.5	10000	250	Totale	Si
0.75	SLE RA 16	0.00003	1.5	10000	250	Totale	Si
0.75	SLE RA 15	0.00003	1.5	10000	250	Totale	Si
0.75	SLE RA 14	0.00003	1.5	10000	250	Totale	Si
0.8	SLE RA 2	0	1.5	10000	350	Variabile	Si
0.8	SLE RA 17	0	1.5	10000	350	Variabile	Si
0.8	SLE RA 16	0	1.5	10000	350	Variabile	Si
0.8	SLE RA 15	0	1.5	10000	350	Variabile	Si
0.8	SLE RA 14	0	1.5	10000	350	Variabile	Si

Superelemento in acciaio a quota "640" (-143; 133)-(-33; 29)

Caratteristiche del materiale

Acciaio: S275, fyk = 275000

Caratteristiche geometriche

Lunghezza: 1.513

Nodo iniziale: 693 Nodo finale: 671

Cerniera iniziale: Mmomenti 1% Cerniera finale: Mmomenti 1%

Sovreresistenza: 0% Sisma Z: No

Caratteristiche della sezione

Sezione	Rotazione	Area	Jx	Jy	ix	iy	Wx	Wy	Wplx	Wply
A1; L100*10; 1; Saldato; S275; 30; 1; 8; 8; 1	180	0.003832	0.0000035319	0.000007759	0.0304	0.045	0.0000492	0.0000739	0.00008974	0.00012727

Comportamento dei calastrelli

Accoppiamento imbottito con funzione statica (§C4.2.4.1.3.1.4 NTC18) nella campata compresa tra le ascisse 0 e 1.513 per sbandamento attorno all'asse y.

Verifiche di resistenza

Verifiche a forza assiale §4.2.4.1.2.1 - §4.2.4.1.2.2 NTC18

X	Comb.	Sfruttamento	Classe	NEd	Nc,Rd	Nt,Rd	Riduzione da taglio	px	py	Verifica
1.513	SLV 4	0.006		6.411		1003.522	1	0	0	Si

Verifiche a forza assiale SLD §4.2.4.1.2.1 - §4.2.4.1.2.2 NTC18

X	Comb.	Sfruttamento	Classe	NEd	Nc,Rd	Nt,Rd	Riduzione da taglio	px	py	Verifica
1.513	SLD 4	0.002		2.152		1003.522	1	0	0	Si

Verifica a taglio X §4.2.4.1.2.4 NTC18

X	Comb.	Sfruttamento	VEd	Vc,Rd	Av	Interazione taglio-torsione	Riduzione torsione	Verifica
1.513	SLV 16	0.001	0.284	302.422	0.002	Non considerata		Si

Verifica a taglio Y §4.2.4.1.2.4 NTC18

X	Comb.	Sfruttamento	VEd	Vc,Rd	Av	Interazione taglio-torsione	Riduzione torsione	Verifica
1.513	SLV 13	0.001	0.342	302.422	0.002	Non considerata		Si

Verifica a taglio Y SLD §4.2.4.1.2.4 NTC18

X	Comb.	Sfruttamento	VEd	Vc,Rd	Av	Interazione taglio-torsione	Riduzione torsione	Verifica
1.513	SLD 14	0.001	0.268	302.422	0.002	Non considerata		Si

Verifica a flessione semplice X §§ 4.2.4.1.2.3 - 4.2.4.1.2.6 - 4.2.4.1.2.7 - 4.2.4.1.2.8 NTC18

X	Comb.	Sfruttamento	Classe	Mx,Ed	Mx,Rd	Rid. Mx,Rd da VEd	px	py	Verifica
0.757	SLU 40	0.005	1	0.11202	23.50374	1	0	0	Si

Implementazione dei sistemi di confinamento delle emissioni odorigene diffuse dell'impianto di compostaggio esistente nel
Comune di Eboli (SA)
PROGETTO DEFINITIVO – Tabulati di calcolo Tomo 1

Verifica a flessione semplice Y §§ 4.2.4.1.2.3 - 4.2.4.1.2.6 - 4.2.4.1.2.7 - 4.2.4.1.2.8 NTC18

X	Comb.	Sfruttamento	Classe	My,Ed	My,Rd	Rid. My,Rd da VEd	px	py	Verifica
1.463	SLV 76	0.001	1	0.02868	33.33162	1	0	0	Si

Verifica a flessione deviata §§ 4.2.4.1.2.3 - 4.2.4.1.2.6 - 4.2.4.1.2.7 - 4.2.4.1.2.8 NTC18

X	Comb.	Sfruttamento	Classe	Mx,Ed	Mx,Rd	My,Ed	My,Rd	Rid. Mx,Rd da VEd	Rid. My,Rd da VEd	α	β	px	py	Verifica
0.757	SLV 75	0.005	1	0.1085	23.5037	0.0137	33.3316	1	1			0	0	Si

Verifica a presso/tenso flessione retta Y §§ 4.2.4.1.2.3 - 4.2.4.1.2.6 - 4.2.4.1.2.7 - 4.2.4.1.2.8 NTC18

Verifiche eseguite utilizzando la formula conservativa (6.2) §6.2.1 EN 1993-1-1:2005.

X	Comb.	Sfruttamento	Classe	NEd	NRd	Rid. NRd da VEd	My,Ed	My,Rd	Rid. My,Rd da VEd	Rid. My,Rd da NEd	px	py	Verifica
0.757	SLV 14	0.01	3	-6.214	1003.522	1	0.0702	19.3536	1		0	0	Si

Verifica a presso/tenso flessione retta Y SLD §§ 4.2.4.1.2.3 - 4.2.4.1.2.6 - 4.2.4.1.2.7 - 4.2.4.1.2.8 NTC18

Verifiche eseguite utilizzando la formula conservativa (6.2) §6.2.1 EN 1993-1-1:2005.

X	Comb.	Sfruttamento	Classe	NEd	NRd	Rid. NRd da VEd	My,Ed	My,Rd	Rid. My,Rd da VEd	Rid. My,Rd da NEd	px	py	Verifica
1.261	SLD 14	0.004	3	-1.955	1003.522	1	0.0351	19.3536	1		0	0	Si

Verifica a presso/tenso flessione deviata §§ 4.2.4.1.2.3 - 4.2.4.1.2.6 - 4.2.4.1.2.7 - 4.2.4.1.2.8 NTC18

Verifiche eseguite utilizzando la formula conservativa (6.2) §6.2.1 EN 1993-1-1:2005.

X	Comb.	Sfruttamento	Classe	NEd	NRd	Rid. NRd da VEd	Mx,Ed	Mx,Rd	My,Ed	My,Rd	Rid. Mx,Rd da VEd	Rid. Mx,Rd da NEd	Rid. My,Rd da VEd	Rid. My,Rd da NEd	α	β	px	py	Verifica
1.513	SLV 13	0.016	1	-6.214	1003.522	1	-0.1717	23.5037	0.0815	33.3316	1		1				0	0	Si

Verifica a presso/tenso flessione deviata SLD §§ 4.2.4.1.2.3 - 4.2.4.1.2.6 - 4.2.4.1.2.7 - 4.2.4.1.2.8 NTC18

Verifiche eseguite utilizzando la formula conservativa (6.2) §6.2.1 EN 1993-1-1:2005.

X	Comb.	Sfruttamento	Classe	NEd	NRd	Rid. NRd da VEd	Mx,Ed	Mx,Rd	My,Ed	My,Rd	Rid. Mx,Rd da VEd	Rid. Mx,Rd da NEd	Rid. My,Rd da VEd	Rid. My,Rd da NEd	α	β	px	py	Verifica
0.908	SLD 8	0.008	1	2.123	1003.522	1	0.1126	23.5037	0.0241	33.3316	1		1				0	0	Si

Verifiche ad instabilità

Caratteristiche iniziali

Membratura principale per controllo snellezza; Calcolo di snellezze ed N critici condotti secondo gli assi principali;

Curva X: c; Curva Y: c;

Svergolamento: Nessuno; la verifica a instabilità flesso-torsionale (svergolamento) non verrà eseguita.

Dati per instabilità attorno a x

Controllo della snellezza secondo §4.2.4.1.3.1 NTC18

Numero rit.	Presente	Ascissa	Campata	βx/m	Vincolo a entrambi estremi	λx/m	λVer
1	Si	0					
			1-2		1	49.8	Si, (<200)
2	Si	1.513					

Dati per instabilità attorno a y

Controllo della snellezza secondo §4.2.4.1.3.1 NTC18

Numero rit.	Presente	Ascissa	Campata	βy/n	k,LT	kw,LT	Vincolo a entrambi estremi
1	Si	0					
			1-2		1	35.1	Si, (<200)
2	Si	1.513					

Verifica di stabilità per pressoflessione §C.4.2.4.1.3.3.1 NTC18

X	Comb.	Sfruttamento	Classe	NEd	MxEq,Ed	MyEq,Ed	Area	Wx	Wy	χ,min	λ adim. x/m	λ adim. y/n	N,crit x/m	N,crit y/n	Verifica
0.757	SLV 13	0.022	3	-6.214	-0.1288	0.0815	0.003832	0.0000492	0.0000739	0.801	0.574	0.404	3196.387	6463.881	Si

Verifica di stabilità per pressoflessione SLD §C.4.2.4.1.3.3.1 NTC18

X	Comb.	Sfruttamento	Classe	NEd	MxEq,Ed	MyEq,Ed	Area	Wx	Wy	χ,min	λ adim. x/m	λ adim. y/n	N,crit x/m	N,crit y/n	Verifica
0.101	SLD 13	0.008	3	-1.955	0.045	0.0381	0.003832	0.0000492	0.0000739	0.801	0.574	0.404	3196.387	6463.881	Si

Verifiche a deformabilità

Mensola X: No; Mensola Y: No.

Frecce lungo X

Ascissa freccia	Combinazione	Freccia	Luce	L/f	L/f,min	Tipo	Verifica
0.908	SLE RA 1	0	1.513	10000	250	Totale	Si
0.858	SLE RA 17	0	1.513	10000	250	Totale	Si
0.858	SLE RA 16	0	1.513	10000	250	Totale	Si
0.908	SLE RA 15	0	1.513	10000	250	Totale	Si
0.807	SLE RA 14	0	1.513	10000	250	Totale	Si
0.858	SLE RA 2	0	1.513	10000	350	Variabile	Si
0.858	SLE RA 17	0	1.513	10000	350	Variabile	Si
0.858	SLE RA 16	0	1.513	10000	350	Variabile	Si
0.958	SLE RA 15	0	1.513	10000	350	Variabile	Si
0.706	SLE RA 14	0	1.513	10000	350	Variabile	Si

Frecce lungo Y

Ascissa freccia	Combinazione	Freccia	Luce	L/f	L/f,min	Tipo	Verifica
0.757	SLE RA 1	0.00003	1.513	10000	250	Totale	Si
0.757	SLE RA 17	0.00003	1.513	10000	250	Totale	Si
0.757	SLE RA 16	0.00003	1.513	10000	250	Totale	Si
0.757	SLE RA 15	0.00003	1.513	10000	250	Totale	Si
0.757	SLE RA 14	0.00003	1.513	10000	250	Totale	Si
1.009	SLE RA 2	0	1.513	10000	350	Variabile	Si
1.009	SLE RA 17	0	1.513	10000	350	Variabile	Si
1.009	SLE RA 16	0	1.513	10000	350	Variabile	Si
0.958	SLE RA 15	0	1.513	10000	350	Variabile	Si
1.059	SLE RA 14	0	1.513	10000	350	Variabile	Si

Implementazione dei sistemi di confinamento delle emissioni odorigene diffuse dell'impianto di compostaggio esistente nel
Comune di Eboli (SA)
PROGETTO DEFINITIVO – Tabulati di calcolo Tomo 1

Superelemento in acciaio a quota "640" (-145; 1660)-(-18; 1794)

Caratteristiche del materiale

Acciaio: S275, fyk = 275000

Caratteristiche geometriche

Lunghezza: 1.85

Nodo iniziale: 998 Nodo finale: 1028

Cerniera iniziale: No Cerniera finale: No

Sovreresistenza: 0% Sisma Z: No

Caratteristiche della sezione

Sezione	Rotazione	Area	Jx	Jy	ix	iy	Wx	Wy	Wplx	Wply
HEA120	0	0.002537	0.0000060673	0.0000023091	0.0489	0.0302	0.00010644	0.00003849	0.00011962	0.00005887

Verifiche di resistenza

Verifiche a forza assiale §4.2.4.1.2.1 - §4.2.4.1.2.2 NTC18

X	Comb.	Sfruttamento	Classe	NEd	Nc,Rd	Nt,Rd	Riduzione da taglio	px	py	Verifica
0	SLV 8	0.101		67.275		664.325	1	0	0	Si

Verifiche a forza assiale SLD §4.2.4.1.2.1 - §4.2.4.1.2.2 NTC18

X	Comb.	Sfruttamento	Classe	NEd	Nc,Rd	Nt,Rd	Riduzione da taglio	px	py	Verifica
1.85	SLD 8	0.039		26.142		664.325	1	0	0	Si

Verifica a taglio Y §4.2.4.1.2.4 NTC18

X	Comb.	Sfruttamento	VEd	Vc,Rd	Av	Interazione taglio-torsione	Riduzione torsione	Verifica
0	SLU 76	0.006	0.737	127.62	0.000849	Considerata	0.99	Si

Verifica a taglio Y SLD §4.2.4.1.2.4 NTC18

X	Comb.	Sfruttamento	VEd	Vc,Rd	Av	Interazione taglio-torsione	Riduzione torsione	Verifica
0	SLD 7	0.004	0.474	127.616	0.000849	Considerata	0.99	Si

Verifica a torsione §4.2.4.1.2.5 NTC18

X	Comb.	Sfruttamento torsione	TEd	TRd	Riduzione taglio resistente	Sfruttamento taglio-torsione	τEd,totale	τRd	Verifica
1.727	SLV 3	0.032	-0.02705	0.85138	Considerata				Si

Verifica a torsione SLD §4.2.4.1.2.5 NTC18

X	Comb.	Sfruttamento torsione	TEd	TRd	Riduzione taglio resistente	Sfruttamento taglio-torsione	τEd,totale	τRd	Verifica
1.85	SLD 4	0.013	-0.01148	0.85138	Considerata				Si

Verifica a presso/tenso flessione retta X §§ 4.2.4.1.2.3 - 4.2.4.1.2.6 - 4.2.4.1.2.7 - 4.2.4.1.2.8 NTC18

Verifiche eseguite utilizzando la formula conservativa (6.2) §6.2.1 EN 1993-1-1:2005.

X	Comb.	Sfruttamento	Classe	NEd	NRd	Rid. NRd da VEd	Mx,Ed	Mx,Rd	Rid. Mx,Rd da VEd	Rid. Mx,Rd da NEd	px	py	Verifica
0	SLV 4	0.136	1	66.605	664.325	1	1.121	31.3291	1		0	0	Si

Verifica a presso/tenso flessione retta X SLD §§ 4.2.4.1.2.3 - 4.2.4.1.2.6 - 4.2.4.1.2.7 - 4.2.4.1.2.8 NTC18

Verifiche eseguite utilizzando la formula conservativa (6.2) §6.2.1 EN 1993-1-1:2005.

X	Comb.	Sfruttamento	Classe	NEd	NRd	Rid. NRd da VEd	Mx,Ed	Mx,Rd	Rid. Mx,Rd da VEd	Rid. Mx,Rd da NEd	px	py	Verifica
0.617	SLD 4	0.05	1	25.975	664.325	1	0.3477	31.3291	1		0	0	Si

Verifica a presso/tenso flessione retta Y §§ 4.2.4.1.2.3 - 4.2.4.1.2.6 - 4.2.4.1.2.7 - 4.2.4.1.2.8 NTC18

Verifiche eseguite utilizzando la formula conservativa (6.2) §6.2.1 EN 1993-1-1:2005.

X	Comb.	Sfruttamento	Classe	NEd	NRd	Rid. NRd da VEd	My,Ed	My,Rd	Rid. My,Rd da VEd	Rid. My,Rd da NEd	px	py	Verifica
0	SLU 41	0.011	1	-6.873	664.325	1	-0.0077	15.4191	1		0	0	Si

Verifica a presso/tenso flessione retta Y SLD §§ 4.2.4.1.2.3 - 4.2.4.1.2.6 - 4.2.4.1.2.7 - 4.2.4.1.2.8 NTC18

Verifiche eseguite utilizzando la formula conservativa (6.2) §6.2.1 EN 1993-1-1:2005.

X	Comb.	Sfruttamento	Classe	NEd	NRd	Rid. NRd da VEd	My,Ed	My,Rd	Rid. My,Rd da VEd	Rid. My,Rd da NEd	px	py	Verifica
0.308	SLD 14	0.027	1	-17.05	664.325	1	0.0252	15.4191	1		0	0	Si

Verifica a presso/tenso flessione deviata §§ 4.2.4.1.2.3 - 4.2.4.1.2.6 - 4.2.4.1.2.7 - 4.2.4.1.2.8 NTC18

Verifiche eseguite utilizzando la formula conservativa (6.2) §6.2.1 EN 1993-1-1:2005.

X	Comb.	Sfruttamento	Classe	NEd	NRd	Rid. NRd da VEd	Mx,Ed	Mx,Rd	My,Ed	My,Rd	Rid. Mx,Rd da VEd	Rid. Mx,Rd da NEd	Rid. My,Rd da VEd	Rid. My,Rd da NEd	α	β	px	py	Verifica
0	SLV 7	0.141	1	67.275	664.325	1	1.1347	31.3291	0.0494	15.4191	1		1				0	0	Si

Verifica a presso/tenso flessione deviata SLD §§ 4.2.4.1.2.3 - 4.2.4.1.2.6 - 4.2.4.1.2.7 - 4.2.4.1.2.8 NTC18

Verifiche eseguite utilizzando la formula conservativa (6.2) §6.2.1 EN 1993-1-1:2005.

X	Comb.	Sfruttamento	Classe	NEd	NRd	Rid. NRd da VEd	Mx,Ed	Mx,Rd	My,Ed	My,Rd	Rid. Mx,Rd da VEd	Rid. Mx,Rd da NEd	Rid. My,Rd da VEd	Rid. My,Rd da NEd	α	β	px	py	Verifica
0	SLD 7	0.061	1	26.142	664.325	1	0.6048	31.3291	0.0334	15.4191	1		1				0	0	Si

Verifiche ad instabilità

Caratteristiche iniziali

Membratura principale per controllo snellezza; Calcolo di snellezze ed N critici condotti secondo gli assi principali;

Curva X: b; Curva Y: c; Svergolamento: Carico all'estradosso; Curva svergolamento: b;

Implementazione dei sistemi di confinamento delle emissioni odorigene diffuse dell’impianto di compostaggio esistente nel
Comune di Eboli (SA)
PROGETTO DEFINITIVO – Tabulati di calcolo Tomo 1

Dati per instabilità attorno a x

Controllo della snellezza secondo §4.2.4.1.3.1 NTC18

Numero rit.	Presente	Ascissa	Campata	βx/m	Vincolo a entrambi estremi	λx/m	λVer
1	Si	0	1-2	1	Si	37.8	Si, (<200)
2	Si	1.85					

Dati per instabilità attorno a y

Controllo della snellezza secondo §4.2.4.1.3.1 NTC18

Numero rit.	Presente	Ascissa	Campata	βy/n	k,LT	kw,LT	Vincolo a entrambi estremi	λy/n	λVer
1	Si	0	1-2	1	1	1	Si	61.3	Si, (<200)
2	Si	1.85							

Verifica a svergolamento con trazione §4.2.4.1.3.2 NTC18 § 5.5.3 ENV 1993-1-1:1992 + AC:1992 + A1:1994 + A2:1998

X	Comb.	Sfruttamento	Classe	Obblig.	NEd	Mx,Ed	Mx,Eff,Ed	Mb,Rd,x	χ_{LT}	λ adim. LT	L_{LT}	$M_{critico}$	Verifica
0.493	SLU 24	0.001	1	Si	0.576	0.05574	0.03881	28.25853	0.902	0.633	1.85	82.10616	Si

Verifica di stabilità per tenso-flessione deviata §§ 5.5.3-5.5.4 ENV 1993-1-1:1992 + AC:1992 + A1:1994 + A2:1998

X	Comb.	Sfruttamento	Classe	NEd	Mx,Ed	Mx,Ed	My,Ed	χ,LT	kLT	ky	M,critico	Wx	Wy	Verifica
0	SLU 76	0.019	1	21.51	1.03065	0.39877	0.08984	0.989	1	1	178.46345	0.0001196	0.0000589	Si

Verifica di stabilità per tenso-flessione deviata SLD §§ 5.5.3-5.5.4 ENV 1993-1-1:1992 + AC:1992 + A1:1994 + A2:1998

X	Comb.	Sfruttamento	Classe	NEd	Mx,Ed	Mx,Ed	My,Ed	χ,LT	kLT	ky	M,critico	Wx	Wy	Verifica
0	SLD 11	0.003	1	16.246	0.4815	0.00427	0.04058	0.989	1	1	180.03032	0.0001196	0.0000589	Si

Verifica di stabilità per pressoflessione §C.4.2.4.1.3.3.2 NTC18

X	Comb.	Sfruttamento	Classe	NEd	NRk	Mx,Ed max	Mx,Rk	My,Ed max	My,Rk	χ,x	χ,y	kxx	kxy	kyy	χ,LT	Verifica	
1.727	SLV 9	0.138	1	-58.35	697.541	0.47055	32.89552	0.03654	16.19002	0.912	0.721	0.878	0.372	0.986	0.621	0.977	Si

Verifica di stabilità per pressoflessione SLD §C.4.2.4.1.3.3.2 NTC18

X	Comb.	Sfruttamento	Classe	NEd	NRk	Mx,Ed max	Mx,Rk	My,Ed max	My,Rk	χ,x	χ,y	kxx	kxy	kyy	χ,LT	Verifica	
1.85	SLD 10	0.039	1	-17.217	697.541	0.07875	32.89552	0.02411	16.19002	0.912	0.721	0.962	0.247	0.996	0.412	0.902	Si

Verifica di stabilità a taglio anima Y §4.2.4.1.2.4 [4.2.27] NTC18

η	hw	tw	hw/tw max	Verifica
1.2	0.098	0.005	55.46	Si

Verifica di stabilità a taglio anima Y SLD §4.2.4.1.2.4 [4.2.27] NTC18

η	hw	tw	hw/tw max	Verifica
1.2	0.098	0.005	55.46	Si

Verifiche a deformabilità

Mensola X: No; Mensola Y: No.

Frecce lungo X

Ascissa freccia	Combinazione	Freccia	Luce	L/f	L/f,min	Tipo	Verifica
0.555	SLE RA 1	0	1.85	10000	250	Totale	Si
0.555	SLE RA 17	-0.00001	1.85	10000	250	Totale	Si
0.555	SLE RA 16	-0.00001	1.85	10000	250	Totale	Si
0.617	SLE RA 15	-0.00001	1.85	10000	250	Totale	Si
0.432	SLE RA 14	0	1.85	10000	250	Totale	Si
0.617	SLE RA 2	0.00001	1.85	10000	350	Variabile	Si
0.617	SLE RA 17	0	1.85	10000	350	Variabile	Si
0.617	SLE RA 16	-0.00001	1.85	10000	350	Variabile	Si
0.678	SLE RA 15	-0.00001	1.85	10000	350	Variabile	Si
1.172	SLE RA 14	0	1.85	10000	350	Variabile	Si

Frecce lungo Y

Ascissa freccia	Combinazione	Freccia	Luce	L/f	L/f,min	Tipo	Verifica
0.678	SLE RA 1	0.00004	1.85	10000	250	Totale	Si
0.74	SLE RA 17	0.00006	1.85	10000	250	Totale	Si
0.74	SLE RA 16	0.00008	1.85	10000	250	Totale	Si
0.74	SLE RA 15	0.0001	1.85	10000	250	Totale	Si
0.678	SLE RA 14	0.00004	1.85	10000	250	Totale	Si
0.802	SLE RA 2	-0.00004	1.85	10000	350	Variabile	Si
0.802	SLE RA 17	0.00002	1.85	10000	350	Variabile	Si
0.802	SLE RA 16	0.00005	1.85	10000	350	Variabile	Si
0.802	SLE RA 15	0.00006	1.85	10000	350	Variabile	Si
0.987	SLE RA 14	0	1.85	10000	350	Variabile	Si

Superelemento in acciaio a quota "640" (-146; 1660)-(-36; 1557)

Caratteristiche del materiale

Acciaio: S275, fyk = 275000

Caratteristiche geometriche

Lunghezza: 1.505

Nodo iniziale: 1001 Nodo finale: 979

Cerniera iniziale: Mmomenti 1% Cerniera finale: Mmomenti 1%

Sovraresistenza: 0% Sisma Z: No

Caratteristiche della sezione

Sezione	Rotazione	Area	Jx	Jy	ix	iy	Wx	Wy	Wplx	Wply
A1; L100*10; 1; Saldato; S275; 30; 1; 8; 8; 1	180	0.003832	0.0000035319	0.000007759	0.0304	0.045	0.0000492	0.0000739	0.00008974	0.00012727

Implementazione dei sistemi di confinamento delle emissioni odorigene diffuse dell'impianto di compostaggio esistente nel
Comune di Eboli (SA)
PROGETTO DEFINITIVO – Tabulati di calcolo Tomo 1

Comportamento dei calastrelli

Accoppiamento imbottito con funzione statica (§C4.2.4.1.3.1.4 NTC18) nella campata compresa tra le ascisse 0 e 1.505 per sbandamento attorno all'asse y.

Verifiche di resistenza

Verifiche a forza assiale §4.2.4.1.2.1 - §4.2.4.1.2.2 NTC18

X	Comb.	Sfruttamento	Classe	NEd	Nc,Rd	Nt,Rd	Riduzione da taglio	px	py	Verifica
1.505	SLV 5	0	1	-0.428	1003.522		1	0	0	Si

Verifica a taglio Y §4.2.4.1.2.4 NTC18

X	Comb.	Sfruttamento	VEd	Vc,Rd	Av	Interazione taglio-torsione	Riduzione torsione	Verifica
0	SLU 76	0.001	-0.324	302.422	0.002	Non considerata		Si

Verifica a taglio Y SLD §4.2.4.1.2.4 NTC18

X	Comb.	Sfruttamento	VEd	Vc,Rd	Av	Interazione taglio-torsione	Riduzione torsione	Verifica
0	SLD 8	0.001	-0.243	302.422	0.002	Non considerata		Si

Verifica a flessione semplice X §§ 4.2.4.1.2.3 - 4.2.4.1.2.6 - 4.2.4.1.2.7 - 4.2.4.1.2.8 NTC18

X	Comb.	Sfruttamento	Classe	Mx,Ed	Mx,Rd	Rid. Mx,Rd da VEd	px	py	Verifica
0.753	SLU 40	0.005	1	0.1113	23.50374	1	0	0	Si

Verifica a flessione semplice X SLD §§ 4.2.4.1.2.3 - 4.2.4.1.2.6 - 4.2.4.1.2.7 - 4.2.4.1.2.8 NTC18

X	Comb.	Sfruttamento	Classe	Mx,Ed	Mx,Rd	Rid. Mx,Rd da VEd	px	py	Verifica
0.753	SLD 9	0.004	1	0.08353	23.50374	1	0	0	Si

Verifica a flessione semplice Y §§ 4.2.4.1.2.3 - 4.2.4.1.2.6 - 4.2.4.1.2.7 - 4.2.4.1.2.8 NTC18

X	Comb.	Sfruttamento	Classe	My,Ed	My,Rd	Rid. My,Rd da VEd	px	py	Verifica
0	SLV 15	0.001	1	0.04953	33.33162	1	0	0	Si

Verifica a flessione semplice Y SLD §§ 4.2.4.1.2.3 - 4.2.4.1.2.6 - 4.2.4.1.2.7 - 4.2.4.1.2.8 NTC18

X	Comb.	Sfruttamento	Classe	My,Ed	My,Rd	Rid. My,Rd da VEd	px	py	Verifica
0.05	SLD 16	0.001	1	0.01917	33.33162	1	0	0	Si

Verifica a flessione deviata §§ 4.2.4.1.2.3 - 4.2.4.1.2.6 - 4.2.4.1.2.7 - 4.2.4.1.2.8 NTC18

X	Comb.	Sfruttamento	Classe	Mx,Ed	Mx,Rd	My,Ed	My,Rd	Rid. Mx,Rd da VEd	Rid. My,Rd da VEd	α	β	px	py	Verifica
0.652	SLV 13	0.004	1	0.0921	23.5037	0.0121	33.3316	1	1			0	0	Si

Verifica a flessione deviata SLD §§ 4.2.4.1.2.3 - 4.2.4.1.2.6 - 4.2.4.1.2.7 - 4.2.4.1.2.8 NTC18

X	Comb.	Sfruttamento	Classe	Mx,Ed	Mx,Rd	My,Ed	My,Rd	Rid. Mx,Rd da VEd	Rid. My,Rd da VEd	α	β	px	py	Verifica
0.753	SLD 16	0.004	1	0.0809	23.5037	0.0075	33.3316	1	1			0	0	Si

Verifica a presso/tenso flessione retta Y §§ 4.2.4.1.2.3 - 4.2.4.1.2.6 - 4.2.4.1.2.7 - 4.2.4.1.2.8 NTC18

Verifiche eseguite utilizzando la formula conservativa (6.2) §6.2.1 EN 1993-1-1:2005.

X	Comb.	Sfruttamento	Classe	NEd	NRd	Rid. NRd da VEd	My,Ed	My,Rd	Rid. My,Rd da VEd	Rid. My,Rd da NEd	px	py	Verifica
0	SLV 5	0.002	1	-0.428	1003.522	1	-0.0458	33.3316	1		0	0	Si

Verifica a presso/tenso flessione deviata §§ 4.2.4.1.2.3 - 4.2.4.1.2.6 - 4.2.4.1.2.7 - 4.2.4.1.2.8 NTC18

Verifiche eseguite utilizzando la formula conservativa (6.2) §6.2.1 EN 1993-1-1:2005.

X	Comb.	Sfruttamento	Classe	NEd	NRd	Rid. NRd da VEd	Mx,Ed	Mx,Rd	My,Ed	My,Rd	Rid. Mx,Rd da VEd	Rid. Mx,Rd da NEd	Rid. My,Rd da VEd	Rid. My,Rd da NEd	α	β	px	py	Verifica
0.702	SLV 5	0.005	1	-0.428	1003.522	1	0.0861	23.5037	-0.0197	33.3316	1		1				0	0	Si

Verifiche ad instabilità

Caratteristiche iniziali

Membratura principale per controllo snellezza; Calcolo di snellezze ed N critici condotti secondo gli assi principali;

Curva X: c; Curva Y: c;

Svergolamento: Nessuno; la verifica a instabilità flesso-torsionale (svergolamento) non verrà eseguita.

Dati per instabilità attorno a x

Controllo della snellezza secondo §4.2.4.1.3.1 NTC18

Numero rit.	Presente	Ascissa	Campata	βx/m	Vincolo a entrambi estremi	λx/m	λVer
1	Si	0					
			1-2		1	49.6	Si, (<200)
2	Si	1.505					

Dati per instabilità attorno a y

Controllo della snellezza secondo §4.2.4.1.3.1 NTC18

Numero rit.	Presente	Ascissa	Campata	βy/n	k,LT	kw,LT	Vincolo a entrambi estremi
1	Si	0					
			1-2		1	34.9	Si, (<200)
2	Si	1.505					

Verifica di stabilità per pressoflessione §C.4.2.4.1.3.3.1 NTC18

X	Comb.	Sfruttamento	Classe	NEd	MxEq,Ed	MyEq,Ed	Area	Wx	Wy	χ,min	λ adim. x/m	λ adim. y/n	N,crit x/m	N,crit y/n	Verifica
0	SLV 6	0.005	1	-0.428	0.0753	-0.0344	0.003832	0.0000897	0.0001273	0.802	0.571	0.402	3231.044	6528.342	Si

Verifica di stabilità per pressoflessione SLD §C.4.2.4.1.3.3.1 NTC18

X	Comb.	Sfruttamento	Classe	NEd	MxEq,Ed	MyEq,Ed	Area	Wx	Wy	χ,min	λ adim. x/m	λ adim. y/n	N,crit x/m	N,crit y/n	Verifica
1.505	SLD 16	0.003	1	0	0.0682	0.0151	0.003832	0.0000897	0.0001273	0.802	0.571	0.402	3231.044	6528.342	Si

Implementazione dei sistemi di confinamento delle emissioni odorigene diffuse dell'impianto di compostaggio esistente nel
Comune di Eboli (SA)
PROGETTO DEFINITIVO – Tabulati di calcolo Tomo 1

Verifiche a deformabilità

Mensola X: No; Mensola Y: No.

Frecce lungo X

Ascissa freccia	Combinazione	Freccia	Luce	L/f	L/f,min	Tipo	Verifica
0.502	SLE RA 1	0	1.505	10000	250	Totale	Si
0.502	SLE RA 17	0	1.505	10000	250	Totale	Si
0.502	SLE RA 16	0	1.505	10000	250	Totale	Si
0.452	SLE RA 15	0	1.505	10000	250	Totale	Si
0.502	SLE RA 14	0	1.505	10000	250	Totale	Si
0.502	SLE RA 2	0	1.505	10000	350	Variabile	Si
0.502	SLE RA 17	0	1.505	10000	350	Variabile	Si
0.502	SLE RA 16	0	1.505	10000	350	Variabile	Si
0.452	SLE RA 15	0	1.505	10000	350	Variabile	Si
1.003	SLE RA 14	0	1.505	10000	350	Variabile	Si

Frecce lungo Y

Ascissa freccia	Combinazione	Freccia	Luce	L/f	L/f,min	Tipo	Verifica
0.753	SLE RA 1	0.00002	1.505	10000	250	Totale	Si
0.753	SLE RA 17	0.00002	1.505	10000	250	Totale	Si
0.753	SLE RA 16	0.00002	1.505	10000	250	Totale	Si
0.753	SLE RA 15	0.00002	1.505	10000	250	Totale	Si
0.753	SLE RA 14	0.00002	1.505	10000	250	Totale	Si
0.602	SLE RA 2	0	1.505	10000	350	Variabile	Si
0.602	SLE RA 17	0	1.505	10000	350	Variabile	Si
0.602	SLE RA 16	0	1.505	10000	350	Variabile	Si
0.652	SLE RA 15	0	1.505	10000	350	Variabile	Si
0.602	SLE RA 14	0	1.505	10000	350	Variabile	Si

Superelemento in acciaio a quota "640" (-161; -105)-(-34; 30)

Caratteristiche del materiale

Acciaio: S275, fyk = 275000

Caratteristiche geometriche

Lunghezza: 1.855

Nodo iniziale: 644 Nodo finale: 675

Cerniera iniziale: No Cerniera finale: No

Sovreresistenza: 0% Sisma Z: No

Caratteristiche della sezione

Sezione	Rotazione	Area	Jx	Jy	ix	iy	Wx	Wy	Wplx	Wply
HEA120	0	0.002537	0.0000060673	0.0000023091	0.0489	0.0302	0.00010644	0.00003849	0.00011962	0.00005887

Verifiche di resistenza

Verifiche a forza assiale §4.2.4.1.2.1 - §4.2.4.1.2.2 NTC18

X	Comb.	Sfruttamento	Classe	NEd	Nc,Rd	Nt,Rd	Riduzione da taglio	px	py	Verifica
1.793	SLU 75	0.083		55.319		664.325	1	0	0	Si

Verifiche a forza assiale SLD §4.2.4.1.2.1 - §4.2.4.1.2.2 NTC18

X	Comb.	Sfruttamento	Classe	NEd	Nc,Rd	Nt,Rd	Riduzione da taglio	px	py	Verifica
1.855	SLD 11	0.041		27.499		664.325	1	0	0	Si

Verifica a taglio Y §4.2.4.1.2.4 NTC18

X	Comb.	Sfruttamento	VEd	Vc,Rd	Av	Interazione taglio-torsione	Riduzione torsione	Verifica
1.855	SLU 75	0.007	-0.854	127.878	0.000849	Considerata	1	Si

Verifica a taglio Y SLD §4.2.4.1.2.4 NTC18

X	Comb.	Sfruttamento	VEd	Vc,Rd	Av	Interazione taglio-torsione	Riduzione torsione	Verifica
1.855	SLD 6	0.004	-0.472	128.268	0.000849	Considerata	1	Si

Verifica a torsione §4.2.4.1.2.5 NTC18

X	Comb.	Sfruttamento torsione	TEd	TRd	Riduzione taglio resistente	Sfruttamento taglio-torsione	rEd,totale	rRd	Verifica
1.731	SLV 4	0.013	0.01068	0.85138	Considerata				Si

Verifica a torsione SLD §4.2.4.1.2.5 NTC18

X	Comb.	Sfruttamento torsione	TEd	TRd	Riduzione taglio resistente	Sfruttamento taglio-torsione	rEd,totale	rRd	Verifica
1.855	SLD 4	0.006	0.00542	0.85138	Considerata				Si

Verifica a presso/tenso flessione retta X §§ 4.2.4.1.2.3 - 4.2.4.1.2.6 - 4.2.4.1.2.7 - 4.2.4.1.2.8 NTC18

Verifiche eseguite utilizzando la formula conservativa (6.2) §6.2.1 EN 1993-1-1:2005.

X	Comb.	Sfruttamento	Classe	NEd	NRd	Rid. NRd da VEd	Mx,Ed	Mx,Rd	Rid. Mx,Rd da VEd	Rid. Mx,Rd da NEd	px	py	Verifica
1.422	SLU 4	0.011	1	-3.746	664.325	1	0.164	31.3291	1		0	0	Si

Verifica a presso/tenso flessione retta Y §§ 4.2.4.1.2.3 - 4.2.4.1.2.6 - 4.2.4.1.2.7 - 4.2.4.1.2.8 NTC18

Verifiche eseguite utilizzando la formula conservativa (6.2) §6.2.1 EN 1993-1-1:2005.

X	Comb.	Sfruttamento	Classe	NEd	NRd	Rid. NRd da VEd	My,Ed	My,Rd	Rid. My,Rd da VEd	Rid. My,Rd da NEd	px	py	Verifica
0	SLU 53	0.038	1	21.483	664.325	1	-0.0936	15.4191	1		0	0	Si

Verifica a presso/tenso flessione retta Y SLD §§ 4.2.4.1.2.3 - 4.2.4.1.2.6 - 4.2.4.1.2.7 - 4.2.4.1.2.8 NTC18

Verifiche eseguite utilizzando la formula conservativa (6.2) §6.2.1 EN 1993-1-1:2005.

X	Comb.	Sfruttamento	Classe	NEd	NRd	Rid. NRd da VEd	My,Ed	My,Rd	Rid. My,Rd da VEd	Rid. My,Rd da NEd	px	py	Verifica
---	-------	--------------	--------	-----	-----	-----------------	-------	-------	-------------------	-------------------	----	----	----------

Implementazione dei sistemi di confinamento delle emissioni odorigene diffuse dell'impianto di compostaggio esistente nel
Comune di Eboli (SA)

PROGETTO DEFINITIVO – Tabulati di calcolo Tomo 1

X	Comb.	Sfruttamento	Classe	NEd	NRd	Rid. NRd da VEd	My,Ed	My,Rd	Rid. My,Rd da VEd	Rid. My,Rd da NEd	px	py	Verifica
0.062	SLD 3	0.021	1	10.414	664.325	1	-0.0844	15.4191	1		0	0	Si

Verifica a presso/tenso flessione deviata §§ 4.2.4.1.2.3 - 4.2.4.1.2.6 - 4.2.4.1.2.7 - 4.2.4.1.2.8 NTC18

Verifiche eseguite utilizzando la formula conservativa (6.2) §6.2.1 EN 1993-1-1:2005.

X	Comb.	Sfruttamento	Classe	NEd	NRd	Rid. NRd da VEd	Mx,Ed	Mx,Rd	My,Ed	My,Rd	Rid. Mx,Rd da VEd	Rid. Mx,Rd da NEd	Rid. My,Rd da VEd	Rid. My,Rd da NEd	α	β	px	py	Verifica
1.855	SLV 75	0.152	1	55.319	664.325	1	1.2379	31.3291	-0.4514	15.4191	1		1				0	0	Si

Verifica a presso/tenso flessione deviata SLD §§ 4.2.4.1.2.3 - 4.2.4.1.2.6 - 4.2.4.1.2.7 - 4.2.4.1.2.8 NTC18

Verifiche eseguite utilizzando la formula conservativa (6.2) §6.2.1 EN 1993-1-1:2005.

X	Comb.	Sfruttamento	Classe	NEd	NRd	Rid. NRd da VEd	Mx,Ed	Mx,Rd	My,Ed	My,Rd	Rid. Mx,Rd da VEd	Rid. Mx,Rd da NEd	Rid. My,Rd da VEd	Rid. My,Rd da NEd	α	β	px	py	Verifica
1.855	SLD 16	0.066	1	27.063	664.325	1	0.4831	31.3291	-0.1537	15.4191	1		1				0	0	Si

Verifiche ad instabilità

Caratteristiche iniziali

Membratura principale per controllo snellezza; Calcolo di snellezze ed N critici condotti secondo gli assi principali;

Curva X: b; Curva Y: c; Svergolamento: Carico all'estradosso; Curva svergolamento: b;

Dati per instabilità attorno a x

Controllo della snellezza secondo §4.2.4.1.3.1 NTC18

Numero rit.	Presente	Ascissa	Campata	βx/m	Vincolo a entrambi estremi	λx/m	λVer
1	Si	0					
			1-2	1	Si	37.9	Si, (<200)
2	Si	1.855					

Dati per instabilità attorno a y

Controllo della snellezza secondo §4.2.4.1.3.1 NTC18

Numero rit.	Presente	Ascissa	Campata	βy/n	k _y LT	k _w LT	Vincolo a entrambi estremi	λy/n	λVer
1	Si	0							
			1-2	1	1	1	Si	61.5	Si, (<200)
2	Si	1.855							

Verifica di stabilità per tenso-flessione deviata §§ 5.5.3-5.5.4 ENV 1993-1-1:1992 + AC:1992 + A1:1994 + A2:1998

X	Comb.	Sfruttamento	Classe	NEd	Mx,Ed	Mx,Eff,Ed	My,Ed	χ _y LT	kLT	ky	M _{critico}	W _x	W _y	Verifica
1.855	SLV 4	0.022	1	0.519	0.51903	0.50377	-0.07131	0.901	1	1	81.80587	0.0001196	0.0000589	Si

Verifica di stabilità per tenso-flessione deviata SLD §§ 5.5.3-5.5.4 ENV 1993-1-1:1992 + AC:1992 + A1:1994 + A2:1998

X	Comb.	Sfruttamento	Classe	NEd	Mx,Ed	Mx,Eff,Ed	My,Ed	χ _y LT	kLT	ky	M _{critico}	W _x	W _y	Verifica
1.855	SLD 6	0.023	1	4.609	0.51546	0.38006	-0.15324	0.901	1	1	81.80587	0.0001196	0.0000589	Si

Verifica di stabilità per pressoflessione §C.4.2.4.1.3.3.2 NTC18

X	Comb.	Sfruttamento	Classe	NEd	NRk	Mx,Ed max	Mx,Rk	My,Ed max	My,Rk	χ _x	χ _y	k _{xx}	k _{xy}	k _{yx}	k _{yy}	χ _y LT	Verifica
0	SLV 6	0.059	1	-16.109	697.541	0.54184	32.89552	0.17616	16.19002	0.911	0.72	0.496	0.308	0.99	0.514	0.901	Si

Verifica di stabilità a taglio anima Y §4.2.4.1.2.4 [4.2.27] NTC18

η	hw	tw	hw/tw max	Verifica
1.2	0.098	0.005	55.46	Si

Verifica di stabilità a taglio anima Y SLD §4.2.4.1.2.4 [4.2.27] NTC18

η	hw	tw	hw/tw max	Verifica
1.2	0.098	0.005	55.46	Si

Verifiche a deformabilità

Mensola X: No; Mensola Y: No.

Frecce lungo X

Ascissa freccia	Combinazione	Freccia	Luce	L/f	L/f,min	Tipo	Verifica
0.989	SLE RA 18	0.00021	1.855	8983.6	250	Totale	Si
0.989	SLE RA 1	0.00009	1.855	10000	250	Totale	Si
0.989	SLE RA 17	0.00013	1.855	10000	250	Totale	Si
0.989	SLE RA 16	0.00017	1.855	10000	250	Totale	Si
0.989	SLE RA 15	0.00011	1.855	10000	250	Totale	Si
0.989	SLE RA 2	-0.00007	1.855	10000	350	Variabile	Si
0.989	SLE RA 17	0.00004	1.855	10000	350	Variabile	Si
0.989	SLE RA 16	0.00008	1.855	10000	350	Variabile	Si
0.989	SLE RA 15	0.00002	1.855	10000	350	Variabile	Si
0.989	SLE RA 14	0.00009	1.855	10000	350	Variabile	Si

Frecce lungo Y

Ascissa freccia	Combinazione	Freccia	Luce	L/f	L/f,min	Tipo	Verifica
1.113	SLE RA 1	0.00006	1.855	10000	250	Totale	Si
1.113	SLE RA 17	0.00009	1.855	10000	250	Totale	Si
1.113	SLE RA 16	0.00012	1.855	10000	250	Totale	Si
1.113	SLE RA 15	0.00009	1.855	10000	250	Totale	Si
1.113	SLE RA 14	0.00012	1.855	10000	250	Totale	Si
1.051	SLE RA 2	-0.00005	1.855	10000	350	Variabile	Si
1.051	SLE RA 17	0.00003	1.855	10000	350	Variabile	Si
1.051	SLE RA 16	0.00006	1.855	10000	350	Variabile	Si
1.051	SLE RA 15	0.00002	1.855	10000	350	Variabile	Si
1.051	SLE RA 14	0.00005	1.855	10000	350	Variabile	Si

Superelemento in acciaio a quota "640" (-186; 1180)-(-77; 1077)

Caratteristiche del materiale

Acciaio: S275, fyk = 275000

Implementazione dei sistemi di confinamento delle emissioni odorigene diffuse dell'impianto di compostaggio esistente nel
Comune di Eboli (SA)
PROGETTO DEFINITIVO – Tabulati di calcolo Tomo 1

Caratteristiche geometriche

Lunghezza: 1.5
Nodo iniziale: 905 Nodo finale: 885
Cerniera iniziale: Mmomenti 1% Cerniera finale: Mmomenti 1%
Sovreresistenza: 0% Sisma Z: No

Caratteristiche della sezione

Sezione	Rotazione	Area	Jx	Jy	ix	iy	Wx	Wy	Wplx	Wply
A1; L100*10; 1; Saldato; S275; 30; 1; 8; 8; 1	180	0.003832	0.0000035319	0.000007759	0.0304	0.045	0.0000492	0.0000739	0.00008974	0.00012727

Comportamento dei calastrelli

Accoppiamento imbottito con funzione statica (§C4.2.4.1.3.1.4 NTC18) nella campata compresa tra le ascisse 0 e 1.5 per sbandamento attorno all'asse y.

Verifiche di resistenza

Verifiche a forza assiale §4.2.4.1.2.1 - §4.2.4.1.2.2 NTC18

X	Comb.	Sfruttamento	Classe	NEd	Nc,Rd	Nt,Rd	Riduzione da taglio	px	py	Verifica
1.5	SLU 76	0.045		45.311		1003.522	1	0	0	Si

Verifiche a forza assiale SLD §4.2.4.1.2.1 - §4.2.4.1.2.2 NTC18

X	Comb.	Sfruttamento	Classe	NEd	Nc,Rd	Nt,Rd	Riduzione da taglio	px	py	Verifica
1.5	SLD 16	0.012		11.859		1003.522	1	0	0	Si

Verifica a taglio X §4.2.4.1.2.4 NTC18

X	Comb.	Sfruttamento	VEd	Vc,Rd	Av	Interazione taglio-torsione	Riduzione torsione	Verifica
0	SLV 1	0.001	0.319	302.422	0.002	Non considerata		Si

Verifica a taglio Y §4.2.4.1.2.4 NTC18

X	Comb.	Sfruttamento	VEd	Vc,Rd	Av	Interazione taglio-torsione	Riduzione torsione	Verifica
1.5	SLU 76	0.001	0.294	302.422	0.002	Non considerata		Si

Verifica a taglio Y SLD §4.2.4.1.2.4 NTC18

X	Comb.	Sfruttamento	VEd	Vc,Rd	Av	Interazione taglio-torsione	Riduzione torsione	Verifica
1.5	SLD 16	0.001	0.226	302.422	0.002	Non considerata		Si

Verifica a flessione semplice X §§ 4.2.4.1.2.3 - 4.2.4.1.2.6 - 4.2.4.1.2.7 - 4.2.4.1.2.8 NTC18

X	Comb.	Sfruttamento	Classe	Mx,Ed	Mx,Rd	Rid. Mx,Rd da VEd	px	py	Verifica
0.75	SLU 24	0.004	1	0.0841	23.50374	1	0	0	Si

Verifica a presso/tenso flessione retta X §§ 4.2.4.1.2.3 - 4.2.4.1.2.6 - 4.2.4.1.2.7 - 4.2.4.1.2.8 NTC18

Verifiche eseguite utilizzando la formula conservativa (6.2) §6.2.1 EN 1993-1-1:2005.

X	Comb.	Sfruttamento	Classe	NEd	NRd	Rid. NRd da VEd	Mx,Ed	Mx,Rd	Rid. Mx,Rd da VEd	Rid. Mx,Rd da NEd	px	py	Verifica
0.75	SLU 76	0.05	1	45.311	1003.522	1	0.1104	23.5037	1		0	0	Si

Verifica a presso/tenso flessione retta X SLD §§ 4.2.4.1.2.3 - 4.2.4.1.2.6 - 4.2.4.1.2.7 - 4.2.4.1.2.8 NTC18

Verifiche eseguite utilizzando la formula conservativa (6.2) §6.2.1 EN 1993-1-1:2005.

X	Comb.	Sfruttamento	Classe	NEd	NRd	Rid. NRd da VEd	Mx,Ed	Mx,Rd	Rid. Mx,Rd da VEd	Rid. Mx,Rd da NEd	px	py	Verifica
0.65	SLD 16	0.015	1	11.859	1003.522	1	0.0829	23.5037	1		0	0	Si

Verifica a presso/tenso flessione retta Y §§ 4.2.4.1.2.3 - 4.2.4.1.2.6 - 4.2.4.1.2.7 - 4.2.4.1.2.8 NTC18

Verifiche eseguite utilizzando la formula conservativa (6.2) §6.2.1 EN 1993-1-1:2005.

X	Comb.	Sfruttamento	Classe	NEd	NRd	Rid. NRd da VEd	My,Ed	My,Rd	Rid. My,Rd da VEd	Rid. My,Rd da NEd	px	py	Verifica
1.5	SLV 16	0.022	1	13.841	1003.522	1	-0.2765	33.3316	1		0	0	Si

Verifica a presso/tenso flessione retta Y SLD §§ 4.2.4.1.2.3 - 4.2.4.1.2.6 - 4.2.4.1.2.7 - 4.2.4.1.2.8 NTC18

Verifiche eseguite utilizzando la formula conservativa (6.2) §6.2.1 EN 1993-1-1:2005.

X	Comb.	Sfruttamento	Classe	NEd	NRd	Rid. NRd da VEd	My,Ed	My,Rd	Rid. My,Rd da VEd	Rid. My,Rd da NEd	px	py	Verifica
1.5	SLD 16	0.015	1	11.859	1003.522	1	-0.111	33.3316	1		0	0	Si

Verifica a presso/tenso flessione deviata §§ 4.2.4.1.2.3 - 4.2.4.1.2.6 - 4.2.4.1.2.7 - 4.2.4.1.2.8 NTC18

Verifiche eseguite utilizzando la formula conservativa (6.2) §6.2.1 EN 1993-1-1:2005.

X	Comb.	Sfruttamento	Classe	NEd	NRd	Rid. NRd da VEd	Mx,Ed	Mx,Rd	My,Ed	My,Rd	Rid. Mx,Rd da VEd	Rid. Mx,Rd da NEd	Rid. My,Rd da VEd	Rid. My,Rd da NEd	α	β	px	py	Verifica
1.45	SLV 16	0.022	1	13.841	1003.522	1	0.0106	23.5037	-0.2606	33.3316	1		1				0	0	Si

Verifica a presso/tenso flessione deviata SLD §§ 4.2.4.1.2.3 - 4.2.4.1.2.6 - 4.2.4.1.2.7 - 4.2.4.1.2.8 NTC18

Verifiche eseguite utilizzando la formula conservativa (6.2) §6.2.1 EN 1993-1-1:2005.

X	Comb.	Sfruttamento	Classe	NEd	NRd	Rid. NRd da VEd	Mx,Ed	Mx,Rd	My,Ed	My,Rd	Rid. Mx,Rd da VEd	Rid. Mx,Rd da NEd	Rid. My,Rd da VEd	Rid. My,Rd da NEd	α	β	px	py	Verifica
1.05	SLD 15	0.016	1	11.859	1003.522	1	0.0708	23.5037	-0.0536	33.3316	1		1				0	0	Si

Verifiche ad instabilità

Caratteristiche iniziali

Membratura principale per controllo snellezza; Calcolo di snellezze ed N critici condotti secondo gli assi principali;
Curva X: c; Curva Y: c;
Svergolamento: Nessuno; la verifica a instabilità flessio-torsionale (svergolamento) non verrà eseguita.

Dati per instabilità attorno a x

Controllo della snellezza secondo §4.2.4.1.3.1 NTC18

Implementazione dei sistemi di confinamento delle emissioni odorigene diffuse dell’impianto di compostaggio esistente nel
Comune di Eboli (SA)
PROGETTO DEFINITIVO – Tabulati di calcolo Tomo 1

Numero rit.	Presente	Ascissa	Campata	$\beta x/m$	Vincolo a entrambi estremi	$\lambda x/m$	λVer
1	Si	0	1-2	1	Si	49.4	Si, (<200)
2	Si	1.5					

Dati per instabilità attorno a y

Controllo della snellezza secondo §4.2.4.1.3.1 NTC18

Numero rit.	Presente	Ascissa	Campata	$\beta y/n$	k,LT	kw,LT	Vincolo a entrambi estremi
1	Si	0	1-2	1	Si	34.8	Si, (<200)
2	Si	1.5					

Verifica di stabilità per pressoflessione §C.4.2.4.1.3.3.1 NTC18

X	Comb.	Sfruttamento	Classe	NEd	MxEq,Ed	MyEq,Ed	Area	Wx	Wy	χ_{min}	$\lambda_{adim. x/m}$	$\lambda_{adim. y/n}$	N,crit x/m	N,crit y/n	Verifica
0	SLU 2	0.021	3	-11.37	0.0722	-0.0342	0.003832	0.0000492	0.0000739	0.804	0.569	0.4	3253.47	6569.993	Si

Verifiche a deformabilità

Mensola X: No; Mensola Y: No.

Frecce lungo X

Ascissa freccia	Combinazione	Freccia	Luce	L/f	L/f,min	Tipo	Verifica
0.5	SLE RA 1	0	1.5	10000	250	Totale	Si
0.45	SLE RA 17	0	1.5	10000	250	Totale	Si
0.4	SLE RA 16	0	1.5	10000	250	Totale	Si
1.2	SLE RA 15	0	1.5	10000	250	Totale	Si
0.55	SLE RA 14	0	1.5	10000	250	Totale	Si
1.1	SLE RA 2	0	1.5	10000	350	Variabile	Si
1.1	SLE RA 17	0	1.5	10000	350	Variabile	Si
1.1	SLE RA 16	0	1.5	10000	350	Variabile	Si
1	SLE RA 15	0	1.5	10000	350	Variabile	Si
0.7	SLE RA 14	0	1.5	10000	350	Variabile	Si

Frecce lungo Y

Ascissa freccia	Combinazione	Freccia	Luce	L/f	L/f,min	Tipo	Verifica
0.75	SLE RA 1	0.00003	1.5	10000	250	Totale	Si
0.75	SLE RA 17	0.00003	1.5	10000	250	Totale	Si
0.75	SLE RA 16	0.00003	1.5	10000	250	Totale	Si
0.75	SLE RA 15	0.00003	1.5	10000	250	Totale	Si
0.75	SLE RA 14	0.00003	1.5	10000	250	Totale	Si
0.65	SLE RA 2	0	1.5	10000	350	Variabile	Si
0.7	SLE RA 17	0	1.5	10000	350	Variabile	Si
0.7	SLE RA 16	0	1.5	10000	350	Variabile	Si
0.65	SLE RA 15	0	1.5	10000	350	Variabile	Si
0.7	SLE RA 14	0	1.5	10000	350	Variabile	Si

Superelemento in acciaio a quota "640" (-217; 710)-(-108; 608)

Caratteristiche del materiale

Acciaio: S275, fyk = 275000

Caratteristiche geometriche

Lunghezza: 1.5

Nodo iniziale: 809 Nodo finale: 790

Cerniera iniziale: Mmomenti 1% Cerniera finale: Mmomenti 1%

Sovraresistenza: 0% Sisma Z: No

Caratteristiche della sezione

Sezione	Rotazione	Area	Jx	Jy	ix	iy	Wx	Wy	Wplx	Wply
A1; L100*10; 1; Saldato; S275; 30; 1; 8; 8; 1	180	0.003832	0.0000035319	0.000007759	0.0304	0.045	0.0000492	0.0000739	0.00008974	0.00012727

Comportamento dei calastrelli

Accoppiamento imbottito con funzione statica (§C4.2.4.1.3.1.4 NTC18) nella campata compresa tra le ascisse 0 e 1.5 per sbandamento attorno all'asse y.

Verifiche di resistenza

Verifiche a forza assiale §4.2.4.1.2.1 - §4.2.4.1.2.2 NTC18

X	Comb.	Sfruttamento	Classe	NEd	Nc,Rd	Nt,Rd	Riduzione da taglio	px	py	Verifica
0.75	SLU 75	0.169		169.146		1003.522	1	0	0	Si

Verifiche a forza assiale SLD §4.2.4.1.2.1 - §4.2.4.1.2.2 NTC18

X	Comb.	Sfruttamento	Classe	NEd	Nc,Rd	Nt,Rd	Riduzione da taglio	px	py	Verifica
0	SLD 1	0.068		68.018		1003.522	1	0	0	Si

Verifica a taglio Y §4.2.4.1.2.4 NTC18

X	Comb.	Sfruttamento	VEd	Vc,Rd	Av	Interazione taglio-torsione	Riduzione torsione	Verifica
0	SLU 75	0.001	-0.296	302.422	0.002	Non considerata		Si

Verifica a taglio Y SLD §4.2.4.1.2.4 NTC18

X	Comb.	Sfruttamento	VEd	Vc,Rd	Av	Interazione taglio-torsione	Riduzione torsione	Verifica
0	SLD 1	0.001	-0.226	302.422	0.002	Non considerata		Si

**Implementazione dei sistemi di confinamento delle emissioni odorigene diffuse dell'impianto di compostaggio esistente nel
Comune di Eboli (SA)
PROGETTO DEFINITIVO – Tabulati di calcolo Tomo 1**

Verifica a flessione semplice X §§ 4.2.4.1.2.3 - 4.2.4.1.2.6 - 4.2.4.1.2.7 - 4.2.4.1.2.8 NTC18

X	Comb.	Sfruttamento	Classe	Mx,Ed	Mx,Rd	Rid. Mx,Rd da VEd	px	py	Verifica
0.75	SLU 5	0.004	1	0.08396	23.50374	1	0	0	Si

Verifica a presso/tenso flessione retta X §§ 4.2.4.1.2.3 - 4.2.4.1.2.6 - 4.2.4.1.2.7 - 4.2.4.1.2.8 NTC18

Verifiche eseguite utilizzando la formula conservativa (6.2) §6.2.1 EN 1993-1-1:2005.

X	Comb.	Sfruttamento	Classe	NEd	NRd	Rid. NRd da VEd	Mx,Ed	Mx,Rd	Rid. Mx,Rd da VEd	Rid. Mx,Rd da NEd	px	py	Verifica
0.75	SLU 75	0.173	1	169.146	1003.522	1	0.1108	23.5037	1		0	0	Si

Verifica a presso/tenso flessione retta X SLD §§ 4.2.4.1.2.3 - 4.2.4.1.2.6 - 4.2.4.1.2.7 - 4.2.4.1.2.8 NTC18

Verifiche eseguite utilizzando la formula conservativa (6.2) §6.2.1 EN 1993-1-1:2005.

X	Comb.	Sfruttamento	Classe	NEd	NRd	Rid. NRd da VEd	Mx,Ed	Mx,Rd	Rid. Mx,Rd da VEd	Rid. Mx,Rd da NEd	px	py	Verifica
1.15	SLD 9	0.064	1	61.78	1003.522	1	0.0608	23.5037	1		0	0	Si

Verifica a presso/tenso flessione retta Y §§ 4.2.4.1.2.3 - 4.2.4.1.2.6 - 4.2.4.1.2.7 - 4.2.4.1.2.8 NTC18

Verifiche eseguite utilizzando la formula conservativa (6.2) §6.2.1 EN 1993-1-1:2005.

X	Comb.	Sfruttamento	Classe	NEd	NRd	Rid. NRd da VEd	My,Ed	My,Rd	Rid. My,Rd da VEd	Rid. My,Rd da NEd	px	py	Verifica
0	SLV 2	0.091	1	88.066	1003.522	1	0.1031	33.3316	1		0	0	Si

Verifica a presso/tenso flessione retta Y SLD §§ 4.2.4.1.2.3 - 4.2.4.1.2.6 - 4.2.4.1.2.7 - 4.2.4.1.2.8 NTC18

Verifiche eseguite utilizzando la formula conservativa (6.2) §6.2.1 EN 1993-1-1:2005.

X	Comb.	Sfruttamento	Classe	NEd	NRd	Rid. NRd da VEd	My,Ed	My,Rd	Rid. My,Rd da VEd	Rid. My,Rd da NEd	px	py	Verifica
0	SLD 1	0.069	1	68.018	1003.522	1	0.041	33.3316	1		0	0	Si

Verifica a presso/tenso flessione deviata §§ 4.2.4.1.2.3 - 4.2.4.1.2.6 - 4.2.4.1.2.7 - 4.2.4.1.2.8 NTC18

Verifiche eseguite utilizzando la formula conservativa (6.2) §6.2.1 EN 1993-1-1:2005.

X	Comb.	Sfruttamento	Classe	NEd	NRd	Rid. NRd da VEd	Mx,Ed	Mx,Rd	My,Ed	My,Rd	Rid. Mx,Rd da VEd	Rid. Mx,Rd da NEd	Rid. My,Rd da VEd	Rid. My,Rd da NEd	α	β	px	py	Verifica
0.6	SLV 1	0.093	1	88.066	1003.522	1	0.0813	23.5037	0.064	33.3316	1		1				0	0	Si

Verifica a presso/tenso flessione deviata SLD §§ 4.2.4.1.2.3 - 4.2.4.1.2.6 - 4.2.4.1.2.7 - 4.2.4.1.2.8 NTC18

Verifiche eseguite utilizzando la formula conservativa (6.2) §6.2.1 EN 1993-1-1:2005.

X	Comb.	Sfruttamento	Classe	NEd	NRd	Rid. NRd da VEd	Mx,Ed	Mx,Rd	My,Ed	My,Rd	Rid. Mx,Rd da VEd	Rid. Mx,Rd da NEd	Rid. My,Rd da VEd	Rid. My,Rd da NEd	α	β	px	py	Verifica
0.7	SLD 1	0.072	1	68.018	1003.522	1	0.0842	23.5037	0.0232	33.3316	1		1				0	0	Si

Verifiche ad instabilità

Caratteristiche iniziali

Membratura principale per controllo snellezza; Calcolo di snellezze ed N critici condotti secondo gli assi principali;

Curva X: c; Curva Y: c;

Svergolamento: Nessuno; la verifica a instabilità flesso-torsionale (svergolamento) non verrà eseguita.

Dati per instabilità attorno a x

Controllo della snellezza secondo §4.2.4.1.3.1 NTC18

Numero rit.	Presente	Ascissa	Campata	βx/m	Vincolo a entrambi estremi	λx/m	λVer
1	Si		0				
			1-2		1	49.4	Si, (<200)
2	Si	1.5					

Dati per instabilità attorno a y

Controllo della snellezza secondo §4.2.4.1.3.1 NTC18

Numero rit.	Presente	Ascissa	Campata	βy/n	k,LT	kw,LT	Vincolo a entrambi estremi
1	Si		0				
			1-2		1	34.8	Si, (<200)
2	Si	1.5					

Verifica di stabilità per pressoflessione §C.4.2.4.1.3.3.1 NTC18

X	Comb.	Sfruttamento	Classe	NEd	MxEq,Ed	MyEq,Ed	Area	Wx	Wy	x,min	λ adim. x/m	λ adim. y/n	N,crit x/m	N,crit y/n	Verifica
0	SLU 2	0.043	3	-27.63	0.0721	0.0632	0.003832	0.0000492	0.0000739	0.804	0.569	0.4	3253.47	6569.993	Si

Verifiche a deformabilità

Mensola X: No; Mensola Y: No.

Frecce lungo X

Ascissa freccia	Combinazione	Freccia	Luce	L/f	L/f,min	Tipo	Verifica
1.05	SLE RA 1	0	1.5	10000	250	Totale	Si
1.05	SLE RA 17	0	1.5	10000	250	Totale	Si
1.1	SLE RA 16	0	1.5	10000	250	Totale	Si
0.95	SLE RA 15	0	1.5	10000	250	Totale	Si
0.35	SLE RA 14	0	1.5	10000	250	Totale	Si
1.1	SLE RA 2	0	1.5	10000	350	Variabile	Si
1.1	SLE RA 17	0	1.5	10000	350	Variabile	Si
1.1	SLE RA 16	0	1.5	10000	350	Variabile	Si
0.85	SLE RA 15	0	1.5	10000	350	Variabile	Si
0.45	SLE RA 14	0	1.5	10000	350	Variabile	Si

Frecce lungo Y

Ascissa freccia	Combinazione	Freccia	Luce	L/f	L/f,min	Tipo	Verifica
0.75	SLE RA 1	0.00003	1.5	10000	250	Totale	Si
0.75	SLE RA 17	0.00003	1.5	10000	250	Totale	Si
0.75	SLE RA 16	0.00003	1.5	10000	250	Totale	Si
0.75	SLE RA 15	0.00003	1.5	10000	250	Totale	Si
0.75	SLE RA 14	0.00003	1.5	10000	250	Totale	Si
0.85	SLE RA 2	0	1.5	10000	350	Variabile	Si
0.85	SLE RA 17	0	1.5	10000	350	Variabile	Si

PROGETTO DEFINITIVO – Tabulati di calcolo Tomo 1

Ascissa freccia	Combinazione	Freccia	Luce	L/f	L/f,min	Tipo	Verifica
0.85	SLE RA 16	0	1.5	10000	350	Variabile	Si
0.85	SLE RA 15	0	1.5	10000	350	Variabile	Si
0.9	SLE RA 14	0	1.5	10000	350	Variabile	Si

Superelemento in acciaio a quota "640" (-253; 236)-(-143; 133)

Caratteristiche del materiale

Acciaio: S275, fyk = 275000

Caratteristiche geometriche

Lunghezza: 1.5

Nodo iniziale: 718 Nodo finale: 697

Cerniera iniziale: Mmomenti 1% Cerniera finale: Mmomenti 1%

Sovreresistenza: 0% Sisma Z: No

Caratteristiche della sezione

Sezione	Rotazione	Area	Jx	Jy	ix	iy	Wx	Wy	Wplx	Wply
A1; L100*10; 1; Saldato; S275; 30; 1; 8; 8; 1	180	0.003832	0.0000035319	0.000007759	0.0304	0.045	0.0000492	0.0000739	0.00008974	0.00012727

Comportamento dei calastrelli

Accoppiamento imbottito con funzione statica (§C4.2.4.1.3.1.4 NTC18) nella campata compresa tra le ascisse 0 e 1.5 per sbandamento attorno all'asse y.

Verifiche di resistenza

Verifiche a forza assiale §4.2.4.1.2.1 - §4.2.4.1.2.2 NTC18

X	Comb.	Sfruttamento	Classe	NEd	Nc,Rd	Nt,Rd	Riduzione da taglio	px	py	Verifica
1.05	SLU 75	0.154		154.29		1003.522	1	0	0	Si

Verifiche a forza assiale SLD §4.2.4.1.2.1 - §4.2.4.1.2.2 NTC18

X	Comb.	Sfruttamento	Classe	NEd	Nc,Rd	Nt,Rd	Riduzione da taglio	px	py	Verifica
1.5	SLD 4	0.051		50.748		1003.522	1	0	0	Si

Verifica a taglio X §4.2.4.1.2.4 NTC18

X	Comb.	Sfruttamento	VEd	Vc,Rd	Av	Interazione taglio-torsione	Riduzione torsione	Verifica
1.5	SLV 16	0.001	0.25	302.422	0.002	Non considerata		Si

Verifica a taglio Y §4.2.4.1.2.4 NTC18

X	Comb.	Sfruttamento	VEd	Vc,Rd	Av	Interazione taglio-torsione	Riduzione torsione	Verifica
1.5	SLU 76	0.001	0.294	302.422	0.002	Non considerata		Si

Verifica a taglio Y SLD §4.2.4.1.2.4 NTC18

X	Comb.	Sfruttamento	VEd	Vc,Rd	Av	Interazione taglio-torsione	Riduzione torsione	Verifica
1.5	SLD 14	0.001	0.226	302.422	0.002	Non considerata		Si

Verifica a presso/tenso flessione retta X §§ 4.2.4.1.2.3 - 4.2.4.1.2.6 - 4.2.4.1.2.7 - 4.2.4.1.2.8 NTC18

Verifiche eseguite utilizzando la formula conservativa (6.2) §6.2.1 EN 1993-1-1:2005.

X	Comb.	Sfruttamento	Classe	NEd	NRd	Rid. NRd da VEd	Mx,Ed	Mx,Rd	Rid. Mx,Rd da VEd	Rid. Mx,Rd da NEd	px	py	Verifica
0.75	SLU 75	0.159	1	154.29	1003.522	1	0.1139	23.5037	1		0	0	Si

Verifica a presso/tenso flessione retta X SLD §§ 4.2.4.1.2.3 - 4.2.4.1.2.6 - 4.2.4.1.2.7 - 4.2.4.1.2.8 NTC18

Verifiche eseguite utilizzando la formula conservativa (6.2) §6.2.1 EN 1993-1-1:2005.

X	Comb.	Sfruttamento	Classe	NEd	NRd	Rid. NRd da VEd	Mx,Ed	Mx,Rd	Rid. Mx,Rd da VEd	Rid. Mx,Rd da NEd	px	py	Verifica
0.7	SLD 3	0.054	1	50.748	1003.522	1	0.0852	23.5037	1		0	0	Si

Verifica a presso/tenso flessione retta Y §§ 4.2.4.1.2.3 - 4.2.4.1.2.6 - 4.2.4.1.2.7 - 4.2.4.1.2.8 NTC18

Verifiche eseguite utilizzando la formula conservativa (6.2) §6.2.1 EN 1993-1-1:2005.

X	Comb.	Sfruttamento	Classe	NEd	NRd	Rid. NRd da VEd	My,Ed	My,Rd	Rid. My,Rd da VEd	Rid. My,Rd da NEd	px	py	Verifica
0	SLU 75	0.154	1	154.29	1003.522	1	-0.0095	33.3316	1		0	0	Si

Verifica a presso/tenso flessione retta Y SLD §§ 4.2.4.1.2.3 - 4.2.4.1.2.6 - 4.2.4.1.2.7 - 4.2.4.1.2.8 NTC18

Verifiche eseguite utilizzando la formula conservativa (6.2) §6.2.1 EN 1993-1-1:2005.

X	Comb.	Sfruttamento	Classe	NEd	NRd	Rid. NRd da VEd	My,Ed	My,Rd	Rid. My,Rd da VEd	Rid. My,Rd da NEd	px	py	Verifica
1.5	SLD 12	0.053	1	50.23	1003.522	1	0.0833	33.3316	1		0	0	Si

Verifica a presso/tenso flessione deviata §§ 4.2.4.1.2.3 - 4.2.4.1.2.6 - 4.2.4.1.2.7 - 4.2.4.1.2.8 NTC18

Verifiche eseguite utilizzando la formula conservativa (6.2) §6.2.1 EN 1993-1-1:2005.

X	Comb.	Sfruttamento	Classe	NEd	NRd	Rid. NRd da VEd	Mx,Ed	Mx,Rd	My,Ed	My,Rd	Rid. Mx,Rd da VEd	Rid. Mx,Rd da NEd	Rid. My,Rd da VEd	Rid. My,Rd da NEd	α	β	px	py	Verifica
0.15	SLU 75	0.156	1	154.29	1003.522	1	0.0438	23.5037	-0.0076	33.3316	1		1				0	0	Si

Verifica a presso/tenso flessione deviata SLD §§ 4.2.4.1.2.3 - 4.2.4.1.2.6 - 4.2.4.1.2.7 - 4.2.4.1.2.8 NTC18

Verifiche eseguite utilizzando la formula conservativa (6.2) §6.2.1 EN 1993-1-1:2005.

X	Comb.	Sfruttamento	Classe	NEd	NRd	Rid. NRd da VEd	Mx,Ed	Mx,Rd	My,Ed	My,Rd	Rid. Mx,Rd da VEd	Rid. Mx,Rd da NEd	Rid. My,Rd da VEd	Rid. My,Rd da NEd	α	β	px	py	Verifica
0.85	SLD 3	0.054	1	50.748	1003.522	1	0.084	23.5037	-0.0118	33.3316	1		1				0	0	Si

Implementazione dei sistemi di confinamento delle emissioni odorigene diffuse dell'impianto di compostaggio esistente nel
Comune di Eboli (SA)
PROGETTO DEFINITIVO – Tabulati di calcolo Tomo 1

Verifiche ad instabilità

Caratteristiche iniziali

Membratura principale per controllo snellezza; Calcolo di snellezze ed N critici condotti secondo gli assi principali;

Curva X: c; Curva Y: c;

Svergolamento: Nessuno; la verifica a instabilità flessione-torsionale (svergolamento) non verrà eseguita.

Dati per instabilità attorno a x

Controllo della snellezza secondo §4.2.4.1.3.1 NTC18

Numero rit.	Presente	Ascissa	Campata	$\beta x/m$	Vincolo a entrambi estremi	$\lambda x/m$	λVer
1	Si	0					
			1-2	1	Si	49.4	Si, (<200)
2	Si	1.5					

Dati per instabilità attorno a y

Controllo della snellezza secondo §4.2.4.1.3.1 NTC18

Numero rit.	Presente	Ascissa	Campata	$\beta y/n$	k,LT	kw,LT	Vincolo a entrambi estremi
1	Si	0					
			1-2	1	Si	34.8	Si, (<200)
2	Si	1.5					

Verifica di stabilità per pressoflessione §C.4.2.4.1.3.3.1 NTC18

X	Comb.	Sfruttamento	Classe	NEd	MxEq,Ed	MyEq,Ed	Area	Wx	Wy	χ_{min}	$\lambda_{adim. x/m}$	$\lambda_{adim. y/n}$	N,crit x/m	N,crit y/n	Verifica
0	SLU 2	0.038	3	-23.451	0.0716	-0.0549	0.003832	0.0000492	0.0000739	0.804	0.569	0.4	3253.47	6569.993	Si

Verifiche a deformabilità

Mensola X: No; Mensola Y: No.

Frecce lungo X

Ascissa freccia	Combinazione	Freccia	Luce	L/f	L/f,min	Tipo	Verifica
0.5	SLE RA 1	0	1.5	10000	250	Totale	Si
0.45	SLE RA 17	0	1.5	10000	250	Totale	Si
0.45	SLE RA 16	0	1.5	10000	250	Totale	Si
0.55	SLE RA 15	0	1.5	10000	250	Totale	Si
0.35	SLE RA 14	0	1.5	10000	250	Totale	Si
0.35	SLE RA 2	0	1.5	10000	350	Variabile	Si
0.35	SLE RA 17	0	1.5	10000	350	Variabile	Si
0.35	SLE RA 16	0	1.5	10000	350	Variabile	Si
0.6	SLE RA 15	0	1.5	10000	350	Variabile	Si
1	SLE RA 14	0	1.5	10000	350	Variabile	Si

Frecce lungo Y

Ascissa freccia	Combinazione	Freccia	Luce	L/f	L/f,min	Tipo	Verifica
0.75	SLE RA 1	0.00003	1.5	10000	250	Totale	Si
0.75	SLE RA 17	0.00003	1.5	10000	250	Totale	Si
0.75	SLE RA 16	0.00003	1.5	10000	250	Totale	Si
0.75	SLE RA 15	0.00003	1.5	10000	250	Totale	Si
0.75	SLE RA 14	0.00003	1.5	10000	250	Totale	Si
0.75	SLE RA 2	0	1.5	10000	350	Variabile	Si
0.75	SLE RA 17	0	1.5	10000	350	Variabile	Si
0.75	SLE RA 16	0	1.5	10000	350	Variabile	Si
0.7	SLE RA 15	0	1.5	10000	350	Variabile	Si
0.75	SLE RA 14	0	1.5	10000	350	Variabile	Si

Superelemento in acciaio a quota "640" (-272; 1525)-(-145; 1660)

Caratteristiche del materiale

Acciaio: S275, fyk = 275000

Caratteristiche geometriche

Lunghezza: 1.85

Nodo iniziale: 974 Nodo finale: 998

Cerniera iniziale: No Cerniera finale: No

Sovreresistenza: 0% Sisma Z: No

Caratteristiche della sezione

Sezione	Rotazione	Area	Jx	Jy	ix	iy	Wx	Wy	Wplx	Wply
HEA120	0	0.002537	0.0000060673	0.0000023091	0.0489	0.0302	0.00010644	0.00003849	0.00011962	0.00005887

Verifiche di resistenza

Verifiche a forza assiale §4.2.4.1.2.1 - §4.2.4.1.2.2 NTC18

X	Comb.	Sfruttamento	Classe	NEd	Nc,Rd	Nt,Rd	Riduzione da taglio	px	py	Verifica
0	SLU 76	0.09	1	-59.804	664.325		1	0	0	Si

Verifiche a forza assiale SLD §4.2.4.1.2.1 - §4.2.4.1.2.2 NTC18

X	Comb.	Sfruttamento	Classe	NEd	Nc,Rd	Nt,Rd	Riduzione da taglio	px	py	Verifica
1.85	SLD 10	0.049	1	-32.369	664.325		1	0	0	Si

Verifica a taglio Y §4.2.4.1.2.4 NTC18

X	Comb.	Sfruttamento	VEd	Vc,Rd	Av	Interazione taglio-torsione	Riduzione torsione	Verifica
1.85	SLU 76	0.008	-1.082	127.821	0.000849	Considerata	1	Si

**Implementazione dei sistemi di confinamento delle emissioni odorigene diffuse dell'impianto di compostaggio esistente nel
Comune di Eboli (SA)
PROGETTO DEFINITIVO – Tabulati di calcolo Tomo 1**

Verifica a taglio Y SLD §4.2.4.1.2.4 NTC18

X	Comb.	Sfruttamento	VEd	Vc,Rd	Av	Interazione taglio-torsione	Riduzione torsione	Verifica
1.85	SLD 8	0.005	-0.63	127.939	0.000849	Considerata	1	Si

Verifica a torsione §4.2.4.1.2.5 NTC18

X	Comb.	Sfruttamento torsione	TEd	TRd	Riduzione taglio resistente	Sfruttamento taglio-torsione	τEd,totale	τRd	Verifica
0.062	SLV 8	0.014	-0.01223	0.85138	Considerata				Si

Verifica a torsione SLD §4.2.4.1.2.5 NTC18

X	Comb.	Sfruttamento torsione	TEd	TRd	Riduzione taglio resistente	Sfruttamento taglio-torsione	τEd,totale	τRd	Verifica
1.85	SLD 8	0.007	-0.00606	0.85138	Considerata				Si

Verifica a presso/tenso flessione retta X §§ 4.2.4.1.2.3 - 4.2.4.1.2.6 - 4.2.4.1.2.7 - 4.2.4.1.2.8 NTC18

Verifiche eseguite utilizzando la formula conservativa (6.2) §6.2.1 EN 1993-1-1:2005.

X	Comb.	Sfruttamento	Classe	NEd	NRd	Rid. NRd da VEd	Mx,Ed	Mx,Rd	Rid. Mx,Rd da VEd	Rid. Mx,Rd da NEd	px	py	Verifica
0.308	SLU 76	0.096	1	-59.804	664.325	1	-0.1826	31.3291	1		0	0	Si

Verifica a presso/tenso flessione retta X SLD §§ 4.2.4.1.2.3 - 4.2.4.1.2.6 - 4.2.4.1.2.7 - 4.2.4.1.2.8 NTC18

Verifiche eseguite utilizzando la formula conservativa (6.2) §6.2.1 EN 1993-1-1:2005.

X	Comb.	Sfruttamento	Classe	NEd	NRd	Rid. NRd da VEd	Mx,Ed	Mx,Rd	Rid. Mx,Rd da VEd	Rid. Mx,Rd da NEd	px	py	Verifica
0.987	SLD 10	0.054	1	-32.369	664.325	1	-0.1572	31.3291	1		0	0	Si

Verifica a presso/tenso flessione retta Y §§ 4.2.4.1.2.3 - 4.2.4.1.2.6 - 4.2.4.1.2.7 - 4.2.4.1.2.8 NTC18

Verifiche eseguite utilizzando la formula conservativa (6.2) §6.2.1 EN 1993-1-1:2005.

X	Comb.	Sfruttamento	Classe	NEd	NRd	Rid. NRd da VEd	My,Ed	My,Rd	Rid. My,Rd da VEd	Rid. My,Rd da NEd	px	py	Verifica
0.555	SLU 76	0.091	1	-59.804	664.325	1	0.0133	15.4191	1		0	0	Si

Verifica a presso/tenso flessione retta Y SLD §§ 4.2.4.1.2.3 - 4.2.4.1.2.6 - 4.2.4.1.2.7 - 4.2.4.1.2.8 NTC18

Verifiche eseguite utilizzando la formula conservativa (6.2) §6.2.1 EN 1993-1-1:2005.

X	Comb.	Sfruttamento	Classe	NEd	NRd	Rid. NRd da VEd	My,Ed	My,Rd	Rid. My,Rd da VEd	Rid. My,Rd da NEd	px	py	Verifica
1.85	SLD 10	0.051	1	-32.369	664.325	1	0.0335	15.4191	1		0	0	Si

Verifica a presso/tenso flessione deviata §§ 4.2.4.1.2.3 - 4.2.4.1.2.6 - 4.2.4.1.2.7 - 4.2.4.1.2.8 NTC18

Verifiche eseguite utilizzando la formula conservativa (6.2) §6.2.1 EN 1993-1-1:2005.

X	Comb.	Sfruttamento	Classe	NEd	NRd	Rid. NRd da VEd	Mx,Ed	Mx,Rd	My,Ed	My,Rd	Rid. Mx,Rd da VEd	Rid. Mx,Rd da NEd	Rid. My,Rd da VEd	Rid. My,Rd da NEd	α	β	px	py	Verifica
1.85	SLU 76	0.133	1	-59.804	664.325	1	1.1781	31.3291	0.0864	15.4191	1		1				0	0	Si

Verifica a presso/tenso flessione deviata SLD §§ 4.2.4.1.2.3 - 4.2.4.1.2.6 - 4.2.4.1.2.7 - 4.2.4.1.2.8 NTC18

Verifiche eseguite utilizzando la formula conservativa (6.2) §6.2.1 EN 1993-1-1:2005.

X	Comb.	Sfruttamento	Classe	NEd	NRd	Rid. NRd da VEd	Mx,Ed	Mx,Rd	My,Ed	My,Rd	Rid. Mx,Rd da VEd	Rid. Mx,Rd da NEd	Rid. My,Rd da VEd	Rid. My,Rd da NEd	α	β	px	py	Verifica
0.185	SLD 9	0.056	1	-32.369	664.325	1	-0.1647	31.3291	-0.0277	15.4191	1		1				0	0	Si

Verifiche ad instabilità

Caratteristiche iniziali

Membratura principale per controllo snellezza; Calcolo di snellezze ed N critici condotti secondo gli assi principali;

Curva X: b; Curva Y: c; Svergolamento: Carico all'estradosso; Curva svergolamento: b;

Dati per instabilità attorno a x

Controllo della snellezza secondo §4.2.4.1.3.1 NTC18

Numero rit.	Presente	Ascissa	Campata	βx/m	Vincolo a entrambi estremi	λx/m	λVer
1	Si		0				
			1-2		1	37.8	Si, (<200)
2	Si	1.85					

Dati per instabilità attorno a y

Controllo della snellezza secondo §4.2.4.1.3.1 NTC18

Numero rit.	Presente	Ascissa	Campata	βy/n	k,LT	kw,LT	Vincolo a entrambi estremi	λy/n	λVer
1	Si	0							
			1-2		1	1	Si	61.3	Si, (<200)
2	Si	1.85							

Verifica a svergolamento con trazione §4.2.4.1.3.2 NTC18 § 5.5.3 ENV 1993-1-1:1992 + AC:1992 + A1:1994 + A2:1998

X	Comb.	Sfruttamento	Classe	Obblig.	NEd	Mx,Ed	Mx,Eff,Ed	Mb,Rd,x	χ,LT	λ adim. LT	L,LT	M,critico	Verifica
1.85	SLV 4	0.029	1	Si	20.246	1.49418	0.89945	31.13789	0.994	0.416	1.85	190.33125	Si

Verifica di stabilità per tenso-flessione deviata §§ 5.5.3-5.5.4 ENV 1993-1-1:1992 + AC:1992 + A1:1994 + A2:1998

X	Comb.	Sfruttamento	Classe	NEd	Mx,Ed	Mx,Eff,Ed	My,Ed	χ,LT	kLT	ky	M,critico	Wx	Wy	Verifica
1.788	SLV 2	0.034	1	1.997	0.92843	0.86975	0.04637	0.902	1	1	82.10616	0.0001196	0.0000589	Si

Verifica di stabilità per pressoflessione §C.4.2.4.1.3.3.2 NTC18

X	Comb.	Sfruttamento	Classe	NEd	NRk	Mx,Ed max	Mx,Rk	My,Ed max	My,Rk	χ_x	χ_y	kxx	kxy	kyy	χ_{LT}	Verifica	
1.85	SLU 76	0.167	1	-59.804	697.541	1.17813	32.89552	0.08638	16.19002	0.912	0.721	0.409	0.341	0.941	0.569	0.902	Si

Verifica di stabilità per pressoflessione SLD §C.4.2.4.1.3.3.2 NTC18

X	Comb.	Sfruttamento	Classe	NEd	NRk	Mx,Ed max	Mx,Rk	My,Ed max	My,Rk	χ,x	χ,y	kxx	kxy	kyy	χ,LT	Verifica	
1.85	SLD 10	0.074	1	-32.369	697.541	0.17707	32.89552	0.03373	16.19002	0.912	0.721	1.008	0.253	0.994	0.422	0.993	Si

Verifica di stabilità a taglio anima Y §4.2.4.1.2.4 [4.2.27] NTC18

η	hw	tw	hw/tw max	Verifica
1.2	0.098	0.005	55.46	Si

Verifica di stabilità a taglio anima Y SLD §4.2.4.1.2.4 [4.2.27] NTC18

η	hw	tw	hw/tw max	Verifica
---	----	----	-----------	----------

Implementazione dei sistemi di confinamento delle emissioni odorigene diffuse dell’impianto di compostaggio esistente nel
Comune di Eboli (SA)
PROGETTO DEFINITIVO – Tabulati di calcolo Tomo 1

η	hw	tw	hw/tw max	Verifica
1.2	0.098	0.005	55.46	Si

Verifiche a deformabilità

Mensola X: No; Mensola Y: No.

Frecce lungo X

Ascissa freccia	Combinazione	Freccia	Luce	L/f	L/f,min	Tipo	Verifica
1.11	SLE RA 1	-0.00001	1.85	10000	250	Totale	Si
1.11	SLE RA 17	-0.00001	1.85	10000	250	Totale	Si
1.11	SLE RA 16	-0.00002	1.85	10000	250	Totale	Si
1.11	SLE RA 15	-0.00002	1.85	10000	250	Totale	Si
1.11	SLE RA 14	-0.00001	1.85	10000	250	Totale	Si
1.11	SLE RA 2	0.00001	1.85	10000	350	Variabile	Si
1.11	SLE RA 17	0	1.85	10000	350	Variabile	Si
1.11	SLE RA 16	-0.00001	1.85	10000	350	Variabile	Si
1.11	SLE RA 15	-0.00001	1.85	10000	350	Variabile	Si
1.048	SLE RA 14	0	1.85	10000	350	Variabile	Si

Frecce lungo Y

Ascissa freccia	Combinazione	Freccia	Luce	L/f	L/f,min	Tipo	Verifica
1.295	SLE RA 1	0.00003	1.85	10000	250	Totale	Si
1.233	SLE RA 17	0.00004	1.85	10000	250	Totale	Si
1.233	SLE RA 16	0.00006	1.85	10000	250	Totale	Si
1.233	SLE RA 15	0.00007	1.85	10000	250	Totale	Si
1.295	SLE RA 14	0.00003	1.85	10000	250	Totale	Si
1.172	SLE RA 2	-0.00003	1.85	10000	350	Variabile	Si
1.172	SLE RA 17	0.00001	1.85	10000	350	Variabile	Si
1.172	SLE RA 16	0.00003	1.85	10000	350	Variabile	Si
1.172	SLE RA 15	0.00004	1.85	10000	350	Variabile	Si
0.74	SLE RA 14	0	1.85	10000	350	Variabile	Si

Superelemento in acciaio a quota "640" (-288; -239)-(-161; -105)

Caratteristiche del materiale

Acciaio: S275, fyk = 275000

Caratteristiche geometriche

Lunghezza: 1.85

Nodo iniziale: 616 Nodo finale: 644

Cerniera iniziale: No Cerniera finale: No

Sovreresistenza: 0% Sisma Z: No

Caratteristiche della sezione

Sezione	Rotazione	Area	Jx	Jy	ix	iy	Wx	Wy	Wplx	Wply
HEA120	0	0.002537	0.0000060673	0.0000023091	0.0489	0.0302	0.00010644	0.00003849	0.00011962	0.00005887

Verifiche di resistenza

Verifiche a forza assiale §4.2.4.1.2.1 - §4.2.4.1.2.2 NTC18

X	Comb.	Sfruttamento	Classe	NEd	Nc,Rd	Nt,Rd	Riduzione da taglio	px	py	Verifica
1.85	SLV 11	0.085		56.466		664.325	1	0	0	Si

Verifiche a forza assiale SLD §4.2.4.1.2.1 - §4.2.4.1.2.2 NTC18

X	Comb.	Sfruttamento	Classe	NEd	Nc,Rd	Nt,Rd	Riduzione da taglio	px	py	Verifica
1.85	SLD 11	0.035		23.239		664.325	1	0	0	Si

Verifica a taglio Y §4.2.4.1.2.4 NTC18

X	Comb.	Sfruttamento	VEd	Vc,Rd	Av	Interazione taglio-torsione	Riduzione torsione	Verifica
0	SLV 11	0.006	0.709	127.277	0.000849	Considerata	0.99	Si

Verifica a taglio Y SLD §4.2.4.1.2.4 NTC18

X	Comb.	Sfruttamento	VEd	Vc,Rd	Av	Interazione taglio-torsione	Riduzione torsione	Verifica
0	SLD 11	0.004	0.463	127.939	0.000849	Considerata	1	Si

Verifica a torsione §4.2.4.1.2.5 NTC18

X	Comb.	Sfruttamento torsione	TEd	TRd	Riduzione taglio resistente	Sfruttamento taglio-torsione	τEd,totale	τRd	Verifica
1.85	SLV 4	0.037	-0.03179	0.85138	Considerata				Si

Verifica a torsione SLD §4.2.4.1.2.5 NTC18

X	Comb.	Sfruttamento torsione	TEd	TRd	Riduzione taglio resistente	Sfruttamento taglio-torsione	τEd,totale	τRd	Verifica
1.85	SLD 4	0.013	-0.01087	0.85138	Considerata				Si

Verifica a flessione semplice X §§ 4.2.4.1.2.3 - 4.2.4.1.2.6 - 4.2.4.1.2.7 - 4.2.4.1.2.8 NTC18

X	Comb.	Sfruttamento	Classe	Mx,Ed	Mx,Rd	Rid. Mx,Rd da VEd	px	py	Verifica
0.987	SLU 2	0.002	1	-0.05277	31.32907	1	0	0	Si

Verifica a flessione semplice Y §§ 4.2.4.1.2.3 - 4.2.4.1.2.6 - 4.2.4.1.2.7 - 4.2.4.1.2.8 NTC18

X	Comb.	Sfruttamento	Classe	My,Ed	My,Rd	Rid. My,Rd da VEd	px	py	Verifica
0.432	SLU 2	0	1	-0.00489	15.41907	1	0	0	Si

Verifica a flessione deviata §§ 4.2.4.1.2.3 - 4.2.4.1.2.6 - 4.2.4.1.2.7 - 4.2.4.1.2.8 NTC18

X	Comb.	Sfruttamento	Classe	Mx,Ed	Mx,Rd	My,Ed	My,Rd	Rid. Mx,Rd da VEd	Rid. My,Rd da VEd	α	β	px	py	Verifica
0	SLU 2	0.004	1	0.0953	31.3291	-0.0117	15.4191	1	1			0	0	Si

PROGETTO DEFINITIVO – Tabulati di calcolo Tomo 1

Verifica a presso/tenso flessione retta X §§ 4.2.4.1.2.3 - 4.2.4.1.2.6 - 4.2.4.1.2.7 - 4.2.4.1.2.8 NTC18

Verifiche eseguite utilizzando la formula conservativa (6.2) §6.2.1 EN 1993-1-1:2005.

X	Comb.	Sfruttamento	Classe	NEd	NRd	Rid. NRd da VEd	Mx,Ed	Mx,Rd	Rid. Mx,Rd da VEd	Rid. Mx,Rd da NEd	px	py	Verifica
1.11	SLV 5	0.08	1	-46.092	664.325	1	-0.3364	31.3291	1		0	0	Si

Verifica a presso/tenso flessione retta X SLD §§ 4.2.4.1.2.3 - 4.2.4.1.2.6 - 4.2.4.1.2.7 - 4.2.4.1.2.8 NTC18

Verifiche eseguite utilizzando la formula conservativa (6.2) §6.2.1 EN 1993-1-1:2005.

X	Comb.	Sfruttamento	Classe	NEd	NRd	Rid. NRd da VEd	Mx,Ed	Mx,Rd	Rid. Mx,Rd da VEd	Rid. Mx,Rd da NEd	px	py	Verifica
0.062	SLD 11	0.052	1	23.239	664.325	1	0.5395	31.3291	1		0	0	Si

Verifica a presso/tenso flessione retta Y §§ 4.2.4.1.2.3 - 4.2.4.1.2.6 - 4.2.4.1.2.7 - 4.2.4.1.2.8 NTC18

Verifiche eseguite utilizzando la formula conservativa (6.2) §6.2.1 EN 1993-1-1:2005.

X	Comb.	Sfruttamento	Classe	NEd	NRd	Rid. NRd da VEd	My,Ed	My,Rd	Rid. My,Rd da VEd	Rid. My,Rd da NEd	px	py	Verifica
1.603	SLU 39	0.013	1	6.071	664.325	1	-0.0616	15.4191	1		0	0	Si

Verifica a presso/tenso flessione retta Y SLD §§ 4.2.4.1.2.3 - 4.2.4.1.2.6 - 4.2.4.1.2.7 - 4.2.4.1.2.8 NTC18

Verifiche eseguite utilizzando la formula conservativa (6.2) §6.2.1 EN 1993-1-1:2005.

X	Comb.	Sfruttamento	Classe	NEd	NRd	Rid. NRd da VEd	My,Ed	My,Rd	Rid. My,Rd da VEd	Rid. My,Rd da NEd	px	py	Verifica
0.062	SLD 6	0.022	1	-12.864	664.325	1	0.048	15.4191	1		0	0	Si

Verifica a presso/tenso flessione deviata §§ 4.2.4.1.2.3 - 4.2.4.1.2.6 - 4.2.4.1.2.7 - 4.2.4.1.2.8 NTC18

Verifiche eseguite utilizzando la formula conservativa (6.2) §6.2.1 EN 1993-1-1:2005.

X	Comb.	Sfruttamento	Classe	NEd	NRd	Rid. NRd da VEd	Mx,Ed	Mx,Rd	My,Ed	My,Rd	Rid. Mx,Rd da VEd	Rid. Mx,Rd da NEd	Rid. My,Rd da VEd	Rid. My,Rd da NEd	α	β	px	py	Verifica
0	SLV 11	0.122	1	56.466	664.325	1	1.0895	31.3291	-0.0324	15.4191	1		1				0	0	Si

Verifica a presso/tenso flessione deviata SLD §§ 4.2.4.1.2.3 - 4.2.4.1.2.6 - 4.2.4.1.2.7 - 4.2.4.1.2.8 NTC18

Verifiche eseguite utilizzando la formula conservativa (6.2) §6.2.1 EN 1993-1-1:2005.

X	Comb.	Sfruttamento	Classe	NEd	NRd	Rid. NRd da VEd	Mx,Ed	Mx,Rd	My,Ed	My,Rd	Rid. Mx,Rd da VEd	Rid. Mx,Rd da NEd	Rid. My,Rd da VEd	Rid. My,Rd da NEd	α	β	px	py	Verifica
0	SLD 11	0.053	1	23.239	664.325	1	0.5676	31.3291	0.0049	15.4191	1		1				0	0	Si

Verifiche ad instabilità

Caratteristiche iniziali

Membratura principale per controllo snellezza; Calcolo di snellezza ed N critici condotti secondo gli assi principali;

Curva X: b; Curva Y: c; Svergolamento: Carico all'estradosso; Curva svergolamento: b;

Dati per instabilità attorno a x

Controllo della snellezza secondo §4.2.4.1.3.1 NTC18

Numero rit.	Presente	Ascissa	Campata	βx/m	Vincolo a entrambi estremi	λx/m	λVer
1	Si		0				
			1-2	1	Si	37.8	Si, (<200)
2	Si		1.85				

Dati per instabilità attorno a y

Controllo della snellezza secondo §4.2.4.1.3.1 NTC18

Numero rit.	Presente	Ascissa	Campata	βy/n	k,LT	kw,LT	Vincolo a entrambi estremi	λy/n	λVer
1	Si		0						
			1-2	1	1	1	Si	61.3	Si, (<200)
2	Si		1.85						

Verifica a svergolamento con trazione §4.2.4.1.3.2 NTC18 § 5.5.3 ENV 1993-1-1:1992 + AC:1992 + A1:1994 + A2:1998

X	Comb.	Sfruttamento	Classe	Obblig.	NEd	Mx,Ed	Mx,Eff,Ed	Mb,Rd,x	χ,LT	λ adim. LT	L,LT	M,critico	Verifica
0	SLU 59	0.005	1	Si	2.308	0.20318	0.13538	28.25839	0.902	0.633	1.85	82.10363	Si

Verifica di stabilità per tenso-flessione deviata §§ 5.5.3-5.5.4 ENV 1993-1-1:1992 + AC:1992 + A1:1994 + A2:1998

X	Comb.	Sfruttamento	Classe	NEd	Mx,Ed	Mx,Eff,Ed	My,Ed	χ,LT	kLT	ky	M,critico	Wx	Wy	Verifica
0	SLU 75	0.014	1	19.495	0.82942	0.25674	0.08913	0.988	1	1	176.62835	0.0001196	0.0000589	Si

Verifica di stabilità per tenso-flessione deviata SLD §§ 5.5.3-5.5.4 ENV 1993-1-1:1992 + AC:1992 + A1:1994 + A2:1998

X	Comb.	Sfruttamento	Classe	NEd	Mx,Ed	Mx,Eff,Ed	My,Ed	χ,LT	kLT	ky	M,critico	Wx	Wy	Verifica
0	SLD 13	0.001	1	14.075	0.42596	0.01249	0.016	0.99	1	1	182.02863	0.0001196	0.0000589	Si

Verifica di stabilità per pressoflessione §C.4.2.4.1.3.3.2 NTC18

X	Comb.	Sfruttamento	Classe	NEd	NRk	Mx,Ed max	Mx,Rk	My,Ed max	My,Rk	χ,x	χ,y	kxx	kxy	kyy	χ,LT	Verifica	
1.85	SLV 6	0.115	1	-46.092	697.541	0.51048	32.89552	0.08932	16.19002	0.912	0.721	0.814	0.259	0.988	0.431	0.985	Si

Verifica di stabilità per pressoflessione SLD §C.4.2.4.1.3.3.2 NTC18

X	Comb.	Sfruttamento	Classe	NEd	NRk	Mx,Ed max	Mx,Rk	My,Ed max	My,Rk	χ,x	χ,y	kxx	kxy	kyy	χ,LT	Verifica	
1.727	SLD 6	0.032	1	-12.864	697.541	0.08848	32.89552	0.05962	16.19002	0.912	0.721	0.965	0.245	0.997	0.409	0.902	Si

Verifica di stabilità a taglio anima Y §4.2.4.1.2.4 [4.2.27] NTC18

η	hw	tw	hw/tw max	Verifica
1.2	0.098	0.005	55.46	Si

Verifica di stabilità a taglio anima Y SLD §4.2.4.1.2.4 [4.2.27] NTC18

η	hw	tw	hw/tw max	Verifica
1.2	0.098	0.005	55.46	Si

Verifiche a deformabilità

Mensola X: No; Mensola Y: No.

Frecce lungo X

Ascissa freccia	Combinazione	Freccia	Luce	L/f	L/f,min	Tipo	Verifica
1.233	SLE RA 1	0.00002	1.85	10000	250	Totale	Si
1.233	SLE RA 17	0.00003	1.85	10000	250	Totale	Si
1.233	SLE RA 16	0.00003	1.85	10000	250	Totale	Si

**Implementazione dei sistemi di confinamento delle emissioni odorigene diffuse dell'impianto di compostaggio esistente nel
Comune di Eboli (SA)**

PROGETTO DEFINITIVO – Tabulati di calcolo Tomo 1

Ascissa freccia	Combinazione	Freccia	Luce	L/f	L/f,min	Tipo	Verifica
1.233	SLE RA 15	0.00002	1.85	10000	250	Totale	Si
1.172	SLE RA 14	0.00004	1.85	10000	250	Totale	Si
1.233	SLE RA 2	-0.00001	1.85	10000	350	Variabile	Si
1.233	SLE RA 17	0.00001	1.85	10000	350	Variabile	Si
1.233	SLE RA 16	0.00002	1.85	10000	350	Variabile	Si
0.37	SLE RA 15	0	1.85	10000	350	Variabile	Si
1.172	SLE RA 14	0.00002	1.85	10000	350	Variabile	Si

Frecce lungo Y

Ascissa freccia	Combinazione	Freccia	Luce	L/f	L/f,min	Tipo	Verifica
0.678	SLE RA 1	0.00003	1.85	10000	250	Totale	Si
0.74	SLE RA 17	0.00004	1.85	10000	250	Totale	Si
0.74	SLE RA 16	0.00005	1.85	10000	250	Totale	Si
0.555	SLE RA 15	0.00001	1.85	10000	250	Totale	Si
0.74	SLE RA 14	0.00008	1.85	10000	250	Totale	Si
0.802	SLE RA 2	-0.00003	1.85	10000	350	Variabile	Si
0.802	SLE RA 17	0.00001	1.85	10000	350	Variabile	Si
0.802	SLE RA 16	0.00003	1.85	10000	350	Variabile	Si
0.802	SLE RA 15	-0.00001	1.85	10000	350	Variabile	Si
0.802	SLE RA 14	0.00005	1.85	10000	350	Variabile	Si

Superelemento in acciaio a quota "640" (-295; 1283)-(-186; 1180)

Caratteristiche del materiale

Acciaio: S275, fyk = 275000

Caratteristiche geometriche

Lunghezza: 1.5

Nodo iniziale: 927 Nodo finale: 904

Cerniera iniziale: Mmomenti 1% Cerniera finale: Mmomenti 1%

Sovreresistenza: 0% Sisma Z: No

Caratteristiche della sezione

Sezione	Rotazione	Area	Jx	Jy	ix	iy	Wx	Wy	Wplx	Wply
A1; L100*10; 1; Saldato; S275; 30; 1; 8; 8; 1	180	0.003832	0.0000035319	0.000007759	0.0304	0.045	0.0000492	0.0000739	0.00008974	0.00012727

Comportamento dei calastrelli

Accoppiamento imbottito con funzione statica (§C4.2.4.1.3.1.4 NTC18) nella campata compresa tra le ascisse 0 e 1.5 per sbandamento attorno all'asse y.

Verifiche di resistenza

Verifiche a forza assiale §4.2.4.1.2.1 - §4.2.4.1.2.2 NTC18

X	Comb.	Sfruttamento	Classe	NEd	Nc,Rd	Nt,Rd	Riduzione da taglio	px	py	Verifica
1.45	SLU 76	0.034		34.581		1003.522	1	0	0	Si

Verifiche a forza assiale SLD §4.2.4.1.2.1 - §4.2.4.1.2.2 NTC18

X	Comb.	Sfruttamento	Classe	NEd	Nc,Rd	Nt,Rd	Riduzione da taglio	px	py	Verifica
1.5	SLD 11	0.009		8.958		1003.522	1	0	0	Si

Verifica a taglio Y §4.2.4.1.2.4 NTC18

X	Comb.	Sfruttamento	Classe	VEd	Vc,Rd	Av	Interazione taglio-torsione	Riduzione torsione	Verifica
0	SLU 76	0.001		-0.294	302.422	0.002	Non considerata		Si

Verifica a taglio Y SLD §4.2.4.1.2.4 NTC18

X	Comb.	Sfruttamento	Classe	VEd	Vc,Rd	Av	Interazione taglio-torsione	Riduzione torsione	Verifica
0	SLD 1	0.001		-0.226	302.422	0.002	Non considerata		Si

Verifica a flessione semplice X §§ 4.2.4.1.2.3 - 4.2.4.1.2.6 - 4.2.4.1.2.7 - 4.2.4.1.2.8 NTC18

X	Comb.	Sfruttamento	Classe	Mx,Ed	Mx,Rd	Rid. Mx,Rd da VEd	px	py	Verifica
0.75	SLU 60	0.005	1	0.10934	23.50374	1	0	0	Si

Verifica a presso/tenso flessione retta X §§ 4.2.4.1.2.3 - 4.2.4.1.2.6 - 4.2.4.1.2.7 - 4.2.4.1.2.8 NTC18

Verifiche eseguite utilizzando la formula conservativa (6.2) §6.2.1 EN 1993-1-1:2005.

X	Comb.	Sfruttamento	Classe	NEd	NRd	Rid. NRd da VEd	Mx,Ed	Mx,Rd	Rid. Mx,Rd da VEd	Rid. Mx,Rd da NEd	px	py	Verifica
0.75	SLU 76	0.039	1	34.581	1003.522	1	0.1094	23.5037	1		0	0	Si

Verifica a presso/tenso flessione retta Y §§ 4.2.4.1.2.3 - 4.2.4.1.2.6 - 4.2.4.1.2.7 - 4.2.4.1.2.8 NTC18

Verifiche eseguite utilizzando la formula conservativa (6.2) §6.2.1 EN 1993-1-1:2005.

X	Comb.	Sfruttamento	Classe	NEd	NRd	Rid. NRd da VEd	My,Ed	My,Rd	Rid. My,Rd da VEd	Rid. My,Rd da NEd	px	py	Verifica
1.5	SLV 16	0.012	1	10.176	1003.522	1	0.0769	33.3316	1		0	0	Si

Verifica a presso/tenso flessione retta Y SLD §§ 4.2.4.1.2.3 - 4.2.4.1.2.6 - 4.2.4.1.2.7 - 4.2.4.1.2.8 NTC18

Verifiche eseguite utilizzando la formula conservativa (6.2) §6.2.1 EN 1993-1-1:2005.

X	Comb.	Sfruttamento	Classe	NEd	NRd	Rid. NRd da VEd	My,Ed	My,Rd	Rid. My,Rd da VEd	Rid. My,Rd da NEd	px	py	Verifica
1.5	SLD 16	0.01	1	8.958	1003.522	1	0.0309	33.3316	1		0	0	Si

Verifica a presso/tenso flessione deviata §§ 4.2.4.1.2.3 - 4.2.4.1.2.6 - 4.2.4.1.2.7 - 4.2.4.1.2.8 NTC18

Verifiche eseguite utilizzando la formula conservativa (6.2) §6.2.1 EN 1993-1-1:2005.

Implementazione dei sistemi di confinamento delle emissioni odorigene diffuse dell'impianto di compostaggio esistente nel
Comune di Eboli (SA)

PROGETTO DEFINITIVO – Tabulati di calcolo Tomo 1

X	Comb.	Sfruttamento	Classe	NEd	NRd	Rid. NRd da VEd	Mx,Ed	Mx,Rd	My,Ed	My,Rd	Rid. Mx,Rd da VEd	Rid. Mx,Rd da NEd	Rid. My,Rd da VEd	Rid. My,Rd da NEd	α	β	ρ_x	ρ_y	Verifica
0.75	SLV 16	0.016	1	10.176	1003.522	1	0.0842	23.5037	0.0728	33.3316	1		1				0	0	Si

Verifica a presso/tenso flessione deviata SLD §§ 4.2.4.1.2.3 - 4.2.4.1.2.6 - 4.2.4.1.2.7 - 4.2.4.1.2.8 NTC18

Verifiche eseguite utilizzando la formula conservativa (6.2) §6.2.1 EN 1993-1-1:2005.

X	Comb.	Sfruttamento	Classe	NEd	NRd	Rid. NRd da VEd	Mx,Ed	Mx,Rd	My,Ed	My,Rd	Rid. Mx,Rd da VEd	Rid. Mx,Rd da NEd	Rid. My,Rd da VEd	Rid. My,Rd da NEd	α	β	ρ_x	ρ_y	Verifica
0.75	SLD 16	0.013	1	8.958	1003.522	1	0.0841	23.5037	0.0293	33.3316	1		1				0	0	Si

Verifiche ad instabilità

Caratteristiche iniziali

Membratura principale per controllo snellezza; Calcolo di snellezze ed N critici condotti secondo gli assi principali;

Curva X: c; Curva Y: c;

Svergolamento: Nessuno; la verifica a instabilità flesso-torsionale (svergolamento) non verrà eseguita.

Dati per instabilità attorno a x

Controllo della snellezza secondo §4.2.4.1.3.1 NTC18

Numero rit.	Presente	Ascissa	Campata	$\beta x/m$	Vincolo a entrambi estremi	$\lambda x/m$	λVer
1	Si	0					
			1-2		1	49.4	Si, (<200)
2	Si	1.5					

Dati per instabilità attorno a y

Controllo della snellezza secondo §4.2.4.1.3.1 NTC18

Numero rit.	Presente	Ascissa	Campata	$\beta y/n$	k,LT	kw,LT	Vincolo a entrambi estremi
1	Si	0					
			1-2		1	34.8	Si, (<200)
2	Si	1.5					

Verifica di stabilità per pressoflessione §C.4.2.4.1.3.3.1 NTC18

X	Comb.	Sfruttamento	Classe	NEd	MxEq,Ed	MyEq,Ed	Area	Wx	Wy	x_{min}	$\lambda_{adim. x/m}$	$\lambda_{adim. y/n}$	N,crit x/m	N,crit y/n	Verifica
0.9	SLU 40	0.016	3	-6.408	0.0942	-0.0196	0.003832	0.0000492	0.0000739	0.804	0.569	0.4	3253.47	6569.993	Si

Verifiche a deformabilità

Mensola X: No; Mensola Y: No.

Frecce lungo X

Ascissa freccia	Combinazione	Freccia	Luce	L/f	L/f,min	Tipo	Verifica
0.6	SLE RA 1	0	1.5	10000	250	Totale	Si
0.65	SLE RA 17	0	1.5	10000	250	Totale	Si
0.65	SLE RA 16	0	1.5	10000	250	Totale	Si
0.65	SLE RA 15	0	1.5	10000	250	Totale	Si
0.6	SLE RA 14	0	1.5	10000	250	Totale	Si
0.65	SLE RA 2	0	1.5	10000	350	Variabile	Si
0.65	SLE RA 17	0	1.5	10000	350	Variabile	Si
0.65	SLE RA 16	0	1.5	10000	350	Variabile	Si
0.7	SLE RA 15	0	1.5	10000	350	Variabile	Si
0.65	SLE RA 14	0	1.5	10000	350	Variabile	Si

Frecce lungo Y

Ascissa freccia	Combinazione	Freccia	Luce	L/f	L/f,min	Tipo	Verifica
0.75	SLE RA 1	0.00003	1.5	10000	250	Totale	Si
0.75	SLE RA 17	0.00003	1.5	10000	250	Totale	Si
0.75	SLE RA 16	0.00003	1.5	10000	250	Totale	Si
0.75	SLE RA 15	0.00003	1.5	10000	250	Totale	Si
0.75	SLE RA 14	0.00003	1.5	10000	250	Totale	Si
1	SLE RA 2	0	1.5	10000	350	Variabile	Si
1	SLE RA 17	0	1.5	10000	350	Variabile	Si
1	SLE RA 16	0	1.5	10000	350	Variabile	Si
1.05	SLE RA 15	0	1.5	10000	350	Variabile	Si
0.9	SLE RA 14	0	1.5	10000	350	Variabile	Si

Superelemento in acciaio a quota "640" (-326; 813)-(-217; 710)

Caratteristiche del materiale

Acciaio: S275, fyk = 275000

Caratteristiche geometriche

Lunghezza: 1.5

Nodo iniziale: 828 Nodo finale: 808

Cerniera iniziale: Mmomenti 1% Cerniera finale: Mmomenti 1%

Sovreresistenza: 0% Sisma Z: No

Caratteristiche della sezione

Sezione	Rotazione	Area	Jx	Jy	ix	iy	Wx	Wy	Wplx	Wply
A1; L100*10; 1; Saldato; S275; 30; 1; 8; 8; 1	180	0.003832	0.0000035319	0.000007759	0.0304	0.045	0.0000492	0.0000739	0.00008974	0.00012727

Comportamento dei calastrelli

Accoppiamento imbottito con funzione statica (§C4.2.4.1.3.1.4 NTC18) nella campata compresa tra le ascisse 0 e 1.5 per sbandamento attorno all'asse y.

Implementazione dei sistemi di confinamento delle emissioni odorigene diffuse dell'impianto di compostaggio esistente nel
Comune di Eboli (SA)
PROGETTO DEFINITIVO – Tabulati di calcolo Tomo 1

Verifiche di resistenza

Verifiche a forza assiale §4.2.4.1.2.1 - §4.2.4.1.2.2 NTC18

X	Comb.	Sfruttamento	Classe	NEd	Nc,Rd	Nt,Rd	Riduzione da taglio	px	py	Verifica
1.5	SLU 76	0.163		163.769		1003.522	1	0	0	Si

Verifiche a forza assiale SLD §4.2.4.1.2.1 - §4.2.4.1.2.2 NTC18

X	Comb.	Sfruttamento	Classe	NEd	Nc,Rd	Nt,Rd	Riduzione da taglio	px	py	Verifica
0	SLD 1	0.067		67.535		1003.522	1	0	0	Si

Verifica a taglio Y §4.2.4.1.2.4 NTC18

X	Comb.	Sfruttamento	VEd	Vc,Rd	Av	Interazione taglio-torsione	Riduzione torsione	Verifica
1.5	SLU 76	0.001	0.296	302.422	0.002	Non considerata		Si

Verifica a taglio Y SLD §4.2.4.1.2.4 NTC18

X	Comb.	Sfruttamento	VEd	Vc,Rd	Av	Interazione taglio-torsione	Riduzione torsione	Verifica
1.5	SLD 1	0.001	0.226	302.422	0.002	Non considerata		Si

Verifica a flessione semplice X §§ 4.2.4.1.2.3 - 4.2.4.1.2.6 - 4.2.4.1.2.7 - 4.2.4.1.2.8 NTC18

X	Comb.	Sfruttamento	Classe	Mx,Ed	Mx,Rd	Rid. Mx,Rd da VEd	px	py	Verifica
0.75	SLU 5	0.004	1	0.08396	23.50374	1	0	0	Si

Verifica a presso/tenso flessione retta X §§ 4.2.4.1.2.3 - 4.2.4.1.2.6 - 4.2.4.1.2.7 - 4.2.4.1.2.8 NTC18

Verifiche eseguite utilizzando la formula conservativa (6.2) §6.2.1 EN 1993-1-1:2005.

X	Comb.	Sfruttamento	Classe	NEd	NRd	Rid. NRd da VEd	Mx,Ed	Mx,Rd	Rid. Mx,Rd da VEd	Rid. Mx,Rd da NEd	px	py	Verifica
0.75	SLU 76	0.168	1	163.769	1003.522	1	0.1108	23.5037	1		0	0	Si

Verifica a presso/tenso flessione retta X SLD §§ 4.2.4.1.2.3 - 4.2.4.1.2.6 - 4.2.4.1.2.7 - 4.2.4.1.2.8 NTC18

Verifiche eseguite utilizzando la formula conservativa (6.2) §6.2.1 EN 1993-1-1:2005.

X	Comb.	Sfruttamento	Classe	NEd	NRd	Rid. NRd da VEd	Mx,Ed	Mx,Rd	Rid. Mx,Rd da VEd	Rid. Mx,Rd da NEd	px	py	Verifica
0.4	SLD 10	0.064	1	61.209	1003.522	1	0.0664	23.5037	1		0	0	Si

Verifica a presso/tenso flessione retta Y §§ 4.2.4.1.2.3 - 4.2.4.1.2.6 - 4.2.4.1.2.7 - 4.2.4.1.2.8 NTC18

Verifiche eseguite utilizzando la formula conservativa (6.2) §6.2.1 EN 1993-1-1:2005.

X	Comb.	Sfruttamento	Classe	NEd	NRd	Rid. NRd da VEd	My,Ed	My,Rd	Rid. My,Rd da VEd	Rid. My,Rd da NEd	px	py	Verifica
1.5	SLV 1	0.091	1	87.861	1003.522	1	0.1029	33.3316	1		0	0	Si

Verifica a presso/tenso flessione retta Y SLD §§ 4.2.4.1.2.3 - 4.2.4.1.2.6 - 4.2.4.1.2.7 - 4.2.4.1.2.8 NTC18

Verifiche eseguite utilizzando la formula conservativa (6.2) §6.2.1 EN 1993-1-1:2005.

X	Comb.	Sfruttamento	Classe	NEd	NRd	Rid. NRd da VEd	My,Ed	My,Rd	Rid. My,Rd da VEd	Rid. My,Rd da NEd	px	py	Verifica
1.5	SLD 1	0.069	1	67.535	1003.522	1	0.0413	33.3316	1		0	0	Si

Verifica a presso/tenso flessione deviata §§ 4.2.4.1.2.3 - 4.2.4.1.2.6 - 4.2.4.1.2.7 - 4.2.4.1.2.8 NTC18

Verifiche eseguite utilizzando la formula conservativa (6.2) §6.2.1 EN 1993-1-1:2005.

X	Comb.	Sfruttamento	Classe	NEd	NRd	Rid. NRd da VEd	Mx,Ed	Mx,Rd	My,Ed	My,Rd	Rid. Mx,Rd da VEd	Rid. Mx,Rd da NEd	Rid. My,Rd da VEd	Rid. My,Rd da NEd	α	β	px	py	Verifica
0.9	SLV 1	0.093	1	87.861	1003.522	1	0.0813	23.5037	0.0642	33.3316	1		1				0	0	Si

Verifica a presso/tenso flessione deviata SLD §§ 4.2.4.1.2.3 - 4.2.4.1.2.6 - 4.2.4.1.2.7 - 4.2.4.1.2.8 NTC18

Verifiche eseguite utilizzando la formula conservativa (6.2) §6.2.1 EN 1993-1-1:2005.

X	Comb.	Sfruttamento	Classe	NEd	NRd	Rid. NRd da VEd	Mx,Ed	Mx,Rd	My,Ed	My,Rd	Rid. Mx,Rd da VEd	Rid. Mx,Rd da NEd	Rid. My,Rd da VEd	Rid. My,Rd da NEd	α	β	px	py	Verifica
0.8	SLD 2	0.072	1	67.535	1003.522	1	0.0842	23.5037	0.0232	33.3316	1		1				0	0	Si

Verifiche ad instabilità

Caratteristiche iniziali

Membratura principale per controllo snellezza; Calcolo di snellezze ed N critici condotti secondo gli assi principali;

Curva X: c; Curva Y: c;

Svergolamento: Nessuno; la verifica a instabilità flesso-torsionale (svergolamento) non verrà eseguita.

Dati per instabilità attorno a x

Controllo della snellezza secondo §4.2.4.1.3.1 NTC18

Numero rit.	Presente	Ascissa	Campata	βx/m	Vincolo a entrambi estremi	λx/m	λVer
1	Si	0					
			1-2		1	49.4	Si, (<200)
2	Si	1.5					

Dati per instabilità attorno a y

Controllo della snellezza secondo §4.2.4.1.3.1 NTC18

Numero rit.	Presente	Ascissa	Campata	βy/n	k,LT	kw,LT	Vincolo a entrambi estremi
1	Si	0					
			1-2		1	34.8	Si, (<200)
2	Si	1.5					

Verifica di stabilità per pressoflessione §C.4.2.4.1.3.3.1 NTC18

X	Comb.	Sfruttamento	Classe	NEd	MxEq,Ed	MyEq,Ed	Area	Wx	Wy	x,min	λ adim. x/m	λ adim. y/n	N,crit x/m	N,crit y/n	Verifica
0	SLU 2	0.042	3	-27.111	0.0721	0.0616	0.003832	0.0000492	0.0000739	0.804	0.569	0.4	3253.47	6569.993	Si

Verifiche a deformabilità

Mensola X: No; Mensola Y: No.

Implementazione dei sistemi di confinamento delle emissioni odorigene diffuse dell'impianto di compostaggio esistente nel
Comune di Eboli (SA)
PROGETTO DEFINITIVO – Tabulati di calcolo Tomo 1

Frecce lungo X

Ascissa freccia	Combinazione	Freccia	Luce	L/f	L/f,min	Tipo	Verifica
0.65	SLE RA 1	0	1.5	10000	250	Totale	Si
0.65	SLE RA 17	0	1.5	10000	250	Totale	Si
0.6	SLE RA 16	0	1.5	10000	250	Totale	Si
0.95	SLE RA 15	0	1.5	10000	250	Totale	Si
0.65	SLE RA 14	0	1.5	10000	250	Totale	Si
0.6	SLE RA 2	0	1.5	10000	350	Variabile	Si
0.6	SLE RA 17	0	1.5	10000	350	Variabile	Si
0.6	SLE RA 16	0	1.5	10000	350	Variabile	Si
0.75	SLE RA 15	0	1.5	10000	350	Variabile	Si
0.65	SLE RA 14	0	1.5	10000	350	Variabile	Si

Frecce lungo Y

Ascissa freccia	Combinazione	Freccia	Luce	L/f	L/f,min	Tipo	Verifica
0.75	SLE RA 1	0.00003	1.5	10000	250	Totale	Si
0.75	SLE RA 17	0.00003	1.5	10000	250	Totale	Si
0.75	SLE RA 16	0.00003	1.5	10000	250	Totale	Si
0.75	SLE RA 15	0.00003	1.5	10000	250	Totale	Si
0.75	SLE RA 14	0.00003	1.5	10000	250	Totale	Si
0.65	SLE RA 2	0	1.5	10000	350	Variabile	Si
0.65	SLE RA 17	0	1.5	10000	350	Variabile	Si
0.65	SLE RA 16	0	1.5	10000	350	Variabile	Si
0.6	SLE RA 15	0	1.5	10000	350	Variabile	Si
0.65	SLE RA 14	0	1.5	10000	350	Variabile	Si

Superelemento in acciaio a quota "640" (-362; 338)-(-253; 236)

Caratteristiche del materiale

Acciaio: S275, fyk = 275000

Caratteristiche geometriche

Lunghezza: 1.5

Nodo iniziale: 740 Nodo finale: 715

Cerniera iniziale: Mmomenti 1% Cerniera finale: Mmomenti 1%

Sovreresistenza: 0% Sisma Z: No

Caratteristiche della sezione

Sezione	Rotazione	Area	Jx	Jy	ix	iy	Wx	Wy	Wplx	Wply
A1; L100*10; 1; Saldato; S275; 30; 1; 8; 8; 1	180	0.003832	0.0000035319	0.000007759	0.0304	0.045	0.0000492	0.0000739	0.00008974	0.00012727

Comportamento dei calastrelli

Accoppiamento imbottito con funzione statica (§C4.2.4.1.3.1.4 NTC18) nella campata compresa tra le ascisse 0 e 1.5 per sbandamento attorno all'asse y.

Verifiche di resistenza

Verifiche a forza assiale §4.2.4.1.2.1 - §4.2.4.1.2.2 NTC18

X	Comb.	Sfruttamento	Classe	NEd	Nc,Rd	Nt,Rd	Riduzione da taglio	px	py	Verifica
1.2	SLU 75	0.224		224.434		1003.522	1	0	0	Si

Verifiche a forza assiale SLD §4.2.4.1.2.1 - §4.2.4.1.2.2 NTC18

X	Comb.	Sfruttamento	Classe	NEd	Nc,Rd	Nt,Rd	Riduzione da taglio	px	py	Verifica
0	SLD 1	0.075		75.071		1003.522	1	0	0	Si

Verifica a taglio X §4.2.4.1.2.4 NTC18

X	Comb.	Sfruttamento	VEd	Vc,Rd	Av	Interazione taglio-torsione	Riduzione torsione	Verifica
0	SLU 2	0.001	0.219	302.422	0.002	Non considerata		Si

Verifica a taglio Y §4.2.4.1.2.4 NTC18

X	Comb.	Sfruttamento	VEd	Vc,Rd	Av	Interazione taglio-torsione	Riduzione torsione	Verifica
0	SLU 75	0.001	-0.296	302.422	0.002	Non considerata		Si

Verifica a taglio Y SLD §4.2.4.1.2.4 NTC18

X	Comb.	Sfruttamento	VEd	Vc,Rd	Av	Interazione taglio-torsione	Riduzione torsione	Verifica
0	SLD 4	0.001	-0.226	302.422	0.002	Non considerata		Si

Verifica a flessione semplice X §§ 4.2.4.1.2.3 - 4.2.4.1.2.6 - 4.2.4.1.2.7 - 4.2.4.1.2.8 NTC18

X	Comb.	Sfruttamento	Classe	Mx,Ed	Mx,Rd	Rid. Mx,Rd da VEd	px	py	Verifica
0.75	SLU 59	0.005	1	0.10926	23.50374	1	0	0	Si

Verifica a presso/tenso flessione retta X §§ 4.2.4.1.2.3 - 4.2.4.1.2.6 - 4.2.4.1.2.7 - 4.2.4.1.2.8 NTC18

Verifiche eseguite utilizzando la formula conservativa (6.2) §6.2.1 EN 1993-1-1:2005.

X	Comb.	Sfruttamento	Classe	NEd	NRd	Rid. NRd da VEd	Mx,Ed	Mx,Rd	Rid. Mx,Rd da VEd	Rid. Mx,Rd da NEd	px	py	Verifica
0.75	SLU 75	0.228	1	224.434	1003.522	1	0.1131	23.5037	1		0	0	Si

Verifica a presso/tenso flessione retta Y §§ 4.2.4.1.2.3 - 4.2.4.1.2.6 - 4.2.4.1.2.7 - 4.2.4.1.2.8 NTC18

Verifiche eseguite utilizzando la formula conservativa (6.2) §6.2.1 EN 1993-1-1:2005.

X	Comb.	Sfruttamento	Classe	NEd	NRd	Rid. NRd da VEd	My,Ed	My,Rd	Rid. My,Rd da VEd	Rid. My,Rd da NEd	px	py	Verifica
1.5	SLU 73	0.212	1	212.257	1003.522	1	-0.0085	33.3316	1		0	0	Si

Implementazione dei sistemi di confinamento delle emissioni odorigene diffuse dell'impianto di compostaggio esistente nel
Comune di Eboli (SA)
PROGETTO DEFINITIVO – Tabulati di calcolo Tomo 1

Verifica a presso/tenso flessione retta Y SLD §§ 4.2.4.1.2.3 - 4.2.4.1.2.6 - 4.2.4.1.2.7 - 4.2.4.1.2.8 NTC18

Verifiche eseguite utilizzando la formula conservativa (6.2) §6.2.1 EN 1993-1-1:2005.

X	Comb.	Sfruttamento	Classe	NEd	NRd	Rid. NRd da VEd	My,Ed	My,Rd	Rid. My,Rd da VEd	Rid. My,Rd da NEd	px	py	Verifica
0	SLD 1	0.077	1	75.071	1003.522	1	0.0844	33.3316	1		0	0	Si

Verifica a presso/tenso flessione deviata §§ 4.2.4.1.2.3 - 4.2.4.1.2.6 - 4.2.4.1.2.7 - 4.2.4.1.2.8 NTC18

Verifiche eseguite utilizzando la formula conservativa (6.2) §6.2.1 EN 1993-1-1:2005.

X	Comb.	Sfruttamento	Classe	NEd	NRd	Rid. NRd da VEd	Mx,Ed	My,Ed	My,Rd	Rid. Mx,Rd da VEd	Rid. Mx,Rd da NEd	Rid. My,Rd da VEd	Rid. My,Rd da NEd	α	β	px	py	Verifica
1.45	SLU 75	0.225	1	224.434	1003.522	1	0.0193	23.5037	-0.0076	33.3316	1	1				0	0	Si

Verifica a presso/tenso flessione deviata SLD §§ 4.2.4.1.2.3 - 4.2.4.1.2.6 - 4.2.4.1.2.7 - 4.2.4.1.2.8 NTC18

Verifiche eseguite utilizzando la formula conservativa (6.2) §6.2.1 EN 1993-1-1:2005.

X	Comb.	Sfruttamento	Classe	NEd	NRd	Rid. NRd da VEd	Mx,Ed	Mx,Rd	My,Ed	My,Rd	Rid. Mx,Rd da VEd	Rid. Mx,Rd da NEd	Rid. My,Rd da VEd	Rid. My,Rd da NEd	α	β	px	py	Verifica
0.65	SLD 2	0.08	1	75.071	1003.522	1	0.0837	23.5037	0.056	33.3316	1		1				0	0	Si

Verifiche ad instabilità

Caratteristiche iniziali

Membratura principale per controllo snellezza; Calcolo di snellezze ed N critici condotti secondo gli assi principali;

Curva X: c; Curva Y: c;

Svergolamento: Nessuno; la verifica a instabilità flesso-torsionale (svergolamento) non verrà eseguita.

Dati per instabilità attorno a x

Controllo della snellezza secondo §4.2.4.1.3.1 NTC18

Numero rit.	Presente	Ascissa	Campata	βx/m	Vincolo a entrambi estremi	λx/m	λVer
1	Si	0	1-2	1	Si	49.4	Si, (<200)
2	Si	1.5					

Dati per instabilità attorno a y

Controllo della snellezza secondo §4.2.4.1.3.1 NTC18

Numero rit.	Presente	Ascissa	Campata	βy/n	k,LT	kw,LT	Vincolo a entrambi estremi
1	Si	0	1-2	1	Si	34.8	Si, (<200)
2	Si	1.5					

Verifica di stabilità per pressoflessione §C.4.2.4.1.3.3.1 NTC18

X	Comb.	Sfruttamento	Classe	NEd	MxEq,Ed	MyEq,Ed	Area	Wx	Wy	χ,min	λ adim. x/m	λ adim. y/n	N,crit x/m	N,crit y/n	Verifica
0	SLU 2	0.054	3	-34.354	0.0718	0.1041	0.003832	0.0000492	0.0000739	0.804	0.569	0.4	3253.47	6569.993	Si

Verifiche a deformabilità

Mensola X: No; Mensola Y: No.

Frecce lungo X

Ascissa freccia	Combinazione	Freccia	Luce	L/f	L/f,min	Tipo	Verifica
0.85	SLE RA 1	0	1.5	10000	250	Totale	Si
0.85	SLE RA 17	0	1.5	10000	250	Totale	Si
0.85	SLE RA 16	0	1.5	10000	250	Totale	Si
0.85	SLE RA 15	0	1.5	10000	250	Totale	Si
0.85	SLE RA 14	0	1.5	10000	250	Totale	Si
0.85	SLE RA 2	0	1.5	10000	350	Variabile	Si
0.85	SLE RA 17	0	1.5	10000	350	Variabile	Si
0.85	SLE RA 16	0	1.5	10000	350	Variabile	Si
0.85	SLE RA 15	0	1.5	10000	350	Variabile	Si
0.85	SLE RA 14	0	1.5	10000	350	Variabile	Si

Frecce lungo Y

Ascissa freccia	Combinazione	Freccia	Luce	L/f	L/f,min	Tipo	Verifica
0.75	SLE RA 1	0.00003	1.5	10000	250	Totale	Si
0.75	SLE RA 17	0.00003	1.5	10000	250	Totale	Si
0.75	SLE RA 16	0.00003	1.5	10000	250	Totale	Si
0.75	SLE RA 15	0.00003	1.5	10000	250	Totale	Si
0.75	SLE RA 14	0.00003	1.5	10000	250	Totale	Si
0.8	SLE RA 2	0	1.5	10000	350	Variabile	Si
0.8	SLE RA 17	0	1.5	10000	350	Variabile	Si
0.8	SLE RA 16	0	1.5	10000	350	Variabile	Si
0.8	SLE RA 15	0	1.5	10000	350	Variabile	Si
0.85	SLE RA 14	0	1.5	10000	350	Variabile	Si

Superelemento in acciaio a quota "640" (-397; -137)-(-288; -239)

Caratteristiche del materiale

Acciaio: S275, fyk = 275000

Caratteristiche geometriche

Lunghezza: 1.5

Nodo iniziale: 638 Nodo finale: 615

Cerniera iniziale: Mmomenti 1% Cerniera finale: Mmomenti 1%

Sovreresistenza: 0% Sisma Z: No

Caratteristiche della sezione

Sezione	Rotazione	Area	Jx	Jy	ix	iy	Wx	Wy	Wplx	Wply
---------	-----------	------	----	----	----	----	----	----	------	------

**Implementazione dei sistemi di confinamento delle emissioni odorigene diffuse dell'impianto di compostaggio esistente nel
Comune di Eboli (SA)**

PROGETTO DEFINITIVO – Tabulati di calcolo Tomo 1

Sezione	Rotazione	Area	Jx	Jy	ix	iy	Wx	Wy	Wplx	Wply
A1; L100*10; 1; Saldato; S275; 30; 1; 8; 8; 1	180	0.003832	0.0000035319	0.000007759	0.0304	0.045	0.0000492	0.0000739	0.00008974	0.00012727

Comportamento dei calastrelli

Accoppiamento imbottito con funzione statica (§C4.2.4.1.3.1.4 NTC18) nella campata compresa tra le ascisse 0 e 1.5 per sbandamento attorno all'asse y.

Verifiche di resistenza

Verifiche a forza assiale §4.2.4.1.2.1 - §4.2.4.1.2.2 NTC18

X	Comb.	Sfruttamento	Classe	NEd	Nc,Rd	Nt,Rd	Riduzione da taglio	px	py	Verifica
0.8	SLU 75	0.001		1.005		1003.522	1	0	0	Si

Verifiche a forza assiale SLD §4.2.4.1.2.1 - §4.2.4.1.2.2 NTC18

X	Comb.	Sfruttamento	Classe	NEd	Nc,Rd	Nt,Rd	Riduzione da taglio	px	py	Verifica
1.5	SLD 4	0.001		0.516		1003.522	1	0	0	Si

Verifica a taglio Y §4.2.4.1.2.4 NTC18

X	Comb.	Sfruttamento	Classe	NEd	Nc,Rd	Nt,Rd	Riduzione da taglio	px	py	Verifica
0	SLU 75	0.001		-0.3	302.422	0.002	Non considerata			Si

Verifica a taglio Y SLD §4.2.4.1.2.4 NTC18

X	Comb.	Sfruttamento	Classe	NEd	Nc,Rd	Nt,Rd	Riduzione da taglio	px	py	Verifica
0	SLD 3	0.001		-0.239	302.422	0.002	Non considerata			Si

Verifica a flessione semplice X §§ 4.2.4.1.2.3 - 4.2.4.1.2.6 - 4.2.4.1.2.7 - 4.2.4.1.2.8 NTC18

X	Comb.	Sfruttamento	Classe	Mx,Ed	Mx,Rd	Rid. Mx,Rd da VEd	px	py	Verifica
0.75	SLU 39	0.005	1	0.11317	23.50374	1	0	0	Si

Verifica a flessione semplice X SLD §§ 4.2.4.1.2.3 - 4.2.4.1.2.6 - 4.2.4.1.2.7 - 4.2.4.1.2.8 NTC18

X	Comb.	Sfruttamento	Classe	Mx,Ed	Mx,Rd	Rid. Mx,Rd da VEd	px	py	Verifica
0.5	SLD 14	0.003	1	0.07212	23.50374	1	0	0	Si

Verifica a flessione semplice Y §§ 4.2.4.1.2.3 - 4.2.4.1.2.6 - 4.2.4.1.2.7 - 4.2.4.1.2.8 NTC18

X	Comb.	Sfruttamento	Classe	My,Ed	My,Rd	Rid. My,Rd da VEd	px	py	Verifica
1.4	SLV 16	0.002	1	0.07117	33.33162	1	0	0	Si

Verifica a flessione semplice Y SLD §§ 4.2.4.1.2.3 - 4.2.4.1.2.6 - 4.2.4.1.2.7 - 4.2.4.1.2.8 NTC18

X	Comb.	Sfruttamento	Classe	My,Ed	My,Rd	Rid. My,Rd da VEd	px	py	Verifica
1.5	SLD 15	0.001	1	0.03507	33.33162	1	0	0	Si

Verifica a flessione deviata §§ 4.2.4.1.2.3 - 4.2.4.1.2.6 - 4.2.4.1.2.7 - 4.2.4.1.2.8 NTC18

X	Comb.	Sfruttamento	Classe	Mx,Ed	Mx,Rd	My,Ed	My,Rd	Rid. Mx,Rd da VEd	Rid. My,Rd da VEd	α	β	px	py	Verifica
0.7	SLV 6	0.005	1	0.0757	23.5037	-0.0448	33.3316	1	1			0	0	Si

Verifica a flessione deviata SLD §§ 4.2.4.1.2.3 - 4.2.4.1.2.6 - 4.2.4.1.2.7 - 4.2.4.1.2.8 NTC18

X	Comb.	Sfruttamento	Classe	Mx,Ed	Mx,Rd	My,Ed	My,Rd	Rid. Mx,Rd da VEd	Rid. My,Rd da VEd	α	β	px	py	Verifica
0.7	SLD 6	0.004	1	0.0831	23.5037	-0.0183	33.3316	1	1			0	0	Si

Verifica a presso/tenso flessione retta X §§ 4.2.4.1.2.3 - 4.2.4.1.2.6 - 4.2.4.1.2.7 - 4.2.4.1.2.8 NTC18

Verifiche eseguite utilizzando la formula conservativa (6.2) §6.2.1 EN 1993-1-1:2005.

X	Comb.	Sfruttamento	Classe	NEd	NRd	Rid. NRd da VEd	Mx,Ed	Mx,Rd	Rid. Mx,Rd da VEd	Rid. Mx,Rd da NEd	px	py	Verifica
0.75	SLU 75	0.006	1	1.005	1003.522	1	0.1199	23.5037	1	1	0	0	Si

Verifica a presso/tenso flessione retta X SLD §§ 4.2.4.1.2.3 - 4.2.4.1.2.6 - 4.2.4.1.2.7 - 4.2.4.1.2.8 NTC18

Verifiche eseguite utilizzando la formula conservativa (6.2) §6.2.1 EN 1993-1-1:2005.

X	Comb.	Sfruttamento	Classe	NEd	NRd	Rid. NRd da VEd	Mx,Ed	Mx,Rd	Rid. Mx,Rd da VEd	Rid. Mx,Rd da NEd	px	py	Verifica
0.55	SLD 8	0.004	1	0.512	1003.522	1	0.0868	23.5037	1	1	0	0	Si

Verifica a presso/tenso flessione retta Y §§ 4.2.4.1.2.3 - 4.2.4.1.2.6 - 4.2.4.1.2.7 - 4.2.4.1.2.8 NTC18

Verifiche eseguite utilizzando la formula conservativa (6.2) §6.2.1 EN 1993-1-1:2005.

X	Comb.	Sfruttamento	Classe	NEd	NRd	Rid. NRd da VEd	My,Ed	My,Rd	Rid. My,Rd da VEd	Rid. My,Rd da NEd	px	py	Verifica
0	SLV 12	0.003	1	0.596	1003.522	1	-0.0666	33.3316	1	1	0	0	Si

Verifica a presso/tenso flessione retta Y SLD §§ 4.2.4.1.2.3 - 4.2.4.1.2.6 - 4.2.4.1.2.7 - 4.2.4.1.2.8 NTC18

Verifiche eseguite utilizzando la formula conservativa (6.2) §6.2.1 EN 1993-1-1:2005.

X	Comb.	Sfruttamento	Classe	NEd	NRd	Rid. NRd da VEd	My,Ed	My,Rd	Rid. My,Rd da VEd	Rid. My,Rd da NEd	px	py	Verifica
0	SLD 11	0.001	1	0.422	1003.522	1	-0.0313	33.3316	1	1	0	0	Si

Verifica a presso/tenso flessione deviata §§ 4.2.4.1.2.3 - 4.2.4.1.2.6 - 4.2.4.1.2.7 - 4.2.4.1.2.8 NTC18

Verifiche eseguite utilizzando la formula conservativa (6.2) §6.2.1 EN 1993-1-1:2005.

X	Comb.	Sfruttamento	Classe	NEd	NRd	Rid. NRd da VEd	Mx,Ed	Mx,Rd	My,Ed	My,Rd	Rid. Mx,Rd da VEd	Rid. Mx,Rd da NEd	Rid. My,Rd da VEd	Rid. My,Rd da NEd	α	β	px	py	Verifica
0.9	SLV 8	0.006	1	0.844	1003.522	1	0.1123	23.5037	0.0266	33.3316	1	1	1	1			0	0	Si

Verifica a presso/tenso flessione deviata SLD §§ 4.2.4.1.2.3 - 4.2.4.1.2.6 - 4.2.4.1.2.7 - 4.2.4.1.2.8 NTC18

Verifiche eseguite utilizzando la formula conservativa (6.2) §6.2.1 EN 1993-1-1:2005.

X	Comb.	Sfruttamento	Classe	NEd	NRd	Rid. NRd da VEd	Mx,Ed	Mx,Rd	My,Ed	My,Rd	Rid. Mx,Rd da VEd	Rid. Mx,Rd da NEd	Rid. My,Rd da VEd	Rid. My,Rd da NEd	α	β	px	py	Verifica
0.75	SLD 2	0.005	1	0.43	1003.522	1	0.092	23.5037	-0.0182	33.3316	1	1	1	1			0	0	Si

Implementazione dei sistemi di confinamento delle emissioni odorigene diffuse dell'impianto di compostaggio esistente nel
Comune di Eboli (SA)
PROGETTO DEFINITIVO – Tabulati di calcolo Tomo 1

Verifiche ad instabilità

Caratteristiche iniziali

Membratura principale per controllo snellezza; Calcolo di snellezze ed N critici condotti secondo gli assi principali;
Curva X: c; Curva Y: c;
Svergolamento: Nessuno; la verifica a instabilità flesso-torsionale (svergolamento) non verrà eseguita.

Dati per instabilità attorno a x

Controllo della snellezza secondo §4.2.4.1.3.1 NTC18

Numero rit.	Presente	Ascissa	Campata	βx/m	Vincolo a entrambi estremi	λx/m	λVer
1	Si	0					
			1-2	1	Si	49.4	Si, (<200)
2	Si	1.5					

Dati per instabilità attorno a y

Controllo della snellezza secondo §4.2.4.1.3.1 NTC18

Numero rit.	Presente	Ascissa	Campata	βy/n	k,LT	kw,LT	Vincolo a entrambi estremi
1	Si	0					
			1-2	1	Si	34.8	Si, (<200)
2	Si	1.5					

Verifica di stabilità per pressoflessione §C.4.2.4.1.3.3.1 NTC18

X	Comb.	Sfruttamento	Classe	NEd	MxEq,Ed	MyEq,Ed	Area	Wx	Wy	χ,min	λ adim. x/m	λ adim. y/n	N,crit x/m	N,crit y/n	Verifica
0.1	SLU 39	0.004	1	0	0.0994	0.0037	0.003832	0.0000897	0.0001273	0.804	0.569	0.4	3254.131	6571.22	Si

Verifica di stabilità per pressoflessione SLD §C.4.2.4.1.3.3.1 NTC18

X	Comb.	Sfruttamento	Classe	NEd	MxEq,Ed	MyEq,Ed	Area	Wx	Wy	χ,min	λ adim. x/m	λ adim. y/n	N,crit x/m	N,crit y/n	Verifica
1.5	SLD 16	0.004	1	0	0.0711	0.0263	0.003832	0.0000897	0.0001273	0.804	0.569	0.4	3254.131	6571.22	Si

Verifiche a deformabilità

Mensola X: No; Mensola Y: No.

Frecce lungo X

Ascissa freccia	Combinazione	Freccia	Luce	L/f	L/f,min	Tipo	Verifica
0.3	SLE RA 1	0	1.5	10000	250	Totale	Si
0.35	SLE RA 17	0	1.5	10000	250	Totale	Si
0.35	SLE RA 16	0	1.5	10000	250	Totale	Si
1.15	SLE RA 15	0	1.5	10000	250	Totale	Si
0.4	SLE RA 14	0	1.5	10000	250	Totale	Si
0.4	SLE RA 2	0	1.5	10000	350	Variabile	Si
0.4	SLE RA 17	0	1.5	10000	350	Variabile	Si
0.4	SLE RA 16	0	1.5	10000	350	Variabile	Si
1.1	SLE RA 15	0	1.5	10000	350	Variabile	Si
0.6	SLE RA 14	0	1.5	10000	350	Variabile	Si

Frecce lungo Y

Ascissa freccia	Combinazione	Freccia	Luce	L/f	L/f,min	Tipo	Verifica
0.75	SLE RA 1	0.00003	1.5	10000	250	Totale	Si
0.75	SLE RA 17	0.00003	1.5	10000	250	Totale	Si
0.75	SLE RA 16	0.00003	1.5	10000	250	Totale	Si
0.75	SLE RA 15	0.00003	1.5	10000	250	Totale	Si
0.75	SLE RA 14	0.00003	1.5	10000	250	Totale	Si
0.8	SLE RA 2	0	1.5	10000	350	Variabile	Si
0.8	SLE RA 17	0	1.5	10000	350	Variabile	Si
0.8	SLE RA 16	0	1.5	10000	350	Variabile	Si
0.7	SLE RA 15	0	1.5	10000	350	Variabile	Si
0.8	SLE RA 14	0	1.5	10000	350	Variabile	Si

Superelemento in acciaio a quota "640" (-399; 1391)-(-272; 1525)

Caratteristiche del materiale

Acciaio: S275, fyk = 275000

Caratteristiche geometriche

Lunghezza: 1.85
Nodo iniziale: 949
Nodo finale: 974
Cerniera iniziale: No
Cerniera finale: No
Sovreresistenza: 0%
Sisma Z: No

Caratteristiche della sezione

Sezione	Rotazione	Area	Jx	Jy	ix	iy	Wx	Wy	Wplx	Wply
HEA120	0	0.002537	0.0000060673	0.0000023091	0.0489	0.0302	0.00010644	0.00003849	0.00011962	0.00005887

Verifiche di resistenza

Verifiche a forza assiale §4.2.4.1.2.1 - §4.2.4.1.2.2 NTC18

X	Comb.	Sfruttamento	Classe	NEd	Nc,Rd	Nt,Rd	Riduzione da taglio	px	py	Verifica
0	SLU 76	0.202	1	-134.492	664.325		1	0	0	Si

Verifiche a forza assiale SLD §4.2.4.1.2.1 - §4.2.4.1.2.2 NTC18

X	Comb.	Sfruttamento	Classe	NEd	Nc,Rd	Nt,Rd	Riduzione da taglio	px	py	Verifica
1.85	SLD 10	0.063	1	-41.562	664.325		1	0	0	Si

Implementazione dei sistemi di confinamento delle emissioni odorigene diffuse dell'impianto di compostaggio esistente nel
Comune di Eboli (SA)
PROGETTO DEFINITIVO – Tabulati di calcolo Tomo 1

Verifica a taglio Y §4.2.4.1.2.4 NTC18

X	Comb.	Sfruttamento	VEd	Vc,Rd	Av	Interazione taglio-torsione	Riduzione torsione	Verifica
1.85	SLU 76	0.006	-0.793	127.739	0.000849	Considerata	1	Si

Verifica a taglio Y SLD §4.2.4.1.2.4 NTC18

X	Comb.	Sfruttamento	VEd	Vc,Rd	Av	Interazione taglio-torsione	Riduzione torsione	Verifica
1.85	SLD 3	0.003	-0.366	128.049	0.000849	Considerata	1	Si

Verifica a torsione §4.2.4.1.2.5 NTC18

X	Comb.	Sfruttamento torsione	TEd	TRd	Riduzione taglio resistente	Sfruttamento taglio-torsione	τEd,totale	τRd	Verifica
0.863	SLU 76	0.011	-0.00935	0.85138	Considerata				Si

Verifica a torsione SLD §4.2.4.1.2.5 NTC18

X	Comb.	Sfruttamento torsione	TEd	TRd	Riduzione taglio resistente	Sfruttamento taglio-torsione	τEd,totale	τRd	Verifica
1.85	SLD 5	0.006	-0.00525	0.85138	Considerata				Si

Verifica a flessione semplice X §§ 4.2.4.1.2.3 - 4.2.4.1.2.6 - 4.2.4.1.2.7 - 4.2.4.1.2.8 NTC18

X	Comb.	Sfruttamento	Classe	Mx,Ed	Mx,Rd	Rid. Mx,Rd da VEd	px	py	Verifica
0.987	SLU 59	0.003	1	-0.09242	31.32907	1	0	0	Si

Verifica a presso/tenso flessione retta X §§ 4.2.4.1.2.3 - 4.2.4.1.2.6 - 4.2.4.1.2.7 - 4.2.4.1.2.8 NTC18

Verifiche eseguite utilizzando la formula conservativa (6.2) §6.2.1 EN 1993-1-1:2005.

X	Comb.	Sfruttamento	Classe	NEd	NRd	Rid. NRd da VEd	Mx,Ed	Mx,Rd	Rid. Mx,Rd da VEd	Rid. Mx,Rd da NEd	px	py	Verifica
1.85	SLU 76	0.214	1	-134.492	664.325	1	-0.3524	31.3291	1		0	0	Si

Verifica a presso/tenso flessione retta X SLD §§ 4.2.4.1.2.3 - 4.2.4.1.2.6 - 4.2.4.1.2.7 - 4.2.4.1.2.8 NTC18

Verifiche eseguite utilizzando la formula conservativa (6.2) §6.2.1 EN 1993-1-1:2005.

X	Comb.	Sfruttamento	Classe	NEd	NRd	Rid. NRd da VEd	Mx,Ed	Mx,Rd	Rid. Mx,Rd da VEd	Rid. Mx,Rd da NEd	px	py	Verifica
0.308	SLD 14	0.075	1	-41.55	664.325	1	-0.3754	31.3291	1		0	0	Si

Verifica a presso/tenso flessione retta Y §§ 4.2.4.1.2.3 - 4.2.4.1.2.6 - 4.2.4.1.2.7 - 4.2.4.1.2.8 NTC18

Verifiche eseguite utilizzando la formula conservativa (6.2) §6.2.1 EN 1993-1-1:2005.

X	Comb.	Sfruttamento	Classe	NEd	NRd	Rid. NRd da VEd	My,Ed	My,Rd	Rid. My,Rd da VEd	Rid. My,Rd da NEd	px	py	Verifica
1.727	SLV 4	0.045	1	-26.648	664.325	1	0.0794	15.4191	1		0	0	Si

Verifica a presso/tenso flessione deviata §§ 4.2.4.1.2.3 - 4.2.4.1.2.6 - 4.2.4.1.2.7 - 4.2.4.1.2.8 NTC18

Verifiche eseguite utilizzando la formula conservativa (6.2) §6.2.1 EN 1993-1-1:2005.

X	Comb.	Sfruttamento	Classe	NEd	NRd	Rid. NRd da VEd	Mx,Ed	Mx,Rd	My,Ed	My,Rd	Rid. Mx,Rd da VEd	Rid. Mx,Rd da NEd	Rid. My,Rd da VEd	Rid. My,Rd da NEd	α	β	px	py	Verifica
0	SLU 76	0.25	1	-134.492	664.325	1	-1.3767	31.3291	-0.0517	15.4191	1		1				0	0	Si

Verifica a presso/tenso flessione deviata SLD §§ 4.2.4.1.2.3 - 4.2.4.1.2.6 - 4.2.4.1.2.7 - 4.2.4.1.2.8 NTC18

Verifiche eseguite utilizzando la formula conservativa (6.2) §6.2.1 EN 1993-1-1:2005.

X	Comb.	Sfruttamento	Classe	NEd	NRd	Rid. NRd da VEd	Mx,Ed	Mx,Rd	My,Ed	My,Rd	Rid. Mx,Rd da VEd	Rid. Mx,Rd da NEd	Rid. My,Rd da VEd	Rid. My,Rd da NEd	α	β	px	py	Verifica
0.678	SLD 10	0.075	1	-41.562	664.325	1	-0.3592	31.3291	-0.01	15.4191	1		1				0	0	Si

Verifiche ad instabilità

Caratteristiche iniziali

Membratura principale per controllo snellezza; Calcolo di snellezze ed N critici condotti secondo gli assi principali;

Curva X: b; Curva Y: c; Svergolamento: Carico all'estradosso; Curva svergolamento: b;

Dati per instabilità attorno a x

Controllo della snellezza secondo §4.2.4.1.3.1 NTC18

Numero rit.	Presente	Ascissa	Campata	βx/m	Vincolo a entrambi estremi	λx/m	λVer
1	Si		0				
			1-2	1	Si	37.8	Si, (<200)
2	Si	1.85					

Dati per instabilità attorno a y

Controllo della snellezza secondo §4.2.4.1.3.1 NTC18

Numero rit.	Presente	Ascissa	Campata	βy/n	k ₁ LT	k _w LT	Vincolo a entrambi estremi	λy/n	λVer
1	Si		0						
			1-2	1	1	1	Si	61.3	Si, (<200)
2	Si	1.85							

Verifica a svergolamento §4.2.4.1.3.2 NTC18

X	Comb.	Sfruttamento	Classe	Obblig.	Mx,Ed	Mb,Rd,x	χ ₁ LT	λ adim. LT	L ₁ LT	M _c critico	Verifica
0.987	SLU 59	0.003	1	Si	-0.09242	28.25853	0.902	0.633	1.85	82.10616	Si

Verifica di stabilità per pressoflessione §C.4.2.4.1.3.3.2 NTC18

X	Comb.	Sfruttamento	Classe	NEd	NRk	Mx,Ed max	Mx,Rk	My,Ed max	My,Rk	χ _x	χ _y	k _{xx}	k _{xy}	k _{yx}	k _{yy}	χ ₁ LT	Verifica
1.85	SLU 76	0.327	1	-134.492	697.541	1.37669	32.89552	0.05175	16.19002	0.912	0.721	0.807	0.456	0.962	0.759	0.979	Si

Verifica di stabilità per pressoflessione SLD §C.4.2.4.1.3.3.2 NTC18

X	Comb.	Sfruttamento	Classe	NEd	NRk	Mx,Ed max	Mx,Rk	My,Ed max	My,Rk	χ _x	χ _y	k _{xx}	k _{xy}	k _{yx}	k _{yy}	χ ₁ LT	Verifica
1.85	SLD 14	0.1	1	-41.55	697.541	0.37541	32.89552	0.02896	16.19002	0.912	0.721	0.967	0.37	0.991	0.617	0.97	Si

Verifica di stabilità a taglio anima Y §4.2.4.1.2.4 [4.2.27] NTC18

η	hw	tw	hw/tw max	Verifica
1.2	0.098	0.005	55.46	Si

Verifica di stabilità a taglio anima Y SLD §4.2.4.1.2.4 [4.2.27] NTC18

η	hw	tw	hw/tw max	Verifica
---	----	----	-----------	----------

Implementazione dei sistemi di confinamento delle emissioni odorigene diffuse dell'impianto di compostaggio esistente nel
Comune di Eboli (SA)
PROGETTO DEFINITIVO – Tabulati di calcolo Tomo 1

η	hw	tw	hw/tw max	Verifica
1.2	0.098	0.005	55.46	Si

Verifiche a deformabilità

Mensola X: No; Mensola Y: No.

Frecce lungo X

Ascissa freccia	Combinazione	Freccia	Luce	L/f	L/f,min	Tipo	Verifica
0.802	SLE RA 1	0	1.85	10000	250	Totale	Si
0.802	SLE RA 17	0.00001	1.85	10000	250	Totale	Si
0.802	SLE RA 16	0.00001	1.85	10000	250	Totale	Si
0.802	SLE RA 15	0.00001	1.85	10000	250	Totale	Si
0.678	SLE RA 14	0	1.85	10000	250	Totale	Si
0.802	SLE RA 2	-0.00001	1.85	10000	350	Variabile	Si
0.802	SLE RA 17	0	1.85	10000	350	Variabile	Si
0.802	SLE RA 16	0.00001	1.85	10000	350	Variabile	Si
0.802	SLE RA 15	0.00001	1.85	10000	350	Variabile	Si
0.863	SLE RA 14	0	1.85	10000	350	Variabile	Si

Frecce lungo Y

Ascissa freccia	Combinazione	Freccia	Luce	L/f	L/f,min	Tipo	Verifica
0.863	SLE RA 19	-0.00023	1.85	8151	250	Totale	Si
0.863	SLE RA 15	-0.0002	1.85	9275.5	250	Totale	Si
0.863	SLE RA 11	-0.0002	1.85	9275.5	250	Totale	Si
0.863	SLE RA 7	-0.0002	1.85	9318.5	250	Totale	Si
0.863	SLE RA 16	-0.00019	1.85	9889	250	Totale	Si
0.863	SLE RA 2	0.00008	1.85	10000	350	Variabile	Si
0.863	SLE RA 17	-0.00004	1.85	10000	350	Variabile	Si
0.863	SLE RA 16	-0.00008	1.85	10000	350	Variabile	Si
0.863	SLE RA 15	-0.00009	1.85	10000	350	Variabile	Si
0.802	SLE RA 14	-0.00002	1.85	10000	350	Variabile	Si

Superelemento in acciaio a quota "640" (-404; 1386)-(-295; 1283)

Caratteristiche del materiale

Acciaio: S275, fyk = 275000

Caratteristiche geometriche

Lunghezza: 1.5

Nodo iniziale: 947 Nodo finale: 926

Cerniera iniziale: Mmomenti 1% Cerniera finale: Mmomenti 1%

Sovreresistenza: 0% Sisma Z: No

Caratteristiche della sezione

Sezione	Rotazione	Area	Jx	Jy	ix	iy	Wx	Wy	Wplx	Wply
A1; L100*10; 1; Saldato; S275; 30; 1; 8; 8; 1	180	0.003832	0.0000035319	0.000007759	0.0304	0.045	0.0000492	0.0000739	0.00008974	0.00012727

Comportamento dei calastrelli

Accoppiamento imbottito con funzione statica (§C4.2.4.1.3.1.4 NTC18) nella campata compresa tra le ascisse 0 e 1.5 per sbandamento attorno all'asse y.

Verifiche di resistenza

Verifiche a forza assiale §4.2.4.1.2.1 - §4.2.4.1.2.2 NTC18

X	Comb.	Sfruttamento	Classe	NEd	Nc,Rd	Nt,Rd	Riduzione da taglio	px	py	Verifica
1.4	SLV 7	0.001		0.965		1003.522	1	0	0	Si

Verifiche a forza assiale SLD §4.2.4.1.2.1 - §4.2.4.1.2.2 NTC18

X	Comb.	Sfruttamento	Classe	NEd	Nc,Rd	Nt,Rd	Riduzione da taglio	px	py	Verifica
1.4	SLD 8	0.001		0.52		1003.522	1	0	0	Si

Verifica a taglio Y §4.2.4.1.2.4 NTC18

X	Comb.	Sfruttamento	VEd	Vc,Rd	Av	Interazione taglio-torsione	Riduzione torsione	Verifica
1.5	SLU 76	0.001	0.334	302.422	0.002	Non considerata		Si

Verifica a taglio Y SLD §4.2.4.1.2.4 NTC18

X	Comb.	Sfruttamento	VEd	Vc,Rd	Av	Interazione taglio-torsione	Riduzione torsione	Verifica
1.5	SLD 8	0.001	0.25	302.422	0.002	Non considerata		Si

Verifica a flessione semplice X §§ 4.2.4.1.2.3 - 4.2.4.1.2.6 - 4.2.4.1.2.7 - 4.2.4.1.2.8 NTC18

X	Comb.	Sfruttamento	Classe	Mx,Ed	Mx,Rd	Rid. Mx,Rd da VEd	px	py	Verifica
0.7	SLU 58	0.005	1	0.12309	23.50374	1	0	0	Si

Verifica a flessione semplice X SLD §§ 4.2.4.1.2.3 - 4.2.4.1.2.6 - 4.2.4.1.2.7 - 4.2.4.1.2.8 NTC18

X	Comb.	Sfruttamento	Classe	Mx,Ed	Mx,Rd	Rid. Mx,Rd da VEd	px	py	Verifica
0.75	SLD 14	0.004	1	0.08609	23.50374	1	0	0	Si

Verifica a flessione semplice Y §§ 4.2.4.1.2.3 - 4.2.4.1.2.6 - 4.2.4.1.2.7 - 4.2.4.1.2.8 NTC18

X	Comb.	Sfruttamento	Classe	My,Ed	My,Rd	Rid. My,Rd da VEd	px	py	Verifica
0	SLV 15	0.001	1	0.0475	33.33162	1	0	0	Si

PROGETTO DEFINITIVO – Tabulati di calcolo Tomo 1

Verifica a flessione semplice Y SLD §§ 4.2.4.1.2.3 - 4.2.4.1.2.6 - 4.2.4.1.2.7 - 4.2.4.1.2.8 NTC18

X	Comb.	Sfruttamento	Classe	My,Ed	My,Rd	Rid. My,Rd da VEd	px	py	Verifica
1.5	SLD 13	0.001	1	0.01728	33.33162	1	0	0	Si

Verifica a flessione deviata §§ 4.2.4.1.2.3 - 4.2.4.1.2.6 - 4.2.4.1.2.7 - 4.2.4.1.2.8 NTC18

X	Comb.	Sfruttamento	Classe	Mx,Ed	Mx,Rd	My,Ed	My,Rd	Rid. Mx,Rd da VEd	Rid. My,Rd da VEd	α	β	px	py	Verifica
0.75	SLV 15	0.004	1	0.0841	23.5037	0.0246	33.3316	1	1			0	0	Si

Verifica a flessione deviata SLD §§ 4.2.4.1.2.3 - 4.2.4.1.2.6 - 4.2.4.1.2.7 - 4.2.4.1.2.8 NTC18

X	Comb.	Sfruttamento	Classe	Mx,Ed	Mx,Rd	My,Ed	My,Rd	Rid. Mx,Rd da VEd	Rid. My,Rd da VEd	α	β	px	py	Verifica
0.7	SLD 5	0.004	1	0.089	23.5037	-0.0109	33.3316	1	1			0	0	Si

Verifica a presso/tenso flessione retta X §§ 4.2.4.1.2.3 - 4.2.4.1.2.6 - 4.2.4.1.2.7 - 4.2.4.1.2.8 NTC18

Verifiche eseguite utilizzando la formula conservativa (6.2) §6.2.1 EN 1993-1-1:2005.

X	Comb.	Sfruttamento	Classe	NEd	NRd	Rid. NRd da VEd	Mx,Ed	Mx,Rd	Rid. Mx,Rd da VEd	Rid. Mx,Rd da NEd	px	py	Verifica
0.65	SLU 76	0.007	1	0.773	1003.522	1	0.1408	23.5037	1		0	0	Si

Verifica a presso/tenso flessione retta X SLD §§ 4.2.4.1.2.3 - 4.2.4.1.2.6 - 4.2.4.1.2.7 - 4.2.4.1.2.8 NTC18

Verifiche eseguite utilizzando la formula conservativa (6.2) §6.2.1 EN 1993-1-1:2005.

X	Comb.	Sfruttamento	Classe	NEd	NRd	Rid. NRd da VEd	Mx,Ed	Mx,Rd	Rid. Mx,Rd da VEd	Rid. Mx,Rd da NEd	px	py	Verifica
0.65	SLD 7	0.005	1	0.52	1003.522	1	0.1031	23.5037	1		0	0	Si

Verifica a presso/tenso flessione retta Y §§ 4.2.4.1.2.3 - 4.2.4.1.2.6 - 4.2.4.1.2.7 - 4.2.4.1.2.8 NTC18

Verifiche eseguite utilizzando la formula conservativa (6.2) §6.2.1 EN 1993-1-1:2005.

X	Comb.	Sfruttamento	Classe	NEd	NRd	Rid. NRd da VEd	My,Ed	My,Rd	Rid. My,Rd da VEd	Rid. My,Rd da NEd	px	py	Verifica
1.5	SLV 7	0.002	1	0.965	1003.522	1	-0.0421	33.3316	1		0	0	Si

Verifica a presso/tenso flessione retta Y SLD §§ 4.2.4.1.2.3 - 4.2.4.1.2.6 - 4.2.4.1.2.7 - 4.2.4.1.2.8 NTC18

Verifiche eseguite utilizzando la formula conservativa (6.2) §6.2.1 EN 1993-1-1:2005.

X	Comb.	Sfruttamento	Classe	NEd	NRd	Rid. NRd da VEd	My,Ed	My,Rd	Rid. My,Rd da VEd	Rid. My,Rd da NEd	px	py	Verifica
1.5	SLD 7	0.001	1	0.52	1003.522	1	-0.0159	33.3316	1		0	0	Si

Verifica a presso/tenso flessione deviata §§ 4.2.4.1.2.3 - 4.2.4.1.2.6 - 4.2.4.1.2.7 - 4.2.4.1.2.8 NTC18

Verifiche eseguite utilizzando la formula conservativa (6.2) §6.2.1 EN 1993-1-1:2005.

X	Comb.	Sfruttamento	Classe	NEd	NRd	Rid. NRd da VEd	Mx,Ed	Mx,Rd	My,Ed	My,Rd	Rid. Mx,Rd da VEd	Rid. Mx,Rd da NEd	Rid. My,Rd da VEd	Rid. My,Rd da NEd	α	β	px	py	Verifica
0.6	SLV 8	0.006	1	0.965	1003.522	1	0.1176	23.5037	0.0134	33.3316	1		1				0	0	Si

Verifica a presso/tenso flessione deviata SLD §§ 4.2.4.1.2.3 - 4.2.4.1.2.6 - 4.2.4.1.2.7 - 4.2.4.1.2.8 NTC18

Verifiche eseguite utilizzando la formula conservativa (6.2) §6.2.1 EN 1993-1-1:2005.

X	Comb.	Sfruttamento	Classe	NEd	NRd	Rid. NRd da VEd	Mx,Ed	Mx,Rd	My,Ed	My,Rd	Rid. Mx,Rd da VEd	Rid. Mx,Rd da NEd	Rid. My,Rd da VEd	Rid. My,Rd da NEd	α	β	px	py	Verifica
0.5	SLD 4	0.005	1	0.508	1003.522	1	0.0982	23.5037	-0.0076	33.3316	1		1				0	0	Si

Verifiche ad instabilità

Caratteristiche iniziali

Membratura principale per controllo snellezza; Calcolo di snellezze ed N critici condotti secondo gli assi principali;

Curva X: c; Curva Y: c;

Svergolamento: Nessuno; la verifica a instabilità flesso-torsionale (svergolamento) non verrà eseguita.

Dati per instabilità attorno a x

Controllo della snellezza secondo §4.2.4.1.3.1 NTC18

Numero rit.	Presente	Ascissa	Campata	$\beta x/m$	Vincolo a entrambi estremi	$\lambda x/m$	λVer
1	Si	0	1-2		1	49.4	Si, (<200)
2	Si	1.5					

Dati per instabilità attorno a y

Controllo della snellezza secondo §4.2.4.1.3.1 NTC18

Numero rit.	Presente	Ascissa	Campata	$\beta y/n$	k,LT	kw,LT	Vincolo a entrambi estremi
1	Si	0	1-2		1	34.8	Si, (<200)
2	Si	1.5					

Verifica di stabilità per pressoflessione §C.4.2.4.1.3.3.1 NTC18

X	Comb.	Sfruttamento	Classe	NEd	MxEq,Ed	MyEq,Ed	Area	Wx	Wy	χ_{min}	$\lambda_{adim. x/m}$	$\lambda_{adim. y/n}$	N,crit x/m	N,crit y/n	Verifica
1.5	SLV 16	0.004	1	0	0.0726	0.0356	0.003832	0.0000897	0.0001273	0.804	0.569	0.4	3253.47	6569.993	Si

Verifica di stabilità per pressoflessione SLD §C.4.2.4.1.3.3.1 NTC18

X	Comb.	Sfruttamento	Classe	NEd	MxEq,Ed	MyEq,Ed	Area	Wx	Wy	χ_{min}	$\lambda_{adim. x/m}$	$\lambda_{adim. y/n}$	N,crit x/m	N,crit y/n	Verifica
0	SLD 5	0.004	1	0	0.079	-0.0155	0.003832	0.0000897	0.0001273	0.804	0.569	0.4	3253.47	6569.993	Si

Verifiche a deformabilità

Mensola X: No; Mensola Y: No.

Frecce lungo X

Ascissa freccia	Combinazione	Freccia	Luce	L/f	L/f,min	Tipo	Verifica
0.55	SLE RA 1	0	1.5	10000	250	Totale	Si
0.55	SLE RA 17	0	1.5	10000	250	Totale	Si
0.55	SLE RA 16	0	1.5	10000	250	Totale	Si
0.55	SLE RA 15	0	1.5	10000	250	Totale	Si
0.55	SLE RA 14	0	1.5	10000	250	Totale	Si
0.55	SLE RA 2	0	1.5	10000	350	Variabile	Si

Implementazione dei sistemi di confinamento delle emissioni odorigene diffuse dell'impianto di compostaggio esistente nel
Comune di Eboli (SA)
PROGETTO DEFINITIVO – Tabulati di calcolo Tomo 1

Ascissa freccia	Combinazione	Freccia	Luce	L/f	L/f,min	Tipo	Verifica
0.55	SLE RA 17	0	1.5	10000	350	Variabile	Si
0.55	SLE RA 16	0	1.5	10000	350	Variabile	Si
0.55	SLE RA 15	0	1.5	10000	350	Variabile	Si
0.5	SLE RA 14	0	1.5	10000	350	Variabile	Si

Freccie lungo Y

Ascissa freccia	Combinazione	Freccia	Luce	L/f	L/f,min	Tipo	Verifica
0.75	SLE RA 1	0.00003	1.5	10000	250	Totale	Si
0.75	SLE RA 17	0.00003	1.5	10000	250	Totale	Si
0.75	SLE RA 16	0.00003	1.5	10000	250	Totale	Si
0.75	SLE RA 15	0.00003	1.5	10000	250	Totale	Si
0.75	SLE RA 14	0.00003	1.5	10000	250	Totale	Si
0.65	SLE RA 2	0	1.5	10000	350	Variabile	Si
0.65	SLE RA 17	0	1.5	10000	350	Variabile	Si
0.65	SLE RA 16	0	1.5	10000	350	Variabile	Si
0.65	SLE RA 15	0	1.5	10000	350	Variabile	Si
0.65	SLE RA 14	0	1.5	10000	350	Variabile	Si

Superelemento in acciaio a quota "640" (-415; -374)-(-288; -239)

Caratteristiche del materiale

Acciaio: S275, fyk = 275000

Caratteristiche geometriche

Lunghezza: 1.85
Nodo iniziale: 593 Nodo finale: 616
Cerniera iniziale: No Cerniera finale: No
Sovraresistenza: 0% Sisma Z: No

Caratteristiche della sezione

Sezione	Rotazione	Area	Jx	Jy	ix	iy	Wx	Wy	Wplx	Wply
HEA120	0	0.002537	0.0000060673	0.0000023091	0.0489	0.0302	0.00010644	0.00003849	0.00011962	0.00005887

Verifiche di resistenza

Verifiche a forza assiale §4.2.4.1.2.1 - §4.2.4.1.2.2 NTC18

X	Comb.	Sfruttamento	Classe	NEd	Nc,Rd	Nt,Rd	Riduzione da taglio	px	py	Verifica
0.925	SLU 75	0.069	1	-45.633	664.325		1	0	0	Si

Verifiche a forza assiale SLD §4.2.4.1.2.1 - §4.2.4.1.2.2 NTC18

X	Comb.	Sfruttamento	Classe	NEd	Nc,Rd	Nt,Rd	Riduzione da taglio	px	py	Verifica
1.85	SLD 5	0.038	1	-25.077	664.325		1	0	0	Si

Verifica a taglio Y §4.2.4.1.2.4 NTC18

X	Comb.	Sfruttamento	VEd	Vc,Rd	Av	Interazione taglio-torsione	Riduzione torsione	Verifica
1.85	SLV 11	0.007	-0.902	127.821	0.000849	Considerata	1	Si

Verifica a taglio Y SLD §4.2.4.1.2.4 NTC18

X	Comb.	Sfruttamento	VEd	Vc,Rd	Av	Interazione taglio-torsione	Riduzione torsione	Verifica
1.85	SLD 11	0.005	-0.577	128.112	0.000849	Considerata	1	Si

Verifica a torsione §4.2.4.1.2.5 NTC18

X	Comb.	Sfruttamento torsione	TEd	TRd	Riduzione taglio resistente	Sfruttamento taglio-torsione	τEd,totale	τRd	Verifica
0	SLV 4	0.017	-0.0146	0.85138	Considerata				Si

Verifica a torsione SLD §4.2.4.1.2.5 NTC18

X	Comb.	Sfruttamento torsione	TEd	TRd	Riduzione taglio resistente	Sfruttamento taglio-torsione	τEd,totale	τRd	Verifica
1.85	SLD 4	0.006	-0.00538	0.85138	Considerata				Si

Verifica a presso/tenso flessione retta X §§ 4.2.4.1.2.3 - 4.2.4.1.2.6 - 4.2.4.1.2.7 - 4.2.4.1.2.8 NTC18

Verifiche eseguite utilizzando la formula conservativa (6.2) §6.2.1 EN 1993-1-1:2005.

X	Comb.	Sfruttamento	Classe	NEd	NRd	Rid. NRd da VEd	Mx,Ed	Mx,Rd	Rid. Mx,Rd da VEd	Rid. Mx,Rd da NEd	px	py	Verifica
1.11	SLV 5	0.084	1	-43.734	664.325	1	-0.575	31.3291	1		0	0	Si

Verifica a presso/tenso flessione retta X SLD §§ 4.2.4.1.2.3 - 4.2.4.1.2.6 - 4.2.4.1.2.7 - 4.2.4.1.2.8 NTC18

Verifiche eseguite utilizzando la formula conservativa (6.2) §6.2.1 EN 1993-1-1:2005.

X	Comb.	Sfruttamento	Classe	NEd	NRd	Rid. NRd da VEd	Mx,Ed	Mx,Rd	Rid. Mx,Rd da VEd	Rid. Mx,Rd da NEd	px	py	Verifica
0.062	SLD 5	0.041	1	-25.077	664.325	1	-0.0924	31.3291	1		0	0	Si

Verifica a presso/tenso flessione retta Y §§ 4.2.4.1.2.3 - 4.2.4.1.2.6 - 4.2.4.1.2.7 - 4.2.4.1.2.8 NTC18

Verifiche eseguite utilizzando la formula conservativa (6.2) §6.2.1 EN 1993-1-1:2005.

X	Comb.	Sfruttamento	Classe	NEd	NRd	Rid. NRd da VEd	My,Ed	My,Rd	Rid. My,Rd da VEd	Rid. My,Rd da NEd	px	py	Verifica
0.308	SLU 75	0.073	1	-45.633	664.325	1	0.0664	15.4191	1		0	0	Si

Verifica a presso/tenso flessione retta Y SLD §§ 4.2.4.1.2.3 - 4.2.4.1.2.6 - 4.2.4.1.2.7 - 4.2.4.1.2.8 NTC18

Verifiche eseguite utilizzando la formula conservativa (6.2) §6.2.1 EN 1993-1-1:2005.

X	Comb.	Sfruttamento	Classe	NEd	NRd	Rid. NRd da VEd	My,Ed	My,Rd	Rid. My,Rd da VEd	Rid. My,Rd da NEd	px	py	Verifica
1.85	SLD 1	0.04	1	-24.688	664.325	1	0.0432	15.4191	1		0	0	Si

Verifica a presso/tenso flessione deviata §§ 4.2.4.1.2.3 - 4.2.4.1.2.6 - 4.2.4.1.2.7 - 4.2.4.1.2.8 NTC18

Verifiche eseguite utilizzando la formula conservativa (6.2) §6.2.1 EN 1993-1-1:2005.

Implementazione dei sistemi di confinamento delle emissioni odorigene diffuse dell’impianto di compostaggio esistente nel
Comune di Eboli (SA)

PROGETTO DEFINITIVO – Tabulati di calcolo Tomo 1

X	Comb.	Sfruttamento	Classe	NEd	NRd	Rid. NRd da VEd	Mx,Ed	Mx,Rd	My,Ed	My,Rd	Rid. Mx,Rd da VEd	Rid. Mx,Rd da NEd	Rid. My,Rd da VEd	Rid. My,Rd da NEd	α	β	px	py	Verifica
1.85	SLV 75	0.105	1	-45.633	664.325	1	0.9438	31.3291	0.103	15.4191	1		1				0	0	Si

Verifica a presso/tenso flessione deviata SLD § 4.2.4.1.2.3 - 4.2.4.1.2.6 - 4.2.4.1.2.7 - 4.2.4.1.2.8 NTC18

Verifiche eseguite utilizzando la formula conservativa (6.2) §6.2.1 EN 1993-1-1:2005.

X	Comb.	Sfruttamento	Classe	NEd	NRd	Rid. NRd da VEd	Mx,Ed	Mx,Rd	My,Ed	My,Rd	Rid. Mx,Rd da VEd	Rid. Mx,Rd da NEd	Rid. My,Rd da VEd	Rid. My,Rd da NEd	α	β	px	py	Verifica
0.74	SLD 2	0.044	1	-24.688	664.325	1	-0.1307	31.3291	0.0357	15.4191	1		1				0	0	Si

Verifiche ad instabilità

Caratteristiche iniziali

Membratura principale per controllo snellezza; Calcolo di snellezze ed N critici condotti secondo gli assi principali;

Curva X: b; Curva Y: c; Svergolamento: Carico all’estradosso; Curva svergolamento: b;

Dati per instabilità attorno a x

Controllo della snellezza secondo §4.2.4.1.3.1 NTC18

Numero rit.	Presente	Ascissa	Campata	βx/m	Vincolo a entrambi estremi	λx/m	λVer
1	Si		0				
			1-2		1	37.8	Si, (<200)
2	Si		1.85				

Dati per instabilità attorno a y

Controllo della snellezza secondo §4.2.4.1.3.1 NTC18

Numero rit.	Presente	Ascissa	Campata	βy/n	k,LT	kw,LT	Vincolo a entrambi estremi	λy/n	λVer
1	Si		0						
			1-2		1	1	Si	61.3	Si, (<200)
2	Si		1.85						

Verifica a svergolamento con trazione §4.2.4.1.3.2 NTC18 § 5.5.3 ENV 1993-1-1:1992 + AC:1992 + A1:1994 + A2:1998

X	Comb.	Sfruttamento	Classe	Obblig.	NEd	Mx,Ed	Mx,Eff,Ed	Mb,Rd,x	χ,LT	λ adim. LT	L,LT	M,critico	Verifica
1.048	SLV 15	0.012	1	Si	12.543	0.74346	0.37502	31.04161	0.991	0.424	1.85	183.3221	Si

Verifica di stabilità per tenso-flessione deviata § 5.5.3-5.5.4 ENV 1993-1-1:1992 + AC:1992 + A1:1994 + A2:1998

X	Comb.	Sfruttamento	Classe	NEd	Mx,Ed	Mx,Eff,Ed	My,Ed	χ,LT	kLT	ky	M,critico	Wx	Wy	Verifica
1.85	SLV 11	0.037	1	13.859	1.43193	1.02483	0.05627	0.991	1	1	183.02555	0.0001196	0.0000589	Si

Verifica di stabilità per pressoflessione §C.4.2.4.1.3.3.2 NTC18

X	Comb.	Sfruttamento	Classe	NEd	NRk	Mx,Ed max	Mx,Rk	My,Ed max	My,Rk	χ,x	χ,y	kxx	kxy	kyy	χ,LT	Verifica	
0	SLU 75	0.134	1	-45.633	697.541	0.94383	32.89552	0.10296	16.19002	0.912	0.721	0.469	0.536	0.968	0.894	0.902	Si

Verifica di stabilità per pressoflessione SLD §C.4.2.4.1.3.3.2 NTC18

X	Comb.	Sfruttamento	Classe	NEd	NRk	Mx,Ed max	Mx,Rk	My,Ed max	My,Rk	χ,x	χ,y	kxx	kxy	kyy	χ,LT	Verifica	
0	SLD 1	0.059	1	-24.688	697.541	0.13076	32.89552	0.04323	16.19002	0.912	0.721	0.992	0.547	0.995	0.911	0.902	Si

Verifica di stabilità a taglio anima Y §4.2.4.1.2.4 [4.2.27] NTC18

η	hw	tw	hw/tw max	Verifica
1.2	0.098	0.005	55.46	Si

Verifica di stabilità a taglio anima Y SLD §4.2.4.1.2.4 [4.2.27] NTC18

η	hw	tw	hw/tw max	Verifica
1.2	0.098	0.005	55.46	si

Verifiche a deformabilità

Mensola X: No; Mensola Y: No.

Frecce lungo X

Ascissa freccia	Combinazione	Freccia	Luce	L/f	L/f,min	Tipo	Verifica
0.987	SLE RA 1	-0.00002	1.85	10000	250	Totale	Si
0.987	SLE RA 17	-0.00003	1.85	10000	250	Totale	Si
0.987	SLE RA 16	-0.00004	1.85	10000	250	Totale	Si
0.987	SLE RA 15	-0.00003	1.85	10000	250	Totale	Si
0.987	SLE RA 14	-0.00004	1.85	10000	250	Totale	Si
0.987	SLE RA 2	0.00002	1.85	10000	350	Variabile	Si
0.987	SLE RA 17	-0.00001	1.85	10000	350	Variabile	Si
0.987	SLE RA 16	-0.00002	1.85	10000	350	Variabile	Si
1.048	SLE RA 15	-0.00001	1.85	10000	350	Variabile	Si
0.925	SLE RA 14	-0.00002	1.85	10000	350	Variabile	Si

Frecce lungo Y

Ascissa freccia	Combinazione	Freccia	Luce	L/f	L/f,min	Tipo	Verifica
1.233	SLE RA 1	0.00003	1.85	10000	250	Totale	Si
1.172	SLE RA 17	0.00004	1.85	10000	250	Totale	Si
1.172	SLE RA 16	0.00006	1.85	10000	250	Totale	Si
1.233	SLE RA 15	0.00003	1.85	10000	250	Totale	Si
1.172	SLE RA 14	0.00007	1.85	10000	250	Totale	Si
1.11	SLE RA 2	-0.00002	1.85	10000	350	Variabile	Si
1.11	SLE RA 17	0.00001	1.85	10000	350	Variabile	Si
1.11	SLE RA 16	0.00003	1.85	10000	350	Variabile	Si
1.11	SLE RA 15	0	1.85	10000	350	Variabile	Si
1.11	SLE RA 14	0.00004	1.85	10000	350	Variabile	Si

Superelemento in acciaio a quota "640" (-435; 916)-(-326; 813)

Caratteristiche del materiale

Acciaio: S275, fyk = 275000

Implementazione dei sistemi di confinamento delle emissioni odorigene diffuse dell'impianto di compostaggio esistente nel
Comune di Eboli (SA)
PROGETTO DEFINITIVO – Tabulati di calcolo Tomo 1

Caratteristiche geometriche

Lunghezza: 1.5
Nodo iniziale: 853 Nodo finale: 829
Cerniera iniziale: Mmomenti 1% Cerniera finale: Mmomenti 1%
Sovraresistenza: 0% Sisma Z: No

Caratteristiche della sezione

Sezione	Rotazione	Area	Jx	Jy	ix	iy	Wx	Wy	Wplx	Wply
A1; L100*10; 1; Saldato; S275; 30; 1; 8; 8; 1	180	0.003832	0.0000035319	0.000007759	0.0304	0.045	0.0000492	0.0000739	0.00008974	0.00012727

Comportamento dei calastrelli

Accoppiamento imbottito con funzione statica (§C4.2.4.1.3.1.4 NTC18) nella campata compresa tra le ascisse 0 e 1.5 per sbandamento attorno all'asse y.

Verifiche di resistenza

Verifiche a forza assiale §4.2.4.1.2.1 - §4.2.4.1.2.2 NTC18

X	Comb.	Sfruttamento	Classe	NEd	Nc,Rd	Nt,Rd	Riduzione da taglio	px	py	Verifica
1.45	SLU 76	0.157		157.58		1003.522	1	0	0	Si

Verifiche a forza assiale SLD §4.2.4.1.2.1 - §4.2.4.1.2.2 NTC18

X	Comb.	Sfruttamento	Classe	NEd	Nc,Rd	Nt,Rd	Riduzione da taglio	px	py	Verifica
0	SLD 1	0.061		61.062		1003.522	1	0	0	Si

Verifica a taglio Y §4.2.4.1.2.4 NTC18

X	Comb.	Sfruttamento	VEd	Vc,Rd	Av	Interazione taglio-torsione	Riduzione torsione	Verifica
1.5	SLU 76	0.001	0.295	302.422	0.002	Non considerata		Si

Verifica a taglio Y SLD §4.2.4.1.2.4 NTC18

X	Comb.	Sfruttamento	VEd	Vc,Rd	Av	Interazione taglio-torsione	Riduzione torsione	Verifica
1.5	SLD 1	0.001	0.226	302.422	0.002	Non considerata		Si

Verifica a flessione semplice X §§ 4.2.4.1.2.3 - 4.2.4.1.2.6 - 4.2.4.1.2.7 - 4.2.4.1.2.8 NTC18

X	Comb.	Sfruttamento	Classe	Mx,Ed	Mx,Rd	Rid. Mx,Rd da VEd	px	py	Verifica
0.75	SLU 5	0.004	1	0.08404	23.50374	1	0	0	Si

Verifica a presso/tenso flessione retta X §§ 4.2.4.1.2.3 - 4.2.4.1.2.6 - 4.2.4.1.2.7 - 4.2.4.1.2.8 NTC18

Verifiche eseguite utilizzando la formula conservativa (6.2) §6.2.1 EN 1993-1-1:2005.

X	Comb.	Sfruttamento	Classe	NEd	NRd	Rid. NRd da VEd	Mx,Ed	Mx,Rd	Rid. Mx,Rd da VEd	Rid. Mx,Rd da NEd	px	py	Verifica
0.75	SLU 76	0.162	1	157.58	1003.522	1	0.1117	23.5037	1		0	0	Si

Verifica a presso/tenso flessione retta X SLD §§ 4.2.4.1.2.3 - 4.2.4.1.2.6 - 4.2.4.1.2.7 - 4.2.4.1.2.8 NTC18

Verifiche eseguite utilizzando la formula conservativa (6.2) §6.2.1 EN 1993-1-1:2005.

X	Comb.	Sfruttamento	Classe	NEd	NRd	Rid. NRd da VEd	Mx,Ed	Mx,Rd	Rid. Mx,Rd da VEd	Rid. Mx,Rd da NEd	px	py	Verifica
0.75	SLD 1	0.064	1	61.062	1003.522	1	0.0849	23.5037	1		0	0	Si

Verifica a presso/tenso flessione retta Y §§ 4.2.4.1.2.3 - 4.2.4.1.2.6 - 4.2.4.1.2.7 - 4.2.4.1.2.8 NTC18

Verifiche eseguite utilizzando la formula conservativa (6.2) §6.2.1 EN 1993-1-1:2005.

X	Comb.	Sfruttamento	Classe	NEd	NRd	Rid. NRd da VEd	My,Ed	My,Rd	Rid. My,Rd da VEd	Rid. My,Rd da NEd	px	py	Verifica
0	SLV 1	0.08	1	77.169	1003.522	1	-0.0871	33.3316	1		0	0	Si

Verifica a presso/tenso flessione retta Y SLD §§ 4.2.4.1.2.3 - 4.2.4.1.2.6 - 4.2.4.1.2.7 - 4.2.4.1.2.8 NTC18

Verifiche eseguite utilizzando la formula conservativa (6.2) §6.2.1 EN 1993-1-1:2005.

X	Comb.	Sfruttamento	Classe	NEd	NRd	Rid. NRd da VEd	My,Ed	My,Rd	Rid. My,Rd da VEd	Rid. My,Rd da NEd	px	py	Verifica
0	SLD 1	0.062	1	61.062	1003.522	1	-0.0351	33.3316	1		0	0	Si

Verifica a presso/tenso flessione deviata §§ 4.2.4.1.2.3 - 4.2.4.1.2.6 - 4.2.4.1.2.7 - 4.2.4.1.2.8 NTC18

Verifiche eseguite utilizzando la formula conservativa (6.2) §6.2.1 EN 1993-1-1:2005.

X	Comb.	Sfruttamento	Classe	NEd	NRd	Rid. NRd da VEd	Mx,Ed	Mx,Rd	My,Ed	My,Rd	Rid. Mx,Rd da VEd	Rid. Mx,Rd da NEd	Rid. My,Rd da VEd	Rid. My,Rd da NEd	α	β	px	py	Verifica
0.5	SLV 1	0.081	1	77.169	1003.522	1	0.0758	23.5037	-0.0392	33.3316	1		1				0	0	Si

Verifica a presso/tenso flessione deviata SLD §§ 4.2.4.1.2.3 - 4.2.4.1.2.6 - 4.2.4.1.2.7 - 4.2.4.1.2.8 NTC18

Verifiche eseguite utilizzando la formula conservativa (6.2) §6.2.1 EN 1993-1-1:2005.

X	Comb.	Sfruttamento	Classe	NEd	NRd	Rid. NRd da VEd	Mx,Ed	Mx,Rd	My,Ed	My,Rd	Rid. Mx,Rd da VEd	Rid. Mx,Rd da NEd	Rid. My,Rd da VEd	Rid. My,Rd da NEd	α	β	px	py	Verifica
0.5	SLD 2	0.065	1	61.062	1003.522	1	0.0756	23.5037	-0.0158	33.3316	1		1				0	0	Si

Verifiche ad instabilità

Caratteristiche iniziali

Membratura principale per controllo snellezza; Calcolo di snellezze ed N critici condotti secondo gli assi principali;
Curva X: c; Curva Y: c;
Svergolamento: Nessuno; la verifica a instabilità flesso-torsionale (svergolamento) non verrà eseguita.

Dati per instabilità attorno a x

Controllo della snellezza secondo §4.2.4.1.3.1 NTC18

Numero rit.	Presente	Ascissa	Campata	βx/m	Vincolo a entrambi estremi	λx/m	λVer
1	Si	0					
			1-2	1	Si	49.4	Si, (<200)

Implementazione dei sistemi di confinamento delle emissioni odorigene diffuse dell’impianto di compostaggio esistente nel
Comune di Eboli (SA)
PROGETTO DEFINITIVO – Tabulati di calcolo Tomo 1

Numero rit.	Presente	Ascissa	Campata	$\beta x/m$	Vincolo a entrambi estremi	$\lambda x/m$	λVer
2	Si	1.5					

Dati per instabilità attorno a y

Controllo della snellezza secondo §4.2.4.1.3.1 NTC18

Numero rit.	Presente	Ascissa	Campata	$\beta y/n$	k,LT	kw,LT	Vincolo a entrambi estremi
1	Si	0					
			1-2	1	Si	34.8	Si, (<200)
2	Si	1.5					

Verifica di stabilità per pressoflessione §C.4.2.4.1.3.3.1 NTC18

X	Comb.	Sfruttamento	Classe	NEd	MxEq,Ed	MyEq,Ed	Area	Wx	Wy	χ_{min}	$\lambda_{adim. x/m}$	$\lambda_{adim. y/n}$	N,crit x/m	N,crit y/n	Verifica
0	SLU 2	0.041	3	-25.139	0.072	0.0761	0.003832	0.0000492	0.0000739	0.804	0.569	0.4	3253.47	6569.993	Si

Verifiche a deformabilità

Mensola X: No; Mensola Y: No.

Frecce lungo X

Ascissa freccia	Combinazione	Freccia	Luce	L/f	L/f,min	Tipo	Verifica
0.7	SLE RA 1	0	1.5	10000	250	Totale	Si
0.65	SLE RA 17	0	1.5	10000	250	Totale	Si
0.65	SLE RA 16	0	1.5	10000	250	Totale	Si
0.6	SLE RA 15	0	1.5	10000	250	Totale	Si
0.75	SLE RA 14	0	1.5	10000	250	Totale	Si
0.65	SLE RA 2	0	1.5	10000	350	Variabile	Si
0.65	SLE RA 17	0	1.5	10000	350	Variabile	Si
0.65	SLE RA 16	0	1.5	10000	350	Variabile	Si
0.55	SLE RA 15	0	1.5	10000	350	Variabile	Si
0.8	SLE RA 14	0	1.5	10000	350	Variabile	Si

Frecce lungo Y

Ascissa freccia	Combinazione	Freccia	Luce	L/f	L/f,min	Tipo	Verifica
0.75	SLE RA 1	0.00003	1.5	10000	250	Totale	Si
0.75	SLE RA 17	0.00003	1.5	10000	250	Totale	Si
0.75	SLE RA 16	0.00003	1.5	10000	250	Totale	Si
0.75	SLE RA 15	0.00003	1.5	10000	250	Totale	Si
0.75	SLE RA 14	0.00003	1.5	10000	250	Totale	Si
0.7	SLE RA 2	0	1.5	10000	350	Variabile	Si
0.7	SLE RA 17	0	1.5	10000	350	Variabile	Si
0.7	SLE RA 16	0	1.5	10000	350	Variabile	Si
0.7	SLE RA 15	0	1.5	10000	350	Variabile	Si
0.7	SLE RA 14	0	1.5	10000	350	Variabile	Si

Superelemento in acciaio a quota "640" (-471; 441)-(-362; 338)

Caratteristiche del materiale

Acciaio: S275, fyk = 275000

Caratteristiche geometriche

Lunghezza: 1.5

Nodo iniziale: 755 Nodo finale: 739

Cerniera iniziale: Mmomenti 1% Cerniera finale: Mmomenti 1%

Sovraresistenza: 0% Sisma Z: No

Caratteristiche della sezione

Sezione	Rotazione	Area	Jx	Jy	ix	iy	Wx	Wy	Wplx	Wply
A1; L100*10; 1; Saldato; S275; 30; 1; 8; 8; 1	180	0.003832	0.0000035319	0.000007759	0.0304	0.045	0.0000492	0.0000739	0.00008974	0.00012727

Comportamento dei calastrelli

Accoppiamento imbottito con funzione statica (§C4.2.4.1.3.1.4 NTC18) nella campata compresa tra le ascisse 0 e 1.5 per sbandamento attorno all'asse y.

Verifiche di resistenza

Verifiche a forza assiale §4.2.4.1.2.1 - §4.2.4.1.2.2 NTC18

X	Comb.	Sfruttamento	Classe	NEd	Nc,Rd	Nt,Rd	Riduzione da taglio	px	py	Verifica
0.15	SLU 75	0.242		243.268		1003.522	1	0	0	Si

Verifiche a forza assiale SLD §4.2.4.1.2.1 - §4.2.4.1.2.2 NTC18

X	Comb.	Sfruttamento	Classe	NEd	Nc,Rd	Nt,Rd	Riduzione da taglio	px	py	Verifica
0	SLD 1	0.084		84.118		1003.522	1	0	0	Si

Verifica a taglio X §4.2.4.1.2.4 NTC18

X	Comb.	Sfruttamento	VEd	Vc,Rd	Av	Interazione taglio-torsione	Riduzione torsione	Verifica
1.5	SLV 16	0.001	-0.324	302.422	0.002	Non considerata		Si

Verifica a taglio Y §4.2.4.1.2.4 NTC18

X	Comb.	Sfruttamento	VEd	Vc,Rd	Av	Interazione taglio-torsione	Riduzione torsione	Verifica
0	SLU 75	0.001	-0.296	302.422	0.002	Non considerata		Si

**Implementazione dei sistemi di confinamento delle emissioni odorigene diffuse dell'impianto di compostaggio esistente nel
Comune di Eboli (SA)
PROGETTO DEFINITIVO – Tabulati di calcolo Tomo 1**

Verifica a taglio Y SLD §4.2.4.1.2.4 NTC18

X	Comb.	Sfruttamento	VEd	Vc,Rd	Av	Interazione taglio-torsione	Riduzione torsione	Verifica
0	SLD 4	0.001	-0.226	302.422	0.002	Non considerata		Si

Verifica a flessione semplice X §§ 4.2.4.1.2.3 - 4.2.4.1.2.6 - 4.2.4.1.2.7 - 4.2.4.1.2.8 NTC18

X	Comb.	Sfruttamento	Classe	Mx,Ed	Mx,Rd	Rid. Mx,Rd da VEd	px	py	Verifica
0.75	SLU 59	0.005	1	0.10915	23.50374	1	0	0	Si

Verifica a presso/tenso flessione retta X §§ 4.2.4.1.2.3 - 4.2.4.1.2.6 - 4.2.4.1.2.7 - 4.2.4.1.2.8 NTC18

Verifiche eseguite utilizzando la formula conservativa (6.2) §6.2.1 EN 1993-1-1:2005.

X	Comb.	Sfruttamento	Classe	NEd	NRd	Rid. NRd da VEd	Mx,Ed	Mx,Rd	Rid. Mx,Rd da VEd	Rid. Mx,Rd da NEd	px	py	Verifica
0.75	SLU 75	0.247	1	243.268	1003.522	1	0.1115	23.5037	1		0	0	Si

Verifica a presso/tenso flessione retta X SLD §§ 4.2.4.1.2.3 - 4.2.4.1.2.6 - 4.2.4.1.2.7 - 4.2.4.1.2.8 NTC18

Verifiche eseguite utilizzando la formula conservativa (6.2) §6.2.1 EN 1993-1-1:2005.

X	Comb.	Sfruttamento	Classe	NEd	NRd	Rid. NRd da VEd	Mx,Ed	Mx,Rd	Rid. Mx,Rd da VEd	Rid. Mx,Rd da NEd	px	py	Verifica
0.5	SLD 5	0.087	1	84.112	1003.522	1	0.0751	23.5037	1		0	0	Si

Verifica a presso/tenso flessione retta Y §§ 4.2.4.1.2.3 - 4.2.4.1.2.6 - 4.2.4.1.2.7 - 4.2.4.1.2.8 NTC18

Verifiche eseguite utilizzando la formula conservativa (6.2) §6.2.1 EN 1993-1-1:2005.

X	Comb.	Sfruttamento	Classe	NEd	NRd	Rid. NRd da VEd	My,Ed	My,Rd	Rid. My,Rd da VEd	Rid. My,Rd da NEd	px	py	Verifica
1.5	SLV 1	0.095	1	85.97	1003.522	1	0.3064	33.3316	1		0	0	Si

Verifica a presso/tenso flessione retta Y SLD §§ 4.2.4.1.2.3 - 4.2.4.1.2.6 - 4.2.4.1.2.7 - 4.2.4.1.2.8 NTC18

Verifiche eseguite utilizzando la formula conservativa (6.2) §6.2.1 EN 1993-1-1:2005.

X	Comb.	Sfruttamento	Classe	NEd	NRd	Rid. NRd da VEd	My,Ed	My,Rd	Rid. My,Rd da VEd	Rid. My,Rd da NEd	px	py	Verifica
1.5	SLD 1	0.087	1	84.118	1003.522	1	0.1221	33.3316	1		0	0	Si

Verifica a presso/tenso flessione deviata §§ 4.2.4.1.2.3 - 4.2.4.1.2.6 - 4.2.4.1.2.7 - 4.2.4.1.2.8 NTC18

Verifiche eseguite utilizzando la formula conservativa (6.2) §6.2.1 EN 1993-1-1:2005.

X	Comb.	Sfruttamento	Classe	NEd	NRd	Rid. NRd da VEd	Mx,Ed	Mx,Rd	My,Ed	My,Rd	Rid. Mx,Rd da VEd	Rid. Mx,Rd da NEd	Rid. My,Rd da VEd	Rid. My,Rd da NEd	α	β	px	py	Verifica
1.45	SLV 2	0.095	1	85.97	1003.522	1	0.0117	23.5037	0.2905	33.3316	1		1				0	0	Si

Verifica a presso/tenso flessione deviata SLD §§ 4.2.4.1.2.3 - 4.2.4.1.2.6 - 4.2.4.1.2.7 - 4.2.4.1.2.8 NTC18

Verifiche eseguite utilizzando la formula conservativa (6.2) §6.2.1 EN 1993-1-1:2005.

X	Comb.	Sfruttamento	Classe	NEd	NRd	Rid. NRd da VEd	Mx,Ed	Mx,Rd	My,Ed	My,Rd	Rid. Mx,Rd da VEd	Rid. Mx,Rd da NEd	Rid. My,Rd da VEd	Rid. My,Rd da NEd	α	β	px	py	Verifica
1.05	SLD 2	0.089	1	84.118	1003.522	1	0.0715	23.5037	0.0654	33.3316	1		1				0	0	Si

Verifiche ad instabilità

Caratteristiche iniziali

Membratura principale per controllo snellezza; Calcolo di snellezze ed N critici condotti secondo gli assi principali;

Curva X: c; Curva Y: c;

Svergolamento: Nessuno; la verifica a instabilità flesso-torsionale (svergolamento) non verrà eseguita.

Dati per instabilità attorno a x

Controllo della snellezza secondo §4.2.4.1.3.1 NTC18

Numero rit.	Presente	Ascissa	Campata	βx/m	Vincolo a entrambi estremi	λx/m	λVer
1	Si	0	1-2	1	Si	49.4	Si, (<200)
2	Si	1.5					

Dati per instabilità attorno a y

Controllo della snellezza secondo §4.2.4.1.3.1 NTC18

Numero rit.	Presente	Ascissa	Campata	βy/n	k,LT	kw,LT	Vincolo a entrambi estremi
1	Si	0	1-2	1	Si	34.8	Si, (<200)
2	Si	1.5					

Verifica di stabilità per pressoflessione §C.4.2.4.1.3.3.1 NTC18

X	Comb.	Sfruttamento	Classe	NEd	MxEq,Ed	MyEq,Ed	Area	Wx	Wy	χ,min	λ adim. x/m	λ adim. y/n	N,crit x/m	N,crit y/n	Verifica
0	SLU 2	0.057	3	-37.729	0.0719	0.0857	0.003832	0.0000492	0.0000739	0.804	0.569	0.4	3253.47	6569.993	Si

Verifiche a deformabilità

Mensola X: No; Mensola Y: No.

Frecce lungo X

Ascissa freccia	Combinazione	Freccia	Luce	L/f	L/f,min	Tipo	Verifica
0.35	SLE RA 1	0	1.5	10000	250	Totale	Si
0.35	SLE RA 17	0	1.5	10000	250	Totale	Si
0.35	SLE RA 16	0	1.5	10000	250	Totale	Si
0.4	SLE RA 15	0	1.5	10000	250	Totale	Si
0.35	SLE RA 14	0	1.5	10000	250	Totale	Si
0.35	SLE RA 2	0	1.5	10000	350	Variabile	Si
0.35	SLE RA 17	0	1.5	10000	350	Variabile	Si
0.35	SLE RA 16	0	1.5	10000	350	Variabile	Si
0.4	SLE RA 15	0	1.5	10000	350	Variabile	Si
1.15	SLE RA 14	0	1.5	10000	350	Variabile	Si

Frecce lungo Y

Ascissa freccia	Combinazione	Freccia	Luce	L/f	L/f,min	Tipo	Verifica
0.75	SLE RA 1	0.00003	1.5	10000	250	Totale	Si
0.75	SLE RA 17	0.00003	1.5	10000	250	Totale	Si
0.75	SLE RA 16	0.00003	1.5	10000	250	Totale	Si

Implementazione dei sistemi di confinamento delle emissioni odorigene diffuse dell'impianto di compostaggio esistente nel
Comune di Eboli (SA)
PROGETTO DEFINITIVO – Tabulati di calcolo Tomo 1

Ascissa freccia	Combinazione	Freccia	Luce	L/f	L/f,min	Tipo	Verifica
0.75	SLE RA 15	0.00003	1.5	10000	250	Totale	Si
0.75	SLE RA 14	0.00003	1.5	10000	250	Totale	Si
0.85	SLE RA 2	0	1.5	10000	350	Variabile	Si
0.85	SLE RA 17	0	1.5	10000	350	Variabile	Si
0.85	SLE RA 16	0	1.5	10000	350	Variabile	Si
0.8	SLE RA 15	0	1.5	10000	350	Variabile	Si
0.85	SLE RA 14	0	1.5	10000	350	Variabile	Si

Superelemento in acciaio a quota "640" (-506; -34)-(-397; -137)

Caratteristiche del materiale

Acciaio: S275, fyk = 275000

Caratteristiche geometriche

Lunghezza: 1.5

Nodo iniziale: 659 Nodo finale: 637

Cerniera iniziale: Mmomenti 1% Cerniera finale: Mmomenti 1%

Sovreresistenza: 0% Sisma Z: No

Caratteristiche della sezione

Sezione	Rotazione	Area	Jx	Jy	ix	iy	Wx	Wy	Wplx	Wply
A1; L100*10; 1; Saldato; S275; 30; 1; 8; 8; 1	180	0.003832	0.0000035319	0.000007759	0.0304	0.045	0.0000492	0.0000739	0.00008974	0.00012727

Comportamento dei calastrelli

Accoppiamento imbottito con funzione statica (§C4.2.4.1.3.1.4 NTC18) nella campata compresa tra le ascisse 0 e 1.5 per sbandamento attorno all'asse y.

Verifiche di resistenza

Verifiche a forza assiale §4.2.4.1.2.1 - §4.2.4.1.2.2 NTC18

X	Comb.	Sfruttamento	Classe	NEd	Nc,Rd	Nt,Rd	Riduzione da taglio	px	py	Verifica
0.05	SLU 75	0.125		124.948		1003.522	1	0	0	Si

Verifiche a forza assiale SLD §4.2.4.1.2.1 - §4.2.4.1.2.2 NTC18

X	Comb.	Sfruttamento	Classe	NEd	Nc,Rd	Nt,Rd	Riduzione da taglio	px	py	Verifica
1.5	SLD 16	0.045		45.305		1003.522	1	0	0	Si

Verifica a taglio Y §4.2.4.1.2.4 NTC18

X	Comb.	Sfruttamento	VEd	Vc,Rd	Av	Interazione taglio-torsione	Riduzione torsione	Verifica
1.5	SLU 64	0.001	0.294	302.422	0.002	Non considerata		Si

Verifica a taglio Y SLD §4.2.4.1.2.4 NTC18

X	Comb.	Sfruttamento	VEd	Vc,Rd	Av	Interazione taglio-torsione	Riduzione torsione	Verifica
1.5	SLD 16	0.001	0.226	302.422	0.002	Non considerata		Si

Verifica a flessione semplice X §§ 4.2.4.1.2.3 - 4.2.4.1.2.6 - 4.2.4.1.2.7 - 4.2.4.1.2.8 NTC18

X	Comb.	Sfruttamento	Classe	Mx,Ed	Mx,Rd	Rid. Mx,Rd da VEd	px	py	Verifica
0.75	SLU 5	0.004	1	0.08406	23.50374	1	0	0	Si

Verifica a presso/tenso flessione retta X §§ 4.2.4.1.2.3 - 4.2.4.1.2.6 - 4.2.4.1.2.7 - 4.2.4.1.2.8 NTC18

Verifiche eseguite utilizzando la formula conservativa (6.2) §6.2.1 EN 1993-1-1:2005.

X	Comb.	Sfruttamento	Classe	NEd	NRd	Rid. NRd da VEd	Mx,Ed	Mx,Rd	Rid. Mx,Rd da VEd	Rid. Mx,Rd da NEd	px	py	Verifica
0.75	SLU 75	0.129	1	124.948	1003.522	1	0.113	23.5037	1		0	0	Si

Verifica a presso/tenso flessione retta Y §§ 4.2.4.1.2.3 - 4.2.4.1.2.6 - 4.2.4.1.2.7 - 4.2.4.1.2.8 NTC18

Verifiche eseguite utilizzando la formula conservativa (6.2) §6.2.1 EN 1993-1-1:2005.

X	Comb.	Sfruttamento	Classe	NEd	NRd	Rid. NRd da VEd	My,Ed	My,Rd	Rid. My,Rd da VEd	Rid. My,Rd da NEd	px	py	Verifica
1.5	SLU 75	0.125	1	124.948	1003.522	1	-0.0167	33.3316	1		0	0	Si

Verifica a presso/tenso flessione retta Y SLD §§ 4.2.4.1.2.3 - 4.2.4.1.2.6 - 4.2.4.1.2.7 - 4.2.4.1.2.8 NTC18

Verifiche eseguite utilizzando la formula conservativa (6.2) §6.2.1 EN 1993-1-1:2005.

X	Comb.	Sfruttamento	Classe	NEd	NRd	Rid. NRd da VEd	My,Ed	My,Rd	Rid. My,Rd da VEd	Rid. My,Rd da NEd	px	py	Verifica
1.5	SLD 16	0.046	1	45.305	1003.522	1	0.0412	33.3316	1		0	0	Si

Verifica a presso/tenso flessione deviata §§ 4.2.4.1.2.3 - 4.2.4.1.2.6 - 4.2.4.1.2.7 - 4.2.4.1.2.8 NTC18

Verifiche eseguite utilizzando la formula conservativa (6.2) §6.2.1 EN 1993-1-1:2005.

X	Comb.	Sfruttamento	Classe	NEd	NRd	Rid. NRd da VEd	Mx,Ed	Mx,Rd	My,Ed	My,Rd	Rid. Mx,Rd da VEd	Rid. Mx,Rd da NEd	Rid. My,Rd da VEd	Rid. My,Rd da NEd	α	β	px	py	Verifica
0.9	SLU 75	0.129	1	124.948	1003.522	1	0.1086	23.5037	-0.0075	33.3316	1		1				0	0	Si

Verifica a presso/tenso flessione deviata SLD §§ 4.2.4.1.2.3 - 4.2.4.1.2.6 - 4.2.4.1.2.7 - 4.2.4.1.2.8 NTC18

Verifiche eseguite utilizzando la formula conservativa (6.2) §6.2.1 EN 1993-1-1:2005.

X	Comb.	Sfruttamento	Classe	NEd	NRd	Rid. NRd da VEd	Mx,Ed	Mx,Rd	My,Ed	My,Rd	Rid. Mx,Rd da VEd	Rid. Mx,Rd da NEd	Rid. My,Rd da VEd	Rid. My,Rd da NEd	α	β	px	py	Verifica
0.8	SLD 15	0.05	1	45.305	1003.522	1	0.085	23.5037	0.0317	33.3316	1		1				0	0	Si

Implementazione dei sistemi di confinamento delle emissioni odorigene diffuse dell'impianto di compostaggio esistente nel
Comune di Eboli (SA)
PROGETTO DEFINITIVO – Tabulati di calcolo Tomo 1

Verifiche ad instabilità

Caratteristiche iniziali

Membratura principale per controllo snellezza; Calcolo di snellezze ed N critici condotti secondo gli assi principali;
Curva X: c; Curva Y: c;
Svergolamento: Nessuno; la verifica a instabilità flessio-torsionale (svergolamento) non verrà eseguita.

Dati per instabilità attorno a x

Controllo della snellezza secondo §4.2.4.1.3.1 NTC18

Numero rit.	Presente	Ascissa	Campata	$\beta x/m$	Vincolo a entrambi estremi	$\lambda x/m$	λVer
1	Si	0					
			1-2	1	Si	49.4	Si, (<200)
2	Si	1.5					

Dati per instabilità attorno a y

Controllo della snellezza secondo §4.2.4.1.3.1 NTC18

Numero rit.	Presente	Ascissa	Campata	$\beta y/n$	k,LT	kw,LT	Vincolo a entrambi estremi
1	Si	0					
			1-2	1	Si	34.8	Si, (<200)
2	Si	1.5					

Verifica di stabilità per pressoflessione §C.4.2.4.1.3.3.1 NTC18

X	Comb.	Sfruttamento	Classe	NEd	MxEq,Ed	MyEq,Ed	Area	Wx	Wy	χ_{min}	$\lambda_{adim. x/m}$	$\lambda_{adim. y/n}$	N,crit x/m	N,crit y/n	Verifica
0	SLU 2	0.032	3	-19.499	0.0718	-0.0452	0.003832	0.0000492	0.0000739	0.804	0.569	0.4	3253.47	6569.993	Si

Verifiche a deformabilità

Mensola X: No; Mensola Y: No.

Frecce lungo X

Ascissa freccia	Combinazione	Freccia	Luce	L/f	L/f,min	Tipo	Verifica
0.95	SLE RA 1	0	1.5	10000	250	Totale	Si
0.95	SLE RA 17	0	1.5	10000	250	Totale	Si
0.95	SLE RA 16	0	1.5	10000	250	Totale	Si
0.95	SLE RA 15	0	1.5	10000	250	Totale	Si
0.95	SLE RA 14	0	1.5	10000	250	Totale	Si
1	SLE RA 2	0	1.5	10000	350	Variabile	Si
1	SLE RA 17	0	1.5	10000	350	Variabile	Si
1	SLE RA 16	0	1.5	10000	350	Variabile	Si
0.95	SLE RA 15	0	1.5	10000	350	Variabile	Si
1	SLE RA 14	0	1.5	10000	350	Variabile	Si

Frecce lungo Y

Ascissa freccia	Combinazione	Freccia	Luce	L/f	L/f,min	Tipo	Verifica
0.75	SLE RA 1	0.00003	1.5	10000	250	Totale	Si
0.75	SLE RA 17	0.00003	1.5	10000	250	Totale	Si
0.75	SLE RA 16	0.00003	1.5	10000	250	Totale	Si
0.75	SLE RA 15	0.00003	1.5	10000	250	Totale	Si
0.75	SLE RA 14	0.00003	1.5	10000	250	Totale	Si
0.75	SLE RA 2	0	1.5	10000	350	Variabile	Si
0.75	SLE RA 17	0	1.5	10000	350	Variabile	Si
0.75	SLE RA 16	0	1.5	10000	350	Variabile	Si
0.75	SLE RA 15	0	1.5	10000	350	Variabile	Si
0.75	SLE RA 14	0	1.5	10000	350	Variabile	Si

Superelemento in acciaio a quota "640" (-526; 1256)-(-399; 1391)

Caratteristiche del materiale

Acciaio: S275, fyk = 275000

Caratteristiche geometriche

Lunghezza: 1.85
Nodo iniziale: 923 Nodo finale: 949
Cerniera iniziale: No Cerniera finale: No
Sovreresistenza: 0% Sisma Z: No

Caratteristiche della sezione

Sezione	Rotazione	Area	Jx	Jy	ix	iy	Wx	Wy	Wplx	Wply
HEA120	0	0.002537	0.0000060673	0.0000023091	0.0489	0.0302	0.00010644	0.00003849	0.00011962	0.00005887

Verifiche di resistenza

Verifiche a forza assiale §4.2.4.1.2.1 - §4.2.4.1.2.2 NTC18

X	Comb.	Sfruttamento	Classe	NEd	Nc,Rd	Nt,Rd	Riduzione da taglio	px	py	Verifica
0	SLU 76	0.203	1	-134.68	664.325		1	0	0	Si

Verifiche a forza assiale SLD §4.2.4.1.2.1 - §4.2.4.1.2.2 NTC18

X	Comb.	Sfruttamento	Classe	NEd	Nc,Rd	Nt,Rd	Riduzione da taglio	px	py	Verifica
1.85	SLD 10	0.063	1	-42.154	664.325		1	0	0	Si

Verifica a taglio Y §4.2.4.1.2.4 NTC18

X	Comb.	Sfruttamento	VEd	Vc,Rd	Av	Interazione taglio-torsione	Riduzione torsione	Verifica
0	SLU 76	0.022	2.745	125.298	0.000849	Considerata	0.98	Si

**Implementazione dei sistemi di confinamento delle emissioni odorigene diffuse dell'impianto di compostaggio esistente nel
Comune di Eboli (SA)
PROGETTO DEFINITIVO – Tabulati di calcolo Tomo 1**

Verifica a taglio Y SLD §4.2.4.1.2.4 NTC18

X	Comb.	Sfruttamento	VEd	Vc,Rd	Av	Interazione taglio-torsione	Riduzione torsione	Verifica
0	SLD 10	0.007	0.908	127.032	0.000849	Considerata	0.99	Si

Verifica a torsione §4.2.4.1.2.5 NTC18

X	Comb.	Sfruttamento torsione	TEd	TRd	Riduzione taglio resistente	Sfruttamento taglio-torsione	rEd,totale	rRd	Verifica
1.788	SLU 76	0.058	-0.04928	0.85138	Considerata				Si

Verifica a torsione SLD §4.2.4.1.2.5 NTC18

X	Comb.	Sfruttamento torsione	TEd	TRd	Riduzione taglio resistente	Sfruttamento taglio-torsione	rEd,totale	rRd	Verifica
1.85	SLD 10	0.025	-0.02101	0.85138	Considerata				Si

Verifica a flessione semplice X §§ 4.2.4.1.2.3 - 4.2.4.1.2.6 - 4.2.4.1.2.7 - 4.2.4.1.2.8 NTC18

X	Comb.	Sfruttamento	Classe	Mx,Ed	Mx,Rd	Rid. Mx,Rd da VEd	px	py	Verifica
1.85	SLU 59	0.009	1	0.28179	31.32907	1	0	0	Si

Verifica a presso/tenso flessione retta X §§ 4.2.4.1.2.3 - 4.2.4.1.2.6 - 4.2.4.1.2.7 - 4.2.4.1.2.8 NTC18

Verifiche eseguite utilizzando la formula conservativa (6.2) §6.2.1 EN 1993-1-1:2005.

X	Comb.	Sfruttamento	Classe	NEd	NRd	Rid. NRd da VEd	Mx,Ed	Mx,Rd	Rid. Mx,Rd da VEd	Rid. Mx,Rd da NEd	px	py	Verifica
1.048	SLV 10	0.101	1	-50.416	664.325	1	-0.7775	31.3291	1		0	0	Si

Verifica a presso/tenso flessione retta X SLD §§ 4.2.4.1.2.3 - 4.2.4.1.2.6 - 4.2.4.1.2.7 - 4.2.4.1.2.8 NTC18

Verifiche eseguite utilizzando la formula conservativa (6.2) §6.2.1 EN 1993-1-1:2005.

X	Comb.	Sfruttamento	Classe	NEd	NRd	Rid. NRd da VEd	Mx,Ed	Mx,Rd	Rid. Mx,Rd da VEd	Rid. Mx,Rd da NEd	px	py	Verifica
1.665	SLD 9	0.099	1	-42.154	664.325	1	-1.1	31.3291	1		0	0	Si

Verifica a presso/tenso flessione retta Y §§ 4.2.4.1.2.3 - 4.2.4.1.2.6 - 4.2.4.1.2.7 - 4.2.4.1.2.8 NTC18

Verifiche eseguite utilizzando la formula conservativa (6.2) §6.2.1 EN 1993-1-1:2005.

X	Comb.	Sfruttamento	Classe	NEd	NRd	Rid. NRd da VEd	My,Ed	My,Rd	Rid. My,Rd da VEd	Rid. My,Rd da NEd	px	py	Verifica
0.185	SLV 6	0.071	1	-44.602	664.325	1	-0.0609	15.4191	1		0	0	Si

Verifica a presso/tenso flessione retta Y SLD §§ 4.2.4.1.2.3 - 4.2.4.1.2.6 - 4.2.4.1.2.7 - 4.2.4.1.2.8 NTC18

Verifiche eseguite utilizzando la formula conservativa (6.2) §6.2.1 EN 1993-1-1:2005.

X	Comb.	Sfruttamento	Classe	NEd	NRd	Rid. NRd da VEd	My,Ed	My,Rd	Rid. My,Rd da VEd	Rid. My,Rd da NEd	px	py	Verifica
0.123	SLD 15	0.063	1	-40.104	664.325	1	-0.048	15.4191	1		0	0	Si

Verifica a presso/tenso flessione deviata §§ 4.2.4.1.2.3 - 4.2.4.1.2.6 - 4.2.4.1.2.7 - 4.2.4.1.2.8 NTC18

Verifiche eseguite utilizzando la formula conservativa (6.2) §6.2.1 EN 1993-1-1:2005.

X	Comb.	Sfruttamento	Classe	NEd	NRd	Rid. NRd da VEd	Mx,Ed	Mx,Rd	My,Ed	My,Rd	Rid. Mx,Rd da VEd	Rid. Mx,Rd da NEd	Rid. My,Rd da VEd	Rid. My,Rd da NEd	α	β	px	py	Verifica
1.85	SLU 76	0.348	1	-134.68	664.325	1	-4.371	31.3291	-0.095	15.4191	1		1				0	0	Si

Verifica a presso/tenso flessione deviata SLD §§ 4.2.4.1.2.3 - 4.2.4.1.2.6 - 4.2.4.1.2.7 - 4.2.4.1.2.8 NTC18

Verifiche eseguite utilizzando la formula conservativa (6.2) §6.2.1 EN 1993-1-1:2005.

X	Comb.	Sfruttamento	Classe	NEd	NRd	Rid. NRd da VEd	Mx,Ed	Mx,Rd	My,Ed	My,Rd	Rid. Mx,Rd da VEd	Rid. Mx,Rd da NEd	Rid. My,Rd da VEd	Rid. My,Rd da NEd	α	β	px	py	Verifica
1.85	SLD 9	0.102	1	-42.154	664.325	1	-1.2032	31.3291	0.0091	15.4191	1		1				0	0	Si

Verifiche ad instabilità

Caratteristiche iniziali

Membratura principale per controllo snellezza; Calcolo di snellezze ed N critici condotti secondo gli assi principali;

Curva X: b; Curva Y: c; Svergolamento: Carico all'estradosso; Curva svergolamento: b;

Dati per instabilità attorno a x

Controllo della snellezza secondo §4.2.4.1.3.1 NTC18

Numero rit.	Presente	Ascissa	Campata	βx/m	Vincolo a entrambi estremi	λx/m	λVer
1	Si	0					
			1-2		1	37.8	Si, (<200)
2	Si	1.85					

Dati per instabilità attorno a y

Controllo della snellezza secondo §4.2.4.1.3.1 NTC18

Numero rit.	Presente	Ascissa	Campata	βy/n	k,LT	kw,LT	Vincolo a entrambi estremi	λy/n	λVer
1	Si	0							
			1-2		1	1	Si	61.3	Si, (<200)
2	Si	1.85							

Verifica a svergolamento §4.2.4.1.3.2 NTC18

X	Comb.	Sfruttamento	Classe	Obblig.	Mx,Ed	Mb,Rd,x	χ,LT	λ adim. LT	L,LT	M,critico	Verifica
1.85	SLU 59	0.01	1	Si	0.28179	28.25853	0.902	0.633	1.85	82.10616	Si

Verifica di stabilità per tenso-flessione deviata §§ 5.5.3-5.5.4 ENV 1993-1-1:1992 + AC:1992 + A1:1994 + A2:1998

X	Comb.	Sfruttamento	Classe	NEd	Mx,Ed	Mx,Ed,Ed	My,Ed	χ,LT	kLT	ky	M,critico	Wx	Wy	Verifica
1.85	SLU 41	0.013	1	2.86	0.43091	0.34691	0.01652	0.902	1	1	82.10616	0.0001196	0.0000589	Si

Verifica di stabilità per pressoflessione §C.4.2.4.1.3.3.2 NTC18

X	Comb.	Sfruttamento	Classe	NEd	NRk	Mx,Ed max	Mx,Rk	My,Ed max	My,Rk	χ,x	χ,y	kxx	kxy	kyy	χ,LT	Verifica
0.062	SLU 76	0.437	1	-134.68	697.541	4.37101	32.89552	0.14173	16.19002	0.912	0.721	0.627	0.64	0.943	1.067	0.902

Verifica di stabilità per pressoflessione SLD §C.4.2.4.1.3.3.2 NTC18

X	Comb.	Sfruttamento	Classe	NEd	NRk	Mx,Ed max	Mx,Rk	My,Ed max	My,Rk	χ,x	χ,y	kxx	kxy	kyy	χ,LT	Verifica
1.85	SLD 10	0.132	1	-42.154	697.541	1.20322	32.89552	0.05929	16.19002	0.912	0.721	0.622	0.332	0.983	0.553	0.902

Implementazione dei sistemi di confinamento delle emissioni odorigene diffuse dell'impianto di compostaggio esistente nel
Comune di Eboli (SA)
PROGETTO DEFINITIVO – Tabulati di calcolo Tomo 1

Verifica di stabilità a taglio anima Y §4.2.4.1.2.4 [4.2.27] NTC18

η	hw	tw	hw/tw max	Verifica
1.2	0.098	0.005	55.46	Si

Verifica di stabilità a taglio anima Y SLD §4.2.4.1.2.4 [4.2.27] NTC18

η	hw	tw	hw/tw max	Verifica
1.2	0.098	0.005	55.46	Si

Verifiche a deformabilità

Mensola X: No; Mensola Y: No.

Frecce lungo X

Ascissa freccia	Combinazione	Freccia	Luce	L/f	L/f,min	Tipo	Verifica
0.863	SLE RA 1	0.00003	1.85	10000	250	Totale	Si
0.863	SLE RA 17	0.00004	1.85	10000	250	Totale	Si
0.863	SLE RA 16	0.00006	1.85	10000	250	Totale	Si
0.925	SLE RA 15	0.00006	1.85	10000	250	Totale	Si
0.863	SLE RA 14	0.00003	1.85	10000	250	Totale	Si
0.863	SLE RA 2	-0.00003	1.85	10000	350	Variabile	Si
0.863	SLE RA 17	0.00001	1.85	10000	350	Variabile	Si
0.863	SLE RA 16	0.00003	1.85	10000	350	Variabile	Si
0.925	SLE RA 15	0.00003	1.85	10000	350	Variabile	Si
0.74	SLE RA 14	0	1.85	10000	350	Variabile	Si

Frecce lungo Y

Ascissa freccia	Combinazione	Freccia	Luce	L/f	L/f,min	Tipo	Verifica
1.048	SLE RA 19	-0.00051	1.85	3614.4	250	Totale	Si
1.048	SLE RA 15	-0.00044	1.85	4176.7	250	Totale	Si
1.048	SLE RA 11	-0.00044	1.85	4176.7	250	Totale	Si
1.048	SLE RA 7	-0.00044	1.85	4177.5	250	Totale	Si
1.048	SLE RA 16	-0.00041	1.85	4527.6	250	Totale	Si
1.11	SLE RA 19	-0.00031	1.85	5963.4	350	Variabile	Si
1.11	SLE RA 15	-0.00024	1.85	7668.5	350	Variabile	Si
1.11	SLE RA 11	-0.00024	1.85	7668.5	350	Variabile	Si
1.11	SLE RA 7	-0.00024	1.85	7672.2	350	Variabile	Si
1.11	SLE RA 16	-0.00021	1.85	8940.2	350	Variabile	Si

Superelemento in acciaio a quota "640" (-542; -509)-(-415; -374)

Caratteristiche del materiale

Acciaio: S275, fyk = 275000

Caratteristiche geometriche

Lunghezza: 1.85

Nodo iniziale: 575 Nodo finale: 593

Cerniera iniziale: No Cerniera finale: No

Sovraresistenza: 0% Sisma Z: No

Caratteristiche della sezione

Sezione	Rotazione	Area	Jx	Jy	ix	iy	Wx	Wy	Wplx	Wply
HEA120	0	0.002537	0.0000060673	0.0000023091	0.0489	0.0302	0.00010644	0.00003849	0.00011962	0.00005887

Verifiche di resistenza

Verifiche a forza assiale §4.2.4.1.2.1 - §4.2.4.1.2.2 NTC18

X	Comb.	Sfruttamento	Classe	NEd	Nc,Rd	Nt,Rd	Riduzione da taglio	px	py	Verifica
1.788	SLU 75	0.153	1	-101.936	664.325		1	0	0	Si

Verifiche a forza assiale SLD §4.2.4.1.2.1 - §4.2.4.1.2.2 NTC18

X	Comb.	Sfruttamento	Classe	NEd	Nc,Rd	Nt,Rd	Riduzione da taglio	px	py	Verifica
1.85	SLD 5	0.047	1	-31.289	664.325		1	0	0	Si

Verifica a taglio Y §4.2.4.1.2.4 NTC18

X	Comb.	Sfruttamento	VEd	Vc,Rd	Av	Interazione taglio-torsione	Riduzione torsione	Verifica
1.85	SLU 75	0.009	-1.161	127.922	0.000849	Considerata	1	Si

Verifica a taglio Y SLD §4.2.4.1.2.4 NTC18

X	Comb.	Sfruttamento	VEd	Vc,Rd	Av	Interazione taglio-torsione	Riduzione torsione	Verifica
1.85	SLD 11	0.004	-0.486	128.127	0.000849	Considerata	1	Si

Verifica a torsione §4.2.4.1.2.5 NTC18

X	Comb.	Sfruttamento torsione	TEd	TRd	Riduzione taglio resistente	Sfruttamento taglio-torsione	rEd,totale	rRd	Verifica
0.062	SLV 3	0.008	-0.00703	0.85138	Considerata				Si

Verifica a torsione SLD §4.2.4.1.2.5 NTC18

X	Comb.	Sfruttamento torsione	TEd	TRd	Riduzione taglio resistente	Sfruttamento taglio-torsione	rEd,totale	rRd	Verifica
1.85	SLD 4	0.005	-0.00386	0.85138	Considerata				Si

Verifica a presso/tenso flessione retta X §§ 4.2.4.1.2.3 - 4.2.4.1.2.6 - 4.2.4.1.2.7 - 4.2.4.1.2.8 NTC18

Verifiche eseguite utilizzando la formula conservativa (6.2) §6.2.1 EN 1993-1-1:2005.

X	Comb.	Sfruttamento	Classe	NEd	NRd	Rid. NRd da VEd	Mx,Ed	Mx,Rd	Rid. Mx,Rd da VEd	Rid. Mx,Rd da NEd	px	py	Verifica
0	SLU 76	0.121	1	-58.779	664.325	1	-1.0095	31.3291	1		0	0	Si

Verifica a presso/tenso flessione retta X SLD §§ 4.2.4.1.2.3 - 4.2.4.1.2.6 - 4.2.4.1.2.7 - 4.2.4.1.2.8 NTC18

Verifiche eseguite utilizzando la formula conservativa (6.2) §6.2.1 EN 1993-1-1:2005.

Implementazione dei sistemi di confinamento delle emissioni odorigene diffuse dell'impianto di compostaggio esistente nel
Comune di Eboli (SA)

PROGETTO DEFINITIVO – Tabulati di calcolo Tomo 1

X	Comb.	Sfruttamento	Classe	NEd	NRd	Rid. NRd da VEd	Mx,Ed	Mx,Rd	Rid. Mx,Rd da VEd	Rid. Mx,Rd da NEd	px	py	Verifica
0.308	SLD 1	0.061	1	-31.25	664.325	1	-0.4285	31.3291	1		0	0	Si

Verifica a presso/tenso flessione retta Y §§ 4.2.4.1.2.3 - 4.2.4.1.2.6 - 4.2.4.1.2.7 - 4.2.4.1.2.8 NTC18

Verifiche eseguite utilizzando la formula conservativa (6.2) §6.2.1 EN 1993-1-1:2005.

X	Comb.	Sfruttamento	Classe	NEd	NRd	Rid. NRd da VEd	My,Ed	My,Rd	Rid. My,Rd da VEd	Rid. My,Rd da NEd	px	py	Verifica
1.727	SLV 7	0.05	1	-28.794	664.325	1	0.0991	15.4191	1		0	0	Si

Verifica a presso/tenso flessione retta Y SLD §§ 4.2.4.1.2.3 - 4.2.4.1.2.6 - 4.2.4.1.2.7 - 4.2.4.1.2.8 NTC18

Verifiche eseguite utilizzando la formula conservativa (6.2) §6.2.1 EN 1993-1-1:2005.

X	Comb.	Sfruttamento	Classe	NEd	NRd	Rid. NRd da VEd	My,Ed	My,Rd	Rid. My,Rd da VEd	Rid. My,Rd da NEd	px	py	Verifica
1.85	SLD 7	0.048	1	-29.806	664.325	1	0.0501	15.4191	1		0	0	Si

Verifica a presso/tenso flessione deviata §§ 4.2.4.1.2.3 - 4.2.4.1.2.6 - 4.2.4.1.2.7 - 4.2.4.1.2.8 NTC18

Verifiche eseguite utilizzando la formula conservativa (6.2) §6.2.1 EN 1993-1-1:2005.

X	Comb.	Sfruttamento	Classe	NEd	NRd	Rid. NRd da VEd	Mx,Ed	Mx,Rd	My,Ed	My,Rd	Rid. Mx,Rd da VEd	Rid. Mx,Rd da NEd	Rid. My,Rd da VEd	Rid. My,Rd da NEd	α	β	px	py	Verifica
0	SLU 75	0.213	1	-101.936	664.325	1	-1.7877	31.3291	0.0459	15.4191	1		1				0	0	Si

Verifica a presso/tenso flessione deviata SLD §§ 4.2.4.1.2.3 - 4.2.4.1.2.6 - 4.2.4.1.2.7 - 4.2.4.1.2.8 NTC18

Verifiche eseguite utilizzando la formula conservativa (6.2) §6.2.1 EN 1993-1-1:2005.

X	Comb.	Sfruttamento	Classe	NEd	NRd	Rid. NRd da VEd	Mx,Ed	Mx,Rd	My,Ed	My,Rd	Rid. Mx,Rd da VEd	Rid. Mx,Rd da NEd	Rid. My,Rd da VEd	Rid. My,Rd da NEd	α	β	px	py	Verifica
0	SLD 13	0.064	1	-29.878	664.325	1	-0.5138	31.3291	0.0456	15.4191	1		1				0	0	Si

Verifiche ad instabilità

Caratteristiche iniziali

Membratura principale per controllo snellezza; Calcolo di snellezze ed N critici condotti secondo gli assi principali;

Curva X: b; Curva Y: c; Svergolamento: Carico all'estradosso; Curva svergolamento: b;

Dati per instabilità attorno a x

Controllo della snellezza secondo §4.2.4.1.3.1 NTC18

Numero rit.	Presente	Ascissa	Campata	βx/m	Vincolo a entrambi estremi	λx/m	λVer
1	Si		0				
			1-2		1	37.8	Si, (<200)
2	Si		1.85				

Dati per instabilità attorno a y

Controllo della snellezza secondo §4.2.4.1.3.1 NTC18

Numero rit.	Presente	Ascissa	Campata	βy/n	k _{LT}	kw _{LT}	Vincolo a entrambi estremi	λy/n	λVer
1	Si		0						
			1-2		1	1	Si	61.3	Si, (<200)
2	Si		1.85						

Verifica a svergolamento con trazione §4.2.4.1.3.2 NTC18 § 5.5.3 ENV 1993-1-1:1992 + AC:1992 + A1:1994 + A2:1998

X	Comb.	Sfruttamento	Classe	Obblig.	NEd	Mx,Ed	Mx,Eff,Ed	My,Ed	χ _{LT}	λ _{adim. LT}	L _{LT}	M _{critico}	Verifica
0	SLU 40	0.003	1	Si	1.988	0.13578	0.07739	28.25853	0.902	0.633	1.85	82.10616	Si

Verifica di stabilità per tenso-flessione deviata §§ 5.5.3-5.5.4 ENV 1993-1-1:1992 + AC:1992 + A1:1994 + A2:1998

X	Comb.	Sfruttamento	Classe	NEd	Mx,Ed	Mx,Eff,Ed	My,Ed	χ _{LT}	k _{LT}	ky	M _{critico}	W _x	W _y	Verifica
0	SLU 42	0.004	1	1.699	0.10881	0.05889	-0.02801	0.902	1	1	82.10616	0.0001196	0.0000589	Si

Verifica di stabilità per pressoflessione §C.4.2.4.1.3.3.2 NTC18

X	Comb.	Sfruttamento	Classe	NEd	NRk	Mx,Ed max	Mx,Rk	My,Ed max	My,Rk	χ _x	χ _y	k _{xx}	k _{xy}	k _{yx}	k _{yy}	χ _{LT}	Verifica
1.048	SLU 75	0.273	1	-101.936	697.541	1.78772	32.89552	0.06398	16.19002	0.912	0.721	0.695	0.624	0.964	1.04	0.992	Si

Verifica di stabilità per pressoflessione SLD §C.4.2.4.1.3.3.2 NTC18

X	Comb.	Sfruttamento	Classe	NEd	NRk	Mx,Ed max	Mx,Rk	My,Ed max	My,Rk	χ _x	χ _y	k _{xx}	k _{xy}	k _{yx}	k _{yy}	χ _{LT}	Verifica
1.85	SLD 8	0.082	1	-29.806	697.541	0.51596	32.89552	0.05005	16.19002	0.912	0.721	0.754	0.252	0.991	0.42	0.902	Si

Verifica di stabilità a taglio anima Y §4.2.4.1.2.4 [4.2.27] NTC18

η	hw	tw	hw/tw max	Verifica
1.2	0.098	0.005	55.46	Si

Verifica di stabilità a taglio anima Y SLD §4.2.4.1.2.4 [4.2.27] NTC18

η	hw	tw	hw/tw max	Verifica
1.2	0.098	0.005	55.46	Si

Verifiche a deformabilità

Mensola X: No; Mensola Y: No.

Frecce lungo X

Ascissa freccia	Combinazione	Freccia	Luce	L/f	L/f,min	Tipo	Verifica
0.987	SLE RA 1	-0.00001	1.85	10000	250	Totale	Si
0.987	SLE RA 17	-0.00002	1.85	10000	250	Totale	Si
0.987	SLE RA 16	-0.00002	1.85	10000	250	Totale	Si
1.11	SLE RA 15	-0.00001	1.85	10000	250	Totale	Si
0.925	SLE RA 14	-0.00003	1.85	10000	250	Totale	Si
0.987	SLE RA 2	0.00001	1.85	10000	350	Variabile	Si
0.987	SLE RA 17	0	1.85	10000	350	Variabile	Si
0.987	SLE RA 16	-0.00001	1.85	10000	350	Variabile	Si
0.74	SLE RA 15	0	1.85	10000	350	Variabile	Si
0.925	SLE RA 14	-0.00002	1.85	10000	350	Variabile	Si

Frecce lungo Y

Ascissa freccia	Combinazione	Freccia	Luce	L/f	L/f,min	Tipo	Verifica
0.802	SLE RA 18	-0.00025	1.85	7505.4	250	Totale	Si
0.802	SLE RA 6	-0.00022	1.85	8383	250	Totale	Si

Implementazione dei sistemi di confinamento delle emissioni odorigene diffuse dell'impianto di compostaggio esistente nel
Comune di Eboli (SA)

PROGETTO DEFINITIVO – Tabulati di calcolo Tomo 1

Ascissa freccia	Combinazione	Freccia	Luce	L/f	L/f,min	Tipo	Verifica
0.802	SLE RA 10	-0.00022	1.85	8488.7	250	Totale	Si
0.802	SLE RA 14	-0.00022	1.85	8488.7	250	Totale	Si
0.802	SLE RA 16	-0.0002	1.85	9271.4	250	Totale	Si
0.802	SLE RA 2	0.00008	1.85	10000	350	Variabile	Si
0.802	SLE RA 17	-0.00004	1.85	10000	350	Variabile	Si
0.802	SLE RA 16	-0.00009	1.85	10000	350	Variabile	Si
0.74	SLE RA 15	-0.00001	1.85	10000	350	Variabile	Si
0.802	SLE RA 14	-0.0001	1.85	10000	350	Variabile	Si

Superelemento in acciaio a quota "640" (-545; 1019)-(-435; 916)

Caratteristiche del materiale

Acciaio: S275, fyk = 275000

Caratteristiche geometriche

Lunghezza: 1.5

Nodo iniziale: 874 Nodo finale: 850

Cerniera iniziale: Mmomenti 1% Cerniera finale: Mmomenti 1%

Sovreresistenza: 0% Sisma Z: No

Caratteristiche della sezione

Sezione	Rotazione	Area	Jx	Jy	ix	iy	Wx	Wy	Wplx	Wply
A1; L100*10; 1; Saldato; S275; 30; 1; 8; 8; 1	180	0.003832	0.0000035319	0.000007759	0.0304	0.045	0.0000492	0.0000739	0.00008974	0.00012727

Comportamento dei calastrelli

Accoppiamento imbottito con funzione statica (§C4.2.4.1.3.1.4 NTC18) nella campata compresa tra le ascisse 0 e 1.5 per sbandamento attorno all'asse y.

Verifiche di resistenza

Verifiche a forza assiale §4.2.4.1.2.1 - §4.2.4.1.2.2 NTC18

X	Comb.	Sfruttamento	Classe	NEd	Nc,Rd	Nt,Rd	Riduzione da taglio	px	py	Verifica
0.05	SLU 76	0.106		106.543		1003.522	1	0	0	Si

Verifiche a forza assiale SLD §4.2.4.1.2.1 - §4.2.4.1.2.2 NTC18

X	Comb.	Sfruttamento	Classe	NEd	Nc,Rd	Nt,Rd	Riduzione da taglio	px	py	Verifica
0	SLD 1	0.04		40.533		1003.522	1	0	0	Si

Verifica a taglio Y §4.2.4.1.2.4 NTC18

X	Comb.	Sfruttamento	VEd	Vc,Rd	Av	Interazione taglio-torsione	Riduzione torsione	Verifica
0	SLU 76	0.001	-0.294	302.422	0.002	Non considerata		Si

Verifica a taglio Y SLD §4.2.4.1.2.4 NTC18

X	Comb.	Sfruttamento	VEd	Vc,Rd	Av	Interazione taglio-torsione	Riduzione torsione	Verifica
0	SLD 16	0.001	-0.226	302.422	0.002	Non considerata		Si

Verifica a presso/tenso flessione retta X §§ 4.2.4.1.2.3 - 4.2.4.1.2.6 - 4.2.4.1.2.7 - 4.2.4.1.2.8 NTC18

Verifiche eseguite utilizzando la formula conservativa (6.2) §6.2.1 EN 1993-1-1:2005.

X	Comb.	Sfruttamento	Classe	NEd	NRd	Rid. NRd da VEd	Mx,Ed	Mx,Rd	Rid. Mx,Rd da VEd	Rid. Mx,Rd da NEd	px	py	Verifica
0.75	SLU 76	0.111	1	106.543	1003.522	1	0.111	23.5037	1		0	0	Si

Verifica a presso/tenso flessione retta X SLD §§ 4.2.4.1.2.3 - 4.2.4.1.2.6 - 4.2.4.1.2.7 - 4.2.4.1.2.8 NTC18

Verifiche eseguite utilizzando la formula conservativa (6.2) §6.2.1 EN 1993-1-1:2005.

X	Comb.	Sfruttamento	Classe	NEd	NRd	Rid. NRd da VEd	Mx,Ed	Mx,Rd	Rid. Mx,Rd da VEd	Rid. Mx,Rd da NEd	px	py	Verifica
0.75	SLD 2	0.044	1	40.533	1003.522	1	0.0848	23.5037	1		0	0	Si

Verifica a presso/tenso flessione retta Y §§ 4.2.4.1.2.3 - 4.2.4.1.2.6 - 4.2.4.1.2.7 - 4.2.4.1.2.8 NTC18

Verifiche eseguite utilizzando la formula conservativa (6.2) §6.2.1 EN 1993-1-1:2005.

X	Comb.	Sfruttamento	Classe	NEd	NRd	Rid. NRd da VEd	My,Ed	My,Rd	Rid. My,Rd da VEd	Rid. My,Rd da NEd	px	py	Verifica
0	SLU 76	0.106	1	106.543	1003.522	1	0.0098	33.3316	1		0	0	Si

Verifica a presso/tenso flessione retta Y SLD §§ 4.2.4.1.2.3 - 4.2.4.1.2.6 - 4.2.4.1.2.7 - 4.2.4.1.2.8 NTC18

Verifiche eseguite utilizzando la formula conservativa (6.2) §6.2.1 EN 1993-1-1:2005.

X	Comb.	Sfruttamento	Classe	NEd	NRd	Rid. NRd da VEd	My,Ed	My,Rd	Rid. My,Rd da VEd	Rid. My,Rd da NEd	px	py	Verifica
1.5	SLD 1	0.041	1	40.533	1003.522	1	-0.0082	33.3316	1		0	0	Si

Verifica a presso/tenso flessione deviata §§ 4.2.4.1.2.3 - 4.2.4.1.2.6 - 4.2.4.1.2.7 - 4.2.4.1.2.8 NTC18

Verifiche eseguite utilizzando la formula conservativa (6.2) §6.2.1 EN 1993-1-1:2005.

X	Comb.	Sfruttamento	Classe	NEd	NRd	Rid. NRd da VEd	Mx,Ed	Mx,Rd	My,Ed	My,Rd	Rid. Mx,Rd da VEd	Rid. Mx,Rd da NEd	Rid. My,Rd da VEd	Rid. My,Rd da NEd	α	β	px	py	Verifica
0.3	SLU 76	0.109	1	106.543	1003.522	1	0.0712	23.5037	0.0074	33.3316	1		1				0	0	Si

Verifica a presso/tenso flessione deviata SLD §§ 4.2.4.1.2.3 - 4.2.4.1.2.6 - 4.2.4.1.2.7 - 4.2.4.1.2.8 NTC18

Verifiche eseguite utilizzando la formula conservativa (6.2) §6.2.1 EN 1993-1-1:2005.

X	Comb.	Sfruttamento	Classe	NEd	NRd	Rid. NRd da VEd	Mx,Ed	Mx,Rd	My,Ed	My,Rd	Rid. Mx,Rd da VEd	Rid. Mx,Rd da NEd	Rid. My,Rd da VEd	Rid. My,Rd da NEd	α	β	px	py	Verifica
0.75	SLD 6	0.044	1	40.489	1003.522	1	0.0848	23.5037	0.0074	33.3316	1		1				0	0	Si

Implementazione dei sistemi di confinamento delle emissioni odorigene diffuse dell’impianto di compostaggio esistente nel
Comune di Eboli (SA)
PROGETTO DEFINITIVO – Tabulati di calcolo Tomo 1

Verifiche ad instabilità

Caratteristiche iniziali

Membratura principale per controllo snellezza; Calcolo di snellezze ed N critici condotti secondo gli assi principali;
Curva X: c; Curva Y: c;
Svergolamento: Nessuno; la verifica a instabilità flesso-torsionale (svergolamento) non verrà eseguita.

Dati per instabilità attorno a x

Controllo della snellezza secondo §4.2.4.1.3.1 NTC18

Numero rit.	Presente	Ascissa	Campata	$\beta x/m$	Vincolo a entrambi estremi	$\lambda x/m$	λVer
1	Si	0					
			1-2	1	Si	49.4	Si, (<200)
2	Si	1.5					

Dati per instabilità attorno a y

Controllo della snellezza secondo §4.2.4.1.3.1 NTC18

Numero rit.	Presente	Ascissa	Campata	$\beta y/n$	k,LT	kw,LT	Vincolo a entrambi estremi
1	Si	0					
			1-2	1	Si	34.8	Si, (<200)
2	Si	1.5					

Verifica di stabilità per pressoflessione §C.4.2.4.1.3.3.1 NTC18

X	Comb.	Sfruttamento	Classe	NEd	MxEq,Ed	MyEq,Ed	Area	Wx	Wy	χ_{min}	$\lambda_{adim. x/m}$	$\lambda_{adim. y/n}$	N,crit x/m	N,crit y/n	Verifica
0	SLU 2	0.028	3	-16.374	0.0722	-0.0385	0.003832	0.0000492	0.0000739	0.804	0.569	0.4	3253.47	6569.993	Si

Verifiche a deformabilità

Mensola X: No; Mensola Y: No.

Frecce lungo X

Ascissa freccia	Combinazione	Freccia	Luce	L/f	L/f,min	Tipo	Verifica
0.6	SLE RA 1	0	1.5	10000	250	Totale	Si
0.6	SLE RA 17	0	1.5	10000	250	Totale	Si
0.6	SLE RA 16	0	1.5	10000	250	Totale	Si
0.6	SLE RA 15	0	1.5	10000	250	Totale	Si
0.6	SLE RA 14	0	1.5	10000	250	Totale	Si
0.6	SLE RA 2	0	1.5	10000	350	Variabile	Si
0.6	SLE RA 17	0	1.5	10000	350	Variabile	Si
0.6	SLE RA 16	0	1.5	10000	350	Variabile	Si
0.55	SLE RA 15	0	1.5	10000	350	Variabile	Si
0.65	SLE RA 14	0	1.5	10000	350	Variabile	Si

Frecce lungo Y

Ascissa freccia	Combinazione	Freccia	Luce	L/f	L/f,min	Tipo	Verifica
0.75	SLE RA 1	0.00003	1.5	10000	250	Totale	Si
0.75	SLE RA 17	0.00003	1.5	10000	250	Totale	Si
0.75	SLE RA 16	0.00003	1.5	10000	250	Totale	Si
0.75	SLE RA 15	0.00003	1.5	10000	250	Totale	Si
0.75	SLE RA 14	0.00003	1.5	10000	250	Totale	Si
0.75	SLE RA 2	0	1.5	10000	350	Variabile	Si
0.75	SLE RA 17	0	1.5	10000	350	Variabile	Si
0.75	SLE RA 16	0	1.5	10000	350	Variabile	Si
0.8	SLE RA 15	0	1.5	10000	350	Variabile	Si
0.75	SLE RA 14	0	1.5	10000	350	Variabile	Si

Superelemento in acciaio a quota "640" (-580; 544)-(-471; 441)

Caratteristiche del materiale

Acciaio: S275, fyk = 275000

Caratteristiche geometriche

Lunghezza: 1.5
Nodo iniziale: 776 Nodo finale: 756
Cerniera iniziale: Mmomenti 1% Cerniera finale: Mmomenti 1%
Sovraresistenza: 0% Sisma Z: No

Caratteristiche della sezione

Sezione	Rotazione	Area	Jx	Jy	ix	iy	Wx	Wy	Wplx	Wply
A1; L100*10; 1; Saldato; S275; 30; 1; 8; 8; 1	180	0.003832	0.0000035319	0.000007759	0.0304	0.045	0.0000492	0.0000739	0.00008974	0.00012727

Comportamento dei calastrelli

Accoppiamento imbottito con funzione statica (§C4.2.4.1.3.1.4 NTC18) nella campata compresa tra le ascisse 0 e 1.5 per sbandamento attorno all'asse y.

Verifiche di resistenza

Verifiche a forza assiale §4.2.4.1.2.1 - §4.2.4.1.2.2 NTC18

X	Comb.	Sfruttamento	Classe	NEd	Nc,Rd	Nt,Rd	Riduzione da taglio	px	py	Verifica
1.5	SLU 76	0.247		247.904		1003.522	1	0	0	Si

Verifiche a forza assiale SLD §4.2.4.1.2.1 - §4.2.4.1.2.2 NTC18

X	Comb.	Sfruttamento	Classe	NEd	Nc,Rd	Nt,Rd	Riduzione da taglio	px	py	Verifica
1.45	SLD 14	0.084		84.698		1003.522	1	0	0	Si

**Implementazione dei sistemi di confinamento delle emissioni odorigene diffuse dell'impianto di compostaggio esistente nel
Comune di Eboli (SA)
PROGETTO DEFINITIVO – Tabulati di calcolo Tomo 1**

Verifica a taglio X §4.2.4.1.2.4 NTC18

X	Comb.	Sfruttamento	VEd	Vc,Rd	Av	Interazione taglio-torsione	Riduzione torsione	Verifica
0	SLU 2	0.001	-0.239	302.422	0.002	Non considerata		Si

Verifica a taglio Y §4.2.4.1.2.4 NTC18

X	Comb.	Sfruttamento	VEd	Vc,Rd	Av	Interazione taglio-torsione	Riduzione torsione	Verifica
1.5	SLU 76	0.001	0.296	302.422	0.002	Non considerata		Si

Verifica a taglio Y SLD §4.2.4.1.2.4 NTC18

X	Comb.	Sfruttamento	VEd	Vc,Rd	Av	Interazione taglio-torsione	Riduzione torsione	Verifica
1.5	SLD 14	0.001	0.226	302.422	0.002	Non considerata		Si

Verifica a flessione semplice X §§ 4.2.4.1.2.3 - 4.2.4.1.2.6 - 4.2.4.1.2.7 - 4.2.4.1.2.8 NTC18

X	Comb.	Sfruttamento	Classe	Mx,Ed	Mx,Rd	Rid. Mx,Rd da VEd	px	py	Verifica
0.75	SLU 59	0.005	1	0.10914	23.50374	1	0	0	Si

Verifica a presso/tenso flessione retta X §§ 4.2.4.1.2.3 - 4.2.4.1.2.6 - 4.2.4.1.2.7 - 4.2.4.1.2.8 NTC18

Verifiche eseguite utilizzando la formula conservativa (6.2) §6.2.1 EN 1993-1-1:2005.

X	Comb.	Sfruttamento	Classe	NEd	NRd	Rid. NRd da VEd	Mx,Ed	Mx,Rd	Rid. Mx,Rd da VEd	Rid. Mx,Rd da NEd	px	py	Verifica
0.75	SLU 76	0.252	1	247.904	1003.522	1	0.1116	23.5037	1		0	0	Si

Verifica a presso/tenso flessione retta X SLD §§ 4.2.4.1.2.3 - 4.2.4.1.2.6 - 4.2.4.1.2.7 - 4.2.4.1.2.8 NTC18

Verifiche eseguite utilizzando la formula conservativa (6.2) §6.2.1 EN 1993-1-1:2005.

X	Comb.	Sfruttamento	Classe	NEd	NRd	Rid. NRd da VEd	Mx,Ed	Mx,Rd	Rid. Mx,Rd da VEd	Rid. Mx,Rd da NEd	px	py	Verifica
0.8	SLD 10	0.088	1	84.689	1003.522	1	0.0844	23.5037	1		0	0	Si

Verifica a presso/tenso flessione retta Y §§ 4.2.4.1.2.3 - 4.2.4.1.2.6 - 4.2.4.1.2.7 - 4.2.4.1.2.8 NTC18

Verifiche eseguite utilizzando la formula conservativa (6.2) §6.2.1 EN 1993-1-1:2005.

X	Comb.	Sfruttamento	Classe	NEd	NRd	Rid. NRd da VEd	My,Ed	My,Rd	Rid. My,Rd da VEd	Rid. My,Rd da NEd	px	py	Verifica
0	SLV 14	0.089	1	87.38	1003.522	1	0.072	33.3316	1		0	0	Si

Verifica a presso/tenso flessione retta Y SLD §§ 4.2.4.1.2.3 - 4.2.4.1.2.6 - 4.2.4.1.2.7 - 4.2.4.1.2.8 NTC18

Verifiche eseguite utilizzando la formula conservativa (6.2) §6.2.1 EN 1993-1-1:2005.

X	Comb.	Sfruttamento	Classe	NEd	NRd	Rid. NRd da VEd	My,Ed	My,Rd	Rid. My,Rd da VEd	Rid. My,Rd da NEd	px	py	Verifica
0	SLD 16	0.085	1	84.005	1003.522	1	0.0527	33.3316	1		0	0	Si

Verifica a presso/tenso flessione deviata §§ 4.2.4.1.2.3 - 4.2.4.1.2.6 - 4.2.4.1.2.7 - 4.2.4.1.2.8 NTC18

Verifiche eseguite utilizzando la formula conservativa (6.2) §6.2.1 EN 1993-1-1:2005.

X	Comb.	Sfruttamento	Classe	NEd	NRd	Rid. NRd da VEd	Mx,Ed	Mx,Rd	My,Ed	My,Rd	Rid. Mx,Rd da VEd	Rid. Mx,Rd da NEd	Rid. My,Rd da VEd	Rid. My,Rd da NEd	α	β	px	py	Verifica
0.6	SLV 13	0.091	1	87.38	1003.522	1	0.0815	23.5037	0.0314	33.3316	1		1				0	0	Si

Verifica a presso/tenso flessione deviata SLD §§ 4.2.4.1.2.3 - 4.2.4.1.2.6 - 4.2.4.1.2.7 - 4.2.4.1.2.8 NTC18

Verifiche eseguite utilizzando la formula conservativa (6.2) §6.2.1 EN 1993-1-1:2005.

X	Comb.	Sfruttamento	Classe	NEd	NRd	Rid. NRd da VEd	Mx,Ed	Mx,Rd	My,Ed	My,Rd	Rid. Mx,Rd da VEd	Rid. Mx,Rd da NEd	Rid. My,Rd da VEd	Rid. My,Rd da NEd	α	β	px	py	Verifica
0.7	SLD 14	0.088	1	84.698	1003.522	1	0.0844	23.5037	0.0103	33.3316	1		1				0	0	Si

Verifiche ad instabilità

Caratteristiche iniziali

Membratura principale per controllo snellezza; Calcolo di snellezze ed N critici condotti secondo gli assi principali;

Curva X: c; Curva Y: c;

Svergolamento: Nessuno; la verifica a instabilità flesso-torsionale (svergolamento) non verrà eseguita.

Dati per instabilità attorno a x

Controllo della snellezza secondo §4.2.4.1.3.1 NTC18

Numero rit.	Presente	Ascissa	Campata	βx/m	Vincolo a entrambi estremi	λx/m	λVer
1	Si	0					
			1-2	1	Si	49.4	Si, (<200)
2	Si	1.5					

Dati per instabilità attorno a y

Controllo della snellezza secondo §4.2.4.1.3.1 NTC18

Numero rit.	Presente	Ascissa	Campata	βy/n	k,LT	kw,LT	Vincolo a entrambi estremi
1	Si	0					
			1-2	1	Si	34.8	Si, (<200)
2	Si	1.5					

Verifica di stabilità per pressoflessione §C.4.2.4.1.3.3.1 NTC18

X	Comb.	Sfruttamento	Classe	NEd	MxEq,Ed	MyEq,Ed	Area	Wx	Wy	x,min	λ adim. x/m	λ adim. y/n	N,crit x/m	N,crit y/n	Verifica
0	SLU 2	0.057	3	-37.773	0.0719	-0.0856	0.003832	0.0000492	0.0000739	0.804	0.569	0.4	3253.47	6569.993	Si

Verifiche a deformabilità

Mensola X: No; Mensola Y: No.

Frecce lungo X

Ascissa freccia	Combinazione	Freccia	Luce	L/f	L/f,min	Tipo	Verifica
0.65	SLE RA 1	0	1.5	10000	250	Totale	Si
0.7	SLE RA 17	0	1.5	10000	250	Totale	Si
0.7	SLE RA 16	0	1.5	10000	250	Totale	Si
0.75	SLE RA 15	0	1.5	10000	250	Totale	Si
0.65	SLE RA 14	0	1.5	10000	250	Totale	Si
0.75	SLE RA 2	0	1.5	10000	350	Variabile	Si

Implementazione dei sistemi di confinamento delle emissioni odorigene diffuse dell'impianto di compostaggio esistente nel
Comune di Eboli (SA)
PROGETTO DEFINITIVO – Tabulati di calcolo Tomo 1

Ascissa freccia	Combinazione	Freccia	Luce	L/f	L/f,min	Tipo	Verifica
0.75	SLE RA 17	0	1.5	10000	350	Variabile	Si
0.75	SLE RA 16	0	1.5	10000	350	Variabile	Si
0.85	SLE RA 15	0	1.5	10000	350	Variabile	Si
0.6	SLE RA 14	0	1.5	10000	350	Variabile	Si

Frecce lungo Y

Ascissa freccia	Combinazione	Freccia	Luce	L/f	L/f,min	Tipo	Verifica
0.75	SLE RA 1	0.00003	1.5	10000	250	Totale	Si
0.75	SLE RA 17	0.00003	1.5	10000	250	Totale	Si
0.75	SLE RA 16	0.00003	1.5	10000	250	Totale	Si
0.75	SLE RA 15	0.00003	1.5	10000	250	Totale	Si
0.75	SLE RA 14	0.00003	1.5	10000	250	Totale	Si
0.65	SLE RA 2	0	1.5	10000	350	Variabile	Si
0.65	SLE RA 17	0	1.5	10000	350	Variabile	Si
0.65	SLE RA 16	0	1.5	10000	350	Variabile	Si
0.65	SLE RA 15	0	1.5	10000	350	Variabile	Si
0.65	SLE RA 14	0	1.5	10000	350	Variabile	Si

Superelemento in acciaio a quota "640" (-616; 69)-(-506; -34)

Caratteristiche del materiale

Acciaio: S275, fyk = 275000

Caratteristiche geometriche

Lunghezza: 1.5

Nodo iniziale: 684 Nodo finale: 663

Cerniera iniziale: Mmomenti 1% Cerniera finale: Mmomenti 1%

Sovraresistenza: 0% Sisma Z: No

Caratteristiche della sezione

Sezione	Rotazione	Area	Jx	Jy	ix	iy	Wx	Wy	Wplx	Wply
A1; L100*10; 1; Saldato; S275; 30; 1; 8; 8; 1	180	0.003832	0.0000035319	0.000007759	0.0304	0.045	0.0000492	0.0000739	0.00008974	0.00012727

Comportamento dei calastrelli

Accoppiamento imbottito con funzione statica (§C4.2.4.1.3.1.4 NTC18) nella campata compresa tra le ascisse 0 e 1.5 per sbandamento attorno all'asse y.

Verifiche di resistenza

Verifiche a forza assiale §4.2.4.1.2.1 - §4.2.4.1.2.2 NTC18

X	Comb.	Sfruttamento	Classe	NEd	Nc,Rd	Nt,Rd	Riduzione da taglio	px	py	Verifica
1.5	SLU 75	0.173		173.945		1003.522	1	0	0	Si

Verifiche a forza assiale SLD §4.2.4.1.2.1 - §4.2.4.1.2.2 NTC18

X	Comb.	Sfruttamento	Classe	NEd	Nc,Rd	Nt,Rd	Riduzione da taglio	px	py	Verifica
1.5	SLD 16	0.066		66.183		1003.522	1	0	0	Si

Verifica a taglio X §4.2.4.1.2.4 NTC18

X	Comb.	Sfruttamento	VEd	Vc,Rd	Av	Interazione taglio-torsione	Riduzione torsione	Verifica
0	SLV 1	0.001	-0.361	302.422	0.002	Non considerata		Si

Verifica a taglio Y §4.2.4.1.2.4 NTC18

X	Comb.	Sfruttamento	VEd	Vc,Rd	Av	Interazione taglio-torsione	Riduzione torsione	Verifica
0	SLU 75	0.001	-0.295	302.422	0.002	Non considerata		Si

Verifica a taglio Y SLD §4.2.4.1.2.4 NTC18

X	Comb.	Sfruttamento	VEd	Vc,Rd	Av	Interazione taglio-torsione	Riduzione torsione	Verifica
0	SLD 16	0.001	-0.226	302.422	0.002	Non considerata		Si

Verifica a flessione semplice X §§ 4.2.4.1.2.3 - 4.2.4.1.2.6 - 4.2.4.1.2.7 - 4.2.4.1.2.8 NTC18

X	Comb.	Sfruttamento	Classe	Mx,Ed	Mx,Rd	Rid. Mx,Rd da VEd	px	py	Verifica
0.75	SLU 5	0.004	1	0.08406	23.50374	1	0	0	Si

Verifica a presso/tenso flessione retta X §§ 4.2.4.1.2.3 - 4.2.4.1.2.6 - 4.2.4.1.2.7 - 4.2.4.1.2.8 NTC18

Verifiche eseguite utilizzando la formula conservativa (6.2) §6.2.1 EN 1993-1-1:2005.

X	Comb.	Sfruttamento	Classe	NEd	NRd	Rid. NRd da VEd	Mx,Ed	Mx,Rd	Rid. Mx,Rd da VEd	Rid. Mx,Rd da NEd	px	py	Verifica
0.75	SLU 75	0.178	1	173.945	1003.522	1	0.1123	23.5037	1		0	0	Si

Verifica a presso/tenso flessione retta X SLD §§ 4.2.4.1.2.3 - 4.2.4.1.2.6 - 4.2.4.1.2.7 - 4.2.4.1.2.8 NTC18

Verifiche eseguite utilizzando la formula conservativa (6.2) §6.2.1 EN 1993-1-1:2005.

X	Comb.	Sfruttamento	Classe	NEd	NRd	Rid. NRd da VEd	Mx,Ed	Mx,Rd	Rid. Mx,Rd da VEd	Rid. Mx,Rd da NEd	px	py	Verifica
0.9	SLD 15	0.069	1	66.183	1003.522	1	0.0819	23.5037	1		0	0	Si

Verifica a presso/tenso flessione retta Y §§ 4.2.4.1.2.3 - 4.2.4.1.2.6 - 4.2.4.1.2.7 - 4.2.4.1.2.8 NTC18

Verifiche eseguite utilizzando la formula conservativa (6.2) §6.2.1 EN 1993-1-1:2005.

X	Comb.	Sfruttamento	Classe	NEd	NRd	Rid. NRd da VEd	My,Ed	My,Rd	Rid. My,Rd da VEd	Rid. My,Rd da NEd	px	py	Verifica
0	SLV 15	0.093	1	83.076	1003.522	1	-0.3361	33.3316	1		0	0	Si

Verifica a presso/tenso flessione retta Y SLD §§ 4.2.4.1.2.3 - 4.2.4.1.2.6 - 4.2.4.1.2.7 - 4.2.4.1.2.8 NTC18

Verifiche eseguite utilizzando la formula conservativa (6.2) §6.2.1 EN 1993-1-1:2005.

Implementazione dei sistemi di confinamento delle emissioni odorigene diffuse dell'impianto di compostaggio esistente nel
Comune di Eboli (SA)

PROGETTO DEFINITIVO – Tabulati di calcolo Tomo 1

X	Comb.	Sfruttamento	Classe	NEd	NRd	Rid. NRd da VEd	My,Ed	My,Rd	Rid. My,Rd da VEd	Rid. My,Rd da NEd	px	py	Verifica
0	SLD 15	0.07	1	66.183	1003.522	1	-0.1343	33.3316	1		0	0	Si

Verifica a presso/tenso flessione deviata §§ 4.2.4.1.2.3 - 4.2.4.1.2.6 - 4.2.4.1.2.7 - 4.2.4.1.2.8 NTC18

Verifiche eseguite utilizzando la formula conservativa (6.2) §6.2.1 EN 1993-1-1:2005.

X	Comb.	Sfruttamento	Classe	NEd	NRd	Rid. NRd da VEd	Mx,Ed	Mx,Rd	My,Ed	My,Rd	Rid. Mx,Rd da VEd	Rid. Mx,Rd da NEd	Rid. My,Rd da VEd	Rid. My,Rd da NEd	α	β	px	py	Verifica
0.05	SLV 15	0.093	1	83.076	1003.522	1	0.0111	23.5037	-0.3181	33.3316	1		1				0	0	Si

Verifica a presso/tenso flessione deviata SLD §§ 4.2.4.1.2.3 - 4.2.4.1.2.6 - 4.2.4.1.2.7 - 4.2.4.1.2.8 NTC18

Verifiche eseguite utilizzando la formula conservativa (6.2) §6.2.1 EN 1993-1-1:2005.

X	Comb.	Sfruttamento	Classe	NEd	NRd	Rid. NRd da VEd	Mx,Ed	Mx,Rd	My,Ed	My,Rd	Rid. Mx,Rd da VEd	Rid. Mx,Rd da NEd	Rid. My,Rd da VEd	Rid. My,Rd da NEd	α	β	px	py	Verifica
0.4	SLD 16	0.071	1	66.183	1003.522	1	0.0665	23.5037	-0.0768	33.3316	1		1				0	0	Si

Verifiche ad instabilità

Caratteristiche iniziali

Membratura principale per controllo snellezza; Calcolo di snellezze ed N critici condotti secondo gli assi principali;

Curva X: c; Curva Y: c;

Svergolamento: Nessuno; la verifica a instabilità flesso-torsionale (svergolamento) non verrà eseguita.

Dati per instabilità attorno a x

Controllo della snellezza secondo §4.2.4.1.3.1 NTC18

Numero rit.	Presente	Ascissa	Campata	βx/m	Vincolo a entrambi estremi	λx/m	λVer
1	Si	0					
			1-2	1	Si	49.4	Si, (<200)
2	Si	1.5					

Dati per instabilità attorno a y

Controllo della snellezza secondo §4.2.4.1.3.1 NTC18

Numero rit.	Presente	Ascissa	Campata	βy/n	k,LT	kw,LT	Vincolo a entrambi estremi
1	Si	0					
			1-2	1	Si	34.8	Si, (<200)
2	Si	1.5					

Verifica di stabilità per pressoflessione §C.4.2.4.1.3.3.1 NTC18

X	Comb.	Sfruttamento	Classe	NEd	MxEq,Ed	MyEq,Ed	Area	Wx	Wy	χ,min	λ adim. x/m	λ adim. y/n	N,crit x/m	N,crit y/n	Verifica
0	SLU 2	0.044	3	-27.582	0.0719	-0.0838	0.003832	0.0000492	0.0000739	0.804	0.569	0.4	3253.47	6569.993	Si

Verifiche a deformabilità

Mensola X: No; Mensola Y: No.

Frecce lungo X

Ascissa freccia	Combinazione	Freccia	Luce	L/f	L/f,min	Tipo	Verifica
0.65	SLE RA 1	0	1.5	10000	250	Totale	Si
0.7	SLE RA 17	0	1.5	10000	250	Totale	Si
0.7	SLE RA 16	0	1.5	10000	250	Totale	Si
0.7	SLE RA 15	0	1.5	10000	250	Totale	Si
0.65	SLE RA 14	0	1.5	10000	250	Totale	Si
0.75	SLE RA 2	0	1.5	10000	350	Variabile	Si
0.75	SLE RA 17	0	1.5	10000	350	Variabile	Si
0.75	SLE RA 16	0	1.5	10000	350	Variabile	Si
0.8	SLE RA 15	0	1.5	10000	350	Variabile	Si
0.65	SLE RA 14	0	1.5	10000	350	Variabile	Si

Frecce lungo Y

Ascissa freccia	Combinazione	Freccia	Luce	L/f	L/f,min	Tipo	Verifica
0.75	SLE RA 1	0.00003	1.5	10000	250	Totale	Si
0.75	SLE RA 17	0.00003	1.5	10000	250	Totale	Si
0.75	SLE RA 16	0.00003	1.5	10000	250	Totale	Si
0.75	SLE RA 15	0.00003	1.5	10000	250	Totale	Si
0.75	SLE RA 14	0.00003	1.5	10000	250	Totale	Si
0.8	SLE RA 2	0	1.5	10000	350	Variabile	Si
0.85	SLE RA 17	0	1.5	10000	350	Variabile	Si
0.8	SLE RA 16	0	1.5	10000	350	Variabile	Si
0.8	SLE RA 15	0	1.5	10000	350	Variabile	Si
0.85	SLE RA 14	0	1.5	10000	350	Variabile	Si

Superelemento in acciaio a quota "640" (-652; -408)-(-543; -510)

Caratteristiche del materiale

Acciaio: S275, fyk = 275000

Caratteristiche geometriche

Lunghezza: 1.492

Nodo iniziale: 589 Nodo finale: 572

Cerniera iniziale: Mmomenti 1% Cerniera finale: Mmomenti 1%

Sovraresistenza: 0% Sisma Z: No

Caratteristiche della sezione

Sezione	Rotazione	Area	Jx	Jy	ix	iy	Wx	Wy	Wplx	Wply
---------	-----------	------	----	----	----	----	----	----	------	------

**Implementazione dei sistemi di confinamento delle emissioni odorigene diffuse dell'impianto di compostaggio esistente nel
Comune di Eboli (SA)**

PROGETTO DEFINITIVO – Tabulati di calcolo Tomo 1

Sezione	Rotazione	Area	Jx	Jy	ix	iy	Wx	Wy	Wplx	Wply
A1; L100*10; 1; Saldato; S275; 30; 1; 8; 8; 1	180	0.003832	0.0000035319	0.000007759	0.0304	0.045	0.0000492	0.0000739	0.00008974	0.00012727

Comportamento dei calastrelli

Accoppiamento imbottito con funzione statica (§C4.2.4.1.3.1.4 NTC18) nella campata compresa tra le ascisse 0 e 1.492 per sbandamento attorno all'asse y.

Verifiche di resistenza

Verifiche a forza assiale §4.2.4.1.2.1 - §4.2.4.1.2.2 NTC18

X	Comb.	Sfruttamento	Classe	NEd	Nc,Rd	Nt,Rd	Riduzione da taglio	px	py	Verifica
0.149	SLV 3	0.001	1	-1.208	1003.522		1	0	0	Si

Verifiche a forza assiale SLD §4.2.4.1.2.1 - §4.2.4.1.2.2 NTC18

X	Comb.	Sfruttamento	Classe	NEd	Nc,Rd	Nt,Rd	Riduzione da taglio	px	py	Verifica
0	SLD 3	0.001	3	-0.504	1003.522		1	0	0	Si

Verifica a taglio Y §4.2.4.1.2.4 NTC18

X	Comb.	Sfruttamento	Classe	NEd	Nc,Rd	Nt,Rd	Riduzione da taglio	px	py	Verifica
1.492	SLU 75	0.001		0.304	302.422		0.002	Non considerata		Si

Verifica a taglio Y SLD §4.2.4.1.2.4 NTC18

X	Comb.	Sfruttamento	Classe	NEd	Nc,Rd	Nt,Rd	Riduzione da taglio	px	py	Verifica
1.492	SLD 4	0.001		0.239	302.422		0.002	Non considerata		Si

Verifica a flessione semplice X §§ 4.2.4.1.2.3 - 4.2.4.1.2.6 - 4.2.4.1.2.7 - 4.2.4.1.2.8 NTC18

X	Comb.	Sfruttamento	Classe	Mx,Ed	Mx,Rd	Rid. Mx,Rd da VEd	px	py	Verifica
0.746	SLU 40	0.005	1	0.10883	23.50374	1	0	0	Si

Verifica a flessione semplice X SLD §§ 4.2.4.1.2.3 - 4.2.4.1.2.6 - 4.2.4.1.2.7 - 4.2.4.1.2.8 NTC18

X	Comb.	Sfruttamento	Classe	Mx,Ed	Mx,Rd	Rid. Mx,Rd da VEd	px	py	Verifica
0.796	SLD 13	0.004	1	0.08928	23.50374	1	0	0	Si

Verifica a flessione semplice Y §§ 4.2.4.1.2.3 - 4.2.4.1.2.6 - 4.2.4.1.2.7 - 4.2.4.1.2.8 NTC18

X	Comb.	Sfruttamento	Classe	My,Ed	My,Rd	Rid. My,Rd da VEd	px	py	Verifica
1.492	SLU 42	0	1	0.01344	33.33162	1	0	0	Si

Verifica a flessione semplice Y SLD §§ 4.2.4.1.2.3 - 4.2.4.1.2.6 - 4.2.4.1.2.7 - 4.2.4.1.2.8 NTC18

X	Comb.	Sfruttamento	Classe	My,Ed	My,Rd	Rid. My,Rd da VEd	px	py	Verifica
0	SLD 12	0.001	1	-0.01746	33.33162	1	0	0	Si

Verifica a flessione deviata §§ 4.2.4.1.2.3 - 4.2.4.1.2.6 - 4.2.4.1.2.7 - 4.2.4.1.2.8 NTC18

X	Comb.	Sfruttamento	Classe	Mx,Ed	Mx,Rd	My,Ed	My,Rd	Rid. Mx,Rd da VEd	Rid. My,Rd da VEd	α	β	px	py	Verifica
1.094	SLU 42	0.004	1	0.0832	23.5037	0.0076	33.3316	1	1			0	0	Si

Verifica a flessione deviata SLD §§ 4.2.4.1.2.3 - 4.2.4.1.2.6 - 4.2.4.1.2.7 - 4.2.4.1.2.8 NTC18

X	Comb.	Sfruttamento	Classe	Mx,Ed	Mx,Rd	My,Ed	My,Rd	Rid. Mx,Rd da VEd	Rid. My,Rd da VEd	α	β	px	py	Verifica
0.746	SLD 15	0.004	1	0.0857	23.5037	0.0078	33.3316	1	1			0	0	Si

Verifica a presso/tenso flessione retta X §§ 4.2.4.1.2.3 - 4.2.4.1.2.6 - 4.2.4.1.2.7 - 4.2.4.1.2.8 NTC18

Verifiche eseguite utilizzando la formula conservativa (6.2) §6.2.1 EN 1993-1-1:2005.

X	Comb.	Sfruttamento	Classe	NEd	NRd	Rid. NRd da VEd	Mx,Ed	Mx,Rd	Rid. Mx,Rd da VEd	Rid. Mx,Rd da NEd	px	py	Verifica
0.696	SLU 75	0.005	1	-0.58	1003.522	1	0.1015	23.5037	1	1	0	0	Si

Verifica a presso/tenso flessione retta X SLD §§ 4.2.4.1.2.3 - 4.2.4.1.2.6 - 4.2.4.1.2.7 - 4.2.4.1.2.8 NTC18

Verifiche eseguite utilizzando la formula conservativa (6.2) §6.2.1 EN 1993-1-1:2005.

X	Comb.	Sfruttamento	Classe	NEd	NRd	Rid. NRd da VEd	Mx,Ed	Mx,Rd	Rid. Mx,Rd da VEd	Rid. Mx,Rd da NEd	px	py	Verifica
0.696	SLD 7	0.004	1	-0.498	1003.522	1	0.0736	23.5037	1	1	0	0	Si

Verifica a presso/tenso flessione retta Y §§ 4.2.4.1.2.3 - 4.2.4.1.2.6 - 4.2.4.1.2.7 - 4.2.4.1.2.8 NTC18

Verifiche eseguite utilizzando la formula conservativa (6.2) §6.2.1 EN 1993-1-1:2005.

X	Comb.	Sfruttamento	Classe	NEd	NRd	Rid. NRd da VEd	My,Ed	My,Rd	Rid. My,Rd da VEd	Rid. My,Rd da NEd	px	py	Verifica
1.243	SLV 3	0.002	3	-1.208	1003.522	1	-0.0183	19.3536	1	1	0	0	Si

Verifica a presso/tenso flessione retta Y SLD §§ 4.2.4.1.2.3 - 4.2.4.1.2.6 - 4.2.4.1.2.7 - 4.2.4.1.2.8 NTC18

Verifiche eseguite utilizzando la formula conservativa (6.2) §6.2.1 EN 1993-1-1:2005.

X	Comb.	Sfruttamento	Classe	NEd	NRd	Rid. NRd da VEd	My,Ed	My,Rd	Rid. My,Rd da VEd	Rid. My,Rd da NEd	px	py	Verifica
0	SLD 3	0.001	3	-0.504	1003.522	1	0.0095	19.3536	1	1	0	0	Si

Verifica a presso/tenso flessione deviata §§ 4.2.4.1.2.3 - 4.2.4.1.2.6 - 4.2.4.1.2.7 - 4.2.4.1.2.8 NTC18

Verifiche eseguite utilizzando la formula conservativa (6.2) §6.2.1 EN 1993-1-1:2005.

X	Comb.	Sfruttamento	Classe	NEd	NRd	Rid. NRd da VEd	Mx,Ed	Mx,Rd	My,Ed	My,Rd	Rid. Mx,Rd da VEd	Rid. Mx,Rd da NEd	Rid. My,Rd da VEd	Rid. My,Rd da NEd	α	β	px	py	Verifica
0.845	SLV 13	0.006	1	0.895	1003.522	1	0.1068	23.5037	0.0108	33.3316	1	1	1	1			0	0	Si

Verifica a presso/tenso flessione deviata SLD §§ 4.2.4.1.2.3 - 4.2.4.1.2.6 - 4.2.4.1.2.7 - 4.2.4.1.2.8 NTC18

Verifiche eseguite utilizzando la formula conservativa (6.2) §6.2.1 EN 1993-1-1:2005.

X	Comb.	Sfruttamento	Classe	NEd	NRd	Rid. NRd da VEd	Mx,Ed	Mx,Rd	My,Ed	My,Rd	Rid. Mx,Rd da VEd	Rid. Mx,Rd da NEd	Rid. My,Rd da VEd	Rid. My,Rd da NEd	α	β	px	py	Verifica
0.447	SLD 3	0.004	1	-0.504	1003.522	1	0.0639	23.5037	0.0109	33.3316	1	1	1	1			0	0	Si

Implementazione dei sistemi di confinamento delle emissioni odorigene diffuse dell'impianto di compostaggio esistente nel
Comune di Eboli (SA)
PROGETTO DEFINITIVO – Tabulati di calcolo Tomo 1

Verifiche ad instabilità

Caratteristiche iniziali

Membratura principale per controllo snellezza; Calcolo di snellezze ed N critici condotti secondo gli assi principali;
Curva X: c; Curva Y: c;
Svergolamento: Nessuno; la verifica a instabilità flesso-torsionale (svergolamento) non verrà eseguita.

Dati per instabilità attorno a x

Controllo della snellezza secondo §4.2.4.1.3.1 NTC18

Numero rit.	Presente	Ascissa	Campata	βx/m	Vincolo a entrambi estremi	λx/m	λVer
1	Si	0					
			1-2	1	Si	49.1	Si, (<200)
2	Si	1.492					

Dati per instabilità attorno a y

Controllo della snellezza secondo §4.2.4.1.3.1 NTC18

Numero rit.	Presente	Ascissa	Campata	βy/n	k,LT	kw,LT	Vincolo a entrambi estremi
1	Si	0					
			1-2	1	Si	34.6	Si, (<200)
2	Si	1.492					

Verifica di stabilità per pressoflessione §C.4.2.4.1.3.3.1 NTC18

X	Comb.	Sfruttamento	Classe	NEd	MxEq,Ed	MyEq,Ed	Area	Wx	Wy	χ,min	λ adim. x/m	λ adim. y/n	N,crit x/m	N,crit y/n	Verifica
1.442	SLU 75	0.008	3	-0.58	0.0846	-0.0065	0.003832	0.0000492	0.0000739	0.805	0.566	0.398	3290.24	6638.186	Si

Verifica di stabilità per pressoflessione SLD §C.4.2.4.1.3.3.1 NTC18

X	Comb.	Sfruttamento	Classe	NEd	MxEq,Ed	MyEq,Ed	Area	Wx	Wy	χ,min	λ adim. x/m	λ adim. y/n	N,crit x/m	N,crit y/n	Verifica
0	SLD 3	0.006	3	-0.504	0.0586	0.0095	0.003832	0.0000492	0.0000739	0.805	0.566	0.398	3290.24	6638.186	Si

Verifiche a deformabilità

Mensola X: No; Mensola Y: No.

Frecce lungo X

Ascissa freccia	Combinazione	Freccia	Luce	L/f	L/f,min	Tipo	Verifica
0.945	SLE RA 1	0	1.492	10000	250	Totale	Si
0.845	SLE RA 17	0	1.492	10000	250	Totale	Si
0.646	SLE RA 16	0	1.492	10000	250	Totale	Si
0.994	SLE RA 15	0	1.492	10000	250	Totale	Si
1.144	SLE RA 14	0	1.492	10000	250	Totale	Si
1.144	SLE RA 2	0	1.492	10000	350	Variabile	Si
1.144	SLE RA 17	0	1.492	10000	350	Variabile	Si
1.144	SLE RA 16	0	1.492	10000	350	Variabile	Si
1.044	SLE RA 15	0	1.492	10000	350	Variabile	Si
1.094	SLE RA 14	0	1.492	10000	350	Variabile	Si

Frecce lungo Y

Ascissa freccia	Combinazione	Freccia	Luce	L/f	L/f,min	Tipo	Verifica
0.746	SLE RA 1	0.00003	1.492	10000	250	Totale	Si
0.746	SLE RA 17	0.00003	1.492	10000	250	Totale	Si
0.746	SLE RA 16	0.00002	1.492	10000	250	Totale	Si
0.746	SLE RA 15	0.00003	1.492	10000	250	Totale	Si
0.746	SLE RA 14	0.00002	1.492	10000	250	Totale	Si
0.895	SLE RA 2	0	1.492	10000	350	Variabile	Si
0.895	SLE RA 17	0	1.492	10000	350	Variabile	Si
0.895	SLE RA 16	0	1.492	10000	350	Variabile	Si
0.845	SLE RA 15	0	1.492	10000	350	Variabile	Si
0.895	SLE RA 14	0	1.492	10000	350	Variabile	Si

Superelemento in acciaio a quota "640" (-653; 1121)-(-526; 1256)

Caratteristiche del materiale

Acciaio: S275, fyk = 275000

Caratteristiche geometriche

Lunghezza: 1.85
Nodo iniziale: 897
Nodo finale: 923
Cerniera iniziale: No
Cerniera finale: No
Sovreresistenza: 0%
Sisma Z: No

Caratteristiche della sezione

Sezione	Rotazione	Area	Jx	Jy	ix	iy	Wx	Wy	Wplx	Wply
HEA120	0	0.002537	0.0000060673	0.00000223091	0.0489	0.0302	0.00010644	0.00003849	0.00011962	0.00005887

Verifiche di resistenza

Verifiche a forza assiale §4.2.4.1.2.1 - §4.2.4.1.2.2 NTC18

X	Comb.	Sfruttamento	Classe	NEd	Nc,Rd	Nt,Rd	Riduzione da taglio	px	py	Verifica
0.123	SLU 76	0.106	1	-70.342	664.325		1	0	0	Si

Verifiche a forza assiale SLD §4.2.4.1.2.1 - §4.2.4.1.2.2 NTC18

X	Comb.	Sfruttamento	Classe	NEd	Nc,Rd	Nt,Rd	Riduzione da taglio	px	py	Verifica
1.85	SLD 8	0.038	1	-25.039	664.325		1	0	0	Si

Implementazione dei sistemi di confinamento delle emissioni odorigene diffuse dell'impianto di compostaggio esistente nel
Comune di Eboli (SA)
PROGETTO DEFINITIVO – Tabulati di calcolo Tomo 1

Verifica a taglio Y §4.2.4.1.2.4 NTC18

X	Comb.	Sfruttamento	VEd	Vc,Rd	Av	Interazione taglio-torsione	Riduzione torsione	Verifica
0	SLV 9	0.006	0.797	127.759	0.000849	Considerata	1	Si

Verifica a taglio Y SLD §4.2.4.1.2.4 NTC18

X	Comb.	Sfruttamento	VEd	Vc,Rd	Av	Interazione taglio-torsione	Riduzione torsione	Verifica
0	SLD 9	0.004	0.477	128.209	0.000849	Considerata	1	Si

Verifica a torsione §4.2.4.1.2.5 NTC18

X	Comb.	Sfruttamento torsione	TEd	TRd	Riduzione taglio resistente	Sfruttamento taglio-torsione	τEd,totale	τRd	Verifica
1.11	SLV 7	0.017	0.01413	0.85138	Considerata				Si

Verifica a torsione SLD §4.2.4.1.2.5 NTC18

X	Comb.	Sfruttamento torsione	TEd	TRd	Riduzione taglio resistente	Sfruttamento taglio-torsione	τEd,totale	τRd	Verifica
1.85	SLD 8	0.008	0.00669	0.85138	Considerata				Si

Verifica a presso/tenso flessione retta X §§ 4.2.4.1.2.3 - 4.2.4.1.2.6 - 4.2.4.1.2.7 - 4.2.4.1.2.8 NTC18

Verifiche eseguite utilizzando la formula conservativa (6.2) §6.2.1 EN 1993-1-1:2005.

X	Comb.	Sfruttamento	Classe	NEd	NRd	Rid. NRd da VEd	Mx,Ed	Mx,Rd	Rid. Mx,Rd da VEd	Rid. Mx,Rd da NEd	px	py	Verifica
1.418	SLV 7	0.063	1	-33.809	664.325	1	-0.3795	31.3291	1		0	0	Si

Verifica a presso/tenso flessione retta Y §§ 4.2.4.1.2.3 - 4.2.4.1.2.6 - 4.2.4.1.2.7 - 4.2.4.1.2.8 NTC18

Verifiche eseguite utilizzando la formula conservativa (6.2) §6.2.1 EN 1993-1-1:2005.

X	Comb.	Sfruttamento	Classe	NEd	NRd	Rid. NRd da VEd	My,Ed	My,Rd	Rid. My,Rd da VEd	Rid. My,Rd da NEd	px	py	Verifica
0.987	SLU 63	0.027	1	-16.345	664.325	1	-0.0363	15.4191	1		0	0	Si

Verifica a presso/tenso flessione retta Y SLD §§ 4.2.4.1.2.3 - 4.2.4.1.2.6 - 4.2.4.1.2.7 - 4.2.4.1.2.8 NTC18

Verifiche eseguite utilizzando la formula conservativa (6.2) §6.2.1 EN 1993-1-1:2005.

X	Comb.	Sfruttamento	Classe	NEd	NRd	Rid. NRd da VEd	My,Ed	My,Rd	Rid. My,Rd da VEd	Rid. My,Rd da NEd	px	py	Verifica
0.37	SLD 11	0.038	1	-23.111	664.325	1	-0.0453	15.4191	1		0	0	Si

Verifica a presso/tenso flessione deviata §§ 4.2.4.1.2.3 - 4.2.4.1.2.6 - 4.2.4.1.2.7 - 4.2.4.1.2.8 NTC18

Verifiche eseguite utilizzando la formula conservativa (6.2) §6.2.1 EN 1993-1-1:2005.

X	Comb.	Sfruttamento	Classe	NEd	NRd	Rid. NRd da VEd	Mx,Ed	Mx,Rd	My,Ed	My,Rd	Rid. Mx,Rd da VEd	Rid. Mx,Rd da NEd	Rid. My,Rd da VEd	Rid. My,Rd da NEd	α	β	px	py	Verifica
0	SLU 76	0.138	1	-70.342	664.325	1	0.741	31.3291	-0.136	15.4191	1		1				0	0	Si

Verifica a presso/tenso flessione deviata SLD §§ 4.2.4.1.2.3 - 4.2.4.1.2.6 - 4.2.4.1.2.7 - 4.2.4.1.2.8 NTC18

Verifiche eseguite utilizzando la formula conservativa (6.2) §6.2.1 EN 1993-1-1:2005.

X	Comb.	Sfruttamento	Classe	NEd	NRd	Rid. NRd da VEd	Mx,Ed	Mx,Rd	My,Ed	My,Rd	Rid. Mx,Rd da VEd	Rid. Mx,Rd da NEd	Rid. My,Rd da VEd	Rid. My,Rd da NEd	α	β	px	py	Verifica
0	SLD 14	0.048	1	-16.462	664.325	1	0.6601	31.3291	-0.0263	15.4191	1		1				0	0	Si

Verifiche ad instabilità

Caratteristiche iniziali

Membratura principale per controllo snellezza; Calcolo di snellezze ed N critici condotti secondo gli assi principali;

Curva X: b; Curva Y: c; Svergolamento: Carico all'estradosso; Curva svergolamento: b;

Dati per instabilità attorno a x

Controllo della snellezza secondo §4.2.4.1.3.1 NTC18

Numero rit.	Presente	Ascissa	Campata	βx/m	Vincolo a entrambi estremi	λx/m	λVer
1	Si	0					
2	Si	1.85	1-2		1	37.8	Si, (<200)

Dati per instabilità attorno a y

Controllo della snellezza secondo §4.2.4.1.3.1 NTC18

Numero rit.	Presente	Ascissa	Campata	βy/n	k,LT	kw,LT	Vincolo a entrambi estremi	λy/n	λVer
1	Si	0							
2	Si	1.85	1-2		1	1	Si	61.3	Si, (<200)

Verifica a svergolamento con trazione §4.2.4.1.3.2 NTC18 § 5.5.3 ENV 1993-1-1:1992 + AC:1992 + A1:1994 + A2:1998

X	Comb.	Sfruttamento	Classe	Obblig.	NEd	Mx,Ed	Mx,Eff,Ed	Mb,Rd,x	χ,LT	λ adim. LT	L,LT	M,critico	Verifica
1.11	SLU 3	0	1	Si	2.567	-0.08667	-0.01128	28.25853	0.902	0.633	1.85	82.10616	Si

Verifica di stabilità per tenso-flessione deviata §§ 5.5.3-5.5.4 ENV 1993-1-1:1992 + AC:1992 + A1:1994 + A2:1998

X	Comb.	Sfruttamento	Classe	NEd	Mx,Ed	Mx,Eff,Ed	My,Ed	χ,LT	kLT	ky	M,critico	Wx	Wy	Verifica
0	SLU 21	0.002	1	2.408	0.11034	0.03961	0.00785	0.902	1	1	82.10616	0.0001196	0.0000589	Si

Verifica di stabilità per pressoflessione §C.4.2.4.1.3.3.2 NTC18

X	Comb.	Sfruttamento	Classe	NEd	NRk	Mx,Ed max	Mx,Rk	My,Ed max	My,Rk	χ,x	χ,y	kxx	kxy	kyy	χ,LT	Verifica
0.123	SLU 76	0.18	1	-70.342	697.541	0.74104	32.89552	0.13596	16.19002	0.912	0.721	0.619	0.641	0.971	1.068	0.976

Verifica di stabilità per pressoflessione SLD §C.4.2.4.1.3.3.2 NTC18

X	Comb.	Sfruttamento	Classe	NEd	NRk	Mx,Ed max	Mx,Rk	My,Ed max	My,Rk	χ,x	χ,y	kxx	kxy	kyy	χ,LT	Verifica
1.85	SLD 8	0.06	1	-25.039	697.541	0.14843	32.89552	0.05672	16.19002	0.912	0.721	0.993	0.412	0.995	0.687	0.979

Verifica di stabilità a taglio anima Y §4.2.4.1.2.4 [4.2.27] NTC18

η	hw	tw	hw/tw max	Verifica
1.2	0.098	0.005	55.46	Si

Verifica di stabilità a taglio anima Y SLD §4.2.4.1.2.4 [4.2.27] NTC18

η	hw	tw	hw/tw max	Verifica
1.2	0.098	0.005	55.46	Si

Implementazione dei sistemi di confinamento delle emissioni odorigene diffuse dell'impianto di compostaggio esistente nel
Comune di Eboli (SA)
PROGETTO DEFINITIVO – Tabulati di calcolo Tomo 1

Verifiche a deformabilità

Mensola X: No; Mensola Y: No.

Frecce lungo X

Ascissa freccia	Combinazione	Freccia	Luce	L/f	L/f,min	Tipo	Verifica
0.925	SLE RA 1	0.00003	1.85	10000	250	Totale	Si
0.925	SLE RA 17	0.00005	1.85	10000	250	Totale	Si
0.925	SLE RA 16	0.00007	1.85	10000	250	Totale	Si
0.925	SLE RA 15	0.00007	1.85	10000	250	Totale	Si
0.925	SLE RA 14	0.00004	1.85	10000	250	Totale	Si
0.925	SLE RA 2	-0.00003	1.85	10000	350	Variabile	Si
0.925	SLE RA 17	0.00001	1.85	10000	350	Variabile	Si
0.925	SLE RA 16	0.00003	1.85	10000	350	Variabile	Si
0.925	SLE RA 15	0.00003	1.85	10000	350	Variabile	Si
0.863	SLE RA 14	0.00001	1.85	10000	350	Variabile	Si

Frecce lungo Y

Ascissa freccia	Combinazione	Freccia	Luce	L/f	L/f,min	Tipo	Verifica
0.74	SLE RA 1	0.00003	1.85	10000	250	Totale	Si
0.802	SLE RA 17	0.00005	1.85	10000	250	Totale	Si
0.802	SLE RA 16	0.00007	1.85	10000	250	Totale	Si
0.802	SLE RA 15	0.00008	1.85	10000	250	Totale	Si
0.74	SLE RA 14	0.00003	1.85	10000	250	Totale	Si
0.863	SLE RA 2	-0.00003	1.85	10000	350	Variabile	Si
0.863	SLE RA 17	0.00002	1.85	10000	350	Variabile	Si
0.863	SLE RA 16	0.00004	1.85	10000	350	Variabile	Si
0.863	SLE RA 15	0.00005	1.85	10000	350	Variabile	Si
1.048	SLE RA 14	0	1.85	10000	350	Variabile	Si

Superelemento in acciaio a quota "640" (-653; 1121)-(-544; 1018)

Caratteristiche del materiale

Acciaio: S275, fyk = 275000

Caratteristiche geometriche

Lunghezza: 1.493

Nodo iniziale: 894 Nodo finale: 872

Cerniera iniziale: Mmomenti 1% Cerniera finale: Mmomenti 1%

Sovreresistenza: 0% Sisma Z: No

Caratteristiche della sezione

Sezione	Rotazione	Area	Jx	Jy	ix	iy	Wx	Wy	Wplx	Wply
A1; L100*10; 1; Saldato; S275; 30; 1; 8; 8; 1	180	0.003832	0.0000035319	0.000007759	0.0304	0.045	0.0000492	0.0000739	0.00008974	0.00012727

Comportamento dei calastrelli

Accoppiamento imbottito con funzione statica (§C4.2.4.1.3.1.4 NTC18) nella campata compresa tra le ascisse 0 e 1.493 per sbandamento attorno all'asse y.

Verifiche di resistenza

Verifiche a forza assiale §4.2.4.1.2.1 - §4.2.4.1.2.2 NTC18

X	Comb.	Sfruttamento	Classe	NEd	Nc,Rd	Nt,Rd	Riduzione da taglio	px	py	Verifica
1.493	SLU 76	0.001	3	-1.299	1003.522		1	0	0	Si

Verifiche a forza assiale SLD §4.2.4.1.2.1 - §4.2.4.1.2.2 NTC18

X	Comb.	Sfruttamento	Classe	NEd	Nc,Rd	Nt,Rd	Riduzione da taglio	px	py	Verifica
1.394	SLD 8	0.001	1	-0.614	1003.522		1	0	0	Si

Verifica a taglio Y §4.2.4.1.2.4 NTC18

X	Comb.	Sfruttamento	VEd	Vc,Rd	Av	Interazione taglio-torsione	Riduzione torsione	Verifica
1.493	SLU 76	0.002	0.462	302.422	0.002	Non considerata		Si

Verifica a taglio Y SLD §4.2.4.1.2.4 NTC18

X	Comb.	Sfruttamento	VEd	Vc,Rd	Av	Interazione taglio-torsione	Riduzione torsione	Verifica
1.493	SLD 9	0.001	0.301	302.422	0.002	Non considerata		Si

Verifica a flessione semplice X §§ 4.2.4.1.2.3 - 4.2.4.1.2.6 - 4.2.4.1.2.7 - 4.2.4.1.2.8 NTC18

X	Comb.	Sfruttamento	Classe	Mx,Ed	Mx,Rd	Rid. Mx,Rd da VEd	px	py	Verifica
0.796	SLV 10	0.007	1	0.16992	23.50374	1	0	0	Si

Verifica a flessione semplice X SLD §§ 4.2.4.1.2.3 - 4.2.4.1.2.6 - 4.2.4.1.2.7 - 4.2.4.1.2.8 NTC18

X	Comb.	Sfruttamento	Classe	Mx,Ed	Mx,Rd	Rid. Mx,Rd da VEd	px	py	Verifica
0.498	SLD 10	0.006	1	0.15138	23.50374	1	0	0	Si

Verifica a flessione semplice Y §§ 4.2.4.1.2.3 - 4.2.4.1.2.6 - 4.2.4.1.2.7 - 4.2.4.1.2.8 NTC18

X	Comb.	Sfruttamento	Classe	My,Ed	My,Rd	Rid. My,Rd da VEd	px	py	Verifica
1.493	SLV 13	0.001	1	0.03122	33.33162	1	0	0	Si

Verifica a flessione semplice Y SLD §§ 4.2.4.1.2.3 - 4.2.4.1.2.6 - 4.2.4.1.2.7 - 4.2.4.1.2.8 NTC18

X	Comb.	Sfruttamento	Classe	My,Ed	My,Rd	Rid. My,Rd da VEd	px	py	Verifica
1.493	SLD 13	0	1	0.01425	33.33162	1	0	0	Si

Implementazione dei sistemi di confinamento delle emissioni odorigene diffuse dell'impianto di compostaggio esistente nel
Comune di Eboli (SA)

PROGETTO DEFINITIVO – Tabulati di calcolo Tomo 1

Verifica a flessione deviata §§ 4.2.4.1.2.3 - 4.2.4.1.2.6 - 4.2.4.1.2.7 - 4.2.4.1.2.8 NTC18

X	Comb.	Sfruttamento	Classe	Mx,Ed	Mx,Rd	My,Ed	My,Rd	Rid. Mx,Rd da VEd	Rid. My,Rd da VEd	α	β	ρ_x	ρ_y	Verifica
0.249	SLV 9	0.009	1	0.2006	23.5037	-0.0204	33.3316	1	1			0	0	Si

Verifica a flessione deviata SLD §§ 4.2.4.1.2.3 - 4.2.4.1.2.6 - 4.2.4.1.2.7 - 4.2.4.1.2.8 NTC18

X	Comb.	Sfruttamento	Classe	Mx,Ed	Mx,Rd	My,Ed	My,Rd	Rid. Mx,Rd da VEd	Rid. My,Rd da VEd	α	β	ρ_x	ρ_y	Verifica
0.299	SLD 10	0.006	1	0.1458	23.5037	-0.0077	33.3316	1	1			0	0	Si

Verifica a presso/tenso flessione retta X §§ 4.2.4.1.2.3 - 4.2.4.1.2.6 - 4.2.4.1.2.7 - 4.2.4.1.2.8 NTC18

Verifiche eseguite utilizzando la formula conservativa (6.2) §6.2.1 EN 1993-1-1:2005.

X	Comb.	Sfruttamento	Classe	NEd	NRd	Rid. NRd da VEd	Mx,Ed	Mx,Rd	Rid. Mx,Rd da VEd	Rid. Mx,Rd da NEd	ρ_x	ρ_y	Verifica
0.299	SLU 76	0.013	1	-1.299	1003.522	1	0.2738	23.5037	1		0	0	Si

Verifica a presso/tenso flessione retta X SLD §§ 4.2.4.1.2.3 - 4.2.4.1.2.6 - 4.2.4.1.2.7 - 4.2.4.1.2.8 NTC18

Verifiche eseguite utilizzando la formula conservativa (6.2) §6.2.1 EN 1993-1-1:2005.

X	Comb.	Sfruttamento	Classe	NEd	NRd	Rid. NRd da VEd	Mx,Ed	Mx,Rd	Rid. Mx,Rd da VEd	Rid. Mx,Rd da NEd	ρ_x	ρ_y	Verifica
0.747	SLD 1	0.005	1	-0.475	1003.522	1	0.1112	23.5037	1		0	0	Si

Verifica a presso/tenso flessione retta Y §§ 4.2.4.1.2.3 - 4.2.4.1.2.6 - 4.2.4.1.2.7 - 4.2.4.1.2.8 NTC18

Verifiche eseguite utilizzando la formula conservativa (6.2) §6.2.1 EN 1993-1-1:2005.

X	Comb.	Sfruttamento	Classe	NEd	NRd	Rid. NRd da VEd	My,Ed	My,Rd	Rid. My,Rd da VEd	Rid. My,Rd da NEd	ρ_x	ρ_y	Verifica
1.493	SLU 76	0.002	3	-1.299	1003.522	1	0.0195	19.3536	1		0	0	Si

Verifica a presso/tenso flessione retta Y SLD §§ 4.2.4.1.2.3 - 4.2.4.1.2.6 - 4.2.4.1.2.7 - 4.2.4.1.2.8 NTC18

Verifiche eseguite utilizzando la formula conservativa (6.2) §6.2.1 EN 1993-1-1:2005.

X	Comb.	Sfruttamento	Classe	NEd	NRd	Rid. NRd da VEd	My,Ed	My,Rd	Rid. My,Rd da VEd	Rid. My,Rd da NEd	ρ_x	ρ_y	Verifica
1.493	SLD 7	0.001	3	-0.614	1003.522	1	-0.008	19.3536	1		0	0	Si

Verifica a presso/tenso flessione deviata §§ 4.2.4.1.2.3 - 4.2.4.1.2.6 - 4.2.4.1.2.7 - 4.2.4.1.2.8 NTC18

Verifiche eseguite utilizzando la formula conservativa (6.2) §6.2.1 EN 1993-1-1:2005.

X	Comb.	Sfruttamento	Classe	NEd	NRd	Rid. NRd da VEd	Mx,Ed	Mx,Rd	My,Ed	My,Rd	Rid. Mx,Rd da VEd	Rid. Mx,Rd da NEd	Rid. My,Rd da VEd	Rid. My,Rd da NEd	α	β	ρ_x	ρ_y	Verifica
0.199	SLU 76	0.013	1	-1.299	1003.522	1	0.2714	23.5037	-0.0081	33.3316	1		1				0	0	Si

Verifica a presso/tenso flessione deviata SLD §§ 4.2.4.1.2.3 - 4.2.4.1.2.6 - 4.2.4.1.2.7 - 4.2.4.1.2.8 NTC18

Verifiche eseguite utilizzando la formula conservativa (6.2) §6.2.1 EN 1993-1-1:2005.

X	Comb.	Sfruttamento	Classe	NEd	NRd	Rid. NRd da VEd	Mx,Ed	Mx,Rd	My,Ed	My,Rd	Rid. Mx,Rd da VEd	Rid. Mx,Rd da NEd	Rid. My,Rd da VEd	Rid. My,Rd da NEd	α	β	ρ_x	ρ_y	Verifica
0.597	SLD 11	0.006	1	-0.5	1003.522	1	0.1132	23.5037	0.0107	33.3316	1		1				0	0	Si

Verifiche ad instabilità

Caratteristiche iniziali

Membratura principale per controllo snellezza; Calcolo di snellezze ed N critici condotti secondo gli assi principali;

Curva X: c; Curva Y: c;

Svergolamento: Nessuno; la verifica a instabilità flesso-torsionale (svergolamento) non verrà eseguita.

Dati per instabilità attorno a x

Controllo della snellezza secondo §4.2.4.1.3.1 NTC18

Numero rit.	Presente	Ascissa	Campata	$\beta x/m$	Vincolo a entrambi estremi	$\lambda x/m$	λVer
1	Si		0				
			1-2		1	Si	49.2
2	Si	1.493					Si, (<200)

Dati per instabilità attorno a y

Controllo della snellezza secondo §4.2.4.1.3.1 NTC18

Numero rit.	Presente	Ascissa	Campata	$\beta y/n$	k,LT	kw,LT	Vincolo a entrambi estremi
1	Si	0					
			1-2		1	Si	34.6
2	Si	1.493					Si, (<200)

Verifica di stabilità per pressoflessione §C.4.2.4.1.3.3.1 NTC18

X	Comb.	Sfruttamento	Classe	NEd	MxEq,Ed	MyEq,Ed	Area	Wx	Wy	χ_{min}	$\lambda_{adim. x/m}$	$\lambda_{adim. y/n}$	N,crit x/m	N,crit y/n	Verifica
1.493	SLU 76	0.023	3	-1.299	0.2605	0.0146	0.003832	0.0000492	0.0000739	0.805	0.566	0.399	3283.636	6625.948	Si

Verifica di stabilità per pressoflessione SLD §C.4.2.4.1.3.3.1 NTC18

X	Comb.	Sfruttamento	Classe	NEd	MxEq,Ed	MyEq,Ed	Area	Wx	Wy	χ_{min}	$\lambda_{adim. x/m}$	$\lambda_{adim. y/n}$	N,crit x/m	N,crit y/n	Verifica
1.493	SLD 2	0.01	3	-0.475	0.1082	-0.016	0.003832	0.0000492	0.0000739	0.805	0.566	0.399	3283.636	6625.948	Si

Verifiche a deformabilità

Mensola X: No; Mensola Y: No.

Frecce lungo X

Ascissa freccia	Combinazione	Freccia	Luce	L/f	L/f,min	Tipo	Verifica
0.946	SLE RA 1	0	1.493	10000	250	Totale	Si
0.995	SLE RA 17	0	1.493	10000	250	Totale	Si
0.995	SLE RA 16	0	1.493	10000	250	Totale	Si
0.995	SLE RA 15	0	1.493	10000	250	Totale	Si
0.995	SLE RA 14	0	1.493	10000	250	Totale	Si
0.995	SLE RA 2	0	1.493	10000	350	Variabile	Si
0.995	SLE RA 17	0	1.493	10000	350	Variabile	Si
0.995	SLE RA 16	0	1.493	10000	350	Variabile	Si
0.995	SLE RA 15	0	1.493	10000	350	Variabile	Si
1.095	SLE RA 14	0	1.493	10000	350	Variabile	Si

Implementazione dei sistemi di confinamento delle emissioni odorigene diffuse dell'impianto di compostaggio esistente nel
Comune di Eboli (SA)
PROGETTO DEFINITIVO – Tabulati di calcolo Tomo 1

Frecce lungo Y

Ascissa freccia	Combinazione	Freccia	Luce	L/f	L/f,min	Tipo	Verifica
0.697	SLE RA 1	0.00004	1.493	10000	250	Totale	Si
0.697	SLE RA 17	0.00005	1.493	10000	250	Totale	Si
0.697	SLE RA 16	0.00006	1.493	10000	250	Totale	Si
0.697	SLE RA 15	0.00006	1.493	10000	250	Totale	Si
0.697	SLE RA 14	0.00005	1.493	10000	250	Totale	Si
0.647	SLE RA 2	-0.00001	1.493	10000	350	Variabile	Si
0.647	SLE RA 17	0.00001	1.493	10000	350	Variabile	Si
0.647	SLE RA 16	0.00001	1.493	10000	350	Variabile	Si
0.647	SLE RA 15	0.00001	1.493	10000	350	Variabile	Si
0.647	SLE RA 14	0	1.493	10000	350	Variabile	Si

Superelemento in acciaio a quota "640" (-669; -643)-(-542; -509)

Caratteristiche del materiale

Acciaio: S275, fyk = 275000

Caratteristiche geometriche

Lunghezza: 1.85

Nodo iniziale: 553 Nodo finale: 575

Cerniera iniziale: No Cerniera finale: No

Sovreresistenza: 0% Sisma Z: No

Caratteristiche della sezione

Sezione	Rotazione	Area	Jx	Jy	ix	iy	Wx	Wy	Wplx	Wply
HEA120	0	0.002537	0.0000060673	0.0000023091	0.0489	0.0302	0.00010644	0.00003849	0.00011962	0.00005887

Verifiche di resistenza

Verifiche a forza assiale §4.2.4.1.2.1 - §4.2.4.1.2.2 NTC18

X	Comb.	Sfruttamento	Classe	NEd	Nc,Rd	Nt,Rd	Riduzione da taglio	px	py	Verifica
1.295	SLU 75	0.154	1	-102.022	664.325		1	0	0	Si

Verifiche a forza assiale SLD §4.2.4.1.2.1 - §4.2.4.1.2.2 NTC18

X	Comb.	Sfruttamento	Classe	NEd	Nc,Rd	Nt,Rd	Riduzione da taglio	px	py	Verifica
1.85	SLD 5	0.048	1	-31.593	664.325		1	0	0	Si

Verifica a taglio Y §4.2.4.1.2.4 NTC18

X	Comb.	Sfruttamento	VEd	Vc,Rd	Av	Interazione taglio-torsione	Riduzione torsione	Verifica
0	SLU 75	0.012	1.513	127.655	0.000849	Considerata	0.99	Si

Verifica a taglio Y SLD §4.2.4.1.2.4 NTC18

X	Comb.	Sfruttamento	VEd	Vc,Rd	Av	Interazione taglio-torsione	Riduzione torsione	Verifica
0	SLD 6	0.004	0.574	128.167	0.000849	Considerata	1	Si

Verifica a torsione §4.2.4.1.2.5 NTC18

X	Comb.	Sfruttamento torsione	TEd	TRd	Riduzione taglio resistente	Sfruttamento taglio-torsione	τEd,totale	τRd	Verifica
0	SLU 75	0.013	-0.01074	0.85138	Considerata				Si

Verifica a torsione SLD §4.2.4.1.2.5 NTC18

X	Comb.	Sfruttamento torsione	TEd	TRd	Riduzione taglio resistente	Sfruttamento taglio-torsione	τEd,totale	τRd	Verifica
1.85	SLD 8	0.006	-0.0053	0.85138	Considerata				Si

Verifica a presso/tenso flessione retta X §§ 4.2.4.1.2.3 - 4.2.4.1.2.6 - 4.2.4.1.2.7 - 4.2.4.1.2.8 NTC18

Verifiche eseguite utilizzando la formula conservativa (6.2) §6.2.1 EN 1993-1-1:2005.

X	Comb.	Sfruttamento	Classe	NEd	NRd	Rid. NRd da VEd	Mx,Ed	Mx,Rd	Rid. Mx,Rd da VEd	Rid. Mx,Rd da NEd	px	py	Verifica
1.85	SLU 76	0.127	1	-58.48	664.325	1	-1.2254	31.3291	1		0	0	Si

Verifica a presso/tenso flessione retta X SLD §§ 4.2.4.1.2.3 - 4.2.4.1.2.6 - 4.2.4.1.2.7 - 4.2.4.1.2.8 NTC18

Verifiche eseguite utilizzando la formula conservativa (6.2) §6.2.1 EN 1993-1-1:2005.

X	Comb.	Sfruttamento	Classe	NEd	NRd	Rid. NRd da VEd	Mx,Ed	Mx,Rd	Rid. Mx,Rd da VEd	Rid. Mx,Rd da NEd	px	py	Verifica
1.295	SLD 1	0.065	1	-31.543	664.325	1	-0.5475	31.3291	1		0	0	Si

Verifica a presso/tenso flessione retta Y §§ 4.2.4.1.2.3 - 4.2.4.1.2.6 - 4.2.4.1.2.7 - 4.2.4.1.2.8 NTC18

Verifiche eseguite utilizzando la formula conservativa (6.2) §6.2.1 EN 1993-1-1:2005.

X	Comb.	Sfruttamento	Classe	NEd	NRd	Rid. NRd da VEd	My,Ed	My,Rd	Rid. My,Rd da VEd	Rid. My,Rd da NEd	px	py	Verifica
0.123	SLV 10	0.055	1	-32.407	664.325	1	-0.0924	15.4191	1		0	0	Si

Verifica a presso/tenso flessione retta Y SLD §§ 4.2.4.1.2.3 - 4.2.4.1.2.6 - 4.2.4.1.2.7 - 4.2.4.1.2.8 NTC18

Verifiche eseguite utilizzando la formula conservativa (6.2) §6.2.1 EN 1993-1-1:2005.

X	Comb.	Sfruttamento	Classe	NEd	NRd	Rid. NRd da VEd	My,Ed	My,Rd	Rid. My,Rd da VEd	Rid. My,Rd da NEd	px	py	Verifica
0	SLD 3	0.049	1	-30.913	664.325	1	0.0409	15.4191	1		0	0	Si

Verifica a presso/tenso flessione deviata §§ 4.2.4.1.2.3 - 4.2.4.1.2.6 - 4.2.4.1.2.7 - 4.2.4.1.2.8 NTC18

Verifiche eseguite utilizzando la formula conservativa (6.2) §6.2.1 EN 1993-1-1:2005.

X	Comb.	Sfruttamento	Classe	NEd	NRd	Rid. NRd da VEd	Mx,Ed	Mx,Rd	My,Ed	My,Rd	Rid. Mx,Rd da VEd	Rid. Mx,Rd da NEd	Rid. My,Rd da VEd	Rid. My,Rd da NEd	α	β	px	py	Verifica
1.85	SLU 75	0.234	1	-102.022	664.325	1	-2.4446	31.3291	0.0377	15.4191	1		1				0	0	Si

Implementazione dei sistemi di confinamento delle emissioni odorigene diffuse dell'impianto di compostaggio esistente nel
Comune di Eboli (SA)
PROGETTO DEFINITIVO – Tabulati di calcolo Tomo 1

Verifica a presso/tenso flessione deviata SLD §§ 4.2.4.1.2.3 - 4.2.4.1.2.6 - 4.2.4.1.2.7 - 4.2.4.1.2.8 NTC18

Verifiche eseguite utilizzando la formula conservativa (6.2) §6.2.1 EN 1993-1-1:2005.

X	Comb.	Sfruttamento	Classe	NEd	NRd	Rid. NRd da VEd	Mx,Ed	Mx,Rd	My,Ed	My,Rd	Rid. Mx,Rd da VEd	Rid. Mx,Rd da NEd	Rid. My,Rd da VEd	Rid. My,Rd da NEd	α	β	px	py	Verifica
1.85	SLD 5	0.072	1	-31.593	664.325	1	-0.6934	31.3291	0.0327	15.4191	1		1				0	0	Si

Verifiche ad instabilità

Caratteristiche iniziali

Membratura principale per controllo snellezza; Calcolo di snellezza ed N critici condotti secondo gli assi principali;
Curva X: b; Curva Y: c; Svergolamento: Carico all'estradosso; Curva svergolamento: b;

Dati per instabilità attorno a x

Controllo della snellezza secondo §4.2.4.1.3.1 NTC18

Numero rit.	Presente	Ascissa	Campata	βx/m	Vincolo a entrambi estremi	λx/m	λVer
1	Si	0					
			1-2	1	Si	37.8	Si, (<200)
2	Si	1.85					

Dati per instabilità attorno a y

Controllo della snellezza secondo §4.2.4.1.3.1 NTC18

Numero rit.	Presente	Ascissa	Campata	βy/n	k,LT	kw,LT	Vincolo a entrambi estremi	λy/n	λVer
1	Si	0							
			1-2	1	1	1	Si	61.3	Si, (<200)
2	Si	1.85							

Verifica a svergolamento con trazione §4.2.4.1.3.2 NTC18 § 5.5.3 ENV 1993-1-1:1992 + AC:1992 + A1:1994 + A2:1998

X	Comb.	Sfruttamento	Classe	Obblig.	NEd	Mx,Ed	Mx,Eff,Ed	Mb,Rd,x	χ,LT	λ adim. LT	L,LT	M,critico	Verifica
1.85	SLU 40	0.007	1	Si	2.118	0.24916	0.18695	28.25853	0.902	0.633	1.85	82.10616	Si

Verifica di stabilità per tenso-flessione deviata §§ 5.5.3-5.5.4 ENV 1993-1-1:1992 + AC:1992 + A1:1994 + A2:1998

X	Comb.	Sfruttamento	Classe	NEd	Mx,Ed	Mx,Eff,Ed	My,Ed	χ,LT	kLT	ky	M,critico	Wx	Wy	Verifica
1.85	SLU 42	0.011	1	2.14	0.34765	0.28478	-0.01758	0.902	1	1	82.10616	0.0001196	0.0000589	Si

Verifica di stabilità per pressoflessione §C.4.2.4.1.3.3.2 NTC18

X	Comb.	Sfruttamento	Classe	NEd	NRk	Mx,Ed max	Mx,Rk	My,Ed max	My,Rk	χ,x	χ,y	kxx	kxy	kyy	χ,LT	Verifica	
0.617	SLU 75	0.291	1	-102.022	697.541	2.4446	32.89552	0.03773	16.19002	0.912	0.721	0.677	0.543	0.962	0.905	0.993	Si

Verifica di stabilità per pressoflessione SLD §C.4.2.4.1.3.3.2 NTC18

X	Comb.	Sfruttamento	Classe	NEd	NRk	Mx,Ed max	Mx,Rk	My,Ed max	My,Rk	χ,x	χ,y	kxx	kxy	kyy	χ,LT	Verifica	
1.85	SLD 5	0.091	1	-31.593	697.541	0.69345	32.89552	0.03274	16.19002	0.912	0.721	0.691	0.277	0.989	0.462	0.902	Si

Verifica di stabilità a taglio anima Y §4.2.4.1.2.4 [4.2.27] NTC18

η	hw	tw	hw/tw max	Verifica
1.2	0.098	0.005	55.46	Si

Verifica di stabilità a taglio anima Y SLD §4.2.4.1.2.4 [4.2.27] NTC18

η	hw	tw	hw/tw max	Verifica
1.2	0.098	0.005	55.46	Si

Verifiche a deformabilità

Mensola X: No; Mensola Y: No.

Frecce lungo X

Ascissa freccia	Combinazione	Freccia	Luce	L/f	L/f,min	Tipo	Verifica
0.987	SLE RA 1	-0.00001	1.85	10000	250	Totale	Si
0.987	SLE RA 17	-0.00001	1.85	10000	250	Totale	Si
0.987	SLE RA 16	-0.00001	1.85	10000	250	Totale	Si
1.357	SLE RA 15	0	1.85	10000	250	Totale	Si
0.987	SLE RA 14	-0.00002	1.85	10000	250	Totale	Si
0.987	SLE RA 2	0	1.85	10000	350	Variabile	Si
0.987	SLE RA 17	0	1.85	10000	350	Variabile	Si
0.987	SLE RA 16	0	1.85	10000	350	Variabile	Si
0.987	SLE RA 15	0.00001	1.85	10000	350	Variabile	Si
0.987	SLE RA 14	-0.00001	1.85	10000	350	Variabile	Si

Frecce lungo Y

Ascissa freccia	Combinazione	Freccia	Luce	L/f	L/f,min	Tipo	Verifica
1.048	SLE RA 18	-0.00032	1.85	5710.3	250	Totale	Si
1.048	SLE RA 6	-0.0003	1.85	6266.6	250	Totale	Si
1.048	SLE RA 10	-0.00029	1.85	6476.8	250	Totale	Si
1.048	SLE RA 14	-0.00029	1.85	6476.8	250	Totale	Si
1.048	SLE RA 3	-0.00026	1.85	7202.1	250	Totale	Si
1.048	SLE RA 18	-0.00019	1.85	9897.7	350	Variabile	Si
1.048	SLE RA 2	0.00011	1.85	10000	350	Variabile	Si
1.048	SLE RA 17	-0.00005	1.85	10000	350	Variabile	Si
1.048	SLE RA 16	-0.00012	1.85	10000	350	Variabile	Si
1.11	SLE RA 15	0	1.85	10000	350	Variabile	Si

Superelemento in acciaio a quota "640" (-690; 647)-(-580; 544)

Caratteristiche del materiale

Acciaio: S275, fyk = 275000

Caratteristiche geometriche

Lunghezza: 1.5

Nodo iniziale: 797 Nodo finale: 774

Implementazione dei sistemi di confinamento delle emissioni odorigene diffuse dell'impianto di compostaggio esistente nel
Comune di Eboli (SA)
PROGETTO DEFINITIVO – Tabulati di calcolo Tomo 1

Cerniera iniziale: Mmomenti 1% Cerniera finale: Mmomenti 1%
Sovreresistenza: 0% Sisma Z: No

Caratteristiche della sezione

Sezione	Rotazione	Area	Jx	Jy	ix	iy	Wx	Wy	Wplx	Wply
A1; L100*10; 1; Saldato; S275; 30; 1; 8; 8; 1	180	0.003832	0.0000035319	0.000007759	0.0304	0.045	0.0000492	0.0000739	0.00008974	0.00012727

Comportamento dei calastrelli

Accoppiamento imbottito con funzione statica (§C4.2.4.1.3.1.4 NTC18) nella campata compresa tra le ascisse 0 e 1.5 per sbandamento attorno all'asse y.

Verifiche di resistenza

Verifiche a forza assiale §4.2.4.1.2.1 - §4.2.4.1.2.2 NTC18

X	Comb.	Sfruttamento	Classe	NEd	Nc,Rd	Nt,Rd	Riduzione da taglio	px	py	Verifica
1.4	SLU 76	0.222		222.388		1003.522	1	0	0	Si

Verifiche a forza assiale SLD §4.2.4.1.2.1 - §4.2.4.1.2.2 NTC18

X	Comb.	Sfruttamento	Classe	NEd	Nc,Rd	Nt,Rd	Riduzione da taglio	px	py	Verifica
1.45	SLD 14	0.074		74.48		1003.522	1	0	0	Si

Verifica a taglio X §4.2.4.1.2.4 NTC18

X	Comb.	Sfruttamento	VEd	Vc,Rd	Av	Interazione taglio-torsione	Riduzione torsione	Verifica
0	SLU 2	0.001	0.211	302.422	0.002	Non considerata		Si

Verifica a taglio Y §4.2.4.1.2.4 NTC18

X	Comb.	Sfruttamento	VEd	Vc,Rd	Av	Interazione taglio-torsione	Riduzione torsione	Verifica
1.5	SLU 76	0.001	0.295	302.422	0.002	Non considerata		Si

Verifica a taglio Y SLD §4.2.4.1.2.4 NTC18

X	Comb.	Sfruttamento	VEd	Vc,Rd	Av	Interazione taglio-torsione	Riduzione torsione	Verifica
1.5	SLD 14	0.001	0.226	302.422	0.002	Non considerata		Si

Verifica a flessione semplice X §§ 4.2.4.1.2.3 - 4.2.4.1.2.6 - 4.2.4.1.2.7 - 4.2.4.1.2.8 NTC18

X	Comb.	Sfruttamento	Classe	Mx,Ed	Mx,Rd	Rid. Mx,Rd da VEd	px	py	Verifica
0.75	SLU 59	0.005	1	0.10924	23.50374	1	0	0	Si

Verifica a presso/tenso flessione retta X §§ 4.2.4.1.2.3 - 4.2.4.1.2.6 - 4.2.4.1.2.7 - 4.2.4.1.2.8 NTC18

Verifiche eseguite utilizzando la formula conservativa (6.2) §6.2.1 EN 1993-1-1:2005.

X	Comb.	Sfruttamento	Classe	NEd	NRd	Rid. NRd da VEd	Mx,Ed	Mx,Rd	Rid. Mx,Rd da VEd	Rid. Mx,Rd da NEd	px	py	Verifica
0.75	SLU 76	0.226	1	222.388	1003.522	1	0.1124	23.5037	1		0	0	Si

Verifica a presso/tenso flessione retta Y §§ 4.2.4.1.2.3 - 4.2.4.1.2.6 - 4.2.4.1.2.7 - 4.2.4.1.2.8 NTC18

Verifiche eseguite utilizzando la formula conservativa (6.2) §6.2.1 EN 1993-1-1:2005.

X	Comb.	Sfruttamento	Classe	NEd	NRd	Rid. NRd da VEd	My,Ed	My,Rd	Rid. My,Rd da VEd	Rid. My,Rd da NEd	px	py	Verifica
1.5	SLV 14	0.078	1	77.668	1003.522	1	0.0336	33.3316	1		0	0	Si

Verifica a presso/tenso flessione retta Y SLD §§ 4.2.4.1.2.3 - 4.2.4.1.2.6 - 4.2.4.1.2.7 - 4.2.4.1.2.8 NTC18

Verifiche eseguite utilizzando la formula conservativa (6.2) §6.2.1 EN 1993-1-1:2005.

X	Comb.	Sfruttamento	Classe	NEd	NRd	Rid. NRd da VEd	My,Ed	My,Rd	Rid. My,Rd da VEd	Rid. My,Rd da NEd	px	py	Verifica
1.5	SLD 14	0.075	1	74.48	1003.522	1	0.0135	33.3316	1		0	0	Si

Verifica a presso/tenso flessione deviata §§ 4.2.4.1.2.3 - 4.2.4.1.2.6 - 4.2.4.1.2.7 - 4.2.4.1.2.8 NTC18

Verifiche eseguite utilizzando la formula conservativa (6.2) §6.2.1 EN 1993-1-1:2005.

X	Comb.	Sfruttamento	Classe	NEd	NRd	Rid. NRd da VEd	Mx,Ed	Mx,Rd	My,Ed	My,Rd	Rid. Mx,Rd da VEd	Rid. Mx,Rd da NEd	Rid. My,Rd da VEd	Rid. My,Rd da NEd	α	β	px	py	Verifica
0.75	SLV 14	0.082	1	77.668	1003.522	1	0.0851	23.5037	0.0281	33.3316	1		1				0	0	Si

Verifica a presso/tenso flessione deviata SLD §§ 4.2.4.1.2.3 - 4.2.4.1.2.6 - 4.2.4.1.2.7 - 4.2.4.1.2.8 NTC18

Verifiche eseguite utilizzando la formula conservativa (6.2) §6.2.1 EN 1993-1-1:2005.

X	Comb.	Sfruttamento	Classe	NEd	NRd	Rid. NRd da VEd	Mx,Ed	Mx,Rd	My,Ed	My,Rd	Rid. Mx,Rd da VEd	Rid. Mx,Rd da NEd	Rid. My,Rd da VEd	Rid. My,Rd da NEd	α	β	px	py	Verifica
0.75	SLD 13	0.078	1	74.48	1003.522	1	0.0851	23.5037	0.0116	33.3316	1		1				0	0	Si

Verifiche ad instabilità

Caratteristiche iniziali

Membratura principale per controllo snellezza; Calcolo di snellezze ed N critici condotti secondo gli assi principali;

Curva X: c; Curva Y: c;

Svergolamento: Nessuno; la verifica a instabilità flesso-torsionale (svergolamento) non verrà eseguita.

Dati per instabilità attorno a x

Controllo della snellezza secondo §4.2.4.1.3.1 NTC18

Numero rit.	Presente	Ascissa	Campata	βx/m	Vincolo a entrambi estremi	λx/m	λVer
1	Si	0					
			1-2	1	Si	49.4	Si, (<200)
2	Si	1.5					

Dati per instabilità attorno a y

Controllo della snellezza secondo §4.2.4.1.3.1 NTC18

Numero rit.	Presente	Ascissa	Campata	βy/n	k,LT	kw,LT	Vincolo a entrambi estremi
-------------	----------	---------	---------	------	------	-------	----------------------------

Implementazione dei sistemi di confinamento delle emissioni odorigene diffuse dell'impianto di compostaggio esistente nel
Comune di Eboli (SA)
PROGETTO DEFINITIVO – Tabulati di calcolo Tomo 1

Numero rit.	Presente	Ascissa	Campata	$\beta y/n$	k,LT	kw,LT	Vincolo a entrambi estremi
1	Si	0	1-2	1	Si	34.8	Si, (<200)
2	Si	1.5					

Verifica di stabilità per pressoflessione §C.4.2.4.1.3.3.1 NTC18

X	Comb.	Sfruttamento	Classe	NEd	MxEq,Ed	MyEq,Ed	Area	Wx	Wy	x_{min}	$\lambda_{adim. x/m}$	$\lambda_{adim. y/n}$	N,crit x/m	N,crit y/n	Verifica
0	SLU 2	0.051	3	-33.28	0.0719	-0.0755	0.003832	0.0000492	0.0000739	0.804	0.569	0.4	3253.47	6569.993	Si

Verifiche a deformabilità

Mensola X: No; Mensola Y: No.

Frecce lungo X

Ascissa freccia	Combinazione	Freccia	Luce	L/f	L/f,min	Tipo	Verifica
0.65	SLE RA 1	0	1.5	10000	250	Totale	Si
0.65	SLE RA 17	0	1.5	10000	250	Totale	Si
0.65	SLE RA 16	0	1.5	10000	250	Totale	Si
0.6	SLE RA 15	0	1.5	10000	250	Totale	Si
0.65	SLE RA 14	0	1.5	10000	250	Totale	Si
0.6	SLE RA 2	0	1.5	10000	350	Variabile	Si
0.6	SLE RA 17	0	1.5	10000	350	Variabile	Si
0.6	SLE RA 16	0	1.5	10000	350	Variabile	Si
0.6	SLE RA 15	0	1.5	10000	350	Variabile	Si
0.65	SLE RA 14	0	1.5	10000	350	Variabile	Si

Frecce lungo Y

Ascissa freccia	Combinazione	Freccia	Luce	L/f	L/f,min	Tipo	Verifica
0.75	SLE RA 1	0.00003	1.5	10000	250	Totale	Si
0.75	SLE RA 17	0.00003	1.5	10000	250	Totale	Si
0.75	SLE RA 16	0.00003	1.5	10000	250	Totale	Si
0.75	SLE RA 15	0.00003	1.5	10000	250	Totale	Si
0.75	SLE RA 14	0.00003	1.5	10000	250	Totale	Si
0.7	SLE RA 2	0	1.5	10000	350	Variabile	Si
0.7	SLE RA 17	0	1.5	10000	350	Variabile	Si
0.7	SLE RA 16	0	1.5	10000	350	Variabile	Si
0.7	SLE RA 15	0	1.5	10000	350	Variabile	Si
0.7	SLE RA 14	0	1.5	10000	350	Variabile	Si

Superelemento in acciaio a quota "640" (-725; 172)-(-616; 69)

Caratteristiche del materiale

Acciaio: S275, fyk = 275000

Caratteristiche geometriche

Lunghezza: 1.5

Nodo iniziale: 701 Nodo finale: 685

Cerniera iniziale: Mmomenti 1% Cerniera finale: Mmomenti 1%

Sovreresistenza: 0% Sisma Z: No

Caratteristiche della sezione

Sezione	Rotazione	Area	Jx	Jy	ix	iy	Wx	Wy	Wplx	Wply
A1; L100*10; 1; Saldato; S275; 30; 1; 8; 8; 1	180	0.003832	0.0000035319	0.000007759	0.0304	0.045	0.0000492	0.0000739	0.00008974	0.00012727

Comportamento dei calastrelli

Accoppiamento imbottito con funzione statica (§C4.2.4.1.3.1.4 NTC18) nella campata compresa tra le ascisse 0 e 1.5 per sbandamento attorno all'asse y.

Verifiche di resistenza

Verifiche a forza assiale §4.2.4.1.2.1 - §4.2.4.1.2.2 NTC18

X	Comb.	Sfruttamento	Classe	NEd	Nc,Rd	Nt,Rd	Riduzione da taglio	px	py	Verifica
1.5	SLU 75	0.18		180.216		1003.522	1	0	0	Si

Verifiche a forza assiale SLD §4.2.4.1.2.1 - §4.2.4.1.2.2 NTC18

X	Comb.	Sfruttamento	Classe	NEd	Nc,Rd	Nt,Rd	Riduzione da taglio	px	py	Verifica
1.5	SLD 16	0.073		73.067		1003.522	1	0	0	Si

Verifica a taglio X §4.2.4.1.2.4 NTC18

X	Comb.	Sfruttamento	VEd	Vc,Rd	Av	Interazione taglio-torsione	Riduzione torsione	Verifica
0	SLV 1	0.001	0.274	302.422	0.002	Non considerata		Si

Verifica a taglio Y §4.2.4.1.2.4 NTC18

X	Comb.	Sfruttamento	VEd	Vc,Rd	Av	Interazione taglio-torsione	Riduzione torsione	Verifica
0	SLU 75	0.001	-0.296	302.422	0.002	Non considerata		Si

Verifica a taglio Y SLD §4.2.4.1.2.4 NTC18

X	Comb.	Sfruttamento	VEd	Vc,Rd	Av	Interazione taglio-torsione	Riduzione torsione	Verifica
0	SLD 16	0.001	-0.226	302.422	0.002	Non considerata		Si

Verifica a presso/tenso flessione retta X §§ 4.2.4.1.2.3 - 4.2.4.1.2.6 - 4.2.4.1.2.7 - 4.2.4.1.2.8 NTC18

Verifiche eseguite utilizzando la formula conservativa (6.2) §6.2.1 EN 1993-1-1:2005.

**Implementazione dei sistemi di confinamento delle emissioni odorigene diffuse dell'impianto di compostaggio esistente nel
Comune di Eboli (SA)**

PROGETTO DEFINITIVO – Tabulati di calcolo Tomo 1

X	Comb.	Sfruttamento	Classe	NEd	NRd	Rid. NRd da VEd	Mx,Ed	Mx,Rd	Rid. Mx,Rd da VEd	Rid. Mx,Rd da NEd	px	py	Verifica
0.75	SLU 75	0.184	1	180.216	1003.522	1	0.1109	23.5037	1		0	0	Si

Verifica a presso/tenso flessione retta X SLD §§ 4.2.4.1.2.3 - 4.2.4.1.2.6 - 4.2.4.1.2.7 - 4.2.4.1.2.8 NTC18

Verifiche eseguite utilizzando la formula conservativa (6.2) §6.2.1 EN 1993-1-1:2005.

X	Comb.	Sfruttamento	Classe	NEd	NRd	Rid. NRd da VEd	Mx,Ed	Mx,Rd	Rid. Mx,Rd da VEd	Rid. Mx,Rd da NEd	px	py	Verifica
0.35	SLD 14	0.069	1	66.657	1003.522	1	0.0602	23.5037	1		0	0	Si

Verifica a presso/tenso flessione retta Y §§ 4.2.4.1.2.3 - 4.2.4.1.2.6 - 4.2.4.1.2.7 - 4.2.4.1.2.8 NTC18

Verifiche eseguite utilizzando la formula conservativa (6.2) §6.2.1 EN 1993-1-1:2005.

X	Comb.	Sfruttamento	Classe	NEd	NRd	Rid. NRd da VEd	My,Ed	My,Rd	Rid. My,Rd da VEd	Rid. My,Rd da NEd	px	py	Verifica
1.5	SLV 16	0.104	1	94.282	1003.522	1	-0.3382	33.3316	1		0	0	Si

Verifica a presso/tenso flessione retta Y SLD §§ 4.2.4.1.2.3 - 4.2.4.1.2.6 - 4.2.4.1.2.7 - 4.2.4.1.2.8 NTC18

Verifiche eseguite utilizzando la formula conservativa (6.2) §6.2.1 EN 1993-1-1:2005.

X	Comb.	Sfruttamento	Classe	NEd	NRd	Rid. NRd da VEd	My,Ed	My,Rd	Rid. My,Rd da VEd	Rid. My,Rd da NEd	px	py	Verifica
1.5	SLD 16	0.077	1	73.067	1003.522	1	-0.1354	33.3316	1		0	0	Si

Verifica a presso/tenso flessione deviata §§ 4.2.4.1.2.3 - 4.2.4.1.2.6 - 4.2.4.1.2.7 - 4.2.4.1.2.8 NTC18

Verifiche eseguite utilizzando la formula conservativa (6.2) §6.2.1 EN 1993-1-1:2005.

X	Comb.	Sfruttamento	Classe	NEd	NRd	Rid. NRd da VEd	Mx,Ed	Mx,Rd	My,Ed	My,Rd	Rid. Mx,Rd da VEd	Rid. Mx,Rd da NEd	Rid. My,Rd da VEd	Rid. My,Rd da NEd	α	β	px	py	Verifica
1.4	SLV 16	0.104	1	94.282	1003.522	1	0.0219	23.5037	-0.3109	33.3316	1		1				0	0	Si

Verifica a presso/tenso flessione deviata SLD §§ 4.2.4.1.2.3 - 4.2.4.1.2.6 - 4.2.4.1.2.7 - 4.2.4.1.2.8 NTC18

Verifiche eseguite utilizzando la formula conservativa (6.2) §6.2.1 EN 1993-1-1:2005.

X	Comb.	Sfruttamento	Classe	NEd	NRd	Rid. NRd da VEd	Mx,Ed	Mx,Rd	My,Ed	My,Rd	Rid. Mx,Rd da VEd	Rid. Mx,Rd da NEd	Rid. My,Rd da VEd	Rid. My,Rd da NEd	α	β	px	py	Verifica
1	SLD 16	0.078	1	73.067	1003.522	1	0.0754	23.5037	-0.0808	33.3316	1		1				0	0	Si

Verifiche ad instabilità

Caratteristiche iniziali

Membratura principale per controllo snellezza; Calcolo di snellezze ed N critici condotti secondo gli assi principali;

Curva X: c; Curva Y: c;

Svergolamento: Nessuno; la verifica a instabilità flesso-torsionale (svergolamento) non verrà eseguita.

Dati per instabilità attorno a x

Controllo della snellezza secondo §4.2.4.1.3.1 NTC18

Numero rit.	Presente	Ascissa	Campata	βx/m	Vincolo a entrambi estremi	λx/m	λVer
1	Si	0					
			1-2	1	Si	49.4	Si, (<200)
2	Si	1.5					

Dati per instabilità attorno a y

Controllo della snellezza secondo §4.2.4.1.3.1 NTC18

Numero rit.	Presente	Ascissa	Campata	βy/n	k,LT	kw,LT	Vincolo a entrambi estremi
1	Si	0					
			1-2	1	Si	34.8	Si, (<200)
2	Si	1.5					

Verifica di stabilità per pressoflessione §C.4.2.4.1.3.3.1 NTC18

X	Comb.	Sfruttamento	Classe	NEd	MxEq,Ed	MyEq,Ed	Area	Wx	Wy	χ,min	λ adim. x/m	λ adim. y/n	N,crit x/m	N,crit y/n	Verifica
0	SLU 2	0.045	3	-29.307	0.072	-0.0668	0.003832	0.0000492	0.0000739	0.804	0.569	0.4	3253.47	6569.993	Si

Verifiche a deformabilità

Mensola X: No; Mensola Y: No.

Frecce lungo X

Ascissa freccia	Combinazione	Freccia	Luce	L/f	L/f,min	Tipo	Verifica
0.8	SLE RA 1	0	1.5	10000	250	Totale	Si
0.85	SLE RA 17	0	1.5	10000	250	Totale	Si
0.85	SLE RA 16	0	1.5	10000	250	Totale	Si
0.9	SLE RA 15	0	1.5	10000	250	Totale	Si
0.8	SLE RA 14	0	1.5	10000	250	Totale	Si
0.9	SLE RA 2	0	1.5	10000	350	Variabile	Si
0.9	SLE RA 17	0	1.5	10000	350	Variabile	Si
0.9	SLE RA 16	0	1.5	10000	350	Variabile	Si
1	SLE RA 15	0	1.5	10000	350	Variabile	Si
0.8	SLE RA 14	0	1.5	10000	350	Variabile	Si

Frecce lungo Y

Ascissa freccia	Combinazione	Freccia	Luce	L/f	L/f,min	Tipo	Verifica
0.75	SLE RA 1	0.00003	1.5	10000	250	Totale	Si
0.75	SLE RA 17	0.00003	1.5	10000	250	Totale	Si
0.75	SLE RA 16	0.00003	1.5	10000	250	Totale	Si
0.75	SLE RA 15	0.00003	1.5	10000	250	Totale	Si
0.75	SLE RA 14	0.00003	1.5	10000	250	Totale	Si
0.85	SLE RA 2	0	1.5	10000	350	Variabile	Si
0.85	SLE RA 17	0	1.5	10000	350	Variabile	Si
0.85	SLE RA 16	0	1.5	10000	350	Variabile	Si
0.85	SLE RA 15	0	1.5	10000	350	Variabile	Si
0.9	SLE RA 14	0	1.5	10000	350	Variabile	Si

Superelemento in acciaio a quota "640" (-761; -305)-(-652; -408)

Caratteristiche del materiale

Acciaio: S275, fyk = 275000

Caratteristiche geometriche

Lunghezza: 1.5

Nodo iniziale: 607 Nodo finale: 586

Cerniera iniziale: Mmomenti 1% Cerniera finale: Mmomenti 1%

Sovraresistenza: 0% Sisma Z: No

Caratteristiche della sezione

Sezione	Rotazione	Area	Jx	Jy	ix	iy	Wx	Wy	Wplx	Wply
A1; L100*10; 1; Saldato; S275; 30; 1; 8; 8; 1	180	0.003832	0.0000035319	0.000007759	0.0304	0.045	0.0000492	0.0000739	0.00008974	0.00012727

Comportamento dei calastrelli

Accoppiamento imbottito con funzione statica (§C4.2.4.1.3.1.4 NTC18) nella campata compresa tra le ascisse 0 e 1.5 per sbandamento attorno all'asse y.

Verifiche di resistenza

Verifiche a forza assiale §4.2.4.1.2.1 - §4.2.4.1.2.2 NTC18

X	Comb.	Sfruttamento	Classe	NEd	Nc,Rd	Nt,Rd	Riduzione da taglio	px	py	Verifica
0	SLU 75	0.051		51.49		1003.522	1	0	0	Si

Verifiche a forza assiale SLD §4.2.4.1.2.1 - §4.2.4.1.2.2 NTC18

X	Comb.	Sfruttamento	Classe	NEd	Nc,Rd	Nt,Rd	Riduzione da taglio	px	py	Verifica
1.45	SLD 14	0.012		11.871		1003.522	1	0	0	Si

Verifica a taglio Y §4.2.4.1.2.4 NTC18

X	Comb.	Sfruttamento	VEd	Vc,Rd	Av	Interazione taglio-torsione	Riduzione torsione	Verifica
0	SLU 75	0.001	-0.294	302.422	0.002	Non considerata		Si

Verifica a taglio Y SLD §4.2.4.1.2.4 NTC18

X	Comb.	Sfruttamento	VEd	Vc,Rd	Av	Interazione taglio-torsione	Riduzione torsione	Verifica
0	SLD 12	0.001	-0.226	302.422	0.002	Non considerata		Si

Verifica a presso/tenso flessione retta X §§ 4.2.4.1.2.3 - 4.2.4.1.2.6 - 4.2.4.1.2.7 - 4.2.4.1.2.8 NTC18

Verifiche eseguite utilizzando la formula conservativa (6.2) §6.2.1 EN 1993-1-1:2005.

X	Comb.	Sfruttamento	Classe	NEd	NRd	Rid. NRd da VEd	Mx,Ed	Mx,Rd	Rid. Mx,Rd da VEd	Rid. Mx,Rd da NEd	px	py	Verifica
0.75	SLU 75	0.056	1	51.49	1003.522	1	0.1107	23.5037	1		0	0	Si

Verifica a presso/tenso flessione retta Y §§ 4.2.4.1.2.3 - 4.2.4.1.2.6 - 4.2.4.1.2.7 - 4.2.4.1.2.8 NTC18

Verifiche eseguite utilizzando la formula conservativa (6.2) §6.2.1 EN 1993-1-1:2005.

X	Comb.	Sfruttamento	Classe	NEd	NRd	Rid. NRd da VEd	My,Ed	My,Rd	Rid. My,Rd da VEd	Rid. My,Rd da NEd	px	py	Verifica
1.5	SLU 4	0.016	3	-13.587	1003.522	1	-0.0444	19.3536	1		0	0	Si

Verifica a presso/tenso flessione retta Y SLD §§ 4.2.4.1.2.3 - 4.2.4.1.2.6 - 4.2.4.1.2.7 - 4.2.4.1.2.8 NTC18

Verifiche eseguite utilizzando la formula conservativa (6.2) §6.2.1 EN 1993-1-1:2005.

X	Comb.	Sfruttamento	Classe	NEd	NRd	Rid. NRd da VEd	My,Ed	My,Rd	Rid. My,Rd da VEd	Rid. My,Rd da NEd	px	py	Verifica
0	SLD 15	0.013	1	11.677	1003.522	1	0.0387	33.3316	1		0	0	Si

Verifica a presso/tenso flessione deviata §§ 4.2.4.1.2.3 - 4.2.4.1.2.6 - 4.2.4.1.2.7 - 4.2.4.1.2.8 NTC18

Verifiche eseguite utilizzando la formula conservativa (6.2) §6.2.1 EN 1993-1-1:2005.

X	Comb.	Sfruttamento	Classe	NEd	NRd	Rid. NRd da VEd	Mx,Ed	Mx,Rd	My,Ed	My,Rd	Rid. Mx,Rd da VEd	Rid. Mx,Rd da NEd	Rid. My,Rd da VEd	Rid. My,Rd da NEd	α	β	px	py	Verifica
0.75	SLU 4	0.022	3	-13.587	1003.522	1	0.0837	12.886	-0.0429	19.3536	1		1				0	0	Si

Verifica a presso/tenso flessione deviata SLD §§ 4.2.4.1.2.3 - 4.2.4.1.2.6 - 4.2.4.1.2.7 - 4.2.4.1.2.8 NTC18

Verifiche eseguite utilizzando la formula conservativa (6.2) §6.2.1 EN 1993-1-1:2005.

X	Comb.	Sfruttamento	Classe	NEd	NRd	Rid. NRd da VEd	Mx,Ed	Mx,Rd	My,Ed	My,Rd	Rid. Mx,Rd da VEd	Rid. Mx,Rd da NEd	Rid. My,Rd da VEd	Rid. My,Rd da NEd	α	β	px	py	Verifica
0.75	SLD 16	0.016	1	11.677	1003.522	1	0.0844	23.5037	0.0309	33.3316	1		1				0	0	Si

Verifiche ad instabilità

Caratteristiche iniziali

Membratura principale per controllo snellezza; Calcolo di snellezze ed N critici condotti secondo gli assi principali;

Curva X: c; Curva Y: c;

Svergolamento: Nessuno; la verifica a instabilità flesso-torsionale (svergolamento) non verrà eseguita.

Dati per instabilità attorno a x

Controllo della snellezza secondo §4.2.4.1.3.1 NTC18

Numero rit.	Presente	Ascissa	Campata	βx/m	Vincolo a entrambi estremi	λx/m	λVer
1	Si	0					
			1-2	1	Si	49.4	Si, (<200)
2	Si	1.5					

Dati per instabilità attorno a y

Controllo della snellezza secondo §4.2.4.1.3.1 NTC18

Implementazione dei sistemi di confinamento delle emissioni odorigene diffuse dell’impianto di compostaggio esistente nel
Comune di Eboli (SA)
PROGETTO DEFINITIVO – Tabulati di calcolo Tomo 1

Numero rit.	Presente	Ascissa	Campata	$\beta y/n$	k,LT	kw,LT	Vincolo a entrambi estremi
1	Si	0	1-2	1	Si	34.8	Si, (<200)
2	Si	1.5					

Verifica di stabilità per pressoflessione §C.4.2.4.1.3.3.1 NTC18

X	Comb.	Sfruttamento	Classe	NEd	MxEq,Ed	MyEq,Ed	Area	Wx	Wy	x,min	λ adim. x/m	λ adim. y/n	N,crit x/m	N,crit y/n	Verifica
0.75	SLU 4	0.025	3	-13.587	0.0721	-0.0432	0.003832	0.0000492	0.0000739	0.804	0.569	0.4	3253.47	6569.993	Si

Verifiche a deformabilità

Mensola X: No; Mensola Y: No.

Frecce lungo X

Ascissa freccia	Combinazione	Freccia	Luce	L/f	L/f,min	Tipo	Verifica
0.6	SLE RA 1	0	1.5	10000	250	Totale	Si
1.15	SLE RA 17	0	1.5	10000	250	Totale	Si
1	SLE RA 16	0	1.5	10000	250	Totale	Si
0.75	SLE RA 15	0	1.5	10000	250	Totale	Si
0.9	SLE RA 14	0	1.5	10000	250	Totale	Si
0.95	SLE RA 2	0	1.5	10000	350	Variabile	Si
0.95	SLE RA 17	0	1.5	10000	350	Variabile	Si
0.95	SLE RA 16	0	1.5	10000	350	Variabile	Si
0.8	SLE RA 15	0	1.5	10000	350	Variabile	Si
0.85	SLE RA 14	0	1.5	10000	350	Variabile	Si

Frecce lungo Y

Ascissa freccia	Combinazione	Freccia	Luce	L/f	L/f,min	Tipo	Verifica
0.75	SLE RA 1	0.00003	1.5	10000	250	Totale	Si
0.75	SLE RA 17	0.00003	1.5	10000	250	Totale	Si
0.75	SLE RA 16	0.00003	1.5	10000	250	Totale	Si
0.75	SLE RA 15	0.00003	1.5	10000	250	Totale	Si
0.75	SLE RA 14	0.00003	1.5	10000	250	Totale	Si
0.8	SLE RA 2	0	1.5	10000	350	Variabile	Si
0.8	SLE RA 17	0	1.5	10000	350	Variabile	Si
0.8	SLE RA 16	0	1.5	10000	350	Variabile	Si
0.6	SLE RA 15	0	1.5	10000	350	Variabile	Si
0.8	SLE RA 14	0	1.5	10000	350	Variabile	Si

Superelemento in acciaio a quota "640" (-780; 987)-(-653; 1121)

Caratteristiche del materiale

Acciaio: S275, fyk = 275000

Caratteristiche geometriche

Lunghezza: 1.85

Nodo iniziale: 869 Nodo finale: 897

Cerniera iniziale: No Cerniera finale: No

Sovreresistenza: 0% Sisma Z: No

Caratteristiche della sezione

Sezione	Rotazione	Area	Jx	Jy	ix	iy	Wx	Wy	Wplx	Wply
HEA120	0	0.002537	0.0000060673	0.0000023091	0.0489	0.0302	0.00010644	0.00003849	0.00011962	0.00005887

Verifiche di resistenza

Verifiche a forza assiale §4.2.4.1.2.1 - §4.2.4.1.2.2 NTC18

X	Comb.	Sfruttamento	Classe	NEd	Nc,Rd	Nt,Rd	Riduzione da taglio	px	py	Verifica
0	SLV 9	0.054		35.939		664.325	1	0	0	Si

Verifiche a forza assiale SLD §4.2.4.1.2.1 - §4.2.4.1.2.2 NTC18

X	Comb.	Sfruttamento	Classe	NEd	Nc,Rd	Nt,Rd	Riduzione da taglio	px	py	Verifica
1.788	SLD 9	0.02		13.033		664.325	1	0	0	Si

Verifica a taglio X §4.2.4.1.2.4 NTC18

X	Comb.	Sfruttamento	VEd	Vc,Rd	Av	Interazione taglio-torsione	Riduzione torsione	Verifica
1.85	SLU 76	0.001	-0.24	308.45	0.002047	Considerata	1	Si

Verifica a taglio Y §4.2.4.1.2.4 NTC18

X	Comb.	Sfruttamento	VEd	Vc,Rd	Av	Interazione taglio-torsione	Riduzione torsione	Verifica
1.85	SLV 10	0.005	-0.644	126.365	0.000849	Considerata	0.98	Si

Verifica a taglio Y SLD §4.2.4.1.2.4 NTC18

X	Comb.	Sfruttamento	VEd	Vc,Rd	Av	Interazione taglio-torsione	Riduzione torsione	Verifica
1.85	SLD 10	0.003	-0.405	127.61	0.000849	Considerata	0.99	Si

Verifica a torsione §4.2.4.1.2.5 NTC18

X	Comb.	Sfruttamento torsione	TEd	TRd	Riduzione taglio resistente	Sfruttamento taglio-torsione	rEd,totale	rRd	Verifica
1.788	SLV 13	0.038	-0.03236	0.85138	Considerata				Si

Verifica a torsione SLD §4.2.4.1.2.5 NTC18

X	Comb.	Sfruttamento torsione	TEd	TRd	Riduzione taglio resistente	Sfruttamento taglio-torsione	rEd,totale	rRd	Verifica
0	SLD 14	0.014	-0.01163	0.85138	Considerata				Si

Implementazione dei sistemi di confinamento delle emissioni odorigene diffuse dell'impianto di compostaggio esistente nel
Comune di Eboli (SA)

PROGETTO DEFINITIVO – Tabulati di calcolo Tomo 1

Verifica a flessione semplice X §§ 4.2.4.1.2.3 - 4.2.4.1.2.6 - 4.2.4.1.2.7 - 4.2.4.1.2.8 NTC18

X	Comb.	Sfruttamento	Classe	Mx,Ed	Mx,Rd	Rid. Mx,Rd da VEd	px	py	Verifica
1.233	SLU 10	0.002	1	0.05194	31.32907	1	0	0	Si

Verifica a flessione semplice Y §§ 4.2.4.1.2.3 - 4.2.4.1.2.6 - 4.2.4.1.2.7 - 4.2.4.1.2.8 NTC18

X	Comb.	Sfruttamento	Classe	My,Ed	My,Rd	Rid. My,Rd da VEd	px	py	Verifica
0.37	SLU 10	0.005	1	0.08271	15.41907	1	0	0	Si

Verifica a flessione deviata §§ 4.2.4.1.2.3 - 4.2.4.1.2.6 - 4.2.4.1.2.7 - 4.2.4.1.2.8 NTC18

X	Comb.	Sfruttamento	Classe	Mx,Ed	Mx,Rd	My,Ed	My,Rd	Rid. Mx,Rd da VEd	Rid. My,Rd da VEd	α	β	px	py	Verifica
1.85	SLU 10	0.01	1	0.1724	31.3291	-0.0623	15.4191	1	1			0	0	Si

Verifica a presso/tenso flessione retta X §§ 4.2.4.1.2.3 - 4.2.4.1.2.6 - 4.2.4.1.2.7 - 4.2.4.1.2.8 NTC18

Verifiche eseguite utilizzando la formula conservativa (6.2) §6.2.1 EN 1993-1-1:2005.

X	Comb.	Sfruttamento	Classe	NEd	NRd	Rid. NRd da VEd	Mx,Ed	Mx,Rd	Rid. Mx,Rd da VEd	Rid. Mx,Rd da NEd	px	py	Verifica
0.432	SLV 8	0.057	1	-32.879	664.325	1	-0.2385	31.3291	1		0	0	Si

Verifica a presso/tenso flessione retta X SLD §§ 4.2.4.1.2.3 - 4.2.4.1.2.6 - 4.2.4.1.2.7 - 4.2.4.1.2.8 NTC18

Verifiche eseguite utilizzando la formula conservativa (6.2) §6.2.1 EN 1993-1-1:2005.

X	Comb.	Sfruttamento	Classe	NEd	NRd	Rid. NRd da VEd	Mx,Ed	Mx,Rd	Rid. Mx,Rd da VEd	Rid. Mx,Rd da NEd	px	py	Verifica
1.603	SLD 10	0.032	1	13.033	664.325	1	0.3729	31.3291	1		0	0	Si

Verifica a presso/tenso flessione retta Y §§ 4.2.4.1.2.3 - 4.2.4.1.2.6 - 4.2.4.1.2.7 - 4.2.4.1.2.8 NTC18

Verifiche eseguite utilizzando la formula conservativa (6.2) §6.2.1 EN 1993-1-1:2005.

X	Comb.	Sfruttamento	Classe	NEd	NRd	Rid. NRd da VEd	My,Ed	My,Rd	Rid. My,Rd da VEd	Rid. My,Rd da NEd	px	py	Verifica
0.247	SLU 39	0.008	1	1.828	664.325	1	0.0804	15.4191	1		0	0	Si

Verifica a presso/tenso flessione retta Y SLD §§ 4.2.4.1.2.3 - 4.2.4.1.2.6 - 4.2.4.1.2.7 - 4.2.4.1.2.8 NTC18

Verifiche eseguite utilizzando la formula conservativa (6.2) §6.2.1 EN 1993-1-1:2005.

X	Comb.	Sfruttamento	Classe	NEd	NRd	Rid. NRd da VEd	My,Ed	My,Rd	Rid. My,Rd da VEd	Rid. My,Rd da NEd	px	py	Verifica
0	SLD 8	0.02	1	-9.973	664.325	1	0.0694	15.4191	1		0	0	Si

Verifica a presso/tenso flessione deviata §§ 4.2.4.1.2.3 - 4.2.4.1.2.6 - 4.2.4.1.2.7 - 4.2.4.1.2.8 NTC18

Verifiche eseguite utilizzando la formula conservativa (6.2) §6.2.1 EN 1993-1-1:2005.

X	Comb.	Sfruttamento	Classe	NEd	NRd	Rid. NRd da VEd	Mx,Ed	Mx,Rd	My,Ed	My,Rd	Rid. Mx,Rd da VEd	Rid. Mx,Rd da NEd	Rid. My,Rd da VEd	Rid. My,Rd da NEd	α	β	px	py	Verifica
1.85	SLV 9	0.087	1	35.939	664.325	1	0.972	31.3291	0.031	15.4191	1		1				0	0	Si

Verifica a presso/tenso flessione deviata SLD §§ 4.2.4.1.2.3 - 4.2.4.1.2.6 - 4.2.4.1.2.7 - 4.2.4.1.2.8 NTC18

Verifiche eseguite utilizzando la formula conservativa (6.2) §6.2.1 EN 1993-1-1:2005.

X	Comb.	Sfruttamento	Classe	NEd	NRd	Rid. NRd da VEd	Mx,Ed	Mx,Rd	My,Ed	My,Rd	Rid. Mx,Rd da VEd	Rid. Mx,Rd da NEd	Rid. My,Rd da VEd	Rid. My,Rd da NEd	α	β	px	py	Verifica
1.85	SLD 10	0.036	1	13.033	664.325	1	0.4666	31.3291	-0.0174	15.4191	1		1				0	0	Si

Verifiche ad instabilità

Caratteristiche iniziali

Membratura principale per controllo snellezza; Calcolo di snellezze ed N critici condotti secondo gli assi principali;

Curva X: b; Curva Y: c; Svergolamento: Carico all'estradosso; Curva svergolamento: b;

Dati per instabilità attorno a x

Controllo della snellezza secondo §4.2.4.1.3.1 NTC18

Numero rit.	Presente	Ascissa	Campata	βx/m	Vincolo a entrambi estremi	λx/m	λVer
1	Si		0				
			1-2		1	37.8	Si, (<200)
2	Si	1.85					

Dati per instabilità attorno a y

Controllo della snellezza secondo §4.2.4.1.3.1 NTC18

Numero rit.	Presente	Ascissa	Campata	βy/n	k _i LT	k _w LT	Vincolo a entrambi estremi	λy/n	λVer
1	Si	0							
			1-2		1	1	Si	61.3	Si, (<200)
2	Si	1.85							

Verifica a svergolamento con trazione §4.2.4.1.3.2 NTC18 § 5.5.3 ENV 1993-1-1:1992 + AC:1992 + A1:1994 + A2:1998

X	Comb.	Sfruttamento	Classe	Obblig.	NEd	Mx,Ed	Mx,Eff,Ed	Mb,Rd,x	χ_i LT	λ adim. LT	L _i LT	M _{critico}	Verifica
1.85	SLU 59	0.006	1	Si	0.93	0.19612	0.16881	28.25853	0.902	0.633	1.85	82.10616	Si

Verifica a svergolamento con trazione SLD §4.2.4.1.3.2 NTC18 § 5.5.3 ENV 1993-1-1:1992 + AC:1992 + A1:1994 + A2:1998

X	Comb.	Sfruttamento	Classe	Obblig.	NEd	Mx,Ed	Mx,Eff,Ed	Mb,Rd,x	χ _i LT	λ adim. LT	L _i LT	M _c critico	Verifica
1.48	SLD 15	0	1	Si	7.449	0.22847	0.00967	30.91873	0.987	0.434	1.85	174.96591	Si

Verifica di stabilità per tenso-flessione deviata §§ 5.5.3-5.5.4 ENV 1993-1-1:1992 + AC:1992 + A1:1994 + A2:1998

X	Comb.	Sfruttamento	Classe	NEd	Mx,Ed	Mx,Eff,Ed	My,Ed	χ _i LT	kLT	ky	M _c critico	Wx	Wy	Verifica
1.85	SLU 76	0.019	1		5.449	0.46167	0.3016	-0.13559	0.975	1	153.75761	0.0001196	0.0000589	Si

Verifica di stabilità per tenso-flessione deviata SLD §§ 5.5.3-5.5.4 ENV 1993-1-1:1992 + AC:1992 + A1:1994 + A2:1998

X	Comb.	Sfruttamento	Classe	NEd	Mx,Ed	Mx,Eff,Ed	My,Ed	χ _i LT	kLT	ky	M _c critico	Wx	Wy	Verifica
1.85	SLD 16	0.006	1		7.449	0.34253	0.12373	-0.02909	0.987	1	174.96591	0.0001196	0.0000589	Si

Verifica di stabilità per pressoflessione §C.4.2.4.1.3.3.2 NTC18

X	Comb.	Sfruttamento	Classe	NEd	NRk	Mx,Ed max	Mx,Rk	My,Ed max	My,Rk	χ _x	χ _y	k _{xx}	k _{xy}	k _{yx}	k _{yy}	χ _i LT	Verifica
1.788	SLV 8	0.09	1	-32.879	697.541	0.54971	32.89552	0.1151	16.19002	0.912	0.721	0.78	0.302	0.991	0.504	0.988	Si

Verifica di stabilità per pressoflessione SLD §C.4.2.4.1.3.3.2 NTC18

X	Comb.	Sfruttamento	Classe	NEd	NRk	Mx,Ed max	Mx,Rk	My,Ed max	My,Rk	χ _x	χ _y	k _{xx}	k _{xy}	k _{yx}	k _{yy}	χ _i LT	Verifica
---	-------	--------------	--------	-----	-----	-----------	-------	-----------	-------	----------------	----------------	-----------------	-----------------	-----------------	-----------------	-------------------	----------

Implementazione dei sistemi di confinamento delle emissioni odorigene diffuse dell'impianto di compostaggio esistente nel
Comune di Eboli (SA)

PROGETTO DEFINITIVO – Tabulati di calcolo Tomo 1

X	Comb.	Sfruttamento	Classe	NEd	NRk	Mx,Ed max	Mx,Rk	My,Ed max	My,Rk	χ,x	χ,y	kxx	kxy	kyy	χ,LT	Verifica	
1.727	SLD 8	0.027	1	-9.973	697.541	0.10894	32.89552	0.06937	16.19002	0.912	0.721	0.974	0.244	0.998	0.407	0.902	Si

Verifica di stabilità a taglio anima Y §4.2.4.1.2.4 [4.2.27] NTC18

η	hw	tw	hw/tw max	Verifica
1.2	0.098	0.005	55.46	Si

Verifica di stabilità a taglio anima Y SLD §4.2.4.1.2.4 [4.2.27] NTC18

η	hw	tw	hw/tw max	Verifica
1.2	0.098	0.005	55.46	Si

Verifiche a deformabilità

Mensola X: No; Mensola Y: No.

Frecce lungo X

Ascissa freccia	Combinazione	Freccia	Luce	L/f	L/f,min	Tipo	Verifica
0.617	SLE RA 1	-0.00002	1.85	10000	250	Totale	Si
0.617	SLE RA 17	-0.00004	1.85	10000	250	Totale	Si
0.617	SLE RA 16	-0.00005	1.85	10000	250	Totale	Si
0.617	SLE RA 15	-0.00005	1.85	10000	250	Totale	Si
0.617	SLE RA 14	-0.00003	1.85	10000	250	Totale	Si
0.617	SLE RA 2	0.00002	1.85	10000	350	Variabile	Si
0.617	SLE RA 17	-0.00001	1.85	10000	350	Variabile	Si
0.617	SLE RA 16	-0.00002	1.85	10000	350	Variabile	Si
0.678	SLE RA 15	-0.00003	1.85	10000	350	Variabile	Si
0.555	SLE RA 14	0	1.85	10000	350	Variabile	Si

Frecce lungo Y

Ascissa freccia	Combinazione	Freccia	Luce	L/f	L/f,min	Tipo	Verifica
1.233	SLE RA 1	0.00002	1.85	10000	250	Totale	Si
1.172	SLE RA 17	0.00002	1.85	10000	250	Totale	Si
1.11	SLE RA 16	0.00003	1.85	10000	250	Totale	Si
1.048	SLE RA 15	0.00004	1.85	10000	250	Totale	Si
1.233	SLE RA 14	0.00001	1.85	10000	250	Totale	Si
0.925	SLE RA 2	-0.00002	1.85	10000	350	Variabile	Si
0.925	SLE RA 17	0.00001	1.85	10000	350	Variabile	Si
0.925	SLE RA 16	0.00002	1.85	10000	350	Variabile	Si
0.987	SLE RA 15	0.00003	1.85	10000	350	Variabile	Si
1.172	SLE RA 14	0	1.85	10000	350	Variabile	Si

Superelemento in acciaio a quota "640" (-796; -778)-(-669; -643)

Caratteristiche del materiale

Acciaio: S275, fyk = 275000

Caratteristiche geometriche

Lunghezza: 1.849

Nodo iniziale: 541 Nodo finale: 553

Cerniera iniziale: No Cerniera finale: No

Sovreresistenza: 0% Sisma Z: No

Caratteristiche della sezione

Sezione	Rotazione	Area	Jx	Jy	ix	iy	Wx	Wy	Wplx	Wply
HEA120	0	0.002537	0.0000060673	0.0000023091	0.0489	0.0302	0.00010644	0.00003849	0.00011962	0.00005887

Verifiche di resistenza

Verifiche a forza assiale §4.2.4.1.2.1 - §4.2.4.1.2.2 NTC18

X	Comb.	Sfruttamento	Classe	NEd	Nc,Rd	Nt,Rd	Riduzione da taglio	px	py	Verifica
1.849	SLU 75	0.082	1	-54.341	664.325		1	0	0	Si

Verifiche a forza assiale SLD §4.2.4.1.2.1 - §4.2.4.1.2.2 NTC18

X	Comb.	Sfruttamento	Classe	NEd	Nc,Rd	Nt,Rd	Riduzione da taglio	px	py	Verifica
1.849	SLD 11	0.037	1	-24.902	664.325		1	0	0	Si

Verifica a taglio Y §4.2.4.1.2.4 NTC18

X	Comb.	Sfruttamento	VEd	Vc,Rd	Av	Interazione taglio-torsione	Riduzione torsione	Verifica
0	SLV 5	0.007	0.909	127.665	0.000849	Considerata	1	Si

Verifica a taglio Y SLD §4.2.4.1.2.4 NTC18

X	Comb.	Sfruttamento	VEd	Vc,Rd	Av	Interazione taglio-torsione	Riduzione torsione	Verifica
0	SLD 6	0.005	0.589	128.014	0.000849	Considerata	1	Si

Verifica a torsione §4.2.4.1.2.5 NTC18

X	Comb.	Sfruttamento torsione	TEd	TRd	Riduzione taglio resistente	Sfruttamento taglio-torsione	τEd,totale	τRd	Verifica
0	SLV 13	0.022	-0.01834	0.85138	Considerata				Si

Verifica a torsione SLD §4.2.4.1.2.5 NTC18

X	Comb.	Sfruttamento torsione	TEd	TRd	Riduzione taglio resistente	Sfruttamento taglio-torsione	τEd,totale	τRd	Verifica
1.787	SLD 13	0.009	-0.00737	0.85138	Considerata				Si

Verifica a presso/tenso flessione retta X §§ 4.2.4.1.2.3 - 4.2.4.1.2.6 - 4.2.4.1.2.7 - 4.2.4.1.2.8 NTC18

Verifiche eseguite utilizzando la formula conservativa (6.2) §6.2.1 EN 1993-1-1:2005.

X	Comb.	Sfruttamento	Classe	NEd	NRd	Rid. NRd da VEd	Mx,Ed	Mx,Rd	Rid. Mx,Rd da VEd	Rid. Mx,Rd da NEd	px	py	Verifica
1.048	SLU 75	0.092	1	-54.341	664.325	1	0.3068	31.3291	1		0	0	Si

Implementazione dei sistemi di confinamento delle emissioni odorigene diffuse dell'impianto di compostaggio esistente nel
Comune di Eboli (SA)
PROGETTO DEFINITIVO – Tabulati di calcolo Tomo 1

Verifica a presso/tenso flessione retta X SLD §§ 4.2.4.1.2.3 - 4.2.4.1.2.6 - 4.2.4.1.2.7 - 4.2.4.1.2.8 NTC18

Verifiche eseguite utilizzando la formula conservativa (6.2) §6.2.1 EN 1993-1-1:2005.

X	Comb.	Sfruttamento	Classe	NEd	NRd	Rid. NRd da VEd	Mx,Ed	Mx,Rd	Rid. Mx,Rd da VEd	Rid. Mx,Rd da NEd	px	py	Verifica
0.616	SLD 12	0.041	1	-24.902	664.325	1	-0.1114	31.3291	1		0	0	Si

Verifica a presso/tenso flessione retta Y §§ 4.2.4.1.2.3 - 4.2.4.1.2.6 - 4.2.4.1.2.7 - 4.2.4.1.2.8 NTC18

Verifiche eseguite utilizzando la formula conservativa (6.2) §6.2.1 EN 1993-1-1:2005.

X	Comb.	Sfruttamento	Classe	NEd	NRd	Rid. NRd da VEd	My,Ed	My,Rd	Rid. My,Rd da VEd	Rid. My,Rd da NEd	px	py	Verifica
1.602	SLU 75	0.083	1	-54.341	664.325	1	0.0141	15.4191	1		0	0	Si

Verifica a presso/tenso flessione retta Y SLD §§ 4.2.4.1.2.3 - 4.2.4.1.2.6 - 4.2.4.1.2.7 - 4.2.4.1.2.8 NTC18

Verifiche eseguite utilizzando la formula conservativa (6.2) §6.2.1 EN 1993-1-1:2005.

X	Comb.	Sfruttamento	Classe	NEd	NRd	Rid. NRd da VEd	My,Ed	My,Rd	Rid. My,Rd da VEd	Rid. My,Rd da NEd	px	py	Verifica
0.062	SLD 16	0.038	1	-24.607	664.325	1	-0.0171	15.4191	1		0	0	Si

Verifica a presso/tenso flessione deviata §§ 4.2.4.1.2.3 - 4.2.4.1.2.6 - 4.2.4.1.2.7 - 4.2.4.1.2.8 NTC18

Verifiche eseguite utilizzando la formula conservativa (6.2) §6.2.1 EN 1993-1-1:2005.

X	Comb.	Sfruttamento	Classe	NEd	NRd	Rid. NRd da VEd	Mx,Ed	Mx,Rd	My,Ed	My,Rd	Rid. Mx,Rd da VEd	Rid. Mx,Rd da NEd	Rid. My,Rd da VEd	Rid. My,Rd da NEd	α	β	px	py	Verifica
0	SLU 75	0.12	1	-54.341	664.325	1	1.11	31.3291	-0.0376	15.4191	1		1				0	0	Si

Verifica a presso/tenso flessione deviata SLD §§ 4.2.4.1.2.3 - 4.2.4.1.2.6 - 4.2.4.1.2.7 - 4.2.4.1.2.8 NTC18

Verifiche eseguite utilizzando la formula conservativa (6.2) §6.2.1 EN 1993-1-1:2005.

X	Comb.	Sfruttamento	Classe	NEd	NRd	Rid. NRd da VEd	Mx,Ed	Mx,Rd	My,Ed	My,Rd	Rid. Mx,Rd da VEd	Rid. Mx,Rd da NEd	Rid. My,Rd da VEd	Rid. My,Rd da NEd	α	β	px	py	Verifica
1.418	SLD 12	0.043	1	-24.902	664.325	1	-0.1439	31.3291	0.017	15.4191	1		1				0	0	Si

Verifiche ad instabilità

Caratteristiche iniziali

Membratura principale per controllo snellezza; Calcolo di snellezze ed N critici condotti secondo gli assi principali;

Curva X: b; Curva Y: c; Svergolamento: Carico all'estradosso; Curva svergolamento: b;

Dati per instabilità attorno a x

Controllo della snellezza secondo §4.2.4.1.3.1 NTC18

Numero rit.	Presente	Ascissa	Campata	βx/m	Vincolo a entrambi estremi	λx/m	λVer
1	Si		0				
			1-2		1	37.8	Si, (<200)
2	Si		1.849				

Dati per instabilità attorno a y

Controllo della snellezza secondo §4.2.4.1.3.1 NTC18

Numero rit.	Presente	Ascissa	Campata	βy/n	k _{LT}	k _{w,LT}	Vincolo a entrambi estremi	λy/n	λVer
1	Si		0						
			1-2		1	1	Si	61.3	Si, (<200)
2	Si		1.849						

Verifica a svergolamento con trazione §4.2.4.1.3.2 NTC18 § 5.5.3 ENV 1993-1-1:1992 + AC:1992 + A1:1994 + A2:1998

X	Comb.	Sfruttamento	Classe	Obblig.	NEd	Mx,Ed	Mx,Eff,Ed	Mb,Rd,x	χ _{LT}	λ adim. LT	L _{LT}	M _{critico}	Verifica
0.493	SLU 4	0.002	1	Si	0.968	-0.08611	-0.05767	28.26188	0.902	0.633	1.849	82.16562	Si

Verifica di stabilità per tenso-flessione deviata §§ 5.5.3-5.5.4 ENV 1993-1-1:1992 + AC:1992 + A1:1994 + A2:1998

X	Comb.	Sfruttamento	Classe	NEd	Mx,Ed	Mx,Eff,Ed	My,Ed	χ _{LT}	k _{LT}	ky	M _{critico}	W _x	W _y	Verifica
0	SLV 5	0.046	1	3.937	1.47297	1.35731	-0.03857	0.99	1	1	180.83418	0.0001196	0.0000589	Si

Verifica di stabilità per pressoflessione §C.4.2.4.1.3.3.2 NTC18

X	Comb.	Sfruttamento	Classe	NEd	NRk	Mx,Ed max	Mx,Rk	My,Ed max	My,Rk	χ _x	χ _y	k _{xx}	k _{xy}	k _{yx}	k _{yy}	χ _{LT}	Verifica
0.863	SLU 75	0.152	1	-54.341	697.541	1.10999	32.89552	0.03763	16.19002	0.912	0.721	0.489	0.262	0.965	0.437	0.902	Si

Verifica di stabilità per pressoflessione SLD §C.4.2.4.1.3.3.2 NTC18

X	Comb.	Sfruttamento	Classe	NEd	NRk	Mx,Ed max	Mx,Rk	My,Ed max	My,Rk	χ _x	χ _y	k _{xx}	k _{xy}	k _{yx}	k _{yy}	χ _{LT}	Verifica
1.849	SLD 11	0.058	1	-24.902	697.541	0.14774	32.89552	0.02501	16.19002	0.912	0.721	0.999	0.293	0.995	0.488	0.902	Si

Verifica di stabilità a taglio anima Y §4.2.4.1.2.4 [4.2.27] NTC18

η	hw	tw	hw/tw max	Verifica
1.2		0.098	0.005	55.46
				Si

Verifica di stabilità a taglio anima Y SLD §4.2.4.1.2.4 [4.2.27] NTC18

η	hw	tw	hw/tw max	Verifica
1.2		0.098	0.005	55.46
				Si

Verifiche a deformabilità

Mensola X: No; Mensola Y: No.

Frecce lungo X

Ascissa freccia	Combinazione	Freccia	Luce	L/f	L/f,min	Tipo	Verifica
0.616	SLE RA 1	0	1.849	10000	250	Totale	Si
0.616	SLE RA 17	0	1.849	10000	250	Totale	Si
0.678	SLE RA 16	0.00001	1.849	10000	250	Totale	Si
0.74	SLE RA 15	0.00001	1.849	10000	250	Totale	Si
0.555	SLE RA 14	0	1.849	10000	250	Totale	Si
0.678	SLE RA 2	0	1.849	10000	350	Variabile	Si
0.678	SLE RA 17	0	1.849	10000	350	Variabile	Si
0.678	SLE RA 16	0	1.849	10000	350	Variabile	Si
0.925	SLE RA 15	0	1.849	10000	350	Variabile	Si
0.493	SLE RA 14	0	1.849	10000	350	Variabile	Si

Implementazione dei sistemi di confinamento delle emissioni odorigene diffuse dell'impianto di compostaggio esistente nel
Comune di Eboli (SA)
PROGETTO DEFINITIVO – Tabulati di calcolo Tomo 1

Frecce lungo Y

Ascissa freccia	Combinazione	Freccia	Luce	L/f	L/f,min	Tipo	Verifica
0.616	SLE RA 1	0.00004	1.849	10000	250	Totale	Si
0.678	SLE RA 17	0.00005	1.849	10000	250	Totale	Si
0.678	SLE RA 16	0.00007	1.849	10000	250	Totale	Si
0.616	SLE RA 15	0.00004	1.849	10000	250	Totale	Si
0.678	SLE RA 14	0.00008	1.849	10000	250	Totale	Si
-0.74	SLE RA 2	-0.00004	1.849	10000	350	Variabile	Si
0.74	SLE RA 17	0.00002	1.849	10000	350	Variabile	Si
0.74	SLE RA 16	0.00004	1.849	10000	350	Variabile	Si
0.925	SLE RA 15	0	1.849	10000	350	Variabile	Si
0.74	SLE RA 14	0.00005	1.849	10000	350	Variabile	Si

Superelemento in acciaio a quota "640" (-799; 750)-(-690; 647)

Caratteristiche del materiale

Acciaio: S275, fyk = 275000

Caratteristiche geometriche

Lunghezza: 1.5

Nodo iniziale: 820 Nodo finale: 794

Cerniera iniziale: Mmomenti 1% Cerniera finale: Mmomenti 1%

Sovreresistenza: 0% Sisma Z: No

Caratteristiche della sezione

Sezione	Rotazione	Area	Jx	Jy	ix	iy	Wx	Wy	Wplx	Wply
A1; L100*10; 1; Saldato; S275; 30; 1; 8; 8; 1	180	0.003832	0.0000035319	0.000007759	0.0304	0.045	0.0000492	0.0000739	0.00008974	0.00012727

Comportamento dei calastrelli

Accoppiamento imbottito con funzione statica (§C4.2.4.1.3.1.4 NTC18) nella campata compresa tra le ascisse 0 e 1.5 per sbandamento attorno all'asse y.

Verifiche di resistenza

Verifiche a forza assiale §4.2.4.1.2.1 - §4.2.4.1.2.2 NTC18

X	Comb.	Sfruttamento	Classe	NEd	Nc,Rd	Nt,Rd	Riduzione da taglio	px	py	Verifica
0	SLU 76	0.149		149.315		1003.522	1	0	0	Si

Verifiche a forza assiale SLD §4.2.4.1.2.1 - §4.2.4.1.2.2 NTC18

X	Comb.	Sfruttamento	Classe	NEd	Nc,Rd	Nt,Rd	Riduzione da taglio	px	py	Verifica
1.45	SLD 14	0.05		50.183		1003.522	1	0	0	Si

Verifica a taglio Y §4.2.4.1.2.4 NTC18

X	Comb.	Sfruttamento	VEd	Vc,Rd	Av	Interazione taglio-torsione	Riduzione torsione	Verifica
0	SLU 42	0.001	-0.293	302.422	0.002	Non considerata		Si

Verifica a taglio Y SLD §4.2.4.1.2.4 NTC18

X	Comb.	Sfruttamento	VEd	Vc,Rd	Av	Interazione taglio-torsione	Riduzione torsione	Verifica
0	SLD 14	0.001	-0.226	302.422	0.002	Non considerata		Si

Verifica a flessione semplice X §§ 4.2.4.1.2.3 - 4.2.4.1.2.6 - 4.2.4.1.2.7 - 4.2.4.1.2.8 NTC18

X	Comb.	Sfruttamento	Classe	Mx,Ed	Mx,Rd	Rid. Mx,Rd da VEd	px	py	Verifica
0.75	SLU 59	0.005	1	0.10933	23.50374	1	0	0	Si

Verifica a presso/tenso flessione retta X §§ 4.2.4.1.2.3 - 4.2.4.1.2.6 - 4.2.4.1.2.7 - 4.2.4.1.2.8 NTC18

Verifiche eseguite utilizzando la formula conservativa (6.2) §6.2.1 EN 1993-1-1:2005.

X	Comb.	Sfruttamento	Classe	NEd	NRd	Rid. NRd da VEd	Mx,Ed	Mx,Rd	Rid. Mx,Rd da VEd	Rid. Mx,Rd da NEd	px	py	Verifica
0.75	SLU 76	0.154	1	149.315	1003.522	1	0.1121	23.5037	1		0	0	Si

Verifica a presso/tenso flessione retta X SLD §§ 4.2.4.1.2.3 - 4.2.4.1.2.6 - 4.2.4.1.2.7 - 4.2.4.1.2.8 NTC18

Verifiche eseguite utilizzando la formula conservativa (6.2) §6.2.1 EN 1993-1-1:2005.

X	Comb.	Sfruttamento	Classe	NEd	NRd	Rid. NRd da VEd	Mx,Ed	Mx,Rd	Rid. Mx,Rd da VEd	Rid. Mx,Rd da NEd	px	py	Verifica
0.75	SLD 13	0.054	1	50.183	1003.522	1	0.085	23.5037	1		0	0	Si

Verifica a presso/tenso flessione retta Y §§ 4.2.4.1.2.3 - 4.2.4.1.2.6 - 4.2.4.1.2.7 - 4.2.4.1.2.8 NTC18

Verifiche eseguite utilizzando la formula conservativa (6.2) §6.2.1 EN 1993-1-1:2005.

X	Comb.	Sfruttamento	Classe	NEd	NRd	Rid. NRd da VEd	My,Ed	My,Rd	Rid. My,Rd da VEd	Rid. My,Rd da NEd	px	py	Verifica
0	SLV 14	0.055	1	53.991	1003.522	1	0.029	33.3316	1		0	0	Si

Verifica a presso/tenso flessione retta Y SLD §§ 4.2.4.1.2.3 - 4.2.4.1.2.6 - 4.2.4.1.2.7 - 4.2.4.1.2.8 NTC18

Verifiche eseguite utilizzando la formula conservativa (6.2) §6.2.1 EN 1993-1-1:2005.

X	Comb.	Sfruttamento	Classe	NEd	NRd	Rid. NRd da VEd	My,Ed	My,Rd	Rid. My,Rd da VEd	Rid. My,Rd da NEd	px	py	Verifica
0	SLD 14	0.05	1	50.183	1003.522	1	0.0116	33.3316	1		0	0	Si

Verifica a presso/tenso flessione deviata §§ 4.2.4.1.2.3 - 4.2.4.1.2.6 - 4.2.4.1.2.7 - 4.2.4.1.2.8 NTC18

Verifiche eseguite utilizzando la formula conservativa (6.2) §6.2.1 EN 1993-1-1:2005.

X	Comb.	Sfruttamento	Classe	NEd	NRd	Rid. NRd da VEd	Mx,Ed	Mx,Rd	My,Ed	My,Rd	Rid. Mx,Rd da VEd	Rid. Mx,Rd da NEd	Rid. My,Rd da VEd	Rid. My,Rd da NEd	α	β	px	py	Verifica
0.8	SLV 14	0.058	1	53.991	1003.522	1	0.0846	23.5037	0.0147	33.3316	1		1				0	0	Si

PROGETTO DEFINITIVO – Tabulati di calcolo Tomo 1

Verifica a presso/tenso flessione deviata SLD §§ 4.2.4.1.2.3 - 4.2.4.1.2.6 - 4.2.4.1.2.7 - 4.2.4.1.2.8 NTC18

Verifiche eseguite utilizzando la formula conservativa (6.2) §6.2.1 EN 1993-1-1:2005.

X	Comb.	Sfruttamento	Classe	NEd	NRd	Rid. NRd da VEd	Mx,Ed	Mx,Rd	My,Ed	My,Rd	Rid. Mx,Rd da VEd	Rid. Mx,Rd da NEd	Rid. My,Rd da VEd	Rid. My,Rd da NEd	α	β	px	py	Verifica
0.95	SLD 13	0.054	1	50.183	1003.522	1	0.079	23.5037	0.008	33.3316	1		1				0	0	Si

Verifiche ad instabilità

Caratteristiche iniziali

Membratura principale per controllo snellezza; Calcolo di snellezze ed N critici condotti secondo gli assi principali;

Curva X: c; Curva Y: c;

Svergolamento: Nessuno; la verifica a instabilità flesso-torsionale (svergolamento) non verrà eseguita.

Dati per instabilità attorno a x

Controllo della snellezza secondo §4.2.4.1.3.1 NTC18

Numero rit.	Presente	Ascissa	Campata	βx/m	Vincolo a entrambi estremi	λx/m	λVer
1	Si	0					
			1-2	1	Si	49.4	Si, (<200)
2	Si	1.5					

Dati per instabilità attorno a y

Controllo della snellezza secondo §4.2.4.1.3.1 NTC18

Numero rit.	Presente	Ascissa	Campata	βy/n	k,LT	kw,LT	Vincolo a entrambi estremi
1	Si	0					
			1-2	1	Si	34.8	Si, (<200)
2	Si	1.5					

Verifica di stabilità per pressoflessione §C.4.2.4.1.3.3.1 NTC18

X	Comb.	Sfruttamento	Classe	NEd	MxEq,Ed	MyEq,Ed	Area	Wx	Wy	χ,min	λ adim. x/m	λ adim. y/n	N,crit x/m	N,crit y/n	Verifica
0	SLU 2	0.036	3	-21.82	0.072	-0.0663	0.003832	0.0000492	0.0000739	0.804	0.569	0.4	3253.47	6569.993	Si

Verifiche a deformabilità

Mensola X: No; Mensola Y: No.

Frecce lungo X

Ascissa freccia	Combinazione	Freccia	Luce	L/f	L/f,min	Tipo	Verifica
0.9	SLE RA 1	0	1.5	10000	250	Totale	Si
0.85	SLE RA 17	0	1.5	10000	250	Totale	Si
0.85	SLE RA 16	0	1.5	10000	250	Totale	Si
0.8	SLE RA 15	0	1.5	10000	250	Totale	Si
0.9	SLE RA 14	0	1.5	10000	250	Totale	Si
0.8	SLE RA 2	0	1.5	10000	350	Variabile	Si
0.8	SLE RA 17	0	1.5	10000	350	Variabile	Si
0.8	SLE RA 16	0	1.5	10000	350	Variabile	Si
0.75	SLE RA 15	0	1.5	10000	350	Variabile	Si
0.9	SLE RA 14	0	1.5	10000	350	Variabile	Si

Frecce lungo Y

Ascissa freccia	Combinazione	Freccia	Luce	L/f	L/f,min	Tipo	Verifica
0.75	SLE RA 1	0.00003	1.5	10000	250	Totale	Si
0.75	SLE RA 17	0.00003	1.5	10000	250	Totale	Si
0.75	SLE RA 16	0.00003	1.5	10000	250	Totale	Si
0.75	SLE RA 15	0.00003	1.5	10000	250	Totale	Si
0.75	SLE RA 14	0.00003	1.5	10000	250	Totale	Si
0.75	SLE RA 2	0	1.5	10000	350	Variabile	Si
0.75	SLE RA 17	0	1.5	10000	350	Variabile	Si
0.75	SLE RA 16	0	1.5	10000	350	Variabile	Si
0.75	SLE RA 15	0	1.5	10000	350	Variabile	Si
0.75	SLE RA 14	0	1.5	10000	350	Variabile	Si

Superelemento in acciaio a quota "640" (-834; 275)-(-725; 172)

Caratteristiche del materiale

Acciaio: S275, fyk = 275000

Caratteristiche geometriche

Lunghezza: 1.5

Nodo iniziale: 722 Nodo finale: 704

Cerniera iniziale: Mmomenti 1% Cerniera finale: Mmomenti 1%

Sovraresistenza: 0% Sisma Z: No

Caratteristiche della sezione

Sezione	Rotazione	Area	Jx	Jy	ix	iy	Wx	Wy	Wplx	Wply
Al; L100*10; 1; Saldato; S275; 30; 1; 8; 8; 1	180	0.003832	0.0000035319	0.000007759	0.0304	0.045	0.0000492	0.0000739	0.00008974	0.00012727

Comportamento dei calastrelli

Accoppiamento imbottito con funzione statica (§C4.2.4.1.3.1.4 NTC18) nella campata compresa tra le ascisse 0 e 1.5 per sbandamento attorno all'asse y.

**Implementazione dei sistemi di confinamento delle emissioni odorigene diffuse dell'impianto di compostaggio esistente nel
Comune di Eboli (SA)
PROGETTO DEFINITIVO – Tabulati di calcolo Tomo 1**

Verifiche di resistenza

Verifiche a forza assiale §4.2.4.1.2.1 - §4.2.4.1.2.2 NTC18

X	Comb.	Sfruttamento	Classe	NEd	Nc,Rd	Nt,Rd	Riduzione da taglio	px	py	Verifica
1.5	SLU 76	0.178		178.228		1003.522	1	0	0	Si

Verifiche a forza assiale SLD §4.2.4.1.2.1 - §4.2.4.1.2.2 NTC18

X	Comb.	Sfruttamento	Classe	NEd	Nc,Rd	Nt,Rd	Riduzione da taglio	px	py	Verifica
1.5	SLD 16	0.072		72.7		1003.522	1	0	0	Si

Verifica a taglio Y §4.2.4.1.2.4 NTC18

X	Comb.	Sfruttamento	VEd	Vc,Rd	Av	Interazione taglio-torsione	Riduzione torsione	Verifica
1.5	SLU 76	0.001	0.296	302.422	0.002	Non considerata		Si

Verifica a taglio Y SLD §4.2.4.1.2.4 NTC18

X	Comb.	Sfruttamento	VEd	Vc,Rd	Av	Interazione taglio-torsione	Riduzione torsione	Verifica
1.5	SLD 16	0.001	0.226	302.422	0.002	Non considerata		Si

Verifica a presso/tenso flessione retta X §§ 4.2.4.1.2.3 - 4.2.4.1.2.6 - 4.2.4.1.2.7 - 4.2.4.1.2.8 NTC18

Verifiche eseguite utilizzando la formula conservativa (6.2) §6.2.1 EN 1993-1-1:2005.

X	Comb.	Sfruttamento	Classe	NEd	NRd	Rid. NRd da VEd	Mx,Ed	Mx,Rd	Rid. Mx,Rd da VEd	Rid. Mx,Rd da NEd	px	py	Verifica
0.75	SLU 76	0.182	1	178.228	1003.522	1	0.1109	23.5037	1		0	0	Si

Verifica a presso/tenso flessione retta X SLD §§ 4.2.4.1.2.3 - 4.2.4.1.2.6 - 4.2.4.1.2.7 - 4.2.4.1.2.8 NTC18

Verifiche eseguite utilizzando la formula conservativa (6.2) §6.2.1 EN 1993-1-1:2005.

X	Comb.	Sfruttamento	Classe	NEd	NRd	Rid. NRd da VEd	Mx,Ed	Mx,Rd	Rid. Mx,Rd da VEd	Rid. Mx,Rd da NEd	px	py	Verifica
0.75	SLD 16	0.076	1	72.7	1003.522	1	0.0846	23.5037	1		0	0	Si

Verifica a presso/tenso flessione retta Y §§ 4.2.4.1.2.3 - 4.2.4.1.2.6 - 4.2.4.1.2.7 - 4.2.4.1.2.8 NTC18

Verifiche eseguite utilizzando la formula conservativa (6.2) §6.2.1 EN 1993-1-1:2005.

X	Comb.	Sfruttamento	Classe	NEd	NRd	Rid. NRd da VEd	My,Ed	My,Rd	Rid. My,Rd da VEd	Rid. My,Rd da NEd	px	py	Verifica
1.5	SLV 16	0.097	1	93.869	1003.522	1	-0.1197	33.3316	1		0	0	Si

Verifica a presso/tenso flessione retta Y SLD §§ 4.2.4.1.2.3 - 4.2.4.1.2.6 - 4.2.4.1.2.7 - 4.2.4.1.2.8 NTC18

Verifiche eseguite utilizzando la formula conservativa (6.2) §6.2.1 EN 1993-1-1:2005.

X	Comb.	Sfruttamento	Classe	NEd	NRd	Rid. NRd da VEd	My,Ed	My,Rd	Rid. My,Rd da VEd	Rid. My,Rd da NEd	px	py	Verifica
1.5	SLD 16	0.074	1	72.7	1003.522	1	-0.0476	33.3316	1		0	0	Si

Verifica a presso/tenso flessione deviata §§ 4.2.4.1.2.3 - 4.2.4.1.2.6 - 4.2.4.1.2.7 - 4.2.4.1.2.8 NTC18

Verifiche eseguite utilizzando la formula conservativa (6.2) §6.2.1 EN 1993-1-1:2005.

X	Comb.	Sfruttamento	Classe	NEd	NRd	Rid. NRd da VEd	Mx,Ed	Mx,Rd	My,Ed	My,Rd	Rid. Mx,Rd da VEd	Rid. Mx,Rd da NEd	Rid. My,Rd da VEd	Rid. My,Rd da NEd	α	β	px	py	Verifica
1.1	SLV 15	0.098	1	93.869	1003.522	1	0.0661	23.5037	-0.061	33.3316	1		1				0	0	Si

Verifica a presso/tenso flessione deviata SLD §§ 4.2.4.1.2.3 - 4.2.4.1.2.6 - 4.2.4.1.2.7 - 4.2.4.1.2.8 NTC18

Verifiche eseguite utilizzando la formula conservativa (6.2) §6.2.1 EN 1993-1-1:2005.

X	Comb.	Sfruttamento	Classe	NEd	NRd	Rid. NRd da VEd	Mx,Ed	Mx,Rd	My,Ed	My,Rd	Rid. Mx,Rd da VEd	Rid. Mx,Rd da NEd	Rid. My,Rd da VEd	Rid. My,Rd da NEd	α	β	px	py	Verifica
0.85	SLD 16	0.076	1	72.7	1003.522	1	0.0831	23.5037	-0.0106	33.3316	1		1				0	0	Si

Verifiche ad instabilità

Caratteristiche iniziali

Membratura principale per controllo snellezza; Calcolo di snellezze ed N critici condotti secondo gli assi principali;

Curva X: c; Curva Y: c;

Svergolamento: Nessuno; la verifica a instabilità flesso-torsionale (svergolamento) non verrà eseguita.

Dati per instabilità attorno a x

Controllo della snellezza secondo §4.2.4.1.3.1 NTC18

Numero rit.	Presente	Ascissa	Campata	βx/m	Vincolo a entrambi estremi	λx/m	λVer
1	Si	0					
			1-2		1	49.4	Si, (<200)
2	Si	1.5					

Dati per instabilità attorno a y

Controllo della snellezza secondo §4.2.4.1.3.1 NTC18

Numero rit.	Presente	Ascissa	Campata	βy/n	k,LT	kw,LT	Vincolo a entrambi estremi
1	Si	0					
			1-2		1	34.8	Si, (<200)
2	Si	1.5					

Verifica di stabilità per pressoflessione §C.4.2.4.1.3.3.1 NTC18

X	Comb.	Sfruttamento	Classe	NEd	MxEq,Ed	MyEq,Ed	Area	Wx	Wy	χ,min	λ adim. x/m	λ adim. y/n	N,crit x/m	N,crit y/n	Verifica
0	SLU 2	0.045	3	-28.936	0.072	0.0667	0.003832	0.0000492	0.0000739	0.804	0.569	0.4	3253.47	6569.993	Si

Verifiche a deformabilità

Mensola X: No; Mensola Y: No.

Freccie lungo X

Ascissa freccia	Combinazione	Freccia	Luce	L/f	L/f,min	Tipo	Verifica
0.45	SLE RA 1	0	1.5	10000	250	Totale	Si
0.45	SLE RA 17	0	1.5	10000	250	Totale	Si
0.45	SLE RA 16	0	1.5	10000	250	Totale	Si
0.45	SLE RA 15	0	1.5	10000	250	Totale	Si

Implementazione dei sistemi di confinamento delle emissioni odorigene diffuse dell'impianto di compostaggio esistente nel
Comune di Eboli (SA)
PROGETTO DEFINITIVO – Tabulati di calcolo Tomo 1

Ascissa freccia	Combinazione	Freccia	Luce	L/f	L/f,min	Tipo	Verifica
0.45	SLE RA 14	0	1.5	10000	250	Totale	Si
0.5	SLE RA 2	0	1.5	10000	350	Variabile	Si
0.5	SLE RA 17	0	1.5	10000	350	Variabile	Si
0.5	SLE RA 16	0	1.5	10000	350	Variabile	Si
0.5	SLE RA 15	0	1.5	10000	350	Variabile	Si
0.5	SLE RA 14	0	1.5	10000	350	Variabile	Si

Frecce lungo Y

Ascissa freccia	Combinazione	Freccia	Luce	L/f	L/f,min	Tipo	Verifica
0.75	SLE RA 1	0.00003	1.5	10000	250	Totale	Si
0.75	SLE RA 17	0.00003	1.5	10000	250	Totale	Si
0.75	SLE RA 16	0.00003	1.5	10000	250	Totale	Si
0.75	SLE RA 15	0.00003	1.5	10000	250	Totale	Si
0.75	SLE RA 14	0.00003	1.5	10000	250	Totale	Si
0.65	SLE RA 2	0	1.5	10000	350	Variabile	Si
0.65	SLE RA 17	0	1.5	10000	350	Variabile	Si
0.65	SLE RA 16	0	1.5	10000	350	Variabile	Si
0.6	SLE RA 15	0	1.5	10000	350	Variabile	Si
0.65	SLE RA 14	0	1.5	10000	350	Variabile	Si

Superelemento in acciaio a quota "640" (-870; -202)-(-761; -305)

Caratteristiche del materiale

Acciaio: S275, fyk = 275000

Caratteristiche geometriche

Lunghezza: 1.5

Nodo iniziale: 630 Nodo finale: 609

Cerniera iniziale: Mmomenti 1% Cerniera finale: Mmomenti 1%

Sovreresistenza: 0% Sisma Z: No

Caratteristiche della sezione

Sezione	Rotazione	Area	Jx	Jy	ix	iy	Wx	Wy	Wplx	Wply
A1; L100*10; 1; Saldato; S275; 30; 1; 8; 8; 1	180	0.003832	0.0000035319	0.000007759	0.0304	0.045	0.0000492	0.0000739	0.00008974	0.00012727

Comportamento dei calastrelli

Accoppiamento imbottito con funzione statica (§C4.2.4.1.3.1.4 NTC18) nella campata compresa tra le ascisse 0 e 1.5 per sbandamento attorno all'asse y.

Verifiche di resistenza

Verifiche a forza assiale §4.2.4.1.2.1 - §4.2.4.1.2.2 NTC18

X	Comb.	Sfruttamento	Classe	NEd	Nc,Rd	Nt,Rd	Riduzione da taglio	px	py	Verifica
1.45	SLU 75	0.061		61.388		1003.522	1	0	0	Si

Verifiche a forza assiale SLD §4.2.4.1.2.1 - §4.2.4.1.2.2 NTC18

X	Comb.	Sfruttamento	Classe	NEd	Nc,Rd	Nt,Rd	Riduzione da taglio	px	py	Verifica
1.5	SLD 16	0.014		13.563		1003.522	1	0	0	Si

Verifica a taglio X §4.2.4.1.2.4 NTC18

X	Comb.	Sfruttamento	VEd	Vc,Rd	Av	Interazione taglio-torsione	Riduzione torsione	Verifica
1.5	SLV 16	0.001	0.296	302.422	0.002	Non considerata		Si

Verifica a taglio Y §4.2.4.1.2.4 NTC18

X	Comb.	Sfruttamento	VEd	Vc,Rd	Av	Interazione taglio-torsione	Riduzione torsione	Verifica
0	SLU 75	0.001	-0.294	302.422	0.002	Non considerata		Si

Verifica a taglio Y SLD §4.2.4.1.2.4 NTC18

X	Comb.	Sfruttamento	VEd	Vc,Rd	Av	Interazione taglio-torsione	Riduzione torsione	Verifica
0	SLD 12	0.001	-0.226	302.422	0.002	Non considerata		Si

Verifica a presso/tenso flessione retta X §§ 4.2.4.1.2.3 - 4.2.4.1.2.6 - 4.2.4.1.2.7 - 4.2.4.1.2.8 NTC18

Verifiche eseguite utilizzando la formula conservativa (6.2) §6.2.1 EN 1993-1-1:2005.

X	Comb.	Sfruttamento	Classe	NEd	NRd	Rid. NRd da VEd	Mx,Ed	Mx,Rd	Rid. Mx,Rd da VEd	Rid. Mx,Rd da NEd	px	py	Verifica
0.75	SLU 75	0.066	1	61.388	1003.522	1	0.1106	23.5037	1		0	0	Si

Verifica a presso/tenso flessione retta X SLD §§ 4.2.4.1.2.3 - 4.2.4.1.2.6 - 4.2.4.1.2.7 - 4.2.4.1.2.8 NTC18

Verifiche eseguite utilizzando la formula conservativa (6.2) §6.2.1 EN 1993-1-1:2005.

X	Comb.	Sfruttamento	Classe	NEd	NRd	Rid. NRd da VEd	Mx,Ed	Mx,Rd	Rid. Mx,Rd da VEd	Rid. Mx,Rd da NEd	px	py	Verifica
0.75	SLD 15	0.017	1	13.563	1003.522	1	0.0844	23.5037	1		0	0	Si

Verifica a presso/tenso flessione retta Y §§ 4.2.4.1.2.3 - 4.2.4.1.2.6 - 4.2.4.1.2.7 - 4.2.4.1.2.8 NTC18

Verifiche eseguite utilizzando la formula conservativa (6.2) §6.2.1 EN 1993-1-1:2005.

X	Comb.	Sfruttamento	Classe	NEd	NRd	Rid. NRd da VEd	My,Ed	My,Rd	Rid. My,Rd da VEd	Rid. My,Rd da NEd	px	py	Verifica
0	SLV 15	0.021	1	14.263	1003.522	1	-0.2228	33.3316	1		0	0	Si

Verifica a presso/tenso flessione retta Y SLD §§ 4.2.4.1.2.3 - 4.2.4.1.2.6 - 4.2.4.1.2.7 - 4.2.4.1.2.8 NTC18

Verifiche eseguite utilizzando la formula conservativa (6.2) §6.2.1 EN 1993-1-1:2005.

X	Comb.	Sfruttamento	Classe	NEd	NRd	Rid. NRd da VEd	My,Ed	My,Rd	Rid. My,Rd da VEd	Rid. My,Rd da NEd	px	py	Verifica
0	SLD 15	0.016	1	13.563	1003.522	1	-0.0896	33.3316	1		0	0	Si

Implementazione dei sistemi di confinamento delle emissioni odorigene diffuse dell'impianto di compostaggio esistente nel
Comune di Eboli (SA)
PROGETTO DEFINITIVO – Tabulati di calcolo Tomo 1

Verifica a presso/tenso flessione deviata §§ 4.2.4.1.2.3 - 4.2.4.1.2.6 - 4.2.4.1.2.7 - 4.2.4.1.2.8 NTC18

Verifiche eseguite utilizzando la formula conservativa (6.2) §6.2.1 EN 1993-1-1:2005.

X	Comb.	Sfruttamento	Classe	NEd	NRd	Rid. NRd da VEd	Mx,Ed	Mx,Rd	My,Ed	My,Rd	Rid. Mx,Rd da VEd	Rid. Mx,Rd da NEd	Rid. My,Rd da VEd	Rid. My,Rd da NEd	α	β	px	py	Verifica
0.75	SLU 4	0.026	3	-17.173	1003.522	1	0.0838	12.886	-0.0518	19.3536	1		1				0	0	Si

Verifica a presso/tenso flessione deviata SLD §§ 4.2.4.1.2.3 - 4.2.4.1.2.6 - 4.2.4.1.2.7 - 4.2.4.1.2.8 NTC18

Verifiche eseguite utilizzando la formula conservativa (6.2) §6.2.1 EN 1993-1-1:2005.

X	Comb.	Sfruttamento	Classe	NEd	NRd	Rid. NRd da VEd	Mx,Ed	Mx,Rd	My,Ed	My,Rd	Rid. Mx,Rd da VEd	Rid. Mx,Rd da NEd	Rid. My,Rd da VEd	Rid. My,Rd da NEd	α	β	px	py	Verifica
0.45	SLD 15	0.018	1	13.563	1003.522	1	0.0708	23.5037	-0.0362	33.3316	1		1				0	0	Si

Verifiche ad instabilità

Caratteristiche iniziali

Membratura principale per controllo snellezza; Calcolo di snellezze ed N critici condotti secondo gli assi principali;

Curva X: c; Curva Y: c;

Svergolamento: Nessuno; la verifica a instabilità flesso-torsionale (svergolamento) non verrà eseguita.

Dati per instabilità attorno a x

Controllo della snellezza secondo §4.2.4.1.3.1 NTC18

Numero rit.	Presente	Ascissa	Campata	βx/m	Vincolo a entrambi estremi	λx/m	λVer
1	Si		0				
			1-2		1	49.4	Si, (<200)
2	Si		1.5				

Dati per instabilità attorno a y

Controllo della snellezza secondo §4.2.4.1.3.1 NTC18

Numero rit.	Presente	Ascissa	Campata	βy/n	k,LT	kw,LT	Vincolo a entrambi estremi
1	Si		0				
			1-2		1	34.8	Si, (<200)
2	Si		1.5				

Verifica di stabilità per pressoflessione §C.4.2.4.1.3.3.1 NTC18

X	Comb.	Sfruttamento	Classe	NEd	MxEq,Ed	MyEq,Ed	Area	Wx	Wy	χ,min	λ adim. x/m	λ adim. y/n	N,crit x/m	N,crit y/n	Verifica
0.75	SLU 4	0.03	3	-17.173	0.0722	-0.0518	0.003832	0.0000492	0.0000739	0.804	0.569	0.4	3253.47	6569.993	Si

Verifiche a deformabilità

Mensola X: No; Mensola Y: No.

Frecce lungo X

Ascissa freccia	Combinazione	Freccia	Luce	L/f	L/f,min	Tipo	Verifica
0.7	SLE RA 1	0	1.5	10000	250	Totale	Si
0.7	SLE RA 17	0	1.5	10000	250	Totale	Si
0.7	SLE RA 16	0	1.5	10000	250	Totale	Si
0.7	SLE RA 15	0	1.5	10000	250	Totale	Si
0.65	SLE RA 14	0	1.5	10000	250	Totale	Si
0.65	SLE RA 2	0	1.5	10000	350	Variabile	Si
0.65	SLE RA 17	0	1.5	10000	350	Variabile	Si
0.65	SLE RA 16	0	1.5	10000	350	Variabile	Si
0.75	SLE RA 15	0	1.5	10000	350	Variabile	Si
0.6	SLE RA 14	0	1.5	10000	350	Variabile	Si

Frecce lungo Y

Ascissa freccia	Combinazione	Freccia	Luce	L/f	L/f,min	Tipo	Verifica
0.75	SLE RA 1	0.00003	1.5	10000	250	Totale	Si
0.75	SLE RA 17	0.00003	1.5	10000	250	Totale	Si
0.75	SLE RA 16	0.00003	1.5	10000	250	Totale	Si
0.75	SLE RA 15	0.00003	1.5	10000	250	Totale	Si
0.75	SLE RA 14	0.00003	1.5	10000	250	Totale	Si
0.85	SLE RA 2	0	1.5	10000	350	Variabile	Si
0.8	SLE RA 17	0	1.5	10000	350	Variabile	Si
0.85	SLE RA 16	0	1.5	10000	350	Variabile	Si
0.75	SLE RA 15	0	1.5	10000	350	Variabile	Si
0.85	SLE RA 14	0	1.5	10000	350	Variabile	Si

Superelemento in acciaio a quota "640" (-904; -675)-(-796; -778)

Caratteristiche del materiale

Acciaio: S275, fyk = 275000

Caratteristiche geometriche

Lunghezza: 1.49

Nodo iniziale: 549 Nodo finale: 540

Cerniera iniziale: Mmomenti 1% Cerniera finale: Mmomenti 1%

Sovraresistenza: 0% Sisma Z: No

Caratteristiche della sezione

Sezione	Rotazione	Area	Jx	Jy	ix	iy	Wx	Wy	Wplx	Wply
A1; L100*10; 1; Saldato; S275; 30; 1; 8; 8; 1	180	0.003832	0.0000035319	0.000007759	0.0304	0.045	0.0000492	0.0000739	0.00008974	0.00012727

Comportamento dei calastrelli

Accoppiamento imbottito con funzione statica (§C4.2.4.1.3.1.4 NTC18) nella campata compresa tra le ascisse 0 e 1.49 per sbandamento attorno all'asse y.

Verifiche di resistenza

Verifiche a forza assiale §4.2.4.1.2.1 - §4.2.4.1.2.2 NTC18

X	Comb.	Sfruttamento	Classe	NEd	Nc,Rd	Nt,Rd	Riduzione da taglio	px	py	Verifica
0	SLV 9	0.001	1	-0.503	1003.522		1	0	0	Si

Verifica a taglio Y §4.2.4.1.2.4 NTC18

X	Comb.	Sfruttamento	VEd	Vc,Rd	Av	Interazione taglio-torsione	Riduzione torsione	Verifica
1.49	SLU 75	0.001	0.371	302.422	0.002	Non considerata		Si

Verifica a taglio Y SLD §4.2.4.1.2.4 NTC18

X	Comb.	Sfruttamento	VEd	Vc,Rd	Av	Interazione taglio-torsione	Riduzione torsione	Verifica
1.49	SLD 13	0.001	0.256	302.422	0.002	Non considerata		Si

Verifica a flessione semplice X §§ 4.2.4.1.2.3 - 4.2.4.1.2.6 - 4.2.4.1.2.7 - 4.2.4.1.2.8 NTC18

X	Comb.	Sfruttamento	Classe	Mx,Ed	Mx,Rd	Rid. Mx,Rd da VEd	px	py	Verifica
0.745	SLU 40	0.005	1	0.11206	23.50374	1	0	0	Si

Verifica a flessione semplice X SLD §§ 4.2.4.1.2.3 - 4.2.4.1.2.6 - 4.2.4.1.2.7 - 4.2.4.1.2.8 NTC18

X	Comb.	Sfruttamento	Classe	Mx,Ed	Mx,Rd	Rid. Mx,Rd da VEd	px	py	Verifica
0.695	SLD 4	0.003	1	0.07188	23.50374	1	0	0	Si

Verifica a flessione semplice Y §§ 4.2.4.1.2.3 - 4.2.4.1.2.6 - 4.2.4.1.2.7 - 4.2.4.1.2.8 NTC18

X	Comb.	Sfruttamento	Classe	My,Ed	My,Rd	Rid. My,Rd da VEd	px	py	Verifica
1.391	SLV 1	0.001	1	-0.0376	33.33162	1	0	0	Si

Verifica a flessione semplice Y SLD §§ 4.2.4.1.2.3 - 4.2.4.1.2.6 - 4.2.4.1.2.7 - 4.2.4.1.2.8 NTC18

X	Comb.	Sfruttamento	Classe	My,Ed	My,Rd	Rid. My,Rd da VEd	px	py	Verifica
1.341	SLD 1	0	1	-0.01505	33.33162	1	0	0	Si

Verifica a flessione deviata §§ 4.2.4.1.2.3 - 4.2.4.1.2.6 - 4.2.4.1.2.7 - 4.2.4.1.2.8 NTC18

X	Comb.	Sfruttamento	Classe	Mx,Ed	Mx,Rd	My,Ed	My,Rd	Rid. Mx,Rd da VEd	Rid. My,Rd da VEd	α	β	px	py	Verifica
1.49	SLU 75	0.005	1	-0.1139	23.5037	-0.0171	33.3316	1	1			0	0	Si

Verifica a flessione deviata SLD §§ 4.2.4.1.2.3 - 4.2.4.1.2.6 - 4.2.4.1.2.7 - 4.2.4.1.2.8 NTC18

X	Comb.	Sfruttamento	Classe	Mx,Ed	Mx,Rd	My,Ed	My,Rd	Rid. Mx,Rd da VEd	Rid. My,Rd da VEd	α	β	px	py	Verifica
0.844	SLD 1	0.003	1	0.0657	23.5037	-0.0076	33.3316	1	1			0	0	Si

Verifica a presso/tenso flessione retta X §§ 4.2.4.1.2.3 - 4.2.4.1.2.6 - 4.2.4.1.2.7 - 4.2.4.1.2.8 NTC18

Verifiche eseguite utilizzando la formula conservativa (6.2) §6.2.1 EN 1993-1-1:2005.

X	Comb.	Sfruttamento	Classe	NEd	NRd	Rid. NRd da VEd	Mx,Ed	Mx,Rd	Rid. Mx,Rd da VEd	Rid. Mx,Rd da NEd	px	py	Verifica
0.596	SLV 13	0.003	1	-0.467	1003.522	1	0.0563	23.5037	1		0	0	Si

Verifica a presso/tenso flessione retta Y §§ 4.2.4.1.2.3 - 4.2.4.1.2.6 - 4.2.4.1.2.7 - 4.2.4.1.2.8 NTC18

Verifiche eseguite utilizzando la formula conservativa (6.2) §6.2.1 EN 1993-1-1:2005.

X	Comb.	Sfruttamento	Classe	NEd	NRd	Rid. NRd da VEd	My,Ed	My,Rd	Rid. My,Rd da VEd	Rid. My,Rd da NEd	px	py	Verifica
1.242	SLV 9	0.001	1	-0.503	1003.522	1	-0.0198	33.3316	1		0	0	Si

Verifica a presso/tenso flessione deviata §§ 4.2.4.1.2.3 - 4.2.4.1.2.6 - 4.2.4.1.2.7 - 4.2.4.1.2.8 NTC18

Verifiche eseguite utilizzando la formula conservativa (6.2) §6.2.1 EN 1993-1-1:2005.

X	Comb.	Sfruttamento	Classe	NEd	NRd	Rid. NRd da VEd	Mx,Ed	Mx,Rd	My,Ed	My,Rd	Rid. Mx,Rd da VEd	Rid. Mx,Rd da NEd	Rid. My,Rd da VEd	Rid. My,Rd da NEd	α	β	px	py	Verifica
1.49	SLV 10	0.004	1	-0.503	1003.522	1	-0.0619	23.5037	-0.0253	33.3316	1		1				0	0	Si

Verifiche ad instabilità

Caratteristiche iniziali

Membratura principale per controllo snellezza; Calcolo di snellezze ed N critici condotti secondo gli assi principali;

Curva X: c; Curva Y: c;

Svergolamento: Nessuno; la verifica a instabilità flesso-torsionale (svergolamento) non verrà eseguita.

Dati per instabilità attorno a x

Controllo della snellezza secondo §4.2.4.1.3.1 NTC18

Numero rit.	Presente	Ascissa	Campata	β_x/m	Vincolo a entrambi estremi	λ_x/m	λ_{Ver}
1	Si	0					
			1-2	1	Si	49.1	Si, (<200)
2	Si	1.49					

Dati per instabilità attorno a y

Controllo della snellezza secondo §4.2.4.1.3.1 NTC18

Numero rit.	Presente	Ascissa	Campata	β_y/n	k,LT	kw,LT	Vincolo a entrambi estremi
1	Si	0					
			1-2	1	Si	34.6	Si, (<200)
2	Si	1.49					

Verifica di stabilità per pressoflessione §C.4.2.4.1.3.3.1 NTC18

X	Comb.	Sfruttamento	Classe	NEd	MxEq,Ed	MyEq,Ed	Area	Wx	Wy	χ_{min}	$\lambda_{adim. x/m}$	$\lambda_{adim. y/n}$	N,crit x/m	N,crit y/n	Verifica
0	SLU 75	0.004	1	0	-0.0855	-0.0129	0.003832	0.0000897	0.0001273	0.806	0.565	0.398	3297.292	6651.25	Si

Implementazione dei sistemi di confinamento delle emissioni odorigene diffuse dell'impianto di compostaggio esistente nel
Comune di Eboli (SA)
PROGETTO DEFINITIVO – Tabulati di calcolo Tomo 1

Verifica di stabilità per pressoflessione SLD §C.4.2.4.1.3.3.1 NTC18

X	Comb.	Sfruttamento	Classe	NEd	MxEq,Ed	MyEq,Ed	Area	Wx	Wy	x,min	λ adim. x/m	λ adim. y/n	N,crit x/m	N,crit y/n	Verifica
0	SLD 1	0.003	1	0	0.0537	-0.013	0.003832	0.0000897	0.0001273	0.806	0.565	0.398	3297.292	6651.25	Si

Verifiche a deformabilità

Mensola X: No; Mensola Y: No.

Frecce lungo X

Ascissa freccia	Combinazione	Freccia	Luce	L/f	L/f,min	Tipo	Verifica
0.993	SLE RA 1	0	1.49	10000	250	Totale	Si
0.993	SLE RA 17	0	1.49	10000	250	Totale	Si
0.993	SLE RA 16	0	1.49	10000	250	Totale	Si
0.497	SLE RA 15	0	1.49	10000	250	Totale	Si
1.043	SLE RA 14	0	1.49	10000	250	Totale	Si
0.993	SLE RA 2	0	1.49	10000	350	Variabile	Si
0.993	SLE RA 17	0	1.49	10000	350	Variabile	Si
0.993	SLE RA 16	0	1.49	10000	350	Variabile	Si
1.142	SLE RA 15	0	1.49	10000	350	Variabile	Si
1.043	SLE RA 14	0	1.49	10000	350	Variabile	Si

Frecce lungo Y

Ascissa freccia	Combinazione	Freccia	Luce	L/f	L/f,min	Tipo	Verifica
0.695	SLE RA 1	0.00002	1.49	10000	250	Totale	Si
0.695	SLE RA 17	0.00002	1.49	10000	250	Totale	Si
0.646	SLE RA 16	0.00001	1.49	10000	250	Totale	Si
0.695	SLE RA 15	0.00002	1.49	10000	250	Totale	Si
0.646	SLE RA 14	0.00001	1.49	10000	250	Totale	Si
0.894	SLE RA 2	0.00001	1.49	10000	350	Variabile	Si
0.894	SLE RA 17	0	1.49	10000	350	Variabile	Si
0.894	SLE RA 16	-0.00001	1.49	10000	350	Variabile	Si
0.894	SLE RA 15	0	1.49	10000	350	Variabile	Si
0.894	SLE RA 14	-0.00001	1.49	10000	350	Variabile	Si

Superelemento in acciaio a quota "640" (-907; 851)-(-798; 749)

Caratteristiche del materiale

Acciaio: S275, fyk = 275000

Caratteristiche geometriche

Lunghezza: 1.49

Nodo iniziale: 838 Nodo finale: 816

Cerniera iniziale: Mmomenti 1% Cerniera finale: Mmomenti 1%

Sovreresistenza: 0% Sisma Z: No

Caratteristiche della sezione

Sezione	Rotazione	Area	Jx	Jy	ix	iy	Wx	Wy	Wplx	Wply
Al; L100*10; 1; Saldato; S275; 30; 1; 8; 8; 1	180	0.003832	0.0000035319	0.000007759	0.0304	0.045	0.0000492	0.0000739	0.00008974	0.00012727

Comportamento dei calastrelli

Accoppiamento imbottito con funzione statica (§C4.2.4.1.3.1.4 NTC18) nella campata compresa tra le ascisse 0 e 1.49 per sbandamento attorno all'asse y.

Verifiche di resistenza

Verifiche a forza assiale §4.2.4.1.2.1 - §4.2.4.1.2.2 NTC18

X	Comb.	Sfruttamento	Classe	NEd	Nc,Rd	Nt,Rd	Riduzione da taglio	px	py	Verifica
1.44	SLV 14	0.007		6.982		1003.522	1	0	0	Si

Verifiche a forza assiale SLD §4.2.4.1.2.1 - §4.2.4.1.2.2 NTC18

X	Comb.	Sfruttamento	Classe	NEd	Nc,Rd	Nt,Rd	Riduzione da taglio	px	py	Verifica
0	SLD 14	0.002		2.441		1003.522	1	0	0	Si

Verifica a taglio X §4.2.4.1.2.4 NTC18

X	Comb.	Sfruttamento	VEd	Vc,Rd	Av	Interazione taglio-torsione	Riduzione torsione	Verifica
0	SLV 1	0.001	0.205	302.422	0.002	Non considerata		Si

Verifica a taglio Y §4.2.4.1.2.4 NTC18

X	Comb.	Sfruttamento	VEd	Vc,Rd	Av	Interazione taglio-torsione	Riduzione torsione	Verifica
0	SLV 4	0.001	-0.349	302.422	0.002	Non considerata		Si

Verifica a taglio Y SLD §4.2.4.1.2.4 NTC18

X	Comb.	Sfruttamento	VEd	Vc,Rd	Av	Interazione taglio-torsione	Riduzione torsione	Verifica
0	SLD 4	0.001	-0.27	302.422	0.002	Non considerata		Si

Verifica a flessione semplice X §§ 4.2.4.1.2.3 - 4.2.4.1.2.6 - 4.2.4.1.2.7 - 4.2.4.1.2.8 NTC18

X	Comb.	Sfruttamento	Classe	Mx,Ed	Mx,Rd	Rid. Mx,Rd da VEd	px	py	Verifica
0.745	SLU 40	0.005	1	0.10854	23.50374	1	0	0	Si

Verifica a flessione semplice Y §§ 4.2.4.1.2.3 - 4.2.4.1.2.6 - 4.2.4.1.2.7 - 4.2.4.1.2.8 NTC18

X	Comb.	Sfruttamento	Classe	My,Ed	My,Rd	Rid. My,Rd da VEd	px	py	Verifica
0.099	SLU 71	0.001	1	-0.02086	33.33162	1	0	0	Si

Implementazione dei sistemi di confinamento delle emissioni odorigene diffuse dell'impianto di compostaggio esistente nel
Comune di Eboli (SA)
PROGETTO DEFINITIVO – Tabulati di calcolo Tomo 1

Verifica a flessione deviata §§ 4.2.4.1.2.3 - 4.2.4.1.2.6 - 4.2.4.1.2.7 - 4.2.4.1.2.8 NTC18

X	Comb.	Sfruttamento	Classe	Mx,Ed	Mx,Rd	My,Ed	My,Rd	Rid. Mx,Rd da VEd	Rid. My,Rd da VEd	α	β	ρ_x	ρ_y	Verifica
0.695	SLU 58	0.005	1	0.1005	23.5037	-0.0079	33.3316	1	1			0	0	Si

Verifica a presso/tenso flessione retta X §§ 4.2.4.1.2.3 - 4.2.4.1.2.6 - 4.2.4.1.2.7 - 4.2.4.1.2.8 NTC18

Verifiche eseguite utilizzando la formula conservativa (6.2) §6.2.1 EN 1993-1-1:2005.

X	Comb.	Sfruttamento	Classe	NEd	NRd	Rid. NRd da VEd	Mx,Ed	Mx,Rd	Rid. Mx,Rd da VEd	Rid. Mx,Rd da NEd	ρ_x	ρ_y	Verifica
0.546	SLV 13	0.015	1	6.982	1003.522	1	0.1793	23.5037	1		0	0	Si

Verifica a presso/tenso flessione retta Y SLD §§ 4.2.4.1.2.3 - 4.2.4.1.2.6 - 4.2.4.1.2.7 - 4.2.4.1.2.8 NTC18

Verifiche eseguite utilizzando la formula conservativa (6.2) §6.2.1 EN 1993-1-1:2005.

X	Comb.	Sfruttamento	Classe	NEd	NRd	Rid. NRd da VEd	Mx,Ed	Mx,Rd	Rid. Mx,Rd da VEd	Rid. Mx,Rd da NEd	ρ_x	ρ_y	Verifica
0.646	SLD 14	0.007	1	2.441	1003.522	1	0.1076	23.5037	1		0	0	Si

Verifica a presso/tenso flessione retta Y §§ 4.2.4.1.2.3 - 4.2.4.1.2.6 - 4.2.4.1.2.7 - 4.2.4.1.2.8 NTC18

Verifiche eseguite utilizzando la formula conservativa (6.2) §6.2.1 EN 1993-1-1:2005.

X	Comb.	Sfruttamento	Classe	NEd	NRd	Rid. NRd da VEd	My,Ed	My,Rd	Rid. My,Rd da VEd	Rid. My,Rd da NEd	ρ_x	ρ_y	Verifica
1.49	SLV 4	0.009	3	-6.481	1003.522	1	-0.0403	19.3536	1		0	0	Si

Verifica a presso/tenso flessione retta Y SLD §§ 4.2.4.1.2.3 - 4.2.4.1.2.6 - 4.2.4.1.2.7 - 4.2.4.1.2.8 NTC18

Verifiche eseguite utilizzando la formula conservativa (6.2) §6.2.1 EN 1993-1-1:2005.

X	Comb.	Sfruttamento	Classe	NEd	NRd	Rid. NRd da VEd	My,Ed	My,Rd	Rid. My,Rd da VEd	Rid. My,Rd da NEd	ρ_x	ρ_y	Verifica
0.298	SLD 3	0.003	3	-1.939	1003.522	1	-0.0226	19.3536	1		0	0	Si

Verifica a presso/tenso flessione deviata §§ 4.2.4.1.2.3 - 4.2.4.1.2.6 - 4.2.4.1.2.7 - 4.2.4.1.2.8 NTC18

Verifiche eseguite utilizzando la formula conservativa (6.2) §6.2.1 EN 1993-1-1:2005.

X	Comb.	Sfruttamento	Classe	NEd	NRd	Rid. NRd da VEd	Mx,Ed	Mx,Rd	My,Ed	My,Rd	Rid. Mx,Rd da VEd	Rid. Mx,Rd da NEd	Rid. My,Rd da VEd	Rid. My,Rd da NEd	α	β	ρ_x	ρ_y	Verifica
0	SLV 3	0.016	1	-6.481	1003.522	1	-0.1835	23.5037	-0.0581	33.3316	1		1				0	0	Si

Verifica a presso/tenso flessione deviata SLD §§ 4.2.4.1.2.3 - 4.2.4.1.2.6 - 4.2.4.1.2.7 - 4.2.4.1.2.8 NTC18

Verifiche eseguite utilizzando la formula conservativa (6.2) §6.2.1 EN 1993-1-1:2005.

X	Comb.	Sfruttamento	Classe	NEd	NRd	Rid. NRd da VEd	Mx,Ed	Mx,Rd	My,Ed	My,Rd	Rid. Mx,Rd da VEd	Rid. Mx,Rd da NEd	Rid. My,Rd da VEd	Rid. My,Rd da NEd	α	β	ρ_x	ρ_y	Verifica
0.596	SLD 9	0.007	1	2.41	1003.522	1	0.1067	23.5037	-0.0116	33.3316	1		1				0	0	Si

Verifiche ad instabilità

Caratteristiche iniziali

Membratura principale per controllo snellezza; Calcolo di snellezze ed N critici condotti secondo gli assi principali;

Curva X: c; Curva Y: c;

Svergolamento: Nessuno; la verifica a instabilità flessio-torsionale (svergolamento) non verrà eseguita.

Dati per instabilità attorno a x

Controllo della snellezza secondo §4.2.4.1.3.1 NTC18

Numero rit.	Presente	Ascissa	Campata	$\beta x/m$	Vincolo a entrambi estremi	$\lambda x/m$	λVer
1	Si		0				
2	Si	1.49	1-2		1	49.1	Si, (<200)

Dati per instabilità attorno a y

Controllo della snellezza secondo §4.2.4.1.3.1 NTC18

Numero rit.	Presente	Ascissa	Campata	$\beta y/n$	k,LT	kw,LT	Vincolo a entrambi estremi
1	Si		0				
2	Si	1.49	1-2		1	34.6	Si, (<200)

Verifica di stabilità per pressoflessione §C.4.2.4.1.3.3.1 NTC18

X	Comb.	Sfruttamento	Classe	NEd	MxEq,Ed	MyEq,Ed	Area	Wx	Wy	χ_{min}	$\lambda_{adim. x/m}$	$\lambda_{adim. y/n}$	N,crit x/m	N,crit y/n	Verifica
0.546	SLV 3	0.021	3	-6.481	-0.1376	-0.0521	0.003832	0.0000492	0.0000739	0.806	0.565	0.398	3297.334	6651.327	Si

Verifica di stabilità per pressoflessione SLD §C.4.2.4.1.3.3.1 NTC18

X	Comb.	Sfruttamento	Classe	NEd	MxEq,Ed	MyEq,Ed	Area	Wx	Wy	χ_{min}	$\lambda_{adim. x/m}$	$\lambda_{adim. y/n}$	N,crit x/m	N,crit y/n	Verifica
1.49	SLD 4	0.007	3	-1.939	-0.0504	-0.0221	0.003832	0.0000492	0.0000739	0.806	0.565	0.398	3297.334	6651.327	Si

Verifiche a deformabilità

Mensola X: No; Mensola Y: No.

Frecce lungo X

Ascissa freccia	Combinazione	Freccia	Luce	L/f	L/f,min	Tipo	Verifica
0.596	SLE RA 1	0	1.49	10000	250	Totale	Si
0.596	SLE RA 17	0	1.49	10000	250	Totale	Si
0.596	SLE RA 16	0	1.49	10000	250	Totale	Si
0.596	SLE RA 15	0	1.49	10000	250	Totale	Si
0.596	SLE RA 14	0	1.49	10000	250	Totale	Si
0.596	SLE RA 2	0	1.49	10000	350	Variabile	Si
0.596	SLE RA 17	0	1.49	10000	350	Variabile	Si
0.596	SLE RA 16	0	1.49	10000	350	Variabile	Si
0.596	SLE RA 15	0	1.49	10000	350	Variabile	Si
0.596	SLE RA 14	0	1.49	10000	350	Variabile	Si

Frecce lungo Y

Ascissa freccia	Combinazione	Freccia	Luce	L/f	L/f,min	Tipo	Verifica
0.745	SLE RA 1	0.00002	1.49	10000	250	Totale	Si
0.745	SLE RA 17	0.00002	1.49	10000	250	Totale	Si
0.745	SLE RA 16	0.00002	1.49	10000	250	Totale	Si

Implementazione dei sistemi di confinamento delle emissioni odorigene diffuse dell'impianto di compostaggio esistente nel
Comune di Eboli (SA)
PROGETTO DEFINITIVO – Tabulati di calcolo Tomo 1

Ascissa freccia	Combinazione	Freccia	Luce	L/f	L/f,min	Tipo	Verifica
0.745	SLE RA 15	0.00002	1.49	10000	250	Totale	Si
0.745	SLE RA 14	0.00002	1.49	10000	250	Totale	Si
0.596	SLE RA 2	0	1.49	10000	350	Variabile	Si
0.596	SLE RA 17	0	1.49	10000	350	Variabile	Si
0.596	SLE RA 16	0	1.49	10000	350	Variabile	Si
0.596	SLE RA 15	0	1.49	10000	350	Variabile	Si
0.596	SLE RA 14	0	1.49	10000	350	Variabile	Si

Superelemento in acciaio a quota "640" (-908; 851)-(-780; 986)

Caratteristiche del materiale

Acciaio: S275, fyk = 275000

Caratteristiche geometriche

Lunghezza: 1.855

Nodo iniziale: 836 Nodo finale: 869

Cerniera iniziale: No Cerniera finale: No

Sovraresistenza: 0% Sisma Z: No

Caratteristiche della sezione

Sezione	Rotazione	Area	Jx	Jy	ix	iy	Wx	Wy	Wplx	Wply
HEA120	0	0.002537	0.0000060673	0.0000023091	0.0489	0.0302	0.00010644	0.00003849	0.00011962	0.00005887

Verifiche di resistenza

Verifiche a forza assiale §4.2.4.1.2.1 - §4.2.4.1.2.2 NTC18

X	Comb.	Sfruttamento	Classe	NEd	Nc,Rd	Nt,Rd	Riduzione da taglio	px	py	Verifica
0.866	SLU 76	0.09		59.852		664.325	1	0	0	Si

Verifiche a forza assiale SLD §4.2.4.1.2.1 - §4.2.4.1.2.2 NTC18

X	Comb.	Sfruttamento	Classe	NEd	Nc,Rd	Nt,Rd	Riduzione da taglio	px	py	Verifica
1.855	SLD 10	0.033		21.894		664.325	1	0	0	Si

Verifica a taglio Y §4.2.4.1.2.4 NTC18

X	Comb.	Sfruttamento	VEd	Vc,Rd	Av	Interazione taglio-torsione	Riduzione torsione	Verifica
0	SLU 76	0.008	0.999	124.6	0.000849	Considerata	0.97	Si

Verifica a taglio Y SLD §4.2.4.1.2.4 NTC18

X	Comb.	Sfruttamento	VEd	Vc,Rd	Av	Interazione taglio-torsione	Riduzione torsione	Verifica
0	SLD 5	0.004	0.501	126.949	0.000849	Considerata	0.99	Si

Verifica a torsione §4.2.4.1.2.5 NTC18

X	Comb.	Sfruttamento torsione	TEd	TRd	Riduzione taglio resistente	Sfruttamento taglio-torsione	rEd,totale	rRd	Verifica
0.989	SLU 76	0.071	0.06056	0.85138	Considerata				Si

Verifica a torsione SLD §4.2.4.1.2.5 NTC18

X	Comb.	Sfruttamento torsione	TEd	TRd	Riduzione taglio resistente	Sfruttamento taglio-torsione	rEd,totale	rRd	Verifica
1.793	SLD 14	0.03	0.02593	0.85138	Considerata				Si

Verifica a presso/tenso flessione retta X §§ 4.2.4.1.2.3 - 4.2.4.1.2.6 - 4.2.4.1.2.7 - 4.2.4.1.2.8 NTC18

Verifiche eseguite utilizzando la formula conservativa (6.2) §6.2.1 EN 1993-1-1:2005.

X	Comb.	Sfruttamento	Classe	NEd	NRd	Rid. NRd da VEd	Mx,Ed	Mx,Rd	Rid. Mx,Rd da VEd	Rid. Mx,Rd da NEd	px	py	Verifica
1.484	SLU 3	0.005	1	-2.335	664.325	1	-0.0416	31.3291	1		0	0	Si

Verifica a presso/tenso flessione retta Y §§ 4.2.4.1.2.3 - 4.2.4.1.2.6 - 4.2.4.1.2.7 - 4.2.4.1.2.8 NTC18

Verifiche eseguite utilizzando la formula conservativa (6.2) §6.2.1 EN 1993-1-1:2005.

X	Comb.	Sfruttamento	Classe	NEd	NRd	Rid. NRd da VEd	My,Ed	My,Rd	Rid. My,Rd da VEd	Rid. My,Rd da NEd	px	py	Verifica
1.855	SLU 63	0.026	1	14.162	664.325	1	0.0747	15.4191	1		0	0	Si

Verifica a presso/tenso flessione retta Y SLD §§ 4.2.4.1.2.3 - 4.2.4.1.2.6 - 4.2.4.1.2.7 - 4.2.4.1.2.8 NTC18

Verifiche eseguite utilizzando la formula conservativa (6.2) §6.2.1 EN 1993-1-1:2005.

X	Comb.	Sfruttamento	Classe	NEd	NRd	Rid. NRd da VEd	My,Ed	My,Rd	Rid. My,Rd da VEd	Rid. My,Rd da NEd	px	py	Verifica
1.855	SLD 1	0.026	1	14.112	664.325	1	0.0712	15.4191	1		0	0	Si

Verifica a presso/tenso flessione deviata §§ 4.2.4.1.2.3 - 4.2.4.1.2.6 - 4.2.4.1.2.7 - 4.2.4.1.2.8 NTC18

Verifiche eseguite utilizzando la formula conservativa (6.2) §6.2.1 EN 1993-1-1:2005.

X	Comb.	Sfruttamento	Classe	NEd	NRd	Rid. NRd da VEd	Mx,Ed	Mx,Rd	My,Ed	My,Rd	Rid. Mx,Rd da VEd	Rid. Mx,Rd da NEd	Rid. My,Rd da VEd	Rid. My,Rd da NEd	α	β	px	py	Verifica
0	SLU 76	0.181	1	59.852	664.325	1	1.5456	31.3291	0.6465	15.4191	1		1				0	0	Si

Verifica a presso/tenso flessione deviata SLD §§ 4.2.4.1.2.3 - 4.2.4.1.2.6 - 4.2.4.1.2.7 - 4.2.4.1.2.8 NTC18

Verifiche eseguite utilizzando la formula conservativa (6.2) §6.2.1 EN 1993-1-1:2005.

X	Comb.	Sfruttamento	Classe	NEd	NRd	Rid. NRd da VEd	Mx,Ed	Mx,Rd	My,Ed	My,Rd	Rid. Mx,Rd da VEd	Rid. Mx,Rd da NEd	Rid. My,Rd da VEd	Rid. My,Rd da NEd	α	β	px	py	Verifica
0	SLD 9	0.063	1	21.894	664.325	1	0.5903	31.3291	0.1689	15.4191	1		1				0	0	Si

Verifiche ad instabilità

Caratteristiche iniziali

Membratura principale per controllo snellezza; Calcolo di snellezze ed N critici condotti secondo gli assi principali;

Implementazione dei sistemi di confinamento delle emissioni odorigene diffuse dell'impianto di compostaggio esistente nel
Comune di Eboli (SA)
PROGETTO DEFINITIVO – Tabulati di calcolo Tomo 1

Curva X: b; Curva Y: c; Svergolamento: Carico all'estradosso; Curva svergolamento: b;

Dati per instabilità attorno a x

Controllo della snellezza secondo §4.2.4.1.3.1 NTC18

Numero rit.	Presente	Ascissa	Campata	$\beta x/m$	Vincolo a entrambi estremi	$\lambda x/m$	λVer
1	Si	0					
			1-2	1	Si	37.9	Si, (<200)
2	Si	1.855					

Dati per instabilità attorno a y

Controllo della snellezza secondo §4.2.4.1.3.1 NTC18

Numero rit.	Presente	Ascissa	Campata	$\beta y/n$	k_{LT}	$k_{w,LT}$	Vincolo a entrambi estremi	$\lambda y/n$	λVer
1	Si	0							
			1-2	1	1	1	Si	61.5	Si, (<200)
2	Si	1.855							

Verifica di stabilità per tenso-flessione deviata §§ 5.5.3-5.5.4 ENV 1993-1-1:1992 + AC:1992 + A1:1994 + A2:1998

X	Comb.	Sfruttamento	Classe	NEd	Mx,Ed	Mx,Eff,Ed	My,Ed	χ_{LT}	kLT	ky	M,critico	Wx	Wy	Verifica
0	SLV 4	0.039	1	1.652	0.66003	0.6115	0.26978	0.901	1	1	81.80658	0.0001196	0.0000589	Si

Verifica di stabilità per tenso-flessione deviata SLD §§ 5.5.3-5.5.4 ENV 1993-1-1:1992 + AC:1992 + A1:1994 + A2:1998

X	Comb.	Sfruttamento	Classe	NEd	Mx,Ed	Mx,Eff,Ed	My,Ed	χ_{LT}	kLT	ky	M,critico	Wx	Wy	Verifica
0	SLD 4	0.023	1	11.714	0.59114	0.24705	0.21992	0.901	1	1	81.80658	0.0001196	0.0000589	Si

Verifica di stabilità per pressoflessione §C.4.2.4.1.3.3.2 NTC18

X	Comb.	Sfruttamento	Classe	NEd	NRk	Mx,Ed max	Mx,Rk	My,Ed max	My,Rk	χ_x	χ_y	kxx	kxy	kyy	χ_{LT}	Verifica	
0	SLV 2	0.027	1	-8.983	697.541	0.12742	32.89552	0.08131	16.19002	0.911	0.72	0.972	0.476	0.998	0.794	0.901	Si

Verifica di stabilità a taglio anima Y §4.2.4.1.2.4 [4.2.27] NTC18

η	hw	tw	hw/tw max	Verifica
1.2	0.098	0.005	55.46	Si

Verifica di stabilità a taglio anima Y SLD §4.2.4.1.2.4 [4.2.27] NTC18

η	hw	tw	hw/tw max	Verifica
1.2	0.098	0.005	55.46	Si

Verifiche a deformabilità

Mensola X: No; Mensola Y: No.

Frecce lungo X

Ascissa freccia	Combinazione	Freccia	Luce	L/f	L/f,min	Tipo	Verifica
0.866	SLE RA 19	-0.00029	1.855	6449.8	250	Totale	Si
0.866	SLE RA 15	-0.00025	1.855	7485.6	250	Totale	Si
0.866	SLE RA 11	-0.00025	1.855	7485.6	250	Totale	Si
0.866	SLE RA 16	-0.00024	1.855	7620.3	250	Totale	Si
0.866	SLE RA 7	-0.00024	1.855	7811.7	250	Totale	Si
0.866	SLE RA 2	0.00011	1.855	10000	350	Variabile	Si
0.866	SLE RA 17	-0.00005	1.855	10000	350	Variabile	Si
0.866	SLE RA 16	-0.00012	1.855	10000	350	Variabile	Si
0.866	SLE RA 15	-0.00012	1.855	10000	350	Variabile	Si
0.866	SLE RA 14	-0.00004	1.855	10000	350	Variabile	Si

Frecce lungo Y

Ascissa freccia	Combinazione	Freccia	Luce	L/f	L/f,min	Tipo	Verifica
0.742	SLE RA 1	0.00007	1.855	10000	250	Totale	Si
0.742	SLE RA 17	0.00011	1.855	10000	250	Totale	Si
0.804	SLE RA 16	0.00015	1.855	10000	250	Totale	Si
0.804	SLE RA 15	0.00015	1.855	10000	250	Totale	Si
0.742	SLE RA 14	0.0001	1.855	10000	250	Totale	Si
0.804	SLE RA 2	-0.00007	1.855	10000	350	Variabile	Si
0.804	SLE RA 17	0.00003	1.855	10000	350	Variabile	Si
0.804	SLE RA 16	0.00008	1.855	10000	350	Variabile	Si
0.804	SLE RA 15	0.00008	1.855	10000	350	Variabile	Si
0.804	SLE RA 14	0.00002	1.855	10000	350	Variabile	Si

Superelemento in acciaio a quota "640" (-923; -912)-(-796; -778)

Caratteristiche del materiale

Acciaio: S275, fyk = 275000

Caratteristiche geometriche

Lunghezza: 1.851

Nodo iniziale: 529 Nodo finale: 541

Cerniera iniziale: No Cerniera finale: No

Sovreresistenza: 0% Sisma Z: No

Caratteristiche della sezione

Sezione	Rotazione	Area	Jx	Jy	ix	iy	Wx	Wy	Wplx	Wply
HEA120	0	0.002537	0.0000060673	0.0000023091	0.0489	0.0302	0.00010644	0.00003849	0.00011962	0.00005887

Verifiche di resistenza

Verifiche a forza assiale §4.2.4.1.2.1 - §4.2.4.1.2.2 NTC18

X	Comb.	Sfruttamento	Classe	NEd	Nc,Rd	Nt,Rd	Riduzione da taglio	px	py	Verifica
0	SLV 5	0.066		43.69		664.325	1	0	0	Si

**Implementazione dei sistemi di confinamento delle emissioni odorigene diffuse dell'impianto di compostaggio esistente nel
Comune di Eboli (SA)
PROGETTO DEFINITIVO – Tabulati di calcolo Tomo 1**

Verifiche a forza assiale SLD §4.2.4.1.2.1 - §4.2.4.1.2.2 NTC18

X	Comb.	Sfruttamento	Classe	NEd	Nc,Rd	Nt,Rd	Riduzione da taglio	px	py	Verifica
1.789	SLD 6	0.023		15.283		664.325	1	0	0	Si

Verifica a taglio Y §4.2.4.1.2.4 NTC18

X	Comb.	Sfruttamento	VEd	Vc,Rd	Av	Interazione taglio-torsione	Riduzione torsione	Verifica
1.851	SLU 75	0.008	-1.084	127.808	0.000849	Considerata	1	Si

Verifica a taglio Y SLD §4.2.4.1.2.4 NTC18

X	Comb.	Sfruttamento	VEd	Vc,Rd	Av	Interazione taglio-torsione	Riduzione torsione	Verifica
1.851	SLD 6	0.005	-0.633	128.028	0.000849	Considerata	1	Si

Verifica a torsione §4.2.4.1.2.5 NTC18

X	Comb.	Sfruttamento torsione	TEd	TRd	Riduzione taglio resistente	Sfruttamento taglio-torsione	rEd,totale	rRd	Verifica
1.851	SLV 4	0.048	0.04109	0.85138	Considerata				Si

Verifica a torsione SLD §4.2.4.1.2.5 NTC18

X	Comb.	Sfruttamento torsione	TEd	TRd	Riduzione taglio resistente	Sfruttamento taglio-torsione	rEd,totale	rRd	Verifica
1.851	SLD 4	0.017	0.01477	0.85138	Considerata				Si

Verifica a flessione semplice X §§ 4.2.4.1.2.3 - 4.2.4.1.2.6 - 4.2.4.1.2.7 - 4.2.4.1.2.8 NTC18

X	Comb.	Sfruttamento	Classe	Mx,Ed	Mx,Rd	Rid. Mx,Rd da VEd	px	py	Verifica
1.851	SLU 43	0.008	1	0.2571	31.32907	1	0	0	Si

Verifica a flessione semplice Y §§ 4.2.4.1.2.3 - 4.2.4.1.2.6 - 4.2.4.1.2.7 - 4.2.4.1.2.8 NTC18

X	Comb.	Sfruttamento	Classe	My,Ed	My,Rd	Rid. My,Rd da VEd	px	py	Verifica
0.987	SLU 55	0.001	1	-0.01443	15.41907	1	0	0	Si

Verifica a flessione deviata §§ 4.2.4.1.2.3 - 4.2.4.1.2.6 - 4.2.4.1.2.7 - 4.2.4.1.2.8 NTC18

X	Comb.	Sfruttamento	Classe	Mx,Ed	Mx,Rd	My,Ed	My,Rd	Rid. Mx,Rd da VEd	Rid. My,Rd da VEd	α	β	px	py	Verifica
1.851	SLU 65	0.023	1	0.6663	31.3291	-0.0282	15.4191	1	1			0	0	Si

Verifica a presso/tenso flessione retta X §§ 4.2.4.1.2.3 - 4.2.4.1.2.6 - 4.2.4.1.2.7 - 4.2.4.1.2.8 NTC18

Verifiche eseguite utilizzando la formula conservativa (6.2) §6.2.1 EN 1993-1-1:2005.

X	Comb.	Sfruttamento	Classe	NEd	NRd	Rid. NRd da VEd	Mx,Ed	Mx,Rd	Rid. Mx,Rd da VEd	Rid. Mx,Rd da NEd	px	py	Verifica
0	SLU 76	0.018	1	-1.478	664.325		-0.4992	31.3291	1		0	0	Si

Verifica a presso/tenso flessione retta X SLD §§ 4.2.4.1.2.3 - 4.2.4.1.2.6 - 4.2.4.1.2.7 - 4.2.4.1.2.8 NTC18

Verifiche eseguite utilizzando la formula conservativa (6.2) §6.2.1 EN 1993-1-1:2005.

X	Comb.	Sfruttamento	Classe	NEd	NRd	Rid. NRd da VEd	Mx,Ed	Mx,Rd	Rid. Mx,Rd da VEd	Rid. Mx,Rd da NEd	px	py	Verifica
1.851	SLD 1	0.042	1	14.68	664.325	1	0.6269	31.3291	1		0	0	Si

Verifica a presso/tenso flessione retta Y §§ 4.2.4.1.2.3 - 4.2.4.1.2.6 - 4.2.4.1.2.7 - 4.2.4.1.2.8 NTC18

Verifiche eseguite utilizzando la formula conservativa (6.2) §6.2.1 EN 1993-1-1:2005.

X	Comb.	Sfruttamento	Classe	NEd	NRd	Rid. NRd da VEd	My,Ed	My,Rd	Rid. My,Rd da VEd	Rid. My,Rd da NEd	px	py	Verifica
0.247	SLV 6	0.069	1	43.69	664.325	1	0.0561	15.4191	1		0	0	Si

Verifica a presso/tenso flessione retta Y SLD §§ 4.2.4.1.2.3 - 4.2.4.1.2.6 - 4.2.4.1.2.7 - 4.2.4.1.2.8 NTC18

Verifiche eseguite utilizzando la formula conservativa (6.2) §6.2.1 EN 1993-1-1:2005.

X	Comb.	Sfruttamento	Classe	NEd	NRd	Rid. NRd da VEd	My,Ed	My,Rd	Rid. My,Rd da VEd	Rid. My,Rd da NEd	px	py	Verifica
0.617	SLD 1	0.024	1	14.68	664.325	1	-0.0233	15.4191	1		0	0	Si

Verifica a presso/tenso flessione deviata §§ 4.2.4.1.2.3 - 4.2.4.1.2.6 - 4.2.4.1.2.7 - 4.2.4.1.2.8 NTC18

Verifiche eseguite utilizzando la formula conservativa (6.2) §6.2.1 EN 1993-1-1:2005.

X	Comb.	Sfruttamento	Classe	NEd	NRd	Rid. NRd da VEd	Mx,Ed	Mx,Rd	My,Ed	My,Rd	Rid. Mx,Rd da VEd	Rid. Mx,Rd da NEd	Rid. My,Rd da VEd	Rid. My,Rd da NEd	α	β	px	py	Verifica
1.851	SLV 6	0.106	1	43.69	664.325	1	1.1699	31.3291	-0.0501	15.4191	1		1				0	0	Si

Verifica a presso/tenso flessione deviata SLD §§ 4.2.4.1.2.3 - 4.2.4.1.2.6 - 4.2.4.1.2.7 - 4.2.4.1.2.8 NTC18

Verifiche eseguite utilizzando la formula conservativa (6.2) §6.2.1 EN 1993-1-1:2005.

X	Comb.	Sfruttamento	Classe	NEd	NRd	Rid. NRd da VEd	Mx,Ed	Mx,Rd	My,Ed	My,Rd	Rid. Mx,Rd da VEd	Rid. Mx,Rd da NEd	Rid. My,Rd da VEd	Rid. My,Rd da NEd	α	β	px	py	Verifica
1.851	SLD 5	0.045	1	15.283	664.325	1	0.6385	31.3291	-0.0249	15.4191	1		1				0	0	Si

Verifiche ad instabilità

Caratteristiche iniziali

Membratura principale per controllo snellezza; Calcolo di snellezze ed N critici condotti secondo gli assi principali;

Curva X: b; Curva Y: c; Svergolamento: Carico all'estradosso; Curva svergolamento: b;

Dati per instabilità attorno a x

Controllo della snellezza secondo §4.2.4.1.3.1 NTC18

Numero rit.	Presente	Ascissa	Campata	βx/m	Vincolo a entrambi estremi	λx/m	λVer
1	Si	0					
			1-2		1	37.8	Si, (<200)
2	Si	1.851					

Dati per instabilità attorno a y

Controllo della snellezza secondo §4.2.4.1.3.1 NTC18

Numero rit.	Presente	Ascissa	Campata	βy/n	k,LT	kw,LT	Vincolo a entrambi estremi	λy/n	λVer
1	Si	0							
			1-2		1	1	Si	61.3	Si, (<200)
2	Si	1.851							

Implementazione dei sistemi di confinamento delle emissioni odorigene diffuse dell’impianto di compostaggio esistente nel
Comune di Eboli (SA)
PROGETTO DEFINITIVO – Tabulati di calcolo Tomo 1

Verifica a svergolamento §4.2.4.1.3.2 NTC18

X	Comb.	Sfruttamento	Classe	Obblig.	Mx,Ed	Mb,Rd,x	χ,LT	λ adim. LT	L,LT	M,critico	Verifica
1.851	SLU 43	0.009	1	Si	0.2571	28.25519	0.902	0.633	1.851	82.04679	Si

Verifica a svergolamento con trazione SLD §4.2.4.1.3.2 NTC18 § 5.5.3 ENV 1993-1-1:1992 + AC:1992 + A1:1994 + A2:1998

X	Comb.	Sfruttamento	Classe	Obblig.	NEd	Mx,Ed	Mx,Eff,Ed	Mb,Rd,x	χ,LT	λ adim. LT	L,LT	M,critico	Verifica
1.851	SLD 1	0.007	1	Si	14.68	0.62686	0.19562	28.25519	0.902	0.633	1.851	82.04679	Si

Verifica di stabilità per tenso-flessione deviata §§ 5.5.3-5.5.4 ENV 1993-1-1:1992 + AC:1992 + A1:1994 + A2:1998

X	Comb.	Sfruttamento	Classe	NEd	Mx,Ed	Mx,Eff,Ed	My,Ed	χ,LT	kLT	ky	M,critico	Wx	Wy	Verifica
1.851	SLU 75	0.032	1	2.066	0.89487	0.83417	-0.04514	0.902	1	1	82.04679	0.0001196	0.0000589	Si

Verifica di stabilità per tenso-flessione deviata SLD §§ 5.5.3-5.5.4 ENV 1993-1-1:1992 + AC:1992 + A1:1994 + A2:1998

X	Comb.	Sfruttamento	Classe	NEd	Mx,Ed	Mx,Eff,Ed	My,Ed	χ,LT	kLT	ky	M,critico	Wx	Wy	Verifica
1.851	SLD 10	0.011	1	8.67	0.51601	0.26132	-0.03409	0.902	1	1	82.04679	0.0001196	0.0000589	Si

Verifica di stabilità per pressoflessione §C.4.2.4.1.3.3.2 NTC18

X	Comb.	Sfruttamento	Classe	NEd	NRk	Mx,Ed max	Mx,Rk	My,Ed max	My,Rk	χ,x	χ,y	kxx	kxy	kyy	χ,LT	Verifica	
0	SLV 12	0.111	1	-43.503	697.541	0.48376	32.89552	0.07555	16.19002	0.912	0.721	1.016	0.455	0.991	0.758	0.951	Si

Verifica di stabilità per pressoflessione SLD §C.4.2.4.1.3.3.2 NTC18

X	Comb.	Sfruttamento	Classe	NEd	NRk	Mx,Ed max	Mx,Rk	My,Ed max	My,Rk	χ,x	χ,y	kxx	kxy	kyy	χ,LT	Verifica	
1.851	SLD 12	0.042	1	-15.096	697.541	0.25165	32.89552	0.02775	16.19002	0.912	0.721	0.757	0.501	0.996	0.835	0.902	Si

Verifica di stabilità a taglio anima Y §4.2.4.1.2.4 [4.2.27] NTC18

η	hw	tw	hw/tw max	Verifica
1.2	0.098	0.005	55.46	Si

Verifica di stabilità a taglio anima Y SLD §4.2.4.1.2.4 [4.2.27] NTC18

η	hw	tw	hw/tw max	Verifica
1.2	0.098	0.005	55.46	Si

Verifiche a deformabilità

Mensola X: No; Mensola Y: No.

Frecce lungo X

Ascissa freccia	Combinazione	Freccia	Luce	L/f	L/f,min	Tipo	Verifica
0.987	SLE RA 1	0.00001	1.851	10000	250	Totale	Si
0.987	SLE RA 17	0.00001	1.851	10000	250	Totale	Si
0.987	SLE RA 16	0.00001	1.851	10000	250	Totale	Si
1.049	SLE RA 15	0.00001	1.851	10000	250	Totale	Si
0.987	SLE RA 14	0.00002	1.851	10000	250	Totale	Si
0.987	SLE RA 2	-0.00001	1.851	10000	350	Variabile	Si
0.987	SLE RA 17	0	1.851	10000	350	Variabile	Si
0.987	SLE RA 16	0.00001	1.851	10000	350	Variabile	Si
0.679	SLE RA 15	0	1.851	10000	350	Variabile	Si
0.987	SLE RA 14	0.00001	1.851	10000	350	Variabile	Si

Frecce lungo Y

Ascissa freccia	Combinazione	Freccia	Luce	L/f	L/f,min	Tipo	Verifica
0.432	SLE RA 1	-0.00001	1.851	10000	250	Totale	Si
0.432	SLE RA 17	-0.00002	1.851	10000	250	Totale	Si
0.432	SLE RA 16	-0.00002	1.851	10000	250	Totale	Si
0.494	SLE RA 15	-0.00002	1.851	10000	250	Totale	Si
1.481	SLE RA 14	0.00002	1.851	10000	250	Totale	Si
1.481	SLE RA 2	-0.00001	1.851	10000	350	Variabile	Si
1.481	SLE RA 17	0	1.851	10000	350	Variabile	Si
1.481	SLE RA 16	0.00001	1.851	10000	350	Variabile	Si
0.617	SLE RA 15	-0.00001	1.851	10000	350	Variabile	Si
1.357	SLE RA 14	0.00001	1.851	10000	350	Variabile	Si

Superelemento in acciaio a quota "640" (-943; 377)-(-834; 275)

Caratteristiche del materiale

Acciaio: S275, fyk = 275000

Caratteristiche geometriche

Lunghezza: 1.5

Nodo iniziale: 746 Nodo finale: 723

Cerniera iniziale: Mmomenti 1% Cerniera finale: Mmomenti 1%

Sovreresistenza: 0% Sisma Z: No

Caratteristiche della sezione

Sezione	Rotazione	Area	Jx	Jy	ix	iy	Wx	Wy	Wplx	Wply
A1; L100*10; 1; Saldato; S275; 30; 1; 8; 8; 1	180	0.003832	0.0000035319	0.000007759	0.0304	0.045	0.0000492	0.0000739	0.00008974	0.00012727

Comportamento dei calastrelli

Accoppiamento imbottito con funzione statica (§C4.2.4.1.3.1.4 NTC18) nella campata compresa tra le ascisse 0 e 1.5 per sbandamento attorno all'asse y.

Verifiche di resistenza

Verifiche a forza assiale §4.2.4.1.2.1 - §4.2.4.1.2.2 NTC18

X	Comb.	Sfruttamento	Classe	NEd	Nc,Rd	Nt,Rd	Riduzione da taglio	px	py	Verifica
1.5	SLU 76	0.169		169.095		1003.522	1	0	0	Si

Implementazione dei sistemi di confinamento delle emissioni odorigene diffuse dell'impianto di compostaggio esistente nel
Comune di Eboli (SA)

PROGETTO DEFINITIVO – Tabulati di calcolo Tomo 1

Verifiche a forza assiale SLD §4.2.4.1.2.1 - §4.2.4.1.2.2 NTC18

X	Comb.	Sfruttamento	Classe	NEd	Nc,Rd	Nt,Rd	Riduzione da taglio	px	py	Verifica
1.5	SLD 16	0.065		65.188		1003.522	1	0	0	Si

Verifica a taglio Y §4.2.4.1.2.4 NTC18

X	Comb.	Sfruttamento	VEd	Vc,Rd	Av	Interazione taglio-torsione	Riduzione torsione	Verifica
1.5	SLU 76	0.001	0.295	302.422	0.002	Non considerata		Si

Verifica a taglio Y SLD §4.2.4.1.2.4 NTC18

X	Comb.	Sfruttamento	VEd	Vc,Rd	Av	Interazione taglio-torsione	Riduzione torsione	Verifica
1.5	SLD 16	0.001	0.226	302.422	0.002	Non considerata		Si

Verifica a presso/tenso flessione retta X §§ 4.2.4.1.2.3 - 4.2.4.1.2.6 - 4.2.4.1.2.7 - 4.2.4.1.2.8 NTC18

Verifiche eseguite utilizzando la formula conservativa (6.2) §6.2.1 EN 1993-1-1:2005.

X	Comb.	Sfruttamento	Classe	NEd	NRd	Rid. NRd da VEd	Mx,Ed	Mx,Rd	Rid. Mx,Rd da VEd	Rid. Mx,Rd da NEd	px	py	Verifica
0.75	SLU 76	0.173	1	169.095	1003.522	1	0.1118	23.5037	1		0	0	Si

Verifica a presso/tenso flessione retta X SLD §§ 4.2.4.1.2.3 - 4.2.4.1.2.6 - 4.2.4.1.2.7 - 4.2.4.1.2.8 NTC18

Verifiche eseguite utilizzando la formula conservativa (6.2) §6.2.1 EN 1993-1-1:2005.

X	Comb.	Sfruttamento	Classe	NEd	NRd	Rid. NRd da VEd	Mx,Ed	Mx,Rd	Rid. Mx,Rd da VEd	Rid. Mx,Rd da NEd	px	py	Verifica
1.1	SLD 9	0.051	1	48.105	1003.522	1	0.0663	23.5037	1		0	0	Si

Verifica a presso/tenso flessione retta Y §§ 4.2.4.1.2.3 - 4.2.4.1.2.6 - 4.2.4.1.2.7 - 4.2.4.1.2.8 NTC18

Verifiche eseguite utilizzando la formula conservativa (6.2) §6.2.1 EN 1993-1-1:2005.

X	Comb.	Sfruttamento	Classe	NEd	NRd	Rid. NRd da VEd	My,Ed	My,Rd	Rid. My,Rd da VEd	Rid. My,Rd da NEd	px	py	Verifica
0	SLV 15	0.085	1	82.063	1003.522	1	0.0944	33.3316	1		0	0	Si

Verifica a presso/tenso flessione retta Y SLD §§ 4.2.4.1.2.3 - 4.2.4.1.2.6 - 4.2.4.1.2.7 - 4.2.4.1.2.8 NTC18

Verifiche eseguite utilizzando la formula conservativa (6.2) §6.2.1 EN 1993-1-1:2005.

X	Comb.	Sfruttamento	Classe	NEd	NRd	Rid. NRd da VEd	My,Ed	My,Rd	Rid. My,Rd da VEd	Rid. My,Rd da NEd	px	py	Verifica
0	SLD 15	0.066	1	65.188	1003.522	1	0.0378	33.3316	1		0	0	Si

Verifica a presso/tenso flessione deviata §§ 4.2.4.1.2.3 - 4.2.4.1.2.6 - 4.2.4.1.2.7 - 4.2.4.1.2.8 NTC18

Verifiche eseguite utilizzando la formula conservativa (6.2) §6.2.1 EN 1993-1-1:2005.

X	Comb.	Sfruttamento	Classe	NEd	NRd	Rid. NRd da VEd	Mx,Ed	Mx,Rd	My,Ed	My,Rd	Rid. Mx,Rd da VEd	Rid. Mx,Rd da NEd	Rid. My,Rd da VEd	Rid. My,Rd da NEd	α	β	px	py	Verifica
0.6	SLV 15	0.087	1	82.063	1003.522	1	0.0818	23.5037	0.0581	33.3316	1		1				0	0	Si

Verifica a presso/tenso flessione deviata SLD §§ 4.2.4.1.2.3 - 4.2.4.1.2.6 - 4.2.4.1.2.7 - 4.2.4.1.2.8 NTC18

Verifiche eseguite utilizzando la formula conservativa (6.2) §6.2.1 EN 1993-1-1:2005.

X	Comb.	Sfruttamento	Classe	NEd	NRd	Rid. NRd da VEd	Mx,Ed	Mx,Rd	My,Ed	My,Rd	Rid. Mx,Rd da VEd	Rid. Mx,Rd da NEd	Rid. My,Rd da VEd	Rid. My,Rd da NEd	α	β	px	py	Verifica
0.7	SLD 15	0.069	1	65.188	1003.522	1	0.0846	23.5037	0.0209	33.3316	1		1				0	0	Si

Verifiche ad instabilità

Caratteristiche iniziali

Membratura principale per controllo snellezza; Calcolo di snellezze ed N critici condotti secondo gli assi principali;

Curva X: c; Curva Y: c;

Svergolamento: Nessuno; la verifica a instabilità flesso-torsionale (svergolamento) non verrà eseguita.

Dati per instabilità attorno a x

Controllo della snellezza secondo §4.2.4.1.3.1 NTC18

Numero rit.	Presente	Ascissa	Campata	βx/m	Vincolo a entrambi estremi	λx/m	λVer
1	Si	0					
			1-2		1	49.4	Si, (<200)
2	Si	1.5					

Dati per instabilità attorno a y

Controllo della snellezza secondo §4.2.4.1.3.1 NTC18

Numero rit.	Presente	Ascissa	Campata	βy/n	k,LT	kw,LT	Vincolo a entrambi estremi
1	Si	0					
			1-2		1	34.8	Si, (<200)
2	Si	1.5					

Verifica di stabilità per pressoflessione §C.4.2.4.1.3.3.1 NTC18

X	Comb.	Sfruttamento	Classe	NEd	MxEq,Ed	MyEq,Ed	Area	Wx	Wy	χ,min	λ adim. x/m	λ adim. y/n	N,crit x/m	N,crit y/n	Verifica
0	SLU 2	0.042	3	-26.652	0.072	0.0613	0.003832	0.0000492	0.0000739	0.804	0.569	0.4	3253.47	6569.993	Si

Verifiche a deformabilità

Mensola X: No; Mensola Y: No.

Frecce lungo X

Ascissa freccia	Combinazione	Freccia	Luce	L/f	L/f,min	Tipo	Verifica
0.8	SLE RA 1	0	1.5	10000	250	Totale	Si
0.85	SLE RA 17	0	1.5	10000	250	Totale	Si
0.9	SLE RA 16	0	1.5	10000	250	Totale	Si
0.9	SLE RA 15	0	1.5	10000	250	Totale	Si
0.85	SLE RA 14	0	1.5	10000	250	Totale	Si
0.95	SLE RA 2	0	1.5	10000	350	Variabile	Si
0.95	SLE RA 17	0	1.5	10000	350	Variabile	Si
0.95	SLE RA 16	0	1.5	10000	350	Variabile	Si
0.95	SLE RA 15	0	1.5	10000	350	Variabile	Si
1	SLE RA 14	0	1.5	10000	350	Variabile	Si

Implementazione dei sistemi di confinamento delle emissioni odorigene diffuse dell'impianto di compostaggio esistente nel
Comune di Eboli (SA)
PROGETTO DEFINITIVO – Tabulati di calcolo Tomo 1

Frecce lungo Y

Ascissa freccia	Combinazione	Freccia	Luce	L/f	L/f,min	Tipo	Verifica
0.75	SLE RA 1	0.00003	1.5	10000	250	Totale	Si
0.75	SLE RA 17	0.00003	1.5	10000	250	Totale	Si
0.75	SLE RA 16	0.00003	1.5	10000	250	Totale	Si
0.75	SLE RA 15	0.00003	1.5	10000	250	Totale	Si
0.75	SLE RA 14	0.00003	1.5	10000	250	Totale	Si
0.7	SLE RA 2	0	1.5	10000	350	Variabile	Si
0.7	SLE RA 17	0	1.5	10000	350	Variabile	Si
0.7	SLE RA 16	0	1.5	10000	350	Variabile	Si
0.7	SLE RA 15	0	1.5	10000	350	Variabile	Si
0.7	SLE RA 14	0	1.5	10000	350	Variabile	Si

Superelemento in acciaio a quota "640" (-979; -99)-(-870; -202)

Caratteristiche del materiale

Acciaio: S275, fyk = 275000

Caratteristiche geometriche

Lunghezza: 1.5

Nodo iniziale: 648 Nodo finale: 629

Cerniera iniziale: Mmomenti 1% Cerniera finale: Mmomenti 1%

Sovreresistenza: 0% Sisma Z: No

Caratteristiche della sezione

Sezione	Rotazione	Area	Jx	Jy	ix	iy	Wx	Wy	Wplx	Wply
A1; L100*10; 1; Saldato; S275; 30; 1; 8; 8; 1	180	0.003832	0.0000035319	0.000007759	0.0304	0.045	0.0000492	0.0000739	0.00008974	0.00012727

Comportamento dei calastrelli

Accoppiamento imbottito con funzione statica (§C4.2.4.1.3.1.4 NTC18) nella campata compresa tra le ascisse 0 e 1.5 per sbandamento attorno all'asse y.

Verifiche di resistenza

Verifiche a forza assiale §4.2.4.1.2.1 - §4.2.4.1.2.2 NTC18

X	Comb.	Sfruttamento	Classe	NEd	Nc,Rd	Nt,Rd	Riduzione da taglio	px	py	Verifica
1	SLU 75	0.039		38.999		1003.522	1	0	0	Si

Verifiche a forza assiale SLD §4.2.4.1.2.1 - §4.2.4.1.2.2 NTC18

X	Comb.	Sfruttamento	Classe	NEd	Nc,Rd	Nt,Rd	Riduzione da taglio	px	py	Verifica
1.5	SLD 16	0.007		6.869		1003.522	1	0	0	Si

Verifica a taglio Y §4.2.4.1.2.4 NTC18

X	Comb.	Sfruttamento	VEd	Vc,Rd	Av	Interazione taglio-torsione	Riduzione torsione	Verifica
0	SLU 75	0.001	-0.295	302.422	0.002	Non considerata		Si

Verifica a taglio Y SLD §4.2.4.1.2.4 NTC18

X	Comb.	Sfruttamento	VEd	Vc,Rd	Av	Interazione taglio-torsione	Riduzione torsione	Verifica
0	SLD 16	0.001	-0.226	302.422	0.002	Non considerata		Si

Verifica a presso/tenso flessione retta X §§ 4.2.4.1.2.3 - 4.2.4.1.2.6 - 4.2.4.1.2.7 - 4.2.4.1.2.8 NTC18

Verifiche eseguite utilizzando la formula conservativa (6.2) §6.2.1 EN 1993-1-1:2005.

X	Comb.	Sfruttamento	Classe	NEd	NRd	Rid. NRd da VEd	Mx,Ed	Mx,Rd	Rid. Mx,Rd da VEd	Rid. Mx,Rd da NEd	px	py	Verifica
0.75	SLU 75	0.044	1	38.999	1003.522	1	0.1096	23.5037	1		0	0	Si

Verifica a presso/tenso flessione retta Y §§ 4.2.4.1.2.3 - 4.2.4.1.2.6 - 4.2.4.1.2.7 - 4.2.4.1.2.8 NTC18

Verifiche eseguite utilizzando la formula conservativa (6.2) §6.2.1 EN 1993-1-1:2005.

X	Comb.	Sfruttamento	Classe	NEd	NRd	Rid. NRd da VEd	My,Ed	My,Rd	Rid. My,Rd da VEd	Rid. My,Rd da NEd	px	py	Verifica
0	SLU 4	0.019	3	-16.887	1003.522	1	-0.0509	19.3536	1		0	0	Si

Verifica a presso/tenso flessione retta Y SLD §§ 4.2.4.1.2.3 - 4.2.4.1.2.6 - 4.2.4.1.2.7 - 4.2.4.1.2.8 NTC18

Verifiche eseguite utilizzando la formula conservativa (6.2) §6.2.1 EN 1993-1-1:2005.

X	Comb.	Sfruttamento	Classe	NEd	NRd	Rid. NRd da VEd	My,Ed	My,Rd	Rid. My,Rd da VEd	Rid. My,Rd da NEd	px	py	Verifica
1.5	SLD 16	0.009	1	6.869	1003.522	1	-0.0643	33.3316	1		0	0	Si

Verifica a presso/tenso flessione deviata §§ 4.2.4.1.2.3 - 4.2.4.1.2.6 - 4.2.4.1.2.7 - 4.2.4.1.2.8 NTC18

Verifiche eseguite utilizzando la formula conservativa (6.2) §6.2.1 EN 1993-1-1:2005.

X	Comb.	Sfruttamento	Classe	NEd	NRd	Rid. NRd da VEd	Mx,Ed	Mx,Rd	My,Ed	My,Rd	Rid. Mx,Rd da VEd	Rid. Mx,Rd da NEd	Rid. My,Rd da VEd	Rid. My,Rd da NEd	α	β	px	py	Verifica
0.75	SLU 42	0.027	3	-16.28	1003.522	1	0.1089	12.886	-0.049	19.3536	1		1				0	0	Si

Verifica a presso/tenso flessione deviata SLD §§ 4.2.4.1.2.3 - 4.2.4.1.2.6 - 4.2.4.1.2.7 - 4.2.4.1.2.8 NTC18

Verifiche eseguite utilizzando la formula conservativa (6.2) §6.2.1 EN 1993-1-1:2005.

X	Comb.	Sfruttamento	Classe	NEd	NRd	Rid. NRd da VEd	Mx,Ed	Mx,Rd	My,Ed	My,Rd	Rid. Mx,Rd da VEd	Rid. Mx,Rd da NEd	Rid. My,Rd da VEd	Rid. My,Rd da NEd	α	β	px	py	Verifica
0.85	SLD 15	0.012	1	6.869	1003.522	1	0.0826	23.5037	-0.0393	33.3316	1		1				0	0	Si

Implementazione dei sistemi di confinamento delle emissioni odorigene diffuse dell'impianto di compostaggio esistente nel
Comune di Eboli (SA)
PROGETTO DEFINITIVO – Tabulati di calcolo Tomo 1

Verifiche ad instabilità

Caratteristiche iniziali

Membratura principale per controllo snellezza; Calcolo di snellezze ed N critici condotti secondo gli assi principali;
Curva X: c; Curva Y: c;
Svergolamento: Nessuno; la verifica a instabilità flessio-torsionale (svergolamento) non verrà eseguita.

Dati per instabilità attorno a x

Controllo della snellezza secondo §4.2.4.1.3.1 NTC18

Numero rit.	Presente	Ascissa	Campata	$\beta x/m$	Vincolo a entrambi estremi	$\lambda x/m$	λVer
1	Si	0					
			1-2	1	Si	49.4	Si, (<200)
2	Si	1.5					

Dati per instabilità attorno a y

Controllo della snellezza secondo §4.2.4.1.3.1 NTC18

Numero rit.	Presente	Ascissa	Campata	$\beta y/n$	k,LT	kw,LT	Vincolo a entrambi estremi
1	Si	0					
			1-2	1	Si	34.8	Si, (<200)
2	Si	1.5					

Verifica di stabilità per pressoflessione §C.4.2.4.1.3.3.1 NTC18

X	Comb.	Sfruttamento	Classe	NEd	MxEq,Ed	MyEq,Ed	Area	Wx	Wy	χ_{min}	$\lambda_{adim. x/m}$	$\lambda_{adim. y/n}$	N,crit x/m	N,crit y/n	Verifica
0.75	SLU 42	0.029	3	-16.28	0.0938	-0.0368	0.003832	0.0000492	0.0000739	0.804	0.569	0.4	3253.47	6569.993	Si

Verifiche a deformabilità

Mensola X: No; Mensola Y: No.

Frecce lungo X

Ascissa freccia	Combinazione	Freccia	Luce	L/f	L/f,min	Tipo	Verifica
0.9	SLE RA 1	0	1.5	10000	250	Totale	Si
0.9	SLE RA 17	0	1.5	10000	250	Totale	Si
0.95	SLE RA 16	0	1.5	10000	250	Totale	Si
0.9	SLE RA 15	0	1.5	10000	250	Totale	Si
0.95	SLE RA 14	0	1.5	10000	250	Totale	Si
1	SLE RA 2	0	1.5	10000	350	Variabile	Si
1	SLE RA 17	0	1.5	10000	350	Variabile	Si
1	SLE RA 16	0	1.5	10000	350	Variabile	Si
1	SLE RA 15	0	1.5	10000	350	Variabile	Si
1	SLE RA 14	0	1.5	10000	350	Variabile	Si

Frecce lungo Y

Ascissa freccia	Combinazione	Freccia	Luce	L/f	L/f,min	Tipo	Verifica
0.75	SLE RA 1	0.00003	1.5	10000	250	Totale	Si
0.75	SLE RA 17	0.00003	1.5	10000	250	Totale	Si
0.75	SLE RA 16	0.00003	1.5	10000	250	Totale	Si
0.75	SLE RA 15	0.00003	1.5	10000	250	Totale	Si
0.75	SLE RA 14	0.00003	1.5	10000	250	Totale	Si
1	SLE RA 2	0	1.5	10000	350	Variabile	Si
1	SLE RA 17	0	1.5	10000	350	Variabile	Si
1	SLE RA 16	0	1.5	10000	350	Variabile	Si
0.6	SLE RA 15	0	1.5	10000	350	Variabile	Si
0.95	SLE RA 14	0	1.5	10000	350	Variabile	Si

Superelemento in acciaio a quota "640" (-1013; -573)-(-904; -675)

Caratteristiche del materiale

Acciaio: S275, fyk = 275000

Caratteristiche geometriche

Lunghezza: 1.5
Nodo iniziale: 564 Nodo finale: 550
Cerniera iniziale: Mmomenti 1% Cerniera finale: Mmomenti 1%
Sovraresistenza: 0% Sisma Z: No

Caratteristiche della sezione

Sezione	Rotazione	Area	Jx	Jy	ix	iy	Wx	Wy	Wplx	Wply
A1; L100*10; 1; Saldato; S275; 30; 1; 8; 8; 1	180	0.003832	0.0000035319	0.000007759	0.0304	0.045	0.0000492	0.0000739	0.00008974	0.00012727

Comportamento dei calastrelli

Accoppiamento imbottito con funzione statica (§C4.2.4.1.3.1.4 NTC18) nella campata compresa tra le ascisse 0 e 1.5 per sbandamento attorno all'asse y.

Verifiche di resistenza

Verifiche a forza assiale §4.2.4.1.2.1 - §4.2.4.1.2.2 NTC18

X	Comb.	Sfruttamento	Classe	NEd	Nc,Rd	Nt,Rd	Riduzione da taglio	px	py	Verifica
0	SLU 75	0.103		103.799		1003.522	1	0	0	Si

Verifiche a forza assiale SLD §4.2.4.1.2.1 - §4.2.4.1.2.2 NTC18

X	Comb.	Sfruttamento	Classe	NEd	Nc,Rd	Nt,Rd	Riduzione da taglio	px	py	Verifica
0	SLD 1	0.038		38.558		1003.522	1	0	0	Si

**Implementazione dei sistemi di confinamento delle emissioni odorigene diffuse dell'impianto di compostaggio esistente nel
Comune di Eboli (SA)
PROGETTO DEFINITIVO – Tabulati di calcolo Tomo 1**

Verifica a taglio Y §4.2.4.1.2.4 NTC18

X	Comb.	Sfruttamento	VEd	Vc,Rd	Av	Interazione taglio-torsione	Riduzione torsione	Verifica
0	SLU 75	0.001	-0.294	302.422	0.002	Non considerata		Si

Verifica a taglio Y SLD §4.2.4.1.2.4 NTC18

X	Comb.	Sfruttamento	VEd	Vc,Rd	Av	Interazione taglio-torsione	Riduzione torsione	Verifica
0	SLD 1	0.001	-0.226	302.422	0.002	Non considerata		Si

Verifica a flessione semplice X §§ 4.2.4.1.2.3 - 4.2.4.1.2.6 - 4.2.4.1.2.7 - 4.2.4.1.2.8 NTC18

X	Comb.	Sfruttamento	Classe	Mx,Ed	Mx,Rd	Rid. Mx,Rd da VEd	px	py	Verifica
0.75	SLU 59	0.005	1	0.10925	23.50374	1	0	0	Si

Verifica a presso/tenso flessione retta X §§ 4.2.4.1.2.3 - 4.2.4.1.2.6 - 4.2.4.1.2.7 - 4.2.4.1.2.8 NTC18

Verifiche eseguite utilizzando la formula conservativa (6.2) §6.2.1 EN 1993-1-1:2005.

X	Comb.	Sfruttamento	Classe	NEd	NRd	Rid. NRd da VEd	Mx,Ed	Mx,Rd	Rid. Mx,Rd da VEd	Rid. Mx,Rd da NEd	px	py	Verifica
0.75	SLU 75	0.108	1	103.799	1003.522	1	0.112	23.5037	1		0	0	Si

Verifica a presso/tenso flessione retta X SLD §§ 4.2.4.1.2.3 - 4.2.4.1.2.6 - 4.2.4.1.2.7 - 4.2.4.1.2.8 NTC18

Verifiche eseguite utilizzando la formula conservativa (6.2) §6.2.1 EN 1993-1-1:2005.

X	Comb.	Sfruttamento	Classe	NEd	NRd	Rid. NRd da VEd	Mx,Ed	Mx,Rd	Rid. Mx,Rd da VEd	Rid. Mx,Rd da NEd	px	py	Verifica
0.75	SLD 2	0.042	1	38.558	1003.522	1	0.085	23.5037	1		0	0	Si

Verifica a presso/tenso flessione retta Y §§ 4.2.4.1.2.3 - 4.2.4.1.2.6 - 4.2.4.1.2.7 - 4.2.4.1.2.8 NTC18

Verifiche eseguite utilizzando la formula conservativa (6.2) §6.2.1 EN 1993-1-1:2005.

X	Comb.	Sfruttamento	Classe	NEd	NRd	Rid. NRd da VEd	My,Ed	My,Rd	Rid. My,Rd da VEd	Rid. My,Rd da NEd	px	py	Verifica
0	SLV 1	0.049	1	48.767	1003.522	1	0.0203	33.3316	1		0	0	Si

Verifica a presso/tenso flessione retta Y SLD §§ 4.2.4.1.2.3 - 4.2.4.1.2.6 - 4.2.4.1.2.7 - 4.2.4.1.2.8 NTC18

Verifiche eseguite utilizzando la formula conservativa (6.2) §6.2.1 EN 1993-1-1:2005.

X	Comb.	Sfruttamento	Classe	NEd	NRd	Rid. NRd da VEd	My,Ed	My,Rd	Rid. My,Rd da VEd	Rid. My,Rd da NEd	px	py	Verifica
0	SLD 1	0.039	1	38.558	1003.522	1	0.0084	33.3316	1		0	0	Si

Verifica a presso/tenso flessione deviata §§ 4.2.4.1.2.3 - 4.2.4.1.2.6 - 4.2.4.1.2.7 - 4.2.4.1.2.8 NTC18

Verifiche eseguite utilizzando la formula conservativa (6.2) §6.2.1 EN 1993-1-1:2005.

X	Comb.	Sfruttamento	Classe	NEd	NRd	Rid. NRd da VEd	Mx,Ed	Mx,Rd	My,Ed	My,Rd	Rid. Mx,Rd da VEd	Rid. Mx,Rd da NEd	Rid. My,Rd da VEd	Rid. My,Rd da NEd	α	β	px	py	Verifica
0.75	SLV 1	0.053	1	48.767	1003.522	1	0.0853	23.5037	0.0152	33.3316	1		1				0	0	Si

Verifica a presso/tenso flessione deviata SLD §§ 4.2.4.1.2.3 - 4.2.4.1.2.6 - 4.2.4.1.2.7 - 4.2.4.1.2.8 NTC18

Verifiche eseguite utilizzando la formula conservativa (6.2) §6.2.1 EN 1993-1-1:2005.

X	Comb.	Sfruttamento	Classe	NEd	NRd	Rid. NRd da VEd	Mx,Ed	Mx,Rd	My,Ed	My,Rd	Rid. Mx,Rd da VEd	Rid. Mx,Rd da NEd	Rid. My,Rd da VEd	Rid. My,Rd da NEd	α	β	px	py	Verifica
0.3	SLD 1	0.041	1	38.558	1003.522	1	0.0545	23.5037	0.0074	33.3316	1		1				0	0	Si

Verifiche ad instabilità

Caratteristiche iniziali

Membratura principale per controllo snellezza; Calcolo di snellezze ed N critici condotti secondo gli assi principali;

Curva X: c; Curva Y: c;

Svergolamento: Nessuno; la verifica a instabilità flesso-torsionale (svergolamento) non verrà eseguita.

Dati per instabilità attorno a x

Controllo della snellezza secondo §4.2.4.1.3.1 NTC18

Numero rit.	Presente	Ascissa	Campata	βx/m	Vincolo a entrambi estremi	λx/m	λVer
1	Si	0					
			1-2		1	49.4	Si, (<200)
2	Si	1.5					

Dati per instabilità attorno a y

Controllo della snellezza secondo §4.2.4.1.3.1 NTC18

Numero rit.	Presente	Ascissa	Campata	βy/n	k,LT	kw,LT	Vincolo a entrambi estremi
1	Si	0					
			1-2		1	34.8	Si, (<200)
2	Si	1.5					

Verifica di stabilità per pressoflessione §C.4.2.4.1.3.3.1 NTC18

X	Comb.	Sfruttamento	Classe	NEd	MxEq,Ed	MyEq,Ed	Area	Wx	Wy	χ,min	λ adim. x/m	λ adim. y/n	N,crit x/m	N,crit y/n	Verifica
0	SLU 2	0.026	3	-14.756	0.072	-0.045	0.003832	0.0000492	0.0000739	0.804	0.569	0.4	3253.47	6569.993	Si

Verifiche a deformabilità

Mensola X: No; Mensola Y: No.

Frecce lungo X

Ascissa freccia	Combinazione	Freccia	Luce	L/f	L/f,min	Tipo	Verifica
0.45	SLE RA 1	0	1.5	10000	250	Totale	Si
0.55	SLE RA 17	0	1.5	10000	250	Totale	Si
0.55	SLE RA 16	0	1.5	10000	250	Totale	Si
0.9	SLE RA 15	0	1.5	10000	250	Totale	Si
0.7	SLE RA 14	0	1.5	10000	250	Totale	Si
0.6	SLE RA 2	0	1.5	10000	350	Variabile	Si
0.6	SLE RA 17	0	1.5	10000	350	Variabile	Si
0.6	SLE RA 16	0	1.5	10000	350	Variabile	Si
0.85	SLE RA 15	0	1.5	10000	350	Variabile	Si
0.75	SLE RA 14	0	1.5	10000	350	Variabile	Si

Implementazione dei sistemi di confinamento delle emissioni odorigene diffuse dell'impianto di compostaggio esistente nel
Comune di Eboli (SA)
PROGETTO DEFINITIVO – Tabulati di calcolo Tomo 1

Frecce lungo Y

Ascissa freccia	Combinazione	Freccia	Luce	L/f	L/f,min	Tipo	Verifica
0.75	SLE RA 1	0.00003	1.5	10000	250	Totale	Si
0.75	SLE RA 17	0.00003	1.5	10000	250	Totale	Si
0.75	SLE RA 16	0.00003	1.5	10000	250	Totale	Si
0.75	SLE RA 15	0.00003	1.5	10000	250	Totale	Si
0.75	SLE RA 14	0.00003	1.5	10000	250	Totale	Si
0.8	SLE RA 2	0	1.5	10000	350	Variabile	Si
0.8	SLE RA 17	0	1.5	10000	350	Variabile	Si
0.8	SLE RA 16	0	1.5	10000	350	Variabile	Si
0.75	SLE RA 15	0	1.5	10000	350	Variabile	Si
0.8	SLE RA 14	0	1.5	10000	350	Variabile	Si

Superelemento in acciaio a quota "640" (-1035; 718)-(-908; 853)

Caratteristiche del materiale

Acciaio: S275, fyk = 275000

Caratteristiche geometriche

Lunghezza: 1.855

Nodo iniziale: 815 Nodo finale: 840

Cerniera iniziale: No Cerniera finale: No

Sovreresistenza: 0% Sisma Z: No

Caratteristiche della sezione

Sezione	Rotazione	Area	Jx	Jy	ix	iy	Wx	Wy	Wplx	Wply
HEA120	0	0.002537	0.0000060673	0.0000023091	0.0489	0.0302	0.00010644	0.00003849	0.00011962	0.00005887

Verifiche di resistenza

Verifiche a forza assiale §4.2.4.1.2.1 - §4.2.4.1.2.2 NTC18

X	Comb.	Sfruttamento	Classe	NEd	Nc,Rd	Nt,Rd	Riduzione da taglio	px	py	Verifica
1.855	SLU 76	0.103		68.294		664.325	1	0	0	Si

Verifiche a forza assiale SLD §4.2.4.1.2.1 - §4.2.4.1.2.2 NTC18

X	Comb.	Sfruttamento	Classe	NEd	Nc,Rd	Nt,Rd	Riduzione da taglio	px	py	Verifica
1.855	SLD 8	0.046		30.435		664.325	1	0	0	Si

Verifica a taglio Y §4.2.4.1.2.4 NTC18

X	Comb.	Sfruttamento	VEd	Vc,Rd	Av	Interazione taglio-torsione	Riduzione torsione	Verifica
1.855	SLU 76	0.008	-1.05	127.241	0.000849	Considerata	0.99	Si

Verifica a taglio Y SLD §4.2.4.1.2.4 NTC18

X	Comb.	Sfruttamento	VEd	Vc,Rd	Av	Interazione taglio-torsione	Riduzione torsione	Verifica
1.855	SLD 9	0.004	-0.528	127.902	0.000849	Considerata	1	Si

Verifica a torsione §4.2.4.1.2.5 NTC18

X	Comb.	Sfruttamento torsione	TEd	TRd	Riduzione taglio resistente	Sfruttamento taglio-torsione	τEd,totale	τRd	Verifica
0	SLU 76	0.021	0.01757	0.85138	Considerata				Si

Verifica a torsione SLD §4.2.4.1.2.5 NTC18

X	Comb.	Sfruttamento torsione	TEd	TRd	Riduzione taglio resistente	Sfruttamento taglio-torsione	τEd,totale	τRd	Verifica
0	SLD 1	0.009	0.0078	0.85138	Considerata				Si

Verifica a flessione semplice Y §§ 4.2.4.1.2.3 - 4.2.4.1.2.6 - 4.2.4.1.2.7 - 4.2.4.1.2.8 NTC18

X	Comb.	Sfruttamento	Classe	My,Ed	My,Rd	Rid. My,Rd da VEd	px	py	Verifica
0.309	SLV 15	0.005	1	-0.08033	15.41907	1	0	0	Si

Verifica a flessione deviata §§ 4.2.4.1.2.3 - 4.2.4.1.2.6 - 4.2.4.1.2.7 - 4.2.4.1.2.8 NTC18

X	Comb.	Sfruttamento	Classe	Mx,Ed	Mx,Rd	My,Ed	My,Rd	Rid. Mx,Rd da VEd	Rid. My,Rd da VEd	α	β	px	py	Verifica
1.855	SLV 16	0.033	1	0.6277	31.3291	-0.2034	15.4191	1	1			0	0	Si

Verifica a presso/tenso flessione retta X §§ 4.2.4.1.2.3 - 4.2.4.1.2.6 - 4.2.4.1.2.7 - 4.2.4.1.2.8 NTC18

Verifiche eseguite utilizzando la formula conservativa (6.2) §6.2.1 EN 1993-1-1:2005.

X	Comb.	Sfruttamento	Classe	NEd	NRd	Rid. NRd da VEd	Mx,Ed	Mx,Rd	Rid. Mx,Rd da VEd	Rid. Mx,Rd da NEd	px	py	Verifica
1.855	SLU 3	0.015	1	-5.47	664.325	1	0.2049	31.3291	1		0	0	Si

Verifica a presso/tenso flessione retta Y §§ 4.2.4.1.2.3 - 4.2.4.1.2.6 - 4.2.4.1.2.7 - 4.2.4.1.2.8 NTC18

Verifiche eseguite utilizzando la formula conservativa (6.2) §6.2.1 EN 1993-1-1:2005.

X	Comb.	Sfruttamento	Classe	NEd	NRd	Rid. NRd da VEd	My,Ed	My,Rd	Rid. My,Rd da VEd	Rid. My,Rd da NEd	px	py	Verifica
0.433	SLV 10	0.03	1	-16.686	664.325	1	-0.0766	15.4191	1		0	0	Si

Verifica a presso/tenso flessione retta Y SLD §§ 4.2.4.1.2.3 - 4.2.4.1.2.6 - 4.2.4.1.2.7 - 4.2.4.1.2.8 NTC18

Verifiche eseguite utilizzando la formula conservativa (6.2) §6.2.1 EN 1993-1-1:2005.

X	Comb.	Sfruttamento	Classe	NEd	NRd	Rid. NRd da VEd	My,Ed	My,Rd	Rid. My,Rd da VEd	Rid. My,Rd da NEd	px	py	Verifica
0.124	SLD 16	0.023	1	11.926	664.325	1	-0.0805	15.4191	1		0	0	Si

Verifica a presso/tenso flessione deviata §§ 4.2.4.1.2.3 - 4.2.4.1.2.6 - 4.2.4.1.2.7 - 4.2.4.1.2.8 NTC18

Verifiche eseguite utilizzando la formula conservativa (6.2) §6.2.1 EN 1993-1-1:2005.

X	Comb.	Sfruttamento	Classe	NEd	NRd	Rid. NRd da VEd	Mx,Ed	Mx,Rd	My,Ed	My,Rd	Rid. Mx,Rd da VEd	Rid. Mx,Rd da NEd	Rid. My,Rd da VEd	Rid. My,Rd da NEd	α	β	px	py	Verifica
---	-------	--------------	--------	-----	-----	-----------------	-------	-------	-------	-------	-------------------	-------------------	-------------------	-------------------	---	---	----	----	----------

Implementazione dei sistemi di confinamento delle emissioni odorigene diffuse dell’impianto di compostaggio esistente nel
Comune di Eboli (SA)

PROGETTO DEFINITIVO – Tabulati di calcolo Tomo 1

X	Comb.	Sfruttamento	Classe	NEd	NRd	Rid. NRd da VEd	Mx,Ed	Mx,Rd	My,Ed	My,Rd	Rid. Mx,Rd da VEd	Rid. Mx,Rd da NEd	Rid. My,Rd da VEd	Rid. My,Rd da NEd	α	β	px	py	Verifica
1.855	SLU 76	0.187	1	68.294	664.325	1	1.6069	31.3291	-0.5148	15.4191	1		1				0	0	Si

Verifica a presso/tenso flessione deviata SLD §§ 4.2.4.1.2.3 - 4.2.4.1.2.6 - 4.2.4.1.2.7 - 4.2.4.1.2.8 NTC18

Verifiche eseguite utilizzando la formula conservativa (6.2) §6.2.1 EN 1993-1-1:2005.

X	Comb.	Sfruttamento	Classe	NEd	NRd	Rid. NRd da VEd	Mx,Ed	Mx,Rd	My,Ed	My,Rd	Rid. Mx,Rd da VEd	Rid. Mx,Rd da NEd	Rid. My,Rd da VEd	Rid. My,Rd da NEd	α	β	px	py	Verifica
1.855	SLD 7	0.074	1	30.435	664.325	1	0.5413	31.3291	-0.1632	15.4191	1		1				0	0	Si

Verifiche ad instabilità

Caratteristiche iniziali

Membratura principale per controllo snellezza; Calcolo di snellezze ed N critici condotti secondo gli assi principali;

Curva X: b; Curva Y: c; Svergolamento: Carico all'estradosso; Curva svergolamento: b;

Dati per instabilità attorno a x

Controllo della snellezza secondo §4.2.4.1.3.1 NTC18

Numero rit.	Presente	Ascissa	Campata	βx/m	Vincolo a entrambi estremi	λx/m	λVer
1	Si	0					
			1-2	1	Si	37.9	Si, (<200)
2	Si	1.855					

Dati per instabilità attorno a y

Controllo della snellezza secondo §4.2.4.1.3.1 NTC18

Numero rit.	Presente	Ascissa	Campata	βy/n	k,LT	kw,LT	Vincolo a entrambi estremi	λy/n	λVer
1	Si	0							
			1-2	1	1	1	Si	61.5	Si, (<200)
2	Si	1.855							

Verifica di stabilità per tenso-flessione deviata §§ 5.5.3-5.5.4 ENV 1993-1-1:1992 + AC:1992 + A1:1994 + A2:1998

X	Comb.	Sfruttamento	Classe	NEd	Mx,Ed	Mx,Eff,Ed	My,Ed	χ,LT	kLT	ky	M,critico	Wx	Wy	Verifica
1.855	SLU 56	0.02	1	36.098	1.08677	0.02637	-0.30188	0.993	1	1	188.81091	0.0001196	0.0000589	Si

Verifica di stabilità per tenso-flessione deviata SLD §§ 5.5.3-5.5.4 ENV 1993-1-1:1992 + AC:1992 + A1:1994 + A2:1998

X	Comb.	Sfruttamento	Classe	NEd	Mx,Ed	Mx,Eff,Ed	My,Ed	χ,LT	kLT	ky	M,critico	Wx	Wy	Verifica
1.855	SLD 14	0.025	1	6.328	0.60743	0.42154	-0.16293	0.901	1	1	81.80587	0.0001196	0.0000589	Si

Verifica di stabilità per pressoflessione §C.4.2.4.1.3.3.2 NTC18

X	Comb.	Sfruttamento	Classe	NEd	NRk	Mx,Ed max	Mx,Rk	My,Ed max	My,Rk	χ,x	χ,y	kxx	kxy	kyy	χ,LT	Verifica	
1.855	SLV 14	0.067	1	-16.354	697.541	0.67328	32.89552	0.1792	16.19002	0.911	0.72	0.467	0.472	0.989	0.787	0.901	Si

Verifica di stabilità a taglio anima Y §4.2.4.1.2.4 [4.2.27] NTC18

η	hw	tw	hw/tw max	Verifica
1.2	0.098	0.005	55.46	Si

Verifica di stabilità a taglio anima Y SLD §4.2.4.1.2.4 [4.2.27] NTC18

η	hw	tw	hw/tw max	Verifica
1.2	0.098	0.005	55.46	Si

Verifiche a deformabilità

Mensola X: No; Mensola Y: No.

Frecce lungo X

Ascissa freccia	Combinazione	Freccia	Luce	L/f	L/f,min	Tipo	Verifica
0.989	SLE RA 19	0.00024	1.855	7682.7	250	Totale	Si
0.989	SLE RA 15	0.00021	1.855	8918.4	250	Totale	Si
0.989	SLE RA 11	0.00021	1.855	8918.4	250	Totale	Si
0.989	SLE RA 16	0.0002	1.855	9056.6	250	Totale	Si
0.989	SLE RA 7	0.0002	1.855	9323.4	250	Totale	Si
0.989	SLE RA 2	-0.00009	1.855	10000	350	Variabile	Si
0.989	SLE RA 17	0.00004	1.855	10000	350	Variabile	Si
0.989	SLE RA 16	0.0001	1.855	10000	350	Variabile	Si
0.989	SLE RA 15	0.0001	1.855	10000	350	Variabile	Si
0.928	SLE RA 14	0.00003	1.855	10000	350	Variabile	Si

Frecce lungo Y

Ascissa freccia	Combinazione	Freccia	Luce	L/f	L/f,min	Tipo	Verifica
1.113	SLE RA 1	0.00008	1.855	10000	250	Totale	Si
1.113	SLE RA 17	0.00011	1.855	10000	250	Totale	Si
1.113	SLE RA 16	0.00015	1.855	10000	250	Totale	Si
1.051	SLE RA 15	0.00015	1.855	10000	250	Totale	Si
1.113	SLE RA 14	0.0001	1.855	10000	250	Totale	Si
1.051	SLE RA 2	-0.00007	1.855	10000	350	Variabile	Si
1.051	SLE RA 17	0.00003	1.855	10000	350	Variabile	Si
1.051	SLE RA 16	0.00008	1.855	10000	350	Variabile	Si
1.051	SLE RA 15	0.00008	1.855	10000	350	Variabile	Si
1.051	SLE RA 14	0.00002	1.855	10000	350	Variabile	Si

Superelemento in acciaio a quota "640" (-1050; -1047)-(-923; -912)

Caratteristiche del materiale

Acciaio: S275, fyk = 275000

Caratteristiche geometriche

Lunghezza: 1.85

Nodo iniziale: 520 Nodo finale: 529

Cerniera iniziale: No Cerniera finale: No

Implementazione dei sistemi di confinamento delle emissioni odorigene diffuse dell'impianto di compostaggio esistente nel
Comune di Eboli (SA)
PROGETTO DEFINITIVO – Tabulati di calcolo Tomo 1

Sovreresistenza: 0% Sisma Z: No

Caratteristiche della sezione

Sezione	Rotazione	Area	Jx	Jy	ix	iy	Wx	Wy	Wplx	Wply
HEA120	0	0.002537	0.0000060673	0.0000023091	0.0489	0.0302	0.00010644	0.00003849	0.00011962	0.00005887

Verifiche di resistenza

Verifiche a forza assiale §4.2.4.1.2.1 - §4.2.4.1.2.2 NTC18

X	Comb.	Sfruttamento	Classe	NEd	Nc,Rd	Nt,Rd	Riduzione da taglio	px	py	Verifica
0	SLV 5	0.038		24.931		664.325	1	0	0	Si

Verifiche a forza assiale SLD §4.2.4.1.2.1 - §4.2.4.1.2.2 NTC18

X	Comb.	Sfruttamento	Classe	NEd	Nc,Rd	Nt,Rd	Riduzione da taglio	px	py	Verifica
1.665	SLD 6	0.014		9.222		664.325	1	0	0	Si

Verifica a taglio Y §4.2.4.1.2.4 NTC18

X	Comb.	Sfruttamento	VEd	Vc,Rd	Av	Interazione taglio-torsione	Riduzione torsione	Verifica
0	SLU 75	0.013	1.631	128.236	0.000849	Considerata	1	Si

Verifica a taglio Y SLD §4.2.4.1.2.4 NTC18

X	Comb.	Sfruttamento	VEd	Vc,Rd	Av	Interazione taglio-torsione	Riduzione torsione	Verifica
0	SLD 16	0.005	0.656	128.071	0.000849	Considerata	1	Si

Verifica a torsione §4.2.4.1.2.5 NTC18

X	Comb.	Sfruttamento torsione	TEd	TRd	Riduzione taglio resistente	Sfruttamento taglio-torsione	rEd,totale	rRd	Verifica
1.788	SLV 14	0.021	-0.01771	0.85138	Considerata				Si

Verifica a torsione SLD §4.2.4.1.2.5 NTC18

X	Comb.	Sfruttamento torsione	TEd	TRd	Riduzione taglio resistente	Sfruttamento taglio-torsione	rEd,totale	rRd	Verifica
0	SLD 14	0.008	-0.0064	0.85138	Considerata				Si

Verifica a presso/tenso flessione retta X §§ 4.2.4.1.2.3 - 4.2.4.1.2.6 - 4.2.4.1.2.7 - 4.2.4.1.2.8 NTC18

Verifiche eseguite utilizzando la formula conservativa (6.2) §6.2.1 EN 1993-1-1:2005.

X	Comb.	Sfruttamento	Classe	NEd	NRd	Rid. NRd da VEd	Mx,Ed	Mx,Rd	Rid. Mx,Rd da VEd	Rid. Mx,Rd da NEd	px	py	Verifica
0.308	SLU 63	0.044	1	5.926	664.325	1	1.1144	31.3291	1		0	0	Si

Verifica a presso/tenso flessione retta Y §§ 4.2.4.1.2.3 - 4.2.4.1.2.6 - 4.2.4.1.2.7 - 4.2.4.1.2.8 NTC18

Verifiche eseguite utilizzando la formula conservativa (6.2) §6.2.1 EN 1993-1-1:2005.

X	Comb.	Sfruttamento	Classe	NEd	NRd	Rid. NRd da VEd	My,Ed	My,Rd	Rid. My,Rd da VEd	Rid. My,Rd da NEd	px	py	Verifica
1.048	SLV 5	0.044	1	24.931	664.325	1	0.0987	15.4191	1		0	0	Si

Verifica a presso/tenso flessione retta Y SLD §§ 4.2.4.1.2.3 - 4.2.4.1.2.6 - 4.2.4.1.2.7 - 4.2.4.1.2.8 NTC18

Verifiche eseguite utilizzando la formula conservativa (6.2) §6.2.1 EN 1993-1-1:2005.

X	Comb.	Sfruttamento	Classe	NEd	NRd	Rid. NRd da VEd	My,Ed	My,Rd	Rid. My,Rd da VEd	Rid. My,Rd da NEd	px	py	Verifica
1.172	SLD 5	0.016	1	9.222	664.325	1	0.0296	15.4191	1		0	0	Si

Verifica a presso/tenso flessione deviata §§ 4.2.4.1.2.3 - 4.2.4.1.2.6 - 4.2.4.1.2.7 - 4.2.4.1.2.8 NTC18

Verifiche eseguite utilizzando la formula conservativa (6.2) §6.2.1 EN 1993-1-1:2005.

X	Comb.	Sfruttamento	Classe	NEd	NRd	Rid. NRd da VEd	Mx,Ed	Mx,Rd	My,Ed	My,Rd	Rid. Mx,Rd da VEd	Rid. Mx,Rd da NEd	Rid. My,Rd da VEd	Rid. My,Rd da NEd	α	β	px	py	Verifica
0	SLU 75	0.072	1	6.708	664.325	1	1.9044	31.3291	0.0147	15.4191	1		1				0	0	Si

Verifica a presso/tenso flessione deviata SLD §§ 4.2.4.1.2.3 - 4.2.4.1.2.6 - 4.2.4.1.2.7 - 4.2.4.1.2.8 NTC18

Verifiche eseguite utilizzando la formula conservativa (6.2) §6.2.1 EN 1993-1-1:2005.

X	Comb.	Sfruttamento	Classe	NEd	NRd	Rid. NRd da VEd	Mx,Ed	Mx,Rd	My,Ed	My,Rd	Rid. Mx,Rd da VEd	Rid. Mx,Rd da NEd	Rid. My,Rd da VEd	Rid. My,Rd da NEd	α	β	px	py	Verifica
0	SLD 1	0.037	1	8.891	664.325	1	0.6558	31.3291	-0.0384	15.4191	1		1				0	0	Si

Verifiche ad instabilità

Caratteristiche iniziali

Membratura principale per controllo snellezza; Calcolo di snellezze ed N critici condotti secondo gli assi principali;

Curva X: b; Curva Y: c; Svergolamento: Carico all'estradosso; Curva svergolamento: b;

Dati per instabilità attorno a x

Controllo della snellezza secondo §4.2.4.1.3.1 NTC18

Numero rit.	Presente	Ascissa	Campata	βx/m	Vincolo a entrambi estremi	λx/m	λVer
1	Si		0				
			1-2		1	37.8	Si, (<200)
2	Si		1.85				

Dati per instabilità attorno a y

Controllo della snellezza secondo §4.2.4.1.3.1 NTC18

Numero rit.	Presente	Ascissa	Campata	βy/n	k _i LT	k _w LT	Vincolo a entrambi estremi	λy/n	λVer
1	Si		0						
			1-2		1	1	Si	61.3	Si, (<200)
2	Si		1.85						

Verifica a svergolamento con trazione §4.2.4.1.3.2 NTC18 § 5.5.3 ENV 1993-1-1:1992 + AC:1992 + A1:1994 + A2:1998

X	Comb.	Sfruttamento	Classe	Obblig.	NEd	Mx,Ed	Mx,Eff,Ed	Mb,Rd,x	χ _i LT	λ adim. LT	L _i LT	M _c critico	Verifica
0.308	SLU 63	0.033	1	Si	5.926	1.11438	0.94029	28.25853	0.902	0.633	1.85	82.10616	Si

Verifica di stabilità per tenso-flessione deviata §§ 5.5.3-5.5.4 ENV 1993-1-1:1992 + AC:1992 + A1:1994 + A2:1998

X	Comb.	Sfruttamento	Classe	NEd	Mx,Ed	Mx,Eff,Ed	My,Ed	χ _i LT	kLT	ky	M _c critico	Wx	Wy	Verifica
---	-------	--------------	--------	-----	-------	-----------	-------	-------------------	-----	----	------------------------	----	----	----------

Implementazione dei sistemi di confinamento delle emissioni odorigene diffuse dell'impianto di compostaggio esistente nel
Comune di Eboli (SA)
PROGETTO DEFINITIVO – Tabulati di calcolo Tomo 1

X	Comb.	Sfruttamento	Classe	NEd	Mx,Ed	Mx,Eff,Ed	My,Ed	χ _{LT}	kLT	ky	M _{critico}	W _x	W _y	Verifica
0	SLU 75	0.061	1	6.708	1.90438	1.70734	0.01471	0.902	1	1	82.10616	0.0001196	0.0000589	Si

Verifica di stabilità per tenso-flessione deviata SLD §§ 5.5.3-5.5.4 ENV 1993-1-1:1992 + AC:1992 + A1:1994 + A2:1998

X	Comb.	Sfruttamento	Classe	NEd	Mx,Ed	Mx,Eff,Ed	My,Ed	χ _{LT}	kLT	ky	M _{critico}	W _x	W _y	Verifica
0	SLD 4	0.023	1	4.923	0.67469	0.53008	-0.07304	0.902	1	1	82.10616	0.0001196	0.0000589	Si

Verifica di stabilità per pressoflessione §C.4.2.4.1.3.3.2 NTC18

X	Comb.	Sfruttamento	Classe	NEd	NRk	Mx,Ed max	Mx,Rk	My,Ed max	My,Rk	χ _x	χ _y	k _{xx}	k _{xy}	k _{yx}	k _{yy}	χ _{LT}	Verifica
1.85	SLV 11	0.081	1	-23.397	697.541	0.70609	32.89552	0.11911	16.19002	0.912	0.721	0.411	0.56	0.978	0.934	0.902	Si

Verifica di stabilità per pressoflessione SLD §C.4.2.4.1.3.3.2 NTC18

X	Comb.	Sfruttamento	Classe	NEd	NRk	Mx,Ed max	Mx,Rk	My,Ed max	My,Rk	χ _x	χ _y	k _{xx}	k _{xy}	k _{yx}	k _{yy}	χ _{LT}	Verifica
1.85	SLD 12	0.042	1	-7.689	697.541	0.65996	32.89552	0.03653	16.19002	0.912	0.721	0.401	0.581	0.992	0.968	0.902	Si

Verifica di stabilità a taglio anima Y §4.2.4.1.2.4 [4.2.27] NTC18

η	hw	tw	hw/tw max	Verifica
1.2	0.098	0.005	55.46	Si

Verifica di stabilità a taglio anima Y SLD §4.2.4.1.2.4 [4.2.27] NTC18

η	hw	tw	hw/tw max	Verifica
1.2	0.098	0.005	55.46	Si

Verifiche a deformabilità

Mensola X: No; Mensola Y: No.

Frecce lungo X

Ascissa freccia	Combinazione	Freccia	Luce	L/f	L/f,min	Tipo	Verifica
1.295	SLE RA 1	0	1.85	10000	250	Totale	Si
1.357	SLE RA 17	0	1.85	10000	250	Totale	Si
1.418	SLE RA 16	0	1.85	10000	250	Totale	Si
0.678	SLE RA 15	0	1.85	10000	250	Totale	Si
1.233	SLE RA 14	0	1.85	10000	250	Totale	Si
0.493	SLE RA 2	0	1.85	10000	350	Variabile	Si
0.493	SLE RA 17	0	1.85	10000	350	Variabile	Si
0.493	SLE RA 16	0	1.85	10000	350	Variabile	Si
0.925	SLE RA 15	0	1.85	10000	350	Variabile	Si
1.233	SLE RA 14	0	1.85	10000	350	Variabile	Si

Frecce lungo Y

Ascissa freccia	Combinazione	Freccia	Luce	L/f	L/f,min	Tipo	Verifica
0.617	SLE RA 1	0.00005	1.85	10000	250	Totale	Si
0.617	SLE RA 17	0.00008	1.85	10000	250	Totale	Si
0.617	SLE RA 16	0.00012	1.85	10000	250	Totale	Si
0.617	SLE RA 15	0.00008	1.85	10000	250	Totale	Si
0.617	SLE RA 14	0.00011	1.85	10000	250	Totale	Si
0.678	SLE RA 2	-0.00006	1.85	10000	350	Variabile	Si
0.678	SLE RA 17	0.00003	1.85	10000	350	Variabile	Si
0.678	SLE RA 16	0.00006	1.85	10000	350	Variabile	Si
0.678	SLE RA 15	0.00003	1.85	10000	350	Variabile	Si
0.678	SLE RA 14	0.00006	1.85	10000	350	Variabile	Si

Superelemento in acciaio a quota "640" (-1052; 480)-(-943; 377)

Caratteristiche del materiale

Acciaio: S275, fyk = 275000

Caratteristiche geometriche

Lunghezza: 1.5

Nodo iniziale: 765 Nodo finale: 745

Cerniera iniziale: Mmomenti 1% Cerniera finale: Mmomenti 1%

Sovreresistenza: 0% Sisma Z: No

Caratteristiche della sezione

Sezione	Rotazione	Area	Jx	Jy	ix	iy	W _x	W _y	W _{plx}	W _{ply}
A1; L100*10; 1; Saldato; S275; 30; 1; 8; 8; 1	180	0.003832	0.0000035319	0.000007759	0.0304	0.045	0.0000492	0.0000739	0.00008974	0.00012727

Comportamento dei calastrelli

Accoppiamento imbottito con funzione statica (§C4.2.4.1.3.1.4 NTC18) nella campata compresa tra le ascisse 0 e 1.5 per sbandamento attorno all'asse y.

Verifiche di resistenza

Verifiche a forza assiale §4.2.4.1.2.1 - §4.2.4.1.2.2 NTC18

X	Comb.	Sfruttamento	Classe	NEd	Nc,Rd	Nt,Rd	Riduzione da taglio	px	py	Verifica
1.45	SLU 76	0.114		114.251		1003.522	1	0	0	Si

Verifiche a forza assiale SLD §4.2.4.1.2.1 - §4.2.4.1.2.2 NTC18

X	Comb.	Sfruttamento	Classe	NEd	Nc,Rd	Nt,Rd	Riduzione da taglio	px	py	Verifica
1.5	SLD 16	0.043		43.239		1003.522	1	0	0	Si

Verifica a taglio Y §4.2.4.1.2.4 NTC18

X	Comb.	Sfruttamento	VEd	Vc,Rd	Av	Interazione taglio-torsione	Riduzione torsione	Verifica
0	SLU 64	0.001	-0.294	302.422	0.002	Non considerata		Si

**Implementazione dei sistemi di confinamento delle emissioni odorigene diffuse dell'impianto di compostaggio esistente nel
Comune di Eboli (SA)
PROGETTO DEFINITIVO – Tabulati di calcolo Tomo 1**

Verifica a taglio Y SLD §4.2.4.1.2.4 NTC18

X	Comb.	Sfruttamento	VEd	Vc,Rd	Av	Interazione taglio-torsione	Riduzione torsione	Verifica
0	SLD 1	0.001	-0.226	302.422	0.002	Non considerata		Si

Verifica a presso/tenso flessione retta X §§ 4.2.4.1.2.3 - 4.2.4.1.2.6 - 4.2.4.1.2.7 - 4.2.4.1.2.8 NTC18

Verifiche eseguite utilizzando la formula conservativa (6.2) §6.2.1 EN 1993-1-1:2005.

X	Comb.	Sfruttamento	Classe	NEd	NRd	Rid. NRd da VEd	Mx,Ed	Mx,Rd	Rid. Mx,Rd da VEd	Rid. Mx,Rd da NEd	px	py	Verifica
0.75	SLU 76	0.119	1	114.251	1003.522	1	0.1113	23.5037	1		0	0	Si

Verifica a presso/tenso flessione retta X SLD §§ 4.2.4.1.2.3 - 4.2.4.1.2.6 - 4.2.4.1.2.7 - 4.2.4.1.2.8 NTC18

Verifiche eseguite utilizzando la formula conservativa (6.2) §6.2.1 EN 1993-1-1:2005.

X	Comb.	Sfruttamento	Classe	NEd	NRd	Rid. NRd da VEd	Mx,Ed	Mx,Rd	Rid. Mx,Rd da VEd	Rid. Mx,Rd da NEd	px	py	Verifica
0.75	SLD 16	0.047	1	43.239	1003.522	1	0.0849	23.5037	1		0	0	Si

Verifica a presso/tenso flessione retta Y §§ 4.2.4.1.2.3 - 4.2.4.1.2.6 - 4.2.4.1.2.7 - 4.2.4.1.2.8 NTC18

Verifiche eseguite utilizzando la formula conservativa (6.2) §6.2.1 EN 1993-1-1:2005.

X	Comb.	Sfruttamento	Classe	NEd	NRd	Rid. NRd da VEd	My,Ed	My,Rd	Rid. My,Rd da VEd	Rid. My,Rd da NEd	px	py	Verifica
1.5	SLV 16	0.055	1	54.216	1003.522	1	0.0237	33.3316	1		0	0	Si

Verifica a presso/tenso flessione retta Y SLD §§ 4.2.4.1.2.3 - 4.2.4.1.2.6 - 4.2.4.1.2.7 - 4.2.4.1.2.8 NTC18

Verifiche eseguite utilizzando la formula conservativa (6.2) §6.2.1 EN 1993-1-1:2005.

X	Comb.	Sfruttamento	Classe	NEd	NRd	Rid. NRd da VEd	My,Ed	My,Rd	Rid. My,Rd da VEd	Rid. My,Rd da NEd	px	py	Verifica
1.5	SLD 16	0.043	1	43.239	1003.522	1	0.0093	33.3316	1		0	0	Si

Verifica a presso/tenso flessione deviata §§ 4.2.4.1.2.3 - 4.2.4.1.2.6 - 4.2.4.1.2.7 - 4.2.4.1.2.8 NTC18

Verifiche eseguite utilizzando la formula conservativa (6.2) §6.2.1 EN 1993-1-1:2005.

X	Comb.	Sfruttamento	Classe	NEd	NRd	Rid. NRd da VEd	Mx,Ed	Mx,Rd	My,Ed	My,Rd	Rid. Mx,Rd da VEd	Rid. Mx,Rd da NEd	Rid. My,Rd da VEd	Rid. My,Rd da NEd	α	β	px	py	Verifica
0.75	SLV 15	0.058	1	54.216	1003.522	1	0.0851	23.5037	0.0175	33.3316	1		1				0	0	Si

Verifica a presso/tenso flessione deviata SLD §§ 4.2.4.1.2.3 - 4.2.4.1.2.6 - 4.2.4.1.2.7 - 4.2.4.1.2.8 NTC18

Verifiche eseguite utilizzando la formula conservativa (6.2) §6.2.1 EN 1993-1-1:2005.

X	Comb.	Sfruttamento	Classe	NEd	NRd	Rid. NRd da VEd	Mx,Ed	Mx,Rd	My,Ed	My,Rd	Rid. Mx,Rd da VEd	Rid. Mx,Rd da NEd	Rid. My,Rd da VEd	Rid. My,Rd da NEd	α	β	px	py	Verifica
0.85	SLD 15	0.047	1	43.239	1003.522	1	0.0834	23.5037	0.0074	33.3316	1		1				0	0	Si

Verifiche ad instabilità

Caratteristiche iniziali

Membratura principale per controllo snellezza; Calcolo di snellezze ed N critici condotti secondo gli assi principali;

Curva X: c; Curva Y: c;

Svergolamento: Nessuno; la verifica a instabilità flesso-torsionale (svergolamento) non verrà eseguita.

Dati per instabilità attorno a x

Controllo della snellezza secondo §4.2.4.1.3.1 NTC18

Numero rit.	Presente	Ascissa	Campata	βx/m	Vincolo a entrambi estremi	λx/m	λVer
1	Si		0				
			1-2		1	49.4	Si, (<200)
2	Si		1.5				

Dati per instabilità attorno a y

Controllo della snellezza secondo §4.2.4.1.3.1 NTC18

Numero rit.	Presente	Ascissa	Campata	βy/n	k,LT	kw,LT	Vincolo a entrambi estremi
1	Si		0				
			1-2		1	34.8	Si, (<200)
2	Si		1.5				

Verifica di stabilità per pressoflessione §C.4.2.4.1.3.3.1 NTC18

X	Comb.	Sfruttamento	Classe	NEd	MxEq,Ed	MyEq,Ed	Area	Wx	Wy	x,min	λ adim. x/m	λ adim. y/n	N,crit x/m	N,crit y/n	Verifica
0	SLU 2	0.03	3	-17.449	0.0722	-0.0532	0.003832	0.0000492	0.0000739	0.804	0.569	0.4	3253.47	6569.993	Si

Verifiche a deformabilità

Mensola X: No; Mensola Y: No.

Frecce lungo X

Ascissa freccia	Combinazione	Freccia	Luce	L/f	L/f,min	Tipo	Verifica
0.55	SLE RA 1	0	1.5	10000	250	Totale	Si
0.6	SLE RA 17	0	1.5	10000	250	Totale	Si
0.6	SLE RA 16	0	1.5	10000	250	Totale	Si
0.6	SLE RA 15	0	1.5	10000	250	Totale	Si
0.6	SLE RA 14	0	1.5	10000	250	Totale	Si
0.65	SLE RA 2	0	1.5	10000	350	Variabile	Si
0.65	SLE RA 17	0	1.5	10000	350	Variabile	Si
0.65	SLE RA 16	0	1.5	10000	350	Variabile	Si
0.7	SLE RA 15	0	1.5	10000	350	Variabile	Si
0.65	SLE RA 14	0	1.5	10000	350	Variabile	Si

Frecce lungo Y

Ascissa freccia	Combinazione	Freccia	Luce	L/f	L/f,min	Tipo	Verifica
0.75	SLE RA 1	0.00003	1.5	10000	250	Totale	Si
0.75	SLE RA 17	0.00003	1.5	10000	250	Totale	Si
0.75	SLE RA 16	0.00003	1.5	10000	250	Totale	Si
0.75	SLE RA 15	0.00003	1.5	10000	250	Totale	Si
0.75	SLE RA 14	0.00003	1.5	10000	250	Totale	Si
0.75	SLE RA 2	0	1.5	10000	350	Variabile	Si
0.75	SLE RA 17	0	1.5	10000	350	Variabile	Si

Implementazione dei sistemi di confinamento delle emissioni odorigene diffuse dell'impianto di compostaggio esistente nel
Comune di Eboli (SA)
PROGETTO DEFINITIVO – Tabulati di calcolo Tomo 1

Ascissa freccia	Combinazione	Freccia	Luce	L/f	L/f,min	Tipo	Verifica
0.75	SLE RA 16	0	1.5	10000	350	Variabile	Si
0.75	SLE RA 15	0	1.5	10000	350	Variabile	Si
0.75	SLE RA 14	0	1.5	10000	350	Variabile	Si

Superelemento in acciaio a quota "640" (-1089; 3)-(-979; -99)

Caratteristiche del materiale

Acciaio: S275, fyk = 275000

Caratteristiche geometriche

Lunghezza: 1.5

Nodo iniziale: 667 Nodo finale: 646

Cerniera iniziale: Mmomenti 1% Cerniera finale: Mmomenti 1%

Sovreresistenza: 0% Sisma Z: No

Caratteristiche della sezione

Sezione	Rotazione	Area	Jx	Jy	ix	iy	Wx	Wy	Wplx	Wply
A1; L100*10; 1; Saldato; S275; 30; 1; 8; 8; 1	180	0.003832	0.0000035319	0.000007759	0.0304	0.045	0.0000492	0.0000739	0.00008974	0.00012727

Comportamento dei calastrelli

Accoppiamento imbottito con funzione statica (§C4.2.4.1.3.1.4 NTC18) nella campata compresa tra le ascisse 0 e 1.5 per sbandamento attorno all'asse y.

Verifiche di resistenza

Verifiche a forza assiale §4.2.4.1.2.1 - §4.2.4.1.2.2 NTC18

X	Comb.	Sfruttamento	Classe	NEd	Nc,Rd	Nt,Rd	Riduzione da taglio	px	py	Verifica
1.45	SLU 76	0.027		27.451		1003.522	1	0	0	Si

Verifiche a forza assiale SLD §4.2.4.1.2.1 - §4.2.4.1.2.2 NTC18

X	Comb.	Sfruttamento	Classe	NEd	Nc,Rd	Nt,Rd	Riduzione da taglio	px	py	Verifica
1.5	SLD 11	0.006		6.342		1003.522	1	0	0	Si

Verifica a taglio Y §4.2.4.1.2.4 NTC18

X	Comb.	Sfruttamento	VEd	Vc,Rd	Av	Interazione taglio-torsione	Riduzione torsione	Verifica
1.5	SLU 76	0.001	0.295	302.422	0.002	Non considerata		Si

Verifica a taglio Y SLD §4.2.4.1.2.4 NTC18

X	Comb.	Sfruttamento	VEd	Vc,Rd	Av	Interazione taglio-torsione	Riduzione torsione	Verifica
1.5	SLD 12	0.001	0.226	302.422	0.002	Non considerata		Si

Verifica a presso/tenso flessione retta X §§ 4.2.4.1.2.3 - 4.2.4.1.2.6 - 4.2.4.1.2.7 - 4.2.4.1.2.8 NTC18

Verifiche eseguite utilizzando la formula conservativa (6.2) §6.2.1 EN 1993-1-1:2005.

X	Comb.	Sfruttamento	Classe	NEd	NRd	Rid. NRd da VEd	Mx,Ed	Mx,Rd	Rid. Mx,Rd da VEd	Rid. Mx,Rd da NEd	px	py	Verifica
0.75	SLU 76	0.032	1	27.451	1003.522	1	0.1095	23.5037	1		0	0	Si

Verifica a presso/tenso flessione retta X SLD §§ 4.2.4.1.2.3 - 4.2.4.1.2.6 - 4.2.4.1.2.7 - 4.2.4.1.2.8 NTC18

Verifiche eseguite utilizzando la formula conservativa (6.2) §6.2.1 EN 1993-1-1:2005.

X	Comb.	Sfruttamento	Classe	NEd	NRd	Rid. NRd da VEd	Mx,Ed	Mx,Rd	Rid. Mx,Rd da VEd	Rid. Mx,Rd da NEd	px	py	Verifica
1.4	SLD 12	0.007	1	6.342	1003.522	1	0.0202	23.5037	1		0	0	Si

Verifica a presso/tenso flessione retta Y §§ 4.2.4.1.2.3 - 4.2.4.1.2.6 - 4.2.4.1.2.7 - 4.2.4.1.2.8 NTC18

Verifiche eseguite utilizzando la formula conservativa (6.2) §6.2.1 EN 1993-1-1:2005.

X	Comb.	Sfruttamento	Classe	NEd	NRd	Rid. NRd da VEd	My,Ed	My,Rd	Rid. My,Rd da VEd	Rid. My,Rd da NEd	px	py	Verifica
0	SLV 15	0.012	1	7.139	1003.522	1	-0.1709	33.3316	1		0	0	Si

Verifica a presso/tenso flessione retta Y SLD §§ 4.2.4.1.2.3 - 4.2.4.1.2.6 - 4.2.4.1.2.7 - 4.2.4.1.2.8 NTC18

Verifiche eseguite utilizzando la formula conservativa (6.2) §6.2.1 EN 1993-1-1:2005.

X	Comb.	Sfruttamento	Classe	NEd	NRd	Rid. NRd da VEd	My,Ed	My,Rd	Rid. My,Rd da VEd	Rid. My,Rd da NEd	px	py	Verifica
0	SLD 15	0.008	1	6.341	1003.522	1	-0.0686	33.3316	1		0	0	Si

Verifica a presso/tenso flessione deviata §§ 4.2.4.1.2.3 - 4.2.4.1.2.6 - 4.2.4.1.2.7 - 4.2.4.1.2.8 NTC18

Verifiche eseguite utilizzando la formula conservativa (6.2) §6.2.1 EN 1993-1-1:2005.

X	Comb.	Sfruttamento	Classe	NEd	NRd	Rid. NRd da VEd	Mx,Ed	Mx,Rd	My,Ed	My,Rd	Rid. Mx,Rd da VEd	Rid. Mx,Rd da NEd	Rid. My,Rd da VEd	Rid. My,Rd da NEd	α	β	px	py	Verifica
0.75	SLU 40	0.019	3	-8.752	1003.522	1	0.1091	12.886	-0.0263	19.3536	1		1				0	0	Si

Verifica a presso/tenso flessione deviata SLD §§ 4.2.4.1.2.3 - 4.2.4.1.2.6 - 4.2.4.1.2.7 - 4.2.4.1.2.8 NTC18

Verifiche eseguite utilizzando la formula conservativa (6.2) §6.2.1 EN 1993-1-1:2005.

X	Comb.	Sfruttamento	Classe	NEd	NRd	Rid. NRd da VEd	Mx,Ed	Mx,Rd	My,Ed	My,Rd	Rid. Mx,Rd da VEd	Rid. Mx,Rd da NEd	Rid. My,Rd da VEd	Rid. My,Rd da NEd	α	β	px	py	Verifica
0.65	SLD 15	0.011	1	6.341	1003.522	1	0.0826	23.5037	-0.0409	33.3316	1		1				0	0	Si

Verifiche ad instabilità

Caratteristiche iniziali

Membratura principale per controllo snellezza; Calcolo di snellezze ed N critici condotti secondo gli assi principali;

Curva X: c; Curva Y: c;

Implementazione dei sistemi di confinamento delle emissioni odorigene diffuse dell'impianto di compostaggio esistente nel
Comune di Eboli (SA)
PROGETTO DEFINITIVO – Tabulati di calcolo Tomo 1

Svergolamento: Nessuno; la verifica a instabilità flesso-torsionale (svergolamento) non verrà eseguita.

Dati per instabilità attorno a x

Controllo della snellezza secondo §4.2.4.1.3.1 NTC18

Numero rit.	Presente	Ascissa	Campata	$\beta x/m$	Vincolo a entrambi estremi	$\lambda x/m$	λVer
1	Si	0	1-2	1	Si	49.4	Si, (<200)
2	Si	1.5					

Dati per instabilità attorno a y

Controllo della snellezza secondo §4.2.4.1.3.1 NTC18

Numero rit.	Presente	Ascissa	Campata	$\beta y/n$	k,LT	kw,LT	Vincolo a entrambi estremi
1	Si	0	1-2	1	Si	34.8	Si, (<200)
2	Si	1.5					

Verifica di stabilità per pressoflessione §C.4.2.4.1.3.3.1 NTC18

X	Comb.	Sfruttamento	Classe	NEd	MxEq,Ed	MyEq,Ed	Area	Wx	Wy	χ_{min}	$\lambda_{adim. x/m}$	$\lambda_{adim. y/n}$	N,crit x/m	N,crit y/n	Verifica
1.5	SLU 40	0.02	3	-8.752	0.094	-0.0264	0.003832	0.0000492	0.0000739	0.804	0.569	0.4	3253.47	6569.993	Si

Verifiche a deformabilità

Mensola X: No; Mensola Y: No.

Frecce lungo X

Ascissa freccia	Combinazione	Freccia	Luce	L/f	L/f,min	Tipo	Verifica
0.8	SLE RA 1	0	1.5	10000	250	Totale	Si
0.8	SLE RA 17	0	1.5	10000	250	Totale	Si
0.8	SLE RA 16	0	1.5	10000	250	Totale	Si
0.85	SLE RA 15	0	1.5	10000	250	Totale	Si
0.75	SLE RA 14	0	1.5	10000	250	Totale	Si
0.8	SLE RA 2	0	1.5	10000	350	Variabile	Si
0.8	SLE RA 17	0	1.5	10000	350	Variabile	Si
0.8	SLE RA 16	0	1.5	10000	350	Variabile	Si
0.85	SLE RA 15	0	1.5	10000	350	Variabile	Si
0.75	SLE RA 14	0	1.5	10000	350	Variabile	Si

Frecce lungo Y

Ascissa freccia	Combinazione	Freccia	Luce	L/f	L/f,min	Tipo	Verifica
0.75	SLE RA 1	0.00003	1.5	10000	250	Totale	Si
0.75	SLE RA 17	0.00003	1.5	10000	250	Totale	Si
0.75	SLE RA 16	0.00003	1.5	10000	250	Totale	Si
0.75	SLE RA 15	0.00003	1.5	10000	250	Totale	Si
0.75	SLE RA 14	0.00003	1.5	10000	250	Totale	Si
0.5	SLE RA 2	0	1.5	10000	350	Variabile	Si
0.45	SLE RA 17	0	1.5	10000	350	Variabile	Si
0.45	SLE RA 16	0	1.5	10000	350	Variabile	Si
0.5	SLE RA 15	0	1.5	10000	350	Variabile	Si
0.35	SLE RA 14	0	1.5	10000	350	Variabile	Si

Superelemento in acciaio a quota "640" (-1123; -470)-(-1013; -573)

Caratteristiche del materiale

Acciaio: S275, fyk = 275000

Caratteristiche geometriche

Lunghezza: 1.5

Nodo iniziale: 579 Nodo finale: 565

Cerniera iniziale: Mmomenti 1% Cerniera finale: Mmomenti 1%

Sovreresistenza: 0% Sisma Z: No

Caratteristiche della sezione

Sezione	Rotazione	Area	Jx	Jy	ix	iy	Wx	Wy	Wplx	Wply
A1; L100*10; 1; Saldato; S275; 30; 1; 8; 8; 1	180	0.003832	0.0000035319	0.000007759	0.0304	0.045	0.0000492	0.0000739	0.00008974	0.00012727

Comportamento dei calastrelli

Accoppiamento imbottito con funzione statica (§C4.2.4.1.3.1.4 NTC18) nella campata compresa tra le ascisse 0 e 1.5 per sbandamento attorno all'asse y.

Verifiche di resistenza

Verifiche a forza assiale §4.2.4.1.2.1 - §4.2.4.1.2.2 NTC18

X	Comb.	Sfruttamento	Classe	NEd	Nc,Rd	Nt,Rd	Riduzione da taglio	px	py	Verifica
0	SLU 75	0.143		143.141		1003.522	1	0	0	Si

Verifiche a forza assiale SLD §4.2.4.1.2.1 - §4.2.4.1.2.2 NTC18

X	Comb.	Sfruttamento	Classe	NEd	Nc,Rd	Nt,Rd	Riduzione da taglio	px	py	Verifica
0	SLD 1	0.056		56.001		1003.522	1	0	0	Si

Verifica a taglio Y §4.2.4.1.2.4 NTC18

X	Comb.	Sfruttamento	VEd	Vc,Rd	Av	Interazione taglio-torsione	Riduzione torsione	Verifica
0	SLU 75	0.001	-0.295	302.422	0.002	Non considerata		Si

Implementazione dei sistemi di confinamento delle emissioni odorigene diffuse dell'impianto di compostaggio esistente nel
Comune di Eboli (SA)

PROGETTO DEFINITIVO – Tabulati di calcolo Tomo 1

Verifica a taglio Y SLD §4.2.4.1.2.4 NTC18

X	Comb.	Sfruttamento	VEd	Vc,Rd	Av	Interazione taglio-torsione	Riduzione torsione	Verifica
0	SLD 1	0.001	-0.226	302.422	0.002	Non considerata		Si

Verifica a flessione semplice X §§ 4.2.4.1.2.3 - 4.2.4.1.2.6 - 4.2.4.1.2.7 - 4.2.4.1.2.8 NTC18

X	Comb.	Sfruttamento	Classe	Mx,Ed	Mx,Rd	Rid. Mx,Rd da VEd	px	py	Verifica
0.75	SLU 59	0.005	1	0.10925	23.50374	1	0	0	Si

Verifica a presso/tenso flessione retta X §§ 4.2.4.1.2.3 - 4.2.4.1.2.6 - 4.2.4.1.2.7 - 4.2.4.1.2.8 NTC18

Verifiche eseguite utilizzando la formula conservativa (6.2) §6.2.1 EN 1993-1-1:2005.

X	Comb.	Sfruttamento	Classe	NEd	NRd	Rid. NRd da VEd	Mx,Ed	Mx,Rd	Rid. Mx,Rd da VEd	Rid. Mx,Rd da NEd	px	py	Verifica
0.75	SLU 75	0.147	1	143.141	1003.522	1	0.1115	23.5037	1		0	0	Si

Verifica a presso/tenso flessione retta X SLD §§ 4.2.4.1.2.3 - 4.2.4.1.2.6 - 4.2.4.1.2.7 - 4.2.4.1.2.8 NTC18

Verifiche eseguite utilizzando la formula conservativa (6.2) §6.2.1 EN 1993-1-1:2005.

X	Comb.	Sfruttamento	Classe	NEd	NRd	Rid. NRd da VEd	Mx,Ed	Mx,Rd	Rid. Mx,Rd da VEd	Rid. Mx,Rd da NEd	px	py	Verifica
0.6	SLD 6	0.059	1	55.941	1003.522	1	0.0814	23.5037	1		0	0	Si

Verifica a presso/tenso flessione retta Y §§ 4.2.4.1.2.3 - 4.2.4.1.2.6 - 4.2.4.1.2.7 - 4.2.4.1.2.8 NTC18

Verifiche eseguite utilizzando la formula conservativa (6.2) §6.2.1 EN 1993-1-1:2005.

X	Comb.	Sfruttamento	Classe	NEd	NRd	Rid. NRd da VEd	My,Ed	My,Rd	Rid. My,Rd da VEd	Rid. My,Rd da NEd	px	py	Verifica
1.5	SLV 1	0.075	1	72.332	1003.522	1	-0.0828	33.3316	1		0	0	Si

Verifica a presso/tenso flessione retta Y SLD §§ 4.2.4.1.2.3 - 4.2.4.1.2.6 - 4.2.4.1.2.7 - 4.2.4.1.2.8 NTC18

Verifiche eseguite utilizzando la formula conservativa (6.2) §6.2.1 EN 1993-1-1:2005.

X	Comb.	Sfruttamento	Classe	NEd	NRd	Rid. NRd da VEd	My,Ed	My,Rd	Rid. My,Rd da VEd	Rid. My,Rd da NEd	px	py	Verifica
1.5	SLD 1	0.057	1	56.001	1003.522	1	-0.0333	33.3316	1		0	0	Si

Verifica a presso/tenso flessione deviata §§ 4.2.4.1.2.3 - 4.2.4.1.2.6 - 4.2.4.1.2.7 - 4.2.4.1.2.8 NTC18

Verifiche eseguite utilizzando la formula conservativa (6.2) §6.2.1 EN 1993-1-1:2005.

X	Comb.	Sfruttamento	Classe	NEd	NRd	Rid. NRd da VEd	Mx,Ed	Mx,Rd	My,Ed	My,Rd	Rid. Mx,Rd da VEd	Rid. Mx,Rd da NEd	Rid. My,Rd da VEd	Rid. My,Rd da NEd	α	β	px	py	Verifica
0.9	SLV 1	0.077	1	72.332	1003.522	1	0.0817	23.5037	-0.0467	33.3316	1		1				0	0	Si

Verifica a presso/tenso flessione deviata SLD §§ 4.2.4.1.2.3 - 4.2.4.1.2.6 - 4.2.4.1.2.7 - 4.2.4.1.2.8 NTC18

Verifiche eseguite utilizzando la formula conservativa (6.2) §6.2.1 EN 1993-1-1:2005.

X	Comb.	Sfruttamento	Classe	NEd	NRd	Rid. NRd da VEd	Mx,Ed	Mx,Rd	My,Ed	My,Rd	Rid. Mx,Rd da VEd	Rid. Mx,Rd da NEd	Rid. My,Rd da VEd	Rid. My,Rd da NEd	α	β	px	py	Verifica
0.8	SLD 2	0.06	1	56.001	1003.522	1	0.0845	23.5037	-0.0162	33.3316	1		1				0	0	Si

Verifiche ad instabilità

Caratteristiche iniziali

Membratura principale per controllo snellezza; Calcolo di snellezze ed N critici condotti secondo gli assi principali;

Curva X: c; Curva Y: c;

Svergolamento: Nessuno; la verifica a instabilità flesso-torsionale (svergolamento) non verrà eseguita.

Dati per instabilità attorno a x

Controllo della snellezza secondo §4.2.4.1.3.1 NTC18

Numero rit.	Presente	Ascissa	Campata	βx/m	Vincolo a entrambi estremi	λx/m	λVer
1	Si	0	1-2	1	Si	49.4	Si, (<200)
2	Si	1.5					

Dati per instabilità attorno a y

Controllo della snellezza secondo §4.2.4.1.3.1 NTC18

Numero rit.	Presente	Ascissa	Campata	βy/n	k,LT	kw,LT	Vincolo a entrambi estremi
1	Si	0	1-2	1	Si	34.8	Si, (<200)
2	Si	1.5					

Verifica di stabilità per pressoflessione §C.4.2.4.1.3.3.1 NTC18

X	Comb.	Sfruttamento	Classe	NEd	Mx,Eq,Ed	My,Eq,Ed	Area	Wx	Wy	χ,min	λ adim. x/m	λ adim. y/n	N,crit x/m	N,crit y/n	Verifica
0	SLU 2	0.034	3	-20.422	0.0721	-0.0619	0.003832	0.0000492	0.0000739	0.804	0.569	0.4	3253.47	6569.993	Si

Verifiche a deformabilità

Mensola X: No; Mensola Y: No.

Frecce lungo X

Ascissa freccia	Combinazione	Freccia	Luce	L/f	L/f,min	Tipo	Verifica
0.6	SLE RA 1	0	1.5	10000	250	Totale	Si
0.65	SLE RA 17	0	1.5	10000	250	Totale	Si
0.65	SLE RA 16	0	1.5	10000	250	Totale	Si
0.5	SLE RA 15	0	1.5	10000	250	Totale	Si
0.7	SLE RA 14	0	1.5	10000	250	Totale	Si
0.7	SLE RA 2	0	1.5	10000	350	Variabile	Si
0.7	SLE RA 17	0	1.5	10000	350	Variabile	Si
0.7	SLE RA 16	0	1.5	10000	350	Variabile	Si
0.35	SLE RA 15	0	1.5	10000	350	Variabile	Si
0.8	SLE RA 14	0	1.5	10000	350	Variabile	Si

Frecce lungo Y

Ascissa freccia	Combinazione	Freccia	Luce	L/f	L/f,min	Tipo	Verifica
0.75	SLE RA 1	0.00003	1.5	10000	250	Totale	Si
0.75	SLE RA 17	0.00003	1.5	10000	250	Totale	Si
0.75	SLE RA 16	0.00003	1.5	10000	250	Totale	Si

Implementazione dei sistemi di confinamento delle emissioni odorigene diffuse dell'impianto di compostaggio esistente nel
Comune di Eboli (SA)
PROGETTO DEFINITIVO – Tabulati di calcolo Tomo 1

Ascissa freccia	Combinazione	Freccia	Luce	L/f	L/f,min	Tipo	Verifica
0.75	SLE RA 15	0.00003	1.5	10000	250	Totale	Si
0.75	SLE RA 14	0.00003	1.5	10000	250	Totale	Si
0.8	SLE RA 2	0	1.5	10000	350	Variabile	Si
0.8	SLE RA 17	0	1.5	10000	350	Variabile	Si
0.8	SLE RA 16	0	1.5	10000	350	Variabile	Si
0.8	SLE RA 15	0	1.5	10000	350	Variabile	Si
0.8	SLE RA 14	0	1.5	10000	350	Variabile	Si

Superelemento in acciaio a quota "640" (-1161; -948)-(-1052; -1050)

Caratteristiche del materiale

Acciaio: S275, fyk = 275000

Caratteristiche geometriche

Lunghezza: 1.49

Nodo iniziale: 523 Nodo finale: 518

Cerniera iniziale: Mmomenti 1% Cerniera finale: Mmomenti 1%

Sovraresistenza: 0% Sisma Z: No

Caratteristiche della sezione

Sezione	Rotazione	Area	Jx	Jy	ix	iy	Wx	Wy	Wplx	Wply
A1; L100*10; 1; Saldato; S275; 30; 1; 8; 8; 1	180	0.003832	0.0000035319	0.000007759	0.0304	0.045	0.0000492	0.0000739	0.00008974	0.00012727

Comportamento dei calastrelli

Accoppiamento imbottito con funzione statica (§C4.2.4.1.3.1.4 NTC18) nella campata compresa tra le ascisse 0 e 1.49 per sbandamento attorno all'asse y.

Verifiche di resistenza

Verifiche a forza assiale §4.2.4.1.2.1 - §4.2.4.1.2.2 NTC18

X	Comb.	Sfruttamento	Classe	NEd	Nc,Rd	Nt,Rd	Riduzione da taglio	px	py	Verifica
1.44	SLV 14	0.008	1	-8.474	1003.522		1	0	0	Si

Verifiche a forza assiale SLD §4.2.4.1.2.1 - §4.2.4.1.2.2 NTC18

X	Comb.	Sfruttamento	Classe	NEd	Nc,Rd	Nt,Rd	Riduzione da taglio	px	py	Verifica
0	SLD 14	0.003	3	-2.84	1003.522		1	0	0	Si

Verifica a taglio Y §4.2.4.1.2.4 NTC18

X	Comb.	Sfruttamento	VEd	Vc,Rd	Av	Interazione taglio-torsione	Riduzione torsione	Verifica
1.49	SLV 13	0.001	0.446	302.422	0.002	Non considerata		Si

Verifica a taglio Y SLD §4.2.4.1.2.4 NTC18

X	Comb.	Sfruttamento	VEd	Vc,Rd	Av	Interazione taglio-torsione	Riduzione torsione	Verifica
1.49	SLD 14	0.001	0.31	302.422	0.002	Non considerata		Si

Verifica a flessione semplice X §§ 4.2.4.1.2.3 - 4.2.4.1.2.6 - 4.2.4.1.2.7 - 4.2.4.1.2.8 NTC18

X	Comb.	Sfruttamento	Classe	Mx,Ed	Mx,Rd	Rid. Mx,Rd da VEd	px	py	Verifica
0.745	SLU 40	0.005	1	0.10874	23.50374	1	0	0	Si

Verifica a flessione semplice Y §§ 4.2.4.1.2.3 - 4.2.4.1.2.6 - 4.2.4.1.2.7 - 4.2.4.1.2.8 NTC18

X	Comb.	Sfruttamento	Classe	My,Ed	My,Rd	Rid. My,Rd da VEd	px	py	Verifica
1.291	SLU 63	0	1	-0.01485	33.33162	1	0	0	Si

Verifica a flessione deviata §§ 4.2.4.1.2.3 - 4.2.4.1.2.6 - 4.2.4.1.2.7 - 4.2.4.1.2.8 NTC18

X	Comb.	Sfruttamento	Classe	Mx,Ed	Mx,Rd	My,Ed	My,Rd	Rid. Mx,Rd da VEd	Rid. My,Rd da VEd	α	β	px	py	Verifica
1.49	SLU 75	0.004	1	-0.0769	23.5037	-0.019	33.3316	1	1			0	0	Si

Verifica a presso/tenso flessione retta X §§ 4.2.4.1.2.3 - 4.2.4.1.2.6 - 4.2.4.1.2.7 - 4.2.4.1.2.8 NTC18

Verifiche eseguite utilizzando la formula conservativa (6.2) §6.2.1 EN 1993-1-1:2005.

X	Comb.	Sfruttamento	Classe	NEd	NRd	Rid. NRd da VEd	Mx,Ed	Mx,Rd	Rid. Mx,Rd da VEd	Rid. Mx,Rd da NEd	px	py	Verifica
0.397	SLV 4	0.014	1	8.218	1003.522	1	0.1361	23.5037	1		0	0	Si

Verifica a presso/tenso flessione retta X SLD §§ 4.2.4.1.2.3 - 4.2.4.1.2.6 - 4.2.4.1.2.7 - 4.2.4.1.2.8 NTC18

Verifiche eseguite utilizzando la formula conservativa (6.2) §6.2.1 EN 1993-1-1:2005.

X	Comb.	Sfruttamento	Classe	NEd	NRd	Rid. NRd da VEd	Mx,Ed	Mx,Rd	Rid. Mx,Rd da VEd	Rid. Mx,Rd da NEd	px	py	Verifica
0.894	SLD 4	0.008	1	2.584	1003.522	1	0.1208	23.5037	1		0	0	Si

Verifica a presso/tenso flessione retta Y §§ 4.2.4.1.2.3 - 4.2.4.1.2.6 - 4.2.4.1.2.7 - 4.2.4.1.2.8 NTC18

Verifiche eseguite utilizzando la formula conservativa (6.2) §6.2.1 EN 1993-1-1:2005.

X	Comb.	Sfruttamento	Classe	NEd	NRd	Rid. NRd da VEd	My,Ed	My,Rd	Rid. My,Rd da VEd	Rid. My,Rd da NEd	px	py	Verifica
0	SLV 10	0.01	3	-8.375	1003.522	1	0.0344	19.3536	1		0	0	Si

Verifica a presso/tenso flessione retta Y SLD §§ 4.2.4.1.2.3 - 4.2.4.1.2.6 - 4.2.4.1.2.7 - 4.2.4.1.2.8 NTC18

Verifiche eseguite utilizzando la formula conservativa (6.2) §6.2.1 EN 1993-1-1:2005.

X	Comb.	Sfruttamento	Classe	NEd	NRd	Rid. NRd da VEd	My,Ed	My,Rd	Rid. My,Rd da VEd	Rid. My,Rd da NEd	px	py	Verifica
0.944	SLD 9	0.004	3	-2.808	1003.522	1	-0.0141	19.3536	1		0	0	Si

Implementazione dei sistemi di confinamento delle emissioni odorigene diffuse dell’impianto di compostaggio esistente nel
Comune di Eboli (SA)
PROGETTO DEFINITIVO – Tabulati di calcolo Tomo 1

Verifica a presso/tenso flessione deviata §§ 4.2.4.1.2.3 - 4.2.4.1.2.6 - 4.2.4.1.2.7 - 4.2.4.1.2.8 NTC18

Verifiche eseguite utilizzando la formula conservativa (6.2) §6.2.1 EN 1993-1-1:2005.

X	Comb.	Sfruttamento	Classe	NEd	NRd	Rid. NRd da VEd	Mx,Ed	Mx,Rd	My,Ed	My,Rd	Rid. Mx,Rd da VEd	Rid. Mx,Rd da NEd	Rid. My,Rd da VEd	Rid. My,Rd da NEd	α	β	px	py	Verifica
1.49	SLV 14	0.024	1	-8.474	1003.522	1	-0.3267	23.5037	0.0461	33.3316	1		1				0	0	Si

Verifica a presso/tenso flessione deviata SLD §§ 4.2.4.1.2.3 - 4.2.4.1.2.6 - 4.2.4.1.2.7 - 4.2.4.1.2.8 NTC18

Verifiche eseguite utilizzando la formula conservativa (6.2) §6.2.1 EN 1993-1-1:2005.

X	Comb.	Sfruttamento	Classe	NEd	NRd	Rid. NRd da VEd	Mx,Ed	Mx,Rd	My,Ed	My,Rd	Rid. Mx,Rd da VEd	Rid. Mx,Rd da NEd	Rid. My,Rd da VEd	Rid. My,Rd da NEd	α	β	px	py	Verifica
1.49	SLD 9	0.009	1	-2.808	1003.522	1	-0.1248	23.5037	-0.0196	33.3316	1		1				0	0	Si

Verifiche ad instabilità

Caratteristiche iniziali

Membratura principale per controllo snellezza; Calcolo di snellezze ed N critici condotti secondo gli assi principali;

Curva X: c; Curva Y: c;

Svergolamento: Nessuno; la verifica a instabilità flesso-torsionale (svergolamento) non verrà eseguita.

Dati per instabilità attorno a x

Controllo della snellezza secondo §4.2.4.1.3.1 NTC18

Numero rit.	Presente	Ascissa	Campata	βx/m	Vincolo a entrambi estremi	λx/m	λVer
1	Si	0					
			1~2	1	Si	49.1	Si, (<200)
2	Si	1.49					

Dati per instabilità attorno a y

Controllo della snellezza secondo §4.2.4.1.3.1 NTC18

Numero rit.	Presente	Ascissa	Campata	βy/n	k,LT	kw,LT	Vincolo a entrambi estremi
1	Si	0					
			1~2	1	Si	34.6	Si, (<200)
2	Si	1.49					

Verifica di stabilità per pressoflessione §C.4.2.4.1.3.3.1 NTC18

X	Comb.	Sfruttamento	Classe	NEd	MxEq,Ed	MyEq,Ed	Area	Wx	Wy	χ,min	λ adim. x/m	λ adim. y/n	N,crit x/m	N,crit y/n	Verifica
0	SLV 14	0.031	3	-8.474	-0.245	0.0346	0.003832	0.0000492	0.0000739	0.806	0.565	0.398	3297.603	6651.826	Si

Verifica di stabilità per pressoflessione SLD §C.4.2.4.1.3.3.1 NTC18

X	Comb.	Sfruttamento	Classe	NEd	MxEq,Ed	MyEq,Ed	Area	Wx	Wy	χ,min	λ adim. x/m	λ adim. y/n	N,crit x/m	N,crit y/n	Verifica
0.646	SLD 9	0.012	3	-2.808	-0.0936	-0.0147	0.003832	0.0000492	0.0000739	0.806	0.565	0.398	3297.603	6651.826	Si

Verifiche a deformabilità

Mensola X: No; Mensola Y: No.

Frecce lungo X

Ascissa freccia	Combinazione	Freccia	Luce	L/f	L/f,min	Tipo	Verifica
1.043	SLE RA 1	0	1.49	10000	250	Totale	Si
1.043	SLE RA 17	0	1.49	10000	250	Totale	Si
1.043	SLE RA 16	0	1.49	10000	250	Totale	Si
0.993	SLE RA 15	0	1.49	10000	250	Totale	Si
1.043	SLE RA 14	0	1.49	10000	250	Totale	Si
1.043	SLE RA 2	0	1.49	10000	350	Variabile	Si
1.043	SLE RA 17	0	1.49	10000	350	Variabile	Si
1.043	SLE RA 16	0	1.49	10000	350	Variabile	Si
1.043	SLE RA 15	0	1.49	10000	350	Variabile	Si
1.043	SLE RA 14	0	1.49	10000	350	Variabile	Si

Frecce lungo Y

Ascissa freccia	Combinazione	Freccia	Luce	L/f	L/f,min	Tipo	Verifica
0.695	SLE RA 1	0.00002	1.49	10000	250	Totale	Si
0.695	SLE RA 17	0.00002	1.49	10000	250	Totale	Si
0.695	SLE RA 16	0.00002	1.49	10000	250	Totale	Si
0.695	SLE RA 15	0.00002	1.49	10000	250	Totale	Si
0.695	SLE RA 14	0.00002	1.49	10000	250	Totale	Si
0.894	SLE RA 2	0	1.49	10000	350	Variabile	Si
0.894	SLE RA 17	0	1.49	10000	350	Variabile	Si
0.894	SLE RA 16	0	1.49	10000	350	Variabile	Si
0.894	SLE RA 15	0	1.49	10000	350	Variabile	Si
0.894	SLE RA 14	0	1.49	10000	350	Variabile	Si

Superelemento in acciaio a quota "640" (-1162; 583)-(-1035; 718)

Caratteristiche del materiale

Acciaio: S275, fyk = 275000

Caratteristiche geometriche

Lunghezza: 1.85

Nodo iniziale: 786 Nodo finale: 815

Cerniera iniziale: No Cerniera finale: No

Sovraresistenza: 0% Sisma Z: No

Caratteristiche della sezione

Sezione	Rotazione	Area	Jx	Jy	ix	iy	Wx	Wy	Wplx	Wply
HEA120	0	0.002537	0.0000060673	0.0000023091	0.0489	0.0302	0.00010644	0.00003849	0.00011962	0.00005887

Implementazione dei sistemi di confinamento delle emissioni odorigene diffuse dell'impianto di compostaggio esistente nel
Comune di Eboli (SA)
PROGETTO DEFINITIVO – Tabulati di calcolo Tomo 1

Verifiche di resistenza

Verifiche a forza assiale §4.2.4.1.2.1 - §4.2.4.1.2.2 NTC18

X	Comb.	Sfruttamento	Classe	NEd	Nc,Rd	Nt,Rd	Riduzione da taglio	px	py	Verifica
0.802	SLV 8	0.089		59.164		664.325	1	0	0	Si

Verifiche a forza assiale SLD §4.2.4.1.2.1 - §4.2.4.1.2.2 NTC18

X	Comb.	Sfruttamento	Classe	NEd	Nc,Rd	Nt,Rd	Riduzione da taglio	px	py	Verifica
1.85	SLD 8	0.034		22.766		664.325	1	0	0	Si

Verifica a taglio X §4.2.4.1.2.4 NTC18

X	Comb.	Sfruttamento	VEd	Vc,Rd	Av	Interazione taglio-torsione	Riduzione torsione	Verifica
1.85	SLU 76	0.001	-0.295	308.172	0.002047	Considerata	1	Si

Verifica a taglio Y §4.2.4.1.2.4 NTC18

X	Comb.	Sfruttamento	VEd	Vc,Rd	Av	Interazione taglio-torsione	Riduzione torsione	Verifica
0	SLV 8	0.006	0.732	126.407	0.000849	Considerata	0.99	Si

Verifica a taglio Y SLD §4.2.4.1.2.4 NTC18

X	Comb.	Sfruttamento	VEd	Vc,Rd	Av	Interazione taglio-torsione	Riduzione torsione	Verifica
0	SLD 7	0.004	0.48	127.57	0.000849	Considerata	0.99	Si

Verifica a torsione §4.2.4.1.2.5 NTC18

X	Comb.	Sfruttamento torsione	TEd	TRd	Riduzione taglio resistente	Sfruttamento taglio-torsione	rEd,totale	rRd	Verifica
1.789	SLV 3	0.037	-0.03168	0.85138	Considerata				Si

Verifica a torsione SLD §4.2.4.1.2.5 NTC18

X	Comb.	Sfruttamento torsione	TEd	TRd	Riduzione taglio resistente	Sfruttamento taglio-torsione	rEd,totale	rRd	Verifica
1.85	SLD 4	0.014	-0.01229	0.85138	Considerata				Si

Verifica a flessione semplice X §§ 4.2.4.1.2.3 - 4.2.4.1.2.6 - 4.2.4.1.2.7 - 4.2.4.1.2.8 NTC18

X	Comb.	Sfruttamento	Classe	Mx,Ed	Mx,Rd	Rid. Mx,Rd da VEd	px	py	Verifica
1.048	SLU 43	0.001	1	-0.03897	31.32907	1	0	0	Si

Verifica a flessione semplice Y §§ 4.2.4.1.2.3 - 4.2.4.1.2.6 - 4.2.4.1.2.7 - 4.2.4.1.2.8 NTC18

X	Comb.	Sfruttamento	Classe	My,Ed	My,Rd	Rid. My,Rd da VEd	px	py	Verifica
0.678	SLU 43	0	1	0.00413	15.41907	1	0	0	Si

Verifica a flessione deviata §§ 4.2.4.1.2.3 - 4.2.4.1.2.6 - 4.2.4.1.2.7 - 4.2.4.1.2.8 NTC18

X	Comb.	Sfruttamento	Classe	Mx,Ed	Mx,Rd	My,Ed	My,Rd	Rid. Mx,Rd da VEd	Rid. My,Rd da VEd	α	β	px	py	Verifica
0	SLU 43	0.007	1	0.1838	31.3291	0.018	15.4191	1	1			0	0	Si

Verifica a presso/tenso flessione retta X §§ 4.2.4.1.2.3 - 4.2.4.1.2.6 - 4.2.4.1.2.7 - 4.2.4.1.2.8 NTC18

Verifiche eseguite utilizzando la formula conservativa (6.2) §6.2.1 EN 1993-1-1:2005.

X	Comb.	Sfruttamento	Classe	NEd	NRd	Rid. NRd da VEd	Mx,Ed	Mx,Rd	Rid. Mx,Rd da VEd	Rid. Mx,Rd da NEd	px	py	Verifica
0.678	SLV 4	0.11	1	58.522	664.325	1	0.692	31.3291	1		0	0	Si

Verifica a presso/tenso flessione retta X SLD §§ 4.2.4.1.2.3 - 4.2.4.1.2.6 - 4.2.4.1.2.7 - 4.2.4.1.2.8 NTC18

Verifiche eseguite utilizzando la formula conservativa (6.2) §6.2.1 EN 1993-1-1:2005.

X	Comb.	Sfruttamento	Classe	NEd	NRd	Rid. NRd da VEd	Mx,Ed	Mx,Rd	Rid. Mx,Rd da VEd	Rid. Mx,Rd da NEd	px	py	Verifica
0.802	SLD 4	0.043	1	22.601	664.325	1	0.2806	31.3291	1		0	0	Si

Verifica a presso/tenso flessione retta Y §§ 4.2.4.1.2.3 - 4.2.4.1.2.6 - 4.2.4.1.2.7 - 4.2.4.1.2.8 NTC18

Verifiche eseguite utilizzando la formula conservativa (6.2) §6.2.1 EN 1993-1-1:2005.

X	Comb.	Sfruttamento	Classe	NEd	NRd	Rid. NRd da VEd	My,Ed	My,Rd	Rid. My,Rd da VEd	Rid. My,Rd da NEd	px	py	Verifica
1.727	SLU 39	0.011	1	3.962	664.325	1	-0.0795	15.4191	1		0	0	Si

Verifica a presso/tenso flessione retta Y SLD §§ 4.2.4.1.2.3 - 4.2.4.1.2.6 - 4.2.4.1.2.7 - 4.2.4.1.2.8 NTC18

Verifiche eseguite utilizzando la formula conservativa (6.2) §6.2.1 EN 1993-1-1:2005.

X	Comb.	Sfruttamento	Classe	NEd	NRd	Rid. NRd da VEd	My,Ed	My,Rd	Rid. My,Rd da VEd	Rid. My,Rd da NEd	px	py	Verifica
0.185	SLD 9	0.026	1	-15.324	664.325	1	0.0491	15.4191	1		0	0	Si

Verifica a presso/tenso flessione deviata §§ 4.2.4.1.2.3 - 4.2.4.1.2.6 - 4.2.4.1.2.7 - 4.2.4.1.2.8 NTC18

Verifiche eseguite utilizzando la formula conservativa (6.2) §6.2.1 EN 1993-1-1:2005.

X	Comb.	Sfruttamento	Classe	NEd	NRd	Rid. NRd da VEd	Mx,Ed	Mx,Rd	My,Ed	My,Rd	Rid. Mx,Rd da VEd	Rid. Mx,Rd da NEd	Rid. My,Rd da VEd	Rid. My,Rd da NEd	α	β	px	py	Verifica
0	SLV 7	0.134	1	59.164	664.325	1	1.1519	31.3291	0.1195	15.4191	1		1				0	0	Si

Verifica a presso/tenso flessione deviata SLD §§ 4.2.4.1.2.3 - 4.2.4.1.2.6 - 4.2.4.1.2.7 - 4.2.4.1.2.8 NTC18

Verifiche eseguite utilizzando la formula conservativa (6.2) §6.2.1 EN 1993-1-1:2005.

X	Comb.	Sfruttamento	Classe	NEd	NRd	Rid. NRd da VEd	Mx,Ed	Mx,Rd	My,Ed	My,Rd	Rid. Mx,Rd da VEd	Rid. Mx,Rd da NEd	Rid. My,Rd da VEd	Rid. My,Rd da NEd	α	β	px	py	Verifica
0	SLD 7	0.06	1	22.766	664.325	1	0.6038	31.3291	0.094	15.4191	1		1				0	0	Si

Verifiche ad instabilità

Caratteristiche iniziali

Membratura principale per controllo snellezza; Calcolo di snellezze ed N critici condotti secondo gli assi principali;

Curva X: b; Curva Y: c; Svergolamento: Carico all'estradosso; Curva svergolamento: b;

Dati per instabilità attorno a x

Controllo della snellezza secondo §4.2.4.1.3.1 NTC18

Implementazione dei sistemi di confinamento delle emissioni odorigene diffuse dell’impianto di compostaggio esistente nel
Comune di Eboli (SA)
PROGETTO DEFINITIVO – Tabulati di calcolo Tomo 1

Numero rit.	Presente	Ascissa	Campata	$\beta x/m$	Vincolo a entrambi estremi	$\lambda x/m$	λVer
1	Si	0					
			1-2	1	Si	37.8	Si, (<200)
2	Si	1.85					

Dati per instabilità attorno a y

Controllo della snellezza secondo §4.2.4.1.3.1 NTC18

Numero rit.	Presente	Ascissa	Campata	$\beta y/n$	$k_y LT$	$k_w LT$	Vincolo a entrambi estremi	$\lambda y/n$	λVer
1	Si	0							
			1-2	1	1	1	Si	61.3	Si, (<200)
2	Si	1.85							

Verifica a svergolamento con trazione §4.2.4.1.3.2 NTC18 § 5.5.3 ENV 1993-1-1:1992 + AC:1992 + A1:1994 + A2:1998

X	Comb.	Sfruttamento	Classe	Obblig.	NEd	Mx,Ed	Mx,Eff,Ed	Mb,Rd,x	$\chi_x LT$	$\lambda adim. LT$	L,LT	M,critico	Verifica
0.863	SLU 37	0.001	1	Si	4.24	0.17075	0.04619	31.00248	0.99	0.427	1.85	180.5919	Si

Verifica di stabilità per tenso-flessione deviata §§ 5.5.3-5.5.4 ENV 1993-1-1:1992 + AC:1992 + A1:1994 + A2:1998

X	Comb.	Sfruttamento	Classe	NEd	Mx,Ed	Mx,Eff,Ed	My,Ed	$\chi_x LT$	kLT	ky	M,critico	Wx	Wy	Verifica
0	SLU 76	0.032	1	18.671	0.99174	0.44327	0.27521	0.988	1	1	178.27459	0.0001196	0.0000589	Si

Verifica di stabilità per tenso-flessione deviata SLD §§ 5.5.3-5.5.4 ENV 1993-1-1:1992 + AC:1992 + A1:1994 + A2:1998

X	Comb.	Sfruttamento	Classe	NEd	Mx,Ed	Mx,Eff,Ed	My,Ed	$\chi_x LT$	kLT	ky	M,critico	Wx	Wy	Verifica
0	SLD 1	0.008	1	13.779	0.46876	0.064	0.08738	0.99	1	1	182.13991	0.0001196	0.0000589	Si

Verifica di stabilità per pressoflessione §C.4.2.4.1.3.3.2 NTC18

X	Comb.	Sfruttamento	Classe	NEd	NRk	Mx,Ed max	Mx,Rk	My,Ed max	My,Rk	$\chi_x x$	$\chi_x y$	kxx	kxy	kyy	$\chi_x LT$	Verifica	
1.727	SLV 9	0.127	1	-51.722	697.541	0.50963	32.89552	0.10476	16.19002	0.912	0.721	0.835	0.261	0.987	0.435	0.982	Si

Verifica di stabilità per pressoflessione SLD §C.4.2.4.1.3.3.2 NTC18

X	Comb.	Sfruttamento	Classe	NEd	NRk	Mx,Ed max	Mx,Rk	My,Ed max	My,Rk	$\chi_x x$	$\chi_x y$	kxx	kxy	kyy	$\chi_x LT$	Verifica	
1.85	SLD 10	0.037	1	-15.324	697.541	0.08167	32.89552	0.09065	16.19002	0.912	0.721	0.964	0.246	0.997	0.41	0.902	Si

Verifica di stabilità a taglio anima Y §4.2.4.1.2.4 [4.2.27] NTC18

η	hw	tw	hw/tw max	Verifica
1.2	0.098	0.005	55.46	Si

Verifica di stabilità a taglio anima Y SLD §4.2.4.1.2.4 [4.2.27] NTC18

η	hw	tw	hw/tw max	Verifica
1.2	0.098	0.005	55.46	Si

Verifiche a deformabilità

Mensola X: No; Mensola Y: No.

Frecce lungo X

Ascissa freccia	Combinazione	Freccia	Luce	L/f	L/f,min	Tipo	Verifica
1.418	SLE RA 1	0.00001	1.85	10000	250	Totale	Si
1.418	SLE RA 17	0.00001	1.85	10000	250	Totale	Si
1.418	SLE RA 16	0.00002	1.85	10000	250	Totale	Si
0.432	SLE RA 15	-0.00002	1.85	10000	250	Totale	Si
1.418	SLE RA 14	0.00002	1.85	10000	250	Totale	Si
1.418	SLE RA 2	-0.00001	1.85	10000	350	Variabile	Si
1.418	SLE RA 17	0	1.85	10000	350	Variabile	Si
1.418	SLE RA 16	0.00001	1.85	10000	350	Variabile	Si
0.432	SLE RA 15	-0.00001	1.85	10000	350	Variabile	Si
1.295	SLE RA 14	0.00001	1.85	10000	350	Variabile	Si

Frecce lungo Y

Ascissa freccia	Combinazione	Freccia	Luce	L/f	L/f,min	Tipo	Verifica
0.678	SLE RA 1	0.00003	1.85	10000	250	Totale	Si
0.74	SLE RA 17	0.00005	1.85	10000	250	Totale	Si
0.74	SLE RA 16	0.00007	1.85	10000	250	Totale	Si
0.74	SLE RA 15	0.00009	1.85	10000	250	Totale	Si
0.678	SLE RA 14	0.00003	1.85	10000	250	Totale	Si
0.802	SLE RA 2	-0.00004	1.85	10000	350	Variabile	Si
0.802	SLE RA 17	0.00002	1.85	10000	350	Variabile	Si
0.802	SLE RA 16	0.00004	1.85	10000	350	Variabile	Si
0.802	SLE RA 15	0.00006	1.85	10000	350	Variabile	Si
0.802	SLE RA 14	0	1.85	10000	350	Variabile	Si

Superelemento in acciaio a quota "640" (-1162; 584)-(-1053; 481)

Caratteristiche del materiale

Acciaio: S275, fyk = 275000

Caratteristiche geometriche

Lunghezza: 1.503

Nodo iniziale: 787 Nodo finale: 767

Cerniera iniziale: Mmomenti 1% Cerniera finale: Mmomenti 1%

Sovreresistenza: 0% Sisma Z: No

Caratteristiche della sezione

Sezione	Rotazione	Area	Jx	Jy	ix	iy	Wx	Wy	Wplx	Wply
A1; L100*10; 1; Saldato; S275; 30; 1; 8; 8; 1	180	0.003832	0.0000035319	0.000007759	0.0304	0.045	0.0000492	0.0000739	0.00008974	0.00012727

Comportamento dei calastrelli

Accoppiamento imbottito con funzione statica (§C4.2.4.1.3.1.4 NTC18) nella campata compresa tra le ascisse 0 e 1.503 per sbandamento attorno

Implementazione dei sistemi di confinamento delle emissioni odorigene diffuse dell'impianto di compostaggio esistente nel
Comune di Eboli (SA)
PROGETTO DEFINITIVO – Tabulati di calcolo Tomo 1

all'asse y.

Verifiche di resistenza

Verifiche a forza assiale §4.2.4.1.2.1 - §4.2.4.1.2.2 NTC18

X	Comb.	Sfruttamento	Classe	NEd	Nc,Rd	Nt,Rd	Riduzione da taglio	px	py	Verifica
1.503	SLV 8	0.001	1	-0.549	1003.522		1	0	0	Si

Verifica a taglio Y §4.2.4.1.2.4 NTC18

X	Comb.	Sfruttamento	VEd	Vc,Rd	Av	Interazione taglio-torsione	Riduzione torsione	Verifica
0	SLU 76	0.001	-0.338	302.422	0.002	Non considerata		Si

Verifica a taglio Y SLD §4.2.4.1.2.4 NTC18

X	Comb.	Sfruttamento	VEd	Vc,Rd	Av	Interazione taglio-torsione	Riduzione torsione	Verifica
0	SLD 4	0.001	-0.249	302.422	0.002	Non considerata		Si

Verifica a flessione semplice X §§ 4.2.4.1.2.3 - 4.2.4.1.2.6 - 4.2.4.1.2.7 - 4.2.4.1.2.8 NTC18

X	Comb.	Sfruttamento	Classe	Mx,Ed	Mx,Rd	Rid. Mx,Rd da VEd	px	py	Verifica
0.752	SLU 40	0.005	1	0.11139	23.50374	1	0	0	Si

Verifica a flessione semplice X SLD §§ 4.2.4.1.2.3 - 4.2.4.1.2.6 - 4.2.4.1.2.7 - 4.2.4.1.2.8 NTC18

X	Comb.	Sfruttamento	Classe	Mx,Ed	Mx,Rd	Rid. Mx,Rd da VEd	px	py	Verifica
0.752	SLD 14	0.003	1	0.0808	23.50374	1	0	0	Si

Verifica a flessione semplice Y §§ 4.2.4.1.2.3 - 4.2.4.1.2.6 - 4.2.4.1.2.7 - 4.2.4.1.2.8 NTC18

X	Comb.	Sfruttamento	Classe	My,Ed	My,Rd	Rid. My,Rd da VEd	px	py	Verifica
0	SLV 15	0.002	1	0.05231	33.33162	1	0	0	Si

Verifica a flessione semplice Y SLD §§ 4.2.4.1.2.3 - 4.2.4.1.2.6 - 4.2.4.1.2.7 - 4.2.4.1.2.8 NTC18

X	Comb.	Sfruttamento	Classe	My,Ed	My,Rd	Rid. My,Rd da VEd	px	py	Verifica
0.05	SLD 16	0.001	1	0.01894	33.33162	1	0	0	Si

Verifica a flessione deviata §§ 4.2.4.1.2.3 - 4.2.4.1.2.6 - 4.2.4.1.2.7 - 4.2.4.1.2.8 NTC18

X	Comb.	Sfruttamento	Classe	Mx,Ed	Mx,Rd	My,Ed	My,Rd	Rid. Mx,Rd da VEd	Rid. My,Rd da VEd	α	β	px	py	Verifica
0.652	SLV 13	0.004	1	0.0918	23.5037	0.0115	33.3316	1	1			0	0	Si

Verifica a flessione deviata SLD §§ 4.2.4.1.2.3 - 4.2.4.1.2.6 - 4.2.4.1.2.7 - 4.2.4.1.2.8 NTC18

X	Comb.	Sfruttamento	Classe	Mx,Ed	Mx,Rd	My,Ed	My,Rd	Rid. Mx,Rd da VEd	Rid. My,Rd da VEd	α	β	px	py	Verifica
0.702	SLD 16	0.004	1	0.0772	23.5037	0.0076	33.3316	1	1			0	0	Si

Verifica a presso/tenso flessione retta X §§ 4.2.4.1.2.3 - 4.2.4.1.2.6 - 4.2.4.1.2.7 - 4.2.4.1.2.8 NTC18

Verifiche eseguite utilizzando la formula conservativa (6.2) §6.2.1 EN 1993-1-1:2005.

X	Comb.	Sfruttamento	Classe	NEd	NRd	Rid. NRd da VEd	Mx,Ed	Mx,Rd	Rid. Mx,Rd da VEd	Rid. Mx,Rd da NEd	px	py	Verifica
0.852	SLU 76	0.004	1	-0.411	1003.522	1	0.0818	23.5037	1		0	0	Si

Verifica a presso/tenso flessione retta Y §§ 4.2.4.1.2.3 - 4.2.4.1.2.6 - 4.2.4.1.2.7 - 4.2.4.1.2.8 NTC18

Verifiche eseguite utilizzando la formula conservativa (6.2) §6.2.1 EN 1993-1-1:2005.

X	Comb.	Sfruttamento	Classe	NEd	NRd	Rid. NRd da VEd	My,Ed	My,Rd	Rid. My,Rd da VEd	Rid. My,Rd da NEd	px	py	Verifica
1.503	SLV 3	0.001	1	-0.548	1003.522	1	-0.0275	33.3316	1		0	0	Si

Verifica a presso/tenso flessione deviata §§ 4.2.4.1.2.3 - 4.2.4.1.2.6 - 4.2.4.1.2.7 - 4.2.4.1.2.8 NTC18

Verifiche eseguite utilizzando la formula conservativa (6.2) §6.2.1 EN 1993-1-1:2005.

X	Comb.	Sfruttamento	Classe	NEd	NRd	Rid. NRd da VEd	Mx,Ed	Mx,Rd	My,Ed	My,Rd	Rid. Mx,Rd da VEd	Rid. Mx,Rd da NEd	Rid. My,Rd da VEd	Rid. My,Rd da NEd	α	β	px	py	Verifica
0	SLV 3	0.004	1	-0.548	1003.522	1	-0.0565	23.5037	-0.0295	33.3316	1		1				0	0	Si

Verifiche ad instabilità

Caratteristiche iniziali

Membratura principale per controllo snellezza; Calcolo di snellezze ed N critici condotti secondo gli assi principali;

Curva X: c; Curva Y: c;

Svergolamento: Nessuno; la verifica a instabilità flesso-torsionale (svergolamento) non verrà eseguita.

Dati per instabilità attorno a x

Controllo della snellezza secondo §4.2.4.1.3.1 NTC18

Numero rit.	Presente	Ascissa	Campata	βx/m	Vincolo a entrambi estremi	λx/m	λVer
1	Si	0					
			1-2		1	49.5	Si, (<200)
2	Si	1.503					

Dati per instabilità attorno a y

Controllo della snellezza secondo §4.2.4.1.3.1 NTC18

Numero rit.	Presente	Ascissa	Campata	βy/n	k,LT	kw,LT	Vincolo a entrambi estremi
1	Si	0					
			1-2		1	34.8	Si, (<200)
2	Si	1.503					

Verifica di stabilità per pressoflessione §C.4.2.4.1.3.3.1 NTC18

X	Comb.	Sfruttamento	Classe	NEd	MxEq,Ed	MyEq,Ed	Area	Wx	Wy	χ,min	λ adim. x/m	λ adim. y/n	N,crit x/m	N,crit y/n	Verifica
0.2	SLU 76	0.005	3	-0.411	0.0613	0.0037	0.003832	0.0000492	0.0000739	0.803	0.57	0.401	3238.441	6542.085	Si

Verifica di stabilità per pressoflessione SLD §C.4.2.4.1.3.3.1 NTC18

X	Comb.	Sfruttamento	Classe	NEd	MxEq,Ed	MyEq,Ed	Area	Wx	Wy	χ,min	λ adim. x/m	λ adim. y/n	N,crit x/m	N,crit y/n	Verifica
---	-------	--------------	--------	-----	---------	---------	------	----	----	-------	-------------	-------------	------------	------------	----------

Implementazione dei sistemi di confinamento delle emissioni odorigene diffuse dell'impianto di compostaggio esistente nel
Comune di Eboli (SA)

PROGETTO DEFINITIVO – Tabulati di calcolo Tomo 1

X	Comb.	Sfruttamento	Classe	NEd	MxEq,Ed	MyEq,Ed	Area	Wx	Wy	x,min	λ adim. x/m	λ adim. y/n	N,crit x/m	N,crit y/n	Verifica
1.503	SLD 16	0.003	1	0	0.0646	0.0149	0.003832	0.0000897	0.0001273	0.803	0.57	0.401	3238.441	6542.085	Si

Verifiche a deformabilità

Mensola X: No; Mensola Y: No.

Frecce lungo X

Ascissa freccia	Combinazione	Freccia	Luce	L/f	L/f,min	Tipo	Verifica
0.802	SLE RA 1	0	1.503	10000	250	Totale	Si
0.902	SLE RA 17	0	1.503	10000	250	Totale	Si
0.952	SLE RA 16	0	1.503	10000	250	Totale	Si
0.902	SLE RA 15	0	1.503	10000	250	Totale	Si
0.902	SLE RA 14	0	1.503	10000	250	Totale	Si
1.052	SLE RA 2	0	1.503	10000	350	Variabile	Si
1.052	SLE RA 17	0	1.503	10000	350	Variabile	Si
1.052	SLE RA 16	0	1.503	10000	350	Variabile	Si
1.002	SLE RA 15	0	1.503	10000	350	Variabile	Si
1.103	SLE RA 14	0	1.503	10000	350	Variabile	Si

Frecce lungo Y

Ascissa freccia	Combinazione	Freccia	Luce	L/f	L/f,min	Tipo	Verifica
0.752	SLE RA 1	0.00002	1.503	10000	250	Totale	Si
0.802	SLE RA 17	0.00002	1.503	10000	250	Totale	Si
0.802	SLE RA 16	0.00002	1.503	10000	250	Totale	Si
0.802	SLE RA 15	0.00002	1.503	10000	250	Totale	Si
0.802	SLE RA 14	0.00002	1.503	10000	250	Totale	Si
0.652	SLE RA 2	0	1.503	10000	350	Variabile	Si
0.652	SLE RA 17	0	1.503	10000	350	Variabile	Si
0.652	SLE RA 16	0	1.503	10000	350	Variabile	Si
0.652	SLE RA 15	0	1.503	10000	350	Variabile	Si
0.601	SLE RA 14	0	1.503	10000	350	Variabile	Si

Superelemento in acciaio a quota "640" (-1198; 106)-(-1089; 3)

Caratteristiche del materiale

Acciaio: S275, fyk = 275000

Caratteristiche geometriche

Lunghezza: 1.5

Nodo iniziale: 692 Nodo finale: 668

Cerniera iniziale: Mmomenti 1% Cerniera finale: Mmomenti 1%

Sovreresistenza: 0% Sisma Z: No

Caratteristiche della sezione

Sezione	Rotazione	Area	Jx	Jy	ix	iy	Wx	Wy	Wplx	Wply
A1; L100*10; 1; Saldato; S275; 30; 1; 8; 8; 1	180	0.003832	0.0000035319	0.000007759	0.0304	0.045	0.0000492	0.0000739	0.00008974	0.00012727

Comportamento dei calastrelli

Accoppiamento imbottito con funzione statica (§C4.2.4.1.3.1.4 NTC18) nella campata compresa tra le ascisse 0 e 1.5 per sbandamento attorno all'asse y.

Verifiche di resistenza

Verifiche a forza assiale §4.2.4.1.2.1 - §4.2.4.1.2.2 NTC18

X	Comb.	Sfruttamento	Classe	NEd	Nc,Rd	Nt,Rd	Riduzione da taglio	px	py	Verifica
0	SLU 76	0.049		49.13		1003.522	1	0	0	Si

Verifiche a forza assiale SLD §4.2.4.1.2.1 - §4.2.4.1.2.2 NTC18

X	Comb.	Sfruttamento	Classe	NEd	Nc,Rd	Nt,Rd	Riduzione da taglio	px	py	Verifica
1.5	SLD 11	0.012		12.437		1003.522	1	0	0	Si

Verifica a taglio X §4.2.4.1.2.4 NTC18

X	Comb.	Sfruttamento	VEd	Vc,Rd	Av	Interazione taglio-torsione	Riduzione torsione	Verifica
0	SLV 1	0.001	0.3	302.422	0.002	Non considerata		Si

Verifica a taglio Y §4.2.4.1.2.4 NTC18

X	Comb.	Sfruttamento	VEd	Vc,Rd	Av	Interazione taglio-torsione	Riduzione torsione	Verifica
1.5	SLU 76	0.001	0.294	302.422	0.002	Non considerata		Si

Verifica a taglio Y SLD §4.2.4.1.2.4 NTC18

X	Comb.	Sfruttamento	VEd	Vc,Rd	Av	Interazione taglio-torsione	Riduzione torsione	Verifica
1.5	SLD 12	0.001	0.226	302.422	0.002	Non considerata		Si

Verifica a presso/tenso flessione retta X §§ 4.2.4.1.2.3 - 4.2.4.1.2.6 - 4.2.4.1.2.7 - 4.2.4.1.2.8 NTC18

Verifiche eseguite utilizzando la formula conservativa (6.2) §6.2.1 EN 1993-1-1:2005.

X	Comb.	Sfruttamento	Classe	NEd	NRd	Rid. NRd da VEd	Mx,Ed	Mx,Rd	Rid. Mx,Rd da VEd	Rid. Mx,Rd da NEd	px	py	Verifica
0.75	SLU 76	0.054	1	49.13	1003.522	1	0.1104	23.5037	1		0	0	Si

Verifica a presso/tenso flessione retta X SLD §§ 4.2.4.1.2.3 - 4.2.4.1.2.6 - 4.2.4.1.2.7 - 4.2.4.1.2.8 NTC18

Verifiche eseguite utilizzando la formula conservativa (6.2) §6.2.1 EN 1993-1-1:2005.

X	Comb.	Sfruttamento	Classe	NEd	NRd	Rid. NRd da VEd	Mx,Ed	Mx,Rd	Rid. Mx,Rd da VEd	Rid. Mx,Rd da NEd	px	py	Verifica
---	-------	--------------	--------	-----	-----	-----------------	-------	-------	-------------------	-------------------	----	----	----------

Implementazione dei sistemi di confinamento delle emissioni odorigene diffuse dell'impianto di compostaggio esistente nel
Comune di Eboli (SA)

PROGETTO DEFINITIVO – Tabulati di calcolo Tomo 1

X	Comb.	Sfruttamento	Classe	NEd	NRd	Rid. NRd da VEd	Mx,Ed	Mx,Rd	Rid. Mx,Rd da VEd	Rid. Mx,Rd da NEd	px	py	Verifica
0.75	SLD 11	0.016	1	12.437	1003.522	1	0.0843	23.5037	1		0	0	Si

Verifica a presso/tenso flessione retta Y §§ 4.2.4.1.2.3 - 4.2.4.1.2.6 - 4.2.4.1.2.7 - 4.2.4.1.2.8 NTC18

Verifiche eseguite utilizzando la formula conservativa (6.2) §6.2.1 EN 1993-1-1:2005.

X	Comb.	Sfruttamento	Classe	NEd	NRd	Rid. NRd da VEd	My,Ed	My,Rd	Rid. My,Rd da VEd	Rid. My,Rd da NEd	px	py	Verifica
1.5	SLV 16	0.02	1	13.039	1003.522	1	-0.2295	33.3316	1		0	0	Si

Verifica a presso/tenso flessione retta Y SLD §§ 4.2.4.1.2.3 - 4.2.4.1.2.6 - 4.2.4.1.2.7 - 4.2.4.1.2.8 NTC18

Verifiche eseguite utilizzando la formula conservativa (6.2) §6.2.1 EN 1993-1-1:2005.

X	Comb.	Sfruttamento	Classe	NEd	NRd	Rid. NRd da VEd	My,Ed	My,Rd	Rid. My,Rd da VEd	Rid. My,Rd da NEd	px	py	Verifica
1.5	SLD 16	0.015	1	12.434	1003.522	1	-0.0921	33.3316	1		0	0	Si

Verifica a presso/tenso flessione deviata §§ 4.2.4.1.2.3 - 4.2.4.1.2.6 - 4.2.4.1.2.7 - 4.2.4.1.2.8 NTC18

Verifiche eseguite utilizzando la formula conservativa (6.2) §6.2.1 EN 1993-1-1:2005.

X	Comb.	Sfruttamento	Classe	NEd	NRd	Rid. NRd da VEd	Mx,Ed	Mx,Rd	My,Ed	My,Rd	Rid. Mx,Rd da VEd	Rid. Mx,Rd da NEd	Rid. My,Rd da VEd	Rid. My,Rd da NEd	α	β	px	py	Verifica
1.45	SLV 16	0.02	1	13.039	1003.522	1	0.0106	23.5037	-0.2145	33.3316	1		1				0	0	Si

Verifica a presso/tenso flessione deviata SLD §§ 4.2.4.1.2.3 - 4.2.4.1.2.6 - 4.2.4.1.2.7 - 4.2.4.1.2.8 NTC18

Verifiche eseguite utilizzando la formula conservativa (6.2) §6.2.1 EN 1993-1-1:2005.

X	Comb.	Sfruttamento	Classe	NEd	NRd	Rid. NRd da VEd	Mx,Ed	Mx,Rd	My,Ed	My,Rd	Rid. Mx,Rd da VEd	Rid. Mx,Rd da NEd	Rid. My,Rd da VEd	Rid. My,Rd da NEd	α	β	px	py	Verifica
1.05	SLD 16	0.017	1	12.434	1003.522	1	0.0708	23.5037	-0.0381	33.3316	1		1				0	0	Si

Verifiche ad instabilità

Caratteristiche iniziali

Membratura principale per controllo snellezza; Calcolo di snellezze ed N critici condotti secondo gli assi principali;

Curva X: c; Curva Y: c;

Svergolamento: Nessuno; la verifica a instabilità flesso-torsionale (svergolamento) non verrà eseguita.

Dati per instabilità attorno a x

Controllo della snellezza secondo §4.2.4.1.3.1 NTC18

Numero rit.	Presente	Ascissa	Campata	βx/m	Vincolo a entrambi estremi	λx/m	λVer
1	Si		0				
			1-2		1	49.4	Si, (<200)
2	Si		1.5				

Dati per instabilità attorno a y

Controllo della snellezza secondo §4.2.4.1.3.1 NTC18

Numero rit.	Presente	Ascissa	Campata	βy/n	k,LT	kw,LT	Vincolo a entrambi estremi
1	Si		0				
			1-2		1	34.8	Si, (<200)
2	Si		1.5				

Verifica di stabilità per pressoflessione §C.4.2.4.1.3.3.1 NTC18

X	Comb.	Sfruttamento	Classe	NEd	Mx,Eq,Ed	My,Eq,Ed	Area	Wx	Wy	χ,min	λ adim. x/m	λ adim. y/n	N,crit x/m	N,crit y/n	Verifica
0	SLV 2	0.021	3	-11.005	0.0722	-0.0249	0.003832	0.0000492	0.0000739	0.804	0.569	0.4	3253.47	6569.993	Si

Verifiche a deformabilità

Mensola X: No; Mensola Y: No.

Frecce lungo X

Ascissa freccia	Combinazione	Freccia	Luce	L/f	L/f,min	Tipo	Verifica
1	SLE RA 1	0	1.5	10000	250	Totale	Si
1	SLE RA 17	0	1.5	10000	250	Totale	Si
1	SLE RA 16	0	1.5	10000	250	Totale	Si
1	SLE RA 15	0	1.5	10000	250	Totale	Si
1	SLE RA 14	0	1.5	10000	250	Totale	Si
1	SLE RA 2	0	1.5	10000	350	Variabile	Si
1	SLE RA 17	0	1.5	10000	350	Variabile	Si
1	SLE RA 16	0	1.5	10000	350	Variabile	Si
0.95	SLE RA 15	0	1.5	10000	350	Variabile	Si
1.05	SLE RA 14	0	1.5	10000	350	Variabile	Si

Frecce lungo Y

Ascissa freccia	Combinazione	Freccia	Luce	L/f	L/f,min	Tipo	Verifica
0.75	SLE RA 1	0.00003	1.5	10000	250	Totale	Si
0.75	SLE RA 17	0.00003	1.5	10000	250	Totale	Si
0.75	SLE RA 16	0.00003	1.5	10000	250	Totale	Si
0.75	SLE RA 15	0.00003	1.5	10000	250	Totale	Si
0.75	SLE RA 14	0.00003	1.5	10000	250	Totale	Si
0.65	SLE RA 2	0	1.5	10000	350	Variabile	Si
0.65	SLE RA 17	0	1.5	10000	350	Variabile	Si
0.65	SLE RA 16	0	1.5	10000	350	Variabile	Si
0.65	SLE RA 15	0	1.5	10000	350	Variabile	Si
0.7	SLE RA 14	0	1.5	10000	350	Variabile	Si

Superelemento in acciaio a quota "640" (-1232; -367)-(-1123; -470)

Caratteristiche del materiale

Acciaio: S275, fyk = 275000

Implementazione dei sistemi di confinamento delle emissioni odorigene diffuse dell'impianto di compostaggio esistente nel
Comune di Eboli (SA)
PROGETTO DEFINITIVO – Tabulati di calcolo Tomo 1

Caratteristiche geometriche

Lunghezza: 1.5
Nodo iniziale: 598 Nodo finale: 580
Cerniera iniziale: Mmomenti 1% Cerniera finale: Mmomenti 1%
Sovraresistenza: 0% Sisma Z: No

Caratteristiche della sezione

Sezione	Rotazione	Area	Jx	Jy	ix	iy	Wx	Wy	Wplx	Wply
A1; L100*10; 1; Saldato; S275; 30; 1; 8; 8; 1	180	0.003832	0.0000035319	0.000007759	0.0304	0.045	0.0000492	0.0000739	0.00008974	0.00012727

Comportamento dei calastrelli

Accoppiamento imbottito con funzione statica (§C4.2.4.1.3.1.4 NTC18) nella campata compresa tra le ascisse 0 e 1.5 per sbandamento attorno all'asse y.

Verifiche di resistenza

Verifiche a forza assiale §4.2.4.1.2.1 - §4.2.4.1.2.2 NTC18

X	Comb.	Sfruttamento	Classe	NEd	Nc,Rd	Nt,Rd	Riduzione da taglio	px	py	Verifica
0	SLU 75	0.141		141.232		1003.522	1	0	0	Si

Verifiche a forza assiale SLD §4.2.4.1.2.1 - §4.2.4.1.2.2 NTC18

X	Comb.	Sfruttamento	Classe	NEd	Nc,Rd	Nt,Rd	Riduzione da taglio	px	py	Verifica
0	SLD 1	0.06		60.231		1003.522	1	0	0	Si

Verifica a taglio Y §4.2.4.1.2.4 NTC18

X	Comb.	Sfruttamento	VEd	Vc,Rd	Av	Interazione taglio-torsione	Riduzione torsione	Verifica
0	SLU 75	0.001	-0.296	302.422	0.002	Non considerata		Si

Verifica a taglio Y SLD §4.2.4.1.2.4 NTC18

X	Comb.	Sfruttamento	VEd	Vc,Rd	Av	Interazione taglio-torsione	Riduzione torsione	Verifica
0	SLD 1	0.001	-0.226	302.422	0.002	Non considerata		Si

Verifica a presso/tenso flessione retta X §§ 4.2.4.1.2.3 - 4.2.4.1.2.6 - 4.2.4.1.2.7 - 4.2.4.1.2.8 NTC18

Verifiche eseguite utilizzando la formula conservativa (6.2) §6.2.1 EN 1993-1-1:2005.

X	Comb.	Sfruttamento	Classe	NEd	NRd	Rid. NRd da VEd	Mx,Ed	Mx,Rd	Rid. Mx,Rd da VEd	Rid. Mx,Rd da NEd	px	py	Verifica
0.75	SLU 75	0.145	1	141.232	1003.522	1	0.1106	23.5037	1		0	0	Si

Verifica a presso/tenso flessione retta X SLD §§ 4.2.4.1.2.3 - 4.2.4.1.2.6 - 4.2.4.1.2.7 - 4.2.4.1.2.8 NTC18

Verifiche eseguite utilizzando la formula conservativa (6.2) §6.2.1 EN 1993-1-1:2005.

X	Comb.	Sfruttamento	Classe	NEd	NRd	Rid. NRd da VEd	Mx,Ed	Mx,Rd	Rid. Mx,Rd da VEd	Rid. Mx,Rd da NEd	px	py	Verifica
0.85	SLD 1	0.064	1	60.231	1003.522	1	0.0831	23.5037	1		0	0	Si

Verifica a presso/tenso flessione retta Y §§ 4.2.4.1.2.3 - 4.2.4.1.2.6 - 4.2.4.1.2.7 - 4.2.4.1.2.8 NTC18

Verifiche eseguite utilizzando la formula conservativa (6.2) §6.2.1 EN 1993-1-1:2005.

X	Comb.	Sfruttamento	Classe	NEd	NRd	Rid. NRd da VEd	My,Ed	My,Rd	Rid. My,Rd da VEd	Rid. My,Rd da NEd	px	py	Verifica
0	SLV 1	0.084	1	80.902	1003.522	1	0.1092	33.3316	1		0	0	Si

Verifica a presso/tenso flessione retta Y SLD §§ 4.2.4.1.2.3 - 4.2.4.1.2.6 - 4.2.4.1.2.7 - 4.2.4.1.2.8 NTC18

Verifiche eseguite utilizzando la formula conservativa (6.2) §6.2.1 EN 1993-1-1:2005.

X	Comb.	Sfruttamento	Classe	NEd	NRd	Rid. NRd da VEd	My,Ed	My,Rd	Rid. My,Rd da VEd	Rid. My,Rd da NEd	px	py	Verifica
0	SLD 1	0.061	1	60.231	1003.522	1	0.0434	33.3316	1		0	0	Si

Verifica a presso/tenso flessione deviata §§ 4.2.4.1.2.3 - 4.2.4.1.2.6 - 4.2.4.1.2.7 - 4.2.4.1.2.8 NTC18

Verifiche eseguite utilizzando la formula conservativa (6.2) §6.2.1 EN 1993-1-1:2005.

X	Comb.	Sfruttamento	Classe	NEd	NRd	Rid. NRd da VEd	Mx,Ed	Mx,Rd	My,Ed	My,Rd	Rid. Mx,Rd da VEd	Rid. Mx,Rd da NEd	Rid. My,Rd da VEd	Rid. My,Rd da NEd	α	β	px	py	Verifica
0.5	SLV 2	0.085	1	80.902	1003.522	1	0.0751	23.5037	0.0498	33.3316	1		1				0	0	Si

Verifica a presso/tenso flessione deviata SLD §§ 4.2.4.1.2.3 - 4.2.4.1.2.6 - 4.2.4.1.2.7 - 4.2.4.1.2.8 NTC18

Verifiche eseguite utilizzando la formula conservativa (6.2) §6.2.1 EN 1993-1-1:2005.

X	Comb.	Sfruttamento	Classe	NEd	NRd	Rid. NRd da VEd	Mx,Ed	Mx,Rd	My,Ed	My,Rd	Rid. Mx,Rd da VEd	Rid. Mx,Rd da NEd	Rid. My,Rd da VEd	Rid. My,Rd da NEd	α	β	px	py	Verifica
0.65	SLD 2	0.064	1	60.231	1003.522	1	0.083	23.5037	0.0132	33.3316	1		1				0	0	Si

Verifiche ad instabilità

Caratteristiche iniziali

Membratura principale per controllo snellezza; Calcolo di snellezze ed N critici condotti secondo gli assi principali;

Curva X: c; Curva Y: c;

Svergolamento: Nessuno; la verifica a instabilità flesso-torsionale (svergolamento) non verrà eseguita.

Dati per instabilità attorno a x

Controllo della snellezza secondo §4.2.4.1.3.1 NTC18

Numero rit.	Presente	Ascissa	Campata	βx/m	Vincolo a entrambi estremi	λx/m	λVer
1	Si	0					
			1-2		1	49.4	Si, (<200)
2	Si	1.5					

Dati per instabilità attorno a y

Controllo della snellezza secondo §4.2.4.1.3.1 NTC18

Implementazione dei sistemi di confinamento delle emissioni odorigene diffuse dell’impianto di compostaggio esistente nel
Comune di Eboli (SA)
PROGETTO DEFINITIVO – Tabulati di calcolo Tomo 1

Numero rit.	Presente	Ascissa	Campata	$\beta y/n$	k,LT	kw,LT	Vincolo a entrambi estremi
1	Si	0	1~2	1	Si	34.8	Si, (<200)
2	Si	1.5					

Verifica di stabilità per pressoflessione §C.4.2.4.1.3.3.1 NTC18

X	Comb.	Sfruttamento	Classe	NEd	MxEq,Ed	MyEq,Ed	Area	Wx	Wy	x,min	λ adim. x/m	λ adim. y/n	N,crit x/m	N,crit y/n	Verifica
0	SLU 2	0.033	3	-20.247	0.0721	-0.0461	0.003832	0.0000492	0.0000739	0.804	0.569	0.4	3253.47	6569.993	Si

Verifiche a deformabilità

Mensola X: No; Mensola Y: No.

Frecce lungo X

Ascissa freccia	Combinazione	Freccia	Luce	L/f	L/f,min	Tipo	Verifica
1.05	SLE RA 1	0	1.5	10000	250	Totale	Si
1.05	SLE RA 17	0	1.5	10000	250	Totale	Si
1.05	SLE RA 16	0	1.5	10000	250	Totale	Si
1	SLE RA 15	0	1.5	10000	250	Totale	Si
1.05	SLE RA 14	0	1.5	10000	250	Totale	Si
1.05	SLE RA 2	0	1.5	10000	350	Variabile	Si
1.05	SLE RA 17	0	1.5	10000	350	Variabile	Si
1.05	SLE RA 16	0	1.5	10000	350	Variabile	Si
0.95	SLE RA 15	0	1.5	10000	350	Variabile	Si
1.1	SLE RA 14	0	1.5	10000	350	Variabile	Si

Frecce lungo Y

Ascissa freccia	Combinazione	Freccia	Luce	L/f	L/f,min	Tipo	Verifica
0.75	SLE RA 1	0.00003	1.5	10000	250	Totale	Si
0.75	SLE RA 17	0.00003	1.5	10000	250	Totale	Si
0.75	SLE RA 16	0.00003	1.5	10000	250	Totale	Si
0.75	SLE RA 15	0.00003	1.5	10000	250	Totale	Si
0.75	SLE RA 14	0.00003	1.5	10000	250	Totale	Si
0.9	SLE RA 2	0	1.5	10000	350	Variabile	Si
0.9	SLE RA 17	0	1.5	10000	350	Variabile	Si
0.9	SLE RA 16	0	1.5	10000	350	Variabile	Si
0.85	SLE RA 15	0	1.5	10000	350	Variabile	Si
0.9	SLE RA 14	0	1.5	10000	350	Variabile	Si

Superelemento in acciaio a quota "640" (-1270; -845)-(-1161; -948)

Caratteristiche del materiale

Acciaio: S275, fyk = 275000

Caratteristiche geometriche

Lunghezza: 1.5

Nodo iniziale: 532 Nodo finale: 524

Cerniera iniziale: Mmomenti 1% Cerniera finale: Mmomenti 1%

Sovreresistenza: 0% Sisma Z: No

Caratteristiche della sezione

Sezione	Rotazione	Area	Jx	Jy	ix	iy	Wx	Wy	Wplx	Wply
A1; L100*10; 1; Saldato; S275; 30; 1; 8; 8; 1	180	0.003832	0.0000035319	0.000007759	0.0304	0.045	0.0000492	0.0000739	0.00008974	0.00012727

Comportamento dei calastrelli

Accoppiamento imbottito con funzione statica (§C4.2.4.1.3.1.4 NTC18) nella campata compresa tra le ascisse 0 e 1.5 per sbandamento attorno all'asse y.

Verifiche di resistenza

Verifiche a forza assiale §4.2.4.1.2.1 - §4.2.4.1.2.2 NTC18

X	Comb.	Sfruttamento	Classe	NEd	Nc,Rd	Nt,Rd	Riduzione da taglio	px	py	Verifica
0.9	SLU 75	0.093		93.107		1003.522	1	0	0	Si

Verifiche a forza assiale SLD §4.2.4.1.2.1 - §4.2.4.1.2.2 NTC18

X	Comb.	Sfruttamento	Classe	NEd	Nc,Rd	Nt,Rd	Riduzione da taglio	px	py	Verifica
1.5	SLD 4	0.037		37.48		1003.522	1	0	0	Si

Verifica a taglio Y §4.2.4.1.2.4 NTC18

X	Comb.	Sfruttamento	VEd	Vc,Rd	Av	Interazione taglio-torsione	Riduzione torsione	Verifica
0	SLU 75	0.001	-0.294	302.422	0.002	Non considerata		Si

Verifica a taglio Y SLD §4.2.4.1.2.4 NTC18

X	Comb.	Sfruttamento	VEd	Vc,Rd	Av	Interazione taglio-torsione	Riduzione torsione	Verifica
0	SLD 14	0.001	-0.226	302.422	0.002	Non considerata		Si

Verifica a presso/tenso flessione retta X §§ 4.2.4.1.2.3 - 4.2.4.1.2.6 - 4.2.4.1.2.7 - 4.2.4.1.2.8 NTC18

Verifiche eseguite utilizzando la formula conservativa (6.2) §6.2.1 EN 1993-1-1:2005.

X	Comb.	Sfruttamento	Classe	NEd	NRd	Rid. NRd da VEd	Mx,Ed	Mx,Rd	Rid. Mx,Rd da VEd	Rid. Mx,Rd da NEd	px	py	Verifica
0.75	SLU 75	0.098	1	93.107	1003.522	1	0.1117	23.5037	1		0	0	Si

Verifica a presso/tenso flessione retta X SLD §§ 4.2.4.1.2.3 - 4.2.4.1.2.6 - 4.2.4.1.2.7 - 4.2.4.1.2.8 NTC18

Verifiche eseguite utilizzando la formula conservativa (6.2) §6.2.1 EN 1993-1-1:2005.

Implementazione dei sistemi di confinamento delle emissioni odorigene diffuse dell'impianto di compostaggio esistente nel
Comune di Eboli (SA)

PROGETTO DEFINITIVO – Tabulati di calcolo Tomo 1

X	Comb.	Sfruttamento	Classe	NEd	NRd	Rid. NRd da VEd	Mx,Ed	Mx,Rd	Rid. Mx,Rd da VEd	Rid. Mx,Rd da NEd	px	py	Verifica
0.75	SLD 3	0.041	1	37.48	1003.522	1	0.0849	23.5037	1		0	0	Si

Verifica a presso/tenso flessione retta Y §§ 4.2.4.1.2.3 - 4.2.4.1.2.6 - 4.2.4.1.2.7 - 4.2.4.1.2.8 NTC18

Verifiche eseguite utilizzando la formula conservativa (6.2) §6.2.1 EN 1993-1-1:2005.

X	Comb.	Sfruttamento	Classe	NEd	NRd	Rid. NRd da VEd	My,Ed	My,Rd	Rid. My,Rd da VEd	Rid. My,Rd da NEd	px	py	Verifica
0	SLV 3	0.045	1	44.797	1003.522	1	0.021	33.3316	1		0	0	Si

Verifica a presso/tenso flessione retta Y SLD §§ 4.2.4.1.2.3 - 4.2.4.1.2.6 - 4.2.4.1.2.7 - 4.2.4.1.2.8 NTC18

Verifiche eseguite utilizzando la formula conservativa (6.2) §6.2.1 EN 1993-1-1:2005.

X	Comb.	Sfruttamento	Classe	NEd	NRd	Rid. NRd da VEd	My,Ed	My,Rd	Rid. My,Rd da VEd	Rid. My,Rd da NEd	px	py	Verifica
0	SLD 7	0.038	1	37.438	1003.522	1	-0.0096	33.3316	1		0	0	Si

Verifica a presso/tenso flessione deviata §§ 4.2.4.1.2.3 - 4.2.4.1.2.6 - 4.2.4.1.2.7 - 4.2.4.1.2.8 NTC18

Verifiche eseguite utilizzando la formula conservativa (6.2) §6.2.1 EN 1993-1-1:2005.

X	Comb.	Sfruttamento	Classe	NEd	NRd	Rid. NRd da VEd	Mx,Ed	Mx,Rd	My,Ed	My,Rd	Rid. Mx,Rd da VEd	Rid. Mx,Rd da NEd	Rid. My,Rd da VEd	Rid. My,Rd da NEd	α	β	px	py	Verifica
0.7	SLV 3	0.049	1	44.797	1003.522	1	0.0844	23.5037	0.0101	33.3316	1			1			0	0	Si

Verifica a presso/tenso flessione deviata SLD §§ 4.2.4.1.2.3 - 4.2.4.1.2.6 - 4.2.4.1.2.7 - 4.2.4.1.2.8 NTC18

Verifiche eseguite utilizzando la formula conservativa (6.2) §6.2.1 EN 1993-1-1:2005.

X	Comb.	Sfruttamento	Classe	NEd	NRd	Rid. NRd da VEd	Mx,Ed	Mx,Rd	My,Ed	My,Rd	Rid. Mx,Rd da VEd	Rid. Mx,Rd da NEd	Rid. My,Rd da VEd	Rid. My,Rd da NEd	α	β	px	py	Verifica
0.25	SLD 7	0.04	1	37.438	1003.522	1	0.0473	23.5037	-0.0076	33.3316	1			1			0	0	Si

Verifiche ad instabilità

Caratteristiche iniziali

Membratura principale per controllo snellezza; Calcolo di snellezze ed N critici condotti secondo gli assi principali;

Curva X: c; Curva Y: c;

Svergolamento: Nessuno; la verifica a instabilità flesso-torsionale (svergolamento) non verrà eseguita.

Dati per instabilità attorno a x

Controllo della snellezza secondo §4.2.4.1.3.1 NTC18

Numero rit.	Presente	Ascissa	Campata	βx/m	Vincolo a entrambi estremi	λx/m	λVer
1	Si		0				
			1-2		1	Si	49.4
2	Si		1.5				Si, (<200)

Dati per instabilità attorno a y

Controllo della snellezza secondo §4.2.4.1.3.1 NTC18

Numero rit.	Presente	Ascissa	Campata	βy/n	k,LT	kw,LT	Vincolo a entrambi estremi
1	Si		0				
			1-2		1	Si	34.8
2	Si		1.5				Si, (<200)

Verifica di stabilità per pressoflessione §C.4.2.4.1.3.3.1 NTC18

X	Comb.	Sfruttamento	Classe	NEd	MxEq,Ed	MyEq,Ed	Area	Wx	Wy	χ,min	λ adim. x/m	λ adim. y/n	N,crit x/m	N,crit y/n	Verifica
0	SLV 2	0.016	3	-7.296	0.0723	-0.0224	0.003832	0.0000492	0.0000739	0.804	0.569	0.4	3253.47	6569.993	Si

Verifiche a deformabilità

Mensola X: No; Mensola Y: No.

Frecce lungo X

Ascissa freccia	Combinazione	Freccia	Luce	L/f	L/f,min	Tipo	Verifica
0.45	SLE RA 1	0	1.5	10000	250	Totale	Si
0.35	SLE RA 17	0	1.5	10000	250	Totale	Si
1.15	SLE RA 16	0	1.5	10000	250	Totale	Si
0.6	SLE RA 15	0	1.5	10000	250	Totale	Si
0.95	SLE RA 14	0	1.5	10000	250	Totale	Si
1.05	SLE RA 2	0	1.5	10000	350	Variabile	Si
1.05	SLE RA 17	0	1.5	10000	350	Variabile	Si
1.05	SLE RA 16	0	1.5	10000	350	Variabile	Si
0.7	SLE RA 15	0	1.5	10000	350	Variabile	Si
0.85	SLE RA 14	0	1.5	10000	350	Variabile	Si

Frecce lungo Y

Ascissa freccia	Combinazione	Freccia	Luce	L/f	L/f,min	Tipo	Verifica
0.75	SLE RA 1	0.00003	1.5	10000	250	Totale	Si
0.75	SLE RA 17	0.00003	1.5	10000	250	Totale	Si
0.75	SLE RA 16	0.00003	1.5	10000	250	Totale	Si
0.75	SLE RA 15	0.00003	1.5	10000	250	Totale	Si
0.75	SLE RA 14	0.00003	1.5	10000	250	Totale	Si
0.8	SLE RA 2	0	1.5	10000	350	Variabile	Si
0.8	SLE RA 17	0	1.5	10000	350	Variabile	Si
0.8	SLE RA 16	0	1.5	10000	350	Variabile	Si
0.75	SLE RA 15	0	1.5	10000	350	Variabile	Si
0.8	SLE RA 14	0	1.5	10000	350	Variabile	Si

Superelemento in acciaio a quota "640" (-1289; 449)-(-1162; 583)

Caratteristiche del materiale

Acciaio: S275, fyk = 275000

**Implementazione dei sistemi di confinamento delle emissioni odorigene diffuse dell'impianto di compostaggio esistente nel
Comune di Eboli (SA)
PROGETTO DEFINITIVO – Tabulati di calcolo Tomo 1**

Caratteristiche geometriche

Lunghezza: 1.85
 Nodo iniziale: 761 Nodo finale: 786
 Cerniera iniziale: No Cerniera finale: No
 Sovvaresistenza: 0% Sisma Z: No

Caratteristiche della sezione

Sezione	Rotazione	Area	Jx	Jy	ix	iy	Wx	Wy	Wplx	Wply
HEA120	0	0.002537	0.0000060673	0.0000023091	0.0489	0.0302	0.00010644	0.00003849	0.00011962	0.00005887

Verifiche di resistenza

Verifiche a forza assiale §4.2.4.1.2.1 - §4.2.4.1.2.2 NTC18

X	Comb.	Sfruttamento	Classe	NEd	Nc,Rd	Nt,Rd	Riduzione da taglio	px	py	Verifica
1.788	SLU 76	0.097	1	-64.176	664.325		1	0	0	Si

Verifiche a forza assiale SLD §4.2.4.1.2.1 - §4.2.4.1.2.2 NTC18

X	Comb.	Sfruttamento	Classe	NEd	Nc,Rd	Nt,Rd	Riduzione da taglio	px	py	Verifica
1.85	SLD 10	0.047	1	-30.96	664.325		1	0	0	Si

Verifica a taglio Y §4.2.4.1.2.4 NTC18

X	Comb.	Sfruttamento	VEd	Vc,Rd	Av	Interazione taglio-torsione	Riduzione torsione	Verifica
1.85	SLV 8	0.008	-0.955	127.321	0.000849	Considerata	0.99	Si

Verifica a taglio Y SLD §4.2.4.1.2.4 NTC18

X	Comb.	Sfruttamento	VEd	Vc,Rd	Av	Interazione taglio-torsione	Riduzione torsione	Verifica
1.85	SLD 8	0.005	-0.588	127.856	0.000849	Considerata	1	Si

Verifica a torsione §4.2.4.1.2.5 NTC18

X	Comb.	Sfruttamento torsione	TEd	TRd	Riduzione taglio resistente	Sfruttamento taglio-torsione	τEd,totale	τRd	Verifica
0	SLV 3	0.019	-0.01636	0.85138	Considerata				Si

Verifica a torsione SLD §4.2.4.1.2.5 NTC18

X	Comb.	Sfruttamento torsione	TEd	TRd	Riduzione taglio resistente	Sfruttamento taglio-torsione	τEd,totale	τRd	Verifica
1.85	SLD 4	0.009	-0.00746	0.85138	Considerata				Si

Verifica a presso/tenso flessione retta X §§ 4.2.4.1.2.3 - 4.2.4.1.2.6 - 4.2.4.1.2.7 - 4.2.4.1.2.8 NTC18

Verifiche eseguite utilizzando la formula conservativa (6.2) §6.2.1 EN 1993-1-1:2005.

X	Comb.	Sfruttamento	Classe	NEd	NRd	Rid. NRd da VEd	Mx,Ed	Mx,Rd	Rid. Mx,Rd da VEd	Rid. Mx,Rd da NEd	px	py	Verifica
0	SLU 76	0.102	1	-64.176	664.325	1	-0.1789	31.3291	1		0	0	Si

Verifica a presso/tenso flessione retta X SLD §§ 4.2.4.1.2.3 - 4.2.4.1.2.6 - 4.2.4.1.2.7 - 4.2.4.1.2.8 NTC18

Verifiche eseguite utilizzando la formula conservativa (6.2) §6.2.1 EN 1993-1-1:2005.

X	Comb.	Sfruttamento	Classe	NEd	NRd	Rid. NRd da VEd	Mx,Ed	Mx,Rd	Rid. Mx,Rd da VEd	Rid. Mx,Rd da NEd	px	py	Verifica
0.555	SLD 9	0.052	1	-30.96	664.325	1	-0.1745	31.3291	1		0	0	Si

Verifica a presso/tenso flessione retta Y §§ 4.2.4.1.2.3 - 4.2.4.1.2.6 - 4.2.4.1.2.7 - 4.2.4.1.2.8 NTC18

Verifiche eseguite utilizzando la formula conservativa (6.2) §6.2.1 EN 1993-1-1:2005.

X	Comb.	Sfruttamento	Classe	NEd	NRd	Rid. NRd da VEd	My,Ed	My,Rd	Rid. My,Rd da VEd	Rid. My,Rd da NEd	px	py	Verifica
0.37	SLU 38	0.094	1	-60.285	664.325	1	0.053	15.4191	1		0	0	Si

Verifica a presso/tenso flessione retta Y SLD §§ 4.2.4.1.2.3 - 4.2.4.1.2.6 - 4.2.4.1.2.7 - 4.2.4.1.2.8 NTC18

Verifiche eseguite utilizzando la formula conservativa (6.2) §6.2.1 EN 1993-1-1:2005.

X	Comb.	Sfruttamento	Classe	NEd	NRd	Rid. NRd da VEd	My,Ed	My,Rd	Rid. My,Rd da VEd	Rid. My,Rd da NEd	px	py	Verifica
1.418	SLD 6	0.043	1	-25.937	664.325	1	0.0565	15.4191	1		0	0	Si

Verifica a presso/tenso flessione deviata §§ 4.2.4.1.2.3 - 4.2.4.1.2.6 - 4.2.4.1.2.7 - 4.2.4.1.2.8 NTC18

Verifiche eseguite utilizzando la formula conservativa (6.2) §6.2.1 EN 1993-1-1:2005.

X	Comb.	Sfruttamento	Classe	NEd	NRd	Rid. NRd da VEd	Mx,Ed	Mx,Rd	My,Ed	My,Rd	Rid. Mx,Rd da VEd	Rid. Mx,Rd da NEd	Rid. My,Rd da VEd	Rid. My,Rd da NEd	α	β	px	py	Verifica
1.85	SLU 76	0.147	1	-64.176	664.325	1	1.0106	31.3291	0.2817	15.4191	1		1				0	0	Si

Verifica a presso/tenso flessione deviata SLD §§ 4.2.4.1.2.3 - 4.2.4.1.2.6 - 4.2.4.1.2.7 - 4.2.4.1.2.8 NTC18

Verifiche eseguite utilizzando la formula conservativa (6.2) §6.2.1 EN 1993-1-1:2005.

X	Comb.	Sfruttamento	Classe	NEd	NRd	Rid. NRd da VEd	Mx,Ed	Mx,Rd	My,Ed	My,Rd	Rid. Mx,Rd da VEd	Rid. Mx,Rd da NEd	Rid. My,Rd da VEd	Rid. My,Rd da NEd	α	β	px	py	Verifica
1.357	SLD 10	0.055	1	-30.96	664.325	1	-0.1568	31.3291	0.0486	15.4191	1		1				0	0	Si

Verifiche ad instabilità

Caratteristiche iniziali

Membratura principale per controllo snellezza; Calcolo di snellezze ed N critici condotti secondo gli assi principali;
 Curva X: b; Curva Y: c; Svergolamento: Carico all'estradosso; Curva svergolamento: b;

Dati per instabilità attorno a x

Controllo della snellezza secondo §4.2.4.1.3.1 NTC18

Numero rit.	Presente	Ascissa	Campata	βx/m	Vincolo a entrambi estremi	λx/m	λVer
1	Si		0				
			1-2	1	Si	37.8	Si, (<200)
2	Si	1.85					

Dati per instabilità attorno a y

Controllo della snellezza secondo §4.2.4.1.3.1 NTC18

Implementazione dei sistemi di confinamento delle emissioni odorigene diffuse dell'impianto di compostaggio esistente nel
Comune di Eboli (SA)

PROGETTO DEFINITIVO – Tabulati di calcolo Tomo 1

Numero rit.	Presente	Ascissa	Campata	$\beta y/n$	k,LT	kw,LT	Vincolo a entrambi estremi	$\lambda y/n$	λVer
1	Si	0	1-2	1	1	1	Si	61.3	Si, (<200)
2	Si	1.85							

Verifica a svergolamento con trazione §4.2.4.1.3.2 NTC18 § 5.5.3 ENV 1993-1-1:1992 + AC:1992 + A1:1994 + A2:1998

X	Comb.	Sfruttamento	Classe	Obblig.	NEd	Mx,Ed	Mx,Eff,Ed	Mb,Rd,x	χ ,LT	λ adim. LT	L,LT	M,critico	Verifica
0.37	SLU 21	0	1	Si	0.986	-0.04124	-0.01226	28.25914	0.902	0.633	1.85	82.11699	Si

Verifica di stabilità per tenso-flessione deviata §§ 5.5.3-5.5.4 ENV 1993-1-1:1992 + AC:1992 + A1:1994 + A2:1998

X	Comb.	Sfruttamento	Classe	NEd	Mx,Ed	Mx,Eff,Ed	My,Ed	χ ,LT	kLT	ky	M,critico	Wx	Wy	Verifica
1.85	SLV 4	0.045	1	11.808	1.51944	1.17258	0.10474	0.991	1	1	183.78492	0.0001196	0.0000589	Si

Verifica di stabilità per pressoflessione §C.4.2.4.1.3.3.2 NTC18

X	Comb.	Sfruttamento	Classe	NEd	NRk	Mx,Ed max	Mx,Rk	My,Ed max	My,Rk	χ_x	χ_y	kxx	kxy	kyy	χ_{LT}	Verifica	
0.925	SLU 76	0.18	1	-64.176	697.541	1.01059	32.89552	0.28173	16.19002	0.912	0.721	0.453	0.399	0.951	0.664	0.902	Si

Verifica di stabilità per pressoflessione SLD §C.4.2.4.1.3.3.2 NTC18

X	Comb.	Sfruttamento	Classe	NEd	NRk	Mx,Ed max	Mx,Rk	My,Ed max	My,Rk	χ_x	χ_y	kxx	kxy	kyy	χ_{LT}	Verifica	
1.85	SLD 10	0.073	1	-30.96	697.541	0.18285	32.89552	0.07062	16.19002	0.912	0.721	0.993	0.297	0.994	0.495	0.947	Si

Verifica di stabilità a taglio anima Y §4.2.4.1.2.4 [4.2.27] NTC18

η	hw	tw	hw/tw max	Verifica
1.2	0.098	0.005	55.46	Si

Verifica di stabilità a taglio anima Y SLD §4.2.4.1.2.4 [4.2.27] NTC18

η	hw	tw	hw/tw max	Verifica
1.2	0.098	0.005	55.46	Si

Verifiche a deformabilità

Mensola X: No; Mensola Y: No.

Frecce lungo X

Ascissa freccia	Combinazione	Freccia	Luce	L/f	L/f,min	Tipo	Verifica
1.048	SLE RA 1	-0.00004	1.85	10000	250	Totale	Si
1.048	SLE RA 17	-0.00005	1.85	10000	250	Totale	Si
1.048	SLE RA 16	-0.00007	1.85	10000	250	Totale	Si
1.048	SLE RA 15	-0.00008	1.85	10000	250	Totale	Si
1.048	SLE RA 14	-0.00005	1.85	10000	250	Totale	Si
1.048	SLE RA 2	0.00003	1.85	10000	350	Variabile	Si
1.048	SLE RA 17	-0.00002	1.85	10000	350	Variabile	Si
1.048	SLE RA 16	-0.00004	1.85	10000	350	Variabile	Si
1.048	SLE RA 15	-0.00004	1.85	10000	350	Variabile	Si
1.048	SLE RA 14	-0.00001	1.85	10000	350	Variabile	Si

Frecce lungo Y

Ascissa freccia	Combinazione	Freccia	Luce	L/f	L/f,min	Tipo	Verifica
1.295	SLE RA 1	0.00003	1.85	10000	250	Totale	Si
1.233	SLE RA 17	0.00004	1.85	10000	250	Totale	Si
1.172	SLE RA 16	0.00005	1.85	10000	250	Totale	Si
1.172	SLE RA 15	0.00007	1.85	10000	250	Totale	Si
1.295	SLE RA 14	0.00002	1.85	10000	250	Totale	Si
1.11	SLE RA 2	-0.00003	1.85	10000	350	Variabile	Si
1.11	SLE RA 17	0.00001	1.85	10000	350	Variabile	Si
1.11	SLE RA 16	0.00003	1.85	10000	350	Variabile	Si
1.11	SLE RA 15	0.00004	1.85	10000	350	Variabile	Si
0.987	SLE RA 14	-0.00001	1.85	10000	350	Variabile	Si

Superelemento in acciaio a quota "640" (-1307; 209)-(-1198; 106)

Caratteristiche del materiale

Acciaio: S275, fyk = 275000

Caratteristiche geometriche

Lunghezza: 1.5

Nodo iniziale: 712 Nodo finale: 689

Cerniera iniziale: Mmomenti 1% Cerniera finale: Mmomenti 1%

Sovreresistenza: 0% Sisma Z: No

Caratteristiche della sezione

Sezione	Rotazione	Area	Jx	Jy	ix	iy	Wx	Wy	Wplx	Wply
A1; L100*10; 1; Saldato; S275; 30; 1; 8; 8; 1	180	0.003832	0.0000035319	0.000007759	0.0304	0.045	0.0000492	0.0000739	0.00008974	0.00012727

Comportamento dei calastrelli

Accoppiamento imbottito con funzione statica (§C4.2.4.1.3.1.4 NTC18) nella campata compresa tra le ascisse 0 e 1.5 per sbandamento attorno all'asse y.

Verifiche di resistenza

Verifiche a forza assiale §4.2.4.1.2.1 - §4.2.4.1.2.2 NTC18

X	Comb.	Sfruttamento	Classe	NEd	Nc,Rd	Nt,Rd	Riduzione da taglio	px	py	Verifica
1.35	SLU 76	0.037		37.048		1003.522	1	0	0	Si

Verifiche a forza assiale SLD §4.2.4.1.2.1 - §4.2.4.1.2.2 NTC18

X	Comb.	Sfruttamento	Classe	NEd	Nc,Rd	Nt,Rd	Riduzione da taglio	px	py	Verifica

Implementazione dei sistemi di confinamento delle emissioni odorigene diffuse dell'impianto di compostaggio esistente nel
Comune di Eboli (SA)
PROGETTO DEFINITIVO – Tabulati di calcolo Tomo 1

X	Comb.	Sfruttamento	Classe	NEd	Nc,Rd	Nt,Rd	Riduzione da taglio	px	py	Verifica
1.5	SLD 11	0.009		9.341		1003.522	1	0	0	Si

Verifica a taglio Y §4.2.4.1.2.4 NTC18

X	Comb.	Sfruttamento	VEd	Vc,Rd	Av	Interazione taglio-torsione	Riduzione torsione	Verifica
0	SLU 76	0.001	-0.294	302.422	0.002	Non considerata		Si

Verifica a taglio Y SLD §4.2.4.1.2.4 NTC18

X	Comb.	Sfruttamento	VEd	Vc,Rd	Av	Interazione taglio-torsione	Riduzione torsione	Verifica
0	SLD 9	0.001	-0.226	302.422	0.002	Non considerata		Si

Verifica a flessione semplice X §§ 4.2.4.1.2.3 - 4.2.4.1.2.6 - 4.2.4.1.2.7 - 4.2.4.1.2.8 NTC18

X	Comb.	Sfruttamento	Classe	Mx,Ed	Mx,Rd	Rid. Mx,Rd da VEd	px	py	Verifica
0.75	SLU 60	0.005	1	0.10936	23.50374	1	0	0	Si

Verifica a presso/tenso flessione retta X §§ 4.2.4.1.2.3 - 4.2.4.1.2.6 - 4.2.4.1.2.7 - 4.2.4.1.2.8 NTC18

Verifiche eseguite utilizzando la formula conservativa (6.2) §6.2.1 EN 1993-1-1:2005.

X	Comb.	Sfruttamento	Classe	NEd	NRd	Rid. NRd da VEd	Mx,Ed	Mx,Rd	Rid. Mx,Rd da VEd	Rid. Mx,Rd da NEd	px	py	Verifica
0.75	SLU 76	0.042	1	37.048	1003.522	1	0.1096	23.5037	1		0	0	Si

Verifica a presso/tenso flessione retta Y §§ 4.2.4.1.2.3 - 4.2.4.1.2.6 - 4.2.4.1.2.7 - 4.2.4.1.2.8 NTC18

Verifiche eseguite utilizzando la formula conservativa (6.2) §6.2.1 EN 1993-1-1:2005.

X	Comb.	Sfruttamento	Classe	NEd	NRd	Rid. NRd da VEd	My,Ed	My,Rd	Rid. My,Rd da VEd	Rid. My,Rd da NEd	px	py	Verifica
1.5	SLV 16	0.012	1	9.647	1003.522	1	0.0935	33.3316	1		0	0	Si

Verifica a presso/tenso flessione retta Y SLD §§ 4.2.4.1.2.3 - 4.2.4.1.2.6 - 4.2.4.1.2.7 - 4.2.4.1.2.8 NTC18

Verifiche eseguite utilizzando la formula conservativa (6.2) §6.2.1 EN 1993-1-1:2005.

X	Comb.	Sfruttamento	Classe	NEd	NRd	Rid. NRd da VEd	My,Ed	My,Rd	Rid. My,Rd da VEd	Rid. My,Rd da NEd	px	py	Verifica
1.5	SLD 16	0.01	1	9.335	1003.522	1	0.0376	33.3316	1		0	0	Si

Verifica a presso/tenso flessione deviata §§ 4.2.4.1.2.3 - 4.2.4.1.2.6 - 4.2.4.1.2.7 - 4.2.4.1.2.8 NTC18

Verifiche eseguite utilizzando la formula conservativa (6.2) §6.2.1 EN 1993-1-1:2005.

X	Comb.	Sfruttamento	Classe	NEd	NRd	Rid. NRd da VEd	Mx,Ed	Mx,Rd	My,Ed	My,Rd	Rid. Mx,Rd da VEd	Rid. Mx,Rd da NEd	Rid. My,Rd da VEd	Rid. My,Rd da NEd	α	β	px	py	Verifica
0.8	SLV 16	0.016	1	9.647	1003.522	1	0.0838	23.5037	0.0791	33.3316	1		1				0	0	Si

Verifica a presso/tenso flessione deviata SLD §§ 4.2.4.1.2.3 - 4.2.4.1.2.6 - 4.2.4.1.2.7 - 4.2.4.1.2.8 NTC18

Verifiche eseguite utilizzando la formula conservativa (6.2) §6.2.1 EN 1993-1-1:2005.

X	Comb.	Sfruttamento	Classe	NEd	NRd	Rid. NRd da VEd	Mx,Ed	Mx,Rd	My,Ed	My,Rd	Rid. Mx,Rd da VEd	Rid. Mx,Rd da NEd	Rid. My,Rd da VEd	Rid. My,Rd da NEd	α	β	px	py	Verifica
0.75	SLD 16	0.014	1	9.335	1003.522	1	0.0841	23.5037	0.0318	33.3316	1		1				0	0	Si

Verifiche ad instabilità

Caratteristiche iniziali

Membratura principale per controllo snellezza; Calcolo di snellezze ed N critici condotti secondo gli assi principali;

Curva X: c; Curva Y: c;

Svergolamento: Nessuno; la verifica a instabilità flessio-torsionale (svergolamento) non verrà eseguita.

Dati per instabilità attorno a x

Controllo della snellezza secondo §4.2.4.1.3.1 NTC18

Numero rit.	Presente	Ascissa	Campata	βx/m	Vincolo a entrambi estremi	λx/m	λVer
1	Si		0				
2	Si		1-2		1	49.4	Si, (<200)

Dati per instabilità attorno a y

Controllo della snellezza secondo §4.2.4.1.3.1 NTC18

Numero rit.	Presente	Ascissa	Campata	βy/n	k,LT	kw,LT	Vincolo a entrambi estremi
1	Si		0				
2	Si		1-2		1	34.8	Si, (<200)

Verifica di stabilità per pressoflessione §C.4.2.4.1.3.3.1 NTC18

X	Comb.	Sfruttamento	Classe	NEd	MxEq,Ed	MyEq,Ed	Area	Wx	Wy	x,min	λ adim. x/m	λ adim. y/n	N,crit x/m	N,crit y/n	Verifica
0	SLU 2	0.016	3	-7.368	0.0725	-0.0228	0.003832	0.0000492	0.0000739	0.804	0.569	0.4	3253.47	6569.993	Si

Verifiche a deformabilità

Mensola X: No; Mensola Y: No.

Frecce lungo X

Ascissa freccia	Combinazione	Freccia	Luce	L/f	L/f,min	Tipo	Verifica
0.65	SLE RA 1	0	1.5	10000	250	Totale	Si
0.65	SLE RA 17	0	1.5	10000	250	Totale	Si
0.65	SLE RA 16	0	1.5	10000	250	Totale	Si
0.65	SLE RA 15	0	1.5	10000	250	Totale	Si
0.65	SLE RA 14	0	1.5	10000	250	Totale	Si
0.65	SLE RA 2	0	1.5	10000	350	Variabile	Si
0.65	SLE RA 17	0	1.5	10000	350	Variabile	Si
0.65	SLE RA 16	0	1.5	10000	350	Variabile	Si
0.65	SLE RA 15	0	1.5	10000	350	Variabile	Si
0.65	SLE RA 14	0	1.5	10000	350	Variabile	Si

Frecce lungo Y

Ascissa freccia	Combinazione	Freccia	Luce	L/f	L/f,min	Tipo	Verifica
0.75	SLE RA 1	0.00003	1.5	10000	250	Totale	Si

Implementazione dei sistemi di confinamento delle emissioni odorigene diffuse dell'impianto di compostaggio esistente nel
Comune di Eboli (SA)
PROGETTO DEFINITIVO – Tabulati di calcolo Tomo 1

Ascissa freccia	Combinazione	Freccia	Luce	L/f	L/f,min	Tipo	Verifica
0.75	SLE RA 17	0.00003	1.5	10000	250	Totale	Si
0.75	SLE RA 16	0.00003	1.5	10000	250	Totale	Si
0.75	SLE RA 15	0.00003	1.5	10000	250	Totale	Si
0.75	SLE RA 14	0.00003	1.5	10000	250	Totale	Si
0.95	SLE RA 2	0	1.5	10000	350	Variabile	Si
0.9	SLE RA 17	0	1.5	10000	350	Variabile	Si
0.9	SLE RA 16	0	1.5	10000	350	Variabile	Si
0.95	SLE RA 15	0	1.5	10000	350	Variabile	Si
0.85	SLE RA 14	0	1.5	10000	350	Variabile	Si

Superelemento in acciaio a quota "640" (-1341; -264)-(-1232; -367)

Caratteristiche del materiale

Acciaio: S275, fyk = 275000

Caratteristiche geometriche

Lunghezza: 1.5

Nodo iniziale: 611 Nodo finale: 599

Cerniera iniziale: Mmomenti 1% Cerniera finale: Mmomenti 1%

Sovreresistenza: 0% Sisma Z: No

Caratteristiche della sezione

Sezione	Rotazione	Area	Jx	Jy	ix	iy	Wx	Wy	Wplx	Wply
Al; L100*10; 1; Saldato; S275; 30; 1; 8; 8; 1	180	0.003832	0.0000035319	0.000007759	0.0304	0.045	0.0000492	0.0000739	0.00008974	0.00012727

Comportamento dei calastrelli

Accoppiamento imbottito con funzione statica (§C4.2.4.1.3.1.4 NTC18) nella campata compresa tra le ascisse 0 e 1.5 per sbandamento attorno all'asse y.

Verifiche di resistenza

Verifiche a forza assiale §4.2.4.1.2.1 - §4.2.4.1.2.2 NTC18

X	Comb.	Sfruttamento	Classe	NEd	Nc,Rd	Nt,Rd	Riduzione da taglio	px	py	Verifica
0.05	SLU 76	0.138		138.55		1003.522	1	0	0	Si

Verifiche a forza assiale SLD §4.2.4.1.2.1 - §4.2.4.1.2.2 NTC18

X	Comb.	Sfruttamento	Classe	NEd	Nc,Rd	Nt,Rd	Riduzione da taglio	px	py	Verifica
0	SLD 1	0.059		59.666		1003.522	1	0	0	Si

Verifica a taglio Y §4.2.4.1.2.4 NTC18

X	Comb.	Sfruttamento	VEd	Vc,Rd	Av	Interazione taglio-torsione	Riduzione torsione	Verifica
1.5	SLU 76	0.001	0.295	302.422	0.002	Non considerata		Si

Verifica a taglio Y SLD §4.2.4.1.2.4 NTC18

X	Comb.	Sfruttamento	VEd	Vc,Rd	Av	Interazione taglio-torsione	Riduzione torsione	Verifica
1.5	SLD 1	0.001	0.226	302.422	0.002	Non considerata		Si

Verifica a presso/tenso flessione retta X §§ 4.2.4.1.2.3 - 4.2.4.1.2.6 - 4.2.4.1.2.7 - 4.2.4.1.2.8 NTC18

Verifiche eseguite utilizzando la formula conservativa (6.2) §6.2.1 EN 1993-1-1:2005.

X	Comb.	Sfruttamento	Classe	NEd	NRd	Rid. NRd da VEd	Mx,Ed	Mx,Rd	Rid. Mx,Rd da VEd	Rid. Mx,Rd da NEd	px	py	Verifica
0.75	SLU 76	0.143	1	138.55	1003.522	1	0.1105	23.5037	1		0	0	Si

Verifica a presso/tenso flessione retta X SLD §§ 4.2.4.1.2.3 - 4.2.4.1.2.6 - 4.2.4.1.2.7 - 4.2.4.1.2.8 NTC18

Verifiche eseguite utilizzando la formula conservativa (6.2) §6.2.1 EN 1993-1-1:2005.

X	Comb.	Sfruttamento	Classe	NEd	NRd	Rid. NRd da VEd	Mx,Ed	Mx,Rd	Rid. Mx,Rd da VEd	Rid. Mx,Rd da NEd	px	py	Verifica
1.25	SLD 3	0.055	1	53.444	1003.522	1	0.0465	23.5037	1		0	0	Si

Verifica a presso/tenso flessione retta Y §§ 4.2.4.1.2.3 - 4.2.4.1.2.6 - 4.2.4.1.2.7 - 4.2.4.1.2.8 NTC18

Verifiche eseguite utilizzando la formula conservativa (6.2) §6.2.1 EN 1993-1-1:2005.

X	Comb.	Sfruttamento	Classe	NEd	NRd	Rid. NRd da VEd	My,Ed	My,Rd	Rid. My,Rd da VEd	Rid. My,Rd da NEd	px	py	Verifica
0	SLV 1	0.088	1	80.568	1003.522	1	0.2641	33.3316	1		0	0	Si

Verifica a presso/tenso flessione retta Y SLD §§ 4.2.4.1.2.3 - 4.2.4.1.2.6 - 4.2.4.1.2.7 - 4.2.4.1.2.8 NTC18

Verifiche eseguite utilizzando la formula conservativa (6.2) §6.2.1 EN 1993-1-1:2005.

X	Comb.	Sfruttamento	Classe	NEd	NRd	Rid. NRd da VEd	My,Ed	My,Rd	Rid. My,Rd da VEd	Rid. My,Rd da NEd	px	py	Verifica
0	SLD 1	0.063	1	59.666	1003.522	1	0.1062	33.3316	1		0	0	Si

Verifica a presso/tenso flessione deviata §§ 4.2.4.1.2.3 - 4.2.4.1.2.6 - 4.2.4.1.2.7 - 4.2.4.1.2.8 NTC18

Verifiche eseguite utilizzando la formula conservativa (6.2) §6.2.1 EN 1993-1-1:2005.

X	Comb.	Sfruttamento	Classe	NEd	NRd	Rid. NRd da VEd	Mx,Ed	Mx,Rd	My,Ed	My,Rd	Rid. Mx,Rd da VEd	Rid. Mx,Rd da NEd	Rid. My,Rd da VEd	Rid. My,Rd da NEd	α	β	px	py	Verifica
0.3	SLV 2	0.089	1	80.568	1003.522	1	0.0546	23.5037	0.2065	33.3316	1		1				0	0	Si

Verifica a presso/tenso flessione deviata SLD §§ 4.2.4.1.2.3 - 4.2.4.1.2.6 - 4.2.4.1.2.7 - 4.2.4.1.2.8 NTC18

Verifiche eseguite utilizzando la formula conservativa (6.2) §6.2.1 EN 1993-1-1:2005.

X	Comb.	Sfruttamento	Classe	NEd	NRd	Rid. NRd da VEd	Mx,Ed	Mx,Rd	My,Ed	My,Rd	Rid. Mx,Rd da VEd	Rid. Mx,Rd da NEd	Rid. My,Rd da VEd	Rid. My,Rd da NEd	α	β	px	py	Verifica
0.55	SLD 2	0.065	1	59.666	1003.522	1	0.0786	23.5037	0.0637	33.3316	1		1				0	0	Si

Implementazione dei sistemi di confinamento delle emissioni odorigene diffuse dell'impianto di compostaggio esistente nel
Comune di Eboli (SA)
PROGETTO DEFINITIVO – Tabulati di calcolo Tomo 1

Verifiche ad instabilità

Caratteristiche iniziali

Membratura principale per controllo snellezza; Calcolo di snellezze ed N critici condotti secondo gli assi principali;

Curva X: c; Curva Y: c;

Svergolamento: Nessuno; la verifica a instabilità flesso-torsionale (svergolamento) non verrà eseguita.

Dati per instabilità attorno a x

Controllo della snellezza secondo §4.2.4.1.3.1 NTC18

Numero rit.	Presente	Ascissa	Campata	$\beta x/m$	Vincolo a entrambi estremi	$\lambda x/m$	λVer
1	Si	0					
			1-2	1	Si	49.4	Si, (<200)
2	Si	1.5					

Dati per instabilità attorno a y

Controllo della snellezza secondo §4.2.4.1.3.1 NTC18

Numero rit.	Presente	Ascissa	Campata	$\beta y/n$	k,LT	kw,LT	Vincolo a entrambi estremi
1	Si	0					
			1-2	1	Si	34.8	Si, (<200)
2	Si	1.5					

Verifica di stabilità per pressoflessione §C.4.2.4.1.3.3.1 NTC18

X	Comb.	Sfruttamento	Classe	NEd	MxEq,Ed	MyEq,Ed	Area	Wx	Wy	χ_{min}	$\lambda_{adim. x/m}$	$\lambda_{adim. y/n}$	N,crit x/m	N,crit y/n	Verifica
0	SLU 2	0.032	3	-19.686	0.0722	0.0446	0.003832	0.0000492	0.0000739	0.804	0.569	0.4	3253.47	6569.993	Si

Verifiche a deformabilità

Mensola X: No; Mensola Y: No.

Frecce lungo X

Ascissa freccia	Combinazione	Freccia	Luce	L/f	L/f,min	Tipo	Verifica
1	SLE RA 1	0	1.5	10000	250	Totale	Si
1	SLE RA 17	0	1.5	10000	250	Totale	Si
1.05	SLE RA 16	0	1.5	10000	250	Totale	Si
1.1	SLE RA 15	0	1.5	10000	250	Totale	Si
0.9	SLE RA 14	0	1.5	10000	250	Totale	Si
1.05	SLE RA 2	0	1.5	10000	350	Variabile	Si
1.05	SLE RA 17	0	1.5	10000	350	Variabile	Si
1.05	SLE RA 16	0	1.5	10000	350	Variabile	Si
1.15	SLE RA 15	0	1.5	10000	350	Variabile	Si
0.6	SLE RA 14	0	1.5	10000	350	Variabile	Si

Frecce lungo Y

Ascissa freccia	Combinazione	Freccia	Luce	L/f	L/f,min	Tipo	Verifica
0.75	SLE RA 1	0.00003	1.5	10000	250	Totale	Si
0.75	SLE RA 17	0.00003	1.5	10000	250	Totale	Si
0.75	SLE RA 16	0.00003	1.5	10000	250	Totale	Si
0.75	SLE RA 15	0.00003	1.5	10000	250	Totale	Si
0.75	SLE RA 14	0.00003	1.5	10000	250	Totale	Si
0.6	SLE RA 2	0	1.5	10000	350	Variabile	Si
0.6	SLE RA 17	0	1.5	10000	350	Variabile	Si
0.6	SLE RA 16	0	1.5	10000	350	Variabile	Si
0.6	SLE RA 15	0	1.5	10000	350	Variabile	Si
0.65	SLE RA 14	0	1.5	10000	350	Variabile	Si

Superelemento in acciaio a quota "640" (-1379; -742)-(-1270; -845)

Caratteristiche del materiale

Acciaio: S275, fyk = 275000

Caratteristiche geometriche

Lunghezza: 1.5

Nodo iniziale: 544 Nodo finale: 533

Cerniera iniziale: Mmomenti 1% Cerniera finale: Mmomenti 1%

Sovraresistenza: 0% Sisma Z: No

Caratteristiche della sezione

Sezione	Rotazione	Area	Jx	Jy	ix	iy	Wx	Wy	Wplx	Wply
A1; L100*10; 1; Saldato; S275; 30; 1; 8; 8; 1	180	0.003832	0.0000035319	0.000007759	0.0304	0.045	0.0000492	0.0000739	0.00008974	0.00012727

Comportamento dei calastrelli

Accoppiamento imbottito con funzione statica (§C4.2.4.1.3.1.4 NTC18) nella campata compresa tra le ascisse 0 e 1.5 per sbandamento attorno all'asse y.

Verifiche di resistenza

Verifiche a forza assiale §4.2.4.1.2.1 - §4.2.4.1.2.2 NTC18

X	Comb.	Sfruttamento	Classe	NEd	Nc,Rd	Nt,Rd	Riduzione da taglio	px	py	Verifica
1.45	SLU 75	0.136		136.109		1003.522	1	0	0	Si

Verifiche a forza assiale SLD §4.2.4.1.2.1 - §4.2.4.1.2.2 NTC18

X	Comb.	Sfruttamento	Classe	NEd	Nc,Rd	Nt,Rd	Riduzione da taglio	px	py	Verifica
1.5	SLD 16	0.055		55.058		1003.522	1	0	0	Si

Implementazione dei sistemi di confinamento delle emissioni odorigene diffuse dell'impianto di compostaggio esistente nel
Comune di Eboli (SA)
PROGETTO DEFINITIVO – Tabulati di calcolo Tomo 1

Verifica a taglio Y §4.2.4.1.2.4 NTC18

X	Comb.	Sfruttamento	VEd	Vc,Rd	Av	Interazione taglio-torsione	Riduzione torsione	Verifica
0	SLU 75	0.001	-0.295	302.422	0.002	Non considerata		Si

Verifica a taglio Y SLD §4.2.4.1.2.4 NTC18

X	Comb.	Sfruttamento	VEd	Vc,Rd	Av	Interazione taglio-torsione	Riduzione torsione	Verifica
0	SLD 4	0.001	-0.226	302.422	0.002	Non considerata		Si

Verifica a flessione semplice X §§ 4.2.4.1.2.3 - 4.2.4.1.2.6 - 4.2.4.1.2.7 - 4.2.4.1.2.8 NTC18

X	Comb.	Sfruttamento	Classe	Mx,Ed	Mx,Rd	Rid. Mx,Rd da VEd	px	py	Verifica
0.75	SLU 21	0.004	1	0.08405	23.50374	1	0	0	Si

Verifica a presso/tenso flessione retta X §§ 4.2.4.1.2.3 - 4.2.4.1.2.6 - 4.2.4.1.2.7 - 4.2.4.1.2.8 NTC18

Verifiche eseguite utilizzando la formula conservativa (6.2) §6.2.1 EN 1993-1-1:2005.

X	Comb.	Sfruttamento	Classe	NEd	NRd	Rid. NRd da VEd	Mx,Ed	Mx,Rd	Rid. Mx,Rd da VEd	Rid. Mx,Rd da NEd	px	py	Verifica
0.75	SLU 75	0.14	1	136.109	1003.522	1	0.1112	23.5037	1		0	0	Si

Verifica a presso/tenso flessione retta Y §§ 4.2.4.1.2.3 - 4.2.4.1.2.6 - 4.2.4.1.2.7 - 4.2.4.1.2.8 NTC18

Verifiche eseguite utilizzando la formula conservativa (6.2) §6.2.1 EN 1993-1-1:2005.

X	Comb.	Sfruttamento	Classe	NEd	NRd	Rid. NRd da VEd	My,Ed	My,Rd	Rid. My,Rd da VEd	Rid. My,Rd da NEd	px	py	Verifica
1.5	SLV 16	0.066	1	64.237	1003.522	1	0.0596	33.3316	1		0	0	Si

Verifica a presso/tenso flessione retta Y SLD §§ 4.2.4.1.2.3 - 4.2.4.1.2.6 - 4.2.4.1.2.7 - 4.2.4.1.2.8 NTC18

Verifiche eseguite utilizzando la formula conservativa (6.2) §6.2.1 EN 1993-1-1:2005.

X	Comb.	Sfruttamento	Classe	NEd	NRd	Rid. NRd da VEd	My,Ed	My,Rd	Rid. My,Rd da VEd	Rid. My,Rd da NEd	px	py	Verifica
0	SLD 15	0.056	1	55.058	1003.522	1	0.0236	33.3316	1		0	0	Si

Verifica a presso/tenso flessione deviata §§ 4.2.4.1.2.3 - 4.2.4.1.2.6 - 4.2.4.1.2.7 - 4.2.4.1.2.8 NTC18

Verifiche eseguite utilizzando la formula conservativa (6.2) §6.2.1 EN 1993-1-1:2005.

X	Comb.	Sfruttamento	Classe	NEd	NRd	Rid. NRd da VEd	Mx,Ed	Mx,Rd	My,Ed	My,Rd	Rid. Mx,Rd da VEd	Rid. Mx,Rd da NEd	Rid. My,Rd da VEd	Rid. My,Rd da NEd	α	β	px	py	Verifica
0.75	SLV 15	0.069	1	64.237	1003.522	1	0.0849	23.5037	0.0559	33.3316	1		1				0	0	Si

Verifica a presso/tenso flessione deviata SLD §§ 4.2.4.1.2.3 - 4.2.4.1.2.6 - 4.2.4.1.2.7 - 4.2.4.1.2.8 NTC18

Verifiche eseguite utilizzando la formula conservativa (6.2) §6.2.1 EN 1993-1-1:2005.

X	Comb.	Sfruttamento	Classe	NEd	NRd	Rid. NRd da VEd	Mx,Ed	Mx,Rd	My,Ed	My,Rd	Rid. Mx,Rd da VEd	Rid. Mx,Rd da NEd	Rid. My,Rd da VEd	Rid. My,Rd da NEd	α	β	px	py	Verifica
0.75	SLD 15	0.059	1	55.058	1003.522	1	0.0848	23.5037	0.0225	33.3316	1		1				0	0	Si

Verifiche ad instabilità

Caratteristiche iniziali

Membratura principale per controllo snellezza; Calcolo di snellezze ed N critici condotti secondo gli assi principali;

Curva X: c; Curva Y: c;

Svergolamento: Nessuno; la verifica a instabilità flesso-torsionale (svergolamento) non verrà eseguita.

Dati per instabilità attorno a x

Controllo della snellezza secondo §4.2.4.1.3.1 NTC18

Numero rit.	Presente	Ascissa	Campata	βx/m	Vincolo a entrambi estremi	λx/m	λVer
1	Si		0				
			1-2		1	Si	49.4
2	Si		1.5				Si, (<200)

Dati per instabilità attorno a y

Controllo della snellezza secondo §4.2.4.1.3.1 NTC18

Numero rit.	Presente	Ascissa	Campata	βy/n	k,LT	kw,LT	Vincolo a entrambi estremi
1	Si		0				
			1-2		1	Si	34.8
2	Si		1.5				Si, (<200)

Verifica di stabilità per pressoflessione §C.4.2.4.1.3.3.1 NTC18

X	Comb.	Sfruttamento	Classe	NEd	Mx,Eq,Ed	My,Eq,Ed	Area	Wx	Wy	χ,min	λ adim. x/m	λ adim. y/n	N,crit x/m	N,crit y/n	Verifica
0	SLU 2	0.021	3	-11.31	0.0723	-0.026	0.003832	0.0000492	0.0000739	0.804	0.569	0.4	3253.47	6569.993	Si

Verifiche a deformabilità

Mensola X: No; Mensola Y: No.

Frecce lungo X

Ascissa freccia	Combinazione	Freccia	Luce	L/f	L/f,min	Tipo	Verifica
0.35	SLE RA 1	0	1.5	10000	250	Totale	Si
0.35	SLE RA 17	0	1.5	10000	250	Totale	Si
0.35	SLE RA 16	0	1.5	10000	250	Totale	Si
1.15	SLE RA 15	0	1.5	10000	250	Totale	Si
0.45	SLE RA 14	0	1.5	10000	250	Totale	Si
0.4	SLE RA 2	0	1.5	10000	350	Variabile	Si
0.4	SLE RA 17	0	1.5	10000	350	Variabile	Si
0.4	SLE RA 16	0	1.5	10000	350	Variabile	Si
1.05	SLE RA 15	0	1.5	10000	350	Variabile	Si
0.55	SLE RA 14	0	1.5	10000	350	Variabile	Si

Frecce lungo Y

Ascissa freccia	Combinazione	Freccia	Luce	L/f	L/f,min	Tipo	Verifica
0.75	SLE RA 1	0.00003	1.5	10000	250	Totale	Si
0.75	SLE RA 17	0.00003	1.5	10000	250	Totale	Si
0.75	SLE RA 16	0.00003	1.5	10000	250	Totale	Si
0.75	SLE RA 15	0.00003	1.5	10000	250	Totale	Si

Implementazione dei sistemi di confinamento delle emissioni odorigene diffuse dell'impianto di compostaggio esistente nel
Comune di Eboli (SA)
PROGETTO DEFINITIVO – Tabulati di calcolo Tomo 1

Ascissa freccia	Combinazione	Freccia	Luce	L/f	L/f,min	Tipo	Verifica
0.75	SLE RA 14	0.00003	1.5	10000	250	Totale	Si
0.85	SLE RA 2	0	1.5	10000	350	Variabile	Si
0.85	SLE RA 17	0	1.5	10000	350	Variabile	Si
0.85	SLE RA 16	0	1.5	10000	350	Variabile	Si
0.8	SLE RA 15	0	1.5	10000	350	Variabile	Si
0.85	SLE RA 14	0	1.5	10000	350	Variabile	Si

Superelemento in acciaio a quota "640" (-1416; 314)-(-1289; 449)

Caratteristiche del materiale

Acciaio: S275, fyk = 275000

Caratteristiche geometriche

Lunghezza: 1.85

Nodo iniziale: 736 Nodo finale: 761

Cerniera iniziale: No Cerniera finale: No

Sovreresistenza: 0% Sisma Z: No

Caratteristiche della sezione

Sezione	Rotazione	Area	Jx	Jy	ix	iy	Wx	Wy	Wplx	Wply
HEA120	0	0.002537	0.0000060673	0.0000023091	0.0489	0.0302	0.00010644	0.00003849	0.00011962	0.00005887

Verifiche di resistenza

Verifiche a forza assiale §4.2.4.1.2.1 - §4.2.4.1.2.2 NTC18

X	Comb.	Sfruttamento	Classe	NEd	Nc,Rd	Nt,Rd	Riduzione da taglio	px	py	Verifica
1.788	SLU 76	0.205	1	-136.054	664.325		1	0	0	Si

Verifiche a forza assiale SLD §4.2.4.1.2.1 - §4.2.4.1.2.2 NTC18

X	Comb.	Sfruttamento	Classe	NEd	Nc,Rd	Nt,Rd	Riduzione da taglio	px	py	Verifica
1.85	SLD 10	0.06	1	-39.6	664.325		1	0	0	Si

Verifica a taglio Y §4.2.4.1.2.4 NTC18

X	Comb.	Sfruttamento	VEd	Vc,Rd	Av	Interazione taglio-torsione	Riduzione torsione	Verifica
1.85	SLU 76	0.011	-1.441	126.831	0.000849	Considerata	0.99	Si

Verifica a taglio Y SLD §4.2.4.1.2.4 NTC18

X	Comb.	Sfruttamento	VEd	Vc,Rd	Av	Interazione taglio-torsione	Riduzione torsione	Verifica
1.85	SLD 8	0.004	-0.547	127.792	0.000849	Considerata	1	Si

Verifica a torsione §4.2.4.1.2.5 NTC18

X	Comb.	Sfruttamento torsione	TEd	TRd	Riduzione taglio resistente	Sfruttamento taglio-torsione	rEd,totale	rRd	Verifica
1.788	SLU 76	0.029	-0.02429	0.85138	Considerata				Si

Verifica a torsione SLD §4.2.4.1.2.5 NTC18

X	Comb.	Sfruttamento torsione	TEd	TRd	Riduzione taglio resistente	Sfruttamento taglio-torsione	rEd,totale	rRd	Verifica
1.85	SLD 4	0.01	-0.0085	0.85138	Considerata				Si

Verifica a presso/tenso flessione retta X §§ 4.2.4.1.2.3 - 4.2.4.1.2.6 - 4.2.4.1.2.7 - 4.2.4.1.2.8 NTC18

Verifiche eseguite utilizzando la formula conservativa (6.2) §6.2.1 EN 1993-1-1:2005.

X	Comb.	Sfruttamento	Classe	NEd	NRd	Rid. NRd da VEd	Mx,Ed	Mx,Rd	Rid. Mx,Rd da VEd	Rid. Mx,Rd da NEd	px	py	Verifica
1.727	SLU 76	0.215	1	-136.054	664.325	1	-0.3227	31.3291	1		0	0	Si

Verifica a presso/tenso flessione retta X SLD §§ 4.2.4.1.2.3 - 4.2.4.1.2.6 - 4.2.4.1.2.7 - 4.2.4.1.2.8 NTC18

Verifiche eseguite utilizzando la formula conservativa (6.2) §6.2.1 EN 1993-1-1:2005.

X	Comb.	Sfruttamento	Classe	NEd	NRd	Rid. NRd da VEd	Mx,Ed	Mx,Rd	Rid. Mx,Rd da VEd	Rid. Mx,Rd da NEd	px	py	Verifica
1.172	SLD 3	0.066	1	-36.861	664.325	1	-0.3144	31.3291	1		0	0	Si

Verifica a presso/tenso flessione retta Y §§ 4.2.4.1.2.3 - 4.2.4.1.2.6 - 4.2.4.1.2.7 - 4.2.4.1.2.8 NTC18

Verifiche eseguite utilizzando la formula conservativa (6.2) §6.2.1 EN 1993-1-1:2005.

X	Comb.	Sfruttamento	Classe	NEd	NRd	Rid. NRd da VEd	My,Ed	My,Rd	Rid. My,Rd da VEd	Rid. My,Rd da NEd	px	py	Verifica
1.788	SLV 2	0.058	1	-36.034	664.325	1	0.0562	15.4191	1		0	0	Si

Verifica a presso/tenso flessione retta Y SLD §§ 4.2.4.1.2.3 - 4.2.4.1.2.6 - 4.2.4.1.2.7 - 4.2.4.1.2.8 NTC18

Verifiche eseguite utilizzando la formula conservativa (6.2) §6.2.1 EN 1993-1-1:2005.

X	Comb.	Sfruttamento	Classe	NEd	NRd	Rid. NRd da VEd	My,Ed	My,Rd	Rid. My,Rd da VEd	Rid. My,Rd da NEd	px	py	Verifica
1.85	SLD 3	0.058	1	-36.861	664.325	1	0.0396	15.4191	1		0	0	Si

Verifica a presso/tenso flessione deviata §§ 4.2.4.1.2.3 - 4.2.4.1.2.6 - 4.2.4.1.2.7 - 4.2.4.1.2.8 NTC18

Verifiche eseguite utilizzando la formula conservativa (6.2) §6.2.1 EN 1993-1-1:2005.

X	Comb.	Sfruttamento	Classe	NEd	NRd	Rid. NRd da VEd	Mx,Ed	Mx,Rd	My,Ed	My,Rd	Rid. Mx,Rd da VEd	Rid. Mx,Rd da NEd	Rid. My,Rd da VEd	Rid. My,Rd da NEd	α	β	px	py	Verifica
0	SLU 76	0.293	1	-136.054	664.325	1	-2.3705	31.3291	-0.1942	15.4191	1		1				0	0	Si

Verifica a presso/tenso flessione deviata SLD §§ 4.2.4.1.2.3 - 4.2.4.1.2.6 - 4.2.4.1.2.7 - 4.2.4.1.2.8 NTC18

Verifiche eseguite utilizzando la formula conservativa (6.2) §6.2.1 EN 1993-1-1:2005.

X	Comb.	Sfruttamento	Classe	NEd	NRd	Rid. NRd da VEd	Mx,Ed	Mx,Rd	My,Ed	My,Rd	Rid. Mx,Rd da VEd	Rid. Mx,Rd da NEd	Rid. My,Rd da VEd	Rid. My,Rd da NEd	α	β	px	py	Verifica
0	SLD 4	0.082	1	-36.861	664.325	1	-0.6645	31.3291	-0.083	15.4191	1		1				0	0	Si

Implementazione dei sistemi di confinamento delle emissioni odorigene diffuse dell'impianto di compostaggio esistente nel
Comune di Eboli (SA)
PROGETTO DEFINITIVO – Tabulati di calcolo Tomo 1

Verifiche ad instabilità

Caratteristiche iniziali

Membratura principale per controllo snellezza; Calcolo di snellezze ed N critici condotti secondo gli assi principali;
Curva X: b; Curva Y: c; Svergolamento: Carico all'estradosso; Curva svergolamento: b;

Dati per instabilità attorno a x

Controllo della snellezza secondo §4.2.4.1.3.1 NTC18

Numero rit.	Presente	Ascissa	Campata	$\beta x/m$	Vincolo a entrambi estremi	$\lambda x/m$	λVer
1	Si	0					
			1-2	1	Si	37.8	Si, (<200)
2	Si	1.85					

Dati per instabilità attorno a y

Controllo della snellezza secondo §4.2.4.1.3.1 NTC18

Numero rit.	Presente	Ascissa	Campata	$\beta y/n$	k,LT	kw,LT	Vincolo a entrambi estremi	$\lambda y/n$	λVer
1	Si	0							
			1-2	1	1	1	Si	61.3	Si, (<200)
2	Si	1.85							

Verifica di stabilità per tenso-flessione deviata §§ 5.5.3-5.5.4 ENV 1993-1-1:1992 + AC:1992 + A1:1994 + A2:1998

X	Comb.	Sfruttamento	Classe	NEd	Mx,Ed	Mx,Eff,Ed	My,Ed	χ_{LT}	kLT	ky	M,critico	Wx	Wy	Verifica
0	SLU 41	0.004	1	3.204	0.2006	0.10649	0.01007	0.902	1	1	82.10616	0.0001196	0.0000589	Si

Verifica di stabilità per pressoflessione §C.4.2.4.1.3.3.2 NTC18

X	Comb.	Sfruttamento	Classe	NEd	NRk	Mx,Ed max	Mx,Rk	My,Ed max	My,Rk	χ_x	χ_y	kxx	kxy	kyy	χ_{LT}	Verifica	
0.863	SLU 76	0.365	1	-136.054	697.541	2.37046	32.89552	0.19423	16.19002	0.912	0.721	0.697	0.417	0.951	0.696	0.991	Si

Verifica di stabilità per pressoflessione SLD §C.4.2.4.1.3.3.2 NTC18

X	Comb.	Sfruttamento	Classe	NEd	NRk	Mx,Ed max	Mx,Rk	My,Ed max	My,Rk	χ_x	χ_y	kxx	kxy	kyy	χ_{LT}	Verifica	
0.925	SLD 14	0.104	1	-39.593	697.541	0.60631	32.89552	0.03064	16.19002	0.912	0.721	0.823	0.461	0.99	0.769	0.983	Si

Verifica di stabilità a taglio anima Y §4.2.4.1.2.4 [4.2.27] NTC18

η	hw	tw	hw/tw max	Verifica
1.2	0.098	0.005	55.46	Si

Verifica di stabilità a taglio anima Y SLD §4.2.4.1.2.4 [4.2.27] NTC18

η	hw	tw	hw/tw max	Verifica
1.2	0.098	0.005	55.46	Si

Verifiche a deformabilità

Mensola X: No; Mensola Y: No.

Frecce lungo X

Ascissa freccia	Combinazione	Freccia	Luce	L/f	L/f,min	Tipo	Verifica
0.74	SLE RA 1	0.00002	1.85	10000	250	Totale	Si
0.74	SLE RA 17	0.00003	1.85	10000	250	Totale	Si
0.74	SLE RA 16	0.00004	1.85	10000	250	Totale	Si
0.74	SLE RA 15	0.00005	1.85	10000	250	Totale	Si
0.74	SLE RA 14	0.00002	1.85	10000	250	Totale	Si
0.74	SLE RA 2	-0.00002	1.85	10000	350	Variabile	Si
0.74	SLE RA 17	0.00001	1.85	10000	350	Variabile	Si
0.74	SLE RA 16	0.00002	1.85	10000	350	Variabile	Si
0.74	SLE RA 15	0.00003	1.85	10000	350	Variabile	Si
0.617	SLE RA 14	0	1.85	10000	350	Variabile	Si

Frecce lungo Y

Ascissa freccia	Combinazione	Freccia	Luce	L/f	L/f,min	Tipo	Verifica
0.802	SLE RA 19	-0.00032	1.85	5759.3	250	Totale	Si
0.802	SLE RA 7	-0.00028	1.85	6593.6	250	Totale	Si
0.802	SLE RA 15	-0.00028	1.85	6598.6	250	Totale	Si
0.802	SLE RA 11	-0.00028	1.85	6598.6	250	Totale	Si
0.802	SLE RA 16	-0.00026	1.85	7125.7	250	Totale	Si
0.802	SLE RA 2	0.00011	1.85	10000	350	Variabile	Si
0.802	SLE RA 17	-0.00005	1.85	10000	350	Variabile	Si
0.802	SLE RA 16	-0.00012	1.85	10000	350	Variabile	Si
0.802	SLE RA 15	-0.00014	1.85	10000	350	Variabile	Si
0.802	SLE RA 14	-0.00002	1.85	10000	350	Variabile	Si

Superelemento in acciaio a quota "640" (-1418; 314)-(-1308; 210)

Caratteristiche del materiale

Acciaio: S275, fyk = 275000

Caratteristiche geometriche

Lunghezza: 1.512

Nodo iniziale: 734 Nodo finale: 711

Cerniera iniziale: Mmomenti 1% Cerniera finale: Mmomenti 1%

Sovreresistenza: 0% Sisma Z: No

Caratteristiche della sezione

Sezione	Rotazione	Area	Jx	Jy	ix	iy	Wx	Wy	Wplx	Wply
A1; L100*10; 1; Saldato; S275; 30; 1; 8; 8; 1	180	0.003832	0.0000035319	0.0000077759	0.0304	0.045	0.0000492	0.0000739	0.00008974	0.00012727

Implementazione dei sistemi di confinamento delle emissioni odorigene diffuse dell'impianto di compostaggio esistente nel
Comune di Eboli (SA)
PROGETTO DEFINITIVO – Tabulati di calcolo Tomo 1

Comportamento dei calastrelli

Accoppiamento imbottito con funzione statica (§C4.2.4.1.3.1.4 NTC18) nella campata compresa tra le ascisse 0 e 1.512 per sbandamento attorno all'asse y.

Verifiche di resistenza

Verifiche a forza assiale §4.2.4.1.2.1 - §4.2.4.1.2.2 NTC18

X	Comb.	Sfruttamento	Classe	NEd	Nc,Rd	Nt,Rd	Riduzione da taglio	px	py	Verifica
1.512	SLV 4	0.001		1.252		1003.522	1	0	0	Si

Verifiche a forza assiale SLD §4.2.4.1.2.1 - §4.2.4.1.2.2 NTC18

X	Comb.	Sfruttamento	Classe	NEd	Nc,Rd	Nt,Rd	Riduzione da taglio	px	py	Verifica
1.512	SLD 4	0.001		0.567		1003.522	1	0	0	Si

Verifica a taglio Y §4.2.4.1.2.4 NTC18

X	Comb.	Sfruttamento	Classe	VEd	Vc,Rd	Av	Interazione taglio-torsione	Riduzione torsione	Verifica
1.512	SLU 76	0.001		0.384	302.422	0.002	Non considerata		Si

Verifica a taglio Y SLD §4.2.4.1.2.4 NTC18

X	Comb.	Sfruttamento	Classe	VEd	Vc,Rd	Av	Interazione taglio-torsione	Riduzione torsione	Verifica
1.512	SLD 8	0.001		0.26	302.422	0.002	Non considerata		Si

Verifica a flessione semplice X §§ 4.2.4.1.2.3 - 4.2.4.1.2.6 - 4.2.4.1.2.7 - 4.2.4.1.2.8 NTC18

X	Comb.	Sfruttamento	Classe	Mx,Ed	Mx,Rd	Rid. Mx,Rd da VEd	px	py	Verifica
0.655	SLU 66	0.006	1	0.13916	23.50374	1	0	0	Si

Verifica a flessione semplice X SLD §§ 4.2.4.1.2.3 - 4.2.4.1.2.6 - 4.2.4.1.2.7 - 4.2.4.1.2.8 NTC18

X	Comb.	Sfruttamento	Classe	Mx,Ed	Mx,Rd	Rid. Mx,Rd da VEd	px	py	Verifica
0.705	SLD 15	0.004	1	0.09873	23.50374	1	0	0	Si

Verifica a flessione semplice Y §§ 4.2.4.1.2.3 - 4.2.4.1.2.6 - 4.2.4.1.2.7 - 4.2.4.1.2.8 NTC18

X	Comb.	Sfruttamento	Classe	My,Ed	My,Rd	Rid. My,Rd da VEd	px	py	Verifica
1.512	SLV 15	0.001	1	0.02848	33.33162	1	0	0	Si

Verifica a flessione semplice Y SLD §§ 4.2.4.1.2.3 - 4.2.4.1.2.6 - 4.2.4.1.2.7 - 4.2.4.1.2.8 NTC18

X	Comb.	Sfruttamento	Classe	My,Ed	My,Rd	Rid. My,Rd da VEd	px	py	Verifica
1.512	SLD 13	0.001	1	0.02082	33.33162	1	0	0	Si

Verifica a flessione deviata §§ 4.2.4.1.2.3 - 4.2.4.1.2.6 - 4.2.4.1.2.7 - 4.2.4.1.2.8 NTC18

X	Comb.	Sfruttamento	Classe	Mx,Ed	Mx,Rd	My,Ed	My,Rd	Rid. Mx,Rd da VEd	Rid. My,Rd da VEd	α	β	px	py	Verifica
0.655	SLV 5	0.005	1	0.0891	23.5037	-0.0249	33.3316	1	1			0	0	Si

Verifica a flessione deviata SLD §§ 4.2.4.1.2.3 - 4.2.4.1.2.6 - 4.2.4.1.2.7 - 4.2.4.1.2.8 NTC18

X	Comb.	Sfruttamento	Classe	Mx,Ed	Mx,Rd	My,Ed	My,Rd	Rid. Mx,Rd da VEd	Rid. My,Rd da VEd	α	β	px	py	Verifica
0.655	SLD 6	0.004	1	0.0984	23.5037	-0.0104	33.3316	1	1			0	0	Si

Verifica a presso/tenso flessione retta X §§ 4.2.4.1.2.3 - 4.2.4.1.2.6 - 4.2.4.1.2.7 - 4.2.4.1.2.8 NTC18

Verifiche eseguite utilizzando la formula conservativa (6.2) §6.2.1 EN 1993-1-1:2005.

X	Comb.	Sfruttamento	Classe	NEd	NRd	Rid. NRd da VEd	Mx,Ed	Mx,Rd	Rid. Mx,Rd da VEd	Rid. Mx,Rd da NEd	px	py	Verifica
0.655	SLU 76	0.009	1	0.815	1003.522	1	0.1845	23.5037	1	1	0	0	Si

Verifica a presso/tenso flessione retta X SLD §§ 4.2.4.1.2.3 - 4.2.4.1.2.6 - 4.2.4.1.2.7 - 4.2.4.1.2.8 NTC18

Verifiche eseguite utilizzando la formula conservativa (6.2) §6.2.1 EN 1993-1-1:2005.

X	Comb.	Sfruttamento	Classe	NEd	NRd	Rid. NRd da VEd	Mx,Ed	Mx,Rd	Rid. Mx,Rd da VEd	Rid. Mx,Rd da NEd	px	py	Verifica
0.655	SLD 8	0.005	1	0.566	1003.522	1	0.1115	23.5037	1	1	0	0	Si

Verifica a presso/tenso flessione retta Y §§ 4.2.4.1.2.3 - 4.2.4.1.2.6 - 4.2.4.1.2.7 - 4.2.4.1.2.8 NTC18

Verifiche eseguite utilizzando la formula conservativa (6.2) §6.2.1 EN 1993-1-1:2005.

X	Comb.	Sfruttamento	Classe	NEd	NRd	Rid. NRd da VEd	My,Ed	My,Rd	Rid. My,Rd da VEd	Rid. My,Rd da NEd	px	py	Verifica
1.512	SLV 3	0.002	1	1.252	1003.522	1	-0.0416	33.3316	1	1	0	0	Si

Verifica a presso/tenso flessione retta Y SLD §§ 4.2.4.1.2.3 - 4.2.4.1.2.6 - 4.2.4.1.2.7 - 4.2.4.1.2.8 NTC18

Verifiche eseguite utilizzando la formula conservativa (6.2) §6.2.1 EN 1993-1-1:2005.

X	Comb.	Sfruttamento	Classe	NEd	NRd	Rid. NRd da VEd	My,Ed	My,Rd	Rid. My,Rd da VEd	Rid. My,Rd da NEd	px	py	Verifica
1.512	SLD 3	0.001	1	0.567	1003.522	1	-0.0141	33.3316	1	1	0	0	Si

Verifica a presso/tenso flessione deviata §§ 4.2.4.1.2.3 - 4.2.4.1.2.6 - 4.2.4.1.2.7 - 4.2.4.1.2.8 NTC18

Verifiche eseguite utilizzando la formula conservativa (6.2) §6.2.1 EN 1993-1-1:2005.

X	Comb.	Sfruttamento	Classe	NEd	NRd	Rid. NRd da VEd	Mx,Ed	Mx,Rd	My,Ed	My,Rd	Rid. Mx,Rd da VEd	Rid. Mx,Rd da NEd	Rid. My,Rd da VEd	Rid. My,Rd da NEd	α	β	px	py	Verifica
0.504	SLU 76	0.009	1	0.815	1003.522	1	0.1875	23.5037	-0.0096	33.3316	1	1	1	1			0	0	Si

Verifica a presso/tenso flessione deviata SLD §§ 4.2.4.1.2.3 - 4.2.4.1.2.6 - 4.2.4.1.2.7 - 4.2.4.1.2.8 NTC18

Verifiche eseguite utilizzando la formula conservativa (6.2) §6.2.1 EN 1993-1-1:2005.

X	Comb.	Sfruttamento	Classe	NEd	NRd	Rid. NRd da VEd	Mx,Ed	Mx,Rd	My,Ed	My,Rd	Rid. Mx,Rd da VEd	Rid. Mx,Rd da NEd	Rid. My,Rd da VEd	Rid. My,Rd da NEd	α	β	px	py	Verifica
0.554	SLD 4	0.005	1	0.567	1003.522	1	0.1101	23.5037	-0.0076	33.3316	1	1	1	1			0	0	Si

Verifiche ad instabilità

Caratteristiche iniziali

Membratura principale per controllo snellezza; Calcolo di snellezze ed N critici condotti secondo gli assi principali;

Implementazione dei sistemi di confinamento delle emissioni odorigene diffuse dell'impianto di compostaggio esistente nel
Comune di Eboli (SA)
PROGETTO DEFINITIVO – Tabulati di calcolo Tomo 1

Curva X: c; Curva Y: c;
Svergolamento: Nessuno; la verifica a instabilità flessione-torsionale (svergolamento) non verrà eseguita.
Dati per instabilità attorno a x

Controllo della snellezza secondo §4.2.4.1.3.1 NTC18

Numero rit.	Presente	Ascissa	Campata	$\beta x/m$	Vincolo a entrambi estremi	$\lambda x/m$	λVer
1	Si	0					
			1-2	1	Si	49.8	Si, (<200)
2	Si	1.512					

Dati per instabilità attorno a y

Controllo della snellezza secondo §4.2.4.1.3.1 NTC18

Numero rit.	Presente	Ascissa	Campata	$\beta y/n$	k,LT	kw,LT	Vincolo a entrambi estremi
1	Si	0					
			1-2	1	Si	35	Si, (<200)
2	Si	1.512					

Verifica di stabilità per pressoflessione §C.4.2.4.1.3.3.1 NTC18

X	Comb.	Sfruttamento	Classe	NEd	MxEq,Ed	MyEq,Ed	Area	Wx	Wy	χ_{min}	$\lambda_{adim. x/m}$	$\lambda_{adim. y/n}$	N,crit x/m	N,crit y/n	Verifica
0.101	SLU 70	0.006	1	0	0.1303	-0.0035	0.003832	0.0000897	0.0001273	0.801	0.574	0.403	3203.179	6476.523	Si

Verifica di stabilità per pressoflessione SLD §C.4.2.4.1.3.3.1 NTC18

X	Comb.	Sfruttamento	Classe	NEd	MxEq,Ed	MyEq,Ed	Area	Wx	Wy	χ_{min}	$\lambda_{adim. x/m}$	$\lambda_{adim. y/n}$	N,crit x/m	N,crit y/n	Verifica
0	SLD 5	0.004	1	0	0.0903	-0.0184	0.003832	0.0000897	0.0001273	0.801	0.574	0.403	3203.179	6476.523	Si

Verifiche a deformabilità

Mensola X: No; Mensola Y: No.

Frecce lungo X

Ascissa freccia	Combinazione	Freccia	Luce	L/f	L/f,min	Tipo	Verifica
0.454	SLE RA 1	0	1.512	10000	250	Totale	Si
0.454	SLE RA 17	0	1.512	10000	250	Totale	Si
0.454	SLE RA 16	0	1.512	10000	250	Totale	Si
0.454	SLE RA 15	0	1.512	10000	250	Totale	Si
0.454	SLE RA 14	0	1.512	10000	250	Totale	Si
0.454	SLE RA 2	0	1.512	10000	350	Variabile	Si
0.454	SLE RA 17	0	1.512	10000	350	Variabile	Si
0.454	SLE RA 16	0	1.512	10000	350	Variabile	Si
0.454	SLE RA 15	0	1.512	10000	350	Variabile	Si
0.454	SLE RA 14	0	1.512	10000	350	Variabile	Si

Frecce lungo Y

Ascissa freccia	Combinazione	Freccia	Luce	L/f	L/f,min	Tipo	Verifica
0.756	SLE RA 1	0.00003	1.512	10000	250	Totale	Si
0.705	SLE RA 17	0.00004	1.512	10000	250	Totale	Si
0.705	SLE RA 16	0.00004	1.512	10000	250	Totale	Si
0.705	SLE RA 15	0.00004	1.512	10000	250	Totale	Si
0.756	SLE RA 14	0.00004	1.512	10000	250	Totale	Si
0.655	SLE RA 2	-0.00001	1.512	10000	350	Variabile	Si
0.655	SLE RA 17	0	1.512	10000	350	Variabile	Si
0.655	SLE RA 16	0.00001	1.512	10000	350	Variabile	Si
0.655	SLE RA 15	0.00001	1.512	10000	350	Variabile	Si
0.655	SLE RA 14	0	1.512	10000	350	Variabile	Si

Superelemento in acciaio a quota "640" (-1450; -161)-(-1341; -264)

Caratteristiche del materiale

Acciaio: S275, fyk = 275000

Caratteristiche geometriche

Lunghezza: 1.5

Nodo iniziale: 636 Nodo finale: 613

Cerniera iniziale: Mmomenti 1% Cerniera finale: Mmomenti 1%

Sovreresistenza: 0% Sisma Z: No

Caratteristiche della sezione

Sezione	Rotazione	Area	Jx	Jy	ix	iy	Wx	Wy	Wplx	Wply
A1; L100*10; 1; Saldato; S275; 30; 1; 8; 8; 1	180	0.003832	0.0000035319	0.000007759	0.0304	0.045	0.0000492	0.0000739	0.00008974	0.00012727

Comportamento dei calastrelli

Accoppiamento imbottito con funzione statica (§C4.2.4.1.3.1.4 NTC18) nella campata compresa tra le ascisse 0 e 1.5 per sbandamento attorno all'asse y.

Verifiche di resistenza

Verifiche a forza assiale §4.2.4.1.2.1 - §4.2.4.1.2.2 NTC18

X	Comb.	Sfruttamento	Classe	NEd	Nc,Rd	Nt,Rd	Riduzione da taglio	px	py	Verifica
1.45	SLU 76	0.138		138.219		1003.522	1	0	0	Si

Verifiche a forza assiale SLD §4.2.4.1.2.1 - §4.2.4.1.2.2 NTC18

X	Comb.	Sfruttamento	Classe	NEd	Nc,Rd	Nt,Rd	Riduzione da taglio	px	py	Verifica
0	SLD 1	0.055		55.108		1003.522	1	0	0	Si

**Implementazione dei sistemi di confinamento delle emissioni odorigene diffuse dell'impianto di compostaggio esistente nel
Comune di Eboli (SA)**

PROGETTO DEFINITIVO – Tabulati di calcolo Tomo 1

Verifica a taglio X §4.2.4.1.2.4 NTC18

X	Comb.	Sfruttamento	VEd	Vc,Rd	Av	Interazione taglio-torsione	Riduzione torsione	Verifica
1.5	SLV 16	0.001	-0.343	302.422	0.002	Non considerata		Si

Verifica a taglio Y §4.2.4.1.2.4 NTC18

X	Comb.	Sfruttamento	VEd	Vc,Rd	Av	Interazione taglio-torsione	Riduzione torsione	Verifica
1.5	SLU 76	0.001	0.295	302.422	0.002	Non considerata		Si

Verifica a taglio Y SLD §4.2.4.1.2.4 NTC18

X	Comb.	Sfruttamento	VEd	Vc,Rd	Av	Interazione taglio-torsione	Riduzione torsione	Verifica
1.5	SLD 1	0.001	0.226	302.422	0.002	Non considerata		Si

Verifica a presso/tenso flessione retta X §§ 4.2.4.1.2.3 - 4.2.4.1.2.6 - 4.2.4.1.2.7 - 4.2.4.1.2.8 NTC18

Verifiche eseguite utilizzando la formula conservativa (6.2) §6.2.1 EN 1993-1-1:2005.

X	Comb.	Sfruttamento	Classe	NEd	NRd	Rid. NRd da VEd	Mx,Ed	Mx,Rd	Rid. Mx,Rd da VEd	Rid. Mx,Rd da NEd	px	py	Verifica
0.75	SLU 76	0.142	1	138.219	1003.522	1	0.1115	23.5037	1		0	0	Si

Verifica a presso/tenso flessione retta X SLD §§ 4.2.4.1.2.3 - 4.2.4.1.2.6 - 4.2.4.1.2.7 - 4.2.4.1.2.8 NTC18

Verifiche eseguite utilizzando la formula conservativa (6.2) §6.2.1 EN 1993-1-1:2005.

X	Comb.	Sfruttamento	Classe	NEd	NRd	Rid. NRd da VEd	Mx,Ed	Mx,Rd	Rid. Mx,Rd da VEd	Rid. Mx,Rd da NEd	px	py	Verifica
0.65	SLD 1	0.058	1	55.108	1003.522	1	0.0834	23.5037	1		0	0	Si

Verifica a presso/tenso flessione retta Y §§ 4.2.4.1.2.3 - 4.2.4.1.2.6 - 4.2.4.1.2.7 - 4.2.4.1.2.8 NTC18

Verifiche eseguite utilizzando la formula conservativa (6.2) §6.2.1 EN 1993-1-1:2005.

X	Comb.	Sfruttamento	Classe	NEd	NRd	Rid. NRd da VEd	My,Ed	My,Rd	Rid. My,Rd da VEd	Rid. My,Rd da NEd	px	py	Verifica
1.5	SLV 2	0.08	1	71.894	1003.522	1	0.2903	33.3316	1		0	0	Si

Verifica a presso/tenso flessione retta Y SLD §§ 4.2.4.1.2.3 - 4.2.4.1.2.6 - 4.2.4.1.2.7 - 4.2.4.1.2.8 NTC18

Verifiche eseguite utilizzando la formula conservativa (6.2) §6.2.1 EN 1993-1-1:2005.

X	Comb.	Sfruttamento	Classe	NEd	NRd	Rid. NRd da VEd	My,Ed	My,Rd	Rid. My,Rd da VEd	Rid. My,Rd da NEd	px	py	Verifica
1.5	SLD 1	0.058	1	55.108	1003.522	1	0.1166	33.3316	1		0	0	Si

Verifica a presso/tenso flessione deviata §§ 4.2.4.1.2.3 - 4.2.4.1.2.6 - 4.2.4.1.2.7 - 4.2.4.1.2.8 NTC18

Verifiche eseguite utilizzando la formula conservativa (6.2) §6.2.1 EN 1993-1-1:2005.

X	Comb.	Sfruttamento	Classe	NEd	NRd	Rid. NRd da VEd	Mx,Ed	Mx,Rd	My,Ed	My,Rd	Rid. Mx,Rd da VEd	Rid. Mx,Rd da NEd	Rid. My,Rd da VEd	Rid. My,Rd da NEd	α	β	px	py	Verifica
1.45	SLV 1	0.08	1	71.894	1003.522	1	0.0111	23.5037	0.2732	33.3316	1		1				0	0	Si

Verifica a presso/tenso flessione deviata SLD §§ 4.2.4.1.2.3 - 4.2.4.1.2.6 - 4.2.4.1.2.7 - 4.2.4.1.2.8 NTC18

Verifiche eseguite utilizzando la formula conservativa (6.2) §6.2.1 EN 1993-1-1:2005.

X	Comb.	Sfruttamento	Classe	NEd	NRd	Rid. NRd da VEd	Mx,Ed	Mx,Rd	My,Ed	My,Rd	Rid. Mx,Rd da VEd	Rid. Mx,Rd da NEd	Rid. My,Rd da VEd	Rid. My,Rd da NEd	α	β	px	py	Verifica
1.05	SLD 1	0.06	1	55.108	1003.522	1	0.0712	23.5037	0.055	33.3316	1		1				0	0	Si

Verifiche ad instabilità

Caratteristiche iniziali

Membratura principale per controllo snellezza; Calcolo di snellezze ed N critici condotti secondo gli assi principali;

Curva X: c; Curva Y: c;

Svergolamento: Nessuno; la verifica a instabilità flesso-torsionale (svergolamento) non verrà eseguita.

Dati per instabilità attorno a x

Controllo della snellezza secondo §4.2.4.1.3.1 NTC18

Numero rit.	Presente	Ascissa	Campata	βx/m	Vincolo a entrambi estremi	λx/m	λVer
1	Si	0					
			1-2		1	49.4	Si, (<200)
2	Si	1.5					

Dati per instabilità attorno a y

Controllo della snellezza secondo §4.2.4.1.3.1 NTC18

Numero rit.	Presente	Ascissa	Campata	βy/n	k,LT	kw,LT	Vincolo a entrambi estremi
1	Si	0					
			1-2		1	34.8	Si, (<200)
2	Si	1.5					

Verifica di stabilità per pressoflessione §C.4.2.4.1.3.3.1 NTC18

X	Comb.	Sfruttamento	Classe	NEd	MxEq,Ed	MyEq,Ed	Area	Wx	Wy	χ,min	λ adim. x/m	λ adim. y/n	N,crit x/m	N,crit y/n	Verifica
0	SLU 2	0.033	3	-19.372	0.0721	-0.0586	0.003832	0.0000492	0.0000739	0.804	0.569	0.4	3253.47	6569.993	Si

Verifiche a deformabilità

Mensola X: No; Mensola Y: No.

Frecce lungo X

Ascissa freccia	Combinazione	Freccia	Luce	L/f	L/f,min	Tipo	Verifica
0.65	SLE RA 1	0	1.5	10000	250	Totale	Si
0.65	SLE RA 17	0	1.5	10000	250	Totale	Si
0.65	SLE RA 16	0	1.5	10000	250	Totale	Si
0.65	SLE RA 15	0	1.5	10000	250	Totale	Si
0.65	SLE RA 14	0	1.5	10000	250	Totale	Si
0.65	SLE RA 2	0	1.5	10000	350	Variabile	Si
0.65	SLE RA 17	0	1.5	10000	350	Variabile	Si
0.65	SLE RA 16	0	1.5	10000	350	Variabile	Si
0.65	SLE RA 15	0	1.5	10000	350	Variabile	Si
0.9	SLE RA 14	0	1.5	10000	350	Variabile	Si

Implementazione dei sistemi di confinamento delle emissioni odorigene diffuse dell'impianto di compostaggio esistente nel
Comune di Eboli (SA)
PROGETTO DEFINITIVO – Tabulati di calcolo Tomo 1

Frecce lungo Y

Ascissa freccia	Combinazione	Freccia	Luce	L/f	L/f,min	Tipo	Verifica
0.75	SLE RA 1	0.00003	1.5	10000	250	Totale	Si
0.75	SLE RA 17	0.00003	1.5	10000	250	Totale	Si
0.75	SLE RA 16	0.00003	1.5	10000	250	Totale	Si
0.75	SLE RA 15	0.00003	1.5	10000	250	Totale	Si
0.75	SLE RA 14	0.00003	1.5	10000	250	Totale	Si
0.7	SLE RA 2	0	1.5	10000	350	Variabile	Si
0.7	SLE RA 17	0	1.5	10000	350	Variabile	Si
0.7	SLE RA 16	0	1.5	10000	350	Variabile	Si
0.7	SLE RA 15	0	1.5	10000	350	Variabile	Si
0.7	SLE RA 14	0	1.5	10000	350	Variabile	Si

Superelemento in acciaio a quota "640" (-1488; -639)-(-1379; -742)

Caratteristiche del materiale

Acciaio: S275, fyk = 275000

Caratteristiche geometriche

Lunghezza: 1.5

Nodo iniziale: 555 Nodo finale: 546

Cerniera iniziale: Mmomenti 1% Cerniera finale: Mmomenti 1%

Sovreresistenza: 0% Sisma Z: No

Caratteristiche della sezione

Sezione	Rotazione	Area	Jx	Jy	ix	iy	Wx	Wy	Wplx	Wply
A1; L100*10; 1; Saldato; S275; 30; 1; 8; 8; 1	180	0.003832	0.0000035319	0.000007759	0.0304	0.045	0.0000492	0.0000739	0.00008974	0.00012727

Comportamento dei calastrelli

Accoppiamento imbottito con funzione statica (§C4.2.4.1.3.1.4 NTC18) nella campata compresa tra le ascisse 0 e 1.5 per sbandamento attorno all'asse y.

Verifiche di resistenza

Verifiche a forza assiale §4.2.4.1.2.1 - §4.2.4.1.2.2 NTC18

X	Comb.	Sfruttamento	Classe	NEd	Nc,Rd	Nt,Rd	Riduzione da taglio	px	py	Verifica
0.1	SLU 75	0.132		132.02		1003.522	1	0	0	Si

Verifiche a forza assiale SLD §4.2.4.1.2.1 - §4.2.4.1.2.2 NTC18

X	Comb.	Sfruttamento	Classe	NEd	Nc,Rd	Nt,Rd	Riduzione da taglio	px	py	Verifica
1.5	SLD 16	0.054		54.316		1003.522	1	0	0	Si

Verifica a taglio Y §4.2.4.1.2.4 NTC18

X	Comb.	Sfruttamento	VEd	Vc,Rd	Av	Interazione taglio-torsione	Riduzione torsione	Verifica
0	SLU 75	0.001	-0.294	302.422	0.002	Non considerata		Si

Verifica a taglio Y SLD §4.2.4.1.2.4 NTC18

X	Comb.	Sfruttamento	VEd	Vc,Rd	Av	Interazione taglio-torsione	Riduzione torsione	Verifica
0	SLD 4	0.001	-0.226	302.422	0.002	Non considerata		Si

Verifica a presso/tenso flessione retta X §§ 4.2.4.1.2.3 - 4.2.4.1.2.6 - 4.2.4.1.2.7 - 4.2.4.1.2.8 NTC18

Verifiche eseguite utilizzando la formula conservativa (6.2) §6.2.1 EN 1993-1-1:2005.

X	Comb.	Sfruttamento	Classe	NEd	NRd	Rid. NRd da VEd	Mx,Ed	Mx,Rd	Rid. Mx,Rd da VEd	Rid. Mx,Rd da NEd	px	py	Verifica
0.75	SLU 75	0.136	1	132.02	1003.522	1	0.1103	23.5037	1		0	0	Si

Verifica a presso/tenso flessione retta X SLD §§ 4.2.4.1.2.3 - 4.2.4.1.2.6 - 4.2.4.1.2.7 - 4.2.4.1.2.8 NTC18

Verifiche eseguite utilizzando la formula conservativa (6.2) §6.2.1 EN 1993-1-1:2005.

X	Comb.	Sfruttamento	Classe	NEd	NRd	Rid. NRd da VEd	Mx,Ed	Mx,Rd	Rid. Mx,Rd da VEd	Rid. Mx,Rd da NEd	px	py	Verifica
0.75	SLD 15	0.058	1	54.316	1003.522	1	0.0844	23.5037	1		0	0	Si

Verifica a presso/tenso flessione retta Y §§ 4.2.4.1.2.3 - 4.2.4.1.2.6 - 4.2.4.1.2.7 - 4.2.4.1.2.8 NTC18

Verifiche eseguite utilizzando la formula conservativa (6.2) §6.2.1 EN 1993-1-1:2005.

X	Comb.	Sfruttamento	Classe	NEd	NRd	Rid. NRd da VEd	My,Ed	My,Rd	Rid. My,Rd da VEd	Rid. My,Rd da NEd	px	py	Verifica
1.5	SLV 16	0.067	1	63.57	1003.522	1	0.1383	33.3316	1		0	0	Si

Verifica a presso/tenso flessione retta Y SLD §§ 4.2.4.1.2.3 - 4.2.4.1.2.6 - 4.2.4.1.2.7 - 4.2.4.1.2.8 NTC18

Verifiche eseguite utilizzando la formula conservativa (6.2) §6.2.1 EN 1993-1-1:2005.

X	Comb.	Sfruttamento	Classe	NEd	NRd	Rid. NRd da VEd	My,Ed	My,Rd	Rid. My,Rd da VEd	Rid. My,Rd da NEd	px	py	Verifica
1.5	SLD 16	0.056	1	54.316	1003.522	1	0.0566	33.3316	1		0	0	Si

Verifica a presso/tenso flessione deviata §§ 4.2.4.1.2.3 - 4.2.4.1.2.6 - 4.2.4.1.2.7 - 4.2.4.1.2.8 NTC18

Verifiche eseguite utilizzando la formula conservativa (6.2) §6.2.1 EN 1993-1-1:2005.

X	Comb.	Sfruttamento	Classe	NEd	NRd	Rid. NRd da VEd	Mx,Ed	Mx,Rd	My,Ed	My,Rd	Rid. Mx,Rd da VEd	Rid. Mx,Rd da NEd	Rid. My,Rd da VEd	Rid. My,Rd da NEd	α	β	px	py	Verifica
1.15	SLV 15	0.068	1	63.57	1003.522	1	0.0605	23.5037	0.0748	33.3316	1		1				0	0	Si

Verifica a presso/tenso flessione deviata SLD §§ 4.2.4.1.2.3 - 4.2.4.1.2.6 - 4.2.4.1.2.7 - 4.2.4.1.2.8 NTC18

Verifiche eseguite utilizzando la formula conservativa (6.2) §6.2.1 EN 1993-1-1:2005.

Implementazione dei sistemi di confinamento delle emissioni odorigene diffuse dell'impianto di compostaggio esistente nel
Comune di Eboli (SA)

PROGETTO DEFINITIVO – Tabulati di calcolo Tomo 1

X	Comb.	Sfruttamento	Classe	NEd	NRd	Rid. NRd da VEd	Mx,Ed	Mx,Rd	My,Ed	My,Rd	Rid. Mx,Rd da VEd	Rid. Mx,Rd da NEd	Rid. My,Rd da VEd	Rid. My,Rd da NEd	α	β	ρ_x	ρ_y	Verifica
0.9	SLD 15	0.058	1	54.316	1003.522	1	0.0811	23.5037	0.0127	33.3316	1		1				0	0	Si

Verifiche ad instabilità

Caratteristiche iniziali

Membratura principale per controllo snellezza; Calcolo di snellezze ed N critici condotti secondo gli assi principali;

Curva X: c; Curva Y: c;

Svergolamento: Nessuno; la verifica a instabilità flesso-torsionale (svergolamento) non verrà eseguita.

Dati per instabilità attorno a x

Controllo della snellezza secondo §4.2.4.1.3.1 NTC18

Numero rit.	Presente	Ascissa	Campata	$\beta x/m$	Vincolo a entrambi estremi	$\lambda x/m$	λVer
1	Si	0					
			1-2	1	Si	49.4	Si, (<200)
2	Si	1.5					

Dati per instabilità attorno a y

Controllo della snellezza secondo §4.2.4.1.3.1 NTC18

Numero rit.	Presente	Ascissa	Campata	$\beta y/n$	k,LT	kw,LT	Vincolo a entrambi estremi
1	Si	0					
			1-2	1	Si	34.8	Si, (<200)
2	Si	1.5					

Verifica di stabilità per pressoflessione §C.4.2.4.1.3.3.1 NTC18

X	Comb.	Sfruttamento	Classe	NEd	MxEq,Ed	MyEq,Ed	Area	Wx	Wy	χ_{min}	$\lambda_{adim. x/m}$	$\lambda_{adim. y/n}$	N,crit x/m	N,crit y/n	Verifica
0	SLU 2	0.023	3	-12.756	0.0723	-0.0389	0.003832	0.0000492	0.0000739	0.804	0.569	0.4	3253.47	6569.993	Si

Verifiche a deformabilità

Mensola X: No; Mensola Y: No.

Frecce lungo X

Ascissa freccia	Combinazione	Freccia	Luce	L/f	L/f,min	Tipo	Verifica
0.95	SLE RA 1	0	1.5	10000	250	Totale	Si
0.95	SLE RA 17	0	1.5	10000	250	Totale	Si
0.95	SLE RA 16	0	1.5	10000	250	Totale	Si
0.9	SLE RA 15	0	1.5	10000	250	Totale	Si
0.95	SLE RA 14	0	1.5	10000	250	Totale	Si
0.9	SLE RA 2	0	1.5	10000	350	Variabile	Si
0.9	SLE RA 17	0	1.5	10000	350	Variabile	Si
0.9	SLE RA 16	0	1.5	10000	350	Variabile	Si
0.85	SLE RA 15	0	1.5	10000	350	Variabile	Si
0.95	SLE RA 14	0	1.5	10000	350	Variabile	Si

Frecce lungo Y

Ascissa freccia	Combinazione	Freccia	Luce	L/f	L/f,min	Tipo	Verifica
0.75	SLE RA 1	0.00003	1.5	10000	250	Totale	Si
0.75	SLE RA 17	0.00003	1.5	10000	250	Totale	Si
0.75	SLE RA 16	0.00003	1.5	10000	250	Totale	Si
0.75	SLE RA 15	0.00003	1.5	10000	250	Totale	Si
0.75	SLE RA 14	0.00003	1.5	10000	250	Totale	Si
0.8	SLE RA 2	0	1.5	10000	350	Variabile	Si
0.8	SLE RA 17	0	1.5	10000	350	Variabile	Si
0.8	SLE RA 16	0	1.5	10000	350	Variabile	Si
0.8	SLE RA 15	0	1.5	10000	350	Variabile	Si
0.85	SLE RA 14	0	1.5	10000	350	Variabile	Si

Superelemento in acciaio a quota "640" (-1543; 180)-(-1416; 314)

Caratteristiche del materiale

Acciaio: S275, fyk = 275000

Caratteristiche geometriche

Lunghezza: 1.85

Nodo iniziale: 709 Nodo finale: 736

Cerniera iniziale: No Cerniera finale: No

Sovraresistenza: 0% Sisma Z: No

Caratteristiche della sezione

Sezione	Rotazione	Area	Jx	Jy	ix	iy	Wx	Wy	Wplx	Wply
HEA120	0	0.002537	0.0000060673	0.0000023091	0.0489	0.0302	0.00010644	0.00003849	0.00011962	0.00005887

Verifiche di resistenza

Verifiche a forza assiale §4.2.4.1.2.1 - §4.2.4.1.2.2 NTC18

X	Comb.	Sfruttamento	Classe	NEd	Nc,Rd	Nt,Rd	Riduzione da taglio	ρ_x	ρ_y	Verifica
0.062	SLU 76	0.206	1	-136.784	664.325		1	0	0	Si

Verifiche a forza assiale SLD §4.2.4.1.2.1 - §4.2.4.1.2.2 NTC18

X	Comb.	Sfruttamento	Classe	NEd	Nc,Rd	Nt,Rd	Riduzione da taglio	ρ_x	ρ_y	Verifica
1.85	SLD 10	0.061	1	-40.368	664.325		1	0	0	Si

**Implementazione dei sistemi di confinamento delle emissioni odorigene diffuse dell'impianto di compostaggio esistente nel
Comune di Eboli (SA)
PROGETTO DEFINITIVO – Tabulati di calcolo Tomo 1**

Verifica a taglio Y §4.2.4.1.2.4 NTC18

X	Comb.	Sfruttamento	VEd	Vc,Rd	Av	Interazione taglio-torsione	Riduzione torsione	Verifica
0	SLU 76	0.016	2.048	126.86	0.000849	Considerata	0.99	Si

Verifica a taglio Y SLD §4.2.4.1.2.4 NTC18

X	Comb.	Sfruttamento	VEd	Vc,Rd	Av	Interazione taglio-torsione	Riduzione torsione	Verifica
0	SLD 9	0.006	0.735	127.768	0.000849	Considerata	1	Si

Verifica a torsione §4.2.4.1.2.5 NTC18

X	Comb.	Sfruttamento torsione	TEd	TRd	Riduzione taglio resistente	Sfruttamento taglio-torsione	τEd,totale	τRd	Verifica
1.295	SLU 76	0.028	-0.02383	0.85138	Considerata				Si

Verifica a torsione SLD §4.2.4.1.2.5 NTC18

X	Comb.	Sfruttamento torsione	TEd	TRd	Riduzione taglio resistente	Sfruttamento taglio-torsione	τEd,totale	τRd	Verifica
1.85	SLD 5	0.012	-0.01013	0.85138	Considerata				Si

Verifica a presso/tenso flessione retta X §§ 4.2.4.1.2.3 - 4.2.4.1.2.6 - 4.2.4.1.2.7 - 4.2.4.1.2.8 NTC18

Verifiche eseguite utilizzando la formula conservativa (6.2) §6.2.1 EN 1993-1-1:2005.

X	Comb.	Sfruttamento	Classe	NEd	NRd	Rid. NRd da VEd	Mx,Ed	Mx,Rd	Rid. Mx,Rd da VEd	Rid. Mx,Rd da NEd	px	py	Verifica
1.233	SLV 5	0.086	1	-41.537	664.325	1	-0.7372	31.3291	1		0	0	Si

Verifica a presso/tenso flessione retta X SLD §§ 4.2.4.1.2.3 - 4.2.4.1.2.6 - 4.2.4.1.2.7 - 4.2.4.1.2.8 NTC18

Verifiche eseguite utilizzando la formula conservativa (6.2) §6.2.1 EN 1993-1-1:2005.

X	Comb.	Sfruttamento	Classe	NEd	NRd	Rid. NRd da VEd	Mx,Ed	Mx,Rd	Rid. Mx,Rd da VEd	Rid. Mx,Rd da NEd	px	py	Verifica
1.85	SLD 10	0.092	1	-40.368	664.325	1	-0.9735	31.3291	1		0	0	Si

Verifica a presso/tenso flessione retta Y §§ 4.2.4.1.2.3 - 4.2.4.1.2.6 - 4.2.4.1.2.7 - 4.2.4.1.2.8 NTC18

Verifiche eseguite utilizzando la formula conservativa (6.2) §6.2.1 EN 1993-1-1:2005.

X	Comb.	Sfruttamento	Classe	NEd	NRd	Rid. NRd da VEd	My,Ed	My,Rd	Rid. My,Rd da VEd	Rid. My,Rd da NEd	px	py	Verifica
0.123	SLV 6	0.066	1	-41.537	664.325	1	-0.0529	15.4191	1		0	0	Si

Verifica a presso/tenso flessione retta Y SLD §§ 4.2.4.1.2.3 - 4.2.4.1.2.6 - 4.2.4.1.2.7 - 4.2.4.1.2.8 NTC18

Verifiche eseguite utilizzando la formula conservativa (6.2) §6.2.1 EN 1993-1-1:2005.

X	Comb.	Sfruttamento	Classe	NEd	NRd	Rid. NRd da VEd	My,Ed	My,Rd	Rid. My,Rd da VEd	Rid. My,Rd da NEd	px	py	Verifica
0.062	SLD 13	0.063	1	-40.363	664.325	1	-0.0381	15.4191	1		0	0	Si

Verifica a presso/tenso flessione deviata §§ 4.2.4.1.2.3 - 4.2.4.1.2.6 - 4.2.4.1.2.7 - 4.2.4.1.2.8 NTC18

Verifiche eseguite utilizzando la formula conservativa (6.2) §6.2.1 EN 1993-1-1:2005.

X	Comb.	Sfruttamento	Classe	NEd	NRd	Rid. NRd da VEd	Mx,Ed	Mx,Rd	My,Ed	My,Rd	Rid. Mx,Rd da VEd	Rid. Mx,Rd da NEd	Rid. My,Rd da VEd	Rid. My,Rd da NEd	α	β	px	py	Verifica
1.85	SLU 76	0.326	1	-136.784	664.325	1	-3.4116	31.3291	-0.1717	15.4191	1		1				0	0	Si

Verifica a presso/tenso flessione deviata SLD §§ 4.2.4.1.2.3 - 4.2.4.1.2.6 - 4.2.4.1.2.7 - 4.2.4.1.2.8 NTC18

Verifiche eseguite utilizzando la formula conservativa (6.2) §6.2.1 EN 1993-1-1:2005.

X	Comb.	Sfruttamento	Classe	NEd	NRd	Rid. NRd da VEd	Mx,Ed	Mx,Rd	My,Ed	My,Rd	Rid. Mx,Rd da VEd	Rid. Mx,Rd da NEd	Rid. My,Rd da VEd	Rid. My,Rd da NEd	α	β	px	py	Verifica
1.85	SLD 5	0.09	1	-39.473	664.325	1	-0.9223	31.3291	-0.0214	15.4191	1		1				0	0	Si

Verifiche ad instabilità

Caratteristiche iniziali

Membratura principale per controllo snellezza; Calcolo di snellezze ed N critici condotti secondo gli assi principali;

Curva X: b; Curva Y: c; Svergolamento: Carico all'estradosso; Curva svergolamento: b;

Dati per instabilità attorno a x

Controllo della snellezza secondo §4.2.4.1.3.1 NTC18

Numero rit.	Presente	Ascissa	Campata	βx/m	Vincolo a entrambi estremi	λx/m	λVer
1	Si		0				
			1-2		1	37.8	Si, (<200)
2	Si	1.85					

Dati per instabilità attorno a y

Controllo della snellezza secondo §4.2.4.1.3.1 NTC18

Numero rit.	Presente	Ascissa	Campata	βy/n	k,LT	kw,LT	Vincolo a entrambi estremi	λy/n	λVer
1	Si	0							
			1-2		1	1	Si	61.3	Si, (<200)
2	Si	1.85							

Verifica di stabilità per tenso-flessione deviata §§ 5.5.3-5.5.4 ENV 1993-1-1:1992 + AC:1992 + A1:1994 + A2:1998

X	Comb.	Sfruttamento	Classe	NEd	Mx,Ed	Mx,Ed,max	My,Ed	χ,LT	kLT	ky	M,critico	Wx	Wy	Verifica
1.85	SLU 41	0.008	1	3.179	0.29188	0.19848	0.01061	0.902	1	1	82.10616	0.0001196	0.0000589	Si

Verifica di stabilità per pressoflessione §C.4.2.4.1.3.3.2 NTC18

Controllo di dettaglio per pressioni interne - 3° GRADO DI LIBERTÀ																	
X	Comb.	Sfruttamento	Classe	NEd	NRk	Mx,Ed max	Mx,Rk	My,Ed max	My,Rk	χ_x	χ_y	kxx	kxy	kyy	χ_{LT}	Verifica	
0	SLU 76	0.399	1	-136.784	697.541	3.41165	32.89552	0.17165	16.19002	0.912	0.721	0.667	0.488	0.947	0.814	0.994	Si

Verifica di stabilità per pressoflessione SLD §C.4.2.4.1.3.3.2 NTC18

X	Comb.	Sfruttamento	Classe	NEd	NRk	Mx,Ed max	Mx,Rk	My,Ed max	My,Rk	χ,x	χ,y	kxx	kxy	kyy	χ,LT	Verifica	
1.85	SLD 10	0.12	1	-40.368	697.541	0.97345	32.89552	0.03872	16.19002	0.912	0.721	0.662	0.327	0.985	0.546	0.902	Si

Verifica di stabilità a taglio anima Y §4.2.4.1.2.4 [4.2.27] NTC18

η	hw	tw	hw/tw max	Verifica
1.2	0.098	0.005	55.46	Si

Implementazione dei sistemi di confinamento delle emissioni odorigene diffuse dell'impianto di compostaggio esistente nel
Comune di Eboli (SA)
PROGETTO DEFINITIVO – Tabulati di calcolo Tomo 1

Verifica di stabilità a taglio anima Y SLD §4.2.4.1.2.4 [4.2.27] NTC18

η	hw	tw	hw/tw max	Verifica
1.2	0.098	0.005	55.46	Si

Verifiche a deformabilità

Mensola X: No; Mensola Y: No.

Frecce lungo X

Ascissa freccia	Combinazione	Freccia	Luce	L/f	L/f,min	Tipo	Verifica
1.048	SLE RA 1	0.00002	1.85	10000	250	Totale	Si
1.048	SLE RA 17	0.00003	1.85	10000	250	Totale	Si
1.048	SLE RA 16	0.00005	1.85	10000	250	Totale	Si
1.048	SLE RA 15	0.00005	1.85	10000	250	Totale	Si
1.048	SLE RA 14	0.00003	1.85	10000	250	Totale	Si
1.048	SLE RA 2	-0.00002	1.85	10000	350	Variabile	Si
1.048	SLE RA 17	0.00001	1.85	10000	350	Variabile	Si
1.048	SLE RA 16	0.00002	1.85	10000	350	Variabile	Si
1.048	SLE RA 15	0.00003	1.85	10000	350	Variabile	Si
1.172	SLE RA 14	0	1.85	10000	350	Variabile	Si

Frecce lungo Y

Ascissa freccia	Combinazione	Freccia	Luce	L/f	L/f,min	Tipo	Verifica
1.048	SLE RA 19	-0.00044	1.85	4251.8	250	Totale	Si
1.048	SLE RA 15	-0.00038	1.85	4896.2	250	Totale	Si
1.048	SLE RA 11	-0.00038	1.85	4896.2	250	Totale	Si
1.048	SLE RA 7	-0.00038	1.85	4901.1	250	Totale	Si
1.048	SLE RA 16	-0.00035	1.85	5289	250	Totale	Si
1.048	SLE RA 19	-0.00026	1.85	7194.9	350	Variabile	Si
1.048	SLE RA 15	-0.0002	1.85	9256.4	350	Variabile	Si
1.048	SLE RA 11	-0.0002	1.85	9256.4	350	Variabile	Si
1.048	SLE RA 7	-0.0002	1.85	9274.1	350	Variabile	Si
1.048	SLE RA 17	-0.00008	1.85	10000	350	Variabile	Si

Superelemento in acciaio a quota "640" (-1559; -59)-(-1450; -161)

Caratteristiche del materiale

Acciaio: S275, fyk = 275000

Caratteristiche geometriche

Lunghezza: 1.5

Nodo iniziale: 654 Nodo finale: 635

Cerniera iniziale: Mmomenti 1% Cerniera finale: Mmomenti 1%

Sovreresistenza: 0% Sisma Z: No

Caratteristiche della sezione

Sezione	Rotazione	Area	Jx	Jy	ix	iy	Wx	Wy	Wplx	Wply
Al; L100*10; 1; Saldato; S275; 30; 1; 8; 8; 1	180	0.003832	0.0000035319	0.000007759	0.0304	0.045	0.0000492	0.0000739	0.00008974	0.00012727

Comportamento dei calastrelli

Accoppiamento imbottito con funzione statica (§C4.2.4.1.3.1.4 NTC18) nella campata compresa tra le ascisse 0 e 1.5 per sbandamento attorno all'asse y.

Verifiche di resistenza

Verifiche a forza assiale §4.2.4.1.2.1 - §4.2.4.1.2.2 NTC18

X	Comb.	Sfruttamento	Classe	NEd	Nc,Rd	Nt,Rd	Riduzione da taglio	px	py	Verifica
1.45	SLU 76	0.095		95.602		1003.522	1	0	0	Si

Verifiche a forza assiale SLD §4.2.4.1.2.1 - §4.2.4.1.2.2 NTC18

X	Comb.	Sfruttamento	Classe	NEd	Nc,Rd	Nt,Rd	Riduzione da taglio	px	py	Verifica
0	SLD 1	0.037		37.142		1003.522	1	0	0	Si

Verifica a taglio Y §4.2.4.1.2.4 NTC18

X	Comb.	Sfruttamento	VEd	Vc,Rd	Av	Interazione taglio-torsione	Riduzione torsione	Verifica
0	SLU 76	0.001	-0.294	302.422	0.002	Non considerata		Si

Verifica a taglio Y SLD §4.2.4.1.2.4 NTC18

X	Comb.	Sfruttamento	VEd	Vc,Rd	Av	Interazione taglio-torsione	Riduzione torsione	Verifica
0	SLD 16	0.001	-0.226	302.422	0.002	Non considerata		Si

Verifica a presso/tenso flessione retta X §§ 4.2.4.1.2.3 - 4.2.4.1.2.6 - 4.2.4.1.2.7 - 4.2.4.1.2.8 NTC18

Verifiche eseguite utilizzando la formula conservativa (6.2) §6.2.1 EN 1993-1-1:2005.

X	Comb.	Sfruttamento	Classe	NEd	NRd	Rid. NRd da VEd	Mx,Rd	Mx,Ed	Rid. Mx,Rd da VEd	Rid. Mx,Rd da NEd	px	py	Verifica
0.75	SLU 76	0.1	1	95.602	1003.522	1	0.111	23.5037	1		0	0	Si

Verifica a presso/tenso flessione retta Y §§ 4.2.4.1.2.3 - 4.2.4.1.2.6 - 4.2.4.1.2.7 - 4.2.4.1.2.8 NTC18

Verifiche eseguite utilizzando la formula conservativa (6.2) §6.2.1 EN 1993-1-1:2005.

X	Comb.	Sfruttamento	Classe	NEd	NRd	Rid. NRd da VEd	My,Ed	My,Rd	Rid. My,Rd da VEd	Rid. My,Rd da NEd	px	py	Verifica
0	SLU 76	0.095	1	95.602	1003.522	1	0.0076	33.3316	1		0	0	Si

Verifica a presso/tenso flessione retta Y SLD §§ 4.2.4.1.2.3 - 4.2.4.1.2.6 - 4.2.4.1.2.7 - 4.2.4.1.2.8 NTC18

Verifiche eseguite utilizzando la formula conservativa (6.2) §6.2.1 EN 1993-1-1:2005.

Implementazione dei sistemi di confinamento delle emissioni odorigene diffuse dell'impianto di compostaggio esistente nel
Comune di Eboli (SA)

PROGETTO DEFINITIVO – Tabulati di calcolo Tomo 1

X	Comb.	Sfruttamento	Classe	NEd	NRd	Rid. NRd da VEd	My,Ed	My,Rd	Rid. My,Rd da VEd	Rid. My,Rd da NEd	px	py	Verifica
1.5	SLD 1	0.038	1	37.142	1003.522	1	-0.0349	33.3316	1		0	0	Si

Verifica a presso/tenso flessione deviata §§ 4.2.4.1.2.3 - 4.2.4.1.2.6 - 4.2.4.1.2.7 - 4.2.4.1.2.8 NTC18

Verifiche eseguite utilizzando la formula conservativa (6.2) §6.2.1 EN 1993-1-1:2005.

X	Comb.	Sfruttamento	Classe	NEd	NRd	Rid. NRd da VEd	Mx,Ed	Mx,Rd	My,Ed	My,Rd	Rid. Mx,Rd da VEd	Rid. Mx,Rd da NEd	Rid. My,Rd da VEd	Rid. My,Rd da NEd	α	β	px	py	Verifica
0.1	SLU 76	0.097	1	95.602	1003.522	1	0.0282	23.5037	0.0074	33.3316	1		1				0	0	Si

Verifica a presso/tenso flessione deviata SLD §§ 4.2.4.1.2.3 - 4.2.4.1.2.6 - 4.2.4.1.2.7 - 4.2.4.1.2.8 NTC18

Verifiche eseguite utilizzando la formula conservativa (6.2) §6.2.1 EN 1993-1-1:2005.

X	Comb.	Sfruttamento	Classe	NEd	NRd	Rid. NRd da VEd	Mx,Ed	Mx,Rd	My,Ed	My,Rd	Rid. Mx,Rd da VEd	Rid. Mx,Rd da NEd	Rid. My,Rd da VEd	Rid. My,Rd da NEd	α	β	px	py	Verifica
0.75	SLD 2	0.042	1	37.142	1003.522	1	0.0848	23.5037	-0.0302	33.3316	1		1				0	0	Si

Verifiche ad instabilità

Caratteristiche iniziali

Membratura principale per controllo snellezza; Calcolo di snellezze ed N critici condotti secondo gli assi principali;

Curva X: c; Curva Y: c;

Svergolamento: Nessuno; la verifica a instabilità flesso-torsionale (svergolamento) non verrà eseguita.

Dati per instabilità attorno a x

Controllo della snellezza secondo §4.2.4.1.3.1 NTC18

Numero rit.	Presente	Ascissa	Campata	βx/m	Vincolo a entrambi estremi	λx/m	λVer
1	Si	0					
			1-2	1	Si	49.4	Si, (<200)
2	Si	1.5					

Dati per instabilità attorno a y

Controllo della snellezza secondo §4.2.4.1.3.1 NTC18

Numero rit.	Presente	Ascissa	Campata	βy/n	k,LT	kw,LT	Vincolo a entrambi estremi
1	Si	0					
			1-2	1	Si	34.8	Si, (<200)
2	Si	1.5					

Verifica di stabilità per pressoflessione §C.4.2.4.1.3.3.1 NTC18

X	Comb.	Sfruttamento	Classe	NEd	MxEq,Ed	MyEq,Ed	Area	Wx	Wy	χ,min	λ adim. x/m	λ adim. y/n	N,crit x/m	N,crit y/n	Verifica
0	SLU 2	0.024	3	-12.997	0.0723	-0.0401	0.003832	0.0000492	0.0000739	0.804	0.569	0.4	3253.47	6569.993	Si

Verifiche a deformabilità

Mensola X: No; Mensola Y: No.

Frecce lungo X

Ascissa freccia	Combinazione	Freccia	Luce	L/f	L/f,min	Tipo	Verifica
0.7	SLE RA 1	0	1.5	10000	250	Totale	Si
0.7	SLE RA 17	0	1.5	10000	250	Totale	Si
0.7	SLE RA 16	0	1.5	10000	250	Totale	Si
0.7	SLE RA 15	0	1.5	10000	250	Totale	Si
0.75	SLE RA 14	0	1.5	10000	250	Totale	Si
0.7	SLE RA 2	0	1.5	10000	350	Variabile	Si
0.7	SLE RA 17	0	1.5	10000	350	Variabile	Si
0.7	SLE RA 16	0	1.5	10000	350	Variabile	Si
0.7	SLE RA 15	0	1.5	10000	350	Variabile	Si
0.75	SLE RA 14	0	1.5	10000	350	Variabile	Si

Frecce lungo Y

Ascissa freccia	Combinazione	Freccia	Luce	L/f	L/f,min	Tipo	Verifica
0.75	SLE RA 1	0.00003	1.5	10000	250	Totale	Si
0.75	SLE RA 17	0.00003	1.5	10000	250	Totale	Si
0.75	SLE RA 16	0.00003	1.5	10000	250	Totale	Si
0.75	SLE RA 15	0.00003	1.5	10000	250	Totale	Si
0.75	SLE RA 14	0.00003	1.5	10000	250	Totale	Si
0.75	SLE RA 2	0	1.5	10000	350	Variabile	Si
0.75	SLE RA 17	0	1.5	10000	350	Variabile	Si
0.75	SLE RA 16	0	1.5	10000	350	Variabile	Si
0.75	SLE RA 15	0	1.5	10000	350	Variabile	Si
0.75	SLE RA 14	0	1.5	10000	350	Variabile	Si

Superelemento in acciaio a quota "640" (-1598; -536)-(-1488; -639)

Caratteristiche del materiale

Acciaio: S275, fyk = 275000

Caratteristiche geometriche

Lunghezza: 1.5

Nodo iniziale: 569 Nodo finale: 556

Cerniera iniziale: Mmomenti 1% Cerniera finale: Mmomenti 1%

Sovraresistenza: 0% Sisma Z: No

Caratteristiche della sezione

Sezione	Rotazione	Area	Jx	Jy	ix	iy	Wx	Wy	Wplx	Wply
---------	-----------	------	----	----	----	----	----	----	------	------

**Implementazione dei sistemi di confinamento delle emissioni odorigene diffuse dell'impianto di compostaggio esistente nel
Comune di Eboli (SA)**

PROGETTO DEFINITIVO – Tabulati di calcolo Tomo 1

Sezione	Rotazione	Area	Jx	Jy	ix	iy	Wx	Wy	Wplx	Wply
A1; L100*10; 1; Saldato; S275; 30; 1; 8; 8; 1	180	0.003832	0.0000035319	0.000007759	0.0304	0.045	0.0000492	0.0000739	0.00008974	0.00012727

Comportamento dei calastrelli

Accoppiamento imbottito con funzione statica (§C4.2.4.1.3.1.4 NTC18) nella campata compresa tra le ascisse 0 e 1.5 per sbandamento attorno all'asse y.

Verifiche di resistenza

Verifiche a forza assiale §4.2.4.1.2.1 - §4.2.4.1.2.2 NTC18

X	Comb.	Sfruttamento	Classe	NEd	Nc,Rd	Nt,Rd	Riduzione da taglio	px	py	Verifica
0.75	SLU 76	0.15		150.243		1003.522	1	0	0	Si

Verifiche a forza assiale SLD §4.2.4.1.2.1 - §4.2.4.1.2.2 NTC18

X	Comb.	Sfruttamento	Classe	NEd	Nc,Rd	Nt,Rd	Riduzione da taglio	px	py	Verifica
1.5	SLD 16	0.062		61.857		1003.522	1	0	0	Si

Verifica a taglio X §4.2.4.1.2.4 NTC18

X	Comb.	Sfruttamento	VEd	Vc,Rd	Av	Interazione taglio-torsione	Riduzione torsione	Verifica
0	SLV 1	0.001	-0.215	302.422	0.002	Non considerata		Si

Verifica a taglio Y §4.2.4.1.2.4 NTC18

X	Comb.	Sfruttamento	VEd	Vc,Rd	Av	Interazione taglio-torsione	Riduzione torsione	Verifica
1.5	SLU 76	0.001	0.295	302.422	0.002	Non considerata		Si

Verifica a taglio Y SLD §4.2.4.1.2.4 NTC18

X	Comb.	Sfruttamento	VEd	Vc,Rd	Av	Interazione taglio-torsione	Riduzione torsione	Verifica
1.5	SLD 16	0.001	0.226	302.422	0.002	Non considerata		Si

Verifica a presso/tenso flessione retta X §§ 4.2.4.1.2.3 - 4.2.4.1.2.6 - 4.2.4.1.2.7 - 4.2.4.1.2.8 NTC18

Verifiche eseguite utilizzando la formula conservativa (6.2) §6.2.1 EN 1993-1-1:2005.

X	Comb.	Sfruttamento	Classe	NEd	NRd	Rid. NRd da VEd	Mx,Ed	Mx,Rd	Rid. Mx,Rd da VEd	Rid. Mx,Rd da NEd	px	py	Verifica
0.75	SLU 76	0.154	1	150.243	1003.522	1	0.1106	23.5037	1		0	0	Si

Verifica a presso/tenso flessione retta X SLD §§ 4.2.4.1.2.3 - 4.2.4.1.2.6 - 4.2.4.1.2.7 - 4.2.4.1.2.8 NTC18

Verifiche eseguite utilizzando la formula conservativa (6.2) §6.2.1 EN 1993-1-1:2005.

X	Comb.	Sfruttamento	Classe	NEd	NRd	Rid. NRd da VEd	Mx,Ed	Mx,Rd	Rid. Mx,Rd da VEd	Rid. Mx,Rd da NEd	px	py	Verifica
1.35	SLD 16	0.063	1	61.857	1003.522	1	0.0301	23.5037	1		0	0	Si

Verifica a presso/tenso flessione retta Y §§ 4.2.4.1.2.3 - 4.2.4.1.2.6 - 4.2.4.1.2.7 - 4.2.4.1.2.8 NTC18

Verifiche eseguite utilizzando la formula conservativa (6.2) §6.2.1 EN 1993-1-1:2005.

X	Comb.	Sfruttamento	Classe	NEd	NRd	Rid. NRd da VEd	My,Ed	My,Rd	Rid. My,Rd da VEd	Rid. My,Rd da NEd	px	py	Verifica
0	SLV 15	0.08	1	71.738	1003.522	1	-0.2833	33.3316	1		0	0	Si

Verifica a presso/tenso flessione retta Y SLD §§ 4.2.4.1.2.3 - 4.2.4.1.2.6 - 4.2.4.1.2.7 - 4.2.4.1.2.8 NTC18

Verifiche eseguite utilizzando la formula conservativa (6.2) §6.2.1 EN 1993-1-1:2005.

X	Comb.	Sfruttamento	Classe	NEd	NRd	Rid. NRd da VEd	My,Ed	My,Rd	Rid. My,Rd da VEd	Rid. My,Rd da NEd	px	py	Verifica
0	SLD 15	0.065	1	61.857	1003.522	1	-0.1137	33.3316	1		0	0	Si

Verifica a presso/tenso flessione deviata §§ 4.2.4.1.2.3 - 4.2.4.1.2.6 - 4.2.4.1.2.7 - 4.2.4.1.2.8 NTC18

Verifiche eseguite utilizzando la formula conservativa (6.2) §6.2.1 EN 1993-1-1:2005.

X	Comb.	Sfruttamento	Classe	NEd	NRd	Rid. NRd da VEd	Mx,Ed	Mx,Rd	My,Ed	My,Rd	Rid. Mx,Rd da VEd	Rid. Mx,Rd da NEd	Rid. My,Rd da VEd	Rid. My,Rd da NEd	α	β	px	py	Verifica
0.25	SLV 16	0.08	1	71.738	1003.522	1	0.0473	23.5037	-0.2298	33.3316	1		1				0	0	Si

Verifica a presso/tenso flessione deviata SLD §§ 4.2.4.1.2.3 - 4.2.4.1.2.6 - 4.2.4.1.2.7 - 4.2.4.1.2.8 NTC18

Verifiche eseguite utilizzando la formula conservativa (6.2) §6.2.1 EN 1993-1-1:2005.

X	Comb.	Sfruttamento	Classe	NEd	NRd	Rid. NRd da VEd	Mx,Ed	Mx,Rd	My,Ed	My,Rd	Rid. Mx,Rd da VEd	Rid. Mx,Rd da NEd	Rid. My,Rd da VEd	Rid. My,Rd da NEd	α	β	px	py	Verifica
0.55	SLD 16	0.067	1	61.857	1003.522	1	0.0787	23.5037	-0.0665	33.3316	1		1				0	0	Si

Verifiche ad instabilità

Caratteristiche iniziali

Membratura principale per controllo snellezza; Calcolo di snellezze ed N critici condotti secondo gli assi principali;

Curva X: c; Curva Y: c;

Svergolamento: Nessuno; la verifica a instabilità flesso-torsionale (svergolamento) non verrà eseguita.

Dati per instabilità attorno a x

Controllo della snellezza secondo §4.2.4.1.3.1 NTC18

Numero rit.	Presente	Ascissa	Campata	βx/m	Vincolo a entrambi estremi	λx/m	λVer
1	Si	0	1-2	1	Si	49.4	Si, (<200)
2	Si	1.5					

Dati per instabilità attorno a y

Controllo della snellezza secondo §4.2.4.1.3.1 NTC18

Numero rit.	Presente	Ascissa	Campata	βy/n	k,LT	kw,LT	Vincolo a entrambi estremi
1	Si	0	1-2	1	Si	34.8	Si, (<200)
2	Si	1.5					

PROGETTO DEFINITIVO – Tabulati di calcolo Tomo 1

Verifica di stabilità per pressoflessione §C.4.2.4.1.3.3.1 NTC18

X	Comb.	Sfruttamento	Classe	NEd	MxEq,Ed	MyEq,Ed	Area	Wx	Wy	x,min	λ adim. x/m	λ adim. y/n	N,crit x/m	N,crit y/n	Verifica
0	SLU 2	0.025	3	-13.609	0.0722	-0.041	0.003832	0.0000492	0.0000739	0.804	0.569	0.4	3253.47	6569.993	Si

Verifiche a deformabilità

Mensola X: No; Mensola Y: No.

Frecce lungo X

Ascissa freccia	Combinazione	Freccia	Luce	L/f	L/f,min	Tipo	Verifica
1.15	SLE RA 1	0	1.5	10000	250	Totale	Si
0.35	SLE RA 17	0	1.5	10000	250	Totale	Si
0.4	SLE RA 16	0	1.5	10000	250	Totale	Si
0.35	SLE RA 15	0	1.5	10000	250	Totale	Si
1.15	SLE RA 14	0	1.5	10000	250	Totale	Si
0.55	SLE RA 2	0	1.5	10000	350	Variabile	Si
0.5	SLE RA 17	0	1.5	10000	350	Variabile	Si
0.5	SLE RA 16	0	1.5	10000	350	Variabile	Si
0.4	SLE RA 15	0	1.5	10000	350	Variabile	Si
1.15	SLE RA 14	0	1.5	10000	350	Variabile	Si

Frecce lungo Y

Ascissa freccia	Combinazione	Freccia	Luce	L/f	L/f,min	Tipo	Verifica
0.75	SLE RA 1	0.00003	1.5	10000	250	Totale	Si
0.75	SLE RA 17	0.00003	1.5	10000	250	Totale	Si
0.75	SLE RA 16	0.00003	1.5	10000	250	Totale	Si
0.75	SLE RA 15	0.00003	1.5	10000	250	Totale	Si
0.75	SLE RA 14	0.00003	1.5	10000	250	Totale	Si
0.65	SLE RA 2	0	1.5	10000	350	Variabile	Si
0.65	SLE RA 17	0	1.5	10000	350	Variabile	Si
0.65	SLE RA 16	0	1.5	10000	350	Variabile	Si
0.65	SLE RA 15	0	1.5	10000	350	Variabile	Si
0.7	SLE RA 14	0	1.5	10000	350	Variabile	Si

Superelemento in acciaio a quota "640" (-1670; 45)-(-1543; 180)

Caratteristiche del materiale

Acciaio: S275, fyk = 275000

Caratteristiche geometriche

Lunghezza: 1.849

Nodo iniziale: 681 Nodo finale: 709

Cerniera iniziale: No Cerniera finale: No

Sovreresistenza: 0% Sisma Z: No

Caratteristiche della sezione

Sezione	Rotazione	Area	Jx	Jy	ix	iy	Wx	Wy	Wplx	Wply
HEA120	0	0.002537	0.0000060673	0.0000023091	0.0489	0.0302	0.00010644	0.00003849	0.00011962	0.00005887

Verifiche di resistenza

Verifiche a forza assiale §4.2.4.1.2.1 - §4.2.4.1.2.2 NTC18

X	Comb.	Sfruttamento	Classe	NEd	Nc,Rd	Nt,Rd	Riduzione da taglio	px	py	Verifica
0.062	SLU 76	0.101	1	-67.123	664.325		1	0	0	Si

Verifiche a forza assiale SLD §4.2.4.1.2.1 - §4.2.4.1.2.2 NTC18

X	Comb.	Sfruttamento	Classe	NEd	Nc,Rd	Nt,Rd	Riduzione da taglio	px	py	Verifica
1.849	SLD 8	0.041	1	-27.507	664.325		1	0	0	Si

Verifica a taglio Y §4.2.4.1.2.4 NTC18

X	Comb.	Sfruttamento	VEd	Vc,Rd	Av	Interazione taglio-torsione	Riduzione torsione	Verifica
0	SLU 76	0.009	1.16	128.073	0.000849	Considerata	1	Si

Verifica a taglio Y SLD §4.2.4.1.2.4 NTC18

X	Comb.	Sfruttamento	VEd	Vc,Rd	Av	Interazione taglio-torsione	Riduzione torsione	Verifica
0	SLD 9	0.005	0.693	127.889	0.000849	Considerata	1	Si

Verifica a torsione §4.2.4.1.2.5 NTC18

X	Comb.	Sfruttamento torsione	TEd	TRd	Riduzione taglio resistente	Sfruttamento taglio-torsione	τEd,totale	τRd	Verifica
1.849	SLV 13	0.021	-0.01821	0.85138	Considerata				Si

Verifica a torsione SLD §4.2.4.1.2.5 NTC18

X	Comb.	Sfruttamento torsione	TEd	TRd	Riduzione taglio resistente	Sfruttamento taglio-torsione	τEd,totale	τRd	Verifica
1.788	SLD 13	0.008	-0.00689	0.85138	Considerata				Si

Verifica a flessione semplice X §§ 4.2.4.1.2.3 - 4.2.4.1.2.6 - 4.2.4.1.2.7 - 4.2.4.1.2.8 NTC18

X	Comb.	Sfruttamento	Classe	Mx,Ed	Mx,Rd	Rid. Mx,Rd da VEd	px	py	Verifica
0	SLU 41	0.006	1	0.19471	31.32907	1	0	0	Si

Verifica a flessione semplice Y §§ 4.2.4.1.2.3 - 4.2.4.1.2.6 - 4.2.4.1.2.7 - 4.2.4.1.2.8 NTC18

X	Comb.	Sfruttamento	Classe	My,Ed	My,Rd	Rid. My,Rd da VEd	px	py	Verifica
1.849	SLU 41	0.001	1	0.00981	15.41907	1	0	0	Si

**Implementazione dei sistemi di confinamento delle emissioni odorigene diffuse dell'impianto di compostaggio esistente nel
Comune di Eboli (SA)
PROGETTO DEFINITIVO – Tabulati di calcolo Tomo 1**

Verifica a flessione deviata §§ 4.2.4.1.2.3 - 4.2.4.1.2.6 - 4.2.4.1.2.7 - 4.2.4.1.2.8 NTC18

X	Comb.	Sfruttamento	Classe	Mx,Ed	Mx,Rd	My,Ed	My,Rd	Rid. Mx,Rd da VEd	Rid. My,Rd da VEd	α	β	px	py	Verifica
0,37	SLU 41	0,003	1	0,0836	31,3291	0,0039	15,4191	1	1			0	0	Si

Verifica a presso/tenso flessione retta X §§ 4.2.4.1.2.3 - 4.2.4.1.2.6 - 4.2.4.1.2.7 - 4.2.4.1.2.8 NTC18

Verifiche eseguite utilizzando la formula conservativa (6.2) §6.2.1 EN 1993-1-1:2005.

X	Comb.	Sfruttamento	Classe	NEd	NRd	Rid. NRd da VEd	Mx,Ed	Mx,Rd	Rid. Mx,Rd da VEd	Rid. Mx,Rd da NEd	px	py	Verifica
0,062	SLU 76	0,15	1	-67,123	664,325	1	1,5277	31,3291	1		0	0	Si

Verifica a presso/tenso flessione retta X SLD §§ 4.2.4.1.2.3 - 4.2.4.1.2.6 - 4.2.4.1.2.7 - 4.2.4.1.2.8 NTC18

Verifiche eseguite utilizzando la formula conservativa (6.2) §6.2.1 EN 1993-1-1:2005.

X	Comb.	Sfruttamento	Classe	NEd	NRd	Rid. NRd da VEd	Mx,Ed	Mx,Rd	Rid. Mx,Rd da VEd	Rid. Mx,Rd da NEd	px	py	Verifica
0	SLD 15	0,048	1	-15,46	664,325	1	0,7728	31,3291	1		0	0	Si

Verifica a presso/tenso flessione retta Y §§ 4.2.4.1.2.3 - 4.2.4.1.2.6 - 4.2.4.1.2.7 - 4.2.4.1.2.8 NTC18

Verifiche eseguite utilizzando la formula conservativa (6.2) §6.2.1 EN 1993-1-1:2005.

X	Comb.	Sfruttamento	Classe	NEd	NRd	Rid. NRd da VEd	My,Ed	My,Rd	Rid. My,Rd da VEd	Rid. My,Rd da NEd	px	py	Verifica
1,664	SLU 64	0,088	1	-57,866	664,325	1	-0,0132	15,4191	1		0	0	Si

Verifica a presso/tenso flessione retta Y SLD §§ 4.2.4.1.2.3 - 4.2.4.1.2.6 - 4.2.4.1.2.7 - 4.2.4.1.2.8 NTC18

Verifiche eseguite utilizzando la formula conservativa (6.2) §6.2.1 EN 1993-1-1:2005.

X	Comb.	Sfruttamento	Classe	NEd	NRd	Rid. NRd da VEd	My,Ed	My,Rd	Rid. My,Rd da VEd	Rid. My,Rd da NEd	px	py	Verifica
0,493	SLD 7	0,042	1	-27,507	664,325	1	0,0151	15,4191	1		0	0	Si

Verifica a presso/tenso flessione deviata §§ 4.2.4.1.2.3 - 4.2.4.1.2.6 - 4.2.4.1.2.7 - 4.2.4.1.2.8 NTC18

Verifiche eseguite utilizzando la formula conservativa (6.2) §6.2.1 EN 1993-1-1:2005.

X	Comb.	Sfruttamento	Classe	NEd	NRd	Rid. NRd da VEd	Mx,Ed	Mx,Rd	My,Ed	My,Rd	Rid. Mx,Rd da VEd	Rid. Mx,Rd da NEd	Rid. My,Rd da VEd	Rid. My,Rd da NEd	α	β	px	py	Verifica
0	SLU 76	0,152	1	-67,123	664,325	1	1,5987	31,3291	0,004	15,4191	1		1				0	0	Si

Verifica a presso/tenso flessione deviata SLD §§ 4.2.4.1.2.3 - 4.2.4.1.2.6 - 4.2.4.1.2.7 - 4.2.4.1.2.8 NTC18

Verifiche eseguite utilizzando la formula conservativa (6.2) §6.2.1 EN 1993-1-1:2005.

X	Comb.	Sfruttamento	Classe	NEd	NRd	Rid. NRd da VEd	Mx,Ed	Mx,Rd	My,Ed	My,Rd	Rid. Mx,Rd da VEd	Rid. Mx,Rd da NEd	Rid. My,Rd da VEd	Rid. My,Rd da NEd	α	β	px	py	Verifica
0	SLD 10	0,049	1	-11,705	664,325	1	0,9739	31,3291	-0,0111	15,4191	1		1				0	0	Si

Verifiche ad instabilità

Caratteristiche iniziali

Membratura principale per controllo snellezza; Calcolo di snellezze ed N critici condotti secondo gli assi principali;

Curva X: b; Curva Y: c; Svergolamento: Carico all'estradosso; Curva svergolamento: b;

Dati per instabilità attorno a x

Controllo della snellezza secondo §4.2.4.1.3.1 NTC18

Numero rit.	Presente	Ascissa	Campata	βx/m	Vincolo a entrambi estremi	λx/m	λVer
1	Si	0					
2	Si	1,849	1-2		Si	37,8	Si, (<200)

Dati per instabilità attorno a y

Controllo della snellezza secondo §4.2.4.1.3.1 NTC18

Numero rit.	Presente	Ascissa	Campata	βy/n	k,LT	kw,LT	Vincolo a entrambi estremi	λy/n	λVer
1	Si	0							
2	Si	1,849	1-2		1	1	Si	61,3	Si, (<200)

Verifica a svergolamento con trazione §4.2.4.1.3.2 NTC18 § 5.5.3 ENV 1993-1-1:1992 + AC:1992 + A1:1994 + A2:1998

X	Comb.	Sfruttamento	Classe	Obblig.	NEd	Mx,Ed	Mx,Eff,Ed	Mb,Rd,x	χ,LT	λ adim. LT	L,LT	M,critico	Verifica
0	SLU 21	0	1	Si	2,026	0,07025	0,01074	28,26141	0,902	0,633	1,849	82,15733	Si

Verifica di stabilità per tenso-flessione deviata §§ 5.5.3-5.5.4 ENV 1993-1-1:1992 + AC:1992 + A1:1994 + A2:1998

X	Comb.	Sfruttamento	Classe	NEd	Mx,Ed	Mx,Eff,Ed	My,Ed	χ,LT	kLT	ky	M,critico	Wx	Wy	Verifica
0	SLV 9	0,057	1	3,484	1,79337	1,69103	-0,03837	0,99	1	1	180,58845	0,0001196	0,0000589	Si

Verifica di stabilità per pressoflessione §C.4.2.4.1.3.3.2 NTC18

X	Comb.	Sfruttamento	Classe	NEd	NRk	Mx,Ed max	Mx,Rk	My,Ed max	My,Rk	χ,x	χ,y	kxx	kxy	kyx	kyy	χ,LT	Verifica
0	SLU 76	0,195	1	-67,123	697,541	1,59869	32,89552	0,01247	16,19002	0,912	0,721	0,532	0,315	0,963	0,524	0,902	Si

Verifica di stabilità per pressoflessione SLD §C.4.2.4.1.3.3.2 NTC18

X	Comb.	Sfruttamento	Classe	NEd	NRk	Mx,Ed max	Mx,Rk	My,Ed max	My,Rk	χ,x	χ,y	kxx	kxy	kyx	kyy	χ,LT	Verifica
1,849	SLD 8	0,063	1	-27,507	697,541	0,11873	32,89552	0,03015	16,19002	0,912	0,721	0,732	0,428	0,991	0,714	0,902	Si

Verifica di stabilità a taglio anima Y §4.2.4.1.2.4 [4.2.27] NTC18

η	hw	tw	hw/tw max	Verifica
1,2	0,098	0,005	55,46	Si

Verifica di stabilità a taglio anima Y SLD §4.2.4.1.2.4 [4.2.27] NTC18

η	hw	tw	hw/tw max	Verifica
1,2	0,098	0,005	55,46	Si

Verifiche a deformabilità

Mensola X: No; Mensola Y: No.

Frecce lungo X

Ascissa freccia	Combinazione	Freccia	Luce	L/f	L/f,min	Tipo	Verifica
0,555	SLE RA 1	0	1,849	10000	250	Totale	Si
0,37	SLE RA 17	0	1,849	10000	250	Totale	Si

Implementazione dei sistemi di confinamento delle emissioni odorigene diffuse dell'impianto di compostaggio esistente nel
Comune di Eboli (SA)

PROGETTO DEFINITIVO – Tabulati di calcolo Tomo 1

Ascissa freccia	Combinazione	Freccia	Luce	L/f	L/f,min	Tipo	Verifica
1.295	SLE RA 16	0	1.849	10000	250	Totale	Si
1.172	SLE RA 15	0	1.849	10000	250	Totale	Si
0.925	SLE RA 14	0	1.849	10000	250	Totale	Si
1.048	SLE RA 2	0	1.849	10000	350	Variabile	Si
1.048	SLE RA 17	0	1.849	10000	350	Variabile	Si
1.048	SLE RA 16	0	1.849	10000	350	Variabile	Si
1.11	SLE RA 15	0	1.849	10000	350	Variabile	Si
1.11	SLE RA 14	0	1.849	10000	350	Variabile	Si

Frecce lungo Y

Ascissa freccia	Combinazione	Freccia	Luce	L/f	L/f,min	Tipo	Verifica
0.678	SLE RA 1	0.00006	1.849	10000	250	Totale	Si
0.74	SLE RA 17	0.00009	1.849	10000	250	Totale	Si
0.74	SLE RA 16	0.00013	1.849	10000	250	Totale	Si
0.74	SLE RA 15	0.00013	1.849	10000	250	Totale	Si
0.74	SLE RA 14	0.00008	1.849	10000	250	Totale	Si
0.74	SLE RA 2	-0.00006	1.849	10000	350	Variabile	Si
0.74	SLE RA 17	0.00003	1.849	10000	350	Variabile	Si
0.74	SLE RA 16	0.00007	1.849	10000	350	Variabile	Si
0.74	SLE RA 15	0.00007	1.849	10000	350	Variabile	Si
0.802	SLE RA 14	0.00002	1.849	10000	350	Variabile	Si

Superelemento in acciaio a quota "640" (-1671; 46)-(-1560; -58)

Caratteristiche del materiale

Acciaio: S275, fyk = 275000

Caratteristiche geometriche

Lunghezza: 1.513

Nodo iniziale: 679 Nodo finale: 655

Cerniera iniziale: Mmomenti 1% Cerniera finale: Mmomenti 1%

Sovraresistenza: 0% Sisma Z: No

Caratteristiche della sezione

Sezione	Rotazione	Area	Jx	Jy	ix	iy	Wx	Wy	Wplx	Wply
A1; L100*10; 1; Saldato; S275; 30; 1; 8; 8; 1	180	0.003832	0.0000035319	0.000007759	0.0304	0.045	0.0000492	0.0000739	0.00008974	0.00012727

Comportamento dei calastrelli

Accoppiamento imbottito con funzione statica (§C4.2.4.1.3.1.4 NTC18) nella campata compresa tra le ascisse 0 e 1.513 per sbandamento attorno all'asse y.

Verifiche di resistenza

Verifiche a forza assiale §4.2.4.1.2.1 - §4.2.4.1.2.2 NTC18

X	Comb.	Sfruttamento	Classe	NEd	Nc,Rd	Nt,Rd	Riduzione da taglio	px	py	Verifica
0	SLU 76	0.001		0.898		1003.522	1	0	0	Si

Verifiche a forza assiale SLD §4.2.4.1.2.1 - §4.2.4.1.2.2 NTC18

X	Comb.	Sfruttamento	Classe	NEd	Nc,Rd	Nt,Rd	Riduzione da taglio	px	py	Verifica
0	SLD 9	0		0.446		1003.522	1	0	0	Si

Verifica a taglio Y §4.2.4.1.2.4 NTC18

X	Comb.	Sfruttamento	VEd	Vc,Rd	Av	Interazione taglio-torsione	Riduzione torsione	Verifica
1.513	SLU 76	0.002	0.465	302.422	0.002	Non considerata		Si

Verifica a taglio Y SLD §4.2.4.1.2.4 NTC18

X	Comb.	Sfruttamento	VEd	Vc,Rd	Av	Interazione taglio-torsione	Riduzione torsione	Verifica
1.513	SLD 10	0.001	0.288	302.422	0.002	Non considerata		Si

Verifica a flessione semplice X §§ 4.2.4.1.2.3 - 4.2.4.1.2.6 - 4.2.4.1.2.7 - 4.2.4.1.2.8 NTC18

X	Comb.	Sfruttamento	Classe	Mx,Ed	Mx,Rd	Rid. Mx,Rd da VEd	px	py	Verifica
0.605	SLU 58	0.007	1	0.16787	23.50374	1	0	0	Si

Verifica a flessione semplice X SLD §§ 4.2.4.1.2.3 - 4.2.4.1.2.6 - 4.2.4.1.2.7 - 4.2.4.1.2.8 NTC18

X	Comb.	Sfruttamento	Classe	Mx,Ed	Mx,Rd	Rid. Mx,Rd da VEd	px	py	Verifica
0.656	SLD 7	0.005	1	0.11449	23.50374	1	0	0	Si

Verifica a flessione semplice Y §§ 4.2.4.1.2.3 - 4.2.4.1.2.6 - 4.2.4.1.2.7 - 4.2.4.1.2.8 NTC18

X	Comb.	Sfruttamento	Classe	My,Ed	My,Rd	Rid. My,Rd da VEd	px	py	Verifica
1.513	SLV 3	0.001	1	-0.03834	33.33162	1	0	0	Si

Verifica a flessione semplice Y SLD §§ 4.2.4.1.2.3 - 4.2.4.1.2.6 - 4.2.4.1.2.7 - 4.2.4.1.2.8 NTC18

X	Comb.	Sfruttamento	Classe	My,Ed	My,Rd	Rid. My,Rd da VEd	px	py	Verifica
1.513	SLD 15	0	1	0.01496	33.33162	1	0	0	Si

Verifica a flessione deviata §§ 4.2.4.1.2.3 - 4.2.4.1.2.6 - 4.2.4.1.2.7 - 4.2.4.1.2.8 NTC18

X	Comb.	Sfruttamento	Classe	Mx,Ed	Mx,Rd	My,Ed	My,Rd	Rid. Mx,Rd da VEd	Rid. My,Rd da VEd	α	β	px	py	Verifica
0.303	SLU 58	0.007	1	0.1519	23.5037	-0.0076	33.3316	1	1			0	0	Si

**Implementazione dei sistemi di confinamento delle emissioni odorigene diffuse dell'impianto di compostaggio esistente nel
Comune di Eboli (SA)
PROGETTO DEFINITIVO – Tabulati di calcolo Tomo 1**

Verifica a flessione deviata SLD §§ 4.2.4.1.2.3 - 4.2.4.1.2.6 - 4.2.4.1.2.7 - 4.2.4.1.2.8 NTC18

X	Comb.	Sfruttamento	Classe	Mx,Ed	Mx,Rd	My,Ed	My,Rd	Rid. Mx,Rd da VEd	Rid. My,Rd da VEd	α	β	px	py	Verifica
0.555	SLD 6	0.006	1	0.1329	23.5037	-0.0137	33.3316	1	1			0	0	Si

Verifica a presso/tenso flessione retta X §§ 4.2.4.1.2.3 - 4.2.4.1.2.6 - 4.2.4.1.2.7 - 4.2.4.1.2.8 NTC18

Verifiche eseguite utilizzando la formula conservativa (6.2) §6.2.1 EN 1993-1-1:2005.

X	Comb.	Sfruttamento	Classe	NEd	NRd	Rid. NRd da VEd	Mx,Ed	Mx,Rd	Rid. Mx,Rd da VEd	Rid. Mx,Rd da NEd	px	py	Verifica
0.706	SLU 76	0.012	1	0.898	1003.522	1	0.2496	23.5037	1		0	0	Si

Verifica a presso/tenso flessione retta Y SLD §§ 4.2.4.1.2.3 - 4.2.4.1.2.6 - 4.2.4.1.2.7 - 4.2.4.1.2.8 NTC18

Verifiche eseguite utilizzando la formula conservativa (6.2) §6.2.1 EN 1993-1-1:2005.

X	Comb.	Sfruttamento	Classe	NEd	NRd	Rid. NRd da VEd	Mx,Ed	Mx,Rd	Rid. Mx,Rd da VEd	Rid. Mx,Rd da NEd	px	py	Verifica
0.555	SLD 14	0.006	1	0.437	1003.522	1	0.1387	23.5037	1		0	0	Si

Verifica a presso/tenso flessione retta Y §§ 4.2.4.1.2.3 - 4.2.4.1.2.6 - 4.2.4.1.2.7 - 4.2.4.1.2.8 NTC18

Verifiche eseguite utilizzando la formula conservativa (6.2) §6.2.1 EN 1993-1-1:2005.

X	Comb.	Sfruttamento	Classe	NEd	NRd	Rid. NRd da VEd	My,Ed	My,Rd	Rid. My,Rd da VEd	Rid. My,Rd da NEd	px	py	Verifica
1.513	SLV 10	0.002	1	0.717	1003.522	1	0.0491	33.3316	1		0	0	Si

Verifica a presso/tenso flessione retta Y SLD §§ 4.2.4.1.2.3 - 4.2.4.1.2.6 - 4.2.4.1.2.7 - 4.2.4.1.2.8 NTC18

Verifiche eseguite utilizzando la formula conservativa (6.2) §6.2.1 EN 1993-1-1:2005.

X	Comb.	Sfruttamento	Classe	NEd	NRd	Rid. NRd da VEd	My,Ed	My,Rd	Rid. My,Rd da VEd	Rid. My,Rd da NEd	px	py	Verifica
1.513	SLD 9	0.001	1	0.446	1003.522	1	0.0226	33.3316	1		0	0	Si

Verifica a presso/tenso flessione deviata §§ 4.2.4.1.2.3 - 4.2.4.1.2.6 - 4.2.4.1.2.7 - 4.2.4.1.2.8 NTC18

Verifiche eseguite utilizzando la formula conservativa (6.2) §6.2.1 EN 1993-1-1:2005.

X	Comb.	Sfruttamento	Classe	NEd	NRd	Rid. NRd da VEd	Mx,Ed	Mx,Rd	My,Ed	My,Rd	Rid. Mx,Rd da VEd	Rid. Mx,Rd da NEd	Rid. My,Rd da VEd	Rid. My,Rd da NEd	α	β	px	py	Verifica
0.252	SLU 76	0.013	1	0.898	1003.522	1	0.2771	23.5037	-0.0213	33.3316	1		1				0	0	Si

Verifica a presso/tenso flessione deviata SLD §§ 4.2.4.1.2.3 - 4.2.4.1.2.6 - 4.2.4.1.2.7 - 4.2.4.1.2.8 NTC18

Verifiche eseguite utilizzando la formula conservativa (6.2) §6.2.1 EN 1993-1-1:2005.

X	Comb.	Sfruttamento	Classe	NEd	NRd	Rid. NRd da VEd	Mx,Ed	Mx,Rd	My,Ed	My,Rd	Rid. Mx,Rd da VEd	Rid. Mx,Rd da NEd	Rid. My,Rd da VEd	Rid. My,Rd da NEd	α	β	px	py	Verifica
0.504	SLD 10	0.007	1	0.446	1003.522	1	0.1383	23.5037	-0.0095	33.3316	1		1				0	0	Si

Verifiche ad instabilità

Caratteristiche iniziali

Membratura principale per controllo snellezza; Calcolo di snellezze ed N critici condotti secondo gli assi principali;

Curva X: c; Curva Y: c;

Svergolamento: Nessuno; la verifica a instabilità flesso-torsionale (svergolamento) non verrà eseguita.

Dati per instabilità attorno a x

Controllo della snellezza secondo §4.2.4.1.3.1 NTC18

Numero rit.	Presente	Ascissa	Campata	βx/m	Vincolo a entrambi estremi	λx/m	λVer
1	Si		0				
			1-2		1	Si	49.8
2	Si	1.513					Si, (<200)

Dati per instabilità attorno a y

Controllo della snellezza secondo §4.2.4.1.3.1 NTC18

Numero rit.	Presente	Ascissa	Campata	βy/n	k,LT	kw,LT	Vincolo a entrambi estremi
1	Si		0				
			1-2		1	Si	35.1
2	Si	1.513					Si, (<200)

Verifica di stabilità per pressoflessione §C.4.2.4.1.3.3.1 NTC18

X	Comb.	Sfruttamento	Classe	NEd	MxEq,Ed	MyEq,Ed	Area	Wx	Wy	χ,min	λ adim. x/m	λ adim. y/n	N,crit x/m	N,crit y/n	Verifica
1.513	SLU 58	0.007	1	0	0.1625	-0.0046	0.003832	0.0000897	0.0001273	0.801	0.574	0.404	3196.427	6463.956	Si

Verifica di stabilità per pressoflessione SLD §C.4.2.4.1.3.3.1 NTC18

X	Comb.	Sfruttamento	Classe	NEd	MxEq,Ed	MyEq,Ed	Area	Wx	Wy	χ,min	λ adim. x/m	λ adim. y/n	N,crit x/m	N,crit y/n	Verifica
1.513	SLD 6	0.006	1	0	0.1291	-0.0198	0.003832	0.0000897	0.0001273	0.801	0.574	0.404	3196.427	6463.956	Si

Verifiche a deformabilità

Mensola X: No; Mensola Y: No.

Frecce lungo X

Ascissa freccia	Combinazione	Freccia	Luce	L/f	L/f,min	Tipo	Verifica
0.454	SLE RA 1	0	1.513	10000	250	Totale	Si
0.454	SLE RA 17	0	1.513	10000	250	Totale	Si
0.454	SLE RA 16	0	1.513	10000	250	Totale	Si
0.454	SLE RA 15	0	1.513	10000	250	Totale	Si
0.454	SLE RA 14	0	1.513	10000	250	Totale	Si
0.454	SLE RA 2	0	1.513	10000	350	Variabile	Si
0.454	SLE RA 17	0	1.513	10000	350	Variabile	Si
0.454	SLE RA 16	0	1.513	10000	350	Variabile	Si
0.404	SLE RA 15	0	1.513	10000	350	Variabile	Si
0.504	SLE RA 14	0	1.513	10000	350	Variabile	Si

Frecce lungo Y

Ascissa freccia	Combinazione	Freccia	Luce	L/f	L/f,min	Tipo	Verifica
0.706	SLE RA 1	0.00004	1.513	10000	250	Totale	Si
0.706	SLE RA 17	0.00005	1.513	10000	250	Totale	Si
0.706	SLE RA 16	0.00006	1.513	10000	250	Totale	Si

PROGETTO DEFINITIVO – Tabulati di calcolo Tomo 1

Ascissa freccia	Combinazione	Freccia	Luce	L/f	L/f,min	Tipo	Verifica
0.706	SLE RA 15	0.00006	1.513	10000	250	Totale	Si
0.706	SLE RA 14	0.00005	1.513	10000	250	Totale	Si
0.656	SLE RA 2	-0.00001	1.513	10000	350	Variabile	Si
0.656	SLE RA 17	0.00001	1.513	10000	350	Variabile	Si
0.656	SLE RA 16	0.00002	1.513	10000	350	Variabile	Si
0.656	SLE RA 15	0.00002	1.513	10000	350	Variabile	Si
0.656	SLE RA 14	0	1.513	10000	350	Variabile	Si

Superelemento in acciaio a quota "640" (-1707; -434)-(-1598; -536)

Caratteristiche del materiale

Acciaio: S275, fyk = 275000

Caratteristiche geometriche

Lunghezza: 1.5

Nodo iniziale: 581 Nodo finale: 570

Cerniera iniziale: Mmomenti 1% Cerniera finale: Mmomenti 1%

Sovraresistenza: 0% Sisma Z: No

Caratteristiche della sezione

Sezione	Rotazione	Area	Jx	Jy	ix	iy	Wx	Wy	Wplx	Wply
A1; L100*10; 1; Saldato; S275; 30; 1; 8; 8; 1	180	0.003832	0.0000035319	0.000007759	0.0304	0.045	0.0000492	0.0000739	0.00008974	0.00012727

Comportamento dei calastrelli

Accoppiamento imbottito con funzione statica (§C4.2.4.1.3.1.4 NTC18) nella campata compresa tra le ascisse 0 e 1.5 per sbandamento attorno all'asse y.

Verifiche di resistenza

Verifiche a forza assiale §4.2.4.1.2.1 - §4.2.4.1.2.2 NTC18

X	Comb.	Sfruttamento	Classe	NEd	Nc,Rd	Nt,Rd	Riduzione da taglio	px	py	Verifica
0	SLU 76	0.134		134.967		1003.522	1	0	0	Si

Verifiche a forza assiale SLD §4.2.4.1.2.1 - §4.2.4.1.2.2 NTC18

X	Comb.	Sfruttamento	Classe	NEd	Nc,Rd	Nt,Rd	Riduzione da taglio	px	py	Verifica
1.5	SLD 16	0.054		54.201		1003.522	1	0	0	Si

Verifica a taglio X §4.2.4.1.2.4 NTC18

X	Comb.	Sfruttamento	VEd	Vc,Rd	Av	Interazione taglio-torsione	Riduzione torsione	Verifica
1.5	SLV 16	0.001	-0.331	302.422	0.002	Non considerata		Si

Verifica a taglio Y §4.2.4.1.2.4 NTC18

X	Comb.	Sfruttamento	VEd	Vc,Rd	Av	Interazione taglio-torsione	Riduzione torsione	Verifica
1.5	SLU 76	0.001	0.294	302.422	0.002	Non considerata		Si

Verifica a taglio Y SLD §4.2.4.1.2.4 NTC18

X	Comb.	Sfruttamento	VEd	Vc,Rd	Av	Interazione taglio-torsione	Riduzione torsione	Verifica
1.5	SLD 16	0.001	0.226	302.422	0.002	Non considerata		Si

Verifica a flessione semplice X §§ 4.2.4.1.2.3 - 4.2.4.1.2.6 - 4.2.4.1.2.7 - 4.2.4.1.2.8 NTC18

X	Comb.	Sfruttamento	Classe	Mx,Ed	Mx,Rd	Rid. Mx,Rd da VEd	px	py	Verifica
0.75	SLU 21	0.004	1	0.08407	23.50374	1	0	0	Si

Verifica a presso/tenso flessione retta X §§ 4.2.4.1.2.3 - 4.2.4.1.2.6 - 4.2.4.1.2.7 - 4.2.4.1.2.8 NTC18

Verifiche eseguite utilizzando la formula conservativa (6.2) §6.2.1 EN 1993-1-1:2005.

X	Comb.	Sfruttamento	Classe	NEd	NRd	Rid. NRd da VEd	Mx,Ed	Mx,Rd	Rid. Mx,Rd da VEd	Rid. Mx,Rd da NEd	px	py	Verifica
0.75	SLU 76	0.139	1	134.967	1003.522	1	0.1113	23.5037	1		0	0	Si

Verifica a presso/tenso flessione retta X SLD §§ 4.2.4.1.2.3 - 4.2.4.1.2.6 - 4.2.4.1.2.7 - 4.2.4.1.2.8 NTC18

Verifiche eseguite utilizzando la formula conservativa (6.2) §6.2.1 EN 1993-1-1:2005.

X	Comb.	Sfruttamento	Classe	NEd	NRd	Rid. NRd da VEd	Mx,Ed	Mx,Rd	Rid. Mx,Rd da VEd	Rid. Mx,Rd da NEd	px	py	Verifica
0.65	SLD 16	0.058	1	54.201	1003.522	1	0.0834	23.5037	1		0	0	Si

Verifica a presso/tenso flessione retta Y §§ 4.2.4.1.2.3 - 4.2.4.1.2.6 - 4.2.4.1.2.7 - 4.2.4.1.2.8 NTC18

Verifiche eseguite utilizzando la formula conservativa (6.2) §6.2.1 EN 1993-1-1:2005.

X	Comb.	Sfruttamento	Classe	NEd	NRd	Rid. NRd da VEd	My,Ed	My,Rd	Rid. My,Rd da VEd	Rid. My,Rd da NEd	px	py	Verifica
1.5	SLV 16	0.07	1	61.736	1003.522	1	-0.2927	33.3316	1		0	0	Si

Verifica a presso/tenso flessione retta Y SLD §§ 4.2.4.1.2.3 - 4.2.4.1.2.6 - 4.2.4.1.2.7 - 4.2.4.1.2.8 NTC18

Verifiche eseguite utilizzando la formula conservativa (6.2) §6.2.1 EN 1993-1-1:2005.

X	Comb.	Sfruttamento	Classe	NEd	NRd	Rid. NRd da VEd	My,Ed	My,Rd	Rid. My,Rd da VEd	Rid. My,Rd da NEd	px	py	Verifica
1.5	SLD 16	0.058	1	54.201	1003.522	1	-0.1175	33.3316	1		0	0	Si

Verifica a presso/tenso flessione deviata §§ 4.2.4.1.2.3 - 4.2.4.1.2.6 - 4.2.4.1.2.7 - 4.2.4.1.2.8 NTC18

Verifiche eseguite utilizzando la formula conservativa (6.2) §6.2.1 EN 1993-1-1:2005.

X	Comb.	Sfruttamento	Classe	NEd	NRd	Rid. NRd da VEd	Mx,Ed	Mx,Rd	My,Ed	My,Rd	Rid. Mx,Rd da VEd	Rid. Mx,Rd da NEd	Rid. My,Rd da VEd	Rid. My,Rd da NEd	α	β	px	py	Verifica
1.45	SLV 16	0.07	1	61.736	1003.522	1	0.011	23.5037	-0.2762	33.3316	1		1				0	0	Si

Implementazione dei sistemi di confinamento delle emissioni odorigene diffuse dell'impianto di compostaggio esistente nel
Comune di Eboli (SA)
PROGETTO DEFINITIVO – Tabulati di calcolo Tomo 1

Verifica a presso/tenso flessione deviata SLD §§ 4.2.4.1.2.3 - 4.2.4.1.2.6 - 4.2.4.1.2.7 - 4.2.4.1.2.8 NTC18

Verifiche eseguite utilizzando la formula conservativa (6.2) §6.2.1 EN 1993-1-1:2005.

X	Comb.	Sfruttamento	Classe	NEd	NRd	Rid. NRd da VEd	Mx,Ed	Mx,Rd	My,Ed	My,Rd	Rid. Mx,Rd da VEd	Rid. Mx,Rd da NEd	Rid. My,Rd da VEd	Rid. My,Rd da NEd	α	β	px	py	Verifica
1.05	SLD 16	0.059	1	54.201	1003.522	1	0.0712	23.5037	-0.0576	33.3316	1		1				0	0	Si

Verifiche ad instabilità

Caratteristiche iniziali

Membratura principale per controllo snellezza; Calcolo di snellezze ed N critici condotti secondo gli assi principali;

Curva X: c; Curva Y: c;

Svergolamento: Nessuno; la verifica a instabilità flesso-torsionale (svergolamento) non verrà eseguita.

Dati per instabilità attorno a x

Controllo della snellezza secondo §4.2.4.1.3.1 NTC18

Numero rit.	Presente	Ascissa	Campata	βx/m	Vincolo a entrambi estremi	λx/m	λVer
1	Si	0					
			1-2	1	Si	49.4	Si, (<200)
2	Si	1.5					

Dati per instabilità attorno a y

Controllo della snellezza secondo §4.2.4.1.3.1 NTC18

Numero rit.	Presente	Ascissa	Campata	βy/n	k,LT	kw,LT	Vincolo a entrambi estremi
1	Si	0					
			1-2	1	Si	34.8	Si, (<200)
2	Si	1.5					

Verifica di stabilità per pressoflessione §C.4.2.4.1.3.3.1 NTC18

X	Comb.	Sfruttamento	Classe	NEd	MxEq,Ed	MyEq,Ed	Area	Wx	Wy	χ,min	λ adim. x/m	λ adim. y/n	N,crit x/m	N,crit y/n	Verifica
0	SLU 2	0.021	3	-11.115	0.0723	-0.0336	0.003832	0.0000492	0.0000739	0.804	0.569	0.4	3253.47	6569.993	Si

Verifiche a deformabilità

Mensola X: No; Mensola Y: No.

Frecce lungo X

Ascissa freccia	Combinazione	Freccia	Luce	L/f	L/f,min	Tipo	Verifica
0.65	SLE RA 1	0	1.5	10000	250	Totale	Si
0.65	SLE RA 17	0	1.5	10000	250	Totale	Si
0.65	SLE RA 16	0	1.5	10000	250	Totale	Si
0.65	SLE RA 15	0	1.5	10000	250	Totale	Si
0.7	SLE RA 14	0	1.5	10000	250	Totale	Si
0.7	SLE RA 2	0	1.5	10000	350	Variabile	Si
0.65	SLE RA 17	0	1.5	10000	350	Variabile	Si
0.7	SLE RA 16	0	1.5	10000	350	Variabile	Si
0.65	SLE RA 15	0	1.5	10000	350	Variabile	Si
0.85	SLE RA 14	0	1.5	10000	350	Variabile	Si

Frecce lungo Y

Ascissa freccia	Combinazione	Freccia	Luce	L/f	L/f,min	Tipo	Verifica
0.75	SLE RA 1	0.00003	1.5	10000	250	Totale	Si
0.75	SLE RA 17	0.00003	1.5	10000	250	Totale	Si
0.75	SLE RA 16	0.00003	1.5	10000	250	Totale	Si
0.75	SLE RA 15	0.00003	1.5	10000	250	Totale	Si
0.75	SLE RA 14	0.00003	1.5	10000	250	Totale	Si
0.7	SLE RA 2	0	1.5	10000	350	Variabile	Si
0.7	SLE RA 17	0	1.5	10000	350	Variabile	Si
0.7	SLE RA 16	0	1.5	10000	350	Variabile	Si
0.7	SLE RA 15	0	1.5	10000	350	Variabile	Si
0.7	SLE RA 14	0	1.5	10000	350	Variabile	Si

Superelemento in acciaio a quota "640" (-1797; -90)-(-1670; 45)

Caratteristiche del materiale

Acciaio: S275, fyk = 275000

Caratteristiche geometriche

Lunghezza: 1.851

Nodo iniziale: 653 Nodo finale: 681

Cerniera iniziale: No Cerniera finale: No

Sovraresistenza: 0% Sisma Z: No

Caratteristiche della sezione

Sezione	Rotazione	Area	Jx	Jy	ix	iy	Wx	Wy	Wplx	Wply
HEA120	0	0.002537	0.0000060673	0.0000023091	0.0489	0.0302	0.00010644	0.00003849	0.00011962	0.00005887

Verifiche di resistenza

Verifiche a forza assiale §4.2.4.1.2.1 - §4.2.4.1.2.2 NTC18

X	Comb.	Sfruttamento	Classe	NEd	Nc,Rd	Nt,Rd	Riduzione da taglio	px	py	Verifica
1.789	SLV 10	0.076		50.815		664.325	1	0	0	Si

Verifiche a forza assiale SLD §4.2.4.1.2.1 - §4.2.4.1.2.2 NTC18

X	Comb.	Sfruttamento	Classe	NEd	Nc,Rd	Nt,Rd	Riduzione da taglio	px	py	Verifica
1.789	SLD 9	0.03		19.718		664.325	1	0	0	Si

Implementazione dei sistemi di confinamento delle emissioni odorigene diffuse dell'impianto di compostaggio esistente nel
Comune di Eboli (SA)
PROGETTO DEFINITIVO – Tabulati di calcolo Tomo 1

Verifica a taglio Y §4.2.4.1.2.4 NTC18

X	Comb.	Sfruttamento	VEd	Vc,Rd	Av	Interazione taglio-torsione	Riduzione torsione	Verifica
1.851	SLU 76	0.011	-1.357	127.736	0.000849	Considerata	1	Si

Verifica a taglio Y SLD §4.2.4.1.2.4 NTC18

X	Comb.	Sfruttamento	VEd	Vc,Rd	Av	Interazione taglio-torsione	Riduzione torsione	Verifica
1.851	SLD 9	0.006	-0.716	127.703	0.000849	Considerata	1	Si

Verifica a torsione §4.2.4.1.2.5 NTC18

X	Comb.	Sfruttamento torsione	TEd	TRd	Riduzione taglio resistente	Sfruttamento taglio-torsione	τEd,totale	τRd	Verifica
1.727	SLV 4	0.049	0.0416	0.85138	Considerata				Si

Verifica a torsione SLD §4.2.4.1.2.5 NTC18

X	Comb.	Sfruttamento torsione	TEd	TRd	Riduzione taglio resistente	Sfruttamento taglio-torsione	τEd,totale	τRd	Verifica
1.851	SLD 4	0.018	0.01527	0.85138	Considerata				Si

Verifica a flessione semplice X §§ 4.2.4.1.2.3 - 4.2.4.1.2.6 - 4.2.4.1.2.7 - 4.2.4.1.2.8 NTC18

X	Comb.	Sfruttamento	Classe	Mx,Ed	Mx,Rd	Rid. Mx,Rd da VEd	px	py	Verifica
1.851	SLU 3	0.003	1	0.09183	31.32907	1	0	0	Si

Verifica a flessione deviata §§ 4.2.4.1.2.3 - 4.2.4.1.2.6 - 4.2.4.1.2.7 - 4.2.4.1.2.8 NTC18

X	Comb.	Sfruttamento	Classe	Mx,Ed	Mx,Rd	My,Ed	My,Rd	Rid. Mx,Rd da VEd	Rid. My,Rd da VEd	α	β	px	py	Verifica
0.494	SLU 3	0.003	1	-0.075	31.3291	-0.0093	15.4191	1	1			0	0	Si

Verifica a presso/tenso flessione retta X §§ 4.2.4.1.2.3 - 4.2.4.1.2.6 - 4.2.4.1.2.7 - 4.2.4.1.2.8 NTC18

Verifiche eseguite utilizzando la formula conservativa (6.2) §6.2.1 EN 1993-1-1:2005.

X	Comb.	Sfruttamento	Classe	NEd	NRd	Rid. NRd da VEd	Mx,Ed	Mx,Rd	Rid. Mx,Rd da VEd	Rid. Mx,Rd da NEd	px	py	Verifica
1.851	SLU 59	0.008	1	1.2	664.325	1	0.1993	31.3291	1		0	0	Si

Verifica a presso/tenso flessione retta X SLD §§ 4.2.4.1.2.3 - 4.2.4.1.2.6 - 4.2.4.1.2.7 - 4.2.4.1.2.8 NTC18

Verifiche eseguite utilizzando la formula conservativa (6.2) §6.2.1 EN 1993-1-1:2005.

X	Comb.	Sfruttamento	Classe	NEd	NRd	Rid. NRd da VEd	Mx,Ed	Mx,Rd	Rid. Mx,Rd da VEd	Rid. Mx,Rd da NEd	px	py	Verifica
1.851	SLD 14	0.053	1	19.538	664.325	1	0.747	31.3291	1		0	0	Si

Verifica a presso/tenso flessione retta Y §§ 4.2.4.1.2.3 - 4.2.4.1.2.6 - 4.2.4.1.2.7 - 4.2.4.1.2.8 NTC18

Verifiche eseguite utilizzando la formula conservativa (6.2) §6.2.1 EN 1993-1-1:2005.

X	Comb.	Sfruttamento	Classe	NEd	NRd	Rid. NRd da VEd	My,Ed	My,Rd	Rid. My,Rd da VEd	Rid. My,Rd da NEd	px	py	Verifica
0.308	SLV 10	0.084	1	50.815	664.325	1	0.1224	15.4191	1		0	0	Si

Verifica a presso/tenso flessione retta Y SLD §§ 4.2.4.1.2.3 - 4.2.4.1.2.6 - 4.2.4.1.2.7 - 4.2.4.1.2.8 NTC18

Verifiche eseguite utilizzando la formula conservativa (6.2) §6.2.1 EN 1993-1-1:2005.

X	Comb.	Sfruttamento	Classe	NEd	NRd	Rid. NRd da VEd	My,Ed	My,Rd	Rid. My,Rd da VEd	Rid. My,Rd da NEd	px	py	Verifica
0.555	SLD 9	0.033	1	19.718	664.325	1	0.052	15.4191	1		0	0	Si

Verifica a presso/tenso flessione deviata §§ 4.2.4.1.2.3 - 4.2.4.1.2.6 - 4.2.4.1.2.7 - 4.2.4.1.2.8 NTC18

Verifiche eseguite utilizzando la formula conservativa (6.2) §6.2.1 EN 1993-1-1:2005.

X	Comb.	Sfruttamento	Classe	NEd	NRd	Rid. NRd da VEd	Mx,Ed	Mx,Rd	My,Ed	My,Rd	Rid. Mx,Rd da VEd	Rid. Mx,Rd da NEd	Rid. My,Rd da VEd	Rid. My,Rd da NEd	α	β	px	py	Verifica
1.851	SLV 9	0.123	1	50.815	664.325	1	1.3294	31.3291	0.0644	15.4191	1		1				0	0	Si

Verifica a presso/tenso flessione deviata SLD §§ 4.2.4.1.2.3 - 4.2.4.1.2.6 - 4.2.4.1.2.7 - 4.2.4.1.2.8 NTC18

Verifiche eseguite utilizzando la formula conservativa (6.2) §6.2.1 EN 1993-1-1:2005.

X	Comb.	Sfruttamento	Classe	NEd	NRd	Rid. NRd da VEd	Mx,Ed	Mx,Rd	My,Ed	My,Rd	Rid. Mx,Rd da VEd	Rid. Mx,Rd da NEd	Rid. My,Rd da VEd	Rid. My,Rd da NEd	α	β	px	py	Verifica
1.851	SLD 9	0.056	1	19.718	664.325	1	0.7511	31.3291	0.033	15.4191	1		1				0	0	Si

Verifiche ad instabilità

Caratteristiche iniziali

Membratura principale per controllo snellezza; Calcolo di snellezze ed N critici condotti secondo gli assi principali;

Curva X: b; Curva Y: c; Svergolamento: Carico all'estradosso; Curva svergolamento: b;

Dati per instabilità attorno a x

Controllo della snellezza secondo §4.2.4.1.3.1 NTC18

Numero rit.	Presente	Ascissa	Campata	βx/m	Vincolo a entrambi estremi	λx/m	λVer
1	Si	0					
			1-2		1	37.8	Si, (<200)
2	Si	1.851					

Dati per instabilità attorno a y

Controllo della snellezza secondo §4.2.4.1.3.1 NTC18

Numero rit.	Presente	Ascissa	Campata	βy/n	k,LT	kw,LT	Vincolo a entrambi estremi	λy/n	λVer
1	Si	0							
			1-2		1	1	Si	61.3	Si, (<200)
2	Si	1.851							

Verifica a svergolamento con trazione §4.2.4.1.3.2 NTC18 § 5.5.3 ENV 1993-1-1:1992 + AC:1992 + A1:1994 + A2:1998

X	Comb.	Sfruttamento	Classe	Obblig.	NEd	Mx,Ed	Mx,Eff,Ed	Mb,Rd,x	χ,LT	λ adim. LT	L,LT	M,critico	Verifica
1.851	SLU 59	0.006	1	Si	1.2	0.19928	0.16403	28.25565	0.902	0.633	1.851	82.05506	Si

Verifica a svergolamento con trazione SLD §4.2.4.1.3.2 NTC18 § 5.5.3 ENV 1993-1-1:1992 + AC:1992 + A1:1994 + A2:1998

X	Comb.	Sfruttamento	Classe	Obblig.	NEd	Mx,Ed	Mx,Eff,Ed	Mb,Rd,x	χ,LT	λ adim. LT	L,LT	M,critico	Verifica
1.851	SLD 13	0.006	1	Si	19.538	0.74701	0.17307	28.25565	0.902	0.633	1.851	82.05506	Si

Implementazione dei sistemi di confinamento delle emissioni odorigene diffuse dell'impianto di compostaggio esistente nel
Comune di Eboli (SA)
PROGETTO DEFINITIVO – Tabulati di calcolo Tomo 1

Verifica di stabilità per tenso-flessione deviata §§ 5.5.3-5.5.4 ENV 1993-1-1:1992 + AC:1992 + A1:1994 + A2:1998																					
X	Comb.	Sfruttamento	Classe	NEd	Mx,Ed	Mx,Eff,Ed	My,Ed	χ,LT	kLT	ky	M,critico	Wx	Wy	Verifica							
1.851	SLU 76	0.037	1	10.852	1.26619	0.94739	0.05141	0.902	1	1	82.05506	0.0001196	0.0000589	Si							
Verifica di stabilità per tenso-flessione deviata SLD §§ 5.5.3-5.5.4 ENV 1993-1-1:1992 + AC:1992 + A1:1994 + A2:1998																					
X	Comb.	Sfruttamento	Classe	NEd	Mx,Ed	Mx,Eff,Ed	My,Ed	χ,LT	kLT	ky	M,critico	Wx	Wy	Verifica							
1.851	SLD 6	0.012	1	12.403	0.61729	0.25295	0.04541	0.902	1	1	82.05506	0.0001196	0.0000589	Si							
Verifica di stabilità per pressoflessione §C.4.2.4.1.3.3.2 NTC18																					
X	Comb.	Sfruttamento	Classe	NEd	NRk	Mx,Ed max	Mx,Rk	My,Ed max	My,Rk	χ,x	χ,y	kxx	kxy	kyy	χ,LT	Verifica					
0	SLV 8	0.111	1	-43.595	697.541	0.45574	32.89552	0.08592	16.19002	0.912	0.721	1.014	0.479	0.991	0.798	0.951	Si				
Verifica di stabilità per pressoflessione SLD §C.4.2.4.1.3.3.2 NTC18																					
X	Comb.	Sfruttamento	Classe	NEd	NRk	Mx,Ed max	Mx,Rk	My,Ed max	My,Rk	χ,x	χ,y	kxx	kxy	kyy	χ,LT	Verifica					
0.062	SLD 7	0.036	1	-12.498	697.541	0.26352	32.89552	0.01073	16.19002	0.912	0.721	0.63	0.366	0.995	0.61	0.902	Si				
Verifica di stabilità a taglio anima Y §4.2.4.1.2.4 [4.2.27] NTC18																					
η		hw				tw				hw/tw max				Verifica							
1.2		0.098				0.005				55.46				Si							
Verifica di stabilità a taglio anima Y SLD §4.2.4.1.2.4 [4.2.27] NTC18																					
η		hw				tw				hw/tw max				Verifica							
1.2		0.098				0.005				55.46				Si							
Verifiche a deformabilità																					
Mensola X: No; Mensola Y: No.																					
Freccie lungo X																					
Ascissa freccia		Combinazione		Freccia		Luce		L/f		L/f,min		Tipo		Verifica							
0.863		SLE RA 1		-0.00002		1.851		10000		250		Totale		Si							
0.863		SLE RA 17		-0.00003		1.851		10000		250		Totale		Si							
0.863		SLE RA 16		-0.00004		1.851		10000		250		Totale		Si							
0.863		SLE RA 15		-0.00004		1.851		10000		250		Totale		Si							
0.863		SLE RA 14		-0.00002		1.851		10000		250		Totale		Si							
0.863		SLE RA 2		0.00002		1.851		10000		350		Variabile		Si							
0.863		SLE RA 17		-0.00001		1.851		10000		350		Variabile		Si							
0.863		SLE RA 16		-0.00002		1.851		10000		350		Variabile		Si							
0.863		SLE RA 15		-0.00002		1.851		10000		350		Variabile		Si							
0.925		SLE RA 14		0		1.851		10000		350		Variabile		Si							
Freccie lungo Y																					
Ascissa freccia		Combinazione		Freccia		Luce		L/f		L/f,min		Tipo		Verifica							
1.418		SLE RA 1		0.00002		1.851		10000		250		Totale		Si							
1.418		SLE RA 17		0.00003		1.851		10000		250		Totale		Si							
1.357		SLE RA 16		0.00004		1.851		10000		250		Totale		Si							
1.357		SLE RA 15		0.00005		1.851		10000		250		Totale		Si							
1.418		SLE RA 14		0.00002		1.851		10000		250		Totale		Si							
1.357		SLE RA 2		-0.00002		1.851		10000		350		Variabile		Si							
1.357		SLE RA 17		0.00001		1.851		10000		350		Variabile		Si							
1.357		SLE RA 16		0.00002		1.851		10000		350		Variabile		Si							
1.295		SLE RA 15		0.00003		1.851		10000		350		Variabile		Si							
0.493		SLE RA 14		0		1.851		10000		350		Variabile		Si							
Superelemento in acciaio a quota "640" (-1816; -331)-(-1707; -434)																					
Caratteristiche del materiale																					
Acciaio: S275, fyk = 275000																					
Caratteristiche geometriche																					
Lunghezza: 1.5																					
Nodo iniziale: 601 Nodo finale: 584																					
Cerniera iniziale: Mmomenti 1% Cerniera finale: Mmomenti 1%																					
Sovreresistenza: 0% Sisma Z: No																					
Caratteristiche della sezione																					
Sezione		Rotazione		Area		Jx		Jy		ix		iy		Wx		Wy		Wplx		Wply	
A1; L100*10; 1; Saldato; S275; 30; 1; 8; 8; 1		180		0.003832		0.0000035319		0.000007759		0.0304		0.045		0.0000492		0.0000739		0.00008974		0.00012727	
Comportamento dei calastrelli																					
Accoppiamento imbottito con funzione statica (§C4.2.4.1.3.1.4 NTC18) nella campata compresa tra le ascisse 0 e 1.5 per sbandamento attorno all'asse y.																					
Verifiche di resistenza																					
Verifiche a forza assiale §4.2.4.1.2.1 - §4.2.4.1.2.2 NTC18																					
X	Comb.	Sfruttamento	Classe	NEd	Nc,Rd	Nt,Rd	Riduzione da taglio	px	py	Verifica											
0.75	SLU 76	0.07		70.198		1003.522	1	0	0	Si											
Verifiche a forza assiale SLD §4.2.4.1.2.1 - §4.2.4.1.2.2 NTC18																					
X	Comb.	Sfruttamento	Classe	NEd	Nc,Rd	Nt,Rd	Riduzione da taglio	px	py	Verifica											
1.5	SLD 11	0.027		26.954		1003.522	1	0	0	Si											
Verifica a taglio Y §4.2.4.1.2.4 NTC18																					
X	Comb.	Sfruttamento	VEd		Vc,Rd		Av	Interazione taglio-torsione		Riduzione torsione		Verifica									

Implementazione dei sistemi di confinamento delle emissioni odorigene diffuse dell'impianto di compostaggio esistente nel
Comune di Eboli (SA)

PROGETTO DEFINITIVO – Tabulati di calcolo Tomo 1

X	Comb.	Sfruttamento	VEd	Vc,Rd	Av	Interazione taglio-torsione	Riduzione torsione	Verifica
0	SLU 76	0.001	-0.294	302.422	0.002	Non considerata		Si

Verifica a taglio Y SLD §4.2.4.1.2.4 NTC18

X	Comb.	Sfruttamento	VEd	Vc,Rd	Av	Interazione taglio-torsione	Riduzione torsione	Verifica
0	SLD 4	0.001	-0.226	302.422	0.002	Non considerata		Si

Verifica a presso/tenso flessione retta X §§ 4.2.4.1.2.3 - 4.2.4.1.2.6 - 4.2.4.1.2.7 - 4.2.4.1.2.8 NTC18

Verifiche eseguite utilizzando la formula conservativa (6.2) §6.2.1 EN 1993-1-1:2005.

X	Comb.	Sfruttamento	Classe	NEd	NRd	Rid. NRd da VEd	Mx,Ed	Mx,Rd	Rid. Mx,Rd da VEd	Rid. Mx,Rd da NEd	px	py	Verifica
0.75	SLU 76	0.075	1	70.198	1003.522	1	0.1106	23.5037	1		0	0	Si

Verifica a presso/tenso flessione retta Y §§ 4.2.4.1.2.3 - 4.2.4.1.2.6 - 4.2.4.1.2.7 - 4.2.4.1.2.8 NTC18

Verifiche eseguite utilizzando la formula conservativa (6.2) §6.2.1 EN 1993-1-1:2005.

X	Comb.	Sfruttamento	Classe	NEd	NRd	Rid. NRd da VEd	My,Ed	My,Rd	Rid. My,Rd da VEd	Rid. My,Rd da NEd	px	py	Verifica
1.5	SLV 16	0.033	1	30.316	1003.522	1	0.077	33.3316	1		0	0	Si

Verifica a presso/tenso flessione retta Y SLD §§ 4.2.4.1.2.3 - 4.2.4.1.2.6 - 4.2.4.1.2.7 - 4.2.4.1.2.8 NTC18

Verifiche eseguite utilizzando la formula conservativa (6.2) §6.2.1 EN 1993-1-1:2005.

X	Comb.	Sfruttamento	Classe	NEd	NRd	Rid. NRd da VEd	My,Ed	My,Rd	Rid. My,Rd da VEd	Rid. My,Rd da NEd	px	py	Verifica
1.5	SLD 16	0.028	1	26.953	1003.522	1	0.0317	33.3316	1		0	0	Si

Verifica a presso/tenso flessione deviata §§ 4.2.4.1.2.3 - 4.2.4.1.2.6 - 4.2.4.1.2.7 - 4.2.4.1.2.8 NTC18

Verifiche eseguite utilizzando la formula conservativa (6.2) §6.2.1 EN 1993-1-1:2005.

X	Comb.	Sfruttamento	Classe	NEd	NRd	Rid. NRd da VEd	Mx,Ed	Mx,Rd	My,Ed	My,Rd	Rid. Mx,Rd da VEd	Rid. Mx,Rd da NEd	Rid. My,Rd da VEd	Rid. My,Rd da NEd	α	β	px	py	Verifica
0.75	SLV 15	0.036	1	30.316	1003.522	1	0.0846	23.5037	0.0752	33.3316	1		1				0	0	Si

Verifica a presso/tenso flessione deviata SLD §§ 4.2.4.1.2.3 - 4.2.4.1.2.6 - 4.2.4.1.2.7 - 4.2.4.1.2.8 NTC18

Verifiche eseguite utilizzando la formula conservativa (6.2) §6.2.1 EN 1993-1-1:2005.

X	Comb.	Sfruttamento	Classe	NEd	NRd	Rid. NRd da VEd	Mx,Ed	Mx,Rd	My,Ed	My,Rd	Rid. Mx,Rd da VEd	Rid. Mx,Rd da NEd	Rid. My,Rd da VEd	Rid. My,Rd da NEd	α	β	px	py	Verifica
0.75	SLD 16	0.031	1	26.953	1003.522	1	0.0845	23.5037	0.031	33.3316	1		1				0	0	Si

Verifiche ad instabilità

Caratteristiche iniziali

Membratura principale per controllo snellezza; Calcolo di snellezze ed N critici condotti secondo gli assi principali;

Curva X: c; Curva Y: c;

Svergolamento: Nessuno; la verifica a instabilità flesso-torsionale (svergolamento) non verrà eseguita.

Dati per instabilità attorno a x

Controllo della snellezza secondo §4.2.4.1.3.1 NTC18

Numero rit.	Presente	Ascissa	Campata	βx/m	Vincolo a entrambi estremi	λx/m	λVer
1	Si		0				
			1-2		1	49.4	Si, (<200)
2	Si		1.5				

Dati per instabilità attorno a y

Controllo della snellezza secondo §4.2.4.1.3.1 NTC18

Numero rit.	Presente	Ascissa	Campata	βy/n	k,LT	kw,LT	Vincolo a entrambi estremi
1	Si		0				
			1-2		1	34.8	Si, (<200)
2	Si		1.5				

Verifica di stabilità per pressoflessione §C.4.2.4.1.3.3.1 NTC18

X	Comb.	Sfruttamento	Classe	NEd	MxEq,Ed	MyEq,Ed	Area	Wx	Wy	χ,min	λ adim. x/m	λ adim. y/n	N,crit x/m	N,crit y/n	Verifica
0	SLU 2	0.014	3	-6.32	0.0724	-0.0199	0.003832	0.0000492	0.0000739	0.804	0.569	0.4	3253.47	6569.993	Si

Verifiche a deformabilità

Mensola X: No; Mensola Y: No.

Frecce lungo X

Ascissa freccia	Combinazione	Freccia	Luce	L/f	L/f,min	Tipo	Verifica
0.75	SLE RA 1	0	1.5	10000	250	Totale	Si
0.75	SLE RA 17	0	1.5	10000	250	Totale	Si
0.75	SLE RA 16	0	1.5	10000	250	Totale	Si
0.7	SLE RA 15	0	1.5	10000	250	Totale	Si
0.75	SLE RA 14	0	1.5	10000	250	Totale	Si
0.7	SLE RA 2	0	1.5	10000	350	Variabile	Si
0.7	SLE RA 17	0	1.5	10000	350	Variabile	Si
0.7	SLE RA 16	0	1.5	10000	350	Variabile	Si
0.7	SLE RA 15	0	1.5	10000	350	Variabile	Si
0.8	SLE RA 14	0	1.5	10000	350	Variabile	Si

Frecce lungo Y

Ascissa freccia	Combinazione	Freccia	Luce	L/f	L/f,min	Tipo	Verifica
0.75	SLE RA 1	0.00003	1.5	10000	250	Totale	Si
0.75	SLE RA 17	0.00003	1.5	10000	250	Totale	Si
0.75	SLE RA 16	0.00003	1.5	10000	250	Totale	Si
0.75	SLE RA 15	0.00003	1.5	10000	250	Totale	Si
0.75	SLE RA 14	0.00003	1.5	10000	250	Totale	Si
0.8	SLE RA 2	0	1.5	10000	350	Variabile	Si
0.8	SLE RA 17	0	1.5	10000	350	Variabile	Si
0.8	SLE RA 16	0	1.5	10000	350	Variabile	Si
0.8	SLE RA 15	0	1.5	10000	350	Variabile	Si
0.85	SLE RA 14	0	1.5	10000	350	Variabile	Si

Superelemento in acciaio a quota "640" (-1924; -224)-(-1797; -90)

Caratteristiche del materiale

Acciaio: S275, fyk = 275000

Caratteristiche geometriche

Lunghezza: 1.85

Nodo iniziale: 624 Nodo finale: 653

Cerniera iniziale: No Cerniera finale: No

Sovreresistenza: 0% Sisma Z: No

Caratteristiche della sezione

Sezione	Rotazione	Area	Jx	Jy	ix	iy	Wx	Wy	Wplx	Wply
HEA120	0	0.002537	0.0000060673	0.0000023091	0.0489	0.0302	0.00010644	0.00003849	0.00011962	0.00005887

Verifiche di resistenza

Verifiche a forza assiale §4.2.4.1.2.1 - §4.2.4.1.2.2 NTC18

X	Comb.	Sfruttamento	Classe	NEd	Nc,Rd	Nt,Rd	Riduzione da taglio	px	py	Verifica
1.418	SLV 10	0.046		30.481		664.325	1	0	0	Si

Verifiche a forza assiale SLD §4.2.4.1.2.1 - §4.2.4.1.2.2 NTC18

X	Comb.	Sfruttamento	Classe	NEd	Nc,Rd	Nt,Rd	Riduzione da taglio	px	py	Verifica
1.85	SLD 10	0.019		12.564		664.325	1	0	0	Si

Verifica a taglio Y §4.2.4.1.2.4 NTC18

X	Comb.	Sfruttamento	VEd	Vc,Rd	Av	Interazione taglio-torsione	Riduzione torsione	Verifica
0	SLU 76	0.015	1.956	127.032	0.000849	Considerata	0.99	Si

Verifica a taglio Y SLD §4.2.4.1.2.4 NTC18

X	Comb.	Sfruttamento	VEd	Vc,Rd	Av	Interazione taglio-torsione	Riduzione torsione	Verifica
0	SLD 10	0.006	0.76	128.304	0.000849	Considerata	1	Si

Verifica a torsione §4.2.4.1.2.5 NTC18

X	Comb.	Sfruttamento torsione	TEd	TRd	Riduzione taglio resistente	Sfruttamento taglio-torsione	τEd,totale	τRd	Verifica
0	SLU 76	0.025	0.02099	0.85138	Considerata				Si

Verifica a torsione SLD §4.2.4.1.2.5 NTC18

X	Comb.	Sfruttamento torsione	TEd	TRd	Riduzione taglio resistente	Sfruttamento taglio-torsione	τEd,totale	τRd	Verifica
1.85	SLD 4	0.012	0.01059	0.85138	Considerata				Si

Verifica a flessione semplice X §§ 4.2.4.1.2.3 - 4.2.4.1.2.6 - 4.2.4.1.2.7 - 4.2.4.1.2.8 NTC18

X	Comb.	Sfruttamento	Classe	Mx,Ed	Mx,Rd	Rid. Mx,Rd da VEd	px	py	Verifica
0	SLU 24	0.01	1	0.3032	31.32907	1	0	0	Si

Verifica a flessione semplice Y §§ 4.2.4.1.2.3 - 4.2.4.1.2.6 - 4.2.4.1.2.7 - 4.2.4.1.2.8 NTC18

X	Comb.	Sfruttamento	Classe	My,Ed	My,Rd	Rid. My,Rd da VEd	px	py	Verifica
1.233	SLU 60	0	1	-0.00583	15.41907	1	0	0	Si

Verifica a flessione deviata §§ 4.2.4.1.2.3 - 4.2.4.1.2.6 - 4.2.4.1.2.7 - 4.2.4.1.2.8 NTC18

X	Comb.	Sfruttamento	Classe	Mx,Ed	Mx,Rd	My,Ed	My,Rd	Rid. Mx,Rd da VEd	Rid. My,Rd da VEd	α	β	px	py	Verifica
0	SLU 60	0.021	1	0.6211	31.3291	-0.0134	15.4191	1	1			0	0	Si

Verifica a presso/tenso flessione retta X §§ 4.2.4.1.2.3 - 4.2.4.1.2.6 - 4.2.4.1.2.7 - 4.2.4.1.2.8 NTC18

Verifiche eseguite utilizzando la formula conservativa (6.2) §6.2.1 EN 1993-1-1:2005.

X	Comb.	Sfruttamento	Classe	NEd	NRd	Rid. NRd da VEd	Mx,Ed	Mx,Rd	Rid. Mx,Rd da VEd	Rid. Mx,Rd da NEd	px	py	Verifica
0.432	SLU 76	0.07	1	13.807	664.325	1	1.5533	31.3291	1		0	0	Si

Verifica a presso/tenso flessione retta X SLD §§ 4.2.4.1.2.3 - 4.2.4.1.2.6 - 4.2.4.1.2.7 - 4.2.4.1.2.8 NTC18

Verifiche eseguite utilizzando la formula conservativa (6.2) §6.2.1 EN 1993-1-1:2005.

X	Comb.	Sfruttamento	Classe	NEd	NRd	Rid. NRd da VEd	Mx,Ed	Mx,Rd	Rid. Mx,Rd da VEd	Rid. Mx,Rd da NEd	px	py	Verifica
1.85	SLD 11	0.012	1	-1.817	664.325	1	-0.2751	31.3291	1		0	0	Si

Verifica a presso/tenso flessione retta Y §§ 4.2.4.1.2.3 - 4.2.4.1.2.6 - 4.2.4.1.2.7 - 4.2.4.1.2.8 NTC18

Verifiche eseguite utilizzando la formula conservativa (6.2) §6.2.1 EN 1993-1-1:2005.

X	Comb.	Sfruttamento	Classe	NEd	NRd	Rid. NRd da VEd	My,Ed	My,Rd	Rid. My,Rd da VEd	Rid. My,Rd da NEd	px	py	Verifica
1.357	SLV 6	0.033	1	18.137	664.325	1	0.0955	15.4191	1		0	0	Si

Verifica a presso/tenso flessione retta Y SLD §§ 4.2.4.1.2.3 - 4.2.4.1.2.6 - 4.2.4.1.2.7 - 4.2.4.1.2.8 NTC18

Verifiche eseguite utilizzando la formula conservativa (6.2) §6.2.1 EN 1993-1-1:2005.

X	Comb.	Sfruttamento	Classe	NEd	NRd	Rid. NRd da VEd	My,Ed	My,Rd	Rid. My,Rd da VEd	Rid. My,Rd da NEd	px	py	Verifica
1.295	SLD 5	0.015	1	8.327	664.325	1	0.0401	15.4191	1		0	0	Si

Verifica a presso/tenso flessione deviata §§ 4.2.4.1.2.3 - 4.2.4.1.2.6 - 4.2.4.1.2.7 - 4.2.4.1.2.8 NTC18

Verifiche eseguite utilizzando la formula conservativa (6.2) §6.2.1 EN 1993-1-1:2005.

X	Comb.	Sfruttamento	Classe	NEd	NRd	Rid. NRd da VEd	Mx,Ed	Mx,Rd	My,Ed	My,Rd	Rid. Mx,Rd da VEd	Rid. Mx,Rd da NEd	Rid. My,Rd da VEd	Rid. My,Rd da NEd	α	β	px	py	Verifica
0	SLU 76	0.098	1	13.807	664.325	1	2.3735	31.3291	-0.029	15.4191	1		1				0	0	Si

Implementazione dei sistemi di confinamento delle emissioni odorigene diffuse dell'impianto di compostaggio esistente nel
Comune di Eboli (SA)
PROGETTO DEFINITIVO – Tabulati di calcolo Tomo 1

Verifica a presso/tenso flessione deviata SLD §§ 4.2.4.1.2.3 - 4.2.4.1.2.6 - 4.2.4.1.2.7 - 4.2.4.1.2.8 NTC18

Verifiche eseguite utilizzando la formula conservativa (6.2) §6.2.1 EN 1993-1-1:2005.

X	Comb.	Sfruttamento	Classe	NEd	NRd	Rid. NRd da VEd	Mx,Ed	Mx,Rd	My,Ed	My,Rd	Rid. Mx,Rd da VEd	Rid. Mx,Rd da NEd	Rid. My,Rd da VEd	Rid. My,Rd da NEd	α	β	px	py	Verifica
0	SLD 9	0.049	1	12.564	664.325	1	0.8359	31.3291	0.0591	15.4191	1		1				0	0	Si

Verifiche ad instabilità

Caratteristiche iniziali

Membratura principale per controllo snellezza; Calcolo di snellezze ed N critici condotti secondo gli assi principali;
Curva X: b; Curva Y: c; Svergolamento: Carico all'estradosso; Curva svergolamento: b;

Dati per instabilità attorno a x

Controllo della snellezza secondo §4.2.4.1.3.1 NTC18

Numero rit.	Presente	Ascissa	Campata	βx/m	Vincolo a entrambi estremi	λx/m	λVer
1	Si		0				
			1-2		1	37.8	Si, (<200)
2	Si		1.85				

Dati per instabilità attorno a y

Controllo della snellezza secondo §4.2.4.1.3.1 NTC18

Numero rit.	Presente	Ascissa	Campata	βy/n	k,LT	kw,LT	Vincolo a entrambi estremi	λy/n	λVer
1	Si		0						
			1-2		1	1	Si	61.3	Si, (<200)
2	Si		1.85						

Verifica a svergolamento con trazione §4.2.4.1.3.2 NTC18 § 5.5.3 ENV 1993-1-1:1992 + AC:1992 + A1:1994 + A2:1998

X	Comb.	Sfruttamento	Classe	Obblig.	NEd	Mx,Ed	Mx,Eff,Ed	Mb,Rd,x	χ,LT	λ adim. LT	L,LT	M,critico	Verifica
0.432	SLU 76	0.041	1	Si	13.807	1.55334	1.14775	28.25853	0.902	0.633	1.85	82.10616	Si

Verifica di stabilità per tenso-flessione deviata §§ 5.5.3-5.5.4 ENV 1993-1-1:1992 + AC:1992 + A1:1994 + A2:1998

X	Comb.	Sfruttamento	Classe	NEd	Mx,Ed	Mx,Eff,Ed	My,Ed	χ,LT	kLT	ky	M,critico	Wx	Wy	Verifica
0	SLU 76	0.072	1	13.807	2.37355	1.96796	-0.02902	0.902		1	82.10616	0.0001196	0.0000589	Si

Verifica di stabilità per tenso-flessione deviata SLD §§ 5.5.3-5.5.4 ENV 1993-1-1:1992 + AC:1992 + A1:1994 + A2:1998

X	Comb.	Sfruttamento	Classe	NEd	Mx,Ed	Mx,Eff,Ed	My,Ed	χ,LT	kLT	ky	M,critico	Wx	Wy	Verifica
0	SLD 16	0.022	1	8.16	0.81079	0.57107	0.02836	0.902		1	82.10616	0.0001196	0.0000589	Si

Verifica di stabilità per pressoflessione §C.4.2.4.1.3.3.2 NTC18

X	Comb.	Sfruttamento	Classe	NEd	NRk	Mx,Ed max	Mx,Rk	My,Ed max	My,Rk	χ,x	χ,y	kxx	kxy	kyy	χ,LT	Verifica	
1.788	SLV 8	0.084	1	-23.971	697.541	0.6307	32.89552	0.21986	16.19002	0.912	0.721	0.404	0.499	0.976	0.832	0.902	Si

Verifica di stabilità per pressoflessione SLD §C.4.2.4.1.3.3.2 NTC18

X	Comb.	Sfruttamento	Classe	NEd	NRk	Mx,Ed max	Mx,Rk	My,Ed max	My,Rk	χ,x	χ,y	kxx	kxy	kyy	χ,LT	Verifica	
1.727	SLD 8	0.042	1	-6.055	697.541	0.73086	32.89552	0.0789	16.19002	0.912	0.721	0.401	0.425	0.994	0.709	0.902	Si

Verifica di stabilità a taglio anima Y §4.2.4.1.2.4 [4.2.27] NTC18

η	hw	tw	hw/tw max	Verifica
1.2	0.098	0.005	55.46	Si

Verifica di stabilità a taglio anima Y SLD §4.2.4.1.2.4 [4.2.27] NTC18

η	hw	tw	hw/tw max	Verifica
1.2	0.098	0.005	55.46	Si

Verifiche a deformabilità

Mensola X: No; Mensola Y: No.

Frecce lungo X

Ascissa freccia	Combinazione	Freccia	Luce	L/f	L/f,min	Tipo	Verifica
1.233	SLE RA 1	-0.00001	1.85	10000	250	Totale	Si
1.172	SLE RA 17	-0.00001	1.85	10000	250	Totale	Si
1.172	SLE RA 16	-0.00001	1.85	10000	250	Totale	Si
1.172	SLE RA 15	-0.00002	1.85	10000	250	Totale	Si
1.295	SLE RA 14	-0.00001	1.85	10000	250	Totale	Si
1.172	SLE RA 2	0.00001	1.85	10000	350	Variabile	Si
1.172	SLE RA 17	0	1.85	10000	350	Variabile	Si
1.172	SLE RA 16	-0.00001	1.85	10000	350	Variabile	Si
1.11	SLE RA 15	-0.00001	1.85	10000	350	Variabile	Si
0.555	SLE RA 14	0	1.85	10000	350	Variabile	Si

Frecce lungo Y

Ascissa freccia	Combinazione	Freccia	Luce	L/f	L/f,min	Tipo	Verifica
0.617	SLE RA 1	0.00007	1.85	10000	250	Totale	Si
0.617	SLE RA 17	0.00011	1.85	10000	250	Totale	Si
0.678	SLE RA 16	0.00016	1.85	10000	250	Totale	Si
0.617	SLE RA 15	0.00015	1.85	10000	250	Totale	Si
0.617	SLE RA 14	0.00011	1.85	10000	250	Totale	Si
0.678	SLE RA 2	-0.00008	1.85	10000	350	Variabile	Si
0.678	SLE RA 17	0.00004	1.85	10000	350	Variabile	Si
0.678	SLE RA 16	0.00008	1.85	10000	350	Variabile	Si
0.678	SLE RA 15	0.00008	1.85	10000	350	Variabile	Si
0.678	SLE RA 14	0.00004	1.85	10000	350	Variabile	Si

Superelemento in acciaio a quota "640" (-1927; -226)-(-1817; -330)

Caratteristiche del materiale

Acciaio: S275, fyk = 275000

Implementazione dei sistemi di confinamento delle emissioni odorigene diffuse dell'impianto di compostaggio esistente nel
Comune di Eboli (SA)
PROGETTO DEFINITIVO – Tabulati di calcolo Tomo 1

Caratteristiche geometriche

Lunghezza: 1.513
Nodo iniziale: 623 Nodo finale: 602
Cerniera iniziale: Mmomenti 1% Cerniera finale: Mmomenti 1%
Sovraresistenza: 0% Sisma Z: No

Caratteristiche della sezione

Sezione	Rotazione	Area	Jx	Jy	ix	iy	Wx	Wy	Wplx	Wply
A1; L100*10; 1; Saldato; S275; 30; 1; 8; 8; 1	180	0.003832	0.0000035319	0.000007759	0.0304	0.045	0.0000492	0.0000739	0.00008974	0.00012727

Comportamento dei calastrelli

Accoppiamento imbottito con funzione statica (§C4.2.4.1.3.1.4 NTC18) nella campata compresa tra le ascisse 0 e 1.513 per sbandamento attorno all'asse y.

Verifiche di resistenza

Verifiche a forza assiale §4.2.4.1.2.1 - §4.2.4.1.2.2 NTC18

X	Comb.	Sfruttamento	Classe	NEd	Nc,Rd	Nt,Rd	Riduzione da taglio	px	py	Verifica
1.513	SLV 13	0.009		8.538		1003.522	1	0	0	Si

Verifiche a forza assiale SLD §4.2.4.1.2.1 - §4.2.4.1.2.2 NTC18

X	Comb.	Sfruttamento	Classe	NEd	Nc,Rd	Nt,Rd	Riduzione da taglio	px	py	Verifica
0	SLD 14	0.003		2.919		1003.522	1	0	0	Si

Verifica a taglio Y §4.2.4.1.2.4 NTC18

X	Comb.	Sfruttamento	VEd	Vc,Rd	Av	Interazione taglio-torsione	Riduzione torsione	Verifica
1.513	SLV 14	0.001	0.437	302.422	0.002	Non considerata		Si

Verifica a taglio Y SLD §4.2.4.1.2.4 NTC18

X	Comb.	Sfruttamento	VEd	Vc,Rd	Av	Interazione taglio-torsione	Riduzione torsione	Verifica
1.513	SLD 14	0.001	0.31	302.422	0.002	Non considerata		Si

Verifica a flessione semplice X §§ 4.2.4.1.2.3 - 4.2.4.1.2.6 - 4.2.4.1.2.7 - 4.2.4.1.2.8 NTC18

X	Comb.	Sfruttamento	Classe	Mx,Ed	Mx,Rd	Rid. Mx,Rd da VEd	px	py	Verifica
0.706	SLU 75	0.006	1	0.1502	23.50374	1	0	0	Si

Verifica a flessione semplice Y §§ 4.2.4.1.2.3 - 4.2.4.1.2.6 - 4.2.4.1.2.7 - 4.2.4.1.2.8 NTC18

X	Comb.	Sfruttamento	Classe	My,Ed	My,Rd	Rid. My,Rd da VEd	px	py	Verifica
1.513	SLU 75	0	1	0.01281	33.33162	1	0	0	Si

Verifica a flessione deviata §§ 4.2.4.1.2.3 - 4.2.4.1.2.6 - 4.2.4.1.2.7 - 4.2.4.1.2.8 NTC18

X	Comb.	Sfruttamento	Classe	Mx,Ed	Mx,Rd	My,Ed	My,Rd	Rid. Mx,Rd da VEd	Rid. My,Rd da VEd	α	β	px	py	Verifica
0.605	SLU 75	0.007	1	0.1509	23.5037	-0.0096	33.3316	1	1			0	0	Si

Verifica a presso/tenso flessione retta X §§ 4.2.4.1.2.3 - 4.2.4.1.2.6 - 4.2.4.1.2.7 - 4.2.4.1.2.8 NTC18

Verifiche eseguite utilizzando la formula conservativa (6.2) §6.2.1 EN 1993-1-1:2005.

X	Comb.	Sfruttamento	Classe	NEd	NRd	Rid. NRd da VEd	Mx,Ed	Mx,Rd	Rid. Mx,Rd da VEd	Rid. Mx,Rd da NEd	px	py	Verifica
0.807	SLU 76	0.008	1	0.835	1003.522	1	0.1615	23.5037	1		0	0	Si

Verifica a presso/tenso flessione retta X SLD §§ 4.2.4.1.2.3 - 4.2.4.1.2.6 - 4.2.4.1.2.7 - 4.2.4.1.2.8 NTC18

Verifiche eseguite utilizzando la formula conservativa (6.2) §6.2.1 EN 1993-1-1:2005.

X	Comb.	Sfruttamento	Classe	NEd	NRd	Rid. NRd da VEd	Mx,Ed	Mx,Rd	Rid. Mx,Rd da VEd	Rid. Mx,Rd da NEd	px	py	Verifica
0.858	SLD 16	0.007	1	1.692	1003.522	1	0.1209	23.5037	1		0	0	Si

Verifica a presso/tenso flessione retta Y §§ 4.2.4.1.2.3 - 4.2.4.1.2.6 - 4.2.4.1.2.7 - 4.2.4.1.2.8 NTC18

Verifiche eseguite utilizzando la formula conservativa (6.2) §6.2.1 EN 1993-1-1:2005.

X	Comb.	Sfruttamento	Classe	NEd	NRd	Rid. NRd da VEd	My,Ed	My,Rd	Rid. My,Rd da VEd	Rid. My,Rd da NEd	px	py	Verifica
1.513	SLV 3	0.011	3	-8.11	1003.522	1	-0.0605	19.3536	1		0	0	Si

Verifica a presso/tenso flessione retta Y SLD §§ 4.2.4.1.2.3 - 4.2.4.1.2.6 - 4.2.4.1.2.7 - 4.2.4.1.2.8 NTC18

Verifiche eseguite utilizzando la formula conservativa (6.2) §6.2.1 EN 1993-1-1:2005.

X	Comb.	Sfruttamento	Classe	NEd	NRd	Rid. NRd da VEd	My,Ed	My,Rd	Rid. My,Rd da VEd	Rid. My,Rd da NEd	px	py	Verifica
1.513	SLD 13	0.004	1	2.919	1003.522	1	0.0215	33.3316	1		0	0	Si

Verifica a presso/tenso flessione deviata §§ 4.2.4.1.2.3 - 4.2.4.1.2.6 - 4.2.4.1.2.7 - 4.2.4.1.2.8 NTC18

Verifiche eseguite utilizzando la formula conservativa (6.2) §6.2.1 EN 1993-1-1:2005.

X	Comb.	Sfruttamento	Classe	NEd	NRd	Rid. NRd da VEd	Mx,Ed	Mx,Rd	My,Ed	My,Rd	Rid. Mx,Rd da VEd	Rid. Mx,Rd da NEd	Rid. My,Rd da VEd	Rid. My,Rd da NEd	α	β	px	py	Verifica
0	SLV 14	0.024	1	8.538	1003.522	1	0.3191	23.5037	-0.0654	33.3316	1		1				0	0	Si

Verifica a presso/tenso flessione deviata SLD §§ 4.2.4.1.2.3 - 4.2.4.1.2.6 - 4.2.4.1.2.7 - 4.2.4.1.2.8 NTC18

Verifiche eseguite utilizzando la formula conservativa (6.2) §6.2.1 EN 1993-1-1:2005.

X	Comb.	Sfruttamento	Classe	NEd	NRd	Rid. NRd da VEd	Mx,Ed	Mx,Rd	My,Ed	My,Rd	Rid. Mx,Rd da VEd	Rid. Mx,Rd da NEd	Rid. My,Rd da VEd	Rid. My,Rd da NEd	α	β	px	py	Verifica
0.454	SLD 13	0.01	1	2.919	1003.522	1	0.1604	23.5037	-0.0192	33.3316	1		1				0	0	Si

Verifiche ad instabilità

Caratteristiche iniziali

Membratura principale per controllo snellezza; Calcolo di snellezze ed N critici condotti secondo gli assi principali;

Implementazione dei sistemi di confinamento delle emissioni odorigene diffuse dell'impianto di compostaggio esistente nel
Comune di Eboli (SA)
PROGETTO DEFINITIVO – Tabulati di calcolo Tomo 1

Curva X: c; Curva Y: c;
Svergolamento: Nessuno; la verifica a instabilità flessio-torsionale (svergolamento) non verrà eseguita.
Dati per instabilità attorno a x

Controllo della snellezza secondo §4.2.4.1.3.1 NTC18

Numero rit.	Presente	Ascissa	Campata	$\beta x/m$	Vincolo a entrambi estremi	$\lambda x/m$	λVer
1	Si	0					
			1-2	1	Si	49.8	Si, (<200)
2	Si	1.513					

Dati per instabilità attorno a y

Controllo della snellezza secondo §4.2.4.1.3.1 NTC18

Numero rit.	Presente	Ascissa	Campata	$\beta y/n$	k,LT	kw,LT	Vincolo a entrambi estremi
1	Si	0					
			1-2	1	Si	35.1	Si, (<200)
2	Si	1.513					

Verifica di stabilità per pressoflessione §C.4.2.4.1.3.3.1 NTC18

X	Comb.	Sfruttamento	Classe	NEd	MxEq,Ed	MyEq,Ed	Area	Wx	Wy	$x_{,min}$	λ adim. x/m	λ adim. y/n	N,crit x/m	N,crit y/n	Verifica
0.757	SLV 3	0.028	3	-8.11	-0.1909	0.0526	0.003832	0.0000492	0.0000739	0.801	0.574	0.404	3196.13	6463.403	Si

Verifica di stabilità per pressoflessione SLD §C.4.2.4.1.3.3.1 NTC18

X	Comb.	Sfruttamento	Classe	NEd	MxEq,Ed	MyEq,Ed	Area	Wx	Wy	$x_{,min}$	λ adim. x/m	λ adim. y/n	N,crit x/m	N,crit y/n	Verifica
1.513	SLD 4	0.007	3	-2.491	-0.0457	0.0154	0.003832	0.0000492	0.0000739	0.801	0.574	0.404	3196.13	6463.403	Si

Verifiche a deformabilità

Mensola X: No; Mensola Y: No.

Frecce lungo X

Ascissa freccia	Combinazione	Freccia	Luce	L/f	L/f,min	Tipo	Verifica
0.504	SLE RA 1	0	1.513	10000	250	Totale	Si
0.504	SLE RA 17	0	1.513	10000	250	Totale	Si
0.504	SLE RA 16	0	1.513	10000	250	Totale	Si
0.504	SLE RA 15	0	1.513	10000	250	Totale	Si
0.504	SLE RA 14	0	1.513	10000	250	Totale	Si
0.504	SLE RA 2	0	1.513	10000	350	Variabile	Si
0.504	SLE RA 17	0	1.513	10000	350	Variabile	Si
0.504	SLE RA 16	0	1.513	10000	350	Variabile	Si
0.504	SLE RA 15	0	1.513	10000	350	Variabile	Si
0.504	SLE RA 14	0	1.513	10000	350	Variabile	Si

Frecce lungo Y

Ascissa freccia	Combinazione	Freccia	Luce	L/f	L/f,min	Tipo	Verifica
0.757	SLE RA 1	0.00003	1.513	10000	250	Totale	Si
0.706	SLE RA 17	0.00004	1.513	10000	250	Totale	Si
0.706	SLE RA 16	0.00004	1.513	10000	250	Totale	Si
0.706	SLE RA 15	0.00004	1.513	10000	250	Totale	Si
0.757	SLE RA 14	0.00004	1.513	10000	250	Totale	Si
0.656	SLE RA 2	-0.00001	1.513	10000	350	Variabile	Si
0.656	SLE RA 17	0	1.513	10000	350	Variabile	Si
0.656	SLE RA 16	0.00001	1.513	10000	350	Variabile	Si
0.656	SLE RA 15	0.00001	1.513	10000	350	Variabile	Si
0.656	SLE RA 14	0	1.513	10000	350	Variabile	Si

Superelemento in acciaio a quota "640"- "590" (94; 164)-(221; 299)

Caratteristiche del materiale

Acciaio: S275, fyk = 275000

Caratteristiche geometriche

Lunghezza: 1.916

Nodo iniziale: 700 Nodo finale: 345

Cerniera iniziale: Mmomenti 1% Cerniera finale: Mmomenti 1%

Sovreresistenza: 0% Sisma Z: No

Caratteristiche della sezione

Sezione	Rotazione	Area	Jx	Jy	ix	iy	Wx	Wy	Wplx	Wply
HEA120	0	0.002537	0.0000060673	0.0000023091	0.0489	0.0302	0.00010644	0.00003849	0.00011962	0.00005887

Verifiche di resistenza

Verifiche a forza assiale §4.2.4.1.2.1 - §4.2.4.1.2.2 NTC18

X	Comb.	Sfruttamento	Classe	NEd	Nc,Rd	Nt,Rd	Riduzione da taglio	px	py	Verifica
0	SLU 75	0.069		45.708		664.325	1	0	0	Si

Verifiche a forza assiale SLD §4.2.4.1.2.1 - §4.2.4.1.2.2 NTC18

X	Comb.	Sfruttamento	Classe	NEd	Nc,Rd	Nt,Rd	Riduzione da taglio	px	py	Verifica
0	SLD 12	0.031		20.375		664.325	1	0	0	Si

Verifica a taglio Y §4.2.4.1.2.4 NTC18

X	Comb.	Sfruttamento	VEd	Vc,Rd	Av	Interazione taglio-torsione	Riduzione torsione	Verifica
0	SLU 75	0.002	0.242	128.304	0.000849	Considerata	1	Si

**Implementazione dei sistemi di confinamento delle emissioni odorigene diffuse dell'impianto di compostaggio esistente nel
Comune di Eboli (SA)**

PROGETTO DEFINITIVO – Tabulati di calcolo Tomo 1

Verifica a taglio Y SLD §4.2.4.1.2.4 NTC18

X	Comb.	Sfruttamento	VEd	Vc,Rd	Av	Interazione taglio-torsione	Riduzione torsione	Verifica
0	SLD 9	0.001	0.185	128.304	0.000849	Considerata	1	Si

Verifica a flessione semplice X §§ 4.2.4.1.2.3 - 4.2.4.1.2.6 - 4.2.4.1.2.7 - 4.2.4.1.2.8 NTC18

X	Comb.	Sfruttamento	Classe	Mx,Ed	Mx,Rd	Rid. Mx,Rd da VEd	px	py	Verifica
0.958	SLU 59	0.004	1	-0.11407	31.32907	1	0	0	Si

Verifica a presso/tenso flessione retta X §§ 4.2.4.1.2.3 - 4.2.4.1.2.6 - 4.2.4.1.2.7 - 4.2.4.1.2.8 NTC18

Verifiche eseguite utilizzando la formula conservativa (6.2) §6.2.1 EN 1993-1-1:2005.

X	Comb.	Sfruttamento	Classe	NEd	NRd	Rid. NRd da VEd	Mx,Ed	Mx,Rd	Rid. Mx,Rd da VEd	Rid. Mx,Rd da NEd	px	py	Verifica
1.022	SLV 15	0.051	1	31.995	664.325	1	-0.0899	31.3291	1		0	0	Si

Verifica a presso/tenso flessione retta X SLD §§ 4.2.4.1.2.3 - 4.2.4.1.2.6 - 4.2.4.1.2.7 - 4.2.4.1.2.8 NTC18

Verifiche eseguite utilizzando la formula conservativa (6.2) §6.2.1 EN 1993-1-1:2005.

X	Comb.	Sfruttamento	Classe	NEd	NRd	Rid. NRd da VEd	Mx,Ed	Mx,Rd	Rid. Mx,Rd da VEd	Rid. Mx,Rd da NEd	px	py	Verifica
0.958	SLD 16	0.033	1	20.042	664.325	1	-0.0892	31.3291	1		0	0	Si

Verifica a presso/tenso flessione retta Y §§ 4.2.4.1.2.3 - 4.2.4.1.2.6 - 4.2.4.1.2.7 - 4.2.4.1.2.8 NTC18

Verifiche eseguite utilizzando la formula conservativa (6.2) §6.2.1 EN 1993-1-1:2005.

X	Comb.	Sfruttamento	Classe	NEd	NRd	Rid. NRd da VEd	My,Ed	My,Rd	Rid. My,Rd da VEd	Rid. My,Rd da NEd	px	py	Verifica
1.916	SLU 75	0.071	1	45.579	664.325	1	-0.0309	15.4191	1		0	0	Si

Verifica a presso/tenso flessione retta Y SLD §§ 4.2.4.1.2.3 - 4.2.4.1.2.6 - 4.2.4.1.2.7 - 4.2.4.1.2.8 NTC18

Verifiche eseguite utilizzando la formula conservativa (6.2) §6.2.1 EN 1993-1-1:2005.

X	Comb.	Sfruttamento	Classe	NEd	NRd	Rid. NRd da VEd	My,Ed	My,Rd	Rid. My,Rd da VEd	Rid. My,Rd da NEd	px	py	Verifica
1.916	SLD 12	0.031	1	20.275	664.325	1	-0.0136	15.4191	1		0	0	Si

Verifica a presso/tenso flessione deviata §§ 4.2.4.1.2.3 - 4.2.4.1.2.6 - 4.2.4.1.2.7 - 4.2.4.1.2.8 NTC18

Verifiche eseguite utilizzando la formula conservativa (6.2) §6.2.1 EN 1993-1-1:2005.

X	Comb.	Sfruttamento	Classe	NEd	NRd	Rid. NRd da VEd	Mx,Ed	Mx,Rd	My,Ed	My,Rd	Rid. Mx,Rd da VEd	Rid. Mx,Rd da NEd	Rid. My,Rd da VEd	Rid. My,Rd da NEd	α	β	px	py	Verifica
1.022	SLU 75	0.074	1	45.639	664.325	1	-0.1163	31.3291	-0.0219	15.4191	1		1				0	0	Si

Verifica a presso/tenso flessione deviata SLD §§ 4.2.4.1.2.3 - 4.2.4.1.2.6 - 4.2.4.1.2.7 - 4.2.4.1.2.8 NTC18

Verifiche eseguite utilizzando la formula conservativa (6.2) §6.2.1 EN 1993-1-1:2005.

X	Comb.	Sfruttamento	Classe	NEd	NRd	Rid. NRd da VEd	Mx,Ed	Mx,Rd	My,Ed	My,Rd	Rid. Mx,Rd da VEd	Rid. Mx,Rd da NEd	Rid. My,Rd da VEd	Rid. My,Rd da NEd	α	β	px	py	Verifica
0.958	SLD 11	0.034	1	20.325	664.325	1	-0.088	31.3291	-0.0104	15.4191	1		1				0	0	Si

Verifiche ad instabilità

Caratteristiche iniziali

Membratura principale per controllo snellezza; Calcolo di snellezze ed N critici condotti secondo gli assi principali;

Curva X: b; Curva Y: c; Svergolamento: Carico all'estradosso; Curva svergolamento: b;

Dati per instabilità attorno a x

Controllo della snellezza secondo §4.2.4.1.3.1 NTC18

Numero rit.	Presente	Ascissa	Campata	βx/m	Vincolo a entrambi estremi	λx/m	λVer
1	Si	0					
2	Si	1.916	1-2		1	39.2	Si, (<200)

Dati per instabilità attorno a y

Controllo della snellezza secondo §4.2.4.1.3.1 NTC18

Numero rit.	Presente	Ascissa	Campata	βy/n	k,LT	kw,LT	Vincolo a entrambi estremi	λy/n	λVer
1	Si	0							
2	Si	1.916	1-2		1		1	63.5	Si, (<200)

Verifica a svergolamento §4.2.4.1.3.2 NTC18

X	Comb.	Sfruttamento	Classe	Obblig.	Mx,Ed	Mb,Rd,x	χ,LT	λ adim. LT	L,LT	M,critico	Verifica
0.958	SLU 59	0.004	1	Si	-0.11407	28.03468	0.895	0.648	1.916	78.2995	Si

Verifica a svergolamento con trazione §4.2.4.1.3.2 NTC18 § 5.5.3 ENV 1993-1-1:1992 + AC:1992 + A1:1994 + A2:1998

X	Comb.	Sfruttamento	Classe	Obblig.	NEd	Mx,Ed	Mx,Eff,Ed	Mb,Rd,x	χ,LT	λ adim. LT	L,LT	M,critico	Verifica
0.958	SLU 5	0.003	1	Si	0.516	-0.08778	-0.07263	28.03468	0.895	0.648	1.916	78.2995	Si

Verifica di stabilità per tenso-flessione deviata §§ 5.5.3-5.5.4 ENV 1993-1-1:1992 + AC:1992 + A1:1994 + A2:1998

X	Comb.	Sfruttamento	Classe	NEd	Mx,Ed	Mx,Ed max	My,Ed	χ,LT	kLT	ky	M,critico	Wx	Wy	Verifica
0.958	SLV 9	0.001	1	2.914	-0.09201	-0.00642	0.01295	0.895	1	1	78.2995	0.0001196	0.0000589	Si

Verifica di stabilità per pressoflessione §C.4.2.4.1.3.3.2 NTC18

X	Comb.	Sfruttamento	Classe	NEd	NRk	Mx,Ed max	Mx,Rk	My,Ed max	My,Rk	χ,x	χ,y	kxx	kxy	kyy	χ,LT	Verifica
1.916	SLU 2	0.017	1	-6.311	697.541	0.08734	32.89552	0.00262	16.19002	0.905	0.705	0.952	0.424	0.999	0.707	0.895

Verifica di stabilità a taglio anima Y §4.2.4.1.2.4 [4.2.27] NTC18

η	hw	tw	hw/tw max	Verifica
1.2	0.098	0.005	55.46	Si

Verifica di stabilità a taglio anima Y SLD §4.2.4.1.2.4 [4.2.27] NTC18

η	hw	tw	hw/tw max	Verifica
1.2	0.098	0.005	55.46	Si

Verifiche a deformabilità

Mensola X: No; Mensola Y: No.

Implementazione dei sistemi di confinamento delle emissioni odorigene diffuse dell’impianto di compostaggio esistente nel
Comune di Eboli (SA)
PROGETTO DEFINITIVO – Tabulati di calcolo Tomo 1

Frecce lungo X

Ascissa freccia	Combinazione	Freccia	Luce	L/f	L/f,min	Tipo	Verifica
1.022	SLE RA 1	0.00001	1.916	10000	250	Totale	Si
1.022	SLE RA 17	0.00001	1.916	10000	250	Totale	Si
1.022	SLE RA 16	0.00001	1.916	10000	250	Totale	Si
1.022	SLE RA 15	0.00001	1.916	10000	250	Totale	Si
1.022	SLE RA 14	0.00001	1.916	10000	250	Totale	Si
1.022	SLE RA 2	-0.00001	1.916	10000	350	Variabile	Si
1.022	SLE RA 17	0	1.916	10000	350	Variabile	Si
1.022	SLE RA 16	0.00001	1.916	10000	350	Variabile	Si
1.022	SLE RA 15	0	1.916	10000	350	Variabile	Si
1.022	SLE RA 14	0.00001	1.916	10000	350	Variabile	Si

Frecce lungo Y

Ascissa freccia	Combinazione	Freccia	Luce	L/f	L/f,min	Tipo	Verifica
0.958	SLE RA 1	-0.00003	1.916	10000	250	Totale	Si
0.958	SLE RA 17	-0.00003	1.916	10000	250	Totale	Si
0.958	SLE RA 16	-0.00003	1.916	10000	250	Totale	Si
0.958	SLE RA 15	-0.00003	1.916	10000	250	Totale	Si
0.958	SLE RA 14	-0.00003	1.916	10000	250	Totale	Si
1.086	SLE RA 2	0	1.916	10000	350	Variabile	Si
1.086	SLE RA 17	0	1.916	10000	350	Variabile	Si
1.086	SLE RA 16	0	1.916	10000	350	Variabile	Si
1.086	SLE RA 15	0	1.916	10000	350	Variabile	Si
1.15	SLE RA 14	0	1.916	10000	350	Variabile	Si

Superelemento in acciaio a quota "640"- "590" (109; 1929)-(236; 2064)

Caratteristiche del materiale

Acciaio: S275, fyk = 275000

Caratteristiche geometriche

Lunghezza: 1.916

Nodo iniziale: 1052 Nodo finale: 428

Cerniera iniziale: Mmomenti 1% Cerniera finale: Mmomenti 1%

Sovreresistenza: 0% Sisma Z: No

Caratteristiche della sezione

Sezione	Rotazione	Area	Jx	Jy	ix	iy	Wx	Wy	Wplx	Wply
HEA120	0	0.002537	0.0000060673	0.0000023091	0.0489	0.0302	0.00010644	0.00003849	0.00011962	0.00005887

Verifiche di resistenza

Verifiche a forza assiale §4.2.4.1.2.1 - §4.2.4.1.2.2 NTC18

X	Comb.	Sfruttamento	Classe	NEd	Nc,Rd	Nt,Rd	Riduzione da taglio	px	py	Verifica
0	SLV 7	0.065		43.346		664.325	1	0	0	Si

Verifiche a forza assiale SLD §4.2.4.1.2.1 - §4.2.4.1.2.2 NTC18

X	Comb.	Sfruttamento	Classe	NEd	Nc,Rd	Nt,Rd	Riduzione da taglio	px	py	Verifica
0	SLD 7	0.034		22.703		664.325	1	0	0	Si

Verifica a taglio Y §4.2.4.1.2.4 NTC18

X	Comb.	Sfruttamento	VEd	Vc,Rd	Av	Interazione taglio-torsione	Riduzione torsione	Verifica
0	SLU 41	0.002	0.24	128.304	0.000849	Considerata	1	Si

Verifica a taglio Y SLD §4.2.4.1.2.4 NTC18

X	Comb.	Sfruttamento	VEd	Vc,Rd	Av	Interazione taglio-torsione	Riduzione torsione	Verifica
0	SLD 14	0.001	0.184	128.304	0.000849	Considerata	1	Si

Verifica a presso/tenso flessione retta X §§ 4.2.4.1.2.3 - 4.2.4.1.2.6 - 4.2.4.1.2.7 - 4.2.4.1.2.8 NTC18

Verifiche eseguite utilizzando la formula conservativa (6.2) §6.2.1 EN 1993-1-1:2005.

X	Comb.	Sfruttamento	Classe	NEd	NRd	Rid. NRd da VEd	Mx,Ed	Mx,Rd	Rid. Mx,Rd da VEd	Rid. Mx,Rd da NEd	px	py	Verifica
0.894	SLV 7	0.068	1	43.3	664.325	1	-0.0867	31.3291	1		0	0	Si

Verifica a presso/tenso flessione retta Y §§ 4.2.4.1.2.3 - 4.2.4.1.2.6 - 4.2.4.1.2.7 - 4.2.4.1.2.8 NTC18

Verifiche eseguite utilizzando la formula conservativa (6.2) §6.2.1 EN 1993-1-1:2005.

X	Comb.	Sfruttamento	Classe	NEd	NRd	Rid. NRd da VEd	My,Ed	My,Rd	Rid. My,Rd da VEd	Rid. My,Rd da NEd	px	py	Verifica
1.916	SLV 8	0.066	1	43.247	664.325	1	-0.021	15.4191	1		0	0	Si

Verifica a presso/tenso flessione retta Y SLD §§ 4.2.4.1.2.3 - 4.2.4.1.2.6 - 4.2.4.1.2.7 - 4.2.4.1.2.8 NTC18

Verifiche eseguite utilizzando la formula conservativa (6.2) §6.2.1 EN 1993-1-1:2005.

X	Comb.	Sfruttamento	Classe	NEd	NRd	Rid. NRd da VEd	My,Ed	My,Rd	Rid. My,Rd da VEd	Rid. My,Rd da NEd	px	py	Verifica
1.916	SLD 7	0.035	1	22.603	664.325	1	-0.0127	15.4191	1		0	0	Si

Verifica a presso/tenso flessione deviata §§ 4.2.4.1.2.3 - 4.2.4.1.2.6 - 4.2.4.1.2.7 - 4.2.4.1.2.8 NTC18

Verifiche eseguite utilizzando la formula conservativa (6.2) §6.2.1 EN 1993-1-1:2005.

X	Comb.	Sfruttamento	Classe	NEd	NRd	Rid. NRd da VEd	Mx,Ed	Mx,Rd	My,Ed	My,Rd	Rid. Mx,Rd da VEd	Rid. Mx,Rd da NEd	Rid. My,Rd da VEd	Rid. My,Rd da NEd	α	β	px	py	Verifica
0.958	SLV 7	0.069	1	43.296	664.325	1	-0.0871	31.3291	-0.0171	15.4191	1		1				0	0	Si

Verifica a presso/tenso flessione deviata SLD §§ 4.2.4.1.2.3 - 4.2.4.1.2.6 - 4.2.4.1.2.7 - 4.2.4.1.2.8 NTC18

Verifiche eseguite utilizzando la formula conservativa (6.2) §6.2.1 EN 1993-1-1:2005.

Implementazione dei sistemi di confinamento delle emissioni odorigene diffuse dell'impianto di compostaggio esistente nel
Comune di Eboli (SA)

PROGETTO DEFINITIVO – Tabulati di calcolo Tomo 1

X	Comb.	Sfruttamento	Classe	NEd	NRd	Rid. NRd da VEd	Mx,Ed	Mx,Rd	My,Ed	My,Rd	Rid. Mx,Rd da VEd	Rid. Mx,Rd da NEd	Rid. My,Rd da VEd	Rid. My,Rd da NEd	α	β	ρ_x	ρ_y	Verifica
0.958	SLD 7	0.038	1	22.653	664.325	1	-0.0859	31.3291	-0.0116	15.4191	1		1				0	0	Si

Verifiche ad instabilità

Caratteristiche iniziali

Membratura principale per controllo snellezza; Calcolo di snellezze ed N critici condotti secondo gli assi principali;

Curva X: b; Curva Y: c; Svergolamento: Carico all'estradosso; Curva svergolamento: b;

Dati per instabilità attorno a x

Controllo della snellezza secondo §4.2.4.1.3.1 NTC18

Numero rit.	Presente	Ascissa	Campata	$\beta x/m$	Vincolo a entrambi estremi	$\lambda x/m$	λVer
1	Si	0					
			1-2		1	39.2	Si, (<200)
2	Si	1.916					

Dati per instabilità attorno a y

Controllo della snellezza secondo §4.2.4.1.3.1 NTC18

Numero rit.	Presente	Ascissa	Campata	$\beta y/n$	k,LT	kw,LT	Vincolo a entrambi estremi	$\lambda y/n$	λVer
1	Si	0							
			1-2		1	1	Si	63.5	Si, (<200)
2	Si	1.916							

Verifica a svergolamento con trazione §4.2.4.1.3.2 NTC18 § 5.5.3 ENV 1993-1-1:1992 + AC:1992 + A1:1994 + A2:1998

X	Comb.	Sfruttamento	Classe	Obblig.	NEd	Mx,Ed	Mx,Eff,Ed	Mb,Rd,x	χ_{LT}	λ adim. LT	L,LT	M,critico	Verifica
0.958	SLU 59	0.003	1	Si	0.983	-0.11387	-0.08499	28.03468	0.895	0.648	1.916	78.2995	Si

Verifica di stabilità per tenso-flessione deviata SLD §§ 5.5.3-5.5.4 ENV 1993-1-1:1992 + AC:1992 + A1:1994 + A2:1998

X	Comb.	Sfruttamento	Classe	NEd	Mx,Ed	Mx,Eff,Ed	My,Ed	χ_{LT}	kLT	ky	M,critico	Wx	Wy	Verifica
0.894	SLD 9	0.002	1	1.109	-0.08424	-0.05167	-0.01004	0.895	1	1	78.2995	0.0001196	0.0000589	Si

Verifica di stabilità per pressoflessione §C.4.2.4.1.3.3.2 NTC18

X	Comb.	Sfruttamento	Classe	NEd	NRk	Mx,Ed max	Mx,Rk	My,Ed max	My,Rk	χ_x	χ_y	kxx	kxy	kyy	χ_{LT}	Verifica	
1.916	SLV 10	0.045	1	-19.587	697.541	0.08348	32.89552	0.01368	16.19002	0.905	0.705	0.955	0.249	0.996	0.414	0.895	Si

Verifica di stabilità a taglio anima Y §4.2.4.1.2.4 [4.2.27] NTC18

η	hw	tw	hw/tw max	Verifica
1.2	0.098	0.005	55.46	Si

Verifica di stabilità a taglio anima Y SLD §4.2.4.1.2.4 [4.2.27] NTC18

η	hw	tw	hw/tw max	Verifica
1.2	0.098	0.005	55.46	Si

Verifiche a deformabilità

Mensola X: No; Mensola Y: No.

Frecce lungo X

Ascissa freccia	Combinazione	Freccia	Luce	L/f	L/f,min	Tipo	Verifica
0.958	SLE RA 1	0.00001	1.916	10000	250	Totale	Si
0.958	SLE RA 17	0.00001	1.916	10000	250	Totale	Si
0.958	SLE RA 16	0.00001	1.916	10000	250	Totale	Si
0.958	SLE RA 15	0.00001	1.916	10000	250	Totale	Si
0.958	SLE RA 14	0.00001	1.916	10000	250	Totale	Si
0.958	SLE RA 2	-0.00001	1.916	10000	350	Variabile	Si
0.958	SLE RA 17	0	1.916	10000	350	Variabile	Si
0.958	SLE RA 16	0.00001	1.916	10000	350	Variabile	Si
0.958	SLE RA 15	0.00001	1.916	10000	350	Variabile	Si
0.958	SLE RA 14	0	1.916	10000	350	Variabile	Si

Frecce lungo Y

Ascissa freccia	Combinazione	Freccia	Luce	L/f	L/f,min	Tipo	Verifica
0.958	SLE RA 1	-0.00003	1.916	10000	250	Totale	Si
0.958	SLE RA 17	-0.00003	1.916	10000	250	Totale	Si
0.958	SLE RA 16	-0.00003	1.916	10000	250	Totale	Si
0.958	SLE RA 15	-0.00003	1.916	10000	250	Totale	Si
0.958	SLE RA 14	-0.00003	1.916	10000	250	Totale	Si
0.958	SLE RA 2	0	1.916	10000	350	Variabile	Si
0.958	SLE RA 17	0	1.916	10000	350	Variabile	Si
0.958	SLE RA 16	0	1.916	10000	350	Variabile	Si
0.958	SLE RA 15	0	1.916	10000	350	Variabile	Si
0.958	SLE RA 14	0	1.916	10000	350	Variabile	Si

Superelemento in acciaio a quota "640"- "590" (221; 299)-(348; 433)

Caratteristiche del materiale

Acciaio: S275, fyk = 275000

Caratteristiche geometriche

Lunghezza: 1.916

Nodo iniziale: 727 Nodo finale: 351

Cerniera iniziale: Mmomenti 1% Cerniera finale: Mmomenti 1%

Sovreresistenza: 0% Sisma Z: No

Caratteristiche della sezione

Sezione	Rotazione	Area	Jx	Jy	ix	iy	Wx	Wy	Wplx	Wply
HEA120	0	0.002537	0.0000060673	0.0000023091	0.0489	0.0302	0.00010644	0.00003849	0.00011962	0.00005887

Implementazione dei sistemi di confinamento delle emissioni odorigene diffuse dell'impianto di compostaggio esistente nel
Comune di Eboli (SA)
PROGETTO DEFINITIVO – Tabulati di calcolo Tomo 1

Verifiche di resistenza

Verifiche a forza assiale §4.2.4.1.2.1 - §4.2.4.1.2.2 NTC18

X	Comb.	Sfruttamento	Classe	NEd	Nc,Rd	Nt,Rd	Riduzione da taglio	px	py	Verifica
0	SLU 75	0.085		56.231		664.325	1	0	0	Si

Verifiche a forza assiale SLD §4.2.4.1.2.1 - §4.2.4.1.2.2 NTC18

X	Comb.	Sfruttamento	Classe	NEd	Nc,Rd	Nt,Rd	Riduzione da taglio	px	py	Verifica
0	SLD 6	0.037		24.721		664.325	1	0	0	Si

Verifica a taglio Y §4.2.4.1.2.4 NTC18

X	Comb.	Sfruttamento	VEd	Vc,Rd	Av	Interazione taglio-torsione	Riduzione torsione	Verifica
1.916	SLU 76	0.002	-0.24	128.304	0.000849	Considerata	1	Si

Verifica a taglio Y SLD §4.2.4.1.2.4 NTC18

X	Comb.	Sfruttamento	VEd	Vc,Rd	Av	Interazione taglio-torsione	Riduzione torsione	Verifica
1.916	SLD 12	0.001	-0.185	128.304	0.000849	Considerata	1	Si

Verifica a presso/tenso flessione retta X §§ 4.2.4.1.2.3 - 4.2.4.1.2.6 - 4.2.4.1.2.7 - 4.2.4.1.2.8 NTC18

Verifiche eseguite utilizzando la formula conservativa (6.2) §6.2.1 EN 1993-1-1:2005.

X	Comb.	Sfruttamento	Classe	NEd	NRd	Rid. NRd da VEd	Mx,Ed	Mx,Rd	Rid. Mx,Rd da VEd	Rid. Mx,Rd da NEd	px	py	Verifica
0.958	SLU 75	0.088	1	56.167	664.325	1	-0.1113	31.3291	1		0	0	Si

Verifica a presso/tenso flessione retta X SLD §§ 4.2.4.1.2.3 - 4.2.4.1.2.6 - 4.2.4.1.2.7 - 4.2.4.1.2.8 NTC18

Verifiche eseguite utilizzando la formula conservativa (6.2) §6.2.1 EN 1993-1-1:2005.

X	Comb.	Sfruttamento	Classe	NEd	NRd	Rid. NRd da VEd	Mx,Ed	Mx,Rd	Rid. Mx,Rd da VEd	Rid. Mx,Rd da NEd	px	py	Verifica
0.958	SLD 6	0.04	1	24.672	664.325	1	-0.0849	31.3291	1		0	0	Si

Verifica a presso/tenso flessione retta Y §§ 4.2.4.1.2.3 - 4.2.4.1.2.6 - 4.2.4.1.2.7 - 4.2.4.1.2.8 NTC18

Verifiche eseguite utilizzando la formula conservativa (6.2) §6.2.1 EN 1993-1-1:2005.

X	Comb.	Sfruttamento	Classe	NEd	NRd	Rid. NRd da VEd	My,Ed	My,Rd	Rid. My,Rd da VEd	Rid. My,Rd da NEd	px	py	Verifica
1.916	SLU 75	0.085	1	56.102	664.325	1	0.0148	15.4191	1		0	0	Si

Verifica a presso/tenso flessione retta Y SLD §§ 4.2.4.1.2.3 - 4.2.4.1.2.6 - 4.2.4.1.2.7 - 4.2.4.1.2.8 NTC18

Verifiche eseguite utilizzando la formula conservativa (6.2) §6.2.1 EN 1993-1-1:2005.

X	Comb.	Sfruttamento	Classe	NEd	NRd	Rid. NRd da VEd	My,Ed	My,Rd	Rid. My,Rd da VEd	Rid. My,Rd da NEd	px	py	Verifica
1.916	SLD 6	0.037	1	24.622	664.325	1	0.006	15.4191	1		0	0	Si

Verifica a presso/tenso flessione deviata §§ 4.2.4.1.2.3 - 4.2.4.1.2.6 - 4.2.4.1.2.7 - 4.2.4.1.2.8 NTC18

Verifiche eseguite utilizzando la formula conservativa (6.2) §6.2.1 EN 1993-1-1:2005.

X	Comb.	Sfruttamento	Classe	NEd	NRd	Rid. NRd da VEd	Mx,Ed	Mx,Rd	My,Ed	My,Rd	Rid. Mx,Rd da VEd	Rid. Mx,Rd da NEd	Rid. My,Rd da VEd	Rid. My,Rd da NEd	α	β	px	py	Verifica
1.15	SLU 75	0.088	1	56.154	664.325	1	-0.1067	31.3291	0.0045	15.4191	1		1				0	0	Si

Verifica a presso/tenso flessione deviata SLD §§ 4.2.4.1.2.3 - 4.2.4.1.2.6 - 4.2.4.1.2.7 - 4.2.4.1.2.8 NTC18

Verifiche eseguite utilizzando la formula conservativa (6.2) §6.2.1 EN 1993-1-1:2005.

X	Comb.	Sfruttamento	Classe	NEd	NRd	Rid. NRd da VEd	Mx,Ed	Mx,Rd	My,Ed	My,Rd	Rid. Mx,Rd da VEd	Rid. Mx,Rd da NEd	Rid. My,Rd da VEd	Rid. My,Rd da NEd	α	β	px	py	Verifica
1.533	SLD 5	0.039	1	24.642	664.325	1	-0.0534	31.3291	0.0041	15.4191	1		1				0	0	Si

Verifiche ad instabilità

Caratteristiche iniziali

Membratura principale per controllo snellezza; Calcolo di snellezze ed N critici condotti secondo gli assi principali;

Curva X: b; Curva Y: c; Svergolamento: Carico all'estradosso; Curva svergolamento: b;

Dati per instabilità attorno a x

Controllo della snellezza secondo §4.2.4.1.3.1 NTC18

Numero rit.	Presente	Ascissa	Campata	βx/m	Vincolo a entrambi estremi	λx/m	λVer
1	Si		0				
			1-2		1	39.2	Si, (<200)
2	Si	1.916					

Dati per instabilità attorno a y

Controllo della snellezza secondo §4.2.4.1.3.1 NTC18

Numero rit.	Presente	Ascissa	Campata	βy/n	k ₁ LT	k _w LT	Vincolo a entrambi estremi	λy/n	λVer
1	Si		0						
			1-2		1	1	Si	63.5	Si, (<200)
2	Si	1.916							

Verifica a svergolamento con trazione §4.2.4.1.3.2 NTC18 § 5.5.3 ENV 1993-1-1:1992 + AC:1992 + A1:1994 + A2:1998

X	Comb.	Sfruttamento	Classe	Obblig.	NEd	Mx,Ed	Mx,Ed,max	Mx,Ed,max	Mb,Rd,x	χ ₁ LT	λ adim. LT	L ₁ LT	M _c critico	Verifica
0.958	SLU 40	0.003	1	Si	0.975	-0.1141		-0.08545	28.03468	0.895	0.648	1.916	78.2995	Si

Verifica di stabilità per pressoflessione §C.4.2.4.1.3.3.2 NTC18

X	Comb.	Sfruttamento	Classe	NEd	NRk	Mx,Ed,max	Mx,Rk	My,Ed,max	My,Rk	χ _x	χ _y	k _{xx}	k _{xy}	k _{yx}	k _{yy}	χ ₁ LT	Verifica
1.916	SLU 4	0.016	1	-5.986	697.541	0.08839	32.89552	0.00125	16.19002	0.905	0.705	0.953	0.324	0.999	0.54	0.895	Si

Verifica di stabilità a taglio anima Y §4.2.4.1.2.4 [4.2.27] NTC18

η	hw	tw	hw/tw max	Verifica
1.2	0.098	0.005	55.46	Si

Verifica di stabilità a taglio anima Y SLD §4.2.4.1.2.4 [4.2.27] NTC18

η	hw	tw	hw/tw max	Verifica
1.2	0.098	0.005	55.46	Si

Implementazione dei sistemi di confinamento delle emissioni odorigene diffuse dell'impianto di compostaggio esistente nel
Comune di Eboli (SA)
PROGETTO DEFINITIVO – Tabulati di calcolo Tomo 1

Verifiche a deformabilità

Mensola X: No; Mensola Y: No.

Frecce lungo X

Ascissa freccia	Combinazione	Freccia	Luce	L/f	L/f,min	Tipo	Verifica
1.405	SLE RA 1	0	1.916	10000	250	Totale	Si
1.405	SLE RA 17	0	1.916	10000	250	Totale	Si
1.405	SLE RA 16	0	1.916	10000	250	Totale	Si
1.469	SLE RA 15	0	1.916	10000	250	Totale	Si
1.405	SLE RA 14	0	1.916	10000	250	Totale	Si
1.405	SLE RA 2	0	1.916	10000	350	Variabile	Si
1.405	SLE RA 17	0	1.916	10000	350	Variabile	Si
1.405	SLE RA 16	0	1.916	10000	350	Variabile	Si
0.511	SLE RA 15	0	1.916	10000	350	Variabile	Si
1.341	SLE RA 14	0	1.916	10000	350	Variabile	Si

Frecce lungo Y

Ascissa freccia	Combinazione	Freccia	Luce	L/f	L/f,min	Tipo	Verifica
0.958	SLE RA 1	-0.00003	1.916	10000	250	Totale	Si
0.958	SLE RA 17	-0.00003	1.916	10000	250	Totale	Si
0.958	SLE RA 16	-0.00003	1.916	10000	250	Totale	Si
0.958	SLE RA 15	-0.00003	1.916	10000	250	Totale	Si
0.958	SLE RA 14	-0.00003	1.916	10000	250	Totale	Si
1.022	SLE RA 2	0	1.916	10000	350	Variabile	Si
1.022	SLE RA 17	0	1.916	10000	350	Variabile	Si
1.022	SLE RA 16	0	1.916	10000	350	Variabile	Si
0.703	SLE RA 15	0	1.916	10000	350	Variabile	Si
0.958	SLE RA 14	0	1.916	10000	350	Variabile	Si

Superelemento in acciaio a quota "640"- "590" (236; 2064)-(363; 2198)

Caratteristiche del materiale

Acciaio: S275, fyk = 275000

Caratteristiche geometriche

Lunghezza: 1.916

Nodo iniziale: 1082 Nodo finale: 460

Cerniera iniziale: Mmomenti 1% Cerniera finale: Mmomenti 1%

Sovreresistenza: 0% Sisma Z: No

Caratteristiche della sezione

Sezione	Rotazione	Area	Jx	Jy	ix	iy	Wx	Wy	Wplx	Wply
HEA120	0	0.002537	0.0000060673	0.0000023091	0.0489	0.0302	0.00010644	0.00003849	0.00011962	0.00005887

Verifiche di resistenza

Verifiche a forza assiale §4.2.4.1.2.1 - §4.2.4.1.2.2 NTC18

X	Comb.	Sfruttamento	Classe	NEd	Nc,Rd	Nt,Rd	Riduzione da taglio	px	py	Verifica
0	SLU 76	0.055		36.728		664.325	1	0	0	Si

Verifiche a forza assiale SLD §4.2.4.1.2.1 - §4.2.4.1.2.2 NTC18

X	Comb.	Sfruttamento	Classe	NEd	Nc,Rd	Nt,Rd	Riduzione da taglio	px	py	Verifica
0	SLD 7	0.028		18.585		664.325	1	0	0	Si

Verifica a taglio Y §4.2.4.1.2.4 NTC18

X	Comb.	Sfruttamento	VEd	Vc,Rd	Av	Interazione taglio-torsione	Riduzione torsione	Verifica
0	SLU 76	0.002	0.243	128.304	0.000849	Considerata	1	Si

Verifica a taglio Y SLD §4.2.4.1.2.4 NTC18

X	Comb.	Sfruttamento	VEd	Vc,Rd	Av	Interazione taglio-torsione	Riduzione torsione	Verifica
0	SLD 7	0.001	0.185	128.304	0.000849	Considerata	1	Si

Verifica a presso/tenso flessione retta X §§ 4.2.4.1.2.3 - 4.2.4.1.2.6 - 4.2.4.1.2.7 - 4.2.4.1.2.8 NTC18

Verifiche eseguite utilizzando la formula conservativa (6.2) §6.2.1 EN 1993-1-1:2005.

X	Comb.	Sfruttamento	Classe	NEd	NRd	Rid. NRd da VEd	Mx,Ed	Mx,Rd	Rid. Mx,Rd da VEd	Rid. Mx,Rd da NEd	px	py	Verifica
1.278	SLV 9	0.028	1	-16.775	664.325	1	-0.0745	31.3291	1		0	0	Si

Verifica a presso/tenso flessione retta X SLD §§ 4.2.4.1.2.3 - 4.2.4.1.2.6 - 4.2.4.1.2.7 - 4.2.4.1.2.8 NTC18

Verifiche eseguite utilizzando la formula conservativa (6.2) §6.2.1 EN 1993-1-1:2005.

X	Comb.	Sfruttamento	Classe	NEd	NRd	Rid. NRd da VEd	Mx,Ed	Mx,Rd	Rid. Mx,Rd da VEd	Rid. Mx,Rd da NEd	px	py	Verifica
0.83	SLD 16	0.01	1	4.901	664.325	1	-0.0856	31.3291	1		0	0	Si

Verifica a presso/tenso flessione retta Y §§ 4.2.4.1.2.3 - 4.2.4.1.2.6 - 4.2.4.1.2.7 - 4.2.4.1.2.8 NTC18

Verifiche eseguite utilizzando la formula conservativa (6.2) §6.2.1 EN 1993-1-1:2005.

X	Comb.	Sfruttamento	Classe	NEd	NRd	Rid. NRd da VEd	My,Ed	My,Rd	Rid. My,Rd da VEd	Rid. My,Rd da NEd	px	py	Verifica
1.916	SLU 76	0.057	1	36.598	664.325	1	-0.0247	15.4191	1		0	0	Si

Verifica a presso/tenso flessione retta Y SLD §§ 4.2.4.1.2.3 - 4.2.4.1.2.6 - 4.2.4.1.2.7 - 4.2.4.1.2.8 NTC18

Verifiche eseguite utilizzando la formula conservativa (6.2) §6.2.1 EN 1993-1-1:2005.

X	Comb.	Sfruttamento	Classe	NEd	NRd	Rid. NRd da VEd	My,Ed	My,Rd	Rid. My,Rd da VEd	Rid. My,Rd da NEd	px	py	Verifica
1.916	SLD 7	0.029	1	18.485	664.325	1	-0.0114	15.4191	1		0	0	Si

Implementazione dei sistemi di confinamento delle emissioni odorigene diffuse dell'impianto di compostaggio esistente nel
Comune di Eboli (SA)
PROGETTO DEFINITIVO – Tabulati di calcolo Tomo 1

Verifica a presso/tenso flessione deviata §§ 4.2.4.1.2.3 - 4.2.4.1.2.6 - 4.2.4.1.2.7 - 4.2.4.1.2.8 NTC18

Verifiche eseguite utilizzando la formula conservativa (6.2) §6.2.1 EN 1993-1-1:2005.

X	Comb.	Sfruttamento	Classe	NEd	NRd	Rid. NRd da VEd	Mx,Ed	Mx,Rd	My,Ed	My,Rd	Rid. Mx,Rd da VEd	Rid. Mx,Rd da NEd	Rid. My,Rd da VEd	Rid. My,Rd da NEd	α	β	px	py	Verifica
1.022	SLU 76	0.06	1	36.659	664.325	1	-0.1145	31.3291	-0.0186	15.4191	1		1				0	0	Si

Verifica a presso/tenso flessione deviata SLD §§ 4.2.4.1.2.3 - 4.2.4.1.2.6 - 4.2.4.1.2.7 - 4.2.4.1.2.8 NTC18

Verifiche eseguite utilizzando la formula conservativa (6.2) §6.2.1 EN 1993-1-1:2005.

X	Comb.	Sfruttamento	Classe	NEd	NRd	Rid. NRd da VEd	Mx,Ed	Mx,Rd	My,Ed	My,Rd	Rid. Mx,Rd da VEd	Rid. Mx,Rd da NEd	Rid. My,Rd da VEd	Rid. My,Rd da NEd	α	β	px	py	Verifica
0.958	SLD 7	0.031	1	18.535	664.325	1	-0.0892	31.3291	-0.0097	15.4191	1		1				0	0	Si

Verifiche ad instabilità

Caratteristiche iniziali

Membratura principale per controllo snellezza; Calcolo di snellezze ed N critici condotti secondo gli assi principali;

Curva X: b; Curva Y: c; Svergolamento: Carico all'estradosso; Curva svergolamento: b;

Dati per instabilità attorno a x

Controllo della snellezza secondo §4.2.4.1.3.1 NTC18

Numero rit.	Presente	Ascissa	Campata	βx/m	Vincolo a entrambi estremi	λx/m	λVer
1	Si		0				
2	Si	1.916	1-2		1	39.2	Si, (<200)

Dati per instabilità attorno a y

Controllo della snellezza secondo §4.2.4.1.3.1 NTC18

Numero rit.	Presente	Ascissa	Campata	βy/n	k,LT	kw,LT	Vincolo a entrambi estremi	λy/n	λVer
1	Si		0						
2	Si	1.916	1-2		1	1	Si	63.5	Si, (<200)

Verifica a svergolamento con trazione §4.2.4.1.3.2 NTC18 § 5.5.3 ENV 1993-1-1:1992 + AC:1992 + A1:1994 + A2:1998

X	Comb.	Sfruttamento	Classe	Obblig.	NEd	Mx,Ed	Mx,Eff,Ed	Mb,Rd,x	χ,LT	λ adim. LT	L,LT	M,critico	Verifica
0.958	SLU 41	0.003	1	Si	1.061	-0.11469	-0.08352	28.03468	0.895	0.648	1.916	78.2995	Si

Verifica a svergolamento con trazione SLD §4.2.4.1.3.2 NTC18 § 5.5.3 ENV 1993-1-1:1992 + AC:1992 + A1:1994 + A2:1998

X	Comb.	Sfruttamento	Classe	Obblig.	NEd	Mx,Ed	Mx,Eff,Ed	Mb,Rd,x	χ,LT	λ adim. LT	L,LT	M,critico	Verifica
0.958	SLD 9	0.002	1	Si	0.591	-0.08671	-0.06936	28.03468	0.895	0.648	1.916	78.2995	Si

Verifica di stabilità per tenso-flessione deviata §§ 5.5.3-5.5.4 ENV 1993-1-1:1992 + AC:1992 + A1:1994 + A2:1998

X	Comb.	Sfruttamento	Classe	NEd	Mx,Ed	Mx,Eff,Ed	My,Ed	χ,LT	kLT	ky	M,critico	Wx	Wy	Verifica
1.278	SLU 62	0.001	1	2.633	-0.10136	-0.02403	-0.00392	0.895	1	1	78.2995	0.0001196	0.0000589	Si

Verifica di stabilità per tenso-flessione deviata SLD §§ 5.5.3-5.5.4 ENV 1993-1-1:1992 + AC:1992 + A1:1994 + A2:1998

X	Comb.	Sfruttamento	Classe	NEd	Mx,Ed	Mx,Eff,Ed	My,Ed	χ,LT	kLT	ky	M,critico	Wx	Wy	Verifica
1.597	SLD 9	0.001	1	0.558	-0.04804	-0.03166	-0.00389	0.895	1	1	78.2995	0.0001196	0.0000589	Si

Verifica di stabilità per pressoflessione §C.4.2.4.1.3.3.2 NTC18

X	Comb.	Sfruttamento	Classe	NEd	NRk	Mx,Ed max	Mx,Rk	My,Ed max	My,Rk	χ,x	χ,y	kxx	kxy	kyy	χ,LT	Verifica	
1.916	SLV 9	0.039	1	-16.808	697.541	0.08415	32.89552	0.00807	16.19002	0.905	0.705	0.954	0.416	0.996	0.693	0.895	Si

Verifica di stabilità a taglio anima Y §4.2.4.1.2.4 [4.2.27] NTC18

η	hw	tw	hw/tw max	Verifica
1.2	0.098	0.005	55.46	Si

Verifica di stabilità a taglio anima Y SLD §4.2.4.1.2.4 [4.2.27] NTC18

η	hw	tw	hw/tw max	Verifica
1.2	0.098	0.005	55.46	Si

Verifiche a deformabilità

Mensola X: No; Mensola Y: No.

Frecce lungo X

Ascissa freccia	Combinazione	Freccia	Luce	L/f	L/f,min	Tipo	Verifica
1.022	SLE RA 1	0.00001	1.916	10000	250	Totale	Si
1.022	SLE RA 17	0.00001	1.916	10000	250	Totale	Si
1.022	SLE RA 16	0.00001	1.916	10000	250	Totale	Si
1.022	SLE RA 15	0.00001	1.916	10000	250	Totale	Si
1.022	SLE RA 14	0.00001	1.916	10000	250	Totale	Si
1.022	SLE RA 2	0	1.916	10000	350	Variabile	Si
1.022	SLE RA 17	0	1.916	10000	350	Variabile	Si
1.022	SLE RA 16	0	1.916	10000	350	Variabile	Si
1.022	SLE RA 15	0	1.916	10000	350	Variabile	Si
1.022	SLE RA 14	0	1.916	10000	350	Variabile	Si

Frecce lungo Y

Ascissa freccia	Combinazione	Freccia	Luce	L/f	L/f,min	Tipo	Verifica
0.958	SLE RA 1	-0.00003	1.916	10000	250	Totale	Si
0.958	SLE RA 17	-0.00003	1.916	10000	250	Totale	Si
0.958	SLE RA 16	-0.00003	1.916	10000	250	Totale	Si
0.958	SLE RA 15	-0.00003	1.916	10000	250	Totale	Si
0.958	SLE RA 14	-0.00003	1.916	10000	250	Totale	Si
1.278	SLE RA 2	0	1.916	10000	350	Variabile	Si
1.278	SLE RA 17	0	1.916	10000	350	Variabile	Si
1.278	SLE RA 16	0	1.916	10000	350	Variabile	Si
1.405	SLE RA 15	0	1.916	10000	350	Variabile	Si
1.086	SLE RA 14	0	1.916	10000	350	Variabile	Si

Superelemento in acciaio a quota "640"- "590" (348; 433)-(475; 568)

Caratteristiche del materiale

Acciaio: S275, fyk = 275000

Caratteristiche geometriche

Lunghezza: 1.916

Nodo iniziale: 754 Nodo finale: 359

Cerniera iniziale: Mmomenti 1% Cerniera finale: Mmomenti 1%

Sovreresistenza: 0% Sisma Z: No

Caratteristiche della sezione

Sezione	Rotazione	Area	Jx	Jy	ix	iy	Wx	Wy	Wplx	Wply
HEA120	0	0.002537	0.0000060673	0.0000023091	0.0489	0.0302	0.00010644	0.00003849	0.00011962	0.00005887

Verifiche di resistenza

Verifiche a forza assiale §4.2.4.1.2.1 - §4.2.4.1.2.2 NTC18

X	Comb.	Sfruttamento	Classe	NEd	Nc,Rd	Nt,Rd	Riduzione da taglio	px	py	Verifica
0	SLU 75	0.069		45.892		664.325	1	0	0	Si

Verifiche a forza assiale SLD §4.2.4.1.2.1 - §4.2.4.1.2.2 NTC18

X	Comb.	Sfruttamento	Classe	NEd	Nc,Rd	Nt,Rd	Riduzione da taglio	px	py	Verifica
0	SLD 6	0.031		20.556		664.325	1	0	0	Si

Verifica a taglio Y §4.2.4.1.2.4 NTC18

X	Comb.	Sfruttamento	VEd	Vc,Rd	Av	Interazione taglio-torsione	Riduzione torsione	Verifica
0	SLU 75	0.002	0.242	128.304	0.000849	Considerata	1	Si

Verifica a taglio Y SLD §4.2.4.1.2.4 NTC18

X	Comb.	Sfruttamento	VEd	Vc,Rd	Av	Interazione taglio-torsione	Riduzione torsione	Verifica
0	SLD 5	0.001	0.185	128.304	0.000849	Considerata	1	Si

Verifica a flessione semplice X §§ 4.2.4.1.2.3 - 4.2.4.1.2.6 - 4.2.4.1.2.7 - 4.2.4.1.2.8 NTC18

X	Comb.	Sfruttamento	Classe	Mx,Ed	Mx,Rd	Rid. Mx,Rd da VEd	px	py	Verifica
0.958	SLU 59	0.004	1	-0.11448	31.32907	1	0	0	Si

Verifica a presso/tenso flessione retta X §§ 4.2.4.1.2.3 - 4.2.4.1.2.6 - 4.2.4.1.2.7 - 4.2.4.1.2.8 NTC18

Verifiche eseguite utilizzando la formula conservativa (6.2) §6.2.1 EN 1993-1-1:2005.

X	Comb.	Sfruttamento	Classe	NEd	NRd	Rid. NRd da VEd	Mx,Ed	Mx,Rd	Rid. Mx,Rd da VEd	Rid. Mx,Rd da NEd	px	py	Verifica
0.958	SLV 12	0.022	1	-12.909	664.325	1	-0.0912	31.3291	1		0	0	Si

Verifica a presso/tenso flessione retta SLD §§ 4.2.4.1.2.3 - 4.2.4.1.2.6 - 4.2.4.1.2.7 - 4.2.4.1.2.8 NTC18

Verifiche eseguite utilizzando la formula conservativa (6.2) §6.2.1 EN 1993-1-1:2005.

X	Comb.	Sfruttamento	Classe	NEd	NRd	Rid. NRd da VEd	Mx,Ed	Mx,Rd	Rid. Mx,Rd da VEd	Rid. Mx,Rd da NEd	px	py	Verifica
0.958	SLD 13	0.015	1	7.752	664.325	1	-0.0911	31.3291	1		0	0	Si

Verifica a presso/tenso flessione retta Y §§ 4.2.4.1.2.3 - 4.2.4.1.2.6 - 4.2.4.1.2.7 - 4.2.4.1.2.8 NTC18

Verifiche eseguite utilizzando la formula conservativa (6.2) §6.2.1 EN 1993-1-1:2005.

X	Comb.	Sfruttamento	Classe	NEd	NRd	Rid. NRd da VEd	My,Ed	My,Rd	Rid. My,Rd da VEd	Rid. My,Rd da NEd	px	py	Verifica
0	SLU 75	0.07	1	45.892	664.325	1	0.0144	15.4191	1		0	0	Si

Verifica a presso/tenso flessione retta Y SLD §§ 4.2.4.1.2.3 - 4.2.4.1.2.6 - 4.2.4.1.2.7 - 4.2.4.1.2.8 NTC18

Verifiche eseguite utilizzando la formula conservativa (6.2) §6.2.1 EN 1993-1-1:2005.

X	Comb.	Sfruttamento	Classe	NEd	NRd	Rid. NRd da VEd	My,Ed	My,Rd	Rid. My,Rd da VEd	Rid. My,Rd da NEd	px	py	Verifica
0	SLD 5	0.031	1	20.556	664.325	1	0.007	15.4191	1		0	0	Si

Verifica a presso/tenso flessione deviata §§ 4.2.4.1.2.3 - 4.2.4.1.2.6 - 4.2.4.1.2.7 - 4.2.4.1.2.8 NTC18

Verifiche eseguite utilizzando la formula conservativa (6.2) §6.2.1 EN 1993-1-1:2005.

X	Comb.	Sfruttamento	Classe	NEd	NRd	Rid. NRd da VEd	Mx,Ed	Mx,Rd	My,Ed	My,Rd	Rid. Mx,Rd da VEd	Rid. Mx,Rd da NEd	Rid. My,Rd da VEd	Rid. My,Rd da NEd	α	β	px	py	Verifica
0.958	SLU 75	0.074	1	45.827	664.325	1	-0.1263	31.3291	0.0133	15.4191	1						0	0	Si

Verifica a presso/tenso flessione deviata SLD §§ 4.2.4.1.2.3 - 4.2.4.1.2.6 - 4.2.4.1.2.7 - 4.2.4.1.2.8 NTC18

Verifiche eseguite utilizzando la formula conservativa (6.2) §6.2.1 EN 1993-1-1:2005.

X	Comb.	Sfruttamento	Classe	NEd	NRd	Rid. NRd da VEd	Mx,Ed	Mx,Rd	My,Ed	My,Rd	Rid. Mx,Rd da VEd	Rid. Mx,Rd da NEd	Rid. My,Rd da VEd	Rid. My,Rd da NEd	α	β	px	py	Verifica
0.958	SLD 6	0.034	1	20.506	664.325	1	-0.0912	31.3291	0.0068	15.4191	1						0	0	Si

Verifiche ad instabilità

Caratteristiche iniziali

Membratura principale per controllo snellezza; Calcolo di snellezze ed N critici condotti secondo gli assi principali;

Curva X: b; Curva Y: c; Svergolamento: Carico all'estradosso; Curva svergolamento: b;

Dati per instabilità attorno a x

Controllo della snellezza secondo §4.2.4.1.3.1 NTC18

Numero rit.	Presente	Ascissa	Campata	βx/m	Vincolo a entrambi estremi	λx/m	λVer
1	Si	0					
			1-2		1	39.2	Si, (<200)
2	Si	1.916					

Implementazione dei sistemi di confinamento delle emissioni odorigene diffuse dell’impianto di compostaggio esistente nel
Comune di Eboli (SA)

PROGETTO DEFINITIVO – Tabulati di calcolo Tomo 1

Dati per instabilità attorno a y

Controllo della snellezza secondo §4.2.4.1.3.1 NTC18

Numero rit.	Presente	Ascissa	Campata	$\beta y/n$	k,LT	kw,LT	Vincolo a entrambi estremi	$\lambda y/n$	λVer
1	Si	0							
			1-2	1	1	1	Si	63.5	Si, (<200)
2	Si	1.916							

Verifica a svergolamento §4.2.4.1.3.2 NTC18

X	Comb.	Sfruttamento	Classe	Obblig.	Mx,Ed	Mb,Rd,x	χ_{LT}	λ adim. LT	L,LT	M,critico	Verifica
0.958	SLU 59	0.004	1	Si	-0.11448	28.03468	0.895	0.648	1.916	78.2995	Si

Verifica a svergolamento con trazione §4.2.4.1.3.2 NTC18 § 5.5.3 ENV 1993-1-1:1992 + AC:1992 + A1:1994 + A2:1998

X	Comb.	Sfruttamento	Classe	Obblig.	NEd	Mx,Ed	Mx,Eff,Ed	Mb,Rd,x	χ_{LT}	λ adim. LT	L,LT	M,critico	Verifica
0.958	SLU 5	0.003	1	Si	0.449	-0.08817	-0.07497	28.03468	0.895	0.648	1.916	78.2995	Si

Verifica di stabilità per tenso-flessione deviata §§ 5.5.3-5.5.4 ENV 1993-1-1:1992 + AC:1992 + A1:1994 + A2:1998

X	Comb.	Sfruttamento	Classe	NEd	Mx,Ed	Mx,Eff,Ed	My,Ed	χ_{LT}	kLT	ky	M,critico	Wx	Wy	Verifica
0.958	SLU 64	0.001	1	2.823	-0.11558	-0.03265	0.00398	0.895	1	1	78.2995	0.0001196	0.0000589	Si

Verifica di stabilità per pressoflessione §C.4.2.4.1.3.3.2 NTC18

X	Comb.	Sfruttamento	Classe	NEd	NRk	Mx,Ed max	Mx,Rk	My,Ed max	My,Rk	χ_x	χ_y	kxx	kxy	kyy	χ_{LT}	Verifica	
1.916	SLV 12	0.031	1	-12.958	697.541	0.09124	32.89552	0.00331	16.19002	0.905	0.705	0.957	0.477	0.997	0.795	0.895	Si

Verifica di stabilità a taglio anima Y §4.2.4.1.2.4 [4.2.27] NTC18

η	hw	tw	hw/tw max	Verifica
1.2	0.098	0.005	55.46	Si

Verifica di stabilità a taglio anima Y SLD §4.2.4.1.2.4 [4.2.27] NTC18

η	hw	tw	hw/tw max	Verifica
1.2	0.098	0.005	55.46	Si

Verifiche a deformabilità

Mensola X: No; Mensola Y: No.

Frecce lungo X

Ascissa freccia	Combinazione	Freccia	Luce	L/f	L/f,min	Tipo	Verifica
0.958	SLE RA 1	0	1.916	10000	250	Totale	Si
0.958	SLE RA 17	-0.00001	1.916	10000	250	Totale	Si
0.958	SLE RA 16	-0.00001	1.916	10000	250	Totale	Si
0.958	SLE RA 15	0	1.916	10000	250	Totale	Si
0.958	SLE RA 14	-0.00001	1.916	10000	250	Totale	Si
0.958	SLE RA 2	0	1.916	10000	350	Variabile	Si
0.958	SLE RA 17	0	1.916	10000	350	Variabile	Si
0.958	SLE RA 16	0	1.916	10000	350	Variabile	Si
0.958	SLE RA 15	0	1.916	10000	350	Variabile	Si
0.958	SLE RA 14	0	1.916	10000	350	Variabile	Si

Frecce lungo Y

Ascissa freccia	Combinazione	Freccia	Luce	L/f	L/f,min	Tipo	Verifica
0.958	SLE RA 1	-0.00003	1.916	10000	250	Totale	Si
0.958	SLE RA 17	-0.00003	1.916	10000	250	Totale	Si
0.958	SLE RA 16	-0.00003	1.916	10000	250	Totale	Si
0.958	SLE RA 15	-0.00003	1.916	10000	250	Totale	Si
0.958	SLE RA 14	-0.00003	1.916	10000	250	Totale	Si
1.022	SLE RA 2	0	1.916	10000	350	Variabile	Si
1.022	SLE RA 17	0	1.916	10000	350	Variabile	Si
1.022	SLE RA 16	0	1.916	10000	350	Variabile	Si
1.086	SLE RA 15	0	1.916	10000	350	Variabile	Si
1.022	SLE RA 14	0	1.916	10000	350	Variabile	Si

Superelemento in acciaio a quota "640"- "590" (363; 2199)-(490; 2333)

Caratteristiche del materiale

Acciaio: S275, fyk = 275000

Caratteristiche geometriche

Lunghezza: 1.911

Nodo iniziale: 1148 Nodo finale: 463

Cerniera iniziale: Mmomenti 1% Cerniera finale: Mmomenti 1%

Sovraresistenza: 0% Sisma Z: No

Caratteristiche della sezione

Sezione	Rotazione	Area	Jx	Jy	ix	iy	Wx	Wy	Wplx	Wply
HEA120	0	0.002537	0.0000060673	0.0000023091	0.0489	0.0302	0.00010644	0.00003849	0.00011962	0.00005887

Verifiche di resistenza

Verifiche a forza assiale §4.2.4.1.2.1 - §4.2.4.1.2.2 NTC18

X	Comb.	Sfruttamento	Classe	NEd	Nc,Rd	Nt,Rd	Riduzione da taglio	px	py	Verifica
0	SLU 76	0.136		90.365		664.325	1	0	0	Si

Verifiche a forza assiale SLD §4.2.4.1.2.1 - §4.2.4.1.2.2 NTC18

X	Comb.	Sfruttamento	Classe	NEd	Nc,Rd	Nt,Rd	Riduzione da taglio	px	py	Verifica
0	SLD 9	0.054		36.066		664.325	1	0	0	Si

Verifica a taglio Y §4.2.4.1.2.4 NTC18

X	Comb.	Sfruttamento	VEd	Vc,Rd	Av	Interazione taglio-torsione	Riduzione torsione	Verifica

**Implementazione dei sistemi di confinamento delle emissioni odorigene diffuse dell'impianto di compostaggio esistente nel
Comune di Eboli (SA)
PROGETTO DEFINITIVO – Tabulati di calcolo Tomo 1**

X	Comb.	Sfruttamento	VEd	Vc,Rd	Av	Interazione taglio-torsione	Riduzione torsione	Verifica
1.911	SLU 76	0.002	-0.239	128.304	0.000849	Considerata	1	Si

Verifica a taglio Y SLD §4.2.4.1.2.4 NTC18

X	Comb.	Sfruttamento	VEd	Vc,Rd	Av	Interazione taglio-torsione	Riduzione torsione	Verifica
1.911	SLD 8	0.001	-0.184	128.304	0.000849	Considerata	1	Si

Verifica a flessione semplice X §§ 4.2.4.1.2.3 - 4.2.4.1.2.6 - 4.2.4.1.2.7 - 4.2.4.1.2.8 NTC18

X	Comb.	Sfruttamento	Classe	Mx,Ed	Mx,Rd	Rid. Mx,Rd da VEd	px	py	Verifica
0.956	SLU 41	0.004	1	-0.11311	31.32907	1	0	0	Si

Verifica a presso/tenso flessione retta X §§ 4.2.4.1.2.3 - 4.2.4.1.2.6 - 4.2.4.1.2.7 - 4.2.4.1.2.8 NTC18

Verifiche eseguite utilizzando la formula conservativa (6.2) §6.2.1 EN 1993-1-1:2005.

X	Comb.	Sfruttamento	Classe	NEd	NRd	Rid. NRd da VEd	Mx,Ed	Mx,Rd	Rid. Mx,Rd da VEd	Rid. Mx,Rd da NEd	px	py	Verifica
0.701	SLU 76	0.139	1	90.318	664.325	1	-0.0971	31.3291	1	1	0	0	Si

Verifica a presso/tenso flessione retta X SLD §§ 4.2.4.1.2.3 - 4.2.4.1.2.6 - 4.2.4.1.2.7 - 4.2.4.1.2.8 NTC18

Verifiche eseguite utilizzando la formula conservativa (6.2) §6.2.1 EN 1993-1-1:2005.

X	Comb.	Sfruttamento	Classe	NEd	NRd	Rid. NRd da VEd	Mx,Ed	Mx,Rd	Rid. Mx,Rd da VEd	Rid. Mx,Rd da NEd	px	py	Verifica
0.956	SLD 10	0.057	1	36.017	664.325	1	-0.082	31.3291	1	1	0	0	Si

Verifica a presso/tenso flessione retta Y §§ 4.2.4.1.2.3 - 4.2.4.1.2.6 - 4.2.4.1.2.7 - 4.2.4.1.2.8 NTC18

Verifiche eseguite utilizzando la formula conservativa (6.2) §6.2.1 EN 1993-1-1:2005.

X	Comb.	Sfruttamento	Classe	NEd	NRd	Rid. NRd da VEd	My,Ed	My,Rd	Rid. My,Rd da VEd	Rid. My,Rd da NEd	px	py	Verifica
1.911	SLU 76	0.137	1	90.236	664.325	1	0.0134	15.4191	1	1	0	0	Si

Verifica a presso/tenso flessione retta Y SLD §§ 4.2.4.1.2.3 - 4.2.4.1.2.6 - 4.2.4.1.2.7 - 4.2.4.1.2.8 NTC18

Verifiche eseguite utilizzando la formula conservativa (6.2) §6.2.1 EN 1993-1-1:2005.

X	Comb.	Sfruttamento	Classe	NEd	NRd	Rid. NRd da VEd	My,Ed	My,Rd	Rid. My,Rd da VEd	Rid. My,Rd da NEd	px	py	Verifica
1.911	SLD 9	0.055	1	35.967	664.325	1	0.0074	15.4191	1	1	0	0	Si

Verifica a presso/tenso flessione deviata §§ 4.2.4.1.2.3 - 4.2.4.1.2.6 - 4.2.4.1.2.7 - 4.2.4.1.2.8 NTC18

Verifiche eseguite utilizzando la formula conservativa (6.2) §6.2.1 EN 1993-1-1:2005.

X	Comb.	Sfruttamento	Classe	NEd	NRd	Rid. NRd da VEd	Mx,Ed	Mx,Rd	My,Ed	My,Rd	Rid. Mx,Rd da VEd	Rid. Mx,Rd da NEd	Rid. My,Rd da VEd	Rid. My,Rd da NEd	α	β	px	py	Verifica
1.019	SLU 76	0.14	1	90.296	664.325	1	-0.1046	31.3291	0.0063	15.4191	1	1	1	1			0	0	Si

Verifica a presso/tenso flessione deviata SLD §§ 4.2.4.1.2.3 - 4.2.4.1.2.6 - 4.2.4.1.2.7 - 4.2.4.1.2.8 NTC18

Verifiche eseguite utilizzando la formula conservativa (6.2) §6.2.1 EN 1993-1-1:2005.

X	Comb.	Sfruttamento	Classe	NEd	NRd	Rid. NRd da VEd	Mx,Ed	Mx,Rd	My,Ed	My,Rd	Rid. Mx,Rd da VEd	Rid. Mx,Rd da NEd	Rid. My,Rd da VEd	Rid. My,Rd da NEd	α	β	px	py	Verifica
1.019	SLD 10	0.057	1	36.013	664.325	1	-0.0816	31.3291	0.004	15.4191	1	1	1	1			0	0	Si

Verifiche ad instabilità

Caratteristiche iniziali

Membratura principale per controllo snellezza; Calcolo di snellezze ed N critici condotti secondo gli assi principali;
Curva X: b; Curva Y: c; Svergolamento: Carico all'estradosso; Curva svergolamento: b;

Dati per instabilità attorno a x

Controllo della snellezza secondo §4.2.4.1.3.1 NTC18

Numero rit.	Presente	Ascissa	Campata	βx/m	Vincolo a entrambi estremi	λx/m	λVer
1	Si	0					
2	Si	1.911	1-2		1	39.1	Si, (<200)

Dati per instabilità attorno a y

Controllo della snellezza secondo §4.2.4.1.3.1 NTC18

Numero rit.	Presente	Ascissa	Campata	βy/n	k ₁ LT	k _w LT	Vincolo a entrambi estremi	λy/n	λVer
1	Si	0							
2	Si	1.911	1-2		1	1	Si	63.3	Si, (<200)

Verifica a svergolamento §4.2.4.1.3.2 NTC18

X	Comb.	Sfruttamento	Classe	Obblig.	Mx,Ed	Mb,Rd,x	χ ₁ LT	λ adim. LT	L ₁ LT	M _{critico}	Verifica
0.956	SLU 41	0.004	1	Si	-0.11311	28.05204	0.895	0.647	1.911	78.58311	Si

Verifica a svergolamento con trazione §4.2.4.1.3.2 NTC18 § 5.5.3 ENV 1993-1-1:1992 + AC:1992 + A1:1994 + A2:1998

X	Comb.	Sfruttamento	Classe	Obblig.	NEd	Mx,Ed	Mx,Eff,Ed	Mb,Rd,x	χ ₁ LT	λ adim. LT	L ₁ LT	M _{critico}	Verifica
0.956	SLU 22	0.002	1	Si	1.253	-0.08685	-0.05004	28.05204	0.895	0.647	1.911	78.58311	Si

Verifica di stabilità per tenso-flessione deviata §§ 5.5.3-5.5.4 ENV 1993-1-1:1992 + AC:1992 + A1:1994 + A2:1998

X	Comb.	Sfruttamento	Classe	NEd	Mx,Ed	Mx,Eff,Ed	My,Ed	χ ₁ LT	kLT	ky	M _{critico}	Wx	Wy	Verifica
0.956	SLV 7	0.003	1	0.42	-0.09241	-0.08007	-0.00607	0.895	1	1	78.58311	0.0001196	0.0000589	Si

Verifica di stabilità per pressoflessione §C.4.2.4.1.3.3.2 NTC18

X	Comb.	Sfruttamento	Classe	NEd	NRk	Mx,Ed max	Mx,Rk	My,Ed max	My,Rk	χ _x	χ _y	k _{xx}	k _{xy}	k _{yx}	k _{yy}	χ ₁ LT	Verifica
1.911	SLU 2	0.02	1	-7.703	697.541	0.08785	32.89552	0.00207	16.19002	0.906	0.706	0.953	0.407	0.998	0.678	0.895	Si

Verifica di stabilità a taglio anima Y §4.2.4.1.2.4 [4.2.27] NTC18

η	hw	tw	hw/tw max	Verifica
1.2		0.098	0.005	55.46

Verifica di stabilità a taglio anima Y SLD §4.2.4.1.2.4 [4.2.27] NTC18

η	hw	tw	hw/tw max	Verifica
1.2		0.098	0.005	55.46

Implementazione dei sistemi di confinamento delle emissioni odorigene diffuse dell'impianto di compostaggio esistente nel
Comune di Eboli (SA)
PROGETTO DEFINITIVO – Tabulati di calcolo Tomo 1

Verifiche a deformabilità

Mensola X: No; Mensola Y: No.

Frecce lungo X

Ascissa freccia	Combinazione	Freccia	Luce	L/f	L/f,min	Tipo	Verifica
1.21	SLE RA 1	0	1.911	10000	250	Totale	Si
1.147	SLE RA 17	0	1.911	10000	250	Totale	Si
1.147	SLE RA 16	0	1.911	10000	250	Totale	Si
1.147	SLE RA 15	0	1.911	10000	250	Totale	Si
1.21	SLE RA 14	0	1.911	10000	250	Totale	Si
1.147	SLE RA 2	0	1.911	10000	350	Variabile	Si
1.147	SLE RA 17	0	1.911	10000	350	Variabile	Si
1.147	SLE RA 16	0	1.911	10000	350	Variabile	Si
1.083	SLE RA 15	0	1.911	10000	350	Variabile	Si
1.338	SLE RA 14	0	1.911	10000	350	Variabile	Si

Frecce lungo Y

Ascissa freccia	Combinazione	Freccia	Luce	L/f	L/f,min	Tipo	Verifica
0.956	SLE RA 1	-0.00003	1.911	10000	250	Totale	Si
0.956	SLE RA 17	-0.00003	1.911	10000	250	Totale	Si
0.956	SLE RA 16	-0.00003	1.911	10000	250	Totale	Si
0.956	SLE RA 15	-0.00003	1.911	10000	250	Totale	Si
0.956	SLE RA 14	-0.00003	1.911	10000	250	Totale	Si
0.956	SLE RA 2	0	1.911	10000	350	Variabile	Si
0.956	SLE RA 17	0	1.911	10000	350	Variabile	Si
0.956	SLE RA 16	0	1.911	10000	350	Variabile	Si
0.956	SLE RA 15	0	1.911	10000	350	Variabile	Si
1.019	SLE RA 14	0	1.911	10000	350	Variabile	Si

Superelemento in acciaio a quota "640"- "590" (490; 2333)-(617; 2467)

Caratteristiche del materiale

Acciaio: S275, fyk = 275000

Caratteristiche geometriche

Lunghezza: 1.916

Nodo iniziale: 1196 Nodo finale: 467

Cerniera iniziale: Mmomenti 1% Cerniera finale: Mmomenti 1%

Sovreresistenza: 0% Sisma Z: No

Caratteristiche della sezione

Sezione	Rotazione	Area	Jx	Jy	ix	iy	Wx	Wy	Wplx	Wply
HEA120	0	0.002537	0.0000060673	0.0000023091	0.0489	0.0302	0.00010644	0.00003849	0.00011962	0.00005887

Verifiche di resistenza

Verifiche a forza assiale §4.2.4.1.2.1 - §4.2.4.1.2.2 NTC18

X	Comb.	Sfruttamento	Classe	NEd	Nc,Rd	Nt,Rd	Riduzione da taglio	px	py	Verifica
0	SLU 76	0.135		89.387		664.325	1	0	0	Si

Verifiche a forza assiale SLD §4.2.4.1.2.1 - §4.2.4.1.2.2 NTC18

X	Comb.	Sfruttamento	Classe	NEd	Nc,Rd	Nt,Rd	Riduzione da taglio	px	py	Verifica
0	SLD 9	0.052		34.586		664.325	1	0	0	Si

Verifica a taglio Y §4.2.4.1.2.4 NTC18

X	Comb.	Sfruttamento	VEd	Vc,Rd	Av	Interazione taglio-torsione	Riduzione torsione	Verifica
0	SLU 76	0.002	0.246	128.304	0.000849	Considerata	1	Si

Verifica a taglio Y SLD §4.2.4.1.2.4 NTC18

X	Comb.	Sfruttamento	VEd	Vc,Rd	Av	Interazione taglio-torsione	Riduzione torsione	Verifica
0	SLD 9	0.001	0.186	128.304	0.000849	Considerata	1	Si

Verifica a presso/tenso flessione retta X §§ 4.2.4.1.2.3 - 4.2.4.1.2.6 - 4.2.4.1.2.7 - 4.2.4.1.2.8 NTC18

Verifiche eseguite utilizzando la formula conservativa (6.2) §6.2.1 EN 1993-1-1:2005.

X	Comb.	Sfruttamento	Classe	NEd	NRd	Rid. NRd da VEd	Mx,Ed	Mx,Rd	Rid. Mx,Rd da VEd	Rid. Mx,Rd da NEd	px	py	Verifica
0.958	SLU 76	0.139	1	89.323	664.325	1	-0.1274	31.3291	1		0	0	Si

Verifica a presso/tenso flessione retta X SLD §§ 4.2.4.1.2.3 - 4.2.4.1.2.6 - 4.2.4.1.2.7 - 4.2.4.1.2.8 NTC18

Verifiche eseguite utilizzando la formula conservativa (6.2) §6.2.1 EN 1993-1-1:2005.

X	Comb.	Sfruttamento	Classe	NEd	NRd	Rid. NRd da VEd	Mx,Ed	Mx,Rd	Rid. Mx,Rd da VEd	Rid. Mx,Rd da NEd	px	py	Verifica
1.405	SLD 9	0.054	1	34.513	664.325	1	-0.0732	31.3291	1		0	0	Si

Verifica a presso/tenso flessione retta Y §§ 4.2.4.1.2.3 - 4.2.4.1.2.6 - 4.2.4.1.2.7 - 4.2.4.1.2.8 NTC18

Verifiche eseguite utilizzando la formula conservativa (6.2) §6.2.1 EN 1993-1-1:2005.

X	Comb.	Sfruttamento	Classe	NEd	NRd	Rid. NRd da VEd	My,Ed	My,Rd	Rid. My,Rd da VEd	Rid. My,Rd da NEd	px	py	Verifica
0	SLU 76	0.135	1	89.387	664.325	1	0.0078	15.4191	1		0	0	Si

Verifica a presso/tenso flessione retta Y SLD §§ 4.2.4.1.2.3 - 4.2.4.1.2.6 - 4.2.4.1.2.7 - 4.2.4.1.2.8 NTC18

Verifiche eseguite utilizzando la formula conservativa (6.2) §6.2.1 EN 1993-1-1:2005.

X	Comb.	Sfruttamento	Classe	NEd	NRd	Rid. NRd da VEd	My,Ed	My,Rd	Rid. My,Rd da VEd	Rid. My,Rd da NEd	px	py	Verifica
0	SLD 9	0.052	1	34.586	664.325	1	0.0058	15.4191	1		0	0	Si

Implementazione dei sistemi di confinamento delle emissioni odorigene diffuse dell'impianto di compostaggio esistente nel
Comune di Eboli (SA)
PROGETTO DEFINITIVO – Tabulati di calcolo Tomo 1

Verifica a presso/tenso flessione deviata §§ 4.2.4.1.2.3 - 4.2.4.1.2.6 - 4.2.4.1.2.7 - 4.2.4.1.2.8 NTC18

Verifiche eseguite utilizzando la formula conservativa (6.2) §6.2.1 EN 1993-1-1:2005.

X	Comb.	Sfruttamento	Classe	NEd	NRd	Rid. NRd da VEd	Mx,Ed	Mx,Rd	My,Ed	My,Rd	Rid. Mx,Rd da VEd	Rid. Mx,Rd da NEd	Rid. My,Rd da VEd	Rid. My,Rd da NEd	α	β	px	py	Verifica
0.767	SLU 76	0.139	1	89.336	664.325	1	-0.1216	31.3291	0.004	15.4191	1		1				0	0	Si

Verifica a presso/tenso flessione deviata SLD §§ 4.2.4.1.2.3 - 4.2.4.1.2.6 - 4.2.4.1.2.7 - 4.2.4.1.2.8 NTC18

Verifiche eseguite utilizzando la formula conservativa (6.2) §6.2.1 EN 1993-1-1:2005.

X	Comb.	Sfruttamento	Classe	NEd	NRd	Rid. NRd da VEd	Mx,Ed	Mx,Rd	My,Ed	My,Rd	Rid. Mx,Rd da VEd	Rid. Mx,Rd da NEd	Rid. My,Rd da VEd	Rid. My,Rd da NEd	α	β	px	py	Verifica
0.958	SLD 10	0.055	1	34.536	664.325	1	-0.0916	31.3291	0.0044	15.4191	1		1				0	0	Si

Verifiche ad instabilità

Caratteristiche iniziali

Membratura principale per controllo snellezza; Calcolo di snellezze ed N critici condotti secondo gli assi principali;

Curva X: b; Curva Y: c; Svergolamento: Carico all'estradosso; Curva svergolamento: b;

Dati per instabilità attorno a x

Controllo della snellezza secondo §4.2.4.1.3.1 NTC18

Numero rit.	Presente	Ascissa	Campata	βx/m	Vincolo a entrambi estremi	λx/m	λVer
1	Si		0				
			1-2		1	39.2	Si, (<200)
2	Si	1.916					

Dati per instabilità attorno a y

Controllo della snellezza secondo §4.2.4.1.3.1 NTC18

Numero rit.	Presente	Ascissa	Campata	βy/n	k,LT	kw,LT	Vincolo a entrambi estremi	λy/n	λVer
1	Si		0						
			1-2		1	1	Si	63.5	Si, (<200)
2	Si	1.916							

Verifica a svergolamento con trazione §4.2.4.1.3.2 NTC18 § 5.5.3 ENV 1993-1-1:1992 + AC:1992 + A1:1994 + A2:1998

X	Comb.	Sfruttamento	Classe	Obblig.	NEd	Mx,Ed	Mx,Eff,Ed	Mb,Rd,x	χ,LT	λ adim. LT	L,LT	M,critico	Verifica
0.958	SLU 5	0.003	1	Si	0.509	-0.08791	-0.07297	28.03468	0.895	0.648	1.916	78.2995	Si

Verifica di stabilità per pressoflessione §C.4.2.4.1.3.3.2 NTC18

X	Comb.	Sfruttamento	Classe	NEd	NRk	Mx,Ed max	Mx,Rk	My,Ed max	My,Rk	χ,x	χ,y	kxx	kxy	kyy	χ,LT	Verifica	
1.916	SLU 2	0.028	1	-11.765	697.541	0.08611	32.89552	0.00131	16.19002	0.905	0.705	0.953	0.376	0.997	0.627	0.895	Si

Verifica di stabilità a taglio anima Y §4.2.4.1.2.4 [4.2.27] NTC18

η	hw	tw	hw/tw max	Verifica
1.2	0.098	0.005	55.46	Si

Verifica di stabilità a taglio anima Y SLD §4.2.4.1.2.4 [4.2.27] NTC18

η	hw	tw	hw/tw max	Verifica
1.2	0.098	0.005	55.46	Si

Verifiche a deformabilità

Mensola X: No; Mensola Y: No.

Frecce lungo X

Ascissa freccia	Combinazione	Freccia	Luce	L/f	L/f,min	Tipo	Verifica
0.767	SLE RA 1	0	1.916	10000	250	Totale	Si
0.767	SLE RA 17	0	1.916	10000	250	Totale	Si
0.767	SLE RA 16	0	1.916	10000	250	Totale	Si
0.767	SLE RA 15	0	1.916	10000	250	Totale	Si
0.767	SLE RA 14	0	1.916	10000	250	Totale	Si
0.767	SLE RA 2	0	1.916	10000	350	Variabile	Si
0.767	SLE RA 17	0	1.916	10000	350	Variabile	Si
0.767	SLE RA 16	0	1.916	10000	350	Variabile	Si
0.767	SLE RA 15	0	1.916	10000	350	Variabile	Si
0.83	SLE RA 14	0	1.916	10000	350	Variabile	Si

Frecce lungo Y

Ascissa freccia	Combinazione	Freccia	Luce	L/f	L/f,min	Tipo	Verifica
0.958	SLE RA 1	-0.00003	1.916	10000	250	Totale	Si
0.958	SLE RA 17	-0.00003	1.916	10000	250	Totale	Si
0.958	SLE RA 16	-0.00003	1.916	10000	250	Totale	Si
0.958	SLE RA 15	-0.00003	1.916	10000	250	Totale	Si
0.958	SLE RA 14	-0.00003	1.916	10000	250	Totale	Si
1.022	SLE RA 2	0	1.916	10000	350	Variabile	Si
1.022	SLE RA 17	0	1.916	10000	350	Variabile	Si
1.022	SLE RA 16	0	1.916	10000	350	Variabile	Si
1.022	SLE RA 15	0	1.916	10000	350	Variabile	Si
1.022	SLE RA 14	0	1.916	10000	350	Variabile	Si

Superelemento in acciaio a quota "640"- "590" (983; 1106)-(1110; 1241)

Caratteristiche del materiale

Acciaio: S275, fyk = 275000

Caratteristiche geometriche

Lunghezza: 1.916

Nodo iniziale: 888 Nodo finale: 388

Cerniera iniziale: Mmomenti 1% Cerniera finale: Mmomenti 1%

Implementazione dei sistemi di confinamento delle emissioni odorigene diffuse dell'impianto di compostaggio esistente nel
Comune di Eboli (SA)

PROGETTO DEFINITIVO – Tabulati di calcolo Tomo 1

Sovreresistenza: 0% Sisma Z: No

Caratteristiche della sezione

Sezione	Rotazione	Area	Jx	Jy	ix	iy	Wx	Wy	Wplx	Wply
HEA120	0	0.002537	0.0000060673	0.0000023091	0.0489	0.0302	0.00010644	0.00003849	0.00011962	0.00005887

Verifiche di resistenza

Verifiche a forza assiale §4.2.4.1.2.1 - §4.2.4.1.2.2 NTC18

X	Comb.	Sfruttamento	Classe	NEd	Nc,Rd	Nt,Rd	Riduzione da taglio	px	py	Verifica
0	SLV 12	0.066		43.584		664.325	1	0	0	Si

Verifiche a forza assiale SLD §4.2.4.1.2.1 - §4.2.4.1.2.2 NTC18

X	Comb.	Sfruttamento	Classe	NEd	Nc,Rd	Nt,Rd	Riduzione da taglio	px	py	Verifica
0	SLD 12	0.035		23.289		664.325	1	0	0	Si

Verifica a taglio Y §4.2.4.1.2.4 NTC18

X	Comb.	Sfruttamento	VEd	Vc,Rd	Av	Interazione taglio-torsione	Riduzione torsione	Verifica
0	SLU 40	0.002	0.24	128.304	0.000849	Considerata	1	Si

Verifica a taglio Y SLD §4.2.4.1.2.4 NTC18

X	Comb.	Sfruttamento	VEd	Vc,Rd	Av	Interazione taglio-torsione	Riduzione torsione	Verifica
0	SLD 16	0.001	0.184	128.304	0.000849	Considerata	1	Si

Verifica a flessione semplice X §§ 4.2.4.1.2.3 - 4.2.4.1.2.6 - 4.2.4.1.2.7 - 4.2.4.1.2.8 NTC18

X	Comb.	Sfruttamento	Classe	Mx,Ed	Mx,Rd	Rid. Mx,Rd da VEd	px	py	Verifica
0.958	SLU 40	0.004	1	-0.1142	31.32907	1	0	0	Si

Verifica a presso/tenso flessione retta X §§ 4.2.4.1.2.3 - 4.2.4.1.2.6 - 4.2.4.1.2.7 - 4.2.4.1.2.8 NTC18

Verifiche eseguite utilizzando la formula conservativa (6.2) §6.2.1 EN 1993-1-1:2005.

X	Comb.	Sfruttamento	Classe	NEd	NRd	Rid. NRd da VEd	Mx,Ed	Mx,Rd	Rid. Mx,Rd da VEd	Rid. Mx,Rd da NEd	px	py	Verifica
0.192	SLV 12	0.067	1	43.574	664.325	1	-0.0306	31.3291	1		0	0	Si

Verifica a presso/tenso flessione retta X SLD §§ 4.2.4.1.2.3 - 4.2.4.1.2.6 - 4.2.4.1.2.7 - 4.2.4.1.2.8 NTC18

Verifiche eseguite utilizzando la formula conservativa (6.2) §6.2.1 EN 1993-1-1:2005.

X	Comb.	Sfruttamento	Classe	NEd	NRd	Rid. NRd da VEd	Mx,Ed	Mx,Rd	Rid. Mx,Rd da VEd	Rid. Mx,Rd da NEd	px	py	Verifica
1.086	SLD 16	0.037	1	22.848	664.325	1	-0.0848	31.3291	1		0	0	Si

Verifica a presso/tenso flessione retta Y §§ 4.2.4.1.2.3 - 4.2.4.1.2.6 - 4.2.4.1.2.7 - 4.2.4.1.2.8 NTC18

Verifiche eseguite utilizzando la formula conservativa (6.2) §6.2.1 EN 1993-1-1:2005.

X	Comb.	Sfruttamento	Classe	NEd	NRd	Rid. NRd da VEd	My,Ed	My,Rd	Rid. My,Rd da VEd	Rid. My,Rd da NEd	px	py	Verifica
1.916	SLV 12	0.066	1	43.484	664.325	1	-0.0161	15.4191	1		0	0	Si

Verifica a presso/tenso flessione retta Y SLD §§ 4.2.4.1.2.3 - 4.2.4.1.2.6 - 4.2.4.1.2.7 - 4.2.4.1.2.8 NTC18

Verifiche eseguite utilizzando la formula conservativa (6.2) §6.2.1 EN 1993-1-1:2005.

X	Comb.	Sfruttamento	Classe	NEd	NRd	Rid. NRd da VEd	My,Ed	My,Rd	Rid. My,Rd da VEd	Rid. My,Rd da NEd	px	py	Verifica
1.852	SLD 12	0.036	1	23.193	664.325	1	-0.0097	15.4191	1		0	0	Si

Verifica a presso/tenso flessione deviata §§ 4.2.4.1.2.3 - 4.2.4.1.2.6 - 4.2.4.1.2.7 - 4.2.4.1.2.8 NTC18

Verifiche eseguite utilizzando la formula conservativa (6.2) §6.2.1 EN 1993-1-1:2005.

X	Comb.	Sfruttamento	Classe	NEd	NRd	Rid. NRd da VEd	Mx,Ed	Mx,Rd	My,Ed	My,Rd	Rid. Mx,Rd da VEd	Rid. Mx,Rd da NEd	Rid. My,Rd da VEd	Rid. My,Rd da NEd	α	β	px	py	Verifica
0.958	SLV 11	0.069	1	43.534	664.325	1	-0.0873	31.3291	-0.0136	15.4191	1		1				0	0	Si

Verifica a presso/tenso flessione deviata SLD §§ 4.2.4.1.2.3 - 4.2.4.1.2.6 - 4.2.4.1.2.7 - 4.2.4.1.2.8 NTC18

Verifiche eseguite utilizzando la formula conservativa (6.2) §6.2.1 EN 1993-1-1:2005.

X	Comb.	Sfruttamento	Classe	NEd	NRd	Rid. NRd da VEd	Mx,Ed	Mx,Rd	My,Ed	My,Rd	Rid. Mx,Rd da VEd	Rid. Mx,Rd da NEd	Rid. My,Rd da VEd	Rid. My,Rd da NEd	α	β	px	py	Verifica
0.958	SLD 12	0.038	1	23.24	664.325	1	-0.0864	31.3291	-0.0091	15.4191	1		1				0	0	Si

Verifiche ad instabilità

Caratteristiche iniziali

Membratura principale per controllo snellezza; Calcolo di snellezze ed N critici condotti secondo gli assi principali;

Curva X: b; Curva Y: c; Svergolamento: Carico all'estradosso; Curva svergolamento: b;

Dati per instabilità attorno a x

Controllo della snellezza secondo §4.2.4.1.3.1 NTC18

Numero rit.	Presente	Ascissa	Campata	βx/m	Vincolo a entrambi estremi	λx/m	λVer
1	Si	0					
			1-2		1	39.2	Si, (<200)
2	Si	1.916					

Dati per instabilità attorno a y

Controllo della snellezza secondo §4.2.4.1.3.1 NTC18

Numero rit.	Presente	Ascissa	Campata	βy/n	k,LT	kw,LT	Vincolo a entrambi estremi	λy/n	λVer
1	Si	0							
			1-2		1	1	Si	63.5	Si, (<200)
2	Si	1.916							

Verifica a svergolamento §4.2.4.1.3.2 NTC18

X	Comb.	Sfruttamento	Classe	Obblig.	Mx,Ed	Mb,Rd,x	χ,LT	λ adim. LT	L,LT	M,critico	Verifica
0.958	SLU 40	0.004	1	Si	-0.1142	28.0353	0.895	0.648	1.916	78.30962	Si

Implementazione dei sistemi di confinamento delle emissioni odorigene diffuse dell’impianto di compostaggio esistente nel
Comune di Eboli (SA)
PROGETTO DEFINITIVO – Tabulati di calcolo Tomo 1

Verifica a svergolamento con trazione §4.2.4.1.3.2 NTC18 § 5.5.3 ENV 1993-1-1:1992 + AC:1992 + A1:1994 + A2:1998																	
X	Comb.	Sfruttamento	Classe	Obblig.	NEd	Mx,Ed	Mx,Eff,Ed	Mb,Rd,x	χ,LT	λ adim. LT	L,LT	M,critico	Verifica				
0.958	SLU 21	0.003	1	Si	0.47	-0.0878	-0.07398	28.0353	0.895	0.648	1.916	78.30962	Si				
Verifica a svergolamento con trazione SLD §4.2.4.1.3.2 NTC18 § 5.5.3 ENV 1993-1-1:1992 + AC:1992 + A1:1994 + A2:1998																	
X	Comb.	Sfruttamento	Classe	Obblig.	NEd	Mx,Ed	Mx,Eff,Ed	Mb,Rd,x	χ,LT	λ adim. LT	L,LT	M,critico	Verifica				
1.15	SLD 5	0.001	1	Si	1.496	-0.08182	-0.03786	28.0353	0.895	0.648	1.916	78.30962	Si				
Verifica di stabilità per tenso-flessione deviata SLD §§ 5.5.3-5.5.4 ENV 1993-1-1:1992 + AC:1992 + A1:1994 + A2:1998																	
X	Comb.	Sfruttamento	Classe	NEd	Mx,Ed	Mx,Eff,Ed	My,Ed	χ,LT	kLT	ky	M,critico	Wx	Wy	Verifica			
0.958	SLD 6	0.002	1	1.506	-0.08533	-0.04108	-0.00399	0.895	1	1	78.30962	0.0001196	0.0000589	Si			
Verifica di stabilità per pressoflessione §C.4.2.4.1.3.3.2 NTC18																	
X	Comb.	Sfruttamento	Classe	NEd	NRk	Mx,Ed max	Mx,Rk	My,Ed max	My,Rk	χ,x	χ,y	kxx	kxy	kyy	χ,LT	Verifica	
1.916	SLV 6	0.044	1	-18.838	697.541	0.08444	32.89552	0.01756	16.19002	0.905	0.705	0.955	0.248	0.996	0.414	0.895	Si
Verifica di stabilità a taglio anima Y §4.2.4.1.2.4 [4.2.27] NTC18																	
η		hw			tw		hw/tw max			Verifica							
1.2		0.098			0.005		55.46			Si							
Verifica di stabilità a taglio anima Y SLD §4.2.4.1.2.4 [4.2.27] NTC18																	
η		hw			tw		hw/tw max			Verifica							
1.2		0.098			0.005		55.46			Si							

Verifiche a deformabilità

Mensola X: No; Mensola Y: No.

Frecce lungo X

Ascissa freccia	Combinazione	Freccia	Luce	L/f	L/f,min	Tipo	Verifica
0.958	SLE RA 1	0.00001	1.916	10000	250	Totale	Si
0.958	SLE RA 17	0.00001	1.916	10000	250	Totale	Si
0.958	SLE RA 16	0.00001	1.916	10000	250	Totale	Si
0.958	SLE RA 15	0.00001	1.916	10000	250	Totale	Si
0.958	SLE RA 14	0.00001	1.916	10000	250	Totale	Si
0.958	SLE RA 2	0	1.916	10000	350	Variabile	Si
0.958	SLE RA 17	0	1.916	10000	350	Variabile	Si
0.958	SLE RA 16	0.00001	1.916	10000	350	Variabile	Si
0.958	SLE RA 15	0	1.916	10000	350	Variabile	Si
0.958	SLE RA 14	0	1.916	10000	350	Variabile	Si

Frecce lungo Y

Ascissa freccia	Combinazione	Freccia	Luce	L/f	L/f,min	Tipo	Verifica
0.958	SLE RA 1	-0.00003	1.916	10000	250	Totale	Si
0.958	SLE RA 17	-0.00003	1.916	10000	250	Totale	Si
0.958	SLE RA 16	-0.00003	1.916	10000	250	Totale	Si
0.958	SLE RA 15	-0.00003	1.916	10000	250	Totale	Si
0.958	SLE RA 14	-0.00003	1.916	10000	250	Totale	Si
0.958	SLE RA 2	0	1.916	10000	350	Variabile	Si
0.958	SLE RA 17	0	1.916	10000	350	Variabile	Si
0.958	SLE RA 16	0	1.916	10000	350	Variabile	Si
0.958	SLE RA 15	0	1.916	10000	350	Variabile	Si
0.958	SLE RA 14	0	1.916	10000	350	Variabile	Si

Superelemento in acciaio a quota "640"- "590" (1110; 1241)-(1237; 1376)

Caratteristiche del materiale

Acciaio: S275, fyk = 275000

Caratteristiche geometriche

Lunghezza: 1.916

Nodo iniziale: 915 Nodo finale: 394

Cerniera iniziale: Mmomenti 1% Cerniera finale: Mmomenti 1%

Sovraresistenza: 0% Sisma Z: No

Caratteristiche della sezione

Sezione	Rotazione	Area	Jx	Jy	ix	iy	Wx	Wy	Wplx	Wply
HEA120	0	0.002537	0.0000060673	0.0000023091	0.0489	0.0302	0.00010644	0.00003849	0.00011962	0.00005887

Verifiche di resistenza

Verifiche a forza assiale §4.2.4.1.2.1 - §4.2.4.1.2.2 NTC18

X	Comb.	Sfruttamento	Classe	NEd	Nc,Rd	Nt,Rd	Riduzione da taglio	px	py	Verifica
0	SLV 11	0.054		35.954		664.325	1	0	0	Si

Verifiche a forza assiale SLD §4.2.4.1.2.1 - §4.2.4.1.2.2 NTC18

X	Comb.	Sfruttamento	Classe	NEd	Nc,Rd	Nt,Rd	Riduzione da taglio	px	py	Verifica
0	SLD 12	0.028		18.725		664.325	1	0	0	Si

Verifica a taglio Y §4.2.4.1.2.4 NTC18

X	Comb.	Sfruttamento	VEd	Vc,Rd	Av	Interazione taglio-torsione	Riduzione torsione	Verifica
0	SLU 75	0.002	0.243	128.304	0.000849	Considerata	1	Si

Verifica a taglio Y SLD §4.2.4.1.2.4 NTC18

X	Comb.	Sfruttamento	VEd	Vc,Rd	Av	Interazione taglio-torsione	Riduzione torsione	Verifica
0	SLD 10	0.001	0.185	128.304	0.000849	Considerata	1	Si

Implementazione dei sistemi di confinamento delle emissioni odorigene diffuse dell'impianto di compostaggio esistente nel
Comune di Eboli (SA)
PROGETTO DEFINITIVO – Tabulati di calcolo Tomo 1

Verifica a presso/tenso flessione retta X §§ 4.2.4.1.2.3 - 4.2.4.1.2.6 - 4.2.4.1.2.7 - 4.2.4.1.2.8 NTC18

Verifiche eseguite utilizzando la formula conservativa (6.2) §6.2.1 EN 1993-1-1:2005.

X	Comb.	Sfruttamento	Classe	NEd	NRd	Rid. NRd da VEd	Mx,Ed	Mx,Rd	Rid. Mx,Rd da VEd	Rid. Mx,Rd da NEd	px	py	Verifica
0.958	SLV 16	0.055	1	34.808	664.325	1	-0.0901	31.3291	1		0	0	Si

Verifica a presso/tenso flessione retta X SLD §§ 4.2.4.1.2.3 - 4.2.4.1.2.6 - 4.2.4.1.2.7 - 4.2.4.1.2.8 NTC18

Verifiche eseguite utilizzando la formula conservativa (6.2) §6.2.1 EN 1993-1-1:2005.

X	Comb.	Sfruttamento	Classe	NEd	NRd	Rid. NRd da VEd	Mx,Ed	Mx,Rd	Rid. Mx,Rd da VEd	Rid. Mx,Rd da NEd	px	py	Verifica
0.958	SLD 16	0.03	1	18.342	664.325	1	-0.0889	31.3291	1		0	0	Si

Verifica a presso/tenso flessione retta Y §§ 4.2.4.1.2.3 - 4.2.4.1.2.6 - 4.2.4.1.2.7 - 4.2.4.1.2.8 NTC18

Verifiche eseguite utilizzando la formula conservativa (6.2) §6.2.1 EN 1993-1-1:2005.

X	Comb.	Sfruttamento	Classe	NEd	NRd	Rid. NRd da VEd	My,Ed	My,Rd	Rid. My,Rd da VEd	Rid. My,Rd da NEd	px	py	Verifica
1.916	SLV 11	0.055	1	35.854	664.325	1	-0.0139	15.4191	1		0	0	Si

Verifica a presso/tenso flessione retta Y SLD §§ 4.2.4.1.2.3 - 4.2.4.1.2.6 - 4.2.4.1.2.7 - 4.2.4.1.2.8 NTC18

Verifiche eseguite utilizzando la formula conservativa (6.2) §6.2.1 EN 1993-1-1:2005.

X	Comb.	Sfruttamento	Classe	NEd	NRd	Rid. NRd da VEd	My,Ed	My,Rd	Rid. My,Rd da VEd	Rid. My,Rd da NEd	px	py	Verifica
1.916	SLD 12	0.029	1	18.626	664.325	1	-0.0087	15.4191	1		0	0	Si

Verifica a presso/tenso flessione deviata §§ 4.2.4.1.2.3 - 4.2.4.1.2.6 - 4.2.4.1.2.7 - 4.2.4.1.2.8 NTC18

Verifiche eseguite utilizzando la formula conservativa (6.2) §6.2.1 EN 1993-1-1:2005.

X	Comb.	Sfruttamento	Classe	NEd	NRd	Rid. NRd da VEd	Mx,Ed	Mx,Rd	My,Ed	My,Rd	Rid. Mx,Rd da VEd	Rid. Mx,Rd da NEd	Rid. My,Rd da VEd	Rid. My,Rd da NEd	α	β	px	py	Verifica
0.958	SLV 11	0.058	1	35.904	664.325	1	-0.0862	31.3291	-0.0124	15.4191	1		1				0	0	Si

Verifica a presso/tenso flessione deviata SLD §§ 4.2.4.1.2.3 - 4.2.4.1.2.6 - 4.2.4.1.2.7 - 4.2.4.1.2.8 NTC18

Verifiche eseguite utilizzando la formula conservativa (6.2) §6.2.1 EN 1993-1-1:2005.

X	Comb.	Sfruttamento	Classe	NEd	NRd	Rid. NRd da VEd	Mx,Ed	Mx,Rd	My,Ed	My,Rd	Rid. Mx,Rd da VEd	Rid. Mx,Rd da NEd	Rid. My,Rd da VEd	Rid. My,Rd da NEd	α	β	px	py	Verifica
0.958	SLD 12	0.031	1	18.676	664.325	1	-0.0876	31.3291	-0.0072	15.4191	1		1				0	0	Si

Verifiche ad instabilità

Caratteristiche iniziali

Membratura principale per controllo snellezza; Calcolo di snellezze ed N critici condotti secondo gli assi principali;

Curva X: b; Curva Y: c; Svergolamento: Carico all'estradosso; Curva svergolamento: b;

Dati per instabilità attorno a x

Controllo della snellezza secondo §4.2.4.1.3.1 NTC18

Numero rit.	Presente	Ascissa	Campata	βx/m	Vincolo a entrambi estremi	λx/m	λVer
1	Si		0				
			1-2		1	39.2	Si, (<200)
2	Si		1.916				

Dati per instabilità attorno a y

Controllo della snellezza secondo §4.2.4.1.3.1 NTC18

Numero rit.	Presente	Ascissa	Campata	βy/n	k,LT	kw,LT	Vincolo a entrambi estremi	λy/n	λVer
1	Si		0						
			1-2		1	1	1	63.5	Si, (<200)
2	Si		1.916						

Verifica a svergolamento con trazione §4.2.4.1.3.2 NTC18 § 5.5.3 ENV 1993-1-1:1992 + AC:1992 + A1:1994 + A2:1998

X	Comb.	Sfruttamento	Classe	Obblig.	NEd	Mx,Ed	Mx,Eff,Ed	Mb,Rd,x	χ,LT	λ adim. LT	L,LT	M,critico	Verifica
0.958	SLU 43	0.003	1	Si	0.955	-0.11402	-0.08596	28.03468	0.895	0.648	1.916	78.2995	Si

Verifica a svergolamento con trazione SLD §4.2.4.1.3.2 NTC18 § 5.5.3 ENV 1993-1-1:1992 + AC:1992 + A1:1994 + A2:1998

X	Comb.	Sfruttamento	Classe	Obblig.	NEd	Mx,Ed	Mx,Eff,Ed	Mb,Rd,x	χ,LT	λ adim. LT	L,LT	M,critico	Verifica
0.958	SLD 6	0.003	1	Si	0.435	-0.08899	-0.0762	28.03468	0.895	0.648	1.916	78.2995	Si

Verifica di stabilità per tenso-flessione deviata SLD §§ 5.5.3-5.5.4 ENV 1993-1-1:1992 + AC:1992 + A1:1994 + A2:1998

X	Comb.	Sfruttamento	Classe	NEd	Mx,Ed	Mx,Eff,Ed	My,Ed	χ,LT	kLT	ky	M,critico	Wx	Wy	Verifica
0.958	SLD 1	0.003	1	0.769	-0.08767	-0.06509	-0.0073	0.895	1	1	78.2995	0.0001196	0.0000589	Si

Verifica di stabilità per pressoflessione §C.4.2.4.1.3.3.2 NTC18

X	Comb.	Sfruttamento	Classe	NEd	NRk	Mx,Ed max	Mx,Rk	My,Ed max	My,Rk	χ,x	χ,y	kxx	kxy	kyy	χ,LT	Verifica
1.916	SLV 5	0.039	1	-16.843	697.541	0.09039	32.89552	0.00494	16.19002	0.905	0.705	0.959	0.457	0.996	0.761	0.895

Verifica di stabilità a taglio anima Y §4.2.4.1.2.4 [4.2.27] NTC18

η	hw	tw	hw/tw max	Verifica
1.2		0.098	0.005	55.46

Verifica di stabilità a taglio anima Y SLD §4.2.4.1.2.4 [4.2.27] NTC18

η	hw	tw	hw/tw max	Verifica
1.2		0.098	0.005	55.46

Verifiche a deformabilità

Mensola X: No; Mensola Y: No.

Frecce lungo X

Ascissa freccia	Combinazione	Freccia	Luce	L/f	L/f,min	Tipo	Verifica
1.022	SLE RA 1	0	1.916	10000	250	Totale	Si
1.022	SLE RA 17	0.00001	1.916	10000	250	Totale	Si
1.022	SLE RA 16	0.00001	1.916	10000	250	Totale	Si
1.022	SLE RA 15	0.00001	1.916	10000	250	Totale	Si
1.022	SLE RA 14	0.00001	1.916	10000	250	Totale	Si
1.022	SLE RA 2	0	1.916	10000	350	Variabile	Si
1.022	SLE RA 17	0	1.916	10000	350	Variabile	Si

Implementazione dei sistemi di confinamento delle emissioni odorigene diffuse dell'impianto di compostaggio esistente nel
Comune di Eboli (SA)
PROGETTO DEFINITIVO – Tabulati di calcolo Tomo 1

Ascissa freccia	Combinazione	Freccia	Luce	L/f	L/f,min	Tipo	Verifica
1.022	SLE RA 16	0	1.916	10000	350	Variabile	Si
1.022	SLE RA 15	0	1.916	10000	350	Variabile	Si
1.022	SLE RA 14	0	1.916	10000	350	Variabile	Si

Frecce lungo Y

Ascissa freccia	Combinazione	Freccia	Luce	L/f	L/f,min	Tipo	Verifica
0.958	SLE RA 1	-0.00003	1.916	10000	250	Totale	Si
0.958	SLE RA 17	-0.00003	1.916	10000	250	Totale	Si
0.958	SLE RA 16	-0.00003	1.916	10000	250	Totale	Si
0.958	SLE RA 15	-0.00003	1.916	10000	250	Totale	Si
0.958	SLE RA 14	-0.00003	1.916	10000	250	Totale	Si
1.15	SLE RA 2	0	1.916	10000	350	Variabile	Si
1.15	SLE RA 17	0	1.916	10000	350	Variabile	Si
1.15	SLE RA 16	0	1.916	10000	350	Variabile	Si
1.086	SLE RA 15	0	1.916	10000	350	Variabile	Si
1.278	SLE RA 14	0	1.916	10000	350	Variabile	Si

Superelemento in acciaio a quota "640"- "590" (1125; 3008)-(1349; 3005)

Caratteristiche del materiale

Acciaio: S275, fyk = 275000

Caratteristiche geometriche

Lunghezza: 2.296

Nodo iniziale: 1470 Nodo finale: 502

Cerniera iniziale: Mmomenti 1% Cerniera finale: Mmomenti 1%

Sovreresistenza: 0% Sisma Z: No

Caratteristiche della sezione

Sezione	Rotazione	Area	Jx	Jy	ix	iy	Wx	Wy	Wplx	Wply
HEA120	0	0.002537	0.0000060673	0.0000023091	0.0489	0.0302	0.00010644	0.00003849	0.00011962	0.00005887

Verifiche di resistenza

Verifiche a forza assiale §4.2.4.1.2.1 - §4.2.4.1.2.2 NTC18

X	Comb.	Sfruttamento	Classe	NEd	Nc,Rd	Nt,Rd	Riduzione da taglio	px	py	Verifica
0	SLU 76	0.088		58.644		664.325	1	0	0	Si

Verifiche a forza assiale SLD §4.2.4.1.2.1 - §4.2.4.1.2.2 NTC18

X	Comb.	Sfruttamento	Classe	NEd	Nc,Rd	Nt,Rd	Riduzione da taglio	px	py	Verifica
0	SLD 10	0.041		27.521		664.325	1	0	0	Si

Verifica a taglio Y §4.2.4.1.2.4 NTC18

X	Comb.	Sfruttamento	VEd	Vc,Rd	Av	Interazione taglio-torsione	Riduzione torsione	Verifica
2.296	SLU 76	0.002	-0.293	128.304	0.000849	Considerata	1	Si

Verifica a taglio Y SLD §4.2.4.1.2.4 NTC18

X	Comb.	Sfruttamento	VEd	Vc,Rd	Av	Interazione taglio-torsione	Riduzione torsione	Verifica
2.296	SLD 8	0.002	-0.226	128.304	0.000849	Considerata	1	Si

Verifica a presso/tenso flessione retta X §§ 4.2.4.1.2.3 - 4.2.4.1.2.6 - 4.2.4.1.2.7 - 4.2.4.1.2.8 NTC18

Verifiche eseguite utilizzando la formula conservativa (6.2) §6.2.1 EN 1993-1-1:2005.

X	Comb.	Sfruttamento	Classe	NEd	NRd	Rid. NRd da VEd	Mx,Ed	Mx,Rd	Rid. Mx,Rd da VEd	Rid. Mx,Rd da NEd	px	py	Verifica
1.531	SLU 76	0.093	1	58.558	664.325	1	-0.1364	31.3291	1		0	0	Si

Verifica a presso/tenso flessione retta SLD §§ 4.2.4.1.2.3 - 4.2.4.1.2.6 - 4.2.4.1.2.7 - 4.2.4.1.2.8 NTC18

Verifiche eseguite utilizzando la formula conservativa (6.2) §6.2.1 EN 1993-1-1:2005.

X	Comb.	Sfruttamento	Classe	NEd	NRd	Rid. NRd da VEd	Mx,Ed	Mx,Rd	Rid. Mx,Rd da VEd	Rid. Mx,Rd da NEd	px	py	Verifica
1.454	SLD 9	0.045	1	27.457	664.325	1	-0.1183	31.3291	1		0	0	Si

Verifica a presso/tenso flessione retta Y §§ 4.2.4.1.2.3 - 4.2.4.1.2.6 - 4.2.4.1.2.7 - 4.2.4.1.2.8 NTC18

Verifiche eseguite utilizzando la formula conservativa (6.2) §6.2.1 EN 1993-1-1:2005.

X	Comb.	Sfruttamento	Classe	NEd	NRd	Rid. NRd da VEd	My,Ed	My,Rd	Rid. My,Rd da VEd	Rid. My,Rd da NEd	px	py	Verifica
0	SLU 76	0.089	1	58.644	664.325	1	0.0075	15.4191	1		0	0	Si

Verifica a presso/tenso flessione retta Y SLD §§ 4.2.4.1.2.3 - 4.2.4.1.2.6 - 4.2.4.1.2.7 - 4.2.4.1.2.8 NTC18

Verifiche eseguite utilizzando la formula conservativa (6.2) §6.2.1 EN 1993-1-1:2005.

X	Comb.	Sfruttamento	Classe	NEd	NRd	Rid. NRd da VEd	My,Ed	My,Rd	Rid. My,Rd da VEd	Rid. My,Rd da NEd	px	py	Verifica
0	SLD 9	0.042	1	27.521	664.325	1	0.0054	15.4191	1		0	0	Si

Verifica a presso/tenso flessione deviata §§ 4.2.4.1.2.3 - 4.2.4.1.2.6 - 4.2.4.1.2.7 - 4.2.4.1.2.8 NTC18

Verifiche eseguite utilizzando la formula conservativa (6.2) §6.2.1 EN 1993-1-1:2005.

X	Comb.	Sfruttamento	Classe	NEd	NRd	Rid. NRd da VEd	Mx,Ed	Mx,Rd	My,Ed	My,Rd	Rid. Mx,Rd da VEd	Rid. Mx,Rd da NEd	Rid. My,Rd da VEd	Rid. My,Rd da NEd	α	β	px	py	Verifica
1.071	SLU 76	0.093	1	58.584	664.325	1	-0.1556	31.3291	0.0049	15.4191	1		1				0	0	Si

Verifica a presso/tenso flessione deviata SLD §§ 4.2.4.1.2.3 - 4.2.4.1.2.6 - 4.2.4.1.2.7 - 4.2.4.1.2.8 NTC18

Verifiche eseguite utilizzando la formula conservativa (6.2) §6.2.1 EN 1993-1-1:2005.

X	Comb.	Sfruttamento	Classe	NEd	NRd	Rid. NRd da VEd	Mx,Ed	Mx,Rd	My,Ed	My,Rd	Rid. Mx,Rd da VEd	Rid. Mx,Rd da NEd	Rid. My,Rd da VEd	Rid. My,Rd da NEd	α	β	px	py	Verifica
1.148	SLD 10	0.046	1	27.471	664.325	1	-0.1274	31.3291	0.0041	15.4191	1		1				0	0	Si

Implementazione dei sistemi di confinamento delle emissioni odorigene diffuse dell'impianto di compostaggio esistente nel
Comune di Eboli (SA)
PROGETTO DEFINITIVO – Tabulati di calcolo Tomo 1

Verifiche ad instabilità

Caratteristiche iniziali

Membratura principale per controllo snellezza; Calcolo di snellezze ed N critici condotti secondo gli assi principali;
Curva X: b; Curva Y: c; Svergolamento: Carico all'estradosso; Curva svergolamento: b;

Dati per instabilità attorno a x

Controllo della snellezza secondo §4.2.4.1.3.1 NTC18

Numero rit.	Presente	Ascissa	Campata	$\beta x/m$	Vincolo a entrambi estremi	$\lambda x/m$	λVer
1	Si	0					
			1-2	1	Si	46.9	Si, (<200)
2	Si	2.296					

Dati per instabilità attorno a y

Controllo della snellezza secondo §4.2.4.1.3.1 NTC18

Numero rit.	Presente	Ascissa	Campata	$\beta y/n$	k,LT	kw,LT	Vincolo a entrambi estremi	$\lambda y/n$	λVer
1	Si	0							
			1-2	1	1	1	Si	76.1	Si, (<200)
2	Si	2.296							

Verifica di stabilità a taglio anima Y §4.2.4.1.2.4 [4.2.27] NTC18

η	hw	tw	hw/tw max	Verifica
1.2	0.098	0.005	55.46	Si

Verifica di stabilità a taglio anima Y SLD §4.2.4.1.2.4 [4.2.27] NTC18

η	hw	tw	hw/tw max	Verifica
1.2	0.098	0.005	55.46	Si

Verifiche a deformabilità

Mensola X: No; Mensola Y: No.

Frecce lungo X

Ascissa freccia	Combinazione	Freccia	Luce	L/f	L/f,min	Tipo	Verifica
1.071	SLE RA 1	0	2.296	10000	250	Totale	Si
1.071	SLE RA 17	0	2.296	10000	250	Totale	Si
1.071	SLE RA 16	0	2.296	10000	250	Totale	Si
1.071	SLE RA 15	0	2.296	10000	250	Totale	Si
1.071	SLE RA 14	0	2.296	10000	250	Totale	Si
0.995	SLE RA 2	0	2.296	10000	350	Variabile	Si
0.995	SLE RA 17	0	2.296	10000	350	Variabile	Si
0.995	SLE RA 16	0	2.296	10000	350	Variabile	Si
0.995	SLE RA 15	0	2.296	10000	350	Variabile	Si
1.071	SLE RA 14	0	2.296	10000	350	Variabile	Si

Frecce lungo Y

Ascissa freccia	Combinazione	Freccia	Luce	L/f	L/f,min	Tipo	Verifica
1.148	SLE RA 1	-0.00006	2.296	10000	250	Totale	Si
1.148	SLE RA 17	-0.00006	2.296	10000	250	Totale	Si
1.148	SLE RA 16	-0.00005	2.296	10000	250	Totale	Si
1.148	SLE RA 15	-0.00005	2.296	10000	250	Totale	Si
1.148	SLE RA 14	-0.00006	2.296	10000	250	Totale	Si
1.224	SLE RA 2	0	2.296	10000	350	Variabile	Si
1.224	SLE RA 17	0	2.296	10000	350	Variabile	Si
1.224	SLE RA 16	0	2.296	10000	350	Variabile	Si
1.224	SLE RA 15	0	2.296	10000	350	Variabile	Si
1.224	SLE RA 14	0	2.296	10000	350	Variabile	Si

Superelemento in acciaio a quota "640"- "590" (1237; 1376)-(1364; 1510)

Caratteristiche del materiale

Acciaio: S275, fyk = 275000

Caratteristiche geometriche

Lunghezza: 1.916

Nodo iniziale: 944 Nodo finale: 399

Cerniera iniziale: Mmomenti 1% Cerniera finale: Mmomenti 1%

Sovreresistenza: 0% Sisma Z: No

Caratteristiche della sezione

Sezione	Rotazione	Area	Jx	Jy	ix	iy	Wx	Wy	Wplx	Wply
HEA120	0	0.002537	0.0000060673	0.0000023091	0.0489	0.0302	0.00010644	0.00003849	0.00011962	0.00005887

Verifiche di resistenza

Verifiche a forza assiale §4.2.4.1.2.1 - §4.2.4.1.2.2 NTC18

X	Comb.	Sfruttamento	Classe	NEd	Nc,Rd	Nt,Rd	Riduzione da taglio	px	py	Verifica
0	SLU 75	0.094		62.157		664.325	1	0	0	Si

Verifiche a forza assiale SLD §4.2.4.1.2.1 - §4.2.4.1.2.2 NTC18

X	Comb.	Sfruttamento	Classe	NEd	Nc,Rd	Nt,Rd	Riduzione da taglio	px	py	Verifica
0	SLD 6	0.043		28.451		664.325	1	0	0	Si

Verifica a taglio Y §4.2.4.1.2.4 NTC18

X	Comb.	Sfruttamento	VEd	Vc,Rd	Av	Interazione taglio-torsione	Riduzione torsione	Verifica
1.916	SLU 76	0.002	-0.24	128.304	0.000849	Considerata	1	Si

**Implementazione dei sistemi di confinamento delle emissioni odorigene diffuse dell'impianto di compostaggio esistente nel
Comune di Eboli (SA)**

PROGETTO DEFINITIVO – Tabulati di calcolo Tomo 1

Verifica a taglio Y SLD §4.2.4.1.2.4 NTC18

X	Comb.	Sfruttamento	VEd	Vc,Rd	Av	Interazione taglio-torsione	Riduzione torsione	Verifica
1.916	SLD 10	0.001	-0.185	128.304	0.000849	Considerata	1	Si

Verifica a flessione semplice X §§ 4.2.4.1.2.3 - 4.2.4.1.2.6 - 4.2.4.1.2.7 - 4.2.4.1.2.8 NTC18

X	Comb.	Sfruttamento	Classe	Mx,Ed	Mx,Rd	Rid. Mx,Rd da VEd	px	py	Verifica
0.958	SLU 42	0.004	1	-0.11404	31.32907	1	0	0	Si

Verifica a presso/tenso flessione retta X §§ 4.2.4.1.2.3 - 4.2.4.1.2.6 - 4.2.4.1.2.7 - 4.2.4.1.2.8 NTC18

Verifiche eseguite utilizzando la formula conservativa (6.2) §6.2.1 EN 1993-1-1:2005.

X	Comb.	Sfruttamento	Classe	NEd	NRd	Rid. NRd da VEd	Mx,Ed	Mx,Rd	Rid. Mx,Rd da VEd	Rid. Mx,Rd da NEd	px	py	Verifica
0.511	SLU 75	0.096	1	62.122	664.325	1	-0.0845	31.3291	1		0	0	Si

Verifica a presso/tenso flessione retta X SLD §§ 4.2.4.1.2.3 - 4.2.4.1.2.6 - 4.2.4.1.2.7 - 4.2.4.1.2.8 NTC18

Verifiche eseguite utilizzando la formula conservativa (6.2) §6.2.1 EN 1993-1-1:2005.

X	Comb.	Sfruttamento	Classe	NEd	NRd	Rid. NRd da VEd	Mx,Ed	Mx,Rd	Rid. Mx,Rd da VEd	Rid. Mx,Rd da NEd	px	py	Verifica
0.958	SLD 5	0.045	1	28.402	664.325	1	-0.0836	31.3291	1		0	0	Si

Verifica a presso/tenso flessione retta Y §§ 4.2.4.1.2.3 - 4.2.4.1.2.6 - 4.2.4.1.2.7 - 4.2.4.1.2.8 NTC18

Verifiche eseguite utilizzando la formula conservativa (6.2) §6.2.1 EN 1993-1-1:2005.

X	Comb.	Sfruttamento	Classe	NEd	NRd	Rid. NRd da VEd	My,Ed	My,Rd	Rid. My,Rd da VEd	Rid. My,Rd da NEd	px	py	Verifica
1.916	SLU 75	0.094	1	62.028	664.325	1	0.0132	15.4191	1		0	0	Si

Verifica a presso/tenso flessione retta Y SLD §§ 4.2.4.1.2.3 - 4.2.4.1.2.6 - 4.2.4.1.2.7 - 4.2.4.1.2.8 NTC18

Verifiche eseguite utilizzando la formula conservativa (6.2) §6.2.1 EN 1993-1-1:2005.

X	Comb.	Sfruttamento	Classe	NEd	NRd	Rid. NRd da VEd	My,Ed	My,Rd	Rid. My,Rd da VEd	Rid. My,Rd da NEd	px	py	Verifica
1.916	SLD 5	0.043	1	28.352	664.325	1	0.0053	15.4191	1		0	0	Si

Verifica a presso/tenso flessione deviata §§ 4.2.4.1.2.3 - 4.2.4.1.2.6 - 4.2.4.1.2.7 - 4.2.4.1.2.8 NTC18

Verifiche eseguite utilizzando la formula conservativa (6.2) §6.2.1 EN 1993-1-1:2005.

X	Comb.	Sfruttamento	Classe	NEd	NRd	Rid. NRd da VEd	Mx,Ed	Mx,Rd	My,Ed	My,Rd	Rid. Mx,Rd da VEd	Rid. Mx,Rd da NEd	Rid. My,Rd da VEd	Rid. My,Rd da NEd	α	β	px	py	Verifica
1.022	SLU 75	0.097	1	62.088	664.325	1	-0.1086	31.3291	0.0072	15.4191	1		1				0	0	Si

Verifica a presso/tenso flessione deviata SLD §§ 4.2.4.1.2.3 - 4.2.4.1.2.6 - 4.2.4.1.2.7 - 4.2.4.1.2.8 NTC18

Verifiche eseguite utilizzando la formula conservativa (6.2) §6.2.1 EN 1993-1-1:2005.

X	Comb.	Sfruttamento	Classe	NEd	NRd	Rid. NRd da VEd	Mx,Ed	Mx,Rd	My,Ed	My,Rd	Rid. Mx,Rd da VEd	Rid. Mx,Rd da NEd	Rid. My,Rd da VEd	Rid. My,Rd da NEd	α	β	px	py	Verifica
1.469	SLD 5	0.045	1	28.375	664.325	1	-0.0587	31.3291	0.004	15.4191	1		1				0	0	Si

Verifiche ad instabilità

Caratteristiche iniziali

Membratura principale per controllo snellezza; Calcolo di snellezze ed N critici condotti secondo gli assi principali;

Curva X: b; Curva Y: c; Svergolamento: Carico all'estradosso; Curva svergolamento: b;

Dati per instabilità attorno a x

Controllo della snellezza secondo §4.2.4.1.3.1 NTC18

Numero rit.	Presente	Ascissa	Campata	βx/m	Vincolo a entrambi estremi	λx/m	λVer
1	Si		0				
2	Si		1-2		1	39.2	Si, (<200)

Dati per instabilità attorno a y

Controllo della snellezza secondo §4.2.4.1.3.1 NTC18

Numero rit.	Presente	Ascissa	Campata	βy/n	k,LT	kw,LT	Vincolo a entrambi estremi	λy/n	λVer
1	Si		0						
2	Si		1-2		1	1	Si	63.5	Si, (<200)

Verifica a svergolamento §4.2.4.1.3.2 NTC18

X	Comb.	Sfruttamento	Classe	Obblig.	Mx,Ed	Mb,Rd,x	χ,LT	λ adim. LT	L,LT	M,critico	Verifica
0.958	SLU 42	0.004	1	Si	-0.11404	28.03468	0.895	0.648	1.916	78.2995	Si

Verifica a svergolamento con trazione §4.2.4.1.3.2 NTC18 § 5.5.3 ENV 1993-1-1:1992 + AC:1992 + A1:1994 + A2:1998

X	Comb.	Sfruttamento	Classe	Obblig.	NEd	Mx,Ed	Mx,Eff,Ed	Mb,Rd,x	χ,LT	λ adim. LT	L,LT	M,critico	Verifica
0.958	SLU 40	0.002	1	Si	2.443	-0.1139	-0.04212	28.03468	0.895	0.648	1.916	78.2995	Si

Verifica di stabilità per pressoflessione §C.4.2.4.1.3.3.2 NTC18

X	Comb.	Sfruttamento	Classe	NEd	NRk	Mx,Ed max	Mx,Rk	My,Ed max	My,Rk	χ,x	χ,y	kxx	kxy	kyy	χ,LT	Verifica
1.916	SLV 11	0.015	1	-5.372	697.541	0.09343	32.89552	0.00464	16.19002	0.905	0.705	0.956	0.253	0.999	0.422	0.895

Verifica di stabilità a taglio anima Y §4.2.4.1.2.4 [4.2.27] NTC18

η	hw	tw	hw/tw max	Verifica
1.2		0.098	0.005	55.46

Verifica di stabilità a taglio anima Y SLD §4.2.4.1.2.4 [4.2.27] NTC18

η	hw	tw	hw/tw max	Verifica
1.2		0.098	0.005	55.46

Verifiche a deformabilità

Mensola X: No; Mensola Y: No.

Frecce lungo X

Ascissa freccia	Combinazione	Freccia	Luce	L/f	L/f,min	Tipo	Verifica
1.15	SLE RA 1	0	1.916	10000	250	Totale	Si
1.15	SLE RA 17	0	1.916	10000	250	Totale	Si

Implementazione dei sistemi di confinamento delle emissioni odorigene diffuse dell'impianto di compostaggio esistente nel
Comune di Eboli (SA)

PROGETTO DEFINITIVO – Tabulati di calcolo Tomo 1

Ascissa freccia	Combinazione	Freccia	Luce	L/f	L/f,min	Tipo	Verifica
1.15	SLE RA 16	0	1.916	10000	250	Totale	Si
1.15	SLE RA 15	0	1.916	10000	250	Totale	Si
1.086	SLE RA 14	0	1.916	10000	250	Totale	Si
1.086	SLE RA 2	0	1.916	10000	350	Variabile	Si
1.086	SLE RA 17	0	1.916	10000	350	Variabile	Si
1.086	SLE RA 16	0	1.916	10000	350	Variabile	Si
1.278	SLE RA 15	0	1.916	10000	350	Variabile	Si
1.086	SLE RA 14	0	1.916	10000	350	Variabile	Si

Frecce lungo Y

Ascissa freccia	Combinazione	Freccia	Luce	L/f	L/f,min	Tipo	Verifica
0.958	SLE RA 1	-0.00003	1.916	10000	250	Totale	Si
0.958	SLE RA 17	-0.00003	1.916	10000	250	Totale	Si
0.958	SLE RA 16	-0.00003	1.916	10000	250	Totale	Si
0.958	SLE RA 15	-0.00003	1.916	10000	250	Totale	Si
0.958	SLE RA 14	-0.00003	1.916	10000	250	Totale	Si
1.022	SLE RA 2	0	1.916	10000	350	Variabile	Si
1.022	SLE RA 17	0	1.916	10000	350	Variabile	Si
1.022	SLE RA 16	0	1.916	10000	350	Variabile	Si
1.341	SLE RA 15	0	1.916	10000	350	Variabile	Si
0.958	SLE RA 14	0	1.916	10000	350	Variabile	Si

Superelemento in acciaio a quota "640"-"590" (1349; 3005)-(1573; 3003)

Caratteristiche del materiale

Acciaio: S275, fyk = 275000

Caratteristiche geometriche

Lunghezza: 2.305

Nodo iniziale: 1462 Nodo finale: 499

Cerniera iniziale: Mmomenti 1% Cerniera finale: Mmomenti 1%

Sovraresistenza: 0% Sisma Z: No

Caratteristiche della sezione

Sezione	Rotazione	Area	Jx	Jy	ix	iy	Wx	Wy	Wplx	Wply
HEA120	0	0.002537	0.0000060673	0.0000023091	0.0489	0.0302	0.00010644	0.00003849	0.00011962	0.00005887

Verifiche di resistenza

Verifiche a forza assiale §4.2.4.1.2.1 - §4.2.4.1.2.2 NTC18

X	Comb.	Sfruttamento	Classe	NEd	Nc,Rd	Nt,Rd	Riduzione da taglio	px	py	Verifica
0	SLV 3	0.055		36.382		664.325	1	0	0	Si

Verifiche a forza assiale SLD §4.2.4.1.2.1 - §4.2.4.1.2.2 NTC18

X	Comb.	Sfruttamento	Classe	NEd	Nc,Rd	Nt,Rd	Riduzione da taglio	px	py	Verifica
0	SLD 3	0.028		18.272		664.325	1	0	0	Si

Verifica a taglio Y §4.2.4.1.2.4 NTC18

X	Comb.	Sfruttamento	VEd	Vc,Rd	Av	Interazione taglio-torsione	Riduzione torsione	Verifica
0	SLU 76	0.002	0.293	128.304	0.000849	Considerata	1	Si

Verifica a taglio Y SLD §4.2.4.1.2.4 NTC18

X	Comb.	Sfruttamento	VEd	Vc,Rd	Av	Interazione taglio-torsione	Riduzione torsione	Verifica
0	SLD 7	0.002	0.225	128.304	0.000849	Considerata	1	Si

Verifica a flessione semplice X §§ 4.2.4.1.2.3 - 4.2.4.1.2.6 - 4.2.4.1.2.7 - 4.2.4.1.2.8 NTC18

X	Comb.	Sfruttamento	Classe	Mx,Ed	Mx,Rd	Rid. Mx,Rd da VEd	px	py	Verifica
2.074	SLU 40	0.002	1	-0.06055	31.32907	1	0	0	Si

Verifica a presso/tenso flessione retta X §§ 4.2.4.1.2.3 - 4.2.4.1.2.6 - 4.2.4.1.2.7 - 4.2.4.1.2.8 NTC18

Verifiche eseguite utilizzando la formula conservativa (6.2) §6.2.1 EN 1993-1-1:2005.

X	Comb.	Sfruttamento	Classe	NEd	NRd	Rid. NRd da VEd	Mx,Ed	Mx,Rd	Rid. Mx,Rd da VEd	Rid. Mx,Rd da NEd	px	py	Verifica
1.152	SLV 3	0.059	1	36.332	664.325	1	-0.1306	31.3291	1		0	0	Si

Verifica a presso/tenso flessione retta X SLD §§ 4.2.4.1.2.3 - 4.2.4.1.2.6 - 4.2.4.1.2.7 - 4.2.4.1.2.8 NTC18

Verifiche eseguite utilizzando la formula conservativa (6.2) §6.2.1 EN 1993-1-1:2005.

X	Comb.	Sfruttamento	Classe	NEd	NRd	Rid. NRd da VEd	Mx,Ed	Mx,Rd	Rid. Mx,Rd da VEd	Rid. Mx,Rd da NEd	px	py	Verifica
1.152	SLD 4	0.032	1	18.222	664.325	1	-0.1301	31.3291	1		0	0	Si

Verifiche ad instabilità

Caratteristiche iniziali

Membratura principale per controllo snellezza; Calcolo di snellezze ed N critici condotti secondo gli assi principali;

Curva X: b; Curva Y: c; Svergolamento: Carico all'estradosso; Curva svergolamento: b;

Dati per instabilità attorno a x

Controllo della snellezza secondo §4.2.4.1.3.1 NTC18

Numero rit.	Presente	Ascissa	Campata	βx/m	Vincolo a entrambi estremi	λx/m	λVer
1	Si	0					
			1-2		1	47.1	Si, (<200)
2	Si	2.305					

Implementazione dei sistemi di confinamento delle emissioni odorigene diffuse dell'impianto di compostaggio esistente nel
Comune di Eboli (SA)

PROGETTO DEFINITIVO – Tabulati di calcolo Tomo 1

Dati per instabilità attorno a y

Controllo della snellezza secondo §4.2.4.1.3.1 NTC18

Numero rit.	Presente	Ascissa	Campata	$\beta y/n$	k_{LT}	$k_{w,LT}$	Vincolo a entrambi estremi	$\lambda y/n$	λVer
1	Si	0							
			1-2	1	1	1	Si	76.4	Si, (<200)
2	Si	2.305							

Verifica a svergolamento §4.2.4.1.3.2 NTC18

X	Comb.	Sfruttamento	Classe	Obblig.	Mx,Ed	Mb,Rd,x	χ_{LT}	λ adim. LT	L,LT	M,critico	Verifica
2.074	SLU 40	0.002	1	Si	-0.06055	26.7737	0.855	0.73	2.305	61.78722	Si

Verifica a svergolamento con trazione §4.2.4.1.3.2 NTC18 § 5.5.3 ENV 1993-1-1:1992 + AC:1992 + A1:1994 + A2:1998

X	Comb.	Sfruttamento	Classe	Obblig.	NEd	Mx,Ed	Mx,Eff,Ed	Mb,Rd,x	χ_{LT}	λ adim. LT	L,LT	M,critico	Verifica
1.152	SLU 40	0.006	1	Si	0.305	-0.1675	-0.15854	26.7737	0.855	0.73	2.305	61.78722	Si

Verifica a svergolamento con trazione SLD §4.2.4.1.3.2 NTC18 § 5.5.3 ENV 1993-1-1:1992 + AC:1992 + A1:1994 + A2:1998

X	Comb.	Sfruttamento	Classe	Obblig.	NEd	Mx,Ed	Mx,Eff,Ed	Mb,Rd,x	χ_{LT}	λ adim. LT	L,LT	M,critico	Verifica
1.152	SLD 16	0.001	1	Si	3.733	-0.12965	-0.01999	26.7737	0.855	0.73	2.305	61.78722	Si

Verifica di stabilità per pressoflessione §C.4.2.4.1.3.3.2 NTC18

X	Comb.	Sfruttamento	Classe	NEd	NRk	Mx,Ed max	Mx,Rk	My,Ed max	My,Rk	χ_x	χ_y	kxx	kxy	kyy	χ_{LT}	Verifica	
2.305	SLV 13	0.051	1	-18.69	697.541	0.12895	32.89552	0.00226	16.19002	0.865	0.612	0.961	0.529	0.994	0.882	0.855	Si

Verifica di stabilità per pressoflessione SLD §C.4.2.4.1.3.3.2 NTC18

X	Comb.	Sfruttamento	Classe	NEd	NRk	Mx,Ed max	Mx,Rk	My,Ed max	My,Rk	χ_x	χ_y	kxx	kxy	kyy	χ_{LT}	Verifica	
2.305	SLD 14	0.006	1	-0.579	697.541	0.12949	32.89552	0.00119	16.19002	0.865	0.612	0.951	0.444	1	0.74	0.855	Si

Verifica di stabilità a taglio anima Y §4.2.4.1.2.4 [4.2.27] NTC18

η	hw	tw	hw/tw max	Verifica
1.2	0.098	0.005	55.46	Si

Verifica di stabilità a taglio anima Y SLD §4.2.4.1.2.4 [4.2.27] NTC18

η	hw	tw	hw/tw max	Verifica
1.2	0.098	0.005	55.46	Si

Verifiche a deformabilità

Mensola X: No; Mensola Y: No.

Frecce lungo X

Ascissa freccia	Combinazione	Freccia	Luce	L/f	L/f,min	Tipo	Verifica
0.922	SLE RA 1	0	2.305	10000	250	Totale	Si
0.768	SLE RA 17	0	2.305	10000	250	Totale	Si
0.614	SLE RA 16	0	2.305	10000	250	Totale	Si
0.614	SLE RA 15	0	2.305	10000	250	Totale	Si
0.845	SLE RA 14	0	2.305	10000	250	Totale	Si
1.459	SLE RA 2	0	2.305	10000	350	Variabile	Si
1.459	SLE RA 17	0	2.305	10000	350	Variabile	Si
1.459	SLE RA 16	0	2.305	10000	350	Variabile	Si
1.459	SLE RA 15	0	2.305	10000	350	Variabile	Si
1.383	SLE RA 14	0	2.305	10000	350	Variabile	Si

Frecce lungo Y

Ascissa freccia	Combinazione	Freccia	Luce	L/f	L/f,min	Tipo	Verifica
1.152	SLE RA 1	-0.00006	2.305	10000	250	Totale	Si
1.152	SLE RA 17	-0.00006	2.305	10000	250	Totale	Si
1.152	SLE RA 16	-0.00006	2.305	10000	250	Totale	Si
1.152	SLE RA 15	-0.00006	2.305	10000	250	Totale	Si
1.152	SLE RA 14	-0.00006	2.305	10000	250	Totale	Si
1.229	SLE RA 2	0	2.305	10000	350	Variabile	Si
1.229	SLE RA 17	0	2.305	10000	350	Variabile	Si
1.229	SLE RA 16	0	2.305	10000	350	Variabile	Si
1.229	SLE RA 15	0	2.305	10000	350	Variabile	Si
1.306	SLE RA 14	0	2.305	10000	350	Variabile	Si

Superelemento in acciaio a quota "640"- "590" (1364; 1510)-(1491; 1645)

Caratteristiche del materiale

Acciaio: S275, fyk = 275000

Caratteristiche geometriche

Lunghezza: 1.916

Nodo iniziale: 967 Nodo finale: 407

Cerniera iniziale: Mmomenti 1% Cerniera finale: Mmomenti 1%

Sovreresistenza: 0% Sisma Z: No

Caratteristiche della sezione

Sezione	Rotazione	Area	Jx	Jy	ix	iy	Wx	Wy	Wplx	Wply
HEA120	0	0.002537	0.0000060673	0.0000023091	0.0489	0.0302	0.00010644	0.00003849	0.00011962	0.00005887

Verifiche di resistenza

Verifiche a forza assiale §4.2.4.1.2.1 - §4.2.4.1.2.2 NTC18

X	Comb.	Sfruttamento	Classe	NEd	Nc,Rd	Nt,Rd	Riduzione da taglio	px	py	Verifica
0	SLU 75	0.09		59.556		664.325	1	0	0	Si

Verifiche a forza assiale SLD §4.2.4.1.2.1 - §4.2.4.1.2.2 NTC18

X	Comb.	Sfruttamento	Classe	NEd	Nc,Rd	Nt,Rd	Riduzione da taglio	px	py	Verifica

**Implementazione dei sistemi di confinamento delle emissioni odorigene diffuse dell'impianto di compostaggio esistente nel
Comune di Eboli (SA)**

PROGETTO DEFINITIVO – Tabulati di calcolo Tomo 1

X	Comb.	Sfruttamento	Classe	NEd	Nc,Rd	Nt,Rd	Riduzione da taglio	px	py	Verifica
0	SLD 6	0.04		26.418		664.325	1	0	0	Si

Verifica a taglio Y §4.2.4.1.2.4 NTC18

X	Comb.	Sfruttamento	VEd	Vc,Rd	Av	Interazione taglio-torsione	Riduzione torsione	Verifica
0	SLU 75	0.002	0.244	128.304	0.000849	Considerata	1	Si

Verifica a taglio Y SLD §4.2.4.1.2.4 NTC18

X	Comb.	Sfruttamento	VEd	Vc,Rd	Av	Interazione taglio-torsione	Riduzione torsione	Verifica
0	SLD 5	0.001	0.186	128.304	0.000849	Considerata	1	Si

Verifica a flessione semplice X §§ 4.2.4.1.2.3 - 4.2.4.1.2.6 - 4.2.4.1.2.7 - 4.2.4.1.2.8 NTC18

X	Comb.	Sfruttamento	Classe	Mx,Ed	Mx,Rd	Rid. Mx,Rd da VEd	px	py	Verifica
0.958	SLU 61	0.004	1	-0.11425	31.32907	1	0	0	Si

Verifica a presso/tenso flessione retta X §§ 4.2.4.1.2.3 - 4.2.4.1.2.6 - 4.2.4.1.2.7 - 4.2.4.1.2.8 NTC18

Verifiche eseguite utilizzando la formula conservativa (6.2) §6.2.1 EN 1993-1-1:2005.

X	Comb.	Sfruttamento	Classe	NEd	NRd	Rid. NRd da VEd	Mx,Ed	Mx,Rd	Rid. Mx,Rd da VEd	Rid. Mx,Rd da NEd	px	py	Verifica
1.916	SLU 37	0.085	1	56.235	664.325	1	-0.0127	31.3291	1		0	0	Si

Verifica a presso/tenso flessione retta X SLD §§ 4.2.4.1.2.3 - 4.2.4.1.2.6 - 4.2.4.1.2.7 - 4.2.4.1.2.8 NTC18

Verifiche eseguite utilizzando la formula conservativa (6.2) §6.2.1 EN 1993-1-1:2005.

X	Comb.	Sfruttamento	Classe	NEd	NRd	Rid. NRd da VEd	Mx,Ed	Mx,Rd	Rid. Mx,Rd da VEd	Rid. Mx,Rd da NEd	px	py	Verifica
0.958	SLD 9	0.036	1	22.135	664.325	1	-0.0906	31.3291	1		0	0	Si

Verifica a presso/tenso flessione retta Y §§ 4.2.4.1.2.3 - 4.2.4.1.2.6 - 4.2.4.1.2.7 - 4.2.4.1.2.8 NTC18

Verifiche eseguite utilizzando la formula conservativa (6.2) §6.2.1 EN 1993-1-1:2005.

X	Comb.	Sfruttamento	Classe	NEd	NRd	Rid. NRd da VEd	My,Ed	My,Rd	Rid. My,Rd da VEd	Rid. My,Rd da NEd	px	py	Verifica
0	SLU 75	0.09	1	59.556	664.325	1	0.0102	15.4191	1		0	0	Si

Verifica a presso/tenso flessione retta Y SLD §§ 4.2.4.1.2.3 - 4.2.4.1.2.6 - 4.2.4.1.2.7 - 4.2.4.1.2.8 NTC18

Verifiche eseguite utilizzando la formula conservativa (6.2) §6.2.1 EN 1993-1-1:2005.

X	Comb.	Sfruttamento	Classe	NEd	NRd	Rid. NRd da VEd	My,Ed	My,Rd	Rid. My,Rd da VEd	Rid. My,Rd da NEd	px	py	Verifica
0	SLD 5	0.04	1	26.418	664.325	1	0.0057	15.4191	1		0	0	Si

Verifica a presso/tenso flessione deviata §§ 4.2.4.1.2.3 - 4.2.4.1.2.6 - 4.2.4.1.2.7 - 4.2.4.1.2.8 NTC18

Verifiche eseguite utilizzando la formula conservativa (6.2) §6.2.1 EN 1993-1-1:2005.

X	Comb.	Sfruttamento	Classe	NEd	NRd	Rid. NRd da VEd	Mx,Ed	Mx,Rd	My,Ed	My,Rd	Rid. Mx,Rd da VEd	Rid. Mx,Rd da NEd	Rid. My,Rd da VEd	Rid. My,Rd da NEd	α	β	px	py	Verifica
0.958	SLU 75	0.094	1	59.491	664.325	1	-0.1237	31.3291	0.0071	15.4191	1		1				0	0	Si

Verifica a presso/tenso flessione deviata SLD §§ 4.2.4.1.2.3 - 4.2.4.1.2.6 - 4.2.4.1.2.7 - 4.2.4.1.2.8 NTC18

Verifiche eseguite utilizzando la formula conservativa (6.2) §6.2.1 EN 1993-1-1:2005.

X	Comb.	Sfruttamento	Classe	NEd	NRd	Rid. NRd da VEd	Mx,Ed	Mx,Rd	My,Ed	My,Rd	Rid. Mx,Rd da VEd	Rid. Mx,Rd da NEd	Rid. My,Rd da VEd	Rid. My,Rd da NEd	α	β	px	py	Verifica
0.958	SLD 6	0.043	1	26.369	664.325	1	-0.0907	31.3291	0.005	15.4191	1		1				0	0	Si

Verifiche ad instabilità

Caratteristiche iniziali

Membratura principale per controllo snellezza; Calcolo di snellezze ed N critici condotti secondo gli assi principali;

Curva X: b; Curva Y: c; Svergolamento: Carico all'estradosso; Curva svergolamento: b;

Dati per instabilità attorno a x

Controllo della snellezza secondo §4.2.4.1.3.1 NTC18

Numero rit.	Presente	Ascissa	Campata	βx/m	Vincolo a entrambi estremi	λx/m	λVer
1	Si		0				
			1-2		1	39.2	Si, (<200)
2	Si	1.916					

Dati per instabilità attorno a y

Controllo della snellezza secondo §4.2.4.1.3.1 NTC18

Numero rit.	Presente	Ascissa	Campata	βy/n	k,LT	kw,LT	Vincolo a entrambi estremi	λy/n	λVer
1	Si	0							
			1-2		1	1	Si	63.5	Si, (<200)
2	Si	1.916							

Verifica a svergolamento §4.2.4.1.3.2 NTC18

X	Comb.	Sfruttamento	Classe	Obblig.	Mx,Ed	Mb,Rd,x	χ,LT	λ adim. LT	L,LT	M,critico	Verifica
0.958	SLU 61	0.004	1	Si	-0.11425	28.03468	0.895	0.648	1.916	78.2995	Si

Verifica a svergolamento con trazione §4.2.4.1.3.2 NTC18 § 5.5.3 ENV 1993-1-1:1992 + AC:1992 + A1:1994 + A2:1998

X	Comb.	Sfruttamento	Classe	Obblig.	NEd	Mx,Ed	Mx,Ed,Ed	Mb,Rd,x	χ,LT	λ adim. LT	L,LT	M,critico	Verifica
0.958	SLU 59	0.002	1	Si	1.818	-0.11463	-0.06122	28.03468	0.895	0.648	1.916	78.2995	Si

Verifica di stabilità per pressoflessione §C.4.2.4.1.3.3.2 NTC18

X	Comb.	Sfruttamento	Classe	NEd	NRk	Mx,Ed max	Mx,Rk	My,Ed max	My,Rk	χ,x	χ,y	kxx	kxy	kyy	χ,LT	Verifica
1.916	SLV 11	0.027	1	-11.141	697.541	0.09025	32.89552	0.0064	16.19002	0.905	0.705	0.956	0.511	0.998	0.852	0.895

Verifica di stabilità a taglio anima Y §4.2.4.1.2.4 [4.2.27] NTC18

η	hw	tw	hw/tw max	Verifica
1.2	0.098	0.005	55.46	Si

Verifica di stabilità a taglio anima Y SLD §4.2.4.1.2.4 [4.2.27] NTC18

η	hw	tw	hw/tw max	Verifica
1.2	0.098	0.005	55.46	Si

Implementazione dei sistemi di confinamento delle emissioni odorigene diffuse dell'impianto di compostaggio esistente nel
Comune di Eboli (SA)
PROGETTO DEFINITIVO – Tabulati di calcolo Tomo 1

Verifiche a deformabilità

Mensola X: No; Mensola Y: No.

Frecce lungo X

Ascissa freccia	Combinazione	Freccia	Luce	L/f	L/f,min	Tipo	Verifica
0.894	SLE RA 1	0	1.916	10000	250	Totale	Si
0.894	SLE RA 17	0	1.916	10000	250	Totale	Si
0.894	SLE RA 16	0	1.916	10000	250	Totale	Si
0.894	SLE RA 15	0	1.916	10000	250	Totale	Si
0.894	SLE RA 14	0	1.916	10000	250	Totale	Si
0.894	SLE RA 2	0	1.916	10000	350	Variabile	Si
0.894	SLE RA 17	0	1.916	10000	350	Variabile	Si
0.894	SLE RA 16	0	1.916	10000	350	Variabile	Si
0.958	SLE RA 15	0	1.916	10000	350	Variabile	Si
0.894	SLE RA 14	0	1.916	10000	350	Variabile	Si

Frecce lungo Y

Ascissa freccia	Combinazione	Freccia	Luce	L/f	L/f,min	Tipo	Verifica
0.958	SLE RA 1	-0.00003	1.916	10000	250	Totale	Si
0.958	SLE RA 17	-0.00003	1.916	10000	250	Totale	Si
0.958	SLE RA 16	-0.00003	1.916	10000	250	Totale	Si
0.958	SLE RA 15	-0.00003	1.916	10000	250	Totale	Si
0.958	SLE RA 14	-0.00003	1.916	10000	250	Totale	Si
1.022	SLE RA 2	0	1.916	10000	350	Variabile	Si
1.022	SLE RA 17	0	1.916	10000	350	Variabile	Si
1.022	SLE RA 16	0	1.916	10000	350	Variabile	Si
1.15	SLE RA 15	0	1.916	10000	350	Variabile	Si
1.022	SLE RA 14	0	1.916	10000	350	Variabile	Si

Superelemento in acciaio a quota "640"- "590" (1573; 3003)-(1798; 3001)

Caratteristiche del materiale

Acciaio: S275, fyk = 275000

Caratteristiche geometriche

Lunghezza: 2.305

Nodo iniziale: 1459 Nodo finale: 498

Cerniera iniziale: Mmomenti 1% Cerniera finale: Mmomenti 1%

Sovreresistenza: 0% Sisma Z: No

Caratteristiche della sezione

Sezione	Rotazione	Area	Jx	Jy	ix	iy	Wx	Wy	Wplx	Wply
HEA120	0	0.002537	0.0000060673	0.0000023091	0.0489	0.0302	0.00010644	0.00003849	0.00011962	0.00005887

Verifiche di resistenza

Verifiche a forza assiale §4.2.4.1.2.1 - §4.2.4.1.2.2 NTC18

X	Comb.	Sfruttamento	Classe	NEd	Nc,Rd	Nt,Rd	Riduzione da taglio	px	py	Verifica
0	SLU 76	0.107		71.043		664.325	1	0	0	Si

Verifiche a forza assiale SLD §4.2.4.1.2.1 - §4.2.4.1.2.2 NTC18

X	Comb.	Sfruttamento	Classe	NEd	Nc,Rd	Nt,Rd	Riduzione da taglio	px	py	Verifica
0	SLD 3	0.045		29.599		664.325	1	0	0	Si

Verifica a taglio Y §4.2.4.1.2.4 NTC18

X	Comb.	Sfruttamento	VEd	Vc,Rd	Av	Interazione taglio-torsione	Riduzione torsione	Verifica
0	SLU 76	0.002	0.295	128.304	0.000849	Considerata	1	Si

Verifica a taglio Y SLD §4.2.4.1.2.4 NTC18

X	Comb.	Sfruttamento	VEd	Vc,Rd	Av	Interazione taglio-torsione	Riduzione torsione	Verifica
0	SLD 12	0.002	0.226	128.304	0.000849	Considerata	1	Si

Verifica a presso/tenso flessione retta X §§ 4.2.4.1.2.3 - 4.2.4.1.2.6 - 4.2.4.1.2.7 - 4.2.4.1.2.8 NTC18

Verifiche eseguite utilizzando la formula conservativa (6.2) §6.2.1 EN 1993-1-1:2005.

X	Comb.	Sfruttamento	Classe	NEd	NRd	Rid. NRd da VEd	Mx,Ed	Mx,Rd	Rid. Mx,Rd da VEd	Rid. Mx,Rd da NEd	px	py	Verifica
1.152	SLU 76	0.112	1	70.978	664.325	1	-0.1717	31.3291	1		0	0	Si

Verifica a presso/tenso flessione retta X SLD §§ 4.2.4.1.2.3 - 4.2.4.1.2.6 - 4.2.4.1.2.7 - 4.2.4.1.2.8 NTC18

Verifiche eseguite utilizzando la formula conservativa (6.2) §6.2.1 EN 1993-1-1:2005.

X	Comb.	Sfruttamento	Classe	NEd	NRd	Rid. NRd da VEd	Mx,Ed	Mx,Rd	Rid. Mx,Rd da VEd	Rid. Mx,Rd da NEd	px	py	Verifica
1.152	SLD 7	0.049	1	29.545	664.325	1	-0.1304	31.3291	1		0	0	Si

Verifica a presso/tenso flessione retta Y §§ 4.2.4.1.2.3 - 4.2.4.1.2.6 - 4.2.4.1.2.7 - 4.2.4.1.2.8 NTC18

Verifiche eseguite utilizzando la formula conservativa (6.2) §6.2.1 EN 1993-1-1:2005.

X	Comb.	Sfruttamento	Classe	NEd	NRd	Rid. NRd da VEd	My,Ed	My,Rd	Rid. My,Rd da VEd	Rid. My,Rd da NEd	px	py	Verifica
2.305	SLV 9	0.028	1	18.169	664.325	1	0.004	15.4191	1		0	0	Si

Verifica a presso/tenso flessione deviata §§ 4.2.4.1.2.3 - 4.2.4.1.2.6 - 4.2.4.1.2.7 - 4.2.4.1.2.8 NTC18

Verifiche eseguite utilizzando la formula conservativa (6.2) §6.2.1 EN 1993-1-1:2005.

X	Comb.	Sfruttamento	Classe	NEd	NRd	Rid. NRd da VEd	Mx,Ed	Mx,Rd	My,Ed	My,Rd	Rid. Mx,Rd da VEd	Rid. Mx,Rd da NEd	Rid. My,Rd da VEd	Rid. My,Rd da NEd	α	β	px	py	Verifica
1.767	SLV 14	0.031	1	18.172	664.325	1	-0.0953	31.3291	0.0039	15.4191	1						0	0	Si

Implementazione dei sistemi di confinamento delle emissioni odorigene diffuse dell'impianto di compostaggio esistente nel
Comune di Eboli (SA)
PROGETTO DEFINITIVO – Tabulati di calcolo Tomo 1

Verifiche ad instabilità

Caratteristiche iniziali

Membratura principale per controllo snellezza; Calcolo di snellezze ed N critici condotti secondo gli assi principali;
Curva X: b; Curva Y: c; Svergolamento: Carico all'estradosso; Curva svergolamento: b;

Dati per instabilità attorno a x

Controllo della snellezza secondo §4.2.4.1.3.1 NTC18

Numero rit.	Presente	Ascissa	Campata	$\beta x/m$	Vincolo a entrambi estremi	$\lambda x/m$	λVer
1	Si	0					
			1-2	1	Si	47.1	Si, (<200)
2	Si	2.305					

Dati per instabilità attorno a y

Controllo della snellezza secondo §4.2.4.1.3.1 NTC18

Numero rit.	Presente	Ascissa	Campata	$\beta y/n$	k,LT	kw,LT	Vincolo a entrambi estremi	$\lambda y/n$	λVer
1	Si	0							
			1-2	1	1	1	Si	76.4	Si, (<200)
2	Si	2.305							

Verifica a svergolamento con trazione §4.2.4.1.3.2 NTC18 § 5.5.3 ENV 1993-1-1:1992 + AC:1992 + A1:1994 + A2:1998

X	Comb.	Sfruttamento	Classe	Obblig.	NEd	Mx,Ed	Mx,Eff,Ed	Mb,Rd,x	χ_{LT}	λ adim. LT	L,LT	M,critico	Verifica
1.152	SLU 40	0.001	1	Si	5.003	-0.16749	-0.02053	26.7737	0.855	0.73	2.305	61.78722	Si

Verifica di stabilità per pressoflessione §C.4.2.4.1.3.3.2 NTC18

X	Comb.	Sfruttamento	Classe	NEd	NRk	Mx,Ed max	Mx,Rk	My,Ed max	My,Rk	χ_x	χ_y	kxx	kxy	kyy	χ_{LT}	Verifica	
2.305	SLU 2	0.007	1	-0.827	697.541	0.12857	32.89552	0.00051	16.19002	0.865	0.612	0.95	0.478	1	0.797	0.855	Si

Verifica di stabilità a taglio anima Y §4.2.4.1.2.4 [4.2.27] NTC18

η	hw	tw	hw/tw max	Verifica
1.2	0.098	0.005	55.46	Si

Verifica di stabilità a taglio anima Y SLD §4.2.4.1.2.4 [4.2.27] NTC18

η	hw	tw	hw/tw max	Verifica
1.2	0.098	0.005	55.46	Si

Verifiche a deformabilità

Mensola X: No; Mensola Y: No.

Frecce lungo X

Ascissa freccia	Combinazione	Freccia	Luce	L/f	L/f,min	Tipo	Verifica
1.075	SLE RA 1	0	2.305	10000	250	Totale	Si
1.075	SLE RA 17	0	2.305	10000	250	Totale	Si
1.075	SLE RA 16	0	2.305	10000	250	Totale	Si
1.075	SLE RA 15	0	2.305	10000	250	Totale	Si
1.075	SLE RA 14	0	2.305	10000	250	Totale	Si
0.845	SLE RA 2	0	2.305	10000	350	Variabile	Si
0.845	SLE RA 17	0	2.305	10000	350	Variabile	Si
0.845	SLE RA 16	0	2.305	10000	350	Variabile	Si
1.075	SLE RA 15	0	2.305	10000	350	Variabile	Si
1.306	SLE RA 14	0	2.305	10000	350	Variabile	Si

Frecce lungo Y

Ascissa freccia	Combinazione	Freccia	Luce	L/f	L/f,min	Tipo	Verifica
1.152	SLE RA 1	-0.00006	2.305	10000	250	Totale	Si
1.152	SLE RA 17	-0.00006	2.305	10000	250	Totale	Si
1.152	SLE RA 16	-0.00006	2.305	10000	250	Totale	Si
1.152	SLE RA 15	-0.00006	2.305	10000	250	Totale	Si
1.152	SLE RA 14	-0.00006	2.305	10000	250	Totale	Si
1.306	SLE RA 2	0	2.305	10000	350	Variabile	Si
1.306	SLE RA 17	0	2.305	10000	350	Variabile	Si
1.306	SLE RA 16	0	2.305	10000	350	Variabile	Si
1.306	SLE RA 15	0	2.305	10000	350	Variabile	Si
1.383	SLE RA 14	0	2.305	10000	350	Variabile	Si

Superelemento in acciaio a quota "640"- "590" (1798; 3001)-(2023; 2998)

Caratteristiche del materiale

Acciaio: S275, fyk = 275000

Caratteristiche geometriche

Lunghezza: 2.305

Nodo iniziale: 1456 Nodo finale: 493

Cerniera iniziale: Mmomenti 1% Cerniera finale: Mmomenti 1%

Sovraresistenza: 0% Sisma Z: No

Caratteristiche della sezione

Sezione	Rotazione	Area	Jx	Jy	ix	iy	Wx	Wy	Wplx	Wply
HEA120	0	0.002537	0.0000060673	0.0000023091	0.0489	0.0302	0.00010644	0.00003849	0.00011962	0.00005887

Verifiche di resistenza

Verifiche a forza assiale §4.2.4.1.2.1 - §4.2.4.1.2.2 NTC18

X	Comb.	Sfruttamento	Classe	NEd	Nc,Rd	Nt,Rd	Riduzione da taglio	px	py	Verifica
2.305	SLV 9	0.024	1	-16.001	664.325		1	0	0	Si

Implementazione dei sistemi di confinamento delle emissioni odorigene diffuse dell'impianto di compostaggio esistente nel
Comune di Eboli (SA)
PROGETTO DEFINITIVO – Tabulati di calcolo Tomo 1

Verifiche a forza assiale SLD §4.2.4.1.2.1 - §4.2.4.1.2.2 NTC18

X	Comb.	Sfruttamento	Classe	NEd	Nc,Rd	Nt,Rd	Riduzione da taglio	px	py	Verifica
2.305	SLD 9	0.012	1	-8.261	664.325		1	0	0	Si

Verifica a taglio Y §4.2.4.1.2.4 NTC18

X	Comb.	Sfruttamento	VEd	Vc,Rd	Av	Interazione taglio-torsione	Riduzione torsione	Verifica
2.305	SLU 76	0.002	-0.297	128.304	0.000849	Considerata	1	Si

Verifica a taglio Y SLD §4.2.4.1.2.4 NTC18

X	Comb.	Sfruttamento	VEd	Vc,Rd	Av	Interazione taglio-torsione	Riduzione torsione	Verifica
2.305	SLD 12	0.002	-0.227	128.304	0.000849	Considerata	1	Si

Verifica a flessione semplice X §§ 4.2.4.1.2.3 - 4.2.4.1.2.6 - 4.2.4.1.2.7 - 4.2.4.1.2.8 NTC18

X	Comb.	Sfruttamento	Classe	Mx,Ed	Mx,Rd	Rid. Mx,Rd da VEd	px	py	Verifica
1.152	SLU 75	0.006	1	-0.18361	31.32907	1	0	0	Si

Verifica a flessione semplice X SLD §§ 4.2.4.1.2.3 - 4.2.4.1.2.6 - 4.2.4.1.2.7 - 4.2.4.1.2.8 NTC18

X	Comb.	Sfruttamento	Classe	Mx,Ed	Mx,Rd	Rid. Mx,Rd da VEd	px	py	Verifica
1.229	SLD 4	0.004	1	-0.13638	31.32907	1	0	0	Si

Verifica a presso/tenso flessione retta X §§ 4.2.4.1.2.3 - 4.2.4.1.2.6 - 4.2.4.1.2.7 - 4.2.4.1.2.8 NTC18

Verifiche eseguite utilizzando la formula conservativa (6.2) §6.2.1 EN 1993-1-1:2005.

X	Comb.	Sfruttamento	Classe	NEd	NRd	Rid. NRd da VEd	Mx,Ed	Mx,Rd	Rid. Mx,Rd da VEd	Rid. Mx,Rd da NEd	px	py	Verifica
1.152	SLU 42	0.024	1	-11.839	664.325	1	-0.1792	31.3291	1		0	0	Si

Verifica a presso/tenso flessione retta X SLD §§ 4.2.4.1.2.3 - 4.2.4.1.2.6 - 4.2.4.1.2.7 - 4.2.4.1.2.8 NTC18

Verifiche eseguite utilizzando la formula conservativa (6.2) §6.2.1 EN 1993-1-1:2005.

X	Comb.	Sfruttamento	Classe	NEd	NRd	Rid. NRd da VEd	Mx,Ed	Mx,Rd	Rid. Mx,Rd da VEd	Rid. Mx,Rd da NEd	px	py	Verifica
1.152	SLD 9	0.017	1	-8.211	664.325	1	-0.1358	31.3291	1		0	0	Si

Verifica a presso/tenso flessione retta Y §§ 4.2.4.1.2.3 - 4.2.4.1.2.6 - 4.2.4.1.2.7 - 4.2.4.1.2.8 NTC18

Verifiche eseguite utilizzando la formula conservativa (6.2) §6.2.1 EN 1993-1-1:2005.

X	Comb.	Sfruttamento	Classe	NEd	NRd	Rid. NRd da VEd	My,Ed	My,Rd	Rid. My,Rd da VEd	Rid. My,Rd da NEd	px	py	Verifica
2.305	SLV 9	0.024	1	-16.001	664.325	1	0.0059	15.4191	1		0	0	Si

Verifica a presso/tenso flessione deviata §§ 4.2.4.1.2.3 - 4.2.4.1.2.6 - 4.2.4.1.2.7 - 4.2.4.1.2.8 NTC18

Verifiche eseguite utilizzando la formula conservativa (6.2) §6.2.1 EN 1993-1-1:2005.

X	Comb.	Sfruttamento	Classe	NEd	NRd	Rid. NRd da VEd	Mx,Ed	Mx,Rd	My,Ed	My,Rd	Rid. Mx,Rd da VEd	Rid. Mx,Rd da NEd	Rid. My,Rd da VEd	Rid. My,Rd da NEd	α	β	px	py	Verifica
1.152	SLV 9	0.029	1	-15.951	664.325	1	-0.1349	31.3291	0.0054	15.4191	1						0	0	Si

Verifiche ad instabilità

Caratteristiche iniziali

Membratura principale per controllo snellezza; Calcolo di snellezze ed N critici condotti secondo gli assi principali;
Curva X: b; Curva Y: c; Svergolamento: Carico all'estradosso; Curva svergolamento: b;

Dati per instabilità attorno a x

Controllo della snellezza secondo §4.2.4.1.3.1 NTC18

Numero rit.	Presente	Ascissa	Campata	βx/m	Vincolo a entrambi estremi	λx/m	λVer
1	Si		0				
2	Si		1-2		1	Si	47.1
							Si, (<200)

Dati per instabilità attorno a y

Controllo della snellezza secondo §4.2.4.1.3.1 NTC18

Numero rit.	Presente	Ascissa	Campata	βy/n	k _i LT	k _w LT	Vincolo a entrambi estremi	λy/n	λVer
1	Si		0						
2	Si		1-2		1	1	Si	76.4	Si, (<200)

Verifica a svergolamento §4.2.4.1.3.2 NTC18

X	Comb.	Sfruttamento	Classe	Obblig.	Mx,Ed	Mb,Rd,x	χ _i LT	λ adim. LT	L _i LT	M _c critico	Verifica
1.152	SLU 75	0.007	1	Si	-0.18361	26.7737	0.855	0.73	2.305	61.78722	Si

Verifica a svergolamento SLD §4.2.4.1.3.2 NTC18

X	Comb.	Sfruttamento	Classe	Obblig.	Mx,Ed	Mb,Rd,x	χ _i LT	λ adim. LT	L _i LT	M _c critico	Verifica
1.229	SLD 4	0.005	1	Si	-0.13638	26.7737	0.855	0.73	2.305	61.78722	Si

Verifica a svergolamento con trazione §4.2.4.1.3.2 NTC18 § 5.5.3 ENV 1993-1-1:1992 + AC:1992 + A1:1994 + A2:1998

X	Comb.	Sfruttamento	Classe	Obblig.	NEd	Mx,Ed	Mx,Eff,Ed	Mb,Rd,x	χ _i LT	λ adim. LT	L _i LT	M _c critico	Verifica
1.152	SLU 41	0.005	1	Si	1.389	-0.17301	-0.1322	26.7737	0.855	0.73	2.305	61.78722	Si

Verifica a svergolamento con trazione SLD §4.2.4.1.3.2 NTC18 § 5.5.3 ENV 1993-1-1:1992 + AC:1992 + A1:1994 + A2:1998

X	Comb.	Sfruttamento	Classe	Obblig.	NEd	Mx,Ed	Mx,Eff,Ed	Mb,Rd,x	χ _i LT	λ adim. LT	L _i LT	M _c critico	Verifica
1.152	SLD 8	0.005	1	Si	0.381	-0.13675	-0.12555	26.7737	0.855	0.73	2.305	61.78722	Si

Verifica di stabilità per pressoflessione §C.4.2.4.1.3.3.2 NTC18

X	Comb.	Sfruttamento	Classe	NEd	NRk	M _x ,Ed max	M _x ,Rk	M _y ,Ed max	M _y ,Rk	χ _x	χ _y	k _{xx}	k _{xy}	k _{yx}	k _{yy}	χ _i LT	Verifica
2.305	SLV 9	0.045	1	-16.001	697.541	0.13493	32.89552	0.00587	16.19002	0.865	0.612	0.962	0.585	0.995	0.975	0.855	Si

Verifica di stabilità per pressoflessione SLD §C.4.2.4.1.3.3.2 NTC18

X	Comb.	Sfruttamento	Classe	NEd	NRk	M _x ,Ed max	M _x ,Rk	M _y ,Ed max	M _y ,Rk	χ _x	χ _y	k _{xx}	k _{xy}	k _{yx}	k _{yy}	χ _i LT	Verifica
2.305	SLD 10	0.026	1	-8.261	697.541	0.13577	32.89552	0.00283	16.19002	0.865	0.612	0.958	0.552	0.997	0.919	0.855	Si

Implementazione dei sistemi di confinamento delle emissioni odorigene diffuse dell'impianto di compostaggio esistente nel
Comune di Eboli (SA)
PROGETTO DEFINITIVO – Tabulati di calcolo Tomo 1

Verifica di stabilità a taglio anima Y §4.2.4.1.2.4 [4.2.27] NTC18

η	hw	tw	hw/tw max	Verifica
1.2	0.098	0.005	55.46	Si

Verifica di stabilità a taglio anima Y SLD §4.2.4.1.2.4 [4.2.27] NTC18

η	hw	tw	hw/tw max	Verifica
1.2	0.098	0.005	55.46	Si

Verifiche a deformabilità

Mensola X: No; Mensola Y: No.

Frecce lungo X

Ascissa freccia	Combinazione	Freccia	Luce	L/f	L/f,min	Tipo	Verifica
1.229	SLE RA 1	0	2.305	10000	250	Totale	Si
1.229	SLE RA 17	0	2.305	10000	250	Totale	Si
1.229	SLE RA 16	0	2.305	10000	250	Totale	Si
1.229	SLE RA 15	0	2.305	10000	250	Totale	Si
1.306	SLE RA 14	0	2.305	10000	250	Totale	Si
1.383	SLE RA 2	0	2.305	10000	350	Variabile	Si
1.383	SLE RA 17	0	2.305	10000	350	Variabile	Si
1.383	SLE RA 16	0	2.305	10000	350	Variabile	Si
1.229	SLE RA 15	0	2.305	10000	350	Variabile	Si
0.999	SLE RA 14	0	2.305	10000	350	Variabile	Si

Frecce lungo Y

Ascissa freccia	Combinazione	Freccia	Luce	L/f	L/f,min	Tipo	Verifica
1.152	SLE RA 1	-0.00006	2.305	10000	250	Totale	Si
1.152	SLE RA 17	-0.00006	2.305	10000	250	Totale	Si
1.152	SLE RA 16	-0.00007	2.305	10000	250	Totale	Si
1.152	SLE RA 15	-0.00007	2.305	10000	250	Totale	Si
1.152	SLE RA 14	-0.00006	2.305	10000	250	Totale	Si
1.075	SLE RA 2	0	2.305	10000	350	Variabile	Si
1.075	SLE RA 17	0	2.305	10000	350	Variabile	Si
1.075	SLE RA 16	0	2.305	10000	350	Variabile	Si
1.075	SLE RA 15	0	2.305	10000	350	Variabile	Si
1.152	SLE RA 14	0	2.305	10000	350	Variabile	Si

Superelemento in acciaio a quota "640"-"590" (1999; 2185)-(2115; 2186)

Caratteristiche del materiale

Acciaio: S275, fyk = 275000

Caratteristiche geometriche

Lunghezza: 1.262

Nodo iniziale: 1104 Nodo finale: 435

Cerniera iniziale: Mmomenti 1% Cerniera finale: Mmomenti 1%

Sovreresistenza: 0% Sisma Z: No

Caratteristiche della sezione

Sezione	Rotazione	Area	Jx	Jy	ix	iy	Wx	Wy	Wplx	Wply
HEA120	0	0.002537	0.0000060673	0.0000023091	0.0489	0.0302	0.00010644	0.00003849	0.00011962	0.00005887

Verifiche di resistenza

Verifiche a forza assiale §4.2.4.1.2.1 - §4.2.4.1.2.2 NTC18

X	Comb.	Sfruttamento	Classe	NEd	Nc,Rd	Nt,Rd	Riduzione da taglio	px	py	Verifica
1.262	SLV 4	0.023	1	-15.379	664.325		1	0	0	Si

Verifiche a forza assiale SLD §4.2.4.1.2.1 - §4.2.4.1.2.2 NTC18

X	Comb.	Sfruttamento	Classe	NEd	Nc,Rd	Nt,Rd	Riduzione da taglio	px	py	Verifica
1.262	SLD 4	0.008	1	-5.165	664.325		1	0	0	Si

Verifica a taglio Y §4.2.4.1.2.4 NTC18

X	Comb.	Sfruttamento	VEd	Vc,Rd	Av	Interazione taglio-torsione	Riduzione torsione	Verifica
0	SLU 75	0.001	0.164	128.304	0.000849	Considerata	1	Si

Verifica a taglio Y SLD §4.2.4.1.2.4 NTC18

X	Comb.	Sfruttamento	VEd	Vc,Rd	Av	Interazione taglio-torsione	Riduzione torsione	Verifica
0	SLD 9	0.001	0.124	128.304	0.000849	Considerata	1	Si

Verifica a flessione semplice X §§ 4.2.4.1.2.3 - 4.2.4.1.2.6 - 4.2.4.1.2.7 - 4.2.4.1.2.8 NTC18

X	Comb.	Sfruttamento	Classe	Mx,Ed	Mx,Rd	Rid. Mx,Rd da VEd	px	py	Verifica
0.631	SLU 39	0.001	1	-0.04001	31.32907	1	0	0	Si

Verifica a flessione semplice Y §§ 4.2.4.1.2.3 - 4.2.4.1.2.6 - 4.2.4.1.2.7 - 4.2.4.1.2.8 NTC18

X	Comb.	Sfruttamento	Classe	My,Ed	My,Rd	Rid. My,Rd da VEd	px	py	Verifica
1.262	SLU 58	0	1	0.00561	15.41907	1	0	0	Si

Verifica a flessione deviata §§ 4.2.4.1.2.3 - 4.2.4.1.2.6 - 4.2.4.1.2.7 - 4.2.4.1.2.8 NTC18

X	Comb.	Sfruttamento	Classe	Mx,Ed	Mx,Rd	My,Ed	My,Rd	Rid. Mx,Rd da VEd	Rid. My,Rd da VEd	α	β	px	py	Verifica
0.715	SLU 58	0.001	1	-0.0384	31.3291	0.0039	15.4191	1	1			0	0	Si

Verifica a presso/tenso flessione retta X §§ 4.2.4.1.2.3 - 4.2.4.1.2.6 - 4.2.4.1.2.7 - 4.2.4.1.2.8 NTC18

Verifiche eseguite utilizzando la formula conservativa (6.2) §6.2.1 EN 1993-1-1:2005.

**Implementazione dei sistemi di confinamento delle emissioni odorigene diffuse dell'impianto di compostaggio esistente nel
Comune di Eboli (SA)**

PROGETTO DEFINITIVO – Tabulati di calcolo Tomo 1

X	Comb.	Sfruttamento	Classe	NEd	NRd	Rid. NRd da VEd	Mx,Ed	Mx,Rd	Rid. Mx,Rd da VEd	Rid. Mx,Rd da NEd	px	py	Verifica
1.262	SLV 4	0.024	1	-15.379	664.325	1	0.028	31.3291	1		0	0	Si

Verifica a presso/tenso flessione retta X SLD §§ 4.2.4.1.2.3 - 4.2.4.1.2.6 - 4.2.4.1.2.7 - 4.2.4.1.2.8 NTC18

Verifiche eseguite utilizzando la formula conservativa (6.2) §6.2.1 EN 1993-1-1:2005.

X	Comb.	Sfruttamento	Classe	NEd	NRd	Rid. NRd da VEd	Mx,Ed	Mx,Rd	Rid. Mx,Rd da VEd	Rid. Mx,Rd da NEd	px	py	Verifica
0.673	SLD 4	0.008	1	-5.119	664.325	1	-0.0238	31.3291	1		0	0	Si

Verifica a presso/tenso flessione retta Y §§ 4.2.4.1.2.3 - 4.2.4.1.2.6 - 4.2.4.1.2.7 - 4.2.4.1.2.8 NTC18

Verifiche eseguite utilizzando la formula conservativa (6.2) §6.2.1 EN 1993-1-1:2005.

X	Comb.	Sfruttamento	Classe	NEd	NRd	Rid. NRd da VEd	My,Ed	My,Rd	Rid. My,Rd da VEd	Rid. My,Rd da NEd	px	py	Verifica
0	SLV 14	0.023	1	15.21	664.325	1	0.007	15.4191	1		0	0	Si

Verifica a presso/tenso flessione retta Y SLD §§ 4.2.4.1.2.3 - 4.2.4.1.2.6 - 4.2.4.1.2.7 - 4.2.4.1.2.8 NTC18

Verifiche eseguite utilizzando la formula conservativa (6.2) §6.2.1 EN 1993-1-1:2005.

X	Comb.	Sfruttamento	Classe	NEd	NRd	Rid. NRd da VEd	My,Ed	My,Rd	Rid. My,Rd da VEd	Rid. My,Rd da NEd	px	py	Verifica
1.262	SLD 14	0.008	1	4.896	664.325	1	0.0055	15.4191	1		0	0	Si

Verifica a presso/tenso flessione deviata §§ 4.2.4.1.2.3 - 4.2.4.1.2.6 - 4.2.4.1.2.7 - 4.2.4.1.2.8 NTC18

Verifiche eseguite utilizzando la formula conservativa (6.2) §6.2.1 EN 1993-1-1:2005.

X	Comb.	Sfruttamento	Classe	NEd	NRd	Rid. NRd da VEd	Mx,Ed	Mx,Rd	My,Ed	My,Rd	Rid. Mx,Rd da VEd	Rid. Mx,Rd da NEd	Rid. My,Rd da VEd	Rid. My,Rd da NEd	α	β	px	py	Verifica
0.673	SLV 13	0.025	1	15.157	664.325	1	-0.0488	31.3291	0.0073	15.4191	1						0	0	Si

Verifica a presso/tenso flessione deviata SLD §§ 4.2.4.1.2.3 - 4.2.4.1.2.6 - 4.2.4.1.2.7 - 4.2.4.1.2.8 NTC18

Verifiche eseguite utilizzando la formula conservativa (6.2) §6.2.1 EN 1993-1-1:2005.

X	Comb.	Sfruttamento	Classe	NEd	NRd	Rid. NRd da VEd	Mx,Ed	Mx,Rd	My,Ed	My,Rd	Rid. Mx,Rd da VEd	Rid. Mx,Rd da NEd	Rid. My,Rd da VEd	Rid. My,Rd da NEd	α	β	px	py	Verifica
0.673	SLD 13	0.009	1	4.943	664.325	1	-0.0364	31.3291	0.0043	15.4191	1						0	0	Si

Verifiche ad instabilità

Caratteristiche iniziali

Membratura principale per controllo snellezza; Calcolo di snellezze ed N critici condotti secondo gli assi principali;

Curva X: b; Curva Y: c; Svergolamento: Carico all'estradosso; Curva svergolamento: b;

Dati per instabilità attorno a x

Controllo della snellezza secondo §4.2.4.1.3.1 NTC18

Numero rit.	Presente	Ascissa	Campata	βx/m	Vincolo a entrambi estremi	λx/m	λVer
1	Si	0					
			1-2		1	25.8	Si, (<200)
2	Si	1.262					

Dati per instabilità attorno a y

Controllo della snellezza secondo §4.2.4.1.3.1 NTC18

Numero rit.	Presente	Ascissa	Campata	βy/n	k,LT	kw,LT	Vincolo a entrambi estremi	λy/n	λVer
1	Si	0							
			1-2		1	1	Si	41.8	Si, (<200)
2	Si	1.262							

Verifica a svergolamento §4.2.4.1.3.2 NTC18

X	Comb.	Sfruttamento	Classe	Obblig.	Mx,Ed	Mb,Rd,x	χ,LT	λ adim. LT	L,LT	M,critico	Verifica
0.673	SLU 1	0.001	1	Si	-0.03044	30.36833	0.969	0.478	1.262	144.20426	Si

Verifica a svergolamento con trazione §4.2.4.1.3.2 NTC18 § 5.5.3 ENV 1993-1-1:1992 + AC:1992 + A1:1994 + A2:1998

X	Comb.	Sfruttamento	Classe	Obblig.	NEd	Mx,Ed	Mx,Ed,Ed	Mb,Rd,x	χ,LT	λ adim. LT	L,LT	M,critico	Verifica
0.673	SLU 62	0.001	1	Si	0.563	-0.04278	-0.02625	30.36833	0.969	0.478	1.262	144.20426	Si

Verifica di stabilità per pressoflessione §C.4.2.4.1.3.3.2 NTC18

X	Comb.	Sfruttamento	Classe	NEd	NRk	Mx,Ed max	Mx,Rk	My,Ed max	My,Rk	χ,x	χ,y	kxx	kxy	kyy	χ,LT	Verifica
1.262	SLV 4	0.028	1	-15.379	697.541	0.02804	32.89552	0.00457	16.19002	0.965	0.853	0.433	0.332	0.993	0.554	0.969

Verifica di stabilità per pressoflessione SLD §C.4.2.4.1.3.3.2 NTC18

X	Comb.	Sfruttamento	Classe	NEd	NRk	Mx,Ed max	Mx,Rk	My,Ed max	My,Rk	χ,x	χ,y	kxx	kxy	kyy	χ,LT	Verifica
1.262	SLD 4	0.01	1	-5.165	697.541	0.02388	32.89552	0.00264	16.19002	0.965	0.853	0.92	0.315	0.999	0.525	0.969

Verifica di stabilità a taglio anima Y §4.2.4.1.2.4 [4.2.27] NTC18

η	hw	tw	hw/tw max	Verifica
1.2	0.098	0.005	55.46	Si

Verifica di stabilità a taglio anima Y SLD §4.2.4.1.2.4 [4.2.27] NTC18

η	hw	tw	hw/tw max	Verifica
1.2	0.098	0.005	55.46	Si

Verifiche a deformabilità

Mensola X: No; Mensola Y: No.

Frecce lungo X

Ascissa freccia	Combinazione	Freccia	Luce	L/f	L/f,min	Tipo	Verifica
0.673	SLE RA 1	0	1.262	10000	250	Totale	Si
0.673	SLE RA 17	0	1.262	10000	250	Totale	Si
0.673	SLE RA 16	0	1.262	10000	250	Totale	Si
0.715	SLE RA 15	0	1.262	10000	250	Totale	Si
0.673	SLE RA 14	0	1.262	10000	250	Totale	Si
0.673	SLE RA 2	0	1.262	10000	350	Variabile	Si
0.673	SLE RA 17	0	1.262	10000	350	Variabile	Si
0.673	SLE RA 16	0	1.262	10000	350	Variabile	Si
0.631	SLE RA 15	0	1.262	10000	350	Variabile	Si

Implementazione dei sistemi di confinamento delle emissioni odorigene diffuse dell'impianto di compostaggio esistente nel
Comune di Eboli (SA)
PROGETTO DEFINITIVO – Tabulati di calcolo Tomo 1

Ascissa freccia	Combinazione	Freccia	Luce	L/f	L/f,min	Tipo	Verifica
0.673	SLE RA 14	0	1.262	10000	350	Variabile	Si

Frecce lungo Y

Ascissa freccia	Combinazione	Freccia	Luce	L/f	L/f,min	Tipo	Verifica
0.631	SLE RA 1	0	1.262	10000	250	Totale	Si
0.631	SLE RA 17	0	1.262	10000	250	Totale	Si
0.631	SLE RA 16	0	1.262	10000	250	Totale	Si
0.631	SLE RA 15	0	1.262	10000	250	Totale	Si
0.631	SLE RA 14	0	1.262	10000	250	Totale	Si
0.589	SLE RA 2	0	1.262	10000	350	Variabile	Si
0.589	SLE RA 17	0	1.262	10000	350	Variabile	Si
0.589	SLE RA 16	0	1.262	10000	350	Variabile	Si
0.589	SLE RA 15	0	1.262	10000	350	Variabile	Si
0.589	SLE RA 14	0	1.262	10000	350	Variabile	Si

Superelemento in acciaio a quota "640"- "590" (2114; 2186)-(2231; 2187)

Caratteristiche del materiale

Acciaio: S275, fyk = 275000

Caratteristiche geometriche

Lunghezza: 1.265

Nodo iniziale: 1106 Nodo finale: 438

Cerniera iniziale: Mmomenti 1% Cerniera finale: Mmomenti 1%

Sovreresistenza: 0% Sisma Z: No

Caratteristiche della sezione

Sezione	Rotazione	Area	Jx	Jy	ix	iy	Wx	Wy	Wplx	Wply
HEA120	0	0.002537	0.0000060673	0.0000023091	0.0489	0.0302	0.00010644	0.00003849	0.00011962	0.00005887

Verifiche di resistenza

Verifiche a forza assiale §4.2.4.1.2.1 - §4.2.4.1.2.2 NTC18

X	Comb.	Sfruttamento	Classe	NEd	Nc,Rd	Nt,Rd	Riduzione da taglio	px	py	Verifica
0	SLV 3	0.056		37.178		664.325	1	0	0	Si

Verifiche a forza assiale SLD §4.2.4.1.2.1 - §4.2.4.1.2.2 NTC18

X	Comb.	Sfruttamento	Classe	NEd	Nc,Rd	Nt,Rd	Riduzione da taglio	px	py	Verifica
0	SLD 3	0.025		16.712		664.325	1	0	0	Si

Verifica a taglio Y §4.2.4.1.2.4 NTC18

X	Comb.	Sfruttamento	VEd	Vc,Rd	Av	Interazione taglio-torsione	Riduzione torsione	Verifica
1.265	SLU 75	0.001	-0.153	128.304	0.000849	Considerata	1	Si

Verifica a taglio Y SLD §4.2.4.1.2.4 NTC18

X	Comb.	Sfruttamento	VEd	Vc,Rd	Av	Interazione taglio-torsione	Riduzione torsione	Verifica
1.265	SLD 10	0.001	-0.118	128.304	0.000849	Considerata	1	Si

Verifica a flessione semplice X §§ 4.2.4.1.2.3 - 4.2.4.1.2.6 - 4.2.4.1.2.7 - 4.2.4.1.2.8 NTC18

X	Comb.	Sfruttamento	Classe	Mx,Ed	Mx,Rd	Rid. Mx,Rd da VEd	px	py	Verifica
0.127	SLU 2	0	1	-0.01272	31.32907	1	0	0	Si

Verifica a presso/tenso flessione retta X §§ 4.2.4.1.2.3 - 4.2.4.1.2.6 - 4.2.4.1.2.7 - 4.2.4.1.2.8 NTC18

Verifiche eseguite utilizzando la formula conservativa (6.2) §6.2.1 EN 1993-1-1:2005.

X	Comb.	Sfruttamento	Classe	NEd	NRd	Rid. NRd da VEd	Mx,Ed	Mx,Rd	Rid. Mx,Rd da VEd	Rid. Mx,Rd da NEd	px	py	Verifica
0.675	SLV 4	0.057	1	37.125	664.325	1	-0.038	31.3291	1		0	0	Si

Verifica a presso/tenso flessione retta X SLD §§ 4.2.4.1.2.3 - 4.2.4.1.2.6 - 4.2.4.1.2.7 - 4.2.4.1.2.8 NTC18

Verifiche eseguite utilizzando la formula conservativa (6.2) §6.2.1 EN 1993-1-1:2005.

X	Comb.	Sfruttamento	Classe	NEd	NRd	Rid. NRd da VEd	Mx,Ed	Mx,Rd	Rid. Mx,Rd da VEd	Rid. Mx,Rd da NEd	px	py	Verifica
0.675	SLD 3	0.026	1	16.659	664.325	1	-0.0376	31.3291	1		0	0	Si

Verifica a presso/tenso flessione retta Y §§ 4.2.4.1.2.3 - 4.2.4.1.2.6 - 4.2.4.1.2.7 - 4.2.4.1.2.8 NTC18

Verifiche eseguite utilizzando la formula conservativa (6.2) §6.2.1 EN 1993-1-1:2005.

X	Comb.	Sfruttamento	Classe	NEd	NRd	Rid. NRd da VEd	My,Ed	My,Rd	Rid. My,Rd da VEd	Rid. My,Rd da NEd	px	py	Verifica
0	SLU 63	0.042	1	27.562	664.325	1	0.0138	15.4191	1		0	0	Si

Verifica a presso/tenso flessione retta Y SLD §§ 4.2.4.1.2.3 - 4.2.4.1.2.6 - 4.2.4.1.2.7 - 4.2.4.1.2.8 NTC18

Verifiche eseguite utilizzando la formula conservativa (6.2) §6.2.1 EN 1993-1-1:2005.

X	Comb.	Sfruttamento	Classe	NEd	NRd	Rid. NRd da VEd	My,Ed	My,Rd	Rid. My,Rd da VEd	Rid. My,Rd da NEd	px	py	Verifica
1.265	SLD 14	0.005	1	-3.22	664.325	1	0.0049	15.4191	1		0	0	Si

Verifica a presso/tenso flessione deviata §§ 4.2.4.1.2.3 - 4.2.4.1.2.6 - 4.2.4.1.2.7 - 4.2.4.1.2.8 NTC18

Verifiche eseguite utilizzando la formula conservativa (6.2) §6.2.1 EN 1993-1-1:2005.

X	Comb.	Sfruttamento	Classe	NEd	NRd	Rid. NRd da VEd	Mx,Ed	Mx,Rd	My,Ed	My,Rd	Rid. Mx,Rd da VEd	Rid. Mx,Rd da NEd	Rid. My,Rd da VEd	Rid. My,Rd da NEd	α	β	px	py	Verifica
0.591	SLU 63	0.044	1	27.502	664.325	1	-0.0524	31.3291	0.0125	15.4191	1		1				0	0	Si

Verifica a presso/tenso flessione deviata SLD §§ 4.2.4.1.2.3 - 4.2.4.1.2.6 - 4.2.4.1.2.7 - 4.2.4.1.2.8 NTC18

Verifiche eseguite utilizzando la formula conservativa (6.2) §6.2.1 EN 1993-1-1:2005.

Implementazione dei sistemi di confinamento delle emissioni odorigene diffuse dell'impianto di compostaggio esistente nel
Comune di Eboli (SA)
PROGETTO DEFINITIVO – Tabulati di calcolo Tomo 1

X	Comb.	Sfruttamento	Classe	NEd	NRd	Rid. NRd da VEd	Mx,Ed	Mx,Rd	My,Ed	My,Rd	Rid. Mx,Rd da VEd	Rid. Mx,Rd da NEd	Rid. My,Rd da VEd	Rid. My,Rd da NEd	α	β	px	py	Verifica
0.633	SLD 13	0.006	1	-3.17	664.325	1	-0.0381	31.3291	0.0053	15.4191	1		1				0	0	Si

Verifiche ad instabilità

Caratteristiche iniziali

Membratura principale per controllo snellezza; Calcolo di snellezze ed N critici condotti secondo gli assi principali;
Curva X: b; Curva Y: c; Svergolamento: Carico all'estradosso; Curva svergolamento: b;

Dati per instabilità attorno a x

Controllo della snellezza secondo §4.2.4.1.3.1 NTC18

Numero rit.	Presente	Ascissa	Campata	βx/m	Vincolo a entrambi estremi	λx/m	λVer
1	Si	0					
			1-2		1	25.9	Si, (<200)
2	Si	1.265					

Dati per instabilità attorno a y

Controllo della snellezza secondo §4.2.4.1.3.1 NTC18

Numero rit.	Presente	Ascissa	Campata	βy/n	k,LT	kw,LT	Vincolo a entrambi estremi	λy/n	λVer
1	Si	0							
			1-2		1	1	Si	41.9	Si, (<200)
2	Si	1.265							

Verifica a svergolamento §4.2.4.1.3.2 NTC18

X	Comb.	Sfruttamento	Classe	Obblig.	Mx,Ed	Mb,Rd,x	χ,LT	λ adim. LT	L,LT	M,critico	Verifica
0.127	SLU 2	0	1	Si	-0.01272	30.35419	0.969	0.479	1.265	143.53441	Si

Verifica a svergolamento con trazione §4.2.4.1.3.2 NTC18 § 5.5.3 ENV 1993-1-1:1992 + AC:1992 + A1:1994 + A2:1998

X	Comb.	Sfruttamento	Classe	Obblig.	NEd	Mx,Ed	Mx,Eff,Ed	Mb,Rd,x	χ,LT	λ adim. LT	L,LT	M,critico	Verifica
0.633	SLU 40	0	1	Si	1.161	-0.04745	-0.01333	30.35419	0.969	0.479	1.265	143.53441	Si

Verifica di stabilità per pressoflessione §C.4.2.4.1.3.3.2 NTC18

X	Comb.	Sfruttamento	Classe	NEd	NRk	Mx,Ed max	Mx,Rk	My,Ed max	My,Rk	χ,x	χ,y	kxx	kxy	kyy	χ,LT	Verifica
1.265	SLV 13	0.044	1	-23.685	697.541	0.03882	32.89552	0.009	16.19002	0.965	0.852	0.96	0.581	0.997	0.969	0.969 Si

Verifica di stabilità per pressoflessione SLD §C.4.2.4.1.3.3.2 NTC18

X	Comb.	Sfruttamento	Classe	NEd	NRk	Mx,Ed max	Mx,Rk	My,Ed max	My,Rk	χ,x	χ,y	kxx	kxy	kyy	χ,LT	Verifica
1.265	SLD 14	0.007	1	-3.22	697.541	0.03807	32.89552	0.00562	16.19002	0.965	0.852	0.954	0.572	1	0.954	0.969 Si

Verifica di stabilità a taglio anima Y §4.2.4.1.2.4 [4.2.27] NTC18

η	hw	tw	hw/tw max	Verifica
1.2	0.098	0.005	55.46	Si

Verifica di stabilità a taglio anima Y SLD §4.2.4.1.2.4 [4.2.27] NTC18

η	hw	tw	hw/tw max	Verifica
1.2	0.098	0.005	55.46	Si

Verifiche a deformabilità

Mensola X: No; Mensola Y: No.

Frecce lungo X

Ascissa freccia	Combinazione	Freccia	Luce	L/f	L/f,min	Tipo	Verifica
0.633	SLE RA 1	0	1.265	10000	250	Totale	Si
0.633	SLE RA 17	0	1.265	10000	250	Totale	Si
0.633	SLE RA 16	0	1.265	10000	250	Totale	Si
0.633	SLE RA 15	0	1.265	10000	250	Totale	Si
0.633	SLE RA 14	0	1.265	10000	250	Totale	Si
0.633	SLE RA 2	0	1.265	10000	350	Variabile	Si
0.633	SLE RA 17	0	1.265	10000	350	Variabile	Si
0.633	SLE RA 16	0	1.265	10000	350	Variabile	Si
0.548	SLE RA 15	0	1.265	10000	350	Variabile	Si
0.633	SLE RA 14	0	1.265	10000	350	Variabile	Si

Frecce lungo Y

Ascissa freccia	Combinazione	Freccia	Luce	L/f	L/f,min	Tipo	Verifica
0.633	SLE RA 1	-0.00001	1.265	10000	250	Totale	Si
0.633	SLE RA 17	-0.00001	1.265	10000	250	Totale	Si
0.633	SLE RA 16	-0.00001	1.265	10000	250	Totale	Si
0.633	SLE RA 15	-0.00001	1.265	10000	250	Totale	Si
0.633	SLE RA 14	-0.00001	1.265	10000	250	Totale	Si
0.591	SLE RA 2	0	1.265	10000	350	Variabile	Si
0.591	SLE RA 17	0	1.265	10000	350	Variabile	Si
0.591	SLE RA 16	0	1.265	10000	350	Variabile	Si
0.675	SLE RA 15	0	1.265	10000	350	Variabile	Si
0.591	SLE RA 14	0	1.265	10000	350	Variabile	Si

Superelemento in acciaio a quota "640"- "590" (2231; 2187)-(2347; 2188)

Caratteristiche del materiale

Acciaio: S275, fyk = 275000

Caratteristiche geometriche

Lunghezza: 1.265

Nodo iniziale: 1113 Nodo finale: 441

Cerniera iniziale: Mmomenti 1% Cerniera finale: Mmomenti 1%

Sovreresistenza: 0% Sisma Z: No

**Implementazione dei sistemi di confinamento delle emissioni odorigene diffuse dell'impianto di compostaggio esistente nel
Comune di Eboli (SA)
PROGETTO DEFINITIVO – Tabulati di calcolo Tomo 1**

Caratteristiche della sezione

Sezione	Rotazione	Area	Jx	Jy	ix	iy	Wx	Wy	Wplx	Wply
HEA120	0	0.002537	0.0000060673	0.0000023091	0.0489	0.0302	0.00010644	0.00003849	0.00011962	0.00005887

Verifiche di resistenza

Verifiche a forza assiale §4.2.4.1.2.1 - §4.2.4.1.2.2 NTC18

X	Comb.	Sfruttamento	Classe	NEd	Nc,Rd	Nt,Rd	Riduzione da taglio	px	py	Verifica
0	SLV 3	0.041		26.972		664.325	1	0	0	Si

Verifiche a forza assiale SLD §4.2.4.1.2.1 - §4.2.4.1.2.2 NTC18

X	Comb.	Sfruttamento	Classe	NEd	Nc,Rd	Nt,Rd	Riduzione da taglio	px	py	Verifica
0	SLD 4	0.019		12.437		664.325	1	0	0	Si

Verifica a taglio Y §4.2.4.1.2.4 NTC18

X	Comb.	Sfruttamento	Classe	VEd	Vc,Rd	Av	Interazione taglio-torsione	Riduzione torsione	Verifica
0	SLU 42	0.001		0.151	128.304	0.000849	Considerata	1	Si

Verifica a taglio Y SLD §4.2.4.1.2.4 NTC18

X	Comb.	Sfruttamento	Classe	VEd	Vc,Rd	Av	Interazione taglio-torsione	Riduzione torsione	Verifica
0	SLD 10	0.001		0.116	128.304	0.000849	Considerata	1	Si

Verifica a presso/tenso flessione retta X §§ 4.2.4.1.2.3 - 4.2.4.1.2.6 - 4.2.4.1.2.7 - 4.2.4.1.2.8 NTC18

Verifiche eseguite utilizzando la formula conservativa (6.2) §6.2.1 EN 1993-1-1:2005.

X	Comb.	Sfruttamento	Classe	NEd	NRd	Rid. NRd da VEd	Mx,Ed	Mx,Rd	Rid. Mx,Rd da VEd	Rid. Mx,Rd da NEd	px	py	Verifica
0.591	SLV 4	0.042	1	26.925	664.325	1	-0.0372	31.3291	1		0	0	Si

Verifica a presso/tenso flessione retta X SLD §§ 4.2.4.1.2.3 - 4.2.4.1.2.6 - 4.2.4.1.2.7 - 4.2.4.1.2.8 NTC18

Verifiche eseguite utilizzando la formula conservativa (6.2) §6.2.1 EN 1993-1-1:2005.

X	Comb.	Sfruttamento	Classe	NEd	NRd	Rid. NRd da VEd	Mx,Ed	Mx,Rd	Rid. Mx,Rd da VEd	Rid. Mx,Rd da NEd	px	py	Verifica
0.591	SLD 3	0.02	1	12.391	664.325	1	-0.037	31.3291	1		0	0	Si

Verifica a presso/tenso flessione retta Y §§ 4.2.4.1.2.3 - 4.2.4.1.2.6 - 4.2.4.1.2.7 - 4.2.4.1.2.8 NTC18

Verifiche eseguite utilizzando la formula conservativa (6.2) §6.2.1 EN 1993-1-1:2005.

X	Comb.	Sfruttamento	Classe	NEd	NRd	Rid. NRd da VEd	My,Ed	My,Rd	Rid. My,Rd da VEd	Rid. My,Rd da NEd	px	py	Verifica
0	SLV 13	0.025	1	-16.12	664.325	1	0.016	15.4191	1		0	0	Si

Verifica a presso/tenso flessione retta Y SLD §§ 4.2.4.1.2.3 - 4.2.4.1.2.6 - 4.2.4.1.2.7 - 4.2.4.1.2.8 NTC18

Verifiche eseguite utilizzando la formula conservativa (6.2) §6.2.1 EN 1993-1-1:2005.

X	Comb.	Sfruttamento	Classe	NEd	NRd	Rid. NRd da VEd	My,Ed	My,Rd	Rid. My,Rd da VEd	Rid. My,Rd da NEd	px	py	Verifica
0	SLD 1	0.014	1	9.23	664.325	1	0.0051	15.4191	1		0	0	Si

Verifica a presso/tenso flessione deviata §§ 4.2.4.1.2.3 - 4.2.4.1.2.6 - 4.2.4.1.2.7 - 4.2.4.1.2.8 NTC18

Verifiche eseguite utilizzando la formula conservativa (6.2) §6.2.1 EN 1993-1-1:2005.

X	Comb.	Sfruttamento	Classe	NEd	NRd	Rid. NRd da VEd	Mx,Ed	Mx,Rd	My,Ed	My,Rd	Rid. Mx,Rd da VEd	Rid. Mx,Rd da NEd	Rid. My,Rd da VEd	Rid. My,Rd da NEd	α	β	px	py	Verifica
0.633	SLV 13	0.026	1	-16.17	664.325	1	-0.0372	31.3291	0.0105	15.4191	1		1				0	0	Si

Verifica a presso/tenso flessione deviata SLD §§ 4.2.4.1.2.3 - 4.2.4.1.2.6 - 4.2.4.1.2.7 - 4.2.4.1.2.8 NTC18

Verifiche eseguite utilizzando la formula conservativa (6.2) §6.2.1 EN 1993-1-1:2005.

X	Comb.	Sfruttamento	Classe	NEd	NRd	Rid. NRd da VEd	Mx,Ed	Mx,Rd	My,Ed	My,Rd	Rid. Mx,Rd da VEd	Rid. Mx,Rd da NEd	Rid. My,Rd da VEd	Rid. My,Rd da NEd	α	β	px	py	Verifica
0.591	SLD 2	0.015	1	9.183	664.325	1	-0.0369	31.3291	0.0041	15.4191	1		1				0	0	Si

Verifiche ad instabilità

Caratteristiche iniziali

Membratura principale per controllo snellezza; Calcolo di snellezze ed N critici condotti secondo gli assi principali;

Curva X: b; Curva Y: c; Svergolamento: Carico all'estradosso; Curva svergolamento: b;

Dati per instabilità attorno a x

Controllo della snellezza secondo §4.2.4.1.3.1 NTC18

Numero rit.	Presente	Ascissa	Campata	βx/m	Vincolo a entrambi estremi	λx/m	λVer
1	Si		0				
			1-2		1	25.9	Si, (<200)
2	Si	1.265					

Dati per instabilità attorno a y

Controllo della snellezza secondo §4.2.4.1.3.1 NTC18

Numero rit.	Presente	Ascissa	Campata	βy/n	k _y LT	k _w LT	Vincolo a entrambi estremi	λy/n	λVer
1	Si	0							
			1-2		1	1	Si	41.9	Si, (<200)
2	Si	1.265							

Verifica a svergolamento con trazione §4.2.4.1.3.2 NTC18 § 5.5.3 ENV 1993-1-1:1992 + AC:1992 + A1:1994 + A2:1998

X	Comb.	Sfruttamento	Classe	Obblig.	NEd	Mx,Ed	Mx,Ed,Ed	Mb,Rd,x	χ _y LT	λ adim. LT	L _y LT	M _c critico	Verifica
0.633	SLU 2	0	1	Si	1.211	-0.03654	-0.00097	30.35419	0.969	0.479	1.265	143.53441	Si

Verifica di stabilità per pressoflessione §C.4.2.4.1.3.3.2 NTC18

X	Comb.	Sfruttamento	Classe	NEd	NRk	Mx,Ed max	Mx,Rk	My,Ed max	My,Rk	χ _x	χ _y	k _{xx}	k _{xy}	k _{yx}	k _{yy}	χ _x LT	Verifica
1.265	SLV 13	0.031	1	-16.22	697.541	0.03716	32.89552	0.01603	16.19002	0.965	0.852	0.953	0.44	0.998	0.734	0.969	Si

Verifica di stabilità per pressoflessione SLD §C.4.2.4.1.3.3.2 NTC18

X	Comb.	Sfruttamento	Classe	NEd	NRk	Mx,Ed max	Mx,Rk	My,Ed max	My,Rk	χ _x	χ _y	k _{xx}	k _{xy}	k _{yx}	k _{yy}	χ _x LT	Verifica
---	-------	--------------	--------	-----	-----	-----------	-------	-----------	-------	----------------	----------------	-----------------	-----------------	-----------------	-----------------	-------------------	----------

Implementazione dei sistemi di confinamento delle emissioni odorigene diffuse dell’impianto di compostaggio esistente nel
Comune di Eboli (SA)
PROGETTO DEFINITIVO – Tabulati di calcolo Tomo 1

X	Comb.	Sfruttamento	Classe	NEd	NRk	Mx,Ed max	Mx,Rk	My,Ed max	My,Rk	χ,x	χ,y	kxx	kxy	kyy	χ,LT	Verifica	
1.265	SLD 14	0.005	1	-1.685	697.541	0.03704	32.89552	0.00984	16.19002	0.965	0.852	0.951	0.454	1	0.757	0.969	Si

Verifica di stabilità a taglio anima Y §4.2.4.1.2.4 [4.2.27] NTC18

η	hw	tw	hw/tw max	Verifica
1.2	0.098	0.005	55.46	Si

Verifica di stabilità a taglio anima Y SLD §4.2.4.1.2.4 [4.2.27] NTC18

η	hw	tw	hw/tw max	Verifica
1.2	0.098	0.005	55.46	Si

Verifiche a deformabilità

Mensola X: No; Mensola Y: No.

Frecce lungo X

Ascissa freccia	Combinazione	Freccia	Luce	L/f	L/f,min	Tipo	Verifica
0.591	SLE RA 1	0	1.265	10000	250	Totale	Si
0.591	SLE RA 17	0	1.265	10000	250	Totale	Si
0.591	SLE RA 16	0	1.265	10000	250	Totale	Si
0.591	SLE RA 15	0	1.265	10000	250	Totale	Si
0.591	SLE RA 14	0	1.265	10000	250	Totale	Si
0.591	SLE RA 2	0	1.265	10000	350	Variabile	Si
0.591	SLE RA 17	0	1.265	10000	350	Variabile	Si
0.591	SLE RA 16	0	1.265	10000	350	Variabile	Si
0.591	SLE RA 15	0	1.265	10000	350	Variabile	Si
0.633	SLE RA 14	0	1.265	10000	350	Variabile	Si

Frecce lungo Y

Ascissa freccia	Combinazione	Freccia	Luce	L/f	L/f,min	Tipo	Verifica
0.633	SLE RA 1	-0.00001	1.265	10000	250	Totale	Si
0.633	SLE RA 17	-0.00001	1.265	10000	250	Totale	Si
0.633	SLE RA 16	-0.00001	1.265	10000	250	Totale	Si
0.633	SLE RA 15	-0.00001	1.265	10000	250	Totale	Si
0.633	SLE RA 14	-0.00001	1.265	10000	250	Totale	Si
0.633	SLE RA 2	0	1.265	10000	350	Variabile	Si
0.633	SLE RA 17	0	1.265	10000	350	Variabile	Si
0.633	SLE RA 16	0	1.265	10000	350	Variabile	Si
0.633	SLE RA 15	0	1.265	10000	350	Variabile	Si
0.633	SLE RA 14	0	1.265	10000	350	Variabile	Si

Superelemento in acciaio a quota "640"- "590" (2347; 2188)-(2463; 2189)

Caratteristiche del materiale

Acciaio: S275, fyk = 275000

Caratteristiche geometriche

Lunghezza: 1.265

Nodo iniziale: 1114 Nodo finale: 446

Cerniera iniziale: Mmomenti 1% Cerniera finale: Mmomenti 1%

Sovreresistenza: 0% Sisma Z: No

Caratteristiche della sezione

Sezione	Rotazione	Area	Jx	Jy	ix	iy	Wx	Wy	Wplx	Wply
HEA120	0	0.002537	0.0000060673	0.0000023091	0.0489	0.0302	0.00010644	0.00003849	0.00011962	0.00005887

Verifiche di resistenza

Verifiche a forza assiale §4.2.4.1.2.1 - §4.2.4.1.2.2 NTC18

X	Comb.	Sfruttamento	Classe	NEd	Nc,Rd	Nt,Rd	Riduzione da taglio	px	py	Verifica
0	SLV 4	0.041		27.401		664.325	1	0	0	Si

Verifiche a forza assiale SLD §4.2.4.1.2.1 - §4.2.4.1.2.2 NTC18

X	Comb.	Sfruttamento	Classe	NEd	Nc,Rd	Nt,Rd	Riduzione da taglio	px	py	Verifica
0	SLD 4	0.017		11.305		664.325	1	0	0	Si

Verifica a taglio Y §4.2.4.1.2.4 NTC18

X	Comb.	Sfruttamento	VEd	Vc,Rd	Av	Interazione taglio-torsione	Riduzione torsione	Verifica
0	SLU 63	0.001	0.151	128.304	0.000849	Considerata	1	Si

Verifica a taglio Y SLD §4.2.4.1.2.4 NTC18

X	Comb.	Sfruttamento	VEd	Vc,Rd	Av	Interazione taglio-torsione	Riduzione torsione	Verifica
0	SLD 14	0.001	0.116	128.304	0.000849	Considerata	1	Si

Verifica a flessione semplice X §§ 4.2.4.1.2.3 - 4.2.4.1.2.6 - 4.2.4.1.2.7 - 4.2.4.1.2.8 NTC18

X	Comb.	Sfruttamento	Classe	Mx,Ed	Mx,Rd	Rid. Mx,Rd da VEd	px	py	Verifica
0.717	SLU 40	0.001	1	-0.04692	31.32907	1	0	0	Si

Verifica a presso/tenso flessione retta X §§ 4.2.4.1.2.3 - 4.2.4.1.2.6 - 4.2.4.1.2.7 - 4.2.4.1.2.8 NTC18

Verifiche eseguite utilizzando la formula conservativa (6.2) §6.2.1 EN 1993-1-1:2005.

X	Comb.	Sfruttamento	Classe	NEd	NRd	Rid. NRd da VEd	Mx,Ed	Mx,Rd	Rid. Mx,Rd da VEd	Rid. Mx,Rd da NEd	px	py	Verifica
0.675	SLV 14	0.032	1	-20.382	664.325	1	-0.0367	31.3291	1		0	0	Si

Verifica a presso/tenso flessione retta X SLD §§ 4.2.4.1.2.3 - 4.2.4.1.2.6 - 4.2.4.1.2.7 - 4.2.4.1.2.8 NTC18

Verifiche eseguite utilizzando la formula conservativa (6.2) §6.2.1 EN 1993-1-1:2005.

X	Comb.	Sfruttamento	Classe	NEd	NRd	Rid. NRd da VEd	Mx,Ed	Mx,Rd	Rid. Mx,Rd da VEd	Rid. Mx,Rd da NEd	px	py	Verifica
---	-------	--------------	--------	-----	-----	-----------------	-------	-------	-------------------	-------------------	----	----	----------

Implementazione dei sistemi di confinamento delle emissioni odorigene diffuse dell'impianto di compostaggio esistente nel
Comune di Eboli (SA)

PROGETTO DEFINITIVO – Tabulati di calcolo Tomo 1

X	Comb.	Sfruttamento	Classe	NEd	NRd	Rid. NRd da VEd	Mx,Ed	Mx,Rd	Rid. Mx,Rd da VEd	Rid. Mx,Rd da NEd	px	py	Verifica
0.675	SLD 13	0.008	1	-4.285	664.325	1	-0.0373	31.3291	1		0	0	Si

Verifica a presso/tenso flessione retta Y §§ 4.2.4.1.2.3 - 4.2.4.1.2.6 - 4.2.4.1.2.7 - 4.2.4.1.2.8 NTC18

Verifiche eseguite utilizzando la formula conservativa (6.2) §6.2.1 EN 1993-1-1:2005.

X	Comb.	Sfruttamento	Classe	NEd	NRd	Rid. NRd da VEd	My,Ed	My,Rd	Rid. My,Rd da VEd	Rid. My,Rd da NEd	px	py	Verifica
1.265	SLV 4	0.042	1	27.301	664.325	1	0.0096	15.4191	1		0	0	Si

Verifica a presso/tenso flessione retta Y SLD §§ 4.2.4.1.2.3 - 4.2.4.1.2.6 - 4.2.4.1.2.7 - 4.2.4.1.2.8 NTC18

Verifiche eseguite utilizzando la formula conservativa (6.2) §6.2.1 EN 1993-1-1:2005.

X	Comb.	Sfruttamento	Classe	NEd	NRd	Rid. NRd da VEd	My,Ed	My,Rd	Rid. My,Rd da VEd	Rid. My,Rd da NEd	px	py	Verifica
0	SLD 4	0.017	1	11.305	664.325	1	0.0044	15.4191	1		0	0	Si

Verifica a presso/tenso flessione deviata §§ 4.2.4.1.2.3 - 4.2.4.1.2.6 - 4.2.4.1.2.7 - 4.2.4.1.2.8 NTC18

Verifiche eseguite utilizzando la formula conservativa (6.2) §6.2.1 EN 1993-1-1:2005.

X	Comb.	Sfruttamento	Classe	NEd	NRd	Rid. NRd da VEd	Mx,Ed	Mx,Rd	My,Ed	My,Rd	Rid. Mx,Rd da VEd	Rid. Mx,Rd da NEd	Rid. My,Rd da VEd	Rid. My,Rd da NEd	α	β	px	py	Verifica
0.633	SLV 4	0.043	1	27.351	664.325	1	-0.0388	31.3291	0.0074	15.4191	1		1				0	0	Si

Verifica a presso/tenso flessione deviata SLD §§ 4.2.4.1.2.3 - 4.2.4.1.2.6 - 4.2.4.1.2.7 - 4.2.4.1.2.8 NTC18

Verifiche eseguite utilizzando la formula conservativa (6.2) §6.2.1 EN 1993-1-1:2005.

X	Comb.	Sfruttamento	Classe	NEd	NRd	Rid. NRd da VEd	Mx,Ed	Mx,Rd	My,Ed	My,Rd	Rid. Mx,Rd da VEd	Rid. Mx,Rd da NEd	Rid. My,Rd da VEd	Rid. My,Rd da NEd	α	β	px	py	Verifica
0.633	SLD 3	0.018	1	11.255	664.325	1	-0.0381	31.3291	0.0048	15.4191	1		1				0	0	Si

Verifiche ad instabilità

Caratteristiche iniziali

Membratura principale per controllo snellezza; Calcolo di snellezze ed N critici condotti secondo gli assi principali;

Curva X: b; Curva Y: c; Svergolamento: Carico all'estradosso; Curva svergolamento: b;

Dati per instabilità attorno a x

Controllo della snellezza secondo §4.2.4.1.3.1 NTC18

Numero rit.	Presente	Ascissa	Campata	βx/m	Vincolo a entrambi estremi	λx/m	λVer
1	Si		0				
			1-2		1	25.9	Si, (<200)
2	Si	1.265					

Dati per instabilità attorno a y

Controllo della snellezza secondo §4.2.4.1.3.1 NTC18

Numero rit.	Presente	Ascissa	Campata	βy/n	k,LT	kw,LT	Vincolo a entrambi estremi	λy/n	λVer
1	Si	0							
			1-2		1	1	Si	41.9	Si, (<200)
2	Si	1.265							

Verifica a svergolamento §4.2.4.1.3.2 NTC18

X	Comb.	Sfruttamento	Classe	Obblig.	Mx,Ed	Mb,Rd,x	χ,LT	λ adim. LT	L,LT	M,critico	Verifica
0.717	SLU 40	0.002	1	Si	-0.04692	30.35419	0.969	0.479	1.265	143.53441	Si

Verifica a svergolamento con trazione §4.2.4.1.3.2 NTC18 § 5.5.3 ENV 1993-1-1:1992 + AC:1992 + A1:1994 + A2:1998

X	Comb.	Sfruttamento	Classe	Obblig.	NEd	Mx,Ed	Mx,Eff,Ed	Mb,Rd,x	χ,LT	λ adim. LT	L,LT	M,critico	Verifica
0.633	SLU 40	0.001	1	Si	0.26	-0.04777	-0.04012	30.35419	0.969	0.479	1.265	143.53441	Si

Verifica di stabilità per pressoflessione §C.4.2.4.1.3.3.2 NTC18

X	Comb.	Sfruttamento	Classe	NEd	NRk	Mx,Ed max	Mx,Rk	My,Ed max	My,Rk	χ,x	χ,y	kxx	kxy	kyy	χ,LT	Verifica	
1.265	SLV 13	0.037	1	-20.428	697.541	0.03681	32.89552	0.00293	16.19002	0.965	0.852	0.954	0.243	0.998	0.405	0.969	Si

Verifica di stabilità per pressoflessione SLD §C.4.2.4.1.3.3.2 NTC18

X	Comb.	Sfruttamento	Classe	NEd	NRk	Mx,Ed max	Mx,Rk	My,Ed max	My,Rk	χ,x	χ,y	kxx	kxy	kyy	χ,LT	Verifica	
1.265	SLD 14	0.009	1	-4.332	697.541	0.03746	32.89552	0.00289	16.19002	0.965	0.852	0.952	0.482	0.999	0.804	0.969	Si

Verifica di stabilità a taglio anima Y §4.2.4.1.2.4 [4.2.27] NTC18

η	hw	tw	hw/tw max	Verifica
1.2	0.098	0.005	55.46	Si

Verifica di stabilità a taglio anima Y SLD §4.2.4.1.2.4 [4.2.27] NTC18

η	hw	tw	hw/tw max	Verifica
1.2	0.098	0.005	55.46	Si

Verifiche a deformabilità

Mensola X: No; Mensola Y: No.

Frecce lungo X

Ascissa freccia	Combinazione	Freccia	Luce	L/f	L/f,min	Tipo	Verifica
0.633	SLE RA 1	0	1.265	10000	250	Totale	Si
0.633	SLE RA 17	0	1.265	10000	250	Totale	Si
0.633	SLE RA 16	0	1.265	10000	250	Totale	Si
0.633	SLE RA 15	0	1.265	10000	250	Totale	Si
0.633	SLE RA 14	0	1.265	10000	250	Totale	Si
0.633	SLE RA 2	0	1.265	10000	350	Variabile	Si
0.633	SLE RA 17	0	1.265	10000	350	Variabile	Si
0.633	SLE RA 16	0	1.265	10000	350	Variabile	Si
0.633	SLE RA 15	0	1.265	10000	350	Variabile	Si
0.38	SLE RA 14	0	1.265	10000	350	Variabile	Si

Frecce lungo Y

Ascissa freccia	Combinazione	Freccia	Luce	L/f	L/f,min	Tipo	Verifica
0.633	SLE RA 1	-0.00001	1.265	10000	250	Totale	Si
0.633	SLE RA 17	-0.00001	1.265	10000	250	Totale	Si

Implementazione dei sistemi di confinamento delle emissioni odorigene diffuse dell'impianto di compostaggio esistente nel
Comune di Eboli (SA)
PROGETTO DEFINITIVO – Tabulati di calcolo Tomo 1

Ascissa freccia	Combinazione	Freccia	Luce	L/f	L/f,min	Tipo	Verifica
0.633	SLE RA 16	-0.00001	1.265	10000	250	Totale	Si
0.633	SLE RA 15	-0.00001	1.265	10000	250	Totale	Si
0.633	SLE RA 14	-0.00001	1.265	10000	250	Totale	Si
0.633	SLE RA 2	0	1.265	10000	350	Variabile	Si
0.633	SLE RA 17	0	1.265	10000	350	Variabile	Si
0.633	SLE RA 16	0	1.265	10000	350	Variabile	Si
0.633	SLE RA 15	0	1.265	10000	350	Variabile	Si
0.633	SLE RA 14	0	1.265	10000	350	Variabile	Si

Superelemento in acciaio a quota "640"- "590" (-33; 29)- (94; 164)

Caratteristiche del materiale

Acciaio: S275, fyk = 275000

Caratteristiche geometriche

Lunghezza: 1.916

Nodo iniziale: 670 Nodo finale: 338

Cerniera iniziale: Mmomenti 1% Cerniera finale: Mmomenti 1%

Sovreresistenza: 0% Sisma Z: No

Caratteristiche della sezione

Sezione	Rotazione	Area	Jx	Jy	ix	iy	Wx	Wy	Wplx	Wply
HEA120	0	0.002537	0.0000060673	0.0000023091	0.0489	0.0302	0.00010644	0.00003849	0.00011962	0.00005887

Verifiche di resistenza

Verifiche a forza assiale §4.2.4.1.2.1 - §4.2.4.1.2.2 NTC18

X	Comb.	Sfruttamento	Classe	NEd	Nc,Rd	Nt,Rd	Riduzione da taglio	px	py	Verifica
0	SLU 75	0.072		47.938		664.325	1	0	0	Si

Verifiche a forza assiale SLD §4.2.4.1.2.1 - §4.2.4.1.2.2 NTC18

X	Comb.	Sfruttamento	Classe	NEd	Nc,Rd	Nt,Rd	Riduzione da taglio	px	py	Verifica
0	SLD 12	0.037		24.607		664.325	1	0	0	Si

Verifica a taglio Y §4.2.4.1.2.4 NTC18

X	Comb.	Sfruttamento	VEd	Vc,Rd	Av	Interazione taglio-torsione	Riduzione torsione	Verifica
0	SLU 75	0.002	0.24	128.304	0.000849	Considerata	1	Si

Verifica a taglio Y SLD §4.2.4.1.2.4 NTC18

X	Comb.	Sfruttamento	VEd	Vc,Rd	Av	Interazione taglio-torsione	Riduzione torsione	Verifica
0	SLD 3	0.001	0.185	128.304	0.000849	Considerata	1	Si

Verifica a presso/tenso flessione retta X §§ 4.2.4.1.2.3 - 4.2.4.1.2.6 - 4.2.4.1.2.7 - 4.2.4.1.2.8 NTC18

Verifiche eseguite utilizzando la formula conservativa (6.2) §6.2.1 EN 1993-1-1:2005.

X	Comb.	Sfruttamento	Classe	NEd	NRd	Rid. NRd da VEd	Mx,Ed	Mx,Rd	Rid. Mx,Rd da VEd	Rid. Mx,Rd da NEd	px	py	Verifica
0.958	SLV 16	0.061	1	38.566	664.325	1	-0.0872	31.3291	1		0	0	Si

Verifica a presso/tenso flessione retta X SLD §§ 4.2.4.1.2.3 - 4.2.4.1.2.6 - 4.2.4.1.2.7 - 4.2.4.1.2.8 NTC18

Verifiche eseguite utilizzando la formula conservativa (6.2) §6.2.1 EN 1993-1-1:2005.

X	Comb.	Sfruttamento	Classe	NEd	NRd	Rid. NRd da VEd	Mx,Ed	Mx,Rd	Rid. Mx,Rd da VEd	Rid. Mx,Rd da NEd	px	py	Verifica
0.575	SLD 12	0.039	1	24.577	664.325	1	-0.0719	31.3291	1		0	0	Si

Verifica a presso/tenso flessione retta Y §§ 4.2.4.1.2.3 - 4.2.4.1.2.6 - 4.2.4.1.2.7 - 4.2.4.1.2.8 NTC18

Verifiche eseguite utilizzando la formula conservativa (6.2) §6.2.1 EN 1993-1-1:2005.

X	Comb.	Sfruttamento	Classe	NEd	NRd	Rid. NRd da VEd	My,Ed	My,Rd	Rid. My,Rd da VEd	Rid. My,Rd da NEd	px	py	Verifica
0	SLU 75	0.074	1	47.938	664.325	1	-0.024	15.4191	1		0	0	Si

Verifica a presso/tenso flessione retta Y SLD §§ 4.2.4.1.2.3 - 4.2.4.1.2.6 - 4.2.4.1.2.7 - 4.2.4.1.2.8 NTC18

Verifiche eseguite utilizzando la formula conservativa (6.2) §6.2.1 EN 1993-1-1:2005.

X	Comb.	Sfruttamento	Classe	NEd	NRd	Rid. NRd da VEd	My,Ed	My,Rd	Rid. My,Rd da VEd	Rid. My,Rd da NEd	px	py	Verifica
1.916	SLD 12	0.038	1	24.508	664.325	1	-0.0117	15.4191	1		0	0	Si

Verifica a presso/tenso flessione deviata §§ 4.2.4.1.2.3 - 4.2.4.1.2.6 - 4.2.4.1.2.7 - 4.2.4.1.2.8 NTC18

Verifiche eseguite utilizzando la formula conservativa (6.2) §6.2.1 EN 1993-1-1:2005.

X	Comb.	Sfruttamento	Classe	NEd	NRd	Rid. NRd da VEd	Mx,Ed	Mx,Rd	My,Ed	My,Rd	Rid. Mx,Rd da VEd	Rid. Mx,Rd da NEd	Rid. My,Rd da VEd	Rid. My,Rd da NEd	α	β	px	py	Verifica
0.958	SLU 75	0.077	1	47.874	664.325	1	-0.1072	31.3291	-0.0235	15.4191	1		1				0	0	Si

Verifica a presso/tenso flessione deviata SLD §§ 4.2.4.1.2.3 - 4.2.4.1.2.6 - 4.2.4.1.2.7 - 4.2.4.1.2.8 NTC18

Verifiche eseguite utilizzando la formula conservativa (6.2) §6.2.1 EN 1993-1-1:2005.

X	Comb.	Sfruttamento	Classe	NEd	NRd	Rid. NRd da VEd	Mx,Ed	Mx,Rd	My,Ed	My,Rd	Rid. Mx,Rd da VEd	Rid. Mx,Rd da NEd	Rid. My,Rd da VEd	Rid. My,Rd da NEd	α	β	px	py	Verifica
0.958	SLD 11	0.04	1	24.557	664.325	1	-0.0862	31.3291	-0.0107	15.4191	1		1				0	0	Si

Verifiche ad instabilità

Caratteristiche iniziali

Membratura principale per controllo snellezza; Calcolo di snellezze ed N critici condotti secondo gli assi principali;

Curva X: b; Curva Y: c; Svergolamento: Carico all'estradosso; Curva svergolamento: b;

Implementazione dei sistemi di confinamento delle emissioni odorigene diffuse dell'impianto di compostaggio esistente nel
Comune di Eboli (SA)
PROGETTO DEFINITIVO – Tabulati di calcolo Tomo 1

Dati per instabilità attorno a x

Controllo della snellezza secondo §4.2.4.1.3.1 NTC18

Numero rit.	Presente	Ascissa	Campata	$\beta x/m$	Vincolo a entrambi estremi	$\lambda x/m$	λVer
1	Si	0	1-2	1	Si	39.2	Si, (<200)
2	Si	1.916					

Dati per instabilità attorno a y

Controllo della snellezza secondo §4.2.4.1.3.1 NTC18

Numero rit.	Presente	Ascissa	Campata	$\beta y/n$	k,LT	kw,LT	Vincolo a entrambi estremi	$\lambda y/n$	λVer
1	Si	0	1-2	1	1	1	Si	63.5	Si, (<200)
2	Si	1.916							

Verifica a svergolamento con trazione §4.2.4.1.3.2 NTC18 § 5.5.3 ENV 1993-1-1:1992 + AC:1992 + A1:1994 + A2:1998

X	Comb.	Sfruttamento	Classe	Obblig.	NEd	Mx,Ed	Mx,Eff,Ed	Mb,Rd,x	χ_{LT}	λ adim. LT	L,LT	M,critico	Verifica
0.958	SLU 40	0.003	1	Si	0.823	-0.11422	-0.09004	28.03468	0.895	0.648	1.916	78.2995	Si

Verifica di stabilità per pressoflessione §C.4.2.4.1.3.3.2 NTC18

X	Comb.	Sfruttamento	Classe	NEd	NRk	Mx,Ed max	Mx,Rk	My,Ed max	My,Rk	χ_x	χ_y	kxx	kxy	kyy	χ_{LT}	Verifica	
1.916	SLV 6	0.018	1	-6.553	697.541	0.08383	32.89552	0.02156	16.19002	0.905	0.705	0.95	0.243	0.999	0.405	0.895	Si

Verifica di stabilità a taglio anima Y §4.2.4.1.2.4 [4.2.27] NTC18

η	hw	tw	hw/tw max	Verifica
1.2	0.098	0.005	55.46	Si

Verifica di stabilità a taglio anima Y SLD §4.2.4.1.2.4 [4.2.27] NTC18

η	hw	tw	hw/tw max	Verifica
1.2	0.098	0.005	55.46	Si

Verifiche a deformabilità

Mensola X: No; Mensola Y: No.

Frecce lungo X

Ascissa freccia	Combinazione	Freccia	Luce	L/f	L/f,min	Tipo	Verifica
0.958	SLE RA 1	0.00001	1.916	10000	250	Totale	Si
0.958	SLE RA 17	0.00001	1.916	10000	250	Totale	Si
0.958	SLE RA 16	0.00001	1.916	10000	250	Totale	Si
0.958	SLE RA 15	0.00001	1.916	10000	250	Totale	Si
0.958	SLE RA 14	0.00001	1.916	10000	250	Totale	Si
0.958	SLE RA 2	-0.00001	1.916	10000	350	Variabile	Si
0.958	SLE RA 17	0	1.916	10000	350	Variabile	Si
0.958	SLE RA 16	0.00001	1.916	10000	350	Variabile	Si
0.958	SLE RA 15	0	1.916	10000	350	Variabile	Si
0.958	SLE RA 14	0.00001	1.916	10000	350	Variabile	Si

Frecce lungo Y

Ascissa freccia	Combinazione	Freccia	Luce	L/f	L/f,min	Tipo	Verifica
0.958	SLE RA 1	-0.00003	1.916	10000	250	Totale	Si
0.958	SLE RA 17	-0.00003	1.916	10000	250	Totale	Si
0.958	SLE RA 16	-0.00003	1.916	10000	250	Totale	Si
0.958	SLE RA 15	-0.00003	1.916	10000	250	Totale	Si
0.958	SLE RA 14	-0.00003	1.916	10000	250	Totale	Si
0.958	SLE RA 2	0	1.916	10000	350	Variabile	Si
0.958	SLE RA 17	0	1.916	10000	350	Variabile	Si
0.958	SLE RA 16	0	1.916	10000	350	Variabile	Si
0.958	SLE RA 15	0	1.916	10000	350	Variabile	Si
0.958	SLE RA 14	0	1.916	10000	350	Variabile	Si

Superelemento in acciaio a quota "640"- "590" (-526; 1256)-(-399; 1391)

Caratteristiche del materiale

Acciaio: S275, fyk = 275000

Caratteristiche geometriche

Lunghezza: 1.916

Nodo iniziale: 924 Nodo finale: 395

Cerniera iniziale: Mmomenti 1% Cerniera finale: Mmomenti 1%

Sovreresistenza: 0% Sisma Z: No

Caratteristiche della sezione

Sezione	Rotazione	Area	Jx	Jy	ix	iy	Wx	Wy	Wplx	Wply
HEA120	0	0.002537	0.0000060673	0.0000023091	0.0489	0.0302	0.00010644	0.00003849	0.00011962	0.00005887

Verifiche di resistenza

Verifiche a forza assiale §4.2.4.1.2.1 - §4.2.4.1.2.2 NTC18

X	Comb.	Sfruttamento	Classe	NEd	Nc,Rd	Nt,Rd	Riduzione da taglio	px	py	Verifica
0	SLU 76	0.1		66.604		664.325	1	0	0	Si

Verifiche a forza assiale SLD §4.2.4.1.2.1 - §4.2.4.1.2.2 NTC18

X	Comb.	Sfruttamento	Classe	NEd	Nc,Rd	Nt,Rd	Riduzione da taglio	px	py	Verifica
0	SLD 9	0.04		26.583		664.325	1	0	0	Si

Verifica a taglio Y §4.2.4.1.2.4 NTC18

X	Comb.	Sfruttamento	VEd	Vc,Rd	Av	Interazione taglio-torsione	Riduzione torsione	Verifica
---	-------	--------------	-----	-------	----	-----------------------------	--------------------	----------

**Implementazione dei sistemi di confinamento delle emissioni odorigene diffuse dell'impianto di compostaggio esistente nel
Comune di Eboli (SA)
PROGETTO DEFINITIVO – Tabulati di calcolo Tomo 1**

X	Comb.	Sfruttamento	VEd	Vc,Rd	Av	Interazione taglio-torsione	Riduzione torsione	Verifica
0	SLU 76	0.002	0.243	128.304	0.000849	Considerata	1	Si

Verifica a taglio Y SLD §4.2.4.1.2.4 NTC18

X	Comb.	Sfruttamento	VEd	Vc,Rd	Av	Interazione taglio-torsione	Riduzione torsione	Verifica
0	SLD 9	0.001	0.185	128.304	0.000849	Considerata	1	Si

Verifica a presso/tenso flessione retta X §§ 4.2.4.1.2.3 - 4.2.4.1.2.6 - 4.2.4.1.2.7 - 4.2.4.1.2.8 NTC18

Verifiche eseguite utilizzando la formula conservativa (6.2) §6.2.1 EN 1993-1-1:2005.

X	Comb.	Sfruttamento	Classe	NEd	NRd	Rid. NRd da VEd	Mx,Ed	Mx,Rd	Rid. Mx,Rd da VEd	Rid. Mx,Rd da NEd	px	py	Verifica
0.958	SLU 2	0.018	1	-10.014	664.325	1	-0.0855	31.3291	1		0	0	Si

Verifica a presso/tenso flessione retta X SLD §§ 4.2.4.1.2.3 - 4.2.4.1.2.6 - 4.2.4.1.2.7 - 4.2.4.1.2.8 NTC18

Verifiche eseguite utilizzando la formula conservativa (6.2) §6.2.1 EN 1993-1-1:2005.

X	Comb.	Sfruttamento	Classe	NEd	NRd	Rid. NRd da VEd	Mx,Ed	Mx,Rd	Rid. Mx,Rd da VEd	Rid. Mx,Rd da NEd	px	py	Verifica
0.958	SLD 3	0.016	1	8.844	664.325	1	-0.0921	31.3291	1		0	0	Si

Verifica a presso/tenso flessione retta Y §§ 4.2.4.1.2.3 - 4.2.4.1.2.6 - 4.2.4.1.2.7 - 4.2.4.1.2.8 NTC18

Verifiche eseguite utilizzando la formula conservativa (6.2) §6.2.1 EN 1993-1-1:2005.

X	Comb.	Sfruttamento	Classe	NEd	NRd	Rid. NRd da VEd	My,Ed	My,Rd	Rid. My,Rd da VEd	Rid. My,Rd da NEd	px	py	Verifica
0	SLU 64	0.087	1	57.335	664.325	1	0.0181	15.4191	1		0	0	Si

Verifica a presso/tenso flessione retta Y SLD §§ 4.2.4.1.2.3 - 4.2.4.1.2.6 - 4.2.4.1.2.7 - 4.2.4.1.2.8 NTC18

Verifiche eseguite utilizzando la formula conservativa (6.2) §6.2.1 EN 1993-1-1:2005.

X	Comb.	Sfruttamento	Classe	NEd	NRd	Rid. NRd da VEd	My,Ed	My,Rd	Rid. My,Rd da VEd	Rid. My,Rd da NEd	px	py	Verifica
0	SLD 9	0.041	1	26.583	664.325	1	0.0102	15.4191	1		0	0	Si

Verifica a presso/tenso flessione deviata §§ 4.2.4.1.2.3 - 4.2.4.1.2.6 - 4.2.4.1.2.7 - 4.2.4.1.2.8 NTC18

Verifiche eseguite utilizzando la formula conservativa (6.2) §6.2.1 EN 1993-1-1:2005.

X	Comb.	Sfruttamento	Classe	NEd	NRd	Rid. NRd da VEd	Mx,Ed	Mx,Rd	My,Ed	My,Rd	Rid. Mx,Rd da VEd	Rid. Mx,Rd da NEd	Rid. My,Rd da VEd	Rid. My,Rd da NEd	α	β	px	py	Verifica
0.958	SLU 76	0.106	1	66.539	664.325	1	-0.1304	31.3291	0.0212	15.4191	1		1				0	0	Si

Verifica a presso/tenso flessione deviata SLD §§ 4.2.4.1.2.3 - 4.2.4.1.2.6 - 4.2.4.1.2.7 - 4.2.4.1.2.8 NTC18

Verifiche eseguite utilizzando la formula conservativa (6.2) §6.2.1 EN 1993-1-1:2005.

X	Comb.	Sfruttamento	Classe	NEd	NRd	Rid. NRd da VEd	Mx,Ed	Mx,Rd	My,Ed	My,Rd	Rid. Mx,Rd da VEd	Rid. Mx,Rd da NEd	Rid. My,Rd da VEd	Rid. My,Rd da NEd	α	β	px	py	Verifica
0.958	SLD 9	0.044	1	26.533	664.325	1	-0.0922	31.3291	0.0096	15.4191	1		1				0	0	Si

Verifiche ad instabilità

Caratteristiche iniziali

Membratura principale per controllo snellezza; Calcolo di snellezze ed N critici condotti secondo gli assi principali;

Curva X: b; Curva Y: c; Svergolamento: Carico all'estradosso; Curva svergolamento: b;

Dati per instabilità attorno a x

Controllo della snellezza secondo §4.2.4.1.3.1 NTC18

Numero rit.	Presente	Ascissa	Campata	βx/m	Vincolo a entrambi estremi	λx/m	λVer
1	Si		0				
			1-2		1	39.2	Si, (<200)
2	Si		1.916				

Dati per instabilità attorno a y

Controllo della snellezza secondo §4.2.4.1.3.1 NTC18

Numero rit.	Presente	Ascissa	Campata	βy/n	k,LT	kw,LT	Vincolo a entrambi estremi	λy/n	λVer
1	Si		0						
			1-2		1	1	Si	63.5	Si, (<200)
2	Si		1.916						

Verifica a svergolamento con trazione §4.2.4.1.3.2 NTC18 § 5.5.3 ENV 1993-1-1:1992 + AC:1992 + A1:1994 + A2:1998

X	Comb.	Sfruttamento	Classe	Obblig.	NEd	Mx,Ed	Mx,Eff,Ed	Mb,Rd,x	χ,LT	λ adim. LT	L,LT	M,critico	Verifica
0.958	SLU 60	0.003	1	Si	0.89	-0.11456	-0.08841	28.03468	0.895	0.648	1.916	78.2995	Si

Verifica di stabilità per pressoflessione §C.4.2.4.1.3.3.2 NTC18

X	Comb.	Sfruttamento	Classe	NEd	NRk	Mx,Ed max	Mx,Rk	My,Ed max	My,Rk	χ,x	χ,y	kxx	kxy	kyy	χ,LT	Verifica
1.916	SLU 2	0.025	1	-10.063	697.541	0.08545	32.89552	0.00279	16.19002	0.905	0.705	0.952	0.583	0.998	0.895	Si

Verifica di stabilità a taglio anima Y §4.2.4.1.2.4 [4.2.27] NTC18

η	hw	tw	hw/tw max	Verifica
1.2	0.098	0.005	55.46	Si

Verifica di stabilità a taglio anima Y SLD §4.2.4.1.2.4 [4.2.27] NTC18

η	hw	tw	hw/tw max	Verifica
1.2	0.098	0.005	55.46	Si

Verifiche a deformabilità

Mensola X: No; Mensola Y: No.

Frecce lungo X

Ascissa freccia	Combinazione	Freccia	Luce	L/f	L/f,min	Tipo	Verifica
0.958	SLE RA 1	-0.00001	1.916	10000	250	Totale	Si
0.958	SLE RA 17	-0.00001	1.916	10000	250	Totale	Si
0.958	SLE RA 16	-0.00001	1.916	10000	250	Totale	Si
0.958	SLE RA 15	-0.00001	1.916	10000	250	Totale	Si
0.958	SLE RA 14	-0.00001	1.916	10000	250	Totale	Si
0.958	SLE RA 2	0.00001	1.916	10000	350	Variabile	Si
0.958	SLE RA 17	0	1.916	10000	350	Variabile	Si

Implementazione dei sistemi di confinamento delle emissioni odorigene diffuse dell'impianto di compostaggio esistente nel
Comune di Eboli (SA)
PROGETTO DEFINITIVO – Tabulati di calcolo Tomo 1

Ascissa freccia	Combinazione	Freccia	Luce	L/f	L/f,min	Tipo	Verifica
0.958	SLE RA 16	-0.00001	1.916	10000	350	Variabile	Si
0.958	SLE RA 15	-0.00001	1.916	10000	350	Variabile	Si
0.958	SLE RA 14	0	1.916	10000	350	Variabile	Si

Frecce lungo Y

Ascissa freccia	Combinazione	Freccia	Luce	L/f	L/f,min	Tipo	Verifica
0.958	SLE RA 1	-0.00003	1.916	10000	250	Totale	Si
0.958	SLE RA 17	-0.00003	1.916	10000	250	Totale	Si
0.958	SLE RA 16	-0.00003	1.916	10000	250	Totale	Si
0.958	SLE RA 15	-0.00003	1.916	10000	250	Totale	Si
0.958	SLE RA 14	-0.00003	1.916	10000	250	Totale	Si
1.022	SLE RA 2	0	1.916	10000	350	Variabile	Si
1.022	SLE RA 17	0	1.916	10000	350	Variabile	Si
1.022	SLE RA 16	0	1.916	10000	350	Variabile	Si
1.022	SLE RA 15	0	1.916	10000	350	Variabile	Si
1.022	SLE RA 14	0	1.916	10000	350	Variabile	Si

Superelemento in acciaio a quota "640"- "590" (-653; 1121)-(-526; 1256)

Caratteristiche del materiale

Acciaio: S275, fyk = 275000

Caratteristiche geometriche

Lunghezza: 1.916

Nodo iniziale: 893 Nodo finale: 391

Cerniera iniziale: Mmomenti 1% Cerniera finale: Mmomenti 1%

Sovreresistenza: 0% Sisma Z: No

Caratteristiche della sezione

Sezione	Rotazione	Area	Jx	Jy	ix	iy	Wx	Wy	Wplx	Wply
HEA120	0	0.002537	0.0000060673	0.0000023091	0.0489	0.0302	0.00010644	0.00003849	0.00011962	0.00005887

Verifiche di resistenza

Verifiche a forza assiale §4.2.4.1.2.1 - §4.2.4.1.2.2 NTC18

X	Comb.	Sfruttamento	Classe	NEd	Nc,Rd	Nt,Rd	Riduzione da taglio	px	py	Verifica
0	SLU 76	0.119		78.991		664.325	1	0	0	Si

Verifiche a forza assiale SLD §4.2.4.1.2.1 - §4.2.4.1.2.2 NTC18

X	Comb.	Sfruttamento	Classe	NEd	Nc,Rd	Nt,Rd	Riduzione da taglio	px	py	Verifica
0	SLD 9	0.047		31.123		664.325	1	0	0	Si

Verifica a taglio Y §4.2.4.1.2.4 NTC18

X	Comb.	Sfruttamento	VEd	Vc,Rd	Av	Interazione taglio-torsione	Riduzione torsione	Verifica
0	SLU 40	0.002	0.24	128.304	0.000849	Considerata	1	Si

Verifica a taglio Y SLD §4.2.4.1.2.4 NTC18

X	Comb.	Sfruttamento	VEd	Vc,Rd	Av	Interazione taglio-torsione	Riduzione torsione	Verifica
0	SLD 9	0.001	0.185	128.304	0.000849	Considerata	1	Si

Verifica a flessione semplice Y §§ 4.2.4.1.2.3 - 4.2.4.1.2.6 - 4.2.4.1.2.7 - 4.2.4.1.2.8 NTC18

X	Comb.	Sfruttamento	Classe	My,Ed	My,Rd	Rid. My,Rd da VEd	px	py	Verifica
0	SLV 3	0.001	1	-0.01058	15.41907	1	0	0	Si

Verifica a flessione deviata §§ 4.2.4.1.2.3 - 4.2.4.1.2.6 - 4.2.4.1.2.7 - 4.2.4.1.2.8 NTC18

X	Comb.	Sfruttamento	Classe	Mx,Ed	Mx,Rd	My,Ed	My,Rd	Rid. Mx,Rd da VEd	Rid. My,Rd da VEd	α	β	px	py	Verifica
0.894	SLV 4	0.003	1	-0.0925	31.3291	-0.0066	15.4191	1	1			0	0	Si

Verifica a presso/tenso flessione retta X §§ 4.2.4.1.2.3 - 4.2.4.1.2.6 - 4.2.4.1.2.7 - 4.2.4.1.2.8 NTC18

Verifiche eseguite utilizzando la formula conservativa (6.2) §6.2.1 EN 1993-1-1:2005.

X	Comb.	Sfruttamento	Classe	NEd	NRd	Rid. NRd da VEd	Mx,Ed	Mx,Rd	Rid. Mx,Rd da VEd	Rid. Mx,Rd da NEd	px	py	Verifica
0.703	SLU 76	0.122	1	78.944	664.325	1	-0.1016	31.3291	1		0	0	Si

Verifica a presso/tenso flessione retta X SLD §§ 4.2.4.1.2.3 - 4.2.4.1.2.6 - 4.2.4.1.2.7 - 4.2.4.1.2.8 NTC18

Verifiche eseguite utilizzando la formula conservativa (6.2) §6.2.1 EN 1993-1-1:2005.

X	Comb.	Sfruttamento	Classe	NEd	NRd	Rid. NRd da VEd	Mx,Ed	Mx,Rd	Rid. Mx,Rd da VEd	Rid. Mx,Rd da NEd	px	py	Verifica
0.767	SLD 9	0.049	1	31.084	664.325	1	-0.0806	31.3291	1		0	0	Si

Verifica a presso/tenso flessione retta Y §§ 4.2.4.1.2.3 - 4.2.4.1.2.6 - 4.2.4.1.2.7 - 4.2.4.1.2.8 NTC18

Verifiche eseguite utilizzando la formula conservativa (6.2) §6.2.1 EN 1993-1-1:2005.

X	Comb.	Sfruttamento	Classe	NEd	NRd	Rid. NRd da VEd	My,Ed	My,Rd	Rid. My,Rd da VEd	Rid. My,Rd da NEd	px	py	Verifica
1.916	SLU 76	0.12	1	78.862	664.325	1	0.0222	15.4191	1		0	0	Si

Verifica a presso/tenso flessione retta Y SLD §§ 4.2.4.1.2.3 - 4.2.4.1.2.6 - 4.2.4.1.2.7 - 4.2.4.1.2.8 NTC18

Verifiche eseguite utilizzando la formula conservativa (6.2) §6.2.1 EN 1993-1-1:2005.

X	Comb.	Sfruttamento	Classe	NEd	NRd	Rid. NRd da VEd	My,Ed	My,Rd	Rid. My,Rd da VEd	Rid. My,Rd da NEd	px	py	Verifica
1.916	SLD 9	0.047	1	31.024	664.325	1	0.0106	15.4191	1		0	0	Si

Verifica a presso/tenso flessione deviata §§ 4.2.4.1.2.3 - 4.2.4.1.2.6 - 4.2.4.1.2.7 - 4.2.4.1.2.8 NTC18

Verifiche eseguite utilizzando la formula conservativa (6.2) §6.2.1 EN 1993-1-1:2005.

Implementazione dei sistemi di confinamento delle emissioni odorigene diffuse dell'impianto di compostaggio esistente nel
Comune di Eboli (SA)

PROGETTO DEFINITIVO – Tabulati di calcolo Tomo 1

X	Comb.	Sfruttamento	Classe	NEd	NRd	Rid. NRd da VEd	Mx,Ed	Mx,Rd	My,Ed	My,Rd	Rid. Mx,Rd da VEd	Rid. Mx,Rd da NEd	Rid. My,Rd da VEd	Rid. My,Rd da NEd	α	β	px	py	Verifica
1.086	SLU 76	0.123	1	78.918	664.325	1	-0.1077	31.3291	0.009	15.4191	1		1				0	0	Si

Verifica a presso/tenso flessione deviata SLD §§ 4.2.4.1.2.3 - 4.2.4.1.2.6 - 4.2.4.1.2.7 - 4.2.4.1.2.8 NTC18

Verifiche eseguite utilizzando la formula conservativa (6.2) §6.2.1 EN 1993-1-1:2005.

X	Comb.	Sfruttamento	Classe	NEd	NRd	Rid. NRd da VEd	Mx,Ed	Mx,Rd	My,Ed	My,Rd	Rid. Mx,Rd da VEd	Rid. Mx,Rd da NEd	Rid. My,Rd da VEd	Rid. My,Rd da NEd	α	β	px	py	Verifica
1.022	SLD 9	0.05	1	31.07	664.325	1	-0.0839	31.3291	0.0051	15.4191	1		1				0	0	Si

Verifiche ad instabilità

Caratteristiche iniziali

Membratura principale per controllo snellezza; Calcolo di snellezze ed N critici condotti secondo gli assi principali;

Curva X: b; Curva Y: c; Svergolamento: Carico all'estradosso; Curva svergolamento: b;

Dati per instabilità attorno a x

Controllo della snellezza secondo §4.2.4.1.3.1 NTC18

Numero rit.	Presente	Ascissa	Campata	βx/m	Vincolo a entrambi estremi	λx/m	λVer
1	Si	0					
			1-2		1	39.2	Si, (<200)
2	Si	1.916					

Dati per instabilità attorno a y

Controllo della snellezza secondo §4.2.4.1.3.1 NTC18

Numero rit.	Presente	Ascissa	Campata	βy/n	k,LT	kw,LT	Vincolo a entrambi estremi	λy/n	λVer
1	Si	0							
			1-2		1	1	Si	63.5	Si, (<200)
2	Si	1.916							

Verifica a svergolamento con trazione §4.2.4.1.3.2 NTC18 § 5.5.3 ENV 1993-1-1:1992 + AC:1992 + A1:1994 + A2:1998

X	Comb.	Sfruttamento	Classe	Obblig.	NEd	Mx,Ed	Mx,Eff,Ed	Mb,Rd,x	χ,LT	λ adim. LT	L,LT	M,critico	Verifica
0.958	SLU 22	0.002	1	Si	0.866	-0.08766	-0.06221	28.03468	0.895	0.648	1.916	78.2995	Si

Verifica di stabilità per pressoflessione §C.4.2.4.1.3.2 NTC18

X	Comb.	Sfruttamento	Classe	NEd	NRk	Mx,Ed max	Mx,Rk	My,Ed max	My,Rk	χ,x	χ,y	kxx	kxy	kyy	χ,LT	Verifica	
1.916	SLU 2	0.02	1	-7.872	697.541	0.08809	32.89552	0.00284	16.19002	0.905	0.705	0.953	0.288	0.998	0.48	0.895	Si

Verifica di stabilità a taglio anima Y §4.2.4.1.2.4 [4.2.27] NTC18

η	hw	tw	hw/tw max	Verifica
1.2	0.098	0.005	55.46	Si

Verifica di stabilità a taglio anima Y SLD §4.2.4.1.2.4 [4.2.27] NTC18

η	hw	tw	hw/tw max	Verifica
1.2	0.098	0.005	55.46	Si

Verifiche a deformabilità

Mensola X: No; Mensola Y: No.

Frecce lungo X

Ascissa freccia	Combinazione	Freccia	Luce	L/f	L/f,min	Tipo	Verifica
1.214	SLE RA 1	0	1.916	10000	250	Totale	Si
1.214	SLE RA 17	0	1.916	10000	250	Totale	Si
1.214	SLE RA 16	0	1.916	10000	250	Totale	Si
1.214	SLE RA 15	0	1.916	10000	250	Totale	Si
1.214	SLE RA 14	0	1.916	10000	250	Totale	Si
1.214	SLE RA 2	0	1.916	10000	350	Variabile	Si
1.214	SLE RA 17	0	1.916	10000	350	Variabile	Si
1.214	SLE RA 16	0	1.916	10000	350	Variabile	Si
1.214	SLE RA 15	0	1.916	10000	350	Variabile	Si
1.278	SLE RA 14	0	1.916	10000	350	Variabile	Si

Frecce lungo Y

Ascissa freccia	Combinazione	Freccia	Luce	L/f	L/f,min	Tipo	Verifica
0.958	SLE RA 1	-0.00003	1.916	10000	250	Totale	Si
0.958	SLE RA 17	-0.00003	1.916	10000	250	Totale	Si
0.958	SLE RA 16	-0.00003	1.916	10000	250	Totale	Si
0.958	SLE RA 15	-0.00003	1.916	10000	250	Totale	Si
0.958	SLE RA 14	-0.00003	1.916	10000	250	Totale	Si
0.958	SLE RA 2	0	1.916	10000	350	Variabile	Si
0.958	SLE RA 17	0	1.916	10000	350	Variabile	Si
0.958	SLE RA 16	0	1.916	10000	350	Variabile	Si
0.958	SLE RA 15	0	1.916	10000	350	Variabile	Si
1.086	SLE RA 14	0	1.916	10000	350	Variabile	Si

Superelemento in acciaio a quota "640"- "590" (-669; -643)-(-542; -509)

Caratteristiche del materiale

Acciaio: S275, fyk = 275000

Caratteristiche geometriche

Lunghezza: 1.916

Nodo iniziale: 552 Nodo finale: 314

Cerniera iniziale: Mmomenti 1% Cerniera finale: Mmomenti 1%

Sovreresistenza: 0% Sisma Z: No

Implementazione dei sistemi di confinamento delle emissioni odorigene diffuse dell'impianto di compostaggio esistente nel
Comune di Eboli (SA)
PROGETTO DEFINITIVO – Tabulati di calcolo Tomo 1

Caratteristiche della sezione

Sezione	Rotazione	Area	Jx	Jy	ix	iy	Wx	Wy	Wplx	Wply
HEA120	0	0.002537	0.0000060673	0.0000023091	0.0489	0.0302	0.00010644	0.00003849	0.00011962	0.00005887

Verifiche di resistenza

Verifiche a forza assiale §4.2.4.1.2.1 - §4.2.4.1.2.2 NTC18

X	Comb.	Sfruttamento	Classe	NEd	Nc,Rd	Nt,Rd	Riduzione da taglio	px	py	Verifica
0	SLU 75	0.074		49.38		664.325	1	0	0	Si

Verifiche a forza assiale SLD §4.2.4.1.2.1 - §4.2.4.1.2.2 NTC18

X	Comb.	Sfruttamento	Classe	NEd	Nc,Rd	Nt,Rd	Riduzione da taglio	px	py	Verifica
0	SLD 6	0.034		22.396		664.325	1	0	0	Si

Verifica a taglio Y §4.2.4.1.2.4 NTC18

X	Comb.	Sfruttamento	VEd	Vc,Rd	Av	Interazione taglio-torsione	Riduzione torsione	Verifica
0	SLU 75	0.002	0.242	128.304	0.000849	Considerata	1	Si

Verifica a taglio Y SLD §4.2.4.1.2.4 NTC18

X	Comb.	Sfruttamento	VEd	Vc,Rd	Av	Interazione taglio-torsione	Riduzione torsione	Verifica
0	SLD 12	0.001	0.185	128.304	0.000849	Considerata	1	Si

Verifica a flessione semplice X §§ 4.2.4.1.2.3 - 4.2.4.1.2.6 - 4.2.4.1.2.7 - 4.2.4.1.2.8 NTC18

X	Comb.	Sfruttamento	Classe	Mx,Ed	Mx,Rd	Rid. Mx,Rd da VEd	px	py	Verifica
0.958	SLU 59	0.004	1	-0.1146	31.32907	1	0	0	Si

Verifica a presso/tenso flessione retta X §§ 4.2.4.1.2.3 - 4.2.4.1.2.6 - 4.2.4.1.2.7 - 4.2.4.1.2.8 NTC18

Verifiche eseguite utilizzando la formula conservativa (6.2) §6.2.1 EN 1993-1-1:2005.

X	Comb.	Sfruttamento	Classe	NEd	NRd	Rid. NRd da VEd	Mx,Ed	Mx,Rd	Rid. Mx,Rd da VEd	Rid. Mx,Rd da NEd	px	py	Verifica
1.341	SLV 6	0.062	1	39.301	664.325	1	-0.0769	31.3291	1		0	0	Si

Verifica a presso/tenso flessione retta X SLD §§ 4.2.4.1.2.3 - 4.2.4.1.2.6 - 4.2.4.1.2.7 - 4.2.4.1.2.8 NTC18

Verifiche eseguite utilizzando la formula conservativa (6.2) §6.2.1 EN 1993-1-1:2005.

X	Comb.	Sfruttamento	Classe	NEd	NRd	Rid. NRd da VEd	Mx,Ed	Mx,Rd	Rid. Mx,Rd da VEd	Rid. Mx,Rd da NEd	px	py	Verifica
0.958	SLD 5	0.037	1	22.346	664.325	1	-0.091	31.3291	1		0	0	Si

Verifica a presso/tenso flessione retta Y §§ 4.2.4.1.2.3 - 4.2.4.1.2.6 - 4.2.4.1.2.7 - 4.2.4.1.2.8 NTC18

Verifiche eseguite utilizzando la formula conservativa (6.2) §6.2.1 EN 1993-1-1:2005.

X	Comb.	Sfruttamento	Classe	NEd	NRd	Rid. NRd da VEd	My,Ed	My,Rd	Rid. My,Rd da VEd	Rid. My,Rd da NEd	px	py	Verifica
0	SLU 75	0.075	1	49.38	664.325	1	0.0061	15.4191	1		0	0	Si

Verifica a presso/tenso flessione deviata §§ 4.2.4.1.2.3 - 4.2.4.1.2.6 - 4.2.4.1.2.7 - 4.2.4.1.2.8 NTC18

Verifiche eseguite utilizzando la formula conservativa (6.2) §6.2.1 EN 1993-1-1:2005.

X	Comb.	Sfruttamento	Classe	NEd	NRd	Rid. NRd da VEd	Mx,Ed	Mx,Rd	My,Ed	My,Rd	Rid. Mx,Rd da VEd	Rid. My,Rd da VEd	Rid. My,Rd da NEd	α	β	px	py	Verifica
0.958	SLU 75	0.079	1	49.315	664.325	1	-0.1259	31.3291	0.0063	15.4191	1		1			0	0	Si

Verifiche ad instabilità

Caratteristiche iniziali

Membratura principale per controllo snellezza; Calcolo di snellezze ed N critici condotti secondo gli assi principali;

Curva X: b; Curva Y: c; Svergolamento: Carico all'estradosso; Curva svergolamento: b;

Dati per instabilità attorno a x

Controllo della snellezza secondo §4.2.4.1.3.1 NTC18

Numero rit.	Presente	Ascissa	Campata	βx/m	Vincolo a entrambi estremi	λx/m	λVer
1	Si		0				
			1-2		1	39.2	Si, (<200)
2	Si	1.916					

Dati per instabilità attorno a y

Controllo della snellezza secondo §4.2.4.1.3.1 NTC18

Numero rit.	Presente	Ascissa	Campata	βy/n	k _i LT	k _w LT	Vincolo a entrambi estremi	λy/n	λVer
1	Si	0							
			1-2		1	1	Si	63.5	Si, (<200)
2	Si	1.916							

Verifica a svergolamento §4.2.4.1.3.2 NTC18

X	Comb.	Sfruttamento	Classe	Obblig.	Mx,Ed	Mb,Rd,x	χ _i LT	λ adim. LT	L _i LT	M _c critico	Verifica
0.958	SLU 59	0.004	1	Si	-0.1146	28.03468	0.895	0.648	1.916	78.2995	Si

Verifica a svergolamento con trazione §4.2.4.1.3.2 NTC18 § 5.5.3 ENV 1993-1-1:1992 + AC:1992 + A1:1994 + A2:1998

X	Comb.	Sfruttamento	Classe	Obblig.	NEd	Mx,Ed	Mx,Eff,Ed	Mb,Rd,x	χ _i LT	λ adim. LT	L _i LT	M _c critico	Verifica
0.958	SLV 14	0.003	1	Si	0.623	-0.09136	-0.07305	28.03468	0.895	0.648	1.916	78.2995	Si

Verifica di stabilità per tenso-flessione deviata §§ 5.5.3-5.5.4 ENV 1993-1-1:1992 + AC:1992 + A1:1994 + A2:1998

X	Comb.	Sfruttamento	Classe	NEd	Mx,Ed	Mx,Eff,Ed	My,Ed	χ _i LT	kLT	ky	M _c critico	Wx	Wy	Verifica
0.383	SLV 13	0.002	1	0.653	-0.05916	-0.03998	0.00395	0.895	1	1	78.2995	0.0001196	0.0000589	Si

Verifica di stabilità per pressoflessione §C.4.2.4.1.3.3.2 NTC18

X	Comb.	Sfruttamento	Classe	NEd	NRk	Mx,Ed max	Mx,Rk	My,Ed max	My,Rk	χ _x	χ _y	k _{xx}	k _{xy}	k _{yx}	k _{yy}	χ _i LT	Verifica
1.916	SLV 11	0.031	1	-12.897	697.541	0.09157	32.89552	0.00407	16.19002	0.905	0.705	0.957	0.246	0.997	0.41	0.895	Si

Verifica di stabilità a taglio anima Y §4.2.4.1.2.4 [4.2.27] NTC18

η	hw	tw	hw/tw max	Verifica
1.2	0.098	0.005	55.46	Si

Implementazione dei sistemi di confinamento delle emissioni odorigene diffuse dell'impianto di compostaggio esistente nel
Comune di Eboli (SA)
PROGETTO DEFINITIVO – Tabulati di calcolo Tomo 1

Verifica di stabilità a taglio anima Y SLD §4.2.4.1.2.4 [4.2.27] NTC18

η	hw	tw	hw/tw max	Verifica
1.2	0.098	0.005	55.46	Si

Verifiche a deformabilità

Mensola X: No; Mensola Y: No.

Frecce lungo X

Ascissa freccia	Combinazione	Freccia	Luce	L/f	L/f,min	Tipo	Verifica
0.958	SLE RA 1	0	1.916	10000	250	Totale	Si
0.958	SLE RA 17	0	1.916	10000	250	Totale	Si
0.958	SLE RA 16	0	1.916	10000	250	Totale	Si
0.958	SLE RA 15	0	1.916	10000	250	Totale	Si
0.958	SLE RA 14	0	1.916	10000	250	Totale	Si
0.958	SLE RA 2	0	1.916	10000	350	Variabile	Si
0.958	SLE RA 17	0	1.916	10000	350	Variabile	Si
0.958	SLE RA 16	0	1.916	10000	350	Variabile	Si
0.958	SLE RA 15	0	1.916	10000	350	Variabile	Si
0.958	SLE RA 14	0	1.916	10000	350	Variabile	Si

Frecce lungo Y

Ascissa freccia	Combinazione	Freccia	Luce	L/f	L/f,min	Tipo	Verifica
0.958	SLE RA 1	-0.00003	1.916	10000	250	Totale	Si
0.958	SLE RA 17	-0.00003	1.916	10000	250	Totale	Si
0.958	SLE RA 16	-0.00003	1.916	10000	250	Totale	Si
0.958	SLE RA 15	-0.00003	1.916	10000	250	Totale	Si
0.958	SLE RA 14	-0.00003	1.916	10000	250	Totale	Si
1.022	SLE RA 2	0	1.916	10000	350	Variabile	Si
1.022	SLE RA 17	0	1.916	10000	350	Variabile	Si
1.022	SLE RA 16	0	1.916	10000	350	Variabile	Si
1.022	SLE RA 15	0	1.916	10000	350	Variabile	Si
1.022	SLE RA 14	0	1.916	10000	350	Variabile	Si

Superelemento in acciaio a quota "640"- "590" (-780; 987)-(-653; 1121)

Caratteristiche del materiale

Acciaio: S275, fyk = 275000

Caratteristiche geometriche

Lunghezza: 1.916

Nodo iniziale: 870 Nodo finale: 384

Cerniera iniziale: Mmomenti 1% Cerniera finale: Mmomenti 1%

Sovreresistenza: 0% Sisma Z: No

Caratteristiche della sezione

Sezione	Rotazione	Area	Jx	Jy	ix	iy	Wx	Wy	Wplx	Wply
HEA120	0	0.002537	0.0000060673	0.0000023091	0.0489	0.0302	0.00010644	0.00003849	0.00011962	0.00005887

Verifiche di resistenza

Verifiche a forza assiale §4.2.4.1.2.1 - §4.2.4.1.2.2 NTC18

X	Comb.	Sfruttamento	Classe	NEd	Nc,Rd	Nt,Rd	Riduzione da taglio	px	py	Verifica
0	SLU 76	0.085		56.38		664.325	1	0	0	Si

Verifiche a forza assiale SLD §4.2.4.1.2.1 - §4.2.4.1.2.2 NTC18

X	Comb.	Sfruttamento	Classe	NEd	Nc,Rd	Nt,Rd	Riduzione da taglio	px	py	Verifica
0	SLD 7	0.034		22.382		664.325	1	0	0	Si

Verifica a taglio Y §4.2.4.1.2.4 NTC18

X	Comb.	Sfruttamento	VEd	Vc,Rd	Av	Interazione taglio-torsione	Riduzione torsione	Verifica
0	SLU 76	0.002	0.243	128.304	0.000849	Considerata	1	Si

Verifica a taglio Y SLD §4.2.4.1.2.4 NTC18

X	Comb.	Sfruttamento	VEd	Vc,Rd	Av	Interazione taglio-torsione	Riduzione torsione	Verifica
0	SLD 7	0.001	0.185	128.304	0.000849	Considerata	1	Si

Verifica a flessione semplice X §§ 4.2.4.1.2.3 - 4.2.4.1.2.6 - 4.2.4.1.2.7 - 4.2.4.1.2.8 NTC18

X	Comb.	Sfruttamento	Classe	Mx,Ed	Mx,Rd	Rid. Mx,Rd da VEd	px	py	Verifica
0.958	SLU 3	0.003	1	-0.08826	31.32907	1	0	0	Si

Verifica a presso/tenso flessione retta X §§ 4.2.4.1.2.3 - 4.2.4.1.2.6 - 4.2.4.1.2.7 - 4.2.4.1.2.8 NTC18

Verifiche eseguite utilizzando la formula conservativa (6.2) §6.2.1 EN 1993-1-1:2005.

X	Comb.	Sfruttamento	Classe	NEd	NRd	Rid. NRd da VEd	Mx,Ed	Mx,Rd	Rid. Mx,Rd da VEd	Rid. Mx,Rd da NEd	px	py	Verifica
0.958	SLU 2	0.017	1	-9.655	664.325	1	-0.0873	31.3291	1		0	0	Si

Verifica a presso/tenso flessione retta X SLD §§ 4.2.4.1.2.3 - 4.2.4.1.2.6 - 4.2.4.1.2.7 - 4.2.4.1.2.8 NTC18

Verifiche eseguite utilizzando la formula conservativa (6.2) §6.2.1 EN 1993-1-1:2005.

X	Comb.	Sfruttamento	Classe	NEd	NRd	Rid. NRd da VEd	Mx,Ed	Mx,Rd	Rid. Mx,Rd da VEd	Rid. Mx,Rd da NEd	px	py	Verifica
0.575	SLD 14	0.016	1	9.307	664.325	1	-0.0729	31.3291	1		0	0	Si

Verifica a presso/tenso flessione retta Y §§ 4.2.4.1.2.3 - 4.2.4.1.2.6 - 4.2.4.1.2.7 - 4.2.4.1.2.8 NTC18

Verifiche eseguite utilizzando la formula conservativa (6.2) §6.2.1 EN 1993-1-1:2005.

X	Comb.	Sfruttamento	Classe	NEd	NRd	Rid. NRd da VEd	My,Ed	My,Rd	Rid. My,Rd da VEd	Rid. My,Rd da NEd	px	py	Verifica
---	-------	--------------	--------	-----	-----	-----------------	-------	-------	-------------------	-------------------	----	----	----------

Implementazione dei sistemi di confinamento delle emissioni odorigene diffuse dell'impianto di compostaggio esistente nel
Comune di Eboli (SA)

PROGETTO DEFINITIVO – Tabulati di calcolo Tomo 1

X	Comb.	Sfruttamento	Classe	NEd	NRd	Rid. NRd da VEd	My,Ed	My,Rd	Rid. My,Rd da VEd	Rid. My,Rd da NEd	px	py	Verifica
1.916	SLU 76	0.087	1	56.251	664.325	1	-0.0416	15.4191	1		0	0	Si

Verifica a presso/tenso flessione retta Y SLD §§ 4.2.4.1.2.3 - 4.2.4.1.2.6 - 4.2.4.1.2.7 - 4.2.4.1.2.8 NTC18

Verifiche eseguite utilizzando la formula conservativa (6.2) §6.2.1 EN 1993-1-1:2005.

X	Comb.	Sfruttamento	Classe	NEd	NRd	Rid. NRd da VEd	My,Ed	My,Rd	Rid. My,Rd da VEd	Rid. My,Rd da NEd	px	py	Verifica
1.916	SLD 7	0.035	1	22.283	664.325	1	-0.0167	15.4191	1		0	0	Si

Verifica a presso/tenso flessione deviata §§ 4.2.4.1.2.3 - 4.2.4.1.2.6 - 4.2.4.1.2.7 - 4.2.4.1.2.8 NTC18

Verifiche eseguite utilizzando la formula conservativa (6.2) §6.2.1 EN 1993-1-1:2005.

X	Comb.	Sfruttamento	Classe	NEd	NRd	Rid. NRd da VEd	Mx,Ed	Mx,Rd	My,Ed	My,Rd	Rid. Mx,Rd da VEd	Rid. Mx,Rd da NEd	Rid. My,Rd da VEd	Rid. My,Rd da NEd	α	β	px	py	Verifica
1.022	SLU 76	0.091	1	56.311	664.325	1	-0.116	31.3291	-0.0316	15.4191	1		1				0	0	Si

Verifica a presso/tenso flessione deviata SLD §§ 4.2.4.1.2.3 - 4.2.4.1.2.6 - 4.2.4.1.2.7 - 4.2.4.1.2.8 NTC18

Verifiche eseguite utilizzando la formula conservativa (6.2) §6.2.1 EN 1993-1-1:2005.

X	Comb.	Sfruttamento	Classe	NEd	NRd	Rid. NRd da VEd	Mx,Ed	Mx,Rd	My,Ed	My,Rd	Rid. Mx,Rd da VEd	Rid. Mx,Rd da NEd	Rid. My,Rd da VEd	Rid. My,Rd da NEd	α	β	px	py	Verifica
0.958	SLD 7	0.037	1	22.332	664.325	1	-0.0896	31.3291	-0.0139	15.4191	1		1				0	0	Si

Verifiche ad instabilità

Caratteristiche iniziali

Membratura principale per controllo snellezza; Calcolo di snellezze ed N critici condotti secondo gli assi principali;

Curva X: b; Curva Y: c; Svergolamento: Carico all'estradosso; Curva svergolamento: b;

Dati per instabilità attorno a x

Controllo della snellezza secondo §4.2.4.1.3.1 NTC18

Numero rit.	Presente	Ascissa	Campata	βx/m	Vincolo a entrambi estremi	λx/m	λVer
1	Si		0				
			1-2		1	39.2	Si, (<200)
2	Si		1.916				

Dati per instabilità attorno a y

Controllo della snellezza secondo §4.2.4.1.3.1 NTC18

Numero rit.	Presente	Ascissa	Campata	βy/n	k,LT	kw,LT	Vincolo a entrambi estremi	λy/n	λVer
1	Si		0						
			1-2		1	1	1	63.5	Si, (<200)
2	Si		1.916						

Verifica a svergolamento §4.2.4.1.3.2 NTC18

X	Comb.	Sfruttamento	Classe	Obblig.	Mx,Ed	Mb,Rd,x	χ,LT	λ adim. LT	L,LT	M,critico	Verifica
0.958	SLU 3	0.003	1	Si	-0.08826	28.03468	0.895	0.648	1.916	78.2995	Si

Verifica a svergolamento con trazione §4.2.4.1.3.2 NTC18 § 5.5.3 ENV 1993-1-1:1992 + AC:1992 + A1:1994 + A2:1998

X	Comb.	Sfruttamento	Classe	Obblig.	NEd	Mx,Ed	Mx,Eff,Ed	Mb,Rd,x	χ,LT	λ adim. LT	L,LT	M,critico	Verifica
0.958	SLU 43	0.002	1	Si	1.593	-0.11412	-0.06732	28.03468	0.895	0.648	1.916	78.2995	Si

Verifica di stabilità per pressoflessione §C.4.2.4.1.3.3.2 NTC18

X	Comb.	Sfruttamento	Classe	NEd	NRk	Mx,Ed max	Mx,Rk	My,Ed max	My,Rk	χ,x	χ,y	kxx	kxy	kyy	kyx	χ,LT	Verifica
1.916	SLU 2	0.024	1	-9.704	697.541	0.08729	32.89552	0.00502	16.19002	0.905	0.705	0.953	0.481	0.998	0.802	0.895	Si

Verifica di stabilità a taglio anima Y §4.2.4.1.2.4 [4.2.27] NTC18

η	hw	tw	hw/tw max	Verifica
1.2	0.098	0.005	55.46	Si

Verifica di stabilità a taglio anima Y SLD §4.2.4.1.2.4 [4.2.27] NTC18

η	hw	tw	hw/tw max	Verifica
1.2	0.098	0.005	55.46	Si

Verifiche a deformabilità

Mensola X: No; Mensola Y: No.

Frecce lungo X

Ascissa freccia	Combinazione	Freccia	Luce	L/f	L/f,min	Tipo	Verifica
1.022	SLE RA 1	0.00001	1.916	10000	250	Totale	Si
1.022	SLE RA 17	0.00001	1.916	10000	250	Totale	Si
1.022	SLE RA 16	0.00002	1.916	10000	250	Totale	Si
1.022	SLE RA 15	0.00002	1.916	10000	250	Totale	Si
1.022	SLE RA 14	0.00001	1.916	10000	250	Totale	Si
1.022	SLE RA 2	-0.00001	1.916	10000	350	Variabile	Si
1.022	SLE RA 17	0	1.916	10000	350	Variabile	Si
1.022	SLE RA 16	0.00001	1.916	10000	350	Variabile	Si
1.022	SLE RA 15	0.00001	1.916	10000	350	Variabile	Si
1.022	SLE RA 14	0	1.916	10000	350	Variabile	Si

Frecce lungo Y

Ascissa freccia	Combinazione	Freccia	Luce	L/f	L/f,min	Tipo	Verifica
0.958	SLE RA 1	-0.00003	1.916	10000	250	Totale	Si
0.958	SLE RA 17	-0.00003	1.916	10000	250	Totale	Si
0.958	SLE RA 16	-0.00003	1.916	10000	250	Totale	Si
0.958	SLE RA 15	-0.00003	1.916	10000	250	Totale	Si
0.958	SLE RA 14	-0.00003	1.916	10000	250	Totale	Si
1.15	SLE RA 2	0	1.916	10000	350	Variabile	Si
1.15	SLE RA 17	0	1.916	10000	350	Variabile	Si
1.15	SLE RA 16	0	1.916	10000	350	Variabile	Si
1.15	SLE RA 15	0	1.916	10000	350	Variabile	Si
1.086	SLE RA 14	0	1.916	10000	350	Variabile	Si

Superelemento in acciaio a quota "640"- "590" (-796; -778)-(-669; -643)

Caratteristiche del materiale

Acciaio: S275, fyk = 275000

Caratteristiche geometriche

Lunghezza: 1.915

Nodo iniziale: 538 Nodo finale: 313

Cerniera iniziale: Mmomenti 1% Cerniera finale: Mmomenti 1%

Sovreresistenza: 0% Sisma Z: No

Caratteristiche della sezione

Sezione	Rotazione	Area	Jx	Jy	ix	iy	Wx	Wy	Wplx	Wply
HEA120	0	0.002537	0.0000060673	0.0000023091	0.0489	0.0302	0.00010644	0.00003849	0.00011962	0.00005887

Verifiche di resistenza

Verifiche a forza assiale §4.2.4.1.2.1 - §4.2.4.1.2.2 NTC18

X	Comb.	Sfruttamento	Classe	NEd	Nc,Rd	Nt,Rd	Riduzione da taglio	px	py	Verifica
0	SLU 75	0.089		58.844		664.325	1	0	0	Si

Verifiche a forza assiale SLD §4.2.4.1.2.1 - §4.2.4.1.2.2 NTC18

X	Comb.	Sfruttamento	Classe	NEd	Nc,Rd	Nt,Rd	Riduzione da taglio	px	py	Verifica
0	SLD 6	0.04		26.528		664.325	1	0	0	Si

Verifica a taglio Y §4.2.4.1.2.4 NTC18

X	Comb.	Sfruttamento	VEd	Vc,Rd	Av	Interazione taglio-torsione	Riduzione torsione	Verifica
0	SLU 75	0.002	0.241	128.304	0.000849	Considerata	1	Si

Verifica a taglio Y SLD §4.2.4.1.2.4 NTC18

X	Comb.	Sfruttamento	VEd	Vc,Rd	Av	Interazione taglio-torsione	Riduzione torsione	Verifica
0	SLD 5	0.001	0.185	128.304	0.000849	Considerata	1	Si

Verifica a presso/tenso flessione retta X §§ 4.2.4.1.2.3 - 4.2.4.1.2.6 - 4.2.4.1.2.7 - 4.2.4.1.2.8 NTC18

Verifiche eseguite utilizzando la formula conservativa (6.2) §6.2.1 EN 1993-1-1:2005.

X	Comb.	Sfruttamento	Classe	NEd	NRd	Rid. NRd da VEd	Mx,Ed	Mx,Rd	Rid. Mx,Rd da VEd	Rid. Mx,Rd da NEd	px	py	Verifica
0.255	SLU 56	0.084	1	54.874	664.325	1	-0.0473	31.3291	1		0	0	Si

Verifica a presso/tenso flessione retta X SLD §§ 4.2.4.1.2.3 - 4.2.4.1.2.6 - 4.2.4.1.2.7 - 4.2.4.1.2.8 NTC18

Verifiche eseguite utilizzando la formula conservativa (6.2) §6.2.1 EN 1993-1-1:2005.

X	Comb.	Sfruttamento	Classe	NEd	NRd	Rid. NRd da VEd	Mx,Ed	Mx,Rd	Rid. Mx,Rd da VEd	Rid. Mx,Rd da NEd	px	py	Verifica
0.958	SLD 5	0.043	1	26.478	664.325	1	-0.0844	31.3291	1		0	0	Si

Verifica a presso/tenso flessione retta Y §§ 4.2.4.1.2.3 - 4.2.4.1.2.6 - 4.2.4.1.2.7 - 4.2.4.1.2.8 NTC18

Verifiche eseguite utilizzando la formula conservativa (6.2) §6.2.1 EN 1993-1-1:2005.

X	Comb.	Sfruttamento	Classe	NEd	NRd	Rid. NRd da VEd	My,Ed	My,Rd	Rid. My,Rd da VEd	Rid. My,Rd da NEd	px	py	Verifica
0	SLU 75	0.089	1	58.844	664.325	1	0.0041	15.4191	1		0	0	Si

Verifica a presso/tenso flessione retta Y SLD §§ 4.2.4.1.2.3 - 4.2.4.1.2.6 - 4.2.4.1.2.7 - 4.2.4.1.2.8 NTC18

Verifiche eseguite utilizzando la formula conservativa (6.2) §6.2.1 EN 1993-1-1:2005.

X	Comb.	Sfruttamento	Classe	NEd	NRd	Rid. NRd da VEd	My,Ed	My,Rd	Rid. My,Rd da VEd	Rid. My,Rd da NEd	px	py	Verifica
0	SLD 9	0.035	1	22.914	664.325	1	0.0048	15.4191	1		0	0	Si

Verifica a presso/tenso flessione deviata §§ 4.2.4.1.2.3 - 4.2.4.1.2.6 - 4.2.4.1.2.7 - 4.2.4.1.2.8 NTC18

Verifiche eseguite utilizzando la formula conservativa (6.2) §6.2.1 EN 1993-1-1:2005.

X	Comb.	Sfruttamento	Classe	NEd	NRd	Rid. NRd da VEd	Mx,Ed	Mx,Rd	My,Ed	My,Rd	Rid. Mx,Rd da VEd	Rid. Mx,Rd da NEd	Rid. My,Rd da VEd	Rid. My,Rd da NEd	α	β	px	py	Verifica
0.958	SLU 75	0.092	1	58.779	664.325	1	-0.1099	31.3291	0.0046	15.4191	1		1				0	0	Si

Verifica a presso/tenso flessione deviata SLD §§ 4.2.4.1.2.3 - 4.2.4.1.2.6 - 4.2.4.1.2.7 - 4.2.4.1.2.8 NTC18

Verifiche eseguite utilizzando la formula conservativa (6.2) §6.2.1 EN 1993-1-1:2005.

X	Comb.	Sfruttamento	Classe	NEd	NRd	Rid. NRd da VEd	Mx,Ed	Mx,Rd	My,Ed	My,Rd	Rid. Mx,Rd da VEd	Rid. Mx,Rd da NEd	Rid. My,Rd da VEd	Rid. My,Rd da NEd	α	β	px	py	Verifica
0.958	SLD 10	0.037	1	22.864	664.325	1	-0.0853	31.3291	0.004	15.4191	1		1				0	0	Si

Verifiche ad instabilità

Caratteristiche iniziali

Membratura principale per controllo snellezza; Calcolo di snellezze ed N critici condotti secondo gli assi principali;

Curva X: b; Curva Y: c; Svergolamento: Carico all'estradosso; Curva svergolamento: b;

Dati per instabilità attorno a x

Controllo della snellezza secondo §4.2.4.1.3.1 NTC18

Numero rit.	Presente	Ascissa	Campata	βx/m	Vincolo a entrambi estremi	λx/m	λVer
1	Si	0					
			1-2	1	Si	39.2	Si, (<200)
2	Si	1.915					

Dati per instabilità attorno a y

Controllo della snellezza secondo §4.2.4.1.3.1 NTC18

Numero rit.	Presente	Ascissa	Campata	βy/n	k _i LT	k _w LT	Vincolo a entrambi estremi	λy/n	λVer
1	Si	0							

Implementazione dei sistemi di confinamento delle emissioni odorigene diffuse dell’impianto di compostaggio esistente nel
Comune di Eboli (SA)

PROGETTO DEFINITIVO – Tabulati di calcolo Tomo 1

Numero rit.	Presente	Ascissa	Campata	$\beta y/n$	k,LT	kw,LT	Vincolo a entrambi estremi	$\lambda y/n$	λVer
2	Si	1.915	1-2	1	1	1	Si	63,5	Si, (<200)

Verifica a svergolamento con trazione §4.2.4.1.3.2 NTC18 § 5.5.3 ENV 1993-1-1:1992 + AC:1992 + A1:1994 + A2:1998

X	Comb.	Sfruttamento	Classe	Obblig.	NEd	Mx,Ed	Mx,Eff,Ed	Mb,Rd,x	χ_x,LT	λ adim. LT	L,LT	M,critico	Verifica
0.958	SLU 40	0.003	1	Si	1.048	-0.11404	-0.08326	28.03787	0.895	0.648	1.915	78.35152	Si

Verifica di stabilità per pressoflessione §C.4.2.4.1.3.3.2 NTC18

X	Comb.	Sfruttamento	Classe	NEd	NRk	Mx,Ed max	Mx,Rk	My,Ed max	My,Rk	χ_x,x	χ_x,y	kxx	kxy	kyy	kyy	χ_x,LT	Verifica
1.915	SLV 12	0.015	1	-5.624	697.541	0.09242	32.89552	0.00461	16.19002	0.905	0.705	0.955	0.403	0.999	0.671	0.895	Si

Verifica di stabilità a taglio anima Y §4.2.4.1.2.4 [4.2.27] NTC18

η	hw	tw	hw/tw max	Verifica
1.2	0.098	0.005	55.46	Si

Verifica di stabilità a taglio anima Y SLD §4.2.4.1.2.4 [4.2.27] NTC18

η	hw	tw	hw/tw max	Verifica
1.2	0.098	0.005	55.46	Si

Verifiche a deformabilità

Mensola X: No; Mensola Y: No.

Frecce lungo X

Ascissa freccia	Combinazione	Freccia	Luce	L/f	L/f,min	Tipo	Verifica
0.958	SLE RA 1	0	1.915	10000	250	Totale	Si
0.958	SLE RA 17	0	1.915	10000	250	Totale	Si
0.958	SLE RA 16	0	1.915	10000	250	Totale	Si
0.958	SLE RA 15	0	1.915	10000	250	Totale	Si
0.958	SLE RA 14	0	1.915	10000	250	Totale	Si
0.958	SLE RA 2	0	1.915	10000	350	Variabile	Si
0.958	SLE RA 17	0	1.915	10000	350	Variabile	Si
0.958	SLE RA 16	0	1.915	10000	350	Variabile	Si
0.958	SLE RA 15	0	1.915	10000	350	Variabile	Si
0.958	SLE RA 14	0	1.915	10000	350	Variabile	Si

Frecce lungo Y

Ascissa freccia	Combinazione	Freccia	Luce	L/f	L/f,min	Tipo	Verifica
0.958	SLE RA 1	-0.00003	1.915	10000	250	Totale	Si
0.958	SLE RA 17	-0.00003	1.915	10000	250	Totale	Si
0.958	SLE RA 16	-0.00003	1.915	10000	250	Totale	Si
0.958	SLE RA 15	-0.00003	1.915	10000	250	Totale	Si
0.958	SLE RA 14	-0.00003	1.915	10000	250	Totale	Si
0.894	SLE RA 2	0	1.915	10000	350	Variabile	Si
0.894	SLE RA 17	0	1.915	10000	350	Variabile	Si
0.894	SLE RA 16	0	1.915	10000	350	Variabile	Si
1.022	SLE RA 15	0	1.915	10000	350	Variabile	Si
0.894	SLE RA 14	0	1.915	10000	350	Variabile	Si

Superelemento in acciaio a quota "640"- "590" (-908; 852)-(-780; 986)

Caratteristiche del materiale

Acciaio: S275, fyk = 275000

Caratteristiche geometriche

Lunghezza: 1.921

Nodo iniziale: 837 Nodo finale: 377

Cerniera iniziale: Mmomenti 1% Cerniera finale: Mmomenti 1%

Sovraresistenza: 0% Sisma Z: No

Caratteristiche della sezione

Sezione	Rotazione	Area	Jx	Jy	ix	iy	Wx	Wy	Wplx	Wply
HEA120	0	0.002537	0.0000060673	0.0000023091	0.0489	0.0302	0.00010644	0.00003849	0.00011962	0.00005887

Verifiche di resistenza

Verifiche a forza assiale §4.2.4.1.2.1 - §4.2.4.1.2.2 NTC18

X	Comb.	Sfruttamento	Classe	NEd	Nc,Rd	Nt,Rd	Riduzione da taglio	px	py	Verifica
0	SLU 76	0.086		57.125		664.325	1	0	0	Si

Verifiche a forza assiale SLD §4.2.4.1.2.1 - §4.2.4.1.2.2 NTC18

X	Comb.	Sfruttamento	Classe	NEd	Nc,Rd	Nt,Rd	Riduzione da taglio	px	py	Verifica
0	SLD 7	0.04		26.366		664.325	1	0	0	Si

Verifica a taglio Y §4.2.4.1.2.4 NTC18

X	Comb.	Sfruttamento	VEd	Vc,Rd	Av	Interazione taglio-torsione	Riduzione torsione	Verifica
0	SLU 76	0.002	0.241	128.304	0.000849	Considerata	1	Si

Verifica a taglio Y SLD §4.2.4.1.2.4 NTC18

X	Comb.	Sfruttamento	VEd	Vc,Rd	Av	Interazione taglio-torsione	Riduzione torsione	Verifica
0	SLD 3	0.001	0.185	128.304	0.000849	Considerata	1	Si

Verifica a presso/tenso flessione retta X §§ 4.2.4.1.2.3 - 4.2.4.1.2.6 - 4.2.4.1.2.7 - 4.2.4.1.2.8 NTC18

Verifiche eseguite utilizzando la formula conservativa (6.2) §6.2.1 EN 1993-1-1:2005.

X	Comb.	Sfruttamento	Classe	NEd	NRd	Rid. NRd da VEd	Mx,Ed	Mx,Rd	Rid. Mx,Rd da VEd	Rid. Mx,Rd da NEd	px	py	Verifica
0.256	SLV 8	0.065	1	42.45	664.325	1	-0.0385	31.3291	1		0	0	Si

Implementazione dei sistemi di confinamento delle emissioni odorigene diffuse dell'impianto di compostaggio esistente nel
Comune di Eboli (SA)

PROGETTO DEFINITIVO – Tabulati di calcolo Tomo 1

Verifica a presso/tenso flessione retta Y §§ 4.2.4.1.2.3 - 4.2.4.1.2.6 - 4.2.4.1.2.7 - 4.2.4.1.2.8 NTC18

Verifiche eseguite utilizzando la formula conservativa (6.2) §6.2.1 EN 1993-1-1:2005.

X	Comb.	Sfruttamento	Classe	NEd	NRd	Rid. NRd da VEd	My,Ed	My,Rd	Rid. My,Rd da VEd	Rid. My,Rd da NEd	px	py	Verifica
0	SLU 76	0.088	1	57.125	664.325	1	-0.0372	15.4191	1		0	0	Si

Verifica a presso/tenso flessione retta Y SLD §§ 4.2.4.1.2.3 - 4.2.4.1.2.6 - 4.2.4.1.2.7 - 4.2.4.1.2.8 NTC18

Verifiche eseguite utilizzando la formula conservativa (6.2) §6.2.1 EN 1993-1-1:2005.

X	Comb.	Sfruttamento	Classe	NEd	NRd	Rid. NRd da VEd	My,Ed	My,Rd	Rid. My,Rd da VEd	Rid. My,Rd da NEd	px	py	Verifica
1.921	SLD 8	0.041	1	26.267	664.325	1	-0.0167	15.4191	1		0	0	Si

Verifica a presso/tenso flessione deviata §§ 4.2.4.1.2.3 - 4.2.4.1.2.6 - 4.2.4.1.2.7 - 4.2.4.1.2.8 NTC18

Verifiche eseguite utilizzando la formula conservativa (6.2) §6.2.1 EN 1993-1-1:2005.

X	Comb.	Sfruttamento	Classe	NEd	NRd	Rid. NRd da VEd	Mx,Ed	Mx,Rd	My,Ed	My,Rd	Rid. Mx,Rd da VEd	Rid. Mx,Rd da NEd	Rid. My,Rd da VEd	Rid. My,Rd da NEd	α	β	px	py	Verifica
0.961	SLU 76	0.092	1	57.061	664.325	1	-0.1057	31.3291	-0.037	15.4191	1		1				0	0	Si

Verifica a presso/tenso flessione deviata SLD §§ 4.2.4.1.2.3 - 4.2.4.1.2.6 - 4.2.4.1.2.7 - 4.2.4.1.2.8 NTC18

Verifiche eseguite utilizzando la formula conservativa (6.2) §6.2.1 EN 1993-1-1:2005.

X	Comb.	Sfruttamento	Classe	NEd	NRd	Rid. NRd da VEd	Mx,Ed	Mx,Rd	My,Ed	My,Rd	Rid. Mx,Rd da VEd	Rid. Mx,Rd da NEd	Rid. My,Rd da VEd	Rid. My,Rd da NEd	α	β	px	py	Verifica
1.217	SLD 7	0.043	1	26.303	664.325	1	-0.0799	31.3291	-0.0155	15.4191	1		1				0	0	Si

Verifiche ad instabilità

Caratteristiche iniziali

Membratura principale per controllo snellezza; Calcolo di snellezze ed N critici condotti secondo gli assi principali;

Curva X: b; Curva Y: c; Svergolamento: Carico all'estradosso; Curva svergolamento: b;

Dati per instabilità attorno a x

Controllo della snellezza secondo §4.2.4.1.3.1 NTC18

Numero rit.	Presente	Ascissa	Campata	βx/m	Vincolo a entrambi estremi	λx/m	λVer
1	Si		0				
			1-2		1	39.3	Si, (<200)
2	Si	1.921					

Dati per instabilità attorno a y

Controllo della snellezza secondo §4.2.4.1.3.1 NTC18

Numero rit.	Presente	Ascissa	Campata	βy/n	k,LT	kw,LT	Vincolo a entrambi estremi	λy/n	λVer
1	Si		0						
			1-2		1	1	Si	63.7	Si, (<200)
2	Si	1.921							

Verifica a svergolamento con trazione §4.2.4.1.3.2 NTC18 § 5.5.3 ENV 1993-1-1:1992 + AC:1992 + A1:1994 + A2:1998

X	Comb.	Sfruttamento	Classe	Obblig.	NEd	Mx,Ed	Mx,Eff,Ed	Mb,Rd,x	χ,LT	λ adim. LT	L,LT	M,critico	Verifica
0.961	SLU 59	0.002	1	Si	2.226	-0.11444	-0.04904	28.01853	0.894	0.649	1.921	78.03729	Si

Verifica di stabilità per pressoflessione §C.4.2.4.1.3.3.2 NTC18

X	Comb.	Sfruttamento	Classe	NEd	NRk	Mx,Ed max	Mx,Rk	My,Ed max	My,Rk	χ,x	χ,y	kxx	kxy	kyy	χ,LT	Verifica	
1.921	SLV 9	0.018	1	-6.293	697.541	0.08345	32.89552	0.02657	16.19002	0.905	0.704	0.949	0.431	0.999	0.718	0.894	Si

Verifica di stabilità a taglio anima Y §4.2.4.1.2.4 [4.2.27] NTC18

η	hw	tw	hw/tw max	Verifica
1.2	0.098	0.005	55.46	Si

Verifica di stabilità a taglio anima Y SLD §4.2.4.1.2.4 [4.2.27] NTC18

η	hw	tw	hw/tw max	Verifica
1.2	0.098	0.005	55.46	Si

Verifiche a deformabilità

Mensola X: No; Mensola Y: No.

Frecce lungo X

Ascissa freccia	Combinazione	Freccia	Luce	L/f	L/f,min	Tipo	Verifica
0.961	SLE RA 1	0.00001	1.921	10000	250	Totale	Si
0.961	SLE RA 17	0.00002	1.921	10000	250	Totale	Si
0.961	SLE RA 16	0.00002	1.921	10000	250	Totale	Si
0.961	SLE RA 15	0.00002	1.921	10000	250	Totale	Si
0.961	SLE RA 14	0.00001	1.921	10000	250	Totale	Si
0.961	SLE RA 2	-0.00001	1.921	10000	350	Variabile	Si
0.961	SLE RA 17	0	1.921	10000	350	Variabile	Si
0.961	SLE RA 16	0.00001	1.921	10000	350	Variabile	Si
0.961	SLE RA 15	0.00001	1.921	10000	350	Variabile	Si
0.961	SLE RA 14	0	1.921	10000	350	Variabile	Si

Frecce lungo Y

Ascissa freccia	Combinazione	Freccia	Luce	L/f	L/f,min	Tipo	Verifica
0.961	SLE RA 1	-0.00003	1.921	10000	250	Totale	Si
0.961	SLE RA 17	-0.00003	1.921	10000	250	Totale	Si
0.961	SLE RA 16	-0.00003	1.921	10000	250	Totale	Si
0.961	SLE RA 15	-0.00003	1.921	10000	250	Totale	Si
0.961	SLE RA 14	-0.00003	1.921	10000	250	Totale	Si
0.961	SLE RA 2	0	1.921	10000	350	Variabile	Si
0.961	SLE RA 17	0	1.921	10000	350	Variabile	Si
0.961	SLE RA 16	0	1.921	10000	350	Variabile	Si
0.961	SLE RA 15	0	1.921	10000	350	Variabile	Si
0.961	SLE RA 14	0	1.921	10000	350	Variabile	Si

Superelemento in acciaio a quota "640"- "590" (-923; -912)-(-796; -778)

Caratteristiche del materiale

Acciaio: S275, fyk = 275000

Caratteristiche geometriche

Lunghezza: 1.916

Nodo iniziale: 530 Nodo finale: 309

Cerniera iniziale: Mmomenti 1% Cerniera finale: Mmomenti 1%

Sovraresistenza: 0% Sisma Z: No

Caratteristiche della sezione

Sezione	Rotazione	Area	Jx	Jy	ix	iy	Wx	Wy	Wplx	Wply
HEA120	0	0.002537	0.0000060673	0.0000023091	0.0489	0.0302	0.00010644	0.00003849	0.00011962	0.00005887

Verifiche di resistenza

Verifiche a forza assiale §4.2.4.1.2.1 - §4.2.4.1.2.2 NTC18

X	Comb.	Sfruttamento	Classe	NEd	Nc,Rd	Nt,Rd	Riduzione da taglio	px	py	Verifica
0	SLV 11	0.031		20.822		664.325	1	0	0	Si

Verifiche a forza assiale SLD §4.2.4.1.2.1 - §4.2.4.1.2.2 NTC18

X	Comb.	Sfruttamento	Classe	NEd	Nc,Rd	Nt,Rd	Riduzione da taglio	px	py	Verifica
0	SLD 12	0.012		7.702		664.325	1	0	0	Si

Verifica a taglio Y §4.2.4.1.2.4 NTC18

X	Comb.	Sfruttamento	VEd	Vc,Rd	Av	Interazione taglio-torsione	Riduzione torsione	Verifica
1.916	SLU 75	0.002	-0.243	128.304	0.000849	Considerata	1	Si

Verifica a taglio Y SLD §4.2.4.1.2.4 NTC18

X	Comb.	Sfruttamento	VEd	Vc,Rd	Av	Interazione taglio-torsione	Riduzione torsione	Verifica
1.916	SLD 5	0.001	-0.186	128.304	0.000849	Considerata	1	Si

Verifica a flessione semplice X §§ 4.2.4.1.2.3 - 4.2.4.1.2.6 - 4.2.4.1.2.7 - 4.2.4.1.2.8 NTC18

X	Comb.	Sfruttamento	Classe	Mx,Ed	Mx,Rd	Rid. Mx,Rd da VEd	px	py	Verifica
0.958	SLU 42	0.004	1	-0.11445	31.32907	1	0	0	Si

Verifica a presso/tenso flessione retta X §§ 4.2.4.1.2.3 - 4.2.4.1.2.6 - 4.2.4.1.2.7 - 4.2.4.1.2.8 NTC18

Verifiche eseguite utilizzando la formula conservativa (6.2) §6.2.1 EN 1993-1-1:2005.

X	Comb.	Sfruttamento	Classe	NEd	NRd	Rid. NRd da VEd	Mx,Ed	Mx,Rd	Rid. Mx,Rd da VEd	Rid. Mx,Rd da NEd	px	py	Verifica
0.958	SLU 75	0.011	1	4.813	664.325	1	-0.1132	31.3291	1		0	0	Si

Verifica a presso/tenso flessione retta SLD §§ 4.2.4.1.2.3 - 4.2.4.1.2.6 - 4.2.4.1.2.7 - 4.2.4.1.2.8 NTC18

Verifiche eseguite utilizzando la formula conservativa (6.2) §6.2.1 EN 1993-1-1:2005.

X	Comb.	Sfruttamento	Classe	NEd	NRd	Rid. NRd da VEd	Mx,Ed	Mx,Rd	Rid. Mx,Rd da VEd	Rid. Mx,Rd da NEd	px	py	Verifica
0.958	SLD 15	0.014	1	7.371	664.325	1	-0.0891	31.3291	1		0	0	Si

Verifica a presso/tenso flessione retta Y §§ 4.2.4.1.2.3 - 4.2.4.1.2.6 - 4.2.4.1.2.7 - 4.2.4.1.2.8 NTC18

Verifiche eseguite utilizzando la formula conservativa (6.2) §6.2.1 EN 1993-1-1:2005.

X	Comb.	Sfruttamento	Classe	NEd	NRd	Rid. NRd da VEd	My,Ed	My,Rd	Rid. My,Rd da VEd	Rid. My,Rd da NEd	px	py	Verifica
0	SLV 12	0.032	1	20.822	664.325	1	-0.0152	15.4191	1		0	0	Si

Verifica a presso/tenso flessione retta Y SLD §§ 4.2.4.1.2.3 - 4.2.4.1.2.6 - 4.2.4.1.2.7 - 4.2.4.1.2.8 NTC18

Verifiche eseguite utilizzando la formula conservativa (6.2) §6.2.1 EN 1993-1-1:2005.

X	Comb.	Sfruttamento	Classe	NEd	NRd	Rid. NRd da VEd	My,Ed	My,Rd	Rid. My,Rd da VEd	Rid. My,Rd da NEd	px	py	Verifica
0	SLD 12	0.012	1	7.702	664.325	1	-0.0056	15.4191	1		0	0	Si

Verifica a presso/tenso flessione deviata §§ 4.2.4.1.2.3 - 4.2.4.1.2.6 - 4.2.4.1.2.7 - 4.2.4.1.2.8 NTC18

Verifiche eseguite utilizzando la formula conservativa (6.2) §6.2.1 EN 1993-1-1:2005.

X	Comb.	Sfruttamento	Classe	NEd	NRd	Rid. NRd da VEd	Mx,Ed	Mx,Rd	My,Ed	My,Rd	Rid. Mx,Rd da VEd	Rid. Mx,Rd da NEd	Rid. My,Rd da VEd	Rid. My,Rd da NEd	α	β	px	py	Verifica
0.894	SLV 12	0.035	1	20.775	664.325	1	-0.0918	31.3291	-0.0126	15.4191	1						0	0	Si

Verifica a presso/tenso flessione deviata SLD §§ 4.2.4.1.2.3 - 4.2.4.1.2.6 - 4.2.4.1.2.7 - 4.2.4.1.2.8 NTC18

Verifiche eseguite utilizzando la formula conservativa (6.2) §6.2.1 EN 1993-1-1:2005.

X	Comb.	Sfruttamento	Classe	NEd	NRd	Rid. NRd da VEd	Mx,Ed	Mx,Rd	My,Ed	My,Rd	Rid. Mx,Rd da VEd	Rid. Mx,Rd da NEd	Rid. My,Rd da VEd	Rid. My,Rd da NEd	α	β	px	py	Verifica
0.958	SLD 11	0.015	1	7.652	664.325	1	-0.0891	31.3291	-0.0044	15.4191	1						0	0	Si

Verifiche ad instabilità

Caratteristiche iniziali

Membratura principale per controllo snellezza; Calcolo di snellezze ed N critici condotti secondo gli assi principali;

Curva X: b; Curva Y: c; Svergolamento: Carico all'estradosso; Curva svergolamento: b;

Dati per instabilità attorno a x

Controllo della snellezza secondo §4.2.4.1.3.1 NTC18

Numero rit.	Presente	Ascissa	Campata	βx/m	Vincolo a entrambi estremi	λx/m	λVer
1	Si	0					
			1-2		1	Si	39.2
2	Si	1.916					Si, (<200)

PROGETTO DEFINITIVO – Tabulati di calcolo Tomo 1

Dati per instabilità attorno a y

Controllo della snellezza secondo §4.2.4.1.3.1 NTC18

Numero rit.	Presente	Ascissa	Campata	$\beta y/n$	k_{LT}	$k_{w,LT}$	Vincolo a entrambi estremi	$\lambda y/n$	λVer
1	Si	0							
			1-2	1	1	1	Si	63.5	Si, (<200)
2	Si	1.916							

Verifica a svergolamento §4.2.4.1.3.2 NTC18

X	Comb.	Sfruttamento	Classe	Obblig.	$M_{x,Ed}$	$M_{b,Rd,x}$	χ_{LT}	$\lambda_{adim. LT}$	L_{LT}	$M_{critico}$	Verifica
0.958	SLU 42	0.004	1	Si	-0.11445	28.03468	0.895	0.648	1.916	78.2995	Si

Verifica a svergolamento con trazione §4.2.4.1.3.2 NTC18 § 5.5.3 ENV 1993-1-1:1992 + AC:1992 + A1:1994 + A2:1998

X	Comb.	Sfruttamento	Classe	Obblig.	NEd	$M_{x,Ed}$	$M_{x,Eff,Ed}$	$M_{b,Rd,x}$	χ_{LT}	$\lambda_{adim. LT}$	L_{LT}	$M_{critico}$	Verifica
0.958	SLU 61	0.004	1	Si	0.377	-0.11442	-0.10334	28.03468	0.895	0.648	1.916	78.2995	Si

Verifica di stabilità per pressoflessione §C.4.2.4.1.3.2 NTC18

X	Comb.	Sfruttamento	Classe	NEd	NRk	Mx,Ed max	Mx,Rk	My,Ed max	My,Rk	χ_x	χ_y	kxx	kxy	kyy	χ_{LT}	Verifica	
1.916	SLV 5	0.045	1	-19.425	697.541	0.08282	32.89552	0.01313	16.19002	0.905	0.705	0.953	0.552	0.996	0.919	0.895	Si

Verifica di stabilità per pressoflessione SLD §C.4.2.4.1.3.2 NTC18

X	Comb.	Sfruttamento	Classe	NEd	NRk	Mx,Ed max	Mx,Rk	My,Ed max	My,Rk	χ,x	χ,y	kxx	kxy	kyy	χ,LT	Verifica	
1.916	SLD 5	0.017	1	-6.304	697.541	0.08588	32.89552	0.00358	16.19002	0.905	0.705	0.95	0.566	0.999	0.943	0.895	Si

Verifica di stabilità a taglio anima Y §4.2.4.1.2.4 [4.2.27] NTC18

η	hw	tw	hw/tw max	Verifica
1.2	0.098	0.005	55.46	Si

Verifica di stabilità a taglio anima Y SLD §4.2.4.1.2.4 [4.2.27] NTC18

η	hw	tw	hw/tw max	Verifica
1.2	0.098	0.005	55.46	Si

Verifiche a deformabilità

Mensola X: No; Mensola Y: No.

Frecce lungo X

Ascissa freccia	Combinazione	Freccia	Luce	L/f	L/f,min	Tipo	Verifica
0.83	SLE RA 1	0	1.916	10000	250	Totale	Si
0.83	SLE RA 17	0	1.916	10000	250	Totale	Si
0.83	SLE RA 16	0	1.916	10000	250	Totale	Si
0.767	SLE RA 15	0	1.916	10000	250	Totale	Si
0.83	SLE RA 14	0	1.916	10000	250	Totale	Si
0.83	SLE RA 2	0	1.916	10000	350	Variabile	Si
0.83	SLE RA 17	0	1.916	10000	350	Variabile	Si
0.83	SLE RA 16	0	1.916	10000	350	Variabile	Si
1.022	SLE RA 15	0	1.916	10000	350	Variabile	Si
0.894	SLE RA 14	0	1.916	10000	350	Variabile	Si

Frecce lungo Y

Ascissa freccia	Combinazione	Freccia	Luce	L/f	L/f,min	Tipo	Verifica
0.958	SLE RA 1	-0.00003	1.916	10000	250	Totale	Si
0.958	SLE RA 17	-0.00003	1.916	10000	250	Totale	Si
0.958	SLE RA 16	-0.00003	1.916	10000	250	Totale	Si
0.958	SLE RA 15	-0.00003	1.916	10000	250	Totale	Si
0.958	SLE RA 14	-0.00003	1.916	10000	250	Totale	Si
1.405	SLE RA 2	0	1.916	10000	350	Variabile	Si
1.405	SLE RA 17	0	1.916	10000	350	Variabile	Si
1.405	SLE RA 16	0	1.916	10000	350	Variabile	Si
0.83	SLE RA 15	0	1.916	10000	350	Variabile	Si
1.278	SLE RA 14	0	1.916	10000	350	Variabile	Si

Superelemento in acciaio a quota "640"- "590" (-1050; -1047)-(-923; -912)

Caratteristiche del materiale

Acciaio: S275, fyk = 275000

Caratteristiche geometriche

Lunghezza: 1.916

Nodo iniziale: 521 Nodo finale: 307

Cerniera iniziale: Mmomenti 1% Cerniera finale: Mmomenti 1%

Sovreresistenza: 0% Sisma Z: No

Caratteristiche della sezione

Sezione	Rotazione	Area	Jx	Jy	ix	iy	Wx	Wy	Wplx	Wply
HEA120	0	0.002537	0.0000060673	0.0000023091	0.0489	0.0302	0.00010644	0.00003849	0.00011962	0.00005887

Verifiche di resistenza

Verifiche a forza assiale §4.2.4.1.2.1 - §4.2.4.1.2.2 NTC18

X	Comb.	Sfruttamento	Classe	NEd	$N_{c,Rd}$	$N_{t,Rd}$	Riduzione da taglio	px	py	Verifica
1.916	SLV 6	0.038	1	-25.217	664.325		1	0	0	Si

Verifiche a forza assiale SLD §4.2.4.1.2.1 - §4.2.4.1.2.2 NTC18

X	Comb.	Sfruttamento	Classe	NEd	$N_{c,Rd}$	$N_{t,Rd}$	Riduzione da taglio	px	py	Verifica
1.916	SLD 5	0.014	1	-9.316	664.325		1	0	0	Si

**Implementazione dei sistemi di confinamento delle emissioni odorigene diffuse dell'impianto di compostaggio esistente nel
Comune di Eboli (SA)
PROGETTO DEFINITIVO – Tabulati di calcolo Tomo 1**

Verifica a taglio Y §4.2.4.1.2.4 NTC18

X	Comb.	Sfruttamento	VEd	Vc,Rd	Av	Interazione taglio-torsione	Riduzione torsione	Verifica
0	SLU 75	0.002	0.245	128.304	0.000849	Considerata	1	Si

Verifica a taglio Y SLD §4.2.4.1.2.4 NTC18

X	Comb.	Sfruttamento	VEd	Vc,Rd	Av	Interazione taglio-torsione	Riduzione torsione	Verifica
0	SLD 7	0.001	0.186	128.304	0.000849	Considerata	1	Si

Verifica a presso/tenso flessione retta X §§ 4.2.4.1.2.3 - 4.2.4.1.2.6 - 4.2.4.1.2.7 - 4.2.4.1.2.8 NTC18

Verifiche eseguite utilizzando la formula conservativa (6.2) §6.2.1 EN 1993-1-1:2005.

X	Comb.	Sfruttamento	Classe	NEd	NRd	Rid. NRd da VEd	Mx,Ed	Mx,Rd	Rid. Mx,Rd da VEd	Rid. Mx,Rd da NEd	px	py	Verifica
1.022	SLU 75	0.013	1	-6.463	664.325	1	-0.1089	31.3291	1		0	0	Si

Verifica a presso/tenso flessione retta X SLD §§ 4.2.4.1.2.3 - 4.2.4.1.2.6 - 4.2.4.1.2.7 - 4.2.4.1.2.8 NTC18

Verifiche eseguite utilizzando la formula conservativa (6.2) §6.2.1 EN 1993-1-1:2005.

X	Comb.	Sfruttamento	Classe	NEd	NRd	Rid. NRd da VEd	Mx,Ed	Mx,Rd	Rid. Mx,Rd da VEd	Rid. Mx,Rd da NEd	px	py	Verifica
0.83	SLD 6	0.017	1	-9.26	664.325	1	-0.0841	31.3291	1		0	0	Si

Verifica a presso/tenso flessione retta Y §§ 4.2.4.1.2.3 - 4.2.4.1.2.6 - 4.2.4.1.2.7 - 4.2.4.1.2.8 NTC18

Verifiche eseguite utilizzando la formula conservativa (6.2) §6.2.1 EN 1993-1-1:2005.

X	Comb.	Sfruttamento	Classe	NEd	NRd	Rid. NRd da VEd	My,Ed	My,Rd	Rid. My,Rd da VEd	Rid. My,Rd da NEd	px	py	Verifica
1.916	SLV 6	0.039	1	-25.217	664.325	1	0.0186	15.4191	1		0	0	Si

Verifica a presso/tenso flessione retta Y SLD §§ 4.2.4.1.2.3 - 4.2.4.1.2.6 - 4.2.4.1.2.7 - 4.2.4.1.2.8 NTC18

Verifiche eseguite utilizzando la formula conservativa (6.2) §6.2.1 EN 1993-1-1:2005.

X	Comb.	Sfruttamento	Classe	NEd	NRd	Rid. NRd da VEd	My,Ed	My,Rd	Rid. My,Rd da VEd	Rid. My,Rd da NEd	px	py	Verifica
1.916	SLD 5	0.014	1	-9.316	664.325	1	0.0052	15.4191	1		0	0	Si

Verifica a presso/tenso flessione deviata §§ 4.2.4.1.2.3 - 4.2.4.1.2.6 - 4.2.4.1.2.7 - 4.2.4.1.2.8 NTC18

Verifiche eseguite utilizzando la formula conservativa (6.2) §6.2.1 EN 1993-1-1:2005.

X	Comb.	Sfruttamento	Classe	NEd	NRd	Rid. NRd da VEd	Mx,Ed	Mx,Rd	My,Ed	My,Rd	Rid. Mx,Rd da VEd	Rid. Mx,Rd da NEd	Rid. My,Rd da VEd	Rid. My,Rd da NEd	α	β	px	py	Verifica
1.022	SLV 6	0.041	1	-25.171	664.325	1	-0.085	31.3291	0.0133	15.4191	1		1				0	0	Si

Verifica a presso/tenso flessione deviata SLD §§ 4.2.4.1.2.3 - 4.2.4.1.2.6 - 4.2.4.1.2.7 - 4.2.4.1.2.8 NTC18

Verifiche eseguite utilizzando la formula conservativa (6.2) §6.2.1 EN 1993-1-1:2005.

X	Comb.	Sfruttamento	Classe	NEd	NRd	Rid. NRd da VEd	Mx,Ed	Mx,Rd	My,Ed	My,Rd	Rid. Mx,Rd da VEd	Rid. Mx,Rd da NEd	Rid. My,Rd da VEd	Rid. My,Rd da NEd	α	β	px	py	Verifica
1.022	SLD 5	0.017	1	-9.27	664.325	1	-0.0856	31.3291	0.0041	15.4191	1		1				0	0	Si

Verifiche ad instabilità

Caratteristiche iniziali

Membratura principale per controllo snellezza; Calcolo di snellezze ed N critici condotti secondo gli assi principali;

Curva X: b; Curva Y: c; Svergolamento: Carico all'estradosso; Curva svergolamento: b;

Dati per instabilità attorno a x

Controllo della snellezza secondo §4.2.4.1.3.1 NTC18

Numero rit.	Presente	Ascissa	Campata	βx/m	Vincolo a entrambi estremi	λx/m	λVer
1	Si		0				
2	Si		1-2	1	Si	39.2	Si, (<200)

Dati per instabilità attorno a y

Controllo della snellezza secondo §4.2.4.1.3.1 NTC18

Numero rit.	Presente	Ascissa	Campata	βy/n	k,LT	kw,LT	Vincolo a entrambi estremi	λy/n	λVer
1	Si		0						
2	Si		1-2	1		1	Si	63.5	Si, (<200)

Verifica a svergolamento con trazione §4.2.4.1.3.2 NTC18 § 5.5.3 ENV 1993-1-1:1992 + AC:1992 + A1:1994 + A2:1998

X	Comb.	Sfruttamento	Classe	Obblig.	NEd	Mx,Ed	Mx,Ed,Ed	Mb,Rd,x	χ,LT	λ adim. LT	L,LT	M,critico	Verifica
0.958	SLU 62	0.003	1	Si	0.853	-0.11341	-0.08836	28.03468	0.895	0.648	1.916	78.2995	Si

Verifica di stabilità per pressoflessione §C.4.2.4.1.3.3.2 NTC18

X	Comb.	Sfruttamento	Classe	NEd	NRk	Mx,Ed max	Mx,Rk	My,Ed max	My,Rk	χ_x	χ_y	kxx	kxy	kyy	χ_{LT}	Verifica	
1.916	SLV 5	0.058	1	-25.217	697.541	0.08524	32.89552	0.01861	16.19002	0.905	0.705	0.958	0.474	0.994	0.79	0.895	Si

Verifica di stabilità per pressoflessione SLD §C.4.2.4.1.3.3.2 NTC18

X	Comb.	Sfruttamento	Classe	NEd	NRk	Mx,Ed max	Mx,Rk	My,Ed max	My,Rk	χ_x	χ_y	kxx	kxy	kyy	χ_{LT}	Verifica	
1.916	SLD 5	0.023	1	-9.316	697.541	0.08591	32.89552	0.00519	16.19002	0.905	0.705	0.952	0.498	0.998	0.83	0.895	Si

Verifica di stabilità a taglio anima Y §4.2.4.1.2.4 [4.2.27] NTC18

η	hw	tw	hw/tw max	Verifica
1.2	0.098	0.005	55.46	Si

Verifica di stabilità a taglio anima Y SLD §4.2.4.1.2.4 [4.2.27] NTC18

η	hw	tw	hw/tw max	Verifica
1.2	0.098	0.005	55.46	Si

Verifiche a deformabilità

Mensola X: No; Mensola Y: No.

Frecce lungo X

Ascissa freccia	Combinazione	Freccia	Luce	L/f	L/f,min	Tipo	Verifica
1.278	SLE RA 1	0	1.916	10000	250	Totale	Si

Implementazione dei sistemi di confinamento delle emissioni odorigene diffuse dell'impianto di compostaggio esistente nel
Comune di Eboli (SA)
PROGETTO DEFINITIVO – Tabulati di calcolo Tomo 1

Ascissa freccia	Combinazione	Freccia	Luce	L/f	L/f,min	Tipo	Verifica
1.278	SLE RA 17	0	1.916	10000	250	Totale	Si
1.278	SLE RA 16	0	1.916	10000	250	Totale	Si
0.511	SLE RA 15	0	1.916	10000	250	Totale	Si
1.15	SLE RA 14	0	1.916	10000	250	Totale	Si
1.214	SLE RA 2	0	1.916	10000	350	Variabile	Si
1.214	SLE RA 17	0	1.916	10000	350	Variabile	Si
1.214	SLE RA 16	0	1.916	10000	350	Variabile	Si
0.894	SLE RA 15	0	1.916	10000	350	Variabile	Si
1.086	SLE RA 14	0	1.916	10000	350	Variabile	Si

Frecce lungo Y

Ascissa freccia	Combinazione	Freccia	Luce	L/f	L/f,min	Tipo	Verifica
0.958	SLE RA 1	-0.00003	1.916	10000	250	Totale	Si
0.958	SLE RA 17	-0.00003	1.916	10000	250	Totale	Si
0.958	SLE RA 16	-0.00003	1.916	10000	250	Totale	Si
0.958	SLE RA 15	-0.00003	1.916	10000	250	Totale	Si
0.958	SLE RA 14	-0.00003	1.916	10000	250	Totale	Si
0.83	SLE RA 2	0	1.916	10000	350	Variabile	Si
0.83	SLE RA 17	0	1.916	10000	350	Variabile	Si
0.83	SLE RA 16	0	1.916	10000	350	Variabile	Si
0.83	SLE RA 15	0	1.916	10000	350	Variabile	Si
0.83	SLE RA 14	0	1.916	10000	350	Variabile	Si

Superelemento in acciaio a quota "640"- "590" (-1543; 180)-(-1416; 314)

Caratteristiche del materiale

Acciaio: S275, fyk = 275000

Caratteristiche geometriche

Lunghezza: 1.916

Nodo iniziale: 708 Nodo finale: 347

Cerniera iniziale: Mmomenti 1% Cerniera finale: Mmomenti 1%

Sovraresistenza: 0% Sisma Z: No

Caratteristiche della sezione

Sezione	Rotazione	Area	Jx	Jy	ix	iy	Wx	Wy	Wplx	Wply
HEA120	0	0.002537	0.0000060673	0.0000023091	0.0489	0.0302	0.00010644	0.00003849	0.00011962	0.00005887

Verifiche di resistenza

Verifiche a forza assiale §4.2.4.1.2.1 - §4.2.4.1.2.2 NTC18

X	Comb.	Sfruttamento	Classe	NEd	Nc,Rd	Nt,Rd	Riduzione da taglio	px	py	Verifica
0	SLU 76	0.109		72.119		664.325	1	0	0	Si

Verifiche a forza assiale SLD §4.2.4.1.2.1 - §4.2.4.1.2.2 NTC18

X	Comb.	Sfruttamento	Classe	NEd	Nc,Rd	Nt,Rd	Riduzione da taglio	px	py	Verifica
0	SLD 9	0.045		29.689		664.325	1	0	0	Si

Verifica a taglio Y §4.2.4.1.2.4 NTC18

X	Comb.	Sfruttamento	VEd	Vc,Rd	Av	Interazione taglio-torsione	Riduzione torsione	Verifica
0	SLU 76	0.002	0.243	128.304	0.000849	Considerata	1	Si

Verifica a taglio Y SLD §4.2.4.1.2.4 NTC18

X	Comb.	Sfruttamento	VEd	Vc,Rd	Av	Interazione taglio-torsione	Riduzione torsione	Verifica
0	SLD 12	0.001	0.185	128.304	0.000849	Considerata	1	Si

Verifica a presso/tenso flessione retta X §§ 4.2.4.1.2.3 - 4.2.4.1.2.6 - 4.2.4.1.2.7 - 4.2.4.1.2.8 NTC18

Verifiche eseguite utilizzando la formula conservativa (6.2) §6.2.1 EN 1993-1-1:2005.

X	Comb.	Sfruttamento	Classe	NEd	NRd	Rid. NRd da VEd	Mx,Ed	Mx,Rd	Rid. Mx,Rd da VEd	Rid. Mx,Rd da NEd	px	py	Verifica
0.958	SLV 13	0.077	1	48.915	664.325	1	-0.0922	31.3291	1		0	0	Si

Verifica a presso/tenso flessione retta X SLD §§ 4.2.4.1.2.3 - 4.2.4.1.2.6 - 4.2.4.1.2.7 - 4.2.4.1.2.8 NTC18

Verifiche eseguite utilizzando la formula conservativa (6.2) §6.2.1 EN 1993-1-1:2005.

X	Comb.	Sfruttamento	Classe	NEd	NRd	Rid. NRd da VEd	Mx,Ed	Mx,Rd	Rid. Mx,Rd da VEd	Rid. Mx,Rd da NEd	px	py	Verifica
0.958	SLD 14	0.047	1	29.541	664.325	1	-0.0922	31.3291	1		0	0	Si

Verifica a presso/tenso flessione retta Y §§ 4.2.4.1.2.3 - 4.2.4.1.2.6 - 4.2.4.1.2.7 - 4.2.4.1.2.8 NTC18

Verifiche eseguite utilizzando la formula conservativa (6.2) §6.2.1 EN 1993-1-1:2005.

X	Comb.	Sfruttamento	Classe	NEd	NRd	Rid. NRd da VEd	My,Ed	My,Rd	Rid. My,Rd da VEd	Rid. My,Rd da NEd	px	py	Verifica
0	SLU 57	0.101	1	66.437	664.325	1	0.0129	15.4191	1		0	0	Si

Verifica a presso/tenso flessione retta Y SLD §§ 4.2.4.1.2.3 - 4.2.4.1.2.6 - 4.2.4.1.2.7 - 4.2.4.1.2.8 NTC18

Verifiche eseguite utilizzando la formula conservativa (6.2) §6.2.1 EN 1993-1-1:2005.

X	Comb.	Sfruttamento	Classe	NEd	NRd	Rid. NRd da VEd	My,Ed	My,Rd	Rid. My,Rd da VEd	Rid. My,Rd da NEd	px	py	Verifica
0	SLD 9	0.045	1	29.689	664.325	1	0.0063	15.4191	1		0	0	Si

Verifica a presso/tenso flessione deviata §§ 4.2.4.1.2.3 - 4.2.4.1.2.6 - 4.2.4.1.2.7 - 4.2.4.1.2.8 NTC18

Verifiche eseguite utilizzando la formula conservativa (6.2) §6.2.1 EN 1993-1-1:2005.

X	Comb.	Sfruttamento	Classe	NEd	NRd	Rid. NRd da VEd	Mx,Ed	Mx,Rd	My,Ed	My,Rd	Rid. Mx,Rd da VEd	Rid. Mx,Rd da NEd	Rid. My,Rd da VEd	Rid. My,Rd da NEd	α	β	px	py	Verifica
0.958	SLU 76	0.114	1	72.054	664.325	1	-0.1299	31.3291	0.0152	15.4191	1		1				0	0	Si

Implementazione dei sistemi di confinamento delle emissioni odorigene diffuse dell'impianto di compostaggio esistente nel
Comune di Eboli (SA)
PROGETTO DEFINITIVO – Tabulati di calcolo Tomo 1

Verifica a presso/tenso flessione deviata SLD §§ 4.2.4.1.2.3 - 4.2.4.1.2.6 - 4.2.4.1.2.7 - 4.2.4.1.2.8 NTC18

Verifiche eseguite utilizzando la formula conservativa (6.2) §6.2.1 EN 1993-1-1:2005.

X	Comb.	Sfruttamento	Classe	NEd	NRd	Rid. NRd da VEd	Mx,Ed	Mx,Rd	My,Ed	My,Rd	Rid. Mx,Rd da VEd	Rid. Mx,Rd da NEd	Rid. My,Rd da VEd	Rid. My,Rd da NEd	α	β	px	py	Verifica
0.83	SLD 9	0.048	1	29.646	664.325	1	-0.0904	31.3291	0.0062	15.4191	1		1				0	0	Si

Verifiche ad instabilità

Caratteristiche iniziali

Membratura principale per controllo snellezza; Calcolo di snellezze ed N critici condotti secondo gli assi principali;
Curva X: b; Curva Y: c; Svergolamento: Carico all'estradosso; Curva svergolamento: b;

Dati per instabilità attorno a x

Controllo della snellezza secondo §4.2.4.1.3.1 NTC18

Numero rit.	Presente	Ascissa	Campata	βx/m	Vincolo a entrambi estremi	λx/m	λVer
1	Si		0				
			1-2		1	39.2	Si, (<200)
2	Si		1.916				

Dati per instabilità attorno a y

Controllo della snellezza secondo §4.2.4.1.3.1 NTC18

Numero rit.	Presente	Ascissa	Campata	βy/n	k,LT	kw,LT	Vincolo a entrambi estremi	λy/n	λVer
1	Si		0						
			1-2		1	1	Si	63.5	Si, (<200)
2	Si		1.916						

Verifica a svergolamento con trazione §4.2.4.1.3.2 NTC18 § 5.5.3 ENV 1993-1-1:1992 + AC:1992 + A1:1994 + A2:1998

X	Comb.	Sfruttamento	Classe	Obblig.	NEd	Mx,Ed	Mx,Eff,Ed	Mb,Rd,x	χ,LT	λ adim. LT	L,LT	M,critico	Verifica
0.958	SLU 60	0.002	1	Si	2.431	-0.11464	-0.04323	28.03468	0.895	0.648	1.916	78.2995	Si

Verifica di stabilità per pressoflessione §C.4.2.4.1.3.3.2 NTC18

X	Comb.	Sfruttamento	Classe	NEd	NRk	Mx,Ed max	Mx,Rk	My,Ed max	My,Rk	χ,x	χ,y	kxx	kxy	kyy	χ,LT	Verifica	
1.916	SLU 2	0.026	1	-10.62	697.541	0.08566	32.89552	0.00226	16.19002	0.905	0.705	0.952	0.563	0.998	0.938	0.895	Si

Verifica di stabilità a taglio anima Y §4.2.4.1.2.4 [4.2.27] NTC18

η	hw	tw	hw/tw max	Verifica
1.2	0.098	0.005	55.46	Si

Verifica di stabilità a taglio anima Y SLD §4.2.4.1.2.4 [4.2.27] NTC18

η	hw	tw	hw/tw max	Verifica
1.2	0.098	0.005	55.46	Si

Verifiche a deformabilità

Mensola X: No; Mensola Y: No.

Frecce lungo X

Ascissa freccia	Combinazione	Freccia	Luce	L/f	L/f,min	Tipo	Verifica
0.958	SLE RA 1	0	1.916	10000	250	Totale	Si
0.958	SLE RA 17	-0.00001	1.916	10000	250	Totale	Si
0.958	SLE RA 16	-0.00001	1.916	10000	250	Totale	Si
0.958	SLE RA 15	-0.00001	1.916	10000	250	Totale	Si
0.958	SLE RA 14	-0.00001	1.916	10000	250	Totale	Si
0.958	SLE RA 2	0	1.916	10000	350	Variabile	Si
0.958	SLE RA 17	0	1.916	10000	350	Variabile	Si
0.958	SLE RA 16	0	1.916	10000	350	Variabile	Si
0.958	SLE RA 15	0	1.916	10000	350	Variabile	Si
0.958	SLE RA 14	0	1.916	10000	350	Variabile	Si

Frecce lungo Y

Ascissa freccia	Combinazione	Freccia	Luce	L/f	L/f,min	Tipo	Verifica
0.958	SLE RA 1	-0.00003	1.916	10000	250	Totale	Si
0.958	SLE RA 17	-0.00003	1.916	10000	250	Totale	Si
0.958	SLE RA 16	-0.00003	1.916	10000	250	Totale	Si
0.958	SLE RA 15	-0.00003	1.916	10000	250	Totale	Si
0.958	SLE RA 14	-0.00003	1.916	10000	250	Totale	Si
1.022	SLE RA 2	0	1.916	10000	350	Variabile	Si
1.022	SLE RA 17	0	1.916	10000	350	Variabile	Si
1.022	SLE RA 16	0	1.916	10000	350	Variabile	Si
1.022	SLE RA 15	0	1.916	10000	350	Variabile	Si
1.022	SLE RA 14	0	1.916	10000	350	Variabile	Si

Superelemento in acciaio a quota "640"- "590" (-1670; 45)-(-1543; 180)

Caratteristiche del materiale

Acciaio: S275, fyk = 275000

Caratteristiche geometriche

Lunghezza: 1.916

Nodo iniziale: 680 Nodo finale: 342

Cerniera iniziale: Mmomenti 1% Cerniera finale: Mmomenti 1%

Sovraresistenza: 0% Sisma Z: No

Caratteristiche della sezione

Sezione	Rotazione	Area	Jx	Jy	ix	iy	Wx	Wy	Wplx	Wply
HEA120	0	0.002537	0.0000060673	0.0000023091	0.0489	0.0302	0.00010644	0.00003849	0.00011962	0.00005887

**Implementazione dei sistemi di confinamento delle emissioni odorigene diffuse dell'impianto di compostaggio esistente nel
Comune di Eboli (SA)
PROGETTO DEFINITIVO – Tabulati di calcolo Tomo 1**

Verifiche di resistenza

Verifiche a forza assiale §4.2.4.1.2.1 - §4.2.4.1.2.2 NTC18

X	Comb.	Sfruttamento	Classe	NEd	Nc,Rd	Nt,Rd	Riduzione da taglio	px	py	Verifica
0	SLU 76	0.124		82.167		664.325	1	0	0	Si

Verifiche a forza assiale SLD §4.2.4.1.2.1 - §4.2.4.1.2.2 NTC18

X	Comb.	Sfruttamento	Classe	NEd	Nc,Rd	Nt,Rd	Riduzione da taglio	px	py	Verifica
0	SLD 9	0.05		33.524		664.325	1	0	0	Si

Verifica a taglio Y §4.2.4.1.2.4 NTC18

X	Comb.	Sfruttamento	VEd	Vc,Rd	Av	Interazione taglio-torsione	Riduzione torsione	Verifica
0	SLU 76	0.002	0.242	128.304	0.000849	Considerata	1	Si

Verifica a taglio Y SLD §4.2.4.1.2.4 NTC18

X	Comb.	Sfruttamento	VEd	Vc,Rd	Av	Interazione taglio-torsione	Riduzione torsione	Verifica
0	SLD 10	0.001	0.186	128.304	0.000849	Considerata	1	Si

Verifica a presso/tenso flessione retta X §§ 4.2.4.1.2.3 - 4.2.4.1.2.6 - 4.2.4.1.2.7 - 4.2.4.1.2.8 NTC18

Verifiche eseguite utilizzando la formula conservativa (6.2) §6.2.1 EN 1993-1-1:2005.

X	Comb.	Sfruttamento	Classe	NEd	NRd	Rid. NRd da VEd	Mx,Ed	Mx,Rd	Rid. Mx,Rd da VEd	Rid. Mx,Rd da NEd	px	py	Verifica
0.319	SLU 76	0.125	1	82.146	664.325	1	-0.055	31.3291	1		0	0	Si

Verifica a presso/tenso flessione retta X SLD §§ 4.2.4.1.2.3 - 4.2.4.1.2.6 - 4.2.4.1.2.7 - 4.2.4.1.2.8 NTC18

Verifiche eseguite utilizzando la formula conservativa (6.2) §6.2.1 EN 1993-1-1:2005.

X	Comb.	Sfruttamento	Classe	NEd	NRd	Rid. NRd da VEd	Mx,Ed	Mx,Rd	Rid. Mx,Rd da VEd	Rid. Mx,Rd da NEd	px	py	Verifica
0.766	SLD 6	0.047	1	29.357	664.325	1	-0.0808	31.3291	1		0	0	Si

Verifica a presso/tenso flessione retta Y §§ 4.2.4.1.2.3 - 4.2.4.1.2.6 - 4.2.4.1.2.7 - 4.2.4.1.2.8 NTC18

Verifiche eseguite utilizzando la formula conservativa (6.2) §6.2.1 EN 1993-1-1:2005.

X	Comb.	Sfruttamento	Classe	NEd	NRd	Rid. NRd da VEd	My,Ed	My,Rd	Rid. My,Rd da VEd	Rid. My,Rd da NEd	px	py	Verifica
1.916	SLU 76	0.124	1	82.038	664.325	1	0.0129	15.4191	1		0	0	Si

Verifica a presso/tenso flessione retta Y SLD §§ 4.2.4.1.2.3 - 4.2.4.1.2.6 - 4.2.4.1.2.7 - 4.2.4.1.2.8 NTC18

Verifiche eseguite utilizzando la formula conservativa (6.2) §6.2.1 EN 1993-1-1:2005.

X	Comb.	Sfruttamento	Classe	NEd	NRd	Rid. NRd da VEd	My,Ed	My,Rd	Rid. My,Rd da VEd	Rid. My,Rd da NEd	px	py	Verifica
1.916	SLD 10	0.051	1	33.424	664.325	1	0.0068	15.4191	1		0	0	Si

Verifica a presso/tenso flessione deviata §§ 4.2.4.1.2.3 - 4.2.4.1.2.6 - 4.2.4.1.2.7 - 4.2.4.1.2.8 NTC18

Verifiche eseguite utilizzando la formula conservativa (6.2) §6.2.1 EN 1993-1-1:2005.

X	Comb.	Sfruttamento	Classe	NEd	NRd	Rid. NRd da VEd	Mx,Ed	Mx,Rd	My,Ed	My,Rd	Rid. Mx,Rd da VEd	Rid. Mx,Rd da NEd	Rid. My,Rd da VEd	Rid. My,Rd da NEd	α	β	px	py	Verifica
1.022	SLU 76	0.128	1	82.098	664.325	1	-0.1074	31.3291	0.0078	15.4191	1		1				0	0	Si

Verifica a presso/tenso flessione deviata SLD §§ 4.2.4.1.2.3 - 4.2.4.1.2.6 - 4.2.4.1.2.7 - 4.2.4.1.2.8 NTC18

Verifiche eseguite utilizzando la formula conservativa (6.2) §6.2.1 EN 1993-1-1:2005.

X	Comb.	Sfruttamento	Classe	NEd	NRd	Rid. NRd da VEd	Mx,Ed	Mx,Rd	My,Ed	My,Rd	Rid. Mx,Rd da VEd	Rid. Mx,Rd da NEd	Rid. My,Rd da VEd	Rid. My,Rd da NEd	α	β	px	py	Verifica
0.958	SLD 9	0.053	1	33.474	664.325	1	-0.0835	31.3291	0.0055	15.4191	1		1				0	0	Si

Verifiche ad instabilità

Caratteristiche iniziali

Membratura principale per controllo snellezza; Calcolo di snellezze ed N critici condotti secondo gli assi principali;

Curva X: b; Curva Y: c; Svergolamento: Carico all'estradosso; Curva svergolamento: b;

Dati per instabilità attorno a x

Controllo della snellezza secondo §4.2.4.1.3.1 NTC18

Numero rit.	Presente	Ascissa	Campata	βx/m	Vincolo a entrambi estremi	λx/m	λVer
1	Si		0				
			1-2		1	39.2	Si, (<200)
2	Si	1.916					

Dati per instabilità attorno a y

Controllo della snellezza secondo §4.2.4.1.3.1 NTC18

Numero rit.	Presente	Ascissa	Campata	βy/n	k _i LT	k _w LT	Vincolo a entrambi estremi	λy/n	λVer
1	Si		0						
			1-2		1	1	Si	63.5	Si, (<200)
2	Si	1.916							

Verifica a svergolamento con trazione §4.2.4.1.3.2 NTC18 § 5.5.3 ENV 1993-1-1:1992 + AC:1992 + A1:1994 + A2:1998

X	Comb.	Sfruttamento	Classe	Obblig.	NEd	Mx,Ed	Mx,Ed,max	Mx,Ed,max	Mb,Rd,x	χ _i LT	λ adim. LT	L _i LT	M _c critico	Verifica
0.958	SLU 41	0.003	1	Si	0.842	-0.1137		-0.08898	28.03743	0.895	0.648	1.916	78.34427	Si

Verifica di stabilità per pressoflessione §C.4.2.4.1.3.3.2 NTC18

X	Comb.	Sfruttamento	Classe	NEd	NRk	Mx,Ed,max	Mx,Rk	My,Ed,max	My,Rk	χ _x	χ _y	k _{xx}	k _{xy}	k _{yx}	k _{yy}	χ _i LT	Verifica
1.916	SLU 2	0.02	1	-7.923	697.541	0.08835	32.89552	0.00151	16.19002	0.905	0.705	0.953	0.381	0.998	0.634	0.895	Si

Verifica di stabilità a taglio anima Y §4.2.4.1.2.4 [4.2.27] NTC18

η	hw	tw	hw/tw max	Verifica
1.2	0.098	0.005	55.46	Si

Verifica di stabilità a taglio anima Y SLD §4.2.4.1.2.4 [4.2.27] NTC18

η	hw	tw	hw/tw max	Verifica
1.2	0.098	0.005	55.46	Si

Implementazione dei sistemi di confinamento delle emissioni odorigene diffuse dell'impianto di compostaggio esistente nel
Comune di Eboli (SA)
PROGETTO DEFINITIVO – Tabulati di calcolo Tomo 1

Verifiche a deformabilità

Mensola X: No; Mensola Y: No.

Frecce lungo X

Ascissa freccia	Combinazione	Freccia	Luce	L/f	L/f,min	Tipo	Verifica
1.086	SLE RA 1	0	1.916	10000	250	Totale	Si
1.086	SLE RA 17	0	1.916	10000	250	Totale	Si
1.086	SLE RA 16	0	1.916	10000	250	Totale	Si
1.086	SLE RA 15	0	1.916	10000	250	Totale	Si
1.086	SLE RA 14	0	1.916	10000	250	Totale	Si
1.086	SLE RA 2	0	1.916	10000	350	Variabile	Si
1.086	SLE RA 17	0	1.916	10000	350	Variabile	Si
1.086	SLE RA 16	0	1.916	10000	350	Variabile	Si
1.086	SLE RA 15	0	1.916	10000	350	Variabile	Si
1.022	SLE RA 14	0	1.916	10000	350	Variabile	Si

Frecce lungo Y

Ascissa freccia	Combinazione	Freccia	Luce	L/f	L/f,min	Tipo	Verifica
0.958	SLE RA 1	-0.00003	1.916	10000	250	Totale	Si
0.958	SLE RA 17	-0.00003	1.916	10000	250	Totale	Si
0.958	SLE RA 16	-0.00003	1.916	10000	250	Totale	Si
0.958	SLE RA 15	-0.00003	1.916	10000	250	Totale	Si
0.958	SLE RA 14	-0.00003	1.916	10000	250	Totale	Si
0.894	SLE RA 2	0	1.916	10000	350	Variabile	Si
0.894	SLE RA 17	0	1.916	10000	350	Variabile	Si
0.894	SLE RA 16	0	1.916	10000	350	Variabile	Si
0.894	SLE RA 15	0	1.916	10000	350	Variabile	Si
0.894	SLE RA 14	0	1.916	10000	350	Variabile	Si

Superelemento in acciaio a quota "640"-"590" (-1797; -90)-(-1670; 45)

Caratteristiche del materiale

Acciaio: S275, fyk = 275000

Caratteristiche geometriche

Lunghezza: 1.918

Nodo iniziale: 652 Nodo finale: 296

Cerniera iniziale: Mmomenti 1% Cerniera finale: Mmomenti 1%

Sovreresistenza: 0% Sisma Z: No

Caratteristiche della sezione

Sezione	Rotazione	Area	Jx	Jy	ix	iy	Wx	Wy	Wplx	Wply
HEA120	0	0.002537	0.0000060673	0.0000023091	0.0489	0.0302	0.00010644	0.00003849	0.00011962	0.00005887

Verifiche di resistenza

Verifiche a forza assiale §4.2.4.1.2.1 - §4.2.4.1.2.2 NTC18

X	Comb.	Sfruttamento	Classe	NEd	Nc,Rd	Nt,Rd	Riduzione da taglio	px	py	Verifica
1.918	SLV 10	0.032	1	-21.071	664.325		1	0	0	Si

Verifiche a forza assiale SLD §4.2.4.1.2.1 - §4.2.4.1.2.2 NTC18

X	Comb.	Sfruttamento	Classe	NEd	Nc,Rd	Nt,Rd	Riduzione da taglio	px	py	Verifica
1.918	SLD 9	0.011	1	-7.441	664.325		1	0	0	Si

Verifica a taglio Y §4.2.4.1.2.4 NTC18

X	Comb.	Sfruttamento	VEd	Vc,Rd	Av	Interazione taglio-torsione	Riduzione torsione	Verifica
1.918	SLU 76	0.002	-0.245	128.304	0.000849	Considerata	1	Si

Verifica a taglio Y SLD §4.2.4.1.2.4 NTC18

X	Comb.	Sfruttamento	VEd	Vc,Rd	Av	Interazione taglio-torsione	Riduzione torsione	Verifica
1.918	SLD 10	0.001	-0.186	128.304	0.000849	Considerata	1	Si

Verifica a flessione semplice X §§ 4.2.4.1.2.3 - 4.2.4.1.2.6 - 4.2.4.1.2.7 - 4.2.4.1.2.8 NTC18

X	Comb.	Sfruttamento	Classe	Mx,Ed	Mx,Rd	Rid. Mx,Rd da VEd	px	py	Verifica
0.959	SLU 52	0.004	1	-0.11347	31.32907	1	0	0	Si

Verifica a flessione semplice Y §§ 4.2.4.1.2.3 - 4.2.4.1.2.6 - 4.2.4.1.2.7 - 4.2.4.1.2.8 NTC18

X	Comb.	Sfruttamento	Classe	My,Ed	My,Rd	Rid. My,Rd da VEd	px	py	Verifica
0	SLU 48	0	1	-0.00486	15.41907	1	0	0	Si

Verifica a flessione deviata §§ 4.2.4.1.2.3 - 4.2.4.1.2.6 - 4.2.4.1.2.7 - 4.2.4.1.2.8 NTC18

X	Comb.	Sfruttamento	Classe	Mx,Ed	Mx,Rd	My,Ed	My,Rd	Rid. Mx,Rd da VEd	Rid. My,Rd da VEd	α	β	px	py	Verifica
0.384	SLU 52	0.003	1	-0.0736	31.3291	-0.0039	15.4191	1	1			0	0	Si

Verifica a presso/tenso flessione retta X §§ 4.2.4.1.2.3 - 4.2.4.1.2.6 - 4.2.4.1.2.7 - 4.2.4.1.2.8 NTC18

Verifiche eseguite utilizzando la formula conservativa (6.2) §6.2.1 EN 1993-1-1:2005.

X	Comb.	Sfruttamento	Classe	NEd	NRd	Rid. NRd da VEd	Mx,Ed	Mx,Rd	Rid. Mx,Rd da VEd	Rid. Mx,Rd da NEd	px	py	Verifica
0.959	SLU 40	0.009	1	-3.306	664.325	1	-0.1141	31.3291	1		0	0	Si

Verifica a presso/tenso flessione retta X SLD §§ 4.2.4.1.2.3 - 4.2.4.1.2.6 - 4.2.4.1.2.7 - 4.2.4.1.2.8 NTC18

Verifiche eseguite utilizzando la formula conservativa (6.2) §6.2.1 EN 1993-1-1:2005.

X	Comb.	Sfruttamento	Classe	NEd	NRd	Rid. NRd da VEd	Mx,Ed	Mx,Rd	Rid. Mx,Rd da VEd	Rid. Mx,Rd da NEd	px	py	Verifica
0.959	SLD 5	0.009	1	-4.211	664.325	1	-0.0862	31.3291	1		0	0	Si

Implementazione dei sistemi di confinamento delle emissioni odorigene diffuse dell'impianto di compostaggio esistente nel
Comune di Eboli (SA)

PROGETTO DEFINITIVO – Tabulati di calcolo Tomo 1

Verifica a presso/tenso flessione retta Y §§ 4.2.4.1.2.3 - 4.2.4.1.2.6 - 4.2.4.1.2.7 - 4.2.4.1.2.8 NTC18

Verifiche eseguite utilizzando la formula conservativa (6.2) §6.2.1 EN 1993-1-1:2005.

X	Comb.	Sfruttamento	Classe	NEd	NRd	Rid. NRd da VEd	My,Ed	My,Rd	Rid. My,Rd da VEd	Rid. My,Rd da NEd	px	py	Verifica
0	SLV 10	0.033	1	-20.97	664.325	1	0.0221	15.4191	1		0	0	Si

Verifica a presso/tenso flessione retta Y SLD §§ 4.2.4.1.2.3 - 4.2.4.1.2.6 - 4.2.4.1.2.7 - 4.2.4.1.2.8 NTC18

Verifiche eseguite utilizzando la formula conservativa (6.2) §6.2.1 EN 1993-1-1:2005.

X	Comb.	Sfruttamento	Classe	NEd	NRd	Rid. NRd da VEd	My,Ed	My,Rd	Rid. My,Rd da VEd	Rid. My,Rd da NEd	px	py	Verifica
1.918	SLD 9	0.012	1	-7.441	664.325	1	0.0063	15.4191	1		0	0	Si

Verifica a presso/tenso flessione deviata §§ 4.2.4.1.2.3 - 4.2.4.1.2.6 - 4.2.4.1.2.7 - 4.2.4.1.2.8 NTC18

Verifiche eseguite utilizzando la formula conservativa (6.2) §6.2.1 EN 1993-1-1:2005.

X	Comb.	Sfruttamento	Classe	NEd	NRd	Rid. NRd da VEd	Mx,Ed	Mx,Rd	My,Ed	My,Rd	Rid. Mx,Rd da VEd	Rid. Mx,Rd da NEd	Rid. My,Rd da VEd	Rid. My,Rd da NEd	α	β	px	py	Verifica
0.959	SLV 9	0.036	1	-21.021	664.325	1	-0.0819	31.3291	0.0204	15.4191	1		1				0	0	Si

Verifica a presso/tenso flessione deviata SLD §§ 4.2.4.1.2.3 - 4.2.4.1.2.6 - 4.2.4.1.2.7 - 4.2.4.1.2.8 NTC18

Verifiche eseguite utilizzando la formula conservativa (6.2) §6.2.1 EN 1993-1-1:2005.

X	Comb.	Sfruttamento	Classe	NEd	NRd	Rid. NRd da VEd	Mx,Ed	Mx,Rd	My,Ed	My,Rd	Rid. Mx,Rd da VEd	Rid. Mx,Rd da NEd	Rid. My,Rd da VEd	Rid. My,Rd da NEd	α	β	px	py	Verifica
0.959	SLD 10	0.014	1	-7.391	664.325	1	-0.0854	31.3291	0.0056	15.4191	1		1				0	0	Si

Verifiche ad instabilità

Caratteristiche iniziali

Membratura principale per controllo snellezza; Calcolo di snellezze ed N critici condotti secondo gli assi principali;

Curva X: b; Curva Y: c; Svergolamento: Carico all'estradosso; Curva svergolamento: b;

Dati per instabilità attorno a x

Controllo della snellezza secondo §4.2.4.1.3.1 NTC18

Numero rit.	Presente	Ascissa	Campata	βx/m	Vincolo a entrambi estremi	λx/m	λVer
1	Si		0				
			1-2		1	39.2	Si, (<200)
2	Si	1.918					

Dati per instabilità attorno a y

Controllo della snellezza secondo §4.2.4.1.3.1 NTC18

Numero rit.	Presente	Ascissa	Campata	βy/n	k,LT	kw,LT	Vincolo a entrambi estremi	λy/n	λVer
1	Si		0						
			1-2		1	1	Si	63.6	Si, (<200)
2	Si	1.918							

Verifica a svergolamento §4.2.4.1.3.2 NTC18

X	Comb.	Sfruttamento	Classe	Obblig.	Mx,Ed	Mb,Rd,x	χ,LT	λ adim. LT	L,LT	M,critico	Verifica
0.959	SLU 13	0.003	1	Si	-0.08715	28.02992	0.895	0.648	1.918	78.22202	Si

Verifica a svergolamento con trazione §4.2.4.1.3.2 NTC18 § 5.5.3 ENV 1993-1-1:1992 + AC:1992 + A1:1994 + A2:1998

X	Comb.	Sfruttamento	Classe	Obblig.	NEd	Mx,Ed	Mx,Eff,Ed	Mb,Rd,x	χ,LT	λ adim. LT	L,LT	M,critico	Verifica
0.959	SLU 55	0.004	1	Si	0.338	-0.11313	-0.1032	28.02992	0.895	0.648	1.918	78.22202	Si

Verifica di stabilità per tenso-flessione deviata §§ 5.5.3-5.5.4 ENV 1993-1-1:1992 + AC:1992 + A1:1994 + A2:1998

X	Comb.	Sfruttamento	Classe	NEd	Mx,Ed	Mx,Eff,Ed	My,Ed	χ,LT	kLT	ky	M,critico	Wx	Wy	Verifica
0.639	SLU 42	0.003	1	0.448	-0.10091	-0.08774	-0.00389	0.895	1	1	78.22202	0.0001196	0.0000589	Si

Verifica di stabilità per pressoflessione §C.4.2.4.1.3.3.2 NTC18

X	Comb.	Sfruttamento	Classe	NEd	NRk	Mx,Ed max	Mx,Rk	My,Ed max	My,Rk	χ,x	χ,y	kxx	kxy	kyy	χ,LT	Verifica	
1.918	SLV 10	0.049	1	-21.071	697.541	0.08194	32.89552	0.02213	16.19002	0.905	0.705	0.952	0.584	0.995	0.973	0.895	Si

Verifica di stabilità per pressoflessione SLD §C.4.2.4.1.3.3.2 NTC18

X	Comb.	Sfruttamento	Classe	NEd	NRk	Mx,Ed max	Mx,Rk	My,Ed max	My,Rk	χ,x	χ,y	kxx	kxy	kyy	χ,LT	Verifica	
1.918	SLD 10	0.019	1	-7.441	697.541	0.08541	32.89552	0.00625	16.19002	0.905	0.705	0.95	0.56	0.998	0.933	0.895	Si

Verifica di stabilità a taglio anima Y §4.2.4.1.2.4 [4.2.27] NTC18

η	hw	tw	hw/tw max	Verifica
1.2	0.098	0.005	55.46	Si

Verifica di stabilità a taglio anima Y SLD §4.2.4.1.2.4 [4.2.27] NTC18

η	hw	tw	hw/tw max	Verifica
1.2	0.098	0.005	55.46	Si

Verifiche a deformabilità

Mensola X: No; Mensola Y: No.

Frecce lungo X

Ascissa freccia	Combinazione	Freccia	Luce	L/f	L/f,min	Tipo	Verifica
0.831	SLE RA 1	0	1.918	10000	250	Totale	Si
0.831	SLE RA 17	0	1.918	10000	250	Totale	Si
0.831	SLE RA 16	0	1.918	10000	250	Totale	Si
0.831	SLE RA 15	0	1.918	10000	250	Totale	Si
0.831	SLE RA 14	0	1.918	10000	250	Totale	Si
0.831	SLE RA 2	0	1.918	10000	350	Variabile	Si
0.831	SLE RA 17	0	1.918	10000	350	Variabile	Si
0.831	SLE RA 16	0	1.918	10000	350	Variabile	Si
0.831	SLE RA 15	0	1.918	10000	350	Variabile	Si
0.831	SLE RA 14	0	1.918	10000	350	Variabile	Si

Frecce lungo Y

Ascissa freccia	Combinazione	Freccia	Luce	L/f	L/f,min	Tipo	Verifica
0.959	SLE RA 1	-0.00003	1.918	10000	250	Totale	Si
0.959	SLE RA 17	-0.00003	1.918	10000	250	Totale	Si

Implementazione dei sistemi di confinamento delle emissioni odorigene diffuse dell'impianto di compostaggio esistente nel
Comune di Eboli (SA)
PROGETTO DEFINITIVO – Tabulati di calcolo Tomo 1

Ascissa freccia	Combinazione	Freccia	Luce	L/f	L/f,min	Tipo	Verifica
0.959	SLE RA 16	-0.00003	1.918	10000	250	Totale	Si
0.959	SLE RA 15	-0.00003	1.918	10000	250	Totale	Si
0.959	SLE RA 14	-0.00003	1.918	10000	250	Totale	Si
1.279	SLE RA 2	0	1.918	10000	350	Variabile	Si
1.279	SLE RA 17	0	1.918	10000	350	Variabile	Si
1.279	SLE RA 16	0	1.918	10000	350	Variabile	Si
1.215	SLE RA 15	0	1.918	10000	350	Variabile	Si
0.447	SLE RA 14	0	1.918	10000	350	Variabile	Si

Superelemento in acciaio a quota "640"- "590" (-1924; -224)-(-1797; -90)

Caratteristiche del materiale

Acciaio: S275, fyk = 275000

Caratteristiche geometriche

Lunghezza: 1.916

Nodo iniziale: 625 Nodo finale: 331

Cerniera iniziale: Mmomenti 1% Cerniera finale: Mmomenti 1%

Sovreresistenza: 0% Sisma Z: No

Caratteristiche della sezione

Sezione	Rotazione	Area	Jx	Jy	ix	iy	Wx	Wy	Wplx	Wply
HEA120	0	0.002537	0.0000060673	0.0000023091	0.0489	0.0302	0.00010644	0.00003849	0.00011962	0.00005887

Verifiche di resistenza

Verifiche a forza assiale §4.2.4.1.2.1 - §4.2.4.1.2.2 NTC18

X	Comb.	Sfruttamento	Classe	NEd	Nc,Rd	Nt,Rd	Riduzione da taglio	px	py	Verifica
1.916	SLV 10	0.045	1	-29.968	664.325		1	0	0	Si

Verifiche a forza assiale SLD §4.2.4.1.2.1 - §4.2.4.1.2.2 NTC18

X	Comb.	Sfruttamento	Classe	NEd	Nc,Rd	Nt,Rd	Riduzione da taglio	px	py	Verifica
1.916	SLD 10	0.018	1	-12.256	664.325		1	0	0	Si

Verifica a taglio Y §4.2.4.1.2.4 NTC18

X	Comb.	Sfruttamento	VEd	Vc,Rd	Av	Interazione taglio-torsione	Riduzione torsione	Verifica
0	SLU 76	0.002	0.246	128.304	0.000849	Considerata	1	Si

Verifica a taglio Y SLD §4.2.4.1.2.4 NTC18

X	Comb.	Sfruttamento	VEd	Vc,Rd	Av	Interazione taglio-torsione	Riduzione torsione	Verifica
0	SLD 7	0.001	0.186	128.304	0.000849	Considerata	1	Si

Verifica a flessione semplice X §§ 4.2.4.1.2.3 - 4.2.4.1.2.6 - 4.2.4.1.2.7 - 4.2.4.1.2.8 NTC18

X	Comb.	Sfruttamento	Classe	Mx,Ed	Mx,Rd	Rid. Mx,Rd da VEd	px	py	Verifica
0.958	SLU 60	0.004	1	-0.1126	31.32907	1	0	0	Si

Verifica a presso/tenso flessione retta X §§ 4.2.4.1.2.3 - 4.2.4.1.2.6 - 4.2.4.1.2.7 - 4.2.4.1.2.8 NTC18

Verifiche eseguite utilizzando la formula conservativa (6.2) §6.2.1 EN 1993-1-1:2005.

X	Comb.	Sfruttamento	Classe	NEd	NRd	Rid. NRd da VEd	Mx,Ed	Mx,Rd	Rid. Mx,Rd da VEd	Rid. Mx,Rd da NEd	px	py	Verifica
0.319	SLV 5	0.028	1	-17.718	664.325	1	-0.0444	31.3291	1		0	0	Si

Verifica a presso/tenso flessione retta X SLD §§ 4.2.4.1.2.3 - 4.2.4.1.2.6 - 4.2.4.1.2.7 - 4.2.4.1.2.8 NTC18

Verifiche eseguite utilizzando la formula conservativa (6.2) §6.2.1 EN 1993-1-1:2005.

X	Comb.	Sfruttamento	Classe	NEd	NRd	Rid. NRd da VEd	Mx,Ed	Mx,Rd	Rid. Mx,Rd da VEd	Rid. Mx,Rd da NEd	px	py	Verifica
0.958	SLD 10	0.021	1	-12.206	664.325	1	-0.0853	31.3291	1		0	0	Si

Verifica a presso/tenso flessione retta Y §§ 4.2.4.1.2.3 - 4.2.4.1.2.6 - 4.2.4.1.2.7 - 4.2.4.1.2.8 NTC18

Verifiche eseguite utilizzando la formula conservativa (6.2) §6.2.1 EN 1993-1-1:2005.

X	Comb.	Sfruttamento	Classe	NEd	NRd	Rid. NRd da VEd	My,Ed	My,Rd	Rid. My,Rd da VEd	Rid. My,Rd da NEd	px	py	Verifica
1.916	SLV 10	0.047	1	-29.968	664.325	1	0.0296	15.4191	1		0	0	Si

Verifica a presso/tenso flessione retta Y SLD §§ 4.2.4.1.2.3 - 4.2.4.1.2.6 - 4.2.4.1.2.7 - 4.2.4.1.2.8 NTC18

Verifiche eseguite utilizzando la formula conservativa (6.2) §6.2.1 EN 1993-1-1:2005.

X	Comb.	Sfruttamento	Classe	NEd	NRd	Rid. NRd da VEd	My,Ed	My,Rd	Rid. My,Rd da VEd	Rid. My,Rd da NEd	px	py	Verifica
1.916	SLD 10	0.019	1	-12.256	664.325	1	0.0063	15.4191	1		0	0	Si

Verifica a presso/tenso flessione deviata §§ 4.2.4.1.2.3 - 4.2.4.1.2.6 - 4.2.4.1.2.7 - 4.2.4.1.2.8 NTC18

Verifiche eseguite utilizzando la formula conservativa (6.2) §6.2.1 EN 1993-1-1:2005.

X	Comb.	Sfruttamento	Classe	NEd	NRd	Rid. NRd da VEd	Mx,Ed	Mx,Rd	My,Ed	My,Rd	Rid. Mx,Rd da VEd	Rid. Mx,Rd da NEd	Rid. My,Rd da VEd	Rid. My,Rd da NEd	α	β	px	py	Verifica
1.086	SLV 9	0.049	1	-29.925	664.325	1	-0.0831	31.3291	0.0192	15.4191	1		1				0	0	Si

Verifica a presso/tenso flessione deviata SLD §§ 4.2.4.1.2.3 - 4.2.4.1.2.6 - 4.2.4.1.2.7 - 4.2.4.1.2.8 NTC18

Verifiche eseguite utilizzando la formula conservativa (6.2) §6.2.1 EN 1993-1-1:2005.

X	Comb.	Sfruttamento	Classe	NEd	NRd	Rid. NRd da VEd	Mx,Ed	Mx,Rd	My,Ed	My,Rd	Rid. Mx,Rd da VEd	Rid. Mx,Rd da NEd	Rid. My,Rd da VEd	Rid. My,Rd da NEd	α	β	px	py	Verifica
1.278	SLD 9	0.021	1	-12.223	664.325	1	-0.0762	31.3291	0.004	15.4191	1		1				0	0	Si

Implementazione dei sistemi di confinamento delle emissioni odorigene diffuse dell'impianto di compostaggio esistente nel
Comune di Eboli (SA)
PROGETTO DEFINITIVO – Tabulati di calcolo Tomo 1

Verifiche ad instabilità

Caratteristiche iniziali

Membratura principale per controllo snellezza; Calcolo di snellezze ed N critici condotti secondo gli assi principali;
Curva X: b; Curva Y: c; Svergolamento: Carico all'estradosso; Curva svergolamento: b;

Dati per instabilità attorno a x

Controllo della snellezza secondo §4.2.4.1.3.1 NTC18

Numero rit.	Presente	Ascissa	Campata	$\beta x/m$	Vincolo a entrambi estremi	$\lambda x/m$	λVer
1	Si	0					
			1-2	1	Si	39.2	Si, (<200)
2	Si	1.916					

Dati per instabilità attorno a y

Controllo della snellezza secondo §4.2.4.1.3.1 NTC18

Numero rit.	Presente	Ascissa	Campata	$\beta y/n$	k,LT	kw,LT	Vincolo a entrambi estremi	$\lambda y/n$	λVer
1	Si	0							
			1-2	1	1	1	Si	63.5	Si, (<200)
2	Si	1.916							

Verifica a svergolamento §4.2.4.1.3.2 NTC18

X	Comb.	Sfruttamento	Classe	Obblig.	Mx,Ed	Mb,Rd,x	χ,LT	$\lambda adim. LT$	L,LT	$M,critico$	Verifica
0.958	SLU 60	0.004	1	Si	-0.1126	28.03468	0.895	0.648	1.916	78.2995	Si

Verifica a svergolamento con trazione §4.2.4.1.3.2 NTC18 § 5.5.3 ENV 1993-1-1:1992 + AC:1992 + A1:1994 + A2:1998

X	Comb.	Sfruttamento	Classe	Obblig.	NEd	Mx,Ed	Mx,Eff,Ed	Mb,Rd,x	χ,LT	$\lambda adim. LT$	L,LT	$M,critico$	Verifica
0.958	SLU 43	0.003	1	Si	0.6	-0.11371	-0.09608	28.03468	0.895	0.648	1.916	78.2995	Si

Verifica di stabilità per tenso-flessione deviata SLD §§ 5.5.3-5.5.4 ENV 1993-1-1:1992 + AC:1992 + A1:1994 + A2:1998

X	Comb.	Sfruttamento	Classe	NEd	Mx,Ed	Mx,Eff,Ed	My,Ed	χ,LT	kLT	ky	$M,critico$	Wx	Wy	Verifica
1.022	SLD 2	0.002	1	1.776	-0.08576	-0.03358	-0.00854	0.895	1	1	78.2995	0.0001196	0.0000589	Si

Verifica di stabilità per pressoflessione §C.4.2.4.1.3.3.2 NTC18

X	Comb.	Sfruttamento	Classe	NEd	NRk	Mx,Ed max	Mx,Rk	My,Ed max	My,Rk	χ,x	χ,y	kxx	kxy	kyy	χ,LT	Verifica	
1.916	SLV 9	0.068	1	-29.968	697.541	0.08443	32.89552	0.02964	16.19002	0.905	0.705	0.958	0.428	0.993	0.713	0.895	Si

Verifica di stabilità per pressoflessione SLD §C.4.2.4.1.3.3.2 NTC18

X	Comb.	Sfruttamento	Classe	NEd	NRk	Mx,Ed max	Mx,Rk	My,Ed max	My,Rk	χ_x	χ_y	kxx	kxy	kyy	χ_{LT}	Verifica	
1.916	SLD 10	0.029	1	-12.256	697.541	0.08531	32.89552	0.00631	16.19002	0.905	0.705	0.952	0.348	0.997	0.579	0.895	Si

Verifica di stabilità a taglio anima Y §4.2.4.1.2.4 [4.2.27] NTC18

η	hw	tw	hw/tw max	Verifica
1.2	0.098	0.005	55.46	Si

Verifica di stabilità a taglio anima Y SLD §4.2.4.1.2.4 [4.2.27] NTC18

η	hw	tw	hw/tw max	Verifica
1.2	0.098	0.005	55.46	Si

Verifiche a deformabilità

Mensola X: No; Mensola Y: No.

Frecce lungo X

Ascissa freccia	Combinazione	Freccia	Luce	L/f	L/f,min	Tipo	Verifica
0.958	SLE RA 1	0	1.916	10000	250	Totale	Si
0.958	SLE RA 17	0.00001	1.916	10000	250	Totale	Si
0.958	SLE RA 16	0.00001	1.916	10000	250	Totale	Si
0.958	SLE RA 15	0.00001	1.916	10000	250	Totale	Si
0.958	SLE RA 14	0.00001	1.916	10000	250	Totale	Si
0.958	SLE RA 2	0	1.916	10000	350	Variabile	Si
0.958	SLE RA 17	0	1.916	10000	350	Variabile	Si
0.958	SLE RA 16	0	1.916	10000	350	Variabile	Si
0.958	SLE RA 15	0	1.916	10000	350	Variabile	Si
1.022	SLE RA 14	0	1.916	10000	350	Variabile	Si

Frecce lungo Y

Ascissa freccia	Combinazione	Freccia	Luce	L/f	L/f,min	Tipo	Verifica
0.958	SLE RA 1	-0.00003	1.916	10000	250	Totale	Si
0.958	SLE RA 17	-0.00003	1.916	10000	250	Totale	Si
0.958	SLE RA 16	-0.00003	1.916	10000	250	Totale	Si
0.958	SLE RA 15	-0.00003	1.916	10000	250	Totale	Si
0.958	SLE RA 14	-0.00003	1.916	10000	250	Totale	Si
0.83	SLE RA 2	0	1.916	10000	350	Variabile	Si
0.83	SLE RA 17	0	1.916	10000	350	Variabile	Si
0.83	SLE RA 16	0	1.916	10000	350	Variabile	Si
0.83	SLE RA 15	0	1.916	10000	350	Variabile	Si
0.83	SLE RA 14	0	1.916	10000	350	Variabile	Si

Superelemento in acciaio a quota "640"- "690" (111; 402)-(220; 299)

Caratteristiche del materiale

Acciaio: S275, fyk = 275000

Caratteristiche geometriche

Lunghezza: 1.581

Nodo iniziale: 749 Nodo finale: 1654

Cerniera iniziale: Mmomenti 1% Cerniera finale: Mmomenti 1%

Sovraresistenza: 0% Sisma Z: No

Implementazione dei sistemi di confinamento delle emissioni odorigene diffuse dell'impianto di compostaggio esistente nel
Comune di Eboli (SA)
PROGETTO DEFINITIVO – Tabulati di calcolo Tomo 1

Caratteristiche della sezione

Sezione	Rotazione	Area	Jx	Jy	ix	iy	Wx	Wy	Wplx	Wply
A1; L100*10; 1; Saldato; S275; 50; 1; 8; 8; 1	180	0.003832	0.0000035319	0.000007759	0.0304	0.045	0.0000492	0.0000739	0.00008974	0.00012727

Comportamento dei calastrelli

Accoppiamento imbottito con funzione statica (§C4.2.4.1.3.1.4 NTC18) nella campata compresa tra le ascisse 0 e 1.581 per sbandamento attorno all'asse y.

Verifiche di resistenza

Verifiche a forza assiale §4.2.4.1.2.1 - §4.2.4.1.2.2 NTC18

X	Comb.	Sfruttamento	Classe	NEd	Nc,Rd	Nt,Rd	Riduzione da taglio	px	py	Verifica
1.581	SLU 75	0.123		123.393		1003.522	1	0	0	Si

Verifiche a forza assiale SLD §4.2.4.1.2.1 - §4.2.4.1.2.2 NTC18

X	Comb.	Sfruttamento	Classe	NEd	Nc,Rd	Nt,Rd	Riduzione da taglio	px	py	Verifica
1.581	SLD 2	0.044		44.545		1003.522	1	0	0	Si

Verifica a taglio Y §4.2.4.1.2.4 NTC18

X	Comb.	Sfruttamento	VEd	Vc,Rd	Av	Interazione taglio-torsione	Riduzione torsione	Verifica
0	SLU 75	0.001	-0.317	302.422	0.002	Non considerata		Si

Verifica a taglio Y SLD §4.2.4.1.2.4 NTC18

X	Comb.	Sfruttamento	VEd	Vc,Rd	Av	Interazione taglio-torsione	Riduzione torsione	Verifica
0	SLD 1	0.001	-0.234	302.422	0.002	Non considerata		Si

Verifica a flessione semplice X §§ 4.2.4.1.2.3 - 4.2.4.1.2.6 - 4.2.4.1.2.7 - 4.2.4.1.2.8 NTC18

X	Comb.	Sfruttamento	Classe	Mx,Ed	Mx,Rd	Rid. Mx,Rd da VEd	px	py	Verifica
0.791	SLU 5	0.004	1	0.08866	23.50374	1	0	0	Si

Verifica a presso/tenso flessione retta X §§ 4.2.4.1.2.3 - 4.2.4.1.2.6 - 4.2.4.1.2.7 - 4.2.4.1.2.8 NTC18

Verifiche eseguite utilizzando la formula conservativa (6.2) §6.2.1 EN 1993-1-1:2005.

X	Comb.	Sfruttamento	Classe	NEd	NRd	Rid. NRd da VEd	Mx,Ed	Mx,Rd	Rid. Mx,Rd da VEd	Rid. Mx,Rd da NEd	px	py	Verifica
0.843	SLU 75	0.129	1	123.302	1003.522	1	0.1393	23.5037	1		0	0	Si

Verifica a presso/tenso flessione retta X SLD §§ 4.2.4.1.2.3 - 4.2.4.1.2.6 - 4.2.4.1.2.7 - 4.2.4.1.2.8 NTC18

Verifiche eseguite utilizzando la formula conservativa (6.2) §6.2.1 EN 1993-1-1:2005.

X	Comb.	Sfruttamento	Classe	NEd	NRd	Rid. NRd da VEd	Mx,Ed	Mx,Rd	Rid. Mx,Rd da VEd	Rid. Mx,Rd da NEd	px	py	Verifica
0.843	SLD 3	0.045	1	41.29	1003.522	1	0.0965	23.5037	1		0	0	Si

Verifica a presso/tenso flessione retta Y §§ 4.2.4.1.2.3 - 4.2.4.1.2.6 - 4.2.4.1.2.7 - 4.2.4.1.2.8 NTC18

Verifiche eseguite utilizzando la formula conservativa (6.2) §6.2.1 EN 1993-1-1:2005.

X	Comb.	Sfruttamento	Classe	NEd	NRd	Rid. NRd da VEd	My,Ed	My,Rd	Rid. My,Rd da VEd	Rid. My,Rd da NEd	px	py	Verifica
0	SLV 1	0.055	1	54.795	1003.522	1	-0.0261	33.3316	1		0	0	Si

Verifica a presso/tenso flessione retta Y SLD §§ 4.2.4.1.2.3 - 4.2.4.1.2.6 - 4.2.4.1.2.7 - 4.2.4.1.2.8 NTC18

Verifiche eseguite utilizzando la formula conservativa (6.2) §6.2.1 EN 1993-1-1:2005.

X	Comb.	Sfruttamento	Classe	NEd	NRd	Rid. NRd da VEd	My,Ed	My,Rd	Rid. My,Rd da VEd	Rid. My,Rd da NEd	px	py	Verifica
0	SLD 1	0.045	1	44.395	1003.522	1	-0.01	33.3316	1		0	0	Si

Verifica a presso/tenso flessione deviata §§ 4.2.4.1.2.3 - 4.2.4.1.2.6 - 4.2.4.1.2.7 - 4.2.4.1.2.8 NTC18

Verifiche eseguite utilizzando la formula conservativa (6.2) §6.2.1 EN 1993-1-1:2005.

X	Comb.	Sfruttamento	Classe	NEd	NRd	Rid. NRd da VEd	Mx,Ed	Mx,Rd	My,Ed	My,Rd	Rid. Mx,Rd da VEd	Rid. Mx,Rd da NEd	Rid. My,Rd da VEd	Rid. My,Rd da NEd	α	β	px	py	Verifica
0.949	SLU 75	0.129	1	123.315	1003.522	1	0.1378	23.5037	-0.0074	33.3316	1		1				0	0	Si

Verifica a presso/tenso flessione deviata SLD §§ 4.2.4.1.2.3 - 4.2.4.1.2.6 - 4.2.4.1.2.7 - 4.2.4.1.2.8 NTC18

Verifiche eseguite utilizzando la formula conservativa (6.2) §6.2.1 EN 1993-1-1:2005.

X	Comb.	Sfruttamento	Classe	NEd	NRd	Rid. NRd da VEd	Mx,Ed	Mx,Rd	My,Ed	My,Rd	Rid. Mx,Rd da VEd	Rid. Mx,Rd da NEd	Rid. My,Rd da VEd	Rid. My,Rd da NEd	α	β	px	py	Verifica
0.843	SLD 1	0.049	1	44.475	1003.522	1	0.0972	23.5037	-0.012	33.3316	1		1				0	0	Si

Verifiche ad instabilità

Caratteristiche iniziali

Membratura principale per controllo snellezza; Calcolo di snellezze ed N critici condotti secondo gli assi principali;

Curva X: c; Curva Y: c;

Svergolamento: Nessuno; la verifica a instabilità flesso-torsionale (svergolamento) non verrà eseguita.

Dati per instabilità attorno a x

Controllo della snellezza secondo §4.2.4.1.3.1 NTC18

Numero rit.	Presente	Ascissa	Campata	$\beta x/m$	Vincolo a entrambi estremi	$\lambda x/m$	λVer
1	Si	0					
			1-2	1	Si	52.1	Si, (<200)
2	Si	1.581					

Dati per instabilità attorno a y

Controllo della snellezza secondo §4.2.4.1.3.1 NTC18

Numero rit.	Presente	Ascissa	Campata	$\beta y/n$	k,LT	kw,LT	Vincolo a entrambi estremi
1	Si	0					
			1-2	1	Si	38.8	Si, (<200)

Implementazione dei sistemi di confinamento delle emissioni odorigene diffuse dell'impianto di compostaggio esistente nel
Comune di Eboli (SA)
PROGETTO DEFINITIVO – Tabulati di calcolo Tomo 1

Numero rit.	Presente	Ascissa	Campata	$\beta y/n$	k,LT	kw,LT	Vincolo a entrambi estremi
2	Si	1.581					

Verifica di stabilità per pressoflessione §C.4.2.4.1.3.3.1 NTC18

X	Comb.	Sfruttamento	Classe	NEd	MxEq,Ed	MyEq,Ed	Area	Wx	Wy	χ_{min}	λ adim. x/m	λ adim. y/n	N,crit x/m	N,crit y/n	Verifica
0	SLU 2	0.033	3	-19.308	0.0718	0.0644	0.003832	0.0000492	0.0000739	0.785	0.6	0.447	2928.123	5273.983	Si

Verifiche a deformabilità

Mensola X: No; Mensola Y: No.

Frecce lungo X

Ascissa freccia	Combinazione	Freccia	Luce	L/f	L/f,min	Tipo	Verifica
0.843	SLE RA 1	0	1.581	10000	250	Totale	Si
0.896	SLE RA 17	0	1.581	10000	250	Totale	Si
0.685	SLE RA 16	0	1.581	10000	250	Totale	Si
0.843	SLE RA 15	0	1.581	10000	250	Totale	Si
0.843	SLE RA 14	0	1.581	10000	250	Totale	Si
0.843	SLE RA 2	0	1.581	10000	350	Variabile	Si
0.843	SLE RA 17	0	1.581	10000	350	Variabile	Si
0.843	SLE RA 16	0	1.581	10000	350	Variabile	Si
0.843	SLE RA 15	0	1.581	10000	350	Variabile	Si
0.843	SLE RA 14	0	1.581	10000	350	Variabile	Si

Frecce lungo Y

Ascissa freccia	Combinazione	Freccia	Luce	L/f	L/f,min	Tipo	Verifica
0.791	SLE RA 1	0.00003	1.581	10000	250	Totale	Si
0.791	SLE RA 17	0.00004	1.581	10000	250	Totale	Si
0.791	SLE RA 16	0.00004	1.581	10000	250	Totale	Si
0.791	SLE RA 15	0.00004	1.581	10000	250	Totale	Si
0.791	SLE RA 14	0.00004	1.581	10000	250	Totale	Si
0.896	SLE RA 2	0	1.581	10000	350	Variabile	Si
0.896	SLE RA 17	0	1.581	10000	350	Variabile	Si
0.896	SLE RA 16	0	1.581	10000	350	Variabile	Si
0.896	SLE RA 15	0	1.581	10000	350	Variabile	Si
0.896	SLE RA 14	0	1.581	10000	350	Variabile	Si

Superelemento in acciaio a quota "640"-"690" (360; 666)-(469; 563)

Caratteristiche del materiale

Acciaio: S275, fyk = 275000

Caratteristiche geometriche

Lunghezza: 1.581

Nodo iniziale: 801 Nodo finale: 1663

Cerniera iniziale: Mmomenti 1% Cerniera finale: Mmomenti 1%

Sovraresistenza: 0% Sisma Z: No

Caratteristiche della sezione

Sezione	Rotazione	Area	Jx	Jy	ix	iy	Wx	Wy	Wplx	Wply
A1; L100*10; 1; Saldato; S275; 50; 1; 8; 8; 1	180	0.003832	0.0000035319	0.000007759	0.0304	0.045	0.0000492	0.0000739	0.00008974	0.00012727

Comportamento dei calastrelli

Accoppiamento imbottito con funzione statica (§C4.2.4.1.3.1.4 NTC18) nella campata compresa tra le ascisse 0 e 1.581 per sbandamento attorno all'asse y.

Verifiche di resistenza

Verifiche a forza assiale §4.2.4.1.2.1 - §4.2.4.1.2.2 NTC18

X	Comb.	Sfruttamento	Classe	NEd	Nc,Rd	Nt,Rd	Riduzione da taglio	px	py	Verifica
1.581	SLU 75	0.054		53.981		1003.522	1	0	0	Si

Verifiche a forza assiale SLD §4.2.4.1.2.1 - §4.2.4.1.2.2 NTC18

X	Comb.	Sfruttamento	Classe	NEd	Nc,Rd	Nt,Rd	Riduzione da taglio	px	py	Verifica
1.581	SLD 16	0.012		12.47		1003.522	1	0	0	Si

Verifica a taglio Y §4.2.4.1.2.4 NTC18

X	Comb.	Sfruttamento	VEd	Vc,Rd	Av	Interazione taglio-torsione	Riduzione torsione	Verifica
0	SLU 75	0.001	-0.302	302.422	0.002	Non considerata		Si

Verifica a taglio Y SLD §4.2.4.1.2.4 NTC18

X	Comb.	Sfruttamento	VEd	Vc,Rd	Av	Interazione taglio-torsione	Riduzione torsione	Verifica
0	SLD 12	0.001	-0.227	302.422	0.002	Non considerata		Si

Verifica a presso/tenso flessione retta X §§ 4.2.4.1.2.3 - 4.2.4.1.2.6 - 4.2.4.1.2.7 - 4.2.4.1.2.8 NTC18

Verifiche eseguite utilizzando la formula conservativa (6.2) §6.2.1 EN 1993-1-1:2005.

X	Comb.	Sfruttamento	Classe	NEd	NRd	Rid. NRd da VEd	Mx,Ed	Mx,Rd	Rid. Mx,Rd da VEd	Rid. Mx,Rd da NEd	px	py	Verifica
0.843	SLU 75	0.059	1	53.89	1003.522	1	0.1239	23.5037	1		0	0	Si

Verifica a presso/tenso flessione retta X SLD §§ 4.2.4.1.2.3 - 4.2.4.1.2.6 - 4.2.4.1.2.7 - 4.2.4.1.2.8 NTC18

Verifiche eseguite utilizzando la formula conservativa (6.2) §6.2.1 EN 1993-1-1:2005.

X	Comb.	Sfruttamento	Classe	NEd	NRd	Rid. NRd da VEd	Mx,Ed	Mx,Rd	Rid. Mx,Rd da VEd	Rid. Mx,Rd da NEd	px	py	Verifica
---	-------	--------------	--------	-----	-----	-----------------	-------	-------	-------------------	-------------------	----	----	----------

Implementazione dei sistemi di confinamento delle emissioni odorigene diffuse dell'impianto di compostaggio esistente nel
Comune di Eboli (SA)

PROGETTO DEFINITIVO – Tabulati di calcolo Tomo 1

X	Comb.	Sfruttamento	Classe	NEd	NRd	Rid. NRd da VEd	Mx,Ed	Mx,Rd	Rid. Mx,Rd da VEd	Rid. Mx,Rd da NEd	px	py	Verifica
1.37	SLD 9	0.013	1	11.128	1003.522	1	0.0432	23.5037	1		0	0	Si

Verifica a presso/tenso flessione retta Y §§ 4.2.4.1.2.3 - 4.2.4.1.2.6 - 4.2.4.1.2.7 - 4.2.4.1.2.8 NTC18

Verifiche eseguite utilizzando la formula conservativa (6.2) §6.2.1 EN 1993-1-1:2005.

X	Comb.	Sfruttamento	Classe	NEd	NRd	Rid. NRd da VEd	My,Ed	My,Rd	Rid. My,Rd da VEd	Rid. My,Rd da NEd	px	py	Verifica
1.581	SLU 76	0.023	1	23.021	1003.522	1	0.0087	33.3316	1		0	0	Si

Verifica a presso/tenso flessione retta Y SLD §§ 4.2.4.1.2.3 - 4.2.4.1.2.6 - 4.2.4.1.2.7 - 4.2.4.1.2.8 NTC18

Verifiche eseguite utilizzando la formula conservativa (6.2) §6.2.1 EN 1993-1-1:2005.

X	Comb.	Sfruttamento	Classe	NEd	NRd	Rid. NRd da VEd	My,Ed	My,Rd	Rid. My,Rd da VEd	Rid. My,Rd da NEd	px	py	Verifica
0	SLD 15	0.013	1	12.319	1003.522	1	0.0362	33.3316	1		0	0	Si

Verifica a presso/tenso flessione deviata §§ 4.2.4.1.2.3 - 4.2.4.1.2.6 - 4.2.4.1.2.7 - 4.2.4.1.2.8 NTC18

Verifiche eseguite utilizzando la formula conservativa (6.2) §6.2.1 EN 1993-1-1:2005.

X	Comb.	Sfruttamento	Classe	NEd	NRd	Rid. NRd da VEd	Mx,Ed	Mx,Rd	My,Ed	My,Rd	Rid. Mx,Rd da VEd	Rid. Mx,Rd da NEd	Rid. My,Rd da VEd	Rid. My,Rd da NEd	α	β	px	py	Verifica
0.843	SLU 76	0.028	1	22.93	1003.522	1	0.118	23.5037	0.0075	33.3316	1						0	0	Si

Verifica a presso/tenso flessione deviata SLD §§ 4.2.4.1.2.3 - 4.2.4.1.2.6 - 4.2.4.1.2.7 - 4.2.4.1.2.8 NTC18

Verifiche eseguite utilizzando la formula conservativa (6.2) §6.2.1 EN 1993-1-1:2005.

X	Comb.	Sfruttamento	Classe	NEd	NRd	Rid. NRd da VEd	Mx,Ed	Mx,Rd	My,Ed	My,Rd	Rid. Mx,Rd da VEd	Rid. Mx,Rd da NEd	Rid. My,Rd da VEd	Rid. My,Rd da NEd	α	β	px	py	Verifica
0.791	SLD 16	0.017	1	12.395	1003.522	1	0.0905	23.5037	0.0274	33.3316	1						0	0	Si

Verifiche ad instabilità

Caratteristiche iniziali

Membratura principale per controllo snellezza; Calcolo di snellezze ed N critici condotti secondo gli assi principali;

Curva X: c; Curva Y: c;

Svergolamento: Nessuno; la verifica a instabilità flesso-torsionale (svergolamento) non verrà eseguita.

Dati per instabilità attorno a x

Controllo della snellezza secondo §4.2.4.1.3.1 NTC18

Numero rit.	Presente	Ascissa	Campata	βx/m	Vincolo a entrambi estremi	λx/m	λVer
1	Si		0				
			1-2		1	52.1	Si, (<200)
2	Si		1.581				

Dati per instabilità attorno a y

Controllo della snellezza secondo §4.2.4.1.3.1 NTC18

Numero rit.	Presente	Ascissa	Campata	βy/n	k,LT	kw,LT	Vincolo a entrambi estremi
1	Si		0				
			1-2		1	38.8	Si, (<200)
2	Si		1.581				

Verifica di stabilità per pressoflessione §C.4.2.4.1.3.3.1 NTC18

X	Comb.	Sfruttamento	Classe	NEd	MxEq,Ed	MyEq,Ed	Area	Wx	Wy	χ,min	λ adim. x/m	λ adim. y/n	N,crit x/m	N,crit y/n	Verifica
0	SLU 4	0.028	3	-15.527	0.0724	0.0565	0.003832	0.0000492	0.0000739	0.785	0.6	0.447	2928.123	5273.983	Si

Verifiche a deformabilità

Mensola X: No; Mensola Y: No.

Frecce lungo X

Ascissa freccia	Combinazione	Freccia	Luce	L/f	L/f,min	Tipo	Verifica
0.791	SLE RA 1	0	1.581	10000	250	Totale	Si
0.791	SLE RA 17	0	1.581	10000	250	Totale	Si
0.791	SLE RA 16	0	1.581	10000	250	Totale	Si
0.791	SLE RA 15	0	1.581	10000	250	Totale	Si
0.791	SLE RA 14	0	1.581	10000	250	Totale	Si
0.791	SLE RA 2	0	1.581	10000	350	Variabile	Si
0.791	SLE RA 17	0	1.581	10000	350	Variabile	Si
0.791	SLE RA 16	0	1.581	10000	350	Variabile	Si
0.843	SLE RA 15	0	1.581	10000	350	Variabile	Si
0.843	SLE RA 14	0	1.581	10000	350	Variabile	Si

Frecce lungo Y

Ascissa freccia	Combinazione	Freccia	Luce	L/f	L/f,min	Tipo	Verifica
0.791	SLE RA 1	0.00003	1.581	10000	250	Totale	Si
0.791	SLE RA 17	0.00003	1.581	10000	250	Totale	Si
0.791	SLE RA 16	0.00003	1.581	10000	250	Totale	Si
0.791	SLE RA 15	0.00003	1.581	10000	250	Totale	Si
0.791	SLE RA 14	0.00003	1.581	10000	250	Totale	Si
0.896	SLE RA 2	0	1.581	10000	350	Variabile	Si
0.896	SLE RA 17	0	1.581	10000	350	Variabile	Si
0.896	SLE RA 16	0	1.581	10000	350	Variabile	Si
0.896	SLE RA 15	0	1.581	10000	350	Variabile	Si
0.896	SLE RA 14	0	1.581	10000	350	Variabile	Si

Superelemento in acciaio a quota "640"- "690" (619; 939)-(729; 837)

Caratteristiche del materiale

Acciaio: S275, fyk = 275000

**Implementazione dei sistemi di confinamento delle emissioni odorigene diffuse dell'impianto di compostaggio esistente nel
Comune di Eboli (SA)
PROGETTO DEFINITIVO – Tabulati di calcolo Tomo 1**

Caratteristiche geometriche

Lunghezza: 1.581
 Nodo iniziale: 857 Nodo finale: 1670
 Cerniera iniziale: Mmomenti 1% Cerniera finale: Mmomenti 1%
 Sovraresistenza: 0% Sisma Z: No

Caratteristiche della sezione

Sezione	Rotazione	Area	Jx	Jy	ix	iy	Wx	Wy	Wplx	Wply
A1; L100*10; 1; Saldato; S275; 50; 1; 8; 8; 1	180	0.003832	0.0000035319	0.000007759	0.0304	0.045	0.0000492	0.0000739	0.00008974	0.00012727

Comportamento dei calastrelli

Accoppiamento imbottito con funzione statica (§C4.2.4.1.3.1.4 NTC18) nella campata compresa tra le ascisse 0 e 1.581 per sbandamento attorno all'asse y.

Verifiche di resistenza

Verifiche a forza assiale §4.2.4.1.2.1 - §4.2.4.1.2.2 NTC18

X	Comb.	Sfruttamento	Classe	NEd	Nc,Rd	Nt,Rd	Riduzione da taglio	px	py	Verifica
1.581	SLU 75	0.125		125.841		1003.522	1	0	0	Si

Verifiche a forza assiale SLD §4.2.4.1.2.1 - §4.2.4.1.2.2 NTC18

X	Comb.	Sfruttamento	Classe	NEd	Nc,Rd	Nt,Rd	Riduzione da taglio	px	py	Verifica
1.581	SLD 16	0.045		45.236		1003.522	1	0	0	Si

Verifica a taglio Y §4.2.4.1.2.4 NTC18

X	Comb.	Sfruttamento	VEd	Vc,Rd	Av	Interazione taglio-torsione	Riduzione torsione	Verifica
0	SLU 75	0.001	-0.338	302.422	0.002	Non considerata		Si

Verifica a taglio Y SLD §4.2.4.1.2.4 NTC18

X	Comb.	Sfruttamento	VEd	Vc,Rd	Av	Interazione taglio-torsione	Riduzione torsione	Verifica
0	SLD 16	0.001	-0.242	302.422	0.002	Non considerata		Si

Verifica a presso/tenso flessione retta X §§ 4.2.4.1.2.3 - 4.2.4.1.2.6 - 4.2.4.1.2.7 - 4.2.4.1.2.8 NTC18

Verifiche eseguite utilizzando la formula conservativa (6.2) §6.2.1 EN 1993-1-1:2005.

X	Comb.	Sfruttamento	Classe	NEd	NRd	Rid. NRd da VEd	Mx,Ed	Mx,Rd	Rid. Mx,Rd da VEd	Rid. Mx,Rd da NEd	px	py	Verifica
0.527	SLU 75	0.131	1	125.711	1003.522	1	0.13	23.5037	1		0	0	Si

Verifica a presso/tenso flessione retta X SLD §§ 4.2.4.1.2.3 - 4.2.4.1.2.6 - 4.2.4.1.2.7 - 4.2.4.1.2.8 NTC18

Verifiche eseguite utilizzando la formula conservativa (6.2) §6.2.1 EN 1993-1-1:2005.

X	Comb.	Sfruttamento	Classe	NEd	NRd	Rid. NRd da VEd	Mx,Ed	Mx,Rd	Rid. Mx,Rd da VEd	Rid. Mx,Rd da NEd	px	py	Verifica
0.105	SLD 14	0.043	1	41.797	1003.522	1	0.0247	23.5037	1		0	0	Si

Verifica a presso/tenso flessione retta Y §§ 4.2.4.1.2.3 - 4.2.4.1.2.6 - 4.2.4.1.2.7 - 4.2.4.1.2.8 NTC18

Verifiche eseguite utilizzando la formula conservativa (6.2) §6.2.1 EN 1993-1-1:2005.

X	Comb.	Sfruttamento	Classe	NEd	NRd	Rid. NRd da VEd	My,Ed	My,Rd	Rid. My,Rd da VEd	Rid. My,Rd da NEd	px	py	Verifica
0	SLV 16	0.056	1	55.966	1003.522	1	0.0226	33.3316	1		0	0	Si

Verifica a presso/tenso flessione retta Y SLD §§ 4.2.4.1.2.3 - 4.2.4.1.2.6 - 4.2.4.1.2.7 - 4.2.4.1.2.8 NTC18

Verifiche eseguite utilizzando la formula conservativa (6.2) §6.2.1 EN 1993-1-1:2005.

X	Comb.	Sfruttamento	Classe	NEd	NRd	Rid. NRd da VEd	My,Ed	My,Rd	Rid. My,Rd da VEd	Rid. My,Rd da NEd	px	py	Verifica
0	SLD 15	0.045	1	45.085	1003.522	1	0.0105	33.3316	1		0	0	Si

Verifica a presso/tenso flessione deviata §§ 4.2.4.1.2.3 - 4.2.4.1.2.6 - 4.2.4.1.2.7 - 4.2.4.1.2.8 NTC18

Verifiche eseguite utilizzando la formula conservativa (6.2) §6.2.1 EN 1993-1-1:2005.

X	Comb.	Sfruttamento	Classe	NEd	NRd	Rid. NRd da VEd	Mx,Ed	Mx,Rd	My,Ed	My,Rd	Rid. Mx,Rd da VEd	Rid. Mx,Rd da NEd	Rid. My,Rd da VEd	Rid. My,Rd da NEd	α	β	px	py	Verifica
0.949	SLU 75	0.132	1	125.763	1003.522	1	0.157	23.5037	0.0112	33.3316	1		1				0	0	Si

Verifica a presso/tenso flessione deviata SLD §§ 4.2.4.1.2.3 - 4.2.4.1.2.6 - 4.2.4.1.2.7 - 4.2.4.1.2.8 NTC18

Verifiche eseguite utilizzando la formula conservativa (6.2) §6.2.1 EN 1993-1-1:2005.

X	Comb.	Sfruttamento	Classe	NEd	NRd	Rid. NRd da VEd	Mx,Ed	Mx,Rd	My,Ed	My,Rd	Rid. Mx,Rd da VEd	Rid. Mx,Rd da NEd	Rid. My,Rd da VEd	Rid. My,Rd da NEd	α	β	px	py	Verifica
0.896	SLD 15	0.05	1	45.171	1003.522	1	0.1036	23.5037	0.0172	33.3316	1		1				0	0	Si

Verifiche ad instabilità

Caratteristiche iniziali

Membratura principale per controllo snellezza; Calcolo di snellezze ed N critici condotti secondo gli assi principali;
 Curva X: c; Curva Y: c;
 Svergolamento: Nessuno; la verifica a instabilità flesso-torsionale (svergolamento) non verrà eseguita.

Dati per instabilità attorno a x

Controllo della snellezza secondo §4.2.4.1.3.1 NTC18

Numero rit.	Presente	Ascissa	Campata	βx/m	Vincolo a entrambi estremi	λx/m	λVer
1	Si	0					
			1-2		1	52.1	Si, (<200)
2	Si	1.581					

Dati per instabilità attorno a y

Controllo della snellezza secondo §4.2.4.1.3.1 NTC18

Implementazione dei sistemi di confinamento delle emissioni odorigene diffuse dell'impianto di compostaggio esistente nel
Comune di Eboli (SA)
PROGETTO DEFINITIVO – Tabulati di calcolo Tomo 1

Numero rit.	Presente	Ascissa	Campata	$\beta y/n$	k,LT	kw,LT	Vincolo a entrambi estremi
1	Si	0					
			1-2	1	Si	38.8	Si, (<200)
2	Si	1.581					

Verifica di stabilità per pressoflessione §C.4.2.4.1.3.3.1 NTC18

X	Comb.	Sfruttamento	Classe	NEd	MxEq,Ed	MyEq,Ed	Area	Wx	Wy	x,min	λ adim. x/m	λ adim. y/n	N,crit x/m	N,crit y/n	Verifica
0	SLU 2	0.035	3	-20.558	0.0681	0.0662	0.003832	0.0000492	0.0000739	0.785	0.6	0.447	2928.123	5273.983	Si

Verifiche a deformabilità

Mensola X: No; Mensola Y: No.

Frecce lungo X

Ascissa freccia	Combinazione	Freccia	Luce	L/f	L/f,min	Tipo	Verifica
0.843	SLE RA 1	0	1.581	10000	250	Totale	Si
0.843	SLE RA 17	0	1.581	10000	250	Totale	Si
0.843	SLE RA 16	0	1.581	10000	250	Totale	Si
0.843	SLE RA 15	0	1.581	10000	250	Totale	Si
0.896	SLE RA 14	0	1.581	10000	250	Totale	Si
0.896	SLE RA 2	0	1.581	10000	350	Variabile	Si
0.896	SLE RA 17	0	1.581	10000	350	Variabile	Si
0.896	SLE RA 16	0	1.581	10000	350	Variabile	Si
0.843	SLE RA 15	0	1.581	10000	350	Variabile	Si
1.001	SLE RA 14	0	1.581	10000	350	Variabile	Si

Frecce lungo Y

Ascissa freccia	Combinazione	Freccia	Luce	L/f	L/f,min	Tipo	Verifica
0.791	SLE RA 1	0.00004	1.581	10000	250	Totale	Si
0.791	SLE RA 17	0.00004	1.581	10000	250	Totale	Si
0.791	SLE RA 16	0.00004	1.581	10000	250	Totale	Si
0.791	SLE RA 15	0.00004	1.581	10000	250	Totale	Si
0.791	SLE RA 14	0.00004	1.581	10000	250	Totale	Si
0.896	SLE RA 2	-0.00001	1.581	10000	350	Variabile	Si
0.896	SLE RA 17	0	1.581	10000	350	Variabile	Si
0.896	SLE RA 16	0.00001	1.581	10000	350	Variabile	Si
0.896	SLE RA 15	0	1.581	10000	350	Variabile	Si
0.896	SLE RA 14	0	1.581	10000	350	Variabile	Si

Superelemento in acciaio a quota "640"- "690" (874; 1209)-(983; 1106)

Caratteristiche del materiale

Acciaio: S275, fyk = 275000

Caratteristiche geometriche

Lunghezza: 1.581

Nodo iniziale: 909 Nodo finale: 1682

Cerniera iniziale: Mmomenti 1% Cerniera finale: Mmomenti 1%

Sovreresistenza: 0% Sisma Z: No

Caratteristiche della sezione

Sezione	Rotazione	Area	Jx	Jy	ix	iy	Wx	Wy	Wplx	Wply
A1; L100*10; 1; Saldato; S275; 50; 1; 8; 8; 1	180	0.003832	0.0000035319	0.000007759	0.0304	0.045	0.0000492	0.0000739	0.00008974	0.00012727

Comportamento dei calastrelli

Accoppiamento imbottito con funzione statica (§C4.2.4.1.3.1.4 NTC18) nella campata compresa tra le ascisse 0 e 1.581 per sbandamento attorno all'asse y.

Verifiche di resistenza

Verifiche a forza assiale §4.2.4.1.2.1 - §4.2.4.1.2.2 NTC18

X	Comb.	Sfruttamento	Classe	NEd	Nc,Rd	Nt,Rd	Riduzione da taglio	px	py	Verifica
1.581	SLU 75	0.162		162.411		1003.522	1	0	0	Si

Verifiche a forza assiale SLD §4.2.4.1.2.1 - §4.2.4.1.2.2 NTC18

X	Comb.	Sfruttamento	Classe	NEd	Nc,Rd	Nt,Rd	Riduzione da taglio	px	py	Verifica
1.581	SLD 14	0.053		52.978		1003.522	1	0	0	Si

Verifica a taglio Y §4.2.4.1.2.4 NTC18

X	Comb.	Sfruttamento	VEd	Vc,Rd	Av	Interazione taglio-torsione	Riduzione torsione	Verifica
0	SLU 75	0.001	-0.326	302.422	0.002	Non considerata		Si

Verifica a taglio Y SLD §4.2.4.1.2.4 NTC18

X	Comb.	Sfruttamento	VEd	Vc,Rd	Av	Interazione taglio-torsione	Riduzione torsione	Verifica
0	SLD 13	0.001	-0.236	302.422	0.002	Non considerata		Si

Verifica a presso/tenso flessione retta X §§ 4.2.4.1.2.3 - 4.2.4.1.2.6 - 4.2.4.1.2.7 - 4.2.4.1.2.8 NTC18

Verifiche eseguite utilizzando la formula conservativa (6.2) §6.2.1 EN 1993-1-1:2005.

X	Comb.	Sfruttamento	Classe	NEd	NRd	Rid. NRd da VEd	Mx,Ed	Mx,Rd	Rid. Mx,Rd da VEd	Rid. Mx,Rd da NEd	px	py	Verifica
0.896	SLU 75	0.168	1	162.326	1003.522	1	0.1475	23.5037	1		0	0	Si

Verifica a presso/tenso flessione retta X SLD §§ 4.2.4.1.2.3 - 4.2.4.1.2.6 - 4.2.4.1.2.7 - 4.2.4.1.2.8 NTC18

Verifiche eseguite utilizzando la formula conservativa (6.2) §6.2.1 EN 1993-1-1:2005.

Implementazione dei sistemi di confinamento delle emissioni odorigene diffuse dell'impianto di compostaggio esistente nel
Comune di Eboli (SA)
PROGETTO DEFINITIVO – Tabulati di calcolo Tomo 1

X	Comb.	Sfruttamento	Classe	NEd	NRd	Rid. NRd da VEd	Mx,Ed	Mx,Rd	Rid. Mx,Rd da VEd	Rid. Mx,Rd da NEd	px	py	Verifica
0.843	SLD 9	0.057	1	52.901	1003.522	1	0.0989	23.5037	1		0	0	Si

Verifica a presso/tenso flessione retta Y §§ 4.2.4.1.2.3 - 4.2.4.1.2.6 - 4.2.4.1.2.7 - 4.2.4.1.2.8 NTC18

Verifiche eseguite utilizzando la formula conservativa (6.2) §6.2.1 EN 1993-1-1:2005.

X	Comb.	Sfruttamento	Classe	NEd	NRd	Rid. NRd da VEd	My,Ed	My,Rd	Rid. My,Rd da VEd	Rid. My,Rd da NEd	px	py	Verifica
0	SLU 64	0.075	1	75.074	1003.522	1	0.0077	33.3316	1		0	0	Si

Verifica a presso/tenso flessione retta Y SLD §§ 4.2.4.1.2.3 - 4.2.4.1.2.6 - 4.2.4.1.2.7 - 4.2.4.1.2.8 NTC18

Verifiche eseguite utilizzando la formula conservativa (6.2) §6.2.1 EN 1993-1-1:2005.

X	Comb.	Sfruttamento	Classe	NEd	NRd	Rid. NRd da VEd	My,Ed	My,Rd	Rid. My,Rd da VEd	Rid. My,Rd da NEd	px	py	Verifica
0	SLD 13	0.053	1	52.827	1003.522	1	0.0077	33.3316	1		0	0	Si

Verifica a presso/tenso flessione deviata §§ 4.2.4.1.2.3 - 4.2.4.1.2.6 - 4.2.4.1.2.7 - 4.2.4.1.2.8 NTC18

Verifiche eseguite utilizzando la formula conservativa (6.2) §6.2.1 EN 1993-1-1:2005.

X	Comb.	Sfruttamento	Classe	NEd	NRd	Rid. NRd da VEd	Mx,Ed	Mx,Rd	My,Ed	My,Rd	Rid. Mx,Rd da VEd	Rid. Mx,Rd da NEd	Rid. My,Rd da VEd	Rid. My,Rd da NEd	α	β	px	py	Verifica
0.896	SLU 73	0.155	1	149.157	1003.522	1	0.1449	23.5037	0.0088	33.3316	1		1				0	0	Si

Verifica a presso/tenso flessione deviata SLD §§ 4.2.4.1.2.3 - 4.2.4.1.2.6 - 4.2.4.1.2.7 - 4.2.4.1.2.8 NTC18

Verifiche eseguite utilizzando la formula conservativa (6.2) §6.2.1 EN 1993-1-1:2005.

X	Comb.	Sfruttamento	Classe	NEd	NRd	Rid. NRd da VEd	Mx,Ed	Mx,Rd	My,Ed	My,Rd	Rid. Mx,Rd da VEd	Rid. Mx,Rd da NEd	Rid. My,Rd da VEd	Rid. My,Rd da NEd	α	β	px	py	Verifica
0.843	SLD 14	0.057	1	52.907	1003.522	1	0.099	23.5037	0.01	33.3316	1		1				0	0	Si

Verifiche ad instabilità

Caratteristiche iniziali

Membratura principale per controllo snellezza; Calcolo di snellezze ed N critici condotti secondo gli assi principali;

Curva X: c; Curva Y: c;

Svergolamento: Nessuno; la verifica a instabilità flesso-torsionale (svergolamento) non verrà eseguita.

Dati per instabilità attorno a x

Controllo della snellezza secondo §4.2.4.1.3.1 NTC18

Numero rit.	Presente	Ascissa	Campata	βx/m	Vincolo a entrambi estremi	λx/m	λVer
1	Si		0				
			1-2		1	52.1	Si, (<200)
2	Si		1.581				

Dati per instabilità attorno a y

Controllo della snellezza secondo §4.2.4.1.3.1 NTC18

Numero rit.	Presente	Ascissa	Campata	βy/n	k,LT	kw,LT	Vincolo a entrambi estremi
1	Si		0				
			1-2		1	38.8	Si, (<200)
2	Si		1.581				

Verifica di stabilità per pressoflessione §C.4.2.4.1.3.3.1 NTC18

X	Comb.	Sfruttamento	Classe	NEd	MxEq,Ed	MyEq,Ed	Area	Wx	Wy	χ,min	λ adim. x/m	λ adim. y/n	N,crit x/m	N,crit y/n	Verifica
0	SLU 2	0.042	3	-25.573	0.0703	0.0831	0.003832	0.0000492	0.0000739	0.785	0.6	0.447	2928.123	5273.983	Si

Verifiche a deformabilità

Mensola X: No; Mensola Y: No.

Frecce lungo X

Ascissa freccia	Combinazione	Freccia	Luce	L/f	L/f,min	Tipo	Verifica
0.843	SLE RA 1	0	1.581	10000	250	Totale	Si
0.843	SLE RA 17	0	1.581	10000	250	Totale	Si
0.843	SLE RA 16	0	1.581	10000	250	Totale	Si
0.843	SLE RA 15	0	1.581	10000	250	Totale	Si
0.843	SLE RA 14	0	1.581	10000	250	Totale	Si
0.843	SLE RA 2	0	1.581	10000	350	Variabile	Si
0.843	SLE RA 17	0	1.581	10000	350	Variabile	Si
0.843	SLE RA 16	0	1.581	10000	350	Variabile	Si
0.843	SLE RA 15	0	1.581	10000	350	Variabile	Si
0.843	SLE RA 14	0	1.581	10000	350	Variabile	Si

Frecce lungo Y

Ascissa freccia	Combinazione	Freccia	Luce	L/f	L/f,min	Tipo	Verifica
0.791	SLE RA 1	0.00004	1.581	10000	250	Totale	Si
0.791	SLE RA 17	0.00004	1.581	10000	250	Totale	Si
0.791	SLE RA 16	0.00004	1.581	10000	250	Totale	Si
0.791	SLE RA 15	0.00004	1.581	10000	250	Totale	Si
0.791	SLE RA 14	0.00004	1.581	10000	250	Totale	Si
0.896	SLE RA 2	0	1.581	10000	350	Variabile	Si
0.896	SLE RA 17	0	1.581	10000	350	Variabile	Si
0.896	SLE RA 16	0	1.581	10000	350	Variabile	Si
0.896	SLE RA 15	0	1.581	10000	350	Variabile	Si
0.896	SLE RA 14	0	1.581	10000	350	Variabile	Si

Superelemento in acciaio a quota "640"- "690" (1128; 1479)-(1237; 1376)

Caratteristiche del materiale

Acciaio: S275, fyk = 275000

Implementazione dei sistemi di confinamento delle emissioni odorigene diffuse dell'impianto di compostaggio esistente nel
Comune di Eboli (SA)
PROGETTO DEFINITIVO – Tabulati di calcolo Tomo 1

Caratteristiche geometriche

Lunghezza: 1.581
Nodo iniziale: 963 Nodo finale: 1689
Cerniera iniziale: Mmomenti 1% Cerniera finale: Mmomenti 1%
Sovraresistenza: 0% Sisma Z: No

Caratteristiche della sezione

Sezione	Rotazione	Area	Jx	Jy	ix	iy	Wx	Wy	Wplx	Wply
A1; L100*10; 1; Saldato; S275; 50; 1; 8; 8; 1	180	0.003832	0.0000035319	0.000007759	0.0304	0.045	0.0000492	0.0000739	0.00008974	0.00012727

Comportamento dei calastrelli

Accoppiamento imbottito con funzione statica (§C4.2.4.1.3.1.4 NTC18) nella campata compresa tra le ascisse 0 e 1.581 per sbandamento attorno all'asse y.

Verifiche di resistenza

Verifiche a forza assiale §4.2.4.1.2.1 - §4.2.4.1.2.2 NTC18

X	Comb.	Sfruttamento	Classe	NEd	Nc,Rd	Nt,Rd	Riduzione da taglio	px	py	Verifica
1.581	SLU 75	0.131		131.603		1003.522	1	0	0	Si

Verifiche a forza assiale SLD §4.2.4.1.2.1 - §4.2.4.1.2.2 NTC18

X	Comb.	Sfruttamento	Classe	NEd	Nc,Rd	Nt,Rd	Riduzione da taglio	px	py	Verifica
1.581	SLD 2	0.05		49.711		1003.522	1	0	0	Si

Verifica a taglio Y §4.2.4.1.2.4 NTC18

X	Comb.	Sfruttamento	VEd	Vc,Rd	Av	Interazione taglio-torsione	Riduzione torsione	Verifica
0	SLU 75	0.001	-0.318	302.422	0.002	Non considerata		Si

Verifica a taglio Y SLD §4.2.4.1.2.4 NTC18

X	Comb.	Sfruttamento	VEd	Vc,Rd	Av	Interazione taglio-torsione	Riduzione torsione	Verifica
0	SLD 1	0.001	-0.235	302.422	0.002	Non considerata		Si

Verifica a flessione semplice X §§ 4.2.4.1.2.3 - 4.2.4.1.2.6 - 4.2.4.1.2.7 - 4.2.4.1.2.8 NTC18

X	Comb.	Sfruttamento	Classe	Mx,Ed	Mx,Rd	Rid. Mx,Rd da VEd	px	py	Verifica
0.791	SLU 5	0.004	1	0.08874	23.50374	1	0	0	Si

Verifica a presso/tenso flessione retta X §§ 4.2.4.1.2.3 - 4.2.4.1.2.6 - 4.2.4.1.2.7 - 4.2.4.1.2.8 NTC18

Verifiche eseguite utilizzando la formula conservativa (6.2) §6.2.1 EN 1993-1-1:2005.

X	Comb.	Sfruttamento	Classe	NEd	NRd	Rid. NRd da VEd	Mx,Ed	Mx,Rd	Rid. Mx,Rd da VEd	Rid. Mx,Rd da NEd	px	py	Verifica
0.843	SLU 75	0.137	1	131.512	1003.522	1	0.1402	23.5037	1		0	0	Si

Verifica a presso/tenso flessione retta X SLD §§ 4.2.4.1.2.3 - 4.2.4.1.2.6 - 4.2.4.1.2.7 - 4.2.4.1.2.8 NTC18

Verifiche eseguite utilizzando la formula conservativa (6.2) §6.2.1 EN 1993-1-1:2005.

X	Comb.	Sfruttamento	Classe	NEd	NRd	Rid. NRd da VEd	Mx,Ed	Mx,Rd	Rid. Mx,Rd da VEd	Rid. Mx,Rd da NEd	px	py	Verifica
0.843	SLD 2	0.054	1	49.641	1003.522	1	0.0979	23.5037	1		0	0	Si

Verifica a presso/tenso flessione retta Y §§ 4.2.4.1.2.3 - 4.2.4.1.2.6 - 4.2.4.1.2.7 - 4.2.4.1.2.8 NTC18

Verifiche eseguite utilizzando la formula conservativa (6.2) §6.2.1 EN 1993-1-1:2005.

X	Comb.	Sfruttamento	Classe	NEd	NRd	Rid. NRd da VEd	My,Ed	My,Rd	Rid. My,Rd da VEd	Rid. My,Rd da NEd	px	py	Verifica
0	SLV 1	0.064	1	63.127	1003.522	1	-0.0213	33.3316	1		0	0	Si

Verifica a presso/tenso flessione retta Y SLD §§ 4.2.4.1.2.3 - 4.2.4.1.2.6 - 4.2.4.1.2.7 - 4.2.4.1.2.8 NTC18

Verifiche eseguite utilizzando la formula conservativa (6.2) §6.2.1 EN 1993-1-1:2005.

X	Comb.	Sfruttamento	Classe	NEd	NRd	Rid. NRd da VEd	My,Ed	My,Rd	Rid. My,Rd da VEd	Rid. My,Rd da NEd	px	py	Verifica
0	SLD 11	0.032	1	31.588	1003.522	1	0.0112	33.3316	1		0	0	Si

Verifica a presso/tenso flessione deviata §§ 4.2.4.1.2.3 - 4.2.4.1.2.6 - 4.2.4.1.2.7 - 4.2.4.1.2.8 NTC18

Verifiche eseguite utilizzando la formula conservativa (6.2) §6.2.1 EN 1993-1-1:2005.

X	Comb.	Sfruttamento	Classe	NEd	NRd	Rid. NRd da VEd	Mx,Ed	Mx,Rd	My,Ed	My,Rd	Rid. Mx,Rd da VEd	Rid. Mx,Rd da NEd	Rid. My,Rd da VEd	Rid. My,Rd da NEd	α	β	px	py	Verifica
0.843	SLU 73	0.124	1	117.992	1003.522	1	0.1376	23.5037	0.0077	33.3316	1		1				0	0	Si

Verifica a presso/tenso flessione deviata SLD §§ 4.2.4.1.2.3 - 4.2.4.1.2.6 - 4.2.4.1.2.7 - 4.2.4.1.2.8 NTC18

Verifiche eseguite utilizzando la formula conservativa (6.2) §6.2.1 EN 1993-1-1:2005.

X	Comb.	Sfruttamento	Classe	NEd	NRd	Rid. NRd da VEd	Mx,Ed	Mx,Rd	My,Ed	My,Rd	Rid. Mx,Rd da VEd	Rid. Mx,Rd da NEd	Rid. My,Rd da VEd	Rid. My,Rd da NEd	α	β	px	py	Verifica
1.581	SLD 5	0.05	1	49.671	1003.522	1	0.0162	23.5037	-0.0074	33.3316	1		1				0	0	Si

Verifiche ad instabilità

Caratteristiche iniziali

Membratura principale per controllo snellezza; Calcolo di snellezze ed N critici condotti secondo gli assi principali;

Curva X: c; Curva Y: c;

Svergolamento: Nessuno; la verifica a instabilità flesso-torsionale (svergolamento) non verrà eseguita.

Dati per instabilità attorno a x

Controllo della snellezza secondo §4.2.4.1.3.1 NTC18

Numero rit.	Presente	Ascissa	Campata	βx/m	Vincolo a entrambi estremi	λx/m	λVer
1	Si	0					
			1-2	1	Si	52.1	Si, (<200)

Implementazione dei sistemi di confinamento delle emissioni odorigene diffuse dell'impianto di compostaggio esistente nel
Comune di Eboli (SA)
PROGETTO DEFINITIVO – Tabulati di calcolo Tomo 1

Numero rit.	Presente	Ascissa	Campata	$\beta x/m$	Vincolo a entrambi estremi	$\lambda x/m$	λVer
2	Si	1.581					

Dati per instabilità attorno a y

Controllo della snellezza secondo §4.2.4.1.3.1 NTC18

Numero rit.	Presente	Ascissa	Campata	$\beta y/n$	k,LT	kw,LT	Vincolo a entrambi estremi
1	Si	0					
			1-2	1	Si	38.8	Si, (<200)
2	Si	1.581					

Verifica di stabilità per pressoflessione §C.4.2.4.1.3.3.1 NTC18

X	Comb.	Sfruttamento	Classe	NEd	MxEq,Ed	MyEq,Ed	Area	Wx	Wy	χ_{min}	$\lambda_{adim. x/m}$	$\lambda_{adim. y/n}$	N,crit x/m	N,crit y/n	Verifica
0	SLU 2	0.035	3	-20.488	0.0717	0.0662	0.003832	0.0000492	0.0000739	0.785	0.6	0.447	2928.123	5273.983	Si

Verifiche a deformabilità

Mensola X: No; Mensola Y: No.

Frecce lungo X

Ascissa freccia	Combinazione	Freccia	Luce	L/f	L/f,min	Tipo	Verifica
0.843	SLE RA 1	0	1.581	10000	250	Totale	Si
0.843	SLE RA 17	0	1.581	10000	250	Totale	Si
0.843	SLE RA 16	0	1.581	10000	250	Totale	Si
0.843	SLE RA 15	0	1.581	10000	250	Totale	Si
0.843	SLE RA 14	0	1.581	10000	250	Totale	Si
0.843	SLE RA 2	0	1.581	10000	350	Variabile	Si
0.843	SLE RA 17	0	1.581	10000	350	Variabile	Si
0.843	SLE RA 16	0	1.581	10000	350	Variabile	Si
0.843	SLE RA 15	0	1.581	10000	350	Variabile	Si
0.843	SLE RA 14	0	1.581	10000	350	Variabile	Si

Frecce lungo Y

Ascissa freccia	Combinazione	Freccia	Luce	L/f	L/f,min	Tipo	Verifica
0.791	SLE RA 1	0.00003	1.581	10000	250	Totale	Si
0.791	SLE RA 17	0.00004	1.581	10000	250	Totale	Si
0.791	SLE RA 16	0.00004	1.581	10000	250	Totale	Si
0.791	SLE RA 15	0.00004	1.581	10000	250	Totale	Si
0.791	SLE RA 14	0.00004	1.581	10000	250	Totale	Si
0.896	SLE RA 2	0	1.581	10000	350	Variabile	Si
0.896	SLE RA 17	0	1.581	10000	350	Variabile	Si
0.896	SLE RA 16	0	1.581	10000	350	Variabile	Si
0.896	SLE RA 15	0	1.581	10000	350	Variabile	Si
0.896	SLE RA 14	0	1.581	10000	350	Variabile	Si

Superelemento in acciaio a quota "640"- "690" (1384; 1754)- (1494; 1651)

Caratteristiche del materiale

Acciaio: S275, fyk = 275000

Caratteristiche geometriche

Lunghezza: 1.581

Nodo iniziale: 1016 Nodo finale: 1697

Cerniera iniziale: Mmomenti 1% Cerniera finale: Mmomenti 1%

Sovraresistenza: 0% Sisma Z: No

Caratteristiche della sezione

Sezione	Rotazione	Area	Jx	Jy	ix	iy	Wx	Wy	Wplx	Wply
A1; L100*10; 1; Saldato; S275; 50; 1; 8; 8; 1	180	0.003832	0.0000035319	0.000007759	0.0304	0.045	0.0000492	0.0000739	0.00008974	0.00012727

Comportamento dei calastrelli

Accoppiamento imbottito con funzione statica (§C4.2.4.1.3.1.4 NTC18) nella campata compresa tra le ascisse 0 e 1.581 per sbandamento attorno all'asse y.

Verifiche di resistenza

Verifiche a forza assiale §4.2.4.1.2.1 - §4.2.4.1.2.2 NTC18

X	Comb.	Sfruttamento	Classe	NEd	Nc,Rd	Nt,Rd	Riduzione da taglio	px	py	Verifica
1.581	SLU 75	0.051		51.264		1003.522	1	0	0	Si

Verifiche a forza assiale SLD §4.2.4.1.2.1 - §4.2.4.1.2.2 NTC18

X	Comb.	Sfruttamento	Classe	NEd	Nc,Rd	Nt,Rd	Riduzione da taglio	px	py	Verifica
1.581	SLD 11	0.012		11.869		1003.522	1	0	0	Si

Verifica a taglio Y §4.2.4.1.2.4 NTC18

X	Comb.	Sfruttamento	VEd	Vc,Rd	Av	Interazione taglio-torsione	Riduzione torsione	Verifica
0	SLU 75	0.001	-0.303	302.422	0.002	Non considerata		Si

Verifica a taglio Y SLD §4.2.4.1.2.4 NTC18

X	Comb.	Sfruttamento	VEd	Vc,Rd	Av	Interazione taglio-torsione	Riduzione torsione	Verifica
0	SLD 12	0.001	-0.228	302.422	0.002	Non considerata		Si

Verifica a presso/tenso flessione retta X §§ 4.2.4.1.2.3 - 4.2.4.1.2.6 - 4.2.4.1.2.7 - 4.2.4.1.2.8 NTC18

Verifiche eseguite utilizzando la formula conservativa (6.2) §6.2.1 EN 1993-1-1:2005.

Implementazione dei sistemi di confinamento delle emissioni odorigene diffuse dell'impianto di compostaggio esistente nel
Comune di Eboli (SA)

PROGETTO DEFINITIVO – Tabulati di calcolo Tomo 1

X	Comb.	Sfruttamento	Classe	NEd	NRd	Rid. NRd da VEd	Mx,Ed	Mx,Rd	Rid. Mx,Rd da VEd	Rid. Mx,Rd da NEd	px	py	Verifica
0.369	SLU 75	0.055	1	51.114	1003.522	1	0.0875	23.5037	1		0	0	Si

Verifica a presso/tenso flessione retta X SLD §§ 4.2.4.1.2.3 - 4.2.4.1.2.6 - 4.2.4.1.2.7 - 4.2.4.1.2.8 NTC18

Verifiche eseguite utilizzando la formula conservativa (6.2) §6.2.1 EN 1993-1-1:2005.

X	Comb.	Sfruttamento	Classe	NEd	NRd	Rid. NRd da VEd	Mx,Ed	Mx,Rd	Rid. Mx,Rd da VEd	Rid. Mx,Rd da NEd	px	py	Verifica
0.791	SLD 4	0.014	1	10.577	1003.522	1	0.0905	23.5037	1		0	0	Si

Verifica a presso/tenso flessione retta Y §§ 4.2.4.1.2.3 - 4.2.4.1.2.6 - 4.2.4.1.2.7 - 4.2.4.1.2.8 NTC18

Verifiche eseguite utilizzando la formula conservativa (6.2) §6.2.1 EN 1993-1-1:2005.

X	Comb.	Sfruttamento	Classe	NEd	NRd	Rid. NRd da VEd	My,Ed	My,Rd	Rid. My,Rd da VEd	Rid. My,Rd da NEd	px	py	Verifica
0	SLU 76	0.021	1	21.135	1003.522	1	0.0088	33.3316	1		0	0	Si

Verifica a presso/tenso flessione retta Y SLD §§ 4.2.4.1.2.3 - 4.2.4.1.2.6 - 4.2.4.1.2.7 - 4.2.4.1.2.8 NTC18

Verifiche eseguite utilizzando la formula conservativa (6.2) §6.2.1 EN 1993-1-1:2005.

X	Comb.	Sfruttamento	Classe	NEd	NRd	Rid. NRd da VEd	My,Ed	My,Rd	Rid. My,Rd da VEd	Rid. My,Rd da NEd	px	py	Verifica
1.581	SLD 12	0.012	1	11.869	1003.522	1	0.022	33.3316	1		0	0	Si

Verifica a presso/tenso flessione deviata §§ 4.2.4.1.2.3 - 4.2.4.1.2.6 - 4.2.4.1.2.7 - 4.2.4.1.2.8 NTC18

Verifiche eseguite utilizzando la formula conservativa (6.2) §6.2.1 EN 1993-1-1:2005.

X	Comb.	Sfruttamento	Classe	NEd	NRd	Rid. NRd da VEd	Mx,Ed	Mx,Rd	My,Ed	My,Rd	Rid. Mx,Rd da VEd	Rid. Mx,Rd da NEd	Rid. My,Rd da VEd	Rid. My,Rd da NEd	α	β	px	py	Verifica
0.843	SLU 75	0.057	1	51.173	1003.522	1	0.1244	23.5037	0.0091	33.3316	1		1				0	0	Si

Verifica a presso/tenso flessione deviata SLD §§ 4.2.4.1.2.3 - 4.2.4.1.2.6 - 4.2.4.1.2.7 - 4.2.4.1.2.8 NTC18

Verifiche eseguite utilizzando la formula conservativa (6.2) §6.2.1 EN 1993-1-1:2005.

X	Comb.	Sfruttamento	Classe	NEd	NRd	Rid. NRd da VEd	Mx,Ed	Mx,Rd	My,Ed	My,Rd	Rid. Mx,Rd da VEd	Rid. Mx,Rd da NEd	Rid. My,Rd da VEd	Rid. My,Rd da NEd	α	β	px	py	Verifica
0.791	SLD 12	0.016	1	11.794	1003.522	1	0.0908	23.5037	0.0182	33.3316	1		1				0	0	Si

Verifiche ad instabilità

Caratteristiche iniziali

Membratura principale per controllo snellezza; Calcolo di snellezze ed N critici condotti secondo gli assi principali;

Curva X: c; Curva Y: c;

Svergolamento: Nessuno; la verifica a instabilità flesso-torsionale (svergolamento) non verrà eseguita.

Dati per instabilità attorno a x

Controllo della snellezza secondo §4.2.4.1.3.1 NTC18

Numero rit.	Presente	Ascissa	Campata	βx/m	Vincolo a entrambi estremi	λx/m	λVer
1	Si		0				
			1-2		1	52.1	Si, (<200)
2	Si	1.581					

Dati per instabilità attorno a y

Controllo della snellezza secondo §4.2.4.1.3.1 NTC18

Numero rit.	Presente	Ascissa	Campata	βy/n	k,LT	kw,LT	Vincolo a entrambi estremi
1	Si		0				
			1-2		1	38.8	Si, (<200)
2	Si	1.581					

Verifica di stabilità per pressoflessione §C.4.2.4.1.3.3.1 NTC18

X	Comb.	Sfruttamento	Classe	NEd	MxEq,Ed	MyEq,Ed	Area	Wx	Wy	χ,min	λ adim. x/m	λ adim. y/n	N,crit x/m	N,crit y/n	Verifica
0	SLU 4	0.028	3	-15.134	0.0726	0.0572	0.003832	0.0000492	0.0000739	0.785	0.6	0.447	2928.123	5273.983	Si

Verifiche a deformabilità

Mensola X: No; Mensola Y: No.

Frecce lungo X

Ascissa freccia	Combinazione	Freccia	Luce	L/f	L/f,min	Tipo	Verifica
0.843	SLE RA 1	0	1.581	10000	250	Totale	Si
0.843	SLE RA 17	0	1.581	10000	250	Totale	Si
0.843	SLE RA 16	0	1.581	10000	250	Totale	Si
0.843	SLE RA 15	0	1.581	10000	250	Totale	Si
0.843	SLE RA 14	0	1.581	10000	250	Totale	Si
0.843	SLE RA 2	0	1.581	10000	350	Variabile	Si
0.843	SLE RA 17	0	1.581	10000	350	Variabile	Si
0.843	SLE RA 16	0	1.581	10000	350	Variabile	Si
0.843	SLE RA 15	0	1.581	10000	350	Variabile	Si
0.791	SLE RA 14	0	1.581	10000	350	Variabile	Si

Frecce lungo Y

Ascissa freccia	Combinazione	Freccia	Luce	L/f	L/f,min	Tipo	Verifica
0.791	SLE RA 1	0.00003	1.581	10000	250	Totale	Si
0.791	SLE RA 17	0.00003	1.581	10000	250	Totale	Si
0.791	SLE RA 16	0.00003	1.581	10000	250	Totale	Si
0.791	SLE RA 15	0.00003	1.581	10000	250	Totale	Si
0.791	SLE RA 14	0.00003	1.581	10000	250	Totale	Si
0.896	SLE RA 2	0	1.581	10000	350	Variabile	Si
0.896	SLE RA 17	0	1.581	10000	350	Variabile	Si
0.896	SLE RA 16	0	1.581	10000	350	Variabile	Si
0.896	SLE RA 15	0	1.581	10000	350	Variabile	Si
0.896	SLE RA 14	0	1.581	10000	350	Variabile	Si

Implementazione dei sistemi di confinamento delle emissioni odorigene diffuse dell'impianto di compostaggio esistente nel
Comune di Eboli (SA)
PROGETTO DEFINITIVO – Tabulati di calcolo Tomo 1

Superelemento in acciaio a quota "640"-"690" (1634; 2017)-(1743; 1914)

Caratteristiche del materiale

Acciaio: S275, fyk = 275000

Caratteristiche geometriche

Lunghezza: 1.581

Nodo iniziale: 1070 Nodo finale: 1706

Cerniera iniziale: Mmomenti 1% Cerniera finale: Mmomenti 1%

Sovraresistenza: 0% Sisma Z: No

Caratteristiche della sezione

Sezione	Rotazione	Area	Jx	Jy	ix	iy	Wx	Wy	Wplx	Wply
A1; L100*10; 1; Saldato; S275; 50; 1; 8; 8; 1	180	0.003832	0.0000035319	0.000007759	0.0304	0.045	0.0000492	0.0000739	0.00008974	0.00012727

Comportamento dei calastrelli

Accoppiamento imbottito con funzione statica (§C4.2.4.1.3.1.4 NTC18) nella campata compresa tra le ascisse 0 e 1.581 per sbandamento attorno all'asse y.

Verifiche di resistenza

Verifiche a forza assiale §4.2.4.1.2.1 - §4.2.4.1.2.2 NTC18

X	Comb.	Sfruttamento	Classe	NEd	Nc,Rd	Nt,Rd	Riduzione da taglio	px	py	Verifica
1.581	SLU 75	0.122		122.824		1003.522	1	0	0	Si

Verifiche a forza assiale SLD §4.2.4.1.2.1 - §4.2.4.1.2.2 NTC18

X	Comb.	Sfruttamento	Classe	NEd	Nc,Rd	Nt,Rd	Riduzione da taglio	px	py	Verifica
1.581	SLD 16	0.049		48.881		1003.522	1	0	0	Si

Verifica a taglio Y §4.2.4.1.2.4 NTC18

X	Comb.	Sfruttamento	VEd	Vc,Rd	Av	Interazione taglio-torsione	Riduzione torsione	Verifica
0	SLU 75	0.001	-0.318	302.422	0.002	Non considerata		Si

Verifica a taglio Y SLD §4.2.4.1.2.4 NTC18

X	Comb.	Sfruttamento	VEd	Vc,Rd	Av	Interazione taglio-torsione	Riduzione torsione	Verifica
0	SLD 11	0.001	-0.236	302.422	0.002	Non considerata		Si

Verifica a presso/tenso flessione retta X §§ 4.2.4.1.2.3 - 4.2.4.1.2.6 - 4.2.4.1.2.7 - 4.2.4.1.2.8 NTC18

Verifiche eseguite utilizzando la formula conservativa (6.2) §6.2.1 EN 1993-1-1:2005.

X	Comb.	Sfruttamento	Classe	NEd	NRd	Rid. NRd da VEd	Mx,Ed	Mx,Rd	Rid. Mx,Rd da VEd	Rid. Mx,Rd da NEd	px	py	Verifica
0.053	SLU 63	0.092	1	91.197	1003.522	1	0.0184	23.5037	1		0	0	Si

Verifica a presso/tenso flessione retta X SLD §§ 4.2.4.1.2.3 - 4.2.4.1.2.6 - 4.2.4.1.2.7 - 4.2.4.1.2.8 NTC18

Verifiche eseguite utilizzando la formula conservativa (6.2) §6.2.1 EN 1993-1-1:2005.

X	Comb.	Sfruttamento	Classe	NEd	NRd	Rid. NRd da VEd	Mx,Ed	Mx,Rd	Rid. Mx,Rd da VEd	Rid. Mx,Rd da NEd	px	py	Verifica
0.843	SLD 10	0.041	1	36.946	1003.522	1	0.0959	23.5037	1		0	0	Si

Verifica a presso/tenso flessione retta Y §§ 4.2.4.1.2.3 - 4.2.4.1.2.6 - 4.2.4.1.2.7 - 4.2.4.1.2.8 NTC18

Verifiche eseguite utilizzando la formula conservativa (6.2) §6.2.1 EN 1993-1-1:2005.

X	Comb.	Sfruttamento	Classe	NEd	NRd	Rid. NRd da VEd	My,Ed	My,Rd	Rid. My,Rd da VEd	Rid. My,Rd da NEd	px	py	Verifica
0	SLU 75	0.122	1	122.628	1003.522	1	0.0097	33.3316	1		0	0	Si

Verifica a presso/tenso flessione retta Y SLD §§ 4.2.4.1.2.3 - 4.2.4.1.2.6 - 4.2.4.1.2.7 - 4.2.4.1.2.8 NTC18

Verifiche eseguite utilizzando la formula conservativa (6.2) §6.2.1 EN 1993-1-1:2005.

X	Comb.	Sfruttamento	Classe	NEd	NRd	Rid. NRd da VEd	My,Ed	My,Rd	Rid. My,Rd da VEd	Rid. My,Rd da NEd	px	py	Verifica
0	SLD 15	0.05	1	48.731	1003.522	1	0.0385	33.3316	1		0	0	Si

Verifica a presso/tenso flessione deviata §§ 4.2.4.1.2.3 - 4.2.4.1.2.6 - 4.2.4.1.2.7 - 4.2.4.1.2.8 NTC18

Verifiche eseguite utilizzando la formula conservativa (6.2) §6.2.1 EN 1993-1-1:2005.

X	Comb.	Sfruttamento	Classe	NEd	NRd	Rid. NRd da VEd	Mx,Ed	My,Ed	Mx,Rd	My,Rd	Rid. Mx,Rd da VEd	Rid. Mx,Rd da NEd	Rid. My,Rd da VEd	Rid. My,Rd da NEd	α	β	px	py	Verifica
0.896	SLU 75	0.129	1	122.739	1003.522	1	0.1396	23.5037	0.02	33.3316	1		1				0	0	Si

Verifica a presso/tenso flessione deviata SLD §§ 4.2.4.1.2.3 - 4.2.4.1.2.6 - 4.2.4.1.2.7 - 4.2.4.1.2.8 NTC18

Verifiche eseguite utilizzando la formula conservativa (6.2) §6.2.1 EN 1993-1-1:2005.

X	Comb.	Sfruttamento	Classe	NEd	NRd	Rid. NRd da VEd	Mx,Ed	My,Ed	Mx,Rd	My,Rd	Rid. Mx,Rd da VEd	Rid. Mx,Rd da NEd	Rid. My,Rd da VEd	Rid. My,Rd da NEd	α	β	px	py	Verifica
0.843	SLD 15	0.054	1	48.811	1003.522	1	0.0987	23.5037	0.0332	33.3316	1		1				0	0	Si

Verifiche ad instabilità

Caratteristiche iniziali

Membratura principale per controllo snellezza; Calcolo di snellezze ed N critici condotti secondo gli assi principali;

Curva X: c; Curva Y: c;

Svergolamento: Nessuno; la verifica a instabilità flesso-torsionale (svergolamento) non verrà eseguita.

Dati per instabilità attorno a x

Controllo della snellezza secondo §4.2.4.1.3.1 NTC18

Numero rit.	Presente	Ascissa	Campata	βx/m	Vincolo a entrambi estremi	λx/m	λVer
-------------	----------	---------	---------	------	----------------------------	------	------

Implementazione dei sistemi di confinamento delle emissioni odorigene diffuse dell'impianto di compostaggio esistente nel
Comune di Eboli (SA)
PROGETTO DEFINITIVO – Tabulati di calcolo Tomo 1

Numero rit.	Presente	Ascissa	Campata	$\beta x/m$	Vincolo a entrambi estremi	$\lambda x/m$	λVer
1	Si	0	1-2	1	Si	52.1	Si, (<200)
2	Si	1.581					

Dati per instabilità attorno a y

Controllo della snellezza secondo §4.2.4.1.3.1 NTC18

Numero rit.	Presente	Ascissa	Campata	$\beta y/n$	k,LT	kw,LT	Vincolo a entrambi estremi
1	Si	0	1-2	1	Si	38.8	Si, (<200)
2	Si	1.581					

Verifica di stabilità per pressoflessione §C.4.2.4.1.3.3.1 NTC18

X	Comb.	Sfruttamento	Classe	NEd	MxEq,Ed	MyEq,Ed	Area	Wx	Wy	χ_{min}	$\lambda_{adim. x/m}$	$\lambda_{adim. y/n}$	N,crit x/m	N,crit y/n	Verifica
0	SLV 2	0.027	3	-14.968	0.0731	-0.0475	0.003832	0.0000492	0.0000739	0.785	0.6	0.447	2928.123	5273.983	Si

Verifiche a deformabilità

Mensola X: No; Mensola Y: No.

Frecce lungo X

Ascissa freccia	Combinazione	Freccia	Luce	L/f	L/f,min	Tipo	Verifica
0.843	SLE RA 1	0	1.581	10000	250	Totale	Si
0.843	SLE RA 17	0	1.581	10000	250	Totale	Si
0.843	SLE RA 16	0	1.581	10000	250	Totale	Si
0.843	SLE RA 15	0	1.581	10000	250	Totale	Si
0.843	SLE RA 14	0	1.581	10000	250	Totale	Si
0.843	SLE RA 2	0	1.581	10000	350	Variabile	Si
0.843	SLE RA 17	0	1.581	10000	350	Variabile	Si
0.843	SLE RA 16	0	1.581	10000	350	Variabile	Si
0.843	SLE RA 15	0	1.581	10000	350	Variabile	Si
0.843	SLE RA 14	0	1.581	10000	350	Variabile	Si

Frecce lungo Y

Ascissa freccia	Combinazione	Freccia	Luce	L/f	L/f,min	Tipo	Verifica
0.791	SLE RA 1	0.00004	1.581	10000	250	Totale	Si
0.791	SLE RA 17	0.00004	1.581	10000	250	Totale	Si
0.791	SLE RA 16	0.00004	1.581	10000	250	Totale	Si
0.791	SLE RA 15	0.00004	1.581	10000	250	Totale	Si
0.791	SLE RA 14	0.00004	1.581	10000	250	Totale	Si
0.896	SLE RA 2	0	1.581	10000	350	Variabile	Si
0.896	SLE RA 17	0	1.581	10000	350	Variabile	Si
0.896	SLE RA 16	0	1.581	10000	350	Variabile	Si
0.896	SLE RA 15	0	1.581	10000	350	Variabile	Si
0.896	SLE RA 14	0	1.581	10000	350	Variabile	Si

Superelemento in acciaio a quota "640"- "690" (1999; 2293)-(1999; 2193)

Caratteristiche del materiale

Acciaio: S275, fyk = 275000

Caratteristiche geometriche

Lunghezza: 1.118

Nodo iniziale: 1165 Nodo finale: 1721

Cerniera iniziale: Mmomenti 1% Cerniera finale: Mmomenti 1%

Sovraresistenza: 0% Sisma Z: No

Caratteristiche della sezione

Sezione	Rotazione	Area	Jx	Jy	ix	iy	Wx	Wy	Wplx	Wply
A1; L100*10; 1; Saldato; S275; 20; 1; 8; 8; 1	180	0.003832	0.0000035319	0.000007759	0.0304	0.045	0.0000492	0.0000739	0.00008974	0.00012727

Comportamento dei calastrelli

Accoppiamento imbottito avendo passo inferiore al minimo richiesto (§C4.2.4.1.3.1.5 NTC18) nella campata compresa tra le ascisse 0 e 1.118 per sbandamento attorno all'asse y.

Verifiche di resistenza

Verifiche a forza assiale §4.2.4.1.2.1 - §4.2.4.1.2.2 NTC18

X	Comb.	Sfruttamento	Classe	NEd	Nc,Rd	Nt,Rd	Riduzione da taglio	px	py	Verifica
0	SLV 11	0.054	3	-54.442	1003.522		1	0	0	Si

Verifiche a forza assiale SLD §4.2.4.1.2.1 - §4.2.4.1.2.2 NTC18

X	Comb.	Sfruttamento	Classe	NEd	Nc,Rd	Nt,Rd	Riduzione da taglio	px	py	Verifica
0	SLD 15	0.027	3	-27.573	1003.522		1	0	0	Si

Verifica a taglio Y §4.2.4.1.2.4 NTC18

X	Comb.	Sfruttamento	VEd	Vc,Rd	Av	Interazione taglio-torsione	Riduzione torsione	Verifica
1.118	SLV 76	0.001	0.236	302.422	0.002	Non considerata		Si

Verifica a presso/tenso flessione retta X §§ 4.2.4.1.2.3 - 4.2.4.1.2.6 - 4.2.4.1.2.7 - 4.2.4.1.2.8 NTC18

Verifiche eseguite utilizzando la formula conservativa (6.2) §6.2.1 EN 1993-1-1:2005.

X	Comb.	Sfruttamento	Classe	NEd	NRd	Rid. NRd da VEd	Mx,Ed	Mx,Rd	Rid. Mx,Rd da VEd	Rid. Mx,Rd da NEd	px	py	Verifica
1.118	SLV 16	0.057	3	-54.272	1003.522	1	-0.0316	12.886	1		0	0	Si

**Implementazione dei sistemi di confinamento delle emissioni odorigene diffuse dell'impianto di compostaggio esistente nel
Comune di Eboli (SA)
PROGETTO DEFINITIVO – Tabulati di calcolo Tomo 1**

Verifica a presso/tenso flessione retta X SLD §§ 4.2.4.1.2.3 - 4.2.4.1.2.6 - 4.2.4.1.2.7 - 4.2.4.1.2.8 NTC18

Verifiche eseguite utilizzando la formula conservativa (6.2) §6.2.1 EN 1993-1-1:2005.

X	Comb.	Sfruttamento	Classe	NEd	NRd	Rid. NRd da VEd	Mx,Ed	Mx,Rd	Rid. Mx,Rd da VEd	Rid. Mx,Rd da NEd	px	py	Verifica
0.484	SLD 16	0.03	3	-27.508	1003.522	1	0.0309	12.886	1		0	0	Si

Verifica a presso/tenso flessione retta Y §§ 4.2.4.1.2.3 - 4.2.4.1.2.6 - 4.2.4.1.2.7 - 4.2.4.1.2.8 NTC18

Verifiche eseguite utilizzando la formula conservativa (6.2) §6.2.1 EN 1993-1-1:2005.

X	Comb.	Sfruttamento	Classe	NEd	NRd	Rid. NRd da VEd	My,Ed	My,Rd	Rid. My,Rd da VEd	Rid. My,Rd da NEd	px	py	Verifica
0.932	SLV 11	0.057	3	-54.317	1003.522	1	-0.0496	19.3536	1		0	0	Si

Verifica a presso/tenso flessione retta Y SLD §§ 4.2.4.1.2.3 - 4.2.4.1.2.6 - 4.2.4.1.2.7 - 4.2.4.1.2.8 NTC18

Verifiche eseguite utilizzando la formula conservativa (6.2) §6.2.1 EN 1993-1-1:2005.

X	Comb.	Sfruttamento	Classe	NEd	NRd	Rid. NRd da VEd	My,Ed	My,Rd	Rid. My,Rd da VEd	Rid. My,Rd da NEd	px	py	Verifica
0.969	SLD 11	0.029	3	-27.422	1003.522	1	-0.0346	19.3536	1		0	0	Si

Verifica a presso/tenso flessione deviata §§ 4.2.4.1.2.3 - 4.2.4.1.2.6 - 4.2.4.1.2.7 - 4.2.4.1.2.8 NTC18

Verifiche eseguite utilizzando la formula conservativa (6.2) §6.2.1 EN 1993-1-1:2005.

X	Comb.	Sfruttamento	Classe	NEd	NRd	Rid. NRd da VEd	Mx,Ed	Mx,Rd	My,Ed	My,Rd	Rid. Mx,Rd da VEd	Rid. Mx,Rd da NEd	Rid. My,Rd da VEd	Rid. My,Rd da NEd	α	β	px	py	Verifica
1.118	SLV 11	0.059	3	-54.292	1003.522	1	-0.0316	12.886	-0.0542	19.3536	1		1				0	0	Si

Verifica a presso/tenso flessione deviata SLD §§ 4.2.4.1.2.3 - 4.2.4.1.2.6 - 4.2.4.1.2.7 - 4.2.4.1.2.8 NTC18

Verifiche eseguite utilizzando la formula conservativa (6.2) §6.2.1 EN 1993-1-1:2005.

X	Comb.	Sfruttamento	Classe	NEd	NRd	Rid. NRd da VEd	Mx,Ed	Mx,Rd	My,Ed	My,Rd	Rid. Mx,Rd da VEd	Rid. Mx,Rd da NEd	Rid. My,Rd da VEd	Rid. My,Rd da NEd	α	β	px	py	Verifica
1.118	SLD 11	0.031	3	-27.402	1003.522	1	-0.0229	12.886	-0.0387	19.3536	1		1				0	0	Si

Verifiche ad instabilità

Caratteristiche iniziali

Membratura principale per controllo snellezza; Calcolo di snellezze ed N critici condotti secondo gli assi principali;

Curva X: c; Curva Y: c;

Svergolamento: Nessuno; la verifica a instabilità flesso-torsionale (svergolamento) non verrà eseguita.

Dati per instabilità attorno a x

Controllo della snellezza secondo §4.2.4.1.3.1 NTC18

Numero rit.	Presente	Ascissa	Campata	βx/m	Vincolo a entrambi estremi	λx/m	λVer
1	Si	0					
			1-2	1	Si	36.8	Si, (<200)
2	Si	1.118					

Dati per instabilità attorno a y

Controllo della snellezza secondo §4.2.4.1.3.1 NTC18

Numero rit.	Presente	Ascissa	Campata	βy/n	k,LT	kw,LT	Vincolo a entrambi estremi
1	Si	0					
			1-2	1	Si	24.8	Si, (<200)
2	Si	1.118					

Verifica di stabilità per pressoflessione §C.4.2.4.1.3.3.1 NTC18

X	Comb.	Sfruttamento	Classe	NEd	MxEq,Ed	MyEq,Ed	Area	Wx	Wy	χ,min	λ adim. x/m	λ adim. y/n	N _{crit} x/m	N _{crit} y/n	Verifica
0	SLV 11	0.066	3	-54.442	-0.0237	-0.0532	0.003832	0.0000492	0.0000739	0.884	0.424	0.286	5856.246	12865.174	Si

Verifica di stabilità per pressoflessione SLD §C.4.2.4.1.3.3.1 NTC18

X	Comb.	Sfruttamento	Classe	NEd	MxEq,Ed	MyEq,Ed	Area	Wx	Wy	χ,min	λ adim. x/m	λ adim. y/n	N _{crit} x/m	N _{crit} y/n	Verifica
0	SLD 11	0.034	3	-27.552	0.0232	-0.0308	0.003832	0.0000492	0.0000739	0.884	0.424	0.286	5856.246	12865.174	Si

Verifiche a deformabilità

Mensola X: No; Mensola Y: No.

Frecce lungo X

Ascissa freccia	Combinazione	Freccia	Luce	L/f	L/f,min	Tipo	Verifica
0.671	SLE RA 1	0	1.118	10000	250	Totale	Si
0.671	SLE RA 17	0	1.118	10000	250	Totale	Si
0.671	SLE RA 16	0	1.118	10000	250	Totale	Si
0.671	SLE RA 15	0	1.118	10000	250	Totale	Si
0.671	SLE RA 14	0	1.118	10000	250	Totale	Si
0.671	SLE RA 2	0	1.118	10000	350	Variabile	Si
0.671	SLE RA 17	0	1.118	10000	350	Variabile	Si
0.671	SLE RA 16	0	1.118	10000	350	Variabile	Si
0.671	SLE RA 15	0	1.118	10000	350	Variabile	Si
0.857	SLE RA 14	0	1.118	10000	350	Variabile	Si

Frecce lungo Y

Ascissa freccia	Combinazione	Freccia	Luce	L/f	L/f,min	Tipo	Verifica
0.522	SLE RA 1	0.00001	1.118	10000	250	Totale	Si
0.522	SLE RA 17	0.00001	1.118	10000	250	Totale	Si
0.522	SLE RA 16	0	1.118	10000	250	Totale	Si
0.522	SLE RA 15	0	1.118	10000	250	Totale	Si
0.522	SLE RA 14	0.00001	1.118	10000	250	Totale	Si
0.634	SLE RA 2	0	1.118	10000	350	Variabile	Si
0.634	SLE RA 17	0	1.118	10000	350	Variabile	Si
0.634	SLE RA 16	0	1.118	10000	350	Variabile	Si
0.634	SLE RA 15	0	1.118	10000	350	Variabile	Si
0.447	SLE RA 14	0	1.118	10000	350	Variabile	Si

Superelemento in acciaio a quota "640"- "690" (1999; 2893)-(1999; 2993)

Caratteristiche del materiale

Acciaio: S275, fyk = 275000

Caratteristiche geometriche

Lunghezza: 1.118

Nodo iniziale: 1393 Nodo finale: 1753

Cerniera iniziale: Mmomenti 1% Cerniera finale: Mmomenti 1%

Sovraresistenza: 0% Sisma Z: No

Caratteristiche della sezione

Sezione	Rotazione	Area	Jx	Jy	ix	iy	Wx	Wy	Wplx	Wply
A1; L100*10; 1; Saldato; S275; 20; 1; 8; 8; 1	180	0.003832	0.0000035319	0.000007759	0.0304	0.045	0.0000492	0.0000739	0.00008974	0.00012727

Comportamento dei calastrelli

Accoppiamento imbottito avendo passo inferiore al minimo richiesto (§C4.2.4.1.3.1.5 NTC18) nella campata compresa tra le ascisse 0 e 1.118 per sbandamento attorno all'asse y.

Verifiche di resistenza

Verifiche a forza assiale §4.2.4.1.2.1 - §4.2.4.1.2.2 NTC18

X	Comb.	Sfruttamento	Classe	NEd	Nc,Rd	Nt,Rd	Riduzione da taglio	px	py	Verifica
0	SLU 64	0.025	3	-24.592	1003.522		1	0	0	Si

Verifiche a forza assiale SLD §4.2.4.1.2.1 - §4.2.4.1.2.2 NTC18

X	Comb.	Sfruttamento	Classe	NEd	Nc,Rd	Nt,Rd	Riduzione da taglio	px	py	Verifica
0	SLD 9	0.009	3	-9.495	1003.522		1	0	0	Si

Verifica a taglio Y §4.2.4.1.2.4 NTC18

X	Comb.	Sfruttamento	Classe	VEd	Vc,Rd	Av	Interazione taglio-torsione	Riduzione torsione	Verifica
1.118	SLU 76	0.001		0.211	302.422	0.002	Non considerata		Si

Verifica a presso/tenso flessione retta X §§ 4.2.4.1.2.3 - 4.2.4.1.2.6 - 4.2.4.1.2.7 - 4.2.4.1.2.8 NTC18

Verifiche eseguite utilizzando la formula conservativa (6.2) §6.2.1 EN 1993-1-1:2005.

X	Comb.	Sfruttamento	Classe	NEd	NRd	Rid. NRd da VEd	Mx,Ed	Mx,Rd	Rid. Mx,Rd da VEd	Rid. Mx,Rd da NEd	px	py	Verifica
0.596	SLU 62	0.013	3	-9.124	1003.522	1	0.0499	12.886	1		0	0	Si

Verifica a presso/tenso flessione retta X SLD §§ 4.2.4.1.2.3 - 4.2.4.1.2.6 - 4.2.4.1.2.7 - 4.2.4.1.2.8 NTC18

Verifiche eseguite utilizzando la formula conservativa (6.2) §6.2.1 EN 1993-1-1:2005.

X	Comb.	Sfruttamento	Classe	NEd	NRd	Rid. NRd da VEd	Mx,Ed	Mx,Rd	Rid. Mx,Rd da VEd	Rid. Mx,Rd da NEd	px	py	Verifica
0.522	SLD 9	0.012	3	-9.425	1003.522	1	0.0381	12.886	1		0	0	Si

Verifica a presso/tenso flessione retta Y §§ 4.2.4.1.2.3 - 4.2.4.1.2.6 - 4.2.4.1.2.7 - 4.2.4.1.2.8 NTC18

Verifiche eseguite utilizzando la formula conservativa (6.2) §6.2.1 EN 1993-1-1:2005.

X	Comb.	Sfruttamento	Classe	NEd	NRd	Rid. NRd da VEd	My,Ed	My,Rd	Rid. My,Rd da VEd	Rid. My,Rd da NEd	px	py	Verifica
1.043	SLU 64	0.026	3	-24.409	1003.522	1	-0.0325	19.3536	1		0	0	Si

Verifica a presso/tenso flessione retta Y SLD §§ 4.2.4.1.2.3 - 4.2.4.1.2.6 - 4.2.4.1.2.7 - 4.2.4.1.2.8 NTC18

Verifiche eseguite utilizzando la formula conservativa (6.2) §6.2.1 EN 1993-1-1:2005.

X	Comb.	Sfruttamento	Classe	NEd	NRd	Rid. NRd da VEd	My,Ed	My,Rd	Rid. My,Rd da VEd	Rid. My,Rd da NEd	px	py	Verifica
1.043	SLD 10	0.011	3	-9.355	1003.522	1	-0.0265	19.3536	1		0	0	Si

Verifica a presso/tenso flessione deviata §§ 4.2.4.1.2.3 - 4.2.4.1.2.6 - 4.2.4.1.2.7 - 4.2.4.1.2.8 NTC18

Verifiche eseguite utilizzando la formula conservativa (6.2) §6.2.1 EN 1993-1-1:2005.

X	Comb.	Sfruttamento	Classe	NEd	NRd	Rid. NRd da VEd	Mx,Ed	Mx,Rd	My,Ed	My,Rd	Rid. Mx,Rd da VEd	Rid. Mx,Rd da NEd	Rid. My,Rd da VEd	Rid. My,Rd da NEd	α	β	px	py	Verifica
0.522	SLU 64	0.029	3	-24.5	1003.522	1	0.0453	12.886	-0.0303	19.3536	1		1				0	0	Si

Verifica a presso/tenso flessione deviata SLD §§ 4.2.4.1.2.3 - 4.2.4.1.2.6 - 4.2.4.1.2.7 - 4.2.4.1.2.8 NTC18

Verifiche eseguite utilizzando la formula conservativa (6.2) §6.2.1 EN 1993-1-1:2005.

X	Comb.	Sfruttamento	Classe	NEd	NRd	Rid. NRd da VEd	Mx,Ed	Mx,Rd	My,Ed	My,Rd	Rid. Mx,Rd da VEd	Rid. Mx,Rd da NEd	Rid. My,Rd da VEd	Rid. My,Rd da NEd	α	β	px	py	Verifica
0.522	SLD 14	0.013	3	-9.324	1003.522	1	0.0376	12.886	-0.0198	19.3536	1		1				0	0	Si

Verifiche ad instabilità

Caratteristiche iniziali

Membratura principale per controllo snellezza; Calcolo di snellezze ed N critici condotti secondo gli assi principali;

Curva X: c; Curva Y: c;

Svergolamento: Nessuno; la verifica a instabilità flesso-torsionale (svergolamento) non verrà eseguita.

Dati per instabilità attorno a x

Controllo della snellezza secondo §4.2.4.1.3.1 NTC18

Numero rit.	Presente	Ascissa	Campata	βx/m	Vincolo a entrambi estremi	λx/m	λVer
1	Si	0					
			1-2	1	Si	36.8	Si, (<200)
2	Si	1.118					

Implementazione dei sistemi di confinamento delle emissioni odorigene diffuse dell'impianto di compostaggio esistente nel
Comune di Eboli (SA)
PROGETTO DEFINITIVO – Tabulati di calcolo Tomo 1

Dati per instabilità attorno a y

Controllo della snellezza secondo §4.2.4.1.3.1 NTC18

Numero rit.	Presente	Ascissa	Campata	$\beta y/n$	k,LT	kw,LT	Vincolo a entrambi estremi
1	Si	0					
			1-2	1	Si	24.8	Si, (<200)
2	Si	1.118					

Verifica di stabilità per pressoflessione §C.4.2.4.1.3.3.1 NTC18

X	Comb.	Sfruttamento	Classe	NEd	MxEq,Ed	MyEq,Ed	Area	Wx	Wy	χ_{min}	λ adim. x/m	λ adim. y/n	N,crit x/m	N,crit y/n	Verifica
0	SLU 64	0.032	3	-24.592	0.0347	-0.0309	0.003832	0.0000492	0.0000739	0.884	0.424	0.286	5856.246	12865.174	Si

Verifica di stabilità per pressoflessione SLD §C.4.2.4.1.3.3.1 NTC18

X	Comb.	Sfruttamento	Classe	NEd	MxEq,Ed	MyEq,Ed	Area	Wx	Wy	χ_{min}	λ adim. x/m	λ adim. y/n	N,crit x/m	N,crit y/n	Verifica
0	SLD 14	0.014	3	-9.394	0.0305	-0.0262	0.003832	0.0000492	0.0000739	0.884	0.424	0.286	5856.246	12865.174	Si

Verifiche a deformabilità

Mensola X: No; Mensola Y: No.

Frecce lungo X

Ascissa freccia	Combinazione	Freccia	Luce	L/f	L/f,min	Tipo	Verifica
0.559	SLE RA 1	0	1.118	10000	250	Totale	Si
0.559	SLE RA 17	0	1.118	10000	250	Totale	Si
0.559	SLE RA 16	0	1.118	10000	250	Totale	Si
0.559	SLE RA 15	0	1.118	10000	250	Totale	Si
0.559	SLE RA 14	0	1.118	10000	250	Totale	Si
0.559	SLE RA 2	0	1.118	10000	350	Variabile	Si
0.559	SLE RA 17	0	1.118	10000	350	Variabile	Si
0.559	SLE RA 16	0	1.118	10000	350	Variabile	Si
0.559	SLE RA 15	0	1.118	10000	350	Variabile	Si
0.559	SLE RA 14	0	1.118	10000	350	Variabile	Si

Frecce lungo Y

Ascissa freccia	Combinazione	Freccia	Luce	L/f	L/f,min	Tipo	Verifica
0.559	SLE RA 1	0.00001	1.118	10000	250	Totale	Si
0.559	SLE RA 17	0.00001	1.118	10000	250	Totale	Si
0.559	SLE RA 16	0.00001	1.118	10000	250	Totale	Si
0.559	SLE RA 15	0.00001	1.118	10000	250	Totale	Si
0.559	SLE RA 14	0.00001	1.118	10000	250	Totale	Si
0.634	SLE RA 2	0	1.118	10000	350	Variabile	Si
0.671	SLE RA 17	0	1.118	10000	350	Variabile	Si
0.634	SLE RA 16	0	1.118	10000	350	Variabile	Si
0.634	SLE RA 15	0	1.118	10000	350	Variabile	Si
0.634	SLE RA 14	0	1.118	10000	350	Variabile	Si

Superelemento in acciaio a quota "640"- "690" (2231; 2293)-(2231; 2193)

Caratteristiche del materiale

Acciaio: S275, fyk = 275000

Caratteristiche geometriche

Lunghezza: 1.118

Nodo iniziale: 1170 Nodo finale: 1724

Cerniera iniziale: Mmomenti 1% Cerniera finale: Mmomenti 1%

Sovraresistenza: 0% Sisma Z: No

Caratteristiche della sezione

Sezione	Rotazione	Area	Jx	Jy	ix	iy	Wx	Wy	Wplx	Wply
A1; L100*10; 1; Saldato; S275; 20; 1; 8; 8; 1	180	0.003832	0.0000035319	0.000007759	0.0304	0.045	0.0000492	0.0000739	0.00008974	0.00012727

Comportamento dei calastrelli

Accoppiamento imbottito avendo passo inferiore al minimo richiesto (§C4.2.4.1.3.1.5 NTC18) nella campata compresa tra le ascisse 0 e 1.118 per sbandamento attorno all'asse y.

Verifiche di resistenza

Verifiche a forza assiale §4.2.4.1.2.1 - §4.2.4.1.2.2 NTC18

X	Comb.	Sfruttamento	Classe	NEd	Nc,Rd	Nt,Rd	Riduzione da taglio	px	py	Verifica
0	SLU 64	0.017	3	-16.585	1003.522		1	0	0	Si

Verifiche a forza assiale SLD §4.2.4.1.2.1 - §4.2.4.1.2.2 NTC18

X	Comb.	Sfruttamento	Classe	NEd	Nc,Rd	Nt,Rd	Riduzione da taglio	px	py	Verifica
0	SLD 10	0.005	3	-5.287	1003.522		1	0	0	Si

Verifica a taglio Y §4.2.4.1.2.4 NTC18

X	Comb.	Sfruttamento	VEd	Vc,Rd	Av	Interazione taglio-torsione	Riduzione torsione	Verifica
1.118	SLU 76	0.001	0.213	302.422	0.002	Non considerata		Si

Verifica a flessione semplice X §§ 4.2.4.1.2.3 - 4.2.4.1.2.6 - 4.2.4.1.2.7 - 4.2.4.1.2.8 NTC18

X	Comb.	Sfruttamento	Classe	Mx,Ed	Mx,Rd	Rid. Mx,Rd da VEd	px	py	Verifica
0.298	SLU 14	0.001	1	0.03024	23.50374	1	0	0	Si

Implementazione dei sistemi di confinamento delle emissioni odorigene diffuse dell'impianto di compostaggio esistente nel
Comune di Eboli (SA)

PROGETTO DEFINITIVO – Tabulati di calcolo Tomo 1

Verifica a flessione semplice Y §§ 4.2.4.1.2.3 - 4.2.4.1.2.6 - 4.2.4.1.2.7 - 4.2.4.1.2.8 NTC18

X	Comb.	Sfruttamento	Classe	My,Ed	My,Rd	Rid. My,Rd da VEd	px	py	Verifica
1.043	SLU 18	0.001	1	-0.03218	33.33162	1	0	0	Si

Verifica a flessione deviata §§ 4.2.4.1.2.3 - 4.2.4.1.2.6 - 4.2.4.1.2.7 - 4.2.4.1.2.8 NTC18

X	Comb.	Sfruttamento	Classe	Mx,Ed	Mx,Rd	My,Ed	My,Rd	Rid. Mx,Rd da VEd	Rid. My,Rd da VEd	α	β	px	py	Verifica
0.596	SLU 18	0.002	1	0.0356	23.5037	-0.0178	33.3316	1	1			0	0	Si

Verifica a presso/tenso flessione retta X §§ 4.2.4.1.2.3 - 4.2.4.1.2.6 - 4.2.4.1.2.7 - 4.2.4.1.2.8 NTC18

Verifiche eseguite utilizzando la formula conservativa (6.2) §6.2.1 EN 1993-1-1:2005.

X	Comb.	Sfruttamento	Classe	NEd	NRd	Rid. NRd da VEd	Mx,Ed	Mx,Rd	Rid. Mx,Rd da VEd	Rid. Mx,Rd da NEd	px	py	Verifica
0.224	SLU 64	0.019	3	-16.546	1003.522	1	0.0308	12.886	1		0	0	Si

Verifica a presso/tenso flessione retta X SLD §§ 4.2.4.1.2.3 - 4.2.4.1.2.6 - 4.2.4.1.2.7 - 4.2.4.1.2.8 NTC18

Verifiche eseguite utilizzando la formula conservativa (6.2) §6.2.1 EN 1993-1-1:2005.

X	Comb.	Sfruttamento	Classe	NEd	NRd	Rid. NRd da VEd	Mx,Ed	Mx,Rd	Rid. Mx,Rd da VEd	Rid. Mx,Rd da NEd	px	py	Verifica
0.522	SLD 6	0.008	3	-4.937	1003.522	1	0.0383	12.886	1		0	0	Si

Verifica a presso/tenso flessione retta Y §§ 4.2.4.1.2.3 - 4.2.4.1.2.6 - 4.2.4.1.2.7 - 4.2.4.1.2.8 NTC18

Verifiche eseguite utilizzando la formula conservativa (6.2) §6.2.1 EN 1993-1-1:2005.

X	Comb.	Sfruttamento	Classe	NEd	NRd	Rid. NRd da VEd	My,Ed	My,Rd	Rid. My,Rd da VEd	Rid. My,Rd da NEd	px	py	Verifica
1.043	SLU 64	0.018	3	-16.403	1003.522	1	-0.04	19.3536	1		0	0	Si

Verifica a presso/tenso flessione retta Y SLD §§ 4.2.4.1.2.3 - 4.2.4.1.2.6 - 4.2.4.1.2.7 - 4.2.4.1.2.8 NTC18

Verifiche eseguite utilizzando la formula conservativa (6.2) §6.2.1 EN 1993-1-1:2005.

X	Comb.	Sfruttamento	Classe	NEd	NRd	Rid. NRd da VEd	My,Ed	My,Rd	Rid. My,Rd da VEd	Rid. My,Rd da NEd	px	py	Verifica
0	SLD 13	0.007	3	-5.283	1003.522	1	0.0293	19.3536	1		0	0	Si

Verifica a presso/tenso flessione deviata §§ 4.2.4.1.2.3 - 4.2.4.1.2.6 - 4.2.4.1.2.7 - 4.2.4.1.2.8 NTC18

Verifiche eseguite utilizzando la formula conservativa (6.2) §6.2.1 EN 1993-1-1:2005.

X	Comb.	Sfruttamento	Classe	NEd	NRd	Rid. NRd da VEd	Mx,Ed	Mx,Rd	My,Ed	My,Rd	Rid. Mx,Rd da VEd	Rid. Mx,Rd da NEd	Rid. My,Rd da VEd	Rid. My,Rd da NEd	α	β	px	py	Verifica
0.596	SLU 64	0.021	3	-16.481	1003.522	1	0.0446	12.886	-0.0215	19.3536	1		1				0	0	Si

Verifica a presso/tenso flessione deviata SLD §§ 4.2.4.1.2.3 - 4.2.4.1.2.6 - 4.2.4.1.2.7 - 4.2.4.1.2.8 NTC18

Verifiche eseguite utilizzando la formula conservativa (6.2) §6.2.1 EN 1993-1-1:2005.

X	Comb.	Sfruttamento	Classe	NEd	NRd	Rid. NRd da VEd	Mx,Ed	Mx,Rd	My,Ed	My,Rd	Rid. Mx,Rd da VEd	Rid. Mx,Rd da NEd	Rid. My,Rd da VEd	Rid. My,Rd da NEd	α	β	px	py	Verifica
0.484	SLD 9	0.009	3	-5.222	1003.522	1	0.0378	12.886	0.0174	19.3536	1		1				0	0	Si

Verifiche ad instabilità

Caratteristiche iniziali

Membratura principale per controllo snellezza; Calcolo di snellezze ed N critici condotti secondo gli assi principali;

Curva X: c; Curva Y: c;

Svergolamento: Nessuno; la verifica a instabilità flesso-torsionale (svergolamento) non verrà eseguita.

Dati per instabilità attorno a x

Controllo della snellezza secondo §4.2.4.1.3.1 NTC18

Numero rit.	Presente	Ascissa	Campata	$\beta x/m$	Vincolo a entrambi estremi	$\lambda x/m$	λVer
1	Si	0					
			1-2		1	Si	36.8
2	Si	1.118					Si, (<200)

Dati per instabilità attorno a y

Controllo della snellezza secondo §4.2.4.1.3.1 NTC18

Numero rit.	Presente	Ascissa	Campata	$\beta y/n$	k,LT	kw,LT	Vincolo a entrambi estremi
1	Si	0					
			1-2		1	Si	24.8
2	Si	1.118					Si, (<200)

Verifica di stabilità per pressoflessione §C.4.2.4.1.3.3.1 NTC18

X	Comb.	Sfruttamento	Classe	NEd	MxEq,Ed	MyEq,Ed	Area	Wx	Wy	χ_{min}	λ adim. x/m	λ adim. y/n	N,crit x/m	N,crit y/n	Verifica
0	SLU 64	0.023	3	-16.585	0.0353	-0.0246	0.003832	0.0000492	0.0000739	0.884	0.424	0.286	5856.246	12865.174	Si

Verifica di stabilità per pressoflessione SLD §C.4.2.4.1.3.3.1 NTC18

X	Comb.	Sfruttamento	Classe	NEd	MxEq,Ed	MyEq,Ed	Area	Wx	Wy	χ_{min}	λ adim. x/m	λ adim. y/n	N,crit x/m	N,crit y/n	Verifica
0	SLD 9	0.009	3	-5.287	0.0312	0.0215	0.003832	0.0000492	0.0000739	0.884	0.424	0.286	5856.246	12865.174	Si

Verifiche a deformabilità

Mensola X: No; Mensola Y: No.

Frecce lungo X

Ascissa freccia	Combinazione	Freccia	Luce	L/f	L/f,min	Tipo	Verifica
0.671	SLE RA 1	0	1.118	10000	250	Totale	Si
0.671	SLE RA 17	0	1.118	10000	250	Totale	Si
0.671	SLE RA 16	0	1.118	10000	250	Totale	Si
0.671	SLE RA 15	0	1.118	10000	250	Totale	Si
0.634	SLE RA 14	0	1.118	10000	250	Totale	Si
0.634	SLE RA 2	0	1.118	10000	350	Variabile	Si
0.634	SLE RA 17	0	1.118	10000	350	Variabile	Si
0.634	SLE RA 16	0	1.118	10000	350	Variabile	Si
0.671	SLE RA 15	0	1.118	10000	350	Variabile	Si
0.634	SLE RA 14	0	1.118	10000	350	Variabile	Si

Implementazione dei sistemi di confinamento delle emissioni odorigene diffuse dell'impianto di compostaggio esistente nel
Comune di Eboli (SA)
PROGETTO DEFINITIVO – Tabulati di calcolo Tomo 1

Frecce lungo Y

Ascissa freccia	Combinazione	Freccia	Luce	L/f	L/f,min	Tipo	Verifica
0.559	SLE RA 1	0.00001	1.118	10000	250	Totale	Si
0.559	SLE RA 17	0.00001	1.118	10000	250	Totale	Si
0.559	SLE RA 16	0.00001	1.118	10000	250	Totale	Si
0.559	SLE RA 15	0.00001	1.118	10000	250	Totale	Si
0.559	SLE RA 14	0.00001	1.118	10000	250	Totale	Si
0.634	SLE RA 2	0	1.118	10000	350	Variabile	Si
0.634	SLE RA 17	0	1.118	10000	350	Variabile	Si
0.634	SLE RA 16	0	1.118	10000	350	Variabile	Si
0.634	SLE RA 15	0	1.118	10000	350	Variabile	Si
0.671	SLE RA 14	0	1.118	10000	350	Variabile	Si

Superelemento in acciaio a quota "640"- "690" (2231; 2893)-(2231; 2993)

Caratteristiche del materiale

Acciaio: S275, fyk = 275000

Caratteristiche geometriche

Lunghezza: 1.118

Nodo iniziale: 1396 Nodo finale: 1760

Cerniera iniziale: Mmomenti 1% Cerniera finale: Mmomenti 1%

Sovreresistenza: 0% Sisma Z: No

Caratteristiche della sezione

Sezione	Rotazione	Area	Jx	Jy	ix	iy	Wx	Wy	Wplx	Wply
A1; L100*10; 1; Saldato; S275; 20; 1; 8; 8; 1	180	0.003832	0.0000035319	0.000007759	0.0304	0.045	0.0000492	0.0000739	0.00008974	0.00012727

Comportamento dei calastrelli

Accoppiamento imbottito avendo passo inferiore al minimo richiesto (§C4.2.4.1.3.1.5 NTC18) nella campata compresa tra le ascisse 0 e 1.118 per sbandamento attorno all'asse y.

Verifiche di resistenza

Verifiche a forza assiale §4.2.4.1.2.1 - §4.2.4.1.2.2 NTC18

X	Comb.	Sfruttamento	Classe	NEd	Nc,Rd	Nt,Rd	Riduzione da taglio	px	py	Verifica
0	SLU 75	0.009	3	-8.801	1003.522		1	0	0	Si

Verifiche a forza assiale SLD §4.2.4.1.2.1 - §4.2.4.1.2.2 NTC18

X	Comb.	Sfruttamento	Classe	NEd	Nc,Rd	Nt,Rd	Riduzione da taglio	px	py	Verifica
0	SLD 13	0.005	3	-4.96	1003.522		1	0	0	Si

Verifica a taglio Y §4.2.4.1.2.4 NTC18

X	Comb.	Sfruttamento	VEd	Vc,Rd	Av	Interazione taglio-torsione	Riduzione torsione	Verifica
1.118	SLU 76	0.001	0.207	302.422	0.002	Non considerata		Si

Verifica a presso/tenso flessione retta X §§ 4.2.4.1.2.3 - 4.2.4.1.2.6 - 4.2.4.1.2.7 - 4.2.4.1.2.8 NTC18

Verifiche eseguite utilizzando la formula conservativa (6.2) §6.2.1 EN 1993-1-1:2005.

X	Comb.	Sfruttamento	Classe	NEd	NRd	Rid. NRd da VEd	Mx,Ed	Mx,Rd	Rid. Mx,Rd da VEd	Rid. Mx,Rd da NEd	px	py	Verifica
0.559	SLV 10	0.009	3	-5.772	1003.522	1	0.0395	12.886	1		0	0	Si

Verifica a presso/tenso flessione retta X SLD §§ 4.2.4.1.2.3 - 4.2.4.1.2.6 - 4.2.4.1.2.7 - 4.2.4.1.2.8 NTC18

Verifiche eseguite utilizzando la formula conservativa (6.2) §6.2.1 EN 1993-1-1:2005.

X	Comb.	Sfruttamento	Classe	NEd	NRd	Rid. NRd da VEd	Mx,Ed	Mx,Rd	Rid. Mx,Rd da VEd	Rid. Mx,Rd da NEd	px	py	Verifica
0.522	SLD 6	0.008	3	-4.628	1003.522	1	0.0392	12.886	1		0	0	Si

Verifica a presso/tenso flessione retta Y §§ 4.2.4.1.2.3 - 4.2.4.1.2.6 - 4.2.4.1.2.7 - 4.2.4.1.2.8 NTC18

Verifiche eseguite utilizzando la formula conservativa (6.2) §6.2.1 EN 1993-1-1:2005.

X	Comb.	Sfruttamento	Classe	NEd	NRd	Rid. NRd da VEd	My,Ed	My,Rd	Rid. My,Rd da VEd	Rid. My,Rd da NEd	px	py	Verifica
1.081	SLU 75	0.011	3	-8.612	1003.522	1	-0.0522	19.3536	1		0	0	Si

Verifica a presso/tenso flessione retta Y SLD §§ 4.2.4.1.2.3 - 4.2.4.1.2.6 - 4.2.4.1.2.7 - 4.2.4.1.2.8 NTC18

Verifiche eseguite utilizzando la formula conservativa (6.2) §6.2.1 EN 1993-1-1:2005.

X	Comb.	Sfruttamento	Classe	NEd	NRd	Rid. NRd da VEd	My,Ed	My,Rd	Rid. My,Rd da VEd	Rid. My,Rd da NEd	px	py	Verifica
1.081	SLD 16	0.007	3	-4.559	1003.522	1	-0.0398	19.3536	1		0	0	Si

Verifica a presso/tenso flessione deviata §§ 4.2.4.1.2.3 - 4.2.4.1.2.6 - 4.2.4.1.2.7 - 4.2.4.1.2.8 NTC18

Verifiche eseguite utilizzando la formula conservativa (6.2) §6.2.1 EN 1993-1-1:2005.

X	Comb.	Sfruttamento	Classe	NEd	NRd	Rid. NRd da VEd	Mx,Ed	Mx,Rd	My,Ed	My,Rd	Rid. Mx,Rd da VEd	Rid. Mx,Rd da NEd	Rid. My,Rd da VEd	Rid. My,Rd da NEd	α	β	px	py	Verifica
0.559	SLU 75	0.015	3	-8.703	1003.522	1	0.0488	12.886	-0.0417	19.3536	1		1				0	0	Si

Verifica a presso/tenso flessione deviata SLD §§ 4.2.4.1.2.3 - 4.2.4.1.2.6 - 4.2.4.1.2.7 - 4.2.4.1.2.8 NTC18

Verifiche eseguite utilizzando la formula conservativa (6.2) §6.2.1 EN 1993-1-1:2005.

X	Comb.	Sfruttamento	Classe	NEd	NRd	Rid. NRd da VEd	Mx,Ed	Mx,Rd	My,Ed	My,Rd	Rid. Mx,Rd da VEd	Rid. Mx,Rd da NEd	Rid. My,Rd da VEd	Rid. My,Rd da NEd	α	β	px	py	Verifica
0.559	SLD 15	0.009	3	-4.629	1003.522	1	0.0391	12.886	-0.0357	19.3536	1		1				0	0	Si

Implementazione dei sistemi di confinamento delle emissioni odorigene diffuse dell'impianto di compostaggio esistente nel
Comune di Eboli (SA)
PROGETTO DEFINITIVO – Tabulati di calcolo Tomo 1

Verifiche ad instabilità

Caratteristiche iniziali

Membratura principale per controllo snellezza; Calcolo di snellezze ed N critici condotti secondo gli assi principali;
Curva X: c; Curva Y: c;
Svergolamento: Nessuno; la verifica a instabilità flessione-torsionale (svergolamento) non verrà eseguita.

Dati per instabilità attorno a x

Controllo della snellezza secondo §4.2.4.1.3.1 NTC18

Numero rit.	Presente	Ascissa	Campata	$\beta x/m$	Vincolo a entrambi estremi	$\lambda x/m$	λVer
1	Si	0					
			1-2	1	Si	36.8	Si, (<200)
2	Si	1.118					

Dati per instabilità attorno a y

Controllo della snellezza secondo §4.2.4.1.3.1 NTC18

Numero rit.	Presente	Ascissa	Campata	$\beta y/n$	k,LT	kw,LT	Vincolo a entrambi estremi
1	Si	0					
			1-2	1	Si	24.8	Si, (<200)
2	Si	1.118					

Verifica di stabilità per pressoflessione §C.4.2.4.1.3.3.1 NTC18

X	Comb.	Sfruttamento	Classe	NEd	MxEq,Ed	MyEq,Ed	Area	Wx	Wy	χ_{min}	$\lambda_{adim. x/m}$	$\lambda_{adim. y/n}$	N,crit x/m	N,crit y/n	Verifica
0	SLU 75	0.015	3	-8.801	0.0397	-0.044	0.003832	0.0000492	0.0000739	0.884	0.424	0.286	5856.246	12865.174	Si

Verifica di stabilità per pressoflessione SLD §C.4.2.4.1.3.3.1 NTC18

X	Comb.	Sfruttamento	Classe	NEd	MxEq,Ed	MyEq,Ed	Area	Wx	Wy	χ_{min}	$\lambda_{adim. x/m}$	$\lambda_{adim. y/n}$	N,crit x/m	N,crit y/n	Verifica
0	SLD 16	0.01	3	-4.704	0.0325	-0.0401	0.003832	0.0000492	0.0000739	0.884	0.424	0.286	5856.246	12865.174	Si

Verifiche a deformabilità

Mensola X: No; Mensola Y: No.

Frecce lungo X

Ascissa freccia	Combinazione	Freccia	Luce	L/f	L/f,min	Tipo	Verifica
0.596	SLE RA 1	0	1.118	10000	250	Totale	Si
0.596	SLE RA 17	0	1.118	10000	250	Totale	Si
0.596	SLE RA 16	0	1.118	10000	250	Totale	Si
0.596	SLE RA 15	0	1.118	10000	250	Totale	Si
0.596	SLE RA 14	0	1.118	10000	250	Totale	Si
0.596	SLE RA 2	0	1.118	10000	350	Variabile	Si
0.596	SLE RA 17	0	1.118	10000	350	Variabile	Si
0.596	SLE RA 16	0	1.118	10000	350	Variabile	Si
0.596	SLE RA 15	0	1.118	10000	350	Variabile	Si
0.596	SLE RA 14	0	1.118	10000	350	Variabile	Si

Frecce lungo Y

Ascissa freccia	Combinazione	Freccia	Luce	L/f	L/f,min	Tipo	Verifica
0.559	SLE RA 1	0.00001	1.118	10000	250	Totale	Si
0.559	SLE RA 17	0.00001	1.118	10000	250	Totale	Si
0.559	SLE RA 16	0.00001	1.118	10000	250	Totale	Si
0.559	SLE RA 15	0.00001	1.118	10000	250	Totale	Si
0.559	SLE RA 14	0.00001	1.118	10000	250	Totale	Si
0.634	SLE RA 2	0	1.118	10000	350	Variabile	Si
0.671	SLE RA 17	0	1.118	10000	350	Variabile	Si
0.634	SLE RA 16	0	1.118	10000	350	Variabile	Si
0.634	SLE RA 15	0	1.118	10000	350	Variabile	Si
0.634	SLE RA 14	0	1.118	10000	350	Variabile	Si

Superelemento in acciaio a quota "640"- "690" (2463; 2293)-(2463; 2193)

Caratteristiche del materiale

Acciaio: S275, fyk = 275000

Caratteristiche geometriche

Lunghezza: 1.118

Nodo iniziale: 1177 Nodo finale: 1726

Cerniera iniziale: Mmomenti 1% Cerniera finale: Mmomenti 1%

Sovreresistenza: 0% Sisma Z: No

Caratteristiche della sezione

Sezione	Rotazione	Area	Jx	Jy	ix	iy	Wx	Wy	Wplx	Wply
A1; L100*10; 1; Saldato; S275; 20; 1; 8; 8; 1	180	0.003832	0.0000035319	0.000007759	0.0304	0.045	0.0000492	0.0000739	0.00008974	0.00012727

Comportamento dei calastrelli

Accoppiamento imbottito avendo passo inferiore al minimo richiesto (§C4.2.4.1.3.1.5 NTC18) nella campata compresa tra le ascisse 0 e 1.118 per sbandamento attorno all'asse y.

Verifiche di resistenza

Verifiche a forza assiale §4.2.4.1.2.1 - §4.2.4.1.2.2 NTC18

X	Comb.	Sfruttamento	Classe	NEd	Nc,Rd	Nt,Rd	Riduzione da taglio	px	py	Verifica
1.118	SLV 14	0.011		10.736		1003.522	1	0	0	Si

PROGETTO DEFINITIVO – Tabulati di calcolo Tomo 1

Verifiche a forza assiale SLD §4.2.4.1.2.1 - §4.2.4.1.2.2 NTC18

X	Comb.	Sfruttamento	Classe	NEd	Nc,Rd	Nt,Rd	Riduzione da taglio	px	py	Verifica
1.118	SLD 14	0.005		4.534		1003.522	1	0	0	Si

Verifica a taglio Y §4.2.4.1.2.4 NTC18

X	Comb.	Sfruttamento	VEd	Vc,Rd	Av	Interazione taglio-torsione	Riduzione torsione	Verifica
1.118	SLU 76	0.001	0.209	302.422	0.002	Non considerata		Si

Verifica a flessione semplice X §§ 4.2.4.1.2.3 - 4.2.4.1.2.6 - 4.2.4.1.2.7 - 4.2.4.1.2.8 NTC18

X	Comb.	Sfruttamento	Classe	Mx,Ed	Mx,Rd	Rid. Mx,Rd da VEd	px	py	Verifica
0.559	SLU 62	0.002	1	0.0517	23.50374	1	0	0	Si

Verifica a flessione semplice Y §§ 4.2.4.1.2.3 - 4.2.4.1.2.6 - 4.2.4.1.2.7 - 4.2.4.1.2.8 NTC18

X	Comb.	Sfruttamento	Classe	My,Ed	My,Rd	Rid. My,Rd da VEd	px	py	Verifica
1.043	SLU 68	0.001	1	0.01675	33.33162	1	0	0	Si

Verifica a flessione semplice Y SLD §§ 4.2.4.1.2.3 - 4.2.4.1.2.6 - 4.2.4.1.2.7 - 4.2.4.1.2.8 NTC18

X	Comb.	Sfruttamento	Classe	My,Ed	My,Rd	Rid. My,Rd da VEd	px	py	Verifica
1.081	SLD 11	0.001	1	0.04132	33.33162	1	0	0	Si

Verifica a flessione deviata §§ 4.2.4.1.2.3 - 4.2.4.1.2.6 - 4.2.4.1.2.7 - 4.2.4.1.2.8 NTC18

X	Comb.	Sfruttamento	Classe	Mx,Ed	Mx,Rd	My,Ed	My,Rd	Rid. Mx,Rd da VEd	Rid. My,Rd da VEd	α	β	px	py	Verifica
0.522	SLU 72	0.002	1	0.0476	23.5037	0.0152	33.3316	1	1			0	0	Si

Verifica a flessione deviata SLD §§ 4.2.4.1.2.3 - 4.2.4.1.2.6 - 4.2.4.1.2.7 - 4.2.4.1.2.8 NTC18

X	Comb.	Sfruttamento	Classe	Mx,Ed	Mx,Rd	My,Ed	My,Rd	Rid. Mx,Rd da VEd	Rid. My,Rd da VEd	α	β	px	py	Verifica
0.559	SLD 12	0.003	1	0.0378	23.5037	0.0391	33.3316	1	1			0	0	Si

Verifica a presso/tenso flessione retta X §§ 4.2.4.1.2.3 - 4.2.4.1.2.6 - 4.2.4.1.2.7 - 4.2.4.1.2.8 NTC18

Verifiche eseguite utilizzando la formula conservativa (6.2) §6.2.1 EN 1993-1-1:2005.

X	Comb.	Sfruttamento	Classe	NEd	NRd	Rid. NRd da VEd	Mx,Ed	Mx,Rd	Rid. Mx,Rd da VEd	Rid. Mx,Rd da NEd	px	py	Verifica
0.224	SLU 3	0.009	1	8.24	1003.522	1	0.0259	23.5037	1		0	0	Si

Verifica a presso/tenso flessione retta X SLD §§ 4.2.4.1.2.3 - 4.2.4.1.2.6 - 4.2.4.1.2.7 - 4.2.4.1.2.8 NTC18

Verifiche eseguite utilizzando la formula conservativa (6.2) §6.2.1 EN 1993-1-1:2005.

X	Comb.	Sfruttamento	Classe	NEd	NRd	Rid. NRd da VEd	Mx,Ed	Mx,Rd	Rid. Mx,Rd da VEd	Rid. Mx,Rd da NEd	px	py	Verifica
0.969	SLD 10	0.005	1	4.511	1003.522	1	0.0168	23.5037	1		0	0	Si

Verifica a presso/tenso flessione retta Y §§ 4.2.4.1.2.3 - 4.2.4.1.2.6 - 4.2.4.1.2.7 - 4.2.4.1.2.8 NTC18

Verifiche eseguite utilizzando la formula conservativa (6.2) §6.2.1 EN 1993-1-1:2005.

X	Comb.	Sfruttamento	Classe	NEd	NRd	Rid. NRd da VEd	My,Ed	My,Rd	Rid. My,Rd da VEd	Rid. My,Rd da NEd	px	py	Verifica
1.118	SLV 13	0.012	1	10.736	1003.522	1	0.0513	33.3316	1		0	0	Si

Verifica a presso/tenso flessione retta Y SLD §§ 4.2.4.1.2.3 - 4.2.4.1.2.6 - 4.2.4.1.2.7 - 4.2.4.1.2.8 NTC18

Verifiche eseguite utilizzando la formula conservativa (6.2) §6.2.1 EN 1993-1-1:2005.

X	Comb.	Sfruttamento	Classe	NEd	NRd	Rid. NRd da VEd	My,Ed	My,Rd	Rid. My,Rd da VEd	Rid. My,Rd da NEd	px	py	Verifica
1.118	SLD 13	0.005	1	4.534	1003.522	1	0.0265	33.3316	1		0	0	Si

Verifica a presso/tenso flessione deviata §§ 4.2.4.1.2.3 - 4.2.4.1.2.6 - 4.2.4.1.2.7 - 4.2.4.1.2.8 NTC18

Verifiche eseguite utilizzando la formula conservativa (6.2) §6.2.1 EN 1993-1-1:2005.

X	Comb.	Sfruttamento	Classe	NEd	NRd	Rid. NRd da VEd	Mx,Ed	Mx,Rd	My,Ed	My,Rd	Rid. Mx,Rd da VEd	Rid. Mx,Rd da NEd	Rid. My,Rd da VEd	Rid. My,Rd da NEd	α	β	px	py	Verifica
0.596	SLV 14	0.014	1	10.665	1003.522	1	0.0436	23.5037	0.0491	33.3316	1		1				0	0	Si

Verifica a presso/tenso flessione deviata SLD §§ 4.2.4.1.2.3 - 4.2.4.1.2.6 - 4.2.4.1.2.7 - 4.2.4.1.2.8 NTC18

Verifiche eseguite utilizzando la formula conservativa (6.2) §6.2.1 EN 1993-1-1:2005.

X	Comb.	Sfruttamento	Classe	NEd	NRd	Rid. NRd da VEd	Mx,Ed	Mx,Rd	My,Ed	My,Rd	Rid. Mx,Rd da VEd	Rid. Mx,Rd da NEd	Rid. My,Rd da VEd	Rid. My,Rd da NEd	α	β	px	py	Verifica
0.559	SLD 14	0.007	1	4.459	1003.522	1	0.0403	23.5037	0.0246	33.3316	1		1				0	0	Si

Verifiche ad instabilità

Caratteristiche iniziali

Membratura principale per controllo snellezza; Calcolo di snellezze ed N critici condotti secondo gli assi principali;

Curva X: c; Curva Y: c;

Svergolamento: Nessuno; la verifica a instabilità flessio-torsionale (svergolamento) non verrà eseguita.

Dati per instabilità attorno a x

Controllo della snellezza secondo §4.2.4.1.3.1 NTC18

Numero rit.	Presente	Ascissa	Campata	βx/m	Vincolo a entrambi estremi	λx/m	λVer
1	Si		0				
			1-2		1	Si	36.8
2	Si	1.118					Si, (<200)

Dati per instabilità attorno a y

Controllo della snellezza secondo §4.2.4.1.3.1 NTC18

Numero rit.	Presente	Ascissa	Campata	βy/n	k,LT	kw,LT	Vincolo a entrambi estremi
1	Si		0				
			1-2		1	Si	24.8
2	Si	1.118					Si, (<200)

Implementazione dei sistemi di confinamento delle emissioni odorigene diffuse dell'impianto di compostaggio esistente nel
Comune di Eboli (SA)
PROGETTO DEFINITIVO – Tabulati di calcolo Tomo 1

Verifica di stabilità per pressoflessione §C.4.2.4.1.3.3.1 NTC18

X	Comb.	Sfruttamento	Classe	NEd	MxEq,Ed	MyEq,Ed	Area	Wx	Wy	χ,min	λ adim. x/m	λ adim. y/n	N _{crit} x/m	N _{crit} y/n	Verifica
0	SLV 7	0.014	3	-7.916	0.0255	0.0533	0.003832	0.0000492	0.0000739	0.884	0.424	0.286	5856.246	12865.174	Si

Verifica di stabilità per pressoflessione SLD §C.4.2.4.1.3.3.1 NTC18

X	Comb.	Sfruttamento	Classe	NEd	MxEq,Ed	MyEq,Ed	Area	Wx	Wy	χ,min	λ adim. x/m	λ adim. y/n	N _{crit} x/m	N _{crit} y/n	Verifica
0	SLD 7	0.006	3	-1.712	0.0299	0.0272	0.003832	0.0000492	0.0000739	0.884	0.424	0.286	5856.246	12865.174	Si

Verifiche a deformabilità

Mensola X: No; Mensola Y: No.

Frecce lungo X

Ascissa freccia	Combinazione	Freccia	Luce	L/f	L/f,min	Tipo	Verifica
0.559	SLE RA 1	0	1.118	10000	250	Totale	Si
0.559	SLE RA 17	0	1.118	10000	250	Totale	Si
0.559	SLE RA 16	0	1.118	10000	250	Totale	Si
0.559	SLE RA 15	0	1.118	10000	250	Totale	Si
0.596	SLE RA 14	0	1.118	10000	250	Totale	Si
0.559	SLE RA 2	0	1.118	10000	350	Variabile	Si
0.559	SLE RA 17	0	1.118	10000	350	Variabile	Si
0.559	SLE RA 16	0	1.118	10000	350	Variabile	Si
0.559	SLE RA 15	0	1.118	10000	350	Variabile	Si
0.596	SLE RA 14	0	1.118	10000	350	Variabile	Si

Frecce lungo Y

Ascissa freccia	Combinazione	Freccia	Luce	L/f	L/f,min	Tipo	Verifica
0.559	SLE RA 1	0.00001	1.118	10000	250	Totale	Si
0.559	SLE RA 17	0.00001	1.118	10000	250	Totale	Si
0.559	SLE RA 16	0.00001	1.118	10000	250	Totale	Si
0.559	SLE RA 15	0.00001	1.118	10000	250	Totale	Si
0.559	SLE RA 14	0.00001	1.118	10000	250	Totale	Si
0.634	SLE RA 2	0	1.118	10000	350	Variabile	Si
0.634	SLE RA 17	0	1.118	10000	350	Variabile	Si
0.634	SLE RA 16	0	1.118	10000	350	Variabile	Si
0.634	SLE RA 15	0	1.118	10000	350	Variabile	Si
0.596	SLE RA 14	0	1.118	10000	350	Variabile	Si

Superelemento in acciaio a quota "640"- "690" (2463; 2893)-(2463; 2993)

Caratteristiche del materiale

Acciaio: S275, fyk = 275000

Caratteristiche geometriche

Lunghezza: 1.118

Nodo iniziale: 1402 Nodo finale: 1764

Cerniera iniziale: Mmomenti 1% Cerniera finale: Mmomenti 1%

Sovraresistenza: 0% Sisma Z: No

Caratteristiche della sezione

Sezione	Rotazione	Area	Jx	Jy	ix	iy	Wx	Wy	Wplx	Wply
A1; L100*10; 1; Saldato; S275; 20; 1; 8; 8; 1	180	0.003832	0.0000035319	0.000007759	0.0304	0.045	0.0000492	0.0000739	0.00008974	0.00012727

Comportamento dei calastrelli

Accoppiamento imbottito avendo passo inferiore al minimo richiesto (§C4.2.4.1.3.1.5 NTC18) nella campata compresa tra le ascisse 0 e 1.118 per sbandamento attorno all'asse y.

Verifiche di resistenza

Verifiche a forza assiale §4.2.4.1.2.1 - §4.2.4.1.2.2 NTC18

X	Comb.	Sfruttamento	Classe	NEd	Nc,Rd	Nt,Rd	Riduzione da taglio	px	py	Verifica
1.118	SLV 9	0.011		11.244		1003.522	1	0	0	Si

Verifiche a forza assiale SLD §4.2.4.1.2.1 - §4.2.4.1.2.2 NTC18

X	Comb.	Sfruttamento	Classe	NEd	Nc,Rd	Nt,Rd	Riduzione da taglio	px	py	Verifica
1.118	SLD 9	0.005		4.795		1003.522	1	0	0	Si

Verifica a flessione semplice X SLD §§ 4.2.4.1.2.3 - 4.2.4.1.2.6 - 4.2.4.1.2.7 - 4.2.4.1.2.8 NTC18

X	Comb.	Sfruttamento	Classe	Mx,Ed	Mx,Rd	Rid. Mx,Rd da VEd	px	py	Verifica
0.037	SLD 1	0	1	0.00509	23.50374	1	0	0	Si

Verifica a flessione semplice Y §§ 4.2.4.1.2.3 - 4.2.4.1.2.6 - 4.2.4.1.2.7 - 4.2.4.1.2.8 NTC18

X	Comb.	Sfruttamento	Classe	My,Ed	My,Rd	Rid. My,Rd da VEd	px	py	Verifica
1.118	SLU 10	0.001	1	-0.04781	33.33162	1	0	0	Si

Verifica a flessione semplice Y SLD §§ 4.2.4.1.2.3 - 4.2.4.1.2.6 - 4.2.4.1.2.7 - 4.2.4.1.2.8 NTC18

X	Comb.	Sfruttamento	Classe	My,Ed	My,Rd	Rid. My,Rd da VEd	px	py	Verifica
1.118	SLD 11	0.002	1	-0.0533	33.33162	1	0	0	Si

Verifica a flessione deviata §§ 4.2.4.1.2.3 - 4.2.4.1.2.6 - 4.2.4.1.2.7 - 4.2.4.1.2.8 NTC18

X	Comb.	Sfruttamento	Classe	Mx,Ed	Mx,Rd	My,Ed	My,Rd	Rid. Mx,Rd da VEd	Rid. My,Rd da VEd	α	β	px	py	Verifica
0.559	SLU 62	0.003	1	0.0536	23.5037	-0.0217	33.3316	1	1			0	0	Si

Implementazione dei sistemi di confinamento delle emissioni odorigene diffuse dell'impianto di compostaggio esistente nel
Comune di Eboli (SA)
PROGETTO DEFINITIVO – Tabulati di calcolo Tomo 1

Verifica a flessione deviata SLD §§ 4.2.4.1.2.3 - 4.2.4.1.2.6 - 4.2.4.1.2.7 - 4.2.4.1.2.8 NTC18

X	Comb.	Sfruttamento	Classe	Mx,Ed	Mx,Rd	My,Ed	My,Rd	Rid. Mx,Rd da VEd	Rid. My,Rd da VEd	α	β	px	py	Verifica
0.596	SLD 12	0.003	1	0.0404	23.5037	-0.0439	33.3316	1	1			0	0	Si

Verifica a presso/tenso flessione retta X §§ 4.2.4.1.2.3 - 4.2.4.1.2.6 - 4.2.4.1.2.7 - 4.2.4.1.2.8 NTC18

Verifiche eseguite utilizzando la formula conservativa (6.2) §6.2.1 EN 1993-1-1:2005.

X	Comb.	Sfruttamento	Classe	NEd	NRd	Rid. NRd da VEd	Mx,Ed	Mx,Rd	Rid. Mx,Rd da VEd	Rid. Mx,Rd da NEd	px	py	Verifica
0.41	SLV 10	0.013	1	11.149	1003.522	1	0.0401	23.5037	1		0	0	Si

Verifica a presso/tenso flessione retta Y SLD §§ 4.2.4.1.2.3 - 4.2.4.1.2.6 - 4.2.4.1.2.7 - 4.2.4.1.2.8 NTC18

Verifiche eseguite utilizzando la formula conservativa (6.2) §6.2.1 EN 1993-1-1:2005.

X	Comb.	Sfruttamento	Classe	NEd	NRd	Rid. NRd da VEd	Mx,Ed	Mx,Rd	Rid. Mx,Rd da VEd	Rid. Mx,Rd da NEd	px	py	Verifica
0.037	SLD 5	0.003	1	3.212	1003.522	1	0.0052	23.5037	1		0	0	Si

Verifica a presso/tenso flessione retta Y §§ 4.2.4.1.2.3 - 4.2.4.1.2.6 - 4.2.4.1.2.7 - 4.2.4.1.2.8 NTC18

Verifiche eseguite utilizzando la formula conservativa (6.2) §6.2.1 EN 1993-1-1:2005.

X	Comb.	Sfruttamento	Classe	NEd	NRd	Rid. NRd da VEd	My,Ed	My,Rd	Rid. My,Rd da VEd	Rid. My,Rd da NEd	px	py	Verifica
1.118	SLU 76	0.013	1	9.762	1003.522	1	-0.1067	33.3316	1		0	0	Si

Verifica a presso/tenso flessione retta Y SLD §§ 4.2.4.1.2.3 - 4.2.4.1.2.6 - 4.2.4.1.2.7 - 4.2.4.1.2.8 NTC18

Verifiche eseguite utilizzando la formula conservativa (6.2) §6.2.1 EN 1993-1-1:2005.

X	Comb.	Sfruttamento	Classe	NEd	NRd	Rid. NRd da VEd	My,Ed	My,Rd	Rid. My,Rd da VEd	Rid. My,Rd da NEd	px	py	Verifica
1.118	SLD 13	0.006	1	4.778	1003.522	1	-0.0459	33.3316	1		0	0	Si

Verifica a presso/tenso flessione deviata §§ 4.2.4.1.2.3 - 4.2.4.1.2.6 - 4.2.4.1.2.7 - 4.2.4.1.2.8 NTC18

Verifiche eseguite utilizzando la formula conservativa (6.2) §6.2.1 EN 1993-1-1:2005.

X	Comb.	Sfruttamento	Classe	NEd	NRd	Rid. NRd da VEd	Mx,Ed	Mx,Rd	My,Ed	My,Rd	Rid. Mx,Rd da VEd	Rid. Mx,Rd da NEd	Rid. My,Rd da VEd	Rid. My,Rd da NEd	α	β	px	py	Verifica
0.671	SLU 76	0.014	1	9.683	1003.522	1	0.0514	23.5037	-0.0853	33.3316	1		1				0	0	Si

Verifica a presso/tenso flessione deviata SLD §§ 4.2.4.1.2.3 - 4.2.4.1.2.6 - 4.2.4.1.2.7 - 4.2.4.1.2.8 NTC18

Verifiche eseguite utilizzando la formula conservativa (6.2) §6.2.1 EN 1993-1-1:2005.

X	Comb.	Sfruttamento	Classe	NEd	NRd	Rid. NRd da VEd	Mx,Ed	Mx,Rd	My,Ed	My,Rd	Rid. Mx,Rd da VEd	Rid. Mx,Rd da NEd	Rid. My,Rd da VEd	Rid. My,Rd da NEd	α	β	px	py	Verifica
0.596	SLD 13	0.008	1	4.708	1003.522	1	0.0417	23.5037	-0.037	33.3316	1		1				0	0	Si

Verifiche ad instabilità

Caratteristiche iniziali

Membratura principale per controllo snellezza; Calcolo di snellezze ed N critici condotti secondo gli assi principali;

Curva X: c; Curva Y: c;

Svergolamento: Nessuno; la verifica a instabilità flesso-torsionale (svergolamento) non verrà eseguita.

Dati per instabilità attorno a x

Controllo della snellezza secondo §4.2.4.1.3.1 NTC18

Numero rit.	Presente	Ascissa	Campata	βx/m	Vincolo a entrambi estremi	λx/m	λVer
1	Si		0				
			1-2		1	36.8	Si, (<200)
2	Si	1.118					

Dati per instabilità attorno a y

Controllo della snellezza secondo §4.2.4.1.3.1 NTC18

Numero rit.	Presente	Ascissa	Campata	βy/n	k,LT	kw,LT	Vincolo a entrambi estremi
1	Si		0				
			1-2		1	24.8	Si, (<200)
2	Si	1.118					

Verifica di stabilità per pressoflessione §C.4.2.4.1.3.3.1 NTC18

X	Comb.	Sfruttamento	Classe	NEd	MxEq,Ed	MyEq,Ed	Area	Wx	Wy	χ,min	λ adim. x/m	λ adim. y/n	N,crit x/m	N,crit y/n	Verifica
0	SLV 8	0.015	3	-8.082	0.0321	-0.0601	0.003832	0.0000492	0.0000739	0.884	0.424	0.286	5856.246	12865.174	Si

Verifica di stabilità per pressoflessione SLD §C.4.2.4.1.3.3.1 NTC18

X	Comb.	Sfruttamento	Classe	NEd	MxEq,Ed	MyEq,Ed	Area	Wx	Wy	χ,min	λ adim. x/m	λ adim. y/n	N,crit x/m	N,crit y/n	Verifica
0	SLD 7	0.007	3	-1.632	0.0342	-0.0466	0.003832	0.0000492	0.0000739	0.884	0.424	0.286	5856.246	12865.174	Si

Verifiche a deformabilità

Mensola X: No; Mensola Y: No.

Frecce lungo X

Ascissa freccia	Combinazione	Freccia	Luce	L/f	L/f,min	Tipo	Verifica
0.596	SLE RA 1	0	1.118	10000	250	Totale	Si
0.596	SLE RA 17	0	1.118	10000	250	Totale	Si
0.596	SLE RA 16	0	1.118	10000	250	Totale	Si
0.596	SLE RA 15	0	1.118	10000	250	Totale	Si
0.596	SLE RA 14	0	1.118	10000	250	Totale	Si
0.596	SLE RA 2	0	1.118	10000	350	Variabile	Si
0.596	SLE RA 17	0	1.118	10000	350	Variabile	Si
0.596	SLE RA 16	0	1.118	10000	350	Variabile	Si
0.596	SLE RA 15	0	1.118	10000	350	Variabile	Si
0.596	SLE RA 14	0	1.118	10000	350	Variabile	Si

Frecce lungo Y

Ascissa freccia	Combinazione	Freccia	Luce	L/f	L/f,min	Tipo	Verifica
0.559	SLE RA 1	0.00001	1.118	10000	250	Totale	Si
0.559	SLE RA 17	0.00001	1.118	10000	250	Totale	Si
0.559	SLE RA 16	0.00001	1.118	10000	250	Totale	Si

Implementazione dei sistemi di confinamento delle emissioni odorigene diffuse dell'impianto di compostaggio esistente nel
Comune di Eboli (SA)

PROGETTO DEFINITIVO – Tabulati di calcolo Tomo 1

Ascissa freccia	Combinazione	Freccia	Luce	L/f	L/f,min	Tipo	Verifica
0.559	SLE RA 15	0.00001	1.118	10000	250	Totale	Si
0.559	SLE RA 14	0.00001	1.118	10000	250	Totale	Si
0.634	SLE RA 2	0	1.118	10000	350	Variabile	Si
0.671	SLE RA 17	0	1.118	10000	350	Variabile	Si
0.671	SLE RA 16	0	1.118	10000	350	Variabile	Si
0.634	SLE RA 15	0	1.118	10000	350	Variabile	Si
0.634	SLE RA 14	0	1.118	10000	350	Variabile	Si

Superelemento in acciaio a quota "640"- "690" (2695; 2293)-(2695; 2193)

Caratteristiche del materiale

Acciaio: S275, fyk = 275000

Caratteristiche geometriche

Lunghezza: 1.118

Nodo iniziale: 1183 Nodo finale: 1731

Cerniera iniziale: Mmomenti 1% Cerniera finale: Mmomenti 1%

Sovreresistenza: 0% Sisma Z: No

Caratteristiche della sezione

Sezione	Rotazione	Area	Jx	Jy	ix	iy	Wx	Wy	Wplx	Wply
A1; L100*10; 1; Saldato; S275; 20; 1; 8; 8; 1	180	0.003832	0.0000035319	0.000007759	0.0304	0.045	0.0000492	0.0000739	0.00008974	0.00012727

Comportamento dei calastrelli

Accoppiamento imbottito avendo passo inferiore al minimo richiesto (§C4.2.4.1.3.1.5 NTC18) nella campata compresa tra le ascisse 0 e 1.118 per sbandamento attorno all'asse y.

Verifiche di resistenza

Verifiche a forza assiale §4.2.4.1.2.1 - §4.2.4.1.2.2 NTC18

X	Comb.	Sfruttamento	Classe	NEd	Nc,Rd	Nt,Rd	Riduzione da taglio	px	py	Verifica
1.118	SLU 75	0.056		56.452		1003.522	1	0	0	Si

Verifiche a forza assiale SLD §4.2.4.1.2.1 - §4.2.4.1.2.2 NTC18

X	Comb.	Sfruttamento	Classe	NEd	Nc,Rd	Nt,Rd	Riduzione da taglio	px	py	Verifica
1.118	SLD 10	0.032		31.634		1003.522	1	0	0	Si

Verifica a taglio Y §4.2.4.1.2.4 NTC18

X	Comb.	Sfruttamento	VEd	Vc,Rd	Av	Interazione taglio-torsione	Riduzione torsione	Verifica
0	SLU 75	0.001	-0.215	302.422	0.002	Non considerata		Si

Verifica a flessione semplice X §§ 4.2.4.1.2.3 - 4.2.4.1.2.6 - 4.2.4.1.2.7 - 4.2.4.1.2.8 NTC18

X	Comb.	Sfruttamento	Classe	Mx,Ed	Mx,Rd	Rid. Mx,Rd da VEd	px	py	Verifica
0.559	SLU 2	0.002	1	0.04176	23.50374	1	0	0	Si

Verifica a presso/tenso flessione retta X §§ 4.2.4.1.2.3 - 4.2.4.1.2.6 - 4.2.4.1.2.7 - 4.2.4.1.2.8 NTC18

Verifiche eseguite utilizzando la formula conservativa (6.2) §6.2.1 EN 1993-1-1:2005.

X	Comb.	Sfruttamento	Classe	NEd	NRd	Rid. NRd da VEd	Mx,Ed	Mx,Rd	Rid. Mx,Rd da VEd	Rid. Mx,Rd da NEd	px	py	Verifica
0.969	SLV 10	0.051	1	49.9	1003.522	1	0.0387	23.5037	1		0	0	Si

Verifica a presso/tenso flessione retta X SLD §§ 4.2.4.1.2.3 - 4.2.4.1.2.6 - 4.2.4.1.2.7 - 4.2.4.1.2.8 NTC18

Verifiche eseguite utilizzando la formula conservativa (6.2) §6.2.1 EN 1993-1-1:2005.

X	Comb.	Sfruttamento	Classe	NEd	NRd	Rid. NRd da VEd	Mx,Ed	Mx,Rd	Rid. Mx,Rd da VEd	Rid. Mx,Rd da NEd	px	py	Verifica
0.596	SLD 9	0.034	1	31.564	1003.522	1	0.049	23.5037	1		0	0	Si

Verifica a presso/tenso flessione retta Y §§ 4.2.4.1.2.3 - 4.2.4.1.2.6 - 4.2.4.1.2.7 - 4.2.4.1.2.8 NTC18

Verifiche eseguite utilizzando la formula conservativa (6.2) §6.2.1 EN 1993-1-1:2005.

X	Comb.	Sfruttamento	Classe	NEd	NRd	Rid. NRd da VEd	My,Ed	My,Rd	Rid. My,Rd da VEd	Rid. My,Rd da NEd	px	py	Verifica
0	SLU 75	0.057	1	56.257	1003.522	1	0.0149	33.3316	1		0	0	Si

Verifica a presso/tenso flessione retta Y SLD §§ 4.2.4.1.2.3 - 4.2.4.1.2.6 - 4.2.4.1.2.7 - 4.2.4.1.2.8 NTC18

Verifiche eseguite utilizzando la formula conservativa (6.2) §6.2.1 EN 1993-1-1:2005.

X	Comb.	Sfruttamento	Classe	NEd	NRd	Rid. NRd da VEd	My,Ed	My,Rd	Rid. My,Rd da VEd	Rid. My,Rd da NEd	px	py	Verifica
0	SLD 13	0.032	1	31.411	1003.522	1	0.0175	33.3316	1		0	0	Si

Verifica a presso/tenso flessione deviata §§ 4.2.4.1.2.3 - 4.2.4.1.2.6 - 4.2.4.1.2.7 - 4.2.4.1.2.8 NTC18

Verifiche eseguite utilizzando la formula conservativa (6.2) §6.2.1 EN 1993-1-1:2005.

X	Comb.	Sfruttamento	Classe	NEd	NRd	Rid. NRd da VEd	Mx,Ed	Mx,Rd	My,Ed	My,Rd	Rid. Mx,Rd da VEd	Rid. Mx,Rd da NEd	Rid. My,Rd da VEd	Rid. My,Rd da NEd	α	β	px	py	Verifica
0.671	SLU 75	0.06	1	56.374	1003.522	1	0.0659	23.5037	0.0282	33.3316	1		1				0	0	Si

Verifica a presso/tenso flessione deviata SLD §§ 4.2.4.1.2.3 - 4.2.4.1.2.6 - 4.2.4.1.2.7 - 4.2.4.1.2.8 NTC18

Verifiche eseguite utilizzando la formula conservativa (6.2) §6.2.1 EN 1993-1-1:2005.

X	Comb.	Sfruttamento	Classe	NEd	NRd	Rid. NRd da VEd	Mx,Ed	Mx,Rd	My,Ed	My,Rd	Rid. Mx,Rd da VEd	Rid. Mx,Rd da NEd	Rid. My,Rd da VEd	Rid. My,Rd da NEd	α	β	px	py	Verifica
0.634	SLD 13	0.034	1	31.496	1003.522	1	0.0489	23.5037	0.0214	33.3316	1		1				0	0	Si

Implementazione dei sistemi di confinamento delle emissioni odorigene diffuse dell'impianto di compostaggio esistente nel
Comune di Eboli (SA)
PROGETTO DEFINITIVO – Tabulati di calcolo Tomo 1

Verifiche ad instabilità

Caratteristiche iniziali

Membratura principale per controllo snellezza; Calcolo di snellezze ed N critici condotti secondo gli assi principali;
Curva X: c; Curva Y: c;
Svergolamento: Nessuno; la verifica a instabilità flessione-torsionale (svergolamento) non verrà eseguita.

Dati per instabilità attorno a x

Controllo della snellezza secondo §4.2.4.1.3.1 NTC18

Numero rit.	Presente	Ascissa	Campata	$\beta x/m$	Vincolo a entrambi estremi	$\lambda x/m$	λVer
1	Si	0					
2	Si	1.118	1-2	1	Si	36.8	Si, (<200)

Dati per instabilità attorno a y

Controllo della snellezza secondo §4.2.4.1.3.1 NTC18

Numero rit.	Presente	Ascissa	Campata	$\beta y/n$	k,LT	kw,LT	Vincolo a entrambi estremi
1	Si	0					
2	Si	1.118	1-2	1	Si	24.8	Si, (<200)

Verifica di stabilità per pressoflessione §C.4.2.4.1.3.3.1 NTC18

X	Comb.	Sfruttamento	Classe	NEd	MxEq,Ed	MyEq,Ed	Area	Wx	Wy	χ_{min}	$\lambda_{adm. x/m}$	$\lambda_{adm. y/n}$	N,crit x/m	N,crit y/n	Verifica
0	SLV 8	0.01	3	-4.659	0.033	0.038	0.003832	0.0000492	0.0000739	0.884	0.424	0.286	5856.246	12865.174	Si

Verifiche a deformabilità

Mensola X: No; Mensola Y: No.

Frecce lungo X

Ascissa freccia	Combinazione	Freccia	Luce	L/f	L/f,min	Tipo	Verifica
0.596	SLE RA 1	0	1.118	10000	250	Totale	Si
0.596	SLE RA 17	0	1.118	10000	250	Totale	Si
0.596	SLE RA 16	0	1.118	10000	250	Totale	Si
0.596	SLE RA 15	0	1.118	10000	250	Totale	Si
0.596	SLE RA 14	0	1.118	10000	250	Totale	Si
0.596	SLE RA 2	0	1.118	10000	350	Variabile	Si
0.596	SLE RA 17	0	1.118	10000	350	Variabile	Si
0.596	SLE RA 16	0	1.118	10000	350	Variabile	Si
0.596	SLE RA 15	0	1.118	10000	350	Variabile	Si
0.596	SLE RA 14	0	1.118	10000	350	Variabile	Si

Frecce lungo Y

Ascissa freccia	Combinazione	Freccia	Luce	L/f	L/f,min	Tipo	Verifica
0.559	SLE RA 1	0.00001	1.118	10000	250	Totale	Si
0.559	SLE RA 17	0.00001	1.118	10000	250	Totale	Si
0.559	SLE RA 16	0.00001	1.118	10000	250	Totale	Si
0.559	SLE RA 15	0.00001	1.118	10000	250	Totale	Si
0.559	SLE RA 14	0.00001	1.118	10000	250	Totale	Si
0.634	SLE RA 2	0	1.118	10000	350	Variabile	Si
0.634	SLE RA 17	0	1.118	10000	350	Variabile	Si
0.634	SLE RA 16	0	1.118	10000	350	Variabile	Si
0.634	SLE RA 15	0	1.118	10000	350	Variabile	Si
0.634	SLE RA 14	0	1.118	10000	350	Variabile	Si

Superelemento in acciaio a quota "640"- "690" (2695; 2893)-(2695; 2993)

Caratteristiche del materiale

Acciaio: S275, fyk = 275000

Caratteristiche geometriche

Lunghezza: 1.118
Nodo iniziale: 1409 Nodo finale: 1765
Cerniera iniziale: Mmomenti 1% Cerniera finale: Mmomenti 1%
Sovraresistenza: 0% Sisma Z: No

Caratteristiche della sezione

Sezione	Rotazione	Area	Jx	Jy	ix	iy	Wx	Wy	Wplx	Wply
A1; L100*10; 1; Saldato; S275; 20; 1; 8; 8; 1	180	0.003832	0.0000035319	0.000007759	0.0304	0.045	0.0000492	0.0000739	0.00008974	0.00012727

Comportamento dei calastrelli

Accoppiamento imbottito avendo passo inferiore al minimo richiesto (§C4.2.4.1.3.1.5 NTC18) nella campata compresa tra le ascisse 0 e 1.118 per sbandamento attorno all'asse y.

Verifiche di resistenza

Verifiche a forza assiale §4.2.4.1.2.1 - §4.2.4.1.2.2 NTC18

X	Comb.	Sfruttamento	Classe	NEd	Nc,Rd	Nt,Rd	Riduzione da taglio	px	py	Verifica
1.118	SLU 76	0.058		58.62		1003.522	1	0	0	Si

Verifiche a forza assiale SLD §4.2.4.1.2.1 - §4.2.4.1.2.2 NTC18

X	Comb.	Sfruttamento	Classe	NEd	Nc,Rd	Nt,Rd	Riduzione da taglio	px	py	Verifica
1.118	SLD 10	0.03		30.524		1003.522	1	0	0	Si

Implementazione dei sistemi di confinamento delle emissioni odorigene diffuse dell'impianto di compostaggio esistente nel
Comune di Eboli (SA)
PROGETTO DEFINITIVO – Tabulati di calcolo Tomo 1

Verifica a taglio Y §4.2.4.1.2.4 NTC18

X	Comb.	Sfruttamento	VEd	Vc,Rd	Av	Interazione taglio-torsione	Riduzione torsione	Verifica
0	SLU 76	0.001	-0.212	302.422	0.002	Non considerata		Si

Verifica a flessione semplice X §§ 4.2.4.1.2.3 - 4.2.4.1.2.6 - 4.2.4.1.2.7 - 4.2.4.1.2.8 NTC18

X	Comb.	Sfruttamento	Classe	Mx,Ed	Mx,Rd	Rid. Mx,Rd da VEd	px	py	Verifica
0.559	SLU 2	0.002	1	0.04172	23.50374	1	0	0	Si

Verifica a presso/tenso flessione retta X §§ 4.2.4.1.2.3 - 4.2.4.1.2.6 - 4.2.4.1.2.7 - 4.2.4.1.2.8 NTC18

Verifiche eseguite utilizzando la formula conservativa (6.2) §6.2.1 EN 1993-1-1:2005.

X	Comb.	Sfruttamento	Classe	NEd	NRd	Rid. NRd da VEd	Mx,Ed	Mx,Rd	Rid. Mx,Rd da VEd	Rid. Mx,Rd da NEd	px	py	Verifica
0.559	SLV 10	0.05	1	47.746	1003.522	1	0.0503	23.5037	1		0	0	Si

Verifica a presso/tenso flessione retta X SLD §§ 4.2.4.1.2.3 - 4.2.4.1.2.6 - 4.2.4.1.2.7 - 4.2.4.1.2.8 NTC18

Verifiche eseguite utilizzando la formula conservativa (6.2) §6.2.1 EN 1993-1-1:2005.

X	Comb.	Sfruttamento	Classe	NEd	NRd	Rid. NRd da VEd	Mx,Ed	Mx,Rd	Rid. Mx,Rd da VEd	Rid. Mx,Rd da NEd	px	py	Verifica
0.186	SLD 6	0.028	1	26.554	1003.522	1	0.0246	23.5037	1		0	0	Si

Verifica a presso/tenso flessione retta Y §§ 4.2.4.1.2.3 - 4.2.4.1.2.6 - 4.2.4.1.2.7 - 4.2.4.1.2.8 NTC18

Verifiche eseguite utilizzando la formula conservativa (6.2) §6.2.1 EN 1993-1-1:2005.

X	Comb.	Sfruttamento	Classe	NEd	NRd	Rid. NRd da VEd	My,Ed	My,Rd	Rid. My,Rd da VEd	Rid. My,Rd da NEd	px	py	Verifica
0	SLU 76	0.06	1	58.424	1003.522	1	-0.0598	33.3316	1		0	0	Si

Verifica a presso/tenso flessione retta Y SLD §§ 4.2.4.1.2.3 - 4.2.4.1.2.6 - 4.2.4.1.2.7 - 4.2.4.1.2.8 NTC18

Verifiche eseguite utilizzando la formula conservativa (6.2) §6.2.1 EN 1993-1-1:2005.

X	Comb.	Sfruttamento	Classe	NEd	NRd	Rid. NRd da VEd	My,Ed	My,Rd	Rid. My,Rd da VEd	Rid. My,Rd da NEd	px	py	Verifica
0	SLD 13	0.031	1	30.305	1003.522	1	-0.0332	33.3316	1		0	0	Si

Verifica a presso/tenso flessione deviata §§ 4.2.4.1.2.3 - 4.2.4.1.2.6 - 4.2.4.1.2.7 - 4.2.4.1.2.8 NTC18

Verifiche eseguite utilizzando la formula conservativa (6.2) §6.2.1 EN 1993-1-1:2005.

X	Comb.	Sfruttamento	Classe	NEd	NRd	Rid. NRd da VEd	Mx,Ed	Mx,Rd	My,Ed	My,Rd	Rid. Mx,Rd da VEd	Rid. Mx,Rd da NEd	Rid. My,Rd da VEd	Rid. My,Rd da NEd	α	β	px	py	Verifica
0.708	SLU 76	0.064	1	58.548	1003.522	1	0.0622	23.5037	-0.085	33.3316	1		1				0	0	Si

Verifica a presso/tenso flessione deviata SLD §§ 4.2.4.1.2.3 - 4.2.4.1.2.6 - 4.2.4.1.2.7 - 4.2.4.1.2.8 NTC18

Verifiche eseguite utilizzando la formula conservativa (6.2) §6.2.1 EN 1993-1-1:2005.

X	Comb.	Sfruttamento	Classe	NEd	NRd	Rid. NRd da VEd	Mx,Ed	Mx,Rd	My,Ed	My,Rd	Rid. Mx,Rd da VEd	Rid. Mx,Rd da NEd	Rid. My,Rd da VEd	Rid. My,Rd da NEd	α	β	px	py	Verifica
0.634	SLD 13	0.033	1	30.39	1003.522	1	0.0468	23.5037	-0.04	33.3316	1		1				0	0	Si

Verifiche ad instabilità

Caratteristiche iniziali

Membratura principale per controllo snellezza; Calcolo di snellezze ed N critici condotti secondo gli assi principali;

Curva X: c; Curva Y: c;

Svergolamento: Nessuno; la verifica a instabilità flesso-torsionale (svergolamento) non verrà eseguita.

Dati per instabilità attorno a x

Controllo della snellezza secondo §4.2.4.1.3.1 NTC18

Numero rit.	Presente	Ascissa	Campata	βx/m	Vincolo a entrambi estremi	λx/m	λVer
1	Si	0	1-2		1	36.8	Si, (<200)
2	Si	1.118					

Dati per instabilità attorno a y

Controllo della snellezza secondo §4.2.4.1.3.1 NTC18

Numero rit.	Presente	Ascissa	Campata	βy/n	k,LT	kw,LT	Vincolo a entrambi estremi
1	Si	0	1-2		1	24.8	Si, (<200)
2	Si	1.118					

Verifica di stabilità per pressoflessione §C.4.2.4.1.3.3.1 NTC18

X	Comb.	Sfruttamento	Classe	NEd	MxEq,Ed	MyEq,Ed	Area	Wx	Wy	χ,min	λ adim. x/m	λ adim. y/n	N,crit x/m	N,crit y/n	Verifica
0	SLV 7	0.01	3	-3.782	0.034	-0.0587	0.003832	0.0000492	0.0000739	0.884	0.424	0.286	5856.246	12865.174	Si

Verifiche a deformabilità

Mensola X: No; Mensola Y: No.

Frecce lungo X

Ascissa freccia	Combinazione	Freccia	Luce	L/f	L/f,min	Tipo	Verifica
0.596	SLE RA 1	0	1.118	10000	250	Totale	Si
0.596	SLE RA 17	0	1.118	10000	250	Totale	Si
0.596	SLE RA 16	0	1.118	10000	250	Totale	Si
0.596	SLE RA 15	0	1.118	10000	250	Totale	Si
0.596	SLE RA 14	0	1.118	10000	250	Totale	Si
0.596	SLE RA 2	0	1.118	10000	350	Variabile	Si
0.596	SLE RA 17	0	1.118	10000	350	Variabile	Si
0.596	SLE RA 16	0	1.118	10000	350	Variabile	Si
0.596	SLE RA 15	0	1.118	10000	350	Variabile	Si
0.596	SLE RA 14	0	1.118	10000	350	Variabile	Si

Frecce lungo Y

Ascissa freccia	Combinazione	Freccia	Luce	L/f	L/f,min	Tipo	Verifica
0.559	SLE RA 1	0.00001	1.118	10000	250	Totale	Si
0.559	SLE RA 17	0.00001	1.118	10000	250	Totale	Si
0.559	SLE RA 16	0.00001	1.118	10000	250	Totale	Si

Implementazione dei sistemi di confinamento delle emissioni odorigene diffuse dell'impianto di compostaggio esistente nel
Comune di Eboli (SA)
PROGETTO DEFINITIVO – Tabulati di calcolo Tomo 1

Ascissa freccia	Combinazione	Freccia	Luce	L/f	L/f,min	Tipo	Verifica
0.559	SLE RA 15	0.00001	1.118	10000	250	Totale	Si
0.559	SLE RA 14	0.00001	1.118	10000	250	Totale	Si
0.634	SLE RA 2	0	1.118	10000	350	Variabile	Si
0.634	SLE RA 17	0	1.118	10000	350	Variabile	Si
0.634	SLE RA 16	0	1.118	10000	350	Variabile	Si
0.634	SLE RA 15	0	1.118	10000	350	Variabile	Si
0.634	SLE RA 14	0	1.118	10000	350	Variabile	Si

Superelemento in acciaio a quota "640"- "690" (2929; 2293)-(2929; 2193)

Caratteristiche del materiale

Acciaio: S275, fyk = 275000

Caratteristiche geometriche

Lunghezza: 1.118

Nodo iniziale: 1188 Nodo finale: 1736

Cerniera iniziale: Mmomenti 1% Cerniera finale: Mmomenti 1%

Sovraresistenza: 0% Sisma Z: No

Caratteristiche della sezione

Sezione	Rotazione	Area	Jx	Jy	ix	iy	Wx	Wy	Wplx	Wply
A1; L100*10; 1; Saldato; S275; 20; 1; 8; 8; 1	180	0.003832	0.0000035319	0.000007759	0.0304	0.045	0.0000492	0.0000739	0.00008974	0.00012727

Comportamento dei calastrelli

Accoppiamento imbottito avendo passo inferiore al minimo richiesto (§C4.2.4.1.3.1.5 NTC18) nella campata compresa tra le ascisse 0 e 1.118 per sbandamento attorno all'asse y.

Verifiche di resistenza

Verifiche a forza assiale §4.2.4.1.2.1 - §4.2.4.1.2.2 NTC18

X	Comb.	Sfruttamento	Classe	NEd	Nc,Rd	Nt,Rd	Riduzione da taglio	px	py	Verifica
1.118	SLU 75	0.058		58.31		1003.522	1	0	0	Si

Verifiche a forza assiale SLD §4.2.4.1.2.1 - §4.2.4.1.2.2 NTC18

X	Comb.	Sfruttamento	Classe	NEd	Nc,Rd	Nt,Rd	Riduzione da taglio	px	py	Verifica
1.118	SLD 8	0.033		33.328		1003.522	1	0	0	Si

Verifica a taglio Y §4.2.4.1.2.4 NTC18

X	Comb.	Sfruttamento	VEd	Vc,Rd	Av	Interazione taglio-torsione	Riduzione torsione	Verifica
0	SLU 76	0.001	-0.217	302.422	0.002	Non considerata		Si

Verifica a presso/tenso flessione retta X §§ 4.2.4.1.2.3 - 4.2.4.1.2.6 - 4.2.4.1.2.7 - 4.2.4.1.2.8 NTC18

Verifiche eseguite utilizzando la formula conservativa (6.2) §6.2.1 EN 1993-1-1:2005.

X	Comb.	Sfruttamento	Classe	NEd	NRd	Rid. NRd da VEd	Mx,Ed	Mx,Rd	Rid. Mx,Rd da VEd	Rid. Mx,Rd da NEd	px	py	Verifica
0.634	SLV 3	0.051	1	48.409	1003.522	1	0.0548	23.5037	1		0	0	Si

Verifica a presso/tenso flessione retta X SLD §§ 4.2.4.1.2.3 - 4.2.4.1.2.6 - 4.2.4.1.2.7 - 4.2.4.1.2.8 NTC18

Verifiche eseguite utilizzando la formula conservativa (6.2) §6.2.1 EN 1993-1-1:2005.

X	Comb.	Sfruttamento	Classe	NEd	NRd	Rid. NRd da VEd	Mx,Ed	Mx,Rd	Rid. Mx,Rd da VEd	Rid. Mx,Rd da NEd	px	py	Verifica
0.634	SLD 3	0.035	1	33.179	1003.522	1	0.0501	23.5037	1		0	0	Si

Verifica a presso/tenso flessione retta Y §§ 4.2.4.1.2.3 - 4.2.4.1.2.6 - 4.2.4.1.2.7 - 4.2.4.1.2.8 NTC18

Verifiche eseguite utilizzando la formula conservativa (6.2) §6.2.1 EN 1993-1-1:2005.

X	Comb.	Sfruttamento	Classe	NEd	NRd	Rid. NRd da VEd	My,Ed	My,Rd	Rid. My,Rd da VEd	Rid. My,Rd da NEd	px	py	Verifica
0	SLU 75	0.058	1	58.114	1003.522	1	0.019	33.3316	1		0	0	Si

Verifica a presso/tenso flessione retta Y SLD §§ 4.2.4.1.2.3 - 4.2.4.1.2.6 - 4.2.4.1.2.7 - 4.2.4.1.2.8 NTC18

Verifiche eseguite utilizzando la formula conservativa (6.2) §6.2.1 EN 1993-1-1:2005.

X	Comb.	Sfruttamento	Classe	NEd	NRd	Rid. NRd da VEd	My,Ed	My,Rd	Rid. My,Rd da VEd	Rid. My,Rd da NEd	px	py	Verifica
0	SLD 7	0.034	1	33.178	1003.522	1	0.019	33.3316	1		0	0	Si

Verifica a presso/tenso flessione deviata §§ 4.2.4.1.2.3 - 4.2.4.1.2.6 - 4.2.4.1.2.7 - 4.2.4.1.2.8 NTC18

Verifiche eseguite utilizzando la formula conservativa (6.2) §6.2.1 EN 1993-1-1:2005.

X	Comb.	Sfruttamento	Classe	NEd	NRd	Rid. NRd da VEd	Mx,Ed	Mx,Rd	My,Ed	My,Rd	Rid. Mx,Rd da VEd	Rid. Mx,Rd da NEd	Rid. My,Rd da VEd	Rid. My,Rd da NEd	α	β	px	py	Verifica
0.671	SLU 75	0.062	1	58.232	1003.522	1	0.0683	23.5037	0.0363	33.3316	1		1				0	0	Si

Verifica a presso/tenso flessione deviata SLD §§ 4.2.4.1.2.3 - 4.2.4.1.2.6 - 4.2.4.1.2.7 - 4.2.4.1.2.8 NTC18

Verifiche eseguite utilizzando la formula conservativa (6.2) §6.2.1 EN 1993-1-1:2005.

X	Comb.	Sfruttamento	Classe	NEd	NRd	Rid. NRd da VEd	Mx,Ed	Mx,Rd	My,Ed	My,Rd	Rid. Mx,Rd da VEd	Rid. Mx,Rd da NEd	Rid. My,Rd da VEd	Rid. My,Rd da NEd	α	β	px	py	Verifica
0.634	SLD 8	0.036	1	33.263	1003.522	1	0.0502	23.5037	0.0248	33.3316	1		1				0	0	Si

Verifiche ad instabilità

Caratteristiche iniziali

Membratura principale per controllo snellezza; Calcolo di snellezze ed N critici condotti secondo gli assi principali;

Curva X: c; Curva Y: c;

Implementazione dei sistemi di confinamento delle emissioni odorigene diffuse dell'impianto di compostaggio esistente nel
Comune di Eboli (SA)

PROGETTO DEFINITIVO – Tabulati di calcolo Tomo 1

Svergolamento: Nessuno; la verifica a instabilità flessione-torsionale (svergolamento) non verrà eseguita.

Dati per instabilità attorno a x

Controllo della snellezza secondo §4.2.4.1.3.1 NTC18

Numero rit.	Presente	Ascissa	Campata	$\beta x/m$	Vincolo a entrambi estremi	$\lambda x/m$	λVer
1	Si	0					
			1-2	1	Si	36.8	Si, (<200)
2	Si	1.118					

Dati per instabilità attorno a y

Controllo della snellezza secondo §4.2.4.1.3.1 NTC18

Numero rit.	Presente	Ascissa	Campata	$\beta y/n$	k,LT	kw,LT	Vincolo a entrambi estremi
1	Si	0					
			1-2	1	Si	24.8	Si, (<200)
2	Si	1.118					

NB: superelemento non sollecitato. Verifiche non condotte.

Verifiche a deformabilità

Mensola X: No; Mensola Y: No.

Frecce lungo X

Ascissa freccia	Combinazione	Freccia	Luce	L/f	L/f,min	Tipo	Verifica
0.596	SLE RA 1	0	1.118	10000	250	Totale	Si
0.596	SLE RA 17	0	1.118	10000	250	Totale	Si
0.596	SLE RA 16	0	1.118	10000	250	Totale	Si
0.596	SLE RA 15	0	1.118	10000	250	Totale	Si
0.596	SLE RA 14	0	1.118	10000	250	Totale	Si
0.596	SLE RA 2	0	1.118	10000	350	Variabile	Si
0.596	SLE RA 17	0	1.118	10000	350	Variabile	Si
0.596	SLE RA 16	0	1.118	10000	350	Variabile	Si
0.596	SLE RA 15	0	1.118	10000	350	Variabile	Si
0.596	SLE RA 14	0	1.118	10000	350	Variabile	Si

Frecce lungo Y

Ascissa freccia	Combinazione	Freccia	Luce	L/f	L/f,min	Tipo	Verifica
0.559	SLE RA 1	0.00001	1.118	10000	250	Totale	Si
0.559	SLE RA 17	0.00001	1.118	10000	250	Totale	Si
0.559	SLE RA 16	0.00001	1.118	10000	250	Totale	Si
0.559	SLE RA 15	0.00001	1.118	10000	250	Totale	Si
0.559	SLE RA 14	0.00001	1.118	10000	250	Totale	Si
0.634	SLE RA 2	0	1.118	10000	350	Variabile	Si
0.634	SLE RA 17	0	1.118	10000	350	Variabile	Si
0.634	SLE RA 16	0	1.118	10000	350	Variabile	Si
0.634	SLE RA 15	0	1.118	10000	350	Variabile	Si
0.634	SLE RA 14	0	1.118	10000	350	Variabile	Si

Superelemento in acciaio a quota "640"- "690" (2929; 2893)-(2929; 2993)

Caratteristiche del materiale

Acciaio: S275, fyk = 275000

Caratteristiche geometriche

Lunghezza: 1.118

Nodo iniziale: 1414 Nodo finale: 1771

Cerniera iniziale: Mmomenti 1% Cerniera finale: Mmomenti 1%

Sovreresistenza: 0% Sisma Z: No

Caratteristiche della sezione

Sezione	Rotazione	Area	Jx	Jy	ix	iy	Wx	Wy	Wplx	Wply
A1; L100*10; 1; Saldato; S275; 20; 1; 8; 8; 1	180	0.003832	0.0000035319	0.000007759	0.0304	0.045	0.0000492	0.0000739	0.00008974	0.00012727

Comportamento dei calastrelli

Accoppiamento imbottito avendo passo inferiore al minimo richiesto (§C4.2.4.1.3.1.5 NTC18) nella campata compresa tra le ascisse 0 e 1.118 per sbandamento attorno all'asse y.

Verifiche di resistenza

Verifiche a forza assiale §4.2.4.1.2.1 - §4.2.4.1.2.2 NTC18

X	Comb.	Sfruttamento	Classe	NEd	Nc,Rd	Nt,Rd	Riduzione da taglio	px	py	Verifica
1.118	SLU 76	0.063		63.25		1003.522	1	0	0	Si

Verifiche a forza assiale SLD §4.2.4.1.2.1 - §4.2.4.1.2.2 NTC18

X	Comb.	Sfruttamento	Classe	NEd	Nc,Rd	Nt,Rd	Riduzione da taglio	px	py	Verifica
1.118	SLD 8	0.034		33.815		1003.522	1	0	0	Si

Verifica a taglio Y §4.2.4.1.2.4 NTC18

X	Comb.	Sfruttamento	VEd	Vc,Rd	Av	Interazione taglio-torsione	Riduzione torsione	Verifica
0	SLU 76	0.001	-0.216	302.422	0.002	Non considerata		Si

Verifica a presso/tenso flessione retta X §§ 4.2.4.1.2.3 - 4.2.4.1.2.6 - 4.2.4.1.2.7 - 4.2.4.1.2.8 NTC18

Verifiche eseguite utilizzando la formula conservativa (6.2) §6.2.1 EN 1993-1-1:2005.

X	Comb.	Sfruttamento	Classe	NEd	NRd	Rid. NRd da VEd	Mx,Ed	Mx,Rd	Rid. Mx,Rd da VEd	Rid. Mx,Rd da NEd	px	py	Verifica
---	-------	--------------	--------	-----	-----	-----------------	-------	-------	-------------------	-------------------	----	----	----------

Implementazione dei sistemi di confinamento delle emissioni odorigene diffuse dell'impianto di compostaggio esistente nel
Comune di Eboli (SA)

PROGETTO DEFINITIVO – Tabulati di calcolo Tomo 1

X	Comb.	Sfruttamento	Classe	NEd	NRd	Rid. NRd da VEd	Mx,Ed	Mx,Rd	Rid. Mx,Rd da VEd	Rid. Mx,Rd da NEd	px	py	Verifica
0.447	SLV 4	0.051	1	49.419	1003.522	1	0.0458	23.5037	1		0	0	Si

Verifica a presso/tenso flessione retta X SLD §§ 4.2.4.1.2.3 - 4.2.4.1.2.6 - 4.2.4.1.2.7 - 4.2.4.1.2.8 NTC18

Verifiche eseguite utilizzando la formula conservativa (6.2) §6.2.1 EN 1993-1-1:2005.

X	Comb.	Sfruttamento	Classe	NEd	NRd	Rid. NRd da VEd	Mx,Ed	Mx,Rd	Rid. Mx,Rd da VEd	Rid. Mx,Rd da NEd	px	py	Verifica
0.224	SLD 1	0.031	1	29.981	1003.522	1	0.0281	23.5037	1		0	0	Si

Verifica a presso/tenso flessione retta Y §§ 4.2.4.1.2.3 - 4.2.4.1.2.6 - 4.2.4.1.2.7 - 4.2.4.1.2.8 NTC18

Verifiche eseguite utilizzando la formula conservativa (6.2) §6.2.1 EN 1993-1-1:2005.

X	Comb.	Sfruttamento	Classe	NEd	NRd	Rid. NRd da VEd	My,Ed	My,Rd	Rid. My,Rd da VEd	Rid. My,Rd da NEd	px	py	Verifica
0	SLU 76	0.065	1	63.054	1003.522	1	-0.06	33.3316	1		0	0	Si

Verifica a presso/tenso flessione retta Y SLD §§ 4.2.4.1.2.3 - 4.2.4.1.2.6 - 4.2.4.1.2.7 - 4.2.4.1.2.8 NTC18

Verifiche eseguite utilizzando la formula conservativa (6.2) §6.2.1 EN 1993-1-1:2005.

X	Comb.	Sfruttamento	Classe	NEd	NRd	Rid. NRd da VEd	My,Ed	My,Rd	Rid. My,Rd da VEd	Rid. My,Rd da NEd	px	py	Verifica
0.037	SLD 7	0.035	1	33.669	1003.522	1	-0.0364	33.3316	1		0	0	Si

Verifica a presso/tenso flessione deviata §§ 4.2.4.1.2.3 - 4.2.4.1.2.6 - 4.2.4.1.2.7 - 4.2.4.1.2.8 NTC18

Verifiche eseguite utilizzando la formula conservativa (6.2) §6.2.1 EN 1993-1-1:2005.

X	Comb.	Sfruttamento	Classe	NEd	NRd	Rid. NRd da VEd	Mx,Ed	Mx,Rd	My,Ed	My,Rd	Rid. Mx,Rd da VEd	Rid. Mx,Rd da NEd	Rid. My,Rd da VEd	Rid. My,Rd da NEd	α	β	px	py	Verifica
0.745	SLU 76	0.069	1	63.185	1003.522	1	0.0618	23.5037	-0.1071	33.3316	1		1				0	0	Si

Verifica a presso/tenso flessione deviata SLD §§ 4.2.4.1.2.3 - 4.2.4.1.2.6 - 4.2.4.1.2.7 - 4.2.4.1.2.8 NTC18

Verifiche eseguite utilizzando la formula conservativa (6.2) §6.2.1 EN 1993-1-1:2005.

X	Comb.	Sfruttamento	Classe	NEd	NRd	Rid. NRd da VEd	Mx,Ed	Mx,Rd	My,Ed	My,Rd	Rid. Mx,Rd da VEd	Rid. Mx,Rd da NEd	Rid. My,Rd da VEd	Rid. My,Rd da NEd	α	β	px	py	Verifica
0.671	SLD 7	0.037	1	33.754	1003.522	1	0.0465	23.5037	-0.0515	33.3316	1		1				0	0	Si

Verifiche ad instabilità

Caratteristiche iniziali

Membratura principale per controllo snellezza; Calcolo di snellezze ed N critici condotti secondo gli assi principali;

Curva X: c; Curva Y: c;

Svergolamento: Nessuno; la verifica a instabilità flesso-torsionale (svergolamento) non verrà eseguita.

Dati per instabilità attorno a x

Controllo della snellezza secondo §4.2.4.1.3.1 NTC18

Numero rit.	Presente	Ascissa	Campata	βx/m	Vincolo a entrambi estremi	λx/m	λVer
1	Si	0					
			1-2	1	Si	36.8	Si, (<200)
2	Si	1.118					

Dati per instabilità attorno a y

Controllo della snellezza secondo §4.2.4.1.3.1 NTC18

Numero rit.	Presente	Ascissa	Campata	βy/n	k,LT	kw,LT	Vincolo a entrambi estremi
1	Si	0					
			1-2	1	Si	24.8	Si, (<200)
2	Si	1.118					

NB: superelemento non sollecitato. Verifiche non condotte.

Verifiche a deformabilità

Mensola X: No; Mensola Y: No.

Frecce lungo X

Ascissa freccia	Combinazione	Freccia	Luce	L/f	L/f,min	Tipo	Verifica
0.596	SLE RA 1	0	1.118	10000	250	Totale	Si
0.596	SLE RA 17	0	1.118	10000	250	Totale	Si
0.596	SLE RA 16	0.00001	1.118	10000	250	Totale	Si
0.596	SLE RA 15	0.00001	1.118	10000	250	Totale	Si
0.596	SLE RA 14	0	1.118	10000	250	Totale	Si
0.596	SLE RA 2	0	1.118	10000	350	Variabile	Si
0.596	SLE RA 17	0	1.118	10000	350	Variabile	Si
0.596	SLE RA 16	0	1.118	10000	350	Variabile	Si
0.596	SLE RA 15	0	1.118	10000	350	Variabile	Si
0.596	SLE RA 14	0	1.118	10000	350	Variabile	Si

Frecce lungo Y

Ascissa freccia	Combinazione	Freccia	Luce	L/f	L/f,min	Tipo	Verifica
0.559	SLE RA 1	0.00001	1.118	10000	250	Totale	Si
0.559	SLE RA 17	0.00001	1.118	10000	250	Totale	Si
0.559	SLE RA 16	0.00001	1.118	10000	250	Totale	Si
0.559	SLE RA 15	0.00001	1.118	10000	250	Totale	Si
0.559	SLE RA 14	0.00001	1.118	10000	250	Totale	Si
0.671	SLE RA 2	0	1.118	10000	350	Variabile	Si
0.671	SLE RA 17	0	1.118	10000	350	Variabile	Si
0.671	SLE RA 16	0	1.118	10000	350	Variabile	Si
0.671	SLE RA 15	0	1.118	10000	350	Variabile	Si
0.671	SLE RA 14	0	1.118	10000	350	Variabile	Si

Implementazione dei sistemi di confinamento delle emissioni odorigene diffuse dell'impianto di compostaggio esistente nel
Comune di Eboli (SA)
PROGETTO DEFINITIVO – Tabulati di calcolo Tomo 1

Superelemento in acciaio a quota "640"- "690" (-143; 133)-(-34; 30)

Caratteristiche del materiale

Acciaio: S275, fyk = 275000

Caratteristiche geometriche

Lunghezza: 1.581

Nodo iniziale: 696 Nodo finale: 1643

Cerniera iniziale: Mmomenti 1% Cerniera finale: Mmomenti 1%

Sovraresistenza: 0% Sisma Z: No

Caratteristiche della sezione

Sezione	Rotazione	Area	Jx	Jy	ix	iy	Wx	Wy	Wplx	Wply
A1; L100*10; 1; Saldato; S275; 50; 1; 8; 8; 1	180	0.003832	0.0000035319	0.000007759	0.0304	0.045	0.0000492	0.0000739	0.00008974	0.00012727

Comportamento dei calastrelli

Accoppiamento imbottito con funzione statica (§C4.2.4.1.3.1.4 NTC18) nella campata compresa tra le ascisse 0 e 1.581 per sbandamento attorno all'asse y.

Verifiche di resistenza

Verifiche a forza assiale §4.2.4.1.2.1 - §4.2.4.1.2.2 NTC18

X	Comb.	Sfruttamento	Classe	NEd	Nc,Rd	Nt,Rd	Riduzione da taglio	px	py	Verifica
1.581	SLU 75	0.161		161.905		1003.522	1	0	0	Si

Verifiche a forza assiale SLD §4.2.4.1.2.1 - §4.2.4.1.2.2 NTC18

X	Comb.	Sfruttamento	Classe	NEd	Nc,Rd	Nt,Rd	Riduzione da taglio	px	py	Verifica
1.581	SLD 13	0.053		53.442		1003.522	1	0	0	Si

Verifica a taglio Y §4.2.4.1.2.4 NTC18

X	Comb.	Sfruttamento	VEd	Vc,Rd	Av	Interazione taglio-torsione	Riduzione torsione	Verifica
0	SLU 75	0.001	-0.357	302.422	0.002	Non considerata		Si

Verifica a taglio Y SLD §4.2.4.1.2.4 NTC18

X	Comb.	Sfruttamento	VEd	Vc,Rd	Av	Interazione taglio-torsione	Riduzione torsione	Verifica
0	SLD 13	0.001	-0.247	302.422	0.002	Non considerata		Si

Verifica a presso/tenso flessione retta X §§ 4.2.4.1.2.3 - 4.2.4.1.2.6 - 4.2.4.1.2.7 - 4.2.4.1.2.8 NTC18

Verifiche eseguite utilizzando la formula conservativa (6.2) §6.2.1 EN 1993-1-1:2005.

X	Comb.	Sfruttamento	Classe	NEd	NRd	Rid. NRd da VEd	Mx,Ed	Mx,Rd	Rid. Mx,Rd da VEd	Rid. Mx,Rd da NEd	px	py	Verifica
0.949	SLU 75	0.169	1	161.827	1003.522	1	0.1764	23.5037	1		0	0	Si

Verifica a presso/tenso flessione retta Y §§ 4.2.4.1.2.3 - 4.2.4.1.2.6 - 4.2.4.1.2.7 - 4.2.4.1.2.8 NTC18

Verifiche eseguite utilizzando la formula conservativa (6.2) §6.2.1 EN 1993-1-1:2005.

X	Comb.	Sfruttamento	Classe	NEd	NRd	Rid. NRd da VEd	My,Ed	My,Rd	Rid. My,Rd da VEd	Rid. My,Rd da NEd	px	py	Verifica
0	SLU 76	0.137	1	137.225	1003.522	1	0.009	33.3316	1		0	0	Si

Verifica a presso/tenso flessione retta Y SLD §§ 4.2.4.1.2.3 - 4.2.4.1.2.6 - 4.2.4.1.2.7 - 4.2.4.1.2.8 NTC18

Verifiche eseguite utilizzando la formula conservativa (6.2) §6.2.1 EN 1993-1-1:2005.

X	Comb.	Sfruttamento	Classe	NEd	NRd	Rid. NRd da VEd	My,Ed	My,Rd	Rid. My,Rd da VEd	Rid. My,Rd da NEd	px	py	Verifica
0	SLD 15	0.054	1	52.701	1003.522	1	0.0565	33.3316	1		0	0	Si

Verifica a presso/tenso flessione deviata §§ 4.2.4.1.2.3 - 4.2.4.1.2.6 - 4.2.4.1.2.7 - 4.2.4.1.2.8 NTC18

Verifiche eseguite utilizzando la formula conservativa (6.2) §6.2.1 EN 1993-1-1:2005.

X	Comb.	Sfruttamento	Classe	NEd	NRd	Rid. NRd da VEd	Mx,Ed	Mx,Rd	My,Ed	My,Rd	Rid. Mx,Rd da VEd	Rid. Mx,Rd da NEd	Rid. My,Rd da VEd	Rid. My,Rd da NEd	α	β	px	py	Verifica
0.474	SLU 76	0.142	1	137.284	1003.522	1	0.1284	23.5037	0.0074	33.3316	1		1				0	0	Si

Verifica a presso/tenso flessione deviata SLD §§ 4.2.4.1.2.3 - 4.2.4.1.2.6 - 4.2.4.1.2.7 - 4.2.4.1.2.8 NTC18

Verifiche eseguite utilizzando la formula conservativa (6.2) §6.2.1 EN 1993-1-1:2005.

X	Comb.	Sfruttamento	Classe	NEd	NRd	Rid. NRd da VEd	Mx,Ed	Mx,Rd	My,Ed	My,Rd	Rid. Mx,Rd da VEd	Rid. Mx,Rd da NEd	Rid. My,Rd da VEd	Rid. My,Rd da NEd	α	β	px	py	Verifica
0.843	SLD 13	0.059	1	53.372	1003.522	1	0.1085	23.5037	0.0252	33.3316	1		1				0	0	Si

Verifiche ad instabilità

Caratteristiche iniziali

Membratura principale per controllo snellezza; Calcolo di snellezze ed N critici condotti secondo gli assi principali;

Curva X: c; Curva Y: c;

Svergolamento: Nessuno; la verifica a instabilità flesso-torsionale (svergolamento) non verrà eseguita.

Dati per instabilità attorno a x

Controllo della snellezza secondo §4.2.4.1.3.1 NTC18

Numero rit.	Presente	Ascissa	Campata	βx/m	Vincolo a entrambi estremi	λx/m	λVer
1	Si	0					
			1-2	1	Si	52.1	Si, (<200)
2	Si	1.581					

Dati per instabilità attorno a y

Controllo della snellezza secondo §4.2.4.1.3.1 NTC18

Implementazione dei sistemi di confinamento delle emissioni odorigene diffuse dell'impianto di compostaggio esistente nel
Comune di Eboli (SA)
PROGETTO DEFINITIVO – Tabulati di calcolo Tomo 1

Numero rit.	Presente	Ascissa	Campata	$\beta y/n$	k,LT	kw,LT	Vincolo a entrambi estremi
1	Si	0	1-2	1	Si	38.8	Si, (<200)
2	Si	1.581					

Verifica di stabilità per pressoflessione §C.4.2.4.1.3.3.1 NTC18

X	Comb.	Sfruttamento	Classe	NEd	MxEq,Ed	MyEq,Ed	Area	Wx	Wy	x_{min}	$\lambda_{adim. x/m}$	$\lambda_{adim. y/n}$	N,crit x/m	N,crit y/n	Verifica
0	SLU 2	0.041	3	-24.699	0.0659	0.0802	0.003832	0.0000492	0.0000739	0.785	0.6	0.447	2928.123	5273.983	Si

Verifiche a deformabilità

Mensola X: No; Mensola Y: No.

Frecce lungo X

Ascissa freccia	Combinazione	Freccia	Luce	L/f	L/f,min	Tipo	Verifica
0.738	SLE RA 1	0	1.581	10000	250	Totale	Si
0.685	SLE RA 17	0	1.581	10000	250	Totale	Si
0.632	SLE RA 16	0	1.581	10000	250	Totale	Si
0.738	SLE RA 15	0	1.581	10000	250	Totale	Si
1.16	SLE RA 14	0	1.581	10000	250	Totale	Si
0.369	SLE RA 2	0	1.581	10000	350	Variabile	Si
0.369	SLE RA 17	0	1.581	10000	350	Variabile	Si
0.369	SLE RA 16	0	1.581	10000	350	Variabile	Si
0.791	SLE RA 15	0	1.581	10000	350	Variabile	Si
0.896	SLE RA 14	0	1.581	10000	350	Variabile	Si

Frecce lungo Y

Ascissa freccia	Combinazione	Freccia	Luce	L/f	L/f,min	Tipo	Verifica
0.791	SLE RA 1	0.00004	1.581	10000	250	Totale	Si
0.843	SLE RA 17	0.00004	1.581	10000	250	Totale	Si
0.843	SLE RA 16	0.00005	1.581	10000	250	Totale	Si
0.843	SLE RA 15	0.00004	1.581	10000	250	Totale	Si
0.843	SLE RA 14	0.00005	1.581	10000	250	Totale	Si
0.896	SLE RA 2	-0.00001	1.581	10000	350	Variabile	Si
0.896	SLE RA 17	0	1.581	10000	350	Variabile	Si
0.896	SLE RA 16	0.00001	1.581	10000	350	Variabile	Si
0.896	SLE RA 15	0	1.581	10000	350	Variabile	Si
0.896	SLE RA 14	0.00001	1.581	10000	350	Variabile	Si

Superelemento in acciaio a quota "640"- "690" (-397; -137)-(-288; -239)

Caratteristiche del materiale

Acciaio: S275, fyk = 275000

Caratteristiche geometriche

Lunghezza: 1.581

Nodo iniziale: 640 Nodo finale: 1636

Cerniera iniziale: Mmomenti 1% Cerniera finale: Mmomenti 1%

Sovreresistenza: 0% Sisma Z: No

Caratteristiche della sezione

Sezione	Rotazione	Area	Jx	Jy	ix	iy	Wx	Wy	Wplx	Wply
A1; L100*10; 1; Saldato; S275; 50; 1; 8; 8; 1	180	0.003832	0.0000035319	0.0000077759	0.0304	0.045	0.0000492	0.0000739	0.00008974	0.00012727

Comportamento dei calastrelli

Accoppiamento imbottito con funzione statica (§C4.2.4.1.3.1.4 NTC18) nella campata compresa tra le ascisse 0 e 1.581 per sbandamento attorno all'asse y.

Verifiche di resistenza

Verifiche a forza assiale §4.2.4.1.2.1 - §4.2.4.1.2.2 NTC18

X	Comb.	Sfruttamento	Classe	NEd	Nc,Rd	Nt,Rd	Riduzione da taglio	px	py	Verifica
1.581	SLU 75	0.13		130.365		1003.522	1	0	0	Si

Verifiche a forza assiale SLD §4.2.4.1.2.1 - §4.2.4.1.2.2 NTC18

X	Comb.	Sfruttamento	Classe	NEd	Nc,Rd	Nt,Rd	Riduzione da taglio	px	py	Verifica
1.581	SLD 16	0.047		47.389		1003.522	1	0	0	Si

Verifica a taglio Y §4.2.4.1.2.4 NTC18

X	Comb.	Sfruttamento	VEd	Vc,Rd	Av	Interazione taglio-torsione	Riduzione torsione	Verifica
0	SLU 75	0.001	-0.34	302.422	0.002	Non considerata		Si

Verifica a taglio Y SLD §4.2.4.1.2.4 NTC18

X	Comb.	Sfruttamento	VEd	Vc,Rd	Av	Interazione taglio-torsione	Riduzione torsione	Verifica
0	SLD 16	0.001	-0.244	302.422	0.002	Non considerata		Si

Verifica a flessione semplice X §§ 4.2.4.1.2.3 - 4.2.4.1.2.6 - 4.2.4.1.2.7 - 4.2.4.1.2.8 NTC18

X	Comb.	Sfruttamento	Classe	Mx,Ed	Mx,Rd	Rid. Mx,Rd da VEd	px	py	Verifica
0.791	SLU 5	0.004	1	0.08906	23.50374	1	0	0	Si

Verifica a presso/tenso flessione retta X §§ 4.2.4.1.2.3 - 4.2.4.1.2.6 - 4.2.4.1.2.7 - 4.2.4.1.2.8 NTC18

Verifiche eseguite utilizzando la formula conservativa (6.2) §6.2.1 EN 1993-1-1:2005.

Implementazione dei sistemi di confinamento delle emissioni odorigene diffuse dell'impianto di compostaggio esistente nel
Comune di Eboli (SA)

PROGETTO DEFINITIVO – Tabulati di calcolo Tomo 1

X	Comb.	Sfruttamento	Classe	NEd	NRd	Rid. NRd da VEd	Mx,Ed	Mx,Rd	Rid. Mx,Rd da VEd	Rid. Mx,Rd da NEd	px	py	Verifica
0.474	SLU 75	0.135	1	130.228	1003.522	1	0.1233	23.5037	1		0	0	Si

Verifica a presso/tenso flessione retta X SLD §§ 4.2.4.1.2.3 - 4.2.4.1.2.6 - 4.2.4.1.2.7 - 4.2.4.1.2.8 NTC18

Verifiche eseguite utilizzando la formula conservativa (6.2) §6.2.1 EN 1993-1-1:2005.

X	Comb.	Sfruttamento	Classe	NEd	NRd	Rid. NRd da VEd	Mx,Ed	Mx,Rd	Rid. Mx,Rd da VEd	Rid. Mx,Rd da NEd	px	py	Verifica
0.843	SLD 9	0.04	1	36.318	1003.522	1	0.1007	23.5037	1		0	0	Si

Verifica a presso/tenso flessione retta Y §§ 4.2.4.1.2.3 - 4.2.4.1.2.6 - 4.2.4.1.2.7 - 4.2.4.1.2.8 NTC18

Verifiche eseguite utilizzando la formula conservativa (6.2) §6.2.1 EN 1993-1-1:2005.

X	Comb.	Sfruttamento	Classe	NEd	NRd	Rid. NRd da VEd	My,Ed	My,Rd	Rid. My,Rd da VEd	Rid. My,Rd da NEd	px	py	Verifica
0	SLV 16	0.06	1	58.128	1003.522	1	0.0754	33.3316	1		0	0	Si

Verifica a presso/tenso flessione retta Y SLD §§ 4.2.4.1.2.3 - 4.2.4.1.2.6 - 4.2.4.1.2.7 - 4.2.4.1.2.8 NTC18

Verifiche eseguite utilizzando la formula conservativa (6.2) §6.2.1 EN 1993-1-1:2005.

X	Comb.	Sfruttamento	Classe	NEd	NRd	Rid. NRd da VEd	My,Ed	My,Rd	Rid. My,Rd da VEd	Rid. My,Rd da NEd	px	py	Verifica
0	SLD 15	0.048	1	47.238	1003.522	1	0.0315	33.3316	1		0	0	Si

Verifica a presso/tenso flessione deviata §§ 4.2.4.1.2.3 - 4.2.4.1.2.6 - 4.2.4.1.2.7 - 4.2.4.1.2.8 NTC18

Verifiche eseguite utilizzando la formula conservativa (6.2) §6.2.1 EN 1993-1-1:2005.

X	Comb.	Sfruttamento	Classe	NEd	NRd	Rid. NRd da VEd	Mx,Ed	Mx,Rd	My,Ed	My,Rd	Rid. Mx,Rd da VEd	Rid. Mx,Rd da NEd	Rid. My,Rd da VEd	Rid. My,Rd da NEd	α	β	px	py	Verifica
0.949	SLU 75	0.137	1	130.286	1003.522	1	0.1595	23.5037	0.0126	33.3316	1		1				0	0	Si

Verifica a presso/tenso flessione deviata SLD §§ 4.2.4.1.2.3 - 4.2.4.1.2.6 - 4.2.4.1.2.7 - 4.2.4.1.2.8 NTC18

Verifiche eseguite utilizzando la formula conservativa (6.2) §6.2.1 EN 1993-1-1:2005.

X	Comb.	Sfruttamento	Classe	NEd	NRd	Rid. NRd da VEd	Mx,Ed	Mx,Rd	My,Ed	My,Rd	Rid. Mx,Rd da VEd	Rid. Mx,Rd da NEd	Rid. My,Rd da VEd	Rid. My,Rd da NEd	α	β	px	py	Verifica
0.896	SLD 15	0.053	1	47.324	1003.522	1	0.1052	23.5037	0.0318	33.3316	1		1				0	0	Si

Verifiche ad instabilità

Caratteristiche iniziali

Membratura principale per controllo snellezza; Calcolo di snellezze ed N critici condotti secondo gli assi principali;

Curva X: c; Curva Y: c;

Svergolamento: Nessuno; la verifica a instabilità flesso-torsionale (svergolamento) non verrà eseguita.

Dati per instabilità attorno a x

Controllo della snellezza secondo §4.2.4.1.3.1 NTC18

Numero rit.	Presente	Ascissa	Campata	βx/m	Vincolo a entrambi estremi	λx/m	λVer
1	Si		0				
			1-2		1	52.1	Si, (<200)
2	Si	1.581					

Dati per instabilità attorno a y

Controllo della snellezza secondo §4.2.4.1.3.1 NTC18

Numero rit.	Presente	Ascissa	Campata	βy/n	k,LT	kw,LT	Vincolo a entrambi estremi
1	Si		0				
			1-2		1	38.8	Si, (<200)
2	Si	1.581					

Verifica di stabilità per pressoflessione §C.4.2.4.1.3.3.1 NTC18

X	Comb.	Sfruttamento	Classe	NEd	MxEq,Ed	MyEq,Ed	Area	Wx	Wy	χ,min	λ adim. x/m	λ adim. y/n	N,crit x/m	N,crit y/n	Verifica
0	SLU 2	0.035	3	-20.455	0.0685	0.066	0.003832	0.0000492	0.0000739	0.785	0.6	0.447	2928.123	5273.983	Si

Verifiche a deformabilità

Mensola X: No; Mensola Y: No.

Frecce lungo X

Ascissa freccia	Combinazione	Freccia	Luce	L/f	L/f,min	Tipo	Verifica
0.896	SLE RA 1	0	1.581	10000	250	Totale	Si
0.896	SLE RA 17	0	1.581	10000	250	Totale	Si
0.896	SLE RA 16	0	1.581	10000	250	Totale	Si
0.896	SLE RA 15	0	1.581	10000	250	Totale	Si
0.896	SLE RA 14	0	1.581	10000	250	Totale	Si
0.896	SLE RA 2	0	1.581	10000	350	Variabile	Si
0.896	SLE RA 17	0	1.581	10000	350	Variabile	Si
0.896	SLE RA 16	0	1.581	10000	350	Variabile	Si
0.843	SLE RA 15	0	1.581	10000	350	Variabile	Si
1.001	SLE RA 14	0	1.581	10000	350	Variabile	Si

Frecce lungo Y

Ascissa freccia	Combinazione	Freccia	Luce	L/f	L/f,min	Tipo	Verifica
0.791	SLE RA 1	0.00004	1.581	10000	250	Totale	Si
0.791	SLE RA 17	0.00004	1.581	10000	250	Totale	Si
0.843	SLE RA 16	0.00004	1.581	10000	250	Totale	Si
0.791	SLE RA 15	0.00004	1.581	10000	250	Totale	Si
0.791	SLE RA 14	0.00004	1.581	10000	250	Totale	Si
0.896	SLE RA 2	-0.00001	1.581	10000	350	Variabile	Si
0.896	SLE RA 17	0	1.581	10000	350	Variabile	Si
0.896	SLE RA 16	0.00001	1.581	10000	350	Variabile	Si
0.896	SLE RA 15	0	1.581	10000	350	Variabile	Si
0.896	SLE RA 14	0	1.581	10000	350	Variabile	Si

Superelemento in acciaio a quota "640"- "690" (-652; -408)-(-543; -511)

Caratteristiche del materiale

Acciaio: S275, fyk = 275000

Caratteristiche geometriche

Lunghezza: 1.581

Nodo iniziale: 590 Nodo finale: 1632

Cerniera iniziale: Mmomenti 1% Cerniera finale: Mmomenti 1%

Sovreresistenza: 0% Sisma Z: No

Caratteristiche della sezione

Sezione	Rotazione	Area	Jx	Jy	ix	iy	Wx	Wy	Wplx	Wply
A1; L100*10; 1; Saldato; S275; 50; 1; 8; 8; 1	180	0.003832	0.0000035319	0.000007759	0.0304	0.045	0.0000492	0.0000739	0.00008974	0.00012727

Comportamento dei calastrelli

Accoppiamento imbottito con funzione statica (§C4.2.4.1.3.1.4 NTC18) nella campata compresa tra le ascisse 0 e 1.581 per sbandamento attorno all'asse y.

Verifiche di resistenza

Verifiche a forza assiale §4.2.4.1.2.1 - §4.2.4.1.2.2 NTC18

X	Comb.	Sfruttamento	Classe	NEd	Nc,Rd	Nt,Rd	Riduzione da taglio	px	py	Verifica
1.581	SLU 75	0.055		55.153		1003.522	1	0	0	Si

Verifiche a forza assiale SLD §4.2.4.1.2.1 - §4.2.4.1.2.2 NTC18

X	Comb.	Sfruttamento	Classe	NEd	Nc,Rd	Nt,Rd	Riduzione da taglio	px	py	Verifica
1.581	SLD 16	0.013		12.629		1003.522	1	0	0	Si

Verifica a taglio Y §4.2.4.1.2.4 NTC18

X	Comb.	Sfruttamento	VEd	Vc,Rd	Av	Interazione taglio-torsione	Riduzione torsione	Verifica
0	SLU 75	0.001	-0.302	302.422	0.002	Non considerata		Si

Verifica a taglio Y SLD §4.2.4.1.2.4 NTC18

X	Comb.	Sfruttamento	VEd	Vc,Rd	Av	Interazione taglio-torsione	Riduzione torsione	Verifica
0	SLD 16	0.001	-0.227	302.422	0.002	Non considerata		Si

Verifica a presso/tenso flessione retta X §§ 4.2.4.1.2.3 - 4.2.4.1.2.6 - 4.2.4.1.2.7 - 4.2.4.1.2.8 NTC18

Verifiche eseguite utilizzando la formula conservativa (6.2) §6.2.1 EN 1993-1-1:2005.

X	Comb.	Sfruttamento	Classe	NEd	NRd	Rid. NRd da VEd	Mx,Ed	Mx,Rd	Rid. Mx,Rd da VEd	Rid. Mx,Rd da NEd	px	py	Verifica
0.843	SLU 75	0.06	1	55.062	1003.522	1	0.1236	23.5037	1		0	0	Si

Verifica a presso/tenso flessione retta X SLD §§ 4.2.4.1.2.3 - 4.2.4.1.2.6 - 4.2.4.1.2.7 - 4.2.4.1.2.8 NTC18

Verifiche eseguite utilizzando la formula conservativa (6.2) §6.2.1 EN 1993-1-1:2005.

X	Comb.	Sfruttamento	Classe	NEd	NRd	Rid. NRd da VEd	Mx,Ed	Mx,Rd	Rid. Mx,Rd da VEd	Rid. Mx,Rd da NEd	px	py	Verifica
0.791	SLD 14	0.016	1	12.424	1003.522	1	0.0904	23.5037	1		0	0	Si

Verifica a presso/tenso flessione retta Y §§ 4.2.4.1.2.3 - 4.2.4.1.2.6 - 4.2.4.1.2.7 - 4.2.4.1.2.8 NTC18

Verifiche eseguite utilizzando la formula conservativa (6.2) §6.2.1 EN 1993-1-1:2005.

X	Comb.	Sfruttamento	Classe	NEd	NRd	Rid. NRd da VEd	My,Ed	My,Rd	Rid. My,Rd da VEd	Rid. My,Rd da NEd	px	py	Verifica
0	SLU 4	0.017	3	-14.46	1003.522	1	0.0507	19.3536	1		0	0	Si

Verifica a presso/tenso flessione retta Y SLD §§ 4.2.4.1.2.3 - 4.2.4.1.2.6 - 4.2.4.1.2.7 - 4.2.4.1.2.8 NTC18

Verifiche eseguite utilizzando la formula conservativa (6.2) §6.2.1 EN 1993-1-1:2005.

X	Comb.	Sfruttamento	Classe	NEd	NRd	Rid. NRd da VEd	My,Ed	My,Rd	Rid. My,Rd da VEd	Rid. My,Rd da NEd	px	py	Verifica
1.581	SLD 12	0.013	1	12.627	1003.522	1	0.01	33.3316	1		0	0	Si

Verifica a presso/tenso flessione deviata §§ 4.2.4.1.2.3 - 4.2.4.1.2.6 - 4.2.4.1.2.7 - 4.2.4.1.2.8 NTC18

Verifiche eseguite utilizzando la formula conservativa (6.2) §6.2.1 EN 1993-1-1:2005.

X	Comb.	Sfruttamento	Classe	NEd	NRd	Rid. NRd da VEd	Mx,Ed	My,Ed	My,Rd	Rid. Mx,Rd da VEd	Rid. Mx,Rd da NEd	Rid. My,Rd da VEd	Rid. My,Rd da NEd	α	β	px	py	Verifica
1.054	SLU 75	0.06	1	55.088	1003.522	1	0.113	23.5037	-0.0074	33.3316	1	1				0	0	Si

Verifica a presso/tenso flessione deviata SLD §§ 4.2.4.1.2.3 - 4.2.4.1.2.6 - 4.2.4.1.2.7 - 4.2.4.1.2.8 NTC18

Verifiche eseguite utilizzando la formula conservativa (6.2) §6.2.1 EN 1993-1-1:2005.

X	Comb.	Sfruttamento	Classe	NEd	NRd	Rid. NRd da VEd	Mx,Ed	My,Ed	My,Rd	Rid. Mx,Rd da VEd	Rid. Mx,Rd da NEd	Rid. My,Rd da VEd	Rid. My,Rd da NEd	α	β	px	py	Verifica
0.791	SLD 15	0.017	1	12.554	1003.522	1	0.0905	23.5037	0.0099	33.3316	1	1				0	0	Si

Verifiche ad instabilità

Caratteristiche iniziali

Membratura principale per controllo snellezza; Calcolo di snellezze ed N critici condotti secondo gli assi principali;

Curva X: c; Curva Y: c;

Svergolamento: Nessuno; la verifica a instabilità flesso-torsionale (svergolamento) non verrà eseguita.

Dati per instabilità attorno a x

Controllo della snellezza secondo §4.2.4.1.3.1 NTC18

Numero rit.	Presente	Ascissa	Campata	βx/m	Vincolo a entrambi estremi	λx/m	λVer
-------------	----------	---------	---------	------	----------------------------	------	------

Implementazione dei sistemi di confinamento delle emissioni odorigene diffuse dell'impianto di compostaggio esistente nel
Comune di Eboli (SA)
PROGETTO DEFINITIVO – Tabulati di calcolo Tomo 1

Numero rit.	Presente	Ascissa	Campata	$\beta x/m$	Vincolo a entrambi estremi	$\lambda x/m$	λVer
1	Si	0	1-2	1	Si	52.1	Si, (<200)
2	Si	1.581					

Dati per instabilità attorno a y

Controllo della snellezza secondo §4.2.4.1.3.1 NTC18

Numero rit.	Presente	Ascissa	Campata	$\beta y/n$	k,LT	kw,LT	Vincolo a entrambi estremi
1	Si	0	1-2	1	Si	38.8	Si, (<200)
2	Si	1.581					

Verifica di stabilità per pressoflessione §C.4.2.4.1.3.3.1 NTC18

X	Comb.	Sfruttamento	Classe	NEd	MxEq,Ed	MyEq,Ed	Area	Wx	Wy	χ_{min}	$\lambda_{adim. x/m}$	$\lambda_{adim. y/n}$	N,crit x/m	N,crit y/n	Verifica
0	SLU 4	0.027	3	-14.46	0.0725	0.0514	0.003832	0.0000492	0.0000739	0.785	0.6	0.447	2928.123	5273.983	Si

Verifiche a deformabilità

Mensola X: No; Mensola Y: No.

Frecce lungo X

Ascissa freccia	Combinazione	Freccia	Luce	L/f	L/f,min	Tipo	Verifica
1.107	SLE RA 1	0	1.581	10000	250	Totale	Si
0.949	SLE RA 17	0	1.581	10000	250	Totale	Si
0.949	SLE RA 16	0	1.581	10000	250	Totale	Si
0.685	SLE RA 15	0	1.581	10000	250	Totale	Si
0.896	SLE RA 14	0	1.581	10000	250	Totale	Si
0.896	SLE RA 2	0	1.581	10000	350	Variabile	Si
0.896	SLE RA 17	0	1.581	10000	350	Variabile	Si
0.896	SLE RA 16	0	1.581	10000	350	Variabile	Si
0.791	SLE RA 15	0	1.581	10000	350	Variabile	Si
0.843	SLE RA 14	0	1.581	10000	350	Variabile	Si

Frecce lungo Y

Ascissa freccia	Combinazione	Freccia	Luce	L/f	L/f,min	Tipo	Verifica
0.791	SLE RA 1	0.00003	1.581	10000	250	Totale	Si
0.791	SLE RA 17	0.00003	1.581	10000	250	Totale	Si
0.791	SLE RA 16	0.00003	1.581	10000	250	Totale	Si
0.791	SLE RA 15	0.00003	1.581	10000	250	Totale	Si
0.791	SLE RA 14	0.00003	1.581	10000	250	Totale	Si
0.896	SLE RA 2	0	1.581	10000	350	Variabile	Si
0.896	SLE RA 17	0	1.581	10000	350	Variabile	Si
0.896	SLE RA 16	0	1.581	10000	350	Variabile	Si
0.896	SLE RA 15	0	1.581	10000	350	Variabile	Si
0.896	SLE RA 14	0	1.581	10000	350	Variabile	Si

Superelemento in acciaio a quota "640"- "690" (-904; -675)-(-795; -778)

Caratteristiche del materiale

Acciaio: S275, fyk = 275000

Caratteristiche geometriche

Lunghezza: 1.581

Nodo iniziale: 548 Nodo finale: 1626

Cerniera iniziale: Mmomenti 1% Cerniera finale: Mmomenti 1%

Sovraresistenza: 0% Sisma Z: No

Caratteristiche della sezione

Sezione	Rotazione	Area	Jx	Jy	ix	iy	Wx	Wy	Wplx	Wply
A1; L100*10; 1; Saldato; S275; 50; 1; 8; 8; 1	180	0.003832	0.0000035319	0.000007759	0.0304	0.045	0.0000492	0.0000739	0.00008974	0.00012727

Comportamento dei calastrelli

Accoppiamento imbottito con funzione statica (§C4.2.4.1.3.1.4 NTC18) nella campata compresa tra le ascisse 0 e 1.581 per sbandamento attorno all'asse y.

Verifiche di resistenza

Verifiche a forza assiale §4.2.4.1.2.1 - §4.2.4.1.2.2 NTC18

X	Comb.	Sfruttamento	Classe	NEd	Nc,Rd	Nt,Rd	Riduzione da taglio	px	py	Verifica
1.581	SLU 75	0.11		110.043		1003.522	1	0	0	Si

Verifiche a forza assiale SLD §4.2.4.1.2.1 - §4.2.4.1.2.2 NTC18

X	Comb.	Sfruttamento	Classe	NEd	Nc,Rd	Nt,Rd	Riduzione da taglio	px	py	Verifica
1.581	SLD 2	0.041		40.867		1003.522	1	0	0	Si

Verifica a taglio Y §4.2.4.1.2.4 NTC18

X	Comb.	Sfruttamento	VEd	Vc,Rd	Av	Interazione taglio-torsione	Riduzione torsione	Verifica
0	SLU 75	0.001	-0.315	302.422	0.002	Non considerata		Si

Verifica a taglio Y SLD §4.2.4.1.2.4 NTC18

X	Comb.	Sfruttamento	VEd	Vc,Rd	Av	Interazione taglio-torsione	Riduzione torsione	Verifica
0	SLD 1	0.001	-0.234	302.422	0.002	Non considerata		Si

Implementazione dei sistemi di confinamento delle emissioni odorigene diffuse dell'impianto di compostaggio esistente nel
Comune di Eboli (SA)
PROGETTO DEFINITIVO – Tabulati di calcolo Tomo 1

Verifica a flessione semplice X §§ 4.2.4.1.2.3 - 4.2.4.1.2.6 - 4.2.4.1.2.7 - 4.2.4.1.2.8 NTC18

X	Comb.	Sfruttamento	Classe	Mx,Ed	Mx,Rd	Rid. Mx,Rd da VEd	px	py	Verifica
0.791	SLU 59	0.005	1	0.11522	23.50374	1	0	0	Si

Verifica a presso/tenso flessione retta X §§ 4.2.4.1.2.3 - 4.2.4.1.2.6 - 4.2.4.1.2.7 - 4.2.4.1.2.8 NTC18

Verifiche eseguite utilizzando la formula conservativa (6.2) §6.2.1 EN 1993-1-1:2005.

X	Comb.	Sfruttamento	Classe	NEd	NRd	Rid. NRd da VEd	Mx,Ed	Mx,Rd	Rid. Mx,Rd da VEd	Rid. Mx,Rd da NEd	px	py	Verifica
0.527	SLU 73	0.101	1	96.504	1003.522	1	0.1153	23.5037	1		0	0	Si

Verifica a presso/tenso flessione retta X SLD §§ 4.2.4.1.2.3 - 4.2.4.1.2.6 - 4.2.4.1.2.7 - 4.2.4.1.2.8 NTC18

Verifiche eseguite utilizzando la formula conservativa (6.2) §6.2.1 EN 1993-1-1:2005.

X	Comb.	Sfruttamento	Classe	NEd	NRd	Rid. NRd da VEd	Mx,Ed	Mx,Rd	Rid. Mx,Rd da VEd	Rid. Mx,Rd da NEd	px	py	Verifica
0.264	SLD 3	0.04	1	37.501	1003.522	1	0.0522	23.5037	1		0	0	Si

Verifica a presso/tenso flessione retta Y §§ 4.2.4.1.2.3 - 4.2.4.1.2.6 - 4.2.4.1.2.7 - 4.2.4.1.2.8 NTC18

Verifiche eseguite utilizzando la formula conservativa (6.2) §6.2.1 EN 1993-1-1:2005.

X	Comb.	Sfruttamento	Classe	NEd	NRd	Rid. NRd da VEd	My,Ed	My,Rd	Rid. My,Rd da VEd	Rid. My,Rd da NEd	px	py	Verifica
0	SLU 75	0.11	1	109.847	1003.522	1	-0.0091	33.3316	1		0	0	Si

Verifica a presso/tenso flessione retta Y SLD §§ 4.2.4.1.2.3 - 4.2.4.1.2.6 - 4.2.4.1.2.7 - 4.2.4.1.2.8 NTC18

Verifiche eseguite utilizzando la formula conservativa (6.2) §6.2.1 EN 1993-1-1:2005.

X	Comb.	Sfruttamento	Classe	NEd	NRd	Rid. NRd da VEd	My,Ed	My,Rd	Rid. My,Rd da VEd	Rid. My,Rd da NEd	px	py	Verifica
0	SLD 1	0.041	1	40.717	1003.522	1	-0.0113	33.3316	1		0	0	Si

Verifica a presso/tenso flessione deviata §§ 4.2.4.1.2.3 - 4.2.4.1.2.6 - 4.2.4.1.2.7 - 4.2.4.1.2.8 NTC18

Verifiche eseguite utilizzando la formula conservativa (6.2) §6.2.1 EN 1993-1-1:2005.

X	Comb.	Sfruttamento	Classe	NEd	NRd	Rid. NRd da VEd	Mx,Ed	Mx,Rd	My,Ed	My,Rd	Rid. Mx,Rd da VEd	Rid. Mx,Rd da NEd	Rid. My,Rd da VEd	Rid. My,Rd da NEd	α	β	px	py	Verifica
0.843	SLU 75	0.116	1	109.951	1003.522	1	0.1363	23.5037	-0.015	33.3316	1		1				0	0	Si

Verifica a presso/tenso flessione deviata SLD §§ 4.2.4.1.2.3 - 4.2.4.1.2.6 - 4.2.4.1.2.7 - 4.2.4.1.2.8 NTC18

Verifiche eseguite utilizzando la formula conservativa (6.2) §6.2.1 EN 1993-1-1:2005.

X	Comb.	Sfruttamento	Classe	NEd	NRd	Rid. NRd da VEd	Mx,Ed	Mx,Rd	My,Ed	My,Rd	Rid. Mx,Rd da VEd	Rid. Mx,Rd da NEd	Rid. My,Rd da VEd	Rid. My,Rd da NEd	α	β	px	py	Verifica
0.843	SLD 2	0.045	1	40.797	1003.522	1	0.0964	23.5037	-0.0151	33.3316	1		1				0	0	Si

Verifiche ad instabilità

Caratteristiche iniziali

Membratura principale per controllo snellezza; Calcolo di snellezze ed N critici condotti secondo gli assi principali;

Curva X: c; Curva Y: c;

Svergolamento: Nessuno; la verifica a instabilità flesso-torsionale (svergolamento) non verrà eseguita.

Dati per instabilità attorno a x

Controllo della snellezza secondo §4.2.4.1.3.1 NTC18

Numero rit.	Presente	Ascissa	Campata	βx/m	Vincolo a entrambi estremi	λx/m	λVer
1	Si		0				
			1-2		1	52.1	Si, (<200)
2	Si	1.581					

Dati per instabilità attorno a y

Controllo della snellezza secondo §4.2.4.1.3.1 NTC18

Numero rit.	Presente	Ascissa	Campata	βy/n	k,LT	kw,LT	Vincolo a entrambi estremi
1	Si		0				
			1-2		1	38.8	Si, (<200)
2	Si	1.581					

Verifica di stabilità per pressoflessione §C.4.2.4.1.3.3.1 NTC18

X	Comb.	Sfruttamento	Classe	NEd	MxEq,Ed	MyEq,Ed	Area	Wx	Wy	x,min	λ adim. x/m	λ adim. y/n	N,crit x/m	N,crit y/n	Verifica
0	SLU 2	0.028	3	-15.72	0.0728	0.0533	0.003832	0.0000492	0.0000739	0.785	0.6	0.447	2928.123	5273.983	Si

Verifiche a deformabilità

Mensola X: No; Mensola Y: No.

Frecce lungo X

Ascissa freccia	Combinazione	Freccia	Luce	L/f	L/f,min	Tipo	Verifica
0.843	SLE RA 1	0	1.581	10000	250	Totale	Si
0.843	SLE RA 17	0	1.581	10000	250	Totale	Si
0.843	SLE RA 16	0	1.581	10000	250	Totale	Si
0.527	SLE RA 15	0	1.581	10000	250	Totale	Si
0.843	SLE RA 14	0	1.581	10000	250	Totale	Si
0.843	SLE RA 2	0	1.581	10000	350	Variabile	Si
0.843	SLE RA 17	0	1.581	10000	350	Variabile	Si
0.843	SLE RA 16	0	1.581	10000	350	Variabile	Si
0.843	SLE RA 15	0	1.581	10000	350	Variabile	Si
0.843	SLE RA 14	0	1.581	10000	350	Variabile	Si

Frecce lungo Y

Ascissa freccia	Combinazione	Freccia	Luce	L/f	L/f,min	Tipo	Verifica
0.791	SLE RA 1	0.00003	1.581	10000	250	Totale	Si
0.791	SLE RA 17	0.00004	1.581	10000	250	Totale	Si
0.791	SLE RA 16	0.00004	1.581	10000	250	Totale	Si
0.791	SLE RA 15	0.00004	1.581	10000	250	Totale	Si
0.791	SLE RA 14	0.00004	1.581	10000	250	Totale	Si
0.896	SLE RA 2	0	1.581	10000	350	Variabile	Si
0.896	SLE RA 17	0	1.581	10000	350	Variabile	Si

Implementazione dei sistemi di confinamento delle emissioni odorigene diffuse dell'impianto di compostaggio esistente nel
Comune di Eboli (SA)
PROGETTO DEFINITIVO – Tabulati di calcolo Tomo 1

Ascissa freccia	Combinazione	Freccia	Luce	L/f	L/f,min	Tipo	Verifica
0.896	SLE RA 16	0	1.581	10000	350	Variabile	Si
0.896	SLE RA 15	0	1.581	10000	350	Variabile	Si
0.896	SLE RA 14	0	1.581	10000	350	Variabile	Si

Superelemento in acciaio a quota "640"- "690" (-1161; -948)-(-1052; -1050)

Caratteristiche del materiale

Acciaio: S275, fyk = 275000

Caratteristiche geometriche

Lunghezza: 1.581

Nodo iniziale: 526 Nodo finale: 1622

Cerniera iniziale: Mmomenti 1% Cerniera finale: Mmomenti 1%

Sovreresistenza: 0% Sisma Z: No

Caratteristiche della sezione

Sezione	Rotazione	Area	Jx	Jy	ix	iy	Wx	Wy	Wplx	Wply
A1; L100*10; 1; Saldato; S275; 50; 1; 8; 8; 1	180	0.003832	0.0000035319	0.000007759	0.0304	0.045	0.0000492	0.0000739	0.00008974	0.00012727

Comportamento dei calastrelli

Accoppiamento imbottito con funzione statica (§C4.2.4.1.3.1.4 NTC18) nella campata compresa tra le ascisse 0 e 1.581 per sbandamento attorno all'asse y.

Verifiche di resistenza

Verifiche a forza assiale §4.2.4.1.2.1 - §4.2.4.1.2.2 NTC18

X	Comb.	Sfruttamento	Classe	NEd	Nc,Rd	Nt,Rd	Riduzione da taglio	px	py	Verifica
1.581	SLU 75	0.098		98.462		1003.522	1	0	0	Si

Verifiche a forza assiale SLD §4.2.4.1.2.1 - §4.2.4.1.2.2 NTC18

X	Comb.	Sfruttamento	Classe	NEd	Nc,Rd	Nt,Rd	Riduzione da taglio	px	py	Verifica
1.581	SLD 16	0.038		38.63		1003.522	1	0	0	Si

Verifica a taglio Y §4.2.4.1.2.4 NTC18

X	Comb.	Sfruttamento	VEd	Vc,Rd	Av	Interazione taglio-torsione	Riduzione torsione	Verifica
0	SLU 75	0.001	-0.312	302.422	0.002	Non considerata		Si

Verifica a taglio Y SLD §4.2.4.1.2.4 NTC18

X	Comb.	Sfruttamento	VEd	Vc,Rd	Av	Interazione taglio-torsione	Riduzione torsione	Verifica
0	SLD 16	0.001	-0.233	302.422	0.002	Non considerata		Si

Verifica a flessione semplice X §§ 4.2.4.1.2.3 - 4.2.4.1.2.6 - 4.2.4.1.2.7 - 4.2.4.1.2.8 NTC18

X	Comb.	Sfruttamento	Classe	Mx,Ed	Mx,Rd	Rid. Mx,Rd da VEd	px	py	Verifica
0.685	SLU 21	0.004	1	0.08706	23.50374	1	0	0	Si

Verifica a presso/tenso flessione retta X §§ 4.2.4.1.2.3 - 4.2.4.1.2.6 - 4.2.4.1.2.7 - 4.2.4.1.2.8 NTC18

Verifiche eseguite utilizzando la formula conservativa (6.2) §6.2.1 EN 1993-1-1:2005.

X	Comb.	Sfruttamento	Classe	NEd	NRd	Rid. NRd da VEd	Mx,Ed	Mx,Rd	Rid. Mx,Rd da VEd	Rid. Mx,Rd da NEd	px	py	Verifica
0.685	SLU 73	0.097	1	91.768	1003.522	1	0.1283	23.5037	1		0	0	Si

Verifica a presso/tenso flessione retta X SLD §§ 4.2.4.1.2.3 - 4.2.4.1.2.6 - 4.2.4.1.2.7 - 4.2.4.1.2.8 NTC18

Verifiche eseguite utilizzando la formula conservativa (6.2) §6.2.1 EN 1993-1-1:2005.

X	Comb.	Sfruttamento	Classe	NEd	NRd	Rid. NRd da VEd	Mx,Ed	Mx,Rd	Rid. Mx,Rd da VEd	Rid. Mx,Rd da NEd	px	py	Verifica
0.843	SLD 13	0.041	1	37.056	1003.522	1	0.0955	23.5037	1		0	0	Si

Verifica a presso/tenso flessione retta Y §§ 4.2.4.1.2.3 - 4.2.4.1.2.6 - 4.2.4.1.2.7 - 4.2.4.1.2.8 NTC18

Verifiche eseguite utilizzando la formula conservativa (6.2) §6.2.1 EN 1993-1-1:2005.

X	Comb.	Sfruttamento	Classe	NEd	NRd	Rid. NRd da VEd	My,Ed	My,Rd	Rid. My,Rd da VEd	Rid. My,Rd da NEd	px	py	Verifica
0	SLU 75	0.098	1	98.267	1003.522	1	-0.0075	33.3316	1		0	0	Si

Verifica a presso/tenso flessione retta Y SLD §§ 4.2.4.1.2.3 - 4.2.4.1.2.6 - 4.2.4.1.2.7 - 4.2.4.1.2.8 NTC18

Verifiche eseguite utilizzando la formula conservativa (6.2) §6.2.1 EN 1993-1-1:2005.

X	Comb.	Sfruttamento	Classe	NEd	NRd	Rid. NRd da VEd	My,Ed	My,Rd	Rid. My,Rd da VEd	Rid. My,Rd da NEd	px	py	Verifica
0	SLD 15	0.039	1	38.48	1003.522	1	0.0081	33.3316	1		0	0	Si

Verifica a presso/tenso flessione deviata §§ 4.2.4.1.2.3 - 4.2.4.1.2.6 - 4.2.4.1.2.7 - 4.2.4.1.2.8 NTC18

Verifiche eseguite utilizzando la formula conservativa (6.2) §6.2.1 EN 1993-1-1:2005.

X	Comb.	Sfruttamento	Classe	NEd	NRd	Rid. NRd da VEd	Mx,Ed	Mx,Rd	My,Ed	My,Rd	Rid. Mx,Rd da VEd	Rid. Mx,Rd da NEd	Rid. My,Rd da VEd	Rid. My,Rd da NEd	α	β	px	py	Verifica
0.843	SLU 75	0.104	1	98.371	1003.522	1	0.1339	23.5037	-0.014	33.3316	1		1				0	0	Si

Verifica a presso/tenso flessione deviata SLD §§ 4.2.4.1.2.3 - 4.2.4.1.2.6 - 4.2.4.1.2.7 - 4.2.4.1.2.8 NTC18

Verifiche eseguite utilizzando la formula conservativa (6.2) §6.2.1 EN 1993-1-1:2005.

X	Comb.	Sfruttamento	Classe	NEd	NRd	Rid. NRd da VEd	Mx,Ed	Mx,Rd	My,Ed	My,Rd	Rid. Mx,Rd da VEd	Rid. Mx,Rd da NEd	Rid. My,Rd da VEd	Rid. My,Rd da NEd	α	β	px	py	Verifica
0.843	SLD 15	0.043	1	38.56	1003.522	1	0.0959	23.5037	0.0098	33.3316	1		1				0	0	Si

Implementazione dei sistemi di confinamento delle emissioni odorigene diffuse dell'impianto di compostaggio esistente nel
Comune di Eboli (SA)
PROGETTO DEFINITIVO – Tabulati di calcolo Tomo 1

Verifiche ad instabilità

Caratteristiche iniziali

Membratura principale per controllo snellezza; Calcolo di snellezze ed N critici condotti secondo gli assi principali;

Curva X: c; Curva Y: c;

Svergolamento: Nessuno; la verifica a instabilità flesso-torsionale (svergolamento) non verrà eseguita.

Dati per instabilità attorno a x

Controllo della snellezza secondo §4.2.4.1.3.1 NTC18

Numero rit.	Presente	Ascissa	Campata	$\beta x/m$	Vincolo a entrambi estremi	$\lambda x/m$	λVer
1	Si	0					
			1-2	1	Si	52.1	Si, (<200)
2	Si	1.581					

Dati per instabilità attorno a y

Controllo della snellezza secondo §4.2.4.1.3.1 NTC18

Numero rit.	Presente	Ascissa	Campata	$\beta y/n$	k,LT	kw,LT	Vincolo a entrambi estremi
1	Si	0					
			1-2	1	Si	38.8	Si, (<200)
2	Si	1.581					

Verifica di stabilità per pressoflessione §C.4.2.4.1.3.3.1 NTC18

X	Comb.	Sfruttamento	Classe	NEd	MxEq,Ed	MyEq,Ed	Area	Wx	Wy	χ_{min}	$\lambda_{adim. x/m}$	$\lambda_{adim. y/n}$	N,crit x/m	N,crit y/n	Verifica
0	SLU 2	0.017	3	-7.826	0.0745	0.0281	0.003832	0.0000492	0.0000739	0.785	0.6	0.447	2928.123	5273.983	Si

Verifiche a deformabilità

Mensola X: No; Mensola Y: No.

Frecce lungo X

Ascissa freccia	Combinazione	Freccia	Luce	L/f	L/f,min	Tipo	Verifica
0.843	SLE RA 1	0	1.581	10000	250	Totale	Si
0.843	SLE RA 17	0	1.581	10000	250	Totale	Si
0.843	SLE RA 16	0	1.581	10000	250	Totale	Si
1.107	SLE RA 15	0	1.581	10000	250	Totale	Si
0.843	SLE RA 14	0	1.581	10000	250	Totale	Si
0.843	SLE RA 2	0	1.581	10000	350	Variabile	Si
0.843	SLE RA 17	0	1.581	10000	350	Variabile	Si
0.843	SLE RA 16	0	1.581	10000	350	Variabile	Si
0.843	SLE RA 15	0	1.581	10000	350	Variabile	Si
0.843	SLE RA 14	0	1.581	10000	350	Variabile	Si

Frecce lungo Y

Ascissa freccia	Combinazione	Freccia	Luce	L/f	L/f,min	Tipo	Verifica
0.791	SLE RA 1	0.00003	1.581	10000	250	Totale	Si
0.791	SLE RA 17	0.00004	1.581	10000	250	Totale	Si
0.791	SLE RA 16	0.00004	1.581	10000	250	Totale	Si
0.791	SLE RA 15	0.00004	1.581	10000	250	Totale	Si
0.791	SLE RA 14	0.00004	1.581	10000	250	Totale	Si
0.896	SLE RA 2	0	1.581	10000	350	Variabile	Si
0.896	SLE RA 17	0	1.581	10000	350	Variabile	Si
0.896	SLE RA 16	0	1.581	10000	350	Variabile	Si
0.896	SLE RA 15	0	1.581	10000	350	Variabile	Si
0.896	SLE RA 14	0	1.581	10000	350	Variabile	Si

Superelemento in acciaio a quota "640"-"703" (2; 505)-(111; 402)

Caratteristiche del materiale

Acciaio: S275, fyk = 275000

Caratteristiche geometriche

Lunghezza: 1.625

Nodo iniziale: 771 Nodo finale: 1865

Cerniera iniziale: Mmomenti 1% Cerniera finale: Mmomenti 1%

Sovraresistenza: 0% Sisma Z: No

Caratteristiche della sezione

Sezione	Rotazione	Area	Jx	Jy	ix	iy	Wx	Wy	Wplx	Wply
A1; L100*10; 1; Saldato; S275; 50; 1; 8; 8; 1	180	0.003832	0.0000035319	0.000007759	0.0304	0.045	0.0000492	0.0000739	0.00008974	0.00012727

Comportamento dei calastrelli

Accoppiamento imbottito con funzione statica (§C4.2.4.1.3.1.4 NTC18) nella campata compresa tra le ascisse 0 e 1.625 per sbandamento attorno all'asse y.

Verifiche di resistenza

Verifiche a forza assiale §4.2.4.1.2.1 - §4.2.4.1.2.2 NTC18

X	Comb.	Sfruttamento	Classe	NEd	Nc,Rd	Nt,Rd	Riduzione da taglio	px	py	Verifica
1.625	SLU 75	0.051		51.287		1003.522	1	0	0	Si

Verifiche a forza assiale SLD §4.2.4.1.2.1 - §4.2.4.1.2.2 NTC18

X	Comb.	Sfruttamento	Classe	NEd	Nc,Rd	Nt,Rd	Riduzione da taglio	px	py	Verifica
1.625	SLD 2	0.021		21.329		1003.522	1	0	0	Si

Implementazione dei sistemi di confinamento delle emissioni odorigene diffuse dell'impianto di compostaggio esistente nel
Comune di Eboli (SA)
PROGETTO DEFINITIVO – Tabulati di calcolo Tomo 1

Verifica a taglio Y §4.2.4.1.2.4 NTC18

X	Comb.	Sfruttamento	VEd	Vc,Rd	Av	Interazione taglio-torsione	Riduzione torsione	Verifica
1.625	SLU 75	0.001	0.324	302.422	0.002	Non considerata		Si

Verifica a taglio Y SLD §4.2.4.1.2.4 NTC18

X	Comb.	Sfruttamento	VEd	Vc,Rd	Av	Interazione taglio-torsione	Riduzione torsione	Verifica
1.625	SLD 1	0.001	0.234	302.422	0.002	Non considerata		Si

Verifica a flessione semplice X §§ 4.2.4.1.2.3 - 4.2.4.1.2.6 - 4.2.4.1.2.7 - 4.2.4.1.2.8 NTC18

X	Comb.	Sfruttamento	Classe	Mx,Ed	Mx,Rd	Rid. Mx,Rd da VEd	px	py	Verifica
0.812	SLU 5	0.004	1	0.09379	23.50374	1	0	0	Si

Verifica a presso/tenso flessione retta X §§ 4.2.4.1.2.3 - 4.2.4.1.2.6 - 4.2.4.1.2.7 - 4.2.4.1.2.8 NTC18

Verifiche eseguite utilizzando la formula conservativa (6.2) §6.2.1 EN 1993-1-1:2005.

X	Comb.	Sfruttamento	Classe	NEd	NRd	Rid. NRd da VEd	Mx,Ed	Mx,Rd	Rid. Mx,Rd da VEd	Rid. Mx,Rd da NEd	px	py	Verifica
0.758	SLU 75	0.055	1	51.157	1003.522	1	0.0959	23.5037	1		0	0	Si

Verifica a presso/tenso flessione retta Y §§ 4.2.4.1.2.3 - 4.2.4.1.2.6 - 4.2.4.1.2.7 - 4.2.4.1.2.8 NTC18

Verifiche eseguite utilizzando la formula conservativa (6.2) §6.2.1 EN 1993-1-1:2005.

X	Comb.	Sfruttamento	Classe	NEd	NRd	Rid. My,Rd da VEd	My,Ed	My,Rd	Rid. My,Rd da VEd	Rid. My,Rd da NEd	px	py	Verifica
1.571	SLV 1	0.029	1	27.835	1003.522	1	-0.0556	33.3316	1		0	0	Si

Verifica a presso/tenso flessione retta Y SLD §§ 4.2.4.1.2.3 - 4.2.4.1.2.6 - 4.2.4.1.2.7 - 4.2.4.1.2.8 NTC18

Verifiche eseguite utilizzando la formula conservativa (6.2) §6.2.1 EN 1993-1-1:2005.

X	Comb.	Sfruttamento	Classe	NEd	NRd	Rid. NRd da VEd	My,Ed	My,Rd	Rid. My,Rd da VEd	Rid. My,Rd da NEd	px	py	Verifica
1.571	SLD 1	0.022	1	21.323	1003.522	1	-0.0225	33.3316	1		0	0	Si

Verifica a presso/tenso flessione deviata §§ 4.2.4.1.2.3 - 4.2.4.1.2.6 - 4.2.4.1.2.7 - 4.2.4.1.2.8 NTC18

Verifiche eseguite utilizzando la formula conservativa (6.2) §6.2.1 EN 1993-1-1:2005.

X	Comb.	Sfruttamento	Classe	NEd	NRd	Rid. NRd da VEd	Mx,Ed	Mx,Rd	My,Ed	My,Rd	Rid. Mx,Rd da VEd	Rid. Mx,Rd da NEd	Rid. My,Rd da VEd	Rid. My,Rd da NEd	α	β	px	py	Verifica
0.812	SLV 6	0.033	1	27.69	1003.522	1	0.0885	23.5037	-0.0535	33.3316	1		1				0	0	Si

Verifica a presso/tenso flessione deviata SLD §§ 4.2.4.1.2.3 - 4.2.4.1.2.6 - 4.2.4.1.2.7 - 4.2.4.1.2.8 NTC18

Verifiche eseguite utilizzando la formula conservativa (6.2) §6.2.1 EN 1993-1-1:2005.

X	Comb.	Sfruttamento	Classe	NEd	NRd	Rid. NRd da VEd	Mx,Ed	Mx,Rd	My,Ed	My,Rd	Rid. Mx,Rd da VEd	Rid. Mx,Rd da NEd	Rid. My,Rd da VEd	Rid. My,Rd da NEd	α	β	px	py	Verifica
0.812	SLD 5	0.025	1	21.208	1003.522	1	0.0872	23.5037	-0.0216	33.3316	1		1				0	0	Si

Verifiche ad instabilità

Caratteristiche iniziali

Membratura principale per controllo snellezza; Calcolo di snellezze ed N critici condotti secondo gli assi principali;

Curva X: c; Curva Y: c;

Svergolamento: Nessuno; la verifica a instabilità flesso-torsionale (svergolamento) non verrà eseguita.

Dati per instabilità attorno a x

Controllo della snellezza secondo §4.2.4.1.3.1 NTC18

Numero rit.	Presente	Ascissa	Campata	βx/m	Vincolo a entrambi estremi	λx/m	λVer
1	Si		0				
			1-2		1	Si	53.5
2	Si		1.625				Si, (<200)

Dati per instabilità attorno a y

Controllo della snellezza secondo §4.2.4.1.3.1 NTC18

Numero rit.	Presente	Ascissa	Campata	βy/n	k,LT	kw,LT	Vincolo a entrambi estremi
1	Si		0				
			1-2		1	Si	39.7
2	Si		1.625				Si, (<200)

Verifica di stabilità per pressoflessione §C.4.2.4.1.3.3.1 NTC18

X	Comb.	Sfruttamento	Classe	NEd	MxEq,Ed	MyEq,Ed	Area	Wx	Wy	χ,min	λ adim. x/m	λ adim. y/n	N,crit x/m	N,crit y/n	Verifica
0	SLU 2	0.019	3	-8.651	0.087	0.029	0.003832	0.0000492	0.0000739	0.776	0.617	0.457	2772.187	5041.477	Si

Verifiche a deformabilità

Mensola X: No; Mensola Y: No.

Frecce lungo X

Ascissa freccia	Combinazione	Freccia	Luce	L/f	L/f,min	Tipo	Verifica
0.975	SLE RA 1	0	1.625	10000	250	Totale	Si
0.921	SLE RA 17	0	1.625	10000	250	Totale	Si
0.921	SLE RA 16	0	1.625	10000	250	Totale	Si
0.812	SLE RA 15	0	1.625	10000	250	Totale	Si
0.975	SLE RA 14	0	1.625	10000	250	Totale	Si
0.921	SLE RA 2	0	1.625	10000	350	Variabile	Si
0.921	SLE RA 17	0	1.625	10000	350	Variabile	Si
0.921	SLE RA 16	0	1.625	10000	350	Variabile	Si
0.758	SLE RA 15	0	1.625	10000	350	Variabile	Si
0.975	SLE RA 14	0	1.625	10000	350	Variabile	Si

Frecce lungo Y

Ascissa freccia	Combinazione	Freccia	Luce	L/f	L/f,min	Tipo	Verifica
0.812	SLE RA 1	0.00003	1.625	10000	250	Totale	Si
0.812	SLE RA 17	0.00003	1.625	10000	250	Totale	Si
0.812	SLE RA 16	0.00003	1.625	10000	250	Totale	Si
0.812	SLE RA 15	0.00003	1.625	10000	250	Totale	Si

**Implementazione dei sistemi di confinamento delle emissioni odorigene diffuse dell'impianto di compostaggio esistente nel
Comune di Eboli (SA)**

PROGETTO DEFINITIVO – Tabulati di calcolo Tomo 1

Ascissa freccia	Combinazione	Freccia	Luce	L/f	L/f,min	Tipo	Verifica
0.812	SLE RA 14	0.00003	1.625	10000	250	Totale	Si
0.921	SLE RA 2	0	1.625	10000	350	Variabile	Si
0.921	SLE RA 17	0	1.625	10000	350	Variabile	Si
0.921	SLE RA 16	0	1.625	10000	350	Variabile	Si
0.975	SLE RA 15	0	1.625	10000	350	Variabile	Si
0.921	SLE RA 14	0	1.625	10000	350	Variabile	Si

Superelemento in acciaio a quota "640"- "703" (251; 769)-(360; 666)

Caratteristiche del materiale

Acciaio: S275, fyk = 275000

Caratteristiche geometriche

Lunghezza: 1.625

Nodo iniziale: 825 Nodo finale: 1875

Cerniera iniziale: Mmomenti 1% Cerniera finale: Mmomenti 1%

Sovreresistenza: 0% Sisma Z: No

Caratteristiche della sezione

Sezione	Rotazione	Area	Jx	Jy	ix	iy	Wx	Wy	Wplx	Wply
A1; L100*10; 1; Saldato; S275; 50; 1; 8; 8; 1	180	0.003832	0.0000035319	0.000007759	0.0304	0.045	0.0000492	0.0000739	0.00008974	0.00012727

Comportamento dei calastrelli

Accoppiamento imbottito con funzione statica (§C4.2.4.1.3.1.4 NTC18) nella campata compresa tra le ascisse 0 e 1.625 per sbandamento attorno all'asse y.

Verifiche di resistenza

Verifiche a forza assiale §4.2.4.1.2.1 - §4.2.4.1.2.2 NTC18

X	Comb.	Sfruttamento	Classe	NEd	Nc,Rd	Nt,Rd	Riduzione da taglio	px	py	Verifica
1.625	SLU 75	0.011		10.672		1003.522	1	0	0	Si

Verifiche a forza assiale SLD §4.2.4.1.2.1 - §4.2.4.1.2.2 NTC18

X	Comb.	Sfruttamento	Classe	NEd	Nc,Rd	Nt,Rd	Riduzione da taglio	px	py	Verifica
1.625	SLD 4	0.002		2.213		1003.522	1	0	0	Si

Verifica a taglio X §4.2.4.1.2.4 NTC18

X	Comb.	Sfruttamento	VEd	Vc,Rd	Av	Interazione taglio-torsione	Riduzione torsione	Verifica
0	SLV 13	0.001	0.318	302.422	0.002	Non considerata		Si

Verifica a taglio Y §4.2.4.1.2.4 NTC18

X	Comb.	Sfruttamento	VEd	Vc,Rd	Av	Interazione taglio-torsione	Riduzione torsione	Verifica
1.625	SLU 75	0.001	0.316	302.422	0.002	Non considerata		Si

Verifica a taglio Y SLD §4.2.4.1.2.4 NTC18

X	Comb.	Sfruttamento	VEd	Vc,Rd	Av	Interazione taglio-torsione	Riduzione torsione	Verifica
1.625	SLD 4	0.001	0.231	302.422	0.002	Non considerata		Si

Verifica a flessione semplice Y §§ 4.2.4.1.2.3 - 4.2.4.1.2.6 - 4.2.4.1.2.7 - 4.2.4.1.2.8 NTC18

X	Comb.	Sfruttamento	Classe	My,Ed	My,Rd	Rid. My,Rd da VEd	px	py	Verifica
0	SLV 13	0	1	0.01587	33.33162	1	0	0	Si

Verifica a flessione deviata §§ 4.2.4.1.2.3 - 4.2.4.1.2.6 - 4.2.4.1.2.7 - 4.2.4.1.2.8 NTC18

X	Comb.	Sfruttamento	Classe	Mx,Ed	Mx,Rd	My,Ed	My,Rd	Rid. Mx,Rd da VEd	Rid. My,Rd da VEd	α	β	px	py	Verifica
0.975	SLV 14	0.006	1	0.084	23.5037	0.0809	33.3316	1	1			0	0	Si

Verifica a presso/tenso flessione retta X §§ 4.2.4.1.2.3 - 4.2.4.1.2.6 - 4.2.4.1.2.7 - 4.2.4.1.2.8 NTC18

Verifiche eseguite utilizzando la formula conservativa (6.2) §6.2.1 EN 1993-1-1:2005.

X	Comb.	Sfruttamento	Classe	NEd	NRd	Rid. NRd da VEd	Mx,Ed	Mx,Rd	Rid. Mx,Rd da VEd	Rid. Mx,Rd da NEd	px	py	Verifica
0.758	SLU 75	0.015	1	10.542	1003.522	1	0.1013	23.5037	1		0	0	Si

Verifica a presso/tenso flessione retta X SLD §§ 4.2.4.1.2.3 - 4.2.4.1.2.6 - 4.2.4.1.2.7 - 4.2.4.1.2.8 NTC18

Verifiche eseguite utilizzando la formula conservativa (6.2) §6.2.1 EN 1993-1-1:2005.

X	Comb.	Sfruttamento	Classe	NEd	NRd	Rid. NRd da VEd	Mx,Ed	Mx,Rd	Rid. Mx,Rd da VEd	Rid. Mx,Rd da NEd	px	py	Verifica
0.054	SLD 3	0.003	1	2.031	1003.522	1	0.0112	23.5037	1		0	0	Si

Verifica a presso/tenso flessione retta Y §§ 4.2.4.1.2.3 - 4.2.4.1.2.6 - 4.2.4.1.2.7 - 4.2.4.1.2.8 NTC18

Verifiche eseguite utilizzando la formula conservativa (6.2) §6.2.1 EN 1993-1-1:2005.

X	Comb.	Sfruttamento	Classe	NEd	NRd	Rid. NRd da VEd	My,Ed	My,Rd	Rid. My,Rd da VEd	Rid. My,Rd da NEd	px	py	Verifica
1.571	SLV 1	0.009	1	2.456	1003.522	1	-0.2253	33.3316	1		0	0	Si

Verifica a presso/tenso flessione retta Y SLD §§ 4.2.4.1.2.3 - 4.2.4.1.2.6 - 4.2.4.1.2.7 - 4.2.4.1.2.8 NTC18

Verifiche eseguite utilizzando la formula conservativa (6.2) §6.2.1 EN 1993-1-1:2005.

X	Comb.	Sfruttamento	Classe	NEd	NRd	Rid. NRd da VEd	My,Ed	My,Rd	Rid. My,Rd da VEd	Rid. My,Rd da NEd	px	py	Verifica
1.571	SLD 1	0.005	1	1.951	1003.522	1	-0.0904	33.3316	1		0	0	Si

Verifica a presso/tenso flessione deviata §§ 4.2.4.1.2.3 - 4.2.4.1.2.6 - 4.2.4.1.2.7 - 4.2.4.1.2.8 NTC18

Verifiche eseguite utilizzando la formula conservativa (6.2) §6.2.1 EN 1993-1-1:2005.

Implementazione dei sistemi di confinamento delle emissioni odorigene diffuse dell'impianto di compostaggio esistente nel
Comune di Eboli (SA)
PROGETTO DEFINITIVO – Tabulati di calcolo Tomo 1

X	Comb.	Sfruttamento	Classe	NEd	NRd	Rid. NRd da VEd	Mx,Ed	Mx,Rd	My,Ed	My,Rd	Rid. Mx,Rd da VEd	Rid. Mx,Rd da NEd	Rid. My,Rd da VEd	Rid. My,Rd da NEd	α	β	ρ_x	ρ_y	Verifica
0.704	SLU 42	0.014	3	-4.455	1003.522	1	0.1179	12.886	0.0154	19.3536	1		1				0	0	Si

Verifica a presso/tenso flessione deviata SLD §§ 4.2.4.1.2.3 - 4.2.4.1.2.6 - 4.2.4.1.2.7 - 4.2.4.1.2.8 NTC18

Verifiche eseguite utilizzando la formula conservativa (6.2) §6.2.1 EN 1993-1-1:2005.

X	Comb.	Sfruttamento	Classe	NEd	NRd	Rid. NRd da VEd	Mx,Ed	Mx,Rd	My,Ed	My,Rd	Rid. Mx,Rd da VEd	Rid. Mx,Rd da NEd	Rid. My,Rd da VEd	Rid. My,Rd da NEd	α	β	ρ_x	ρ_y	Verifica
0.921	SLD 1	0.007	1	1.875	1003.522	1	0.0845	23.5037	-0.0562	33.3316	1		1				0	0	Si

Verifiche ad instabilità

Caratteristiche iniziali

Membratura principale per controllo snellezza; Calcolo di snellezze ed N critici condotti secondo gli assi principali;

Curva X: c; Curva Y: c;

Svergolamento: Nessuno; la verifica a instabilità flessio-torsionale (svergolamento) non verrà eseguita.

Dati per instabilità attorno a x

Controllo della snellezza secondo §4.2.4.1.3.1 NTC18

Numero rit.	Presente	Ascissa	Campata	$\beta x/m$	Vincolo a entrambi estremi	$\lambda x/m$	λVer
1	Si			0			
			1-2		1	53.5	Si, (<200)
2	Si	1.625					

Dati per instabilità attorno a y

Controllo della snellezza secondo §4.2.4.1.3.1 NTC18

Numero rit.	Presente	Ascissa	Campata	$\beta y/n$	k,LT	kw,LT	Vincolo a entrambi estremi
1	Si			0			
			1-2		1	39.7	Si, (<200)
2	Si	1.625					

Verifica di stabilità per pressoflessione §C.4.2.4.1.3.3.1 NTC18

X	Comb.	Sfruttamento	Classe	NEd	MxEq,Ed	MyEq,Ed	Area	Wx	Wy	χ_{min}	$\lambda_{adim. x/m}$	$\lambda_{adim. y/n}$	N,crit x/m	N,crit y/n	Verifica
0	SLU 42	0.015	3	-4.561	0.1046	0.0154	0.003832	0.0000492	0.0000739	0.776	0.617	0.457	2772.187	5041.477	Si

Verifiche a deformabilità

Mensola X: No; Mensola Y: No.

Frecce lungo X

Ascissa freccia	Combinazione	Freccia	Luce	L/f	L/f,min	Tipo	Verifica
0.758	SLE RA 1	0	1.625	10000	250	Totale	Si
0.758	SLE RA 17	0	1.625	10000	250	Totale	Si
0.758	SLE RA 16	0	1.625	10000	250	Totale	Si
0.812	SLE RA 15	0	1.625	10000	250	Totale	Si
0.704	SLE RA 14	0	1.625	10000	250	Totale	Si
0.704	SLE RA 2	0	1.625	10000	350	Variabile	Si
0.704	SLE RA 17	0	1.625	10000	350	Variabile	Si
0.704	SLE RA 16	0	1.625	10000	350	Variabile	Si
0.812	SLE RA 15	0	1.625	10000	350	Variabile	Si
0.812	SLE RA 14	0	1.625	10000	350	Variabile	Si

Frecce lungo Y

Ascissa freccia	Combinazione	Freccia	Luce	L/f	L/f,min	Tipo	Verifica
0.812	SLE RA 1	0.00003	1.625	10000	250	Totale	Si
0.812	SLE RA 17	0.00003	1.625	10000	250	Totale	Si
0.812	SLE RA 16	0.00003	1.625	10000	250	Totale	Si
0.812	SLE RA 15	0.00003	1.625	10000	250	Totale	Si
0.812	SLE RA 14	0.00003	1.625	10000	250	Totale	Si
0.921	SLE RA 2	0	1.625	10000	350	Variabile	Si
0.921	SLE RA 17	0	1.625	10000	350	Variabile	Si
0.921	SLE RA 16	0	1.625	10000	350	Variabile	Si
0.921	SLE RA 15	0	1.625	10000	350	Variabile	Si
0.921	SLE RA 14	0	1.625	10000	350	Variabile	Si

Superelemento in acciaio a quota "640"- "703" (510; 1042)-(619; 939)

Caratteristiche del materiale

Acciaio: S275, fyk = 275000

Caratteristiche geometriche

Lunghezza: 1.625

Nodo iniziale: 878 Nodo finale: 1885

Cerniera iniziale: Mmomenti 1% Cerniera finale: Mmomenti 1%

Sovreresistenza: 0% Sisma Z: No

Caratteristiche della sezione

Sezione	Rotazione	Area	Jx	Jy	ix	iy	Wx	Wy	Wplx	Wply
A1; L100*10; 1; Saldato; S275; 50; 1; 8; 8; 1	180	0.003832	0.0000035319	0.000007759	0.0304	0.045	0.0000492	0.0000739	0.00008974	0.00012727

Comportamento dei calastrelli

Accoppiamento imbottito con funzione statica (§C4.2.4.1.3.1.4 NTC18) nella campata compresa tra le ascisse 0 e 1.625 per sbandamento attorno all'asse y.

**Implementazione dei sistemi di confinamento delle emissioni odorigene diffuse dell'impianto di compostaggio esistente nel
Comune di Eboli (SA)
PROGETTO DEFINITIVO – Tabulati di calcolo Tomo 1**

Verifiche di resistenza

Verifiche a forza assiale §4.2.4.1.2.1 - §4.2.4.1.2.2 NTC18

X	Comb.	Sfruttamento	Classe	NEd	Nc,Rd	Nt,Rd	Riduzione da taglio	px	py	Verifica
1.625	SLU 75	0.049		48.801		1003.522	1	0	0	Si

Verifiche a forza assiale SLD §4.2.4.1.2.1 - §4.2.4.1.2.2 NTC18

X	Comb.	Sfruttamento	Classe	NEd	Nc,Rd	Nt,Rd	Riduzione da taglio	px	py	Verifica
1.625	SLD 16	0.021		20.746		1003.522	1	0	0	Si

Verifica a taglio Y §4.2.4.1.2.4 NTC18

X	Comb.	Sfruttamento	VEd	Vc,Rd	Av	Interazione taglio-torsione	Riduzione torsione	Verifica
0	SLU 75	0.001	-0.338	302.422	0.002	Non considerata		Si

Verifica a taglio Y SLD §4.2.4.1.2.4 NTC18

X	Comb.	Sfruttamento	VEd	Vc,Rd	Av	Interazione taglio-torsione	Riduzione torsione	Verifica
0	SLD 16	0.001	-0.243	302.422	0.002	Non considerata		Si

Verifica a flessione semplice X §§ 4.2.4.1.2.3 - 4.2.4.1.2.6 - 4.2.4.1.2.7 - 4.2.4.1.2.8 NTC18

X	Comb.	Sfruttamento	Classe	Mx,Ed	Mx,Rd	Rid. Mx,Rd da VEd	px	py	Verifica
1.517	SLU 5	0.001	1	0.02207	23.50374	1	0	0	Si

Verifica a presso/tenso flessione retta X §§ 4.2.4.1.2.3 - 4.2.4.1.2.6 - 4.2.4.1.2.7 - 4.2.4.1.2.8 NTC18

Verifiche eseguite utilizzando la formula conservativa (6.2) §6.2.1 EN 1993-1-1:2005.

X	Comb.	Sfruttamento	Classe	NEd	NRd	Rid. NRd da VEd	Mx,Ed	Mx,Rd	Rid. Mx,Rd da VEd	Rid. Mx,Rd da NEd	px	py	Verifica
0.217	SLU 75	0.051	1	48.589	1003.522	1	0.0668	23.5037	1		0	0	Si

Verifica a presso/tenso flessione retta X SLD §§ 4.2.4.1.2.3 - 4.2.4.1.2.6 - 4.2.4.1.2.7 - 4.2.4.1.2.8 NTC18

Verifiche eseguite utilizzando la formula conservativa (6.2) §6.2.1 EN 1993-1-1:2005.

X	Comb.	Sfruttamento	Classe	NEd	NRd	Rid. NRd da VEd	Mx,Ed	Mx,Rd	Rid. Mx,Rd da VEd	Rid. Mx,Rd da NEd	px	py	Verifica
0.867	SLD 15	0.025	1	20.658	1003.522	1	0.107	23.5037	1		0	0	Si

Verifica a presso/tenso flessione retta Y §§ 4.2.4.1.2.3 - 4.2.4.1.2.6 - 4.2.4.1.2.7 - 4.2.4.1.2.8 NTC18

Verifiche eseguite utilizzando la formula conservativa (6.2) §6.2.1 EN 1993-1-1:2005.

X	Comb.	Sfruttamento	Classe	NEd	NRd	Rid. NRd da VEd	My,Ed	My,Rd	Rid. My,Rd da VEd	Rid. My,Rd da NEd	px	py	Verifica
0	SLV 16	0.029	1	27.826	1003.522	1	0.0262	33.3316	1		0	0	Si

Verifica a presso/tenso flessione retta Y SLD §§ 4.2.4.1.2.3 - 4.2.4.1.2.6 - 4.2.4.1.2.7 - 4.2.4.1.2.8 NTC18

Verifiche eseguite utilizzando la formula conservativa (6.2) §6.2.1 EN 1993-1-1:2005.

X	Comb.	Sfruttamento	Classe	NEd	NRd	Rid. NRd da VEd	My,Ed	My,Rd	Rid. My,Rd da VEd	Rid. My,Rd da NEd	px	py	Verifica
0	SLD 15	0.021	1	20.558	1003.522	1	0.0096	33.3316	1		0	0	Si

Verifica a presso/tenso flessione deviata §§ 4.2.4.1.2.3 - 4.2.4.1.2.6 - 4.2.4.1.2.7 - 4.2.4.1.2.8 NTC18

Verifiche eseguite utilizzando la formula conservativa (6.2) §6.2.1 EN 1993-1-1:2005.

X	Comb.	Sfruttamento	Classe	NEd	NRd	Rid. NRd da VEd	Mx,Ed	Mx,Rd	My,Ed	My,Rd	Rid. Mx,Rd da VEd	Rid. Mx,Rd da NEd	Rid. My,Rd da VEd	Rid. My,Rd da NEd	α	β	px	py	Verifica
0.975	SLU 75	0.056	1	48.703	1003.522	1	0.1604	23.5037	-0.0169	33.3316	1		1				0	0	Si

Verifica a presso/tenso flessione deviata SLD §§ 4.2.4.1.2.3 - 4.2.4.1.2.6 - 4.2.4.1.2.7 - 4.2.4.1.2.8 NTC18

Verifiche eseguite utilizzando la formula conservativa (6.2) §6.2.1 EN 1993-1-1:2005.

X	Comb.	Sfruttamento	Classe	NEd	NRd	Rid. NRd da VEd	Mx,Ed	Mx,Rd	My,Ed	My,Rd	Rid. Mx,Rd da VEd	Rid. Mx,Rd da NEd	Rid. My,Rd da VEd	Rid. My,Rd da NEd	α	β	px	py	Verifica
0.271	SLD 16	0.023	1	20.589	1003.522	1	0.0562	23.5037	0.0077	33.3316	1		1				0	0	Si

Verifiche ad instabilità

Caratteristiche iniziali

Membratura principale per controllo snellezza; Calcolo di snellezze ed N critici condotti secondo gli assi principali;

Curva X: c; Curva Y: c;

Svergolamento: Nessuno; la verifica a instabilità flesso-torsionale (svergolamento) non verrà eseguita.

Dati per instabilità attorno a x

Controllo della snellezza secondo §4.2.4.1.3.1 NTC18

Numero rit.	Presente	Ascissa	Campata	βx/m	Vincolo a entrambi estremi	λx/m	λVer
1	Si	0					
			1-2		1	53.5	Si, (<200)
2	Si	1.625					

Dati per instabilità attorno a y

Controllo della snellezza secondo §4.2.4.1.3.1 NTC18

Numero rit.	Presente	Ascissa	Campata	βy/n	k,LT	kw,LT	Vincolo a entrambi estremi
1	Si	0					
			1-2		1	39.7	Si, (<200)
2	Si	1.625					

Verifica di stabilità per pressoflessione §C.4.2.4.1.3.3.1 NTC18

X	Comb.	Sfruttamento	Classe	NEd	MxEq,Ed	MyEq,Ed	Area	Wx	Wy	x,min	λ adim. x/m	λ adim. y/n	N,crit x/m	N,crit y/n	Verifica
0	SLU 2	0.018	3	-8.871	0.0703	0.0307	0.003832	0.0000492	0.0000739	0.776	0.617	0.457	2772.187	5041.477	Si

Verifiche a deformabilità

Mensola X: No; Mensola Y: No.

Implementazione dei sistemi di confinamento delle emissioni odorigene diffuse dell'impianto di compostaggio esistente nel
Comune di Eboli (SA)
PROGETTO DEFINITIVO – Tabulati di calcolo Tomo 1

Frecce lungo X

Ascissa freccia	Combinazione	Freccia	Luce	L/f	L/f,min	Tipo	Verifica
0.921	SLE RA 1	0	1.625	10000	250	Totale	Si
0.921	SLE RA 17	0	1.625	10000	250	Totale	Si
0.921	SLE RA 16	0	1.625	10000	250	Totale	Si
0.921	SLE RA 15	0	1.625	10000	250	Totale	Si
0.921	SLE RA 14	0	1.625	10000	250	Totale	Si
0.921	SLE RA 2	0	1.625	10000	350	Variabile	Si
0.921	SLE RA 17	0	1.625	10000	350	Variabile	Si
0.921	SLE RA 16	0	1.625	10000	350	Variabile	Si
0.921	SLE RA 15	0	1.625	10000	350	Variabile	Si
0.921	SLE RA 14	0	1.625	10000	350	Variabile	Si

Frecce lungo Y

Ascissa freccia	Combinazione	Freccia	Luce	L/f	L/f,min	Tipo	Verifica
0.812	SLE RA 1	0.00004	1.625	10000	250	Totale	Si
0.812	SLE RA 17	0.00004	1.625	10000	250	Totale	Si
0.812	SLE RA 16	0.00005	1.625	10000	250	Totale	Si
0.812	SLE RA 15	0.00004	1.625	10000	250	Totale	Si
0.812	SLE RA 14	0.00004	1.625	10000	250	Totale	Si
0.921	SLE RA 2	-0.00001	1.625	10000	350	Variabile	Si
0.921	SLE RA 17	0	1.625	10000	350	Variabile	Si
0.921	SLE RA 16	0.00001	1.625	10000	350	Variabile	Si
0.921	SLE RA 15	0	1.625	10000	350	Variabile	Si
0.921	SLE RA 14	0	1.625	10000	350	Variabile	Si

Superelemento in acciaio a quota "640"-"703" (764; 1312)-(874; 1209)

Caratteristiche del materiale

Acciaio: S275, fyk = 275000

Caratteristiche geometriche

Lunghezza: 1.625

Nodo iniziale: 931 Nodo finale: 1893

Cerniera iniziale: Mmomenti 1% Cerniera finale: Mmomenti 1%

Sovraresistenza: 0% Sisma Z: No

Caratteristiche della sezione

Sezione	Rotazione	Area	Jx	Jy	ix	iy	Wx	Wy	Wplx	Wply
A1; L100*10; 1; Saldato; S275; 50; 1; 8; 8; 1	180	0.003832	0.0000035319	0.000007759	0.0304	0.045	0.0000492	0.0000739	0.00008974	0.00012727

Comportamento dei calastrelli

Accoppiamento imbottito con funzione statica (§C4.2.4.1.3.1.4 NTC18) nella campata compresa tra le ascisse 0 e 1.625 per sbandamento attorno all'asse y.

Verifiche di resistenza

Verifiche a forza assiale §4.2.4.1.2.1 - §4.2.4.1.2.2 NTC18

X	Comb.	Sfruttamento	Classe	NEd	Nc,Rd	Nt,Rd	Riduzione da taglio	px	py	Verifica
1.625	SLU 75	0.076		76.72		1003.522	1	0	0	Si

Verifiche a forza assiale SLD §4.2.4.1.2.1 - §4.2.4.1.2.2 NTC18

X	Comb.	Sfruttamento	Classe	NEd	Nc,Rd	Nt,Rd	Riduzione da taglio	px	py	Verifica
1.625	SLD 14	0.027		27.303		1003.522	1	0	0	Si

Verifica a taglio Y §4.2.4.1.2.4 NTC18

X	Comb.	Sfruttamento	VEd	Vc,Rd	Av	Interazione taglio-torsione	Riduzione torsione	Verifica
1.625	SLU 75	0.001	0.318	302.422	0.002	Non considerata		Si

Verifica a taglio Y SLD §4.2.4.1.2.4 NTC18

X	Comb.	Sfruttamento	VEd	Vc,Rd	Av	Interazione taglio-torsione	Riduzione torsione	Verifica
1.625	SLD 8	0.001	0.231	302.422	0.002	Non considerata		Si

Verifica a flessione semplice X §§ 4.2.4.1.2.3 - 4.2.4.1.2.6 - 4.2.4.1.2.7 - 4.2.4.1.2.8 NTC18

X	Comb.	Sfruttamento	Classe	Mx,Ed	Mx,Rd	Rid. Mx,Rd da VEd	px	py	Verifica
1.517	SLU 59	0.001	1	0.03488	23.50374	1	0	0	Si

Verifica a presso/tenso flessione retta X §§ 4.2.4.1.2.3 - 4.2.4.1.2.6 - 4.2.4.1.2.7 - 4.2.4.1.2.8 NTC18

Verifiche eseguite utilizzando la formula conservativa (6.2) §6.2.1 EN 1993-1-1:2005.

X	Comb.	Sfruttamento	Classe	NEd	NRd	Rid. NRd da VEd	Mx,Ed	Mx,Rd	Rid. Mx,Rd da VEd	Rid. Mx,Rd da NEd	px	py	Verifica
0.758	SLU 75	0.081	1	76.59	1003.522	1	0.1013	23.5037	1		0	0	Si

Verifica a presso/tenso flessione retta Y §§ 4.2.4.1.2.3 - 4.2.4.1.2.6 - 4.2.4.1.2.7 - 4.2.4.1.2.8 NTC18

Verifiche eseguite utilizzando la formula conservativa (6.2) §6.2.1 EN 1993-1-1:2005.

X	Comb.	Sfruttamento	Classe	NEd	NRd	Rid. NRd da VEd	My,Ed	My,Rd	Rid. My,Rd da VEd	Rid. My,Rd da NEd	px	py	Verifica
0	SLV 14	0.03	1	29.086	1003.522	1	0.03	33.3316	1		0	0	Si

Verifica a presso/tenso flessione retta Y SLD §§ 4.2.4.1.2.3 - 4.2.4.1.2.6 - 4.2.4.1.2.7 - 4.2.4.1.2.8 NTC18

Verifiche eseguite utilizzando la formula conservativa (6.2) §6.2.1 EN 1993-1-1:2005.

X	Comb.	Sfruttamento	Classe	NEd	NRd	Rid. NRd da VEd	My,Ed	My,Rd	Rid. My,Rd da VEd	Rid. My,Rd da NEd	px	py	Verifica
1.571	SLD 14	0.028	1	27.297	1003.522	1	0.0123	33.3316	1		0	0	Si

Implementazione dei sistemi di confinamento delle emissioni odorigene diffuse dell'impianto di compostaggio esistente nel
Comune di Eboli (SA)
PROGETTO DEFINITIVO – Tabulati di calcolo Tomo 1

Verifica a presso/tenso flessione deviata §§ 4.2.4.1.2.3 - 4.2.4.1.2.6 - 4.2.4.1.2.7 - 4.2.4.1.2.8 NTC18

Verifiche eseguite utilizzando la formula conservativa (6.2) §6.2.1 EN 1993-1-1:2005.

X	Comb.	Sfruttamento	Classe	NEd	NRd	Rid. NRd da VEd	Mx,Ed	Mx,Rd	My,Ed	My,Rd	Rid. Mx,Rd da VEd	Rid. Mx,Rd da NEd	Rid. My,Rd da VEd	Rid. My,Rd da NEd	α	β	px	py	Verifica
0.812	SLV 14	0.034	1	29.18	1003.522	1	0.0885	23.5037	0.0296	33.3316	1		1				0	0	Si

Verifica a presso/tenso flessione deviata SLD §§ 4.2.4.1.2.3 - 4.2.4.1.2.6 - 4.2.4.1.2.7 - 4.2.4.1.2.8 NTC18

Verifiche eseguite utilizzando la formula conservativa (6.2) §6.2.1 EN 1993-1-1:2005.

X	Comb.	Sfruttamento	Classe	NEd	NRd	Rid. NRd da VEd	Mx,Ed	Mx,Rd	My,Ed	My,Rd	Rid. Mx,Rd da VEd	Rid. Mx,Rd da NEd	Rid. My,Rd da VEd	Rid. My,Rd da NEd	α	β	px	py	Verifica
0.812	SLD 14	0.031	1	27.209	1003.522	1	0.0881	23.5037	0.0119	33.3316	1		1				0	0	Si

Verifiche ad instabilità

Caratteristiche iniziali

Membratura principale per controllo snellezza; Calcolo di snellezze ed N critici condotti secondo gli assi principali;

Curva X: c; Curva Y: c;

Svergolamento: Nessuno; la verifica a instabilità flesso-torsionale (svergolamento) non verrà eseguita.

Dati per instabilità attorno a x

Controllo della snellezza secondo §4.2.4.1.3.1 NTC18

Numero rit.	Presente	Ascissa	Campata	βx/m	Vincolo a entrambi estremi	λx/m	λVer
1	Si		0				
			1~2		1	53.5	Si, (<200)
2	Si		1.625				

Dati per instabilità attorno a y

Controllo della snellezza secondo §4.2.4.1.3.1 NTC18

Numero rit.	Presente	Ascissa	Campata	βy/n	k,LT	kw,LT	Vincolo a entrambi estremi
1	Si		0				
			1~2		1	39.7	Si, (<200)
2	Si		1.625				

Verifica di stabilità per pressoflessione §C.4.2.4.1.3.3.1 NTC18

X	Comb.	Sfruttamento	Classe	NEd	MxEq,Ed	MyEq,Ed	Area	Wx	Wy	χ,min	λ adim. x/m	λ adim. y/n	N,crit x/m	N,crit y/n	Verifica
0	SLV 2	0.025	3	-12.597	0.0852	0.0412	0.003832	0.0000492	0.0000739	0.776	0.617	0.457	2772.187	5041.477	Si

Verifiche a deformabilità

Mensola X: No; Mensola Y: No.

Frecce lungo X

Ascissa freccia	Combinazione	Freccia	Luce	L/f	L/f,min	Tipo	Verifica
0.596	SLE RA 1	0	1.625	10000	250	Totale	Si
1.3	SLE RA 17	0	1.625	10000	250	Totale	Si
1.083	SLE RA 16	0	1.625	10000	250	Totale	Si
0.704	SLE RA 15	0	1.625	10000	250	Totale	Si
0.921	SLE RA 14	0	1.625	10000	250	Totale	Si
0.921	SLE RA 2	0	1.625	10000	350	Variabile	Si
0.921	SLE RA 17	0	1.625	10000	350	Variabile	Si
0.921	SLE RA 16	0	1.625	10000	350	Variabile	Si
0.758	SLE RA 15	0	1.625	10000	350	Variabile	Si
0.867	SLE RA 14	0	1.625	10000	350	Variabile	Si

Frecce lungo Y

Ascissa freccia	Combinazione	Freccia	Luce	L/f	L/f,min	Tipo	Verifica
0.812	SLE RA 1	0.00003	1.625	10000	250	Totale	Si
0.812	SLE RA 17	0.00003	1.625	10000	250	Totale	Si
0.812	SLE RA 16	0.00003	1.625	10000	250	Totale	Si
0.812	SLE RA 15	0.00003	1.625	10000	250	Totale	Si
0.812	SLE RA 14	0.00003	1.625	10000	250	Totale	Si
0.975	SLE RA 2	0	1.625	10000	350	Variabile	Si
0.975	SLE RA 17	0	1.625	10000	350	Variabile	Si
0.975	SLE RA 16	0	1.625	10000	350	Variabile	Si
1.029	SLE RA 15	0	1.625	10000	350	Variabile	Si
0.921	SLE RA 14	0	1.625	10000	350	Variabile	Si

Superelemento in acciaio a quota "640"- "703" (1019; 1582)-(1128; 1479)

Caratteristiche del materiale

Acciaio: S275, fyk = 275000

Caratteristiche geometriche

Lunghezza: 1.625

Nodo iniziale: 985 Nodo finale: 1904

Cerniera iniziale: Mmomenti 1% Cerniera finale: Mmomenti 1%

Sovraresistenza: 0% Sisma Z: No

Caratteristiche della sezione

Sezione	Rotazione	Area	Jx	Jy	ix	iy	Wx	Wy	Wplx	Wply
A1; L100*10; 1; Saldato; S275; 50; 1; 8; 8; 1	180	0.003832	0.0000035319	0.000007759	0.0304	0.045	0.0000492	0.0000739	0.00008974	0.00012727

Implementazione dei sistemi di confinamento delle emissioni odorigene diffuse dell'impianto di compostaggio esistente nel
Comune di Eboli (SA)

PROGETTO DEFINITIVO – Tabulati di calcolo Tomo 1

Comportamento dei calastrelli

Accoppiamento imbottito con funzione statica (§C4.2.4.1.3.1.4 NTC18) nella campata compresa tra le ascisse 0 e 1.625 per sbandamento attorno all'asse y.

Verifiche di resistenza

Verifiche a forza assiale §4.2.4.1.2.1 - §4.2.4.1.2.2 NTC18

X	Comb.	Sfruttamento	Classe	NEd	Nc,Rd	Nt,Rd	Riduzione da taglio	px	py	Verifica
1.625	SLU 75	0.056		56.073		1003.522	1	0	0	Si

Verifiche a forza assiale SLD §4.2.4.1.2.1 - §4.2.4.1.2.2 NTC18

X	Comb.	Sfruttamento	Classe	NEd	Nc,Rd	Nt,Rd	Riduzione da taglio	px	py	Verifica
1.625	SLD 2	0.024		24.466		1003.522	1	0	0	Si

Verifica a taglio Y §4.2.4.1.2.4 NTC18

X	Comb.	Sfruttamento	VEd	Vc,Rd	Av	Interazione taglio-torsione	Riduzione torsione	Verifica
1.625	SLU 75	0.001	0.306	302.422	0.002	Non considerata		Si

Verifica a taglio Y SLD §4.2.4.1.2.4 NTC18

X	Comb.	Sfruttamento	VEd	Vc,Rd	Av	Interazione taglio-torsione	Riduzione torsione	Verifica
1.625	SLD 4	0.001	0.228	302.422	0.002	Non considerata		Si

Verifica a flessione semplice X §§ 4.2.4.1.2.3 - 4.2.4.1.2.6 - 4.2.4.1.2.7 - 4.2.4.1.2.8 NTC18

X	Comb.	Sfruttamento	Classe	Mx,Ed	Mx,Rd	Rid. Mx,Rd da VEd	px	py	Verifica
0.813	SLU 5	0.004	1	0.09254	23.50374	1	0	0	Si

Verifica a presso/tenso flessione retta X §§ 4.2.4.1.2.3 - 4.2.4.1.2.6 - 4.2.4.1.2.7 - 4.2.4.1.2.8 NTC18

Verifiche eseguite utilizzando la formula conservativa (6.2) §6.2.1 EN 1993-1-1:2005.

X	Comb.	Sfruttamento	Classe	NEd	NRd	Rid. NRd da VEd	Mx,Ed	Mx,Rd	Rid. Mx,Rd da VEd	Rid. Mx,Rd da NEd	px	py	Verifica
0.813	SLU 75	0.06	1	55.95	1003.522	1	0.1096	23.5037	1		0	0	Si

Verifica a presso/tenso flessione retta Y §§ 4.2.4.1.2.3 - 4.2.4.1.2.6 - 4.2.4.1.2.7 - 4.2.4.1.2.8 NTC18

Verifiche eseguite utilizzando la formula conservativa (6.2) §6.2.1 EN 1993-1-1:2005.

X	Comb.	Sfruttamento	Classe	NEd	NRd	Rid. NRd da VEd	My,Ed	My,Rd	Rid. My,Rd da VEd	Rid. My,Rd da NEd	px	py	Verifica
1.625	SLV 1	0.034	1	32.762	1003.522	1	-0.0528	33.3316	1		0	0	Si

Verifica a presso/tenso flessione retta Y SLD §§ 4.2.4.1.2.3 - 4.2.4.1.2.6 - 4.2.4.1.2.7 - 4.2.4.1.2.8 NTC18

Verifiche eseguite utilizzando la formula conservativa (6.2) §6.2.1 EN 1993-1-1:2005.

X	Comb.	Sfruttamento	Classe	NEd	NRd	Rid. NRd da VEd	My,Ed	My,Rd	Rid. My,Rd da VEd	Rid. My,Rd da NEd	px	py	Verifica
1.625	SLD 1	0.025	1	24.466	1003.522	1	-0.0212	33.3316	1		0	0	Si

Verifica a presso/tenso flessione deviata §§ 4.2.4.1.2.3 - 4.2.4.1.2.6 - 4.2.4.1.2.7 - 4.2.4.1.2.8 NTC18

Verifiche eseguite utilizzando la formula conservativa (6.2) §6.2.1 EN 1993-1-1:2005.

X	Comb.	Sfruttamento	Classe	NEd	NRd	Rid. NRd da VEd	Mx,Ed	Mx,Rd	My,Ed	My,Rd	Rid. Mx,Rd da VEd	Rid. Mx,Rd da NEd	Rid. My,Rd da VEd	Rid. My,Rd da NEd	α	β	px	py	Verifica
0.813	SLV 1	0.038	1	32.668	1003.522	1	0.0896	23.5037	-0.0504	33.3316	1		1				0	0	Si

Verifica a presso/tenso flessione deviata SLD §§ 4.2.4.1.2.3 - 4.2.4.1.2.6 - 4.2.4.1.2.7 - 4.2.4.1.2.8 NTC18

Verifiche eseguite utilizzando la formula conservativa (6.2) §6.2.1 EN 1993-1-1:2005.

X	Comb.	Sfruttamento	Classe	NEd	NRd	Rid. NRd da VEd	Mx,Ed	Mx,Rd	My,Ed	My,Rd	Rid. Mx,Rd da VEd	Rid. Mx,Rd da NEd	Rid. My,Rd da VEd	Rid. My,Rd da NEd	α	β	px	py	Verifica
0.813	SLD 1	0.029	1	24.372	1003.522	1	0.0897	23.5037	-0.0198	33.3316	1		1				0	0	Si

Verifiche ad instabilità

Caratteristiche iniziali

Membratura principale per controllo snellezza; Calcolo di snellezze ed N critici condotti secondo gli assi principali;

Curva X: c; Curva Y: c;

Svergolamento: Nessuno; la verifica a instabilità flesso-torsionale (svergolamento) non verrà eseguita.

Dati per instabilità attorno a x

Controllo della snellezza secondo §4.2.4.1.3.1 NTC18

Numero rit.	Presente	Ascissa	Campata	βx/m	Vincolo a entrambi estremi	λx/m	λVer
1	Si		0				
			1-2		1	53.5	Si, (<200)
2	Si	1.625					

Dati per instabilità attorno a y

Controllo della snellezza secondo §4.2.4.1.3.1 NTC18

Numero rit.	Presente	Ascissa	Campata	βy/n	k,LT	kw,LT	Vincolo a entrambi estremi
1	Si	0					
			1-2		1	39.7	Si, (<200)
2	Si	1.625					

Verifica di stabilità per pressoflessione §C.4.2.4.1.3.3.1 NTC18

X	Comb.	Sfruttamento	Classe	NEd	MxEq,Ed	MyEq,Ed	Area	Wx	Wy	χ,min	λ adim. x/m	λ adim. y/n	N,crit x/m	N,crit y/n	Verifica
0	SLU 2	0.02	3	-9.24	0.0823	-0.0303	0.003832	0.0000492	0.0000739	0.776	0.617	0.457	2772.187	5041.477	Si

Verifiche a deformabilità

Mensola X: No; Mensola Y: No.

Freccie lungo X

Ascissa freccia	Combinazione	Freccia	Luce	L/f	L/f,min	Tipo	Verifica
0.704	SLB RA 1		0	1.625	10000	250	Si

Implementazione dei sistemi di confinamento delle emissioni odorigene diffuse dell'impianto di compostaggio esistente nel
Comune di Eboli (SA)

PROGETTO DEFINITIVO – Tabulati di calcolo Tomo 1

Ascissa freccia	Combinazione	Freccia	Luce	L/f	L/f,min	Tipo	Verifica
0.704	SLE RA 17	0	1.625	10000	250	Totale	Si
0.704	SLE RA 16	0	1.625	10000	250	Totale	Si
0.65	SLE RA 15	0	1.625	10000	250	Totale	Si
0.704	SLE RA 14	0	1.625	10000	250	Totale	Si
0.704	SLE RA 2	0	1.625	10000	350	Variabile	Si
0.704	SLE RA 17	0	1.625	10000	350	Variabile	Si
0.704	SLE RA 16	0	1.625	10000	350	Variabile	Si
0.488	SLE RA 15	0	1.625	10000	350	Variabile	Si
0.758	SLE RA 14	0	1.625	10000	350	Variabile	Si

Frecce lungo Y

Ascissa freccia	Combinazione	Freccia	Luce	L/f	L/f,min	Tipo	Verifica
0.813	SLE RA 1	0.00003	1.625	10000	250	Totale	Si
0.813	SLE RA 17	0.00003	1.625	10000	250	Totale	Si
0.813	SLE RA 16	0.00003	1.625	10000	250	Totale	Si
0.813	SLE RA 15	0.00003	1.625	10000	250	Totale	Si
0.813	SLE RA 14	0.00003	1.625	10000	250	Totale	Si
0.975	SLE RA 2	0	1.625	10000	350	Variabile	Si
0.975	SLE RA 17	0	1.625	10000	350	Variabile	Si
0.975	SLE RA 16	0	1.625	10000	350	Variabile	Si
1.138	SLE RA 15	0	1.625	10000	350	Variabile	Si
0.975	SLE RA 14	0	1.625	10000	350	Variabile	Si

Superelemento in acciaio a quota "640"- "703" (1275; 1857)-(1384; 1754)

Caratteristiche del materiale

Acciaio: S275, fyk = 275000

Caratteristiche geometriche

Lunghezza: 1.625

Nodo iniziale: 1034 Nodo finale: 1911

Cerniera iniziale: Mmomenti 1% Cerniera finale: Mmomenti 1%

Sovraresistenza: 0% Sisma Z: No

Caratteristiche della sezione

Sezione	Rotazione	Area	Jx	Jy	ix	iy	Wx	Wy	Wplx	Wply
A1; L100*10; 1; Saldato; S275; 50; 1; 8; 8; 1	180	0.003832	0.0000035319	0.000007759	0.0304	0.045	0.0000492	0.0000739	0.00008974	0.00012727

Comportamento dei calastrelli

Accoppiamento imbottito con funzione statica (§C4.2.4.1.3.1.4 NTC18) nella campata compresa tra le ascisse 0 e 1.625 per sbandamento attorno all'asse y.

Verifiche di resistenza

Verifiche a forza assiale §4.2.4.1.2.1 - §4.2.4.1.2.2 NTC18

X	Comb.	Sfruttamento	Classe	NEd	Nc,Rd	Nt,Rd	Riduzione da taglio	px	py	Verifica
1.625	SLU 75	0.008		8.232		1003.522	1	0	0	Si

Verifiche a forza assiale SLD §4.2.4.1.2.1 - §4.2.4.1.2.2 NTC18

X	Comb.	Sfruttamento	Classe	NEd	Nc,Rd	Nt,Rd	Riduzione da taglio	px	py	Verifica
1.625	SLD 7	0.001		1.41		1003.522	1	0	0	Si

Verifica a taglio Y §4.2.4.1.2.4 NTC18

X	Comb.	Sfruttamento	VEd	Vc,Rd	Av	Interazione taglio-torsione	Riduzione torsione	Verifica
1.625	SLU 75	0.001	0.318	302.422	0.002	Non considerata		Si

Verifica a taglio Y SLD §4.2.4.1.2.4 NTC18

X	Comb.	Sfruttamento	VEd	Vc,Rd	Av	Interazione taglio-torsione	Riduzione torsione	Verifica
1.625	SLD 7	0.001	0.23	302.422	0.002	Non considerata		Si

Verifica a flessione semplice X §§ 4.2.4.1.2.3 - 4.2.4.1.2.6 - 4.2.4.1.2.7 - 4.2.4.1.2.8 NTC18

X	Comb.	Sfruttamento	Classe	Mx,Ed	Mx,Rd	Rid. Mx,Rd da VEd	px	py	Verifica
0.813	SLU 53	0.005	1	0.11446	23.50374	1	0	0	Si

Verifica a flessione semplice X SLD §§ 4.2.4.1.2.3 - 4.2.4.1.2.6 - 4.2.4.1.2.7 - 4.2.4.1.2.8 NTC18

X	Comb.	Sfruttamento	Classe	Mx,Ed	Mx,Rd	Rid. Mx,Rd da VEd	px	py	Verifica
0.163	SLD 13	0.001	1	0.03198	23.50374	1	0	0	Si

Verifica a flessione semplice Y §§ 4.2.4.1.2.3 - 4.2.4.1.2.6 - 4.2.4.1.2.7 - 4.2.4.1.2.8 NTC18

X	Comb.	Sfruttamento	Classe	My,Ed	My,Rd	Rid. My,Rd da VEd	px	py	Verifica
1.571	SLV 15	0.002	1	0.07219	33.33162	1	0	0	Si

Verifica a flessione deviata §§ 4.2.4.1.2.3 - 4.2.4.1.2.6 - 4.2.4.1.2.7 - 4.2.4.1.2.8 NTC18

X	Comb.	Sfruttamento	Classe	Mx,Ed	Mx,Rd	My,Ed	My,Rd	Rid. Mx,Rd da VEd	Rid. My,Rd da VEd	α	β	px	py	Verifica
0.867	SLV 16	0.005	1	0.0872	23.5037	0.0477	33.3316	1	1			0	0	Si

Verifica a presso/tenso flessione retta X §§ 4.2.4.1.2.3 - 4.2.4.1.2.6 - 4.2.4.1.2.7 - 4.2.4.1.2.8 NTC18

Verifiche eseguite utilizzando la formula conservativa (6.2) §6.2.1 EN 1993-1-1:2005.

X	Comb.	Sfruttamento	Classe	NEd	NRd	Rid. NRd da VEd	Mx,Ed	Mx,Rd	Rid. Mx,Rd da VEd	Rid. Mx,Rd da NEd	px	py	Verifica
0.758	SLU 75	0.012	1	8.102	1003.522	1	0.0997	23.5037	1		0	0	Si

Implementazione dei sistemi di confinamento delle emissioni odorigene diffuse dell'impianto di compostaggio esistente nel
Comune di Eboli (SA)
PROGETTO DEFINITIVO – Tabulati di calcolo Tomo 1

Verifica a presso/tenso flessione retta X SLD §§ 4.2.4.1.2.3 - 4.2.4.1.2.6 - 4.2.4.1.2.7 - 4.2.4.1.2.8 NTC18

Verifiche eseguite utilizzando la formula conservativa (6.2) §6.2.1 EN 1993-1-1:2005.

X	Comb.	Sfruttamento	Classe	NEd	NRd	Rid. NRd da VEd	Mx,Ed	Mx,Rd	Rid. Mx,Rd da VEd	Rid. Mx,Rd da NEd	px	py	Verifica
0.542	SLD 4	0.005	1	1.28	1003.522	1	0.0787	23.5037	1		0	0	Si

Verifica a presso/tenso flessione retta Y §§ 4.2.4.1.2.3 - 4.2.4.1.2.6 - 4.2.4.1.2.7 - 4.2.4.1.2.8 NTC18

Verifiche eseguite utilizzando la formula conservativa (6.2) §6.2.1 EN 1993-1-1:2005.

X	Comb.	Sfruttamento	Classe	NEd	NRd	Rid. NRd da VEd	My,Ed	My,Rd	Rid. My,Rd da VEd	Rid. My,Rd da NEd	px	py	Verifica
0	SLU 42	0.006	3	-4.865	1003.522	1	0.0165	19.3536	1		0	0	Si

Verifica a presso/tenso flessione retta Y SLD §§ 4.2.4.1.2.3 - 4.2.4.1.2.6 - 4.2.4.1.2.7 - 4.2.4.1.2.8 NTC18

Verifiche eseguite utilizzando la formula conservativa (6.2) §6.2.1 EN 1993-1-1:2005.

X	Comb.	Sfruttamento	Classe	NEd	NRd	Rid. NRd da VEd	My,Ed	My,Rd	Rid. My,Rd da VEd	Rid. My,Rd da NEd	px	py	Verifica
1.571	SLD 12	0.002	1	1.208	1003.522	1	0.0297	33.3316	1		0	0	Si

Verifica a presso/tenso flessione deviata §§ 4.2.4.1.2.3 - 4.2.4.1.2.6 - 4.2.4.1.2.7 - 4.2.4.1.2.8 NTC18

Verifiche eseguite utilizzando la formula conservativa (6.2) §6.2.1 EN 1993-1-1:2005.

X	Comb.	Sfruttamento	Classe	NEd	NRd	Rid. NRd da VEd	Mx,Ed	Mx,Rd	My,Ed	My,Rd	Rid. Mx,Rd da VEd	Rid. Mx,Rd da NEd	Rid. My,Rd da VEd	Rid. My,Rd da NEd	α	β	px	py	Verifica
0.813	SLU 42	0.015	3	-4.742	1003.522	1	0.1243	12.886	0.0166	19.3536	1		1				0	0	Si

Verifica a presso/tenso flessione deviata SLD §§ 4.2.4.1.2.3 - 4.2.4.1.2.6 - 4.2.4.1.2.7 - 4.2.4.1.2.8 NTC18

Verifiche eseguite utilizzando la formula conservativa (6.2) §6.2.1 EN 1993-1-1:2005.

X	Comb.	Sfruttamento	Classe	NEd	NRd	Rid. NRd da VEd	Mx,Ed	Mx,Rd	My,Ed	My,Rd	Rid. Mx,Rd da VEd	Rid. Mx,Rd da NEd	Rid. My,Rd da VEd	Rid. My,Rd da NEd	α	β	px	py	Verifica
0.813	SLD 12	0.005	1	1.12	1003.522	1	0.0877	23.5037	0.019	33.3316	1		1				0	0	Si

Verifiche ad instabilità

Caratteristiche iniziali

Membratura principale per controllo snellezza; Calcolo di snellezze ed N critici condotti secondo gli assi principali;

Curva X: c; Curva Y: c;

Svergolamento: Nessuno; la verifica a instabilità flesso-torsionale (svergolamento) non verrà eseguita.

Dati per instabilità attorno a x

Controllo della snellezza secondo §4.2.4.1.3.1 NTC18

Numero rit.	Presente	Ascissa	Campata	βx/m	Vincolo a entrambi estremi	λx/m	λVer
1	Si	0					
			1-2	1	Si	53.5	Si, (<200)
2	Si	1.625					

Dati per instabilità attorno a y

Controllo della snellezza secondo §4.2.4.1.3.1 NTC18

Numero rit.	Presente	Ascissa	Campata	βy/n	k,LT	kw,LT	Vincolo a entrambi estremi
1	Si	0					
			1-2	1	Si	39.7	Si, (<200)
2	Si	1.625					

Verifica di stabilità per pressoflessione §C.4.2.4.1.3.3.1 NTC18

X	Comb.	Sfruttamento	Classe	NEd	MxEq,Ed	MyEq,Ed	Area	Wx	Wy	χ,min	λ adim. x/m	λ adim. y/n	N,crit x/m	N,crit y/n	Verifica
0	SLU 42	0.016	3	-4.865	0.1098	0.0167	0.003832	0.0000492	0.0000739	0.776	0.617	0.457	2772.187	5041.477	Si

Verifica di stabilità per pressoflessione SLD §C.4.2.4.1.3.3.1 NTC18

X	Comb.	Sfruttamento	Classe	NEd	MxEq,Ed	MyEq,Ed	Area	Wx	Wy	χ,min	λ adim. x/m	λ adim. y/n	N,crit x/m	N,crit y/n	Verifica
0	SLD 13	0.004	1	0	0.0743	0.0146	0.003832	0.0000897	0.0001273	0.776	0.617	0.457	2772.187	5041.477	Si

Verifiche a deformabilità

Mensola X: No; Mensola Y: No.

Frecce lungo X

Ascissa freccia	Combinazione	Freccia	Luce	L/f	L/f,min	Tipo	Verifica
0.867	SLE RA 1	0	1.625	10000	250	Totale	Si
0.867	SLE RA 17	0	1.625	10000	250	Totale	Si
0.867	SLE RA 16	0	1.625	10000	250	Totale	Si
0.867	SLE RA 15	0	1.625	10000	250	Totale	Si
0.867	SLE RA 14	0	1.625	10000	250	Totale	Si
0.867	SLE RA 2	0	1.625	10000	350	Variabile	Si
0.867	SLE RA 17	0	1.625	10000	350	Variabile	Si
0.867	SLE RA 16	0	1.625	10000	350	Variabile	Si
0.867	SLE RA 15	0	1.625	10000	350	Variabile	Si
0.867	SLE RA 14	0	1.625	10000	350	Variabile	Si

Frecce lungo Y

Ascissa freccia	Combinazione	Freccia	Luce	L/f	L/f,min	Tipo	Verifica
0.813	SLE RA 1	0.00003	1.625	10000	250	Totale	Si
0.813	SLE RA 17	0.00003	1.625	10000	250	Totale	Si
0.813	SLE RA 16	0.00003	1.625	10000	250	Totale	Si
0.813	SLE RA 15	0.00003	1.625	10000	250	Totale	Si
0.813	SLE RA 14	0.00003	1.625	10000	250	Totale	Si
0.921	SLE RA 2	0	1.625	10000	350	Variabile	Si
0.921	SLE RA 17	0	1.625	10000	350	Variabile	Si
0.921	SLE RA 16	0	1.625	10000	350	Variabile	Si
0.921	SLE RA 15	0	1.625	10000	350	Variabile	Si
0.921	SLE RA 14	0	1.625	10000	350	Variabile	Si

Superelemento in acciaio a quota "640"- "703" (1525; 2120)-(1634; 2017)

Caratteristiche del materiale

Acciaio: S275, fyk = 275000

Caratteristiche geometriche

Lunghezza: 1.625

Nodo iniziale: 1091 Nodo finale: 1922

Cerniera iniziale: Mmomenti 1% Cerniera finale: Mmomenti 1%

Sovraresistenza: 0% Sisma Z: No

Caratteristiche della sezione

Sezione	Rotazione	Area	Jx	Jy	ix	iy	Wx	Wy	Wplx	Wply
A1; L100*10; 1; Saldato; S275; 50; 1; 8; 8; 1	180	0.003832	0.0000035319	0.000007759	0.0304	0.045	0.0000492	0.0000739	0.00008974	0.00012727

Comportamento dei calastrelli

Accoppiamento imbottito con funzione statica (§C4.2.4.1.3.1.4 NTC18) nella campata compresa tra le ascisse 0 e 1.625 per sbandamento attorno all'asse y.

Verifiche di resistenza

Verifiche a forza assiale §4.2.4.1.2.1 - §4.2.4.1.2.2 NTC18

X	Comb.	Sfruttamento	Classe	NEd	Nc,Rd	Nt,Rd	Riduzione da taglio	px	py	Verifica
1.625	SLU 76	0.054		54.212		1003.522	1	0	0	Si

Verifiche a forza assiale SLD §4.2.4.1.2.1 - §4.2.4.1.2.2 NTC18

X	Comb.	Sfruttamento	Classe	NEd	Nc,Rd	Nt,Rd	Riduzione da taglio	px	py	Verifica
1.625	SLD 16	0.025		24.605		1003.522	1	0	0	Si

Verifica a taglio Y §4.2.4.1.2.4 NTC18

X	Comb.	Sfruttamento	VEd	Vc,Rd	Av	Interazione taglio-torsione	Riduzione torsione	Verifica
1.625	SLU 75	0.001	0.305	302.422	0.002	Non considerata		Si

Verifica a taglio Y SLD §4.2.4.1.2.4 NTC18

X	Comb.	Sfruttamento	VEd	Vc,Rd	Av	Interazione taglio-torsione	Riduzione torsione	Verifica
1.625	SLD 4	0.001	0.228	302.422	0.002	Non considerata		Si

Verifica a presso/tenso flessione retta X §§ 4.2.4.1.2.3 - 4.2.4.1.2.6 - 4.2.4.1.2.7 - 4.2.4.1.2.8 NTC18

Verifiche eseguite utilizzando la formula conservativa (6.2) §6.2.1 EN 1993-1-1:2005.

X	Comb.	Sfruttamento	Classe	NEd	NRd	Rid. NRd da VEd	Mx,Ed	Mx,Rd	Rid. Mx,Rd da VEd	Rid. Mx,Rd da NEd	px	py	Verifica
0.812	SLU 76	0.059	1	54.089	1003.522	1	0.1153	23.5037	1		0	0	Si

Verifica a presso/tenso flessione retta X SLD §§ 4.2.4.1.2.3 - 4.2.4.1.2.6 - 4.2.4.1.2.7 - 4.2.4.1.2.8 NTC18

Verifiche eseguite utilizzando la formula conservativa (6.2) §6.2.1 EN 1993-1-1:2005.

X	Comb.	Sfruttamento	Classe	NEd	NRd	Rid. NRd da VEd	Mx,Ed	Mx,Rd	Rid. Mx,Rd da VEd	Rid. Mx,Rd da NEd	px	py	Verifica
0.054	SLD 7	0.023	1	22.251	1003.522	1	0.0117	23.5037	1		0	0	Si

Verifica a presso/tenso flessione retta Y §§ 4.2.4.1.2.3 - 4.2.4.1.2.6 - 4.2.4.1.2.7 - 4.2.4.1.2.8 NTC18

Verifiche eseguite utilizzando la formula conservativa (6.2) §6.2.1 EN 1993-1-1:2005.

X	Comb.	Sfruttamento	Classe	NEd	NRd	Rid. NRd da VEd	My,Ed	My,Rd	Rid. My,Rd da VEd	Rid. My,Rd da NEd	px	py	Verifica
1.625	SLV 16	0.039	1	31.793	1003.522	1	0.2379	33.3316	1		0	0	Si

Verifica a presso/tenso flessione retta Y SLD §§ 4.2.4.1.2.3 - 4.2.4.1.2.6 - 4.2.4.1.2.7 - 4.2.4.1.2.8 NTC18

Verifiche eseguite utilizzando la formula conservativa (6.2) §6.2.1 EN 1993-1-1:2005.

X	Comb.	Sfruttamento	Classe	NEd	NRd	Rid. NRd da VEd	My,Ed	My,Rd	Rid. My,Rd da VEd	Rid. My,Rd da NEd	px	py	Verifica
1.625	SLD 16	0.027	1	24.605	1003.522	1	0.0946	33.3316	1		0	0	Si

Verifica a presso/tenso flessione deviata §§ 4.2.4.1.2.3 - 4.2.4.1.2.6 - 4.2.4.1.2.7 - 4.2.4.1.2.8 NTC18

Verifiche eseguite utilizzando la formula conservativa (6.2) §6.2.1 EN 1993-1-1:2005.

X	Comb.	Sfruttamento	Classe	NEd	NRd	Rid. NRd da VEd	Mx,Ed	My,Ed	Mx,Rd	My,Rd	Rid. Mx,Rd da VEd	Rid. Mx,Rd da NEd	Rid. My,Rd da VEd	Rid. My,Rd da NEd	α	β	px	py	Verifica
1.138	SLV 15	0.04	1	31.736	1003.522	1	0.0748	23.5037	0.1746	33.3316	1		1				0	0	Si

Verifica a presso/tenso flessione deviata SLD §§ 4.2.4.1.2.3 - 4.2.4.1.2.6 - 4.2.4.1.2.7 - 4.2.4.1.2.8 NTC18

Verifiche eseguite utilizzando la formula conservativa (6.2) §6.2.1 EN 1993-1-1:2005.

X	Comb.	Sfruttamento	Classe	NEd	NRd	Rid. NRd da VEd	Mx,Ed	My,Ed	Mx,Rd	My,Rd	Rid. Mx,Rd da VEd	Rid. Mx,Rd da NEd	Rid. My,Rd da VEd	Rid. My,Rd da NEd	α	β	px	py	Verifica
0.921	SLD 16	0.03	1	24.524	1003.522	1	0.0881	23.5037	0.0582	33.3316	1		1				0	0	Si

Verifiche ad instabilità

Caratteristiche iniziali

Membratura principale per controllo snellezza; Calcolo di snellezze ed N critici condotti secondo gli assi principali;

Curva X: c; Curva Y: c;

Svergolamento: Nessuno; la verifica a instabilità flesso-torsionale (svergolamento) non verrà eseguita.

Dati per instabilità attorno a x

Controllo della snellezza secondo §4.2.4.1.3.1 NTC18

Numero rit.	Presente	Ascissa	Campata	βx/m	Vincolo a entrambi estremi	λx/m	λVer
-------------	----------	---------	---------	------	----------------------------	------	------

Implementazione dei sistemi di confinamento delle emissioni odorigene diffuse dell'impianto di compostaggio esistente nel
Comune di Eboli (SA)
PROGETTO DEFINITIVO – Tabulati di calcolo Tomo 1

Numero rit.	Presente	Ascissa	Campata	$\beta x/m$	Vincolo a entrambi estremi	$\lambda x/m$	λVer
1	Si	0	1-2	1	Si	53.5	Si, (<200)
2	Si	1.625					

Dati per instabilità attorno a y

Controllo della snellezza secondo §4.2.4.1.3.1 NTC18

Numero rit.	Presente	Ascissa	Campata	$\beta y/n$	k,LT	kw,LT	Vincolo a entrambi estremi
1	Si	0	1-2	1	Si	39.7	Si, (<200)
2	Si	1.625					

Verifica di stabilità per pressoflessione §C.4.2.4.1.3.3.1 NTC18

X	Comb.	Sfruttamento	Classe	NEd	MxEq,Ed	MyEq,Ed	Area	Wx	Wy	χ_{min}	$\lambda_{adim. x/m}$	$\lambda_{adim. y/n}$	N,crit x/m	N,crit y/n	Verifica
0	SLU 2	0.015	3	-5.996	0.0822	-0.0194	0.003832	0.0000492	0.0000739	0.776	0.617	0.457	2772.187	5041.477	Si

Verifiche a deformabilità

Mensola X: No; Mensola Y: No.

Frecce lungo X

Ascissa freccia	Combinazione	Freccia	Luce	L/f	L/f,min	Tipo	Verifica
0.867	SLE RA 1	0	1.625	10000	250	Totale	Si
0.867	SLE RA 17	0	1.625	10000	250	Totale	Si
0.867	SLE RA 16	0	1.625	10000	250	Totale	Si
0.921	SLE RA 15	0	1.625	10000	250	Totale	Si
0.867	SLE RA 14	0	1.625	10000	250	Totale	Si
0.867	SLE RA 2	0	1.625	10000	350	Variabile	Si
0.867	SLE RA 17	0	1.625	10000	350	Variabile	Si
0.867	SLE RA 16	0	1.625	10000	350	Variabile	Si
0.921	SLE RA 15	0	1.625	10000	350	Variabile	Si
0.867	SLE RA 14	0	1.625	10000	350	Variabile	Si

Frecce lungo Y

Ascissa freccia	Combinazione	Freccia	Luce	L/f	L/f,min	Tipo	Verifica
0.812	SLE RA 1	0.00003	1.625	10000	250	Totale	Si
0.812	SLE RA 17	0.00003	1.625	10000	250	Totale	Si
0.812	SLE RA 16	0.00003	1.625	10000	250	Totale	Si
0.812	SLE RA 15	0.00003	1.625	10000	250	Totale	Si
0.812	SLE RA 14	0.00003	1.625	10000	250	Totale	Si
0.975	SLE RA 2	0	1.625	10000	350	Variabile	Si
0.975	SLE RA 17	0	1.625	10000	350	Variabile	Si
0.975	SLE RA 16	0	1.625	10000	350	Variabile	Si
1.138	SLE RA 15	0	1.625	10000	350	Variabile	Si
0.975	SLE RA 14	0	1.625	10000	350	Variabile	Si

Superelemento in acciaio a quota "640"- "703" (1779; 2391)- (1889; 2288)

Caratteristiche del materiale

Acciaio: S275, fyk = 275000

Caratteristiche geometriche

Lunghezza: 1.625

Nodo iniziale: 1207 Nodo finale: 1933

Cerniera iniziale: Mmomenti 1% Cerniera finale: Mmomenti 1%

Sovraresistenza: 0% Sisma Z: No

Caratteristiche della sezione

Sezione	Rotazione	Area	Jx	Jy	ix	iy	Wx	Wy	Wplx	Wply
A1; L100*10; 1; Saldato; S275; 50; 1; 8; 8; 1	180	0.003832	0.0000035319	0.000007759	0.0304	0.045	0.0000492	0.0000739	0.00008974	0.00012727

Comportamento dei calastrelli

Accoppiamento imbottito con funzione statica (§C4.2.4.1.3.1.4 NTC18) nella campata compresa tra le ascisse 0 e 1.625 per sbandamento attorno all'asse y.

Verifiche di resistenza

Verifiche a forza assiale §4.2.4.1.2.1 - §4.2.4.1.2.2 NTC18

X	Comb.	Sfruttamento	Classe	NEd	Nc,Rd	Nt,Rd	Riduzione da taglio	px	py	Verifica
1.625	SLU 76	0.143		143.525		1003.522	1	0	0	Si

Verifiche a forza assiale SLD §4.2.4.1.2.1 - §4.2.4.1.2.2 NTC18

X	Comb.	Sfruttamento	Classe	NEd	Nc,Rd	Nt,Rd	Riduzione da taglio	px	py	Verifica
1.625	SLD 10	0.061		60.879		1003.522	1	0	0	Si

Verifica a taglio Y §4.2.4.1.2.4 NTC18

X	Comb.	Sfruttamento	VEd	Vc,Rd	Av	Interazione taglio-torsione	Riduzione torsione	Verifica
1.625	SLU 76	0.001	0.294	302.422	0.002	Non considerata		Si

Verifica a taglio Y SLD §4.2.4.1.2.4 NTC18

X	Comb.	Sfruttamento	VEd	Vc,Rd	Av	Interazione taglio-torsione	Riduzione torsione	Verifica
1.625	SLD 10	0.001	0.226	302.422	0.002	Non considerata		Si

Implementazione dei sistemi di confinamento delle emissioni odorigene diffuse dell'impianto di compostaggio esistente nel
Comune di Eboli (SA)

PROGETTO DEFINITIVO – Tabulati di calcolo Tomo 1

Verifica a presso/tenso flessione retta X §§ 4.2.4.1.2.3 - 4.2.4.1.2.6 - 4.2.4.1.2.7 - 4.2.4.1.2.8 NTC18

Verifiche eseguite utilizzando la formula conservativa (6.2) §6.2.1 EN 1993-1-1:2005.

X	Comb.	Sfruttamento	Classe	NEd	NRd	Rid. NRd da VEd	Mx,Ed	Mx,Rd	Rid. Mx,Rd da VEd	Rid. Mx,Rd da NEd	px	py	Verifica
0.812	SLU 76	0.148	1	143.403	1003.522	1	0.1202	23.5037	1		0	0	Si

Verifica a presso/tenso flessione retta Y §§ 4.2.4.1.2.3 - 4.2.4.1.2.6 - 4.2.4.1.2.7 - 4.2.4.1.2.8 NTC18

Verifiche eseguite utilizzando la formula conservativa (6.2) §6.2.1 EN 1993-1-1:2005.

X	Comb.	Sfruttamento	Classe	NEd	NRd	Rid. NRd da VEd	My,Ed	My,Rd	Rid. My,Rd da VEd	Rid. My,Rd da NEd	px	py	Verifica
1.625	SLV 10	0.073	1	72.269	1003.522	1	-0.024	33.3316	1		0	0	Si

Verifica a presso/tenso flessione retta Y SLD §§ 4.2.4.1.2.3 - 4.2.4.1.2.6 - 4.2.4.1.2.7 - 4.2.4.1.2.8 NTC18

Verifiche eseguite utilizzando la formula conservativa (6.2) §6.2.1 EN 1993-1-1:2005.

X	Comb.	Sfruttamento	Classe	NEd	NRd	Rid. NRd da VEd	My,Ed	My,Rd	Rid. My,Rd da VEd	Rid. My,Rd da NEd	px	py	Verifica
1.625	SLD 10	0.061	1	60.879	1003.522	1	-0.0093	33.3316	1		0	0	Si

Verifica a presso/tenso flessione deviata §§ 4.2.4.1.2.3 - 4.2.4.1.2.6 - 4.2.4.1.2.7 - 4.2.4.1.2.8 NTC18

Verifiche eseguite utilizzando la formula conservativa (6.2) §6.2.1 EN 1993-1-1:2005.

X	Comb.	Sfruttamento	Classe	NEd	NRd	Rid. NRd da VEd	Mx,Ed	Mx,Rd	My,Ed	My,Rd	Rid. Mx,Rd da VEd	Rid. Mx,Rd da NEd	Rid. My,Rd da VEd	Rid. My,Rd da NEd	α	β	px	py	Verifica
0.812	SLV 10	0.076	1	72.175	1003.522	1	0.0913	23.5037	-0.02	33.3316	1		1				0	0	Si

Verifica a presso/tenso flessione deviata SLD §§ 4.2.4.1.2.3 - 4.2.4.1.2.6 - 4.2.4.1.2.7 - 4.2.4.1.2.8 NTC18

Verifiche eseguite utilizzando la formula conservativa (6.2) §6.2.1 EN 1993-1-1:2005.

X	Comb.	Sfruttamento	Classe	NEd	NRd	Rid. NRd da VEd	Mx,Ed	Mx,Rd	My,Ed	My,Rd	Rid. Mx,Rd da VEd	Rid. Mx,Rd da NEd	Rid. My,Rd da VEd	Rid. My,Rd da NEd	α	β	px	py	Verifica
0.812	SLD 10	0.065	1	60.785	1003.522	1	0.0916	23.5037	-0.0078	33.3316	1		1				0	0	Si

Verifiche ad instabilità

Caratteristiche iniziali

Membratura principale per controllo snellezza; Calcolo di snellezze ed N critici condotti secondo gli assi principali;

Curva X: c; Curva Y: c;

Svergolamento: Nessuno; la verifica a instabilità flesso-torsionale (svergolamento) non verrà eseguita.

Dati per instabilità attorno a x

Controllo della snellezza secondo §4.2.4.1.3.1 NTC18

Numero rit.	Presente	Ascissa	Campata	βx/m	Vincolo a entrambi estremi	λx/m	λVer
1	Si		0				
			1-2		1	53.5	Si, (<200)
2	Si		1.625				

Dati per instabilità attorno a y

Controllo della snellezza secondo §4.2.4.1.3.1 NTC18

Numero rit.	Presente	Ascissa	Campata	βy/n	k,LT	kw,LT	Vincolo a entrambi estremi
1	Si		0				
			1-2		1	39.7	Si, (<200)
2	Si		1.625				

Verifica di stabilità per pressoflessione §C.4.2.4.1.3.3.1 NTC18

X	Comb.	Sfruttamento	Classe	NEd	MxEq,Ed	MyEq,Ed	Area	Wx	Wy	χ,min	λ adim. x/m	λ adim. y/n	N,crit x/m	N,crit y/n	Verifica
0	SLU 2	0.014	3	-5.122	0.0786	-0.0177	0.003832	0.0000492	0.0000739	0.776	0.617	0.457	2772.187	5041.477	Si

Verifiche a deformabilità

Mensola X: No; Mensola Y: No.

Frecce lungo X

Ascissa freccia	Combinazione	Freccia	Luce	L/f	L/f,min	Tipo	Verifica
0.867	SLE RA 1	0	1.625	10000	250	Totale	Si
0.921	SLE RA 17	0	1.625	10000	250	Totale	Si
0.921	SLE RA 16	0	1.625	10000	250	Totale	Si
0.921	SLE RA 15	0	1.625	10000	250	Totale	Si
0.921	SLE RA 14	0	1.625	10000	250	Totale	Si
0.921	SLE RA 2	0	1.625	10000	350	Variabile	Si
0.921	SLE RA 17	0	1.625	10000	350	Variabile	Si
0.921	SLE RA 16	0	1.625	10000	350	Variabile	Si
0.542	SLE RA 15	0	1.625	10000	350	Variabile	Si
0.921	SLE RA 14	0	1.625	10000	350	Variabile	Si

Frecce lungo Y

Ascissa freccia	Combinazione	Freccia	Luce	L/f	L/f,min	Tipo	Verifica
0.812	SLE RA 1	0.00003	1.625	10000	250	Totale	Si
0.812	SLE RA 17	0.00003	1.625	10000	250	Totale	Si
0.812	SLE RA 16	0.00003	1.625	10000	250	Totale	Si
0.812	SLE RA 15	0.00003	1.625	10000	250	Totale	Si
0.812	SLE RA 14	0.00003	1.625	10000	250	Totale	Si
0.758	SLE RA 2	0	1.625	10000	350	Variabile	Si
0.758	SLE RA 17	0	1.625	10000	350	Variabile	Si
0.758	SLE RA 16	0	1.625	10000	350	Variabile	Si
0.704	SLE RA 15	0	1.625	10000	350	Variabile	Si
0.758	SLE RA 14	0	1.625	10000	350	Variabile	Si

Superelemento in acciaio a quota "640"- "703" (1999; 2393)-(1999; 2293)

Caratteristiche del materiale

Acciaio: S275, fyk = 275000

Caratteristiche geometriche

Lunghezza: 1.179

Nodo iniziale: 1210 Nodo finale: 1936

Cerniera iniziale: Mmomenti 1% Cerniera finale: Mmomenti 1%

Sovreresistenza: 0% Sisma Z: No

Caratteristiche della sezione

Sezione	Rotazione	Area	Jx	Jy	ix	iy	Wx	Wy	Wplx	Wply
A1; L100*10; 1; Saldato; S275; 20; 1; 8; 8; 1	180	0.003832	0.0000035319	0.000007759	0.0304	0.045	0.0000492	0.0000739	0.00008974	0.00012727

Comportamento dei calastrelli

Accoppiamento imbottito avendo passo inferiore al minimo richiesto (§C4.2.4.1.3.1.5 NTC18) nella campata compresa tra le ascisse 0 e 1.179 per sbandamento attorno all'asse y.

Verifiche di resistenza

Verifiche a forza assiale §4.2.4.1.2.1 - §4.2.4.1.2.2 NTC18

X	Comb.	Sfruttamento	Classe	NEd	Nc,Rd	Nt,Rd	Riduzione da taglio	px	py	Verifica
0	SLV 15	0.034	3	-34.39	1003.522		1	0	0	Si

Verifiche a forza assiale SLD §4.2.4.1.2.1 - §4.2.4.1.2.2 NTC18

X	Comb.	Sfruttamento	Classe	NEd	Nc,Rd	Nt,Rd	Riduzione da taglio	px	py	Verifica
0	SLD 15	0.017	3	-16.855	1003.522		1	0	0	Si

Verifica a taglio Y §4.2.4.1.2.4 NTC18

X	Comb.	Sfruttamento	Classe	VEd	Vc,Rd	Av	Interazione taglio-torsione	Riduzione torsione	Verifica
1.179	SLU 75	0.001		0.206	302.422	0.002	Non considerata		Si

Verifica a presso/tenso flessione retta X §§ 4.2.4.1.2.3 - 4.2.4.1.2.6 - 4.2.4.1.2.7 - 4.2.4.1.2.8 NTC18

Verifiche eseguite utilizzando la formula conservativa (6.2) §6.2.1 EN 1993-1-1:2005.

X	Comb.	Sfruttamento	Classe	NEd	NRd	Rid. NRd da VEd	Mx,Ed	Mx,Rd	Rid. Mx,Rd da VEd	Rid. Mx,Rd da NEd	px	py	Verifica
0.59	SLU 64	0.028	3	-23.419	1003.522	1	0.0584	12.886	1		0	0	Si

Verifica a presso/tenso flessione retta Y §§ 4.2.4.1.2.3 - 4.2.4.1.2.6 - 4.2.4.1.2.7 - 4.2.4.1.2.8 NTC18

Verifiche eseguite utilizzando la formula conservativa (6.2) §6.2.1 EN 1993-1-1:2005.

X	Comb.	Sfruttamento	Classe	NEd	NRd	Rid. NRd da VEd	My,Ed	My,Rd	Rid. My,Rd da VEd	Rid. My,Rd da NEd	px	py	Verifica
1.179	SLV 11	0.043	3	-34.184	1003.522	1	0.1756	19.3536	1		0	0	Si

Verifica a presso/tenso flessione retta Y SLD §§ 4.2.4.1.2.3 - 4.2.4.1.2.6 - 4.2.4.1.2.7 - 4.2.4.1.2.8 NTC18

Verifiche eseguite utilizzando la formula conservativa (6.2) §6.2.1 EN 1993-1-1:2005.

X	Comb.	Sfruttamento	Classe	NEd	NRd	Rid. NRd da VEd	My,Ed	My,Rd	Rid. My,Rd da VEd	Rid. My,Rd da NEd	px	py	Verifica
1.179	SLD 16	0.02	3	-16.667	1003.522	1	0.0733	19.3536	1		0	0	Si

Verifica a presso/tenso flessione deviata §§ 4.2.4.1.2.3 - 4.2.4.1.2.6 - 4.2.4.1.2.7 - 4.2.4.1.2.8 NTC18

Verifiche eseguite utilizzando la formula conservativa (6.2) §6.2.1 EN 1993-1-1:2005.

X	Comb.	Sfruttamento	Classe	NEd	NRd	Rid. NRd da VEd	Mx,Ed	Mx,Rd	My,Ed	My,Rd	Rid. Mx,Rd da VEd	Rid. Mx,Rd da NEd	Rid. My,Rd da VEd	Rid. My,Rd da NEd	α	β	px	py	Verifica
0.825	SLV 15	0.044	3	-34.258	1003.522	1	0.037	12.886	0.1434	19.3536	1		1				0	0	Si

Verifica a presso/tenso flessione deviata SLD §§ 4.2.4.1.2.3 - 4.2.4.1.2.6 - 4.2.4.1.2.7 - 4.2.4.1.2.8 NTC18

Verifiche eseguite utilizzando la formula conservativa (6.2) §6.2.1 EN 1993-1-1:2005.

X	Comb.	Sfruttamento	Classe	NEd	NRd	Rid. NRd da VEd	Mx,Ed	Mx,Rd	My,Ed	My,Rd	Rid. Mx,Rd da VEd	Rid. Mx,Rd da NEd	Rid. My,Rd da VEd	Rid. My,Rd da NEd	α	β	px	py	Verifica
0.668	SLD 15	0.023	3	-16.748	1003.522	1	0.0427	12.886	0.0535	19.3536	1		1				0	0	Si

Verifiche ad instabilità

Caratteristiche iniziali

Membratura principale per controllo snellezza; Calcolo di snellezze ed N critici condotti secondo gli assi principali;

Curva X: c; Curva Y: c;

Svergolamento: Nessuno; la verifica a instabilità flesso-torsionale (svergolamento) non verrà eseguita.

Dati per instabilità attorno a x

Controllo della snellezza secondo §4.2.4.1.3.1 NTC18

Numero rit.	Presente	Ascissa	Campata	βx/m	Vincolo a entrambi estremi	λx/m	λVer
1	Si	0					
2	Si	1.179	1-2		1	38.8	Si, (<200)

Dati per instabilità attorno a y

Controllo della snellezza secondo §4.2.4.1.3.1 NTC18

Numero rit.	Presente	Ascissa	Campata	βy/n	k,LT	kw,LT	Vincolo a entrambi estremi
1	Si	0					
2	Si	1.179	1-2		1	26.2	Si, (<200)

Implementazione dei sistemi di confinamento delle emissioni odorigene diffuse dell'impianto di compostaggio esistente nel
Comune di Eboli (SA)
PROGETTO DEFINITIVO – Tabulati di calcolo Tomo 1

Verifica di stabilità per pressoflessione §C.4.2.4.1.3.3.1 NTC18

X	Comb.	Sfruttamento	Classe	NEd	MxEq,Ed	MyEq,Ed	Area	Wx	Wy	χ,min	λ adim. x/m	λ adim. y/n	N _{crit} x/m	N _{crit} y/n	Verifica
0	SLV 16	0.049	3	-34.39	0.0381	0.1366	0.003832	0.0000492	0.0000739	0.872	0.447	0.302	5264.041	11564.201	Si

Verifica di stabilità per pressoflessione SLD §C.4.2.4.1.3.3.1 NTC18

X	Comb.	Sfruttamento	Classe	NEd	MxEq,Ed	MyEq,Ed	Area	Wx	Wy	χ,min	λ adim. x/m	λ adim. y/n	N _{crit} x/m	N _{crit} y/n	Verifica
0	SLD 15	0.025	3	-16.855	0.0374	0.0565	0.003832	0.0000492	0.0000739	0.872	0.447	0.302	5264.041	11564.201	Si

Verifiche a deformabilità

Mensola X: No; Mensola Y: No.

Frecce lungo X

Ascissa freccia	Combinazione	Freccia	Luce	L/f	L/f,min	Tipo	Verifica
0.708	SLE RA 1	0	1.179	10000	250	Totale	Si
0.708	SLE RA 17	0	1.179	10000	250	Totale	Si
0.708	SLE RA 16	0	1.179	10000	250	Totale	Si
0.708	SLE RA 15	0	1.179	10000	250	Totale	Si
0.668	SLE RA 14	0	1.179	10000	250	Totale	Si
0.668	SLE RA 2	0	1.179	10000	350	Variabile	Si
0.668	SLE RA 17	0	1.179	10000	350	Variabile	Si
0.668	SLE RA 16	0	1.179	10000	350	Variabile	Si
0.275	SLE RA 15	0	1.179	10000	350	Variabile	Si
0.668	SLE RA 14	0	1.179	10000	350	Variabile	Si

Frecce lungo Y

Ascissa freccia	Combinazione	Freccia	Luce	L/f	L/f,min	Tipo	Verifica
0.59	SLE RA 1	0.00001	1.179	10000	250	Totale	Si
0.59	SLE RA 17	0.00001	1.179	10000	250	Totale	Si
0.59	SLE RA 16	0.00001	1.179	10000	250	Totale	Si
0.59	SLE RA 15	0.00001	1.179	10000	250	Totale	Si
0.59	SLE RA 14	0.00001	1.179	10000	250	Totale	Si
0.668	SLE RA 2	0	1.179	10000	350	Variabile	Si
0.668	SLE RA 17	0	1.179	10000	350	Variabile	Si
0.668	SLE RA 16	0	1.179	10000	350	Variabile	Si
0.668	SLE RA 15	0	1.179	10000	350	Variabile	Si
0.668	SLE RA 14	0	1.179	10000	350	Variabile	Si

Superelemento in acciaio a quota "640"- "703" (1999; 2793)-(1999; 2893)

Caratteristiche del materiale

Acciaio: S275, fyk = 275000

Caratteristiche geometriche

Lunghezza: 1.179

Nodo iniziale: 1361 Nodo finale: 1971

Cerniera iniziale: Mmomenti 1% Cerniera finale: Mmomenti 1%

Sovraresistenza: 0% Sisma Z: No

Caratteristiche della sezione

Sezione	Rotazione	Area	Jx	Jy	ix	iy	Wx	Wy	Wplx	Wply
A1; L100*10; 1; Saldato; S275; 20; 1; 8; 8; 1	180	0.003832	0.0000035319	0.000007759	0.0304	0.045	0.0000492	0.0000739	0.00008974	0.00012727

Comportamento dei calastrelli

Accoppiamento imbottito avendo passo inferiore al minimo richiesto (§C4.2.4.1.3.1.5 NTC18) nella campata compresa tra le ascisse 0 e 1.179 per sbandamento attorno all'asse y.

Verifiche di resistenza

Verifiche a forza assiale §4.2.4.1.2.1 - §4.2.4.1.2.2 NTC18

X	Comb.	Sfruttamento	Classe	NEd	Nc,Rd	Nt,Rd	Riduzione da taglio	px	py	Verifica
0	SLU 64	0.034	3	-33.855	1003.522		1	0	0	Si

Verifiche a forza assiale SLD §4.2.4.1.2.1 - §4.2.4.1.2.2 NTC18

X	Comb.	Sfruttamento	Classe	NEd	Nc,Rd	Nt,Rd	Riduzione da taglio	px	py	Verifica
0	SLD 9	0.012	3	-12.115	1003.522		1	0	0	Si

Verifica a taglio Y §4.2.4.1.2.4 NTC18

X	Comb.	Sfruttamento	VEd	Vc,Rd	Av	Interazione taglio-torsione	Riduzione torsione	Verifica
1.179	SLU 76	0.001	0.203	302.422	0.002	Non considerata		Si

Verifica a flessione semplice X §§ 4.2.4.1.2.3 - 4.2.4.1.2.6 - 4.2.4.1.2.7 - 4.2.4.1.2.8 NTC18

X	Comb.	Sfruttamento	Classe	Mx,Ed	Mx,Rd	Rid. Mx,Rd da VEd	px	py	Verifica
0.59	SLU 44	0.002	1	0.05641	23.50374	1	0	0	Si

Verifica a presso/tenso flessione retta X §§ 4.2.4.1.2.3 - 4.2.4.1.2.6 - 4.2.4.1.2.7 - 4.2.4.1.2.8 NTC18

Verifiche eseguite utilizzando la formula conservativa (6.2) §6.2.1 EN 1993-1-1:2005.

X	Comb.	Sfruttamento	Classe	NEd	NRd	Rid. NRd da VEd	Mx,Ed	Mx,Rd	Rid. Mx,Rd da VEd	Rid. Mx,Rd da NEd	px	py	Verifica
0.197	SLU 64	0.036	3	-33.814	1003.522	1	0.03	12.886	1		0	0	Si

Verifica a presso/tenso flessione retta Y §§ 4.2.4.1.2.3 - 4.2.4.1.2.6 - 4.2.4.1.2.7 - 4.2.4.1.2.8 NTC18

Verifiche eseguite utilizzando la formula conservativa (6.2) §6.2.1 EN 1993-1-1:2005.

Implementazione dei sistemi di confinamento delle emissioni odorigene diffuse dell’impianto di compostaggio esistente nel
Comune di Eboli (SA)
PROGETTO DEFINITIVO – Tabulati di calcolo Tomo 1

X	Comb.	Sfruttamento	Classe	NEd	NRd	Rid. NRd da VEd	My,Ed	My,Rd	Rid. My,Rd da VEd	Rid. My,Rd da NEd	px	py	Verifica
1.14	SLU 64	0.036	3	-33.619	1003.522	1	0.0471	19.3536	1		0	0	Si

Verifica a presso/tenso flessione retta Y SLD §§ 4.2.4.1.2.3 - 4.2.4.1.2.6 - 4.2.4.1.2.7 - 4.2.4.1.2.8 NTC18

Verifiche eseguite utilizzando la formula conservativa (6.2) §6.2.1 EN 1993-1-1:2005.

X	Comb.	Sfruttamento	Classe	NEd	NRd	Rid. NRd da VEd	My,Ed	My,Rd	Rid. My,Rd da VEd	Rid. My,Rd da NEd	px	py	Verifica
1.179	SLD 10	0.013	3	-11.927	1003.522	1	-0.0292	19.3536	1		0	0	Si

Verifica a presso/tenso flessione deviata §§ 4.2.4.1.2.3 - 4.2.4.1.2.6 - 4.2.4.1.2.7 - 4.2.4.1.2.8 NTC18

Verifiche eseguite utilizzando la formula conservativa (6.2) §6.2.1 EN 1993-1-1:2005.

X	Comb.	Sfruttamento	Classe	NEd	NRd	Rid. NRd da VEd	Mx,Ed	Mx,Rd	My,Ed	My,Rd	Rid. Mx,Rd da VEd	Rid. Mx,Rd da NEd	Rid. My,Rd da VEd	Rid. My,Rd da NEd	α	β	px	py	Verifica
0.629	SLU 64	0.039	3	-33.725	1003.522	1	0.0523	12.886	0.0254	19.3536	1		1				0	0	Si

Verifica a presso/tenso flessione deviata SLD §§ 4.2.4.1.2.3 - 4.2.4.1.2.6 - 4.2.4.1.2.7 - 4.2.4.1.2.8 NTC18

Verifiche eseguite utilizzando la formula conservativa (6.2) §6.2.1 EN 1993-1-1:2005.

X	Comb.	Sfruttamento	Classe	NEd	NRd	Rid. NRd da VEd	Mx,Ed	Mx,Rd	My,Ed	My,Rd	Rid. Mx,Rd da VEd	Rid. Mx,Rd da NEd	Rid. My,Rd da VEd	Rid. My,Rd da NEd	α	β	px	py	Verifica
0.59	SLD 9	0.017	3	-12.021	1003.522	1	0.0424	12.886	-0.0271	19.3536	1		1				0	0	Si

Verifiche ad instabilità

Caratteristiche iniziali

Membratura principale per controllo snellezza; Calcolo di snellezze ed N critici condotti secondo gli assi principali;

Curva X: c; Curva Y: c;

Svergolamento: Nessuno; la verifica a instabilità flesso-torsionale (svergolamento) non verrà eseguita.

Dati per instabilità attorno a x

Controllo della snellezza secondo §4.2.4.1.3.1 NTC18

Numero rit.	Presente	Ascissa	Campata	βx/m	Vincolo a entrambi estremi	λx/m	λVer
1	Si		0				
			1-2		1	Si	38.8
2	Si		1.179				Si, (<200)

Dati per instabilità attorno a y

Controllo della snellezza secondo §4.2.4.1.3.1 NTC18

Numero rit.	Presente	Ascissa	Campata	βy/n	k,LT	kw,LT	Vincolo a entrambi estremi
1	Si		0				
			1-2		1	Si	26.2
2	Si		1.179				Si, (<200)

Verifica di stabilità per pressoflessione §C.4.2.4.1.3.3.1 NTC18

X	Comb.	Sfruttamento	Classe	NEd	MxEq,Ed	MyEq,Ed	Area	Wx	Wy	x,min	λ adim. x/m	λ adim. y/n	N,crit x/m	N,crit y/n	Verifica
0	SLU 64	0.044	3	-33.855	0.0437	0.0287	0.003832	0.0000492	0.0000739	0.872	0.447	0.302	5264.041	11564.201	Si

Verifica di stabilità per pressoflessione SLD §C.4.2.4.1.3.3.1 NTC18

X	Comb.	Sfruttamento	Classe	NEd	MxEq,Ed	MyEq,Ed	Area	Wx	Wy	x,min	λ adim. x/m	λ adim. y/n	N,crit x/m	N,crit y/n	Verifica
0	SLD 13	0.018	3	-12.031	0.0356	-0.0288	0.003832	0.0000492	0.0000739	0.872	0.447	0.302	5264.041	11564.201	Si

Verifiche a deformabilità

Mensola X: No; Mensola Y: No.

Frecce lungo X

Ascissa freccia	Combinazione	Freccia	Luce	L/f	L/f,min	Tipo	Verifica
0.708	SLE RA 1	0	1.179	10000	250	Totale	Si
0.708	SLE RA 17	0	1.179	10000	250	Totale	Si
0.708	SLE RA 16	0	1.179	10000	250	Totale	Si
0.708	SLE RA 15	0	1.179	10000	250	Totale	Si
0.708	SLE RA 14	0	1.179	10000	250	Totale	Si
0.708	SLE RA 2	0	1.179	10000	350	Variabile	Si
0.708	SLE RA 17	0	1.179	10000	350	Variabile	Si
0.708	SLE RA 16	0	1.179	10000	350	Variabile	Si
0.668	SLE RA 15	0	1.179	10000	350	Variabile	Si
0.786	SLE RA 14	0	1.179	10000	350	Variabile	Si

Frecce lungo Y

Ascissa freccia	Combinazione	Freccia	Luce	L/f	L/f,min	Tipo	Verifica
0.59	SLE RA 1	0.00001	1.179	10000	250	Totale	Si
0.59	SLE RA 17	0.00001	1.179	10000	250	Totale	Si
0.59	SLE RA 16	0.00001	1.179	10000	250	Totale	Si
0.59	SLE RA 15	0.00001	1.179	10000	250	Totale	Si
0.59	SLE RA 14	0.00001	1.179	10000	250	Totale	Si
0.668	SLE RA 2	0	1.179	10000	350	Variabile	Si
0.668	SLE RA 17	0	1.179	10000	350	Variabile	Si
0.668	SLE RA 16	0	1.179	10000	350	Variabile	Si
0.668	SLE RA 15	0	1.179	10000	350	Variabile	Si
0.629	SLE RA 14	0	1.179	10000	350	Variabile	Si

Superelemento in acciaio a quota "640"- "703" (2231; 2393)-(2231; 2293)

Caratteristiche del materiale

Acciaio: S275, fyk = 275000

**Implementazione dei sistemi di confinamento delle emissioni odorigene diffuse dell'impianto di compostaggio esistente nel
Comune di Eboli (SA)
PROGETTO DEFINITIVO – Tabulati di calcolo Tomo 1**

Caratteristiche geometriche

Lunghezza: 1.179
 Nodo iniziale: 1214 Nodo finale: 1942
 Cerniera iniziale: Mmomenti 1% Cerniera finale: Mmomenti 1%
 Sovraresistenza: 0% Sisma Z: No

Caratteristiche della sezione

Sezione	Rotazione	Area	Jx	Jy	ix	iy	Wx	Wy	Wplx	Wply
A1; L100*10; 1; Saldato; S275; 20; 1; 8; 8; 1	180	0.003832	0.0000035319	0.000007759	0.0304	0.045	0.0000492	0.0000739	0.00008974	0.00012727

Comportamento dei calastrelli

Accoppiamento imbottito avendo passo inferiore al minimo richiesto (§C4.2.4.1.3.1.5 NTC18) nella campata compresa tra le ascisse 0 e 1.179 per sbandamento attorno all'asse y.

Verifiche di resistenza

Verifiche a forza assiale §4.2.4.1.2.1 - §4.2.4.1.2.2 NTC18

X	Comb.	Sfruttamento	Classe	NEd	Nc,Rd	Nt,Rd	Riduzione da taglio	px	py	Verifica
0	SLU 76	0.012	3	-12.19	1003.522		1	0	0	Si

Verifiche a forza assiale SLD §4.2.4.1.2.1 - §4.2.4.1.2.2 NTC18

X	Comb.	Sfruttamento	Classe	NEd	Nc,Rd	Nt,Rd	Riduzione da taglio	px	py	Verifica
0	SLD 10	0.006	3	-5.529	1003.522		1	0	0	Si

Verifica a taglio Y §4.2.4.1.2.4 NTC18

X	Comb.	Sfruttamento	Classe	VEd	Vc,Rd	Av	Interazione taglio-torsione	Riduzione torsione	Verifica
1.179	SLU 75	0.001		0.226	302.422	0.002	Non considerata		Si

Verifica a presso/tenso flessione retta X §§ 4.2.4.1.2.3 - 4.2.4.1.2.6 - 4.2.4.1.2.7 - 4.2.4.1.2.8 NTC18

Verifiche eseguite utilizzando la formula conservativa (6.2) §6.2.1 EN 1993-1-1:2005.

X	Comb.	Sfruttamento	Classe	NEd	NRd	Rid. NRd da VEd	Mx,Ed	Mx,Rd	Rid. Mx,Rd da VEd	Rid. Mx,Rd da NEd	px	py	Verifica
0.275	SLU 45	0.013	3	-10.176	1003.522	1	0.0385	12.886	1		0	0	Si

Verifica a presso/tenso flessione retta Y §§ 4.2.4.1.2.3 - 4.2.4.1.2.6 - 4.2.4.1.2.7 - 4.2.4.1.2.8 NTC18

Verifiche eseguite utilizzando la formula conservativa (6.2) §6.2.1 EN 1993-1-1:2005.

X	Comb.	Sfruttamento	Classe	NEd	NRd	Rid. NRd da VEd	My,Ed	My,Rd	Rid. My,Rd da VEd	Rid. My,Rd da NEd	px	py	Verifica
1.061	SLU 76	0.013	3	-11.97	1003.522	1	0.0267	19.3536	1		0	0	Si

Verifica a presso/tenso flessione retta Y SLD §§ 4.2.4.1.2.3 - 4.2.4.1.2.6 - 4.2.4.1.2.7 - 4.2.4.1.2.8 NTC18

Verifiche eseguite utilizzando la formula conservativa (6.2) §6.2.1 EN 1993-1-1:2005.

X	Comb.	Sfruttamento	Classe	NEd	NRd	Rid. NRd da VEd	My,Ed	My,Rd	Rid. My,Rd da VEd	Rid. My,Rd da NEd	px	py	Verifica
1.14	SLD 16	0.01	3	-5.169	1003.522	1	0.0897	19.3536	1		0	0	Si

Verifica a presso/tenso flessione deviata §§ 4.2.4.1.2.3 - 4.2.4.1.2.6 - 4.2.4.1.2.7 - 4.2.4.1.2.8 NTC18

Verifiche eseguite utilizzando la formula conservativa (6.2) §6.2.1 EN 1993-1-1:2005.

X	Comb.	Sfruttamento	Classe	NEd	NRd	Rid. NRd da VEd	Mx,Ed	Mx,Rd	My,Ed	My,Rd	Rid. Mx,Rd da VEd	Rid. Mx,Rd da NEd	Rid. My,Rd da VEd	Rid. My,Rd da NEd	α	β	px	py	Verifica
0.55	SLU 76	0.016	3	-12.076	1003.522	1	0.0444	12.886	0.0167	19.3536	1		1				0	0	Si

Verifica a presso/tenso flessione deviata SLD §§ 4.2.4.1.2.3 - 4.2.4.1.2.6 - 4.2.4.1.2.7 - 4.2.4.1.2.8 NTC18

Verifiche eseguite utilizzando la formula conservativa (6.2) §6.2.1 EN 1993-1-1:2005.

X	Comb.	Sfruttamento	Classe	NEd	NRd	Rid. NRd da VEd	Mx,Ed	Mx,Rd	My,Ed	My,Rd	Rid. Mx,Rd da VEd	Rid. Mx,Rd da NEd	Rid. My,Rd da VEd	Rid. My,Rd da NEd	α	β	px	py	Verifica
0.668	SLD 15	0.012	3	-5.244	1003.522	1	0.0375	12.886	0.0684	19.3536	1		1				0	0	Si

Verifiche ad instabilità

Caratteristiche iniziali

Membratura principale per controllo snellezza; Calcolo di snellezze ed N critici condotti secondo gli assi principali;
 Curva X: c; Curva Y: c;
 Svergolamento: Nessuno; la verifica a instabilità flesso-torsionale (svergolamento) non verrà eseguita.

Dati per instabilità attorno a x

Controllo della snellezza secondo §4.2.4.1.3.1 NTC18

Numero rit.	Presente	Ascissa	Campata	βx/m	Vincolo a entrambi estremi	λx/m	λVer
1	Si	0					
2	Si	1.179	1-2		1	38.8	Si, (<200)

Dati per instabilità attorno a y

Controllo della snellezza secondo §4.2.4.1.3.1 NTC18

Numero rit.	Presente	Ascissa	Campata	βy/n	k,LT	kw,LT	Vincolo a entrambi estremi
1	Si	0					
2	Si	1.179	1-2		1	26.2	Si, (<200)

Verifica di stabilità per pressoflessione §C.4.2.4.1.3.3.1 NTC18

X	Comb.	Sfruttamento	Classe	NEd	MxEq,Ed	MyEq,Ed	Area	Wx	Wy	χ,min	λ adim. x/m	λ adim. y/n	N,crit x/m	N,crit y/n	Verifica
0	SLV 6	0.018	3	-5.726	0.0323	-0.1749	0.003832	0.0000492	0.0000739	0.872	0.447	0.302	5264.041	11564.201	Si

PROGETTO DEFINITIVO – Tabulati di calcolo Tomo 1

Verifica di stabilità per pressoflessione SLD §C.4.2.4.1.3.3.1 NTC18

X	Comb.	Sfruttamento	Classe	NEd	MxEq,Ed	MyEq,Ed	Area	Wx	Wy	x,min	λ adim. x/m	λ adim. y/n	N _{crit} x/m	N _{crit} y/n	Verifica
0	SLD 16	0.012	3	-5.351	0.0314	0.0702	0.003832	0.0000492	0.0000739	0.872	0.447	0.302	5264.041	11564.201	Si

Verifiche a deformabilità

Mensola X: No; Mensola Y: No.

Frecce lungo X

Ascissa freccia	Combinazione	Freccia	Luce	L/f	L/f,min	Tipo	Verifica
0.668	SLE RA 1	0	1.179	10000	250	Totale	Si
0.668	SLE RA 17	0	1.179	10000	250	Totale	Si
0.668	SLE RA 16	0	1.179	10000	250	Totale	Si
0.668	SLE RA 15	0	1.179	10000	250	Totale	Si
0.629	SLE RA 14	0	1.179	10000	250	Totale	Si
0.668	SLE RA 2	0	1.179	10000	350	Variabile	Si
0.668	SLE RA 17	0	1.179	10000	350	Variabile	Si
0.668	SLE RA 16	0	1.179	10000	350	Variabile	Si
0.668	SLE RA 15	0	1.179	10000	350	Variabile	Si
0.629	SLE RA 14	0	1.179	10000	350	Variabile	Si

Frecce lungo Y

Ascissa freccia	Combinazione	Freccia	Luce	L/f	L/f,min	Tipo	Verifica
0.59	SLE RA 1	0.00001	1.179	10000	250	Totale	Si
0.55	SLE RA 17	0.00001	1.179	10000	250	Totale	Si
0.55	SLE RA 16	0.00001	1.179	10000	250	Totale	Si
0.55	SLE RA 15	0.00001	1.179	10000	250	Totale	Si
0.55	SLE RA 14	0.00001	1.179	10000	250	Totale	Si
0.668	SLE RA 2	0	1.179	10000	350	Variabile	Si
0.668	SLE RA 17	0	1.179	10000	350	Variabile	Si
0.668	SLE RA 16	0	1.179	10000	350	Variabile	Si
0.668	SLE RA 15	0	1.179	10000	350	Variabile	Si
0.668	SLE RA 14	0	1.179	10000	350	Variabile	Si

Superelemento in acciaio a quota "640"- "703" (2231; 2793)-(2231; 2893)

Caratteristiche del materiale

Acciaio: S275, fyk = 275000

Caratteristiche geometriche

Lunghezza: 1.179

Nodo iniziale: 1363 Nodo finale: 1979

Cerniera iniziale: Mmomenti 1% Cerniera finale: Mmomenti 1%

Sovreresistenza: 0% Sisma Z: No

Caratteristiche della sezione

Sezione	Rotazione	Area	Jx	Jy	ix	iy	Wx	Wy	Wplx	Wply
Al; L100*10; 1; Saldato; S275; 20; 1; 8; 8; 1	180	0.003832	0.0000035319	0.000007759	0.0304	0.045	0.0000492	0.0000739	0.00008974	0.00012727

Comportamento dei calastrelli

Accoppiamento imbottito avendo passo inferiore al minimo richiesto (§C4.2.4.1.3.1.5 NTC18) nella campata compresa tra le ascisse 0 e 1.179 per sbandamento attorno all'asse y.

Verifiche di resistenza

Verifiche a forza assiale §4.2.4.1.2.1 - §4.2.4.1.2.2 NTC18

X	Comb.	Sfruttamento	Classe	NEd	Nc,Rd	Nt,Rd	Riduzione da taglio	px	py	Verifica
0	SLU 76	0.01	3	-10.333	1003.522		1	0	0	Si

Verifiche a forza assiale SLD §4.2.4.1.2.1 - §4.2.4.1.2.2 NTC18

X	Comb.	Sfruttamento	Classe	NEd	Nc,Rd	Nt,Rd	Riduzione da taglio	px	py	Verifica
0	SLD 14	0.005	3	-5.2	1003.522		1	0	0	Si

Verifica a presso/tenso flessione retta X §§ 4.2.4.1.2.3 - 4.2.4.1.2.6 - 4.2.4.1.2.7 - 4.2.4.1.2.8 NTC18

Verifiche eseguite utilizzando la formula conservativa (6.2) §6.2.1 EN 1993-1-1:2005.

X	Comb.	Sfruttamento	Classe	NEd	NRd	Rid. NRd da VEd	Mx,Ed	Mx,Rd	Rid. Mx,Rd da VEd	Rid. Mx,Rd da NEd	px	py	Verifica
0.59	SLU 76	0.015	3	-10.21	1003.522	1	0.0566	12.886	1		0	0	Si

Verifica a presso/tenso flessione retta Y §§ 4.2.4.1.2.3 - 4.2.4.1.2.6 - 4.2.4.1.2.7 - 4.2.4.1.2.8 NTC18

Verifiche eseguite utilizzando la formula conservativa (6.2) §6.2.1 EN 1993-1-1:2005.

X	Comb.	Sfruttamento	Classe	NEd	NRd	Rid. NRd da VEd	My,Ed	My,Rd	Rid. My,Rd da VEd	Rid. My,Rd da NEd	px	py	Verifica
0	SLU 76	0.011	3	-10.333	1003.522	1	-0.0107	19.3536	1		0	0	Si

Verifica a presso/tenso flessione retta Y SLD §§ 4.2.4.1.2.3 - 4.2.4.1.2.6 - 4.2.4.1.2.7 - 4.2.4.1.2.8 NTC18

Verifiche eseguite utilizzando la formula conservativa (6.2) §6.2.1 EN 1993-1-1:2005.

X	Comb.	Sfruttamento	Classe	NEd	NRd	Rid. NRd da VEd	My,Ed	My,Rd	Rid. My,Rd da VEd	Rid. My,Rd da NEd	px	py	Verifica
1.179	SLD 14	0.007	3	-5.012	1003.522	1	-0.0482	19.3536	1		0	0	Si

Verifica a presso/tenso flessione deviata §§ 4.2.4.1.2.3 - 4.2.4.1.2.6 - 4.2.4.1.2.7 - 4.2.4.1.2.8 NTC18

Verifiche eseguite utilizzando la formula conservativa (6.2) §6.2.1 EN 1993-1-1:2005.

X	Comb.	Sfruttamento	Classe	NEd	NRd	Rid. NRd da VEd	Mx,Ed	Mx,Rd	My,Ed	My,Rd	Rid. Mx,Rd da VEd	Rid. Mx,Rd da NEd	Rid. My,Rd da VEd	Rid. My,Rd da NEd	α	β	px	py	Verifica
---	-------	--------------	--------	-----	-----	-----------------	-------	-------	-------	-------	-------------------	-------------------	-------------------	-------------------	---	---	----	----	----------

Implementazione dei sistemi di confinamento delle emissioni odorigene diffuse dell'impianto di compostaggio esistente nel
Comune di Eboli (SA)
PROGETTO DEFINITIVO – Tabulati di calcolo Tomo 1

X	Comb.	Sfruttamento	Classe	NEd	NRd	Rid. NRd da VEd	Mx,Ed	Mx,Rd	My,Ed	My,Rd	Rid. Mx,Rd da VEd	Rid. Mx,Rd da NEd	Rid. My,Rd da VEd	Rid. My,Rd da NEd	α	β	px	py	Verifica
0.983	SLU 76	0.013	3	-10.129	1003.522	1	0.0305	12.886	0.0079	19.3536	1		1				0	0	Si

Verifica a presso/tenso flessione deviata SLD §§ 4.2.4.1.2.3 - 4.2.4.1.2.6 - 4.2.4.1.2.7 - 4.2.4.1.2.8 NTC18

Verifiche eseguite utilizzando la formula conservativa (6.2) §6.2.1 EN 1993-1-1:2005.

X	Comb.	Sfruttamento	Classe	NEd	NRd	Rid. NRd da VEd	Mx,Ed	Mx,Rd	My,Ed	My,Rd	Rid. Mx,Rd da VEd	Rid. Mx,Rd da NEd	Rid. My,Rd da VEd	Rid. My,Rd da NEd	α	β	px	py	Verifica
0.668	SLD 5	0.01	3	-4.934	1003.522	1	0.0431	12.886	0.041	19.3536	1		1				0	0	Si

Verifiche ad instabilità

Caratteristiche iniziali

Membratura principale per controllo snellezza; Calcolo di snellezze ed N critici condotti secondo gli assi principali;

Curva X: c; Curva Y: c;

Svergolamento: Nessuno; la verifica a instabilità flesso-torsionale (svergolamento) non verrà eseguita.

Dati per instabilità attorno a x

Controllo della snellezza secondo §4.2.4.1.3.1 NTC18

Numero rit.	Presente	Ascissa	Campata	βx/m	Vincolo a entrambi estremi	λx/m	λVer
1	Si		0				
			1-2		1	Si	38.8
2	Si	1.179					Si, (<200)

Dati per instabilità attorno a y

Controllo della snellezza secondo §4.2.4.1.3.1 NTC18

Numero rit.	Presente	Ascissa	Campata	βy/n	k,LT	kw,LT	Vincolo a entrambi estremi
1	Si		0				
			1-2		1	Si	26.2
2	Si	1.179					Si, (<200)

Verifica di stabilità per pressoflessione §C.4.2.4.1.3.3.1 NTC18

X	Comb.	Sfruttamento	Classe	NEd	MxEq,Ed	MyEq,Ed	Area	Wx	Wy	χ,min	λ adim. x/m	λ adim. y/n	N,crit x/m	N,crit y/n	Verifica
0	SLU 76	0.016	3	-10.333	0.0486	0.0046	0.003832	0.0000492	0.0000739	0.872	0.447	0.302	5264.041	11564.201	Si

Verifica di stabilità per pressoflessione SLD §C.4.2.4.1.3.3.1 NTC18

X	Comb.	Sfruttamento	Classe	NEd	MxEq,Ed	MyEq,Ed	Area	Wx	Wy	χ,min	λ adim. x/m	λ adim. y/n	N,crit x/m	N,crit y/n	Verifica
0	SLD 15	0.011	3	-5.044	0.0379	-0.0419	0.003832	0.0000492	0.0000739	0.872	0.447	0.302	5264.041	11564.201	Si

Verifiche a deformabilità

Mensola X: No; Mensola Y: No.

Frecce lungo X

Ascissa freccia	Combinazione	Freccia	Luce	L/f	L/f,min	Tipo	Verifica
0.904	SLE RA 1	0	1.179	10000	250	Totale	Si
0.904	SLE RA 17	0	1.179	10000	250	Totale	Si
0.904	SLE RA 16	0	1.179	10000	250	Totale	Si
0.904	SLE RA 15	0	1.179	10000	250	Totale	Si
0.904	SLE RA 14	0	1.179	10000	250	Totale	Si
0.865	SLE RA 2	0	1.179	10000	350	Variabile	Si
0.865	SLE RA 17	0	1.179	10000	350	Variabile	Si
0.865	SLE RA 16	0	1.179	10000	350	Variabile	Si
0.904	SLE RA 15	0	1.179	10000	350	Variabile	Si
0.825	SLE RA 14	0	1.179	10000	350	Variabile	Si

Frecce lungo Y

Ascissa freccia	Combinazione	Freccia	Luce	L/f	L/f,min	Tipo	Verifica
0.59	SLE RA 1	0.00001	1.179	10000	250	Totale	Si
0.59	SLE RA 17	0.00001	1.179	10000	250	Totale	Si
0.59	SLE RA 16	0.00001	1.179	10000	250	Totale	Si
0.59	SLE RA 15	0.00001	1.179	10000	250	Totale	Si
0.59	SLE RA 14	0.00001	1.179	10000	250	Totale	Si
0.708	SLE RA 2	0	1.179	10000	350	Variabile	Si
0.668	SLE RA 17	0	1.179	10000	350	Variabile	Si
0.668	SLE RA 16	0	1.179	10000	350	Variabile	Si
0.668	SLE RA 15	0	1.179	10000	350	Variabile	Si
0.668	SLE RA 14	0	1.179	10000	350	Variabile	Si

Superelemento in acciaio a quota "640"- "703" (2463; 2393)-(2463; 2293)

Caratteristiche del materiale

Acciaio: S275, fyk = 275000

Caratteristiche geometriche

Lunghezza: 1.179

Nodo iniziale: 1221 Nodo finale: 1950

Cerniera iniziale: Mmomenti 1% Cerniera finale: Mmomenti 1%

Sovraresistenza: 0% Sisma Z: No

Caratteristiche della sezione

Sezione	Rotazione	Area	Jx	Jy	ix	iy	Wx	Wy	Wplx	Wply
A1; L100*10; 1; Saldato; S275; 20; 1; 8; 8; 1	180	0.003832	0.0000035319	0.000007759	0.0304	0.045	0.0000492	0.0000739	0.00008974	0.00012727

Comportamento dei calastrelli

Accoppiamento imbottito avendo passo inferiore al minimo richiesto (§C4.2.4.1.3.1.5 NTC18) nella campata compresa tra le ascisse 0 e 1.179 per sbandamento attorno all'asse y.

Verifiche di resistenza

Verifiche a forza assiale §4.2.4.1.2.1 - §4.2.4.1.2.2 NTC18

X	Comb.	Sfruttamento	Classe	NEd	Nc,Rd	Nt,Rd	Riduzione da taglio	px	py	Verifica
0	SLV 8	0.008	3	-8.154	1003.522		1	0	0	Si

Verifiche a forza assiale SLD §4.2.4.1.2.1 - §4.2.4.1.2.2 NTC18

X	Comb.	Sfruttamento	Classe	NEd	Nc,Rd	Nt,Rd	Riduzione da taglio	px	py	Verifica
0	SLD 4	0.004	3	-4.301	1003.522		1	0	0	Si

Verifica a taglio Y §4.2.4.1.2.4 NTC18

X	Comb.	Sfruttamento	VEd	Vc,Rd	Av	Interazione taglio-torsione	Riduzione torsione	Verifica
1.179	SLU 76	0.001	0.203	302.422	0.002	Non considerata		Si

Verifica a flessione semplice Y SLD §§ 4.2.4.1.2.3 - 4.2.4.1.2.6 - 4.2.4.1.2.7 - 4.2.4.1.2.8 NTC18

X	Comb.	Sfruttamento	Classe	My,Ed	My,Rd	Rid. My,Rd da VEd	px	py	Verifica
1.179	SLD 9	0.001	1	-0.04146	33.33162	1	0	0	Si

Verifica a flessione deviata SLD §§ 4.2.4.1.2.3 - 4.2.4.1.2.6 - 4.2.4.1.2.7 - 4.2.4.1.2.8 NTC18

X	Comb.	Sfruttamento	Classe	Mx,Ed	Mx,Rd	My,Ed	My,Rd	Rid. Mx,Rd da VEd	Rid. My,Rd da VEd	α	β	px	py	Verifica
0.865	SLD 14	0.003	1	0.0343	23.5037	0.0356	33.3316	1	1			0	0	Si

Verifica a presso/tenso flessione retta X §§ 4.2.4.1.2.3 - 4.2.4.1.2.6 - 4.2.4.1.2.7 - 4.2.4.1.2.8 NTC18

Verifiche eseguite utilizzando la formula conservativa (6.2) §6.2.1 EN 1993-1-1:2005.

X	Comb.	Sfruttamento	Classe	NEd	NRd	Rid. NRd da VEd	Mx,Ed	Mx,Rd	Rid. Mx,Rd da VEd	Rid. Mx,Rd da NEd	px	py	Verifica
0.55	SLU 76	0.009	3	-4.878	1003.522	1	0.0531	12.886	1		0	0	Si

Verifica a presso/tenso flessione retta Y §§ 4.2.4.1.2.3 - 4.2.4.1.2.6 - 4.2.4.1.2.7 - 4.2.4.1.2.8 NTC18

Verifiche eseguite utilizzando la formula conservativa (6.2) §6.2.1 EN 1993-1-1:2005.

X	Comb.	Sfruttamento	Classe	NEd	NRd	Rid. NRd da VEd	My,Ed	My,Rd	Rid. My,Rd da VEd	Rid. My,Rd da NEd	px	py	Verifica
1.101	SLV 8	0.013	3	-7.979	1003.522	1	0.1014	19.3536	1		0	0	Si

Verifica a presso/tenso flessione retta Y SLD §§ 4.2.4.1.2.3 - 4.2.4.1.2.6 - 4.2.4.1.2.7 - 4.2.4.1.2.8 NTC18

Verifiche eseguite utilizzando la formula conservativa (6.2) §6.2.1 EN 1993-1-1:2005.

X	Comb.	Sfruttamento	Classe	NEd	NRd	Rid. NRd da VEd	My,Ed	My,Rd	Rid. My,Rd da VEd	Rid. My,Rd da NEd	px	py	Verifica
1.14	SLD 7	0.006	3	-4.118	1003.522	1	0.0415	19.3536	1		0	0	Si

Verifica a presso/tenso flessione deviata §§ 4.2.4.1.2.3 - 4.2.4.1.2.6 - 4.2.4.1.2.7 - 4.2.4.1.2.8 NTC18

Verifiche eseguite utilizzando la formula conservativa (6.2) §6.2.1 EN 1993-1-1:2005.

X	Comb.	Sfruttamento	Classe	NEd	NRd	Rid. NRd da VEd	Mx,Ed	Mx,Rd	My,Ed	My,Rd	Rid. Mx,Rd da VEd	Rid. Mx,Rd da NEd	Rid. My,Rd da VEd	Rid. My,Rd da NEd	α	β	px	py	Verifica
0.668	SLV 7	0.015	3	-8.047	1003.522	1	0.0355	12.886	0.079	19.3536	1		1				0	0	Si

Verifica a presso/tenso flessione deviata SLD §§ 4.2.4.1.2.3 - 4.2.4.1.2.6 - 4.2.4.1.2.7 - 4.2.4.1.2.8 NTC18

Verifiche eseguite utilizzando la formula conservativa (6.2) §6.2.1 EN 1993-1-1:2005.

X	Comb.	Sfruttamento	Classe	NEd	NRd	Rid. NRd da VEd	Mx,Ed	Mx,Rd	My,Ed	My,Rd	Rid. Mx,Rd da VEd	Rid. Mx,Rd da NEd	Rid. My,Rd da VEd	Rid. My,Rd da NEd	α	β	px	py	Verifica
0.59	SLD 7	0.009	3	-4.206	1003.522	1	0.0406	12.886	0.0312	19.3536	1		1				0	0	Si

Verifiche ad instabilità

Caratteristiche iniziali

Membratura principale per controllo snellezza; Calcolo di snellezze ed N critici condotti secondo gli assi principali;

Curva X: c; Curva Y: c;

Svergolamento: Nessuno; la verifica a instabilità flesso-torsionale (svergolamento) non verrà eseguita.

Dati per instabilità attorno a x

Controllo della snellezza secondo §4.2.4.1.3.1 NTC18

Numero rit.	Presente	Ascissa	Campata	βx/m	Vincolo a entrambi estremi	λx/m	λVer
1	Si	0					
			1-2		1	38.8	Si, (<200)
2	Si	1.179					

Dati per instabilità attorno a y

Controllo della snellezza secondo §4.2.4.1.3.1 NTC18

Numero rit.	Presente	Ascissa	Campata	βy/n	k,LT	kw,LT	Vincolo a entrambi estremi
1	Si	0					
			1-2		1	26.2	Si, (<200)
2	Si	1.179					

Verifica di stabilità per pressoflessione §C.4.2.4.1.3.3.1 NTC18

X	Comb.	Sfruttamento	Classe	NEd	MxEq,Ed	MyEq,Ed	Area	Wx	Wy	χ,min	λ adim. x/m	λ adim. y/n	N,crit x/m	N,crit y/n	Verifica
0	SLV 11	0.016	3	-5.504	0.0321	0.1478	0.003832	0.0000492	0.0000739	0.872	0.447	0.302	5264.041	11564.201	Si

Verifica di stabilità per pressoflessione SLD §C.4.2.4.1.3.3.1 NTC18

X	Comb.	Sfruttamento	Classe	NEd	MxEq,Ed	MyEq,Ed	Area	Wx	Wy	χ,min	λ adim. x/m	λ adim. y/n	N,crit x/m	N,crit y/n	Verifica
0	SLD 11	0.01	3	-3.427	0.0345	0.0601	0.003832	0.0000492	0.0000739	0.872	0.447	0.302	5264.041	11564.201	Si

Implementazione dei sistemi di confinamento delle emissioni odorigene diffuse dell'impianto di compostaggio esistente nel
Comune di Eboli (SA)
PROGETTO DEFINITIVO – Tabulati di calcolo Tomo 1

Verifiche a deformabilità

Mensola X: No; Mensola Y: No.

Frecce lungo X

Ascissa freccia	Combinazione	Freccia	Luce	L/f	L/f,min	Tipo	Verifica
0.511	SLE RA 1	0	1.179	10000	250	Totale	Si
0.511	SLE RA 17	0	1.179	10000	250	Totale	Si
0.511	SLE RA 16	0	1.179	10000	250	Totale	Si
0.55	SLE RA 15	0	1.179	10000	250	Totale	Si
0.432	SLE RA 14	0	1.179	10000	250	Totale	Si
0.472	SLE RA 2	0	1.179	10000	350	Variabile	Si
0.472	SLE RA 17	0	1.179	10000	350	Variabile	Si
0.472	SLE RA 16	0	1.179	10000	350	Variabile	Si
0.59	SLE RA 15	0	1.179	10000	350	Variabile	Si
0.786	SLE RA 14	0	1.179	10000	350	Variabile	Si

Frecce lungo Y

Ascissa freccia	Combinazione	Freccia	Luce	L/f	L/f,min	Tipo	Verifica
0.59	SLE RA 1	0.00001	1.179	10000	250	Totale	Si
0.59	SLE RA 17	0.00001	1.179	10000	250	Totale	Si
0.59	SLE RA 16	0.00001	1.179	10000	250	Totale	Si
0.59	SLE RA 15	0.00001	1.179	10000	250	Totale	Si
0.59	SLE RA 14	0.00001	1.179	10000	250	Totale	Si
0.668	SLE RA 2	0	1.179	10000	350	Variabile	Si
0.668	SLE RA 17	0	1.179	10000	350	Variabile	Si
0.668	SLE RA 16	0	1.179	10000	350	Variabile	Si
0.668	SLE RA 15	0	1.179	10000	350	Variabile	Si
0.668	SLE RA 14	0	1.179	10000	350	Variabile	Si

Superelemento in acciaio a quota "640"-"703" (2463; 2793)-(2463; 2893)

Caratteristiche del materiale

Acciaio: S275, fyk = 275000

Caratteristiche geometriche

Lunghezza: 1.179

Nodo iniziale: 1370 Nodo finale: 1982

Cerniera iniziale: Mmomenti 1% Cerniera finale: Mmomenti 1%

Sovreresistenza: 0% Sisma Z: No

Caratteristiche della sezione

Sezione	Rotazione	Area	Jx	Jy	ix	iy	Wx	Wy	Wplx	Wply
A1; L100*10; 1; Saldato; S275; 20; 1; 8; 8; 1	180	0.003832	0.0000035319	0.000007759	0.0304	0.045	0.0000492	0.0000739	0.00008974	0.00012727

Comportamento dei calastrelli

Accoppiamento imbottito avendo passo inferiore al minimo richiesto (§C4.2.4.1.3.1.5 NTC18) nella campata compresa tra le ascisse 0 e 1.179 per sbandamento attorno all'asse y.

Verifiche di resistenza

Verifiche a forza assiale §4.2.4.1.2.1 - §4.2.4.1.2.2 NTC18

X	Comb.	Sfruttamento	Classe	NEd	Nc,Rd	Nt,Rd	Riduzione da taglio	px	py	Verifica
0	SLV 8	0.008	3	-8.069	1003.522		1	0	0	Si

Verifiche a forza assiale SLD §4.2.4.1.2.1 - §4.2.4.1.2.2 NTC18

X	Comb.	Sfruttamento	Classe	NEd	Nc,Rd	Nt,Rd	Riduzione da taglio	px	py	Verifica
0	SLD 7	0.004	3	-3.727	1003.522		1	0	0	Si

Verifica a flessione semplice Y SLD §§ 4.2.4.1.2.3 - 4.2.4.1.2.6 - 4.2.4.1.2.7 - 4.2.4.1.2.8 NTC18

X	Comb.	Sfruttamento	Classe	My,Ed	My,Rd	Rid. My,Rd da VEd	px	py	Verifica
1.179	SLD 5	0	1	-0.01475	33.33162	1	0	0	Si

Verifica a flessione deviata SLD §§ 4.2.4.1.2.3 - 4.2.4.1.2.6 - 4.2.4.1.2.7 - 4.2.4.1.2.8 NTC18

X	Comb.	Sfruttamento	Classe	Mx,Ed	Mx,Rd	My,Ed	My,Rd	Rid. Mx,Rd da VEd	Rid. My,Rd da VEd	α	β	px	py	Verifica
0.59	SLD 6	0.002	1	0.0439	23.5037	-0.0172	33.3316	1	1			0	0	Si

Verifica a presso/tenso flessione retta X §§ 4.2.4.1.2.3 - 4.2.4.1.2.6 - 4.2.4.1.2.7 - 4.2.4.1.2.8 NTC18

Verifiche eseguite utilizzando la formula conservativa (6.2) §6.2.1 EN 1993-1-1:2005.

X	Comb.	Sfruttamento	Classe	NEd	NRd	Rid. NRd da VEd	Mx,Ed	Mx,Rd	Rid. Mx,Rd da VEd	Rid. Mx,Rd da NEd	px	py	Verifica
0.59	SLU 75	0.007	3	-2.911	1003.522	1	0.057	12.886	1		0	0	Si

Verifica a presso/tenso flessione retta X SLD §§ 4.2.4.1.2.3 - 4.2.4.1.2.6 - 4.2.4.1.2.7 - 4.2.4.1.2.8 NTC18

Verifiche eseguite utilizzando la formula conservativa (6.2) §6.2.1 EN 1993-1-1:2005.

X	Comb.	Sfruttamento	Classe	NEd	NRd	Rid. NRd da VEd	Mx,Ed	Mx,Rd	Rid. Mx,Rd da VEd	Rid. Mx,Rd da NEd	px	py	Verifica
0.079	SLD 3	0.005	3	-3.704	1003.522	1	0.0108	12.886	1		0	0	Si

Verifica a presso/tenso flessione retta Y §§ 4.2.4.1.2.3 - 4.2.4.1.2.6 - 4.2.4.1.2.7 - 4.2.4.1.2.8 NTC18

Verifiche eseguite utilizzando la formula conservativa (6.2) §6.2.1 EN 1993-1-1:2005.

X	Comb.	Sfruttamento	Classe	NEd	NRd	Rid. NRd da VEd	My,Ed	My,Rd	Rid. My,Rd da VEd	Rid. My,Rd da NEd	px	py	Verifica
1.179	SLV 7	0.014	3	-7.881	1003.522	1	0.1104	19.3536	1		0	0	Si

Implementazione dei sistemi di confinamento delle emissioni odorigene diffuse dell'impianto di compostaggio esistente nel
Comune di Eboli (SA)

PROGETTO DEFINITIVO – Tabulati di calcolo Tomo 1

Verifica a presso/tenso flessione retta Y SLD §§ 4.2.4.1.2.3 - 4.2.4.1.2.6 - 4.2.4.1.2.7 - 4.2.4.1.2.8 NTC18

Verifiche eseguite utilizzando la formula conservativa (6.2) §6.2.1 EN 1993-1-1:2005.

X	Comb.	Sfruttamento	Classe	NEd	NRd	Rid. NRd da VEd	My,Ed	My,Rd	Rid. My,Rd da VEd	Rid. My,Rd da NEd	px	py	Verifica
1.179	SLD 8	0.006	3	-3.539	1003.522	1	0.0481	19.3536	1		0	0	Si

Verifica a presso/tenso flessione deviata §§ 4.2.4.1.2.3 - 4.2.4.1.2.6 - 4.2.4.1.2.7 - 4.2.4.1.2.8 NTC18

Verifiche eseguite utilizzando la formula conservativa (6.2) §6.2.1 EN 1993-1-1:2005.

X	Comb.	Sfruttamento	Classe	NEd	NRd	Rid. NRd da VEd	Mx,Ed	Mx,Rd	My,Ed	My,Rd	Rid. Mx,Rd da VEd	Rid. Mx,Rd da NEd	Rid. My,Rd da VEd	Rid. My,Rd da NEd	α	β	px	py	Verifica
0.708	SLV 7	0.016	3	-7.956	1003.522	1	0.0422	12.886	0.0865	19.3536	1		1				0	0	Si

Verifica a presso/tenso flessione deviata SLD §§ 4.2.4.1.2.3 - 4.2.4.1.2.6 - 4.2.4.1.2.7 - 4.2.4.1.2.8 NTC18

Verifiche eseguite utilizzando la formula conservativa (6.2) §6.2.1 EN 1993-1-1:2005.

X	Comb.	Sfruttamento	Classe	NEd	NRd	Rid. NRd da VEd	Mx,Ed	Mx,Rd	My,Ed	My,Rd	Rid. Mx,Rd da VEd	Rid. Mx,Rd da NEd	Rid. My,Rd da VEd	Rid. My,Rd da NEd	α	β	px	py	Verifica
0.668	SLD 7	0.009	3	-3.621	1003.522	1	0.0432	12.886	0.0343	19.3536	1		1				0	0	Si

Verifiche ad instabilità

Caratteristiche iniziali

Membratura principale per controllo snellezza; Calcolo di snellezze ed N critici condotti secondo gli assi principali;

Curva X: c; Curva Y: c;

Svergolamento: Nessuno; la verifica a instabilità flesso-torsionale (svergolamento) non verrà eseguita.

Dati per instabilità attorno a x

Controllo della snellezza secondo §4.2.4.1.3.1 NTC18

Numero rit.	Presente	Ascissa	Campata	βx/m	Vincolo a entrambi estremi	λx/m	λVer
1	Si	0					
			1-2	1	Si	38.8	Si, (<200)
2	Si	1.179					

Dati per instabilità attorno a y

Controllo della snellezza secondo §4.2.4.1.3.1 NTC18

Numero rit.	Presente	Ascissa	Campata	βy/n	k,LT	kw,LT	Vincolo a entrambi estremi
1	Si	0					
			1-2	1	Si	26.2	Si, (<200)
2	Si	1.179					

Verifica di stabilità per pressoflessione §C.4.2.4.1.3.3.1 NTC18

X	Comb.	Sfruttamento	Classe	NEd	MxEq,Ed	MyEq,Ed	Area	Wx	Wy	χ,min	λ adim. x/m	λ adim. y/n	N,crit x/m	N,crit y/n	Verifica
0	SLV 3	0.017	3	-8.029	0.0378	0.0928	0.003832	0.0000492	0.0000739	0.872	0.447	0.302	5264.041	11564.201	Si

Verifica di stabilità per pressoflessione SLD §C.4.2.4.1.3.3.1 NTC18

X	Comb.	Sfruttamento	Classe	NEd	MxEq,Ed	MyEq,Ed	Area	Wx	Wy	χ,min	λ adim. x/m	λ adim. y/n	N,crit x/m	N,crit y/n	Verifica
0	SLD 4	0.009	3	-3.716	0.0379	0.0371	0.003832	0.0000492	0.0000739	0.872	0.447	0.302	5264.041	11564.201	Si

Verifiche a deformabilità

Mensola X: No; Mensola Y: No.

Frecce lungo X

Ascissa freccia	Combinazione	Freccia	Luce	L/f	L/f,min	Tipo	Verifica
0.904	SLE RA 1	0	1.179	10000	250	Totale	Si
0.904	SLE RA 17	0	1.179	10000	250	Totale	Si
0.904	SLE RA 16	0	1.179	10000	250	Totale	Si
0.904	SLE RA 15	0	1.179	10000	250	Totale	Si
0.904	SLE RA 14	0	1.179	10000	250	Totale	Si
0.904	SLE RA 2	0	1.179	10000	350	Variabile	Si
0.904	SLE RA 17	0	1.179	10000	350	Variabile	Si
0.904	SLE RA 16	0	1.179	10000	350	Variabile	Si
0.904	SLE RA 15	0	1.179	10000	350	Variabile	Si
0.904	SLE RA 14	0	1.179	10000	350	Variabile	Si

Frecce lungo Y

Ascissa freccia	Combinazione	Freccia	Luce	L/f	L/f,min	Tipo	Verifica
0.59	SLE RA 1	0.00001	1.179	10000	250	Totale	Si
0.59	SLE RA 17	0.00001	1.179	10000	250	Totale	Si
0.59	SLE RA 16	0.00001	1.179	10000	250	Totale	Si
0.59	SLE RA 15	0.00001	1.179	10000	250	Totale	Si
0.59	SLE RA 14	0.00001	1.179	10000	250	Totale	Si
0.708	SLE RA 2	0	1.179	10000	350	Variabile	Si
0.708	SLE RA 17	0	1.179	10000	350	Variabile	Si
0.708	SLE RA 16	0	1.179	10000	350	Variabile	Si
0.708	SLE RA 15	0	1.179	10000	350	Variabile	Si
0.708	SLE RA 14	0	1.179	10000	350	Variabile	Si

Superelemento in acciaio a quota "640"- "703" (2695; 2393)-(2695; 2293)

Caratteristiche del materiale

Acciaio: S275, fyk = 275000

Caratteristiche geometriche

Lunghezza: 1.179

Nodo iniziale: 1224 Nodo finale: 1951

Cerniera iniziale: Mmomenti 1% Cerniera finale: Mmomenti 1%

**Implementazione dei sistemi di confinamento delle emissioni odorigene diffuse dell'impianto di compostaggio esistente nel
Comune di Eboli (SA)
PROGETTO DEFINITIVO – Tabulati di calcolo Tomo 1**

Sovreresistenza: 0% Sisma Z: No

Caratteristiche della sezione

Sezione	Rotazione	Area	Jx	Jy	ix	iy	Wx	Wy	Wplx	Wply
A1; L100*10; 1; Saldato; S275; 20; 1; 8; 8; 1	180	0.003832	0.0000035319	0.000007759	0.0304	0.045	0.0000492	0.0000739	0.00008974	0.00012727

Comportamento dei calastrelli

Accoppiamento imbottito avendo passo inferiore al minimo richiesto (§C4.2.4.1.3.1.5 NTC18) nella campata compresa tra le ascisse 0 e 1.179 per sbandamento attorno all'asse y.

Verifiche di resistenza

Verifiche a forza assiale §4.2.4.1.2.1 - §4.2.4.1.2.2 NTC18

X	Comb.	Sfruttamento	Classe	NEd	Nc,Rd	Nt,Rd	Riduzione da taglio	px	py	Verifica
1.179	SLV 9	0.029		28.638		1003.522	1	0	0	Si

Verifiche a forza assiale SLD §4.2.4.1.2.1 - §4.2.4.1.2.2 NTC18

X	Comb.	Sfruttamento	Classe	NEd	Nc,Rd	Nt,Rd	Riduzione da taglio	px	py	Verifica
1.179	SLD 9	0.017		17.004		1003.522	1	0	0	Si

Verifica a taglio Y §4.2.4.1.2.4 NTC18

X	Comb.	Sfruttamento	VEd	Vc,Rd	Av	Interazione taglio-torsione	Riduzione torsione	Verifica
1.179	SLU 75	0.001	0.217	302.422	0.002	Non considerata		Si

Verifica a presso/tenso flessione retta X §§ 4.2.4.1.2.3 - 4.2.4.1.2.6 - 4.2.4.1.2.7 - 4.2.4.1.2.8 NTC18

Verifiche eseguite utilizzando la formula conservativa (6.2) §6.2.1 EN 1993-1-1:2005.

X	Comb.	Sfruttamento	Classe	NEd	NRd	Rid. NRd da VEd	Mx,Ed	Mx,Rd	Rid. Mx,Rd da VEd	Rid. Mx,Rd da NEd	px	py	Verifica
0.59	SLU 76	0.029	1	26.642	1003.522	1	0.052	23.5037	1		0	0	Si

Verifica a presso/tenso flessione retta Y §§ 4.2.4.1.2.3 - 4.2.4.1.2.6 - 4.2.4.1.2.7 - 4.2.4.1.2.8 NTC18

Verifiche eseguite utilizzando la formula conservativa (6.2) §6.2.1 EN 1993-1-1:2005.

X	Comb.	Sfruttamento	Classe	NEd	NRd	Rid. NRd da VEd	My,Ed	My,Rd	Rid. My,Rd da VEd	Rid. My,Rd da NEd	px	py	Verifica
1.179	SLV 9	0.031	1	28.638	1003.522	1	-0.0811	33.3316	1		0	0	Si

Verifica a presso/tenso flessione retta Y SLD §§ 4.2.4.1.2.3 - 4.2.4.1.2.6 - 4.2.4.1.2.7 - 4.2.4.1.2.8 NTC18

Verifiche eseguite utilizzando la formula conservativa (6.2) §6.2.1 EN 1993-1-1:2005.

X	Comb.	Sfruttamento	Classe	NEd	NRd	Rid. NRd da VEd	My,Ed	My,Rd	Rid. My,Rd da VEd	Rid. My,Rd da NEd	px	py	Verifica
1.179	SLD 10	0.018	1	17.004	1003.522	1	-0.0329	33.3316	1		0	0	Si

Verifica a presso/tenso flessione deviata §§ 4.2.4.1.2.3 - 4.2.4.1.2.6 - 4.2.4.1.2.7 - 4.2.4.1.2.8 NTC18

Verifiche eseguite utilizzando la formula conservativa (6.2) §6.2.1 EN 1993-1-1:2005.

X	Comb.	Sfruttamento	Classe	NEd	NRd	Rid. NRd da VEd	Mx,Ed	Mx,Rd	My,Ed	My,Rd	Rid. Mx,Rd da VEd	Rid. Mx,Rd da NEd	Rid. My,Rd da VEd	Rid. My,Rd da NEd	α	β	px	py	Verifica
0.708	SLV 10	0.032	1	28.563	1003.522	1	0.0413	23.5037	-0.0641	33.3316	1		1				0	0	Si

Verifica a presso/tenso flessione deviata SLD §§ 4.2.4.1.2.3 - 4.2.4.1.2.6 - 4.2.4.1.2.7 - 4.2.4.1.2.8 NTC18

Verifiche eseguite utilizzando la formula conservativa (6.2) §6.2.1 EN 1993-1-1:2005.

X	Comb.	Sfruttamento	Classe	NEd	NRd	Rid. NRd da VEd	Mx,Ed	Mx,Rd	My,Ed	My,Rd	Rid. Mx,Rd da VEd	Rid. Mx,Rd da NEd	Rid. My,Rd da VEd	Rid. My,Rd da NEd	α	β	px	py	Verifica
0.629	SLD 13	0.019	1	16.861	1003.522	1	0.0422	23.5037	0.026	33.3316	1		1				0	0	Si

Verifiche ad instabilità

Caratteristiche iniziali

Membratura principale per controllo snellezza; Calcolo di snellezze ed N critici condotti secondo gli assi principali;

Curva X: c; Curva Y: c;

Svergolamento: Nessuno; la verifica a instabilità flesso-torsionale (svergolamento) non verrà eseguita.

Dati per instabilità attorno a x

Controllo della snellezza secondo §4.2.4.1.3.1 NTC18

Numero rit.	Presente	Ascissa	Campata	βx/m	Vincolo a entrambi estremi	λx/m	λVer
1	Si	0					
			1-2	1	Si	38.8	Si, (<200)
2	Si	1.179					

Dati per instabilità attorno a y

Controllo della snellezza secondo §4.2.4.1.3.1 NTC18

Numero rit.	Presente	Ascissa	Campata	βy/n	k,LT	kw,LT	Vincolo a entrambi estremi
1	Si	0					
			1-2	1	Si	26.2	Si, (<200)
2	Si	1.179					

Verifica di stabilità per pressoflessione §C.4.2.4.1.3.3.1 NTC18

X	Comb.	Sfruttamento	Classe	NEd	MxEq,Ed	MyEq,Ed	Area	Wx	Wy	x,min	λ adim. x/m	λ adim. y/n	N,crit x/m	N,crit y/n	Verifica
0	SLV 8	0.014	3	-6.171	0.0338	0.0788	0.003832	0.0000492	0.0000739	0.872	0.447	0.302	5264.041	11564.201	Si

Verifiche a deformabilità

Mensola X: No; Mensola Y: No.

Frecce lungo X

Ascissa freccia	Combinazione	Freccia	Luce	L/f	L/f,min	Tipo	Verifica
0.432	SLB RA 1	0	1.179	10000	250	Totale	Si

Implementazione dei sistemi di confinamento delle emissioni odorigene diffuse dell'impianto di compostaggio esistente nel
Comune di Eboli (SA)

PROGETTO DEFINITIVO – Tabulati di calcolo Tomo 1

Ascissa freccia	Combinazione	Freccia	Luce	L/f	L/f,min	Tipo	Verifica
0.432	SLE RA 17	0	1.179	10000	250	Totale	Si
0.432	SLE RA 16	0	1.179	10000	250	Totale	Si
0.472	SLE RA 15	0	1.179	10000	250	Totale	Si
0.393	SLE RA 14	0	1.179	10000	250	Totale	Si
0.432	SLE RA 2	0	1.179	10000	350	Variabile	Si
0.432	SLE RA 17	0	1.179	10000	350	Variabile	Si
0.432	SLE RA 16	0	1.179	10000	350	Variabile	Si
0.55	SLE RA 15	0	1.179	10000	350	Variabile	Si
0.825	SLE RA 14	0	1.179	10000	350	Variabile	Si

Frecce lungo Y

Ascissa freccia	Combinazione	Freccia	Luce	L/f	L/f,min	Tipo	Verifica
0.59	SLE RA 1	0.00001	1.179	10000	250	Totale	Si
0.59	SLE RA 17	0.00001	1.179	10000	250	Totale	Si
0.59	SLE RA 16	0.00001	1.179	10000	250	Totale	Si
0.59	SLE RA 15	0.00001	1.179	10000	250	Totale	Si
0.59	SLE RA 14	0.00001	1.179	10000	250	Totale	Si
0.668	SLE RA 2	0	1.179	10000	350	Variabile	Si
0.668	SLE RA 17	0	1.179	10000	350	Variabile	Si
0.668	SLE RA 16	0	1.179	10000	350	Variabile	Si
0.708	SLE RA 15	0	1.179	10000	350	Variabile	Si
0.668	SLE RA 14	0	1.179	10000	350	Variabile	Si

Superelemento in acciaio a quota "640"- "703" (2695; 2793)-(2695; 2893)

Caratteristiche del materiale

Acciaio: S275, fyk = 275000

Caratteristiche geometriche

Lunghezza: 1.179

Nodo iniziale: 1376 Nodo finale: 1990

Cerniera iniziale: Mmomenti 1% Cerniera finale: Mmomenti 1%

Sovraresistenza: 0% Sisma Z: No

Caratteristiche della sezione

Sezione	Rotazione	Area	Jx	Jy	ix	iy	Wx	Wy	Wplx	Wply
A1; L100*10; 1; Saldato; S275; 20; 1; 8; 8; 1	180	0.003832	0.0000035319	0.000007759	0.0304	0.045	0.0000492	0.0000739	0.00008974	0.00012727

Comportamento dei calastrelli

Accoppiamento imbottito avendo passo inferiore al minimo richiesto (§C4.2.4.1.3.1.5 NTC18) nella campata compresa tra le ascisse 0 e 1.179 per sbandamento attorno all'asse y.

Verifiche di resistenza

Verifiche a forza assiale §4.2.4.1.2.1 - §4.2.4.1.2.2 NTC18

X	Comb.	Sfruttamento	Classe	NEd	Nc,Rd	Nt,Rd	Riduzione da taglio	px	py	Verifica
1.179	SLV 9	0.028		28.02		1003.522	1	0	0	Si

Verifiche a forza assiale SLD §4.2.4.1.2.1 - §4.2.4.1.2.2 NTC18

X	Comb.	Sfruttamento	Classe	NEd	Nc,Rd	Nt,Rd	Riduzione da taglio	px	py	Verifica
1.179	SLD 10	0.017		16.754		1003.522	1	0	0	Si

Verifica a presso/tenso flessione retta X §§ 4.2.4.1.2.3 - 4.2.4.1.2.6 - 4.2.4.1.2.7 - 4.2.4.1.2.8 NTC18

Verifiche eseguite utilizzando la formula conservativa (6.2) §6.2.1 EN 1993-1-1:2005.

X	Comb.	Sfruttamento	Classe	NEd	NRd	Rid. NRd da VEd	Mx,Ed	Mx,Rd	Rid. Mx,Rd da VEd	Rid. Mx,Rd da NEd	px	py	Verifica
0.59	SLU 76	0.029	1	26.922	1003.522	1	0.0568	23.5037	1		0	0	Si

Verifica a presso/tenso flessione retta Y §§ 4.2.4.1.2.3 - 4.2.4.1.2.6 - 4.2.4.1.2.7 - 4.2.4.1.2.8 NTC18

Verifiche eseguite utilizzando la formula conservativa (6.2) §6.2.1 EN 1993-1-1:2005.

X	Comb.	Sfruttamento	Classe	NEd	NRd	Rid. NRd da VEd	My,Ed	My,Rd	Rid. My,Rd da VEd	Rid. My,Rd da NEd	px	py	Verifica
1.179	SLV 10	0.032	1	28.02	1003.522	1	-0.1347	33.3316	1		0	0	Si

Verifica a presso/tenso flessione retta Y SLD §§ 4.2.4.1.2.3 - 4.2.4.1.2.6 - 4.2.4.1.2.7 - 4.2.4.1.2.8 NTC18

Verifiche eseguite utilizzando la formula conservativa (6.2) §6.2.1 EN 1993-1-1:2005.

X	Comb.	Sfruttamento	Classe	NEd	NRd	Rid. NRd da VEd	My,Ed	My,Rd	Rid. My,Rd da VEd	Rid. My,Rd da NEd	px	py	Verifica
1.179	SLD 10	0.018	1	16.754	1003.522	1	-0.0482	33.3316	1		0	0	Si

Verifica a presso/tenso flessione deviata §§ 4.2.4.1.2.3 - 4.2.4.1.2.6 - 4.2.4.1.2.7 - 4.2.4.1.2.8 NTC18

Verifiche eseguite utilizzando la formula conservativa (6.2) §6.2.1 EN 1993-1-1:2005.

X	Comb.	Sfruttamento	Classe	NEd	NRd	Rid. NRd da VEd	Mx,Ed	Mx,Rd	My,Ed	My,Rd	Rid. Mx,Rd da VEd	Rid. Mx,Rd da NEd	Rid. My,Rd da VEd	Rid. My,Rd da NEd	α	β	px	py	Verifica
0.865	SLV 9	0.033	1	27.97	1003.522	1	0.0342	23.5037	-0.1224	33.3316	1		1				0	0	Si

Verifica a presso/tenso flessione deviata SLD §§ 4.2.4.1.2.3 - 4.2.4.1.2.6 - 4.2.4.1.2.7 - 4.2.4.1.2.8 NTC18

Verifiche eseguite utilizzando la formula conservativa (6.2) §6.2.1 EN 1993-1-1:2005.

X	Comb.	Sfruttamento	Classe	NEd	NRd	Rid. NRd da VEd	Mx,Ed	Mx,Rd	My,Ed	My,Rd	Rid. Mx,Rd da VEd	Rid. Mx,Rd da NEd	Rid. My,Rd da VEd	Rid. My,Rd da NEd	α	β	px	py	Verifica
0.865	SLD 9	0.019	1	16.704	1003.522	1	0.0343	23.5037	-0.0458	33.3316	1		1				0	0	Si

Implementazione dei sistemi di confinamento delle emissioni odorigene diffuse dell'impianto di compostaggio esistente nel
Comune di Eboli (SA)
PROGETTO DEFINITIVO – Tabulati di calcolo Tomo 1

Verifiche ad instabilità

Caratteristiche iniziali

Membratura principale per controllo snellezza; Calcolo di snellezze ed N critici condotti secondo gli assi principali;

Curva X: c; Curva Y: c;

Svergolamento: Nessuno; la verifica a instabilità flessio-torsionale (svergolamento) non verrà eseguita.

Dati per instabilità attorno a x

Controllo della snellezza secondo §4.2.4.1.3.1 NTC18

Numero rit.	Presente	Ascissa	Campata	$\beta x/m$	Vincolo a entrambi estremi	$\lambda x/m$	λVer
1	Si	0					
			1-2	1	Si	38.8	Si, (<200)
2	Si	1.179					

Dati per instabilità attorno a y

Controllo della snellezza secondo §4.2.4.1.3.1 NTC18

Numero rit.	Presente	Ascissa	Campata	$\beta y/n$	k,LT	kw,LT	Vincolo a entrambi estremi
1	Si	0					
			1-2	1	Si	26.2	Si, (<200)
2	Si	1.179					

Verifica di stabilità per pressoflessione §C.4.2.4.1.3.3.1 NTC18

X	Comb.	Sfruttamento	Classe	NEd	MxEq,Ed	MyEq,Ed	Area	Wx	Wy	χ_{min}	$\lambda_{adm. x/m}$	$\lambda_{adm. y/n}$	N,crit x/m	N,crit y/n	Verifica
0	SLV 7	0.015	3	-5.683	0.0381	0.1144	0.003832	0.0000492	0.0000739	0.872	0.447	0.302	5264.041	11564.201	Si

Verifiche a deformabilità

Mensola X: No; Mensola Y: No.

Frecce lungo X

Ascissa freccia	Combinazione	Freccia	Luce	L/f	L/f,min	Tipo	Verifica
0.865	SLE RA 1	0	1.179	10000	250	Totale	Si
0.865	SLE RA 17	0	1.179	10000	250	Totale	Si
0.865	SLE RA 16	0	1.179	10000	250	Totale	Si
0.825	SLE RA 15	0	1.179	10000	250	Totale	Si
0.865	SLE RA 14	0	1.179	10000	250	Totale	Si
0.865	SLE RA 2	0	1.179	10000	350	Variabile	Si
0.865	SLE RA 17	0	1.179	10000	350	Variabile	Si
0.865	SLE RA 16	0	1.179	10000	350	Variabile	Si
0.825	SLE RA 15	0	1.179	10000	350	Variabile	Si
0.275	SLE RA 14	0	1.179	10000	350	Variabile	Si

Frecce lungo Y

Ascissa freccia	Combinazione	Freccia	Luce	L/f	L/f,min	Tipo	Verifica
0.59	SLE RA 1	0.00001	1.179	10000	250	Totale	Si
0.59	SLE RA 17	0.00001	1.179	10000	250	Totale	Si
0.59	SLE RA 16	0.00001	1.179	10000	250	Totale	Si
0.59	SLE RA 15	0.00001	1.179	10000	250	Totale	Si
0.59	SLE RA 14	0.00001	1.179	10000	250	Totale	Si
0.708	SLE RA 2	0	1.179	10000	350	Variabile	Si
0.708	SLE RA 17	0	1.179	10000	350	Variabile	Si
0.708	SLE RA 16	0	1.179	10000	350	Variabile	Si
0.708	SLE RA 15	0	1.179	10000	350	Variabile	Si
0.511	SLE RA 14	0	1.179	10000	350	Variabile	Si

Superelemento in acciaio a quota "640"- "703" (2929; 2393)-(2929; 2293)

Caratteristiche del materiale

Acciaio: S275, fyk = 275000

Caratteristiche geometriche

Lunghezza: 1.179

Nodo iniziale: 1233 Nodo finale: 1960

Cerniera iniziale: Mmomenti 1% Cerniera finale: Mmomenti 1%

Sovraresistenza: 0% Sisma Z: No

Caratteristiche della sezione

Sezione	Rotazione	Area	Jx	Jy	ix	iy	Wx	Wy	Wplx	Wply
A1; L100*10; 1; Saldato; S275; 20; 1; 8; 8; 1	180	0.003832	0.0000035319	0.000007759	0.0304	0.045	0.0000492	0.0000739	0.00008974	0.00012727

Comportamento dei calastrelli

Accoppiamento imbottito avendo passo inferiore al minimo richiesto (§C4.2.4.1.3.1.5 NTC18) nella campata compresa tra le ascisse 0 e 1.179 per sbandamento attorno all'asse y.

Verifiche di resistenza

Verifiche a forza assiale §4.2.4.1.2.1 - §4.2.4.1.2.2 NTC18

X	Comb.	Sfruttamento	Classe	NEd	Nc,Rd	Nt,Rd	Riduzione da taglio	px	py	Verifica
1.179	SLU 76	0.033		33.412		1003.522	1	0	0	Si

Verifiche a forza assiale SLD §4.2.4.1.2.1 - §4.2.4.1.2.2 NTC18

X	Comb.	Sfruttamento	Classe	NEd	Nc,Rd	Nt,Rd	Riduzione da taglio	px	py	Verifica
1.179	SLD 8	0.019		19.098		1003.522	1	0	0	Si

Implementazione dei sistemi di confinamento delle emissioni odorigene diffuse dell'impianto di compostaggio esistente nel
Comune di Eboli (SA)

PROGETTO DEFINITIVO – Tabulati di calcolo Tomo 1

Verifica a taglio Y §4.2.4.1.2.4 NTC18

X	Comb.	Sfruttamento	VEd	Vc,Rd	Av	Interazione taglio-torsione	Riduzione torsione	Verifica
1.179	SLV 75	0.001	0.211	302.422	0.002	Non considerata		Si

Verifica a flessione semplice Y §§ 4.2.4.1.2.3 - 4.2.4.1.2.6 - 4.2.4.1.2.7 - 4.2.4.1.2.8 NTC18

X	Comb.	Sfruttamento	Classe	My,Ed	My,Rd	Rid. My,Rd da VEd	px	py	Verifica
1.179	SLV 9	0.004	1	0.14084	33.33162	1	0	0	Si

Verifica a flessione deviata §§ 4.2.4.1.2.3 - 4.2.4.1.2.6 - 4.2.4.1.2.7 - 4.2.4.1.2.8 NTC18

X	Comb.	Sfruttamento	Classe	Mx,Ed	Mx,Rd	My,Ed	My,Rd	Rid. Mx,Rd da VEd	Rid. My,Rd da VEd	α	β	px	py	Verifica
0.708	SLV 9	0.005	1	0.0401	23.5037	0.1194	33.3316	1	1			0	0	Si

Verifica a presso/tenso flessione retta X §§ 4.2.4.1.2.3 - 4.2.4.1.2.6 - 4.2.4.1.2.7 - 4.2.4.1.2.8 NTC18

Verifiche eseguite utilizzando la formula conservativa (6.2) §6.2.1 EN 1993-1-1:2005.

X	Comb.	Sfruttamento	Classe	NEd	NRd	Rid. NRd da VEd	Mx,Ed	Mx,Rd	Rid. Mx,Rd da VEd	Rid. Mx,Rd da NEd	px	py	Verifica
0.59	SLV 76	0.035	1	33.29	1003.522	1	0.054	23.5037	1		0	0	Si

Verifica a presso/tenso flessione retta Y §§ 4.2.4.1.2.3 - 4.2.4.1.2.6 - 4.2.4.1.2.7 - 4.2.4.1.2.8 NTC18

Verifiche eseguite utilizzando la formula conservativa (6.2) §6.2.1 EN 1993-1-1:2005.

X	Comb.	Sfruttamento	Classe	NEd	NRd	Rid. NRd da VEd	My,Ed	My,Rd	Rid. My,Rd da VEd	Rid. My,Rd da NEd	px	py	Verifica
0	SLV 76	0.033	1	33.167	1003.522	1	0.0094	33.3316	1		0	0	Si

Verifica a presso/tenso flessione retta Y SLD §§ 4.2.4.1.2.3 - 4.2.4.1.2.6 - 4.2.4.1.2.7 - 4.2.4.1.2.8 NTC18

Verifiche eseguite utilizzando la formula conservativa (6.2) §6.2.1 EN 1993-1-1:2005.

X	Comb.	Sfruttamento	Classe	NEd	NRd	Rid. NRd da VEd	My,Ed	My,Rd	Rid. My,Rd da VEd	Rid. My,Rd da NEd	px	py	Verifica
1.179	SLD 8	0.021	1	19.098	1003.522	1	-0.0578	33.3316	1		0	0	Si

Verifica a presso/tenso flessione deviata §§ 4.2.4.1.2.3 - 4.2.4.1.2.6 - 4.2.4.1.2.7 - 4.2.4.1.2.8 NTC18

Verifiche eseguite utilizzando la formula conservativa (6.2) §6.2.1 EN 1993-1-1:2005.

X	Comb.	Sfruttamento	Classe	NEd	NRd	Rid. NRd da VEd	Mx,Ed	Mx,Rd	My,Ed	My,Rd	Rid. Mx,Rd da VEd	Rid. Mx,Rd da NEd	Rid. My,Rd da VEd	Rid. My,Rd da NEd	α	β	px	py	Verifica
0.197	SLV 76	0.035	1	33.208	1003.522	1	0.031	23.5037	0.0076	33.3316	1		1				0	0	Si

Verifica a presso/tenso flessione deviata SLD §§ 4.2.4.1.2.3 - 4.2.4.1.2.6 - 4.2.4.1.2.7 - 4.2.4.1.2.8 NTC18

Verifiche eseguite utilizzando la formula conservativa (6.2) §6.2.1 EN 1993-1-1:2005.

X	Comb.	Sfruttamento	Classe	NEd	NRd	Rid. NRd da VEd	Mx,Ed	Mx,Rd	My,Ed	My,Rd	Rid. Mx,Rd da VEd	Rid. Mx,Rd da NEd	Rid. My,Rd da VEd	Rid. My,Rd da NEd	α	β	px	py	Verifica
0.668	SLD 8	0.022	1	19.016	1003.522	1	0.0421	23.5037	-0.0456	33.3316	1		1				0	0	Si

Verifiche ad instabilità

Caratteristiche iniziali

Membratura principale per controllo snellezza; Calcolo di snellezze ed N critici condotti secondo gli assi principali;

Curva X: c; Curva Y: c;

Svergolamento: Nessuno; la verifica a instabilità flesso-torsionale (svergolamento) non verrà eseguita.

Dati per instabilità attorno a x

Controllo della snellezza secondo §4.2.4.1.3.1 NTC18

Numero rit.	Presente	Ascissa	Campata	βx/m	Vincolo a entrambi estremi	λx/m	λVer
1	Si		0				
			1-2	1	Si	38.8	Si, (<200)
2	Si		1.179				

Dati per instabilità attorno a y

Controllo della snellezza secondo §4.2.4.1.3.1 NTC18

Numero rit.	Presente	Ascissa	Campata	βy/n	k,LT	kw,LT	Vincolo a entrambi estremi
1	Si		0				
			1-2	1	Si	26.2	Si, (<200)
2	Si		1.179				

Verifica di stabilità per pressoflessione §C.4.2.4.1.3.3.1 NTC18

X	Comb.	Sfruttamento	Classe	NEd	MxEq,Ed	MyEq,Ed	Area	Wx	Wy	x,min	λ adim. x/m	λ adim. y/n	N,crit x/m	N,crit y/n	Verifica
1.179	SLV 14	0.006	1	0	0.0357	0.1382	0.003832	0.0000897	0.0001273	0.872	0.447	0.302	5264.041	11564.201	Si

Verifiche a deformabilità

Mensola X: No; Mensola Y: No.

Frecce lungo X

Ascissa freccia	Combinazione	Freccia	Luce	L/f	L/f,min	Tipo	Verifica
0.432	SLE RA 1	0	1.179	10000	250	Totale	Si
0.432	SLE RA 17	0	1.179	10000	250	Totale	Si
0.432	SLE RA 16	0	1.179	10000	250	Totale	Si
0.472	SLE RA 15	0	1.179	10000	250	Totale	Si
0.393	SLE RA 14	0	1.179	10000	250	Totale	Si
0.472	SLE RA 2	0	1.179	10000	350	Variabile	Si
0.472	SLE RA 17	0	1.179	10000	350	Variabile	Si
0.472	SLE RA 16	0	1.179	10000	350	Variabile	Si
0.511	SLE RA 15	0	1.179	10000	350	Variabile	Si
0.275	SLE RA 14	0	1.179	10000	350	Variabile	Si

Frecce lungo Y

Ascissa freccia	Combinazione	Freccia	Luce	L/f	L/f,min	Tipo	Verifica
0.59	SLE RA 1	0.00001	1.179	10000	250	Totale	Si
0.59	SLE RA 17	0.00001	1.179	10000	250	Totale	Si
0.59	SLE RA 16	0.00001	1.179	10000	250	Totale	Si
0.59	SLE RA 15	0.00001	1.179	10000	250	Totale	Si

Implementazione dei sistemi di confinamento delle emissioni odorigene diffuse dell'impianto di compostaggio esistente nel
Comune di Eboli (SA)

PROGETTO DEFINITIVO – Tabulati di calcolo Tomo 1

Ascissa freccia	Combinazione	Freccia	Luce	L/f	L/f,min	Tipo	Verifica
0.59	SLE RA 14	0.00001	1.179	10000	250	Totale	Si
0.668	SLE RA 2	0	1.179	10000	350	Variabile	Si
0.668	SLE RA 17	0	1.179	10000	350	Variabile	Si
0.668	SLE RA 16	0	1.179	10000	350	Variabile	Si
0.747	SLE RA 15	0	1.179	10000	350	Variabile	Si
0.668	SLE RA 14	0	1.179	10000	350	Variabile	Si

Superelemento in acciaio a quota "640"- "703" (2929; 2793)-(2929; 2893)

Caratteristiche del materiale

Acciaio: S275, fyk = 275000

Caratteristiche geometriche

Lunghezza: 1.179

Nodo iniziale: 1378 Nodo finale: 1994

Cerniera iniziale: Mmomenti 1% Cerniera finale: Mmomenti 1%

Sovreresistenza: 0% Sisma Z: No

Caratteristiche della sezione

Sezione	Rotazione	Area	Jx	Jy	ix	iy	Wx	Wy	Wplx	Wply
A1; L100*10; 1; Saldato; S275; 20; 1; 8; 8; 1	180	0.003832	0.0000035319	0.000007759	0.0304	0.045	0.0000492	0.0000739	0.00008974	0.00012727

Comportamento dei calastrelli

Accoppiamento imbottito avendo passo inferiore al minimo richiesto (§C4.2.4.1.3.1.5 NTC18) nella campata compresa tra le ascisse 0 e 1.179 per sbandamento attorno all'asse y.

Verifiche di resistenza

Verifiche a forza assiale §4.2.4.1.2.1 - §4.2.4.1.2.2 NTC18

X	Comb.	Sfruttamento	Classe	NEd	Nc,Rd	Nt,Rd	Riduzione da taglio	px	py	Verifica
1.179	SLU 76	0.035		34.8		1003.522	1	0	0	Si

Verifiche a forza assiale SLD §4.2.4.1.2.1 - §4.2.4.1.2.2 NTC18

X	Comb.	Sfruttamento	Classe	NEd	Nc,Rd	Nt,Rd	Riduzione da taglio	px	py	Verifica
1.179	SLD 8	0.02		20.172		1003.522	1	0	0	Si

Verifica a presso/tenso flessione retta X §§ 4.2.4.1.2.3 - 4.2.4.1.2.6 - 4.2.4.1.2.7 - 4.2.4.1.2.8 NTC18

Verifiche eseguite utilizzando la formula conservativa (6.2) §6.2.1 EN 1993-1-1:2005.

X	Comb.	Sfruttamento	Classe	NEd	NRd	Rid. NRd da VEd	Mx,Ed	Mx,Rd	Rid. Mx,Rd da VEd	Rid. Mx,Rd da NEd	px	py	Verifica
0.59	SLU 76	0.037	1	34.678	1003.522	1	0.0574	23.5037	1		0	0	Si

Verifica a presso/tenso flessione retta Y §§ 4.2.4.1.2.3 - 4.2.4.1.2.6 - 4.2.4.1.2.7 - 4.2.4.1.2.8 NTC18

Verifiche eseguite utilizzando la formula conservativa (6.2) §6.2.1 EN 1993-1-1:2005.

X	Comb.	Sfruttamento	Classe	NEd	NRd	Rid. NRd da VEd	My,Ed	My,Rd	Rid. My,Rd da VEd	Rid. My,Rd da NEd	px	py	Verifica
1.179	SLV 7	0.036	1	30.886	1003.522	1	0.1792	33.3316	1		0	0	Si

Verifica a presso/tenso flessione retta Y SLD §§ 4.2.4.1.2.3 - 4.2.4.1.2.6 - 4.2.4.1.2.7 - 4.2.4.1.2.8 NTC18

Verifiche eseguite utilizzando la formula conservativa (6.2) §6.2.1 EN 1993-1-1:2005.

X	Comb.	Sfruttamento	Classe	NEd	NRd	Rid. NRd da VEd	My,Ed	My,Rd	Rid. My,Rd da VEd	Rid. My,Rd da NEd	px	py	Verifica
1.179	SLD 8	0.022	1	20.172	1003.522	1	0.078	33.3316	1		0	0	Si

Verifica a presso/tenso flessione deviata §§ 4.2.4.1.2.3 - 4.2.4.1.2.6 - 4.2.4.1.2.7 - 4.2.4.1.2.8 NTC18

Verifiche eseguite utilizzando la formula conservativa (6.2) §6.2.1 EN 1993-1-1:2005.

X	Comb.	Sfruttamento	Classe	NEd	NRd	Rid. NRd da VEd	Mx,Ed	Mx,Rd	My,Ed	My,Rd	Rid. Mx,Rd da VEd	Rid. Mx,Rd da NEd	Rid. My,Rd da VEd	Rid. My,Rd da NEd	α	β	px	py	Verifica
0.668	SLU 76	0.037	1	34.694	1003.522	1	0.0563	23.5037	0.0084	33.3316	1		1				0	0	Si

Verifica a presso/tenso flessione deviata SLD §§ 4.2.4.1.2.3 - 4.2.4.1.2.6 - 4.2.4.1.2.7 - 4.2.4.1.2.8 NTC18

Verifiche eseguite utilizzando la formula conservativa (6.2) §6.2.1 EN 1993-1-1:2005.

X	Comb.	Sfruttamento	Classe	NEd	NRd	Rid. NRd da VEd	Mx,Ed	Mx,Rd	My,Ed	My,Rd	Rid. Mx,Rd da VEd	Rid. Mx,Rd da NEd	Rid. My,Rd da VEd	Rid. My,Rd da NEd	α	β	px	py	Verifica
0.747	SLD 7	0.024	1	20.103	1003.522	1	0.0412	23.5037	0.0601	33.3316	1		1				0	0	Si

Verifiche ad instabilità

Caratteristiche iniziali

Membratura principale per controllo snellezza; Calcolo di snellezze ed N critici condotti secondo gli assi principali;

Curva X: c; Curva Y: c;

Svergolamento: Nessuno; la verifica a instabilità flesso-torsionale (svergolamento) non verrà eseguita.

Dati per instabilità attorno a x

Controllo della snellezza secondo §4.2.4.1.3.1 NTC18

Numero rit.	Presente	Ascissa	Campata	βx/m	Vincolo a entrambi estremi	λx/m	λVer
1	Si	0					
			1-2	1	Si	38.8	Si, (<200)
2	Si	1.179					

Dati per instabilità attorno a y

Controllo della snellezza secondo §4.2.4.1.3.1 NTC18

Implementazione dei sistemi di confinamento delle emissioni odorigene diffuse dell’impianto di compostaggio esistente nel
Comune di Eboli (SA)
PROGETTO DEFINITIVO – Tabulati di calcolo Tomo 1

Numero rit.	Presente	Ascissa	Campata	$\beta y/n$	k,LT	kw,LT	Vincolo a entrambi estremi
1	Si	0					
			1-2	1	Si	26.2	Si, (<200)
2	Si	1.179					

Verifica di stabilità per pressoflessione §C.4.2.4.1.3.3.1 NTC18

X	Comb.	Sfruttamento	Classe	NEd	MxEq,Ed	MyEq,Ed	Area	Wx	Wy	χ_{min}	$\lambda_{adim. x/m}$	$\lambda_{adim. y/n}$	N,crit x/m	N,crit y/n	Verifica
0	SLV 9	0.006	1	-1.062	0.0379	-0.1178	0.003832	0.0000897	0.0001273	0.872	0.447	0.302	5264.041	11564.201	Si

Verifiche a deformabilità

Mensola X: No; Mensola Y: No.

Frecce lungo X

Ascissa freccia	Combinazione	Freccia	Luce	L/f	L/f,min	Tipo	Verifica
0.825	SLE RA 1	0	1.179	10000	250	Totale	Si
0.825	SLE RA 17	0	1.179	10000	250	Totale	Si
0.825	SLE RA 16	0	1.179	10000	250	Totale	Si
0.825	SLE RA 15	0	1.179	10000	250	Totale	Si
0.825	SLE RA 14	0	1.179	10000	250	Totale	Si
0.825	SLE RA 2	0	1.179	10000	350	Variabile	Si
0.825	SLE RA 17	0	1.179	10000	350	Variabile	Si
0.825	SLE RA 16	0	1.179	10000	350	Variabile	Si
0.825	SLE RA 15	0	1.179	10000	350	Variabile	Si
0.943	SLE RA 14	0	1.179	10000	350	Variabile	Si

Frecce lungo Y

Ascissa freccia	Combinazione	Freccia	Luce	L/f	L/f,min	Tipo	Verifica
0.59	SLE RA 1	0.00001	1.179	10000	250	Totale	Si
0.59	SLE RA 17	0.00001	1.179	10000	250	Totale	Si
0.59	SLE RA 16	0.00001	1.179	10000	250	Totale	Si
0.59	SLE RA 15	0.00001	1.179	10000	250	Totale	Si
0.59	SLE RA 14	0.00001	1.179	10000	250	Totale	Si
0.825	SLE RA 2	0	1.179	10000	350	Variabile	Si
0.904	SLE RA 17	0	1.179	10000	350	Variabile	Si
0.825	SLE RA 16	0	1.179	10000	350	Variabile	Si
0.747	SLE RA 15	0	1.179	10000	350	Variabile	Si
0.59	SLE RA 14	0	1.179	10000	350	Variabile	Si

Superelemento in acciaio a quota "640"- "703" (-253; 236)-(-143; 133)

Caratteristiche del materiale

Acciaio: S275, fyk = 275000

Caratteristiche geometriche

Lunghezza: 1.625

Nodo iniziale: 716 Nodo finale: 1852

Cerniera iniziale: Mmomenti 1% Cerniera finale: Mmomenti 1%

Sovreresistenza: 0% Sisma Z: No

Caratteristiche della sezione

Sezione	Rotazione	Area	Jx	Jy	ix	iy	Wx	Wy	Wplx	Wply
A1; L100*10; 1; Saldato; S275; 50; 1; 8; 8; 1	180	0.003832	0.0000035319	0.0000077759	0.0304	0.045	0.0000492	0.0000739	0.00008974	0.00012727

Comportamento dei calastrelli

Accoppiamento imbottito con funzione statica (§C4.2.4.1.3.1.4 NTC18) nella campata compresa tra le ascisse 0 e 1.625 per sbandamento attorno all'asse y.

Verifiche di resistenza

Verifiche a forza assiale §4.2.4.1.2.1 - §4.2.4.1.2.2 NTC18

X	Comb.	Sfruttamento	Classe	NEd	Nc,Rd	Nt,Rd	Riduzione da taglio	px	py	Verifica
1.625	SLU 75	0.076		76.341		1003.522	1	0	0	Si

Verifiche a forza assiale SLD §4.2.4.1.2.1 - §4.2.4.1.2.2 NTC18

X	Comb.	Sfruttamento	Classe	NEd	Nc,Rd	Nt,Rd	Riduzione da taglio	px	py	Verifica
1.625	SLD 14	0.027		27.559		1003.522	1	0	0	Si

Verifica a taglio Y §4.2.4.1.2.4 NTC18

X	Comb.	Sfruttamento	VEd	Vc,Rd	Av	Interazione taglio-torsione	Riduzione torsione	Verifica
0	SLU 75	0.001	-0.363	302.422	0.002	Non considerata		Si

Verifica a taglio Y SLD §4.2.4.1.2.4 NTC18

X	Comb.	Sfruttamento	VEd	Vc,Rd	Av	Interazione taglio-torsione	Riduzione torsione	Verifica
0	SLD 14	0.001	-0.251	302.422	0.002	Non considerata		Si

Verifica a flessione semplice X §§ 4.2.4.1.2.3 - 4.2.4.1.2.6 - 4.2.4.1.2.7 - 4.2.4.1.2.8 NTC18

X	Comb.	Sfruttamento	Classe	Mx,Ed	Mx,Rd	Rid. Mx,Rd da VEd	px	py	Verifica
0.812	SLU 59	0.005	1	0.11936	23.50374	1	0	0	Si

Verifica a presso/tenso flessione retta X §§ 4.2.4.1.2.3 - 4.2.4.1.2.6 - 4.2.4.1.2.7 - 4.2.4.1.2.8 NTC18

Verifiche eseguite utilizzando la formula conservativa (6.2) §6.2.1 EN 1993-1-1:2005.

Implementazione dei sistemi di confinamento delle emissioni odorigene diffuse dell'impianto di compostaggio esistente nel
Comune di Eboli (SA)

PROGETTO DEFINITIVO – Tabulati di calcolo Tomo 1

X	Comb.	Sfruttamento	Classe	NEd	NRd	Rid. NRd da VEd	Mx,Ed	Mx,Rd	Rid. Mx,Rd da VEd	Rid. Mx,Rd da NEd	px	py	Verifica
0.812	SLV 75	0.084	1	76.219	1003.522	1	0.1787	23.5037	1		0	0	Si

Verifica a presso/tenso flessione retta Y §§ 4.2.4.1.2.3 - 4.2.4.1.2.6 - 4.2.4.1.2.7 - 4.2.4.1.2.8 NTC18

Verifiche eseguite utilizzando la formula conservativa (6.2) §6.2.1 EN 1993-1-1:2005.

X	Comb.	Sfruttamento	Classe	NEd	NRd	Rid. NRd da VEd	My,Ed	My,Rd	Rid. My,Rd da VEd	Rid. My,Rd da NEd	px	py	Verifica
0	SLV 16	0.031	1	27.918	1003.522	1	0.1103	33.3316	1		0	0	Si

Verifica a presso/tenso flessione retta Y SLD §§ 4.2.4.1.2.3 - 4.2.4.1.2.6 - 4.2.4.1.2.7 - 4.2.4.1.2.8 NTC18

Verifiche eseguite utilizzando la formula conservativa (6.2) §6.2.1 EN 1993-1-1:2005.

X	Comb.	Sfruttamento	Classe	NEd	NRd	Rid. NRd da VEd	My,Ed	My,Rd	Rid. My,Rd da VEd	Rid. My,Rd da NEd	px	py	Verifica
0	SLD 15	0.028	1	26.962	1003.522	1	0.0445	33.3316	1		0	0	Si

Verifica a presso/tenso flessione deviata §§ 4.2.4.1.2.3 - 4.2.4.1.2.6 - 4.2.4.1.2.7 - 4.2.4.1.2.8 NTC18

Verifiche eseguite utilizzando la formula conservativa (6.2) §6.2.1 EN 1993-1-1:2005.

X	Comb.	Sfruttamento	Classe	NEd	NRd	Rid. NRd da VEd	Mx,Ed	Mx,Rd	My,Ed	My,Rd	Rid. Mx,Rd da VEd	Rid. Mx,Rd da NEd	Rid. My,Rd da VEd	Rid. My,Rd da NEd	α	β	px	py	Verifica
1.029	SLV 75	0.084	1	76.251	1003.522	1	0.1853	23.5037	0.0086	33.3316	1		1				0	0	Si

Verifica a presso/tenso flessione deviata SLD §§ 4.2.4.1.2.3 - 4.2.4.1.2.6 - 4.2.4.1.2.7 - 4.2.4.1.2.8 NTC18

Verifiche eseguite utilizzando la formula conservativa (6.2) §6.2.1 EN 1993-1-1:2005.

X	Comb.	Sfruttamento	Classe	NEd	NRd	Rid. NRd da VEd	Mx,Ed	Mx,Rd	My,Ed	My,Rd	Rid. Mx,Rd da VEd	Rid. Mx,Rd da NEd	Rid. My,Rd da VEd	Rid. My,Rd da NEd	α	β	px	py	Verifica
1.083	SLD 15	0.035	1	27.087	1003.522	1	0.1088	23.5037	0.1062	33.3316	1		1				0	0	Si

Verifiche ad instabilità

Caratteristiche iniziali

Membratura principale per controllo snellezza; Calcolo di snellezze ed N critici condotti secondo gli assi principali;

Curva X: c; Curva Y: c;

Svergolamento: Nessuno; la verifica a instabilità flesso-torsionale (svergolamento) non verrà eseguita.

Dati per instabilità attorno a x

Controllo della snellezza secondo §4.2.4.1.3.1 NTC18

Numero rit.	Presente	Ascissa	Campata	βx/m	Vincolo a entrambi estremi	λx/m	λVer
1	Si		0				
			1-2		1	53.5	Si, (<200)
2	Si		1.625				

Dati per instabilità attorno a y

Controllo della snellezza secondo §4.2.4.1.3.1 NTC18

Numero rit.	Presente	Ascissa	Campata	βy/n	k,LT	kw,LT	Vincolo a entrambi estremi
1	Si		0				
			1-2		1	39.7	Si, (<200)
2	Si		1.625				

Verifica di stabilità per pressoflessione §C.4.2.4.1.3.3.1 NTC18

X	Comb.	Sfruttamento	Classe	NEd	MxEq,Ed	MyEq,Ed	Area	Wx	Wy	χ,min	λ adim. x/m	λ adim. y/n	N,crit x/m	N,crit y/n	Verifica
0	SLV 2	0.023	3	-11.975	0.0676	-0.0404	0.003832	0.0000492	0.0000739	0.776	0.617	0.457	2772.187	5041.477	Si

Verifiche a deformabilità

Mensola X: No; Mensola Y: No.

Frecce lungo X

Ascissa freccia	Combinazione	Freccia	Luce	L/f	L/f,min	Tipo	Verifica
0.921	SLE RA 1	0	1.625	10000	250	Totale	Si
0.921	SLE RA 17	0	1.625	10000	250	Totale	Si
0.921	SLE RA 16	0	1.625	10000	250	Totale	Si
0.921	SLE RA 15	0	1.625	10000	250	Totale	Si
0.921	SLE RA 14	0	1.625	10000	250	Totale	Si
0.921	SLE RA 2	0	1.625	10000	350	Variabile	Si
0.921	SLE RA 17	0	1.625	10000	350	Variabile	Si
0.921	SLE RA 16	0	1.625	10000	350	Variabile	Si
0.921	SLE RA 15	0	1.625	10000	350	Variabile	Si
0.921	SLE RA 14	0	1.625	10000	350	Variabile	Si

Frecce lungo Y

Ascissa freccia	Combinazione	Freccia	Luce	L/f	L/f,min	Tipo	Verifica
0.812	SLE RA 1	0.00004	1.625	10000	250	Totale	Si
0.867	SLE RA 17	0.00005	1.625	10000	250	Totale	Si
0.867	SLE RA 16	0.00005	1.625	10000	250	Totale	Si
0.867	SLE RA 15	0.00005	1.625	10000	250	Totale	Si
0.867	SLE RA 14	0.00005	1.625	10000	250	Totale	Si
0.921	SLE RA 2	-0.00001	1.625	10000	350	Variabile	Si
0.921	SLE RA 17	0	1.625	10000	350	Variabile	Si
0.921	SLE RA 16	0.00001	1.625	10000	350	Variabile	Si
0.921	SLE RA 15	0.00001	1.625	10000	350	Variabile	Si
0.921	SLE RA 14	0.00001	1.625	10000	350	Variabile	Si

Superelemento in acciaio a quota "640"- "703" (-506; -34)-(-397; -137)

Caratteristiche del materiale

Acciaio: S275, fyk = 275000

Implementazione dei sistemi di confinamento delle emissioni odorigene diffuse dell'impianto di compostaggio esistente nel
Comune di Eboli (SA)
PROGETTO DEFINITIVO – Tabulati di calcolo Tomo 1

Caratteristiche geometriche

Lunghezza: 1.625
Nodo iniziale: 662 Nodo finale: 1842
Cerniera iniziale: Mmomenti 1% Cerniera finale: Mmomenti 1%
Sovraresistenza: 0% Sisma Z: No

Caratteristiche della sezione

Sezione	Rotazione	Area	Jx	Jy	ix	iy	Wx	Wy	Wplx	Wply
A1; L100*10; 1; Saldato; S275; 50; 1; 8; 8; 1	180	0.003832	0.0000035319	0.000007759	0.0304	0.045	0.0000492	0.0000739	0.00008974	0.00012727

Comportamento dei calastrelli

Accoppiamento imbottito con funzione statica (§C4.2.4.1.3.1.4 NTC18) nella campata compresa tra le ascisse 0 e 1.625 per sbandamento attorno all'asse y.

Verifiche di resistenza

Verifiche a forza assiale §4.2.4.1.2.1 - §4.2.4.1.2.2 NTC18

X	Comb.	Sfruttamento	Classe	NEd	Nc,Rd	Nt,Rd	Riduzione da taglio	px	py	Verifica
1.625	SLU 75	0.053		53.314		1003.522	1	0	0	Si

Verifiche a forza assiale SLD §4.2.4.1.2.1 - §4.2.4.1.2.2 NTC18

X	Comb.	Sfruttamento	Classe	NEd	Nc,Rd	Nt,Rd	Riduzione da taglio	px	py	Verifica
1.625	SLD 16	0.023		22.729		1003.522	1	0	0	Si

Verifica a taglio Y §4.2.4.1.2.4 NTC18

X	Comb.	Sfruttamento	VEd	Vc,Rd	Av	Interazione taglio-torsione	Riduzione torsione	Verifica
0	SLU 75	0.001	-0.342	302.422	0.002	Non considerata		Si

Verifica a taglio Y SLD §4.2.4.1.2.4 NTC18

X	Comb.	Sfruttamento	VEd	Vc,Rd	Av	Interazione taglio-torsione	Riduzione torsione	Verifica
0	SLD 16	0.001	-0.246	302.422	0.002	Non considerata		Si

Verifica a flessione semplice X §§ 4.2.4.1.2.3 - 4.2.4.1.2.6 - 4.2.4.1.2.7 - 4.2.4.1.2.8 NTC18

X	Comb.	Sfruttamento	Classe	Mx,Ed	Mx,Rd	Rid. Mx,Rd da VEd	px	py	Verifica
0.812	SLU 5	0.004	1	0.09197	23.50374	1	0	0	Si

Verifica a presso/tenso flessione retta X §§ 4.2.4.1.2.3 - 4.2.4.1.2.6 - 4.2.4.1.2.7 - 4.2.4.1.2.8 NTC18

Verifiche eseguite utilizzando la formula conservativa (6.2) §6.2.1 EN 1993-1-1:2005.

X	Comb.	Sfruttamento	Classe	NEd	NRd	Rid. NRd da VEd	Mx,Ed	Mx,Rd	Rid. Mx,Rd da VEd	Rid. Mx,Rd da NEd	px	py	Verifica
0.325	SLU 73	0.056	1	51.742	1003.522	1	0.0932	23.5037	1		0	0	Si

Verifica a presso/tenso flessione retta Y §§ 4.2.4.1.2.3 - 4.2.4.1.2.6 - 4.2.4.1.2.7 - 4.2.4.1.2.8 NTC18

Verifiche eseguite utilizzando la formula conservativa (6.2) §6.2.1 EN 1993-1-1:2005.

X	Comb.	Sfruttamento	Classe	NEd	NRd	Rid. NRd da VEd	My,Ed	My,Rd	Rid. My,Rd da VEd	Rid. My,Rd da NEd	px	py	Verifica
0	SLV 16	0.035	1	29.68	1003.522	1	0.1659	33.3316	1		0	0	Si

Verifica a presso/tenso flessione retta Y SLD §§ 4.2.4.1.2.3 - 4.2.4.1.2.6 - 4.2.4.1.2.7 - 4.2.4.1.2.8 NTC18

Verifiche eseguite utilizzando la formula conservativa (6.2) §6.2.1 EN 1993-1-1:2005.

X	Comb.	Sfruttamento	Classe	NEd	NRd	Rid. NRd da VEd	My,Ed	My,Rd	Rid. My,Rd da VEd	Rid. My,Rd da NEd	px	py	Verifica
0	SLD 15	0.024	1	22.541	1003.522	1	0.0656	33.3316	1		0	0	Si

Verifica a presso/tenso flessione deviata §§ 4.2.4.1.2.3 - 4.2.4.1.2.6 - 4.2.4.1.2.7 - 4.2.4.1.2.8 NTC18

Verifiche eseguite utilizzando la formula conservativa (6.2) §6.2.1 EN 1993-1-1:2005.

X	Comb.	Sfruttamento	Classe	NEd	NRd	Rid. NRd da VEd	Mx,Ed	Mx,Rd	My,Ed	My,Rd	Rid. Mx,Rd da VEd	Rid. Mx,Rd da NEd	Rid. My,Rd da VEd	Rid. My,Rd da NEd	α	β	px	py	Verifica
0.975	SLU 75	0.06	1	53.217	1003.522	1	0.1644	23.5037	-0.0138	33.3316	1		1				0	0	Si

Verifica a presso/tenso flessione deviata SLD §§ 4.2.4.1.2.3 - 4.2.4.1.2.6 - 4.2.4.1.2.7 - 4.2.4.1.2.8 NTC18

Verifiche eseguite utilizzando la formula conservativa (6.2) §6.2.1 EN 1993-1-1:2005.

X	Comb.	Sfruttamento	Classe	NEd	NRd	Rid. NRd da VEd	Mx,Ed	Mx,Rd	My,Ed	My,Rd	Rid. Mx,Rd da VEd	Rid. Mx,Rd da NEd	Rid. My,Rd da VEd	Rid. My,Rd da NEd	α	β	px	py	Verifica
0.921	SLD 16	0.029	1	22.648	1003.522	1	0.1094	23.5037	0.0652	33.3316	1		1				0	0	Si

Verifiche ad instabilità

Caratteristiche iniziali

Membratura principale per controllo snellezza; Calcolo di snellezze ed N critici condotti secondo gli assi principali;

Curva X: c; Curva Y: c;

Svergolamento: Nessuno; la verifica a instabilità flesso-torsionale (svergolamento) non verrà eseguita.

Dati per instabilità attorno a x

Controllo della snellezza secondo §4.2.4.1.3.1 NTC18

Numero rit.	Presente	Ascissa	Campata	βx/m	Vincolo a entrambi estremi	λx/m	λVer
1	Si	0					
			1-2	1	Si	53.5	Si, (<200)
2	Si	1.625					

Dati per instabilità attorno a y

Controllo della snellezza secondo §4.2.4.1.3.1 NTC18

Numero rit.	Presente	Ascissa	Campata	βy/n	k,LT	kw,LT	Vincolo a entrambi estremi
-------------	----------	---------	---------	------	------	-------	----------------------------

Implementazione dei sistemi di confinamento delle emissioni odorigene diffuse dell'impianto di compostaggio esistente nel
Comune di Eboli (SA)
PROGETTO DEFINITIVO – Tabulati di calcolo Tomo 1

Numero rit.	Presente	Ascissa	Campata	$\beta y/n$	k,LT	kw,LT	Vincolo a entrambi estremi
1	Si	0	1-2	1	Si	39.7	Si, (<200)
2	Si	1.625					

Verifica di stabilità per pressoflessione §C.4.2.4.1.3.3.1 NTC18

X	Comb.	Sfruttamento	Classe	NEd	MxEq,Ed	MyEq,Ed	Area	Wx	Wy	χ_{min}	$\lambda_{adim. x/m}$	$\lambda_{adim. y/n}$	N,crit x/m	N,crit y/n	Verifica
0	SLU 2	0.019	3	-8.89	0.0708	0.0304	0.003832	0.0000492	0.0000739	0.776	0.617	0.457	2772.187	5041.477	Si

Verifiche a deformabilità

Mensola X: No; Mensola Y: No.

Frecce lungo X

Ascissa freccia	Combinazione	Freccia	Luce	L/f	L/f,min	Tipo	Verifica
0.867	SLE RA 1	0	1.625	10000	250	Totale	Si
0.867	SLE RA 17	0	1.625	10000	250	Totale	Si
0.867	SLE RA 16	0	1.625	10000	250	Totale	Si
0.921	SLE RA 15	0	1.625	10000	250	Totale	Si
0.867	SLE RA 14	0	1.625	10000	250	Totale	Si
0.867	SLE RA 2	0	1.625	10000	350	Variabile	Si
0.867	SLE RA 17	0	1.625	10000	350	Variabile	Si
0.867	SLE RA 16	0	1.625	10000	350	Variabile	Si
0.921	SLE RA 15	0	1.625	10000	350	Variabile	Si
0.867	SLE RA 14	0	1.625	10000	350	Variabile	Si

Frecce lungo Y

Ascissa freccia	Combinazione	Freccia	Luce	L/f	L/f,min	Tipo	Verifica
0.812	SLE RA 1	0.00004	1.625	10000	250	Totale	Si
0.812	SLE RA 17	0.00004	1.625	10000	250	Totale	Si
0.867	SLE RA 16	0.00005	1.625	10000	250	Totale	Si
0.812	SLE RA 15	0.00004	1.625	10000	250	Totale	Si
0.812	SLE RA 14	0.00005	1.625	10000	250	Totale	Si
0.921	SLE RA 2	-0.00001	1.625	10000	350	Variabile	Si
0.921	SLE RA 17	0	1.625	10000	350	Variabile	Si
0.921	SLE RA 16	0.00001	1.625	10000	350	Variabile	Si
0.921	SLE RA 15	0	1.625	10000	350	Variabile	Si
0.921	SLE RA 14	0	1.625	10000	350	Variabile	Si

Superelemento in acciaio a quota "640"- "703" (-761; -305)-(-652; -408)

Caratteristiche del materiale

Acciaio: S275, fyk = 275000

Caratteristiche geometriche

Lunghezza: 1.625

Nodo iniziale: 608 Nodo finale: 1832

Cerniera iniziale: Mmomenti 1% Cerniera finale: Mmomenti 1%

Sovreresistenza: 0% Sisma Z: No

Caratteristiche della sezione

Sezione	Rotazione	Area	Jx	Jy	ix	iy	Wx	Wy	Wplx	Wply
A1; L100*10; 1; Saldato; S275; 50; 1; 8; 8; 1	180	0.003832	0.0000035319	0.000007759	0.0304	0.045	0.0000492	0.0000739	0.00008974	0.00012727

Comportamento dei calastrelli

Accoppiamento imbottito con funzione statica (§C4.2.4.1.3.1.4 NTC18) nella campata compresa tra le ascisse 0 e 1.625 per sbandamento attorno all'asse y.

Verifiche di resistenza

Verifiche a forza assiale §4.2.4.1.2.1 - §4.2.4.1.2.2 NTC18

X	Comb.	Sfruttamento	Classe	NEd	Nc,Rd	Nt,Rd	Riduzione da taglio	px	py	Verifica
1.625	SLU 75	0.011		11.059		1003.522	1	0	0	Si

Verifiche a forza assiale SLD §4.2.4.1.2.1 - §4.2.4.1.2.2 NTC18

X	Comb.	Sfruttamento	Classe	NEd	Nc,Rd	Nt,Rd	Riduzione da taglio	px	py	Verifica
1.625	SLD 4	0.002		2.181		1003.522	1	0	0	Si

Verifica a taglio Y §4.2.4.1.2.4 NTC18

X	Comb.	Sfruttamento	VEd	Vc,Rd	Av	Interazione taglio-torsione	Riduzione torsione	Verifica
1.625	SLU 75	0.001	0.318	302.422	0.002	Non considerata		Si

Verifica a taglio Y SLD §4.2.4.1.2.4 NTC18

X	Comb.	Sfruttamento	VEd	Vc,Rd	Av	Interazione taglio-torsione	Riduzione torsione	Verifica
1.625	SLD 2	0.001	0.233	302.422	0.002	Non considerata		Si

Verifica a flessione semplice X §§ 4.2.4.1.2.3 - 4.2.4.1.2.6 - 4.2.4.1.2.7 - 4.2.4.1.2.8 NTC18

X	Comb.	Sfruttamento	Classe	Mx,Ed	Mx,Rd	Rid. Mx,Rd da VEd	px	py	Verifica
0.812	SLU 62	0.005	1	0.11799	23.50374	1	0	0	Si

Verifica a presso/tenso flessione retta X §§ 4.2.4.1.2.3 - 4.2.4.1.2.6 - 4.2.4.1.2.7 - 4.2.4.1.2.8 NTC18

Verifiche eseguite utilizzando la formula conservativa (6.2) §6.2.1 EN 1993-1-1:2005.

Implementazione dei sistemi di confinamento delle emissioni odorigene diffuse dell'impianto di compostaggio esistente nel
Comune di Eboli (SA)

PROGETTO DEFINITIVO – Tabulati di calcolo Tomo 1

X	Comb.	Sfruttamento	Classe	NEd	NRd	Rid. NRd da VEd	Mx,Ed	Mx,Rd	Rid. Mx,Rd da VEd	Rid. Mx,Rd da NEd	px	py	Verifica
0.758	SLU 75	0.015	1	10.929	1003.522	1	0.1002	23.5037	1		0	0	Si

Verifica a presso/tenso flessione retta Y §§ 4.2.4.1.2.3 - 4.2.4.1.2.6 - 4.2.4.1.2.7 - 4.2.4.1.2.8 NTC18

Verifiche eseguite utilizzando la formula conservativa (6.2) §6.2.1 EN 1993-1-1:2005.

X	Comb.	Sfruttamento	Classe	NEd	NRd	Rid. NRd da VEd	My,Ed	My,Rd	Rid. My,Rd da VEd	Rid. My,Rd da NEd	px	py	Verifica
0	SLV 2	0.006	1	2.097	1003.522	1	-0.1352	33.3316	1		0	0	Si

Verifica a presso/tenso flessione retta Y SLD §§ 4.2.4.1.2.3 - 4.2.4.1.2.6 - 4.2.4.1.2.7 - 4.2.4.1.2.8 NTC18

Verifiche eseguite utilizzando la formula conservativa (6.2) §6.2.1 EN 1993-1-1:2005.

X	Comb.	Sfruttamento	Classe	NEd	NRd	Rid. NRd da VEd	My,Ed	My,Rd	Rid. My,Rd da VEd	Rid. My,Rd da NEd	px	py	Verifica
0	SLD 1	0.004	1	1.899	1003.522	1	-0.0541	33.3316	1		0	0	Si

Verifica a presso/tenso flessione deviata §§ 4.2.4.1.2.3 - 4.2.4.1.2.6 - 4.2.4.1.2.7 - 4.2.4.1.2.8 NTC18

Verifiche eseguite utilizzando la formula conservativa (6.2) §6.2.1 EN 1993-1-1:2005.

X	Comb.	Sfruttamento	Classe	NEd	NRd	Rid. NRd da VEd	Mx,Ed	Mx,Rd	My,Ed	My,Rd	Rid. Mx,Rd da VEd	Rid. Mx,Rd da NEd	Rid. My,Rd da VEd	Rid. My,Rd da NEd	α	β	px	py	Verifica
0.488	SLU 42	0.012	3	-3.818	1003.522	1	0.1007	12.886	0.0125	19.3536	1		1				0	0	Si

Verifica a presso/tenso flessione deviata SLD §§ 4.2.4.1.2.3 - 4.2.4.1.2.6 - 4.2.4.1.2.7 - 4.2.4.1.2.8 NTC18

Verifiche eseguite utilizzando la formula conservativa (6.2) §6.2.1 EN 1993-1-1:2005.

X	Comb.	Sfruttamento	Classe	NEd	NRd	Rid. NRd da VEd	Mx,Ed	Mx,Rd	My,Ed	My,Rd	Rid. Mx,Rd da VEd	Rid. Mx,Rd da NEd	Rid. My,Rd da VEd	Rid. My,Rd da NEd	α	β	px	py	Verifica
0.758	SLD 11	0.007	1	1.987	1003.522	1	0.0882	23.5037	0.0434	33.3316	1		1				0	0	Si

Verifiche ad instabilità

Caratteristiche iniziali

Membratura principale per controllo snellezza; Calcolo di snellezze ed N critici condotti secondo gli assi principali;

Curva X: c; Curva Y: c;

Svergolamento: Nessuno; la verifica a instabilità flesso-torsionale (svergolamento) non verrà eseguita.

Dati per instabilità attorno a x

Controllo della snellezza secondo §4.2.4.1.3.1 NTC18

Numero rit.	Presente	Ascissa	Campata	βx/m	Vincolo a entrambi estremi	λx/m	λVer
1	Si		0				
			1-2		1	53.5	Si, (<200)
2	Si		1.625				

Dati per instabilità attorno a y

Controllo della snellezza secondo §4.2.4.1.3.1 NTC18

Numero rit.	Presente	Ascissa	Campata	βy/n	k,LT	kw,LT	Vincolo a entrambi estremi
1	Si		0				
			1-2		1	39.7	Si, (<200)
2	Si		1.625				

Verifica di stabilità per pressoflessione §C.4.2.4.1.3.3.1 NTC18

X	Comb.	Sfruttamento	Classe	NEd	MxEq,Ed	MyEq,Ed	Area	Wx	Wy	χ,min	λ adim. x/m	λ adim. y/n	N,crit x/m	N,crit y/n	Verifica
0	SLU 42	0.014	3	-3.891	0.1051	0.0098	0.003832	0.0000492	0.0000739	0.776	0.617	0.457	2772.187	5041.477	Si

Verifiche a deformabilità

Mensola X: No; Mensola Y: No.

Frecce lungo X

Ascissa freccia	Combinazione	Freccia	Luce	L/f	L/f,min	Tipo	Verifica
0.867	SLE RA 1	0	1.625	10000	250	Totale	Si
0.867	SLE RA 17	0	1.625	10000	250	Totale	Si
0.867	SLE RA 16	0	1.625	10000	250	Totale	Si
0.812	SLE RA 15	0	1.625	10000	250	Totale	Si
0.921	SLE RA 14	0	1.625	10000	250	Totale	Si
0.921	SLE RA 2	0	1.625	10000	350	Variabile	Si
0.921	SLE RA 17	0	1.625	10000	350	Variabile	Si
0.921	SLE RA 16	0	1.625	10000	350	Variabile	Si
0.758	SLE RA 15	0	1.625	10000	350	Variabile	Si
0.921	SLE RA 14	0	1.625	10000	350	Variabile	Si

Frecce lungo Y

Ascissa freccia	Combinazione	Freccia	Luce	L/f	L/f,min	Tipo	Verifica
0.812	SLE RA 1	0.00003	1.625	10000	250	Totale	Si
0.812	SLE RA 17	0.00003	1.625	10000	250	Totale	Si
0.812	SLE RA 16	0.00003	1.625	10000	250	Totale	Si
0.812	SLE RA 15	0.00003	1.625	10000	250	Totale	Si
0.812	SLE RA 14	0.00003	1.625	10000	250	Totale	Si
0.921	SLE RA 2	0	1.625	10000	350	Variabile	Si
0.921	SLE RA 17	0	1.625	10000	350	Variabile	Si
0.921	SLE RA 16	0	1.625	10000	350	Variabile	Si
0.921	SLE RA 15	0	1.625	10000	350	Variabile	Si
0.921	SLE RA 14	0	1.625	10000	350	Variabile	Si

Superelemento in acciaio a quota "640"- "703" (-1013; -573)-(-904; -675)

Caratteristiche del materiale

Acciaio: S275, fyk = 275000

Implementazione dei sistemi di confinamento delle emissioni odorigene diffuse dell'impianto di compostaggio esistente nel
Comune di Eboli (SA)
PROGETTO DEFINITIVO – Tabulati di calcolo Tomo 1

Caratteristiche geometriche

Lunghezza: 1.625
Nodo iniziale: 561 Nodo finale: 1828
Cerniera iniziale: Mmomenti 1% Cerniera finale: Mmomenti 1%
Sovraresistenza: 0% Sisma Z: No

Caratteristiche della sezione

Sezione	Rotazione	Area	Jx	Jy	ix	iy	Wx	Wy	Wplx	Wply
A1; L100*10; 1; Saldato; S275; 50; 1; 8; 8; 1	180	0.003832	0.0000035319	0.000007759	0.0304	0.045	0.0000492	0.0000739	0.00008974	0.00012727

Comportamento dei calastrelli

Accoppiamento imbottito con funzione statica (§C4.2.4.1.3.1.4 NTC18) nella campata compresa tra le ascisse 0 e 1.625 per sbandamento attorno all'asse y.

Verifiche di resistenza

Verifiche a forza assiale §4.2.4.1.2.1 - §4.2.4.1.2.2 NTC18

X	Comb.	Sfruttamento	Classe	NEd	Nc,Rd	Nt,Rd	Riduzione da taglio	px	py	Verifica
1.625	SLU 75	0.043		42.937		1003.522	1	0	0	Si

Verifiche a forza assiale SLD §4.2.4.1.2.1 - §4.2.4.1.2.2 NTC18

X	Comb.	Sfruttamento	Classe	NEd	Nc,Rd	Nt,Rd	Riduzione da taglio	px	py	Verifica
1.625	SLD 2	0.019		19.017		1003.522	1	0	0	Si

Verifica a taglio Y §4.2.4.1.2.4 NTC18

X	Comb.	Sfruttamento	VEd	Vc,Rd	Av	Interazione taglio-torsione	Riduzione torsione	Verifica
1.625	SLU 75	0.001	0.321	302.422	0.002	Non considerata		Si

Verifica a taglio Y SLD §4.2.4.1.2.4 NTC18

X	Comb.	Sfruttamento	VEd	Vc,Rd	Av	Interazione taglio-torsione	Riduzione torsione	Verifica
1.625	SLD 8	0.001	0.231	302.422	0.002	Non considerata		Si

Verifica a flessione semplice X §§ 4.2.4.1.2.3 - 4.2.4.1.2.6 - 4.2.4.1.2.7 - 4.2.4.1.2.8 NTC18

X	Comb.	Sfruttamento	Classe	Mx,Ed	Mx,Rd	Rid. Mx,Rd da VEd	px	py	Verifica
0.379	SLU 59	0.004	1	0.08648	23.50374	1	0	0	Si

Verifica a presso/tenso flessione retta X §§ 4.2.4.1.2.3 - 4.2.4.1.2.6 - 4.2.4.1.2.7 - 4.2.4.1.2.8 NTC18

Verifiche eseguite utilizzando la formula conservativa (6.2) §6.2.1 EN 1993-1-1:2005.

X	Comb.	Sfruttamento	Classe	NEd	NRd	Rid. NRd da VEd	Mx,Ed	Mx,Rd	Rid. Mx,Rd da VEd	Rid. Mx,Rd da NEd	px	py	Verifica
0.758	SLU 75	0.047	1	42.807	1003.522	1	0.0986	23.5037	1		0	0	Si

Verifica a presso/tenso flessione retta Y §§ 4.2.4.1.2.3 - 4.2.4.1.2.6 - 4.2.4.1.2.7 - 4.2.4.1.2.8 NTC18

Verifiche eseguite utilizzando la formula conservativa (6.2) §6.2.1 EN 1993-1-1:2005.

X	Comb.	Sfruttamento	Classe	NEd	NRd	Rid. NRd da VEd	My,Ed	My,Rd	Rid. My,Rd da VEd	Rid. My,Rd da NEd	px	py	Verifica
1.571	SLV 1	0.027	1	25.619	1003.522	1	-0.0484	33.3316	1		0	0	Si

Verifica a presso/tenso flessione retta Y SLD §§ 4.2.4.1.2.3 - 4.2.4.1.2.6 - 4.2.4.1.2.7 - 4.2.4.1.2.8 NTC18

Verifiche eseguite utilizzando la formula conservativa (6.2) §6.2.1 EN 1993-1-1:2005.

X	Comb.	Sfruttamento	Classe	NEd	NRd	Rid. NRd da VEd	My,Ed	My,Rd	Rid. My,Rd da VEd	Rid. My,Rd da NEd	px	py	Verifica
1.571	SLD 1	0.02	1	19.011	1003.522	1	-0.0201	33.3316	1		0	0	Si

Verifica a presso/tenso flessione deviata §§ 4.2.4.1.2.3 - 4.2.4.1.2.6 - 4.2.4.1.2.7 - 4.2.4.1.2.8 NTC18

Verifiche eseguite utilizzando la formula conservativa (6.2) §6.2.1 EN 1993-1-1:2005.

X	Comb.	Sfruttamento	Classe	NEd	NRd	Rid. NRd da VEd	Mx,Ed	Mx,Rd	My,Ed	My,Rd	Rid. Mx,Rd da VEd	Rid. Mx,Rd da NEd	Rid. My,Rd da VEd	Rid. My,Rd da NEd	α	β	px	py	Verifica
0.812	SLV 1	0.031	1	25.531	1003.522	1	0.0874	23.5037	-0.048	33.3316	1		1				0	0	Si

Verifica a presso/tenso flessione deviata SLD §§ 4.2.4.1.2.3 - 4.2.4.1.2.6 - 4.2.4.1.2.7 - 4.2.4.1.2.8 NTC18

Verifiche eseguite utilizzando la formula conservativa (6.2) §6.2.1 EN 1993-1-1:2005.

X	Comb.	Sfruttamento	Classe	NEd	NRd	Rid. NRd da VEd	Mx,Ed	Mx,Rd	My,Ed	My,Rd	Rid. Mx,Rd da VEd	Rid. Mx,Rd da NEd	Rid. My,Rd da VEd	Rid. My,Rd da NEd	α	β	px	py	Verifica
0.812	SLD 1	0.023	1	18.923	1003.522	1	0.0875	23.5037	-0.0198	33.3316	1		1				0	0	Si

Verifiche ad instabilità

Caratteristiche iniziali

Membratura principale per controllo snellezza; Calcolo di snellezze ed N critici condotti secondo gli assi principali;
Curva X: c; Curva Y: c;
Svergolamento: Nessuno; la verifica a instabilità flesso-torsionale (svergolamento) non verrà eseguita.

Dati per instabilità attorno a x

Controllo della snellezza secondo §4.2.4.1.3.1 NTC18

Numero rit.	Presente	Ascissa	Campata	βx/m	Vincolo a entrambi estremi	λx/m	λVer
1	Si	0					
			1-2	1	Si	53.5	Si, (<200)
2	Si	1.625					

Dati per instabilità attorno a y

Controllo della snellezza secondo §4.2.4.1.3.1 NTC18

Numero rit.	Presente	Ascissa	Campata	βy/n	k,LT	kw,LT	Vincolo a entrambi estremi
-------------	----------	---------	---------	------	------	-------	----------------------------

Implementazione dei sistemi di confinamento delle emissioni odorigene diffuse dell'impianto di compostaggio esistente nel
Comune di Eboli (SA)
PROGETTO DEFINITIVO – Tabulati di calcolo Tomo 1

Numero rit.	Presente	Ascissa	Campata	$\beta y/n$	k,LT	kw,LT	Vincolo a entrambi estremi
1	Si	0	1-2	1	Si	39.7	Si, (<200)
2	Si	1.625					

Verifica di stabilità per pressoflessione §C.4.2.4.1.3.3.1 NTC18

X	Comb.	Sfruttamento	Classe	NEd	MxEq,Ed	MyEq,Ed	Area	Wx	Wy	χ_{min}	$\lambda_{adim. x/m}$	$\lambda_{adim. y/n}$	N,crit x/m	N,crit y/n	Verifica
0	SLU 2	0.016	3	-6.286	0.0867	0.021	0.003832	0.0000492	0.0000739	0.776	0.617	0.457	2772.187	5041.477	Si

Verifiche a deformabilità

Mensola X: No; Mensola Y: No.

Frecce lungo X

Ascissa freccia	Combinazione	Freccia	Luce	L/f	L/f,min	Tipo	Verifica
0.867	SLE RA 1	0	1.625	10000	250	Totale	Si
0.867	SLE RA 17	0	1.625	10000	250	Totale	Si
0.867	SLE RA 16	0	1.625	10000	250	Totale	Si
0.867	SLE RA 15	0	1.625	10000	250	Totale	Si
0.867	SLE RA 14	0	1.625	10000	250	Totale	Si
0.867	SLE RA 2	0	1.625	10000	350	Variabile	Si
0.867	SLE RA 17	0	1.625	10000	350	Variabile	Si
0.867	SLE RA 16	0	1.625	10000	350	Variabile	Si
0.867	SLE RA 15	0	1.625	10000	350	Variabile	Si
0.867	SLE RA 14	0	1.625	10000	350	Variabile	Si

Frecce lungo Y

Ascissa freccia	Combinazione	Freccia	Luce	L/f	L/f,min	Tipo	Verifica
0.812	SLE RA 1	0.00003	1.625	10000	250	Totale	Si
0.812	SLE RA 17	0.00003	1.625	10000	250	Totale	Si
0.812	SLE RA 16	0.00003	1.625	10000	250	Totale	Si
0.812	SLE RA 15	0.00003	1.625	10000	250	Totale	Si
0.812	SLE RA 14	0.00003	1.625	10000	250	Totale	Si
0.921	SLE RA 2	0	1.625	10000	350	Variabile	Si
0.921	SLE RA 17	0	1.625	10000	350	Variabile	Si
0.921	SLE RA 16	0	1.625	10000	350	Variabile	Si
0.975	SLE RA 15	0	1.625	10000	350	Variabile	Si
0.921	SLE RA 14	0	1.625	10000	350	Variabile	Si

Superelemento in acciaio a quota "640"- "703" (-1270; -845)-(-1161; -948)

Caratteristiche del materiale

Acciaio: S275, fyk = 275000

Caratteristiche geometriche

Lunghezza: 1.625

Nodo iniziale: 535 Nodo finale: 1824

Cerniera iniziale: Mmomenti 1% Cerniera finale: Mmomenti 1%

Sovreresistenza: 0% Sisma Z: No

Caratteristiche della sezione

Sezione	Rotazione	Area	Jx	Jy	ix	iy	Wx	Wy	Wplx	Wply
A1; L100*10; 1; Saldato; S275; 50; 1; 8; 8; 1	180	0.003832	0.0000035319	0.000007759	0.0304	0.045	0.0000492	0.0000739	0.00008974	0.00012727

Comportamento dei calastrelli

Accoppiamento imbottito con funzione statica (§C4.2.4.1.3.1.4 NTC18) nella campata compresa tra le ascisse 0 e 1.625 per sbandamento attorno all'asse y.

Verifiche di resistenza

Verifiche a forza assiale §4.2.4.1.2.1 - §4.2.4.1.2.2 NTC18

X	Comb.	Sfruttamento	Classe	NEd	Nc,Rd	Nt,Rd	Riduzione da taglio	px	py	Verifica
1.625	SLU 75	0.047		46.717		1003.522	1	0	0	Si

Verifiche a forza assiale SLD §4.2.4.1.2.1 - §4.2.4.1.2.2 NTC18

X	Comb.	Sfruttamento	Classe	NEd	Nc,Rd	Nt,Rd	Riduzione da taglio	px	py	Verifica
1.625	SLD 16	0.019		19.532		1003.522	1	0	0	Si

Verifica a taglio Y §4.2.4.1.2.4 NTC18

X	Comb.	Sfruttamento	VEd	Vc,Rd	Av	Interazione taglio-torsione	Riduzione torsione	Verifica
1.625	SLU 75	0.001	0.294	302.422	0.002	Non considerata		Si

Verifica a taglio Y SLD §4.2.4.1.2.4 NTC18

X	Comb.	Sfruttamento	VEd	Vc,Rd	Av	Interazione taglio-torsione	Riduzione torsione	Verifica
1.625	SLD 1	0.001	0.226	302.422	0.002	Non considerata		Si

Verifica a flessione semplice X §§ 4.2.4.1.2.3 - 4.2.4.1.2.6 - 4.2.4.1.2.7 - 4.2.4.1.2.8 NTC18

X	Comb.	Sfruttamento	Classe	Mx,Ed	Mx,Rd	Rid. Mx,Rd da VEd	px	py	Verifica
0.812	SLU 21	0.004	1	0.09111	23.50374	1	0	0	Si

Verifica a presso/tenso flessione retta X §§ 4.2.4.1.2.3 - 4.2.4.1.2.6 - 4.2.4.1.2.7 - 4.2.4.1.2.8 NTC18

Verifiche eseguite utilizzando la formula conservativa (6.2) §6.2.1 EN 1993-1-1:2005.

Implementazione dei sistemi di confinamento delle emissioni odorigene diffuse dell'impianto di compostaggio esistente nel
Comune di Eboli (SA)

PROGETTO DEFINITIVO – Tabulati di calcolo Tomo 1

X	Comb.	Sfruttamento	Classe	NEd	NRd	Rid. NRd da VEd	Mx,Ed	Mx,Rd	Rid. Mx,Rd da VEd	Rid. Mx,Rd da NEd	px	py	Verifica
0.812	SLU 75	0.052	1	46.595	1003.522	1	0.1196	23.5037	1		0	0	Si

Verifica a presso/tenso flessione retta X SLD §§ 4.2.4.1.2.3 - 4.2.4.1.2.6 - 4.2.4.1.2.7 - 4.2.4.1.2.8 NTC18

Verifiche eseguite utilizzando la formula conservativa (6.2) §6.2.1 EN 1993-1-1:2005.

X	Comb.	Sfruttamento	Classe	NEd	NRd	Rid. NRd da VEd	Mx,Ed	Mx,Rd	Rid. Mx,Rd da VEd	Rid. Mx,Rd da NEd	px	py	Verifica
0.812	SLD 13	0.022	1	18.537	1003.522	1	0.0916	23.5037	1		0	0	Si

Verifica a presso/tenso flessione retta Y §§ 4.2.4.1.2.3 - 4.2.4.1.2.6 - 4.2.4.1.2.7 - 4.2.4.1.2.8 NTC18

Verifiche eseguite utilizzando la formula conservativa (6.2) §6.2.1 EN 1993-1-1:2005.

X	Comb.	Sfruttamento	Classe	NEd	NRd	Rid. NRd da VEd	My,Ed	My,Rd	Rid. My,Rd da VEd	Rid. My,Rd da NEd	px	py	Verifica
1.625	SLV 16	0.024	1	22.473	1003.522	1	0.0482	33.3316	1		0	0	Si

Verifica a presso/tenso flessione retta Y SLD §§ 4.2.4.1.2.3 - 4.2.4.1.2.6 - 4.2.4.1.2.7 - 4.2.4.1.2.8 NTC18

Verifiche eseguite utilizzando la formula conservativa (6.2) §6.2.1 EN 1993-1-1:2005.

X	Comb.	Sfruttamento	Classe	NEd	NRd	Rid. NRd da VEd	My,Ed	My,Rd	Rid. My,Rd da VEd	Rid. My,Rd da NEd	px	py	Verifica
1.625	SLD 16	0.02	1	19.532	1003.522	1	0.0198	33.3316	1		0	0	Si

Verifica a presso/tenso flessione deviata §§ 4.2.4.1.2.3 - 4.2.4.1.2.6 - 4.2.4.1.2.7 - 4.2.4.1.2.8 NTC18

Verifiche eseguite utilizzando la formula conservativa (6.2) §6.2.1 EN 1993-1-1:2005.

X	Comb.	Sfruttamento	Classe	NEd	NRd	Rid. NRd da VEd	Mx,Ed	Mx,Rd	My,Ed	My,Rd	Rid. Mx,Rd da VEd	Rid. Mx,Rd da NEd	Rid. My,Rd da VEd	Rid. My,Rd da NEd	α	β	px	py	Verifica
0.867	SLV 15	0.027	1	22.385	1003.522	1	0.0914	23.5037	0.032	33.3316	1		1				0	0	Si

Verifica a presso/tenso flessione deviata SLD §§ 4.2.4.1.2.3 - 4.2.4.1.2.6 - 4.2.4.1.2.7 - 4.2.4.1.2.8 NTC18

Verifiche eseguite utilizzando la formula conservativa (6.2) §6.2.1 EN 1993-1-1:2005.

X	Comb.	Sfruttamento	Classe	NEd	NRd	Rid. NRd da VEd	Mx,Ed	Mx,Rd	My,Ed	My,Rd	Rid. Mx,Rd da VEd	Rid. Mx,Rd da NEd	Rid. My,Rd da VEd	Rid. My,Rd da NEd	α	β	px	py	Verifica
0.812	SLD 15	0.024	1	19.438	1003.522	1	0.0916	23.5037	0.0125	33.3316	1		1				0	0	Si

Verifiche ad instabilità

Caratteristiche iniziali

Membratura principale per controllo snellezza; Calcolo di snellezze ed N critici condotti secondo gli assi principali;

Curva X: c; Curva Y: c;

Svergolamento: Nessuno; la verifica a instabilità flesso-torsionale (svergolamento) non verrà eseguita.

Dati per instabilità attorno a x

Controllo della snellezza secondo §4.2.4.1.3.1 NTC18

Numero rit.	Presente	Ascissa	Campata	βx/m	Vincolo a entrambi estremi	λx/m	λVer
1	Si	0					
			1-2	1	Si	53.5	Si, (<200)
2	Si	1.625					

Dati per instabilità attorno a y

Controllo della snellezza secondo §4.2.4.1.3.1 NTC18

Numero rit.	Presente	Ascissa	Campata	βy/n	k,LT	kw,LT	Vincolo a entrambi estremi
1	Si	0					
			1-2	1	Si	39.7	Si, (<200)
2	Si	1.625					

Verifica di stabilità per pressoflessione §C.4.2.4.1.3.3.1 NTC18

X	Comb.	Sfruttamento	Classe	NEd	MxEq,Ed	MyEq,Ed	Area	Wx	Wy	χ,min	λ adim. x/m	λ adim. y/n	N,crit x/m	N,crit y/n	Verifica
0	SLU 2	0.013	3	-4.444	0.0785	0.0146	0.003832	0.0000492	0.0000739	0.776	0.617	0.457	2772.187	5041.477	Si

Verifiche a deformabilità

Mensola X: No; Mensola Y: No.

Frecce lungo X

Ascissa freccia	Combinazione	Freccia	Luce	L/f	L/f,min	Tipo	Verifica
0.433	SLE RA 1	0	1.625	10000	250	Totale	Si
0.487	SLE RA 17	0	1.625	10000	250	Totale	Si
0.542	SLE RA 16	0	1.625	10000	250	Totale	Si
0.487	SLE RA 15	0	1.625	10000	250	Totale	Si
0.542	SLE RA 14	0	1.625	10000	250	Totale	Si
0.596	SLE RA 2	0	1.625	10000	350	Variabile	Si
0.596	SLE RA 17	0	1.625	10000	350	Variabile	Si
0.596	SLE RA 16	0	1.625	10000	350	Variabile	Si
0.487	SLE RA 15	0	1.625	10000	350	Variabile	Si
0.596	SLE RA 14	0	1.625	10000	350	Variabile	Si

Frecce lungo Y

Ascissa freccia	Combinazione	Freccia	Luce	L/f	L/f,min	Tipo	Verifica
0.812	SLE RA 1	0.00003	1.625	10000	250	Totale	Si
0.812	SLE RA 17	0.00003	1.625	10000	250	Totale	Si
0.812	SLE RA 16	0.00003	1.625	10000	250	Totale	Si
0.812	SLE RA 15	0.00003	1.625	10000	250	Totale	Si
0.812	SLE RA 14	0.00003	1.625	10000	250	Totale	Si
0.812	SLE RA 2	0	1.625	10000	350	Variabile	Si
0.812	SLE RA 17	0	1.625	10000	350	Variabile	Si
0.812	SLE RA 16	0	1.625	10000	350	Variabile	Si
0.812	SLE RA 15	0	1.625	10000	350	Variabile	Si
0.758	SLE RA 14	0	1.625	10000	350	Variabile	Si

Superelemento in acciaio a quota "640"- "715" (142; 872)-(251; 769)

Caratteristiche del materiale

Acciaio: S275, fyk = 275000

Caratteristiche geometriche

Lunghezza: 1.677

Nodo iniziale: 848 Nodo finale: 2085

Cerniera iniziale: Mmomenti 1% Cerniera finale: Mmomenti 1%

Sovreresistenza: 0% Sisma Z: No

Caratteristiche della sezione

Sezione	Rotazione	Area	Jx	Jy	ix	iy	Wx	Wy	Wplx	Wply
A1; L100*10; 1; Saldato; S275; 50; 1; 8; 8; 1	180	0.003832	0.0000035319	0.000007759	0.0304	0.045	0.0000492	0.0000739	0.00008974	0.00012727

Comportamento dei calastrelli

Accoppiamento imbottito con funzione statica (§C4.2.4.1.3.1.4 NTC18) nella campata compresa tra le ascisse 0 e 1.677 per sbandamento attorno all'asse y.

Verifiche di resistenza

Verifiche a forza assiale §4.2.4.1.2.1 - §4.2.4.1.2.2 NTC18

X	Comb.	Sfruttamento	Classe	NEd	Nc,Rd	Nt,Rd	Riduzione da taglio	px	py	Verifica
0	SLU 75	0.021	3	-21.533	1003.522		1	0	0	Si

Verifiche a forza assiale SLD §4.2.4.1.2.1 - §4.2.4.1.2.2 NTC18

X	Comb.	Sfruttamento	Classe	NEd	Nc,Rd	Nt,Rd	Riduzione da taglio	px	py	Verifica
0	SLD 1	0.007	3	-7.054	1003.522		1	0	0	Si

Verifica a taglio X §4.2.4.1.2.4 NTC18

X	Comb.	Sfruttamento	VEd	Vc,Rd	Av	Interazione taglio-torsione	Riduzione torsione	Verifica
0	SLV 1	0.001	0.278	302.422	0.002	Non considerata		Si

Verifica a taglio Y §4.2.4.1.2.4 NTC18

X	Comb.	Sfruttamento	VEd	Vc,Rd	Av	Interazione taglio-torsione	Riduzione torsione	Verifica
1.677	SLU 75	0.001	0.324	302.422	0.002	Non considerata		Si

Verifica a taglio Y SLD §4.2.4.1.2.4 NTC18

X	Comb.	Sfruttamento	VEd	Vc,Rd	Av	Interazione taglio-torsione	Riduzione torsione	Verifica
1.677	SLD 1	0.001	0.231	302.422	0.002	Non considerata		Si

Verifica a flessione semplice X §§ 4.2.4.1.2.3 - 4.2.4.1.2.6 - 4.2.4.1.2.7 - 4.2.4.1.2.8 NTC18

X	Comb.	Sfruttamento	Classe	Mx,Ed	Mx,Rd	Rid. Mx,Rd da VEd	px	py	Verifica
0.615	SLU 40	0.005	1	0.11849	23.50374	1	0	0	Si

Verifica a presso/tenso flessione retta X §§ 4.2.4.1.2.3 - 4.2.4.1.2.6 - 4.2.4.1.2.7 - 4.2.4.1.2.8 NTC18

Verifiche eseguite utilizzando la formula conservativa (6.2) §6.2.1 EN 1993-1-1:2005.

X	Comb.	Sfruttamento	Classe	NEd	NRd	Rid. NRd da VEd	Mx,Ed	Mx,Rd	Rid. Mx,Rd da VEd	Rid. Mx,Rd da NEd	px	py	Verifica
0.894	SLU 61	0.008	1	-2.135	1003.522	1	0.1267	23.5037	1		0	0	Si

Verifica a presso/tenso flessione retta Y §§ 4.2.4.1.2.3 - 4.2.4.1.2.6 - 4.2.4.1.2.7 - 4.2.4.1.2.8 NTC18

Verifiche eseguite utilizzando la formula conservativa (6.2) §6.2.1 EN 1993-1-1:2005.

X	Comb.	Sfruttamento	Classe	NEd	NRd	Rid. NRd da VEd	My,Ed	My,Rd	Rid. My,Rd da VEd	Rid. My,Rd da NEd	px	py	Verifica
0	SLU 75	0.025	3	-21.533	1003.522	1	0.0731	19.3536	1		0	0	Si

Verifica a presso/tenso flessione retta Y SLD §§ 4.2.4.1.2.3 - 4.2.4.1.2.6 - 4.2.4.1.2.7 - 4.2.4.1.2.8 NTC18

Verifiche eseguite utilizzando la formula conservativa (6.2) §6.2.1 EN 1993-1-1:2005.

X	Comb.	Sfruttamento	Classe	NEd	NRd	Rid. NRd da VEd	My,Ed	My,Rd	Rid. My,Rd da VEd	Rid. My,Rd da NEd	px	py	Verifica
1.621	SLD 1	0.01	3	-6.836	1003.522	1	0.0628	19.3536	1		0	0	Si

Verifica a presso/tenso flessione deviata §§ 4.2.4.1.2.3 - 4.2.4.1.2.6 - 4.2.4.1.2.7 - 4.2.4.1.2.8 NTC18

Verifiche eseguite utilizzando la formula conservativa (6.2) §6.2.1 EN 1993-1-1:2005.

X	Comb.	Sfruttamento	Classe	NEd	NRd	Rid. NRd da VEd	Mx,Ed	Mx,Rd	My,Ed	My,Rd	Rid. Mx,Rd da VEd	Rid. Mx,Rd da NEd	Rid. My,Rd da VEd	Rid. My,Rd da NEd	α	β	px	py	Verifica
0.727	SLU 75	0.033	3	-21.406	1003.522	1	0.0987	12.886	0.0723	19.3536	1		1				0	0	Si

Verifica a presso/tenso flessione deviata SLD §§ 4.2.4.1.2.3 - 4.2.4.1.2.6 - 4.2.4.1.2.7 - 4.2.4.1.2.8 NTC18

Verifiche eseguite utilizzando la formula conservativa (6.2) §6.2.1 EN 1993-1-1:2005.

X	Comb.	Sfruttamento	Classe	NEd	NRd	Rid. NRd da VEd	Mx,Ed	Mx,Rd	My,Ed	My,Rd	Rid. Mx,Rd da VEd	Rid. Mx,Rd da NEd	Rid. My,Rd da VEd	Rid. My,Rd da NEd	α	β	px	py	Verifica
0.839	SLD 2	0.017	3	-6.941	1003.522	1	0.0895	12.886	0.0561	19.3536	1		1				0	0	Si

Verifiche ad instabilità

Caratteristiche iniziali

Membratura principale per controllo snellezza; Calcolo di snellezze ed N critici condotti secondo gli assi principali;

Curva X: c; Curva Y: c;

Svergolamento: Nessuno; la verifica a instabilità flesso-torsionale (svergolamento) non verrà eseguita.

Implementazione dei sistemi di confinamento delle emissioni odorigene diffuse dell'impianto di compostaggio esistente nel
Comune di Eboli (SA)
PROGETTO DEFINITIVO – Tabulati di calcolo Tomo 1

Dati per instabilità attorno a x

Controllo della snellezza secondo §4.2.4.1.3.1 NTC18

Numero rit.	Presente	Ascissa	Campata	$\beta x/m$	Vincolo a entrambi estremi	$\lambda x/m$	λVer
1	Si	0	1-2	1	Si	55.2	Si, (<200)
2	Si	1.677					

Dati per instabilità attorno a y

Controllo della snellezza secondo §4.2.4.1.3.1 NTC18

Numero rit.	Presente	Ascissa	Campata	$\beta y/n$	k,LT	kw,LT	Vincolo a entrambi estremi
1	Si	0	1-2	1	Si	40.7	Si, (<200)
2	Si	1.677					

Verifica di stabilità per pressoflessione §C.4.2.4.1.3.3.1 NTC18

X	Comb.	Sfruttamento	Classe	NEd	MxEq,Ed	MyEq,Ed	Area	Wx	Wy	χ_{min}	$\lambda_{adim. x/m}$	$\lambda_{adim. y/n}$	N,crit x/m	N,crit y/n	Verifica
0	SLU 75	0.037	3	-21.533	0.074	0.0549	0.003832	0.0000492	0.0000739	0.764	0.636	0.469	2602.776	4783.72	Si

Verifica di stabilità per pressoflessione SLD §C.4.2.4.1.3.3.1 NTC18

X	Comb.	Sfruttamento	Classe	NEd	MxEq,Ed	MyEq,Ed	Area	Wx	Wy	χ_{min}	$\lambda_{adim. x/m}$	$\lambda_{adim. y/n}$	N,crit x/m	N,crit y/n	Verifica
0	SLD 1	0.018	3	-7.054	0.0753	0.0634	0.003832	0.0000492	0.0000739	0.764	0.636	0.469	2602.776	4783.72	Si

Verifiche a deformabilità

Mensola X: No; Mensola Y: No.

Frecce lungo X

Ascissa freccia	Combinazione	Freccia	Luce	L/f	L/f,min	Tipo	Verifica
0.783	SLE RA 1	0	1.677	10000	250	Totale	Si
0.727	SLE RA 17	0	1.677	10000	250	Totale	Si
0.671	SLE RA 16	0	1.677	10000	250	Totale	Si
0.783	SLE RA 15	0	1.677	10000	250	Totale	Si
0.615	SLE RA 14	0	1.677	10000	250	Totale	Si
0.615	SLE RA 2	0	1.677	10000	350	Variabile	Si
0.615	SLE RA 17	0	1.677	10000	350	Variabile	Si
0.615	SLE RA 16	0	1.677	10000	350	Variabile	Si
0.839	SLE RA 15	0	1.677	10000	350	Variabile	Si
0.391	SLE RA 14	0	1.677	10000	350	Variabile	Si

Frecce lungo Y

Ascissa freccia	Combinazione	Freccia	Luce	L/f	L/f,min	Tipo	Verifica
0.839	SLE RA 1	0.00004	1.677	10000	250	Totale	Si
0.839	SLE RA 17	0.00003	1.677	10000	250	Totale	Si
0.839	SLE RA 16	0.00003	1.677	10000	250	Totale	Si
0.839	SLE RA 15	0.00004	1.677	10000	250	Totale	Si
0.839	SLE RA 14	0.00003	1.677	10000	250	Totale	Si
0.95	SLE RA 2	0	1.677	10000	350	Variabile	Si
0.95	SLE RA 17	0	1.677	10000	350	Variabile	Si
0.95	SLE RA 16	0	1.677	10000	350	Variabile	Si
0.95	SLE RA 15	0	1.677	10000	350	Variabile	Si
0.95	SLE RA 14	0	1.677	10000	350	Variabile	Si

Superelemento in acciaio a quota "640"- "715" (401; 1145)-(510; 1042)

Caratteristiche del materiale

Acciaio: S275, fyk = 275000

Caratteristiche geometriche

Lunghezza: 1.677

Nodo iniziale: 898 Nodo finale: 2096

Cerniera iniziale: Mmomenti 1% Cerniera finale: Mmomenti 1%

Sovreresistenza: 0% Sisma Z: No

Caratteristiche della sezione

Sezione	Rotazione	Area	Jx	Jy	ix	iy	Wx	Wy	Wplx	Wply
A1; L100*10; 1; Saldato; S275; 50; 1; 8; 8; 1	180	0.003832	0.0000035319	0.000007759	0.0304	0.045	0.0000492	0.0000739	0.00008974	0.00012727

Comportamento dei calastrelli

Accoppiamento imbottito con funzione statica (§C4.2.4.1.3.1.4 NTC18) nella campata compresa tra le ascisse 0 e 1.677 per sbandamento attorno all'asse y.

Verifiche di resistenza

Verifiche a forza assiale §4.2.4.1.2.1 - §4.2.4.1.2.2 NTC18

X	Comb.	Sfruttamento	Classe	NEd	Nc,Rd	Nt,Rd	Riduzione da taglio	px	py	Verifica
1.677	SLU 76	0.02		20.155		1003.522	1	0	0	Si

Verifiche a forza assiale SLD §4.2.4.1.2.1 - §4.2.4.1.2.2 NTC18

X	Comb.	Sfruttamento	Classe	NEd	Nc,Rd	Nt,Rd	Riduzione da taglio	px	py	Verifica
1.677	SLD 16	0.008		8.187		1003.522	1	0	0	Si

Implementazione dei sistemi di confinamento delle emissioni odorigene diffuse dell'impianto di compostaggio esistente nel
Comune di Eboli (SA)

PROGETTO DEFINITIVO – Tabulati di calcolo Tomo 1

Verifica a taglio X §4.2.4.1.2.4 NTC18

X	Comb.	Sfruttamento	VEd	Vc,Rd	Av	Interazione taglio-torsione	Riduzione torsione	Verifica
0	SLV 1	0.001	-0.205	302.422	0.002	Non considerata		Si

Verifica a taglio Y §4.2.4.1.2.4 NTC18

X	Comb.	Sfruttamento	VEd	Vc,Rd	Av	Interazione taglio-torsione	Riduzione torsione	Verifica
1.677	SLU 75	0.001	0.304	302.422	0.002	Non considerata		Si

Verifica a taglio Y SLD §4.2.4.1.2.4 NTC18

X	Comb.	Sfruttamento	VEd	Vc,Rd	Av	Interazione taglio-torsione	Riduzione torsione	Verifica
1.677	SLD 1	0.001	0.231	302.422	0.002	Non considerata		Si

Verifica a flessione semplice X §§ 4.2.4.1.2.3 - 4.2.4.1.2.6 - 4.2.4.1.2.7 - 4.2.4.1.2.8 NTC18

X	Comb.	Sfruttamento	Classe	Mx,Ed	Mx,Rd	Rid. Mx,Rd da VEd	px	py	Verifica
0.839	SLU 59	0.005	1	0.12468	23.50374	1	0	0	Si

Verifica a presso/tenso flessione retta X §§ 4.2.4.1.2.3 - 4.2.4.1.2.6 - 4.2.4.1.2.7 - 4.2.4.1.2.8 NTC18

Verifiche eseguite utilizzando la formula conservativa (6.2) §6.2.1 EN 1993-1-1:2005.

X	Comb.	Sfruttamento	Classe	NEd	NRd	Rid. NRd da VEd	Mx,Ed	Mx,Rd	Rid. Mx,Rd da VEd	Rid. Mx,Rd da NEd	px	py	Verifica
0.839	SLU 76	0.025	1	20.008	1003.522	1	0.1204	23.5037	1		0	0	Si

Verifica a presso/tenso flessione retta Y §§ 4.2.4.1.2.3 - 4.2.4.1.2.6 - 4.2.4.1.2.7 - 4.2.4.1.2.8 NTC18

Verifiche eseguite utilizzando la formula conservativa (6.2) §6.2.1 EN 1993-1-1:2005.

X	Comb.	Sfruttamento	Classe	NEd	NRd	Rid. NRd da VEd	My,Ed	My,Rd	Rid. My,Rd da VEd	Rid. My,Rd da NEd	px	py	Verifica
1.677	SLU 57	0.019	1	18.713	1003.522	1	0.0088	33.3316	1		0	0	Si

Verifica a presso/tenso flessione retta Y SLD §§ 4.2.4.1.2.3 - 4.2.4.1.2.6 - 4.2.4.1.2.7 - 4.2.4.1.2.8 NTC18

Verifiche eseguite utilizzando la formula conservativa (6.2) §6.2.1 EN 1993-1-1:2005.

X	Comb.	Sfruttamento	Classe	NEd	NRd	Rid. NRd da VEd	My,Ed	My,Rd	Rid. My,Rd da VEd	Rid. My,Rd da NEd	px	py	Verifica
1.677	SLD 16	0.009	1	8.187	1003.522	1	0.0381	33.3316	1		0	0	Si

Verifica a presso/tenso flessione deviata §§ 4.2.4.1.2.3 - 4.2.4.1.2.6 - 4.2.4.1.2.7 - 4.2.4.1.2.8 NTC18

Verifiche eseguite utilizzando la formula conservativa (6.2) §6.2.1 EN 1993-1-1:2005.

X	Comb.	Sfruttamento	Classe	NEd	NRd	Rid. NRd da VEd	Mx,Ed	Mx,Rd	My,Ed	My,Rd	Rid. Mx,Rd da VEd	Rid. Mx,Rd da NEd	Rid. My,Rd da VEd	Rid. My,Rd da NEd	α	β	px	py	Verifica
1.062	SLU 76	0.025	1	20.048	1003.522	1	0.1109	23.5037	0.0076	33.3316	1		1				0	0	Si

Verifica a presso/tenso flessione deviata SLD §§ 4.2.4.1.2.3 - 4.2.4.1.2.6 - 4.2.4.1.2.7 - 4.2.4.1.2.8 NTC18

Verifiche eseguite utilizzando la formula conservativa (6.2) §6.2.1 EN 1993-1-1:2005.

X	Comb.	Sfruttamento	Classe	NEd	NRd	Rid. NRd da VEd	Mx,Ed	Mx,Rd	My,Ed	My,Rd	Rid. Mx,Rd da VEd	Rid. Mx,Rd da NEd	Rid. My,Rd da VEd	Rid. My,Rd da NEd	α	β	px	py	Verifica
0.894	SLD 15	0.013	1	8.081	1003.522	1	0.0963	23.5037	0.0312	33.3316	1		1				0	0	Si

Verifiche ad instabilità

Caratteristiche iniziali

Membratura principale per controllo snellezza; Calcolo di snellezze ed N critici condotti secondo gli assi principali;

Curva X: c; Curva Y: c;

Svergolamento: Nessuno; la verifica a instabilità flessio-torsionale (svergolamento) non verrà eseguita.

Dati per instabilità attorno a x

Controllo della snellezza secondo §4.2.4.1.3.1 NTC18

Numero rit.	Presente	Ascissa	Campata	$\beta x/m$	Vincolo a entrambi estremi	$\lambda x/m$	λVer
1	Si		0				
			1-2		1	Si	55.2
2	Si	1.677					Si, (<200)

Dati per instabilità attorno a y

Controllo della snellezza secondo §4.2.4.1.3.1 NTC18

Numero rit.	Presente	Ascissa	Campata	$\beta y/n$	k,LT	kw,LT	Vincolo a entrambi estremi
1	Si		0				
			1-2		1	Si	40.7
2	Si	1.677					Si, (<200)

Verifica di stabilità per pressoflessione §C.4.2.4.1.3.3.1 NTC18

X	Comb.	Sfruttamento	Classe	NEd	MxEq,Ed	MyEq,Ed	Area	Wx	Wy	x_{min}	$\lambda_{adm. x/m}$	$\lambda_{adm. y/n}$	N,crit x/m	N,crit y/n	Verifica
0	SLU 41	0.013	3	-3.838	0.0982	0.0161	0.003832	0.0000492	0.0000739	0.764	0.636	0.469	2602.776	4783.72	Si

Verifiche a deformabilità

Mensola X: No; Mensola Y: No.

Frecce lungo X

Ascissa freccia	Combinazione	Freccia	Luce	L/f	L/f,min	Tipo	Verifica
0.95	SLE RA 1	0	1.677	10000	250	Totale	Si
0.894	SLE RA 17	0	1.677	10000	250	Totale	Si
0.894	SLE RA 16	0	1.677	10000	250	Totale	Si
0.894	SLE RA 15	0	1.677	10000	250	Totale	Si
0.95	SLE RA 14	0	1.677	10000	250	Totale	Si
0.894	SLE RA 2	0	1.677	10000	350	Variabile	Si
0.894	SLE RA 17	0	1.677	10000	350	Variabile	Si
0.894	SLE RA 16	0	1.677	10000	350	Variabile	Si
0.894	SLE RA 15	0	1.677	10000	350	Variabile	Si
0.95	SLE RA 14	0	1.677	10000	350	Variabile	Si

Implementazione dei sistemi di confinamento delle emissioni odorigene diffuse dell'impianto di compostaggio esistente nel
Comune di Eboli (SA)
PROGETTO DEFINITIVO – Tabulati di calcolo Tomo 1

Frecce lungo Y

Ascissa freccia	Combinazione	Freccia	Luce	L/f	L/f,min	Tipo	Verifica
0.839	SLE RA 1	0.00004	1.677	10000	250	Totale	Si
0.839	SLE RA 17	0.00004	1.677	10000	250	Totale	Si
0.839	SLE RA 16	0.00004	1.677	10000	250	Totale	Si
0.839	SLE RA 15	0.00004	1.677	10000	250	Totale	Si
0.839	SLE RA 14	0.00004	1.677	10000	250	Totale	Si
1.006	SLE RA 2	0	1.677	10000	350	Variabile	Si
1.006	SLE RA 17	0	1.677	10000	350	Variabile	Si
1.006	SLE RA 16	0	1.677	10000	350	Variabile	Si
0.894	SLE RA 15	0	1.677	10000	350	Variabile	Si
0.95	SLE RA 14	0	1.677	10000	350	Variabile	Si

Superelemento in acciaio a quota "640"- "715" (655; 1415)-(764; 1312)

Caratteristiche del materiale

Acciaio: S275, fyk = 275000

Caratteristiche geometriche

Lunghezza: 1.677

Nodo iniziale: 954 Nodo finale: 2105

Cerniera iniziale: Mmomenti 1% Cerniera finale: Mmomenti 1%

Sovreresistenza: 0% Sisma Z: No

Caratteristiche della sezione

Sezione	Rotazione	Area	Jx	Jy	ix	iy	Wx	Wy	Wplx	Wply
A1; L100*10; 1; Saldato; S275; 50; 1; 8; 8; 1	180	0.003832	0.0000035319	0.000007759	0.0304	0.045	0.0000492	0.0000739	0.00008974	0.00012727

Comportamento dei calastrelli

Accoppiamento imbottito con funzione statica (§C4.2.4.1.3.1.4 NTC18) nella campata compresa tra le ascisse 0 e 1.677 per sbandamento attorno all'asse y.

Verifiche di resistenza

Verifiche a forza assiale §4.2.4.1.2.1 - §4.2.4.1.2.2 NTC18

X	Comb.	Sfruttamento	Classe	NEd	Nc,Rd	Nt,Rd	Riduzione da taglio	px	py	Verifica
1.677	SLU 76	0.033		33.401		1003.522	1	0	0	Si

Verifiche a forza assiale SLD §4.2.4.1.2.1 - §4.2.4.1.2.2 NTC18

X	Comb.	Sfruttamento	Classe	NEd	Nc,Rd	Nt,Rd	Riduzione da taglio	px	py	Verifica
1.677	SLD 10	0.01		10.482		1003.522	1	0	0	Si

Verifica a taglio Y §4.2.4.1.2.4 NTC18

X	Comb.	Sfruttamento	VEd	Vc,Rd	Av	Interazione taglio-torsione	Riduzione torsione	Verifica
1.677	SLU 75	0.001	0.318	302.422	0.002	Non considerata		Si

Verifica a taglio Y SLD §4.2.4.1.2.4 NTC18

X	Comb.	Sfruttamento	VEd	Vc,Rd	Av	Interazione taglio-torsione	Riduzione torsione	Verifica
1.677	SLD 2	0.001	0.232	302.422	0.002	Non considerata		Si

Verifica a flessione semplice X §§ 4.2.4.1.2.3 - 4.2.4.1.2.6 - 4.2.4.1.2.7 - 4.2.4.1.2.8 NTC18

X	Comb.	Sfruttamento	Classe	Mx,Ed	Mx,Rd	Rid. Mx,Rd da VEd	px	py	Verifica
0.839	SLU 59	0.005	1	0.12638	23.50374	1	0	0	Si

Verifica a presso/tenso flessione retta X §§ 4.2.4.1.2.3 - 4.2.4.1.2.6 - 4.2.4.1.2.7 - 4.2.4.1.2.8 NTC18

Verifiche eseguite utilizzando la formula conservativa (6.2) §6.2.1 EN 1993-1-1:2005.

X	Comb.	Sfruttamento	Classe	NEd	NRd	Rid. NRd da VEd	Mx,Ed	Mx,Rd	Rid. Mx,Rd da VEd	Rid. Mx,Rd da NEd	px	py	Verifica
0.839	SLU 76	0.038	1	33.254	1003.522	1	0.1141	23.5037	1		0	0	Si

Verifica a presso/tenso flessione retta Y §§ 4.2.4.1.2.3 - 4.2.4.1.2.6 - 4.2.4.1.2.7 - 4.2.4.1.2.8 NTC18

Verifiche eseguite utilizzando la formula conservativa (6.2) §6.2.1 EN 1993-1-1:2005.

X	Comb.	Sfruttamento	Classe	NEd	NRd	Rid. NRd da VEd	My,Ed	My,Rd	Rid. My,Rd da VEd	Rid. My,Rd da NEd	px	py	Verifica
1.677	SLV 16	0.016	1	10.863	1003.522	1	0.1579	33.3316	1		0	0	Si

Verifica a presso/tenso flessione retta Y SLD §§ 4.2.4.1.2.3 - 4.2.4.1.2.6 - 4.2.4.1.2.7 - 4.2.4.1.2.8 NTC18

Verifiche eseguite utilizzando la formula conservativa (6.2) §6.2.1 EN 1993-1-1:2005.

X	Comb.	Sfruttamento	Classe	NEd	NRd	Rid. NRd da VEd	My,Ed	My,Rd	Rid. My,Rd da VEd	Rid. My,Rd da NEd	px	py	Verifica
1.677	SLD 16	0.012	1	10.168	1003.522	1	0.0635	33.3316	1		0	0	Si

Verifica a presso/tenso flessione deviata §§ 4.2.4.1.2.3 - 4.2.4.1.2.6 - 4.2.4.1.2.7 - 4.2.4.1.2.8 NTC18

Verifiche eseguite utilizzando la formula conservativa (6.2) §6.2.1 EN 1993-1-1:2005.

X	Comb.	Sfruttamento	Classe	NEd	NRd	Rid. NRd da VEd	Mx,Ed	Mx,Rd	My,Ed	My,Rd	Rid. Mx,Rd da VEd	Rid. Mx,Rd da NEd	Rid. My,Rd da VEd	Rid. My,Rd da NEd	α	β	px	py	Verifica
1.062	SLV 15	0.018	1	10.781	1003.522	1	0.0877	23.5037	0.1126	33.3316	1		1				0	0	Si

Verifica a presso/tenso flessione deviata SLD §§ 4.2.4.1.2.3 - 4.2.4.1.2.6 - 4.2.4.1.2.7 - 4.2.4.1.2.8 NTC18

Verifiche eseguite utilizzando la formula conservativa (6.2) §6.2.1 EN 1993-1-1:2005.

X	Comb.	Sfruttamento	Classe	NEd	NRd	Rid. NRd da VEd	Mx,Ed	Mx,Rd	My,Ed	My,Rd	Rid. Mx,Rd da VEd	Rid. Mx,Rd da NEd	Rid. My,Rd da VEd	Rid. My,Rd da NEd	α	β	px	py	Verifica
---	-------	--------------	--------	-----	-----	-----------------	-------	-------	-------	-------	-------------------	-------------------	-------------------	-------------------	---	---	----	----	----------

Implementazione dei sistemi di confinamento delle emissioni odorigene diffuse dell’impianto di compostaggio esistente nel
Comune di Eboli (SA)

PROGETTO DEFINITIVO – Tabulati di calcolo Tomo 1

X	Comb.	Sfruttamento	Classe	NEd	NRd	Rid. NRd da VEd	Mx,Ed	Mx,Rd	My,Ed	My,Rd	Rid. Mx,Rd da VEd	Rid. Mx,Rd da NEd	Rid. My,Rd da VEd	Rid. My,Rd da NEd	α	β	px	py	Verifica
0.894	SLD 16	0.015	1	10.063	1003.522	1	0.0918	23.5037	0.0404	33.3316	1		1				0	0	Si

Verifiche ad instabilità

Caratteristiche iniziali

Membratura principale per controllo snellezza; Calcolo di snellezze ed N critici condotti secondo gli assi principali;

Curva X: c; Curva Y: c;

Svergolamento: Nessuno; la verifica a instabilità flessione-torsionale (svergolamento) non verrà eseguita.

Dati per instabilità attorno a x

Controllo della snellezza secondo §4.2.4.1.3.1 NTC18

Numero rit.	Presente	Ascissa	Campata	βx/m	Vincolo a entrambi estremi	λx/m	λVer
1	Si	0					
			1-2	1	Si	55.2	Si, (<200)
2	Si	1.677					

Dati per instabilità attorno a y

Controllo della snellezza secondo §4.2.4.1.3.1 NTC18

Numero rit.	Presente	Ascissa	Campata	βy/n	k,LT	kw,LT	Vincolo a entrambi estremi
1	Si	0					
			1-2	1	Si	40.7	Si, (<200)
2	Si	1.677					

Verifica di stabilità per pressoflessione §C.4.2.4.1.3.3.1 NTC18

X	Comb.	Sfruttamento	Classe	NEd	MxEq,Ed	MyEq,Ed	Area	Wx	Wy	χ,min	λ adim. x/m	λ adim. y/n	N,crit x/m	N,crit y/n	Verifica
0	SLU 2	0.014	3	-4.439	0.089	-0.0153	0.003832	0.0000492	0.0000739	0.764	0.636	0.469	2602.776	4783.72	Si

Verifiche a deformabilità

Mensola X: No; Mensola Y: No.

Frecce lungo X

Ascissa freccia	Combinazione	Freccia	Luce	L/f	L/f,min	Tipo	Verifica
0.783	SLE RA 1	0	1.677	10000	250	Totale	Si
0.783	SLE RA 17	0	1.677	10000	250	Totale	Si
0.783	SLE RA 16	0	1.677	10000	250	Totale	Si
0.839	SLE RA 15	0	1.677	10000	250	Totale	Si
0.727	SLE RA 14	0	1.677	10000	250	Totale	Si
0.727	SLE RA 2	0	1.677	10000	350	Variabile	Si
0.727	SLE RA 17	0	1.677	10000	350	Variabile	Si
0.727	SLE RA 16	0	1.677	10000	350	Variabile	Si
0.95	SLE RA 15	0	1.677	10000	350	Variabile	Si
0.727	SLE RA 14	0	1.677	10000	350	Variabile	Si

Frecce lungo Y

Ascissa freccia	Combinazione	Freccia	Luce	L/f	L/f,min	Tipo	Verifica
0.839	SLE RA 1	0.00004	1.677	10000	250	Totale	Si
0.839	SLE RA 17	0.00003	1.677	10000	250	Totale	Si
0.839	SLE RA 16	0.00003	1.677	10000	250	Totale	Si
0.839	SLE RA 15	0.00004	1.677	10000	250	Totale	Si
0.839	SLE RA 14	0.00003	1.677	10000	250	Totale	Si
0.95	SLE RA 2	0	1.677	10000	350	Variabile	Si
0.95	SLE RA 17	0	1.677	10000	350	Variabile	Si
0.95	SLE RA 16	0	1.677	10000	350	Variabile	Si
1.006	SLE RA 15	0	1.677	10000	350	Variabile	Si
0.95	SLE RA 14	0	1.677	10000	350	Variabile	Si

Superelemento in acciaio a quota "640"- "715" (909; 1684)-(1019; 1582)

Caratteristiche del materiale

Acciaio: S275, fyk = 275000

Caratteristiche geometriche

Lunghezza: 1.677

Nodo iniziale: 1002 Nodo finale: 2115

Cerniera iniziale: Mmomenti 1% Cerniera finale: Mmomenti 1%

Sovraresistenza: 0% Sisma Z: No

Caratteristiche della sezione

Sezione	Rotazione	Area	Jx	Jy	ix	iy	Wx	Wy	Wplx	Wply
A1; L100*10; 1; Saldato; S275; 50; 1; 8; 8; 1	180	0.003832	0.0000035319	0.000007759	0.0304	0.045	0.0000492	0.0000739	0.00008974	0.00012727

Comportamento dei calastrelli

Accoppiamento imbottito con funzione statica (§C4.2.4.1.3.1.4 NTC18) nella campata compresa tra le ascisse 0 e 1.677 per sbandamento attorno all'asse y.

Verifiche di resistenza

Verifiche a forza assiale §4.2.4.1.2.1 - §4.2.4.1.2.2 NTC18

X	Comb.	Sfruttamento	Classe	NEd	Nc,Rd	Nt,Rd	Riduzione da taglio	px	py	Verifica
1.677	SLU 76	0.019		19.38		1003.522	1	0	0	Si

**Implementazione dei sistemi di confinamento delle emissioni odorigene diffuse dell'impianto di compostaggio esistente nel
Comune di Eboli (SA)
PROGETTO DEFINITIVO – Tabulati di calcolo Tomo 1**

Verifiche a forza assiale SLD §4.2.4.1.2.1 - §4.2.4.1.2.2 NTC18

X	Comb.	Sfruttamento	Classe	NEd	Nc,Rd	Nt,Rd	Riduzione da taglio	px	py	Verifica
1.677	SLD 2	0.009		8.946		1003.522	1	0	0	Si

Verifica a taglio X §4.2.4.1.2.4 NTC18

X	Comb.	Sfruttamento	VEd	Vc,Rd	Av	Interazione taglio-torsione	Riduzione torsione	Verifica
0	SLV 16	0.001	0.396	302.422	0.002	Non considerata		Si

Verifica a taglio Y §4.2.4.1.2.4 NTC18

X	Comb.	Sfruttamento	VEd	Vc,Rd	Av	Interazione taglio-torsione	Riduzione torsione	Verifica
1.677	SLU 75	0.001	0.311	302.422	0.002	Non considerata		Si

Verifica a taglio Y SLD §4.2.4.1.2.4 NTC18

X	Comb.	Sfruttamento	VEd	Vc,Rd	Av	Interazione taglio-torsione	Riduzione torsione	Verifica
1.677	SLD 8	0.001	0.229	302.422	0.002	Non considerata		Si

Verifica a flessione semplice X §§ 4.2.4.1.2.3 - 4.2.4.1.2.6 - 4.2.4.1.2.7 - 4.2.4.1.2.8 NTC18

X	Comb.	Sfruttamento	Classe	Mx,Ed	Mx,Rd	Rid. Mx,Rd da VEd	px	py	Verifica
0.839	SLU 59	0.005	1	0.12502	23.50374	1	0	0	Si

Verifica a presso/tenso flessione retta X §§ 4.2.4.1.2.3 - 4.2.4.1.2.6 - 4.2.4.1.2.7 - 4.2.4.1.2.8 NTC18

Verifiche eseguite utilizzando la formula conservativa (6.2) §6.2.1 EN 1993-1-1:2005.

X	Comb.	Sfruttamento	Classe	NEd	NRd	Rid. NRd da VEd	Mx,Ed	Mx,Rd	Rid. Mx,Rd da VEd	Rid. Mx,Rd da NEd	px	py	Verifica
0.839	SLU 76	0.024	1	19.233	1003.522	1	0.1168	23.5037	1		0	0	Si

Verifica a presso/tenso flessione retta Y §§ 4.2.4.1.2.3 - 4.2.4.1.2.6 - 4.2.4.1.2.7 - 4.2.4.1.2.8 NTC18

Verifiche eseguite utilizzando la formula conservativa (6.2) §6.2.1 EN 1993-1-1:2005.

X	Comb.	Sfruttamento	Classe	NEd	NRd	Rid. NRd da VEd	My,Ed	My,Rd	Rid. My,Rd da VEd	Rid. My,Rd da NEd	px	py	Verifica
1.621	SLU 76	0.02	1	19.37	1003.522	1	0.0084	33.3316	1		0	0	Si

Verifica a presso/tenso flessione retta Y SLD §§ 4.2.4.1.2.3 - 4.2.4.1.2.6 - 4.2.4.1.2.7 - 4.2.4.1.2.8 NTC18

Verifiche eseguite utilizzando la formula conservativa (6.2) §6.2.1 EN 1993-1-1:2005.

X	Comb.	Sfruttamento	Classe	NEd	NRd	Rid. NRd da VEd	My,Ed	My,Rd	Rid. My,Rd da VEd	Rid. My,Rd da NEd	px	py	Verifica
0	SLD 1	0.009	1	8.72	1003.522	1	-0.0219	33.3316	1		0	0	Si

Verifica a presso/tenso flessione deviata §§ 4.2.4.1.2.3 - 4.2.4.1.2.6 - 4.2.4.1.2.7 - 4.2.4.1.2.8 NTC18

Verifiche eseguite utilizzando la formula conservativa (6.2) §6.2.1 EN 1993-1-1:2005.

X	Comb.	Sfruttamento	Classe	NEd	NRd	Rid. NRd da VEd	Mx,Ed	Mx,Rd	My,Ed	My,Rd	Rid. Mx,Rd da VEd	Rid. Mx,Rd da NEd	Rid. My,Rd da VEd	Rid. My,Rd da NEd	α	β	px	py	Verifica
1.006	SLV 1	0.022	1	14.951	1003.522	1	0.0875	23.5037	-0.1109	33.3316	1		1				0	0	Si

Verifica a presso/tenso flessione deviata SLD §§ 4.2.4.1.2.3 - 4.2.4.1.2.6 - 4.2.4.1.2.7 - 4.2.4.1.2.8 NTC18

Verifiche eseguite utilizzando la formula conservativa (6.2) §6.2.1 EN 1993-1-1:2005.

X	Comb.	Sfruttamento	Classe	NEd	NRd	Rid. NRd da VEd	Mx,Ed	Mx,Rd	My,Ed	My,Rd	Rid. Mx,Rd da VEd	Rid. Mx,Rd da NEd	Rid. My,Rd da VEd	Rid. My,Rd da NEd	α	β	px	py	Verifica
0.894	SLD 1	0.014	1	8.841	1003.522	1	0.0913	23.5037	-0.0408	33.3316	1		1				0	0	Si

Verifiche ad instabilità

Caratteristiche iniziali

Membratura principale per controllo snellezza; Calcolo di snellezze ed N critici condotti secondo gli assi principali;

Curva X: c; Curva Y: c;

Svergolamento: Nessuno; la verifica a instabilità flesso-torsionale (svergolamento) non verrà eseguita.

Dati per instabilità attorno a x

Controllo della snellezza secondo §4.2.4.1.3.1 NTC18

Numero rit.	Presente	Ascissa	Campata	βx/m	Vincolo a entrambi estremi	λx/m	λVer
1	Si		0				
			1-2		1	55.2	Si, (<200)
2	Si		1.677				

Dati per instabilità attorno a y

Controllo della snellezza secondo §4.2.4.1.3.1 NTC18

Numero rit.	Presente	Ascissa	Campata	βy/n	k,LT	kw,LT	Vincolo a entrambi estremi
1	Si		0				
			1-2		1	40.7	Si, (<200)
2	Si		1.677				

Verifica di stabilità per pressoflessione §C.4.2.4.1.3.3.1 NTC18

X	Comb.	Sfruttamento	Classe	NEd	MxEq,Ed	MyEq,Ed	Area	Wx	Wy	χ,min	λ adim. x/m	λ adim. y/n	N,crit x/m	N,crit y/n	Verifica
0	SLV 16	0.021	3	-5.42	0.0784	0.1597	0.003832	0.0000492	0.0000739	0.764	0.636	0.469	2602.776	4783.72	Si

Verifiche a deformabilità

Mensola X: No; Mensola Y: No.

Frecce lungo X

Ascissa freccia	Combinazione	Freccia	Luce	L/f	L/f,min	Tipo	Verifica
1.006	SLE RA 1	0	1.677	10000	250	Totale	Si
1.006	SLE RA 17	0	1.677	10000	250	Totale	Si
1.006	SLE RA 16	0	1.677	10000	250	Totale	Si
1.062	SLE RA 15	0	1.677	10000	250	Totale	Si
0.95	SLE RA 14	0	1.677	10000	250	Totale	Si
1.006	SLE RA 2	0	1.677	10000	350	Variabile	Si
1.006	SLE RA 17	0	1.677	10000	350	Variabile	Si

Implementazione dei sistemi di confinamento delle emissioni odorigene diffuse dell'impianto di compostaggio esistente nel
Comune di Eboli (SA)
PROGETTO DEFINITIVO – Tabulati di calcolo Tomo 1

Ascissa freccia	Combinazione	Freccia	Luce	L/f	L/f,min	Tipo	Verifica
1.006	SLE RA 16	0	1.677	10000	350	Variabile	Si
0.391	SLE RA 15	0	1.677	10000	350	Variabile	Si
0.95	SLE RA 14	0	1.677	10000	350	Variabile	Si

Frecce lungo Y

Ascissa freccia	Combinazione	Freccia	Luce	L/f	L/f,min	Tipo	Verifica
0.839	SLE RA 1	0.00004	1.677	10000	250	Totale	Si
0.839	SLE RA 17	0.00004	1.677	10000	250	Totale	Si
0.839	SLE RA 16	0.00003	1.677	10000	250	Totale	Si
0.839	SLE RA 15	0.00004	1.677	10000	250	Totale	Si
0.839	SLE RA 14	0.00003	1.677	10000	250	Totale	Si
0.95	SLE RA 2	0	1.677	10000	350	Variabile	Si
0.95	SLE RA 17	0	1.677	10000	350	Variabile	Si
0.95	SLE RA 16	0	1.677	10000	350	Variabile	Si
1.062	SLE RA 15	0	1.677	10000	350	Variabile	Si
0.95	SLE RA 14	0	1.677	10000	350	Variabile	Si

Superelemento in acciaio a quota "640"-"715" (1166; 1959)-(1275; 1857)

Caratteristiche del materiale

Acciaio: S275, fyk = 275000

Caratteristiche geometriche

Lunghezza: 1.677

Nodo iniziale: 1059 Nodo finale: 2125

Cerniera iniziale: Mmomenti 1% Cerniera finale: Mmomenti 1%

Sovraresistenza: 0% Sisma Z: No

Caratteristiche della sezione

Sezione	Rotazione	Area	Jx	Jy	ix	iy	Wx	Wy	Wplx	Wply
Al; L100*10; 1; Saldato; S275; 50; 1; 8; 8; 1	180	0.003832	0.0000035319	0.000007759	0.0304	0.045	0.0000492	0.0000739	0.00008974	0.00012727

Comportamento dei calastrelli

Accoppiamento imbottito con funzione statica (§C4.2.4.1.3.1.4 NTC18) nella campata compresa tra le ascisse 0 e 1.677 per sbandamento attorno all'asse y.

Verifiche di resistenza

Verifiche a forza assiale §4.2.4.1.2.1 - §4.2.4.1.2.2 NTC18

X	Comb.	Sfruttamento	Classe	NEd	Nc,Rd	Nt,Rd	Riduzione da taglio	px	py	Verifica
0	SLU 75	0.023	3	-22.708	1003.522		1	0	0	Si

Verifiche a forza assiale SLD §4.2.4.1.2.1 - §4.2.4.1.2.2 NTC18

X	Comb.	Sfruttamento	Classe	NEd	Nc,Rd	Nt,Rd	Riduzione da taglio	px	py	Verifica
0	SLD 10	0.007	3	-7.189	1003.522		1	0	0	Si

Verifica a taglio X §4.2.4.1.2.4 NTC18

X	Comb.	Sfruttamento	VEd	Vc,Rd	Av	Interazione taglio-torsione	Riduzione torsione	Verifica
0	SLV 5	0.001	-0.232	302.422	0.002	Non considerata		Si

Verifica a taglio Y §4.2.4.1.2.4 NTC18

X	Comb.	Sfruttamento	VEd	Vc,Rd	Av	Interazione taglio-torsione	Riduzione torsione	Verifica
1.677	SLU 75	0.001	0.319	302.422	0.002	Non considerata		Si

Verifica a taglio Y SLD §4.2.4.1.2.4 NTC18

X	Comb.	Sfruttamento	VEd	Vc,Rd	Av	Interazione taglio-torsione	Riduzione torsione	Verifica
1.677	SLD 16	0.001	0.234	302.422	0.002	Non considerata		Si

Verifica a flessione semplice X §§ 4.2.4.1.2.3 - 4.2.4.1.2.6 - 4.2.4.1.2.7 - 4.2.4.1.2.8 NTC18

X	Comb.	Sfruttamento	Classe	Mx,Ed	Mx,Rd	Rid. Mx,Rd da VEd	px	py	Verifica
0.839	SLU 21	0.004	1	0.09837	23.50374	1	0	0	Si

Verifica a presso/tenso flessione retta X §§ 4.2.4.1.2.3 - 4.2.4.1.2.6 - 4.2.4.1.2.7 - 4.2.4.1.2.8 NTC18

Verifiche eseguite utilizzando la formula conservativa (6.2) §6.2.1 EN 1993-1-1:2005.

X	Comb.	Sfruttamento	Classe	NEd	NRd	Rid. NRd da VEd	Mx,Ed	Mx,Rd	Rid. Mx,Rd da VEd	Rid. Mx,Rd da NEd	px	py	Verifica
0.839	SLU 59	0.006	1	-1.044	1003.522	1	0.1263	23.5037	1		0	0	Si

Verifica a presso/tenso flessione retta Y §§ 4.2.4.1.2.3 - 4.2.4.1.2.6 - 4.2.4.1.2.7 - 4.2.4.1.2.8 NTC18

Verifiche eseguite utilizzando la formula conservativa (6.2) §6.2.1 EN 1993-1-1:2005.

X	Comb.	Sfruttamento	Classe	NEd	NRd	Rid. NRd da VEd	My,Ed	My,Rd	Rid. My,Rd da VEd	Rid. My,Rd da NEd	px	py	Verifica
0	SLU 75	0.027	3	-22.708	1003.522	1	-0.0779	19.3536	1		0	0	Si

Verifica a presso/tenso flessione retta Y SLD §§ 4.2.4.1.2.3 - 4.2.4.1.2.6 - 4.2.4.1.2.7 - 4.2.4.1.2.8 NTC18

Verifiche eseguite utilizzando la formula conservativa (6.2) §6.2.1 EN 1993-1-1:2005.

X	Comb.	Sfruttamento	Classe	NEd	NRd	Rid. NRd da VEd	My,Ed	My,Rd	Rid. My,Rd da VEd	Rid. My,Rd da NEd	px	py	Verifica
0	SLD 5	0.01	3	-7.079	1003.522	1	-0.0572	19.3536	1		0	0	Si

Verifica a presso/tenso flessione deviata §§ 4.2.4.1.2.3 - 4.2.4.1.2.6 - 4.2.4.1.2.7 - 4.2.4.1.2.8 NTC18

Verifiche eseguite utilizzando la formula conservativa (6.2) §6.2.1 EN 1993-1-1:2005.

Implementazione dei sistemi di confinamento delle emissioni odorigene diffuse dell'impianto di compostaggio esistente nel
Comune di Eboli (SA)
PROGETTO DEFINITIVO – Tabulati di calcolo Tomo 1

X	Comb.	Sfruttamento	Classe	NEd	NRd	Rid. NRd da VEd	Mx,Ed	Mx,Rd	My,Ed	My,Rd	Rid. Mx,Rd da VEd	Rid. Mx,Rd da NEd	Rid. My,Rd da VEd	Rid. My,Rd da NEd	α	β	ρ_x	ρ_y	Verifica
0.783	SLU 75	0.034	3	-22.571	1003.522	1	0.1021	12.886	-0.0779	19.3536	1		1				0	0	Si

Verifica a presso/tenso flessione deviata SLD §§ 4.2.4.1.2.3 - 4.2.4.1.2.6 - 4.2.4.1.2.7 - 4.2.4.1.2.8 NTC18

Verifiche eseguite utilizzando la formula conservativa (6.2) §6.2.1 EN 1993-1-1:2005.

X	Comb.	Sfruttamento	Classe	NEd	NRd	Rid. NRd da VEd	Mx,Ed	Mx,Rd	My,Ed	My,Rd	Rid. Mx,Rd da VEd	Rid. Mx,Rd da NEd	Rid. My,Rd da VEd	Rid. My,Rd da NEd	α	β	ρ_x	ρ_y	Verifica
0.839	SLD 6	0.017	3	-6.967	1003.522	1	0.0941	12.886	-0.0532	19.3536	1		1				0	0	Si

Verifiche ad instabilità

Caratteristiche iniziali

Membratura principale per controllo snellezza; Calcolo di snellezze ed N critici condotti secondo gli assi principali;

Curva X: c; Curva Y: c;

Svergolamento: Nessuno; la verifica a instabilità flessione-torsionale (svergolamento) non verrà eseguita.

Dati per instabilità attorno a x

Controllo della snellezza secondo §4.2.4.1.3.1 NTC18

Numero rit.	Presente	Ascissa	Campata	$\beta x/m$	Vincolo a entrambi estremi	$\lambda x/m$	λVer
1	Si		0				
			1-2		1	55.2	Si, (<200)
2	Si	1.677					

Dati per instabilità attorno a y

Controllo della snellezza secondo §4.2.4.1.3.1 NTC18

Numero rit.	Presente	Ascissa	Campata	$\beta y/n$	k,LT	kw,LT	Vincolo a entrambi estremi
1	Si		0				
			1-2		1	40.7	Si, (<200)
2	Si	1.677					

Verifica di stabilità per pressoflessione §C.4.2.4.1.3.3.1 NTC18

X	Comb.	Sfruttamento	Classe	NEd	MxEq,Ed	MyEq,Ed	Area	Wx	Wy	χ_{min}	λ adim. x/m	λ adim. y/n	N,crit x/m	N,crit y/n	Verifica
0	SLU 75	0.04	3	-22.708	0.0781	-0.0779	0.003832	0.0000492	0.0000739	0.764	0.636	0.469	2602.776	4783.72	Si

Verifica di stabilità per pressoflessione SLD §C.4.2.4.1.3.3.1 NTC18

X	Comb.	Sfruttamento	Classe	NEd	MxEq,Ed	MyEq,Ed	Area	Wx	Wy	χ_{min}	λ adim. x/m	λ adim. y/n	N,crit x/m	N,crit y/n	Verifica
0	SLD 6	0.019	3	-7.079	0.0813	-0.0572	0.003832	0.0000492	0.0000739	0.764	0.636	0.469	2602.776	4783.72	Si

Verifiche a deformabilità

Mensola X: No; Mensola Y: No.

Frecce lungo X

Ascissa freccia	Combinazione	Freccia	Luce	L/f	L/f,min	Tipo	Verifica
0.894	SLE RA 1	0	1.677	10000	250	Totale	Si
0.894	SLE RA 17	0	1.677	10000	250	Totale	Si
0.894	SLE RA 16	0	1.677	10000	250	Totale	Si
0.894	SLE RA 15	0	1.677	10000	250	Totale	Si
0.894	SLE RA 14	0	1.677	10000	250	Totale	Si
0.894	SLE RA 2	0	1.677	10000	350	Variabile	Si
0.894	SLE RA 17	0	1.677	10000	350	Variabile	Si
0.894	SLE RA 16	0	1.677	10000	350	Variabile	Si
0.894	SLE RA 15	0	1.677	10000	350	Variabile	Si
0.839	SLE RA 14	0	1.677	10000	350	Variabile	Si

Frecce lungo Y

Ascissa freccia	Combinazione	Freccia	Luce	L/f	L/f,min	Tipo	Verifica
0.839	SLE RA 1	0.00004	1.677	10000	250	Totale	Si
0.839	SLE RA 17	0.00003	1.677	10000	250	Totale	Si
0.839	SLE RA 16	0.00003	1.677	10000	250	Totale	Si
0.839	SLE RA 15	0.00004	1.677	10000	250	Totale	Si
0.839	SLE RA 14	0.00003	1.677	10000	250	Totale	Si
0.95	SLE RA 2	0	1.677	10000	350	Variabile	Si
0.95	SLE RA 17	0	1.677	10000	350	Variabile	Si
0.95	SLE RA 16	0	1.677	10000	350	Variabile	Si
1.006	SLE RA 15	0	1.677	10000	350	Variabile	Si
0.95	SLE RA 14	0	1.677	10000	350	Variabile	Si

Superelemento in acciaio a quota "640"- "715" (1416; 2223)-(1525; 2120)

Caratteristiche del materiale

Acciaio: S275, fyk = 275000

Caratteristiche geometriche

Lunghezza: 1.677

Nodo iniziale: 1153 Nodo finale: 2135

Cerniera iniziale: Mmomenti 1% Cerniera finale: Mmomenti 1%

Sovraresistenza: 0% Sisma Z: No

Caratteristiche della sezione

Sezione	Rotazione	Area	Jx	Jy	ix	iy	Wx	Wy	Wplx	Wply
A1; L100*10; 1; Saldato; S275; 50; 1; 8; 8; 1	180	0.003832	0.0000035319	0.000007759	0.0304	0.045	0.0000492	0.0000739	0.00008974	0.00012727

Implementazione dei sistemi di confinamento delle emissioni odorigene diffuse dell'impianto di compostaggio esistente nel
Comune di Eboli (SA)
PROGETTO DEFINITIVO – Tabulati di calcolo Tomo 1

Comportamento dei calastrelli

Accoppiamento imbottito con funzione statica (§C4.2.4.1.3.1.4 NTC18) nella campata compresa tra le ascisse 0 e 1.677 per sbandamento attorno all'asse y.

Verifiche di resistenza

Verifiche a forza assiale §4.2.4.1.2.1 - §4.2.4.1.2.2 NTC18

X	Comb.	Sfruttamento	Classe	NEd	Nc,Rd	Nt,Rd	Riduzione da taglio	px	py	Verifica
1.677	SLU 76	0.024		24.204		1003.522	1	0	0	Si

Verifiche a forza assiale SLD §4.2.4.1.2.1 - §4.2.4.1.2.2 NTC18

X	Comb.	Sfruttamento	Classe	NEd	Nc,Rd	Nt,Rd	Riduzione da taglio	px	py	Verifica
1.677	SLD 16	0.01		10.498		1003.522	1	0	0	Si

Verifica a taglio X §4.2.4.1.2.4 NTC18

X	Comb.	Sfruttamento	VEd	Vc,Rd	Av	Interazione taglio-torsione	Riduzione torsione	Verifica
0	SLV 1	0.001	0.201	302.422	0.002	Non considerata		Si

Verifica a taglio Y §4.2.4.1.2.4 NTC18

X	Comb.	Sfruttamento	VEd	Vc,Rd	Av	Interazione taglio-torsione	Riduzione torsione	Verifica
1.677	SLU 75	0.001	0.31	302.422	0.002	Non considerata		Si

Verifica a taglio Y SLD §4.2.4.1.2.4 NTC18

X	Comb.	Sfruttamento	VEd	Vc,Rd	Av	Interazione taglio-torsione	Riduzione torsione	Verifica
1.677	SLD 14	0.001	0.229	302.422	0.002	Non considerata		Si

Verifica a flessione semplice X §§ 4.2.4.1.2.3 - 4.2.4.1.2.6 - 4.2.4.1.2.7 - 4.2.4.1.2.8 NTC18

X	Comb.	Sfruttamento	Classe	Mx,Ed	Mx,Rd	Rid. Mx,Rd da VEd	px	py	Verifica
0.783	SLU 63	0.005	1	0.11136	23.50374	1	0	0	Si

Verifica a presso/tenso flessione retta X §§ 4.2.4.1.2.3 - 4.2.4.1.2.6 - 4.2.4.1.2.7 - 4.2.4.1.2.8 NTC18

Verifiche eseguite utilizzando la formula conservativa (6.2) §6.2.1 EN 1993-1-1:2005.

X	Comb.	Sfruttamento	Classe	NEd	NRd	Rid. NRd da VEd	Mx,Ed	Mx,Rd	Rid. Mx,Rd da VEd	Rid. Mx,Rd da NEd	px	py	Verifica
0.839	SLU 64	0.029	1	23.899	1003.522	1	0.1237	23.5037	1		0	0	Si

Verifica a presso/tenso flessione retta Y §§ 4.2.4.1.2.3 - 4.2.4.1.2.6 - 4.2.4.1.2.7 - 4.2.4.1.2.8 NTC18

Verifiche eseguite utilizzando la formula conservativa (6.2) §6.2.1 EN 1993-1-1:2005.

X	Comb.	Sfruttamento	Classe	NEd	NRd	Rid. NRd da VEd	My,Ed	My,Rd	Rid. My,Rd da VEd	Rid. My,Rd da NEd	px	py	Verifica
1.677	SLV 12	0.018	1	15.756	1003.522	1	-0.0806	33.3316	1		0	0	Si

Verifica a presso/tenso flessione retta Y SLD §§ 4.2.4.1.2.3 - 4.2.4.1.2.6 - 4.2.4.1.2.7 - 4.2.4.1.2.8 NTC18

Verifiche eseguite utilizzando la formula conservativa (6.2) §6.2.1 EN 1993-1-1:2005.

X	Comb.	Sfruttamento	Classe	NEd	NRd	Rid. NRd da VEd	My,Ed	My,Rd	Rid. My,Rd da VEd	Rid. My,Rd da NEd	px	py	Verifica
1.677	SLD 12	0.011	1	10.484	1003.522	1	-0.033	33.3316	1		0	0	Si

Verifica a presso/tenso flessione deviata §§ 4.2.4.1.2.3 - 4.2.4.1.2.6 - 4.2.4.1.2.7 - 4.2.4.1.2.8 NTC18

Verifiche eseguite utilizzando la formula conservativa (6.2) §6.2.1 EN 1993-1-1:2005.

X	Comb.	Sfruttamento	Classe	NEd	NRd	Rid. NRd da VEd	Mx,Ed	Mx,Rd	My,Ed	My,Rd	Rid. Mx,Rd da VEd	Rid. Mx,Rd da NEd	Rid. My,Rd da VEd	Rid. My,Rd da NEd	α	β	px	py	Verifica
0.894	SLV 15	0.021	1	15.673	1003.522	1	0.0913	23.5037	-0.0587	33.3316	1		1				0	0	Si

Verifica a presso/tenso flessione deviata SLD §§ 4.2.4.1.2.3 - 4.2.4.1.2.6 - 4.2.4.1.2.7 - 4.2.4.1.2.8 NTC18

Verifiche eseguite utilizzando la formula conservativa (6.2) §6.2.1 EN 1993-1-1:2005.

X	Comb.	Sfruttamento	Classe	NEd	NRd	Rid. NRd da VEd	Mx,Ed	Mx,Rd	My,Ed	My,Rd	Rid. Mx,Rd da VEd	Rid. Mx,Rd da NEd	Rid. My,Rd da VEd	Rid. My,Rd da NEd	α	β	px	py	Verifica
0.839	SLD 16	0.015	1	10.385	1003.522	1	0.092	23.5037	-0.0235	33.3316	1		1				0	0	Si

Verifiche ad instabilità

Caratteristiche iniziali

Membratura principale per controllo snellezza; Calcolo di snellezze ed N critici condotti secondo gli assi principali;

Curva X: c; Curva Y: c;

Svergolamento: Nessuno; la verifica a instabilità flesso-torsionale (svergolamento) non verrà eseguita.

Dati per instabilità attorno a x

Controllo della snellezza secondo §4.2.4.1.3.1 NTC18

Numero rit.	Presente	Ascissa	Campata	$\beta x/m$	Vincolo a entrambi estremi	$\lambda x/m$	λVer
1	Si	0					
			1-2		1	55.2	Si, (<200)
2	Si	1.677					

Dati per instabilità attorno a y

Controllo della snellezza secondo §4.2.4.1.3.1 NTC18

Numero rit.	Presente	Ascissa	Campata	$\beta y/n$	k,LT	kw,LT	Vincolo a entrambi estremi
1	Si	0					
			1-2		1	40.7	Si, (<200)
2	Si	1.677					

Verifica di stabilità per pressoflessione §C.4.2.4.1.3.3.1 NTC18

X	Comb.	Sfruttamento	Classe	NEd	MxEq,Ed	MyEq,Ed	Area	Wx	Wy	χ_{min}	$\lambda_{adim. x/m}$	$\lambda_{adim. y/n}$	N,crit x/m	N,crit y/n	Verifica
0	SLU 3	0.014	3	-5.53	0.0709	-0.02	0.003832	0.0000492	0.0000739	0.764	0.636	0.469	2602.776	4783.72	Si

Implementazione dei sistemi di confinamento delle emissioni odorigene diffuse dell'impianto di compostaggio esistente nel
Comune di Eboli (SA)
PROGETTO DEFINITIVO – Tabulati di calcolo Tomo 1

Verifiche a deformabilità

Mensola X: No; Mensola Y: No.

Frecce lungo X

Ascissa freccia	Combinazione	Freccia	Luce	L/f	L/f,min	Tipo	Verifica
0.894	SLE RA 1	0	1.677	10000	250	Totale	Si
0.894	SLE RA 17	0	1.677	10000	250	Totale	Si
0.894	SLE RA 16	0	1.677	10000	250	Totale	Si
0.95	SLE RA 15	0	1.677	10000	250	Totale	Si
0.894	SLE RA 14	0	1.677	10000	250	Totale	Si
0.894	SLE RA 2	0	1.677	10000	350	Variabile	Si
0.894	SLE RA 17	0	1.677	10000	350	Variabile	Si
0.894	SLE RA 16	0	1.677	10000	350	Variabile	Si
0.447	SLE RA 15	0	1.677	10000	350	Variabile	Si
0.839	SLE RA 14	0	1.677	10000	350	Variabile	Si

Frecce lungo Y

Ascissa freccia	Combinazione	Freccia	Luce	L/f	L/f,min	Tipo	Verifica
0.839	SLE RA 1	0.00004	1.677	10000	250	Totale	Si
0.839	SLE RA 17	0.00004	1.677	10000	250	Totale	Si
0.839	SLE RA 16	0.00003	1.677	10000	250	Totale	Si
0.839	SLE RA 15	0.00004	1.677	10000	250	Totale	Si
0.839	SLE RA 14	0.00003	1.677	10000	250	Totale	Si
0.95	SLE RA 2	0	1.677	10000	350	Variabile	Si
1.006	SLE RA 17	0	1.677	10000	350	Variabile	Si
0.95	SLE RA 16	0	1.677	10000	350	Variabile	Si
1.118	SLE RA 15	0	1.677	10000	350	Variabile	Si
0.95	SLE RA 14	0	1.677	10000	350	Variabile	Si

Superelemento in acciaio a quota "640"- "715" (1670; 2494)-(1779; 2391)

Caratteristiche del materiale

Acciaio: S275, fyk = 275000

Caratteristiche geometriche

Lunghezza: 1.677

Nodo iniziale: 1271 Nodo finale: 2148

Cerniera iniziale: Mmomenti 1% Cerniera finale: Mmomenti 1%

Sovreresistenza: 0% Sisma Z: No

Caratteristiche della sezione

Sezione	Rotazione	Area	Jx	Jy	ix	iy	Wx	Wy	Wplx	Wply
Al; L100*10; 1; Saldato; S275; 50; 1; 8; 8; 1	180	0.003832	0.0000035319	0.000007759	0.0304	0.045	0.0000492	0.0000739	0.00008974	0.00012727

Comportamento dei calastrelli

Accoppiamento imbottito con funzione statica (§C4.2.4.1.3.1.4 NTC18) nella campata compresa tra le ascisse 0 e 1.677 per sbandamento attorno all'asse y.

Verifiche di resistenza

Verifiche a forza assiale §4.2.4.1.2.1 - §4.2.4.1.2.2 NTC18

X	Comb.	Sfruttamento	Classe	NEd	Nc,Rd	Nt,Rd	Riduzione da taglio	px	py	Verifica
1.677	SLU 76	0.094		94.725		1003.522	1	0	0	Si

Verifiche a forza assiale SLD §4.2.4.1.2.1 - §4.2.4.1.2.2 NTC18

X	Comb.	Sfruttamento	Classe	NEd	Nc,Rd	Nt,Rd	Riduzione da taglio	px	py	Verifica
1.677	SLD 10	0.037		37.333		1003.522	1	0	0	Si

Verifica a taglio Y §4.2.4.1.2.4 NTC18

X	Comb.	Sfruttamento	VEd	Vc,Rd	Av	Interazione taglio-torsione	Riduzione torsione	Verifica
0	SLU 76	0.001	-0.294	302.422	0.002	Non considerata		Si

Verifica a taglio Y SLD §4.2.4.1.2.4 NTC18

X	Comb.	Sfruttamento	VEd	Vc,Rd	Av	Interazione taglio-torsione	Riduzione torsione	Verifica
0	SLD 4	0.001	-0.226	302.422	0.002	Non considerata		Si

Verifica a presso/tenso flessione retta X §§ 4.2.4.1.2.3 - 4.2.4.1.2.6 - 4.2.4.1.2.7 - 4.2.4.1.2.8 NTC18

Verifiche eseguite utilizzando la formula conservativa (6.2) §6.2.1 EN 1993-1-1:2005.

X	Comb.	Sfruttamento	Classe	NEd	NRd	Rid. NRd da VEd	Mx,Ed	Mx,Rd	Rid. Mx,Rd da VEd	Rid. Mx,Rd da NEd	px	py	Verifica
0.839	SLU 76	0.1	1	94.578	1003.522	1	0.1252	23.5037	1		0	0	Si

Verifica a presso/tenso flessione retta Y §§ 4.2.4.1.2.3 - 4.2.4.1.2.6 - 4.2.4.1.2.7 - 4.2.4.1.2.8 NTC18

Verifiche eseguite utilizzando la formula conservativa (6.2) §6.2.1 EN 1993-1-1:2005.

X	Comb.	Sfruttamento	Classe	NEd	NRd	Rid. NRd da VEd	My,Ed	My,Rd	Rid. My,Rd da VEd	Rid. My,Rd da NEd	px	py	Verifica
0	SLU 76	0.094	1	94.432	1003.522	1	-0.0108	33.3316	1		0	0	Si

Verifica a presso/tenso flessione retta Y SLD §§ 4.2.4.1.2.3 - 4.2.4.1.2.6 - 4.2.4.1.2.7 - 4.2.4.1.2.8 NTC18

Verifiche eseguite utilizzando la formula conservativa (6.2) §6.2.1 EN 1993-1-1:2005.

X	Comb.	Sfruttamento	Classe	NEd	NRd	Rid. NRd da VEd	My,Ed	My,Rd	Rid. My,Rd da VEd	Rid. My,Rd da NEd	px	py	Verifica
1.677	SLD 10	0.038	1	37.333	1003.522	1	-0.022	33.3316	1		0	0	Si

Implementazione dei sistemi di confinamento delle emissioni odorigene diffuse dell'impianto di compostaggio esistente nel
Comune di Eboli (SA)
PROGETTO DEFINITIVO – Tabulati di calcolo Tomo 1

Verifica a presso/tenso flessione deviata §§ 4.2.4.1.2.3 - 4.2.4.1.2.6 - 4.2.4.1.2.7 - 4.2.4.1.2.8 NTC18

Verifiche eseguite utilizzando la formula conservativa (6.2) §6.2.1 EN 1993-1-1:2005.

X	Comb.	Sfruttamento	Classe	NEd	NRd	Rid. NRd da VEd	Mx,Ed	Mx,Rd	My,Ed	My,Rd	Rid. Mx,Rd da VEd	Rid. Mx,Rd da NEd	Rid. My,Rd da VEd	Rid. My,Rd da NEd	α	β	px	py	Verifica
0.447	SLU 76	0.099	1	94.51	1003.522	1	0.098	23.5037	-0.0075	33.3316	1		1				0	0	Si

Verifica a presso/tenso flessione deviata SLD §§ 4.2.4.1.2.3 - 4.2.4.1.2.6 - 4.2.4.1.2.7 - 4.2.4.1.2.8 NTC18

Verifiche eseguite utilizzando la formula conservativa (6.2) §6.2.1 EN 1993-1-1:2005.

X	Comb.	Sfruttamento	Classe	NEd	NRd	Rid. NRd da VEd	Mx,Ed	Mx,Rd	My,Ed	My,Rd	Rid. Mx,Rd da VEd	Rid. Mx,Rd da NEd	Rid. My,Rd da VEd	Rid. My,Rd da NEd	α	β	px	py	Verifica
0.839	SLD 10	0.042	1	37.221	1003.522	1	0.095	23.5037	-0.02	33.3316	1		1				0	0	Si

Verifiche ad instabilità

Caratteristiche iniziali

Membratura principale per controllo snellezza; Calcolo di snellezze ed N critici condotti secondo gli assi principali;

Curva X: c; Curva Y: c;

Svergolamento: Nessuno; la verifica a instabilità flesso-torsionale (svergolamento) non verrà eseguita.

Dati per instabilità attorno a x

Controllo della snellezza secondo §4.2.4.1.3.1 NTC18

Numero rit.	Presente	Ascissa	Campata	βx/m	Vincolo a entrambi estremi	λx/m	λVer
1	Si		0				
			1-2		1	55.2	Si, (<200)
2	Si	1.677					

Dati per instabilità attorno a y

Controllo della snellezza secondo §4.2.4.1.3.1 NTC18

Numero rit.	Presente	Ascissa	Campata	βy/n	k,LT	kw,LT	Vincolo a entrambi estremi
1	Si	0					
			1-2	1	Si	40.7	Si, (<200)
2	Si	1.677					

Verifica di stabilità per pressoflessione §C.4.2.4.1.3.3.1 NTC18

X	Comb.	Sfruttamento	Classe	NEd	MxEq,Ed	MyEq,Ed	Area	Wx	Wy	χ,min	λ adim. x/m	λ adim. y/n	N,crit x/m	N,crit y/n	Verifica
0	SLU 2	0.011	3	-3.266	0.0811	0.0116	0.003832	0.0000492	0.0000739	0.764	0.636	0.469	2602.776	4783.72	Si

Verifiche a deformabilità

Mensola X: No; Mensola Y: No.

Frecce lungo X

Ascissa freccia	Combinazione	Freccia	Luce	L/f	L/f,min	Tipo	Verifica
0.671	SLE RA 1	0	1.677	10000	250	Totale	Si
0.671	SLE RA 17	0	1.677	10000	250	Totale	Si
0.671	SLE RA 16	0	1.677	10000	250	Totale	Si
0.671	SLE RA 15	0	1.677	10000	250	Totale	Si
0.727	SLE RA 14	0	1.677	10000	250	Totale	Si
0.727	SLE RA 2	0	1.677	10000	350	Variabile	Si
0.727	SLE RA 17	0	1.677	10000	350	Variabile	Si
0.727	SLE RA 16	0	1.677	10000	350	Variabile	Si
0.671	SLE RA 15	0	1.677	10000	350	Variabile	Si
0.783	SLE RA 14	0	1.677	10000	350	Variabile	Si

Frecce lungo Y

Ascissa freccia	Combinazione	Freccia	Luce	L/f	L/f,min	Tipo	Verifica
0.839	SLE RA 1	0.00004	1.677	10000	250	Totale	Si
0.839	SLE RA 17	0.00004	1.677	10000	250	Totale	Si
0.839	SLE RA 16	0.00004	1.677	10000	250	Totale	Si
0.839	SLE RA 15	0.00004	1.677	10000	250	Totale	Si
0.839	SLE RA 14	0.00004	1.677	10000	250	Totale	Si
0.894	SLE RA 2	0	1.677	10000	350	Variabile	Si
0.894	SLE RA 17	0	1.677	10000	350	Variabile	Si
0.894	SLE RA 16	0	1.677	10000	350	Variabile	Si
0.894	SLE RA 15	0	1.677	10000	350	Variabile	Si
0.894	SLE RA 14	0	1.677	10000	350	Variabile	Si

Superelemento in acciaio a quota "640"- "715" (1999; 2693)-(1999; 2793)

Caratteristiche del materiale

Acciaio: S275, fyk = 275000

Caratteristiche geometriche

Lunghezza: 1.25

Nodo iniziale: 1326 Nodo finale: 2175

Cerniera iniziale: Mmomenti 1% Cerniera finale: Mmomenti 1%

Sovraresistenza: 0% Sisma Z: No

Caratteristiche della sezione

Sezione	Rotazione	Area	Jx	Jy	ix	iy	Wx	Wy	Wplx	Wply
A1; L100*10; 1; Saldato; S275; 20; 1; 8; 8; 1	180	0.003832	0.0000035319	0.000007759	0.0304	0.045	0.0000492	0.0000739	0.00008974	0.00012727

**Implementazione dei sistemi di confinamento delle emissioni odorigene diffuse dell'impianto di compostaggio esistente nel
Comune di Eboli (SA)
PROGETTO DEFINITIVO – Tabulati di calcolo Tomo 1**

Comportamento dei calastrelli

Accoppiamento imbottito avendo passo inferiore al minimo richiesto (§C4.2.4.1.3.1.5 NTC18) nella campata compresa tra le ascisse 0 e 1.25 per sbandamento attorno all'asse y.

Verifiche di resistenza

Verifiche a forza assiale §4.2.4.1.2.1 - §4.2.4.1.2.2 NTC18

X	Comb.	Sfruttamento	Classe	NEd	Nc,Rd	Nt,Rd	Riduzione da taglio	px	py	Verifica
0	SLU 76	0.034	3	-34.395	1003.522		1	0	0	Si

Verifiche a forza assiale SLD §4.2.4.1.2.1 - §4.2.4.1.2.2 NTC18

X	Comb.	Sfruttamento	Classe	NEd	Nc,Rd	Nt,Rd	Riduzione da taglio	px	py	Verifica
0	SLD 9	0.012	3	-12.457	1003.522		1	0	0	Si

Verifica a flessione semplice X §§ 4.2.4.1.2.3 - 4.2.4.1.2.6 - 4.2.4.1.2.7 - 4.2.4.1.2.8 NTC18

X	Comb.	Sfruttamento	Classe	Mx,Ed	Mx,Rd	Rid. Mx,Rd da VEd	px	py	Verifica
0.625	SLU 60	0.003	1	0.06114	23.50374	1	0	0	Si

Verifica a presso/tenso flessione retta X §§ 4.2.4.1.2.3 - 4.2.4.1.2.6 - 4.2.4.1.2.7 - 4.2.4.1.2.8 NTC18

Verifiche eseguite utilizzando la formula conservativa (6.2) §6.2.1 EN 1993-1-1:2005.

X	Comb.	Sfruttamento	Classe	NEd	NRd	Rid. NRd da VEd	Mx,Ed	Mx,Rd	Rid. Mx,Rd da VEd	Rid. Mx,Rd da NEd	px	py	Verifica
0.625	SLU 76	0.039	3	-34.249	1003.522	1	0.0599	12.886	1		0	0	Si

Verifica a presso/tenso flessione retta Y §§ 4.2.4.1.2.3 - 4.2.4.1.2.6 - 4.2.4.1.2.7 - 4.2.4.1.2.8 NTC18

Verifiche eseguite utilizzando la formula conservativa (6.2) §6.2.1 EN 1993-1-1:2005.

X	Comb.	Sfruttamento	Classe	NEd	NRd	Rid. NRd da VEd	My,Ed	My,Rd	Rid. My,Rd da VEd	Rid. My,Rd da NEd	px	py	Verifica
1.25	SLU 76	0.034	3	-34.102	1003.522	1	-0.0074	19.3536	1		0	0	Si

Verifica a presso/tenso flessione retta Y SLD §§ 4.2.4.1.2.3 - 4.2.4.1.2.6 - 4.2.4.1.2.7 - 4.2.4.1.2.8 NTC18

Verifiche eseguite utilizzando la formula conservativa (6.2) §6.2.1 EN 1993-1-1:2005.

X	Comb.	Sfruttamento	Classe	NEd	NRd	Rid. NRd da VEd	My,Ed	My,Rd	Rid. My,Rd da VEd	Rid. My,Rd da NEd	px	py	Verifica
1.25	SLD 16	0.016	3	-11.77	1003.522	1	-0.077	19.3536	1		0	0	Si

Verifica a presso/tenso flessione deviata §§ 4.2.4.1.2.3 - 4.2.4.1.2.6 - 4.2.4.1.2.7 - 4.2.4.1.2.8 NTC18

Verifiche eseguite utilizzando la formula conservativa (6.2) §6.2.1 EN 1993-1-1:2005.

X	Comb.	Sfruttamento	Classe	NEd	NRd	Rid. NRd da VEd	Mx,Ed	Mx,Rd	My,Ed	My,Rd	Rid. Mx,Rd da VEd	Rid. Mx,Rd da NEd	Rid. My,Rd da VEd	Rid. My,Rd da NEd	α	β	px	py	Verifica
1.208	SLU 73	0.026	3	-24.996	1003.522	1	0.0061	12.886	-0.0076	19.3536	1		1				0	0	Si

Verifica a presso/tenso flessione deviata SLD §§ 4.2.4.1.2.3 - 4.2.4.1.2.6 - 4.2.4.1.2.7 - 4.2.4.1.2.8 NTC18

Verifiche eseguite utilizzando la formula conservativa (6.2) §6.2.1 EN 1993-1-1:2005.

X	Comb.	Sfruttamento	Classe	NEd	NRd	Rid. NRd da VEd	Mx,Ed	Mx,Rd	My,Ed	My,Rd	Rid. Mx,Rd da VEd	Rid. Mx,Rd da NEd	Rid. My,Rd da VEd	Rid. My,Rd da NEd	α	β	px	py	Verifica
0.75	SLD 15	0.018	3	-11.86	1003.522	1	0.0462	12.886	-0.0532	19.3536	1		1				0	0	Si

Verifiche ad instabilità

Caratteristiche iniziali

Membratura principale per controllo snellezza; Calcolo di snellezze ed N critici condotti secondo gli assi principali;

Curva X: c; Curva Y: c;

Svergolamento: Nessuno; la verifica a instabilità flesso-torsionale (svergolamento) non verrà eseguita.

Dati per instabilità attorno a x

Controllo della snellezza secondo §4.2.4.1.3.1 NTC18

Numero rit.	Presente	Ascissa	Campata	βx/m	Vincolo a entrambi estremi	λx/m	λVer
1	Si	0					
2	Si	1.25	1-2		1	41.2	Si, (<200)

Dati per instabilità attorno a y

Controllo della snellezza secondo §4.2.4.1.3.1 NTC18

Numero rit.	Presente	Ascissa	Campata	βy/n	k,LT	kw,LT	Vincolo a entrambi estremi
1	Si	0					
2	Si	1.25	1-2		1	27.8	Si, (<200)

Verifica di stabilità per pressoflessione §C.4.2.4.1.3.3.1 NTC18

X	Comb.	Sfruttamento	Classe	NEd	MxEq,Ed	MyEq,Ed	Area	Wx	Wy	χ,min	λ adim. x/m	λ adim. y/n	N,crit x/m	N,crit y/n	Verifica
0	SLU 76	0.044	3	-34.395	0.0513	-0.003	0.003832	0.0000492	0.0000739	0.857	0.474	0.32	4684.997	10292.139	Si

Verifica di stabilità per pressoflessione SLD §C.4.2.4.1.3.3.1 NTC18

X	Comb.	Sfruttamento	Classe	NEd	MxEq,Ed	MyEq,Ed	Area	Wx	Wy	χ,min	λ adim. x/m	λ adim. y/n	N,crit x/m	N,crit y/n	Verifica
0	SLD 15	0.02	3	-11.995	0.0418	-0.0616	0.003832	0.0000492	0.0000739	0.857	0.474	0.32	4684.997	10292.139	Si

Verifiche a deformabilità

Mensola X: No; Mensola Y: No.

Frecce lungo X

Ascissa freccia	Combinazione	Freccia	Luce	L/f	L/f,min	Tipo	Verifica
0.75	SLE RA 1	0	1.25	10000	250	Totale	Si
0.792	SLE RA 17	0	1.25	10000	250	Totale	Si
0.792	SLE RA 16	0	1.25	10000	250	Totale	Si
0.875	SLE RA 15	0	1.25	10000	250	Totale	Si
0.75	SLE RA 14	0	1.25	10000	250	Totale	Si

Implementazione dei sistemi di confinamento delle emissioni odorigene diffuse dell'impianto di compostaggio esistente nel
Comune di Eboli (SA)
PROGETTO DEFINITIVO – Tabulati di calcolo Tomo 1

Ascissa freccia	Combinazione	Freccia	Luce	L/f	L/f,min	Tipo	Verifica
0.875	SLE RA 2	0	1.25	10000	350	Variabile	Si
0.917	SLE RA 17	0	1.25	10000	350	Variabile	Si
0.917	SLE RA 16	0	1.25	10000	350	Variabile	Si
0.458	SLE RA 15	0	1.25	10000	350	Variabile	Si
0.667	SLE RA 14	0	1.25	10000	350	Variabile	Si

Frecce lungo Y

Ascissa freccia	Combinazione	Freccia	Luce	L/f	L/f,min	Tipo	Verifica
0.625	SLE RA 1	0.00001	1.25	10000	250	Totale	Si
0.625	SLE RA 17	0.00001	1.25	10000	250	Totale	Si
0.625	SLE RA 16	0.00001	1.25	10000	250	Totale	Si
0.625	SLE RA 15	0.00001	1.25	10000	250	Totale	Si
0.625	SLE RA 14	0.00001	1.25	10000	250	Totale	Si
0.708	SLE RA 2	0	1.25	10000	350	Variabile	Si
0.75	SLE RA 17	0	1.25	10000	350	Variabile	Si
0.708	SLE RA 16	0	1.25	10000	350	Variabile	Si
0.708	SLE RA 15	0	1.25	10000	350	Variabile	Si
0.708	SLE RA 14	0	1.25	10000	350	Variabile	Si

Superelemento in acciaio a quota "640"- "715" (2231; 2493)-(2231; 2393)

Caratteristiche del materiale

Acciaio: S275, fyk = 275000

Caratteristiche geometriche

Lunghezza: 1.25

Nodo iniziale: 1249 Nodo finale: 2154

Cerniera iniziale: Mmomenti 1% Cerniera finale: Mmomenti 1%

Sovreresistenza: 0% Sisma Z: No

Caratteristiche della sezione

Sezione	Rotazione	Area	Jx	Jy	ix	iy	Wx	Wy	Wplx	Wply
A1; L100*10; 1; Saldato; S275; 20; 1; 8; 8; 1	180	0.003832	0.0000035319	0.000007759	0.0304	0.045	0.0000492	0.0000739	0.00008974	0.00012727

Comportamento dei calastrelli

Accoppiamento imbottito avendo passo inferiore al minimo richiesto (§C4.2.4.1.3.1.5 NTC18) nella campata compresa tra le ascisse 0 e 1.25 per sbandamento attorno all'asse y.

Verifiche di resistenza

Verifiche a forza assiale §4.2.4.1.2.1 - §4.2.4.1.2.2 NTC18

X	Comb.	Sfruttamento	Classe	NEd	Nc,Rd	Nt,Rd	Riduzione da taglio	px	py	Verifica
0	SLU 75	0.018	3	-18.229	1003.522		1	0	0	Si

Verifiche a forza assiale SLD §4.2.4.1.2.1 - §4.2.4.1.2.2 NTC18

X	Comb.	Sfruttamento	Classe	NEd	Nc,Rd	Nt,Rd	Riduzione da taglio	px	py	Verifica
0	SLD 10	0.008	3	-8.05	1003.522		1	0	0	Si

Verifica a taglio X §4.2.4.1.2.4 NTC18

X	Comb.	Sfruttamento	VEd	Vc,Rd	Av	Interazione taglio-torsione	Riduzione torsione	Verifica
0	SLV 1	0.001	-0.221	302.422	0.002	Non considerata		Si

Verifica a taglio Y §4.2.4.1.2.4 NTC18

X	Comb.	Sfruttamento	VEd	Vc,Rd	Av	Interazione taglio-torsione	Riduzione torsione	Verifica
1.25	SLU 75	0.001	0.207	302.422	0.002	Non considerata		Si

Verifica a presso/tenso flessione retta X §§ 4.2.4.1.2.3 - 4.2.4.1.2.6 - 4.2.4.1.2.7 - 4.2.4.1.2.8 NTC18

Verifiche eseguite utilizzando la formula conservativa (6.2) §6.2.1 EN 1993-1-1:2005.

X	Comb.	Sfruttamento	Classe	NEd	NRd	Rid. NRd da VEd	Mx,Ed	Mx,Rd	Rid. Mx,Rd da VEd	Rid. Mx,Rd da NEd	px	py	Verifica
0.583	SLU 75	0.022	3	-18.092	1003.522	1	0.0538	12.886	1		0	0	Si

Verifica a presso/tenso flessione retta X SLD §§ 4.2.4.1.2.3 - 4.2.4.1.2.6 - 4.2.4.1.2.7 - 4.2.4.1.2.8 NTC18

Verifiche eseguite utilizzando la formula conservativa (6.2) §6.2.1 EN 1993-1-1:2005.

X	Comb.	Sfruttamento	Classe	NEd	NRd	Rid. NRd da VEd	Mx,Ed	Mx,Rd	Rid. Mx,Rd da VEd	Rid. Mx,Rd da NEd	px	py	Verifica
0.083	SLD 9	0.009	3	-8.035	1003.522	1	0.0114	12.886	1		0	0	Si

Verifica a presso/tenso flessione retta Y §§ 4.2.4.1.2.3 - 4.2.4.1.2.6 - 4.2.4.1.2.7 - 4.2.4.1.2.8 NTC18

Verifiche eseguite utilizzando la formula conservativa (6.2) §6.2.1 EN 1993-1-1:2005.

X	Comb.	Sfruttamento	Classe	NEd	NRd	Rid. NRd da VEd	My,Ed	My,Rd	Rid. My,Rd da VEd	Rid. My,Rd da NEd	px	py	Verifica
1.25	SLV 16	0.017	1	-7.934	1003.522	1	0.2993	33.3316	1		0	0	Si

Verifica a presso/tenso flessione retta Y SLD §§ 4.2.4.1.2.3 - 4.2.4.1.2.6 - 4.2.4.1.2.7 - 4.2.4.1.2.8 NTC18

Verifiche eseguite utilizzando la formula conservativa (6.2) §6.2.1 EN 1993-1-1:2005.

X	Comb.	Sfruttamento	Classe	NEd	NRd	Rid. NRd da VEd	My,Ed	My,Rd	Rid. My,Rd da VEd	Rid. My,Rd da NEd	px	py	Verifica
1.25	SLD 16	0.014	3	-7.707	1003.522	1	0.1207	19.3536	1		0	0	Si

Verifica a presso/tenso flessione deviata §§ 4.2.4.1.2.3 - 4.2.4.1.2.6 - 4.2.4.1.2.7 - 4.2.4.1.2.8 NTC18

Verifiche eseguite utilizzando la formula conservativa (6.2) §6.2.1 EN 1993-1-1:2005.

Implementazione dei sistemi di confinamento delle emissioni odorigene diffuse dell'impianto di compostaggio esistente nel
Comune di Eboli (SA)

PROGETTO DEFINITIVO – Tabulati di calcolo Tomo 1

X	Comb.	Sfruttamento	Classe	NEd	NRd	Rid. NRd da VEd	Mx,Ed	Mx,Rd	My,Ed	My,Rd	Rid. Mx,Rd da VEd	Rid. Mx,Rd da NEd	Rid. My,Rd da VEd	Rid. My,Rd da NEd	α	β	ρ_x	ρ_y	Verifica
0.5	SLV 6	0.018	3	-8.076	1003.522	1	0.0446	12.886	-0.1283	19.3536	1		1				0	0	Si

Verifica a presso/tenso flessione deviata SLD §§ 4.2.4.1.2.3 - 4.2.4.1.2.6 - 4.2.4.1.2.7 - 4.2.4.1.2.8 NTC18

Verifiche eseguite utilizzando la formula conservativa (6.2) §6.2.1 EN 1993-1-1:2005.

X	Comb.	Sfruttamento	Classe	NEd	NRd	Rid. NRd da VEd	Mx,Ed	Mx,Rd	My,Ed	My,Rd	Rid. Mx,Rd da VEd	Rid. Mx,Rd da NEd	Rid. My,Rd da VEd	Rid. My,Rd da NEd	α	β	ρ_x	ρ_y	Verifica
0.833	SLD 15	0.015	3	-7.782	1003.522	1	0.0406	12.886	0.0843	19.3536	1		1				0	0	Si

Verifiche ad instabilità

Caratteristiche iniziali

Membratura principale per controllo snellezza; Calcolo di snellezze ed N critici condotti secondo gli assi principali;

Curva X: c; Curva Y: c;

Svergolamento: Nessuno; la verifica a instabilità flesso-torsionale (svergolamento) non verrà eseguita.

Dati per instabilità attorno a x

Controllo della snellezza secondo §4.2.4.1.3.1 NTC18

Numero rit.	Presente	Ascissa	Campata	$\beta x/m$	Vincolo a entrambi estremi	$\lambda x/m$	λVer
1	Si	0					
2	Si	1.25	1-2		1	41.2	Si, (<200)

Dati per instabilità attorno a y

Controllo della snellezza secondo §4.2.4.1.3.1 NTC18

Numero rit.	Presente	Ascissa	Campata	$\beta y/n$	k,LT	kw,LT	Vincolo a entrambi estremi
1	Si	0					
2	Si	1.25	1-2		1	27.8	Si, (<200)

Verifica di stabilità per pressoflessione §C.4.2.4.1.3.3.1 NTC18

X	Comb.	Sfruttamento	Classe	NEd	MxEq,Ed	MyEq,Ed	Area	Wx	Wy	χ_{min}	λ adim. x/m	λ adim. y/n	N,crit x/m	N,crit y/n	Verifica
0	SLV 75	0.025	3	-18.229	0.0431	0.0054	0.003832	0.0000492	0.0000739	0.857	0.474	0.32	4684.997	10292.139	Si

Verifica di stabilità per pressoflessione SLD §C.4.2.4.1.3.3.1 NTC18

X	Comb.	Sfruttamento	Classe	NEd	MxEq,Ed	MyEq,Ed	Area	Wx	Wy	χ_{min}	λ adim. x/m	λ adim. y/n	N,crit x/m	N,crit y/n	Verifica
0	SLD 15	0.017	3	-7.932	0.0395	0.0905	0.003832	0.0000492	0.0000739	0.857	0.474	0.32	4684.997	10292.139	Si

Verifiche a deformabilità

Mensola X: No; Mensola Y: No.

Frecce lungo X

Ascissa freccia	Combinazione	Freccia	Luce	L/f	L/f,min	Tipo	Verifica
0.583	SLE RA 1	0	1.25	10000	250	Totale	Si
0.583	SLE RA 17	0	1.25	10000	250	Totale	Si
0.583	SLE RA 16	0	1.25	10000	250	Totale	Si
0.583	SLE RA 15	0	1.25	10000	250	Totale	Si
0.625	SLE RA 14	0	1.25	10000	250	Totale	Si
0.583	SLE RA 2	0	1.25	10000	350	Variabile	Si
0.583	SLE RA 17	0	1.25	10000	350	Variabile	Si
0.583	SLE RA 16	0	1.25	10000	350	Variabile	Si
0.417	SLE RA 15	0	1.25	10000	350	Variabile	Si
0.625	SLE RA 14	0	1.25	10000	350	Variabile	Si

Frecce lungo Y

Ascissa freccia	Combinazione	Freccia	Luce	L/f	L/f,min	Tipo	Verifica
0.625	SLE RA 1	0.00001	1.25	10000	250	Totale	Si
0.625	SLE RA 17	0.00001	1.25	10000	250	Totale	Si
0.625	SLE RA 16	0.00001	1.25	10000	250	Totale	Si
0.625	SLE RA 15	0.00001	1.25	10000	250	Totale	Si
0.625	SLE RA 14	0.00001	1.25	10000	250	Totale	Si
0.708	SLE RA 2	0	1.25	10000	350	Variabile	Si
0.708	SLE RA 17	0	1.25	10000	350	Variabile	Si
0.708	SLE RA 16	0	1.25	10000	350	Variabile	Si
0.708	SLE RA 15	0	1.25	10000	350	Variabile	Si
0.708	SLE RA 14	0	1.25	10000	350	Variabile	Si

Superelemento in acciaio a quota "640"- "715" (2231; 2693)-(2231; 2793)

Caratteristiche del materiale

Acciaio: S275, fyk = 275000

Caratteristiche geometriche

Lunghezza: 1.25

Nodo iniziale: 1328 Nodo finale: 2184

Cerniera iniziale: Mmomenti 1% Cerniera finale: Mmomenti 1%

Sovraresistenza: 0% Sisma Z: No

Caratteristiche della sezione

Sezione	Rotazione	Area	Jx	Jy	ix	iy	Wx	Wy	Wplx	Wply
A1; L100*10; 1; Saldato; S275; 20; 1; 8; 8; 1	180	0.003832	0.0000035319	0.000007759	0.0304	0.045	0.0000492	0.0000739	0.00008974	0.00012727

**Implementazione dei sistemi di confinamento delle emissioni odorigene diffuse dell'impianto di compostaggio esistente nel
Comune di Eboli (SA)
PROGETTO DEFINITIVO – Tabulati di calcolo Tomo 1**

Comportamento dei calastrelli

Accoppiamento imbottito avendo passo inferiore al minimo richiesto (§C4.2.4.1.3.1.5 NTC18) nella campata compresa tra le ascisse 0 e 1.25 per sbandamento attorno all'asse y.

Verifiche di resistenza

Verifiche a forza assiale §4.2.4.1.2.1 - §4.2.4.1.2.2 NTC18

X	Comb.	Sfruttamento	Classe	NEd	Nc,Rd	Nt,Rd	Riduzione da taglio	px	py	Verifica
0	SLU 76	0.017	3	-17.137	1003.522		1	0	0	Si

Verifiche a forza assiale SLD §4.2.4.1.2.1 - §4.2.4.1.2.2 NTC18

X	Comb.	Sfruttamento	Classe	NEd	Nc,Rd	Nt,Rd	Riduzione da taglio	px	py	Verifica
0	SLD 11	0.007	3	-6.884	1003.522		1	0	0	Si

Verifica a presso/tenso flessione retta X §§ 4.2.4.1.2.3 - 4.2.4.1.2.6 - 4.2.4.1.2.7 - 4.2.4.1.2.8 NTC18

Verifiche eseguite utilizzando la formula conservativa (6.2) §6.2.1 EN 1993-1-1:2005.

X	Comb.	Sfruttamento	Classe	NEd	NRd	Rid. NRd da VEd	Mx,Ed	Mx,Rd	Rid. Mx,Rd da VEd	Rid. Mx,Rd da NEd	px	py	Verifica
0.625	SLU 76	0.022	3	-16.99	1003.522	1	0.06	12.886	1		0	0	Si

Verifica a presso/tenso flessione retta Y §§ 4.2.4.1.2.3 - 4.2.4.1.2.6 - 4.2.4.1.2.7 - 4.2.4.1.2.8 NTC18

Verifiche eseguite utilizzando la formula conservativa (6.2) §6.2.1 EN 1993-1-1:2005.

X	Comb.	Sfruttamento	Classe	NEd	NRd	Rid. NRd da VEd	My,Ed	My,Rd	Rid. My,Rd da VEd	Rid. My,Rd da NEd	px	py	Verifica
1.25	SLU 76	0.017	3	-16.844	1003.522	1	0.0123	19.3536	1		0	0	Si

Verifica a presso/tenso flessione retta Y SLD §§ 4.2.4.1.2.3 - 4.2.4.1.2.6 - 4.2.4.1.2.7 - 4.2.4.1.2.8 NTC18

Verifiche eseguite utilizzando la formula conservativa (6.2) §6.2.1 EN 1993-1-1:2005.

X	Comb.	Sfruttamento	Classe	NEd	NRd	Rid. NRd da VEd	My,Ed	My,Rd	Rid. My,Rd da VEd	Rid. My,Rd da NEd	px	py	Verifica
1.25	SLD 7	0.011	3	-6.554	1003.522	1	0.0842	19.3536	1		0	0	Si

Verifica a presso/tenso flessione deviata §§ 4.2.4.1.2.3 - 4.2.4.1.2.6 - 4.2.4.1.2.7 - 4.2.4.1.2.8 NTC18

Verifiche eseguite utilizzando la formula conservativa (6.2) §6.2.1 EN 1993-1-1:2005.

X	Comb.	Sfruttamento	Classe	NEd	NRd	Rid. NRd da VEd	Mx,Ed	Mx,Rd	My,Ed	My,Rd	Rid. Mx,Rd da VEd	Rid. Mx,Rd da NEd	Rid. My,Rd da VEd	Rid. My,Rd da NEd	α	β	px	py	Verifica
0.75	SLU 76	0.022	3	-16.961	1003.522	1	0.0574	12.886	0.0076	19.3536	1		1				0	0	Si

Verifica a presso/tenso flessione deviata SLD §§ 4.2.4.1.2.3 - 4.2.4.1.2.6 - 4.2.4.1.2.7 - 4.2.4.1.2.8 NTC18

Verifiche eseguite utilizzando la formula conservativa (6.2) §6.2.1 EN 1993-1-1:2005.

X	Comb.	Sfruttamento	Classe	NEd	NRd	Rid. NRd da VEd	Mx,Ed	Mx,Rd	My,Ed	My,Rd	Rid. Mx,Rd da VEd	Rid. Mx,Rd da NEd	Rid. My,Rd da VEd	Rid. My,Rd da NEd	α	β	px	py	Verifica
0.75	SLD 13	0.013	3	-6.636	1003.522	1	0.0483	12.886	-0.0541	19.3536	1		1				0	0	Si

Verifiche ad instabilità

Caratteristiche iniziali

Membratura principale per controllo snellezza; Calcolo di snellezze ed N critici condotti secondo gli assi principali;

Curva X: c; Curva Y: c;

Svergolamento: Nessuno; la verifica a instabilità flesso-torsionale (svergolamento) non verrà eseguita.

Dati per instabilità attorno a x

Controllo della snellezza secondo §4.2.4.1.3.1 NTC18

Numero rit.	Presente	Ascissa	Campata	βx/m	Vincolo a entrambi estremi	λx/m	λVer
1	Si	0					
			1-2	1	Si	41.2	Si, (<200)
2	Si	1.25					

Dati per instabilità attorno a y

Controllo della snellezza secondo §4.2.4.1.3.1 NTC18

Numero rit.	Presente	Ascissa	Campata	βy/n	k,LT	kw,LT	Vincolo a entrambi estremi
1	Si	0					
			1-2	1	Si	27.8	Si, (<200)
2	Si	1.25					

Verifica di stabilità per pressoflessione §C.4.2.4.1.3.3.1 NTC18

X	Comb.	Sfruttamento	Classe	NEd	MxEq,Ed	MyEq,Ed	Area	Wx	Wy	χ,min	λ adim. x/m	λ adim. y/n	N,crit x/m	N,crit y/n	Verifica
0	SLU 76	0.024	3	-17.137	0.0515	0.0076	0.003832	0.0000492	0.0000739	0.857	0.474	0.32	4684.997	10292.139	Si

Verifica di stabilità per pressoflessione SLD §C.4.2.4.1.3.3.1 NTC18

X	Comb.	Sfruttamento	Classe	NEd	MxEq,Ed	MyEq,Ed	Area	Wx	Wy	χ,min	λ adim. x/m	λ adim. y/n	N,crit x/m	N,crit y/n	Verifica
0	SLD 14	0.015	3	-6.771	0.0441	-0.0637	0.003832	0.0000492	0.0000739	0.857	0.474	0.32	4684.997	10292.139	Si

Verifiche a deformabilità

Mensola X: No; Mensola Y: No.

Frecce lungo X

Ascissa freccia	Combinazione	Freccia	Luce	L/f	L/f,min	Tipo	Verifica
0.708	SLE RA 1	0	1.25	10000	250	Totale	Si
0.708	SLE RA 17	0	1.25	10000	250	Totale	Si
0.708	SLE RA 16	0	1.25	10000	250	Totale	Si
0.708	SLE RA 15	0	1.25	10000	250	Totale	Si
0.708	SLE RA 14	0	1.25	10000	250	Totale	Si
0.708	SLE RA 2	0	1.25	10000	350	Variabile	Si
0.708	SLE RA 17	0	1.25	10000	350	Variabile	Si
0.708	SLE RA 16	0	1.25	10000	350	Variabile	Si
0.75	SLE RA 15	0	1.25	10000	350	Variabile	Si
0.667	SLE RA 14	0	1.25	10000	350	Variabile	Si

Implementazione dei sistemi di confinamento delle emissioni odorigene diffuse dell'impianto di compostaggio esistente nel
Comune di Eboli (SA)

PROGETTO DEFINITIVO – Tabulati di calcolo Tomo 1

Frecce lungo Y

Ascissa freccia	Combinazione	Freccia	Luce	L/f	L/f,min	Tipo	Verifica
0.625	SLE RA 1	0.00001	1.25	10000	250	Totale	Si
0.625	SLE RA 17	0.00001	1.25	10000	250	Totale	Si
0.625	SLE RA 16	0.00001	1.25	10000	250	Totale	Si
0.625	SLE RA 15	0.00001	1.25	10000	250	Totale	Si
0.625	SLE RA 14	0.00001	1.25	10000	250	Totale	Si
0.75	SLE RA 2	0	1.25	10000	350	Variabile	Si
0.75	SLE RA 17	0	1.25	10000	350	Variabile	Si
0.75	SLE RA 16	0	1.25	10000	350	Variabile	Si
0.708	SLE RA 15	0	1.25	10000	350	Variabile	Si
0.708	SLE RA 14	0	1.25	10000	350	Variabile	Si

Superelemento in acciaio a quota "640"-"715" (2463; 2493)-(2463; 2393)

Caratteristiche del materiale

Acciaio: S275, fyk = 275000

Caratteristiche geometriche

Lunghezza: 1.25

Nodo iniziale: 1255 Nodo finale: 2155

Cerniera iniziale: Mmomenti 1% Cerniera finale: Mmomenti 1%

Sovreresistenza: 0% Sisma Z: No

Caratteristiche della sezione

Sezione	Rotazione	Area	Jx	Jy	ix	iy	Wx	Wy	Wplx	Wply
A1; L100*10; 1; Saldato; S275; 20; 1; 8; 8; 1	180	0.003832	0.0000035319	0.000007759	0.0304	0.045	0.0000492	0.0000739	0.00008974	0.00012727

Comportamento dei calastrelli

Accoppiamento imbottito avendo passo inferiore al minimo richiesto (§C4.2.4.1.3.1.5 NTC18) nella campata compresa tra le ascisse 0 e 1.25 per sbandamento attorno all'asse y.

Verifiche di resistenza

Verifiche a forza assiale §4.2.4.1.2.1 - §4.2.4.1.2.2 NTC18

X	Comb.	Sfruttamento	Classe	NEd	Nc,Rd	Nt,Rd	Riduzione da taglio	px	py	Verifica
0	SLU 75	0.013	3	-12.631	1003.522		1	0	0	Si

Verifiche a forza assiale SLD §4.2.4.1.2.1 - §4.2.4.1.2.2 NTC18

X	Comb.	Sfruttamento	Classe	NEd	Nc,Rd	Nt,Rd	Riduzione da taglio	px	py	Verifica
0	SLD 7	0.006	3	-6.301	1003.522		1	0	0	Si

Verifica a taglio Y §4.2.4.1.2.4 NTC18

X	Comb.	Sfruttamento	VEd	Vc,Rd	Av	Interazione taglio-torsione	Riduzione torsione	Verifica
1.25	SLU 75	0.001	0.203	302.422	0.002	Non considerata		Si

Verifica a flessione semplice X §§ 4.2.4.1.2.3 - 4.2.4.1.2.6 - 4.2.4.1.2.7 - 4.2.4.1.2.8 NTC18

X	Comb.	Sfruttamento	Classe	Mx,Ed	Mx,Rd	Rid. Mx,Rd da VEd	px	py	Verifica
0.917	SLU 2	0.002	1	0.04053	23.50374	1	0	0	Si

Verifica a flessione semplice Y §§ 4.2.4.1.2.3 - 4.2.4.1.2.6 - 4.2.4.1.2.7 - 4.2.4.1.2.8 NTC18

X	Comb.	Sfruttamento	Classe	My,Ed	My,Rd	Rid. My,Rd da VEd	px	py	Verifica
1.208	SLV 9	0.005	1	0.17593	33.33162	1	0	0	Si

Verifica a flessione deviata §§ 4.2.4.1.2.3 - 4.2.4.1.2.6 - 4.2.4.1.2.7 - 4.2.4.1.2.8 NTC18

X	Comb.	Sfruttamento	Classe	Mx,Ed	Mx,Rd	My,Ed	My,Rd	Rid. Mx,Rd da VEd	Rid. My,Rd da VEd	α	β	px	py	Verifica
1.25	SLV 10	0.006	1	-0.0067	23.5037	0.1817	33.3316	1	1			0	0	Si

Verifica a presso/tenso flessione retta X §§ 4.2.4.1.2.3 - 4.2.4.1.2.6 - 4.2.4.1.2.7 - 4.2.4.1.2.8 NTC18

Verifiche eseguite utilizzando la formula conservativa (6.2) §6.2.1 EN 1993-1-1:2005.

X	Comb.	Sfruttamento	Classe	NEd	NRd	Rid. NRd da VEd	Mx,Ed	Mx,Rd	Rid. Mx,Rd da VEd	Rid. Mx,Rd da NEd	px	py	Verifica
0.583	SLU 75	0.017	3	-12.494	1003.522	1	0.0561	12.886	1		0	0	Si

Verifica a presso/tenso flessione retta X SLD §§ 4.2.4.1.2.3 - 4.2.4.1.2.6 - 4.2.4.1.2.7 - 4.2.4.1.2.8 NTC18

Verifiche eseguite utilizzando la formula conservativa (6.2) §6.2.1 EN 1993-1-1:2005.

X	Comb.	Sfruttamento	Classe	NEd	NRd	Rid. NRd da VEd	Mx,Ed	Mx,Rd	Rid. Mx,Rd da VEd	Rid. Mx,Rd da NEd	px	py	Verifica
0.25	SLD 4	0.009	3	-6.255	1003.522	1	0.0302	12.886	1		0	0	Si

Verifica a presso/tenso flessione retta Y §§ 4.2.4.1.2.3 - 4.2.4.1.2.6 - 4.2.4.1.2.7 - 4.2.4.1.2.8 NTC18

Verifiche eseguite utilizzando la formula conservativa (6.2) §6.2.1 EN 1993-1-1:2005.

X	Comb.	Sfruttamento	Classe	NEd	NRd	Rid. NRd da VEd	My,Ed	My,Rd	Rid. My,Rd da VEd	Rid. My,Rd da NEd	px	py	Verifica
1.208	SLU 75	0.013	3	-12.348	1003.522	1	0.0081	19.3536	1		0	0	Si

Verifica a presso/tenso flessione retta Y SLD §§ 4.2.4.1.2.3 - 4.2.4.1.2.6 - 4.2.4.1.2.7 - 4.2.4.1.2.8 NTC18

Verifiche eseguite utilizzando la formula conservativa (6.2) §6.2.1 EN 1993-1-1:2005.

X	Comb.	Sfruttamento	Classe	NEd	NRd	Rid. NRd da VEd	My,Ed	My,Rd	Rid. My,Rd da VEd	Rid. My,Rd da NEd	px	py	Verifica
1.25	SLD 7	0.01	3	-6.075	1003.522	1	-0.0674	19.3536	1		0	0	Si

Implementazione dei sistemi di confinamento delle emissioni odorigene diffuse dell'impianto di compostaggio esistente nel
Comune di Eboli (SA)
PROGETTO DEFINITIVO – Tabulati di calcolo Tomo 1

Verifica a presso/tenso flessione deviata §§ 4.2.4.1.2.3 - 4.2.4.1.2.6 - 4.2.4.1.2.7 - 4.2.4.1.2.8 NTC18

Verifiche eseguite utilizzando la formula conservativa (6.2) §6.2.1 EN 1993-1-1:2005.

X	Comb.	Sfruttamento	Classe	NEd	NRd	Rid. NRd da VEd	Mx,Ed	Mx,Rd	My,Ed	My,Rd	Rid. Mx,Rd da VEd	Rid. Mx,Rd da NEd	Rid. My,Rd da VEd	Rid. My,Rd da NEd	α	β	px	py	Verifica
1	SLV 7	0.019	3	-9.069	1003.522	1	0.0346	12.886	-0.1407	19.3536	1		1				0	0	Si

Verifica a presso/tenso flessione deviata SLD §§ 4.2.4.1.2.3 - 4.2.4.1.2.6 - 4.2.4.1.2.7 - 4.2.4.1.2.8 NTC18

Verifiche eseguite utilizzando la formula conservativa (6.2) §6.2.1 EN 1993-1-1:2005.

X	Comb.	Sfruttamento	Classe	NEd	NRd	Rid. NRd da VEd	Mx,Ed	Mx,Rd	My,Ed	My,Rd	Rid. Mx,Rd da VEd	Rid. Mx,Rd da NEd	Rid. My,Rd da VEd	Rid. My,Rd da NEd	α	β	px	py	Verifica
0.792	SLD 7	0.012	3	-6.158	1003.522	1	0.0446	12.886	-0.0431	19.3536	1		1				0	0	Si

Verifiche ad instabilità

Caratteristiche iniziali

Membratura principale per controllo snellezza; Calcolo di snellezze ed N critici condotti secondo gli assi principali;

Curva X: c; Curva Y: c;

Svergolamento: Nessuno; la verifica a instabilità flesso-torsionale (svergolamento) non verrà eseguita.

Dati per instabilità attorno a x

Controllo della snellezza secondo §4.2.4.1.3.1 NTC18

Numero rit.	Presente	Ascissa	Campata	βx/m	Vincolo a entrambi estremi	λx/m	λVer
1	Si		0				
			1~2		1	41.2	Si, (<200)
2	Si	1.25					

Dati per instabilità attorno a y

Controllo della snellezza secondo §4.2.4.1.3.1 NTC18

Numero rit.	Presente	Ascissa	Campata	βy/n	k,LT	kw,LT	Vincolo a entrambi estremi
1	Si		0				
			1~2		1	27.8	Si, (<200)
2	Si	1.25					

Verifica di stabilità per pressoflessione §C.4.2.4.1.3.3.1 NTC18

X	Comb.	Sfruttamento	Classe	NEd	MxEq,Ed	MyEq,Ed	Area	Wx	Wy	χ,min	λ adim. x/m	λ adim. y/n	N,crit x/m	N,crit y/n	Verifica
0	SLV 8	0.021	3	-9.25	0.0442	-0.1308	0.003832	0.0000492	0.0000739	0.857	0.474	0.32	4684.997	10292.139	Si

Verifica di stabilità per pressoflessione SLD §C.4.2.4.1.3.3.1 NTC18

X	Comb.	Sfruttamento	Classe	NEd	MxEq,Ed	MyEq,Ed	Area	Wx	Wy	χ,min	λ adim. x/m	λ adim. y/n	N,crit x/m	N,crit y/n	Verifica
0	SLD 7	0.013	3	-6.301	0.0415	-0.0505	0.003832	0.0000492	0.0000739	0.857	0.474	0.32	4684.997	10292.139	Si

Verifiche a deformabilità

Mensola X: No; Mensola Y: No.

Frecce lungo X

Ascissa freccia	Combinazione	Freccia	Luce	L/f	L/f,min	Tipo	Verifica
0.667	SLE RA 1	0	1.25	10000	250	Totale	Si
0.667	SLE RA 17	0	1.25	10000	250	Totale	Si
0.667	SLE RA 16	0	1.25	10000	250	Totale	Si
0.667	SLE RA 15	0	1.25	10000	250	Totale	Si
0.667	SLE RA 14	0	1.25	10000	250	Totale	Si
0.667	SLE RA 2	0	1.25	10000	350	Variabile	Si
0.667	SLE RA 17	0	1.25	10000	350	Variabile	Si
0.667	SLE RA 16	0	1.25	10000	350	Variabile	Si
0.667	SLE RA 15	0	1.25	10000	350	Variabile	Si
0.667	SLE RA 14	0	1.25	10000	350	Variabile	Si

Frecce lungo Y

Ascissa freccia	Combinazione	Freccia	Luce	L/f	L/f,min	Tipo	Verifica
0.625	SLE RA 1	0.00001	1.25	10000	250	Totale	Si
0.625	SLE RA 17	0.00001	1.25	10000	250	Totale	Si
0.625	SLE RA 16	0.00001	1.25	10000	250	Totale	Si
0.625	SLE RA 15	0.00001	1.25	10000	250	Totale	Si
0.625	SLE RA 14	0.00001	1.25	10000	250	Totale	Si
0.708	SLE RA 2	0	1.25	10000	350	Variabile	Si
0.708	SLE RA 17	0	1.25	10000	350	Variabile	Si
0.708	SLE RA 16	0	1.25	10000	350	Variabile	Si
0.708	SLE RA 15	0	1.25	10000	350	Variabile	Si
0.708	SLE RA 14	0	1.25	10000	350	Variabile	Si

Superelemento in acciaio a quota "640"- "715" (2463; 2693)-(2463; 2793)

Caratteristiche del materiale

Acciaio: S275, fyk = 275000

Caratteristiche geometriche

Lunghezza: 1.25

Nodo iniziale: 1336 Nodo finale: 2189

Cerniera iniziale: Mmomenti 1% Cerniera finale: Mmomenti 1%

Sovreresistenza: 0% Sisma Z: No

Caratteristiche della sezione

Sezione	Rotazione	Area	Jx	Jy	ix	iy	Wx	Wy	Wplx	Wply
---------	-----------	------	----	----	----	----	----	----	------	------

**Implementazione dei sistemi di confinamento delle emissioni odorigene diffuse dell'impianto di compostaggio esistente nel
Comune di Eboli (SA)**

PROGETTO DEFINITIVO – Tabulati di calcolo Tomo 1

Sezione	Rotazione	Area	Jx	Jy	ix	iy	Wx	Wy	Wpx	Wpy
A1; L100*10; 1; Saldato; S275; 20; 1; 8; 8; 1	180	0.003832	0.0000035319	0.000007759	0.0304	0.045	0.0000492	0.0000739	0.00008974	0.00012727

Comportamento dei calastrelli

Accoppiamento imbottito avendo passo inferiore al minimo richiesto (§C4.2.4.1.3.1.5 NTC18) nella campata compresa tra le ascisse 0 e 1.25 per sbandamento attorno all'asse y.

Verifiche di resistenza

Verifiche a forza assiale §4.2.4.1.2.1 - §4.2.4.1.2.2 NTC18

X	Comb.	Sfruttamento	Classe	NEd	Nc,Rd	Nt,Rd	Riduzione da taglio	px	py	Verifica
0	SLU 76	0.013	3	-13.122	1003.522		1	0	0	Si

Verifiche a forza assiale SLD §4.2.4.1.2.1 - §4.2.4.1.2.2 NTC18

X	Comb.	Sfruttamento	Classe	NEd	Nc,Rd	Nt,Rd	Riduzione da taglio	px	py	Verifica
0	SLD 7	0.007	3	-6.619	1003.522		1	0	0	Si

Verifica a taglio Y §4.2.4.1.2.4 NTC18

X	Comb.	Sfruttamento	Classe	VEd	Vc,Rd	Av	Interazione taglio-torsione	Riduzione torsione	Verifica
1.25	SLU 76	0.001		0.201	302.422	0.002	Non considerata		Si

Verifica a flessione semplice X §§ 4.2.4.1.2.3 - 4.2.4.1.2.6 - 4.2.4.1.2.7 - 4.2.4.1.2.8 NTC18

X	Comb.	Sfruttamento	Classe	Mx,Ed	Mx,Rd	Rid. Mx,Rd da VEd	px	py	Verifica
0.958	SLU 2	0.001	1	0.03504	23.50374	1	0	0	Si

Verifica a flessione semplice Y §§ 4.2.4.1.2.3 - 4.2.4.1.2.6 - 4.2.4.1.2.7 - 4.2.4.1.2.8 NTC18

X	Comb.	Sfruttamento	Classe	My,Ed	My,Rd	Rid. My,Rd da VEd	px	py	Verifica
1.25	SLV 13	0.003	1	-0.10727	33.33162	1	0	0	Si

Verifica a flessione deviata §§ 4.2.4.1.2.3 - 4.2.4.1.2.6 - 4.2.4.1.2.7 - 4.2.4.1.2.8 NTC18

X	Comb.	Sfruttamento	Classe	Mx,Ed	Mx,Rd	My,Ed	My,Rd	Rid. Mx,Rd da VEd	Rid. My,Rd da VEd	α	β	px	py	Verifica
0.792	SLV 13	0.004	1	0.0419	23.5037	-0.079	33.3316	1	1			0	0	Si

Verifica a presso/tenso flessione retta X §§ 4.2.4.1.2.3 - 4.2.4.1.2.6 - 4.2.4.1.2.7 - 4.2.4.1.2.8 NTC18

Verifiche eseguite utilizzando la formula conservativa (6.2) §6.2.1 EN 1993-1-1:2005.

X	Comb.	Sfruttamento	Classe	NEd	NRd	Rid. NRd da VEd	Mx,Ed	Mx,Rd	Rid. Mx,Rd da VEd	Rid. Mx,Rd da NEd	px	py	Verifica
0.583	SLU 76	0.017	3	-12.986	1003.522	1	0.0573	12.886	1		0	0	Si

Verifica a presso/tenso flessione retta Y §§ 4.2.4.1.2.3 - 4.2.4.1.2.6 - 4.2.4.1.2.7 - 4.2.4.1.2.8 NTC18

Verifiche eseguite utilizzando la formula conservativa (6.2) §6.2.1 EN 1993-1-1:2005.

X	Comb.	Sfruttamento	Classe	NEd	NRd	Rid. NRd da VEd	My,Ed	My,Rd	Rid. My,Rd da VEd	Rid. My,Rd da NEd	px	py	Verifica
1.25	SLV 7	0.015	3	-9.642	1003.522	1	-0.1103	19.3536	1		0	0	Si

Verifica a presso/tenso flessione retta Y SLD §§ 4.2.4.1.2.3 - 4.2.4.1.2.6 - 4.2.4.1.2.7 - 4.2.4.1.2.8 NTC18

Verifiche eseguite utilizzando la formula conservativa (6.2) §6.2.1 EN 1993-1-1:2005.

X	Comb.	Sfruttamento	Classe	NEd	NRd	Rid. NRd da VEd	My,Ed	My,Rd	Rid. My,Rd da VEd	Rid. My,Rd da NEd	px	py	Verifica
1.25	SLD 12	0.01	3	-5.668	1003.522	1	-0.0816	19.3536	1		0	0	Si

Verifica a presso/tenso flessione deviata §§ 4.2.4.1.2.3 - 4.2.4.1.2.6 - 4.2.4.1.2.7 - 4.2.4.1.2.8 NTC18

Verifiche eseguite utilizzando la formula conservativa (6.2) §6.2.1 EN 1993-1-1:2005.

X	Comb.	Sfruttamento	Classe	NEd	NRd	Rid. NRd da VEd	Mx,Ed	Mx,Rd	My,Ed	My,Rd	Rid. Mx,Rd da VEd	Rid. Mx,Rd da NEd	Rid. My,Rd da VEd	Rid. My,Rd da NEd	α	β	px	py	Verifica
0.792	SLV 7	0.017	3	-9.724	1003.522	1	0.0434	12.886	-0.081	19.3536	1		1				0	0	Si

Verifica a presso/tenso flessione deviata SLD §§ 4.2.4.1.2.3 - 4.2.4.1.2.6 - 4.2.4.1.2.7 - 4.2.4.1.2.8 NTC18

Verifiche eseguite utilizzando la formula conservativa (6.2) §6.2.1 EN 1993-1-1:2005.

X	Comb.	Sfruttamento	Classe	NEd	NRd	Rid. NRd da VEd	Mx,Ed	Mx,Rd	My,Ed	My,Rd	Rid. Mx,Rd da VEd	Rid. Mx,Rd da NEd	Rid. My,Rd da VEd	Rid. My,Rd da NEd	α	β	px	py	Verifica
0.75	SLD 12	0.012	3	-5.758	1003.522	1	0.0443	12.886	-0.058	19.3536	1		1				0	0	Si

Verifiche ad instabilità

Caratteristiche iniziali

Membratura principale per controllo snellezza; Calcolo di snellezze ed N critici condotti secondo gli assi principali;

Curva X: c; Curva Y: c;

Svergolamento: Nessuno; la verifica a instabilità flesso-torsionale (svergolamento) non verrà eseguita.

Dati per instabilità attorno a x

Controllo della snellezza secondo §4.2.4.1.3.1 NTC18

Numero rit.	Presente	Ascissa	Campata	βx/m	Vincolo a entrambi estremi	λx/m	λVer
1	Si	0					
			1-2		1	41.2	Si, (<200)
2	Si	1.25					

Dati per instabilità attorno a y

Controllo della snellezza secondo §4.2.4.1.3.1 NTC18

Numero rit.	Presente	Ascissa	Campata	βy/n	k,LT	kw,LT	Vincolo a entrambi estremi
1	Si	0					
			1-2		1	27.8	Si, (<200)
2	Si	1.25					

Implementazione dei sistemi di confinamento delle emissioni odorigene diffuse dell'impianto di compostaggio esistente nel
Comune di Eboli (SA)
PROGETTO DEFINITIVO – Tabulati di calcolo Tomo 1

Verifica di stabilità per pressoflessione §C.4.2.4.1.3.3.1 NTC18

X	Comb.	Sfruttamento	Classe	NEd	MxEq,Ed	MyEq,Ed	Area	Wx	Wy	χ,min	λ adim. x/m	λ adim. y/n	N _{crit} x/m	N _{crit} y/n	Verifica
0	SLV 12	0.021	3	-7.654	0.04	-0.1667	0.003832	0.0000492	0.0000739	0.857	0.474	0.32	4684.997	10292.139	Si

Verifica di stabilità per pressoflessione SLD §C.4.2.4.1.3.3.1 NTC18

X	Comb.	Sfruttamento	Classe	NEd	MxEq,Ed	MyEq,Ed	Area	Wx	Wy	χ,min	λ adim. x/m	λ adim. y/n	N _{crit} x/m	N _{crit} y/n	Verifica
0	SLD 12	0.013	3	-5.893	0.0397	-0.0679	0.003832	0.0000492	0.0000739	0.857	0.474	0.32	4684.997	10292.139	Si

Verifiche a deformabilità

Mensola X: No; Mensola Y: No.

Frecce lungo X

Ascissa freccia	Combinazione	Freccia	Luce	L/f	L/f,min	Tipo	Verifica
0.708	SLE RA 1	0	1.25	10000	250	Totale	Si
0.708	SLE RA 17	0	1.25	10000	250	Totale	Si
0.708	SLE RA 16	0	1.25	10000	250	Totale	Si
0.708	SLE RA 15	0	1.25	10000	250	Totale	Si
0.708	SLE RA 14	0	1.25	10000	250	Totale	Si
0.667	SLE RA 2	0	1.25	10000	350	Variabile	Si
0.667	SLE RA 17	0	1.25	10000	350	Variabile	Si
0.667	SLE RA 16	0	1.25	10000	350	Variabile	Si
0.708	SLE RA 15	0	1.25	10000	350	Variabile	Si
0.667	SLE RA 14	0	1.25	10000	350	Variabile	Si

Frecce lungo Y

Ascissa freccia	Combinazione	Freccia	Luce	L/f	L/f,min	Tipo	Verifica
0.625	SLE RA 1	0.00001	1.25	10000	250	Totale	Si
0.625	SLE RA 17	0.00001	1.25	10000	250	Totale	Si
0.625	SLE RA 16	0.00001	1.25	10000	250	Totale	Si
0.625	SLE RA 15	0.00001	1.25	10000	250	Totale	Si
0.625	SLE RA 14	0.00001	1.25	10000	250	Totale	Si
0.708	SLE RA 2	0	1.25	10000	350	Variabile	Si
0.75	SLE RA 17	0	1.25	10000	350	Variabile	Si
0.708	SLE RA 16	0	1.25	10000	350	Variabile	Si
0.708	SLE RA 15	0	1.25	10000	350	Variabile	Si
0.75	SLE RA 14	0	1.25	10000	350	Variabile	Si

Superelemento in acciaio a quota "640"- "715" (2695; 2493)-(2695; 2393)

Caratteristiche del materiale

Acciaio: S275, fyk = 275000

Caratteristiche geometriche

Lunghezza: 1.25

Nodo iniziale: 1261 Nodo finale: 2164

Cerniera iniziale: Mmomenti 1% Cerniera finale: Mmomenti 1%

Sovraresistenza: 0% Sisma Z: No

Caratteristiche della sezione

Sezione	Rotazione	Area	Jx	Jy	ix	iy	Wx	Wy	Wplx	Wply
A1; L100*10; 1; Saldato; S275; 20; 1; 8; 8; 1	180	0.003832	0.0000035319	0.000007759	0.0304	0.045	0.0000492	0.0000739	0.00008974	0.00012727

Comportamento dei calastrelli

Accoppiamento imbottito avendo passo inferiore al minimo richiesto (§C4.2.4.1.3.1.5 NTC18) nella campata compresa tra le ascisse 0 e 1.25 per sbandamento attorno all'asse y.

Verifiche di resistenza

Verifiche a forza assiale §4.2.4.1.2.1 - §4.2.4.1.2.2 NTC18

X	Comb.	Sfruttamento	Classe	NEd	Nc,Rd	Nt,Rd	Riduzione da taglio	px	py	Verifica
1.25	SLV 9	0.017		17.298		1003.522	1	0	0	Si

Verifiche a forza assiale SLD §4.2.4.1.2.1 - §4.2.4.1.2.2 NTC18

X	Comb.	Sfruttamento	Classe	NEd	Nc,Rd	Nt,Rd	Riduzione da taglio	px	py	Verifica
1.25	SLD 10	0.008		8.506		1003.522	1	0	0	Si

Verifica a taglio Y §4.2.4.1.2.4 NTC18

X	Comb.	Sfruttamento	VEd	Vc,Rd	Av	Interazione taglio-torsione	Riduzione torsione	Verifica
1.25	SLU 75	0.001	0.221	302.422	0.002	Non considerata		Si

Verifica a flessione semplice X §§ 4.2.4.1.2.3 - 4.2.4.1.2.6 - 4.2.4.1.2.7 - 4.2.4.1.2.8 NTC18

X	Comb.	Sfruttamento	Classe	Mx,Ed	Mx,Rd	Rid. Mx,Rd da VEd	px	py	Verifica
0.458	SLU 41	0.002	1	0.05088	23.50374	1	0	0	Si

Verifica a flessione semplice Y SLD §§ 4.2.4.1.2.3 - 4.2.4.1.2.6 - 4.2.4.1.2.7 - 4.2.4.1.2.8 NTC18

X	Comb.	Sfruttamento	Classe	My,Ed	My,Rd	Rid. My,Rd da VEd	px	py	Verifica
1.208	SLD 7	0.003	1	-0.09451	33.33162	1	0	0	Si

Verifica a flessione deviata SLD §§ 4.2.4.1.2.3 - 4.2.4.1.2.6 - 4.2.4.1.2.7 - 4.2.4.1.2.8 NTC18

X	Comb.	Sfruttamento	Classe	Mx,Ed	Mx,Rd	My,Ed	My,Rd	Rid. Mx,Rd da VEd	Rid. My,Rd da VEd	α	β	px	py	Verifica
0.792	SLD 7	0.004	1	0.0392	23.5037	-0.0674	33.3316	1	1			0	0	Si

**Implementazione dei sistemi di confinamento delle emissioni odorigene diffuse dell'impianto di compostaggio esistente nel
Comune di Eboli (SA)
PROGETTO DEFINITIVO – Tabulati di calcolo Tomo 1**

Verifica a presso/tenso flessione retta X §§ 4.2.4.1.2.3 - 4.2.4.1.2.6 - 4.2.4.1.2.7 - 4.2.4.1.2.8 NTC18

Verifiche eseguite utilizzando la formula conservativa (6.2) §6.2.1 EN 1993-1-1:2005.

X	Comb.	Sfruttamento	Classe	NEd	NRd	Rid. NRd da VEd	Mx,Ed	Mx,Rd	Rid. Mx,Rd da VEd	Rid. Mx,Rd da NEd	px	py	Verifica
0.25	SLU 42	0.011	1	9.332	1003.522	1	0.0377	23.5037	1		0	0	Si

Verifica a presso/tenso flessione retta Y §§ 4.2.4.1.2.3 - 4.2.4.1.2.6 - 4.2.4.1.2.7 - 4.2.4.1.2.8 NTC18

Verifiche eseguite utilizzando la formula conservativa (6.2) §6.2.1 EN 1993-1-1:2005.

X	Comb.	Sfruttamento	Classe	NEd	NRd	Rid. NRd da VEd	My,Ed	My,Rd	Rid. My,Rd da VEd	Rid. My,Rd da NEd	px	py	Verifica
1.125	SLV 10	0.025	1	17.276	1003.522	1	0.2503	33.3316	1		0	0	Si

Verifica a presso/tenso flessione retta Y SLD §§ 4.2.4.1.2.3 - 4.2.4.1.2.6 - 4.2.4.1.2.7 - 4.2.4.1.2.8 NTC18

Verifiche eseguite utilizzando la formula conservativa (6.2) §6.2.1 EN 1993-1-1:2005.

X	Comb.	Sfruttamento	Classe	NEd	NRd	Rid. NRd da VEd	My,Ed	My,Rd	Rid. My,Rd da VEd	Rid. My,Rd da NEd	px	py	Verifica
1.167	SLD 9	0.012	1	8.491	1003.522	1	0.1076	33.3316	1		0	0	Si

Verifica a presso/tenso flessione deviata §§ 4.2.4.1.2.3 - 4.2.4.1.2.6 - 4.2.4.1.2.7 - 4.2.4.1.2.8 NTC18

Verifiche eseguite utilizzando la formula conservativa (6.2) §6.2.1 EN 1993-1-1:2005.

X	Comb.	Sfruttamento	Classe	NEd	NRd	Rid. NRd da VEd	Mx,Ed	Mx,Rd	My,Ed	My,Rd	Rid. Mx,Rd da VEd	Rid. Mx,Rd da NEd	Rid. My,Rd da VEd	Rid. My,Rd da NEd	α	β	px	py	Verifica
1.25	SLV 10	0.026	1	17.298	1003.522	1	-0.0189	23.5037	0.2724	33.3316	1		1				0	0	Si

Verifica a presso/tenso flessione deviata SLD §§ 4.2.4.1.2.3 - 4.2.4.1.2.6 - 4.2.4.1.2.7 - 4.2.4.1.2.8 NTC18

Verifiche eseguite utilizzando la formula conservativa (6.2) §6.2.1 EN 1993-1-1:2005.

X	Comb.	Sfruttamento	Classe	NEd	NRd	Rid. NRd da VEd	Mx,Ed	Mx,Rd	My,Ed	My,Rd	Rid. Mx,Rd da VEd	Rid. Mx,Rd da NEd	Rid. My,Rd da VEd	Rid. My,Rd da NEd	α	β	px	py	Verifica
1.25	SLD 10	0.012	1	8.506	1003.522	1	-0.0131	23.5037	0.1136	33.3316	1		1				0	0	Si

Verifiche ad instabilità

Caratteristiche iniziali

Membratura principale per controllo snellezza; Calcolo di snellezze ed N critici condotti secondo gli assi principali;

Curva X: c; Curva Y: c;

Svergolamento: Nessuno; la verifica a instabilità flesso-torsionale (svergolamento) non verrà eseguita.

Dati per instabilità attorno a x

Controllo della snellezza secondo §4.2.4.1.3.1 NTC18

Numero rit.	Presente	Ascissa	Campata	βx/m	Vincolo a entrambi estremi	λx/m	λVer
1	Si		0				
			1-2		1	41.2	Si, (<200)
2	Si		1.25				

Dati per instabilità attorno a y

Controllo della snellezza secondo §4.2.4.1.3.1 NTC18

Numero rit.	Presente	Ascissa	Campata	βy/n	k,LT	kw,LT	Vincolo a entrambi estremi
1	Si		0				
			1-2		1	27.8	Si, (<200)
2	Si		1.25				

Verifica di stabilità per pressoflessione §C.4.2.4.1.3.3.1 NTC18

X	Comb.	Sfruttamento	Classe	NEd	MxEq,Ed	MyEq,Ed	Area	Wx	Wy	χ,min	λ adim. x/m	λ adim. y/n	N _{crit} x/m	N _{crit} y/n	Verifica
0	SLV 8	0.024	3	-9.071	0.0398	-0.192	0.003832	0.0000492	0.0000739	0.857	0.474	0.32	4684.997	10292.139	Si

Verifica di stabilità per pressoflessione SLD §C.4.2.4.1.3.3.1 NTC18

X	Comb.	Sfruttamento	Classe	NEd	MxEq,Ed	MyEq,Ed	Area	Wx	Wy	χ,min	λ adim. x/m	λ adim. y/n	N _{crit} x/m	N _{crit} y/n	Verifica
1.25	SLD 8	0.004	1	0	0.0361	-0.0729	0.003832	0.0000897	0.0001273	0.857	0.474	0.32	4684.997	10292.139	Si

Verifiche a deformabilità

Mensola X: No; Mensola Y: No.

Frecce lungo X

Ascissa freccia	Combinazione	Freccia	Luce	L/f	L/f,min	Tipo	Verifica
0.667	SLE RA 1	0	1.25	10000	250	Totale	Si
0.667	SLE RA 17	0	1.25	10000	250	Totale	Si
0.667	SLE RA 16	0	1.25	10000	250	Totale	Si
0.667	SLE RA 15	0	1.25	10000	250	Totale	Si
0.667	SLE RA 14	0	1.25	10000	250	Totale	Si
0.667	SLE RA 2	0	1.25	10000	350	Variabile	Si
0.667	SLE RA 17	0	1.25	10000	350	Variabile	Si
0.667	SLE RA 16	0	1.25	10000	350	Variabile	Si
0.667	SLE RA 15	0	1.25	10000	350	Variabile	Si
0.667	SLE RA 14	0	1.25	10000	350	Variabile	Si

Frecce lungo Y

Ascissa freccia	Combinazione	Freccia	Luce	L/f	L/f,min	Tipo	Verifica
0.625	SLE RA 1	0.00001	1.25	10000	250	Totale	Si
0.625	SLE RA 17	0.00001	1.25	10000	250	Totale	Si
0.583	SLE RA 16	0.00001	1.25	10000	250	Totale	Si
0.625	SLE RA 15	0.00001	1.25	10000	250	Totale	Si
0.583	SLE RA 14	0.00001	1.25	10000	250	Totale	Si
0.708	SLE RA 2	0	1.25	10000	350	Variabile	Si
0.708	SLE RA 17	0	1.25	10000	350	Variabile	Si
0.708	SLE RA 16	0	1.25	10000	350	Variabile	Si
0.708	SLE RA 15	0	1.25	10000	350	Variabile	Si
0.708	SLE RA 14	0	1.25	10000	350	Variabile	Si

Superelemento in acciaio a quota "640"- "715" (2695; 2693)-(2695; 2793)

Caratteristiche del materiale

Acciaio: S275, fyk = 275000

Caratteristiche geometriche

Lunghezza: 1.25

Nodo iniziale: 1340 Nodo finale: 2190

Cerniera iniziale: Mmomenti 1% Cerniera finale: Mmomenti 1%

Sovreresistenza: 0% Sisma Z: No

Caratteristiche della sezione

Sezione	Rotazione	Area	Jx	Jy	ix	iy	Wx	Wy	Wplx	Wply
A1; L100*10; 1; Saldato; S275; 20; 1; 8; 8; 1	180	0.003832	0.0000035319	0.000007759	0.0304	0.045	0.0000492	0.0000739	0.00008974	0.00012727

Comportamento dei calastrelli

Accoppiamento imbottito avendo passo inferiore al minimo richiesto (§C4.2.4.1.3.1.5 NTC18) nella campata compresa tra le ascisse 0 e 1.25 per sbandamento attorno all'asse y.

Verifiche di resistenza

Verifiche a forza assiale §4.2.4.1.2.1 - §4.2.4.1.2.2 NTC18

X	Comb.	Sfruttamento	Classe	NEd	Nc,Rd	Nt,Rd	Riduzione da taglio	px	py	Verifica
1.25	SLV 10	0.017		17.071		1003.522	1	0	0	Si

Verifiche a forza assiale SLD §4.2.4.1.2.1 - §4.2.4.1.2.2 NTC18

X	Comb.	Sfruttamento	Classe	NEd	Nc,Rd	Nt,Rd	Riduzione da taglio	px	py	Verifica
1.25	SLD 9	0.009		8.699		1003.522	1	0	0	Si

Verifica a taglio X §4.2.4.1.2.4 NTC18

X	Comb.	Sfruttamento	VEd	Vc,Rd	Av	Interazione taglio-torsione	Riduzione torsione	Verifica
0	SLV 7	0.001	0.201	302.422	0.002	Non considerata		Si

Verifica a taglio Y §4.2.4.1.2.4 NTC18

X	Comb.	Sfruttamento	VEd	Vc,Rd	Av	Interazione taglio-torsione	Riduzione torsione	Verifica
1.25	SLU 76	0.001	0.206	302.422	0.002	Non considerata		Si

Verifica a flessione semplice Y SLD §§ 4.2.4.1.2.3 - 4.2.4.1.2.6 - 4.2.4.1.2.7 - 4.2.4.1.2.8 NTC18

X	Comb.	Sfruttamento	Classe	My,Ed	My,Rd	Rid. My,Rd da VEd	px	py	Verifica
0	SLD 3	0	1	0.01122	33.33162	1	0	0	Si

Verifica a flessione deviata SLD §§ 4.2.4.1.2.3 - 4.2.4.1.2.6 - 4.2.4.1.2.7 - 4.2.4.1.2.8 NTC18

X	Comb.	Sfruttamento	Classe	Mx,Ed	Mx,Rd	My,Ed	My,Rd	Rid. Mx,Rd da VEd	Rid. My,Rd da VEd	α	β	px	py	Verifica
0.375	SLD 8	0.002	1	0.0385	23.5037	-0.0247	33.3316	1	1			0	0	Si

Verifica a presso/tenso flessione retta X §§ 4.2.4.1.2.3 - 4.2.4.1.2.6 - 4.2.4.1.2.7 - 4.2.4.1.2.8 NTC18

Verifiche eseguite utilizzando la formula conservativa (6.2) §6.2.1 EN 1993-1-1:2005.

X	Comb.	Sfruttamento	Classe	NEd	NRd	Rid. NRd da VEd	Mx,Ed	Mx,Rd	Rid. Mx,Rd da VEd	Rid. Mx,Rd da NEd	px	py	Verifica
0.625	SLU 75	0.013	1	10.682	1003.522	1	0.0564	23.5037	1		0	0	Si

Verifica a presso/tenso flessione retta Y §§ 4.2.4.1.2.3 - 4.2.4.1.2.6 - 4.2.4.1.2.7 - 4.2.4.1.2.8 NTC18

Verifiche eseguite utilizzando la formula conservativa (6.2) §6.2.1 EN 1993-1-1:2005.

X	Comb.	Sfruttamento	Classe	NEd	NRd	Rid. NRd da VEd	My,Ed	My,Rd	Rid. My,Rd da VEd	Rid. My,Rd da NEd	px	py	Verifica
1.208	SLV 9	0.025	1	17.064	1003.522	1	-0.2827	33.3316	1		0	0	Si

Verifica a presso/tenso flessione retta Y SLD §§ 4.2.4.1.2.3 - 4.2.4.1.2.6 - 4.2.4.1.2.7 - 4.2.4.1.2.8 NTC18

Verifiche eseguite utilizzando la formula conservativa (6.2) §6.2.1 EN 1993-1-1:2005.

X	Comb.	Sfruttamento	Classe	NEd	NRd	Rid. NRd da VEd	My,Ed	My,Rd	Rid. My,Rd da VEd	Rid. My,Rd da NEd	px	py	Verifica
1.208	SLD 10	0.012	1	8.692	1003.522	1	-0.1102	33.3316	1		0	0	Si

Verifica a presso/tenso flessione deviata §§ 4.2.4.1.2.3 - 4.2.4.1.2.6 - 4.2.4.1.2.7 - 4.2.4.1.2.8 NTC18

Verifiche eseguite utilizzando la formula conservativa (6.2) §6.2.1 EN 1993-1-1:2005.

X	Comb.	Sfruttamento	Classe	NEd	NRd	Rid. NRd da VEd	Mx,Ed	Mx,Rd	My,Ed	My,Rd	Rid. Mx,Rd da VEd	Rid. Mx,Rd da NEd	Rid. My,Rd da VEd	Rid. My,Rd da NEd	α	β	px	py	Verifica
1.25	SLV 9	0.026	1	17.071	1003.522	1	-0.0077	23.5037	-0.2908	33.3316	1		1				0	0	Si

Verifica a presso/tenso flessione deviata SLD §§ 4.2.4.1.2.3 - 4.2.4.1.2.6 - 4.2.4.1.2.7 - 4.2.4.1.2.8 NTC18

Verifiche eseguite utilizzando la formula conservativa (6.2) §6.2.1 EN 1993-1-1:2005.

X	Comb.	Sfruttamento	Classe	NEd	NRd	Rid. NRd da VEd	Mx,Ed	Mx,Rd	My,Ed	My,Rd	Rid. Mx,Rd da VEd	Rid. Mx,Rd da NEd	Rid. My,Rd da VEd	Rid. My,Rd da NEd	α	β	px	py	Verifica
1.25	SLD 10	0.012	1	8.699	1003.522	1	-0.0053	23.5037	-0.1133	33.3316	1		1				0	0	Si

Verifiche ad instabilità

Caratteristiche iniziali

Membratura principale per controllo snellezza; Calcolo di snellezze ed N critici condotti secondo gli assi principali;

Curva X: c; Curva Y: c;

Svergolamento: Nessuno; la verifica a instabilità flesso-torsionale (svergolamento) non verrà eseguita.

Implementazione dei sistemi di confinamento delle emissioni odorigene diffuse dell'impianto di compostaggio esistente nel
Comune di Eboli (SA)
PROGETTO DEFINITIVO – Tabulati di calcolo Tomo 1

Dati per instabilità attorno a x

Controllo della snellezza secondo §4.2.4.1.3.1 NTC18

Numero rit.	Presente	Ascissa	Campata	$\beta x/m$	Vincolo a entrambi estremi	$\lambda x/m$	λVer
1	Si	0	1-2	1	Si	41.2	Si, (<200)
2	Si	1.25					

Dati per instabilità attorno a y

Controllo della snellezza secondo §4.2.4.1.3.1 NTC18

Numero rit.	Presente	Ascissa	Campata	$\beta y/n$	k,LT	kw,LT	Vincolo a entrambi estremi
1	Si	0	1-2	1	Si	27.8	Si, (<200)
2	Si	1.25					

Verifica di stabilità per pressoflessione §C.4.2.4.1.3.3.1 NTC18

X	Comb.	Sfruttamento	Classe	NEd	MxEq,Ed	MyEq,Ed	Area	Wx	Wy	χ_{min}	$\lambda_{adim. x/m}$	$\lambda_{adim. y/n}$	N,crit x/m	N,crit y/n	Verifica
0	SLV 7	0.024	3	-8.061	0.0402	0.2249	0.003832	0.0000492	0.0000739	0.857	0.474	0.32	4684.997	10292.139	Si

Verifica di stabilità per pressoflessione SLD §C.4.2.4.1.3.3.1 NTC18

X	Comb.	Sfruttamento	Classe	NEd	MxEq,Ed	MyEq,Ed	Area	Wx	Wy	χ_{min}	$\lambda_{adim. x/m}$	$\lambda_{adim. y/n}$	N,crit x/m	N,crit y/n	Verifica
0.083	SLD 7	0.004	1	0	0.0387	0.0918	0.003832	0.0000897	0.0001273	0.857	0.474	0.32	4684.997	10292.139	Si

Verifiche a deformabilità

Mensola X: No; Mensola Y: No.

Frecce lungo X

Ascissa freccia	Combinazione	Freccia	Luce	L/f	L/f,min	Tipo	Verifica
0.708	SLE RA 1	0	1.25	10000	250	Totale	Si
0.708	SLE RA 17	0	1.25	10000	250	Totale	Si
0.708	SLE RA 16	0	1.25	10000	250	Totale	Si
0.708	SLE RA 15	0	1.25	10000	250	Totale	Si
0.708	SLE RA 14	0	1.25	10000	250	Totale	Si
0.708	SLE RA 2	0	1.25	10000	350	Variabile	Si
0.708	SLE RA 17	0	1.25	10000	350	Variabile	Si
0.708	SLE RA 16	0	1.25	10000	350	Variabile	Si
0.708	SLE RA 15	0	1.25	10000	350	Variabile	Si
0.792	SLE RA 14	0	1.25	10000	350	Variabile	Si

Frecce lungo Y

Ascissa freccia	Combinazione	Freccia	Luce	L/f	L/f,min	Tipo	Verifica
0.625	SLE RA 1	0.00001	1.25	10000	250	Totale	Si
0.625	SLE RA 17	0.00001	1.25	10000	250	Totale	Si
0.625	SLE RA 16	0.00001	1.25	10000	250	Totale	Si
0.625	SLE RA 15	0.00001	1.25	10000	250	Totale	Si
0.625	SLE RA 14	0.00001	1.25	10000	250	Totale	Si
0.708	SLE RA 2	0	1.25	10000	350	Variabile	Si
0.75	SLE RA 17	0	1.25	10000	350	Variabile	Si
0.708	SLE RA 16	0	1.25	10000	350	Variabile	Si
0.708	SLE RA 15	0	1.25	10000	350	Variabile	Si
0.75	SLE RA 14	0	1.25	10000	350	Variabile	Si

Superelemento in acciaio a quota "640"- "715" (2929; 2493)-(2929; 2393)

Caratteristiche del materiale

Acciaio: S275, fyk = 275000

Caratteristiche geometriche

Lunghezza: 1.25

Nodo iniziale: 1268 Nodo finale: 2169

Cerniera iniziale: Mmomenti 1% Cerniera finale: Mmomenti 1%

Sovreresistenza: 0% Sisma Z: No

Caratteristiche della sezione

Sezione	Rotazione	Area	Jx	Jy	ix	iy	Wx	Wy	Wplx	Wply
A1; L100*10; 1; Saldato; S275; 20; 1; 8; 8; 1	180	0.003832	0.0000035319	0.000007759	0.0304	0.045	0.0000492	0.0000739	0.00008974	0.00012727

Comportamento dei calastrelli

Accoppiamento imbottito avendo passo inferiore al minimo richiesto (§C4.2.4.1.3.1.5 NTC18) nella campata compresa tra le ascisse 0 e 1.25 per sbandamento attorno all'asse y.

Verifiche di resistenza

Verifiche a forza assiale §4.2.4.1.2.1 - §4.2.4.1.2.2 NTC18

X	Comb.	Sfruttamento	Classe	NEd	Nc,Rd	Nt,Rd	Riduzione da taglio	px	py	Verifica
1.25	SLU 76	0.02		19.879		1003.522	1	0	0	Si

Verifiche a forza assiale SLD §4.2.4.1.2.1 - §4.2.4.1.2.2 NTC18

X	Comb.	Sfruttamento	Classe	NEd	Nc,Rd	Nt,Rd	Riduzione da taglio	px	py	Verifica
1.25	SLD 8	0.011		11.326		1003.522	1	0	0	Si

PROGETTO DEFINITIVO – Tabulati di calcolo Tomo 1

Verifica a taglio Y §4.2.4.1.2.4 NTC18

X	Comb.	Sfruttamento	VEd	Vc,Rd	Av	Interazione taglio-torsione	Riduzione torsione	Verifica
1.25	SLU 75	0.001	0.209	302.422	0.002	Non considerata		Si

Verifica a presso/tenso flessione retta X §§ 4.2.4.1.2.3 - 4.2.4.1.2.6 - 4.2.4.1.2.7 - 4.2.4.1.2.8 NTC18

Verifiche eseguite utilizzando la formula conservativa (6.2) §6.2.1 EN 1993-1-1:2005.

X	Comb.	Sfruttamento	Classe	NEd	NRd	Rid. NRd da VEd	Mx,Ed	Mx,Rd	Rid. Mx,Rd da VEd	Rid. Mx,Rd da NEd	px	py	Verifica
0.625	SLU 76	0.022	1	19.732	1003.522	1	0.0575	23.5037	1		0	0	Si

Verifica a presso/tenso flessione retta Y §§ 4.2.4.1.2.3 - 4.2.4.1.2.6 - 4.2.4.1.2.7 - 4.2.4.1.2.8 NTC18

Verifiche eseguite utilizzando la formula conservativa (6.2) §6.2.1 EN 1993-1-1:2005.

X	Comb.	Sfruttamento	Classe	NEd	NRd	Rid. NRd da VEd	My,Ed	My,Rd	Rid. My,Rd da VEd	Rid. My,Rd da NEd	px	py	Verifica
1.25	SLV 8	0.027	1	18.471	1003.522	1	-0.2947	33.3316	1		0	0	Si

Verifica a presso/tenso flessione retta Y SLD §§ 4.2.4.1.2.3 - 4.2.4.1.2.6 - 4.2.4.1.2.7 - 4.2.4.1.2.8 NTC18

Verifiche eseguite utilizzando la formula conservativa (6.2) §6.2.1 EN 1993-1-1:2005.

X	Comb.	Sfruttamento	Classe	NEd	NRd	Rid. NRd da VEd	My,Ed	My,Rd	Rid. My,Rd da VEd	Rid. My,Rd da NEd	px	py	Verifica
1.25	SLD 8	0.015	1	11.326	1003.522	1	-0.1184	33.3316	1		0	0	Si

Verifica a presso/tenso flessione deviata §§ 4.2.4.1.2.3 - 4.2.4.1.2.6 - 4.2.4.1.2.7 - 4.2.4.1.2.8 NTC18

Verifiche eseguite utilizzando la formula conservativa (6.2) §6.2.1 EN 1993-1-1:2005.

X	Comb.	Sfruttamento	Classe	NEd	NRd	Rid. NRd da VEd	Mx,Ed	Mx,Rd	My,Ed	My,Rd	Rid. Mx,Rd da VEd	Rid. Mx,Rd da NEd	Rid. My,Rd da VEd	Rid. My,Rd da NEd	α	β	px	py	Verifica
1.208	SLV 8	0.027	1	18.463	1003.522	1	0.007	23.5037	-0.2867	33.3316	1		1				0	0	Si

Verifica a presso/tenso flessione deviata SLD §§ 4.2.4.1.2.3 - 4.2.4.1.2.6 - 4.2.4.1.2.7 - 4.2.4.1.2.8 NTC18

Verifiche eseguite utilizzando la formula conservativa (6.2) §6.2.1 EN 1993-1-1:2005.

X	Comb.	Sfruttamento	Classe	NEd	NRd	Rid. NRd da VEd	Mx,Ed	Mx,Rd	My,Ed	My,Rd	Rid. Mx,Rd da VEd	Rid. Mx,Rd da NEd	Rid. My,Rd da VEd	Rid. My,Rd da NEd	α	β	px	py	Verifica
0.875	SLD 7	0.016	1	11.258	1003.522	1	0.0384	23.5037	-0.0892	33.3316	1		1				0	0	Si

Verifiche ad instabilità

Caratteristiche iniziali

Membratura principale per controllo snellezza; Calcolo di snellezze ed N critici condotti secondo gli assi principali;

Curva X: c; Curva Y: c;

Svergolamento: Nessuno; la verifica a instabilità flesso-torsionale (svergolamento) non verrà eseguita.

Dati per instabilità attorno a x

Controllo della snellezza secondo §4.2.4.1.3.1 NTC18

Numero rit.	Presente	Ascissa	Campata	βx/m	Vincolo a entrambi estremi	λx/m	λVer
1	Si	0	1-2	1	Si	41.2	Si, (<200)
2	Si	1.25					

Dati per instabilità attorno a y

Controllo della snellezza secondo §4.2.4.1.3.1 NTC18

Numero rit.	Presente	Ascissa	Campata	βy/n	k,LT	kw,LT	Vincolo a entrambi estremi
1	Si	0	1-2	1	Si	27.8	Si, (<200)
2	Si	1.25					

Verifica di stabilità per pressoflessione §C.4.2.4.1.3.3.1 NTC18

X	Comb.	Sfruttamento	Classe	NEd	MxEq,Ed	MyEq,Ed	Area	Wx	Wy	χ,min	λ adim. x/m	λ adim. y/n	N _{crit} x/m	N _{crit} y/n	Verifica
0	SLV 9	0.012	1	-2.936	0.036	0.2279	0.003832	0.0000897	0.0001273	0.857	0.474	0.32	4684.997	10292.139	Si

Verifiche a deformabilità

Mensola X: No; Mensola Y: No.

Frecce lungo X

Ascissa freccia	Combinazione	Freccia	Luce	L/f	L/f,min	Tipo	Verifica
0.333	SLE RA 1	0	1.25	10000	250	Totale	Si
0.958	SLE RA 17	0	1.25	10000	250	Totale	Si
0.917	SLE RA 16	0	1.25	10000	250	Totale	Si
0.417	SLE RA 15	0	1.25	10000	250	Totale	Si
0.833	SLE RA 14	0	1.25	10000	250	Totale	Si
0.833	SLE RA 2	0	1.25	10000	350	Variabile	Si
0.833	SLE RA 17	0	1.25	10000	350	Variabile	Si
0.833	SLE RA 16	0	1.25	10000	350	Variabile	Si
0.5	SLE RA 15	0	1.25	10000	350	Variabile	Si
0.708	SLE RA 14	0	1.25	10000	350	Variabile	Si

Frecce lungo Y

Ascissa freccia	Combinazione	Freccia	Luce	L/f	L/f,min	Tipo	Verifica
0.625	SLE RA 1	0.00001	1.25	10000	250	Totale	Si
0.625	SLE RA 17	0.00001	1.25	10000	250	Totale	Si
0.625	SLE RA 16	0.00001	1.25	10000	250	Totale	Si
0.625	SLE RA 15	0.00001	1.25	10000	250	Totale	Si
0.625	SLE RA 14	0.00001	1.25	10000	250	Totale	Si
0.708	SLE RA 2	0	1.25	10000	350	Variabile	Si
0.708	SLE RA 17	0	1.25	10000	350	Variabile	Si
0.708	SLE RA 16	0	1.25	10000	350	Variabile	Si
0.75	SLE RA 15	0	1.25	10000	350	Variabile	Si
0.708	SLE RA 14	0	1.25	10000	350	Variabile	Si

Superelemento in acciaio a quota "640"- "715" (2929; 2693)-(2929; 2793)

Caratteristiche del materiale

Acciaio: S275, fyk = 275000

Caratteristiche geometriche

Lunghezza: 1.25

Nodo iniziale: 1344 Nodo finale: 2199

Cerniera iniziale: Mmomenti 1% Cerniera finale: Mmomenti 1%

Sovreresistenza: 0% Sisma Z: No

Caratteristiche della sezione

Sezione	Rotazione	Area	Jx	Jy	ix	iy	Wx	Wy	Wplx	Wply
A1; L100*10; 1; Saldato; S275; 20; 1; 8; 8; 1	180	0.003832	0.0000035319	0.000007759	0.0304	0.045	0.0000492	0.0000739	0.00008974	0.00012727

Comportamento dei calastrelli

Accoppiamento imbottito avendo passo inferiore al minimo richiesto (§C4.2.4.1.3.1.5 NTC18) nella campata compresa tra le ascisse 0 e 1.25 per sbandamento attorno all'asse y.

Verifiche di resistenza

Verifiche a forza assiale §4.2.4.1.2.1 - §4.2.4.1.2.2 NTC18

X	Comb.	Sfruttamento	Classe	NEd	Nc,Rd	Nt,Rd	Riduzione da taglio	px	py	Verifica
1.25	SLV 7	0.02		19.866		1003.522	1	0	0	Si

Verifiche a forza assiale SLD §4.2.4.1.2.1 - §4.2.4.1.2.2 NTC18

X	Comb.	Sfruttamento	Classe	NEd	Nc,Rd	Nt,Rd	Riduzione da taglio	px	py	Verifica
1.25	SLD 8	0.012		12.022		1003.522	1	0	0	Si

Verifica a taglio X §4.2.4.1.2.4 NTC18

X	Comb.	Sfruttamento	VEd	Vc,Rd	Av	Interazione taglio-torsione	Riduzione torsione	Verifica
1.25	SLV 8	0.001	0.21	302.422	0.002	Non considerata		Si

Verifica a presso/tenso flessione retta X §§ 4.2.4.1.2.3 - 4.2.4.1.2.6 - 4.2.4.1.2.7 - 4.2.4.1.2.8 NTC18

Verifiche eseguite utilizzando la formula conservativa (6.2) §6.2.1 EN 1993-1-1:2005.

X	Comb.	Sfruttamento	Classe	NEd	NRd	Rid. NRd da VEd	Mx,Ed	Mx,Rd	Rid. Mx,Rd da VEd	Rid. Mx,Rd da NEd	px	py	Verifica
0.625	SLV 76	0.021	1	18.53	1003.522	1	0.0591	23.5037	1		0	0	Si

Verifica a presso/tenso flessione retta Y §§ 4.2.4.1.2.3 - 4.2.4.1.2.6 - 4.2.4.1.2.7 - 4.2.4.1.2.8 NTC18

Verifiche eseguite utilizzando la formula conservativa (6.2) §6.2.1 EN 1993-1-1:2005.

X	Comb.	Sfruttamento	Classe	NEd	NRd	Rid. NRd da VEd	My,Ed	My,Rd	Rid. My,Rd da VEd	Rid. My,Rd da NEd	px	py	Verifica
1.25	SLV 8	0.029	1	19.866	1003.522	1	0.3073	33.3316	1		0	0	Si

Verifica a presso/tenso flessione retta Y SLD §§ 4.2.4.1.2.3 - 4.2.4.1.2.6 - 4.2.4.1.2.7 - 4.2.4.1.2.8 NTC18

Verifiche eseguite utilizzando la formula conservativa (6.2) §6.2.1 EN 1993-1-1:2005.

X	Comb.	Sfruttamento	Classe	NEd	NRd	Rid. NRd da VEd	My,Ed	My,Rd	Rid. My,Rd da VEd	Rid. My,Rd da NEd	px	py	Verifica
1.25	SLD 8	0.016	1	12.022	1003.522	1	0.1247	33.3316	1		0	0	Si

Verifica a presso/tenso flessione deviata §§ 4.2.4.1.2.3 - 4.2.4.1.2.6 - 4.2.4.1.2.7 - 4.2.4.1.2.8 NTC18

Verifiche eseguite utilizzando la formula conservativa (6.2) §6.2.1 EN 1993-1-1:2005.

X	Comb.	Sfruttamento	Classe	NEd	NRd	Rid. NRd da VEd	Mx,Ed	Mx,Rd	My,Ed	My,Rd	Rid. Mx,Rd da VEd	Rid. Mx,Rd da NEd	Rid. My,Rd da VEd	Rid. My,Rd da NEd	α	β	px	py	Verifica
1.208	SLV 8	0.029	1	19.859	1003.522	1	0.0068	23.5037	0.2986	33.3316	1		1				0	0	Si

Verifica a presso/tenso flessione deviata SLD §§ 4.2.4.1.2.3 - 4.2.4.1.2.6 - 4.2.4.1.2.7 - 4.2.4.1.2.8 NTC18

Verifiche eseguite utilizzando la formula conservativa (6.2) §6.2.1 EN 1993-1-1:2005.

X	Comb.	Sfruttamento	Classe	NEd	NRd	Rid. NRd da VEd	Mx,Ed	Mx,Rd	My,Ed	My,Rd	Rid. Mx,Rd da VEd	Rid. Mx,Rd da NEd	Rid. My,Rd da VEd	Rid. My,Rd da NEd	α	β	px	py	Verifica
0.875	SLD 7	0.016	1	11.955	1003.522	1	0.0393	23.5037	0.0927	33.3316	1		1				0	0	Si

Verifiche ad instabilità

Caratteristiche iniziali

Membratura principale per controllo snellezza; Calcolo di snellezze ed N critici condotti secondo gli assi principali;

Curva X: c; Curva Y: c;

Svergolamento: Nessuno; la verifica a instabilità flesso-torsionale (svergolamento) non verrà eseguita.

Dati per instabilità attorno a x

Controllo della snellezza secondo §4.2.4.1.3.1 NTC18

Numero rit.	Presente	Ascissa	Campata	βx/m	Vincolo a entrambi estremi	λx/m	λVer
1	Si	0					
			1-2		1	41.2	Si, (<200)
2	Si	1.25					

Dati per instabilità attorno a y

Controllo della snellezza secondo §4.2.4.1.3.1 NTC18

Numero rit.	Presente	Ascissa	Campata	βy/n	k,LT	kw,LT	Vincolo a entrambi estremi
1	Si	0					
			1-2		1	27.8	Si, (<200)
2	Si	1.25					

Implementazione dei sistemi di confinamento delle emissioni odorigene diffuse dell'impianto di compostaggio esistente nel
Comune di Eboli (SA)
PROGETTO DEFINITIVO – Tabulati di calcolo Tomo 1

Verifica di stabilità per pressoflessione §C.4.2.4.1.3.3.1 NTC18

X	Comb.	Sfruttamento	Classe	NEd	MxEq,Ed	MyEq,Ed	Area	Wx	Wy	χ,min	λ adim. x/m	λ adim. y/n	N _{crit} x/m	N _{crit} y/n	Verifica
0	SLV 9	0.019	3	-3.609	0.0391	-0.2254	0.003832	0.0000492	0.0000739	0.857	0.474	0.32	4684.997	10292.139	Si

Verifiche a deformabilità

Mensola X: No; Mensola Y: No.

Frecce lungo X

Ascissa freccia	Combinazione	Freccia	Luce	L/f	L/f,min	Tipo	Verifica
0.75	SLE RA 1	0	1.25	10000	250	Totale	Si
0.75	SLE RA 17	0	1.25	10000	250	Totale	Si
0.75	SLE RA 16	0	1.25	10000	250	Totale	Si
0.75	SLE RA 15	0	1.25	10000	250	Totale	Si
0.792	SLE RA 14	0	1.25	10000	250	Totale	Si
0.75	SLE RA 2	0	1.25	10000	350	Variabile	Si
0.75	SLE RA 17	0	1.25	10000	350	Variabile	Si
0.75	SLE RA 16	0	1.25	10000	350	Variabile	Si
0.708	SLE RA 15	0	1.25	10000	350	Variabile	Si
0.333	SLE RA 14	0	1.25	10000	350	Variabile	Si

Frecce lungo Y

Ascissa freccia	Combinazione	Freccia	Luce	L/f	L/f,min	Tipo	Verifica
0.625	SLE RA 1	0.00001	1.25	10000	250	Totale	Si
0.625	SLE RA 17	0.00001	1.25	10000	250	Totale	Si
0.625	SLE RA 16	0.00001	1.25	10000	250	Totale	Si
0.625	SLE RA 15	0.00001	1.25	10000	250	Totale	Si
0.625	SLE RA 14	0.00001	1.25	10000	250	Totale	Si
0.708	SLE RA 2	0	1.25	10000	350	Variabile	Si
0.708	SLE RA 17	0	1.25	10000	350	Variabile	Si
0.708	SLE RA 16	0	1.25	10000	350	Variabile	Si
0.708	SLE RA 15	0	1.25	10000	350	Variabile	Si
0.5	SLE RA 14	0	1.25	10000	350	Variabile	Si

Superelemento in acciaio a quota "640"- "715" (-108; 608)-(2; 505)

Caratteristiche del materiale

Acciaio: S275, fyk = 275000

Caratteristiche geometriche

Lunghezza: 1.677

Nodo iniziale: 793 Nodo finale: 2078

Cerniera iniziale: Mmomenti 1% Cerniera finale: Mmomenti 1%

Sovreresistenza: 0% Sisma Z: No

Caratteristiche della sezione

Sezione	Rotazione	Area	Jx	Jy	ix	iy	Wx	Wy	Wplx	Wply
Al; L100*10; 1; Saldato; S275; 50; 1; 8; 8; 1	180	0.003832	0.0000035319	0.000007759	0.0304	0.045	0.0000492	0.0000739	0.00008974	0.00012727

Comportamento dei calastrelli

Accoppiamento imbottito con funzione statica (§C4.2.4.1.3.1.4 NTC18) nella campata compresa tra le ascisse 0 e 1.677 per sbandamento attorno all'asse y.

Verifiche di resistenza

Verifiche a forza assiale §4.2.4.1.2.1 - §4.2.4.1.2.2 NTC18

X	Comb.	Sfruttamento	Classe	NEd	Nc,Rd	Nt,Rd	Riduzione da taglio	px	py	Verifica
1.677	SLU 76	0.016		16.057		1003.522	1	0	0	Si

Verifiche a forza assiale SLD §4.2.4.1.2.1 - §4.2.4.1.2.2 NTC18

X	Comb.	Sfruttamento	Classe	NEd	Nc,Rd	Nt,Rd	Riduzione da taglio	px	py	Verifica
1.677	SLD 1	0.007		7.02		1003.522	1	0	0	Si

Verifica a taglio X §4.2.4.1.2.4 NTC18

X	Comb.	Sfruttamento	VEd	Vc,Rd	Av	Interazione taglio-torsione	Riduzione torsione	Verifica
0	SLV 16	0.001	0.404	302.422	0.002	Non considerata		Si

Verifica a taglio Y §4.2.4.1.2.4 NTC18

X	Comb.	Sfruttamento	VEd	Vc,Rd	Av	Interazione taglio-torsione	Riduzione torsione	Verifica
1.677	SLU 75	0.001	0.317	302.422	0.002	Non considerata		Si

Verifica a taglio Y SLD §4.2.4.1.2.4 NTC18

X	Comb.	Sfruttamento	VEd	Vc,Rd	Av	Interazione taglio-torsione	Riduzione torsione	Verifica
1.677	SLD 2	0.001	0.233	302.422	0.002	Non considerata		Si

Verifica a flessione semplice X §§ 4.2.4.1.2.3 - 4.2.4.1.2.6 - 4.2.4.1.2.7 - 4.2.4.1.2.8 NTC18

X	Comb.	Sfruttamento	Classe	Mx,Ed	Mx,Rd	Rid. Mx,Rd da VEd	px	py	Verifica
0.839	SLU 59	0.005	1	0.12598	23.50374	1	0	0	Si

Verifica a flessione semplice Y SLD §§ 4.2.4.1.2.3 - 4.2.4.1.2.6 - 4.2.4.1.2.7 - 4.2.4.1.2.8 NTC18

X	Comb.	Sfruttamento	Classe	My,Ed	My,Rd	Rid. My,Rd da VEd	px	py	Verifica
0	SLD 15	0.001	1	0.02266	33.33162	1	0	0	Si

Implementazione dei sistemi di confinamento delle emissioni odorigene diffuse dell'impianto di compostaggio esistente nel
Comune di Eboli (SA)
PROGETTO DEFINITIVO – Tabulati di calcolo Tomo 1

Verifica a flessione deviata SLD §§ 4.2.4.1.2.3 - 4.2.4.1.2.6 - 4.2.4.1.2.7 - 4.2.4.1.2.8 NTC18

X	Comb.	Sfruttamento	Classe	Mx,Ed	Mx,Rd	My,Ed	My,Rd	Rid. Mx,Rd da VEd	Rid. My,Rd da VEd	α	β	px	py	Verifica
0.112	SLD 15	0.002	1	0.0232	23.5037	0.0253	33.3316	1	1			0	0	Si

Verifica a presso/tenso flessione retta X §§ 4.2.4.1.2.3 - 4.2.4.1.2.6 - 4.2.4.1.2.7 - 4.2.4.1.2.8 NTC18

Verifiche eseguite utilizzando la formula conservativa (6.2) §6.2.1 EN 1993-1-1:2005.

X	Comb.	Sfruttamento	Classe	NEd	NRd	Rid. NRd da VEd	Mx,Ed	Mx,Rd	Rid. Mx,Rd da VEd	Rid. Mx,Rd da NEd	px	py	Verifica
0.839	SLU 64	0.021	1	15.891	1003.522	1	0.1231	23.5037	1		0	0	Si

Verifica a presso/tenso flessione retta Y §§ 4.2.4.1.2.3 - 4.2.4.1.2.6 - 4.2.4.1.2.7 - 4.2.4.1.2.8 NTC18

Verifiche eseguite utilizzando la formula conservativa (6.2) §6.2.1 EN 1993-1-1:2005.

X	Comb.	Sfruttamento	Classe	NEd	NRd	Rid. NRd da VEd	My,Ed	My,Rd	Rid. My,Rd da VEd	Rid. My,Rd da NEd	px	py	Verifica
1.565	SLV 1	0.017	1	11.841	1003.522	1	-0.1571	33.3316	1		0	0	Si

Verifica a presso/tenso flessione retta Y SLD §§ 4.2.4.1.2.3 - 4.2.4.1.2.6 - 4.2.4.1.2.7 - 4.2.4.1.2.8 NTC18

Verifiche eseguite utilizzando la formula conservativa (6.2) §6.2.1 EN 1993-1-1:2005.

X	Comb.	Sfruttamento	Classe	NEd	NRd	Rid. NRd da VEd	My,Ed	My,Rd	Rid. My,Rd da VEd	Rid. My,Rd da NEd	px	py	Verifica
1.621	SLD 1	0.009	1	7.013	1003.522	1	-0.0646	33.3316	1		0	0	Si

Verifica a presso/tenso flessione deviata §§ 4.2.4.1.2.3 - 4.2.4.1.2.6 - 4.2.4.1.2.7 - 4.2.4.1.2.8 NTC18

Verifiche eseguite utilizzando la formula conservativa (6.2) §6.2.1 EN 1993-1-1:2005.

X	Comb.	Sfruttamento	Classe	NEd	NRd	Rid. NRd da VEd	Mx,Ed	Mx,Rd	My,Ed	My,Rd	Rid. Mx,Rd da VEd	Rid. Mx,Rd da NEd	Rid. My,Rd da VEd	Rid. My,Rd da NEd	α	β	px	py	Verifica
1.006	SLV 2	0.019	1	11.766	1003.522	1	0.0785	23.5037	-0.1196	33.3316	1		1				0	0	Si

Verifica a presso/tenso flessione deviata SLD §§ 4.2.4.1.2.3 - 4.2.4.1.2.6 - 4.2.4.1.2.7 - 4.2.4.1.2.8 NTC18

Verifiche eseguite utilizzando la formula conservativa (6.2) §6.2.1 EN 1993-1-1:2005.

X	Comb.	Sfruttamento	Classe	NEd	NRd	Rid. NRd da VEd	Mx,Ed	Mx,Rd	My,Ed	My,Rd	Rid. Mx,Rd da VEd	Rid. Mx,Rd da NEd	Rid. My,Rd da VEd	Rid. My,Rd da NEd	α	β	px	py	Verifica
0.894	SLD 2	0.012	1	6.915	1003.522	1	0.0873	23.5037	-0.0449	33.3316	1		1				0	0	Si

Verifiche ad instabilità

Caratteristiche iniziali

Membratura principale per controllo snellezza; Calcolo di snellezze ed N critici condotti secondo gli assi principali;

Curva X: c; Curva Y: c;

Svergolamento: Nessuno; la verifica a instabilità flesso-torsionale (svergolamento) non verrà eseguita.

Dati per instabilità attorno a x

Controllo della snellezza secondo §4.2.4.1.3.1 NTC18

Numero rit.	Presente	Ascissa	Campata	βx/m	Vincolo a entrambi estremi	λx/m	λVer
1	Si	0	1-2	1	Si	55.2	Si, (<200)
2	Si	1.677					

Dati per instabilità attorno a y

Controllo della snellezza secondo §4.2.4.1.3.1 NTC18

Numero rit.	Presente	Ascissa	Campata	βy/n	k,LT	kw,LT	Vincolo a entrambi estremi
1	Si	0	1-2	1	Si	40.7	Si, (<200)
2	Si	1.677					

Verifica di stabilità per pressoflessione §C.4.2.4.1.3.3.1 NTC18

X	Comb.	Sfruttamento	Classe	NEd	MxEq,Ed	MyEq,Ed	Area	Wx	Wy	χ,min	λ adim. x/m	λ adim. y/n	N,crit x/m	N,crit y/n	Verifica
0	SLV 15	0.021	3	-4.474	0.0852	0.1611	0.003832	0.0000492	0.0000739	0.764	0.636	0.469	2602.776	4783.72	Si

Verifica di stabilità per pressoflessione SLD §C.4.2.4.1.3.3.1 NTC18

X	Comb.	Sfruttamento	Classe	NEd	MxEq,Ed	MyEq,Ed	Area	Wx	Wy	χ,min	λ adim. x/m	λ adim. y/n	N,crit x/m	N,crit y/n	Verifica
0	SLD 15	0.005	1	0	0.0802	0.0572	0.003832	0.0000897	0.0001273	0.764	0.636	0.469	2602.776	4783.72	Si

Verifiche a deformabilità

Mensola X: No; Mensola Y: No.

Frecce lungo X

Ascissa freccia	Combinazione	Freccia	Luce	L/f	L/f,min	Tipo	Verifica
0.671	SLE RA 1	0	1.677	10000	250	Totale	Si
0.783	SLE RA 17	0	1.677	10000	250	Totale	Si
0.839	SLE RA 16	0	1.677	10000	250	Totale	Si
1.006	SLE RA 15	0	1.677	10000	250	Totale	Si
0.894	SLE RA 14	0	1.677	10000	250	Totale	Si
0.839	SLE RA 2	0	1.677	10000	350	Variabile	Si
0.839	SLE RA 17	0	1.677	10000	350	Variabile	Si
0.839	SLE RA 16	0	1.677	10000	350	Variabile	Si
0.95	SLE RA 15	0	1.677	10000	350	Variabile	Si
0.894	SLE RA 14	0	1.677	10000	350	Variabile	Si

Frecce lungo Y

Ascissa freccia	Combinazione	Freccia	Luce	L/f	L/f,min	Tipo	Verifica
0.839	SLE RA 1	0.00004	1.677	10000	250	Totale	Si
0.839	SLE RA 17	0.00003	1.677	10000	250	Totale	Si
0.839	SLE RA 16	0.00003	1.677	10000	250	Totale	Si
0.839	SLE RA 15	0.00004	1.677	10000	250	Totale	Si
0.839	SLE RA 14	0.00003	1.677	10000	250	Totale	Si
0.95	SLE RA 2	0	1.677	10000	350	Variabile	Si
0.95	SLE RA 17	0	1.677	10000	350	Variabile	Si
0.95	SLE RA 16	0	1.677	10000	350	Variabile	Si

Implementazione dei sistemi di confinamento delle emissioni odorigene diffuse dell'impianto di compostaggio esistente nel
Comune di Eboli (SA)

PROGETTO DEFINITIVO – Tabulati di calcolo Tomo 1

Ascissa freccia	Combinazione	Freccia	Luce	L/f	L/f,min	Tipo	Verifica
1.006	SLE RA 15	0	1.677	10000	350	Variabile	Si
0.95	SLE RA 14	0	1.677	10000	350	Variabile	Si

Superelemento in acciaio a quota "640"- "715" (-362; 338)-(-253; 236)

Caratteristiche del materiale

Acciaio: S275, fyk = 275000

Caratteristiche geometriche

Lunghezza: 1.677

Nodo iniziale: 737 Nodo finale: 2067

Cerniera iniziale: Mmomenti 1% Cerniera finale: Mmomenti 1%

Sovraresistenza: 0% Sisma Z: No

Caratteristiche della sezione

Sezione	Rotazione	Area	Jx	Jy	ix	iy	Wx	Wy	Wplx	Wply
A1; L100*10; 1; Saldato; S275; 50; 1; 8; 8; 1	180	0.003832	0.0000035319	0.000007759	0.0304	0.045	0.0000492	0.0000739	0.00008974	0.00012727

Comportamento dei calastrelli

Accoppiamento imbottito con funzione statica (§C4.2.4.1.3.1.4 NTC18) nella campata compresa tra le ascisse 0 e 1.677 per sbandamento attorno all'asse y.

Verifiche di resistenza

Verifiche a forza assiale §4.2.4.1.2.1 - §4.2.4.1.2.2 NTC18

X	Comb.	Sfruttamento	Classe	NEd	Nc,Rd	Nt,Rd	Riduzione da taglio	px	py	Verifica
1.677	SLU 76	0.033		33.558		1003.522	1	0	0	Si

Verifiche a forza assiale SLD §4.2.4.1.2.1 - §4.2.4.1.2.2 NTC18

X	Comb.	Sfruttamento	Classe	NEd	Nc,Rd	Nt,Rd	Riduzione da taglio	px	py	Verifica
1.677	SLD 13	0.011		10.553		1003.522	1	0	0	Si

Verifica a taglio Y §4.2.4.1.2.4 NTC18

X	Comb.	Sfruttamento	VEd	Vc,Rd	Av	Interazione taglio-torsione	Riduzione torsione	Verifica
1.677	SLU 75	0.001	0.34	302.422	0.002	Non considerata		Si

Verifica a taglio Y SLD §4.2.4.1.2.4 NTC18

X	Comb.	Sfruttamento	VEd	Vc,Rd	Av	Interazione taglio-torsione	Riduzione torsione	Verifica
1.677	SLD 1	0.001	0.234	302.422	0.002	Non considerata		Si

Verifica a presso/tenso flessione retta X §§ 4.2.4.1.2.3 - 4.2.4.1.2.6 - 4.2.4.1.2.7 - 4.2.4.1.2.8 NTC18

Verifiche eseguite utilizzando la formula conservativa (6.2) §6.2.1 EN 1993-1-1:2005.

X	Comb.	Sfruttamento	Classe	NEd	NRd	Rid. NRd da VEd	Mx,Ed	Mx,Rd	Rid. Mx,Rd da VEd	Rid. Mx,Rd da NEd	px	py	Verifica
0.727	SLU 76	0.038	1	33.392	1003.522	1	0.1059	23.5037	1		0	0	Si

Verifica a presso/tenso flessione retta X SLD §§ 4.2.4.1.2.3 - 4.2.4.1.2.6 - 4.2.4.1.2.7 - 4.2.4.1.2.8 NTC18

Verifiche eseguite utilizzando la formula conservativa (6.2) §6.2.1 EN 1993-1-1:2005.

X	Comb.	Sfruttamento	Classe	NEd	NRd	Rid. NRd da VEd	Mx,Ed	Mx,Rd	Rid. Mx,Rd da VEd	Rid. Mx,Rd da NEd	px	py	Verifica
0.839	SLD 9	0.014	1	10.434	1003.522	1	0.0875	23.5037	1		0	0	Si

Verifica a presso/tenso flessione retta Y §§ 4.2.4.1.2.3 - 4.2.4.1.2.6 - 4.2.4.1.2.7 - 4.2.4.1.2.8 NTC18

Verifiche eseguite utilizzando la formula conservativa (6.2) §6.2.1 EN 1993-1-1:2005.

X	Comb.	Sfruttamento	Classe	NEd	NRd	Rid. NRd da VEd	My,Ed	My,Rd	Rid. My,Rd da VEd	Rid. My,Rd da NEd	px	py	Verifica
1.565	SLU 76	0.034	1	33.538	1003.522	1	-0.0102	33.3316	1		0	0	Si

Verifica a presso/tenso flessione retta Y SLD §§ 4.2.4.1.2.3 - 4.2.4.1.2.6 - 4.2.4.1.2.7 - 4.2.4.1.2.8 NTC18

Verifiche eseguite utilizzando la formula conservativa (6.2) §6.2.1 EN 1993-1-1:2005.

X	Comb.	Sfruttamento	Classe	NEd	NRd	Rid. NRd da VEd	My,Ed	My,Rd	Rid. My,Rd da VEd	Rid. My,Rd da NEd	px	py	Verifica
0	SLD 16	0.011	1	10.038	1003.522	1	-0.0478	33.3316	1		0	0	Si

Verifica a presso/tenso flessione deviata §§ 4.2.4.1.2.3 - 4.2.4.1.2.6 - 4.2.4.1.2.7 - 4.2.4.1.2.8 NTC18

Verifiche eseguite utilizzando la formula conservativa (6.2) §6.2.1 EN 1993-1-1:2005.

X	Comb.	Sfruttamento	Classe	NEd	NRd	Rid. NRd da VEd	Mx,Ed	Mx,Rd	My,Ed	My,Rd	Rid. Mx,Rd da VEd	Rid. Mx,Rd da NEd	Rid. My,Rd da VEd	Rid. My,Rd da NEd	α	β	px	py	Verifica
0.783	SLU 76	0.038	1	33.401	1003.522	1	0.1063	23.5037	-0.0075	33.3316	1			1			0	0	Si

Verifica a presso/tenso flessione deviata SLD §§ 4.2.4.1.2.3 - 4.2.4.1.2.6 - 4.2.4.1.2.7 - 4.2.4.1.2.8 NTC18

Verifiche eseguite utilizzando la formula conservativa (6.2) §6.2.1 EN 1993-1-1:2005.

X	Comb.	Sfruttamento	Classe	NEd	NRd	Rid. NRd da VEd	Mx,Ed	Mx,Rd	My,Ed	My,Rd	Rid. Mx,Rd da VEd	Rid. Mx,Rd da NEd	Rid. My,Rd da VEd	Rid. My,Rd da NEd	α	β	px	py	Verifica
0.894	SLD 14	0.015	1	10.447	1003.522	1	0.0868	23.5037	0.0159	33.3316	1			1			0	0	Si

Verifiche ad instabilità

Caratteristiche iniziali

Membratura principale per controllo snellezza; Calcolo di snellezze ed N critici condotti secondo gli assi principali;

Curva X: c; Curva Y: c;

Implementazione dei sistemi di confinamento delle emissioni odorigene diffuse dell'impianto di compostaggio esistente nel
Comune di Eboli (SA)
PROGETTO DEFINITIVO – Tabulati di calcolo Tomo 1

Svergolamento: Nessuno; la verifica a instabilità flessio-torsionale (svergolamento) non verrà eseguita.

Dati per instabilità attorno a x

Controllo della snellezza secondo §4.2.4.1.3.1 NTC18

Numero rit.	Presente	Ascissa	Campata	$\beta x/m$	Vincolo a entrambi estremi	$\lambda x/m$	λVer
1	Si	0	1-2	1	Si	55.2	Si, (<200)
2	Si	1.677					

Dati per instabilità attorno a y

Controllo della snellezza secondo §4.2.4.1.3.1 NTC18

Numero rit.	Presente	Ascissa	Campata	$\beta y/n$	k,LT	kw,LT	Vincolo a entrambi estremi
1	Si	0	1-2	1	Si	40.7	Si, (<200)
2	Si	1.677					

Verifica di stabilità per pressoflessione §C.4.2.4.1.3.3.1 NTC18

X	Comb.	Sfruttamento	Classe	NEd	MxEq,Ed	MyEq,Ed	Area	Wx	Wy	χ_{min}	$\lambda_{adim. x/m}$	$\lambda_{adim. y/n}$	N,crit x/m	N,crit y/n	Verifica
0	SLU 2	0.013	3	-3.899	0.0955	0.0134	0.003832	0.0000492	0.0000739	0.764	0.636	0.469	2602.776	4783.72	Si

Verifiche a deformabilità

Mensola X: No; Mensola Y: No.

Frecce lungo X

Ascissa freccia	Combinazione	Freccia	Luce	L/f	L/f,min	Tipo	Verifica
0.894	SLE RA 1	0	1.677	10000	250	Totale	Si
0.894	SLE RA 17	0	1.677	10000	250	Totale	Si
0.894	SLE RA 16	0	1.677	10000	250	Totale	Si
0.894	SLE RA 15	0	1.677	10000	250	Totale	Si
0.894	SLE RA 14	0	1.677	10000	250	Totale	Si
0.894	SLE RA 2	0	1.677	10000	350	Variabile	Si
0.894	SLE RA 17	0	1.677	10000	350	Variabile	Si
0.894	SLE RA 16	0	1.677	10000	350	Variabile	Si
0.894	SLE RA 15	0	1.677	10000	350	Variabile	Si
0.894	SLE RA 14	0	1.677	10000	350	Variabile	Si

Frecce lungo Y

Ascissa freccia	Combinazione	Freccia	Luce	L/f	L/f,min	Tipo	Verifica
0.839	SLE RA 1	0.00003	1.677	10000	250	Totale	Si
0.839	SLE RA 17	0.00003	1.677	10000	250	Totale	Si
0.783	SLE RA 16	0.00003	1.677	10000	250	Totale	Si
0.839	SLE RA 15	0.00003	1.677	10000	250	Totale	Si
0.783	SLE RA 14	0.00003	1.677	10000	250	Totale	Si
0.95	SLE RA 2	0.00001	1.677	10000	350	Variabile	Si
0.95	SLE RA 17	0	1.677	10000	350	Variabile	Si
0.95	SLE RA 16	-0.00001	1.677	10000	350	Variabile	Si
1.006	SLE RA 15	0	1.677	10000	350	Variabile	Si
0.95	SLE RA 14	-0.00001	1.677	10000	350	Variabile	Si

Superelemento in acciaio a quota "640"- "715" (-616; 69)-(-506; -34)

Caratteristiche del materiale

Acciaio: S275, fyk = 275000

Caratteristiche geometriche

Lunghezza: 1.677

Nodo iniziale: 683 Nodo finale: 2058

Cerniera iniziale: Mmomenti 1% Cerniera finale: Mmomenti 1%

Sovreresistenza: 0% Sisma Z: No

Caratteristiche della sezione

Sezione	Rotazione	Area	Jx	Jy	ix	iy	Wx	Wy	Wplx	Wply
Al; L100*10; 1; Saldato; S275; 50; 1; 8; 8; 1	180	0.003832	0.0000035319	0.000007759	0.0304	0.045	0.0000492	0.0000739	0.00008974	0.00012727

Comportamento dei calastrelli

Accoppiamento imbottito con funzione statica (§C4.2.4.1.3.1.4 NTC18) nella campata compresa tra le ascisse 0 e 1.677 per sbandamento attorno all'asse y.

Verifiche di resistenza

Verifiche a forza assiale §4.2.4.1.2.1 - §4.2.4.1.2.2 NTC18

X	Comb.	Sfruttamento	Classe	NEd	Nc,Rd	Nt,Rd	Riduzione da taglio	px	py	Verifica
1.677	SLU 76	0.018		18.528		1003.522	1	0	0	Si

Verifiche a forza assiale SLD §4.2.4.1.2.1 - §4.2.4.1.2.2 NTC18

X	Comb.	Sfruttamento	Classe	NEd	Nc,Rd	Nt,Rd	Riduzione da taglio	px	py	Verifica
1.677	SLD 16	0.008		7.832		1003.522	1	0	0	Si

Verifica a taglio X §4.2.4.1.2.4 NTC18

X	Comb.	Sfruttamento	VEd	Vc,Rd	Av	Interazione taglio-torsione	Riduzione torsione	Verifica
0	SLV 1	0.004	-1.076	302.422	0.002	Non considerata		Si

Implementazione dei sistemi di confinamento delle emissioni odorigene diffuse dell'impianto di compostaggio esistente nel
Comune di Eboli (SA)
PROGETTO DEFINITIVO – Tabulati di calcolo Tomo 1

Verifica a taglio Y §4.2.4.1.2.4 NTC18

X	Comb.	Sfruttamento	VEd	Vc,Rd	Av	Interazione taglio-torsione	Riduzione torsione	Verifica
1.677	SLU 75	0.001	0.317	302.422	0.002	Non considerata		Si

Verifica a taglio Y SLD §4.2.4.1.2.4 NTC18

X	Comb.	Sfruttamento	VEd	Vc,Rd	Av	Interazione taglio-torsione	Riduzione torsione	Verifica
1.677	SLD 1	0.001	0.23	302.422	0.002	Non considerata		Si

Verifica a flessione semplice X §§ 4.2.4.1.2.3 - 4.2.4.1.2.6 - 4.2.4.1.2.7 - 4.2.4.1.2.8 NTC18

X	Comb.	Sfruttamento	Classe	Mx,Ed	Mx,Rd	Rid. Mx,Rd da VEd	px	py	Verifica
0.839	SLU 59	0.005	1	0.1269	23.50374	1	0	0	Si

Verifica a flessione semplice Y §§ 4.2.4.1.2.3 - 4.2.4.1.2.6 - 4.2.4.1.2.7 - 4.2.4.1.2.8 NTC18

X	Comb.	Sfruttamento	Classe	My,Ed	My,Rd	Rid. My,Rd da VEd	px	py	Verifica
1.621	SLV 3	0.007	1	-0.2247	33.33162	1	0	0	Si

Verifica a flessione deviata §§ 4.2.4.1.2.3 - 4.2.4.1.2.6 - 4.2.4.1.2.7 - 4.2.4.1.2.8 NTC18

X	Comb.	Sfruttamento	Classe	Mx,Ed	Mx,Rd	My,Ed	My,Rd	Rid. Mx,Rd da VEd	Rid. My,Rd da VEd	α	β	px	py	Verifica
1.174	SLV 4	0.008	1	0.0732	23.5037	-0.1627	33.3316	1	1			0	0	Si

Verifica a presso/tenso flessione retta X §§ 4.2.4.1.2.3 - 4.2.4.1.2.6 - 4.2.4.1.2.7 - 4.2.4.1.2.8 NTC18

Verifiche eseguite utilizzando la formula conservativa (6.2) §6.2.1 EN 1993-1-1:2005.

X	Comb.	Sfruttamento	Classe	NEd	NRd	Rid. NRd da VEd	Mx,Ed	Mx,Rd	Rid. Mx,Rd da VEd	Rid. Mx,Rd da NEd	px	py	Verifica
0.839	SLU 76	0.023	1	18.381	1003.522	1	0.1166	23.5037	1		0	0	Si

Verifica a presso/tenso flessione retta X SLD §§ 4.2.4.1.2.3 - 4.2.4.1.2.6 - 4.2.4.1.2.7 - 4.2.4.1.2.8 NTC18

Verifiche eseguite utilizzando la formula conservativa (6.2) §6.2.1 EN 1993-1-1:2005.

X	Comb.	Sfruttamento	Classe	NEd	NRd	Rid. NRd da VEd	Mx,Ed	Mx,Rd	Rid. Mx,Rd da VEd	Rid. Mx,Rd da NEd	px	py	Verifica
0.112	SLD 13	0.007	1	6.145	1003.522	1	0.0231	23.5037	1		0	0	Si

Verifica a presso/tenso flessione retta Y §§ 4.2.4.1.2.3 - 4.2.4.1.2.6 - 4.2.4.1.2.7 - 4.2.4.1.2.8 NTC18

Verifiche eseguite utilizzando la formula conservativa (6.2) §6.2.1 EN 1993-1-1:2005.

X	Comb.	Sfruttamento	Classe	NEd	NRd	Rid. NRd da VEd	My,Ed	My,Rd	Rid. My,Rd da VEd	Rid. My,Rd da NEd	px	py	Verifica
1.677	SLV 16	0.025	1	12.704	1003.522	1	0.4259	33.3316	1		0	0	Si

Verifica a presso/tenso flessione retta Y SLD §§ 4.2.4.1.2.3 - 4.2.4.1.2.6 - 4.2.4.1.2.7 - 4.2.4.1.2.8 NTC18

Verifiche eseguite utilizzando la formula conservativa (6.2) §6.2.1 EN 1993-1-1:2005.

X	Comb.	Sfruttamento	Classe	NEd	NRd	Rid. NRd da VEd	My,Ed	My,Rd	Rid. My,Rd da VEd	Rid. My,Rd da NEd	px	py	Verifica
1.677	SLD 15	0.013	1	7.832	1003.522	1	0.171	33.3316	1		0	0	Si

Verifica a presso/tenso flessione deviata §§ 4.2.4.1.2.3 - 4.2.4.1.2.6 - 4.2.4.1.2.7 - 4.2.4.1.2.8 NTC18

Verifiche eseguite utilizzando la formula conservativa (6.2) §6.2.1 EN 1993-1-1:2005.

X	Comb.	Sfruttamento	Classe	NEd	NRd	Rid. NRd da VEd	Mx,Ed	My,Ed	My,Rd	Rid. Mx,Rd da VEd	Rid. Mx,Rd da NEd	Rid. My,Rd da VEd	Rid. My,Rd da NEd	α	β	px	py	Verifica
1.509	SLV 16	0.026	1	12.681	1003.522	1	0.0348	23.5037	0.3832	33.3316		1				0	0	Si

Verifica a presso/tenso flessione deviata SLD §§ 4.2.4.1.2.3 - 4.2.4.1.2.6 - 4.2.4.1.2.7 - 4.2.4.1.2.8 NTC18

Verifiche eseguite utilizzando la formula conservativa (6.2) §6.2.1 EN 1993-1-1:2005.

X	Comb.	Sfruttamento	Classe	NEd	NRd	Rid. NRd da VEd	Mx,Ed	Mx,Rd	My,Ed	My,Rd	Rid. Mx,Rd da VEd	Rid. Mx,Rd da NEd	Rid. My,Rd da VEd	Rid. My,Rd da NEd	α	β	px	py	Verifica
1.118	SLD 15	0.015	1	7.757	1003.522	1	0.0821	23.5037	0.1138	33.3316	1		1				0	0	Si

Verifiche ad instabilità

Caratteristiche iniziali

Membratura principale per controllo snellezza; Calcolo di snellezze ed N critici condotti secondo gli assi principali;

Curva X: c; Curva Y: c;

Svergolamento: Nessuno; la verifica a instabilità flesso-torsionale (svergolamento) non verrà eseguita.

Dati per instabilità attorno a x

Controllo della snellezza secondo §4.2.4.1.3.1 NTC18

Numero rit.	Presente	Ascissa	Campata	βx/m	Vincolo a entrambi estremi	λx/m	λVer
1	Si	0					
			1-2	1	Si	55.2	Si, (<200)
2	Si	1.677					

Dati per instabilità attorno a y

Controllo della snellezza secondo §4.2.4.1.3.1 NTC18

Numero rit.	Presente	Ascissa	Campata	βy/n	k,LT	kw,LT	Vincolo a entrambi estremi
1	Si	0					
			1-2	1	Si	40.7	Si, (<200)
2	Si	1.677					

Verifica di stabilità per pressoflessione §C.4.2.4.1.3.3.1 NTC18

X	Comb.	Sfruttamento	Classe	NEd	MxEq,Ed	MyEq,Ed	Area	Wx	Wy	x,min	λ adim. x/m	λ adim. y/n	N,crit x/m	N,crit y/n	Verifica
0	SLV 2	0.028	3	-3.718	0.0741	-0.3284	0.003832	0.0000492	0.0000739	0.764	0.636	0.469	2602.776	4783.72	Si

Verifiche a deformabilità

Mensola X: No; Mensola Y: No.

Frecce lungo X

Ascissa freccia	Combinazione	Freccia	Luce	L/f	L/f,min	Tipo	Verifica
0.671	SLB RA 1	0	1.677	10000	250	Totale	Si

Implementazione dei sistemi di confinamento delle emissioni odorigene diffuse dell'impianto di compostaggio esistente nel
Comune di Eboli (SA)

PROGETTO DEFINITIVO – Tabulati di calcolo Tomo 1

Ascissa freccia	Combinazione	Freccia	Luce	L/f	L/f,min	Tipo	Verifica
0.503	SLE RA 17	0	1.677	10000	250	Totale	Si
1.23	SLE RA 16	0	1.677	10000	250	Totale	Si
0.95	SLE RA 15	0	1.677	10000	250	Totale	Si
0.783	SLE RA 14	0	1.677	10000	250	Totale	Si
1.006	SLE RA 2	0	1.677	10000	350	Variabile	Si
1.006	SLE RA 17	0	1.677	10000	350	Variabile	Si
1.006	SLE RA 16	0	1.677	10000	350	Variabile	Si
0.894	SLE RA 15	0	1.677	10000	350	Variabile	Si
0.839	SLE RA 14	0	1.677	10000	350	Variabile	Si

Frecce lungo Y

Ascissa freccia	Combinazione	Freccia	Luce	L/f	L/f,min	Tipo	Verifica
0.839	SLE RA 1	0.00004	1.677	10000	250	Totale	Si
0.839	SLE RA 17	0.00004	1.677	10000	250	Totale	Si
0.839	SLE RA 16	0.00003	1.677	10000	250	Totale	Si
0.839	SLE RA 15	0.00004	1.677	10000	250	Totale	Si
0.839	SLE RA 14	0.00003	1.677	10000	250	Totale	Si
0.95	SLE RA 2	0	1.677	10000	350	Variabile	Si
0.95	SLE RA 17	0	1.677	10000	350	Variabile	Si
0.95	SLE RA 16	0	1.677	10000	350	Variabile	Si
0.95	SLE RA 15	0	1.677	10000	350	Variabile	Si
0.95	SLE RA 14	0	1.677	10000	350	Variabile	Si

Superelemento in acciaio a quota "640"- "715" (-870; -202)-(-761; -305)

Caratteristiche del materiale

Acciaio: S275, fyk = 275000

Caratteristiche geometriche

Lunghezza: 1.677

Nodo iniziale: 627 Nodo finale: 2045

Cerniera iniziale: Mmomenti 1% Cerniera finale: Mmomenti 1%

Sovraresistenza: 0% Sisma Z: No

Caratteristiche della sezione

Sezione	Rotazione	Area	Jx	Jy	ix	iy	Wx	Wy	Wplx	Wply
A1; L100*10; 1; Saldato; S275; 50; 1; 8; 8; 1	180	0.003832	0.0000035319	0.000007759	0.0304	0.045	0.0000492	0.0000739	0.00008974	0.00012727

Comportamento dei calastrelli

Accoppiamento imbottito con funzione statica (§C4.2.4.1.3.1.4 NTC18) nella campata compresa tra le ascisse 0 e 1.677 per sbandamento attorno all'asse y.

Verifiche di resistenza

Verifiche a forza assiale §4.2.4.1.2.1 - §4.2.4.1.2.2 NTC18

X	Comb.	Sfruttamento	Classe	NEd	Nc,Rd	Nt,Rd	Riduzione da taglio	px	py	Verifica
0	SLU 75	0.025	3	-25.186	1003.522		1	0	0	Si

Verifiche a forza assiale SLD §4.2.4.1.2.1 - §4.2.4.1.2.2 NTC18

X	Comb.	Sfruttamento	Classe	NEd	Nc,Rd	Nt,Rd	Riduzione da taglio	px	py	Verifica
0	SLD 1	0.008	3	-7.859	1003.522		1	0	0	Si

Verifica a taglio X §4.2.4.1.2.4 NTC18

X	Comb.	Sfruttamento	VEd	Vc,Rd	Av	Interazione taglio-torsione	Riduzione torsione	Verifica
0	SLV 1	0.003	-0.942	302.422	0.002	Non considerata		Si

Verifica a taglio X SLD §4.2.4.1.2.4 NTC18

X	Comb.	Sfruttamento	VEd	Vc,Rd	Av	Interazione taglio-torsione	Riduzione torsione	Verifica
0	SLD 1	0.001	-0.407	302.422	0.002	Non considerata		Si

Verifica a taglio Y §4.2.4.1.2.4 NTC18

X	Comb.	Sfruttamento	VEd	Vc,Rd	Av	Interazione taglio-torsione	Riduzione torsione	Verifica
1.677	SLU 75	0.001	0.33	302.422	0.002	Non considerata		Si

Verifica a taglio Y SLD §4.2.4.1.2.4 NTC18

X	Comb.	Sfruttamento	VEd	Vc,Rd	Av	Interazione taglio-torsione	Riduzione torsione	Verifica
1.677	SLD 4	0.001	0.232	302.422	0.002	Non considerata		Si

Verifica a flessione semplice X §§ 4.2.4.1.2.3 - 4.2.4.1.2.6 - 4.2.4.1.2.7 - 4.2.4.1.2.8 NTC18

X	Comb.	Sfruttamento	Classe	Mx,Ed	Mx,Rd	Rid. Mx,Rd da VEd	px	py	Verifica
0.894	SLU 4	0.004	1	0.10283	23.50374	1	0	0	Si

Verifica a presso/tenso flessione retta X §§ 4.2.4.1.2.3 - 4.2.4.1.2.6 - 4.2.4.1.2.7 - 4.2.4.1.2.8 NTC18

Verifiche eseguite utilizzando la formula conservativa (6.2) §6.2.1 EN 1993-1-1:2005.

X	Comb.	Sfruttamento	Classe	NEd	NRd	Rid. NRd da VEd	Mx,Ed	Mx,Rd	Rid. Mx,Rd da VEd	Rid. Mx,Rd da NEd	px	py	Verifica
0.894	SLU 2	0.007	1	2.569	1003.522	1	0.1029	23.5037	1		0	0	Si

Verifica a presso/tenso flessione retta Y §§ 4.2.4.1.2.3 - 4.2.4.1.2.6 - 4.2.4.1.2.7 - 4.2.4.1.2.8 NTC18

Verifiche eseguite utilizzando la formula conservativa (6.2) §6.2.1 EN 1993-1-1:2005.

X	Comb.	Sfruttamento	Classe	NEd	NRd	Rid. NRd da VEd	My,Ed	My,Rd	Rid. My,Rd da VEd	Rid. My,Rd da NEd	px	py	Verifica
---	-------	--------------	--------	-----	-----	-----------------	-------	-------	-------------------	-------------------	----	----	----------

Implementazione dei sistemi di confinamento delle emissioni odorigene diffuse dell'impianto di compostaggio esistente nel
Comune di Eboli (SA)

PROGETTO DEFINITIVO – Tabulati di calcolo Tomo 1

X	Comb.	Sfruttamento	Classe	NEd	NRd	Rid. NRd da VEd	My,Ed	My,Rd	Rid. My,Rd da VEd	Rid. My,Rd da NEd	px	py	Verifica
0	SLU 75	0.029	3	-25.186	1003.522	1	0.0849	19.3536	1		0	0	Si

Verifica a presso/tenso flessione retta Y SLD §§ 4.2.4.1.2.3 - 4.2.4.1.2.6 - 4.2.4.1.2.7 - 4.2.4.1.2.8 NTC18

Verifiche eseguite utilizzando la formula conservativa (6.2) §6.2.1 EN 1993-1-1:2005.

X	Comb.	Sfruttamento	Classe	NEd	NRd	Rid. NRd da VEd	My,Ed	My,Rd	Rid. My,Rd da VEd	Rid. My,Rd da NEd	px	py	Verifica
1.621	SLD 3	0.013	3	-7.557	1003.522	1	-0.106	19.3536	1		0	0	Si

Verifica a presso/tenso flessione deviata §§ 4.2.4.1.2.3 - 4.2.4.1.2.6 - 4.2.4.1.2.7 - 4.2.4.1.2.8 NTC18

Verifiche eseguite utilizzando la formula conservativa (6.2) §6.2.1 EN 1993-1-1:2005.

X	Comb.	Sfruttamento	Classe	NEd	NRd	Rid. NRd da VEd	Mx,Ed	Mx,Rd	My,Ed	My,Rd	Rid. Mx,Rd da VEd	Rid. Mx,Rd da NEd	Rid. My,Rd da VEd	Rid. My,Rd da NEd	α	β	px	py	Verifica
0.727	SLU 75	0.037	3	-25.059	1003.522	1	0.0942	12.886	-0.0845	19.3536	1		1				0	0	Si

Verifica a presso/tenso flessione deviata SLD §§ 4.2.4.1.2.3 - 4.2.4.1.2.6 - 4.2.4.1.2.7 - 4.2.4.1.2.8 NTC18

Verifiche eseguite utilizzando la formula conservativa (6.2) §6.2.1 EN 1993-1-1:2005.

X	Comb.	Sfruttamento	Classe	NEd	NRd	Rid. NRd da VEd	Mx,Ed	Mx,Rd	My,Ed	My,Rd	Rid. Mx,Rd da VEd	Rid. Mx,Rd da NEd	Rid. My,Rd da VEd	Rid. My,Rd da NEd	α	β	px	py	Verifica
0.615	SLD 2	0.019	3	-7.776	1003.522	1	0.0834	12.886	-0.0999	19.3536	1		1				0	0	Si

Verifiche ad instabilità

Caratteristiche iniziali

Membratura principale per controllo snellezza; Calcolo di snellezze ed N critici condotti secondo gli assi principali;

Curva X: c; Curva Y: c;

Svergolamento: Nessuno; la verifica a instabilità flesso-torsionale (svergolamento) non verrà eseguita.

Dati per instabilità attorno a x

Controllo della snellezza secondo §4.2.4.1.3.1 NTC18

Numero rit.	Presente	Ascissa	Campata	βx/m	Vincolo a entrambi estremi	λx/m	λVer
1	Si	0					
			1-2		1	Si	55.2
2	Si	1.677					Si, (<200)

Dati per instabilità attorno a y

Controllo della snellezza secondo §4.2.4.1.3.1 NTC18

Numero rit.	Presente	Ascissa	Campata	βy/n	k,LT	kw,LT	Vincolo a entrambi estremi
1	Si	0					
			1-2		1	Si	40.7
2	Si	1.677					Si, (<200)

Verifica di stabilità per pressoflessione §C.4.2.4.1.3.3.1 NTC18

X	Comb.	Sfruttamento	Classe	NEd	MxEq,Ed	MyEq,Ed	Area	Wx	Wy	x,min	λ adim. x/m	λ adim. y/n	N,crit x/m	N,crit y/n	Verifica
0	SLU 75	0.042	3	-25.186	0.0706	-0.0767	0.003832	0.0000492	0.0000739	0.764	0.636	0.469	2602.776	4783.72	Si

Verifica di stabilità per pressoflessione SLD §C.4.2.4.1.3.3.1 NTC18

X	Comb.	Sfruttamento	Classe	NEd	MxEq,Ed	MyEq,Ed	Area	Wx	Wy	x,min	λ adim. x/m	λ adim. y/n	N,crit x/m	N,crit y/n	Verifica
0	SLD 1	0.024	3	-7.859	0.0741	-0.1511	0.003832	0.0000492	0.0000739	0.764	0.636	0.469	2602.776	4783.72	Si

Verifiche a deformabilità

Mensola X: No; Mensola Y: No.

Frecce lungo X

Ascissa freccia	Combinazione	Freccia	Luce	L/f	L/f,min	Tipo	Verifica
0.894	SLE RA 1	0	1.677	10000	250	Totale	Si
0.894	SLE RA 17	0	1.677	10000	250	Totale	Si
0.894	SLE RA 16	0	1.677	10000	250	Totale	Si
0.95	SLE RA 15	0	1.677	10000	250	Totale	Si
1.23	SLE RA 14	0	1.677	10000	250	Totale	Si
0.894	SLE RA 2	0	1.677	10000	350	Variabile	Si
0.95	SLE RA 17	0	1.677	10000	350	Variabile	Si
0.95	SLE RA 16	0	1.677	10000	350	Variabile	Si
0.95	SLE RA 15	0	1.677	10000	350	Variabile	Si
0.95	SLE RA 14	0	1.677	10000	350	Variabile	Si

Frecce lungo Y

Ascissa freccia	Combinazione	Freccia	Luce	L/f	L/f,min	Tipo	Verifica
0.839	SLE RA 1	0.00004	1.677	10000	250	Totale	Si
0.839	SLE RA 17	0.00003	1.677	10000	250	Totale	Si
0.839	SLE RA 16	0.00003	1.677	10000	250	Totale	Si
0.839	SLE RA 15	0.00003	1.677	10000	250	Totale	Si
0.783	SLE RA 14	0.00003	1.677	10000	250	Totale	Si
0.95	SLE RA 2	0	1.677	10000	350	Variabile	Si
0.95	SLE RA 17	0	1.677	10000	350	Variabile	Si
0.95	SLE RA 16	0	1.677	10000	350	Variabile	Si
0.95	SLE RA 15	0	1.677	10000	350	Variabile	Si
0.95	SLE RA 14	-0.00001	1.677	10000	350	Variabile	Si

Superelemento in acciaio a quota "640"- "715" (-1123; -470)-(-1013; -573)

Caratteristiche del materiale

Acciaio: S275, fyk = 275000

**Implementazione dei sistemi di confinamento delle emissioni odorigene diffuse dell'impianto di compostaggio esistente nel
Comune di Eboli (SA)
PROGETTO DEFINITIVO – Tabulati di calcolo Tomo 1**

Caratteristiche geometriche

Lunghezza: 1.677
 Nodo iniziale: 576 Nodo finale: 2037
 Cerniera iniziale: Mmomenti 1% Cerniera finale: Mmomenti 1%
 Sovraresistenza: 0% Sisma Z: No

Caratteristiche della sezione

Sezione	Rotazione	Area	Jx	Jy	ix	iy	Wx	Wy	Wplx	Wply
A1; L100*10; 1; Saldato; S275; 50; 1; 8; 8; 1	180	0.003832	0.0000035319	0.000007759	0.0304	0.045	0.0000492	0.0000739	0.00008974	0.00012727

Comportamento dei calastrelli

Accoppiamento imbottito con funzione statica (§C4.2.4.1.3.1.4 NTC18) nella campata compresa tra le ascisse 0 e 1.677 per sbandamento attorno all'asse y.

Verifiche di resistenza

Verifiche a forza assiale §4.2.4.1.2.1 - §4.2.4.1.2.2 NTC18

X	Comb.	Sfruttamento	Classe	NEd	Nc,Rd	Nt,Rd	Riduzione da taglio	px	py	Verifica
1.677	SLU 64	0.012		12.216		1003.522	1	0	0	Si

Verifiche a forza assiale SLD §4.2.4.1.2.1 - §4.2.4.1.2.2 NTC18

X	Comb.	Sfruttamento	Classe	NEd	Nc,Rd	Nt,Rd	Riduzione da taglio	px	py	Verifica
1.677	SLD 2	0.005		4.833		1003.522	1	0	0	Si

Verifica a taglio X §4.2.4.1.2.4 NTC18

X	Comb.	Sfruttamento	VEd	Vc,Rd	Av	Interazione taglio-torsione	Riduzione torsione	Verifica
0	SLV 16	0.001	0.354	302.422	0.002	Non considerata		Si

Verifica a taglio Y §4.2.4.1.2.4 NTC18

X	Comb.	Sfruttamento	VEd	Vc,Rd	Av	Interazione taglio-torsione	Riduzione torsione	Verifica
1.677	SLU 75	0.001	0.326	302.422	0.002	Non considerata		Si

Verifica a taglio Y SLD §4.2.4.1.2.4 NTC18

X	Comb.	Sfruttamento	VEd	Vc,Rd	Av	Interazione taglio-torsione	Riduzione torsione	Verifica
1.677	SLD 4	0.001	0.231	302.422	0.002	Non considerata		Si

Verifica a flessione semplice X §§ 4.2.4.1.2.3 - 4.2.4.1.2.6 - 4.2.4.1.2.7 - 4.2.4.1.2.8 NTC18

X	Comb.	Sfruttamento	Classe	Mx,Ed	Mx,Rd	Rid. Mx,Rd da VEd	px	py	Verifica
0.894	SLU 2	0.004	1	0.10184	23.50374	1	0	0	Si

Verifica a flessione semplice Y SLD §§ 4.2.4.1.2.3 - 4.2.4.1.2.6 - 4.2.4.1.2.7 - 4.2.4.1.2.8 NTC18

X	Comb.	Sfruttamento	Classe	My,Ed	My,Rd	Rid. My,Rd da VEd	px	py	Verifica
1.621	SLD 13	0.001	1	0.03043	33.33162	1	0	0	Si

Verifica a flessione deviata SLD §§ 4.2.4.1.2.3 - 4.2.4.1.2.6 - 4.2.4.1.2.7 - 4.2.4.1.2.8 NTC18

X	Comb.	Sfruttamento	Classe	Mx,Ed	Mx,Rd	My,Ed	My,Rd	Rid. Mx,Rd da VEd	Rid. My,Rd da VEd	α	β	px	py	Verifica
0.839	SLD 14	0.005	1	0.0896	23.5037	0.0247	33.3316	1	1			0	0	Si

Verifica a presso/tenso flessione retta X §§ 4.2.4.1.2.3 - 4.2.4.1.2.6 - 4.2.4.1.2.7 - 4.2.4.1.2.8 NTC18

Verifiche eseguite utilizzando la formula conservativa (6.2) §6.2.1 EN 1993-1-1:2005.

X	Comb.	Sfruttamento	Classe	NEd	NRd	Rid. NRd da VEd	Mx,Ed	Mx,Rd	Rid. Mx,Rd da VEd	Rid. Mx,Rd da NEd	px	py	Verifica
0.839	SLU 64	0.017	1	12.07	1003.522	1	0.1235	23.5037	1		0	0	Si

Verifica a presso/tenso flessione retta Y §§ 4.2.4.1.2.3 - 4.2.4.1.2.6 - 4.2.4.1.2.7 - 4.2.4.1.2.8 NTC18

Verifiche eseguite utilizzando la formula conservativa (6.2) §6.2.1 EN 1993-1-1:2005.

X	Comb.	Sfruttamento	Classe	NEd	NRd	Rid. NRd da VEd	My,Ed	My,Rd	Rid. My,Rd da VEd	Rid. My,Rd da NEd	px	py	Verifica
1.621	SLV 2	0.014	1	9.646	1003.522	1	-0.1428	33.3316	1		0	0	Si

Verifica a presso/tenso flessione retta Y SLD §§ 4.2.4.1.2.3 - 4.2.4.1.2.6 - 4.2.4.1.2.7 - 4.2.4.1.2.8 NTC18

Verifiche eseguite utilizzando la formula conservativa (6.2) §6.2.1 EN 1993-1-1:2005.

X	Comb.	Sfruttamento	Classe	NEd	NRd	Rid. NRd da VEd	My,Ed	My,Rd	Rid. My,Rd da VEd	Rid. My,Rd da NEd	px	py	Verifica
1.621	SLD 1	0.007	1	4.825	1003.522	1	-0.0577	33.3316	1		0	0	Si

Verifica a presso/tenso flessione deviata §§ 4.2.4.1.2.3 - 4.2.4.1.2.6 - 4.2.4.1.2.7 - 4.2.4.1.2.8 NTC18

Verifiche eseguite utilizzando la formula conservativa (6.2) §6.2.1 EN 1993-1-1:2005.

X	Comb.	Sfruttamento	Classe	NEd	NRd	Rid. NRd da VEd	Mx,Ed	Mx,Rd	My,Ed	My,Rd	Rid. Mx,Rd da VEd	Rid. Mx,Rd da NEd	Rid. My,Rd da VEd	Rid. My,Rd da NEd	α	β	px	py	Verifica
0.783	SLU 41	0.017	3	-7.597	1003.522	1	0.1066	12.886	0.0268	19.3536	1		1				0	0	Si

Verifica a presso/tenso flessione deviata SLD §§ 4.2.4.1.2.3 - 4.2.4.1.2.6 - 4.2.4.1.2.7 - 4.2.4.1.2.8 NTC18

Verifiche eseguite utilizzando la formula conservativa (6.2) §6.2.1 EN 1993-1-1:2005.

X	Comb.	Sfruttamento	Classe	NEd	NRd	Rid. NRd da VEd	Mx,Ed	Mx,Rd	My,Ed	My,Rd	Rid. Mx,Rd da VEd	Rid. Mx,Rd da NEd	Rid. My,Rd da VEd	Rid. My,Rd da NEd	α	β	px	py	Verifica
0.894	SLD 2	0.01	1	4.727	1003.522	1	0.0887	23.5037	-0.0461	33.3316	1		1				0	0	Si

Verifiche ad instabilità

Caratteristiche iniziali

Membratura principale per controllo snellezza; Calcolo di snellezze ed N critici condotti secondo gli assi principali;
 Curva X: c; Curva Y: c;

Implementazione dei sistemi di confinamento delle emissioni odorigene diffuse dell'impianto di compostaggio esistente nel
Comune di Eboli (SA)
PROGETTO DEFINITIVO – Tabulati di calcolo Tomo 1

Svergolamento: Nessuno; la verifica a instabilità flesso-torsionale (svergolamento) non verrà eseguita.

Dati per instabilità attorno a x

Controllo della snellezza secondo §4.2.4.1.3.1 NTC18

Numero rit.	Presente	Ascissa	Campata	$\beta x/m$	Vincolo a entrambi estremi	$\lambda x/m$	λVer
1	Si	0					
			1-2	1	Si	55.2	Si, (<200)
2	Si	1.677					

Dati per instabilità attorno a y

Controllo della snellezza secondo §4.2.4.1.3.1 NTC18

Numero rit.	Presente	Ascissa	Campata	$\beta y/n$	k,LT	kw,LT	Vincolo a entrambi estremi
1	Si	0					
			1-2	1	Si	40.7	Si, (<200)
2	Si	1.677					

Verifica di stabilità per pressoflessione §C.4.2.4.1.3.3.1 NTC18

X	Comb.	Sfruttamento	Classe	NEd	MxEq,Ed	MyEq,Ed	Area	Wx	Wy	χ_{min}	$\lambda_{adim. x/m}$	$\lambda_{adim. y/n}$	N,crit x/m	N,crit y/n	Verifica
0	SLV 15	0.023	3	-6.481	0.0753	0.1649	0.003832	0.0000492	0.0000739	0.764	0.636	0.469	2602.776	4783.72	Si

Verifica di stabilità per pressoflessione SLD §C.4.2.4.1.3.3.1 NTC18

X	Comb.	Sfruttamento	Classe	NEd	MxEq,Ed	MyEq,Ed	Area	Wx	Wy	χ_{min}	$\lambda_{adim. x/m}$	$\lambda_{adim. y/n}$	N,crit x/m	N,crit y/n	Verifica
0	SLD 15	0.007	1	-1.661	0.0753	0.0621	0.003832	0.0000897	0.0001273	0.764	0.636	0.469	2602.776	4783.72	Si

Verifiche a deformabilità

Mensola X: No; Mensola Y: No.

Frecce lungo X

Ascissa freccia	Combinazione	Freccia	Luce	L/f	L/f,min	Tipo	Verifica
1.118	SLE RA 1	0	1.677	10000	250	Totale	Si
1.118	SLE RA 17	0	1.677	10000	250	Totale	Si
1.118	SLE RA 16	0	1.677	10000	250	Totale	Si
1.006	SLE RA 15	0	1.677	10000	250	Totale	Si
0.671	SLE RA 14	0	1.677	10000	250	Totale	Si
1.174	SLE RA 2	0	1.677	10000	350	Variabile	Si
1.174	SLE RA 17	0	1.677	10000	350	Variabile	Si
1.174	SLE RA 16	0	1.677	10000	350	Variabile	Si
0.95	SLE RA 15	0	1.677	10000	350	Variabile	Si
0.839	SLE RA 14	0	1.677	10000	350	Variabile	Si

Frecce lungo Y

Ascissa freccia	Combinazione	Freccia	Luce	L/f	L/f,min	Tipo	Verifica
0.839	SLE RA 1	0.00004	1.677	10000	250	Totale	Si
0.839	SLE RA 17	0.00003	1.677	10000	250	Totale	Si
0.839	SLE RA 16	0.00003	1.677	10000	250	Totale	Si
0.839	SLE RA 15	0.00004	1.677	10000	250	Totale	Si
0.839	SLE RA 14	0.00003	1.677	10000	250	Totale	Si
0.95	SLE RA 2	0	1.677	10000	350	Variabile	Si
0.95	SLE RA 17	0	1.677	10000	350	Variabile	Si
0.95	SLE RA 16	0	1.677	10000	350	Variabile	Si
1.006	SLE RA 15	0	1.677	10000	350	Variabile	Si
0.95	SLE RA 14	-0.00001	1.677	10000	350	Variabile	Si

Superelemento in acciaio a quota "640"- "715" (-1379; -742)-(-1270; -845)

Caratteristiche del materiale

Acciaio: S275, fyk = 275000

Caratteristiche geometriche

Lunghezza: 1.677

Nodo iniziale: 545 Nodo finale: 2031

Cerniera iniziale: Mmomenti 1% Cerniera finale: Mmomenti 1%

Sovraresistenza: 0% Sisma Z: No

Caratteristiche della sezione

Sezione	Rotazione	Area	Jx	Jy	ix	iy	Wx	Wy	Wplx	Wply
A1; L100*10; 1; Saldato; S275; 50; 1; 8; 8; 1	180	0.003832	0.0000035319	0.000007759	0.0304	0.045	0.0000492	0.0000739	0.00008974	0.00012727

Comportamento dei calastrelli

Accoppiamento imbottito con funzione statica (§C4.2.4.1.3.1.4 NTC18) nella campata compresa tra le ascisse 0 e 1.677 per sbandamento attorno all'asse y.

Verifiche di resistenza

Verifiche a forza assiale §4.2.4.1.2.1 - §4.2.4.1.2.2 NTC18

X	Comb.	Sfruttamento	Classe	NEd	Nc,Rd	Nt,Rd	Riduzione da taglio	px	py	Verifica
0	SLU 41	0.008	3	-7.911	1003.522		1	0	0	Si

Verifiche a forza assiale SLD §4.2.4.1.2.1 - §4.2.4.1.2.2 NTC18

X	Comb.	Sfruttamento	Classe	NEd	Nc,Rd	Nt,Rd	Riduzione da taglio	px	py	Verifica
0	SLD 5	0.002	1	-2.251	1003.522		1	0	0	Si

Implementazione dei sistemi di confinamento delle emissioni odorigene diffuse dell'impianto di compostaggio esistente nel
Comune di Eboli (SA)
PROGETTO DEFINITIVO – Tabulati di calcolo Tomo 1

Verifica a taglio X §4.2.4.1.2.4 NTC18

X	Comb.	Sfruttamento	VEd	Vc,Rd	Av	Interazione taglio-torsione	Riduzione torsione	Verifica
0	SLV 1	0.001	-0.236	302.422	0.002	Non considerata		Si

Verifica a taglio Y §4.2.4.1.2.4 NTC18

X	Comb.	Sfruttamento	VEd	Vc,Rd	Av	Interazione taglio-torsione	Riduzione torsione	Verifica
0	SLU 42	0.001	-0.294	302.422	0.002	Non considerata		Si

Verifica a taglio Y SLD §4.2.4.1.2.4 NTC18

X	Comb.	Sfruttamento	VEd	Vc,Rd	Av	Interazione taglio-torsione	Riduzione torsione	Verifica
0	SLD 16	0.001	-0.226	302.422	0.002	Non considerata		Si

Verifica a flessione semplice X §§ 4.2.4.1.2.3 - 4.2.4.1.2.6 - 4.2.4.1.2.7 - 4.2.4.1.2.8 NTC18

X	Comb.	Sfruttamento	Classe	Mx,Ed	Mx,Rd	Rid. Mx,Rd da VEd	px	py	Verifica
1.118	SLU 35	0.004	1	0.08405	23.50374	1	0	0	Si

Verifica a flessione semplice Y §§ 4.2.4.1.2.3 - 4.2.4.1.2.6 - 4.2.4.1.2.7 - 4.2.4.1.2.8 NTC18

X	Comb.	Sfruttamento	Classe	My,Ed	My,Rd	Rid. My,Rd da VEd	px	py	Verifica
0	SLV 13	0.002	1	0.05096	33.33162	1	0	0	Si

Verifica a flessione semplice Y SLD §§ 4.2.4.1.2.3 - 4.2.4.1.2.6 - 4.2.4.1.2.7 - 4.2.4.1.2.8 NTC18

X	Comb.	Sfruttamento	Classe	My,Ed	My,Rd	Rid. My,Rd da VEd	px	py	Verifica
0	SLD 15	0.001	1	0.03785	33.33162	1	0	0	Si

Verifica a flessione deviata §§ 4.2.4.1.2.3 - 4.2.4.1.2.6 - 4.2.4.1.2.7 - 4.2.4.1.2.8 NTC18

X	Comb.	Sfruttamento	Classe	Mx,Ed	Mx,Rd	My,Ed	My,Rd	Rid. Mx,Rd da VEd	Rid. My,Rd da VEd	α	β	px	py	Verifica
0.503	SLV 14	0.005	1	0.0795	23.5037	0.0475	33.3316	1	1			0	0	Si

Verifica a flessione deviata SLD §§ 4.2.4.1.2.3 - 4.2.4.1.2.6 - 4.2.4.1.2.7 - 4.2.4.1.2.8 NTC18

X	Comb.	Sfruttamento	Classe	Mx,Ed	Mx,Rd	My,Ed	My,Rd	Rid. Mx,Rd da VEd	Rid. My,Rd da VEd	α	β	px	py	Verifica
0.839	SLD 16	0.005	1	0.0948	23.5037	0.0336	33.3316	1	1			0	0	Si

Verifica a presso/tenso flessione retta X §§ 4.2.4.1.2.3 - 4.2.4.1.2.6 - 4.2.4.1.2.7 - 4.2.4.1.2.8 NTC18

Verifiche eseguite utilizzando la formula conservativa (6.2) §6.2.1 EN 1993-1-1:2005.

X	Comb.	Sfruttamento	Classe	NEd	NRd	Rid. NRd da VEd	Mx,Ed	Mx,Rd	Rid. Mx,Rd da VEd	Rid. Mx,Rd da NEd	px	py	Verifica
0.839	SLU 64	0.01	1	5.156	1003.522	1	0.1231	23.5037	1		0	0	Si

Verifica a presso/tenso flessione retta Y §§ 4.2.4.1.2.3 - 4.2.4.1.2.6 - 4.2.4.1.2.7 - 4.2.4.1.2.8 NTC18

Verifiche eseguite utilizzando la formula conservativa (6.2) §6.2.1 EN 1993-1-1:2005.

X	Comb.	Sfruttamento	Classe	NEd	NRd	Rid. NRd da VEd	My,Ed	My,Rd	Rid. My,Rd da VEd	Rid. My,Rd da NEd	px	py	Verifica
0	SLU 41	0.009	3	-7.911	1003.522	1	0.027	19.3536	1		0	0	Si

Verifica a presso/tenso flessione retta Y SLD §§ 4.2.4.1.2.3 - 4.2.4.1.2.6 - 4.2.4.1.2.7 - 4.2.4.1.2.8 NTC18

Verifiche eseguite utilizzando la formula conservativa (6.2) §6.2.1 EN 1993-1-1:2005.

X	Comb.	Sfruttamento	Classe	NEd	NRd	Rid. NRd da VEd	My,Ed	My,Rd	Rid. My,Rd da VEd	Rid. My,Rd da NEd	px	py	Verifica
0	SLD 1	0.004	1	-2.245	1003.522	1	-0.0455	33.3316	1		0	0	Si

Verifica a presso/tenso flessione deviata §§ 4.2.4.1.2.3 - 4.2.4.1.2.6 - 4.2.4.1.2.7 - 4.2.4.1.2.8 NTC18

Verifiche eseguite utilizzando la formula conservativa (6.2) §6.2.1 EN 1993-1-1:2005.

X	Comb.	Sfruttamento	Classe	NEd	NRd	Rid. NRd da VEd	Mx,Ed	Mx,Rd	My,Ed	My,Rd	Rid. Mx,Rd da VEd	Rid. Mx,Rd da NEd	Rid. My,Rd da VEd	Rid. My,Rd da NEd	α	β	px	py	Verifica
0.839	SLU 41	0.019	3	-7.765	1003.522	1	0.1223	12.886	-0.0273	19.3536	1		1				0	0	Si

Verifica a presso/tenso flessione deviata SLD §§ 4.2.4.1.2.3 - 4.2.4.1.2.6 - 4.2.4.1.2.7 - 4.2.4.1.2.8 NTC18

Verifiche eseguite utilizzando la formula conservativa (6.2) §6.2.1 EN 1993-1-1:2005.

X	Comb.	Sfruttamento	Classe	NEd	NRd	Rid. NRd da VEd	Mx,Ed	Mx,Rd	My,Ed	My,Rd	Rid. Mx,Rd da VEd	Rid. Mx,Rd da NEd	Rid. My,Rd da VEd	Rid. My,Rd da NEd	α	β	px	py	Verifica
0.839	SLD 2	0.007	1	-2.133	1003.522	1	0.0939	23.5037	-0.044	33.3316	1		1				0	0	Si

Verifiche ad instabilità

Caratteristiche iniziali

Membratura principale per controllo snellezza; Calcolo di snellezze ed N critici condotti secondo gli assi principali;

Curva X: c; Curva Y: c;

Svergolamento: Nessuno; la verifica a instabilità flesso-torsionale (svergolamento) non verrà eseguita.

Dati per instabilità attorno a x

Controllo della snellezza secondo §4.2.4.1.3.1 NTC18

Numero rit.	Presente	Ascissa	Campata	βx/m	Vincolo a entrambi estremi	λx/m	λVer
1	Si	0					
			1-2		1	55.2	Si, (<200)
2	Si	1.677					

Dati per instabilità attorno a y

Controllo della snellezza secondo §4.2.4.1.3.1 NTC18

Numero rit.	Presente	Ascissa	Campata	βy/n	k,LT	kw,LT	Vincolo a entrambi estremi
1	Si	0					
			1-2		1	40.7	Si, (<200)
2	Si	1.677					

Verifica di stabilità per pressoflessione §C.4.2.4.1.3.3.1 NTC18

X	Comb.	Sfruttamento	Classe	NEd	MxEq,Ed	MyEq,Ed	Area	Wx	Wy	χ,min	λ adim. x/m	λ adim. y/n	N,crit x/m	N,crit y/n	Verifica
0	SLU 41	0.02	3	-7.911	0.1056	-0.0274	0.003832	0.0000492	0.0000739	0.764	0.636	0.469	2602.776	4783.72	Si

Implementazione dei sistemi di confinamento delle emissioni odorigene diffuse dell'impianto di compostaggio esistente nel
Comune di Eboli (SA)
PROGETTO DEFINITIVO – Tabulati di calcolo Tomo 1

Verifica di stabilità per pressoflessione SLD §C.4.2.4.1.3.3.1 NTC18

X	Comb.	Sfruttamento	Classe	NEd	MxEq,Ed	MyEq,Ed	Area	Wx	Wy	x,min	λ adim. x/m	λ adim. y/n	N,crit x/m	N,crit y/n	Verifica
0	SLD 3	0.01	3	-1.746	0.0813	-0.0277	0.003832	0.0000492	0.0000739	0.764	0.636	0.469	2602.776	4783.72	Si

Verifiche a deformabilità

Mensola X: No; Mensola Y: No.

Frecce lungo X

Ascissa freccia	Combinazione	Freccia	Luce	L/f	L/f,min	Tipo	Verifica
0.95	SLE RA 1	0	1.677	10000	250	Totale	Si
0.95	SLE RA 17	0	1.677	10000	250	Totale	Si
0.95	SLE RA 16	0	1.677	10000	250	Totale	Si
0.95	SLE RA 15	0	1.677	10000	250	Totale	Si
0.95	SLE RA 14	0	1.677	10000	250	Totale	Si
0.95	SLE RA 2	0	1.677	10000	350	Variabile	Si
0.95	SLE RA 17	0	1.677	10000	350	Variabile	Si
0.95	SLE RA 16	0	1.677	10000	350	Variabile	Si
0.95	SLE RA 15	0	1.677	10000	350	Variabile	Si
0.95	SLE RA 14	0	1.677	10000	350	Variabile	Si

Frecce lungo Y

Ascissa freccia	Combinazione	Freccia	Luce	L/f	L/f,min	Tipo	Verifica
0.839	SLE RA 1	0.00004	1.677	10000	250	Totale	Si
0.839	SLE RA 17	0.00004	1.677	10000	250	Totale	Si
0.839	SLE RA 16	0.00004	1.677	10000	250	Totale	Si
0.839	SLE RA 15	0.00004	1.677	10000	250	Totale	Si
0.839	SLE RA 14	0.00004	1.677	10000	250	Totale	Si
0.783	SLE RA 2	0	1.677	10000	350	Variabile	Si
0.783	SLE RA 17	0	1.677	10000	350	Variabile	Si
0.783	SLE RA 16	0	1.677	10000	350	Variabile	Si
0.894	SLE RA 15	0	1.677	10000	350	Variabile	Si
1.118	SLE RA 14	0	1.677	10000	350	Variabile	Si

Superelemento in acciaio a quota "640"- "728" (32; 974)-(142; 872)

Caratteristiche del materiale

Acciaio: S275, fyk = 275000

Caratteristiche geometriche

Lunghezza: 1.737

Nodo iniziale: 862 Nodo finale: 2287

Cerniera iniziale: Mmomenti 1% Cerniera finale: Mmomenti 1%

Sovreresistenza: 0% Sisma Z: No

Caratteristiche della sezione

Sezione	Rotazione	Area	Jx	Jy	ix	iy	Wx	Wy	Wplx	Wply
A1; L100*10; 1; Saldato; S275; 50; 1; 8; 8; 1	180	0.003832	0.0000035319	0.000007759	0.0304	0.045	0.0000492	0.0000739	0.00008974	0.00012727

Comportamento dei calastrelli

Accoppiamento imbottito con funzione statica (§C4.2.4.1.3.1.4 NTC18) nella campata compresa tra le ascisse 0 e 1.737 per sbandamento attorno all'asse y.

Verifiche di resistenza

Verifiche a forza assiale §4.2.4.1.2.1 - §4.2.4.1.2.2 NTC18

X	Comb.	Sfruttamento	Classe	NEd	Nc,Rd	Nt,Rd	Riduzione da taglio	px	py	Verifica
0	SLU 75	0.052	3	-52.122	1003.522		1	0	0	Si

Verifiche a forza assiale SLD §4.2.4.1.2.1 - §4.2.4.1.2.2 NTC18

X	Comb.	Sfruttamento	Classe	NEd	Nc,Rd	Nt,Rd	Riduzione da taglio	px	py	Verifica
0	SLD 1	0.016	3	-15.655	1003.522		1	0	0	Si

Verifica a taglio X §4.2.4.1.2.4 NTC18

X	Comb.	Sfruttamento	VEd	Vc,Rd	Av	Interazione taglio-torsione	Riduzione torsione	Verifica
0	SLV 2	0.002	-0.715	302.422	0.002	Non considerata		Si

Verifica a taglio X SLD §4.2.4.1.2.4 NTC18

X	Comb.	Sfruttamento	VEd	Vc,Rd	Av	Interazione taglio-torsione	Riduzione torsione	Verifica
0	SLD 1	0.001	-0.344	302.422	0.002	Non considerata		Si

Verifica a taglio Y §4.2.4.1.2.4 NTC18

X	Comb.	Sfruttamento	VEd	Vc,Rd	Av	Interazione taglio-torsione	Riduzione torsione	Verifica
1.737	SLU 75	0.001	0.31	302.422	0.002	Non considerata		Si

Verifica a taglio Y SLD §4.2.4.1.2.4 NTC18

X	Comb.	Sfruttamento	VEd	Vc,Rd	Av	Interazione taglio-torsione	Riduzione torsione	Verifica
1.737	SLD 2	0.001	0.231	302.422	0.002	Non considerata		Si

Verifica a flessione semplice X §§ 4.2.4.1.2.3 - 4.2.4.1.2.6 - 4.2.4.1.2.7 - 4.2.4.1.2.8 NTC18

X	Comb.	Sfruttamento	Classe	Mx,Ed	Mx,Rd	Rid. Mx,Rd da VEd	px	py	Verifica
1.563	SLU 59	0.002	1	0.05102	23.50374	1	0	0	Si

**Implementazione dei sistemi di confinamento delle emissioni odorigene diffuse dell'impianto di compostaggio esistente nel
Comune di Eboli (SA)
PROGETTO DEFINITIVO – Tabulati di calcolo Tomo 1**

Verifica a presso/tenso flessione retta X §§ 4.2.4.1.2.3 - 4.2.4.1.2.6 - 4.2.4.1.2.7 - 4.2.4.1.2.8 NTC18

Verifiche eseguite utilizzando la formula conservativa (6.2) §6.2.1 EN 1993-1-1:2005.

X	Comb.	Sfruttamento	Classe	NEd	NRd	Rid. NRd da VEd	Mx,Ed	Mx,Rd	Rid. Mx,Rd da VEd	Rid. Mx,Rd da NEd	px	py	Verifica
0.926	SLU 2	0.011	1	6.398	1003.522	1	0.1019	23.5037	1		0	0	Si

Verifica a presso/tenso flessione retta Y §§ 4.2.4.1.2.3 - 4.2.4.1.2.6 - 4.2.4.1.2.7 - 4.2.4.1.2.8 NTC18

Verifiche eseguite utilizzando la formula conservativa (6.2) §6.2.1 EN 1993-1-1:2005.

X	Comb.	Sfruttamento	Classe	NEd	NRd	Rid. NRd da VEd	My,Ed	My,Rd	Rid. My,Rd da VEd	Rid. My,Rd da NEd	px	py	Verifica
0	SLU 75	0.061	3	-52.122	1003.522	1	0.1838	19.3536	1		0	0	Si

Verifica a presso/tenso flessione retta Y SLD §§ 4.2.4.1.2.3 - 4.2.4.1.2.6 - 4.2.4.1.2.7 - 4.2.4.1.2.8 NTC18

Verifiche eseguite utilizzando la formula conservativa (6.2) §6.2.1 EN 1993-1-1:2005.

X	Comb.	Sfruttamento	Classe	NEd	NRd	Rid. NRd da VEd	My,Ed	My,Rd	Rid. My,Rd da VEd	Rid. My,Rd da NEd	px	py	Verifica
1.679	SLD 1	0.024	3	-15.4	1003.522	1	-0.158	19.3536	1		0	0	Si

Verifica a presso/tenso flessione deviata §§ 4.2.4.1.2.3 - 4.2.4.1.2.6 - 4.2.4.1.2.7 - 4.2.4.1.2.8 NTC18

Verifiche eseguite utilizzando la formula conservativa (6.2) §6.2.1 EN 1993-1-1:2005.

X	Comb.	Sfruttamento	Classe	NEd	NRd	Rid. NRd da VEd	Mx,Ed	Mx,Rd	My,Ed	My,Rd	Rid. Mx,Rd da VEd	Rid. Mx,Rd da NEd	Rid. My,Rd da VEd	Rid. My,Rd da NEd	α	β	px	py	Verifica
0.81	SLU 75	0.07	3	-51.963	1003.522	1	0.1119	12.886	0.184	19.3536	1		1				0	0	Si

Verifica a presso/tenso flessione deviata SLD §§ 4.2.4.1.2.3 - 4.2.4.1.2.6 - 4.2.4.1.2.7 - 4.2.4.1.2.8 NTC18

Verifiche eseguite utilizzando la formula conservativa (6.2) §6.2.1 EN 1993-1-1:2005.

X	Comb.	Sfruttamento	Classe	NEd	NRd	Rid. NRd da VEd	Mx,Ed	Mx,Rd	My,Ed	My,Rd	Rid. Mx,Rd da VEd	Rid. Mx,Rd da NEd	Rid. My,Rd da VEd	Rid. My,Rd da NEd	α	β	px	py	Verifica
0.984	SLD 2	0.029	3	-15.506	1003.522	1	0.0902	12.886	-0.1234	19.3536	1		1				0	0	Si

Verifiche ad instabilità

Caratteristiche iniziali

Membratura principale per controllo snellezza; Calcolo di snellezze ed N critici condotti secondo gli assi principali;

Curva X: c; Curva Y: c;

Svergolamento: Nessuno; la verifica a instabilità flesso-torsionale (svergolamento) non verrà eseguita.

Dati per instabilità attorno a x

Controllo della snellezza secondo §4.2.4.1.3.1 NTC18

Numero rit.	Presente	Ascissa	Campata	βx/m	Vincolo a entrambi estremi	λx/m	λVer
1	Si	0					
			1-2	1	Si	57.2	Si, (<200)
2	Si	1.737					

Dati per instabilità attorno a y

Controllo della snellezza secondo §4.2.4.1.3.1 NTC18

Numero rit.	Presente	Ascissa	Campata	βy/n	k,LT	kw,LT	Vincolo a entrambi estremi
1	Si	0					
			1-2	1	Si	42	Si, (<200)
2	Si	1.737					

Verifica di stabilità per pressoflessione §C.4.2.4.1.3.3.1 NTC18

X	Comb.	Sfruttamento	Classe	NEd	MxEq,Ed	MyEq,Ed	Area	Wx	Wy	χ,min	λ adim. x/m	λ adim. y/n	N,crit x/m	N,crit y/n	Verifica
0	SLU 75	0.086	3	-52.122	0.0896	0.1841	0.003832	0.0000492	0.0000739	0.75	0.659	0.483	2427.459	4511.143	Si

Verifica di stabilità per pressoflessione SLD §C.4.2.4.1.3.3.1 NTC18

X	Comb.	Sfruttamento	Classe	NEd	MxEq,Ed	MyEq,Ed	Area	Wx	Wy	χ,min	λ adim. x/m	λ adim. y/n	N,crit x/m	N,crit y/n	Verifica
0	SLD 1	0.035	3	-15.655	0.0778	-0.1538	0.003832	0.0000492	0.0000739	0.75	0.659	0.483	2427.459	4511.143	Si

Verifiche a deformabilità

Mensola X: No; Mensola Y: No.

Frecce lungo X

Ascissa freccia	Combinazione	Freccia	Luce	L/f	L/f,min	Tipo	Verifica
0.926	SLE RA 1	0	1.737	10000	250	Totale	Si
0.926	SLE RA 17	0	1.737	10000	250	Totale	Si
0.926	SLE RA 16	0	1.737	10000	250	Totale	Si
0.926	SLE RA 15	0	1.737	10000	250	Totale	Si
0.926	SLE RA 14	0	1.737	10000	250	Totale	Si
0.926	SLE RA 2	0	1.737	10000	350	Variabile	Si
0.926	SLE RA 17	0	1.737	10000	350	Variabile	Si
0.926	SLE RA 16	0	1.737	10000	350	Variabile	Si
0.984	SLE RA 15	0	1.737	10000	350	Variabile	Si
0.926	SLE RA 14	0	1.737	10000	350	Variabile	Si

Frecce lungo Y

Ascissa freccia	Combinazione	Freccia	Luce	L/f	L/f,min	Tipo	Verifica
0.868	SLE RA 1	0.00004	1.737	10000	250	Totale	Si
0.868	SLE RA 17	0.00004	1.737	10000	250	Totale	Si
0.868	SLE RA 16	0.00004	1.737	10000	250	Totale	Si
0.868	SLE RA 15	0.00004	1.737	10000	250	Totale	Si
0.868	SLE RA 14	0.00004	1.737	10000	250	Totale	Si
0.984	SLE RA 2	0	1.737	10000	350	Variabile	Si
0.984	SLE RA 17	0	1.737	10000	350	Variabile	Si
0.984	SLE RA 16	0	1.737	10000	350	Variabile	Si
1.158	SLE RA 15	0	1.737	10000	350	Variabile	Si
0.984	SLE RA 14	0	1.737	10000	350	Variabile	Si

Implementazione dei sistemi di confinamento delle emissioni odorigene diffuse dell'impianto di compostaggio esistente nel
Comune di Eboli (SA)
PROGETTO DEFINITIVO – Tabulati di calcolo Tomo 1

Superelemento in acciaio a quota "640"- "728" (292; 1248)-(401; 1145)

Caratteristiche del materiale

Acciaio: S275, fyk = 275000

Caratteristiche geometriche

Lunghezza: 1.737

Nodo iniziale: 917 Nodo finale: 2297

Cerniera iniziale: Mmomenti 1% Cerniera finale: Mmomenti 1%

Sovreresistenza: 0% Sisma Z: No

Caratteristiche della sezione

Sezione	Rotazione	Area	Jx	Jy	ix	iy	Wx	Wy	Wplx	Wply
A1; L100*10; 1; Saldato; S275; 50; 1; 8; 8; 1	180	0.003832	0.0000035319	0.000007759	0.0304	0.045	0.0000492	0.0000739	0.00008974	0.00012727

Comportamento dei calastrelli

Accoppiamento imbottito con funzione statica (§C4.2.4.1.3.1.4 NTC18) nella campata compresa tra le ascisse 0 e 1.737 per sbandamento attorno all'asse y.

Verifiche di resistenza

Verifiche a forza assiale §4.2.4.1.2.1 - §4.2.4.1.2.2 NTC18

X	Comb.	Sfruttamento	Classe	NEd	Nc,Rd	Nt,Rd	Riduzione da taglio	px	py	Verifica
0	SLU 63	0.029	3	-29.01	1003.522		1	0	0	Si

Verifiche a forza assiale SLD §4.2.4.1.2.1 - §4.2.4.1.2.2 NTC18

X	Comb.	Sfruttamento	Classe	NEd	Nc,Rd	Nt,Rd	Riduzione da taglio	px	py	Verifica
0	SLD 1	0.009	3	-8.932	1003.522		1	0	0	Si

Verifica a taglio X §4.2.4.1.2.4 NTC18

X	Comb.	Sfruttamento	VEd	Vc,Rd	Av	Interazione taglio-torsione	Riduzione torsione	Verifica
0	SLV 1	0.002	-0.545	302.422	0.002	Non considerata		Si

Verifica a taglio X SLD §4.2.4.1.2.4 NTC18

X	Comb.	Sfruttamento	VEd	Vc,Rd	Av	Interazione taglio-torsione	Riduzione torsione	Verifica
0	SLD 1	0.001	-0.24	302.422	0.002	Non considerata		Si

Verifica a taglio Y §4.2.4.1.2.4 NTC18

X	Comb.	Sfruttamento	VEd	Vc,Rd	Av	Interazione taglio-torsione	Riduzione torsione	Verifica
1.737	SLU 75	0.001	0.314	302.422	0.002	Non considerata		Si

Verifica a taglio Y SLD §4.2.4.1.2.4 NTC18

X	Comb.	Sfruttamento	VEd	Vc,Rd	Av	Interazione taglio-torsione	Riduzione torsione	Verifica
1.737	SLD 2	0.001	0.232	302.422	0.002	Non considerata		Si

Verifica a flessione semplice X §§ 4.2.4.1.2.3 - 4.2.4.1.2.6 - 4.2.4.1.2.7 - 4.2.4.1.2.8 NTC18

X	Comb.	Sfruttamento	Classe	Mx,Ed	Mx,Rd	Rid. Mx,Rd da VEd	px	py	Verifica
0.868	SLU 59	0.006	1	0.12983	23.50374	1	0	0	Si

Verifica a presso/tenso flessione retta X §§ 4.2.4.1.2.3 - 4.2.4.1.2.6 - 4.2.4.1.2.7 - 4.2.4.1.2.8 NTC18

Verifiche eseguite utilizzando la formula conservativa (6.2) §6.2.1 EN 1993-1-1:2005.

X	Comb.	Sfruttamento	Classe	NEd	NRd	Rid. NRd da VEd	Mx,Ed	Mx,Rd	Rid. Mx,Rd da VEd	Rid. Mx,Rd da NEd	px	py	Verifica
0.926	SLU 42	0.016	1	10.923	1003.522	1	0.1307	23.5037	1		0	0	Si

Verifica a presso/tenso flessione retta Y §§ 4.2.4.1.2.3 - 4.2.4.1.2.6 - 4.2.4.1.2.7 - 4.2.4.1.2.8 NTC18

Verifiche eseguite utilizzando la formula conservativa (6.2) §6.2.1 EN 1993-1-1:2005.

X	Comb.	Sfruttamento	Classe	NEd	NRd	Rid. NRd da VEd	My,Ed	My,Rd	Rid. My,Rd da VEd	Rid. My,Rd da NEd	px	py	Verifica
0	SLU 63	0.034	3	-29.01	1003.522	1	0.1018	19.3536	1		0	0	Si

Verifica a presso/tenso flessione retta Y SLD §§ 4.2.4.1.2.3 - 4.2.4.1.2.6 - 4.2.4.1.2.7 - 4.2.4.1.2.8 NTC18

Verifiche eseguite utilizzando la formula conservativa (6.2) §6.2.1 EN 1993-1-1:2005.

X	Comb.	Sfruttamento	Classe	NEd	NRd	Rid. NRd da VEd	My,Ed	My,Rd	Rid. My,Rd da VEd	Rid. My,Rd da NEd	px	py	Verifica
1.679	SLD 1	0.014	3	-8.678	1003.522	1	-0.1057	19.3536	1		0	0	Si

Verifica a presso/tenso flessione deviata §§ 4.2.4.1.2.3 - 4.2.4.1.2.6 - 4.2.4.1.2.7 - 4.2.4.1.2.8 NTC18

Verifiche eseguite utilizzando la formula conservativa (6.2) §6.2.1 EN 1993-1-1:2005.

X	Comb.	Sfruttamento	Classe	NEd	NRd	Rid. NRd da VEd	Mx,Ed	Mx,Rd	My,Ed	My,Rd	Rid. Mx,Rd da VEd	Rid. Mx,Rd da NEd	Rid. My,Rd da VEd	Rid. My,Rd da NEd	α	β	px	py	Verifica
0.81	SLU 63	0.043	3	-28.851	1003.522	1	0.1114	12.886	0.101	19.3536	1		1				0	0	Si

Verifica a presso/tenso flessione deviata SLD §§ 4.2.4.1.2.3 - 4.2.4.1.2.6 - 4.2.4.1.2.7 - 4.2.4.1.2.8 NTC18

Verifiche eseguite utilizzando la formula conservativa (6.2) §6.2.1 EN 1993-1-1:2005.

X	Comb.	Sfruttamento	Classe	NEd	NRd	Rid. NRd da VEd	Mx,Ed	Mx,Rd	My,Ed	My,Rd	Rid. Mx,Rd da VEd	Rid. Mx,Rd da NEd	Rid. My,Rd da VEd	Rid. My,Rd da NEd	α	β	px	py	Verifica
0.926	SLD 2	0.02	3	-8.792	1003.522	1	0.0911	12.886	-0.0737	19.3536	1		1				0	0	Si

Verifiche ad instabilità

Caratteristiche iniziali

Membratura principale per controllo snellezza; Calcolo di snellezze ed N critici condotti secondo gli assi principali;

Implementazione dei sistemi di confinamento delle emissioni odorigene diffuse dell'impianto di compostaggio esistente nel
Comune di Eboli (SA)
PROGETTO DEFINITIVO – Tabulati di calcolo Tomo 1

Curva X: c; Curva Y: c;
Svergolamento: Nessuno; la verifica a instabilità flessione-torsionale (svergolamento) non verrà eseguita.
Dati per instabilità attorno a x

Controllo della snellezza secondo §4.2.4.1.3.1 NTC18

Numero rit.	Presente	Ascissa	Campata	$\beta x/m$	Vincolo a entrambi estremi	$\lambda x/m$	λVer
1	Si	0					
			1-2	1	Si	57.2	Si, (<200)
2	Si	1.737					

Dati per instabilità attorno a y

Controllo della snellezza secondo §4.2.4.1.3.1 NTC18

Numero rit.	Presente	Ascissa	Campata	$\beta y/n$	k,LT	kw,LT	Vincolo a entrambi estremi
1	Si	0					
			1-2	1	Si	42	Si, (<200)
2	Si	1.737					

Verifica di stabilità per pressoflessione §C.4.2.4.1.3.3.1 NTC18

X	Comb.	Sfruttamento	Classe	NEd	MxEq,Ed	MyEq,Ed	Area	Wx	Wy	χ_{min}	$\lambda_{adim. x/m}$	$\lambda_{adim. y/n}$	N,crit x/m	N,crit y/n	Verifica
0	SLU 63	0.05	3	-29.01	0.0889	0.0922	0.003832	0.0000492	0.0000739	0.75	0.659	0.483	2427.459	4511.143	Si

Verifica di stabilità per pressoflessione SLD §C.4.2.4.1.3.3.1 NTC18

X	Comb.	Sfruttamento	Classe	NEd	MxEq,Ed	MyEq,Ed	Area	Wx	Wy	χ_{min}	$\lambda_{adim. x/m}$	$\lambda_{adim. y/n}$	N,crit x/m	N,crit y/n	Verifica
0	SLD 1	0.023	3	-8.932	0.077	-0.0912	0.003832	0.0000492	0.0000739	0.75	0.659	0.483	2427.459	4511.143	Si

Verifiche a deformabilità

Mensola X: No; Mensola Y: No.

Frecce lungo X

Ascissa freccia	Combinazione	Freccia	Luce	L/f	L/f,min	Tipo	Verifica
0.868	SLE RA 1	0	1.737	10000	250	Totale	Si
0.868	SLE RA 17	0	1.737	10000	250	Totale	Si
0.868	SLE RA 16	0	1.737	10000	250	Totale	Si
0.868	SLE RA 15	0	1.737	10000	250	Totale	Si
0.868	SLE RA 14	0	1.737	10000	250	Totale	Si
0.868	SLE RA 2	0	1.737	10000	350	Variabile	Si
0.868	SLE RA 17	0	1.737	10000	350	Variabile	Si
0.868	SLE RA 16	0	1.737	10000	350	Variabile	Si
0.868	SLE RA 15	0	1.737	10000	350	Variabile	Si
0.868	SLE RA 14	0	1.737	10000	350	Variabile	Si

Frecce lungo Y

Ascissa freccia	Combinazione	Freccia	Luce	L/f	L/f,min	Tipo	Verifica
0.868	SLE RA 1	0.00004	1.737	10000	250	Totale	Si
0.868	SLE RA 17	0.00004	1.737	10000	250	Totale	Si
0.868	SLE RA 16	0.00004	1.737	10000	250	Totale	Si
0.868	SLE RA 15	0.00004	1.737	10000	250	Totale	Si
0.868	SLE RA 14	0.00004	1.737	10000	250	Totale	Si
0.984	SLE RA 2	0	1.737	10000	350	Variabile	Si
0.984	SLE RA 17	0	1.737	10000	350	Variabile	Si
0.984	SLE RA 16	0	1.737	10000	350	Variabile	Si
0.984	SLE RA 15	0	1.737	10000	350	Variabile	Si
0.984	SLE RA 14	0	1.737	10000	350	Variabile	Si

Superelemento in acciaio a quota "640"- "728" (546; 1518)-(655; 1415)

Caratteristiche del materiale

Acciaio: S275, fyk = 275000

Caratteristiche geometriche

Lunghezza: 1.737

Nodo iniziale: 973 Nodo finale: 2310

Cerniera iniziale: Mmomenti 1% Cerniera finale: Mmomenti 1%

Sovreresistenza: 0% Sisma Z: No

Caratteristiche della sezione

Sezione	Rotazione	Area	Jx	Jy	ix	iy	Wx	Wy	Wplx	Wply
A1; L100*10; 1; Saldato; S275; 50; 1; 8; 8; 1	180	0.003832	0.0000035319	0.000007759	0.0304	0.045	0.0000492	0.0000739	0.00008974	0.00012727

Comportamento dei calastrelli

Accoppiamento imbottito con funzione statica (§C4.2.4.1.3.1.4 NTC18) nella campata compresa tra le ascisse 0 e 1.737 per sbandamento attorno all'asse y.

Verifiche di resistenza

Verifiche a forza assiale §4.2.4.1.2.1 - §4.2.4.1.2.2 NTC18

X	Comb.	Sfruttamento	Classe	NEd	Nc,Rd	Nt,Rd	Riduzione da taglio	px	py	Verifica
1.737	SLU 64	0.019		18.596		1003.522	1	0	0	Si

Verifiche a forza assiale SLD §4.2.4.1.2.1 - §4.2.4.1.2.2 NTC18

X	Comb.	Sfruttamento	Classe	NEd	Nc,Rd	Nt,Rd	Riduzione da taglio	px	py	Verifica
1.737	SLD 14	0.001		1.381		1003.522	1	0	0	Si

Implementazione dei sistemi di confinamento delle emissioni odorigene diffuse dell'impianto di compostaggio esistente nel
Comune di Eboli (SA)
PROGETTO DEFINITIVO – Tabulati di calcolo Tomo 1

Verifica a taglio X §4.2.4.1.2.4 NTC18

X	Comb.	Sfruttamento	VEd	Vc,Rd	Av	Interazione taglio-torsione	Riduzione torsione	Verifica
0	SLV 12	0.001	0.286	302.422	0.002	Non considerata		Si

Verifica a taglio Y §4.2.4.1.2.4 NTC18

X	Comb.	Sfruttamento	VEd	Vc,Rd	Av	Interazione taglio-torsione	Riduzione torsione	Verifica
1.737	SLU 64	0.001	0.296	302.422	0.002	Non considerata		Si

Verifica a taglio Y SLD §4.2.4.1.2.4 NTC18

X	Comb.	Sfruttamento	VEd	Vc,Rd	Av	Interazione taglio-torsione	Riduzione torsione	Verifica
1.737	SLD 14	0.001	0.226	302.422	0.002	Non considerata		Si

Verifica a flessione semplice X §§ 4.2.4.1.2.3 - 4.2.4.1.2.6 - 4.2.4.1.2.7 - 4.2.4.1.2.8 NTC18

X	Comb.	Sfruttamento	Classe	Mx,Ed	Mx,Rd	Rid. Mx,Rd da VEd	px	py	Verifica
0.753	SLU 40	0.005	1	0.12475	23.50374	1	0	0	Si

Verifica a flessione semplice X SLD §§ 4.2.4.1.2.3 - 4.2.4.1.2.6 - 4.2.4.1.2.7 - 4.2.4.1.2.8 NTC18

X	Comb.	Sfruttamento	Classe	Mx,Ed	Mx,Rd	Rid. Mx,Rd da VEd	px	py	Verifica
0.868	SLD 4	0.004	1	0.09743	23.50374	1	0	0	Si

Verifica a flessione semplice Y §§ 4.2.4.1.2.3 - 4.2.4.1.2.6 - 4.2.4.1.2.7 - 4.2.4.1.2.8 NTC18

X	Comb.	Sfruttamento	Classe	My,Ed	My,Rd	Rid. My,Rd da VEd	px	py	Verifica
1.737	SLV 11	0.003	1	0.10831	33.33162	1	0	0	Si

Verifica a flessione semplice Y SLD §§ 4.2.4.1.2.3 - 4.2.4.1.2.6 - 4.2.4.1.2.7 - 4.2.4.1.2.8 NTC18

X	Comb.	Sfruttamento	Classe	My,Ed	My,Rd	Rid. My,Rd da VEd	px	py	Verifica
1.737	SLD 7	0.001	1	0.02368	33.33162	1	0	0	Si

Verifica a flessione deviata §§ 4.2.4.1.2.3 - 4.2.4.1.2.6 - 4.2.4.1.2.7 - 4.2.4.1.2.8 NTC18

X	Comb.	Sfruttamento	Classe	Mx,Ed	Mx,Rd	My,Ed	My,Rd	Rid. Mx,Rd da VEd	Rid. My,Rd da VEd	α	β	px	py	Verifica
1.1	SLV 12	0.005	1	0.0906	23.5037	0.0529	33.3316	1	1			0	0	Si

Verifica a flessione deviata SLD §§ 4.2.4.1.2.3 - 4.2.4.1.2.6 - 4.2.4.1.2.7 - 4.2.4.1.2.8 NTC18

X	Comb.	Sfruttamento	Classe	Mx,Ed	Mx,Rd	My,Ed	My,Rd	Rid. Mx,Rd da VEd	Rid. My,Rd da VEd	α	β	px	py	Verifica
0.984	SLD 12	0.005	1	0.0956	23.5037	0.0172	33.3316	1	1			0	0	Si

Verifica a presso/tenso flessione retta X §§ 4.2.4.1.2.3 - 4.2.4.1.2.6 - 4.2.4.1.2.7 - 4.2.4.1.2.8 NTC18

Verifiche eseguite utilizzando la formula conservativa (6.2) §6.2.1 EN 1993-1-1:2005.

X	Comb.	Sfruttamento	Classe	NEd	NRd	Rid. NRd da VEd	Mx,Ed	Mx,Rd	Rid. Mx,Rd da VEd	Rid. Mx,Rd da NEd	px	py	Verifica
0.868	SLU 64	0.024	1	18.425	1003.522	1	0.1245	23.5037	1		0	0	Si

Verifica a presso/tenso flessione retta X SLD §§ 4.2.4.1.2.3 - 4.2.4.1.2.6 - 4.2.4.1.2.7 - 4.2.4.1.2.8 NTC18

Verifiche eseguite utilizzando la formula conservativa (6.2) §6.2.1 EN 1993-1-1:2005.

X	Comb.	Sfruttamento	Classe	NEd	NRd	Rid. NRd da VEd	Mx,Ed	Mx,Rd	Rid. Mx,Rd da VEd	Rid. Mx,Rd da NEd	px	py	Verifica
0.868	SLD 10	0.005	1	1.245	1003.522	1	0.097	23.5037	1		0	0	Si

Verifica a presso/tenso flessione retta Y §§ 4.2.4.1.2.3 - 4.2.4.1.2.6 - 4.2.4.1.2.7 - 4.2.4.1.2.8 NTC18

Verifiche eseguite utilizzando la formula conservativa (6.2) §6.2.1 EN 1993-1-1:2005.

X	Comb.	Sfruttamento	Classe	NEd	NRd	Rid. NRd da VEd	My,Ed	My,Rd	Rid. My,Rd da VEd	Rid. My,Rd da NEd	px	py	Verifica
0	SLU 3	0.02	3	-16.975	1003.522	1	0.0602	19.3536	1		0	0	Si

Verifica a presso/tenso flessione retta Y SLD §§ 4.2.4.1.2.3 - 4.2.4.1.2.6 - 4.2.4.1.2.7 - 4.2.4.1.2.8 NTC18

Verifiche eseguite utilizzando la formula conservativa (6.2) §6.2.1 EN 1993-1-1:2005.

X	Comb.	Sfruttamento	Classe	NEd	NRd	Rid. NRd da VEd	My,Ed	My,Rd	Rid. My,Rd da VEd	Rid. My,Rd da NEd	px	py	Verifica
1.737	SLD 16	0.002	1	1.098	1003.522	1	0.0444	33.3316	1		0	0	Si

Verifica a presso/tenso flessione deviata §§ 4.2.4.1.2.3 - 4.2.4.1.2.6 - 4.2.4.1.2.7 - 4.2.4.1.2.8 NTC18

Verifiche eseguite utilizzando la formula conservativa (6.2) §6.2.1 EN 1993-1-1:2005.

X	Comb.	Sfruttamento	Classe	NEd	NRd	Rid. NRd da VEd	Mx,Ed	Mx,Rd	My,Ed	My,Rd	Rid. Mx,Rd da VEd	Rid. Mx,Rd da NEd	Rid. My,Rd da VEd	Rid. My,Rd da NEd	α	β	px	py	Verifica
0.868	SLU 41	0.03	3	-16.686	1003.522	1	0.1281	12.886	0.0606	19.3536	1		1				0	0	Si

Verifica a presso/tenso flessione deviata SLD §§ 4.2.4.1.2.3 - 4.2.4.1.2.6 - 4.2.4.1.2.7 - 4.2.4.1.2.8 NTC18

Verifiche eseguite utilizzando la formula conservativa (6.2) §6.2.1 EN 1993-1-1:2005.

X	Comb.	Sfruttamento	Classe	NEd	NRd	Rid. NRd da VEd	Mx,Ed	Mx,Rd	My,Ed	My,Rd	Rid. Mx,Rd da VEd	Rid. Mx,Rd da NEd	Rid. My,Rd da VEd	Rid. My,Rd da NEd	α	β	px	py	Verifica
0.926	SLD 13	0.006	1	1.258	1003.522	1	0.0966	23.5037	0.0087	33.3316	1		1				0	0	Si

Verifiche ad instabilità

Caratteristiche iniziali

Membratura principale per controllo snellezza; Calcolo di snellezze ed N critici condotti secondo gli assi principali;

Curva X: c; Curva Y: c;

Svergolamento: Nessuno; la verifica a instabilità flesso-torsionale (svergolamento) non verrà eseguita.

Dati per instabilità attorno a x

Controllo della snellezza secondo §4.2.4.1.3.1 NTC18

Numero rit.	Presente	Ascissa	Campata	$\beta x/m$	Vincolo a entrambi estremi	$\lambda x/m$	λVer
1	Si	0					
			1-2		1	57.2	Si, (<200)
2	Si	1.737					

Implementazione dei sistemi di confinamento delle emissioni odorigene diffuse dell'impianto di compostaggio esistente nel
Comune di Eboli (SA)
PROGETTO DEFINITIVO – Tabulati di calcolo Tomo 1

Dati per instabilità attorno a y

Controllo della snellezza secondo §4.2.4.1.3.1 NTC18

Numero rit.	Presente	Ascissa	Campata	$\beta y/n$	k,LT	kw,LT	Vincolo a entrambi estremi
1	Si	0					
			1-2	1	Si	42	Si, (<200)
2	Si	1.737					

Verifica di stabilità per pressoflessione §C.4.2.4.1.3.3.1 NTC18

X	Comb.	Sfruttamento	Classe	NEd	MxEq,Ed	MyEq,Ed	Area	Wx	Wy	χ_{min}	λ adim. x/m	λ adim. y/n	N,crit x/m	N,crit y/n	Verifica
0	SLU 41	0.034	3	-16.858	0.1112	0.0608	0.003832	0.0000492	0.0000739	0.75	0.659	0.483	2427.459	4511.143	Si

Verifica di stabilità per pressoflessione SLD §C.4.2.4.1.3.3.1 NTC18

X	Comb.	Sfruttamento	Classe	NEd	MxEq,Ed	MyEq,Ed	Area	Wx	Wy	χ_{min}	λ adim. x/m	λ adim. y/n	N,crit x/m	N,crit y/n	Verifica
1.389	SLD 12	0.005	1	0	0.084	0.0329	0.003832	0.0000897	0.0001273	0.75	0.659	0.483	2427.459	4511.143	Si

Verifiche a deformabilità

Mensola X: No; Mensola Y: No.

Frecce lungo X

Ascissa freccia	Combinazione	Freccia	Luce	L/f	L/f,min	Tipo	Verifica
0.984	SLE RA 1	0	1.737	10000	250	Totale	Si
0.926	SLE RA 17	0	1.737	10000	250	Totale	Si
0.926	SLE RA 16	0	1.737	10000	250	Totale	Si
0.984	SLE RA 15	0	1.737	10000	250	Totale	Si
0.926	SLE RA 14	0	1.737	10000	250	Totale	Si
0.926	SLE RA 2	0	1.737	10000	350	Variabile	Si
0.926	SLE RA 17	0	1.737	10000	350	Variabile	Si
0.926	SLE RA 16	0	1.737	10000	350	Variabile	Si
0.637	SLE RA 15	0	1.737	10000	350	Variabile	Si
0.926	SLE RA 14	0	1.737	10000	350	Variabile	Si

Frecce lungo Y

Ascissa freccia	Combinazione	Freccia	Luce	L/f	L/f,min	Tipo	Verifica
0.868	SLE RA 1	0.00004	1.737	10000	250	Totale	Si
0.868	SLE RA 17	0.00004	1.737	10000	250	Totale	Si
0.868	SLE RA 16	0.00004	1.737	10000	250	Totale	Si
0.868	SLE RA 15	0.00004	1.737	10000	250	Totale	Si
0.868	SLE RA 14	0.00004	1.737	10000	250	Totale	Si
1.042	SLE RA 2	0	1.737	10000	350	Variabile	Si
1.042	SLE RA 17	0	1.737	10000	350	Variabile	Si
1.042	SLE RA 16	0	1.737	10000	350	Variabile	Si
1.042	SLE RA 15	0	1.737	10000	350	Variabile	Si
0.984	SLE RA 14	0	1.737	10000	350	Variabile	Si

Superelemento in acciaio a quota "640"- "728" (800; 1787)-(909; 1684)

Caratteristiche del materiale

Acciaio: S275, fyk = 275000

Caratteristiche geometriche

Lunghezza: 1.737

Nodo iniziale: 1020 Nodo finale: 2317

Cerniera iniziale: Mmomenti 1% Cerniera finale: Mmomenti 1%

Sovraresistenza: 0% Sisma Z: No

Caratteristiche della sezione

Sezione	Rotazione	Area	Jx	Jy	ix	iy	Wx	Wy	Wplx	Wply
A1; L100*10; 1; Saldato; S275; 50; 1; 8; 8; 1	180	0.003832	0.0000035319	0.000007759	0.0304	0.045	0.0000492	0.0000739	0.00008974	0.00012727

Comportamento dei calastrelli

Accoppiamento imbottito con funzione statica (§C4.2.4.1.3.1.4 NTC18) nella campata compresa tra le ascisse 0 e 1.737 per sbandamento attorno all'asse y.

Verifiche di resistenza

Verifiche a forza assiale §4.2.4.1.2.1 - §4.2.4.1.2.2 NTC18

X	Comb.	Sfruttamento	Classe	NEd	Nc,Rd	Nt,Rd	Riduzione da taglio	px	py	Verifica
0	SLU 63	0.024	3	-24.357	1003.522		1	0	0	Si

Verifiche a forza assiale SLD §4.2.4.1.2.1 - §4.2.4.1.2.2 NTC18

X	Comb.	Sfruttamento	Classe	NEd	Nc,Rd	Nt,Rd	Riduzione da taglio	px	py	Verifica
0	SLD 15	0.007	3	-6.834	1003.522		1	0	0	Si

Verifica a taglio X §4.2.4.1.2.4 NTC18

X	Comb.	Sfruttamento	VEd	Vc,Rd	Av	Interazione taglio-torsione	Riduzione torsione	Verifica
0	SLV 15	0.001	0.417	302.422	0.002	Non considerata		Si

Verifica a taglio Y §4.2.4.1.2.4 NTC18

X	Comb.	Sfruttamento	VEd	Vc,Rd	Av	Interazione taglio-torsione	Riduzione torsione	Verifica
0	SLU 63	0.001	-0.298	302.422	0.002	Non considerata		Si

PROGETTO DEFINITIVO – Tabulati di calcolo Tomo 1

Verifica a taglio Y SLD §4.2.4.1.2.4 NTC18

X	Comb.	Sfruttamento	VEd	Vc,Rd	Av	Interazione taglio-torsione	Riduzione torsione	Verifica
0	SLD 16	0.001	-0.227	302.422	0.002	Non considerata		Si

Verifica a flessione semplice X §§ 4.2.4.1.2.3 - 4.2.4.1.2.6 - 4.2.4.1.2.7 - 4.2.4.1.2.8 NTC18

X	Comb.	Sfruttamento	Classe	Mx,Ed	Mx,Rd	Rid. Mx,Rd da VEd	px	py	Verifica
0.868	SLU 43	0.005	1	0.12657	23.50374	1	0	0	Si

Verifica a flessione semplice X SLD §§ 4.2.4.1.2.3 - 4.2.4.1.2.6 - 4.2.4.1.2.7 - 4.2.4.1.2.8 NTC18

X	Comb.	Sfruttamento	Classe	Mx,Ed	Mx,Rd	Rid. Mx,Rd da VEd	px	py	Verifica
0.289	SLD 6	0.002	1	0.05389	23.50374	1	0	0	Si

Verifica a flessione semplice Y SLD §§ 4.2.4.1.2.3 - 4.2.4.1.2.6 - 4.2.4.1.2.7 - 4.2.4.1.2.8 NTC18

X	Comb.	Sfruttamento	Classe	My,Ed	My,Rd	Rid. My,Rd da VEd	px	py	Verifica
1.737	SLD 1	0.002	1	-0.06362	33.33162	1	0	0	Si

Verifica a flessione deviata §§ 4.2.4.1.2.3 - 4.2.4.1.2.6 - 4.2.4.1.2.7 - 4.2.4.1.2.8 NTC18

X	Comb.	Sfruttamento	Classe	Mx,Ed	Mx,Rd	My,Ed	My,Rd	Rid. Mx,Rd da VEd	Rid. My,Rd da VEd	α	β	px	py	Verifica
0.868	SLU 76	0.006	1	0.1264	23.5037	-0.0124	33.3316	1	1			0	0	Si

Verifica a flessione deviata SLD §§ 4.2.4.1.2.3 - 4.2.4.1.2.6 - 4.2.4.1.2.7 - 4.2.4.1.2.8 NTC18

X	Comb.	Sfruttamento	Classe	Mx,Ed	Mx,Rd	My,Ed	My,Rd	Rid. Mx,Rd da VEd	Rid. My,Rd da VEd	α	β	px	py	Verifica
0.984	SLD 2	0.005	1	0.0959	23.5037	-0.0341	33.3316	1	1			0	0	Si

Verifica a presso/tenso flessione retta X §§ 4.2.4.1.2.3 - 4.2.4.1.2.6 - 4.2.4.1.2.7 - 4.2.4.1.2.8 NTC18

Verifiche eseguite utilizzando la formula conservativa (6.2) §6.2.1 EN 1993-1-1:2005.

X	Comb.	Sfruttamento	Classe	NEd	NRd	Rid. NRd da VEd	Mx,Ed	Mx,Rd	Rid. Mx,Rd da VEd	Rid. Mx,Rd da NEd	px	py	Verifica
0.868	SLU 42	0.019	1	13.947	1003.522	1	0.1242	23.5037	1		0	0	Si

Verifica a presso/tenso flessione retta X SLD §§ 4.2.4.1.2.3 - 4.2.4.1.2.6 - 4.2.4.1.2.7 - 4.2.4.1.2.8 NTC18

Verifiche eseguite utilizzando la formula conservativa (6.2) §6.2.1 EN 1993-1-1:2005.

X	Comb.	Sfruttamento	Classe	NEd	NRd	Rid. NRd da VEd	Mx,Ed	Mx,Rd	Rid. Mx,Rd da VEd	Rid. Mx,Rd da NEd	px	py	Verifica
0.174	SLD 9	0.004	3	-1.748	1003.522	1	0.0348	12.886	1		0	0	Si

Verifica a presso/tenso flessione retta Y §§ 4.2.4.1.2.3 - 4.2.4.1.2.6 - 4.2.4.1.2.7 - 4.2.4.1.2.8 NTC18

Verifiche eseguite utilizzando la formula conservativa (6.2) §6.2.1 EN 1993-1-1:2005.

X	Comb.	Sfruttamento	Classe	NEd	NRd	Rid. NRd da VEd	My,Ed	My,Rd	Rid. My,Rd da VEd	Rid. My,Rd da NEd	px	py	Verifica
0	SLU 63	0.029	3	-24.357	1003.522	1	-0.0871	19.3536	1		0	0	Si

Verifica a presso/tenso flessione retta Y SLD §§ 4.2.4.1.2.3 - 4.2.4.1.2.6 - 4.2.4.1.2.7 - 4.2.4.1.2.8 NTC18

Verifiche eseguite utilizzando la formula conservativa (6.2) §6.2.1 EN 1993-1-1:2005.

X	Comb.	Sfruttamento	Classe	NEd	NRd	Rid. NRd da VEd	My,Ed	My,Rd	Rid. My,Rd da VEd	Rid. My,Rd da NEd	px	py	Verifica
1.737	SLD 16	0.01	3	-6.57	1003.522	1	0.0754	19.3536	1		0	0	Si

Verifica a presso/tenso flessione deviata §§ 4.2.4.1.2.3 - 4.2.4.1.2.6 - 4.2.4.1.2.7 - 4.2.4.1.2.8 NTC18

Verifiche eseguite utilizzando la formula conservativa (6.2) §6.2.1 EN 1993-1-1:2005.

X	Comb.	Sfruttamento	Classe	NEd	NRd	Rid. NRd da VEd	Mx,Ed	Mx,Rd	My,Ed	My,Rd	Rid. Mx,Rd da VEd	Rid. Mx,Rd da NEd	Rid. My,Rd da VEd	Rid. My,Rd da NEd	α	β	px	py	Verifica
0.868	SLU 63	0.039	3	-24.186	1003.522	1	0.1305	12.886	-0.0915	19.3536	1		1				0	0	Si

Verifica a presso/tenso flessione deviata SLD §§ 4.2.4.1.2.3 - 4.2.4.1.2.6 - 4.2.4.1.2.7 - 4.2.4.1.2.8 NTC18

Verifiche eseguite utilizzando la formula conservativa (6.2) §6.2.1 EN 1993-1-1:2005.

X	Comb.	Sfruttamento	Classe	NEd	NRd	Rid. NRd da VEd	Mx,Ed	Mx,Rd	My,Ed	My,Rd	Rid. Mx,Rd da VEd	Rid. Mx,Rd da NEd	Rid. My,Rd da VEd	Rid. My,Rd da NEd	α	β	px	py	Verifica
0.926	SLD 15	0.017	3	-6.693	1003.522	1	0.0977	12.886	0.0474	19.3536	1		1				0	0	Si

Verifiche ad instabilità

Caratteristiche iniziali

Membratura principale per controllo snellezza; Calcolo di snellezze ed N critici condotti secondo gli assi principali;

Curva X: c; Curva Y: c;

Svergolamento: Nessuno; la verifica a instabilità flessio-torsionale (svergolamento) non verrà eseguita.

Dati per instabilità attorno a x

Controllo della snellezza secondo §4.2.4.1.3.1 NTC18

Numero rit.	Presente	Ascissa	Campata	$\beta x/m$	Vincolo a entrambi estremi	$\lambda x/m$	λVer
1	Si	0					
			1-2		1	57.2	Si, (<200)
2	Si	1.737					

Dati per instabilità attorno a y

Controllo della snellezza secondo §4.2.4.1.3.1 NTC18

Numero rit.	Presente	Ascissa	Campata	$\beta y/n$	k,LT	kw,LT	Vincolo a entrambi estremi
1	Si	0					
			1-2		1	42	Si, (<200)
2	Si	1.737					

Verifica di stabilità per pressoflessione §C.4.2.4.1.3.3.1 NTC18

X	Comb.	Sfruttamento	Classe	NEd	MxEq,Ed	MyEq,Ed	Area	Wx	Wy	χ_{min}	$\lambda_{adim. x/m}$	$\lambda_{adim. y/n}$	N,crit x/m	N,crit y/n	Verifica
0	SLU 63	0.046	3	-24.357	0.1144	-0.0923	0.003832	0.0000492	0.0000739	0.75	0.659	0.483	2427.459	4511.143	Si

Implementazione dei sistemi di confinamento delle emissioni odorigene diffuse dell'impianto di compostaggio esistente nel
Comune di Eboli (SA)
PROGETTO DEFINITIVO – Tabulati di calcolo Tomo 1

Verifica di stabilità per pressoflessione SLD §C.4.2.4.1.3.3.1 NTC18

X	Comb.	Sfruttamento	Classe	NEd	MxEq,Ed	MyEq,Ed	Area	Wx	Wy	x,min	λ adim. x/m	λ adim. y/n	N,crit x/m	N,crit y/n	Verifica
0	SLD 16	0.019	3	-6.834	0.085	0.0565	0.003832	0.0000492	0.0000739	0.75	0.659	0.483	2427.459	4511.143	Si

Verifiche a deformabilità

Mensola X: No; Mensola Y: No.

Frecce lungo X

Ascissa freccia	Combinazione	Freccia	Luce	L/f	L/f,min	Tipo	Verifica
0.926	SLE RA 1	0	1.737	10000	250	Totale	Si
0.926	SLE RA 17	0	1.737	10000	250	Totale	Si
0.926	SLE RA 16	0	1.737	10000	250	Totale	Si
0.926	SLE RA 15	0	1.737	10000	250	Totale	Si
0.926	SLE RA 14	0	1.737	10000	250	Totale	Si
0.926	SLE RA 2	0	1.737	10000	350	Variabile	Si
0.926	SLE RA 17	0	1.737	10000	350	Variabile	Si
0.926	SLE RA 16	0	1.737	10000	350	Variabile	Si
0.926	SLE RA 15	0	1.737	10000	350	Variabile	Si
0.984	SLE RA 14	0	1.737	10000	350	Variabile	Si

Frecce lungo Y

Ascissa freccia	Combinazione	Freccia	Luce	L/f	L/f,min	Tipo	Verifica
0.868	SLE RA 1	0.00004	1.737	10000	250	Totale	Si
0.868	SLE RA 17	0.00004	1.737	10000	250	Totale	Si
0.868	SLE RA 16	0.00004	1.737	10000	250	Totale	Si
0.868	SLE RA 15	0.00004	1.737	10000	250	Totale	Si
0.868	SLE RA 14	0.00004	1.737	10000	250	Totale	Si
0.984	SLE RA 2	0	1.737	10000	350	Variabile	Si
0.984	SLE RA 17	0	1.737	10000	350	Variabile	Si
0.984	SLE RA 16	0	1.737	10000	350	Variabile	Si
0.984	SLE RA 15	0	1.737	10000	350	Variabile	Si
0.984	SLE RA 14	0	1.737	10000	350	Variabile	Si

Superelemento in acciaio a quota "640"- "728" (1057; 2062)-(1166; 1959)

Caratteristiche del materiale

Acciaio: S275, fyk = 275000

Caratteristiche geometriche

Lunghezza: 1.737

Nodo iniziale: 1076 Nodo finale: 2326

Cerniera iniziale: Mmomenti 1% Cerniera finale: Mmomenti 1%

Sovreresistenza: 0% Sisma Z: No

Caratteristiche della sezione

Sezione	Rotazione	Area	Jx	Jy	ix	iy	Wx	Wy	Wplx	Wply
A1; L100*10; 1; Saldato; S275; 50; 1; 8; 8; 1	180	0.003832	0.0000035319	0.000007759	0.0304	0.045	0.0000492	0.0000739	0.00008974	0.00012727

Comportamento dei calastrelli

Accoppiamento imbottito con funzione statica (§C4.2.4.1.3.1.4 NTC18) nella campata compresa tra le ascisse 0 e 1.737 per sbandamento attorno all'asse y.

Verifiche di resistenza

Verifiche a forza assiale §4.2.4.1.2.1 - §4.2.4.1.2.2 NTC18

X	Comb.	Sfruttamento	Classe	NEd	Nc,Rd	Nt,Rd	Riduzione da taglio	px	py	Verifica
0	SLU 75	0.055	3	-54.754	1003.522		1	0	0	Si

Verifiche a forza assiale SLD §4.2.4.1.2.1 - §4.2.4.1.2.2 NTC18

X	Comb.	Sfruttamento	Classe	NEd	Nc,Rd	Nt,Rd	Riduzione da taglio	px	py	Verifica
0	SLD 5	0.016	3	-16.324	1003.522		1	0	0	Si

Verifica a taglio X §4.2.4.1.2.4 NTC18

X	Comb.	Sfruttamento	VEd	Vc,Rd	Av	Interazione taglio-torsione	Riduzione torsione	Verifica
0	SLV 2	0.002	-0.654	302.422	0.002	Non considerata		Si

Verifica a taglio X SLD §4.2.4.1.2.4 NTC18

X	Comb.	Sfruttamento	VEd	Vc,Rd	Av	Interazione taglio-torsione	Riduzione torsione	Verifica
0	SLD 1	0.001	-0.324	302.422	0.002	Non considerata		Si

Verifica a taglio Y §4.2.4.1.2.4 NTC18

X	Comb.	Sfruttamento	VEd	Vc,Rd	Av	Interazione taglio-torsione	Riduzione torsione	Verifica
1.737	SLU 75	0.001	0.316	302.422	0.002	Non considerata		Si

Verifica a taglio Y SLD §4.2.4.1.2.4 NTC18

X	Comb.	Sfruttamento	VEd	Vc,Rd	Av	Interazione taglio-torsione	Riduzione torsione	Verifica
1.737	SLD 16	0.001	0.231	302.422	0.002	Non considerata		Si

Verifica a flessione semplice X §§ 4.2.4.1.2.3 - 4.2.4.1.2.6 - 4.2.4.1.2.7 - 4.2.4.1.2.8 NTC18

X	Comb.	Sfruttamento	Classe	Mx,Ed	Mx,Rd	Rid. Mx,Rd da VEd	px	py	Verifica
0.868	SLU 59	0.006	1	0.13058	23.50374	1	0	0	Si

Implementazione dei sistemi di confinamento delle emissioni odorigene diffuse dell'impianto di compostaggio esistente nel
Comune di Eboli (SA)
PROGETTO DEFINITIVO – Tabulati di calcolo Tomo 1

Verifica a presso/tenso flessione retta X §§ 4.2.4.1.2.3 - 4.2.4.1.2.6 - 4.2.4.1.2.7 - 4.2.4.1.2.8 NTC18

Verifiche eseguite utilizzando la formula conservativa (6.2) §6.2.1 EN 1993-1-1:2005.

X	Comb.	Sfruttamento	Classe	NEd	NRd	Rid. NRd da VEd	Mx,Ed	Mx,Rd	Rid. Mx,Rd da VEd	Rid. Mx,Rd da NEd	px	py	Verifica
0.926	SLU 2	0.011	1	7.074	1003.522	1	0.1033	23.5037	1		0	0	Si

Verifica a presso/tenso flessione retta Y §§ 4.2.4.1.2.3 - 4.2.4.1.2.6 - 4.2.4.1.2.7 - 4.2.4.1.2.8 NTC18

Verifiche eseguite utilizzando la formula conservativa (6.2) §6.2.1 EN 1993-1-1:2005.

X	Comb.	Sfruttamento	Classe	NEd	NRd	Rid. NRd da VEd	My,Ed	My,Rd	Rid. My,Rd da VEd	Rid. My,Rd da NEd	px	py	Verifica
0	SLU 75	0.065	3	-54.754	1003.522	1	-0.1939	19.3536	1		0	0	Si

Verifica a presso/tenso flessione retta Y SLD §§ 4.2.4.1.2.3 - 4.2.4.1.2.6 - 4.2.4.1.2.7 - 4.2.4.1.2.8 NTC18

Verifiche eseguite utilizzando la formula conservativa (6.2) §6.2.1 EN 1993-1-1:2005.

X	Comb.	Sfruttamento	Classe	NEd	NRd	Rid. NRd da VEd	My,Ed	My,Rd	Rid. My,Rd da VEd	Rid. My,Rd da NEd	px	py	Verifica
1.737	SLD 1	0.024	3	-16.058	1003.522	1	-0.1545	19.3536	1		0	0	Si

Verifica a presso/tenso flessione deviata §§ 4.2.4.1.2.3 - 4.2.4.1.2.6 - 4.2.4.1.2.7 - 4.2.4.1.2.8 NTC18

Verifiche eseguite utilizzando la formula conservativa (6.2) §6.2.1 EN 1993-1-1:2005.

X	Comb.	Sfruttamento	Classe	NEd	NRd	Rid. NRd da VEd	Mx,Ed	Mx,Rd	My,Ed	My,Rd	Rid. Mx,Rd da VEd	Rid. Mx,Rd da NEd	Rid. My,Rd da VEd	Rid. My,Rd da NEd	α	β	px	py	Verifica
0.81	SLU 75	0.073	3	-54.595	1003.522	1	0.107	12.886	-0.1941	19.3536	1		1				0	0	Si

Verifica a presso/tenso flessione deviata SLD §§ 4.2.4.1.2.3 - 4.2.4.1.2.6 - 4.2.4.1.2.7 - 4.2.4.1.2.8 NTC18

Verifiche eseguite utilizzando la formula conservativa (6.2) §6.2.1 EN 1993-1-1:2005.

X	Comb.	Sfruttamento	Classe	NEd	NRd	Rid. NRd da VEd	Mx,Ed	Mx,Rd	My,Ed	My,Rd	Rid. Mx,Rd da VEd	Rid. Mx,Rd da NEd	Rid. My,Rd da VEd	Rid. My,Rd da NEd	α	β	px	py	Verifica
0.984	SLD 2	0.03	3	-16.173	1003.522	1	0.0941	12.886	-0.1234	19.3536	1		1				0	0	Si

Verifiche ad instabilità

Caratteristiche iniziali

Membratura principale per controllo snellezza; Calcolo di snellezze ed N critici condotti secondo gli assi principali;

Curva X: c; Curva Y: c;

Svergolamento: Nessuno; la verifica a instabilità flesso-torsionale (svergolamento) non verrà eseguita.

Dati per instabilità attorno a x

Controllo della snellezza secondo §4.2.4.1.3.1 NTC18

Numero rit.	Presente	Ascissa	Campata	βx/m	Vincolo a entrambi estremi	λx/m	λVer
1	Si	0					
			1-2	1	Si	57.2	Si, (<200)
2	Si	1.737					

Dati per instabilità attorno a y

Controllo della snellezza secondo §4.2.4.1.3.1 NTC18

Numero rit.	Presente	Ascissa	Campata	βy/n	k,LT	kw,LT	Vincolo a entrambi estremi
1	Si	0					
			1-2	1	Si	42	Si, (<200)
2	Si	1.737					

Verifica di stabilità per pressoflessione §C.4.2.4.1.3.3.1 NTC18

X	Comb.	Sfruttamento	Classe	NEd	MxEq,Ed	MyEq,Ed	Area	Wx	Wy	χ,min	λ adim. x/m	λ adim. y/n	N,crit x/m	N,crit y/n	Verifica
0	SLU 75	0.089	3	-54.754	0.0828	-0.1942	0.003832	0.0000492	0.0000739	0.75	0.659	0.483	2427.459	4511.143	Si

Verifica di stabilità per pressoflessione SLD §C.4.2.4.1.3.3.1 NTC18

X	Comb.	Sfruttamento	Classe	NEd	MxEq,Ed	MyEq,Ed	Area	Wx	Wy	χ,min	λ adim. x/m	λ adim. y/n	N,crit x/m	N,crit y/n	Verifica
0	SLD 1	0.036	3	-16.322	0.0822	-0.1545	0.003832	0.0000492	0.0000739	0.75	0.659	0.483	2427.459	4511.143	Si

Verifiche a deformabilità

Mensola X: No; Mensola Y: No.

Frecce lungo X

Ascissa freccia	Combinazione	Freccia	Luce	L/f	L/f,min	Tipo	Verifica
0.926	SLE RA 1	0	1.737	10000	250	Totale	Si
0.926	SLE RA 17	0	1.737	10000	250	Totale	Si
0.926	SLE RA 16	0	1.737	10000	250	Totale	Si
0.868	SLE RA 15	0	1.737	10000	250	Totale	Si
0.926	SLE RA 14	0	1.737	10000	250	Totale	Si
0.926	SLE RA 2	0	1.737	10000	350	Variabile	Si
0.926	SLE RA 17	0	1.737	10000	350	Variabile	Si
0.926	SLE RA 16	0	1.737	10000	350	Variabile	Si
0.868	SLE RA 15	0	1.737	10000	350	Variabile	Si
0.926	SLE RA 14	0	1.737	10000	350	Variabile	Si

Frecce lungo Y

Ascissa freccia	Combinazione	Freccia	Luce	L/f	L/f,min	Tipo	Verifica
0.868	SLE RA 1	0.00004	1.737	10000	250	Totale	Si
0.868	SLE RA 17	0.00004	1.737	10000	250	Totale	Si
0.868	SLE RA 16	0.00004	1.737	10000	250	Totale	Si
0.868	SLE RA 15	0.00004	1.737	10000	250	Totale	Si
0.868	SLE RA 14	0.00004	1.737	10000	250	Totale	Si
0.984	SLE RA 2	0	1.737	10000	350	Variabile	Si
0.984	SLE RA 17	0	1.737	10000	350	Variabile	Si
0.984	SLE RA 16	0	1.737	10000	350	Variabile	Si
1.158	SLE RA 15	0	1.737	10000	350	Variabile	Si
0.984	SLE RA 14	0	1.737	10000	350	Variabile	Si

Superelemento in acciaio a quota "640"- "728" (1306; 2325)-(1416; 2223)

Caratteristiche del materiale

Acciaio: S275, fyk = 275000

Caratteristiche geometriche

Lunghezza: 1.737

Nodo iniziale: 1194 Nodo finale: 2340

Cerniera iniziale: Mmomenti 1% Cerniera finale: Mmomenti 1%

Sovreresistenza: 0% Sisma Z: No

Caratteristiche della sezione

Sezione	Rotazione	Area	Jx	Jy	ix	iy	Wx	Wy	Wplx	Wply
A1; L100*10; 1; Saldato; S275; 50; 1; 8; 8; 1	180	0.003832	0.0000035319	0.000007759	0.0304	0.045	0.0000492	0.0000739	0.00008974	0.00012727

Comportamento dei calastrelli

Accoppiamento imbottito con funzione statica (§C4.2.4.1.3.1.4 NTC18) nella campata compresa tra le ascisse 0 e 1.737 per sbandamento attorno all'asse y.

Verifiche di resistenza

Verifiche a forza assiale §4.2.4.1.2.1 - §4.2.4.1.2.2 NTC18

X	Comb.	Sfruttamento	Classe	NEd	Nc,Rd	Nt,Rd	Riduzione da taglio	px	py	Verifica
0	SLU 63	0.028	3	-27.794	1003.522		1	0	0	Si

Verifiche a forza assiale SLD §4.2.4.1.2.1 - §4.2.4.1.2.2 NTC18

X	Comb.	Sfruttamento	Classe	NEd	Nc,Rd	Nt,Rd	Riduzione da taglio	px	py	Verifica
0	SLD 1	0.007	3	-6.61	1003.522		1	0	0	Si

Verifica a taglio X §4.2.4.1.2.4 NTC18

X	Comb.	Sfruttamento	VEd	Vc,Rd	Av	Interazione taglio-torsione	Riduzione torsione	Verifica
0	SLV 1	0.002	-0.699	302.422	0.002	Non considerata		Si

Verifica a taglio X SLD §4.2.4.1.2.4 NTC18

X	Comb.	Sfruttamento	VEd	Vc,Rd	Av	Interazione taglio-torsione	Riduzione torsione	Verifica
0	SLD 1	0.001	-0.294	302.422	0.002	Non considerata		Si

Verifica a taglio Y §4.2.4.1.2.4 NTC18

X	Comb.	Sfruttamento	VEd	Vc,Rd	Av	Interazione taglio-torsione	Riduzione torsione	Verifica
1.737	SLU 75	0.001	0.308	302.422	0.002	Non considerata		Si

Verifica a taglio Y SLD §4.2.4.1.2.4 NTC18

X	Comb.	Sfruttamento	VEd	Vc,Rd	Av	Interazione taglio-torsione	Riduzione torsione	Verifica
1.737	SLD 16	0.001	0.232	302.422	0.002	Non considerata		Si

Verifica a flessione semplice X §§ 4.2.4.1.2.3 - 4.2.4.1.2.6 - 4.2.4.1.2.7 - 4.2.4.1.2.8 NTC18

X	Comb.	Sfruttamento	Classe	Mx,Ed	Mx,Rd	Rid. Mx,Rd da VEd	px	py	Verifica
0.868	SLU 62	0.005	1	0.12634	23.50374	1	0	0	Si

Verifica a flessione semplice Y §§ 4.2.4.1.2.3 - 4.2.4.1.2.6 - 4.2.4.1.2.7 - 4.2.4.1.2.8 NTC18

X	Comb.	Sfruttamento	Classe	My,Ed	My,Rd	Rid. My,Rd da VEd	px	py	Verifica
0	SLV 13	0.001	1	0.02181	33.33162	1	0	0	Si

Verifica a flessione deviata §§ 4.2.4.1.2.3 - 4.2.4.1.2.6 - 4.2.4.1.2.7 - 4.2.4.1.2.8 NTC18

X	Comb.	Sfruttamento	Classe	Mx,Ed	Mx,Rd	My,Ed	My,Rd	Rid. Mx,Rd da VEd	Rid. My,Rd da VEd	α	β	px	py	Verifica
1.042	SLV 8	0.006	1	0.085	23.5037	0.0925	33.3316	1	1			0	0	Si

Verifica a presso/tenso flessione retta X §§ 4.2.4.1.2.3 - 4.2.4.1.2.6 - 4.2.4.1.2.7 - 4.2.4.1.2.8 NTC18

Verifiche eseguite utilizzando la formula conservativa (6.2) §6.2.1 EN 1993-1-1:2005.

X	Comb.	Sfruttamento	Classe	NEd	NRd	Rid. NRd da VEd	Mx,Ed	Mx,Rd	Rid. Mx,Rd da VEd	Rid. Mx,Rd da NEd	px	py	Verifica
0.868	SLU 42	0.022	1	16.213	1003.522	1	0.1288	23.5037	1		0	0	Si

Verifica a presso/tenso flessione retta Y §§ 4.2.4.1.2.3 - 4.2.4.1.2.6 - 4.2.4.1.2.7 - 4.2.4.1.2.8 NTC18

Verifiche eseguite utilizzando la formula conservativa (6.2) §6.2.1 EN 1993-1-1:2005.

X	Comb.	Sfruttamento	Classe	NEd	NRd	Rid. NRd da VEd	My,Ed	My,Rd	Rid. My,Rd da VEd	Rid. My,Rd da NEd	px	py	Verifica
0	SLU 63	0.033	3	-27.794	1003.522	1	-0.098	19.3536	1		0	0	Si

Verifica a presso/tenso flessione retta Y SLD §§ 4.2.4.1.2.3 - 4.2.4.1.2.6 - 4.2.4.1.2.7 - 4.2.4.1.2.8 NTC18

Verifiche eseguite utilizzando la formula conservativa (6.2) §6.2.1 EN 1993-1-1:2005.

X	Comb.	Sfruttamento	Classe	NEd	NRd	Rid. NRd da VEd	My,Ed	My,Rd	Rid. My,Rd da VEd	Rid. My,Rd da NEd	px	py	Verifica
1.737	SLD 1	0.01	1	-6.347	1003.522	1	-0.1304	33.3316	1		0	0	Si

Verifica a presso/tenso flessione deviata §§ 4.2.4.1.2.3 - 4.2.4.1.2.6 - 4.2.4.1.2.7 - 4.2.4.1.2.8 NTC18

Verifiche eseguite utilizzando la formula conservativa (6.2) §6.2.1 EN 1993-1-1:2005.

X	Comb.	Sfruttamento	Classe	NEd	NRd	Rid. NRd da VEd	Mx,Ed	Mx,Rd	My,Ed	My,Rd	Rid. Mx,Rd da VEd	Rid. Mx,Rd da NEd	Rid. My,Rd da VEd	Rid. My,Rd da NEd	α	β	px	py	Verifica
0.81	SLU 63	0.042	3	-27.634	1003.522	1	0.1159	12.886	-0.0983	19.3536	1		1				0	0	Si

Verifica a presso/tenso flessione deviata SLD §§ 4.2.4.1.2.3 - 4.2.4.1.2.6 - 4.2.4.1.2.7 - 4.2.4.1.2.8 NTC18

Verifiche eseguite utilizzando la formula conservativa (6.2) §6.2.1 EN 1993-1-1:2005.

Implementazione dei sistemi di confinamento delle emissioni odorigene diffuse dell'impianto di compostaggio esistente nel
Comune di Eboli (SA)
PROGETTO DEFINITIVO – Tabulati di calcolo Tomo 1

X	Comb.	Sfruttamento	Classe	NEd	NRd	Rid. NRd da VEd	Mx,Ed	Mx,Rd	My,Ed	My,Rd	Rid. Mx,Rd da VEd	Rid. Mx,Rd da NEd	Rid. My,Rd da VEd	Rid. My,Rd da NEd	α	β	ρx	ρy	Verifica
0.637	SLD 1	0.017	3	-6.513	1003.522	1	0.0908	12.886	-0.07	19.3536	1		1				0	0	Si

Verifiche ad instabilità

Caratteristiche iniziali

Membratura principale per controllo snellezza; Calcolo di snellezze ed N critici condotti secondo gli assi principali;

Curva X: c; Curva Y: c;

Svergolamento: Nessuno; la verifica a instabilità flesso-torsionale (svergolamento) non verrà eseguita.

Dati per instabilità attorno a x

Controllo della snellezza secondo §4.2.4.1.3.1 NTC18

Numero rit.	Presente	Ascissa	Campata	βx/m	Vincolo a entrambi estremi	λx/m	λVer
1	Si	0					
			1-2	1	Si	57.2	Si, (<200)
2	Si	1.737					

Dati per instabilità attorno a y

Controllo della snellezza secondo §4.2.4.1.3.1 NTC18

Numero rit.	Presente	Ascissa	Campata	βy/n	k,LT	kw,LT	Vincolo a entrambi estremi
1	Si	0					
			1-2	1	Si	42	Si, (<200)
2	Si	1.737					

Verifica di stabilità per pressoflessione §C.4.2.4.1.3.3.1 NTC18

X	Comb.	Sfruttamento	Classe	NEd	MxEq,Ed	MyEq,Ed	Area	Wx	Wy	χ,min	λ adim. x/m	λ adim. y/n	N,crit x/m	N,crit y/n	Verifica
0	SLU 63	0.05	3	-27.794	0.0952	-0.0984	0.003832	0.0000492	0.0000739	0.75	0.659	0.483	2427.459	4511.143	Si

Verifica di stabilità per pressoflessione SLD §C.4.2.4.1.3.3.1 NTC18

X	Comb.	Sfruttamento	Classe	NEd	MxEq,Ed	MyEq,Ed	Area	Wx	Wy	χ,min	λ adim. x/m	λ adim. y/n	N,crit x/m	N,crit y/n	Verifica
0	SLD 1	0.021	3	-6.61	0.0847	-0.1079	0.003832	0.0000492	0.0000739	0.75	0.659	0.483	2427.459	4511.143	Si

Verifiche a deformabilità

Mensola X: No; Mensola Y: No.

Frecce lungo X

Ascissa freccia	Combinazione	Freccia	Luce	L/f	L/f,min	Tipo	Verifica
0.868	SLE RA 1	0	1.737	10000	250	Totale	Si
0.868	SLE RA 17	0	1.737	10000	250	Totale	Si
0.81	SLE RA 16	0	1.737	10000	250	Totale	Si
0.868	SLE RA 15	0	1.737	10000	250	Totale	Si
1.042	SLE RA 14	0	1.737	10000	250	Totale	Si
0.81	SLE RA 2	0	1.737	10000	350	Variabile	Si
0.81	SLE RA 17	0	1.737	10000	350	Variabile	Si
0.81	SLE RA 16	0	1.737	10000	350	Variabile	Si
0.868	SLE RA 15	0	1.737	10000	350	Variabile	Si
0.926	SLE RA 14	0	1.737	10000	350	Variabile	Si

Frecce lungo Y

Ascissa freccia	Combinazione	Freccia	Luce	L/f	L/f,min	Tipo	Verifica
0.868	SLE RA 1	0.00004	1.737	10000	250	Totale	Si
0.868	SLE RA 17	0.00004	1.737	10000	250	Totale	Si
0.868	SLE RA 16	0.00004	1.737	10000	250	Totale	Si
0.868	SLE RA 15	0.00004	1.737	10000	250	Totale	Si
0.868	SLE RA 14	0.00004	1.737	10000	250	Totale	Si
0.984	SLE RA 2	0	1.737	10000	350	Variabile	Si
0.984	SLE RA 17	0	1.737	10000	350	Variabile	Si
0.984	SLE RA 16	0	1.737	10000	350	Variabile	Si
0.984	SLE RA 15	0	1.737	10000	350	Variabile	Si
0.984	SLE RA 14	0	1.737	10000	350	Variabile	Si

Superelemento in acciaio a quota "640"- "728" (1561; 2597)-(1670; 2494)

Caratteristiche del materiale

Acciaio: S275, fyk = 275000

Caratteristiche geometriche

Lunghezza: 1.737

Nodo iniziale: 1314 Nodo finale: 2375

Cerniera iniziale: Mmomenti 1% Cerniera finale: Mmomenti 1%

Sovraresistenza: 0% Sisma Z: No

Caratteristiche della sezione

Sezione	Rotazione	Area	Jx	Jy	ix	iy	Wx	Wy	Wplx	Wply
A1; L100*10; 1; Saldato; S275; 50; 1; 8; 8; 1	180	0.003832	0.0000035319	0.000007759	0.0304	0.045	0.0000492	0.0000739	0.00008974	0.00012727

Comportamento dei calastrelli

Accoppiamento imbottito con funzione statica (§C4.2.4.1.3.1.4 NTC18) nella campata compresa tra le ascisse 0 e 1.737 per sbandamento attorno all'asse y.

Implementazione dei sistemi di confinamento delle emissioni odorigene diffuse dell'impianto di compostaggio esistente nel
Comune di Eboli (SA)
PROGETTO DEFINITIVO – Tabulati di calcolo Tomo 1

Verifiche di resistenza

Verifiche a forza assiale §4.2.4.1.2.1 - §4.2.4.1.2.2 NTC18

X	Comb.	Sfruttamento	Classe	NEd	Nc,Rd	Nt,Rd	Riduzione da taglio	px	py	Verifica
1.737	SLU 76	0.07		70.123		1003.522	1	0	0	Si

Verifiche a forza assiale SLD §4.2.4.1.2.1 - §4.2.4.1.2.2 NTC18

X	Comb.	Sfruttamento	Classe	NEd	Nc,Rd	Nt,Rd	Riduzione da taglio	px	py	Verifica
1.737	SLD 10	0.026		25.853		1003.522	1	0	0	Si

Verifica a taglio Y §4.2.4.1.2.4 NTC18

X	Comb.	Sfruttamento	VEd	Vc,Rd	Av	Interazione taglio-torsione	Riduzione torsione	Verifica
0	SLU 75	0.001	-0.294	302.422	0.002	Non considerata		Si

Verifica a taglio Y SLD §4.2.4.1.2.4 NTC18

X	Comb.	Sfruttamento	VEd	Vc,Rd	Av	Interazione taglio-torsione	Riduzione torsione	Verifica
0	SLD 4	0.001	-0.226	302.422	0.002	Non considerata		Si

Verifica a flessione semplice X §§ 4.2.4.1.2.3 - 4.2.4.1.2.6 - 4.2.4.1.2.7 - 4.2.4.1.2.8 NTC18

X	Comb.	Sfruttamento	Classe	Mx,Ed	Mx,Rd	Rid. Mx,Rd da VEd	px	py	Verifica
0.463	SLU 3	0.003	1	0.07623	23.50374	1	0	0	Si

Verifica a flessione semplice Y §§ 4.2.4.1.2.3 - 4.2.4.1.2.6 - 4.2.4.1.2.7 - 4.2.4.1.2.8 NTC18

X	Comb.	Sfruttamento	Classe	My,Ed	My,Rd	Rid. My,Rd da VEd	px	py	Verifica
1.737	SLU 3	0	1	-0.0109	33.33162	1	0	0	Si

Verifica a flessione deviata §§ 4.2.4.1.2.3 - 4.2.4.1.2.6 - 4.2.4.1.2.7 - 4.2.4.1.2.8 NTC18

X	Comb.	Sfruttamento	Classe	Mx,Ed	Mx,Rd	My,Ed	My,Rd	Rid. Mx,Rd da VEd	Rid. My,Rd da VEd	α	β	px	py	Verifica
0.868	SLU 3	0.004	1	0.0977	23.5037	-0.0084	33.3316	1	1			0	0	Si

Verifica a presso/tenso flessione retta X §§ 4.2.4.1.2.3 - 4.2.4.1.2.6 - 4.2.4.1.2.7 - 4.2.4.1.2.8 NTC18

Verifiche eseguite utilizzando la formula conservativa (6.2) §6.2.1 EN 1993-1-1:2005.

X	Comb.	Sfruttamento	Classe	NEd	NRd	Rid. NRd da VEd	Mx,Ed	Mx,Rd	Rid. Mx,Rd da VEd	Rid. Mx,Rd da NEd	px	py	Verifica
0.347	SLU 62	0.021	1	17.217	1003.522	1	0.081	23.5037	1		0	0	Si

Verifica a presso/tenso flessione retta X SLD §§ 4.2.4.1.2.3 - 4.2.4.1.2.6 - 4.2.4.1.2.7 - 4.2.4.1.2.8 NTC18

Verifiche eseguite utilizzando la formula conservativa (6.2) §6.2.1 EN 1993-1-1:2005.

X	Comb.	Sfruttamento	Classe	NEd	NRd	Rid. NRd da VEd	Mx,Ed	Mx,Rd	Rid. Mx,Rd da VEd	Rid. Mx,Rd da NEd	px	py	Verifica
0.232	SLD 13	0.027	1	25.47	1003.522	1	0.045	23.5037	1		0	0	Si

Verifica a presso/tenso flessione retta Y §§ 4.2.4.1.2.3 - 4.2.4.1.2.6 - 4.2.4.1.2.7 - 4.2.4.1.2.8 NTC18

Verifiche eseguite utilizzando la formula conservativa (6.2) §6.2.1 EN 1993-1-1:2005.

X	Comb.	Sfruttamento	Classe	NEd	NRd	Rid. NRd da VEd	My,Ed	My,Rd	Rid. My,Rd da VEd	Rid. My,Rd da NEd	px	py	Verifica
1.737	SLU 76	0.071	1	70.123	1003.522	1	-0.036	33.3316	1		0	0	Si

Verifica a presso/tenso flessione retta Y SLD §§ 4.2.4.1.2.3 - 4.2.4.1.2.6 - 4.2.4.1.2.7 - 4.2.4.1.2.8 NTC18

Verifiche eseguite utilizzando la formula conservativa (6.2) §6.2.1 EN 1993-1-1:2005.

X	Comb.	Sfruttamento	Classe	NEd	NRd	Rid. NRd da VEd	My,Ed	My,Rd	Rid. My,Rd da VEd	Rid. My,Rd da NEd	px	py	Verifica
1.737	SLD 5	0.028	1	25.004	1003.522	1	-0.0948	33.3316	1		0	0	Si

Verifica a presso/tenso flessione deviata §§ 4.2.4.1.2.3 - 4.2.4.1.2.6 - 4.2.4.1.2.7 - 4.2.4.1.2.8 NTC18

Verifiche eseguite utilizzando la formula conservativa (6.2) §6.2.1 EN 1993-1-1:2005.

X	Comb.	Sfruttamento	Classe	NEd	NRd	Rid. NRd da VEd	Mx,Ed	Mx,Rd	My,Ed	My,Rd	Rid. Mx,Rd da VEd	Rid. Mx,Rd da NEd	Rid. My,Rd da VEd	Rid. My,Rd da NEd	α	β	px	py	Verifica
0.926	SLU 76	0.076	1	69.964	1003.522	1	0.1272	23.5037	-0.0289	33.3316	1		1				0	0	Si

Verifica a presso/tenso flessione deviata SLD §§ 4.2.4.1.2.3 - 4.2.4.1.2.6 - 4.2.4.1.2.7 - 4.2.4.1.2.8 NTC18

Verifiche eseguite utilizzando la formula conservativa (6.2) §6.2.1 EN 1993-1-1:2005.

X	Comb.	Sfruttamento	Classe	NEd	NRd	Rid. NRd da VEd	Mx,Ed	Mx,Rd	My,Ed	My,Rd	Rid. Mx,Rd da VEd	Rid. Mx,Rd da NEd	Rid. My,Rd da VEd	Rid. My,Rd da NEd	α	β	px	py	Verifica
0.926	SLD 10	0.031	1	25.73	1003.522	1	0.0973	23.5037	-0.0399	33.3316	1		1				0	0	Si

Verifiche ad instabilità

Caratteristiche iniziali

Membratura principale per controllo snellezza; Calcolo di snellezze ed N critici condotti secondo gli assi principali;

Curva X: c; Curva Y: c;

Svergolamento: Nessuno; la verifica a instabilità flesso-torsionale (svergolamento) non verrà eseguita.

Dati per instabilità attorno a x

Controllo della snellezza secondo §4.2.4.1.3.1 NTC18

Numero rit.	Presente	Ascissa	Campata	βx/m	Vincolo a entrambi estremi	λx/m	λVer
1	Si	0					
			1-2		1	57.2	Si, (<200)
2	Si	1.737					

Dati per instabilità attorno a y

Controllo della snellezza secondo §4.2.4.1.3.1 NTC18

Numero rit.	Presente	Ascissa	Campata	βy/n	k,LT	kw,LT	Vincolo a entrambi estremi
1	Si	0					
			1-2		1	42	Si, (<200)
2	Si	1.737					

Implementazione dei sistemi di confinamento delle emissioni odorigene diffuse dell'impianto di compostaggio esistente nel
Comune di Eboli (SA)
PROGETTO DEFINITIVO – Tabulati di calcolo Tomo 1

Verifica di stabilità per pressoflessione §C.4.2.4.1.3.3.1 NTC18

X	Comb.	Sfruttamento	Classe	NEd	MxEq,Ed	MyEq,Ed	Area	Wx	Wy	x,min	λ adim. x/m	λ adim. y/n	N,crit x/m	N,crit y/n	Verifica
0	SLU 2	0.008	3	-0.725	0.0841	-0.0024	0.003832	0.0000492	0.0000739	0.75	0.659	0.483	2427.459	4511.143	Si

Verifiche a deformabilità

Mensola X: No; Mensola Y: No.

Frecce lungo X

Ascissa freccia	Combinazione	Freccia	Luce	L/f	L/f,min	Tipo	Verifica
0.926	SLE RA 1	0	1.737	10000	250	Totale	Si
0.926	SLE RA 17	0	1.737	10000	250	Totale	Si
0.926	SLE RA 16	0	1.737	10000	250	Totale	Si
0.926	SLE RA 15	0	1.737	10000	250	Totale	Si
0.926	SLE RA 14	0	1.737	10000	250	Totale	Si
0.926	SLE RA 2	0	1.737	10000	350	Variabile	Si
0.926	SLE RA 17	0	1.737	10000	350	Variabile	Si
0.926	SLE RA 16	0	1.737	10000	350	Variabile	Si
0.926	SLE RA 15	0	1.737	10000	350	Variabile	Si
0.926	SLE RA 14	0	1.737	10000	350	Variabile	Si

Frecce lungo Y

Ascissa freccia	Combinazione	Freccia	Luce	L/f	L/f,min	Tipo	Verifica
0.868	SLE RA 1	0.00004	1.737	10000	250	Totale	Si
0.868	SLE RA 17	0.00004	1.737	10000	250	Totale	Si
0.868	SLE RA 16	0.00004	1.737	10000	250	Totale	Si
0.868	SLE RA 15	0.00004	1.737	10000	250	Totale	Si
0.868	SLE RA 14	0.00004	1.737	10000	250	Totale	Si
0.868	SLE RA 2	0	1.737	10000	350	Variabile	Si
0.926	SLE RA 17	0	1.737	10000	350	Variabile	Si
0.868	SLE RA 16	0	1.737	10000	350	Variabile	Si
0.868	SLE RA 15	0	1.737	10000	350	Variabile	Si
0.926	SLE RA 14	0	1.737	10000	350	Variabile	Si

Superelemento in acciaio a quota "640"- "728" (1999; 2593)-(1999; 2493)

Caratteristiche del materiale

Acciaio: S275, fyk = 275000

Caratteristiche geometriche

Lunghezza: 1.329

Nodo iniziale: 1280 Nodo finale: 2347

Cerniera iniziale: Mmomenti 1% Cerniera finale: Mmomenti 1%

Sovreresistenza: 0% Sisma Z: No

Caratteristiche della sezione

Sezione	Rotazione	Area	Jx	Jy	ix	iy	Wx	Wy	Wplx	Wply
A1; L100*10; 1; Saldato; S275; 20; 1; 8; 8; 1	180	0.003832	0.0000035319	0.000007759	0.0304	0.045	0.0000492	0.0000739	0.00008974	0.00012727

Comportamento dei calastrelli

Accoppiamento imbottito avendo passo inferiore al minimo richiesto (§C4.2.4.1.3.1.5 NTC18) nella campata compresa tra le ascisse 0 e 1.329 per sbandamento attorno all'asse y.

Verifiche di resistenza

Verifiche a forza assiale §4.2.4.1.2.1 - §4.2.4.1.2.2 NTC18

X	Comb.	Sfruttamento	Classe	NEd	Nc,Rd	Nt,Rd	Riduzione da taglio	px	py	Verifica
0	SLV 11	0.029	3	-28.925	1003.522		1	0	0	Si

Verifiche a forza assiale SLD §4.2.4.1.2.1 - §4.2.4.1.2.2 NTC18

X	Comb.	Sfruttamento	Classe	NEd	Nc,Rd	Nt,Rd	Riduzione da taglio	px	py	Verifica
0	SLD 16	0.018	3	-18.446	1003.522		1	0	0	Si

Verifica a presso/tenso flessione retta X §§ 4.2.4.1.2.3 - 4.2.4.1.2.6 - 4.2.4.1.2.7 - 4.2.4.1.2.8 NTC18

Verifiche eseguite utilizzando la formula conservativa (6.2) §6.2.1 EN 1993-1-1:2005.

X	Comb.	Sfruttamento	Classe	NEd	NRd	Rid. NRd da VEd	Mx,Ed	Mx,Rd	Rid. Mx,Rd da VEd	Rid. Mx,Rd da NEd	px	py	Verifica
0.664	SLU 76	0.033	3	-28.238	1003.522	1	0.0647	12.886	1		0	0	Si

Verifica a presso/tenso flessione retta X SLD §§ 4.2.4.1.2.3 - 4.2.4.1.2.6 - 4.2.4.1.2.7 - 4.2.4.1.2.8 NTC18

Verifiche eseguite utilizzando la formula conservativa (6.2) §6.2.1 EN 1993-1-1:2005.

X	Comb.	Sfruttamento	Classe	NEd	NRd	Rid. NRd da VEd	Mx,Ed	Mx,Rd	Rid. Mx,Rd da VEd	Rid. Mx,Rd da NEd	px	py	Verifica
0.664	SLD 16	0.022	3	-18.314	1003.522	1	0.0504	12.886	1		0	0	Si

Verifica a presso/tenso flessione retta Y §§ 4.2.4.1.2.3 - 4.2.4.1.2.6 - 4.2.4.1.2.7 - 4.2.4.1.2.8 NTC18

Verifiche eseguite utilizzando la formula conservativa (6.2) §6.2.1 EN 1993-1-1:2005.

X	Comb.	Sfruttamento	Classe	NEd	NRd	Rid. NRd da VEd	My,Ed	My,Rd	Rid. My,Rd da VEd	Rid. My,Rd da NEd	px	py	Verifica
0	SLV 11	0.031	3	-28.925	1003.522	1	-0.0368	19.3536	1		0	0	Si

Verifica a presso/tenso flessione retta Y SLD §§ 4.2.4.1.2.3 - 4.2.4.1.2.6 - 4.2.4.1.2.7 - 4.2.4.1.2.8 NTC18

Verifiche eseguite utilizzando la formula conservativa (6.2) §6.2.1 EN 1993-1-1:2005.

X	Comb.	Sfruttamento	Classe	NEd	NRd	Rid. NRd da VEd	My,Ed	My,Rd	Rid. My,Rd da VEd	Rid. My,Rd da NEd	px	py	Verifica
0	SLD 15	0.019	3	-18.446	1003.522	1	-0.015	19.3536	1		0	0	Si

Implementazione dei sistemi di confinamento delle emissioni odorigene diffuse dell'impianto di compostaggio esistente nel
Comune di Eboli (SA)
PROGETTO DEFINITIVO – Tabulati di calcolo Tomo 1

Verifica a presso/tenso flessione deviata §§ 4.2.4.1.2.3 - 4.2.4.1.2.6 - 4.2.4.1.2.7 - 4.2.4.1.2.8 NTC18

Verifiche eseguite utilizzando la formula conservativa (6.2) §6.2.1 EN 1993-1-1:2005.

X	Comb.	Sfruttamento	Classe	NEd	NRd	Rid. NRd da VEd	Mx,Ed	Mx,Rd	My,Ed	My,Rd	Rid. Mx,Rd da VEd	Rid. Mx,Rd da NEd	Rid. My,Rd da VEd	Rid. My,Rd da NEd	α	β	px	py	Verifica
0.62	SLV 16	0.033	3	-28.789	1003.522	1	0.0511	12.886	-0.01	19.3536	1		1				0	0	Si

Verifica a presso/tenso flessione deviata SLD §§ 4.2.4.1.2.3 - 4.2.4.1.2.6 - 4.2.4.1.2.7 - 4.2.4.1.2.8 NTC18

Verifiche eseguite utilizzando la formula conservativa (6.2) §6.2.1 EN 1993-1-1:2005.

X	Comb.	Sfruttamento	Classe	NEd	NRd	Rid. NRd da VEd	Mx,Ed	Mx,Rd	My,Ed	My,Rd	Rid. Mx,Rd da VEd	Rid. Mx,Rd da NEd	Rid. My,Rd da VEd	Rid. My,Rd da NEd	α	β	px	py	Verifica
0.089	SLD 16	0.02	3	-18.428	1003.522	1	0.0121	12.886	-0.0139	19.3536	1		1				0	0	Si

Verifiche ad instabilità

Caratteristiche iniziali

Membratura principale per controllo snellezza; Calcolo di snellezze ed N critici condotti secondo gli assi principali;

Curva X: c; Curva Y: c;

Svergolamento: Nessuno; la verifica a instabilità flesso-torsionale (svergolamento) non verrà eseguita.

Dati per instabilità attorno a x

Controllo della snellezza secondo §4.2.4.1.3.1 NTC18

Numero rit.	Presente	Ascissa	Campata	βx/m	Vincolo a entrambi estremi	λx/m	λVer
1	Si		0				
			1-2		1	43.8	Si, (<200)
2	Si		1.329				

Dati per instabilità attorno a y

Controllo della snellezza secondo §4.2.4.1.3.1 NTC18

Numero rit.	Presente	Ascissa	Campata	βy/n	k,LT	kw,LT	Vincolo a entrambi estremi
1	Si		0				
			1-2		1	29.5	Si, (<200)
2	Si		1.329				

Verifica di stabilità per pressoflessione §C.4.2.4.1.3.3.1 NTC18

X	Comb.	Sfruttamento	Classe	NEd	MxEq,Ed	MyEq,Ed	Area	Wx	Wy	χ,min	λ adim. x/m	λ adim. y/n	N,crit x/m	N,crit y/n	Verifica
0	SLV 15	0.039	3	-28.912	0.0451	-0.0277	0.003832	0.0000492	0.0000739	0.841	0.504	0.34	4146.015	9108.088	Si

Verifica di stabilità per pressoflessione SLD §C.4.2.4.1.3.3.1 NTC18

X	Comb.	Sfruttamento	Classe	NEd	MxEq,Ed	MyEq,Ed	Area	Wx	Wy	χ,min	λ adim. x/m	λ adim. y/n	N,crit x/m	N,crit y/n	Verifica
0	SLD 16	0.026	3	-18.446	0.0439	-0.0113	0.003832	0.0000492	0.0000739	0.841	0.504	0.34	4146.015	9108.088	Si

Verifiche a deformabilità

Mensola X: No; Mensola Y: No.

Frecce lungo X

Ascissa freccia	Combinazione	Freccia	Luce	L/f	L/f,min	Tipo	Verifica
0.842	SLE RA 1	0	1.329	10000	250	Totale	Si
0.842	SLE RA 17	0	1.329	10000	250	Totale	Si
0.886	SLE RA 16	0	1.329	10000	250	Totale	Si
0.709	SLE RA 15	0	1.329	10000	250	Totale	Si
0.532	SLE RA 14	0	1.329	10000	250	Totale	Si
0.354	SLE RA 2	0	1.329	10000	350	Variabile	Si
0.31	SLE RA 17	0	1.329	10000	350	Variabile	Si
0.31	SLE RA 16	0	1.329	10000	350	Variabile	Si
0.664	SLE RA 15	0	1.329	10000	350	Variabile	Si
0.62	SLE RA 14	0	1.329	10000	350	Variabile	Si

Frecce lungo Y

Ascissa freccia	Combinazione	Freccia	Luce	L/f	L/f,min	Tipo	Verifica
0.664	SLE RA 1	0.00001	1.329	10000	250	Totale	Si
0.664	SLE RA 17	0.00001	1.329	10000	250	Totale	Si
0.664	SLE RA 16	0.00001	1.329	10000	250	Totale	Si
0.664	SLE RA 15	0.00001	1.329	10000	250	Totale	Si
0.664	SLE RA 14	0.00001	1.329	10000	250	Totale	Si
1.019	SLE RA 2	0	1.329	10000	350	Variabile	Si
0.974	SLE RA 17	0	1.329	10000	350	Variabile	Si
0.974	SLE RA 16	0	1.329	10000	350	Variabile	Si
0.709	SLE RA 15	0	1.329	10000	350	Variabile	Si
0.753	SLE RA 14	0	1.329	10000	350	Variabile	Si

Superelemento in acciaio a quota "640"- "728" (1999; 2593)-(1999; 2693)

Caratteristiche del materiale

Acciaio: S275, fyk = 275000

Caratteristiche geometriche

Lunghezza: 1.329

Nodo iniziale: 1281 Nodo finale: 2377

Cerniera iniziale: Mmomenti 1% Cerniera finale: Mmomenti 1%

Sovraresistenza: 0% Sisma Z: No

Caratteristiche della sezione

Sezione	Rotazione	Area	Jx	Jy	ix	iy	Wx	Wy	Wplx	Wply
---------	-----------	------	----	----	----	----	----	----	------	------

**Implementazione dei sistemi di confinamento delle emissioni odorigene diffuse dell'impianto di compostaggio esistente nel
Comune di Eboli (SA)**

PROGETTO DEFINITIVO – Tabulati di calcolo Tomo 1

Sezione	Rotazione	Area	Jx	Jy	ix	iy	Wx	Wy	Wpx	Wpy
A1; L100*10; 1; Saldato; S275; 20; 1; 8; 8; 1	180	0.003832	0.0000035319	0.000007759	0.0304	0.045	0.0000492	0.0000739	0.00008974	0.00012727

Comportamento dei calastrelli

Accoppiamento imbottito avendo passo inferiore al minimo richiesto (§C4.2.4.1.3.1.5 NTC18) nella campata compresa tra le ascisse 0 e 1.329 per sbandamento attorno all'asse y.

Verifiche di resistenza

Verifiche a forza assiale §4.2.4.1.2.1 - §4.2.4.1.2.2 NTC18

X	Comb.	Sfruttamento	Classe	NEd	Nc,Rd	Nt,Rd	Riduzione da taglio	px	py	Verifica
0	SLU 76	0.035	3	-35.283	1003.522		1	0	0	Si

Verifiche a forza assiale SLD §4.2.4.1.2.1 - §4.2.4.1.2.2 NTC18

X	Comb.	Sfruttamento	Classe	NEd	Nc,Rd	Nt,Rd	Riduzione da taglio	px	py	Verifica
0	SLD 9	0.013	3	-12.839	1003.522		1	0	0	Si

Verifica a taglio Y §4.2.4.1.2.4 NTC18

X	Comb.	Sfruttamento	Classe	NEd	Nc,Rd	Nt,Rd	Riduzione da taglio	px	py	Verifica
0	SLU 76	0.001		-0.202	302.422	0.002	Non considerata			Si

Verifica a flessione semplice X §§ 4.2.4.1.2.3 - 4.2.4.1.2.6 - 4.2.4.1.2.7 - 4.2.4.1.2.8 NTC18

X	Comb.	Sfruttamento	Classe	Mx,Ed	Mx,Rd	Rid. Mx,Rd da VEd	px	py	Verifica
0.664	SLU 41	0.003	1	0.06427	23.50374	1	0	0	Si

Verifica a presso/tenso flessione retta X §§ 4.2.4.1.2.3 - 4.2.4.1.2.6 - 4.2.4.1.2.7 - 4.2.4.1.2.8 NTC18

Verifiche eseguite utilizzando la formula conservativa (6.2) §6.2.1 EN 1993-1-1:2005.

X	Comb.	Sfruttamento	Classe	NEd	NRd	Rid. NRd da VEd	Mx,Ed	Mx,Rd	Rid. Mx,Rd da VEd	Rid. Mx,Rd da NEd	px	py	Verifica
0.487	SLU 76	0.04	3	-35.157	1003.522	1	0.0628	12.886	1		0	0	Si

Verifica a presso/tenso flessione retta X SLD §§ 4.2.4.1.2.3 - 4.2.4.1.2.6 - 4.2.4.1.2.7 - 4.2.4.1.2.8 NTC18

Verifiche eseguite utilizzando la formula conservativa (6.2) §6.2.1 EN 1993-1-1:2005.

X	Comb.	Sfruttamento	Classe	NEd	NRd	Rid. NRd da VEd	Mx,Ed	Mx,Rd	Rid. Mx,Rd da VEd	Rid. Mx,Rd da NEd	px	py	Verifica
0.177	SLD 6	0.014	3	-12.526	1003.522	1	0.0231	12.886	1		0	0	Si

Verifica a presso/tenso flessione retta Y §§ 4.2.4.1.2.3 - 4.2.4.1.2.6 - 4.2.4.1.2.7 - 4.2.4.1.2.8 NTC18

Verifiche eseguite utilizzando la formula conservativa (6.2) §6.2.1 EN 1993-1-1:2005.

X	Comb.	Sfruttamento	Classe	NEd	NRd	Rid. NRd da VEd	My,Ed	My,Rd	Rid. My,Rd da VEd	Rid. My,Rd da NEd	px	py	Verifica
1.329	SLV 9	0.024	3	-13.81	1003.522	1	-0.1954	19.3536	1		0	0	Si

Verifica a presso/tenso flessione retta Y SLD §§ 4.2.4.1.2.3 - 4.2.4.1.2.6 - 4.2.4.1.2.7 - 4.2.4.1.2.8 NTC18

Verifiche eseguite utilizzando la formula conservativa (6.2) §6.2.1 EN 1993-1-1:2005.

X	Comb.	Sfruttamento	Classe	NEd	NRd	Rid. NRd da VEd	My,Ed	My,Rd	Rid. My,Rd da VEd	Rid. My,Rd da NEd	px	py	Verifica
1.329	SLD 9	0.016	3	-12.575	1003.522	1	-0.0743	19.3536	1		0	0	Si

Verifica a presso/tenso flessione deviata §§ 4.2.4.1.2.3 - 4.2.4.1.2.6 - 4.2.4.1.2.7 - 4.2.4.1.2.8 NTC18

Verifiche eseguite utilizzando la formula conservativa (6.2) §6.2.1 EN 1993-1-1:2005.

X	Comb.	Sfruttamento	Classe	NEd	NRd	Rid. NRd da VEd	Mx,Ed	Mx,Rd	My,Ed	My,Rd	Rid. Mx,Rd da VEd	Rid. Mx,Rd da NEd	Rid. My,Rd da VEd	Rid. My,Rd da NEd	α	β	px	py	Verifica
0.709	SLU 76	0.041	3	-35.1	1003.522	1	0.0687	12.886	0.0091	19.3536	1		1				0	0	Si

Verifica a presso/tenso flessione deviata SLD §§ 4.2.4.1.2.3 - 4.2.4.1.2.6 - 4.2.4.1.2.7 - 4.2.4.1.2.8 NTC18

Verifiche eseguite utilizzando la formula conservativa (6.2) §6.2.1 EN 1993-1-1:2005.

X	Comb.	Sfruttamento	Classe	NEd	NRd	Rid. NRd da VEd	Mx,Ed	Mx,Rd	My,Ed	My,Rd	Rid. Mx,Rd da VEd	Rid. Mx,Rd da NEd	Rid. My,Rd da VEd	Rid. My,Rd da NEd	α	β	px	py	Verifica
0.842	SLD 10	0.019	3	-12.672	1003.522	1	0.048	12.886	-0.0482	19.3536	1		1				0	0	Si

Verifiche ad instabilità

Caratteristiche iniziali

Membratura principale per controllo snellezza; Calcolo di snellezze ed N critici condotti secondo gli assi principali;

Curva X: c; Curva Y: c;

Svergolamento: Nessuno; la verifica a instabilità flesso-torsionale (svergolamento) non verrà eseguita.

Dati per instabilità attorno a x

Controllo della snellezza secondo §4.2.4.1.3.1 NTC18

Numero rit.	Presente	Ascissa	Campata	βx/m	Vincolo a entrambi estremi	λx/m	λVer
1	Si	0					
			1-2	1	Si	43.8	Si, (<200)
2	Si	1.329					

Dati per instabilità attorno a y

Controllo della snellezza secondo §4.2.4.1.3.1 NTC18

Numero rit.	Presente	Ascissa	Campata	βy/n	k,LT	kw,LT	Vincolo a entrambi estremi
1	Si	0					
			1-2	1	Si	29.5	Si, (<200)
2	Si	1.329					

Verifica di stabilità per pressoflessione §C.4.2.4.1.3.3.1 NTC18

X	Comb.	Sfruttamento	Classe	NEd	MxEq,Ed	MyEq,Ed	Area	Wx	Wy	x,min	λ adim. x/m	λ adim. y/n	N,crit x/m	N,crit y/n	Verifica
0	SLU 76	0.047	3	-35.283	0.061	0.0099	0.003832	0.0000492	0.0000739	0.841	0.504	0.34	4146.015	9108.088	Si

Implementazione dei sistemi di confinamento delle emissioni odorigene diffuse dell'impianto di compostaggio esistente nel
Comune di Eboli (SA)
PROGETTO DEFINITIVO – Tabulati di calcolo Tomo 1

Verifica di stabilità per pressoflessione SLD §C.4.2.4.1.3.3.1 NTC18

X	Comb.	Sfruttamento	Classe	NEd	MxEq,Ed	MyEq,Ed	Area	Wx	Wy	x,min	λ adim. x/m	λ adim. y/n	N,crit x/m	N,crit y/n	Verifica
0	SLD 9	0,022	3	-12,839	0,0448	-0,0558	0,003832	0,0000492	0,0000739	0,841	0,504	0,34	4146,015	9108,088	Si

Verifiche a deformabilità

Mensola X: No; Mensola Y: No.

Frecce lungo X

Ascissa freccia	Combinazione	Freccia	Luce	L/f	L/f,min	Tipo	Verifica
0,753	SLE RA 1	0	1,329	10000	250	Totale	Si
0,753	SLE RA 17	0	1,329	10000	250	Totale	Si
0,753	SLE RA 16	0	1,329	10000	250	Totale	Si
0,753	SLE RA 15	0	1,329	10000	250	Totale	Si
0,797	SLE RA 14	0	1,329	10000	250	Totale	Si
0,753	SLE RA 2	0	1,329	10000	350	Variabile	Si
0,753	SLE RA 17	0	1,329	10000	350	Variabile	Si
0,753	SLE RA 16	0	1,329	10000	350	Variabile	Si
0,709	SLE RA 15	0	1,329	10000	350	Variabile	Si
0,664	SLE RA 14	0	1,329	10000	350	Variabile	Si

Frecce lungo Y

Ascissa freccia	Combinazione	Freccia	Luce	L/f	L/f,min	Tipo	Verifica
0,664	SLE RA 1	0,00001	1,329	10000	250	Totale	Si
0,664	SLE RA 17	0,00001	1,329	10000	250	Totale	Si
0,664	SLE RA 16	0,00001	1,329	10000	250	Totale	Si
0,664	SLE RA 15	0,00001	1,329	10000	250	Totale	Si
0,664	SLE RA 14	0,00001	1,329	10000	250	Totale	Si
0,797	SLE RA 2	0	1,329	10000	350	Variabile	Si
0,753	SLE RA 17	0	1,329	10000	350	Variabile	Si
0,753	SLE RA 16	0	1,329	10000	350	Variabile	Si
0,753	SLE RA 15	0	1,329	10000	350	Variabile	Si
0,797	SLE RA 14	0	1,329	10000	350	Variabile	Si

Superelemento in acciaio a quota "640"- "728" (2231; 2593)-(2231; 2493)

Caratteristiche del materiale

Acciaio: S275, fyk = 275000

Caratteristiche geometriche

Lunghezza: 1.329

Nodo iniziale: 1287 Nodo finale: 2355

Cerniera iniziale: Mmomenti 1% Cerniera finale: Mmomenti 1%

Sovreresistenza: 0% Sisma Z: No

Caratteristiche della sezione

Sezione	Rotazione	Area	Jx	Jy	ix	iy	Wx	Wy	Wplx	Wply
A1; L100*10; 1; Saldato; S275; 20; 1; 8; 8; 1	180	0,003832	0,0000035319	0,000007759	0,0304	0,045	0,0000492	0,0000739	0,00008974	0,00012727

Comportamento dei calastrelli

Accoppiamento imbottito avendo passo inferiore al minimo richiesto (§C4.2.4.1.3.1.5 NTC18) nella campata compresa tra le ascisse 0 e 1.329 per sbandamento attorno all'asse y.

Verifiche di resistenza

Verifiche a forza assiale §4.2.4.1.2.1 - §4.2.4.1.2.2 NTC18

X	Comb.	Sfruttamento	Classe	NEd	Nc,Rd	Nt,Rd	Riduzione da taglio	px	py	Verifica
0	SLU 75	0,024	3	-24,58	1003,522		1	0	0	Si

Verifiche a forza assiale SLD §4.2.4.1.2.1 - §4.2.4.1.2.2 NTC18

X	Comb.	Sfruttamento	Classe	NEd	Nc,Rd	Nt,Rd	Riduzione da taglio	px	py	Verifica
0	SLD 13	0,01	3	-9,744	1003,522		1	0	0	Si

Verifica a flessione semplice X §§ 4.2.4.1.2.3 - 4.2.4.1.2.6 - 4.2.4.1.2.7 - 4.2.4.1.2.8 NTC18

X	Comb.	Sfruttamento	Classe	Mx,Ed	Mx,Rd	Rid. Mx,Rd da VEd	px	py	Verifica
0,709	SLU 2	0,002	1	0,05002	23,50374	1	0	0	Si

Verifica a presso/tenso flessione retta X §§ 4.2.4.1.2.3 - 4.2.4.1.2.6 - 4.2.4.1.2.7 - 4.2.4.1.2.8 NTC18

Verifiche eseguite utilizzando la formula conservativa (6.2) §6.2.1 EN 1993-1-1:2005.

X	Comb.	Sfruttamento	Classe	NEd	NRd	Rid. NRd da VEd	Mx,Ed	Mx,Rd	Rid. Mx,Rd da VEd	Rid. Mx,Rd da NEd	px	py	Verifica
0,664	SLU 75	0,029	3	-24,409	1003,522	1	0,066	12,886	1		0	0	Si

Verifica a presso/tenso flessione retta X SLD §§ 4.2.4.1.2.3 - 4.2.4.1.2.6 - 4.2.4.1.2.7 - 4.2.4.1.2.8 NTC18

Verifiche eseguite utilizzando la formula conservativa (6.2) §6.2.1 EN 1993-1-1:2005.

X	Comb.	Sfruttamento	Classe	NEd	NRd	Rid. NRd da VEd	Mx,Ed	Mx,Rd	Rid. Mx,Rd da VEd	Rid. Mx,Rd da NEd	px	py	Verifica
0,664	SLD 5	0,013	3	-9,516	1003,522	1	0,0506	12,886	1		0	0	Si

Verifica a presso/tenso flessione retta Y §§ 4.2.4.1.2.3 - 4.2.4.1.2.6 - 4.2.4.1.2.7 - 4.2.4.1.2.8 NTC18

Verifiche eseguite utilizzando la formula conservativa (6.2) §6.2.1 EN 1993-1-1:2005.

X	Comb.	Sfruttamento	Classe	NEd	NRd	Rid. NRd da VEd	My,Ed	My,Rd	Rid. My,Rd da VEd	Rid. My,Rd da NEd	px	py	Verifica
0	SLV 14	0,013	3	-10,088	1003,522	1	-0,049	19,3536	1		0	0	Si

Implementazione dei sistemi di confinamento delle emissioni odorigene diffuse dell'impianto di compostaggio esistente nel
Comune di Eboli (SA)

PROGETTO DEFINITIVO – Tabulati di calcolo Tomo 1

Verifica a presso/tenso flessione retta Y SLD §§ 4.2.4.1.2.3 - 4.2.4.1.2.6 - 4.2.4.1.2.7 - 4.2.4.1.2.8 NTC18

Verifiche eseguite utilizzando la formula conservativa (6.2) §6.2.1 EN 1993-1-1:2005.

X	Comb.	Sfruttamento	Classe	NEd	NRd	Rid. NRd da VEd	My,Ed	My,Rd	Rid. My,Rd da VEd	Rid. My,Rd da NEd	px	py	Verifica
0	SLD 13	0.011	3	-9.744	1003.522	1	-0.0185	19.3536	1		0	0	Si

Verifica a presso/tenso flessione deviata §§ 4.2.4.1.2.3 - 4.2.4.1.2.6 - 4.2.4.1.2.7 - 4.2.4.1.2.8 NTC18

Verifiche eseguite utilizzando la formula conservativa (6.2) §6.2.1 EN 1993-1-1:2005.

X	Comb.	Sfruttamento	Classe	NEd	NRd	Rid. NRd da VEd	Mx,Ed	My,Ed	My,Rd	Rid. Mx,Rd da VEd	Rid. Mx,Rd da NEd	Rid. My,Rd da VEd	Rid. My,Rd da NEd	α	β	px	py	Verifica
0.576	SLV 13	0.015	3	-9.974	1003.522	1	0.0497	12.886	-0.0303	19.3536	1	1				0	0	Si

Verifica a presso/tenso flessione deviata SLD §§ 4.2.4.1.2.3 - 4.2.4.1.2.6 - 4.2.4.1.2.7 - 4.2.4.1.2.8 NTC18

Verifiche eseguite utilizzando la formula conservativa (6.2) §6.2.1 EN 1993-1-1:2005.

X	Comb.	Sfruttamento	Classe	NEd	NRd	Rid. NRd da VEd	Mx,Ed	Mx,Rd	My,Ed	My,Rd	Rid. Mx,Rd da VEd	Rid. Mx,Rd da NEd	Rid. My,Rd da VEd	Rid. My,Rd da NEd	α	β	px	py	Verifica
0.62	SLD 13	0.014	3	-9.621	1003.522	1	0.0503	12.886	-0.0106	19.3536	1		1				0	0	Si

Verifiche ad instabilità

Caratteristiche iniziali

Membratura principale per controllo snellezza; Calcolo di snellezze ed N critici condotti secondo gli assi principali;

Curva X: c; Curva Y: c;

Svergolamento: Nessuno; la verifica a instabilità flesso-torsionale (svergolamento) non verrà eseguita.

Dati per instabilità attorno a x

Controllo della snellezza secondo §4.2.4.1.3.1 NTC18

Numero rit.	Presente	Ascissa	Campata	βx/m	Vincolo a entrambi estremi	λx/m	λVer
1	Si		0				
			1-2	1	Si	43.8	Si, (<200)
2	Si	1.329					

Dati per instabilità attorno a y

Controllo della snellezza secondo §4.2.4.1.3.1 NTC18

Numero rit.	Presente	Ascissa	Campata	βy/n	k,LT	kw,LT	Vincolo a entrambi estremi
1	Si		0				
			1-2	1	Si	29.5	Si, (<200)
2	Si	1.329					

Verifica di stabilità per pressoflessione §C.4.2.4.1.3.3.1 NTC18

X	Comb.	Sfruttamento	Classe	NEd	MxEq,Ed	MyEq,Ed	Area	Wx	Wy	χ,min	λ adim. x/m	λ adim. y/n	N,crit x/m	N,crit y/n	Verifica
0	SLU 75	0.034	3	-24.58	0.0576	0.0043	0.003832	0.0000492	0.0000739	0.841	0.504	0.34	4146.015	9108.088	Si

Verifica di stabilità per pressoflessione SLD §C.4.2.4.1.3.3.1 NTC18

X	Comb.	Sfruttamento	Classe	NEd	MxEq,Ed	MyEq,Ed	Area	Wx	Wy	χ,min	λ adim. x/m	λ adim. y/n	N,crit x/m	N,crit y/n	Verifica
0	SLD 13	0.016	3	-9.744	0.0441	-0.0139	0.003832	0.0000492	0.0000739	0.841	0.504	0.34	4146.015	9108.088	Si

Verifiche a deformabilità

Mensola X: No; Mensola Y: No.

Frecce lungo X

Ascissa freccia	Combinazione	Freccia	Luce	L/f	L/f,min	Tipo	Verifica
0.664	SLE RA 1	0	1.329	10000	250	Totale	Si
0.664	SLE RA 17	0	1.329	10000	250	Totale	Si
0.664	SLE RA 16	0	1.329	10000	250	Totale	Si
0.664	SLE RA 15	0	1.329	10000	250	Totale	Si
0.664	SLE RA 14	0	1.329	10000	250	Totale	Si
0.664	SLE RA 2	0	1.329	10000	350	Variabile	Si
0.664	SLE RA 17	0	1.329	10000	350	Variabile	Si
0.664	SLE RA 16	0	1.329	10000	350	Variabile	Si
0.62	SLE RA 15	0	1.329	10000	350	Variabile	Si
0.664	SLE RA 14	0	1.329	10000	350	Variabile	Si

Frecce lungo Y

Ascissa freccia	Combinazione	Freccia	Luce	L/f	L/f,min	Tipo	Verifica
0.664	SLE RA 1	0.00001	1.329	10000	250	Totale	Si
0.664	SLE RA 17	0.00001	1.329	10000	250	Totale	Si
0.664	SLE RA 16	0.00001	1.329	10000	250	Totale	Si
0.664	SLE RA 15	0.00001	1.329	10000	250	Totale	Si
0.664	SLE RA 14	0.00001	1.329	10000	250	Totale	Si
0.797	SLE RA 2	0	1.329	10000	350	Variabile	Si
0.797	SLE RA 17	0	1.329	10000	350	Variabile	Si
0.797	SLE RA 16	0	1.329	10000	350	Variabile	Si
0.797	SLE RA 15	0	1.329	10000	350	Variabile	Si
0.753	SLE RA 14	0	1.329	10000	350	Variabile	Si

Superelemento in acciaio a quota "640"- "728" (2231; 2593)-(2231; 2693)

Caratteristiche del materiale

Acciaio: S275, fyk = 275000

Caratteristiche geometriche

Lunghezza: 1.329

Nodo iniziale: 1286 Nodo finale: 2381

Cerniera iniziale: Mmomenti 1% Cerniera finale: Mmomenti 1%

**Implementazione dei sistemi di confinamento delle emissioni odorigene diffuse dell'impianto di compostaggio esistente nel
Comune di Eboli (SA)
PROGETTO DEFINITIVO – Tabulati di calcolo Tomo 1**

Sovreresistenza: 0% Sisma Z: No

Caratteristiche della sezione

Sezione	Rotazione	Area	Jx	Jy	ix	iy	Wx	Wy	Wplx	Wply
A1; L100*10; 1; Saldato; S275; 20; 1; 8; 8; 1	180	0.003832	0.0000035319	0.000007759	0.0304	0.045	0.0000492	0.0000739	0.00008974	0.00012727

Comportamento dei calastrelli

Accoppiamento imbottito avendo passo inferiore al minimo richiesto (§C4.2.4.1.3.1.5 NTC18) nella campata compresa tra le ascisse 0 e 1.329 per sbandamento attorno all'asse y.

Verifiche di resistenza

Verifiche a forza assiale §4.2.4.1.2.1 - §4.2.4.1.2.2 NTC18

X	Comb.	Sfruttamento	Classe	NEd	Nc,Rd	Nt,Rd	Riduzione da taglio	px	py	Verifica
0	SLU 76	0.029	3	-29.584	1003.522		1	0	0	Si

Verifiche a forza assiale SLD §4.2.4.1.2.1 - §4.2.4.1.2.2 NTC18

X	Comb.	Sfruttamento	Classe	NEd	Nc,Rd	Nt,Rd	Riduzione da taglio	px	py	Verifica
0	SLD 14	0.011	3	-11.442	1003.522		1	0	0	Si

Verifica a taglio X §4.2.4.1.2.4 NTC18

X	Comb.	Sfruttamento	VEd	Vc,Rd	Av	Interazione taglio-torsione	Riduzione torsione	Verifica
1.329	SLV 16	0.001	-0.251	302.422	0.002	Non considerata		Si

Verifica a presso/tenso flessione retta X §§ 4.2.4.1.2.3 - 4.2.4.1.2.6 - 4.2.4.1.2.7 - 4.2.4.1.2.8 NTC18

Verifiche eseguite utilizzando la formula conservativa (6.2) §6.2.1 EN 1993-1-1:2005.

X	Comb.	Sfruttamento	Classe	NEd	NRd	Rid. NRd da VEd	Mx,Ed	Mx,Rd	Rid. Mx,Rd da VEd	Rid. Mx,Rd da NEd	px	py	Verifica
0.664	SLU 76	0.034	3	-29.413	1003.522	1	0.066	12.886	1		0	0	Si

Verifica a presso/tenso flessione retta X SLD §§ 4.2.4.1.2.3 - 4.2.4.1.2.6 - 4.2.4.1.2.7 - 4.2.4.1.2.8 NTC18

Verifiche eseguite utilizzando la formula conservativa (6.2) §6.2.1 EN 1993-1-1:2005.

X	Comb.	Sfruttamento	Classe	NEd	NRd	Rid. NRd da VEd	Mx,Ed	Mx,Rd	Rid. Mx,Rd da VEd	Rid. Mx,Rd da NEd	px	py	Verifica
0.089	SLD 15	0.012	3	-11.266	1003.522	1	0.0125	12.886	1		0	0	Si

Verifica a presso/tenso flessione retta Y §§ 4.2.4.1.2.3 - 4.2.4.1.2.6 - 4.2.4.1.2.7 - 4.2.4.1.2.8 NTC18

Verifiche eseguite utilizzando la formula conservativa (6.2) §6.2.1 EN 1993-1-1:2005.

X	Comb.	Sfruttamento	Classe	NEd	NRd	Rid. NRd da VEd	My,Ed	My,Rd	Rid. My,Rd da VEd	Rid. My,Rd da NEd	px	py	Verifica
1.329	SLV 10	0.022	1	-11.749	1003.522	1	-0.3415	33.3316	1		0	0	Si

Verifica a presso/tenso flessione retta Y SLD §§ 4.2.4.1.2.3 - 4.2.4.1.2.6 - 4.2.4.1.2.7 - 4.2.4.1.2.8 NTC18

Verifiche eseguite utilizzando la formula conservativa (6.2) §6.2.1 EN 1993-1-1:2005.

X	Comb.	Sfruttamento	Classe	NEd	NRd	Rid. NRd da VEd	My,Ed	My,Rd	Rid. My,Rd da VEd	Rid. My,Rd da NEd	px	py	Verifica
1.329	SLD 14	0.018	3	-11.179	1003.522	1	-0.1399	19.3536	1		0	0	Si

Verifica a presso/tenso flessione deviata §§ 4.2.4.1.2.3 - 4.2.4.1.2.6 - 4.2.4.1.2.7 - 4.2.4.1.2.8 NTC18

Verifiche eseguite utilizzando la formula conservativa (6.2) §6.2.1 EN 1993-1-1:2005.

X	Comb.	Sfruttamento	Classe	NEd	NRd	Rid. NRd da VEd	Mx,Ed	Mx,Rd	My,Ed	My,Rd	Rid. Mx,Rd da VEd	Rid. Mx,Rd da NEd	Rid. My,Rd da VEd	Rid. My,Rd da NEd	α	β	px	py	Verifica
0.709	SLV 13	0.026	3	-11.884	1003.522	1	0.0541	12.886	-0.1927	19.3536	1		1				0	0	Si

Verifica a presso/tenso flessione deviata SLD §§ 4.2.4.1.2.3 - 4.2.4.1.2.6 - 4.2.4.1.2.7 - 4.2.4.1.2.8 NTC18

Verifiche eseguite utilizzando la formula conservativa (6.2) §6.2.1 EN 1993-1-1:2005.

X	Comb.	Sfruttamento	Classe	NEd	NRd	Rid. NRd da VEd	Mx,Ed	Mx,Rd	My,Ed	My,Rd	Rid. Mx,Rd da VEd	Rid. Mx,Rd da NEd	Rid. My,Rd da VEd	Rid. My,Rd da NEd	α	β	px	py	Verifica
0.974	SLD 14	0.02	3	-11.249	1003.522	1	0.0423	12.886	-0.1039	19.3536	1		1				0	0	Si

Verifiche ad instabilità

Caratteristiche iniziali

Membratura principale per controllo snellezza; Calcolo di snellezze ed N critici condotti secondo gli assi principali;

Curva X: c; Curva Y: c;

Svergolamento: Nessuno; la verifica a instabilità flesso-torsionale (svergolamento) non verrà eseguita.

Dati per instabilità attorno a x

Controllo della snellezza secondo §4.2.4.1.3.1 NTC18

Numero rit.	Presente	Ascissa	Campata	βx/m	Vincolo a entrambi estremi	λx/m	λVer
1	Si	0					
2	Si	1.329	1-2	1	Si	43.8	Si, (<200)

Dati per instabilità attorno a y

Controllo della snellezza secondo §4.2.4.1.3.1 NTC18

Numero rit.	Presente	Ascissa	Campata	βy/n	k,LT	kw,LT	Vincolo a entrambi estremi
1	Si	0					
2	Si	1.329	1-2	1	Si	29.5	Si, (<200)

Verifica di stabilità per pressoflessione §C.4.2.4.1.3.3.1 NTC18

X	Comb.	Sfruttamento	Classe	NEd	MxEq,Ed	MyEq,Ed	Area	Wx	Wy	x,min	λ adim. x/m	λ adim. y/n	N,crit x/m	N,crit y/n	Verifica
0	SLU 76	0.04	3	-29.584	0.0576	0.0015	0.003832	0.0000492	0.0000739	0.841	0.504	0.34	4146.015	9108.088	Si

Implementazione dei sistemi di confinamento delle emissioni odorigene diffuse dell'impianto di compostaggio esistente nel
Comune di Eboli (SA)
PROGETTO DEFINITIVO – Tabulati di calcolo Tomo 1

Verifica di stabilità per pressoflessione SLD §C.4.2.4.1.3.3.1 NTC18

X	Comb.	Sfruttamento	Classe	NEd	MxEq,Ed	MyEq,Ed	Area	Wx	Wy	x,min	λ adim. x/m	λ adim. y/n	N,crit x/m	N,crit y/n	Verifica
0	SLD 13	0,023	3	-11,442	0,0459	-0,1049	0,003832	0,0000492	0,0000739	0,841	0,504	0,34	4146,015	9108,088	Si

Verifiche a deformabilità

Mensola X: No; Mensola Y: No.

Frecce lungo X

Ascissa freccia	Combinazione	Freccia	Luce	L/f	L/f,min	Tipo	Verifica
0,487	SLE RA 1	0	1,329	10000	250	Totale	Si
0,487	SLE RA 17	0	1,329	10000	250	Totale	Si
0,487	SLE RA 16	0	1,329	10000	250	Totale	Si
0,354	SLE RA 15	0	1,329	10000	250	Totale	Si
0,576	SLE RA 14	0	1,329	10000	250	Totale	Si
0,487	SLE RA 2	0	1,329	10000	350	Variabile	Si
0,487	SLE RA 17	0	1,329	10000	350	Variabile	Si
0,487	SLE RA 16	0	1,329	10000	350	Variabile	Si
0,842	SLE RA 15	0	1,329	10000	350	Variabile	Si
0,664	SLE RA 14	0	1,329	10000	350	Variabile	Si

Frecce lungo Y

Ascissa freccia	Combinazione	Freccia	Luce	L/f	L/f,min	Tipo	Verifica
0,664	SLE RA 1	0,00001	1,329	10000	250	Totale	Si
0,664	SLE RA 17	0,00001	1,329	10000	250	Totale	Si
0,664	SLE RA 16	0,00001	1,329	10000	250	Totale	Si
0,664	SLE RA 15	0,00001	1,329	10000	250	Totale	Si
0,664	SLE RA 14	0,00001	1,329	10000	250	Totale	Si
0,797	SLE RA 2	0	1,329	10000	350	Variabile	Si
0,753	SLE RA 17	0	1,329	10000	350	Variabile	Si
0,797	SLE RA 16	0	1,329	10000	350	Variabile	Si
0,664	SLE RA 15	0	1,329	10000	350	Variabile	Si
0,753	SLE RA 14	0	1,329	10000	350	Variabile	Si

Superelemento in acciaio a quota "640"- "728" (2463; 2593)-(2463; 2493)

Caratteristiche del materiale

Acciaio: S275, fyk = 275000

Caratteristiche geometriche

Lunghezza: 1.329

Nodo iniziale: 1293 Nodo finale: 2358

Cerniera iniziale: Mmomenti 1% Cerniera finale: Mmomenti 1%

Sovreresistenza: 0% Sisma Z: No

Caratteristiche della sezione

Sezione	Rotazione	Area	Jx	Jy	ix	iy	Wx	Wy	Wplx	Wply
Al; L100*10; 1; Saldato; S275; 20; 1; 8; 8; 1	180	0,003832	0,0000035319	0,000007759	0,0304	0,045	0,0000492	0,0000739	0,00008974	0,00012727

Comportamento dei calastrelli

Accoppiamento imbottito avendo passo inferiore al minimo richiesto (§C4.2.4.1.3.1.5 NTC18) nella campata compresa tra le ascisse 0 e 1.329 per sbandamento attorno all'asse y.

Verifiche di resistenza

Verifiche a forza assiale §4.2.4.1.2.1 - §4.2.4.1.2.2 NTC18

X	Comb.	Sfruttamento	Classe	NEd	Nc,Rd	Nt,Rd	Riduzione da taglio	px	py	Verifica
0	SLU 75	0,02	3	-20,021	1003,522		1	0	0	Si

Verifiche a forza assiale SLD §4.2.4.1.2.1 - §4.2.4.1.2.2 NTC18

X	Comb.	Sfruttamento	Classe	NEd	Nc,Rd	Nt,Rd	Riduzione da taglio	px	py	Verifica
0	SLD 7	0,008	3	-8,313	1003,522		1	0	0	Si

Verifica a flessione semplice X §§ 4.2.4.1.2.3 - 4.2.4.1.2.6 - 4.2.4.1.2.7 - 4.2.4.1.2.8 NTC18

X	Comb.	Sfruttamento	Classe	Mx,Ed	Mx,Rd	Rid. Mx,Rd da VEd	px	py	Verifica
0,664	SLU 2	0,002	1	0,05013	23,50374	1	0	0	Si

Verifica a presso/tenso flessione retta X §§ 4.2.4.1.2.3 - 4.2.4.1.2.6 - 4.2.4.1.2.7 - 4.2.4.1.2.8 NTC18

Verifiche eseguite utilizzando la formula conservativa (6.2) §6.2.1 EN 1993-1-1:2005.

X	Comb.	Sfruttamento	Classe	NEd	NRd	Rid. NRd da VEd	Mx,Ed	Mx,Rd	Rid. Mx,Rd da VEd	Rid. Mx,Rd da NEd	px	py	Verifica
0,664	SLU 75	0,025	3	-19,85	1003,522	1	0,0652	12,886	1		0	0	Si

Verifica a presso/tenso flessione retta X SLD §§ 4.2.4.1.2.3 - 4.2.4.1.2.6 - 4.2.4.1.2.7 - 4.2.4.1.2.8 NTC18

Verifiche eseguite utilizzando la formula conservativa (6.2) §6.2.1 EN 1993-1-1:2005.

X	Comb.	Sfruttamento	Classe	NEd	NRd	Rid. NRd da VEd	Mx,Ed	Mx,Rd	Rid. Mx,Rd da VEd	Rid. Mx,Rd da NEd	px	py	Verifica
0,664	SLD 16	0,01	3	-6,397	1003,522	1	0,0499	12,886	1		0	0	Si

Verifica a presso/tenso flessione retta Y §§ 4.2.4.1.2.3 - 4.2.4.1.2.6 - 4.2.4.1.2.7 - 4.2.4.1.2.8 NTC18

Verifiche eseguite utilizzando la formula conservativa (6.2) §6.2.1 EN 1993-1-1:2005.

X	Comb.	Sfruttamento	Classe	NEd	NRd	Rid. NRd da VEd	My,Ed	My,Rd	Rid. My,Rd da VEd	Rid. My,Rd da NEd	px	py	Verifica
0	SLV 8	0,013	3	-10,682	1003,522	1	0,0549	19,3536	1		0	0	Si

Implementazione dei sistemi di confinamento delle emissioni odorigene diffuse dell'impianto di compostaggio esistente nel
Comune di Eboli (SA)

PROGETTO DEFINITIVO – Tabulati di calcolo Tomo 1

Verifica a presso/tenso flessione retta Y SLD §§ 4.2.4.1.2.3 - 4.2.4.1.2.6 - 4.2.4.1.2.7 - 4.2.4.1.2.8 NTC18

Verifiche eseguite utilizzando la formula conservativa (6.2) §6.2.1 EN 1993-1-1:2005.

X	Comb.	Sfruttamento	Classe	NEd	NRd	Rid. NRd da VEd	My,Ed	My,Rd	Rid. My,Rd da VEd	Rid. My,Rd da NEd	px	py	Verifica
0	SLD 8	0.009	3	-8.313	1003.522	1	0.0226	19.3536	1		0	0	Si

Verifica a presso/tenso flessione deviata §§ 4.2.4.1.2.3 - 4.2.4.1.2.6 - 4.2.4.1.2.7 - 4.2.4.1.2.8 NTC18

Verifiche eseguite utilizzando la formula conservativa (6.2) §6.2.1 EN 1993-1-1:2005.

X	Comb.	Sfruttamento	Classe	NEd	NRd	Rid. NRd da VEd	Mx,Ed	My,Ed	My,Rd	Rid. Mx,Rd da VEd	Rid. Mx,Rd da NEd	Rid. My,Rd da VEd	Rid. My,Rd da NEd	α	β	px	py	Verifica
0.62	SLV 7	0.017	3	-10.559	1003.522	1	0.0505	12.886	0.0415	19.3536	1	1				0	0	Si

Verifica a presso/tenso flessione deviata SLD §§ 4.2.4.1.2.3 - 4.2.4.1.2.6 - 4.2.4.1.2.7 - 4.2.4.1.2.8 NTC18

Verifiche eseguite utilizzando la formula conservativa (6.2) §6.2.1 EN 1993-1-1:2005.

X	Comb.	Sfruttamento	Classe	NEd	NRd	Rid. NRd da VEd	Mx,Ed	Mx,Rd	My,Ed	My,Rd	Rid. Mx,Rd da VEd	Rid. Mx,Rd da NEd	Rid. My,Rd da VEd	Rid. My,Rd da NEd	α	β	px	py	Verifica
0.62	SLD 8	0.013	3	-8.191	1003.522	1	0.05	12.886	0.0173	19.3536	1		1				0	0	Si

Verifiche ad instabilità

Caratteristiche iniziali

Membratura principale per controllo snellezza; Calcolo di snellezze ed N critici condotti secondo gli assi principali;

Curva X: c; Curva Y: c;

Svergolamento: Nessuno; la verifica a instabilità flesso-torsionale (svergolamento) non verrà eseguita.

Dati per instabilità attorno a x

Controllo della snellezza secondo §4.2.4.1.3.1 NTC18

Numero rit.	Presente	Ascissa	Campata	βx/m	Vincolo a entrambi estremi	λx/m	λVer
1	Si		0				
			1-2	1	Si	43.8	Si, (<200)
2	Si	1.329					

Dati per instabilità attorno a y

Controllo della snellezza secondo §4.2.4.1.3.1 NTC18

Numero rit.	Presente	Ascissa	Campata	βy/n	k,LT	kw,LT	Vincolo a entrambi estremi
1	Si		0				
			1-2	1	Si	29.5	Si, (<200)
2	Si	1.329					

Verifica di stabilità per pressoflessione §C.4.2.4.1.3.3.1 NTC18

X	Comb.	Sfruttamento	Classe	NEd	MxEq,Ed	MyEq,Ed	Area	Wx	Wy	χ,min	λ adim. x/m	λ adim. y/n	N,crit x/m	N,crit y/n	Verifica
0	SLU 75	0.028	3	-20.021	0.0566	0.0025	0.003832	0.0000492	0.0000739	0.841	0.504	0.34	4146.015	9108.088	Si

Verifica di stabilità per pressoflessione SLD §C.4.2.4.1.3.3.1 NTC18

X	Comb.	Sfruttamento	Classe	NEd	MxEq,Ed	MyEq,Ed	Area	Wx	Wy	χ,min	λ adim. x/m	λ adim. y/n	N,crit x/m	N,crit y/n	Verifica
0	SLD 7	0.014	3	-8.313	0.0437	0.0221	0.003832	0.0000492	0.0000739	0.841	0.504	0.34	4146.015	9108.088	Si

Verifiche a deformabilità

Mensola X: No; Mensola Y: No.

Frecce lungo X

Ascissa freccia	Combinazione	Freccia	Luce	L/f	L/f,min	Tipo	Verifica
0.664	SLE RA 1	0	1.329	10000	250	Totale	Si
0.664	SLE RA 17	0	1.329	10000	250	Totale	Si
0.664	SLE RA 16	0	1.329	10000	250	Totale	Si
0.664	SLE RA 15	0	1.329	10000	250	Totale	Si
0.709	SLE RA 14	0	1.329	10000	250	Totale	Si
0.709	SLE RA 2	0	1.329	10000	350	Variabile	Si
0.664	SLE RA 17	0	1.329	10000	350	Variabile	Si
0.664	SLE RA 16	0	1.329	10000	350	Variabile	Si
0.664	SLE RA 15	0	1.329	10000	350	Variabile	Si
0.709	SLE RA 14	0	1.329	10000	350	Variabile	Si

Frecce lungo Y

Ascissa freccia	Combinazione	Freccia	Luce	L/f	L/f,min	Tipo	Verifica
0.664	SLE RA 1	0.00001	1.329	10000	250	Totale	Si
0.664	SLE RA 17	0.00001	1.329	10000	250	Totale	Si
0.664	SLE RA 16	0.00001	1.329	10000	250	Totale	Si
0.664	SLE RA 15	0.00001	1.329	10000	250	Totale	Si
0.664	SLE RA 14	0.00001	1.329	10000	250	Totale	Si
0.709	SLE RA 2	0	1.329	10000	350	Variabile	Si
0.709	SLE RA 17	0	1.329	10000	350	Variabile	Si
0.709	SLE RA 16	0	1.329	10000	350	Variabile	Si
0.753	SLE RA 15	0	1.329	10000	350	Variabile	Si
0.797	SLE RA 14	0	1.329	10000	350	Variabile	Si

Superelemento in acciaio a quota "640"- "728" (2463; 2593)-(2463; 2693)

Caratteristiche del materiale

Acciaio: S275, fyk = 275000

Caratteristiche geometriche

Lunghezza: 1.329

Nodo iniziale: 1291 Nodo finale: 2389

Cerniera iniziale: Mmomenti 1% Cerniera finale: Mmomenti 1%

**Implementazione dei sistemi di confinamento delle emissioni odorigene diffuse dell'impianto di compostaggio esistente nel
Comune di Eboli (SA)
PROGETTO DEFINITIVO – Tabulati di calcolo Tomo 1**

Sovreresistenza: 0% Sisma Z: No

Caratteristiche della sezione

Sezione	Rotazione	Area	Jx	Jy	ix	iy	Wx	Wy	Wplx	Wply
A1; L100*10; 1; Saldato; S275; 20; 1; 8; 8; 1	180	0.003832	0.0000035319	0.000007759	0.0304	0.045	0.0000492	0.0000739	0.00008974	0.00012727

Comportamento dei calastrelli

Accoppiamento imbottito avendo passo inferiore al minimo richiesto (§C4.2.4.1.3.1.5 NTC18) nella campata compresa tra le ascisse 0 e 1.329 per sbandamento attorno all'asse y.

Verifiche di resistenza

Verifiche a forza assiale §4.2.4.1.2.1 - §4.2.4.1.2.2 NTC18

X	Comb.	Sfruttamento	Classe	NEd	Nc,Rd	Nt,Rd	Riduzione da taglio	px	py	Verifica
0	SLU 76	0.019	3	-18.69	1003.522		1	0	0	Si

Verifiche a forza assiale SLD §4.2.4.1.2.1 - §4.2.4.1.2.2 NTC18

X	Comb.	Sfruttamento	Classe	NEd	Nc,Rd	Nt,Rd	Riduzione da taglio	px	py	Verifica
0	SLD 7	0.008	3	-8.021	1003.522		1	0	0	Si

Verifica a flessione semplice X §§ 4.2.4.1.2.3 - 4.2.4.1.2.6 - 4.2.4.1.2.7 - 4.2.4.1.2.8 NTC18

X	Comb.	Sfruttamento	Classe	Mx,Ed	Mx,Rd	Rid. Mx,Rd da VEd	px	py	Verifica
0.664	SLU 2	0.002	1	0.04951	23.50374	1	0	0	Si

Verifica a presso/tenso flessione retta X §§ 4.2.4.1.2.3 - 4.2.4.1.2.6 - 4.2.4.1.2.7 - 4.2.4.1.2.8 NTC18

Verifiche eseguite utilizzando la formula conservativa (6.2) §6.2.1 EN 1993-1-1:2005.

X	Comb.	Sfruttamento	Classe	NEd	NRd	Rid. NRd da VEd	Mx,Ed	Mx,Rd	Rid. Mx,Rd da VEd	Rid. Mx,Rd da NEd	px	py	Verifica
0.177	SLU 76	0.021	3	-18.644	1003.522	1	0.0296	12.886	1		0	0	Si

Verifica a presso/tenso flessione retta X SLD §§ 4.2.4.1.2.3 - 4.2.4.1.2.6 - 4.2.4.1.2.7 - 4.2.4.1.2.8 NTC18

Verifiche eseguite utilizzando la formula conservativa (6.2) §6.2.1 EN 1993-1-1:2005.

X	Comb.	Sfruttamento	Classe	NEd	NRd	Rid. NRd da VEd	Mx,Ed	Mx,Rd	Rid. Mx,Rd da VEd	Rid. Mx,Rd da NEd	px	py	Verifica
0.133	SLD 15	0.007	3	-5.879	1003.522	1	0.0176	12.886	1		0	0	Si

Verifica a presso/tenso flessione retta Y §§ 4.2.4.1.2.3 - 4.2.4.1.2.6 - 4.2.4.1.2.7 - 4.2.4.1.2.8 NTC18

Verifiche eseguite utilizzando la formula conservativa (6.2) §6.2.1 EN 1993-1-1:2005.

X	Comb.	Sfruttamento	Classe	NEd	NRd	Rid. NRd da VEd	My,Ed	My,Rd	Rid. My,Rd da VEd	Rid. My,Rd da NEd	px	py	Verifica
1.329	SLU 76	0.019	3	-18.348	1003.522	1	0.0233	19.3536	1		0	0	Si

Verifica a presso/tenso flessione retta Y SLD §§ 4.2.4.1.2.3 - 4.2.4.1.2.6 - 4.2.4.1.2.7 - 4.2.4.1.2.8 NTC18

Verifiche eseguite utilizzando la formula conservativa (6.2) §6.2.1 EN 1993-1-1:2005.

X	Comb.	Sfruttamento	Classe	NEd	NRd	Rid. NRd da VEd	My,Ed	My,Rd	Rid. My,Rd da VEd	Rid. My,Rd da NEd	px	py	Verifica
1.329	SLD 8	0.013	3	-7.758	1003.522	1	0.0944	19.3536	1		0	0	Si

Verifica a presso/tenso flessione deviata §§ 4.2.4.1.2.3 - 4.2.4.1.2.6 - 4.2.4.1.2.7 - 4.2.4.1.2.8 NTC18

Verifiche eseguite utilizzando la formula conservativa (6.2) §6.2.1 EN 1993-1-1:2005.

X	Comb.	Sfruttamento	Classe	NEd	NRd	Rid. NRd da VEd	Mx,Ed	Mx,Rd	My,Ed	My,Rd	Rid. Mx,Rd da VEd	Rid. Mx,Rd da NEd	Rid. My,Rd da VEd	Rid. My,Rd da NEd	α	β	px	py	Verifica
0.709	SLU 76	0.024	3	-18.507	1003.522	1	0.0649	12.886	0.0146	19.3536	1		1				0	0	Si

Verifica a presso/tenso flessione deviata SLD §§ 4.2.4.1.2.3 - 4.2.4.1.2.6 - 4.2.4.1.2.7 - 4.2.4.1.2.8 NTC18

Verifiche eseguite utilizzando la formula conservativa (6.2) §6.2.1 EN 1993-1-1:2005.

X	Comb.	Sfruttamento	Classe	NEd	NRd	Rid. NRd da VEd	Mx,Ed	Mx,Rd	My,Ed	My,Rd	Rid. Mx,Rd da VEd	Rid. Mx,Rd da NEd	Rid. My,Rd da VEd	Rid. My,Rd da NEd	α	β	px	py	Verifica
0.842	SLD 7	0.015	3	-7.854	1003.522	1	0.0464	12.886	0.064	19.3536	1		1				0	0	Si

Verifiche ad instabilità

Caratteristiche iniziali

Membratura principale per controllo snellezza; Calcolo di snellezze ed N critici condotti secondo gli assi principali;

Curva X: c; Curva Y: c;

Svergolamento: Nessuno; la verifica a instabilità flesso-torsionale (svergolamento) non verrà eseguita.

Dati per instabilità attorno a x

Controllo della snellezza secondo §4.2.4.1.3.1 NTC18

Numero rit.	Presente	Ascissa	Campata	βx/m	Vincolo a entrambi estremi	λx/m	λVer
1	Si	0					
2	Si	1.329	1-2	1	Si	43.8	Si, (<200)

Dati per instabilità attorno a y

Controllo della snellezza secondo §4.2.4.1.3.1 NTC18

Numero rit.	Presente	Ascissa	Campata	βy/n	k,LT	kw,LT	Vincolo a entrambi estremi
1	Si	0					
2	Si	1.329	1-2	1	Si	29.5	Si, (<200)

Verifica di stabilità per pressoflessione §C.4.2.4.1.3.3.1 NTC18

X	Comb.	Sfruttamento	Classe	NEd	MxEq,Ed	MyEq,Ed	Area	Wx	Wy	χ,min	λ adim. x/m	λ adim. y/n	N,crit x/m	N,crit y/n	Verifica
0	SLU 76	0.027	3	-18.69	0.0565	0.0159	0.003832	0.0000492	0.0000739	0.841	0.504	0.34	4146.015	9108.088	Si

Implementazione dei sistemi di confinamento delle emissioni odorigene diffuse dell'impianto di compostaggio esistente nel
Comune di Eboli (SA)
PROGETTO DEFINITIVO – Tabulati di calcolo Tomo 1

Verifica di stabilità per pressoflessione SLD §C.4.2.4.1.3.3.1 NTC18

X	Comb.	Sfruttamento	Classe	NEd	MxEq,Ed	MyEq,Ed	Area	Wx	Wy	x,min	λ adim. x/m	λ adim. y/n	N,crit x/m	N,crit y/n	Verifica
0	SLD 7	0.017	3	-8.021	0.0431	0.0708	0.003832	0.0000492	0.0000739	0.841	0.504	0.34	4146.015	9108.088	Si

Verifiche a deformabilità

Mensola X: No; Mensola Y: No.

Frecce lungo X

Ascissa freccia	Combinazione	Freccia	Luce	L/f	L/f,min	Tipo	Verifica
0.753	SLE RA 1	0	1.329	10000	250	Totale	Si
0.753	SLE RA 17	0	1.329	10000	250	Totale	Si
0.753	SLE RA 16	0	1.329	10000	250	Totale	Si
0.753	SLE RA 15	0	1.329	10000	250	Totale	Si
0.753	SLE RA 14	0	1.329	10000	250	Totale	Si
0.753	SLE RA 2	0	1.329	10000	350	Variabile	Si
0.753	SLE RA 17	0	1.329	10000	350	Variabile	Si
0.753	SLE RA 16	0	1.329	10000	350	Variabile	Si
0.753	SLE RA 15	0	1.329	10000	350	Variabile	Si
0.753	SLE RA 14	0	1.329	10000	350	Variabile	Si

Frecce lungo Y

Ascissa freccia	Combinazione	Freccia	Luce	L/f	L/f,min	Tipo	Verifica
0.664	SLE RA 1	0.00001	1.329	10000	250	Totale	Si
0.664	SLE RA 17	0.00001	1.329	10000	250	Totale	Si
0.664	SLE RA 16	0.00001	1.329	10000	250	Totale	Si
0.664	SLE RA 15	0.00001	1.329	10000	250	Totale	Si
0.664	SLE RA 14	0.00001	1.329	10000	250	Totale	Si
0.797	SLE RA 2	0	1.329	10000	350	Variabile	Si
0.753	SLE RA 17	0	1.329	10000	350	Variabile	Si
0.797	SLE RA 16	0	1.329	10000	350	Variabile	Si
0.797	SLE RA 15	0	1.329	10000	350	Variabile	Si
0.753	SLE RA 14	0	1.329	10000	350	Variabile	Si

Superelemento in acciaio a quota "640"- "728" (2695; 2593)-(2695; 2493)

Caratteristiche del materiale

Acciaio: S275, fyk = 275000

Caratteristiche geometriche

Lunghezza: 1.329

Nodo iniziale: 1302 Nodo finale: 2364

Cerniera iniziale: Mmomenti 1% Cerniera finale: Mmomenti 1%

Sovreresistenza: 0% Sisma Z: No

Caratteristiche della sezione

Sezione	Rotazione	Area	Jx	Jy	ix	iy	Wx	Wy	Wplx	Wply
A1; L100*10; 1; Saldato; S275; 20; 1; 8; 8; 1	180	0.003832	0.0000035319	0.000007759	0.0304	0.045	0.0000492	0.0000739	0.00008974	0.00012727

Comportamento dei calastrelli

Accoppiamento imbottito avendo passo inferiore al minimo richiesto (§C4.2.4.1.3.1.5 NTC18) nella campata compresa tra le ascisse 0 e 1.329 per sbandamento attorno all'asse y.

Verifiche di resistenza

Verifiche a forza assiale §4.2.4.1.2.1 - §4.2.4.1.2.2 NTC18

X	Comb.	Sfruttamento	Classe	NEd	Nc,Rd	Nt,Rd	Riduzione da taglio	px	py	Verifica
1.329	SLV 9	0.011		10.543		1003.522	1	0	0	Si

Verifiche a forza assiale SLD §4.2.4.1.2.1 - §4.2.4.1.2.2 NTC18

X	Comb.	Sfruttamento	Classe	NEd	Nc,Rd	Nt,Rd	Riduzione da taglio	px	py	Verifica
1.329	SLD 9	0.004		3.699		1003.522	1	0	0	Si

Verifica a taglio Y §4.2.4.1.2.4 NTC18

X	Comb.	Sfruttamento	VEd	Vc,Rd	Av	Interazione taglio-torsione	Riduzione torsione	Verifica
1.329	SLU 76	0.001	0.201	302.422	0.002	Non considerata		Si

Verifica a flessione semplice X §§ 4.2.4.1.2.3 - 4.2.4.1.2.6 - 4.2.4.1.2.7 - 4.2.4.1.2.8 NTC18

X	Comb.	Sfruttamento	Classe	Mx,Ed	Mx,Rd	Rid. Mx,Rd da VEd	px	py	Verifica
0.664	SLU 47	0.003	1	0.06311	23.50374	1	0	0	Si

Verifica a presso/tenso flessione retta X §§ 4.2.4.1.2.3 - 4.2.4.1.2.6 - 4.2.4.1.2.7 - 4.2.4.1.2.8 NTC18

Verifiche eseguite utilizzando la formula conservativa (6.2) §6.2.1 EN 1993-1-1:2005.

X	Comb.	Sfruttamento	Classe	NEd	NRd	Rid. NRd da VEd	Mx,Ed	Mx,Rd	Rid. Mx,Rd da VEd	Rid. Mx,Rd da NEd	px	py	Verifica
0.31	SLV 4	0.013	3	-9.889	1003.522	1	0.0356	12.886	1		0	0	Si

Verifica a presso/tenso flessione retta X SLD §§ 4.2.4.1.2.3 - 4.2.4.1.2.6 - 4.2.4.1.2.7 - 4.2.4.1.2.8 NTC18

Verifiche eseguite utilizzando la formula conservativa (6.2) §6.2.1 EN 1993-1-1:2005.

X	Comb.	Sfruttamento	Classe	NEd	NRd	Rid. NRd da VEd	Mx,Ed	Mx,Rd	Rid. Mx,Rd da VEd	Rid. Mx,Rd da NEd	px	py	Verifica
0.487	SLD 7	0.007	3	-3.127	1003.522	1	0.0457	12.886	1		0	0	Si

Implementazione dei sistemi di confinamento delle emissioni odorigene diffuse dell'impianto di compostaggio esistente nel
Comune di Eboli (SA)

PROGETTO DEFINITIVO – Tabulati di calcolo Tomo 1

Verifica a presso/tenso flessione retta Y §§ 4.2.4.1.2.3 - 4.2.4.1.2.6 - 4.2.4.1.2.7 - 4.2.4.1.2.8 NTC18

Verifiche eseguite utilizzando la formula conservativa (6.2) §6.2.1 EN 1993-1-1:2005.

X	Comb.	Sfruttamento	Classe	NEd	NRd	Rid. NRd da VEd	My,Ed	My,Rd	Rid. My,Rd da VEd	Rid. My,Rd da NEd	px	py	Verifica
1.329	SLV 8	0.014	3	-9.804	1003.522	1	-0.0912	19.3536	1		0	0	Si

Verifica a presso/tenso flessione retta Y SLD §§ 4.2.4.1.2.3 - 4.2.4.1.2.6 - 4.2.4.1.2.7 - 4.2.4.1.2.8 NTC18

Verifiche eseguite utilizzando la formula conservativa (6.2) §6.2.1 EN 1993-1-1:2005.

X	Comb.	Sfruttamento	Classe	NEd	NRd	Rid. NRd da VEd	My,Ed	My,Rd	Rid. My,Rd da VEd	Rid. My,Rd da NEd	px	py	Verifica
1.329	SLD 10	0.005	1	3.699	1003.522	1	0.0394	33.3316	1		0	0	Si

Verifica a presso/tenso flessione deviata §§ 4.2.4.1.2.3 - 4.2.4.1.2.6 - 4.2.4.1.2.7 - 4.2.4.1.2.8 NTC18

Verifiche eseguite utilizzando la formula conservativa (6.2) §6.2.1 EN 1993-1-1:2005.

X	Comb.	Sfruttamento	Classe	NEd	NRd	Rid. NRd da VEd	Mx,Ed	Mx,Rd	My,Ed	My,Rd	Rid. Mx,Rd da VEd	Rid. Mx,Rd da NEd	Rid. My,Rd da VEd	Rid. My,Rd da NEd	α	β	px	py	Verifica
0.886	SLV 7	0.016	3	-9.892	1003.522	1	0.0449	12.886	-0.0548	19.3536	1		1				0	0	Si

Verifica a presso/tenso flessione deviata SLD §§ 4.2.4.1.2.3 - 4.2.4.1.2.6 - 4.2.4.1.2.7 - 4.2.4.1.2.8 NTC18

Verifiche eseguite utilizzando la formula conservativa (6.2) §6.2.1 EN 1993-1-1:2005.

X	Comb.	Sfruttamento	Classe	NEd	NRd	Rid. NRd da VEd	Mx,Ed	Mx,Rd	My,Ed	My,Rd	Rid. Mx,Rd da VEd	Rid. Mx,Rd da NEd	Rid. My,Rd da VEd	Rid. My,Rd da NEd	α	β	px	py	Verifica
0.753	SLD 8	0.008	3	-3.074	1003.522	1	0.0481	12.886	-0.0161	19.3536	1		1				0	0	Si

Verifiche ad instabilità

Caratteristiche iniziali

Membratura principale per controllo snellezza; Calcolo di snellezze ed N critici condotti secondo gli assi principali;

Curva X: c; Curva Y: c;

Svergolamento: Nessuno; la verifica a instabilità flessio-torsionale (svergolamento) non verrà eseguita.

Dati per instabilità attorno a x

Controllo della snellezza secondo §4.2.4.1.3.1 NTC18

Numero rit.	Presente	Ascissa	Campata	βx/m	Vincolo a entrambi estremi	λx/m	λVer
1	Si		0				
			1-2		1	43.8	Si, (<200)
2	Si	1.329					

Dati per instabilità attorno a y

Controllo della snellezza secondo §4.2.4.1.3.1 NTC18

Numero rit.	Presente	Ascissa	Campata	βy/n	k,LT	kw,LT	Vincolo a entrambi estremi
1	Si		0				
			1-2		1	29.5	Si, (<200)
2	Si	1.329					

Verifica di stabilità per pressoflessione §C.4.2.4.1.3.3.1 NTC18

X	Comb.	Sfruttamento	Classe	NEd	MxEq,Ed	MyEq,Ed	Area	Wx	Wy	χ,min	λ adim. x/m	λ adim. y/n	N,crit x/m	N,crit y/n	Verifica
0	SLV 8	0.019	3	-10.067	0.0436	-0.0684	0.003832	0.0000492	0.0000739	0.841	0.504	0.34	4146.015	9108.088	Si

Verifica di stabilità per pressoflessione SLD §C.4.2.4.1.3.3.1 NTC18

X	Comb.	Sfruttamento	Classe	NEd	MxEq,Ed	MyEq,Ed	Area	Wx	Wy	χ,min	λ adim. x/m	λ adim. y/n	N,crit x/m	N,crit y/n	Verifica
0	SLD 8	0.008	3	-3.223	0.0421	-0.0264	0.003832	0.0000492	0.0000739	0.841	0.504	0.34	4146.015	9108.088	Si

Verifiche a deformabilità

Mensola X: No; Mensola Y: No.

Frecce lungo X

Ascissa freccia	Combinazione	Freccia	Luce	L/f	L/f,min	Tipo	Verifica
0.664	SLE RA 1	0	1.329	10000	250	Totale	Si
0.664	SLE RA 17	0	1.329	10000	250	Totale	Si
0.664	SLE RA 16	0	1.329	10000	250	Totale	Si
0.664	SLE RA 15	0	1.329	10000	250	Totale	Si
0.62	SLE RA 14	0	1.329	10000	250	Totale	Si
0.664	SLE RA 2	0	1.329	10000	350	Variabile	Si
0.664	SLE RA 17	0	1.329	10000	350	Variabile	Si
0.664	SLE RA 16	0	1.329	10000	350	Variabile	Si
0.664	SLE RA 15	0	1.329	10000	350	Variabile	Si
0.532	SLE RA 14	0	1.329	10000	350	Variabile	Si

Frecce lungo Y

Ascissa freccia	Combinazione	Freccia	Luce	L/f	L/f,min	Tipo	Verifica
0.664	SLE RA 1	0.00001	1.329	10000	250	Totale	Si
0.664	SLE RA 17	0.00001	1.329	10000	250	Totale	Si
0.664	SLE RA 16	0.00001	1.329	10000	250	Totale	Si
0.664	SLE RA 15	0.00001	1.329	10000	250	Totale	Si
0.664	SLE RA 14	0.00001	1.329	10000	250	Totale	Si
0.753	SLE RA 2	0	1.329	10000	350	Variabile	Si
0.753	SLE RA 17	0	1.329	10000	350	Variabile	Si
0.753	SLE RA 16	0	1.329	10000	350	Variabile	Si
0.753	SLE RA 15	0	1.329	10000	350	Variabile	Si
0.753	SLE RA 14	0	1.329	10000	350	Variabile	Si

Superelemento in acciaio a quota "640"- "728" (2695; 2593)-(2695; 2693)

Caratteristiche del materiale

Acciaio: S275, fyk = 275000

**Implementazione dei sistemi di confinamento delle emissioni odorigene diffuse dell'impianto di compostaggio esistente nel
Comune di Eboli (SA)
PROGETTO DEFINITIVO – Tabulati di calcolo Tomo 1**

Caratteristiche geometriche

Lunghezza: 1.329
 Nodo iniziale: 1299 Nodo finale: 2395
 Cerniera iniziale: Mmomenti 1% Cerniera finale: Mmomenti 1%
 Sovraresistenza: 0% Sisma Z: No

Caratteristiche della sezione

Sezione	Rotazione	Area	Jx	Jy	ix	iy	Wx	Wy	Wplx	Wply
A1; L100*10; 1; Saldato; S275; 20; 1; 8; 8; 1	180	0.003832	0.0000035319	0.000007759	0.0304	0.045	0.0000492	0.0000739	0.00008974	0.00012727

Comportamento dei calastrelli

Accoppiamento imbottito avendo passo inferiore al minimo richiesto (§C4.2.4.1.3.1.5 NTC18) nella campata compresa tra le ascisse 0 e 1.329 per sbandamento attorno all'asse y.

Verifiche di resistenza

Verifiche a forza assiale §4.2.4.1.2.1 - §4.2.4.1.2.2 NTC18

X	Comb.	Sfruttamento	Classe	NEd	Nc,Rd	Nt,Rd	Riduzione da taglio	px	py	Verifica
1.329	SLV 10	0.01		10.395		1003.522	1	0	0	Si

Verifiche a forza assiale SLD §4.2.4.1.2.1 - §4.2.4.1.2.2 NTC18

X	Comb.	Sfruttamento	Classe	NEd	Nc,Rd	Nt,Rd	Riduzione da taglio	px	py	Verifica
1.329	SLD 10	0.004		3.796		1003.522	1	0	0	Si

Verifica a flessione semplice X §§ 4.2.4.1.2.3 - 4.2.4.1.2.6 - 4.2.4.1.2.7 - 4.2.4.1.2.8 NTC18

X	Comb.	Sfruttamento	Classe	Mx,Ed	Mx,Rd	Rid. Mx,Rd da VEd	px	py	Verifica
0.664	SLU 74	0.003	1	0.06417	23.50374	1	0	0	Si

Verifica a presso/tenso flessione retta X §§ 4.2.4.1.2.3 - 4.2.4.1.2.6 - 4.2.4.1.2.7 - 4.2.4.1.2.8 NTC18

Verifiche eseguite utilizzando la formula conservativa (6.2) §6.2.1 EN 1993-1-1:2005.

X	Comb.	Sfruttamento	Classe	NEd	NRd	Rid. NRd da VEd	Mx,Ed	Mx,Rd	Rid. Mx,Rd da VEd	Rid. Mx,Rd da NEd	px	py	Verifica
0.664	SLV 7	0.013	3	-9.372	1003.522	1	0.0501	12.886	1		0	0	Si

Verifica a presso/tenso flessione retta X SLD §§ 4.2.4.1.2.3 - 4.2.4.1.2.6 - 4.2.4.1.2.7 - 4.2.4.1.2.8 NTC18

Verifiche eseguite utilizzando la formula conservativa (6.2) §6.2.1 EN 1993-1-1:2005.

X	Comb.	Sfruttamento	Classe	NEd	NRd	Rid. NRd da VEd	Mx,Ed	Mx,Rd	Rid. Mx,Rd da VEd	Rid. Mx,Rd da NEd	px	py	Verifica
0.664	SLD 7	0.007	3	-2.773	1003.522	1	0.0496	12.886	1		0	0	Si

Verifica a presso/tenso flessione retta Y §§ 4.2.4.1.2.3 - 4.2.4.1.2.6 - 4.2.4.1.2.7 - 4.2.4.1.2.8 NTC18

Verifiche eseguite utilizzando la formula conservativa (6.2) §6.2.1 EN 1993-1-1:2005.

X	Comb.	Sfruttamento	Classe	NEd	NRd	Rid. NRd da VEd	My,Ed	My,Rd	Rid. My,Rd da VEd	Rid. My,Rd da NEd	px	py	Verifica
1.329	SLV 10	0.011	1	10.395	1003.522	1	0.0211	33.3316	1		0	0	Si

Verifica a presso/tenso flessione retta Y SLD §§ 4.2.4.1.2.3 - 4.2.4.1.2.6 - 4.2.4.1.2.7 - 4.2.4.1.2.8 NTC18

Verifiche eseguite utilizzando la formula conservativa (6.2) §6.2.1 EN 1993-1-1:2005.

X	Comb.	Sfruttamento	Classe	NEd	NRd	Rid. NRd da VEd	My,Ed	My,Rd	Rid. My,Rd da VEd	Rid. My,Rd da NEd	px	py	Verifica
1.329	SLD 9	0.004	1	3.796	1003.522	1	0.0098	33.3316	1		0	0	Si

Verifica a presso/tenso flessione deviata §§ 4.2.4.1.2.3 - 4.2.4.1.2.6 - 4.2.4.1.2.7 - 4.2.4.1.2.8 NTC18

Verifiche eseguite utilizzando la formula conservativa (6.2) §6.2.1 EN 1993-1-1:2005.

X	Comb.	Sfruttamento	Classe	NEd	NRd	Rid. NRd da VEd	Mx,Ed	Mx,Rd	My,Ed	My,Rd	Rid. Mx,Rd da VEd	Rid. Mx,Rd da NEd	Rid. My,Rd da VEd	Rid. My,Rd da NEd	α	β	px	py	Verifica
0.753	SLV 8	0.014	3	-9.355	1003.522	1	0.0493	12.886	-0.0101	19.3536	1		1				0	0	Si

Verifica a presso/tenso flessione deviata SLD §§ 4.2.4.1.2.3 - 4.2.4.1.2.6 - 4.2.4.1.2.7 - 4.2.4.1.2.8 NTC18

Verifiche eseguite utilizzando la formula conservativa (6.2) §6.2.1 EN 1993-1-1:2005.

X	Comb.	Sfruttamento	Classe	NEd	NRd	Rid. NRd da VEd	Mx,Ed	Mx,Rd	My,Ed	My,Rd	Rid. Mx,Rd da VEd	Rid. Mx,Rd da NEd	Rid. My,Rd da VEd	Rid. My,Rd da NEd	α	β	px	py	Verifica
0.753	SLD 9	0.006	1	3.682	1003.522	1	0.0481	23.5037	0.0077	33.3316	1		1				0	0	Si

Verifiche ad instabilità

Caratteristiche iniziali

Membratura principale per controllo snellezza; Calcolo di snellezze ed N critici condotti secondo gli assi principali;
 Curva X: c; Curva Y: c;
 Svergolamento: Nessuno; la verifica a instabilità flesso-torsionale (svergolamento) non verrà eseguita.

Dati per instabilità attorno a x

Controllo della snellezza secondo §4.2.4.1.3.1 NTC18

Numero rit.	Presente	Ascissa	Campata	βx/m	Vincolo a entrambi estremi	λx/m	λVer
1	Si	0					
			1-2		1	43.8	Si, (<200)
2	Si	1.329					

Dati per instabilità attorno a y

Controllo della snellezza secondo §4.2.4.1.3.1 NTC18

Numero rit.	Presente	Ascissa	Campata	βy/n	k,LT	kw,LT	Vincolo a entrambi estremi
1	Si	0					
			1-2		1	29.5	Si, (<200)
2	Si	1.329					

Implementazione dei sistemi di confinamento delle emissioni odorigene diffuse dell'impianto di compostaggio esistente nel
Comune di Eboli (SA)
PROGETTO DEFINITIVO – Tabulati di calcolo Tomo 1

Verifica di stabilità per pressoflessione §C.4.2.4.1.3.3.1 NTC18

X	Comb.	Sfruttamento	Classe	NEd	MxEq,Ed	MyEq,Ed	Area	Wx	Wy	x,min	λ adim. x/m	λ adim. y/n	N,crit x/m	N,crit y/n	Verifica
0	SLV 4	0.015	3	-9.438	0.0435	0.0159	0.003832	0.0000492	0.0000739	0.841	0.504	0.34	4146.015	9108.088	Si

Verifica di stabilità per pressoflessione SLD §C.4.2.4.1.3.3.1 NTC18

X	Comb.	Sfruttamento	Classe	NEd	MxEq,Ed	MyEq,Ed	Area	Wx	Wy	x,min	λ adim. x/m	λ adim. y/n	N,crit x/m	N,crit y/n	Verifica
0	SLD 4	0.007	3	-2.887	0.0428	0.0074	0.003832	0.0000492	0.0000739	0.841	0.504	0.34	4146.015	9108.088	Si

Verifiche a deformabilità

Mensola X: No; Mensola Y: No.

Frecce lungo X

Ascissa freccia	Combinazione	Freccia	Luce	L/f	L/f,min	Tipo	Verifica
0.664	SLE RA 1	0	1.329	10000	250	Totale	Si
0.664	SLE RA 17	0	1.329	10000	250	Totale	Si
0.664	SLE RA 16	0	1.329	10000	250	Totale	Si
0.664	SLE RA 15	0	1.329	10000	250	Totale	Si
0.664	SLE RA 14	0	1.329	10000	250	Totale	Si
0.664	SLE RA 2	0	1.329	10000	350	Variabile	Si
0.664	SLE RA 17	0	1.329	10000	350	Variabile	Si
0.664	SLE RA 16	0	1.329	10000	350	Variabile	Si
0.664	SLE RA 15	0	1.329	10000	350	Variabile	Si
0.62	SLE RA 14	0	1.329	10000	350	Variabile	Si

Frecce lungo Y

Ascissa freccia	Combinazione	Freccia	Luce	L/f	L/f,min	Tipo	Verifica
0.664	SLE RA 1	0.00001	1.329	10000	250	Totale	Si
0.664	SLE RA 17	0.00001	1.329	10000	250	Totale	Si
0.664	SLE RA 16	0.00001	1.329	10000	250	Totale	Si
0.664	SLE RA 15	0.00001	1.329	10000	250	Totale	Si
0.664	SLE RA 14	0.00001	1.329	10000	250	Totale	Si
0.842	SLE RA 2	0	1.329	10000	350	Variabile	Si
0.753	SLE RA 17	0	1.329	10000	350	Variabile	Si
0.886	SLE RA 16	0	1.329	10000	350	Variabile	Si
0.753	SLE RA 15	0	1.329	10000	350	Variabile	Si
0.753	SLE RA 14	0	1.329	10000	350	Variabile	Si

Superelemento in acciaio a quota "640"- "728" (2929; 2593)-(2929; 2493)

Caratteristiche del materiale

Acciaio: S275, fyk = 275000

Caratteristiche geometriche

Lunghezza: 1.329

Nodo iniziale: 1307 Nodo finale: 2366

Cerniera iniziale: Mmomenti 1% Cerniera finale: Mmomenti 1%

Sovraresistenza: 0% Sisma Z: No

Caratteristiche della sezione

Sezione	Rotazione	Area	Jx	Jy	ix	iy	Wx	Wy	Wplx	Wply
A1; L100*10; 1; Saldato; S275; 20; 1; 8; 8; 1	180	0.003832	0.0000035319	0.000007759	0.0304	0.045	0.0000492	0.0000739	0.00008974	0.00012727

Comportamento dei calastrelli

Accoppiamento imbottito avendo passo inferiore al minimo richiesto (§C4.2.4.1.3.1.5 NTC18) nella campata compresa tra le ascisse 0 e 1.329 per sbandamento attorno all'asse y.

Verifiche di resistenza

Verifiche a forza assiale §4.2.4.1.2.1 - §4.2.4.1.2.2 NTC18

X	Comb.	Sfruttamento	Classe	NEd	Nc,Rd	Nt,Rd	Riduzione da taglio	px	py	Verifica
1.329	SLV 7	0.012		12.076		1003.522	1	0	0	Si

Verifiche a forza assiale SLD §4.2.4.1.2.1 - §4.2.4.1.2.2 NTC18

X	Comb.	Sfruttamento	Classe	NEd	Nc,Rd	Nt,Rd	Riduzione da taglio	px	py	Verifica
1.329	SLD 8	0.007		6.541		1003.522	1	0	0	Si

Verifica a flessione semplice X §§ 4.2.4.1.2.3 - 4.2.4.1.2.6 - 4.2.4.1.2.7 - 4.2.4.1.2.8 NTC18

X	Comb.	Sfruttamento	Classe	Mx,Ed	Mx,Rd	Rid. Mx,Rd da VEd	px	py	Verifica
0.664	SLU 41	0.003	1	0.06427	23.50374	1	0	0	Si

Verifica a presso/tenso flessione retta X §§ 4.2.4.1.2.3 - 4.2.4.1.2.6 - 4.2.4.1.2.7 - 4.2.4.1.2.8 NTC18

Verifiche eseguite utilizzando la formula conservativa (6.2) §6.2.1 EN 1993-1-1:2005.

X	Comb.	Sfruttamento	Classe	NEd	NRd	Rid. NRd da VEd	Mx,Ed	Mx,Rd	Rid. Mx,Rd da VEd	Rid. Mx,Rd da NEd	px	py	Verifica
0.532	SLU 76	0.014	1	11.577	1003.522	1	0.0601	23.5037	1		0	0	Si

Verifica a presso/tenso flessione retta X SLD §§ 4.2.4.1.2.3 - 4.2.4.1.2.6 - 4.2.4.1.2.7 - 4.2.4.1.2.8 NTC18

Verifiche eseguite utilizzando la formula conservativa (6.2) §6.2.1 EN 1993-1-1:2005.

X	Comb.	Sfruttamento	Classe	NEd	NRd	Rid. NRd da VEd	Mx,Ed	Mx,Rd	Rid. Mx,Rd da VEd	Rid. Mx,Rd da NEd	px	py	Verifica
0.532	SLD 3	0.008	1	6.362	1003.522	1	0.0466	23.5037	1		0	0	Si

Implementazione dei sistemi di confinamento delle emissioni odorigene diffuse dell'impianto di compostaggio esistente nel
Comune di Eboli (SA)
PROGETTO DEFINITIVO – Tabulati di calcolo Tomo 1

Verifica a presso/tenso flessione retta Y §§ 4.2.4.1.2.3 - 4.2.4.1.2.6 - 4.2.4.1.2.7 - 4.2.4.1.2.8 NTC18

Verifiche eseguite utilizzando la formula conservativa (6.2) §6.2.1 EN 1993-1-1:2005.

X	Comb.	Sfruttamento	Classe	NEd	NRd	Rid. NRd da VEd	My,Ed	My,Rd	Rid. My,Rd da VEd	Rid. My,Rd da NEd	px	py	Verifica
1.284	SLV 8	0.014	1	12.067	1003.522	1	0.0673	33.3316	1		0	0	Si

Verifica a presso/tenso flessione retta Y SLD §§ 4.2.4.1.2.3 - 4.2.4.1.2.6 - 4.2.4.1.2.7 - 4.2.4.1.2.8 NTC18

Verifiche eseguite utilizzando la formula conservativa (6.2) §6.2.1 EN 1993-1-1:2005.

X	Comb.	Sfruttamento	Classe	NEd	NRd	Rid. NRd da VEd	My,Ed	My,Rd	Rid. My,Rd da VEd	Rid. My,Rd da NEd	px	py	Verifica
1.329	SLD 7	0.007	1	6.541	1003.522	1	0.0309	33.3316	1		0	0	Si

Verifica a presso/tenso flessione deviata §§ 4.2.4.1.2.3 - 4.2.4.1.2.6 - 4.2.4.1.2.7 - 4.2.4.1.2.8 NTC18

Verifiche eseguite utilizzando la formula conservativa (6.2) §6.2.1 EN 1993-1-1:2005.

X	Comb.	Sfruttamento	Classe	NEd	NRd	Rid. NRd da VEd	Mx,Ed	Mx,Rd	My,Ed	My,Rd	Rid. Mx,Rd da VEd	Rid. Mx,Rd da NEd	Rid. My,Rd da VEd	Rid. My,Rd da NEd	α	β	px	py	Verifica
0.842	SLV 7	0.015	1	11.98	1003.522	1	0.0429	23.5037	0.0432	33.3316	1		1				0	0	Si

Verifica a presso/tenso flessione deviata SLD §§ 4.2.4.1.2.3 - 4.2.4.1.2.6 - 4.2.4.1.2.7 - 4.2.4.1.2.8 NTC18

Verifiche eseguite utilizzando la formula conservativa (6.2) §6.2.1 EN 1993-1-1:2005.

X	Comb.	Sfruttamento	Classe	NEd	NRd	Rid. NRd da VEd	Mx,Ed	Mx,Rd	My,Ed	My,Rd	Rid. Mx,Rd da VEd	Rid. Mx,Rd da NEd	Rid. My,Rd da VEd	Rid. My,Rd da NEd	α	β	px	py	Verifica
0.753	SLD 8	0.009	1	6.427	1003.522	1	0.0472	23.5037	0.0173	33.3316	1		1				0	0	Si

Verifiche ad instabilità

Caratteristiche iniziali

Membratura principale per controllo snellezza; Calcolo di snellezze ed N critici condotti secondo gli assi principali;

Curva X: c; Curva Y: c;

Svergolamento: Nessuno; la verifica a instabilità flessio-torsionale (svergolamento) non verrà eseguita.

Dati per instabilità attorno a x

Controllo della snellezza secondo §4.2.4.1.3.1 NTC18

Numero rit.	Presente	Ascissa	Campata	βx/m	Vincolo a entrambi estremi	λx/m	λVer
1	Si		0				
			1-2		1	Si	43.8
2	Si	1.329					Si, (<200)

Dati per instabilità attorno a y

Controllo della snellezza secondo §4.2.4.1.3.1 NTC18

Numero rit.	Presente	Ascissa	Campata	βy/n	k,LT	kw,LT	Vincolo a entrambi estremi
1	Si		0				
			1-2		1	Si	29.5
2	Si	1.329					Si, (<200)

Verifica di stabilità per pressoflessione §C.4.2.4.1.3.3.1 NTC18

X	Comb.	Sfruttamento	Classe	NEd	MxEq,Ed	MyEq,Ed	Area	Wx	Wy	χ,min	λ adim. x/m	λ adim. y/n	N,crit x/m	N,crit y/n	Verifica
0	SLV 13	0.012	3	-4.529	0.0441	0.0524	0.003832	0.0000492	0.0000739	0.841	0.504	0.34	4146.015	9108.088	Si

Verifiche a deformabilità

Mensola X: No; Mensola Y: No.

Frecce lungo X

Ascissa freccia	Combinazione	Freccia	Luce	L/f	L/f,min	Tipo	Verifica
0.753	SLE RA 1	0	1.329	10000	250	Totale	Si
0.753	SLE RA 17	0	1.329	10000	250	Totale	Si
0.753	SLE RA 16	0	1.329	10000	250	Totale	Si
0.709	SLE RA 15	0	1.329	10000	250	Totale	Si
0.753	SLE RA 14	0	1.329	10000	250	Totale	Si
0.753	SLE RA 2	0	1.329	10000	350	Variabile	Si
0.753	SLE RA 17	0	1.329	10000	350	Variabile	Si
0.753	SLE RA 16	0	1.329	10000	350	Variabile	Si
0.709	SLE RA 15	0	1.329	10000	350	Variabile	Si
0.797	SLE RA 14	0	1.329	10000	350	Variabile	Si

Frecce lungo Y

Ascissa freccia	Combinazione	Freccia	Luce	L/f	L/f,min	Tipo	Verifica
0.664	SLE RA 1	0.00001	1.329	10000	250	Totale	Si
0.664	SLE RA 17	0.00001	1.329	10000	250	Totale	Si
0.664	SLE RA 16	0.00001	1.329	10000	250	Totale	Si
0.664	SLE RA 15	0.00001	1.329	10000	250	Totale	Si
0.664	SLE RA 14	0.00001	1.329	10000	250	Totale	Si
0.753	SLE RA 2	0	1.329	10000	350	Variabile	Si
0.753	SLE RA 17	0	1.329	10000	350	Variabile	Si
0.753	SLE RA 16	0	1.329	10000	350	Variabile	Si
0.753	SLE RA 15	0	1.329	10000	350	Variabile	Si
0.753	SLE RA 14	0	1.329	10000	350	Variabile	Si

Superelemento in acciaio a quota "640"- "728" (2929; 2593)-(2929; 2693)

Caratteristiche del materiale

Acciaio: S275, fyk = 275000

Caratteristiche geometriche

Lunghezza: 1.329

Nodo iniziale: 1306 Nodo finale: 2396

Implementazione dei sistemi di confinamento delle emissioni odorigene diffuse dell'impianto di compostaggio esistente nel
Comune di Eboli (SA)

PROGETTO DEFINITIVO – Tabulati di calcolo Tomo 1

Cerniera iniziale: Mmomenti 1% Cerniera finale: Mmomenti 1%

Sovreresistenza: 0% Sisma Z: No

Caratteristiche della sezione

Sezione	Rotazione	Area	Jx	Jy	ix	iy	Wx	Wy	Wplx	Wply
A1; L100*10; 1; Saldato; S275; 20; 1; 8; 8; 1	180	0.003832	0.0000035319	0.000007759	0.0304	0.045	0.0000492	0.0000739	0.00008974	0.00012727

Comportamento dei calastrelli

Accoppiamento imbottito avendo passo inferiore al minimo richiesto (§C4.2.4.1.3.1.5 NTC18) nella campata compresa tra le ascisse 0 e 1.329 per sbandamento attorno all'asse y.

Verifiche di resistenza

Verifiche a forza assiale §4.2.4.1.2.1 - §4.2.4.1.2.2 NTC18

X	Comb.	Sfruttamento	Classe	NEd	Nc,Rd	Nt,Rd	Riduzione da taglio	px	py	Verifica
1.329	SLV 8	0.013		13.354		1003.522	1	0	0	Si

Verifiche a forza assiale SLD §4.2.4.1.2.1 - §4.2.4.1.2.2 NTC18

X	Comb.	Sfruttamento	Classe	NEd	Nc,Rd	Nt,Rd	Riduzione da taglio	px	py	Verifica
1.329	SLD 8	0.007		7.148		1003.522	1	0	0	Si

Verifica a flessione semplice X §§ 4.2.4.1.2.3 - 4.2.4.1.2.6 - 4.2.4.1.2.7 - 4.2.4.1.2.8 NTC18

X	Comb.	Sfruttamento	Classe	Mx,Ed	Mx,Rd	Rid. Mx,Rd da VEd	px	py	Verifica
0.664	SLU 2	0.002	1	0.04964	23.50374	1	0	0	Si

Verifica a presso/tenso flessione retta X §§ 4.2.4.1.2.3 - 4.2.4.1.2.6 - 4.2.4.1.2.7 - 4.2.4.1.2.8 NTC18

Verifiche eseguite utilizzando la formula conservativa (6.2) §6.2.1 EN 1993-1-1:2005.

X	Comb.	Sfruttamento	Classe	NEd	NRd	Rid. NRd da VEd	Mx,Ed	Mx,Rd	Rid. Mx,Rd da VEd	Rid. Mx,Rd da NEd	px	py	Verifica
0.664	SLV 7	0.015	1	13.223	1003.522	1	0.0466	23.5037	1		0	0	Si

Verifica a presso/tenso flessione retta X SLD §§ 4.2.4.1.2.3 - 4.2.4.1.2.6 - 4.2.4.1.2.7 - 4.2.4.1.2.8 NTC18

Verifiche eseguite utilizzando la formula conservativa (6.2) §6.2.1 EN 1993-1-1:2005.

X	Comb.	Sfruttamento	Classe	NEd	NRd	Rid. NRd da VEd	Mx,Ed	Mx,Rd	Rid. Mx,Rd da VEd	Rid. Mx,Rd da NEd	px	py	Verifica
0.664	SLD 8	0.009	1	7.016	1003.522	1	0.048	23.5037	1		0	0	Si

Verifica a presso/tenso flessione retta Y §§ 4.2.4.1.2.3 - 4.2.4.1.2.6 - 4.2.4.1.2.7 - 4.2.4.1.2.8 NTC18

Verifiche eseguite utilizzando la formula conservativa (6.2) §6.2.1 EN 1993-1-1:2005.

X	Comb.	Sfruttamento	Classe	NEd	NRd	Rid. NRd da VEd	My,Ed	My,Rd	Rid. My,Rd da VEd	Rid. My,Rd da NEd	px	py	Verifica
1.284	SLV 8	0.014	1	13.346	1003.522	1	-0.024	33.3316	1		0	0	Si

Verifica a presso/tenso flessione retta Y SLD §§ 4.2.4.1.2.3 - 4.2.4.1.2.6 - 4.2.4.1.2.7 - 4.2.4.1.2.8 NTC18

Verifiche eseguite utilizzando la formula conservativa (6.2) §6.2.1 EN 1993-1-1:2005.

X	Comb.	Sfruttamento	Classe	NEd	NRd	Rid. NRd da VEd	My,Ed	My,Rd	Rid. My,Rd da VEd	Rid. My,Rd da NEd	px	py	Verifica
1.329	SLD 8	0.007	1	7.148	1003.522	1	-0.0108	33.3316	1		0	0	Si

Verifica a presso/tenso flessione deviata §§ 4.2.4.1.2.3 - 4.2.4.1.2.6 - 4.2.4.1.2.7 - 4.2.4.1.2.8 NTC18

Verifiche eseguite utilizzando la formula conservativa (6.2) §6.2.1 EN 1993-1-1:2005.

X	Comb.	Sfruttamento	Classe	NEd	NRd	Rid. NRd da VEd	Mx,Ed	Mx,Rd	My,Ed	My,Rd	Rid. Mx,Rd da VEd	Rid. Mx,Rd da NEd	Rid. My,Rd da VEd	Rid. My,Rd da NEd	α	β	px	py	Verifica
0.532	SLV 7	0.015	1	13.196	1003.522	1	0.0452	23.5037	-0.0081	33.3316	1		1				0	0	Si

Verifica a presso/tenso flessione deviata SLD §§ 4.2.4.1.2.3 - 4.2.4.1.2.6 - 4.2.4.1.2.7 - 4.2.4.1.2.8 NTC18

Verifiche eseguite utilizzando la formula conservativa (6.2) §6.2.1 EN 1993-1-1:2005.

X	Comb.	Sfruttamento	Classe	NEd	NRd	Rid. NRd da VEd	Mx,Ed	Mx,Rd	My,Ed	My,Rd	Rid. Mx,Rd da VEd	Rid. Mx,Rd da NEd	Rid. My,Rd da VEd	Rid. My,Rd da NEd	α	β	px	py	Verifica
1.152	SLD 8	0.008	1	7.113	1003.522	1	0.0199	23.5037	-0.0079	33.3316	1		1				0	0	Si

Verifiche ad instabilità

Caratteristiche iniziali

Membratura principale per controllo snellezza; Calcolo di snellezze ed N critici condotti secondo gli assi principali;

Curva X: c; Curva Y: c;

Svergolamento: Nessuno; la verifica a instabilità flesso-torsionale (svergolamento) non verrà eseguita.

Dati per instabilità attorno a x

Controllo della snellezza secondo §4.2.4.1.3.1 NTC18

Numero rit.	Presente	Ascissa	Campata	βx/m	Vincolo a entrambi estremi	λx/m	λVer
1	Si	0					
			1-2		1	43.8	Si, (<200)
2	Si	1.329					

Dati per instabilità attorno a y

Controllo della snellezza secondo §4.2.4.1.3.1 NTC18

Numero rit.	Presente	Ascissa	Campata	βy/n	k,LT	kw,LT	Vincolo a entrambi estremi
1	Si	0					
			1-2		1	29.5	Si, (<200)
2	Si	1.329					

Verifica di stabilità per pressoflessione §C.4.2.4.1.3.3.1 NTC18

X	Comb.	Sfruttamento	Classe	NEd	MxEq,Ed	MyEq,Ed	Area	Wx	Wy	χ,min	λ adim. x/m	λ adim. y/n	N,crit x/m	N,crit y/n	Verifica
0	SLV 10	0.011	3	-5.304	0.0444	0.0217	0.003832	0.0000492	0.0000739	0.841	0.504	0.34	4146.015	9108.088	Si

Implementazione dei sistemi di confinamento delle emissioni odorigene diffuse dell'impianto di compostaggio esistente nel
Comune di Eboli (SA)
PROGETTO DEFINITIVO – Tabulati di calcolo Tomo 1

Verifiche a deformabilità

Mensola X: No; Mensola Y: No.

Frecce lungo X

Ascissa freccia	Combinazione	Freccia	Luce	L/f	L/f,min	Tipo	Verifica
0.31	SLE RA 1	0	1.329	10000	250	Totale	Si
0.266	SLE RA 17	0	1.329	10000	250	Totale	Si
1.019	SLE RA 16	0	1.329	10000	250	Totale	Si
0.443	SLE RA 15	0	1.329	10000	250	Totale	Si
0.842	SLE RA 14	0	1.329	10000	250	Totale	Si
1.019	SLE RA 2	0	1.329	10000	350	Variabile	Si
0.974	SLE RA 17	0	1.329	10000	350	Variabile	Si
0.974	SLE RA 16	0	1.329	10000	350	Variabile	Si
0.532	SLE RA 15	0	1.329	10000	350	Variabile	Si
0.709	SLE RA 14	0	1.329	10000	350	Variabile	Si

Frecce lungo Y

Ascissa freccia	Combinazione	Freccia	Luce	L/f	L/f,min	Tipo	Verifica
0.664	SLE RA 1	0.00001	1.329	10000	250	Totale	Si
0.664	SLE RA 17	0.00001	1.329	10000	250	Totale	Si
0.664	SLE RA 16	0.00001	1.329	10000	250	Totale	Si
0.664	SLE RA 15	0.00001	1.329	10000	250	Totale	Si
0.664	SLE RA 14	0.00001	1.329	10000	250	Totale	Si
0.753	SLE RA 2	0	1.329	10000	350	Variabile	Si
0.797	SLE RA 17	0	1.329	10000	350	Variabile	Si
0.753	SLE RA 16	0	1.329	10000	350	Variabile	Si
0.753	SLE RA 15	0	1.329	10000	350	Variabile	Si
0.753	SLE RA 14	0	1.329	10000	350	Variabile	Si

Superelemento in acciaio a quota "640"- "728" (-217; 710)-(-108; 608)

Caratteristiche del materiale

Acciaio: S275, fyk = 275000

Caratteristiche geometriche

Lunghezza: 1.737

Nodo iniziale: 812 Nodo finale: 2276

Cerniera iniziale: Mmomenti 1% Cerniera finale: Mmomenti 1%

Sovreresistenza: 0% Sisma Z: No

Caratteristiche della sezione

Sezione	Rotazione	Area	Jx	Jy	ix	iy	Wx	Wy	Wplx	Wply
A1; L100*10; 1; Saldato; S275; 50; 1; 8; 8; 1	180	0.003832	0.0000035319	0.000007759	0.0304	0.045	0.0000492	0.0000739	0.00008974	0.00012727

Comportamento dei calastrelli

Accoppiamento imbottito con funzione statica (§C4.2.4.1.3.1.4 NTC18) nella campata compresa tra le ascisse 0 e 1.737 per sbandamento attorno all'asse y.

Verifiche di resistenza

Verifiche a forza assiale §4.2.4.1.2.1 - §4.2.4.1.2.2 NTC18

X	Comb.	Sfruttamento	Classe	NEd	Nc,Rd	Nt,Rd	Riduzione da taglio	px	py	Verifica
0	SLU 63	0.025	3	-25.218	1003.522		1	0	0	Si

Verifiche a forza assiale SLD §4.2.4.1.2.1 - §4.2.4.1.2.2 NTC18

X	Comb.	Sfruttamento	Classe	NEd	Nc,Rd	Nt,Rd	Riduzione da taglio	px	py	Verifica
0	SLD 16	0.007	3	-6.965	1003.522		1	0	0	Si

Verifica a taglio X §4.2.4.1.2.4 NTC18

X	Comb.	Sfruttamento	VEd	Vc,Rd	Av	Interazione taglio-torsione	Riduzione torsione	Verifica
0	SLV 16	0.001	0.441	302.422	0.002	Non considerata		Si

Verifica a taglio Y §4.2.4.1.2.4 NTC18

X	Comb.	Sfruttamento	VEd	Vc,Rd	Av	Interazione taglio-torsione	Riduzione torsione	Verifica
0	SLU 41	0.001	-0.296	302.422	0.002	Non considerata		Si

Verifica a taglio Y SLD §4.2.4.1.2.4 NTC18

X	Comb.	Sfruttamento	VEd	Vc,Rd	Av	Interazione taglio-torsione	Riduzione torsione	Verifica
0	SLD 16	0.001	-0.227	302.422	0.002	Non considerata		Si

Verifica a flessione semplice X §§ 4.2.4.1.2.3 - 4.2.4.1.2.6 - 4.2.4.1.2.7 - 4.2.4.1.2.8 NTC18

X	Comb.	Sfruttamento	Classe	Mx,Ed	Mx,Rd	Rid. Mx,Rd da VEd	px	py	Verifica
0.868	SLU 59	0.005	1	0.12698	23.50374	1	0	0	Si

Verifica a presso/tenso flessione retta X §§ 4.2.4.1.2.3 - 4.2.4.1.2.6 - 4.2.4.1.2.7 - 4.2.4.1.2.8 NTC18

Verifiche eseguite utilizzando la formula conservativa (6.2) §6.2.1 EN 1993-1-1:2005.

X	Comb.	Sfruttamento	Classe	NEd	NRd	Rid. NRd da VEd	Mx,Ed	Mx,Rd	Rid. Mx,Rd da VEd	Rid. Mx,Rd da NEd	px	py	Verifica
0.868	SLU 42	0.017	1	12.043	1003.522	1	0.125	23.5037	1		0	0	Si

Verifica a presso/tenso flessione retta Y §§ 4.2.4.1.2.3 - 4.2.4.1.2.6 - 4.2.4.1.2.7 - 4.2.4.1.2.8 NTC18

Verifiche eseguite utilizzando la formula conservativa (6.2) §6.2.1 EN 1993-1-1:2005.

Implementazione dei sistemi di confinamento delle emissioni odorigene diffuse dell'impianto di compostaggio esistente nel
Comune di Eboli (SA)
PROGETTO DEFINITIVO – Tabulati di calcolo Tomo 1

X	Comb.	Sfruttamento	Classe	NEd	NRd	Rid. NRd da VEd	My,Ed	My,Rd	Rid. My,Rd da VEd	Rid. My,Rd da NEd	px	py	Verifica
0	SLU 63	0.03	3	-25.218	1003.522	1	0.0902	19.3536	1		0	0	Si

Verifica a presso/tenso flessione retta Y SLD §§ 4.2.4.1.2.3 - 4.2.4.1.2.6 - 4.2.4.1.2.7 - 4.2.4.1.2.8 NTC18

Verifiche eseguite utilizzando la formula conservativa (6.2) §6.2.1 EN 1993-1-1:2005.

X	Comb.	Sfruttamento	Classe	NEd	NRd	Rid. NRd da VEd	My,Ed	My,Rd	Rid. My,Rd da VEd	Rid. My,Rd da NEd	px	py	Verifica
1.737	SLD 16	0.011	3	-6.702	1003.522	1	0.0851	19.3536	1		0	0	Si

Verifica a presso/tenso flessione deviata §§ 4.2.4.1.2.3 - 4.2.4.1.2.6 - 4.2.4.1.2.7 - 4.2.4.1.2.8 NTC18

Verifiche eseguite utilizzando la formula conservativa (6.2) §6.2.1 EN 1993-1-1:2005.

X	Comb.	Sfruttamento	Classe	NEd	NRd	Rid. NRd da VEd	Mx,Ed	Mx,Rd	My,Ed	My,Rd	Rid. Mx,Rd da VEd	Rid. Mx,Rd da NEd	Rid. My,Rd da VEd	Rid. My,Rd da NEd	α	β	px	py	Verifica
0.868	SLU 63	0.04	3	-25.047	1003.522	1	0.1285	12.886	0.0908	19.3536	1		1				0	0	Si

Verifica a presso/tenso flessione deviata SLD §§ 4.2.4.1.2.3 - 4.2.4.1.2.6 - 4.2.4.1.2.7 - 4.2.4.1.2.8 NTC18

Verifiche eseguite utilizzando la formula conservativa (6.2) §6.2.1 EN 1993-1-1:2005.

X	Comb.	Sfruttamento	Classe	NEd	NRd	Rid. NRd da VEd	Mx,Ed	Mx,Rd	My,Ed	My,Rd	Rid. Mx,Rd da VEd	Rid. Mx,Rd da NEd	Rid. My,Rd da VEd	Rid. My,Rd da NEd	α	β	px	py	Verifica
0.984	SLD 15	0.017	3	-6.816	1003.522	1	0.0966	12.886	0.0552	19.3536	1		1				0	0	Si

Verifiche ad instabilità

Caratteristiche iniziali

Membratura principale per controllo snellezza; Calcolo di snellezze ed N critici condotti secondo gli assi principali;

Curva X: c; Curva Y: c;

Svergolamento: Nessuno; la verifica a instabilità flesso-torsionale (svergolamento) non verrà eseguita.

Dati per instabilità attorno a x

Controllo della snellezza secondo §4.2.4.1.3.1 NTC18

Numero rit.	Presente	Ascissa	Campata	βx/m	Vincolo a entrambi estremi	λx/m	λVer
1	Si		0				
			1-2		1	Si	57.2
2	Si		1.737				Si, (<200)

Dati per instabilità attorno a y

Controllo della snellezza secondo §4.2.4.1.3.1 NTC18

Numero rit.	Presente	Ascissa	Campata	βy/n	k,LT	kw,LT	Vincolo a entrambi estremi
1	Si		0				
			1-2		1	Si	42
2	Si		1.737				Si, (<200)

Verifica di stabilità per pressoflessione §C.4.2.4.1.3.3.1 NTC18

X	Comb.	Sfruttamento	Classe	NEd	MxEq,Ed	MyEq,Ed	Area	Wx	Wy	χ,min	λ adim. x/m	λ adim. y/n	N,crit x/m	N,crit y/n	Verifica
0	SLU 63	0.047	3	-25.218	0.1117	0.0909	0.003832	0.0000492	0.0000739	0.75	0.659	0.483	2427.459	4511.143	Si

Verifica di stabilità per pressoflessione SLD §C.4.2.4.1.3.3.1 NTC18

X	Comb.	Sfruttamento	Classe	NEd	MxEq,Ed	MyEq,Ed	Area	Wx	Wy	χ,min	λ adim. x/m	λ adim. y/n	N,crit x/m	N,crit y/n	Verifica
0	SLD 16	0.019	3	-6.965	0.0852	0.0638	0.003832	0.0000492	0.0000739	0.75	0.659	0.483	2427.459	4511.143	Si

Verifiche a deformabilità

Mensola X: No; Mensola Y: No.

Frecce lungo X

Ascissa freccia	Combinazione	Freccia	Luce	L/f	L/f,min	Tipo	Verifica
0.926	SLE RA 1	0	1.737	10000	250	Totale	Si
0.926	SLE RA 17	0	1.737	10000	250	Totale	Si
0.926	SLE RA 16	0	1.737	10000	250	Totale	Si
0.984	SLE RA 15	0	1.737	10000	250	Totale	Si
0.926	SLE RA 14	0	1.737	10000	250	Totale	Si
0.926	SLE RA 2	0	1.737	10000	350	Variabile	Si
0.926	SLE RA 17	0	1.737	10000	350	Variabile	Si
0.926	SLE RA 16	0	1.737	10000	350	Variabile	Si
0.984	SLE RA 15	0	1.737	10000	350	Variabile	Si
0.926	SLE RA 14	0	1.737	10000	350	Variabile	Si

Frecce lungo Y

Ascissa freccia	Combinazione	Freccia	Luce	L/f	L/f,min	Tipo	Verifica
0.868	SLE RA 1	0.00004	1.737	10000	250	Totale	Si
0.868	SLE RA 17	0.00004	1.737	10000	250	Totale	Si
0.868	SLE RA 16	0.00004	1.737	10000	250	Totale	Si
0.868	SLE RA 15	0.00004	1.737	10000	250	Totale	Si
0.868	SLE RA 14	0.00004	1.737	10000	250	Totale	Si
0.984	SLE RA 2	0	1.737	10000	350	Variabile	Si
1.042	SLE RA 17	0	1.737	10000	350	Variabile	Si
1.042	SLE RA 16	0	1.737	10000	350	Variabile	Si
0.984	SLE RA 15	0	1.737	10000	350	Variabile	Si
0.984	SLE RA 14	0	1.737	10000	350	Variabile	Si

Superelemento in acciaio a quota "640"-"728" (-471; 441)-(-362; 338)

Caratteristiche del materiale

Acciaio: S275, fyk = 275000

**Implementazione dei sistemi di confinamento delle emissioni odorigene diffuse dell'impianto di compostaggio esistente nel
Comune di Eboli (SA)
PROGETTO DEFINITIVO – Tabulati di calcolo Tomo 1**

Caratteristiche geometriche

Lunghezza: 1.737
 Nodo iniziale: 757 Nodo finale: 2270
 Cerniera iniziale: Mmomenti 1% Cerniera finale: Mmomenti 1%
 Sovreresistenza: 0% Sisma Z: No

Caratteristiche della sezione

Sezione	Rotazione	Area	Jx	Jy	ix	iy	Wx	Wy	Wplx	Wply
A1; L100*10; 1; Saldato; S275; 50; 1; 8; 8; 1	180	0.003832	0.0000035319	0.000007759	0.0304	0.045	0.0000492	0.0000739	0.00008974	0.00012727

Comportamento dei calastrelli

Accoppiamento imbottito con funzione statica (§C4.2.4.1.3.1.4 NTC18) nella campata compresa tra le ascisse 0 e 1.737 per sbandamento attorno all'asse y.

Verifiche di resistenza

Verifiche a forza assiale §4.2.4.1.2.1 - §4.2.4.1.2.2 NTC18

X	Comb.	Sfruttamento	Classe	NEd	Nc,Rd	Nt,Rd	Riduzione da taglio	px	py	Verifica
1.737	SLU 64	0.019		18.883		1003.522	1	0	0	Si

Verifiche a forza assiale SLD §4.2.4.1.2.1 - §4.2.4.1.2.2 NTC18

X	Comb.	Sfruttamento	Classe	NEd	Nc,Rd	Nt,Rd	Riduzione da taglio	px	py	Verifica
1.737	SLD 13	0.001		1.275		1003.522	1	0	0	Si

Verifica a taglio X §4.2.4.1.2.4 NTC18

X	Comb.	Sfruttamento	VEd	Vc,Rd	Av	Interazione taglio-torsione	Riduzione torsione	Verifica
0	SLV 1	0.002	0.612	302.422	0.002	Non considerata		Si

Verifica a taglio Y §4.2.4.1.2.4 NTC18

X	Comb.	Sfruttamento	VEd	Vc,Rd	Av	Interazione taglio-torsione	Riduzione torsione	Verifica
1.737	SLU 76	0.001	0.297	302.422	0.002	Non considerata		Si

Verifica a taglio Y SLD §4.2.4.1.2.4 NTC18

X	Comb.	Sfruttamento	VEd	Vc,Rd	Av	Interazione taglio-torsione	Riduzione torsione	Verifica
1.737	SLD 14	0.001	0.226	302.422	0.002	Non considerata		Si

Verifica a flessione semplice Y §§ 4.2.4.1.2.3 - 4.2.4.1.2.6 - 4.2.4.1.2.7 - 4.2.4.1.2.8 NTC18

X	Comb.	Sfruttamento	Classe	My,Ed	My,Rd	Rid. My,Rd da VEd	px	py	Verifica
1.737	SLV 1	0.009	1	0.29019	33.33162	1	0	0	Si

Verifica a flessione semplice Y SLD §§ 4.2.4.1.2.3 - 4.2.4.1.2.6 - 4.2.4.1.2.7 - 4.2.4.1.2.8 NTC18

X	Comb.	Sfruttamento	Classe	My,Ed	My,Rd	Rid. My,Rd da VEd	px	py	Verifica
1.737	SLD 7	0.002	1	-0.06281	33.33162	1	0	0	Si

Verifica a flessione deviata §§ 4.2.4.1.2.3 - 4.2.4.1.2.6 - 4.2.4.1.2.7 - 4.2.4.1.2.8 NTC18

X	Comb.	Sfruttamento	Classe	Mx,Ed	Mx,Rd	My,Ed	My,Rd	Rid. Mx,Rd da VEd	Rid. My,Rd da VEd	α	β	px	py	Verifica
1.1	SLV 1	0.011	1	0.0901	23.5037	0.2365	33.3316	1	1			0	0	Si

Verifica a flessione deviata SLD §§ 4.2.4.1.2.3 - 4.2.4.1.2.6 - 4.2.4.1.2.7 - 4.2.4.1.2.8 NTC18

X	Comb.	Sfruttamento	Classe	Mx,Ed	Mx,Rd	My,Ed	My,Rd	Rid. Mx,Rd da VEd	Rid. My,Rd da VEd	α	β	px	py	Verifica
0.984	SLD 11	0.007	1	0.0951	23.5037	-0.0915	33.3316	1	1			0	0	Si

Verifica a presso/tenso flessione retta X §§ 4.2.4.1.2.3 - 4.2.4.1.2.6 - 4.2.4.1.2.7 - 4.2.4.1.2.8 NTC18

Verifiche eseguite utilizzando la formula conservativa (6.2) §6.2.1 EN 1993-1-1:2005.

X	Comb.	Sfruttamento	Classe	NEd	NRd	Rid. NRd da VEd	Mx,Ed	Mx,Rd	Rid. Mx,Rd da VEd	Rid. Mx,Rd da NEd	px	py	Verifica
0.868	SLU 64	0.024	1	18.712	1003.522	1	0.124	23.5037	1	1	0	0	Si

Verifica a presso/tenso flessione retta Y §§ 4.2.4.1.2.3 - 4.2.4.1.2.6 - 4.2.4.1.2.7 - 4.2.4.1.2.8 NTC18

Verifiche eseguite utilizzando la formula conservativa (6.2) §6.2.1 EN 1993-1-1:2005.

X	Comb.	Sfruttamento	Classe	NEd	NRd	Rid. NRd da VEd	My,Ed	My,Rd	Rid. My,Rd da VEd	Rid. My,Rd da NEd	px	py	Verifica
0	SLU 3	0.02	3	-17.382	1003.522	1	-0.0613	19.3536	1	1	0	0	Si

Verifica a presso/tenso flessione retta Y SLD §§ 4.2.4.1.2.3 - 4.2.4.1.2.6 - 4.2.4.1.2.7 - 4.2.4.1.2.8 NTC18

Verifiche eseguite utilizzando la formula conservativa (6.2) §6.2.1 EN 1993-1-1:2005.

X	Comb.	Sfruttamento	Classe	NEd	NRd	Rid. NRd da VEd	My,Ed	My,Rd	Rid. My,Rd da VEd	Rid. My,Rd da NEd	px	py	Verifica
1.737	SLD 16	0.005	1	1.04	1003.522	1	-0.1197	33.3316	1	1	0	0	Si

Verifica a presso/tenso flessione deviata §§ 4.2.4.1.2.3 - 4.2.4.1.2.6 - 4.2.4.1.2.7 - 4.2.4.1.2.8 NTC18

Verifiche eseguite utilizzando la formula conservativa (6.2) §6.2.1 EN 1993-1-1:2005.

X	Comb.	Sfruttamento	Classe	NEd	NRd	Rid. NRd da VEd	Mx,Ed	Mx,Rd	My,Ed	My,Rd	Rid. Mx,Rd da VEd	Rid. Mx,Rd da NEd	Rid. My,Rd da VEd	Rid. My,Rd da NEd	α	β	px	py	Verifica
0.868	SLU 41	0.03	3	-17.067	1003.522	1	0.1273	12.886	-0.0609	19.3536	1	1	1	1			0	0	Si

Verifica a presso/tenso flessione deviata SLD §§ 4.2.4.1.2.3 - 4.2.4.1.2.6 - 4.2.4.1.2.7 - 4.2.4.1.2.8 NTC18

Verifiche eseguite utilizzando la formula conservativa (6.2) §6.2.1 EN 1993-1-1:2005.

X	Comb.	Sfruttamento	Classe	NEd	NRd	Rid. NRd da VEd	Mx,Ed	Mx,Rd	My,Ed	My,Rd	Rid. Mx,Rd da VEd	Rid. Mx,Rd da NEd	Rid. My,Rd da VEd	Rid. My,Rd da NEd	α	β	px	py	Verifica
0.984	SLD 15	0.008	1	0.926	1003.522	1	0.0949	23.5037	-0.0933	33.3316	1	1	1	1			0	0	Si

Implementazione dei sistemi di confinamento delle emissioni odorigene diffuse dell'impianto di compostaggio esistente nel
Comune di Eboli (SA)
PROGETTO DEFINITIVO – Tabulati di calcolo Tomo 1

Verifiche ad instabilità

Caratteristiche iniziali

Membratura principale per controllo snellezza; Calcolo di snellezze ed N critici condotti secondo gli assi principali;
Curva X: c; Curva Y: c;
Svergolamento: Nessuno; la verifica a instabilità flesso-torsionale (svergolamento) non verrà eseguita.

Dati per instabilità attorno a x

Controllo della snellezza secondo §4.2.4.1.3.1 NTC18

Numero rit.	Presente	Ascissa	Campata	βx/m	Vincolo a entrambi estremi	λx/m	λVer
1	Si	0					
			1-2	1	Si	57.2	Si, (<200)
2	Si	1.737					

Dati per instabilità attorno a y

Controllo della snellezza secondo §4.2.4.1.3.1 NTC18

Numero rit.	Presente	Ascissa	Campata	βy/n	k,LT	kw,LT	Vincolo a entrambi estremi
1	Si	0					
			1-2	1	Si	42	Si, (<200)
2	Si	1.737					

Verifica di stabilità per pressoflessione §C.4.2.4.1.3.3.1 NTC18

X	Comb.	Sfruttamento	Classe	NEd	MxEq,Ed	MyEq,Ed	Area	Wx	Wy	χ,min	λ adim. x/m	λ adim. y/n	N,crit x/m	N,crit y/n	Verifica
0	SLO 41	0.035	3	-17.238	0.1103	-0.061	0.003832	0.0000492	0.0000739	0.75	0.659	0.483	2427.459	4511.143	Si

Verifica di stabilità per pressoflessione SLD §C.4.2.4.1.3.3.1 NTC18

X	Comb.	Sfruttamento	Classe	NEd	MxEq,Ed	MyEq,Ed	Area	Wx	Wy	χ,min	λ adim. x/m	λ adim. y/n	N,crit x/m	N,crit y/n	Verifica
1.042	SLD 12	0.007	1	0	0.0835	-0.1139	0.003832	0.0000897	0.0001273	0.75	0.659	0.483	2427.459	4511.143	Si

Verifiche a deformabilità

Mensola X: No; Mensola Y: No.

Frecce lungo X

Ascissa freccia	Combinazione	Freccia	Luce	L/f	L/f,min	Tipo	Verifica
0.926	SLE RA 1	0	1.737	10000	250	Totale	Si
0.926	SLE RA 17	0	1.737	10000	250	Totale	Si
0.926	SLE RA 16	0	1.737	10000	250	Totale	Si
0.926	SLE RA 15	0	1.737	10000	250	Totale	Si
0.926	SLE RA 14	0	1.737	10000	250	Totale	Si
0.926	SLE RA 2	0	1.737	10000	350	Variabile	Si
0.926	SLE RA 17	0	1.737	10000	350	Variabile	Si
0.926	SLE RA 16	0	1.737	10000	350	Variabile	Si
0.926	SLE RA 15	0	1.737	10000	350	Variabile	Si
0.926	SLE RA 14	0	1.737	10000	350	Variabile	Si

Frecce lungo Y

Ascissa freccia	Combinazione	Freccia	Luce	L/f	L/f,min	Tipo	Verifica
0.868	SLE RA 1	0.00004	1.737	10000	250	Totale	Si
0.868	SLE RA 17	0.00004	1.737	10000	250	Totale	Si
0.868	SLE RA 16	0.00004	1.737	10000	250	Totale	Si
0.868	SLE RA 15	0.00004	1.737	10000	250	Totale	Si
0.868	SLE RA 14	0.00004	1.737	10000	250	Totale	Si
0.984	SLE RA 2	0	1.737	10000	350	Variabile	Si
1.042	SLE RA 17	0	1.737	10000	350	Variabile	Si
0.984	SLE RA 16	0	1.737	10000	350	Variabile	Si
0.984	SLE RA 15	0	1.737	10000	350	Variabile	Si
1.042	SLE RA 14	0	1.737	10000	350	Variabile	Si

Superelemento in acciaio a quota "640"- "728" (-725; 172)-(-616; 69)

Caratteristiche del materiale

Acciaio: S275, fyk = 275000

Caratteristiche geometriche

Lunghezza: 1.737
Nodo iniziale: 705 Nodo finale: 2256
Cerniera iniziale: Mmomenti 1% Cerniera finale: Mmomenti 1%
Sovreresistenza: 0% Sisma Z: No

Caratteristiche della sezione

Sezione	Rotazione	Area	Jx	Jy	ix	iy	Wx	Wy	Wplx	Wply
A1; L100*10; 1; Saldato; S275; 50; 1; 8; 8; 1	180	0.003832	0.0000035319	0.000007759	0.0304	0.045	0.0000492	0.0000739	0.00008974	0.00012727

Comportamento dei calastrelli

Accoppiamento imbottito con funzione statica (§C4.2.4.1.3.1.4 NTC18) nella campata compresa tra le ascisse 0 e 1.737 per sbandamento attorno all'asse y.

Verifiche di resistenza

Verifiche a forza assiale §4.2.4.1.2.1 - §4.2.4.1.2.2 NTC18

X	Comb.	Sfruttamento	Classe	NEd	Nc,Rd	Nt,Rd	Riduzione da taglio	px	py	Verifica
0	SLO 63	0.024	3	-24.268	1003.522		1	0	0	Si

Implementazione dei sistemi di confinamento delle emissioni odorigene diffuse dell'impianto di compostaggio esistente nel
Comune di Eboli (SA)

PROGETTO DEFINITIVO – Tabulati di calcolo Tomo 1

Verifiche a forza assiale SLD §4.2.4.1.2.1 - §4.2.4.1.2.2 NTC18

X	Comb.	Sfruttamento	Classe	NEd	Nc,Rd	Nt,Rd	Riduzione da taglio	px	py	Verifica
0	SLD 1	0.006	3	-6.132	1003.522		1	0	0	Si

Verifica a taglio X §4.2.4.1.2.4 NTC18

X	Comb.	Sfruttamento	VEd	Vc,Rd	Av	Interazione taglio-torsione	Riduzione torsione	Verifica
0	SLV 1	0.002	0.494	302.422	0.002	Non considerata		Si

Verifica a taglio X SLD §4.2.4.1.2.4 NTC18

X	Comb.	Sfruttamento	VEd	Vc,Rd	Av	Interazione taglio-torsione	Riduzione torsione	Verifica
0	SLD 1	0.001	0.213	302.422	0.002	Non considerata		Si

Verifica a taglio Y §4.2.4.1.2.4 NTC18

X	Comb.	Sfruttamento	VEd	Vc,Rd	Av	Interazione taglio-torsione	Riduzione torsione	Verifica
1.737	SLU 64	0.001	0.296	302.422	0.002	Non considerata		Si

Verifica a taglio Y SLD §4.2.4.1.2.4 NTC18

X	Comb.	Sfruttamento	VEd	Vc,Rd	Av	Interazione taglio-torsione	Riduzione torsione	Verifica
0	SLD 1	0.001	-0.226	302.422	0.002	Non considerata		Si

Verifica a flessione semplice X §§ 4.2.4.1.2.3 - 4.2.4.1.2.6 - 4.2.4.1.2.7 - 4.2.4.1.2.8 NTC18

X	Comb.	Sfruttamento	Classe	Mx,Ed	Mx,Rd	Rid. Mx,Rd da VEd	px	py	Verifica
0.753	SLU 59	0.005	1	0.12472	23.50374	1	0	0	Si

Verifica a flessione semplice Y §§ 4.2.4.1.2.3 - 4.2.4.1.2.6 - 4.2.4.1.2.7 - 4.2.4.1.2.8 NTC18

X	Comb.	Sfruttamento	Classe	My,Ed	My,Rd	Rid. My,Rd da VEd	px	py	Verifica
1.737	SLV 13	0.003	1	-0.11577	33.33162	1	0	0	Si

Verifica a flessione deviata §§ 4.2.4.1.2.3 - 4.2.4.1.2.6 - 4.2.4.1.2.7 - 4.2.4.1.2.8 NTC18

X	Comb.	Sfruttamento	Classe	Mx,Ed	Mx,Rd	My,Ed	My,Rd	Rid. Mx,Rd da VEd	Rid. My,Rd da VEd	α	β	px	py	Verifica
0.926	SLV 14	0.007	1	0.0963	23.5037	-0.0965	33.3316	1	1			0	0	Si

Verifica a presso/tenso flessione retta X §§ 4.2.4.1.2.3 - 4.2.4.1.2.6 - 4.2.4.1.2.7 - 4.2.4.1.2.8 NTC18

Verifiche eseguite utilizzando la formula conservativa (6.2) §6.2.1 EN 1993-1-1:2005.

X	Comb.	Sfruttamento	Classe	NEd	NRd	Rid. NRd da VEd	Mx,Ed	Mx,Rd	Rid. Mx,Rd da VEd	Rid. Mx,Rd da NEd	px	py	Verifica
0.868	SLU 42	0.019	1	13.532	1003.522	1	0.1245	23.5037	1		0	0	Si

Verifica a presso/tenso flessione retta Y §§ 4.2.4.1.2.3 - 4.2.4.1.2.6 - 4.2.4.1.2.7 - 4.2.4.1.2.8 NTC18

Verifiche eseguite utilizzando la formula conservativa (6.2) §6.2.1 EN 1993-1-1:2005.

X	Comb.	Sfruttamento	Classe	NEd	NRd	Rid. NRd da VEd	My,Ed	My,Rd	Rid. My,Rd da VEd	Rid. My,Rd da NEd	px	py	Verifica
0	SLU 63	0.029	3	-24.268	1003.522	1	-0.0851	19.3536	1		0	0	Si

Verifica a presso/tenso flessione retta Y SLD §§ 4.2.4.1.2.3 - 4.2.4.1.2.6 - 4.2.4.1.2.7 - 4.2.4.1.2.8 NTC18

Verifiche eseguite utilizzando la formula conservativa (6.2) §6.2.1 EN 1993-1-1:2005.

X	Comb.	Sfruttamento	Classe	NEd	NRd	Rid. NRd da VEd	My,Ed	My,Rd	Rid. My,Rd da VEd	Rid. My,Rd da NEd	px	py	Verifica
1.737	SLD 1	0.011	3	-5.869	1003.522	1	0.1064	19.3536	1		0	0	Si

Verifica a presso/tenso flessione deviata §§ 4.2.4.1.2.3 - 4.2.4.1.2.6 - 4.2.4.1.2.7 - 4.2.4.1.2.8 NTC18

Verifiche eseguite utilizzando la formula conservativa (6.2) §6.2.1 EN 1993-1-1:2005.

X	Comb.	Sfruttamento	Classe	NEd	NRd	Rid. NRd da VEd	Mx,Ed	Mx,Rd	My,Ed	My,Rd	Rid. Mx,Rd da VEd	Rid. Mx,Rd da NEd	Rid. My,Rd da VEd	Rid. My,Rd da NEd	α	β	px	py	Verifica
0.868	SLU 63	0.038	3	-24.097	1003.522	1	0.1284	12.886	-0.0846	19.3536	1		1				0	0	Si

Verifica a presso/tenso flessione deviata SLD §§ 4.2.4.1.2.3 - 4.2.4.1.2.6 - 4.2.4.1.2.7 - 4.2.4.1.2.8 NTC18

Verifiche eseguite utilizzando la formula conservativa (6.2) §6.2.1 EN 1993-1-1:2005.

X	Comb.	Sfruttamento	Classe	NEd	NRd	Rid. NRd da VEd	Mx,Ed	Mx,Rd	My,Ed	My,Rd	Rid. Mx,Rd da VEd	Rid. Mx,Rd da NEd	Rid. My,Rd da VEd	Rid. My,Rd da NEd	α	β	px	py	Verifica
0.289	SLD 1	0.014	3	-6.088	1003.522	1	0.0539	12.886	0.0811	19.3536	1		1				0	0	Si

Verifiche ad instabilità

Caratteristiche iniziali

Membratura principale per controllo snellezza; Calcolo di snellezze ed N critici condotti secondo gli assi principali;

Curva X: c; Curva Y: c;

Svergolamento: Nessuno; la verifica a instabilità flesso-torsionale (svergolamento) non verrà eseguita.

Dati per instabilità attorno a x

Controllo della snellezza secondo §4.2.4.1.3.1 NTC18

Numero rit.	Presente	Ascissa	Campata	βx/m	Vincolo a entrambi estremi	λx/m	λVer
1	Si	0					
			1-2		1	57.2	Si, (<200)
2	Si	1.737					

Dati per instabilità attorno a y

Controllo della snellezza secondo §4.2.4.1.3.1 NTC18

Numero rit.	Presente	Ascissa	Campata	βy/n	k,LT	kw,LT	Vincolo a entrambi estremi
1	Si	0					
			1-2		1	42	Si, (<200)
2	Si	1.737					

Verifica di stabilità per pressoflessione §C.4.2.4.1.3.3.1 NTC18

X	Comb.	Sfruttamento	Classe	NEd	MxEq,Ed	MyEq,Ed	Area	Wx	Wy	χ,min	λ adim. x/m	λ adim. y/n	N,crit x/m	N,crit y/n	Verifica
0	SLU 63	0.045	3	-24.268	0.1116	-0.0847	0.003832	0.0000492	0.0000739	0.75	0.659	0.483	2427.459	4511.143	Si

Implementazione dei sistemi di confinamento delle emissioni odorigene diffuse dell'impianto di compostaggio esistente nel
Comune di Eboli (SA)
PROGETTO DEFINITIVO – Tabulati di calcolo Tomo 1

Verifica di stabilità per pressoflessione SLD §C.4.2.4.1.3.3.1 NTC18

X	Comb.	Sfruttamento	Classe	NEd	MxEq,Ed	MyEq,Ed	Area	Wx	Wy	x,min	λ adim. x/m	λ adim. y/n	N,crit x/m	N,crit y/n	Verifica
0	SLD 1	0.02	3	-6.132	0.0845	0.0943	0.003832	0.0000492	0.0000739	0.75	0.659	0.483	2427.459	4511.143	Si

Verifiche a deformabilità

Mensola X: No; Mensola Y: No.

Frecce lungo X

Ascissa freccia	Combinazione	Freccia	Luce	L/f	L/f,min	Tipo	Verifica
0.926	SLE RA 1	0	1.737	10000	250	Totale	Si
0.926	SLE RA 17	0	1.737	10000	250	Totale	Si
0.926	SLE RA 16	0	1.737	10000	250	Totale	Si
0.926	SLE RA 15	0	1.737	10000	250	Totale	Si
0.926	SLE RA 14	0	1.737	10000	250	Totale	Si
0.926	SLE RA 2	0	1.737	10000	350	Variabile	Si
0.926	SLE RA 17	0	1.737	10000	350	Variabile	Si
0.926	SLE RA 16	0	1.737	10000	350	Variabile	Si
0.926	SLE RA 15	0	1.737	10000	350	Variabile	Si
0.695	SLE RA 14	0	1.737	10000	350	Variabile	Si

Frecce lungo Y

Ascissa freccia	Combinazione	Freccia	Luce	L/f	L/f,min	Tipo	Verifica
0.868	SLE RA 1	0.00004	1.737	10000	250	Totale	Si
0.868	SLE RA 17	0.00004	1.737	10000	250	Totale	Si
0.868	SLE RA 16	0.00004	1.737	10000	250	Totale	Si
0.868	SLE RA 15	0.00004	1.737	10000	250	Totale	Si
0.868	SLE RA 14	0.00004	1.737	10000	250	Totale	Si
0.984	SLE RA 2	0	1.737	10000	350	Variabile	Si
0.984	SLE RA 17	0	1.737	10000	350	Variabile	Si
0.984	SLE RA 16	0	1.737	10000	350	Variabile	Si
0.984	SLE RA 15	0	1.737	10000	350	Variabile	Si
0.984	SLE RA 14	0	1.737	10000	350	Variabile	Si

Superelemento in acciaio a quota "640"- "728" (-979; -99)-(-870; -202)

Caratteristiche del materiale

Acciaio: S275, fyk = 275000

Caratteristiche geometriche

Lunghezza: 1.737

Nodo iniziale: 650 Nodo finale: 2249

Cerniera iniziale: Mmomenti 1% Cerniera finale: Mmomenti 1%

Sovreresistenza: 0% Sisma Z: No

Caratteristiche della sezione

Sezione	Rotazione	Area	Jx	Jy	ix	iy	Wx	Wy	Wplx	Wply
Al; L100*10; 1; Saldato; S275; 50; 1; 8; 8; 1	180	0.003832	0.0000035319	0.000007759	0.0304	0.045	0.0000492	0.0000739	0.00008974	0.00012727

Comportamento dei calastrelli

Accoppiamento imbottito con funzione statica (§C4.2.4.1.3.1.4 NTC18) nella campata compresa tra le ascisse 0 e 1.737 per sbandamento attorno all'asse y.

Verifiche di resistenza

Verifiche a forza assiale §4.2.4.1.2.1 - §4.2.4.1.2.2 NTC18

X	Comb.	Sfruttamento	Classe	NEd	Nc,Rd	Nt,Rd	Riduzione da taglio	px	py	Verifica
0	SLU 75	0.046	3	-45.903	1003.522		1	0	0	Si

Verifiche a forza assiale SLD §4.2.4.1.2.1 - §4.2.4.1.2.2 NTC18

X	Comb.	Sfruttamento	Classe	NEd	Nc,Rd	Nt,Rd	Riduzione da taglio	px	py	Verifica
0	SLD 1	0.013	3	-13.118	1003.522		1	0	0	Si

Verifica a taglio X §4.2.4.1.2.4 NTC18

X	Comb.	Sfruttamento	VEd	Vc,Rd	Av	Interazione taglio-torsione	Riduzione torsione	Verifica
0	SLU 75	0.001	-0.293	302.422	0.002	Non considerata		Si

Verifica a taglio Y §4.2.4.1.2.4 NTC18

X	Comb.	Sfruttamento	VEd	Vc,Rd	Av	Interazione taglio-torsione	Riduzione torsione	Verifica
0	SLU 75	0.001	-0.3	302.422	0.002	Non considerata		Si

Verifica a taglio Y SLD §4.2.4.1.2.4 NTC18

X	Comb.	Sfruttamento	VEd	Vc,Rd	Av	Interazione taglio-torsione	Riduzione torsione	Verifica
0	SLD 14	0.001	-0.228	302.422	0.002	Non considerata		Si

Verifica a flessione semplice X §§ 4.2.4.1.2.3 - 4.2.4.1.2.6 - 4.2.4.1.2.7 - 4.2.4.1.2.8 NTC18

X	Comb.	Sfruttamento	Classe	Mx,Ed	Mx,Rd	Rid. Mx,Rd da VEd	px	py	Verifica
0.868	SLU 59	0.005	1	0.12702	23.50374	1	0	0	Si

Verifica a presso/tenso flessione retta X §§ 4.2.4.1.2.3 - 4.2.4.1.2.6 - 4.2.4.1.2.7 - 4.2.4.1.2.8 NTC18

Verifiche eseguite utilizzando la formula conservativa (6.2) §6.2.1 EN 1993-1-1:2005.

X	Comb.	Sfruttamento	Classe	NEd	NRd	Rid. NRd da VEd	Mx,Ed	Mx,Rd	Rid. Mx,Rd da VEd	Rid. Mx,Rd da NEd	px	py	Verifica
---	-------	--------------	--------	-----	-----	-----------------	-------	-------	-------------------	-------------------	----	----	----------

Implementazione dei sistemi di confinamento delle emissioni odorigene diffuse dell'impianto di compostaggio esistente nel
Comune di Eboli (SA)
PROGETTO DEFINITIVO – Tabulati di calcolo Tomo 1

X	Comb.	Sfruttamento	Classe	NEd	NRd	Rid. NRd da VEd	Mx,Ed	Mx,Rd	Rid. Mx,Rd da VEd	Rid. Mx,Rd da NEd	px	py	Verifica
0.868	SLU 2	0.01	1	5.527	1003.522	1	0.0971	23.5037	1		0	0	Si

Verifica a presso/tenso flessione retta Y §§ 4.2.4.1.2.3 - 4.2.4.1.2.6 - 4.2.4.1.2.7 - 4.2.4.1.2.8 NTC18

Verifiche eseguite utilizzando la formula conservativa (6.2) §6.2.1 EN 1993-1-1:2005.

X	Comb.	Sfruttamento	Classe	NEd	NRd	Rid. NRd da VEd	My,Ed	My,Rd	Rid. My,Rd da VEd	Rid. My,Rd da NEd	px	py	Verifica
0	SLU 75	0.054	3	-45.903	1003.522	1	-0.1612	19.3536	1		0	0	Si

Verifica a presso/tenso flessione retta Y SLD §§ 4.2.4.1.2.3 - 4.2.4.1.2.6 - 4.2.4.1.2.7 - 4.2.4.1.2.8 NTC18

Verifiche eseguite utilizzando la formula conservativa (6.2) §6.2.1 EN 1993-1-1:2005.

X	Comb.	Sfruttamento	Classe	NEd	NRd	Rid. NRd da VEd	My,Ed	My,Rd	Rid. My,Rd da VEd	Rid. My,Rd da NEd	px	py	Verifica
1.737	SLD 1	0.016	3	-12.855	1003.522	1	0.0617	19.3536	1		0	0	Si

Verifica a presso/tenso flessione deviata §§ 4.2.4.1.2.3 - 4.2.4.1.2.6 - 4.2.4.1.2.7 - 4.2.4.1.2.8 NTC18

Verifiche eseguite utilizzando la formula conservativa (6.2) §6.2.1 EN 1993-1-1:2005.

X	Comb.	Sfruttamento	Classe	NEd	NRd	Rid. NRd da VEd	Mx,Ed	Mx,Rd	My,Ed	My,Rd	Rid. Mx,Rd da VEd	Rid. Mx,Rd da NEd	Rid. My,Rd da VEd	Rid. My,Rd da NEd	α	β	px	py	Verifica
0.868	SLU 75	0.064	3	-45.732	1003.522	1	0.1323	12.886	-0.1608	19.3536	1		1				0	0	Si

Verifica a presso/tenso flessione deviata SLD §§ 4.2.4.1.2.3 - 4.2.4.1.2.6 - 4.2.4.1.2.7 - 4.2.4.1.2.8 NTC18

Verifiche eseguite utilizzando la formula conservativa (6.2) §6.2.1 EN 1993-1-1:2005.

X	Comb.	Sfruttamento	Classe	NEd	NRd	Rid. NRd da VEd	Mx,Ed	Mx,Rd	My,Ed	My,Rd	Rid. Mx,Rd da VEd	Rid. Mx,Rd da NEd	Rid. My,Rd da VEd	Rid. My,Rd da NEd	α	β	px	py	Verifica
0.868	SLD 2	0.024	3	-12.986	1003.522	1	0.0991	12.886	0.0585	19.3536	1		1				0	0	Si

Verifiche ad instabilità

Caratteristiche iniziali

Membratura principale per controllo snellezza; Calcolo di snellezze ed N critici condotti secondo gli assi principali;

Curva X: c; Curva Y: c;

Svergolamento: Nessuno; la verifica a instabilità flesso-torsionale (svergolamento) non verrà eseguita.

Dati per instabilità attorno a x

Controllo della snellezza secondo §4.2.4.1.3.1 NTC18

Numero rit.	Presente	Ascissa	Campata	βx/m	Vincolo a entrambi estremi	λx/m	λVer
1	Si		0				
			1-2		1	57.2	Si, (<200)
2	Si		1.737				

Dati per instabilità attorno a y

Controllo della snellezza secondo §4.2.4.1.3.1 NTC18

Numero rit.	Presente	Ascissa	Campata	βy/n	k,LT	kw,LT	Vincolo a entrambi estremi
1	Si		0				
			1-2		1	42	Si, (<200)
2	Si		1.737				

Verifica di stabilità per pressoflessione §C.4.2.4.1.3.3.1 NTC18

X	Comb.	Sfruttamento	Classe	NEd	MxEq,Ed	MyEq,Ed	Area	Wx	Wy	χ,min	λ adim. x/m	λ adim. y/n	N,crit x/m	N,crit y/n	Verifica
0	SLU 75	0.079	3	-45.903	0.1167	-0.1609	0.003832	0.0000492	0.0000739	0.75	0.659	0.483	2427.459	4511.143	Si

Verifica di stabilità per pressoflessione SLD §C.4.2.4.1.3.3.1 NTC18

X	Comb.	Sfruttamento	Classe	NEd	MxEq,Ed	MyEq,Ed	Area	Wx	Wy	χ,min	λ adim. x/m	λ adim. y/n	N,crit x/m	N,crit y/n	Verifica
0	SLD 1	0.027	3	-13.118	0.0863	0.0617	0.003832	0.0000492	0.0000739	0.75	0.659	0.483	2427.459	4511.143	Si

Verifiche a deformabilità

Mensola X: No; Mensola Y: No.

Frecce lungo X

Ascissa freccia	Combinazione	Freccia	Luce	L/f	L/f,min	Tipo	Verifica
0.984	SLE RA 1	0	1.737	10000	250	Totale	Si
0.984	SLE RA 17	0	1.737	10000	250	Totale	Si
0.984	SLE RA 16	0	1.737	10000	250	Totale	Si
1.1	SLE RA 15	0	1.737	10000	250	Totale	Si
0.984	SLE RA 14	0	1.737	10000	250	Totale	Si
0.984	SLE RA 2	0	1.737	10000	350	Variabile	Si
0.984	SLE RA 17	0	1.737	10000	350	Variabile	Si
0.984	SLE RA 16	0	1.737	10000	350	Variabile	Si
1.331	SLE RA 15	0	1.737	10000	350	Variabile	Si
0.926	SLE RA 14	0	1.737	10000	350	Variabile	Si

Frecce lungo Y

Ascissa freccia	Combinazione	Freccia	Luce	L/f	L/f,min	Tipo	Verifica
0.868	SLE RA 1	0.00004	1.737	10000	250	Totale	Si
0.868	SLE RA 17	0.00004	1.737	10000	250	Totale	Si
0.868	SLE RA 16	0.00004	1.737	10000	250	Totale	Si
0.868	SLE RA 15	0.00004	1.737	10000	250	Totale	Si
0.868	SLE RA 14	0.00004	1.737	10000	250	Totale	Si
0.984	SLE RA 2	0	1.737	10000	350	Variabile	Si
0.984	SLE RA 17	0	1.737	10000	350	Variabile	Si
0.984	SLE RA 16	0	1.737	10000	350	Variabile	Si
1.1	SLE RA 15	0	1.737	10000	350	Variabile	Si
0.984	SLE RA 14	0	1.737	10000	350	Variabile	Si

Superelemento in acciaio a quota "640"- "728" (-1232; -367)-(-1123; -470)

Caratteristiche del materiale

Acciaio: S275, fyk = 275000

Caratteristiche geometriche

Lunghezza: 1.737

Nodo iniziale: 596 Nodo finale: 2240

Cerniera iniziale: Mmomenti 1% Cerniera finale: Mmomenti 1%

Sovreresistenza: 0% Sisma Z: No

Caratteristiche della sezione

Sezione	Rotazione	Area	Jx	Jy	ix	iy	Wx	Wy	Wplx	Wply
A1; L100*10; 1; Saldato; S275; 50; 1; 8; 8; 1	180	0.003832	0.0000035319	0.000007759	0.0304	0.045	0.0000492	0.0000739	0.00008974	0.00012727

Comportamento dei calastrelli

Accoppiamento imbottito con funzione statica (§C4.2.4.1.3.1.4 NTC18) nella campata compresa tra le ascisse 0 e 1.737 per sbandamento attorno all'asse y.

Verifiche di resistenza

Verifiche a forza assiale §4.2.4.1.2.1 - §4.2.4.1.2.2 NTC18

X	Comb.	Sfruttamento	Classe	NEd	Nc,Rd	Nt,Rd	Riduzione da taglio	px	py	Verifica
0	SLU 63	0.029	3	-29.493	1003.522		1	0	0	Si

Verifiche a forza assiale SLD §4.2.4.1.2.1 - §4.2.4.1.2.2 NTC18

X	Comb.	Sfruttamento	Classe	NEd	Nc,Rd	Nt,Rd	Riduzione da taglio	px	py	Verifica
0	SLD 15	0.009	3	-8.769	1003.522		1	0	0	Si

Verifica a taglio X §4.2.4.1.2.4 NTC18

X	Comb.	Sfruttamento	VEd	Vc,Rd	Av	Interazione taglio-torsione	Riduzione torsione	Verifica
0	SLV 16	0.002	0.567	302.422	0.002	Non considerata		Si

Verifica a taglio X SLD §4.2.4.1.2.4 NTC18

X	Comb.	Sfruttamento	VEd	Vc,Rd	Av	Interazione taglio-torsione	Riduzione torsione	Verifica
0	SLD 16	0.001	0.253	302.422	0.002	Non considerata		Si

Verifica a taglio Y §4.2.4.1.2.4 NTC18

X	Comb.	Sfruttamento	VEd	Vc,Rd	Av	Interazione taglio-torsione	Riduzione torsione	Verifica
0	SLU 63	0.001	-0.297	302.422	0.002	Non considerata		Si

Verifica a taglio Y SLD §4.2.4.1.2.4 NTC18

X	Comb.	Sfruttamento	VEd	Vc,Rd	Av	Interazione taglio-torsione	Riduzione torsione	Verifica
0	SLD 16	0.001	-0.227	302.422	0.002	Non considerata		Si

Verifica a flessione semplice X §§ 4.2.4.1.2.3 - 4.2.4.1.2.6 - 4.2.4.1.2.7 - 4.2.4.1.2.8 NTC18

X	Comb.	Sfruttamento	Classe	Mx,Ed	Mx,Rd	Rid. Mx,Rd da VEd	px	py	Verifica
0.116	SLU 5	0.001	1	0.02374	23.50374	1	0	0	Si

Verifica a flessione semplice Y §§ 4.2.4.1.2.3 - 4.2.4.1.2.6 - 4.2.4.1.2.7 - 4.2.4.1.2.8 NTC18

X	Comb.	Sfruttamento	Classe	My,Ed	My,Rd	Rid. My,Rd da VEd	px	py	Verifica
1.737	SLV 1	0.006	1	-0.21247	33.33162	1	0	0	Si

Verifica a flessione deviata §§ 4.2.4.1.2.3 - 4.2.4.1.2.6 - 4.2.4.1.2.7 - 4.2.4.1.2.8 NTC18

X	Comb.	Sfruttamento	Classe	Mx,Ed	Mx,Rd	My,Ed	My,Rd	Rid. Mx,Rd da VEd	Rid. My,Rd da VEd	α	β	px	py	Verifica
1.1	SLV 1	0.008	1	0.0896	23.5037	-0.1531	33.3316	1	1			0	0	Si

Verifica a presso/tenso flessione retta X §§ 4.2.4.1.2.3 - 4.2.4.1.2.6 - 4.2.4.1.2.7 - 4.2.4.1.2.8 NTC18

Verifiche eseguite utilizzando la formula conservativa (6.2) §6.2.1 EN 1993-1-1:2005.

X	Comb.	Sfruttamento	Classe	NEd	NRd	Rid. NRd da VEd	Mx,Ed	Mx,Rd	Rid. Mx,Rd da VEd	Rid. Mx,Rd da NEd	px	py	Verifica
0.868	SLU 42	0.016	1	10.659	1003.522	1	0.1249	23.5037	1		0	0	Si

Verifica a presso/tenso flessione retta Y §§ 4.2.4.1.2.3 - 4.2.4.1.2.6 - 4.2.4.1.2.7 - 4.2.4.1.2.8 NTC18

Verifiche eseguite utilizzando la formula conservativa (6.2) §6.2.1 EN 1993-1-1:2005.

X	Comb.	Sfruttamento	Classe	NEd	NRd	Rid. NRd da VEd	My,Ed	My,Rd	Rid. My,Rd da VEd	Rid. My,Rd da NEd	px	py	Verifica
0	SLU 63	0.035	3	-29.493	1003.522	1	0.1045	19.3536	1		0	0	Si

Verifica a presso/tenso flessione retta Y SLD §§ 4.2.4.1.2.3 - 4.2.4.1.2.6 - 4.2.4.1.2.7 - 4.2.4.1.2.8 NTC18

Verifiche eseguite utilizzando la formula conservativa (6.2) §6.2.1 EN 1993-1-1:2005.

X	Comb.	Sfruttamento	Classe	NEd	NRd	Rid. NRd da VEd	My,Ed	My,Rd	Rid. My,Rd da VEd	Rid. My,Rd da NEd	px	py	Verifica
1.737	SLD 16	0.015	3	-8.505	1003.522	1	0.1177	19.3536	1		0	0	Si

Verifica a presso/tenso flessione deviata §§ 4.2.4.1.2.3 - 4.2.4.1.2.6 - 4.2.4.1.2.7 - 4.2.4.1.2.8 NTC18

Verifiche eseguite utilizzando la formula conservativa (6.2) §6.2.1 EN 1993-1-1:2005.

X	Comb.	Sfruttamento	Classe	NEd	NRd	Rid. NRd da VEd	Mx,Ed	Mx,Rd	My,Ed	My,Rd	Rid. Mx,Rd da VEd	Rid. Mx,Rd da NEd	Rid. My,Rd da VEd	Rid. My,Rd da NEd	α	β	px	py	Verifica
0.868	SLU 63	0.045	3	-29.322	1003.522	1	0.1299	12.886	0.1054	19.3536	1		1				0	0	Si

Verifica a presso/tenso flessione deviata SLD §§ 4.2.4.1.2.3 - 4.2.4.1.2.6 - 4.2.4.1.2.7 - 4.2.4.1.2.8 NTC18

Verifiche eseguite utilizzando la formula conservativa (6.2) §6.2.1 EN 1993-1-1:2005.

Implementazione dei sistemi di confinamento delle emissioni odorigene diffuse dell’impianto di compostaggio esistente nel
Comune di Eboli (SA)

PROGETTO DEFINITIVO – Tabulati di calcolo Tomo 1

X	Comb.	Sfruttamento	Classe	NEd	NRd	Rid. NRd da VEd	Mx,Ed	Mx,Rd	My,Ed	My,Rd	Rid. Mx,Rd da VEd	Rid. Mx,Rd da NEd	Rid. My,Rd da VEd	Rid. My,Rd da NEd	α	β	ρx	ρy	Verifica
0.984	SLD 16	0.021	3	-8.62	1003.522	1	0.0968	12.886	0.0889	19.3536	1		1				0	0	Si

Verifiche ad instabilità

Caratteristiche iniziali

Membratura principale per controllo snellezza; Calcolo di snellezze ed N critici condotti secondo gli assi principali;

Curva X: c; Curva Y: c;

Svergolamento: Nessuno; la verifica a instabilità flesso-torsionale (svergolamento) non verrà eseguita.

Dati per instabilità attorno a x

Controllo della snellezza secondo §4.2.4.1.3.1 NTC18

Numero rit.	Presente	Ascissa	Campata	βx/m	Vincolo a entrambi estremi	λx/m	λVer
1	Si	0					
			1-2	1	Si	57.2	Si, (<200)
2	Si	1.737					

Dati per instabilità attorno a y

Controllo della snellezza secondo §4.2.4.1.3.1 NTC18

Numero rit.	Presente	Ascissa	Campata	βy/n	k,LT	kw,LT	Vincolo a entrambi estremi
1	Si	0					
			1-2	1	Si	42	Si, (<200)
2	Si	1.737					

Verifica di stabilità per pressoflessione §C.4.2.4.1.3.3.1 NTC18

X	Comb.	Sfruttamento	Classe	NEd	MxEq,Ed	MyEq,Ed	Area	Wx	Wy	χ,min	λ adim. x/m	λ adim. y/n	N,crit x/m	N,crit y/n	Verifica
0	SLU 63	0.054	3	-29.493	0.1136	0.1055	0.003832	0.0000492	0.0000739	0.75	0.659	0.483	2427.459	4511.143	Si

Verifica di stabilità per pressoflessione SLD §C.4.2.4.1.3.3.1 NTC18

X	Comb.	Sfruttamento	Classe	NEd	MxEq,Ed	MyEq,Ed	Area	Wx	Wy	χ,min	λ adim. x/m	λ adim. y/n	N,crit x/m	N,crit y/n	Verifica
0	SLD 16	0.024	3	-8.769	0.0854	0.11	0.003832	0.0000492	0.0000739	0.75	0.659	0.483	2427.459	4511.143	Si

Verifiche a deformabilità

Mensola X: No; Mensola Y: No.

Frecce lungo X

Ascissa freccia	Combinazione	Freccia	Luce	L/f	L/f,min	Tipo	Verifica
0.984	SLE RA 1	0	1.737	10000	250	Totale	Si
0.984	SLE RA 17	0	1.737	10000	250	Totale	Si
0.984	SLE RA 16	0	1.737	10000	250	Totale	Si
0.984	SLE RA 15	0	1.737	10000	250	Totale	Si
0.926	SLE RA 14	0	1.737	10000	250	Totale	Si
0.984	SLE RA 2	0	1.737	10000	350	Variabile	Si
0.984	SLE RA 17	0	1.737	10000	350	Variabile	Si
0.984	SLE RA 16	0	1.737	10000	350	Variabile	Si
1.042	SLE RA 15	0	1.737	10000	350	Variabile	Si
0.926	SLE RA 14	0	1.737	10000	350	Variabile	Si

Frecce lungo Y

Ascissa freccia	Combinazione	Freccia	Luce	L/f	L/f,min	Tipo	Verifica
0.868	SLE RA 1	0.00004	1.737	10000	250	Totale	Si
0.868	SLE RA 17	0.00004	1.737	10000	250	Totale	Si
0.868	SLE RA 16	0.00004	1.737	10000	250	Totale	Si
0.868	SLE RA 15	0.00004	1.737	10000	250	Totale	Si
0.868	SLE RA 14	0.00004	1.737	10000	250	Totale	Si
0.984	SLE RA 2	0	1.737	10000	350	Variabile	Si
1.042	SLE RA 17	0	1.737	10000	350	Variabile	Si
1.042	SLE RA 16	0	1.737	10000	350	Variabile	Si
0.984	SLE RA 15	0	1.737	10000	350	Variabile	Si
0.984	SLE RA 14	0	1.737	10000	350	Variabile	Si

Superelemento in acciaio a quota "640"- "728" (-1488; -639)-(-1379; -742)

Caratteristiche del materiale

Acciaio: S275, fyk = 275000

Caratteristiche geometriche

Lunghezza: 1.737

Nodo iniziale: 559 Nodo finale: 2229

Cerniera iniziale: Mmomenti 1% Cerniera finale: Mmomenti 1%

Sovraresistenza: 0% Sisma Z: No

Caratteristiche della sezione

Sezione	Rotazione	Area	Jx	Jy	ix	iy	Wx	Wy	Wplx	Wply
A1; L100*10; 1; Saldato; S275; 50; 1; 8; 8; 1	180	0.003832	0.0000035319	0.000007759	0.0304	0.045	0.0000492	0.0000739	0.00008974	0.00012727

Comportamento dei calastrelli

Accoppiamento imbottito con funzione statica (§C4.2.4.1.3.1.4 NTC18) nella campata compresa tra le ascisse 0 e 1.737 per sbandamento attorno all'asse y.

Implementazione dei sistemi di confinamento delle emissioni odorigene diffuse dell'impianto di compostaggio esistente nel
Comune di Eboli (SA)
PROGETTO DEFINITIVO – Tabulati di calcolo Tomo 1

Verifiche di resistenza

Verifiche a forza assiale §4.2.4.1.2.1 - §4.2.4.1.2.2 NTC18

X	Comb.	Sfruttamento	Classe	NEd	Nc,Rd	Nt,Rd	Riduzione da taglio	px	py	Verifica
1.737	SLU 76	0.027		26.983		1003.522	1	0	0	Si

Verifiche a forza assiale SLD §4.2.4.1.2.1 - §4.2.4.1.2.2 NTC18

X	Comb.	Sfruttamento	Classe	NEd	Nc,Rd	Nt,Rd	Riduzione da taglio	px	py	Verifica
1.737	SLD 16	0.011		10.578		1003.522	1	0	0	Si

Verifica a taglio Y §4.2.4.1.2.4 NTC18

X	Comb.	Sfruttamento	VEd	Vc,Rd	Av	Interazione taglio-torsione	Riduzione torsione	Verifica
0	SLU 76	0.001	-0.294	302.422	0.002	Non considerata		Si

Verifica a taglio Y SLD §4.2.4.1.2.4 NTC18

X	Comb.	Sfruttamento	VEd	Vc,Rd	Av	Interazione taglio-torsione	Riduzione torsione	Verifica
0	SLD 16	0.001	-0.226	302.422	0.002	Non considerata		Si

Verifica a flessione semplice X §§ 4.2.4.1.2.3 - 4.2.4.1.2.6 - 4.2.4.1.2.7 - 4.2.4.1.2.8 NTC18

X	Comb.	Sfruttamento	Classe	Mx,Ed	Mx,Rd	Rid. Mx,Rd da VEd	px	py	Verifica
0.347	SLU 3	0.003	1	0.06221	23.50374	1	0	0	Si

Verifica a presso/tenso flessione retta X §§ 4.2.4.1.2.3 - 4.2.4.1.2.6 - 4.2.4.1.2.7 - 4.2.4.1.2.8 NTC18

Verifiche eseguite utilizzando la formula conservativa (6.2) §6.2.1 EN 1993-1-1:2005.

X	Comb.	Sfruttamento	Classe	NEd	NRd	Rid. NRd da VEd	Mx,Ed	Mx,Rd	Rid. Mx,Rd da VEd	Rid. Mx,Rd da NEd	px	py	Verifica
0.868	SLU 76	0.032	1	26.812	1003.522	1	0.1273	23.5037	1		0	0	Si

Verifica a presso/tenso flessione retta Y §§ 4.2.4.1.2.3 - 4.2.4.1.2.6 - 4.2.4.1.2.7 - 4.2.4.1.2.8 NTC18

Verifiche eseguite utilizzando la formula conservativa (6.2) §6.2.1 EN 1993-1-1:2005.

X	Comb.	Sfruttamento	Classe	NEd	NRd	Rid. NRd da VEd	My,Ed	My,Rd	Rid. My,Rd da VEd	Rid. My,Rd da NEd	px	py	Verifica
1.737	SLV 16	0.022	1	13.821	1003.522	1	0.2671	33.3316	1		0	0	Si

Verifica a presso/tenso flessione retta Y SLD §§ 4.2.4.1.2.3 - 4.2.4.1.2.6 - 4.2.4.1.2.7 - 4.2.4.1.2.8 NTC18

Verifiche eseguite utilizzando la formula conservativa (6.2) §6.2.1 EN 1993-1-1:2005.

X	Comb.	Sfruttamento	Classe	NEd	NRd	Rid. NRd da VEd	My,Ed	My,Rd	Rid. My,Rd da VEd	Rid. My,Rd da NEd	px	py	Verifica
1.737	SLD 16	0.014	1	10.578	1003.522	1	0.1087	33.3316	1		0	0	Si

Verifica a presso/tenso flessione deviata §§ 4.2.4.1.2.3 - 4.2.4.1.2.6 - 4.2.4.1.2.7 - 4.2.4.1.2.8 NTC18

Verifiche eseguite utilizzando la formula conservativa (6.2) §6.2.1 EN 1993-1-1:2005.

X	Comb.	Sfruttamento	Classe	NEd	NRd	Rid. NRd da VEd	Mx,Ed	Mx,Rd	My,Ed	My,Rd	Rid. Mx,Rd da VEd	Rid. Mx,Rd da NEd	Rid. My,Rd da VEd	Rid. My,Rd da NEd	α	β	px	py	Verifica
1.158	SLV 15	0.023	1	13.733	1003.522	1	0.0872	23.5037	0.2034	33.3316	1		1				0	0	Si

Verifica a presso/tenso flessione deviata SLD §§ 4.2.4.1.2.3 - 4.2.4.1.2.6 - 4.2.4.1.2.7 - 4.2.4.1.2.8 NTC18

Verifiche eseguite utilizzando la formula conservativa (6.2) §6.2.1 EN 1993-1-1:2005.

X	Comb.	Sfruttamento	Classe	NEd	NRd	Rid. NRd da VEd	Mx,Ed	Mx,Rd	My,Ed	My,Rd	Rid. Mx,Rd da VEd	Rid. Mx,Rd da NEd	Rid. My,Rd da VEd	Rid. My,Rd da NEd	α	β	px	py	Verifica
0.984	SLD 15	0.017	1	10.464	1003.522	1	0.096	23.5037	0.0749	33.3316	1		1				0	0	Si

Verifiche ad instabilità

Caratteristiche iniziali

Membratura principale per controllo snellezza; Calcolo di snellezze ed N critici condotti secondo gli assi principali;

Curva X: c; Curva Y: c;

Svergolamento: Nessuno; la verifica a instabilità flessio-torsionale (svergolamento) non verrà eseguita.

Dati per instabilità attorno a x

Controllo della snellezza secondo §4.2.4.1.3.1 NTC18

Numero rit.	Presente	Ascissa	Campata	βx/m	Vincolo a entrambi estremi	λx/m	λVer
1	Si		0				
			1-2		1	57.2	Si, (<200)
2	Si	1.737					

Dati per instabilità attorno a y

Controllo della snellezza secondo §4.2.4.1.3.1 NTC18

Numero rit.	Presente	Ascissa	Campata	βy/n	k,LT	kw,LT	Vincolo a entrambi estremi
1	Si		0				
			1-2		1	42	Si, (<200)
2	Si	1.737					

Verifica di stabilità per pressoflessione §C.4.2.4.1.3.3.1 NTC18

X	Comb.	Sfruttamento	Classe	NEd	MxEq,Ed	MyEq,Ed	Area	Wx	Wy	χ,min	λ adim. x/m	λ adim. y/n	N,crit x/m	N,crit y/n	Verifica
0	SLU 2	0.011	3	-2.791	0.0839	-0.0097	0.003832	0.0000492	0.0000739	0.75	0.659	0.483	2427.459	4511.143	Si

Verifiche a deformabilità

Mensola X: No; Mensola Y: No.

Frecce lungo X

Ascissa freccia	Combinazione	Freccia	Luce	L/f	L/f,min	Tipo	Verifica
0.984	SLE RA 1	0	1.737	10000	250	Totale	Si
0.984	SLE RA 17	0	1.737	10000	250	Totale	Si
0.984	SLE RA 16	0	1.737	10000	250	Totale	Si
0.984	SLE RA 15	0	1.737	10000	250	Totale	Si
0.984	SLE RA 14	0	1.737	10000	250	Totale	Si

Implementazione dei sistemi di confinamento delle emissioni odorigene diffuse dell'impianto di compostaggio esistente nel
Comune di Eboli (SA)

PROGETTO DEFINITIVO – Tabulati di calcolo Tomo 1

Ascissa freccia	Combinazione	Freccia	Luce	L/f	L/f,min	Tipo	Verifica
0.984	SLE RA 2	0	1.737	10000	350	Variabile	Si
0.984	SLE RA 17	0	1.737	10000	350	Variabile	Si
0.984	SLE RA 16	0	1.737	10000	350	Variabile	Si
1.042	SLE RA 15	0	1.737	10000	350	Variabile	Si
0.984	SLE RA 14	0	1.737	10000	350	Variabile	Si

Frecce lungo Y

Ascissa freccia	Combinazione	Freccia	Luce	L/f	L/f,min	Tipo	Verifica
0.868	SLE RA 1	0.00004	1.737	10000	250	Totale	Si
0.868	SLE RA 17	0.00004	1.737	10000	250	Totale	Si
0.868	SLE RA 16	0.00004	1.737	10000	250	Totale	Si
0.868	SLE RA 15	0.00004	1.737	10000	250	Totale	Si
0.868	SLE RA 14	0.00004	1.737	10000	250	Totale	Si
0.926	SLE RA 2	0	1.737	10000	350	Variabile	Si
0.984	SLE RA 17	0	1.737	10000	350	Variabile	Si
0.984	SLE RA 16	0	1.737	10000	350	Variabile	Si
0.984	SLE RA 15	0	1.737	10000	350	Variabile	Si
0.926	SLE RA 14	0	1.737	10000	350	Variabile	Si

Superelemento in acciaio a quota "690"- "640" (109; 1929)-(218; 1826)

Caratteristiche del materiale

Acciaio: S275, fyk = 275000

Caratteristiche geometriche

Lunghezza: 1.581

Nodo iniziale: 1714 Nodo finale: 1032

Cerniera iniziale: Mmomenti 1% Cerniera finale: Mmomenti 1%

Sovreresistenza: 0% Sisma Z: No

Caratteristiche della sezione

Sezione	Rotazione	Area	Jx	Jy	ix	iy	Wx	Wy	Wplx	Wply
A1; L100*10; 1; Saldato; S275; 50; 1; 8; 8; 1	180	0.003832	0.0000035319	0.000007759	0.0304	0.045	0.0000492	0.0000739	0.00008974	0.00012727

Comportamento dei calastrelli

Accoppiamento imbottito con funzione statica (§C4.2.4.1.3.1.4 NTC18) nella campata compresa tra le ascisse 0 e 1.581 per sbandamento attorno all'asse y.

Verifiche di resistenza

Verifiche a forza assiale §4.2.4.1.2.1 - §4.2.4.1.2.2 NTC18

X	Comb.	Sfruttamento	Classe	NEd	Nc,Rd	Nt,Rd	Riduzione da taglio	px	py	Verifica
0	SLU 76	0.154		154.565		1003.522	1	0	0	Si

Verifiche a forza assiale SLD §4.2.4.1.2.1 - §4.2.4.1.2.2 NTC18

X	Comb.	Sfruttamento	Classe	NEd	Nc,Rd	Nt,Rd	Riduzione da taglio	px	py	Verifica
0	SLD 5	0.051		50.776		1003.522	1	0	0	Si

Verifica a taglio Y §4.2.4.1.2.4 NTC18

X	Comb.	Sfruttamento	VEd	Vc,Rd	Av	Interazione taglio-torsione	Riduzione torsione	Verifica
1.581	SLU 41	0.001	0.307	302.422	0.002	Non considerata		Si

Verifica a taglio Y SLD §4.2.4.1.2.4 NTC18

X	Comb.	Sfruttamento	VEd	Vc,Rd	Av	Interazione taglio-torsione	Riduzione torsione	Verifica
1.581	SLD 6	0.001	0.227	302.422	0.002	Non considerata		Si

Verifica a presso/tenso flessione retta X §§ 4.2.4.1.2.3 - 4.2.4.1.2.6 - 4.2.4.1.2.7 - 4.2.4.1.2.8 NTC18

Verifiche eseguite utilizzando la formula conservativa (6.2) §6.2.1 EN 1993-1-1:2005.

X	Comb.	Sfruttamento	Classe	NEd	NRd	Rid. NRd da VEd	Mx,Ed	Mx,Rd	Rid. Mx,Rd da VEd	Rid. Mx,Rd da NEd	px	py	Verifica
0.791	SLU 76	0.159	1	154.467	1003.522	1	0.1103	23.5037	1		0	0	Si

Verifica a presso/tenso flessione retta X SLD §§ 4.2.4.1.2.3 - 4.2.4.1.2.6 - 4.2.4.1.2.7 - 4.2.4.1.2.8 NTC18

Verifiche eseguite utilizzando la formula conservativa (6.2) §6.2.1 EN 1993-1-1:2005.

X	Comb.	Sfruttamento	Classe	NEd	NRd	Rid. NRd da VEd	Mx,Ed	Mx,Rd	Rid. Mx,Rd da VEd	Rid. Mx,Rd da NEd	px	py	Verifica
0.791	SLD 5	0.054	1	50.701	1003.522	1	0.0905	23.5037	1		0	0	Si

Verifica a presso/tenso flessione retta Y §§ 4.2.4.1.2.3 - 4.2.4.1.2.6 - 4.2.4.1.2.7 - 4.2.4.1.2.8 NTC18

Verifiche eseguite utilizzando la formula conservativa (6.2) §6.2.1 EN 1993-1-1:2005.

X	Comb.	Sfruttamento	Classe	NEd	NRd	Rid. NRd da VEd	My,Ed	My,Rd	Rid. My,Rd da VEd	Rid. My,Rd da NEd	px	py	Verifica
0	SLV 5	0.052	1	52.015	1003.522	1	-0.0182	33.3316	1		0	0	Si

Verifica a presso/tenso flessione retta Y SLD §§ 4.2.4.1.2.3 - 4.2.4.1.2.6 - 4.2.4.1.2.7 - 4.2.4.1.2.8 NTC18

Verifiche eseguite utilizzando la formula conservativa (6.2) §6.2.1 EN 1993-1-1:2005.

X	Comb.	Sfruttamento	Classe	NEd	NRd	Rid. NRd da VEd	My,Ed	My,Rd	Rid. My,Rd da VEd	Rid. My,Rd da NEd	px	py	Verifica
1.581	SLD 1	0.051	1	50.625	1003.522	1	-0.0082	33.3316	1		0	0	Si

Verifica a presso/tenso flessione deviata §§ 4.2.4.1.2.3 - 4.2.4.1.2.6 - 4.2.4.1.2.7 - 4.2.4.1.2.8 NTC18

Verifiche eseguite utilizzando la formula conservativa (6.2) §6.2.1 EN 1993-1-1:2005.

Implementazione dei sistemi di confinamento delle emissioni odorigene diffuse dell'impianto di compostaggio esistente nel
Comune di Eboli (SA)

PROGETTO DEFINITIVO – Tabulati di calcolo Tomo 1

X	Comb.	Sfruttamento	Classe	NEd	NRd	Rid. NRd da VEd	Mx,Ed	Mx,Rd	My,Ed	My,Rd	Rid. Mx,Rd da VEd	Rid. Mx,Rd da NEd	Rid. My,Rd da VEd	Rid. My,Rd da NEd	α	β	ρ_x	ρ_y	Verifica
0.791	SLV 6	0.056	1	51.94	1003.522	1	0.0908	23.5037	-0.019	33.3316	1		1				0	0	Si

Verifica a presso/tenso flessione deviata SLD §§ 4.2.4.1.2.3 - 4.2.4.1.2.6 - 4.2.4.1.2.7 - 4.2.4.1.2.8 NTC18

Verifiche eseguite utilizzando la formula conservativa (6.2) §6.2.1 EN 1993-1-1:2005.

X	Comb.	Sfruttamento	Classe	NEd	NRd	Rid. NRd da VEd	Mx,Ed	Mx,Rd	My,Ed	My,Rd	Rid. Mx,Rd da VEd	Rid. Mx,Rd da NEd	Rid. My,Rd da VEd	Rid. My,Rd da NEd	α	β	ρ_x	ρ_y	Verifica
0.791	SLD 1	0.055	1	50.701	1003.522	1	0.0905	23.5037	-0.0074	33.3316	1		1				0	0	Si

Verifiche ad instabilità

Caratteristiche iniziali

Membratura principale per controllo snellezza; Calcolo di snellezze ed N critici condotti secondo gli assi principali;

Curva X: c; Curva Y: c;

Svergolamento: Nessuno; la verifica a instabilità flessione-torsionale (svergolamento) non verrà eseguita.

Dati per instabilità attorno a x

Controllo della snellezza secondo §4.2.4.1.3.1 NTC18

Numero rit.	Presente	Ascissa	Campata	$\beta x/m$	Vincolo a entrambi estremi	$\lambda x/m$	λVer
1	Si	0					
			1-2		1	52.1	Si, (<200)
2	Si	1.581					

Dati per instabilità attorno a y

Controllo della snellezza secondo §4.2.4.1.3.1 NTC18

Numero rit.	Presente	Ascissa	Campata	$\beta y/n$	k,LT	kw,LT	Vincolo a entrambi estremi
1	Si	0					
			1-2		1	38.8	Si, (<200)
2	Si	1.581					

Verifica di stabilità per pressoflessione §C.4.2.4.1.3.3.1 NTC18

X	Comb.	Sfruttamento	Classe	NEd	MxEq,Ed	MyEq,Ed	Area	Wx	Wy	x_{min}	$\lambda_{adim. x/m}$	$\lambda_{adim. y/n}$	N,crit x/m	N,crit y/n	Verifica
1.581	SLU 2	0.04	3	-23.754	0.0798	0.0759	0.003832	0.0000492	0.0000739	0.785	0.6	0.447	2928.123	5273.983	Si

Verifiche a deformabilità

Mensola X: No; Mensola Y: No.

Frecce lungo X

Ascissa freccia	Combinazione	Freccia	Luce	L/f	L/f,min	Tipo	Verifica
0.738	SLE RA 1	0	1.581	10000	250	Totale	Si
0.685	SLE RA 17	0	1.581	10000	250	Totale	Si
0.58	SLE RA 16	0	1.581	10000	250	Totale	Si
0.632	SLE RA 15	0	1.581	10000	250	Totale	Si
0.632	SLE RA 14	0	1.581	10000	250	Totale	Si
1.054	SLE RA 2	0	1.581	10000	350	Variabile	Si
1.054	SLE RA 17	0	1.581	10000	350	Variabile	Si
1.054	SLE RA 16	0	1.581	10000	350	Variabile	Si
0.369	SLE RA 15	0	1.581	10000	350	Variabile	Si
0.843	SLE RA 14	0	1.581	10000	350	Variabile	Si

Frecce lungo Y

Ascissa freccia	Combinazione	Freccia	Luce	L/f	L/f,min	Tipo	Verifica
0.791	SLE RA 1	0.00003	1.581	10000	250	Totale	Si
0.791	SLE RA 17	0.00003	1.581	10000	250	Totale	Si
0.791	SLE RA 16	0.00003	1.581	10000	250	Totale	Si
0.791	SLE RA 15	0.00003	1.581	10000	250	Totale	Si
0.791	SLE RA 14	0.00003	1.581	10000	250	Totale	Si
0.527	SLE RA 2	0	1.581	10000	350	Variabile	Si
0.527	SLE RA 17	0	1.581	10000	350	Variabile	Si
0.527	SLE RA 16	0	1.581	10000	350	Variabile	Si
0.685	SLE RA 15	0	1.581	10000	350	Variabile	Si
0.685	SLE RA 14	0	1.581	10000	350	Variabile	Si

Superelemento in acciaio a quota "690"- "640" (363; 2198)-(473; 2096)

Caratteristiche del materiale

Acciaio: S275, fyk = 275000

Caratteristiche geometriche

Lunghezza: 1.581

Nodo iniziale: 1738 Nodo finale: 1086

Cerniera iniziale: Mmomenti 1% Cerniera finale: Mmomenti 1%

Sovreresistenza: 0% Sisma Z: No

Caratteristiche della sezione

Sezione	Rotazione	Area	Jx	Jy	ix	iy	Wx	Wy	Wplx	Wply
A1; L100*10; 1; Saldato; S275; 50; 1; 8; 8; 1	180	0.003832	0.0000035319	0.000007759	0.0304	0.045	0.0000492	0.0000739	0.00008974	0.00012727

Comportamento dei calastrelli

Accoppiamento imbottito con funzione statica (§C4.2.4.1.3.1.4 NTC18) nella campata compresa tra le ascisse 0 e 1.581 per sbandamento attorno all'asse y.

Implementazione dei sistemi di confinamento delle emissioni odorigene diffuse dell'impianto di compostaggio esistente nel
Comune di Eboli (SA)
PROGETTO DEFINITIVO – Tabulati di calcolo Tomo 1

Verifiche di resistenza

Verifiche a forza assiale §4.2.4.1.2.1 - §4.2.4.1.2.2 NTC18

X	Comb.	Sfruttamento	Classe	NEd	Nc,Rd	Nt,Rd	Riduzione da taglio	px	py	Verifica
0	SLU 76	0.123		123.485		1003.522	1	0	0	Si

Verifiche a forza assiale SLD §4.2.4.1.2.1 - §4.2.4.1.2.2 NTC18

X	Comb.	Sfruttamento	Classe	NEd	Nc,Rd	Nt,Rd	Riduzione da taglio	px	py	Verifica
0	SLD 1	0.048		48.24		1003.522	1	0	0	Si

Verifica a taglio Y §4.2.4.1.2.4 NTC18

X	Comb.	Sfruttamento	VEd	Vc,Rd	Av	Interazione taglio-torsione	Riduzione torsione	Verifica
0	SLU 64	0.001	-0.311	302.422	0.002	Non considerata		Si

Verifica a taglio Y SLD §4.2.4.1.2.4 NTC18

X	Comb.	Sfruttamento	VEd	Vc,Rd	Av	Interazione taglio-torsione	Riduzione torsione	Verifica
0	SLD 16	0.001	-0.229	302.422	0.002	Non considerata		Si

Verifica a presso/tenso flessione retta X §§ 4.2.4.1.2.3 - 4.2.4.1.2.6 - 4.2.4.1.2.7 - 4.2.4.1.2.8 NTC18

Verifiche eseguite utilizzando la formula conservativa (6.2) §6.2.1 EN 1993-1-1:2005.

X	Comb.	Sfruttamento	Classe	NEd	NRd	Rid. NRd da VEd	Mx,Ed	Mx,Rd	Rid. Mx,Rd da VEd	Rid. Mx,Rd da NEd	px	py	Verifica
0.843	SLU 76	0.127	1	123.381	1003.522	1	0.1039	23.5037	1		0	0	Si

Verifica a presso/tenso flessione retta X SLD §§ 4.2.4.1.2.3 - 4.2.4.1.2.6 - 4.2.4.1.2.7 - 4.2.4.1.2.8 NTC18

Verifiche eseguite utilizzando la formula conservativa (6.2) §6.2.1 EN 1993-1-1:2005.

X	Comb.	Sfruttamento	Classe	NEd	NRd	Rid. NRd da VEd	Mx,Ed	Mx,Rd	Rid. Mx,Rd da VEd	Rid. Mx,Rd da NEd	px	py	Verifica
0.791	SLD 3	0.048	1	43.944	1003.522	1	0.0892	23.5037	1		0	0	Si

Verifica a presso/tenso flessione retta Y §§ 4.2.4.1.2.3 - 4.2.4.1.2.6 - 4.2.4.1.2.7 - 4.2.4.1.2.8 NTC18

Verifiche eseguite utilizzando la formula conservativa (6.2) §6.2.1 EN 1993-1-1:2005.

X	Comb.	Sfruttamento	Classe	NEd	NRd	Rid. NRd da VEd	My,Ed	My,Rd	Rid. My,Rd da VEd	Rid. My,Rd da NEd	px	py	Verifica
1.581	SLV 1	0.063	1	62.075	1003.522	1	-0.0286	33.3316	1		0	0	Si

Verifica a presso/tenso flessione retta Y SLD §§ 4.2.4.1.2.3 - 4.2.4.1.2.6 - 4.2.4.1.2.7 - 4.2.4.1.2.8 NTC18

Verifiche eseguite utilizzando la formula conservativa (6.2) §6.2.1 EN 1993-1-1:2005.

X	Comb.	Sfruttamento	Classe	NEd	NRd	Rid. NRd da VEd	My,Ed	My,Rd	Rid. My,Rd da VEd	Rid. My,Rd da NEd	px	py	Verifica
0	SLD 1	0.048	1	48.24	1003.522	1	-0.0095	33.3316	1		0	0	Si

Verifica a presso/tenso flessione deviata §§ 4.2.4.1.2.3 - 4.2.4.1.2.6 - 4.2.4.1.2.7 - 4.2.4.1.2.8 NTC18

Verifiche eseguite utilizzando la formula conservativa (6.2) §6.2.1 EN 1993-1-1:2005.

X	Comb.	Sfruttamento	Classe	NEd	NRd	Rid. NRd da VEd	Mx,Ed	Mx,Rd	My,Ed	My,Rd	Rid. Mx,Rd da VEd	Rid. Mx,Rd da NEd	Rid. My,Rd da VEd	Rid. My,Rd da NEd	α	β	px	py	Verifica
0.791	SLV 1	0.067	1	62.15	1003.522	1	0.0929	23.5037	-0.0242	33.3316	1		1				0	0	Si

Verifica a presso/tenso flessione deviata SLD §§ 4.2.4.1.2.3 - 4.2.4.1.2.6 - 4.2.4.1.2.7 - 4.2.4.1.2.8 NTC18

Verifiche eseguite utilizzando la formula conservativa (6.2) §6.2.1 EN 1993-1-1:2005.

X	Comb.	Sfruttamento	Classe	NEd	NRd	Rid. NRd da VEd	Mx,Ed	Mx,Rd	My,Ed	My,Rd	Rid. Mx,Rd da VEd	Rid. Mx,Rd da NEd	Rid. My,Rd da VEd	Rid. My,Rd da NEd	α	β	px	py	Verifica
0.791	SLD 2	0.052	1	48.165	1003.522	1	0.0901	23.5037	-0.0103	33.3316	1		1				0	0	Si

Verifiche ad instabilità

Caratteristiche iniziali

Membratura principale per controllo snellezza; Calcolo di snellezze ed N critici condotti secondo gli assi principali;

Curva X: c; Curva Y: c;

Svergolamento: Nessuno; la verifica a instabilità flesso-torsionale (svergolamento) non verrà eseguita.

Dati per instabilità attorno a x

Controllo della snellezza secondo §4.2.4.1.3.1 NTC18

Numero rit.	Presente	Ascissa	Campata	βx/m	Vincolo a entrambi estremi	λx/m	λVer
1	Si	0					
			1-2		1	52.1	Si, (<200)
2	Si	1.581					

Dati per instabilità attorno a y

Controllo della snellezza secondo §4.2.4.1.3.1 NTC18

Numero rit.	Presente	Ascissa	Campata	βy/n	k,LT	kw,LT	Vincolo a entrambi estremi
1	Si	0					
			1-2		1	38.8	Si, (<200)
2	Si	1.581					

Verifica di stabilità per pressoflessione §C.4.2.4.1.3.3.1 NTC18

X	Comb.	Sfruttamento	Classe	NEd	MxEq,Ed	MyEq,Ed	Area	Wx	Wy	χ,min	λ adim. x/m	λ adim. y/n	N,crit x/m	N,crit y/n	Verifica
1.581	SLU 2	0.033	3	-18.712	0.0814	0.0606	0.003832	0.0000492	0.0000739	0.785	0.6	0.447	2928.123	5273.983	Si

Verifiche a deformabilità

Mensola X: No; Mensola Y: No.

Freccie lungo X

Ascissa freccia	Combinazione	Freccia	Luce	L/f	L/f,min	Tipo	Verifica
0.791	SLE RA 1	0	1.581	10000	250	Totale	Si
0.791	SLE RA 17	0	1.581	10000	250	Totale	Si
0.791	SLE RA 16	0	1.581	10000	250	Totale	Si
0.791	SLE RA 15	0	1.581	10000	250	Totale	Si

Implementazione dei sistemi di confinamento delle emissioni odorigene diffuse dell'impianto di compostaggio esistente nel
Comune di Eboli (SA)
PROGETTO DEFINITIVO – Tabulati di calcolo Tomo 1

Ascissa freccia	Combinazione	Freccia	Luce	L/f	L/f,min	Tipo	Verifica
0.791	SLE RA 14	0	1.581	10000	250	Totale	Si
0.791	SLE RA 2	0	1.581	10000	350	Variabile	Si
0.791	SLE RA 17	0	1.581	10000	350	Variabile	Si
0.791	SLE RA 16	0	1.581	10000	350	Variabile	Si
0.791	SLE RA 15	0	1.581	10000	350	Variabile	Si
0.791	SLE RA 14	0	1.581	10000	350	Variabile	Si

Freccie lungo Y

Ascissa freccia	Combinazione	Freccia	Luce	L/f	L/f,min	Tipo	Verifica
0.791	SLE RA 1	0.00003	1.581	10000	250	Totale	Si
0.791	SLE RA 17	0.00003	1.581	10000	250	Totale	Si
0.791	SLE RA 16	0.00003	1.581	10000	250	Totale	Si
0.791	SLE RA 15	0.00003	1.581	10000	250	Totale	Si
0.791	SLE RA 14	0.00003	1.581	10000	250	Totale	Si
0.632	SLE RA 2	0	1.581	10000	350	Variabile	Si
0.632	SLE RA 17	0	1.581	10000	350	Variabile	Si
0.632	SLE RA 16	0	1.581	10000	350	Variabile	Si
0.685	SLE RA 15	0	1.581	10000	350	Variabile	Si
0.685	SLE RA 14	0	1.581	10000	350	Variabile	Si

Superelemento in acciaio a quota "690"- "640" (620; 2473)-(729; 2371)

Caratteristiche del materiale

Acciaio: S275, fyk = 275000

Caratteristiche geometriche

Lunghezza: 1.581

Nodo iniziale: 1746 Nodo finale: 1199

Cerniera iniziale: Mmomenti 1% Cerniera finale: Mmomenti 1%

Sovreresistenza: 0% Sisma Z: No

Caratteristiche della sezione

Sezione	Rotazione	Area	Jx	Jy	ix	iy	Wx	Wy	Wplx	Wply
A1; L100*10; 1; Saldato; S275; 50; 1; 8; 8; 1	180	0.003832	0.0000035319	0.000007759	0.0304	0.045	0.0000492	0.0000739	0.00008974	0.00012727

Comportamento dei calastrelli

Accoppiamento imbottito con funzione statica (§C4.2.4.1.3.1.4 NTC18) nella campata compresa tra le ascisse 0 e 1.581 per sbandamento attorno all'asse y.

Verifiche di resistenza

Verifiche a forza assiale §4.2.4.1.2.1 - §4.2.4.1.2.2 NTC18

X	Comb.	Sfruttamento	Classe	NEd	Nc,Rd	Nt,Rd	Riduzione da taglio	px	py	Verifica
0	SLU 76	0.034		34.022		1003.522	1	0	0	Si

Verifiche a forza assiale SLD §4.2.4.1.2.1 - §4.2.4.1.2.2 NTC18

X	Comb.	Sfruttamento	Classe	NEd	Nc,Rd	Nt,Rd	Riduzione da taglio	px	py	Verifica
0	SLD 16	0.009		8.598		1003.522	1	0	0	Si

Verifica a taglio Y §4.2.4.1.2.4 NTC18

X	Comb.	Sfruttamento	VEd	Vc,Rd	Av	Interazione taglio-torsione	Riduzione torsione	Verifica
0	SLU 76	0.001	-0.325	302.422	0.002	Non considerata		Si

Verifica a taglio Y SLD §4.2.4.1.2.4 NTC18

X	Comb.	Sfruttamento	VEd	Vc,Rd	Av	Interazione taglio-torsione	Riduzione torsione	Verifica
0	SLD 14	0.001	-0.233	302.422	0.002	Non considerata		Si

Verifica a flessione semplice X §§ 4.2.4.1.2.3 - 4.2.4.1.2.6 - 4.2.4.1.2.7 - 4.2.4.1.2.8 NTC18

X	Comb.	Sfruttamento	Classe	Mx,Ed	Mx,Rd	Rid. Mx,Rd da VEd	px	py	Verifica
0.791	SLU 44	0.005	1	0.11548	23.50374	1	0	0	Si

Verifica a presso/tenso flessione retta X §§ 4.2.4.1.2.3 - 4.2.4.1.2.6 - 4.2.4.1.2.7 - 4.2.4.1.2.8 NTC18

Verifiche eseguite utilizzando la formula conservativa (6.2) §6.2.1 EN 1993-1-1:2005.

X	Comb.	Sfruttamento	Classe	NEd	NRd	Rid. NRd da VEd	Mx,Ed	Mx,Rd	Rid. Mx,Rd da VEd	Rid. Mx,Rd da NEd	px	py	Verifica
0.843	SLU 76	0.038	1	33.918	1003.522	1	0.0897	23.5037	1		0	0	Si

Verifica a presso/tenso flessione retta X SLD §§ 4.2.4.1.2.3 - 4.2.4.1.2.6 - 4.2.4.1.2.7 - 4.2.4.1.2.8 NTC18

Verifiche eseguite utilizzando la formula conservativa (6.2) §6.2.1 EN 1993-1-1:2005.

X	Comb.	Sfruttamento	Classe	NEd	NRd	Rid. NRd da VEd	Mx,Ed	Mx,Rd	Rid. Mx,Rd da VEd	Rid. Mx,Rd da NEd	px	py	Verifica
0.791	SLD 8	0.012	1	8.174	1003.522	1	0.0827	23.5037	1		0	0	Si

Verifica a presso/tenso flessione retta Y §§ 4.2.4.1.2.3 - 4.2.4.1.2.6 - 4.2.4.1.2.7 - 4.2.4.1.2.8 NTC18

Verifiche eseguite utilizzando la formula conservativa (6.2) §6.2.1 EN 1993-1-1:2005.

X	Comb.	Sfruttamento	Classe	NEd	NRd	Rid. NRd da VEd	My,Ed	My,Rd	Rid. My,Rd da VEd	Rid. My,Rd da NEd	px	py	Verifica
1.581	SLV 16	0.011	1	9.586	1003.522	1	0.0396	33.3316	1		0	0	Si

Verifica a presso/tenso flessione retta Y SLD §§ 4.2.4.1.2.3 - 4.2.4.1.2.6 - 4.2.4.1.2.7 - 4.2.4.1.2.8 NTC18

Verifiche eseguite utilizzando la formula conservativa (6.2) §6.2.1 EN 1993-1-1:2005.

X	Comb.	Sfruttamento	Classe	NEd	NRd	Rid. NRd da VEd	My,Ed	My,Rd	Rid. My,Rd da VEd	Rid. My,Rd da NEd	px	py	Verifica
1.581	SLD 16	0.009	1	8.447	1003.522	1	0.0156	33.3316	1		0	0	Si

Implementazione dei sistemi di confinamento delle emissioni odorigene diffuse dell'impianto di compostaggio esistente nel
Comune di Eboli (SA)
PROGETTO DEFINITIVO – Tabulati di calcolo Tomo 1

Verifica a presso/tenso flessione deviata §§ 4.2.4.1.2.3 - 4.2.4.1.2.6 - 4.2.4.1.2.7 - 4.2.4.1.2.8 NTC18

Verifiche eseguite utilizzando la formula conservativa (6.2) §6.2.1 EN 1993-1-1:2005.

X	Comb.	Sfruttamento	Classe	NEd	NRd	Rid. NRd da VEd	Mx,Ed	Mx,Rd	My,Ed	My,Rd	Rid. Mx,Rd da VEd	Rid. Mx,Rd da NEd	Rid. My,Rd da VEd	Rid. My,Rd da NEd	α	β	px	py	Verifica
0.791	SLU 40	0.016	3	-5.893	1003.522	1	0.1198	12.886	0.0194	19.3536	1		1				0	0	Si

Verifica a presso/tenso flessione deviata SLD §§ 4.2.4.1.2.3 - 4.2.4.1.2.6 - 4.2.4.1.2.7 - 4.2.4.1.2.8 NTC18

Verifiche eseguite utilizzando la formula conservativa (6.2) §6.2.1 EN 1993-1-1:2005.

X	Comb.	Sfruttamento	Classe	NEd	NRd	Rid. NRd da VEd	Mx,Ed	Mx,Rd	My,Ed	My,Rd	Rid. Mx,Rd da VEd	Rid. Mx,Rd da NEd	Rid. My,Rd da VEd	Rid. My,Rd da NEd	α	β	px	py	Verifica
0.843	SLD 12	0.012	1	8.512	1003.522	1	0.0826	23.5037	0.0112	33.3316	1		1				0	0	Si

Verifiche ad instabilità

Caratteristiche iniziali

Membratura principale per controllo snellezza; Calcolo di snellezze ed N critici condotti secondo gli assi principali;

Curva X: c; Curva Y: c;

Svergolamento: Nessuno; la verifica a instabilità flesso-torsionale (svergolamento) non verrà eseguita.

Dati per instabilità attorno a x

Controllo della snellezza secondo §4.2.4.1.3.1 NTC18

Numero rit.	Presente	Ascissa	Campata	βx/m	Vincolo a entrambi estremi	λx/m	λVer
1	Si		0				
			1~2		1	52.1	Si, (<200)
2	Si	1.581					

Dati per instabilità attorno a y

Controllo della snellezza secondo §4.2.4.1.3.1 NTC18

Numero rit.	Presente	Ascissa	Campata	βy/n	k,LT	kw,LT	Vincolo a entrambi estremi
1	Si		0				
			1~2		1	38.8	Si, (<200)
2	Si	1.581					

Verifica di stabilità per pressoflessione §C.4.2.4.1.3.3.1 NTC18

X	Comb.	Sfruttamento	Classe	NEd	MxEq,Ed	MyEq,Ed	Area	Wx	Wy	x,min	λ adim. x/m	λ adim. y/n	N,crit x/m	N,crit y/n	Verifica
1.581	SLU 40	0.017	3	-5.991	0.1054	0.0195	0.003832	0.0000492	0.0000739	0.785	0.6	0.447	2928.123	5273.983	Si

Verifiche a deformabilità

Mensola X: No; Mensola Y: No.

Frecce lungo X

Ascissa freccia	Combinazione	Freccia	Luce	L/f	L/f,min	Tipo	Verifica
0.685	SLE RA 1	0	1.581	10000	250	Totale	Si
0.738	SLE RA 17	0	1.581	10000	250	Totale	Si
0.738	SLE RA 16	0	1.581	10000	250	Totale	Si
0.738	SLE RA 15	0	1.581	10000	250	Totale	Si
0.738	SLE RA 14	0	1.581	10000	250	Totale	Si
0.791	SLE RA 2	0	1.581	10000	350	Variabile	Si
0.791	SLE RA 17	0	1.581	10000	350	Variabile	Si
0.791	SLE RA 16	0	1.581	10000	350	Variabile	Si
0.791	SLE RA 15	0	1.581	10000	350	Variabile	Si
0.738	SLE RA 14	0	1.581	10000	350	Variabile	Si

Frecce lungo Y

Ascissa freccia	Combinazione	Freccia	Luce	L/f	L/f,min	Tipo	Verifica
0.791	SLE RA 1	0.00003	1.581	10000	250	Totale	Si
0.791	SLE RA 17	0.00003	1.581	10000	250	Totale	Si
0.791	SLE RA 16	0.00003	1.581	10000	250	Totale	Si
0.791	SLE RA 15	0.00003	1.581	10000	250	Totale	Si
0.791	SLE RA 14	0.00003	1.581	10000	250	Totale	Si
0.685	SLE RA 2	0	1.581	10000	350	Variabile	Si
0.685	SLE RA 17	0	1.581	10000	350	Variabile	Si
0.685	SLE RA 16	0	1.581	10000	350	Variabile	Si
0.685	SLE RA 15	0	1.581	10000	350	Variabile	Si
0.685	SLE RA 14	0	1.581	10000	350	Variabile	Si

Superelemento in acciaio a quota "690"- "640" (869; 2737)-(979; 2634)

Caratteristiche del materiale

Acciaio: S275, fyk = 275000

Caratteristiche geometriche

Lunghezza: 1.581

Nodo iniziale: 1748 Nodo finale: 1322

Cerniera iniziale: Mmomenti 1% Cerniera finale: Mmomenti 1%

Sovraresistenza: 0% Sisma Z: No

Caratteristiche della sezione

Sezione	Rotazione	Area	Jx	Jy	ix	iy	Wx	Wy	Wplx	Wply
A1; L100*10; 1; Saldato; S275; 50; 1; 8; 8; 1	180	0.003832	0.0000035319	0.000007759	0.0304	0.045	0.0000492	0.0000739	0.00008974	0.00012727

Implementazione dei sistemi di confinamento delle emissioni odorigene diffuse dell'impianto di compostaggio esistente nel
Comune di Eboli (SA)
PROGETTO DEFINITIVO – Tabulati di calcolo Tomo 1

Comportamento dei calastrelli

Accoppiamento imbottito con funzione statica (§C4.2.4.1.3.1.4 NTC18) nella campata compresa tra le ascisse 0 e 1.581 per sbandamento attorno all'asse y.

Verifiche di resistenza

Verifiche a forza assiale §4.2.4.1.2.1 - §4.2.4.1.2.2 NTC18

X	Comb.	Sfruttamento	Classe	NEd	Nc,Rd	Nt,Rd	Riduzione da taglio	px	py	Verifica
0	SLU 76	0.123		123.855		1003.522	1	0	0	Si

Verifiche a forza assiale SLD §4.2.4.1.2.1 - §4.2.4.1.2.2 NTC18

X	Comb.	Sfruttamento	Classe	NEd	Nc,Rd	Nt,Rd	Riduzione da taglio	px	py	Verifica
0	SLD 16	0.048		48.103		1003.522	1	0	0	Si

Verifica a taglio Y §4.2.4.1.2.4 NTC18

X	Comb.	Sfruttamento	VEd	Vc,Rd	Av	Interazione taglio-torsione	Riduzione torsione	Verifica
0	SLU 76	0.001	-0.308	302.422	0.002	Non considerata		Si

Verifica a taglio Y SLD §4.2.4.1.2.4 NTC18

X	Comb.	Sfruttamento	VEd	Vc,Rd	Av	Interazione taglio-torsione	Riduzione torsione	Verifica
0	SLD 1	0.001	-0.228	302.422	0.002	Non considerata		Si

Verifica a presso/tenso flessione retta X §§ 4.2.4.1.2.3 - 4.2.4.1.2.6 - 4.2.4.1.2.7 - 4.2.4.1.2.8 NTC18

Verifiche eseguite utilizzando la formula conservativa (6.2) §6.2.1 EN 1993-1-1:2005.

X	Comb.	Sfruttamento	Classe	NEd	NRd	Rid. NRd da VEd	Mx,Ed	Mx,Rd	Rid. Mx,Rd da VEd	Rid. Mx,Rd da NEd	px	py	Verifica
0.791	SLU 73	0.113	1	108.867	1003.522	1	0.1101	23.5037	1		0	0	Si

Verifica a presso/tenso flessione retta X SLD §§ 4.2.4.1.2.3 - 4.2.4.1.2.6 - 4.2.4.1.2.7 - 4.2.4.1.2.8 NTC18

Verifiche eseguite utilizzando la formula conservativa (6.2) §6.2.1 EN 1993-1-1:2005.

X	Comb.	Sfruttamento	Classe	NEd	NRd	Rid. NRd da VEd	Mx,Ed	Mx,Rd	Rid. Mx,Rd da VEd	Rid. Mx,Rd da NEd	px	py	Verifica
0.685	SLD 7	0.048	1	44.271	1003.522	1	0.0879	23.5037	1		0	0	Si

Verifica a presso/tenso flessione retta Y §§ 4.2.4.1.2.3 - 4.2.4.1.2.6 - 4.2.4.1.2.7 - 4.2.4.1.2.8 NTC18

Verifiche eseguite utilizzando la formula conservativa (6.2) §6.2.1 EN 1993-1-1:2005.

X	Comb.	Sfruttamento	Classe	NEd	NRd	Rid. NRd da VEd	My,Ed	My,Rd	Rid. My,Rd da VEd	Rid. My,Rd da NEd	px	py	Verifica
1.581	SLU 76	0.123	1	123.659	1003.522	1	0.0086	33.3316	1		0	0	Si

Verifica a presso/tenso flessione retta Y SLD §§ 4.2.4.1.2.3 - 4.2.4.1.2.6 - 4.2.4.1.2.7 - 4.2.4.1.2.8 NTC18

Verifiche eseguite utilizzando la formula conservativa (6.2) §6.2.1 EN 1993-1-1:2005.

X	Comb.	Sfruttamento	Classe	NEd	NRd	Rid. NRd da VEd	My,Ed	My,Rd	Rid. My,Rd da VEd	Rid. My,Rd da NEd	px	py	Verifica
1.581	SLD 15	0.048	1	47.953	1003.522	1	0.0172	33.3316	1		0	0	Si

Verifica a presso/tenso flessione deviata §§ 4.2.4.1.2.3 - 4.2.4.1.2.6 - 4.2.4.1.2.7 - 4.2.4.1.2.8 NTC18

Verifiche eseguite utilizzando la formula conservativa (6.2) §6.2.1 EN 1993-1-1:2005.

X	Comb.	Sfruttamento	Classe	NEd	NRd	Rid. NRd da VEd	Mx,Ed	Mx,Rd	My,Ed	My,Rd	Rid. Mx,Rd da VEd	Rid. Mx,Rd da NEd	Rid. My,Rd da VEd	Rid. My,Rd da NEd	α	β	px	py	Verifica
0.843	SLU 76	0.128	1	123.75	1003.522	1	0.105	23.5037	0.0083	33.3316	1		1				0	0	Si

Verifica a presso/tenso flessione deviata SLD §§ 4.2.4.1.2.3 - 4.2.4.1.2.6 - 4.2.4.1.2.7 - 4.2.4.1.2.8 NTC18

Verifiche eseguite utilizzando la formula conservativa (6.2) §6.2.1 EN 1993-1-1:2005.

X	Comb.	Sfruttamento	Classe	NEd	NRd	Rid. NRd da VEd	Mx,Ed	Mx,Rd	My,Ed	My,Rd	Rid. Mx,Rd da VEd	Rid. Mx,Rd da NEd	Rid. My,Rd da VEd	Rid. My,Rd da NEd	α	β	px	py	Verifica
0.791	SLD 15	0.052	1	48.028	1003.522	1	0.0902	23.5037	0.0126	33.3316	1		1				0	0	Si

Verifiche ad instabilità

Caratteristiche iniziali

Membratura principale per controllo snellezza; Calcolo di snellezze ed N critici condotti secondo gli assi principali;

Curva X: c; Curva Y: c;

Svergolamento: Nessuno; la verifica a instabilità flesso-torsionale (svergolamento) non verrà eseguita.

Dati per instabilità attorno a x

Controllo della snellezza secondo §4.2.4.1.3.1 NTC18

Numero rit.	Presente	Ascissa	Campata	βx/m	Vincolo a entrambi estremi	λx/m	λVer
1	Si	0					
			1-2	1	Si	52.1	Si, (<200)
2	Si	1.581					

Dati per instabilità attorno a y

Controllo della snellezza secondo §4.2.4.1.3.1 NTC18

Numero rit.	Presente	Ascissa	Campata	βy/n	k,LT	kw,LT	Vincolo a entrambi estremi
1	Si	0					
			1-2	1	Si	38.8	Si, (<200)
2	Si	1.581					

Verifica di stabilità per pressoflessione §C.4.2.4.1.3.3.1 NTC18

X	Comb.	Sfruttamento	Classe	NEd	MxEq,Ed	MyEq,Ed	Area	Wx	Wy	x,min	λ adim. x/m	λ adim. y/n	N,crit x/m	N,crit y/n	Verifica
1.581	SLU 2	0.026	3	-13.329	0.0825	-0.0432	0.003832	0.0000492	0.0000739	0.785	0.6	0.447	2928.123	5273.983	Si

Verifiche a deformabilità

Mensola X: No; Mensola Y: No.

Implementazione dei sistemi di confinamento delle emissioni odorigene diffuse dell'impianto di compostaggio esistente nel
Comune di Eboli (SA)
PROGETTO DEFINITIVO – Tabulati di calcolo Tomo 1

Frecce lungo X								
Ascissa freccia	Combinazione	Freccia	Luce	L/f	L/f,min	Tipo	Verifica	
0.791	SLE RA 1	0	1.581	10000	250	Totale	Si	
0.791	SLE RA 17	0	1.581	10000	250	Totale	Si	
0.791	SLE RA 16	0	1.581	10000	250	Totale	Si	
0.791	SLE RA 15	0	1.581	10000	250	Totale	Si	
0.843	SLE RA 14	0	1.581	10000	250	Totale	Si	
0.791	SLE RA 2	0	1.581	10000	350	Variabile	Si	
0.791	SLE RA 17	0	1.581	10000	350	Variabile	Si	
0.791	SLE RA 16	0	1.581	10000	350	Variabile	Si	
0.791	SLE RA 15	0	1.581	10000	350	Variabile	Si	
1.054	SLE RA 14	0	1.581	10000	350	Variabile	Si	

Frecce lungo Y								
Ascissa freccia	Combinazione	Freccia	Luce	L/f	L/f,min	Tipo	Verifica	
0.791	SLE RA 1	0.00003	1.581	10000	250	Totale	Si	
0.791	SLE RA 17	0.00003	1.581	10000	250	Totale	Si	
0.791	SLE RA 16	0.00003	1.581	10000	250	Totale	Si	
0.791	SLE RA 15	0.00003	1.581	10000	250	Totale	Si	
0.791	SLE RA 14	0.00003	1.581	10000	250	Totale	Si	
0.632	SLE RA 2	0	1.581	10000	350	Variabile	Si	
0.632	SLE RA 17	0	1.581	10000	350	Variabile	Si	
0.632	SLE RA 16	0	1.581	10000	350	Variabile	Si	
0.685	SLE RA 15	0	1.581	10000	350	Variabile	Si	
0.685	SLE RA 14	0	1.581	10000	350	Variabile	Si	

Superelemento in acciaio a quota "690"- "640" (1124; 3008)-(1233; 2905)

Caratteristiche del materiale

Acciaio: S275, fyk = 275000

Caratteristiche geometriche

Lunghezza: 1.581

Nodo iniziale: 1776 Nodo finale: 1416

Cerniera iniziale: Mmomenti 1% Cerniera finale: Mmomenti 1%

Sovreresistenza: 0% Sisma Z: No

Caratteristiche della sezione

Sezione	Rotazione	Area	Jx	Jy	ix	iy	Wx	Wy	Wplx	Wply
A1; L100*10; 1; Saldato; S275; 50; 1; 8; 8; 1	180	0.003832	0.0000035319	0.000007759	0.0304	0.045	0.0000492	0.0000739	0.00008974	0.00012727

Comportamento dei calastrelli

Accoppiamento imbottito con funzione statica (§C4.2.4.1.3.1.4 NTC18) nella campata compresa tra le ascisse 0 e 1.581 per sbandamento attorno all'asse y.

Verifiche di resistenza

Verifiche a forza assiale §4.2.4.1.2.1 - §4.2.4.1.2.2 NTC18

X	Comb.	Sfruttamento	Classe	NEd	Nc,Rd	Nt,Rd	Riduzione da taglio	px	py	Verifica
0	SLU 76	0.241		241.69		1003.522	1	0	0	Si

Verifiche a forza assiale SLD §4.2.4.1.2.1 - §4.2.4.1.2.2 NTC18

X	Comb.	Sfruttamento	Classe	NEd	Nc,Rd	Nt,Rd	Riduzione da taglio	px	py	Verifica
0	SLD 4	0.093		93.463		1003.522	1	0	0	Si

Verifica a taglio Y §4.2.4.1.2.4 NTC18

X	Comb.	Sfruttamento	VEd	Vc,Rd	Av	Interazione taglio-torsione	Riduzione torsione	Verifica
1.581	SLU 76	0.001	0.305	302.422	0.002	Non considerata		Si

Verifica a taglio Y SLD §4.2.4.1.2.4 NTC18

X	Comb.	Sfruttamento	VEd	Vc,Rd	Av	Interazione taglio-torsione	Riduzione torsione	Verifica
1.581	SLD 4	0.001	0.232	302.422	0.002	Non considerata		Si

Verifica a presso/tenso flessione retta X §§ 4.2.4.1.2.3 - 4.2.4.1.2.6 - 4.2.4.1.2.7 - 4.2.4.1.2.8 NTC18

Verifiche eseguite utilizzando la formula conservativa (6.2) §6.2.1 EN 1993-1-1:2005.

X	Comb.	Sfruttamento	Classe	NEd	NRd	Rid. NRd da VEd	Mx,Ed	Mx,Rd	Rid. Mx,Rd da VEd	Rid. Mx,Rd da NEd	px	py	Verifica
0.738	SLU 76	0.246	1	241.599	1003.522	1	0.1301	23.5037	1		0	0	Si

Verifica a presso/tenso flessione retta Y §§ 4.2.4.1.2.3 - 4.2.4.1.2.6 - 4.2.4.1.2.7 - 4.2.4.1.2.8 NTC18

Verifiche eseguite utilizzando la formula conservativa (6.2) §6.2.1 EN 1993-1-1:2005.

X	Comb.	Sfruttamento	Classe	NEd	NRd	Rid. NRd da VEd	My,Ed	My,Rd	Rid. My,Rd da VEd	Rid. My,Rd da NEd	px	py	Verifica
1.581	SLV 3	0.107	1	106.773	1003.522	1	-0.0365	33.3316	1		0	0	Si

Verifica a presso/tenso flessione retta Y SLD §§ 4.2.4.1.2.3 - 4.2.4.1.2.6 - 4.2.4.1.2.7 - 4.2.4.1.2.8 NTC18

Verifiche eseguite utilizzando la formula conservativa (6.2) §6.2.1 EN 1993-1-1:2005.

X	Comb.	Sfruttamento	Classe	NEd	NRd	Rid. NRd da VEd	My,Ed	My,Rd	Rid. My,Rd da VEd	Rid. My,Rd da NEd	px	py	Verifica
1.581	SLD 3	0.093	1	93.313	1003.522	1	-0.0153	33.3316	1		0	0	Si

Verifica a presso/tenso flessione deviata §§ 4.2.4.1.2.3 - 4.2.4.1.2.6 - 4.2.4.1.2.7 - 4.2.4.1.2.8 NTC18

Verifiche eseguite utilizzando la formula conservativa (6.2) §6.2.1 EN 1993-1-1:2005.

Implementazione dei sistemi di confinamento delle emissioni odorigene diffuse dell'impianto di compostaggio esistente nel
Comune di Eboli (SA)

PROGETTO DEFINITIVO – Tabulati di calcolo Tomo 1

X	Comb.	Sfruttamento	Classe	NEd	NRd	Rid. NRd da VEd	Mx,Ed	Mx,Rd	My,Ed	My,Rd	Rid. Mx,Rd da VEd	Rid. Mx,Rd da NEd	Rid. My,Rd da VEd	Rid. My,Rd da NEd	α	β	ρ_x	ρ_y	Verifica
0.791	SLV 4	0.111	1	106.848	1003.522	1	0.097	23.5037	-0.0277	33.3316	1		1				0	0	Si

Verifica a presso/tenso flessione deviata SLD §§ 4.2.4.1.2.3 - 4.2.4.1.2.6 - 4.2.4.1.2.7 - 4.2.4.1.2.8 NTC18

Verifiche eseguite utilizzando la formula conservativa (6.2) §6.2.1 EN 1993-1-1:2005.

X	Comb.	Sfruttamento	Classe	NEd	NRd	Rid. NRd da VEd	Mx,Ed	Mx,Rd	My,Ed	My,Rd	Rid. Mx,Rd da VEd	Rid. Mx,Rd da NEd	Rid. My,Rd da VEd	Rid. My,Rd da NEd	α	β	ρ_x	ρ_y	Verifica
0.791	SLD 3	0.097	1	93.388	1003.522	1	0.0955	23.5037	-0.0114	33.3316	1		1				0	0	Si

Verifiche ad instabilità

Caratteristiche iniziali

Membratura principale per controllo snellezza; Calcolo di snellezze ed N critici condotti secondo gli assi principali;

Curva X: c; Curva Y: c;

Svergolamento: Nessuno; la verifica a instabilità flesso-torsionale (svergolamento) non verrà eseguita.

Dati per instabilità attorno a x

Controllo della snellezza secondo §4.2.4.1.3.1 NTC18

Numero rit.	Presente	Ascissa	Campata	$\beta x/m$	Vincolo a entrambi estremi	$\lambda x/m$	λVer
1	Si	0					
			1-2	1	Si	52.1	Si, (<200)
2	Si	1.581					

Dati per instabilità attorno a y

Controllo della snellezza secondo §4.2.4.1.3.1 NTC18

Numero rit.	Presente	Ascissa	Campata	$\beta y/n$	k,LT	kw,LT	Vincolo a entrambi estremi
1	Si	0					
			1-2	1	Si	38.8	Si, (<200)
2	Si	1.581					

Verifica di stabilità per pressoflessione §C.4.2.4.1.3.3.1 NTC18

X	Comb.	Sfruttamento	Classe	NEd	MxEq,Ed	MyEq,Ed	Area	Wx	Wy	x_{min}	λ adim. x/m	λ adim. y/n	N,crit x/m	N,crit y/n	Verifica
1.581	SLU 2	0.019	3	-9.163	0.0772	-0.0311	0.003832	0.0000492	0.0000739	0.785	0.6	0.447	2928.123	5273.983	Si

Verifiche a deformabilità

Mensola X: No; Mensola Y: No.

Frecce lungo X

Ascissa freccia	Combinazione	Freccia	Luce	L/f	L/f,min	Tipo	Verifica
0.949	SLE RA 1	0	1.581	10000	250	Totale	Si
1.212	SLE RA 17	0	1.581	10000	250	Totale	Si
0.527	SLE RA 16	0	1.581	10000	250	Totale	Si
0.58	SLE RA 15	0	1.581	10000	250	Totale	Si
0.896	SLE RA 14	0	1.581	10000	250	Totale	Si
0.632	SLE RA 2	0	1.581	10000	350	Variabile	Si
0.632	SLE RA 17	0	1.581	10000	350	Variabile	Si
0.632	SLE RA 16	0	1.581	10000	350	Variabile	Si
0.685	SLE RA 15	0	1.581	10000	350	Variabile	Si
0.791	SLE RA 14	0	1.581	10000	350	Variabile	Si

Frecce lungo Y

Ascissa freccia	Combinazione	Freccia	Luce	L/f	L/f,min	Tipo	Verifica
0.791	SLE RA 1	0.00003	1.581	10000	250	Totale	Si
0.791	SLE RA 17	0.00003	1.581	10000	250	Totale	Si
0.791	SLE RA 16	0.00004	1.581	10000	250	Totale	Si
0.791	SLE RA 15	0.00004	1.581	10000	250	Totale	Si
0.791	SLE RA 14	0.00004	1.581	10000	250	Totale	Si
0.738	SLE RA 2	0	1.581	10000	350	Variabile	Si
0.738	SLE RA 17	0	1.581	10000	350	Variabile	Si
0.738	SLE RA 16	0	1.581	10000	350	Variabile	Si
0.738	SLE RA 15	0	1.581	10000	350	Variabile	Si
0.685	SLE RA 14	0	1.581	10000	350	Variabile	Si

Superelemento in acciaio a quota "690"- "640" (-145; 1659)-(-36; 1556)

Caratteristiche del materiale

Acciaio: S275, fyk = 275000

Caratteristiche geometriche

Lunghezza: 1.581

Nodo iniziale: 1702 Nodo finale: 980

Cerniera iniziale: Mmomenti 1% Cerniera finale: Mmomenti 1%

Sovreresistenza: 0% Sisma Z: No

Caratteristiche della sezione

Sezione	Rotazione	Area	Jx	Jy	ix	iy	Wx	Wy	Wplx	Wply
A1; L100*10; 1; Saldato; S275; 50; 1; 8; 8; 1	180	0.003832	0.0000035319	0.000007759	0.0304	0.045	0.0000492	0.0000739	0.00008974	0.00012727

Comportamento dei calastrelli

Accoppiamento imbottito con funzione statica (§C4.2.4.1.3.1.4 NTC18) nella campata compresa tra le ascisse 0 e 1.581 per sbandamento attorno all'asse y.

Implementazione dei sistemi di confinamento delle emissioni odorigene diffuse dell'impianto di compostaggio esistente nel
Comune di Eboli (SA)
PROGETTO DEFINITIVO – Tabulati di calcolo Tomo 1

Verifiche di resistenza

Verifiche a forza assiale §4.2.4.1.2.1 - §4.2.4.1.2.2 NTC18

X	Comb.	Sfruttamento	Classe	NEd	Nc,Rd	Nt,Rd	Riduzione da taglio	px	py	Verifica
0	SLU 76	0.114		114.316		1003.522	1	0	0	Si

Verifiche a forza assiale SLD §4.2.4.1.2.1 - §4.2.4.1.2.2 NTC18

X	Comb.	Sfruttamento	Classe	NEd	Nc,Rd	Nt,Rd	Riduzione da taglio	px	py	Verifica
0	SLD 16	0.043		43.07		1003.522	1	0	0	Si

Verifica a taglio Y §4.2.4.1.2.4 NTC18

X	Comb.	Sfruttamento	VEd	Vc,Rd	Av	Interazione taglio-torsione	Riduzione torsione	Verifica
0	SLU 64	0.001	-0.312	302.422	0.002	Non considerata		Si

Verifica a taglio Y SLD §4.2.4.1.2.4 NTC18

X	Comb.	Sfruttamento	VEd	Vc,Rd	Av	Interazione taglio-torsione	Riduzione torsione	Verifica
0	SLD 1	0.001	-0.229	302.422	0.002	Non considerata		Si

Verifica a flessione semplice X §§ 4.2.4.1.2.3 - 4.2.4.1.2.6 - 4.2.4.1.2.7 - 4.2.4.1.2.8 NTC18

X	Comb.	Sfruttamento	Classe	Mx,Ed	Mx,Rd	Rid. Mx,Rd da VEd	px	py	Verifica
0.791	SLU 5	0.004	1	0.09065	23.50374	1	0	0	Si

Verifica a presso/tenso flessione retta X §§ 4.2.4.1.2.3 - 4.2.4.1.2.6 - 4.2.4.1.2.7 - 4.2.4.1.2.8 NTC18

Verifiche eseguite utilizzando la formula conservativa (6.2) §6.2.1 EN 1993-1-1:2005.

X	Comb.	Sfruttamento	Classe	NEd	NRd	Rid. NRd da VEd	Mx,Ed	Mx,Rd	Rid. Mx,Rd da VEd	Rid. Mx,Rd da NEd	px	py	Verifica
0.843	SLU 76	0.118	1	114.212	1003.522	1	0.1024	23.5037	1		0	0	Si

Verifica a presso/tenso flessione retta X SLD §§ 4.2.4.1.2.3 - 4.2.4.1.2.6 - 4.2.4.1.2.7 - 4.2.4.1.2.8 NTC18

Verifiche eseguite utilizzando la formula conservativa (6.2) §6.2.1 EN 1993-1-1:2005.

X	Comb.	Sfruttamento	Classe	NEd	NRd	Rid. NRd da VEd	Mx,Ed	Mx,Rd	Rid. Mx,Rd da VEd	Rid. Mx,Rd da NEd	px	py	Verifica
0.791	SLD 13	0.043	1	39.522	1003.522	1	0.0883	23.5037	1		0	0	Si

Verifica a presso/tenso flessione retta Y §§ 4.2.4.1.2.3 - 4.2.4.1.2.6 - 4.2.4.1.2.7 - 4.2.4.1.2.8 NTC18

Verifiche eseguite utilizzando la formula conservativa (6.2) §6.2.1 EN 1993-1-1:2005.

X	Comb.	Sfruttamento	Classe	NEd	NRd	Rid. NRd da VEd	My,Ed	My,Rd	Rid. My,Rd da VEd	Rid. My,Rd da NEd	px	py	Verifica
1.581	SLV 16	0.055	1	54.419	1003.522	1	0.0311	33.3316	1		0	0	Si

Verifica a presso/tenso flessione retta Y SLD §§ 4.2.4.1.2.3 - 4.2.4.1.2.6 - 4.2.4.1.2.7 - 4.2.4.1.2.8 NTC18

Verifiche eseguite utilizzando la formula conservativa (6.2) §6.2.1 EN 1993-1-1:2005.

X	Comb.	Sfruttamento	Classe	NEd	NRd	Rid. NRd da VEd	My,Ed	My,Rd	Rid. My,Rd da VEd	Rid. My,Rd da NEd	px	py	Verifica
0	SLD 15	0.043	1	43.07	1003.522	1	0.0102	33.3316	1		0	0	Si

Verifica a presso/tenso flessione deviata §§ 4.2.4.1.2.3 - 4.2.4.1.2.6 - 4.2.4.1.2.7 - 4.2.4.1.2.8 NTC18

Verifiche eseguite utilizzando la formula conservativa (6.2) §6.2.1 EN 1993-1-1:2005.

X	Comb.	Sfruttamento	Classe	NEd	NRd	Rid. NRd da VEd	Mx,Ed	Mx,Rd	My,Ed	My,Rd	Rid. Mx,Rd da VEd	Rid. Mx,Rd da NEd	Rid. My,Rd da VEd	Rid. My,Rd da NEd	α	β	px	py	Verifica
0.791	SLV 16	0.059	1	54.494	1003.522	1	0.0914	23.5037	0.0256	33.3316	1		1				0	0	Si

Verifica a presso/tenso flessione deviata SLD §§ 4.2.4.1.2.3 - 4.2.4.1.2.6 - 4.2.4.1.2.7 - 4.2.4.1.2.8 NTC18

Verifiche eseguite utilizzando la formula conservativa (6.2) §6.2.1 EN 1993-1-1:2005.

X	Comb.	Sfruttamento	Classe	NEd	NRd	Rid. NRd da VEd	Mx,Ed	Mx,Rd	My,Ed	My,Rd	Rid. Mx,Rd da VEd	Rid. Mx,Rd da NEd	Rid. My,Rd da VEd	Rid. My,Rd da NEd	α	β	px	py	Verifica
0.791	SLD 15	0.047	1	42.995	1003.522	1	0.089	23.5037	0.0112	33.3316	1		1				0	0	Si

Verifiche ad instabilità

Caratteristiche iniziali

Membratura principale per controllo snellezza; Calcolo di snellezze ed N critici condotti secondo gli assi principali;

Curva X: c; Curva Y: c;

Svergolamento: Nessuno; la verifica a instabilità flesso-torsionale (svergolamento) non verrà eseguita.

Dati per instabilità attorno a x

Controllo della snellezza secondo §4.2.4.1.3.1 NTC18

Numero rit.	Presente	Ascissa	Campata	βx/m	Vincolo a entrambi estremi	λx/m	λVer
1	Si	0					
			1-2		1	52.1	Si, (<200)
2	Si	1.581					

Dati per instabilità attorno a y

Controllo della snellezza secondo §4.2.4.1.3.1 NTC18

Numero rit.	Presente	Ascissa	Campata	βy/n	k,LT	kw,LT	Vincolo a entrambi estremi
1	Si	0					
			1-2		1	38.8	Si, (<200)
2	Si	1.581					

Verifica di stabilità per pressoflessione §C.4.2.4.1.3.3.1 NTC18

X	Comb.	Sfruttamento	Classe	NEd	MxEq,Ed	MyEq,Ed	Area	Wx	Wy	x,min	λ adim. x/m	λ adim. y/n	N,crit x/m	N,crit y/n	Verifica
1.581	SLU 2	0.033	3	-18.585	0.0813	0.059	0.003832	0.0000492	0.0000739	0.785	0.6	0.447	2928.123	5273.983	Si

Verifiche a deformabilità

Mensola X: No; Mensola Y: No.

Implementazione dei sistemi di confinamento delle emissioni odorigene diffuse dell'impianto di compostaggio esistente nel
Comune di Eboli (SA)

PROGETTO DEFINITIVO – Tabulati di calcolo Tomo 1

Frecce lungo X

Ascissa freccia	Combinazione	Freccia	Luce	L/f	L/f,min	Tipo	Verifica
0.791	SLE RA 1	0	1.581	10000	250	Totale	Si
0.738	SLE RA 17	0	1.581	10000	250	Totale	Si
0.738	SLE RA 16	0	1.581	10000	250	Totale	Si
0.791	SLE RA 15	0	1.581	10000	250	Totale	Si
0.738	SLE RA 14	0	1.581	10000	250	Totale	Si
0.738	SLE RA 2	0	1.581	10000	350	Variabile	Si
0.738	SLE RA 17	0	1.581	10000	350	Variabile	Si
0.738	SLE RA 16	0	1.581	10000	350	Variabile	Si
0.791	SLE RA 15	0	1.581	10000	350	Variabile	Si
0.685	SLE RA 14	0	1.581	10000	350	Variabile	Si

Frecce lungo Y

Ascissa freccia	Combinazione	Freccia	Luce	L/f	L/f,min	Tipo	Verifica
0.791	SLE RA 1	0.00003	1.581	10000	250	Totale	Si
0.791	SLE RA 17	0.00003	1.581	10000	250	Totale	Si
0.791	SLE RA 16	0.00003	1.581	10000	250	Totale	Si
0.791	SLE RA 15	0.00003	1.581	10000	250	Totale	Si
0.791	SLE RA 14	0.00003	1.581	10000	250	Totale	Si
0.632	SLE RA 2	0	1.581	10000	350	Variabile	Si
0.632	SLE RA 17	0	1.581	10000	350	Variabile	Si
0.632	SLE RA 16	0	1.581	10000	350	Variabile	Si
0.685	SLE RA 15	0	1.581	10000	350	Variabile	Si
0.685	SLE RA 14	0	1.581	10000	350	Variabile	Si

Superelemento in acciaio a quota "690"- "640" (-404; 1386)-(-295; 1283)

Caratteristiche del materiale

Acciaio: S275, fyk = 275000

Caratteristiche geometriche

Lunghezza: 1.581

Nodo iniziale: 1694 Nodo finale: 928

Cerniera iniziale: Mmomenti 1% Cerniera finale: Mmomenti 1%

Sovraresistenza: 0% Sisma Z: No

Caratteristiche della sezione

Sezione	Rotazione	Area	Jx	Jy	ix	iy	Wx	Wy	Wplx	Wply
A1; L100*10; 1; Saldato; S275; 50; 1; 8; 8; 1	180	0.003832	0.0000035319	0.000007759	0.0304	0.045	0.0000492	0.0000739	0.00008974	0.00012727

Comportamento dei calastrelli

Accoppiamento imbottito con funzione statica (§C4.2.4.1.3.1.4 NTC18) nella campata compresa tra le ascisse 0 e 1.581 per sbandamento attorno all'asse y.

Verifiche di resistenza

Verifiche a forza assiale §4.2.4.1.2.1 - §4.2.4.1.2.2 NTC18

X	Comb.	Sfruttamento	Classe	NEd	Nc,Rd	Nt,Rd	Riduzione da taglio	px	py	Verifica
0	SLU 76	0.036		35.914		1003.522	1	0	0	Si

Verifiche a forza assiale SLD §4.2.4.1.2.1 - §4.2.4.1.2.2 NTC18

X	Comb.	Sfruttamento	Classe	NEd	Nc,Rd	Nt,Rd	Riduzione da taglio	px	py	Verifica
0	SLD 16	0.009		9.381		1003.522	1	0	0	Si

Verifica a taglio Y §4.2.4.1.2.4 NTC18

X	Comb.	Sfruttamento	VEd	Vc,Rd	Av	Interazione taglio-torsione	Riduzione torsione	Verifica
0	SLU 76	0.001	-0.326	302.422	0.002	Non considerata		Si

Verifica a taglio Y SLD §4.2.4.1.2.4 NTC18

X	Comb.	Sfruttamento	VEd	Vc,Rd	Av	Interazione taglio-torsione	Riduzione torsione	Verifica
0	SLD 1	0.001	-0.233	302.422	0.002	Non considerata		Si

Verifica a presso/tenso flessione retta X §§ 4.2.4.1.2.3 - 4.2.4.1.2.6 - 4.2.4.1.2.7 - 4.2.4.1.2.8 NTC18

Verifiche eseguite utilizzando la formula conservativa (6.2) §6.2.1 EN 1993-1-1:2005.

X	Comb.	Sfruttamento	Classe	NEd	NRd	Rid. NRd da VEd	Mx,Ed	Mx,Rd	Rid. Mx,Rd da VEd	Rid. Mx,Rd da NEd	px	py	Verifica
0.896	SLU 76	0.039	1	35.804	1003.522	1	0.0895	23.5037	1		0	0	Si

Verifica a presso/tenso flessione retta X SLD §§ 4.2.4.1.2.3 - 4.2.4.1.2.6 - 4.2.4.1.2.7 - 4.2.4.1.2.8 NTC18

Verifiche eseguite utilizzando la formula conservativa (6.2) §6.2.1 EN 1993-1-1:2005.

X	Comb.	Sfruttamento	Classe	NEd	NRd	Rid. NRd da VEd	Mx,Ed	Mx,Rd	Rid. Mx,Rd da VEd	Rid. Mx,Rd da NEd	px	py	Verifica
0.791	SLD 14	0.012	1	8.889	1003.522	1	0.0825	23.5037	1		0	0	Si

Verifica a presso/tenso flessione retta Y §§ 4.2.4.1.2.3 - 4.2.4.1.2.6 - 4.2.4.1.2.7 - 4.2.4.1.2.8 NTC18

Verifiche eseguite utilizzando la formula conservativa (6.2) §6.2.1 EN 1993-1-1:2005.

X	Comb.	Sfruttamento	Classe	NEd	NRd	Rid. NRd da VEd	My,Ed	My,Rd	Rid. My,Rd da VEd	Rid. My,Rd da NEd	px	py	Verifica
1.581	SLV 16	0.012	1	10.601	1003.522	1	0.0433	33.3316	1		0	0	Si

Verifica a presso/tenso flessione retta Y SLD §§ 4.2.4.1.2.3 - 4.2.4.1.2.6 - 4.2.4.1.2.7 - 4.2.4.1.2.8 NTC18

Verifiche eseguite utilizzando la formula conservativa (6.2) §6.2.1 EN 1993-1-1:2005.

X	Comb.	Sfruttamento	Classe	NEd	NRd	Rid. NRd da VEd	My,Ed	My,Rd	Rid. My,Rd da VEd	Rid. My,Rd da NEd	px	py	Verifica
---	-------	--------------	--------	-----	-----	-----------------	-------	-------	-------------------	-------------------	----	----	----------

Implementazione dei sistemi di confinamento delle emissioni odorigene diffuse dell'impianto di compostaggio esistente nel
Comune di Eboli (SA)

PROGETTO DEFINITIVO – Tabulati di calcolo Tomo 1

X	Comb.	Sfruttamento	Classe	NEd	NRd	Rid. NRd da VEd	My,Ed	My,Rd	Rid. My,Rd da VEd	Rid. My,Rd da NEd	px	py	Verifica
1.581	SLD 16	0.01	1	9.23	1003.522	1	0.0169	33.3316	1		0	0	Si

Verifica a presso/tenso flessione deviata §§ 4.2.4.1.2.3 - 4.2.4.1.2.6 - 4.2.4.1.2.7 - 4.2.4.1.2.8 NTC18

Verifiche eseguite utilizzando la formula conservativa (6.2) §6.2.1 EN 1993-1-1:2005.

X	Comb.	Sfruttamento	Classe	NEd	NRd	Rid. NRd da VEd	Mx,Ed	Mx,Rd	My,Ed	My,Rd	Rid. Mx,Rd da VEd	Rid. Mx,Rd da NEd	Rid. My,Rd da VEd	Rid. My,Rd da NEd	α	β	px	py	Verifica
0.791	SLU 40	0.017	3	-6.786	1003.522	1	0.1196	12.886	0.022	19.3536	1		1				0	0	Si

Verifica a presso/tenso flessione deviata SLD §§ 4.2.4.1.2.3 - 4.2.4.1.2.6 - 4.2.4.1.2.7 - 4.2.4.1.2.8 NTC18

Verifiche eseguite utilizzando la formula conservativa (6.2) §6.2.1 EN 1993-1-1:2005.

X	Comb.	Sfruttamento	Classe	NEd	NRd	Rid. NRd da VEd	Mx,Ed	Mx,Rd	My,Ed	My,Rd	Rid. Mx,Rd da VEd	Rid. Mx,Rd da NEd	Rid. My,Rd da VEd	Rid. My,Rd da NEd	α	β	px	py	Verifica
0.843	SLD 16	0.013	1	9.301	1003.522	1	0.0826	23.5037	0.0123	33.3316	1		1				0	0	Si

Verifiche ad instabilità

Caratteristiche iniziali

Membratura principale per controllo snellezza; Calcolo di snellezze ed N critici condotti secondo gli assi principali;

Curva X: c; Curva Y: c;

Svergolamento: Nessuno; la verifica a instabilità flesso-torsionale (svergolamento) non verrà eseguita.

Dati per instabilità attorno a x

Controllo della snellezza secondo §4.2.4.1.3.1 NTC18

Numero rit.	Presente	Ascissa	Campata	βx/m	Vincolo a entrambi estremi	λx/m	λVer
1	Si	0					
			1-2	1	Si	52.1	Si, (<200)
2	Si	1.581					

Dati per instabilità attorno a y

Controllo della snellezza secondo §4.2.4.1.3.1 NTC18

Numero rit.	Presente	Ascissa	Campata	βy/n	k,LT	kw,LT	Vincolo a entrambi estremi
1	Si	0					
			1-2	1	Si	38.8	Si, (<200)
2	Si	1.581					

Verifica di stabilità per pressoflessione §C.4.2.4.1.3.3.1 NTC18

X	Comb.	Sfruttamento	Classe	NEd	MxEq,Ed	MyEq,Ed	Area	Wx	Wy	χ,min	λ adim. x/m	λ adim. y/n	N,crit x/m	N,crit y/n	Verifica
1.581	SLU 40	0.018	3	-6.883	0.1051	0.0222	0.003832	0.0000492	0.0000739	0.785	0.6	0.447	2928.123	5273.983	Si

Verifiche a deformabilità

Mensola X: No; Mensola Y: No.

Frecce lungo X

Ascissa freccia	Combinazione	Freccia	Luce	L/f	L/f,min	Tipo	Verifica
0.474	SLE RA 1	0	1.581	10000	250	Totale	Si
1.212	SLE RA 17	0	1.581	10000	250	Totale	Si
1.16	SLE RA 16	0	1.581	10000	250	Totale	Si
1.212	SLE RA 15	0	1.581	10000	250	Totale	Si
1.107	SLE RA 14	0	1.581	10000	250	Totale	Si
1.001	SLE RA 2	0	1.581	10000	350	Variabile	Si
1.001	SLE RA 17	0	1.581	10000	350	Variabile	Si
1.001	SLE RA 16	0	1.581	10000	350	Variabile	Si
1.107	SLE RA 15	0	1.581	10000	350	Variabile	Si
0.896	SLE RA 14	0	1.581	10000	350	Variabile	Si

Frecce lungo Y

Ascissa freccia	Combinazione	Freccia	Luce	L/f	L/f,min	Tipo	Verifica
0.791	SLE RA 1	0.00003	1.581	10000	250	Totale	Si
0.791	SLE RA 17	0.00003	1.581	10000	250	Totale	Si
0.791	SLE RA 16	0.00003	1.581	10000	250	Totale	Si
0.843	SLE RA 15	0.00002	1.581	10000	250	Totale	Si
0.791	SLE RA 14	0.00003	1.581	10000	250	Totale	Si
0.685	SLE RA 2	0	1.581	10000	350	Variabile	Si
0.685	SLE RA 17	0	1.581	10000	350	Variabile	Si
0.685	SLE RA 16	0	1.581	10000	350	Variabile	Si
0.685	SLE RA 15	0	1.581	10000	350	Variabile	Si
0.685	SLE RA 14	0	1.581	10000	350	Variabile	Si

Superelemento in acciaio a quota "690"- "640" (-654; 1122)-(-545; 1019)

Caratteristiche del materiale

Acciaio: S275, fyk = 275000

Caratteristiche geometriche

Lunghezza: 1.581

Nodo iniziale: 1687 Nodo finale: 871

Cerniera iniziale: Mmomenti 1% Cerniera finale: Mmomenti 1%

Sovraresistenza: 0% Sisma Z: No

Caratteristiche della sezione

Sezione	Rotazione	Area	Jx	Jy	ix	iy	Wx	Wy	Wplx	Wply
---------	-----------	------	----	----	----	----	----	----	------	------

Implementazione dei sistemi di confinamento delle emissioni odorigene diffuse dell'impianto di compostaggio esistente nel
Comune di Eboli (SA)

PROGETTO DEFINITIVO – Tabulati di calcolo Tomo 1

Sezione	Rotazione	Area	Jx	Jy	ix	iy	Wx	Wy	Wplx	Wply
A1; L100*10; 1; Saldato; S275; 50; 1; 8; 8; 1	180	0.003832	0.0000035319	0.000007759	0.0304	0.045	0.0000492	0.0000739	0.00008974	0.00012727

Comportamento dei calastrelli

Accoppiamento imbottito con funzione statica (§C4.2.4.1.3.1.4 NTC18) nella campata compresa tra le ascisse 0 e 1.581 per sbandamento attorno all'asse y.

Verifiche di resistenza

Verifiche a forza assiale §4.2.4.1.2.1 - §4.2.4.1.2.2 NTC18

X	Comb.	Sfruttamento	Classe	NEd	Nc,Rd	Nt,Rd	Riduzione da taglio	px	py	Verifica
0	SLU 76	0.113		113.879		1003.522	1	0	0	Si

Verifiche a forza assiale SLD §4.2.4.1.2.1 - §4.2.4.1.2.2 NTC18

X	Comb.	Sfruttamento	Classe	NEd	Nc,Rd	Nt,Rd	Riduzione da taglio	px	py	Verifica
0	SLD 1	0.043		43.075		1003.522	1	0	0	Si

Verifica a taglio Y §4.2.4.1.2.4 NTC18

X	Comb.	Sfruttamento	Classe	NEd	Nc,Rd	Nt,Rd	Riduzione da taglio	px	py	Verifica
0	SLU 64	0.001		-0.309	302.422	0.002	Non considerata			Si

Verifica a taglio Y SLD §4.2.4.1.2.4 NTC18

X	Comb.	Sfruttamento	Classe	NEd	Nc,Rd	Nt,Rd	Riduzione da taglio	px	py	Verifica
0	SLD 16	0.001		-0.229	302.422	0.002	Non considerata			Si

Verifica a presso/tenso flessione retta X §§ 4.2.4.1.2.3 - 4.2.4.1.2.6 - 4.2.4.1.2.7 - 4.2.4.1.2.8 NTC18

Verifiche eseguite utilizzando la formula conservativa (6.2) §6.2.1 EN 1993-1-1:2005.

X	Comb.	Sfruttamento	Classe	NEd	NRd	Rid. NRd da VEd	Mx,Ed	Mx,Rd	Rid. Mx,Rd da VEd	Rid. Mx,Rd da NEd	px	py	Verifica
0.843	SLU 76	0.118	1	113.775	1003.522	1	0.1049	23.5037	1		0	0	Si

Verifica a presso/tenso flessione retta X SLD §§ 4.2.4.1.2.3 - 4.2.4.1.2.6 - 4.2.4.1.2.7 - 4.2.4.1.2.8 NTC18

Verifiche eseguite utilizzando la formula conservativa (6.2) §6.2.1 EN 1993-1-1:2005.

X	Comb.	Sfruttamento	Classe	NEd	NRd	Rid. NRd da VEd	Mx,Ed	Mx,Rd	Rid. Mx,Rd da VEd	Rid. Mx,Rd da NEd	px	py	Verifica
0.791	SLD 4	0.043	1	39.699	1003.522	1	0.0888	23.5037	1		0	0	Si

Verifica a presso/tenso flessione retta Y §§ 4.2.4.1.2.3 - 4.2.4.1.2.6 - 4.2.4.1.2.7 - 4.2.4.1.2.8 NTC18

Verifiche eseguite utilizzando la formula conservativa (6.2) §6.2.1 EN 1993-1-1:2005.

X	Comb.	Sfruttamento	Classe	NEd	NRd	Rid. NRd da VEd	My,Ed	My,Rd	Rid. My,Rd da VEd	Rid. My,Rd da NEd	px	py	Verifica
1.581	SLV 1	0.055	1	53.792	1003.522	1	-0.0301	33.3316	1		0	0	Si

Verifica a presso/tenso flessione retta Y SLD §§ 4.2.4.1.2.3 - 4.2.4.1.2.6 - 4.2.4.1.2.7 - 4.2.4.1.2.8 NTC18

Verifiche eseguite utilizzando la formula conservativa (6.2) §6.2.1 EN 1993-1-1:2005.

X	Comb.	Sfruttamento	Classe	NEd	NRd	Rid. NRd da VEd	My,Ed	My,Rd	Rid. My,Rd da VEd	Rid. My,Rd da NEd	px	py	Verifica
0	SLD 1	0.043	1	43.075	1003.522	1	-0.0093	33.3316	1		0	0	Si

Verifica a presso/tenso flessione deviata §§ 4.2.4.1.2.3 - 4.2.4.1.2.6 - 4.2.4.1.2.7 - 4.2.4.1.2.8 NTC18

Verifiche eseguite utilizzando la formula conservativa (6.2) §6.2.1 EN 1993-1-1:2005.

X	Comb.	Sfruttamento	Classe	NEd	NRd	Rid. NRd da VEd	Mx,Ed	Mx,Rd	My,Ed	My,Rd	Rid. Mx,Rd da VEd	Rid. Mx,Rd da NEd	Rid. My,Rd da VEd	Rid. My,Rd da NEd	α	β	px	py	Verifica
0.791	SLV 1	0.058	1	53.867	1003.522	1	0.0916	23.5037	-0.0246	33.3316	1		1				0	0	Si

Verifica a presso/tenso flessione deviata SLD §§ 4.2.4.1.2.3 - 4.2.4.1.2.6 - 4.2.4.1.2.7 - 4.2.4.1.2.8 NTC18

Verifiche eseguite utilizzando la formula conservativa (6.2) §6.2.1 EN 1993-1-1:2005.

X	Comb.	Sfruttamento	Classe	NEd	NRd	Rid. NRd da VEd	Mx,Ed	Mx,Rd	My,Ed	My,Rd	Rid. Mx,Rd da VEd	Rid. Mx,Rd da NEd	Rid. My,Rd da VEd	Rid. My,Rd da NEd	α	β	px	py	Verifica
0.791	SLD 2	0.047	1	43	1003.522	1	0.0894	23.5037	-0.0107	33.3316	1		1				0	0	Si

Verifiche ad instabilità

Caratteristiche iniziali

Membratura principale per controllo snellezza; Calcolo di snellezze ed N critici condotti secondo gli assi principali;

Curva X: c; Curva Y: c;

Svergolamento: Nessuno; la verifica a instabilità flesso-torsionale (svergolamento) non verrà eseguita.

Dati per instabilità attorno a x

Controllo della snellezza secondo §4.2.4.1.3.1 NTC18

Numero rit.	Presente	Ascissa	Campata	βx/m	Vincolo a entrambi estremi	λx/m	λVer
1	Si	0					
			1-2	1	Si	52.1	Si, (<200)
2	Si	1.581					

Dati per instabilità attorno a y

Controllo della snellezza secondo §4.2.4.1.3.1 NTC18

Numero rit.	Presente	Ascissa	Campata	βy/n	k,LT	kw,LT	Vincolo a entrambi estremi
1	Si	0					
			1-2	1	Si	38.8	Si, (<200)
2	Si	1.581					

Verifica di stabilità per pressoflessione §C.4.2.4.1.3.3.1 NTC18

X	Comb.	Sfruttamento	Classe	NEd	MxEq,Ed	MyEq,Ed	Area	Wx	Wy	x,min	λ adim. x/m	λ adim. y/n	N,crit x/m	N,crit y/n	Verifica
1.581	SLU 2	0.032	3	-17.603	0.0806	0.0567	0.003832	0.0000492	0.0000739	0.785	0.6	0.447	2928.123	5273.983	Si

Implementazione dei sistemi di confinamento delle emissioni odorigene diffuse dell'impianto di compostaggio esistente nel
Comune di Eboli (SA)
PROGETTO DEFINITIVO – Tabulati di calcolo Tomo 1

Verifiche a deformabilità

Mensola X: No; Mensola Y: No.

Frecce lungo X

Ascissa freccia	Combinazione	Freccia	Luce	L/f	L/f,min	Tipo	Verifica
0.791	SLE RA 1	0	1.581	10000	250	Totale	Si
0.791	SLE RA 17	0	1.581	10000	250	Totale	Si
0.791	SLE RA 16	0	1.581	10000	250	Totale	Si
0.791	SLE RA 15	0	1.581	10000	250	Totale	Si
0.791	SLE RA 14	0	1.581	10000	250	Totale	Si
0.791	SLE RA 2	0	1.581	10000	350	Variabile	Si
0.791	SLE RA 17	0	1.581	10000	350	Variabile	Si
0.791	SLE RA 16	0	1.581	10000	350	Variabile	Si
0.791	SLE RA 15	0	1.581	10000	350	Variabile	Si
0.843	SLE RA 14	0	1.581	10000	350	Variabile	Si

Frecce lungo Y

Ascissa freccia	Combinazione	Freccia	Luce	L/f	L/f,min	Tipo	Verifica
0.791	SLE RA 1	0.00003	1.581	10000	250	Totale	Si
0.791	SLE RA 17	0.00003	1.581	10000	250	Totale	Si
0.791	SLE RA 16	0.00003	1.581	10000	250	Totale	Si
0.791	SLE RA 15	0.00003	1.581	10000	250	Totale	Si
0.791	SLE RA 14	0.00003	1.581	10000	250	Totale	Si
0.632	SLE RA 2	0	1.581	10000	350	Variabile	Si
0.632	SLE RA 17	0	1.581	10000	350	Variabile	Si
0.632	SLE RA 16	0	1.581	10000	350	Variabile	Si
0.685	SLE RA 15	0	1.581	10000	350	Variabile	Si
0.685	SLE RA 14	0	1.581	10000	350	Variabile	Si

Superelemento in acciaio a quota "690"-"640" (-908; 853)-(-799; 750)

Caratteristiche del materiale

Acciaio: S275, fyk = 275000

Caratteristiche geometriche

Lunghezza: 1.581

Nodo iniziale: 1676 Nodo finale: 817

Cerniera iniziale: Mmomenti 1% Cerniera finale: Mmomenti 1%

Sovreresistenza: 0% Sisma Z: No

Caratteristiche della sezione

Sezione	Rotazione	Area	Jx	Jy	ix	iy	Wx	Wy	Wplx	Wply
A1; L100*10; 1; Saldato; S275; 50; 1; 8; 8; 1	180	0.003832	0.0000035319	0.000007759	0.0304	0.045	0.0000492	0.0000739	0.00008974	0.00012727

Comportamento dei calastrelli

Accoppiamento imbottito con funzione statica (§C4.2.4.1.3.1.4 NTC18) nella campata compresa tra le ascisse 0 e 1.581 per sbandamento attorno all'asse y.

Verifiche di resistenza

Verifiche a forza assiale §4.2.4.1.2.1 - §4.2.4.1.2.2 NTC18

X	Comb.	Sfruttamento	Classe	NEd	Nc,Rd	Nt,Rd	Riduzione da taglio	px	py	Verifica
0	SLU 76	0.156		156.49		1003.522	1	0	0	Si

Verifiche a forza assiale SLD §4.2.4.1.2.1 - §4.2.4.1.2.2 NTC18

X	Comb.	Sfruttamento	Classe	NEd	Nc,Rd	Nt,Rd	Riduzione da taglio	px	py	Verifica
0	SLD 3	0.051		51.427		1003.522	1	0	0	Si

Verifica a taglio Y §4.2.4.1.2.4 NTC18

X	Comb.	Sfruttamento	VEd	Vc,Rd	Av	Interazione taglio-torsione	Riduzione torsione	Verifica
1.581	SLU 41	0.001	0.306	302.422	0.002	Non considerata		Si

Verifica a taglio Y SLD §4.2.4.1.2.4 NTC18

X	Comb.	Sfruttamento	VEd	Vc,Rd	Av	Interazione taglio-torsione	Riduzione torsione	Verifica
1.581	SLD 4	0.001	0.227	302.422	0.002	Non considerata		Si

Verifica a flessione semplice X §§ 4.2.4.1.2.3 - 4.2.4.1.2.6 - 4.2.4.1.2.7 - 4.2.4.1.2.8 NTC18

X	Comb.	Sfruttamento	Classe	Mx,Ed	Mx,Rd	Rid. Mx,Rd da VEd	px	py	Verifica
0.791	SLU 59	0.005	1	0.11792	23.50374	1	0	0	Si

Verifica a presso/tenso flessione retta X §§ 4.2.4.1.2.3 - 4.2.4.1.2.6 - 4.2.4.1.2.7 - 4.2.4.1.2.8 NTC18

Verifiche eseguite utilizzando la formula conservativa (6.2) §6.2.1 EN 1993-1-1:2005.

X	Comb.	Sfruttamento	Classe	NEd	NRd	Rid. NRd da VEd	Mx,Ed	Mx,Rd	Rid. Mx,Rd da VEd	Rid. Mx,Rd da NEd	px	py	Verifica
0.791	SLU 76	0.161	1	156.392	1003.522	1	0.1138	23.5037	1		0	0	Si

Verifica a presso/tenso flessione retta X SLD §§ 4.2.4.1.2.3 - 4.2.4.1.2.6 - 4.2.4.1.2.7 - 4.2.4.1.2.8 NTC18

Verifiche eseguite utilizzando la formula conservativa (6.2) §6.2.1 EN 1993-1-1:2005.

X	Comb.	Sfruttamento	Classe	NEd	NRd	Rid. NRd da VEd	Mx,Ed	Mx,Rd	Rid. Mx,Rd da VEd	Rid. Mx,Rd da NEd	px	py	Verifica
0.791	SLD 3	0.055	1	51.352	1003.522	1	0.0911	23.5037	1		0	0	Si

Verifica a presso/tenso flessione retta Y §§ 4.2.4.1.2.3 - 4.2.4.1.2.6 - 4.2.4.1.2.7 - 4.2.4.1.2.8 NTC18

Verifiche eseguite utilizzando la formula conservativa (6.2) §6.2.1 EN 1993-1-1:2005.

Implementazione dei sistemi di confinamento delle emissioni odorigene diffuse dell’impianto di compostaggio esistente nel
Comune di Eboli (SA)

PROGETTO DEFINITIVO – Tabulati di calcolo Tomo 1

X	Comb.	Sfruttamento	Classe	NEd	NRd	Rid. NRd da VEd	My,Ed	My,Rd	Rid. My,Rd da VEd	Rid. My,Rd da NEd	px	py	Verifica
1.581	SLV 4	0.053	1	52.499	1003.522	1	-0.0173	33.3316	1		0	0	Si

Verifica a presso/tenso flessione retta Y SLD §§ 4.2.4.1.2.3 - 4.2.4.1.2.6 - 4.2.4.1.2.7 - 4.2.4.1.2.8 NTC18

Verifiche eseguite utilizzando la formula conservativa (6.2) §6.2.1 EN 1993-1-1:2005.

X	Comb.	Sfruttamento	Classe	NEd	NRd	Rid. NRd da VEd	My,Ed	My,Rd	Rid. My,Rd da VEd	Rid. My,Rd da NEd	px	py	Verifica
1.581	SLD 3	0.051	1	51.276	1003.522	1	-0.0077	33.3316	1		0	0	Si

Verifica a presso/tenso flessione deviata §§ 4.2.4.1.2.3 - 4.2.4.1.2.6 - 4.2.4.1.2.7 - 4.2.4.1.2.8 NTC18

Verifiche eseguite utilizzando la formula conservativa (6.2) §6.2.1 EN 1993-1-1:2005.

X	Comb.	Sfruttamento	Classe	NEd	NRd	Rid. NRd da VEd	Mx,Ed	Mx,Rd	My,Ed	My,Rd	Rid. Mx,Rd da VEd	Rid. Mx,Rd da NEd	Rid. My,Rd da VEd	Rid. My,Rd da NEd	α	β	px	py	Verifica
0.791	SLV 3	0.057	1	52.574	1003.522	1	0.0913	23.5037	-0.0137	33.3316	1		1				0	0	Si

Verifica a presso/tenso flessione deviata SLD §§ 4.2.4.1.2.3 - 4.2.4.1.2.6 - 4.2.4.1.2.7 - 4.2.4.1.2.8 NTC18

Verifiche eseguite utilizzando la formula conservativa (6.2) §6.2.1 EN 1993-1-1:2005.

X	Comb.	Sfruttamento	Classe	NEd	NRd	Rid. NRd da VEd	Mx,Ed	Mx,Rd	My,Ed	My,Rd	Rid. Mx,Rd da VEd	Rid. Mx,Rd da NEd	Rid. My,Rd da VEd	Rid. My,Rd da NEd	α	β	px	py	Verifica
0.791	SLD 2	0.055	1	51.023	1003.522	1	0.0912	23.5037	-0.0101	33.3316	1		1				0	0	Si

Verifiche ad instabilità

Caratteristiche iniziali

Membratura principale per controllo snellezza; Calcolo di snellezze ed N critici condotti secondo gli assi principali;

Curva X: c; Curva Y: c;

Svergolamento: Nessuno; la verifica a instabilità flesso-torsionale (svergolamento) non verrà eseguita.

Dati per instabilità attorno a x

Controllo della snellezza secondo §4.2.4.1.3.1 NTC18

Numero rit.	Presente	Ascissa	Campata	βx/m	Vincolo a entrambi estremi	λx/m	λVer
1	Si		0				
			1-2		1	Si	52.1
2	Si	1.581					Si, (<200)

Dati per instabilità attorno a y

Controllo della snellezza secondo §4.2.4.1.3.1 NTC18

Numero rit.	Presente	Ascissa	Campata	βy/n	k,LT	kw,LT	Vincolo a entrambi estremi
1	Si		0				
			1-2		1	Si	38.8
2	Si	1.581					Si, (<200)

Verifica di stabilità per pressoflessione §C.4.2.4.1.3.3.1 NTC18

X	Comb.	Sfruttamento	Classe	NEd	MxEq,Ed	MyEq,Ed	Area	Wx	Wy	χ,min	λ adim. x/m	λ adim. y/n	N,crit x/m	N,crit y/n	Verifica
1.581	SLU 2	0.039	3	-22.936	0.079	0.0741	0.003832	0.0000492	0.0000739	0.785	0.6	0.447	2928.123	5273.983	Si

Verifiche a deformabilità

Mensola X: No; Mensola Y: No.

Freccie lungo X

Ascissa freccia	Combinazione	Freccia	Luce	L/f	L/f,min	Tipo	Verifica
1.001	SLE RA 1	0	1.581	10000	250	Totale	Si
1.001	SLE RA 17	0	1.581	10000	250	Totale	Si
0.949	SLE RA 16	0	1.581	10000	250	Totale	Si
0.949	SLE RA 15	0	1.581	10000	250	Totale	Si
1.001	SLE RA 14	0	1.581	10000	250	Totale	Si
0.949	SLE RA 2	0	1.581	10000	350	Variabile	Si
0.949	SLE RA 17	0	1.581	10000	350	Variabile	Si
0.949	SLE RA 16	0	1.581	10000	350	Variabile	Si
0.949	SLE RA 15	0	1.581	10000	350	Variabile	Si
1.001	SLE RA 14	0	1.581	10000	350	Variabile	Si

Freccie lungo Y

Ascissa freccia	Combinazione	Freccia	Luce	L/f	L/f,min	Tipo	Verifica
0.791	SLE RA 1	0.00003	1.581	10000	250	Totale	Si
0.791	SLE RA 17	0.00003	1.581	10000	250	Totale	Si
0.791	SLE RA 16	0.00003	1.581	10000	250	Totale	Si
0.791	SLE RA 15	0.00003	1.581	10000	250	Totale	Si
0.791	SLE RA 14	0.00003	1.581	10000	250	Totale	Si
0.949	SLE RA 2	0	1.581	10000	350	Variabile	Si
0.949	SLE RA 17	0	1.581	10000	350	Variabile	Si
0.949	SLE RA 16	0	1.581	10000	350	Variabile	Si
0.632	SLE RA 15	0	1.581	10000	350	Variabile	Si
0.685	SLE RA 14	0	1.581	10000	350	Variabile	Si

Superelemento in acciaio a quota "690"- "640" (-1162; 583)-(-1052; 480)

Caratteristiche del materiale

Acciaio: S275, fyk = 275000

Caratteristiche geometriche

Lunghezza: 1.581

Nodo iniziale: 1665 Nodo finale: 766

Cerniera iniziale: Mmomenti 1% Cerniera finale: Mmomenti 1%

Sovraresistenza: 0% Sisma Z: No

**Implementazione dei sistemi di confinamento delle emissioni odorigene diffuse dell'impianto di compostaggio esistente nel
Comune di Eboli (SA)
PROGETTO DEFINITIVO – Tabulati di calcolo Tomo 1**

Caratteristiche della sezione

Sezione	Rotazione	Area	Jx	Jy	ix	iy	Wx	Wy	Wplx	Wply
A1; L100*10; 1; Saldato; S275; 50; 1; 8; 8; 1	180	0.003832	0.0000035319	0.000007759	0.0304	0.045	0.0000492	0.0000739	0.00008974	0.00012727

Comportamento dei calastrelli

Accoppiamento imbottito con funzione statica (§C4.2.4.1.3.1.4 NTC18) nella campata compresa tra le ascisse 0 e 1.581 per sbandamento attorno all'asse y.

Verifiche di resistenza

Verifiche a forza assiale §4.2.4.1.2.1 - §4.2.4.1.2.2 NTC18

X	Comb.	Sfruttamento	Classe	NEd	Nc,Rd	Nt,Rd	Riduzione da taglio	px	py	Verifica
0	SLU 76	0.121		121.021		1003.522	1	0	0	Si

Verifiche a forza assiale SLD §4.2.4.1.2.1 - §4.2.4.1.2.2 NTC18

X	Comb.	Sfruttamento	Classe	NEd	Nc,Rd	Nt,Rd	Riduzione da taglio	px	py	Verifica
0	SLD 15	0.045		45.653		1003.522	1	0	0	Si

Verifica a taglio Y §4.2.4.1.2.4 NTC18

X	Comb.	Sfruttamento	VEd	Vc,Rd	Av	Interazione taglio-torsione	Riduzione torsione	Verifica
0	SLU 64	0.001	-0.307	302.422	0.002	Non considerata		Si

Verifica a taglio Y SLD §4.2.4.1.2.4 NTC18

X	Comb.	Sfruttamento	VEd	Vc,Rd	Av	Interazione taglio-torsione	Riduzione torsione	Verifica
0	SLD 1	0.001	-0.228	302.422	0.002	Non considerata		Si

Verifica a presso/tenso flessione retta X §§ 4.2.4.1.2.3 - 4.2.4.1.2.6 - 4.2.4.1.2.7 - 4.2.4.1.2.8 NTC18

Verifiche eseguite utilizzando la formula conservativa (6.2) §6.2.1 EN 1993-1-1:2005.

X	Comb.	Sfruttamento	Classe	NEd	NRd	Rid. NRd da VEd	Mx,Ed	Mx,Rd	Rid. Mx,Rd da VEd	Rid. Mx,Rd da NEd	px	py	Verifica
0.791	SLU 76	0.125	1	120.923	1003.522	1	0.1068	23.5037	1		0	0	Si

Verifica a presso/tenso flessione retta X SLD §§ 4.2.4.1.2.3 - 4.2.4.1.2.6 - 4.2.4.1.2.7 - 4.2.4.1.2.8 NTC18

Verifiche eseguite utilizzando la formula conservativa (6.2) §6.2.1 EN 1993-1-1:2005.

X	Comb.	Sfruttamento	Classe	NEd	NRd	Rid. NRd da VEd	Mx,Ed	Mx,Rd	Rid. Mx,Rd da VEd	Rid. Mx,Rd da NEd	px	py	Verifica
0.791	SLD 14	0.046	1	42.146	1003.522	1	0.0894	23.5037	1		0	0	Si

Verifica a presso/tenso flessione retta Y §§ 4.2.4.1.2.3 - 4.2.4.1.2.6 - 4.2.4.1.2.7 - 4.2.4.1.2.8 NTC18

Verifiche eseguite utilizzando la formula conservativa (6.2) §6.2.1 EN 1993-1-1:2005.

X	Comb.	Sfruttamento	Classe	NEd	NRd	Rid. NRd da VEd	My,Ed	My,Rd	Rid. My,Rd da VEd	Rid. My,Rd da NEd	px	py	Verifica
1.581	SLV 16	0.057	1	56.88	1003.522	1	0.0261	33.3316	1		0	0	Si

Verifica a presso/tenso flessione retta Y SLD §§ 4.2.4.1.2.3 - 4.2.4.1.2.6 - 4.2.4.1.2.7 - 4.2.4.1.2.8 NTC18

Verifiche eseguite utilizzando la formula conservativa (6.2) §6.2.1 EN 1993-1-1:2005.

X	Comb.	Sfruttamento	Classe	NEd	NRd	Rid. NRd da VEd	My,Ed	My,Rd	Rid. My,Rd da VEd	Rid. My,Rd da NEd	px	py	Verifica
0	SLD 15	0.046	1	45.653	1003.522	1	0.0091	33.3316	1		0	0	Si

Verifica a presso/tenso flessione deviata §§ 4.2.4.1.2.3 - 4.2.4.1.2.6 - 4.2.4.1.2.7 - 4.2.4.1.2.8 NTC18

Verifiche eseguite utilizzando la formula conservativa (6.2) §6.2.1 EN 1993-1-1:2005.

X	Comb.	Sfruttamento	Classe	NEd	NRd	Rid. NRd da VEd	Mx,Ed	Mx,Rd	My,Ed	My,Rd	Rid. Mx,Rd da VEd	Rid. Mx,Rd da NEd	Rid. My,Rd da VEd	Rid. My,Rd da NEd	α	β	px	py	Verifica
0.791	SLV 15	0.061	1	56.956	1003.522	1	0.0923	23.5037	0.0224	33.3316	1		1				0	0	Si

Verifica a presso/tenso flessione deviata SLD §§ 4.2.4.1.2.3 - 4.2.4.1.2.6 - 4.2.4.1.2.7 - 4.2.4.1.2.8 NTC18

Verifiche eseguite utilizzando la formula conservativa (6.2) §6.2.1 EN 1993-1-1:2005.

X	Comb.	Sfruttamento	Classe	NEd	NRd	Rid. NRd da VEd	Mx,Ed	Mx,Rd	My,Ed	My,Rd	Rid. Mx,Rd da VEd	Rid. Mx,Rd da NEd	Rid. My,Rd da VEd	Rid. My,Rd da NEd	α	β	px	py	Verifica
0.791	SLD 15	0.05	1	45.578	1003.522	1	0.0901	23.5037	0.0092	33.3316	1		1				0	0	Si

Verifiche ad instabilità

Caratteristiche iniziali

Membratura principale per controllo snellezza; Calcolo di snellezze ed N critici condotti secondo gli assi principali;

Curva X: c; Curva Y: c;

Svergolamento: Nessuno; la verifica a instabilità flesso-torsionale (svergolamento) non verrà eseguita.

Dati per instabilità attorno a x

Controllo della snellezza secondo §4.2.4.1.3.1 NTC18

Numero rit.	Presente	Ascissa	Campata	βx/m	Vincolo a entrambi estremi	λx/m	λVer
1	Si	0					
			1-2	1	Si	52.1	Si, (<200)
2	Si	1.581					

Dati per instabilità attorno a y

Controllo della snellezza secondo §4.2.4.1.3.1 NTC18

Numero rit.	Presente	Ascissa	Campata	βy/n	k,LT	kw,LT	Vincolo a entrambi estremi
1	Si	0					
			1-2	1	Si	38.8	Si, (<200)
2	Si	1.581					

Verifica di stabilità per pressoflessione §C.4.2.4.1.3.3.1 NTC18

X	Comb.	Sfruttamento	Classe	NEd	Mx,Eq,Ed	My,Eq,Ed	Area	Wx	Wy	χ,min	λ adim. x/m	λ adim. y/n	N,crit x/m	N,crit y/n	Verifica
---	-------	--------------	--------	-----	----------	----------	------	----	----	-------	-------------	-------------	------------	------------	----------

Implementazione dei sistemi di confinamento delle emissioni odorigene diffuse dell'impianto di compostaggio esistente nel
Comune di Eboli (SA)

PROGETTO DEFINITIVO – Tabulati di calcolo Tomo 1

X	Comb.	Sfruttamento	Classe	NEd	MxEq,Ed	MyEq,Ed	Area	Wx	Wy	x,min	λ adim. x/m	λ adim. y/n	N,crit x/m	N,crit y/n	Verifica
1.581	SLU 2	0.032	3	-18.518	0.0802	0.0447	0.003832	0.0000492	0.0000739	0.785	0.6	0.447	2928.123	5273.983	Si

Verifiche a deformabilità

Mensola X: No; Mensola Y: No.

Frecce lungo X

Ascissa freccia	Combinazione	Freccia	Luce	L/f	L/f,min	Tipo	Verifica
0.632	SLE RA 1	0	1.581	10000	250	Totale	Si
0.632	SLE RA 17	0	1.581	10000	250	Totale	Si
0.58	SLE RA 16	0	1.581	10000	250	Totale	Si
0.632	SLE RA 15	0	1.581	10000	250	Totale	Si
0.58	SLE RA 14	0	1.581	10000	250	Totale	Si
0.527	SLE RA 2	0	1.581	10000	350	Variabile	Si
0.527	SLE RA 17	0	1.581	10000	350	Variabile	Si
0.527	SLE RA 16	0	1.581	10000	350	Variabile	Si
0.58	SLE RA 15	0	1.581	10000	350	Variabile	Si
1.16	SLE RA 14	0	1.581	10000	350	Variabile	Si

Frecce lungo Y

Ascissa freccia	Combinazione	Freccia	Luce	L/f	L/f,min	Tipo	Verifica
0.791	SLE RA 1	0.00003	1.581	10000	250	Totale	Si
0.791	SLE RA 17	0.00003	1.581	10000	250	Totale	Si
0.791	SLE RA 16	0.00003	1.581	10000	250	Totale	Si
0.791	SLE RA 15	0.00003	1.581	10000	250	Totale	Si
0.791	SLE RA 14	0.00003	1.581	10000	250	Totale	Si
0.632	SLE RA 2	0	1.581	10000	350	Variabile	Si
0.632	SLE RA 17	0	1.581	10000	350	Variabile	Si
0.632	SLE RA 16	0	1.581	10000	350	Variabile	Si
0.685	SLE RA 15	0	1.581	10000	350	Variabile	Si
0.685	SLE RA 14	0	1.581	10000	350	Variabile	Si

Superelemento in acciaio a quota "690"- "640" (-1416; 312)-(-1307; 209)

Caratteristiche del materiale

Acciaio: S275, fyk = 275000

Caratteristiche geometriche

Lunghezza: 1.581

Nodo iniziale: 1658 Nodo finale: 710

Cerniera iniziale: Mmomenti 1% Cerniera finale: Mmomenti 1%

Sovreresistenza: 0% Sisma Z: No

Caratteristiche della sezione

Sezione	Rotazione	Area	Jx	Jy	ix	iy	Wx	Wy	Wplx	Wply
A1; L100*10; 1; Saldato; S275; 50; 1; 8; 8; 1	180	0.003832	0.0000035319	0.000007759	0.0304	0.045	0.0000492	0.0000739	0.00008974	0.00012727

Comportamento dei calastrelli

Accoppiamento imbottito con funzione statica (§C4.2.4.1.3.1.4 NTC18) nella campata compresa tra le ascisse 0 e 1.581 per sbandamento attorno all'asse y.

Verifiche di resistenza

Verifiche a forza assiale §4.2.4.1.2.1 - §4.2.4.1.2.2 NTC18

X	Comb.	Sfruttamento	Classe	NEd	Nc,Rd	Nt,Rd	Riduzione da taglio	px	py	Verifica
0	SLU 76	0.038		38.423		1003.522	1	0	0	Si

Verifiche a forza assiale SLD §4.2.4.1.2.1 - §4.2.4.1.2.2 NTC18

X	Comb.	Sfruttamento	Classe	NEd	Nc,Rd	Nt,Rd	Riduzione da taglio	px	py	Verifica
0	SLD 10	0.01		9.934		1003.522	1	0	0	Si

Verifica a taglio Y §4.2.4.1.2.4 NTC18

X	Comb.	Sfruttamento	VEd	Vc,Rd	Av	Interazione taglio-torsione	Riduzione torsione	Verifica
0	SLU 76	0.001	-0.324	302.422	0.002	Non considerata		Si

Verifica a taglio Y SLD §4.2.4.1.2.4 NTC18

X	Comb.	Sfruttamento	VEd	Vc,Rd	Av	Interazione taglio-torsione	Riduzione torsione	Verifica
0	SLD 1	0.001	-0.233	302.422	0.002	Non considerata		Si

Verifica a flessione semplice X §§ 4.2.4.1.2.3 - 4.2.4.1.2.6 - 4.2.4.1.2.7 - 4.2.4.1.2.8 NTC18

X	Comb.	Sfruttamento	Classe	Mx,Ed	Mx,Rd	Rid. Mx,Rd da VEd	px	py	Verifica
0.791	SLU 60	0.005	1	0.11752	23.50374	1	0	0	Si

Verifica a presso/tenso flessione retta X §§ 4.2.4.1.2.3 - 4.2.4.1.2.6 - 4.2.4.1.2.7 - 4.2.4.1.2.8 NTC18

Verifiche eseguite utilizzando la formula conservativa (6.2) §6.2.1 EN 1993-1-1:2005.

X	Comb.	Sfruttamento	Classe	NEd	NRd	Rid. NRd da VEd	Mx,Ed	Mx,Rd	Rid. Mx,Rd da VEd	Rid. Mx,Rd da NEd	px	py	Verifica
0.843	SLU 76	0.042	1	38.319	1003.522	1	0.0905	23.5037	1		0	0	Si

Verifica a presso/tenso flessione retta X SLD §§ 4.2.4.1.2.3 - 4.2.4.1.2.6 - 4.2.4.1.2.7 - 4.2.4.1.2.8 NTC18

Verifiche eseguite utilizzando la formula conservativa (6.2) §6.2.1 EN 1993-1-1:2005.

X	Comb.	Sfruttamento	Classe	NEd	NRd	Rid. NRd da VEd	Mx,Ed	Mx,Rd	Rid. Mx,Rd da VEd	Rid. Mx,Rd da NEd	px	py	Verifica
---	-------	--------------	--------	-----	-----	-----------------	-------	-------	-------------------	-------------------	----	----	----------

Implementazione dei sistemi di confinamento delle emissioni odorigene diffuse dell'impianto di compostaggio esistente nel
Comune di Eboli (SA)

PROGETTO DEFINITIVO – Tabulati di calcolo Tomo 1

X	Comb.	Sfruttamento	Classe	NEd	NRd	Rid. NRd da VEd	Mx,Ed	Mx,Rd	Rid. Mx,Rd da VEd	Rid. Mx,Rd da NEd	px	py	Verifica
0.791	SLD 13	0.013	1	9.859	1003.522	1	0.0828	23.5037	1		0	0	Si

Verifica a presso/tenso flessione retta Y §§ 4.2.4.1.2.3 - 4.2.4.1.2.6 - 4.2.4.1.2.7 - 4.2.4.1.2.8 NTC18

Verifiche eseguite utilizzando la formula conservativa (6.2) §6.2.1 EN 1993-1-1:2005.

X	Comb.	Sfruttamento	Classe	NEd	NRd	Rid. NRd da VEd	My,Ed	My,Rd	Rid. My,Rd da VEd	Rid. My,Rd da NEd	px	py	Verifica
1.581	SLV 10	0.011	1	10.666	1003.522	1	-0.0214	33.3316	1		0	0	Si

Verifica a presso/tenso flessione retta Y SLD §§ 4.2.4.1.2.3 - 4.2.4.1.2.6 - 4.2.4.1.2.7 - 4.2.4.1.2.8 NTC18

Verifiche eseguite utilizzando la formula conservativa (6.2) §6.2.1 EN 1993-1-1:2005.

X	Comb.	Sfruttamento	Classe	NEd	NRd	Rid. NRd da VEd	My,Ed	My,Rd	Rid. My,Rd da VEd	Rid. My,Rd da NEd	px	py	Verifica
1.581	SLD 10	0.01	1	9.783	1003.522	1	-0.0095	33.3316	1		0	0	Si

Verifica a presso/tenso flessione deviata §§ 4.2.4.1.2.3 - 4.2.4.1.2.6 - 4.2.4.1.2.7 - 4.2.4.1.2.8 NTC18

Verifiche eseguite utilizzando la formula conservativa (6.2) §6.2.1 EN 1993-1-1:2005.

X	Comb.	Sfruttamento	Classe	NEd	NRd	Rid. NRd da VEd	Mx,Ed	Mx,Rd	My,Ed	My,Rd	Rid. Mx,Rd da VEd	Rid. Mx,Rd da NEd	Rid. My,Rd da VEd	Rid. My,Rd da NEd	α	β	px	py	Verifica
0.791	SLU 40	0.017	3	-6.247	1003.522	1	0.1196	12.886	0.0204	19.3536	1		1				0	0	Si

Verifica a presso/tenso flessione deviata SLD §§ 4.2.4.1.2.3 - 4.2.4.1.2.6 - 4.2.4.1.2.7 - 4.2.4.1.2.8 NTC18

Verifiche eseguite utilizzando la formula conservativa (6.2) §6.2.1 EN 1993-1-1:2005.

X	Comb.	Sfruttamento	Classe	NEd	NRd	Rid. NRd da VEd	Mx,Ed	Mx,Rd	My,Ed	My,Rd	Rid. Mx,Rd da VEd	Rid. Mx,Rd da NEd	Rid. My,Rd da VEd	Rid. My,Rd da NEd	α	β	px	py	Verifica
0.843	SLD 6	0.013	1	9.642	1003.522	1	0.0826	23.5037	-0.0116	33.3316	1		1				0	0	Si

Verifiche ad instabilità

Caratteristiche iniziali

Membratura principale per controllo snellezza; Calcolo di snellezze ed N critici condotti secondo gli assi principali;

Curva X: c; Curva Y: c;

Svergolamento: Nessuno; la verifica a instabilità flesso-torsionale (svergolamento) non verrà eseguita.

Dati per instabilità attorno a x

Controllo della snellezza secondo §4.2.4.1.3.1 NTC18

Numero rit.	Presente	Ascissa	Campata	βx/m	Vincolo a entrambi estremi	λx/m	λVer
1	Si		0				
			1-2		1	52.1	Si, (<200)
2	Si	1.581					

Dati per instabilità attorno a y

Controllo della snellezza secondo §4.2.4.1.3.1 NTC18

Numero rit.	Presente	Ascissa	Campata	βy/n	k,LT	kw,LT	Vincolo a entrambi estremi
1	Si		0				
			1-2		1	38.8	Si, (<200)
2	Si	1.581					

Verifica di stabilità per pressoflessione §C.4.2.4.1.3.3.1 NTC18

X	Comb.	Sfruttamento	Classe	NEd	MxEq,Ed	MyEq,Ed	Area	Wx	Wy	χ,min	λ adim. x/m	λ adim. y/n	N,crit x/m	N,crit y/n	Verifica
1.581	SLU 2	0.018	3	-7.757	0.0833	0.0253	0.003832	0.0000492	0.0000739	0.785	0.6	0.447	2928.123	5273.983	Si

Verifiche a deformabilità

Mensola X: No; Mensola Y: No.

Frecce lungo X

Ascissa freccia	Combinazione	Freccia	Luce	L/f	L/f,min	Tipo	Verifica
0.843	SLE RA 1	0	1.581	10000	250	Totale	Si
0.843	SLE RA 17	0	1.581	10000	250	Totale	Si
0.843	SLE RA 16	0	1.581	10000	250	Totale	Si
0.843	SLE RA 15	0	1.581	10000	250	Totale	Si
0.843	SLE RA 14	0	1.581	10000	250	Totale	Si
0.843	SLE RA 2	0	1.581	10000	350	Variabile	Si
0.843	SLE RA 17	0	1.581	10000	350	Variabile	Si
0.843	SLE RA 16	0	1.581	10000	350	Variabile	Si
0.896	SLE RA 15	0	1.581	10000	350	Variabile	Si
0.791	SLE RA 14	0	1.581	10000	350	Variabile	Si

Frecce lungo Y

Ascissa freccia	Combinazione	Freccia	Luce	L/f	L/f,min	Tipo	Verifica
0.791	SLE RA 1	0.00003	1.581	10000	250	Totale	Si
0.791	SLE RA 17	0.00003	1.581	10000	250	Totale	Si
0.791	SLE RA 16	0.00003	1.581	10000	250	Totale	Si
0.791	SLE RA 15	0.00003	1.581	10000	250	Totale	Si
0.791	SLE RA 14	0.00003	1.581	10000	250	Totale	Si
0.685	SLE RA 2	0	1.581	10000	350	Variabile	Si
0.685	SLE RA 17	0	1.581	10000	350	Variabile	Si
0.685	SLE RA 16	0	1.581	10000	350	Variabile	Si
0.685	SLE RA 15	0	1.581	10000	350	Variabile	Si
0.685	SLE RA 14	0	1.581	10000	350	Variabile	Si

Superelemento in acciaio a quota "690"- "640" (-1669; 44)-(-1559; -59)

Caratteristiche del materiale

Acciaio: S275, fyk = 275000

Implementazione dei sistemi di confinamento delle emissioni odorigene diffuse dell'impianto di compostaggio esistente nel
Comune di Eboli (SA)
PROGETTO DEFINITIVO – Tabulati di calcolo Tomo 1

Caratteristiche geometriche

Lunghezza: 1.581
Nodo iniziale: 1649 Nodo finale: 658
Cerniera iniziale: Mmomenti 1% Cerniera finale: Mmomenti 1%
Sovraresistenza: 0% Sisma Z: No

Caratteristiche della sezione

Sezione	Rotazione	Area	Jx	Jy	ix	iy	Wx	Wy	Wplx	Wply
A1; L100*10; 1; Saldato; S275; 50; 1; 8; 8; 1	180	0.003832	0.0000035319	0.000007759	0.0304	0.045	0.0000492	0.0000739	0.00008974	0.00012727

Comportamento dei calastrelli

Accoppiamento imbottito con funzione statica (§C4.2.4.1.3.1.4 NTC18) nella campata compresa tra le ascisse 0 e 1.581 per sbandamento attorno all'asse y.

Verifiche di resistenza

Verifiche a forza assiale §4.2.4.1.2.1 - §4.2.4.1.2.2 NTC18

X	Comb.	Sfruttamento	Classe	NEd	Nc,Rd	Nt,Rd	Riduzione da taglio	px	py	Verifica
0	SLU 76	0.1		100.074		1003.522	1	0	0	Si

Verifiche a forza assiale SLD §4.2.4.1.2.1 - §4.2.4.1.2.2 NTC18

X	Comb.	Sfruttamento	Classe	NEd	Nc,Rd	Nt,Rd	Riduzione da taglio	px	py	Verifica
0	SLD 1	0.039		38.859		1003.522	1	0	0	Si

Verifica a taglio Y §4.2.4.1.2.4 NTC18

X	Comb.	Sfruttamento	VEd	Vc,Rd	Av	Interazione taglio-torsione	Riduzione torsione	Verifica
0	SLU 76	0.001	-0.312	302.422	0.002	Non considerata		Si

Verifica a taglio Y SLD §4.2.4.1.2.4 NTC18

X	Comb.	Sfruttamento	VEd	Vc,Rd	Av	Interazione taglio-torsione	Riduzione torsione	Verifica
0	SLD 16	0.001	-0.23	302.422	0.002	Non considerata		Si

Verifica a presso/tenso flessione retta X §§ 4.2.4.1.2.3 - 4.2.4.1.2.6 - 4.2.4.1.2.7 - 4.2.4.1.2.8 NTC18

Verifiche eseguite utilizzando la formula conservativa (6.2) §6.2.1 EN 1993-1-1:2005.

X	Comb.	Sfruttamento	Classe	NEd	NRd	Rid. NRd da VEd	Mx,Ed	Mx,Rd	Rid. Mx,Rd da VEd	Rid. Mx,Rd da NEd	px	py	Verifica
0	SLU 45	0.069	1	68.576	1003.522	1	-0.0265	23.5037	1		0	0	Si

Verifica a presso/tenso flessione retta X SLD §§ 4.2.4.1.2.3 - 4.2.4.1.2.6 - 4.2.4.1.2.7 - 4.2.4.1.2.8 NTC18

Verifiche eseguite utilizzando la formula conservativa (6.2) §6.2.1 EN 1993-1-1:2005.

X	Comb.	Sfruttamento	Classe	NEd	NRd	Rid. NRd da VEd	Mx,Ed	Mx,Rd	Rid. Mx,Rd da VEd	Rid. Mx,Rd da NEd	px	py	Verifica
0.791	SLD 8	0.031	1	27.457	1003.522	1	0.0862	23.5037	1		0	0	Si

Verifica a presso/tenso flessione retta Y §§ 4.2.4.1.2.3 - 4.2.4.1.2.6 - 4.2.4.1.2.7 - 4.2.4.1.2.8 NTC18

Verifiche eseguite utilizzando la formula conservativa (6.2) §6.2.1 EN 1993-1-1:2005.

X	Comb.	Sfruttamento	Classe	NEd	NRd	Rid. NRd da VEd	My,Ed	My,Rd	Rid. My,Rd da VEd	Rid. My,Rd da NEd	px	py	Verifica
0.105	SLU 76	0.1	1	100.061	1003.522	1	-0.0112	33.3316	1		0	0	Si

Verifica a presso/tenso flessione retta Y SLD §§ 4.2.4.1.2.3 - 4.2.4.1.2.6 - 4.2.4.1.2.7 - 4.2.4.1.2.8 NTC18

Verifiche eseguite utilizzando la formula conservativa (6.2) §6.2.1 EN 1993-1-1:2005.

X	Comb.	Sfruttamento	Classe	NEd	NRd	Rid. NRd da VEd	My,Ed	My,Rd	Rid. My,Rd da VEd	Rid. My,Rd da NEd	px	py	Verifica
1.581	SLD 1	0.039	1	38.709	1003.522	1	-0.0207	33.3316	1		0	0	Si

Verifica a presso/tenso flessione deviata §§ 4.2.4.1.2.3 - 4.2.4.1.2.6 - 4.2.4.1.2.7 - 4.2.4.1.2.8 NTC18

Verifiche eseguite utilizzando la formula conservativa (6.2) §6.2.1 EN 1993-1-1:2005.

X	Comb.	Sfruttamento	Classe	NEd	NRd	Rid. NRd da VEd	Mx,Ed	My,Ed	My,Rd	Rid. Mx,Rd da VEd	Rid. Mx,Rd da NEd	Rid. My,Rd da VEd	Rid. My,Rd da NEd	α	β	px	py	Verifica
0.843	SLU 76	0.104	1	99.969	1003.522	1	0.1017	23.5037	-0.0126	33.3316	1		1			0	0	Si

Verifica a presso/tenso flessione deviata SLD §§ 4.2.4.1.2.3 - 4.2.4.1.2.6 - 4.2.4.1.2.7 - 4.2.4.1.2.8 NTC18

Verifiche eseguite utilizzando la formula conservativa (6.2) §6.2.1 EN 1993-1-1:2005.

X	Comb.	Sfruttamento	Classe	NEd	NRd	Rid. NRd da VEd	Mx,Ed	My,Ed	My,Rd	Rid. Mx,Rd da VEd	Rid. Mx,Rd da NEd	Rid. My,Rd da VEd	Rid. My,Rd da NEd	α	β	px	py	Verifica
0.791	SLD 1	0.043	1	38.784	1003.522	1	0.0884	23.5037	-0.0147	33.3316	1		1			0	0	Si

Verifiche ad instabilità

Caratteristiche iniziali

Membratura principale per controllo snellezza; Calcolo di snellezze ed N critici condotti secondo gli assi principali;

Curva X: c; Curva Y: c;

Svergolamento: Nessuno; la verifica a instabilità flesso-torsionale (svergolamento) non verrà eseguita.

Dati per instabilità attorno a x

Controllo della snellezza secondo §4.2.4.1.3.1 NTC18

Numero rit.	Presente	Ascissa	Campata	βx/m	Vincolo a entrambi estremi	λx/m	λVer
1	Si	0					
			1-2		1	52.1	Si, (<200)
2	Si	1.581					

Dati per instabilità attorno a y

Controllo della snellezza secondo §4.2.4.1.3.1 NTC18

Implementazione dei sistemi di confinamento delle emissioni odorigene diffuse dell'impianto di compostaggio esistente nel
Comune di Eboli (SA)
PROGETTO DEFINITIVO – Tabulati di calcolo Tomo 1

Numero rit.	Presente	Ascissa	Campata	$\beta y/n$	k,LT	kw,LT	Vincolo a entrambi estremi
1	Si	0	1-2	1	Si	38.8	Si, (<200)
2	Si	1.581					

Verifica di stabilità per pressoflessione §C.4.2.4.1.3.3.1 NTC18

X	Comb.	Sfruttamento	Classe	NEd	MxEq,Ed	MyEq,Ed	Area	Wx	Wy	x,min	λ adim. x/m	λ adim. y/n	N,crit x/m	N,crit y/n	Verifica
1.581	SLU 2	0.026	3	-13.698	0.0818	0.0453	0.003832	0.0000492	0.0000739	0.785	0.6	0.447	2928.123	5273.983	Si

Verifiche a deformabilità

Mensola X: No; Mensola Y: No.

Frecce lungo X

Ascissa freccia	Combinazione	Freccia	Luce	L/f	L/f,min	Tipo	Verifica
0.791	SLE RA 1	0	1.581	10000	250	Totale	Si
0.791	SLE RA 17	0	1.581	10000	250	Totale	Si
0.791	SLE RA 16	0	1.581	10000	250	Totale	Si
0.791	SLE RA 15	0	1.581	10000	250	Totale	Si
0.791	SLE RA 14	0	1.581	10000	250	Totale	Si
0.791	SLE RA 2	0	1.581	10000	350	Variabile	Si
0.791	SLE RA 17	0	1.581	10000	350	Variabile	Si
0.791	SLE RA 16	0	1.581	10000	350	Variabile	Si
0.791	SLE RA 15	0	1.581	10000	350	Variabile	Si
0.791	SLE RA 14	0	1.581	10000	350	Variabile	Si

Frecce lungo Y

Ascissa freccia	Combinazione	Freccia	Luce	L/f	L/f,min	Tipo	Verifica
0.791	SLE RA 1	0.00003	1.581	10000	250	Totale	Si
0.791	SLE RA 17	0.00003	1.581	10000	250	Totale	Si
0.791	SLE RA 16	0.00003	1.581	10000	250	Totale	Si
0.791	SLE RA 15	0.00003	1.581	10000	250	Totale	Si
0.791	SLE RA 14	0.00003	1.581	10000	250	Totale	Si
0.685	SLE RA 2	0	1.581	10000	350	Variabile	Si
0.685	SLE RA 17	0	1.581	10000	350	Variabile	Si
0.685	SLE RA 16	0	1.581	10000	350	Variabile	Si
0.685	SLE RA 15	0	1.581	10000	350	Variabile	Si
0.685	SLE RA 14	0	1.581	10000	350	Variabile	Si

Superelemento in acciaio a quota "690"- "640" (-1925; -228)-(-1816; -331)

Caratteristiche del materiale

Acciaio: S275, fyk = 275000

Caratteristiche geometriche

Lunghezza: 1.581

Nodo iniziale: 1638 Nodo finale: 603

Cerniera iniziale: Mmomenti 1% Cerniera finale: Mmomenti 1%

Sovreresistenza: 0% Sisma Z: No

Caratteristiche della sezione

Sezione	Rotazione	Area	Jx	Jy	ix	iy	Wx	Wy	Wplx	Wply
A1; L100*10; 1; Saldato; S275; 50; 1; 8; 8; 1	180	0.003832	0.0000035319	0.000007759	0.0304	0.045	0.0000492	0.0000739	0.00008974	0.00012727

Comportamento dei calastrelli

Accoppiamento imbottito con funzione statica (§C4.2.4.1.3.1.4 NTC18) nella campata compresa tra le ascisse 0 e 1.581 per sbandamento attorno all'asse y.

Verifiche di resistenza

Verifiche a forza assiale §4.2.4.1.2.1 - §4.2.4.1.2.2 NTC18

X	Comb.	Sfruttamento	Classe	NEd	Nc,Rd	Nt,Rd	Riduzione da taglio	px	py	Verifica
0	SLU 76	0.073		73.209		1003.522	1	0	0	Si

Verifiche a forza assiale SLD §4.2.4.1.2.1 - §4.2.4.1.2.2 NTC18

X	Comb.	Sfruttamento	Classe	NEd	Nc,Rd	Nt,Rd	Riduzione da taglio	px	py	Verifica
0	SLD 3	0.029		28.81		1003.522	1	0	0	Si

Verifica a taglio Y §4.2.4.1.2.4 NTC18

X	Comb.	Sfruttamento	VEd	Vc,Rd	Av	Interazione taglio-torsione	Riduzione torsione	Verifica
0	SLU 64	0.001	-0.297	302.422	0.002	Non considerata		Si

Verifica a taglio Y SLD §4.2.4.1.2.4 NTC18

X	Comb.	Sfruttamento	VEd	Vc,Rd	Av	Interazione taglio-torsione	Riduzione torsione	Verifica
0	SLD 6	0.001	-0.226	302.422	0.002	Non considerata		Si

Verifica a flessione semplice X §§ 4.2.4.1.2.3 - 4.2.4.1.2.6 - 4.2.4.1.2.7 - 4.2.4.1.2.8 NTC18

X	Comb.	Sfruttamento	Classe	Mx,Ed	Mx,Rd	Rid. Mx,Rd da VEd	px	py	Verifica
0.527	SLU 21	0.003	1	0.07931	23.50374	1	0	0	Si

Verifica a presso/tenso flessione retta X §§ 4.2.4.1.2.3 - 4.2.4.1.2.6 - 4.2.4.1.2.7 - 4.2.4.1.2.8 NTC18

Verifiche eseguite utilizzando la formula conservativa (6.2) §6.2.1 EN 1993-1-1:2005.

Implementazione dei sistemi di confinamento delle emissioni odorigene diffuse dell'impianto di compostaggio esistente nel
Comune di Eboli (SA)

PROGETTO DEFINITIVO – Tabulati di calcolo Tomo 1

X	Comb.	Sfruttamento	Classe	NEd	NRd	Rid. NRd da VEd	Mx,Ed	Mx,Rd	Rid. Mx,Rd da VEd	Rid. Mx,Rd da NEd	px	py	Verifica
0.843	SLU 48	0.052	1	46.775	1003.522	1	0.1158	23.5037	1		0	0	Si

Verifica a presso/tenso flessione retta X SLD §§ 4.2.4.1.2.3 - 4.2.4.1.2.6 - 4.2.4.1.2.7 - 4.2.4.1.2.8 NTC18

Verifiche eseguite utilizzando la formula conservativa (6.2) §6.2.1 EN 1993-1-1:2005.

X	Comb.	Sfruttamento	Classe	NEd	NRd	Rid. NRd da VEd	Mx,Ed	Mx,Rd	Rid. Mx,Rd da VEd	Rid. Mx,Rd da NEd	px	py	Verifica
0.791	SLD 8	0.032	1	28.707	1003.522	1	0.0889	23.5037	1		0	0	Si

Verifica a presso/tenso flessione retta Y §§ 4.2.4.1.2.3 - 4.2.4.1.2.6 - 4.2.4.1.2.7 - 4.2.4.1.2.8 NTC18

Verifiche eseguite utilizzando la formula conservativa (6.2) §6.2.1 EN 1993-1-1:2005.

X	Comb.	Sfruttamento	Classe	NEd	NRd	Rid. NRd da VEd	My,Ed	My,Rd	Rid. My,Rd da VEd	Rid. My,Rd da NEd	px	py	Verifica
1.581	SLU 76	0.073	1	73.014	1003.522	1	-0.0134	33.3316	1		0	0	Si

Verifica a presso/tenso flessione retta Y SLD §§ 4.2.4.1.2.3 - 4.2.4.1.2.6 - 4.2.4.1.2.7 - 4.2.4.1.2.8 NTC18

Verifiche eseguite utilizzando la formula conservativa (6.2) §6.2.1 EN 1993-1-1:2005.

X	Comb.	Sfruttamento	Classe	NEd	NRd	Rid. NRd da VEd	My,Ed	My,Rd	Rid. My,Rd da VEd	Rid. My,Rd da NEd	px	py	Verifica
0	SLD 3	0.029	1	28.81	1003.522	1	-0.0089	33.3316	1		0	0	Si

Verifica a presso/tenso flessione deviata §§ 4.2.4.1.2.3 - 4.2.4.1.2.6 - 4.2.4.1.2.7 - 4.2.4.1.2.8 NTC18

Verifiche eseguite utilizzando la formula conservativa (6.2) §6.2.1 EN 1993-1-1:2005.

X	Comb.	Sfruttamento	Classe	NEd	NRd	Rid. NRd da VEd	Mx,Ed	Mx,Rd	My,Ed	My,Rd	Rid. Mx,Rd da VEd	Rid. Mx,Rd da NEd	Rid. My,Rd da VEd	Rid. My,Rd da NEd	α	β	px	py	Verifica
0.791	SLU 76	0.078	1	73.112	1003.522	1	0.1135	23.5037	-0.0126	33.3316	1		1				0	0	Si

Verifica a presso/tenso flessione deviata SLD §§ 4.2.4.1.2.3 - 4.2.4.1.2.6 - 4.2.4.1.2.7 - 4.2.4.1.2.8 NTC18

Verifiche eseguite utilizzando la formula conservativa (6.2) §6.2.1 EN 1993-1-1:2005.

X	Comb.	Sfruttamento	Classe	NEd	NRd	Rid. NRd da VEd	Mx,Ed	Mx,Rd	My,Ed	My,Rd	Rid. Mx,Rd da VEd	Rid. Mx,Rd da NEd	Rid. My,Rd da VEd	Rid. My,Rd da NEd	α	β	px	py	Verifica
0.791	SLD 3	0.033	1	28.735	1003.522	1	0.0889	23.5037	-0.0108	33.3316	1		1				0	0	Si

Verifiche ad instabilità

Caratteristiche iniziali

Membratura principale per controllo snellezza; Calcolo di snellezze ed N critici condotti secondo gli assi principali;

Curva X: c; Curva Y: c;

Svergolamento: Nessuno; la verifica a instabilità flesso-torsionale (svergolamento) non verrà eseguita.

Dati per instabilità attorno a x

Controllo della snellezza secondo §4.2.4.1.3.1 NTC18

Numero rit.	Presente	Ascissa	Campata	βx/m	Vincolo a entrambi estremi	λx/m	λVer
1	Si	0					
			1-2	1	Si	52.1	Si, (<200)
2	Si	1.581					

Dati per instabilità attorno a y

Controllo della snellezza secondo §4.2.4.1.3.1 NTC18

Numero rit.	Presente	Ascissa	Campata	βy/n	k,LT	kw,LT	Vincolo a entrambi estremi
1	Si	0					
			1-2	1	Si	38.8	Si, (<200)
2	Si	1.581					

Verifica di stabilità per pressoflessione §C.4.2.4.1.3.3.1 NTC18

X	Comb.	Sfruttamento	Classe	NEd	MxEq,Ed	MyEq,Ed	Area	Wx	Wy	x,min	λ adim. x/m	λ adim. y/n	N,crit x/m	N,crit y/n	Verifica
1.581	SLU 2	0.016	3	-6.636	0.0772	0.0228	0.003832	0.0000492	0.0000739	0.785	0.6	0.447	2928.123	5273.983	Si

Verifiche a deformabilità

Mensola X: No; Mensola Y: No.

Frecce lungo X

Ascissa freccia	Combinazione	Freccia	Luce	L/f	L/f,min	Tipo	Verifica
0.791	SLE RA 1	0	1.581	10000	250	Totale	Si
0.791	SLE RA 17	0	1.581	10000	250	Totale	Si
0.791	SLE RA 16	0	1.581	10000	250	Totale	Si
0.791	SLE RA 15	0	1.581	10000	250	Totale	Si
0.791	SLE RA 14	0	1.581	10000	250	Totale	Si
0.791	SLE RA 2	0	1.581	10000	350	Variabile	Si
0.791	SLE RA 17	0	1.581	10000	350	Variabile	Si
0.791	SLE RA 16	0	1.581	10000	350	Variabile	Si
0.791	SLE RA 15	0	1.581	10000	350	Variabile	Si
0.738	SLE RA 14	0	1.581	10000	350	Variabile	Si

Frecce lungo Y

Ascissa freccia	Combinazione	Freccia	Luce	L/f	L/f,min	Tipo	Verifica
0.791	SLE RA 1	0.00003	1.581	10000	250	Totale	Si
0.791	SLE RA 17	0.00003	1.581	10000	250	Totale	Si
0.791	SLE RA 16	0.00003	1.581	10000	250	Totale	Si
0.791	SLE RA 15	0.00003	1.581	10000	250	Totale	Si
0.791	SLE RA 14	0.00003	1.581	10000	250	Totale	Si
0.58	SLE RA 2	0	1.581	10000	350	Variabile	Si
0.58	SLE RA 17	0	1.581	10000	350	Variabile	Si
0.58	SLE RA 16	0	1.581	10000	350	Variabile	Si
0.632	SLE RA 15	0	1.581	10000	350	Variabile	Si
0.685	SLE RA 14	0	1.581	10000	350	Variabile	Si

Implementazione dei sistemi di confinamento delle emissioni odorigene diffuse dell'impianto di compostaggio esistente nel
Comune di Eboli (SA)
PROGETTO DEFINITIVO – Tabulati di calcolo Tomo 1

Superelemento in acciaio a quota "690"- "675" (109; 1929)-(-55; 2084)

Caratteristiche del materiale

Acciaio: S275, fyk = 275000

Caratteristiche geometriche

Lunghezza: 1.505

Nodo iniziale: 1711 Nodo finale: 1502

Cerniera iniziale: Momenti al 50% Cerniera finale: Mmomenti 1%

Sovreresistenza: 0% Sisma Z: No

Caratteristiche della sezione

Sezione	Rotazione	Area	Jx	Jy	ix	iy	Wx	Wy	Wplx	Wply
A1; L100*10; 1; Saldato; S275; 30; 1; 8; 8; 1	0	0.003832	0.0000035319	0.000007759	0.0304	0.045	0.0000492	0.0000739	0.00008974	0.00012727

Comportamento dei calastrelli

Accoppiamento imbottito con funzione statica (§C4.2.4.1.3.1.4 NTC18) nella campata compresa tra le ascisse 0 e 1.505 per sbandamento attorno all'asse y.

Verifiche di resistenza

Verifiche a forza assiale §4.2.4.1.2.1 - §4.2.4.1.2.2 NTC18

X	Comb.	Sfruttamento	Classe	NEd	Nc,Rd	Nt,Rd	Riduzione da taglio	px	py	Verifica
0	SLU 76	0.104		104.246		1003.522	1	0	0	Si

Verifiche a forza assiale SLD §4.2.4.1.2.1 - §4.2.4.1.2.2 NTC18

X	Comb.	Sfruttamento	Classe	NEd	Nc,Rd	Nt,Rd	Riduzione da taglio	px	py	Verifica
0	SLD 9	0.024		23.917		1003.522	1	0	0	Si

Verifica a taglio X §4.2.4.1.2.4 NTC18

X	Comb.	Sfruttamento	VEd	Vc,Rd	Av	Interazione taglio-torsione	Riduzione torsione	Verifica
1.505	SLV 16	0.001	-0.446	302.422	0.002	Non considerata		Si

Verifica a taglio Y §4.2.4.1.2.4 NTC18

X	Comb.	Sfruttamento	VEd	Vc,Rd	Av	Interazione taglio-torsione	Riduzione torsione	Verifica
0	SLU 76	0.036	10.877	302.422	0.002	Non considerata		Si

Verifica a taglio Y SLD §4.2.4.1.2.4 NTC18

X	Comb.	Sfruttamento	VEd	Vc,Rd	Av	Interazione taglio-torsione	Riduzione torsione	Verifica
0	SLD 13	0.008	2.481	302.422	0.002	Non considerata		Si

Verifica a flessione semplice X §§ 4.2.4.1.2.3 - 4.2.4.1.2.6 - 4.2.4.1.2.7 - 4.2.4.1.2.8 NTC18

X	Comb.	Sfruttamento	Classe	Mx,Ed	Mx,Rd	Rid. Mx,Rd da VEd	px	py	Verifica
0.765	SLU 40	0.005	1	0.10625	23.50374	1	0	0	Si

Verifica a flessione semplice X SLD §§ 4.2.4.1.2.3 - 4.2.4.1.2.6 - 4.2.4.1.2.7 - 4.2.4.1.2.8 NTC18

X	Comb.	Sfruttamento	Classe	Mx,Ed	Mx,Rd	Rid. Mx,Rd da VEd	px	py	Verifica
0.765	SLD 14	0.003	1	0.08201	23.50374	1	0	0	Si

Verifica a flessione deviata §§ 4.2.4.1.2.3 - 4.2.4.1.2.6 - 4.2.4.1.2.7 - 4.2.4.1.2.8 NTC18

X	Comb.	Sfruttamento	Classe	Mx,Ed	Mx,Rd	My,Ed	My,Rd	Rid. Mx,Rd da VEd	Rid. My,Rd da VEd	α	β	px	py	Verifica
0.765	SLV 15	0.004	1	0.0822	23.5037	0.0149	33.3316	1	1			0	0	Si

Verifica a presso/tenso flessione retta X §§ 4.2.4.1.2.3 - 4.2.4.1.2.6 - 4.2.4.1.2.7 - 4.2.4.1.2.8 NTC18

Verifiche eseguite utilizzando la formula conservativa (6.2) §6.2.1 EN 1993-1-1:2005.

X	Comb.	Sfruttamento	Classe	NEd	NRd	Rid. NRd da VEd	Mx,Ed	Mx,Rd	Rid. Mx,Rd da VEd	Rid. Mx,Rd da NEd	px	py	Verifica
0.765	SLU 76	0.318	1	104.217	1003.522	1	-5.0369	23.5037	1		0	0	Si

Verifica a presso/tenso flessione retta X SLD §§ 4.2.4.1.2.3 - 4.2.4.1.2.6 - 4.2.4.1.2.7 - 4.2.4.1.2.8 NTC18

Verifiche eseguite utilizzando la formula conservativa (6.2) §6.2.1 EN 1993-1-1:2005.

X	Comb.	Sfruttamento	Classe	NEd	NRd	Rid. NRd da VEd	Mx,Ed	Mx,Rd	Rid. Mx,Rd da VEd	Rid. Mx,Rd da NEd	px	py	Verifica
0.076	SLD 7	0.046	1	23.867	1003.522	1	0.5181	23.5037	1		0	0	Si

Verifica a presso/tenso flessione retta Y §§ 4.2.4.1.2.3 - 4.2.4.1.2.6 - 4.2.4.1.2.7 - 4.2.4.1.2.8 NTC18

Verifiche eseguite utilizzando la formula conservativa (6.2) §6.2.1 EN 1993-1-1:2005.

X	Comb.	Sfruttamento	Classe	NEd	NRd	Rid. NRd da VEd	My,Ed	My,Rd	Rid. My,Rd da VEd	Rid. My,Rd da NEd	px	py	Verifica
0.306	SLU 60	0.01	3	-8.769	1003.522	1	0.0265	19.3536	1		0	0	Si

Verifica a presso/tenso flessione deviata §§ 4.2.4.1.2.3 - 4.2.4.1.2.6 - 4.2.4.1.2.7 - 4.2.4.1.2.8 NTC18

Verifiche eseguite utilizzando la formula conservativa (6.2) §6.2.1 EN 1993-1-1:2005.

X	Comb.	Sfruttamento	Classe	NEd	NRd	Rid. NRd da VEd	Mx,Ed	Mx,Rd	My,Ed	My,Rd	Rid. Mx,Rd da VEd	Rid. Mx,Rd da NEd	Rid. My,Rd da VEd	Rid. My,Rd da NEd	α	β	px	py	Verifica
0.765	SLV 5	0.077	1	23.914	1003.522	1	-1.1029	23.5037	0.2058	33.3316	1		1				0	0	Si

Verifica a presso/tenso flessione deviata SLD §§ 4.2.4.1.2.3 - 4.2.4.1.2.6 - 4.2.4.1.2.7 - 4.2.4.1.2.8 NTC18

Verifiche eseguite utilizzando la formula conservativa (6.2) §6.2.1 EN 1993-1-1:2005.

X	Comb.	Sfruttamento	Classe	NEd	NRd	Rid. NRd da VEd	Mx,Ed	Mx,Rd	My,Ed	My,Rd	Rid. Mx,Rd da VEd	Rid. Mx,Rd da NEd	Rid. My,Rd da VEd	Rid. My,Rd da NEd	α	β	px	py	Verifica
0.765	SLD 6	0.073	1	23.885	1003.522	1	-1.0975	23.5037	0.0836	33.3316	1		1				0	0	Si

Implementazione dei sistemi di confinamento delle emissioni odorigene diffuse dell'impianto di compostaggio esistente nel
Comune di Eboli (SA)
PROGETTO DEFINITIVO – Tabulati di calcolo Tomo 1

Verifiche ad instabilità

Caratteristiche iniziali

Membratura principale per controllo snellezza; Calcolo di snellezze ed N critici condotti secondo gli assi principali;

Curva X: c; Curva Y: c;

Svergolamento: Nessuno; la verifica a instabilità flesso-torsionale (svergolamento) non verrà eseguita.

Dati per instabilità attorno a x

Controllo della snellezza secondo §4.2.4.1.3.1 NTC18

Numero rit.	Presente	Ascissa	Campata	$\beta x/m$	Vincolo a entrambi estremi	$\lambda x/m$	λVer
1	Si	0					
			1-2	1	Si	49.6	Si, (<200)
2	Si	1.505					

Dati per instabilità attorno a y

Controllo della snellezza secondo §4.2.4.1.3.1 NTC18

Numero rit.	Presente	Ascissa	Campata	$\beta y/n$	k,LT	kw,LT	Vincolo a entrambi estremi
1	Si	0					
			1-2	1	Si	34.9	Si, (<200)
2	Si	1.505					

Verifica di stabilità per pressoflessione §C.4.2.4.1.3.3.1 NTC18

X	Comb.	Sfruttamento	Classe	NEd	MxEq,Ed	MyEq,Ed	Area	Wx	Wy	χ_{min}	$\lambda_{adim. x/m}$	$\lambda_{adim. y/n}$	N,crit x/m	N,crit y/n	Verifica
0.535	SLU 2	0.094	3	-20.935	0.8379	-0.0479	0.003832	0.0000492	0.0000739	0.802	0.571	0.402	3230.882	6528.04	Si

Verifica di stabilità per pressoflessione SLD §C.4.2.4.1.3.3.1 NTC18

X	Comb.	Sfruttamento	Classe	NEd	MxEq,Ed	MyEq,Ed	Area	Wx	Wy	χ_{min}	$\lambda_{adim. x/m}$	$\lambda_{adim. y/n}$	N,crit x/m	N,crit y/n	Verifica
0.765	SLD 5	0.037	1	0	-0.8231	0.0627	0.003832	0.0000897	0.0001273	0.802	0.571	0.402	3230.882	6528.04	Si

Verifiche a deformabilità

Mensola X: No; Mensola Y: No.

Frecce lungo X

Ascissa freccia	Combinazione	Freccia	Luce	L/f	L/f,min	Tipo	Verifica
0.663	SLE RA 1	0	1.505	10000	250	Totale	Si
0.663	SLE RA 17	0	1.505	10000	250	Totale	Si
0.663	SLE RA 16	0	1.505	10000	250	Totale	Si
0.663	SLE RA 15	0	1.505	10000	250	Totale	Si
0.663	SLE RA 14	0	1.505	10000	250	Totale	Si
0.663	SLE RA 2	0	1.505	10000	350	Variabile	Si
0.637	SLE RA 17	0	1.505	10000	350	Variabile	Si
0.637	SLE RA 16	0	1.505	10000	350	Variabile	Si
0.663	SLE RA 15	0	1.505	10000	350	Variabile	Si
0.637	SLE RA 14	0	1.505	10000	350	Variabile	Si

Frecce lungo Y

Ascissa freccia	Combinazione	Freccia	Luce	L/f	L/f,min	Tipo	Verifica
0.663	SLE RA 19	-0.00033	1.505	4506.9	250	Totale	Si
0.663	SLE RA 7	-0.00029	1.505	5187.9	250	Totale	Si
0.663	SLE RA 15	-0.00028	1.505	5290.1	250	Totale	Si
0.663	SLE RA 11	-0.00028	1.505	5290.1	250	Totale	Si
0.663	SLE RA 16	-0.00025	1.505	5987.2	250	Totale	Si
0.663	SLE RA 19	-0.00023	1.505	6518.7	350	Variabile	Si
0.663	SLE RA 7	-0.00019	1.505	8046.4	350	Variabile	Si
0.663	SLE RA 15	-0.00018	1.505	8294.9	350	Variabile	Si
0.663	SLE RA 11	-0.00018	1.505	8294.9	350	Variabile	Si
0.663	SLE RA 17	-0.00007	1.505	10000	350	Variabile	Si

Superelemento in acciaio a quota "690"- "675" (363; 2198)-(198; 2354)

Caratteristiche del materiale

Acciaio: S275, fyk = 275000

Caratteristiche geometriche

Lunghezza: 1.505

Nodo iniziale: 1742 Nodo finale: 1505

Cerniera iniziale: Momenti al 50% Cerniera finale: Mmomenti 1%

Sovreresistenza: 0% Sisma Z: No

Caratteristiche della sezione

Sezione	Rotazione	Area	Jx	Jy	ix	iy	Wx	Wy	Wplx	Wply
A1; L100*10; 1; Saldato; S275; 30; 1; 8; 8; 1	0	0.003832	0.0000035319	0.000007759	0.0304	0.045	0.0000492	0.0000739	0.00008974	0.00012727

Comportamento dei calastrelli

Accoppiamento imbottito con funzione statica (§C4.2.4.1.3.1.4 NTC18) nella campata compresa tra le ascisse 0 e 1.505 per sbandamento attorno all'asse y.

Verifiche di resistenza

Verifiche a forza assiale §4.2.4.1.2.1 - §4.2.4.1.2.2 NTC18

X	Comb.	Sfruttamento	Classe	NEd	Nc,Rd	Nt,Rd	Riduzione da taglio	px	py	Verifica
0	SLU 76	0.105		105.272		1003.522	1	0	0	Si

**Implementazione dei sistemi di confinamento delle emissioni odorigene diffuse dell'impianto di compostaggio esistente nel
Comune di Eboli (SA)**

PROGETTO DEFINITIVO – Tabulati di calcolo Tomo 1

Verifiche a forza assiale SLD §4.2.4.1.2.1 - §4.2.4.1.2.2 NTC18

X	Comb.	Sfruttamento	Classe	NEd	Nc,Rd	Nt,Rd	Riduzione da taglio	px	py	Verifica
0	SLD 10	0.024		24.174		1003.522	1	0	0	Si

Verifica a taglio X §4.2.4.1.2.4 NTC18

X	Comb.	Sfruttamento	VEd	Vc,Rd	Av	Interazione taglio-torsione	Riduzione torsione	Verifica
1.505	SLV 16	0.001	-0.445	302.422	0.002	Non considerata		Si

Verifica a taglio Y §4.2.4.1.2.4 NTC18

X	Comb.	Sfruttamento	VEd	Vc,Rd	Av	Interazione taglio-torsione	Riduzione torsione	Verifica
0	SLU 76	0.036	10.888	302.422	0.002	Non considerata		Si

Verifica a taglio Y SLD §4.2.4.1.2.4 NTC18

X	Comb.	Sfruttamento	VEd	Vc,Rd	Av	Interazione taglio-torsione	Riduzione torsione	Verifica
0	SLD 10	0.008	2.491	302.422	0.002	Non considerata		Si

Verifica a torsione §4.2.4.1.2.5 NTC18

X	Comb.	Sfruttamento torsione	TEd	TRd	Riduzione taglio resistente	Sfruttamento taglio-torsione	rEd,totale	rRd	Verifica
0	SLV 5	0.001	-0.00564	7.2165	Non considerata*	0.018	1367	151211	Si

* La resistenza a taglio del profilo non viene ridotta per la presenza di torsione anche se questa puo' non essere trascurabile.

Verifica a flessione semplice X §§ 4.2.4.1.2.3 - 4.2.4.1.2.6 - 4.2.4.1.2.7 - 4.2.4.1.2.8 NTC18

X	Comb.	Sfruttamento	Classe	Mx,Ed	Mx,Rd	Rid. Mx,Rd da VEd	px	py	Verifica
0.775	SLU 41	0.004	1	0.10337	23.50374	1	0	0	Si

Verifica a flessione semplice X SLD §§ 4.2.4.1.2.3 - 4.2.4.1.2.6 - 4.2.4.1.2.7 - 4.2.4.1.2.8 NTC18

X	Comb.	Sfruttamento	Classe	Mx,Ed	Mx,Rd	Rid. Mx,Rd da VEd	px	py	Verifica
0.775	SLD 10	0.003	1	0.08007	23.50374	1	0	0	Si

Verifica a flessione deviata §§ 4.2.4.1.2.3 - 4.2.4.1.2.6 - 4.2.4.1.2.7 - 4.2.4.1.2.8 NTC18

X	Comb.	Sfruttamento	Classe	Mx,Ed	Mx,Rd	My,Ed	My,Rd	Rid. Mx,Rd da VEd	Rid. My,Rd da VEd	α	β	px	py	Verifica
0.775	SLV 16	0.004	1	0.0803	23.5037	0.0144	33.3316	1	1			0	0	Si

Verifica a presso/tenso flessione retta X §§ 4.2.4.1.2.3 - 4.2.4.1.2.6 - 4.2.4.1.2.7 - 4.2.4.1.2.8 NTC18

Verifiche eseguite utilizzando la formula conservativa (6.2) §6.2.1 EN 1993-1-1:2005.

X	Comb.	Sfruttamento	Classe	NEd	NRd	Rid. NRd da VEd	Mx,Ed	Mx,Rd	Rid. Mx,Rd da VEd	Rid. Mx,Rd da NEd	px	py	Verifica
0.568	SLU 26	0.191	1	88.249	1003.522	1	-2.4151	23.5037	1		0	0	Si

Verifica a presso/tenso flessione retta X SLD §§ 4.2.4.1.2.3 - 4.2.4.1.2.6 - 4.2.4.1.2.7 - 4.2.4.1.2.8 NTC18

Verifiche eseguite utilizzando la formula conservativa (6.2) §6.2.1 EN 1993-1-1:2005.

X	Comb.	Sfruttamento	Classe	NEd	NRd	Rid. NRd da VEd	Mx,Ed	Mx,Rd	Rid. Mx,Rd da VEd	Rid. Mx,Rd da NEd	px	py	Verifica
0.026	SLD 12	0.052	1	24.053	1003.522	1	0.6608	23.5037	1		0	0	Si

Verifica a presso/tenso flessione retta Y §§ 4.2.4.1.2.3 - 4.2.4.1.2.6 - 4.2.4.1.2.7 - 4.2.4.1.2.8 NTC18

Verifiche eseguite utilizzando la formula conservativa (6.2) §6.2.1 EN 1993-1-1:2005.

X	Comb.	Sfruttamento	Classe	NEd	NRd	Rid. NRd da VEd	My,Ed	My,Rd	Rid. My,Rd da VEd	Rid. My,Rd da NEd	px	py	Verifica
0.31	SLU 6	0.007	3	-5.858	1003.522	1	-0.0192	19.3536	1		0	0	Si

Verifica a presso/tenso flessione deviata §§ 4.2.4.1.2.3 - 4.2.4.1.2.6 - 4.2.4.1.2.7 - 4.2.4.1.2.8 NTC18

Verifiche eseguite utilizzando la formula conservativa (6.2) §6.2.1 EN 1993-1-1:2005.

X	Comb.	Sfruttamento	Classe	NEd	NRd	Rid. NRd da VEd	Mx,Ed	Mx,Rd	My,Ed	My,Rd	Rid. Mx,Rd da VEd	Rid. Mx,Rd da NEd	Rid. My,Rd da VEd	Rid. My,Rd da NEd	α	β	px	py	Verifica
0.775	SLU 76	0.321	1	105.243	1003.522	1	-5.072	23.5037	-0.0223	33.3316	1		1				0	0	Si

Verifica a presso/tenso flessione deviata SLD §§ 4.2.4.1.2.3 - 4.2.4.1.2.6 - 4.2.4.1.2.7 - 4.2.4.1.2.8 NTC18

Verifiche eseguite utilizzando la formula conservativa (6.2) §6.2.1 EN 1993-1-1:2005.

X	Comb.	Sfruttamento	Classe	NEd	NRd	Rid. NRd da VEd	Mx,Ed	Mx,Rd	My,Ed	My,Rd	Rid. Mx,Rd da VEd	Rid. Mx,Rd da NEd	Rid. My,Rd da VEd	Rid. My,Rd da NEd	α	β	px	py	Verifica
0.775	SLD 16	0.074	1	24.112	1003.522	1	-1.1063	23.5037	-0.086	33.3316	1		1				0	0	Si

Verifiche ad instabilità

Caratteristiche iniziali

Membratura principale per controllo snellezza; Calcolo di snellezze ed N critici condotti secondo gli assi principali;

Curva X: c; Curva Y: c;

Svergolamento: Nessuno; la verifica a instabilità flessio-torsionale (svergolamento) non verrà eseguita.

Dati per instabilità attorno a x

Controllo della snellezza secondo §4.2.4.1.3.1 NTC18

Numero rit.	Presente	Ascissa	Campata	βx/m	Vincolo a entrambi estremi	λx/m	λVer
1	Si		0				
			1-2		1	49.6	Si, (<200)
2	Si	1.505					

Dati per instabilità attorno a y

Controllo della snellezza secondo §4.2.4.1.3.1 NTC18

Numero rit.	Presente	Ascissa	Campata	βy/n	k,LT	kw,LT	Vincolo a entrambi estremi
1	Si		0				
			1-2		1	34.9	Si, (<200)
2	Si	1.505					

Implementazione dei sistemi di confinamento delle emissioni odorigene diffuse dell'impianto di compostaggio esistente nel
Comune di Eboli (SA)

PROGETTO DEFINITIVO – Tabulati di calcolo Tomo 1

Verifica di stabilità per pressoflessione §C.4.2.4.1.3.3.1 NTC18

X	Comb.	Sfruttamento	Classe	NEd	MxEq,Ed	MyEq,Ed	Area	Wx	Wy	x,min	λ adim. x/m	λ adim. y/n	N,crit x/m	N,crit y/n	Verifica
0.775	SLU 76	0.162	1	0	-3.804	-0.0168	0.003832	0.0000897	0.0001273	0.802	0.571	0.402	3230.882	6528.04	Si

Verifica di stabilità per pressoflessione SLD §C.4.2.4.1.3.3.1 NTC18

X	Comb.	Sfruttamento	Classe	NEd	MxEq,Ed	MyEq,Ed	Area	Wx	Wy	x,min	λ adim. x/m	λ adim. y/n	N,crit x/m	N,crit y/n	Verifica
1.505	SLD 16	0.037	1	0	-0.8297	-0.0645	0.003832	0.0000897	0.0001273	0.802	0.571	0.402	3230.882	6528.04	Si

Verifiche a deformabilità

Mensola X: No; Mensola Y: No.

Frecce lungo X

Ascissa freccia	Combinazione	Freccia	Luce	L/f	L/f,min	Tipo	Verifica
0.672	SLE RA 1	0	1.505	10000	250	Totale	Si
0.672	SLE RA 17	0	1.505	10000	250	Totale	Si
0.672	SLE RA 16	0	1.505	10000	250	Totale	Si
0.697	SLE RA 15	0	1.505	10000	250	Totale	Si
0.672	SLE RA 14	0	1.505	10000	250	Totale	Si
0.672	SLE RA 2	0	1.505	10000	350	Variabile	Si
0.672	SLE RA 17	0	1.505	10000	350	Variabile	Si
0.672	SLE RA 16	0	1.505	10000	350	Variabile	Si
0.697	SLE RA 15	0	1.505	10000	350	Variabile	Si
0.672	SLE RA 14	0	1.505	10000	350	Variabile	Si

Frecce lungo Y

Ascissa freccia	Combinazione	Freccia	Luce	L/f	L/f,min	Tipo	Verifica
0.672	SLE RA 19	-0.00034	1.505	4444.8	250	Totale	Si
0.672	SLE RA 7	-0.00029	1.505	5106.9	250	Totale	Si
0.672	SLE RA 15	-0.00029	1.505	5213.9	250	Totale	Si
0.672	SLE RA 11	-0.00029	1.505	5213.9	250	Totale	Si
0.672	SLE RA 16	-0.00025	1.505	5911.2	250	Totale	Si
0.672	SLE RA 19	-0.00023	1.505	6435.9	350	Variabile	Si
0.672	SLE RA 7	-0.00019	1.505	7923.4	350	Variabile	Si
0.672	SLE RA 15	-0.00018	1.505	8184.1	350	Variabile	Si
0.672	SLE RA 11	-0.00018	1.505	8184.1	350	Variabile	Si
0.672	SLE RA 17	-0.00007	1.505	10000	350	Variabile	Si

Superelemento in acciaio a quota "690"- "675" (620; 2473)-(455; 2628)

Caratteristiche del materiale

Acciaio: S275, fyk = 275000

Caratteristiche geometriche

Lunghezza: 1.505

Nodo iniziale: 1743 Nodo finale: 1506

Cerniera iniziale: Momenti al 50% Cerniera finale: Mmomenti 1%

Sovraresistenza: 0% Sisma Z: No

Caratteristiche della sezione

Sezione	Rotazione	Area	Jx	Jy	ix	iy	Wx	Wy	Wplx	Wply
A1; L100*10; 1; Saldato; S275; 30; 1; 8; 8; 1	0	0.003832	0.0000035319	0.000007759	0.0304	0.045	0.0000492	0.0000739	0.00008974	0.00012727

Comportamento dei calastrelli

Accoppiamento imbottito con funzione statica (§C.4.2.4.1.3.1.4 NTC18) nella campata compresa tra le ascisse 0 e 1.505 per sbandamento attorno all'asse y.

Verifiche di resistenza

Verifiche a forza assiale §4.2.4.1.2.1 - §4.2.4.1.2.2 NTC18

X	Comb.	Sfruttamento	Classe	NEd	Nc,Rd	Nt,Rd	Riduzione da taglio	px	py	Verifica
0	SLU 76	0.099		99.666		1003.522	1	0	0	Si

Verifiche a forza assiale SLD §4.2.4.1.2.1 - §4.2.4.1.2.2 NTC18

X	Comb.	Sfruttamento	Classe	NEd	Nc,Rd	Nt,Rd	Riduzione da taglio	px	py	Verifica
0	SLD 10	0.023		22.929		1003.522	1	0	0	Si

Verifica a taglio X §4.2.4.1.2.4 NTC18

X	Comb.	Sfruttamento	VEd	Vc,Rd	Av	Interazione taglio-torsione	Riduzione torsione	Verifica
1.505	SLV 16	0.001	-0.413	302.422	0.002	Non considerata		Si

Verifica a taglio Y §4.2.4.1.2.4 NTC18

X	Comb.	Sfruttamento	VEd	Vc,Rd	Av	Interazione taglio-torsione	Riduzione torsione	Verifica
0	SLU 76	0.035	10.714	302.422	0.002	Non considerata		Si

Verifica a taglio Y SLD §4.2.4.1.2.4 NTC18

X	Comb.	Sfruttamento	VEd	Vc,Rd	Av	Interazione taglio-torsione	Riduzione torsione	Verifica
0	SLD 10	0.008	2.455	302.422	0.002	Non considerata		Si

Verifica a torsione §4.2.4.1.2.5 NTC18

X	Comb.	Sfruttamento torsione	TEd	TRd	Riduzione taglio resistente	Sfruttamento taglio-torsione	τEd,totale	τRd	Verifica
0	SLV 5	0.001	-0.00536	7.2165	Non considerata*	0.018	1343	151211	Si

**Implementazione dei sistemi di confinamento delle emissioni odorigene diffuse dell'impianto di compostaggio esistente nel
Comune di Eboli (SA)
PROGETTO DEFINITIVO – Tabulati di calcolo Tomo 1**

* La resistenza a taglio del profilo non viene ridotta per la presenza di torsione anche se questa puo' non essere trascurabile.

Verifica a flessione semplice X §§ 4.2.4.1.2.3 - 4.2.4.1.2.6 - 4.2.4.1.2.7 - 4.2.4.1.2.8 NTC18

X	Comb.	Sfruttamento	Classe	Mx,Ed	Mx,Rd	Rid. Mx,Rd da VEd	px	py	Verifica
0.765	SLU 75	0.005	1	0.10676	23.50374	1	0	0	Si

Verifica a flessione semplice X SLD §§ 4.2.4.1.2.3 - 4.2.4.1.2.6 - 4.2.4.1.2.7 - 4.2.4.1.2.8 NTC18

X	Comb.	Sfruttamento	Classe	Mx,Ed	Mx,Rd	Rid. Mx,Rd da VEd	px	py	Verifica
0.765	SLD 10	0.003	1	0.0822	23.50374	1	0	0	Si

Verifica a flessione deviata §§ 4.2.4.1.2.3 - 4.2.4.1.2.6 - 4.2.4.1.2.7 - 4.2.4.1.2.8 NTC18

X	Comb.	Sfruttamento	Classe	Mx,Ed	Mx,Rd	My,Ed	My,Rd	Rid. Mx,Rd da VEd	Rid. My,Rd da VEd	α	β	px	py	Verifica
0.765	SLV 16	0.004	1	0.0824	23.5037	0.0146	33.3316	1	1			0	0	Si

Verifica a presso/tenso flessione retta X §§ 4.2.4.1.2.3 - 4.2.4.1.2.6 - 4.2.4.1.2.7 - 4.2.4.1.2.8 NTC18

Verifiche eseguite utilizzando la formula conservativa (6.2) §6.2.1 EN 1993-1-1:2005.

X	Comb.	Sfruttamento	Classe	NEd	NRd	Rid. NRd da VEd	Mx,Ed	Mx,Rd	Rid. Mx,Rd da VEd	Rid. Mx,Rd da NEd	px	py	Verifica
0.765	SLU 76	0.311	1	99.637	1003.522	1	-4.9847	23.5037	1		0	0	Si

Verifica a presso/tenso flessione retta X SLD §§ 4.2.4.1.2.3 - 4.2.4.1.2.6 - 4.2.4.1.2.7 - 4.2.4.1.2.8 NTC18

Verifiche eseguite utilizzando la formula conservativa (6.2) §6.2.1 EN 1993-1-1:2005.

X	Comb.	Sfruttamento	Classe	NEd	NRd	Rid. NRd da VEd	Mx,Ed	Mx,Rd	Rid. Mx,Rd da VEd	Rid. Mx,Rd da NEd	px	py	Verifica
0.076	SLD 6	0.045	1	22.901	1003.522	1	0.5133	23.5037	1		0	0	Si

Verifica a presso/tenso flessione retta Y §§ 4.2.4.1.2.3 - 4.2.4.1.2.6 - 4.2.4.1.2.7 - 4.2.4.1.2.8 NTC18

Verifiche eseguite utilizzando la formula conservativa (6.2) §6.2.1 EN 1993-1-1:2005.

X	Comb.	Sfruttamento	Classe	NEd	NRd	Rid. NRd da VEd	My,Ed	My,Rd	Rid. My,Rd da VEd	Rid. My,Rd da NEd	px	py	Verifica
0.28	SLU 22	0.014	3	-12.076	1003.522	1	0.0365	19.3536	1		0	0	Si

Verifica a presso/tenso flessione deviata §§ 4.2.4.1.2.3 - 4.2.4.1.2.6 - 4.2.4.1.2.7 - 4.2.4.1.2.8 NTC18

Verifiche eseguite utilizzando la formula conservativa (6.2) §6.2.1 EN 1993-1-1:2005.

X	Comb.	Sfruttamento	Classe	NEd	NRd	Rid. NRd da VEd	Mx,Ed	Mx,Rd	My,Ed	My,Rd	Rid. Mx,Rd da VEd	Rid. Mx,Rd da NEd	Rid. My,Rd da VEd	Rid. My,Rd da NEd	α	β	px	py	Verifica
0.765	SLV 16	0.075	1	22.933	1003.522	1	-1.0916	23.5037	-0.1882	33.3316	1		1				0	0	Si

Verifica a presso/tenso flessione deviata SLD §§ 4.2.4.1.2.3 - 4.2.4.1.2.6 - 4.2.4.1.2.7 - 4.2.4.1.2.8 NTC18

Verifiche eseguite utilizzando la formula conservativa (6.2) §6.2.1 EN 1993-1-1:2005.

X	Comb.	Sfruttamento	Classe	NEd	NRd	Rid. NRd da VEd	Mx,Ed	Mx,Rd	My,Ed	My,Rd	Rid. Mx,Rd da VEd	Rid. Mx,Rd da NEd	Rid. My,Rd da VEd	Rid. My,Rd da NEd	α	β	px	py	Verifica
0.765	SLD 16	0.071	1	22.88	1003.522	1	-1.0879	23.5037	-0.0755	33.3316	1		1				0	0	Si

Verifiche ad instabilità

Caratteristiche iniziali

Membratura principale per controllo snellezza; Calcolo di snellezze ed N critici condotti secondo gli assi principali;

Curva X: c; Curva Y: c;

Svergolamento: Nessuno; la verifica a instabilità flesso-torsionale (svergolamento) non verrà eseguita.

Dati per instabilità attorno a x

Controllo della snellezza secondo §4.2.4.1.3.1 NTC18

Numero rit.	Presente	Ascissa	Campata	βx/m	Vincolo a entrambi estremi	λx/m	λVer
1	Si	0					
			1-2		1	49.6	Si, (<200)
2	Si	1.505					

Dati per instabilità attorno a y

Controllo della snellezza secondo §4.2.4.1.3.1 NTC18

Numero rit.	Presente	Ascissa	Campata	βy/n	k,LT	kw,LT	Vincolo a entrambi estremi
1	Si	0					
			1-2		1	34.9	Si, (<200)
2	Si	1.505					

Verifica di stabilità per pressoflessione §C.4.2.4.1.3.3.1 NTC18

X	Comb.	Sfruttamento	Classe	NEd	MxEq,Ed	MyEq,Ed	Area	Wx	Wy	χ,min	λ adim. x/m	λ adim. y/n	N,crit x/m	N,crit y/n	Verifica
0.51	SLU 3	0.092	3	-20.148	0.8322	-0.0461	0.003832	0.0000492	0.0000739	0.802	0.571	0.402	3230.882	6528.04	Si

Verifica di stabilità per pressoflessione SLD §C.4.2.4.1.3.3.1 NTC18

X	Comb.	Sfruttamento	Classe	NEd	MxEq,Ed	MyEq,Ed	Area	Wx	Wy	χ,min	λ adim. x/m	λ adim. y/n	N,crit x/m	N,crit y/n	Verifica
1.505	SLD 16	0.036	1	0	-0.816	-0.0566	0.003832	0.0000897	0.0001273	0.802	0.571	0.402	3230.882	6528.04	Si

Verifiche a deformabilità

Mensola X: No; Mensola Y: No.

Frecce lungo X

Ascissa freccia	Combinazione	Freccia	Luce	L/f	L/f,min	Tipo	Verifica
0.663	SLE RA 1	0	1.505	10000	250	Totale	Si
0.663	SLE RA 17	0	1.505	10000	250	Totale	Si
0.663	SLE RA 16	0	1.505	10000	250	Totale	Si
0.663	SLE RA 15	0	1.505	10000	250	Totale	Si
0.688	SLE RA 14	0	1.505	10000	250	Totale	Si
0.688	SLE RA 2	0	1.505	10000	350	Variabile	Si
0.688	SLE RA 17	0	1.505	10000	350	Variabile	Si
0.688	SLE RA 16	0	1.505	10000	350	Variabile	Si
0.663	SLE RA 15	0	1.505	10000	350	Variabile	Si
0.688	SLE RA 14	0	1.505	10000	350	Variabile	Si

Implementazione dei sistemi di confinamento delle emissioni odorigene diffuse dell'impianto di compostaggio esistente nel
Comune di Eboli (SA)

PROGETTO DEFINITIVO – Tabulati di calcolo Tomo 1

Frecce lungo Y

Ascissa freccia	Combinazione	Freccia	Luce	L/f	L/f,min	Tipo	Verifica
0.663	SLE RA 19	-0.00033	1.505	4528.5	250	Totale	Si
0.663	SLE RA 7	-0.00029	1.505	5183.9	250	Totale	Si
0.663	SLE RA 15	-0.00028	1.505	5308.2	250	Totale	Si
0.663	SLE RA 11	-0.00028	1.505	5308.2	250	Totale	Si
0.663	SLE RA 16	-0.00025	1.505	6046.3	250	Totale	Si
0.663	SLE RA 19	-0.00023	1.505	6546.8	350	Variabile	Si
0.663	SLE RA 7	-0.00019	1.505	8011.1	350	Variabile	Si
0.663	SLE RA 15	-0.00018	1.505	8312	350	Variabile	Si
0.663	SLE RA 11	-0.00018	1.505	8312	350	Variabile	Si
0.663	SLE RA 17	-0.00006	1.505	10000	350	Variabile	Si

Superelemento in acciaio a quota "690"- "675" (869; 2737)-(704; 2892)

Caratteristiche del materiale

Acciaio: S275, fyk = 275000

Caratteristiche geometriche

Lunghezza: 1.505

Nodo iniziale: 1750 Nodo finale: 1509

Cerniera iniziale: Momenti al 50% Cerniera finale: Mmomenti 1%

Sovreresistenza: 0% Sisma Z: No

Caratteristiche della sezione

Sezione	Rotazione	Area	Jx	Jy	ix	iy	Wx	Wy	Wplx	Wply
A1; L100*10; 1; Saldato; S275; 30; 1; 8; 8; 1	0	0.003832	0.0000035319	0.000007759	0.0304	0.045	0.0000492	0.0000739	0.00008974	0.00012727

Comportamento dei calastrelli

Accoppiamento imbottito con funzione statica (§C4.2.4.1.3.1.4 NTC18) nella campata compresa tra le ascisse 0 e 1.505 per sbandamento attorno all'asse y.

Verifiche di resistenza

Verifiche a forza assiale §4.2.4.1.2.1 - §4.2.4.1.2.2 NTC18

X	Comb.	Sfruttamento	Classe	NEd	Nc,Rd	Nt,Rd	Riduzione da taglio	px	py	Verifica
0	SLU 76	0.102		101.908		1003.522	1	0	0	Si

Verifiche a forza assiale SLD §4.2.4.1.2.1 - §4.2.4.1.2.2 NTC18

X	Comb.	Sfruttamento	Classe	NEd	Nc,Rd	Nt,Rd	Riduzione da taglio	px	py	Verifica
0	SLD 16	0.023		23.57		1003.522	1	0	0	Si

Verifica a taglio X §4.2.4.1.2.4 NTC18

X	Comb.	Sfruttamento	VEd	Vc,Rd	Av	Interazione taglio-torsione	Riduzione torsione	Verifica
1.505	SLV 16	0.001	-0.423	302.422	0.002	Non considerata		Si

Verifica a taglio Y §4.2.4.1.2.4 NTC18

X	Comb.	Sfruttamento	VEd	Vc,Rd	Av	Interazione taglio-torsione	Riduzione torsione	Verifica
0	SLU 76	0.035	10.648	302.422	0.002	Non considerata		Si

Verifica a taglio Y SLD §4.2.4.1.2.4 NTC18

X	Comb.	Sfruttamento	VEd	Vc,Rd	Av	Interazione taglio-torsione	Riduzione torsione	Verifica
0	SLD 10	0.008	2.448	302.422	0.002	Non considerata		Si

Verifica a torsione §4.2.4.1.2.5 NTC18

X	Comb.	Sfruttamento torsione	TEd	TRd	Riduzione taglio resistente	Sfruttamento taglio-torsione	rEd,totale	rRd	Verifica
0	SLV 15	0.001	0.0049	7.2165	Non considerata*	0.018	1329	151211	Si

* La resistenza a taglio del profilo non viene ridotta per la presenza di torsione anche se questa puo' non essere trascurabile.

Verifica a flessione semplice X §§ 4.2.4.1.2.3 - 4.2.4.1.2.6 - 4.2.4.1.2.7 - 4.2.4.1.2.8 NTC18

X	Comb.	Sfruttamento	Classe	Mx,Ed	Mx,Rd	Rid. Mx,Rd da VEd	px	py	Verifica
0.775	SLU 75	0.004	1	0.10361	23.50374	1	0	0	Si

Verifica a flessione semplice X SLD §§ 4.2.4.1.2.3 - 4.2.4.1.2.6 - 4.2.4.1.2.7 - 4.2.4.1.2.8 NTC18

X	Comb.	Sfruttamento	Classe	Mx,Ed	Mx,Rd	Rid. Mx,Rd da VEd	px	py	Verifica
0.775	SLD 10	0.003	1	0.08012	23.50374	1	0	0	Si

Verifica a flessione deviata §§ 4.2.4.1.2.3 - 4.2.4.1.2.6 - 4.2.4.1.2.7 - 4.2.4.1.2.8 NTC18

X	Comb.	Sfruttamento	Classe	Mx,Ed	Mx,Rd	My,Ed	My,Rd	Rid. Mx,Rd da VEd	Rid. My,Rd da VEd	α	β	px	py	Verifica
0.775	SLV 5	0.004	1	0.0804	23.5037	-0.0141	33.3316	1	1			0	0	Si

Verifica a presso/tenso flessione retta X §§ 4.2.4.1.2.3 - 4.2.4.1.2.6 - 4.2.4.1.2.7 - 4.2.4.1.2.8 NTC18

Verifiche eseguite utilizzando la formula conservativa (6.2) §6.2.1 EN 1993-1-1:2005.

X	Comb.	Sfruttamento	Classe	NEd	NRd	Rid. NRd da VEd	Mx,Ed	Mx,Rd	Rid. Mx,Rd da VEd	Rid. Mx,Rd da NEd	px	py	Verifica
0.775	SLU 76	0.313	1	101.879	1003.522	1	-4.9737	23.5037	1		0	0	Si

Verifica a presso/tenso flessione retta X SLD §§ 4.2.4.1.2.3 - 4.2.4.1.2.6 - 4.2.4.1.2.7 - 4.2.4.1.2.8 NTC18

Verifiche eseguite utilizzando la formula conservativa (6.2) §6.2.1 EN 1993-1-1:2005.

X	Comb.	Sfruttamento	Classe	NEd	NRd	Rid. NRd da VEd	Mx,Ed	Mx,Rd	Rid. Mx,Rd da VEd	Rid. Mx,Rd da NEd	px	py	Verifica
---	-------	--------------	--------	-----	-----	-----------------	-------	-------	-------------------	-------------------	----	----	----------

Implementazione dei sistemi di confinamento delle emissioni odorigene diffuse dell'impianto di compostaggio esistente nel
Comune di Eboli (SA)

PROGETTO DEFINITIVO – Tabulati di calcolo Tomo 1

X	Comb.	Sfruttamento	Classe	NEd	NRd	Rid. NRd da VEd	Mx,Ed	Mx,Rd	Rid. Mx,Rd da VEd	Rid. Mx,Rd da NEd	px	py	Verifica
0.052	SLD 16	0.049	1	23.569	1003.522	1	0.589	23.5037	1		0	0	Si

Verifica a presso/tenso flessione retta Y §§ 4.2.4.1.2.3 - 4.2.4.1.2.6 - 4.2.4.1.2.7 - 4.2.4.1.2.8 NTC18

Verifiche eseguite utilizzando la formula conservativa (6.2) §6.2.1 EN 1993-1-1:2005.

X	Comb.	Sfruttamento	Classe	NEd	NRd	Rid. NRd da VEd	My,Ed	My,Rd	Rid. My,Rd da VEd	Rid. My,Rd da NEd	px	py	Verifica
0.31	SLU 59	0.01	3	-8.472	1003.522	1	-0.0266	19.3536	1		0	0	Si

Verifica a presso/tenso flessione deviata §§ 4.2.4.1.2.3 - 4.2.4.1.2.6 - 4.2.4.1.2.7 - 4.2.4.1.2.8 NTC18

Verifiche eseguite utilizzando la formula conservativa (6.2) §6.2.1 EN 1993-1-1:2005.

X	Comb.	Sfruttamento	Classe	NEd	NRd	Rid. NRd da VEd	Mx,Ed	Mx,Rd	My,Ed	My,Rd	Rid. Mx,Rd da VEd	Rid. Mx,Rd da NEd	Rid. My,Rd da VEd	Rid. My,Rd da NEd	α	β	px	py	Verifica
0	SLU 76	0.236	1	101.908	1003.522	1	3.1616	23.5037	-0.0102	33.3316	1		1				0	0	Si

Verifica a presso/tenso flessione deviata SLD §§ 4.2.4.1.2.3 - 4.2.4.1.2.6 - 4.2.4.1.2.7 - 4.2.4.1.2.8 NTC18

Verifiche eseguite utilizzando la formula conservativa (6.2) §6.2.1 EN 1993-1-1:2005.

X	Comb.	Sfruttamento	Classe	NEd	NRd	Rid. NRd da VEd	Mx,Ed	Mx,Rd	My,Ed	My,Rd	Rid. Mx,Rd da VEd	Rid. Mx,Rd da NEd	Rid. My,Rd da VEd	Rid. My,Rd da NEd	α	β	px	py	Verifica
0.775	SLD 16	0.072	1	23.548	1003.522	1	-1.0941	23.5037	-0.0767	33.3316	1		1				0	0	Si

Verifiche ad instabilità

Caratteristiche iniziali

Membratura principale per controllo snellezza; Calcolo di snellezza ed N critici condotti secondo gli assi principali;

Curva X: c; Curva Y: c;

Svergolamento: Nessuno; la verifica a instabilità flesso-torsionale (svergolamento) non verrà eseguita.

Dati per instabilità attorno a x

Controllo della snellezza secondo §4.2.4.1.3.1 NTC18

Numero rit.	Presente	Ascissa	Campata	βx/m	Vincolo a entrambi estremi	λx/m	λVer
1	Si		0				
			1-2		1	Si	49.6
2	Si		1.505				Si, (<200)

Dati per instabilità attorno a y

Controllo della snellezza secondo §4.2.4.1.3.1 NTC18

Numero rit.	Presente	Ascissa	Campata	βy/n	k,LT	kw,LT	Vincolo a entrambi estremi
1	Si		0				
			1-2		1	Si	34.9
2	Si		1.505				Si, (<200)

Verifica di stabilità per pressoflessione §C.4.2.4.1.3.3.1 NTC18

X	Comb.	Sfruttamento	Classe	NEd	MxEq,Ed	MyEq,Ed	Area	Wx	Wy	x,min	λ adim. x/m	λ adim. y/n	N,crit x/m	N,crit y/n	Verifica
1.335	SLU 76	0.159	1	0	-3.7303	-0.0077	0.003832	0.0000897	0.0001273	0.802	0.571	0.402	3230.882	6528.04	Si

Verifica di stabilità per pressoflessione SLD §C.4.2.4.1.3.3.1 NTC18

X	Comb.	Sfruttamento	Classe	NEd	MxEq,Ed	MyEq,Ed	Area	Wx	Wy	x,min	λ adim. x/m	λ adim. y/n	N,crit x/m	N,crit y/n	Verifica
1.505	SLD 16	0.037	1	0	-0.8206	-0.0575	0.003832	0.0000897	0.0001273	0.802	0.571	0.402	3230.882	6528.04	Si

Verifiche a deformabilità

Mensola X: No; Mensola Y: No.

Frecce lungo X

Ascissa freccia	Combinazione	Freccia	Luce	L/f	L/f,min	Tipo	Verifica
0.31	SLE RA 1	0	1.505	10000	250	Totale	Si
0.207	SLE RA 17	0	1.505	10000	250	Totale	Si
0.749	SLE RA 16	0	1.505	10000	250	Totale	Si
0.233	SLE RA 15	0	1.505	10000	250	Totale	Si
0.723	SLE RA 14	0	1.505	10000	250	Totale	Si
0.698	SLE RA 2	0	1.505	10000	350	Variabile	Si
0.698	SLE RA 17	0	1.505	10000	350	Variabile	Si
0.698	SLE RA 16	0	1.505	10000	350	Variabile	Si
0.749	SLE RA 15	0	1.505	10000	350	Variabile	Si
0.646	SLE RA 14	0	1.505	10000	350	Variabile	Si

Frecce lungo Y

Ascissa freccia	Combinazione	Freccia	Luce	L/f	L/f,min	Tipo	Verifica
0.672	SLE RA 19	-0.00033	1.505	4516.3	250	Totale	Si
0.672	SLE RA 7	-0.00029	1.505	5179.8	250	Totale	Si
0.672	SLE RA 15	-0.00028	1.505	5294.4	250	Totale	Si
0.672	SLE RA 11	-0.00028	1.505	5294.4	250	Totale	Si
0.672	SLE RA 16	-0.00025	1.505	6011.6	250	Totale	Si
0.672	SLE RA 19	-0.00023	1.505	6549.2	350	Variabile	Si
0.672	SLE RA 7	-0.00019	1.505	8043.1	350	Variabile	Si
0.672	SLE RA 15	-0.00018	1.505	8322.8	350	Variabile	Si
0.672	SLE RA 11	-0.00018	1.505	8322.8	350	Variabile	Si
0.672	SLE RA 17	-0.00006	1.505	10000	350	Variabile	Si

Superelemento in acciaio a quota "690"- "675" (1124; 3008)-(960; 3163)

Caratteristiche del materiale

Acciaio: S275, fyk = 275000

Implementazione dei sistemi di confinamento delle emissioni odorigene diffuse dell'impianto di compostaggio esistente nel
Comune di Eboli (SA)

PROGETTO DEFINITIVO – Tabulati di calcolo Tomo 1

Caratteristiche geometriche

Lunghezza: 1.505
Nodo iniziale: 1777 Nodo finale: 1510
Cerniera iniziale: Momenti al 50% Cerniera finale: Mmomenti 1%
Sovreresistenza: 0% Sisma Z: No

Caratteristiche della sezione

Sezione	Rotazione	Area	Jx	Jy	ix	iy	Wx	Wy	Wplx	Wply
A1; L100*10; 1; Saldato; S275; 30; 1; 8; 8; 1	0	0.003832	0.0000035319	0.000007759	0.0304	0.045	0.0000492	0.0000739	0.00008974	0.00012727

Comportamento dei calastrelli

Accoppiamento imbottito con funzione statica (§C4.2.4.1.3.1.4 NTC18) nella campata compresa tra le ascisse 0 e 1.505 per sbandamento attorno all'asse y.

Verifiche di resistenza

Verifiche a forza assiale §4.2.4.1.2.1 - §4.2.4.1.2.2 NTC18

X	Comb.	Sfruttamento	Classe	NEd	Nc,Rd	Nt,Rd	Riduzione da taglio	px	py	Verifica
0	SLU 76	0.052		52.679		1003.522	1	0	0	Si

Verifiche a forza assiale SLD §4.2.4.1.2.1 - §4.2.4.1.2.2 NTC18

X	Comb.	Sfruttamento	Classe	NEd	Nc,Rd	Nt,Rd	Riduzione da taglio	px	py	Verifica
0	SLD 10	0.014		13.725		1003.522	1	0	0	Si

Verifica a taglio X §4.2.4.1.2.4 NTC18

X	Comb.	Sfruttamento	VEd	Vc,Rd	Av	Interazione taglio-torsione	Riduzione torsione	Verifica
1.505	SLV 16	0.001	-0.289	302.422	0.002	Non considerata		Si

Verifica a taglio Y §4.2.4.1.2.4 NTC18

X	Comb.	Sfruttamento	VEd	Vc,Rd	Av	Interazione taglio-torsione	Riduzione torsione	Verifica
0	SLU 76	0.019	5.669	302.422	0.002	Non considerata		Si

Verifica a taglio Y SLD §4.2.4.1.2.4 NTC18

X	Comb.	Sfruttamento	VEd	Vc,Rd	Av	Interazione taglio-torsione	Riduzione torsione	Verifica
0	SLD 10	0.005	1.462	302.422	0.002	Non considerata		Si

Verifica a flessione semplice X §§ 4.2.4.1.2.3 - 4.2.4.1.2.6 - 4.2.4.1.2.7 - 4.2.4.1.2.8 NTC18

X	Comb.	Sfruttamento	Classe	Mx,Ed	Mx,Rd	Rid. Mx,Rd da VEd	px	py	Verifica
0.765	SLU 76	0.005	1	0.10629	23.50374	1	0	0	Si

Verifica a flessione semplice X SLD §§ 4.2.4.1.2.3 - 4.2.4.1.2.6 - 4.2.4.1.2.7 - 4.2.4.1.2.8 NTC18

X	Comb.	Sfruttamento	Classe	Mx,Ed	Mx,Rd	Rid. Mx,Rd da VEd	px	py	Verifica
0.765	SLD 10	0.003	1	0.08209	23.50374	1	0	0	Si

Verifica a flessione deviata §§ 4.2.4.1.2.3 - 4.2.4.1.2.6 - 4.2.4.1.2.7 - 4.2.4.1.2.8 NTC18

X	Comb.	Sfruttamento	Classe	Mx,Ed	Mx,Rd	My,Ed	My,Rd	Rid. Mx,Rd da VEd	Rid. My,Rd da VEd	α	β	px	py	Verifica
0.765	SLU 6	0.005	1	0.1021	23.5037	0.0087	33.3316	1	1			0	0	Si

Verifica a presso/tenso flessione retta X §§ 4.2.4.1.2.3 - 4.2.4.1.2.6 - 4.2.4.1.2.7 - 4.2.4.1.2.8 NTC18

Verifiche eseguite utilizzando la formula conservativa (6.2) §6.2.1 EN 1993-1-1:2005.

X	Comb.	Sfruttamento	Classe	NEd	NRd	Rid. NRd da VEd	Mx,Ed	Mx,Rd	Rid. Mx,Rd da VEd	Rid. Mx,Rd da NEd	px	py	Verifica
0.765	SLU 76	0.161	1	52.65	1003.522	1	-2.5476	23.5037	1		0	0	Si

Verifica a presso/tenso flessione retta X SLD §§ 4.2.4.1.2.3 - 4.2.4.1.2.6 - 4.2.4.1.2.7 - 4.2.4.1.2.8 NTC18

Verifiche eseguite utilizzando la formula conservativa (6.2) §6.2.1 EN 1993-1-1:2005.

X	Comb.	Sfruttamento	Classe	NEd	NRd	Rid. NRd da VEd	Mx,Ed	Mx,Rd	Rid. Mx,Rd da VEd	Rid. Mx,Rd da NEd	px	py	Verifica
0	SLD 13	0.032	1	13.723	1003.522	1	0.4235	23.5037	1		0	0	Si

Verifica a presso/tenso flessione retta Y §§ 4.2.4.1.2.3 - 4.2.4.1.2.6 - 4.2.4.1.2.7 - 4.2.4.1.2.8 NTC18

Verifiche eseguite utilizzando la formula conservativa (6.2) §6.2.1 EN 1993-1-1:2005.

X	Comb.	Sfruttamento	Classe	NEd	NRd	Rid. NRd da VEd	My,Ed	My,Rd	Rid. My,Rd da VEd	Rid. My,Rd da NEd	px	py	Verifica
0.306	SLV 13	0.014	1	13.789	1003.522	1	-0.0198	33.3316	1		0	0	Si

Verifica a presso/tenso flessione deviata §§ 4.2.4.1.2.3 - 4.2.4.1.2.6 - 4.2.4.1.2.7 - 4.2.4.1.2.8 NTC18

Verifiche eseguite utilizzando la formula conservativa (6.2) §6.2.1 EN 1993-1-1:2005.

X	Comb.	Sfruttamento	Classe	NEd	NRd	Rid. NRd da VEd	Mx,Ed	Mx,Rd	My,Ed	My,Rd	Rid. Mx,Rd da VEd	Rid. Mx,Rd da NEd	Rid. My,Rd da VEd	Rid. My,Rd da NEd	α	β	px	py	Verifica
0.765	SLU 64	0.141	1	46.246	1003.522	1	-2.2246	23.5037	-0.0082	33.3316	1		1				0	0	Si

Verifica a presso/tenso flessione deviata SLD §§ 4.2.4.1.2.3 - 4.2.4.1.2.6 - 4.2.4.1.2.7 - 4.2.4.1.2.8 NTC18

Verifiche eseguite utilizzando la formula conservativa (6.2) §6.2.1 EN 1993-1-1:2005.

X	Comb.	Sfruttamento	Classe	NEd	NRd	Rid. NRd da VEd	Mx,Ed	Mx,Rd	My,Ed	My,Rd	Rid. Mx,Rd da VEd	Rid. Mx,Rd da NEd	Rid. My,Rd da VEd	Rid. My,Rd da NEd	α	β	px	py	Verifica
0.765	SLD 16	0.041	1	13.681	1003.522	1	-0.6072	23.5037	-0.0519	33.3316	1		1				0	0	Si

Verifiche ad instabilità

Caratteristiche iniziali

Membratura principale per controllo snellezza; Calcolo di snellezze ed N critici condotti secondo gli assi principali;
Curva X: c; Curva Y: c;

Implementazione dei sistemi di confinamento delle emissioni odorigene diffuse dell'impianto di compostaggio esistente nel
Comune di Eboli (SA)
PROGETTO DEFINITIVO – Tabulati di calcolo Tomo 1

Svergolamento: Nessuno; la verifica a instabilità flessione-torsionale (svergolamento) non verrà eseguita.

Dati per instabilità attorno a x

Controllo della snellezza secondo §4.2.4.1.3.1 NTC18

Numero rit.	Presente	Ascissa	Campata	$\beta x/m$	Vincolo a entrambi estremi	$\lambda x/m$	λVer
1	Si	0					
			1-2	1	Si	49.6	Si, (<200)
2	Si	1.505					

Dati per instabilità attorno a y

Controllo della snellezza secondo §4.2.4.1.3.1 NTC18

Numero rit.	Presente	Ascissa	Campata	$\beta y/n$	k,LT	kw,LT	Vincolo a entrambi estremi
1	Si	0					
			1-2	1	Si	34.9	Si, (<200)
2	Si	1.505					

Verifica di stabilità per pressoflessione §C.4.2.4.1.3.3.1 NTC18

X	Comb.	Sfruttamento	Classe	NEd	MxEq,Ed	MyEq,Ed	Area	Wx	Wy	χ_{min}	$\lambda_{adim. x/m}$	$\lambda_{adim. y/n}$	N,crit x/m	N,crit y/n	Verifica
1.308	SLU 76	0.082	1	0	-1.9107	-0.015	0.003832	0.0000897	0.0001273	0.802	0.571	0.402	3230.882	6528.04	Si

Verifica di stabilità per pressoflessione SLD §C.4.2.4.1.3.3.1 NTC18

X	Comb.	Sfruttamento	Classe	NEd	MxEq,Ed	MyEq,Ed	Area	Wx	Wy	χ_{min}	$\lambda_{adim. x/m}$	$\lambda_{adim. y/n}$	N,crit x/m	N,crit y/n	Verifica
1.505	SLD 16	0.021	1	0	-0.4554	-0.0389	0.003832	0.0000897	0.0001273	0.802	0.571	0.402	3230.882	6528.04	Si

Verifiche a deformabilità

Mensola X: No; Mensola Y: No.

Frecce lungo X

Ascissa freccia	Combinazione	Freccia	Luce	L/f	L/f,min	Tipo	Verifica
0.485	SLE RA 1	0	1.505	10000	250	Totale	Si
0.459	SLE RA 17	0	1.505	10000	250	Totale	Si
0.434	SLE RA 16	0	1.505	10000	250	Totale	Si
0.51	SLE RA 15	0	1.505	10000	250	Totale	Si
0.332	SLE RA 14	0	1.505	10000	250	Totale	Si
0.332	SLE RA 2	0	1.505	10000	350	Variabile	Si
0.332	SLE RA 17	0	1.505	10000	350	Variabile	Si
0.332	SLE RA 16	0	1.505	10000	350	Variabile	Si
0.536	SLE RA 15	0	1.505	10000	350	Variabile	Si
0.689	SLE RA 14	0	1.505	10000	350	Variabile	Si

Frecce lungo Y

Ascissa freccia	Combinazione	Freccia	Luce	L/f	L/f,min	Tipo	Verifica
0.663	SLE RA 19	-0.00016	1.505	9159.3	250	Totale	Si
0.663	SLE RA 17	-0.00008	1.505	10000	250	Totale	Si
0.663	SLE RA 16	-0.00012	1.505	10000	250	Totale	Si
0.663	SLE RA 15	-0.00014	1.505	10000	250	Totale	Si
0.663	SLE RA 14	-0.00006	1.505	10000	250	Totale	Si
0.663	SLE RA 2	0.00007	1.505	10000	350	Variabile	Si
0.663	SLE RA 17	-0.00003	1.505	10000	350	Variabile	Si
0.663	SLE RA 16	-0.00007	1.505	10000	350	Variabile	Si
0.663	SLE RA 15	-0.00009	1.505	10000	350	Variabile	Si
0.663	SLE RA 14	-0.00001	1.505	10000	350	Variabile	Si

Superelemento in acciaio a quota "690"- "675" (-145; 1659)-(-310; 1814)

Caratteristiche del materiale

Acciaio: S275, fyk = 275000

Caratteristiche geometriche

Lunghezza: 1.505

Nodo iniziale: 1701 Nodo finale: 1500

Cerniera iniziale: Momenti al 50% Cerniera finale: Mmomenti 1%

Sovraresistenza: 0% Sisma Z: No

Caratteristiche della sezione

Sezione	Rotazione	Area	Jx	Jy	ix	iy	Wx	Wy	Wplx	Wply
Al; L100*10; 1; Saldato; S275; 30; 1; 8; 8; 1	0	0.003832	0.0000035319	0.000007759	0.0304	0.045	0.0000492	0.0000739	0.00008974	0.00012727

Comportamento dei calastrelli

Accoppiamento imbottito con funzione statica (§C.4.2.4.1.3.1.4 NTC18) nella campata compresa tra le ascisse 0 e 1.505 per sbandamento attorno all'asse y.

Verifiche di resistenza

Verifiche a forza assiale §4.2.4.1.2.1 - §4.2.4.1.2.2 NTC18

X	Comb.	Sfruttamento	Classe	NEd	Nc,Rd	Nt,Rd	Riduzione da taglio	px	py	Verifica
0	SLU 76	0.104		104.516		1003.522	1	0	0	Si

Verifiche a forza assiale SLD §4.2.4.1.2.1 - §4.2.4.1.2.2 NTC18

X	Comb.	Sfruttamento	Classe	NEd	Nc,Rd	Nt,Rd	Riduzione da taglio	px	py	Verifica
0	SLD 10	0.024		23.983		1003.522	1	0	0	Si

Implementazione dei sistemi di confinamento delle emissioni odorigene diffuse dell'impianto di compostaggio esistente nel
Comune di Eboli (SA)

PROGETTO DEFINITIVO – Tabulati di calcolo Tomo 1

Verifica a taglio X §4.2.4.1.2.4 NTC18

X	Comb.	Sfruttamento	VEd	Vc,Rd	Av	Interazione taglio-torsione	Riduzione torsione	Verifica
1.505	SLV 5	0.001	0.451	302.422	0.002	Non considerata		Si

Verifica a taglio Y §4.2.4.1.2.4 NTC18

X	Comb.	Sfruttamento	VEd	Vc,Rd	Av	Interazione taglio-torsione	Riduzione torsione	Verifica
0	SLU 76	0.036	10.917	302.422	0.002	Non considerata		Si

Verifica a taglio Y SLD §4.2.4.1.2.4 NTC18

X	Comb.	Sfruttamento	VEd	Vc,Rd	Av	Interazione taglio-torsione	Riduzione torsione	Verifica
0	SLD 10	0.008	2.496	302.422	0.002	Non considerata		Si

Verifica a torsione §4.2.4.1.2.5 NTC18

X	Comb.	Sfruttamento torsione	TEd	TRd	Riduzione taglio resistente	Sfruttamento taglio-torsione	rEd,totale	rRd	Verifica
0	SLV 15	0.001	0.00561	7.2165	Non considerata*	0.018	1369	151211	Si

* La resistenza a taglio del profilo non viene ridotta per la presenza di torsione anche se questa puo' non essere trascurabile.

Verifica a flessione semplice X §§ 4.2.4.1.2.3 - 4.2.4.1.2.6 - 4.2.4.1.2.7 - 4.2.4.1.2.8 NTC18

X	Comb.	Sfruttamento	Classe	Mx,Ed	Mx,Rd	Rid. Mx,Rd da VEd	px	py	Verifica
0.771	SLU 76	0.004	1	0.10469	23.50374	1	0	0	Si

Verifica a flessione semplice X SLD §§ 4.2.4.1.2.3 - 4.2.4.1.2.6 - 4.2.4.1.2.7 - 4.2.4.1.2.8 NTC18

X	Comb.	Sfruttamento	Classe	Mx,Ed	Mx,Rd	Rid. Mx,Rd da VEd	px	py	Verifica
0.771	SLD 10	0.003	1	0.08116	23.50374	1	0	0	Si

Verifica a flessione deviata §§ 4.2.4.1.2.3 - 4.2.4.1.2.6 - 4.2.4.1.2.7 - 4.2.4.1.2.8 NTC18

X	Comb.	Sfruttamento	Classe	Mx,Ed	Mx,Rd	My,Ed	My,Rd	Rid. Mx,Rd da VEd	Rid. My,Rd da VEd	α	β	px	py	Verifica
0.771	SLV 5	0.004	1	0.0814	23.5037	-0.0145	33.3316	1	1			0	0	Si

Verifica a presso/tenso flessione retta X §§ 4.2.4.1.2.3 - 4.2.4.1.2.6 - 4.2.4.1.2.7 - 4.2.4.1.2.8 NTC18

Verifiche eseguite utilizzando la formula conservativa (6.2) §6.2.1 EN 1993-1-1:2005.

X	Comb.	Sfruttamento	Classe	NEd	NRd	Rid. NRd da VEd	Mx,Ed	Mx,Rd	Rid. Mx,Rd da VEd	Rid. Mx,Rd da NEd	px	py	Verifica
0.154	SLU 38	0.165	1	100.989	1003.522	1	1.5055	23.5037	1		0	0	Si

Verifica a presso/tenso flessione retta X SLD §§ 4.2.4.1.2.3 - 4.2.4.1.2.6 - 4.2.4.1.2.7 - 4.2.4.1.2.8 NTC18

Verifiche eseguite utilizzando la formula conservativa (6.2) §6.2.1 EN 1993-1-1:2005.

X	Comb.	Sfruttamento	Classe	NEd	NRd	Rid. NRd da VEd	Mx,Ed	Mx,Rd	Rid. Mx,Rd da VEd	Rid. Mx,Rd da NEd	px	py	Verifica
0.026	SLD 14	0.052	1	23.982	1003.522	1	0.6659	23.5037	1		0	0	Si

Verifica a presso/tenso flessione retta Y §§ 4.2.4.1.2.3 - 4.2.4.1.2.6 - 4.2.4.1.2.7 - 4.2.4.1.2.8 NTC18

Verifiche eseguite utilizzando la formula conservativa (6.2) §6.2.1 EN 1993-1-1:2005.

X	Comb.	Sfruttamento	Classe	NEd	NRd	Rid. NRd da VEd	My,Ed	My,Rd	Rid. My,Rd da VEd	Rid. My,Rd da NEd	px	py	Verifica
0.308	SLU 44	0.003	3	-2.369	1003.522	1	0.0089	19.3536	1		0	0	Si

Verifica a presso/tenso flessione deviata §§ 4.2.4.1.2.3 - 4.2.4.1.2.6 - 4.2.4.1.2.7 - 4.2.4.1.2.8 NTC18

Verifiche eseguite utilizzando la formula conservativa (6.2) §6.2.1 EN 1993-1-1:2005.

X	Comb.	Sfruttamento	Classe	NEd	NRd	Rid. NRd da VEd	Mx,Ed	Mx,Rd	My,Ed	My,Rd	Rid. Mx,Rd da VEd	Rid. Mx,Rd da NEd	Rid. My,Rd da VEd	Rid. My,Rd da NEd	α	β	px	py	Verifica
0.771	SLU 76	0.32	1	104.486	1003.522	1	-5.0647	23.5037	0.0265	33.3316	1		1				0	0	Si

Verifica a presso/tenso flessione deviata SLD §§ 4.2.4.1.2.3 - 4.2.4.1.2.6 - 4.2.4.1.2.7 - 4.2.4.1.2.8 NTC18

Verifiche eseguite utilizzando la formula conservativa (6.2) §6.2.1 EN 1993-1-1:2005.

X	Comb.	Sfruttamento	Classe	NEd	NRd	Rid. NRd da VEd	Mx,Ed	Mx,Rd	My,Ed	My,Rd	Rid. Mx,Rd da VEd	Rid. Mx,Rd da NEd	Rid. My,Rd da VEd	Rid. My,Rd da NEd	α	β	px	py	Verifica
0.771	SLD 6	0.073	1	23.914	1003.522	1	-1.1032	23.5037	0.088	33.3316	1		1				0	0	Si

Verifiche ad instabilità

Caratteristiche iniziali

Membratura principale per controllo snellezza; Calcolo di snellezze ed N critici condotti secondo gli assi principali;

Curva X: c; Curva Y: c;

Svergolamento: Nessuno; la verifica a instabilità flesso-torsionale (svergolamento) non verrà eseguita.

Dati per instabilità attorno a x

Controllo della snellezza secondo §4.2.4.1.3.1 NTC18

Numero rit.	Presente	Ascissa	Campata	$\beta x/m$	Vincolo a entrambi estremi	$\lambda x/m$	λVer
1	Si	0					
			1-2		1	49.6	Si, (<200)
2	Si	1.505					

Dati per instabilità attorno a y

Controllo della snellezza secondo §4.2.4.1.3.1 NTC18

Numero rit.	Presente	Ascissa	Campata	$\beta y/n$	k,LT	kw,LT	Vincolo a entrambi estremi
1	Si	0					
			1-2		1	34.9	Si, (<200)
2	Si	1.505					

Verifica di stabilità per pressoflessione §C.4.2.4.1.3.3.1 NTC18

X	Comb.	Sfruttamento	Classe	NEd	MxEq,Ed	MyEq,Ed	Area	Wx	Wy	χ_{min}	$\lambda_{adim. x/m}$	$\lambda_{adim. y/n}$	N,crit x/m	N,crit y/n	Verifica
1.236	SLU 76	0.162	1	0	-3.7985	0.0199	0.003832	0.0000897	0.0001273	0.802	0.571	0.402	3230.882	6528.04	Si

Implementazione dei sistemi di confinamento delle emissioni odorigene diffuse dell'impianto di compostaggio esistente nel
Comune di Eboli (SA)
PROGETTO DEFINITIVO – Tabulati di calcolo Tomo 1

Verifica di stabilità per pressoflessione SLD §C.4.2.4.1.3.3.1 NTC18

X	Comb.	Sfruttamento	Classe	NEd	MxEq,Ed	MyEq,Ed	Area	Wx	Wy	x,min	λ adim. x/m	λ adim. y/n	N,crit x/m	N,crit y/n	Verifica
1.481	SLD 6	0.037	1	0	-0.8274	0.066	0.003832	0.0000897	0.0001273	0.802	0.571	0.402	3230.882	6528.04	Si

Verifiche a deformabilità

Mensola X: No; Mensola Y: No.

Frecce lungo X

Ascissa freccia	Combinazione	Freccia	Luce	L/f	L/f,min	Tipo	Verifica
0.668	SLE RA 1	0	1.505	10000	250	Totale	Si
0.668	SLE RA 17	0	1.505	10000	250	Totale	Si
0.668	SLE RA 16	0	1.505	10000	250	Totale	Si
0.668	SLE RA 15	0	1.505	10000	250	Totale	Si
0.668	SLE RA 14	0	1.505	10000	250	Totale	Si
0.668	SLE RA 2	0	1.505	10000	350	Variabile	Si
0.668	SLE RA 17	0	1.505	10000	350	Variabile	Si
0.668	SLE RA 16	0	1.505	10000	350	Variabile	Si
0.694	SLE RA 15	0	1.505	10000	350	Variabile	Si
0.668	SLE RA 14	0	1.505	10000	350	Variabile	Si

Frecce lungo Y

Ascissa freccia	Combinazione	Freccia	Luce	L/f	L/f,min	Tipo	Verifica
0.668	SLE RA 19	-0.00034	1.505	4474.1	250	Totale	Si
0.668	SLE RA 7	-0.00029	1.505	5142.3	250	Totale	Si
0.668	SLE RA 15	-0.00029	1.505	5250.6	250	Totale	Si
0.668	SLE RA 11	-0.00029	1.505	5250.6	250	Totale	Si
0.668	SLE RA 16	-0.00025	1.505	5955.5	250	Totale	Si
0.668	SLE RA 19	-0.00023	1.505	6461.5	350	Variabile	Si
0.668	SLE RA 7	-0.00019	1.505	7954.4	350	Variabile	Si
0.668	SLE RA 15	-0.00018	1.505	8216.4	350	Variabile	Si
0.668	SLE RA 11	-0.00018	1.505	8216.4	350	Variabile	Si
0.668	SLE RA 17	-0.00007	1.505	10000	350	Variabile	Si

Superelemento in acciaio a quota "690"- "675" (-404; 1386)-(-569; 1540)

Caratteristiche del materiale

Acciaio: S275, fyk = 275000

Caratteristiche geometriche

Lunghezza: 1.505

Nodo iniziale: 1696 Nodo finale: 1499

Cerniera iniziale: Momenti al 50% Cerniera finale: Mmomenti 1%

Sovreresistenza: 0% Sisma Z: No

Caratteristiche della sezione

Sezione	Rotazione	Area	Jx	Jy	ix	iy	Wx	Wy	Wplx	Wply
Al; L100*10; 1; Saldato; S275; 30; 1; 8; 8; 1	0	0.003832	0.0000035319	0.000007759	0.0304	0.045	0.0000492	0.0000739	0.00008974	0.00012727

Comportamento dei calastrelli

Accoppiamento imbottito con funzione statica (§C4.2.4.1.3.1.4 NTC18) nella campata compresa tra le ascisse 0 e 1.505 per sbandamento attorno all'asse y.

Verifiche di resistenza

Verifiche a forza assiale §4.2.4.1.2.1 - §4.2.4.1.2.2 NTC18

X	Comb.	Sfruttamento	Classe	NEd	Nc,Rd	Nt,Rd	Riduzione da taglio	px	py	Verifica
0	SLU 76	0.1		100.478		1003.522	1	0	0	Si

Verifiche a forza assiale SLD §4.2.4.1.2.1 - §4.2.4.1.2.2 NTC18

X	Comb.	Sfruttamento	Classe	NEd	Nc,Rd	Nt,Rd	Riduzione da taglio	px	py	Verifica
0	SLD 14	0.023		22.985		1003.522	1	0	0	Si

Verifica a taglio X §4.2.4.1.2.4 NTC18

X	Comb.	Sfruttamento	VEd	Vc,Rd	Av	Interazione taglio-torsione	Riduzione torsione	Verifica
1.505	SLV 16	0.001	-0.418	302.422	0.002	Non considerata		Si

Verifica a taglio Y §4.2.4.1.2.4 NTC18

X	Comb.	Sfruttamento	VEd	Vc,Rd	Av	Interazione taglio-torsione	Riduzione torsione	Verifica
0	SLU 76	0.036	10.774	302.422	0.002	Non considerata		Si

Verifica a taglio Y SLD §4.2.4.1.2.4 NTC18

X	Comb.	Sfruttamento	VEd	Vc,Rd	Av	Interazione taglio-torsione	Riduzione torsione	Verifica
0	SLD 13	0.008	2.466	302.422	0.002	Non considerata		Si

Verifica a torsione §4.2.4.1.2.5 NTC18

X	Comb.	Sfruttamento torsione	TEd	TRd	Riduzione taglio resistente	Sfruttamento taglio-torsione	τEd,totale	τRd	Verifica
0	SLV 15	0.001	0.00537	7.2165	Non considerata*	0.018	1349	151211	Si

* La resistenza a taglio del profilo non viene ridotta per la presenza di torsione anche se questa puo' non essere trascurabile.

Verifica a flessione semplice X §§ 4.2.4.1.2.3 - 4.2.4.1.2.6 - 4.2.4.1.2.7 - 4.2.4.1.2.8 NTC18

X	Comb.	Sfruttamento	Classe	Mx,Ed	Mx,Rd	Rid. Mx,Rd da VEd	px	py	Verifica
---	-------	--------------	--------	-------	-------	-------------------	----	----	----------

Implementazione dei sistemi di confinamento delle emissioni odorigene diffuse dell'impianto di compostaggio esistente nel
Comune di Eboli (SA)
PROGETTO DEFINITIVO – Tabulati di calcolo Tomo 1

X	Comb.	Sfruttamento	Classe	Mx,Ed	Mx,Rd	Rid. Mx,Rd da VEd	px	py	Verifica
0.766	SLU 76	0.005	1	0.1067	23.50374	1	0	0	Si

Verifica a flessione semplice X SLD §§ 4.2.4.1.2.3 - 4.2.4.1.2.6 - 4.2.4.1.2.7 - 4.2.4.1.2.8 NTC18

X	Comb.	Sfruttamento	Classe	Mx,Ed	Mx,Rd	Rid. Mx,Rd da VEd	px	py	Verifica
0.766	SLD 14	0.003	1	0.08218	23.50374	1	0	0	Si

Verifica a flessione deviata §§ 4.2.4.1.2.3 - 4.2.4.1.2.6 - 4.2.4.1.2.7 - 4.2.4.1.2.8 NTC18

X	Comb.	Sfruttamento	Classe	Mx,Ed	Mx,Rd	My,Ed	My,Rd	Rid. Mx,Rd da VEd	Rid. My,Rd da VEd	α	β	px	py	Verifica
0.766	SLV 16	0.004	1	0.0824	23.5037	0.0146	33.3316	1	1			0	0	Si

Verifica a presso/tenso flessione retta X §§ 4.2.4.1.2.3 - 4.2.4.1.2.6 - 4.2.4.1.2.7 - 4.2.4.1.2.8 NTC18

Verifiche eseguite utilizzando la formula conservativa (6.2) §6.2.1 EN 1993-1-1:2005.

X	Comb.	Sfruttamento	Classe	NEd	NRd	Rid. NRd da VEd	Mx,Ed	Mx,Rd	Rid. Mx,Rd da VEd	Rid. Mx,Rd da NEd	px	py	Verifica
0.766	SLU 76	0.312	1	100.449	1003.522	1	-4.9909	23.5037	1		0	0	Si

Verifica a presso/tenso flessione retta X SLD §§ 4.2.4.1.2.3 - 4.2.4.1.2.6 - 4.2.4.1.2.7 - 4.2.4.1.2.8 NTC18

Verifiche eseguite utilizzando la formula conservativa (6.2) §6.2.1 EN 1993-1-1:2005.

X	Comb.	Sfruttamento	Classe	NEd	NRd	Rid. NRd da VEd	Mx,Ed	Mx,Rd	Rid. Mx,Rd da VEd	Rid. Mx,Rd da NEd	px	py	Verifica
0.077	SLD 5	0.045	1	22.968	1003.522	1	0.5243	23.5037	1		0	0	Si

Verifica a presso/tenso flessione retta Y §§ 4.2.4.1.2.3 - 4.2.4.1.2.6 - 4.2.4.1.2.7 - 4.2.4.1.2.8 NTC18

Verifiche eseguite utilizzando la formula conservativa (6.2) §6.2.1 EN 1993-1-1:2005.

X	Comb.	Sfruttamento	Classe	NEd	NRd	Rid. NRd da VEd	My,Ed	My,Rd	Rid. My,Rd da VEd	Rid. My,Rd da NEd	px	py	Verifica
0.281	SLU 22	0.014	3	-12.29	1003.522	1	0.0373	19.3536	1		0	0	Si

Verifica a presso/tenso flessione deviata §§ 4.2.4.1.2.3 - 4.2.4.1.2.6 - 4.2.4.1.2.7 - 4.2.4.1.2.8 NTC18

Verifiche eseguite utilizzando la formula conservativa (6.2) §6.2.1 EN 1993-1-1:2005.

X	Comb.	Sfruttamento	Classe	NEd	NRd	Rid. NRd da VEd	Mx,Ed	Mx,Rd	My,Ed	My,Rd	Rid. Mx,Rd da VEd	Rid. Mx,Rd da NEd	Rid. My,Rd da VEd	Rid. My,Rd da NEd	α	β	px	py	Verifica
0.766	SLV 16	0.075	1	22.975	1003.522	1	-1.091	23.5037	-0.1907	33.3316	1		1				0	0	Si

Verifica a presso/tenso flessione deviata SLD §§ 4.2.4.1.2.3 - 4.2.4.1.2.6 - 4.2.4.1.2.7 - 4.2.4.1.2.8 NTC18

Verifiche eseguite utilizzando la formula conservativa (6.2) §6.2.1 EN 1993-1-1:2005.

X	Comb.	Sfruttamento	Classe	NEd	NRd	Rid. NRd da VEd	Mx,Ed	Mx,Rd	My,Ed	My,Rd	Rid. Mx,Rd da VEd	Rid. Mx,Rd da NEd	Rid. My,Rd da VEd	Rid. My,Rd da NEd	α	β	px	py	Verifica
0.766	SLD 5	0.071	1	22.948	1003.522	1	-1.0847	23.5037	0.077	33.3316	1		1				0	0	Si

Verifiche ad instabilità

Caratteristiche iniziali

Membratura principale per controllo snellezza; Calcolo di snellezze ed N critici condotti secondo gli assi principali;

Curva X: c; Curva Y: c;

Svergolamento: Nessuno; la verifica a instabilità flessio-torsionale (svergolamento) non verrà eseguita.

Dati per instabilità attorno a x

Controllo della snellezza secondo §4.2.4.1.3.1 NTC18

Numero rit.	Presente	Ascissa	Campata	$\beta x/m$	Vincolo a entrambi estremi	$\lambda x/m$	λVer
1	Si	0					
			1-2	1	Si	49.6	Si, (<200)
2	Si	1.505					

Dati per instabilità attorno a y

Controllo della snellezza secondo §4.2.4.1.3.1 NTC18

Numero rit.	Presente	Ascissa	Campata	$\beta y/n$	k,LT	kw,LT	Vincolo a entrambi estremi
1	Si	0					
			1-2	1	Si	34.9	Si, (<200)
2	Si	1.505					

Verifica di stabilità per pressoflessione §C.4.2.4.1.3.3.1 NTC18

X	Comb.	Sfruttamento	Classe	NEd	MxEq,Ed	MyEq,Ed	Area	Wx	Wy	x_{min}	$\lambda_{adim. x/m}$	$\lambda_{adim. y/n}$	N,crit x/m	N,crit y/n	Verifica
0.51	SLU 3	0.093	3	-20.45	0.8385	-0.0465	0.003832	0.0000492	0.0000739	0.802	0.571	0.402	3230.882	6528.04	Si

Verifica di stabilità per pressoflessione SLD §C.4.2.4.1.3.3.1 NTC18

X	Comb.	Sfruttamento	Classe	NEd	MxEq,Ed	MyEq,Ed	Area	Wx	Wy	x_{min}	$\lambda_{adim. x/m}$	$\lambda_{adim. y/n}$	N,crit x/m	N,crit y/n	Verifica
0.766	SLD 5	0.036	1	0	-0.8136	0.0577	0.003832	0.0000897	0.0001273	0.802	0.571	0.402	3230.882	6528.04	Si

Verifiche a deformabilità

Mensola X: No; Mensola Y: No.

Frecce lungo X

Ascissa freccia	Combinazione	Freccia	Luce	L/f	L/f,min	Tipo	Verifica
0.612	SLE RA 1	0	1.505	10000	250	Totale	Si
0.612	SLE RA 17	0	1.505	10000	250	Totale	Si
0.612	SLE RA 16	0	1.505	10000	250	Totale	Si
0.612	SLE RA 15	0	1.505	10000	250	Totale	Si
0.612	SLE RA 14	0	1.505	10000	250	Totale	Si
0.612	SLE RA 2	0	1.505	10000	350	Variabile	Si
0.612	SLE RA 17	0	1.505	10000	350	Variabile	Si
0.612	SLE RA 16	0	1.505	10000	350	Variabile	Si
0.612	SLE RA 15	0	1.505	10000	350	Variabile	Si
0.587	SLE RA 14	0	1.505	10000	350	Variabile	Si

Frecce lungo Y

Ascissa freccia	Combinazione	Freccia	Luce	L/f	L/f,min	Tipo	Verifica
0.663	SLE RA 19	-0.00033	1.505	4549.3	250	Totale	Si

**Implementazione dei sistemi di confinamento delle emissioni odorigene diffuse dell'impianto di compostaggio esistente nel
Comune di Eboli (SA)
PROGETTO DEFINITIVO – Tabulati di calcolo Tomo 1**

Ascissa freccia	Combinazione	Freccia	Luce	L/f	L/f,min	Tipo	Verifica
0.663	SLE RA 7	-0.00029	1.505	5216.1	250	Totale	Si
0.663	SLE RA 15	-0.00028	1.505	5337.6	250	Totale	Si
0.663	SLE RA 11	-0.00028	1.505	5337.6	250	Totale	Si
0.663	SLE RA 16	-0.00025	1.505	6076.4	250	Totale	Si
0.663	SLE RA 19	-0.00023	1.505	6551.7	350	Variabile	Si
0.663	SLE RA 7	-0.00019	1.505	8030	350	Variabile	Si
0.663	SLE RA 15	-0.00018	1.505	8321.6	350	Variabile	Si
0.663	SLE RA 11	-0.00018	1.505	8321.6	350	Variabile	Si
0.663	SLE RA 17	-0.00006	1.505	10000	350	Variabile	Si

Superelemento in acciaio a quota "690"- "675" (-654; 1122)-(-818; 1276)

Caratteristiche del materiale

Acciaio: S275, fyk = 275000

Caratteristiche geometriche

Lunghezza: 1.505

Nodo iniziale: 1684 Nodo finale: 1497

Cerniera iniziale: Momenti al 50% Cerniera finale: Mmomenti 1%

Sovreresistenza: 0% Sisma Z: No

Caratteristiche della sezione

Sezione	Rotazione	Area	Jx	Jy	ix	iy	Wx	Wy	Wplx	Wply
Al; L100*10; 1; Saldato; S275; 30; 1; 8; 8; 1	0	0.003832	0.0000035319	0.000007759	0.0304	0.045	0.0000492	0.0000739	0.00008974	0.00012727

Comportamento dei calastrelli

Accoppiamento imbottito con funzione statica (§C4.2.4.1.3.1.4 NTC18) nella campata compresa tra le ascisse 0 e 1.505 per sbandamento attorno all'asse y.

Verifiche di resistenza

Verifiche a forza assiale §4.2.4.1.2.1 - §4.2.4.1.2.2 NTC18

X	Comb.	Sfruttamento	Classe	NEd	Nc,Rd	Nt,Rd	Riduzione da taglio	px	py	Verifica
0	SLU 76	0.099		98.947		1003.522	1	0	0	Si

Verifiche a forza assiale SLD §4.2.4.1.2.1 - §4.2.4.1.2.2 NTC18

X	Comb.	Sfruttamento	Classe	NEd	Nc,Rd	Nt,Rd	Riduzione da taglio	px	py	Verifica
0	SLD 10	0.023		22.789		1003.522	1	0	0	Si

Verifica a taglio X §4.2.4.1.2.4 NTC18

X	Comb.	Sfruttamento	VEd	Vc,Rd	Av	Interazione taglio-torsione	Riduzione torsione	Verifica
1.505	SLV 16	0.001	-0.445	302.422	0.002	Non considerata		Si

Verifica a taglio Y §4.2.4.1.2.4 NTC18

X	Comb.	Sfruttamento	VEd	Vc,Rd	Av	Interazione taglio-torsione	Riduzione torsione	Verifica
0	SLU 76	0.035	10.686	302.422	0.002	Non considerata		Si

Verifica a taglio Y SLD §4.2.4.1.2.4 NTC18

X	Comb.	Sfruttamento	VEd	Vc,Rd	Av	Interazione taglio-torsione	Riduzione torsione	Verifica
0	SLD 10	0.008	2.453	302.422	0.002	Non considerata		Si

Verifica a torsione §4.2.4.1.2.5 NTC18

X	Comb.	Sfruttamento torsione	TEd	TRd	Riduzione taglio resistente	Sfruttamento taglio-torsione	τEd,totale	τRd	Verifica
0	SLV 5	0.001	-0.00523	7.2165	Non considerata*	0.018	1340	151211	Si

* La resistenza a taglio del profilo non viene ridotta per la presenza di torsione anche se questa puo' non essere trascurabile.

Verifica a flessione semplice X §§ 4.2.4.1.2.3 - 4.2.4.1.2.6 - 4.2.4.1.2.7 - 4.2.4.1.2.8 NTC18

X	Comb.	Sfruttamento	Classe	Mx,Ed	Mx,Rd	Rid. Mx,Rd da VEd	px	py	Verifica
0.76	SLU 76	0.005	1	0.10819	23.50374	1	0	0	Si

Verifica a flessione semplice X SLD §§ 4.2.4.1.2.3 - 4.2.4.1.2.6 - 4.2.4.1.2.7 - 4.2.4.1.2.8 NTC18

X	Comb.	Sfruttamento	Classe	Mx,Ed	Mx,Rd	Rid. Mx,Rd da VEd	px	py	Verifica
0.76	SLD 10	0.004	1	0.08364	23.50374	1	0	0	Si

Verifica a flessione deviata §§ 4.2.4.1.2.3 - 4.2.4.1.2.6 - 4.2.4.1.2.7 - 4.2.4.1.2.8 NTC18

X	Comb.	Sfruttamento	Classe	Mx,Ed	Mx,Rd	My,Ed	My,Rd	Rid. Mx,Rd da VEd	Rid. My,Rd da VEd	α	β	px	py	Verifica
0.76	SLV 16	0.004	1	0.0839	23.5037	0.0151	33.3316	1	1			0	0	Si

Verifica a presso/tenso flessione retta X §§ 4.2.4.1.2.3 - 4.2.4.1.2.6 - 4.2.4.1.2.7 - 4.2.4.1.2.8 NTC18

Verifiche eseguite utilizzando la formula conservativa (6.2) §6.2.1 EN 1993-1-1:2005.

X	Comb.	Sfruttamento	Classe	NEd	NRd	Rid. NRd da VEd	Mx,Ed	Mx,Rd	Rid. Mx,Rd da VEd	Rid. Mx,Rd da NEd	px	py	Verifica
0.608	SLU 26	0.203	1	82.963	1003.522	1	-2.8291	23.5037	1		0	0	Si

Verifica a presso/tenso flessione retta X SLD §§ 4.2.4.1.2.3 - 4.2.4.1.2.6 - 4.2.4.1.2.7 - 4.2.4.1.2.8 NTC18

Verifiche eseguite utilizzando la formula conservativa (6.2) §6.2.1 EN 1993-1-1:2005.

X	Comb.	Sfruttamento	Classe	NEd	NRd	Rid. NRd da VEd	Mx,Ed	Mx,Rd	Rid. Mx,Rd da VEd	Rid. Mx,Rd da NEd	px	py	Verifica
0.025	SLD 9	0.05	1	22.788	1003.522	1	0.6311	23.5037	1		0	0	Si

Implementazione dei sistemi di confinamento delle emissioni odorigene diffuse dell'impianto di compostaggio esistente nel
Comune di Eboli (SA)

PROGETTO DEFINITIVO – Tabulati di calcolo Tomo 1

Verifica a presso/tenso flessione retta Y §§ 4.2.4.1.2.3 - 4.2.4.1.2.6 - 4.2.4.1.2.7 - 4.2.4.1.2.8 NTC18

Verifiche eseguite utilizzando la formula conservativa (6.2) §6.2.1 EN 1993-1-1:2005.

X	Comb.	Sfruttamento	Classe	NEd	NRd	Rid. NRd da VEd	My,Ed	My,Rd	Rid. My,Rd da VEd	Rid. My,Rd da NEd	px	py	Verifica
0.279	SLU 6	0.006	3	-5.438	1003.522	1	-0.017	19.3536	1		0	0	Si

Verifica a presso/tenso flessione deviata §§ 4.2.4.1.2.3 - 4.2.4.1.2.6 - 4.2.4.1.2.7 - 4.2.4.1.2.8 NTC18

Verifiche eseguite utilizzando la formula conservativa (6.2) §6.2.1 EN 1993-1-1:2005.

X	Comb.	Sfruttamento	Classe	NEd	NRd	Rid. NRd da VEd	Mx,Ed	My,Ed	My,Rd	Rid. Mx,Rd da VEd	Rid. Mx,Rd da NEd	Rid. My,Rd da VEd	Rid. My,Rd da NEd	α	β	px	py	Verifica
0.76	SLU 76	0.31	1	98.918	1003.522	1	-4.9501	23.5037	-0.0174	33.3316	1	1				0	0	Si

Verifica a presso/tenso flessione deviata SLD §§ 4.2.4.1.2.3 - 4.2.4.1.2.6 - 4.2.4.1.2.7 - 4.2.4.1.2.8 NTC18

Verifiche eseguite utilizzando la formula conservativa (6.2) §6.2.1 EN 1993-1-1:2005.

X	Comb.	Sfruttamento	Classe	NEd	NRd	Rid. NRd da VEd	Mx,Ed	Mx,Rd	My,Ed	My,Rd	Rid. Mx,Rd da VEd	Rid. Mx,Rd da NEd	Rid. My,Rd da VEd	Rid. My,Rd da NEd	α	β	px	py	Verifica
0.76	SLD 16	0.071	1	22.735	1003.522	1	-1.0807	23.5037	-0.0851	33.3316	1		1				0	0	Si

Verifiche ad instabilità

Caratteristiche iniziali

Membratura principale per controllo snellezza; Calcolo di snellezze ed N critici condotti secondo gli assi principali;

Curva X: c; Curva Y: c;

Svergolamento: Nessuno; la verifica a instabilità flesso-torsionale (svergolamento) non verrà eseguita.

Dati per instabilità attorno a x

Controllo della snellezza secondo §4.2.4.1.3.1 NTC18

Numero rit.	Presente	Ascissa	Campata	βx/m	Vincolo a entrambi estremi	λx/m	λVer
1	Si	0					
			1-2	1	Si	49.6	Si, (<200)
2	Si	1.505					

Dati per instabilità attorno a y

Controllo della snellezza secondo §4.2.4.1.3.1 NTC18

Numero rit.	Presente	Ascissa	Campata	βy/n	k,LT	kw,LT	Vincolo a entrambi estremi
1	Si	0					
			1-2	1	Si	34.9	Si, (<200)
2	Si	1.505					

Verifica di stabilità per pressoflessione §C.4.2.4.1.3.3.1 NTC18

X	Comb.	Sfruttamento	Classe	NEd	MxEq,Ed	MyEq,Ed	Area	Wx	Wy	χ,min	λ adim. x/m	λ adim. y/n	N,crit x/m	N,crit y/n	Verifica
1.257	SLU 76	0.158	1	0	-3.7126	-0.013	0.003832	0.0000897	0.0001273	0.802	0.571	0.402	3230.882	6528.04	Si

Verifica di stabilità per pressoflessione SLD §C.4.2.4.1.3.3.1 NTC18

X	Comb.	Sfruttamento	Classe	NEd	MxEq,Ed	MyEq,Ed	Area	Wx	Wy	χ,min	λ adim. x/m	λ adim. y/n	N,crit x/m	N,crit y/n	Verifica
1.505	SLD 16	0.036	1	0	-0.8105	-0.0638	0.003832	0.0000897	0.0001273	0.802	0.571	0.402	3230.882	6528.04	Si

Verifiche a deformabilità

Mensola X: No; Mensola Y: No.

Frecce lungo X

Ascissa freccia	Combinazione	Freccia	Luce	L/f	L/f,min	Tipo	Verifica
0.684	SLE RA 1	0	1.505	10000	250	Totale	Si
0.684	SLE RA 17	0	1.505	10000	250	Totale	Si
0.684	SLE RA 16	0	1.505	10000	250	Totale	Si
0.684	SLE RA 15	0	1.505	10000	250	Totale	Si
0.684	SLE RA 14	0	1.505	10000	250	Totale	Si
0.684	SLE RA 2	0	1.505	10000	350	Variabile	Si
0.684	SLE RA 17	0	1.505	10000	350	Variabile	Si
0.684	SLE RA 16	0	1.505	10000	350	Variabile	Si
0.709	SLE RA 15	0	1.505	10000	350	Variabile	Si
0.658	SLE RA 14	0	1.505	10000	350	Variabile	Si

Frecce lungo Y

Ascissa freccia	Combinazione	Freccia	Luce	L/f	L/f,min	Tipo	Verifica
0.658	SLE RA 19	-0.00033	1.505	4585.6	250	Totale	Si
0.658	SLE RA 7	-0.00029	1.505	5267.7	250	Totale	Si
0.658	SLE RA 15	-0.00028	1.505	5381.4	250	Totale	Si
0.658	SLE RA 11	-0.00028	1.505	5381.4	250	Totale	Si
0.658	SLE RA 16	-0.00025	1.505	6109.2	250	Totale	Si
0.658	SLE RA 19	-0.00023	1.505	6616.8	350	Variabile	Si
0.658	SLE RA 7	-0.00018	1.505	8137.2	350	Variabile	Si
0.658	SLE RA 15	-0.00018	1.505	8411.7	350	Variabile	Si
0.658	SLE RA 11	-0.00018	1.505	8411.7	350	Variabile	Si
0.658	SLE RA 17	-0.00006	1.505	10000	350	Variabile	Si

Superelemento in acciaio a quota "690"- "675" (-908; 853)-(-1072; 1007)

Caratteristiche del materiale

Acciaio: S275, fyk = 275000

Caratteristiche geometriche

Lunghezza: 1.505

Nodo iniziale: 1674 Nodo finale: 1495

Cerniera iniziale: Momenti al 50% Cerniera finale: Mmomenti 1%

**Implementazione dei sistemi di confinamento delle emissioni odorigene diffuse dell'impianto di compostaggio esistente nel
Comune di Eboli (SA)
PROGETTO DEFINITIVO – Tabulati di calcolo Tomo 1**

Sovreresistenza: 0% Sisma Z: No

Caratteristiche della sezione

Sezione	Rotazione	Area	Jx	Jy	ix	iy	Wx	Wy	Wplx	Wply
A1; L100*10; 1; Saldato; S275; 30; 1; 8; 8; 1	0	0.003832	0.0000035319	0.000007759	0.0304	0.045	0.0000492	0.0000739	0.00008974	0.00012727

Comportamento dei calastrelli

Accoppiamento imbottito con funzione statica (§C4.2.4.1.3.1.4 NTC18) nella campata compresa tra le ascisse 0 e 1.505 per sbandamento attorno all'asse y.

Verifiche di resistenza

Verifiche a forza assiale §4.2.4.1.2.1 - §4.2.4.1.2.2 NTC18

X	Comb.	Sfruttamento	Classe	NEd	Nc,Rd	Nt,Rd	Riduzione da taglio	px	py	Verifica
0	SLU 76	0.099		99.2		1003.522	1	0	0	Si

Verifiche a forza assiale SLD §4.2.4.1.2.1 - §4.2.4.1.2.2 NTC18

X	Comb.	Sfruttamento	Classe	NEd	Nc,Rd	Nt,Rd	Riduzione da taglio	px	py	Verifica
0	SLD 13	0.023		22.832		1003.522	1	0	0	Si

Verifica a taglio X §4.2.4.1.2.4 NTC18

X	Comb.	Sfruttamento	VEd	Vc,Rd	Av	Interazione taglio-torsione	Riduzione torsione	Verifica
1.505	SLV 16	0.001	-0.453	302.422	0.002	Non considerata		Si

Verifica a taglio Y §4.2.4.1.2.4 NTC18

X	Comb.	Sfruttamento	VEd	Vc,Rd	Av	Interazione taglio-torsione	Riduzione torsione	Verifica
0	SLU 76	0.036	10.8	302.422	0.002	Non considerata		Si

Verifica a taglio Y SLD §4.2.4.1.2.4 NTC18

X	Comb.	Sfruttamento	VEd	Vc,Rd	Av	Interazione taglio-torsione	Riduzione torsione	Verifica
0	SLD 13	0.008	2.471	302.422	0.002	Non considerata		Si

Verifica a flessione semplice X §§ 4.2.4.1.2.3 - 4.2.4.1.2.6 - 4.2.4.1.2.7 - 4.2.4.1.2.8 NTC18

X	Comb.	Sfruttamento	Classe	Mx,Ed	Mx,Rd	Rid. Mx,Rd da VEd	px	py	Verifica
0.753	SLU 64	0.005	1	0.10963	23.50374	1	0	0	Si

Verifica a flessione semplice X SLD §§ 4.2.4.1.2.3 - 4.2.4.1.2.6 - 4.2.4.1.2.7 - 4.2.4.1.2.8 NTC18

X	Comb.	Sfruttamento	Classe	Mx,Ed	Mx,Rd	Rid. Mx,Rd da VEd	px	py	Verifica
0.753	SLD 14	0.004	1	0.08472	23.50374	1	0	0	Si

Verifica a flessione deviata §§ 4.2.4.1.2.3 - 4.2.4.1.2.6 - 4.2.4.1.2.7 - 4.2.4.1.2.8 NTC18

X	Comb.	Sfruttamento	Classe	Mx,Ed	Mx,Rd	My,Ed	My,Rd	Rid. Mx,Rd da VEd	Rid. My,Rd da VEd	α	β	px	py	Verifica
0.753	SLV 15	0.004	1	0.085	23.5037	0.0155	33.3316	1	1			0	0	Si

Verifica a presso/tenso flessione retta X §§ 4.2.4.1.2.3 - 4.2.4.1.2.6 - 4.2.4.1.2.7 - 4.2.4.1.2.8 NTC18

Verifiche eseguite utilizzando la formula conservativa (6.2) §6.2.1 EN 1993-1-1:2005.

X	Comb.	Sfruttamento	Classe	NEd	NRd	Rid. NRd da VEd	Mx,Ed	Mx,Rd	Rid. Mx,Rd da VEd	Rid. Mx,Rd da NEd	px	py	Verifica
0.753	SLU 76	0.312	1	99.171	1003.522	1	-5.0117	23.5037	1		0	0	Si

Verifica a presso/tenso flessione retta X SLD §§ 4.2.4.1.2.3 - 4.2.4.1.2.6 - 4.2.4.1.2.7 - 4.2.4.1.2.8 NTC18

Verifiche eseguite utilizzando la formula conservativa (6.2) §6.2.1 EN 1993-1-1:2005.

X	Comb.	Sfruttamento	Classe	NEd	NRd	Rid. NRd da VEd	Mx,Ed	Mx,Rd	Rid. Mx,Rd da VEd	Rid. Mx,Rd da NEd	px	py	Verifica
0.1	SLD 9	0.041	1	22.829	1003.522	1	0.4327	23.5037	1		0	0	Si

Verifica a presso/tenso flessione retta Y §§ 4.2.4.1.2.3 - 4.2.4.1.2.6 - 4.2.4.1.2.7 - 4.2.4.1.2.8 NTC18

Verifiche eseguite utilizzando la formula conservativa (6.2) §6.2.1 EN 1993-1-1:2005.

X	Comb.	Sfruttamento	Classe	NEd	NRd	Rid. NRd da VEd	My,Ed	My,Rd	Rid. My,Rd da VEd	Rid. My,Rd da NEd	px	py	Verifica
0.276	SLU 5	0.006	3	-5.378	1003.522	1	-0.0164	19.3536	1		0	0	Si

Verifica a presso/tenso flessione deviata §§ 4.2.4.1.2.3 - 4.2.4.1.2.6 - 4.2.4.1.2.7 - 4.2.4.1.2.8 NTC18

Verifiche eseguite utilizzando la formula conservativa (6.2) §6.2.1 EN 1993-1-1:2005.

X	Comb.	Sfruttamento	Classe	NEd	NRd	Rid. NRd da VEd	Mx,Ed	Mx,Rd	My,Ed	My,Rd	Rid. Mx,Rd da VEd	Rid. Mx,Rd da NEd	Rid. My,Rd da VEd	Rid. My,Rd da NEd	α	β	px	py	Verifica
0.753	SLV 16	0.076	1	22.819	1003.522	1	-1.1016	23.5037	-0.2069	33.3316	1		1				0	0	Si

Verifica a presso/tenso flessione deviata SLD §§ 4.2.4.1.2.3 - 4.2.4.1.2.6 - 4.2.4.1.2.7 - 4.2.4.1.2.8 NTC18

Verifiche eseguite utilizzando la formula conservativa (6.2) §6.2.1 EN 1993-1-1:2005.

X	Comb.	Sfruttamento	Classe	NEd	NRd	Rid. NRd da VEd	Mx,Ed	Mx,Rd	My,Ed	My,Rd	Rid. Mx,Rd da VEd	Rid. Mx,Rd da NEd	Rid. My,Rd da VEd	Rid. My,Rd da NEd	α	β	px	py	Verifica
0.753	SLD 16	0.072	1	22.802	1003.522	1	-1.0946	23.5037	-0.0829	33.3316	1		1				0	0	Si

Verifiche ad instabilità

Caratteristiche iniziali

Membratura principale per controllo snellezza; Calcolo di snellezze ed N critici condotti secondo gli assi principali;

Curva X: c; Curva Y: c;

Svergolamento: Nessuno; la verifica a instabilità flesso-torsionale (svergolamento) non verrà eseguita.

Dati per instabilità attorno a x

Controllo della snellezza secondo §4.2.4.1.3.1 NTC18

Numero rit.	Presente	Ascissa	Campata	βx/m	Vincolo a entrambi estremi	λx/m	λVer
-------------	----------	---------	---------	------	----------------------------	------	------

Implementazione dei sistemi di confinamento delle emissioni odorigene diffuse dell'impianto di compostaggio esistente nel
Comune di Eboli (SA)
PROGETTO DEFINITIVO – Tabulati di calcolo Tomo 1

Numero rit.	Presente	Ascissa	Campata	$\beta x/m$	Vincolo a entrambi estremi	$\lambda x/m$	λVer
1	Si	0	1-2	1	Si	49.6	Si, (<200)
2	Si	1.505					

Dati per instabilità attorno a y

Controllo della snellezza secondo §4.2.4.1.3.1 NTC18

Numero rit.	Presente	Ascissa	Campata	$\beta y/n$	k,LT	kw,LT	Vincolo a entrambi estremi
1	Si	0	1-2	1	Si	34.9	Si, (<200)
2	Si	1.505					

Verifica di stabilità per pressoflessione §C.4.2.4.1.3.3.1 NTC18

X	Comb.	Sfruttamento	Classe	NEd	MxEq,Ed	MyEq,Ed	Area	Wx	Wy	χ_{min}	λ adim. x/m	λ adim. y/n	N,crit x/m	N,crit y/n	Verifica
0.502	SLU 2	0.092	3	-19.764	0.8306	-0.0451	0.003832	0.0000492	0.0000739	0.802	0.571	0.402	3230.882	6528.04	Si

Verifica di stabilità per pressoflessione SLD §C.4.2.4.1.3.3.1 NTC18

X	Comb.	Sfruttamento	Classe	NEd	MxEq,Ed	MyEq,Ed	Area	Wx	Wy	χ_{min}	λ adim. x/m	λ adim. y/n	N,crit x/m	N,crit y/n	Verifica
1.505	SLD 16	0.037	1	0	-0.821	-0.0622	0.003832	0.0000897	0.0001273	0.802	0.571	0.402	3230.882	6528.04	Si

Verifiche a deformabilità

Mensola X: No; Mensola Y: No.

Frecce lungo X

Ascissa freccia	Combinazione	Freccia	Luce	L/f	L/f,min	Tipo	Verifica
0.703	SLE RA 1	0	1.505	10000	250	Totale	Si
0.201	SLE RA 17	0	1.505	10000	250	Totale	Si
0.251	SLE RA 16	0	1.505	10000	250	Totale	Si
0.728	SLE RA 15	0	1.505	10000	250	Totale	Si
0.477	SLE RA 14	0	1.505	10000	250	Totale	Si
0.352	SLE RA 2	0	1.505	10000	350	Variabile	Si
0.352	SLE RA 17	0	1.505	10000	350	Variabile	Si
0.352	SLE RA 16	0	1.505	10000	350	Variabile	Si
0.728	SLE RA 15	0	1.505	10000	350	Variabile	Si
0.628	SLE RA 14	0	1.505	10000	350	Variabile	Si

Frecce lungo Y

Ascissa freccia	Combinazione	Freccia	Luce	L/f	L/f,min	Tipo	Verifica
0.653	SLE RA 19	-0.00033	1.505	4521	250	Totale	Si
0.653	SLE RA 7	-0.00029	1.505	5201.8	250	Totale	Si
0.653	SLE RA 15	-0.00028	1.505	5306.7	250	Totale	Si
0.653	SLE RA 11	-0.00028	1.505	5306.7	250	Totale	Si
0.653	SLE RA 16	-0.00025	1.505	6010.9	250	Totale	Si
0.653	SLE RA 19	-0.00023	1.505	6532.6	350	Variabile	Si
0.653	SLE RA 7	-0.00019	1.505	8056.3	350	Variabile	Si
0.653	SLE RA 15	-0.00018	1.505	8310.7	350	Variabile	Si
0.653	SLE RA 11	-0.00018	1.505	8310.7	350	Variabile	Si
0.653	SLE RA 17	-0.00007	1.505	10000	350	Variabile	Si

Superelemento in acciaio a quota "690"- "675" (-1162; 583)-(-1325; 737)

Caratteristiche del materiale

Acciaio: S275, fyk = 275000

Caratteristiche geometriche

Lunghezza: 1.505

Nodo iniziale: 1666 Nodo finale: 1492

Cerniera iniziale: Momenti al 50% Cerniera finale: Mmomenti 1%

Sovreresistenza: 0% Sisma Z: No

Caratteristiche della sezione

Sezione	Rotazione	Area	Jx	Jy	ix	iy	Wx	Wy	Wplx	Wply
A1; L100*10; 1; Saldato; S275; 30; 1; 8; 8; 1	0	0.003832	0.0000035319	0.000007759	0.0304	0.045	0.0000492	0.0000739	0.00008974	0.00012727

Comportamento dei calastrelli

Accoppiamento imbottito con funzione statica (§C4.2.4.1.3.1.4 NTC18) nella campata compresa tra le ascisse 0 e 1.505 per sbandamento attorno all'asse y.

Verifiche di resistenza

Verifiche a forza assiale §4.2.4.1.2.1 - §4.2.4.1.2.2 NTC18

X	Comb.	Sfruttamento	Classe	NEd	Nc,Rd	Nt,Rd	Riduzione da taglio	px	py	Verifica
0	SLU 76	0.099		99.295		1003.522	1	0	0	Si

Verifiche a forza assiale SLD §4.2.4.1.2.1 - §4.2.4.1.2.2 NTC18

X	Comb.	Sfruttamento	Classe	NEd	Nc,Rd	Nt,Rd	Riduzione da taglio	px	py	Verifica
0	SLD 10	0.023		22.859		1003.522	1	0	0	Si

Verifica a taglio X §4.2.4.1.2.4 NTC18

X	Comb.	Sfruttamento	VEd	Vc,Rd	Av	Interazione taglio-torsione	Riduzione torsione	Verifica
1.505	SLV 6	0.001	0.454	302.422	0.002	Non considerata		Si

**Implementazione dei sistemi di confinamento delle emissioni odorigene diffuse dell'impianto di compostaggio esistente nel
Comune di Eboli (SA)
PROGETTO DEFINITIVO – Tabulati di calcolo Tomo 1**

Verifica a taglio Y §4.2.4.1.2.4 NTC18

X	Comb.	Sfruttamento	VEd	Vc,Rd	Av	Interazione taglio-torsione	Riduzione torsione	Verifica
0	SLU 76	0.036	10.828	302.422	0.002	Non considerata		Si

Verifica a taglio Y SLD §4.2.4.1.2.4 NTC18

X	Comb.	Sfruttamento	VEd	Vc,Rd	Av	Interazione taglio-torsione	Riduzione torsione	Verifica
0	SLD 10	0.008	2.48	302.422	0.002	Non considerata		Si

Verifica a torsione §4.2.4.1.2.5 NTC18

X	Comb.	Sfruttamento torsione	TEd	TRd	Riduzione taglio resistente	Sfruttamento taglio-torsione	τEd,totale	τRd	Verifica
0	SLV 15	0.001	0.00534	7.2165	Non considerata*	0.018	1356	151211	Si

* La resistenza a taglio del profilo non viene ridotta per la presenza di torsione anche se questa puo' non essere trascurabile.

Verifica a flessione semplice X §§ 4.2.4.1.2.3 - 4.2.4.1.2.6 - 4.2.4.1.2.7 - 4.2.4.1.2.8 NTC18

X	Comb.	Sfruttamento	Classe	Mx,Ed	Mx,Rd	Rid. Mx,Rd da VEd	px	py	Verifica
0.755	SLU 76	0.005	1	0.10952	23.50374	1	0	0	Si

Verifica a flessione semplice X SLD §§ 4.2.4.1.2.3 - 4.2.4.1.2.6 - 4.2.4.1.2.7 - 4.2.4.1.2.8 NTC18

X	Comb.	Sfruttamento	Classe	Mx,Ed	Mx,Rd	Rid. Mx,Rd da VEd	px	py	Verifica
0.755	SLD 10	0.004	1	0.08484	23.50374	1	0	0	Si

Verifica a flessione deviata §§ 4.2.4.1.2.3 - 4.2.4.1.2.6 - 4.2.4.1.2.7 - 4.2.4.1.2.8 NTC18

X	Comb.	Sfruttamento	Classe	Mx,Ed	Mx,Rd	My,Ed	My,Rd	Rid. Mx,Rd da VEd	Rid. My,Rd da VEd	α	β	px	py	Verifica
0.755	SLV 6	0.004	1	0.0852	23.5037	-0.0152	33.3316	1	1			0	0	Si

Verifica a presso/tenso flessione retta X §§ 4.2.4.1.2.3 - 4.2.4.1.2.6 - 4.2.4.1.2.7 - 4.2.4.1.2.8 NTC18

Verifiche eseguite utilizzando la formula conservativa (6.2) §6.2.1 EN 1993-1-1:2005.

X	Comb.	Sfruttamento	Classe	NEd	NRd	Rid. NRd da VEd	Mx,Ed	Mx,Rd	Rid. Mx,Rd da VEd	Rid. Mx,Rd da NEd	px	py	Verifica
0.126	SLU 76	0.171	1	99.29	1003.522	1	1.6956	23.5037	1		0	0	Si

Verifica a presso/tenso flessione retta X SLD §§ 4.2.4.1.2.3 - 4.2.4.1.2.6 - 4.2.4.1.2.7 - 4.2.4.1.2.8 NTC18

Verifiche eseguite utilizzando la formula conservativa (6.2) §6.2.1 EN 1993-1-1:2005.

X	Comb.	Sfruttamento	Classe	NEd	NRd	Rid. NRd da VEd	Mx,Ed	Mx,Rd	Rid. Mx,Rd da VEd	Rid. Mx,Rd da NEd	px	py	Verifica
0.025	SLD 8	0.049	1	22.685	1003.522	1	0.6216	23.5037	1		0	0	Si

Verifica a presso/tenso flessione retta Y §§ 4.2.4.1.2.3 - 4.2.4.1.2.6 - 4.2.4.1.2.7 - 4.2.4.1.2.8 NTC18

Verifiche eseguite utilizzando la formula conservativa (6.2) §6.2.1 EN 1993-1-1:2005.

X	Comb.	Sfruttamento	Classe	NEd	NRd	Rid. NRd da VEd	My,Ed	My,Rd	Rid. My,Rd da VEd	Rid. My,Rd da NEd	px	py	Verifica
0.277	SLU 60	0.01	3	-8.454	1003.522	1	0.027	19.3536	1		0	0	Si

Verifica a presso/tenso flessione deviata §§ 4.2.4.1.2.3 - 4.2.4.1.2.6 - 4.2.4.1.2.7 - 4.2.4.1.2.8 NTC18

Verifiche eseguite utilizzando la formula conservativa (6.2) §6.2.1 EN 1993-1-1:2005.

X	Comb.	Sfruttamento	Classe	NEd	NRd	Rid. NRd da VEd	Mx,Ed	Mx,Rd	My,Ed	My,Rd	Rid. Mx,Rd da VEd	Rid. Mx,Rd da NEd	Rid. My,Rd da VEd	Rid. My,Rd da NEd	α	β	px	py	Verifica
0.755	SLU 76	0.313	1	99.266	1003.522	1	-5.0092	23.5037	0.0256	33.3316	1		1				0	0	Si

Verifica a presso/tenso flessione deviata SLD §§ 4.2.4.1.2.3 - 4.2.4.1.2.6 - 4.2.4.1.2.7 - 4.2.4.1.2.8 NTC18

Verifiche eseguite utilizzando la formula conservativa (6.2) §6.2.1 EN 1993-1-1:2005.

X	Comb.	Sfruttamento	Classe	NEd	NRd	Rid. NRd da VEd	Mx,Ed	Mx,Rd	My,Ed	My,Rd	Rid. Mx,Rd da VEd	Rid. Mx,Rd da NEd	Rid. My,Rd da VEd	Rid. My,Rd da NEd	α	β	px	py	Verifica
0.755	SLD 5	0.072	1	22.797	1003.522	1	-1.0928	23.5037	0.0881	33.3316	1		1				0	0	Si

Verifiche ad instabilità

Caratteristiche iniziali

Membratura principale per controllo snellezza; Calcolo di snellezze ed N critici condotti secondo gli assi principali;

Curva X: c; Curva Y: c;

Svergolamento: Nessuno; la verifica a instabilità flesso-torsionale (svergolamento) non verrà eseguita.

Dati per instabilità attorno a x

Controllo della snellezza secondo §4.2.4.1.3.1 NTC18

Numero rit.	Presente	Ascissa	Campata	βx/m	Vincolo a entrambi estremi	λx/m	λVer
1	Si	0					
			1-2	1	Si	49.6	Si, (<200)
2	Si	1.505					

Dati per instabilità attorno a y

Controllo della snellezza secondo §4.2.4.1.3.1 NTC18

Numero rit.	Presente	Ascissa	Campata	βy/n	k,LT	kw,LT	Vincolo a entrambi estremi
1	Si	0					
			1-2	1	Si	34.9	Si, (<200)
2	Si	1.505					

Verifica di stabilità per pressoflessione §C.4.2.4.1.3.3.1 NTC18

X	Comb.	Sfruttamento	Classe	NEd	MxEq,Ed	MyEq,Ed	Area	Wx	Wy	χ,min	λ adim. x/m	λ adim. y/n	N,crit x/m	N,crit y/n	Verifica
1.005	SLU 76	0.16	1	0	-3.7569	0.0192	0.003832	0.0000897	0.0001273	0.802	0.571	0.402	3230.882	6528.04	Si

Verifica di stabilità per pressoflessione SLD §C.4.2.4.1.3.3.1 NTC18

X	Comb.	Sfruttamento	Classe	NEd	MxEq,Ed	MyEq,Ed	Area	Wx	Wy	χ,min	λ adim. x/m	λ adim. y/n	N,crit x/m	N,crit y/n	Verifica
1.48	SLD 9	0.066	3	0	-0.8227	0.038	0.003832	0.0000492	0.0000739	0.802	0.571	0.402	3230.882	6528.04	Si

PROGETTO DEFINITIVO – Tabulati di calcolo Tomo 1

Verifiche a deformabilità

Mensola X: No; Mensola Y: No.

Frecce lungo X

Ascissa freccia	Combinazione	Freccia	Luce	L/f	L/f,min	Tipo	Verifica
0.654	SLE RA 1	0	1.505	10000	250	Totale	Si
0.654	SLE RA 17	0	1.505	10000	250	Totale	Si
0.654	SLE RA 16	0	1.505	10000	250	Totale	Si
0.654	SLE RA 15	0	1.505	10000	250	Totale	Si
0.654	SLE RA 14	0	1.505	10000	250	Totale	Si
0.654	SLE RA 2	0	1.505	10000	350	Variabile	Si
0.654	SLE RA 17	0	1.505	10000	350	Variabile	Si
0.654	SLE RA 16	0	1.505	10000	350	Variabile	Si
0.654	SLE RA 15	0	1.505	10000	350	Variabile	Si
0.654	SLE RA 14	0	1.505	10000	350	Variabile	Si

Frecce lungo Y

Ascissa freccia	Combinazione	Freccia	Luce	L/f	L/f,min	Tipo	Verifica
0.654	SLE RA 19	-0.00033	1.505	4540.6	250	Totale	Si
0.654	SLE RA 7	-0.00029	1.505	5217.2	250	Totale	Si
0.654	SLE RA 15	-0.00028	1.505	5329.5	250	Totale	Si
0.654	SLE RA 11	-0.00028	1.505	5329.5	250	Totale	Si
0.654	SLE RA 16	-0.00025	1.505	6050.4	250	Totale	Si
0.654	SLE RA 19	-0.00023	1.505	6546.4	350	Variabile	Si
0.654	SLE RA 7	-0.00019	1.505	8051.9	350	Variabile	Si
0.654	SLE RA 15	-0.00018	1.505	8322.6	350	Variabile	Si
0.654	SLE RA 11	-0.00018	1.505	8322.6	350	Variabile	Si
0.654	SLE RA 17	-0.00006	1.505	10000	350	Variabile	Si

Superelemento in acciaio a quota "690"-"675" (-1416; 312)-(-1581; 467)

Caratteristiche del materiale

Acciaio: S275, fyk = 275000

Caratteristiche geometriche

Lunghezza: 1.505

Nodo iniziale: 1656 Nodo finale: 1490

Cerniera iniziale: Momenti al 50% Cerniera finale: Mmomenti 1%

Sovreresistenza: 0% Sisma Z: No

Caratteristiche della sezione

Sezione	Rotazione	Area	Jx	Jy	ix	iy	Wx	Wy	Wplx	Wply
A1; L100*10; 1; Saldato; S275; 30; 1; 8; 8; 1	0	0.003832	0.0000035319	0.000007759	0.0304	0.045	0.0000492	0.0000739	0.00008974	0.00012727

Comportamento dei calastrelli

Accoppiamento imbottito con funzione statica (§C4.2.4.1.3.1.4 NTC18) nella campata compresa tra le ascisse 0 e 1.505 per sbandamento attorno all'asse y.

Verifiche di resistenza

Verifiche a forza assiale §4.2.4.1.2.1 - §4.2.4.1.2.2 NTC18

X	Comb.	Sfruttamento	Classe	NEd	Nc,Rd	Nt,Rd	Riduzione da taglio	px	py	Verifica
0	SLU 76	0.099		99.606		1003.522	1	0	0	Si

Verifiche a forza assiale SLD §4.2.4.1.2.1 - §4.2.4.1.2.2 NTC18

X	Comb.	Sfruttamento	Classe	NEd	Nc,Rd	Nt,Rd	Riduzione da taglio	px	py	Verifica
0	SLD 14	0.023		22.78		1003.522	1	0	0	Si

Verifica a taglio X §4.2.4.1.2.4 NTC18

X	Comb.	Sfruttamento	VEd	Vc,Rd	Av	Interazione taglio-torsione	Riduzione torsione	Verifica
1.505	SLV 5	0.001	0.422	302.422	0.002	Non considerata		Si

Verifica a taglio Y §4.2.4.1.2.4 NTC18

X	Comb.	Sfruttamento	VEd	Vc,Rd	Av	Interazione taglio-torsione	Riduzione torsione	Verifica
0	SLU 76	0.036	10.791	302.422	0.002	Non considerata		Si

Verifica a taglio Y SLD §4.2.4.1.2.4 NTC18

X	Comb.	Sfruttamento	VEd	Vc,Rd	Av	Interazione taglio-torsione	Riduzione torsione	Verifica
0	SLD 9	0.008	2.471	302.422	0.002	Non considerata		Si

Verifica a torsione §4.2.4.1.2.5 NTC18

X	Comb.	Sfruttamento torsione	TEd	TRd	Riduzione taglio resistente	Sfruttamento taglio-torsione	τEd,totale	τRd	Verifica
0	SLV 15	0.001	0.00543	7.2165	Non considerata*	0.018	1354	151211	Si

* La resistenza a taglio del profilo non viene ridotta per la presenza di torsione anche se questa puo' non essere trascurabile.

Verifica a flessione semplice X §§ 4.2.4.1.2.3 - 4.2.4.1.2.6 - 4.2.4.1.2.7 - 4.2.4.1.2.8 NTC18

X	Comb.	Sfruttamento	Classe	Mx,Ed	Mx,Rd	Rid. Mx,Rd da VEd	px	py	Verifica
0.761	SLU 76	0.005	1	0.10823	23.50374	1	0	0	Si

Verifica a flessione semplice X SLD §§ 4.2.4.1.2.3 - 4.2.4.1.2.6 - 4.2.4.1.2.7 - 4.2.4.1.2.8 NTC18

X	Comb.	Sfruttamento	Classe	Mx,Ed	Mx,Rd	Rid. Mx,Rd da VEd	px	py	Verifica
---	-------	--------------	--------	-------	-------	-------------------	----	----	----------

**Implementazione dei sistemi di confinamento delle emissioni odorigene diffuse dell'impianto di compostaggio esistente nel
Comune di Eboli (SA)
PROGETTO DEFINITIVO – Tabulati di calcolo Tomo 1**

X	Comb.	Sfruttamento	Classe	Mx,Ed	Mx,Rd	Rid. Mx,Rd da VEd	px	py	Verifica
0.761	SLD 10	0.004	1	0.0833	23.50374	1	0	0	Si

Verifica a flessione deviata §§ 4.2.4.1.2.3 - 4.2.4.1.2.6 - 4.2.4.1.2.7 - 4.2.4.1.2.8 NTC18

X	Comb.	Sfruttamento	Classe	Mx,Ed	Mx,Rd	My,Ed	My,Rd	Rid. Mx,Rd da VEd	Rid. My,Rd da VEd	α	β	px	py	Verifica
0.761	SLV 16	0.004	1	0.0836	23.5037	0.0149	33.3316	1	1			0	0	Si

Verifica a presso/tenso flessione retta X §§ 4.2.4.1.2.3 - 4.2.4.1.2.6 - 4.2.4.1.2.7 - 4.2.4.1.2.8 NTC18

Verifiche eseguite utilizzando la formula conservativa (6.2) §6.2.1 EN 1993-1-1:2005.

X	Comb.	Sfruttamento	Classe	NEd	NRd	Rid. NRd da VEd	Mx,Ed	Mx,Rd	Rid. Mx,Rd da VEd	Rid. Mx,Rd da NEd	px	py	Verifica
0.761	SLU 76	0.311	1	99.577	1003.522	1	-4.9818	23.5037	1		0	0	Si

Verifica a presso/tenso flessione retta X SLD §§ 4.2.4.1.2.3 - 4.2.4.1.2.6 - 4.2.4.1.2.7 - 4.2.4.1.2.8 NTC18

Verifiche eseguite utilizzando la formula conservativa (6.2) §6.2.1 EN 1993-1-1:2005.

X	Comb.	Sfruttamento	Classe	NEd	NRd	Rid. NRd da VEd	Mx,Ed	Mx,Rd	Rid. Mx,Rd da VEd	Rid. Mx,Rd da NEd	px	py	Verifica
0.076	SLD 11	0.045	1	22.722	1003.522	1	0.519	23.5037	1		0	0	Si

Verifica a presso/tenso flessione retta Y §§ 4.2.4.1.2.3 - 4.2.4.1.2.6 - 4.2.4.1.2.7 - 4.2.4.1.2.8 NTC18

Verifiche eseguite utilizzando la formula conservativa (6.2) §6.2.1 EN 1993-1-1:2005.

X	Comb.	Sfruttamento	Classe	NEd	NRd	Rid. NRd da VEd	My,Ed	My,Rd	Rid. My,Rd da VEd	Rid. My,Rd da NEd	px	py	Verifica
0.279	SLU 41	0.02	3	-16.967	1003.522	1	0.0524	19.3536	1		0	0	Si

Verifica a presso/tenso flessione deviata §§ 4.2.4.1.2.3 - 4.2.4.1.2.6 - 4.2.4.1.2.7 - 4.2.4.1.2.8 NTC18

Verifiche eseguite utilizzando la formula conservativa (6.2) §6.2.1 EN 1993-1-1:2005.

X	Comb.	Sfruttamento	Classe	NEd	NRd	Rid. NRd da VEd	Mx,Ed	Mx,Rd	My,Ed	My,Rd	Rid. Mx,Rd da VEd	Rid. Mx,Rd da NEd	Rid. My,Rd da VEd	Rid. My,Rd da NEd	α	β	px	py	Verifica
0.761	SLV 5	0.075	1	22.779	1003.522	1	-1.0918	23.5037	0.1925	33.3316	1		1				0	0	Si

Verifica a presso/tenso flessione deviata SLD §§ 4.2.4.1.2.3 - 4.2.4.1.2.6 - 4.2.4.1.2.7 - 4.2.4.1.2.8 NTC18

Verifiche eseguite utilizzando la formula conservativa (6.2) §6.2.1 EN 1993-1-1:2005.

X	Comb.	Sfruttamento	Classe	NEd	NRd	Rid. NRd da VEd	Mx,Ed	Mx,Rd	My,Ed	My,Rd	Rid. Mx,Rd da VEd	Rid. Mx,Rd da NEd	Rid. My,Rd da VEd	Rid. My,Rd da NEd	α	β	px	py	Verifica
0.761	SLD 5	0.071	1	22.741	1003.522	1	-1.0829	23.5037	0.0784	33.3316	1		1				0	0	Si

Verifiche ad instabilità

Caratteristiche iniziali

Membratura principale per controllo snellezza; Calcolo di snellezze ed N critici condotti secondo gli assi principali;

Curva X: c; Curva Y: c;

Svergolamento: Nessuno; la verifica a instabilità flesso-torsionale (svergolamento) non verrà eseguita.

Dati per instabilità attorno a x

Controllo della snellezza secondo §4.2.4.1.3.1 NTC18

Numero rit.	Presente	Ascissa	Campata	βx/m	Vincolo a entrambi estremi	λx/m	λVer
1	Si		0				
			1-2		1	49.6	Si, (<200)
2	Si	1.505					

Dati per instabilità attorno a y

Controllo della snellezza secondo §4.2.4.1.3.1 NTC18

Numero rit.	Presente	Ascissa	Campata	βy/n	k,LT	kw,LT	Vincolo a entrambi estremi
1	Si		0				
			1-2		1	34.9	Si, (<200)
2	Si	1.505					

Verifica di stabilità per pressoflessione §C.4.2.4.1.3.3.1 NTC18

X	Comb.	Sfruttamento	Classe	NEd	MxEq,Ed	MyEq,Ed	Area	Wx	Wy	χ,min	λ adim. x/m	λ adim. y/n	N,crit x/m	N,crit y/n	Verifica
0.508	SLU 3	0.093	3	-20.332	0.8406	0.0476	0.003832	0.0000492	0.0000739	0.802	0.571	0.402	3230.882	6528.04	Si

Verifica di stabilità per pressoflessione SLD §C.4.2.4.1.3.3.1 NTC18

X	Comb.	Sfruttamento	Classe	NEd	MxEq,Ed	MyEq,Ed	Area	Wx	Wy	χ,min	λ adim. x/m	λ adim. y/n	N,crit x/m	N,crit y/n	Verifica
1.505	SLD 16	0.066	3	0	-0.8121	-0.0561	0.003832	0.0000492	0.0000739	0.802	0.571	0.402	3230.882	6528.04	Si

Verifiche a deformabilità

Mensola X: No; Mensola Y: No.

Frecce lungo X

Ascissa freccia	Combinazione	Freccia	Luce	L/f	L/f,min	Tipo	Verifica
0.609	SLE RA 1	0	1.505	10000	250	Totale	Si
0.609	SLE RA 17	0	1.505	10000	250	Totale	Si
0.609	SLE RA 16	0	1.505	10000	250	Totale	Si
0.584	SLE RA 15	0	1.505	10000	250	Totale	Si
0.609	SLE RA 14	0	1.505	10000	250	Totale	Si
0.609	SLE RA 2	0	1.505	10000	350	Variabile	Si
0.584	SLE RA 17	0	1.505	10000	350	Variabile	Si
0.609	SLE RA 16	0	1.505	10000	350	Variabile	Si
0.584	SLE RA 15	0	1.505	10000	350	Variabile	Si
0.609	SLE RA 14	0	1.505	10000	350	Variabile	Si

Frecce lungo Y

Ascissa freccia	Combinazione	Freccia	Luce	L/f	L/f,min	Tipo	Verifica
0.66	SLE RA 19	-0.00033	1.505	4577.2	250	Totale	Si
0.66	SLE RA 7	-0.00029	1.505	5244.4	250	Totale	Si
0.66	SLE RA 15	-0.00028	1.505	5370.5	250	Totale	Si
0.66	SLE RA 11	-0.00028	1.505	5370.5	250	Totale	Si
0.66	SLE RA 16	-0.00025	1.505	6121.8	250	Totale	Si

Implementazione dei sistemi di confinamento delle emissioni odorigene diffuse dell'impianto di compostaggio esistente nel
Comune di Eboli (SA)
PROGETTO DEFINITIVO – Tabulati di calcolo Tomo 1

Ascissa freccia	Combinazione	Freccia	Luce	L/f	L/f,min	Tipo	Verifica
0.66	SLE RA 19	-0.00023	1.505	6581.7	350	Variabile	Si
0.66	SLE RA 7	-0.00019	1.505	8055.3	350	Variabile	Si
0.66	SLE RA 15	-0.00018	1.505	8356.6	350	Variabile	Si
0.66	SLE RA 11	-0.00018	1.505	8356.6	350	Variabile	Si
0.66	SLE RA 17	-0.00006	1.505	10000	350	Variabile	Si

Superelemento in acciaio a quota "690"- "675" (-1669; 44)-(-1833; 199)

Caratteristiche del materiale

Acciaio: S275, fyk = 275000

Caratteristiche geometriche

Lunghezza: 1.505

Nodo iniziale: 1648 Nodo finale: 1488

Cerniera iniziale: Momenti al 50% Cerniera finale: Mmomenti 1%

Sovreresistenza: 0% Sisma Z: No

Caratteristiche della sezione

Sezione	Rotazione	Area	Jx	Jy	ix	iy	Wx	Wy	Wplx	Wply
Al; L100*10; 1; Saldato; S275; 30; 1; 8; 8; 1	0	0.003832	0.0000035319	0.000007759	0.0304	0.045	0.0000492	0.0000739	0.00008974	0.00012727

Comportamento dei calastrelli

Accoppiamento imbottito con funzione statica (§4.2.4.1.3.1.4 NTC18) nella campata compresa tra le ascisse 0 e 1.505 per sbandamento attorno all'asse y.

Verifiche di resistenza

Verifiche a forza assiale §4.2.4.1.2.1 - §4.2.4.1.2.2 NTC18

X	Comb.	Sfruttamento	Classe	NEd	Nc,Rd	Nt,Rd	Riduzione da taglio	px	py	Verifica
0	SLU 76	0.1		100.338		1003.522	1	0	0	Si

Verifiche a forza assiale SLD §4.2.4.1.2.1 - §4.2.4.1.2.2 NTC18

X	Comb.	Sfruttamento	Classe	NEd	Nc,Rd	Nt,Rd	Riduzione da taglio	px	py	Verifica
0	SLD 13	0.023		23.046		1003.522	1	0	0	Si

Verifica a taglio X §4.2.4.1.2.4 NTC18

X	Comb.	Sfruttamento	VEd	Vc,Rd	Av	Interazione taglio-torsione	Riduzione torsione	Verifica
1.505	SLV 16	0.001	-0.453	302.422	0.002	Non considerata		Si

Verifica a taglio Y §4.2.4.1.2.4 NTC18

X	Comb.	Sfruttamento	VEd	Vc,Rd	Av	Interazione taglio-torsione	Riduzione torsione	Verifica
0	SLU 76	0.036	10.805	302.422	0.002	Non considerata		Si

Verifica a taglio Y SLD §4.2.4.1.2.4 NTC18

X	Comb.	Sfruttamento	VEd	Vc,Rd	Av	Interazione taglio-torsione	Riduzione torsione	Verifica
0	SLD 9	0.008	2.479	302.422	0.002	Non considerata		Si

Verifica a torsione §4.2.4.1.2.5 NTC18

X	Comb.	Sfruttamento torsione	TEd	TRd	Riduzione taglio resistente	Sfruttamento taglio-torsione	rEd,totale	rRd	Verifica
0	SLV 5	0.001	-0.00513	7.2165	Non considerata*	0.018	1352	151211	Si

* La resistenza a taglio del profilo non viene ridotta per la presenza di torsione anche se questa puo' non essere trascurabile.

Verifica a flessione semplice X §§ 4.2.4.1.2.3 - 4.2.4.1.2.6 - 4.2.4.1.2.7 - 4.2.4.1.2.8 NTC18

X	Comb.	Sfruttamento	Classe	Mx,Ed	Mx,Rd	Rid. Mx,Rd da VEd	px	py	Verifica
0.764	SLU 76	0.005	1	0.10734	23.50374	1	0	0	Si

Verifica a flessione semplice X SLD §§ 4.2.4.1.2.3 - 4.2.4.1.2.6 - 4.2.4.1.2.7 - 4.2.4.1.2.8 NTC18

X	Comb.	Sfruttamento	Classe	Mx,Ed	Mx,Rd	Rid. Mx,Rd da VEd	px	py	Verifica
0.764	SLD 10	0.004	1	0.08287	23.50374	1	0	0	Si

Verifica a flessione deviata §§ 4.2.4.1.2.3 - 4.2.4.1.2.6 - 4.2.4.1.2.7 - 4.2.4.1.2.8 NTC18

X	Comb.	Sfruttamento	Classe	Mx,Ed	Mx,Rd	My,Ed	My,Rd	Rid. Mx,Rd da VEd	Rid. My,Rd da VEd	α	β	px	py	Verifica
0.764	SLV 16	0.004	1	0.0832	23.5037	0.015	33.3316	1	1			0	0	Si

Verifica a presso/tenso flessione retta X §§ 4.2.4.1.2.3 - 4.2.4.1.2.6 - 4.2.4.1.2.7 - 4.2.4.1.2.8 NTC18

Verifiche eseguite utilizzando la formula conservativa (6.2) §6.2.1 EN 1993-1-1:2005.

X	Comb.	Sfruttamento	Classe	NEd	NRd	Rid. NRd da VEd	Mx,Ed	Mx,Rd	Rid. Mx,Rd da VEd	Rid. Mx,Rd da NEd	px	py	Verifica
0.764	SLU 26	0.263	1	84.179	1003.522	1	-4.221	23.5037	1		0	0	Si

Verifica a presso/tenso flessione retta X SLD §§ 4.2.4.1.2.3 - 4.2.4.1.2.6 - 4.2.4.1.2.7 - 4.2.4.1.2.8 NTC18

Verifiche eseguite utilizzando la formula conservativa (6.2) §6.2.1 EN 1993-1-1:2005.

X	Comb.	Sfruttamento	Classe	NEd	NRd	Rid. NRd da VEd	Mx,Ed	Mx,Rd	Rid. Mx,Rd da VEd	Rid. Mx,Rd da NEd	px	py	Verifica
0.025	SLD 10	0.05	1	23.045	1003.522	1	0.6453	23.5037	1		0	0	Si

Verifica a presso/tenso flessione retta Y §§ 4.2.4.1.2.3 - 4.2.4.1.2.6 - 4.2.4.1.2.7 - 4.2.4.1.2.8 NTC18

Verifiche eseguite utilizzando la formula conservativa (6.2) §6.2.1 EN 1993-1-1:2005.

X	Comb.	Sfruttamento	Classe	NEd	NRd	Rid. NRd da VEd	My,Ed	My,Rd	Rid. My,Rd da VEd	Rid. My,Rd da NEd	px	py	Verifica
---	-------	--------------	--------	-----	-----	-----------------	-------	-------	-------------------	-------------------	----	----	----------

Implementazione dei sistemi di confinamento delle emissioni odorigene diffuse dell'impianto di compostaggio esistente nel
Comune di Eboli (SA)

PROGETTO DEFINITIVO – Tabulati di calcolo Tomo 1

X	Comb.	Sfruttamento	Classe	NEd	NRd	Rid. NRd da VEd	My,Ed	My,Rd	Rid. My,Rd da VEd	Rid. My,Rd da NEd	px	py	Verifica
0.28	SLU 22	0.014	3	-12.093	1003.522	1	-0.0371	19.3536	1		0	0	Si

Verifica a presso/tenso flessione deviata §§ 4.2.4.1.2.3 - 4.2.4.1.2.6 - 4.2.4.1.2.7 - 4.2.4.1.2.8 NTC18

Verifiche eseguite utilizzando la formula conservativa (6.2) §6.2.1 EN 1993-1-1:2005.

X	Comb.	Sfruttamento	Classe	NEd	NRd	Rid. NRd da VEd	Mx,Ed	Mx,Rd	My,Ed	My,Rd	Rid. Mx,Rd da VEd	Rid. Mx,Rd da NEd	Rid. My,Rd da VEd	Rid. My,Rd da NEd	α	β	px	py	Verifica
0.764	SLU 76	0.314	1	100.309	1003.522	1	-5.0197	23.5037	-0.0119	33.3316	1		1				0	0	Si

Verifica a presso/tenso flessione deviata SLD §§ 4.2.4.1.2.3 - 4.2.4.1.2.6 - 4.2.4.1.2.7 - 4.2.4.1.2.8 NTC18

Verifiche eseguite utilizzando la formula conservativa (6.2) §6.2.1 EN 1993-1-1:2005.

X	Comb.	Sfruttamento	Classe	NEd	NRd	Rid. NRd da VEd	Mx,Ed	Mx,Rd	My,Ed	My,Rd	Rid. Mx,Rd da VEd	Rid. Mx,Rd da NEd	Rid. My,Rd da VEd	Rid. My,Rd da NEd	α	β	px	py	Verifica
0.764	SLD 16	0.072	1	22.989	1003.522	1	-1.0944	23.5037	-0.0856	33.3316	1		1				0	0	Si

Verifiche ad instabilità

Caratteristiche iniziali

Membratura principale per controllo snellezza; Calcolo di snellezze ed N critici condotti secondo gli assi principali;

Curva X: c; Curva Y: c;

Svergolamento: Nessuno; la verifica a instabilità flesso-torsionale (svergolamento) non verrà eseguita.

Dati per instabilità attorno a x

Controllo della snellezza secondo §4.2.4.1.3.1 NTC18

Numero rit.	Presente	Ascissa	Campata	βx/m	Vincolo a entrambi estremi	λx/m	λVer
1	Si	0					
			1-2	1	Si	49.6	Si, (<200)
2	Si	1.505					

Dati per instabilità attorno a y

Controllo della snellezza secondo §4.2.4.1.3.1 NTC18

Numero rit.	Presente	Ascissa	Campata	βy/n	k,LT	kw,LT	Vincolo a entrambi estremi
1	Si	0					
			1-2	1	Si	34.9	Si, (<200)
2	Si	1.505					

Verifica di stabilità per pressoflessione §C.4.2.4.1.3.3.1 NTC18

X	Comb.	Sfruttamento	Classe	NEd	MxEq,Ed	MyEq,Ed	Area	Wx	Wy	χ,min	λ adim. x/m	λ adim. y/n	N,crit x/m	N,crit y/n	Verifica
1.036	SLU 76	0.161	1	0	-3.7648	0.0116	0.003832	0.0000897	0.0001273	0.802	0.571	0.402	3230.882	6528.04	Si

Verifica di stabilità per pressoflessione SLD §C.4.2.4.1.3.3.1 NTC18

X	Comb.	Sfruttamento	Classe	NEd	MxEq,Ed	MyEq,Ed	Area	Wx	Wy	χ,min	λ adim. x/m	λ adim. y/n	N,crit x/m	N,crit y/n	Verifica
1.505	SLD 16	0.067	3	0	-0.8208	-0.0642	0.003832	0.0000492	0.0000739	0.802	0.571	0.402	3230.882	6528.04	Si

Verifiche a deformabilità

Mensola X: No; Mensola Y: No.

Frecce lungo X

Ascissa freccia	Combinazione	Freccia	Luce	L/f	L/f,min	Tipo	Verifica
0.713	SLE RA 1	0	1.505	10000	250	Totale	Si
0.713	SLE RA 17	0	1.505	10000	250	Totale	Si
0.713	SLE RA 16	0	1.505	10000	250	Totale	Si
0.738	SLE RA 15	0	1.505	10000	250	Totale	Si
0.688	SLE RA 14	0	1.505	10000	250	Totale	Si
0.713	SLE RA 2	0	1.505	10000	350	Variabile	Si
0.713	SLE RA 17	0	1.505	10000	350	Variabile	Si
0.713	SLE RA 16	0	1.505	10000	350	Variabile	Si
0.229	SLE RA 15	0	1.505	10000	350	Variabile	Si
0.688	SLE RA 14	0	1.505	10000	350	Variabile	Si

Frecce lungo Y

Ascissa freccia	Combinazione	Freccia	Luce	L/f	L/f,min	Tipo	Verifica
0.662	SLE RA 19	-0.00033	1.505	4507.4	250	Totale	Si
0.662	SLE RA 7	-0.00029	1.505	5171	250	Totale	Si
0.662	SLE RA 15	-0.00028	1.505	5288.5	250	Totale	Si
0.662	SLE RA 11	-0.00028	1.505	5288.5	250	Totale	Si
0.662	SLE RA 16	-0.00025	1.505	6014.7	250	Totale	Si
0.662	SLE RA 19	-0.00023	1.505	6497.8	350	Variabile	Si
0.662	SLE RA 7	-0.00019	1.505	7972.8	350	Variabile	Si
0.662	SLE RA 15	-0.00018	1.505	8255.5	350	Variabile	Si
0.662	SLE RA 11	-0.00018	1.505	8255.5	350	Variabile	Si
0.662	SLE RA 17	-0.00007	1.505	10000	350	Variabile	Si

Superelemento in acciaio a quota "690"- "675" (-1925; -228)-(-2090; -73)

Caratteristiche del materiale

Acciaio: S275, fyk = 275000

Caratteristiche geometriche

Lunghezza: 1.505

Nodo iniziale: 1641 Nodo finale: 1486

Cerniera iniziale: Momenti al 50% Cerniera finale: Mmomenti 1%

Sovreresistenza: 0% Sisma Z: No

Implementazione dei sistemi di confinamento delle emissioni odorigene diffuse dell'impianto di compostaggio esistente nel
Comune di Eboli (SA)

PROGETTO DEFINITIVO – Tabulati di calcolo Tomo 1

Caratteristiche della sezione

Sezione	Rotazione	Area	Jx	Jy	ix	iy	Wx	Wy	Wplx	Wply
A1; L100*10; 1; Saldato; S275; 30; 1; 8; 8; 1	0	0.003832	0.0000035319	0.000007759	0.0304	0.045	0.0000492	0.0000739	0.00008974	0.00012727

Comportamento dei calastrelli

Accoppiamento imbottito con funzione statica (§C4.2.4.1.3.1.4 NTC18) nella campata compresa tra le ascisse 0 e 1.505 per sbandamento attorno all'asse y.

Verifiche di resistenza

Verifiche a forza assiale §4.2.4.1.2.1 - §4.2.4.1.2.2 NTC18

X	Comb.	Sfruttamento	Classe	NEd	Nc,Rd	Nt,Rd	Riduzione da taglio	px	py	Verifica
0	SLU 76	0.053		52.692		1003.522	1	0	0	Si

Verifiche a forza assiale SLD §4.2.4.1.2.1 - §4.2.4.1.2.2 NTC18

X	Comb.	Sfruttamento	Classe	NEd	Nc,Rd	Nt,Rd	Riduzione da taglio	px	py	Verifica
0	SLD 9	0.013		13.443		1003.522	1	0	0	Si

Verifica a taglio X §4.2.4.1.2.4 NTC18

X	Comb.	Sfruttamento	VEd	Vc,Rd	Av	Interazione taglio-torsione	Riduzione torsione	Verifica
1.505	SLV 6	0.001	0.261	302.422	0.002	Non considerata		Si

Verifica a taglio Y §4.2.4.1.2.4 NTC18

X	Comb.	Sfruttamento	VEd	Vc,Rd	Av	Interazione taglio-torsione	Riduzione torsione	Verifica
0	SLU 76	0.019	5.749	302.422	0.002	Non considerata		Si

Verifica a taglio Y SLD §4.2.4.1.2.4 NTC18

X	Comb.	Sfruttamento	VEd	Vc,Rd	Av	Interazione taglio-torsione	Riduzione torsione	Verifica
0	SLD 9	0.005	1.478	302.422	0.002	Non considerata		Si

Verifica a flessione semplice X §§ 4.2.4.1.2.3 - 4.2.4.1.2.6 - 4.2.4.1.2.7 - 4.2.4.1.2.8 NTC18

X	Comb.	Sfruttamento	Classe	Mx,Ed	Mx,Rd	Rid. Mx,Rd da VEd	px	py	Verifica
0.765	SLU 76	0.005	1	0.10723	23.50374	1	0	0	Si

Verifica a flessione semplice X SLD §§ 4.2.4.1.2.3 - 4.2.4.1.2.6 - 4.2.4.1.2.7 - 4.2.4.1.2.8 NTC18

X	Comb.	Sfruttamento	Classe	Mx,Ed	Mx,Rd	Rid. Mx,Rd da VEd	px	py	Verifica
0.765	SLD 10	0.004	1	0.08272	23.50374	1	0	0	Si

Verifica a flessione deviata §§ 4.2.4.1.2.3 - 4.2.4.1.2.6 - 4.2.4.1.2.7 - 4.2.4.1.2.8 NTC18

X	Comb.	Sfruttamento	Classe	Mx,Ed	Mx,Rd	My,Ed	My,Rd	Rid. Mx,Rd da VEd	Rid. My,Rd da VEd	α	β	px	py	Verifica
0.765	SLV 15	0.004	1	0.083	23.5037	0.0149	33.3316	1	1			0	0	Si

Verifica a presso/tenso flessione retta X §§ 4.2.4.1.2.3 - 4.2.4.1.2.6 - 4.2.4.1.2.7 - 4.2.4.1.2.8 NTC18

Verifiche eseguite utilizzando la formula conservativa (6.2) §6.2.1 EN 1993-1-1:2005.

X	Comb.	Sfruttamento	Classe	NEd	NRd	Rid. NRd da VEd	Mx,Ed	Mx,Rd	Rid. Mx,Rd da VEd	Rid. Mx,Rd da NEd	px	py	Verifica
0.765	SLU 76	0.163	1	52.663	1003.522	1	-2.5929	23.5037	1		0	0	Si

Verifica a presso/tenso flessione retta X SLD §§ 4.2.4.1.2.3 - 4.2.4.1.2.6 - 4.2.4.1.2.7 - 4.2.4.1.2.8 NTC18

Verifiche eseguite utilizzando la formula conservativa (6.2) §6.2.1 EN 1993-1-1:2005.

X	Comb.	Sfruttamento	Classe	NEd	NRd	Rid. NRd da VEd	Mx,Ed	Mx,Rd	Rid. Mx,Rd da VEd	Rid. Mx,Rd da NEd	px	py	Verifica
0	SLD 9	0.032	1	13.443	1003.522	1	0.4339	23.5037	1		0	0	Si

Verifica a presso/tenso flessione retta Y §§ 4.2.4.1.2.3 - 4.2.4.1.2.6 - 4.2.4.1.2.7 - 4.2.4.1.2.8 NTC18

Verifiche eseguite utilizzando la formula conservativa (6.2) §6.2.1 EN 1993-1-1:2005.

X	Comb.	Sfruttamento	Classe	NEd	NRd	Rid. NRd da VEd	My,Ed	My,Rd	Rid. My,Rd da VEd	Rid. My,Rd da NEd	px	py	Verifica
0.306	SLV 5	0.014	1	13.44	1003.522	1	0.0256	33.3316	1		0	0	Si

Verifica a presso/tenso flessione retta Y SLD §§ 4.2.4.1.2.3 - 4.2.4.1.2.6 - 4.2.4.1.2.7 - 4.2.4.1.2.8 NTC18

Verifiche eseguite utilizzando la formula conservativa (6.2) §6.2.1 EN 1993-1-1:2005.

X	Comb.	Sfruttamento	Classe	NEd	NRd	Rid. NRd da VEd	My,Ed	My,Rd	Rid. My,Rd da VEd	Rid. My,Rd da NEd	px	py	Verifica
0.306	SLD 5	0.014	1	13.425	1003.522	1	0.0108	33.3316	1		0	0	Si

Verifica a presso/tenso flessione deviata §§ 4.2.4.1.2.3 - 4.2.4.1.2.6 - 4.2.4.1.2.7 - 4.2.4.1.2.8 NTC18

Verifiche eseguite utilizzando la formula conservativa (6.2) §6.2.1 EN 1993-1-1:2005.

X	Comb.	Sfruttamento	Classe	NEd	NRd	Rid. NRd da VEd	Mx,Ed	Mx,Rd	My,Ed	My,Rd	Rid. Mx,Rd da VEd	Rid. Mx,Rd da NEd	Rid. My,Rd da VEd	Rid. My,Rd da NEd	α	β	px	py	Verifica
0.765	SLV 6	0.043	1	13.427	1003.522	1	-0.6122	23.5037	0.1153	33.3316	1		1				0	0	Si

Verifica a presso/tenso flessione deviata SLD §§ 4.2.4.1.2.3 - 4.2.4.1.2.6 - 4.2.4.1.2.7 - 4.2.4.1.2.8 NTC18

Verifiche eseguite utilizzando la formula conservativa (6.2) §6.2.1 EN 1993-1-1:2005.

X	Comb.	Sfruttamento	Classe	NEd	NRd	Rid. NRd da VEd	Mx,Ed	Mx,Rd	My,Ed	My,Rd	Rid. Mx,Rd da VEd	Rid. Mx,Rd da NEd	Rid. My,Rd da VEd	Rid. My,Rd da NEd	α	β	px	py	Verifica
0.765	SLD 5	0.041	1	13.412	1003.522	1	-0.6071	23.5037	0.0475	33.3316	1		1				0	0	Si

Verifiche ad instabilità

Caratteristiche iniziali

Membratura principale per controllo snellezza; Calcolo di snellezze ed N critici condotti secondo gli assi principali;

Curva X: c; Curva Y: c;

Svergolamento: Nessuno; la verifica a instabilità flesso-torsionale (svergolamento) non verrà eseguita.

Implementazione dei sistemi di confinamento delle emissioni odorigene diffuse dell'impianto di compostaggio esistente nel
Comune di Eboli (SA)
PROGETTO DEFINITIVO – Tabulati di calcolo Tomo 1

Dati per instabilità attorno a x

Controllo della snellezza secondo §4.2.4.1.3.1 NTC18

Numero rit.	Presente	Ascissa	Campata	$\beta x/m$	Vincolo a entrambi estremi	$\lambda x/m$	λVer
1	Si	0	1-2	1	Si	49.6	Si, (<200)
2	Si	1.505					

Dati per instabilità attorno a y

Controllo della snellezza secondo §4.2.4.1.3.1 NTC18

Numero rit.	Presente	Ascissa	Campata	$\beta y/n$	k,LT	kw,LT	Vincolo a entrambi estremi
1	Si	0	1-2	1	Si	34.9	Si, (<200)
2	Si	1.505					

Verifica di stabilità per pressoflessione §C.4.2.4.1.3.3.1 NTC18

X	Comb.	Sfruttamento	Classe	NEd	MxEq,Ed	MyEq,Ed	Area	Wx	Wy	χ_{min}	$\lambda_{adim. x/m}$	$\lambda_{adim. y/n}$	N,crit x/m	N,crit y/n	Verifica
0.485	SLU 3	0.042	3	-8.412	0.3854	-0.0214	0.003832	0.0000492	0.0000739	0.802	0.571	0.402	3230.882	6528.04	Si

Verifica di stabilità per pressoflessione SLD §C.4.2.4.1.3.3.1 NTC18

X	Comb.	Sfruttamento	Classe	NEd	MxEq,Ed	MyEq,Ed	Area	Wx	Wy	χ_{min}	$\lambda_{adim. x/m}$	$\lambda_{adim. y/n}$	N,crit x/m	N,crit y/n	Verifica
1.505	SLD 10	0.036	3	0	-0.4568	0.0196	0.003832	0.0000492	0.0000739	0.802	0.571	0.402	3230.882	6528.04	Si

Verifiche a deformabilità

Mensola X: No; Mensola Y: No.

Frecce lungo X

Ascissa freccia	Combinazione	Freccia	Luce	L/f	L/f,min	Tipo	Verifica
0.612	SLE RA 1	0	1.505	10000	250	Totale	Si
0.612	SLE RA 17	0	1.505	10000	250	Totale	Si
0.612	SLE RA 16	0	1.505	10000	250	Totale	Si
0.587	SLE RA 15	0	1.505	10000	250	Totale	Si
0.638	SLE RA 14	0	1.505	10000	250	Totale	Si
0.561	SLE RA 2	0	1.505	10000	350	Variabile	Si
0.561	SLE RA 17	0	1.505	10000	350	Variabile	Si
0.561	SLE RA 16	0	1.505	10000	350	Variabile	Si
0.536	SLE RA 15	0	1.505	10000	350	Variabile	Si
0.689	SLE RA 14	0	1.505	10000	350	Variabile	Si

Frecce lungo Y

Ascissa freccia	Combinazione	Freccia	Luce	L/f	L/f,min	Tipo	Verifica
0.663	SLE RA 19	-0.00017	1.505	8980	250	Totale	Si
0.663	SLE RA 17	-0.00008	1.505	10000	250	Totale	Si
0.663	SLE RA 16	-0.00013	1.505	10000	250	Totale	Si
0.663	SLE RA 15	-0.00014	1.505	10000	250	Totale	Si
0.663	SLE RA 14	-0.00006	1.505	10000	250	Totale	Si
0.663	SLE RA 2	0.00007	1.505	10000	350	Variabile	Si
0.663	SLE RA 17	-0.00003	1.505	10000	350	Variabile	Si
0.663	SLE RA 16	-0.00007	1.505	10000	350	Variabile	Si
0.663	SLE RA 15	-0.00009	1.505	10000	350	Variabile	Si
0.689	SLE RA 14	-0.00001	1.505	10000	350	Variabile	Si

Superelemento in acciaio a quota "690"- "703" (220; 299)-(111; 402)

Caratteristiche del materiale

Acciaio: S275, fyk = 275000

Caratteristiche geometriche

Lunghezza: 1.505

Nodo iniziale: 1652 Nodo finale: 1862

Cerniera iniziale: Mmomenti 1% Cerniera finale: Mmomenti 1%

Sovraresistenza: 0% Sisma Z: No

Caratteristiche della sezione

Sezione	Rotazione	Area	Jx	Jy	ix	iy	Wx	Wy	Wplx	Wply
A1; L100*10; 1; Saldato; S275; 30; 1; 8; 8; 1	0	0.003832	0.0000035319	0.000007759	0.0304	0.045	0.0000492	0.0000739	0.00008974	0.00012727

Comportamento dei calastrelli

Accoppiamento imbottito con funzione statica (§C.4.2.4.1.3.1.4 NTC18) nella campata compresa tra le ascisse 0 e 1.505 per sbandamento attorno all'asse y.

Verifiche di resistenza

Verifiche a forza assiale §4.2.4.1.2.1 - §4.2.4.1.2.2 NTC18

X	Comb.	Sfruttamento	Classe	NEd	Nc,Rd	Nt,Rd	Riduzione da taglio	px	py	Verifica
0	SLU 75	0.111	3	-111.403	1003.522		1	0	0	Si

Verifiche a forza assiale SLD §4.2.4.1.2.1 - §4.2.4.1.2.2 NTC18

X	Comb.	Sfruttamento	Classe	NEd	Nc,Rd	Nt,Rd	Riduzione da taglio	px	py	Verifica
0	SLD 1	0.04	3	-40.156	1003.522		1	0	0	Si

**Implementazione dei sistemi di confinamento delle emissioni odorigene diffuse dell'impianto di compostaggio esistente nel
Comune di Eboli (SA)
PROGETTO DEFINITIVO – Tabulati di calcolo Tomo 1**

Verifica a taglio X §4.2.4.1.2.4 NTC18

X	Comb.	Sfruttamento	VEd	Vc,Rd	Av	Interazione taglio-torsione	Riduzione torsione	Verifica
0	SLU 75	0.002	-0.713	302.422	0.002	Non considerata		Si

Verifica a taglio X SLD §4.2.4.1.2.4 NTC18

X	Comb.	Sfruttamento	VEd	Vc,Rd	Av	Interazione taglio-torsione	Riduzione torsione	Verifica
0	SLD 1	0.001	-0.256	302.422	0.002	Non considerata		Si

Verifica a taglio Y §4.2.4.1.2.4 NTC18

X	Comb.	Sfruttamento	VEd	Vc,Rd	Av	Interazione taglio-torsione	Riduzione torsione	Verifica
0	SLU 75	0.001	0.305	302.422	0.002	Non considerata		Si

Verifica a taglio Y SLD §4.2.4.1.2.4 NTC18

X	Comb.	Sfruttamento	VEd	Vc,Rd	Av	Interazione taglio-torsione	Riduzione torsione	Verifica
1.505	SLD 1	0.001	-0.229	302.422	0.002	Non considerata		Si

Verifica a flessione semplice X §§ 4.2.4.1.2.3 - 4.2.4.1.2.6 - 4.2.4.1.2.7 - 4.2.4.1.2.8 NTC18

X	Comb.	Sfruttamento	Classe	Mx,Ed	Mx,Rd	Rid. Mx,Rd da VEd	px	py	Verifica
0.753	SLU 5	0.003	1	-0.08143	23.50374	1	0	0	Si

Verifica a presso/tenso flessione retta X §§ 4.2.4.1.2.3 - 4.2.4.1.2.6 - 4.2.4.1.2.7 - 4.2.4.1.2.8 NTC18

Verifiche eseguite utilizzando la formula conservativa (6.2) §6.2.1 EN 1993-1-1:2005.

X	Comb.	Sfruttamento	Classe	NEd	NRd	Rid. NRd da VEd	Mx,Ed	Mx,Rd	Rid. Mx,Rd da VEd	Rid. Mx,Rd da NEd	px	py	Verifica
0.753	SLU 2	0.02	1	17.369	1003.522	1	-0.0731	23.5037	1		0	0	Si

Verifica a presso/tenso flessione retta Y §§ 4.2.4.1.2.3 - 4.2.4.1.2.6 - 4.2.4.1.2.7 - 4.2.4.1.2.8 NTC18

Verifiche eseguite utilizzando la formula conservativa (6.2) §6.2.1 EN 1993-1-1:2005.

X	Comb.	Sfruttamento	Classe	NEd	NRd	Rid. NRd da VEd	My,Ed	My,Rd	Rid. My,Rd da VEd	Rid. My,Rd da NEd	px	py	Verifica
1.505	SLU 26	0.043	3	-37.514	1003.522	1	0.1152	19.3536	1		0	0	Si

Verifica a presso/tenso flessione deviata §§ 4.2.4.1.2.3 - 4.2.4.1.2.6 - 4.2.4.1.2.7 - 4.2.4.1.2.8 NTC18

Verifiche eseguite utilizzando la formula conservativa (6.2) §6.2.1 EN 1993-1-1:2005.

X	Comb.	Sfruttamento	Classe	NEd	NRd	Rid. NRd da VEd	Mx,Ed	Mx,Rd	My,Ed	My,Rd	Rid. Mx,Rd da VEd	Rid. Mx,Rd da NEd	Rid. My,Rd da VEd	Rid. My,Rd da NEd	α	β	px	py	Verifica
0.803	SLU 75	0.141	3	-111.377	1003.522	1	-0.1628	12.886	-0.3415	19.3536	1		1				0	0	Si

Verifica a presso/tenso flessione deviata SLD §§ 4.2.4.1.2.3 - 4.2.4.1.2.6 - 4.2.4.1.2.7 - 4.2.4.1.2.8 NTC18

Verifiche eseguite utilizzando la formula conservativa (6.2) §6.2.1 EN 1993-1-1:2005.

X	Comb.	Sfruttamento	Classe	NEd	NRd	Rid. NRd da VEd	Mx,Ed	Mx,Rd	My,Ed	My,Rd	Rid. Mx,Rd da VEd	Rid. Mx,Rd da NEd	Rid. My,Rd da VEd	Rid. My,Rd da NEd	α	β	px	py	Verifica
0.753	SLD 2	0.054	3	-40.137	1003.522	1	-0.0998	12.886	-0.122	19.3536	1		1				0	0	Si

Verifiche ad instabilità

Caratteristiche iniziali

Membratura principale per controllo snellezza; Calcolo di snellezze ed N critici condotti secondo gli assi principali;

Curva X: c; Curva Y: c;

Svergolamento: Nessuno; la verifica a instabilità flesso-torsionale (svergolamento) non verrà eseguita.

Dati per instabilità attorno a x

Controllo della snellezza secondo §4.2.4.1.3.1 NTC18

Numero rit.	Presente	Ascissa	Campata	βx/m	Vincolo a entrambi estremi	λx/m	λVer
1	Si	0					
			1-2		1	49.6	Si, (<200)
2	Si	1.505					

Dati per instabilità attorno a y

Controllo della snellezza secondo §4.2.4.1.3.1 NTC18

Numero rit.	Presente	Ascissa	Campata	βy/n	k,LT	kw,LT	Vincolo a entrambi estremi
1	Si	0					
			1-2		1	34.9	Si, (<200)
2	Si	1.505					

Verifica di stabilità per pressoflessione §C.4.2.4.1.3.3.1 NTC18

X	Comb.	Sfruttamento	Classe	NEd	MxEq,Ed	MyEq,Ed	Area	Wx	Wy	χ,min	λ adim. x/m	λ adim. y/n	N,crit x/m	N,crit y/n	Verifica
0	SLU 75	0.169	3	-111.403	-0.1628	-0.3416	0.003832	0.0000492	0.0000739	0.802	0.571	0.402	3231.032	6528.319	Si

Verifica di stabilità per pressoflessione SLD §C.4.2.4.1.3.3.1 NTC18

X	Comb.	Sfruttamento	Classe	NEd	MxEq,Ed	MyEq,Ed	Area	Wx	Wy	χ,min	λ adim. x/m	λ adim. y/n	N,crit x/m	N,crit y/n	Verifica
0	SLD 1	0.064	3	-40.156	-0.0933	-0.122	0.003832	0.0000492	0.0000739	0.802	0.571	0.402	3231.032	6528.319	Si

Verifiche a deformabilità

Mensola X: No; Mensola Y: No.

Frecce lungo X

Ascissa freccia	Combinazione	Freccia	Luce	L/f	L/f,min	Tipo	Verifica
0.953	SLE RA 1	0	1.505	10000	250	Totale	Si
1.054	SLE RA 17	0	1.505	10000	250	Totale	Si
1.154	SLE RA 16	0	1.505	10000	250	Totale	Si
0.903	SLE RA 15	0	1.505	10000	250	Totale	Si
0.753	SLE RA 14	0	1.505	10000	250	Totale	Si
0.702	SLE RA 2	0	1.505	10000	350	Variabile	Si
0.702	SLE RA 17	0	1.505	10000	350	Variabile	Si
0.702	SLE RA 16	0	1.505	10000	350	Variabile	Si

Implementazione dei sistemi di confinamento delle emissioni odorigene diffuse dell'impianto di compostaggio esistente nel
Comune di Eboli (SA)
PROGETTO DEFINITIVO – Tabulati di calcolo Tomo 1

Ascissa freccia	Combinazione	Freccia	Luce	L/f	L/f,min	Tipo	Verifica
0.903	SLE RA 15	0	1.505	10000	350	Variabile	Si
0.853	SLE RA 14	0	1.505	10000	350	Variabile	Si

Freccie lungo Y

Ascissa freccia	Combinazione	Freccia	Luce	L/f	L/f,min	Tipo	Verifica
0.753	SLE RA 1	-0.00003	1.505	10000	250	Totale	Si
0.753	SLE RA 17	-0.00004	1.505	10000	250	Totale	Si
0.753	SLE RA 16	-0.00004	1.505	10000	250	Totale	Si
0.753	SLE RA 15	-0.00003	1.505	10000	250	Totale	Si
0.753	SLE RA 14	-0.00004	1.505	10000	250	Totale	Si
0.753	SLE RA 2	0.00001	1.505	10000	350	Variabile	Si
0.753	SLE RA 17	0	1.505	10000	350	Variabile	Si
0.753	SLE RA 16	-0.00001	1.505	10000	350	Variabile	Si
0.753	SLE RA 15	0	1.505	10000	350	Variabile	Si
0.803	SLE RA 14	-0.00001	1.505	10000	350	Variabile	Si

Superelemento in acciaio a quota "690"- "703" (469; 563)-(360; 666)

Caratteristiche del materiale

Acciaio: S275, fyk = 275000

Caratteristiche geometriche

Lunghezza: 1.505

Nodo iniziale: 1662 Nodo finale: 1872

Cerniera iniziale: Mmomenti 1% Cerniera finale: Mmomenti 1%

Sovreresistenza: 0% Sisma Z: No

Caratteristiche della sezione

Sezione	Rotazione	Area	Jx	Jy	ix	iy	Wx	Wy	Wplx	Wply
A1; L100*10; 1; Saldato; S275; 30; 1; 8; 8; 1	0	0.003832	0.0000035319	0.000007759	0.0304	0.045	0.0000492	0.0000739	0.00008974	0.00012727

Comportamento dei calastrelli

Accoppiamento imbottito con funzione statica (§C4.2.4.1.3.1.4 NTC18) nella campata compresa tra le ascisse 0 e 1.505 per sbandamento attorno all'asse y.

Verifiche di resistenza

Verifiche a forza assiale §4.2.4.1.2.1 - §4.2.4.1.2.2 NTC18

X	Comb.	Sfruttamento	Classe	NEd	Nc,Rd	Nt,Rd	Riduzione da taglio	px	py	Verifica
0	SLU 75	0.047	3	-47.516	1003.522		1	0	0	Si

Verifiche a forza assiale SLD §4.2.4.1.2.1 - §4.2.4.1.2.2 NTC18

X	Comb.	Sfruttamento	Classe	NEd	Nc,Rd	Nt,Rd	Riduzione da taglio	px	py	Verifica
0	SLD 3	0.011	3	-10.933	1003.522		1	0	0	Si

Verifica a taglio X §4.2.4.1.2.4 NTC18

X	Comb.	Sfruttamento	VEd	Vc,Rd	Av	Interazione taglio-torsione	Riduzione torsione	Verifica
0	SLU 75	0.001	0.301	302.422	0.002	Non considerata		Si

Verifica a taglio Y §4.2.4.1.2.4 NTC18

X	Comb.	Sfruttamento	VEd	Vc,Rd	Av	Interazione taglio-torsione	Riduzione torsione	Verifica
0	SLU 75	0.001	0.312	302.422	0.002	Non considerata		Si

Verifica a taglio Y SLD §4.2.4.1.2.4 NTC18

X	Comb.	Sfruttamento	VEd	Vc,Rd	Av	Interazione taglio-torsione	Riduzione torsione	Verifica
0	SLD 3	0.001	0.231	302.422	0.002	Non considerata		Si

Verifica a presso/tenso flessione retta X §§ 4.2.4.1.2.3 - 4.2.4.1.2.6 - 4.2.4.1.2.7 - 4.2.4.1.2.8 NTC18

Verifiche eseguite utilizzando la formula conservativa (6.2) §6.2.1 EN 1993-1-1:2005.

X	Comb.	Sfruttamento	Classe	NEd	NRd	Rid. NRd da VEd	Mx,Ed	Mx,Rd	Rid. Mx,Rd da VEd	Rid. Mx,Rd da NEd	px	py	Verifica
0.753	SLU 4	0.017	1	14.004	1003.522	1	-0.0781	23.5037	1		0	0	Si

Verifica a presso/tenso flessione retta Y §§ 4.2.4.1.2.3 - 4.2.4.1.2.6 - 4.2.4.1.2.7 - 4.2.4.1.2.8 NTC18

Verifiche eseguite utilizzando la formula conservativa (6.2) §6.2.1 EN 1993-1-1:2005.

X	Comb.	Sfruttamento	Classe	NEd	NRd	Rid. NRd da VEd	My,Ed	My,Rd	Rid. My,Rd da VEd	Rid. My,Rd da NEd	px	py	Verifica
0	SLU 76	0.023	3	-19.865	1003.522	1	0.0601	19.3536	1		0	0	Si

Verifica a presso/tenso flessione retta Y SLD §§ 4.2.4.1.2.3 - 4.2.4.1.2.6 - 4.2.4.1.2.7 - 4.2.4.1.2.8 NTC18

Verifiche eseguite utilizzando la formula conservativa (6.2) §6.2.1 EN 1993-1-1:2005.

X	Comb.	Sfruttamento	Classe	NEd	NRd	Rid. NRd da VEd	My,Ed	My,Rd	Rid. My,Rd da VEd	Rid. My,Rd da NEd	px	py	Verifica
0	SLD 3	0.013	3	-10.933	1003.522	1	0.033	19.3536	1		0	0	Si

Verifica a presso/tenso flessione deviata §§ 4.2.4.1.2.3 - 4.2.4.1.2.6 - 4.2.4.1.2.7 - 4.2.4.1.2.8 NTC18

Verifiche eseguite utilizzando la formula conservativa (6.2) §6.2.1 EN 1993-1-1:2005.

X	Comb.	Sfruttamento	Classe	NEd	NRd	Rid. NRd da VEd	Mx,Ed	Mx,Rd	My,Ed	My,Rd	Rid. Mx,Rd da VEd	Rid. Mx,Rd da NEd	Rid. My,Rd da VEd	Rid. My,Rd da NEd	α	β	px	py	Verifica
0.803	SLU 75	0.066	3	-47.49	1003.522	1	-0.14	12.886	0.1443	19.3536	1		1				0	0	Si

Verifica a presso/tenso flessione deviata SLD §§ 4.2.4.1.2.3 - 4.2.4.1.2.6 - 4.2.4.1.2.7 - 4.2.4.1.2.8 NTC18

Verifiche eseguite utilizzando la formula conservativa (6.2) §6.2.1 EN 1993-1-1:2005.

Implementazione dei sistemi di confinamento delle emissioni odorigene diffuse dell’impianto di compostaggio esistente nel
Comune di Eboli (SA)
PROGETTO DEFINITIVO – Tabulati di calcolo Tomo 1

X	Comb.	Sfruttamento	Classe	NEd	NRd	Rid. NRd da VEd	Mx,Ed	Mx,Rd	My,Ed	My,Rd	Rid. Mx,Rd da VEd	Rid. Mx,Rd da NEd	Rid. My,Rd da VEd	Rid. My,Rd da NEd	α	β	px	py	Verifica
0.753	SLD 8	0.02	3	-10.907	1003.522	1	-0.0913	12.886	0.0332	19.3536	1		1				0	0	Si

Verifiche ad instabilità

Caratteristiche iniziali

Membratura principale per controllo snellezza; Calcolo di snellezze ed N critici condotti secondo gli assi principali;

Curva X: c; Curva Y: c;

Svergolamento: Nessuno; la verifica a instabilità flesso-torsionale (svergolamento) non verrà eseguita.

Dati per instabilità attorno a x

Controllo della snellezza secondo §4.2.4.1.3.1 NTC18

Numero rit.	Presente	Ascissa	Campata	βx/m	Vincolo a entrambi estremi	λx/m	λVer
1	Si	0					
			1-2	1	Si	49.6	Si, (<200)
2	Si	1.505					

Dati per instabilità attorno a y

Controllo della snellezza secondo §4.2.4.1.3.1 NTC18

Numero rit.	Presente	Ascissa	Campata	βy/n	k,LT	kw,LT	Vincolo a entrambi estremi
1	Si	0					
			1-2	1	Si	34.9	Si, (<200)
2	Si	1.505					

Verifica di stabilità per pressoflessione §C.4.2.4.1.3.3.1 NTC18

X	Comb.	Sfruttamento	Classe	NEd	MxEq,Ed	MyEq,Ed	Area	Wx	Wy	χ,min	λ adim. x/m	λ adim. y/n	N,crit x/m	N,crit y/n	Verifica
0	SLU 75	0.077	3	-47.516	-0.1335	0.1443	0.003832	0.0000492	0.0000739	0.802	0.571	0.402	3231.032	6528.319	Si

Verifica di stabilità per pressoflessione SLD §C.4.2.4.1.3.3.1 NTC18

X	Comb.	Sfruttamento	Classe	NEd	MxEq,Ed	MyEq,Ed	Area	Wx	Wy	χ,min	λ adim. x/m	λ adim. y/n	N,crit x/m	N,crit y/n	Verifica
0	SLD 7	0.022	3	-10.926	-0.0819	0.0333	0.003832	0.0000492	0.0000739	0.802	0.571	0.402	3231.032	6528.319	Si

Verifiche a deformabilità

Mensola X: No; Mensola Y: No.

Frecce lungo X

Ascissa freccia	Combinazione	Freccia	Luce	L/f	L/f,min	Tipo	Verifica
0.853	SLE RA 1	0	1.505	10000	250	Totale	Si
0.853	SLE RA 17	0	1.505	10000	250	Totale	Si
0.853	SLE RA 16	0	1.505	10000	250	Totale	Si
0.853	SLE RA 15	0	1.505	10000	250	Totale	Si
0.803	SLE RA 14	0	1.505	10000	250	Totale	Si
0.803	SLE RA 2	0	1.505	10000	350	Variabile	Si
0.803	SLE RA 17	0	1.505	10000	350	Variabile	Si
0.803	SLE RA 16	0	1.505	10000	350	Variabile	Si
0.853	SLE RA 15	0	1.505	10000	350	Variabile	Si
1.054	SLE RA 14	0	1.505	10000	350	Variabile	Si

Frecce lungo Y

Ascissa freccia	Combinazione	Freccia	Luce	L/f	L/f,min	Tipo	Verifica
0.753	SLE RA 1	-0.00003	1.505	10000	250	Totale	Si
0.753	SLE RA 17	-0.00003	1.505	10000	250	Totale	Si
0.753	SLE RA 16	-0.00003	1.505	10000	250	Totale	Si
0.753	SLE RA 15	-0.00003	1.505	10000	250	Totale	Si
0.753	SLE RA 14	-0.00003	1.505	10000	250	Totale	Si
0.803	SLE RA 2	0	1.505	10000	350	Variabile	Si
0.803	SLE RA 17	0	1.505	10000	350	Variabile	Si
0.803	SLE RA 16	0	1.505	10000	350	Variabile	Si
0.903	SLE RA 15	0	1.505	10000	350	Variabile	Si
0.803	SLE RA 14	0	1.505	10000	350	Variabile	Si

Superelemento in acciaio a quota "690"- "703" (729; 837)-(619; 939)

Caratteristiche del materiale

Acciaio: S275, fyk = 275000

Caratteristiche geometriche

Lunghezza: 1.505

Nodo iniziale: 1671 Nodo finale: 1882

Cerniera iniziale: Mmomenti 1% Cerniera finale: Mmomenti 1%

Sovraresistenza: 0% Sisma Z: No

Caratteristiche della sezione

Sezione	Rotazione	Area	Jx	Jy	ix	iy	Wx	Wy	Wplx	Wply
A1; L100*10; 1; Saldato; S275; 30; 1; 8; 8; 1	0	0.003832	0.0000035319	0.000007759	0.0304	0.045	0.0000492	0.0000739	0.00008974	0.00012727

Comportamento dei calastrelli

Accoppiamento imbottito con funzione statica (§C4.2.4.1.3.1.4 NTC18) nella campata compresa tra le ascisse 0 e 1.505 per sbandamento attorno all'asse y.

**Implementazione dei sistemi di confinamento delle emissioni odorigene diffuse dell'impianto di compostaggio esistente nel
Comune di Eboli (SA)
PROGETTO DEFINITIVO – Tabulati di calcolo Tomo 1**

Verifiche di resistenza

Verifiche a forza assiale §4.2.4.1.2.1 - §4.2.4.1.2.2 NTC18

X	Comb.	Sfruttamento	Classe	NEd	Nc,Rd	Nt,Rd	Riduzione da taglio	px	py	Verifica
0	SLU 75	0.111	3	-111.475	1003.522		1	0	0	Si

Verifiche a forza assiale SLD §4.2.4.1.2.1 - §4.2.4.1.2.2 NTC18

X	Comb.	Sfruttamento	Classe	NEd	Nc,Rd	Nt,Rd	Riduzione da taglio	px	py	Verifica
0	SLD 16	0.039	3	-39.629	1003.522		1	0	0	Si

Verifica a taglio X §4.2.4.1.2.4 NTC18

X	Comb.	Sfruttamento	VEd	Vc,Rd	Av	Interazione taglio-torsione	Riduzione torsione	Verifica
0	SLU 75	0.002	0.718	302.422	0.002	Non considerata		Si

Verifica a taglio X SLD §4.2.4.1.2.4 NTC18

X	Comb.	Sfruttamento	VEd	Vc,Rd	Av	Interazione taglio-torsione	Riduzione torsione	Verifica
0	SLD 15	0.001	0.256	302.422	0.002	Non considerata		Si

Verifica a taglio Y §4.2.4.1.2.4 NTC18

X	Comb.	Sfruttamento	VEd	Vc,Rd	Av	Interazione taglio-torsione	Riduzione torsione	Verifica
1.505	SLU 75	0.001	-0.393	302.422	0.002	Non considerata		Si

Verifica a taglio Y SLD §4.2.4.1.2.4 NTC18

X	Comb.	Sfruttamento	VEd	Vc,Rd	Av	Interazione taglio-torsione	Riduzione torsione	Verifica
1.505	SLD 16	0.001	-0.264	302.422	0.002	Non considerata		Si

Verifica a presso/tenso flessione retta X §§ 4.2.4.1.2.3 - 4.2.4.1.2.6 - 4.2.4.1.2.7 - 4.2.4.1.2.8 NTC18

Verifiche eseguite utilizzando la formula conservativa (6.2) §6.2.1 EN 1993-1-1:2005.

X	Comb.	Sfruttamento	Classe	NEd	NRd	Rid. NRd da VEd	Mx,Ed	Mx,Rd	Rid. Mx,Rd da VEd	Rid. Mx,Rd da NEd	px	py	Verifica
0.803	SLU 2	0.022	1	18.22	1003.522	1	-0.0843	23.5037	1		0	0	Si

Verifica a presso/tenso flessione retta Y §§ 4.2.4.1.2.3 - 4.2.4.1.2.6 - 4.2.4.1.2.7 - 4.2.4.1.2.8 NTC18

Verifiche eseguite utilizzando la formula conservativa (6.2) §6.2.1 EN 1993-1-1:2005.

X	Comb.	Sfruttamento	Classe	NEd	NRd	Rid. NRd da VEd	My,Ed	My,Rd	Rid. My,Rd da VEd	Rid. My,Rd da NEd	px	py	Verifica
1.305	SLU 75	0.129	3	-111.433	1003.522	1	0.3427	19.3536	1		0	0	Si

Verifica a presso/tenso flessione retta Y SLD §§ 4.2.4.1.2.3 - 4.2.4.1.2.6 - 4.2.4.1.2.7 - 4.2.4.1.2.8 NTC18

Verifiche eseguite utilizzando la formula conservativa (6.2) §6.2.1 EN 1993-1-1:2005.

X	Comb.	Sfruttamento	Classe	NEd	NRd	Rid. NRd da VEd	My,Ed	My,Rd	Rid. My,Rd da VEd	Rid. My,Rd da NEd	px	py	Verifica
1.405	SLD 15	0.046	3	-39.594	1003.522	1	0.1215	19.3536	1		0	0	Si

Verifica a presso/tenso flessione deviata §§ 4.2.4.1.2.3 - 4.2.4.1.2.6 - 4.2.4.1.2.7 - 4.2.4.1.2.8 NTC18

Verifiche eseguite utilizzando la formula conservativa (6.2) §6.2.1 EN 1993-1-1:2005.

X	Comb.	Sfruttamento	Classe	NEd	NRd	Rid. NRd da VEd	Mx,Ed	Mx,Rd	My,Ed	My,Rd	Rid. Mx,Rd da VEd	Rid. Mx,Rd da NEd	Rid. My,Rd da VEd	Rid. My,Rd da NEd	α	β	px	py	Verifica
0.502	SLU 75	0.138	3	-111.459	1003.522	1	-0.125	12.886	-0.3414	19.3536	1		1				0	0	Si

Verifica a presso/tenso flessione deviata SLD §§ 4.2.4.1.2.3 - 4.2.4.1.2.6 - 4.2.4.1.2.7 - 4.2.4.1.2.8 NTC18

Verifiche eseguite utilizzando la formula conservativa (6.2) §6.2.1 EN 1993-1-1:2005.

X	Comb.	Sfruttamento	Classe	NEd	NRd	Rid. NRd da VEd	Mx,Ed	Mx,Rd	My,Ed	My,Rd	Rid. Mx,Rd da VEd	Rid. Mx,Rd da NEd	Rid. My,Rd da VEd	Rid. My,Rd da NEd	α	β	px	py	Verifica
0.602	SLD 15	0.052	3	-39.614	1003.522	1	-0.087	12.886	0.1201	19.3536	1		1				0	0	Si

Verifiche ad instabilità

Caratteristiche iniziali

Membratura principale per controllo snellezza; Calcolo di snellezze ed N critici condotti secondo gli assi principali;

Curva X: c; Curva Y: c;

Svergolamento: Nessuno; la verifica a instabilità flesso-torsionale (svergolamento) non verrà eseguita.

Dati per instabilità attorno a x

Controllo della snellezza secondo §4.2.4.1.3.1 NTC18

Numero rit.	Presente	Ascissa	Campata	βx/m	Vincolo a entrambi estremi	λx/m	λVer
1	Si	0					
			1-2		1	49.6	Si, (<200)
2	Si	1.505					

Dati per instabilità attorno a y

Controllo della snellezza secondo §4.2.4.1.3.1 NTC18

Numero rit.	Presente	Ascissa	Campata	βy/n	k,LT	kw,LT	Vincolo a entrambi estremi
1	Si	0					
			1-2		1	34.9	Si, (<200)
2	Si	1.505					

Verifica di stabilità per pressoflessione §C.4.2.4.1.3.3.1 NTC18

X	Comb.	Sfruttamento	Classe	NEd	MxEq,Ed	MyEq,Ed	Area	Wx	Wy	χ,min	λ adim. x/m	λ adim. y/n	N,crit x/m	N,crit y/n	Verifica
0	SLU 75	0.16	3	-111.475	-0.0978	0.2573	0.003832	0.0000492	0.0000739	0.802	0.571	0.402	3231.032	6528.319	Si

Verifica di stabilità per pressoflessione SLD §C.4.2.4.1.3.3.1 NTC18

X	Comb.	Sfruttamento	Classe	NEd	MxEq,Ed	MyEq,Ed	Area	Wx	Wy	χ,min	λ adim. x/m	λ adim. y/n	N,crit x/m	N,crit y/n	Verifica
0	SLD 16	0.06	3	-39.629	-0.0731	0.0913	0.003832	0.0000492	0.0000739	0.802	0.571	0.402	3231.032	6528.319	Si

Implementazione dei sistemi di confinamento delle emissioni odorigene diffuse dell'impianto di compostaggio esistente nel
Comune di Eboli (SA)
PROGETTO DEFINITIVO – Tabulati di calcolo Tomo 1

Verifiche a deformabilità

Mensola X: No; Mensola Y: No.

Frecce lungo X

Ascissa freccia	Combinazione	Freccia	Luce	L/f	L/f,min	Tipo	Verifica
1.003	SLE RA 1	0	1.505	10000	250	Totale	Si
1.003	SLE RA 17	0	1.505	10000	250	Totale	Si
1.003	SLE RA 16	0	1.505	10000	250	Totale	Si
1.003	SLE RA 15	0	1.505	10000	250	Totale	Si
1.003	SLE RA 14	0	1.505	10000	250	Totale	Si
1.003	SLE RA 2	0	1.505	10000	350	Variabile	Si
1.003	SLE RA 17	0	1.505	10000	350	Variabile	Si
1.003	SLE RA 16	0	1.505	10000	350	Variabile	Si
1.003	SLE RA 15	0	1.505	10000	350	Variabile	Si
1.054	SLE RA 14	0	1.505	10000	350	Variabile	Si

Frecce lungo Y

Ascissa freccia	Combinazione	Freccia	Luce	L/f	L/f,min	Tipo	Verifica
0.702	SLE RA 1	-0.00003	1.505	10000	250	Totale	Si
0.702	SLE RA 17	-0.00003	1.505	10000	250	Totale	Si
0.702	SLE RA 16	-0.00003	1.505	10000	250	Totale	Si
0.702	SLE RA 15	-0.00003	1.505	10000	250	Totale	Si
0.702	SLE RA 14	-0.00003	1.505	10000	250	Totale	Si
0.351	SLE RA 2	0	1.505	10000	350	Variabile	Si
0.351	SLE RA 17	0	1.505	10000	350	Variabile	Si
0.351	SLE RA 16	0	1.505	10000	350	Variabile	Si
1.154	SLE RA 15	0	1.505	10000	350	Variabile	Si
0.351	SLE RA 14	0	1.505	10000	350	Variabile	Si

Superelemento in acciaio a quota "690"- "703" (983; 1106)-(874; 1209)

Caratteristiche del materiale

Acciaio: S275, fyk = 275000

Caratteristiche geometriche

Lunghezza: 1.505

Nodo iniziale: 1680 Nodo finale: 1892

Cerniera iniziale: Mmomenti 1% Cerniera finale: Mmomenti 1%

Sovreresistenza: 0% Sisma Z: No

Caratteristiche della sezione

Sezione	Rotazione	Area	Jx	Jy	ix	iy	Wx	Wy	Wplx	Wply
Al; L100*10; 1; Saldato; S275; 30; 1; 8; 8; 1	0	0.003832	0.0000035319	0.000007759	0.0304	0.045	0.0000492	0.0000739	0.00008974	0.00012727

Comportamento dei calastrelli

Accoppiamento imbottito con funzione statica (§C4.2.4.1.3.1.4 NTC18) nella campata compresa tra le ascisse 0 e 1.505 per sbandamento attorno all'asse y.

Verifiche di resistenza

Verifiche a forza assiale §4.2.4.1.2.1 - §4.2.4.1.2.2 NTC18

X	Comb.	Sfruttamento	Classe	NEd	Nc,Rd	Nt,Rd	Riduzione da taglio	px	py	Verifica
0	SLU 75	0.148	3	-148.624	1003.522		1	0	0	Si

Verifiche a forza assiale SLD §4.2.4.1.2.1 - §4.2.4.1.2.2 NTC18

X	Comb.	Sfruttamento	Classe	NEd	Nc,Rd	Nt,Rd	Riduzione da taglio	px	py	Verifica
0	SLD 14	0.048	3	-48.154	1003.522		1	0	0	Si

Verifica a taglio X §4.2.4.1.2.4 NTC18

X	Comb.	Sfruttamento	VEd	Vc,Rd	Av	Interazione taglio-torsione	Riduzione torsione	Verifica
0	SLU 75	0.003	0.957	302.422	0.002	Non considerata		Si

Verifica a taglio X SLD §4.2.4.1.2.4 NTC18

X	Comb.	Sfruttamento	VEd	Vc,Rd	Av	Interazione taglio-torsione	Riduzione torsione	Verifica
0	SLD 14	0.001	0.307	302.422	0.002	Non considerata		Si

Verifica a taglio Y §4.2.4.1.2.4 NTC18

X	Comb.	Sfruttamento	VEd	Vc,Rd	Av	Interazione taglio-torsione	Riduzione torsione	Verifica
1.505	SLU 64	0.001	-0.309	302.422	0.002	Non considerata		Si

Verifica a taglio Y SLD §4.2.4.1.2.4 NTC18

X	Comb.	Sfruttamento	VEd	Vc,Rd	Av	Interazione taglio-torsione	Riduzione torsione	Verifica
1.505	SLD 14	0.001	-0.231	302.422	0.002	Non considerata		Si

Verifica a presso/tenso flessione retta X §§ 4.2.4.1.2.3 - 4.2.4.1.2.6 - 4.2.4.1.2.7 - 4.2.4.1.2.8 NTC18

Verifiche eseguite utilizzando la formula conservativa (6.2) §6.2.1 EN 1993-1-1:2005.

X	Comb.	Sfruttamento	Classe	NEd	NRd	Rid. NRd da VEd	Mx,Ed	Mx,Rd	Rid. Mx,Rd da VEd	Rid. Mx,Rd da NEd	px	py	Verifica
0.753	SLU 2	0.026	1	23.325	1003.522	1	-0.0733	23.5037	1		0	0	Si

Verifica a presso/tenso flessione retta Y §§ 4.2.4.1.2.3 - 4.2.4.1.2.6 - 4.2.4.1.2.7 - 4.2.4.1.2.8 NTC18

Verifiche eseguite utilizzando la formula conservativa (6.2) §6.2.1 EN 1993-1-1:2005.

Implementazione dei sistemi di confinamento delle emissioni odorigene diffuse dell'impianto di compostaggio esistente nel
Comune di Eboli (SA)
PROGETTO DEFINITIVO – Tabulati di calcolo Tomo 1

X	Comb.	Sfruttamento	Classe	NEd	NRd	Rid. NRd da VEd	My,Ed	My,Rd	Rid. My,Rd da VEd	Rid. My,Rd da NEd	px	py	Verifica
1.505	SLU 64	0.079	3	-68.737	1003.522	1	0.2109	19.3536	1		0	0	Si

Verifica a presso/tenso flessione deviata §§ 4.2.4.1.2.3 - 4.2.4.1.2.6 - 4.2.4.1.2.7 - 4.2.4.1.2.8 NTC18

Verifiche eseguite utilizzando la formula conservativa (6.2) §6.2.1 EN 1993-1-1:2005.

X	Comb.	Sfruttamento	Classe	NEd	NRd	Rid. NRd da VEd	Mx,Ed	Mx,Rd	My,Ed	My,Rd	Rid. Mx,Rd da VEd	Rid. Mx,Rd da NEd	Rid. My,Rd da VEd	Rid. My,Rd da NEd	α	β	px	py	Verifica
0.753	SLU 75	0.185	3	-148.599	1003.522	1	-0.1652	12.886	0.4581	19.3536	1		1				0	0	Si

Verifica a presso/tenso flessione deviata SLD §§ 4.2.4.1.2.3 - 4.2.4.1.2.6 - 4.2.4.1.2.7 - 4.2.4.1.2.8 NTC18

Verifiche eseguite utilizzando la formula conservativa (6.2) §6.2.1 EN 1993-1-1:2005.

X	Comb.	Sfruttamento	Classe	NEd	NRd	Rid. NRd da VEd	Mx,Ed	Mx,Rd	My,Ed	My,Rd	Rid. Mx,Rd da VEd	Rid. Mx,Rd da NEd	Rid. My,Rd da VEd	Rid. My,Rd da NEd	α	β	px	py	Verifica
0.753	SLD 13	0.063	3	-48.135	1003.522	1	-0.0991	12.886	0.1465	19.3536	1		1				0	0	Si

Verifiche ad instabilità

Caratteristiche iniziali

Membratura principale per controllo snellezza; Calcolo di snellezze ed N critici condotti secondo gli assi principali;

Curva X: c; Curva Y: c;

Svergolamento: Nessuno; la verifica a instabilità flesso-torsionale (svergolamento) non verrà eseguita.

Dati per instabilità attorno a x

Controllo della snellezza secondo §4.2.4.1.3.1 NTC18

Numero rit.	Presente	Ascissa	Campata	βx/m	Vincolo a entrambi estremi	λx/m	λVer
1	Si	0					
			1-2	1	Si	49.6	Si, (<200)
2	Si	1.505					

Dati per instabilità attorno a y

Controllo della snellezza secondo §4.2.4.1.3.1 NTC18

Numero rit.	Presente	Ascissa	Campata	βy/n	k,LT	kw,LT	Vincolo a entrambi estremi
1	Si	0					
			1-2	1	Si	34.9	Si, (<200)
2	Si	1.505					

Verifica di stabilità per pressoflessione §C.4.2.4.1.3.3.1 NTC18

X	Comb.	Sfruttamento	Classe	NEd	MxEq,Ed	MyEq,Ed	Area	Wx	Wy	χ,min	λ adim. x/m	λ adim. y/n	N,crit x/m	N,crit y/n	Verifica
0	SLU 75	0.222	3	-148.624	-0.1652	0.4582	0.003832	0.0000492	0.0000739	0.802	0.571	0.402	3231.032	6528.319	Si

Verifica di stabilità per pressoflessione SLD §C.4.2.4.1.3.3.1 NTC18

X	Comb.	Sfruttamento	Classe	NEd	MxEq,Ed	MyEq,Ed	Area	Wx	Wy	χ,min	λ adim. x/m	λ adim. y/n	N,crit x/m	N,crit y/n	Verifica
0	SLD 14	0.075	3	-48.154	-0.0922	0.1466	0.003832	0.0000492	0.0000739	0.802	0.571	0.402	3231.032	6528.319	Si

Verifiche a deformabilità

Mensola X: No; Mensola Y: No.

Frecce lungo X

Ascissa freccia	Combinazione	Freccia	Luce	L/f	L/f,min	Tipo	Verifica
0.853	SLE RA 1	0	1.505	10000	250	Totale	Si
0.853	SLE RA 17	0	1.505	10000	250	Totale	Si
0.853	SLE RA 16	0	1.505	10000	250	Totale	Si
0.853	SLE RA 15	0	1.505	10000	250	Totale	Si
0.853	SLE RA 14	0	1.505	10000	250	Totale	Si
0.853	SLE RA 2	0	1.505	10000	350	Variabile	Si
0.853	SLE RA 17	0	1.505	10000	350	Variabile	Si
0.853	SLE RA 16	0	1.505	10000	350	Variabile	Si
0.853	SLE RA 15	0	1.505	10000	350	Variabile	Si
0.853	SLE RA 14	0	1.505	10000	350	Variabile	Si

Frecce lungo Y

Ascissa freccia	Combinazione	Freccia	Luce	L/f	L/f,min	Tipo	Verifica
0.753	SLE RA 1	-0.00003	1.505	10000	250	Totale	Si
0.753	SLE RA 17	-0.00004	1.505	10000	250	Totale	Si
0.753	SLE RA 16	-0.00004	1.505	10000	250	Totale	Si
0.753	SLE RA 15	-0.00004	1.505	10000	250	Totale	Si
0.753	SLE RA 14	-0.00004	1.505	10000	250	Totale	Si
0.753	SLE RA 2	0.00001	1.505	10000	350	Variabile	Si
0.753	SLE RA 17	0	1.505	10000	350	Variabile	Si
0.753	SLE RA 16	-0.00001	1.505	10000	350	Variabile	Si
0.702	SLE RA 15	0	1.505	10000	350	Variabile	Si
0.753	SLE RA 14	-0.00001	1.505	10000	350	Variabile	Si

Superelemento in acciaio a quota "690"- "703" (1237; 1376)-(1128; 1479)

Caratteristiche del materiale

Acciaio: S275, fyk = 275000

Caratteristiche geometriche

Lunghezza: 1.505

Nodo iniziale: 1691 Nodo finale: 1902

Cerniera iniziale: Mmomenti 1% Cerniera finale: Mmomenti 1%

Sovreresistenza: 0% Sisma Z: No

Implementazione dei sistemi di confinamento delle emissioni odorigene diffuse dell'impianto di compostaggio esistente nel
Comune di Eboli (SA)
PROGETTO DEFINITIVO – Tabulati di calcolo Tomo 1

Caratteristiche della sezione

Sezione	Rotazione	Area	Jx	Jy	ix	iy	Wx	Wy	Wplx	Wply
A1; L100*10; 1; Saldato; S275; 30; 1; 8; 8; 1	0	0.003832	0.0000035319	0.000007759	0.0304	0.045	0.0000492	0.0000739	0.00008974	0.00012727

Comportamento dei calastrelli

Accoppiamento imbottito con funzione statica (§C4.2.4.1.3.1.4 NTC18) nella campata compresa tra le ascisse 0 e 1.505 per sbandamento attorno all'asse y.

Verifiche di resistenza

Verifiche a forza assiale §4.2.4.1.2.1 - §4.2.4.1.2.2 NTC18

X	Comb.	Sfruttamento	Classe	NEd	Nc,Rd	Nt,Rd	Riduzione da taglio	px	py	Verifica
0	SLU 75	0.121	3	-121.457	1003.522		1	0	0	Si

Verifiche a forza assiale SLD §4.2.4.1.2.1 - §4.2.4.1.2.2 NTC18

X	Comb.	Sfruttamento	Classe	NEd	Nc,Rd	Nt,Rd	Riduzione da taglio	px	py	Verifica
0	SLD 1	0.045	3	-45.478	1003.522		1	0	0	Si

Verifica a taglio X §4.2.4.1.2.4 NTC18

X	Comb.	Sfruttamento	VEd	Vc,Rd	Av	Interazione taglio-torsione	Riduzione torsione	Verifica
0	SLU 75	0.003	0.78	302.422	0.002	Non considerata		Si

Verifica a taglio X SLD §4.2.4.1.2.4 NTC18

X	Comb.	Sfruttamento	VEd	Vc,Rd	Av	Interazione taglio-torsione	Riduzione torsione	Verifica
0	SLD 1	0.001	-0.288	302.422	0.002	Non considerata		Si

Verifica a taglio Y §4.2.4.1.2.4 NTC18

X	Comb.	Sfruttamento	VEd	Vc,Rd	Av	Interazione taglio-torsione	Riduzione torsione	Verifica
1.505	SLU 76	0.001	-0.307	302.422	0.002	Non considerata		Si

Verifica a taglio Y SLD §4.2.4.1.2.4 NTC18

X	Comb.	Sfruttamento	VEd	Vc,Rd	Av	Interazione taglio-torsione	Riduzione torsione	Verifica
1.505	SLD 2	0.001	-0.233	302.422	0.002	Non considerata		Si

Verifica a flessione semplice X §§ 4.2.4.1.2.3 - 4.2.4.1.2.6 - 4.2.4.1.2.7 - 4.2.4.1.2.8 NTC18

X	Comb.	Sfruttamento	Classe	Mx,Ed	Mx,Rd	Rid. Mx,Rd da VEd	px	py	Verifica
0.753	SLU 5	0.004	1	-0.08288	23.50374	1	0	0	Si

Verifica a presso/tenso flessione retta X §§ 4.2.4.1.2.3 - 4.2.4.1.2.6 - 4.2.4.1.2.7 - 4.2.4.1.2.8 NTC18

Verifiche eseguite utilizzando la formula conservativa (6.2) §6.2.1 EN 1993-1-1:2005.

X	Comb.	Sfruttamento	Classe	NEd	NRd	Rid. NRd da VEd	Mx,Ed	Mx,Rd	Rid. Mx,Rd da VEd	Rid. Mx,Rd da NEd	px	py	Verifica
0.753	SLU 2	0.022	1	18.978	1003.522	1	-0.0769	23.5037	1		0	0	Si

Verifica a presso/tenso flessione retta Y §§ 4.2.4.1.2.3 - 4.2.4.1.2.6 - 4.2.4.1.2.7 - 4.2.4.1.2.8 NTC18

Verifiche eseguite utilizzando la formula conservativa (6.2) §6.2.1 EN 1993-1-1:2005.

X	Comb.	Sfruttamento	Classe	NEd	NRd	Rid. NRd da VEd	My,Ed	My,Rd	Rid. My,Rd da VEd	Rid. My,Rd da NEd	px	py	Verifica
1.505	SLU 64	0.057	3	-49.477	1003.522	1	0.152	19.3536	1		0	0	Si

Verifica a presso/tenso flessione deviata §§ 4.2.4.1.2.3 - 4.2.4.1.2.6 - 4.2.4.1.2.7 - 4.2.4.1.2.8 NTC18

Verifiche eseguite utilizzando la formula conservativa (6.2) §6.2.1 EN 1993-1-1:2005.

X	Comb.	Sfruttamento	Classe	NEd	NRd	Rid. NRd da VEd	Mx,Ed	Mx,Rd	My,Ed	My,Rd	Rid. Mx,Rd da VEd	Rid. Mx,Rd da NEd	Rid. My,Rd da VEd	Rid. My,Rd da NEd	α	β	px	py	Verifica
0.702	SLU 75	0.152	3	-121.434	1003.522	1	-0.1476	12.886	0.3728	19.3536	1		1				0	0	Si

Verifica a presso/tenso flessione deviata SLD §§ 4.2.4.1.2.3 - 4.2.4.1.2.6 - 4.2.4.1.2.7 - 4.2.4.1.2.8 NTC18

Verifiche eseguite utilizzando la formula conservativa (6.2) §6.2.1 EN 1993-1-1:2005.

X	Comb.	Sfruttamento	Classe	NEd	NRd	Rid. NRd da VEd	Mx,Ed	Mx,Rd	My,Ed	My,Rd	Rid. Mx,Rd da VEd	Rid. Mx,Rd da NEd	Rid. My,Rd da VEd	Rid. My,Rd da NEd	α	β	px	py	Verifica
0.753	SLD 2	0.06	3	-45.459	1003.522	1	-0.0964	12.886	-0.1379	19.3536	1		1				0	0	Si

Verifiche ad instabilità

Caratteristiche iniziali

Membratura principale per controllo snellezza; Calcolo di snellezze ed N critici condotti secondo gli assi principali;

Curva X: c; Curva Y: c;

Svergolamento: Nessuno; la verifica a instabilità flessio-torsionale (svergolamento) non verrà eseguita.

Dati per instabilità attorno a x

Controllo della snellezza secondo §4.2.4.1.3.1 NTC18

Numero rit.	Presente	Ascissa	Campata	βx/m	Vincolo a entrambi estremi	λx/m	λVer
1	Si	0					
			1-2	1	Si	49.6	Si, (<200)
2	Si	1.505					

Dati per instabilità attorno a y

Controllo della snellezza secondo §4.2.4.1.3.1 NTC18

Numero rit.	Presente	Ascissa	Campata	βy/n	k,LT	kw,LT	Vincolo a entrambi estremi
1	Si	0					
			1-2	1	Si	34.9	Si, (<200)
2	Si	1.505					

Implementazione dei sistemi di confinamento delle emissioni odorigene diffuse dell'impianto di compostaggio esistente nel
Comune di Eboli (SA)
PROGETTO DEFINITIVO – Tabulati di calcolo Tomo 1

Verifica di stabilità per pressoflessione §C.4.2.4.1.3.3.1 NTC18

X	Comb.	Sfruttamento	Classe	NEd	MxEq,Ed	MyEq,Ed	Area	Wx	Wy	x,min	λ adim. x/m	λ adim. y/n	N,crit x/m	N,crit y/n	Verifica
0	SLU 75	0,177	3	-121,457	-0,144	0,28	0,003832	0,0000492	0,0000739	0,802	0,571	0,402	3231,032	6528,319	Si

Verifica di stabilità per pressoflessione SLD §C.4.2.4.1.3.3.1 NTC18

X	Comb.	Sfruttamento	Classe	NEd	MxEq,Ed	MyEq,Ed	Area	Wx	Wy	x,min	λ adim. x/m	λ adim. y/n	N,crit x/m	N,crit y/n	Verifica
0	SLD 1	0,071	3	-45,478	-0,0884	-0,1379	0,003832	0,0000492	0,0000739	0,802	0,571	0,402	3231,032	6528,319	Si

Verifiche a deformabilità

Mensola X: No; Mensola Y: No.

Frecce lungo X

Ascissa freccia	Combinazione	Freccia	Luce	L/f	L/f,min	Tipo	Verifica
0,903	SLE RA 1	0	1,505	10000	250	Totale	Si
0,903	SLE RA 17	0	1,505	10000	250	Totale	Si
0,903	SLE RA 16	0	1,505	10000	250	Totale	Si
0,903	SLE RA 15	0	1,505	10000	250	Totale	Si
0,953	SLE RA 14	0	1,505	10000	250	Totale	Si
0,953	SLE RA 2	0	1,505	10000	350	Variabile	Si
0,953	SLE RA 17	0	1,505	10000	350	Variabile	Si
0,953	SLE RA 16	0	1,505	10000	350	Variabile	Si
0,903	SLE RA 15	0	1,505	10000	350	Variabile	Si
0,753	SLE RA 14	0	1,505	10000	350	Variabile	Si

Frecce lungo Y

Ascissa freccia	Combinazione	Freccia	Luce	L/f	L/f,min	Tipo	Verifica
0,753	SLE RA 1	-0,00003	1,505	10000	250	Totale	Si
0,753	SLE RA 17	-0,00003	1,505	10000	250	Totale	Si
0,753	SLE RA 16	-0,00004	1,505	10000	250	Totale	Si
0,753	SLE RA 15	-0,00003	1,505	10000	250	Totale	Si
0,753	SLE RA 14	-0,00004	1,505	10000	250	Totale	Si
0,753	SLE RA 2	0	1,505	10000	350	Variabile	Si
0,753	SLE RA 17	0	1,505	10000	350	Variabile	Si
0,753	SLE RA 16	0	1,505	10000	350	Variabile	Si
0,702	SLE RA 15	0	1,505	10000	350	Variabile	Si
0,753	SLE RA 14	0	1,505	10000	350	Variabile	Si

Superelemento in acciaio a quota "690"- "703" (1494; 1651)-(1384; 1754)

Caratteristiche del materiale

Acciaio: S275, fyk = 275000

Caratteristiche geometriche

Lunghezza: 1.505

Nodo iniziale: 1698 Nodo finale: 1914

Cerniera iniziale: Mmomenti 1% Cerniera finale: Mmomenti 1%

Sovraresistenza: 0% Sisma Z: No

Caratteristiche della sezione

Sezione	Rotazione	Area	Jx	Jy	ix	iy	Wx	Wy	Wplx	Wply
A1; L100*10; 1; Saldato; S275; 30; 1; 8; 8; 1	0	0,003832	0,0000035319	0,000007759	0,0304	0,045	0,0000492	0,0000739	0,00008974	0,00012727

Comportamento dei calastrelli

Accoppiamento imbottito con funzione statica (§C4.2.4.1.3.1.4 NTC18) nella campata compresa tra le ascisse 0 e 1.505 per sbandamento attorno all'asse y.

Verifiche di resistenza

Verifiche a forza assiale §4.2.4.1.2.1 - §4.2.4.1.2.2 NTC18

X	Comb.	Sfruttamento	Classe	NEd	Nc,Rd	Nt,Rd	Riduzione da taglio	px	py	Verifica
0	SLU 75	0,047	3	-47,389	1003,522		1	0	0	Si

Verifiche a forza assiale SLD §4.2.4.1.2.1 - §4.2.4.1.2.2 NTC18

X	Comb.	Sfruttamento	Classe	NEd	Nc,Rd	Nt,Rd	Riduzione da taglio	px	py	Verifica
0	SLD 11	0,011	3	-11,001	1003,522		1	0	0	Si

Verifica a taglio X §4.2.4.1.2.4 NTC18

X	Comb.	Sfruttamento	VEd	Vc,Rd	Av	Interazione taglio-torsione	Riduzione torsione	Verifica
0	SLU 75	0,001	0,303	302,422	0,002	Non considerata		Si

Verifica a taglio Y §4.2.4.1.2.4 NTC18

X	Comb.	Sfruttamento	VEd	Vc,Rd	Av	Interazione taglio-torsione	Riduzione torsione	Verifica
0	SLU 75	0,001	0,313	302,422	0,002	Non considerata		Si

Verifica a taglio Y SLD §4.2.4.1.2.4 NTC18

X	Comb.	Sfruttamento	VEd	Vc,Rd	Av	Interazione taglio-torsione	Riduzione torsione	Verifica
0	SLD 8	0,001	0,229	302,422	0,002	Non considerata		Si

Verifica a presso/tenso flessione retta X §§ 4.2.4.1.2.3 - 4.2.4.1.2.6 - 4.2.4.1.2.7 - 4.2.4.1.2.8 NTC18

Verifiche eseguite utilizzando la formula conservativa (6.2) §6.2.1 EN 1993-1-1:2005.

X	Comb.	Sfruttamento	Classe	NEd	NRd	Rid. NRd da VEd	Mx,Ed	Mx,Rd	Rid. Mx,Rd da VEd	Rid. Mx,Rd da NEd	px	py	Verifica
---	-------	--------------	--------	-----	-----	-----------------	-------	-------	-------------------	-------------------	----	----	----------

Implementazione dei sistemi di confinamento delle emissioni odorigene diffuse dell'impianto di compostaggio esistente nel
Comune di Eboli (SA)

PROGETTO DEFINITIVO – Tabulati di calcolo Tomo 1

X	Comb.	Sfruttamento	Classe	NEd	NRd	Rid. NRd da VEd	Mx,Ed	Mx,Rd	Rid. Mx,Rd da VEd	Rid. Mx,Rd da NEd	px	py	Verifica
0.753	SLU 4	0.017	1	13.797	1003.522	1	-0.0742	23.5037	1		0	0	Si

Verifica a presso/tenso flessione retta Y §§ 4.2.4.1.2.3 - 4.2.4.1.2.6 - 4.2.4.1.2.7 - 4.2.4.1.2.8 NTC18

Verifiche eseguite utilizzando la formula conservativa (6.2) §6.2.1 EN 1993-1-1:2005.

X	Comb.	Sfruttamento	Classe	NEd	NRd	Rid. NRd da VEd	My,Ed	My,Rd	Rid. My,Rd da VEd	Rid. My,Rd da NEd	px	py	Verifica
0	SLU 57	0.019	3	-16.208	1003.522	1	-0.0491	19.3536	1		0	0	Si

Verifica a presso/tenso flessione retta Y SLD §§ 4.2.4.1.2.3 - 4.2.4.1.2.6 - 4.2.4.1.2.7 - 4.2.4.1.2.8 NTC18

Verifiche eseguite utilizzando la formula conservativa (6.2) §6.2.1 EN 1993-1-1:2005.

X	Comb.	Sfruttamento	Classe	NEd	NRd	Rid. NRd da VEd	My,Ed	My,Rd	Rid. My,Rd da VEd	Rid. My,Rd da NEd	px	py	Verifica
0	SLD 11	0.013	3	-11.001	1003.522	1	0.0332	19.3536	1		0	0	Si

Verifica a presso/tenso flessione deviata §§ 4.2.4.1.2.3 - 4.2.4.1.2.6 - 4.2.4.1.2.7 - 4.2.4.1.2.8 NTC18

Verifiche eseguite utilizzando la formula conservativa (6.2) §6.2.1 EN 1993-1-1:2005.

X	Comb.	Sfruttamento	Classe	NEd	NRd	Rid. NRd da VEd	Mx,Ed	Mx,Rd	My,Ed	My,Rd	Rid. Mx,Rd da VEd	Rid. Mx,Rd da NEd	Rid. My,Rd da VEd	Rid. My,Rd da NEd	α	β	px	py	Verifica
0.803	SLU 75	0.066	3	-47.363	1003.522	1	-0.1423	12.886	0.1442	19.3536	1		1				0	0	Si

Verifica a presso/tenso flessione deviata SLD §§ 4.2.4.1.2.3 - 4.2.4.1.2.6 - 4.2.4.1.2.7 - 4.2.4.1.2.8 NTC18

Verifiche eseguite utilizzando la formula conservativa (6.2) §6.2.1 EN 1993-1-1:2005.

X	Comb.	Sfruttamento	Classe	NEd	NRd	Rid. NRd da VEd	Mx,Ed	Mx,Rd	My,Ed	My,Rd	Rid. Mx,Rd da VEd	Rid. Mx,Rd da NEd	Rid. My,Rd da VEd	Rid. My,Rd da NEd	α	β	px	py	Verifica
0.753	SLD 11	0.02	3	-10.982	1003.522	1	-0.0904	12.886	0.0338	19.3536	1		1				0	0	Si

Verifiche ad instabilità

Caratteristiche iniziali

Membratura principale per controllo snellezza; Calcolo di snellezze ed N critici condotti secondo gli assi principali;

Curva X: c; Curva Y: c;

Svergolamento: Nessuno; la verifica a instabilità flesso-torsionale (svergolamento) non verrà eseguita.

Dati per instabilità attorno a x

Controllo della snellezza secondo §4.2.4.1.3.1 NTC18

Numero rit.	Presente	Ascissa	Campata	βx/m	Vincolo a entrambi estremi	λx/m	λVer
1	Si		0				
			1-2		1	49.6	Si, (<200)
2	Si		1,505				

Dati per instabilità attorno a y

Controllo della snellezza secondo §4.2.4.1.3.1 NTC18

Numero rit.	Presente	Ascissa	Campata	βy/n	k,LT	kw,LT	Vincolo a entrambi estremi
1	Si		0				
			1-2		1	34.9	Si, (<200)
2	Si		1,505				

Verifica di stabilità per pressoflessione §C.4.2.4.1.3.3.1 NTC18

X	Comb.	Sfruttamento	Classe	NEd	MxEq,Ed	MyEq,Ed	Area	Wx	Wy	χ,min	λ adim. x/m	λ adim. y/n	N,crit x/m	N,crit y/n	Verifica
0	SLU 75	0.076	3	-47.389	-0.1364	0.1313	0.003832	0.0000492	0.0000739	0.802	0.571	0.402	3231.032	6528.319	Si

Verifica di stabilità per pressoflessione SLD §C.4.2.4.1.3.3.1 NTC18

X	Comb.	Sfruttamento	Classe	NEd	MxEq,Ed	MyEq,Ed	Area	Wx	Wy	χ,min	λ adim. x/m	λ adim. y/n	N,crit x/m	N,crit y/n	Verifica
0	SLD 12	0.022	3	-11.001	-0.0808	0.034	0.003832	0.0000492	0.0000739	0.802	0.571	0.402	3231.032	6528.319	Si

Verifiche a deformabilità

Mensola X: No; Mensola Y: No.

Frecce lungo X

Ascissa freccia	Combinazione	Freccia	Luce	L/f	L/f,min	Tipo	Verifica
0.903	SLE RA 1	0	1.505	10000	250	Totale	Si
0.903	SLE RA 17	0	1.505	10000	250	Totale	Si
0.903	SLE RA 16	0	1.505	10000	250	Totale	Si
0.903	SLE RA 15	0	1.505	10000	250	Totale	Si
0.903	SLE RA 14	0	1.505	10000	250	Totale	Si
0.903	SLE RA 2	0	1.505	10000	350	Variabile	Si
0.903	SLE RA 17	0	1.505	10000	350	Variabile	Si
0.903	SLE RA 16	0	1.505	10000	350	Variabile	Si
0.903	SLE RA 15	0	1.505	10000	350	Variabile	Si
1.154	SLE RA 14	0	1.505	10000	350	Variabile	Si

Frecce lungo Y

Ascissa freccia	Combinazione	Freccia	Luce	L/f	L/f,min	Tipo	Verifica
0.753	SLE RA 1	-0.00003	1.505	10000	250	Totale	Si
0.753	SLE RA 17	-0.00003	1.505	10000	250	Totale	Si
0.753	SLE RA 16	-0.00003	1.505	10000	250	Totale	Si
0.753	SLE RA 15	-0.00003	1.505	10000	250	Totale	Si
0.753	SLE RA 14	-0.00003	1.505	10000	250	Totale	Si
0.803	SLE RA 2	0	1.505	10000	350	Variabile	Si
0.803	SLE RA 17	0	1.505	10000	350	Variabile	Si
0.803	SLE RA 16	0	1.505	10000	350	Variabile	Si
1.003	SLE RA 15	0	1.505	10000	350	Variabile	Si
0.803	SLE RA 14	0	1.505	10000	350	Variabile	Si

Implementazione dei sistemi di confinamento delle emissioni odorigene diffuse dell'impianto di compostaggio esistente nel
Comune di Eboli (SA)
PROGETTO DEFINITIVO – Tabulati di calcolo Tomo 1

Superelemento in acciaio a quota "690"- "703" (1743; 1914)-(1634; 2017)

Caratteristiche del materiale

Acciaio: S275, fyk = 275000

Caratteristiche geometriche

Lunghezza: 1.505

Nodo iniziale: 1708 Nodo finale: 1923

Cerniera iniziale: Mmomenti 1% Cerniera finale: Mmomenti 1%

Sovreresistenza: 0% Sisma Z: No

Caratteristiche della sezione

Sezione	Rotazione	Area	Jx	Jy	ix	iy	Wx	Wy	Wplx	Wply
A1; L100*10; 1; Saldato; S275; 30; 1; 8; 8; 1	0	0.003832	0.0000035319	0.000007759	0.0304	0.045	0.0000492	0.0000739	0.00008974	0.00012727

Comportamento dei calastrelli

Accoppiamento imbottito con funzione statica (§C4.2.4.1.3.1.4 NTC18) nella campata compresa tra le ascisse 0 e 1.505 per sbandamento attorno all'asse y.

Verifiche di resistenza

Verifiche a forza assiale §4.2.4.1.2.1 - §4.2.4.1.2.2 NTC18

X	Comb.	Sfruttamento	Classe	NEd	Nc,Rd	Nt,Rd	Riduzione da taglio	px	py	Verifica
0	SLU 75	0.113	3	-113.556	1003.522		1	0	0	Si

Verifiche a forza assiale SLD §4.2.4.1.2.1 - §4.2.4.1.2.2 NTC18

X	Comb.	Sfruttamento	Classe	NEd	Nc,Rd	Nt,Rd	Riduzione da taglio	px	py	Verifica
0	SLD 16	0.045	3	-44.823	1003.522		1	0	0	Si

Verifica a taglio X §4.2.4.1.2.4 NTC18

X	Comb.	Sfruttamento	VEd	Vc,Rd	Av	Interazione taglio-torsione	Riduzione torsione	Verifica
0	SLU 75	0.002	0.73	302.422	0.002	Non considerata		Si

Verifica a taglio X SLD §4.2.4.1.2.4 NTC18

X	Comb.	Sfruttamento	VEd	Vc,Rd	Av	Interazione taglio-torsione	Riduzione torsione	Verifica
0	SLD 16	0.001	0.287	302.422	0.002	Non considerata		Si

Verifica a taglio Y §4.2.4.1.2.4 NTC18

X	Comb.	Sfruttamento	VEd	Vc,Rd	Av	Interazione taglio-torsione	Riduzione torsione	Verifica
1.505	SLU 76	0.001	-0.309	302.422	0.002	Non considerata		Si

Verifica a taglio Y SLD §4.2.4.1.2.4 NTC18

X	Comb.	Sfruttamento	VEd	Vc,Rd	Av	Interazione taglio-torsione	Riduzione torsione	Verifica
1.505	SLD 12	0.001	-0.234	302.422	0.002	Non considerata		Si

Verifica a presso/tenso flessione retta X §§ 4.2.4.1.2.3 - 4.2.4.1.2.6 - 4.2.4.1.2.7 - 4.2.4.1.2.8 NTC18

Verifiche eseguite utilizzando la formula conservativa (6.2) §6.2.1 EN 1993-1-1:2005.

X	Comb.	Sfruttamento	Classe	NEd	NRd	Rid. NRd da VEd	Mx,Ed	Mx,Rd	Rid. Mx,Rd da VEd	Rid. Mx,Rd da NEd	px	py	Verifica
0.753	SLU 2	0.017	1	13.988	1003.522	1	-0.0782	23.5037	1		0	0	Si

Verifica a presso/tenso flessione retta Y §§ 4.2.4.1.2.3 - 4.2.4.1.2.6 - 4.2.4.1.2.7 - 4.2.4.1.2.8 NTC18

Verifiche eseguite utilizzando la formula conservativa (6.2) §6.2.1 EN 1993-1-1:2005.

X	Comb.	Sfruttamento	Classe	NEd	NRd	Rid. NRd da VEd	My,Ed	My,Rd	Rid. My,Rd da VEd	Rid. My,Rd da NEd	px	py	Verifica
1.505	SLU 64	0.063	3	-54.204	1003.522	1	0.1659	19.3536	1		0	0	Si

Verifica a presso/tenso flessione deviata §§ 4.2.4.1.2.3 - 4.2.4.1.2.6 - 4.2.4.1.2.7 - 4.2.4.1.2.8 NTC18

Verifiche eseguite utilizzando la formula conservativa (6.2) §6.2.1 EN 1993-1-1:2005.

X	Comb.	Sfruttamento	Classe	NEd	NRd	Rid. NRd da VEd	Mx,Ed	Mx,Rd	My,Ed	My,Rd	Rid. Mx,Rd da VEd	Rid. Mx,Rd da NEd	Rid. My,Rd da VEd	Rid. My,Rd da NEd	α	β	px	py	Verifica
0.702	SLU 75	0.143	3	-113.534	1003.522	1	-0.1466	12.886	0.349	19.3536	1		1				0	0	Si

Verifica a presso/tenso flessione deviata SLD §§ 4.2.4.1.2.3 - 4.2.4.1.2.6 - 4.2.4.1.2.7 - 4.2.4.1.2.8 NTC18

Verifiche eseguite utilizzando la formula conservativa (6.2) §6.2.1 EN 1993-1-1:2005.

X	Comb.	Sfruttamento	Classe	NEd	NRd	Rid. NRd da VEd	Mx,Ed	Mx,Rd	My,Ed	My,Rd	Rid. Mx,Rd da VEd	Rid. Mx,Rd da NEd	Rid. My,Rd da VEd	Rid. My,Rd da NEd	α	β	px	py	Verifica
0.702	SLD 16	0.059	3	-44.805	1003.522	1	-0.097	12.886	0.1366	19.3536	1		1				0	0	Si

Verifiche ad instabilità

Caratteristiche iniziali

Membratura principale per controllo snellezza; Calcolo di snellezze ed N critici condotti secondo gli assi principali;

Curva X: c; Curva Y: c;

Svergolamento: Nessuno; la verifica a instabilità flesso-torsionale (svergolamento) non verrà eseguita.

Dati per instabilità attorno a x

Controllo della snellezza secondo §4.2.4.1.3.1 NTC18

Numero rit.	Presente	Ascissa	Campata	βx/m	Vincolo a entrambi estremi	λx/m	λVer
1	Si	0					
			1-2		1	49.6	Si, (<200)
2	Si	1.505					

Implementazione dei sistemi di confinamento delle emissioni odorigene diffuse dell'impianto di compostaggio esistente nel
Comune di Eboli (SA)
PROGETTO DEFINITIVO – Tabulati di calcolo Tomo 1

Dati per instabilità attorno a y

Controllo della snellezza secondo §4.2.4.1.3.1 NTC18

Numero rit.	Presente	Ascissa	Campata	$\beta y/n$	k,LT	kw,LT	Vincolo a entrambi estremi
1	Si	0					
			1-2	1	Si	34.9	Si, (<200)
2	Si	1.505					

Verifica di stabilità per pressoflessione §C.4.2.4.1.3.3.1 NTC18

X	Comb.	Sfruttamento	Classe	NEd	MxEq,Ed	MyEq,Ed	Area	Wx	Wy	χ_{min}	λ adim. x/m	λ adim. y/n	N,crit x/m	N,crit y/n	Verifica
0	SLU 75	0.171	3	-113.556	-0.1425	0.3491	0.003832	0.0000492	0.0000739	0.802	0.571	0.402	3231.032	6528.319	Si

Verifica di stabilità per pressoflessione SLD §C.4.2.4.1.3.3.1 NTC18

X	Comb.	Sfruttamento	Classe	NEd	MxEq,Ed	MyEq,Ed	Area	Wx	Wy	χ_{min}	λ adim. x/m	λ adim. y/n	N,crit x/m	N,crit y/n	Verifica
0	SLD 16	0.07	3	-44.823	-0.0889	0.1367	0.003832	0.0000492	0.0000739	0.802	0.571	0.402	3231.032	6528.319	Si

Verifiche a deformabilità

Mensola X: No; Mensola Y: No.

Frecce lungo X

Ascissa freccia	Combinazione	Freccia	Luce	L/f	L/f,min	Tipo	Verifica
0.803	SLE RA 1	0	1.505	10000	250	Totale	Si
0.803	SLE RA 17	0	1.505	10000	250	Totale	Si
0.803	SLE RA 16	0	1.505	10000	250	Totale	Si
0.803	SLE RA 15	0	1.505	10000	250	Totale	Si
0.803	SLE RA 14	0	1.505	10000	250	Totale	Si
0.803	SLE RA 2	0	1.505	10000	350	Variabile	Si
0.803	SLE RA 17	0	1.505	10000	350	Variabile	Si
0.803	SLE RA 16	0	1.505	10000	350	Variabile	Si
0.803	SLE RA 15	0	1.505	10000	350	Variabile	Si
0.753	SLE RA 14	0	1.505	10000	350	Variabile	Si

Frecce lungo Y

Ascissa freccia	Combinazione	Freccia	Luce	L/f	L/f,min	Tipo	Verifica
0.753	SLE RA 1	-0.00003	1.505	10000	250	Totale	Si
0.753	SLE RA 17	-0.00003	1.505	10000	250	Totale	Si
0.753	SLE RA 16	-0.00004	1.505	10000	250	Totale	Si
0.753	SLE RA 15	-0.00003	1.505	10000	250	Totale	Si
0.753	SLE RA 14	-0.00004	1.505	10000	250	Totale	Si
0.702	SLE RA 2	0	1.505	10000	350	Variabile	Si
0.702	SLE RA 17	0	1.505	10000	350	Variabile	Si
0.702	SLE RA 16	0	1.505	10000	350	Variabile	Si
0.652	SLE RA 15	0	1.505	10000	350	Variabile	Si
0.753	SLE RA 14	0	1.505	10000	350	Variabile	Si

Superelemento in acciaio a quota "690"- "703" (1998; 2186)-(1889; 2288)

Caratteristiche del materiale

Acciaio: S275, fyk = 275000

Caratteristiche geometriche

Lunghezza: 1.505

Nodo iniziale: 1715 Nodo finale: 1931

Cerniera iniziale: Mmomenti 1% Cerniera finale: Mmomenti 1%

Sovraresistenza: 0% Sisma Z: No

Caratteristiche della sezione

Sezione	Rotazione	Area	Jx	Jy	ix	iy	Wx	Wy	Wplx	Wply
A1; L100*10; 1; Saldato; S275; 30; 1; 8; 8; 1	0	0.003832	0.0000035319	0.000007759	0.0304	0.045	0.0000492	0.0000739	0.00008974	0.00012727

Comportamento dei calastrelli

Accoppiamento imbottito con funzione statica (§C4.2.4.1.3.1.4 NTC18) nella campata compresa tra le ascisse 0 e 1.505 per sbandamento attorno all'asse y.

Verifiche di resistenza

Verifiche a forza assiale §4.2.4.1.2.1 - §4.2.4.1.2.2 NTC18

X	Comb.	Sfruttamento	Classe	NEd	Nc,Rd	Nt,Rd	Riduzione da taglio	px	py	Verifica
0	SLU 76	0.027	3	-27.36	1003.522		1	0	0	Si

Verifiche a forza assiale SLD §4.2.4.1.2.1 - §4.2.4.1.2.2 NTC18

X	Comb.	Sfruttamento	Classe	NEd	Nc,Rd	Nt,Rd	Riduzione da taglio	px	py	Verifica
0	SLD 10	0.013	3	-12.978	1003.522		1	0	0	Si

Verifica a taglio Y §4.2.4.1.2.4 NTC18

X	Comb.	Sfruttamento	VEd	Vc,Rd	Av	Interazione taglio-torsione	Riduzione torsione	Verifica
0	SLU 75	0.002	0.727	302.422	0.002	Non considerata		Si

Verifica a taglio Y SLD §4.2.4.1.2.4 NTC18

X	Comb.	Sfruttamento	VEd	Vc,Rd	Av	Interazione taglio-torsione	Riduzione torsione	Verifica
0	SLD 5	0.001	0.284	302.422	0.002	Non considerata		Si

**Implementazione dei sistemi di confinamento delle emissioni odorigene diffuse dell'impianto di compostaggio esistente nel
Comune di Eboli (SA)
PROGETTO DEFINITIVO – Tabulati di calcolo Tomo 1**

Verifica a presso/tenso flessione retta X §§ 4.2.4.1.2.3 - 4.2.4.1.2.6 - 4.2.4.1.2.7 - 4.2.4.1.2.8 NTC18

Verifiche eseguite utilizzando la formula conservativa (6.2) §6.2.1 EN 1993-1-1:2005.

X	Comb.	Sfruttamento	Classe	NEd	NRd	Rid. NRd da VEd	Mx,Ed	Mx,Rd	Rid. Mx,Rd da VEd	Rid. Mx,Rd da NEd	px	py	Verifica
0.853	SLU 40	0.004	1	-0.814	1003.522	1	-0.0647	23.5037	1		0	0	Si

Verifica a presso/tenso flessione retta Y §§ 4.2.4.1.2.3 - 4.2.4.1.2.6 - 4.2.4.1.2.7 - 4.2.4.1.2.8 NTC18

Verifiche eseguite utilizzando la formula conservativa (6.2) §6.2.1 EN 1993-1-1:2005.

X	Comb.	Sfruttamento	Classe	NEd	NRd	Rid. NRd da VEd	My,Ed	My,Rd	Rid. My,Rd da VEd	Rid. My,Rd da NEd	px	py	Verifica
1.505	SLV 10	0.02	3	-17.64	1003.522	1	-0.0557	19.3536	1		0	0	Si

Verifica a presso/tenso flessione retta Y SLD §§ 4.2.4.1.2.3 - 4.2.4.1.2.6 - 4.2.4.1.2.7 - 4.2.4.1.2.8 NTC18

Verifiche eseguite utilizzando la formula conservativa (6.2) §6.2.1 EN 1993-1-1:2005.

X	Comb.	Sfruttamento	Classe	NEd	NRd	Rid. NRd da VEd	My,Ed	My,Rd	Rid. My,Rd da VEd	Rid. My,Rd da NEd	px	py	Verifica
1.505	SLD 10	0.015	3	-12.932	1003.522	1	-0.0407	19.3536	1		0	0	Si

Verifica a presso/tenso flessione deviata §§ 4.2.4.1.2.3 - 4.2.4.1.2.6 - 4.2.4.1.2.7 - 4.2.4.1.2.8 NTC18

Verifiche eseguite utilizzando la formula conservativa (6.2) §6.2.1 EN 1993-1-1:2005.

X	Comb.	Sfruttamento	Classe	NEd	NRd	Rid. NRd da VEd	Mx,Ed	Mx,Rd	My,Ed	My,Rd	Rid. Mx,Rd da VEd	Rid. Mx,Rd da NEd	Rid. My,Rd da VEd	Rid. My,Rd da NEd	α	β	px	py	Verifica
0.702	SLU 75	0.049	3	-25.363	1003.522	1	-0.249	12.886	-0.0784	19.3536	1		1				0	0	Si

Verifica a presso/tenso flessione deviata SLD §§ 4.2.4.1.2.3 - 4.2.4.1.2.6 - 4.2.4.1.2.7 - 4.2.4.1.2.8 NTC18

Verifiche eseguite utilizzando la formula conservativa (6.2) §6.2.1 EN 1993-1-1:2005.

X	Comb.	Sfruttamento	Classe	NEd	NRd	Rid. NRd da VEd	Mx,Ed	Mx,Rd	My,Ed	My,Rd	Rid. Mx,Rd da VEd	Rid. Mx,Rd da NEd	Rid. My,Rd da VEd	Rid. My,Rd da NEd	α	β	px	py	Verifica
0.702	SLD 13	0.023	3	-12.949	1003.522	1	-0.1073	12.886	-0.0401	19.3536	1		1				0	0	Si

Verifiche ad instabilità

Caratteristiche iniziali

Membratura principale per controllo snellezza; Calcolo di snellezze ed N critici condotti secondo gli assi principali;

Curva X: c; Curva Y: c;

Svergolamento: Nessuno; la verifica a instabilità flesso-torsionale (svergolamento) non verrà eseguita.

Dati per instabilità attorno a x

Controllo della snellezza secondo §4.2.4.1.3.1 NTC18

Numero rit.	Presente	Ascissa	Campata	βx/m	Vincolo a entrambi estremi	λx/m	λVer
1	Si	0					
			1-2	1	Si	49.6	Si, (<200)
2	Si	1.505					

Dati per instabilità attorno a y

Controllo della snellezza secondo §4.2.4.1.3.1 NTC18

Numero rit.	Presente	Ascissa	Campata	βy/n	k,LT	kw,LT	Vincolo a entrambi estremi
1	Si	0					
			1-2	1	Si	34.9	Si, (<200)
2	Si	1.505					

Verifica di stabilità per pressoflessione §C.4.2.4.1.3.3.1 NTC18

X	Comb.	Sfruttamento	Classe	NEd	MxEq,Ed	MyEq,Ed	Area	Wx	Wy	χ,min	λ adim. x/m	λ adim. y/n	N,crit x/m	N,crit y/n	Verifica
0	SLU 75	0.053	3	-25.424	-0.2182	-0.0785	0.003832	0.0000492	0.0000739	0.802	0.571	0.402	3231.032	6528.319	Si

Verifica di stabilità per pressoflessione SLD §C.4.2.4.1.3.3.1 NTC18

X	Comb.	Sfruttamento	Classe	NEd	MxEq,Ed	MyEq,Ed	Area	Wx	Wy	χ,min	λ adim. x/m	λ adim. y/n	N,crit x/m	N,crit y/n	Verifica
0	SLD 13	0.026	3	-12.972	-0.095	-0.0407	0.003832	0.0000492	0.0000739	0.802	0.571	0.402	3231.032	6528.319	Si

Verifiche a deformabilità

Mensola X: No; Mensola Y: No.

Frecce lungo X

Ascissa freccia	Combinazione	Freccia	Luce	L/f	L/f,min	Tipo	Verifica
0.803	SLE RA 1	0	1.505	10000	250	Totale	Si
0.803	SLE RA 17	0	1.505	10000	250	Totale	Si
0.803	SLE RA 16	0	1.505	10000	250	Totale	Si
0.803	SLE RA 15	0	1.505	10000	250	Totale	Si
0.803	SLE RA 14	0	1.505	10000	250	Totale	Si
0.803	SLE RA 2	0	1.505	10000	350	Variabile	Si
0.803	SLE RA 17	0	1.505	10000	350	Variabile	Si
0.803	SLE RA 16	0	1.505	10000	350	Variabile	Si
0.803	SLE RA 15	0	1.505	10000	350	Variabile	Si
0.702	SLE RA 14	0	1.505	10000	350	Variabile	Si

Frecce lungo Y

Ascissa freccia	Combinazione	Freccia	Luce	L/f	L/f,min	Tipo	Verifica
0.753	SLE RA 1	-0.00003	1.505	10000	250	Totale	Si
0.753	SLE RA 17	-0.00004	1.505	10000	250	Totale	Si
0.753	SLE RA 16	-0.00005	1.505	10000	250	Totale	Si
0.753	SLE RA 15	-0.00004	1.505	10000	250	Totale	Si
0.753	SLE RA 14	-0.00005	1.505	10000	250	Totale	Si
0.702	SLE RA 2	0.00001	1.505	10000	350	Variabile	Si
0.702	SLE RA 17	-0.00001	1.505	10000	350	Variabile	Si
0.702	SLE RA 16	-0.00002	1.505	10000	350	Variabile	Si
0.702	SLE RA 15	0	1.505	10000	350	Variabile	Si
0.702	SLE RA 14	-0.00002	1.505	10000	350	Variabile	Si

Superelemento in acciaio a quota "690"- "703" (1999; 2993)-(1999; 2893)

Caratteristiche del materiale

Acciaio: S275, fyk = 275000

Caratteristiche geometriche

Lunghezza: 1.008

Nodo iniziale: 1754 Nodo finale: 1972

Cerniera iniziale: Mmomenti 1% Cerniera finale: Mmomenti 1%

Sovreresistenza: 0% Sisma Z: No

Caratteristiche della sezione

Sezione	Rotazione	Area	Jx	Jy	ix	iy	Wx	Wy	Wplx	Wply
A1; L100*10; 1; Saldato; S275; 20; 1; 8; 8; 1	0	0.003832	0.0000035319	0.000007759	0.0304	0.045	0.0000492	0.0000739	0.00008974	0.00012727

Comportamento dei calastrelli

Accoppiamento imbottito avendo passo inferiore al minimo richiesto (§C4.2.4.1.3.1.5 NTC18) nella campata compresa tra le ascisse 0 e 1.008 per sbandamento attorno all'asse y.

Verifiche di resistenza

Verifiche a forza assiale §4.2.4.1.2.1 - §4.2.4.1.2.2 NTC18

X	Comb.	Sfruttamento	Classe	NEd	Nc,Rd	Nt,Rd	Riduzione da taglio	px	py	Verifica
1.008	SLU 64	0.028		27.69		1003.522	1	0	0	Si

Verifiche a forza assiale SLD §4.2.4.1.2.1 - §4.2.4.1.2.2 NTC18

X	Comb.	Sfruttamento	Classe	NEd	Nc,Rd	Nt,Rd	Riduzione da taglio	px	py	Verifica
1.008	SLD 10	0.011		10.62		1003.522	1	0	0	Si

Verifica a taglio Y §4.2.4.1.2.4 NTC18

X	Comb.	Sfruttamento	VEd	Vc,Rd	Av	Interazione taglio-torsione	Riduzione torsione	Verifica
0	SLU 76	0.001	0.225	302.422	0.002	Non considerata		Si

Verifica a presso/tenso flessione retta X §§ 4.2.4.1.2.3 - 4.2.4.1.2.6 - 4.2.4.1.2.7 - 4.2.4.1.2.8 NTC18

Verifiche eseguite utilizzando la formula conservativa (6.2) §6.2.1 EN 1993-1-1:2005.

X	Comb.	Sfruttamento	Classe	NEd	NRd	Rid. NRd da VEd	Mx,Ed	Mx,Rd	Rid. Mx,Rd da VEd	Rid. Mx,Rd da NEd	px	py	Verifica
0.571	SLU 64	0.029	1	27.669	1003.522	1	-0.0445	23.5037	1		0	0	Si

Verifica a presso/tenso flessione retta X SLD §§ 4.2.4.1.2.3 - 4.2.4.1.2.6 - 4.2.4.1.2.7 - 4.2.4.1.2.8 NTC18

Verifiche eseguite utilizzando la formula conservativa (6.2) §6.2.1 EN 1993-1-1:2005.

X	Comb.	Sfruttamento	Classe	NEd	NRd	Rid. NRd da VEd	Mx,Ed	Mx,Rd	Rid. Mx,Rd da VEd	Rid. Mx,Rd da NEd	px	py	Verifica
0.537	SLD 9	0.012	1	10.603	1003.522	1	-0.0357	23.5037	1		0	0	Si

Verifica a presso/tenso flessione deviata §§ 4.2.4.1.2.3 - 4.2.4.1.2.6 - 4.2.4.1.2.7 - 4.2.4.1.2.8 NTC18

Verifiche eseguite utilizzando la formula conservativa (6.2) §6.2.1 EN 1993-1-1:2005.

X	Comb.	Sfruttamento	Classe	NEd	NRd	Rid. NRd da VEd	Mx,Ed	Mx,Rd	My,Ed	My,Rd	Rid. Mx,Rd da VEd	Rid. Mx,Rd da NEd	Rid. My,Rd da VEd	Rid. My,Rd da NEd	α	β	px	py	Verifica
0.941	SLU 64	0.029	1	27.687	1003.522	1	-0.0188	23.5037	-0.0075	33.3316	1		1				0	0	Si

Verifiche ad instabilità

Caratteristiche iniziali

Membratura principale per controllo snellezza; Calcolo di snellezze ed N critici condotti secondo gli assi principali;

Curva X: c; Curva Y: c;

Svergolamento: Nessuno; la verifica a instabilità flesso-torsionale (svergolamento) non verrà eseguita.

Dati per instabilità attorno a x

Controllo della snellezza secondo §4.2.4.1.3.1 NTC18

Numero rit.	Presente	Ascissa	Campata	βx/m	Vincolo a entrambi estremi	λx/m	λVer
1	Si	0					
			1-2	1	Si	33.2	Si, (<200)
2	Si	1.008					

Dati per instabilità attorno a y

Controllo della snellezza secondo §4.2.4.1.3.1 NTC18

Numero rit.	Presente	Ascissa	Campata	βy/n	k,LT	kw,LT	Vincolo a entrambi estremi
1	Si	0					
			1-2	1	Si	22.4	Si, (<200)
2	Si	1.008					

Verifica di stabilità per pressoflessione §C.4.2.4.1.3.3.1 NTC18

X	Comb.	Sfruttamento	Classe	NEd	MxEq,Ed	MyEq,Ed	Area	Wx	Wy	χ,min	λ adim. x/m	λ adim. y/n	N,crit x/m	N,crit y/n	Verifica
0	SLU 3	0.008	3	-5.189	-0.0319	-0.0003	0.003832	0.0000492	0.0000739	0.907	0.382	0.258	7207.687	15834.061	Si

Verifiche a deformabilità

Mensola X: No; Mensola Y: No.

Frecce lungo X

Ascissa freccia	Combinazione	Freccia	Luce	L/f	L/f,min	Tipo	Verifica
0.605	SLE RA 1	0	1.008	10000	250	Totale	Si
0.605	SLE RA 17	0	1.008	10000	250	Totale	Si

Implementazione dei sistemi di confinamento delle emissioni odorigene diffuse dell'impianto di compostaggio esistente nel
Comune di Eboli (SA)

PROGETTO DEFINITIVO – Tabulati di calcolo Tomo 1

Ascissa freccia	Combinazione	Freccia	Luce	L/f	L/f,min	Tipo	Verifica
0.605	SLE RA 16	0	1.008	10000	250	Totale	Si
0.605	SLE RA 15	0	1.008	10000	250	Totale	Si
0.605	SLE RA 14	0	1.008	10000	250	Totale	Si
0.605	SLE RA 2	0	1.008	10000	350	Variabile	Si
0.605	SLE RA 17	0	1.008	10000	350	Variabile	Si
0.605	SLE RA 16	0	1.008	10000	350	Variabile	Si
0.605	SLE RA 15	0	1.008	10000	350	Variabile	Si
0.605	SLE RA 14	0	1.008	10000	350	Variabile	Si

Frecce lungo Y

Ascissa freccia	Combinazione	Freccia	Luce	L/f	L/f,min	Tipo	Verifica
0.504	SLE RA 1	-0.00001	1.008	10000	250	Totale	Si
0.537	SLE RA 17	-0.00001	1.008	10000	250	Totale	Si
0.537	SLE RA 16	-0.00001	1.008	10000	250	Totale	Si
0.537	SLE RA 15	0	1.008	10000	250	Totale	Si
0.504	SLE RA 14	-0.00001	1.008	10000	250	Totale	Si
0.302	SLE RA 2	0	1.008	10000	350	Variabile	Si
0.302	SLE RA 17	0	1.008	10000	350	Variabile	Si
0.302	SLE RA 16	0	1.008	10000	350	Variabile	Si
0.336	SLE RA 15	0	1.008	10000	350	Variabile	Si
0.47	SLE RA 14	0	1.008	10000	350	Variabile	Si

Superelemento in acciaio a quota "690"-"703" (2231; 2993)-(2231; 2893)

Caratteristiche del materiale

Acciaio: S275, fyk = 275000

Caratteristiche geometriche

Lunghezza: 1.008

Nodo iniziale: 1757 Nodo finale: 1977

Cerniera iniziale: Mmomenti 1% Cerniera finale: Mmomenti 1%

Sovraresistenza: 0% Sisma Z: No

Caratteristiche della sezione

Sezione	Rotazione	Area	Jx	Jy	ix	iy	Wx	Wy	Wplx	Wply
A1; L100*10; 1; Saldato; S275; 20; 1; 8; 8; 1	0	0.003832	0.0000035319	0.000007759	0.0304	0.045	0.0000492	0.0000739	0.00008974	0.00012727

Comportamento dei calastrelli

Accoppiamento imbottito avendo passo inferiore al minimo richiesto (§C4.2.4.1.3.1.5 NTC18) nella campata compresa tra le ascisse 0 e 1.008 per sbandamento attorno all'asse y.

Verifiche di resistenza

Verifiche a forza assiale §4.2.4.1.2.1 - §4.2.4.1.2.2 NTC18

X	Comb.	Sfruttamento	Classe	NEd	Nc,Rd	Nt,Rd	Riduzione da taglio	px	py	Verifica
1.008	SLU 63	0.007		7.073		1003.522	1	0	0	Si

Verifiche a forza assiale SLD §4.2.4.1.2.1 - §4.2.4.1.2.2 NTC18

X	Comb.	Sfruttamento	Classe	NEd	Nc,Rd	Nt,Rd	Riduzione da taglio	px	py	Verifica
1.008	SLD 14	0.004		3.996		1003.522	1	0	0	Si

Verifica a taglio Y §4.2.4.1.2.4 NTC18

X	Comb.	Sfruttamento	VEd	Vc,Rd	Av	Interazione taglio-torsione	Riduzione torsione	Verifica
0	SLU 76	0.001	0.211	302.422	0.002	Non considerata		Si

Verifica a presso/tenso flessione retta X §§ 4.2.4.1.2.3 - 4.2.4.1.2.6 - 4.2.4.1.2.7 - 4.2.4.1.2.8 NTC18

Verifiche eseguite utilizzando la formula conservativa (6.2) §6.2.1 EN 1993-1-1:2005.

X	Comb.	Sfruttamento	Classe	NEd	NRd	Rid. NRd da VEd	Mx,Ed	Mx,Rd	Rid. Mx,Rd da VEd	Rid. Mx,Rd da NEd	px	py	Verifica
0.537	SLU 63	0.009	1	7.05	1003.522	1	-0.0448	23.5037	1		0	0	Si

Verifica a presso/tenso flessione retta X SLD §§ 4.2.4.1.2.3 - 4.2.4.1.2.6 - 4.2.4.1.2.7 - 4.2.4.1.2.8 NTC18

Verifiche eseguite utilizzando la formula conservativa (6.2) §6.2.1 EN 1993-1-1:2005.

X	Comb.	Sfruttamento	Classe	NEd	NRd	Rid. NRd da VEd	Mx,Ed	Mx,Rd	Rid. Mx,Rd da VEd	Rid. Mx,Rd da NEd	px	py	Verifica
0.537	SLD 13	0.005	1	3.978	1003.522	1	-0.035	23.5037	1		0	0	Si

Verifica a presso/tenso flessione retta Y §§ 4.2.4.1.2.3 - 4.2.4.1.2.6 - 4.2.4.1.2.7 - 4.2.4.1.2.8 NTC18

Verifiche eseguite utilizzando la formula conservativa (6.2) §6.2.1 EN 1993-1-1:2005.

X	Comb.	Sfruttamento	Classe	NEd	NRd	Rid. NRd da VEd	My,Ed	My,Rd	Rid. My,Rd da VEd	Rid. My,Rd da NEd	px	py	Verifica
1.008	SLU 75	0.007	1	6.997	1003.522	1	-0.0082	33.3316	1		0	0	Si

Verifica a presso/tenso flessione deviata §§ 4.2.4.1.2.3 - 4.2.4.1.2.6 - 4.2.4.1.2.7 - 4.2.4.1.2.8 NTC18

Verifiche eseguite utilizzando la formula conservativa (6.2) §6.2.1 EN 1993-1-1:2005.

X	Comb.	Sfruttamento	Classe	NEd	NRd	Rid. NRd da VEd	Mx,Ed	Mx,Rd	My,Ed	My,Rd	Rid. Mx,Rd da VEd	Rid. Mx,Rd da NEd	Rid. My,Rd da VEd	Rid. My,Rd da NEd	α	β	px	py	Verifica
0.941	SLU 75	0.008	1	6.994	1003.522	1	-0.0114	23.5037	-0.0076	33.3316	1		1				0	0	Si

Verifiche ad instabilità

Caratteristiche iniziali

Membratura principale per controllo snellezza; Calcolo di snellezze ed N critici condotti secondo gli assi principali;

Implementazione dei sistemi di confinamento delle emissioni odorigene diffuse dell'impianto di compostaggio esistente nel
Comune di Eboli (SA)
PROGETTO DEFINITIVO – Tabulati di calcolo Tomo 1

Curva X: c; Curva Y: c;
Svergolamento: Nessuno; la verifica a instabilità flessio-torsionale (svergolamento) non verrà eseguita.

Dati per instabilità attorno a x

Controllo della snellezza secondo §4.2.4.1.3.1 NTC18

Numero rit.	Presente	Ascissa	Campata	$\beta x/m$	Vincolo a entrambi estremi	$\lambda x/m$	λVer
1	Si	0					
			1-2	1	Si	33.2	Si, (<200)
2	Si	1.008					

Dati per instabilità attorno a y

Controllo della snellezza secondo §4.2.4.1.3.1 NTC18

Numero rit.	Presente	Ascissa	Campata	$\beta y/n$	k,LT	kw,LT	Vincolo a entrambi estremi
1	Si	0					
			1-2	1	Si	22.4	Si, (<200)
2	Si	1.008					

NB: superelemento non sollecitato. Verifiche non condotte.

Verifiche a deformabilità

Mensola X: No; Mensola Y: No.

Frecce lungo X

Ascissa freccia	Combinazione	Freccia	Luce	L/f	L/f,min	Tipo	Verifica
0.605	SLE RA 1	0	1.008	10000	250	Totale	Si
0.605	SLE RA 17	0	1.008	10000	250	Totale	Si
0.605	SLE RA 16	0	1.008	10000	250	Totale	Si
0.605	SLE RA 15	0	1.008	10000	250	Totale	Si
0.605	SLE RA 14	0	1.008	10000	250	Totale	Si
0.605	SLE RA 2	0	1.008	10000	350	Variabile	Si
0.605	SLE RA 17	0	1.008	10000	350	Variabile	Si
0.605	SLE RA 16	0	1.008	10000	350	Variabile	Si
0.605	SLE RA 15	0	1.008	10000	350	Variabile	Si
0.571	SLE RA 14	0	1.008	10000	350	Variabile	Si

Frecce lungo Y

Ascissa freccia	Combinazione	Freccia	Luce	L/f	L/f,min	Tipo	Verifica
0.504	SLE RA 1	-0.00001	1.008	10000	250	Totale	Si
0.504	SLE RA 17	0	1.008	10000	250	Totale	Si
0.504	SLE RA 16	0	1.008	10000	250	Totale	Si
0.504	SLE RA 15	0	1.008	10000	250	Totale	Si
0.504	SLE RA 14	0	1.008	10000	250	Totale	Si
0.403	SLE RA 2	0	1.008	10000	350	Variabile	Si
0.403	SLE RA 17	0	1.008	10000	350	Variabile	Si
0.403	SLE RA 16	0	1.008	10000	350	Variabile	Si
0.403	SLE RA 15	0	1.008	10000	350	Variabile	Si
0.437	SLE RA 14	0	1.008	10000	350	Variabile	Si

Superelemento in acciaio a quota "690"- "703" (2463; 2993)-(2463; 2893)

Caratteristiche del materiale

Acciaio: S275, fyk = 275000

Caratteristiche geometriche

Lunghezza: 1.008

Nodo iniziale: 1761 Nodo finale: 1984

Cerniera iniziale: Mmomenti 1% Cerniera finale: Mmomenti 1%

Sovraresistenza: 0% Sisma Z: No

Caratteristiche della sezione

Sezione	Rotazione	Area	Jx	Jy	ix	iy	Wx	Wy	Wplx	Wply
Al; L100*10; 1; Saldato; S275; 20; 1; 8; 8; 1	0	0.003832	0.0000035319	0.000007759	0.0304	0.045	0.0000492	0.0000739	0.00008974	0.00012727

Comportamento dei calastrelli

Accoppiamento imbottito avendo passo inferiore al minimo richiesto (§C4.2.4.1.3.1.5 NTC18) nella campata compresa tra le ascisse 0 e 1.008 per sbandamento attorno all'asse y.

Verifiche di resistenza

Verifiche a forza assiale §4.2.4.1.2.1 - §4.2.4.1.2.2 NTC18

X	Comb.	Sfruttamento	Classe	NEd	Nc,Rd	Nt,Rd	Riduzione da taglio	px	py	Verifica
0	SIV 10	0.009	3	-9.05	1003.522		1	0	0	Si

Verifiche a forza assiale SLD §4.2.4.1.2.1 - §4.2.4.1.2.2 NTC18

X	Comb.	Sfruttamento	Classe	NEd	Nc,Rd	Nt,Rd	Riduzione da taglio	px	py	Verifica
0	SLD 9	0.004	3	-3.789	1003.522		1	0	0	Si

Verifica a taglio Y §4.2.4.1.2.4 NTC18

X	Comb.	Sfruttamento	VEd	Vc,Rd	Av	Interazione taglio-torsione	Riduzione torsione	Verifica
0	SLU 75	0.001	0.2	302.422	0.002	Non considerata		Si

Verifica a flessione semplice X §§ 4.2.4.1.2.3 - 4.2.4.1.2.6 - 4.2.4.1.2.7 - 4.2.4.1.2.8 NTC18

X	Comb.	Sfruttamento	Classe	Mx,Ed	Mx,Rd	Rid. Mx,Rd da VEd	px	py	Verifica
---	-------	--------------	--------	-------	-------	-------------------	----	----	----------

**Implementazione dei sistemi di confinamento delle emissioni odorigene diffuse dell'impianto di compostaggio esistente nel
Comune di Eboli (SA)**

PROGETTO DEFINITIVO – Tabulati di calcolo Tomo 1

X	Comb.	Sfruttamento	Classe	Mx,Ed	Mx,Rd	Rid. Mx,Rd da VEd	px	py	Verifica
0.504	SLU 62	0.002	1	-0.0481	23.50374	1	0	0	Si

Verifica a flessione semplice X SLD §§ 4.2.4.1.2.3 - 4.2.4.1.2.6 - 4.2.4.1.2.7 - 4.2.4.1.2.8 NTC18

X	Comb.	Sfruttamento	Classe	Mx,Ed	Mx,Rd	Rid. Mx,Rd da VEd	px	py	Verifica
0.504	SLD 2	0.002	1	-0.03667	23.50374	1	0	0	Si

Verifica a flessione semplice Y §§ 4.2.4.1.2.3 - 4.2.4.1.2.6 - 4.2.4.1.2.7 - 4.2.4.1.2.8 NTC18

X	Comb.	Sfruttamento	Classe	My,Ed	My,Rd	Rid. My,Rd da VEd	px	py	Verifica
1.008	SLU 48	0	1	-0.00798	33.33162	1	0	0	Si

Verifica a flessione deviata §§ 4.2.4.1.2.3 - 4.2.4.1.2.6 - 4.2.4.1.2.7 - 4.2.4.1.2.8 NTC18

X	Comb.	Sfruttamento	Classe	Mx,Ed	Mx,Rd	My,Ed	My,Rd	Rid. Mx,Rd da VEd	Rid. My,Rd da VEd	α	β	px	py	Verifica
0.941	SLU 48	0.001	1	-0.0122	23.5037	-0.0075	33.3316	1	1			0	0	Si

Verifica a presso/tenso flessione retta X §§ 4.2.4.1.2.3 - 4.2.4.1.2.6 - 4.2.4.1.2.7 - 4.2.4.1.2.8 NTC18

Verifiche eseguite utilizzando la formula conservativa (6.2) §6.2.1 EN 1993-1-1:2005.

X	Comb.	Sfruttamento	Classe	NEd	NRd	Rid. NRd da VEd	Mx,Ed	Mx,Rd	Rid. Mx,Rd da VEd	Rid. Mx,Rd da NEd	px	py	Verifica
0.504	SLV 9	0.012	3	-9.032	1003.522	1	-0.0398	12.886	1		0	0	Si

Verifica a presso/tenso flessione retta X SLD §§ 4.2.4.1.2.3 - 4.2.4.1.2.6 - 4.2.4.1.2.7 - 4.2.4.1.2.8 NTC18

Verifiche eseguite utilizzando la formula conservativa (6.2) §6.2.1 EN 1993-1-1:2005.

X	Comb.	Sfruttamento	Classe	NEd	NRd	Rid. NRd da VEd	Mx,Ed	Mx,Rd	Rid. Mx,Rd da VEd	Rid. Mx,Rd da NEd	px	py	Verifica
0.504	SLD 9	0.007	3	-3.77	1003.522	1	-0.038	12.886	1		0	0	Si

Verifica a presso/tenso flessione retta Y §§ 4.2.4.1.2.3 - 4.2.4.1.2.6 - 4.2.4.1.2.7 - 4.2.4.1.2.8 NTC18

Verifiche eseguite utilizzando la formula conservativa (6.2) §6.2.1 EN 1993-1-1:2005.

X	Comb.	Sfruttamento	Classe	NEd	NRd	Rid. NRd da VEd	My,Ed	My,Rd	Rid. My,Rd da VEd	Rid. My,Rd da NEd	px	py	Verifica
1.008	SLU 76	0.009	3	-7.944	1003.522	1	-0.0147	19.3536	1		0	0	Si

Verifica a presso/tenso flessione deviata §§ 4.2.4.1.2.3 - 4.2.4.1.2.6 - 4.2.4.1.2.7 - 4.2.4.1.2.8 NTC18

Verifiche eseguite utilizzando la formula conservativa (6.2) §6.2.1 EN 1993-1-1:2005.

X	Comb.	Sfruttamento	Classe	NEd	NRd	Rid. NRd da VEd	Mx,Ed	Mx,Rd	My,Ed	My,Rd	Rid. Mx,Rd da VEd	Rid. Mx,Rd da NEd	Rid. My,Rd da VEd	Rid. My,Rd da NEd	α	β	px	py	Verifica
0.537	SLU 76	0.012	3	-7.967	1003.522	1	-0.0494	12.886	-0.0083	19.3536	1		1				0	0	Si

Verifiche ad instabilità

Caratteristiche iniziali

Membratura principale per controllo snellezza; Calcolo di snellezze ed N critici condotti secondo gli assi principali;

Curva X: c; Curva Y: c;

Svergolamento: Nessuno; la verifica a instabilità flesso-torsionale (svergolamento) non verrà eseguita.

Dati per instabilità attorno a x

Controllo della snellezza secondo §4.2.4.1.3.1 NTC18

Numero rit.	Presente	Ascissa	Campata	βx/m	Vincolo a entrambi estremi	λx/m	λVer
1	Si		0				
			1-2		1	33.2	Si, (<200)
2	Si	1.008					

Dati per instabilità attorno a y

Controllo della snellezza secondo §4.2.4.1.3.1 NTC18

Numero rit.	Presente	Ascissa	Campata	βy/n	k,LT	kw,LT	Vincolo a entrambi estremi
1	Si		0				
			1-2		1	22.4	Si, (<200)
2	Si	1.008					

Verifica di stabilità per pressoflessione §C.4.2.4.1.3.3.1 NTC18

X	Comb.	Sfruttamento	Classe	NEd	MxEq,Ed	MyEq,Ed	Area	Wx	Wy	χ,min	λ adim. x/m	λ adim. y/n	N,crit x/m	N,crit y/n	Verifica
0	SLV 14	0.013	3	-9.001	-0.0353	-0.0046	0.003832	0.0000492	0.0000739	0.907	0.382	0.258	7207.687	15834.061	Si

Verifica di stabilità per pressoflessione SLD §C.4.2.4.1.3.3.1 NTC18

X	Comb.	Sfruttamento	Classe	NEd	MxEq,Ed	MyEq,Ed	Area	Wx	Wy	χ,min	λ adim. x/m	λ adim. y/n	N,crit x/m	N,crit y/n	Verifica
0	SLD 13	0.007	3	-3.775	-0.033	-0.0042	0.003832	0.0000492	0.0000739	0.907	0.382	0.258	7207.687	15834.061	Si

Verifiche a deformabilità

Mensola X: No; Mensola Y: No.

Frecce lungo X

Ascissa freccia	Combinazione	Freccia	Luce	L/f	L/f,min	Tipo	Verifica
0.571	SLE RA 1	0	1.008	10000	250	Totale	Si
0.571	SLE RA 17	0	1.008	10000	250	Totale	Si
0.571	SLE RA 16	0	1.008	10000	250	Totale	Si
0.571	SLE RA 15	0	1.008	10000	250	Totale	Si
0.571	SLE RA 14	0	1.008	10000	250	Totale	Si
0.571	SLE RA 2	0	1.008	10000	350	Variabile	Si
0.571	SLE RA 17	0	1.008	10000	350	Variabile	Si
0.571	SLE RA 16	0	1.008	10000	350	Variabile	Si
0.571	SLE RA 15	0	1.008	10000	350	Variabile	Si
0.571	SLE RA 14	0	1.008	10000	350	Variabile	Si

Frecce lungo Y

Ascissa freccia	Combinazione	Freccia	Luce	L/f	L/f,min	Tipo	Verifica
0.504	SLE RA 1	-0.00001	1.008	10000	250	Totale	Si
0.504	SLE RA 17	-0.00001	1.008	10000	250	Totale	Si
0.504	SLE RA 16	-0.00001	1.008	10000	250	Totale	Si

Implementazione dei sistemi di confinamento delle emissioni odorigene diffuse dell'impianto di compostaggio esistente nel
Comune di Eboli (SA)

PROGETTO DEFINITIVO – Tabulati di calcolo Tomo 1

Ascissa freccia	Combinazione	Freccia	Luce	L/f	L/f,min	Tipo	Verifica
0.504	SLE RA 15	-0.00001	1.008	10000	250	Totale	Si
0.504	SLE RA 14	-0.00001	1.008	10000	250	Totale	Si
0.672	SLE RA 2	0	1.008	10000	350	Variabile	Si
0.638	SLE RA 17	0	1.008	10000	350	Variabile	Si
0.638	SLE RA 16	0	1.008	10000	350	Variabile	Si
0.537	SLE RA 15	0	1.008	10000	350	Variabile	Si
0.403	SLE RA 14	0	1.008	10000	350	Variabile	Si

Superelemento in acciaio a quota "690"- "703" (2695; 2993)-(2695; 2893)

Caratteristiche del materiale

Acciaio: S275, fyk = 275000

Caratteristiche geometriche

Lunghezza: 1.008

Nodo iniziale: 1768 Nodo finale: 1986

Cerniera iniziale: Mmomenti 1% Cerniera finale: Mmomenti 1%

Sovraresistenza: 0% Sisma Z: No

Caratteristiche della sezione

Sezione	Rotazione	Area	Jx	Jy	ix	iy	Wx	Wy	Wplx	Wply
A1; L100*10; 1; Saldato; S275; 20; 1; 8; 8; 1	0	0.003832	0.0000035319	0.000007759	0.0304	0.045	0.0000492	0.0000739	0.00008974	0.00012727

Comportamento dei calastrelli

Accoppiamento imbottito avendo passo inferiore al minimo richiesto (§C4.2.4.1.3.1.5 NTC18) nella campata compresa tra le ascisse 0 e 1.008 per sbandamento attorno all'asse y.

Verifiche di resistenza

Verifiche a forza assiale §4.2.4.1.2.1 - §4.2.4.1.2.2 NTC18

X	Comb.	Sfruttamento	Classe	NEd	Nc,Rd	Nt,Rd	Riduzione da taglio	px	py	Verifica
0	SLU 76	0.049	3	-49.14	1003.522		1	0	0	Si

Verifiche a forza assiale SLD §4.2.4.1.2.1 - §4.2.4.1.2.2 NTC18

X	Comb.	Sfruttamento	Classe	NEd	Nc,Rd	Nt,Rd	Riduzione da taglio	px	py	Verifica
0	SLD 9	0.026	3	-25.627	1003.522		1	0	0	Si

Verifica a taglio Y §4.2.4.1.2.4 NTC18

X	Comb.	Sfruttamento	VEd	Vc,Rd	Av	Interazione taglio-torsione	Riduzione torsione	Verifica
1.008	SLU 76	0.001	-0.209	302.422	0.002	Non considerata		Si

Verifica a flessione semplice X §§ 4.2.4.1.2.3 - 4.2.4.1.2.6 - 4.2.4.1.2.7 - 4.2.4.1.2.8 NTC18

X	Comb.	Sfruttamento	Classe	Mx,Ed	Mx,Rd	Rid. Mx,Rd da VEd	px	py	Verifica
0.504	SLU 2	0.002	1	-0.03721	23.50374	1	0	0	Si

Verifica a presso/tenso flessione retta X §§ 4.2.4.1.2.3 - 4.2.4.1.2.6 - 4.2.4.1.2.7 - 4.2.4.1.2.8 NTC18

Verifiche eseguite utilizzando la formula conservativa (6.2) §6.2.1 EN 1993-1-1:2005.

X	Comb.	Sfruttamento	Classe	NEd	NRd	Rid. NRd da VEd	Mx,Ed	Mx,Rd	Rid. Mx,Rd da VEd	Rid. Mx,Rd da NEd	px	py	Verifica
0.437	SLU 76	0.054	3	-49.119	1003.522	1	-0.0621	12.886	1		0	0	Si

Verifica a presso/tenso flessione retta X SLD §§ 4.2.4.1.2.3 - 4.2.4.1.2.6 - 4.2.4.1.2.7 - 4.2.4.1.2.8 NTC18

Verifiche eseguite utilizzando la formula conservativa (6.2) §6.2.1 EN 1993-1-1:2005.

X	Comb.	Sfruttamento	Classe	NEd	NRd	Rid. NRd da VEd	Mx,Ed	Mx,Rd	Rid. Mx,Rd da VEd	Rid. Mx,Rd da NEd	px	py	Verifica
0.47	SLD 10	0.029	3	-25.609	1003.522	1	-0.0443	12.886	1		0	0	Si

Verifica a presso/tenso flessione retta Y §§ 4.2.4.1.2.3 - 4.2.4.1.2.6 - 4.2.4.1.2.7 - 4.2.4.1.2.8 NTC18

Verifiche eseguite utilizzando la formula conservativa (6.2) §6.2.1 EN 1993-1-1:2005.

X	Comb.	Sfruttamento	Classe	NEd	NRd	Rid. NRd da VEd	My,Ed	My,Rd	Rid. My,Rd da VEd	Rid. My,Rd da NEd	px	py	Verifica
1.008	SLU 73	0.044	3	-43.923	1003.522	1	-0.0133	19.3536	1		0	0	Si

Verifica a presso/tenso flessione deviata §§ 4.2.4.1.2.3 - 4.2.4.1.2.6 - 4.2.4.1.2.7 - 4.2.4.1.2.8 NTC18

Verifiche eseguite utilizzando la formula conservativa (6.2) §6.2.1 EN 1993-1-1:2005.

X	Comb.	Sfruttamento	Classe	NEd	NRd	Rid. NRd da VEd	Mx,Ed	Mx,Rd	My,Ed	My,Rd	Rid. Mx,Rd da VEd	Rid. Mx,Rd da NEd	Rid. My,Rd da VEd	Rid. My,Rd da NEd	α	β	px	py	Verifica
0.504	SLU 76	0.054	3	-49.115	1003.522	1	-0.062	12.886	-0.0079	19.3536	1		1				0	0	Si

Verifiche ad instabilità

Caratteristiche iniziali

Membratura principale per controllo snellezza; Calcolo di snellezze ed N critici condotti secondo gli assi principali;

Curva X: c; Curva Y: c;

Svergolamento: Nessuno; la verifica a instabilità flesso-torsionale (svergolamento) non verrà eseguita.

Dati per instabilità attorno a x

Controllo della snellezza secondo §4.2.4.1.3.1 NTC18

Numero rit.	Presente	Ascissa	Campata	βx/m	Vincolo a entrambi estremi	λx/m	λVer
1	Si	0					
			1-2	1	Si	33.2	Si, (<200)

Implementazione dei sistemi di confinamento delle emissioni odorigene diffuse dell'impianto di compostaggio esistente nel
Comune di Eboli (SA)
PROGETTO DEFINITIVO – Tabulati di calcolo Tomo 1

Numero rit.	Presente	Ascissa	Campata	$\beta x/m$	Vincolo a entrambi estremi	$\lambda x/m$	λVer
2	Si	1.008					

Dati per instabilità attorno a y

Controllo della snellezza secondo §4.2.4.1.3.1 NTC18

Numero rit.	Presente	Ascissa	Campata	$\beta y/n$	k,LT	kw,LT	Vincolo a entrambi estremi
1	Si	0					
			1-2	1	Si	22.4	Si, (<200)
2	Si	1.008					

Verifica di stabilità per pressoflessione §C.4.2.4.1.3.3.1 NTC18

X	Comb.	Sfruttamento	Classe	NEd	MxEq,Ed	MyEq,Ed	Area	Wx	Wy	χ_{min}	λ adim. x/m	λ adim. y/n	N,crit x/m	N,crit y/n	Verifica
0	SLU 76	0.059	3	-49.14	-0.0592	-0.0093	0.003832	0.0000492	0.0000739	0.907	0.382	0.258	7207.687	15834.061	Si

Verifica di stabilità per pressoflessione SLD §C.4.2.4.1.3.3.1 NTC18

X	Comb.	Sfruttamento	Classe	NEd	MxEq,Ed	MyEq,Ed	Area	Wx	Wy	χ_{min}	λ adim. x/m	λ adim. y/n	N,crit x/m	N,crit y/n	Verifica
0	SLD 9	0.032	3	-25.627	-0.041	-0.0033	0.003832	0.0000492	0.0000739	0.907	0.382	0.258	7207.687	15834.061	Si

Verifiche a deformabilità

Mensola X: No; Mensola Y: No.

Frecce lungo X

Ascissa freccia	Combinazione	Freccia	Luce	L/f	L/f,min	Tipo	Verifica
0.571	SLE RA 1	0	1.008	10000	250	Totale	Si
0.571	SLE RA 17	0	1.008	10000	250	Totale	Si
0.571	SLE RA 16	0	1.008	10000	250	Totale	Si
0.571	SLE RA 15	0	1.008	10000	250	Totale	Si
0.571	SLE RA 14	0	1.008	10000	250	Totale	Si
0.571	SLE RA 2	0	1.008	10000	350	Variabile	Si
0.571	SLE RA 17	0	1.008	10000	350	Variabile	Si
0.571	SLE RA 16	0	1.008	10000	350	Variabile	Si
0.571	SLE RA 15	0	1.008	10000	350	Variabile	Si
0.571	SLE RA 14	0	1.008	10000	350	Variabile	Si

Frecce lungo Y

Ascissa freccia	Combinazione	Freccia	Luce	L/f	L/f,min	Tipo	Verifica
0.504	SLE RA 1	-0.00001	1.008	10000	250	Totale	Si
0.504	SLE RA 17	-0.00001	1.008	10000	250	Totale	Si
0.504	SLE RA 16	-0.00001	1.008	10000	250	Totale	Si
0.504	SLE RA 15	-0.00001	1.008	10000	250	Totale	Si
0.504	SLE RA 14	-0.00001	1.008	10000	250	Totale	Si
0.47	SLE RA 2	0	1.008	10000	350	Variabile	Si
0.47	SLE RA 17	0	1.008	10000	350	Variabile	Si
0.47	SLE RA 16	0	1.008	10000	350	Variabile	Si
0.47	SLE RA 15	0	1.008	10000	350	Variabile	Si
0.437	SLE RA 14	0	1.008	10000	350	Variabile	Si

Superelemento in acciaio a quota "690"- "703" (2929; 2993)-(2929; 2893)

Caratteristiche del materiale

Acciaio: S275, fyk = 275000

Caratteristiche geometriche

Lunghezza: 1.008

Nodo iniziale: 1769 Nodo finale: 1995

Cerniera iniziale: Mmomenti 1% Cerniera finale: Mmomenti 1%

Sovraresistenza: 0% Sisma Z: No

Caratteristiche della sezione

Sezione	Rotazione	Area	Jx	Jy	ix	iy	Wx	Wy	Wplx	Wply
A1; L100*10; 1; Saldato; S275; 20; 1; 8; 8; 1	0	0.003832	0.0000035319	0.000007759	0.0304	0.045	0.0000492	0.0000739	0.00008974	0.00012727

Comportamento dei calastrelli

Accoppiamento imbottito avendo passo inferiore al minimo richiesto (§C4.2.4.1.3.1.5 NTC18) nella campata compresa tra le ascisse 0 e 1.008 per sbandamento attorno all'asse y.

Verifiche di resistenza

Verifiche a forza assiale §4.2.4.1.2.1 - §4.2.4.1.2.2 NTC18

X	Comb.	Sfruttamento	Classe	NEd	Nc,Rd	Nt,Rd	Riduzione da taglio	px	py	Verifica
0	SLU 76	0.053	3	-53.516	1003.522		1	0	0	Si

Verifiche a forza assiale SLD §4.2.4.1.2.1 - §4.2.4.1.2.2 NTC18

X	Comb.	Sfruttamento	Classe	NEd	Nc,Rd	Nt,Rd	Riduzione da taglio	px	py	Verifica
0	SLD 7	0.028	3	-28.51	1003.522		1	0	0	Si

Verifica a taglio Y §4.2.4.1.2.4 NTC18

X	Comb.	Sfruttamento	VEd	Vc,Rd	Av	Interazione taglio-torsione	Riduzione torsione	Verifica
1.008	SLU 76	0.001	-0.213	302.422	0.002	Non considerata		Si

Verifica a presso/tenso flessione retta X §§ 4.2.4.1.2.3 - 4.2.4.1.2.6 - 4.2.4.1.2.7 - 4.2.4.1.2.8 NTC18

Verifiche eseguite utilizzando la formula conservativa (6.2) §6.2.1 EN 1993-1-1:2005.

Implementazione dei sistemi di confinamento delle emissioni odorigene diffuse dell'impianto di compostaggio esistente nel
Comune di Eboli (SA)

PROGETTO DEFINITIVO – Tabulati di calcolo Tomo 1

X	Comb.	Sfruttamento	Classe	NEd	NRd	Rid. NRd da VEd	Mx,Ed	Mx,Rd	Rid. Mx,Rd da VEd	Rid. Mx,Rd da NEd	px	py	Verifica
0.37	SLU 76	0.058	3	-53.498	1003.522	1	-0.0616	12.886	1		0	0	Si

Verifica a presso/tenso flessione retta X SLD §§ 4.2.4.1.2.3 - 4.2.4.1.2.6 - 4.2.4.1.2.7 - 4.2.4.1.2.8 NTC18

Verifiche eseguite utilizzando la formula conservativa (6.2) §6.2.1 EN 1993-1-1:2005.

X	Comb.	Sfruttamento	Classe	NEd	NRd	Rid. NRd da VEd	Mx,Ed	Mx,Rd	Rid. Mx,Rd da VEd	Rid. Mx,Rd da NEd	px	py	Verifica
0.47	SLD 8	0.032	3	-28.493	1003.522	1	-0.0449	12.886	1		0	0	Si

Verifica a presso/tenso flessione retta Y §§ 4.2.4.1.2.3 - 4.2.4.1.2.6 - 4.2.4.1.2.7 - 4.2.4.1.2.8 NTC18

Verifiche eseguite utilizzando la formula conservativa (6.2) §6.2.1 EN 1993-1-1:2005.

X	Comb.	Sfruttamento	Classe	NEd	NRd	Rid. NRd da VEd	My,Ed	My,Rd	Rid. My,Rd da VEd	Rid. My,Rd da NEd	px	py	Verifica
1.008	SLU 76	0.054	3	-53.467	1003.522	1	-0.0192	19.3536	1		0	0	Si

Verifica a presso/tenso flessione retta Y SLD §§ 4.2.4.1.2.3 - 4.2.4.1.2.6 - 4.2.4.1.2.7 - 4.2.4.1.2.8 NTC18

Verifiche eseguite utilizzando la formula conservativa (6.2) §6.2.1 EN 1993-1-1:2005.

X	Comb.	Sfruttamento	Classe	NEd	NRd	Rid. NRd da VEd	My,Ed	My,Rd	Rid. My,Rd da VEd	Rid. My,Rd da NEd	px	py	Verifica
1.008	SLD 7	0.029	3	-28.473	1003.522	1	-0.0084	19.3536	1		0	0	Si

Verifica a presso/tenso flessione deviata §§ 4.2.4.1.2.3 - 4.2.4.1.2.6 - 4.2.4.1.2.7 - 4.2.4.1.2.8 NTC18

Verifiche eseguite utilizzando la formula conservativa (6.2) §6.2.1 EN 1993-1-1:2005.

X	Comb.	Sfruttamento	Classe	NEd	NRd	Rid. NRd da VEd	Mx,Ed	Mx,Rd	My,Ed	My,Rd	Rid. Mx,Rd da VEd	Rid. Mx,Rd da NEd	Rid. My,Rd da VEd	Rid. My,Rd da NEd	α	β	px	py	Verifica
0.504	SLU 76	0.059	3	-53.491	1003.522	1	-0.0627	12.886	-0.0097	19.3536	1		1				0	0	Si

Verifica a presso/tenso flessione deviata SLD §§ 4.2.4.1.2.3 - 4.2.4.1.2.6 - 4.2.4.1.2.7 - 4.2.4.1.2.8 NTC18

Verifiche eseguite utilizzando la formula conservativa (6.2) §6.2.1 EN 1993-1-1:2005.

X	Comb.	Sfruttamento	Classe	NEd	NRd	Rid. NRd da VEd	Mx,Ed	Mx,Rd	My,Ed	My,Rd	Rid. Mx,Rd da VEd	Rid. Mx,Rd da NEd	Rid. My,Rd da VEd	Rid. My,Rd da NEd	α	β	px	py	Verifica
0.907	SLD 7	0.03	3	-28.477	1003.522	1	-0.0164	12.886	-0.0076	19.3536	1		1				0	0	Si

Verifiche ad instabilità

Caratteristiche iniziali

Membratura principale per controllo snellezza; Calcolo di snellezze ed N critici condotti secondo gli assi principali;

Curva X: c; Curva Y: c;

Svergolamento: Nessuno; la verifica a instabilità flesso-torsionale (svergolamento) non verrà eseguita.

Dati per instabilità attorno a x

Controllo della snellezza secondo §4.2.4.1.3.1 NTC18

Numero rit.	Presente	Ascissa	Campata	βx/m	Vincolo a entrambi estremi	λx/m	λVer
1	Si	0					
			1-2	1	Si	33.2	Si, (<200)
2	Si	1.008					

Dati per instabilità attorno a y

Controllo della snellezza secondo §4.2.4.1.3.1 NTC18

Numero rit.	Presente	Ascissa	Campata	βy/n	k,LT	kw,LT	Vincolo a entrambi estremi
1	Si	0					
			1-2	1	Si	22.4	Si, (<200)
2	Si	1.008					

Verifica di stabilità per pressoflessione §C.4.2.4.1.3.3.1 NTC18

X	Comb.	Sfruttamento	Classe	NEd	MxEq,Ed	MyEq,Ed	Area	Wx	Wy	χ,min	λ adim. x/m	λ adim. y/n	N,crit x/m	N,crit y/n	Verifica
0	SLU 76	0.064	3	-53.516	-0.0602	-0.0116	0.003832	0.0000492	0.0000739	0.907	0.382	0.258	7207.687	15834.061	Si

Verifica di stabilità per pressoflessione SLD §C.4.2.4.1.3.3.1 NTC18

X	Comb.	Sfruttamento	Classe	NEd	MxEq,Ed	MyEq,Ed	Area	Wx	Wy	χ,min	λ adim. x/m	λ adim. y/n	N,crit x/m	N,crit y/n	Verifica
0	SLD 7	0.035	3	-28.51	-0.0418	-0.0063	0.003832	0.0000492	0.0000739	0.907	0.382	0.258	7207.687	15834.061	Si

Verifiche a deformabilità

Mensola X: No; Mensola Y: No.

Frecce lungo X

Ascissa freccia	Combinazione	Freccia	Luce	L/f	L/f,min	Tipo	Verifica
0.571	SLE RA 1	0	1.008	10000	250	Totale	Si
0.571	SLE RA 17	0	1.008	10000	250	Totale	Si
0.571	SLE RA 16	0	1.008	10000	250	Totale	Si
0.571	SLE RA 15	0	1.008	10000	250	Totale	Si
0.571	SLE RA 14	0	1.008	10000	250	Totale	Si
0.571	SLE RA 2	0	1.008	10000	350	Variabile	Si
0.571	SLE RA 17	0	1.008	10000	350	Variabile	Si
0.571	SLE RA 16	0	1.008	10000	350	Variabile	Si
0.571	SLE RA 15	0	1.008	10000	350	Variabile	Si
0.571	SLE RA 14	0	1.008	10000	350	Variabile	Si

Frecce lungo Y

Ascissa freccia	Combinazione	Freccia	Luce	L/f	L/f,min	Tipo	Verifica
0.504	SLE RA 1	-0.00001	1.008	10000	250	Totale	Si
0.504	SLE RA 17	-0.00001	1.008	10000	250	Totale	Si
0.504	SLE RA 16	-0.00001	1.008	10000	250	Totale	Si
0.504	SLE RA 15	-0.00001	1.008	10000	250	Totale	Si
0.504	SLE RA 14	-0.00001	1.008	10000	250	Totale	Si
0.47	SLE RA 2	0	1.008	10000	350	Variabile	Si
0.47	SLE RA 17	0	1.008	10000	350	Variabile	Si
0.47	SLE RA 16	0	1.008	10000	350	Variabile	Si
0.47	SLE RA 15	0	1.008	10000	350	Variabile	Si
0.437	SLE RA 14	0	1.008	10000	350	Variabile	Si

Superelemento in acciaio a quota "690"- "703" (-34; 30)-(-143; 133)

Caratteristiche del materiale

Acciaio: S275, fyk = 275000

Caratteristiche geometriche

Lunghezza: 1.505

Nodo iniziale: 1644 Nodo finale: 1855

Cerniera iniziale: Mmomenti 1% Cerniera finale: Mmomenti 1%

Sovreresistenza: 0% Sisma Z: No

Caratteristiche della sezione

Sezione	Rotazione	Area	Jx	Jy	ix	iy	Wx	Wy	Wplx	Wply
A1; L100*10; 1; Saldato; S275; 30; 1; 8; 8; 1	0	0.003832	0.0000035319	0.000007759	0.0304	0.045	0.0000492	0.0000739	0.00008974	0.00012727

Comportamento dei calastrelli

Accoppiamento imbottito con funzione statica (§C4.2.4.1.3.1.4 NTC18) nella campata compresa tra le ascisse 0 e 1.505 per sbandamento attorno all'asse y.

Verifiche di resistenza

Verifiche a forza assiale §4.2.4.1.2.1 - §4.2.4.1.2.2 NTC18

X	Comb.	Sfruttamento	Classe	NEd	Nc,Rd	Nt,Rd	Riduzione da taglio	px	py	Verifica
0	SLU 75	0.139	3	-139.23	1003.522		1	0	0	Si

Verifiche a forza assiale SLD §4.2.4.1.2.1 - §4.2.4.1.2.2 NTC18

X	Comb.	Sfruttamento	Classe	NEd	Nc,Rd	Nt,Rd	Riduzione da taglio	px	py	Verifica
0	SLD 14	0.045	3	-45.578	1003.522		1	0	0	Si

Verifica a taglio X §4.2.4.1.2.4 NTC18

X	Comb.	Sfruttamento	VEd	Vc,Rd	Av	Interazione taglio-torsione	Riduzione torsione	Verifica
0	SLU 75	0.003	0.894	302.422	0.002	Non considerata		Si

Verifica a taglio X SLD §4.2.4.1.2.4 NTC18

X	Comb.	Sfruttamento	VEd	Vc,Rd	Av	Interazione taglio-torsione	Riduzione torsione	Verifica
0	SLD 16	0.001	0.293	302.422	0.002	Non considerata		Si

Verifica a taglio Y §4.2.4.1.2.4 NTC18

X	Comb.	Sfruttamento	VEd	Vc,Rd	Av	Interazione taglio-torsione	Riduzione torsione	Verifica
1.505	SLU 75	0.001	-0.453	302.422	0.002	Non considerata		Si

Verifica a taglio Y SLD §4.2.4.1.2.4 NTC18

X	Comb.	Sfruttamento	VEd	Vc,Rd	Av	Interazione taglio-torsione	Riduzione torsione	Verifica
1.505	SLD 14	0.001	-0.28	302.422	0.002	Non considerata		Si

Verifica a presso/tenso flessione retta X §§ 4.2.4.1.2.3 - 4.2.4.1.2.6 - 4.2.4.1.2.7 - 4.2.4.1.2.8 NTC18

Verifiche eseguite utilizzando la formula conservativa (6.2) §6.2.1 EN 1993-1-1:2005.

X	Comb.	Sfruttamento	Classe	NEd	NRd	Rid. NRd da VEd	Mx,Ed	Mx,Rd	Rid. Mx,Rd da VEd	Rid. Mx,Rd da NEd	px	py	Verifica
0.803	SLU 2	0.025	1	21.214	1003.522	1	-0.0836	23.5037	1		0	0	Si

Verifica a presso/tenso flessione retta Y §§ 4.2.4.1.2.3 - 4.2.4.1.2.6 - 4.2.4.1.2.7 - 4.2.4.1.2.8 NTC18

Verifiche eseguite utilizzando la formula conservativa (6.2) §6.2.1 EN 1993-1-1:2005.

X	Comb.	Sfruttamento	Classe	NEd	NRd	Rid. NRd da VEd	My,Ed	My,Rd	Rid. My,Rd da VEd	Rid. My,Rd da NEd	px	py	Verifica
1.204	SLU 75	0.161	3	-139.19	1003.522	1	-0.4283	19.3536	1		0	0	Si

Verifica a presso/tenso flessione retta Y SLD §§ 4.2.4.1.2.3 - 4.2.4.1.2.6 - 4.2.4.1.2.7 - 4.2.4.1.2.8 NTC18

Verifiche eseguite utilizzando la formula conservativa (6.2) §6.2.1 EN 1993-1-1:2005.

X	Comb.	Sfruttamento	Classe	NEd	NRd	Rid. NRd da VEd	My,Ed	My,Rd	Rid. My,Rd da VEd	Rid. My,Rd da NEd	px	py	Verifica
1.355	SLD 13	0.053	3	-45.544	1003.522	1	0.1392	19.3536	1		0	0	Si

Verifica a presso/tenso flessione deviata §§ 4.2.4.1.2.3 - 4.2.4.1.2.6 - 4.2.4.1.2.7 - 4.2.4.1.2.8 NTC18

Verifiche eseguite utilizzando la formula conservativa (6.2) §6.2.1 EN 1993-1-1:2005.

X	Comb.	Sfruttamento	Classe	NEd	NRd	Rid. NRd da VEd	Mx,Ed	Mx,Rd	My,Ed	My,Rd	Rid. Mx,Rd da VEd	Rid. Mx,Rd da NEd	Rid. My,Rd da VEd	Rid. My,Rd da NEd	α	β	px	py	Verifica
0.401	SLU 75	0.172	3	-139.217	1003.522	1	-0.1394	12.886	-0.4284	19.3536	1		1				0	0	Si

Verifica a presso/tenso flessione deviata SLD §§ 4.2.4.1.2.3 - 4.2.4.1.2.6 - 4.2.4.1.2.7 - 4.2.4.1.2.8 NTC18

Verifiche eseguite utilizzando la formula conservativa (6.2) §6.2.1 EN 1993-1-1:2005.

X	Comb.	Sfruttamento	Classe	NEd	NRd	Rid. NRd da VEd	Mx,Ed	Mx,Rd	My,Ed	My,Rd	Rid. Mx,Rd da VEd	Rid. Mx,Rd da NEd	Rid. My,Rd da VEd	Rid. My,Rd da NEd	α	β	px	py	Verifica
0.602	SLD 14	0.059	3	-45.563	1003.522	1	-0.088	12.886	0.1382	19.3536	1		1				0	0	Si

Verifiche ad instabilità

Caratteristiche iniziali

Membratura principale per controllo snellezza; Calcolo di snellezze ed N critici condotti secondo gli assi principali;

Curva X: c; Curva Y: c;

Implementazione dei sistemi di confinamento delle emissioni odorigene diffuse dell'impianto di compostaggio esistente nel
Comune di Eboli (SA)
PROGETTO DEFINITIVO – Tabulati di calcolo Tomo 1

Svergolamento: Nessuno; la verifica a instabilità flessione-torsionale (svergolamento) non verrà eseguita.

Dati per instabilità attorno a x

Controllo della snellezza secondo §4.2.4.1.3.1 NTC18

Numero rit.	Presente	Ascissa	Campata	$\beta x/m$	Vincolo a entrambi estremi	$\lambda x/m$	λVer
1	Si	0					
			1-2	1	Si	49.6	Si, (<200)
2	Si	1.505					

Dati per instabilità attorno a y

Controllo della snellezza secondo §4.2.4.1.3.1 NTC18

Numero rit.	Presente	Ascissa	Campata	$\beta y/n$	k,LT	kw,LT	Vincolo a entrambi estremi
1	Si	0					
			1-2	1	Si	34.9	Si, (<200)
2	Si	1.505					

Verifica di stabilità per pressoflessione §C.4.2.4.1.3.3.1 NTC18

X	Comb.	Sfruttamento	Classe	NEd	MxEq,Ed	MyEq,Ed	Area	Wx	Wy	χ_{min}	$\lambda_{adim. x/m}$	$\lambda_{adim. y/n}$	N,crit x/m	N,crit y/n	Verifica
0	SLU 75	0.204	3	-139.23	-0.1045	-0.4284	0.003832	0.0000492	0.0000739	0.802	0.571	0.402	3231.032	6528.319	Si

Verifica di stabilità per pressoflessione SLD §C.4.2.4.1.3.3.1 NTC18

X	Comb.	Sfruttamento	Classe	NEd	MxEq,Ed	MyEq,Ed	Area	Wx	Wy	χ_{min}	$\lambda_{adim. x/m}$	$\lambda_{adim. y/n}$	N,crit x/m	N,crit y/n	Verifica
0	SLD 14	0.068	3	-45.578	-0.0709	0.1046	0.003832	0.0000492	0.0000739	0.802	0.571	0.402	3231.032	6528.319	Si

Verifiche a deformabilità

Mensola X: No; Mensola Y: No.

Frecce lungo X

Ascissa freccia	Combinazione	Freccia	Luce	L/f	L/f,min	Tipo	Verifica
1.104	SLE RA 1	0	1.505	10000	250	Totale	Si
1.154	SLE RA 17	0	1.505	10000	250	Totale	Si
1.154	SLE RA 16	0	1.505	10000	250	Totale	Si
1.054	SLE RA 15	0	1.505	10000	250	Totale	Si
0.652	SLE RA 14	0	1.505	10000	250	Totale	Si
0.552	SLE RA 2	0	1.505	10000	350	Variabile	Si
0.552	SLE RA 17	0	1.505	10000	350	Variabile	Si
0.552	SLE RA 16	0	1.505	10000	350	Variabile	Si
1.054	SLE RA 15	0	1.505	10000	350	Variabile	Si
0.953	SLE RA 14	0	1.505	10000	350	Variabile	Si

Frecce lungo Y

Ascissa freccia	Combinazione	Freccia	Luce	L/f	L/f,min	Tipo	Verifica
0.702	SLE RA 1	-0.00003	1.505	10000	250	Totale	Si
0.652	SLE RA 17	-0.00003	1.505	10000	250	Totale	Si
0.652	SLE RA 16	-0.00003	1.505	10000	250	Totale	Si
0.652	SLE RA 15	-0.00003	1.505	10000	250	Totale	Si
0.652	SLE RA 14	-0.00003	1.505	10000	250	Totale	Si
0.301	SLE RA 2	0	1.505	10000	350	Variabile	Si
0.301	SLE RA 17	0	1.505	10000	350	Variabile	Si
0.301	SLE RA 16	0	1.505	10000	350	Variabile	Si
1.154	SLE RA 15	0	1.505	10000	350	Variabile	Si
0.351	SLE RA 14	0	1.505	10000	350	Variabile	Si

Superelemento in acciaio a quota "690"- "703" (-288; -239)-(-397; -137)

Caratteristiche del materiale

Acciaio: S275, fyk = 275000

Caratteristiche geometriche

Lunghezza: 1.505

Nodo iniziale: 1634 Nodo finale: 1845

Cerniera iniziale: Mmomenti 1% Cerniera finale: Mmomenti 1%

Sovraresistenza: 0% Sisma Z: No

Caratteristiche della sezione

Sezione	Rotazione	Area	Jx	Jy	ix	iy	Wx	Wy	Wplx	Wply
Al; L100*10; 1; Saldato; S275; 30; 1; 8; 8; 1	0	0.003832	0.0000035319	0.000007759	0.0304	0.045	0.0000492	0.0000739	0.00008974	0.00012727

Comportamento dei calastrelli

Accoppiamento imbottito con funzione statica (§C.4.2.4.1.3.1.4 NTC18) nella campata compresa tra le ascisse 0 e 1.505 per sbandamento attorno all'asse y.

Verifiche di resistenza

Verifiche a forza assiale §4.2.4.1.2.1 - §4.2.4.1.2.2 NTC18

X	Comb.	Sfruttamento	Classe	NEd	Nc,Rd	Nt,Rd	Riduzione da taglio	px	py	Verifica
0	SLU 75	0.114	3	-113.959	1003.522		1	0	0	Si

Verifiche a forza assiale SLD §4.2.4.1.2.1 - §4.2.4.1.2.2 NTC18

X	Comb.	Sfruttamento	Classe	NEd	Nc,Rd	Nt,Rd	Riduzione da taglio	px	py	Verifica
0	SLD 16	0.041	3	-41.362	1003.522		1	0	0	Si

Implementazione dei sistemi di confinamento delle emissioni odorigene diffuse dell'impianto di compostaggio esistente nel
Comune di Eboli (SA)
PROGETTO DEFINITIVO – Tabulati di calcolo Tomo 1

Verifica a taglio X §4.2.4.1.2.4 NTC18

X	Comb.	Sfruttamento	VEd	Vc,Rd	Av	Interazione taglio-torsione	Riduzione torsione	Verifica
0	SLU 75	0.002	0.733	302.422	0.002	Non considerata		Si

Verifica a taglio X SLD §4.2.4.1.2.4 NTC18

X	Comb.	Sfruttamento	VEd	Vc,Rd	Av	Interazione taglio-torsione	Riduzione torsione	Verifica
0	SLD 15	0.001	0.269	302.422	0.002	Non considerata		Si

Verifica a taglio Y §4.2.4.1.2.4 NTC18

X	Comb.	Sfruttamento	VEd	Vc,Rd	Av	Interazione taglio-torsione	Riduzione torsione	Verifica
1.505	SLU 75	0.001	-0.413	302.422	0.002	Non considerata		Si

Verifica a taglio Y SLD §4.2.4.1.2.4 NTC18

X	Comb.	Sfruttamento	VEd	Vc,Rd	Av	Interazione taglio-torsione	Riduzione torsione	Verifica
1.505	SLD 16	0.001	-0.271	302.422	0.002	Non considerata		Si

Verifica a flessione semplice X §§ 4.2.4.1.2.3 - 4.2.4.1.2.6 - 4.2.4.1.2.7 - 4.2.4.1.2.8 NTC18

X	Comb.	Sfruttamento	Classe	Mx,Ed	Mx,Rd	Rid. Mx,Rd da VEd	px	py	Verifica
0.753	SLU 5	0.004	1	-0.08293	23.50374	1	0	0	Si

Verifica a presso/tenso flessione retta X §§ 4.2.4.1.2.3 - 4.2.4.1.2.6 - 4.2.4.1.2.7 - 4.2.4.1.2.8 NTC18

Verifiche eseguite utilizzando la formula conservativa (6.2) §6.2.1 EN 1993-1-1:2005.

X	Comb.	Sfruttamento	Classe	NEd	NRd	Rid. NRd da VEd	Mx,Ed	Mx,Rd	Rid. Mx,Rd da VEd	Rid. Mx,Rd da NEd	px	py	Verifica
0.803	SLU 2	0.021	1	17.761	1003.522	1	-0.0825	23.5037	1		0	0	Si

Verifica a presso/tenso flessione retta Y §§ 4.2.4.1.2.3 - 4.2.4.1.2.6 - 4.2.4.1.2.7 - 4.2.4.1.2.8 NTC18

Verifiche eseguite utilizzando la formula conservativa (6.2) §6.2.1 EN 1993-1-1:2005.

X	Comb.	Sfruttamento	Classe	NEd	NRd	Rid. NRd da VEd	My,Ed	My,Rd	Rid. My,Rd da VEd	Rid. My,Rd da NEd	px	py	Verifica
1.254	SLU 37	0.124	3	-107.669	1003.522	1	0.3305	19.3536	1		0	0	Si

Verifica a presso/tenso flessione retta Y SLD §§ 4.2.4.1.2.3 - 4.2.4.1.2.6 - 4.2.4.1.2.7 - 4.2.4.1.2.8 NTC18

Verifiche eseguite utilizzando la formula conservativa (6.2) §6.2.1 EN 1993-1-1:2005.

X	Comb.	Sfruttamento	Classe	NEd	NRd	Rid. NRd da VEd	My,Ed	My,Rd	Rid. My,Rd da VEd	Rid. My,Rd da NEd	px	py	Verifica
1.355	SLD 15	0.048	3	-41.328	1003.522	1	0.1274	19.3536	1		0	0	Si

Verifica a presso/tenso flessione deviata §§ 4.2.4.1.2.3 - 4.2.4.1.2.6 - 4.2.4.1.2.7 - 4.2.4.1.2.8 NTC18

Verifiche eseguite utilizzando la formula conservativa (6.2) §6.2.1 EN 1993-1-1:2005.

X	Comb.	Sfruttamento	Classe	NEd	NRd	Rid. NRd da VEd	Mx,Ed	Mx,Rd	My,Ed	My,Rd	Rid. Mx,Rd da VEd	Rid. Mx,Rd da NEd	Rid. My,Rd da VEd	Rid. My,Rd da NEd	α	β	px	py	Verifica
0.502	SLU 75	0.142	3	-113.942	1003.522	1	-0.1297	12.886	0.3493	19.3536	1		1				0	0	Si

Verifica a presso/tenso flessione deviata SLD §§ 4.2.4.1.2.3 - 4.2.4.1.2.6 - 4.2.4.1.2.7 - 4.2.4.1.2.8 NTC18

Verifiche eseguite utilizzando la formula conservativa (6.2) §6.2.1 EN 1993-1-1:2005.

X	Comb.	Sfruttamento	Classe	NEd	NRd	Rid. NRd da VEd	Mx,Ed	Mx,Rd	My,Ed	My,Rd	Rid. Mx,Rd da VEd	Rid. Mx,Rd da NEd	Rid. My,Rd da VEd	Rid. My,Rd da NEd	α	β	px	py	Verifica
0.602	SLD 16	0.054	3	-41.346	1003.522	1	-0.0874	12.886	0.1256	19.3536	1		1				0	0	Si

Verifiche ad instabilità

Caratteristiche iniziali

Membratura principale per controllo snellezza; Calcolo di snellezze ed N critici condotti secondo gli assi principali;

Curva X: c; Curva Y: c;

Svergolamento: Nessuno; la verifica a instabilità flesso-torsionale (svergolamento) non verrà eseguita.

Dati per instabilità attorno a x

Controllo della snellezza secondo §4.2.4.1.3.1 NTC18

Numero rit.	Presente	Ascissa	Campata	βx/m	Vincolo a entrambi estremi	λx/m	λVer
1	Si	0					
			1-2		1	49.6	Si, (<200)
2	Si	1.505					

Dati per instabilità attorno a y

Controllo della snellezza secondo §4.2.4.1.3.1 NTC18

Numero rit.	Presente	Ascissa	Campata	βy/n	k,LT	kw,LT	Vincolo a entrambi estremi
1	Si	0					
			1-2		1	34.9	Si, (<200)
2	Si	1.505					

Verifica di stabilità per pressoflessione §C.4.2.4.1.3.3.1 NTC18

X	Comb.	Sfruttamento	Classe	NEd	MxEq,Ed	MyEq,Ed	Area	Wx	Wy	χ,min	λ adim. x/m	λ adim. y/n	N,crit x/m	N,crit y/n	Verifica
0	SLU 75	0.163	3	-113.959	-0.1001	0.2627	0.003832	0.0000492	0.0000739	0.802	0.571	0.402	3231.032	6528.319	Si

Verifica di stabilità per pressoflessione SLD §C.4.2.4.1.3.3.1 NTC18

X	Comb.	Sfruttamento	Classe	NEd	MxEq,Ed	MyEq,Ed	Area	Wx	Wy	χ,min	λ adim. x/m	λ adim. y/n	N,crit x/m	N,crit y/n	Verifica
0	SLD 16	0.062	3	-41.362	-0.0724	0.0958	0.003832	0.0000492	0.0000739	0.802	0.571	0.402	3231.032	6528.319	Si

Verifiche a deformabilità

Mensola X: No; Mensola Y: No.

Frecce lungo X

Ascissa freccia	Combinazione	Freccia	Luce	L/f	L/f,min	Tipo	Verifica
0.953	SLE RA 1	0	1.505	10000	250	Totale	Si
0.953	SLE RA 17	0	1.505	10000	250	Totale	Si

Implementazione dei sistemi di confinamento delle emissioni odorigene diffuse dell'impianto di compostaggio esistente nel
Comune di Eboli (SA)

PROGETTO DEFINITIVO – Tabulati di calcolo Tomo 1

Ascissa freccia	Combinazione	Freccia	Luce	L/f	L/f,min	Tipo	Verifica
0.953	SLE RA 16	0	1.505	10000	250	Totale	Si
0.953	SLE RA 15	0	1.505	10000	250	Totale	Si
0.953	SLE RA 14	0	1.505	10000	250	Totale	Si
0.903	SLE RA 2	0	1.505	10000	350	Variabile	Si
0.903	SLE RA 17	0	1.505	10000	350	Variabile	Si
0.903	SLE RA 16	0	1.505	10000	350	Variabile	Si
0.953	SLE RA 15	0	1.505	10000	350	Variabile	Si
0.753	SLE RA 14	0	1.505	10000	350	Variabile	Si

Frecce lungo Y

Ascissa freccia	Combinazione	Freccia	Luce	L/f	L/f,min	Tipo	Verifica
0.702	SLE RA 1	-0.00003	1.505	10000	250	Totale	Si
0.702	SLE RA 17	-0.00003	1.505	10000	250	Totale	Si
0.702	SLE RA 16	-0.00003	1.505	10000	250	Totale	Si
0.702	SLE RA 15	-0.00003	1.505	10000	250	Totale	Si
0.702	SLE RA 14	-0.00003	1.505	10000	250	Totale	Si
0.351	SLE RA 2	0	1.505	10000	350	Variabile	Si
0.351	SLE RA 17	0	1.505	10000	350	Variabile	Si
0.351	SLE RA 16	0	1.505	10000	350	Variabile	Si
1.154	SLE RA 15	0	1.505	10000	350	Variabile	Si
0.401	SLE RA 14	0	1.505	10000	350	Variabile	Si

Superelemento in acciaio a quota "690"-"703" (-543; -511)-(-652; -408)

Caratteristiche del materiale

Acciaio: S275, fyk = 275000

Caratteristiche geometriche

Lunghezza: 1.505

Nodo iniziale: 1631 Nodo finale: 1831

Cerniera iniziale: Mmomenti 1% Cerniera finale: Mmomenti 1%

Sovreresistenza: 0% Sisma Z: No

Caratteristiche della sezione

Sezione	Rotazione	Area	Jx	Jy	ix	iy	Wx	Wy	Wplx	Wply
A1; L100*10; 1; Saldato; S275; 30; 1; 8; 8; 1	0	0.003832	0.0000035319	0.000007759	0.0304	0.045	0.0000492	0.0000739	0.00008974	0.00012727

Comportamento dei calastrelli

Accoppiamento imbottito con funzione statica (§C4.2.4.1.3.1.4 NTC18) nella campata compresa tra le ascisse 0 e 1.505 per sbandamento attorno all'asse y.

Verifiche di resistenza

Verifiche a forza assiale §4.2.4.1.2.1 - §4.2.4.1.2.2 NTC18

X	Comb.	Sfruttamento	Classe	NEd	Nc,Rd	Nt,Rd	Riduzione da taglio	px	py	Verifica
0	SLU 75	0.048	3	-47.85	1003.522		1	0	0	Si

Verifiche a forza assiale SLD §4.2.4.1.2.1 - §4.2.4.1.2.2 NTC18

X	Comb.	Sfruttamento	Classe	NEd	Nc,Rd	Nt,Rd	Riduzione da taglio	px	py	Verifica
0	SLD 16	0.011	3	-11.173	1003.522		1	0	0	Si

Verifica a taglio X §4.2.4.1.2.4 NTC18

X	Comb.	Sfruttamento	VEd	Vc,Rd	Av	Interazione taglio-torsione	Riduzione torsione	Verifica
0	SLU 75	0.001	-0.305	302.422	0.002	Non considerata		Si

Verifica a taglio Y §4.2.4.1.2.4 NTC18

X	Comb.	Sfruttamento	VEd	Vc,Rd	Av	Interazione taglio-torsione	Riduzione torsione	Verifica
0	SLU 75	0.001	0.314	302.422	0.002	Non considerata		Si

Verifica a taglio Y SLD §4.2.4.1.2.4 NTC18

X	Comb.	Sfruttamento	VEd	Vc,Rd	Av	Interazione taglio-torsione	Riduzione torsione	Verifica
0	SLD 1	0.001	0.233	302.422	0.002	Non considerata		Si

Verifica a presso/tenso flessione retta X §§ 4.2.4.1.2.3 - 4.2.4.1.2.6 - 4.2.4.1.2.7 - 4.2.4.1.2.8 NTC18

Verifiche eseguite utilizzando la formula conservativa (6.2) §6.2.1 EN 1993-1-1:2005.

X	Comb.	Sfruttamento	Classe	NEd	NRd	Rid. NRd da VEd	Mx,Ed	Mx,Rd	Rid. Mx,Rd da VEd	Rid. Mx,Rd da NEd	px	py	Verifica
0.753	SLU 4	0.016	1	12.849	1003.522	1	-0.0778	23.5037	1		0	0	Si

Verifica a presso/tenso flessione retta Y §§ 4.2.4.1.2.3 - 4.2.4.1.2.6 - 4.2.4.1.2.7 - 4.2.4.1.2.8 NTC18

Verifiche eseguite utilizzando la formula conservativa (6.2) §6.2.1 EN 1993-1-1:2005.

X	Comb.	Sfruttamento	Classe	NEd	NRd	Rid. NRd da VEd	My,Ed	My,Rd	Rid. My,Rd da VEd	Rid. My,Rd da NEd	px	py	Verifica
0	SLU 76	0.024	3	-20.972	1003.522	1	0.0634	19.3536	1		0	0	Si

Verifica a presso/tenso flessione retta Y SLD §§ 4.2.4.1.2.3 - 4.2.4.1.2.6 - 4.2.4.1.2.7 - 4.2.4.1.2.8 NTC18

Verifiche eseguite utilizzando la formula conservativa (6.2) §6.2.1 EN 1993-1-1:2005.

X	Comb.	Sfruttamento	Classe	NEd	NRd	Rid. NRd da VEd	My,Ed	My,Rd	Rid. My,Rd da VEd	Rid. My,Rd da NEd	px	py	Verifica
0	SLD 15	0.013	3	-11.173	1003.522	1	-0.0337	19.3536	1		0	0	Si

Verifica a presso/tenso flessione deviata §§ 4.2.4.1.2.3 - 4.2.4.1.2.6 - 4.2.4.1.2.7 - 4.2.4.1.2.8 NTC18

Verifiche eseguite utilizzando la formula conservativa (6.2) §6.2.1 EN 1993-1-1:2005.

Implementazione dei sistemi di confinamento delle emissioni odorigene diffuse dell'impianto di compostaggio esistente nel
Comune di Eboli (SA)
PROGETTO DEFINITIVO – Tabulati di calcolo Tomo 1

X	Comb.	Sfruttamento	Classe	NEd	NRd	Rid. NRd da VEd	Mx,Ed	Mx,Rd	My,Ed	My,Rd	Rid. Mx,Rd da VEd	Rid. Mx,Rd da NEd	Rid. My,Rd da VEd	Rid. My,Rd da NEd	α	β	ρ_x	ρ_y	Verifica
0.803	SLU 75	0.066	3	-47.824	1003.522	1	-0.1411	12.886	-0.1454	19.3536	1		1				0	0	Si

Verifica a presso/tenso flessione deviata SLD § 4.2.4.1.2.3 - 4.2.4.1.2.6 - 4.2.4.1.2.7 - 4.2.4.1.2.8 NTC18

Verifiche eseguite utilizzando la formula conservativa (6.2) §6.2.1 EN 1993-1-1:2005.

X	Comb.	Sfruttamento	Classe	NEd	NRd	Rid. NRd da VEd	Mx,Ed	Mx,Rd	My,Ed	My,Rd	Rid. Mx,Rd da VEd	Rid. Mx,Rd da NEd	Rid. My,Rd da VEd	Rid. My,Rd da NEd	α	β	ρ_x	ρ_y	Verifica
0.753	SLD 16	0.02	3	-11.154	1003.522	1	-0.0894	12.886	0.0339	19.3536	1		1				0	0	Si

Verifiche ad instabilità

Caratteristiche iniziali

Membratura principale per controllo snellezza; Calcolo di snellezze ed N critici condotti secondo gli assi principali;

Curva X: c; Curva Y: c;

Svergolamento: Nessuno; la verifica a instabilità flesso-torsionale (svergolamento) non verrà eseguita.

Dati per instabilità attorno a x

Controllo della snellezza secondo §4.2.4.1.3.1 NTC18

Numero rit.	Presente	Ascissa	Campata	$\beta x/m$	Vincolo a entrambi estremi	$\lambda x/m$	λVer
1	Si	0					
2	Si	1.505	1-2		1	49.6	Si, (<200)

Dati per instabilità attorno a y

Controllo della snellezza secondo §4.2.4.1.3.1 NTC18

Numero rit.	Presente	Ascissa	Campata	$\beta y/n$	k,LT	kw,LT	Vincolo a entrambi estremi
1	Si	0					
2	Si	1.505	1-2		1	34.9	Si, (<200)

Verifica di stabilità per pressoflessione §C.4.2.4.1.3.3.1 NTC18

X	Comb.	Sfruttamento	Classe	NEd	MxEq,Ed	MyEq,Ed	Area	Wx	Wy	χ_{min}	$\lambda_{adim. x/m}$	$\lambda_{adim. y/n}$	N,crit x/m	N,crit y/n	Verifica
0	SLU 75	0.078	3	-47.85	-0.1348	-0.1449	0.003832	0.0000492	0.0000739	0.802	0.571	0.402	3231.032	6528.319	Si

Verifica di stabilità per pressoflessione SLD §C.4.2.4.1.3.3.1 NTC18

X	Comb.	Sfruttamento	Classe	NEd	MxEq,Ed	MyEq,Ed	Area	Wx	Wy	χ_{min}	$\lambda_{adim. x/m}$	$\lambda_{adim. y/n}$	N,crit x/m	N,crit y/n	Verifica
0	SLD 12	0.022	3	-11.165	-0.0798	0.0339	0.003832	0.0000492	0.0000739	0.802	0.571	0.402	3231.032	6528.319	Si

Verifiche a deformabilità

Mensola X: No; Mensola Y: No.

Frecce lungo X

Ascissa freccia	Combinazione	Freccia	Luce	L/f	L/f,min	Tipo	Verifica
0.953	SLE RA 1	0	1.505	10000	250	Totale	Si
0.953	SLE RA 17	0	1.505	10000	250	Totale	Si
0.903	SLE RA 16	0	1.505	10000	250	Totale	Si
0.853	SLE RA 15	0	1.505	10000	250	Totale	Si
0.903	SLE RA 14	0	1.505	10000	250	Totale	Si
0.903	SLE RA 2	0	1.505	10000	350	Variabile	Si
0.903	SLE RA 17	0	1.505	10000	350	Variabile	Si
0.903	SLE RA 16	0	1.505	10000	350	Variabile	Si
0.853	SLE RA 15	0	1.505	10000	350	Variabile	Si
0.903	SLE RA 14	0	1.505	10000	350	Variabile	Si

Frecce lungo Y

Ascissa freccia	Combinazione	Freccia	Luce	L/f	L/f,min	Tipo	Verifica
0.753	SLE RA 1	-0.00003	1.505	10000	250	Totale	Si
0.753	SLE RA 17	-0.00003	1.505	10000	250	Totale	Si
0.753	SLE RA 16	-0.00003	1.505	10000	250	Totale	Si
0.753	SLE RA 15	-0.00003	1.505	10000	250	Totale	Si
0.753	SLE RA 14	-0.00003	1.505	10000	250	Totale	Si
0.803	SLE RA 2	0	1.505	10000	350	Variabile	Si
0.803	SLE RA 17	0	1.505	10000	350	Variabile	Si
0.803	SLE RA 16	0	1.505	10000	350	Variabile	Si
0.903	SLE RA 15	0	1.505	10000	350	Variabile	Si
0.803	SLE RA 14	0	1.505	10000	350	Variabile	Si

Superelemento in acciaio a quota "690"- "703" (-795; -778)-(-904; -675)

Caratteristiche del materiale

Acciaio: S275, fyk = 275000

Caratteristiche geometriche

Lunghezza: 1.505

Nodo iniziale: 1628 Nodo finale: 1829

Cerniera iniziale: Mmomenti 1% Cerniera finale: Mmomenti 1%

Sovraresistenza: 0% Sisma Z: No

Caratteristiche della sezione

Sezione	Rotazione	Area	Jx	Jy	ix	iy	Wx	Wy	Wplx	Wply
A1; L100*10; 1; Saldato; S275; 30; 1; 8; 8; 1	0	0.003832	0.0000035319	0.000007759	0.0304	0.045	0.0000492	0.0000739	0.00008974	0.00012727

**Implementazione dei sistemi di confinamento delle emissioni odorigene diffuse dell'impianto di compostaggio esistente nel
Comune di Eboli (SA)
PROGETTO DEFINITIVO – Tabulati di calcolo Tomo 1**

Comportamento dei calastrelli

Accoppiamento imbottito con funzione statica (§C4.2.4.1.3.1.4 NTC18) nella campata compresa tra le ascisse 0 e 1.505 per sbandamento attorno all'asse y.

Verifiche di resistenza

Verifiche a forza assiale §4.2.4.1.2.1 - §4.2.4.1.2.2 NTC18

X	Comb.	Sfruttamento	Classe	NEd	Nc,Rd	Nt,Rd	Riduzione da taglio	px	py	Verifica
0	SLU 75	0.099	3	-99.628	1003.522		1	0	0	Si

Verifiche a forza assiale SLD §4.2.4.1.2.1 - §4.2.4.1.2.2 NTC18

X	Comb.	Sfruttamento	Classe	NEd	Nc,Rd	Nt,Rd	Riduzione da taglio	px	py	Verifica
0	SLD 1	0.037	3	-36.948	1003.522		1	0	0	Si

Verifica a taglio X §4.2.4.1.2.4 NTC18

X	Comb.	Sfruttamento	VEd	Vc,Rd	Av	Interazione taglio-torsione	Riduzione torsione	Verifica
0	SLU 75	0.002	-0.64	302.422	0.002	Non considerata		Si

Verifica a taglio X SLD §4.2.4.1.2.4 NTC18

X	Comb.	Sfruttamento	VEd	Vc,Rd	Av	Interazione taglio-torsione	Riduzione torsione	Verifica
0	SLD 1	0.001	-0.237	302.422	0.002	Non considerata		Si

Verifica a taglio Y §4.2.4.1.2.4 NTC18

X	Comb.	Sfruttamento	VEd	Vc,Rd	Av	Interazione taglio-torsione	Riduzione torsione	Verifica
1.505	SLU 42	0.001	-0.305	302.422	0.002	Non considerata		Si

Verifica a taglio Y SLD §4.2.4.1.2.4 NTC18

X	Comb.	Sfruttamento	VEd	Vc,Rd	Av	Interazione taglio-torsione	Riduzione torsione	Verifica
1.505	SLD 1	0.001	-0.228	302.422	0.002	Non considerata		Si

Verifica a flessione semplice X §§ 4.2.4.1.2.3 - 4.2.4.1.2.6 - 4.2.4.1.2.7 - 4.2.4.1.2.8 NTC18

X	Comb.	Sfruttamento	Classe	Mx,Ed	Mx,Rd	Rid. Mx,Rd da VEd	px	py	Verifica
0.753	SLU 59	0.004	1	-0.10521	23.50374	1	0	0	Si

Verifica a presso/tenso flessione retta X §§ 4.2.4.1.2.3 - 4.2.4.1.2.6 - 4.2.4.1.2.7 - 4.2.4.1.2.8 NTC18

Verifiche eseguite utilizzando la formula conservativa (6.2) §6.2.1 EN 1993-1-1:2005.

X	Comb.	Sfruttamento	Classe	NEd	NRd	Rid. NRd da VEd	Mx,Ed	Mx,Rd	Rid. Mx,Rd da VEd	Rid. Mx,Rd da NEd	px	py	Verifica
0.753	SLU 2	0.017	1	14.143	1003.522	1	-0.0742	23.5037	1		0	0	Si

Verifica a presso/tenso flessione retta Y §§ 4.2.4.1.2.3 - 4.2.4.1.2.6 - 4.2.4.1.2.7 - 4.2.4.1.2.8 NTC18

Verifiche eseguite utilizzando la formula conservativa (6.2) §6.2.1 EN 1993-1-1:2005.

X	Comb.	Sfruttamento	Classe	NEd	NRd	Rid. NRd da VEd	My,Ed	My,Rd	Rid. My,Rd da VEd	Rid. My,Rd da NEd	px	py	Verifica
1.505	SLU 64	0.043	3	-37.082	1003.522	1	0.1133	19.3536	1		0	0	Si

Verifica a presso/tenso flessione deviata §§ 4.2.4.1.2.3 - 4.2.4.1.2.6 - 4.2.4.1.2.7 - 4.2.4.1.2.8 NTC18

Verifiche eseguite utilizzando la formula conservativa (6.2) §6.2.1 EN 1993-1-1:2005.

X	Comb.	Sfruttamento	Classe	NEd	NRd	Rid. NRd da VEd	Mx,Ed	Mx,Rd	My,Ed	My,Rd	Rid. Mx,Rd da VEd	Rid. Mx,Rd da NEd	Rid. My,Rd da VEd	Rid. My,Rd da NEd	α	β	px	py	Verifica
0.803	SLU 75	0.127	3	-99.602	1003.522	1	-0.1564	12.886	-0.3055	19.3536	1		1				0	0	Si

Verifica a presso/tenso flessione deviata SLD §§ 4.2.4.1.2.3 - 4.2.4.1.2.6 - 4.2.4.1.2.7 - 4.2.4.1.2.8 NTC18

Verifiche eseguite utilizzando la formula conservativa (6.2) §6.2.1 EN 1993-1-1:2005.

X	Comb.	Sfruttamento	Classe	NEd	NRd	Rid. NRd da VEd	Mx,Ed	Mx,Rd	My,Ed	My,Rd	Rid. Mx,Rd da VEd	Rid. Mx,Rd da NEd	Rid. My,Rd da VEd	Rid. My,Rd da NEd	α	β	px	py	Verifica
0.753	SLD 2	0.05	3	-36.929	1003.522	1	-0.0972	12.886	-0.1125	19.3536	1		1				0	0	Si

Verifiche ad instabilità

Caratteristiche iniziali

Membratura principale per controllo snellezza; Calcolo di snellezze ed N critici condotti secondo gli assi principali;

Curva X: c; Curva Y: c;

Svergolamento: Nessuno; la verifica a instabilità flessio-torsionale (svergolamento) non verrà eseguita.

Dati per instabilità attorno a x

Controllo della snellezza secondo §4.2.4.1.3.1 NTC18

Numero rit.	Presente	Ascissa	Campata	βx/m	Vincolo a entrambi estremi	λx/m	λVer
1	Si	0					
			1-2		1	Si	49.6
2	Si	1.505					Si, (<200)

Dati per instabilità attorno a y

Controllo della snellezza secondo §4.2.4.1.3.1 NTC18

Numero rit.	Presente	Ascissa	Campata	βy/n	k,LT	kw,LT	Vincolo a entrambi estremi
1	Si	0					
			1-2		1	Si	34.9
2	Si	1.505					Si, (<200)

Verifica di stabilità per pressoflessione §C.4.2.4.1.3.3.1 NTC18

X	Comb.	Sfruttamento	Classe	NEd	MxEq,Ed	MyEq,Ed	Area	Wx	Wy	χ,min	λ adim. x/m	λ adim. y/n	N,crit x/m	N,crit y/n	Verifica
0	SLU 75	0.152	3	-99.628	-0.1553	-0.3056	0.003832	0.0000492	0.0000739	0.802	0.571	0.402	3231.032	6528.319	Si

Verifica di stabilità per pressoflessione SLD §C.4.2.4.1.3.3.1 NTC18

X	Comb.	Sfruttamento	Classe	NEd	MxEq,Ed	MyEq,Ed	Area	Wx	Wy	χ,min	λ adim. x/m	λ adim. y/n	N,crit x/m	N,crit y/n	Verifica
---	-------	--------------	--------	-----	---------	---------	------	----	----	-------	-------------	-------------	------------	------------	----------

Implementazione dei sistemi di confinamento delle emissioni odorigene diffuse dell'impianto di compostaggio esistente nel
Comune di Eboli (SA)

PROGETTO DEFINITIVO – Tabulati di calcolo Tomo 1

X	Comb.	Sfruttamento	Classe	NEd	MxEq,Ed	MyEq,Ed	Area	Wx	Wy	x,min	λ adim. x/m	λ adim. y/n	N,crit x/m	N,crit y/n	Verifica
0	SLD 1	0,059	3	-36,948	-0,0894	-0,1126	0,003832	0,0000492	0,0000739	0,802	0,571	0,402	3231,032	6528,319	Si

Verifiche a deformabilità

Mensola X: No; Mensola Y: No.

Frecce lungo X

Ascissa freccia	Combinazione	Freccia	Luce	L/f	L/f,min	Tipo	Verifica
0,753	SLE RA 1	0	1,505	10000	250	Totale	Si
0,803	SLE RA 17	0	1,505	10000	250	Totale	Si
0,803	SLE RA 16	0	1,505	10000	250	Totale	Si
1,154	SLE RA 15	0	1,505	10000	250	Totale	Si
0,853	SLE RA 14	0	1,505	10000	250	Totale	Si
0,853	SLE RA 2	0	1,505	10000	350	Variabile	Si
0,853	SLE RA 17	0	1,505	10000	350	Variabile	Si
0,853	SLE RA 16	0	1,505	10000	350	Variabile	Si
0,903	SLE RA 15	0	1,505	10000	350	Variabile	Si
0,853	SLE RA 14	0	1,505	10000	350	Variabile	Si

Frecce lungo Y

Ascissa freccia	Combinazione	Freccia	Luce	L/f	L/f,min	Tipo	Verifica
0,753	SLE RA 1	-0,00003	1,505	10000	250	Totale	Si
0,753	SLE RA 17	-0,00003	1,505	10000	250	Totale	Si
0,753	SLE RA 16	-0,00004	1,505	10000	250	Totale	Si
0,753	SLE RA 15	-0,00003	1,505	10000	250	Totale	Si
0,753	SLE RA 14	-0,00004	1,505	10000	250	Totale	Si
0,753	SLE RA 2	0,00001	1,505	10000	350	Variabile	Si
0,753	SLE RA 17	0	1,505	10000	350	Variabile	Si
0,753	SLE RA 16	-0,00001	1,505	10000	350	Variabile	Si
0,702	SLE RA 15	0	1,505	10000	350	Variabile	Si
0,803	SLE RA 14	-0,00001	1,505	10000	350	Variabile	Si

Superelemento in acciaio a quota "690"- "703" (-1052; -1050)-(-1161; -948)

Caratteristiche del materiale

Acciaio: S275, fyk = 275000

Caratteristiche geometriche

Lunghezza: 1.505

Nodo iniziale: 1624 Nodo finale: 1823

Cerniera iniziale: Mmomenti 1% Cerniera finale: Mmomenti 1%

Sovreresistenza: 0% Sisma Z: No

Caratteristiche della sezione

Sezione	Rotazione	Area	Jx	Jy	ix	iy	Wx	Wy	Wplx	Wply
A1; L100*10; 1; Saldato; S275; 30; 1; 8; 8; 1	0	0,003832	0,0000035319	0,000007759	0,0304	0,045	0,0000492	0,0000739	0,00008974	0,00012727

Comportamento dei calastrelli

Accoppiamento imbottito con funzione statica (§C4.2.4.1.3.1.4 NTC18) nella campata compresa tra le ascisse 0 e 1.505 per sbandamento attorno all'asse y.

Verifiche di resistenza

Verifiche a forza assiale §4.2.4.1.2.1 - §4.2.4.1.2.2 NTC18

X	Comb.	Sfruttamento	Classe	NEd	Nc,Rd	Nt,Rd	Riduzione da taglio	px	py	Verifica
0	SLU 75	0,089	3	-89,543	1003,522		1	0	0	Si

Verifiche a forza assiale SLD §4.2.4.1.2.1 - §4.2.4.1.2.2 NTC18

X	Comb.	Sfruttamento	Classe	NEd	Nc,Rd	Nt,Rd	Riduzione da taglio	px	py	Verifica
0	SLD 15	0,035	3	-35,166	1003,522		1	0	0	Si

Verifica a taglio X §4.2.4.1.2.4 NTC18

X	Comb.	Sfruttamento	VEd	Vc,Rd	Av	Interazione taglio-torsione	Riduzione torsione	Verifica
0	SLU 75	0,002	-0,575	302,422	0,002	Non considerata		Si

Verifica a taglio X SLD §4.2.4.1.2.4 NTC18

X	Comb.	Sfruttamento	VEd	Vc,Rd	Av	Interazione taglio-torsione	Riduzione torsione	Verifica
0	SLD 15	0,001	0,224	302,422	0,002	Non considerata		Si

Verifica a taglio Y §4.2.4.1.2.4 NTC18

X	Comb.	Sfruttamento	VEd	Vc,Rd	Av	Interazione taglio-torsione	Riduzione torsione	Verifica
1,505	SLU 75	0,001	-0,312	302,422	0,002	Non considerata		Si

Verifica a taglio Y SLD §4.2.4.1.2.4 NTC18

X	Comb.	Sfruttamento	VEd	Vc,Rd	Av	Interazione taglio-torsione	Riduzione torsione	Verifica
1,505	SLD 16	0,001	-0,233	302,422	0,002	Non considerata		Si

Verifica a flessione semplice X §§ 4.2.4.1.2.3 - 4.2.4.1.2.6 - 4.2.4.1.2.7 - 4.2.4.1.2.8 NTC18

X	Comb.	Sfruttamento	Classe	Mx,Ed	Mx,Rd	Rid. Mx,Rd da VEd	px	py	Verifica
1,104	SLU 21	0,003	1	-0,06585	23,50374	1	0	0	Si

Implementazione dei sistemi di confinamento delle emissioni odorigene diffuse dell'impianto di compostaggio esistente nel
Comune di Eboli (SA)
PROGETTO DEFINITIVO – Tabulati di calcolo Tomo 1

Verifica a presso/tenso flessione retta X §§ 4.2.4.1.2.3 - 4.2.4.1.2.6 - 4.2.4.1.2.7 - 4.2.4.1.2.8 NTC18

Verifiche eseguite utilizzando la formula conservativa (6.2) §6.2.1 EN 1993-1-1:2005.

X	Comb.	Sfruttamento	Classe	NEd	NRd	Rid. NRd da VEd	Mx,Ed	Mx,Rd	Rid. Mx,Rd da VEd	Rid. Mx,Rd da NEd	px	py	Verifica
0.753	SLU 2	0.011	1	7.009	1003.522	1	-0.0827	23.5037	1		0	0	Si

Verifica a presso/tenso flessione retta Y §§ 4.2.4.1.2.3 - 4.2.4.1.2.6 - 4.2.4.1.2.7 - 4.2.4.1.2.8 NTC18

Verifiche eseguite utilizzando la formula conservativa (6.2) §6.2.1 EN 1993-1-1:2005.

X	Comb.	Sfruttamento	Classe	NEd	NRd	Rid. NRd da VEd	My,Ed	My,Rd	Rid. My,Rd da VEd	Rid. My,Rd da NEd	px	py	Verifica
1.505	SLU 73	0.096	3	-83.471	1003.522	1	-0.2555	19.3536	1		0	0	Si

Verifica a presso/tenso flessione retta Y SLD §§ 4.2.4.1.2.3 - 4.2.4.1.2.6 - 4.2.4.1.2.7 - 4.2.4.1.2.8 NTC18

Verifiche eseguite utilizzando la formula conservativa (6.2) §6.2.1 EN 1993-1-1:2005.

X	Comb.	Sfruttamento	Classe	NEd	NRd	Rid. NRd da VEd	My,Ed	My,Rd	Rid. My,Rd da VEd	Rid. My,Rd da NEd	px	py	Verifica
1.505	SLD 15	0.041	3	-35.128	1003.522	1	0.107	19.3536	1		0	0	Si

Verifica a presso/tenso flessione deviata §§ 4.2.4.1.2.3 - 4.2.4.1.2.6 - 4.2.4.1.2.7 - 4.2.4.1.2.8 NTC18

Verifiche eseguite utilizzando la formula conservativa (6.2) §6.2.1 EN 1993-1-1:2005.

X	Comb.	Sfruttamento	Classe	NEd	NRd	Rid. NRd da VEd	Mx,Ed	Mx,Rd	My,Ed	My,Rd	Rid. Mx,Rd da VEd	Rid. Mx,Rd da NEd	Rid. My,Rd da VEd	Rid. My,Rd da NEd	α	β	px	py	Verifica
0.702	SLU 75	0.113	3	-89.52	1003.522	1	-0.1304	12.886	-0.2742	19.3536	1		1				0	0	Si

Verifica a presso/tenso flessione deviata SLD §§ 4.2.4.1.2.3 - 4.2.4.1.2.6 - 4.2.4.1.2.7 - 4.2.4.1.2.8 NTC18

Verifiche eseguite utilizzando la formula conservativa (6.2) §6.2.1 EN 1993-1-1:2005.

X	Comb.	Sfruttamento	Classe	NEd	NRd	Rid. NRd da VEd	Mx,Ed	Mx,Rd	My,Ed	My,Rd	Rid. Mx,Rd da VEd	Rid. Mx,Rd da NEd	Rid. My,Rd da VEd	Rid. My,Rd da NEd	α	β	px	py	Verifica
0.702	SLD 15	0.048	3	-35.148	1003.522	1	-0.0923	12.886	0.1066	19.3536	1		1				0	0	Si

Verifiche ad instabilità

Caratteristiche iniziali

Membratura principale per controllo snellezza; Calcolo di snellezze ed N critici condotti secondo gli assi principali;

Curva X: c; Curva Y: c;

Svergolamento: Nessuno; la verifica a instabilità flesso-torsionale (svergolamento) non verrà eseguita.

Dati per instabilità attorno a x

Controllo della snellezza secondo §4.2.4.1.3.1 NTC18

Numero rit.	Presente	Ascissa	Campata	βx/m	Vincolo a entrambi estremi	λx/m	λVer
1	Si	0					
			1-2	1	Si	49.6	Si, (<200)
2	Si	1.505					

Dati per instabilità attorno a y

Controllo della snellezza secondo §4.2.4.1.3.1 NTC18

Numero rit.	Presente	Ascissa	Campata	βy/n	k,LT	kw,LT	Vincolo a entrambi estremi
1	Si	0					
			1-2	1	Si	34.9	Si, (<200)
2	Si	1.505					

Verifica di stabilità per pressoflessione §C.4.2.4.1.3.3.1 NTC18

X	Comb.	Sfruttamento	Classe	NEd	MxEq,Ed	MyEq,Ed	Area	Wx	Wy	χ,min	λ adim. x/m	λ adim. y/n	N,crit x/m	N,crit y/n	Verifica
0	SLU 75	0.135	3	-89.543	-0.121	-0.2744	0.003832	0.0000492	0.0000739	0.802	0.571	0.402	3231.032	6528.319	Si

Verifica di stabilità per pressoflessione SLD §C.4.2.4.1.3.3.1 NTC18

X	Comb.	Sfruttamento	Classe	NEd	MxEq,Ed	MyEq,Ed	Area	Wx	Wy	χ,min	λ adim. x/m	λ adim. y/n	N,crit x/m	N,crit y/n	Verifica
0	SLD 15	0.055	3	-35.166	-0.0832	0.0879	0.003832	0.0000492	0.0000739	0.802	0.571	0.402	3231.032	6528.319	Si

Verifiche a deformabilità

Mensola X: No; Mensola Y: No.

Frecce lungo X

Ascissa freccia	Combinazione	Freccia	Luce	L/f	L/f,min	Tipo	Verifica
0.803	SLE RA 1	0	1.505	10000	250	Totale	Si
0.803	SLE RA 17	0	1.505	10000	250	Totale	Si
0.803	SLE RA 16	0	1.505	10000	250	Totale	Si
0.552	SLE RA 15	0	1.505	10000	250	Totale	Si
0.853	SLE RA 14	0	1.505	10000	250	Totale	Si
0.853	SLE RA 2	0	1.505	10000	350	Variabile	Si
0.853	SLE RA 17	0	1.505	10000	350	Variabile	Si
0.853	SLE RA 16	0	1.505	10000	350	Variabile	Si
0.903	SLE RA 15	0	1.505	10000	350	Variabile	Si
0.853	SLE RA 14	0	1.505	10000	350	Variabile	Si

Frecce lungo Y

Ascissa freccia	Combinazione	Freccia	Luce	L/f	L/f,min	Tipo	Verifica
0.753	SLE RA 1	-0.00003	1.505	10000	250	Totale	Si
0.753	SLE RA 17	-0.00003	1.505	10000	250	Totale	Si
0.753	SLE RA 16	-0.00003	1.505	10000	250	Totale	Si
0.753	SLE RA 15	-0.00003	1.505	10000	250	Totale	Si
0.753	SLE RA 14	-0.00003	1.505	10000	250	Totale	Si
0.652	SLE RA 2	0	1.505	10000	350	Variabile	Si
0.652	SLE RA 17	0	1.505	10000	350	Variabile	Si
0.652	SLE RA 16	0	1.505	10000	350	Variabile	Si
0.652	SLE RA 15	0	1.505	10000	350	Variabile	Si
0.652	SLE RA 14	0	1.505	10000	350	Variabile	Si

Implementazione dei sistemi di confinamento delle emissioni odorigene diffuse dell'impianto di compostaggio esistente nel
Comune di Eboli (SA)
PROGETTO DEFINITIVO – Tabulati di calcolo Tomo 1

Superelemento in acciaio a quota "703"- "640" (218; 1826)-(328; 1723)

Caratteristiche del materiale

Acciaio: S275, fyk = 275000

Caratteristiche geometriche

Lunghezza: 1.625

Nodo iniziale: 1919 Nodo finale: 1007

Cerniera iniziale: Mmomenti 1% Cerniera finale: Mmomenti 1%

Sovreresistenza: 0% Sisma Z: No

Caratteristiche della sezione

Sezione	Rotazione	Area	Jx	Jy	ix	iy	Wx	Wy	Wplx	Wply
A1; L100*10; 1; Saldato; S275; 50; 1; 8; 8; 1	180	0.003832	0.0000035319	0.000007759	0.0304	0.045	0.0000492	0.0000739	0.00008974	0.00012727

Comportamento dei calastrelli

Accoppiamento imbottito con funzione statica (§C4.2.4.1.3.1.4 NTC18) nella campata compresa tra le ascisse 0 e 1.625 per sbandamento attorno all'asse y.

Verifiche di resistenza

Verifiche a forza assiale §4.2.4.1.2.1 - §4.2.4.1.2.2 NTC18

X	Comb.	Sfruttamento	Classe	NEd	Nc,Rd	Nt,Rd	Riduzione da taglio	px	py	Verifica
0	SLU 76	0.078		78.741		1003.522	1	0	0	Si

Verifiche a forza assiale SLD §4.2.4.1.2.1 - §4.2.4.1.2.2 NTC18

X	Comb.	Sfruttamento	Classe	NEd	Nc,Rd	Nt,Rd	Riduzione da taglio	px	py	Verifica
0	SLD 1	0.027		26.779		1003.522	1	0	0	Si

Verifica a taglio Y §4.2.4.1.2.4 NTC18

X	Comb.	Sfruttamento	VEd	Vc,Rd	Av	Interazione taglio-torsione	Riduzione torsione	Verifica
0	SLU 76	0.001	-0.316	302.422	0.002	Non considerata		Si

Verifica a taglio Y SLD §4.2.4.1.2.4 NTC18

X	Comb.	Sfruttamento	VEd	Vc,Rd	Av	Interazione taglio-torsione	Riduzione torsione	Verifica
0	SLD 14	0.001	-0.23	302.422	0.002	Non considerata		Si

Verifica a flessione semplice X §§ 4.2.4.1.2.3 - 4.2.4.1.2.6 - 4.2.4.1.2.7 - 4.2.4.1.2.8 NTC18

X	Comb.	Sfruttamento	Classe	Mx,Ed	Mx,Rd	Rid. Mx,Rd da VEd	px	py	Verifica
0.813	SLU 5	0.004	1	0.0935	23.50374	1	0	0	Si

Verifica a presso/tenso flessione retta X §§ 4.2.4.1.2.3 - 4.2.4.1.2.6 - 4.2.4.1.2.7 - 4.2.4.1.2.8 NTC18

Verifiche eseguite utilizzando la formula conservativa (6.2) §6.2.1 EN 1993-1-1:2005.

X	Comb.	Sfruttamento	Classe	NEd	NRd	Rid. NRd da VEd	Mx,Ed	Mx,Rd	Rid. Mx,Rd da VEd	Rid. Mx,Rd da NEd	px	py	Verifica
0.867	SLU 76	0.083	1	78.61	1003.522	1	0.1028	23.5037	1		0	0	Si

Verifica a presso/tenso flessione retta X SLD §§ 4.2.4.1.2.3 - 4.2.4.1.2.6 - 4.2.4.1.2.7 - 4.2.4.1.2.8 NTC18

Verifiche eseguite utilizzando la formula conservativa (6.2) §6.2.1 EN 1993-1-1:2005.

X	Comb.	Sfruttamento	Classe	NEd	NRd	Rid. NRd da VEd	Mx,Ed	Mx,Rd	Rid. Mx,Rd da VEd	Rid. Mx,Rd da NEd	px	py	Verifica
0.813	SLD 4	0.03	1	26.471	1003.522	1	0.0885	23.5037	1		0	0	Si

Verifica a presso/tenso flessione retta Y §§ 4.2.4.1.2.3 - 4.2.4.1.2.6 - 4.2.4.1.2.7 - 4.2.4.1.2.8 NTC18

Verifiche eseguite utilizzando la formula conservativa (6.2) §6.2.1 EN 1993-1-1:2005.

X	Comb.	Sfruttamento	Classe	NEd	NRd	Rid. NRd da VEd	My,Ed	My,Rd	Rid. My,Rd da VEd	Rid. My,Rd da NEd	px	py	Verifica
1.625	SLV 1	0.028	1	27.318	1003.522	1	-0.027	33.3316	1		0	0	Si

Verifica a presso/tenso flessione retta Y SLD §§ 4.2.4.1.2.3 - 4.2.4.1.2.6 - 4.2.4.1.2.7 - 4.2.4.1.2.8 NTC18

Verifiche eseguite utilizzando la formula conservativa (6.2) §6.2.1 EN 1993-1-1:2005.

X	Comb.	Sfruttamento	Classe	NEd	NRd	Rid. NRd da VEd	My,Ed	My,Rd	Rid. My,Rd da VEd	Rid. My,Rd da NEd	px	py	Verifica
1.625	SLD 1	0.027	1	26.591	1003.522	1	-0.0108	33.3316	1		0	0	Si

Verifica a presso/tenso flessione deviata §§ 4.2.4.1.2.3 - 4.2.4.1.2.6 - 4.2.4.1.2.7 - 4.2.4.1.2.8 NTC18

Verifiche eseguite utilizzando la formula conservativa (6.2) §6.2.1 EN 1993-1-1:2005.

X	Comb.	Sfruttamento	Classe	NEd	NRd	Rid. NRd da VEd	Mx,Ed	Mx,Rd	My,Ed	My,Rd	Rid. Mx,Rd da VEd	Rid. Mx,Rd da NEd	Rid. My,Rd da VEd	Rid. My,Rd da NEd	α	β	px	py	Verifica
0.758	SLV 1	0.032	1	27.419	1003.522	1	0.0879	23.5037	-0.0294	33.3316	1		1				0	0	Si

Verifica a presso/tenso flessione deviata SLD §§ 4.2.4.1.2.3 - 4.2.4.1.2.6 - 4.2.4.1.2.7 - 4.2.4.1.2.8 NTC18

Verifiche eseguite utilizzando la formula conservativa (6.2) §6.2.1 EN 1993-1-1:2005.

X	Comb.	Sfruttamento	Classe	NEd	NRd	Rid. NRd da VEd	Mx,Ed	Mx,Rd	My,Ed	My,Rd	Rid. Mx,Rd da VEd	Rid. Mx,Rd da NEd	Rid. My,Rd da VEd	Rid. My,Rd da NEd	α	β	px	py	Verifica
0.813	SLD 1	0.031	1	26.685	1003.522	1	0.0885	23.5037	-0.0115	33.3316	1		1				0	0	Si

Verifiche ad instabilità

Caratteristiche iniziali

Membratura principale per controllo snellezza; Calcolo di snellezze ed N critici condotti secondo gli assi principali;

Curva X: c; Curva Y: c;

Svergolamento: Nessuno; la verifica a instabilità flesso-torsionale (svergolamento) non verrà eseguita.

Implementazione dei sistemi di confinamento delle emissioni odorigene diffuse dell'impianto di compostaggio esistente nel
Comune di Eboli (SA)
PROGETTO DEFINITIVO – Tabulati di calcolo Tomo 1

Dati per instabilità attorno a x

Controllo della snellezza secondo §4.2.4.1.3.1 NTC18

Numero rit.	Presente	Ascissa	Campata	$\beta x/m$	Vincolo a entrambi estremi	$\lambda x/m$	λVer
1	Si	0	1-2	1	Si	53.5	Si, (<200)
2	Si	1.625					

Dati per instabilità attorno a y

Controllo della snellezza secondo §4.2.4.1.3.1 NTC18

Numero rit.	Presente	Ascissa	Campata	$\beta y/n$	k,LT	kw,LT	Vincolo a entrambi estremi
1	Si	0	1-2	1	Si	39.7	Si, (<200)
2	Si	1.625					

Verifica di stabilità per pressoflessione §C.4.2.4.1.3.3.1 NTC18

X	Comb.	Sfruttamento	Classe	NEd	MxEq,Ed	MyEq,Ed	Area	Wx	Wy	χ_{min}	$\lambda_{adim. x/m}$	$\lambda_{adim. y/n}$	N,crit x/m	N,crit y/n	Verifica
1.625	SLU 2	0.026	3	-13.154	0.0851	0.0427	0.003832	0.0000492	0.0000739	0.776	0.617	0.457	2772.187	5041.477	Si

Verifiche a deformabilità

Mensola X: No; Mensola Y: No.

Frecce lungo X

Ascissa freccia	Combinazione	Freccia	Luce	L/f	L/f,min	Tipo	Verifica
0.596	SLE RA 1	0	1.625	10000	250	Totale	Si
0.704	SLE RA 17	0	1.625	10000	250	Totale	Si
0.758	SLE RA 16	0	1.625	10000	250	Totale	Si
0.704	SLE RA 15	0	1.625	10000	250	Totale	Si
0.758	SLE RA 14	0	1.625	10000	250	Totale	Si
0.812	SLE RA 2	0	1.625	10000	350	Variabile	Si
0.812	SLE RA 17	0	1.625	10000	350	Variabile	Si
0.812	SLE RA 16	0	1.625	10000	350	Variabile	Si
0.704	SLE RA 15	0	1.625	10000	350	Variabile	Si
0.867	SLE RA 14	0	1.625	10000	350	Variabile	Si

Frecce lungo Y

Ascissa freccia	Combinazione	Freccia	Luce	L/f	L/f,min	Tipo	Verifica
0.812	SLE RA 1	0.00003	1.625	10000	250	Totale	Si
0.812	SLE RA 17	0.00003	1.625	10000	250	Totale	Si
0.812	SLE RA 16	0.00003	1.625	10000	250	Totale	Si
0.812	SLE RA 15	0.00003	1.625	10000	250	Totale	Si
0.812	SLE RA 14	0.00003	1.625	10000	250	Totale	Si
0.65	SLE RA 2	0	1.625	10000	350	Variabile	Si
0.65	SLE RA 17	0	1.625	10000	350	Variabile	Si
0.65	SLE RA 16	0	1.625	10000	350	Variabile	Si
0.704	SLE RA 15	0	1.625	10000	350	Variabile	Si
0.596	SLE RA 14	0	1.625	10000	350	Variabile	Si

Superelemento in acciaio a quota "703"-"640" (473; 2096)-(582; 1993)

Caratteristiche del materiale

Acciaio: S275, fyk = 275000

Caratteristiche geometriche

Lunghezza: 1.625

Nodo iniziale: 1930 Nodo finale: 1062

Cerniera iniziale: Mmomenti 1% Cerniera finale: Mmomenti 1%

Sovreresistenza: 0% Sisma Z: No

Caratteristiche della sezione

Sezione	Rotazione	Area	Jx	Jy	ix	iy	Wx	Wy	Wplx	Wply
Al; L100*10; 1; Saldato; S275; 50; 1; 8; 8; 1	180	0.003832	0.0000035319	0.000007759	0.0304	0.045	0.0000492	0.0000739	0.00008974	0.00012727

Comportamento dei calastrelli

Accoppiamento imbottito con funzione statica (§C4.2.4.1.3.1.4 NTC18) nella campata compresa tra le ascisse 0 e 1.625 per sbandamento attorno all'asse y.

Verifiche di resistenza

Verifiche a forza assiale §4.2.4.1.2.1 - §4.2.4.1.2.2 NTC18

X	Comb.	Sfruttamento	Classe	NEd	Nc,Rd	Nt,Rd	Riduzione da taglio	px	py	Verifica
0	SLU 76	0.06		60.671		1003.522	1	0	0	Si

Verifiche a forza assiale SLD §4.2.4.1.2.1 - §4.2.4.1.2.2 NTC18

X	Comb.	Sfruttamento	Classe	NEd	Nc,Rd	Nt,Rd	Riduzione da taglio	px	py	Verifica
0	SLD 1	0.025		25.25		1003.522	1	0	0	Si

Verifica a taglio Y §4.2.4.1.2.4 NTC18

X	Comb.	Sfruttamento	VEd	Vc,Rd	Av	Interazione taglio-torsione	Riduzione torsione	Verifica
0	SLU 76	0.001	-0.33	302.422	0.002	Non considerata		Si

**Implementazione dei sistemi di confinamento delle emissioni odorigene diffuse dell'impianto di compostaggio esistente nel
Comune di Eboli (SA)**

PROGETTO DEFINITIVO – Tabulati di calcolo Tomo 1

Verifica a taglio Y SLD §4.2.4.1.2.4 NTC18

X	Comb.	Sfruttamento	VEd	Vc,Rd	Av	Interazione taglio-torsione	Riduzione torsione	Verifica
0	SLD 14	0.001	-0.232	302.422	0.002	Non considerata		Si

Verifica a flessione semplice X §§ 4.2.4.1.2.3 - 4.2.4.1.2.6 - 4.2.4.1.2.7 - 4.2.4.1.2.8 NTC18

X	Comb.	Sfruttamento	Classe	Mx,Ed	Mx,Rd	Rid. Mx,Rd da VEd	px	py	Verifica
0.813	SLU 5	0.004	1	0.09484	23.50374	1	0	0	Si

Verifica a presso/tenso flessione retta X §§ 4.2.4.1.2.3 - 4.2.4.1.2.6 - 4.2.4.1.2.7 - 4.2.4.1.2.8 NTC18

Verifiche eseguite utilizzando la formula conservativa (6.2) §6.2.1 EN 1993-1-1:2005.

X	Comb.	Sfruttamento	Classe	NEd	NRd	Rid. NRd da VEd	Mx,Ed	Mx,Rd	Rid. Mx,Rd da VEd	Rid. Mx,Rd da NEd	px	py	Verifica
0.921	SLU 76	0.064	1	60.533	1003.522	1	0.0925	23.5037	1		0	0	Si

Verifica a presso/tenso flessione retta Y §§ 4.2.4.1.2.3 - 4.2.4.1.2.6 - 4.2.4.1.2.7 - 4.2.4.1.2.8 NTC18

Verifiche eseguite utilizzando la formula conservativa (6.2) §6.2.1 EN 1993-1-1:2005.

X	Comb.	Sfruttamento	Classe	NEd	NRd	Rid. NRd da VEd	My,Ed	My,Rd	Rid. My,Rd da VEd	Rid. My,Rd da NEd	px	py	Verifica
0.054	SLV 1	0.035	1	33.23	1003.522	1	-0.0595	33.3316	1		0	0	Si

Verifica a presso/tenso flessione retta Y SLD §§ 4.2.4.1.2.3 - 4.2.4.1.2.6 - 4.2.4.1.2.7 - 4.2.4.1.2.8 NTC18

Verifiche eseguite utilizzando la formula conservativa (6.2) §6.2.1 EN 1993-1-1:2005.

X	Comb.	Sfruttamento	Classe	NEd	NRd	Rid. NRd da VEd	My,Ed	My,Rd	Rid. My,Rd da VEd	Rid. My,Rd da NEd	px	py	Verifica
0.054	SLD 1	0.026	1	25.244	1003.522	1	-0.0244	33.3316	1		0	0	Si

Verifica a presso/tenso flessione deviata §§ 4.2.4.1.2.3 - 4.2.4.1.2.6 - 4.2.4.1.2.7 - 4.2.4.1.2.8 NTC18

Verifiche eseguite utilizzando la formula conservativa (6.2) §6.2.1 EN 1993-1-1:2005.

X	Comb.	Sfruttamento	Classe	NEd	NRd	Rid. NRd da VEd	Mx,Ed	Mx,Rd	My,Ed	My,Rd	Rid. Mx,Rd da VEd	Rid. Mx,Rd da NEd	Rid. My,Rd da VEd	Rid. My,Rd da NEd	α	β	px	py	Verifica
0.813	SLV 2	0.038	1	33.142	1003.522	1	0.0864	23.5037	-0.0572	33.3316	1		1				0	0	Si

Verifica a presso/tenso flessione deviata SLD §§ 4.2.4.1.2.3 - 4.2.4.1.2.6 - 4.2.4.1.2.7 - 4.2.4.1.2.8 NTC18

Verifiche eseguite utilizzando la formula conservativa (6.2) §6.2.1 EN 1993-1-1:2005.

X	Comb.	Sfruttamento	Classe	NEd	NRd	Rid. NRd da VEd	Mx,Ed	Mx,Rd	My,Ed	My,Rd	Rid. Mx,Rd da VEd	Rid. Mx,Rd da NEd	Rid. My,Rd da VEd	Rid. My,Rd da NEd	α	β	px	py	Verifica
0.813	SLD 2	0.029	1	25.156	1003.522	1	0.0863	23.5037	-0.0234	33.3316	1		1				0	0	Si

Verifiche ad instabilità

Caratteristiche iniziali

Membratura principale per controllo snellezza; Calcolo di snellezze ed N critici condotti secondo gli assi principali;

Curva X: c; Curva Y: c;

Svergolamento: Nessuno; la verifica a instabilità flesso-torsionale (svergolamento) non verrà eseguita.

Dati per instabilità attorno a x

Controllo della snellezza secondo §4.2.4.1.3.1 NTC18

Numero rit.	Presente	Ascissa	Campata	βx/m	Vincolo a entrambi estremi	λx/m	λVer
1	Si		0				
			1-2		1	53.5	Si, (<200)
2	Si		1.625				

Dati per instabilità attorno a y

Controllo della snellezza secondo §4.2.4.1.3.1 NTC18

Numero rit.	Presente	Ascissa	Campata	βy/n	k,LT	kw,LT	Vincolo a entrambi estremi
1	Si		0				
			1-2		1	39.7	Si, (<200)
2	Si		1.625				

Verifica di stabilità per pressoflessione §C.4.2.4.1.3.3.1 NTC18

X	Comb.	Sfruttamento	Classe	NEd	MxEq,Ed	MyEq,Ed	Area	Wx	Wy	χ,min	λ adim. x/m	λ adim. y/n	N,crit x/m	N,crit y/n	Verifica
1.625	SLU 2	0.022	3	-10.317	0.0892	0.0345	0.003832	0.0000492	0.0000739	0.776	0.617	0.457	2772.187	5041.477	Si

Verifiche a deformabilità

Mensola X: No; Mensola Y: No.

Frecce lungo X

Ascissa freccia	Combinazione	Freccia	Luce	L/f	L/f,min	Tipo	Verifica
0.813	SLE RA 1	0	1.625	10000	250	Totale	Si
0.813	SLE RA 17	0	1.625	10000	250	Totale	Si
0.813	SLE RA 16	0	1.625	10000	250	Totale	Si
0.813	SLE RA 15	0	1.625	10000	250	Totale	Si
0.813	SLE RA 14	0	1.625	10000	250	Totale	Si
0.813	SLE RA 2	0	1.625	10000	350	Variabile	Si
0.813	SLE RA 17	0	1.625	10000	350	Variabile	Si
0.813	SLE RA 16	0	1.625	10000	350	Variabile	Si
0.867	SLE RA 15	0	1.625	10000	350	Variabile	Si
0.758	SLE RA 14	0	1.625	10000	350	Variabile	Si

Frecce lungo Y

Ascissa freccia	Combinazione	Freccia	Luce	L/f	L/f,min	Tipo	Verifica
0.813	SLE RA 1	0.00003	1.625	10000	250	Totale	Si
0.813	SLE RA 17	0.00003	1.625	10000	250	Totale	Si
0.813	SLE RA 16	0.00003	1.625	10000	250	Totale	Si
0.867	SLE RA 15	0.00003	1.625	10000	250	Totale	Si
0.813	SLE RA 14	0.00003	1.625	10000	250	Totale	Si
0.704	SLE RA 2	0	1.625	10000	350	Variabile	Si
0.704	SLE RA 17	0	1.625	10000	350	Variabile	Si
0.704	SLE RA 16	0	1.625	10000	350	Variabile	Si

Implementazione dei sistemi di confinamento delle emissioni odorigene diffuse dell'impianto di compostaggio esistente nel
Comune di Eboli (SA)
PROGETTO DEFINITIVO – Tabulati di calcolo Tomo 1

Ascissa freccia	Combinazione	Freccia	Luce	L/f	L/f,min	Tipo	Verifica
0.704	SLE RA 15	-0.00001	1.625	10000	350	Variabile	Si
0.65	SLE RA 14	0	1.625	10000	350	Variabile	Si

Superelemento in acciaio a quota "703"- "640" (729; 2371)-(838; 2268)

Caratteristiche del materiale

Acciaio: S275, fyk = 275000

Caratteristiche geometriche

Lunghezza: 1.625

Nodo iniziale: 1965 Nodo finale: 1159

Cerniera iniziale: Mmomenti 1% Cerniera finale: Mmomenti 1%

Sovraresistenza: 0% Sisma Z: No

Caratteristiche della sezione

Sezione	Rotazione	Area	Jx	Jy	ix	iy	Wx	Wy	Wplx	Wply
A1; L100*10; 1; Saldato; S275; 50; 1; 8; 8; 1	180	0.003832	0.0000035319	0.000007759	0.0304	0.045	0.0000492	0.0000739	0.00008974	0.00012727

Comportamento dei calastrelli

Accoppiamento imbottito con funzione statica (§C4.2.4.1.3.1.4 NTC18) nella campata compresa tra le ascisse 0 e 1.625 per sbandamento attorno all'asse y.

Verifiche di resistenza

Verifiche a forza assiale §4.2.4.1.2.1 - §4.2.4.1.2.2 NTC18

X	Comb.	Sfruttamento	Classe	NEd	Nc,Rd	Nt,Rd	Riduzione da taglio	px	py	Verifica
0	SLU 76	0.009		9.501		1003.522	1	0	0	Si

Verifiche a forza assiale SLD §4.2.4.1.2.1 - §4.2.4.1.2.2 NTC18

X	Comb.	Sfruttamento	Classe	NEd	Nc,Rd	Nt,Rd	Riduzione da taglio	px	py	Verifica
0	SLD 15	0.002		2.204		1003.522	1	0	0	Si

Verifica a taglio Y §4.2.4.1.2.4 NTC18

X	Comb.	Sfruttamento	VEd	Vc,Rd	Av	Interazione taglio-torsione	Riduzione torsione	Verifica
0	SLU 76	0.001	-0.317	302.422	0.002	Non considerata		Si

Verifica a taglio Y SLD §4.2.4.1.2.4 NTC18

X	Comb.	Sfruttamento	VEd	Vc,Rd	Av	Interazione taglio-torsione	Riduzione torsione	Verifica
0	SLD 14	0.001	-0.23	302.422	0.002	Non considerata		Si

Verifica a flessione semplice X §§ 4.2.4.1.2.3 - 4.2.4.1.2.6 - 4.2.4.1.2.7 - 4.2.4.1.2.8 NTC18

X	Comb.	Sfruttamento	Classe	Mx,Ed	Mx,Rd	Rid. Mx,Rd da VEd	px	py	Verifica
0.813	SLU 60	0.005	1	0.12144	23.50374	1	0	0	Si

Verifica a presso/tenso flessione retta X §§ 4.2.4.1.2.3 - 4.2.4.1.2.6 - 4.2.4.1.2.7 - 4.2.4.1.2.8 NTC18

Verifiche eseguite utilizzando la formula conservativa (6.2) §6.2.1 EN 1993-1-1:2005.

X	Comb.	Sfruttamento	Classe	NEd	NRd	Rid. NRd da VEd	Mx,Ed	Mx,Rd	Rid. Mx,Rd da VEd	Rid. Mx,Rd da NEd	px	py	Verifica
0.867	SLU 76	0.014	1	9.371	1003.522	1	0.1009	23.5037	1		0	0	Si

Verifica a presso/tenso flessione retta Y §§ 4.2.4.1.2.3 - 4.2.4.1.2.6 - 4.2.4.1.2.7 - 4.2.4.1.2.8 NTC18

Verifiche eseguite utilizzando la formula conservativa (6.2) §6.2.1 EN 1993-1-1:2005.

X	Comb.	Sfruttamento	Classe	NEd	NRd	Rid. NRd da VEd	My,Ed	My,Rd	Rid. My,Rd da VEd	Rid. My,Rd da NEd	px	py	Verifica
1.625	SLV 16	0.006	1	2.602	1003.522	1	0.1265	33.3316	1		0	0	Si

Verifica a presso/tenso flessione retta Y SLD §§ 4.2.4.1.2.3 - 4.2.4.1.2.6 - 4.2.4.1.2.7 - 4.2.4.1.2.8 NTC18

Verifiche eseguite utilizzando la formula conservativa (6.2) §6.2.1 EN 1993-1-1:2005.

X	Comb.	Sfruttamento	Classe	NEd	NRd	Rid. NRd da VEd	My,Ed	My,Rd	Rid. My,Rd da VEd	Rid. My,Rd da NEd	px	py	Verifica
1.625	SLD 16	0.004	1	2.016	1003.522	1	0.0508	33.3316	1		0	0	Si

Verifica a presso/tenso flessione deviata §§ 4.2.4.1.2.3 - 4.2.4.1.2.6 - 4.2.4.1.2.7 - 4.2.4.1.2.8 NTC18

Verifiche eseguite utilizzando la formula conservativa (6.2) §6.2.1 EN 1993-1-1:2005.

X	Comb.	Sfruttamento	Classe	NEd	NRd	Rid. NRd da VEd	Mx,Ed	Mx,Rd	My,Ed	My,Rd	Rid. Mx,Rd da VEd	Rid. Mx,Rd da NEd	Rid. My,Rd da VEd	Rid. My,Rd da NEd	α	β	px	py	Verifica
0.813	SLU 2	0.012	3	-3.611	1003.522	1	0.0963	12.886	0.0121	19.3536	1		1				0	0	Si

Verifica a presso/tenso flessione deviata SLD §§ 4.2.4.1.2.3 - 4.2.4.1.2.6 - 4.2.4.1.2.7 - 4.2.4.1.2.8 NTC18

Verifiche eseguite utilizzando la formula conservativa (6.2) §6.2.1 EN 1993-1-1:2005.

X	Comb.	Sfruttamento	Classe	NEd	NRd	Rid. NRd da VEd	Mx,Ed	Mx,Rd	My,Ed	My,Rd	Rid. Mx,Rd da VEd	Rid. Mx,Rd da NEd	Rid. My,Rd da VEd	Rid. My,Rd da NEd	α	β	px	py	Verifica
0.867	SLD 16	0.007	1	2.104	1003.522	1	0.0875	23.5037	0.044	33.3316	1		1				0	0	Si

Verifiche ad instabilità

Caratteristiche iniziali

Membratura principale per controllo snellezza; Calcolo di snellezze ed N critici condotti secondo gli assi principali;

Curva X: c; Curva Y: c;

Svergolamento: Nessuno; la verifica a instabilità flesso-torsionale (svergolamento) non verrà eseguita.

Implementazione dei sistemi di confinamento delle emissioni odorigene diffuse dell'impianto di compostaggio esistente nel
Comune di Eboli (SA)

PROGETTO DEFINITIVO – Tabulati di calcolo Tomo 1

Dati per instabilità attorno a x

Controllo della snellezza secondo §4.2.4.1.3.1 NTC18

Numero rit.	Presente	Ascissa	Campata	$\beta x/m$	Vincolo a entrambi estremi	$\lambda x/m$	λVer
1	Si	0	1-2	1	Si	53.5	Si, (<200)
2	Si	1.625					

Dati per instabilità attorno a y

Controllo della snellezza secondo §4.2.4.1.3.1 NTC18

Numero rit.	Presente	Ascissa	Campata	$\beta y/n$	k,LT	kw,LT	Vincolo a entrambi estremi
1	Si	0	1-2	1	Si	39.7	Si, (<200)
2	Si	1.625					

Verifica di stabilità per pressoflessione §C.4.2.4.1.3.3.1 NTC18

X	Comb.	Sfruttamento	Classe	NEd	MxEq,Ed	MyEq,Ed	Area	Wx	Wy	χ_{min}	λ adim. x/m	λ adim. y/n	N,crit x/m	N,crit y/n	Verifica
1.625	SLU 40	0.014	3	-3.649	0.1085	0.0118	0.003832	0.0000492	0.0000739	0.776	0.617	0.457	2772.187	5041.477	Si

Verifiche a deformabilità

Mensola X: No; Mensola Y: No.

Frecce lungo X

Ascissa freccia	Combinazione	Freccia	Luce	L/f	L/f,min	Tipo	Verifica
0.65	SLE RA 1	0	1.625	10000	250	Totale	Si
0.704	SLE RA 17	0	1.625	10000	250	Totale	Si
0.704	SLE RA 16	0	1.625	10000	250	Totale	Si
0.704	SLE RA 15	0	1.625	10000	250	Totale	Si
0.704	SLE RA 14	0	1.625	10000	250	Totale	Si
0.704	SLE RA 2	0	1.625	10000	350	Variabile	Si
0.704	SLE RA 17	0	1.625	10000	350	Variabile	Si
0.704	SLE RA 16	0	1.625	10000	350	Variabile	Si
0.704	SLE RA 15	0	1.625	10000	350	Variabile	Si
0.704	SLE RA 14	0	1.625	10000	350	Variabile	Si

Frecce lungo Y

Ascissa freccia	Combinazione	Freccia	Luce	L/f	L/f,min	Tipo	Verifica
0.813	SLE RA 1	0.00003	1.625	10000	250	Totale	Si
0.813	SLE RA 17	0.00003	1.625	10000	250	Totale	Si
0.813	SLE RA 16	0.00003	1.625	10000	250	Totale	Si
0.813	SLE RA 15	0.00003	1.625	10000	250	Totale	Si
0.813	SLE RA 14	0.00003	1.625	10000	250	Totale	Si
0.704	SLE RA 2	0	1.625	10000	350	Variabile	Si
0.704	SLE RA 17	0	1.625	10000	350	Variabile	Si
0.704	SLE RA 16	0	1.625	10000	350	Variabile	Si
0.704	SLE RA 15	0	1.625	10000	350	Variabile	Si
0.65	SLE RA 14	0	1.625	10000	350	Variabile	Si

Superelemento in acciaio a quota "703"- "640" (979; 2634)- (1088; 2531)

Caratteristiche del materiale

Acciaio: S275, fyk = 275000

Caratteristiche geometriche

Lunghezza: 1.625

Nodo iniziale: 1967 Nodo finale: 1278

Cerniera iniziale: Mmomenti 1% Cerniera finale: Mmomenti 1%

Sovreresistenza: 0% Sisma Z: No

Caratteristiche della sezione

Sezione	Rotazione	Area	Jx	Jy	ix	iy	Wx	Wy	Wplx	Wply
Al; L100*10; 1; Saldato; S275; 50; 1; 8; 8; 1	180	0.003832	0.0000035319	0.000007759	0.0304	0.045	0.0000492	0.0000739	0.00008974	0.00012727

Comportamento dei calastrelli

Accoppiamento imbottito con funzione statica (§C4.2.4.1.3.1.4 NTC18) nella campata compresa tra le ascisse 0 e 1.625 per sbandamento attorno all'asse y.

Verifiche di resistenza

Verifiche a forza assiale §4.2.4.1.2.1 - §4.2.4.1.2.2 NTC18

X	Comb.	Sfruttamento	Classe	NEd	Nc,Rd	Nt,Rd	Riduzione da taglio	px	py	Verifica
0	SLU 76	0.061		61.394		1003.522	1	0	0	Si

Verifiche a forza assiale SLD §4.2.4.1.2.1 - §4.2.4.1.2.2 NTC18

X	Comb.	Sfruttamento	Classe	NEd	Nc,Rd	Nt,Rd	Riduzione da taglio	px	py	Verifica
0	SLD 15	0.025		25.389		1003.522	1	0	0	Si

Verifica a taglio Y §4.2.4.1.2.4 NTC18

X	Comb.	Sfruttamento	VEd	Vc,Rd	Av	Interazione taglio-torsione	Riduzione torsione	Verifica
0	SLU 76	0.001	-0.321	302.422	0.002	Non considerata		Si

Implementazione dei sistemi di confinamento delle emissioni odorigene diffuse dell'impianto di compostaggio esistente nel
Comune di Eboli (SA)
PROGETTO DEFINITIVO – Tabulati di calcolo Tomo 1

Verifica a taglio Y SLD §4.2.4.1.2.4 NTC18

X	Comb.	Sfruttamento	VEd	Vc,Rd	Av	Interazione taglio-torsione	Riduzione torsione	Verifica
0	SLD 9	0.001	-0.23	302.422	0.002	Non considerata		Si

Verifica a presso/tenso flessione retta X §§ 4.2.4.1.2.3 - 4.2.4.1.2.6 - 4.2.4.1.2.7 - 4.2.4.1.2.8 NTC18

Verifiche eseguite utilizzando la formula conservativa (6.2) §6.2.1 EN 1993-1-1:2005.

X	Comb.	Sfruttamento	Classe	NEd	NRd	Rid. NRd da VEd	Mx,Ed	Mx,Rd	Rid. Mx,Rd da VEd	Rid. Mx,Rd da NEd	px	py	Verifica
0.867	SLV 76	0.065	1	61.264	1003.522	1	0.0985	23.5037	1		0	0	Si

Verifica a presso/tenso flessione retta Y §§ 4.2.4.1.2.3 - 4.2.4.1.2.6 - 4.2.4.1.2.7 - 4.2.4.1.2.8 NTC18

Verifiche eseguite utilizzando la formula conservativa (6.2) §6.2.1 EN 1993-1-1:2005.

X	Comb.	Sfruttamento	Classe	NEd	NRd	Rid. NRd da VEd	My,Ed	My,Rd	Rid. My,Rd da VEd	Rid. My,Rd da NEd	px	py	Verifica
1.625	SLV 16	0.036	1	32.154	1003.522	1	0.1253	33.3316	1		0	0	Si

Verifica a presso/tenso flessione retta Y SLD §§ 4.2.4.1.2.3 - 4.2.4.1.2.6 - 4.2.4.1.2.7 - 4.2.4.1.2.8 NTC18

Verifiche eseguite utilizzando la formula conservativa (6.2) §6.2.1 EN 1993-1-1:2005.

X	Comb.	Sfruttamento	Classe	NEd	NRd	Rid. NRd da VEd	My,Ed	My,Rd	Rid. My,Rd da VEd	Rid. My,Rd da NEd	px	py	Verifica
1.625	SLD 16	0.027	1	25.201	1003.522	1	0.0507	33.3316	1		0	0	Si

Verifica a presso/tenso flessione deviata §§ 4.2.4.1.2.3 - 4.2.4.1.2.6 - 4.2.4.1.2.7 - 4.2.4.1.2.8 NTC18

Verifiche eseguite utilizzando la formula conservativa (6.2) §6.2.1 EN 1993-1-1:2005.

X	Comb.	Sfruttamento	Classe	NEd	NRd	Rid. NRd da VEd	Mx,Ed	Mx,Rd	My,Ed	My,Rd	Rid. Mx,Rd da VEd	Rid. Mx,Rd da NEd	Rid. My,Rd da VEd	Rid. My,Rd da NEd	α	β	px	py	Verifica
0.867	SLV 15	0.039	1	32.241	1003.522	1	0.0876	23.5037	0.1091	33.3316	1			1			0	0	Si

Verifica a presso/tenso flessione deviata SLD §§ 4.2.4.1.2.3 - 4.2.4.1.2.6 - 4.2.4.1.2.7 - 4.2.4.1.2.8 NTC18

Verifiche eseguite utilizzando la formula conservativa (6.2) §6.2.1 EN 1993-1-1:2005.

X	Comb.	Sfruttamento	Classe	NEd	NRd	Rid. NRd da VEd	Mx,Ed	Mx,Rd	My,Ed	My,Rd	Rid. Mx,Rd da VEd	Rid. Mx,Rd da NEd	Rid. My,Rd da VEd	Rid. My,Rd da NEd	α	β	px	py	Verifica
0.867	SLD 15	0.03	1	25.289	1003.522	1	0.0879	23.5037	0.044	33.3316	1			1			0	0	Si

Verifiche ad instabilità

Caratteristiche iniziali

Membratura principale per controllo snellezza; Calcolo di snellezze ed N critici condotti secondo gli assi principali;

Curva X: c; Curva Y: c;

Svergolamento: Nessuno; la verifica a instabilità flesso-torsionale (svergolamento) non verrà eseguita.

Dati per instabilità attorno a x

Controllo della snellezza secondo §4.2.4.1.3.1 NTC18

Numero rit.	Presente	Ascissa	Campata	βx/m	Vincolo a entrambi estremi	λx/m	λVer
1	Si	0					
			1-2	1	Si	53.5	Si, (<200)
2	Si	1.625					

Dati per instabilità attorno a y

Controllo della snellezza secondo §4.2.4.1.3.1 NTC18

Numero rit.	Presente	Ascissa	Campata	βy/n	k,LT	kw,LT	Vincolo a entrambi estremi
1	Si	0					
			1-2	1	Si	39.7	Si, (<200)
2	Si	1.625					

Verifica di stabilità per pressoflessione §C.4.2.4.1.3.3.1 NTC18

X	Comb.	Sfruttamento	Classe	NEd	MxEq,Ed	MyEq,Ed	Area	Wx	Wy	x,min	λ adim. x/m	λ adim. y/n	N,crit x/m	N,crit y/n	Verifica
1.625	SLU 2	0.017	3	-6.905	0.0881	-0.0212	0.003832	0.0000492	0.0000739	0.776	0.617	0.457	2772.187	5041.477	Si

Verifiche a deformabilità

Mensola X: No; Mensola Y: No.

Frecce lungo X

Ascissa freccia	Combinazione	Freccia	Luce	L/f	L/f,min	Tipo	Verifica
0.921	SLE RA 1	0	1.625	10000	250	Totale	Si
0.813	SLE RA 17	0	1.625	10000	250	Totale	Si
0.758	SLE RA 16	0	1.625	10000	250	Totale	Si
0.758	SLE RA 15	0	1.625	10000	250	Totale	Si
0.813	SLE RA 14	0	1.625	10000	250	Totale	Si
0.704	SLE RA 2	0	1.625	10000	350	Variabile	Si
0.704	SLE RA 17	0	1.625	10000	350	Variabile	Si
0.704	SLE RA 16	0	1.625	10000	350	Variabile	Si
0.704	SLE RA 15	0	1.625	10000	350	Variabile	Si
0.758	SLE RA 14	0	1.625	10000	350	Variabile	Si

Frecce lungo Y

Ascissa freccia	Combinazione	Freccia	Luce	L/f	L/f,min	Tipo	Verifica
0.813	SLE RA 1	0.00003	1.625	10000	250	Totale	Si
0.813	SLE RA 17	0.00003	1.625	10000	250	Totale	Si
0.813	SLE RA 16	0.00003	1.625	10000	250	Totale	Si
0.813	SLE RA 15	0.00003	1.625	10000	250	Totale	Si
0.813	SLE RA 14	0.00003	1.625	10000	250	Totale	Si
0.704	SLE RA 2	0	1.625	10000	350	Variabile	Si
0.704	SLE RA 17	0	1.625	10000	350	Variabile	Si
0.704	SLE RA 16	0	1.625	10000	350	Variabile	Si
0.704	SLE RA 15	0	1.625	10000	350	Variabile	Si
0.596	SLE RA 14	0	1.625	10000	350	Variabile	Si

Superelemento in acciaio a quota "703"- "640" (1233; 2905)-(1343; 2802)

Caratteristiche del materiale

Acciaio: S275, fyk = 275000

Caratteristiche geometriche

Lunghezza: 1.625

Nodo iniziale: 1996 Nodo finale: 1385

Cerniera iniziale: Mmomenti 1% Cerniera finale: Mmomenti 1%

Sovraresistenza: 0% Sisma Z: No

Caratteristiche della sezione

Sezione	Rotazione	Area	Jx	Jy	ix	iy	Wx	Wy	Wplx	Wply
A1; L100*10; 1; Saldato; S275; 50; 1; 8; 8; 1	180	0.003832	0.0000035319	0.000007759	0.0304	0.045	0.0000492	0.0000739	0.00008974	0.00012727

Comportamento dei calastrelli

Accoppiamento imbottito con funzione statica (§C4.2.4.1.3.1.4 NTC18) nella campata compresa tra le ascisse 0 e 1.625 per sbandamento attorno all'asse y.

Verifiche di resistenza

Verifiche a forza assiale §4.2.4.1.2.1 - §4.2.4.1.2.2 NTC18

X	Comb.	Sfruttamento	Classe	NEd	Nc,Rd	Nt,Rd	Riduzione da taglio	px	py	Verifica
0	SLU 76	0.15		150.893		1003.522	1	0	0	Si

Verifiche a forza assiale SLD §4.2.4.1.2.1 - §4.2.4.1.2.2 NTC18

X	Comb.	Sfruttamento	Classe	NEd	Nc,Rd	Nt,Rd	Riduzione da taglio	px	py	Verifica
0	SLD 4	0.062		62.559		1003.522	1	0	0	Si

Verifica a taglio Y §4.2.4.1.2.4 NTC18

X	Comb.	Sfruttamento	VEd	Vc,Rd	Av	Interazione taglio-torsione	Riduzione torsione	Verifica
1.625	SLU 76	0.001	0.3	302.422	0.002	Non considerata		Si

Verifica a taglio Y SLD §4.2.4.1.2.4 NTC18

X	Comb.	Sfruttamento	VEd	Vc,Rd	Av	Interazione taglio-torsione	Riduzione torsione	Verifica
1.625	SLD 4	0.001	0.229	302.422	0.002	Non considerata		Si

Verifica a presso/tenso flessione retta X §§ 4.2.4.1.2.3 - 4.2.4.1.2.6 - 4.2.4.1.2.7 - 4.2.4.1.2.8 NTC18

Verifiche eseguite utilizzando la formula conservativa (6.2) §6.2.1 EN 1993-1-1:2005.

X	Comb.	Sfruttamento	Classe	NEd	NRd	Rid. NRd da VEd	Mx,Ed	Mx,Rd	Rid. Mx,Rd da VEd	Rid. Mx,Rd da NEd	px	py	Verifica
0.325	SLU 44	0.064	1	60.401	1003.522	1	0.0809	23.5037	1		0	0	Si

Verifica a presso/tenso flessione retta Y §§ 4.2.4.1.2.3 - 4.2.4.1.2.6 - 4.2.4.1.2.7 - 4.2.4.1.2.8 NTC18

Verifiche eseguite utilizzando la formula conservativa (6.2) §6.2.1 EN 1993-1-1:2005.

X	Comb.	Sfruttamento	Classe	NEd	NRd	Rid. NRd da VEd	My,Ed	My,Rd	Rid. My,Rd da VEd	Rid. My,Rd da NEd	px	py	Verifica
1.625	SLU 76	0.151	1	150.649	1003.522	1	-0.0325	33.3316	1		0	0	Si

Verifica a presso/tenso flessione retta Y SLD §§ 4.2.4.1.2.3 - 4.2.4.1.2.6 - 4.2.4.1.2.7 - 4.2.4.1.2.8 NTC18

Verifiche eseguite utilizzando la formula conservativa (6.2) §6.2.1 EN 1993-1-1:2005.

X	Comb.	Sfruttamento	Classe	NEd	NRd	Rid. NRd da VEd	My,Ed	My,Rd	Rid. My,Rd da VEd	Rid. My,Rd da NEd	px	py	Verifica
1.625	SLD 3	0.063	1	62.371	1003.522	1	-0.0352	33.3316	1		0	0	Si

Verifica a presso/tenso flessione deviata §§ 4.2.4.1.2.3 - 4.2.4.1.2.6 - 4.2.4.1.2.7 - 4.2.4.1.2.8 NTC18

Verifiche eseguite utilizzando la formula conservativa (6.2) §6.2.1 EN 1993-1-1:2005.

X	Comb.	Sfruttamento	Classe	NEd	NRd	Rid. NRd da VEd	Mx,Ed	Mx,Rd	My,Ed	My,Rd	Rid. Mx,Rd da VEd	Rid. Mx,Rd da NEd	Rid. My,Rd da VEd	Rid. My,Rd da NEd	α	β	px	py	Verifica
0.813	SLU 76	0.157	1	150.771	1003.522	1	0.1273	23.5037	-0.0302	33.3316	1		1				0	0	Si

Verifica a presso/tenso flessione deviata SLD §§ 4.2.4.1.2.3 - 4.2.4.1.2.6 - 4.2.4.1.2.7 - 4.2.4.1.2.8 NTC18

Verifiche eseguite utilizzando la formula conservativa (6.2) §6.2.1 EN 1993-1-1:2005.

X	Comb.	Sfruttamento	Classe	NEd	NRd	Rid. NRd da VEd	Mx,Ed	Mx,Rd	My,Ed	My,Rd	Rid. Mx,Rd da VEd	Rid. Mx,Rd da NEd	Rid. My,Rd da VEd	Rid. My,Rd da NEd	α	β	px	py	Verifica
0.758	SLD 4	0.067	1	62.472	1003.522	1	0.0946	23.5037	-0.0404	33.3316	1		1				0	0	Si

Verifiche ad instabilità

Caratteristiche iniziali

Membratura principale per controllo snellezza; Calcolo di snellezze ed N critici condotti secondo gli assi principali;

Curva X: c; Curva Y: c;

Svergolamento: Nessuno; la verifica a instabilità flesso-torsionale (svergolamento) non verrà eseguita.

Dati per instabilità attorno a x

Controllo della snellezza secondo §4.2.4.1.3.1 NTC18

Numero rit.	Presente	Ascissa	Campata	βx/m	Vincolo a entrambi estremi	λx/m	λVer
1	Si	0					
			1-2	1	Si	53.5	Si, (<200)
2	Si	1.625					

Dati per instabilità attorno a y

Controllo della snellezza secondo §4.2.4.1.3.1 NTC18

Implementazione dei sistemi di confinamento delle emissioni odorigene diffuse dell’impianto di compostaggio esistente nel
Comune di Eboli (SA)
PROGETTO DEFINITIVO – Tabulati di calcolo Tomo 1

Numero rit.	Presente	Ascissa	Campata	$\beta y/n$	k,LT	kw,LT	Vincolo a entrambi estremi
1	Si	0	1-2	1	Si	39.7	Si, (<200)
2	Si	1.625					

Verifica di stabilità per pressoflessione §C.4.2.4.1.3.3.1 NTC18

X	Comb.	Sfruttamento	Classe	NEd	MxEq,Ed	MyEq,Ed	Area	Wx	Wy	x,min	λ adim. x/m	λ adim. y/n	N,crit x/m	N,crit y/n	Verifica
1.625	SLU 2	0.013	3	-4.527	0.0784	0.0159	0.003832	0.0000492	0.0000739	0.776	0.617	0.457	2772.187	5041.477	Si

Verifiche a deformabilità

Mensola X: No; Mensola Y: No.

Frecce lungo X

Ascissa freccia	Combinazione	Freccia	Luce	L/f	L/f,min	Tipo	Verifica
0.813	SLE RA 1	0	1.625	10000	250	Totale	Si
0.813	SLE RA 17	0	1.625	10000	250	Totale	Si
0.813	SLE RA 16	0	1.625	10000	250	Totale	Si
0.813	SLE RA 15	0	1.625	10000	250	Totale	Si
0.813	SLE RA 14	0	1.625	10000	250	Totale	Si
0.813	SLE RA 2	0	1.625	10000	350	Variabile	Si
0.813	SLE RA 17	0	1.625	10000	350	Variabile	Si
0.813	SLE RA 16	0	1.625	10000	350	Variabile	Si
0.813	SLE RA 15	0	1.625	10000	350	Variabile	Si
0.867	SLE RA 14	0	1.625	10000	350	Variabile	Si

Frecce lungo Y

Ascissa freccia	Combinazione	Freccia	Luce	L/f	L/f,min	Tipo	Verifica
0.813	SLE RA 1	0.00004	1.625	10000	250	Totale	Si
0.813	SLE RA 17	0.00004	1.625	10000	250	Totale	Si
0.813	SLE RA 16	0.00004	1.625	10000	250	Totale	Si
0.813	SLE RA 15	0.00004	1.625	10000	250	Totale	Si
0.813	SLE RA 14	0.00004	1.625	10000	250	Totale	Si
0.758	SLE RA 2	0	1.625	10000	350	Variabile	Si
0.704	SLE RA 17	0	1.625	10000	350	Variabile	Si
0.758	SLE RA 16	0	1.625	10000	350	Variabile	Si
0.758	SLE RA 15	0	1.625	10000	350	Variabile	Si
0.704	SLE RA 14	0	1.625	10000	350	Variabile	Si

Superelemento in acciaio a quota "703"-"640" (-36; 1556)- (73; 1453)

Caratteristiche del materiale

Acciaio: S275, fyk = 275000

Caratteristiche geometriche

Lunghezza: 1.625

Nodo iniziale: 1910 Nodo finale: 955

Cerniera iniziale: Mmomenti 1% Cerniera finale: Mmomenti 1%

Sovreresistenza: 0% Sisma Z: No

Caratteristiche della sezione

Sezione	Rotazione	Area	Jx	Jy	ix	iy	Wx	Wy	Wplx	Wply
A1; L100*10; 1; Saldato; S275; 50; 1; 8; 8; 1	180	0.003832	0.0000035319	0.000007759	0.0304	0.045	0.0000492	0.0000739	0.00008974	0.00012727

Comportamento dei calastrelli

Accoppiamento imbottito con funzione statica (§C4.2.4.1.3.1.4 NTC18) nella campata compresa tra le ascisse 0 e 1.625 per sbandamento attorno all'asse y.

Verifiche di resistenza

Verifiche a forza assiale §4.2.4.1.2.1 - §4.2.4.1.2.2 NTC18

X	Comb.	Sfruttamento	Classe	NEd	Nc,Rd	Nt,Rd	Riduzione da taglio	px	py	Verifica
0	SLU 76	0.056		56.092		1003.522	1	0	0	Si

Verifiche a forza assiale SLD §4.2.4.1.2.1 - §4.2.4.1.2.2 NTC18

X	Comb.	Sfruttamento	Classe	NEd	Nc,Rd	Nt,Rd	Riduzione da taglio	px	py	Verifica
0	SLD 15	0.022		22.55		1003.522	1	0	0	Si

Verifica a taglio Y §4.2.4.1.2.4 NTC18

X	Comb.	Sfruttamento	VEd	Vc,Rd	Av	Interazione taglio-torsione	Riduzione torsione	Verifica
0	SLU 76	0.001	-0.323	302.422	0.002	Non considerata		Si

Verifica a taglio Y SLD §4.2.4.1.2.4 NTC18

X	Comb.	Sfruttamento	VEd	Vc,Rd	Av	Interazione taglio-torsione	Riduzione torsione	Verifica
0	SLD 14	0.001	-0.231	302.422	0.002	Non considerata		Si

Verifica a presso/tenso flessione retta X §§ 4.2.4.1.2.3 - 4.2.4.1.2.6 - 4.2.4.1.2.7 - 4.2.4.1.2.8 NTC18

Verifiche eseguite utilizzando la formula conservativa (6.2) §6.2.1 EN 1993-1-1:2005.

X	Comb.	Sfruttamento	Classe	NEd	NRd	Rid. NRd da VEd	Mx,Ed	Mx,Rd	Rid. Mx,Rd da VEd	Rid. Mx,Rd da NEd	px	py	Verifica
0.867	SLU 76	0.06	1	55.962	1003.522	1	0.0966	23.5037	1		0	0	Si

Verifica a presso/tenso flessione retta Y §§ 4.2.4.1.2.3 - 4.2.4.1.2.6 - 4.2.4.1.2.7 - 4.2.4.1.2.8 NTC18

Verifiche eseguite utilizzando la formula conservativa (6.2) §6.2.1 EN 1993-1-1:2005.

Implementazione dei sistemi di confinamento delle emissioni odorigene diffuse dell’impianto di compostaggio esistente nel
Comune di Eboli (SA)
PROGETTO DEFINITIVO – Tabulati di calcolo Tomo 1

X	Comb.	Sfruttamento	Classe	NEd	NRd	Rid. NRd da VEd	My,Ed	My,Rd	Rid. My,Rd da VEd	Rid. My,Rd da NEd	px	py	Verifica
0.054	SLV 15	0.031	1	29.095	1003.522	1	0.065	33.3316	1		0	0	Si

Verifica a presso/tenso flessione retta Y SLD §§ 4.2.4.1.2.3 - 4.2.4.1.2.6 - 4.2.4.1.2.7 - 4.2.4.1.2.8 NTC18

Verifiche eseguite utilizzando la formula conservativa (6.2) §6.2.1 EN 1993-1-1:2005.

X	Comb.	Sfruttamento	Classe	NEd	NRd	Rid. NRd da VEd	My,Ed	My,Rd	Rid. My,Rd da VEd	Rid. My,Rd da NEd	px	py	Verifica
0.054	SLD 15	0.023	1	22.544	1003.522	1	0.0268	33.3316	1		0	0	Si

Verifica a presso/tenso flessione deviata §§ 4.2.4.1.2.3 - 4.2.4.1.2.6 - 4.2.4.1.2.7 - 4.2.4.1.2.8 NTC18

Verifiche eseguite utilizzando la formula conservativa (6.2) §6.2.1 EN 1993-1-1:2005.

X	Comb.	Sfruttamento	Classe	NEd	NRd	Rid. NRd da VEd	Mx,Ed	Mx,Rd	My,Ed	My,Rd	Rid. Mx,Rd da VEd	Rid. Mx,Rd da NEd	Rid. My,Rd da VEd	Rid. My,Rd da NEd	α	β	px	py	Verifica
0.813	SLV 16	0.034	1	29.007	1003.522	1	0.0871	23.5037	0.0605	33.3316	1		1				0	0	Si

Verifica a presso/tenso flessione deviata SLD §§ 4.2.4.1.2.3 - 4.2.4.1.2.6 - 4.2.4.1.2.7 - 4.2.4.1.2.8 NTC18

Verifiche eseguite utilizzando la formula conservativa (6.2) §6.2.1 EN 1993-1-1:2005.

X	Comb.	Sfruttamento	Classe	NEd	NRd	Rid. NRd da VEd	Mx,Ed	Mx,Rd	My,Ed	My,Rd	Rid. Mx,Rd da VEd	Rid. Mx,Rd da NEd	Rid. My,Rd da VEd	Rid. My,Rd da NEd	α	β	px	py	Verifica
0.813	SLD 15	0.027	1	22.456	1003.522	1	0.0871	23.5037	0.0249	33.3316	1		1				0	0	Si

Verifiche ad instabilità

Caratteristiche iniziali

Membratura principale per controllo snellezza; Calcolo di snellezze ed N critici condotti secondo gli assi principali;

Curva X: c; Curva Y: c;

Svergolamento: Nessuno; la verifica a instabilità flesso-torsionale (svergolamento) non verrà eseguita.

Dati per instabilità attorno a x

Controllo della snellezza secondo §4.2.4.1.3.1 NTC18

Numero rit.	Presente	Ascissa	Campata	βx/m	Vincolo a entrambi estremi	λx/m	λVer
1	Si		0				
			1-2		1	53.5	Si, (<200)
2	Si	1.625					

Dati per instabilità attorno a y

Controllo della snellezza secondo §4.2.4.1.3.1 NTC18

Numero rit.	Presente	Ascissa	Campata	βy/n	k,LT	kw,LT	Vincolo a entrambi estremi
1	Si		0				
			1-2		1	39.7	Si, (<200)
2	Si	1.625					

Verifica di stabilità per pressoflessione §C.4.2.4.1.3.3.1 NTC18

X	Comb.	Sfruttamento	Classe	NEd	MxEq,Ed	MyEq,Ed	Area	Wx	Wy	χ,min	λ adim. x/m	λ adim. y/n	N,crit x/m	N,crit y/n	Verifica
1.625	SLU 2	0.022	3	-10.171	0.0874	-0.0339	0.003832	0.0000492	0.0000739	0.776	0.617	0.457	2772.187	5041.477	Si

Verifiche a deformabilità

Mensola X: No; Mensola Y: No.

Freccie lungo X

Ascissa freccia	Combinazione	Freccia	Luce	L/f	L/f,min	Tipo	Verifica
0.813	SLE RA 1	0	1.625	10000	250	Totale	Si
0.813	SLE RA 17	0	1.625	10000	250	Totale	Si
0.813	SLE RA 16	0	1.625	10000	250	Totale	Si
0.813	SLE RA 15	0	1.625	10000	250	Totale	Si
0.813	SLE RA 14	0	1.625	10000	250	Totale	Si
0.813	SLE RA 2	0	1.625	10000	350	Variabile	Si
0.813	SLE RA 17	0	1.625	10000	350	Variabile	Si
0.813	SLE RA 16	0	1.625	10000	350	Variabile	Si
0.813	SLE RA 15	0	1.625	10000	350	Variabile	Si
0.758	SLE RA 14	0	1.625	10000	350	Variabile	Si

Freccie lungo Y

Ascissa freccia	Combinazione	Freccia	Luce	L/f	L/f,min	Tipo	Verifica
0.813	SLE RA 1	0.00003	1.625	10000	250	Totale	Si
0.813	SLE RA 17	0.00003	1.625	10000	250	Totale	Si
0.813	SLE RA 16	0.00003	1.625	10000	250	Totale	Si
0.813	SLE RA 15	0.00003	1.625	10000	250	Totale	Si
0.813	SLE RA 14	0.00003	1.625	10000	250	Totale	Si
0.704	SLE RA 2	0	1.625	10000	350	Variabile	Si
0.704	SLE RA 17	0	1.625	10000	350	Variabile	Si
0.704	SLE RA 16	0	1.625	10000	350	Variabile	Si
0.704	SLE RA 15	0	1.625	10000	350	Variabile	Si
0.65	SLE RA 14	0	1.625	10000	350	Variabile	Si

Superelemento in acciaio a quota "703"- "640" (-295; 1283)-(-186; 1180)

Caratteristiche del materiale

Acciaio: S275, fyk = 275000

Caratteristiche geometriche

Lunghezza: 1.625

Nodo iniziale: 1900 Nodo finale: 906

Cerniera iniziale: Mmomenti 1% Cerniera finale: Mmomenti 1%

Sovraresistenza: 0% Sisma Z: No

Implementazione dei sistemi di confinamento delle emissioni odorigene diffuse dell'impianto di compostaggio esistente nel
Comune di Eboli (SA)

PROGETTO DEFINITIVO – Tabulati di calcolo Tomo 1

Caratteristiche della sezione

Sezione	Rotazione	Area	Jx	Jy	ix	iy	Wx	Wy	Wplx	Wply
A1; L100*10; 1; Saldato; S275; 50; 1; 8; 8; 1	180	0.003832	0.0000035319	0.000007759	0.0304	0.045	0.0000492	0.0000739	0.00008974	0.00012727

Comportamento dei calastrelli

Accoppiamento imbottito con funzione statica (§C4.2.4.1.3.1.4 NTC18) nella campata compresa tra le ascisse 0 e 1.625 per sbandamento attorno all'asse y.

Verifiche di resistenza

Verifiche a forza assiale §4.2.4.1.2.1 - §4.2.4.1.2.2 NTC18

X	Comb.	Sfruttamento	Classe	NEd	Nc,Rd	Nt,Rd	Riduzione da taglio	px	py	Verifica
0	SLU 76	0.012		11.947		1003.522	1	0	0	Si

Verifiche a forza assiale SLD §4.2.4.1.2.1 - §4.2.4.1.2.2 NTC18

X	Comb.	Sfruttamento	Classe	NEd	Nc,Rd	Nt,Rd	Riduzione da taglio	px	py	Verifica
0	SLD 16	0.003		3.285		1003.522	1	0	0	Si

Verifica a taglio Y §4.2.4.1.2.4 NTC18

X	Comb.	Sfruttamento	VEd	Vc,Rd	Av	Interazione taglio-torsione	Riduzione torsione	Verifica
0	SLU 76	0.001	-0.316	302.422	0.002	Non considerata		Si

Verifica a taglio Y SLD §4.2.4.1.2.4 NTC18

X	Comb.	Sfruttamento	VEd	Vc,Rd	Av	Interazione taglio-torsione	Riduzione torsione	Verifica
0	SLD 14	0.001	-0.23	302.422	0.002	Non considerata		Si

Verifica a flessione semplice X §§ 4.2.4.1.2.3 - 4.2.4.1.2.6 - 4.2.4.1.2.7 - 4.2.4.1.2.8 NTC18

X	Comb.	Sfruttamento	Classe	Mx,Ed	Mx,Rd	Rid. Mx,Rd da VEd	px	py	Verifica
0.813	SLU 62	0.005	1	0.11893	23.50374	1	0	0	Si

Verifica a presso/tenso flessione retta X §§ 4.2.4.1.2.3 - 4.2.4.1.2.6 - 4.2.4.1.2.7 - 4.2.4.1.2.8 NTC18

Verifiche eseguite utilizzando la formula conservativa (6.2) §6.2.1 EN 1993-1-1:2005.

X	Comb.	Sfruttamento	Classe	NEd	NRd	Rid. NRd da VEd	Mx,Ed	Mx,Rd	Rid. Mx,Rd da VEd	Rid. Mx,Rd da NEd	px	py	Verifica
0.867	SLU 76	0.016	1	11.816	1003.522	1	0.1012	23.5037	1		0	0	Si

Verifica a presso/tenso flessione retta Y §§ 4.2.4.1.2.3 - 4.2.4.1.2.6 - 4.2.4.1.2.7 - 4.2.4.1.2.8 NTC18

Verifiche eseguite utilizzando la formula conservativa (6.2) §6.2.1 EN 1993-1-1:2005.

X	Comb.	Sfruttamento	Classe	NEd	NRd	Rid. NRd da VEd	My,Ed	My,Rd	Rid. My,Rd da VEd	Rid. My,Rd da NEd	px	py	Verifica
1.625	SLV 16	0.008	1	3.947	1003.522	1	0.1355	33.3316	1		0	0	Si

Verifica a presso/tenso flessione retta Y SLD §§ 4.2.4.1.2.3 - 4.2.4.1.2.6 - 4.2.4.1.2.7 - 4.2.4.1.2.8 NTC18

Verifiche eseguite utilizzando la formula conservativa (6.2) §6.2.1 EN 1993-1-1:2005.

X	Comb.	Sfruttamento	Classe	NEd	NRd	Rid. NRd da VEd	My,Ed	My,Rd	Rid. My,Rd da VEd	Rid. My,Rd da NEd	px	py	Verifica
1.625	SLD 16	0.005	1	3.097	1003.522	1	0.0543	33.3316	1		0	0	Si

Verifica a presso/tenso flessione deviata §§ 4.2.4.1.2.3 - 4.2.4.1.2.6 - 4.2.4.1.2.7 - 4.2.4.1.2.8 NTC18

Verifiche eseguite utilizzando la formula conservativa (6.2) §6.2.1 EN 1993-1-1:2005.

X	Comb.	Sfruttamento	Classe	NEd	NRd	Rid. NRd da VEd	Mx,Ed	Mx,Rd	My,Ed	My,Rd	Rid. Mx,Rd da VEd	Rid. Mx,Rd da NEd	Rid. My,Rd da VEd	Rid. My,Rd da NEd	α	β	px	py	Verifica
1.138	SLU 40	0.013	3	-3.97	1003.522	1	0.1023	12.886	0.0131	19.3536	1		1				0	0	Si

Verifica a presso/tenso flessione deviata SLD §§ 4.2.4.1.2.3 - 4.2.4.1.2.6 - 4.2.4.1.2.7 - 4.2.4.1.2.8 NTC18

Verifiche eseguite utilizzando la formula conservativa (6.2) §6.2.1 EN 1993-1-1:2005.

X	Comb.	Sfruttamento	Classe	NEd	NRd	Rid. NRd da VEd	Mx,Ed	Mx,Rd	My,Ed	My,Rd	Rid. Mx,Rd da VEd	Rid. Mx,Rd da NEd	Rid. My,Rd da VEd	Rid. My,Rd da NEd	α	β	px	py	Verifica
0.813	SLD 16	0.008	1	3.191	1003.522	1	0.0879	23.5037	0.0477	33.3316	1		1				0	0	Si

Verifiche ad instabilità

Caratteristiche iniziali

Membratura principale per controllo snellezza; Calcolo di snellezze ed N critici condotti secondo gli assi principali;

Curva X: c; Curva Y: c;

Svergolamento: Nessuno; la verifica a instabilità flesso-torsionale (svergolamento) non verrà eseguita.

Dati per instabilità attorno a x

Controllo della snellezza secondo §4.2.4.1.3.1 NTC18

Numero rit.	Presente	Ascissa	Campata	$\beta x/m$	Vincolo a entrambi estremi	$\lambda x/m$	λVer
1	Si	0					
			1-2		1	53.5	Si, (<200)
2	Si	1.625					

Dati per instabilità attorno a y

Controllo della snellezza secondo §4.2.4.1.3.1 NTC18

Numero rit.	Presente	Ascissa	Campata	$\beta y/n$	k,LT	kw,LT	Vincolo a entrambi estremi
1	Si	0					
			1-2		1	39.7	Si, (<200)
2	Si	1.625					

Verifica di stabilità per pressoflessione §C.4.2.4.1.3.3.1 NTC18

X	Comb.	Sfruttamento	Classe	NEd	MxEq,Ed	MyEq,Ed	Area	Wx	Wy	x_{min}	$\lambda adim. x/m$	$\lambda adim. y/n$	N,crit x/m	N,crit y/n	Verifica
1.625	SLU 40	0.014	3	-4.043	0.1086	0.0131	0.003832	0.0000492	0.0000739	0.776	0.617	0.457	2772.187	5041.477	Si

Implementazione dei sistemi di confinamento delle emissioni odorigene diffuse dell'impianto di compostaggio esistente nel
Comune di Eboli (SA)
PROGETTO DEFINITIVO – Tabulati di calcolo Tomo 1

Verifiche a deformabilità

Mensola X: No; Mensola Y: No.

Frecce lungo X

Ascissa freccia	Combinazione	Freccia	Luce	L/f	L/f,min	Tipo	Verifica
0.433	SLE RA 1	0	1.625	10000	250	Totale	Si
1.083	SLE RA 17	0	1.625	10000	250	Totale	Si
1.029	SLE RA 16	0	1.625	10000	250	Totale	Si
0.921	SLE RA 15	0	1.625	10000	250	Totale	Si
0.379	SLE RA 14	0	1.625	10000	250	Totale	Si
0.921	SLE RA 2	0	1.625	10000	350	Variabile	Si
0.867	SLE RA 17	0	1.625	10000	350	Variabile	Si
0.867	SLE RA 16	0	1.625	10000	350	Variabile	Si
0.867	SLE RA 15	0	1.625	10000	350	Variabile	Si
1.246	SLE RA 14	0	1.625	10000	350	Variabile	Si

Frecce lungo Y

Ascissa freccia	Combinazione	Freccia	Luce	L/f	L/f,min	Tipo	Verifica
0.813	SLE RA 1	0.00003	1.625	10000	250	Totale	Si
0.813	SLE RA 17	0.00003	1.625	10000	250	Totale	Si
0.813	SLE RA 16	0.00003	1.625	10000	250	Totale	Si
0.813	SLE RA 15	0.00003	1.625	10000	250	Totale	Si
0.813	SLE RA 14	0.00003	1.625	10000	250	Totale	Si
0.704	SLE RA 2	0	1.625	10000	350	Variabile	Si
0.704	SLE RA 17	0	1.625	10000	350	Variabile	Si
0.704	SLE RA 16	0	1.625	10000	350	Variabile	Si
0.704	SLE RA 15	0	1.625	10000	350	Variabile	Si
0.65	SLE RA 14	0	1.625	10000	350	Variabile	Si

Superelemento in acciaio a quota "703"-"640" (-545; 1019)-(-435; 916)

Caratteristiche del materiale

Acciaio: S275, fyk = 275000

Caratteristiche geometriche

Lunghezza: 1.625

Nodo iniziale: 1889 Nodo finale: 852

Cerniera iniziale: Mmomenti 1% Cerniera finale: Mmomenti 1%

Sovreresistenza: 0% Sisma Z: No

Caratteristiche della sezione

Sezione	Rotazione	Area	Jx	Jy	ix	iy	Wx	Wy	Wplx	Wply
A1; L100*10; 1; Saldato; S275; 50; 1; 8; 8; 1	180	0.003832	0.0000035319	0.000007759	0.0304	0.045	0.0000492	0.0000739	0.00008974	0.00012727

Comportamento dei calastrelli

Accoppiamento imbottito con funzione statica (§C4.2.4.1.3.1.4 NTC18) nella campata compresa tra le ascisse 0 e 1.625 per sbandamento attorno all'asse y.

Verifiche di resistenza

Verifiche a forza assiale §4.2.4.1.2.1 - §4.2.4.1.2.2 NTC18

X	Comb.	Sfruttamento	Classe	NEd	Nc,Rd	Nt,Rd	Riduzione da taglio	px	py	Verifica
0	SLU 76	0.055		55.522		1003.522	1	0	0	Si

Verifiche a forza assiale SLD §4.2.4.1.2.1 - §4.2.4.1.2.2 NTC18

X	Comb.	Sfruttamento	Classe	NEd	Nc,Rd	Nt,Rd	Riduzione da taglio	px	py	Verifica
0	SLD 1	0.022		22.366		1003.522	1	0	0	Si

Verifica a taglio Y §4.2.4.1.2.4 NTC18

X	Comb.	Sfruttamento	VEd	Vc,Rd	Av	Interazione taglio-torsione	Riduzione torsione	Verifica
0	SLU 76	0.001	-0.308	302.422	0.002	Non considerata		Si

Verifica a taglio Y SLD §4.2.4.1.2.4 NTC18

X	Comb.	Sfruttamento	VEd	Vc,Rd	Av	Interazione taglio-torsione	Riduzione torsione	Verifica
0	SLD 9	0.001	-0.228	302.422	0.002	Non considerata		Si

Verifica a flessione semplice X §§ 4.2.4.1.2.3 - 4.2.4.1.2.6 - 4.2.4.1.2.7 - 4.2.4.1.2.8 NTC18

X	Comb.	Sfruttamento	Classe	Mx,Ed	Mx,Rd	Rid. Mx,Rd da VEd	px	py	Verifica
0.813	SLU 5	0.004	1	0.09266	23.50374	1	0	0	Si

Verifica a presso/tenso flessione retta X §§ 4.2.4.1.2.3 - 4.2.4.1.2.6 - 4.2.4.1.2.7 - 4.2.4.1.2.8 NTC18

Verifiche eseguite utilizzando la formula conservativa (6.2) §6.2.1 EN 1993-1-1:2005.

X	Comb.	Sfruttamento	Classe	NEd	NRd	Rid. NRd da VEd	Mx,Ed	Mx,Rd	Rid. Mx,Rd da VEd	Rid. Mx,Rd da NEd	px	py	Verifica
0.867	SLU 76	0.06	1	55.392	1003.522	1	0.1084	23.5037	1		0	0	Si

Verifica a presso/tenso flessione retta Y §§ 4.2.4.1.2.3 - 4.2.4.1.2.6 - 4.2.4.1.2.7 - 4.2.4.1.2.8 NTC18

Verifiche eseguite utilizzando la formula conservativa (6.2) §6.2.1 EN 1993-1-1:2005.

X	Comb.	Sfruttamento	Classe	NEd	NRd	Rid. NRd da VEd	My,Ed	My,Rd	Rid. My,Rd da VEd	Rid. My,Rd da NEd	px	py	Verifica
0	SLV 1	0.03	1	28.506	1003.522	1	-0.0557	33.3316	1		0	0	Si

Verifica a presso/tenso flessione retta Y SLD §§ 4.2.4.1.2.3 - 4.2.4.1.2.6 - 4.2.4.1.2.7 - 4.2.4.1.2.8 NTC18

Verifiche eseguite utilizzando la formula conservativa (6.2) §6.2.1 EN 1993-1-1:2005.

Implementazione dei sistemi di confinamento delle emissioni odorigene diffuse dell'impianto di compostaggio esistente nel
Comune di Eboli (SA)

PROGETTO DEFINITIVO – Tabulati di calcolo Tomo 1

X	Comb.	Sfruttamento	Classe	NEd	NRd	Rid. NRd da VEd	My,Ed	My,Rd	Rid. My,Rd da VEd	Rid. My,Rd da NEd	px	py	Verifica
0	SLD 1	0.023	1	22.366	1003.522	1	-0.0219	33.3316	1		0	0	Si

Verifica a presso/tenso flessione deviata §§ 4.2.4.1.2.3 - 4.2.4.1.2.6 - 4.2.4.1.2.7 - 4.2.4.1.2.8 NTC18

Verifiche eseguite utilizzando la formula conservativa (6.2) §6.2.1 EN 1993-1-1:2005.

X	Comb.	Sfruttamento	Classe	NEd	NRd	Rid. NRd da VEd	Mx,Ed	Mx,Rd	My,Ed	My,Rd	Rid. Mx,Rd da VEd	Rid. Mx,Rd da NEd	Rid. My,Rd da VEd	Rid. My,Rd da NEd	α	β	px	py	Verifica
0.813	SLV 2	0.034	1	28.412	1003.522	1	0.0896	23.5037	-0.0544	33.3316	1		1				0	0	Si

Verifica a presso/tenso flessione deviata SLD §§ 4.2.4.1.2.3 - 4.2.4.1.2.6 - 4.2.4.1.2.7 - 4.2.4.1.2.8 NTC18

Verifiche eseguite utilizzando la formula conservativa (6.2) §6.2.1 EN 1993-1-1:2005.

X	Comb.	Sfruttamento	Classe	NEd	NRd	Rid. NRd da VEd	Mx,Ed	Mx,Rd	My,Ed	My,Rd	Rid. Mx,Rd da VEd	Rid. Mx,Rd da NEd	Rid. My,Rd da VEd	Rid. My,Rd da NEd	α	β	px	py	Verifica
0.813	SLD 1	0.027	1	22.272	1003.522	1	0.0895	23.5037	-0.0215	33.3316	1		1				0	0	Si

Verifiche ad instabilità

Caratteristiche iniziali

Membratura principale per controllo snellezza; Calcolo di snellezze ed N critici condotti secondo gli assi principali;

Curva X: c; Curva Y: c;

Svergolamento: Nessuno; la verifica a instabilità flesso-torsionale (svergolamento) non verrà eseguita.

Dati per instabilità attorno a x

Controllo della snellezza secondo §4.2.4.1.3.1 NTC18

Numero rit.	Presente	Ascissa	Campata	βx/m	Vincolo a entrambi estremi	λx/m	λVer
1	Si	0					
			1-2	1	Si	53.5	Si, (<200)
2	Si	1.625					

Dati per instabilità attorno a y

Controllo della snellezza secondo §4.2.4.1.3.1 NTC18

Numero rit.	Presente	Ascissa	Campata	βy/n	k,LT	kw,LT	Vincolo a entrambi estremi
1	Si	0					
			1-2	1	Si	39.7	Si, (<200)
2	Si	1.625					

Verifica di stabilità per pressoflessione §C.4.2.4.1.3.3.1 NTC18

X	Comb.	Sfruttamento	Classe	NEd	MxEq,Ed	MyEq,Ed	Area	Wx	Wy	χ,min	λ adim. x/m	λ adim. y/n	N,crit x/m	N,crit y/n	Verifica
1.625	SLU 2	0.02	3	-9.62	0.0828	-0.0318	0.003832	0.0000492	0.0000739	0.776	0.617	0.457	2772.187	5041.477	Si

Verifiche a deformabilità

Mensola X: No; Mensola Y: No.

Frecce lungo X

Ascissa freccia	Combinazione	Freccia	Luce	L/f	L/f,min	Tipo	Verifica
0.704	SLE RA 1	0	1.625	10000	250	Totale	Si
0.704	SLE RA 17	0	1.625	10000	250	Totale	Si
0.704	SLE RA 16	0	1.625	10000	250	Totale	Si
0.704	SLE RA 15	0	1.625	10000	250	Totale	Si
0.704	SLE RA 14	0	1.625	10000	250	Totale	Si
0.704	SLE RA 2	0	1.625	10000	350	Variabile	Si
0.704	SLE RA 17	0	1.625	10000	350	Variabile	Si
0.704	SLE RA 16	0	1.625	10000	350	Variabile	Si
0.704	SLE RA 15	0	1.625	10000	350	Variabile	Si
0.867	SLE RA 14	0	1.625	10000	350	Variabile	Si

Frecce lungo Y

Ascissa freccia	Combinazione	Freccia	Luce	L/f	L/f,min	Tipo	Verifica
0.813	SLE RA 1	0.00003	1.625	10000	250	Totale	Si
0.813	SLE RA 17	0.00003	1.625	10000	250	Totale	Si
0.813	SLE RA 16	0.00003	1.625	10000	250	Totale	Si
0.813	SLE RA 15	0.00003	1.625	10000	250	Totale	Si
0.813	SLE RA 14	0.00003	1.625	10000	250	Totale	Si
0.65	SLE RA 2	0	1.625	10000	350	Variabile	Si
0.65	SLE RA 17	0	1.625	10000	350	Variabile	Si
0.65	SLE RA 16	0	1.625	10000	350	Variabile	Si
0.65	SLE RA 15	0	1.625	10000	350	Variabile	Si
0.542	SLE RA 14	0	1.625	10000	350	Variabile	Si

Superelemento in acciaio a quota "703"- "640" (-799; 750)-(-690; 647)

Caratteristiche del materiale

Acciaio: S275, fyk = 275000

Caratteristiche geometriche

Lunghezza: 1.625

Nodo iniziale: 1877 Nodo finale: 795

Cerniera iniziale: Mmomenti 1% Cerniera finale: Mmomenti 1%

Sovrarezistenza: 0% Sisma Z: No

Caratteristiche della sezione

Sezione	Rotazione	Area	Jx	Jy	ix	iy	Wx	Wy	Wplx	Wply
---------	-----------	------	----	----	----	----	----	----	------	------

**Implementazione dei sistemi di confinamento delle emissioni odorigene diffuse dell'impianto di compostaggio esistente nel
Comune di Eboli (SA)**

PROGETTO DEFINITIVO – Tabulati di calcolo Tomo 1

Sezione	Rotazione	Area	Jx	Jy	ix	iy	Wx	Wy	Wplx	Wply
A1; L100*10; 1; Saldato; S275; 50; 1; 8; 8; 1	180	0.003832	0.0000035319	0.000007759	0.0304	0.045	0.0000492	0.0000739	0.00008974	0.00012727

Comportamento dei calastrelli

Accoppiamento imbottito con funzione statica (§C4.2.4.1.3.1.4 NTC18) nella campata compresa tra le ascisse 0 e 1.625 per sbandamento attorno all'asse y.

Verifiche di resistenza

Verifiche a forza assiale §4.2.4.1.2.1 - §4.2.4.1.2.2 NTC18

X	Comb.	Sfruttamento	Classe	NEd	Nc,Rd	Nt,Rd	Riduzione da taglio	px	py	Verifica
0	SLU 76	0.079		79.381		1003.522	1	0	0	Si

Verifiche a forza assiale SLD §4.2.4.1.2.1 - §4.2.4.1.2.2 NTC18

X	Comb.	Sfruttamento	Classe	NEd	Nc,Rd	Nt,Rd	Riduzione da taglio	px	py	Verifica
0	SLD 3	0.027		27.18		1003.522	1	0	0	Si

Verifica a taglio Y §4.2.4.1.2.4 NTC18

X	Comb.	Sfruttamento	VEd	Vc,Rd	Av	Interazione taglio-torsione	Riduzione torsione	Verifica
0	SLU 76	0.001	-0.299	302.422	0.002	Non considerata		Si

Verifica a taglio Y SLD §4.2.4.1.2.4 NTC18

X	Comb.	Sfruttamento	VEd	Vc,Rd	Av	Interazione taglio-torsione	Riduzione torsione	Verifica
0	SLD 14	0.001	-0.227	302.422	0.002	Non considerata		Si

Verifica a flessione semplice X §§ 4.2.4.1.2.3 - 4.2.4.1.2.6 - 4.2.4.1.2.7 - 4.2.4.1.2.8 NTC18

X	Comb.	Sfruttamento	Classe	Mx,Ed	Mx,Rd	Rid. Mx,Rd da VEd	px	py	Verifica
0.813	SLU 59	0.005	1	0.11939	23.50374	1	0	0	Si

Verifica a presso/tenso flessione retta X §§ 4.2.4.1.2.3 - 4.2.4.1.2.6 - 4.2.4.1.2.7 - 4.2.4.1.2.8 NTC18

Verifiche eseguite utilizzando la formula conservativa (6.2) §6.2.1 EN 1993-1-1:2005.

X	Comb.	Sfruttamento	Classe	NEd	NRd	Rid. NRd da VEd	Mx,Ed	Mx,Rd	Rid. Mx,Rd da VEd	Rid. Mx,Rd da NEd	px	py	Verifica
0.813	SLU 76	0.084	1	79.259	1003.522	1	0.1157	23.5037	1		0	0	Si

Verifica a presso/tenso flessione retta X SLD §§ 4.2.4.1.2.3 - 4.2.4.1.2.6 - 4.2.4.1.2.7 - 4.2.4.1.2.8 NTC18

Verifiche eseguite utilizzando la formula conservativa (6.2) §6.2.1 EN 1993-1-1:2005.

X	Comb.	Sfruttamento	Classe	NEd	NRd	Rid. NRd da VEd	Mx,Ed	Mx,Rd	Rid. Mx,Rd da VEd	Rid. Mx,Rd da NEd	px	py	Verifica
0.867	SLD 8	0.031	1	27.073	1003.522	1	0.0906	23.5037	1		0	0	Si

Verifica a presso/tenso flessione retta Y §§ 4.2.4.1.2.3 - 4.2.4.1.2.6 - 4.2.4.1.2.7 - 4.2.4.1.2.8 NTC18

Verifiche eseguite utilizzando la formula conservativa (6.2) §6.2.1 EN 1993-1-1:2005.

X	Comb.	Sfruttamento	Classe	NEd	NRd	Rid. NRd da VEd	My,Ed	My,Rd	Rid. My,Rd da VEd	Rid. My,Rd da NEd	px	py	Verifica
0	SLV 2	0.029	1	27.479	1003.522	1	-0.0655	33.3316	1		0	0	Si

Verifica a presso/tenso flessione retta Y SLD §§ 4.2.4.1.2.3 - 4.2.4.1.2.6 - 4.2.4.1.2.7 - 4.2.4.1.2.8 NTC18

Verifiche eseguite utilizzando la formula conservativa (6.2) §6.2.1 EN 1993-1-1:2005.

X	Comb.	Sfruttamento	Classe	NEd	NRd	Rid. NRd da VEd	My,Ed	My,Rd	Rid. My,Rd da VEd	Rid. My,Rd da NEd	px	py	Verifica
0	SLD 1	0.028	1	26.94	1003.522	1	-0.0268	33.3316	1		0	0	Si

Verifica a presso/tenso flessione deviata §§ 4.2.4.1.2.3 - 4.2.4.1.2.6 - 4.2.4.1.2.7 - 4.2.4.1.2.8 NTC18

Verifiche eseguite utilizzando la formula conservativa (6.2) §6.2.1 EN 1993-1-1:2005.

X	Comb.	Sfruttamento	Classe	NEd	NRd	Rid. NRd da VEd	Mx,Ed	Mx,Rd	My,Ed	My,Rd	Rid. Mx,Rd da VEd	Rid. Mx,Rd da NEd	Rid. My,Rd da VEd	Rid. My,Rd da NEd	α	β	px	py	Verifica
0.758	SLV 3	0.033	1	28.075	1003.522	1	0.0906	23.5037	-0.0227	33.3316	1		1				0	0	Si

Verifica a presso/tenso flessione deviata SLD §§ 4.2.4.1.2.3 - 4.2.4.1.2.6 - 4.2.4.1.2.7 - 4.2.4.1.2.8 NTC18

Verifiche eseguite utilizzando la formula conservativa (6.2) §6.2.1 EN 1993-1-1:2005.

X	Comb.	Sfruttamento	Classe	NEd	NRd	Rid. NRd da VEd	Mx,Ed	Mx,Rd	My,Ed	My,Rd	Rid. Mx,Rd da VEd	Rid. Mx,Rd da NEd	Rid. My,Rd da VEd	Rid. My,Rd da NEd	α	β	px	py	Verifica
0.813	SLD 3	0.031	1	27.086	1003.522	1	0.091	23.5037	-0.009	33.3316	1		1				0	0	Si

Verifiche ad instabilità

Caratteristiche iniziali

Membratura principale per controllo snellezza; Calcolo di snellezze ed N critici condotti secondo gli assi principali;

Curva X: c; Curva Y: c;

Svergolamento: Nessuno; la verifica a instabilità flesso-torsionale (svergolamento) non verrà eseguita.

Dati per instabilità attorno a x

Controllo della snellezza secondo §4.2.4.1.3.1 NTC18

Numero rit.	Presente	Ascissa	Campata	βx/m	Vincolo a entrambi estremi	λx/m	λVer
1	Si	0	1-2	1	Si	53.5	Si, (<200)
2	Si	1.625					

Dati per instabilità attorno a y

Controllo della snellezza secondo §4.2.4.1.3.1 NTC18

Numero rit.	Presente	Ascissa	Campata	βy/n	k,LT	kw,LT	Vincolo a entrambi estremi
1	Si	0	1-2	1	Si	39.7	Si, (<200)
2	Si	1.625					

Implementazione dei sistemi di confinamento delle emissioni odorigene diffuse dell'impianto di compostaggio esistente nel
Comune di Eboli (SA)
PROGETTO DEFINITIVO – Tabulati di calcolo Tomo 1

Verifica di stabilità per pressoflessione §C.4.2.4.1.3.3.1 NTC18

X	Comb.	Sfruttamento	Classe	NEd	MxEq,Ed	MyEq,Ed	Area	Wx	Wy	x,min	λ adim. x/m	λ adim. y/n	N,crit x/m	N,crit y/n	Verifica
1.625	SLU 2	0.024	3	-12.535	0.0801	0.0307	0.003832	0.0000492	0.0000739	0.776	0.617	0.457	2772.187	5041.477	Si

Verifiche a deformabilità

Mensola X: No; Mensola Y: No.

Frecce lungo X

Ascissa freccia	Combinazione	Freccia	Luce	L/f	L/f,min	Tipo	Verifica
0.758	SLE RA 1	0	1.625	10000	250	Totale	Si
0.758	SLE RA 17	0	1.625	10000	250	Totale	Si
0.758	SLE RA 16	0	1.625	10000	250	Totale	Si
0.758	SLE RA 15	0	1.625	10000	250	Totale	Si
0.758	SLE RA 14	0	1.625	10000	250	Totale	Si
0.758	SLE RA 2	0	1.625	10000	350	Variabile	Si
0.758	SLE RA 17	0	1.625	10000	350	Variabile	Si
0.758	SLE RA 16	0	1.625	10000	350	Variabile	Si
1.246	SLE RA 15	0	1.625	10000	350	Variabile	Si
0.758	SLE RA 14	0	1.625	10000	350	Variabile	Si

Frecce lungo Y

Ascissa freccia	Combinazione	Freccia	Luce	L/f	L/f,min	Tipo	Verifica
0.813	SLE RA 1	0.00003	1.625	10000	250	Totale	Si
0.813	SLE RA 17	0.00003	1.625	10000	250	Totale	Si
0.813	SLE RA 16	0.00003	1.625	10000	250	Totale	Si
0.813	SLE RA 15	0.00003	1.625	10000	250	Totale	Si
0.813	SLE RA 14	0.00003	1.625	10000	250	Totale	Si
0.596	SLE RA 2	0	1.625	10000	350	Variabile	Si
0.65	SLE RA 17	0	1.625	10000	350	Variabile	Si
0.596	SLE RA 16	0	1.625	10000	350	Variabile	Si
0.65	SLE RA 15	0	1.625	10000	350	Variabile	Si
0.867	SLE RA 14	0	1.625	10000	350	Variabile	Si

Superelemento in acciaio a quota "703"- "640" (-1052; 480)-(-943; 377)

Caratteristiche del materiale

Acciaio: S275, fyk = 275000

Caratteristiche geometriche

Lunghezza: 1.625

Nodo iniziale: 1868 Nodo finale: 744

Cerniera iniziale: Mmomenti 1% Cerniera finale: Mmomenti 1%

Sovreresistenza: 0% Sisma Z: No

Caratteristiche della sezione

Sezione	Rotazione	Area	Jx	Jy	ix	iy	Wx	Wy	Wplx	Wply
A1; L100*10; 1; Saldato; S275; 50; 1; 8; 8; 1	180	0.003832	0.0000035319	0.000007759	0.0304	0.045	0.0000492	0.0000739	0.00008974	0.00012727

Comportamento dei calastrelli

Accoppiamento imbottito con funzione statica (§C4.2.4.1.3.1.4 NTC18) nella campata compresa tra le ascisse 0 e 1.625 per sbandamento attorno all'asse y.

Verifiche di resistenza

Verifiche a forza assiale §4.2.4.1.2.1 - §4.2.4.1.2.2 NTC18

X	Comb.	Sfruttamento	Classe	NEd	Nc,Rd	Nt,Rd	Riduzione da taglio	px	py	Verifica
0	SLU 76	0.059		59.653		1003.522	1	0	0	Si

Verifiche a forza assiale SLD §4.2.4.1.2.1 - §4.2.4.1.2.2 NTC18

X	Comb.	Sfruttamento	Classe	NEd	Nc,Rd	Nt,Rd	Riduzione da taglio	px	py	Verifica
0	SLD 15	0.024		23.891		1003.522	1	0	0	Si

Verifica a taglio Y §4.2.4.1.2.4 NTC18

X	Comb.	Sfruttamento	VEd	Vc,Rd	Av	Interazione taglio-torsione	Riduzione torsione	Verifica
0	SLU 76	0.001	-0.301	302.422	0.002	Non considerata		Si

Verifica a taglio Y SLD §4.2.4.1.2.4 NTC18

X	Comb.	Sfruttamento	VEd	Vc,Rd	Av	Interazione taglio-torsione	Riduzione torsione	Verifica
0	SLD 14	0.001	-0.227	302.422	0.002	Non considerata		Si

Verifica a flessione semplice X §§ 4.2.4.1.2.3 - 4.2.4.1.2.6 - 4.2.4.1.2.7 - 4.2.4.1.2.8 NTC18

X	Comb.	Sfruttamento	Classe	Mx,Ed	Mx,Rd	Rid. Mx,Rd da VEd	px	py	Verifica
0.813	SLU 5	0.004	1	0.09201	23.50374	1	0	0	Si

Verifica a presso/tenso flessione retta X §§ 4.2.4.1.2.3 - 4.2.4.1.2.6 - 4.2.4.1.2.7 - 4.2.4.1.2.8 NTC18

Verifiche eseguite utilizzando la formula conservativa (6.2) §6.2.1 EN 1993-1-1:2005.

X	Comb.	Sfruttamento	Classe	NEd	NRd	Rid. NRd da VEd	Mx,Ed	Mx,Rd	Rid. Mx,Rd da VEd	Rid. Mx,Rd da NEd	px	py	Verifica
0.813	SLU 76	0.064	1	59.531	1003.522	1	0.1134	23.5037	1		0	0	Si

Verifica a presso/tenso flessione retta Y §§ 4.2.4.1.2.3 - 4.2.4.1.2.6 - 4.2.4.1.2.7 - 4.2.4.1.2.8 NTC18

Verifiche eseguite utilizzando la formula conservativa (6.2) §6.2.1 EN 1993-1-1:2005.

Implementazione dei sistemi di confinamento delle emissioni odorigene diffuse dell'impianto di compostaggio esistente nel
Comune di Eboli (SA)

PROGETTO DEFINITIVO – Tabulati di calcolo Tomo 1

X	Comb.	Sfruttamento	Classe	NEd	NRd	Rid. NRd da VEd	My,Ed	My,Rd	Rid. My,Rd da VEd	Rid. My,Rd da NEd	px	py	Verifica
1.625	SLV 16	0.032	1	30.083	1003.522	1	0.0572	33.3316	1		0	0	Si

Verifica a presso/tenso flessione retta Y SLD §§ 4.2.4.1.2.3 - 4.2.4.1.2.6 - 4.2.4.1.2.7 - 4.2.4.1.2.8 NTC18

Verifiche eseguite utilizzando la formula conservativa (6.2) §6.2.1 EN 1993-1-1:2005.

X	Comb.	Sfruttamento	Classe	NEd	NRd	Rid. NRd da VEd	My,Ed	My,Rd	Rid. My,Rd da VEd	Rid. My,Rd da NEd	px	py	Verifica
0	SLD 15	0.024	1	23.891	1003.522	1	0.0196	33.3316	1		0	0	Si

Verifica a presso/tenso flessione deviata §§ 4.2.4.1.2.3 - 4.2.4.1.2.6 - 4.2.4.1.2.7 - 4.2.4.1.2.8 NTC18

Verifiche eseguite utilizzando la formula conservativa (6.2) §6.2.1 EN 1993-1-1:2005.

X	Comb.	Sfruttamento	Classe	NEd	NRd	Rid. NRd da VEd	Mx,Ed	Mx,Rd	My,Ed	My,Rd	Rid. Mx,Rd da VEd	Rid. Mx,Rd da NEd	Rid. My,Rd da VEd	Rid. My,Rd da NEd	α	β	px	py	Verifica
0.813	SLV 15	0.035	1	30.177	1003.522	1	0.0903	23.5037	0.0487	33.3316	1		1				0	0	Si

Verifica a presso/tenso flessione deviata SLD §§ 4.2.4.1.2.3 - 4.2.4.1.2.6 - 4.2.4.1.2.7 - 4.2.4.1.2.8 NTC18

Verifiche eseguite utilizzando la formula conservativa (6.2) §6.2.1 EN 1993-1-1:2005.

X	Comb.	Sfruttamento	Classe	NEd	NRd	Rid. NRd da VEd	Mx,Ed	Mx,Rd	My,Ed	My,Rd	Rid. Mx,Rd da VEd	Rid. Mx,Rd da NEd	Rid. My,Rd da VEd	Rid. My,Rd da NEd	α	β	px	py	Verifica
0.813	SLD 16	0.028	1	23.797	1003.522	1	0.0904	23.5037	0.0198	33.3316	1		1				0	0	Si

Verifiche ad instabilità

Caratteristiche iniziali

Membratura principale per controllo snellezza; Calcolo di snellezza ed N critici condotti secondo gli assi principali;

Curva X: c; Curva Y: c;

Svergolamento: Nessuno; la verifica a instabilità flesso-torsionale (svergolamento) non verrà eseguita.

Dati per instabilità attorno a x

Controllo della snellezza secondo §4.2.4.1.3.1 NTC18

Numero rit.	Presente	Ascissa	Campata	βx/m	Vincolo a entrambi estremi	λx/m	λVer
1	Si		0				
			1-2		1	53.5	Si, (<200)
2	Si	1.625					

Dati per instabilità attorno a y

Controllo della snellezza secondo §4.2.4.1.3.1 NTC18

Numero rit.	Presente	Ascissa	Campata	βy/n	k,LT	kw,LT	Vincolo a entrambi estremi
1	Si		0				
			1-2		1	39.7	Si, (<200)
2	Si	1.625					

Verifica di stabilità per pressoflessione §C.4.2.4.1.3.3.1 NTC18

X	Comb.	Sfruttamento	Classe	NEd	MxEq,Ed	MyEq,Ed	Area	Wx	Wy	χ,min	λ adim. x/m	λ adim. y/n	N,crit x/m	N,crit y/n	Verifica
1.625	SLU 2	0.021	3	-10.097	0.0808	-0.0329	0.003832	0.0000492	0.0000739	0.776	0.617	0.457	2772.187	5041.477	Si

Verifiche a deformabilità

Mensola X: No; Mensola Y: No.

Freccie lungo X

Ascissa freccia	Combinazione	Freccia	Luce	L/f	L/f,min	Tipo	Verifica
0.704	SLE RA 1	0	1.625	10000	250	Totale	Si
0.758	SLE RA 17	0	1.625	10000	250	Totale	Si
0.758	SLE RA 16	0	1.625	10000	250	Totale	Si
0.758	SLE RA 15	0	1.625	10000	250	Totale	Si
0.758	SLE RA 14	0	1.625	10000	250	Totale	Si
0.813	SLE RA 2	0	1.625	10000	350	Variabile	Si
0.758	SLE RA 17	0	1.625	10000	350	Variabile	Si
0.758	SLE RA 16	0	1.625	10000	350	Variabile	Si
0.813	SLE RA 15	0	1.625	10000	350	Variabile	Si
0.758	SLE RA 14	0	1.625	10000	350	Variabile	Si

Freccie lungo Y

Ascissa freccia	Combinazione	Freccia	Luce	L/f	L/f,min	Tipo	Verifica
0.813	SLE RA 1	0.00003	1.625	10000	250	Totale	Si
0.813	SLE RA 17	0.00003	1.625	10000	250	Totale	Si
0.813	SLE RA 16	0.00003	1.625	10000	250	Totale	Si
0.813	SLE RA 15	0.00003	1.625	10000	250	Totale	Si
0.813	SLE RA 14	0.00003	1.625	10000	250	Totale	Si
0.65	SLE RA 2	0	1.625	10000	350	Variabile	Si
0.65	SLE RA 17	0	1.625	10000	350	Variabile	Si
0.65	SLE RA 16	0	1.625	10000	350	Variabile	Si
0.65	SLE RA 15	0	1.625	10000	350	Variabile	Si
1.138	SLE RA 14	0	1.625	10000	350	Variabile	Si

Superelemento in acciaio a quota "703"- "640" (-1307; 209)-(-1198; 106)

Caratteristiche del materiale

Acciaio: S275, fyk = 275000

Caratteristiche geometriche

Lunghezza: 1.625

Nodo iniziale: 1857 Nodo finale: 691

Cerniera iniziale: Mmomenti 1% Cerniera finale: Mmomenti 1%

Sovraresistenza: 0% Sisma Z: No

Implementazione dei sistemi di confinamento delle emissioni odorigene diffuse dell'impianto di compostaggio esistente nel
Comune di Eboli (SA)

PROGETTO DEFINITIVO – Tabulati di calcolo Tomo 1

Caratteristiche della sezione

Sezione	Rotazione	Area	Jx	Jy	ix	iy	Wx	Wy	Wplx	Wply
A1; L100*10; 1; Saldato; S275; 50; 1; 8; 8; 1	180	0.003832	0.0000035319	0.000007759	0.0304	0.045	0.0000492	0.0000739	0.00008974	0.00012727

Comportamento dei calastrelli

Accoppiamento imbottito con funzione statica (§C4.2.4.1.3.1.4 NTC18) nella campata compresa tra le ascisse 0 e 1.625 per sbandamento attorno all'asse y.

Verifiche di resistenza

Verifiche a forza assiale §4.2.4.1.2.1 - §4.2.4.1.2.2 NTC18

X	Comb.	Sfruttamento	Classe	NEd	Nc,Rd	Nt,Rd	Riduzione da taglio	px	py	Verifica
0	SLU 76	0.013		13.377		1003.522	1	0	0	Si

Verifiche a forza assiale SLD §4.2.4.1.2.1 - §4.2.4.1.2.2 NTC18

X	Comb.	Sfruttamento	Classe	NEd	Nc,Rd	Nt,Rd	Riduzione da taglio	px	py	Verifica
0	SLD 14	0.004		3.573		1003.522	1	0	0	Si

Verifica a taglio Y §4.2.4.1.2.4 NTC18

X	Comb.	Sfruttamento	VEd	Vc,Rd	Av	Interazione taglio-torsione	Riduzione torsione	Verifica
0	SLU 76	0.001	-0.31	302.422	0.002	Non considerata		Si

Verifica a taglio Y SLD §4.2.4.1.2.4 NTC18

X	Comb.	Sfruttamento	VEd	Vc,Rd	Av	Interazione taglio-torsione	Riduzione torsione	Verifica
0	SLD 14	0.001	-0.229	302.422	0.002	Non considerata		Si

Verifica a flessione semplice X §§ 4.2.4.1.2.3 - 4.2.4.1.2.6 - 4.2.4.1.2.7 - 4.2.4.1.2.8 NTC18

X	Comb.	Sfruttamento	Classe	Mx,Ed	Mx,Rd	Rid. Mx,Rd da VEd	px	py	Verifica
0.812	SLU 62	0.005	1	0.11889	23.50374	1	0	0	Si

Verifica a presso/tenso flessione retta X §§ 4.2.4.1.2.3 - 4.2.4.1.2.6 - 4.2.4.1.2.7 - 4.2.4.1.2.8 NTC18

Verifiche eseguite utilizzando la formula conservativa (6.2) §6.2.1 EN 1993-1-1:2005.

X	Comb.	Sfruttamento	Classe	NEd	NRd	Rid. NRd da VEd	Mx,Ed	Mx,Rd	Rid. Mx,Rd da VEd	Rid. Mx,Rd da NEd	px	py	Verifica
0.867	SLU 76	0.018	1	13.247	1003.522	1	0.106	23.5037	1		0	0	Si

Verifica a presso/tenso flessione retta Y §§ 4.2.4.1.2.3 - 4.2.4.1.2.6 - 4.2.4.1.2.7 - 4.2.4.1.2.8 NTC18

Verifiche eseguite utilizzando la formula conservativa (6.2) §6.2.1 EN 1993-1-1:2005.

X	Comb.	Sfruttamento	Classe	NEd	NRd	Rid. NRd da VEd	My,Ed	My,Rd	Rid. My,Rd da VEd	Rid. My,Rd da NEd	px	py	Verifica
1.625	SLV 16	0.008	1	3.542	1003.522	1	0.1371	33.3316	1		0	0	Si

Verifica a presso/tenso flessione retta Y SLD §§ 4.2.4.1.2.3 - 4.2.4.1.2.6 - 4.2.4.1.2.7 - 4.2.4.1.2.8 NTC18

Verifiche eseguite utilizzando la formula conservativa (6.2) §6.2.1 EN 1993-1-1:2005.

X	Comb.	Sfruttamento	Classe	NEd	NRd	Rid. NRd da VEd	My,Ed	My,Rd	Rid. My,Rd da VEd	Rid. My,Rd da NEd	px	py	Verifica
1.625	SLD 15	0.005	1	3.259	1003.522	1	0.0549	33.3316	1		0	0	Si

Verifica a presso/tenso flessione deviata §§ 4.2.4.1.2.3 - 4.2.4.1.2.6 - 4.2.4.1.2.7 - 4.2.4.1.2.8 NTC18

Verifiche eseguite utilizzando la formula conservativa (6.2) §6.2.1 EN 1993-1-1:2005.

X	Comb.	Sfruttamento	Classe	NEd	NRd	Rid. NRd da VEd	Mx,Ed	Mx,Rd	My,Ed	My,Rd	Rid. Mx,Rd da VEd	Rid. Mx,Rd da NEd	Rid. My,Rd da VEd	Rid. My,Rd da NEd	α	β	px	py	Verifica
0.812	SLU 2	0.012	3	-3.988	1003.522	1	0.0949	12.886	0.013	19.3536	1		1				0	0	Si

Verifica a presso/tenso flessione deviata SLD §§ 4.2.4.1.2.3 - 4.2.4.1.2.6 - 4.2.4.1.2.7 - 4.2.4.1.2.8 NTC18

Verifiche eseguite utilizzando la formula conservativa (6.2) §6.2.1 EN 1993-1-1:2005.

X	Comb.	Sfruttamento	Classe	NEd	NRd	Rid. NRd da VEd	Mx,Ed	Mx,Rd	My,Ed	My,Rd	Rid. Mx,Rd da VEd	Rid. Mx,Rd da NEd	Rid. My,Rd da VEd	Rid. My,Rd da NEd	α	β	px	py	Verifica
0.867	SLD 16	0.008	1	3.347	1003.522	1	0.0886	23.5037	0.0449	33.3316	1		1				0	0	Si

Verifiche ad instabilità

Caratteristiche iniziali

Membratura principale per controllo snellezza; Calcolo di snellezze ed N critici condotti secondo gli assi principali;

Curva X: c; Curva Y: c;

Svergolamento: Nessuno; la verifica a instabilità flesso-torsionale (svergolamento) non verrà eseguita.

Dati per instabilità attorno a x

Controllo della snellezza secondo §4.2.4.1.3.1 NTC18

Numero rit.	Presente	Ascissa	Campata	βx/m	Vincolo a entrambi estremi	λx/m	λVer
1	Si	0					
			1-2		1	53.5	Si, (<200)
2	Si	1.625					

Dati per instabilità attorno a y

Controllo della snellezza secondo §4.2.4.1.3.1 NTC18

Numero rit.	Presente	Ascissa	Campata	βy/n	k,LT	kw,LT	Vincolo a entrambi estremi
1	Si	0					
			1-2		1	39.7	Si, (<200)
2	Si	1.625					

Verifica di stabilità per pressoflessione §C.4.2.4.1.3.3.1 NTC18

X	Comb.	Sfruttamento	Classe	NEd	MxEq,Ed	MyEq,Ed	Area	Wx	Wy	x,min	λ adim. x/m	λ adim. y/n	N,crit x/m	N,crit y/n	Verifica
1.625	SLU 40	0.014	3	-3.731	0.107	0.0092	0.003832	0.0000492	0.0000739	0.776	0.617	0.457	2772.187	5041.477	Si

Implementazione dei sistemi di confinamento delle emissioni odorigene diffuse dell'impianto di compostaggio esistente nel
Comune di Eboli (SA)
PROGETTO DEFINITIVO – Tabulati di calcolo Tomo 1

Verifiche a deformabilità

Mensola X: No; Mensola Y: No.

Frecce lungo X

Ascissa freccia	Combinazione	Freccia	Luce	L/f	L/f,min	Tipo	Verifica
1.3	SLE RA 1	0	1.625	10000	250	Totale	Si
1.246	SLE RA 17	0	1.625	10000	250	Totale	Si
1.246	SLE RA 16	0	1.625	10000	250	Totale	Si
1.138	SLE RA 15	0	1.625	10000	250	Totale	Si
0.487	SLE RA 14	0	1.625	10000	250	Totale	Si
1.246	SLE RA 2	0	1.625	10000	350	Variabile	Si
1.246	SLE RA 17	0	1.625	10000	350	Variabile	Si
1.246	SLE RA 16	0	1.625	10000	350	Variabile	Si
1.083	SLE RA 15	0	1.625	10000	350	Variabile	Si
0.596	SLE RA 14	0	1.625	10000	350	Variabile	Si

Frecce lungo Y

Ascissa freccia	Combinazione	Freccia	Luce	L/f	L/f,min	Tipo	Verifica
0.812	SLE RA 1	0.00003	1.625	10000	250	Totale	Si
0.812	SLE RA 17	0.00003	1.625	10000	250	Totale	Si
0.812	SLE RA 16	0.00003	1.625	10000	250	Totale	Si
0.812	SLE RA 15	0.00003	1.625	10000	250	Totale	Si
0.812	SLE RA 14	0.00003	1.625	10000	250	Totale	Si
0.704	SLE RA 2	0	1.625	10000	350	Variabile	Si
0.704	SLE RA 17	0	1.625	10000	350	Variabile	Si
0.704	SLE RA 16	0	1.625	10000	350	Variabile	Si
0.704	SLE RA 15	0	1.625	10000	350	Variabile	Si
0.65	SLE RA 14	0	1.625	10000	350	Variabile	Si

Superelemento in acciaio a quota "703"-"640" (-1559; -59)-(-1450; -161)

Caratteristiche del materiale

Acciaio: S275, fyk = 275000

Caratteristiche geometriche

Lunghezza: 1.625

Nodo iniziale: 1847 Nodo finale: 632

Cerniera iniziale: Mmomenti 1% Cerniera finale: Mmomenti 1%

Sovreresistenza: 0% Sisma Z: No

Caratteristiche della sezione

Sezione	Rotazione	Area	Jx	Jy	ix	iy	Wx	Wy	Wplx	Wply
A1; L100*10; 1; Saldato; S275; 50; 1; 8; 8; 1	180	0.003832	0.0000035319	0.000007759	0.0304	0.045	0.0000492	0.0000739	0.00008974	0.00012727

Comportamento dei calastrelli

Accoppiamento imbottito con funzione statica (§C4.2.4.1.3.1.4 NTC18) nella campata compresa tra le ascisse 0 e 1.625 per sbandamento attorno all'asse y.

Verifiche di resistenza

Verifiche a forza assiale §4.2.4.1.2.1 - §4.2.4.1.2.2 NTC18

X	Comb.	Sfruttamento	Classe	NEd	Nc,Rd	Nt,Rd	Riduzione da taglio	px	py	Verifica
0	SLU 76	0.046		46.478		1003.522	1	0	0	Si

Verifiche a forza assiale SLD §4.2.4.1.2.1 - §4.2.4.1.2.2 NTC18

X	Comb.	Sfruttamento	Classe	NEd	Nc,Rd	Nt,Rd	Riduzione da taglio	px	py	Verifica
0	SLD 1	0.02		19.614		1003.522	1	0	0	Si

Verifica a taglio Y §4.2.4.1.2.4 NTC18

X	Comb.	Sfruttamento	VEd	Vc,Rd	Av	Interazione taglio-torsione	Riduzione torsione	Verifica
0	SLU 76	0.001	-0.314	302.422	0.002	Non considerata		Si

Verifica a taglio Y SLD §4.2.4.1.2.4 NTC18

X	Comb.	Sfruttamento	VEd	Vc,Rd	Av	Interazione taglio-torsione	Riduzione torsione	Verifica
0	SLD 9	0.001	-0.229	302.422	0.002	Non considerata		Si

Verifica a flessione semplice X §§ 4.2.4.1.2.3 - 4.2.4.1.2.6 - 4.2.4.1.2.7 - 4.2.4.1.2.8 NTC18

X	Comb.	Sfruttamento	Classe	Mx,Ed	Mx,Rd	Rid. Mx,Rd da VEd	px	py	Verifica
0.813	SLU 59	0.005	1	0.12147	23.50374	1	0	0	Si

Verifica a presso/tenso flessione retta X §§ 4.2.4.1.2.3 - 4.2.4.1.2.6 - 4.2.4.1.2.7 - 4.2.4.1.2.8 NTC18

Verifiche eseguite utilizzando la formula conservativa (6.2) §6.2.1 EN 1993-1-1:2005.

X	Comb.	Sfruttamento	Classe	NEd	NRd	Rid. NRd da VEd	Mx,Ed	Mx,Rd	Rid. Mx,Rd da VEd	Rid. Mx,Rd da NEd	px	py	Verifica
0.867	SLU 76	0.051	1	46.347	1003.522	1	0.1039	23.5037	1		0	0	Si

Verifica a presso/tenso flessione retta Y §§ 4.2.4.1.2.3 - 4.2.4.1.2.6 - 4.2.4.1.2.7 - 4.2.4.1.2.8 NTC18

Verifiche eseguite utilizzando la formula conservativa (6.2) §6.2.1 EN 1993-1-1:2005.

X	Comb.	Sfruttamento	Classe	NEd	NRd	Rid. NRd da VEd	My,Ed	My,Rd	Rid. My,Rd da VEd	Rid. My,Rd da NEd	px	py	Verifica
1.625	SLV 1	0.03	1	25.736	1003.522	1	-0.1457	33.3316	1		0	0	Si

Verifica a presso/tenso flessione retta Y SLD §§ 4.2.4.1.2.3 - 4.2.4.1.2.6 - 4.2.4.1.2.7 - 4.2.4.1.2.8 NTC18

Verifiche eseguite utilizzando la formula conservativa (6.2) §6.2.1 EN 1993-1-1:2005.

Implementazione dei sistemi di confinamento delle emissioni odorigene diffuse dell'impianto di compostaggio esistente nel
Comune di Eboli (SA)

PROGETTO DEFINITIVO – Tabulati di calcolo Tomo 1

X	Comb.	Sfruttamento	Classe	NEd	NRd	Rid. NRd da VEd	My,Ed	My,Rd	Rid. My,Rd da VEd	Rid. My,Rd da NEd	px	py	Verifica
1.625	SLD 1	0.021	1	19.426	1003.522	1	-0.0587	33.3316	1		0	0	Si

Verifica a presso/tenso flessione deviata §§ 4.2.4.1.2.3 - 4.2.4.1.2.6 - 4.2.4.1.2.7 - 4.2.4.1.2.8 NTC18

Verifiche eseguite utilizzando la formula conservativa (6.2) §6.2.1 EN 1993-1-1:2005.

X	Comb.	Sfruttamento	Classe	NEd	NRd	Rid. NRd da VEd	Mx,Ed	Mx,Rd	My,Ed	My,Rd	Rid. Mx,Rd da VEd	Rid. Mx,Rd da NEd	Rid. My,Rd da VEd	Rid. My,Rd da NEd	α	β	px	py	Verifica
0.867	SLV 2	0.033	1	25.823	1003.522	1	0.0885	23.5037	-0.1243	33.3316	1		1				0	0	Si

Verifica a presso/tenso flessione deviata SLD §§ 4.2.4.1.2.3 - 4.2.4.1.2.6 - 4.2.4.1.2.7 - 4.2.4.1.2.8 NTC18

Verifiche eseguite utilizzando la formula conservativa (6.2) §6.2.1 EN 1993-1-1:2005.

X	Comb.	Sfruttamento	Classe	NEd	NRd	Rid. NRd da VEd	Mx,Ed	Mx,Rd	My,Ed	My,Rd	Rid. Mx,Rd da VEd	Rid. Mx,Rd da NEd	Rid. My,Rd da VEd	Rid. My,Rd da NEd	α	β	px	py	Verifica
0.867	SLD 2	0.025	1	19.513	1003.522	1	0.0884	23.5037	-0.0502	33.3316	1		1				0	0	Si

Verifiche ad instabilità

Caratteristiche iniziali

Membratura principale per controllo snellezza; Calcolo di snellezze ed N critici condotti secondo gli assi principali;

Curva X: c; Curva Y: c;

Svergolamento: Nessuno; la verifica a instabilità flesso-torsionale (svergolamento) non verrà eseguita.

Dati per instabilità attorno a x

Controllo della snellezza secondo §4.2.4.1.3.1 NTC18

Numero rit.	Presente	Ascissa	Campata	βx/m	Vincolo a entrambi estremi	λx/m	λVer
1	Si	0					
			1-2	1	Si	53.5	Si, (<200)
2	Si	1.625					

Dati per instabilità attorno a y

Controllo della snellezza secondo §4.2.4.1.3.1 NTC18

Numero rit.	Presente	Ascissa	Campata	βy/n	k,LT	kw,LT	Vincolo a entrambi estremi
1	Si	0					
			1-2	1	Si	39.7	Si, (<200)
2	Si	1.625					

Verifica di stabilità per pressoflessione §C.4.2.4.1.3.3.1 NTC18

X	Comb.	Sfruttamento	Classe	NEd	MxEq,Ed	MyEq,Ed	Area	Wx	Wy	χ,min	λ adim. x/m	λ adim. y/n	N,crit x/m	N,crit y/n	Verifica
1.625	SLU 2	0.017	3	-7.053	0.0846	0.0231	0.003832	0.0000492	0.0000739	0.776	0.617	0.457	2772.187	5041.477	Si

Verifiche a deformabilità

Mensola X: No; Mensola Y: No.

Frecce lungo X

Ascissa freccia	Combinazione	Freccia	Luce	L/f	L/f,min	Tipo	Verifica
0.813	SLE RA 1	0	1.625	10000	250	Totale	Si
0.758	SLE RA 17	0	1.625	10000	250	Totale	Si
0.758	SLE RA 16	0	1.625	10000	250	Totale	Si
0.758	SLE RA 15	0	1.625	10000	250	Totale	Si
0.813	SLE RA 14	0	1.625	10000	250	Totale	Si
0.758	SLE RA 2	0	1.625	10000	350	Variabile	Si
0.758	SLE RA 17	0	1.625	10000	350	Variabile	Si
0.758	SLE RA 16	0	1.625	10000	350	Variabile	Si
0.758	SLE RA 15	0	1.625	10000	350	Variabile	Si
0.813	SLE RA 14	0	1.625	10000	350	Variabile	Si

Frecce lungo Y

Ascissa freccia	Combinazione	Freccia	Luce	L/f	L/f,min	Tipo	Verifica
0.813	SLE RA 1	0.00003	1.625	10000	250	Totale	Si
0.813	SLE RA 17	0.00003	1.625	10000	250	Totale	Si
0.813	SLE RA 16	0.00003	1.625	10000	250	Totale	Si
0.813	SLE RA 15	0.00003	1.625	10000	250	Totale	Si
0.813	SLE RA 14	0.00003	1.625	10000	250	Totale	Si
0.704	SLE RA 2	0	1.625	10000	350	Variabile	Si
0.704	SLE RA 17	0	1.625	10000	350	Variabile	Si
0.704	SLE RA 16	0	1.625	10000	350	Variabile	Si
0.704	SLE RA 15	0	1.625	10000	350	Variabile	Si
0.65	SLE RA 14	0	1.625	10000	350	Variabile	Si

Superelemento in acciaio a quota "703"- "640" (-1816; -331)-(-1707; -434)

Caratteristiche del materiale

Acciaio: S275, fyk = 275000

Caratteristiche geometriche

Lunghezza: 1.625

Nodo iniziale: 1837 Nodo finale: 583

Cerniera iniziale: Mmomenti 1% Cerniera finale: Mmomenti 1%

Sovrarezistenza: 0% Sisma Z: No

Caratteristiche della sezione

Sezione	Rotazione	Area	Jx	Jy	ix	iy	Wx	Wy	Wplx	Wply
---------	-----------	------	----	----	----	----	----	----	------	------

**Implementazione dei sistemi di confinamento delle emissioni odorigene diffuse dell'impianto di compostaggio esistente nel
Comune di Eboli (SA)**

PROGETTO DEFINITIVO – Tabulati di calcolo Tomo 1

Sezione	Rotazione	Area	Jx	Jy	ix	iy	Wx	Wy	Wpx	Wpy
A1; L100*10; 1; Saldato; S275; 50; 1; 8; 8; 1	180	0.003832	0.0000035319	0.000007759	0.0304	0.045	0.0000492	0.0000739	0.00008974	0.00012727

Comportamento dei calastrelli

Accoppiamento imbottito con funzione statica (§C4.2.4.1.3.1.4 NTC18) nella campata compresa tra le ascisse 0 e 1.625 per sbandamento attorno all'asse y.

Verifiche di resistenza

Verifiche a forza assiale §4.2.4.1.2.1 - §4.2.4.1.2.2 NTC18

X	Comb.	Sfruttamento	Classe	NEd	Nc,Rd	Nt,Rd	Riduzione da taglio	px	py	Verifica
0	SLU 76	0.07		70.288		1003.522	1	0	0	Si

Verifiche a forza assiale SLD §4.2.4.1.2.1 - §4.2.4.1.2.2 NTC18

X	Comb.	Sfruttamento	Classe	NEd	Nc,Rd	Nt,Rd	Riduzione da taglio	px	py	Verifica
0	SLD 16	0.03		30.249		1003.522	1	0	0	Si

Verifica a taglio Y §4.2.4.1.2.4 NTC18

X	Comb.	Sfruttamento	Classe	NEd	Nc,Rd	Nt,Rd	Riduzione da taglio	px	py	Verifica
0	SLU 76	0.001		-0.294	302.422	0.002	Non considerata			Si

Verifica a taglio Y SLD §4.2.4.1.2.4 NTC18

X	Comb.	Sfruttamento	Classe	NEd	Nc,Rd	Nt,Rd	Riduzione da taglio	px	py	Verifica
0	SLD 1	0.001		-0.226	302.422	0.002	Non considerata			Si

Verifica a flessione semplice X §§ 4.2.4.1.2.3 - 4.2.4.1.2.6 - 4.2.4.1.2.7 - 4.2.4.1.2.8 NTC18

X	Comb.	Sfruttamento	Classe	Mx,Ed	Mx,Rd	Rid. Mx,Rd da VEd	px	py	Verifica
0.812	SLU 40	0.005	1	0.11852	23.50374	1	0	0	Si

Verifica a presso/tenso flessione retta X §§ 4.2.4.1.2.3 - 4.2.4.1.2.6 - 4.2.4.1.2.7 - 4.2.4.1.2.8 NTC18

Verifiche eseguite utilizzando la formula conservativa (6.2) §6.2.1 EN 1993-1-1:2005.

X	Comb.	Sfruttamento	Classe	NEd	NRd	Rid. NRd da VEd	Mx,Ed	Mx,Rd	Rid. Mx,Rd da VEd	Rid. Mx,Rd da NEd	px	py	Verifica
0.812	SLU 76	0.075	1	70.166	1003.522	1	0.1192	23.5037	1		0	0	Si

Verifica a presso/tenso flessione retta Y §§ 4.2.4.1.2.3 - 4.2.4.1.2.6 - 4.2.4.1.2.7 - 4.2.4.1.2.8 NTC18

Verifiche eseguite utilizzando la formula conservativa (6.2) §6.2.1 EN 1993-1-1:2005.

X	Comb.	Sfruttamento	Classe	NEd	NRd	Rid. NRd da VEd	My,Ed	My,Rd	Rid. My,Rd da VEd	Rid. My,Rd da NEd	px	py	Verifica
1.625	SLV 16	0.04	1	36.218	1003.522	1	0.1386	33.3316	1		0	0	Si

Verifica a presso/tenso flessione retta Y SLD §§ 4.2.4.1.2.3 - 4.2.4.1.2.6 - 4.2.4.1.2.7 - 4.2.4.1.2.8 NTC18

Verifiche eseguite utilizzando la formula conservativa (6.2) §6.2.1 EN 1993-1-1:2005.

X	Comb.	Sfruttamento	Classe	NEd	NRd	Rid. NRd da VEd	My,Ed	My,Rd	Rid. My,Rd da VEd	Rid. My,Rd da NEd	px	py	Verifica
1.625	SLD 16	0.032	1	30.061	1003.522	1	0.0553	33.3316	1		0	0	Si

Verifica a presso/tenso flessione deviata §§ 4.2.4.1.2.3 - 4.2.4.1.2.6 - 4.2.4.1.2.7 - 4.2.4.1.2.8 NTC18

Verifiche eseguite utilizzando la formula conservativa (6.2) §6.2.1 EN 1993-1-1:2005.

X	Comb.	Sfruttamento	Classe	NEd	NRd	Rid. NRd da VEd	Mx,Ed	Mx,Rd	My,Ed	My,Rd	Rid. Mx,Rd da VEd	Rid. Mx,Rd da NEd	Rid. My,Rd da VEd	Rid. My,Rd da NEd	α	β	px	py	Verifica
0.867	SLV 15	0.044	1	36.306	1003.522	1	0.0915	23.5037	0.1238	33.3316	1		1				0	0	Si

Verifica a presso/tenso flessione deviata SLD §§ 4.2.4.1.2.3 - 4.2.4.1.2.6 - 4.2.4.1.2.7 - 4.2.4.1.2.8 NTC18

Verifiche eseguite utilizzando la formula conservativa (6.2) §6.2.1 EN 1993-1-1:2005.

X	Comb.	Sfruttamento	Classe	NEd	NRd	Rid. NRd da VEd	Mx,Ed	Mx,Rd	My,Ed	My,Rd	Rid. Mx,Rd da VEd	Rid. Mx,Rd da NEd	Rid. My,Rd da VEd	Rid. My,Rd da NEd	α	β	px	py	Verifica
0.812	SLD 15	0.035	1	30.155	1003.522	1	0.0917	23.5037	0.0489	33.3316	1		1				0	0	Si

Verifiche ad instabilità

Caratteristiche iniziali

Membratura principale per controllo snellezza; Calcolo di snellezze ed N critici condotti secondo gli assi principali;

Curva X: c; Curva Y: c;

Svergolamento: Nessuno; la verifica a instabilità flesso-torsionale (svergolamento) non verrà eseguita.

Dati per instabilità attorno a x

Controllo della snellezza secondo §4.2.4.1.3.1 NTC18

Numero rit.	Presente	Ascissa	Campata	βx/m	Vincolo a entrambi estremi	λx/m	λVer
1	Si	0					
2	Si	1.625	1~2	1	Si	53.5	Si, (<200)

Dati per instabilità attorno a y

Controllo della snellezza secondo §4.2.4.1.3.1 NTC18

Numero rit.	Presente	Ascissa	Campata	βy/n	k,LT	kw,LT	Vincolo a entrambi estremi
1	Si	0					
2	Si	1.625	1~2	1	Si	39.7	Si, (<200)

Verifica di stabilità per pressoflessione §C.4.2.4.1.3.3.1 NTC18

X	Comb.	Sfruttamento	Classe	NEd	MxEq,Ed	MyEq,Ed	Area	Wx	Wy	χ,min	λ adim. x/m	λ adim. y/n	N,crit x/m	N,crit y/n	Verifica
1.625	SLU 2	0.014	3	-5.29	0.0786	0.0173	0.003832	0.0000492	0.0000739	0.776	0.617	0.457	2772.187	5041.477	Si

Implementazione dei sistemi di confinamento delle emissioni odorigene diffuse dell'impianto di compostaggio esistente nel
Comune di Eboli (SA)
PROGETTO DEFINITIVO – Tabulati di calcolo Tomo 1

Verifiche a deformabilità

Mensola X: No; Mensola Y: No.

Frecce lungo X

Ascissa freccia	Combinazione	Freccia	Luce	L/f	L/f,min	Tipo	Verifica
0.812	SLE RA 1	0	1.625	10000	250	Totale	Si
0.812	SLE RA 17	0	1.625	10000	250	Totale	Si
0.812	SLE RA 16	0	1.625	10000	250	Totale	Si
0.812	SLE RA 15	0	1.625	10000	250	Totale	Si
0.812	SLE RA 14	0	1.625	10000	250	Totale	Si
0.812	SLE RA 2	0	1.625	10000	350	Variabile	Si
0.812	SLE RA 17	0	1.625	10000	350	Variabile	Si
0.812	SLE RA 16	0	1.625	10000	350	Variabile	Si
0.812	SLE RA 15	0	1.625	10000	350	Variabile	Si
0.812	SLE RA 14	0	1.625	10000	350	Variabile	Si

Frecce lungo Y

Ascissa freccia	Combinazione	Freccia	Luce	L/f	L/f,min	Tipo	Verifica
0.812	SLE RA 1	0.00003	1.625	10000	250	Totale	Si
0.812	SLE RA 17	0.00003	1.625	10000	250	Totale	Si
0.812	SLE RA 16	0.00003	1.625	10000	250	Totale	Si
0.812	SLE RA 15	0.00003	1.625	10000	250	Totale	Si
0.812	SLE RA 14	0.00003	1.625	10000	250	Totale	Si
0.921	SLE RA 2	0	1.625	10000	350	Variabile	Si
0.921	SLE RA 17	0	1.625	10000	350	Variabile	Si
0.921	SLE RA 16	0	1.625	10000	350	Variabile	Si
0.975	SLE RA 15	0	1.625	10000	350	Variabile	Si
0.867	SLE RA 14	0	1.625	10000	350	Variabile	Si

Superelemento in acciaio a quota "703"-"690" (218; 1826)-(109; 1929)

Caratteristiche del materiale

Acciaio: S275, fyk = 275000

Caratteristiche geometriche

Lunghezza: 1.505

Nodo iniziale: 1917 Nodo finale: 1713

Cerniera iniziale: Mmomenti 1% Cerniera finale: Mmomenti 1%

Sovreresistenza: 0% Sisma Z: No

Caratteristiche della sezione

Sezione	Rotazione	Area	Jx	Jy	ix	iy	Wx	Wy	Wplx	Wply
A1; L100*10; 1; Saldato; S275; 30; 1; 8; 8; 1	0	0.003832	0.0000035319	0.000007759	0.0304	0.045	0.0000492	0.0000739	0.00008974	0.00012727

Comportamento dei calastrelli

Accoppiamento imbottito con funzione statica (§C4.2.4.1.3.1.4 NTC18) nella campata compresa tra le ascisse 0 e 1.505 per sbandamento attorno all'asse y.

Verifiche di resistenza

Verifiche a forza assiale §4.2.4.1.2.1 - §4.2.4.1.2.2 NTC18

X	Comb.	Sfruttamento	Classe	NEd	Nc,Rd	Nt,Rd	Riduzione da taglio	px	py	Verifica
1.505	SLU 41	0.061	3	-61.393	1003.522		1	0	0	Si

Verifiche a forza assiale SLD §4.2.4.1.2.1 - §4.2.4.1.2.2 NTC18

X	Comb.	Sfruttamento	Classe	NEd	Nc,Rd	Nt,Rd	Riduzione da taglio	px	py	Verifica
1.505	SLD 5	0.009	3	-9.525	1003.522		1	0	0	Si

Verifica a taglio X §4.2.4.1.2.4 NTC18

X	Comb.	Sfruttamento	VEd	Vc,Rd	Av	Interazione taglio-torsione	Riduzione torsione	Verifica
1.505	SLU 41	0.001	0.389	302.422	0.002	Non considerata		Si

Verifica a taglio Y §4.2.4.1.2.4 NTC18

X	Comb.	Sfruttamento	VEd	Vc,Rd	Av	Interazione taglio-torsione	Riduzione torsione	Verifica
1.505	SLU 76	0.001	-0.339	302.422	0.002	Non considerata		Si

Verifica a taglio Y SLD §4.2.4.1.2.4 NTC18

X	Comb.	Sfruttamento	VEd	Vc,Rd	Av	Interazione taglio-torsione	Riduzione torsione	Verifica
1.505	SLD 10	0.001	-0.231	302.422	0.002	Non considerata		Si

Verifica a presso/tenso flessione retta X §§ 4.2.4.1.2.3 - 4.2.4.1.2.6 - 4.2.4.1.2.7 - 4.2.4.1.2.8 NTC18

Verifiche eseguite utilizzando la formula conservativa (6.2) §6.2.1 EN 1993-1-1:2005.

X	Comb.	Sfruttamento	Classe	NEd	NRd	Rid. NRd da VEd	Mx,Ed	Mx,Rd	Rid. Mx,Rd da VEd	Rid. Mx,Rd da NEd	px	py	Verifica
0.652	SLU 26	0.046	1	42.494	1003.522	1	-0.0961	23.5037	1		0	0	Si

Verifica a presso/tenso flessione retta Y §§ 4.2.4.1.2.3 - 4.2.4.1.2.6 - 4.2.4.1.2.7 - 4.2.4.1.2.8 NTC18

Verifiche eseguite utilizzando la formula conservativa (6.2) §6.2.1 EN 1993-1-1:2005.

X	Comb.	Sfruttamento	Classe	NEd	NRd	Rid. NRd da VEd	My,Ed	My,Rd	Rid. My,Rd da VEd	Rid. My,Rd da NEd	px	py	Verifica
0	SLU 44	0.07	3	-60.303	1003.522	1	0.1832	19.3536	1		0	0	Si

Verifica a presso/tenso flessione retta Y SLD §§ 4.2.4.1.2.3 - 4.2.4.1.2.6 - 4.2.4.1.2.7 - 4.2.4.1.2.8 NTC18

Verifiche eseguite utilizzando la formula conservativa (6.2) §6.2.1 EN 1993-1-1:2005.

Implementazione dei sistemi di confinamento delle emissioni odorigene diffuse dell'impianto di compostaggio esistente nel
Comune di Eboli (SA)

PROGETTO DEFINITIVO – Tabulati di calcolo Tomo 1

X	Comb.	Sfruttamento	Classe	NEd	NRd	Rid. NRd da VEd	My,Ed	My,Rd	Rid. My,Rd da VEd	Rid. My,Rd da NEd	px	py	Verifica
1.505	SLD 5	0.011	3	-9.525	1003.522	1	0.0288	19.3536	1		0	0	Si

Verifica a presso/tenso flessione deviata §§ 4.2.4.1.2.3 - 4.2.4.1.2.6 - 4.2.4.1.2.7 - 4.2.4.1.2.8 NTC18

Verifiche eseguite utilizzando la formula conservativa (6.2) §6.2.1 EN 1993-1-1:2005.

X	Comb.	Sfruttamento	Classe	NEd	NRd	Rid. NRd da VEd	Mx,Ed	Mx,Rd	My,Ed	My,Rd	Rid. Mx,Rd da VEd	Rid. Mx,Rd da NEd	Rid. My,Rd da VEd	Rid. My,Rd da NEd	α	β	px	py	Verifica
0.803	SLU 41	0.08	3	-61.371	1003.522	1	-0.1178	12.886	0.1865	19.3536	1		1				0	0	Si

Verifica a presso/tenso flessione deviata SLD §§ 4.2.4.1.2.3 - 4.2.4.1.2.6 - 4.2.4.1.2.7 - 4.2.4.1.2.8 NTC18

Verifiche eseguite utilizzando la formula conservativa (6.2) §6.2.1 EN 1993-1-1:2005.

X	Comb.	Sfruttamento	Classe	NEd	NRd	Rid. NRd da VEd	Mx,Ed	Mx,Rd	My,Ed	My,Rd	Rid. Mx,Rd da VEd	Rid. Mx,Rd da NEd	Rid. My,Rd da VEd	Rid. My,Rd da NEd	α	β	px	py	Verifica
0.753	SLD 5	0.018	3	-9.506	1003.522	1	-0.0904	12.886	-0.0287	19.3536	1		1				0	0	Si

Verifiche ad instabilità

Caratteristiche iniziali

Membratura principale per controllo snellezza; Calcolo di snellezze ed N critici condotti secondo gli assi principali;

Curva X: c; Curva Y: c;

Svergolamento: Nessuno; la verifica a instabilità flesso-torsionale (svergolamento) non verrà eseguita.

Dati per instabilità attorno a x

Controllo della snellezza secondo §4.2.4.1.3.1 NTC18

Numero rit.	Presente	Ascissa	Campata	βx/m	Vincolo a entrambi estremi	λx/m	λVer
1	Si	0					
			1-2	1	Si	49.6	Si, (<200)
2	Si	1.505					

Dati per instabilità attorno a y

Controllo della snellezza secondo §4.2.4.1.3.1 NTC18

Numero rit.	Presente	Ascissa	Campata	βy/n	k,LT	kw,LT	Vincolo a entrambi estremi
1	Si	0					
			1-2	1	Si	34.9	Si, (<200)
2	Si	1.505					

Verifica di stabilità per pressoflessione §C.4.2.4.1.3.3.1 NTC18

X	Comb.	Sfruttamento	Classe	NEd	MxEq,Ed	MyEq,Ed	Area	Wx	Wy	χ,min	λ adim. x/m	λ adim. y/n	N,crit x/m	N,crit y/n	Verifica
1.505	SLU 41	0.094	3	-61.393	-0.1048	0.1865	0.003832	0.0000492	0.0000739	0.802	0.571	0.402	3231.032	6528.319	Si

Verifica di stabilità per pressoflessione SLD §C.4.2.4.1.3.3.1 NTC18

X	Comb.	Sfruttamento	Classe	NEd	MxEq,Ed	MyEq,Ed	Area	Wx	Wy	χ,min	λ adim. x/m	λ adim. y/n	N,crit x/m	N,crit y/n	Verifica
1.505	SLD 2	0.02	3	-9.521	-0.0803	0.0288	0.003832	0.0000492	0.0000739	0.802	0.571	0.402	3231.032	6528.319	Si

Verifiche a deformabilità

Mensola X: No; Mensola Y: No.

Frecce lungo X

Ascissa freccia	Combinazione	Freccia	Luce	L/f	L/f,min	Tipo	Verifica
0.753	SLE RA 1	0	1.505	10000	250	Totale	Si
0.803	SLE RA 17	0	1.505	10000	250	Totale	Si
0.803	SLE RA 16	0	1.505	10000	250	Totale	Si
0.803	SLE RA 15	0	1.505	10000	250	Totale	Si
0.803	SLE RA 14	0	1.505	10000	250	Totale	Si
1.003	SLE RA 2	0	1.505	10000	350	Variabile	Si
1.054	SLE RA 17	0	1.505	10000	350	Variabile	Si
1.054	SLE RA 16	0	1.505	10000	350	Variabile	Si
0.903	SLE RA 15	0	1.505	10000	350	Variabile	Si
0.602	SLE RA 14	0	1.505	10000	350	Variabile	Si

Frecce lungo Y

Ascissa freccia	Combinazione	Freccia	Luce	L/f	L/f,min	Tipo	Verifica
0.753	SLE RA 1	-0.00003	1.505	10000	250	Totale	Si
0.753	SLE RA 17	-0.00003	1.505	10000	250	Totale	Si
0.753	SLE RA 16	-0.00003	1.505	10000	250	Totale	Si
0.753	SLE RA 15	-0.00003	1.505	10000	250	Totale	Si
0.753	SLE RA 14	-0.00003	1.505	10000	250	Totale	Si
0.602	SLE RA 2	0	1.505	10000	350	Variabile	Si
0.602	SLE RA 17	0	1.505	10000	350	Variabile	Si
0.602	SLE RA 16	0	1.505	10000	350	Variabile	Si
0.502	SLE RA 15	0	1.505	10000	350	Variabile	Si
0.803	SLE RA 14	0	1.505	10000	350	Variabile	Si

Superelemento in acciaio a quota "703"- "690" (473; 2096)-(363; 2198)

Caratteristiche del materiale

Acciaio: S275, fyk = 275000

Caratteristiche geometriche

Lunghezza: 1.505

Nodo iniziale: 1929 Nodo finale: 1740

Cerniera iniziale: Mmomenti 1% Cerniera finale: Mmomenti 1%

Sovreresistenza: 0% Sisma Z: No

**Implementazione dei sistemi di confinamento delle emissioni odorigene diffuse dell'impianto di compostaggio esistente nel
Comune di Eboli (SA)
PROGETTO DEFINITIVO – Tabulati di calcolo Tomo 1**

Caratteristiche della sezione

Sezione	Rotazione	Area	Jx	Jy	ix	iy	Wx	Wy	Wplx	Wply
A1; L100*10; 1; Saldato; S275; 30; 1; 8; 8; 1	0	0.003832	0.0000035319	0.000007759	0.0304	0.045	0.0000492	0.0000739	0.00008974	0.00012727

Comportamento dei calastrelli

Accoppiamento imbottito con funzione statica (§C4.2.4.1.3.1.4 NTC18) nella campata compresa tra le ascisse 0 e 1.505 per sbandamento attorno all'asse y.

Verifiche di resistenza

Verifiche a forza assiale §4.2.4.1.2.1 - §4.2.4.1.2.2 NTC18

X	Comb.	Sfruttamento	Classe	NEd	Nc,Rd	Nt,Rd	Riduzione da taglio	px	py	Verifica
0	SLU 26	0.063		63.324		1003.522	1	0	0	Si

Verifiche a forza assiale SLD §4.2.4.1.2.1 - §4.2.4.1.2.2 NTC18

X	Comb.	Sfruttamento	Classe	NEd	Nc,Rd	Nt,Rd	Riduzione da taglio	px	py	Verifica
0	SLD 16	0.011		10.843		1003.522	1	0	0	Si

Verifica a taglio X §4.2.4.1.2.4 NTC18

X	Comb.	Sfruttamento	VEd	Vc,Rd	Av	Interazione taglio-torsione	Riduzione torsione	Verifica
1.505	SLU 41	0.001	-0.325	302.422	0.002	Non considerata		Si

Verifica a taglio Y §4.2.4.1.2.4 NTC18

X	Comb.	Sfruttamento	VEd	Vc,Rd	Av	Interazione taglio-torsione	Riduzione torsione	Verifica
1.505	SLU 76	0.001	-0.364	302.422	0.002	Non considerata		Si

Verifica a taglio Y SLD §4.2.4.1.2.4 NTC18

X	Comb.	Sfruttamento	VEd	Vc,Rd	Av	Interazione taglio-torsione	Riduzione torsione	Verifica
1.505	SLD 16	0.001	-0.238	302.422	0.002	Non considerata		Si

Verifica a flessione semplice X §§ 4.2.4.1.2.3 - 4.2.4.1.2.6 - 4.2.4.1.2.7 - 4.2.4.1.2.8 NTC18

X	Comb.	Sfruttamento	Classe	Mx,Ed	Mx,Rd	Rid. Mx,Rd da VEd	px	py	Verifica
0.753	SLU 39	0.005	1	-0.11557	23.50374	1	0	0	Si

Verifica a presso/tenso flessione retta X §§ 4.2.4.1.2.3 - 4.2.4.1.2.6 - 4.2.4.1.2.7 - 4.2.4.1.2.8 NTC18

Verifiche eseguite utilizzando la formula conservativa (6.2) §6.2.1 EN 1993-1-1:2005.

X	Comb.	Sfruttamento	Classe	NEd	NRd	Rid. NRd da VEd	Mx,Ed	Mx,Rd	Rid. Mx,Rd da VEd	Rid. Mx,Rd da NEd	px	py	Verifica
0.602	SLU 64	0.068	1	62.395	1003.522	1	-0.1297	23.5037	1		0	0	Si

Verifica a presso/tenso flessione retta X SLD §§ 4.2.4.1.2.3 - 4.2.4.1.2.6 - 4.2.4.1.2.7 - 4.2.4.1.2.8 NTC18

Verifiche eseguite utilizzando la formula conservativa (6.2) §6.2.1 EN 1993-1-1:2005.

X	Comb.	Sfruttamento	Classe	NEd	NRd	Rid. NRd da VEd	Mx,Ed	Mx,Rd	Rid. Mx,Rd da VEd	Rid. Mx,Rd da NEd	px	py	Verifica
0.702	SLD 16	0.015	1	10.825	1003.522	1	-0.0882	23.5037	1		0	0	Si

Verifica a presso/tenso flessione retta Y §§ 4.2.4.1.2.3 - 4.2.4.1.2.6 - 4.2.4.1.2.7 - 4.2.4.1.2.8 NTC18

Verifiche eseguite utilizzando la formula conservativa (6.2) §6.2.1 EN 1993-1-1:2005.

X	Comb.	Sfruttamento	Classe	NEd	NRd	Rid. NRd da VEd	My,Ed	My,Rd	Rid. My,Rd da VEd	Rid. My,Rd da NEd	px	py	Verifica
0.05	SLU 41	0.059	3	-51.234	1003.522	1	0.1556	19.3536	1		0	0	Si

Verifica a presso/tenso flessione retta Y SLD §§ 4.2.4.1.2.3 - 4.2.4.1.2.6 - 4.2.4.1.2.7 - 4.2.4.1.2.8 NTC18

Verifiche eseguite utilizzando la formula conservativa (6.2) §6.2.1 EN 1993-1-1:2005.

X	Comb.	Sfruttamento	Classe	NEd	NRd	Rid. NRd da VEd	My,Ed	My,Rd	Rid. My,Rd da VEd	Rid. My,Rd da NEd	px	py	Verifica
1.505	SLD 1	0.007	3	-6.203	1003.522	1	-0.0188	19.3536	1		0	0	Si

Verifica a presso/tenso flessione deviata §§ 4.2.4.1.2.3 - 4.2.4.1.2.6 - 4.2.4.1.2.7 - 4.2.4.1.2.8 NTC18

Verifiche eseguite utilizzando la formula conservativa (6.2) §6.2.1 EN 1993-1-1:2005.

X	Comb.	Sfruttamento	Classe	NEd	NRd	Rid. NRd da VEd	Mx,Ed	Mx,Rd	My,Ed	My,Rd	Rid. Mx,Rd da VEd	Rid. Mx,Rd da NEd	Rid. My,Rd da VEd	Rid. My,Rd da NEd	α	β	px	py	Verifica
0.803	SLU 41	0.068	3	-51.258	1003.522	1	-0.1124	12.886	0.1555	19.3536	1		1				0	0	Si

Verifica a presso/tenso flessione deviata SLD §§ 4.2.4.1.2.3 - 4.2.4.1.2.6 - 4.2.4.1.2.7 - 4.2.4.1.2.8 NTC18

Verifiche eseguite utilizzando la formula conservativa (6.2) §6.2.1 EN 1993-1-1:2005.

X	Comb.	Sfruttamento	Classe	NEd	NRd	Rid. NRd da VEd	Mx,Ed	Mx,Rd	My,Ed	My,Rd	Rid. Mx,Rd da VEd	Rid. Mx,Rd da NEd	Rid. My,Rd da VEd	Rid. My,Rd da NEd	α	β	px	py	Verifica
1.054	SLD 1	0.013	3	-6.192	1003.522	1	-0.0763	12.886	-0.0187	19.3536	1		1				0	0	Si

Verifiche ad instabilità

Caratteristiche iniziali

Membratura principale per controllo snellezza; Calcolo di snellezze ed N critici condotti secondo gli assi principali;

Curva X: c; Curva Y: c;

Svergolamento: Nessuno; la verifica a instabilità flesso-torsionale (svergolamento) non verrà eseguita.

Dati per instabilità attorno a x

Controllo della snellezza secondo §4.2.4.1.3.1 NTC18

Numero rit.	Presente	Ascissa	Campata	βx/m	Vincolo a entrambi estremi	λx/m	λVer
1	Si	0					
			1-2	1	Si	49.6	Si, (<200)
2	Si	1.505					

Implementazione dei sistemi di confinamento delle emissioni odorigene diffuse dell'impianto di compostaggio esistente nel
Comune di Eboli (SA)
PROGETTO DEFINITIVO – Tabulati di calcolo Tomo 1

Dati per instabilità attorno a y

Controllo della snellezza secondo §4.2.4.1.3.1 NTC18

Numero rit.	Presente	Ascissa	Campata	$\beta y/n$	k,LT	kw,LT	Vincolo a entrambi estremi
1	Si	0	1-2	1	Si	34.9	Si, (<200)
2	Si	1.505					

Verifica di stabilità per pressoflessione §C.4.2.4.1.3.3.1 NTC18

X	Comb.	Sfruttamento	Classe	NEd	MxEq,Ed	MyEq,Ed	Area	Wx	Wy	χ_{min}	λ adim. x/m	λ adim. y/n	N,crit x/m	N,crit y/n	Verifica
1.505	SLU 41	0.077	3	-51.281	-0.0977	-0.1168	0.003832	0.0000492	0.0000739	0.802	0.571	0.402	3231.032	6528.319	Si

Verifica di stabilità per pressoflessione SLD §C.4.2.4.1.3.3.1 NTC18

X	Comb.	Sfruttamento	Classe	NEd	MxEq,Ed	MyEq,Ed	Area	Wx	Wy	χ_{min}	λ adim. x/m	λ adim. y/n	N,crit x/m	N,crit y/n	Verifica
1.505	SLD 5	0.015	3	-6.16	-0.0828	-0.0186	0.003832	0.0000492	0.0000739	0.802	0.571	0.402	3231.032	6528.319	Si

Verifiche a deformabilità

Mensola X: No; Mensola Y: No.

Frecce lungo X

Ascissa freccia	Combinazione	Freccia	Luce	L/f	L/f,min	Tipo	Verifica
0.903	SLE RA 1	0	1.505	10000	250	Totale	Si
0.903	SLE RA 17	0	1.505	10000	250	Totale	Si
0.853	SLE RA 16	0	1.505	10000	250	Totale	Si
0.803	SLE RA 15	0	1.505	10000	250	Totale	Si
0.903	SLE RA 14	0	1.505	10000	250	Totale	Si
0.803	SLE RA 2	0	1.505	10000	350	Variabile	Si
0.803	SLE RA 17	0	1.505	10000	350	Variabile	Si
0.803	SLE RA 16	0	1.505	10000	350	Variabile	Si
0.753	SLE RA 15	0	1.505	10000	350	Variabile	Si
0.953	SLE RA 14	0	1.505	10000	350	Variabile	Si

Frecce lungo Y

Ascissa freccia	Combinazione	Freccia	Luce	L/f	L/f,min	Tipo	Verifica
0.753	SLE RA 1	-0.00003	1.505	10000	250	Totale	Si
0.753	SLE RA 17	-0.00003	1.505	10000	250	Totale	Si
0.702	SLE RA 16	-0.00003	1.505	10000	250	Totale	Si
0.702	SLE RA 15	-0.00003	1.505	10000	250	Totale	Si
0.753	SLE RA 14	-0.00003	1.505	10000	250	Totale	Si
0.552	SLE RA 2	0	1.505	10000	350	Variabile	Si
0.552	SLE RA 17	0	1.505	10000	350	Variabile	Si
0.552	SLE RA 16	0	1.505	10000	350	Variabile	Si
0.502	SLE RA 15	0	1.505	10000	350	Variabile	Si
0.753	SLE RA 14	0	1.505	10000	350	Variabile	Si

Superelemento in acciaio a quota "703"-"690" (729; 2371)-(620; 2473)

Caratteristiche del materiale

Acciaio: S275, fyk = 275000

Caratteristiche geometriche

Lunghezza: 1.505

Nodo iniziale: 1963 Nodo finale: 1744

Cerniera iniziale: Mmomenti 1% Cerniera finale: Mmomenti 1%

Sovraresistenza: 0% Sisma Z: No

Caratteristiche della sezione

Sezione	Rotazione	Area	Jx	Jy	ix	iy	Wx	Wy	Wplx	Wply
A1; L100*10; 1; Saldato; S275; 30; 1; 8; 8; 1	0	0.003832	0.0000035319	0.000007759	0.0304	0.045	0.0000492	0.0000739	0.00008974	0.00012727

Comportamento dei calastrelli

Accoppiamento imbottito con funzione statica (§C4.2.4.1.3.1.4 NTC18) nella campata compresa tra le ascisse 0 e 1.505 per sbandamento attorno all'asse y.

Verifiche di resistenza

Verifiche a forza assiale §4.2.4.1.2.1 - §4.2.4.1.2.2 NTC18

X	Comb.	Sfruttamento	Classe	NEd	Nc,Rd	Nt,Rd	Riduzione da taglio	px	py	Verifica
0	SLU 76	0.124		124.64		1003.522	1	0	0	Si

Verifiche a forza assiale SLD §4.2.4.1.2.1 - §4.2.4.1.2.2 NTC18

X	Comb.	Sfruttamento	Classe	NEd	Nc,Rd	Nt,Rd	Riduzione da taglio	px	py	Verifica
0	SLD 13	0.029		28.893		1003.522	1	0	0	Si

Verifica a taglio Y §4.2.4.1.2.4 NTC18

X	Comb.	Sfruttamento	VEd	Vc,Rd	Av	Interazione taglio-torsione	Riduzione torsione	Verifica
1.505	SLU 76	0.001	-0.362	302.422	0.002	Non considerata		Si

Verifica a taglio Y SLD §4.2.4.1.2.4 NTC18

X	Comb.	Sfruttamento	VEd	Vc,Rd	Av	Interazione taglio-torsione	Riduzione torsione	Verifica
1.505	SLD 14	0.001	-0.24	302.422	0.002	Non considerata		Si

Implementazione dei sistemi di confinamento delle emissioni odorigene diffuse dell'impianto di compostaggio esistente nel
Comune di Eboli (SA)
PROGETTO DEFINITIVO – Tabulati di calcolo Tomo 1

Verifica a presso/tenso flessione retta X §§ 4.2.4.1.2.3 - 4.2.4.1.2.6 - 4.2.4.1.2.7 - 4.2.4.1.2.8 NTC18

Verifiche eseguite utilizzando la formula conservativa (6.2) §6.2.1 EN 1993-1-1:2005.

X	Comb.	Sfruttamento	Classe	NEd	NRd	Rid. NRd da VEd	Mx,Ed	Mx,Rd	Rid. Mx,Rd da VEd	Rid. Mx,Rd da NEd	px	py	Verifica
0.602	SLU 76	0.129	1	124.62	1003.522	1	-0.108	23.5037	1		0	0	Si

Verifica a presso/tenso flessione retta X SLD §§ 4.2.4.1.2.3 - 4.2.4.1.2.6 - 4.2.4.1.2.7 - 4.2.4.1.2.8 NTC18

Verifiche eseguite utilizzando la formula conservativa (6.2) §6.2.1 EN 1993-1-1:2005.

X	Comb.	Sfruttamento	Classe	NEd	NRd	Rid. NRd da VEd	Mx,Ed	Mx,Rd	Rid. Mx,Rd da VEd	Rid. Mx,Rd da NEd	px	py	Verifica
0.702	SLD 14	0.032	1	28.875	1003.522	1	-0.0823	23.5037	1		0	0	Si

Verifica a presso/tenso flessione retta Y §§ 4.2.4.1.2.3 - 4.2.4.1.2.6 - 4.2.4.1.2.7 - 4.2.4.1.2.8 NTC18

Verifiche eseguite utilizzando la formula conservativa (6.2) §6.2.1 EN 1993-1-1:2005.

X	Comb.	Sfruttamento	Classe	NEd	NRd	Rid. NRd da VEd	My,Ed	My,Rd	Rid. My,Rd da VEd	Rid. My,Rd da NEd	px	py	Verifica
0.05	SLU 3	0.03	3	-26.047	1003.522	1	0.0787	19.3536	1		0	0	Si

Verifica a presso/tenso flessione deviata §§ 4.2.4.1.2.3 - 4.2.4.1.2.6 - 4.2.4.1.2.7 - 4.2.4.1.2.8 NTC18

Verifiche eseguite utilizzando la formula conservativa (6.2) §6.2.1 EN 1993-1-1:2005.

X	Comb.	Sfruttamento	Classe	NEd	NRd	Rid. NRd da VEd	Mx,Ed	Mx,Rd	My,Ed	My,Rd	Rid. Mx,Rd da VEd	Rid. Mx,Rd da NEd	Rid. My,Rd da VEd	Rid. My,Rd da NEd	α	β	px	py	Verifica
0.803	SLU 3	0.037	3	-26.066	1003.522	1	-0.084	12.886	0.0788	19.3536	1		1				0	0	Si

Verifiche ad instabilità

Caratteristiche iniziali

Membratura principale per controllo snellezza; Calcolo di snellezze ed N critici condotti secondo gli assi principali;

Curva X: c; Curva Y: c;

Svergolamento: Nessuno; la verifica a instabilità flesso-torsionale (svergolamento) non verrà eseguita.

Dati per instabilità attorno a x

Controllo della snellezza secondo §4.2.4.1.3.1 NTC18

Numero rit.	Presente	Ascissa	Campata	βx/m	Vincolo a entrambi estremi	λx/m	λVer
1	Si	0	1-2	1	Si	49.6	Si, (<200)
2	Si	1.505					

Dati per instabilità attorno a y

Controllo della snellezza secondo §4.2.4.1.3.1 NTC18

Numero rit.	Presente	Ascissa	Campata	βy/n	k,LT	kw,LT	Vincolo a entrambi estremi
1	Si	0	1-2	1	Si	34.9	Si, (<200)
2	Si	1.505					

Verifica di stabilità per pressoflessione §C.4.2.4.1.3.3.1 NTC18

X	Comb.	Sfruttamento	Classe	NEd	MxEq,Ed	MyEq,Ed	Area	Wx	Wy	χ,min	λ adim. x/m	λ adim. y/n	N,crit x/m	N,crit y/n	Verifica
1.505	SLU 3	0.041	3	-26.083	-0.0722	-0.0591	0.003832	0.0000492	0.0000739	0.802	0.571	0.402	3231.032	6528.319	Si

Verifiche a deformabilità

Mensola X: No; Mensola Y: No.

Frecce lungo X

Ascissa freccia	Combinazione	Freccia	Luce	L/f	L/f,min	Tipo	Verifica
0.652	SLE RA 1	0	1.505	10000	250	Totale	Si
0.702	SLE RA 17	0	1.505	10000	250	Totale	Si
0.702	SLE RA 16	0	1.505	10000	250	Totale	Si
0.702	SLE RA 15	0	1.505	10000	250	Totale	Si
0.702	SLE RA 14	0	1.505	10000	250	Totale	Si
0.702	SLE RA 2	0	1.505	10000	350	Variabile	Si
0.702	SLE RA 17	0	1.505	10000	350	Variabile	Si
0.702	SLE RA 16	0	1.505	10000	350	Variabile	Si
0.702	SLE RA 15	0	1.505	10000	350	Variabile	Si
0.702	SLE RA 14	0	1.505	10000	350	Variabile	Si

Frecce lungo Y

Ascissa freccia	Combinazione	Freccia	Luce	L/f	L/f,min	Tipo	Verifica
0.753	SLE RA 1	-0.00003	1.505	10000	250	Totale	Si
0.753	SLE RA 17	-0.00003	1.505	10000	250	Totale	Si
0.702	SLE RA 16	-0.00003	1.505	10000	250	Totale	Si
0.702	SLE RA 15	-0.00003	1.505	10000	250	Totale	Si
0.753	SLE RA 14	-0.00003	1.505	10000	250	Totale	Si
1.104	SLE RA 2	0	1.505	10000	350	Variabile	Si
1.104	SLE RA 17	0	1.505	10000	350	Variabile	Si
1.104	SLE RA 16	0	1.505	10000	350	Variabile	Si
1.104	SLE RA 15	0	1.505	10000	350	Variabile	Si
1.104	SLE RA 14	0	1.505	10000	350	Variabile	Si

Superelemento in acciaio a quota "703"- "690" (979; 2634)- (869; 2737)

Caratteristiche del materiale

Acciaio: S275, fyk = 275000

Caratteristiche geometriche

Lunghezza: 1.505

Nodo iniziale: 1969 Nodo finale: 1749

Cerniera iniziale: Mmomenti 1% Cerniera finale: Mmomenti 1%

**Implementazione dei sistemi di confinamento delle emissioni odorigene diffuse dell'impianto di compostaggio esistente nel
Comune di Eboli (SA)
PROGETTO DEFINITIVO – Tabulati di calcolo Tomo 1**

Sovreresistenza: 0% Sisma Z: No

Caratteristiche della sezione

Sezione	Rotazione	Area	Jx	Jy	ix	iy	Wx	Wy	Wplx	Wply
A1; L100*10; 1; Saldato; S275; 30; 1; 8; 8; 1	0	0.003832	0.0000035319	0.000007759	0.0304	0.045	0.0000492	0.0000739	0.00008974	0.00012727

Comportamento dei calastrelli

Accoppiamento imbottito con funzione statica (§C4.2.4.1.3.1.4 NTC18) nella campata compresa tra le ascisse 0 e 1.505 per sbandamento attorno all'asse y.

Verifiche di resistenza

Verifiche a forza assiale §4.2.4.1.2.1 - §4.2.4.1.2.2 NTC18

X	Comb.	Sfruttamento	Classe	NEd	Nc,Rd	Nt,Rd	Riduzione da taglio	px	py	Verifica
0	SLU 26	0.055		54.854		1003.522	1	0	0	Si

Verifiche a forza assiale SLD §4.2.4.1.2.1 - §4.2.4.1.2.2 NTC18

X	Comb.	Sfruttamento	Classe	NEd	Nc,Rd	Nt,Rd	Riduzione da taglio	px	py	Verifica
0	SLD 1	0.008		7.874		1003.522	1	0	0	Si

Verifica a taglio X §4.2.4.1.2.4 NTC18

X	Comb.	Sfruttamento	VEd	Vc,Rd	Av	Interazione taglio-torsione	Riduzione torsione	Verifica
1.505	SLU 41	0.001	0.292	302.422	0.002	Non considerata		Si

Verifica a taglio Y §4.2.4.1.2.4 NTC18

X	Comb.	Sfruttamento	VEd	Vc,Rd	Av	Interazione taglio-torsione	Riduzione torsione	Verifica
1.505	SLU 76	0.001	-0.351	302.422	0.002	Non considerata		Si

Verifica a taglio Y SLD §4.2.4.1.2.4 NTC18

X	Comb.	Sfruttamento	VEd	Vc,Rd	Av	Interazione taglio-torsione	Riduzione torsione	Verifica
1.505	SLD 1	0.001	-0.235	302.422	0.002	Non considerata		Si

Verifica a flessione semplice X §§ 4.2.4.1.2.3 - 4.2.4.1.2.6 - 4.2.4.1.2.7 - 4.2.4.1.2.8 NTC18

X	Comb.	Sfruttamento	Classe	Mx,Ed	Mx,Rd	Rid. Mx,Rd da VEd	px	py	Verifica
0.753	SLU 47	0.005	1	-0.11461	23.50374	1	0	0	Si

Verifica a presso/tenso flessione retta X §§ 4.2.4.1.2.3 - 4.2.4.1.2.6 - 4.2.4.1.2.7 - 4.2.4.1.2.8 NTC18

Verifiche eseguite utilizzando la formula conservativa (6.2) §6.2.1 EN 1993-1-1:2005.

X	Comb.	Sfruttamento	Classe	NEd	NRd	Rid. NRd da VEd	Mx,Ed	Mx,Rd	Rid. Mx,Rd da VEd	Rid. Mx,Rd da NEd	px	py	Verifica
0.602	SLU 26	0.059	1	54.839	1003.522	1	-0.0992	23.5037	1		0	0	Si

Verifica a presso/tenso flessione retta X SLD §§ 4.2.4.1.2.3 - 4.2.4.1.2.6 - 4.2.4.1.2.7 - 4.2.4.1.2.8 NTC18

Verifiche eseguite utilizzando la formula conservativa (6.2) §6.2.1 EN 1993-1-1:2005.

X	Comb.	Sfruttamento	Classe	NEd	NRd	Rid. NRd da VEd	Mx,Ed	Mx,Rd	Rid. Mx,Rd da VEd	Rid. Mx,Rd da NEd	px	py	Verifica
0.702	SLD 1	0.012	1	7.857	1003.522	1	-0.0864	23.5037	1		0	0	Si

Verifica a presso/tenso flessione retta Y §§ 4.2.4.1.2.3 - 4.2.4.1.2.6 - 4.2.4.1.2.7 - 4.2.4.1.2.8 NTC18

Verifiche eseguite utilizzando la formula conservativa (6.2) §6.2.1 EN 1993-1-1:2005.

X	Comb.	Sfruttamento	Classe	NEd	NRd	Rid. NRd da VEd	My,Ed	My,Rd	Rid. My,Rd da VEd	Rid. My,Rd da NEd	px	py	Verifica
0.05	SLU 41	0.053	3	-46.069	1003.522	1	-0.1398	19.3536	1		0	0	Si

Verifica a presso/tenso flessione retta Y SLD §§ 4.2.4.1.2.3 - 4.2.4.1.2.6 - 4.2.4.1.2.7 - 4.2.4.1.2.8 NTC18

Verifiche eseguite utilizzando la formula conservativa (6.2) §6.2.1 EN 1993-1-1:2005.

X	Comb.	Sfruttamento	Classe	NEd	NRd	Rid. NRd da VEd	My,Ed	My,Rd	Rid. My,Rd da VEd	Rid. My,Rd da NEd	px	py	Verifica
1.505	SLD 15	0.008	3	-6.674	1003.522	1	0.0201	19.3536	1		0	0	Si

Verifica a presso/tenso flessione deviata §§ 4.2.4.1.2.3 - 4.2.4.1.2.6 - 4.2.4.1.2.7 - 4.2.4.1.2.8 NTC18

Verifiche eseguite utilizzando la formula conservativa (6.2) §6.2.1 EN 1993-1-1:2005.

X	Comb.	Sfruttamento	Classe	NEd	NRd	Rid. NRd da VEd	Mx,Ed	Mx,Rd	My,Ed	My,Rd	Rid. Mx,Rd da VEd	Rid. Mx,Rd da NEd	Rid. My,Rd da VEd	Rid. My,Rd da NEd	α	β	px	py	Verifica
0.803	SLU 41	0.062	3	-46.093	1003.522	1	-0.1108	12.886	-0.1398	19.3536	1		1				0	0	Si

Verifica a presso/tenso flessione deviata SLD §§ 4.2.4.1.2.3 - 4.2.4.1.2.6 - 4.2.4.1.2.7 - 4.2.4.1.2.8 NTC18

Verifiche eseguite utilizzando la formula conservativa (6.2) §6.2.1 EN 1993-1-1:2005.

X	Comb.	Sfruttamento	Classe	NEd	NRd	Rid. NRd da VEd	Mx,Ed	Mx,Rd	My,Ed	My,Rd	Rid. Mx,Rd da VEd	Rid. Mx,Rd da NEd	Rid. My,Rd da VEd	Rid. My,Rd da NEd	α	β	px	py	Verifica
0.953	SLD 16	0.014	3	-6.66	1003.522	1	-0.0833	12.886	0.0202	19.3536	1		1				0	0	Si

Verifiche ad instabilità

Caratteristiche iniziali

Membratura principale per controllo snellezza; Calcolo di snellezze ed N critici condotti secondo gli assi principali;

Curva X: c; Curva Y: c;

Svergolamento: Nessuno; la verifica a instabilità flesso-torsionale (svergolamento) non verrà eseguita.

Dati per instabilità attorno a x

Controllo della snellezza secondo §4.2.4.1.3.1 NTC18

Numero rit.	Presente	Ascissa	Campata	βx/m	Vincolo a entrambi estremi	λx/m	λVer
1	Si	0					
			1-2	1	Si	49.6	Si, (<200)
2	Si	1.505					

Implementazione dei sistemi di confinamento delle emissioni odorigene diffuse dell'impianto di compostaggio esistente nel
Comune di Eboli (SA)
PROGETTO DEFINITIVO – Tabulati di calcolo Tomo 1

Dati per instabilità attorno a y

Controllo della snellezza secondo §4.2.4.1.3.1 NTC18

Numero rit.	Presente	Ascissa	Campata	$\beta y/n$	k,LT	kw,LT	Vincolo a entrambi estremi
1	Si	0					
			1-2	1	Si	34.9	Si, (<200)
2	Si	1.505					

Verifica di stabilità per pressoflessione §C.4.2.4.1.3.3.1 NTC18

X	Comb.	Sfruttamento	Classe	NEd	MxEq,Ed	MyEq,Ed	Area	Wx	Wy	χ_{min}	λ adim. x/m	λ adim. y/n	N,crit x/m	N,crit y/n	Verifica
1.505	SLU 41	0.072	3	-46.116	-0.0957	0.1398	0.003832	0.0000492	0.0000739	0.802	0.571	0.402	3231.032	6528.319	Si

Verifica di stabilità per pressoflessione SLD §C.4.2.4.1.3.3.1 NTC18

X	Comb.	Sfruttamento	Classe	NEd	MxEq,Ed	MyEq,Ed	Area	Wx	Wy	χ_{min}	λ adim. x/m	λ adim. y/n	N,crit x/m	N,crit y/n	Verifica
1.505	SLD 16	0.016	3	-6.674	-0.0804	0.0202	0.003832	0.0000492	0.0000739	0.802	0.571	0.402	3231.032	6528.319	Si

Verifiche a deformabilità

Mensola X: No; Mensola Y: No.

Frecce lungo X

Ascissa freccia	Combinazione	Freccia	Luce	L/f	L/f,min	Tipo	Verifica
0.602	SLE RA 1	0	1.505	10000	250	Totale	Si
0.602	SLE RA 17	0	1.505	10000	250	Totale	Si
0.602	SLE RA 16	0	1.505	10000	250	Totale	Si
0.602	SLE RA 15	0	1.505	10000	250	Totale	Si
0.652	SLE RA 14	0	1.505	10000	250	Totale	Si
0.652	SLE RA 2	0	1.505	10000	350	Variabile	Si
0.702	SLE RA 17	0	1.505	10000	350	Variabile	Si
0.652	SLE RA 16	0	1.505	10000	350	Variabile	Si
0.602	SLE RA 15	0	1.505	10000	350	Variabile	Si
0.351	SLE RA 14	0	1.505	10000	350	Variabile	Si

Frecce lungo Y

Ascissa freccia	Combinazione	Freccia	Luce	L/f	L/f,min	Tipo	Verifica
0.753	SLE RA 1	-0.00003	1.505	10000	250	Totale	Si
0.753	SLE RA 17	-0.00003	1.505	10000	250	Totale	Si
0.753	SLE RA 16	-0.00003	1.505	10000	250	Totale	Si
0.702	SLE RA 15	-0.00003	1.505	10000	250	Totale	Si
0.753	SLE RA 14	-0.00003	1.505	10000	250	Totale	Si
0.552	SLE RA 2	0	1.505	10000	350	Variabile	Si
0.552	SLE RA 17	0	1.505	10000	350	Variabile	Si
0.552	SLE RA 16	0	1.505	10000	350	Variabile	Si
0.502	SLE RA 15	0	1.505	10000	350	Variabile	Si
0.803	SLE RA 14	0	1.505	10000	350	Variabile	Si

Superelemento in acciaio a quota "703"- "690" (1233; 2905)-(1124; 3008)

Caratteristiche del materiale

Acciaio: S275, fyk = 275000

Caratteristiche geometriche

Lunghezza: 1.505

Nodo iniziale: 1998 Nodo finale: 1774

Cerniera iniziale: Mmomenti 1% Cerniera finale: Mmomenti 1%

Sovraresistenza: 0% Sisma Z: No

Caratteristiche della sezione

Sezione	Rotazione	Area	Jx	Jy	ix	iy	Wx	Wy	Wplx	Wply
A1; L100*10; 1; Saldato; S275; 30; 1; 8; 8; 1	0	0.003832	0.0000035319	0.000007759	0.0304	0.045	0.0000492	0.0000739	0.00008974	0.00012727

Comportamento dei calastrelli

Accoppiamento imbottito con funzione statica (§C4.2.4.1.3.1.4 NTC18) nella campata compresa tra le ascisse 0 e 1.505 per sbandamento attorno all'asse y.

Verifiche di resistenza

Verifiche a forza assiale §4.2.4.1.2.1 - §4.2.4.1.2.2 NTC18

X	Comb.	Sfruttamento	Classe	NEd	Nc,Rd	Nt,Rd	Riduzione da taglio	px	py	Verifica
1.505	SLU 76	0.078	3	-78.405	1003.522		1	0	0	Si

Verifiche a forza assiale SLD §4.2.4.1.2.1 - §4.2.4.1.2.2 NTC18

X	Comb.	Sfruttamento	Classe	NEd	Nc,Rd	Nt,Rd	Riduzione da taglio	px	py	Verifica
1.505	SLD 3	0.035	3	-35.224	1003.522		1	0	0	Si

Verifica a taglio X §4.2.4.1.2.4 NTC18

X	Comb.	Sfruttamento	VEd	Vc,Rd	Av	Interazione taglio-torsione	Riduzione torsione	Verifica
1.505	SLU 76	0.002	-0.502	302.422	0.002	Non considerata		Si

Verifica a taglio X SLD §4.2.4.1.2.4 NTC18

X	Comb.	Sfruttamento	VEd	Vc,Rd	Av	Interazione taglio-torsione	Riduzione torsione	Verifica
1.505	SLD 8	0.001	-0.224	302.422	0.002	Non considerata		Si

**Implementazione dei sistemi di confinamento delle emissioni odorigene diffuse dell'impianto di compostaggio esistente nel
Comune di Eboli (SA)
PROGETTO DEFINITIVO – Tabulati di calcolo Tomo 1**

Verifica a taglio Y §4.2.4.1.2.4 NTC18

X	Comb.	Sfruttamento	VEd	Vc,Rd	Av	Interazione taglio-torsione	Riduzione torsione	Verifica
0	SLU 76	0.002	0.713	302.422	0.002	Non considerata		Si

Verifica a taglio Y SLD §4.2.4.1.2.4 NTC18

X	Comb.	Sfruttamento	VEd	Vc,Rd	Av	Interazione taglio-torsione	Riduzione torsione	Verifica
0	SLD 4	0.001	0.29	302.422	0.002	Non considerata		Si

Verifica a presso/tenso flessione retta X §§ 4.2.4.1.2.3 - 4.2.4.1.2.6 - 4.2.4.1.2.7 - 4.2.4.1.2.8 NTC18

Verifiche eseguite utilizzando la formula conservativa (6.2) §6.2.1 EN 1993-1-1:2005.

X	Comb.	Sfruttamento	Classe	NEd	NRd	Rid. NRd da VEd	Mx,Ed	Mx,Rd	Rid. Mx,Rd da VEd	Rid. Mx,Rd da NEd	px	py	Verifica
0.853	SLU 2	0.004	1	-2.435	1003.522	1	-0.0426	23.5037	1		0	0	Si

Verifica a presso/tenso flessione retta Y §§ 4.2.4.1.2.3 - 4.2.4.1.2.6 - 4.2.4.1.2.7 - 4.2.4.1.2.8 NTC18

Verifiche eseguite utilizzando la formula conservativa (6.2) §6.2.1 EN 1993-1-1:2005.

X	Comb.	Sfruttamento	Classe	NEd	NRd	Rid. NRd da VEd	My,Ed	My,Rd	Rid. My,Rd da VEd	Rid. My,Rd da NEd	px	py	Verifica
0	SLU 76	0.09	3	-78.305	1003.522	1	0.2398	19.3536	1		0	0	Si

Verifica a presso/tenso flessione retta Y SLD §§ 4.2.4.1.2.3 - 4.2.4.1.2.6 - 4.2.4.1.2.7 - 4.2.4.1.2.8 NTC18

Verifiche eseguite utilizzando la formula conservativa (6.2) §6.2.1 EN 1993-1-1:2005.

X	Comb.	Sfruttamento	Classe	NEd	NRd	Rid. NRd da VEd	My,Ed	My,Rd	Rid. My,Rd da VEd	Rid. My,Rd da NEd	px	py	Verifica
0	SLD 3	0.041	3	-35.179	1003.522	1	-0.1067	19.3536	1		0	0	Si

Verifica a presso/tenso flessione deviata §§ 4.2.4.1.2.3 - 4.2.4.1.2.6 - 4.2.4.1.2.7 - 4.2.4.1.2.8 NTC18

Verifiche eseguite utilizzando la formula conservativa (6.2) §6.2.1 EN 1993-1-1:2005.

X	Comb.	Sfruttamento	Classe	NEd	NRd	Rid. NRd da VEd	Mx,Ed	Mx,Rd	My,Ed	My,Rd	Rid. Mx,Rd da VEd	Rid. Mx,Rd da NEd	Rid. My,Rd da VEd	Rid. My,Rd da NEd	α	β	px	py	Verifica
0.702	SLU 76	0.109	3	-78.364	1003.522	1	-0.2389	12.886	0.2393	19.3536	1		1				0	0	Si

Verifica a presso/tenso flessione deviata SLD §§ 4.2.4.1.2.3 - 4.2.4.1.2.6 - 4.2.4.1.2.7 - 4.2.4.1.2.8 NTC18

Verifiche eseguite utilizzando la formula conservativa (6.2) §6.2.1 EN 1993-1-1:2005.

X	Comb.	Sfruttamento	Classe	NEd	NRd	Rid. NRd da VEd	Mx,Ed	Mx,Rd	My,Ed	My,Rd	Rid. Mx,Rd da VEd	Rid. Mx,Rd da NEd	Rid. My,Rd da VEd	Rid. My,Rd da NEd	α	β	px	py	Verifica
0.753	SLD 3	0.049	3	-35.203	1003.522	1	-0.1052	12.886	0.1066	19.3536	1		1				0	0	Si

Verifiche ad instabilità

Caratteristiche iniziali

Membratura principale per controllo snellezza; Calcolo di snellezze ed N critici condotti secondo gli assi principali;

Curva X: c; Curva Y: c;

Svergolamento: Nessuno; la verifica a instabilità flesso-torsionale (svergolamento) non verrà eseguita.

Dati per instabilità attorno a x

Controllo della snellezza secondo §4.2.4.1.3.1 NTC18

Numero rit.	Presente	Ascissa	Campata	βx/m	Vincolo a entrambi estremi	λx/m	λVer
1	Si		0				
			1-2		1	49.6	Si, (<200)
2	Si	1.505					

Dati per instabilità attorno a y

Controllo della snellezza secondo §4.2.4.1.3.1 NTC18

Numero rit.	Presente	Ascissa	Campata	βy/n	k,LT	kw,LT	Vincolo a entrambi estremi
1	Si		0				
			1-2		1	34.9	Si, (<200)
2	Si	1.505					

Verifica di stabilità per pressoflessione §C.4.2.4.1.3.3.1 NTC18

X	Comb.	Sfruttamento	Classe	NEd	MxEq,Ed	MyEq,Ed	Area	Wx	Wy	χ,min	λ adim. x/m	λ adim. y/n	N,crit x/m	N,crit y/n	Verifica
1.505	SLU 76	0.124	3	-78.405	-0.2099	0.1971	0.003832	0.0000492	0.0000739	0.802	0.571	0.402	3231.032	6528.319	Si

Verifica di stabilità per pressoflessione SLD §C.4.2.4.1.3.3.1 NTC18

X	Comb.	Sfruttamento	Classe	NEd	MxEq,Ed	MyEq,Ed	Area	Wx	Wy	χ,min	λ adim. x/m	λ adim. y/n	N,crit x/m	N,crit y/n	Verifica
1.505	SLD 8	0.056	3	-35.191	-0.0928	0.0971	0.003832	0.0000492	0.0000739	0.802	0.571	0.402	3231.032	6528.319	Si

Verifiche a deformabilità

Mensola X: No; Mensola Y: No.

Frecce lungo X

Ascissa freccia	Combinazione	Freccia	Luce	L/f	L/f,min	Tipo	Verifica
0.753	SLE RA 1	0	1.505	10000	250	Totale	Si
0.702	SLE RA 17	0	1.505	10000	250	Totale	Si
0.652	SLE RA 16	0	1.505	10000	250	Totale	Si
0.602	SLE RA 15	0	1.505	10000	250	Totale	Si
0.803	SLE RA 14	0	1.505	10000	250	Totale	Si
0.602	SLE RA 2	0	1.505	10000	350	Variabile	Si
0.552	SLE RA 17	0	1.505	10000	350	Variabile	Si
0.552	SLE RA 16	0	1.505	10000	350	Variabile	Si
0.502	SLE RA 15	0	1.505	10000	350	Variabile	Si
1.003	SLE RA 14	0	1.505	10000	350	Variabile	Si

Frecce lungo Y

Ascissa freccia	Combinazione	Freccia	Luce	L/f	L/f,min	Tipo	Verifica
0.753	SLE RA 1	-0.00003	1.505	10000	250	Totale	Si
0.753	SLE RA 17	-0.00004	1.505	10000	250	Totale	Si
0.753	SLE RA 16	-0.00005	1.505	10000	250	Totale	Si
0.753	SLE RA 15	-0.00005	1.505	10000	250	Totale	Si

Implementazione dei sistemi di confinamento delle emissioni odorigene diffuse dell'impianto di compostaggio esistente nel
Comune di Eboli (SA)

PROGETTO DEFINITIVO – Tabulati di calcolo Tomo 1

Ascissa freccia	Combinazione	Freccia	Luce	L/f	L/f,min	Tipo	Verifica
0.753	SLE RA 14	-0.00004	1.505	10000	250	Totale	Si
0.753	SLE RA 2	0.00001	1.505	10000	350	Variabile	Si
0.753	SLE RA 17	-0.00001	1.505	10000	350	Variabile	Si
0.753	SLE RA 16	-0.00001	1.505	10000	350	Variabile	Si
0.753	SLE RA 15	-0.00002	1.505	10000	350	Variabile	Si
0.753	SLE RA 14	0	1.505	10000	350	Variabile	Si

Superelemento in acciaio a quota "703"- "690" (1999; 2293)-(1999; 2193)

Caratteristiche del materiale

Acciaio: S275, fyk = 275000

Caratteristiche geometriche

Lunghezza: 1.008

Nodo iniziale: 1940 Nodo finale: 1719

Cerniera iniziale: Mmomenti 1% Cerniera finale: Mmomenti 1%

Sovreresistenza: 0% Sisma Z: No

Caratteristiche della sezione

Sezione	Rotazione	Area	Jx	Jy	ix	iy	Wx	Wy	Wplx	Wply
A1; L100*10; 1; Saldato; S275; 20; 1; 8; 8; 1	0	0.003832	0.0000035319	0.000007759	0.0304	0.045	0.0000492	0.0000739	0.00008974	0.00012727

Comportamento dei calastrelli

Accoppiamento imbottito avendo passo inferiore al minimo richiesto (§C4.2.4.1.3.1.5 NTC18) nella campata compresa tra le ascisse 0 e 1.008 per sbandamento attorno all'asse y.

Verifiche di resistenza

Verifiche a forza assiale §4.2.4.1.2.1 - §4.2.4.1.2.2 NTC18

X	Comb.	Sfruttamento	Classe	NEd	Nc,Rd	Nt,Rd	Riduzione da taglio	px	py	Verifica
0	SLU 64	0.032		31.954		1003.522	1	0	0	Si

Verifiche a forza assiale SLD §4.2.4.1.2.1 - §4.2.4.1.2.2 NTC18

X	Comb.	Sfruttamento	Classe	NEd	Nc,Rd	Nt,Rd	Riduzione da taglio	px	py	Verifica
0	SLD 16	0.015		15.244		1003.522	1	0	0	Si

Verifica a taglio Y §4.2.4.1.2.4 NTC18

X	Comb.	Sfruttamento	VEd	Vc,Rd	Av	Interazione taglio-torsione	Riduzione torsione	Verifica
1.008	SLU 76	0.001	-0.248	302.422	0.002	Non considerata		Si

Verifica a presso/tenso flessione retta X §§ 4.2.4.1.2.3 - 4.2.4.1.2.6 - 4.2.4.1.2.7 - 4.2.4.1.2.8 NTC18

Verifiche eseguite utilizzando la formula conservativa (6.2) §6.2.1 EN 1993-1-1:2005.

X	Comb.	Sfruttamento	Classe	NEd	NRd	Rid. NRd da VEd	Mx,Ed	Mx,Rd	Rid. Mx,Rd da VEd	Rid. Mx,Rd da NEd	px	py	Verifica
1.008	SLU 64	0.034	1	31.905	1003.522	1	0.0478	23.5037	1		0	0	Si

Verifica a presso/tenso flessione retta X SLD §§ 4.2.4.1.2.3 - 4.2.4.1.2.6 - 4.2.4.1.2.7 - 4.2.4.1.2.8 NTC18

Verifiche eseguite utilizzando la formula conservativa (6.2) §6.2.1 EN 1993-1-1:2005.

X	Comb.	Sfruttamento	Classe	NEd	NRd	Rid. NRd da VEd	Mx,Ed	Mx,Rd	Rid. Mx,Rd da VEd	Rid. Mx,Rd da NEd	px	py	Verifica
0.403	SLD 15	0.016	1	15.229	1003.522	1	-0.0263	23.5037	1		0	0	Si

Verifiche ad instabilità

Caratteristiche iniziali

Membratura principale per controllo snellezza; Calcolo di snellezze ed N critici condotti secondo gli assi principali;

Curva X: c; Curva Y: c;

Svergolamento: Nessuno; la verifica a instabilità flesso-torsionale (svergolamento) non verrà eseguita.

Dati per instabilità attorno a x

Controllo della snellezza secondo §4.2.4.1.3.1 NTC18

Numero rit.	Presente	Ascissa	Campata	βx/m	Vincolo a entrambi estremi	λx/m	λVer
1	Si	0					
			1-2		1	Si	33.2
2	Si	1.008					Si, (<200)

Dati per instabilità attorno a y

Controllo della snellezza secondo §4.2.4.1.3.1 NTC18

Numero rit.	Presente	Ascissa	Campata	βy/n	k,LT	kw,LT	Vincolo a entrambi estremi
1	Si	0					
			1-2		1	Si	22.4
2	Si	1.008					Si, (<200)

Verifica di stabilità per pressoflessione §C.4.2.4.1.3.3.1 NTC18

X	Comb.	Sfruttamento	Classe	NEd	MxEd,Ed	MyEq,Ed	Area	Wx	Wy	χ,min	λ adim. x/m	λ adim. y/n	N,crit x/m	N,crit y/n	Verifica
1.008	SLU 3	0.021	3	-16.19	-0.0387	-0.0006	0.003832	0.0000492	0.0000739	0.907	0.382	0.258	7207.687	15834.061	Si

Verifica di stabilità per pressoflessione SLD §C.4.2.4.1.3.3.1 NTC18

X	Comb.	Sfruttamento	Classe	NEd	MxEd,Ed	MyEq,Ed	Area	Wx	Wy	χ,min	λ adim. x/m	λ adim. y/n	N,crit x/m	N,crit y/n	Verifica
1.008	SLD 2	0.004	3	-1.726	-0.0255	-0.0014	0.003832	0.0000492	0.0000739	0.907	0.382	0.258	7207.687	15834.061	Si

Implementazione dei sistemi di confinamento delle emissioni odorigene diffuse dell'impianto di compostaggio esistente nel
Comune di Eboli (SA)
PROGETTO DEFINITIVO – Tabulati di calcolo Tomo 1

Verifiche a deformabilità

Mensola X: No; Mensola Y: No.

Frecce lungo X

Ascissa freccia	Combinazione	Freccia	Luce	L/f	L/f,min	Tipo	Verifica
0.269	SLE RA 1	0	1.008	10000	250	Totale	Si
0.235	SLE RA 17	0	1.008	10000	250	Totale	Si
0.235	SLE RA 16	0	1.008	10000	250	Totale	Si
0.269	SLE RA 15	0	1.008	10000	250	Totale	Si
0.806	SLE RA 14	0	1.008	10000	250	Totale	Si
0.202	SLE RA 2	0	1.008	10000	350	Variabile	Si
0.202	SLE RA 17	0	1.008	10000	350	Variabile	Si
0.202	SLE RA 16	0	1.008	10000	350	Variabile	Si
0.269	SLE RA 15	0	1.008	10000	350	Variabile	Si
0.638	SLE RA 14	0	1.008	10000	350	Variabile	Si

Frecce lungo Y

Ascissa freccia	Combinazione	Freccia	Luce	L/f	L/f,min	Tipo	Verifica
0.47	SLE RA 1	0	1.008	10000	250	Totale	Si
0.47	SLE RA 17	0	1.008	10000	250	Totale	Si
0.437	SLE RA 16	0	1.008	10000	250	Totale	Si
0.437	SLE RA 15	0	1.008	10000	250	Totale	Si
0.47	SLE RA 14	0	1.008	10000	250	Totale	Si
0.638	SLE RA 2	0	1.008	10000	350	Variabile	Si
0.638	SLE RA 17	0	1.008	10000	350	Variabile	Si
0.638	SLE RA 16	0	1.008	10000	350	Variabile	Si
0.571	SLE RA 15	0	1.008	10000	350	Variabile	Si
0.437	SLE RA 14	0	1.008	10000	350	Variabile	Si

Superelemento in acciaio a quota "703"- "690" (2231; 2293)-(2231; 2193)

Caratteristiche del materiale

Acciaio: S275, fyk = 275000

Caratteristiche geometriche

Lunghezza: 1.008

Nodo iniziale: 1945 Nodo finale: 1722

Cerniera iniziale: Mmomenti 1% Cerniera finale: Mmomenti 1%

Sovreresistenza: 0% Sisma Z: No

Caratteristiche della sezione

Sezione	Rotazione	Area	Jx	Jy	ix	iy	Wx	Wy	Wplx	Wply
A1; L100*10; 1; Saldato; S275; 20; 1; 8; 8; 1	0	0.003832	0.0000035319	0.000007759	0.0304	0.045	0.0000492	0.0000739	0.00008974	0.00012727

Comportamento dei calastrelli

Accoppiamento imbottito avendo passo inferiore al minimo richiesto (§C4.2.4.1.3.1.5 NTC18) nella campata compresa tra le ascisse 0 e 1.008 per sbandamento attorno all'asse y.

Verifiche di resistenza

Verifiche a forza assiale §4.2.4.1.2.1 - §4.2.4.1.2.2 NTC18

X	Comb.	Sfruttamento	Classe	NEd	Nc,Rd	Nt,Rd	Riduzione da taglio	px	py	Verifica
0	SLU 76	0.014		14.374		1003.522	1	0	0	Si

Verifiche a forza assiale SLD §4.2.4.1.2.1 - §4.2.4.1.2.2 NTC18

X	Comb.	Sfruttamento	Classe	NEd	Nc,Rd	Nt,Rd	Riduzione da taglio	px	py	Verifica
0	SLD 10	0.006		5.786		1003.522	1	0	0	Si

Verifica a taglio Y §4.2.4.1.2.4 NTC18

X	Comb.	Sfruttamento	Classe	VEd	Vc,Rd	Av	Interazione taglio-torsione	Riduzione torsione	Verifica
1.008	SLU 75	0.001		-0.253	302.422	0.002	Non considerata		Si

Verifica a flessione semplice X §§ 4.2.4.1.2.3 - 4.2.4.1.2.6 - 4.2.4.1.2.7 - 4.2.4.1.2.8 NTC18

X	Comb.	Sfruttamento	Classe	Mx,Ed	Mx,Rd	Rid. Mx,Rd da VEd	px	py	Verifica
0.437	SLU 41	0.003	1	-0.05884	23.50374	1	0	0	Si

Verifica a presso/tenso flessione retta X §§ 4.2.4.1.2.3 - 4.2.4.1.2.6 - 4.2.4.1.2.7 - 4.2.4.1.2.8 NTC18

Verifiche eseguite utilizzando la formula conservativa (6.2) §6.2.1 EN 1993-1-1:2005.

X	Comb.	Sfruttamento	Classe	NEd	NRd	Rid. NRd da VEd	Mx,Ed	Mx,Rd	Rid. Mx,Rd da VEd	Rid. Mx,Rd da NEd	px	py	Verifica
0.37	SLU 76	0.017	1	14.357	1003.522	1	-0.057	23.5037	1		0	0	Si

Verifica a presso/tenso flessione retta X SLD §§ 4.2.4.1.2.3 - 4.2.4.1.2.6 - 4.2.4.1.2.7 - 4.2.4.1.2.8 NTC18

Verifiche eseguite utilizzando la formula conservativa (6.2) §6.2.1 EN 1993-1-1:2005.

X	Comb.	Sfruttamento	Classe	NEd	NRd	Rid. NRd da VEd	Mx,Ed	Mx,Rd	Rid. Mx,Rd da VEd	Rid. Mx,Rd da NEd	px	py	Verifica
0.437	SLD 9	0.007	1	5.769	1003.522	1	-0.0393	23.5037	1		0	0	Si

Verifiche ad instabilità

Caratteristiche iniziali

Membratura principale per controllo snellezza; Calcolo di snellezze ed N critici condotti secondo gli assi principali;

Curva X: c; Curva Y: c;

Implementazione dei sistemi di confinamento delle emissioni odorigene diffuse dell'impianto di compostaggio esistente nel
Comune di Eboli (SA)
PROGETTO DEFINITIVO – Tabulati di calcolo Tomo 1

Svergolamento: Nessuno; la verifica a instabilità flessio-torsionale (svergolamento) non verrà eseguita.

Dati per instabilità attorno a x

Controllo della snellezza secondo §4.2.4.1.3.1 NTC18

Numero rit.	Presente	Ascissa	Campata	$\beta x/m$	Vincolo a entrambi estremi	$\lambda x/m$	λVer
1	Si	0	1-2	1	Si	33.2	Si, (<200)
2	Si	1.008					

Dati per instabilità attorno a y

Controllo della snellezza secondo §4.2.4.1.3.1 NTC18

Numero rit.	Presente	Ascissa	Campata	$\beta y/n$	k,LT	kw,LT	Vincolo a entrambi estremi
1	Si	0	1-2	1	Si	22.4	Si, (<200)
2	Si	1.008					

Verifica di stabilità per pressoflessione §C.4.2.4.1.3.3.1 NTC18

X	Comb.	Sfruttamento	Classe	NEd	MxEq,Ed	MyEq,Ed	Area	Wx	Wy	χ_{min}	$\lambda_{adim. x/m}$	$\lambda_{adim. y/n}$	N _{crit x/m}	N _{crit y/n}	Verifica
1.008	SLU 3	0.005	3	-1.274	-0.0439	0.0005	0.003832	0.0000492	0.0000739	0.907	0.382	0.258	7207.687	15834.061	Si

Verifiche a deformabilità

Mensola X: No; Mensola Y: No.

Frecce lungo X

Ascissa freccia	Combinazione	Freccia	Luce	L/f	L/f,min	Tipo	Verifica
0.504	SLE RA 1	0	1.008	10000	250	Totale	Si
0.504	SLE RA 17	0	1.008	10000	250	Totale	Si
0.504	SLE RA 16	0	1.008	10000	250	Totale	Si
0.504	SLE RA 15	0	1.008	10000	250	Totale	Si
0.504	SLE RA 14	0	1.008	10000	250	Totale	Si
0.504	SLE RA 2	0	1.008	10000	350	Variabile	Si
0.504	SLE RA 17	0	1.008	10000	350	Variabile	Si
0.504	SLE RA 16	0	1.008	10000	350	Variabile	Si
0.47	SLE RA 15	0	1.008	10000	350	Variabile	Si
0.571	SLE RA 14	0	1.008	10000	350	Variabile	Si

Frecce lungo Y

Ascissa freccia	Combinazione	Freccia	Luce	L/f	L/f,min	Tipo	Verifica
0.47	SLE RA 1	-0.00001	1.008	10000	250	Totale	Si
0.47	SLE RA 17	-0.00001	1.008	10000	250	Totale	Si
0.47	SLE RA 16	-0.00001	1.008	10000	250	Totale	Si
0.47	SLE RA 15	-0.00001	1.008	10000	250	Totale	Si
0.47	SLE RA 14	-0.00001	1.008	10000	250	Totale	Si
0.37	SLE RA 2	0	1.008	10000	350	Variabile	Si
0.37	SLE RA 17	0	1.008	10000	350	Variabile	Si
0.37	SLE RA 16	0	1.008	10000	350	Variabile	Si
0.773	SLE RA 15	0	1.008	10000	350	Variabile	Si
0.403	SLE RA 14	0	1.008	10000	350	Variabile	Si

Superelemento in acciaio a quota "703"- "690" (2463; 2293)-(2463; 2193)

Caratteristiche del materiale

Acciaio: S275, fyk = 275000

Caratteristiche geometriche

Lunghezza: 1.008

Nodo iniziale: 1948 Nodo finale: 1727

Cerniera iniziale: Mmomenti 1% Cerniera finale: Mmomenti 1%

Sovreresistenza: 0% Sisma Z: No

Caratteristiche della sezione

Sezione	Rotazione	Area	Jx	Jy	ix	iy	Wx	Wy	Wplx	Wply
A1; L100*10; 1; Saldato; S275; 20; 1; 8; 8; 1	0	0.003832	0.0000035319	0.000007759	0.0304	0.045	0.0000492	0.0000739	0.00008974	0.00012727

Comportamento dei calastrelli

Accoppiamento imbottito avendo passo inferiore al minimo richiesto (§C4.2.4.1.3.1.5 NTC18) nella campata compresa tra le ascisse 0 e 1.008 per sbandamento attorno all'asse y.

Verifiche di resistenza

Verifiche a forza assiale §4.2.4.1.2.1 - §4.2.4.1.2.2 NTC18

X	Comb.	Sfruttamento	Classe	NEd	Nc,Rd	Nt,Rd	Riduzione da taglio	px	py	Verifica
1.008	SLV 13	0.008	3	-8.463	1003.522		1	0	0	Si

Verifiche a forza assiale SLD §4.2.4.1.2.1 - §4.2.4.1.2.2 NTC18

X	Comb.	Sfruttamento	Classe	NEd	Nc,Rd	Nt,Rd	Riduzione da taglio	px	py	Verifica
1.008	SLD 14	0.004	3	-3.587	1003.522		1	0	0	Si

Verifica a taglio Y §4.2.4.1.2.4 NTC18

X	Comb.	Sfruttamento	VEd	Vc,Rd	Av	Interazione taglio-torsione	Riduzione torsione	Verifica
1.008	SLU 76	0.001	-0.222	302.422	0.002	Non considerata		Si

Implementazione dei sistemi di confinamento delle emissioni odorigene diffuse dell'impianto di compostaggio esistente nel
Comune di Eboli (SA)

PROGETTO DEFINITIVO – Tabulati di calcolo Tomo 1

Verifica a flessione semplice X §§ 4.2.4.1.2.3 - 4.2.4.1.2.6 - 4.2.4.1.2.7 - 4.2.4.1.2.8 NTC18

X	Comb.	Sfruttamento	Classe	Mx,Ed	Mx,Rd	Rid. Mx,Rd da VEd	px	py	Verifica
0.47	SLV 43	0.002	1	-0.04802	23.50374	1	0	0	Si

Verifica a flessione semplice X SLD §§ 4.2.4.1.2.3 - 4.2.4.1.2.6 - 4.2.4.1.2.7 - 4.2.4.1.2.8 NTC18

X	Comb.	Sfruttamento	Classe	Mx,Ed	Mx,Rd	Rid. Mx,Rd da VEd	px	py	Verifica
0.47	SLD 2	0.002	1	-0.03714	23.50374	1	0	0	Si

Verifica a presso/tenso flessione retta X §§ 4.2.4.1.2.3 - 4.2.4.1.2.6 - 4.2.4.1.2.7 - 4.2.4.1.2.8 NTC18

Verifiche eseguite utilizzando la formula conservativa (6.2) §6.2.1 EN 1993-1-1:2005.

X	Comb.	Sfruttamento	Classe	NEd	NRd	Rid. NRd da VEd	Mx,Ed	Mx,Rd	Rid. Mx,Rd da VEd	Rid. Mx,Rd da NEd	px	py	Verifica
0.47	SLV 10	0.011	3	-8.422	1003.522	1	-0.0373	12.886	1		0	0	Si

Verifica a presso/tenso flessione retta X SLD §§ 4.2.4.1.2.3 - 4.2.4.1.2.6 - 4.2.4.1.2.7 - 4.2.4.1.2.8 NTC18

Verifiche eseguite utilizzando la formula conservativa (6.2) §6.2.1 EN 1993-1-1:2005.

X	Comb.	Sfruttamento	Classe	NEd	NRd	Rid. NRd da VEd	Mx,Ed	Mx,Rd	Rid. Mx,Rd da VEd	Rid. Mx,Rd da NEd	px	py	Verifica
0.47	SLD 9	0.006	3	-3.557	1003.522	1	-0.0369	12.886	1		0	0	Si

Verifiche ad instabilità

Caratteristiche iniziali

Membratura principale per controllo snellezza; Calcolo di snellezza ed N critici condotti secondo gli assi principali;

Curva X: c; Curva Y: c;

Svergolamento: Nessuno; la verifica a instabilità flessio-torsionale (svergolamento) non verrà eseguita.

Dati per instabilità attorno a x

Controllo della snellezza secondo §4.2.4.1.3.1 NTC18

Numero rit.	Presente	Ascissa	Campata	βx/m	Vincolo a entrambi estremi	λx/m	λVer
1	Si	0					
			1-2	1	Si	33.2	Si, (<200)
2	Si	1.008					

Dati per instabilità attorno a y

Controllo della snellezza secondo §4.2.4.1.3.1 NTC18

Numero rit.	Presente	Ascissa	Campata	βy/n	k,LT	kw,LT	Vincolo a entrambi estremi
1	Si	0					
			1-2	1	Si	22.4	Si, (<200)
2	Si	1.008					

Verifica di stabilità per pressoflessione §C.4.2.4.1.3.3.1 NTC18

X	Comb.	Sfruttamento	Classe	NEd	MxEq,Ed	MyEq,Ed	Area	Wx	Wy	χ,min	λ adim. x/m	λ adim. y/n	N,crit x/m	N,crit y/n	Verifica
1.008	SLV 13	0.012	3	-8.463	-0.0309	-0.0018	0.003832	0.0000492	0.0000739	0.907	0.382	0.258	7207.687	15834.061	Si

Verifica di stabilità per pressoflessione SLD §C.4.2.4.1.3.3.1 NTC18

X	Comb.	Sfruttamento	Classe	NEd	MxEq,Ed	MyEq,Ed	Area	Wx	Wy	χ,min	λ adim. x/m	λ adim. y/n	N,crit x/m	N,crit y/n	Verifica
1.008	SLD 13	0.006	3	-3.587	-0.0309	-0.0011	0.003832	0.0000492	0.0000739	0.907	0.382	0.258	7207.687	15834.061	Si

Verifiche a deformabilità

Mensola X: No; Mensola Y: No.

Frecce lungo X

Ascissa freccia	Combinazione	Freccia	Luce	L/f	L/f,min	Tipo	Verifica
0.403	SLE RA 1	0	1.008	10000	250	Totale	Si
0.403	SLE RA 17	0	1.008	10000	250	Totale	Si
0.403	SLE RA 16	0	1.008	10000	250	Totale	Si
0.403	SLE RA 15	0	1.008	10000	250	Totale	Si
0.403	SLE RA 14	0	1.008	10000	250	Totale	Si
0.403	SLE RA 2	0	1.008	10000	350	Variabile	Si
0.403	SLE RA 17	0	1.008	10000	350	Variabile	Si
0.403	SLE RA 16	0	1.008	10000	350	Variabile	Si
0.47	SLE RA 15	0	1.008	10000	350	Variabile	Si
0.37	SLE RA 14	0	1.008	10000	350	Variabile	Si

Frecce lungo Y

Ascissa freccia	Combinazione	Freccia	Luce	L/f	L/f,min	Tipo	Verifica
0.504	SLE RA 1	-0.00001	1.008	10000	250	Totale	Si
0.504	SLE RA 17	-0.00001	1.008	10000	250	Totale	Si
0.47	SLE RA 16	-0.00001	1.008	10000	250	Totale	Si
0.47	SLE RA 15	-0.00001	1.008	10000	250	Totale	Si
0.504	SLE RA 14	-0.00001	1.008	10000	250	Totale	Si
0.739	SLE RA 2	0	1.008	10000	350	Variabile	Si
0.739	SLE RA 17	0	1.008	10000	350	Variabile	Si
0.739	SLE RA 16	0	1.008	10000	350	Variabile	Si
0.672	SLE RA 15	0	1.008	10000	350	Variabile	Si
0.336	SLE RA 14	0	1.008	10000	350	Variabile	Si

Superelemento in acciaio a quota "703"-"690" (2695; 2293)-(2695; 2193)

Caratteristiche del materiale

Acciaio: S275, fyk = 275000

Caratteristiche geometriche

Lunghezza: 1.008

Nodo iniziale: 1953 Nodo finale: 1733

Sismicad 12.19 - Licenza assegnata a Arethusa Srl - Via G. Rossini, 14 - Casoria (NA)

**Implementazione dei sistemi di confinamento delle emissioni odorigene diffuse dell'impianto di compostaggio esistente nel
Comune di Eboli (SA)
PROGETTO DEFINITIVO – Tabulati di calcolo Tomo 1**

Cerniera iniziale: Mmomenti 1% Cerniera finale: Mmomenti 1%

Sovreresistenza: 0% Sisma Z: No

Caratteristiche della sezione

Sezione	Rotazione	Area	Jx	Jy	ix	iy	Wx	Wy	Wplx	Wply
A1; L100*10; 1; Saldato; S275; 20; 1; 8; 8; 1	0	0.003832	0.0000035319	0.000007759	0.0304	0.045	0.0000492	0.0000739	0.00008974	0.00012727

Comportamento dei calastrelli

Accoppiamento imbottito avendo passo inferiore al minimo richiesto (§C4.2.4.1.3.1.5 NTC18) nella campata compresa tra le ascisse 0 e 1.008 per sbandamento attorno all'asse y.

Verifiche di resistenza

Verifiche a forza assiale §4.2.4.1.2.1 - §4.2.4.1.2.2 NTC18

X	Comb.	Sfruttamento	Classe	NEd	Nc,Rd	Nt,Rd	Riduzione da taglio	px	py	Verifica
1.008	SLU 75	0.048	3	-48.576	1003.522		1	0	0	Si

Verifiche a forza assiale SLD §4.2.4.1.2.1 - §4.2.4.1.2.2 NTC18

X	Comb.	Sfruttamento	Classe	NEd	Nc,Rd	Nt,Rd	Riduzione da taglio	px	py	Verifica
1.008	SLD 10	0.027	3	-27.079	1003.522		1	0	0	Si

Verifica a taglio Y §4.2.4.1.2.4 NTC18

X	Comb.	Sfruttamento	Classe	VEd	Vc,Rd	Av	Interazione taglio-torsione	Riduzione torsione	Verifica
0	SLU 42	0.001		0.213	302.422	0.002	Non considerata		Si

Verifica a flessione semplice X §§ 4.2.4.1.2.3 - 4.2.4.1.2.6 - 4.2.4.1.2.7 - 4.2.4.1.2.8 NTC18

X	Comb.	Sfruttamento	Classe	Mx,Ed	Mx,Rd	Rid. Mx,Rd da VEd	px	py	Verifica
0.537	SLU 2	0.001	1	-0.03334	23.50374	1	0	0	Si

Verifica a presso/tenso flessione retta X §§ 4.2.4.1.2.3 - 4.2.4.1.2.6 - 4.2.4.1.2.7 - 4.2.4.1.2.8 NTC18

Verifiche eseguite utilizzando la formula conservativa (6.2) §6.2.1 EN 1993-1-1:2005.

X	Comb.	Sfruttamento	Classe	NEd	NRd	Rid. NRd da VEd	Mx,Ed	Mx,Rd	Rid. Mx,Rd da VEd	Rid. Mx,Rd da NEd	px	py	Verifica
0.47	SLU 75	0.054	3	-48.55	1003.522	1	-0.0779	12.886	1		0	0	Si

Verifica a presso/tenso flessione retta X SLD §§ 4.2.4.1.2.3 - 4.2.4.1.2.6 - 4.2.4.1.2.7 - 4.2.4.1.2.8 NTC18

Verifiche eseguite utilizzando la formula conservativa (6.2) §6.2.1 EN 1993-1-1:2005.

X	Comb.	Sfruttamento	Classe	NEd	NRd	Rid. NRd da VEd	Mx,Ed	Mx,Rd	Rid. Mx,Rd da VEd	Rid. Mx,Rd da NEd	px	py	Verifica
0.537	SLD 9	0.031	3	-27.061	1003.522	1	-0.0482	12.886	1		0	0	Si

Verifiche ad instabilità

Caratteristiche iniziali

Membratura principale per controllo snellezza; Calcolo di snellezze ed N critici condotti secondo gli assi principali;

Curva X: c; Curva Y: c;

Svergolamento: Nessuno; la verifica a instabilità flessio-torsionale (svergolamento) non verrà eseguita.

Dati per instabilità attorno a x

Controllo della snellezza secondo §4.2.4.1.3.1 NTC18

Numero rit.	Presente	Ascissa	Campata	βx/m	Vincolo a entrambi estremi	λx/m	λVer
1	Si		0				
			1-2			33.2	Si, (<200)
2	Si	1.008					

Dati per instabilità attorno a y

Controllo della snellezza secondo §4.2.4.1.3.1 NTC18

Numero rit.	Presente	Ascissa	Campata	βy/n	k,LT	kw,LT	Vincolo a entrambi estremi
1	Si		0				
			1-2			22.4	Si, (<200)
2	Si	1.008					

Verifica di stabilità per pressoflessione §C.4.2.4.1.3.3.1 NTC18

X	Comb.	Sfruttamento	Classe	NEd	MxEq,Ed	MyEq,Ed	Area	Wx	Wy	χ,min	λ adim. x/m	λ adim. y/n	N,crit x/m	N,crit y/n	Verifica
1.008	SLU 75	0.06	3	-48.576	-0.0779	-0.0021	0.003832	0.0000492	0.0000739	0.907	0.382	0.258	7207.687	15834.061	Si

Verifica di stabilità per pressoflessione SLD §C.4.2.4.1.3.3.1 NTC18

X	Comb.	Sfruttamento	Classe	NEd	MxEq,Ed	MyEq,Ed	Area	Wx	Wy	χ,min	λ adim. x/m	λ adim. y/n	N,crit x/m	N,crit y/n	Verifica
1.008	SLD 10	0.033	3	-27.079	-0.046	-0.0008	0.003832	0.0000492	0.0000739	0.907	0.382	0.258	7207.687	15834.061	Si

Verifiche a deformabilità

Mensola X: No; Mensola Y: No.

Frecce lungo X

Ascissa freccia	Combinazione	Freccia	Luce	L/f	L/f,min	Tipo	Verifica
0.437	SLE RA 1	0	1.008	10000	250	Totale	Si
0.437	SLE RA 17	0	1.008	10000	250	Totale	Si
0.437	SLE RA 16	0	1.008	10000	250	Totale	Si
0.437	SLE RA 15	0	1.008	10000	250	Totale	Si
0.437	SLE RA 14	0	1.008	10000	250	Totale	Si
0.437	SLE RA 2	0	1.008	10000	350	Variabile	Si
0.437	SLE RA 17	0	1.008	10000	350	Variabile	Si
0.437	SLE RA 16	0	1.008	10000	350	Variabile	Si
0.437	SLE RA 15	0	1.008	10000	350	Variabile	Si
0.437	SLE RA 14	0	1.008	10000	350	Variabile	Si

Implementazione dei sistemi di confinamento delle emissioni odorigene diffuse dell'impianto di compostaggio esistente nel
Comune di Eboli (SA)
PROGETTO DEFINITIVO – Tabulati di calcolo Tomo 1

Frecce lungo Y

Ascissa freccia	Combinazione	Freccia	Luce	L/f	L/f,min	Tipo	Verifica
0.504	SLE RA 1	-0.00001	1.008	10000	250	Totale	Si
0.504	SLE RA 17	-0.00001	1.008	10000	250	Totale	Si
0.504	SLE RA 16	-0.00001	1.008	10000	250	Totale	Si
0.504	SLE RA 15	-0.00001	1.008	10000	250	Totale	Si
0.504	SLE RA 14	-0.00001	1.008	10000	250	Totale	Si
0.47	SLE RA 2	0	1.008	10000	350	Variabile	Si
0.47	SLE RA 17	0	1.008	10000	350	Variabile	Si
0.47	SLE RA 16	0	1.008	10000	350	Variabile	Si
0.537	SLE RA 15	0	1.008	10000	350	Variabile	Si
0.47	SLE RA 14	0	1.008	10000	350	Variabile	Si

Superelemento in acciaio a quota "703"- "690" (2929; 2293)-(2929; 2193)

Caratteristiche del materiale

Acciaio: S275, fyk = 275000

Caratteristiche geometriche

Lunghezza: 1.008

Nodo iniziale: 1956 Nodo finale: 1735

Cerniera iniziale: Mmomenti 1% Cerniera finale: Mmomenti 1%

Sovreresistenza: 0% Sisma Z: No

Caratteristiche della sezione

Sezione	Rotazione	Area	Jx	Jy	ix	iy	Wx	Wy	Wplx	Wply
A1; L100*10; 1; Saldato; S275; 20; 1; 8; 8; 1	0	0.003832	0.0000035319	0.000007759	0.0304	0.045	0.0000492	0.0000739	0.00008974	0.00012727

Comportamento dei calastrelli

Accoppiamento imbottito avendo passo inferiore al minimo richiesto (§C4.2.4.1.3.1.5 NTC18) nella campata compresa tra le ascisse 0 e 1.008 per sbandamento attorno all'asse y.

Verifiche di resistenza

Verifiche a forza assiale §4.2.4.1.2.1 - §4.2.4.1.2.2 NTC18

X	Comb.	Sfruttamento	Classe	NEd	Nc,Rd	Nt,Rd	Riduzione da taglio	px	py	Verifica
1.008	SLU 75	0.05	3	-49.96	1003.522		1	0	0	Si

Verifiche a forza assiale SLD §4.2.4.1.2.1 - §4.2.4.1.2.2 NTC18

X	Comb.	Sfruttamento	Classe	NEd	Nc,Rd	Nt,Rd	Riduzione da taglio	px	py	Verifica
1.008	SLD 8	0.029	3	-28.641	1003.522		1	0	0	Si

Verifica a taglio Y §4.2.4.1.2.4 NTC18

X	Comb.	Sfruttamento	VEd	Vc,Rd	Av	Interazione taglio-torsione	Riduzione torsione	Verifica
0	SLU 42	0.001	0.215	302.422	0.002	Non considerata		Si

Verifica a presso/tenso flessione retta X §§ 4.2.4.1.2.3 - 4.2.4.1.2.6 - 4.2.4.1.2.7 - 4.2.4.1.2.8 NTC18

Verifiche eseguite utilizzando la formula conservativa (6.2) §6.2.1 EN 1993-1-1:2005.

X	Comb.	Sfruttamento	Classe	NEd	NRd	Rid. NRd da VEd	Mx,Ed	Mx,Rd	Rid. Mx,Rd da VEd	Rid. Mx,Rd da NEd	px	py	Verifica
0.504	SLU 75	0.056	3	-49.936	1003.522	1	-0.075	12.886	1		0	0	Si

Verifica a presso/tenso flessione retta X SLD §§ 4.2.4.1.2.3 - 4.2.4.1.2.6 - 4.2.4.1.2.7 - 4.2.4.1.2.8 NTC18

Verifiche eseguite utilizzando la formula conservativa (6.2) §6.2.1 EN 1993-1-1:2005.

X	Comb.	Sfruttamento	Classe	NEd	NRd	Rid. NRd da VEd	Mx,Ed	Mx,Rd	Rid. Mx,Rd da VEd	Rid. Mx,Rd da NEd	px	py	Verifica
0.537	SLD 7	0.032	3	-28.624	1003.522	1	-0.0487	12.886	1		0	0	Si

Verifiche ad instabilità

Caratteristiche iniziali

Membratura principale per controllo snellezza; Calcolo di snellezze ed N critici condotti secondo gli assi principali;

Curva X: c; Curva Y: c;

Svergolamento: Nessuno; la verifica a instabilità flesso-torsionale (svergolamento) non verrà eseguita.

Dati per instabilità attorno a x

Controllo della snellezza secondo §4.2.4.1.3.1 NTC18

Numero rit.	Presente	Ascissa	Campata	βx/m	Vincolo a entrambi estremi	λx/m	λVer
1	Si	0					
			1-2		1	33.2	Si, (<200)
2	Si	1.008					

Dati per instabilità attorno a y

Controllo della snellezza secondo §4.2.4.1.3.1 NTC18

Numero rit.	Presente	Ascissa	Campata	βy/n	k,LT	kw,LT	Vincolo a entrambi estremi
1	Si	0					
			1-2		1	22.4	Si, (<200)
2	Si	1.008					

Verifica di stabilità per pressoflessione §C.4.2.4.1.3.3.1 NTC18

X	Comb.	Sfruttamento	Classe	NEd	MxEq,Ed	MyEq,Ed	Area	Wx	Wy	χ,min	λ adim. x/m	λ adim. y/n	N,crit x/m	N,crit y/n	Verifica
1.008	SLU 75	0.061	3	-49.96	-0.075	-0.0031	0.003832	0.0000492	0.0000739	0.907	0.382	0.258	7207.687	15834.061	Si

Implementazione dei sistemi di confinamento delle emissioni odorigene diffuse dell'impianto di compostaggio esistente nel
Comune di Eboli (SA)
PROGETTO DEFINITIVO – Tabulati di calcolo Tomo 1

Verifica di stabilità per pressoflessione SLD §C.4.2.4.1.3.3.1 NTC18

X	Comb.	Sfruttamento	Classe	NEd	MxEq,Ed	MyEq,Ed	Area	Wx	Wy	x,min	λ adim. x/m	λ adim. y/n	N _{crit} x/m	N _{crit} y/n	Verifica
1.008	SLD 8	0.035	3	-28.641	-0.0466	-0.0021	0.003832	0.0000492	0.0000739	0.907	0.382	0.258	7207.687	15834.061	Si

Verifiche a deformabilità

Mensola X: No; Mensola Y: No.

Frecce lungo X

Ascissa freccia	Combinazione	Freccia	Luce	L/f	L/f,min	Tipo	Verifica
0.437	SLE RA 1	0	1.008	10000	250	Totale	Si
0.437	SLE RA 17	0	1.008	10000	250	Totale	Si
0.437	SLE RA 16	0	1.008	10000	250	Totale	Si
0.437	SLE RA 15	0	1.008	10000	250	Totale	Si
0.437	SLE RA 14	0	1.008	10000	250	Totale	Si
0.437	SLE RA 2	0	1.008	10000	350	Variabile	Si
0.437	SLE RA 17	0	1.008	10000	350	Variabile	Si
0.437	SLE RA 16	0	1.008	10000	350	Variabile	Si
0.437	SLE RA 15	0	1.008	10000	350	Variabile	Si
0.437	SLE RA 14	0	1.008	10000	350	Variabile	Si

Frecce lungo Y

Ascissa freccia	Combinazione	Freccia	Luce	L/f	L/f,min	Tipo	Verifica
0.504	SLE RA 1	-0.00001	1.008	10000	250	Totale	Si
0.504	SLE RA 17	-0.00001	1.008	10000	250	Totale	Si
0.504	SLE RA 16	-0.00001	1.008	10000	250	Totale	Si
0.504	SLE RA 15	-0.00001	1.008	10000	250	Totale	Si
0.504	SLE RA 14	-0.00001	1.008	10000	250	Totale	Si
0.504	SLE RA 2	0	1.008	10000	350	Variabile	Si
0.504	SLE RA 17	0	1.008	10000	350	Variabile	Si
0.504	SLE RA 16	0	1.008	10000	350	Variabile	Si
0.571	SLE RA 15	0	1.008	10000	350	Variabile	Si
0.47	SLE RA 14	0	1.008	10000	350	Variabile	Si

Superelemento in acciaio a quota "703"- "690" (-36; 1556)-(-145; 1659)

Caratteristiche del materiale

Acciaio: S275, fyk = 275000

Caratteristiche geometriche

Lunghezza: 1.505

Nodo iniziale: 1907 Nodo finale: 1703

Cerniera iniziale: Mmomenti 1% Cerniera finale: Mmomenti 1%

Sovreresistenza: 0% Sisma Z: No

Caratteristiche della sezione

Sezione	Rotazione	Area	Jx	Jy	ix	iy	Wx	Wy	Wplx	Wply
A1; L100*10; 1; Saldato; S275; 30; 1; 8; 8; 1	0	0.003832	0.0000035319	0.000007759	0.0304	0.045	0.0000492	0.0000739	0.00008974	0.00012727

Comportamento dei calastrelli

Accoppiamento imbottito con funzione statica (§C4.2.4.1.3.1.4 NTC18) nella campata compresa tra le ascisse 0 e 1.505 per sbandamento attorno all'asse y.

Verifiche di resistenza

Verifiche a forza assiale §4.2.4.1.2.1 - §4.2.4.1.2.2 NTC18

X	Comb.	Sfruttamento	Classe	NEd	Nc,Rd	Nt,Rd	Riduzione da taglio	px	py	Verifica
0	SLU 26	0.067		67.409		1003.522	1	0	0	Si

Verifiche a forza assiale SLD §4.2.4.1.2.1 - §4.2.4.1.2.2 NTC18

X	Comb.	Sfruttamento	Classe	NEd	Nc,Rd	Nt,Rd	Riduzione da taglio	px	py	Verifica
0	SLD 1	0.012		12.182		1003.522	1	0	0	Si

Verifica a taglio X §4.2.4.1.2.4 NTC18

X	Comb.	Sfruttamento	VEd	Vc,Rd	Av	Interazione taglio-torsione	Riduzione torsione	Verifica
1.505	SLU 41	0.001	0.303	302.422	0.002	Non considerata		Si

Verifica a taglio Y §4.2.4.1.2.4 NTC18

X	Comb.	Sfruttamento	VEd	Vc,Rd	Av	Interazione taglio-torsione	Riduzione torsione	Verifica
1.505	SLU 76	0.001	-0.357	302.422	0.002	Non considerata		Si

Verifica a taglio Y SLD §4.2.4.1.2.4 NTC18

X	Comb.	Sfruttamento	VEd	Vc,Rd	Av	Interazione taglio-torsione	Riduzione torsione	Verifica
1.505	SLD 1	0.001	-0.237	302.422	0.002	Non considerata		Si

Verifica a flessione semplice X §§ 4.2.4.1.2.3 - 4.2.4.1.2.6 - 4.2.4.1.2.7 - 4.2.4.1.2.8 NTC18

X	Comb.	Sfruttamento	Classe	Mx,Ed	Mx,Rd	Rid. Mx,Rd da VEd	px	py	Verifica
0.702	SLU 75	0.005	1	-0.12365	23.50374	1	0	0	Si

Verifica a presso/tenso flessione retta X §§ 4.2.4.1.2.3 - 4.2.4.1.2.6 - 4.2.4.1.2.7 - 4.2.4.1.2.8 NTC18

Verifiche eseguite utilizzando la formula conservativa (6.2) §6.2.1 EN 1993-1-1:2005.

X	Comb.	Sfruttamento	Classe	NEd	NRd	Rid. NRd da VEd	Mx,Ed	Mx,Rd	Rid. Mx,Rd da VEd	Rid. Mx,Rd da NEd	px	py	Verifica
---	-------	--------------	--------	-----	-----	-----------------	-------	-------	-------------------	-------------------	----	----	----------

Implementazione dei sistemi di confinamento delle emissioni odorigene diffuse dell’impianto di compostaggio esistente nel
Comune di Eboli (SA)

PROGETTO DEFINITIVO – Tabulati di calcolo Tomo 1

X	Comb.	Sfruttamento	Classe	NEd	NRd	Rid. NRd da VEd	Mx,Ed	Mx,Rd	Rid. Mx,Rd da VEd	Rid. Mx,Rd da NEd	px	py	Verifica
0.602	SLU 64	0.072	1	67.149	1003.522	1	-0.1229	23.5037	1		0	0	Si

Verifica a presso/tenso flessione retta X SLD §§ 4.2.4.1.2.3 - 4.2.4.1.2.6 - 4.2.4.1.2.7 - 4.2.4.1.2.8 NTC18

Verifiche eseguite utilizzando la formula conservativa (6.2) §6.2.1 EN 1993-1-1:2005.

X	Comb.	Sfruttamento	Classe	NEd	NRd	Rid. NRd da VEd	Mx,Ed	Mx,Rd	Rid. Mx,Rd da VEd	Rid. Mx,Rd da NEd	px	py	Verifica
0.702	SLD 2	0.016	1	12.165	1003.522	1	-0.0867	23.5037	1		0	0	Si

Verifica a presso/tenso flessione retta Y §§ 4.2.4.1.2.3 - 4.2.4.1.2.6 - 4.2.4.1.2.7 - 4.2.4.1.2.8 NTC18

Verifiche eseguite utilizzando la formula conservativa (6.2) §6.2.1 EN 1993-1-1:2005.

X	Comb.	Sfruttamento	Classe	NEd	NRd	Rid. NRd da VEd	My,Ed	My,Rd	Rid. My,Rd da VEd	Rid. My,Rd da NEd	px	py	Verifica
0.05	SLU 41	0.055	3	-47.788	1003.522	1	-0.145	19.3536	1		0	0	Si

Verifica a presso/tenso flessione deviata §§ 4.2.4.1.2.3 - 4.2.4.1.2.6 - 4.2.4.1.2.7 - 4.2.4.1.2.8 NTC18

Verifiche eseguite utilizzando la formula conservativa (6.2) §6.2.1 EN 1993-1-1:2005.

X	Comb.	Sfruttamento	Classe	NEd	NRd	Rid. NRd da VEd	Mx,Ed	Mx,Rd	My,Ed	My,Rd	Rid. Mx,Rd da VEd	Rid. Mx,Rd da NEd	Rid. My,Rd da VEd	Rid. My,Rd da NEd	α	β	px	py	Verifica
0.803	SLU 41	0.064	3	-47.812	1003.522	1	-0.1127	12.886	0.145	19.3536	1		1				0	0	Si

Verifiche ad instabilità

Caratteristiche iniziali

Membratura principale per controllo snellezza; Calcolo di snellezze ed N critici condotti secondo gli assi principali;

Curva X: c; Curva Y: c;

Svergolamento: Nessuno; la verifica a instabilità flesso-torsionale (svergolamento) non verrà eseguita.

Dati per instabilità attorno a x

Controllo della snellezza secondo §4.2.4.1.3.1 NTC18

Numero rit.	Presente	Ascissa	Campata	βx/m	Vincolo a entrambi estremi	λx/m	λVer
1	Si	0					
			1-2	1	Si	49.6	Si, (<200)
2	Si	1.505					

Dati per instabilità attorno a y

Controllo della snellezza secondo §4.2.4.1.3.1 NTC18

Numero rit.	Presente	Ascissa	Campata	βy/n	k,LT	kw,LT	Vincolo a entrambi estremi
1	Si	0					
			1-2	1	Si	34.9	Si, (<200)
2	Si	1.505					

Verifica di stabilità per pressoflessione §C.4.2.4.1.3.3.1 NTC18

X	Comb.	Sfruttamento	Classe	NEd	MxEq,Ed	MyEq,Ed	Area	Wx	Wy	χ,min	λ adim. x/m	λ adim. y/n	N,crit x/m	N,crit y/n	Verifica
1.505	SLU 41	0.073	3	-47.835	-0.0983	0.1089	0.003832	0.0000492	0.0000739	0.802	0.571	0.402	3231.032	6528.319	Si

Verifica di stabilità per pressoflessione SLD §C.4.2.4.1.3.3.1 NTC18

X	Comb.	Sfruttamento	Classe	NEd	MxEq,Ed	MyEq,Ed	Area	Wx	Wy	χ,min	λ adim. x/m	λ adim. y/n	N,crit x/m	N,crit y/n	Verifica
1.505	SLD 16	0.009	3	-1.73	-0.08	0.004	0.003832	0.0000492	0.0000739	0.802	0.571	0.402	3231.032	6528.319	Si

Verifiche a deformabilità

Mensola X: No; Mensola Y: No.

Frecce lungo X

Ascissa freccia	Combinazione	Freccia	Luce	L/f	L/f,min	Tipo	Verifica
0.803	SLE RA 1	0	1.505	10000	250	Totale	Si
0.803	SLE RA 17	0	1.505	10000	250	Totale	Si
0.853	SLE RA 16	0	1.505	10000	250	Totale	Si
0.803	SLE RA 15	0	1.505	10000	250	Totale	Si
0.853	SLE RA 14	0	1.505	10000	250	Totale	Si
0.853	SLE RA 2	0	1.505	10000	350	Variabile	Si
0.853	SLE RA 17	0	1.505	10000	350	Variabile	Si
0.853	SLE RA 16	0	1.505	10000	350	Variabile	Si
0.753	SLE RA 15	0	1.505	10000	350	Variabile	Si
1.104	SLE RA 14	0	1.505	10000	350	Variabile	Si

Frecce lungo Y

Ascissa freccia	Combinazione	Freccia	Luce	L/f	L/f,min	Tipo	Verifica
0.753	SLE RA 1	-0.00003	1.505	10000	250	Totale	Si
0.753	SLE RA 17	-0.00003	1.505	10000	250	Totale	Si
0.702	SLE RA 16	-0.00003	1.505	10000	250	Totale	Si
0.702	SLE RA 15	-0.00003	1.505	10000	250	Totale	Si
0.753	SLE RA 14	-0.00003	1.505	10000	250	Totale	Si
0.552	SLE RA 2	0	1.505	10000	350	Variabile	Si
0.552	SLE RA 17	0	1.505	10000	350	Variabile	Si
0.552	SLE RA 16	0	1.505	10000	350	Variabile	Si
0.452	SLE RA 15	0	1.505	10000	350	Variabile	Si
0.803	SLE RA 14	0	1.505	10000	350	Variabile	Si

Superelemento in acciaio a quota "703"- "690" (-295; 1283)-(-404; 1386)

Caratteristiche del materiale

Acciaio: S275, fyk = 275000

Caratteristiche geometriche

Lunghezza: 1.505

**Implementazione dei sistemi di confinamento delle emissioni odorigene diffuse dell'impianto di compostaggio esistente nel
Comune di Eboli (SA)
PROGETTO DEFINITIVO – Tabulati di calcolo Tomo 1**

Nodo iniziale: 1896 Nodo finale: 1695
Cerniera iniziale: Mmomenti 1% Cerniera finale: Mmomenti 1%
Sovraresistenza: 0% Sisma Z: No

Caratteristiche della sezione

Sezione	Rotazione	Area	Jx	Jy	ix	iy	Wx	Wy	Wplx	Wply
A1; L100*10; 1; Saldato; S275; 30; 1; 8; 8; 1	0	0.003832	0.0000035319	0.000007759	0.0304	0.045	0.0000492	0.0000739	0.00008974	0.00012727

Comportamento dei calastrelli

Accoppiamento imbottito con funzione statica (§C4.2.4.1.3.1.4 NTC18) nella campata compresa tra le ascisse 0 e 1.505 per sbandamento attorno all'asse y.

Verifiche di resistenza

Verifiche a forza assiale §4.2.4.1.2.1 - §4.2.4.1.2.2 NTC18

X	Comb.	Sfruttamento	Classe	NEd	Nc,Rd	Nt,Rd	Riduzione da taglio	px	py	Verifica
0	SLU 76	0.124		124.757		1003.522	1	0	0	Si

Verifiche a forza assiale SLD §4.2.4.1.2.1 - §4.2.4.1.2.2 NTC18

X	Comb.	Sfruttamento	Classe	NEd	Nc,Rd	Nt,Rd	Riduzione da taglio	px	py	Verifica
0	SLD 1	0.029		28.796		1003.522	1	0	0	Si

Verifica a taglio Y §4.2.4.1.2.4 NTC18

X	Comb.	Sfruttamento	VEd	Vc,Rd	Av	Interazione taglio-torsione	Riduzione torsione	Verifica
1.505	SLU 76	0.001	-0.36	302.422	0.002	Non considerata		Si

Verifica a taglio Y SLD §4.2.4.1.2.4 NTC18

X	Comb.	Sfruttamento	VEd	Vc,Rd	Av	Interazione taglio-torsione	Riduzione torsione	Verifica
1.505	SLD 14	0.001	-0.239	302.422	0.002	Non considerata		Si

Verifica a flessione semplice X §§ 4.2.4.1.2.3 - 4.2.4.1.2.6 - 4.2.4.1.2.7 - 4.2.4.1.2.8 NTC18

X	Comb.	Sfruttamento	Classe	Mx,Ed	Mx,Rd	Rid. Mx,Rd da VEd	px	py	Verifica
0.753	SLU 25	0.004	1	-0.08272	23.50374	1	0	0	Si

Verifica a presso/tenso flessione retta X §§ 4.2.4.1.2.3 - 4.2.4.1.2.6 - 4.2.4.1.2.7 - 4.2.4.1.2.8 NTC18

Verifiche eseguite utilizzando la formula conservativa (6.2) §6.2.1 EN 1993-1-1:2005.

X	Comb.	Sfruttamento	Classe	NEd	NRd	Rid. NRd da VEd	Mx,Ed	Mx,Rd	Rid. Mx,Rd da VEd	Rid. Mx,Rd da NEd	px	py	Verifica
0.602	SLU 76	0.129	1	124.737	1003.522	1	-0.1067	23.5037	1		0	0	Si

Verifica a presso/tenso flessione retta X SLD §§ 4.2.4.1.2.3 - 4.2.4.1.2.6 - 4.2.4.1.2.7 - 4.2.4.1.2.8 NTC18

Verifiche eseguite utilizzando la formula conservativa (6.2) §6.2.1 EN 1993-1-1:2005.

X	Comb.	Sfruttamento	Classe	NEd	NRd	Rid. NRd da VEd	Mx,Ed	Mx,Rd	Rid. Mx,Rd da VEd	Rid. Mx,Rd da NEd	px	py	Verifica
0.702	SLD 6	0.032	1	28.774	1003.522	1	-0.0818	23.5037	1		0	0	Si

Verifica a presso/tenso flessione retta Y §§ 4.2.4.1.2.3 - 4.2.4.1.2.6 - 4.2.4.1.2.7 - 4.2.4.1.2.8 NTC18

Verifiche eseguite utilizzando la formula conservativa (6.2) §6.2.1 EN 1993-1-1:2005.

X	Comb.	Sfruttamento	Classe	NEd	NRd	Rid. NRd da VEd	My,Ed	My,Rd	Rid. My,Rd da VEd	Rid. My,Rd da NEd	px	py	Verifica
0.05	SLU 3	0.032	3	-27.887	1003.522	1	-0.0843	19.3536	1		0	0	Si

Verifica a presso/tenso flessione deviata §§ 4.2.4.1.2.3 - 4.2.4.1.2.6 - 4.2.4.1.2.7 - 4.2.4.1.2.8 NTC18

Verifiche eseguite utilizzando la formula conservativa (6.2) §6.2.1 EN 1993-1-1:2005.

X	Comb.	Sfruttamento	Classe	NEd	NRd	Rid. NRd da VEd	Mx,Ed	Mx,Rd	My,Ed	My,Rd	Rid. Mx,Rd da VEd	Rid. Mx,Rd da NEd	Rid. My,Rd da VEd	Rid. My,Rd da NEd	α	β	px	py	Verifica
0.803	SLU 3	0.039	3	-27.906	1003.522	1	-0.0843	12.886	-0.0844	19.3536	1		1				0	0	Si

Verifiche ad instabilità

Caratteristiche iniziali

Membratura principale per controllo snellezza; Calcolo di snellezze ed N critici condotti secondo gli assi principali;

Curva X: c; Curva Y: c;

Svergolamento: Nessuno; la verifica a instabilità flesso-torsionale (svergolamento) non verrà eseguita.

Dati per instabilità attorno a x

Controllo della snellezza secondo §4.2.4.1.3.1 NTC18

Numero rit.	Presente	Ascissa	Campata	βx/m	Vincolo a entrambi estremi	λx/m	λVer
1	Si	0					
			1-2	1	Si	49.6	Si, (<200)
2	Si	1.505					

Dati per instabilità attorno a y

Controllo della snellezza secondo §4.2.4.1.3.1 NTC18

Numero rit.	Presente	Ascissa	Campata	βy/n	k,LT	kw,LT	Vincolo a entrambi estremi
1	Si	0					
			1-2	1	Si	34.9	Si, (<200)
2	Si	1.505					

Verifica di stabilità per pressoflessione §C4.2.4.1.3.3.1 NTC18

X	Comb.	Sfruttamento	Classe	NEd	MxEq,Ed	MyEq,Ed	Area	Wx	Wy	χ,min	λ adim. x/m	λ adim. y/n	N,crit x/m	N,crit y/n	Verifica
1.505	SLU 3	0.044	3	-27.923	-0.0725	0.0633	0.003832	0.0000492	0.0000739	0.802	0.571	0.402	3231.032	6528.319	Si

Implementazione dei sistemi di confinamento delle emissioni odorigene diffuse dell'impianto di compostaggio esistente nel
Comune di Eboli (SA)
PROGETTO DEFINITIVO – Tabulati di calcolo Tomo 1

Verifiche a deformabilità

Mensola X: No; Mensola Y: No.

Frecce lungo X

Ascissa freccia	Combinazione	Freccia	Luce	L/f	L/f,min	Tipo	Verifica
0.853	SLE RA 1	0	1.505	10000	250	Totale	Si
1.003	SLE RA 17	0	1.505	10000	250	Totale	Si
1.154	SLE RA 16	0	1.505	10000	250	Totale	Si
0.953	SLE RA 15	0	1.505	10000	250	Totale	Si
0.351	SLE RA 14	0	1.505	10000	250	Totale	Si
0.452	SLE RA 2	0	1.505	10000	350	Variabile	Si
0.502	SLE RA 17	0	1.505	10000	350	Variabile	Si
0.502	SLE RA 16	0	1.505	10000	350	Variabile	Si
1.054	SLE RA 15	0	1.505	10000	350	Variabile	Si
0.552	SLE RA 14	0	1.505	10000	350	Variabile	Si

Frecce lungo Y

Ascissa freccia	Combinazione	Freccia	Luce	L/f	L/f,min	Tipo	Verifica
0.753	SLE RA 1	-0.00003	1.505	10000	250	Totale	Si
0.753	SLE RA 17	-0.00003	1.505	10000	250	Totale	Si
0.702	SLE RA 16	-0.00003	1.505	10000	250	Totale	Si
0.702	SLE RA 15	-0.00003	1.505	10000	250	Totale	Si
0.753	SLE RA 14	-0.00003	1.505	10000	250	Totale	Si
1.104	SLE RA 2	0	1.505	10000	350	Variabile	Si
1.104	SLE RA 17	0	1.505	10000	350	Variabile	Si
1.104	SLE RA 16	0	1.505	10000	350	Variabile	Si
1.104	SLE RA 15	0	1.505	10000	350	Variabile	Si
1.154	SLE RA 14	0	1.505	10000	350	Variabile	Si

Superelemento in acciaio a quota "703"-"690" (-545; 1019)-(-654; 1122)

Caratteristiche del materiale

Acciaio: S275, fyk = 275000

Caratteristiche geometriche

Lunghezza: 1.505

Nodo iniziale: 1886 Nodo finale: 1683

Cerniera iniziale: Mmomenti 1% Cerniera finale: Mmomenti 1%

Sovreresistenza: 0% Sisma Z: No

Caratteristiche della sezione

Sezione	Rotazione	Area	Jx	Jy	ix	iy	Wx	Wy	Wplx	Wply
A1; L100*10; 1; Saldato; S275; 30; 1; 8; 8; 1	0	0.003832	0.0000035319	0.000007759	0.0304	0.045	0.0000492	0.0000739	0.00008974	0.00012727

Comportamento dei calastrelli

Accoppiamento imbottito con funzione statica (§C4.2.4.1.3.1.4 NTC18) nella campata compresa tra le ascisse 0 e 1.505 per sbandamento attorno all'asse y.

Verifiche di resistenza

Verifiche a forza assiale §4.2.4.1.2.1 - §4.2.4.1.2.2 NTC18

X	Comb.	Sfruttamento	Classe	NEd	Nc,Rd	Nt,Rd	Riduzione da taglio	px	py	Verifica
0	SLU 26	0.056		56.237		1003.522	1	0	0	Si

Verifiche a forza assiale SLD §4.2.4.1.2.1 - §4.2.4.1.2.2 NTC18

X	Comb.	Sfruttamento	Classe	NEd	Nc,Rd	Nt,Rd	Riduzione da taglio	px	py	Verifica
0	SLD 16	0.009		8.629		1003.522	1	0	0	Si

Verifica a taglio X §4.2.4.1.2.4 NTC18

X	Comb.	Sfruttamento	VEd	Vc,Rd	Av	Interazione taglio-torsione	Riduzione torsione	Verifica
1.505	SLU 41	0.001	-0.293	302.422	0.002	Non considerata		Si

Verifica a taglio Y §4.2.4.1.2.4 NTC18

X	Comb.	Sfruttamento	VEd	Vc,Rd	Av	Interazione taglio-torsione	Riduzione torsione	Verifica
1.505	SLU 76	0.001	-0.332	302.422	0.002	Non considerata		Si

Verifica a taglio Y SLD §4.2.4.1.2.4 NTC18

X	Comb.	Sfruttamento	VEd	Vc,Rd	Av	Interazione taglio-torsione	Riduzione torsione	Verifica
1.505	SLD 16	0.001	-0.233	302.422	0.002	Non considerata		Si

Verifica a flessione semplice X §§ 4.2.4.1.2.3 - 4.2.4.1.2.6 - 4.2.4.1.2.7 - 4.2.4.1.2.8 NTC18

X	Comb.	Sfruttamento	Classe	Mx,Ed	Mx,Rd	Rid. Mx,Rd da VEd	px	py	Verifica
0.753	SLU 39	0.005	1	-0.11166	23.50374	1	0	0	Si

Verifica a presso/tenso flessione retta X §§ 4.2.4.1.2.3 - 4.2.4.1.2.6 - 4.2.4.1.2.7 - 4.2.4.1.2.8 NTC18

Verifiche eseguite utilizzando la formula conservativa (6.2) §6.2.1 EN 1993-1-1:2005.

X	Comb.	Sfruttamento	Classe	NEd	NRd	Rid. NRd da VEd	Mx,Ed	Mx,Rd	Rid. Mx,Rd da VEd	Rid. Mx,Rd da NEd	px	py	Verifica
0.652	SLU 64	0.06	1	55.431	1003.522	1	-0.1104	23.5037	1		0	0	Si

Verifica a presso/tenso flessione retta X SLD §§ 4.2.4.1.2.3 - 4.2.4.1.2.6 - 4.2.4.1.2.7 - 4.2.4.1.2.8 NTC18

Verifiche eseguite utilizzando la formula conservativa (6.2) §6.2.1 EN 1993-1-1:2005.

Implementazione dei sistemi di confinamento delle emissioni odorigene diffuse dell'impianto di compostaggio esistente nel
Comune di Eboli (SA)

PROGETTO DEFINITIVO – Tabulati di calcolo Tomo 1

X	Comb.	Sfruttamento	Classe	NEd	NRd	Rid. NRd da VEd	Mx,Ed	Mx,Rd	Rid. Mx,Rd da VEd	Rid. Mx,Rd da NEd	px	py	Verifica
0.753	SLD 15	0.012	1	8.61	1003.522	1	-0.0846	23.5037	1		0	0	Si

Verifica a presso/tenso flessione retta Y §§ 4.2.4.1.2.3 - 4.2.4.1.2.6 - 4.2.4.1.2.7 - 4.2.4.1.2.8 NTC18

Verifiche eseguite utilizzando la formula conservativa (6.2) §6.2.1 EN 1993-1-1:2005.

X	Comb.	Sfruttamento	Classe	NEd	NRd	Rid. NRd da VEd	My,Ed	My,Rd	Rid. My,Rd da VEd	Rid. My,Rd da NEd	px	py	Verifica
0	SLU 60	0.05	3	-42.98	1003.522	1	0.1303	19.3536	1		0	0	Si

Verifica a presso/tenso flessione retta Y SLD §§ 4.2.4.1.2.3 - 4.2.4.1.2.6 - 4.2.4.1.2.7 - 4.2.4.1.2.8 NTC18

Verifiche eseguite utilizzando la formula conservativa (6.2) §6.2.1 EN 1993-1-1:2005.

X	Comb.	Sfruttamento	Classe	NEd	NRd	Rid. NRd da VEd	My,Ed	My,Rd	Rid. My,Rd da VEd	Rid. My,Rd da NEd	px	py	Verifica
1.505	SLD 1	0.006	3	-4.83	1003.522	1	-0.0147	19.3536	1		0	0	Si

Verifica a presso/tenso flessione deviata §§ 4.2.4.1.2.3 - 4.2.4.1.2.6 - 4.2.4.1.2.7 - 4.2.4.1.2.8 NTC18

Verifiche eseguite utilizzando la formula conservativa (6.2) §6.2.1 EN 1993-1-1:2005.

X	Comb.	Sfruttamento	Classe	NEd	NRd	Rid. NRd da VEd	Mx,Ed	Mx,Rd	My,Ed	My,Rd	Rid. Mx,Rd da VEd	Rid. Mx,Rd da NEd	Rid. My,Rd da VEd	Rid. My,Rd da NEd	α	β	px	py	Verifica
0.803	SLU 41	0.062	3	-46.181	1003.522	1	-0.1158	12.886	0.14	19.3536	1		1				0	0	Si

Verifica a presso/tenso flessione deviata SLD §§ 4.2.4.1.2.3 - 4.2.4.1.2.6 - 4.2.4.1.2.7 - 4.2.4.1.2.8 NTC18

Verifiche eseguite utilizzando la formula conservativa (6.2) §6.2.1 EN 1993-1-1:2005.

X	Comb.	Sfruttamento	Classe	NEd	NRd	Rid. NRd da VEd	Mx,Ed	Mx,Rd	My,Ed	My,Rd	Rid. Mx,Rd da VEd	Rid. Mx,Rd da NEd	Rid. My,Rd da VEd	Rid. My,Rd da NEd	α	β	px	py	Verifica
0.301	SLD 6	0.01	3	-4.759	1003.522	1	-0.0584	12.886	-0.0145	19.3536	1		1				0	0	Si

Verifiche ad instabilità

Caratteristiche iniziali

Membratura principale per controllo snellezza; Calcolo di snellezze ed N critici condotti secondo gli assi principali;

Curva X: c; Curva Y: c;

Svergolamento: Nessuno; la verifica a instabilità flesso-torsionale (svergolamento) non verrà eseguita.

Dati per instabilità attorno a x

Controllo della snellezza secondo §4.2.4.1.3.1 NTC18

Numero rit.	Presente	Ascissa	Campata	βx/m	Vincolo a entrambi estremi	λx/m	λVer
1	Si		0				
			1-2		1	49.6	Si, (<200)
2	Si	1.505					

Dati per instabilità attorno a y

Controllo della snellezza secondo §4.2.4.1.3.1 NTC18

Numero rit.	Presente	Ascissa	Campata	βy/n	k,LT	kw,LT	Vincolo a entrambi estremi
1	Si		0				
			1-2		1	34.9	Si, (<200)
2	Si	1.505					

Verifica di stabilità per pressoflessione §C.4.2.4.1.3.3.1 NTC18

X	Comb.	Sfruttamento	Classe	NEd	MxEq,Ed	MyEq,Ed	Area	Wx	Wy	χ,min	λ adim. x/m	λ adim. y/n	N,crit x/m	N,crit y/n	Verifica
1.505	SLU 41	0.071	3	-46.203	-0.1025	-0.1051	0.003832	0.0000492	0.0000739	0.802	0.571	0.402	3231.032	6528.319	Si

Verifica di stabilità per pressoflessione SLD §C.4.2.4.1.3.3.1 NTC18

X	Comb.	Sfruttamento	Classe	NEd	MxEq,Ed	MyEq,Ed	Area	Wx	Wy	χ,min	λ adim. x/m	λ adim. y/n	N,crit x/m	N,crit y/n	Verifica
1.505	SLD 5	0.013	3	-4.789	-0.077	-0.0145	0.003832	0.0000492	0.0000739	0.802	0.571	0.402	3231.032	6528.319	Si

Verifiche a deformabilità

Mensola X: No; Mensola Y: No.

Frecce lungo X

Ascissa freccia	Combinazione	Freccia	Luce	L/f	L/f,min	Tipo	Verifica
0.803	SLE RA 1	0	1.505	10000	250	Totale	Si
0.803	SLE RA 17	0	1.505	10000	250	Totale	Si
0.803	SLE RA 16	0	1.505	10000	250	Totale	Si
0.753	SLE RA 15	0	1.505	10000	250	Totale	Si
0.853	SLE RA 14	0	1.505	10000	250	Totale	Si
0.753	SLE RA 2	0	1.505	10000	350	Variabile	Si
0.753	SLE RA 17	0	1.505	10000	350	Variabile	Si
0.753	SLE RA 16	0	1.505	10000	350	Variabile	Si
0.702	SLE RA 15	0	1.505	10000	350	Variabile	Si
0.953	SLE RA 14	0	1.505	10000	350	Variabile	Si

Frecce lungo Y

Ascissa freccia	Combinazione	Freccia	Luce	L/f	L/f,min	Tipo	Verifica
0.753	SLE RA 1	-0.00003	1.505	10000	250	Totale	Si
0.753	SLE RA 17	-0.00003	1.505	10000	250	Totale	Si
0.753	SLE RA 16	-0.00003	1.505	10000	250	Totale	Si
0.753	SLE RA 15	-0.00003	1.505	10000	250	Totale	Si
0.753	SLE RA 14	-0.00003	1.505	10000	250	Totale	Si
0.452	SLE RA 2	0	1.505	10000	350	Variabile	Si
0.452	SLE RA 17	0	1.505	10000	350	Variabile	Si
0.452	SLE RA 16	0	1.505	10000	350	Variabile	Si
1.154	SLE RA 15	0	1.505	10000	350	Variabile	Si
0.803	SLE RA 14	0	1.505	10000	350	Variabile	Si

Implementazione dei sistemi di confinamento delle emissioni odorigene diffuse dell'impianto di compostaggio esistente nel
Comune di Eboli (SA)
PROGETTO DEFINITIVO – Tabulati di calcolo Tomo 1

Superelemento in acciaio a quota "703"- "690" (-799; 750)-(-908; 853)

Caratteristiche del materiale

Acciaio: S275, fyk = 275000

Caratteristiche geometriche

Lunghezza: 1.505

Nodo iniziale: 1878 Nodo finale: 1675

Cerniera iniziale: Mmomenti 1% Cerniera finale: Mmomenti 1%

Sovreresistenza: 0% Sisma Z: No

Caratteristiche della sezione

Sezione	Rotazione	Area	Jx	Jy	ix	iy	Wx	Wy	Wplx	Wply
A1; L100*10; 1; Saldato; S275; 30; 1; 8; 8; 1	0	0.003832	0.0000035319	0.000007759	0.0304	0.045	0.0000492	0.0000739	0.00008974	0.00012727

Comportamento dei calastrelli

Accoppiamento imbottito con funzione statica (§C4.2.4.1.3.1.4 NTC18) nella campata compresa tra le ascisse 0 e 1.505 per sbandamento attorno all'asse y.

Verifiche di resistenza

Verifiche a forza assiale §4.2.4.1.2.1 - §4.2.4.1.2.2 NTC18

X	Comb.	Sfruttamento	Classe	NEd	Nc,Rd	Nt,Rd	Riduzione da taglio	px	py	Verifica
1.505	SLU 63	0.059	3	-59.362	1003.522		1	0	0	Si

Verifiche a forza assiale SLD §4.2.4.1.2.1 - §4.2.4.1.2.2 NTC18

X	Comb.	Sfruttamento	Classe	NEd	Nc,Rd	Nt,Rd	Riduzione da taglio	px	py	Verifica
1.505	SLD 2	0.013	3	-12.598	1003.522		1	0	0	Si

Verifica a taglio X §4.2.4.1.2.4 NTC18

X	Comb.	Sfruttamento	VEd	Vc,Rd	Av	Interazione taglio-torsione	Riduzione torsione	Verifica
1.505	SLU 63	0.001	0.376	302.422	0.002	Non considerata		Si

Verifica a taglio Y §4.2.4.1.2.4 NTC18

X	Comb.	Sfruttamento	VEd	Vc,Rd	Av	Interazione taglio-torsione	Riduzione torsione	Verifica
1.505	SLU 64	0.001	-0.314	302.422	0.002	Non considerata		Si

Verifica a taglio Y SLD §4.2.4.1.2.4 NTC18

X	Comb.	Sfruttamento	VEd	Vc,Rd	Av	Interazione taglio-torsione	Riduzione torsione	Verifica
1.505	SLD 14	0.001	-0.226	302.422	0.002	Non considerata		Si

Verifica a presso/tenso flessione retta X §§ 4.2.4.1.2.3 - 4.2.4.1.2.6 - 4.2.4.1.2.7 - 4.2.4.1.2.8 NTC18

Verifiche eseguite utilizzando la formula conservativa (6.2) §6.2.1 EN 1993-1-1:2005.

X	Comb.	Sfruttamento	Classe	NEd	NRd	Rid. NRd da VEd	Mx,Ed	Mx,Rd	Rid. Mx,Rd da VEd	Rid. Mx,Rd da NEd	px	py	Verifica
0.702	SLU 4	0.034	1	30.839	1003.522	1	-0.0822	23.5037	1		0	0	Si

Verifica a presso/tenso flessione retta Y §§ 4.2.4.1.2.3 - 4.2.4.1.2.6 - 4.2.4.1.2.7 - 4.2.4.1.2.8 NTC18

Verifiche eseguite utilizzando la formula conservativa (6.2) §6.2.1 EN 1993-1-1:2005.

X	Comb.	Sfruttamento	Classe	NEd	NRd	Rid. NRd da VEd	My,Ed	My,Rd	Rid. My,Rd da VEd	Rid. My,Rd da NEd	px	py	Verifica
0	SLU 63	0.068	3	-59.313	1003.522	1	-0.1802	19.3536	1		0	0	Si

Verifica a presso/tenso flessione retta Y SLD §§ 4.2.4.1.2.3 - 4.2.4.1.2.6 - 4.2.4.1.2.7 - 4.2.4.1.2.8 NTC18

Verifiche eseguite utilizzando la formula conservativa (6.2) §6.2.1 EN 1993-1-1:2005.

X	Comb.	Sfruttamento	Classe	NEd	NRd	Rid. NRd da VEd	My,Ed	My,Rd	Rid. My,Rd da VEd	Rid. My,Rd da NEd	px	py	Verifica
1.505	SLD 1	0.015	3	-12.598	1003.522	1	0.0381	19.3536	1		0	0	Si

Verifica a presso/tenso flessione deviata §§ 4.2.4.1.2.3 - 4.2.4.1.2.6 - 4.2.4.1.2.7 - 4.2.4.1.2.8 NTC18

Verifiche eseguite utilizzando la formula conservativa (6.2) §6.2.1 EN 1993-1-1:2005.

X	Comb.	Sfruttamento	Classe	NEd	NRd	Rid. NRd da VEd	Mx,Ed	Mx,Rd	My,Ed	My,Rd	Rid. Mx,Rd da VEd	Rid. Mx,Rd da NEd	Rid. My,Rd da VEd	Rid. My,Rd da NEd	α	β	px	py	Verifica
0.803	SLU 63	0.078	3	-59.339	1003.522	1	-0.1224	12.886	0.1803	19.3536	1		1				0	0	Si

Verifica a presso/tenso flessione deviata SLD §§ 4.2.4.1.2.3 - 4.2.4.1.2.6 - 4.2.4.1.2.7 - 4.2.4.1.2.8 NTC18

Verifiche eseguite utilizzando la formula conservativa (6.2) §6.2.1 EN 1993-1-1:2005.

X	Comb.	Sfruttamento	Classe	NEd	NRd	Rid. NRd da VEd	Mx,Ed	Mx,Rd	My,Ed	My,Rd	Rid. Mx,Rd da VEd	Rid. Mx,Rd da NEd	Rid. My,Rd da VEd	Rid. My,Rd da NEd	α	β	px	py	Verifica
0.753	SLD 5	0.021	3	-12.576	1003.522	1	-0.0882	12.886	-0.038	19.3536	1		1				0	0	Si

Verifiche ad instabilità

Caratteristiche iniziali

Membratura principale per controllo snellezza; Calcolo di snellezze ed N critici condotti secondo gli assi principali;

Curva X: c; Curva Y: c;

Svergolamento: Nessuno; la verifica a instabilità flesso-torsionale (svergolamento) non verrà eseguita.

Dati per instabilità attorno a x

Controllo della snellezza secondo §4.2.4.1.3.1 NTC18

Numero rit.	Presente	Ascissa	Campata	βx/m	Vincolo a entrambi estremi	λx/m	λVer
1	Si	0	1-2	1	Si	49.6	Si, (<200)

Implementazione dei sistemi di confinamento delle emissioni odorigene diffuse dell’impianto di compostaggio esistente nel
Comune di Eboli (SA)
PROGETTO DEFINITIVO – Tabulati di calcolo Tomo 1

Numero rit.	Presente	Ascissa	Campata	$\beta x/m$	Vincolo a entrambi estremi	$\lambda x/m$	λVer
2	Si	1.505					

Dati per instabilità attorno a y

Controllo della snellezza secondo §4.2.4.1.3.1 NTC18

Numero rit.	Presente	Ascissa	Campata	$\beta y/n$	k,LT	kw,LT	Vincolo a entrambi estremi
1	Si	0					
			1-2	1	Si	34.9	Si, (<200)
2	Si	1.505					

Verifica di stabilità per pressoflessione §C.4.2.4.1.3.3.1 NTC18

X	Comb.	Sfruttamento	Classe	NEd	MxEq,Ed	MyEq,Ed	Area	Wx	Wy	χ_{min}	$\lambda_{adim. x/m}$	$\lambda_{adim. y/n}$	N,crit x/m	N,crit y/n	Verifica
1.505	SLU 44	0.091	3	-58.885	-0.1102	0.1788	0.003832	0.0000492	0.0000739	0.802	0.571	0.402	3231.032	6528.319	Si

Verifica di stabilità per pressoflessione SLD §C.4.2.4.1.3.3.1 NTC18

X	Comb.	Sfruttamento	Classe	NEd	MxEq,Ed	MyEq,Ed	Area	Wx	Wy	χ_{min}	$\lambda_{adim. x/m}$	$\lambda_{adim. y/n}$	N,crit x/m	N,crit y/n	Verifica
1.505	SLD 2	0.024	3	-12.598	-0.0777	0.0381	0.003832	0.0000492	0.0000739	0.802	0.571	0.402	3231.032	6528.319	Si

Verifiche a deformabilità

Mensola X: No; Mensola Y: No.

Frecce lungo X

Ascissa freccia	Combinazione	Freccia	Luce	L/f	L/f,min	Tipo	Verifica
0.502	SLE RA 1	0	1.505	10000	250	Totale	Si
0.552	SLE RA 17	0	1.505	10000	250	Totale	Si
0.552	SLE RA 16	0	1.505	10000	250	Totale	Si
0.552	SLE RA 15	0	1.505	10000	250	Totale	Si
0.401	SLE RA 14	0	1.505	10000	250	Totale	Si
0.502	SLE RA 2	0	1.505	10000	350	Variabile	Si
0.552	SLE RA 17	0	1.505	10000	350	Variabile	Si
0.552	SLE RA 16	0	1.505	10000	350	Variabile	Si
0.552	SLE RA 15	0	1.505	10000	350	Variabile	Si
0.351	SLE RA 14	0	1.505	10000	350	Variabile	Si

Frecce lungo Y

Ascissa freccia	Combinazione	Freccia	Luce	L/f	L/f,min	Tipo	Verifica
0.753	SLE RA 1	-0.00003	1.505	10000	250	Totale	Si
0.753	SLE RA 17	-0.00003	1.505	10000	250	Totale	Si
0.753	SLE RA 16	-0.00003	1.505	10000	250	Totale	Si
0.753	SLE RA 15	-0.00003	1.505	10000	250	Totale	Si
0.753	SLE RA 14	-0.00003	1.505	10000	250	Totale	Si
0.652	SLE RA 2	0	1.505	10000	350	Variabile	Si
0.652	SLE RA 17	0	1.505	10000	350	Variabile	Si
0.652	SLE RA 16	0	1.505	10000	350	Variabile	Si
1.104	SLE RA 15	0	1.505	10000	350	Variabile	Si
0.853	SLE RA 14	0	1.505	10000	350	Variabile	Si

Superelemento in acciaio a quota "703"- "690" (-1052; 480)-(-1162; 583)

Caratteristiche del materiale

Acciaio: S275, fyk = 275000

Caratteristiche geometriche

Lunghezza: 1.505

Nodo iniziale: 1870 Nodo finale: 1668

Cerniera iniziale: Mmomenti 1% Cerniera finale: Mmomenti 1%

Sovreresistenza: 0% Sisma Z: No

Caratteristiche della sezione

Sezione	Rotazione	Area	Jx	Jy	ix	iy	Wx	Wy	Wplx	Wply
A1; L100*10; 1; Saldato; S275; 30; 1; 8; 8; 1	0	0.003832	0.0000035319	0.000007759	0.0304	0.045	0.0000492	0.0000739	0.00008974	0.00012727

Comportamento dei calastrelli

Accoppiamento imbottito con funzione statica (§C.4.2.4.1.3.1.4 NTC18) nella campata compresa tra le ascisse 0 e 1.505 per sbandamento attorno all'asse y.

Verifiche di resistenza

Verifiche a forza assiale §4.2.4.1.2.1 - §4.2.4.1.2.2 NTC18

X	Comb.	Sfruttamento	Classe	NEd	Nc,Rd	Nt,Rd	Riduzione da taglio	px	py	Verifica
0	SLU 26	0.051		50.879		1003.522	1	0	0	Si

Verifiche a forza assiale SLD §4.2.4.1.2.1 - §4.2.4.1.2.2 NTC18

X	Comb.	Sfruttamento	Classe	NEd	Nc,Rd	Nt,Rd	Riduzione da taglio	px	py	Verifica
1.505	SLD 16	0.007	3	-7.235	1003.522		1	0	0	Si

Verifica a taglio X §4.2.4.1.2.4 NTC18

X	Comb.	Sfruttamento	VEd	Vc,Rd	Av	Interazione taglio-torsione	Riduzione torsione	Verifica
1.505	SLU 41	0.001	0.299	302.422	0.002	Non considerata		Si

**Implementazione dei sistemi di confinamento delle emissioni odorigene diffuse dell'impianto di compostaggio esistente nel
Comune di Eboli (SA)**

PROGETTO DEFINITIVO – Tabulati di calcolo Tomo 1

Verifica a taglio Y §4.2.4.1.2.4 NTC18

X	Comb.	Sfruttamento	VEd	Vc,Rd	Av	Interazione taglio-torsione	Riduzione torsione	Verifica
1.505	SLU 76	0.001	-0.322	302.422	0.002	Non considerata		Si

Verifica a taglio Y SLD §4.2.4.1.2.4 NTC18

X	Comb.	Sfruttamento	VEd	Vc,Rd	Av	Interazione taglio-torsione	Riduzione torsione	Verifica
1.505	SLD 1	0.001	-0.231	302.422	0.002	Non considerata		Si

Verifica a flessione semplice X §§ 4.2.4.1.2.3 - 4.2.4.1.2.6 - 4.2.4.1.2.7 - 4.2.4.1.2.8 NTC18

X	Comb.	Sfruttamento	Classe	Mx,Ed	Mx,Rd	Rid. Mx,Rd da VEd	px	py	Verifica
0.753	SLU 58	0.005	1	-0.11168	23.50374	1	0	0	Si

Verifica a presso/tenso flessione retta X §§ 4.2.4.1.2.3 - 4.2.4.1.2.6 - 4.2.4.1.2.7 - 4.2.4.1.2.8 NTC18

Verifiche eseguite utilizzando la formula conservativa (6.2) §6.2.1 EN 1993-1-1:2005.

X	Comb.	Sfruttamento	Classe	NEd	NRd	Rid. NRd da VEd	Mx,Ed	Mx,Rd	Rid. Mx,Rd da VEd	Rid. Mx,Rd da NEd	px	py	Verifica
0.652	SLU 26	0.054	1	50.863	1003.522	1	-0.0815	23.5037	1		0	0	Si

Verifica a presso/tenso flessione retta X SLD §§ 4.2.4.1.2.3 - 4.2.4.1.2.6 - 4.2.4.1.2.7 - 4.2.4.1.2.8 NTC18

Verifiche eseguite utilizzando la formula conservativa (6.2) §6.2.1 EN 1993-1-1:2005.

X	Comb.	Sfruttamento	Classe	NEd	NRd	Rid. NRd da VEd	Mx,Ed	Mx,Rd	Rid. Mx,Rd da VEd	Rid. Mx,Rd da NEd	px	py	Verifica
0.753	SLD 1	0.01	1	6.504	1003.522	1	-0.0843	23.5037	1		0	0	Si

Verifica a presso/tenso flessione retta Y §§ 4.2.4.1.2.3 - 4.2.4.1.2.6 - 4.2.4.1.2.7 - 4.2.4.1.2.8 NTC18

Verifiche eseguite utilizzando la formula conservativa (6.2) §6.2.1 EN 1993-1-1:2005.

X	Comb.	Sfruttamento	Classe	NEd	NRd	Rid. NRd da VEd	My,Ed	My,Rd	Rid. My,Rd da VEd	Rid. My,Rd da NEd	px	py	Verifica
0	SLU 41	0.054	3	-47.107	1003.522	1	-0.143	19.3536	1		0	0	Si

Verifica a presso/tenso flessione retta Y SLD §§ 4.2.4.1.2.3 - 4.2.4.1.2.6 - 4.2.4.1.2.7 - 4.2.4.1.2.8 NTC18

Verifiche eseguite utilizzando la formula conservativa (6.2) §6.2.1 EN 1993-1-1:2005.

X	Comb.	Sfruttamento	Classe	NEd	NRd	Rid. NRd da VEd	My,Ed	My,Rd	Rid. My,Rd da VEd	Rid. My,Rd da NEd	px	py	Verifica
1.505	SLD 15	0.008	3	-7.235	1003.522	1	0.022	19.3536	1		0	0	Si

Verifica a presso/tenso flessione deviata §§ 4.2.4.1.2.3 - 4.2.4.1.2.6 - 4.2.4.1.2.7 - 4.2.4.1.2.8 NTC18

Verifiche eseguite utilizzando la formula conservativa (6.2) §6.2.1 EN 1993-1-1:2005.

X	Comb.	Sfruttamento	Classe	NEd	NRd	Rid. NRd da VEd	Mx,Ed	Mx,Rd	My,Ed	My,Rd	Rid. Mx,Rd da VEd	Rid. Mx,Rd da NEd	Rid. My,Rd da VEd	Rid. My,Rd da NEd	α	β	px	py	Verifica
0.803	SLU 41	0.063	3	-47.133	1003.522	1	-0.1174	12.886	0.1429	19.3536	1		1				0	0	Si

Verifica a presso/tenso flessione deviata SLD §§ 4.2.4.1.2.3 - 4.2.4.1.2.6 - 4.2.4.1.2.7 - 4.2.4.1.2.8 NTC18

Verifiche eseguite utilizzando la formula conservativa (6.2) §6.2.1 EN 1993-1-1:2005.

X	Comb.	Sfruttamento	Classe	NEd	NRd	Rid. NRd da VEd	Mx,Ed	Mx,Rd	My,Ed	My,Rd	Rid. Mx,Rd da VEd	Rid. Mx,Rd da NEd	Rid. My,Rd da VEd	Rid. My,Rd da NEd	α	β	px	py	Verifica
0.753	SLD 15	0.015	3	-7.216	1003.522	1	-0.0875	12.886	-0.0218	19.3536	1		1				0	0	Si

Verifiche ad instabilità

Caratteristiche iniziali

Membratura principale per controllo snellezza; Calcolo di snellezze ed N critici condotti secondo gli assi principali;

Curva X: c; Curva Y: c;

Svergolamento: Nessuno; la verifica a instabilità flesso-torsionale (svergolamento) non verrà eseguita.

Dati per instabilità attorno a x

Controllo della snellezza secondo §4.2.4.1.3.1 NTC18

Numero rit.	Presente	Ascissa	Campata	βx/m	Vincolo a entrambi estremi	λx/m	λVer
1	Si	0					
			1-2		1	49.6	Si, (<200)
2	Si	1.505					

Dati per instabilità attorno a y

Controllo della snellezza secondo §4.2.4.1.3.1 NTC18

Numero rit.	Presente	Ascissa	Campata	βy/n	k,LT	kw,LT	Vincolo a entrambi estremi
1	Si	0					
			1-2		1	34.9	Si, (<200)
2	Si	1.505					

Verifica di stabilità per pressoflessione §C.4.2.4.1.3.3.1 NTC18

X	Comb.	Sfruttamento	Classe	NEd	MxEq,Ed	MyEq,Ed	Area	Wx	Wy	x,min	λ adim. x/m	λ adim. y/n	N,crit x/m	N,crit y/n	Verifica
1.505	SLU 41	0.072	3	-47.156	-0.1046	0.1073	0.003832	0.0000492	0.0000739	0.802	0.571	0.402	3231.032	6528.319	Si

Verifica di stabilità per pressoflessione SLD §C.4.2.4.1.3.3.1 NTC18

X	Comb.	Sfruttamento	Classe	NEd	MxEq,Ed	MyEq,Ed	Area	Wx	Wy	x,min	λ adim. x/m	λ adim. y/n	N,crit x/m	N,crit y/n	Verifica
1.505	SLD 12	0.016	3	-7.192	-0.0767	0.0217	0.003832	0.0000492	0.0000739	0.802	0.571	0.402	3231.032	6528.319	Si

Verifiche a deformabilità

Mensola X: No; Mensola Y: No.

Frecce lungo X

Ascissa freccia	Combinazione	Freccia	Luce	L/f	L/f,min	Tipo	Verifica
1.003	SLE RA 1	0	1.505	10000	250	Totale	Si
1.003	SLE RA 17	0	1.505	10000	250	Totale	Si
1.003	SLE RA 16	0	1.505	10000	250	Totale	Si
0.953	SLE RA 15	0	1.505	10000	250	Totale	Si
1.054	SLE RA 14	0	1.505	10000	250	Totale	Si
1.054	SLE RA 2	0	1.505	10000	350	Variabile	Si

Implementazione dei sistemi di confinamento delle emissioni odorigene diffuse dell'impianto di compostaggio esistente nel
Comune di Eboli (SA)

PROGETTO DEFINITIVO – Tabulati di calcolo Tomo 1

Ascissa freccia	Combinazione	Freccia	Luce	L/f	L/f,min	Tipo	Verifica
1.003	SLE RA 17	0	1.505	10000	350	Variabile	Si
1.003	SLE RA 16	0	1.505	10000	350	Variabile	Si
0.953	SLE RA 15	0	1.505	10000	350	Variabile	Si
1.154	SLE RA 14	0	1.505	10000	350	Variabile	Si

Freccie lungo Y

Ascissa freccia	Combinazione	Freccia	Luce	L/f	L/f,min	Tipo	Verifica
0.753	SLE RA 1	-0.00003	1.505	10000	250	Totale	Si
0.753	SLE RA 17	-0.00003	1.505	10000	250	Totale	Si
0.753	SLE RA 16	-0.00003	1.505	10000	250	Totale	Si
0.753	SLE RA 15	-0.00003	1.505	10000	250	Totale	Si
0.753	SLE RA 14	-0.00003	1.505	10000	250	Totale	Si
0.401	SLE RA 2	0	1.505	10000	350	Variabile	Si
0.401	SLE RA 17	0	1.505	10000	350	Variabile	Si
0.401	SLE RA 16	0	1.505	10000	350	Variabile	Si
1.054	SLE RA 15	0	1.505	10000	350	Variabile	Si
0.803	SLE RA 14	0	1.505	10000	350	Variabile	Si

Superelemento in acciaio a quota "703"- "690" (-1307; 209)-(-1416; 312)

Caratteristiche del materiale

Acciaio: S275, fyk = 275000

Caratteristiche geometriche

Lunghezza: 1.505

Nodo iniziale: 1859 Nodo finale: 1659

Cerniera iniziale: Mmomenti 1% Cerniera finale: Mmomenti 1%

Sovraresistenza: 0% Sisma Z: No

Caratteristiche della sezione

Sezione	Rotazione	Area	Jx	Jy	ix	iy	Wx	Wy	Wplx	Wply
Al; L100*10; 1; Saldato; S275; 30; 1; 8; 8; 1	0	0.003832	0.0000035319	0.000007759	0.0304	0.045	0.0000492	0.0000739	0.00008974	0.00012727

Comportamento dei calastrelli

Accoppiamento imbottito con funzione statica (§C4.2.4.1.3.1.4 NTC18) nella campata compresa tra le ascisse 0 e 1.505 per sbandamento attorno all'asse y.

Verifiche di resistenza

Verifiche a forza assiale §4.2.4.1.2.1 - §4.2.4.1.2.2 NTC18

X	Comb.	Sfruttamento	Classe	NEd	Nc,Rd	Nt,Rd	Riduzione da taglio	px	py	Verifica
0	SLU 76	0.119		119.335		1003.522	1	0	0	Si

Verifiche a forza assiale SLD §4.2.4.1.2.1 - §4.2.4.1.2.2 NTC18

X	Comb.	Sfruttamento	Classe	NEd	Nc,Rd	Nt,Rd	Riduzione da taglio	px	py	Verifica
0	SLD 5	0.027		26.861		1003.522	1	0	0	Si

Verifica a taglio Y §4.2.4.1.2.4 NTC18

X	Comb.	Sfruttamento	VEd	Vc,Rd	Av	Interazione taglio-torsione	Riduzione torsione	Verifica
1.505	SLU 76	0.001	-0.351	302.422	0.002	Non considerata		Si

Verifica a taglio Y SLD §4.2.4.1.2.4 NTC18

X	Comb.	Sfruttamento	VEd	Vc,Rd	Av	Interazione taglio-torsione	Riduzione torsione	Verifica
1.505	SLD 14	0.001	-0.238	302.422	0.002	Non considerata		Si

Verifica a presso/tenso flessione retta X §§ 4.2.4.1.2.3 - 4.2.4.1.2.6 - 4.2.4.1.2.7 - 4.2.4.1.2.8 NTC18

Verifiche eseguite utilizzando la formula conservativa (6.2) §6.2.1 EN 1993-1-1:2005.

X	Comb.	Sfruttamento	Classe	NEd	NRd	Rid. NRd da VEd	Mx,Ed	Mx,Rd	Rid. Mx,Rd da VEd	Rid. Mx,Rd da NEd	px	py	Verifica
0.602	SLU 76	0.123	1	119.315	1003.522	1	-0.1013	23.5037	1		0	0	Si

Verifica a presso/tenso flessione retta X SLD §§ 4.2.4.1.2.3 - 4.2.4.1.2.6 - 4.2.4.1.2.7 - 4.2.4.1.2.8 NTC18

Verifiche eseguite utilizzando la formula conservativa (6.2) §6.2.1 EN 1993-1-1:2005.

X	Comb.	Sfruttamento	Classe	NEd	NRd	Rid. NRd da VEd	Mx,Ed	Mx,Rd	Rid. Mx,Rd da VEd	Rid. Mx,Rd da NEd	px	py	Verifica
0.702	SLD 5	0.03	1	26.843	1003.522	1	-0.081	23.5037	1		0	0	Si

Verifica a presso/tenso flessione retta Y §§ 4.2.4.1.2.3 - 4.2.4.1.2.6 - 4.2.4.1.2.7 - 4.2.4.1.2.8 NTC18

Verifiche eseguite utilizzando la formula conservativa (6.2) §6.2.1 EN 1993-1-1:2005.

X	Comb.	Sfruttamento	Classe	NEd	NRd	Rid. NRd da VEd	My,Ed	My,Rd	Rid. My,Rd da VEd	Rid. My,Rd da NEd	px	py	Verifica
0.05	SLU 3	0.032	3	-27.406	1003.522	1	-0.0829	19.3536	1		0	0	Si

Verifica a presso/tenso flessione deviata §§ 4.2.4.1.2.3 - 4.2.4.1.2.6 - 4.2.4.1.2.7 - 4.2.4.1.2.8 NTC18

Verifiche eseguite utilizzando la formula conservativa (6.2) §6.2.1 EN 1993-1-1:2005.

X	Comb.	Sfruttamento	Classe	NEd	NRd	Rid. NRd da VEd	Mx,Ed	Mx,Rd	My,Ed	My,Rd	Rid. Mx,Rd da VEd	Rid. Mx,Rd da NEd	Rid. My,Rd da VEd	Rid. My,Rd da NEd	α	β	px	py	Verifica
0.803	SLU 3	0.038	3	-27.425	1003.522	1	-0.0855	12.886	-0.0829	19.3536	1		1				0	0	Si

Verifiche ad instabilità

Caratteristiche iniziali

Membratura principale per controllo snellezza; Calcolo di snellezze ed N critici condotti secondo gli assi principali;

Implementazione dei sistemi di confinamento delle emissioni odorigene diffuse dell'impianto di compostaggio esistente nel
Comune di Eboli (SA)
PROGETTO DEFINITIVO – Tabulati di calcolo Tomo 1

Curva X: c; Curva Y: c;
Svergolamento: Nessuno; la verifica a instabilità flessione-torsionale (svergolamento) non verrà eseguita.
Dati per instabilità attorno a x

Controllo della snellezza secondo §4.2.4.1.3.1 NTC18

Numero rit.	Presente	Ascissa	Campata	$\beta x/m$	Vincolo a entrambi estremi	$\lambda x/m$	λVer
1	Si	0					
			1-2	1	Si	49.6	Si, (<200)
2	Si	1.505					

Dati per instabilità attorno a y

Controllo della snellezza secondo §4.2.4.1.3.1 NTC18

Numero rit.	Presente	Ascissa	Campata	$\beta y/n$	k,LT	kw,LT	Vincolo a entrambi estremi
1	Si	0					
			1-2	1	Si	34.9	Si, (<200)
2	Si	1.505					

Verifica di stabilità per pressoflessione §C.4.2.4.1.3.3.1 NTC18

X	Comb.	Sfruttamento	Classe	NEd	MxEq,Ed	MyEq,Ed	Area	Wx	Wy	χ_{min}	$\lambda_{adim. x/m}$	$\lambda_{adim. y/n}$	N,crit x/m	N,crit y/n	Verifica
1.505	SLU 3	0.043	3	-27.443	-0.0741	0.0622	0.003832	0.0000492	0.0000739	0.802	0.571	0.402	3231.032	6528.319	Si

Verifiche a deformabilità

Mensola X: No; Mensola Y: No.

Frecce lungo X

Ascissa freccia	Combinazione	Freccia	Luce	L/f	L/f,min	Tipo	Verifica
0.602	SLE RA 1	0	1.505	10000	250	Totale	Si
0.602	SLE RA 17	0	1.505	10000	250	Totale	Si
0.602	SLE RA 16	0	1.505	10000	250	Totale	Si
0.602	SLE RA 15	0	1.505	10000	250	Totale	Si
0.602	SLE RA 14	0	1.505	10000	250	Totale	Si
0.552	SLE RA 2	0	1.505	10000	350	Variabile	Si
0.602	SLE RA 17	0	1.505	10000	350	Variabile	Si
0.602	SLE RA 16	0	1.505	10000	350	Variabile	Si
0.602	SLE RA 15	0	1.505	10000	350	Variabile	Si
0.552	SLE RA 14	0	1.505	10000	350	Variabile	Si

Frecce lungo Y

Ascissa freccia	Combinazione	Freccia	Luce	L/f	L/f,min	Tipo	Verifica
0.753	SLE RA 1	-0.00003	1.505	10000	250	Totale	Si
0.753	SLE RA 17	-0.00003	1.505	10000	250	Totale	Si
0.702	SLE RA 16	-0.00002	1.505	10000	250	Totale	Si
0.702	SLE RA 15	-0.00002	1.505	10000	250	Totale	Si
0.753	SLE RA 14	-0.00003	1.505	10000	250	Totale	Si
1.054	SLE RA 2	0	1.505	10000	350	Variabile	Si
1.054	SLE RA 17	0	1.505	10000	350	Variabile	Si
1.054	SLE RA 16	0	1.505	10000	350	Variabile	Si
1.054	SLE RA 15	0	1.505	10000	350	Variabile	Si
1.054	SLE RA 14	0	1.505	10000	350	Variabile	Si

Superelemento in acciaio a quota "703"- "690" (-1559; -59)-(-1669; 44)

Caratteristiche del materiale

Acciaio: S275, fyk = 275000

Caratteristiche geometriche

Lunghezza: 1.505

Nodo iniziale: 1850 Nodo finale: 1650

Cerniera iniziale: Mmomenti 1% Cerniera finale: Mmomenti 1%

Sovreresistenza: 0% Sisma Z: No

Caratteristiche della sezione

Sezione	Rotazione	Area	Jx	Jy	ix	iy	Wx	Wy	Wplx	Wply
A1; L100*10; 1; Saldato; S275; 30; 1; 8; 8; 1	0	0.003832	0.0000035319	0.000007759	0.0304	0.045	0.0000492	0.0000739	0.00008974	0.00012727

Comportamento dei calastrelli

Accoppiamento imbottito con funzione statica (§C4.2.4.1.3.1.4 NTC18) nella campata compresa tra le ascisse 0 e 1.505 per sbandamento attorno all'asse y.

Verifiche di resistenza

Verifiche a forza assiale §4.2.4.1.2.1 - §4.2.4.1.2.2 NTC18

X	Comb.	Sfruttamento	Classe	NEd	Nc,Rd	Nt,Rd	Riduzione da taglio	px	py	Verifica
0	SLU 26	0.065		64.989		1003.522	1	0	0	Si

Verifiche a forza assiale SLD §4.2.4.1.2.1 - §4.2.4.1.2.2 NTC18

X	Comb.	Sfruttamento	Classe	NEd	Nc,Rd	Nt,Rd	Riduzione da taglio	px	py	Verifica
0	SLD 16	0.013		13.326		1003.522	1	0	0	Si

Verifica a taglio X §4.2.4.1.2.4 NTC18

X	Comb.	Sfruttamento	VEd	Vc,Rd	Av	Interazione taglio-torsione	Riduzione torsione	Verifica
1.505	SLU 41	0.001	0.263	302.422	0.002	Non considerata		Si

Implementazione dei sistemi di confinamento delle emissioni odorigene diffuse dell'impianto di compostaggio esistente nel
Comune di Eboli (SA)

PROGETTO DEFINITIVO – Tabulati di calcolo Tomo 1

Verifica a taglio Y §4.2.4.1.2.4 NTC18

X	Comb.	Sfruttamento	VEd	Vc,Rd	Av	Interazione taglio-torsione	Riduzione torsione	Verifica
1.505	SLU 76	0.001	-0.342	302.422	0.002	Non considerata		Si

Verifica a taglio Y SLD §4.2.4.1.2.4 NTC18

X	Comb.	Sfruttamento	VEd	Vc,Rd	Av	Interazione taglio-torsione	Riduzione torsione	Verifica
1.505	SLD 16	0.001	-0.235	302.422	0.002	Non considerata		Si

Verifica a flessione semplice X SLD §§ 4.2.4.1.2.3 - 4.2.4.1.2.6 - 4.2.4.1.2.7 - 4.2.4.1.2.8 NTC18

X	Comb.	Sfruttamento	Classe	Mx,Ed	Mx,Rd	Rid. Mx,Rd da VEd	px	py	Verifica
0.251	SLD 5	0.002	1	-0.05248	23.50374	1	0	0	Si

Verifica a presso/tenso flessione retta X §§ 4.2.4.1.2.3 - 4.2.4.1.2.6 - 4.2.4.1.2.7 - 4.2.4.1.2.8 NTC18

Verifiche eseguite utilizzando la formula conservativa (6.2) §6.2.1 EN 1993-1-1:2005.

X	Comb.	Sfruttamento	Classe	NEd	NRd	Rid. NRd da VEd	Mx,Ed	Mx,Rd	Rid. Mx,Rd da VEd	Rid. Mx,Rd da NEd	px	py	Verifica
0.652	SLU 64	0.069	1	64.826	1003.522	1	-0.1135	23.5037	1		0	0	Si

Verifica a presso/tenso flessione retta X SLD §§ 4.2.4.1.2.3 - 4.2.4.1.2.6 - 4.2.4.1.2.7 - 4.2.4.1.2.8 NTC18

Verifiche eseguite utilizzando la formula conservativa (6.2) §6.2.1 EN 1993-1-1:2005.

X	Comb.	Sfruttamento	Classe	NEd	NRd	Rid. NRd da VEd	Mx,Ed	Mx,Rd	Rid. Mx,Rd da VEd	Rid. Mx,Rd da NEd	px	py	Verifica
0.702	SLD 15	0.017	1	13.308	1003.522	1	-0.0845	23.5037	1		0	0	Si

Verifica a presso/tenso flessione retta Y §§ 4.2.4.1.2.3 - 4.2.4.1.2.6 - 4.2.4.1.2.7 - 4.2.4.1.2.8 NTC18

Verifiche eseguite utilizzando la formula conservativa (6.2) §6.2.1 EN 1993-1-1:2005.

X	Comb.	Sfruttamento	Classe	NEd	NRd	Rid. NRd da VEd	My,Ed	My,Rd	Rid. My,Rd da VEd	Rid. My,Rd da NEd	px	py	Verifica
0.05	SLU 3	0.048	3	-41.365	1003.522	1	-0.1254	19.3536	1		0	0	Si

Verifica a presso/tenso flessione deviata §§ 4.2.4.1.2.3 - 4.2.4.1.2.6 - 4.2.4.1.2.7 - 4.2.4.1.2.8 NTC18

Verifiche eseguite utilizzando la formula conservativa (6.2) §6.2.1 EN 1993-1-1:2005.

X	Comb.	Sfruttamento	Classe	NEd	NRd	Rid. NRd da VEd	Mx,Ed	Mx,Rd	My,Ed	My,Rd	Rid. Mx,Rd da VEd	Rid. Mx,Rd da NEd	Rid. My,Rd da VEd	Rid. My,Rd da NEd	α	β	px	py	Verifica
0.803	SLU 41	0.057	3	-41.531	1003.522	1	-0.1134	12.886	-0.1259	19.3536	1		1				0	0	Si

Verifiche ad instabilità

Caratteristiche iniziali

Membratura principale per controllo snellezza; Calcolo di snellezze ed N critici condotti secondo gli assi principali;

Curva X: c; Curva Y: c;

Svergolamento: Nessuno; la verifica a instabilità flesso-torsionale (svergolamento) non verrà eseguita.

Dati per instabilità attorno a x

Controllo della snellezza secondo §4.2.4.1.3.1 NTC18

Numero rit.	Presente	Ascissa	Campata	βx/m	Vincolo a entrambi estremi	λx/m	λVer
1	Si		0				
			1-2		1	Si	49.6
2	Si	1.505					Si, (<200)

Dati per instabilità attorno a y

Controllo della snellezza secondo §4.2.4.1.3.1 NTC18

Numero rit.	Presente	Ascissa	Campata	βy/n	k,LT	kw,LT	Vincolo a entrambi estremi
1	Si		0				
			1-2		1	Si	34.9
2	Si	1.505					Si, (<200)

Verifica di stabilità per pressoflessione §C.4.2.4.1.3.3.1 NTC18

X	Comb.	Sfruttamento	Classe	NEd	MxEq,Ed	MyEq,Ed	Area	Wx	Wy	χ,min	λ adim. x/m	λ adim. y/n	N,crit x/m	N,crit y/n	Verifica
1.505	SLU 41	0.066	3	-41.554	-0.0993	-0.1259	0.003832	0.0000492	0.0000739	0.802	0.571	0.402	3231.032	6528.319	Si

Verifica di stabilità per pressoflessione SLD §C.4.2.4.1.3.3.1 NTC18

X	Comb.	Sfruttamento	Classe	NEd	MxEq,Ed	MyEq,Ed	Area	Wx	Wy	χ,min	λ adim. x/m	λ adim. y/n	N,crit x/m	N,crit y/n	Verifica
1.505	SLD 2	0.007	3	-0.466	-0.0765	-0.0015	0.003832	0.0000492	0.0000739	0.802	0.571	0.402	3231.032	6528.319	Si

Verifiche a deformabilità

Mensola X: No; Mensola Y: No.

Frecce lungo X

Ascissa freccia	Combinazione	Freccia	Luce	L/f	L/f,min	Tipo	Verifica
0.652	SLE RA 1	0	1.505	10000	250	Totale	Si
0.652	SLE RA 17	0	1.505	10000	250	Totale	Si
0.652	SLE RA 16	0	1.505	10000	250	Totale	Si
0.652	SLE RA 15	0	1.505	10000	250	Totale	Si
0.652	SLE RA 14	0	1.505	10000	250	Totale	Si
0.652	SLE RA 2	0	1.505	10000	350	Variabile	Si
0.652	SLE RA 17	0	1.505	10000	350	Variabile	Si
0.652	SLE RA 16	0	1.505	10000	350	Variabile	Si
0.652	SLE RA 15	0	1.505	10000	350	Variabile	Si
0.702	SLE RA 14	0	1.505	10000	350	Variabile	Si

Frecce lungo Y

Ascissa freccia	Combinazione	Freccia	Luce	L/f	L/f,min	Tipo	Verifica
0.753	SLE RA 1	-0.00003	1.505	10000	250	Totale	Si
0.753	SLE RA 17	-0.00003	1.505	10000	250	Totale	Si
0.753	SLE RA 16	-0.00003	1.505	10000	250	Totale	Si
0.702	SLE RA 15	-0.00003	1.505	10000	250	Totale	Si
0.753	SLE RA 14	-0.00003	1.505	10000	250	Totale	Si
0.452	SLE RA 2	0	1.505	10000	350	Variabile	Si

Implementazione dei sistemi di confinamento delle emissioni odorigene diffuse dell'impianto di compostaggio esistente nel
Comune di Eboli (SA)
PROGETTO DEFINITIVO – Tabulati di calcolo Tomo 1

Ascissa freccia	Combinazione	Freccia	Luce	L/f	L/f,min	Tipo	Verifica
0.452	SLE RA 17	0	1.505	10000	350	Variabile	Si
0.452	SLE RA 16	0	1.505	10000	350	Variabile	Si
0.351	SLE RA 15	0	1.505	10000	350	Variabile	Si
0.753	SLE RA 14	0	1.505	10000	350	Variabile	Si

Superelemento in acciaio a quota "703"- "690" (-1816; -331)-(-1925; -228)

Caratteristiche del materiale

Acciaio: S275, fyk = 275000

Caratteristiche geometriche

Lunghezza: 1.505

Nodo iniziale: 1839 Nodo finale: 1639

Cerniera iniziale: Mmomenti 1% Cerniera finale: Mmomenti 1%

Sovreresistenza: 0% Sisma Z: No

Caratteristiche della sezione

Sezione	Rotazione	Area	Jx	Jy	ix	iy	Wx	Wy	Wplx	Wply
A1; L100*10; 1; Saldato; S275; 30; 1; 8; 8; 1	0	0.003832	0.0000035319	0.000007759	0.0304	0.045	0.0000492	0.0000739	0.00008974	0.00012727

Comportamento dei calastrelli

Accoppiamento imbottito con funzione statica (§C4.2.4.1.3.1.4 NTC18) nella campata compresa tra le ascisse 0 e 1.505 per sbandamento attorno all'asse y.

Verifiche di resistenza

Verifiche a forza assiale §4.2.4.1.2.1 - §4.2.4.1.2.2 NTC18

X	Comb.	Sfruttamento	Classe	NEd	Nc,Rd	Nt,Rd	Riduzione da taglio	px	py	Verifica
1.505	SLU 63	0.013	3	-12.866	1003.522		1	0	0	Si

Verifiche a forza assiale SLD §4.2.4.1.2.1 - §4.2.4.1.2.2 NTC18

X	Comb.	Sfruttamento	Classe	NEd	Nc,Rd	Nt,Rd	Riduzione da taglio	px	py	Verifica
1.505	SLD 8	0.003	3	-3.035	1003.522		1	0	0	Si

Verifica a taglio Y §4.2.4.1.2.4 NTC18

X	Comb.	Sfruttamento	VEd	Vc,Rd	Av	Interazione taglio-torsione	Riduzione torsione	Verifica
1.505	SLU 76	0.001	-0.302	302.422	0.002	Non considerata		Si

Verifica a taglio Y SLD §4.2.4.1.2.4 NTC18

X	Comb.	Sfruttamento	VEd	Vc,Rd	Av	Interazione taglio-torsione	Riduzione torsione	Verifica
1.505	SLD 1	0.001	-0.227	302.422	0.002	Non considerata		Si

Verifica a presso/tenso flessione retta X §§ 4.2.4.1.2.3 - 4.2.4.1.2.6 - 4.2.4.1.2.7 - 4.2.4.1.2.8 NTC18

Verifiche eseguite utilizzando la formula conservativa (6.2) §6.2.1 EN 1993-1-1:2005.

X	Comb.	Sfruttamento	Classe	NEd	NRd	Rid. NRd da VEd	Mx,Ed	Mx,Rd	Rid. Mx,Rd da VEd	Rid. Mx,Rd da NEd	px	py	Verifica
0.753	SLU 42	0.01	1	5.808	1003.522	1	-0.1085	23.5037	1		0	0	Si

Verifica a presso/tenso flessione retta X SLD §§ 4.2.4.1.2.3 - 4.2.4.1.2.6 - 4.2.4.1.2.7 - 4.2.4.1.2.8 NTC18

Verifiche eseguite utilizzando la formula conservativa (6.2) §6.2.1 EN 1993-1-1:2005.

X	Comb.	Sfruttamento	Classe	NEd	NRd	Rid. NRd da VEd	Mx,Ed	Mx,Rd	Rid. Mx,Rd da VEd	Rid. Mx,Rd da NEd	px	py	Verifica
0.753	SLD 14	0.006	1	-2.362	1003.522	1	-0.0844	23.5037	1		0	0	Si

Verifica a presso/tenso flessione retta Y §§ 4.2.4.1.2.3 - 4.2.4.1.2.6 - 4.2.4.1.2.7 - 4.2.4.1.2.8 NTC18

Verifiche eseguite utilizzando la formula conservativa (6.2) §6.2.1 EN 1993-1-1:2005.

X	Comb.	Sfruttamento	Classe	NEd	NRd	Rid. NRd da VEd	My,Ed	My,Rd	Rid. My,Rd da VEd	Rid. My,Rd da NEd	px	py	Verifica
1.505	SLU 63	0.015	3	-12.866	1003.522	1	-0.0389	19.3536	1		0	0	Si

Verifica a presso/tenso flessione retta Y SLD §§ 4.2.4.1.2.3 - 4.2.4.1.2.6 - 4.2.4.1.2.7 - 4.2.4.1.2.8 NTC18

Verifiche eseguite utilizzando la formula conservativa (6.2) §6.2.1 EN 1993-1-1:2005.

X	Comb.	Sfruttamento	Classe	NEd	NRd	Rid. NRd da VEd	My,Ed	My,Rd	Rid. My,Rd da VEd	Rid. My,Rd da NEd	px	py	Verifica
1.505	SLD 8	0.004	3	-3.035	1003.522	1	-0.0093	19.3536	1		0	0	Si

Verifica a presso/tenso flessione deviata §§ 4.2.4.1.2.3 - 4.2.4.1.2.6 - 4.2.4.1.2.7 - 4.2.4.1.2.8 NTC18

Verifiche eseguite utilizzando la formula conservativa (6.2) §6.2.1 EN 1993-1-1:2005.

X	Comb.	Sfruttamento	Classe	NEd	NRd	Rid. NRd da VEd	Mx,Ed	Mx,Rd	My,Ed	My,Rd	Rid. Mx,Rd da VEd	Rid. Mx,Rd da NEd	Rid. My,Rd da VEd	Rid. My,Rd da NEd	α	β	px	py	Verifica
0.753	SLU 63	0.023	3	-12.842	1003.522	1	-0.1116	12.886	-0.0391	19.3536	1		1				0	0	Si

Verifica a presso/tenso flessione deviata SLD §§ 4.2.4.1.2.3 - 4.2.4.1.2.6 - 4.2.4.1.2.7 - 4.2.4.1.2.8 NTC18

Verifiche eseguite utilizzando la formula conservativa (6.2) §6.2.1 EN 1993-1-1:2005.

X	Comb.	Sfruttamento	Classe	NEd	NRd	Rid. NRd da VEd	Mx,Ed	Mx,Rd	My,Ed	My,Rd	Rid. Mx,Rd da VEd	Rid. Mx,Rd da NEd	Rid. My,Rd da VEd	Rid. My,Rd da NEd	α	β	px	py	Verifica
0.753	SLD 8	0.007	1	-3.017	1003.522	1	-0.0849	23.5037	-0.0092	33.3316	1		1				0	0	Si

Verifiche ad instabilità

Caratteristiche iniziali

Membratura principale per controllo snellezza; Calcolo di snellezze ed N critici condotti secondo gli assi principali;

Implementazione dei sistemi di confinamento delle emissioni odorigene diffuse dell'impianto di compostaggio esistente nel
Comune di Eboli (SA)
PROGETTO DEFINITIVO – Tabulati di calcolo Tomo 1

Curva X: c; Curva Y: c;
Svergolamento: Nessuno; la verifica a instabilità flessione-torsionale (svergolamento) non verrà eseguita.

Dati per instabilità attorno a x

Controllo della snellezza secondo §4.2.4.1.3.1 NTC18

Numero rit.	Presente	Ascissa	Campata	$\beta x/m$	Vincolo a entrambi estremi	$\lambda x/m$	λVer
1	Si	0					
			1-2	1	Si	49.6	Si, (<200)
2	Si	1.505					

Dati per instabilità attorno a y

Controllo della snellezza secondo §4.2.4.1.3.1 NTC18

Numero rit.	Presente	Ascissa	Campata	$\beta y/n$	k,LT	kw,LT	Vincolo a entrambi estremi
1	Si	0					
			1-2	1	Si	34.9	Si, (<200)
2	Si	1.505					

Verifica di stabilità per pressoflessione §C.4.2.4.1.3.3.1 NTC18

X	Comb.	Sfruttamento	Classe	NEd	MxEq,Ed	MyEq,Ed	Area	Wx	Wy	χ_{min}	$\lambda_{adim. x/m}$	$\lambda_{adim. y/n}$	N,crit x/m	N,crit y/n	Verifica
1.505	SLU 63	0.026	3	-12.866	-0.0972	-0.0391	0.003832	0.0000492	0.0000739	0.802	0.571	0.402	3231.032	6528.319	Si

Verifica di stabilità per pressoflessione SLD §C.4.2.4.1.3.3.1 NTC18

X	Comb.	Sfruttamento	Classe	NEd	MxEq,Ed	MyEq,Ed	Area	Wx	Wy	χ_{min}	$\lambda_{adim. x/m}$	$\lambda_{adim. y/n}$	N,crit x/m	N,crit y/n	Verifica
1.505	SLD 3	0.01	3	-3.024	-0.0734	-0.0095	0.003832	0.0000492	0.0000739	0.802	0.571	0.402	3231.032	6528.319	Si

Verifiche a deformabilità

Mensola X: No; Mensola Y: No.

Frecce lungo X

Ascissa freccia	Combinazione	Freccia	Luce	L/f	L/f,min	Tipo	Verifica
0.702	SLE RA 1	0	1.505	10000	250	Totale	Si
0.702	SLE RA 17	0	1.505	10000	250	Totale	Si
0.702	SLE RA 16	0	1.505	10000	250	Totale	Si
0.702	SLE RA 15	0	1.505	10000	250	Totale	Si
0.702	SLE RA 14	0	1.505	10000	250	Totale	Si
0.702	SLE RA 2	0	1.505	10000	350	Variabile	Si
0.702	SLE RA 17	0	1.505	10000	350	Variabile	Si
0.702	SLE RA 16	0	1.505	10000	350	Variabile	Si
0.702	SLE RA 15	0	1.505	10000	350	Variabile	Si
0.652	SLE RA 14	0	1.505	10000	350	Variabile	Si

Frecce lungo Y

Ascissa freccia	Combinazione	Freccia	Luce	L/f	L/f,min	Tipo	Verifica
0.753	SLE RA 1	-0.00003	1.505	10000	250	Totale	Si
0.753	SLE RA 17	-0.00003	1.505	10000	250	Totale	Si
0.753	SLE RA 16	-0.00003	1.505	10000	250	Totale	Si
0.753	SLE RA 15	-0.00003	1.505	10000	250	Totale	Si
0.753	SLE RA 14	-0.00003	1.505	10000	250	Totale	Si
0.452	SLE RA 2	0	1.505	10000	350	Variabile	Si
0.452	SLE RA 17	0	1.505	10000	350	Variabile	Si
0.452	SLE RA 16	0	1.505	10000	350	Variabile	Si
1.003	SLE RA 15	0	1.505	10000	350	Variabile	Si
0.803	SLE RA 14	0	1.505	10000	350	Variabile	Si

Superelemento in acciaio a quota "703"- "715" (111; 402)-(2; 505)

Caratteristiche del materiale

Acciaio: S275, fyk = 275000

Caratteristiche geometriche

Lunghezza: 1.505

Nodo iniziale: 1861 Nodo finale: 2077

Cerniera iniziale: Mmomenti 1% Cerniera finale: Mmomenti 1%

Sovreresistenza: 0% Sisma Z: No

Caratteristiche della sezione

Sezione	Rotazione	Area	Jx	Jy	ix	iy	Wx	Wy	Wplx	Wply
Al; L100*10; 1; Saldato; S275; 30; 1; 8; 8; 1	0	0.003832	0.0000035319	0.000007759	0.0304	0.045	0.0000492	0.0000739	0.00008974	0.00012727

Comportamento dei calastrelli

Accoppiamento imbottito con funzione statica (§C4.2.4.1.3.1.4 NTC18) nella campata compresa tra le ascisse 0 e 1.505 per sbandamento attorno all'asse y.

Verifiche di resistenza

Verifiche a forza assiale §4.2.4.1.2.1 - §4.2.4.1.2.2 NTC18

X	Comb.	Sfruttamento	Classe	NEd	Nc,Rd	Nt,Rd	Riduzione da taglio	px	py	Verifica
0	SLU 75	0.014	3	-14.353	1003.522		1	0	0	Si

Verifiche a forza assiale SLD §4.2.4.1.2.1 - §4.2.4.1.2.2 NTC18

X	Comb.	Sfruttamento	Classe	NEd	Nc,Rd	Nt,Rd	Riduzione da taglio	px	py	Verifica
0	SLD 13	0.005	3	-4.72	1003.522		1	0	0	Si

Implementazione dei sistemi di confinamento delle emissioni odorigene diffuse dell'impianto di compostaggio esistente nel
Comune di Eboli (SA)
PROGETTO DEFINITIVO – Tabulati di calcolo Tomo 1

Verifica a taglio Y §4.2.4.1.2.4 NTC18

X	Comb.	Sfruttamento	VEd	Vc,Rd	Av	Interazione taglio-torsione	Riduzione torsione	Verifica
0	SLU 75	0.001	0.362	302.422	0.002	Non considerata		Si

Verifica a taglio Y SLD §4.2.4.1.2.4 NTC18

X	Comb.	Sfruttamento	VEd	Vc,Rd	Av	Interazione taglio-torsione	Riduzione torsione	Verifica
0	SLD 1	0.001	0.245	302.422	0.002	Non considerata		Si

Verifica a flessione semplice X §§ 4.2.4.1.2.3 - 4.2.4.1.2.6 - 4.2.4.1.2.7 - 4.2.4.1.2.8 NTC18

X	Comb.	Sfruttamento	Classe	Mx,Ed	Mx,Rd	Rid. Mx,Rd da VEd	px	py	Verifica
0.702	SLU 59	0.005	1	-0.10963	23.50374	1	0	0	Si

Verifica a presso/tenso flessione retta X §§ 4.2.4.1.2.3 - 4.2.4.1.2.6 - 4.2.4.1.2.7 - 4.2.4.1.2.8 NTC18

Verifiche eseguite utilizzando la formula conservativa (6.2) §6.2.1 EN 1993-1-1:2005.

X	Comb.	Sfruttamento	Classe	NEd	NRd	Rid. NRd da VEd	Mx,Ed	Mx,Rd	Rid. Mx,Rd da VEd	Rid. Mx,Rd da NEd	px	py	Verifica
0.753	SLU 62	0.007	1	-2.036	1003.522	1	-0.1093	23.5037	1		0	0	Si

Verifica a presso/tenso flessione retta Y §§ 4.2.4.1.2.3 - 4.2.4.1.2.6 - 4.2.4.1.2.7 - 4.2.4.1.2.8 NTC18

Verifiche eseguite utilizzando la formula conservativa (6.2) §6.2.1 EN 1993-1-1:2005.

X	Comb.	Sfruttamento	Classe	NEd	NRd	Rid. NRd da VEd	My,Ed	My,Rd	Rid. My,Rd da VEd	Rid. My,Rd da NEd	px	py	Verifica
0.151	SLU 75	0.017	3	-14.348	1003.522	1	-0.0435	19.3536	1		0	0	Si

Verifica a presso/tenso flessione retta Y SLD §§ 4.2.4.1.2.3 - 4.2.4.1.2.6 - 4.2.4.1.2.7 - 4.2.4.1.2.8 NTC18

Verifiche eseguite utilizzando la formula conservativa (6.2) §6.2.1 EN 1993-1-1:2005.

X	Comb.	Sfruttamento	Classe	NEd	NRd	Rid. NRd da VEd	My,Ed	My,Rd	Rid. My,Rd da VEd	Rid. My,Rd da NEd	px	py	Verifica
0.05	SLD 10	0.005	3	-4.716	1003.522	1	-0.0144	19.3536	1		0	0	Si

Verifica a presso/tenso flessione deviata §§ 4.2.4.1.2.3 - 4.2.4.1.2.6 - 4.2.4.1.2.7 - 4.2.4.1.2.8 NTC18

Verifiche eseguite utilizzando la formula conservativa (6.2) §6.2.1 EN 1993-1-1:2005.

X	Comb.	Sfruttamento	Classe	NEd	NRd	Rid. NRd da VEd	Mx,Ed	Mx,Rd	My,Ed	My,Rd	Rid. Mx,Rd da VEd	Rid. Mx,Rd da NEd	Rid. My,Rd da VEd	Rid. My,Rd da NEd	α	β	px	py	Verifica
0.903	SLU 75	0.025	3	-14.324	1003.522	1	-0.1136	12.886	0.0433	19.3536	1		1				0	0	Si

Verifica a presso/tenso flessione deviata SLD §§ 4.2.4.1.2.3 - 4.2.4.1.2.6 - 4.2.4.1.2.7 - 4.2.4.1.2.8 NTC18

Verifiche eseguite utilizzando la formula conservativa (6.2) §6.2.1 EN 1993-1-1:2005.

X	Comb.	Sfruttamento	Classe	NEd	NRd	Rid. NRd da VEd	Mx,Ed	Mx,Rd	My,Ed	My,Rd	Rid. Mx,Rd da VEd	Rid. Mx,Rd da NEd	Rid. My,Rd da VEd	Rid. My,Rd da NEd	α	β	px	py	Verifica
0.401	SLD 14	0.01	3	-4.71	1003.522	1	-0.0596	12.886	-0.0142	19.3536	1		1				0	0	Si

Verifiche ad instabilità

Caratteristiche iniziali

Membratura principale per controllo snellezza; Calcolo di snellezze ed N critici condotti secondo gli assi principali;

Curva X: c; Curva Y: c;

Svergolamento: Nessuno; la verifica a instabilità flessio-torsionale (svergolamento) non verrà eseguita.

Dati per instabilità attorno a x

Controllo della snellezza secondo §4.2.4.1.3.1 NTC18

Numero rit.	Presente	Ascissa	Campata	βx/m	Vincolo a entrambi estremi	λx/m	λVer
1	Si		0				
			1-2		1	Si	49.6
2	Si		1.505				Si, (<200)

Dati per instabilità attorno a y

Controllo della snellezza secondo §4.2.4.1.3.1 NTC18

Numero rit.	Presente	Ascissa	Campata	βy/n	k,LT	kw,LT	Vincolo a entrambi estremi
1	Si		0				
			1-2		1	Si	34.9
2	Si		1.505				Si, (<200)

Verifica di stabilità per pressoflessione §C.4.2.4.1.3.3.1 NTC18

X	Comb.	Sfruttamento	Classe	NEd	MxEq,Ed	MyEq,Ed	Area	Wx	Wy	x,min	λ adim. x/m	λ adim. y/n	N,crit x/m	N,crit y/n	Verifica
0	SLU 75	0.027	3	-14.353	-0.0921	-0.0327	0.003832	0.0000492	0.0000739	0.802	0.571	0.402	3231.032	6528.319	Si

Verifica di stabilità per pressoflessione SLD §C.4.2.4.1.3.3.1 NTC18

X	Comb.	Sfruttamento	Classe	NEd	MxEq,Ed	MyEq,Ed	Area	Wx	Wy	x,min	λ adim. x/m	λ adim. y/n	N,crit x/m	N,crit y/n	Verifica
0	SLD 10	0.012	3	-4.717	-0.0741	0.0108	0.003832	0.0000492	0.0000739	0.802	0.571	0.402	3231.032	6528.319	Si

Verifiche a deformabilità

Mensola X: No; Mensola Y: No.

Frecce lungo X

Ascissa freccia	Combinazione	Freccia	Luce	L/f	L/f,min	Tipo	Verifica
0.301	SLE RA 1	0	1.505	10000	250	Totale	Si
0.301	SLE RA 17	0	1.505	10000	250	Totale	Si
1.204	SLE RA 16	0	1.505	10000	250	Totale	Si
0.351	SLE RA 15	0	1.505	10000	250	Totale	Si
1.154	SLE RA 14	0	1.505	10000	250	Totale	Si
1.154	SLE RA 2	0	1.505	10000	350	Variabile	Si
1.154	SLE RA 17	0	1.505	10000	350	Variabile	Si
1.154	SLE RA 16	0	1.505	10000	350	Variabile	Si
0.351	SLE RA 15	0	1.505	10000	350	Variabile	Si
0.753	SLE RA 14	0	1.505	10000	350	Variabile	Si

Implementazione dei sistemi di confinamento delle emissioni odorigene diffuse dell'impianto di compostaggio esistente nel
Comune di Eboli (SA)
PROGETTO DEFINITIVO – Tabulati di calcolo Tomo 1

Frecce lungo Y

Ascissa freccia	Combinazione	Freccia	Luce	L/f	L/f,min	Tipo	Verifica
0.753	SLE RA 1	-0.00003	1.505	10000	250	Totale	Si
0.803	SLE RA 17	-0.00003	1.505	10000	250	Totale	Si
0.803	SLE RA 16	-0.00003	1.505	10000	250	Totale	Si
0.753	SLE RA 15	-0.00003	1.505	10000	250	Totale	Si
0.803	SLE RA 14	-0.00003	1.505	10000	250	Totale	Si
0.351	SLE RA 2	0	1.505	10000	350	Variabile	Si
0.351	SLE RA 17	0	1.505	10000	350	Variabile	Si
0.351	SLE RA 16	0	1.505	10000	350	Variabile	Si
0.401	SLE RA 15	0	1.505	10000	350	Variabile	Si
0.351	SLE RA 14	0	1.505	10000	350	Variabile	Si

Superelemento in acciaio a quota "703"-"715" (360; 666)-(251; 769)

Caratteristiche del materiale

Acciaio: S275, fyk = 275000

Caratteristiche geometriche

Lunghezza: 1.505

Nodo iniziale: 1873 Nodo finale: 2086

Cerniera iniziale: Mmomenti 1% Cerniera finale: Mmomenti 1%

Sovreresistenza: 0% Sisma Z: No

Caratteristiche della sezione

Sezione	Rotazione	Area	Jx	Jy	ix	iy	Wx	Wy	Wplx	Wply
A1; L100*10; 1; Saldato; S275; 30; 1; 8; 8; 1	0	0.003832	0.0000035319	0.000007759	0.0304	0.045	0.0000492	0.0000739	0.00008974	0.00012727

Comportamento dei calastrelli

Accoppiamento imbottito con funzione statica (§C4.2.4.1.3.1.4 NTC18) nella campata compresa tra le ascisse 0 e 1.505 per sbandamento attorno all'asse y.

Verifiche di resistenza

Verifiche a forza assiale §4.2.4.1.2.1 - §4.2.4.1.2.2 NTC18

X	Comb.	Sfruttamento	Classe	NEd	Nc,Rd	Nt,Rd	Riduzione da taglio	px	py	Verifica
0	SLU 75	0.015	3	-14.693	1003.522		1	0	0	Si

Verifiche a forza assiale SLD §4.2.4.1.2.1 - §4.2.4.1.2.2 NTC18

X	Comb.	Sfruttamento	Classe	NEd	Nc,Rd	Nt,Rd	Riduzione da taglio	px	py	Verifica
0	SLD 5	0.005	3	-4.822	1003.522		1	0	0	Si

Verifica a taglio Y §4.2.4.1.2.4 NTC18

X	Comb.	Sfruttamento	VEd	Vc,Rd	Av	Interazione taglio-torsione	Riduzione torsione	Verifica
0	SLU 75	0.001	0.359	302.422	0.002	Non considerata		Si

Verifica a taglio Y SLD §4.2.4.1.2.4 NTC18

X	Comb.	Sfruttamento	VEd	Vc,Rd	Av	Interazione taglio-torsione	Riduzione torsione	Verifica
0	SLD 3	0.001	0.239	302.422	0.002	Non considerata		Si

Verifica a flessione semplice X §§ 4.2.4.1.2.3 - 4.2.4.1.2.6 - 4.2.4.1.2.7 - 4.2.4.1.2.8 NTC18

X	Comb.	Sfruttamento	Classe	Mx,Ed	Mx,Rd	Rid. Mx,Rd da VEd	px	py	Verifica
0.702	SLU 59	0.005	1	-0.10687	23.50374	1	0	0	Si

Verifica a presso/tenso flessione retta X §§ 4.2.4.1.2.3 - 4.2.4.1.2.6 - 4.2.4.1.2.7 - 4.2.4.1.2.8 NTC18

Verifiche eseguite utilizzando la formula conservativa (6.2) §6.2.1 EN 1993-1-1:2005.

X	Comb.	Sfruttamento	Classe	NEd	NRd	Rid. NRd da VEd	Mx,Ed	Mx,Rd	Rid. Mx,Rd da VEd	Rid. Mx,Rd da NEd	px	py	Verifica
0.702	SLU 42	0.007	1	-2.365	1003.522	1	-0.1039	23.5037	1		0	0	Si

Verifica a presso/tenso flessione retta Y §§ 4.2.4.1.2.3 - 4.2.4.1.2.6 - 4.2.4.1.2.7 - 4.2.4.1.2.8 NTC18

Verifiche eseguite utilizzando la formula conservativa (6.2) §6.2.1 EN 1993-1-1:2005.

X	Comb.	Sfruttamento	Classe	NEd	NRd	Rid. NRd da VEd	My,Ed	My,Rd	Rid. My,Rd da VEd	Rid. My,Rd da NEd	px	py	Verifica
0.151	SLU 37	0.016	3	-13.873	1003.522	1	0.0419	19.3536	1		0	0	Si

Verifica a presso/tenso flessione retta Y SLD §§ 4.2.4.1.2.3 - 4.2.4.1.2.6 - 4.2.4.1.2.7 - 4.2.4.1.2.8 NTC18

Verifiche eseguite utilizzando la formula conservativa (6.2) §6.2.1 EN 1993-1-1:2005.

X	Comb.	Sfruttamento	Classe	NEd	NRd	Rid. NRd da VEd	My,Ed	My,Rd	Rid. My,Rd da VEd	Rid. My,Rd da NEd	px	py	Verifica
0.05	SLD 5	0.006	3	-4.821	1003.522	1	-0.0146	19.3536	1		0	0	Si

Verifica a presso/tenso flessione deviata §§ 4.2.4.1.2.3 - 4.2.4.1.2.6 - 4.2.4.1.2.7 - 4.2.4.1.2.8 NTC18

Verifiche eseguite utilizzando la formula conservativa (6.2) §6.2.1 EN 1993-1-1:2005.

X	Comb.	Sfruttamento	Classe	NEd	NRd	Rid. NRd da VEd	Mx,Ed	Mx,Rd	My,Ed	My,Rd	Rid. Mx,Rd da VEd	Rid. Mx,Rd da NEd	Rid. My,Rd da VEd	Rid. My,Rd da NEd	α	β	px	py	Verifica
0.903	SLU 75	0.027	3	-14.664	1003.522	1	-0.1245	12.886	0.0443	19.3536	1		1				0	0	Si

Verifica a presso/tenso flessione deviata SLD §§ 4.2.4.1.2.3 - 4.2.4.1.2.6 - 4.2.4.1.2.7 - 4.2.4.1.2.8 NTC18

Verifiche eseguite utilizzando la formula conservativa (6.2) §6.2.1 EN 1993-1-1:2005.

X	Comb.	Sfruttamento	Classe	NEd	NRd	Rid. NRd da VEd	Mx,Ed	Mx,Rd	My,Ed	My,Rd	Rid. Mx,Rd da VEd	Rid. Mx,Rd da NEd	Rid. My,Rd da VEd	Rid. My,Rd da NEd	α	β	px	py	Verifica

Implementazione dei sistemi di confinamento delle emissioni odorigene diffuse dell’impianto di compostaggio esistente nel
Comune di Eboli (SA)

PROGETTO DEFINITIVO – Tabulati di calcolo Tomo 1

X	Comb.	Sfruttamento	Classe	NEd	NRd	Rid. NRd da VEd	Mx,Ed	Mx,Rd	My,Ed	My,Rd	Rid. Mx,Rd da VEd	Rid. Mx,Rd da NEd	Rid. My,Rd da VEd	Rid. My,Rd da NEd	α	β	ρx	ρy	Verifica
1.204	SLD 5	0.01	3	-4.792	1003.522	1	-0.0607	12.886	0.0145	19.3536	1		1				0	0	Si

Verifiche ad instabilità

Caratteristiche iniziali

Membratura principale per controllo snellezza; Calcolo di snellezze ed N critici condotti secondo gli assi principali;

Curva X: c; Curva Y: c;

Svergolamento: Nessuno; la verifica a instabilità flesso-torsionale (svergolamento) non verrà eseguita.

Dati per instabilità attorno a x

Controllo della snellezza secondo §4.2.4.1.3.1 NTC18

Numero rit.	Presente	Ascissa	Campata	βx/m	Vincolo a entrambi estremi	λx/m	λVer
1	Si	0					
			1-2	1	Si	49.6	Si, (<200)
2	Si	1.505					

Dati per instabilità attorno a y

Controllo della snellezza secondo §4.2.4.1.3.1 NTC18

Numero rit.	Presente	Ascissa	Campata	βy/n	k,LT	kw,LT	Vincolo a entrambi estremi
1	Si	0					
			1-2	1	Si	34.9	Si, (<200)
2	Si	1.505					

Verifica di stabilità per pressoflessione §C.4.2.4.1.3.3.1 NTC18

X	Comb.	Sfruttamento	Classe	NEd	MxEq,Ed	MyEq,Ed	Area	Wx	Wy	χ,min	λ adim. x/m	λ adim. y/n	N,crit x/m	N,crit y/n	Verifica
0	SLU 75	0.029	3	-14.693	-0.1069	0.0443	0.003832	0.0000492	0.0000739	0.802	0.571	0.402	3231.032	6528.319	Si

Verifica di stabilità per pressoflessione SLD §C.4.2.4.1.3.3.1 NTC18

X	Comb.	Sfruttamento	Classe	NEd	MxEq,Ed	MyEq,Ed	Area	Wx	Wy	χ,min	λ adim. x/m	λ adim. y/n	N,crit x/m	N,crit y/n	Verifica
0	SLD 5	0.012	3	-4.822	-0.0742	-0.0109	0.003832	0.0000492	0.0000739	0.802	0.571	0.402	3231.032	6528.319	Si

Verifiche a deformabilità

Mensola X: No; Mensola Y: No.

Frecce lungo X

Ascissa freccia	Combinazione	Freccia	Luce	L/f	L/f,min	Tipo	Verifica
0.401	SLE RA 1	0	1.505	10000	250	Totale	Si
0.452	SLE RA 17	0	1.505	10000	250	Totale	Si
0.452	SLE RA 16	0	1.505	10000	250	Totale	Si
0.401	SLE RA 15	0	1.505	10000	250	Totale	Si
0.652	SLE RA 14	0	1.505	10000	250	Totale	Si
0.702	SLE RA 2	0	1.505	10000	350	Variabile	Si
0.702	SLE RA 17	0	1.505	10000	350	Variabile	Si
0.702	SLE RA 16	0	1.505	10000	350	Variabile	Si
0.351	SLE RA 15	0	1.505	10000	350	Variabile	Si
1.054	SLE RA 14	0	1.505	10000	350	Variabile	Si

Frecce lungo Y

Ascissa freccia	Combinazione	Freccia	Luce	L/f	L/f,min	Tipo	Verifica
0.753	SLE RA 1	-0.00003	1.505	10000	250	Totale	Si
0.753	SLE RA 17	-0.00003	1.505	10000	250	Totale	Si
0.803	SLE RA 16	-0.00003	1.505	10000	250	Totale	Si
0.753	SLE RA 15	-0.00003	1.505	10000	250	Totale	Si
0.803	SLE RA 14	-0.00003	1.505	10000	250	Totale	Si
1.054	SLE RA 2	0	1.505	10000	350	Variabile	Si
1.054	SLE RA 17	0	1.505	10000	350	Variabile	Si
1.054	SLE RA 16	0	1.505	10000	350	Variabile	Si
0.452	SLE RA 15	0	1.505	10000	350	Variabile	Si
1.054	SLE RA 14	0	1.505	10000	350	Variabile	Si

Superelemento in acciaio a quota "703"- "715" (619; 939)-(510; 1042)

Caratteristiche del materiale

Acciaio: S275, fyk = 275000

Caratteristiche geometriche

Lunghezza: 1.505

Nodo iniziale: 1881 Nodo finale: 2099

Cerniera iniziale: Mmomenti 1% Cerniera finale: Mmomenti 1%

Sovreresistenza: 0% Sisma Z: No

Caratteristiche della sezione

Sezione	Rotazione	Area	Jx	Jy	ix	iy	Wx	Wy	Wplx	Wply
A1; L100*10; 1; Saldato; S275; 30; 1; 8; 8; 1	0	0.003832	0.0000035319	0.000007759	0.0304	0.045	0.0000492	0.0000739	0.00008974	0.00012727

Comportamento dei calastrelli

Accoppiamento imbottito con funzione statica (§C4.2.4.1.3.1.4 NTC18) nella campata compresa tra le ascisse 0 e 1.505 per sbandamento attorno all'asse y.

**Implementazione dei sistemi di confinamento delle emissioni odorigene diffuse dell'impianto di compostaggio esistente nel
Comune di Eboli (SA)
PROGETTO DEFINITIVO – Tabulati di calcolo Tomo 1**

Verifiche di resistenza

Verifiche a forza assiale §4.2.4.1.2.1 - §4.2.4.1.2.2 NTC18

X	Comb.	Sfruttamento	Classe	NEd	Nc,Rd	Nt,Rd	Riduzione da taglio	px	py	Verifica
0	SLU 75	0.113	3	-113.43	1003.522		1	0	0	Si

Verifiche a forza assiale SLD §4.2.4.1.2.1 - §4.2.4.1.2.2 NTC18

X	Comb.	Sfruttamento	Classe	NEd	Nc,Rd	Nt,Rd	Riduzione da taglio	px	py	Verifica
0	SLD 16	0.043	3	-43.37	1003.522		1	0	0	Si

Verifica a taglio X §4.2.4.1.2.4 NTC18

X	Comb.	Sfruttamento	VEd	Vc,Rd	Av	Interazione taglio-torsione	Riduzione torsione	Verifica
0	SLU 75	0.002	-0.729	302.422	0.002	Non considerata		Si

Verifica a taglio X SLD §4.2.4.1.2.4 NTC18

X	Comb.	Sfruttamento	VEd	Vc,Rd	Av	Interazione taglio-torsione	Riduzione torsione	Verifica
0	SLD 15	0.001	-0.276	302.422	0.002	Non considerata		Si

Verifica a taglio Y §4.2.4.1.2.4 NTC18

X	Comb.	Sfruttamento	VEd	Vc,Rd	Av	Interazione taglio-torsione	Riduzione torsione	Verifica
1.505	SLU 76	0.001	-0.331	302.422	0.002	Non considerata		Si

Verifica a taglio Y SLD §4.2.4.1.2.4 NTC18

X	Comb.	Sfruttamento	VEd	Vc,Rd	Av	Interazione taglio-torsione	Riduzione torsione	Verifica
1.505	SLD 16	0.001	-0.248	302.422	0.002	Non considerata		Si

Verifica a flessione semplice X §§ 4.2.4.1.2.3 - 4.2.4.1.2.6 - 4.2.4.1.2.7 - 4.2.4.1.2.8 NTC18

X	Comb.	Sfruttamento	Classe	Mx,Ed	Mx,Rd	Rid. Mx,Rd da VEd	px	py	Verifica
0.753	SLU 5	0.003	1	-0.08221	23.50374	1	0	0	Si

Verifica a presso/tenso flessione retta X §§ 4.2.4.1.2.3 - 4.2.4.1.2.6 - 4.2.4.1.2.7 - 4.2.4.1.2.8 NTC18

Verifiche eseguite utilizzando la formula conservativa (6.2) §6.2.1 EN 1993-1-1:2005.

X	Comb.	Sfruttamento	Classe	NEd	NRd	Rid. NRd da VEd	Mx,Ed	Mx,Rd	Rid. Mx,Rd da VEd	Rid. Mx,Rd da NEd	px	py	Verifica
0.753	SLU 2	0.022	1	18.55	1003.522	1	-0.0735	23.5037	1		0	0	Si

Verifica a presso/tenso flessione retta Y §§ 4.2.4.1.2.3 - 4.2.4.1.2.6 - 4.2.4.1.2.7 - 4.2.4.1.2.8 NTC18

Verifiche eseguite utilizzando la formula conservativa (6.2) §6.2.1 EN 1993-1-1:2005.

X	Comb.	Sfruttamento	Classe	NEd	NRd	Rid. NRd da VEd	My,Ed	My,Rd	Rid. My,Rd da VEd	Rid. My,Rd da NEd	px	py	Verifica
1.505	SLU 53	0.076	3	-65.892	1003.522	1	-0.2014	19.3536	1		0	0	Si

Verifica a presso/tenso flessione retta Y SLD §§ 4.2.4.1.2.3 - 4.2.4.1.2.6 - 4.2.4.1.2.7 - 4.2.4.1.2.8 NTC18

Verifiche eseguite utilizzando la formula conservativa (6.2) §6.2.1 EN 1993-1-1:2005.

X	Comb.	Sfruttamento	Classe	NEd	NRd	Rid. NRd da VEd	My,Ed	My,Rd	Rid. My,Rd da VEd	Rid. My,Rd da NEd	px	py	Verifica
1.505	SLD 15	0.05	3	-43.333	1003.522	1	-0.132	19.3536	1		0	0	Si

Verifica a presso/tenso flessione deviata §§ 4.2.4.1.2.3 - 4.2.4.1.2.6 - 4.2.4.1.2.7 - 4.2.4.1.2.8 NTC18

Verifiche eseguite utilizzando la formula conservativa (6.2) §6.2.1 EN 1993-1-1:2005.

X	Comb.	Sfruttamento	Classe	NEd	NRd	Rid. NRd da VEd	Mx,Ed	Mx,Rd	My,Ed	My,Rd	Rid. Mx,Rd da VEd	Rid. Mx,Rd da NEd	Rid. My,Rd da VEd	Rid. My,Rd da NEd	α	β	px	py	Verifica
0.652	SLU 75	0.144	3	-113.409	1003.522	1	-0.1657	12.886	-0.3477	19.3536	1		1				0	0	Si

Verifica a presso/tenso flessione deviata SLD §§ 4.2.4.1.2.3 - 4.2.4.1.2.6 - 4.2.4.1.2.7 - 4.2.4.1.2.8 NTC18

Verifiche eseguite utilizzando la formula conservativa (6.2) §6.2.1 EN 1993-1-1:2005.

X	Comb.	Sfruttamento	Classe	NEd	NRd	Rid. NRd da VEd	Mx,Ed	Mx,Rd	My,Ed	My,Rd	Rid. Mx,Rd da VEd	Rid. Mx,Rd da NEd	Rid. My,Rd da VEd	Rid. My,Rd da NEd	α	β	px	py	Verifica
0.702	SLD 16	0.058	3	-43.353	1003.522	1	-0.1025	12.886	-0.1316	19.3536	1		1				0	0	Si

Verifiche ad instabilità

Caratteristiche iniziali

Membratura principale per controllo snellezza; Calcolo di snellezze ed N critici condotti secondo gli assi principali;

Curva X: c; Curva Y: c;

Svergolamento: Nessuno; la verifica a instabilità flesso-torsionale (svergolamento) non verrà eseguita.

Dati per instabilità attorno a x

Controllo della snellezza secondo §4.2.4.1.3.1 NTC18

Numero rit.	Presente	Ascissa	Campata	βx/m	Vincolo a entrambi estremi	λx/m	λVer
1	Si	0					
			1-2		1	49.6	Si, (<200)
2	Si	1.505					

Dati per instabilità attorno a y

Controllo della snellezza secondo §4.2.4.1.3.1 NTC18

Numero rit.	Presente	Ascissa	Campata	βy/n	k,LT	kw,LT	Vincolo a entrambi estremi
1	Si	0					
			1-2		1	34.9	Si, (<200)
2	Si	1.505					

Verifica di stabilità per pressoflessione §C.4.2.4.1.3.3.1 NTC18

X	Comb.	Sfruttamento	Classe	NEd	MxEq,Ed	MyEq,Ed	Area	Wx	Wy	χ,min	λ adim. x/m	λ adim. y/n	N,crit x/m	N,crit y/n	Verifica
0	SLU 75	0.168	3	-113.43	-0.1653	-0.2615	0.003832	0.0000492	0.0000739	0.802	0.571	0.402	3231.032	6528.319	Si

Implementazione dei sistemi di confinamento delle emissioni odorigene diffuse dell'impianto di compostaggio esistente nel
Comune di Eboli (SA)
PROGETTO DEFINITIVO – Tabulati di calcolo Tomo 1

Verifica di stabilità per pressoflessione SLD §C.4.2.4.1.3.3.1 NTC18

X	Comb.	Sfruttamento	Classe	NEd	MxEq,Ed	MyEq,Ed	Area	Wx	Wy	x,min	λ adim. x/m	λ adim. y/n	N,crit x/m	N,crit y/n	Verifica
0	SLD 16	0,066	3	-43.37	-0.0935	-0.099	0.003832	0.0000492	0.0000739	0.802	0.571	0.402	3231.032	6528.319	Si

Verifiche a deformabilità

Mensola X: No; Mensola Y: No.

Frecce lungo X

Ascissa freccia	Combinazione	Freccia	Luce	L/f	L/f,min	Tipo	Verifica
1.003	SLE RA 1	0	1.505	10000	250	Totale	Si
1.003	SLE RA 17	0	1.505	10000	250	Totale	Si
1.003	SLE RA 16	0	1.505	10000	250	Totale	Si
1.003	SLE RA 15	0	1.505	10000	250	Totale	Si
1.003	SLE RA 14	0	1.505	10000	250	Totale	Si
1.003	SLE RA 2	0	1.505	10000	350	Variabile	Si
1.003	SLE RA 17	0	1.505	10000	350	Variabile	Si
1.003	SLE RA 16	0	1.505	10000	350	Variabile	Si
1.003	SLE RA 15	0	1.505	10000	350	Variabile	Si
1.003	SLE RA 14	0	1.505	10000	350	Variabile	Si

Frecce lungo Y

Ascissa freccia	Combinazione	Freccia	Luce	L/f	L/f,min	Tipo	Verifica
0.753	SLE RA 1	-0.00003	1.505	10000	250	Totale	Si
0.753	SLE RA 17	-0.00004	1.505	10000	250	Totale	Si
0.753	SLE RA 16	-0.00004	1.505	10000	250	Totale	Si
0.753	SLE RA 15	-0.00004	1.505	10000	250	Totale	Si
0.753	SLE RA 14	-0.00004	1.505	10000	250	Totale	Si
0.702	SLE RA 2	0.00001	1.505	10000	350	Variabile	Si
0.702	SLE RA 17	0	1.505	10000	350	Variabile	Si
0.702	SLE RA 16	-0.00001	1.505	10000	350	Variabile	Si
0.652	SLE RA 15	0	1.505	10000	350	Variabile	Si
0.702	SLE RA 14	-0.00001	1.505	10000	350	Variabile	Si

Superelemento in acciaio a quota "703"- "715" (874; 1209)-(764; 1312)

Caratteristiche del materiale

Acciaio: S275, fyk = 275000

Caratteristiche geometriche

Lunghezza: 1.505

Nodo iniziale: 1894 Nodo finale: 2107

Cerniera iniziale: Mmomenti 1% Cerniera finale: Mmomenti 1%

Sovreresistenza: 0% Sisma Z: No

Caratteristiche della sezione

Sezione	Rotazione	Area	Jx	Jy	ix	iy	Wx	Wy	Wplx	Wply
Al; L100*10; 1; Saldato; S275; 30; 1; 8; 8; 1	0	0.003832	0.0000035319	0.000007759	0.0304	0.045	0.0000492	0.0000739	0.00008974	0.00012727

Comportamento dei calastrelli

Accoppiamento imbottito con funzione statica (§C4.2.4.1.3.1.4 NTC18) nella campata compresa tra le ascisse 0 e 1.505 per sbandamento attorno all'asse y.

Verifiche di resistenza

Verifiche a forza assiale §4.2.4.1.2.1 - §4.2.4.1.2.2 NTC18

X	Comb.	Sfruttamento	Classe	NEd	Nc,Rd	Nt,Rd	Riduzione da taglio	px	py	Verifica
0	SLU 75	0,013	3	-13.508	1003.522		1	0	0	Si

Verifiche a forza assiale SLD §4.2.4.1.2.1 - §4.2.4.1.2.2 NTC18

X	Comb.	Sfruttamento	Classe	NEd	Nc,Rd	Nt,Rd	Riduzione da taglio	px	py	Verifica
0	SLD 5	0,004	3	-4.421	1003.522		1	0	0	Si

Verifica a taglio Y §4.2.4.1.2.4 NTC18

X	Comb.	Sfruttamento	VEd	Vc,Rd	Av	Interazione taglio-torsione	Riduzione torsione	Verifica
0	SLU 75	0,001	0.356	302.422	0.002	Non considerata		Si

Verifica a taglio Y SLD §4.2.4.1.2.4 NTC18

X	Comb.	Sfruttamento	VEd	Vc,Rd	Av	Interazione taglio-torsione	Riduzione torsione	Verifica
0	SLD 1	0,001	0.24	302.422	0.002	Non considerata		Si

Verifica a flessione semplice X §§ 4.2.4.1.2.3 - 4.2.4.1.2.6 - 4.2.4.1.2.7 - 4.2.4.1.2.8 NTC18

X	Comb.	Sfruttamento	Classe	Mx,Ed	Mx,Rd	Rid. Mx,Rd da VEd	px	py	Verifica
0.702	SLU 5	0,004	1	-0.08347	23.50374	1	0	0	Si

Verifica a presso/tenso flessione retta X §§ 4.2.4.1.2.3 - 4.2.4.1.2.6 - 4.2.4.1.2.7 - 4.2.4.1.2.8 NTC18

Verifiche eseguite utilizzando la formula conservativa (6.2) §6.2.1 EN 1993-1-1:2005.

X	Comb.	Sfruttamento	Classe	NEd	NRd	Rid. NRd da VEd	Mx,Ed	Mx,Rd	Rid. Mx,Rd da VEd	Rid. Mx,Rd da NEd	px	py	Verifica
0.702	SLU 40	0,006	1	1.761	1003.522	1	-0.1082	23.5037	1		0	0	Si

Verifica a presso/tenso flessione retta Y §§ 4.2.4.1.2.3 - 4.2.4.1.2.6 - 4.2.4.1.2.7 - 4.2.4.1.2.8 NTC18

Verifiche eseguite utilizzando la formula conservativa (6.2) §6.2.1 EN 1993-1-1:2005.

Implementazione dei sistemi di confinamento delle emissioni odorigene diffuse dell'impianto di compostaggio esistente nel
Comune di Eboli (SA)

PROGETTO DEFINITIVO – Tabulati di calcolo Tomo 1

X	Comb.	Sfruttamento	Classe	NEd	NRd	Rid. NRd da VEd	My,Ed	My,Rd	Rid. My,Rd da VEd	Rid. My,Rd da NEd	px	py	Verifica
0.151	SLU 37	0.015	3	-12.831	1003.522	1	0.0389	19.3536	1		0	0	Si

Verifica a presso/tenso flessione retta Y SLD §§ 4.2.4.1.2.3 - 4.2.4.1.2.6 - 4.2.4.1.2.7 - 4.2.4.1.2.8 NTC18

Verifiche eseguite utilizzando la formula conservativa (6.2) §6.2.1 EN 1993-1-1:2005.

X	Comb.	Sfruttamento	Classe	NEd	NRd	Rid. NRd da VEd	My,Ed	My,Rd	Rid. My,Rd da VEd	Rid. My,Rd da NEd	px	py	Verifica
0.05	SLD 5	0.005	3	-4.419	1003.522	1	0.0134	19.3536	1		0	0	Si

Verifica a presso/tenso flessione deviata §§ 4.2.4.1.2.3 - 4.2.4.1.2.6 - 4.2.4.1.2.7 - 4.2.4.1.2.8 NTC18

Verifiche eseguite utilizzando la formula conservativa (6.2) §6.2.1 EN 1993-1-1:2005.

X	Comb.	Sfruttamento	Classe	NEd	NRd	Rid. NRd da VEd	Mx,Ed	Mx,Rd	My,Ed	My,Rd	Rid. Mx,Rd da VEd	Rid. Mx,Rd da NEd	Rid. My,Rd da VEd	Rid. My,Rd da NEd	α	β	px	py	Verifica
0.903	SLU 75	0.025	3	-13.479	1003.522	1	-0.1202	12.886	-0.0408	19.3536	1		1				0	0	Si

Verifica a presso/tenso flessione deviata SLD §§ 4.2.4.1.2.3 - 4.2.4.1.2.6 - 4.2.4.1.2.7 - 4.2.4.1.2.8 NTC18

Verifiche eseguite utilizzando la formula conservativa (6.2) §6.2.1 EN 1993-1-1:2005.

X	Comb.	Sfruttamento	Classe	NEd	NRd	Rid. NRd da VEd	Mx,Ed	Mx,Rd	My,Ed	My,Rd	Rid. Mx,Rd da VEd	Rid. Mx,Rd da NEd	Rid. My,Rd da VEd	Rid. My,Rd da NEd	α	β	px	py	Verifica
0.301	SLD 5	0.009	3	-4.413	1003.522	1	-0.0497	12.886	0.0134	19.3536	1		1				0	0	Si

Verifiche ad instabilità

Caratteristiche iniziali

Membratura principale per controllo snellezza; Calcolo di snellezza ed N critici condotti secondo gli assi principali;

Curva X: c; Curva Y: c;

Svergolamento: Nessuno; la verifica a instabilità flesso-torsionale (svergolamento) non verrà eseguita.

Dati per instabilità attorno a x

Controllo della snellezza secondo §4.2.4.1.3.1 NTC18

Numero rit.	Presente	Ascissa	Campata	βx/m	Vincolo a entrambi estremi	λx/m	λVer
1	Si		0				
			1-2		1	Si	49.6
2	Si		1.505				Si, (<200)

Dati per instabilità attorno a y

Controllo della snellezza secondo §4.2.4.1.3.1 NTC18

Numero rit.	Presente	Ascissa	Campata	βy/n	k,LT	kw,LT	Vincolo a entrambi estremi
1	Si		0				
			1-2		1	Si	34.9
2	Si		1.505				Si, (<200)

Verifica di stabilità per pressoflessione §C.4.2.4.1.3.3.1 NTC18

X	Comb.	Sfruttamento	Classe	NEd	MxEq,Ed	MyEq,Ed	Area	Wx	Wy	χ,min	λ adim. x/m	λ adim. y/n	N,crit x/m	N,crit y/n	Verifica
0	SLU 75	0.026	3	-13.508	-0.1018	0.0307	0.003832	0.0000492	0.0000739	0.802	0.571	0.402	3231.032	6528.319	Si

Verifica di stabilità per pressoflessione SLD §C.4.2.4.1.3.3.1 NTC18

X	Comb.	Sfruttamento	Classe	NEd	MxEq,Ed	MyEq,Ed	Area	Wx	Wy	χ,min	λ adim. x/m	λ adim. y/n	N,crit x/m	N,crit y/n	Verifica
0	SLD 6	0.012	3	-4.421	-0.0759	0.0101	0.003832	0.0000492	0.0000739	0.802	0.571	0.402	3231.032	6528.319	Si

Verifiche a deformabilità

Mensola X: No; Mensola Y: No.

Frecce lungo X

Ascissa freccia	Combinazione	Freccia	Luce	L/f	L/f,min	Tipo	Verifica
1.104	SLE RA 1	0	1.505	10000	250	Totale	Si
1.104	SLE RA 17	0	1.505	10000	250	Totale	Si
1.104	SLE RA 16	0	1.505	10000	250	Totale	Si
1.104	SLE RA 15	0	1.505	10000	250	Totale	Si
1.104	SLE RA 14	0	1.505	10000	250	Totale	Si
1.054	SLE RA 2	0	1.505	10000	350	Variabile	Si
1.054	SLE RA 17	0	1.505	10000	350	Variabile	Si
1.054	SLE RA 16	0	1.505	10000	350	Variabile	Si
1.104	SLE RA 15	0	1.505	10000	350	Variabile	Si
1.054	SLE RA 14	0	1.505	10000	350	Variabile	Si

Frecce lungo Y

Ascissa freccia	Combinazione	Freccia	Luce	L/f	L/f,min	Tipo	Verifica
0.753	SLE RA 1	-0.00003	1.505	10000	250	Totale	Si
0.753	SLE RA 17	-0.00003	1.505	10000	250	Totale	Si
0.803	SLE RA 16	-0.00003	1.505	10000	250	Totale	Si
0.753	SLE RA 15	-0.00003	1.505	10000	250	Totale	Si
0.803	SLE RA 14	-0.00003	1.505	10000	250	Totale	Si
1.104	SLE RA 2	0	1.505	10000	350	Variabile	Si
1.104	SLE RA 17	0	1.505	10000	350	Variabile	Si
1.104	SLE RA 16	0	1.505	10000	350	Variabile	Si
1.054	SLE RA 15	0	1.505	10000	350	Variabile	Si
1.104	SLE RA 14	0	1.505	10000	350	Variabile	Si

Superelemento in acciaio a quota "703"-"715" (1128; 1479)-(1019; 1582)

Caratteristiche del materiale

Acciaio: S275, fyk = 275000

Implementazione dei sistemi di confinamento delle emissioni odorigene diffuse dell'impianto di compostaggio esistente nel
Comune di Eboli (SA)
PROGETTO DEFINITIVO – Tabulati di calcolo Tomo 1

Caratteristiche geometriche

Lunghezza: 1.505
Nodo iniziale: 1903 Nodo finale: 2119
Cerniera iniziale: Mmomenti 1% Cerniera finale: Mmomenti 1%
Sovraresistenza: 0% Sisma Z: No

Caratteristiche della sezione

Sezione	Rotazione	Area	Jx	Jy	ix	iy	Wx	Wy	Wplx	Wply
A1; L100*10; 1; Saldato; S275; 30; 1; 8; 8; 1	0	0.003832	0.0000035319	0.000007759	0.0304	0.045	0.0000492	0.0000739	0.00008974	0.00012727

Comportamento dei calastrelli

Accoppiamento imbottito con funzione statica (§C4.2.4.1.3.1.4 NTC18) nella campata compresa tra le ascisse 0 e 1.505 per sbandamento attorno all'asse y.

Verifiche di resistenza

Verifiche a forza assiale §4.2.4.1.2.1 - §4.2.4.1.2.2 NTC18

X	Comb.	Sfruttamento	Classe	NEd	Nc,Rd	Nt,Rd	Riduzione da taglio	px	py	Verifica
0	SLU 75	0.014	3	-13.663	1003.522		1	0	0	Si

Verifiche a forza assiale SLD §4.2.4.1.2.1 - §4.2.4.1.2.2 NTC18

X	Comb.	Sfruttamento	Classe	NEd	Nc,Rd	Nt,Rd	Riduzione da taglio	px	py	Verifica
0	SLD 10	0.004	3	-4.342	1003.522		1	0	0	Si

Verifica a taglio Y §4.2.4.1.2.4 NTC18

X	Comb.	Sfruttamento	VEd	Vc,Rd	Av	Interazione taglio-torsione	Riduzione torsione	Verifica
0	SLU 75	0.001	0.332	302.422	0.002	Non considerata		Si

Verifica a taglio Y SLD §4.2.4.1.2.4 NTC18

X	Comb.	Sfruttamento	VEd	Vc,Rd	Av	Interazione taglio-torsione	Riduzione torsione	Verifica
0	SLD 7	0.001	0.233	302.422	0.002	Non considerata		Si

Verifica a flessione semplice X §§ 4.2.4.1.2.3 - 4.2.4.1.2.6 - 4.2.4.1.2.7 - 4.2.4.1.2.8 NTC18

X	Comb.	Sfruttamento	Classe	Mx,Ed	Mx,Rd	Rid. Mx,Rd da VEd	px	py	Verifica
0.753	SLU 5	0.004	1	-0.08366	23.50374	1	0	0	Si

Verifica a presso/tenso flessione retta X §§ 4.2.4.1.2.3 - 4.2.4.1.2.6 - 4.2.4.1.2.7 - 4.2.4.1.2.8 NTC18

Verifiche eseguite utilizzando la formula conservativa (6.2) §6.2.1 EN 1993-1-1:2005.

X	Comb.	Sfruttamento	Classe	NEd	NRd	Rid. NRd da VEd	Mx,Ed	Mx,Rd	Rid. Mx,Rd da VEd	Rid. Mx,Rd da NEd	px	py	Verifica
0.753	SLU 62	0.006	1	-1.74	1003.522	1	-0.1099	23.5037	1		0	0	Si

Verifica a presso/tenso flessione retta Y §§ 4.2.4.1.2.3 - 4.2.4.1.2.6 - 4.2.4.1.2.7 - 4.2.4.1.2.8 NTC18

Verifiche eseguite utilizzando la formula conservativa (6.2) §6.2.1 EN 1993-1-1:2005.

X	Comb.	Sfruttamento	Classe	NEd	NRd	Rid. NRd da VEd	My,Ed	My,Rd	Rid. My,Rd da VEd	Rid. My,Rd da NEd	px	py	Verifica
0.1	SLU 37	0.015	3	-12.941	1003.522	1	-0.0394	19.3536	1		0	0	Si

Verifica a presso/tenso flessione retta Y SLD §§ 4.2.4.1.2.3 - 4.2.4.1.2.6 - 4.2.4.1.2.7 - 4.2.4.1.2.8 NTC18

Verifiche eseguite utilizzando la formula conservativa (6.2) §6.2.1 EN 1993-1-1:2005.

X	Comb.	Sfruttamento	Classe	NEd	NRd	Rid. NRd da VEd	My,Ed	My,Rd	Rid. My,Rd da VEd	Rid. My,Rd da NEd	px	py	Verifica
0	SLD 9	0.005	3	-4.342	1003.522	1	-0.0132	19.3536	1		0	0	Si

Verifica a presso/tenso flessione deviata §§ 4.2.4.1.2.3 - 4.2.4.1.2.6 - 4.2.4.1.2.7 - 4.2.4.1.2.8 NTC18

Verifiche eseguite utilizzando la formula conservativa (6.2) §6.2.1 EN 1993-1-1:2005.

X	Comb.	Sfruttamento	Classe	NEd	NRd	Rid. NRd da VEd	Mx,Ed	Mx,Rd	My,Ed	My,Rd	Rid. Mx,Rd da VEd	Rid. Mx,Rd da NEd	Rid. My,Rd da VEd	Rid. My,Rd da NEd	α	β	px	py	Verifica
0.853	SLU 75	0.025	3	-13.635	1003.522	1	-0.1195	12.886	0.0412	19.3536	1		1				0	0	Si

Verifica a presso/tenso flessione deviata SLD §§ 4.2.4.1.2.3 - 4.2.4.1.2.6 - 4.2.4.1.2.7 - 4.2.4.1.2.8 NTC18

Verifiche eseguite utilizzando la formula conservativa (6.2) §6.2.1 EN 1993-1-1:2005.

X	Comb.	Sfruttamento	Classe	NEd	NRd	Rid. NRd da VEd	Mx,Ed	Mx,Rd	My,Ed	My,Rd	Rid. Mx,Rd da VEd	Rid. Mx,Rd da NEd	Rid. My,Rd da VEd	Rid. My,Rd da NEd	α	β	px	py	Verifica
0.301	SLD 10	0.009	3	-4.334	1003.522	1	-0.0526	12.886	-0.0132	19.3536	1		1				0	0	Si

Verifiche ad instabilità

Caratteristiche iniziali

Membratura principale per controllo snellezza; Calcolo di snellezze ed N critici condotti secondo gli assi principali;
Curva X: c; Curva Y: c;
Svergolamento: Nessuno; la verifica a instabilità flesso-torsionale (svergolamento) non verrà eseguita.

Dati per instabilità attorno a x

Controllo della snellezza secondo §4.2.4.1.3.1 NTC18

Numero rit.	Presente	Ascissa	Campata	βx/m	Vincolo a entrambi estremi	λx/m	λVer
1	Si	0					
			1-2	1	Si	49.6	Si, (<200)
2	Si	1.505					

Dati per instabilità attorno a y

Controllo della snellezza secondo §4.2.4.1.3.1 NTC18

Numero rit.	Presente	Ascissa	Campata	βy/n	k,LT	kw,LT	Vincolo a entrambi estremi
-------------	----------	---------	---------	------	------	-------	----------------------------

Implementazione dei sistemi di confinamento delle emissioni odorigene diffuse dell’impianto di compostaggio esistente nel
Comune di Eboli (SA)
PROGETTO DEFINITIVO – Tabulati di calcolo Tomo 1

Numero rit.	Presente	Ascissa	Campata	$\beta y/n$	k,LT	kw,LT	Vincolo a entrambi estremi
1	Si	0					
			1-2		1	34.9	Si, (<200)
2	Si	1.505					

Verifica di stabilità per pressoflessione §C.4.2.4.1.3.3.1 NTC18

X	Comb.	Sfruttamento	Classe	NEd	MxEq,Ed	MyEq,Ed	Area	Wx	Wy	χ_{min}	$\lambda_{adim. x/m}$	$\lambda_{adim. y/n}$	N,crit x/m	N,crit y/n	Verifica
0	SLU 75	0.027	3	-13.663	-0.1049	-0.0312	0.003832	0.0000492	0.0000739	0.802	0.571	0.402	3231.032	6528.319	Si

Verifica di stabilità per pressoflessione SLD §C.4.2.4.1.3.3.1 NTC18

X	Comb.	Sfruttamento	Classe	NEd	MxEq,Ed	MyEq,Ed	Area	Wx	Wy	χ_{min}	$\lambda_{adim. x/m}$	$\lambda_{adim. y/n}$	N,crit x/m	N,crit y/n	Verifica
0	SLD 9	0.012	3	-4.342	-0.0753	-0.0099	0.003832	0.0000492	0.0000739	0.802	0.571	0.402	3231.032	6528.319	Si

Verifiche a deformabilità

Mensola X: No; Mensola Y: No.

Frecce lungo X

Ascissa freccia	Combinazione	Freccia	Luce	L/f	L/f,min	Tipo	Verifica
0.351	SLE RA 1	0	1.505	10000	250	Totale	Si
0.351	SLE RA 17	0	1.505	10000	250	Totale	Si
0.351	SLE RA 16	0	1.505	10000	250	Totale	Si
1.204	SLE RA 15	0	1.505	10000	250	Totale	Si
0.351	SLE RA 14	0	1.505	10000	250	Totale	Si
0.351	SLE RA 2	0	1.505	10000	350	Variabile	Si
0.351	SLE RA 17	0	1.505	10000	350	Variabile	Si
0.351	SLE RA 16	0	1.505	10000	350	Variabile	Si
1.154	SLE RA 15	0	1.505	10000	350	Variabile	Si
0.401	SLE RA 14	0	1.505	10000	350	Variabile	Si

Frecce lungo Y

Ascissa freccia	Combinazione	Freccia	Luce	L/f	L/f,min	Tipo	Verifica
0.753	SLE RA 1	-0.00003	1.505	10000	250	Totale	Si
0.753	SLE RA 17	-0.00003	1.505	10000	250	Totale	Si
0.753	SLE RA 16	-0.00003	1.505	10000	250	Totale	Si
0.753	SLE RA 15	-0.00003	1.505	10000	250	Totale	Si
0.753	SLE RA 14	-0.00003	1.505	10000	250	Totale	Si
1.054	SLE RA 2	0	1.505	10000	350	Variabile	Si
1.054	SLE RA 17	0	1.505	10000	350	Variabile	Si
1.054	SLE RA 16	0	1.505	10000	350	Variabile	Si
0.953	SLE RA 15	0	1.505	10000	350	Variabile	Si
1.054	SLE RA 14	0	1.505	10000	350	Variabile	Si

Superelemento in acciaio a quota "703"- "715" (1384; 1754)- (1275; 1857)

Caratteristiche del materiale

Acciaio: S275, fyk = 275000

Caratteristiche geometriche

Lunghezza: 1.505

Nodo iniziale: 1915 Nodo finale: 2129

Cerniera iniziale: Mmomenti 1% Cerniera finale: Mmomenti 1%

Sovraresistenza: 0% Sisma Z: No

Caratteristiche della sezione

Sezione	Rotazione	Area	Jx	Jy	ix	iy	Wx	Wy	Wplx	Wply
A1; L100*10; 1; Saldato; S275; 30; 1; 8; 8; 1	0	0.003832	0.0000035319	0.000007759	0.0304	0.045	0.0000492	0.0000739	0.00008974	0.00012727

Comportamento dei calastrelli

Accoppiamento imbottito con funzione statica (§C.4.2.4.1.3.1.4 NTC18) nella campata compresa tra le ascisse 0 e 1.505 per sbandamento attorno all'asse y.

Verifiche di resistenza

Verifiche a forza assiale §4.2.4.1.2.1 - §4.2.4.1.2.2 NTC18

X	Comb.	Sfruttamento	Classe	NEd	Nc,Rd	Nt,Rd	Riduzione da taglio	px	py	Verifica
0	SLU 75	0.016	3	-16.141	1003.522		1	0	0	Si

Verifiche a forza assiale SLD §4.2.4.1.2.1 - §4.2.4.1.2.2 NTC18

X	Comb.	Sfruttamento	Classe	NEd	Nc,Rd	Nt,Rd	Riduzione da taglio	px	py	Verifica
0	SLD 1	0.005	3	-5.44	1003.522		1	0	0	Si

Verifica a taglio Y §4.2.4.1.2.4 NTC18

X	Comb.	Sfruttamento	VEd	Vc,Rd	Av	Interazione taglio-torsione	Riduzione torsione	Verifica
0	SLU 75	0.001	0.355	302.422	0.002	Non considerata		Si

Verifica a taglio Y SLD §4.2.4.1.2.4 NTC18

X	Comb.	Sfruttamento	VEd	Vc,Rd	Av	Interazione taglio-torsione	Riduzione torsione	Verifica
0	SLD 16	0.001	0.242	302.422	0.002	Non considerata		Si

Verifica a flessione semplice X §§ 4.2.4.1.2.3 - 4.2.4.1.2.6 - 4.2.4.1.2.7 - 4.2.4.1.2.8 NTC18

X	Comb.	Sfruttamento	Classe	Mx,Ed	Mx,Rd	Rid. Mx,Rd da VEd	px	py	Verifica
0.702	SLU 59	0.005	1	-0.10926	23.50374	1	0	0	Si

**Implementazione dei sistemi di confinamento delle emissioni odorigene diffuse dell'impianto di compostaggio esistente nel
Comune di Eboli (SA)
PROGETTO DEFINITIVO – Tabulati di calcolo Tomo 1**

Verifica a presso/tenso flessione retta X §§ 4.2.4.1.2.3 - 4.2.4.1.2.6 - 4.2.4.1.2.7 - 4.2.4.1.2.8 NTC18

Verifiche eseguite utilizzando la formula conservativa (6.2) §6.2.1 EN 1993-1-1:2005.

X	Comb.	Sfruttamento	Classe	NEd	NRd	Rid. NRd da VEd	Mx,Ed	Mx,Rd	Rid. Mx,Rd da VEd	Rid. Mx,Rd da NEd	px	py	Verifica
0.702	SLU 40	0.006	1	1.328	1003.522	1	-0.1093	23.5037	1		0	0	Si

Verifica a presso/tenso flessione retta Y §§ 4.2.4.1.2.3 - 4.2.4.1.2.6 - 4.2.4.1.2.7 - 4.2.4.1.2.8 NTC18

Verifiche eseguite utilizzando la formula conservativa (6.2) §6.2.1 EN 1993-1-1:2005.

X	Comb.	Sfruttamento	Classe	NEd	NRd	Rid. NRd da VEd	My,Ed	My,Rd	Rid. My,Rd da VEd	Rid. My,Rd da NEd	px	py	Verifica
0.151	SLU 37	0.018	3	-15.208	1003.522	1	-0.0459	19.3536	1		0	0	Si

Verifica a presso/tenso flessione retta Y SLD §§ 4.2.4.1.2.3 - 4.2.4.1.2.6 - 4.2.4.1.2.7 - 4.2.4.1.2.8 NTC18

Verifiche eseguite utilizzando la formula conservativa (6.2) §6.2.1 EN 1993-1-1:2005.

X	Comb.	Sfruttamento	Classe	NEd	NRd	Rid. NRd da VEd	My,Ed	My,Rd	Rid. My,Rd da VEd	Rid. My,Rd da NEd	px	py	Verifica
0.05	SLD 1	0.006	3	-5.439	1003.522	1	-0.0165	19.3536	1		0	0	Si

Verifica a presso/tenso flessione deviata §§ 4.2.4.1.2.3 - 4.2.4.1.2.6 - 4.2.4.1.2.7 - 4.2.4.1.2.8 NTC18

Verifiche eseguite utilizzando la formula conservativa (6.2) §6.2.1 EN 1993-1-1:2005.

X	Comb.	Sfruttamento	Classe	NEd	NRd	Rid. NRd da VEd	Mx,Ed	Mx,Rd	My,Ed	My,Rd	Rid. Mx,Rd da VEd	Rid. Mx,Rd da NEd	Rid. My,Rd da VEd	Rid. My,Rd da NEd	α	β	px	py	Verifica
0.903	SLU 75	0.028	3	-16.111	1003.522	1	-0.118	12.886	0.0486	19.3536	1		1				0	0	Si

Verifica a presso/tenso flessione deviata SLD §§ 4.2.4.1.2.3 - 4.2.4.1.2.6 - 4.2.4.1.2.7 - 4.2.4.1.2.8 NTC18

Verifiche eseguite utilizzando la formula conservativa (6.2) §6.2.1 EN 1993-1-1:2005.

X	Comb.	Sfruttamento	Classe	NEd	NRd	Rid. NRd da VEd	Mx,Ed	Mx,Rd	My,Ed	My,Rd	Rid. Mx,Rd da VEd	Rid. Mx,Rd da NEd	Rid. My,Rd da VEd	Rid. My,Rd da NEd	α	β	px	py	Verifica
0.452	SLD 6	0.011	3	-5.427	1003.522	1	-0.0658	12.886	-0.0164	19.3536	1		1				0	0	Si

Verifiche ad instabilità

Caratteristiche iniziali

Membratura principale per controllo snellezza; Calcolo di snellezze ed N critici condotti secondo gli assi principali;

Curva X: c; Curva Y: c;

Svergolamento: Nessuno; la verifica a instabilità flesso-torsionale (svergolamento) non verrà eseguita.

Dati per instabilità attorno a x

Controllo della snellezza secondo §4.2.4.1.3.1 NTC18

Numero rit.	Presente	Ascissa	Campata	βx/m	Vincolo a entrambi estremi	λx/m	λVer
1	Si	0					
			1-2	1	Si	49.6	Si, (<200)
2	Si	1.505					

Dati per instabilità attorno a y

Controllo della snellezza secondo §4.2.4.1.3.1 NTC18

Numero rit.	Presente	Ascissa	Campata	βy/n	k,LT	kw,LT	Vincolo a entrambi estremi
1	Si	0					
			1-2	1	Si	34.9	Si, (<200)
2	Si	1.505					

Verifica di stabilità per pressoflessione §C.4.2.4.1.3.3.1 NTC18

X	Comb.	Sfruttamento	Classe	NEd	MxEq,Ed	MyEq,Ed	Area	Wx	Wy	χ,min	λ adim. x/m	λ adim. y/n	N,crit x/m	N,crit y/n	Verifica
0	SLU 75	0.03	3	-16.141	-0.0991	0.04	0.003832	0.0000492	0.0000739	0.802	0.571	0.402	3231.032	6528.319	Si

Verifica di stabilità per pressoflessione SLD §C.4.2.4.1.3.3.1 NTC18

X	Comb.	Sfruttamento	Classe	NEd	MxEq,Ed	MyEq,Ed	Area	Wx	Wy	χ,min	λ adim. x/m	λ adim. y/n	N,crit x/m	N,crit y/n	Verifica
0	SLD 5	0.013	3	-5.438	-0.0688	-0.0124	0.003832	0.0000492	0.0000739	0.802	0.571	0.402	3231.032	6528.319	Si

Verifiche a deformabilità

Mensola X: No; Mensola Y: No.

Frecce lungo X

Ascissa freccia	Combinazione	Freccia	Luce	L/f	L/f,min	Tipo	Verifica
1.104	SLE RA 1	0	1.505	10000	250	Totale	Si
1.003	SLE RA 17	0	1.505	10000	250	Totale	Si
1.003	SLE RA 16	0	1.505	10000	250	Totale	Si
1.003	SLE RA 15	0	1.505	10000	250	Totale	Si
0.502	SLE RA 14	0	1.505	10000	250	Totale	Si
0.301	SLE RA 2	0	1.505	10000	350	Variabile	Si
0.351	SLE RA 17	0	1.505	10000	350	Variabile	Si
0.301	SLE RA 16	0	1.505	10000	350	Variabile	Si
1.003	SLE RA 15	0	1.505	10000	350	Variabile	Si
1.054	SLE RA 14	0	1.505	10000	350	Variabile	Si

Frecce lungo Y

Ascissa freccia	Combinazione	Freccia	Luce	L/f	L/f,min	Tipo	Verifica
0.753	SLE RA 1	-0.00003	1.505	10000	250	Totale	Si
0.753	SLE RA 17	-0.00003	1.505	10000	250	Totale	Si
0.803	SLE RA 16	-0.00003	1.505	10000	250	Totale	Si
0.753	SLE RA 15	-0.00003	1.505	10000	250	Totale	Si
0.803	SLE RA 14	-0.00003	1.505	10000	250	Totale	Si
1.154	SLE RA 2	0	1.505	10000	350	Variabile	Si
1.154	SLE RA 17	0	1.505	10000	350	Variabile	Si
1.154	SLE RA 16	0	1.505	10000	350	Variabile	Si
0.502	SLE RA 15	0	1.505	10000	350	Variabile	Si
1.154	SLE RA 14	0	1.505	10000	350	Variabile	Si

Implementazione dei sistemi di confinamento delle emissioni odorigene diffuse dell'impianto di compostaggio esistente nel
Comune di Eboli (SA)
PROGETTO DEFINITIVO – Tabulati di calcolo Tomo 1

Superelemento in acciaio a quota "703"- "715" (1634; 2017)-(1525; 2120)

Caratteristiche del materiale

Acciaio: S275, fyk = 275000

Caratteristiche geometriche

Lunghezza: 1.505

Nodo iniziale: 1925 Nodo finale: 2137

Cerniera iniziale: Mmomenti 1% Cerniera finale: Mmomenti 1%

Sovreresistenza: 0% Sisma Z: No

Caratteristiche della sezione

Sezione	Rotazione	Area	Jx	Jy	ix	iy	Wx	Wy	Wplx	Wply
A1; L100*10; 1; Saldato; S275; 30; 1; 8; 8; 1	0	0.003832	0.0000035319	0.000007759	0.0304	0.045	0.0000492	0.0000739	0.00008974	0.00012727

Comportamento dei calastrelli

Accoppiamento imbottito con funzione statica (§C4.2.4.1.3.1.4 NTC18) nella campata compresa tra le ascisse 0 e 1.505 per sbandamento attorno all'asse y.

Verifiche di resistenza

Verifiche a forza assiale §4.2.4.1.2.1 - §4.2.4.1.2.2 NTC18

X	Comb.	Sfruttamento	Classe	NEd	Nc,Rd	Nt,Rd	Riduzione da taglio	px	py	Verifica
0	SLU 75	0.013	3	-13.424	1003.522		1	0	0	Si

Verifiche a forza assiale SLD §4.2.4.1.2.1 - §4.2.4.1.2.2 NTC18

X	Comb.	Sfruttamento	Classe	NEd	Nc,Rd	Nt,Rd	Riduzione da taglio	px	py	Verifica
0	SLD 5	0.004	3	-4.407	1003.522		1	0	0	Si

Verifica a taglio Y §4.2.4.1.2.4 NTC18

X	Comb.	Sfruttamento	VEd	Vc,Rd	Av	Interazione taglio-torsione	Riduzione torsione	Verifica
0	SLU 75	0.001	0.33	302.422	0.002	Non considerata		Si

Verifica a taglio Y SLD §4.2.4.1.2.4 NTC18

X	Comb.	Sfruttamento	VEd	Vc,Rd	Av	Interazione taglio-torsione	Riduzione torsione	Verifica
0	SLD 3	0.001	0.232	302.422	0.002	Non considerata		Si

Verifica a flessione semplice X §§ 4.2.4.1.2.3 - 4.2.4.1.2.6 - 4.2.4.1.2.7 - 4.2.4.1.2.8 NTC18

X	Comb.	Sfruttamento	Classe	Mx,Ed	Mx,Rd	Rid. Mx,Rd da VEd	px	py	Verifica
0.753	SLU 43	0.005	1	-0.10928	23.50374	1	0	0	Si

Verifica a presso/tenso flessione retta X §§ 4.2.4.1.2.3 - 4.2.4.1.2.6 - 4.2.4.1.2.7 - 4.2.4.1.2.8 NTC18

Verifiche eseguite utilizzando la formula conservativa (6.2) §6.2.1 EN 1993-1-1:2005.

X	Comb.	Sfruttamento	Classe	NEd	NRd	Rid. NRd da VEd	Mx,Ed	Mx,Rd	Rid. Mx,Rd da VEd	Rid. Mx,Rd da NEd	px	py	Verifica
0.753	SLU 61	0.007	1	-2.448	1003.522	1	-0.1094	23.5037	1		0	0	Si

Verifica a presso/tenso flessione retta Y §§ 4.2.4.1.2.3 - 4.2.4.1.2.6 - 4.2.4.1.2.7 - 4.2.4.1.2.8 NTC18

Verifiche eseguite utilizzando la formula conservativa (6.2) §6.2.1 EN 1993-1-1:2005.

X	Comb.	Sfruttamento	Classe	NEd	NRd	Rid. NRd da VEd	My,Ed	My,Rd	Rid. My,Rd da VEd	Rid. My,Rd da NEd	px	py	Verifica
0.05	SLU 75	0.015	3	-13.423	1003.522	1	0.041	19.3536	1		0	0	Si

Verifica a presso/tenso flessione retta Y SLD §§ 4.2.4.1.2.3 - 4.2.4.1.2.6 - 4.2.4.1.2.7 - 4.2.4.1.2.8 NTC18

Verifiche eseguite utilizzando la formula conservativa (6.2) §6.2.1 EN 1993-1-1:2005.

X	Comb.	Sfruttamento	Classe	NEd	NRd	Rid. NRd da VEd	My,Ed	My,Rd	Rid. My,Rd da VEd	Rid. My,Rd da NEd	px	py	Verifica
0	SLD 5	0.005	3	-4.407	1003.522	1	0.0135	19.3536	1		0	0	Si

Verifica a presso/tenso flessione deviata §§ 4.2.4.1.2.3 - 4.2.4.1.2.6 - 4.2.4.1.2.7 - 4.2.4.1.2.8 NTC18

Verifiche eseguite utilizzando la formula conservativa (6.2) §6.2.1 EN 1993-1-1:2005.

X	Comb.	Sfruttamento	Classe	NEd	NRd	Rid. NRd da VEd	Mx,Ed	Mx,Rd	My,Ed	My,Rd	Rid. Mx,Rd da VEd	Rid. Mx,Rd da NEd	Rid. My,Rd da VEd	Rid. My,Rd da NEd	α	β	px	py	Verifica
0.853	SLU 75	0.025	3	-13.397	1003.522	1	-0.1188	12.886	-0.0405	19.3536	1		1				0	0	Si

Verifica a presso/tenso flessione deviata SLD §§ 4.2.4.1.2.3 - 4.2.4.1.2.6 - 4.2.4.1.2.7 - 4.2.4.1.2.8 NTC18

Verifiche eseguite utilizzando la formula conservativa (6.2) §6.2.1 EN 1993-1-1:2005.

X	Comb.	Sfruttamento	Classe	NEd	NRd	Rid. NRd da VEd	Mx,Ed	Mx,Rd	My,Ed	My,Rd	Rid. Mx,Rd da VEd	Rid. Mx,Rd da NEd	Rid. My,Rd da VEd	Rid. My,Rd da NEd	α	β	px	py	Verifica
0.301	SLD 5	0.009	3	-4.4	1003.522	1	-0.0526	12.886	0.0134	19.3536	1		1				0	0	Si

Verifiche ad instabilità

Caratteristiche iniziali

Membratura principale per controllo snellezza; Calcolo di snellezze ed N critici condotti secondo gli assi principali;

Curva X: c; Curva Y: c;

Svergolamento: Nessuno; la verifica a instabilità flesso-torsionale (svergolamento) non verrà eseguita.

Dati per instabilità attorno a x

Controllo della snellezza secondo §4.2.4.1.3.1 NTC18

Numero rit.	Presente	Ascissa	Campata	βx/m	Vincolo a entrambi estremi	λx/m	λVer
1	Si	0	1-2	1	Si	49.6	Si, (<200)

Implementazione dei sistemi di confinamento delle emissioni odorigene diffuse dell'impianto di compostaggio esistente nel
Comune di Eboli (SA)
PROGETTO DEFINITIVO – Tabulati di calcolo Tomo 1

Numero rit.	Presente	Ascissa	Campata	$\beta x/m$	Vincolo a entrambi estremi	$\lambda x/m$	λVer
2	Si	1.505					

Dati per instabilità attorno a y

Controllo della snellezza secondo §4.2.4.1.3.1 NTC18

Numero rit.	Presente	Ascissa	Campata	$\beta y/n$	k,LT	kw,LT	Vincolo a entrambi estremi
1	Si	0					
			1-2	1	Si	34.9	Si, (<200)
2	Si	1.505					

Verifica di stabilità per pressoflessione §C.4.2.4.1.3.3.1 NTC18

X	Comb.	Sfruttamento	Classe	NEd	MxEq,Ed	MyEq,Ed	Area	Wx	Wy	χ_{min}	$\lambda_{adim. x/m}$	$\lambda_{adim. y/n}$	N,crit x/m	N,crit y/n	Verifica
0	SLU 75	0.026	3	-13.424	-0.1043	0.0308	0.003832	0.0000492	0.0000739	0.802	0.571	0.402	3231.032	6528.319	Si

Verifica di stabilità per pressoflessione SLD §C.4.2.4.1.3.3.1 NTC18

X	Comb.	Sfruttamento	Classe	NEd	MxEq,Ed	MyEq,Ed	Area	Wx	Wy	χ_{min}	$\lambda_{adim. x/m}$	$\lambda_{adim. y/n}$	N,crit x/m	N,crit y/n	Verifica
0	SLD 6	0.012	3	-4.407	-0.0749	0.0101	0.003832	0.0000492	0.0000739	0.802	0.571	0.402	3231.032	6528.319	Si

Verifiche a deformabilità

Mensola X: No; Mensola Y: No.

Frecce lungo X

Ascissa freccia	Combinazione	Freccia	Luce	L/f	L/f,min	Tipo	Verifica
1.154	SLE RA 1	0	1.505	10000	250	Totale	Si
1.154	SLE RA 17	0	1.505	10000	250	Totale	Si
1.154	SLE RA 16	0	1.505	10000	250	Totale	Si
1.154	SLE RA 15	0	1.505	10000	250	Totale	Si
1.154	SLE RA 14	0	1.505	10000	250	Totale	Si
1.154	SLE RA 2	0	1.505	10000	350	Variabile	Si
1.154	SLE RA 17	0	1.505	10000	350	Variabile	Si
1.154	SLE RA 16	0	1.505	10000	350	Variabile	Si
1.154	SLE RA 15	0	1.505	10000	350	Variabile	Si
1.154	SLE RA 14	0	1.505	10000	350	Variabile	Si

Frecce lungo Y

Ascissa freccia	Combinazione	Freccia	Luce	L/f	L/f,min	Tipo	Verifica
0.753	SLE RA 1	-0.00003	1.505	10000	250	Totale	Si
0.753	SLE RA 17	-0.00003	1.505	10000	250	Totale	Si
0.753	SLE RA 16	-0.00003	1.505	10000	250	Totale	Si
0.753	SLE RA 15	-0.00003	1.505	10000	250	Totale	Si
0.753	SLE RA 14	-0.00003	1.505	10000	250	Totale	Si
1.054	SLE RA 2	0	1.505	10000	350	Variabile	Si
1.054	SLE RA 17	0	1.505	10000	350	Variabile	Si
1.054	SLE RA 16	0	1.505	10000	350	Variabile	Si
0.953	SLE RA 15	0	1.505	10000	350	Variabile	Si
1.054	SLE RA 14	0	1.505	10000	350	Variabile	Si

Superelemento in acciaio a quota "703"- "715" (1889; 2288)-(1779; 2391)

Caratteristiche del materiale

Acciaio: S275, fyk = 275000

Caratteristiche geometriche

Lunghezza: 1.505

Nodo iniziale: 1934 Nodo finale: 2146

Cerniera iniziale: Mmomenti 1% Cerniera finale: Mmomenti 1%

Sovreresistenza: 0% Sisma Z: No

Caratteristiche della sezione

Sezione	Rotazione	Area	Jx	Jy	ix	iy	Wx	Wy	Wplx	Wply
A1; L100*10; 1; Saldato; S275; 30; 1; 8; 8; 1	0	0.003832	0.0000035319	0.000007759	0.0304	0.045	0.0000492	0.0000739	0.00008974	0.00012727

Comportamento dei calastrelli

Accoppiamento imbottito con funzione statica (§C.4.2.4.1.3.1.4 NTC18) nella campata compresa tra le ascisse 0 e 1.505 per sbandamento attorno all'asse y.

Verifiche di resistenza

Verifiche a forza assiale §4.2.4.1.2.1 - §4.2.4.1.2.2 NTC18

X	Comb.	Sfruttamento	Classe	NEd	Nc,Rd	Nt,Rd	Riduzione da taglio	px	py	Verifica
1.505	SLU 76	0.014		13.655		1003.522	1	0	0	Si

Verifiche a forza assiale SLD §4.2.4.1.2.1 - §4.2.4.1.2.2 NTC18

X	Comb.	Sfruttamento	Classe	NEd	Nc,Rd	Nt,Rd	Riduzione da taglio	px	py	Verifica
1.505	SLD 4	0.006		6.285		1003.522	1	0	0	Si

Verifica a taglio Y §4.2.4.1.2.4 NTC18

X	Comb.	Sfruttamento	VEd	Vc,Rd	Av	Interazione taglio-torsione	Riduzione torsione	Verifica
0	SLU 75	0.002	0.692	302.422	0.002	Non considerata		Si

Implementazione dei sistemi di confinamento delle emissioni odorigene diffuse dell'impianto di compostaggio esistente nel
Comune di Eboli (SA)

PROGETTO DEFINITIVO – Tabulati di calcolo Tomo 1

Verifica a taglio Y SLD §4.2.4.1.2.4 NTC18

X	Comb.	Sfruttamento	VEd	Vc,Rd	Av	Interazione taglio-torsione	Riduzione torsione	Verifica
0	SLD 9	0.001	0.281	302.422	0.002	Non considerata		Si

Verifica a presso/tenso flessione retta X §§ 4.2.4.1.2.3 - 4.2.4.1.2.6 - 4.2.4.1.2.7 - 4.2.4.1.2.8 NTC18

Verifiche eseguite utilizzando la formula conservativa (6.2) §6.2.1 EN 1993-1-1:2005.

X	Comb.	Sfruttamento	Classe	NEd	NRd	Rid. NRd da VEd	Mx,Ed	Mx,Rd	Rid. Mx,Rd da VEd	Rid. Mx,Rd da NEd	px	py	Verifica
0.702	SLE 76	0.02	1	13.623	1003.522	1	-0.1608	23.5037	1		0	0	Si

Verifica a presso/tenso flessione retta X SLD §§ 4.2.4.1.2.3 - 4.2.4.1.2.6 - 4.2.4.1.2.7 - 4.2.4.1.2.8 NTC18

Verifiche eseguite utilizzando la formula conservativa (6.2) §6.2.1 EN 1993-1-1:2005.

X	Comb.	Sfruttamento	Classe	NEd	NRd	Rid. NRd da VEd	Mx,Ed	Mx,Rd	Rid. Mx,Rd da VEd	Rid. Mx,Rd da NEd	px	py	Verifica
0.753	SLD 4	0.011	1	6.265	1003.522	1	-0.1011	23.5037	1		0	0	Si

Verifiche ad instabilità

Caratteristiche iniziali

Membratura principale per controllo snellezza; Calcolo di snellezze ed N critici condotti secondo gli assi principali;

Curva X: c; Curva Y: c;

Svergolamento: Nessuno; la verifica a instabilità flesso-torsionale (svergolamento) non verrà eseguita.

Dati per instabilità attorno a x

Controllo della snellezza secondo §4.2.4.1.3.1 NTC18

Numero rit.	Presente	Ascissa	Campata	βx/m	Vincolo a entrambi estremi	λx/m	λVer
1	Si	0					
			1-2		1	49.6	Si, (<200)
2	Si	1.505					

Dati per instabilità attorno a y

Controllo della snellezza secondo §4.2.4.1.3.1 NTC18

Numero rit.	Presente	Ascissa	Campata	βy/n	k,LT	kw,LT	Vincolo a entrambi estremi
1	Si	0					
			1-2		1	34.9	Si, (<200)
2	Si	1.505					

NB: superelemento non sollecitato. Verifiche non condotte.

Verifiche a deformabilità

Mensola X: No; Mensola Y: No.

Frecce lungo X

Ascissa freccia	Combinazione	Freccia	Luce	L/f	L/f,min	Tipo	Verifica
0.602	SLE RA 1	0	1.505	10000	250	Totale	Si
0.602	SLE RA 17	0	1.505	10000	250	Totale	Si
0.652	SLE RA 16	0	1.505	10000	250	Totale	Si
0.602	SLE RA 15	0	1.505	10000	250	Totale	Si
0.652	SLE RA 14	0	1.505	10000	250	Totale	Si
0.652	SLE RA 2	0	1.505	10000	350	Variabile	Si
0.652	SLE RA 17	0	1.505	10000	350	Variabile	Si
0.652	SLE RA 16	0	1.505	10000	350	Variabile	Si
0.602	SLE RA 15	0	1.505	10000	350	Variabile	Si
0.702	SLE RA 14	0	1.505	10000	350	Variabile	Si

Frecce lungo Y

Ascissa freccia	Combinazione	Freccia	Luce	L/f	L/f,min	Tipo	Verifica
0.753	SLE RA 1	-0.00003	1.505	10000	250	Totale	Si
0.753	SLE RA 17	-0.00004	1.505	10000	250	Totale	Si
0.753	SLE RA 16	-0.00005	1.505	10000	250	Totale	Si
0.753	SLE RA 15	-0.00003	1.505	10000	250	Totale	Si
0.753	SLE RA 14	-0.00005	1.505	10000	250	Totale	Si
0.702	SLE RA 2	0.00001	1.505	10000	350	Variabile	Si
0.702	SLE RA 17	-0.00001	1.505	10000	350	Variabile	Si
0.702	SLE RA 16	-0.00001	1.505	10000	350	Variabile	Si
0.753	SLE RA 15	0	1.505	10000	350	Variabile	Si
0.702	SLE RA 14	-0.00002	1.505	10000	350	Variabile	Si

Superelemento in acciaio a quota "703"- "715" (1999; 2893)- (1999; 2739)

Caratteristiche del materiale

Acciaio: S275, fyk = 275000

Caratteristiche geometriche

Lunghezza: 1.008

Nodo iniziale: 1975 Nodo finale: 2177

Cerniera iniziale: Mmomenti 1% Cerniera finale: Mmomenti 1%

Sovreresistenza: 0% Sisma Z: No

Caratteristiche della sezione

Sezione	Rotazione	Area	Jx	Jy	ix	iy	Wx	Wy	Wplx	Wply
A1; L100*10; 1; Saldato; S275; 20; 1; 8; 8; 1	0	0.003832	0.0000035319	0.000007759	0.0304	0.045	0.0000492	0.0000739	0.00008974	0.00012727

Comportamento dei calastrelli

Accoppiamento imbottito avendo passo inferiore al minimo richiesto (§C4.2.4.1.3.1.5 NTC18) nella campata compresa tra le ascisse 0 e 1.008 per

Implementazione dei sistemi di confinamento delle emissioni odorigene diffuse dell'impianto di compostaggio esistente nel
Comune di Eboli (SA)
PROGETTO DEFINITIVO – Tabulati di calcolo Tomo 1

sbandamento attorno all'asse y.

Verifiche di resistenza

Verifiche a forza assiale §4.2.4.1.2.1 - §4.2.4.1.2.2 NTC18

X	Comb.	Sfruttamento	Classe	NEd	Nc,Rd	Nt,Rd	Riduzione da taglio	px	py	Verifica
0	SLU 75	0.006	3	-6.15	1003.522		1	0	0	Si

Verifiche a forza assiale SLD §4.2.4.1.2.1 - §4.2.4.1.2.2 NTC18

X	Comb.	Sfruttamento	Classe	NEd	Nc,Rd	Nt,Rd	Riduzione da taglio	px	py	Verifica
0	SLD 12	0.003	3	-2.779	1003.522		1	0	0	Si

Verifica a taglio X §4.2.4.1.2.4 NTC18

X	Comb.	Sfruttamento	VEd	Vc,Rd	Av	Interazione taglio-torsione	Riduzione torsione	Verifica
0.793	SLU 76	0.003	-0.986	302.422	0.002	Non considerata		Si

Verifica a taglio X SLD §4.2.4.1.2.4 NTC18

X	Comb.	Sfruttamento	VEd	Vc,Rd	Av	Interazione taglio-torsione	Riduzione torsione	Verifica
1.008	SLD 8	0.001	-0.42	302.422	0.002	Non considerata		Si

Verifica a taglio Y §4.2.4.1.2.4 NTC18

X	Comb.	Sfruttamento	VEd	Vc,Rd	Av	Interazione taglio-torsione	Riduzione torsione	Verifica
1.008	SLU 76	0.008	-2.271	302.422	0.002	Non considerata		Si

Verifica a taglio Y SLD §4.2.4.1.2.4 NTC18

X	Comb.	Sfruttamento	VEd	Vc,Rd	Av	Interazione taglio-torsione	Riduzione torsione	Verifica
1.008	SLD 9	0.002	-0.68	302.422	0.002	Non considerata		Si

Verifica a flessione semplice X §§ 4.2.4.1.2.3 - 4.2.4.1.2.6 - 4.2.4.1.2.7 - 4.2.4.1.2.8 NTC18

X	Comb.	Sfruttamento	Classe	Mx,Ed	Mx,Rd	Rid. Mx,Rd da VEd	px	py	Verifica
0.146	SLU 2	0.001	1	0.02598	23.50374	1	0	0	Si

Verifica a flessione semplice X SLD §§ 4.2.4.1.2.3 - 4.2.4.1.2.6 - 4.2.4.1.2.7 - 4.2.4.1.2.8 NTC18

X	Comb.	Sfruttamento	Classe	Mx,Ed	Mx,Rd	Rid. Mx,Rd da VEd	px	py	Verifica
0.992	SLD 1	0.001	1	-0.01254	23.50374	1	0	0	Si

Verifica a flessione deviata §§ 4.2.4.1.2.3 - 4.2.4.1.2.6 - 4.2.4.1.2.7 - 4.2.4.1.2.8 NTC18

X	Comb.	Sfruttamento	Classe	Mx,Ed	Mx,Rd	My,Ed	My,Rd	Rid. Mx,Rd da VEd	Rid. My,Rd da VEd	α	β	px	py	Verifica
0.548	SLU 76	0.056	1	-0.9986	23.5037	0.4533	33.3316	1	1			0	0	Si

Verifica a flessione deviata SLD §§ 4.2.4.1.2.3 - 4.2.4.1.2.6 - 4.2.4.1.2.7 - 4.2.4.1.2.8 NTC18

X	Comb.	Sfruttamento	Classe	Mx,Ed	Mx,Rd	My,Ed	My,Rd	Rid. Mx,Rd da VEd	Rid. My,Rd da VEd	α	β	px	py	Verifica
0.548	SLD 8	0.017	1	-0.2526	23.5037	0.1929	33.3316	1	1			0	0	Si

Verifica a presso/tenso flessione retta X §§ 4.2.4.1.2.3 - 4.2.4.1.2.6 - 4.2.4.1.2.7 - 4.2.4.1.2.8 NTC18

Verifiche eseguite utilizzando la formula conservativa (6.2) §6.2.1 EN 1993-1-1:2005.

X	Comb.	Sfruttamento	Classe	NEd	NRd	Rid. NRd da VEd	Mx,Ed	Mx,Rd	Rid. Mx,Rd da VEd	Rid. Mx,Rd da NEd	px	py	Verifica
0.256	SLU 4	0.013	1	-0.508	1003.522	1	-0.2865	23.5037	1		0	0	Si

Verifica a presso/tenso flessione retta X SLD §§ 4.2.4.1.2.3 - 4.2.4.1.2.6 - 4.2.4.1.2.7 - 4.2.4.1.2.8 NTC18

Verifiche eseguite utilizzando la formula conservativa (6.2) §6.2.1 EN 1993-1-1:2005.

X	Comb.	Sfruttamento	Classe	NEd	NRd	Rid. NRd da VEd	Mx,Ed	Mx,Rd	Rid. Mx,Rd da VEd	Rid. Mx,Rd da NEd	px	py	Verifica
0.164	SLD 14	0.006	1	-2.47	1003.522	1	-0.0862	23.5037	1		0	0	Si

Verifica a presso/tenso flessione retta Y §§ 4.2.4.1.2.3 - 4.2.4.1.2.6 - 4.2.4.1.2.7 - 4.2.4.1.2.8 NTC18

Verifiche eseguite utilizzando la formula conservativa (6.2) §6.2.1 EN 1993-1-1:2005.

X	Comb.	Sfruttamento	Classe	NEd	NRd	Rid. NRd da VEd	My,Ed	My,Rd	Rid. My,Rd da VEd	Rid. My,Rd da NEd	px	py	Verifica
0.365	SLU 60	0.009	3	-4.487	1003.522	1	-0.0828	19.3536	1		0	0	Si

Verifica a presso/tenso flessione deviata §§ 4.2.4.1.2.3 - 4.2.4.1.2.6 - 4.2.4.1.2.7 - 4.2.4.1.2.8 NTC18

Verifiche eseguite utilizzando la formula conservativa (6.2) §6.2.1 EN 1993-1-1:2005.

X	Comb.	Sfruttamento	Classe	NEd	NRd	Rid. NRd da VEd	Mx,Ed	Mx,Rd	My,Ed	My,Rd	Rid. Mx,Rd da VEd	Rid. Mx,Rd da NEd	Rid. My,Rd da VEd	Rid. My,Rd da NEd	α	β	px	py	Verifica
0.548	SLU 64	0.049	1	0.591	1003.522	1	-0.8831	23.5037	0.3631	33.3316	1		1				0	0	Si

Verifica a presso/tenso flessione deviata SLD §§ 4.2.4.1.2.3 - 4.2.4.1.2.6 - 4.2.4.1.2.7 - 4.2.4.1.2.8 NTC18

Verifiche eseguite utilizzando la formula conservativa (6.2) §6.2.1 EN 1993-1-1:2005.

X	Comb.	Sfruttamento	Classe	NEd	NRd	Rid. NRd da VEd	Mx,Ed	Mx,Rd	My,Ed	My,Rd	Rid. Mx,Rd da VEd	Rid. Mx,Rd da NEd	Rid. My,Rd da VEd	Rid. My,Rd da NEd	α	β	px	py	Verifica
0.548	SLD 13	0.018	1	-1.812	1003.522	1	-0.2786	23.5037	0.1506	33.3316	1		1				0	0	Si

Verifiche ad instabilità

Caratteristiche iniziali

Membratura principale per controllo snellezza; Calcolo di snellezze ed N critici condotti secondo gli assi principali;

Curva X: c; Curva Y: c;

Svergolamento: Nessuno; la verifica a instabilità flesso-torsionale (svergolamento) non verrà eseguita.

Dati per instabilità attorno a x

Controllo della snellezza secondo §4.2.4.1.3.1 NTC18

Numero rit.	Presente	Ascissa	Campata	βx/m	Vincolo a entrambi estremi	λx/m	λVer
1	Si	0					
			1-2	1	Si	33.2	Si, (<200)

Implementazione dei sistemi di confinamento delle emissioni odorigene diffuse dell'impianto di compostaggio esistente nel
Comune di Eboli (SA)
PROGETTO DEFINITIVO – Tabulati di calcolo Tomo 1

Numero rit.	Presente	Ascissa	Campata	$\beta x/m$	Vincolo a entrambi estremi	$\lambda x/m$	λVer
2	Si	1.008					

Dati per instabilità attorno a y

Controllo della snellezza secondo §4.2.4.1.3.1 NTC18

Numero rit.	Presente	Ascissa	Campata	$\beta y/n$	k,LT	kw,LT	Vincolo a entrambi estremi
1	Si	0					
			1-2	1	Si	22.4	Si, (<200)
2	Si	1.008					

Verifica di stabilità per pressoflessione §C.4.2.4.1.3.3.1 NTC18

X	Comb.	Sfruttamento	Classe	NEd	MxEq,Ed	MyEq,Ed	Area	Wx	Wy	χ_{min}	$\lambda_{adim. x/m}$	$\lambda_{adim. y/n}$	N,crit x/m	N,crit y/n	Verifica
0	SLU 76	0.08	3	-4.296	-0.7489	0.3399	0.003832	0.0000492	0.0000739	0.907	0.382	0.258	7207.687	15834.061	Si

Verifica di stabilità per pressoflessione SLD §C.4.2.4.1.3.3.1 NTC18

X	Comb.	Sfruttamento	Classe	NEd	MxEq,Ed	MyEq,Ed	Area	Wx	Wy	χ_{min}	$\lambda_{adim. x/m}$	$\lambda_{adim. y/n}$	N,crit x/m	N,crit y/n	Verifica
0	SLD 11	0.025	3	-2.779	-0.1939	0.1375	0.003832	0.0000492	0.0000739	0.907	0.382	0.258	7207.687	15834.061	Si

Verifiche a deformabilità

Mensola X: No; Mensola Y: No.

Frecce lungo X

Ascissa freccia	Combinazione	Freccia	Luce	L/f	L/f,min	Tipo	Verifica
0.655	SLE RA 1	0	1.008	10000	250	Totale	Si
0.655	SLE RA 17	0	1.008	10000	250	Totale	Si
0.655	SLE RA 16	-0.00001	1.008	10000	250	Totale	Si
0.64	SLE RA 15	-0.00001	1.008	10000	250	Totale	Si
0.671	SLE RA 14	0	1.008	10000	250	Totale	Si
0.64	SLE RA 2	0	1.008	10000	350	Variabile	Si
0.64	SLE RA 17	0	1.008	10000	350	Variabile	Si
0.64	SLE RA 16	0	1.008	10000	350	Variabile	Si
0.609	SLE RA 15	0	1.008	10000	350	Variabile	Si
0.701	SLE RA 14	0	1.008	10000	350	Variabile	Si

Frecce lungo Y

Ascissa freccia	Combinazione	Freccia	Luce	L/f	L/f,min	Tipo	Verifica
0.53	SLE RA 1	-0.00003	1.008	10000	250	Totale	Si
0.53	SLE RA 17	-0.00005	1.008	10000	250	Totale	Si
0.53	SLE RA 16	-0.00006	1.008	10000	250	Totale	Si
0.53	SLE RA 15	-0.00007	1.008	10000	250	Totale	Si
0.53	SLE RA 14	-0.00004	1.008	10000	250	Totale	Si
0.53	SLE RA 2	0.00003	1.008	10000	350	Variabile	Si
0.53	SLE RA 17	-0.00001	1.008	10000	350	Variabile	Si
0.53	SLE RA 16	-0.00003	1.008	10000	350	Variabile	Si
0.53	SLE RA 15	-0.00004	1.008	10000	350	Variabile	Si
0.53	SLE RA 14	0	1.008	10000	350	Variabile	Si

Superelemento in acciaio a quota "703"- "715" (2231; 2893)-(2231; 2793)

Caratteristiche del materiale

Acciaio: S275, fyk = 275000

Caratteristiche geometriche

Lunghezza: 1.008

Nodo iniziale: 1976 Nodo finale: 2183

Cerniera iniziale: Mmomenti 1% Cerniera finale: Mmomenti 1%

Sovreresistenza: 0% Sisma Z: No

Caratteristiche della sezione

Sezione	Rotazione	Area	Jx	Jy	ix	iy	Wx	Wy	Wplx	Wply
A1; L100*10; 1; Saldato; S275; 20; 1; 8; 8; 1	0	0.003832	0.0000035319	0.000007759	0.0304	0.045	0.0000492	0.0000739	0.00008974	0.00012727

Comportamento dei calastrelli

Accoppiamento imbottito avendo passo inferiore al minimo richiesto (§C4.2.4.1.3.1.5 NTC18) nella campata compresa tra le ascisse 0 e 1.008 per sbandamento attorno all'asse y.

Verifiche di resistenza

Verifiche a forza assiale §4.2.4.1.2.1 - §4.2.4.1.2.2 NTC18

X	Comb.	Sfruttamento	Classe	NEd	Nc,Rd	Nt,Rd	Riduzione da taglio	px	py	Verifica
0	SLU 76	0.008	3	-7.617	1003.522		1	0	0	Si

Verifiche a forza assiale SLD §4.2.4.1.2.1 - §4.2.4.1.2.2 NTC18

X	Comb.	Sfruttamento	Classe	NEd	Nc,Rd	Nt,Rd	Riduzione da taglio	px	py	Verifica
0	SLD 10	0.004	3	-3.856	1003.522		1	0	0	Si

Verifica a taglio Y §4.2.4.1.2.4 NTC18

X	Comb.	Sfruttamento	VEd	Vc,Rd	Av	Interazione taglio-torsione	Riduzione torsione	Verifica
1.008	SLU 41	0.001	-0.201	302.422	0.002	Non considerata		Si

Implementazione dei sistemi di confinamento delle emissioni odorigene diffuse dell'impianto di compostaggio esistente nel
Comune di Eboli (SA)

PROGETTO DEFINITIVO – Tabulati di calcolo Tomo 1

Verifica a flessione semplice X §§ 4.2.4.1.2.3 - 4.2.4.1.2.6 - 4.2.4.1.2.7 - 4.2.4.1.2.8 NTC18

X	Comb.	Sfruttamento	Classe	Mx,Ed	Mx,Rd	Rid. Mx,Rd da VEd	px	py	Verifica
0.504	SLE 2	0.002	1	-0.03644	23.50374	1	0	0	Si

Verifica a presso/tenso flessione retta X §§ 4.2.4.1.2.3 - 4.2.4.1.2.6 - 4.2.4.1.2.7 - 4.2.4.1.2.8 NTC18

Verifiche eseguite utilizzando la formula conservativa (6.2) §6.2.1 EN 1993-1-1:2005.

X	Comb.	Sfruttamento	Classe	NEd	NRd	Rid. NRd da VEd	Mx,Ed	Mx,Rd	Rid. Mx,Rd da VEd	Rid. Mx,Rd da NEd	px	py	Verifica
0.504	SLE 76	0.011	3	-7.592	1003.522	1	-0.0491	12.886	1		0	0	Si

Verifica a presso/tenso flessione retta X SLD §§ 4.2.4.1.2.3 - 4.2.4.1.2.6 - 4.2.4.1.2.7 - 4.2.4.1.2.8 NTC18

Verifiche eseguite utilizzando la formula conservativa (6.2) §6.2.1 EN 1993-1-1:2005.

X	Comb.	Sfruttamento	Classe	NEd	NRd	Rid. NRd da VEd	Mx,Ed	Mx,Rd	Rid. Mx,Rd da VEd	Rid. Mx,Rd da NEd	px	py	Verifica
0.47	SLD 9	0.006	3	-3.839	1003.522	1	-0.0339	12.886	1		0	0	Si

Verifiche ad instabilità

Caratteristiche iniziali

Membratura principale per controllo snellezza; Calcolo di snellezze ed N critici condotti secondo gli assi principali;

Curva X: c; Curva Y: c;

Svergolamento: Nessuno; la verifica a instabilità flesso-torsionale (svergolamento) non verrà eseguita.

Dati per instabilità attorno a x

Controllo della snellezza secondo §4.2.4.1.3.1 NTC18

Numero rit.	Presente	Ascissa	Campata	βx/m	Vincolo a entrambi estremi	λx/m	λVer
1	Si	0					
			1-2	1	Si	33.2	Si, (<200)
2	Si	1.008					

Dati per instabilità attorno a y

Controllo della snellezza secondo §4.2.4.1.3.1 NTC18

Numero rit.	Presente	Ascissa	Campata	βy/n	k,LT	kw,LT	Vincolo a entrambi estremi
1	Si	0					
			1-2	1	Si	22.4	Si, (<200)
2	Si	1.008					

Verifica di stabilità per pressoflessione §C.4.2.4.1.3.3.1 NTC18

X	Comb.	Sfruttamento	Classe	NEd	MxEq,Ed	MyEq,Ed	Area	Wx	Wy	χ,min	λ adim. x/m	λ adim. y/n	N,crit x/m	N,crit y/n	Verifica
0	SLE 76	0.012	3	-7.617	-0.0424	0.0003	0.003832	0.0000492	0.0000739	0.907	0.382	0.258	7207.687	15834.061	Si

Verifica di stabilità per pressoflessione SLD §C.4.2.4.1.3.3.1 NTC18

X	Comb.	Sfruttamento	Classe	NEd	MxEq,Ed	MyEq,Ed	Area	Wx	Wy	χ,min	λ adim. x/m	λ adim. y/n	N,crit x/m	N,crit y/n	Verifica
0	SLD 10	0.006	3	-3.856	-0.0276	0.0003	0.003832	0.0000492	0.0000739	0.907	0.382	0.258	7207.687	15834.061	Si

Verifiche a deformabilità

Mensola X: No; Mensola Y: No.

Frecce lungo X

Ascissa freccia	Combinazione	Freccia	Luce	L/f	L/f,min	Tipo	Verifica
0.705	SLE RA 1	0	1.008	10000	250	Totale	Si
0.705	SLE RA 17	0	1.008	10000	250	Totale	Si
0.705	SLE RA 16	0	1.008	10000	250	Totale	Si
0.705	SLE RA 15	0	1.008	10000	250	Totale	Si
0.638	SLE RA 14	0	1.008	10000	250	Totale	Si
0.638	SLE RA 2	0	1.008	10000	350	Variabile	Si
0.605	SLE RA 17	0	1.008	10000	350	Variabile	Si
0.638	SLE RA 16	0	1.008	10000	350	Variabile	Si
0.739	SLE RA 15	0	1.008	10000	350	Variabile	Si
0.269	SLE RA 14	0	1.008	10000	350	Variabile	Si

Frecce lungo Y

Ascissa freccia	Combinazione	Freccia	Luce	L/f	L/f,min	Tipo	Verifica
0.504	SLE RA 1	-0.00001	1.008	10000	250	Totale	Si
0.504	SLE RA 17	-0.00001	1.008	10000	250	Totale	Si
0.504	SLE RA 16	-0.00001	1.008	10000	250	Totale	Si
0.504	SLE RA 15	-0.00001	1.008	10000	250	Totale	Si
0.504	SLE RA 14	-0.00001	1.008	10000	250	Totale	Si
0.672	SLE RA 2	0	1.008	10000	350	Variabile	Si
0.672	SLE RA 17	0	1.008	10000	350	Variabile	Si
0.672	SLE RA 16	0	1.008	10000	350	Variabile	Si
0.638	SLE RA 15	0	1.008	10000	350	Variabile	Si
0.571	SLE RA 14	0	1.008	10000	350	Variabile	Si

Superelemento in acciaio a quota "703"- "715" (2463; 2893)-(2463; 2793)

Caratteristiche del materiale

Acciaio: S275, fyk = 275000

Caratteristiche geometriche

Lunghezza: 1.008

Nodo iniziale: 1985 Nodo finale: 2187

Cerniera iniziale: Mmomenti 1% Cerniera finale: Mmomenti 1%

Sovreresistenza: 0% Sisma Z: No

Implementazione dei sistemi di confinamento delle emissioni odorigene diffuse dell'impianto di compostaggio esistente nel
Comune di Eboli (SA)

PROGETTO DEFINITIVO – Tabulati di calcolo Tomo 1

Caratteristiche della sezione

Sezione	Rotazione	Area	Jx	Jy	ix	iy	Wx	Wy	Wplx	Wply
A1; L100*10; 1; Saldato; S275; 20; 1; 8; 8; 1	0	0.003832	0.0000035319	0.000007759	0.0304	0.045	0.0000492	0.0000739	0.00008974	0.00012727

Comportamento dei calastrelli

Accoppiamento imbottito avendo passo inferiore al minimo richiesto (§C4.2.4.1.3.1.5 NTC18) nella campata compresa tra le ascisse 0 e 1.008 per sbandamento attorno all'asse y.

Verifiche di resistenza

Verifiche a forza assiale §4.2.4.1.2.1 - §4.2.4.1.2.2 NTC18

X	Comb.	Sfruttamento	Classe	NEd	Nc,Rd	Nt,Rd	Riduzione da taglio	px	py	Verifica
0	SLU 76	0.01	3	-9.977	1003.522		1	0	0	Si

Verifiche a forza assiale SLD §4.2.4.1.2.1 - §4.2.4.1.2.2 NTC18

X	Comb.	Sfruttamento	Classe	NEd	Nc,Rd	Nt,Rd	Riduzione da taglio	px	py	Verifica
0	SLD 7	0.004	3	-4.257	1003.522		1	0	0	Si

Verifica a taglio Y §4.2.4.1.2.4 NTC18

X	Comb.	Sfruttamento	VEd	Vc,Rd	Av	Interazione taglio-torsione	Riduzione torsione	Verifica
0	SLU 76	0.001	0.206	302.422	0.002	Non considerata		Si

Verifica a flessione semplice X §§ 4.2.4.1.2.3 - 4.2.4.1.2.6 - 4.2.4.1.2.7 - 4.2.4.1.2.8 NTC18

X	Comb.	Sfruttamento	Classe	Mx,Ed	Mx,Rd	Rid. Mx,Rd da VEd	px	py	Verifica
0.504	SLU 2	0.002	1	-0.0365	23.50374	1	0	0	Si

Verifica a presso/tenso flessione retta X §§ 4.2.4.1.2.3 - 4.2.4.1.2.6 - 4.2.4.1.2.7 - 4.2.4.1.2.8 NTC18

Verifiche eseguite utilizzando la formula conservativa (6.2) §6.2.1 EN 1993-1-1:2005.

X	Comb.	Sfruttamento	Classe	NEd	NRd	Rid. NRd da VEd	Mx,Ed	Mx,Rd	Rid. Mx,Rd da VEd	Rid. Mx,Rd da NEd	px	py	Verifica
0.537	SLU 76	0.014	3	-9.951	1003.522	1	-0.0527	12.886	1		0	0	Si

Verifica a presso/tenso flessione retta X SLD §§ 4.2.4.1.2.3 - 4.2.4.1.2.6 - 4.2.4.1.2.7 - 4.2.4.1.2.8 NTC18

Verifiche eseguite utilizzando la formula conservativa (6.2) §6.2.1 EN 1993-1-1:2005.

X	Comb.	Sfruttamento	Classe	NEd	NRd	Rid. NRd da VEd	Mx,Ed	Mx,Rd	Rid. Mx,Rd da VEd	Rid. Mx,Rd da NEd	px	py	Verifica
0.504	SLD 8	0.007	3	-4.239	1003.522	1	-0.038	12.886	1		0	0	Si

Verifiche ad instabilità

Caratteristiche iniziali

Membratura principale per controllo snellezza; Calcolo di snellezze ed N critici condotti secondo gli assi principali;

Curva X: c; Curva Y: c;

Svergolamento: Nessuno; la verifica a instabilità flesso-torsionale (svergolamento) non verrà eseguita.

Dati per instabilità attorno a x

Controllo della snellezza secondo §4.2.4.1.3.1 NTC18

Numero rit.	Presente	Ascissa	Campata	$\beta x/m$	Vincolo a entrambi estremi	$\lambda x/m$	λVer
1	Si	0					
			1-2	1	Si	33.2	Si, (<200)
2	Si	1.008					

Dati per instabilità attorno a y

Controllo della snellezza secondo §4.2.4.1.3.1 NTC18

Numero rit.	Presente	Ascissa	Campata	$\beta y/n$	k,LT	kw,LT	Vincolo a entrambi estremi
1	Si	0					
			1-2	1	Si	22.4	Si, (<200)
2	Si	1.008					

Verifica di stabilità per pressoflessione §C.4.2.4.1.3.3.1 NTC18

X	Comb.	Sfruttamento	Classe	NEd	MxEq,Ed	MyEq,Ed	Area	Wx	Wy	χ_{min}	$\lambda_{adim. x/m}$	$\lambda_{adim. y/n}$	N,crit x/m	N,crit y/n	Verifica
0	SLU 76	0.015	3	-9.977	-0.047	-0.0004	0.003832	0.0000492	0.0000739	0.907	0.382	0.258	7207.687	15834.061	Si

Verifica di stabilità per pressoflessione SLD §C.4.2.4.1.3.3.1 NTC18

X	Comb.	Sfruttamento	Classe	NEd	MxEq,Ed	MyEq,Ed	Area	Wx	Wy	χ_{min}	$\lambda_{adim. x/m}$	$\lambda_{adim. y/n}$	N,crit x/m	N,crit y/n	Verifica
0	SLD 7	0.007	3	-4.257	-0.0329	-0.0003	0.003832	0.0000492	0.0000739	0.907	0.382	0.258	7207.687	15834.061	Si

Verifiche a deformabilità

Mensola X: No; Mensola Y: No.

Frecce lungo X

Ascissa freccia	Combinazione	Freccia	Luce	L/f	L/f,min	Tipo	Verifica
0.235	SLE RA 1	0	1.008	10000	250	Totale	Si
0.269	SLE RA 17	0	1.008	10000	250	Totale	Si
0.269	SLE RA 16	0	1.008	10000	250	Totale	Si
0.269	SLE RA 15	0	1.008	10000	250	Totale	Si
0.235	SLE RA 14	0	1.008	10000	250	Totale	Si
0.269	SLE RA 2	0	1.008	10000	350	Variabile	Si
0.302	SLE RA 17	0	1.008	10000	350	Variabile	Si
0.269	SLE RA 16	0	1.008	10000	350	Variabile	Si
0.269	SLE RA 15	0	1.008	10000	350	Variabile	Si
0.806	SLE RA 14	0	1.008	10000	350	Variabile	Si

Frecce lungo Y

Ascissa freccia	Combinazione	Freccia	Luce	L/f	L/f,min	Tipo	Verifica
0.504	SLE RA 1	-0.00001	1.008	10000	250	Totale	Si

Implementazione dei sistemi di confinamento delle emissioni odorigene diffuse dell'impianto di compostaggio esistente nel
Comune di Eboli (SA)
PROGETTO DEFINITIVO – Tabulati di calcolo Tomo 1

Ascissa freccia	Combinazione	Freccia	Luce	L/f	L/f,min	Tipo	Verifica
0.504	SLE RA 17	-0.00001	1.008	10000	250	Totale	Si
0.504	SLE RA 16	-0.00001	1.008	10000	250	Totale	Si
0.504	SLE RA 15	-0.00001	1.008	10000	250	Totale	Si
0.504	SLE RA 14	-0.00001	1.008	10000	250	Totale	Si
0.605	SLE RA 2	0	1.008	10000	350	Variabile	Si
0.605	SLE RA 17	0	1.008	10000	350	Variabile	Si
0.605	SLE RA 16	0	1.008	10000	350	Variabile	Si
0.605	SLE RA 15	0	1.008	10000	350	Variabile	Si
0.605	SLE RA 14	0	1.008	10000	350	Variabile	Si

Superelemento in acciaio a quota "703"- "715" (2695; 2893)-(2695; 2793)

Caratteristiche del materiale

Acciaio: S275, fyk = 275000

Caratteristiche geometriche

Lunghezza: 1.008

Nodo iniziale: 1988 Nodo finale: 2193

Cerniera iniziale: Mmomenti 1% Cerniera finale: Mmomenti 1%

Sovraresistenza: 0% Sisma Z: No

Caratteristiche della sezione

Sezione	Rotazione	Area	Jx	Jy	ix	iy	Wx	Wy	Wplx	Wply
Al; L100*10; 1; Saldato; S275; 20; 1; 8; 8; 1	0	0.003832	0.0000035319	0.000007759	0.0304	0.045	0.0000492	0.0000739	0.00008974	0.00012727

Comportamento dei calastrelli

Accoppiamento imbottito avendo passo inferiore al minimo richiesto (§C4.2.4.1.3.1.5 NTC18) nella campata compresa tra le ascisse 0 e 1.008 per sbandamento attorno all'asse y.

Verifiche di resistenza

Verifiche a forza assiale §4.2.4.1.2.1 - §4.2.4.1.2.2 NTC18

X	Comb.	Sfruttamento	Classe	NEd	Nc,Rd	Nt,Rd	Riduzione da taglio	px	py	Verifica
0	SLU 76	0.009	3	-9.045	1003.522		1	0	0	Si

Verifiche a forza assiale SLD §4.2.4.1.2.1 - §4.2.4.1.2.2 NTC18

X	Comb.	Sfruttamento	Classe	NEd	Nc,Rd	Nt,Rd	Riduzione da taglio	px	py	Verifica
0	SLD 7	0.004	3	-4.37	1003.522		1	0	0	Si

Verifica a taglio Y §4.2.4.1.2.4 NTC18

X	Comb.	Sfruttamento	VEd	Vc,Rd	Av	Interazione taglio-torsione	Riduzione torsione	Verifica
0	SLU 76	0.001	0.216	302.422	0.002	Non considerata		Si

Verifica a flessione semplice X §§ 4.2.4.1.2.3 - 4.2.4.1.2.6 - 4.2.4.1.2.7 - 4.2.4.1.2.8 NTC18

X	Comb.	Sfruttamento	Classe	Mx,Ed	Mx,Rd	Rid. Mx,Rd da VEd	px	py	Verifica
0.504	SLU 2	0.002	1	-0.03693	23.50374	1	0	0	Si

Verifica a presso/tenso flessione retta X §§ 4.2.4.1.2.3 - 4.2.4.1.2.6 - 4.2.4.1.2.7 - 4.2.4.1.2.8 NTC18

Verifiche eseguite utilizzando la formula conservativa (6.2) §6.2.1 EN 1993-1-1:2005.

X	Comb.	Sfruttamento	Classe	NEd	NRd	Rid. NRd da VEd	Mx,Ed	Mx,Rd	Rid. Mx,Rd da VEd	Rid. Mx,Rd da NEd	px	py	Verifica
0.571	SLU 76	0.013	3	-9.018	1003.522	1	-0.0577	12.886	1		0	0	Si

Verifica a presso/tenso flessione retta X SLD §§ 4.2.4.1.2.3 - 4.2.4.1.2.6 - 4.2.4.1.2.7 - 4.2.4.1.2.8 NTC18

Verifiche eseguite utilizzando la formula conservativa (6.2) §6.2.1 EN 1993-1-1:2005.

X	Comb.	Sfruttamento	Classe	NEd	NRd	Rid. NRd da VEd	Mx,Ed	Mx,Rd	Rid. Mx,Rd da VEd	Rid. Mx,Rd da NEd	px	py	Verifica
0.504	SLD 7	0.007	3	-4.351	1003.522	1	-0.0394	12.886	1		0	0	Si

Verifiche ad instabilità

Caratteristiche iniziali

Membratura principale per controllo snellezza; Calcolo di snellezze ed N critici condotti secondo gli assi principali;

Curva X: c; Curva Y: c;

Svergolamento: Nessuno; la verifica a instabilità flesso-torsionale (svergolamento) non verrà eseguita.

Dati per instabilità attorno a x

Controllo della snellezza secondo §4.2.4.1.3.1 NTC18

Numero rit.	Presente	Ascissa	Campata	βx/m	Vincolo a entrambi estremi	λx/m	λVer
1	Si	0					
			1-2		1	33.2	Si, (<200)
2	Si	1.008					

Dati per instabilità attorno a y

Controllo della snellezza secondo §4.2.4.1.3.1 NTC18

Numero rit.	Presente	Ascissa	Campata	βy/n	k,LT	kw,LT	Vincolo a entrambi estremi
1	Si	0					
			1-2		1	22.4	Si, (<200)
2	Si	1.008					

Implementazione dei sistemi di confinamento delle emissioni odorigene diffuse dell'impianto di compostaggio esistente nel
Comune di Eboli (SA)
PROGETTO DEFINITIVO – Tabulati di calcolo Tomo 1

Verifica di stabilità per pressoflessione §C.4.2.4.1.3.3.1 NTC18

X	Comb.	Sfruttamento	Classe	NEd	MxEq,Ed	MyEq,Ed	Area	Wx	Wy	χ,min	λ adim. x/m	λ adim. y/n	N _{crit} x/m	N _{crit} y/n	Verifica
0	SLU 76	0.014	3	-9.045	-0.0529	-0.0005	0.003832	0.0000492	0.0000739	0.907	0.382	0.258	7207.687	15834.061	Si

Verifica di stabilità per pressoflessione SLD §C.4.2.4.1.3.3.1 NTC18

X	Comb.	Sfruttamento	Classe	NEd	MxEq,Ed	MyEq,Ed	Area	Wx	Wy	χ,min	λ adim. x/m	λ adim. y/n	N _{crit} x/m	N _{crit} y/n	Verifica
0	SLD 7	0.008	3	-4.37	-0.0348	-0.0005	0.003832	0.0000492	0.0000739	0.907	0.382	0.258	7207.687	15834.061	Si

Verifiche a deformabilità

Mensola X: No; Mensola Y: No.

Frecce lungo X

Ascissa freccia	Combinazione	Freccia	Luce	L/f	L/f,min	Tipo	Verifica
0.269	SLE RA 1	0	1.008	10000	250	Totale	Si
0.269	SLE RA 17	0	1.008	10000	250	Totale	Si
0.269	SLE RA 16	0	1.008	10000	250	Totale	Si
0.269	SLE RA 15	0	1.008	10000	250	Totale	Si
0.269	SLE RA 14	0	1.008	10000	250	Totale	Si
0.269	SLE RA 2	0	1.008	10000	350	Variabile	Si
0.269	SLE RA 17	0	1.008	10000	350	Variabile	Si
0.269	SLE RA 16	0	1.008	10000	350	Variabile	Si
0.269	SLE RA 15	0	1.008	10000	350	Variabile	Si
0.269	SLE RA 14	0	1.008	10000	350	Variabile	Si

Frecce lungo Y

Ascissa freccia	Combinazione	Freccia	Luce	L/f	L/f,min	Tipo	Verifica
0.504	SLE RA 1	-0.00001	1.008	10000	250	Totale	Si
0.504	SLE RA 17	-0.00001	1.008	10000	250	Totale	Si
0.504	SLE RA 16	-0.00001	1.008	10000	250	Totale	Si
0.504	SLE RA 15	-0.00001	1.008	10000	250	Totale	Si
0.504	SLE RA 14	-0.00001	1.008	10000	250	Totale	Si
0.605	SLE RA 2	0	1.008	10000	350	Variabile	Si
0.605	SLE RA 17	0	1.008	10000	350	Variabile	Si
0.605	SLE RA 16	0	1.008	10000	350	Variabile	Si
0.605	SLE RA 15	0	1.008	10000	350	Variabile	Si
0.605	SLE RA 14	0	1.008	10000	350	Variabile	Si

Superelemento in acciaio a quota "703"- "715" (2929; 2893)-(2929; 2793)

Caratteristiche del materiale

Acciaio: S275, fyk = 275000

Caratteristiche geometriche

Lunghezza: 1.008

Nodo iniziale: 1993 Nodo finale: 2196

Cerniera iniziale: Mmomenti 1% Cerniera finale: Mmomenti 1%

Sovraresistenza: 0% Sisma Z: No

Caratteristiche della sezione

Sezione	Rotazione	Area	Jx	Jy	ix	iy	Wx	Wy	Wplx	Wply
A1; L100*10; 1; Saldato; S275; 20; 1; 8; 8; 1	0	0.003832	0.0000035319	0.000007759	0.0304	0.045	0.0000492	0.0000739	0.00008974	0.00012727

Comportamento dei calastrelli

Accoppiamento imbottito avendo passo inferiore al minimo richiesto (§C4.2.4.1.3.1.5 NTC18) nella campata compresa tra le ascisse 0 e 1.008 per sbandamento attorno all'asse y.

Verifiche di resistenza

Verifiche a forza assiale §4.2.4.1.2.1 - §4.2.4.1.2.2 NTC18

X	Comb.	Sfruttamento	Classe	NEd	Nc,Rd	Nt,Rd	Riduzione da taglio	px	py	Verifica
0	SLU 76	0.009	3	-8.784	1003.522		1	0	0	Si

Verifiche a forza assiale SLD §4.2.4.1.2.1 - §4.2.4.1.2.2 NTC18

X	Comb.	Sfruttamento	Classe	NEd	Nc,Rd	Nt,Rd	Riduzione da taglio	px	py	Verifica
0	SLD 3	0.004	3	-4.066	1003.522		1	0	0	Si

Verifica a taglio Y §4.2.4.1.2.4 NTC18

X	Comb.	Sfruttamento	VEd	Vc,Rd	Av	Interazione taglio-torsione	Riduzione torsione	Verifica
0	SLU 76	0.001	0.204	302.422	0.002	Non considerata		Si

Verifica a presso/tenso flessione retta X §§ 4.2.4.1.2.3 - 4.2.4.1.2.6 - 4.2.4.1.2.7 - 4.2.4.1.2.8 NTC18

Verifiche eseguite utilizzando la formula conservativa (6.2) §6.2.1 EN 1993-1-1:2005.

X	Comb.	Sfruttamento	Classe	NEd	NRd	Rid. NRd da VEd	Mx,Ed	Mx,Rd	Rid. Mx,Rd da VEd	Rid. Mx,Rd da NEd	px	py	Verifica
0.537	SLU 76	0.013	3	-8.758	1003.522	1	-0.0523	12.886	1		0	0	Si

Verifica a presso/tenso flessione retta X SLD §§ 4.2.4.1.2.3 - 4.2.4.1.2.6 - 4.2.4.1.2.7 - 4.2.4.1.2.8 NTC18

Verifiche eseguite utilizzando la formula conservativa (6.2) §6.2.1 EN 1993-1-1:2005.

X	Comb.	Sfruttamento	Classe	NEd	NRd	Rid. NRd da VEd	Mx,Ed	Mx,Rd	Rid. Mx,Rd da VEd	Rid. Mx,Rd da NEd	px	py	Verifica
0.504	SLD 4	0.007	3	-4.047	1003.522	1	-0.0389	12.886	1		0	0	Si

PROGETTO DEFINITIVO – Tabulati di calcolo Tomo 1

Verifiche ad instabilità

Caratteristiche iniziali

Membratura principale per controllo snellezza; Calcolo di snellezze ed N critici condotti secondo gli assi principali;
Curva X: c; Curva Y: c;
Svergolamento: Nessuno; la verifica a instabilità flesso-torsionale (svergolamento) non verrà eseguita.

Dati per instabilità attorno a x

Controllo della snellezza secondo §4.2.4.1.3.1 NTC18

Numero rit.	Presente	Ascissa	Campata	$\beta x/m$	Vincolo a entrambi estremi	$\lambda x/m$	λVer
1	Si	0					
			1-2	1	Si	33.2	Si, (<200)
2	Si	1.008					

Dati per instabilità attorno a y

Controllo della snellezza secondo §4.2.4.1.3.1 NTC18

Numero rit.	Presente	Ascissa	Campata	$\beta y/n$	k,LT	kw,LT	Vincolo a entrambi estremi
1	Si	0					
			1-2	1	Si	22.4	Si, (<200)
2	Si	1.008					

Verifica di stabilità per pressoflessione §C.4.2.4.1.3.3.1 NTC18

X	Comb.	Sfruttamento	Classe	NEd	MxEq,Ed	MyEq,Ed	Area	Wx	Wy	χ_{min}	$\lambda_{adim. x/m}$	$\lambda_{adim. y/n}$	N,crit x/m	N,crit y/n	Verifica
0	SLU 76	0.013	3	-8.784	-0.0465	-0.0005	0.003832	0.0000492	0.0000739	0.907	0.382	0.258	7207.687	15834.061	Si

Verifica di stabilità per pressoflessione SLD §C.4.2.4.1.3.3.1 NTC18

X	Comb.	Sfruttamento	Classe	NEd	MxEq,Ed	MyEq,Ed	Area	Wx	Wy	χ_{min}	$\lambda_{adim. x/m}$	$\lambda_{adim. y/n}$	N,crit x/m	N,crit y/n	Verifica
0	SLD 4	0.007	3	-4.066	-0.0341	0.0007	0.003832	0.0000492	0.0000739	0.907	0.382	0.258	7207.687	15834.061	Si

Verifiche a deformabilità

Mensola X: No; Mensola Y: No.

Frecce lungo X

Ascissa freccia	Combinazione	Freccia	Luce	L/f	L/f,min	Tipo	Verifica
0.235	SLE RA 1	0	1.008	10000	250	Totale	Si
0.235	SLE RA 17	0	1.008	10000	250	Totale	Si
0.235	SLE RA 16	0	1.008	10000	250	Totale	Si
0.235	SLE RA 15	0	1.008	10000	250	Totale	Si
0.235	SLE RA 14	0	1.008	10000	250	Totale	Si
0.269	SLE RA 2	0	1.008	10000	350	Variabile	Si
0.302	SLE RA 17	0	1.008	10000	350	Variabile	Si
0.269	SLE RA 16	0	1.008	10000	350	Variabile	Si
0.269	SLE RA 15	0	1.008	10000	350	Variabile	Si
0.269	SLE RA 14	0	1.008	10000	350	Variabile	Si

Frecce lungo Y

Ascissa freccia	Combinazione	Freccia	Luce	L/f	L/f,min	Tipo	Verifica
0.504	SLE RA 1	-0.00001	1.008	10000	250	Totale	Si
0.504	SLE RA 17	-0.00001	1.008	10000	250	Totale	Si
0.504	SLE RA 16	-0.00001	1.008	10000	250	Totale	Si
0.504	SLE RA 15	-0.00001	1.008	10000	250	Totale	Si
0.504	SLE RA 14	-0.00001	1.008	10000	250	Totale	Si
0.605	SLE RA 2	0	1.008	10000	350	Variabile	Si
0.605	SLE RA 17	0	1.008	10000	350	Variabile	Si
0.605	SLE RA 16	0	1.008	10000	350	Variabile	Si
0.605	SLE RA 15	0	1.008	10000	350	Variabile	Si
0.571	SLE RA 14	0	1.008	10000	350	Variabile	Si

Superelemento in acciaio a quota "703"- "715" (-143; 133)-(-253; 236)

Caratteristiche del materiale

Acciaio: S275, fyk = 275000

Caratteristiche geometriche

Lunghezza: 1.505
Nodo iniziale: 1853 Nodo finale: 2065
Cerniera iniziale: Mmomenti 1% Cerniera finale: Mmomenti 1%
Sovreresistenza: 0% Sisma Z: No

Caratteristiche della sezione

Sezione	Rotazione	Area	Jx	Jy	ix	iy	Wx	Wy	Wplx	Wply
A1; L100*10; 1; Saldato; S275; 30; 1; 8; 8; 1	0	0.003832	0.0000035319	0.000007759	0.0304	0.045	0.0000492	0.0000739	0.00008974	0.00012727

Comportamento dei calastrelli

Accoppiamento imbottito con funzione statica (§C4.2.4.1.3.1.4 NTC18) nella campata compresa tra le ascisse 0 e 1.505 per sbandamento attorno all'asse y.

Verifiche di resistenza

Verifiche a forza assiale §4.2.4.1.2.1 - §4.2.4.1.2.2 NTC18

X	Comb.	Sfruttamento	Classe	NEd	Nc,Rd	Nt,Rd	Riduzione da taglio	px	py	Verifica
0	SLU 75	0.154	3	-154.415	1003.522		1	0	0	Si

**Implementazione dei sistemi di confinamento delle emissioni odorigene diffuse dell'impianto di compostaggio esistente nel
Comune di Eboli (SA)
PROGETTO DEFINITIVO – Tabulati di calcolo Tomo 1**

Verifiche a forza assiale SLD §4.2.4.1.2.1 - §4.2.4.1.2.2 NTC18

X	Comb.	Sfruttamento	Classe	NEd	Nc,Rd	Nt,Rd	Riduzione da taglio	px	py	Verifica
0	SLD 14	0.054	3	-54.688	1003.522		1	0	0	Si

Verifica a taglio X §4.2.4.1.2.4 NTC18

X	Comb.	Sfruttamento	VEd	Vc,Rd	Av	Interazione taglio-torsione	Riduzione torsione	Verifica
0	SLU 75	0.003	0.996	302.422	0.002	Non considerata		Si

Verifica a taglio X SLD §4.2.4.1.2.4 NTC18

X	Comb.	Sfruttamento	VEd	Vc,Rd	Av	Interazione taglio-torsione	Riduzione torsione	Verifica
0	SLD 15	0.001	0.355	302.422	0.002	Non considerata		Si

Verifica a taglio Y §4.2.4.1.2.4 NTC18

X	Comb.	Sfruttamento	VEd	Vc,Rd	Av	Interazione taglio-torsione	Riduzione torsione	Verifica
1.505	SLU 64	0.001	-0.341	302.422	0.002	Non considerata		Si

Verifica a taglio Y SLD §4.2.4.1.2.4 NTC18

X	Comb.	Sfruttamento	VEd	Vc,Rd	Av	Interazione taglio-torsione	Riduzione torsione	Verifica
1.505	SLD 14	0.001	-0.244	302.422	0.002	Non considerata		Si

Verifica a presso/tenso flessione retta X §§ 4.2.4.1.2.3 - 4.2.4.1.2.6 - 4.2.4.1.2.7 - 4.2.4.1.2.8 NTC18

Verifiche eseguite utilizzando la formula conservativa (6.2) §6.2.1 EN 1993-1-1:2005.

X	Comb.	Sfruttamento	Classe	NEd	NRd	Rid. NRd da VEd	Mx,Ed	Mx,Rd	Rid. Mx,Rd da VEd	Rid. Mx,Rd da NEd	px	py	Verifica
0.753	SLU 2	0.025	1	22.01	1003.522	1	-0.0623	23.5037	1		0	0	Si

Verifica a presso/tenso flessione retta Y §§ 4.2.4.1.2.3 - 4.2.4.1.2.6 - 4.2.4.1.2.7 - 4.2.4.1.2.8 NTC18

Verifiche eseguite utilizzando la formula conservativa (6.2) §6.2.1 EN 1993-1-1:2005.

X	Comb.	Sfruttamento	Classe	NEd	NRd	Rid. NRd da VEd	My,Ed	My,Rd	Rid. My,Rd da VEd	Rid. My,Rd da NEd	px	py	Verifica
1.505	SLU 64	0.102	3	-88.333	1003.522	1	0.2699	19.3536	1		0	0	Si

Verifica a presso/tenso flessione deviata §§ 4.2.4.1.2.3 - 4.2.4.1.2.6 - 4.2.4.1.2.7 - 4.2.4.1.2.8 NTC18

Verifiche eseguite utilizzando la formula conservativa (6.2) §6.2.1 EN 1993-1-1:2005.

X	Comb.	Sfruttamento	Classe	NEd	NRd	Rid. NRd da VEd	Mx,Ed	Mx,Rd	My,Ed	My,Rd	Rid. Mx,Rd da VEd	Rid. Mx,Rd da NEd	Rid. My,Rd da VEd	Rid. My,Rd da NEd	α	β	px	py	Verifica
0.702	SLU 75	0.196	3	-154.392	1003.522	1	-0.2207	12.886	0.4761	19.3536	1		1				0	0	Si

Verifica a presso/tenso flessione deviata SLD §§ 4.2.4.1.2.3 - 4.2.4.1.2.6 - 4.2.4.1.2.7 - 4.2.4.1.2.8 NTC18

Verifiche eseguite utilizzando la formula conservativa (6.2) §6.2.1 EN 1993-1-1:2005.

X	Comb.	Sfruttamento	Classe	NEd	NRd	Rid. NRd da VEd	Mx,Ed	Mx,Rd	My,Ed	My,Rd	Rid. Mx,Rd da VEd	Rid. Mx,Rd da NEd	Rid. My,Rd da VEd	Rid. My,Rd da NEd	α	β	px	py	Verifica
0.702	SLD 14	0.072	3	-54.67	1003.522	1	-0.1164	12.886	0.1672	19.3536	1		1				0	0	Si

Verifiche ad instabilità

Caratteristiche iniziali

Membratura principale per controllo snellezza; Calcolo di snellezze ed N critici condotti secondo gli assi principali;

Curva X: c; Curva Y: c;

Svergolamento: Nessuno; la verifica a instabilità flesso-torsionale (svergolamento) non verrà eseguita.

Dati per instabilità attorno a x

Controllo della snellezza secondo §4.2.4.1.3.1 NTC18

Numero rit.	Presente	Ascissa	Campata	βx/m	Vincolo a entrambi estremi	λx/m	λVer
1	Si	0					
			1-2		1	49.6	Si, (<200)
2	Si	1.505					

Dati per instabilità attorno a y

Controllo della snellezza secondo §4.2.4.1.3.1 NTC18

Numero rit.	Presente	Ascissa	Campata	βy/n	k,LT	kw,LT	Vincolo a entrambi estremi
1	Si	0					
			1-2		1	34.9	Si, (<200)
2	Si	1.505					

Verifica di stabilità per pressoflessione §C.4.2.4.1.3.3.1 NTC18

X	Comb.	Sfruttamento	Classe	NEd	MxEq,Ed	MyEq,Ed	Area	Wx	Wy	χ,min	λ adim. x/m	λ adim. y/n	N,crit x/m	N,crit y/n	Verifica
0	SLU 75	0.229	3	-154.415	-0.2207	0.3575	0.003832	0.0000492	0.0000739	0.802	0.571	0.402	3231.032	6528.319	Si

Verifica di stabilità per pressoflessione SLD §C.4.2.4.1.3.3.1 NTC18

X	Comb.	Sfruttamento	Classe	NEd	MxEq,Ed	MyEq,Ed	Area	Wx	Wy	χ,min	λ adim. x/m	λ adim. y/n	N,crit x/m	N,crit y/n	Verifica
0	SLD 14	0.086	3	-54.688	-0.1138	0.1687	0.003832	0.0000492	0.0000739	0.802	0.571	0.402	3231.032	6528.319	Si

Verifiche a deformabilità

Mensola X: No; Mensola Y: No.

Frecce lungo X

Ascissa freccia	Combinazione	Freccia	Luce	L/f	L/f,min	Tipo	Verifica
1.054	SLE RA 1	0	1.505	10000	250	Totale	Si
1.054	SLE RA 17	0	1.505	10000	250	Totale	Si
1.054	SLE RA 16	0	1.505	10000	250	Totale	Si
1.054	SLE RA 15	0	1.505	10000	250	Totale	Si
1.054	SLE RA 14	0	1.505	10000	250	Totale	Si
1.003	SLE RA 2	0	1.505	10000	350	Variabile	Si
1.003	SLE RA 17	0	1.505	10000	350	Variabile	Si
1.003	SLE RA 16	0	1.505	10000	350	Variabile	Si

Implementazione dei sistemi di confinamento delle emissioni odorigene diffuse dell'impianto di compostaggio esistente nel
Comune di Eboli (SA)
PROGETTO DEFINITIVO – Tabulati di calcolo Tomo 1

Ascissa freccia	Combinazione	Freccia	Luce	L/f	L/f,min	Tipo	Verifica
1.054	SLE RA 15	0	1.505	10000	350	Variabile	Si
1.003	SLE RA 14	0	1.505	10000	350	Variabile	Si

Freccie lungo Y

Ascissa freccia	Combinazione	Freccia	Luce	L/f	L/f,min	Tipo	Verifica
0.753	SLE RA 1	-0.00004	1.505	10000	250	Totale	Si
0.753	SLE RA 17	-0.00005	1.505	10000	250	Totale	Si
0.753	SLE RA 16	-0.00005	1.505	10000	250	Totale	Si
0.753	SLE RA 15	-0.00004	1.505	10000	250	Totale	Si
0.753	SLE RA 14	-0.00005	1.505	10000	250	Totale	Si
0.753	SLE RA 2	0.00001	1.505	10000	350	Variabile	Si
0.753	SLE RA 17	-0.00001	1.505	10000	350	Variabile	Si
0.753	SLE RA 16	-0.00001	1.505	10000	350	Variabile	Si
0.652	SLE RA 15	-0.00001	1.505	10000	350	Variabile	Si
0.753	SLE RA 14	-0.00001	1.505	10000	350	Variabile	Si

Superelemento in acciaio a quota "703"- "715" (-397; -137)-(-506; -34)

Caratteristiche del materiale

Acciaio: S275, fyk = 275000

Caratteristiche geometriche

Lunghezza: 1.505

Nodo iniziale: 1844 Nodo finale: 2056

Cerniera iniziale: Mmomenti 1% Cerniera finale: Mmomenti 1%

Sovreresistenza: 0% Sisma Z: No

Caratteristiche della sezione

Sezione	Rotazione	Area	Jx	Jy	ix	iy	Wx	Wy	Wplx	Wply
A1; L100*10; 1; Saldato; S275; 30; 1; 8; 8; 1	0	0.003832	0.0000035319	0.000007759	0.0304	0.045	0.0000492	0.0000739	0.00008974	0.00012727

Comportamento dei calastrelli

Accoppiamento imbottito con funzione statica (§C4.2.4.1.3.1.4 NTC18) nella campata compresa tra le ascisse 0 e 1.505 per sbandamento attorno all'asse y.

Verifiche di resistenza

Verifiche a forza assiale §4.2.4.1.2.1 - §4.2.4.1.2.2 NTC18

X	Comb.	Sfruttamento	Classe	NEd	Nc,Rd	Nt,Rd	Riduzione da taglio	px	py	Verifica
0	SLU 75	0.114	3	-114.368	1003.522		1	0	0	Si

Verifiche a forza assiale SLD §4.2.4.1.2.1 - §4.2.4.1.2.2 NTC18

X	Comb.	Sfruttamento	Classe	NEd	Nc,Rd	Nt,Rd	Riduzione da taglio	px	py	Verifica
0	SLD 16	0.046	3	-46.094	1003.522		1	0	0	Si

Verifica a taglio X §4.2.4.1.2.4 NTC18

X	Comb.	Sfruttamento	VEd	Vc,Rd	Av	Interazione taglio-torsione	Riduzione torsione	Verifica
0	SLU 75	0.002	-0.735	302.422	0.002	Non considerata		Si

Verifica a taglio X SLD §4.2.4.1.2.4 NTC18

X	Comb.	Sfruttamento	VEd	Vc,Rd	Av	Interazione taglio-torsione	Riduzione torsione	Verifica
0	SLD 16	0.001	0.294	302.422	0.002	Non considerata		Si

Verifica a taglio Y §4.2.4.1.2.4 NTC18

X	Comb.	Sfruttamento	VEd	Vc,Rd	Av	Interazione taglio-torsione	Riduzione torsione	Verifica
1.505	SLU 76	0.001	-0.332	302.422	0.002	Non considerata		Si

Verifica a taglio Y SLD §4.2.4.1.2.4 NTC18

X	Comb.	Sfruttamento	VEd	Vc,Rd	Av	Interazione taglio-torsione	Riduzione torsione	Verifica
1.505	SLD 16	0.001	-0.246	302.422	0.002	Non considerata		Si

Verifica a presso/tenso flessione retta X §§ 4.2.4.1.2.3 - 4.2.4.1.2.6 - 4.2.4.1.2.7 - 4.2.4.1.2.8 NTC18

Verifiche eseguite utilizzando la formula conservativa (6.2) §6.2.1 EN 1993-1-1:2005.

X	Comb.	Sfruttamento	Classe	NEd	NRd	Rid. NRd da VEd	Mx,Ed	Mx,Rd	Rid. Mx,Rd da VEd	Rid. Mx,Rd da NEd	px	py	Verifica
0.753	SLU 2	0.019	1	16.453	1003.522	1	-0.0704	23.5037	1		0	0	Si

Verifica a presso/tenso flessione retta Y §§ 4.2.4.1.2.3 - 4.2.4.1.2.6 - 4.2.4.1.2.7 - 4.2.4.1.2.8 NTC18

Verifiche eseguite utilizzando la formula conservativa (6.2) §6.2.1 EN 1993-1-1:2005.

X	Comb.	Sfruttamento	Classe	NEd	NRd	Rid. NRd da VEd	My,Ed	My,Rd	Rid. My,Rd da VEd	Rid. My,Rd da NEd	px	py	Verifica
1.505	SLV 15	0.067	3	-58.164	1003.522	1	0.1793	19.3536	1		0	0	Si

Verifica a presso/tenso flessione retta Y SLD §§ 4.2.4.1.2.3 - 4.2.4.1.2.6 - 4.2.4.1.2.7 - 4.2.4.1.2.8 NTC18

Verifiche eseguite utilizzando la formula conservativa (6.2) §6.2.1 EN 1993-1-1:2005.

X	Comb.	Sfruttamento	Classe	NEd	NRd	Rid. NRd da VEd	My,Ed	My,Rd	Rid. My,Rd da VEd	Rid. My,Rd da NEd	px	py	Verifica
1.505	SLD 15	0.053	3	-46.057	1003.522	1	0.1405	19.3536	1		0	0	Si

Verifica a presso/tenso flessione deviata §§ 4.2.4.1.2.3 - 4.2.4.1.2.6 - 4.2.4.1.2.7 - 4.2.4.1.2.8 NTC18

Verifiche eseguite utilizzando la formula conservativa (6.2) §6.2.1 EN 1993-1-1:2005.

Implementazione dei sistemi di confinamento delle emissioni odorigene diffuse dell'impianto di compostaggio esistente nel
Comune di Eboli (SA)

PROGETTO DEFINITIVO – Tabulati di calcolo Tomo 1

X	Comb.	Sfruttamento	Classe	NEd	NRd	Rid. NRd da VEd	Mx,Ed	Mx,Rd	My,Ed	My,Rd	Rid. Mx,Rd da VEd	Rid. Mx,Rd da NEd	Rid. My,Rd da VEd	Rid. My,Rd da NEd	α	β	px	py	Verifica
0.702	SLU 75	0.146	3	-114.346	1003.522	1	-0.18	12.886	-0.3504	19.3536	1		1				0	0	Si

Verifica a presso/tenso flessione deviata SLD §§ 4.2.4.1.2.3 - 4.2.4.1.2.6 - 4.2.4.1.2.7 - 4.2.4.1.2.8 NTC18

Verifiche eseguite utilizzando la formula conservativa (6.2) §6.2.1 EN 1993-1-1:2005.

X	Comb.	Sfruttamento	Classe	NEd	NRd	Rid. NRd da VEd	Mx,Ed	Mx,Rd	My,Ed	My,Rd	Rid. Mx,Rd da VEd	Rid. Mx,Rd da NEd	Rid. My,Rd da VEd	Rid. My,Rd da NEd	α	β	px	py	Verifica
0.702	SLD 15	0.061	3	-46.077	1003.522	1	-0.107	12.886	0.1402	19.3536	1		1				0	0	Si

Verifiche ad instabilità

Caratteristiche iniziali

Membratura principale per controllo snellezza; Calcolo di snellezze ed N critici condotti secondo gli assi principali;

Curva X: c; Curva Y: c;

Svergolamento: Nessuno; la verifica a instabilità flesso-torsionale (svergolamento) non verrà eseguita.

Dati per instabilità attorno a x

Controllo della snellezza secondo §4.2.4.1.3.1 NTC18

Numero rit.	Presente	Ascissa	Campata	$\beta x/m$	Vincolo a entrambi estremi	$\lambda x/m$	λVer
1	Si	0					
2	Si	1.505	1-2	1	Si	49.6	Si, (<200)

Dati per instabilità attorno a y

Controllo della snellezza secondo §4.2.4.1.3.1 NTC18

Numero rit.	Presente	Ascissa	Campata	$\beta y/n$	k,LT	kw,LT	Vincolo a entrambi estremi
1	Si	0					
2	Si	1.505	1-2	1	Si	34.9	Si, (<200)

Verifica di stabilità per pressoflessione §C.4.2.4.1.3.3.1 NTC18

X	Comb.	Sfruttamento	Classe	NEd	MxEq,Ed	MyEq,Ed	Area	Wx	Wy	χ_{min}	λ adim. x/m	λ adim. y/n	N,crit x/m	N,crit y/n	Verifica
0	SLU 75	0.17	3	-114.368	-0.18	-0.2635	0.003832	0.0000492	0.0000739	0.802	0.571	0.402	3231.032	6528.319	Si

Verifica di stabilità per pressoflessione SLD §C.4.2.4.1.3.3.1 NTC18

X	Comb.	Sfruttamento	Classe	NEd	MxEq,Ed	MyEq,Ed	Area	Wx	Wy	χ_{min}	λ adim. x/m	λ adim. y/n	N,crit x/m	N,crit y/n	Verifica
0	SLD 16	0.073	3	-46.094	-0.1018	0.1403	0.003832	0.0000492	0.0000739	0.802	0.571	0.402	3231.032	6528.319	Si

Verifiche a deformabilità

Mensola X: No; Mensola Y: No.

Frecce lungo X

Ascissa freccia	Combinazione	Freccia	Luce	L/f	L/f,min	Tipo	Verifica
1.104	SLE RA 1	0	1.505	10000	250	Totale	Si
1.104	SLE RA 17	0	1.505	10000	250	Totale	Si
1.104	SLE RA 16	0	1.505	10000	250	Totale	Si
1.104	SLE RA 15	0	1.505	10000	250	Totale	Si
1.104	SLE RA 14	0	1.505	10000	250	Totale	Si
1.104	SLE RA 2	0	1.505	10000	350	Variabile	Si
1.104	SLE RA 17	0	1.505	10000	350	Variabile	Si
1.104	SLE RA 16	0	1.505	10000	350	Variabile	Si
1.104	SLE RA 15	0	1.505	10000	350	Variabile	Si
1.154	SLE RA 14	0	1.505	10000	350	Variabile	Si

Frecce lungo Y

Ascissa freccia	Combinazione	Freccia	Luce	L/f	L/f,min	Tipo	Verifica
0.753	SLE RA 1	-0.00003	1.505	10000	250	Totale	Si
0.753	SLE RA 17	-0.00004	1.505	10000	250	Totale	Si
0.753	SLE RA 16	-0.00004	1.505	10000	250	Totale	Si
0.753	SLE RA 15	-0.00004	1.505	10000	250	Totale	Si
0.753	SLE RA 14	-0.00004	1.505	10000	250	Totale	Si
0.702	SLE RA 2	0.00001	1.505	10000	350	Variabile	Si
0.702	SLE RA 17	0	1.505	10000	350	Variabile	Si
0.702	SLE RA 16	-0.00001	1.505	10000	350	Variabile	Si
0.652	SLE RA 15	0	1.505	10000	350	Variabile	Si
0.753	SLE RA 14	-0.00001	1.505	10000	350	Variabile	Si

Superelemento in acciaio a quota "703"- "715" (-652; -408)-(-761; -305)

Caratteristiche del materiale

Acciaio: S275, fyk = 275000

Caratteristiche geometriche

Lunghezza: 1.505

Nodo iniziale: 1834 Nodo finale: 2046

Cerniera iniziale: Mmomenti 1% Cerniera finale: Mmomenti 1%

Sovraresistenza: 0% Sisma Z: No

Caratteristiche della sezione

Sezione	Rotazione	Area	Jx	Jy	ix	iy	Wx	Wy	Wplx	Wply
Al; L100*10; 1; Saldato; S275; 30; 1; 8; 8; 1	0	0.003832	0.0000035319	0.000007759	0.0304	0.045	0.0000492	0.0000739	0.00008974	0.00012727

**Implementazione dei sistemi di confinamento delle emissioni odorigene diffuse dell'impianto di compostaggio esistente nel
Comune di Eboli (SA)
PROGETTO DEFINITIVO – Tabulati di calcolo Tomo 1**

Comportamento dei calastrelli

Accoppiamento imbottito con funzione statica (§C4.2.4.1.3.1.4 NTC18) nella campata compresa tra le ascisse 0 e 1.505 per sbandamento attorno all'asse y.

Verifiche di resistenza

Verifiche a forza assiale §4.2.4.1.2.1 - §4.2.4.1.2.2 NTC18

X	Comb.	Sfruttamento	Classe	NEd	Nc,Rd	Nt,Rd	Riduzione da taglio	px	py	Verifica
0	SLU 75	0.015	3	-15.006	1003.522		1	0	0	Si

Verifiche a forza assiale SLD §4.2.4.1.2.1 - §4.2.4.1.2.2 NTC18

X	Comb.	Sfruttamento	Classe	NEd	Nc,Rd	Nt,Rd	Riduzione da taglio	px	py	Verifica
0	SLD 5	0.005	3	-5.003	1003.522		1	0	0	Si

Verifica a taglio Y §4.2.4.1.2.4 NTC18

X	Comb.	Sfruttamento	VEd	Vc,Rd	Av	Interazione taglio-torsione	Riduzione torsione	Verifica
0	SLU 75	0.001	0.368	302.422	0.002	Non considerata		Si

Verifica a taglio Y SLD §4.2.4.1.2.4 NTC18

X	Comb.	Sfruttamento	VEd	Vc,Rd	Av	Interazione taglio-torsione	Riduzione torsione	Verifica
0	SLD 1	0.001	0.243	302.422	0.002	Non considerata		Si

Verifica a flessione semplice X §§ 4.2.4.1.2.3 - 4.2.4.1.2.6 - 4.2.4.1.2.7 - 4.2.4.1.2.8 NTC18

X	Comb.	Sfruttamento	Classe	Mx,Ed	Mx,Rd	Rid. Mx,Rd da VEd	px	py	Verifica
0.702	SLU 59	0.005	1	-0.10629	23.50374	1	0	0	Si

Verifica a presso/tenso flessione retta X §§ 4.2.4.1.2.3 - 4.2.4.1.2.6 - 4.2.4.1.2.7 - 4.2.4.1.2.8 NTC18

Verifiche eseguite utilizzando la formula conservativa (6.2) §6.2.1 EN 1993-1-1:2005.

X	Comb.	Sfruttamento	Classe	NEd	NRd	Rid. NRd da VEd	Mx,Ed	Mx,Rd	Rid. Mx,Rd da VEd	Rid. Mx,Rd da NEd	px	py	Verifica
0.753	SLU 62	0.007	1	-2.212	1003.522	1	-0.1083	23.5037	1		0	0	Si

Verifica a presso/tenso flessione retta Y §§ 4.2.4.1.2.3 - 4.2.4.1.2.6 - 4.2.4.1.2.7 - 4.2.4.1.2.8 NTC18

Verifiche eseguite utilizzando la formula conservativa (6.2) §6.2.1 EN 1993-1-1:2005.

X	Comb.	Sfruttamento	Classe	NEd	NRd	Rid. NRd da VEd	My,Ed	My,Rd	Rid. My,Rd da VEd	Rid. My,Rd da NEd	px	py	Verifica
0.151	SLU 37	0.016	3	-14.159	1003.522	1	0.0427	19.3536	1		0	0	Si

Verifica a presso/tenso flessione retta Y SLD §§ 4.2.4.1.2.3 - 4.2.4.1.2.6 - 4.2.4.1.2.7 - 4.2.4.1.2.8 NTC18

Verifiche eseguite utilizzando la formula conservativa (6.2) §6.2.1 EN 1993-1-1:2005.

X	Comb.	Sfruttamento	Classe	NEd	NRd	Rid. NRd da VEd	My,Ed	My,Rd	Rid. My,Rd da VEd	Rid. My,Rd da NEd	px	py	Verifica
0.05	SLD 5	0.006	3	-5.002	1003.522	1	-0.0154	19.3536	1		0	0	Si

Verifica a presso/tenso flessione deviata §§ 4.2.4.1.2.3 - 4.2.4.1.2.6 - 4.2.4.1.2.7 - 4.2.4.1.2.8 NTC18

Verifiche eseguite utilizzando la formula conservativa (6.2) §6.2.1 EN 1993-1-1:2005.

X	Comb.	Sfruttamento	Classe	NEd	NRd	Rid. NRd da VEd	Mx,Ed	Mx,Rd	My,Ed	My,Rd	Rid. Mx,Rd da VEd	Rid. Mx,Rd da NEd	Rid. My,Rd da VEd	Rid. My,Rd da NEd	α	β	px	py	Verifica
0.953	SLU 75	0.027	3	-14.975	1003.522	1	-0.1309	12.886	-0.0452	19.3536	1		1				0	0	Si

Verifica a presso/tenso flessione deviata SLD §§ 4.2.4.1.2.3 - 4.2.4.1.2.6 - 4.2.4.1.2.7 - 4.2.4.1.2.8 NTC18

Verifiche eseguite utilizzando la formula conservativa (6.2) §6.2.1 EN 1993-1-1:2005.

X	Comb.	Sfruttamento	Classe	NEd	NRd	Rid. NRd da VEd	Mx,Ed	Mx,Rd	My,Ed	My,Rd	Rid. Mx,Rd da VEd	Rid. Mx,Rd da NEd	Rid. My,Rd da VEd	Rid. My,Rd da NEd	α	β	px	py	Verifica
1.204	SLD 5	0.011	3	-4.973	1003.522	1	-0.0614	12.886	0.0151	19.3536	1		1				0	0	Si

Verifiche ad instabilità

Caratteristiche iniziali

Membratura principale per controllo snellezza; Calcolo di snellezze ed N critici condotti secondo gli assi principali;

Curva X: c; Curva Y: c;

Svergolamento: Nessuno; la verifica a instabilità flesso-torsionale (svergolamento) non verrà eseguita.

Dati per instabilità attorno a x

Controllo della snellezza secondo §4.2.4.1.3.1 NTC18

Numero rit.	Presente	Ascissa	Campata	βx/m	Vincolo a entrambi estremi	λx/m	λVer
1	Si	0					
2	Si	1.505	1-2		Si	49.6	Si, (<200)

Dati per instabilità attorno a y

Controllo della snellezza secondo §4.2.4.1.3.1 NTC18

Numero rit.	Presente	Ascissa	Campata	βy/n	k,LT	kw,LT	Vincolo a entrambi estremi
1	Si	0					
2	Si	1.505	1-2		Si	34.9	Si, (<200)

Verifica di stabilità per pressoflessione §C.4.2.4.1.3.3.1 NTC18

X	Comb.	Sfruttamento	Classe	NEd	MxEq,Ed	MyEq,Ed	Area	Wx	Wy	χ,min	λ adim. x/m	λ adim. y/n	N,crit x/m	N,crit y/n	Verifica
0	SLU 75	0.029	3	-15.006	-0.113	0.034	0.003832	0.0000492	0.0000739	0.802	0.571	0.402	3231.032	6528.319	Si

Verifica di stabilità per pressoflessione SLD §C.4.2.4.1.3.3.1 NTC18

X	Comb.	Sfruttamento	Classe	NEd	MxEq,Ed	MyEq,Ed	Area	Wx	Wy	χ,min	λ adim. x/m	λ adim. y/n	N,crit x/m	N,crit y/n	Verifica
0	SLD 5	0.012	3	-5.003	-0.0728	-0.0116	0.003832	0.0000492	0.0000739	0.802	0.571	0.402	3231.032	6528.319	Si

Implementazione dei sistemi di confinamento delle emissioni odorigene diffuse dell'impianto di compostaggio esistente nel
Comune di Eboli (SA)
PROGETTO DEFINITIVO – Tabulati di calcolo Tomo 1

Verifiche a deformabilità

Mensola X: No; Mensola Y: No.

Frecce lungo X

Ascissa freccia	Combinazione	Freccia	Luce	L/f	L/f,min	Tipo	Verifica
1.104	SLE RA 1	0	1.505	10000	250	Totale	Si
1.003	SLE RA 17	0	1.505	10000	250	Totale	Si
1.003	SLE RA 16	0	1.505	10000	250	Totale	Si
1.104	SLE RA 15	0	1.505	10000	250	Totale	Si
1.003	SLE RA 14	0	1.505	10000	250	Totale	Si
0.953	SLE RA 2	0	1.505	10000	350	Variabile	Si
0.953	SLE RA 17	0	1.505	10000	350	Variabile	Si
0.953	SLE RA 16	0	1.505	10000	350	Variabile	Si
1.104	SLE RA 15	0	1.505	10000	350	Variabile	Si
0.853	SLE RA 14	0	1.505	10000	350	Variabile	Si

Frecce lungo Y

Ascissa freccia	Combinazione	Freccia	Luce	L/f	L/f,min	Tipo	Verifica
0.753	SLE RA 1	-0.00003	1.505	10000	250	Totale	Si
0.803	SLE RA 17	-0.00003	1.505	10000	250	Totale	Si
0.803	SLE RA 16	-0.00003	1.505	10000	250	Totale	Si
0.753	SLE RA 15	-0.00003	1.505	10000	250	Totale	Si
0.803	SLE RA 14	-0.00003	1.505	10000	250	Totale	Si
1.054	SLE RA 2	0	1.505	10000	350	Variabile	Si
1.054	SLE RA 17	0	1.505	10000	350	Variabile	Si
1.054	SLE RA 16	0	1.505	10000	350	Variabile	Si
0.401	SLE RA 15	0	1.505	10000	350	Variabile	Si
1.003	SLE RA 14	0	1.505	10000	350	Variabile	Si

Superelemento in acciaio a quota "703"- "715" (-904; -675)-(-1013; -573)

Caratteristiche del materiale

Acciaio: S275, fyk = 275000

Caratteristiche geometriche

Lunghezza: 1.505

Nodo iniziale: 1826 Nodo finale: 2036

Cerniera iniziale: Mmomenti 1% Cerniera finale: Mmomenti 1%

Sovreresistenza: 0% Sisma Z: No

Caratteristiche della sezione

Sezione	Rotazione	Area	Jx	Jy	ix	iy	Wx	Wy	Wplx	Wply
Al; L100*10; 1; Saldato; S275; 30; 1; 8; 8; 1	0	0.003832	0.0000035319	0.000007759	0.0304	0.045	0.0000492	0.0000739	0.00008974	0.00012727

Comportamento dei calastrelli

Accoppiamento imbottito con funzione statica (§C4.2.4.1.3.1.4 NTC18) nella campata compresa tra le ascisse 0 e 1.505 per sbandamento attorno all'asse y.

Verifiche di resistenza

Verifiche a forza assiale §4.2.4.1.2.1 - §4.2.4.1.2.2 NTC18

X	Comb.	Sfruttamento	Classe	NEd	Nc,Rd	Nt,Rd	Riduzione da taglio	px	py	Verifica
0	SLU 75	0.014	3	-14.094	1003.522		1	0	0	Si

Verifiche a forza assiale SLD §4.2.4.1.2.1 - §4.2.4.1.2.2 NTC18

X	Comb.	Sfruttamento	Classe	NEd	Nc,Rd	Nt,Rd	Riduzione da taglio	px	py	Verifica
0	SLD 10	0.005	3	-4.753	1003.522		1	0	0	Si

Verifica a taglio Y §4.2.4.1.2.4 NTC18

X	Comb.	Sfruttamento	VEd	Vc,Rd	Av	Interazione taglio-torsione	Riduzione torsione	Verifica
0	SLU 75	0.001	0.367	302.422	0.002	Non considerata		Si

Verifica a taglio Y SLD §4.2.4.1.2.4 NTC18

X	Comb.	Sfruttamento	VEd	Vc,Rd	Av	Interazione taglio-torsione	Riduzione torsione	Verifica
0	SLD 8	0.001	0.239	302.422	0.002	Non considerata		Si

Verifica a flessione semplice X §§ 4.2.4.1.2.3 - 4.2.4.1.2.6 - 4.2.4.1.2.7 - 4.2.4.1.2.8 NTC18

X	Comb.	Sfruttamento	Classe	Mx,Ed	Mx,Rd	Rid. Mx,Rd da VEd	px	py	Verifica
0.702	SLU 59	0.005	1	-0.10859	23.50374	1	0	0	Si

Verifica a presso/tenso flessione retta X §§ 4.2.4.1.2.3 - 4.2.4.1.2.6 - 4.2.4.1.2.7 - 4.2.4.1.2.8 NTC18

Verifiche eseguite utilizzando la formula conservativa (6.2) §6.2.1 EN 1993-1-1:2005.

X	Comb.	Sfruttamento	Classe	NEd	NRd	Rid. NRd da VEd	Mx,Ed	Mx,Rd	Rid. Mx,Rd da VEd	Rid. Mx,Rd da NEd	px	py	Verifica
0.753	SLU 62	0.007	1	-2.117	1003.522	1	-0.1098	23.5037	1		0	0	Si

Verifica a presso/tenso flessione retta Y §§ 4.2.4.1.2.3 - 4.2.4.1.2.6 - 4.2.4.1.2.7 - 4.2.4.1.2.8 NTC18

Verifiche eseguite utilizzando la formula conservativa (6.2) §6.2.1 EN 1993-1-1:2005.

X	Comb.	Sfruttamento	Classe	NEd	NRd	Rid. NRd da VEd	My,Ed	My,Rd	Rid. My,Rd da VEd	Rid. My,Rd da NEd	px	py	Verifica
0.151	SLU 75	0.016	3	-14.089	1003.522	1	-0.0428	19.3536	1		0	0	Si

Verifica a presso/tenso flessione retta Y SLD §§ 4.2.4.1.2.3 - 4.2.4.1.2.6 - 4.2.4.1.2.7 - 4.2.4.1.2.8 NTC18

Verifiche eseguite utilizzando la formula conservativa (6.2) §6.2.1 EN 1993-1-1:2005.

Implementazione dei sistemi di confinamento delle emissioni odorigene diffuse dell'impianto di compostaggio esistente nel
Comune di Eboli (SA)

PROGETTO DEFINITIVO – Tabulati di calcolo Tomo 1

X	Comb.	Sfruttamento	Classe	NEd	NRd	Rid. NRd da VEd	My,Ed	My,Rd	Rid. My,Rd da VEd	Rid. My,Rd da NEd	px	py	Verifica
0.05	SLD 13	0.005	3	-4.748	1003.522	1	-0.0145	19.3536	1		0	0	Si

Verifica a presso/tenso flessione deviata §§ 4.2.4.1.2.3 - 4.2.4.1.2.6 - 4.2.4.1.2.7 - 4.2.4.1.2.8 NTC18

Verifiche eseguite utilizzando la formula conservativa (6.2) §6.2.1 EN 1993-1-1:2005.

X	Comb.	Sfruttamento	Classe	NEd	NRd	Rid. NRd da VEd	Mx,Ed	Mx,Rd	My,Ed	My,Rd	Rid. Mx,Rd da VEd	Rid. Mx,Rd da NEd	Rid. My,Rd da VEd	Rid. My,Rd da NEd	α	β	px	py	Verifica
0.953	SLU 75	0.026	3	-14.063	1003.522	1	-0.1255	12.886	0.0425	19.3536	1		1				0	0	Si

Verifica a presso/tenso flessione deviata SLD §§ 4.2.4.1.2.3 - 4.2.4.1.2.6 - 4.2.4.1.2.7 - 4.2.4.1.2.8 NTC18

Verifiche eseguite utilizzando la formula conservativa (6.2) §6.2.1 EN 1993-1-1:2005.

X	Comb.	Sfruttamento	Classe	NEd	NRd	Rid. NRd da VEd	Mx,Ed	Mx,Rd	My,Ed	My,Rd	Rid. Mx,Rd da VEd	Rid. Mx,Rd da NEd	Rid. My,Rd da VEd	Rid. My,Rd da NEd	α	β	px	py	Verifica
0.351	SLD 9	0.01	3	-4.744	1003.522	1	-0.0567	12.886	-0.0143	19.3536	1		1				0	0	Si

Verifiche ad instabilità

Caratteristiche iniziali

Membratura principale per controllo snellezza; Calcolo di snellezze ed N critici condotti secondo gli assi principali;

Curva X: c; Curva Y: c;

Svergolamento: Nessuno; la verifica a instabilità flesso-torsionale (svergolamento) non verrà eseguita.

Dati per instabilità attorno a x

Controllo della snellezza secondo §4.2.4.1.3.1 NTC18

Numero rit.	Presente	Ascissa	Campata	βx/m	Vincolo a entrambi estremi	λx/m	λVer
1	Si	0					
			1-2	1	Si	49.6	Si, (<200)
2	Si	1.505					

Dati per instabilità attorno a y

Controllo della snellezza secondo §4.2.4.1.3.1 NTC18

Numero rit.	Presente	Ascissa	Campata	βy/n	k,LT	kw,LT	Vincolo a entrambi estremi
1	Si	0					
			1-2	1	Si	34.9	Si, (<200)
2	Si	1.505					

Verifica di stabilità per pressoflessione §C.4.2.4.1.3.3.1 NTC18

X	Comb.	Sfruttamento	Classe	NEd	MxEq,Ed	MyEq,Ed	Area	Wx	Wy	χ,min	λ adim. x/m	λ adim. y/n	N,crit x/m	N,crit y/n	Verifica
0	SLU 75	0.027	3	-14.094	-0.1061	-0.0321	0.003832	0.0000492	0.0000739	0.802	0.571	0.402	3231.032	6528.319	Si

Verifica di stabilità per pressoflessione SLD §C.4.2.4.1.3.3.1 NTC18

X	Comb.	Sfruttamento	Classe	NEd	MxEq,Ed	MyEq,Ed	Area	Wx	Wy	χ,min	λ adim. x/m	λ adim. y/n	N,crit x/m	N,crit y/n	Verifica
0	SLD 9	0.012	3	-4.753	-0.0753	-0.0108	0.003832	0.0000492	0.0000739	0.802	0.571	0.402	3231.032	6528.319	Si

Verifiche a deformabilità

Mensola X: No; Mensola Y: No.

Frecce lungo X

Ascissa freccia	Combinazione	Freccia	Luce	L/f	L/f,min	Tipo	Verifica
0.401	SLE RA 1	0	1.505	10000	250	Totale	Si
0.401	SLE RA 17	0	1.505	10000	250	Totale	Si
0.401	SLE RA 16	0	1.505	10000	250	Totale	Si
0.351	SLE RA 15	0	1.505	10000	250	Totale	Si
0.401	SLE RA 14	0	1.505	10000	250	Totale	Si
0.401	SLE RA 2	0	1.505	10000	350	Variabile	Si
0.401	SLE RA 17	0	1.505	10000	350	Variabile	Si
0.401	SLE RA 16	0	1.505	10000	350	Variabile	Si
0.351	SLE RA 15	0	1.505	10000	350	Variabile	Si
0.401	SLE RA 14	0	1.505	10000	350	Variabile	Si

Frecce lungo Y

Ascissa freccia	Combinazione	Freccia	Luce	L/f	L/f,min	Tipo	Verifica
0.753	SLE RA 1	-0.00003	1.505	10000	250	Totale	Si
0.803	SLE RA 17	-0.00003	1.505	10000	250	Totale	Si
0.803	SLE RA 16	-0.00003	1.505	10000	250	Totale	Si
0.753	SLE RA 15	-0.00003	1.505	10000	250	Totale	Si
0.803	SLE RA 14	-0.00003	1.505	10000	250	Totale	Si
1.104	SLE RA 2	0	1.505	10000	350	Variabile	Si
1.104	SLE RA 17	0	1.505	10000	350	Variabile	Si
1.104	SLE RA 16	0	1.505	10000	350	Variabile	Si
1.054	SLE RA 15	0	1.505	10000	350	Variabile	Si
1.104	SLE RA 14	0	1.505	10000	350	Variabile	Si

Superelemento in acciaio a quota "703"- "715" (-1161; -948)-(-1270; -845)

Caratteristiche del materiale

Acciaio: S275, fyk = 275000

Caratteristiche geometriche

Lunghezza: 1.505

Nodo iniziale: 1822 Nodo finale: 2030

Cerniera iniziale: Mmomenti 1% Cerniera finale: Mmomenti 1%

Sovreresistenza: 0% Sisma Z: No

Implementazione dei sistemi di confinamento delle emissioni odorigene diffuse dell'impianto di compostaggio esistente nel
Comune di Eboli (SA)
PROGETTO DEFINITIVO – Tabulati di calcolo Tomo 1

Caratteristiche della sezione

Sezione	Rotazione	Area	Jx	Jy	ix	iy	Wx	Wy	Wplx	Wply
A1; L100*10; 1; Saldato; S275; 30; 1; 8; 8; 1	0	0.003832	0.0000035319	0.000007759	0.0304	0.045	0.0000492	0.0000739	0.00008974	0.00012727

Comportamento dei calastrelli

Accoppiamento imbottito con funzione statica (§C4.2.4.1.3.1.4 NTC18) nella campata compresa tra le ascisse 0 e 1.505 per sbandamento attorno all'asse y.

Verifiche di resistenza

Verifiche a forza assiale §4.2.4.1.2.1 - §4.2.4.1.2.2 NTC18

X	Comb.	Sfruttamento	Classe	NEd	Nc,Rd	Nt,Rd	Riduzione da taglio	px	py	Verifica
0	SLU 75	0.01	3	-9.838	1003.522		1	0	0	Si

Verifiche a forza assiale SLD §4.2.4.1.2.1 - §4.2.4.1.2.2 NTC18

X	Comb.	Sfruttamento	Classe	NEd	Nc,Rd	Nt,Rd	Riduzione da taglio	px	py	Verifica
0	SLD 5	0.004	3	-4.177	1003.522		1	0	0	Si

Verifica a taglio Y §4.2.4.1.2.4 NTC18

X	Comb.	Sfruttamento	VEd	Vc,Rd	Av	Interazione taglio-torsione	Riduzione torsione	Verifica
0	SLU 75	0.001	0.296	302.422	0.002	Non considerata		Si

Verifica a taglio Y SLD §4.2.4.1.2.4 NTC18

X	Comb.	Sfruttamento	VEd	Vc,Rd	Av	Interazione taglio-torsione	Riduzione torsione	Verifica
0	SLD 1	0.001	0.227	302.422	0.002	Non considerata		Si

Verifica a flessione semplice X §§ 4.2.4.1.2.3 - 4.2.4.1.2.6 - 4.2.4.1.2.7 - 4.2.4.1.2.8 NTC18

X	Comb.	Sfruttamento	Classe	Mx,Ed	Mx,Rd	Rid. Mx,Rd da VEd	px	py	Verifica
0.753	SLU 2	0.004	1	-0.08388	23.50374	1	0	0	Si

Verifica a presso/tenso flessione retta X §§ 4.2.4.1.2.3 - 4.2.4.1.2.6 - 4.2.4.1.2.7 - 4.2.4.1.2.8 NTC18

Verifiche eseguite utilizzando la formula conservativa (6.2) §6.2.1 EN 1993-1-1:2005.

X	Comb.	Sfruttamento	Classe	NEd	NRd	Rid. NRd da VEd	Mx,Ed	Mx,Rd	Rid. Mx,Rd da VEd	Rid. Mx,Rd da NEd	px	py	Verifica
0.753	SLU 43	0.007	1	-2.018	1003.522	1	-0.1097	23.5037	1		0	0	Si

Verifica a presso/tenso flessione retta Y §§ 4.2.4.1.2.3 - 4.2.4.1.2.6 - 4.2.4.1.2.7 - 4.2.4.1.2.8 NTC18

Verifiche eseguite utilizzando la formula conservativa (6.2) §6.2.1 EN 1993-1-1:2005.

X	Comb.	Sfruttamento	Classe	NEd	NRd	Rid. NRd da VEd	My,Ed	My,Rd	Rid. My,Rd da VEd	Rid. My,Rd da NEd	px	py	Verifica
0	SLU 75	0.011	3	-9.838	1003.522	1	-0.03	19.3536	1		0	0	Si

Verifica a presso/tenso flessione retta Y SLD §§ 4.2.4.1.2.3 - 4.2.4.1.2.6 - 4.2.4.1.2.7 - 4.2.4.1.2.8 NTC18

Verifiche eseguite utilizzando la formula conservativa (6.2) §6.2.1 EN 1993-1-1:2005.

X	Comb.	Sfruttamento	Classe	NEd	NRd	Rid. NRd da VEd	My,Ed	My,Rd	Rid. My,Rd da VEd	Rid. My,Rd da NEd	px	py	Verifica
0	SLD 6	0.005	3	-4.177	1003.522	1	0.0126	19.3536	1		0	0	Si

Verifica a presso/tenso flessione deviata §§ 4.2.4.1.2.3 - 4.2.4.1.2.6 - 4.2.4.1.2.7 - 4.2.4.1.2.8 NTC18

Verifiche eseguite utilizzando la formula conservativa (6.2) §6.2.1 EN 1993-1-1:2005.

X	Comb.	Sfruttamento	Classe	NEd	NRd	Rid. NRd da VEd	Mx,Ed	Mx,Rd	My,Ed	My,Rd	Rid. Mx,Rd da VEd	Rid. Mx,Rd da NEd	Rid. My,Rd da VEd	Rid. My,Rd da NEd	α	β	px	py	Verifica
0.753	SLU 75	0.02	3	-9.814	1003.522	1	-0.1124	12.886	-0.0296	19.3536	1		1				0	0	Si

Verifica a presso/tenso flessione deviata SLD §§ 4.2.4.1.2.3 - 4.2.4.1.2.6 - 4.2.4.1.2.7 - 4.2.4.1.2.8 NTC18

Verifiche eseguite utilizzando la formula conservativa (6.2) §6.2.1 EN 1993-1-1:2005.

X	Comb.	Sfruttamento	Classe	NEd	NRd	Rid. NRd da VEd	Mx,Ed	Mx,Rd	My,Ed	My,Rd	Rid. Mx,Rd da VEd	Rid. Mx,Rd da NEd	Rid. My,Rd da VEd	Rid. My,Rd da NEd	α	β	px	py	Verifica
1.254	SLD 6	0.009	3	-4.146	1003.522	1	-0.0484	12.886	-0.0126	19.3536	1		1				0	0	Si

Verifiche ad instabilità

Caratteristiche iniziali

Membratura principale per controllo snellezza; Calcolo di snellezze ed N critici condotti secondo gli assi principali;

Curva X: c; Curva Y: c;

Svergolamento: Nessuno; la verifica a instabilità flesso-torsionale (svergolamento) non verrà eseguita.

Dati per instabilità attorno a x

Controllo della snellezza secondo §4.2.4.1.3.1 NTC18

Numero rit.	Presente	Ascissa	Campata	βx/m	Vincolo a entrambi estremi	λx/m	λVer
1	Si		0				
			1-2		1	49.6	Si, (<200)
2	Si	1.505					

Dati per instabilità attorno a y

Controllo della snellezza secondo §4.2.4.1.3.1 NTC18

Numero rit.	Presente	Ascissa	Campata	βy/n	k,LT	kw,LT	Vincolo a entrambi estremi
1	Si		0				
			1-2		1	34.9	Si, (<200)
2	Si	1.505					

Verifica di stabilità per pressoflessione §C.4.2.4.1.3.3.1 NTC18

X	Comb.	Sfruttamento	Classe	NEd	MxEq,Ed	MyEq,Ed	Area	Wx	Wy	x,min	λ adim. x/m	λ adim. y/n	N,crit x/m	N,crit y/n	Verifica
0	SLU 75	0.021	3	-9.838	-0.0981	-0.0225	0.003832	0.0000492	0.0000739	0.802	0.571	0.402	3231.032	6528.319	Si

Implementazione dei sistemi di confinamento delle emissioni odorigene diffuse dell'impianto di compostaggio esistente nel
Comune di Eboli (SA)
PROGETTO DEFINITIVO – Tabulati di calcolo Tomo 1

Verifica di stabilità per pressoflessione SLD §C.4.2.4.1.3.3.1 NTC18

X	Comb.	Sfruttamento	Classe	NEd	MxEq,Ed	MyEq,Ed	Area	Wx	Wy	x,min	λ adim. x/m	λ adim. y/n	N,crit x/m	N,crit y/n	Verifica
0	SLD 1	0,011	3	-4,174	-0,0743	0,0095	0,003832	0,0000492	0,0000739	0,802	0,571	0,402	3231,032	6528,319	Si

Verifiche a deformabilità

Mensola X: No; Mensola Y: No.

Frecce lungo X

Ascissa freccia	Combinazione	Freccia	Luce	L/f	L/f,min	Tipo	Verifica
0.401	SLE RA 1	0	1.505	10000	250	Totale	Si
0.401	SLE RA 17	0	1.505	10000	250	Totale	Si
0.401	SLE RA 16	0	1.505	10000	250	Totale	Si
0.401	SLE RA 15	0	1.505	10000	250	Totale	Si
0.401	SLE RA 14	0	1.505	10000	250	Totale	Si
0.401	SLE RA 2	0	1.505	10000	350	Variabile	Si
0.401	SLE RA 17	0	1.505	10000	350	Variabile	Si
0.401	SLE RA 16	0	1.505	10000	350	Variabile	Si
0.401	SLE RA 15	0	1.505	10000	350	Variabile	Si
0.401	SLE RA 14	0	1.505	10000	350	Variabile	Si

Frecce lungo Y

Ascissa freccia	Combinazione	Freccia	Luce	L/f	L/f,min	Tipo	Verifica
0.753	SLE RA 1	-0,00003	1.505	10000	250	Totale	Si
0.753	SLE RA 17	-0,00003	1.505	10000	250	Totale	Si
0.753	SLE RA 16	-0,00003	1.505	10000	250	Totale	Si
0.753	SLE RA 15	-0,00003	1.505	10000	250	Totale	Si
0.753	SLE RA 14	-0,00003	1.505	10000	250	Totale	Si
0.853	SLE RA 2	0	1.505	10000	350	Variabile	Si
0.853	SLE RA 17	0	1.505	10000	350	Variabile	Si
0.853	SLE RA 16	0	1.505	10000	350	Variabile	Si
0.803	SLE RA 15	0	1.505	10000	350	Variabile	Si
0.853	SLE RA 14	0	1.505	10000	350	Variabile	Si

Superelemento in acciaio a quota "715"- "640" (73; 1453)-(182; 1351)

Caratteristiche del materiale

Acciaio: S275, fyk = 275000

Caratteristiche geometriche

Lunghezza: 1.677

Nodo iniziale: 2113 Nodo finale: 935

Cerniera iniziale: Mmomenti 1% Cerniera finale: Mmomenti 1%

Sovreresistenza: 0% Sisma Z: No

Caratteristiche della sezione

Sezione	Rotazione	Area	Jx	Jy	ix	iy	Wx	Wy	Wplx	Wply
A1; L100*10; 1; Saldato; S275; 50; 1; 8; 8; 1	180	0,003832	0,0000035319	0,000007759	0,0304	0,045	0,0000492	0,0000739	0,00008974	0,00012727

Comportamento dei calastrelli

Accoppiamento imbottito con funzione statica (§C4.2.4.1.3.1.4 NTC18) nella campata compresa tra le ascisse 0 e 1.677 per sbandamento attorno all'asse y.

Verifiche di resistenza

Verifiche a forza assiale §4.2.4.1.2.1 - §4.2.4.1.2.2 NTC18

X	Comb.	Sfruttamento	Classe	NEd	Nc,Rd	Nt,Rd	Riduzione da taglio	px	py	Verifica
0	SLU 75	0,017		17,361		1003,522	1	0	0	Si

Verifiche a forza assiale SLD §4.2.4.1.2.1 - §4.2.4.1.2.2 NTC18

X	Comb.	Sfruttamento	Classe	NEd	Nc,Rd	Nt,Rd	Riduzione da taglio	px	py	Verifica
0	SLD 15	0,007		7,378		1003,522	1	0	0	Si

Verifica a taglio X §4.2.4.1.2.4 NTC18

X	Comb.	Sfruttamento	VEd	Vc,Rd	Av	Interazione taglio-torsione	Riduzione torsione	Verifica
1.677	SLV 1	0,001	0,41	302,422	0,002	Non considerata		Si

Verifica a taglio Y §4.2.4.1.2.4 NTC18

X	Comb.	Sfruttamento	VEd	Vc,Rd	Av	Interazione taglio-torsione	Riduzione torsione	Verifica
0	SLU 76	0,001	-0,335	302,422	0,002	Non considerata		Si

Verifica a taglio Y SLD §4.2.4.1.2.4 NTC18

X	Comb.	Sfruttamento	VEd	Vc,Rd	Av	Interazione taglio-torsione	Riduzione torsione	Verifica
0	SLD 1	0,001	-0,233	302,422	0,002	Non considerata		Si

Verifica a flessione semplice X §§ 4.2.4.1.2.3 - 4.2.4.1.2.6 - 4.2.4.1.2.7 - 4.2.4.1.2.8 NTC18

X	Comb.	Sfruttamento	Classe	Mx,Ed	Mx,Rd	Rid. Mx,Rd da VEd	px	py	Verifica
0,95	SLU 43	0,005	1	0,12357	23,50374	1	0	0	Si

Verifica a flessione semplice Y §§ 4.2.4.1.2.3 - 4.2.4.1.2.6 - 4.2.4.1.2.7 - 4.2.4.1.2.8 NTC18

X	Comb.	Sfruttamento	Classe	My,Ed	My,Rd	Rid. My,Rd da VEd	px	py	Verifica
0,056	SLV 3	0,003	1	-0,08731	33,33162	1	0	0	Si

Implementazione dei sistemi di confinamento delle emissioni odorigene diffuse dell'impianto di compostaggio esistente nel
Comune di Eboli (SA)
PROGETTO DEFINITIVO – Tabulati di calcolo Tomo 1

Verifica a flessione deviata §§ 4.2.4.1.2.3 - 4.2.4.1.2.6 - 4.2.4.1.2.7 - 4.2.4.1.2.8 NTC18

X	Comb.	Sfruttamento	Classe	Mx,Ed	Mx,Rd	My,Ed	My,Rd	Rid. Mx,Rd da VEd	Rid. My,Rd da VEd	α	β	ρ_x	ρ_y	Verifica
0.783	SLV 10	0.005	1	0.0871	23.5037	-0.0543	33.3316	1	1			0	0	Si

Verifica a presso/tenso flessione retta X §§ 4.2.4.1.2.3 - 4.2.4.1.2.6 - 4.2.4.1.2.7 - 4.2.4.1.2.8 NTC18

Verifiche eseguite utilizzando la formula conservativa (6.2) §6.2.1 EN 1993-1-1:2005.

X	Comb.	Sfruttamento	Classe	NEd	NRd	Rid. NRd da VEd	Mx,Ed	Mx,Rd	Rid. Mx,Rd da VEd	Rid. Mx,Rd da NEd	ρ_x	ρ_y	Verifica
0.894	SLV 75	0.022	1	17.204	1003.522	1	0.1075	23.5037	1		0	0	Si

Verifica a presso/tenso flessione retta Y §§ 4.2.4.1.2.3 - 4.2.4.1.2.6 - 4.2.4.1.2.7 - 4.2.4.1.2.8 NTC18

Verifiche eseguite utilizzando la formula conservativa (6.2) §6.2.1 EN 1993-1-1:2005.

X	Comb.	Sfruttamento	Classe	NEd	NRd	Rid. NRd da VEd	My,Ed	My,Rd	Rid. My,Rd da VEd	Rid. My,Rd da NEd	ρ_x	ρ_y	Verifica
0.056	SLV 16	0.017	1	12.3	1003.522	1	0.1614	33.3316	1		0	0	Si

Verifica a presso/tenso flessione retta Y SLD §§ 4.2.4.1.2.3 - 4.2.4.1.2.6 - 4.2.4.1.2.7 - 4.2.4.1.2.8 NTC18

Verifiche eseguite utilizzando la formula conservativa (6.2) §6.2.1 EN 1993-1-1:2005.

X	Comb.	Sfruttamento	Classe	NEd	NRd	Rid. NRd da VEd	My,Ed	My,Rd	Rid. My,Rd da VEd	Rid. My,Rd da NEd	ρ_x	ρ_y	Verifica
0.056	SLD 15	0.009	1	7.37	1003.522	1	0.0657	33.3316	1		0	0	Si

Verifica a presso/tenso flessione deviata §§ 4.2.4.1.2.3 - 4.2.4.1.2.6 - 4.2.4.1.2.7 - 4.2.4.1.2.8 NTC18

Verifiche eseguite utilizzando la formula conservativa (6.2) §6.2.1 EN 1993-1-1:2005.

X	Comb.	Sfruttamento	Classe	NEd	NRd	Rid. NRd da VEd	Mx,Ed	Mx,Rd	My,Ed	My,Rd	Rid. Mx,Rd da VEd	Rid. Mx,Rd da NEd	Rid. My,Rd da VEd	Rid. My,Rd da NEd	α	β	ρ_x	ρ_y	Verifica
0.671	SLV 16	0.019	1	12.217	1003.522	1	0.0833	23.5037	0.1124	33.3316	1			1			0	0	Si

Verifica a presso/tenso flessione deviata SLD §§ 4.2.4.1.2.3 - 4.2.4.1.2.6 - 4.2.4.1.2.7 - 4.2.4.1.2.8 NTC18

Verifiche eseguite utilizzando la formula conservativa (6.2) §6.2.1 EN 1993-1-1:2005.

X	Comb.	Sfruttamento	Classe	NEd	NRd	Rid. NRd da VEd	Mx,Ed	Mx,Rd	My,Ed	My,Rd	Rid. Mx,Rd da VEd	Rid. Mx,Rd da NEd	Rid. My,Rd da VEd	Rid. My,Rd da NEd	α	β	ρ_x	ρ_y	Verifica
0.783	SLD 15	0.012	1	7.272	1003.522	1	0.0874	23.5037	0.0419	33.3316	1			1			0	0	Si

Verifiche ad instabilità

Caratteristiche iniziali

Membratura principale per controllo snellezza; Calcolo di snellezze ed N critici condotti secondo gli assi principali;

Curva X: c; Curva Y: c;

Svergolamento: Nessuno; la verifica a instabilità flesso-torsionale (svergolamento) non verrà eseguita.

Dati per instabilità attorno a x

Controllo della snellezza secondo §4.2.4.1.3.1 NTC18

Numero rit.	Presente	Ascissa	Campata	β_x/m	Vincolo a entrambi estremi	λ_x/m	λ_{Ver}
1	Si	0					
			1-2	1	Si	55.2	Si, (<200)
2	Si	1.677					

Dati per instabilità attorno a y

Controllo della snellezza secondo §4.2.4.1.3.1 NTC18

Numero rit.	Presente	Ascissa	Campata	β_y/n	k,LT	kw,LT	Vincolo a entrambi estremi
1	Si	0					
			1-2	1	Si	40.7	Si, (<200)
2	Si	1.677					

Verifica di stabilità per pressoflessione §C.4.2.4.1.3.3.1 NTC18

X	Comb.	Sfruttamento	Classe	NEd	MxEq,Ed	MyEq,Ed	Area	Wx	Wy	x_{min}	λ adim. x/m	λ adim. y/n	N _{crit} x/m	N _{crit} y/n	Verifica
1.677	SLV 2	0.019	3	-4.322	0.0731	-0.1465	0.003832	0.0000492	0.0000739	0.764	0.636	0.469	2602.776	4783.72	Si

Verifiche a deformabilità

Mensola X: No; Mensola Y: No.

Frecce lungo X

Ascissa freccia	Combinazione	Freccia	Luce	L/f	L/f,min	Tipo	Verifica
0.559	SLE RA 1	0	1.677	10000	250	Totale	Si
0.615	SLE RA 17	0	1.677	10000	250	Totale	Si
0.615	SLE RA 16	0	1.677	10000	250	Totale	Si
0.615	SLE RA 15	0	1.677	10000	250	Totale	Si
0.615	SLE RA 14	0	1.677	10000	250	Totale	Si
0.671	SLE RA 2	0	1.677	10000	350	Variabile	Si
0.671	SLE RA 17	0	1.677	10000	350	Variabile	Si
0.671	SLE RA 16	0	1.677	10000	350	Variabile	Si
0.615	SLE RA 15	0	1.677	10000	350	Variabile	Si
0.671	SLE RA 14	0	1.677	10000	350	Variabile	Si

Frecce lungo Y

Ascissa freccia	Combinazione	Freccia	Luce	L/f	L/f,min	Tipo	Verifica
0.839	SLE RA 1	0.00003	1.677	10000	250	Totale	Si
0.839	SLE RA 17	0.00003	1.677	10000	250	Totale	Si
0.894	SLE RA 16	0.00003	1.677	10000	250	Totale	Si
0.894	SLE RA 15	0.00003	1.677	10000	250	Totale	Si
0.839	SLE RA 14	0.00003	1.677	10000	250	Totale	Si
0.727	SLE RA 2	0	1.677	10000	350	Variabile	Si
0.727	SLE RA 17	0	1.677	10000	350	Variabile	Si
0.727	SLE RA 16	-0.00001	1.677	10000	350	Variabile	Si
0.727	SLE RA 15	-0.00001	1.677	10000	350	Variabile	Si
0.671	SLE RA 14	0	1.677	10000	350	Variabile	Si

Superelemento in acciaio a quota "715"- "640" (328; 1723)-(437; 1620)

Caratteristiche del materiale

Acciaio: S275, fyk = 275000

Caratteristiche geometriche

Lunghezza: 1.677

Nodo iniziale: 2124 Nodo finale: 989

Cerniera iniziale: Mmomenti 1% Cerniera finale: Mmomenti 1%

Sovreresistenza: 0% Sisma Z: No

Caratteristiche della sezione

Sezione	Rotazione	Area	Jx	Jy	ix	iy	Wx	Wy	Wplx	Wply
A1; L100*10; 1; Saldato; S275; 50; 1; 8; 8; 1	180	0.003832	0.0000035319	0.000007759	0.0304	0.045	0.0000492	0.0000739	0.00008974	0.00012727

Comportamento dei calastrelli

Accoppiamento imbottito con funzione statica (§C4.2.4.1.3.1.4 NTC18) nella campata compresa tra le ascisse 0 e 1.677 per sbandamento attorno all'asse y.

Verifiche di resistenza

Verifiche a forza assiale §4.2.4.1.2.1 - §4.2.4.1.2.2 NTC18

X	Comb.	Sfruttamento	Classe	NEd	Nc,Rd	Nt,Rd	Riduzione da taglio	px	py	Verifica
0	SLU 75	0.037		37.124		1003.522	1	0	0	Si

Verifiche a forza assiale SLD §4.2.4.1.2.1 - §4.2.4.1.2.2 NTC18

X	Comb.	Sfruttamento	Classe	NEd	Nc,Rd	Nt,Rd	Riduzione da taglio	px	py	Verifica
0	SLD 1	0.012		11.652		1003.522	1	0	0	Si

Verifica a taglio Y §4.2.4.1.2.4 NTC18

X	Comb.	Sfruttamento	VEd	Vc,Rd	Av	Interazione taglio-torsione	Riduzione torsione	Verifica
0	SLU 76	0.001	-0.32	302.422	0.002	Non considerata		Si

Verifica a taglio Y SLD §4.2.4.1.2.4 NTC18

X	Comb.	Sfruttamento	VEd	Vc,Rd	Av	Interazione taglio-torsione	Riduzione torsione	Verifica
0	SLD 3	0.001	-0.233	302.422	0.002	Non considerata		Si

Verifica a flessione semplice X §§ 4.2.4.1.2.3 - 4.2.4.1.2.6 - 4.2.4.1.2.7 - 4.2.4.1.2.8 NTC18

X	Comb.	Sfruttamento	Classe	Mx,Ed	Mx,Rd	Rid. Mx,Rd da VEd	px	py	Verifica
0.839	SLU 59	0.005	1	0.12585	23.50374	1	0	0	Si

Verifica a presso/tenso flessione retta X §§ 4.2.4.1.2.3 - 4.2.4.1.2.6 - 4.2.4.1.2.7 - 4.2.4.1.2.8 NTC18

Verifiche eseguite utilizzando la formula conservativa (6.2) §6.2.1 EN 1993-1-1:2005.

X	Comb.	Sfruttamento	Classe	NEd	NRd	Rid. NRd da VEd	Mx,Ed	Mx,Rd	Rid. Mx,Rd da VEd	Rid. Mx,Rd da NEd	px	py	Verifica
0.839	SLU 75	0.042	1	36.977	1003.522	1	0.1127	23.5037	1		0	0	Si

Verifica a presso/tenso flessione retta Y §§ 4.2.4.1.2.3 - 4.2.4.1.2.6 - 4.2.4.1.2.7 - 4.2.4.1.2.8 NTC18

Verifiche eseguite utilizzando la formula conservativa (6.2) §6.2.1 EN 1993-1-1:2005.

X	Comb.	Sfruttamento	Classe	NEd	NRd	Rid. NRd da VEd	My,Ed	My,Rd	Rid. My,Rd da VEd	Rid. My,Rd da NEd	px	py	Verifica
0.056	SLV 1	0.015	1	12.188	1003.522	1	-0.0904	33.3316	1		0	0	Si

Verifica a presso/tenso flessione retta Y SLD §§ 4.2.4.1.2.3 - 4.2.4.1.2.6 - 4.2.4.1.2.7 - 4.2.4.1.2.8 NTC18

Verifiche eseguite utilizzando la formula conservativa (6.2) §6.2.1 EN 1993-1-1:2005.

X	Comb.	Sfruttamento	Classe	NEd	NRd	Rid. NRd da VEd	My,Ed	My,Rd	Rid. My,Rd da VEd	Rid. My,Rd da NEd	px	py	Verifica
0.056	SLD 1	0.013	1	11.645	1003.522	1	-0.0362	33.3316	1		0	0	Si

Verifica a presso/tenso flessione deviata §§ 4.2.4.1.2.3 - 4.2.4.1.2.6 - 4.2.4.1.2.7 - 4.2.4.1.2.8 NTC18

Verifiche eseguite utilizzando la formula conservativa (6.2) §6.2.1 EN 1993-1-1:2005.

X	Comb.	Sfruttamento	Classe	NEd	NRd	Rid. NRd da VEd	Mx,Ed	Mx,Rd	My,Ed	My,Rd	Rid. Mx,Rd da VEd	Rid. Mx,Rd da NEd	Rid. My,Rd da VEd	Rid. My,Rd da NEd	α	β	px	py	Verifica
0.783	SLV 6	0.018	1	12.084	1003.522	1	0.0919	23.5037	-0.0763	33.3316	1		1				0	0	Si

Verifica a presso/tenso flessione deviata SLD §§ 4.2.4.1.2.3 - 4.2.4.1.2.6 - 4.2.4.1.2.7 - 4.2.4.1.2.8 NTC18

Verifiche eseguite utilizzando la formula conservativa (6.2) §6.2.1 EN 1993-1-1:2005.

X	Comb.	Sfruttamento	Classe	NEd	NRd	Rid. NRd da VEd	Mx,Ed	Mx,Rd	My,Ed	My,Rd	Rid. Mx,Rd da VEd	Rid. Mx,Rd da NEd	Rid. My,Rd da VEd	Rid. My,Rd da NEd	α	β	px	py	Verifica
0.839	SLD 5	0.016	1	11.537	1003.522	1	0.0912	23.5037	-0.0303	33.3316	1		1				0	0	Si

Verifiche ad instabilità

Caratteristiche iniziali

Membratura principale per controllo snellezza; Calcolo di snellezze ed N critici condotti secondo gli assi principali;

Curva X: c; Curva Y: c;

Svergolamento: Nessuno; la verifica a instabilità flesso-torsionale (svergolamento) non verrà eseguita.

Dati per instabilità attorno a x

Controllo della snellezza secondo §4.2.4.1.3.1 NTC18

Numero rit.	Presente	Ascissa	Campata	βx/m	Vincolo a entrambi estremi	λx/m	λVer
1	Si	0					
			1-2	1	Si	55.2	Si, (<200)

Implementazione dei sistemi di confinamento delle emissioni odorigene diffuse dell’impianto di compostaggio esistente nel
Comune di Eboli (SA)
PROGETTO DEFINITIVO – Tabulati di calcolo Tomo 1

Numero rit.	Presente	Ascissa	Campata	$\beta x/m$	Vincolo a entrambi estremi	$\lambda x/m$	λVer
2	Si	1.677					

Dati per instabilità attorno a y

Controllo della snellezza secondo §4.2.4.1.3.1 NTC18

Numero rit.	Presente	Ascissa	Campata	$\beta y/n$	k,LT	kw,LT	Vincolo a entrambi estremi
1	Si	0					
			1-2	1	Si	40.7	Si, (<200)
2	Si	1.677					

Verifica di stabilità per pressoflessione §C.4.2.4.1.3.3.1 NTC18

X	Comb.	Sfruttamento	Classe	NEd	MxEq,Ed	MyEq,Ed	Area	Wx	Wy	χ_{min}	$\lambda_{adim. x/m}$	$\lambda_{adim. y/n}$	N,crit x/m	N,crit y/n	Verifica
1.677	SLU 2	0.015	3	-5.448	0.0887	0.0181	0.003832	0.0000492	0.0000739	0.764	0.636	0.469	2602.776	4783.72	Si

Verifiche a deformabilità

Mensola X: No; Mensola Y: No.

Frecce lungo X

Ascissa freccia	Combinazione	Freccia	Luce	L/f	L/f,min	Tipo	Verifica
0.615	SLE RA 1	0	1.677	10000	250	Totale	Si
0.503	SLE RA 17	0	1.677	10000	250	Totale	Si
0.447	SLE RA 16	0	1.677	10000	250	Totale	Si
0.671	SLE RA 15	0	1.677	10000	250	Totale	Si
1.062	SLE RA 14	0	1.677	10000	250	Totale	Si
1.174	SLE RA 2	0	1.677	10000	350	Variabile	Si
1.118	SLE RA 17	0	1.677	10000	350	Variabile	Si
1.174	SLE RA 16	0	1.677	10000	350	Variabile	Si
0.783	SLE RA 15	0	1.677	10000	350	Variabile	Si
0.894	SLE RA 14	0	1.677	10000	350	Variabile	Si

Frecce lungo Y

Ascissa freccia	Combinazione	Freccia	Luce	L/f	L/f,min	Tipo	Verifica
0.839	SLE RA 1	0.00004	1.677	10000	250	Totale	Si
0.839	SLE RA 17	0.00003	1.677	10000	250	Totale	Si
0.839	SLE RA 16	0.00003	1.677	10000	250	Totale	Si
0.839	SLE RA 15	0.00003	1.677	10000	250	Totale	Si
0.839	SLE RA 14	0.00004	1.677	10000	250	Totale	Si
0.727	SLE RA 2	0	1.677	10000	350	Variabile	Si
0.727	SLE RA 17	0	1.677	10000	350	Variabile	Si
0.727	SLE RA 16	0	1.677	10000	350	Variabile	Si
0.727	SLE RA 15	0	1.677	10000	350	Variabile	Si
0.671	SLE RA 14	0	1.677	10000	350	Variabile	Si

Superelemento in acciaio a quota "715"- "640" (582; 1993)-(691; 1890)

Caratteristiche del materiale

Acciaio: S275, fyk = 275000

Caratteristiche geometriche

Lunghezza: 1.677

Nodo iniziale: 2130 Nodo finale: 1041

Cerniera iniziale: Mmomenti 1% Cerniera finale: Mmomenti 1%

Sovraresistenza: 0% Sisma Z: No

Caratteristiche della sezione

Sezione	Rotazione	Area	Jx	Jy	ix	iy	Wx	Wy	Wplx	Wply
A1; L100*10; 1; Saldato; S275; 50; 1; 8; 8; 1	180	0.003832	0.0000035319	0.000007759	0.0304	0.045	0.0000492	0.0000739	0.00008974	0.00012727

Comportamento dei calastrelli

Accoppiamento imbottito con funzione statica (§C4.2.4.1.3.1.4 NTC18) nella campata compresa tra le ascisse 0 e 1.677 per sbandamento attorno all'asse y.

Verifiche di resistenza

Verifiche a forza assiale §4.2.4.1.2.1 - §4.2.4.1.2.2 NTC18

X	Comb.	Sfruttamento	Classe	NEd	Nc,Rd	Nt,Rd	Riduzione da taglio	px	py	Verifica
0	SLU 75	0.02		20.523		1003.522	1	0	0	Si

Verifiche a forza assiale SLD §4.2.4.1.2.1 - §4.2.4.1.2.2 NTC18

X	Comb.	Sfruttamento	Classe	NEd	Nc,Rd	Nt,Rd	Riduzione da taglio	px	py	Verifica
0	SLD 1	0.009		9.487		1003.522	1	0	0	Si

Verifica a taglio X §4.2.4.1.2.4 NTC18

X	Comb.	Sfruttamento	VEd	Vc,Rd	Av	Interazione taglio-torsione	Riduzione torsione	Verifica
1.677	SLV 16	0.001	-0.401	302.422	0.002	Non considerata		Si

Verifica a taglio Y §4.2.4.1.2.4 NTC18

X	Comb.	Sfruttamento	VEd	Vc,Rd	Av	Interazione taglio-torsione	Riduzione torsione	Verifica
0	SLU 76	0.001	-0.341	302.422	0.002	Non considerata		Si

**Implementazione dei sistemi di confinamento delle emissioni odorigene diffuse dell'impianto di compostaggio esistente nel
Comune di Eboli (SA)
PROGETTO DEFINITIVO – Tabulati di calcolo Tomo 1**

Verifica a taglio Y SLD §4.2.4.1.2.4 NTC18

X	Comb.	Sfruttamento	VEd	Vc,Rd	Av	Interazione taglio-torsione	Riduzione torsione	Verifica
0	SLD 1	0.001	-0.234	302.422	0.002	Non considerata		Si

Verifica a flessione semplice X §§ 4.2.4.1.2.3 - 4.2.4.1.2.6 - 4.2.4.1.2.7 - 4.2.4.1.2.8 NTC18

X	Comb.	Sfruttamento	Classe	Mx,Ed	Mx,Rd	Rid. Mx,Rd da VEd	px	py	Verifica
0.839	SLU 59	0.006	1	0.12948	23.50374	1	0	0	Si

Verifica a flessione semplice Y §§ 4.2.4.1.2.3 - 4.2.4.1.2.6 - 4.2.4.1.2.7 - 4.2.4.1.2.8 NTC18

X	Comb.	Sfruttamento	Classe	My,Ed	My,Rd	Rid. My,Rd da VEd	px	py	Verifica
0.056	SLV 13	0.003	1	0.08568	33.33162	1	0	0	Si

Verifica a flessione deviata §§ 4.2.4.1.2.3 - 4.2.4.1.2.6 - 4.2.4.1.2.7 - 4.2.4.1.2.8 NTC18

X	Comb.	Sfruttamento	Classe	Mx,Ed	Mx,Rd	My,Ed	My,Rd	Rid. Mx,Rd da VEd	Rid. My,Rd da VEd	α	β	px	py	Verifica
0.783	SLV 14	0.005	1	0.0861	23.5037	0.0593	33.3316	1	1			0	0	Si

Verifica a presso/tenso flessione retta X §§ 4.2.4.1.2.3 - 4.2.4.1.2.6 - 4.2.4.1.2.7 - 4.2.4.1.2.8 NTC18

Verifiche eseguite utilizzando la formula conservativa (6.2) §6.2.1 EN 1993-1-1:2005.

X	Comb.	Sfruttamento	Classe	NEd	NRd	Rid. NRd da VEd	Mx,Ed	Mx,Rd	Rid. Mx,Rd da VEd	Rid. Mx,Rd da NEd	px	py	Verifica
0.894	SLU 75	0.025	1	20.367	1003.522	1	0.1053	23.5037	1		0	0	Si

Verifica a presso/tenso flessione retta Y §§ 4.2.4.1.2.3 - 4.2.4.1.2.6 - 4.2.4.1.2.7 - 4.2.4.1.2.8 NTC18

Verifiche eseguite utilizzando la formula conservativa (6.2) §6.2.1 EN 1993-1-1:2005.

X	Comb.	Sfruttamento	Classe	NEd	NRd	Rid. NRd da VEd	My,Ed	My,Rd	Rid. My,Rd da VEd	Rid. My,Rd da NEd	px	py	Verifica
0.056	SLV 2	0.02	1	15.453	1003.522	1	-0.1612	33.3316	1		0	0	Si

Verifica a presso/tenso flessione retta Y SLD §§ 4.2.4.1.2.3 - 4.2.4.1.2.6 - 4.2.4.1.2.7 - 4.2.4.1.2.8 NTC18

Verifiche eseguite utilizzando la formula conservativa (6.2) §6.2.1 EN 1993-1-1:2005.

X	Comb.	Sfruttamento	Classe	NEd	NRd	Rid. NRd da VEd	My,Ed	My,Rd	Rid. My,Rd da VEd	Rid. My,Rd da NEd	px	py	Verifica
0.056	SLD 1	0.011	1	9.48	1003.522	1	-0.0657	33.3316	1		0	0	Si

Verifica a presso/tenso flessione deviata §§ 4.2.4.1.2.3 - 4.2.4.1.2.6 - 4.2.4.1.2.7 - 4.2.4.1.2.8 NTC18

Verifiche eseguite utilizzando la formula conservativa (6.2) §6.2.1 EN 1993-1-1:2005.

X	Comb.	Sfruttamento	Classe	NEd	NRd	Rid. NRd da VEd	Mx,Ed	Mx,Rd	My,Ed	My,Rd	Rid. Mx,Rd da VEd	Rid. Mx,Rd da NEd	Rid. My,Rd da VEd	Rid. My,Rd da NEd	α	β	px	py	Verifica
0.671	SLV 1	0.022	1	15.371	1003.522	1	0.0824	23.5037	-0.1175	33.3316	1		1	1			0	0	Si

Verifica a presso/tenso flessione deviata SLD §§ 4.2.4.1.2.3 - 4.2.4.1.2.6 - 4.2.4.1.2.7 - 4.2.4.1.2.8 NTC18

Verifiche eseguite utilizzando la formula conservativa (6.2) §6.2.1 EN 1993-1-1:2005.

X	Comb.	Sfruttamento	Classe	NEd	NRd	Rid. NRd da VEd	Mx,Ed	Mx,Rd	My,Ed	My,Rd	Rid. Mx,Rd da VEd	Rid. Mx,Rd da NEd	Rid. My,Rd da VEd	Rid. My,Rd da NEd	α	β	px	py	Verifica
0.783	SLD 2	0.014	1	9.382	1003.522	1	0.0864	23.5037	-0.0443	33.3316	1		1	1			0	0	Si

Verifiche ad instabilità

Caratteristiche iniziali

Membratura principale per controllo snellezza; Calcolo di snellezze ed N critici condotti secondo gli assi principali;

Curva X: c; Curva Y: c;

Svergolamento: Nessuno; la verifica a instabilità flesso-torsionale (svergolamento) non verrà eseguita.

Dati per instabilità attorno a x

Controllo della snellezza secondo §4.2.4.1.3.1 NTC18

Numero rit.	Presente	Ascissa	Campata	βx/m	Vincolo a entrambi estremi	λx/m	λVer
1	Si		0				
			1-2		1	Si	
2	Si		1.677			55.2	Si, (<200)

Dati per instabilità attorno a y

Controllo della snellezza secondo §4.2.4.1.3.1 NTC18

Numero rit.	Presente	Ascissa	Campata	βy/n	k,LT	kw,LT	Vincolo a entrambi estremi
1	Si		0				
			1-2		1	Si	
2	Si		1.677			40.7	Si, (<200)

Verifica di stabilità per pressoflessione §C.4.2.4.1.3.3.1 NTC18

X	Comb.	Sfruttamento	Classe	NEd	MxEq,Ed	MyEq,Ed	Area	Wx	Wy	x,min	λ adim. x/m	λ adim. y/n	N,crit x/m	N,crit y/n	Verifica
1.677	SLV 16	0.02	3	-4.629	0.0718	0.1565	0.003832	0.0000492	0.0000739	0.764	0.636	0.469	2602.776	4783.72	Si

Verifiche a deformabilità

Mensola X: No; Mensola Y: No.

Frecce lungo X

Ascissa freccia	Combinazione	Freccia	Luce	L/f	L/f,min	Tipo	Verifica
0.559	SLE RA 1	0	1.677	10000	250	Totale	Si
0.559	SLE RA 17	0	1.677	10000	250	Totale	Si
0.615	SLE RA 16	0	1.677	10000	250	Totale	Si
0.615	SLE RA 15	0	1.677	10000	250	Totale	Si
0.503	SLE RA 14	0	1.677	10000	250	Totale	Si
0.615	SLE RA 2	0	1.677	10000	350	Variabile	Si
0.615	SLE RA 17	0	1.677	10000	350	Variabile	Si
0.615	SLE RA 16	0	1.677	10000	350	Variabile	Si
0.615	SLE RA 15	0	1.677	10000	350	Variabile	Si
0.391	SLE RA 14	0	1.677	10000	350	Variabile	Si

Implementazione dei sistemi di confinamento delle emissioni odorigene diffuse dell'impianto di compostaggio esistente nel
Comune di Eboli (SA)

PROGETTO DEFINITIVO – Tabulati di calcolo Tomo 1

Frecce lungo Y

Ascissa freccia	Combinazione	Freccia	Luce	L/f	L/f,min	Tipo	Verifica
0.839	SLE RA 1	0.00003	1.677	10000	250	Totale	Si
0.839	SLE RA 17	0.00003	1.677	10000	250	Totale	Si
0.894	SLE RA 16	0.00003	1.677	10000	250	Totale	Si
0.894	SLE RA 15	0.00003	1.677	10000	250	Totale	Si
0.839	SLE RA 14	0.00003	1.677	10000	250	Totale	Si
0.727	SLE RA 2	0.00001	1.677	10000	350	Variabile	Si
0.727	SLE RA 17	0	1.677	10000	350	Variabile	Si
0.727	SLE RA 16	-0.00001	1.677	10000	350	Variabile	Si
0.727	SLE RA 15	-0.00001	1.677	10000	350	Variabile	Si
0.671	SLE RA 14	0	1.677	10000	350	Variabile	Si

Superelemento in acciaio a quota "715"-"640" (838; 2268)-(948; 2165)

Caratteristiche del materiale

Acciaio: S275, fyk = 275000

Caratteristiche geometriche

Lunghezza: 1.677

Nodo iniziale: 2141 Nodo finale: 1094

Cerniera iniziale: Mmomenti 1% Cerniera finale: Mmomenti 1%

Sovreresistenza: 0% Sisma Z: No

Caratteristiche della sezione

Sezione	Rotazione	Area	Jx	Jy	ix	iy	Wx	Wy	Wplx	Wply
A1; L100*10; 1; Saldato; S275; 50; 1; 8; 8; 1	180	0.003832	0.0000035319	0.000007759	0.0304	0.045	0.0000492	0.0000739	0.00008974	0.00012727

Comportamento dei calastrelli

Accoppiamento imbottito con funzione statica (§C4.2.4.1.3.1.4 NTC18) nella campata compresa tra le ascisse 0 e 1.677 per sbandamento attorno all'asse y.

Verifiche di resistenza

Verifiche a forza assiale §4.2.4.1.2.1 - §4.2.4.1.2.2 NTC18

X	Comb.	Sfruttamento	Classe	NEd	Nc,Rd	Nt,Rd	Riduzione da taglio	px	py	Verifica
1.677	SLU 76	0.026	3	-26.309	1003.522		1	0	0	Si

Verifiche a forza assiale SLD §4.2.4.1.2.1 - §4.2.4.1.2.2 NTC18

X	Comb.	Sfruttamento	Classe	NEd	Nc,Rd	Nt,Rd	Riduzione da taglio	px	py	Verifica
1.677	SLD 1	0.008	3	-8.087	1003.522		1	0	0	Si

Verifica a taglio X §4.2.4.1.2.4 NTC18

X	Comb.	Sfruttamento	VEd	Vc,Rd	Av	Interazione taglio-torsione	Riduzione torsione	Verifica
1.677	SLV 1	0.003	0.927	302.422	0.002	Non considerata		Si

Verifica a taglio X SLD §4.2.4.1.2.4 NTC18

X	Comb.	Sfruttamento	VEd	Vc,Rd	Av	Interazione taglio-torsione	Riduzione torsione	Verifica
1.677	SLD 16	0.001	-0.401	302.422	0.002	Non considerata		Si

Verifica a taglio Y §4.2.4.1.2.4 NTC18

X	Comb.	Sfruttamento	VEd	Vc,Rd	Av	Interazione taglio-torsione	Riduzione torsione	Verifica
0	SLU 76	0.001	-0.328	302.422	0.002	Non considerata		Si

Verifica a taglio Y SLD §4.2.4.1.2.4 NTC18

X	Comb.	Sfruttamento	VEd	Vc,Rd	Av	Interazione taglio-torsione	Riduzione torsione	Verifica
0	SLD 14	0.001	-0.232	302.422	0.002	Non considerata		Si

Verifica a flessione semplice X §§ 4.2.4.1.2.3 - 4.2.4.1.2.6 - 4.2.4.1.2.7 - 4.2.4.1.2.8 NTC18

X	Comb.	Sfruttamento	Classe	Mx,Ed	Mx,Rd	Rid. Mx,Rd da VEd	px	py	Verifica
0.839	SLU 21	0.004	1	0.09961	23.50374	1	0	0	Si

Verifica a presso/tenso flessione retta X §§ 4.2.4.1.2.3 - 4.2.4.1.2.6 - 4.2.4.1.2.7 - 4.2.4.1.2.8 NTC18

Verifiche eseguite utilizzando la formula conservativa (6.2) §6.2.1 EN 1993-1-1:2005.

X	Comb.	Sfruttamento	Classe	NEd	NRd	Rid. NRd da VEd	Mx,Ed	Mx,Rd	Rid. Mx,Rd da VEd	Rid. Mx,Rd da NEd	px	py	Verifica
0.783	SLU 3	0.007	1	2.38	1003.522	1	0.102	23.5037	1		0	0	Si

Verifica a presso/tenso flessione retta Y §§ 4.2.4.1.2.3 - 4.2.4.1.2.6 - 4.2.4.1.2.7 - 4.2.4.1.2.8 NTC18

Verifiche eseguite utilizzando la formula conservativa (6.2) §6.2.1 EN 1993-1-1:2005.

X	Comb.	Sfruttamento	Classe	NEd	NRd	Rid. NRd da VEd	My,Ed	My,Rd	Rid. My,Rd da VEd	Rid. My,Rd da NEd	px	py	Verifica
1.677	SLU 76	0.031	3	-26.309	1003.522	1	0.0905	19.3536	1		0	0	Si

Verifica a presso/tenso flessione retta Y SLD §§ 4.2.4.1.2.3 - 4.2.4.1.2.6 - 4.2.4.1.2.7 - 4.2.4.1.2.8 NTC18

Verifiche eseguite utilizzando la formula conservativa (6.2) §6.2.1 EN 1993-1-1:2005.

X	Comb.	Sfruttamento	Classe	NEd	NRd	Rid. NRd da VEd	My,Ed	My,Rd	Rid. My,Rd da VEd	Rid. My,Rd da NEd	px	py	Verifica
0.056	SLD 3	0.013	3	-7.723	1003.522	1	-0.1006	19.3536	1		0	0	Si

Verifica a presso/tenso flessione deviata §§ 4.2.4.1.2.3 - 4.2.4.1.2.6 - 4.2.4.1.2.7 - 4.2.4.1.2.8 NTC18

Verifiche eseguite utilizzando la formula conservativa (6.2) §6.2.1 EN 1993-1-1:2005.

Implementazione dei sistemi di confinamento delle emissioni odorigene diffuse dell'impianto di compostaggio esistente nel
Comune di Eboli (SA)
PROGETTO DEFINITIVO – Tabulati di calcolo Tomo 1

X	Comb.	Sfruttamento	Classe	NEd	NRd	Rid. NRd da VEd	Mx,Ed	Mx,Rd	My,Ed	My,Rd	Rid. Mx,Rd da VEd	Rid. Mx,Rd da NEd	Rid. My,Rd da VEd	Rid. My,Rd da NEd	α	β	px	py	Verifica
0.95	SLU 76	0.038	3	-26.182	1003.522	1	0.0957	12.886	0.0911	19.3536	1		1				0	0	Si

Verifica a presso/tenso flessione deviata SLD §§ 4.2.4.1.2.3 - 4.2.4.1.2.6 - 4.2.4.1.2.7 - 4.2.4.1.2.8 NTC18

Verifiche eseguite utilizzando la formula conservativa (6.2) §6.2.1 EN 1993-1-1:2005.

X	Comb.	Sfruttamento	Classe	NEd	NRd	Rid. NRd da VEd	Mx,Ed	Mx,Rd	My,Ed	My,Rd	Rid. Mx,Rd da VEd	Rid. Mx,Rd da NEd	Rid. My,Rd da VEd	Rid. My,Rd da NEd	α	β	px	py	Verifica
0.839	SLD 1	0.02	3	-7.975	1003.522	1	0.0889	12.886	-0.101	19.3536	1		1				0	0	Si

Verifiche ad instabilità

Caratteristiche iniziali

Membratura principale per controllo snellezza; Calcolo di snellezze ed N critici condotti secondo gli assi principali;

Curva X: c; Curva Y: c;

Svergolamento: Nessuno; la verifica a instabilità flesso-torsionale (svergolamento) non verrà eseguita.

Dati per instabilità attorno a x

Controllo della snellezza secondo §4.2.4.1.3.1 NTC18

Numero rit.	Presente	Ascissa	Campata	βx/m	Vincolo a entrambi estremi	λx/m	λVer
1	Si			0			
			1-2		1	55.2	Si, (<200)
2	Si	1.677					

Dati per instabilità attorno a y

Controllo della snellezza secondo §4.2.4.1.3.1 NTC18

Numero rit.	Presente	Ascissa	Campata	βy/n	k,LT	kw,LT	Vincolo a entrambi estremi
1	Si			0			
			1-2		1	40.7	Si, (<200)
2	Si	1.677					

Verifica di stabilità per pressoflessione §C.4.2.4.1.3.3.1 NTC18

X	Comb.	Sfruttamento	Classe	NEd	MxEq,Ed	MyEq,Ed	Area	Wx	Wy	χ,min	λ adim. x/m	λ adim. y/n	N,crit x/m	N,crit y/n	Verifica
1.677	SLU 76	0.045	3	-26.309	0.0718	0.0914	0.003832	0.0000492	0.0000739	0.764	0.636	0.469	2602.776	4783.72	Si

Verifica di stabilità per pressoflessione SLD §C.4.2.4.1.3.3.1 NTC18

X	Comb.	Sfruttamento	Classe	NEd	MxEq,Ed	MyEq,Ed	Area	Wx	Wy	χ,min	λ adim. x/m	λ adim. y/n	N,crit x/m	N,crit y/n	Verifica
1.677	SLD 2	0.023	3	-8.087	0.0745	-0.1315	0.003832	0.0000492	0.0000739	0.764	0.636	0.469	2602.776	4783.72	Si

Verifiche a deformabilità

Mensola X: No; Mensola Y: No.

Frecce lungo X

Ascissa freccia	Combinazione	Freccia	Luce	L/f	L/f,min	Tipo	Verifica
0.783	SLE RA 1	0	1.677	10000	250	Totale	Si
0.783	SLE RA 17	0	1.677	10000	250	Totale	Si
0.783	SLE RA 16	0	1.677	10000	250	Totale	Si
0.783	SLE RA 15	0	1.677	10000	250	Totale	Si
0.783	SLE RA 14	0	1.677	10000	250	Totale	Si
0.783	SLE RA 2	0	1.677	10000	350	Variabile	Si
0.783	SLE RA 17	0	1.677	10000	350	Variabile	Si
0.783	SLE RA 16	0	1.677	10000	350	Variabile	Si
0.783	SLE RA 15	0	1.677	10000	350	Variabile	Si
0.783	SLE RA 14	0	1.677	10000	350	Variabile	Si

Frecce lungo Y

Ascissa freccia	Combinazione	Freccia	Luce	L/f	L/f,min	Tipo	Verifica
0.839	SLE RA 1	0.00004	1.677	10000	250	Totale	Si
0.839	SLE RA 17	0.00003	1.677	10000	250	Totale	Si
0.839	SLE RA 16	0.00003	1.677	10000	250	Totale	Si
0.894	SLE RA 15	0.00003	1.677	10000	250	Totale	Si
0.839	SLE RA 14	0.00003	1.677	10000	250	Totale	Si
0.727	SLE RA 2	0	1.677	10000	350	Variabile	Si
0.727	SLE RA 17	0	1.677	10000	350	Variabile	Si
0.727	SLE RA 16	0	1.677	10000	350	Variabile	Si
0.727	SLE RA 15	-0.00001	1.677	10000	350	Variabile	Si
0.727	SLE RA 14	0	1.677	10000	350	Variabile	Si

Superelemento in acciaio a quota "715"- "640" (1088; 2531)-(1197; 2428)

Caratteristiche del materiale

Acciaio: S275, fyk = 275000

Caratteristiche geometriche

Lunghezza: 1.677

Nodo iniziale: 2174 Nodo finale: 1235

Cerniera iniziale: Mmomenti 1% Cerniera finale: Mmomenti 1%

Sovraresistenza: 0% Sisma Z: No

Caratteristiche della sezione

Sezione	Rotazione	Area	Jx	Jy	ix	iy	Wx	Wy	Wplx	Wply
A1; L100*10; 1; Saldato; S275; 50; 1; 8; 8; 1	180	0.003832	0.0000035319	0.000007759	0.0304	0.045	0.0000492	0.0000739	0.00008974	0.00012727

**Implementazione dei sistemi di confinamento delle emissioni odorigene diffuse dell'impianto di compostaggio esistente nel
Comune di Eboli (SA)
PROGETTO DEFINITIVO – Tabulati di calcolo Tomo 1**

Comportamento dei calastrelli

Accoppiamento imbottito con funzione statica (§C4.2.4.1.3.1.4 NTC18) nella campata compresa tra le ascisse 0 e 1.677 per sbandamento attorno all'asse y.

Verifiche di resistenza

Verifiche a forza assiale §4.2.4.1.2.1 - §4.2.4.1.2.2 NTC18

X	Comb.	Sfruttamento	Classe	NEd	Nc,Rd	Nt,Rd	Riduzione da taglio	px	py	Verifica
0	SLU 75	0.019		18.812		1003.522	1	0	0	Si

Verifiche a forza assiale SLD §4.2.4.1.2.1 - §4.2.4.1.2.2 NTC18

X	Comb.	Sfruttamento	Classe	NEd	Nc,Rd	Nt,Rd	Riduzione da taglio	px	py	Verifica
0	SLD 15	0.01		9.961		1003.522	1	0	0	Si

Verifica a taglio X §4.2.4.1.2.4 NTC18

X	Comb.	Sfruttamento	VEd	Vc,Rd	Av	Interazione taglio-torsione	Riduzione torsione	Verifica
1.677	SLV 2	0.003	0.863	302.422	0.002	Non considerata		Si

Verifica a taglio Y §4.2.4.1.2.4 NTC18

X	Comb.	Sfruttamento	VEd	Vc,Rd	Av	Interazione taglio-torsione	Riduzione torsione	Verifica
0	SLU 76	0.001	-0.331	302.422	0.002	Non considerata		Si

Verifica a taglio Y SLD §4.2.4.1.2.4 NTC18

X	Comb.	Sfruttamento	VEd	Vc,Rd	Av	Interazione taglio-torsione	Riduzione torsione	Verifica
0	SLD 16	0.001	-0.235	302.422	0.002	Non considerata		Si

Verifica a flessione semplice X §§ 4.2.4.1.2.3 - 4.2.4.1.2.6 - 4.2.4.1.2.7 - 4.2.4.1.2.8 NTC18

X	Comb.	Sfruttamento	Classe	Mx,Ed	Mx,Rd	Rid. Mx,Rd da VEd	px	py	Verifica
0.783	SLU 2	0.004	1	0.10397	23.50374	1	0	0	Si

Verifica a presso/tenso flessione retta X §§ 4.2.4.1.2.3 - 4.2.4.1.2.6 - 4.2.4.1.2.7 - 4.2.4.1.2.8 NTC18

Verifiche eseguite utilizzando la formula conservativa (6.2) §6.2.1 EN 1993-1-1:2005.

X	Comb.	Sfruttamento	Classe	NEd	NRd	Rid. NRd da VEd	Mx,Ed	Mx,Rd	Rid. Mx,Rd da VEd	Rid. Mx,Rd da NEd	px	py	Verifica
0.894	SLU 75	0.023	1	18.656	1003.522	1	0.1094	23.5037	1		0	0	Si

Verifica a presso/tenso flessione retta Y §§ 4.2.4.1.2.3 - 4.2.4.1.2.6 - 4.2.4.1.2.7 - 4.2.4.1.2.8 NTC18

Verifiche eseguite utilizzando la formula conservativa (6.2) §6.2.1 EN 1993-1-1:2005.

X	Comb.	Sfruttamento	Classe	NEd	NRd	Rid. NRd da VEd	My,Ed	My,Rd	Rid. My,Rd da VEd	Rid. My,Rd da NEd	px	py	Verifica
0.112	SLV 15	0.025	1	15.198	1003.522	1	0.3325	33.3316	1		0	0	Si

Verifica a presso/tenso flessione retta Y SLD §§ 4.2.4.1.2.3 - 4.2.4.1.2.6 - 4.2.4.1.2.7 - 4.2.4.1.2.8 NTC18

Verifiche eseguite utilizzando la formula conservativa (6.2) §6.2.1 EN 1993-1-1:2005.

X	Comb.	Sfruttamento	Classe	NEd	NRd	Rid. NRd da VEd	My,Ed	My,Rd	Rid. My,Rd da VEd	Rid. My,Rd da NEd	px	py	Verifica
0.056	SLD 15	0.014	1	9.953	1003.522	1	0.1389	33.3316	1		0	0	Si

Verifica a presso/tenso flessione deviata §§ 4.2.4.1.2.3 - 4.2.4.1.2.6 - 4.2.4.1.2.7 - 4.2.4.1.2.8 NTC18

Verifiche eseguite utilizzando la formula conservativa (6.2) §6.2.1 EN 1993-1-1:2005.

X	Comb.	Sfruttamento	Classe	NEd	NRd	Rid. NRd da VEd	Mx,Ed	Mx,Rd	My,Ed	My,Rd	Rid. Mx,Rd da VEd	Rid. Mx,Rd da NEd	Rid. My,Rd da VEd	Rid. My,Rd da NEd	α	β	px	py	Verifica
0	SLV 15	0.027	1	15.213	1003.522	1	-0.0248	23.5037	0.3542	33.3316	1		1				0	0	Si

Verifica a presso/tenso flessione deviata SLD §§ 4.2.4.1.2.3 - 4.2.4.1.2.6 - 4.2.4.1.2.7 - 4.2.4.1.2.8 NTC18

Verifiche eseguite utilizzando la formula conservativa (6.2) §6.2.1 EN 1993-1-1:2005.

X	Comb.	Sfruttamento	Classe	NEd	NRd	Rid. NRd da VEd	Mx,Ed	Mx,Rd	My,Ed	My,Rd	Rid. Mx,Rd da VEd	Rid. Mx,Rd da NEd	Rid. My,Rd da VEd	Rid. My,Rd da NEd	α	β	px	py	Verifica
0.671	SLD 15	0.016	1	9.87	1003.522	1	0.0809	23.5037	0.0904	33.3316	1		1				0	0	Si

Verifiche ad instabilità

Caratteristiche iniziali

Membratura principale per controllo snellezza; Calcolo di snellezze ed N critici condotti secondo gli assi principali;

Curva X: c; Curva Y: c;

Svergolamento: Nessuno; la verifica a instabilità flesso-torsionale (svergolamento) non verrà eseguita.

Dati per instabilità attorno a x

Controllo della snellezza secondo §4.2.4.1.3.1 NTC18

Numero rit.	Presente	Ascissa	Campata	βx/m	Vincolo a entrambi estremi	λx/m	λVer
1	Si	0					
			1-2		1	55.2	Si, (<200)
2	Si	1.677					

Dati per instabilità attorno a y

Controllo della snellezza secondo §4.2.4.1.3.1 NTC18

Numero rit.	Presente	Ascissa	Campata	βy/n	k,LT	kw,LT	Vincolo a entrambi estremi
1	Si	0					
			1-2		1	40.7	Si, (<200)
2	Si	1.677					

Verifica di stabilità per pressoflessione §C.4.2.4.1.3.3.1 NTC18

X	Comb.	Sfruttamento	Classe	NEd	MxEq,Ed	MyEq,Ed	Area	Wx	Wy	x,min	λ adim. x/m	λ adim. y/n	N,crit x/m	N,crit y/n	Verifica
1.677	SLV 2	0.024	3	-2.387	0.0838	-0.2686	0.003832	0.0000492	0.0000739	0.764	0.636	0.469	2602.776	4783.72	Si

Implementazione dei sistemi di confinamento delle emissioni odorigene diffuse dell'impianto di compostaggio esistente nel
Comune di Eboli (SA)
PROGETTO DEFINITIVO – Tabulati di calcolo Tomo 1

Verifiche a deformabilità

Mensola X: No; Mensola Y: No.

Frecce lungo X

Ascissa freccia	Combinazione	Freccia	Luce	L/f	L/f,min	Tipo	Verifica
0.559	SLE RA 1	0	1.677	10000	250	Totale	Si
1.23	SLE RA 17	0	1.677	10000	250	Totale	Si
1.006	SLE RA 16	0	1.677	10000	250	Totale	Si
0.95	SLE RA 15	0	1.677	10000	250	Totale	Si
0.559	SLE RA 14	0	1.677	10000	250	Totale	Si
0.839	SLE RA 2	0	1.677	10000	350	Variabile	Si
0.839	SLE RA 17	0	1.677	10000	350	Variabile	Si
0.839	SLE RA 16	0	1.677	10000	350	Variabile	Si
0.839	SLE RA 15	0	1.677	10000	350	Variabile	Si
0.783	SLE RA 14	0	1.677	10000	350	Variabile	Si

Frecce lungo Y

Ascissa freccia	Combinazione	Freccia	Luce	L/f	L/f,min	Tipo	Verifica
0.839	SLE RA 1	0.00004	1.677	10000	250	Totale	Si
0.839	SLE RA 17	0.00003	1.677	10000	250	Totale	Si
0.839	SLE RA 16	0.00003	1.677	10000	250	Totale	Si
0.894	SLE RA 15	0.00003	1.677	10000	250	Totale	Si
0.839	SLE RA 14	0.00003	1.677	10000	250	Totale	Si
0.727	SLE RA 2	0	1.677	10000	350	Variabile	Si
0.727	SLE RA 17	0	1.677	10000	350	Variabile	Si
0.727	SLE RA 16	0	1.677	10000	350	Variabile	Si
0.727	SLE RA 15	-0.00001	1.677	10000	350	Variabile	Si
0.671	SLE RA 14	0	1.677	10000	350	Variabile	Si

Superelemento in acciaio a quota "715"- "640" (1342; 2803)-(1452; 2700)

Caratteristiche del materiale

Acciaio: S275, fyk = 275000

Caratteristiche geometriche

Lunghezza: 1.677

Nodo iniziale: 2204 Nodo finale: 1352

Cerniera iniziale: Mmomenti 1% Cerniera finale: Mmomenti 1%

Sovreresistenza: 0% Sisma Z: No

Caratteristiche della sezione

Sezione	Rotazione	Area	Jx	Jy	ix	iy	Wx	Wy	Wplx	Wply
Al; L100*10; 1; Saldato; S275; 50; 1; 8; 8; 1	180	0.003832	0.0000035319	0.000007759	0.0304	0.045	0.0000492	0.0000739	0.00008974	0.00012727

Comportamento dei calastrelli

Accoppiamento imbottito con funzione statica (§C4.2.4.1.3.1.4 NTC18) nella campata compresa tra le ascisse 0 e 1.677 per sbandamento attorno all'asse y.

Verifiche di resistenza

Verifiche a forza assiale §4.2.4.1.2.1 - §4.2.4.1.2.2 NTC18

X	Comb.	Sfruttamento	Classe	NEd	Nc,Rd	Nt,Rd	Riduzione da taglio	px	py	Verifica
0	SLU 76	0.1		100.18		1003.522	1	0	0	Si

Verifiche a forza assiale SLD §4.2.4.1.2.1 - §4.2.4.1.2.2 NTC18

X	Comb.	Sfruttamento	Classe	NEd	Nc,Rd	Nt,Rd	Riduzione da taglio	px	py	Verifica
0	SLD 3	0.045		45.025		1003.522	1	0	0	Si

Verifica a taglio Y §4.2.4.1.2.4 NTC18

X	Comb.	Sfruttamento	VEd	Vc,Rd	Av	Interazione taglio-torsione	Riduzione torsione	Verifica
1.677	SLU 76	0.001	0.297	302.422	0.002	Non considerata		Si

Verifica a taglio Y SLD §4.2.4.1.2.4 NTC18

X	Comb.	Sfruttamento	VEd	Vc,Rd	Av	Interazione taglio-torsione	Riduzione torsione	Verifica
1.677	SLD 4	0.001	0.227	302.422	0.002	Non considerata		Si

Verifica a presso/tenso flessione retta X §§ 4.2.4.1.2.3 - 4.2.4.1.2.6 - 4.2.4.1.2.7 - 4.2.4.1.2.8 NTC18

Verifiche eseguite utilizzando la formula conservativa (6.2) §6.2.1 EN 1993-1-1:2005.

X	Comb.	Sfruttamento	Classe	NEd	NRd	Rid. NRd da VEd	Mx,Ed	Mx,Rd	Rid. Mx,Rd da VEd	Rid. Mx,Rd da NEd	px	py	Verifica
1.342	SLU 76	0.103	1	99.946	1003.522	1	0.0821	23.5037	1		0	0	Si

Verifica a presso/tenso flessione retta X SLD §§ 4.2.4.1.2.3 - 4.2.4.1.2.6 - 4.2.4.1.2.7 - 4.2.4.1.2.8 NTC18

Verifiche eseguite utilizzando la formula conservativa (6.2) §6.2.1 EN 1993-1-1:2005.

X	Comb.	Sfruttamento	Classe	NEd	NRd	Rid. NRd da VEd	Mx,Ed	Mx,Rd	Rid. Mx,Rd da VEd	Rid. Mx,Rd da NEd	px	py	Verifica
1.342	SLD 8	0.047	1	44.786	1003.522	1	0.0616	23.5037	1		0	0	Si

Verifica a presso/tenso flessione retta Y §§ 4.2.4.1.2.3 - 4.2.4.1.2.6 - 4.2.4.1.2.7 - 4.2.4.1.2.8 NTC18

Verifiche eseguite utilizzando la formula conservativa (6.2) §6.2.1 EN 1993-1-1:2005.

X	Comb.	Sfruttamento	Classe	NEd	NRd	Rid. NRd da VEd	My,Ed	My,Rd	Rid. My,Rd da VEd	Rid. My,Rd da NEd	px	py	Verifica
0	SLV 4	0.061	1	56.389	1003.522	1	-0.1473	33.3316	1		0	0	Si

Implementazione dei sistemi di confinamento delle emissioni odorigene diffuse dell'impianto di compostaggio esistente nel
Comune di Eboli (SA)

PROGETTO DEFINITIVO – Tabulati di calcolo Tomo 1

Verifica a presso/tenso flessione retta Y SLD §§ 4.2.4.1.2.3 - 4.2.4.1.2.6 - 4.2.4.1.2.7 - 4.2.4.1.2.8 NTC18

Verifiche eseguite utilizzando la formula conservativa (6.2) §6.2.1 EN 1993-1-1:2005.

X	Comb.	Sfruttamento	Classe	NEd	NRd	Rid. NRd da VEd	My,Ed	My,Rd	Rid. My,Rd da VEd	Rid. My,Rd da NEd	px	py	Verifica
0	SLD 3	0.047	1	45.025	1003.522	1	-0.0703	33.3316	1		0	0	Si

Verifica a presso/tenso flessione deviata §§ 4.2.4.1.2.3 - 4.2.4.1.2.6 - 4.2.4.1.2.7 - 4.2.4.1.2.8 NTC18

Verifiche eseguite utilizzando la formula conservativa (6.2) §6.2.1 EN 1993-1-1:2005.

X	Comb.	Sfruttamento	Classe	NEd	NRd	Rid. NRd da VEd	Mx,Ed	Mx,Rd	My,Ed	My,Rd	Rid. Mx,Rd da VEd	Rid. Mx,Rd da NEd	Rid. My,Rd da VEd	Rid. My,Rd da NEd	α	β	px	py	Verifica
0.783	SLU 76	0.106	1	100.043	1003.522	1	0.128	23.5037	-0.0232	33.3316	1		1				0	0	Si

Verifica a presso/tenso flessione deviata SLD §§ 4.2.4.1.2.3 - 4.2.4.1.2.6 - 4.2.4.1.2.7 - 4.2.4.1.2.8 NTC18

Verifiche eseguite utilizzando la formula conservativa (6.2) §6.2.1 EN 1993-1-1:2005.

X	Comb.	Sfruttamento	Classe	NEd	NRd	Rid. NRd da VEd	Mx,Ed	Mx,Rd	My,Ed	My,Rd	Rid. Mx,Rd da VEd	Rid. Mx,Rd da NEd	Rid. My,Rd da VEd	Rid. My,Rd da NEd	α	β	px	py	Verifica
0.727	SLD 3	0.05	1	44.927	1003.522	1	0.095	23.5037	-0.0384	33.3316	1		1				0	0	Si

Verifiche ad instabilità

Caratteristiche iniziali

Membratura principale per controllo snellezza; Calcolo di snellezze ed N critici condotti secondo gli assi principali;

Curva X: c; Curva Y: c;

Svergolamento: Nessuno; la verifica a instabilità flesso-torsionale (svergolamento) non verrà eseguita.

Dati per instabilità attorno a x

Controllo della snellezza secondo §4.2.4.1.3.1 NTC18

Numero rit.	Presente	Ascissa	Campata	βx/m	Vincolo a entrambi estremi	λx/m	λVer
1	Si	0					
			1-2	1	Si	55.2	Si, (<200)
2	Si	1.677					

Dati per instabilità attorno a y

Controllo della snellezza secondo §4.2.4.1.3.1 NTC18

Numero rit.	Presente	Ascissa	Campata	βy/n	k,LT	kw,LT	Vincolo a entrambi estremi
1	Si	0					
			1-2	1	Si	40.8	Si, (<200)
2	Si	1.677					

Verifica di stabilità per pressoflessione §C.4.2.4.1.3.3.1 NTC18

X	Comb.	Sfruttamento	Classe	NEd	MxEq,Ed	MyEq,Ed	Area	Wx	Wy	χ,min	λ adim. x/m	λ adim. y/n	N,crit x/m	N,crit y/n	Verifica
1.677	SLU 2	0.008	3	-1.45	0.081	0.0043	0.003832	0.0000492	0.0000739	0.764	0.636	0.469	2601.686	4782.044	Si

Verifiche a deformabilità

Mensola X: No; Mensola Y: No.

Frecce lungo X

Ascissa freccia	Combinazione	Freccia	Luce	L/f	L/f,min	Tipo	Verifica
0.671	SLE RA 1	0	1.677	10000	250	Totale	Si
0.671	SLE RA 17	0	1.677	10000	250	Totale	Si
0.671	SLE RA 16	0	1.677	10000	250	Totale	Si
0.671	SLE RA 15	0	1.677	10000	250	Totale	Si
0.671	SLE RA 14	0	1.677	10000	250	Totale	Si
0.727	SLE RA 2	0	1.677	10000	350	Variabile	Si
0.727	SLE RA 17	0	1.677	10000	350	Variabile	Si
0.727	SLE RA 16	0	1.677	10000	350	Variabile	Si
0.727	SLE RA 15	0	1.677	10000	350	Variabile	Si
0.671	SLE RA 14	0	1.677	10000	350	Variabile	Si

Frecce lungo Y

Ascissa freccia	Combinazione	Freccia	Luce	L/f	L/f,min	Tipo	Verifica
0.839	SLE RA 1	0.00004	1.677	10000	250	Totale	Si
0.839	SLE RA 17	0.00004	1.677	10000	250	Totale	Si
0.839	SLE RA 16	0.00004	1.677	10000	250	Totale	Si
0.839	SLE RA 15	0.00004	1.677	10000	250	Totale	Si
0.839	SLE RA 14	0.00004	1.677	10000	250	Totale	Si
0.783	SLE RA 2	0	1.677	10000	350	Variabile	Si
0.783	SLE RA 17	0	1.677	10000	350	Variabile	Si
0.783	SLE RA 16	0	1.677	10000	350	Variabile	Si
0.783	SLE RA 15	0	1.677	10000	350	Variabile	Si
0.783	SLE RA 14	0	1.677	10000	350	Variabile	Si

Superelemento in acciaio a quota "715"- "640" (-186; 1180)-(-77; 1077)

Caratteristiche del materiale

Acciaio: S275, fyk = 275000

Caratteristiche geometriche

Lunghezza: 1.677

Nodo iniziale: 2102 Nodo finale: 882

Cerniera iniziale: Mmomenti 1% Cerniera finale: Mmomenti 1%

Sovreresistenza: 0% Sisma Z: No

Caratteristiche della sezione

Sezione	Rotazione	Area	Jx	Jy	ix	iy	Wx	Wy	Wplx	Wply
---------	-----------	------	----	----	----	----	----	----	------	------

**Implementazione dei sistemi di confinamento delle emissioni odorigene diffuse dell'impianto di compostaggio esistente nel
Comune di Eboli (SA)**

PROGETTO DEFINITIVO – Tabulati di calcolo Tomo 1

Sezione	Rotazione	Area	Jx	Jy	ix	iy	Wx	Wy	Wpix	Wply
A1; L100*10; 1; Saldato; S275; 50; 1; 8; 8; 1	180	0.003832	0.0000035319	0.000007759	0.0304	0.045	0.0000492	0.0000739	0.00008974	0.00012727

Comportamento dei calastrelli

Accoppiamento imbottito con funzione statica (§C4.2.4.1.3.1.4 NTC18) nella campata compresa tra le ascisse 0 e 1.677 per sbandamento attorno all'asse y.

Verifiche di resistenza

Verifiche a forza assiale §4.2.4.1.2.1 - §4.2.4.1.2.2 NTC18

X	Comb.	Sfruttamento	Classe	NEd	Nc,Rd	Nt,Rd	Riduzione da taglio	px	py	Verifica
1.677	SLU 76	0.025	3	-25.241	1003.522		1	0	0	Si

Verifiche a forza assiale SLD §4.2.4.1.2.1 - §4.2.4.1.2.2 NTC18

X	Comb.	Sfruttamento	Classe	NEd	Nc,Rd	Nt,Rd	Riduzione da taglio	px	py	Verifica
1.677	SLD 1	0.008	3	-7.802	1003.522		1	0	0	Si

Verifica a taglio X §4.2.4.1.2.4 NTC18

X	Comb.	Sfruttamento	VEd	Vc,Rd	Av	Interazione taglio-torsione	Riduzione torsione	Verifica
1.677	SLV 2	0.003	0.982	302.422	0.002	Non considerata		Si

Verifica a taglio X SLD §4.2.4.1.2.4 NTC18

X	Comb.	Sfruttamento	VEd	Vc,Rd	Av	Interazione taglio-torsione	Riduzione torsione	Verifica
1.677	SLD 2	0.001	0.423	302.422	0.002	Non considerata		Si

Verifica a taglio Y §4.2.4.1.2.4 NTC18

X	Comb.	Sfruttamento	VEd	Vc,Rd	Av	Interazione taglio-torsione	Riduzione torsione	Verifica
0	SLU 76	0.001	-0.328	302.422	0.002	Non considerata		Si

Verifica a taglio Y SLD §4.2.4.1.2.4 NTC18

X	Comb.	Sfruttamento	VEd	Vc,Rd	Av	Interazione taglio-torsione	Riduzione torsione	Verifica
0	SLD 14	0.001	-0.232	302.422	0.002	Non considerata		Si

Verifica a flessione semplice X §§ 4.2.4.1.2.3 - 4.2.4.1.2.6 - 4.2.4.1.2.7 - 4.2.4.1.2.8 NTC18

X	Comb.	Sfruttamento	Classe	Mx,Ed	Mx,Rd	Rid. Mx,Rd da VEd	px	py	Verifica
0.839	SLU 40	0.006	1	0.12997	23.50374	1	0	0	Si

Verifica a presso/tenso flessione retta X §§ 4.2.4.1.2.3 - 4.2.4.1.2.6 - 4.2.4.1.2.7 - 4.2.4.1.2.8 NTC18

Verifiche eseguite utilizzando la formula conservativa (6.2) §6.2.1 EN 1993-1-1:2005.

X	Comb.	Sfruttamento	Classe	NEd	NRd	Rid. NRd da VEd	Mx,Ed	Mx,Rd	Rid. Mx,Rd da VEd	Rid. Mx,Rd da NEd	px	py	Verifica
0.783	SLU 3	0.007	1	3.15	1003.522	1	0.1024	23.5037	1		0	0	Si

Verifica a presso/tenso flessione retta Y §§ 4.2.4.1.2.3 - 4.2.4.1.2.6 - 4.2.4.1.2.7 - 4.2.4.1.2.8 NTC18

Verifiche eseguite utilizzando la formula conservativa (6.2) §6.2.1 EN 1993-1-1:2005.

X	Comb.	Sfruttamento	Classe	NEd	NRd	Rid. NRd da VEd	My,Ed	My,Rd	Rid. My,Rd da VEd	Rid. My,Rd da NEd	px	py	Verifica
1.677	SLU 76	0.03	3	-25.241	1003.522	1	-0.0855	19.3536	1		0	0	Si

Verifica a presso/tenso flessione retta Y SLD §§ 4.2.4.1.2.3 - 4.2.4.1.2.6 - 4.2.4.1.2.7 - 4.2.4.1.2.8 NTC18

Verifiche eseguite utilizzando la formula conservativa (6.2) §6.2.1 EN 1993-1-1:2005.

X	Comb.	Sfruttamento	Classe	NEd	NRd	Rid. NRd da VEd	My,Ed	My,Rd	Rid. My,Rd da VEd	Rid. My,Rd da NEd	px	py	Verifica
0.056	SLD 3	0.013	3	-7.399	1003.522	1	-0.1058	19.3536	1		0	0	Si

Verifica a presso/tenso flessione deviata §§ 4.2.4.1.2.3 - 4.2.4.1.2.6 - 4.2.4.1.2.7 - 4.2.4.1.2.8 NTC18

Verifiche eseguite utilizzando la formula conservativa (6.2) §6.2.1 EN 1993-1-1:2005.

X	Comb.	Sfruttamento	Classe	NEd	NRd	Rid. NRd da VEd	Mx,Ed	Mx,Rd	My,Ed	My,Rd	Rid. Mx,Rd da VEd	Rid. Mx,Rd da NEd	Rid. My,Rd da VEd	Rid. My,Rd da NEd	α	β	px	py	Verifica
0.95	SLU 76	0.037	3	-25.114	1003.522	1	0.0956	12.886	-0.0854	19.3536	1		1				0	0	Si

Verifica a presso/tenso flessione deviata SLD §§ 4.2.4.1.2.3 - 4.2.4.1.2.6 - 4.2.4.1.2.7 - 4.2.4.1.2.8 NTC18

Verifiche eseguite utilizzando la formula conservativa (6.2) §6.2.1 EN 1993-1-1:2005.

X	Comb.	Sfruttamento	Classe	NEd	NRd	Rid. NRd da VEd	Mx,Ed	Mx,Rd	My,Ed	My,Rd	Rid. Mx,Rd da VEd	Rid. Mx,Rd da NEd	Rid. My,Rd da VEd	Rid. My,Rd da NEd	α	β	px	py	Verifica
0.95	SLD 5	0.019	3	-7.701	1003.522	1	0.088	12.886	-0.0962	19.3536	1		1				0	0	Si

Verifiche ad instabilità

Caratteristiche iniziali

Membratura principale per controllo snellezza; Calcolo di snellezze ed N critici condotti secondo gli assi principali;

Curva X: c; Curva Y: c;

Svergolamento: Nessuno; la verifica a instabilità flesso-torsionale (svergolamento) non verrà eseguita.

Dati per instabilità attorno a x

Controllo della snellezza secondo §4.2.4.1.3.1 NTC18

Numero rit.	Presente	Ascissa	Campata	βx/m	Vincolo a entrambi estremi	λx/m	λVer
1	Si	0					
			1-2	1	Si	55.2	Si, (<200)
2	Si	1.677					

Dati per instabilità attorno a y

Controllo della snellezza secondo §4.2.4.1.3.1 NTC18

Numero rit.	Presente	Ascissa	Campata	βy/n	k,LT	kw,LT	Vincolo a entrambi estremi
-------------	----------	---------	---------	------	------	-------	----------------------------

Implementazione dei sistemi di confinamento delle emissioni odorigene diffuse dell’impianto di compostaggio esistente nel
Comune di Eboli (SA)

PROGETTO DEFINITIVO – Tabulati di calcolo Tomo 1

Numero rit.	Presente	Ascissa	Campata	$\beta y/n$	k,LT	kw,LT	Vincolo a entrambi estremi
1	Si	0					
			1-2	1	Si	40.7	Si, (<200)
2	Si	1.677					

Verifica di stabilità per pressoflessione §C.4.2.4.1.3.3.1 NTC18

X	Comb.	Sfruttamento	Classe	NEd	MxEq,Ed	MyEq,Ed	Area	Wx	Wy	x_{min}	$\lambda_{adim. x/m}$	$\lambda_{adim. y/n}$	N,crit x/m	N,crit y/n	Verifica
1.677	SLU 76	0.043	3	-25.241	0.0717	-0.0854	0.003832	0.0000492	0.0000739	0.764	0.636	0.469	2602.776	4783.72	Si

Verifica di stabilità per pressoflessione SLD §C.4.2.4.1.3.3.1 NTC18

X	Comb.	Sfruttamento	Classe	NEd	MxEq,Ed	MyEq,Ed	Area	Wx	Wy	x_{min}	$\lambda_{adim. x/m}$	$\lambda_{adim. y/n}$	N,crit x/m	N,crit y/n	Verifica
1.677	SLD 2	0.023	3	-7.802	0.0746	-0.1386	0.003832	0.0000492	0.0000739	0.764	0.636	0.469	2602.776	4783.72	Si

Verifiche a deformabilità

Mensola X: No; Mensola Y: No.

Frecce lungo X

Ascissa freccia	Combinazione	Freccia	Luce	L/f	L/f,min	Tipo	Verifica
0.783	SLE RA 1	0	1.677	10000	250	Totale	Si
0.783	SLE RA 17	0	1.677	10000	250	Totale	Si
0.783	SLE RA 16	0	1.677	10000	250	Totale	Si
0.783	SLE RA 15	0	1.677	10000	250	Totale	Si
0.783	SLE RA 14	0	1.677	10000	250	Totale	Si
0.783	SLE RA 2	0	1.677	10000	350	Variabile	Si
0.783	SLE RA 17	0	1.677	10000	350	Variabile	Si
0.783	SLE RA 16	0	1.677	10000	350	Variabile	Si
0.783	SLE RA 15	0	1.677	10000	350	Variabile	Si
0.783	SLE RA 14	0	1.677	10000	350	Variabile	Si

Frecce lungo Y

Ascissa freccia	Combinazione	Freccia	Luce	L/f	L/f,min	Tipo	Verifica
0.839	SLE RA 1	0.00004	1.677	10000	250	Totale	Si
0.839	SLE RA 17	0.00003	1.677	10000	250	Totale	Si
0.839	SLE RA 16	0.00003	1.677	10000	250	Totale	Si
0.894	SLE RA 15	0.00003	1.677	10000	250	Totale	Si
0.839	SLE RA 14	0.00003	1.677	10000	250	Totale	Si
0.727	SLE RA 2	0	1.677	10000	350	Variabile	Si
0.727	SLE RA 17	0	1.677	10000	350	Variabile	Si
0.727	SLE RA 16	0	1.677	10000	350	Variabile	Si
0.727	SLE RA 15	-0.00001	1.677	10000	350	Variabile	Si
0.727	SLE RA 14	0	1.677	10000	350	Variabile	Si

Superelemento in acciaio a quota "715"- "640" (-435; 916)-(-326; 813)

Caratteristiche del materiale

Acciaio: S275, fyk = 275000

Caratteristiche geometriche

Lunghezza: 1.677

Nodo iniziale: 2092 Nodo finale: 830

Cerniera iniziale: Mmomenti 1% Cerniera finale: Mmomenti 1%

Sovreresistenza: 0% Sisma Z: No

Caratteristiche della sezione

Sezione	Rotazione	Area	Jx	Jy	ix	iy	Wx	Wy	Wplx	Wply
A1; L100*10; 1; Saldato; S275; 50; 1; 8; 8; 1	180	0.003832	0.0000035319	0.000007759	0.0304	0.045	0.0000492	0.0000739	0.00008974	0.00012727

Comportamento dei calastrelli

Accoppiamento imbottito con funzione statica (§C.4.2.4.1.3.1.4 NTC18) nella campata compresa tra le ascisse 0 e 1.677 per sbandamento attorno all'asse y.

Verifiche di resistenza

Verifiche a forza assiale §4.2.4.1.2.1 - §4.2.4.1.2.2 NTC18

X	Comb.	Sfruttamento	Classe	NEd	Nc,Rd	Nt,Rd	Riduzione da taglio	px	py	Verifica
0	SLU 75	0.017		17.276		1003.522	1	0	0	Si

Verifiche a forza assiale SLD §4.2.4.1.2.1 - §4.2.4.1.2.2 NTC18

X	Comb.	Sfruttamento	Classe	NEd	Nc,Rd	Nt,Rd	Riduzione da taglio	px	py	Verifica
0	SLD 1	0.007		7.365		1003.522	1	0	0	Si

Verifica a taglio X §4.2.4.1.2.4 NTC18

X	Comb.	Sfruttamento	VEd	Vc,Rd	Av	Interazione taglio-torsione	Riduzione torsione	Verifica
1.677	SLV 16	0.001	-0.401	302.422	0.002	Non considerata		Si

Verifica a taglio Y §4.2.4.1.2.4 NTC18

X	Comb.	Sfruttamento	VEd	Vc,Rd	Av	Interazione taglio-torsione	Riduzione torsione	Verifica
0	SLU 76	0.001	-0.311	302.422	0.002	Non considerata		Si

Verifica a taglio Y SLD §4.2.4.1.2.4 NTC18

X	Comb.	Sfruttamento	VEd	Vc,Rd	Av	Interazione taglio-torsione	Riduzione torsione	Verifica
0	SLD 16	0.001	-0.23	302.422	0.002	Non considerata		Si

Implementazione dei sistemi di confinamento delle emissioni odorigene diffuse dell'impianto di compostaggio esistente nel
Comune di Eboli (SA)

PROGETTO DEFINITIVO – Tabulati di calcolo Tomo 1

Verifica a flessione semplice X §§ 4.2.4.1.2.3 - 4.2.4.1.2.6 - 4.2.4.1.2.7 - 4.2.4.1.2.8 NTC18

X	Comb.	Sfruttamento	Classe	Mx,Ed	Mx,Rd	Rid. Mx,Rd da VEd	px	py	Verifica
0.839	SLU 59	0.005	1	0.12503	23.50374	1	0	0	Si

Verifica a flessione semplice Y §§ 4.2.4.1.2.3 - 4.2.4.1.2.6 - 4.2.4.1.2.7 - 4.2.4.1.2.8 NTC18

X	Comb.	Sfruttamento	Classe	My,Ed	My,Rd	Rid. My,Rd da VEd	px	py	Verifica
0.056	SLV 13	0.003	1	0.08816	33.33162	1	0	0	Si

Verifica a flessione deviata §§ 4.2.4.1.2.3 - 4.2.4.1.2.6 - 4.2.4.1.2.7 - 4.2.4.1.2.8 NTC18

X	Comb.	Sfruttamento	Classe	Mx,Ed	Mx,Rd	My,Ed	My,Rd	Rid. Mx,Rd da VEd	Rid. My,Rd da VEd	α	β	px	py	Verifica
0.783	SLV 13	0.006	1	0.0893	23.5037	0.062	33.3316	1	1			0	0	Si

Verifica a presso/tenso flessione retta X §§ 4.2.4.1.2.3 - 4.2.4.1.2.6 - 4.2.4.1.2.7 - 4.2.4.1.2.8 NTC18

Verifiche eseguite utilizzando la formula conservativa (6.2) §6.2.1 EN 1993-1-1:2005.

X	Comb.	Sfruttamento	Classe	NEd	NRd	Rid. NRd da VEd	Mx,Ed	Mx,Rd	Rid. Mx,Rd da VEd	Rid. Mx,Rd da NEd	px	py	Verifica
0.839	SLU 75	0.022	1	17.129	1003.522	1	0.1159	23.5037	1		0	0	Si

Verifica a presso/tenso flessione retta Y §§ 4.2.4.1.2.3 - 4.2.4.1.2.6 - 4.2.4.1.2.7 - 4.2.4.1.2.8 NTC18

Verifiche eseguite utilizzando la formula conservativa (6.2) §6.2.1 EN 1993-1-1:2005.

X	Comb.	Sfruttamento	Classe	NEd	NRd	Rid. NRd da VEd	My,Ed	My,Rd	Rid. My,Rd da VEd	Rid. My,Rd da NEd	px	py	Verifica
0	SLV 2	0.017	1	12.113	1003.522	1	-0.1656	33.3316	1		0	0	Si

Verifica a presso/tenso flessione retta Y SLD §§ 4.2.4.1.2.3 - 4.2.4.1.2.6 - 4.2.4.1.2.7 - 4.2.4.1.2.8 NTC18

Verifiche eseguite utilizzando la formula conservativa (6.2) §6.2.1 EN 1993-1-1:2005.

X	Comb.	Sfruttamento	Classe	NEd	NRd	Rid. NRd da VEd	My,Ed	My,Rd	Rid. My,Rd da VEd	Rid. My,Rd da NEd	px	py	Verifica
0	SLD 1	0.009	1	7.365	1003.522	1	-0.0668	33.3316	1		0	0	Si

Verifica a presso/tenso flessione deviata §§ 4.2.4.1.2.3 - 4.2.4.1.2.6 - 4.2.4.1.2.7 - 4.2.4.1.2.8 NTC18

Verifiche eseguite utilizzando la formula conservativa (6.2) §6.2.1 EN 1993-1-1:2005.

X	Comb.	Sfruttamento	Classe	NEd	NRd	Rid. NRd da VEd	Mx,Ed	Mx,Rd	My,Ed	My,Rd	Rid. Mx,Rd da VEd	Rid. Mx,Rd da NEd	Rid. My,Rd da VEd	Rid. My,Rd da NEd	α	β	px	py	Verifica
0.671	SLV 1	0.019	1	12.023	1003.522	1	0.091	23.5037	-0.1203	33.3316	1		1				0	0	Si

Verifica a presso/tenso flessione deviata SLD §§ 4.2.4.1.2.3 - 4.2.4.1.2.6 - 4.2.4.1.2.7 - 4.2.4.1.2.8 NTC18

Verifiche eseguite utilizzando la formula conservativa (6.2) §6.2.1 EN 1993-1-1:2005.

X	Comb.	Sfruttamento	Classe	NEd	NRd	Rid. NRd da VEd	Mx,Ed	Mx,Rd	My,Ed	My,Rd	Rid. Mx,Rd da VEd	Rid. Mx,Rd da NEd	Rid. My,Rd da VEd	Rid. My,Rd da NEd	α	β	px	py	Verifica
0.783	SLD 1	0.013	1	7.26	1003.522	1	0.0924	23.5037	-0.0455	33.3316	1		1				0	0	Si

Verifiche ad instabilità

Caratteristiche iniziali

Membratura principale per controllo snellezza; Calcolo di snellezze ed N critici condotti secondo gli assi principali;

Curva X: c; Curva Y: c;

Svergolamento: Nessuno; la verifica a instabilità flesso-torsionale (svergolamento) non verrà eseguita.

Dati per instabilità attorno a x

Controllo della snellezza secondo §4.2.4.1.3.1 NTC18

Numero rit.	Presente	Ascissa	Campata	$\beta x/m$	Vincolo a entrambi estremi	$\lambda x/m$	λVer
1	Si		0				
			1-2		1	55.2	Si, (<200)
2	Si		1.677				

Dati per instabilità attorno a y

Controllo della snellezza secondo §4.2.4.1.3.1 NTC18

Numero rit.	Presente	Ascissa	Campata	$\beta y/n$	k,LT	kw,LT	Vincolo a entrambi estremi
1	Si		0				
			1-2		1	40.7	Si, (<200)
2	Si		1.677				

Verifica di stabilità per pressoflessione §C.4.2.4.1.3.3.1 NTC18

X	Comb.	Sfruttamento	Classe	NEd	MxEq,Ed	MyEq,Ed	Area	Wx	Wy	χ_{min}	$\lambda_{adim. x/m}$	$\lambda_{adim. y/n}$	N,crit x/m	N,crit y/n	Verifica
1.677	SLV 16	0.019	3	-3.944	0.0741	0.1583	0.003832	0.0000492	0.0000739	0.764	0.636	0.469	2602.776	4783.72	Si

Verifiche a deformabilità

Mensola X: No; Mensola Y: No.

Frecce lungo X

Ascissa freccia	Combinazione	Freccia	Luce	L/f	L/f,min	Tipo	Verifica
0.727	SLE RA 1	0	1.677	10000	250	Totale	Si
0.783	SLE RA 17	0	1.677	10000	250	Totale	Si
0.783	SLE RA 16	0	1.677	10000	250	Totale	Si
0.727	SLE RA 15	0	1.677	10000	250	Totale	Si
0.783	SLE RA 14	0	1.677	10000	250	Totale	Si
0.783	SLE RA 2	0	1.677	10000	350	Variabile	Si
0.783	SLE RA 17	0	1.677	10000	350	Variabile	Si
0.783	SLE RA 16	0	1.677	10000	350	Variabile	Si
0.727	SLE RA 15	0	1.677	10000	350	Variabile	Si
0.839	SLE RA 14	0	1.677	10000	350	Variabile	Si

Frecce lungo Y

Ascissa freccia	Combinazione	Freccia	Luce	L/f	L/f,min	Tipo	Verifica
0.839	SLE RA 1	0.00004	1.677	10000	250	Totale	Si
0.839	SLE RA 17	0.00004	1.677	10000	250	Totale	Si
0.839	SLE RA 16	0.00003	1.677	10000	250	Totale	Si
0.839	SLE RA 15	0.00003	1.677	10000	250	Totale	Si

Implementazione dei sistemi di confinamento delle emissioni odorigene diffuse dell'impianto di compostaggio esistente nel
Comune di Eboli (SA)

PROGETTO DEFINITIVO – Tabulati di calcolo Tomo 1

Ascissa freccia	Combinazione	Freccia	Luce	L/f	L/f,min	Tipo	Verifica
0.839	SLE RA 14	0.00004	1.677	10000	250	Totale	Si
0.727	SLE RA 2	0	1.677	10000	350	Variabile	Si
0.727	SLE RA 17	0	1.677	10000	350	Variabile	Si
0.727	SLE RA 16	0	1.677	10000	350	Variabile	Si
0.727	SLE RA 15	0	1.677	10000	350	Variabile	Si
0.671	SLE RA 14	0	1.677	10000	350	Variabile	Si

Superelemento in acciaio a quota "715"- "640" (-690; 647)-(-580; 544)

Caratteristiche del materiale

Acciaio: S275, fyk = 275000

Caratteristiche geometriche

Lunghezza: 1.677

Nodo iniziale: 2081 Nodo finale: 778

Cerniera iniziale: Mmomenti 1% Cerniera finale: Mmomenti 1%

Sovreresistenza: 0% Sisma Z: No

Caratteristiche della sezione

Sezione	Rotazione	Area	Jx	Jy	ix	iy	Wx	Wy	Wplx	Wply
A1; L100*10; 1; Saldato; S275; 50; 1; 8; 8; 1	180	0.003832	0.0000035319	0.000007759	0.0304	0.045	0.0000492	0.0000739	0.00008974	0.00012727

Comportamento dei calastrelli

Accoppiamento imbottito con funzione statica (§C4.2.4.1.3.1.4 NTC18) nella campata compresa tra le ascisse 0 e 1.677 per sbandamento attorno all'asse y.

Verifiche di resistenza

Verifiche a forza assiale §4.2.4.1.2.1 - §4.2.4.1.2.2 NTC18

X	Comb.	Sfruttamento	Classe	NEd	Nc,Rd	Nt,Rd	Riduzione da taglio	px	py	Verifica
0	SLU 75	0.037		37.488		1003.522	1	0	0	Si

Verifiche a forza assiale SLD §4.2.4.1.2.1 - §4.2.4.1.2.2 NTC18

X	Comb.	Sfruttamento	Classe	NEd	Nc,Rd	Nt,Rd	Riduzione da taglio	px	py	Verifica
0	SLD 4	0.012		12.11		1003.522	1	0	0	Si

Verifica a taglio Y §4.2.4.1.2.4 NTC18

X	Comb.	Sfruttamento	VEd	Vc,Rd	Av	Interazione taglio-torsione	Riduzione torsione	Verifica
0	SLU 76	0.001	-0.309	302.422	0.002	Non considerata		Si

Verifica a taglio Y SLD §4.2.4.1.2.4 NTC18

X	Comb.	Sfruttamento	VEd	Vc,Rd	Av	Interazione taglio-torsione	Riduzione torsione	Verifica
0	SLD 16	0.001	-0.234	302.422	0.002	Non considerata		Si

Verifica a flessione semplice X §§ 4.2.4.1.2.3 - 4.2.4.1.2.6 - 4.2.4.1.2.7 - 4.2.4.1.2.8 NTC18

X	Comb.	Sfruttamento	Classe	Mx,Ed	Mx,Rd	Rid. Mx,Rd da VEd	px	py	Verifica
0.839	SLU 59	0.005	1	0.12451	23.50374	1	0	0	Si

Verifica a presso/tenso flessione retta X §§ 4.2.4.1.2.3 - 4.2.4.1.2.6 - 4.2.4.1.2.7 - 4.2.4.1.2.8 NTC18

Verifiche eseguite utilizzando la formula conservativa (6.2) §6.2.1 EN 1993-1-1:2005.

X	Comb.	Sfruttamento	Classe	NEd	NRd	Rid. NRd da VEd	Mx,Ed	Mx,Rd	Rid. Mx,Rd da VEd	Rid. Mx,Rd da NEd	px	py	Verifica
0.839	SLU 75	0.042	1	37.341	1003.522	1	0.1172	23.5037	1		0	0	Si

Verifica a presso/tenso flessione retta Y §§ 4.2.4.1.2.3 - 4.2.4.1.2.6 - 4.2.4.1.2.7 - 4.2.4.1.2.8 NTC18

Verifiche eseguite utilizzando la formula conservativa (6.2) §6.2.1 EN 1993-1-1:2005.

X	Comb.	Sfruttamento	Classe	NEd	NRd	Rid. NRd da VEd	My,Ed	My,Rd	Rid. My,Rd da VEd	Rid. My,Rd da NEd	px	py	Verifica
1.677	SLV 1	0.014	1	12.108	1003.522	1	-0.0769	33.3316	1		0	0	Si

Verifica a presso/tenso flessione retta Y SLD §§ 4.2.4.1.2.3 - 4.2.4.1.2.6 - 4.2.4.1.2.7 - 4.2.4.1.2.8 NTC18

Verifiche eseguite utilizzando la formula conservativa (6.2) §6.2.1 EN 1993-1-1:2005.

X	Comb.	Sfruttamento	Classe	NEd	NRd	Rid. NRd da VEd	My,Ed	My,Rd	Rid. My,Rd da VEd	Rid. My,Rd da NEd	px	py	Verifica
1.677	SLD 12	0.013	1	11.719	1003.522	1	0.031	33.3316	1		0	0	Si

Verifica a presso/tenso flessione deviata §§ 4.2.4.1.2.3 - 4.2.4.1.2.6 - 4.2.4.1.2.7 - 4.2.4.1.2.8 NTC18

Verifiche eseguite utilizzando la formula conservativa (6.2) §6.2.1 EN 1993-1-1:2005.

X	Comb.	Sfruttamento	Classe	NEd	NRd	Rid. NRd da VEd	Mx,Ed	Mx,Rd	My,Ed	My,Rd	Rid. Mx,Rd da VEd	Rid. Mx,Rd da NEd	Rid. My,Rd da VEd	Rid. My,Rd da NEd	α	β	px	py	Verifica
0.839	SLV 2	0.018	1	12.221	1003.522	1	0.1032	23.5037	-0.0576	33.3316	1		1				0	0	Si

Verifica a presso/tenso flessione deviata SLD §§ 4.2.4.1.2.3 - 4.2.4.1.2.6 - 4.2.4.1.2.7 - 4.2.4.1.2.8 NTC18

Verifiche eseguite utilizzando la formula conservativa (6.2) §6.2.1 EN 1993-1-1:2005.

X	Comb.	Sfruttamento	Classe	NEd	NRd	Rid. NRd da VEd	Mx,Ed	Mx,Rd	My,Ed	My,Rd	Rid. Mx,Rd da VEd	Rid. Mx,Rd da NEd	Rid. My,Rd da VEd	Rid. My,Rd da NEd	α	β	px	py	Verifica
0.839	SLD 2	0.017	1	11.841	1003.522	1	0.0965	23.5037	-0.0227	33.3316	1		1				0	0	Si

Implementazione dei sistemi di confinamento delle emissioni odorigene diffuse dell'impianto di compostaggio esistente nel
Comune di Eboli (SA)
PROGETTO DEFINITIVO – Tabulati di calcolo Tomo 1

Verifiche ad instabilità

Caratteristiche iniziali

Membratura principale per controllo snellezza; Calcolo di snellezze ed N critici condotti secondo gli assi principali;
Curva X: c; Curva Y: c;
Svergolamento: Nessuno; la verifica a instabilità flessione-torsionale (svergolamento) non verrà eseguita.

Dati per instabilità attorno a x

Controllo della snellezza secondo §4.2.4.1.3.1 NTC18

Numero rit.	Presente	Ascissa	Campata	$\beta x/m$	Vincolo a entrambi estremi	$\lambda x/m$	λVer
1	Si	0					
2	Si	1.677	1-2	1	Si	55.2	Si, (<200)

Dati per instabilità attorno a y

Controllo della snellezza secondo §4.2.4.1.3.1 NTC18

Numero rit.	Presente	Ascissa	Campata	$\beta y/n$	k,LT	kw,LT	Vincolo a entrambi estremi
1	Si	0					
2	Si	1.677	1-2	1	Si	40.7	Si, (<200)

Verifica di stabilità per pressoflessione §C.4.2.4.1.3.3.1 NTC18

X	Comb.	Sfruttamento	Classe	NEd	MxEq,Ed	MyEq,Ed	Area	Wx	Wy	χ_{min}	$\lambda_{adim. x/m}$	$\lambda_{adim. y/n}$	N,crit x/m	N,crit y/n	Verifica
1.677	SLU 2	0.014	3	-5.151	0.0856	-0.0171	0.003832	0.0000492	0.0000739	0.764	0.636	0.469	2602.776	4783.72	Si

Verifiche a deformabilità

Mensola X: No; Mensola Y: No.

Frecce lungo X

Ascissa freccia	Combinazione	Freccia	Luce	L/f	L/f,min	Tipo	Verifica
0.783	SLE RA 1	0	1.677	10000	250	Totale	Si
0.783	SLE RA 17	0	1.677	10000	250	Totale	Si
0.783	SLE RA 16	0	1.677	10000	250	Totale	Si
0.783	SLE RA 15	0	1.677	10000	250	Totale	Si
0.783	SLE RA 14	0	1.677	10000	250	Totale	Si
0.783	SLE RA 2	0	1.677	10000	350	Variabile	Si
0.783	SLE RA 17	0	1.677	10000	350	Variabile	Si
0.783	SLE RA 16	0	1.677	10000	350	Variabile	Si
0.783	SLE RA 15	0	1.677	10000	350	Variabile	Si
0.783	SLE RA 14	0	1.677	10000	350	Variabile	Si

Frecce lungo Y

Ascissa freccia	Combinazione	Freccia	Luce	L/f	L/f,min	Tipo	Verifica
0.839	SLE RA 1	0.00004	1.677	10000	250	Totale	Si
0.839	SLE RA 17	0.00004	1.677	10000	250	Totale	Si
0.839	SLE RA 16	0.00003	1.677	10000	250	Totale	Si
0.839	SLE RA 15	0.00003	1.677	10000	250	Totale	Si
0.839	SLE RA 14	0.00004	1.677	10000	250	Totale	Si
0.671	SLE RA 2	0	1.677	10000	350	Variabile	Si
0.671	SLE RA 17	0	1.677	10000	350	Variabile	Si
0.671	SLE RA 16	0	1.677	10000	350	Variabile	Si
0.727	SLE RA 15	0	1.677	10000	350	Variabile	Si
0.615	SLE RA 14	0	1.677	10000	350	Variabile	Si

Superelemento in acciaio a quota "715"- "640" (-943; 377)-(-834; 275)

Caratteristiche del materiale

Acciaio: S275, fyk = 275000

Caratteristiche geometriche

Lunghezza: 1.677
Nodo iniziale: 2074 Nodo finale: 721
Cerniera iniziale: Mmomenti 1% Cerniera finale: Mmomenti 1%
Sovreresistenza: 0% Sisma Z: No

Caratteristiche della sezione

Sezione	Rotazione	Area	Jx	Jy	ix	iy	Wx	Wy	Wplx	Wply
A1; L100*10; 1; Saldato; S275; 50; 1; 8; 8; 1	180	0.003832	0.0000035319	0.000007759	0.0304	0.045	0.0000492	0.0000739	0.00008974	0.00012727

Comportamento dei calastrelli

Accoppiamento imbottito con funzione statica (§C4.2.4.1.3.1.4 NTC18) nella campata compresa tra le ascisse 0 e 1.677 per sbandamento attorno all'asse y.

Verifiche di resistenza

Verifiche a forza assiale §4.2.4.1.2.1 - §4.2.4.1.2.2 NTC18

X	Comb.	Sfruttamento	Classe	NEd	Nc,Rd	Nt,Rd	Riduzione da taglio	px	py	Verifica
0	SLU 75	0.02		20.158		1003.522	1	0	0	Si

Verifiche a forza assiale SLD §4.2.4.1.2.1 - §4.2.4.1.2.2 NTC18

X	Comb.	Sfruttamento	Classe	NEd	Nc,Rd	Nt,Rd	Riduzione da taglio	px	py	Verifica
0	SLD 15	0.008		8.507		1003.522	1	0	0	Si

**Implementazione dei sistemi di confinamento delle emissioni odorigene diffuse dell'impianto di compostaggio esistente nel
Comune di Eboli (SA)
PROGETTO DEFINITIVO – Tabulati di calcolo Tomo 1**

Verifica a taglio X §4.2.4.1.2.4 NTC18

X	Comb.	Sfruttamento	VEd	Vc,Rd	Av	Interazione taglio-torsione	Riduzione torsione	Verifica
1.677	SLV 2	0.001	0.36	302.422	0.002	Non considerata		Si

Verifica a taglio Y §4.2.4.1.2.4 NTC18

X	Comb.	Sfruttamento	VEd	Vc,Rd	Av	Interazione taglio-torsione	Riduzione torsione	Verifica
0	SLU 76	0.001	-0.313	302.422	0.002	Non considerata		Si

Verifica a taglio Y SLD §4.2.4.1.2.4 NTC18

X	Comb.	Sfruttamento	VEd	Vc,Rd	Av	Interazione taglio-torsione	Riduzione torsione	Verifica
0	SLD 1	0.001	-0.229	302.422	0.002	Non considerata		Si

Verifica a flessione semplice X §§ 4.2.4.1.2.3 - 4.2.4.1.2.6 - 4.2.4.1.2.7 - 4.2.4.1.2.8 NTC18

X	Comb.	Sfruttamento	Classe	Mx,Ed	Mx,Rd	Rid. Mx,Rd da VEd	px	py	Verifica
0.839	SLU 59	0.005	1	0.1253	23.50374	1	0	0	Si

Verifica a presso/tenso flessione retta X §§ 4.2.4.1.2.3 - 4.2.4.1.2.6 - 4.2.4.1.2.7 - 4.2.4.1.2.8 NTC18

Verifiche eseguite utilizzando la formula conservativa (6.2) §6.2.1 EN 1993-1-1:2005.

X	Comb.	Sfruttamento	Classe	NEd	NRd	Rid. NRd da VEd	Mx,Ed	Mx,Rd	Rid. Mx,Rd da VEd	Rid. Mx,Rd da NEd	px	py	Verifica
0.839	SLU 75	0.025	1	20.011	1003.522	1	0.1158	23.5037	1		0	0	Si

Verifica a presso/tenso flessione retta Y §§ 4.2.4.1.2.3 - 4.2.4.1.2.6 - 4.2.4.1.2.7 - 4.2.4.1.2.8 NTC18

Verifiche eseguite utilizzando la formula conservativa (6.2) §6.2.1 EN 1993-1-1:2005.

X	Comb.	Sfruttamento	Classe	NEd	NRd	Rid. NRd da VEd	My,Ed	My,Rd	Rid. My,Rd da VEd	Rid. My,Rd da NEd	px	py	Verifica
1.677	SLV 16	0.016	1	13.064	1003.522	1	0.1022	33.3316	1		0	0	Si

Verifica a presso/tenso flessione retta Y SLD §§ 4.2.4.1.2.3 - 4.2.4.1.2.6 - 4.2.4.1.2.7 - 4.2.4.1.2.8 NTC18

Verifiche eseguite utilizzando la formula conservativa (6.2) §6.2.1 EN 1993-1-1:2005.

X	Comb.	Sfruttamento	Classe	NEd	NRd	Rid. NRd da VEd	My,Ed	My,Rd	Rid. My,Rd da VEd	Rid. My,Rd da NEd	px	py	Verifica
1.677	SLD 15	0.009	1	8.282	1003.522	1	0.0407	33.3316	1		0	0	Si

Verifica a presso/tenso flessione deviata §§ 4.2.4.1.2.3 - 4.2.4.1.2.6 - 4.2.4.1.2.7 - 4.2.4.1.2.8 NTC18

Verifiche eseguite utilizzando la formula conservativa (6.2) §6.2.1 EN 1993-1-1:2005.

X	Comb.	Sfruttamento	Classe	NEd	NRd	Rid. NRd da VEd	Mx,Ed	Mx,Rd	My,Ed	My,Rd	Rid. Mx,Rd da VEd	Rid. Mx,Rd da NEd	Rid. My,Rd da VEd	Rid. My,Rd da NEd	α	β	px	py	Verifica
0.727	SLV 15	0.021	1	13.192	1003.522	1	0.0897	23.5037	0.1307	33.3316	1		1				0	0	Si

Verifica a presso/tenso flessione deviata SLD §§ 4.2.4.1.2.3 - 4.2.4.1.2.6 - 4.2.4.1.2.7 - 4.2.4.1.2.8 NTC18

Verifiche eseguite utilizzando la formula conservativa (6.2) §6.2.1 EN 1993-1-1:2005.

X	Comb.	Sfruttamento	Classe	NEd	NRd	Rid. NRd da VEd	Mx,Ed	Mx,Rd	My,Ed	My,Rd	Rid. Mx,Rd da VEd	Rid. Mx,Rd da NEd	Rid. My,Rd da VEd	Rid. My,Rd da NEd	α	β	px	py	Verifica
0.783	SLD 15	0.014	1	8.402	1003.522	1	0.091	23.5037	0.0515	33.3316	1		1				0	0	Si

Verifiche ad instabilità

Caratteristiche iniziali

Membratura principale per controllo snellezza; Calcolo di snellezze ed N critici condotti secondo gli assi principali;

Curva X: c; Curva Y: c;

Svergolamento: Nessuno; la verifica a instabilità flessio-torsionale (svergolamento) non verrà eseguita.

Dati per instabilità attorno a x

Controllo della snellezza secondo §4.2.4.1.3.1 NTC18

Numero rit.	Presente	Ascissa	Campata	βx/m	Vincolo a entrambi estremi	λx/m	λVer
1	Si		0				
			1-2		1	Si	55.2
2	Si	1.677					Si, (<200)

Dati per instabilità attorno a y

Controllo della snellezza secondo §4.2.4.1.3.1 NTC18

Numero rit.	Presente	Ascissa	Campata	βy/n	k,LT	kw,LT	Vincolo a entrambi estremi
1	Si		0				
			1-2		1	Si	40.7
2	Si	1.677					Si, (<200)

Verifica di stabilità per pressoflessione §C.4.2.4.1.3.3.1 NTC18

X	Comb.	Sfruttamento	Classe	NEd	MxEq,Ed	MyEq,Ed	Area	Wx	Wy	x,min	λ adim. x/m	λ adim. y/n	N,crit x/m	N,crit y/n	Verifica
1.677	SLV 2	0.012	1	-2.828	0.0776	-0.1666	0.003832	0.0000897	0.0001273	0.764	0.636	0.469	2602.776	4783.72	Si

Verifiche a deformabilità

Mensola X: No; Mensola Y: No.

Frecce lungo X

Ascissa freccia	Combinazione	Freccia	Luce	L/f	L/f,min	Tipo	Verifica
0.95	SLE RA 1	0	1.677	10000	250	Totale	Si
1.062	SLE RA 17	0	1.677	10000	250	Totale	Si
1.174	SLE RA 16	0	1.677	10000	250	Totale	Si
1.118	SLE RA 15	0	1.677	10000	250	Totale	Si
1.118	SLE RA 14	0	1.677	10000	250	Totale	Si
0.503	SLE RA 2	0	1.677	10000	350	Variabile	Si
0.503	SLE RA 17	0	1.677	10000	350	Variabile	Si
0.503	SLE RA 16	0	1.677	10000	350	Variabile	Si
0.335	SLE RA 15	0	1.677	10000	350	Variabile	Si
0.671	SLE RA 14	0	1.677	10000	350	Variabile	Si

Implementazione dei sistemi di confinamento delle emissioni odorigene diffuse dell'impianto di compostaggio esistente nel
Comune di Eboli (SA)
PROGETTO DEFINITIVO – Tabulati di calcolo Tomo 1

Frecce lungo Y

Ascissa freccia	Combinazione	Freccia	Luce	L/f	L/f,min	Tipo	Verifica
0.839	SLE RA 1	0.00004	1.677	10000	250	Totale	Si
0.839	SLE RA 17	0.00004	1.677	10000	250	Totale	Si
0.839	SLE RA 16	0.00003	1.677	10000	250	Totale	Si
0.839	SLE RA 15	0.00003	1.677	10000	250	Totale	Si
0.839	SLE RA 14	0.00004	1.677	10000	250	Totale	Si
0.727	SLE RA 2	0	1.677	10000	350	Variabile	Si
0.727	SLE RA 17	0	1.677	10000	350	Variabile	Si
0.727	SLE RA 16	0	1.677	10000	350	Variabile	Si
0.727	SLE RA 15	0	1.677	10000	350	Variabile	Si
0.671	SLE RA 14	0	1.677	10000	350	Variabile	Si

Superelemento in acciaio a quota "715"- "640" (-1198; 106)-(-1089; 3)

Caratteristiche del materiale

Acciaio: S275, fyk = 275000

Caratteristiche geometriche

Lunghezza: 1.677

Nodo iniziale: 2064 Nodo finale: 666

Cerniera iniziale: Mmomenti 1% Cerniera finale: Mmomenti 1%

Sovreresistenza: 0% Sisma Z: No

Caratteristiche della sezione

Sezione	Rotazione	Area	Jx	Jy	ix	iy	Wx	Wy	Wplx	Wply
A1; L100*10; 1; Saldato; S275; 50; 1; 8; 8; 1	180	0.003832	0.0000035319	0.000007759	0.0304	0.045	0.0000492	0.0000739	0.00008974	0.00012727

Comportamento dei calastrelli

Accoppiamento imbottito con funzione statica (§C4.2.4.1.3.1.4 NTC18) nella campata compresa tra le ascisse 0 e 1.677 per sbandamento attorno all'asse y.

Verifiche di resistenza

Verifiche a forza assiale §4.2.4.1.2.1 - §4.2.4.1.2.2 NTC18

X	Comb.	Sfruttamento	Classe	NEd	Nc,Rd	Nt,Rd	Riduzione da taglio	px	py	Verifica
1.677	SLU 76	0.024	3	-24.39	1003.522		1	0	0	Si

Verifiche a forza assiale SLD §4.2.4.1.2.1 - §4.2.4.1.2.2 NTC18

X	Comb.	Sfruttamento	Classe	NEd	Nc,Rd	Nt,Rd	Riduzione da taglio	px	py	Verifica
1.677	SLD 4	0.007	3	-7.22	1003.522		1	0	0	Si

Verifica a taglio X §4.2.4.1.2.4 NTC18

X	Comb.	Sfruttamento	VEd	Vc,Rd	Av	Interazione taglio-torsione	Riduzione torsione	Verifica
1.677	SLV 1	0.003	0.949	302.422	0.002	Non considerata		Si

Verifica a taglio X SLD §4.2.4.1.2.4 NTC18

X	Comb.	Sfruttamento	VEd	Vc,Rd	Av	Interazione taglio-torsione	Riduzione torsione	Verifica
1.677	SLD 1	0.001	0.408	302.422	0.002	Non considerata		Si

Verifica a taglio Y §4.2.4.1.2.4 NTC18

X	Comb.	Sfruttamento	VEd	Vc,Rd	Av	Interazione taglio-torsione	Riduzione torsione	Verifica
0	SLU 76	0.001	-0.322	302.422	0.002	Non considerata		Si

Verifica a taglio Y SLD §4.2.4.1.2.4 NTC18

X	Comb.	Sfruttamento	VEd	Vc,Rd	Av	Interazione taglio-torsione	Riduzione torsione	Verifica
0	SLD 14	0.001	-0.231	302.422	0.002	Non considerata		Si

Verifica a flessione semplice X §§ 4.2.4.1.2.3 - 4.2.4.1.2.6 - 4.2.4.1.2.7 - 4.2.4.1.2.8 NTC18

X	Comb.	Sfruttamento	Classe	Mx,Ed	Mx,Rd	Rid. Mx,Rd da VEd	px	py	Verifica
0.839	SLU 60	0.005	1	0.12674	23.50374	1	0	0	Si

Verifica a presso/tenso flessione retta X §§ 4.2.4.1.2.3 - 4.2.4.1.2.6 - 4.2.4.1.2.7 - 4.2.4.1.2.8 NTC18

Verifiche eseguite utilizzando la formula conservativa (6.2) §6.2.1 EN 1993-1-1:2005.

X	Comb.	Sfruttamento	Classe	NEd	NRd	Rid. NRd da VEd	Mx,Ed	Mx,Rd	Rid. Mx,Rd da VEd	Rid. Mx,Rd da NEd	px	py	Verifica
0.783	SLU 3	0.007	1	3.144	1003.522	1	0.101	23.5037	1		0	0	Si

Verifica a presso/tenso flessione retta Y §§ 4.2.4.1.2.3 - 4.2.4.1.2.6 - 4.2.4.1.2.7 - 4.2.4.1.2.8 NTC18

Verifiche eseguite utilizzando la formula conservativa (6.2) §6.2.1 EN 1993-1-1:2005.

X	Comb.	Sfruttamento	Classe	NEd	NRd	Rid. NRd da VEd	My,Ed	My,Rd	Rid. My,Rd da VEd	Rid. My,Rd da NEd	px	py	Verifica
1.677	SLU 76	0.029	3	-24.39	1003.522	1	-0.0828	19.3536	1		0	0	Si

Verifica a presso/tenso flessione retta Y SLD §§ 4.2.4.1.2.3 - 4.2.4.1.2.6 - 4.2.4.1.2.7 - 4.2.4.1.2.8 NTC18

Verifiche eseguite utilizzando la formula conservativa (6.2) §6.2.1 EN 1993-1-1:2005.

X	Comb.	Sfruttamento	Classe	NEd	NRd	Rid. NRd da VEd	My,Ed	My,Rd	Rid. My,Rd da VEd	Rid. My,Rd da NEd	px	py	Verifica
0.056	SLD 3	0.012	3	-7.002	1003.522	1	-0.1054	19.3536	1		0	0	Si

Verifica a presso/tenso flessione deviata §§ 4.2.4.1.2.3 - 4.2.4.1.2.6 - 4.2.4.1.2.7 - 4.2.4.1.2.8 NTC18

Verifiche eseguite utilizzando la formula conservativa (6.2) §6.2.1 EN 1993-1-1:2005.

Implementazione dei sistemi di confinamento delle emissioni odorigene diffuse dell'impianto di compostaggio esistente nel
Comune di Eboli (SA)
PROGETTO DEFINITIVO – Tabulati di calcolo Tomo 1

X	Comb.	Sfruttamento	Classe	NEd	NRd	Rid. NRd da VEd	Mx,Ed	Mx,Rd	My,Ed	My,Rd	Rid. Mx,Rd da VEd	Rid. Mx,Rd da NEd	Rid. My,Rd da VEd	Rid. My,Rd da NEd	α	β	ρx	ρy	Verifica
0.95	SLU 76	0.036	3	-24.263	1003.522	1	0.1	12.886	-0.0829	19.3536	1		1				0	0	Si

Verifica a presso/tenso flessione deviata SLD §§ 4.2.4.1.2.3 - 4.2.4.1.2.6 - 4.2.4.1.2.7 - 4.2.4.1.2.8 NTC18

Verifiche eseguite utilizzando la formula conservativa (6.2) §6.2.1 EN 1993-1-1:2005.

X	Comb.	Sfruttamento	Classe	NEd	NRd	Rid. NRd da VEd	Mx,Ed	Mx,Rd	My,Ed	My,Rd	Rid. Mx,Rd da VEd	Rid. Mx,Rd da NEd	Rid. My,Rd da VEd	Rid. My,Rd da NEd	α	β	ρx	ρy	Verifica
0.783	SLD 4	0.018	3	-7.1	1003.522	1	0.0892	12.886	-0.0756	19.3536	1		1				0	0	Si

Verifiche ad instabilità

Caratteristiche iniziali

Membratura principale per controllo snellezza; Calcolo di snellezze ed N critici condotti secondo gli assi principali;

Curva X: c; Curva Y: c;

Svergolamento: Nessuno; la verifica a instabilità flesso-torsionale (svergolamento) non verrà eseguita.

Dati per instabilità attorno a x

Controllo della snellezza secondo §4.2.4.1.3.1 NTC18

Numero rit.	Presente	Ascissa	Campata	βx/m	Vincolo a entrambi estremi	λx/m	λVer
1	Si		0				
			1-2		1	55.2	Si, (<200)
2	Si	1.677					

Dati per instabilità attorno a y

Controllo della snellezza secondo §4.2.4.1.3.1 NTC18

Numero rit.	Presente	Ascissa	Campata	βy/n	k,LT	kw,LT	Vincolo a entrambi estremi
1	Si		0				
			1-2		1	40.7	Si, (<200)
2	Si	1.677					

Verifica di stabilità per pressoflessione §C.4.2.4.1.3.3.1 NTC18

X	Comb.	Sfruttamento	Classe	NEd	MxEq,Ed	MyEq,Ed	Area	Wx	Wy	χ,min	λ adim. x/m	λ adim. y/n	N,crit x/m	N,crit y/n	Verifica
1.677	SLU 76	0.042	3	-24.39	0.0753	-0.083	0.003832	0.0000492	0.0000739	0.764	0.636	0.469	2602.776	4783.72	Si

Verifica di stabilità per pressoflessione SLD §C.4.2.4.1.3.3.1 NTC18

X	Comb.	Sfruttamento	Classe	NEd	MxEq,Ed	MyEq,Ed	Area	Wx	Wy	χ,min	λ adim. x/m	λ adim. y/n	N,crit x/m	N,crit y/n	Verifica
1.677	SLD 2	0.023	3	-7.144	0.0758	-0.1479	0.003832	0.0000492	0.0000739	0.764	0.636	0.469	2602.776	4783.72	Si

Verifiche a deformabilità

Mensola X: No; Mensola Y: No.

Frecce lungo X

Ascissa freccia	Combinazione	Freccia	Luce	L/f	L/f,min	Tipo	Verifica
0.783	SLE RA 1	0	1.677	10000	250	Totale	Si
0.783	SLE RA 17	0	1.677	10000	250	Totale	Si
0.783	SLE RA 16	0	1.677	10000	250	Totale	Si
0.783	SLE RA 15	0	1.677	10000	250	Totale	Si
0.783	SLE RA 14	0	1.677	10000	250	Totale	Si
0.783	SLE RA 2	0	1.677	10000	350	Variabile	Si
0.783	SLE RA 17	0	1.677	10000	350	Variabile	Si
0.783	SLE RA 16	0	1.677	10000	350	Variabile	Si
0.783	SLE RA 15	0	1.677	10000	350	Variabile	Si
0.727	SLE RA 14	0	1.677	10000	350	Variabile	Si

Frecce lungo Y

Ascissa freccia	Combinazione	Freccia	Luce	L/f	L/f,min	Tipo	Verifica
0.839	SLE RA 1	0.00004	1.677	10000	250	Totale	Si
0.839	SLE RA 17	0.00003	1.677	10000	250	Totale	Si
0.839	SLE RA 16	0.00003	1.677	10000	250	Totale	Si
0.839	SLE RA 15	0.00003	1.677	10000	250	Totale	Si
0.839	SLE RA 14	0.00004	1.677	10000	250	Totale	Si
0.727	SLE RA 2	0	1.677	10000	350	Variabile	Si
0.727	SLE RA 17	0	1.677	10000	350	Variabile	Si
0.727	SLE RA 16	0	1.677	10000	350	Variabile	Si
0.727	SLE RA 15	0	1.677	10000	350	Variabile	Si
0.727	SLE RA 14	0	1.677	10000	350	Variabile	Si

Superelemento in acciaio a quota "715"- "640" (-1450; -161)-(-1341; -264)

Caratteristiche del materiale

Acciaio: S275, fyk = 275000

Caratteristiche geometriche

Lunghezza: 1.677

Nodo iniziale: 2050 Nodo finale: 614

Cerniera iniziale: Mmomenti 1% Cerniera finale: Mmomenti 1%

Sovraresistenza: 0% Sisma Z: No

Caratteristiche della sezione

Sezione	Rotazione	Area	Jx	Jy	ix	iy	Wx	Wy	Wplx	Wply
A1; L100*10; 1; Saldato; S275; 50; 1; 8; 8; 1	180	0.003832	0.0000035319	0.000007759	0.0304	0.045	0.0000492	0.0000739	0.00008974	0.00012727

**Implementazione dei sistemi di confinamento delle emissioni odorigene diffuse dell'impianto di compostaggio esistente nel
Comune di Eboli (SA)
PROGETTO DEFINITIVO – Tabulati di calcolo Tomo 1**

Comportamento dei calastrelli

Accoppiamento imbottito con funzione statica (§C4.2.4.1.3.1.4 NTC18) nella campata compresa tra le ascisse 0 e 1.677 per sbandamento attorno all'asse y.

Verifiche di resistenza

Verifiche a forza assiale §4.2.4.1.2.1 - §4.2.4.1.2.2 NTC18

X	Comb.	Sfruttamento	Classe	NEd	Nc,Rd	Nt,Rd	Riduzione da taglio	px	py	Verifica
0	SLU 63	0.012		12.021		1003.522	1	0	0	Si

Verifiche a forza assiale SLD §4.2.4.1.2.1 - §4.2.4.1.2.2 NTC18

X	Comb.	Sfruttamento	Classe	NEd	Nc,Rd	Nt,Rd	Riduzione da taglio	px	py	Verifica
0	SLD 1	0.005		5.235		1003.522	1	0	0	Si

Verifica a taglio X §4.2.4.1.2.4 NTC18

X	Comb.	Sfruttamento	VEd	Vc,Rd	Av	Interazione taglio-torsione	Riduzione torsione	Verifica
1.677	SLV 16	0.003	-1.032	302.422	0.002	Non considerata		Si

Verifica a taglio X SLD §4.2.4.1.2.4 NTC18

X	Comb.	Sfruttamento	VEd	Vc,Rd	Av	Interazione taglio-torsione	Riduzione torsione	Verifica
1.677	SLD 16	0.001	-0.406	302.422	0.002	Non considerata		Si

Verifica a taglio Y §4.2.4.1.2.4 NTC18

X	Comb.	Sfruttamento	VEd	Vc,Rd	Av	Interazione taglio-torsione	Riduzione torsione	Verifica
0	SLU 76	0.001	-0.325	302.422	0.002	Non considerata		Si

Verifica a taglio Y SLD §4.2.4.1.2.4 NTC18

X	Comb.	Sfruttamento	VEd	Vc,Rd	Av	Interazione taglio-torsione	Riduzione torsione	Verifica
0	SLD 10	0.001	-0.231	302.422	0.002	Non considerata		Si

Verifica a flessione semplice X §§ 4.2.4.1.2.3 - 4.2.4.1.2.6 - 4.2.4.1.2.7 - 4.2.4.1.2.8 NTC18

X	Comb.	Sfruttamento	Classe	Mx,Ed	Mx,Rd	Rid. Mx,Rd da VEd	px	py	Verifica
0.839	SLU 40	0.006	1	0.12939	23.50374	1	0	0	Si

Verifica a flessione deviata SLD §§ 4.2.4.1.2.3 - 4.2.4.1.2.6 - 4.2.4.1.2.7 - 4.2.4.1.2.8 NTC18

X	Comb.	Sfruttamento	Classe	Mx,Ed	Mx,Rd	My,Ed	My,Rd	Rid. Mx,Rd da VEd	Rid. My,Rd da VEd	α	β	px	py	Verifica
1.23	SLD 14	0.004	1	0.0712	23.5037	0.0291	33.3316	1	1			0	0	Si

Verifica a presso/tenso flessione retta X §§ 4.2.4.1.2.3 - 4.2.4.1.2.6 - 4.2.4.1.2.7 - 4.2.4.1.2.8 NTC18

Verifiche eseguite utilizzando la formula conservativa (6.2) §6.2.1 EN 1993-1-1:2005.

X	Comb.	Sfruttamento	Classe	NEd	NRd	Rid. NRd da VEd	Mx,Ed	Mx,Rd	Rid. Mx,Rd da VEd	Rid. Mx,Rd da NEd	px	py	Verifica
0.839	SLU 63	0.017	1	11.875	1003.522	1	0.1235	23.5037	1		0	0	Si

Verifica a presso/tenso flessione retta Y §§ 4.2.4.1.2.3 - 4.2.4.1.2.6 - 4.2.4.1.2.7 - 4.2.4.1.2.8 NTC18

Verifiche eseguite utilizzando la formula conservativa (6.2) §6.2.1 EN 1993-1-1:2005.

X	Comb.	Sfruttamento	Classe	NEd	NRd	Rid. NRd da VEd	My,Ed	My,Rd	Rid. My,Rd da VEd	Rid. My,Rd da NEd	px	py	Verifica
0.056	SLV 2	0.022	1	9.881	1003.522	1	-0.397	33.3316	1		0	0	Si

Verifica a presso/tenso flessione retta Y SLD §§ 4.2.4.1.2.3 - 4.2.4.1.2.6 - 4.2.4.1.2.7 - 4.2.4.1.2.8 NTC18

Verifiche eseguite utilizzando la formula conservativa (6.2) §6.2.1 EN 1993-1-1:2005.

X	Comb.	Sfruttamento	Classe	NEd	NRd	Rid. NRd da VEd	My,Ed	My,Rd	Rid. My,Rd da VEd	Rid. My,Rd da NEd	px	py	Verifica
0.056	SLD 1	0.01	1	5.228	1003.522	1	-0.1593	33.3316	1		0	0	Si

Verifica a presso/tenso flessione deviata §§ 4.2.4.1.2.3 - 4.2.4.1.2.6 - 4.2.4.1.2.7 - 4.2.4.1.2.8 NTC18

Verifiche eseguite utilizzando la formula conservativa (6.2) §6.2.1 EN 1993-1-1:2005.

X	Comb.	Sfruttamento	Classe	NEd	NRd	Rid. NRd da VEd	Mx,Ed	Mx,Rd	My,Ed	My,Rd	Rid. Mx,Rd da VEd	Rid. Mx,Rd da NEd	Rid. My,Rd da VEd	Rid. My,Rd da NEd	α	β	px	py	Verifica
0	SLV 1	0.023	1	9.889	1003.522	1	-0.0094	23.5037	-0.4097	33.3316	1		1				0	0	Si

Verifica a presso/tenso flessione deviata SLD §§ 4.2.4.1.2.3 - 4.2.4.1.2.6 - 4.2.4.1.2.7 - 4.2.4.1.2.8 NTC18

Verifiche eseguite utilizzando la formula conservativa (6.2) §6.2.1 EN 1993-1-1:2005.

X	Comb.	Sfruttamento	Classe	NEd	NRd	Rid. NRd da VEd	Mx,Ed	Mx,Rd	My,Ed	My,Rd	Rid. Mx,Rd da VEd	Rid. Mx,Rd da NEd	Rid. My,Rd da VEd	Rid. My,Rd da NEd	α	β	px	py	Verifica
0.615	SLD 2	0.012	1	5.153	1003.522	1	0.0817	23.5037	-0.1085	33.3316	1		1				0	0	Si

Verifiche ad instabilità

Caratteristiche iniziali

Membratura principale per controllo snellezza; Calcolo di snellezze ed N critici condotti secondo gli assi principali;

Curva X: c; Curva Y: c;

Svergolamento: Nessuno; la verifica a instabilità flesso-torsionale (svergolamento) non verrà eseguita.

Dati per instabilità attorno a x

Controllo della snellezza secondo §4.2.4.1.3.1 NTC18

Numero rit.	Presente	Ascissa	Campata	βx/m	Vincolo a entrambi estremi	λx/m	λVer
1	Si	0					
			1-2		1	55.2	Si, (<200)
2	Si	1.677					

Dati per instabilità attorno a y

Controllo della snellezza secondo §4.2.4.1.3.1 NTC18

Numero rit.	Presente	Ascissa	Campata	βy/n	k,LT	kw,LT	Vincolo a entrambi estremi
1	Si	0					

Implementazione dei sistemi di confinamento delle emissioni odorigene diffuse dell’impianto di compostaggio esistente nel
Comune di Eboli (SA)

PROGETTO DEFINITIVO – Tabulati di calcolo Tomo 1

Numero rit.	Presente	Ascissa	Campata	$\beta y/n$	k,LT	kw,LT	Vincolo a entrambi estremi
2	Si	1.677	1-2	1	Si	40.7	Si, (<200)

Verifica di stabilità per pressoflessione §C.4.2.4.1.3.3.1 NTC18

X	Comb.	Sfruttamento	Classe	NEd	MxEq,Ed	MyEq,Ed	Area	Wx	Wy	$x_{,min}$	λ adim. x/m	λ adim. y/n	N,crit x/m	N,crit y/n	Verifica
1.677	SLV 16	0.03	3	-5.726	0.0752	0.3218	0.003832	0.0000492	0.0000739	0.764	0.636	0.469	2602.776	4783.72	Si

Verifica di stabilità per pressoflessione SLD §C.4.2.4.1.3.3.1 NTC18

X	Comb.	Sfruttamento	Classe	NEd	MxEq,Ed	MyEq,Ed	Area	Wx	Wy	$x_{,min}$	λ adim. x/m	λ adim. y/n	N,crit x/m	N,crit y/n	Verifica
1.677	SLD 16	0.014	3	-1.073	0.0753	0.1257	0.003832	0.0000492	0.0000739	0.764	0.636	0.469	2602.776	4783.72	Si

Verifiche a deformabilità

Mensola X: No; Mensola Y: No.

Frecce lungo X

Ascissa freccia	Combinazione	Freccia	Luce	L/f	L/f,min	Tipo	Verifica
0.839	SLE RA 1	0	1.677	10000	250	Totale	Si
0.839	SLE RA 17	0	1.677	10000	250	Totale	Si
0.839	SLE RA 16	0	1.677	10000	250	Totale	Si
0.839	SLE RA 15	0	1.677	10000	250	Totale	Si
0.783	SLE RA 14	0	1.677	10000	250	Totale	Si
0.839	SLE RA 2	0	1.677	10000	350	Variabile	Si
0.839	SLE RA 17	0	1.677	10000	350	Variabile	Si
0.839	SLE RA 16	0	1.677	10000	350	Variabile	Si
0.839	SLE RA 15	0	1.677	10000	350	Variabile	Si
0.783	SLE RA 14	0	1.677	10000	350	Variabile	Si

Frecce lungo Y

Ascissa freccia	Combinazione	Freccia	Luce	L/f	L/f,min	Tipo	Verifica
0.839	SLE RA 1	0.00004	1.677	10000	250	Totale	Si
0.839	SLE RA 17	0.00003	1.677	10000	250	Totale	Si
0.839	SLE RA 16	0.00003	1.677	10000	250	Totale	Si
0.839	SLE RA 15	0.00003	1.677	10000	250	Totale	Si
0.839	SLE RA 14	0.00004	1.677	10000	250	Totale	Si
0.727	SLE RA 2	0	1.677	10000	350	Variabile	Si
0.727	SLE RA 17	0	1.677	10000	350	Variabile	Si
0.727	SLE RA 16	0	1.677	10000	350	Variabile	Si
0.727	SLE RA 15	0	1.677	10000	350	Variabile	Si
0.671	SLE RA 14	0	1.677	10000	350	Variabile	Si

Superelemento in acciaio a quota "715"- "640" (-1707; -434)-(-1598; -536)

Caratteristiche del materiale

Acciaio: S275, fyk = 275000

Caratteristiche geometriche

Lunghezza: 1.677

Nodo iniziale: 2042 Nodo finale: 568

Cerniera iniziale: Mmomenti 1% Cerniera finale: Mmomenti 1%

Sovraresistenza: 0% Sisma Z: No

Caratteristiche della sezione

Sezione	Rotazione	Area	Jx	Jy	ix	iy	Wx	Wy	Wplx	Wply
A1; L100*10; 1; Saldato; S275; 50; 1; 8; 8; 1	180	0.003832	0.0000035319	0.000007759	0.0304	0.045	0.0000492	0.0000739	0.00008974	0.00012727

Comportamento dei calastrelli

Accoppiamento imbottito con funzione statica (§C.4.2.4.1.3.1.4 NTC18) nella campata compresa tra le ascisse 0 e 1.677 per sbandamento attorno all'asse y.

Verifiche di resistenza

Verifiche a forza assiale §4.2.4.1.2.1 - §4.2.4.1.2.2 NTC18

X	Comb.	Sfruttamento	Classe	NEd	Nc,Rd	Nt,Rd	Riduzione da taglio	px	py	Verifica
0	SLU 75	0.022		22.095		1003.522	1	0	0	Si

Verifiche a forza assiale SLD §4.2.4.1.2.1 - §4.2.4.1.2.2 NTC18

X	Comb.	Sfruttamento	Classe	NEd	Nc,Rd	Nt,Rd	Riduzione da taglio	px	py	Verifica
0	SLD 3	0.009		8.824		1003.522	1	0	0	Si

Verifica a taglio X §4.2.4.1.2.4 NTC18

X	Comb.	Sfruttamento	VEd	Vc,Rd	Av	Interazione taglio-torsione	Riduzione torsione	Verifica
0	SLV 1	0.001	0.225	302.422	0.002	Non considerata		Si

Verifica a taglio Y §4.2.4.1.2.4 NTC18

X	Comb.	Sfruttamento	VEd	Vc,Rd	Av	Interazione taglio-torsione	Riduzione torsione	Verifica
1.677	SLU 75	0.001	0.295	302.422	0.002	Non considerata		Si

Verifica a taglio Y SLD §4.2.4.1.2.4 NTC18

X	Comb.	Sfruttamento	VEd	Vc,Rd	Av	Interazione taglio-torsione	Riduzione torsione	Verifica
1.677	SLD 16	0.001	0.227	302.422	0.002	Non considerata		Si

Implementazione dei sistemi di confinamento delle emissioni odorigene diffuse dell'impianto di compostaggio esistente nel
Comune di Eboli (SA)
PROGETTO DEFINITIVO – Tabulati di calcolo Tomo 1

Verifica a flessione semplice X §§ 4.2.4.1.2.3 - 4.2.4.1.2.6 - 4.2.4.1.2.7 - 4.2.4.1.2.8 NTC18

X	Comb.	Sfruttamento	Classe	Mx,Ed	Mx,Rd	Rid. Mx,Rd da VEd	px	py	Verifica
0.839	SLU 59	0.005	1	0.12266	23.50374	1	0	0	Si

Verifica a presso/tenso flessione retta X §§ 4.2.4.1.2.3 - 4.2.4.1.2.6 - 4.2.4.1.2.7 - 4.2.4.1.2.8 NTC18

Verifiche eseguite utilizzando la formula conservativa (6.2) §6.2.1 EN 1993-1-1:2005.

X	Comb.	Sfruttamento	Classe	NEd	NRd	Rid. NRd da VEd	Mx,Ed	Mx,Rd	Rid. Mx,Rd da VEd	Rid. Mx,Rd da NEd	px	py	Verifica
0.839	SLU 75	0.027	1	21.948	1003.522	1	0.1242	23.5037	1		0	0	Si

Verifica a presso/tenso flessione retta X SLD §§ 4.2.4.1.2.3 - 4.2.4.1.2.6 - 4.2.4.1.2.7 - 4.2.4.1.2.8 NTC18

Verifiche eseguite utilizzando la formula conservativa (6.2) §6.2.1 EN 1993-1-1:2005.

X	Comb.	Sfruttamento	Classe	NEd	NRd	Rid. NRd da VEd	Mx,Ed	Mx,Rd	Rid. Mx,Rd da VEd	Rid. Mx,Rd da NEd	px	py	Verifica
1.621	SLD 3	0.009	1	8.606	1003.522	1	0.012	23.5037	1		0	0	Si

Verifica a presso/tenso flessione retta Y §§ 4.2.4.1.2.3 - 4.2.4.1.2.6 - 4.2.4.1.2.7 - 4.2.4.1.2.8 NTC18

Verifiche eseguite utilizzando la formula conservativa (6.2) §6.2.1 EN 1993-1-1:2005.

X	Comb.	Sfruttamento	Classe	NEd	NRd	Rid. NRd da VEd	My,Ed	My,Rd	Rid. My,Rd da VEd	Rid. My,Rd da NEd	px	py	Verifica
0	SLV 1	0.021	1	9.659	1003.522	1	-0.3894	33.3316	1		0	0	Si

Verifica a presso/tenso flessione retta Y SLD §§ 4.2.4.1.2.3 - 4.2.4.1.2.6 - 4.2.4.1.2.7 - 4.2.4.1.2.8 NTC18

Verifiche eseguite utilizzando la formula conservativa (6.2) §6.2.1 EN 1993-1-1:2005.

X	Comb.	Sfruttamento	Classe	NEd	NRd	Rid. NRd da VEd	My,Ed	My,Rd	Rid. My,Rd da VEd	Rid. My,Rd da NEd	px	py	Verifica
0	SLD 1	0.013	1	8.038	1003.522	1	-0.1564	33.3316	1		0	0	Si

Verifica a presso/tenso flessione deviata §§ 4.2.4.1.2.3 - 4.2.4.1.2.6 - 4.2.4.1.2.7 - 4.2.4.1.2.8 NTC18

Verifiche eseguite utilizzando la formula conservativa (6.2) §6.2.1 EN 1993-1-1:2005.

X	Comb.	Sfruttamento	Classe	NEd	NRd	Rid. NRd da VEd	Mx,Ed	Mx,Rd	My,Ed	My,Rd	Rid. Mx,Rd da VEd	Rid. Mx,Rd da NEd	Rid. My,Rd da VEd	Rid. My,Rd da NEd	α	β	px	py	Verifica
0.224	SLV 12	0.022	1	9.544	1003.522	1	0.0466	23.5037	0.3361	33.3316	1		1				0	0	Si

Verifica a presso/tenso flessione deviata SLD §§ 4.2.4.1.2.3 - 4.2.4.1.2.6 - 4.2.4.1.2.7 - 4.2.4.1.2.8 NTC18

Verifiche eseguite utilizzando la formula conservativa (6.2) §6.2.1 EN 1993-1-1:2005.

X	Comb.	Sfruttamento	Classe	NEd	NRd	Rid. NRd da VEd	Mx,Ed	Mx,Rd	My,Ed	My,Rd	Rid. Mx,Rd da VEd	Rid. Mx,Rd da NEd	Rid. My,Rd da VEd	Rid. My,Rd da NEd	α	β	px	py	Verifica
0.615	SLD 11	0.015	1	7.926	1003.522	1	0.0889	23.5037	0.0999	33.3316	1		1				0	0	Si

Verifiche ad instabilità

Caratteristiche iniziali

Membratura principale per controllo snellezza; Calcolo di snellezze ed N critici condotti secondo gli assi principali;

Curva X: c; Curva Y: c;

Svergolamento: Nessuno; la verifica a instabilità flessio-torsionale (svergolamento) non verrà eseguita.

Dati per instabilità attorno a x

Controllo della snellezza secondo §4.2.4.1.3.1 NTC18

Numero rit.	Presente	Ascissa	Campata	βx/m	Vincolo a entrambi estremi	λx/m	λVer
1	Si		0				
			1-2		1	55.2	Si, (<200)
2	Si	1.677					

Dati per instabilità attorno a y

Controllo della snellezza secondo §4.2.4.1.3.1 NTC18

Numero rit.	Presente	Ascissa	Campata	βy/n	k,LT	kw,LT	Vincolo a entrambi estremi
1	Si		0				
			1-2		1	40.7	Si, (<200)
2	Si	1.677					

Verifica di stabilità per pressoflessione §C.4.2.4.1.3.3.1 NTC18

X	Comb.	Sfruttamento	Classe	NEd	MxEq,Ed	MyEq,Ed	Area	Wx	Wy	x,min	λ adim. x/m	λ adim. y/n	N,crit x/m	N,crit y/n	Verifica
1.677	SLU 40	0.011	3	-1.636	0.1059	0.0053	0.003832	0.0000492	0.0000739	0.764	0.636	0.469	2602.776	4783.72	Si

Verifiche a deformabilità

Mensola X: No; Mensola Y: No.

Frecce lungo X

Ascissa freccia	Combinazione	Freccia	Luce	L/f	L/f,min	Tipo	Verifica
0.839	SLE RA 1	0	1.677	10000	250	Totale	Si
0.559	SLE RA 17	0	1.677	10000	250	Totale	Si
0.727	SLE RA 16	0	1.677	10000	250	Totale	Si
0.839	SLE RA 15	0	1.677	10000	250	Totale	Si
0.783	SLE RA 14	0	1.677	10000	250	Totale	Si
0.727	SLE RA 2	0	1.677	10000	350	Variabile	Si
0.727	SLE RA 17	0	1.677	10000	350	Variabile	Si
0.727	SLE RA 16	0	1.677	10000	350	Variabile	Si
0.839	SLE RA 15	0	1.677	10000	350	Variabile	Si
0.783	SLE RA 14	0	1.677	10000	350	Variabile	Si

Frecce lungo Y

Ascissa freccia	Combinazione	Freccia	Luce	L/f	L/f,min	Tipo	Verifica
0.839	SLE RA 1	0.00004	1.677	10000	250	Totale	Si
0.839	SLE RA 17	0.00004	1.677	10000	250	Totale	Si
0.839	SLE RA 16	0.00004	1.677	10000	250	Totale	Si
0.839	SLE RA 15	0.00004	1.677	10000	250	Totale	Si
0.839	SLE RA 14	0.00004	1.677	10000	250	Totale	Si
0.783	SLE RA 2	0	1.677	10000	350	Variabile	Si
0.783	SLE RA 17	0	1.677	10000	350	Variabile	Si

Implementazione dei sistemi di confinamento delle emissioni odorigene diffuse dell'impianto di compostaggio esistente nel
Comune di Eboli (SA)

PROGETTO DEFINITIVO – Tabulati di calcolo Tomo 1

Ascissa freccia	Combinazione	Freccia	Luce	L/f	L/f,min	Tipo	Verifica
0.783	SLE RA 16	0	1.677	10000	350	Variabile	Si
0.783	SLE RA 15	0	1.677	10000	350	Variabile	Si
0.727	SLE RA 14	0	1.677	10000	350	Variabile	Si

Superelemento in acciaio a quota "715"- "703" (73; 1453)-(-36; 1556)

Caratteristiche del materiale

Acciaio: S275, fyk = 275000

Caratteristiche geometriche

Lunghezza: 1.505

Nodo iniziale: 2112 Nodo finale: 1908

Cerniera iniziale: Mmomenti 1% Cerniera finale: Mmomenti 1%

Sovreresistenza: 0% Sisma Z: No

Caratteristiche della sezione

Sezione	Rotazione	Area	Jx	Jy	ix	iy	Wx	Wy	Wplx	Wply
A1; L100*10; 1; Saldata; S275; 30; 1; 8; 8; 1	0	0.003832	0.0000035319	0.000007759	0.0304	0.045	0.0000492	0.0000739	0.00008974	0.00012727

Comportamento dei calastrelli

Accoppiamento imbottito con funzione statica (§C4.2.4.1.3.1.4 NTC18) nella campata compresa tra le ascisse 0 e 1.505 per sbandamento attorno all'asse y.

Verifiche di resistenza

Verifiche a forza assiale §4.2.4.1.2.1 - §4.2.4.1.2.2 NTC18

X	Comb.	Sfruttamento	Classe	NEd	Nc,Rd	Nt,Rd	Riduzione da taglio	px	py	Verifica
1.505	SLU 76	0.014	3	-13.923	1003.522		1	0	0	Si

Verifiche a forza assiale SLD §4.2.4.1.2.1 - §4.2.4.1.2.2 NTC18

X	Comb.	Sfruttamento	Classe	NEd	Nc,Rd	Nt,Rd	Riduzione da taglio	px	py	Verifica
1.505	SLD 2	0.005	3	-4.919	1003.522		1	0	0	Si

Verifica a taglio Y §4.2.4.1.2.4 NTC18

X	Comb.	Sfruttamento	VEd	Vc,Rd	Av	Interazione taglio-torsione	Riduzione torsione	Verifica
1.505	SLU 76	0.001	-0.383	302.422	0.002	Non considerata		Si

Verifica a taglio Y SLD §4.2.4.1.2.4 NTC18

X	Comb.	Sfruttamento	VEd	Vc,Rd	Av	Interazione taglio-torsione	Riduzione torsione	Verifica
1.505	SLD 14	0.001	-0.242	302.422	0.002	Non considerata		Si

Verifica a flessione semplice X §§ 4.2.4.1.2.3 - 4.2.4.1.2.6 - 4.2.4.1.2.7 - 4.2.4.1.2.8 NTC18

X	Comb.	Sfruttamento	Classe	Mx,Ed	Mx,Rd	Rid. Mx,Rd da VEd	px	py	Verifica
0.803	SLU 59	0.005	1	-0.10755	23.50374	1	0	0	Si

Verifica a presso/tenso flessione retta X §§ 4.2.4.1.2.3 - 4.2.4.1.2.6 - 4.2.4.1.2.7 - 4.2.4.1.2.8 NTC18

Verifiche eseguite utilizzando la formula conservativa (6.2) §6.2.1 EN 1993-1-1:2005.

X	Comb.	Sfruttamento	Classe	NEd	NRd	Rid. NRd da VEd	Mx,Ed	Mx,Rd	Rid. Mx,Rd da VEd	Rid. Mx,Rd da NEd	px	py	Verifica
0.753	SLU 62	0.007	1	-2.056	1003.522	1	-0.1097	23.5037	1		0	0	Si

Verifica a presso/tenso flessione retta Y §§ 4.2.4.1.2.3 - 4.2.4.1.2.6 - 4.2.4.1.2.7 - 4.2.4.1.2.8 NTC18

Verifiche eseguite utilizzando la formula conservativa (6.2) §6.2.1 EN 1993-1-1:2005.

X	Comb.	Sfruttamento	Classe	NEd	NRd	Rid. NRd da VEd	My,Ed	My,Rd	Rid. My,Rd da VEd	Rid. My,Rd da NEd	px	py	Verifica
1.355	SLU 76	0.016	3	-13.918	1003.522	1	0.0423	19.3536	1		0	0	Si

Verifica a presso/tenso flessione retta Y SLD §§ 4.2.4.1.2.3 - 4.2.4.1.2.6 - 4.2.4.1.2.7 - 4.2.4.1.2.8 NTC18

Verifiche eseguite utilizzando la formula conservativa (6.2) §6.2.1 EN 1993-1-1:2005.

X	Comb.	Sfruttamento	Classe	NEd	NRd	Rid. NRd da VEd	My,Ed	My,Rd	Rid. My,Rd da VEd	Rid. My,Rd da NEd	px	py	Verifica
1.455	SLD 1	0.006	3	-4.918	1003.522	1	0.015	19.3536	1		0	0	Si

Verifica a presso/tenso flessione deviata §§ 4.2.4.1.2.3 - 4.2.4.1.2.6 - 4.2.4.1.2.7 - 4.2.4.1.2.8 NTC18

Verifiche eseguite utilizzando la formula conservativa (6.2) §6.2.1 EN 1993-1-1:2005.

X	Comb.	Sfruttamento	Classe	NEd	NRd	Rid. NRd da VEd	Mx,Ed	Mx,Rd	My,Ed	My,Rd	Rid. Mx,Rd da VEd	Rid. Mx,Rd da NEd	Rid. My,Rd da VEd	Rid. My,Rd da NEd	α	β	px	py	Verifica
0.502	SLU 76	0.026	3	-13.89	1003.522	1	-0.1351	12.886	-0.042	19.3536	1		1				0	0	Si

Verifica a presso/tenso flessione deviata SLD §§ 4.2.4.1.2.3 - 4.2.4.1.2.6 - 4.2.4.1.2.7 - 4.2.4.1.2.8 NTC18

Verifiche eseguite utilizzando la formula conservativa (6.2) §6.2.1 EN 1993-1-1:2005.

X	Comb.	Sfruttamento	Classe	NEd	NRd	Rid. NRd da VEd	Mx,Ed	Mx,Rd	My,Ed	My,Rd	Rid. Mx,Rd da VEd	Rid. Mx,Rd da NEd	Rid. My,Rd da VEd	Rid. My,Rd da NEd	α	β	px	py	Verifica
0.251	SLD 2	0.01	3	-4.888	1003.522	1	-0.0576	12.886	-0.0149	19.3536	1		1				0	0	Si

Verifiche ad instabilità

Caratteristiche iniziali

Membratura principale per controllo snellezza; Calcolo di snellezze ed N critici condotti secondo gli assi principali;

Curva X: c; Curva Y: c;

Svergolamento: Nessuno; la verifica a instabilità flesso-torsionale (svergolamento) non verrà eseguita.

Implementazione dei sistemi di confinamento delle emissioni odorigene diffuse dell'impianto di compostaggio esistente nel
Comune di Eboli (SA)
PROGETTO DEFINITIVO – Tabulati di calcolo Tomo 1

Dati per instabilità attorno a x

Controllo della snellezza secondo §4.2.4.1.3.1 NTC18

Numero rit.	Presente	Ascissa	Campata	$\beta x/m$	Vincolo a entrambi estremi	$\lambda x/m$	λVer
1	Si	0					
			1-2	1	Si	49.6	Si, (<200)
2	Si	1.505					

Dati per instabilità attorno a y

Controllo della snellezza secondo §4.2.4.1.3.1 NTC18

Numero rit.	Presente	Ascissa	Campata	$\beta y/n$	k,LT	kw,LT	Vincolo a entrambi estremi
1	Si	0					
			1-2	1	Si	34.9	Si, (<200)
2	Si	1.505					

Verifica di stabilità per pressoflessione §C.4.2.4.1.3.3.1 NTC18

X	Comb.	Sfruttamento	Classe	NEd	MxEq,Ed	MyEq,Ed	Area	Wx	Wy	χ_{min}	$\lambda_{adim. x/m}$	$\lambda_{adim. y/n}$	N,crit x/m	N,crit y/n	Verifica
1.505	SLU 76	0.028	3	-13.923	-0.1145	0.0317	0.003832	0.0000492	0.0000739	0.802	0.571	0.402	3231.032	6528.319	Si

Verifica di stabilità per pressoflessione SLD §C.4.2.4.1.3.3.1 NTC18

X	Comb.	Sfruttamento	Classe	NEd	MxEq,Ed	MyEq,Ed	Area	Wx	Wy	χ_{min}	$\lambda_{adim. x/m}$	$\lambda_{adim. y/n}$	N,crit x/m	N,crit y/n	Verifica
1.505	SLD 1	0.013	3	-4.919	-0.0768	0.0113	0.003832	0.0000492	0.0000739	0.802	0.571	0.402	3231.032	6528.319	Si

Verifiche a deformabilità

Mensola X: No; Mensola Y: No.

Frecce lungo X

Ascissa freccia	Combinazione	Freccia	Luce	L/f	L/f,min	Tipo	Verifica
1.154	SLE RA 1	0	1.505	10000	250	Totale	Si
1.154	SLE RA 17	0	1.505	10000	250	Totale	Si
1.154	SLE RA 16	0	1.505	10000	250	Totale	Si
1.154	SLE RA 15	0	1.505	10000	250	Totale	Si
1.154	SLE RA 14	0	1.505	10000	250	Totale	Si
1.154	SLE RA 2	0	1.505	10000	350	Variabile	Si
1.154	SLE RA 17	0	1.505	10000	350	Variabile	Si
1.154	SLE RA 16	0	1.505	10000	350	Variabile	Si
1.154	SLE RA 15	0	1.505	10000	350	Variabile	Si
1.154	SLE RA 14	0	1.505	10000	350	Variabile	Si

Frecce lungo Y

Ascissa freccia	Combinazione	Freccia	Luce	L/f	L/f,min	Tipo	Verifica
0.753	SLE RA 1	-0.00003	1.505	10000	250	Totale	Si
0.702	SLE RA 17	-0.00003	1.505	10000	250	Totale	Si
0.702	SLE RA 16	-0.00003	1.505	10000	250	Totale	Si
0.702	SLE RA 15	-0.00003	1.505	10000	250	Totale	Si
0.753	SLE RA 14	-0.00003	1.505	10000	250	Totale	Si
0.452	SLE RA 2	0	1.505	10000	350	Variabile	Si
0.452	SLE RA 17	0	1.505	10000	350	Variabile	Si
0.452	SLE RA 16	0	1.505	10000	350	Variabile	Si
0.452	SLE RA 15	0	1.505	10000	350	Variabile	Si
0.502	SLE RA 14	0	1.505	10000	350	Variabile	Si

Superelemento in acciaio a quota "715"- "703" (328; 1723)-(218; 1826)

Caratteristiche del materiale

Acciaio: S275, fyk = 275000

Caratteristiche geometriche

Lunghezza: 1.505

Nodo iniziale: 2122 Nodo finale: 1920

Cerniera iniziale: Mmomenti 1% Cerniera finale: Mmomenti 1%

Sovraresistenza: 0% Sisma Z: No

Caratteristiche della sezione

Sezione	Rotazione	Area	Jx	Jy	ix	iy	Wx	Wy	Wplx	Wply
A1; L100*10; 1; Saldato; S275; 30; 1; 8; 8; 1	0	0.003832	0.0000035319	0.000007759	0.0304	0.045	0.0000492	0.0000739	0.00008974	0.00012727

Comportamento dei calastrelli

Accoppiamento imbottito con funzione statica (§C.4.2.4.1.3.1.4 NTC18) nella campata compresa tra le ascisse 0 e 1.505 per sbandamento attorno all'asse y.

Verifiche di resistenza

Verifiche a forza assiale §4.2.4.1.2.1 - §4.2.4.1.2.2 NTC18

X	Comb.	Sfruttamento	Classe	NEd	Nc,Rd	Nt,Rd	Riduzione da taglio	px	py	Verifica
1.505	SLU 76	0.011	3	-10.944	1003.522		1	0	0	Si

Verifiche a forza assiale SLD §4.2.4.1.2.1 - §4.2.4.1.2.2 NTC18

X	Comb.	Sfruttamento	Classe	NEd	Nc,Rd	Nt,Rd	Riduzione da taglio	px	py	Verifica
1.505	SLD 8	0.004	3	-3.613	1003.522		1	0	0	Si

**Implementazione dei sistemi di confinamento delle emissioni odorigene diffuse dell'impianto di compostaggio esistente nel
Comune di Eboli (SA)
PROGETTO DEFINITIVO – Tabulati di calcolo Tomo 1**

Verifica a taglio Y §4.2.4.1.2.4 NTC18

X	Comb.	Sfruttamento	VEd	Vc,Rd	Av	Interazione taglio-torsione	Riduzione torsione	Verifica
1.505	SLU 76	0.001	-0.355	302.422	0.002	Non considerata		Si

Verifica a taglio Y SLD §4.2.4.1.2.4 NTC18

X	Comb.	Sfruttamento	VEd	Vc,Rd	Av	Interazione taglio-torsione	Riduzione torsione	Verifica
1.505	SLD 14	0.001	-0.24	302.422	0.002	Non considerata		Si

Verifica a flessione semplice X §§ 4.2.4.1.2.3 - 4.2.4.1.2.6 - 4.2.4.1.2.7 - 4.2.4.1.2.8 NTC18

X	Comb.	Sfruttamento	Classe	Mx,Ed	Mx,Rd	Rid. Mx,Rd da VEd	px	py	Verifica
0.803	SLU 59	0.005	1	-0.10921	23.50374	1	0	0	Si

Verifica a presso/tenso flessione retta X §§ 4.2.4.1.2.3 - 4.2.4.1.2.6 - 4.2.4.1.2.7 - 4.2.4.1.2.8 NTC18

Verifiche eseguite utilizzando la formula conservativa (6.2) §6.2.1 EN 1993-1-1:2005.

X	Comb.	Sfruttamento	Classe	NEd	NRd	Rid. NRd da VEd	Mx,Ed	Mx,Rd	Rid. Mx,Rd da VEd	Rid. Mx,Rd da NEd	px	py	Verifica
0.753	SLU 62	0.006	1	-1.7	1003.522	1	-0.1105	23.5037	1		0	0	Si

Verifica a presso/tenso flessione retta Y §§ 4.2.4.1.2.3 - 4.2.4.1.2.6 - 4.2.4.1.2.7 - 4.2.4.1.2.8 NTC18

Verifiche eseguite utilizzando la formula conservativa (6.2) §6.2.1 EN 1993-1-1:2005.

X	Comb.	Sfruttamento	Classe	NEd	NRd	Rid. NRd da VEd	My,Ed	My,Rd	Rid. My,Rd da VEd	Rid. My,Rd da NEd	px	py	Verifica
1.355	SLU 38	0.012	3	-10.3	1003.522	1	0.0311	19.3536	1		0	0	Si

Verifica a presso/tenso flessione retta Y SLD §§ 4.2.4.1.2.3 - 4.2.4.1.2.6 - 4.2.4.1.2.7 - 4.2.4.1.2.8 NTC18

Verifiche eseguite utilizzando la formula conservativa (6.2) §6.2.1 EN 1993-1-1:2005.

X	Comb.	Sfruttamento	Classe	NEd	NRd	Rid. NRd da VEd	My,Ed	My,Rd	Rid. My,Rd da VEd	Rid. My,Rd da NEd	px	py	Verifica
1.455	SLD 7	0.004	3	-3.611	1003.522	1	-0.0109	19.3536	1		0	0	Si

Verifica a presso/tenso flessione deviata §§ 4.2.4.1.2.3 - 4.2.4.1.2.6 - 4.2.4.1.2.7 - 4.2.4.1.2.8 NTC18

Verifiche eseguite utilizzando la formula conservativa (6.2) §6.2.1 EN 1993-1-1:2005.

X	Comb.	Sfruttamento	Classe	NEd	NRd	Rid. NRd da VEd	Mx,Ed	Mx,Rd	My,Ed	My,Rd	Rid. Mx,Rd da VEd	Rid. Mx,Rd da NEd	Rid. My,Rd da VEd	Rid. My,Rd da NEd	α	β	px	py	Verifica
0.602	SLU 76	0.022	3	-10.914	1003.522	1	-0.1229	12.886	-0.0329	19.3536	1		1				0	0	Si

Verifica a presso/tenso flessione deviata SLD §§ 4.2.4.1.2.3 - 4.2.4.1.2.6 - 4.2.4.1.2.7 - 4.2.4.1.2.8 NTC18

Verifiche eseguite utilizzando la formula conservativa (6.2) §6.2.1 EN 1993-1-1:2005.

X	Comb.	Sfruttamento	Classe	NEd	NRd	Rid. NRd da VEd	Mx,Ed	Mx,Rd	My,Ed	My,Rd	Rid. Mx,Rd da VEd	Rid. Mx,Rd da NEd	Rid. My,Rd da VEd	Rid. My,Rd da NEd	α	β	px	py	Verifica
0.702	SLD 8	0.008	1	-3.593	1003.522	1	-0.0888	23.5037	-0.0109	33.3316	1		1				0	0	Si

Verifiche ad instabilità

Caratteristiche iniziali

Membratura principale per controllo snellezza; Calcolo di snellezze ed N critici condotti secondo gli assi principali;

Curva X: c; Curva Y: c;

Svergolamento: Nessuno; la verifica a instabilità flesso-torsionale (svergolamento) non verrà eseguita.

Dati per instabilità attorno a x

Controllo della snellezza secondo §4.2.4.1.3.1 NTC18

Numero rit.	Presente	Ascissa	Campata	βx/m	Vincolo a entrambi estremi	λx/m	λVer
1	Si		0				
			1-2		1	Si	49.6
2	Si		1.505				Si, (<200)

Dati per instabilità attorno a y

Controllo della snellezza secondo §4.2.4.1.3.1 NTC18

Numero rit.	Presente	Ascissa	Campata	βy/n	k,LT	kw,LT	Vincolo a entrambi estremi
1	Si		0				
			1-2		1	Si	34.9
2	Si		1.505				Si, (<200)

Verifica di stabilità per pressoflessione §C.4.2.4.1.3.3.1 NTC18

X	Comb.	Sfruttamento	Classe	NEd	MxEq,Ed	MyEq,Ed	Area	Wx	Wy	x,min	λ adim. x/m	λ adim. y/n	N,crit x/m	N,crit y/n	Verifica
1.505	SLU 76	0.023	3	-10.944	-0.1055	0.0248	0.003832	0.0000492	0.0000739	0.802	0.571	0.402	3231.032	6528.319	Si

Verifica di stabilità per pressoflessione SLD §C.4.2.4.1.3.3.1 NTC18

X	Comb.	Sfruttamento	Classe	NEd	MxEq,Ed	MyEq,Ed	Area	Wx	Wy	x,min	λ adim. x/m	λ adim. y/n	N,crit x/m	N,crit y/n	Verifica
1.505	SLD 8	0.011	3	-3.613	-0.0778	-0.011	0.003832	0.0000492	0.0000739	0.802	0.571	0.402	3231.032	6528.319	Si

Verifiche a deformabilità

Mensola X: No; Mensola Y: No.

Frecce lungo X

Ascissa freccia	Combinazione	Freccia	Luce	L/f	L/f,min	Tipo	Verifica
1.154	SLE RA 1	0	1.505	10000	250	Totale	Si
1.154	SLE RA 17	0	1.505	10000	250	Totale	Si
1.154	SLE RA 16	0	1.505	10000	250	Totale	Si
1.154	SLE RA 15	0	1.505	10000	250	Totale	Si
1.154	SLE RA 14	0	1.505	10000	250	Totale	Si
1.204	SLE RA 2	0	1.505	10000	350	Variabile	Si
1.104	SLE RA 17	0	1.505	10000	350	Variabile	Si
1.104	SLE RA 16	0	1.505	10000	350	Variabile	Si
1.154	SLE RA 15	0	1.505	10000	350	Variabile	Si
1.104	SLE RA 14	0	1.505	10000	350	Variabile	Si

Implementazione dei sistemi di confinamento delle emissioni odorigene diffuse dell'impianto di compostaggio esistente nel
Comune di Eboli (SA)
PROGETTO DEFINITIVO – Tabulati di calcolo Tomo 1

Frecce lungo Y

Ascissa freccia	Combinazione	Freccia	Luce	L/f	L/f,min	Tipo	Verifica
0.753	SLE RA 1	-0.00003	1.505	10000	250	Totale	Si
0.753	SLE RA 17	-0.00003	1.505	10000	250	Totale	Si
0.702	SLE RA 16	-0.00003	1.505	10000	250	Totale	Si
0.702	SLE RA 15	-0.00003	1.505	10000	250	Totale	Si
0.753	SLE RA 14	-0.00003	1.505	10000	250	Totale	Si
0.452	SLE RA 2	0	1.505	10000	350	Variabile	Si
0.452	SLE RA 17	0	1.505	10000	350	Variabile	Si
0.452	SLE RA 16	0	1.505	10000	350	Variabile	Si
0.401	SLE RA 15	0	1.505	10000	350	Variabile	Si
0.552	SLE RA 14	0	1.505	10000	350	Variabile	Si

Superelemento in acciaio a quota "715"-"703" (582; 1993)-(473; 2096)

Caratteristiche del materiale

Acciaio: S275, fyk = 275000

Caratteristiche geometriche

Lunghezza: 1.505

Nodo iniziale: 2132 Nodo finale: 1928

Cerniera iniziale: Mmomenti 1% Cerniera finale: Mmomenti 1%

Sovreresistenza: 0% Sisma Z: No

Caratteristiche della sezione

Sezione	Rotazione	Area	Jx	Jy	ix	iy	Wx	Wy	Wplx	Wply
A1; L100*10; 1; Saldato; S275; 30; 1; 8; 8; 1	0	0.003832	0.0000035319	0.000007759	0.0304	0.045	0.0000492	0.0000739	0.00008974	0.00012727

Comportamento dei calastrelli

Accoppiamento imbottito con funzione statica (§4.2.4.1.3.1.4 NTC18) nella campata compresa tra le ascisse 0 e 1.505 per sbandamento attorno all'asse y.

Verifiche di resistenza

Verifiche a forza assiale §4.2.4.1.2.1 - §4.2.4.1.2.2 NTC18

X	Comb.	Sfruttamento	Classe	NEd	Nc,Rd	Nt,Rd	Riduzione da taglio	px	py	Verifica
1.505	SLU 76	0.013	3	-12.834	1003.522		1	0	0	Si

Verifiche a forza assiale SLD §4.2.4.1.2.1 - §4.2.4.1.2.2 NTC18

X	Comb.	Sfruttamento	Classe	NEd	Nc,Rd	Nt,Rd	Riduzione da taglio	px	py	Verifica
1.505	SLD 16	0.004	3	-4.28	1003.522		1	0	0	Si

Verifica a taglio Y §4.2.4.1.2.4 NTC18

X	Comb.	Sfruttamento	VEd	Vc,Rd	Av	Interazione taglio-torsione	Riduzione torsione	Verifica
1.505	SLU 76	0.001	-0.397	302.422	0.002	Non considerata		Si

Verifica a taglio Y SLD §4.2.4.1.2.4 NTC18

X	Comb.	Sfruttamento	VEd	Vc,Rd	Av	Interazione taglio-torsione	Riduzione torsione	Verifica
1.505	SLD 14	0.001	-0.245	302.422	0.002	Non considerata		Si

Verifica a flessione semplice X §§ 4.2.4.1.2.3 - 4.2.4.1.2.6 - 4.2.4.1.2.7 - 4.2.4.1.2.8 NTC18

X	Comb.	Sfruttamento	Classe	Mx,Ed	Mx,Rd	Rid. Mx,Rd da VEd	px	py	Verifica
0.803	SLU 59	0.005	1	-0.10764	23.50374	1	0	0	Si

Verifica a presso/tenso flessione retta X §§ 4.2.4.1.2.3 - 4.2.4.1.2.6 - 4.2.4.1.2.7 - 4.2.4.1.2.8 NTC18

Verifiche eseguite utilizzando la formula conservativa (6.2) §6.2.1 EN 1993-1-1:2005.

X	Comb.	Sfruttamento	Classe	NEd	NRd	Rid. NRd da VEd	Mx,Ed	Mx,Rd	Rid. Mx,Rd da VEd	Rid. Mx,Rd da NEd	px	py	Verifica
0.753	SLU 62	0.006	1	-1.731	1003.522	1	-0.1097	23.5037	1		0	0	Si

Verifica a presso/tenso flessione retta Y §§ 4.2.4.1.2.3 - 4.2.4.1.2.6 - 4.2.4.1.2.7 - 4.2.4.1.2.8 NTC18

Verifiche eseguite utilizzando la formula conservativa (6.2) §6.2.1 EN 1993-1-1:2005.

X	Comb.	Sfruttamento	Classe	NEd	NRd	Rid. NRd da VEd	My,Ed	My,Rd	Rid. My,Rd da VEd	Rid. My,Rd da NEd	px	py	Verifica
1.305	SLU 38	0.014	3	-12.135	1003.522	1	-0.0368	19.3536	1		0	0	Si

Verifica a presso/tenso flessione retta Y SLD §§ 4.2.4.1.2.3 - 4.2.4.1.2.6 - 4.2.4.1.2.7 - 4.2.4.1.2.8 NTC18

Verifiche eseguite utilizzando la formula conservativa (6.2) §6.2.1 EN 1993-1-1:2005.

X	Comb.	Sfruttamento	Classe	NEd	NRd	Rid. NRd da VEd	My,Ed	My,Rd	Rid. My,Rd da VEd	Rid. My,Rd da NEd	px	py	Verifica
1.455	SLD 15	0.005	3	-4.278	1003.522	1	-0.013	19.3536	1		0	0	Si

Verifica a presso/tenso flessione deviata §§ 4.2.4.1.2.3 - 4.2.4.1.2.6 - 4.2.4.1.2.7 - 4.2.4.1.2.8 NTC18

Verifiche eseguite utilizzando la formula conservativa (6.2) §6.2.1 EN 1993-1-1:2005.

X	Comb.	Sfruttamento	Classe	NEd	NRd	Rid. NRd da VEd	Mx,Ed	Mx,Rd	My,Ed	My,Rd	Rid. Mx,Rd da VEd	Rid. Mx,Rd da NEd	Rid. My,Rd da VEd	Rid. My,Rd da NEd	α	β	px	py	Verifica
0.502	SLU 76	0.026	3	-12.801	1003.522	1	-0.1393	12.886	0.0387	19.3536	1		1				0	0	Si

Verifica a presso/tenso flessione deviata SLD §§ 4.2.4.1.2.3 - 4.2.4.1.2.6 - 4.2.4.1.2.7 - 4.2.4.1.2.8 NTC18

Verifiche eseguite utilizzando la formula conservativa (6.2) §6.2.1 EN 1993-1-1:2005.

X	Comb.	Sfruttamento	Classe	NEd	NRd	Rid. NRd da VEd	Mx,Ed	Mx,Rd	My,Ed	My,Rd	Rid. Mx,Rd da VEd	Rid. Mx,Rd da NEd	Rid. My,Rd da VEd	Rid. My,Rd da NEd	α	β	px	py	Verifica

Implementazione dei sistemi di confinamento delle emissioni odorigene diffuse dell’impianto di compostaggio esistente nel
Comune di Eboli (SA)

PROGETTO DEFINITIVO – Tabulati di calcolo Tomo 1

X	Comb.	Sfruttamento	Classe	NEd	NRd	Rid. NRd da VEd	Mx,Ed	Mx,Rd	My,Ed	My,Rd	Rid. Mx,Rd da VEd	Rid. Mx,Rd da NEd	Rid. My,Rd da VEd	Rid. My,Rd da NEd	α	β	ρx	ρy	Verifica
0.201	SLD 16	0.009	3	-4.247	1003.522	1	-0.052	12.886	0.013	19.3536	1		1				0	0	Si

Verifiche ad instabilità

Caratteristiche iniziali

Membratura principale per controllo snellezza; Calcolo di snellezze ed N critici condotti secondo gli assi principali;

Curva X: c; Curva Y: c;

Svergolamento: Nessuno; la verifica a instabilità flesso-torsionale (svergolamento) non verrà eseguita.

Dati per instabilità attorno a x

Controllo della snellezza secondo §4.2.4.1.3.1 NTC18

Numero rit.	Presente	Ascissa	Campata	βx/m	Vincolo a entrambi estremi	λx/m	λVer
1	Si	0					
			1-2	1	Si	49.6	Si, (<200)
2	Si	1.505					

Dati per instabilità attorno a y

Controllo della snellezza secondo §4.2.4.1.3.1 NTC18

Numero rit.	Presente	Ascissa	Campata	βy/n	k,LT	kw,LT	Vincolo a entrambi estremi
1	Si	0					
			1-2	1	Si	34.9	Si, (<200)
2	Si	1.505					

Verifica di stabilità per pressoflessione §C.4.2.4.1.3.3.1 NTC18

X	Comb.	Sfruttamento	Classe	NEd	MxEq,Ed	MyEq,Ed	Area	Wx	Wy	χ,min	λ adim. x/m	λ adim. y/n	N,crit x/m	N,crit y/n	Verifica
1.505	SLU 76	0.026	3	-12.834	-0.1151	-0.0292	0.003832	0.0000492	0.0000739	0.802	0.571	0.402	3231.032	6528.319	Si

Verifica di stabilità per pressoflessione SLD §C.4.2.4.1.3.3.1 NTC18

X	Comb.	Sfruttamento	Classe	NEd	MxEq,Ed	MyEq,Ed	Area	Wx	Wy	χ,min	λ adim. x/m	λ adim. y/n	N,crit x/m	N,crit y/n	Verifica
1.505	SLD 11	0.012	3	-4.277	-0.0768	0.0097	0.003832	0.0000492	0.0000739	0.802	0.571	0.402	3231.032	6528.319	Si

Verifiche a deformabilità

Mensola X: No; Mensola Y: No.

Frecce lungo X

Ascissa freccia	Combinazione	Freccia	Luce	L/f	L/f,min	Tipo	Verifica
1.154	SLE RA 1	0	1.505	10000	250	Totale	Si
1.154	SLE RA 17	0	1.505	10000	250	Totale	Si
1.154	SLE RA 16	0	1.505	10000	250	Totale	Si
1.154	SLE RA 15	0	1.505	10000	250	Totale	Si
1.154	SLE RA 14	0	1.505	10000	250	Totale	Si
1.154	SLE RA 2	0	1.505	10000	350	Variabile	Si
1.104	SLE RA 17	0	1.505	10000	350	Variabile	Si
1.154	SLE RA 16	0	1.505	10000	350	Variabile	Si
1.104	SLE RA 15	0	1.505	10000	350	Variabile	Si
1.154	SLE RA 14	0	1.505	10000	350	Variabile	Si

Frecce lungo Y

Ascissa freccia	Combinazione	Freccia	Luce	L/f	L/f,min	Tipo	Verifica
0.753	SLE RA 1	-0.00003	1.505	10000	250	Totale	Si
0.702	SLE RA 17	-0.00003	1.505	10000	250	Totale	Si
0.702	SLE RA 16	-0.00003	1.505	10000	250	Totale	Si
0.702	SLE RA 15	-0.00003	1.505	10000	250	Totale	Si
0.753	SLE RA 14	-0.00003	1.505	10000	250	Totale	Si
0.452	SLE RA 2	0	1.505	10000	350	Variabile	Si
0.452	SLE RA 17	0	1.505	10000	350	Variabile	Si
0.452	SLE RA 16	0	1.505	10000	350	Variabile	Si
0.452	SLE RA 15	0	1.505	10000	350	Variabile	Si
0.502	SLE RA 14	0	1.505	10000	350	Variabile	Si

Superelemento in acciaio a quota "715"- "703" (838; 2268)-(729; 2371)

Caratteristiche del materiale

Acciaio: S275, fyk = 275000

Caratteristiche geometriche

Lunghezza: 1.505

Nodo iniziale: 2143 Nodo finale: 1962

Cerniera iniziale: Mmomenti 1% Cerniera finale: Mmomenti 1%

Sovraresistenza: 0% Sisma Z: No

Caratteristiche della sezione

Sezione	Rotazione	Area	Jx	Jy	ix	iy	Wx	Wy	Wplx	Wply
A1; L100*10; 1; Saldato; S275; 30; 1; 8; 8; 1	0	0.003832	0.0000035319	0.000007759	0.0304	0.045	0.0000492	0.0000739	0.00008974	0.00012727

Comportamento dei calastrelli

Accoppiamento imbottito con funzione statica (§C4.2.4.1.3.1.4 NTC18) nella campata compresa tra le ascisse 0 e 1.505 per sbandamento attorno all'asse y.

Implementazione dei sistemi di confinamento delle emissioni odorigene diffuse dell'impianto di compostaggio esistente nel
Comune di Eboli (SA)
PROGETTO DEFINITIVO – Tabulati di calcolo Tomo 1

Verifiche di resistenza

Verifiche a forza assiale §4.2.4.1.2.1 - §4.2.4.1.2.2 NTC18

X	Comb.	Sfruttamento	Classe	NEd	Nc,Rd	Nt,Rd	Riduzione da taglio	px	py	Verifica
1.505	SLU 76	0.013	3	-12.676	1003.522		1	0	0	Si

Verifiche a forza assiale SLD §4.2.4.1.2.1 - §4.2.4.1.2.2 NTC18

X	Comb.	Sfruttamento	Classe	NEd	Nc,Rd	Nt,Rd	Riduzione da taglio	px	py	Verifica
1.505	SLD 13	0.004	3	-4.14	1003.522		1	0	0	Si

Verifica a taglio Y §4.2.4.1.2.4 NTC18

X	Comb.	Sfruttamento	VEd	Vc,Rd	Av	Interazione taglio-torsione	Riduzione torsione	Verifica
1.505	SLU 76	0.001	-0.364	302.422	0.002	Non considerata		Si

Verifica a taglio Y SLD §4.2.4.1.2.4 NTC18

X	Comb.	Sfruttamento	VEd	Vc,Rd	Av	Interazione taglio-torsione	Riduzione torsione	Verifica
1.505	SLD 14	0.001	-0.239	302.422	0.002	Non considerata		Si

Verifica a flessione semplice X §§ 4.2.4.1.2.3 - 4.2.4.1.2.6 - 4.2.4.1.2.7 - 4.2.4.1.2.8 NTC18

X	Comb.	Sfruttamento	Classe	Mx,Ed	Mx,Rd	Rid. Mx,Rd da VEd	px	py	Verifica
0.753	SLU 43	0.005	1	-0.10824	23.50374	1	0	0	Si

Verifica a presso/tenso flessione retta X §§ 4.2.4.1.2.3 - 4.2.4.1.2.6 - 4.2.4.1.2.7 - 4.2.4.1.2.8 NTC18

Verifiche eseguite utilizzando la formula conservativa (6.2) §6.2.1 EN 1993-1-1:2005.

X	Comb.	Sfruttamento	Classe	NEd	NRd	Rid. NRd da VEd	Mx,Ed	Mx,Rd	Rid. Mx,Rd da VEd	Rid. Mx,Rd da NEd	px	py	Verifica
0.803	SLU 40	0.007	1	2.106	1003.522	1	-0.1067	23.5037	1		0	0	Si

Verifica a presso/tenso flessione retta Y §§ 4.2.4.1.2.3 - 4.2.4.1.2.6 - 4.2.4.1.2.7 - 4.2.4.1.2.8 NTC18

Verifiche eseguite utilizzando la formula conservativa (6.2) §6.2.1 EN 1993-1-1:2005.

X	Comb.	Sfruttamento	Classe	NEd	NRd	Rid. NRd da VEd	My,Ed	My,Rd	Rid. My,Rd da VEd	Rid. My,Rd da NEd	px	py	Verifica
1.355	SLU 38	0.014	3	-12.067	1003.522	1	0.0365	19.3536	1		0	0	Si

Verifica a presso/tenso flessione retta Y SLD §§ 4.2.4.1.2.3 - 4.2.4.1.2.6 - 4.2.4.1.2.7 - 4.2.4.1.2.8 NTC18

Verifiche eseguite utilizzando la formula conservativa (6.2) §6.2.1 EN 1993-1-1:2005.

X	Comb.	Sfruttamento	Classe	NEd	NRd	Rid. NRd da VEd	My,Ed	My,Rd	Rid. My,Rd da VEd	Rid. My,Rd da NEd	px	py	Verifica
1.455	SLD 13	0.005	3	-4.138	1003.522	1	0.0125	19.3536	1		0	0	Si

Verifica a presso/tenso flessione deviata §§ 4.2.4.1.2.3 - 4.2.4.1.2.6 - 4.2.4.1.2.7 - 4.2.4.1.2.8 NTC18

Verifiche eseguite utilizzando la formula conservativa (6.2) §6.2.1 EN 1993-1-1:2005.

X	Comb.	Sfruttamento	Classe	NEd	NRd	Rid. NRd da VEd	Mx,Ed	Mx,Rd	My,Ed	My,Rd	Rid. Mx,Rd da VEd	Rid. Mx,Rd da NEd	Rid. My,Rd da VEd	Rid. My,Rd da NEd	α	β	px	py	Verifica
0.552	SLU 76	0.025	3	-12.645	1003.522	1	-0.1287	12.886	-0.0382	19.3536	1		1				0	0	Si

Verifica a presso/tenso flessione deviata SLD §§ 4.2.4.1.2.3 - 4.2.4.1.2.6 - 4.2.4.1.2.7 - 4.2.4.1.2.8 NTC18

Verifiche eseguite utilizzando la formula conservativa (6.2) §6.2.1 EN 1993-1-1:2005.

X	Comb.	Sfruttamento	Classe	NEd	NRd	Rid. NRd da VEd	Mx,Ed	Mx,Rd	My,Ed	My,Rd	Rid. Mx,Rd da VEd	Rid. Mx,Rd da NEd	Rid. My,Rd da VEd	Rid. My,Rd da NEd	α	β	px	py	Verifica
1.204	SLD 14	0.009	3	-4.132	1003.522	1	-0.0501	12.886	0.0125	19.3536	1		1				0	0	Si

Verifiche ad instabilità

Caratteristiche iniziali

Membratura principale per controllo snellezza; Calcolo di snellezze ed N critici condotti secondo gli assi principali;

Curva X: c; Curva Y: c;

Svergolamento: Nessuno; la verifica a instabilità flesso-torsionale (svergolamento) non verrà eseguita.

Dati per instabilità attorno a x

Controllo della snellezza secondo §4.2.4.1.3.1 NTC18

Numero rit.	Presente	Ascissa	Campata	βx/m	Vincolo a entrambi estremi	λx/m	λVer
1	Si		0				
			1-2		1	49.6	Si, (<200)
2	Si	1.505					

Dati per instabilità attorno a y

Controllo della snellezza secondo §4.2.4.1.3.1 NTC18

Numero rit.	Presente	Ascissa	Campata	βy/n	k,LT	kw,LT	Vincolo a entrambi estremi
1	Si		0				
			1-2		1	34.9	Si, (<200)
2	Si	1.505					

Verifica di stabilità per pressoflessione §C.4.2.4.1.3.3.1 NTC18

X	Comb.	Sfruttamento	Classe	NEd	MxEq,Ed	MyEq,Ed	Area	Wx	Wy	x,min	λ adim. x/m	λ adim. y/n	N,crit x/m	N,crit y/n	Verifica
1.505	SLU 76	0.026	3	-12.676	-0.1112	0.0288	0.003832	0.0000492	0.0000739	0.802	0.571	0.402	3231.032	6528.319	Si

Verifica di stabilità per pressoflessione SLD §C.4.2.4.1.3.3.1 NTC18

X	Comb.	Sfruttamento	Classe	NEd	MxEq,Ed	MyEq,Ed	Area	Wx	Wy	x,min	λ adim. x/m	λ adim. y/n	N,crit x/m	N,crit y/n	Verifica
1.505	SLD 13	0.012	3	-4.14	-0.0757	0.0094	0.003832	0.0000492	0.0000739	0.802	0.571	0.402	3231.032	6528.319	Si

Verifiche a deformabilità

Mensola X: No; Mensola Y: No.

Frecce lungo X

Ascissa freccia	Combinazione	Freccia	Luce	L/f	L/f,min	Tipo	Verifica
-----------------	--------------	---------	------	-----	---------	------	----------

Implementazione dei sistemi di confinamento delle emissioni odorigene diffuse dell'impianto di compostaggio esistente nel
Comune di Eboli (SA)
PROGETTO DEFINITIVO – Tabulati di calcolo Tomo 1

Ascissa freccia	Combinazione	Freccia	Luce	L/f	L/f,min	Tipo	Verifica
0.401	SLE RA 1	0	1.505	10000	250	Totale	Si
0.452	SLE RA 17	0	1.505	10000	250	Totale	Si
0.452	SLE RA 16	0	1.505	10000	250	Totale	Si
0.452	SLE RA 15	0	1.505	10000	250	Totale	Si
0.401	SLE RA 14	0	1.505	10000	250	Totale	Si
0.502	SLE RA 2	0	1.505	10000	350	Variabile	Si
0.502	SLE RA 17	0	1.505	10000	350	Variabile	Si
0.502	SLE RA 16	0	1.505	10000	350	Variabile	Si
0.502	SLE RA 15	0	1.505	10000	350	Variabile	Si
1.003	SLE RA 14	0	1.505	10000	350	Variabile	Si

Frecce lungo Y

Ascissa freccia	Combinazione	Freccia	Luce	L/f	L/f,min	Tipo	Verifica
0.753	SLE RA 1	-0.00003	1.505	10000	250	Totale	Si
0.753	SLE RA 17	-0.00003	1.505	10000	250	Totale	Si
0.702	SLE RA 16	-0.00003	1.505	10000	250	Totale	Si
0.702	SLE RA 15	-0.00003	1.505	10000	250	Totale	Si
0.753	SLE RA 14	-0.00003	1.505	10000	250	Totale	Si
0.452	SLE RA 2	0	1.505	10000	350	Variabile	Si
0.452	SLE RA 17	0	1.505	10000	350	Variabile	Si
0.452	SLE RA 16	0	1.505	10000	350	Variabile	Si
0.452	SLE RA 15	0	1.505	10000	350	Variabile	Si
0.452	SLE RA 14	0	1.505	10000	350	Variabile	Si

Superelemento in acciaio a quota "715"- "703" (1088; 2531)-(979; 2634)

Caratteristiche del materiale

Acciaio: S275, fyk = 275000

Caratteristiche geometriche

Lunghezza: 1.505

Nodo iniziale: 2171 Nodo finale: 1970

Cerniera iniziale: Mmomenti 1% Cerniera finale: Mmomenti 1%

Sovreresistenza: 0% Sisma Z: No

Caratteristiche della sezione

Sezione	Rotazione	Area	Jx	Jy	ix	iy	Wx	Wy	Wplx	Wply
A1; L100*10; 1; Saldato; S275; 30; 1; 8; 8; 1	0	0.003832	0.0000035319	0.000007759	0.0304	0.045	0.0000492	0.0000739	0.00008974	0.00012727

Comportamento dei calastrelli

Accoppiamento imbottito con funzione statica (§C4.2.4.1.3.1.4 NTC18) nella campata compresa tra le ascisse 0 e 1.505 per sbandamento attorno all'asse y.

Verifiche di resistenza

Verifiche a forza assiale §4.2.4.1.2.1 - §4.2.4.1.2.2 NTC18

X	Comb.	Sfruttamento	Classe	NEd	Nc,Rd	Nt,Rd	Riduzione da taglio	px	py	Verifica
1.505	SLU 76	0.01	3	-10.291	1003.522		1	0	0	Si

Verifiche a forza assiale SLD §4.2.4.1.2.1 - §4.2.4.1.2.2 NTC18

X	Comb.	Sfruttamento	Classe	NEd	Nc,Rd	Nt,Rd	Riduzione da taglio	px	py	Verifica
1.505	SLD 14	0.004	3	-3.912	1003.522		1	0	0	Si

Verifica a taglio Y §4.2.4.1.2.4 NTC18

X	Comb.	Sfruttamento	VEd	Vc,Rd	Av	Interazione taglio-torsione	Riduzione torsione	Verifica
1.505	SLU 76	0.001	-0.375	302.422	0.002	Non considerata		Si

Verifica a taglio Y SLD §4.2.4.1.2.4 NTC18

X	Comb.	Sfruttamento	VEd	Vc,Rd	Av	Interazione taglio-torsione	Riduzione torsione	Verifica
1.505	SLD 16	0.001	-0.243	302.422	0.002	Non considerata		Si

Verifica a flessione semplice X §§ 4.2.4.1.2.3 - 4.2.4.1.2.6 - 4.2.4.1.2.7 - 4.2.4.1.2.8 NTC18

X	Comb.	Sfruttamento	Classe	Mx,Ed	Mx,Rd	Rid. Mx,Rd da VEd	px	py	Verifica
0.803	SLU 43	0.005	1	-0.10911	23.50374	1	0	0	Si

Verifica a presso/tenso flessione retta X §§ 4.2.4.1.2.3 - 4.2.4.1.2.6 - 4.2.4.1.2.7 - 4.2.4.1.2.8 NTC18

Verifiche eseguite utilizzando la formula conservativa (6.2) §6.2.1 EN 1993-1-1:2005.

X	Comb.	Sfruttamento	Classe	NEd	NRd	Rid. NRd da VEd	Mx,Ed	Mx,Rd	Rid. Mx,Rd da VEd	Rid. Mx,Rd da NEd	px	py	Verifica
0.803	SLU 41	0.007	1	-2.278	1003.522	1	-0.1087	23.5037	1		0	0	Si

Verifica a presso/tenso flessione retta X SLD §§ 4.2.4.1.2.3 - 4.2.4.1.2.6 - 4.2.4.1.2.7 - 4.2.4.1.2.8 NTC18

Verifiche eseguite utilizzando la formula conservativa (6.2) §6.2.1 EN 1993-1-1:2005.

X	Comb.	Sfruttamento	Classe	NEd	NRd	Rid. NRd da VEd	Mx,Ed	Mx,Rd	Rid. Mx,Rd da VEd	Rid. Mx,Rd da NEd	px	py	Verifica
0.702	SLD 7	0.006	1	-2.329	1003.522	1	-0.0898	23.5037	1		0	0	Si

Verifica a presso/tenso flessione retta Y §§ 4.2.4.1.2.3 - 4.2.4.1.2.6 - 4.2.4.1.2.7 - 4.2.4.1.2.8 NTC18

Verifiche eseguite utilizzando la formula conservativa (6.2) §6.2.1 EN 1993-1-1:2005.

X	Comb.	Sfruttamento	Classe	NEd	NRd	Rid. NRd da VEd	My,Ed	My,Rd	Rid. My,Rd da VEd	Rid. My,Rd da NEd	px	py	Verifica
1.355	SLU 76	0.012	3	-10.286	1003.522	1	-0.0311	19.3536	1		0	0	Si

Implementazione dei sistemi di confinamento delle emissioni odorigene diffuse dell'impianto di compostaggio esistente nel
Comune di Eboli (SA)

PROGETTO DEFINITIVO – Tabulati di calcolo Tomo 1

Verifica a presso/tenso flessione retta Y SLD §§ 4.2.4.1.2.3 - 4.2.4.1.2.6 - 4.2.4.1.2.7 - 4.2.4.1.2.8 NTC18

Verifiche eseguite utilizzando la formula conservativa (6.2) §6.2.1 EN 1993-1-1:2005.

X	Comb.	Sfruttamento	Classe	NEd	NRd	Rid. NRd da VEd	My,Ed	My,Rd	Rid. My,Rd da VEd	Rid. My,Rd da NEd	px	py	Verifica
1.455	SLD 13	0.005	3	-3.91	1003.522	1	-0.0118	19.3536	1		0	0	Si

Verifica a presso/tenso flessione deviata §§ 4.2.4.1.2.3 - 4.2.4.1.2.6 - 4.2.4.1.2.7 - 4.2.4.1.2.8 NTC18

Verifiche eseguite utilizzando la formula conservativa (6.2) §6.2.1 EN 1993-1-1:2005.

X	Comb.	Sfruttamento	Classe	NEd	NRd	Rid. NRd da VEd	Mx,Ed	Mx,Rd	My,Ed	My,Rd	Rid. Mx,Rd da VEd	Rid. Mx,Rd da NEd	Rid. My,Rd da VEd	Rid. My,Rd da NEd	α	β	px	py	Verifica
0.401	SLU 76	0.022	3	-10.255	1003.522	1	-0.1285	12.886	0.0311	19.3536	1		1				0	0	Si

Verifica a presso/tenso flessione deviata SLD §§ 4.2.4.1.2.3 - 4.2.4.1.2.6 - 4.2.4.1.2.7 - 4.2.4.1.2.8 NTC18

Verifiche eseguite utilizzando la formula conservativa (6.2) §6.2.1 EN 1993-1-1:2005.

X	Comb.	Sfruttamento	Classe	NEd	NRd	Rid. NRd da VEd	Mx,Ed	Mx,Rd	My,Ed	My,Rd	Rid. Mx,Rd da VEd	Rid. Mx,Rd da NEd	Rid. My,Rd da VEd	Rid. My,Rd da NEd	α	β	px	py	Verifica
1.204	SLD 13	0.008	3	-3.904	1003.522	1	-0.0492	12.886	-0.0118	19.3536	1		1				0	0	Si

Verifiche ad instabilità

Caratteristiche iniziali

Membratura principale per controllo snellezza; Calcolo di snellezze ed N critici condotti secondo gli assi principali;

Curva X: c; Curva Y: c;

Svergolamento: Nessuno; la verifica a instabilità flesso-torsionale (svergolamento) non verrà eseguita.

Dati per instabilità attorno a x

Controllo della snellezza secondo §4.2.4.1.3.1 NTC18

Numero rit.	Presente	Ascissa	Campata	βx/m	Vincolo a entrambi estremi	λx/m	λVer
1	Si		0				
			1-2	1	Si	49.6	Si, (<200)
2	Si	1.505					

Dati per instabilità attorno a y

Controllo della snellezza secondo §4.2.4.1.3.1 NTC18

Numero rit.	Presente	Ascissa	Campata	βy/n	k,LT	kw,LT	Vincolo a entrambi estremi
1	Si		0				
			1-2	1	Si	34.9	Si, (<200)
2	Si	1.505					

Verifica di stabilità per pressoflessione §C.4.2.4.1.3.3.1 NTC18

X	Comb.	Sfruttamento	Classe	NEd	MxEq,Ed	MyEq,Ed	Area	Wx	Wy	χ,min	λ adim. x/m	λ adim. y/n	N,crit x/m	N,crit y/n	Verifica
1.505	SLU 76	0.023	3	-10.291	-0.113	0.0234	0.003832	0.0000492	0.0000739	0.802	0.571	0.402	3231.032	6528.319	Si

Verifica di stabilità per pressoflessione SLD §C.4.2.4.1.3.3.1 NTC18

X	Comb.	Sfruttamento	Classe	NEd	MxEq,Ed	MyEq,Ed	Area	Wx	Wy	χ,min	λ adim. x/m	λ adim. y/n	N,crit x/m	N,crit y/n	Verifica
1.505	SLD 13	0.011	3	-3.912	-0.0786	-0.0089	0.003832	0.0000492	0.0000739	0.802	0.571	0.402	3231.032	6528.319	Si

Verifiche a deformabilità

Mensola X: No; Mensola Y: No.

Frecce lungo X

Ascissa freccia	Combinazione	Freccia	Luce	L/f	L/f,min	Tipo	Verifica
0.702	SLE RA 1	0	1.505	10000	250	Totale	Si
0.652	SLE RA 17	0	1.505	10000	250	Totale	Si
0.652	SLE RA 16	0	1.505	10000	250	Totale	Si
0.552	SLE RA 15	0	1.505	10000	250	Totale	Si
0.853	SLE RA 14	0	1.505	10000	250	Totale	Si
0.552	SLE RA 2	0	1.505	10000	350	Variabile	Si
0.552	SLE RA 17	0	1.505	10000	350	Variabile	Si
0.552	SLE RA 16	0	1.505	10000	350	Variabile	Si
0.452	SLE RA 15	0	1.505	10000	350	Variabile	Si
1.054	SLE RA 14	0	1.505	10000	350	Variabile	Si

Frecce lungo Y

Ascissa freccia	Combinazione	Freccia	Luce	L/f	L/f,min	Tipo	Verifica
0.753	SLE RA 1	-0.00003	1.505	10000	250	Totale	Si
0.702	SLE RA 17	-0.00003	1.505	10000	250	Totale	Si
0.702	SLE RA 16	-0.00003	1.505	10000	250	Totale	Si
0.702	SLE RA 15	-0.00003	1.505	10000	250	Totale	Si
0.753	SLE RA 14	-0.00003	1.505	10000	250	Totale	Si
0.452	SLE RA 2	0	1.505	10000	350	Variabile	Si
0.452	SLE RA 17	0	1.505	10000	350	Variabile	Si
0.452	SLE RA 16	0	1.505	10000	350	Variabile	Si
0.452	SLE RA 15	0	1.505	10000	350	Variabile	Si
0.552	SLE RA 14	0	1.505	10000	350	Variabile	Si

Superelemento in acciaio a quota "715"- "703" (1343; 2802)-(1233; 2905)

Caratteristiche del materiale

Acciaio: S275, fyk = 275000

Caratteristiche geometriche

Lunghezza: 1.505

Nodo iniziale: 2207 Nodo finale: 2000

Cerniera iniziale: Mmomenti 1% Cerniera finale: Mmomenti 1%

Implementazione dei sistemi di confinamento delle emissioni odorigene diffuse dell'impianto di compostaggio esistente nel
Comune di Eboli (SA)
PROGETTO DEFINITIVO – Tabulati di calcolo Tomo 1

Sovreresistenza: 0% Sisma Z: No

Caratteristiche della sezione

Sezione	Rotazione	Area	Jx	Jy	ix	iy	Wx	Wy	Wplx	Wply
A1; L100*10; 1; Saldato; S275; 30; 1; 8; 8; 1	0	0.003832	0.0000035319	0.000007759	0.0304	0.045	0.0000492	0.0000739	0.00008974	0.00012727

Comportamento dei calastrelli

Accoppiamento imbottito con funzione statica (§C4.2.4.1.3.1.4 NTC18) nella campata compresa tra le ascisse 0 e 1.505 per sbandamento attorno all'asse y.

Verifiche di resistenza

Verifiche a forza assiale §4.2.4.1.2.1 - §4.2.4.1.2.2 NTC18

X	Comb.	Sfruttamento	Classe	NEd	Nc,Rd	Nt,Rd	Riduzione da taglio	px	py	Verifica
1.505	SLU 76	0.054	3	-54.159	1003.522		1	0	0	Si

Verifiche a forza assiale SLD §4.2.4.1.2.1 - §4.2.4.1.2.2 NTC18

X	Comb.	Sfruttamento	Classe	NEd	Nc,Rd	Nt,Rd	Riduzione da taglio	px	py	Verifica
1.505	SLD 3	0.021	3	-20.992	1003.522		1	0	0	Si

Verifica a taglio X §4.2.4.1.2.4 NTC18

X	Comb.	Sfruttamento	VEd	Vc,Rd	Av	Interazione taglio-torsione	Riduzione torsione	Verifica
1.505	SLU 76	0.001	0.348	302.422	0.002	Non considerata		Si

Verifica a taglio Y §4.2.4.1.2.4 NTC18

X	Comb.	Sfruttamento	VEd	Vc,Rd	Av	Interazione taglio-torsione	Riduzione torsione	Verifica
0	SLU 76	0.002	0.69	302.422	0.002	Non considerata		Si

Verifica a taglio Y SLD §4.2.4.1.2.4 NTC18

X	Comb.	Sfruttamento	VEd	Vc,Rd	Av	Interazione taglio-torsione	Riduzione torsione	Verifica
0	SLD 3	0.001	0.283	302.422	0.002	Non considerata		Si

Verifica a presso/tenso flessione retta X §§ 4.2.4.1.2.3 - 4.2.4.1.2.6 - 4.2.4.1.2.7 - 4.2.4.1.2.8 NTC18

Verifiche eseguite utilizzando la formula conservativa (6.2) §6.2.1 EN 1993-1-1:2005.

X	Comb.	Sfruttamento	Classe	NEd	NRd	Rid. NRd da VEd	Mx,Ed	Mx,Rd	Rid. Mx,Rd da VEd	Rid. Mx,Rd da NEd	px	py	Verifica
0.853	SLU 2	0.003	1	1.124	1003.522	1	-0.0442	23.5037	1		0	0	Si

Verifica a presso/tenso flessione retta Y §§ 4.2.4.1.2.3 - 4.2.4.1.2.6 - 4.2.4.1.2.7 - 4.2.4.1.2.8 NTC18

Verifiche eseguite utilizzando la formula conservativa (6.2) §6.2.1 EN 1993-1-1:2005.

X	Comb.	Sfruttamento	Classe	NEd	NRd	Rid. NRd da VEd	My,Ed	My,Rd	Rid. My,Rd da VEd	Rid. My,Rd da NEd	px	py	Verifica
0	SLU 76	0.062	3	-54.061	1003.522	1	-0.1656	19.3536	1		0	0	Si

Verifica a presso/tenso flessione retta Y SLD §§ 4.2.4.1.2.3 - 4.2.4.1.2.6 - 4.2.4.1.2.7 - 4.2.4.1.2.8 NTC18

Verifiche eseguite utilizzando la formula conservativa (6.2) §6.2.1 EN 1993-1-1:2005.

X	Comb.	Sfruttamento	Classe	NEd	NRd	Rid. NRd da VEd	My,Ed	My,Rd	Rid. My,Rd da VEd	Rid. My,Rd da NEd	px	py	Verifica
0	SLD 3	0.024	3	-20.948	1003.522	1	-0.0646	19.3536	1		0	0	Si

Verifica a presso/tenso flessione deviata §§ 4.2.4.1.2.3 - 4.2.4.1.2.6 - 4.2.4.1.2.7 - 4.2.4.1.2.8 NTC18

Verifiche eseguite utilizzando la formula conservativa (6.2) §6.2.1 EN 1993-1-1:2005.

X	Comb.	Sfruttamento	Classe	NEd	NRd	Rid. NRd da VEd	Mx,Ed	Mx,Rd	My,Ed	My,Rd	Rid. Mx,Rd da VEd	Rid. Mx,Rd da NEd	Rid. My,Rd da VEd	Rid. My,Rd da NEd	α	β	px	py	Verifica
0.702	SLU 76	0.08	3	-54.119	1003.522	1	-0.2305	12.886	-0.1648	19.3536	1		1				0	0	Si

Verifica a presso/tenso flessione deviata SLD §§ 4.2.4.1.2.3 - 4.2.4.1.2.6 - 4.2.4.1.2.7 - 4.2.4.1.2.8 NTC18

Verifiche eseguite utilizzando la formula conservativa (6.2) §6.2.1 EN 1993-1-1:2005.

X	Comb.	Sfruttamento	Classe	NEd	NRd	Rid. NRd da VEd	Mx,Ed	Mx,Rd	My,Ed	My,Rd	Rid. Mx,Rd da VEd	Rid. Mx,Rd da NEd	Rid. My,Rd da VEd	Rid. My,Rd da NEd	α	β	px	py	Verifica
0.753	SLD 4	0.032	3	-20.972	1003.522	1	-0.1027	12.886	-0.0639	19.3536	1		1				0	0	Si

Verifiche ad instabilità

Caratteristiche iniziali

Membratura principale per controllo snellezza; Calcolo di snellezze ed N critici condotti secondo gli assi principali;

Curva X: c; Curva Y: c;

Svergolamento: Nessuno; la verifica a instabilità flesso-torsionale (svergolamento) non verrà eseguita.

Dati per instabilità attorno a x

Controllo della snellezza secondo §4.2.4.1.3.1 NTC18

Numero rit.	Presente	Ascissa	Campata	βx/m	Vincolo a entrambi estremi	λx/m	λVer
1	Si		0				
			1-2	1	Si	49.6	Si, (<200)
2	Si	1.505					

Dati per instabilità attorno a y

Controllo della snellezza secondo §4.2.4.1.3.1 NTC18

Numero rit.	Presente	Ascissa	Campata	βy/n	k,LT	kw,LT	Vincolo a entrambi estremi
1	Si	0					
			1-2	1	Si	34.9	Si, (<200)
2	Si	1.505					

Implementazione dei sistemi di confinamento delle emissioni odorigene diffuse dell'impianto di compostaggio esistente nel
Comune di Eboli (SA)
PROGETTO DEFINITIVO – Tabulati di calcolo Tomo 1

Verifica di stabilità per pressoflessione §C.4.2.4.1.3.3.1 NTC18

X	Comb.	Sfruttamento	Classe	NEd	MxEq,Ed	MyEq,Ed	Area	Wx	Wy	x,min	λ adim. x/m	λ adim. y/n	N,crit x/m	N,crit y/n	Verifica
1.505	SLU 76	0.09	3	-54.159	-0.2014	-0.1242	0.003832	0.0000492	0.0000739	0.802	0.571	0.402	3230.617	6527.547	Si

Verifica di stabilità per pressoflessione SLD §C.4.2.4.1.3.3.1 NTC18

X	Comb.	Sfruttamento	Classe	NEd	MxEq,Ed	MyEq,Ed	Area	Wx	Wy	x,min	λ adim. x/m	λ adim. y/n	N,crit x/m	N,crit y/n	Verifica
1.505	SLD 8	0.036	3	-20.983	-0.09	0.0637	0.003832	0.0000492	0.0000739	0.802	0.571	0.402	3230.617	6527.547	Si

Verifiche a deformabilità

Mensola X: No; Mensola Y: No.

Frecce lungo X

Ascissa freccia	Combinazione	Freccia	Luce	L/f	L/f,min	Tipo	Verifica
0.502	SLE RA 1	0	1.505	10000	250	Totale	Si
0.502	SLE RA 17	0	1.505	10000	250	Totale	Si
0.502	SLE RA 16	0	1.505	10000	250	Totale	Si
0.502	SLE RA 15	0	1.505	10000	250	Totale	Si
0.452	SLE RA 14	0	1.505	10000	250	Totale	Si
0.552	SLE RA 2	0	1.505	10000	350	Variabile	Si
0.552	SLE RA 17	0	1.505	10000	350	Variabile	Si
0.552	SLE RA 16	0	1.505	10000	350	Variabile	Si
0.552	SLE RA 15	0	1.505	10000	350	Variabile	Si
0.401	SLE RA 14	0	1.505	10000	350	Variabile	Si

Frecce lungo Y

Ascissa freccia	Combinazione	Freccia	Luce	L/f	L/f,min	Tipo	Verifica
0.753	SLE RA 1	-0.00003	1.505	10000	250	Totale	Si
0.753	SLE RA 17	-0.00004	1.505	10000	250	Totale	Si
0.753	SLE RA 16	-0.00005	1.505	10000	250	Totale	Si
0.753	SLE RA 15	-0.00005	1.505	10000	250	Totale	Si
0.753	SLE RA 14	-0.00004	1.505	10000	250	Totale	Si
0.753	SLE RA 2	0.00001	1.505	10000	350	Variabile	Si
0.753	SLE RA 17	-0.00001	1.505	10000	350	Variabile	Si
0.753	SLE RA 16	-0.00001	1.505	10000	350	Variabile	Si
0.702	SLE RA 15	-0.00002	1.505	10000	350	Variabile	Si
0.753	SLE RA 14	0	1.505	10000	350	Variabile	Si

Superelemento in acciaio a quota "715"- "703" (1999; 2393)-(1999; 2293)

Caratteristiche del materiale

Acciaio: S275, fyk = 275000

Caratteristiche geometriche

Lunghezza: 1.008

Nodo iniziale: 2222 Nodo finale: 1937

Cerniera iniziale: Mmomenti 1% Cerniera finale: Mmomenti 1%

Sovraresistenza: 0% Sisma Z: No

Caratteristiche della sezione

Sezione	Rotazione	Area	Jx	Jy	ix	iy	Wx	Wy	Wplx	Wply
A1; L100*10; 1; Saldato; S275; 20; 1; 8; 8; 1	0	0.003832	0.0000035319	0.000007759	0.0304	0.045	0.0000492	0.0000739	0.00008974	0.00012727

Comportamento dei calastrelli

Accoppiamento imbottito avendo passo inferiore al minimo richiesto (§C4.2.4.1.3.1.5 NTC18) nella campata compresa tra le ascisse 0 e 1.008 per sbandamento attorno all'asse y.

Verifiche di resistenza

Verifiche a forza assiale §4.2.4.1.2.1 - §4.2.4.1.2.2 NTC18

X	Comb.	Sfruttamento	Classe	NEd	Nc,Rd	Nt,Rd	Riduzione da taglio	px	py	Verifica
1.008	SLU 76	0.038	3	-38.222	1003.522		1	0	0	Si

Verifiche a forza assiale SLD §4.2.4.1.2.1 - §4.2.4.1.2.2 NTC18

X	Comb.	Sfruttamento	Classe	NEd	Nc,Rd	Nt,Rd	Riduzione da taglio	px	py	Verifica
1.008	SLD 8	0.016	3	-16.236	1003.522		1	0	0	Si

Verifica a taglio Y §4.2.4.1.2.4 NTC18

X	Comb.	Sfruttamento	VEd	Vc,Rd	Av	Interazione taglio-torsione	Riduzione torsione	Verifica
1.008	SLU 75	0.001	-0.238	302.422	0.002	Non considerata		Si

Verifica a flessione semplice X §§ 4.2.4.1.2.3 - 4.2.4.1.2.6 - 4.2.4.1.2.7 - 4.2.4.1.2.8 NTC18

X	Comb.	Sfruttamento	Classe	Mx,Ed	Mx,Rd	Rid. Mx,Rd da VEd	px	py	Verifica
0.537	SLU 2	0.002	1	-0.03632	23.50374	1	0	0	Si

Verifica a presso/tenso flessione retta X §§ 4.2.4.1.2.3 - 4.2.4.1.2.6 - 4.2.4.1.2.7 - 4.2.4.1.2.8 NTC18

Verifiche eseguite utilizzando la formula conservativa (6.2) §6.2.1 EN 1993-1-1:2005.

X	Comb.	Sfruttamento	Classe	NEd	NRd	Rid. NRd da VEd	Mx,Ed	Mx,Rd	Rid. Mx,Rd da VEd	Rid. Mx,Rd da NEd	px	py	Verifica
0.47	SLU 76	0.042	3	-38.195	1003.522	1	-0.0521	12.886	1		0	0	Si

Verifica a presso/tenso flessione retta X SLD §§ 4.2.4.1.2.3 - 4.2.4.1.2.6 - 4.2.4.1.2.7 - 4.2.4.1.2.8 NTC18

Verifiche eseguite utilizzando la formula conservativa (6.2) §6.2.1 EN 1993-1-1:2005.

Implementazione dei sistemi di confinamento delle emissioni odorigene diffuse dell'impianto di compostaggio esistente nel
Comune di Eboli (SA)

PROGETTO DEFINITIVO – Tabulati di calcolo Tomo 1

X	Comb.	Sfruttamento	Classe	NEd	NRd	Rid. NRd da VEd	Mx,Ed	Mx,Rd	Rid. Mx,Rd da VEd	Rid. Mx,Rd da NEd	px	py	Verifica
0.504	SLD 8	0.019	3	-16.216	1003.522	1	-0.0377	12.886	1		0	0	Si

Verifiche ad instabilità

Caratteristiche iniziali

Membratura principale per controllo snellezza; Calcolo di snellezze ed N critici condotti secondo gli assi principali;

Curva X: c; Curva Y: c;

Svergolamento: Nessuno; la verifica a instabilità flessione-torsionale (svergolamento) non verrà eseguita.

Dati per instabilità attorno a x

Controllo della snellezza secondo §4.2.4.1.3.1 NTC18

Numero rit.	Presente	Ascissa	Campata	$\beta x/m$	Vincolo a entrambi estremi	$\lambda x/m$	λVer
1	Si	0					
			1-2	1	Si	33.2	Si, (<200)
2	Si	1.008					

Dati per instabilità attorno a y

Controllo della snellezza secondo §4.2.4.1.3.1 NTC18

Numero rit.	Presente	Ascissa	Campata	$\beta y/n$	k,LT	kw,LT	Vincolo a entrambi estremi
1	Si	0					
			1-2	1	Si	22.4	Si, (<200)
2	Si	1.008					

Verifica di stabilità per pressoflessione §C.4.2.4.1.3.3.1 NTC18

X	Comb.	Sfruttamento	Classe	NEd	MxEq,Ed	MyEq,Ed	Area	Wx	Wy	χ_{min}	$\lambda_{adim. x/m}$	$\lambda_{adim. y/n}$	N,crit x/m	N,crit y/n	Verifica
1.008	SLU 76	0.046	3	-38.222	-0.046	-0.0006	0.003832	0.0000492	0.0000739	0.907	0.382	0.258	7207.687	15834.061	Si

Verifica di stabilità per pressoflessione SLD §C.4.2.4.1.3.3.1 NTC18

X	Comb.	Sfruttamento	Classe	NEd	MxEq,Ed	MyEq,Ed	Area	Wx	Wy	χ_{min}	$\lambda_{adim. x/m}$	$\lambda_{adim. y/n}$	N,crit x/m	N,crit y/n	Verifica
1.008	SLD 8	0.02	3	-16.236	-0.0323	-0.0005	0.003832	0.0000492	0.0000739	0.907	0.382	0.258	7207.687	15834.061	Si

Verifiche a deformabilità

Mensola X: No; Mensola Y: No.

Frecce lungo X

Ascissa freccia	Combinazione	Freccia	Luce	L/f	L/f,min	Tipo	Verifica
0.47	SLE RA 1	0	1.008	10000	250	Totale	Si
0.47	SLE RA 17	0	1.008	10000	250	Totale	Si
0.47	SLE RA 16	0	1.008	10000	250	Totale	Si
0.47	SLE RA 15	0	1.008	10000	250	Totale	Si
0.47	SLE RA 14	0	1.008	10000	250	Totale	Si
0.47	SLE RA 2	0	1.008	10000	350	Variabile	Si
0.47	SLE RA 17	0	1.008	10000	350	Variabile	Si
0.47	SLE RA 16	0	1.008	10000	350	Variabile	Si
0.504	SLE RA 15	0	1.008	10000	350	Variabile	Si
0.437	SLE RA 14	0	1.008	10000	350	Variabile	Si

Frecce lungo Y

Ascissa freccia	Combinazione	Freccia	Luce	L/f	L/f,min	Tipo	Verifica
0.504	SLE RA 1	-0.00001	1.008	10000	250	Totale	Si
0.504	SLE RA 17	-0.00001	1.008	10000	250	Totale	Si
0.47	SLE RA 16	-0.00001	1.008	10000	250	Totale	Si
0.504	SLE RA 15	-0.00001	1.008	10000	250	Totale	Si
0.47	SLE RA 14	-0.00001	1.008	10000	250	Totale	Si
0.336	SLE RA 2	0	1.008	10000	350	Variabile	Si
0.336	SLE RA 17	0	1.008	10000	350	Variabile	Si
0.336	SLE RA 16	0	1.008	10000	350	Variabile	Si
0.336	SLE RA 15	0	1.008	10000	350	Variabile	Si
0.336	SLE RA 14	0	1.008	10000	350	Variabile	Si

Superelemento in acciaio a quota "715"- "703" (2231; 2393)-(2231; 2293)

Caratteristiche del materiale

Acciaio: S275, fyk = 275000

Caratteristiche geometriche

Lunghezza: 1.008

Nodo iniziale: 2150 Nodo finale: 1944

Cerniera iniziale: Mmomenti 1% Cerniera finale: Mmomenti 1%

Sovreresistenza: 0% Sisma Z: No

Caratteristiche della sezione

Sezione	Rotazione	Area	Jx	Jy	ix	iy	Wx	Wy	Wplx	Wply
Al; L100*10; 1; Saldato; S275; 20; 1; 8; 8; 1	0	0.003832	0.0000035319	0.000007759	0.0304	0.045	0.0000492	0.0000739	0.00008974	0.00012727

Comportamento dei calastrelli

Accoppiamento imbottito avendo passo inferiore al minimo richiesto (§C4.2.4.1.3.1.5 NTC18) nella campata compresa tra le ascisse 0 e 1.008 per sbandamento attorno all'asse y.

Implementazione dei sistemi di confinamento delle emissioni odorigene diffuse dell'impianto di compostaggio esistente nel
Comune di Eboli (SA)
PROGETTO DEFINITIVO – Tabulati di calcolo Tomo 1

Verifiche di resistenza

Verifiche a forza assiale §4.2.4.1.2.1 - §4.2.4.1.2.2 NTC18

X	Comb.	Sfruttamento	Classe	NEd	Nc,Rd	Nt,Rd	Riduzione da taglio	px	py	Verifica
1.008	SLU 76	0.016	3	-16.048	1003.522		1	0	0	Si

Verifiche a forza assiale SLD §4.2.4.1.2.1 - §4.2.4.1.2.2 NTC18

X	Comb.	Sfruttamento	Classe	NEd	Nc,Rd	Nt,Rd	Riduzione da taglio	px	py	Verifica
1.008	SLD 16	0.007	3	-7.333	1003.522		1	0	0	Si

Verifica a taglio Y §4.2.4.1.2.4 NTC18

X	Comb.	Sfruttamento	VEd	Vc,Rd	Av	Interazione taglio-torsione	Riduzione torsione	Verifica
1.008	SLU 75	0.001	-0.255	302.422	0.002	Non considerata		Si

Verifica a presso/tenso flessione retta X §§ 4.2.4.1.2.3 - 4.2.4.1.2.6 - 4.2.4.1.2.7 - 4.2.4.1.2.8 NTC18

Verifiche eseguite utilizzando la formula conservativa (6.2) §6.2.1 EN 1993-1-1:2005.

X	Comb.	Sfruttamento	Classe	NEd	NRd	Rid. NRd da VEd	Mx,Ed	Mx,Rd	Rid. Mx,Rd da VEd	Rid. Mx,Rd da NEd	px	py	Verifica
0.403	SLU 76	0.019	3	-16.019	1003.522	1	-0.0386	12.886	1		0	0	Si

Verifica a presso/tenso flessione retta X SLD §§ 4.2.4.1.2.3 - 4.2.4.1.2.6 - 4.2.4.1.2.7 - 4.2.4.1.2.8 NTC18

Verifiche eseguite utilizzando la formula conservativa (6.2) §6.2.1 EN 1993-1-1:2005.

X	Comb.	Sfruttamento	Classe	NEd	NRd	Rid. NRd da VEd	Mx,Ed	Mx,Rd	Rid. Mx,Rd da VEd	Rid. Mx,Rd da NEd	px	py	Verifica
0.47	SLD 12	0.01	3	-7.307	1003.522	1	-0.033	12.886	1		0	0	Si

Verifiche ad instabilità

Caratteristiche iniziali

Membratura principale per controllo snellezza; Calcolo di snellezze ed N critici condotti secondo gli assi principali;

Curva X: c; Curva Y: c;

Svergolamento: Nessuno; la verifica a instabilità flesso-torsionale (svergolamento) non verrà eseguita.

Dati per instabilità attorno a x

Controllo della snellezza secondo §4.2.4.1.3.1 NTC18

Numero rit.	Presente	Ascissa	Campata	βx/m	Vincolo a entrambi estremi	λx/m	λVer
1	Si	0					
			1-2	1	Si	33.2	Si, (<200)
2	Si	1.008					

Dati per instabilità attorno a y

Controllo della snellezza secondo §4.2.4.1.3.1 NTC18

Numero rit.	Presente	Ascissa	Campata	βy/n	k,LT	kw,LT	Vincolo a entrambi estremi
1	Si	0					
			1-2	1	Si	22.4	Si, (<200)
2	Si	1.008					

Verifica di stabilità per pressoflessione §C.4.2.4.1.3.3.1 NTC18

X	Comb.	Sfruttamento	Classe	NEd	MxEq,Ed	MyEq,Ed	Area	Wx	Wy	χ,min	λ adim. x/m	λ adim. y/n	N,crit x/m	N,crit y/n	Verifica
1.008	SLU 76	0.02	3	-16.048	-0.0289	-0.0001	0.003832	0.0000492	0.0000739	0.907	0.382	0.258	7207.687	15834.061	Si

Verifica di stabilità per pressoflessione SLD §C.4.2.4.1.3.3.1 NTC18

X	Comb.	Sfruttamento	Classe	NEd	MxEq,Ed	MyEq,Ed	Area	Wx	Wy	χ,min	λ adim. x/m	λ adim. y/n	N,crit x/m	N,crit y/n	Verifica
1.008	SLD 16	0.01	3	-7.333	-0.0255	-0.0003	0.003832	0.0000492	0.0000739	0.907	0.382	0.258	7207.687	15834.061	Si

Verifiche a deformabilità

Mensola X: No; Mensola Y: No.

Frecce lungo X

Ascissa freccia	Combinazione	Freccia	Luce	L/f	L/f,min	Tipo	Verifica
0.37	SLE RA 1	0	1.008	10000	250	Totale	Si
0.302	SLE RA 17	0	1.008	10000	250	Totale	Si
0.302	SLE RA 16	0	1.008	10000	250	Totale	Si
0.37	SLE RA 15	0	1.008	10000	250	Totale	Si
0.235	SLE RA 14	0	1.008	10000	250	Totale	Si
0.235	SLE RA 2	0	1.008	10000	350	Variabile	Si
0.302	SLE RA 17	0	1.008	10000	350	Variabile	Si
0.302	SLE RA 16	0	1.008	10000	350	Variabile	Si
0.47	SLE RA 15	0	1.008	10000	350	Variabile	Si
0.739	SLE RA 14	0	1.008	10000	350	Variabile	Si

Frecce lungo Y

Ascissa freccia	Combinazione	Freccia	Luce	L/f	L/f,min	Tipo	Verifica
0.47	SLE RA 1	0	1.008	10000	250	Totale	Si
0.47	SLE RA 17	0	1.008	10000	250	Totale	Si
0.47	SLE RA 16	0	1.008	10000	250	Totale	Si
0.47	SLE RA 15	0	1.008	10000	250	Totale	Si
0.47	SLE RA 14	0	1.008	10000	250	Totale	Si
0.672	SLE RA 2	0	1.008	10000	350	Variabile	Si
0.672	SLE RA 17	0	1.008	10000	350	Variabile	Si
0.672	SLE RA 16	0	1.008	10000	350	Variabile	Si
0.605	SLE RA 15	0	1.008	10000	350	Variabile	Si
0.705	SLE RA 14	0	1.008	10000	350	Variabile	Si

Superelemento in acciaio a quota "715"- "703" (2463; 2393)-(2463; 2293)

Caratteristiche del materiale

Acciaio: S275, fyk = 275000

Caratteristiche geometriche

Lunghezza: 1.008

Nodo iniziale: 2157 Nodo finale: 1947

Cerniera iniziale: Mmomenti 1% Cerniera finale: Mmomenti 1%

Sovreresistenza: 0% Sisma Z: No

Caratteristiche della sezione

Sezione	Rotazione	Area	Jx	Jy	ix	iy	Wx	Wy	Wplx	Wply
A1; L100*10; 1; Saldato; S275; 20; 1; 8; 8; 1	0	0.003832	0.0000035319	0.000007759	0.0304	0.045	0.0000492	0.0000739	0.00008974	0.00012727

Comportamento dei calastrelli

Accoppiamento imbottito avendo passo inferiore al minimo richiesto (§C4.2.4.1.3.1.5 NTC18) nella campata compresa tra le ascisse 0 e 1.008 per sbandamento attorno all'asse y.

Verifiche di resistenza

Verifiche a forza assiale §4.2.4.1.2.1 - §4.2.4.1.2.2 NTC18

X	Comb.	Sfruttamento	Classe	NEd	Nc,Rd	Nt,Rd	Riduzione da taglio	px	py	Verifica
1.008	SLV 10	0.007	3	-6.883	1003.522		1	0	0	Si

Verifiche a forza assiale SLD §4.2.4.1.2.1 - §4.2.4.1.2.2 NTC18

X	Comb.	Sfruttamento	Classe	NEd	Nc,Rd	Nt,Rd	Riduzione da taglio	px	py	Verifica
1.008	SLD 9	0.003	3	-3.247	1003.522		1	0	0	Si

Verifica a taglio Y §4.2.4.1.2.4 NTC18

X	Comb.	Sfruttamento	VEd	Vc,Rd	Av	Interazione taglio-torsione	Riduzione torsione	Verifica
1.008	SLU 75	0.001	-0.216	302.422	0.002	Non considerata		Si

Verifica a flessione semplice X §§ 4.2.4.1.2.3 - 4.2.4.1.2.6 - 4.2.4.1.2.7 - 4.2.4.1.2.8 NTC18

X	Comb.	Sfruttamento	Classe	Mx,Ed	Mx,Rd	Rid. Mx,Rd da VEd	px	py	Verifica
0.47	SLU 63	0.002	1	-0.05153	23.50374	1	0	0	Si

Verifica a flessione semplice X SLD §§ 4.2.4.1.2.3 - 4.2.4.1.2.6 - 4.2.4.1.2.7 - 4.2.4.1.2.8 NTC18

X	Comb.	Sfruttamento	Classe	Mx,Ed	Mx,Rd	Rid. Mx,Rd da VEd	px	py	Verifica
0.47	SLD 12	0.001	1	-0.03397	23.50374	1	0	0	Si

Verifica a presso/tenso flessione retta X §§ 4.2.4.1.2.3 - 4.2.4.1.2.6 - 4.2.4.1.2.7 - 4.2.4.1.2.8 NTC18

Verifiche eseguite utilizzando la formula conservativa (6.2) §6.2.1 EN 1993-1-1:2005.

X	Comb.	Sfruttamento	Classe	NEd	NRd	Rid. NRd da VEd	Mx,Ed	Mx,Rd	Rid. Mx,Rd da VEd	Rid. Mx,Rd da NEd	px	py	Verifica
0.504	SLV 10	0.01	3	-6.864	1003.522	1	-0.0457	12.886	1		0	0	Si

Verifica a presso/tenso flessione retta X SLD §§ 4.2.4.1.2.3 - 4.2.4.1.2.6 - 4.2.4.1.2.7 - 4.2.4.1.2.8 NTC18

Verifiche eseguite utilizzando la formula conservativa (6.2) §6.2.1 EN 1993-1-1:2005.

X	Comb.	Sfruttamento	Classe	NEd	NRd	Rid. NRd da VEd	Mx,Ed	Mx,Rd	Rid. Mx,Rd da VEd	Rid. Mx,Rd da NEd	px	py	Verifica
0.504	SLD 9	0.006	3	-3.229	1003.522	1	-0.0391	12.886	1		0	0	Si

Verifiche ad instabilità

Caratteristiche iniziali

Membratura principale per controllo snellezza; Calcolo di snellezze ed N critici condotti secondo gli assi principali;

Curva X: c; Curva Y: c;

Svergolamento: Nessuno; la verifica a instabilità flesso-torsionale (svergolamento) non verrà eseguita.

Dati per instabilità attorno a x

Controllo della snellezza secondo §4.2.4.1.3.1 NTC18

Numero rit.	Presente	Ascissa	Campata	βx/m	Vincolo a entrambi estremi	λx/m	λVer
1	Si	0					
			1-2	1	Si	33.2	Si, (<200)
2	Si	1.008					

Dati per instabilità attorno a y

Controllo della snellezza secondo §4.2.4.1.3.1 NTC18

Numero rit.	Presente	Ascissa	Campata	βy/n	k,LT	kw,LT	Vincolo a entrambi estremi
1	Si	0					
			1-2	1	Si	22.4	Si, (<200)
2	Si	1.008					

Verifica di stabilità per pressoflessione §C.4.2.4.1.3.3.1 NTC18

X	Comb.	Sfruttamento	Classe	NEd	MxEq,Ed	MyEq,Ed	Area	Wx	Wy	χ,min	λ adim. x/m	λ adim. y/n	N,crit x/m	N,crit y/n	Verifica
1.008	SLV 9	0.011	3	-6.883	-0.043	-0.0019	0.003832	0.0000492	0.0000739	0.907	0.382	0.258	7207.687	15834.061	Si

Verifica di stabilità per pressoflessione SLD §C.4.2.4.1.3.3.1 NTC18

X	Comb.	Sfruttamento	Classe	NEd	MxEq,Ed	MyEq,Ed	Area	Wx	Wy	χ,min	λ adim. x/m	λ adim. y/n	N,crit x/m	N,crit y/n	Verifica
1.008	SLD 10	0.006	3	-3.247	-0.0343	-0.001	0.003832	0.0000492	0.0000739	0.907	0.382	0.258	7207.687	15834.061	Si

Implementazione dei sistemi di confinamento delle emissioni odorigene diffuse dell'impianto di compostaggio esistente nel
Comune di Eboli (SA)
PROGETTO DEFINITIVO – Tabulati di calcolo Tomo 1

Verifiche a deformabilità

Mensola X: No; Mensola Y: No.

Frecce lungo X

Ascissa freccia	Combinazione	Freccia	Luce	L/f	L/f,min	Tipo	Verifica
0.739	SLE RA 1	0	1.008	10000	250	Totale	Si
0.739	SLE RA 17	0	1.008	10000	250	Totale	Si
0.739	SLE RA 16	0	1.008	10000	250	Totale	Si
0.705	SLE RA 15	0	1.008	10000	250	Totale	Si
0.739	SLE RA 14	0	1.008	10000	250	Totale	Si
0.739	SLE RA 2	0	1.008	10000	350	Variabile	Si
0.705	SLE RA 17	0	1.008	10000	350	Variabile	Si
0.705	SLE RA 16	0	1.008	10000	350	Variabile	Si
0.705	SLE RA 15	0	1.008	10000	350	Variabile	Si
0.269	SLE RA 14	0	1.008	10000	350	Variabile	Si

Frecce lungo Y

Ascissa freccia	Combinazione	Freccia	Luce	L/f	L/f,min	Tipo	Verifica
0.504	SLE RA 1	-0.00001	1.008	10000	250	Totale	Si
0.504	SLE RA 17	-0.00001	1.008	10000	250	Totale	Si
0.504	SLE RA 16	-0.00001	1.008	10000	250	Totale	Si
0.504	SLE RA 15	-0.00001	1.008	10000	250	Totale	Si
0.504	SLE RA 14	-0.00001	1.008	10000	250	Totale	Si
0.336	SLE RA 2	0	1.008	10000	350	Variabile	Si
0.336	SLE RA 17	0	1.008	10000	350	Variabile	Si
0.336	SLE RA 16	0	1.008	10000	350	Variabile	Si
0.638	SLE RA 15	0	1.008	10000	350	Variabile	Si
0.403	SLE RA 14	0	1.008	10000	350	Variabile	Si

Superelemento in acciaio a quota "715"- "703" (2695; 2393)-(2695; 2293)

Caratteristiche del materiale

Acciaio: S275, fyk = 275000

Caratteristiche geometriche

Lunghezza: 1.008

Nodo iniziale: 2162 Nodo finale: 1952

Cerniera iniziale: Mmomenti 1% Cerniera finale: Mmomenti 1%

Sovreresistenza: 0% Sisma Z: No

Caratteristiche della sezione

Sezione	Rotazione	Area	Jx	Jy	ix	iy	Wx	Wy	Wplx	Wply
A1; L100*10; 1; Saldato; S275; 20; 1; 8; 8; 1	0	0.003832	0.0000035319	0.000007759	0.0304	0.045	0.0000492	0.0000739	0.00008974	0.00012727

Comportamento dei calastrelli

Accoppiamento imbottito avendo passo inferiore al minimo richiesto (§C4.2.4.1.3.1.5 NTC18) nella campata compresa tra le ascisse 0 e 1.008 per sbandamento attorno all'asse y.

Verifiche di resistenza

Verifiche a forza assiale §4.2.4.1.2.1 - §4.2.4.1.2.2 NTC18

X	Comb.	Sfruttamento	Classe	NEd	Nc,Rd	Nt,Rd	Riduzione da taglio	px	py	Verifica
1.008	SLV 7	0.006	3	-5.737	1003.522		1	0	0	Si

Verifiche a forza assiale SLD §4.2.4.1.2.1 - §4.2.4.1.2.2 NTC18

X	Comb.	Sfruttamento	Classe	NEd	Nc,Rd	Nt,Rd	Riduzione da taglio	px	py	Verifica
1.008	SLD 7	0.002	3	-2.243	1003.522		1	0	0	Si

Verifica a taglio Y §4.2.4.1.2.4 NTC18

X	Comb.	Sfruttamento	VEd	Vc,Rd	Av	Interazione taglio-torsione	Riduzione torsione	Verifica
1.008	SLU 75	0.001	-0.266	302.422	0.002	Non considerata		Si

Verifica a flessione semplice X §§ 4.2.4.1.2.3 - 4.2.4.1.2.6 - 4.2.4.1.2.7 - 4.2.4.1.2.8 NTC18

X	Comb.	Sfruttamento	Classe	Mx,Ed	Mx,Rd	Rid. Mx,Rd da VEd	px	py	Verifica
0.37	SLU 76	0.003	1	-0.06191	23.50374	1	0	0	Si

Verifica a flessione semplice X SLD §§ 4.2.4.1.2.3 - 4.2.4.1.2.6 - 4.2.4.1.2.7 - 4.2.4.1.2.8 NTC18

X	Comb.	Sfruttamento	Classe	Mx,Ed	Mx,Rd	Rid. Mx,Rd da VEd	px	py	Verifica
0.941	SLD 15	0	1	-0.00574	23.50374	1	0	0	Si

Verifica a presso/tenso flessione retta X §§ 4.2.4.1.2.3 - 4.2.4.1.2.6 - 4.2.4.1.2.7 - 4.2.4.1.2.8 NTC18

Verifiche eseguite utilizzando la formula conservativa (6.2) §6.2.1 EN 1993-1-1:2005.

X	Comb.	Sfruttamento	Classe	NEd	NRd	Rid. NRd da VEd	Mx,Ed	Mx,Rd	Rid. Mx,Rd da VEd	Rid. Mx,Rd da NEd	px	py	Verifica
0.47	SLV 8	0.008	3	-5.717	1003.522	1	-0.0348	12.886	1		0	0	Si

Verifica a presso/tenso flessione retta X SLD §§ 4.2.4.1.2.3 - 4.2.4.1.2.6 - 4.2.4.1.2.7 - 4.2.4.1.2.8 NTC18

Verifiche eseguite utilizzando la formula conservativa (6.2) §6.2.1 EN 1993-1-1:2005.

X	Comb.	Sfruttamento	Classe	NEd	NRd	Rid. NRd da VEd	Mx,Ed	Mx,Rd	Rid. Mx,Rd da VEd	Rid. Mx,Rd da NEd	px	py	Verifica
0.739	SLD 8	0.004	3	-2.233	1003.522	1	-0.0276	12.886	1		0	0	Si

Implementazione dei sistemi di confinamento delle emissioni odorigene diffuse dell'impianto di compostaggio esistente nel
Comune di Eboli (SA)

PROGETTO DEFINITIVO – Tabulati di calcolo Tomo 1

Verifiche ad instabilità

Caratteristiche iniziali

Membratura principale per controllo snellezza; Calcolo di snellezze ed N critici condotti secondo gli assi principali;

Curva X: c; Curva Y: c;

Svergolamento: Nessuno; la verifica a instabilità flesso-torsionale (svergolamento) non verrà eseguita.

Dati per instabilità attorno a x

Controllo della snellezza secondo §4.2.4.1.3.1 NTC18

Numero rit.	Presente	Ascissa	Campata	$\beta x/m$	Vincolo a entrambi estremi	$\lambda x/m$	λVer
1	Si	0					
			1-2	1	Si	33.2	Si, (<200)
2	Si	1.008					

Dati per instabilità attorno a y

Controllo della snellezza secondo §4.2.4.1.3.1 NTC18

Numero rit.	Presente	Ascissa	Campata	$\beta y/n$	k,LT	kw,LT	Vincolo a entrambi estremi
1	Si	0					
			1-2	1	Si	22.4	Si, (<200)
2	Si	1.008					

Verifica di stabilità per pressoflessione §C.4.2.4.1.3.3.1 NTC18

X	Comb.	Sfruttamento	Classe	NEd	MxEq,Ed	MyEq,Ed	Area	Wx	Wy	χ_{min}	$\lambda_{adim. x/m}$	$\lambda_{adim. y/n}$	N,crit x/m	N,crit y/n	Verifica
1.008	SIV 7	0.009	3	-5.737	-0.0285	0.0008	0.003832	0.0000492	0.0000739	0.907	0.382	0.258	7207.687	15834.061	Si

Verifica di stabilità per pressoflessione SLD §C.4.2.4.1.3.3.1 NTC18

X	Comb.	Sfruttamento	Classe	NEd	MxEq,Ed	MyEq,Ed	Area	Wx	Wy	χ_{min}	$\lambda_{adim. x/m}$	$\lambda_{adim. y/n}$	N,crit x/m	N,crit y/n	Verifica
1.008	SLD 7	0.005	3	-2.243	-0.0346	0.0006	0.003832	0.0000492	0.0000739	0.907	0.382	0.258	7207.687	15834.061	Si

Verifiche a deformabilità

Mensola X: No; Mensola Y: No.

Frecce lungo X

Ascissa freccia	Combinazione	Freccia	Luce	L/f	L/f,min	Tipo	Verifica
0.235	SLE RA 1	0	1.008	10000	250	Totale	Si
0.235	SLE RA 17	0	1.008	10000	250	Totale	Si
0.235	SLE RA 16	0	1.008	10000	250	Totale	Si
0.235	SLE RA 15	0	1.008	10000	250	Totale	Si
0.806	SLE RA 14	0	1.008	10000	250	Totale	Si
0.773	SLE RA 2	0	1.008	10000	350	Variabile	Si
0.806	SLE RA 17	0	1.008	10000	350	Variabile	Si
0.806	SLE RA 16	0	1.008	10000	350	Variabile	Si
0.202	SLE RA 15	0	1.008	10000	350	Variabile	Si
0.806	SLE RA 14	0	1.008	10000	350	Variabile	Si

Frecce lungo Y

Ascissa freccia	Combinazione	Freccia	Luce	L/f	L/f,min	Tipo	Verifica
0.47	SLE RA 1	-0.00001	1.008	10000	250	Totale	Si
0.47	SLE RA 17	-0.00001	1.008	10000	250	Totale	Si
0.47	SLE RA 16	-0.00001	1.008	10000	250	Totale	Si
0.47	SLE RA 15	-0.00001	1.008	10000	250	Totale	Si
0.47	SLE RA 14	-0.00001	1.008	10000	250	Totale	Si
0.269	SLE RA 2	0	1.008	10000	350	Variabile	Si
0.269	SLE RA 17	0	1.008	10000	350	Variabile	Si
0.269	SLE RA 16	0	1.008	10000	350	Variabile	Si
0.403	SLE RA 15	0	1.008	10000	350	Variabile	Si
0.773	SLE RA 14	0	1.008	10000	350	Variabile	Si

Superelemento in acciaio a quota "715"- "703" (2929; 2393)-(2929; 2293)

Caratteristiche del materiale

Acciaio: S275, fyk = 275000

Caratteristiche geometriche

Lunghezza: 1.008

Nodo iniziale: 2165 Nodo finale: 1958

Cerniera iniziale: Mmomenti 1% Cerniera finale: Mmomenti 1%

Sovreresistenza: 0% Sisma Z: No

Caratteristiche della sezione

Sezione	Rotazione	Area	Jx	Jy	ix	iy	Wx	Wy	Wplx	Wply
A1; L100*10; 1; Saldato; S275; 20; 1; 8; 8; 1	0	0.003832	0.0000035319	0.0000077759	0.0304	0.045	0.0000492	0.0000739	0.00008974	0.00012727

Comportamento dei calastrelli

Accoppiamento imbottito avendo passo inferiore al minimo richiesto (§C4.2.4.1.3.1.5 NTC18) nella campata compresa tra le ascisse 0 e 1.008 per sbandamento attorno all'asse y.

Verifiche di resistenza

Verifiche a forza assiale §4.2.4.1.2.1 - §4.2.4.1.2.2 NTC18

X	Comb.	Sfruttamento	Classe	NEd	Nc,Rd	Nt,Rd	Riduzione da taglio	px	py	Verifica
1.008	SLU 75	0.008	3	-8.451	1003.522		1	0	0	Si

Implementazione dei sistemi di confinamento delle emissioni odorigene diffuse dell'impianto di compostaggio esistente nel
Comune di Eboli (SA)

PROGETTO DEFINITIVO – Tabulati di calcolo Tomo 1

Verifiche a forza assiale SLD §4.2.4.1.2.1 - §4.2.4.1.2.2 NTC18

X	Comb.	Sfruttamento	Classe	NEd	Nc,Rd	Nt,Rd	Riduzione da taglio	px	py	Verifica
1.008	SLD 14	0.004	3	-3.889	1003.522		1	0	0	Si

Verifica a taglio Y §4.2.4.1.2.4 NTC18

X	Comb.	Sfruttamento	VEd	Vc,Rd	Av	Interazione taglio-torsione	Riduzione torsione	Verifica
1.008	SLU 75	0.001	-0.239	302.422	0.002	Non considerata		Si

Verifica a presso/tenso flessione retta X §§ 4.2.4.1.2.3 - 4.2.4.1.2.6 - 4.2.4.1.2.7 - 4.2.4.1.2.8 NTC18

Verifiche eseguite utilizzando la formula conservativa (6.2) §6.2.1 EN 1993-1-1:2005.

X	Comb.	Sfruttamento	Classe	NEd	NRd	Rid. NRd da VEd	Mx,Ed	Mx,Rd	Rid. Mx,Rd da VEd	Rid. Mx,Rd da NEd	px	py	Verifica
0.403	SLU 75	0.012	3	-8.422	1003.522	1	-0.0524	12.886	1		0	0	Si

Verifica a presso/tenso flessione retta X SLD §§ 4.2.4.1.2.3 - 4.2.4.1.2.6 - 4.2.4.1.2.7 - 4.2.4.1.2.8 NTC18

Verifiche eseguite utilizzando la formula conservativa (6.2) §6.2.1 EN 1993-1-1:2005.

X	Comb.	Sfruttamento	Classe	NEd	NRd	Rid. NRd da VEd	Mx,Ed	Mx,Rd	Rid. Mx,Rd da VEd	Rid. Mx,Rd da NEd	px	py	Verifica
0.47	SLD 13	0.007	3	-3.869	1003.522	1	-0.0389	12.886	1		0	0	Si

Verifiche ad instabilità

Caratteristiche iniziali

Membratura principale per controllo snellezza; Calcolo di snellezza ed N critici condotti secondo gli assi principali;

Curva X: c; Curva Y: c;

Svergolamento: Nessuno; la verifica a instabilità flesso-torsionale (svergolamento) non verrà eseguita.

Dati per instabilità attorno a x

Controllo della snellezza secondo §4.2.4.1.3.1 NTC18

Numero rit.	Presente	Ascissa	Campata	βx/m	Vincolo a entrambi estremi	λx/m	λVer
1	Si		0				
			1-2		1	Si	33.2
2	Si	1.008					Si, (<200)

Dati per instabilità attorno a y

Controllo della snellezza secondo §4.2.4.1.3.1 NTC18

Numero rit.	Presente	Ascissa	Campata	βy/n	k,LT	kw,LT	Vincolo a entrambi estremi
1	Si		0				
			1-2		1	Si	22.4
2	Si	1.008					Si, (<200)

Verifica di stabilità per pressoflessione §C.4.2.4.1.3.3.1 NTC18

X	Comb.	Sfruttamento	Classe	NEd	MxEq,Ed	MyEq,Ed	Area	Wx	Wy	χ,min	λ adim. x/m	λ adim. y/n	N,crit x/m	N,crit y/n	Verifica
1.008	SLU 75	0.013	3	-8.451	-0.0437	-0.0001	0.003832	0.0000492	0.0000739	0.907	0.382	0.258	7207.687	15834.061	Si

Verifica di stabilità per pressoflessione SLD §C.4.2.4.1.3.3.1 NTC18

X	Comb.	Sfruttamento	Classe	NEd	MxEq,Ed	MyEq,Ed	Area	Wx	Wy	χ,min	λ adim. x/m	λ adim. y/n	N,crit x/m	N,crit y/n	Verifica
1.008	SLD 14	0.007	3	-3.889	-0.0336	-0.0001	0.003832	0.0000492	0.0000739	0.907	0.382	0.258	7207.687	15834.061	Si

Verifiche a deformabilità

Mensola X: No; Mensola Y: No.

Frecce lungo X

Ascissa freccia	Combinazione	Freccia	Luce	L/f	L/f,min	Tipo	Verifica
0.739	SLE RA 1	0	1.008	10000	250	Totale	Si
0.739	SLE RA 17	0	1.008	10000	250	Totale	Si
0.739	SLE RA 16	0	1.008	10000	250	Totale	Si
0.739	SLE RA 15	0	1.008	10000	250	Totale	Si
0.739	SLE RA 14	0	1.008	10000	250	Totale	Si
0.773	SLE RA 2	0	1.008	10000	350	Variabile	Si
0.739	SLE RA 17	0	1.008	10000	350	Variabile	Si
0.739	SLE RA 16	0	1.008	10000	350	Variabile	Si
0.739	SLE RA 15	0	1.008	10000	350	Variabile	Si
0.605	SLE RA 14	0	1.008	10000	350	Variabile	Si

Frecce lungo Y

Ascissa freccia	Combinazione	Freccia	Luce	L/f	L/f,min	Tipo	Verifica
0.504	SLE RA 1	-0.00001	1.008	10000	250	Totale	Si
0.504	SLE RA 17	-0.00001	1.008	10000	250	Totale	Si
0.47	SLE RA 16	-0.00001	1.008	10000	250	Totale	Si
0.504	SLE RA 15	-0.00001	1.008	10000	250	Totale	Si
0.47	SLE RA 14	-0.00001	1.008	10000	250	Totale	Si
0.235	SLE RA 2	0	1.008	10000	350	Variabile	Si
0.235	SLE RA 17	0	1.008	10000	350	Variabile	Si
0.235	SLE RA 16	0	1.008	10000	350	Variabile	Si
0.302	SLE RA 15	0	1.008	10000	350	Variabile	Si
0.235	SLE RA 14	0	1.008	10000	350	Variabile	Si

Superelemento in acciaio a quota "715"-"703" (-186; 1180)-(-295; 1283)

Caratteristiche del materiale

Acciaio: S275, fyk = 275000

Caratteristiche geometriche

Lunghezza: 1.505

Nodo iniziale: 2103 Nodo finale: 1899

Sismicad 12.19 - Licenza assegnata a Arethusa Srl - Via G. Rossini, 14 - Casoria (NA)

Implementazione dei sistemi di confinamento delle emissioni odorigene diffuse dell'impianto di compostaggio esistente nel
Comune di Eboli (SA)
PROGETTO DEFINITIVO – Tabulati di calcolo Tomo 1

Cerniera iniziale: Mmomenti 1% Cerniera finale: Mmomenti 1%
Sovreresistenza: 0% Sisma Z: No

Caratteristiche della sezione

Sezione	Rotazione	Area	Jx	Jy	ix	iy	Wx	Wy	Wplx	Wply
A1; L100*10; 1; Saldato; S275; 30; 1; 8; 8; 1	0	0.003832	0.0000035319	0.000007759	0.0304	0.045	0.0000492	0.0000739	0.00008974	0.00012727

Comportamento dei calastrelli

Accoppiamento imbottito con funzione statica (§C4.2.4.1.3.1.4 NTC18) nella campata compresa tra le ascisse 0 e 1.505 per sbandamento attorno all'asse y.

Verifiche di resistenza

Verifiche a forza assiale §4.2.4.1.2.1 - §4.2.4.1.2.2 NTC18

X	Comb.	Sfruttamento	Classe	NEd	Nc,Rd	Nt,Rd	Riduzione da taglio	px	py	Verifica
1.505	SLU 76	0.016	3	-16.415	1003.522		1	0	0	Si

Verifiche a forza assiale SLD §4.2.4.1.2.1 - §4.2.4.1.2.2 NTC18

X	Comb.	Sfruttamento	Classe	NEd	Nc,Rd	Nt,Rd	Riduzione da taglio	px	py	Verifica
1.505	SLD 4	0.005	3	-5.368	1003.522		1	0	0	Si

Verifica a taglio Y §4.2.4.1.2.4 NTC18

X	Comb.	Sfruttamento	VEd	Vc,Rd	Av	Interazione taglio-torsione	Riduzione torsione	Verifica
1.505	SLU 76	0.001	-0.364	302.422	0.002	Non considerata		Si

Verifica a taglio Y SLD §4.2.4.1.2.4 NTC18

X	Comb.	Sfruttamento	VEd	Vc,Rd	Av	Interazione taglio-torsione	Riduzione torsione	Verifica
1.505	SLD 14	0.001	-0.238	302.422	0.002	Non considerata		Si

Verifica a flessione semplice X §§ 4.2.4.1.2.3 - 4.2.4.1.2.6 - 4.2.4.1.2.7 - 4.2.4.1.2.8 NTC18

X	Comb.	Sfruttamento	Classe	Mx,Ed	Mx,Rd	Rid. Mx,Rd da VEd	px	py	Verifica
0.803	SLU 59	0.005	1	-0.10747	23.50374	1	0	0	Si

Verifica a presso/tenso flessione retta X §§ 4.2.4.1.2.3 - 4.2.4.1.2.6 - 4.2.4.1.2.7 - 4.2.4.1.2.8 NTC18

Verifiche eseguite utilizzando la formula conservativa (6.2) §6.2.1 EN 1993-1-1:2005.

X	Comb.	Sfruttamento	Classe	NEd	NRd	Rid. NRd da VEd	Mx,Ed	Mx,Rd	Rid. Mx,Rd da VEd	Rid. Mx,Rd da NEd	px	py	Verifica
0.753	SLU 62	0.007	1	-2.446	1003.522	1	-0.1094	23.5037	1		0	0	Si

Verifica a presso/tenso flessione retta Y §§ 4.2.4.1.2.3 - 4.2.4.1.2.6 - 4.2.4.1.2.7 - 4.2.4.1.2.8 NTC18

Verifiche eseguite utilizzando la formula conservativa (6.2) §6.2.1 EN 1993-1-1:2005.

X	Comb.	Sfruttamento	Classe	NEd	NRd	Rid. NRd da VEd	My,Ed	My,Rd	Rid. My,Rd da VEd	Rid. My,Rd da NEd	px	py	Verifica
1.355	SLU 38	0.018	3	-15.482	1003.522	1	0.0468	19.3536	1		0	0	Si

Verifica a presso/tenso flessione retta Y SLD §§ 4.2.4.1.2.3 - 4.2.4.1.2.6 - 4.2.4.1.2.7 - 4.2.4.1.2.8 NTC18

Verifiche eseguite utilizzando la formula conservativa (6.2) §6.2.1 EN 1993-1-1:2005.

X	Comb.	Sfruttamento	Classe	NEd	NRd	Rid. NRd da VEd	My,Ed	My,Rd	Rid. My,Rd da VEd	Rid. My,Rd da NEd	px	py	Verifica
1.455	SLD 3	0.006	3	-5.366	1003.522	1	-0.0162	19.3536	1		0	0	Si

Verifica a presso/tenso flessione deviata §§ 4.2.4.1.2.3 - 4.2.4.1.2.6 - 4.2.4.1.2.7 - 4.2.4.1.2.8 NTC18

Verifiche eseguite utilizzando la formula conservativa (6.2) §6.2.1 EN 1993-1-1:2005.

X	Comb.	Sfruttamento	Classe	NEd	NRd	Rid. NRd da VEd	Mx,Ed	Mx,Rd	My,Ed	My,Rd	Rid. Mx,Rd da VEd	Rid. Mx,Rd da NEd	Rid. My,Rd da VEd	Rid. My,Rd da NEd	α	β	px	py	Verifica
0.552	SLU 76	0.029	3	-16.384	1003.522	1	-0.1292	12.886	0.0495	19.3536	1		1				0	0	Si

Verifica a presso/tenso flessione deviata SLD §§ 4.2.4.1.2.3 - 4.2.4.1.2.6 - 4.2.4.1.2.7 - 4.2.4.1.2.8 NTC18

Verifiche eseguite utilizzando la formula conservativa (6.2) §6.2.1 EN 1993-1-1:2005.

X	Comb.	Sfruttamento	Classe	NEd	NRd	Rid. NRd da VEd	Mx,Ed	Mx,Rd	My,Ed	My,Rd	Rid. Mx,Rd da VEd	Rid. Mx,Rd da NEd	Rid. My,Rd da VEd	Rid. My,Rd da NEd	α	β	px	py	Verifica
1.104	SLD 4	0.011	3	-5.358	1003.522	1	-0.0639	12.886	-0.0161	19.3536	1		1				0	0	Si

Verifiche ad instabilità

Caratteristiche iniziali

Membratura principale per controllo snellezza; Calcolo di snellezze ed N critici condotti secondo gli assi principali;

Curva X: c; Curva Y: c;

Svergolamento: Nessuno; la verifica a instabilità flesso-torsionale (svergolamento) non verrà eseguita.

Dati per instabilità attorno a x

Controllo della snellezza secondo §4.2.4.1.3.1 NTC18

Numero rit.	Presente	Ascissa	Campata	βx/m	Vincolo a entrambi estremi	λx/m	λVer
1	Si	0					
			1-2	1	Si	49.6	Si, (<200)
2	Si	1.505					

Dati per instabilità attorno a y

Controllo della snellezza secondo §4.2.4.1.3.1 NTC18

Numero rit.	Presente	Ascissa	Campata	βy/n	k,LT	kw,LT	Vincolo a entrambi estremi
1	Si	0					
			1-2	1	Si	34.9	Si, (<200)
2	Si	1.505					

Implementazione dei sistemi di confinamento delle emissioni odorigene diffuse dell'impianto di compostaggio esistente nel
Comune di Eboli (SA)
PROGETTO DEFINITIVO – Tabulati di calcolo Tomo 1

Verifica di stabilità per pressoflessione §C.4.2.4.1.3.3.1 NTC18

X	Comb.	Sfruttamento	Classe	NEd	MxEq,Ed	MyEq,Ed	Area	Wx	Wy	x,min	λ adim. x/m	λ adim. y/n	N,crit x/m	N,crit y/n	Verifica
1.505	SLU 76	0.032	3	-16.415	-0.1119	0.0495	0.003832	0.0000492	0.0000739	0.802	0.571	0.402	3231.032	6528.319	Si

Verifica di stabilità per pressoflessione SLD §C.4.2.4.1.3.3.1 NTC18

X	Comb.	Sfruttamento	Classe	NEd	MxEq,Ed	MyEq,Ed	Area	Wx	Wy	x,min	λ adim. x/m	λ adim. y/n	N,crit x/m	N,crit y/n	Verifica
1.505	SLD 8	0.013	3	-5.366	-0.0761	0.0133	0.003832	0.0000492	0.0000739	0.802	0.571	0.402	3231.032	6528.319	Si

Verifiche a deformabilità

Mensola X: No; Mensola Y: No.

Frecce lungo X

Ascissa freccia	Combinazione	Freccia	Luce	L/f	L/f,min	Tipo	Verifica
0.853	SLE RA 1	0	1.505	10000	250	Totale	Si
0.853	SLE RA 17	0	1.505	10000	250	Totale	Si
0.853	SLE RA 16	0	1.505	10000	250	Totale	Si
0.853	SLE RA 15	0	1.505	10000	250	Totale	Si
0.853	SLE RA 14	0	1.505	10000	250	Totale	Si
0.753	SLE RA 2	0	1.505	10000	350	Variabile	Si
0.853	SLE RA 17	0	1.505	10000	350	Variabile	Si
0.753	SLE RA 16	0	1.505	10000	350	Variabile	Si
0.753	SLE RA 15	0	1.505	10000	350	Variabile	Si
0.903	SLE RA 14	0	1.505	10000	350	Variabile	Si

Frecce lungo Y

Ascissa freccia	Combinazione	Freccia	Luce	L/f	L/f,min	Tipo	Verifica
0.753	SLE RA 1	-0.00003	1.505	10000	250	Totale	Si
0.753	SLE RA 17	-0.00003	1.505	10000	250	Totale	Si
0.702	SLE RA 16	-0.00003	1.505	10000	250	Totale	Si
0.702	SLE RA 15	-0.00003	1.505	10000	250	Totale	Si
0.753	SLE RA 14	-0.00003	1.505	10000	250	Totale	Si
0.452	SLE RA 2	0	1.505	10000	350	Variabile	Si
0.452	SLE RA 17	0	1.505	10000	350	Variabile	Si
0.452	SLE RA 16	0	1.505	10000	350	Variabile	Si
0.452	SLE RA 15	0	1.505	10000	350	Variabile	Si
0.502	SLE RA 14	0	1.505	10000	350	Variabile	Si

Superelemento in acciaio a quota "715"- "703" (-435; 916)-(-545; 1019)

Caratteristiche del materiale

Acciaio: S275, fyk = 275000

Caratteristiche geometriche

Lunghezza: 1.505

Nodo iniziale: 2090 Nodo finale: 1887

Cerniera iniziale: Mmomenti 1% Cerniera finale: Mmomenti 1%

Sovraresistenza: 0% Sisma Z: No

Caratteristiche della sezione

Sezione	Rotazione	Area	Jx	Jy	ix	iy	Wx	Wy	Wplx	Wply
A1; L100*10; 1; Saldato; S275; 30; 1; 8; 8; 1	0	0.003832	0.0000035319	0.000007759	0.0304	0.045	0.0000492	0.0000739	0.00008974	0.00012727

Comportamento dei calastrelli

Accoppiamento imbottito con funzione statica (§C4.2.4.1.3.1.4 NTC18) nella campata compresa tra le ascisse 0 e 1.505 per sbandamento attorno all'asse y.

Verifiche di resistenza

Verifiche a forza assiale §4.2.4.1.2.1 - §4.2.4.1.2.2 NTC18

X	Comb.	Sfruttamento	Classe	NEd	Nc,Rd	Nt,Rd	Riduzione da taglio	px	py	Verifica
1.505	SLU 76	0.013	3	-13.12	1003.522		1	0	0	Si

Verifiche a forza assiale SLD §4.2.4.1.2.1 - §4.2.4.1.2.2 NTC18

X	Comb.	Sfruttamento	Classe	NEd	Nc,Rd	Nt,Rd	Riduzione da taglio	px	py	Verifica
1.505	SLD 4	0.005	3	-4.523	1003.522		1	0	0	Si

Verifica a taglio Y §4.2.4.1.2.4 NTC18

X	Comb.	Sfruttamento	VEd	Vc,Rd	Av	Interazione taglio-torsione	Riduzione torsione	Verifica
1.505	SLU 76	0.001	-0.335	302.422	0.002	Non considerata		Si

Verifica a taglio Y SLD §4.2.4.1.2.4 NTC18

X	Comb.	Sfruttamento	VEd	Vc,Rd	Av	Interazione taglio-torsione	Riduzione torsione	Verifica
1.505	SLD 16	0.001	-0.235	302.422	0.002	Non considerata		Si

Verifica a flessione semplice X §§ 4.2.4.1.2.3 - 4.2.4.1.2.6 - 4.2.4.1.2.7 - 4.2.4.1.2.8 NTC18

X	Comb.	Sfruttamento	Classe	Mx,Ed	Mx,Rd	Rid. Mx,Rd da VEd	px	py	Verifica
0.753	SLU 59	0.005	1	-0.10882	23.50374	1	0	0	Si

Verifica a presso/tenso flessione retta X §§ 4.2.4.1.2.3 - 4.2.4.1.2.6 - 4.2.4.1.2.7 - 4.2.4.1.2.8 NTC18

Verifiche eseguite utilizzando la formula conservativa (6.2) §6.2.1 EN 1993-1-1:2005.

X	Comb.	Sfruttamento	Classe	NEd	NRd	Rid. NRd da VEd	Mx,Ed	Mx,Rd	Rid. Mx,Rd da VEd	Rid. Mx,Rd da NEd	px	py	Verifica
---	-------	--------------	--------	-----	-----	-----------------	-------	-------	-------------------	-------------------	----	----	----------

Implementazione dei sistemi di confinamento delle emissioni odorigene diffuse dell'impianto di compostaggio esistente nel
Comune di Eboli (SA)
PROGETTO DEFINITIVO – Tabulati di calcolo Tomo 1

X	Comb.	Sfruttamento	Classe	NEd	NRd	Rid. NRd da VEd	Mx,Ed	Mx,Rd	Rid. Mx,Rd da VEd	Rid. Mx,Rd da NEd	px	py	Verifica
0.753	SLU 62	0.007	1	-1.96	1003.522	1	-0.1099	23.5037	1		0	0	Si

Verifica a presso/tenso flessione retta Y §§ 4.2.4.1.2.3 - 4.2.4.1.2.6 - 4.2.4.1.2.7 - 4.2.4.1.2.8 NTC18

Verifiche eseguite utilizzando la formula conservativa (6.2) §6.2.1 EN 1993-1-1:2005.

X	Comb.	Sfruttamento	Classe	NEd	NRd	Rid. NRd da VEd	My,Ed	My,Rd	Rid. My,Rd da VEd	Rid. My,Rd da NEd	px	py	Verifica
1.405	SLU 38	0.014	3	-12.365	1003.522	1	-0.0375	19.3536	1		0	0	Si

Verifica a presso/tenso flessione retta Y SLD §§ 4.2.4.1.2.3 - 4.2.4.1.2.6 - 4.2.4.1.2.7 - 4.2.4.1.2.8 NTC18

Verifiche eseguite utilizzando la formula conservativa (6.2) §6.2.1 EN 1993-1-1:2005.

X	Comb.	Sfruttamento	Classe	NEd	NRd	Rid. NRd da VEd	My,Ed	My,Rd	Rid. My,Rd da VEd	Rid. My,Rd da NEd	px	py	Verifica
1.505	SLD 8	0.005	3	-4.521	1003.522	1	-0.0137	19.3536	1		0	0	Si

Verifica a presso/tenso flessione deviata §§ 4.2.4.1.2.3 - 4.2.4.1.2.6 - 4.2.4.1.2.7 - 4.2.4.1.2.8 NTC18

Verifiche eseguite utilizzando la formula conservativa (6.2) §6.2.1 EN 1993-1-1:2005.

X	Comb.	Sfruttamento	Classe	NEd	NRd	Rid. NRd da VEd	Mx,Ed	Mx,Rd	My,Ed	My,Rd	Rid. Mx,Rd da VEd	Rid. Mx,Rd da NEd	Rid. My,Rd da VEd	Rid. My,Rd da NEd	α	β	px	py	Verifica
0.652	SLU 76	0.024	3	-13.093	1003.522	1	-0.1185	12.886	0.0395	19.3536	1		1				0	0	Si

Verifica a presso/tenso flessione deviata SLD §§ 4.2.4.1.2.3 - 4.2.4.1.2.6 - 4.2.4.1.2.7 - 4.2.4.1.2.8 NTC18

Verifiche eseguite utilizzando la formula conservativa (6.2) §6.2.1 EN 1993-1-1:2005.

X	Comb.	Sfruttamento	Classe	NEd	NRd	Rid. NRd da VEd	Mx,Ed	Mx,Rd	My,Ed	My,Rd	Rid. Mx,Rd da VEd	Rid. Mx,Rd da NEd	Rid. My,Rd da VEd	Rid. My,Rd da NEd	α	β	px	py	Verifica
0.251	SLD 8	0.009	3	-4.49	1003.522	1	-0.0531	12.886	0.0136	19.3536	1		1				0	0	Si

Verifiche ad instabilità

Caratteristiche iniziali

Membratura principale per controllo snellezza; Calcolo di snellezze ed N critici condotti secondo gli assi principali;

Curva X: c; Curva Y: c;

Svergolamento: Nessuno; la verifica a instabilità flesso-torsionale (svergolamento) non verrà eseguita.

Dati per instabilità attorno a x

Controllo della snellezza secondo §4.2.4.1.3.1 NTC18

Numero rit.	Presente	Ascissa	Campata	βx/m	Vincolo a entrambi estremi	λx/m	λVer
1	Si		0				
			1-2		1	49.6	Si, (<200)
2	Si	1.505					

Dati per instabilità attorno a y

Controllo della snellezza secondo §4.2.4.1.3.1 NTC18

Numero rit.	Presente	Ascissa	Campata	βy/n	k,LT	kw,LT	Vincolo a entrambi estremi
1	Si		0				
			1-2		1	34.9	Si, (<200)
2	Si	1.505					

Verifica di stabilità per pressoflessione §C.4.2.4.1.3.3.1 NTC18

X	Comb.	Sfruttamento	Classe	NEd	MxEq,Ed	MyEq,Ed	Area	Wx	Wy	χ,min	λ adim. x/m	λ adim. y/n	N,crit x/m	N,crit y/n	Verifica
1.505	SLU 76	0.026	3	-13.12	-0.1033	-0.0299	0.003832	0.0000492	0.0000739	0.802	0.571	0.402	3231.032	6528.319	Si

Verifica di stabilità per pressoflessione SLD §C.4.2.4.1.3.3.1 NTC18

X	Comb.	Sfruttamento	Classe	NEd	MxEq,Ed	MyEq,Ed	Area	Wx	Wy	χ,min	λ adim. x/m	λ adim. y/n	N,crit x/m	N,crit y/n	Verifica
1.505	SLD 8	0.012	3	-4.521	-0.0758	-0.0103	0.003832	0.0000492	0.0000739	0.802	0.571	0.402	3231.032	6528.319	Si

Verifiche a deformabilità

Mensola X: No; Mensola Y: No.

Frecce lungo X

Ascissa freccia	Combinazione	Freccia	Luce	L/f	L/f,min	Tipo	Verifica
1.154	SLE RA 1	0	1.505	10000	250	Totale	Si
1.154	SLE RA 17	0	1.505	10000	250	Totale	Si
1.154	SLE RA 16	0	1.505	10000	250	Totale	Si
1.154	SLE RA 15	0	1.505	10000	250	Totale	Si
0.301	SLE RA 14	0	1.505	10000	250	Totale	Si
1.204	SLE RA 2	0	1.505	10000	350	Variabile	Si
1.154	SLE RA 17	0	1.505	10000	350	Variabile	Si
1.154	SLE RA 16	0	1.505	10000	350	Variabile	Si
1.154	SLE RA 15	0	1.505	10000	350	Variabile	Si
0.351	SLE RA 14	0	1.505	10000	350	Variabile	Si

Frecce lungo Y

Ascissa freccia	Combinazione	Freccia	Luce	L/f	L/f,min	Tipo	Verifica
0.753	SLE RA 1	-0.00003	1.505	10000	250	Totale	Si
0.753	SLE RA 17	-0.00003	1.505	10000	250	Totale	Si
0.753	SLE RA 16	-0.00003	1.505	10000	250	Totale	Si
0.753	SLE RA 15	-0.00003	1.505	10000	250	Totale	Si
0.753	SLE RA 14	-0.00003	1.505	10000	250	Totale	Si
0.452	SLE RA 2	0	1.505	10000	350	Variabile	Si
0.452	SLE RA 17	0	1.505	10000	350	Variabile	Si
0.452	SLE RA 16	0	1.505	10000	350	Variabile	Si
0.452	SLE RA 15	0	1.505	10000	350	Variabile	Si
0.552	SLE RA 14	0	1.505	10000	350	Variabile	Si

Superelemento in acciaio a quota "715"- "703" (-690; 647)-(-799; 750)

Caratteristiche del materiale

Acciaio: S275, fyk = 275000

Caratteristiche geometriche

Lunghezza: 1.505

Nodo iniziale: 2083 Nodo finale: 1880

Cerniera iniziale: Mmomenti 1% Cerniera finale: Mmomenti 1%

Sovreresistenza: 0% Sisma Z: No

Caratteristiche della sezione

Sezione	Rotazione	Area	Jx	Jy	ix	iy	Wx	Wy	Wplx	Wply
A1; L100*10; 1; Saldato; S275; 30; 1; 8; 8; 1	0	0.003832	0.0000035319	0.000007759	0.0304	0.045	0.0000492	0.0000739	0.00008974	0.00012727

Comportamento dei calastrelli

Accoppiamento imbottito con funzione statica (§C4.2.4.1.3.1.4 NTC18) nella campata compresa tra le ascisse 0 e 1.505 per sbandamento attorno all'asse y.

Verifiche di resistenza

Verifiche a forza assiale §4.2.4.1.2.1 - §4.2.4.1.2.2 NTC18

X	Comb.	Sfruttamento	Classe	NEd	Nc,Rd	Nt,Rd	Riduzione da taglio	px	py	Verifica
1.505	SLU 76	0.011	3	-10.892	1003.522		1	0	0	Si

Verifiche a forza assiale SLD §4.2.4.1.2.1 - §4.2.4.1.2.2 NTC18

X	Comb.	Sfruttamento	Classe	NEd	Nc,Rd	Nt,Rd	Riduzione da taglio	px	py	Verifica
1.505	SLD 5	0.004	3	-3.632	1003.522		1	0	0	Si

Verifica a taglio Y §4.2.4.1.2.4 NTC18

X	Comb.	Sfruttamento	VEd	Vc,Rd	Av	Interazione taglio-torsione	Riduzione torsione	Verifica
1.505	SLU 76	0.001	-0.322	302.422	0.002	Non considerata		Si

Verifica a taglio Y SLD §4.2.4.1.2.4 NTC18

X	Comb.	Sfruttamento	VEd	Vc,Rd	Av	Interazione taglio-torsione	Riduzione torsione	Verifica
1.505	SLD 16	0.001	-0.238	302.422	0.002	Non considerata		Si

Verifica a flessione semplice X §§ 4.2.4.1.2.3 - 4.2.4.1.2.6 - 4.2.4.1.2.7 - 4.2.4.1.2.8 NTC18

X	Comb.	Sfruttamento	Classe	Mx,Ed	Mx,Rd	Rid. Mx,Rd da VEd	px	py	Verifica
0.753	SLU 59	0.005	1	-0.10811	23.50374	1	0	0	Si

Verifica a presso/tenso flessione retta X §§ 4.2.4.1.2.3 - 4.2.4.1.2.6 - 4.2.4.1.2.7 - 4.2.4.1.2.8 NTC18

Verifiche eseguite utilizzando la formula conservativa (6.2) §6.2.1 EN 1993-1-1:2005.

X	Comb.	Sfruttamento	Classe	NEd	NRd	Rid. NRd da VEd	Mx,Ed	Mx,Rd	Rid. Mx,Rd da VEd	Rid. Mx,Rd da NEd	px	py	Verifica
0.753	SLU 41	0.007	1	-2.255	1003.522	1	-0.1083	23.5037	1		0	0	Si

Verifica a presso/tenso flessione retta Y §§ 4.2.4.1.2.3 - 4.2.4.1.2.6 - 4.2.4.1.2.7 - 4.2.4.1.2.8 NTC18

Verifiche eseguite utilizzando la formula conservativa (6.2) §6.2.1 EN 1993-1-1:2005.

X	Comb.	Sfruttamento	Classe	NEd	NRd	Rid. NRd da VEd	My,Ed	My,Rd	Rid. My,Rd da VEd	Rid. My,Rd da NEd	px	py	Verifica
1.455	SLU 38	0.012	3	-10.286	1003.522	1	0.031	19.3536	1		0	0	Si

Verifica a presso/tenso flessione retta Y SLD §§ 4.2.4.1.2.3 - 4.2.4.1.2.6 - 4.2.4.1.2.7 - 4.2.4.1.2.8 NTC18

Verifiche eseguite utilizzando la formula conservativa (6.2) §6.2.1 EN 1993-1-1:2005.

X	Comb.	Sfruttamento	Classe	NEd	NRd	Rid. NRd da VEd	My,Ed	My,Rd	Rid. My,Rd da VEd	Rid. My,Rd da NEd	px	py	Verifica
1.505	SLD 6	0.004	3	-3.632	1003.522	1	0.011	19.3536	1		0	0	Si

Verifica a presso/tenso flessione deviata §§ 4.2.4.1.2.3 - 4.2.4.1.2.6 - 4.2.4.1.2.7 - 4.2.4.1.2.8 NTC18

Verifiche eseguite utilizzando la formula conservativa (6.2) §6.2.1 EN 1993-1-1:2005.

X	Comb.	Sfruttamento	Classe	NEd	NRd	Rid. NRd da VEd	Mx,Ed	Mx,Rd	My,Ed	My,Rd	Rid. Mx,Rd da VEd	Rid. Mx,Rd da NEd	Rid. My,Rd da VEd	Rid. My,Rd da NEd	α	β	px	py	Verifica
0.702	SLU 76	0.022	3	-10.866	1003.522	1	-0.1237	12.886	-0.0328	19.3536	1		1				0	0	Si

Verifica a presso/tenso flessione deviata SLD §§ 4.2.4.1.2.3 - 4.2.4.1.2.6 - 4.2.4.1.2.7 - 4.2.4.1.2.8 NTC18

Verifiche eseguite utilizzando la formula conservativa (6.2) §6.2.1 EN 1993-1-1:2005.

X	Comb.	Sfruttamento	Classe	NEd	NRd	Rid. NRd da VEd	Mx,Ed	Mx,Rd	My,Ed	My,Rd	Rid. Mx,Rd da VEd	Rid. Mx,Rd da NEd	Rid. My,Rd da VEd	Rid. My,Rd da NEd	α	β	px	py	Verifica
0.251	SLD 6	0.008	3	-3.6	1003.522	1	-0.0442	12.886	-0.0109	19.3536	1		1				0	0	Si

Verifiche ad instabilità

Caratteristiche iniziali

Membratura principale per controllo snellezza; Calcolo di snellezze ed N critici condotti secondo gli assi principali;

Curva X: c; Curva Y: c;

Svergolamento: Nessuno; la verifica a instabilità flesso-torsionale (svergolamento) non verrà eseguita.

Dati per instabilità attorno a x

Controllo della snellezza secondo §4.2.4.1.3.1 NTC18

Numero rit.	Presente	Ascissa	Campata	$\beta x/m$	Vincolo a entrambi estremi	$\lambda x/m$	λVer
1	Si	0					
			1-2	1	Si	49.6	Si, (<200)

Implementazione dei sistemi di confinamento delle emissioni odorigene diffuse dell'impianto di compostaggio esistente nel
Comune di Eboli (SA)
PROGETTO DEFINITIVO – Tabulati di calcolo Tomo 1

Numero rit.	Presente	Ascissa	Campata	$\beta x/m$	Vincolo a entrambi estremi	$\lambda x/m$	λVer
2	Si	1.505					

Dati per instabilità attorno a y

Controllo della snellezza secondo §4.2.4.1.3.1 NTC18

Numero rit.	Presente	Ascissa	Campata	$\beta y/n$	k,LT	kw,LT	Vincolo a entrambi estremi
1	Si	0					
			1-2	1	Si	34.9	Si, (<200)
2	Si	1.505					

Verifica di stabilità per pressoflessione §C.4.2.4.1.3.3.1 NTC18

X	Comb.	Sfruttamento	Classe	NEd	MxEq,Ed	MyEq,Ed	Area	Wx	Wy	χ_{min}	$\lambda_{adim. x/m}$	$\lambda_{adim. y/n}$	N,crit x/m	N,crit y/n	Verifica
1.505	SLU 76	0.023	3	-10.892	-0.1116	0.0246	0.003832	0.0000492	0.0000739	0.802	0.571	0.402	3231.032	6528.319	Si

Verifica di stabilità per pressoflessione SLD §C.4.2.4.1.3.3.1 NTC18

X	Comb.	Sfruttamento	Classe	NEd	MxEq,Ed	MyEq,Ed	Area	Wx	Wy	χ_{min}	$\lambda_{adim. x/m}$	$\lambda_{adim. y/n}$	N,crit x/m	N,crit y/n	Verifica
1.505	SLD 11	0.011	3	-3.215	-0.0829	-0.0073	0.003832	0.0000492	0.0000739	0.802	0.571	0.402	3231.032	6528.319	Si

Verifiche a deformabilità

Mensola X: No; Mensola Y: No.

Frecce lungo X

Ascissa freccia	Combinazione	Freccia	Luce	L/f	L/f,min	Tipo	Verifica
0.552	SLE RA 1	0	1.505	10000	250	Totale	Si
0.552	SLE RA 17	0	1.505	10000	250	Totale	Si
0.552	SLE RA 16	0	1.505	10000	250	Totale	Si
0.401	SLE RA 15	0	1.505	10000	250	Totale	Si
0.552	SLE RA 14	0	1.505	10000	250	Totale	Si
0.502	SLE RA 2	0	1.505	10000	350	Variabile	Si
0.401	SLE RA 17	0	1.505	10000	350	Variabile	Si
0.401	SLE RA 16	0	1.505	10000	350	Variabile	Si
0.652	SLE RA 15	0	1.505	10000	350	Variabile	Si
0.602	SLE RA 14	0	1.505	10000	350	Variabile	Si

Frecce lungo Y

Ascissa freccia	Combinazione	Freccia	Luce	L/f	L/f,min	Tipo	Verifica
0.753	SLE RA 1	-0.00003	1.505	10000	250	Totale	Si
0.753	SLE RA 17	-0.00003	1.505	10000	250	Totale	Si
0.753	SLE RA 16	-0.00003	1.505	10000	250	Totale	Si
0.753	SLE RA 15	-0.00003	1.505	10000	250	Totale	Si
0.753	SLE RA 14	-0.00003	1.505	10000	250	Totale	Si
0.602	SLE RA 2	0	1.505	10000	350	Variabile	Si
0.602	SLE RA 17	0	1.505	10000	350	Variabile	Si
0.602	SLE RA 16	0	1.505	10000	350	Variabile	Si
0.552	SLE RA 15	0	1.505	10000	350	Variabile	Si
0.652	SLE RA 14	0	1.505	10000	350	Variabile	Si

Superelemento in acciaio a quota "715"- "703" (-943; 377)-(-1052; 480)

Caratteristiche del materiale

Acciaio: S275, fyk = 275000

Caratteristiche geometriche

Lunghezza: 1.505

Nodo iniziale: 2072 Nodo finale: 1866

Cerniera iniziale: Mmomenti 1% Cerniera finale: Mmomenti 1%

Sovreresistenza: 0% Sisma Z: No

Caratteristiche della sezione

Sezione	Rotazione	Area	Jx	Jy	ix	iy	Wx	Wy	Wplx	Wply
A1; L100*10; 1; Saldato; S275; 30; 1; 8; 8; 1	0	0.003832	0.0000035319	0.000007759	0.0304	0.045	0.0000492	0.0000739	0.00008974	0.00012727

Comportamento dei calastrelli

Accoppiamento imbottito con funzione statica (§C.4.2.4.1.3.1.4 NTC18) nella campata compresa tra le ascisse 0 e 1.505 per sbandamento attorno all'asse y.

Verifiche di resistenza

Verifiche a forza assiale §4.2.4.1.2.1 - §4.2.4.1.2.2 NTC18

X	Comb.	Sfruttamento	Classe	NEd	Nc,Rd	Nt,Rd	Riduzione da taglio	px	py	Verifica
1.505	SLU 76	0.013	3	-13.453	1003.522		1	0	0	Si

Verifiche a forza assiale SLD §4.2.4.1.2.1 - §4.2.4.1.2.2 NTC18

X	Comb.	Sfruttamento	Classe	NEd	Nc,Rd	Nt,Rd	Riduzione da taglio	px	py	Verifica
1.505	SLD 2	0.005	3	-4.646	1003.522		1	0	0	Si

Verifica a taglio Y §4.2.4.1.2.4 NTC18

X	Comb.	Sfruttamento	VEd	Vc,Rd	Av	Interazione taglio-torsione	Riduzione torsione	Verifica
1.505	SLU 76	0.001	-0.329	302.422	0.002	Non considerata		Si

Implementazione dei sistemi di confinamento delle emissioni odorigene diffuse dell'impianto di compostaggio esistente nel
Comune di Eboli (SA)
PROGETTO DEFINITIVO – Tabulati di calcolo Tomo 1

Verifica a taglio Y SLD §4.2.4.1.2.4 NTC18

X	Comb.	Sfruttamento	VEd	Vc,Rd	Av	Interazione taglio-torsione	Riduzione torsione	Verifica
1.505	SLD 14	0.001	-0.232	302.422	0.002	Non considerata		Si

Verifica a flessione semplice X §§ 4.2.4.1.2.3 - 4.2.4.1.2.6 - 4.2.4.1.2.7 - 4.2.4.1.2.8 NTC18

X	Comb.	Sfruttamento	Classe	Mx,Ed	Mx,Rd	Rid. Mx,Rd da VEd	px	py	Verifica
0.753	SLU 59	0.005	1	-0.10753	23.50374	1	0	0	Si

Verifica a presso/tenso flessione retta X §§ 4.2.4.1.2.3 - 4.2.4.1.2.6 - 4.2.4.1.2.7 - 4.2.4.1.2.8 NTC18

Verifiche eseguite utilizzando la formula conservativa (6.2) §6.2.1 EN 1993-1-1:2005.

X	Comb.	Sfruttamento	Classe	NEd	NRd	Rid. NRd da VEd	Mx,Ed	Mx,Rd	Rid. Mx,Rd da VEd	Rid. Mx,Rd da NEd	px	py	Verifica
0.753	SLU 62	0.007	1	-1.934	1003.522	1	-0.1097	23.5037	1		0	0	Si

Verifica a presso/tenso flessione retta Y §§ 4.2.4.1.2.3 - 4.2.4.1.2.6 - 4.2.4.1.2.7 - 4.2.4.1.2.8 NTC18

Verifiche eseguite utilizzando la formula conservativa (6.2) §6.2.1 EN 1993-1-1:2005.

X	Comb.	Sfruttamento	Classe	NEd	NRd	Rid. NRd da VEd	My,Ed	My,Rd	Rid. My,Rd da VEd	Rid. My,Rd da NEd	px	py	Verifica
1.455	SLU 76	0.016	3	-13.451	1003.522	1	0.0409	19.3536	1		0	0	Si

Verifica a presso/tenso flessione retta Y SLD §§ 4.2.4.1.2.3 - 4.2.4.1.2.6 - 4.2.4.1.2.7 - 4.2.4.1.2.8 NTC18

Verifiche eseguite utilizzando la formula conservativa (6.2) §6.2.1 EN 1993-1-1:2005.

X	Comb.	Sfruttamento	Classe	NEd	NRd	Rid. NRd da VEd	My,Ed	My,Rd	Rid. My,Rd da VEd	Rid. My,Rd da NEd	px	py	Verifica
1.505	SLD 1	0.005	3	-4.646	1003.522	1	0.0142	19.3536	1		0	0	Si

Verifica a presso/tenso flessione deviata §§ 4.2.4.1.2.3 - 4.2.4.1.2.6 - 4.2.4.1.2.7 - 4.2.4.1.2.8 NTC18

Verifiche eseguite utilizzando la formula conservativa (6.2) §6.2.1 EN 1993-1-1:2005.

X	Comb.	Sfruttamento	Classe	NEd	NRd	Rid. NRd da VEd	Mx,Ed	Mx,Rd	My,Ed	My,Rd	Rid. Mx,Rd da VEd	Rid. Mx,Rd da NEd	Rid. My,Rd da VEd	Rid. My,Rd da NEd	α	β	px	py	Verifica
0.652	SLU 76	0.025	3	-13.425	1003.522	1	-0.1252	12.886	-0.0405	19.3536	1		1				0	0	Si

Verifica a presso/tenso flessione deviata SLD §§ 4.2.4.1.2.3 - 4.2.4.1.2.6 - 4.2.4.1.2.7 - 4.2.4.1.2.8 NTC18

Verifiche eseguite utilizzando la formula conservativa (6.2) §6.2.1 EN 1993-1-1:2005.

X	Comb.	Sfruttamento	Classe	NEd	NRd	Rid. NRd da VEd	Mx,Ed	Mx,Rd	My,Ed	My,Rd	Rid. Mx,Rd da VEd	Rid. Mx,Rd da NEd	Rid. My,Rd da VEd	Rid. My,Rd da NEd	α	β	px	py	Verifica
1.204	SLD 1	0.01	3	-4.639	1003.522	1	-0.0538	12.886	0.0141	19.3536	1		1				0	0	Si

Verifiche ad instabilità

Caratteristiche iniziali

Membratura principale per controllo snellezza; Calcolo di snellezze ed N critici condotti secondo gli assi principali;

Curva X: c; Curva Y: c;

Svergolamento: Nessuno; la verifica a instabilità flesso-torsionale (svergolamento) non verrà eseguita.

Dati per instabilità attorno a x

Controllo della snellezza secondo §4.2.4.1.3.1 NTC18

Numero rit.	Presente	Ascissa	Campata	βx/m	Vincolo a entrambi estremi	λx/m	λVer
1	Si		0				
			1-2		1	49.6	Si, (<200)
2	Si	1.505					

Dati per instabilità attorno a y

Controllo della snellezza secondo §4.2.4.1.3.1 NTC18

Numero rit.	Presente	Ascissa	Campata	βy/n	k,LT	kw,LT	Vincolo a entrambi estremi
1	Si		0				
			1-2		1	34.9	Si, (<200)
2	Si	1.505					

Verifica di stabilità per pressoflessione §C.4.2.4.1.3.3.1 NTC18

X	Comb.	Sfruttamento	Classe	NEd	MxEq,Ed	MyEq,Ed	Area	Wx	Wy	χ,min	λ adim. x/m	λ adim. y/n	N,crit x/m	N,crit y/n	Verifica
1.505	SLU 76	0.027	3	-13.453	-0.1127	0.0307	0.003832	0.0000492	0.0000739	0.802	0.571	0.402	3231.032	6528.319	Si

Verifica di stabilità per pressoflessione SLD §C.4.2.4.1.3.3.1 NTC18

X	Comb.	Sfruttamento	Classe	NEd	MxEq,Ed	MyEq,Ed	Area	Wx	Wy	χ,min	λ adim. x/m	λ adim. y/n	N,crit x/m	N,crit y/n	Verifica
1.505	SLD 1	0.012	3	-4.646	-0.0765	0.0106	0.003832	0.0000492	0.0000739	0.802	0.571	0.402	3231.032	6528.319	Si

Verifiche a deformabilità

Mensola X: No; Mensola Y: No.

Frecce lungo X

Ascissa freccia	Combinazione	Freccia	Luce	L/f	L/f,min	Tipo	Verifica
1.154	SLE RA 1	0	1.505	10000	250	Totale	Si
1.154	SLE RA 17	0	1.505	10000	250	Totale	Si
1.154	SLE RA 16	0	1.505	10000	250	Totale	Si
1.154	SLE RA 15	0	1.505	10000	250	Totale	Si
1.154	SLE RA 14	0	1.505	10000	250	Totale	Si
1.204	SLE RA 2	0	1.505	10000	350	Variabile	Si
1.204	SLE RA 17	0	1.505	10000	350	Variabile	Si
1.204	SLE RA 16	0	1.505	10000	350	Variabile	Si
1.204	SLE RA 15	0	1.505	10000	350	Variabile	Si
1.154	SLE RA 14	0	1.505	10000	350	Variabile	Si

Frecce lungo Y

Ascissa freccia	Combinazione	Freccia	Luce	L/f	L/f,min	Tipo	Verifica
0.753	SLE RA 1	-0.00003	1.505	10000	250	Totale	Si
0.753	SLE RA 17	-0.00003	1.505	10000	250	Totale	Si
0.753	SLE RA 16	-0.00003	1.505	10000	250	Totale	Si
0.753	SLE RA 15	-0.00003	1.505	10000	250	Totale	Si

PROGETTO DEFINITIVO – Tabulati di calcolo Tomo 1

Ascissa freccia	Combinazione	Freccia	Luce	L/f	L/f,min	Tipo	Verifica
0.753	SLE RA 14	-0.00003	1.505	10000	250	Totale	Si
0.552	SLE RA 2	0	1.505	10000	350	Variabile	Si
0.552	SLE RA 17	0	1.505	10000	350	Variabile	Si
0.552	SLE RA 16	0	1.505	10000	350	Variabile	Si
0.552	SLE RA 15	0	1.505	10000	350	Variabile	Si
0.602	SLE RA 14	0	1.505	10000	350	Variabile	Si

Superelemento in acciaio a quota "715"- "703" (-1198; 106)-(-1307; 209)

Caratteristiche del materiale

Acciaio: S275, fyk = 275000

Caratteristiche geometriche

Lunghezza: 1.505

Nodo iniziale: 2060 Nodo finale: 1860

Cerniera iniziale: Mmomenti 1% Cerniera finale: Mmomenti 1%

Sovraresistenza: 0% Sisma Z: No

Caratteristiche della sezione

Sezione	Rotazione	Area	Jx	Jy	ix	iy	Wx	Wy	Wplx	Wply
A1; L100*10; 1; Saldato; S275; 30; 1; 8; 8; 1	0	0.003832	0.0000035319	0.000007759	0.0304	0.045	0.0000492	0.0000739	0.00008974	0.00012727

Comportamento dei calastrelli

Accoppiamento imbottito con funzione statica (§C4.2.4.1.3.1.4 NTC18) nella campata compresa tra le ascisse 0 e 1.505 per sbandamento attorno all'asse y.

Verifiche di resistenza

Verifiche a forza assiale §4.2.4.1.2.1 - §4.2.4.1.2.2 NTC18

X	Comb.	Sfruttamento	Classe	NEd	Nc,Rd	Nt,Rd	Riduzione da taglio	px	py	Verifica
1.505	SLU 76	0.016	3	-16.535	1003.522		1	0	0	Si

Verifiche a forza assiale SLD §4.2.4.1.2.1 - §4.2.4.1.2.2 NTC18

X	Comb.	Sfruttamento	Classe	NEd	Nc,Rd	Nt,Rd	Riduzione da taglio	px	py	Verifica
1.505	SLD 8	0.005	3	-5.396	1003.522		1	0	0	Si

Verifica a taglio Y §4.2.4.1.2.4 NTC18

X	Comb.	Sfruttamento	VEd	Vc,Rd	Av	Interazione taglio-torsione	Riduzione torsione	Verifica
1.505	SLU 76	0.001	-0.349	302.422	0.002	Non considerata		Si

Verifica a taglio Y SLD §4.2.4.1.2.4 NTC18

X	Comb.	Sfruttamento	VEd	Vc,Rd	Av	Interazione taglio-torsione	Riduzione torsione	Verifica
1.505	SLD 14	0.001	-0.236	302.422	0.002	Non considerata		Si

Verifica a flessione semplice X §§ 4.2.4.1.2.3 - 4.2.4.1.2.6 - 4.2.4.1.2.7 - 4.2.4.1.2.8 NTC18

X	Comb.	Sfruttamento	Classe	Mx,Ed	Mx,Rd	Rid. Mx,Rd da VEd	px	py	Verifica
0.803	SLU 59	0.005	1	-0.1074	23.50374	1	0	0	Si

Verifica a presso/tenso flessione retta X §§ 4.2.4.1.2.3 - 4.2.4.1.2.6 - 4.2.4.1.2.7 - 4.2.4.1.2.8 NTC18

Verifiche eseguite utilizzando la formula conservativa (6.2) §6.2.1 EN 1993-1-1:2005.

X	Comb.	Sfruttamento	Classe	NEd	NRd	Rid. NRd da VEd	Mx,Ed	Mx,Rd	Rid. Mx,Rd da VEd	Rid. Mx,Rd da NEd	px	py	Verifica
0.753	SLU 62	0.007	1	-2.418	1003.522	1	-0.1095	23.5037	1		0	0	Si

Verifica a presso/tenso flessione retta Y §§ 4.2.4.1.2.3 - 4.2.4.1.2.6 - 4.2.4.1.2.7 - 4.2.4.1.2.8 NTC18

Verifiche eseguite utilizzando la formula conservativa (6.2) §6.2.1 EN 1993-1-1:2005.

X	Comb.	Sfruttamento	Classe	NEd	NRd	Rid. NRd da VEd	My,Ed	My,Rd	Rid. My,Rd da VEd	Rid. My,Rd da NEd	px	py	Verifica
1.405	SLU 76	0.019	3	-16.531	1003.522	1	0.05	19.3536	1		0	0	Si

Verifica a presso/tenso flessione deviata §§ 4.2.4.1.2.3 - 4.2.4.1.2.6 - 4.2.4.1.2.7 - 4.2.4.1.2.8 NTC18

Verifiche eseguite utilizzando la formula conservativa (6.2) §6.2.1 EN 1993-1-1:2005.

X	Comb.	Sfruttamento	Classe	NEd	NRd	Rid. NRd da VEd	Mx,Ed	Mx,Rd	My,Ed	My,Rd	Rid. Mx,Rd da VEd	Rid. Mx,Rd da NEd	Rid. My,Rd da VEd	Rid. My,Rd da NEd	α	β	px	py	Verifica
0.602	SLU 76	0.029	3	-16.505	1003.522	1	-0.1268	12.886	0.0498	19.3536	1		1				0	0	Si

Verifica a presso/tenso flessione deviata SLD §§ 4.2.4.1.2.3 - 4.2.4.1.2.6 - 4.2.4.1.2.7 - 4.2.4.1.2.8 NTC18

Verifiche eseguite utilizzando la formula conservativa (6.2) §6.2.1 EN 1993-1-1:2005.

X	Comb.	Sfruttamento	Classe	NEd	NRd	Rid. NRd da VEd	Mx,Ed	Mx,Rd	My,Ed	My,Rd	Rid. Mx,Rd da VEd	Rid. Mx,Rd da NEd	Rid. My,Rd da VEd	Rid. My,Rd da NEd	α	β	px	py	Verifica
0.351	SLD 3	0.011	3	-5.367	1003.522	1	-0.0667	12.886	-0.0162	19.3536	1		1				0	0	Si

Verifiche ad instabilità

Caratteristiche iniziali

Membratura principale per controllo snellezza; Calcolo di snellezze ed N critici condotti secondo gli assi principali;

Curva X: c; Curva Y: c;

Svergolamento: Nessuno; la verifica a instabilità flesso-torsionale (svergolamento) non verrà eseguita.

Dati per instabilità attorno a x

Controllo della snellezza secondo §4.2.4.1.3.1 NTC18

Implementazione dei sistemi di confinamento delle emissioni odorigene diffuse dell'impianto di compostaggio esistente nel
Comune di Eboli (SA)
PROGETTO DEFINITIVO – Tabulati di calcolo Tomo 1

Numero rit.	Presente	Ascissa	Campata	$\beta x/m$	Vincolo a entrambi estremi	$\lambda x/m$	λVer
1	Si	0	1-2	1	Si	49.6	Si, (<200)
2	Si	1.505					

Dati per instabilità attorno a y

Controllo della snellezza secondo §4.2.4.1.3.1 NTC18

Numero rit.	Presente	Ascissa	Campata	$\beta y/n$	k,LT	kw,LT	Vincolo a entrambi estremi
1	Si	0	1-2	1	Si	34.9	Si, (<200)
2	Si	1.505					

Verifica di stabilità per pressoflessione §C.4.2.4.1.3.3.1 NTC18

X	Comb.	Sfruttamento	Classe	NEd	MxEq,Ed	MyEq,Ed	Area	Wx	Wy	χ_{min}	$\lambda_{adim. x/m}$	$\lambda_{adim. y/n}$	N,crit x/m	N,crit y/n	Verifica
1.505	SLU 76	0.031	3	-16.535	-0.1117	0.0375	0.003832	0.0000492	0.0000739	0.802	0.571	0.402	3231.032	6528.319	Si

Verifica di stabilità per pressoflessione SLD §C.4.2.4.1.3.3.1 NTC18

X	Comb.	Sfruttamento	Classe	NEd	MxEq,Ed	MyEq,Ed	Area	Wx	Wy	χ_{min}	$\lambda_{adim. x/m}$	$\lambda_{adim. y/n}$	N,crit x/m	N,crit y/n	Verifica
1.505	SLD 8	0.013	3	-5.396	-0.076	0.0163	0.003832	0.0000492	0.0000739	0.802	0.571	0.402	3231.032	6528.319	Si

Verifiche a deformabilità

Mensola X: No; Mensola Y: No.

Frecce lungo X

Ascissa freccia	Combinazione	Freccia	Luce	L/f	L/f,min	Tipo	Verifica
1.054	SLE RA 1	0	1.505	10000	250	Totale	Si
1.003	SLE RA 17	0	1.505	10000	250	Totale	Si
1.003	SLE RA 16	0	1.505	10000	250	Totale	Si
1.003	SLE RA 15	0	1.505	10000	250	Totale	Si
1.054	SLE RA 14	0	1.505	10000	250	Totale	Si
0.953	SLE RA 2	0	1.505	10000	350	Variabile	Si
1.003	SLE RA 17	0	1.505	10000	350	Variabile	Si
1.003	SLE RA 16	0	1.505	10000	350	Variabile	Si
1.003	SLE RA 15	0	1.505	10000	350	Variabile	Si
1.104	SLE RA 14	0	1.505	10000	350	Variabile	Si

Frecce lungo Y

Ascissa freccia	Combinazione	Freccia	Luce	L/f	L/f,min	Tipo	Verifica
0.753	SLE RA 1	-0.00003	1.505	10000	250	Totale	Si
0.753	SLE RA 17	-0.00003	1.505	10000	250	Totale	Si
0.702	SLE RA 16	-0.00003	1.505	10000	250	Totale	Si
0.702	SLE RA 15	-0.00003	1.505	10000	250	Totale	Si
0.753	SLE RA 14	-0.00003	1.505	10000	250	Totale	Si
0.502	SLE RA 2	0	1.505	10000	350	Variabile	Si
0.502	SLE RA 17	0	1.505	10000	350	Variabile	Si
0.502	SLE RA 16	0	1.505	10000	350	Variabile	Si
0.502	SLE RA 15	0	1.505	10000	350	Variabile	Si
0.502	SLE RA 14	0	1.505	10000	350	Variabile	Si

Superelemento in acciaio a quota "715"- "703" (-1450; -161)-(-1559; -59)

Caratteristiche del materiale

Acciaio: S275, fyk = 275000

Caratteristiche geometriche

Lunghezza: 1.505

Nodo iniziale: 2053 Nodo finale: 1848

Cerniera iniziale: Mmomenti 1% Cerniera finale: Mmomenti 1%

Sovraresistenza: 0% Sisma Z: No

Caratteristiche della sezione

Sezione	Rotazione	Area	Jx	Jy	ix	iy	Wx	Wy	Wplx	Wply
A1; L100*10; 1; Saldato; S275; 30; 1; 8; 8; 1	0	0.003832	0.0000035319	0.000007759	0.0304	0.045	0.0000492	0.0000739	0.00008974	0.00012727

Comportamento dei calastrelli

Accoppiamento imbottito con funzione statica (§C4.2.4.1.3.1.4 NTC18) nella campata compresa tra le ascisse 0 e 1.505 per sbandamento attorno all'asse y.

Verifiche di resistenza

Verifiche a forza assiale §4.2.4.1.2.1 - §4.2.4.1.2.2 NTC18

X	Comb.	Sfruttamento	Classe	NEd	Nc,Rd	Nt,Rd	Riduzione da taglio	px	py	Verifica
1.505	SLU 76	0.013	3	-13.34	1003.522		1	0	0	Si

Verifiche a forza assiale SLD §4.2.4.1.2.1 - §4.2.4.1.2.2 NTC18

X	Comb.	Sfruttamento	Classe	NEd	Nc,Rd	Nt,Rd	Riduzione da taglio	px	py	Verifica
1.505	SLD 4	0.005	3	-4.741	1003.522		1	0	0	Si

Verifica a taglio Y §4.2.4.1.2.4 NTC18

X	Comb.	Sfruttamento	VEd	Vc,Rd	Av	Interazione taglio-torsione	Riduzione torsione	Verifica
1.505	SLU 76	0.001	-0.358	302.422	0.002	Non considerata		Si

Implementazione dei sistemi di confinamento delle emissioni odorigene diffuse dell'impianto di compostaggio esistente nel
Comune di Eboli (SA)
PROGETTO DEFINITIVO – Tabulati di calcolo Tomo 1

Verifica a taglio Y SLD §4.2.4.1.2.4 NTC18

X	Comb.	Sfruttamento	VEd	Vc,Rd	Av	Interazione taglio-torsione	Riduzione torsione	Verifica
1.505	SLD 14	0.001	-0.238	302.422	0.002	Non considerata		Si

Verifica a flessione semplice X §§ 4.2.4.1.2.3 - 4.2.4.1.2.6 - 4.2.4.1.2.7 - 4.2.4.1.2.8 NTC18

X	Comb.	Sfruttamento	Classe	Mx,Ed	Mx,Rd	Rid. Mx,Rd da VEd	px	py	Verifica
0.803	SLU 59	0.005	1	-0.10753	23.50374	1	0	0	Si

Verifica a presso/tenso flessione retta X §§ 4.2.4.1.2.3 - 4.2.4.1.2.6 - 4.2.4.1.2.7 - 4.2.4.1.2.8 NTC18

Verifiche eseguite utilizzando la formula conservativa (6.2) §6.2.1 EN 1993-1-1:2005.

X	Comb.	Sfruttamento	Classe	NEd	NRd	Rid. NRd da VEd	Mx,Ed	Mx,Rd	Rid. Mx,Rd da VEd	Rid. Mx,Rd da NEd	px	py	Verifica
0.753	SLU 62	0.007	1	-2.226	1003.522	1	-0.1097	23.5037	1		0	0	Si

Verifica a presso/tenso flessione retta Y §§ 4.2.4.1.2.3 - 4.2.4.1.2.6 - 4.2.4.1.2.7 - 4.2.4.1.2.8 NTC18

Verifiche eseguite utilizzando la formula conservativa (6.2) §6.2.1 EN 1993-1-1:2005.

X	Comb.	Sfruttamento	Classe	NEd	NRd	Rid. NRd da VEd	My,Ed	My,Rd	Rid. My,Rd da VEd	Rid. My,Rd da NEd	px	py	Verifica
1.405	SLU 76	0.015	3	-13.336	1003.522	1	-0.0405	19.3536	1		0	0	Si

Verifica a presso/tenso flessione retta Y SLD §§ 4.2.4.1.2.3 - 4.2.4.1.2.6 - 4.2.4.1.2.7 - 4.2.4.1.2.8 NTC18

Verifiche eseguite utilizzando la formula conservativa (6.2) §6.2.1 EN 1993-1-1:2005.

X	Comb.	Sfruttamento	Classe	NEd	NRd	Rid. NRd da VEd	My,Ed	My,Rd	Rid. My,Rd da VEd	Rid. My,Rd da NEd	px	py	Verifica
1.455	SLD 5	0.005	3	-4.272	1003.522	1	-0.0131	19.3536	1		0	0	Si

Verifica a presso/tenso flessione deviata §§ 4.2.4.1.2.3 - 4.2.4.1.2.6 - 4.2.4.1.2.7 - 4.2.4.1.2.8 NTC18

Verifiche eseguite utilizzando la formula conservativa (6.2) §6.2.1 EN 1993-1-1:2005.

X	Comb.	Sfruttamento	Classe	NEd	NRd	Rid. NRd da VEd	Mx,Ed	Mx,Rd	My,Ed	My,Rd	Rid. Mx,Rd da VEd	Rid. Mx,Rd da NEd	Rid. My,Rd da VEd	Rid. My,Rd da NEd	α	β	px	py	Verifica
0.602	SLU 76	0.025	3	-13.31	1003.522	1	-0.1291	12.886	0.0402	19.3536	1		1				0	0	Si

Verifica a presso/tenso flessione deviata SLD §§ 4.2.4.1.2.3 - 4.2.4.1.2.6 - 4.2.4.1.2.7 - 4.2.4.1.2.8 NTC18

Verifiche eseguite utilizzando la formula conservativa (6.2) §6.2.1 EN 1993-1-1:2005.

X	Comb.	Sfruttamento	Classe	NEd	NRd	Rid. NRd da VEd	Mx,Ed	Mx,Rd	My,Ed	My,Rd	Rid. Mx,Rd da VEd	Rid. Mx,Rd da NEd	Rid. My,Rd da VEd	Rid. My,Rd da NEd	α	β	px	py	Verifica
1.154	SLD 3	0.01	3	-4.733	1003.522	1	-0.0584	12.886	-0.0144	19.3536	1		1				0	0	Si

Verifiche ad instabilità

Caratteristiche iniziali

Membratura principale per controllo snellezza; Calcolo di snellezze ed N critici condotti secondo gli assi principali;

Curva X: c; Curva Y: c;

Svergolamento: Nessuno; la verifica a instabilità flesso-torsionale (svergolamento) non verrà eseguita.

Dati per instabilità attorno a x

Controllo della snellezza secondo §4.2.4.1.3.1 NTC18

Numero rit.	Presente	Ascissa	Campata	βx/m	Vincolo a entrambi estremi	λx/m	λVer
1	Si		0				
			1-2		1	49.6	Si, (<200)
2	Si	1.505					

Dati per instabilità attorno a y

Controllo della snellezza secondo §4.2.4.1.3.1 NTC18

Numero rit.	Presente	Ascissa	Campata	βy/n	k,LT	kw,LT	Vincolo a entrambi estremi
1	Si		0				
			1-2		1	34.9	Si, (<200)
2	Si	1.505					

Verifica di stabilità per pressoflessione §C.4.2.4.1.3.3.1 NTC18

X	Comb.	Sfruttamento	Classe	NEd	MxEq,Ed	MyEq,Ed	Area	Wx	Wy	χ,min	λ adim. x/m	λ adim. y/n	N,crit x/m	N,crit y/n	Verifica
1.505	SLU 76	0.027	3	-13.34	-0.113	-0.0304	0.003832	0.0000492	0.0000739	0.802	0.571	0.402	3231.032	6528.319	Si

Verifica di stabilità per pressoflessione SLD §C.4.2.4.1.3.3.1 NTC18

X	Comb.	Sfruttamento	Classe	NEd	MxEq,Ed	MyEq,Ed	Area	Wx	Wy	χ,min	λ adim. x/m	λ adim. y/n	N,crit x/m	N,crit y/n	Verifica
1.505	SLD 3	0.012	3	-4.741	-0.0766	-0.0108	0.003832	0.0000492	0.0000739	0.802	0.571	0.402	3231.032	6528.319	Si

Verifiche a deformabilità

Mensola X: No; Mensola Y: No.

Frecce lungo X

Ascissa freccia	Combinazione	Freccia	Luce	L/f	L/f,min	Tipo	Verifica
0.351	SLE RA 1	0	1.505	10000	250	Totale	Si
0.351	SLE RA 17	0	1.505	10000	250	Totale	Si
0.351	SLE RA 16	0	1.505	10000	250	Totale	Si
0.351	SLE RA 15	0	1.505	10000	250	Totale	Si
0.351	SLE RA 14	0	1.505	10000	250	Totale	Si
0.351	SLE RA 2	0	1.505	10000	350	Variabile	Si
0.351	SLE RA 17	0	1.505	10000	350	Variabile	Si
0.351	SLE RA 16	0	1.505	10000	350	Variabile	Si
1.154	SLE RA 15	0	1.505	10000	350	Variabile	Si
0.351	SLE RA 14	0	1.505	10000	350	Variabile	Si

Frecce lungo Y

Ascissa freccia	Combinazione	Freccia	Luce	L/f	L/f,min	Tipo	Verifica
0.753	SLE RA 1	-0.00003	1.505	10000	250	Totale	Si
0.753	SLE RA 17	-0.00003	1.505	10000	250	Totale	Si
0.702	SLE RA 16	-0.00003	1.505	10000	250	Totale	Si
0.702	SLE RA 15	-0.00003	1.505	10000	250	Totale	Si

Implementazione dei sistemi di confinamento delle emissioni odorigene diffuse dell'impianto di compostaggio esistente nel
Comune di Eboli (SA)

PROGETTO DEFINITIVO – Tabulati di calcolo Tomo 1

Ascissa freccia	Combinazione	Freccia	Luce	L/f	L/f,min	Tipo	Verifica
0.753	SLE RA 14	-0.00003	1.505	10000	250	Totale	Si
0.502	SLE RA 2	0	1.505	10000	350	Variabile	Si
0.502	SLE RA 17	0	1.505	10000	350	Variabile	Si
0.502	SLE RA 16	0	1.505	10000	350	Variabile	Si
0.502	SLE RA 15	0	1.505	10000	350	Variabile	Si
0.502	SLE RA 14	0	1.505	10000	350	Variabile	Si

Superelemento in acciaio a quota "715"- "703" (-1707; -434)-(-1816; -331)

Caratteristiche del materiale

Acciaio: S275, fyk = 275000

Caratteristiche geometriche

Lunghezza: 1.505

Nodo iniziale: 2043 Nodo finale: 1840

Cerniera iniziale: Mmomenti 1% Cerniera finale: Mmomenti 1%

Sovreresistenza: 0% Sisma Z: No

Caratteristiche della sezione

Sezione	Rotazione	Area	Jx	Jy	ix	iy	Wx	Wy	Wplx	Wply
A1; L100*10; 1; Saldato; S275; 30; 1; 8; 8; 1	0	0.003832	0.0000035319	0.000007759	0.0304	0.045	0.0000492	0.0000739	0.00008974	0.00012727

Comportamento dei calastrelli

Accoppiamento imbottito con funzione statica (§C4.2.4.1.3.1.4 NTC18) nella campata compresa tra le ascisse 0 e 1.505 per sbandamento attorno all'asse y.

Verifiche di resistenza

Verifiche a forza assiale §4.2.4.1.2.1 - §4.2.4.1.2.2 NTC18

X	Comb.	Sfruttamento	Classe	NEd	Nc,Rd	Nt,Rd	Riduzione da taglio	px	py	Verifica
1.505	SLU 76	0.011	3	-10.783	1003.522		1	0	0	Si

Verifiche a forza assiale SLD §4.2.4.1.2.1 - §4.2.4.1.2.2 NTC18

X	Comb.	Sfruttamento	Classe	NEd	Nc,Rd	Nt,Rd	Riduzione da taglio	px	py	Verifica
1.505	SLD 10	0.004	3	-4.211	1003.522		1	0	0	Si

Verifica a taglio Y §4.2.4.1.2.4 NTC18

X	Comb.	Sfruttamento	VEd	Vc,Rd	Av	Interazione taglio-torsione	Riduzione torsione	Verifica
1.505	SLU 76	0.001	-0.295	302.422	0.002	Non considerata		Si

Verifica a taglio Y SLD §4.2.4.1.2.4 NTC18

X	Comb.	Sfruttamento	VEd	Vc,Rd	Av	Interazione taglio-torsione	Riduzione torsione	Verifica
1.505	SLD 1	0.001	-0.227	302.422	0.002	Non considerata		Si

Verifica a flessione semplice X §§ 4.2.4.1.2.3 - 4.2.4.1.2.6 - 4.2.4.1.2.7 - 4.2.4.1.2.8 NTC18

X	Comb.	Sfruttamento	Classe	Mx,Ed	Mx,Rd	Rid. Mx,Rd da VEd	px	py	Verifica
0.753	SLU 40	0.005	1	-0.1094	23.50374	1	0	0	Si

Verifica a presso/tenso flessione retta X §§ 4.2.4.1.2.3 - 4.2.4.1.2.6 - 4.2.4.1.2.7 - 4.2.4.1.2.8 NTC18

Verifiche eseguite utilizzando la formula conservativa (6.2) §6.2.1 EN 1993-1-1:2005.

X	Comb.	Sfruttamento	Classe	NEd	NRd	Rid. NRd da VEd	Mx,Ed	Mx,Rd	Rid. Mx,Rd da VEd	Rid. Mx,Rd da NEd	px	py	Verifica
0.753	SLU 43	0.006	1	-1.782	1003.522	1	-0.1095	23.5037	1		0	0	Si

Verifica a presso/tenso flessione retta Y §§ 4.2.4.1.2.3 - 4.2.4.1.2.6 - 4.2.4.1.2.7 - 4.2.4.1.2.8 NTC18

Verifiche eseguite utilizzando la formula conservativa (6.2) §6.2.1 EN 1993-1-1:2005.

X	Comb.	Sfruttamento	Classe	NEd	NRd	Rid. NRd da VEd	My,Ed	My,Rd	Rid. My,Rd da VEd	Rid. My,Rd da NEd	px	py	Verifica
1.505	SLU 76	0.012	3	-10.783	1003.522	1	-0.0329	19.3536	1		0	0	Si

Verifica a presso/tenso flessione retta Y SLD §§ 4.2.4.1.2.3 - 4.2.4.1.2.6 - 4.2.4.1.2.7 - 4.2.4.1.2.8 NTC18

Verifiche eseguite utilizzando la formula conservativa (6.2) §6.2.1 EN 1993-1-1:2005.

X	Comb.	Sfruttamento	Classe	NEd	NRd	Rid. NRd da VEd	My,Ed	My,Rd	Rid. My,Rd da VEd	Rid. My,Rd da NEd	px	py	Verifica
1.505	SLD 14	0.005	3	-4.21	1003.522	1	-0.0129	19.3536	1		0	0	Si

Verifica a presso/tenso flessione deviata §§ 4.2.4.1.2.3 - 4.2.4.1.2.6 - 4.2.4.1.2.7 - 4.2.4.1.2.8 NTC18

Verifiche eseguite utilizzando la formula conservativa (6.2) §6.2.1 EN 1993-1-1:2005.

X	Comb.	Sfruttamento	Classe	NEd	NRd	Rid. NRd da VEd	Mx,Ed	Mx,Rd	My,Ed	My,Rd	Rid. Mx,Rd da VEd	Rid. Mx,Rd da NEd	Rid. My,Rd da VEd	Rid. My,Rd da NEd	α	β	px	py	Verifica
0.753	SLU 76	0.021	3	-10.758	1003.522	1	-0.1105	12.886	-0.0325	19.3536	1		1				0	0	Si

Verifica a presso/tenso flessione deviata SLD §§ 4.2.4.1.2.3 - 4.2.4.1.2.6 - 4.2.4.1.2.7 - 4.2.4.1.2.8 NTC18

Verifiche eseguite utilizzando la formula conservativa (6.2) §6.2.1 EN 1993-1-1:2005.

X	Comb.	Sfruttamento	Classe	NEd	NRd	Rid. NRd da VEd	Mx,Ed	Mx,Rd	My,Ed	My,Rd	Rid. Mx,Rd da VEd	Rid. Mx,Rd da NEd	Rid. My,Rd da VEd	Rid. My,Rd da NEd	α	β	px	py	Verifica
0.251	SLD 9	0.008	3	-4.18	1003.522	1	-0.0474	12.886	-0.0126	19.3536	1		1				0	0	Si

Implementazione dei sistemi di confinamento delle emissioni odorigene diffuse dell'impianto di compostaggio esistente nel
Comune di Eboli (SA)
PROGETTO DEFINITIVO – Tabulati di calcolo Tomo 1

Verifiche ad instabilità

Caratteristiche iniziali

Membratura principale per controllo snellezza; Calcolo di snellezze ed N critici condotti secondo gli assi principali;
Curva X: c; Curva Y: c;
Svergolamento: Nessuno; la verifica a instabilità flessione-torsionale (svergolamento) non verrà eseguita.

Dati per instabilità attorno a x

Controllo della snellezza secondo §4.2.4.1.3.1 NTC18

Numero rit.	Presente	Ascissa	Campata	$\beta x/m$	Vincolo a entrambi estremi	$\lambda x/m$	λVer
1	Si	0					
			1-2	1	Si	49.6	Si, (<200)
2	Si	1.505					

Dati per instabilità attorno a y

Controllo della snellezza secondo §4.2.4.1.3.1 NTC18

Numero rit.	Presente	Ascissa	Campata	$\beta y/n$	k,LT	kw,LT	Vincolo a entrambi estremi
1	Si	0					
			1-2	1	Si	34.9	Si, (<200)
2	Si	1.505					

Verifica di stabilità per pressoflessione §C.4.2.4.1.3.3.1 NTC18

X	Comb.	Sfruttamento	Classe	NEd	MxEq,Ed	MyEq,Ed	Area	Wx	Wy	χ_{min}	$\lambda_{adim. x/m}$	$\lambda_{adim. y/n}$	N,crit x/m	N,crit y/n	Verifica
1.505	SLU 76	0.022	3	-10.783	-0.0957	-0.0247	0.003832	0.0000492	0.0000739	0.802	0.571	0.402	3231.032	6528.319	Si

Verifica di stabilità per pressoflessione SLD §C.4.2.4.1.3.3.1 NTC18

X	Comb.	Sfruttamento	Classe	NEd	MxEq,Ed	MyEq,Ed	Area	Wx	Wy	χ_{min}	$\lambda_{adim. x/m}$	$\lambda_{adim. y/n}$	N,crit x/m	N,crit y/n	Verifica
1.505	SLD 9	0.012	3	-4.211	-0.0732	-0.0127	0.003832	0.0000492	0.0000739	0.802	0.571	0.402	3231.032	6528.319	Si

Verifiche a deformabilità

Mensola X: No; Mensola Y: No.

Frecce lungo X

Ascissa freccia	Combinazione	Freccia	Luce	L/f	L/f,min	Tipo	Verifica
1.154	SLE RA 1	0	1.505	10000	250	Totale	Si
1.154	SLE RA 17	0	1.505	10000	250	Totale	Si
1.154	SLE RA 16	0	1.505	10000	250	Totale	Si
1.154	SLE RA 15	0	1.505	10000	250	Totale	Si
1.154	SLE RA 14	0	1.505	10000	250	Totale	Si
1.154	SLE RA 2	0	1.505	10000	350	Variabile	Si
1.154	SLE RA 17	0	1.505	10000	350	Variabile	Si
1.154	SLE RA 16	0	1.505	10000	350	Variabile	Si
1.154	SLE RA 15	0	1.505	10000	350	Variabile	Si
1.154	SLE RA 14	0	1.505	10000	350	Variabile	Si

Frecce lungo Y

Ascissa freccia	Combinazione	Freccia	Luce	L/f	L/f,min	Tipo	Verifica
0.753	SLE RA 1	-0.00003	1.505	10000	250	Totale	Si
0.753	SLE RA 17	-0.00003	1.505	10000	250	Totale	Si
0.753	SLE RA 16	-0.00003	1.505	10000	250	Totale	Si
0.753	SLE RA 15	-0.00003	1.505	10000	250	Totale	Si
0.753	SLE RA 14	-0.00003	1.505	10000	250	Totale	Si
0.602	SLE RA 2	0	1.505	10000	350	Variabile	Si
0.602	SLE RA 17	0	1.505	10000	350	Variabile	Si
0.602	SLE RA 16	0	1.505	10000	350	Variabile	Si
0.602	SLE RA 15	0	1.505	10000	350	Variabile	Si
0.652	SLE RA 14	0	1.505	10000	350	Variabile	Si

Superelemento in acciaio a quota "715"- "728" (2; 505)-(-108; 608)

Caratteristiche del materiale

Acciaio: S275, fyk = 275000

Caratteristiche geometriche

Lunghezza: 1.505

Nodo iniziale: 2075 Nodo finale: 2278

Cerniera iniziale: Mmomenti 1% Cerniera finale: Mmomenti 1%

Sovreresistenza: 0% Sisma Z: No

Caratteristiche della sezione

Sezione	Rotazione	Area	Jx	Jy	ix	iy	Wx	Wy	Wplx	Wply
A1; L100*10; 1; Saldato; S275; 30; 1; 8; 8; 1	0	0.003832	0.0000035319	0.000007759	0.0304	0.045	0.0000492	0.0000739	0.00008974	0.00012727

Comportamento dei calastrelli

Accoppiamento imbottito con funzione statica (§C4.2.4.1.3.1.4 NTC18) nella campata compresa tra le ascisse 0 e 1.505 per sbandamento attorno all'asse y.

Verifiche di resistenza

Verifiche a forza assiale §4.2.4.1.2.1 - §4.2.4.1.2.2 NTC18

X	Comb.	Sfruttamento	Classe	NEd	Nc,Rd	Nt,Rd	Riduzione da taglio	px	py	Verifica
0	SLU 63	0.012	3	-11.572	1003.522		1	0	0	Si

**Implementazione dei sistemi di confinamento delle emissioni odorigene diffuse dell'impianto di compostaggio esistente nel
Comune di Eboli (SA)
PROGETTO DEFINITIVO – Tabulati di calcolo Tomo 1**

Verifiche a forza assiale SLD §4.2.4.1.2.1 - §4.2.4.1.2.2 NTC18

X	Comb.	Sfruttamento	Classe	NEd	Nc,Rd	Nt,Rd	Riduzione da taglio	px	py	Verifica
0	SLD 15	0.006	3	-6.275	1003.522		1	0	0	Si

Verifica a taglio Y §4.2.4.1.2.4 NTC18

X	Comb.	Sfruttamento	VEd	Vc,Rd	Av	Interazione taglio-torsione	Riduzione torsione	Verifica
0	SLU 75	0.001	0.324	302.422	0.002	Non considerata		Si

Verifica a taglio Y SLD §4.2.4.1.2.4 NTC18

X	Comb.	Sfruttamento	VEd	Vc,Rd	Av	Interazione taglio-torsione	Riduzione torsione	Verifica
0	SLD 1	0.001	0.236	302.422	0.002	Non considerata		Si

Verifica a flessione semplice X §§ 4.2.4.1.2.3 - 4.2.4.1.2.6 - 4.2.4.1.2.7 - 4.2.4.1.2.8 NTC18

X	Comb.	Sfruttamento	Classe	Mx,Ed	Mx,Rd	Rid. Mx,Rd da VEd	px	py	Verifica
0.702	SLU 2	0.004	1	-0.09	23.50374	1	0	0	Si

Verifica a flessione semplice X SLD §§ 4.2.4.1.2.3 - 4.2.4.1.2.6 - 4.2.4.1.2.7 - 4.2.4.1.2.8 NTC18

X	Comb.	Sfruttamento	Classe	Mx,Ed	Mx,Rd	Rid. Mx,Rd da VEd	px	py	Verifica
0.803	SLD 6	0.003	1	-0.07822	23.50374	1	0	0	Si

Verifica a presso/tenso flessione retta X §§ 4.2.4.1.2.3 - 4.2.4.1.2.6 - 4.2.4.1.2.7 - 4.2.4.1.2.8 NTC18

Verifiche eseguite utilizzando la formula conservativa (6.2) §6.2.1 EN 1993-1-1:2005.

X	Comb.	Sfruttamento	Classe	NEd	NRd	Rid. NRd da VEd	Mx,Ed	Mx,Rd	Rid. Mx,Rd da VEd	Rid. Mx,Rd da NEd	px	py	Verifica
0.953	SLV 5	0.008	1	4.181	1003.522	1	-0.0789	23.5037	1		0	0	Si

Verifica a presso/tenso flessione retta X SLD §§ 4.2.4.1.2.3 - 4.2.4.1.2.6 - 4.2.4.1.2.7 - 4.2.4.1.2.8 NTC18

Verifiche eseguite utilizzando la formula conservativa (6.2) §6.2.1 EN 1993-1-1:2005.

X	Comb.	Sfruttamento	Classe	NEd	NRd	Rid. NRd da VEd	Mx,Ed	Mx,Rd	Rid. Mx,Rd da VEd	Rid. Mx,Rd da NEd	px	py	Verifica
0.753	SLD 10	0.005	1	-1.666	1003.522	1	-0.0795	23.5037	1		0	0	Si

Verifica a presso/tenso flessione retta Y §§ 4.2.4.1.2.3 - 4.2.4.1.2.6 - 4.2.4.1.2.7 - 4.2.4.1.2.8 NTC18

Verifiche eseguite utilizzando la formula conservativa (6.2) §6.2.1 EN 1993-1-1:2005.

X	Comb.	Sfruttamento	Classe	NEd	NRd	Rid. NRd da VEd	My,Ed	My,Rd	Rid. My,Rd da VEd	Rid. My,Rd da NEd	px	py	Verifica
1.505	SLU 63	0.013	3	-11.523	1003.522	1	0.035	19.3536	1		0	0	Si

Verifica a presso/tenso flessione retta Y SLD §§ 4.2.4.1.2.3 - 4.2.4.1.2.6 - 4.2.4.1.2.7 - 4.2.4.1.2.8 NTC18

Verifiche eseguite utilizzando la formula conservativa (6.2) §6.2.1 EN 1993-1-1:2005.

X	Comb.	Sfruttamento	Classe	NEd	NRd	Rid. NRd da VEd	My,Ed	My,Rd	Rid. My,Rd da VEd	Rid. My,Rd da NEd	px	py	Verifica
0	SLD 15	0.007	3	-6.275	1003.522	1	0.0198	19.3536	1		0	0	Si

Verifica a presso/tenso flessione deviata §§ 4.2.4.1.2.3 - 4.2.4.1.2.6 - 4.2.4.1.2.7 - 4.2.4.1.2.8 NTC18

Verifiche eseguite utilizzando la formula conservativa (6.2) §6.2.1 EN 1993-1-1:2005.

X	Comb.	Sfruttamento	Classe	NEd	NRd	Rid. NRd da VEd	Mx,Ed	Mx,Rd	My,Ed	My,Rd	Rid. Mx,Rd da VEd	Rid. Mx,Rd da NEd	Rid. My,Rd da VEd	Rid. My,Rd da NEd	α	β	px	py	Verifica
0.803	SLU 63	0.02	3	-11.545	1003.522	1	-0.0909	12.886	0.0349	19.3536	1		1				0	0	Si

Verifica a presso/tenso flessione deviata SLD §§ 4.2.4.1.2.3 - 4.2.4.1.2.6 - 4.2.4.1.2.7 - 4.2.4.1.2.8 NTC18

Verifiche eseguite utilizzando la formula conservativa (6.2) §6.2.1 EN 1993-1-1:2005.

X	Comb.	Sfruttamento	Classe	NEd	NRd	Rid. NRd da VEd	Mx,Ed	Mx,Rd	My,Ed	My,Rd	Rid. Mx,Rd da VEd	Rid. Mx,Rd da NEd	Rid. My,Rd da VEd	Rid. My,Rd da NEd	α	β	px	py	Verifica
0.552	SLD 15	0.013	3	-6.261	1003.522	1	-0.0773	12.886	0.0195	19.3536	1		1				0	0	Si

Verifiche ad instabilità

Caratteristiche iniziali

Membratura principale per controllo snellezza; Calcolo di snellezze ed N critici condotti secondo gli assi principali;

Curva X: c; Curva Y: c;

Svergolamento: Nessuno; la verifica a instabilità flesso-torsionale (svergolamento) non verrà eseguita.

Dati per instabilità attorno a x

Controllo della snellezza secondo §4.2.4.1.3.1 NTC18

Numero rit.	Presente	Ascissa	Campata	βx/m	Vincolo a entrambi estremi	λx/m	λVer
1	Si	0					
			1-2	1	Si	49.6	Si, (<200)
2	Si	1.505					

Dati per instabilità attorno a y

Controllo della snellezza secondo §4.2.4.1.3.1 NTC18

Numero rit.	Presente	Ascissa	Campata	βy/n	k,LT	kw,LT	Vincolo a entrambi estremi
1	Si	0					
			1-2	1	Si	34.9	Si, (<200)
2	Si	1.505					

Verifica di stabilità per pressoflessione §C.4.2.4.1.3.3.1 NTC18

X	Comb.	Sfruttamento	Classe	NEd	MxEq,Ed	MyEq,Ed	Area	Wx	Wy	χ,min	λ adim. x/m	λ adim. y/n	N,crit x/m	N,crit y/n	Verifica
0	SLU 63	0.021	3	-11.572	-0.0693	-0.0263	0.003832	0.0000492	0.0000739	0.802	0.571	0.402	3231.032	6528.319	Si

Verifica di stabilità per pressoflessione SLD §C.4.2.4.1.3.3.1 NTC18

X	Comb.	Sfruttamento	Classe	NEd	MxEq,Ed	MyEq,Ed	Area	Wx	Wy	χ,min	λ adim. x/m	λ adim. y/n	N,crit x/m	N,crit y/n	Verifica
0	SLD 16	0.014	3	-6.275	-0.0709	0.0198	0.003832	0.0000492	0.0000739	0.802	0.571	0.402	3231.032	6528.319	Si

Implementazione dei sistemi di confinamento delle emissioni odorigene diffuse dell'impianto di compostaggio esistente nel
Comune di Eboli (SA)
PROGETTO DEFINITIVO – Tabulati di calcolo Tomo 1

Verifiche a deformabilità

Mensola X: No; Mensola Y: No.

Frecce lungo X

Ascissa freccia	Combinazione	Freccia	Luce	L/f	L/f,min	Tipo	Verifica
0.401	SLE RA 1	0	1.505	10000	250	Totale	Si
0.401	SLE RA 17	0	1.505	10000	250	Totale	Si
0.351	SLE RA 16	0	1.505	10000	250	Totale	Si
0.452	SLE RA 15	0	1.505	10000	250	Totale	Si
1.154	SLE RA 14	0	1.505	10000	250	Totale	Si
0.351	SLE RA 2	0	1.505	10000	350	Variabile	Si
0.351	SLE RA 17	0	1.505	10000	350	Variabile	Si
0.351	SLE RA 16	0	1.505	10000	350	Variabile	Si
0.452	SLE RA 15	0	1.505	10000	350	Variabile	Si
0.953	SLE RA 14	0	1.505	10000	350	Variabile	Si

Frecce lungo Y

Ascissa freccia	Combinazione	Freccia	Luce	L/f	L/f,min	Tipo	Verifica
0.753	SLE RA 1	-0.00003	1.505	10000	250	Totale	Si
0.753	SLE RA 17	-0.00002	1.505	10000	250	Totale	Si
0.753	SLE RA 16	-0.00002	1.505	10000	250	Totale	Si
0.753	SLE RA 15	-0.00003	1.505	10000	250	Totale	Si
0.753	SLE RA 14	-0.00002	1.505	10000	250	Totale	Si
0.602	SLE RA 2	0	1.505	10000	350	Variabile	Si
0.602	SLE RA 17	0	1.505	10000	350	Variabile	Si
0.602	SLE RA 16	0	1.505	10000	350	Variabile	Si
1.003	SLE RA 15	0	1.505	10000	350	Variabile	Si
0.652	SLE RA 14	0	1.505	10000	350	Variabile	Si

Superelemento in acciaio a quota "715"- "728" (251; 769)-(142; 872)

Caratteristiche del materiale

Acciaio: S275, fyk = 275000

Caratteristiche geometriche

Lunghezza: 1.505

Nodo iniziale: 2088 Nodo finale: 2290

Cerniera iniziale: Mmomenti 1% Cerniera finale: Mmomenti 1%

Sovreresistenza: 0% Sisma Z: No

Caratteristiche della sezione

Sezione	Rotazione	Area	Jx	Jy	ix	iy	Wx	Wy	Wplx	Wply
A1; L100*10; 1; Saldato; S275; 30; 1; 8; 8; 1	0	0.003832	0.0000035319	0.000007759	0.0304	0.045	0.0000492	0.0000739	0.00008974	0.00012727

Comportamento dei calastrelli

Accoppiamento imbottito con funzione statica (§C4.2.4.1.3.1.4 NTC18) nella campata compresa tra le ascisse 0 e 1.505 per sbandamento attorno all'asse y.

Verifiche di resistenza

Verifiche a forza assiale §4.2.4.1.2.1 - §4.2.4.1.2.2 NTC18

X	Comb.	Sfruttamento	Classe	NEd	Nc,Rd	Nt,Rd	Riduzione da taglio	px	py	Verifica
0	SLU 75	0.017	3	-17.242	1003.522		1	0	0	Si

Verifiche a forza assiale SLD §4.2.4.1.2.1 - §4.2.4.1.2.2 NTC18

X	Comb.	Sfruttamento	Classe	NEd	Nc,Rd	Nt,Rd	Riduzione da taglio	px	py	Verifica
0	SLD 1	0.006	3	-6.07	1003.522		1	0	0	Si

Verifica a taglio Y §4.2.4.1.2.4 NTC18

X	Comb.	Sfruttamento	VEd	Vc,Rd	Av	Interazione taglio-torsione	Riduzione torsione	Verifica
0	SLU 75	0.001	0.354	302.422	0.002	Non considerata		Si

Verifica a taglio Y SLD §4.2.4.1.2.4 NTC18

X	Comb.	Sfruttamento	VEd	Vc,Rd	Av	Interazione taglio-torsione	Riduzione torsione	Verifica
0	SLD 1	0.001	0.24	302.422	0.002	Non considerata		Si

Verifica a flessione semplice X §§ 4.2.4.1.2.3 - 4.2.4.1.2.6 - 4.2.4.1.2.7 - 4.2.4.1.2.8 NTC18

X	Comb.	Sfruttamento	Classe	Mx,Ed	Mx,Rd	Rid. Mx,Rd da VEd	px	py	Verifica
0.702	SLU 59	0.005	1	-0.111	23.50374	1	0	0	Si

Verifica a presso/tenso flessione retta X §§ 4.2.4.1.2.3 - 4.2.4.1.2.6 - 4.2.4.1.2.7 - 4.2.4.1.2.8 NTC18

Verifiche eseguite utilizzando la formula conservativa (6.2) §6.2.1 EN 1993-1-1:2005.

X	Comb.	Sfruttamento	Classe	NEd	NRd	Rid. NRd da VEd	Mx,Ed	Mx,Rd	Rid. Mx,Rd da VEd	Rid. Mx,Rd da NEd	px	py	Verifica
0.702	SLU 40	0.006	1	1.591	1003.522	1	-0.1122	23.5037	1		0	0	Si

Verifica a presso/tenso flessione retta Y §§ 4.2.4.1.2.3 - 4.2.4.1.2.6 - 4.2.4.1.2.7 - 4.2.4.1.2.8 NTC18

Verifiche eseguite utilizzando la formula conservativa (6.2) §6.2.1 EN 1993-1-1:2005.

X	Comb.	Sfruttamento	Classe	NEd	NRd	Rid. NRd da VEd	My,Ed	My,Rd	Rid. My,Rd da VEd	Rid. My,Rd da NEd	px	py	Verifica
0.151	SLU 73	0.019	3	-16.5	1003.522	1	0.0498	19.3536	1		0	0	Si

Verifica a presso/tenso flessione retta Y SLD §§ 4.2.4.1.2.3 - 4.2.4.1.2.6 - 4.2.4.1.2.7 - 4.2.4.1.2.8 NTC18

Verifiche eseguite utilizzando la formula conservativa (6.2) §6.2.1 EN 1993-1-1:2005.

Implementazione dei sistemi di confinamento delle emissioni odorigene diffuse dell'impianto di compostaggio esistente nel
Comune di Eboli (SA)

PROGETTO DEFINITIVO – Tabulati di calcolo Tomo 1

X	Comb.	Sfruttamento	Classe	NEd	NRd	Rid. NRd da VEd	My,Ed	My,Rd	Rid. My,Rd da VEd	Rid. My,Rd da NEd	px	py	Verifica
0.05	SLD 1	0.007	3	-6.069	1003.522	1	-0.0184	19.3536	1		0	0	Si

Verifica a presso/tenso flessione deviata §§ 4.2.4.1.2.3 - 4.2.4.1.2.6 - 4.2.4.1.2.7 - 4.2.4.1.2.8 NTC18

Verifiche eseguite utilizzando la formula conservativa (6.2) §6.2.1 EN 1993-1-1:2005.

X	Comb.	Sfruttamento	Classe	NEd	NRd	Rid. NRd da VEd	Mx,Ed	Mx,Rd	My,Ed	My,Rd	Rid. Mx,Rd da VEd	Rid. Mx,Rd da NEd	Rid. My,Rd da VEd	Rid. My,Rd da NEd	α	β	px	py	Verifica
0.903	SLU 75	0.028	3	-17.212	1003.522	1	-0.1046	12.886	0.052	19.3536	1		1				0	0	Si

Verifica a presso/tenso flessione deviata SLD §§ 4.2.4.1.2.3 - 4.2.4.1.2.6 - 4.2.4.1.2.7 - 4.2.4.1.2.8 NTC18

Verifiche eseguite utilizzando la formula conservativa (6.2) §6.2.1 EN 1993-1-1:2005.

X	Comb.	Sfruttamento	Classe	NEd	NRd	Rid. NRd da VEd	Mx,Ed	Mx,Rd	My,Ed	My,Rd	Rid. Mx,Rd da VEd	Rid. Mx,Rd da NEd	Rid. My,Rd da VEd	Rid. My,Rd da NEd	α	β	px	py	Verifica
0.552	SLD 2	0.013	3	-6.056	1003.522	1	-0.0761	12.886	-0.0183	19.3536	1		1				0	0	Si

Verifiche ad instabilità

Caratteristiche iniziali

Membratura principale per controllo snellezza; Calcolo di snellezze ed N critici condotti secondo gli assi principali;

Curva X: c; Curva Y: c;

Svergolamento: Nessuno; la verifica a instabilità flesso-torsionale (svergolamento) non verrà eseguita.

Dati per instabilità attorno a x

Controllo della snellezza secondo §4.2.4.1.3.1 NTC18

Numero rit.	Presente	Ascissa	Campata	βx/m	Vincolo a entrambi estremi	λx/m	λVer
1	Si	0					
			1-2	1	Si	49.6	Si, (<200)
2	Si	1.505					

Dati per instabilità attorno a y

Controllo della snellezza secondo §4.2.4.1.3.1 NTC18

Numero rit.	Presente	Ascissa	Campata	βy/n	k,LT	kw,LT	Vincolo a entrambi estremi
1	Si	0					
			1-2	1	Si	34.9	Si, (<200)
2	Si	1.505					

Verifica di stabilità per pressoflessione §C.4.2.4.1.3.3.1 NTC18

X	Comb.	Sfruttamento	Classe	NEd	MxEq,Ed	MyEq,Ed	Area	Wx	Wy	χ,min	λ adim. x/m	λ adim. y/n	N,crit x/m	N,crit y/n	Verifica
0	SLU 75	0.03	3	-17.242	-0.0819	-0.0391	0.003832	0.0000492	0.0000739	0.802	0.571	0.402	3231.032	6528.319	Si

Verifica di stabilità per pressoflessione SLD §C.4.2.4.1.3.3.1 NTC18

X	Comb.	Sfruttamento	Classe	NEd	MxEq,Ed	MyEq,Ed	Area	Wx	Wy	χ,min	λ adim. x/m	λ adim. y/n	N,crit x/m	N,crit y/n	Verifica
0	SLD 1	0.014	3	-6.07	-0.0733	-0.0166	0.003832	0.0000492	0.0000739	0.802	0.571	0.402	3231.032	6528.319	Si

Verifiche a deformabilità

Mensola X: No; Mensola Y: No.

Frecce lungo X

Ascissa freccia	Combinazione	Freccia	Luce	L/f	L/f,min	Tipo	Verifica
0.502	SLE RA 1	0	1.505	10000	250	Totale	Si
0.652	SLE RA 17	0	1.505	10000	250	Totale	Si
0.803	SLE RA 16	0	1.505	10000	250	Totale	Si
0.401	SLE RA 15	0	1.505	10000	250	Totale	Si
0.953	SLE RA 14	0	1.505	10000	250	Totale	Si
0.953	SLE RA 2	0	1.505	10000	350	Variabile	Si
0.903	SLE RA 17	0	1.505	10000	350	Variabile	Si
0.953	SLE RA 16	0	1.505	10000	350	Variabile	Si
1.154	SLE RA 15	0	1.505	10000	350	Variabile	Si
1.054	SLE RA 14	0	1.505	10000	350	Variabile	Si

Frecce lungo Y

Ascissa freccia	Combinazione	Freccia	Luce	L/f	L/f,min	Tipo	Verifica
0.753	SLE RA 1	-0.00003	1.505	10000	250	Totale	Si
0.753	SLE RA 17	-0.00003	1.505	10000	250	Totale	Si
0.803	SLE RA 16	-0.00003	1.505	10000	250	Totale	Si
0.753	SLE RA 15	-0.00003	1.505	10000	250	Totale	Si
0.803	SLE RA 14	-0.00003	1.505	10000	250	Totale	Si
0.452	SLE RA 2	0	1.505	10000	350	Variabile	Si
0.452	SLE RA 17	0	1.505	10000	350	Variabile	Si
0.452	SLE RA 16	0	1.505	10000	350	Variabile	Si
0.652	SLE RA 15	0	1.505	10000	350	Variabile	Si
0.452	SLE RA 14	0	1.505	10000	350	Variabile	Si

Superelemento in acciaio a quota "715"- "728" (510; 1042)-(401; 1145)

Caratteristiche del materiale

Acciaio: S275, fyk = 275000

Caratteristiche geometriche

Lunghezza: 1.505

Nodo iniziale: 2098 Nodo finale: 2300

Cerniera iniziale: Mmomenti 1% Cerniera finale: Mmomenti 1%

Sovreresistenza: 0% Sisma Z: No

Implementazione dei sistemi di confinamento delle emissioni odorigene diffuse dell'impianto di compostaggio esistente nel
Comune di Eboli (SA)
PROGETTO DEFINITIVO – Tabulati di calcolo Tomo 1

Caratteristiche della sezione

Sezione	Rotazione	Area	Jx	Jy	ix	iy	Wx	Wy	Wplx	Wply
A1; L100*10; 1; Saldato; S275; 30; 1; 8; 8; 1	0	0.003832	0.0000035319	0.000007759	0.0304	0.045	0.0000492	0.0000739	0.00008974	0.00012727

Comportamento dei calastrelli

Accoppiamento imbottito con funzione statica (§C4.2.4.1.3.1.4 NTC18) nella campata compresa tra le ascisse 0 e 1.505 per sbandamento attorno all'asse y.

Verifiche di resistenza

Verifiche a forza assiale §4.2.4.1.2.1 - §4.2.4.1.2.2 NTC18

X	Comb.	Sfruttamento	Classe	NEd	Nc,Rd	Nt,Rd	Riduzione da taglio	px	py	Verifica
0	SLU 75	0.015	3	-14.984	1003.522		1	0	0	Si

Verifiche a forza assiale SLD §4.2.4.1.2.1 - §4.2.4.1.2.2 NTC18

X	Comb.	Sfruttamento	Classe	NEd	Nc,Rd	Nt,Rd	Riduzione da taglio	px	py	Verifica
0	SLD 5	0.005	3	-5.433	1003.522		1	0	0	Si

Verifica a taglio Y §4.2.4.1.2.4 NTC18

X	Comb.	Sfruttamento	VEd	Vc,Rd	Av	Interazione taglio-torsione	Riduzione torsione	Verifica
0	SLU 75	0.001	0.337	302.422	0.002	Non considerata		Si

Verifica a taglio Y SLD §4.2.4.1.2.4 NTC18

X	Comb.	Sfruttamento	VEd	Vc,Rd	Av	Interazione taglio-torsione	Riduzione torsione	Verifica
0	SLD 1	0.001	0.241	302.422	0.002	Non considerata		Si

Verifica a flessione semplice X §§ 4.2.4.1.2.3 - 4.2.4.1.2.6 - 4.2.4.1.2.7 - 4.2.4.1.2.8 NTC18

X	Comb.	Sfruttamento	Classe	Mx,Ed	Mx,Rd	Rid. Mx,Rd da VEd	px	py	Verifica
0.753	SLU 59	0.005	1	-0.10843	23.50374	1	0	0	Si

Verifica a presso/tenso flessione retta X §§ 4.2.4.1.2.3 - 4.2.4.1.2.6 - 4.2.4.1.2.7 - 4.2.4.1.2.8 NTC18

Verifiche eseguite utilizzando la formula conservativa (6.2) §6.2.1 EN 1993-1-1:2005.

X	Comb.	Sfruttamento	Classe	NEd	NRd	Rid. NRd da VEd	Mx,Ed	Mx,Rd	Rid. Mx,Rd da VEd	Rid. Mx,Rd da NEd	px	py	Verifica
0.753	SLU 62	0.007	1	-2.346	1003.522	1	-0.1107	23.5037	1		0	0	Si

Verifica a presso/tenso flessione retta Y §§ 4.2.4.1.2.3 - 4.2.4.1.2.6 - 4.2.4.1.2.7 - 4.2.4.1.2.8 NTC18

Verifiche eseguite utilizzando la formula conservativa (6.2) §6.2.1 EN 1993-1-1:2005.

X	Comb.	Sfruttamento	Classe	NEd	NRd	Rid. NRd da VEd	My,Ed	My,Rd	Rid. My,Rd da VEd	Rid. My,Rd da NEd	px	py	Verifica
0.05	SLU 75	0.017	3	-14.982	1003.522	1	0.0456	19.3536	1		0	0	Si

Verifica a presso/tenso flessione retta Y SLD §§ 4.2.4.1.2.3 - 4.2.4.1.2.6 - 4.2.4.1.2.7 - 4.2.4.1.2.8 NTC18

Verifiche eseguite utilizzando la formula conservativa (6.2) §6.2.1 EN 1993-1-1:2005.

X	Comb.	Sfruttamento	Classe	NEd	NRd	Rid. NRd da VEd	My,Ed	My,Rd	Rid. My,Rd da VEd	Rid. My,Rd da NEd	px	py	Verifica
0.05	SLD 5	0.006	3	-5.431	1003.522	1	0.0166	19.3536	1		0	0	Si

Verifica a presso/tenso flessione deviata §§ 4.2.4.1.2.3 - 4.2.4.1.2.6 - 4.2.4.1.2.7 - 4.2.4.1.2.8 NTC18

Verifiche eseguite utilizzando la formula conservativa (6.2) §6.2.1 EN 1993-1-1:2005.

X	Comb.	Sfruttamento	Classe	NEd	NRd	Rid. NRd da VEd	Mx,Ed	Mx,Rd	My,Ed	My,Rd	Rid. Mx,Rd da VEd	Rid. Mx,Rd da NEd	Rid. My,Rd da VEd	Rid. My,Rd da NEd	α	β	px	py	Verifica
0.853	SLU 75	0.027	3	-14.956	1003.522	1	-0.1261	12.886	-0.0453	19.3536	1		1				0	0	Si

Verifica a presso/tenso flessione deviata SLD §§ 4.2.4.1.2.3 - 4.2.4.1.2.6 - 4.2.4.1.2.7 - 4.2.4.1.2.8 NTC18

Verifiche eseguite utilizzando la formula conservativa (6.2) §6.2.1 EN 1993-1-1:2005.

X	Comb.	Sfruttamento	Classe	NEd	NRd	Rid. NRd da VEd	Mx,Ed	Mx,Rd	My,Ed	My,Rd	Rid. Mx,Rd da VEd	Rid. Mx,Rd da NEd	Rid. My,Rd da VEd	Rid. My,Rd da NEd	α	β	px	py	Verifica
0.452	SLD 5	0.012	3	-5.421	1003.522	1	-0.0684	12.886	0.0165	19.3536	1		1				0	0	Si

Verifiche ad instabilità

Caratteristiche iniziali

Membratura principale per controllo snellezza; Calcolo di snellezze ed N critici condotti secondo gli assi principali;

Curva X: c; Curva Y: c;

Svergolamento: Nessuno; la verifica a instabilità flesso-torsionale (svergolamento) non verrà eseguita.

Dati per instabilità attorno a x

Controllo della snellezza secondo §4.2.4.1.3.1 NTC18

Numero rit.	Presente	Ascissa	Campata	βx/m	Vincolo a entrambi estremi	λx/m	λVer
1	Si	0					
			1-2		1	49.6	Si, (<200)
2	Si	1.505					

Dati per instabilità attorno a y

Controllo della snellezza secondo §4.2.4.1.3.1 NTC18

Numero rit.	Presente	Ascissa	Campata	βy/n	k,LT	kw,LT	Vincolo a entrambi estremi
1	Si	0					
			1-2		1	34.9	Si, (<200)
2	Si	1.505					

Verifica di stabilità per pressoflessione §C.4.2.4.1.3.3.1 NTC18

X	Comb.	Sfruttamento	Classe	NEd	MxEq,Ed	MyEq,Ed	Area	Wx	Wy	x,min	λ adim. x/m	λ adim. y/n	N,crit x/m	N,crit y/n	Verifica
0	SLU 75	0.029	3	-14.984	-0.1127	-0.0344	0.003832	0.0000492	0.0000739	0.802	0.571	0.402	3231.032	6528.319	Si

Implementazione dei sistemi di confinamento delle emissioni odorigene diffuse dell'impianto di compostaggio esistente nel
Comune di Eboli (SA)
PROGETTO DEFINITIVO – Tabulati di calcolo Tomo 1

Verifica di stabilità per pressoflessione SLD §C.4.2.4.1.3.3.1 NTC18

X	Comb.	Sfruttamento	Classe	NEd	MxEq,Ed	MyEq,Ed	Area	Wx	Wy	x,min	λ adim. x/m	λ adim. y/n	N,crit x/m	N,crit y/n	Verifica
0	SLD 5	0.013	3	-5.433	-0.0751	0.0125	0.003832	0.0000492	0.0000739	0.802	0.571	0.402	3231.032	6528.319	Si

Verifiche a deformabilità

Mensola X: No; Mensola Y: No.

Frecce lungo X

Ascissa freccia	Combinazione	Freccia	Luce	L/f	L/f,min	Tipo	Verifica
1.054	SLE RA 1	0	1.505	10000	250	Totale	Si
1.054	SLE RA 17	0	1.505	10000	250	Totale	Si
1.054	SLE RA 16	0	1.505	10000	250	Totale	Si
1.104	SLE RA 15	0	1.505	10000	250	Totale	Si
1.054	SLE RA 14	0	1.505	10000	250	Totale	Si
1.054	SLE RA 2	0	1.505	10000	350	Variabile	Si
1.054	SLE RA 17	0	1.505	10000	350	Variabile	Si
1.054	SLE RA 16	0	1.505	10000	350	Variabile	Si
1.104	SLE RA 15	0	1.505	10000	350	Variabile	Si
1.003	SLE RA 14	0	1.505	10000	350	Variabile	Si

Frecce lungo Y

Ascissa freccia	Combinazione	Freccia	Luce	L/f	L/f,min	Tipo	Verifica
0.753	SLE RA 1	-0.00003	1.505	10000	250	Totale	Si
0.753	SLE RA 17	-0.00003	1.505	10000	250	Totale	Si
0.753	SLE RA 16	-0.00003	1.505	10000	250	Totale	Si
0.753	SLE RA 15	-0.00003	1.505	10000	250	Totale	Si
0.753	SLE RA 14	-0.00003	1.505	10000	250	Totale	Si
0.953	SLE RA 2	0	1.505	10000	350	Variabile	Si
0.953	SLE RA 17	0	1.505	10000	350	Variabile	Si
0.953	SLE RA 16	0	1.505	10000	350	Variabile	Si
0.853	SLE RA 15	0	1.505	10000	350	Variabile	Si
1.003	SLE RA 14	0	1.505	10000	350	Variabile	Si

Superelemento in acciaio a quota "715"- "728" (764; 1312)-(655; 1415)

Caratteristiche del materiale

Acciaio: S275, fyk = 275000

Caratteristiche geometriche

Lunghezza: 1.505

Nodo iniziale: 2106 Nodo finale: 2307

Cerniera iniziale: Mmomenti 1% Cerniera finale: Mmomenti 1%

Sovreresistenza: 0% Sisma Z: No

Caratteristiche della sezione

Sezione	Rotazione	Area	Jx	Jy	ix	iy	Wx	Wy	Wplx	Wply
Al; L100*10; 1; Saldato; S275; 30; 1; 8; 8; 1	0	0.003832	0.0000035319	0.000007759	0.0304	0.045	0.0000492	0.0000739	0.00008974	0.00012727

Comportamento dei calastrelli

Accoppiamento imbottito con funzione statica (§C4.2.4.1.3.1.4 NTC18) nella campata compresa tra le ascisse 0 e 1.505 per sbandamento attorno all'asse y.

Verifiche di resistenza

Verifiche a forza assiale §4.2.4.1.2.1 - §4.2.4.1.2.2 NTC18

X	Comb.	Sfruttamento	Classe	NEd	Nc,Rd	Nt,Rd	Riduzione da taglio	px	py	Verifica
0	SLU 63	0.007	3	-6.733	1003.522		1	0	0	Si

Verifiche a forza assiale SLD §4.2.4.1.2.1 - §4.2.4.1.2.2 NTC18

X	Comb.	Sfruttamento	Classe	NEd	Nc,Rd	Nt,Rd	Riduzione da taglio	px	py	Verifica
0	SLD 4	0.002	3	-1.813	1003.522		1	0	0	Si

Verifica a taglio Y §4.2.4.1.2.4 NTC18

X	Comb.	Sfruttamento	VEd	Vc,Rd	Av	Interazione taglio-torsione	Riduzione torsione	Verifica
0	SLU 75	0.001	0.327	302.422	0.002	Non considerata		Si

Verifica a taglio Y SLD §4.2.4.1.2.4 NTC18

X	Comb.	Sfruttamento	VEd	Vc,Rd	Av	Interazione taglio-torsione	Riduzione torsione	Verifica
0	SLD 1	0.001	0.234	302.422	0.002	Non considerata		Si

Verifica a flessione semplice X §§ 4.2.4.1.2.3 - 4.2.4.1.2.6 - 4.2.4.1.2.7 - 4.2.4.1.2.8 NTC18

X	Comb.	Sfruttamento	Classe	Mx,Ed	Mx,Rd	Rid. Mx,Rd da VEd	px	py	Verifica
0.753	SLV 16	0.004	1	-0.08515	23.50374	1	0	0	Si

Verifica a flessione semplice X SLD §§ 4.2.4.1.2.3 - 4.2.4.1.2.6 - 4.2.4.1.2.7 - 4.2.4.1.2.8 NTC18

X	Comb.	Sfruttamento	Classe	Mx,Ed	Mx,Rd	Rid. Mx,Rd da VEd	px	py	Verifica
0.753	SLD 13	0.004	1	-0.08247	23.50374	1	0	0	Si

Verifica a presso/tenso flessione retta X §§ 4.2.4.1.2.3 - 4.2.4.1.2.6 - 4.2.4.1.2.7 - 4.2.4.1.2.8 NTC18

Verifiche eseguite utilizzando la formula conservativa (6.2) §6.2.1 EN 1993-1-1:2005.

X	Comb.	Sfruttamento	Classe	NEd	NRd	Rid. NRd da VEd	Mx,Ed	Mx,Rd	Rid. Mx,Rd da VEd	Rid. Mx,Rd da NEd	px	py	Verifica
---	-------	--------------	--------	-----	-----	-----------------	-------	-------	-------------------	-------------------	----	----	----------

Implementazione dei sistemi di confinamento delle emissioni odorigene diffuse dell'impianto di compostaggio esistente nel
Comune di Eboli (SA)

PROGETTO DEFINITIVO – Tabulati di calcolo Tomo 1

X	Comb.	Sfruttamento	Classe	NEd	NRd	Rid. NRd da VEd	Mx,Ed	Mx,Rd	Rid. Mx,Rd da VEd	Rid. Mx,Rd da NEd	px	py	Verifica
0.753	SLU 42	0.009	1	4.059	1003.522	1	-0.1196	23.5037	1		0	0	Si

Verifica a presso/tenso flessione retta X SLD §§ 4.2.4.1.2.3 - 4.2.4.1.2.6 - 4.2.4.1.2.7 - 4.2.4.1.2.8 NTC18

Verifiche eseguite utilizzando la formula conservativa (6.2) §6.2.1 EN 1993-1-1:2005.

X	Comb.	Sfruttamento	Classe	NEd	NRd	Rid. NRd da VEd	Mx,Ed	Mx,Rd	Rid. Mx,Rd da VEd	Rid. Mx,Rd da NEd	px	py	Verifica
0.753	SLD 7	0.005	1	-1.785	1003.522	1	-0.0825	23.5037	1		0	0	Si

Verifica a presso/tenso flessione retta Y §§ 4.2.4.1.2.3 - 4.2.4.1.2.6 - 4.2.4.1.2.7 - 4.2.4.1.2.8 NTC18

Verifiche eseguite utilizzando la formula conservativa (6.2) §6.2.1 EN 1993-1-1:2005.

X	Comb.	Sfruttamento	Classe	NEd	NRd	Rid. NRd da VEd	My,Ed	My,Rd	Rid. My,Rd da VEd	Rid. My,Rd da NEd	px	py	Verifica
0.151	SLU 63	0.008	3	-6.728	1003.522	1	0.0203	19.3536	1		0	0	Si

Verifica a presso/tenso flessione deviata §§ 4.2.4.1.2.3 - 4.2.4.1.2.6 - 4.2.4.1.2.7 - 4.2.4.1.2.8 NTC18

Verifiche eseguite utilizzando la formula conservativa (6.2) §6.2.1 EN 1993-1-1:2005.

X	Comb.	Sfruttamento	Classe	NEd	NRd	Rid. NRd da VEd	Mx,Ed	Mx,Rd	My,Ed	My,Rd	Rid. Mx,Rd da VEd	Rid. Mx,Rd da NEd	Rid. My,Rd da VEd	Rid. My,Rd da NEd	α	β	px	py	Verifica
0.602	SLU 44	0.014	3	-6.664	1003.522	1	-0.0843	12.886	-0.0201	19.3536	1		1				0	0	Si

Verifiche ad instabilità

Caratteristiche iniziali

Membratura principale per controllo snellezza; Calcolo di snellezze ed N critici condotti secondo gli assi principali;

Curva X: c; Curva Y: c;

Svergolamento: Nessuno; la verifica a instabilità flesso-torsionale (svergolamento) non verrà eseguita.

Dati per instabilità attorno a x

Controllo della snellezza secondo §4.2.4.1.3.1 NTC18

Numero rit.	Presente	Ascissa	Campata	βx/m	Vincolo a entrambi estremi	λx/m	λVer
1	Si	0					
			1-2	1	Si	49.6	Si, (<200)
2	Si	1.505					

Dati per instabilità attorno a y

Controllo della snellezza secondo §4.2.4.1.3.1 NTC18

Numero rit.	Presente	Ascissa	Campata	βy/n	k,LT	kw,LT	Vincolo a entrambi estremi
1	Si	0					
			1-2	1	Si	34.9	Si, (<200)
2	Si	1.505					

Verifica di stabilità per pressoflessione §C.4.2.4.1.3.3.1 NTC18

X	Comb.	Sfruttamento	Classe	NEd	MxEq,Ed	MyEq,Ed	Area	Wx	Wy	χ,min	λ adim. x/m	λ adim. y/n	N,crit x/m	N,crit y/n	Verifica
0	SLU 41	0.015	3	-6.596	-0.0757	0.0149	0.003832	0.0000492	0.0000739	0.802	0.571	0.402	3231.032	6528.319	Si

Verifica di stabilità per pressoflessione SLD §C.4.2.4.1.3.3.1 NTC18

X	Comb.	Sfruttamento	Classe	NEd	MxEq,Ed	MyEq,Ed	Area	Wx	Wy	χ,min	λ adim. x/m	λ adim. y/n	N,crit x/m	N,crit y/n	Verifica
0	SLD 8	0.008	3	-1.803	-0.0702	0.0057	0.003832	0.0000492	0.0000739	0.802	0.571	0.402	3231.032	6528.319	Si

Verifiche a deformabilità

Mensola X: No; Mensola Y: No.

Frecce lungo X

Ascissa freccia	Combinazione	Freccia	Luce	L/f	L/f,min	Tipo	Verifica
1.104	SLE RA 1	0	1.505	10000	250	Totale	Si
1.104	SLE RA 17	0	1.505	10000	250	Totale	Si
1.104	SLE RA 16	0	1.505	10000	250	Totale	Si
1.104	SLE RA 15	0	1.505	10000	250	Totale	Si
1.054	SLE RA 14	0	1.505	10000	250	Totale	Si
1.054	SLE RA 2	0	1.505	10000	350	Variabile	Si
1.054	SLE RA 17	0	1.505	10000	350	Variabile	Si
1.054	SLE RA 16	0	1.505	10000	350	Variabile	Si
1.104	SLE RA 15	0	1.505	10000	350	Variabile	Si
1.003	SLE RA 14	0	1.505	10000	350	Variabile	Si

Frecce lungo Y

Ascissa freccia	Combinazione	Freccia	Luce	L/f	L/f,min	Tipo	Verifica
0.753	SLE RA 1	-0.00003	1.505	10000	250	Totale	Si
0.753	SLE RA 17	-0.00003	1.505	10000	250	Totale	Si
0.753	SLE RA 16	-0.00002	1.505	10000	250	Totale	Si
0.753	SLE RA 15	-0.00003	1.505	10000	250	Totale	Si
0.753	SLE RA 14	-0.00002	1.505	10000	250	Totale	Si
0.602	SLE RA 2	0	1.505	10000	350	Variabile	Si
0.602	SLE RA 17	0	1.505	10000	350	Variabile	Si
0.602	SLE RA 16	0	1.505	10000	350	Variabile	Si
0.953	SLE RA 15	0	1.505	10000	350	Variabile	Si
0.602	SLE RA 14	0	1.505	10000	350	Variabile	Si

Superelemento in acciaio a quota "715"- "728" (1019; 1582)-(909; 1684)

Caratteristiche del materiale

Acciaio: S275, fyk = 275000

Caratteristiche geometriche

Lunghezza: 1.505

**Implementazione dei sistemi di confinamento delle emissioni odorigene diffuse dell'impianto di compostaggio esistente nel
Comune di Eboli (SA)
PROGETTO DEFINITIVO – Tabulati di calcolo Tomo 1**

Nodo iniziale: 2116 Nodo finale: 2318
Cerniera iniziale: Mmomenti 1% Cerniera finale: Mmomenti 1%
Sovraresistenza: 0% Sisma Z: No

Caratteristiche della sezione

Sezione	Rotazione	Area	Jx	Jy	ix	iy	Wx	Wy	Wplx	Wply
Al; L100*10; 1; Saldato; S275; 30; 1; 8; 8; 1	0	0.003832	0.0000035319	0.000007759	0.0304	0.045	0.0000492	0.0000739	0.00008974	0.00012727

Comportamento dei calastrelli

Accoppiamento imbottito con funzione statica (§C4.2.4.1.3.1.4 NTC18) nella campata compresa tra le ascisse 0 e 1.505 per sbandamento attorno all'asse y.

Verifiche di resistenza

Verifiche a forza assiale §4.2.4.1.2.1 - §4.2.4.1.2.2 NTC18

X	Comb.	Sfruttamento	Classe	NEd	Nc,Rd	Nt,Rd	Riduzione da taglio	px	py	Verifica
0	SLU 75	0.019	3	-18.646	1003.522		1	0	0	Si

Verifiche a forza assiale SLD §4.2.4.1.2.1 - §4.2.4.1.2.2 NTC18

X	Comb.	Sfruttamento	Classe	NEd	Nc,Rd	Nt,Rd	Riduzione da taglio	px	py	Verifica
0	SLD 15	0.006	3	-5.885	1003.522		1	0	0	Si

Verifica a taglio Y §4.2.4.1.2.4 NTC18

X	Comb.	Sfruttamento	VEd	Vc,Rd	Av	Interazione taglio-torsione	Riduzione torsione	Verifica
0	SLU 75	0.001	0.312	302.422	0.002	Non considerata		Si

Verifica a taglio Y SLD §4.2.4.1.2.4 NTC18

X	Comb.	Sfruttamento	VEd	Vc,Rd	Av	Interazione taglio-torsione	Riduzione torsione	Verifica
0	SLD 1	0.001	0.23	302.422	0.002	Non considerata		Si

Verifica a flessione semplice X §§ 4.2.4.1.2.3 - 4.2.4.1.2.6 - 4.2.4.1.2.7 - 4.2.4.1.2.8 NTC18

X	Comb.	Sfruttamento	Classe	Mx,Ed	Mx,Rd	Rid. Mx,Rd da VEd	px	py	Verifica
0.753	SLU 59	0.005	1	-0.11275	23.50374	1	0	0	Si

Verifica a presso/tenso flessione retta X §§ 4.2.4.1.2.3 - 4.2.4.1.2.6 - 4.2.4.1.2.7 - 4.2.4.1.2.8 NTC18

Verifiche eseguite utilizzando la formula conservativa (6.2) §6.2.1 EN 1993-1-1:2005.

X	Comb.	Sfruttamento	Classe	NEd	NRd	Rid. NRd da VEd	Mx,Ed	Mx,Rd	Rid. Mx,Rd da VEd	Rid. Mx,Rd da NEd	px	py	Verifica
0.753	SLU 42	0.008	1	3.285	1003.522	1	-0.1179	23.5037	1		0	0	Si

Verifica a presso/tenso flessione retta Y §§ 4.2.4.1.2.3 - 4.2.4.1.2.6 - 4.2.4.1.2.7 - 4.2.4.1.2.8 NTC18

Verifiche eseguite utilizzando la formula conservativa (6.2) §6.2.1 EN 1993-1-1:2005.

X	Comb.	Sfruttamento	Classe	NEd	NRd	Rid. NRd da VEd	My,Ed	My,Rd	Rid. My,Rd da VEd	Rid. My,Rd da NEd	px	py	Verifica
0.1	SLU 75	0.022	3	-18.643	1003.522	1	0.0566	19.3536	1		0	0	Si

Verifica a presso/tenso flessione retta Y SLD §§ 4.2.4.1.2.3 - 4.2.4.1.2.6 - 4.2.4.1.2.7 - 4.2.4.1.2.8 NTC18

Verifiche eseguite utilizzando la formula conservativa (6.2) §6.2.1 EN 1993-1-1:2005.

X	Comb.	Sfruttamento	Classe	NEd	NRd	Rid. NRd da VEd	My,Ed	My,Rd	Rid. My,Rd da VEd	Rid. My,Rd da NEd	px	py	Verifica
1.505	SLD 15	0.007	3	-5.847	1003.522	1	0.0178	19.3536	1		0	0	Si

Verifica a presso/tenso flessione deviata §§ 4.2.4.1.2.3 - 4.2.4.1.2.6 - 4.2.4.1.2.7 - 4.2.4.1.2.8 NTC18

Verifiche eseguite utilizzando la formula conservativa (6.2) §6.2.1 EN 1993-1-1:2005.

X	Comb.	Sfruttamento	Classe	NEd	NRd	Rid. NRd da VEd	Mx,Ed	Mx,Rd	My,Ed	My,Rd	Rid. Mx,Rd da VEd	Rid. Mx,Rd da NEd	Rid. My,Rd da VEd	Rid. My,Rd da NEd	α	β	px	py	Verifica
0.803	SLU 75	0.029	3	-18.62	1003.522	1	-0.0931	12.886	0.0566	19.3536	1		1				0	0	Si

Verifica a presso/tenso flessione deviata SLD §§ 4.2.4.1.2.3 - 4.2.4.1.2.6 - 4.2.4.1.2.7 - 4.2.4.1.2.8 NTC18

Verifiche eseguite utilizzando la formula conservativa (6.2) §6.2.1 EN 1993-1-1:2005.

X	Comb.	Sfruttamento	Classe	NEd	NRd	Rid. NRd da VEd	Mx,Ed	Mx,Rd	My,Ed	My,Rd	Rid. Mx,Rd da VEd	Rid. Mx,Rd da NEd	Rid. My,Rd da VEd	Rid. My,Rd da NEd	α	β	px	py	Verifica
1.003	SLD 16	0.012	3	-5.86	1003.522	1	-0.0727	12.886	0.0181	19.3536	1		1				0	0	Si

Verifiche ad instabilità

Caratteristiche iniziali

Membratura principale per controllo snellezza; Calcolo di snellezze ed N critici condotti secondo gli assi principali;

Curva X: c; Curva Y: c;

Svergolamento: Nessuno; la verifica a instabilità flesso-torsionale (svergolamento) non verrà eseguita.

Dati per instabilità attorno a x

Controllo della snellezza secondo §4.2.4.1.3.1 NTC18

Numero rit.	Presente	Ascissa	Campata	βx/m	Vincolo a entrambi estremi	λx/m	λVer
1	Si	0					
			1-2	1	Si	49.6	Si, (<200)
2	Si	1.505					

Dati per instabilità attorno a y

Controllo della snellezza secondo §4.2.4.1.3.1 NTC18

Numero rit.	Presente	Ascissa	Campata	βy/n	k,LT	kw,LT	Vincolo a entrambi estremi
1	Si	0					
			1-2	1	Si	34.9	Si, (<200)
2	Si	1.505					

Implementazione dei sistemi di confinamento delle emissioni odorigene diffuse dell'impianto di compostaggio esistente nel
Comune di Eboli (SA)
PROGETTO DEFINITIVO – Tabulati di calcolo Tomo 1

Verifica di stabilità per pressoflessione §C.4.2.4.1.3.3.1 NTC18

X	Comb.	Sfruttamento	Classe	NEd	MxEq,Ed	MyEq,Ed	Area	Wx	Wy	x,min	λ adim. x/m	λ adim. y/n	N,crit x/m	N,crit y/n	Verifica
0	SLU 75	0,032	3	-18,646	-0,0725	0,0566	0,003832	0,0000492	0,0000739	0,802	0,571	0,402	3231,032	6528,319	Si

Verifica di stabilità per pressoflessione SLD §C.4.2.4.1.3.3.1 NTC18

X	Comb.	Sfruttamento	Classe	NEd	MxEq,Ed	MyEq,Ed	Area	Wx	Wy	x,min	λ adim. x/m	λ adim. y/n	N,crit x/m	N,crit y/n	Verifica
0	SLD 15	0,014	3	-5,885	-0,069	0,0187	0,003832	0,0000492	0,0000739	0,802	0,571	0,402	3231,032	6528,319	Si

Verifiche a deformabilità

Mensola X: No; Mensola Y: No.

Frecce lungo X

Ascissa freccia	Combinazione	Freccia	Luce	L/f	L/f,min	Tipo	Verifica
0,803	SLE RA 1	0	1,505	10000	250	Totale	Si
0,803	SLE RA 17	0	1,505	10000	250	Totale	Si
0,803	SLE RA 16	0	1,505	10000	250	Totale	Si
0,853	SLE RA 15	0	1,505	10000	250	Totale	Si
0,803	SLE RA 14	0	1,505	10000	250	Totale	Si
0,803	SLE RA 2	0	1,505	10000	350	Variabile	Si
0,803	SLE RA 17	0	1,505	10000	350	Variabile	Si
0,803	SLE RA 16	0	1,505	10000	350	Variabile	Si
0,953	SLE RA 15	0	1,505	10000	350	Variabile	Si
0,753	SLE RA 14	0	1,505	10000	350	Variabile	Si

Frecce lungo Y

Ascissa freccia	Combinazione	Freccia	Luce	L/f	L/f,min	Tipo	Verifica
0,753	SLE RA 1	-0,00003	1,505	10000	250	Totale	Si
0,753	SLE RA 17	-0,00003	1,505	10000	250	Totale	Si
0,753	SLE RA 16	-0,00002	1,505	10000	250	Totale	Si
0,753	SLE RA 15	-0,00003	1,505	10000	250	Totale	Si
0,753	SLE RA 14	-0,00002	1,505	10000	250	Totale	Si
0,652	SLE RA 2	0	1,505	10000	350	Variabile	Si
0,652	SLE RA 17	0	1,505	10000	350	Variabile	Si
0,652	SLE RA 16	0	1,505	10000	350	Variabile	Si
0,953	SLE RA 15	0	1,505	10000	350	Variabile	Si
0,652	SLE RA 14	0	1,505	10000	350	Variabile	Si

Superelemento in acciaio a quota "715"- "728" (1275; 1857)-(1166; 1959)

Caratteristiche del materiale

Acciaio: S275, fyk = 275000

Caratteristiche geometriche

Lunghezza: 1.505

Nodo iniziale: 2126 Nodo finale: 2329

Cerniera iniziale: Mmomenti 1% Cerniera finale: Mmomenti 1%

Sovraresistenza: 0% Sisma Z: No

Caratteristiche della sezione

Sezione	Rotazione	Area	Jx	Jy	ix	iy	Wx	Wy	Wplx	Wply
A1; L100*10; 1; Saldato; S275; 30; 1; 8; 8; 1	0	0,003832	0,0000035319	0,000007759	0,0304	0,045	0,0000492	0,0000739	0,00008974	0,00012727

Comportamento dei calastrelli

Accoppiamento imbottito con funzione statica (§C4.2.4.1.3.1.4 NTC18) nella campata compresa tra le ascisse 0 e 1.505 per sbandamento attorno all'asse y.

Verifiche di resistenza

Verifiche a forza assiale §4.2.4.1.2.1 - §4.2.4.1.2.2 NTC18

X	Comb.	Sfruttamento	Classe	NEd	Nc,Rd	Nt,Rd	Riduzione da taglio	px	py	Verifica
0	SLU 75	0,019	3	-19,496	1003,522		1	0	0	Si

Verifiche a forza assiale SLD §4.2.4.1.2.1 - §4.2.4.1.2.2 NTC18

X	Comb.	Sfruttamento	Classe	NEd	Nc,Rd	Nt,Rd	Riduzione da taglio	px	py	Verifica
0	SLD 3	0,007	3	-7,128	1003,522		1	0	0	Si

Verifica a taglio Y §4.2.4.1.2.4 NTC18

X	Comb.	Sfruttamento	VEd	Vc,Rd	Av	Interazione taglio-torsione	Riduzione torsione	Verifica
0	SLU 75	0,001	0,357	302,422	0,002	Non considerata		Si

Verifica a taglio Y SLD §4.2.4.1.2.4 NTC18

X	Comb.	Sfruttamento	VEd	Vc,Rd	Av	Interazione taglio-torsione	Riduzione torsione	Verifica
0	SLD 16	0,001	0,244	302,422	0,002	Non considerata		Si

Verifica a presso/tenso flessione retta X §§ 4.2.4.1.2.3 - 4.2.4.1.2.6 - 4.2.4.1.2.7 - 4.2.4.1.2.8 NTC18

Verifiche eseguite utilizzando la formula conservativa (6.2) §6.2.1 EN 1993-1-1:2005.

X	Comb.	Sfruttamento	Classe	NEd	NRd	Rid. NRd da VEd	Mx,Ed	Mx,Rd	Rid. Mx,Rd da VEd	Rid. Mx,Rd da NEd	px	py	Verifica
0,753	SLU 43	0,007	1	-1,971	1003,522	1	-0,1094	23,5037	1		0	0	Si

Verifica a presso/tenso flessione retta Y §§ 4.2.4.1.2.3 - 4.2.4.1.2.6 - 4.2.4.1.2.7 - 4.2.4.1.2.8 NTC18

Verifiche eseguite utilizzando la formula conservativa (6.2) §6.2.1 EN 1993-1-1:2005.

Implementazione dei sistemi di confinamento delle emissioni odorigene diffuse dell'impianto di compostaggio esistente nel
Comune di Eboli (SA)
PROGETTO DEFINITIVO – Tabulati di calcolo Tomo 1

X	Comb.	Sfruttamento	Classe	NEd	NRd	Rid. NRd da VEd	My,Ed	My,Rd	Rid. My,Rd da VEd	Rid. My,Rd da NEd	px	py	Verifica
0.151	SLU 75	0.022	3	-19.491	1003.522	1	-0.0589	19.3536	1		0	0	Si

Verifica a presso/tenso flessione retta Y SLD §§ 4.2.4.1.2.3 - 4.2.4.1.2.6 - 4.2.4.1.2.7 - 4.2.4.1.2.8 NTC18

Verifiche eseguite utilizzando la formula conservativa (6.2) §6.2.1 EN 1993-1-1:2005.

X	Comb.	Sfruttamento	Classe	NEd	NRd	Rid. NRd da VEd	My,Ed	My,Rd	Rid. My,Rd da VEd	Rid. My,Rd da NEd	px	py	Verifica
0	SLD 3	0.008	3	-7.128	1003.522	1	-0.0216	19.3536	1		0	0	Si

Verifica a presso/tenso flessione deviata §§ 4.2.4.1.2.3 - 4.2.4.1.2.6 - 4.2.4.1.2.7 - 4.2.4.1.2.8 NTC18

Verifiche eseguite utilizzando la formula conservativa (6.2) §6.2.1 EN 1993-1-1:2005.

X	Comb.	Sfruttamento	Classe	NEd	NRd	Rid. NRd da VEd	Mx,Ed	Mx,Rd	My,Ed	My,Rd	Rid. Mx,Rd da VEd	Rid. Mx,Rd da NEd	Rid. My,Rd da VEd	Rid. My,Rd da NEd	α	β	px	py	Verifica
0.903	SLU 75	0.031	3	-19.466	1003.522	1	-0.1152	12.886	0.0588	19.3536	1		1				0	0	Si

Verifica a presso/tenso flessione deviata SLD §§ 4.2.4.1.2.3 - 4.2.4.1.2.6 - 4.2.4.1.2.7 - 4.2.4.1.2.8 NTC18

Verifiche eseguite utilizzando la formula conservativa (6.2) §6.2.1 EN 1993-1-1:2005.

X	Comb.	Sfruttamento	Classe	NEd	NRd	Rid. NRd da VEd	Mx,Ed	Mx,Rd	My,Ed	My,Rd	Rid. Mx,Rd da VEd	Rid. Mx,Rd da NEd	Rid. My,Rd da VEd	Rid. My,Rd da NEd	α	β	px	py	Verifica
0.753	SLD 4	0.015	3	-7.109	1003.522	1	-0.0855	12.886	-0.0214	19.3536	1		1				0	0	Si

Verifiche ad instabilità

Caratteristiche iniziali

Membratura principale per controllo snellezza; Calcolo di snellezze ed N critici condotti secondo gli assi principali;

Curva X: c; Curva Y: c;

Svergolamento: Nessuno; la verifica a instabilità flesso-torsionale (svergolamento) non verrà eseguita.

Dati per instabilità attorno a x

Controllo della snellezza secondo §4.2.4.1.3.1 NTC18

Numero rit.	Presente	Ascissa	Campata	βx/m	Vincolo a entrambi estremi	λx/m	λVer
1	Si		0				
			1-2		1	Si	49.6
2	Si	1.505					Si, (<200)

Dati per instabilità attorno a y

Controllo della snellezza secondo §4.2.4.1.3.1 NTC18

Numero rit.	Presente	Ascissa	Campata	βy/n	k,LT	kw,LT	Vincolo a entrambi estremi
1	Si		0				
			1-2		1	Si	34.9
2	Si	1.505					Si, (<200)

Verifica di stabilità per pressoflessione §C.4.2.4.1.3.3.1 NTC18

X	Comb.	Sfruttamento	Classe	NEd	MxEq,Ed	MyEq,Ed	Area	Wx	Wy	χ,min	λ adim. x/m	λ adim. y/n	N,crit x/m	N,crit y/n	Verifica
0	SLU 75	0.034	3	-19.496	-0.0951	-0.0442	0.003832	0.0000492	0.0000739	0.802	0.571	0.402	3231.032	6528.319	Si

Verifica di stabilità per pressoflessione SLD §C.4.2.4.1.3.3.1 NTC18

X	Comb.	Sfruttamento	Classe	NEd	MxEq,Ed	MyEq,Ed	Area	Wx	Wy	χ,min	λ adim. x/m	λ adim. y/n	N,crit x/m	N,crit y/n	Verifica
0	SLD 3	0.015	3	-7.128	-0.0736	-0.0162	0.003832	0.0000492	0.0000739	0.802	0.571	0.402	3231.032	6528.319	Si

Verifiche a deformabilità

Mensola X: No; Mensola Y: No.

Frecce lungo X

Ascissa freccia	Combinazione	Freccia	Luce	L/f	L/f,min	Tipo	Verifica
0.401	SLE RA 1	0	1.505	10000	250	Totale	Si
0.803	SLE RA 17	0	1.505	10000	250	Totale	Si
0.903	SLE RA 16	0	1.505	10000	250	Totale	Si
1.104	SLE RA 15	0	1.505	10000	250	Totale	Si
0.953	SLE RA 14	0	1.505	10000	250	Totale	Si
1.003	SLE RA 2	0	1.505	10000	350	Variabile	Si
1.003	SLE RA 17	0	1.505	10000	350	Variabile	Si
1.003	SLE RA 16	0	1.505	10000	350	Variabile	Si
1.003	SLE RA 15	0	1.505	10000	350	Variabile	Si
1.003	SLE RA 14	0	1.505	10000	350	Variabile	Si

Frecce lungo Y

Ascissa freccia	Combinazione	Freccia	Luce	L/f	L/f,min	Tipo	Verifica
0.753	SLE RA 1	-0.00003	1.505	10000	250	Totale	Si
0.753	SLE RA 17	-0.00003	1.505	10000	250	Totale	Si
0.803	SLE RA 16	-0.00003	1.505	10000	250	Totale	Si
0.753	SLE RA 15	-0.00003	1.505	10000	250	Totale	Si
0.803	SLE RA 14	-0.00003	1.505	10000	250	Totale	Si
1.204	SLE RA 2	0	1.505	10000	350	Variabile	Si
1.204	SLE RA 17	0	1.505	10000	350	Variabile	Si
1.204	SLE RA 16	0	1.505	10000	350	Variabile	Si
0.652	SLE RA 15	0	1.505	10000	350	Variabile	Si
1.154	SLE RA 14	0	1.505	10000	350	Variabile	Si

Superelemento in acciaio a quota "715"- "728" (1525; 2120)-(1416; 2223)

Caratteristiche del materiale

Acciaio: S275, fyk = 275000

Implementazione dei sistemi di confinamento delle emissioni odorigene diffuse dell'impianto di compostaggio esistente nel
Comune di Eboli (SA)
PROGETTO DEFINITIVO – Tabulati di calcolo Tomo 1

Caratteristiche geometriche

Lunghezza: 1.505
Nodo iniziale: 2136 Nodo finale: 2339
Cerniera iniziale: Mmomenti 1% Cerniera finale: Mmomenti 1%
Sovraresistenza: 0% Sisma Z: No

Caratteristiche della sezione

Sezione	Rotazione	Area	Jx	Jy	ix	iy	Wx	Wy	Wplx	Wply
A1; L100*10; 1; Saldato; S275; 30; 1; 8; 8; 1	0	0.003832	0.0000035319	0.000007759	0.0304	0.045	0.0000492	0.0000739	0.00008974	0.00012727

Comportamento dei calastrelli

Accoppiamento imbottito con funzione statica (§C4.2.4.1.3.1.4 NTC18) nella campata compresa tra le ascisse 0 e 1.505 per sbandamento attorno all'asse y.

Verifiche di resistenza

Verifiche a forza assiale §4.2.4.1.2.1 - §4.2.4.1.2.2 NTC18

X	Comb.	Sfruttamento	Classe	NEd	Nc,Rd	Nt,Rd	Riduzione da taglio	px	py	Verifica
0	SLU 75	0.014	3	-14.304	1003.522		1	0	0	Si

Verifiche a forza assiale SLD §4.2.4.1.2.1 - §4.2.4.1.2.2 NTC18

X	Comb.	Sfruttamento	Classe	NEd	Nc,Rd	Nt,Rd	Riduzione da taglio	px	py	Verifica
0	SLD 1	0.005	3	-4.908	1003.522		1	0	0	Si

Verifica a taglio Y §4.2.4.1.2.4 NTC18

X	Comb.	Sfruttamento	VEd	Vc,Rd	Av	Interazione taglio-torsione	Riduzione torsione	Verifica
0	SLU 75	0.001	0.336	302.422	0.002	Non considerata		Si

Verifica a taglio Y SLD §4.2.4.1.2.4 NTC18

X	Comb.	Sfruttamento	VEd	Vc,Rd	Av	Interazione taglio-torsione	Riduzione torsione	Verifica
0	SLD 16	0.001	0.239	302.422	0.002	Non considerata		Si

Verifica a flessione semplice X §§ 4.2.4.1.2.3 - 4.2.4.1.2.6 - 4.2.4.1.2.7 - 4.2.4.1.2.8 NTC18

X	Comb.	Sfruttamento	Classe	Mx,Ed	Mx,Rd	Rid. Mx,Rd da VEd	px	py	Verifica
0.753	SLU 43	0.005	1	-0.11075	23.50374	1	0	0	Si

Verifica a presso/tenso flessione retta X §§ 4.2.4.1.2.3 - 4.2.4.1.2.6 - 4.2.4.1.2.7 - 4.2.4.1.2.8 NTC18

Verifiche eseguite utilizzando la formula conservativa (6.2) §6.2.1 EN 1993-1-1:2005.

X	Comb.	Sfruttamento	Classe	NEd	NRd	Rid. NRd da VEd	Mx,Ed	Mx,Rd	Rid. Mx,Rd da VEd	Rid. Mx,Rd da NEd	px	py	Verifica
0.753	SLU 42	0.007	1	-2.435	1003.522	1	-0.1127	23.5037	1		0	0	Si

Verifica a presso/tenso flessione retta Y §§ 4.2.4.1.2.3 - 4.2.4.1.2.6 - 4.2.4.1.2.7 - 4.2.4.1.2.8 NTC18

Verifiche eseguite utilizzando la formula conservativa (6.2) §6.2.1 EN 1993-1-1:2005.

X	Comb.	Sfruttamento	Classe	NEd	NRd	Rid. NRd da VEd	My,Ed	My,Rd	Rid. My,Rd da VEd	Rid. My,Rd da NEd	px	py	Verifica
0.1	SLU 75	0.016	3	-14.301	1003.522	1	0.0434	19.3536	1		0	0	Si

Verifica a presso/tenso flessione retta Y SLD §§ 4.2.4.1.2.3 - 4.2.4.1.2.6 - 4.2.4.1.2.7 - 4.2.4.1.2.8 NTC18

Verifiche eseguite utilizzando la formula conservativa (6.2) §6.2.1 EN 1993-1-1:2005.

X	Comb.	Sfruttamento	Classe	NEd	NRd	Rid. NRd da VEd	My,Ed	My,Rd	Rid. My,Rd da VEd	Rid. My,Rd da NEd	px	py	Verifica
1.505	SLD 5	0.006	3	-4.867	1003.522	1	-0.0149	19.3536	1		0	0	Si

Verifica a presso/tenso flessione deviata §§ 4.2.4.1.2.3 - 4.2.4.1.2.6 - 4.2.4.1.2.7 - 4.2.4.1.2.8 NTC18

Verifiche eseguite utilizzando la formula conservativa (6.2) §6.2.1 EN 1993-1-1:2005.

X	Comb.	Sfruttamento	Classe	NEd	NRd	Rid. NRd da VEd	Mx,Ed	Mx,Rd	My,Ed	My,Rd	Rid. Mx,Rd da VEd	Rid. Mx,Rd da NEd	Rid. My,Rd da VEd	Rid. My,Rd da NEd	α	β	px	py	Verifica
0.853	SLU 75	0.025	3	-14.276	1003.522	1	-0.1143	12.886	-0.0432	19.3536	1		1				0	0	Si

Verifica a presso/tenso flessione deviata SLD §§ 4.2.4.1.2.3 - 4.2.4.1.2.6 - 4.2.4.1.2.7 - 4.2.4.1.2.8 NTC18

Verifiche eseguite utilizzando la formula conservativa (6.2) §6.2.1 EN 1993-1-1:2005.

X	Comb.	Sfruttamento	Classe	NEd	NRd	Rid. NRd da VEd	Mx,Ed	Mx,Rd	My,Ed	My,Rd	Rid. Mx,Rd da VEd	Rid. Mx,Rd da NEd	Rid. My,Rd da VEd	Rid. My,Rd da NEd	α	β	px	py	Verifica
1.154	SLD 1	0.01	3	-4.879	1003.522	1	-0.0591	12.886	-0.0149	19.3536	1		1				0	0	Si

Verifiche ad instabilità

Caratteristiche iniziali

Membratura principale per controllo snellezza; Calcolo di snellezze ed N critici condotti secondo gli assi principali;
Curva X: c; Curva Y: c;
Svergolamento: Nessuno; la verifica a instabilità flesso-torsionale (svergolamento) non verrà eseguita.

Dati per instabilità attorno a x

Controllo della snellezza secondo §4.2.4.1.3.1 NTC18

Numero rit.	Presente	Ascissa	Campata	βx/m	Vincolo a entrambi estremi	λx/m	λVer
1	Si	0					
			1-2	1	Si	49.6	Si, (<200)
2	Si	1.505					

Dati per instabilità attorno a y

Controllo della snellezza secondo §4.2.4.1.3.1 NTC18

Numero rit.	Presente	Ascissa	Campata	βy/n	k,LT	kw,LT	Vincolo a entrambi estremi
-------------	----------	---------	---------	------	------	-------	----------------------------

**Implementazione dei sistemi di confinamento delle emissioni odorigene diffuse dell'impianto di compostaggio esistente nel
Comune di Eboli (SA)
PROGETTO DEFINITIVO – Tabulati di calcolo Tomo 1**

Numero rit.	Presente	Ascissa	Campata	$\beta y/n$	k,LT	kw,LT	Vincolo a entrambi estremi
1	Si	0	1-2	1	Si	34.9	Si, (<200)
2	Si	1.505					

Verifica di stabilità per pressoflessione §C.4.2.4.1.3.3.1 NTC18

X	Comb.	Sfruttamento	Classe	NEd	MxEq,Ed	MyEq,Ed	Area	Wx	Wy	χ_{min}	$\lambda_{adim. x/m}$	$\lambda_{adim. y/n}$	N,crit x/m	N,crit y/n	Verifica
0	SLU 75	0.027	3	-14.304	-0.0978	0.0326	0.003832	0.0000492	0.0000739	0.802	0.571	0.402	3231.032	6528.319	Si

Verifica di stabilità per pressoflessione SLD §C.4.2.4.1.3.3.1 NTC18

X	Comb.	Sfruttamento	Classe	NEd	MxEq,Ed	MyEq,Ed	Area	Wx	Wy	χ_{min}	$\lambda_{adim. x/m}$	$\lambda_{adim. y/n}$	N,crit x/m	N,crit y/n	Verifica
0	SLD 1	0.012	3	-4.908	-0.0697	-0.0112	0.003832	0.0000492	0.0000739	0.802	0.571	0.402	3231.032	6528.319	Si

Verifiche a deformabilità

Mensola X: No; Mensola Y: No.

Frecce lungo X

Ascissa freccia	Combinazione	Freccia	Luce	L/f	L/f,min	Tipo	Verifica
1.104	SLE RA 1	0	1.505	10000	250	Totale	Si
1.104	SLE RA 17	0	1.505	10000	250	Totale	Si
1.104	SLE RA 16	0	1.505	10000	250	Totale	Si
1.104	SLE RA 15	0	1.505	10000	250	Totale	Si
1.104	SLE RA 14	0	1.505	10000	250	Totale	Si
1.104	SLE RA 2	0	1.505	10000	350	Variabile	Si
1.104	SLE RA 17	0	1.505	10000	350	Variabile	Si
1.104	SLE RA 16	0	1.505	10000	350	Variabile	Si
1.104	SLE RA 15	0	1.505	10000	350	Variabile	Si
1.054	SLE RA 14	0	1.505	10000	350	Variabile	Si

Frecce lungo Y

Ascissa freccia	Combinazione	Freccia	Luce	L/f	L/f,min	Tipo	Verifica
0.753	SLE RA 1	-0.00003	1.505	10000	250	Totale	Si
0.753	SLE RA 17	-0.00003	1.505	10000	250	Totale	Si
0.753	SLE RA 16	-0.00003	1.505	10000	250	Totale	Si
0.753	SLE RA 15	-0.00003	1.505	10000	250	Totale	Si
0.803	SLE RA 14	-0.00003	1.505	10000	250	Totale	Si
1.154	SLE RA 2	0	1.505	10000	350	Variabile	Si
1.154	SLE RA 17	0	1.505	10000	350	Variabile	Si
1.154	SLE RA 16	0	1.505	10000	350	Variabile	Si
0.903	SLE RA 15	0	1.505	10000	350	Variabile	Si
1.204	SLE RA 14	0	1.505	10000	350	Variabile	Si

Superelemento in acciaio a quota "715"- "728" (1779; 2391)-(1670; 2494)

Caratteristiche del materiale

Acciaio: S275, fyk = 275000

Caratteristiche geometriche

Lunghezza: 1.505

Nodo iniziale: 2145 Nodo finale: 2372

Cerniera iniziale: Mmomenti 1% Cerniera finale: Mmomenti 1%

Sovreresistenza: 0% Sisma Z: No

Caratteristiche della sezione

Sezione	Rotazione	Area	Jx	Jy	ix	iy	Wx	Wy	Wplx	Wply
A1; L100*10; 1; Saldato; S275; 30; 1; 8; 8; 1	0	0.003832	0.0000035319	0.000007759	0.0304	0.045	0.0000492	0.0000739	0.00008974	0.00012727

Comportamento dei calastrelli

Accoppiamento imbottito con funzione statica (§C.4.2.4.1.3.1.4 NTC18) nella campata compresa tra le ascisse 0 e 1.505 per sbandamento attorno all'asse y.

Verifiche di resistenza

Verifiche a forza assiale §4.2.4.1.2.1 - §4.2.4.1.2.2 NTC18

X	Comb.	Sfruttamento	Classe	NEd	Nc,Rd	Nt,Rd	Riduzione da taglio	px	py	Verifica
1.505	SLU 76	0.017		17.529		1003.522	1	0	0	Si

Verifiche a forza assiale SLD §4.2.4.1.2.1 - §4.2.4.1.2.2 NTC18

X	Comb.	Sfruttamento	Classe	NEd	Nc,Rd	Nt,Rd	Riduzione da taglio	px	py	Verifica
1.505	SLD 8	0.007		7.157		1003.522	1	0	0	Si

Verifica a taglio Y §4.2.4.1.2.4 NTC18

X	Comb.	Sfruttamento	VEd	Vc,Rd	Av	Interazione taglio-torsione	Riduzione torsione	Verifica
0	SLU 76	0.001	0.296	302.422	0.002	Non considerata		Si

Verifica a taglio Y SLD §4.2.4.1.2.4 NTC18

X	Comb.	Sfruttamento	VEd	Vc,Rd	Av	Interazione taglio-torsione	Riduzione torsione	Verifica
0	SLD 9	0.001	0.227	302.422	0.002	Non considerata		Si

Verifica a flessione semplice X §§ 4.2.4.1.2.3 - 4.2.4.1.2.6 - 4.2.4.1.2.7 - 4.2.4.1.2.8 NTC18

X	Comb.	Sfruttamento	Classe	Mx,Ed	Mx,Rd	Rid. Mx,Rd da VEd	px	py	Verifica
0.753	SLU 2	0.004	1	-0.08406	23.50374	1	0	0	Si

Implementazione dei sistemi di confinamento delle emissioni odorigene diffuse dell'impianto di compostaggio esistente nel
Comune di Eboli (SA)

PROGETTO DEFINITIVO – Tabulati di calcolo Tomo 1

Verifica a presso/tenso flessione retta X §§ 4.2.4.1.2.3 - 4.2.4.1.2.6 - 4.2.4.1.2.7 - 4.2.4.1.2.8 NTC18

Verifiche eseguite utilizzando la formula conservativa (6.2) §6.2.1 EN 1993-1-1:2005.

X	Comb.	Sfruttamento	Classe	NEd	NRd	Rid. NRd da VEd	Mx,Ed	Mx,Rd	Rid. Mx,Rd da VEd	Rid. Mx,Rd da NEd	px	py	Verifica
0.753	SLU 76	0.022	1	17.505	1003.522	1	-0.1157	23.5037	1		0	0	Si

Verifica a presso/tenso flessione retta X SLD §§ 4.2.4.1.2.3 - 4.2.4.1.2.6 - 4.2.4.1.2.7 - 4.2.4.1.2.8 NTC18

Verifiche eseguite utilizzando la formula conservativa (6.2) §6.2.1 EN 1993-1-1:2005.

X	Comb.	Sfruttamento	Classe	NEd	NRd	Rid. NRd da VEd	Mx,Ed	Mx,Rd	Rid. Mx,Rd da VEd	Rid. Mx,Rd da NEd	px	py	Verifica
0.753	SLD 8	0.011	1	7.139	1003.522	1	-0.0864	23.5037	1		0	0	Si

Verifiche ad instabilità

Caratteristiche iniziali

Membratura principale per controllo snellezza; Calcolo di snellezze ed N critici condotti secondo gli assi principali;

Curva X: c; Curva Y: c;

Svergolamento: Nessuno; la verifica a instabilità flesso-torsionale (svergolamento) non verrà eseguita.

Dati per instabilità attorno a x

Controllo della snellezza secondo §4.2.4.1.3.1 NTC18

Numero rit.	Presente	Ascissa	Campata	βx/m	Vincolo a entrambi estremi	λx/m	λVer
1	Si	0	1-2	1	Si	49.6	Si, (<200)
2	Si	1.505					

Dati per instabilità attorno a y

Controllo della snellezza secondo §4.2.4.1.3.1 NTC18

Numero rit.	Presente	Ascissa	Campata	βy/n	k,LT	kw,LT	Vincolo a entrambi estremi
1	Si	0	1-2	1	Si	34.9	Si, (<200)
2	Si	1.505					

NB: superelemento non sollecitato. Verifiche non condotte.

Verifiche a deformabilità

Mensola X: No; Mensola Y: No.

Frecce lungo X

Ascissa freccia	Combinazione	Freccia	Luce	L/f	L/f,min	Tipo	Verifica
1.003	SLE RA 1	0	1.505	10000	250	Totale	Si
1.003	SLE RA 17	0	1.505	10000	250	Totale	Si
1.003	SLE RA 16	0	1.505	10000	250	Totale	Si
1.003	SLE RA 15	0	1.505	10000	250	Totale	Si
1.003	SLE RA 14	0	1.505	10000	250	Totale	Si
0.953	SLE RA 2	0	1.505	10000	350	Variabile	Si
0.953	SLE RA 17	0	1.505	10000	350	Variabile	Si
0.953	SLE RA 16	0	1.505	10000	350	Variabile	Si
0.953	SLE RA 15	0	1.505	10000	350	Variabile	Si
0.953	SLE RA 14	0	1.505	10000	350	Variabile	Si

Frecce lungo Y

Ascissa freccia	Combinazione	Freccia	Luce	L/f	L/f,min	Tipo	Verifica
0.753	SLE RA 1	-0.00003	1.505	10000	250	Totale	Si
0.753	SLE RA 17	-0.00003	1.505	10000	250	Totale	Si
0.753	SLE RA 16	-0.00003	1.505	10000	250	Totale	Si
0.753	SLE RA 15	-0.00003	1.505	10000	250	Totale	Si
0.753	SLE RA 14	-0.00003	1.505	10000	250	Totale	Si
0.803	SLE RA 2	0	1.505	10000	350	Variabile	Si
0.803	SLE RA 17	0	1.505	10000	350	Variabile	Si
0.803	SLE RA 16	0	1.505	10000	350	Variabile	Si
0.803	SLE RA 15	0	1.505	10000	350	Variabile	Si
0.803	SLE RA 14	0	1.505	10000	350	Variabile	Si

Superelemento in acciaio a quota "715"- "728" (1999; 2793)-(1999; 2693)

Caratteristiche del materiale

Acciaio: S275, fyk = 275000

Caratteristiche geometriche

Lunghezza: 1.008

Nodo iniziale: 2176 Nodo finale: 2379

Cerniera iniziale: Mmomenti 1% Cerniera finale: Mmomenti 1%

Sovreresistenza: 0% Sisma Z: No

Caratteristiche della sezione

Sezione	Rotazione	Area	Jx	Jy	ix	iy	Wx	Wy	Wplx	Wply
A1; L100*10; 1; Saldato; S275; 20; 1; 8; 8; 1	0	0.003832	0.0000035319	0.000007759	0.0304	0.045	0.0000492	0.0000739	0.00008974	0.00012727

Comportamento dei calastrelli

Accoppiamento imbottito avendo passo inferiore al minimo richiesto (§C4.2.4.1.3.1.5 NTC18) nella campata compresa tra le ascisse 0 e 1.008 per sbandamento attorno all'asse y.

Implementazione dei sistemi di confinamento delle emissioni odorigene diffuse dell'impianto di compostaggio esistente nel
Comune di Eboli (SA)
PROGETTO DEFINITIVO – Tabulati di calcolo Tomo 1

Verifiche di resistenza

Verifiche a forza assiale §4.2.4.1.2.1 - §4.2.4.1.2.2 NTC18

X	Comb.	Sfruttamento	Classe	NEd	Nc,Rd	Nt,Rd	Riduzione da taglio	px	py	Verifica
0	SLU 76	0.017	3	-16.853	1003.522		1	0	0	Si

Verifiche a forza assiale SLD §4.2.4.1.2.1 - §4.2.4.1.2.2 NTC18

X	Comb.	Sfruttamento	Classe	NEd	Nc,Rd	Nt,Rd	Riduzione da taglio	px	py	Verifica
0	SLD 9	0.007	3	-6.525	1003.522		1	0	0	Si

Verifica a taglio Y §4.2.4.1.2.4 NTC18

X	Comb.	Sfruttamento	VEd	Vc,Rd	Av	Interazione taglio-torsione	Riduzione torsione	Verifica
1.008	SLU 64	0.001	-0.208	302.422	0.002	Non considerata		Si

Verifica a flessione semplice X §§ 4.2.4.1.2.3 - 4.2.4.1.2.6 - 4.2.4.1.2.7 - 4.2.4.1.2.8 NTC18

X	Comb.	Sfruttamento	Classe	Mx,Ed	Mx,Rd	Rid. Mx,Rd da VEd	px	py	Verifica
0.504	SLU 41	0.002	1	-0.04997	23.50374	1	0	0	Si

Verifica a presso/tenso flessione retta X §§ 4.2.4.1.2.3 - 4.2.4.1.2.6 - 4.2.4.1.2.7 - 4.2.4.1.2.8 NTC18

Verifiche eseguite utilizzando la formula conservativa (6.2) §6.2.1 EN 1993-1-1:2005.

X	Comb.	Sfruttamento	Classe	NEd	NRd	Rid. NRd da VEd	Mx,Ed	Mx,Rd	Rid. Mx,Rd da VEd	Rid. Mx,Rd da NEd	px	py	Verifica
0.47	SLU 76	0.02	3	-16.83	1003.522	1	-0.0418	12.886	1		0	0	Si

Verifica a presso/tenso flessione retta X SLD §§ 4.2.4.1.2.3 - 4.2.4.1.2.6 - 4.2.4.1.2.7 - 4.2.4.1.2.8 NTC18

Verifiche eseguite utilizzando la formula conservativa (6.2) §6.2.1 EN 1993-1-1:2005.

X	Comb.	Sfruttamento	Classe	NEd	NRd	Rid. NRd da VEd	Mx,Ed	Mx,Rd	Rid. Mx,Rd da VEd	Rid. Mx,Rd da NEd	px	py	Verifica
0.47	SLD 13	0.009	3	-6.498	1003.522	1	-0.037	12.886	1		0	0	Si

Verifiche ad instabilità

Caratteristiche iniziali

Membratura principale per controllo snellezza; Calcolo di snellezze ed N critici condotti secondo gli assi principali;

Curva X: c; Curva Y: c;

Svergolamento: Nessuno; la verifica a instabilità flesso-torsionale (svergolamento) non verrà eseguita.

Dati per instabilità attorno a x

Controllo della snellezza secondo §4.2.4.1.3.1 NTC18

Numero rit.	Presente	Ascissa	Campata	$\beta x/m$	Vincolo a entrambi estremi	$\lambda x/m$	λVer
1	Si	0					
			1-2		1	Si	33.2
2	Si	1.008					Si, (<200)

Dati per instabilità attorno a y

Controllo della snellezza secondo §4.2.4.1.3.1 NTC18

Numero rit.	Presente	Ascissa	Campata	$\beta y/n$	k,LT	kw,LT	Vincolo a entrambi estremi
1	Si	0					
			1-2		1	Si	22.4
2	Si	1.008					Si, (<200)

Verifica di stabilità per pressoflessione §C.4.2.4.1.3.3.1 NTC18

X	Comb.	Sfruttamento	Classe	NEd	MxEq,Ed	MyEq,Ed	Area	Wx	Wy	χ_{min}	$\lambda_{adim. x/m}$	$\lambda_{adim. y/n}$	N,crit x/m	N,crit y/n	Verifica
0	SLU 76	0.021	3	-16.853	-0.0328	0.0004	0.003832	0.0000492	0.0000739	0.907	0.382	0.258	7207.687	15834.061	Si

Verifica di stabilità per pressoflessione SLD §C.4.2.4.1.3.3.1 NTC18

X	Comb.	Sfruttamento	Classe	NEd	MxEq,Ed	MyEq,Ed	Area	Wx	Wy	χ_{min}	$\lambda_{adim. x/m}$	$\lambda_{adim. y/n}$	N,crit x/m	N,crit y/n	Verifica
0	SLD 14	0.01	3	-6.515	-0.0319	-0.0007	0.003832	0.0000492	0.0000739	0.907	0.382	0.258	7207.687	15834.061	Si

Verifiche a deformabilità

Mensola X: No; Mensola Y: No.

Frecce lungo X

Ascissa freccia	Combinazione	Freccia	Luce	L/f	L/f,min	Tipo	Verifica
0.672	SLE RA 1	0	1.008	10000	250	Totale	Si
0.739	SLE RA 17	0	1.008	10000	250	Totale	Si
0.773	SLE RA 16	0	1.008	10000	250	Totale	Si
0.806	SLE RA 15	0	1.008	10000	250	Totale	Si
0.672	SLE RA 14	0	1.008	10000	250	Totale	Si
0.302	SLE RA 2	0	1.008	10000	350	Variabile	Si
0.269	SLE RA 17	0	1.008	10000	350	Variabile	Si
0.269	SLE RA 16	0	1.008	10000	350	Variabile	Si
0.302	SLE RA 15	0	1.008	10000	350	Variabile	Si
0.705	SLE RA 14	0	1.008	10000	350	Variabile	Si

Frecce lungo Y

Ascissa freccia	Combinazione	Freccia	Luce	L/f	L/f,min	Tipo	Verifica
0.504	SLE RA 1	-0.00001	1.008	10000	250	Totale	Si
0.504	SLE RA 17	-0.00001	1.008	10000	250	Totale	Si
0.504	SLE RA 16	0	1.008	10000	250	Totale	Si
0.504	SLE RA 15	0	1.008	10000	250	Totale	Si
0.504	SLE RA 14	-0.00001	1.008	10000	250	Totale	Si
0.537	SLE RA 2	0	1.008	10000	350	Variabile	Si
0.537	SLE RA 17	0	1.008	10000	350	Variabile	Si
0.537	SLE RA 16	0	1.008	10000	350	Variabile	Si
0.571	SLE RA 15	0	1.008	10000	350	Variabile	Si
0.773	SLE RA 14	0	1.008	10000	350	Variabile	Si

Superelemento in acciaio a quota "715"- "728" (2231; 2793)-(2231; 2693)

Caratteristiche del materiale

Acciaio: S275, fyk = 275000

Caratteristiche geometriche

Lunghezza: 1.008

Nodo iniziale: 2181 Nodo finale: 2385

Cerniera iniziale: Mmomenti 1% Cerniera finale: Mmomenti 1%

Sovraresistenza: 0% Sisma Z: No

Caratteristiche della sezione

Sezione	Rotazione	Area	Jx	Jy	ix	iy	Wx	Wy	Wplx	Wply
A1; L100*10; 1; Saldato; S275; 20; 1; 8; 8; 1	0	0.003832	0.0000035319	0.000007759	0.0304	0.045	0.0000492	0.0000739	0.00008974	0.00012727

Comportamento dei calastrelli

Accoppiamento imbottito avendo passo inferiore al minimo richiesto (§C4.2.4.1.3.1.5 NTC18) nella campata compresa tra le ascisse 0 e 1.008 per sbandamento attorno all'asse y.

Verifiche di resistenza

Verifiche a forza assiale §4.2.4.1.2.1 - §4.2.4.1.2.2 NTC18

X	Comb.	Sfruttamento	Classe	NEd	Nc,Rd	Nt,Rd	Riduzione da taglio	px	py	Verifica
0	SLU 75	0.005	3	-4.851	1003.522		1	0	0	Si

Verifiche a forza assiale SLD §4.2.4.1.2.1 - §4.2.4.1.2.2 NTC18

X	Comb.	Sfruttamento	Classe	NEd	Nc,Rd	Nt,Rd	Riduzione da taglio	px	py	Verifica
0	SLD 14	0.003	3	-3.076	1003.522		1	0	0	Si

Verifica a taglio Y §4.2.4.1.2.4 NTC18

X	Comb.	Sfruttamento	VEd	Vc,Rd	Av	Interazione taglio-torsione	Riduzione torsione	Verifica
1.008	SLU 63	0.001	-0.206	302.422	0.002	Non considerata		Si

Verifica a flessione semplice X §§ 4.2.4.1.2.3 - 4.2.4.1.2.6 - 4.2.4.1.2.7 - 4.2.4.1.2.8 NTC18

X	Comb.	Sfruttamento	Classe	Mx,Ed	Mx,Rd	Rid. Mx,Rd da VEd	px	py	Verifica
0.504	SLU 40	0.002	1	-0.04951	23.50374	1	0	0	Si

Verifica a presso/tenso flessione retta X §§ 4.2.4.1.2.3 - 4.2.4.1.2.6 - 4.2.4.1.2.7 - 4.2.4.1.2.8 NTC18

Verifiche eseguite utilizzando la formula conservativa (6.2) §6.2.1 EN 1993-1-1:2005.

X	Comb.	Sfruttamento	Classe	NEd	NRd	Rid. NRd da VEd	Mx,Ed	Mx,Rd	Rid. Mx,Rd da VEd	Rid. Mx,Rd da NEd	px	py	Verifica
0.47	SLU 75	0.008	3	-4.828	1003.522	1	-0.0466	12.886	1		0	0	Si

Verifica a presso/tenso flessione retta X SLD §§ 4.2.4.1.2.3 - 4.2.4.1.2.6 - 4.2.4.1.2.7 - 4.2.4.1.2.8 NTC18

Verifiche eseguite utilizzando la formula conservativa (6.2) §6.2.1 EN 1993-1-1:2005.

X	Comb.	Sfruttamento	Classe	NEd	NRd	Rid. NRd da VEd	Mx,Ed	Mx,Rd	Rid. Mx,Rd da VEd	Rid. Mx,Rd da NEd	px	py	Verifica
0.504	SLD 13	0.006	3	-3.058	1003.522	1	-0.0382	12.886	1		0	0	Si

Verifiche ad instabilità

Caratteristiche iniziali

Membratura principale per controllo snellezza; Calcolo di snellezze ed N critici condotti secondo gli assi principali;

Curva X: c; Curva Y: c;

Svergolamento: Nessuno; la verifica a instabilità flesso-torsionale (svergolamento) non verrà eseguita.

Dati per instabilità attorno a x

Controllo della snellezza secondo §4.2.4.1.3.1 NTC18

Numero rit.	Presente	Ascissa	Campata	βx/m	Vincolo a entrambi estremi	λx/m	λVer
1	Si	0					
			1-2	1	Si	33.2	Si, (<200)
2	Si	1.008					

Dati per instabilità attorno a y

Controllo della snellezza secondo §4.2.4.1.3.1 NTC18

Numero rit.	Presente	Ascissa	Campata	βy/n	k,LT	kw,LT	Vincolo a entrambi estremi
1	Si	0					
			1-2	1	Si	22.4	Si, (<200)
2	Si	1.008					

Verifica di stabilità per pressoflessione §C.4.2.4.1.3.3.1 NTC18

X	Comb.	Sfruttamento	Classe	NEd	MxEq,Ed	MyEq,Ed	Area	Wx	Wy	χ,min	λ adim. x/m	λ adim. y/n	N,crit x/m	N,crit y/n	Verifica
0	SLV 10	0.008	3	-4.81	-0.0403	0.0008	0.003832	0.0000492	0.0000739	0.907	0.382	0.258	7207.687	15834.061	Si

Verifica di stabilità per pressoflessione SLD §C.4.2.4.1.3.3.1 NTC18

X	Comb.	Sfruttamento	Classe	NEd	MxEq,Ed	MyEq,Ed	Area	Wx	Wy	χ,min	λ adim. x/m	λ adim. y/n	N,crit x/m	N,crit y/n	Verifica
0	SLD 9	0.006	3	-3.071	-0.0349	0.0004	0.003832	0.0000492	0.0000739	0.907	0.382	0.258	7207.687	15834.061	Si

Verifiche a deformabilità

Mensola X: No; Mensola Y: No.

Implementazione dei sistemi di confinamento delle emissioni odorigene diffuse dell'impianto di compostaggio esistente nel
Comune di Eboli (SA)
PROGETTO DEFINITIVO – Tabulati di calcolo Tomo 1

Frecce lungo X								
Ascissa freccia	Combinazione	Freccia	Luce	L/f	L/f,min	Tipo	Verifica	
0.605	SLE RA 1	0	1.008	10000	250	Totale	Si	
0.672	SLE RA 17	0	1.008	10000	250	Totale	Si	
0.672	SLE RA 16	0	1.008	10000	250	Totale	Si	
0.672	SLE RA 15	0	1.008	10000	250	Totale	Si	
0.504	SLE RA 14	0	1.008	10000	250	Totale	Si	
0.605	SLE RA 2	0	1.008	10000	350	Variabile	Si	
0.672	SLE RA 17	0	1.008	10000	350	Variabile	Si	
0.672	SLE RA 16	0	1.008	10000	350	Variabile	Si	
0.672	SLE RA 15	0	1.008	10000	350	Variabile	Si	
0.235	SLE RA 14	0	1.008	10000	350	Variabile	Si	

Frecce lungo Y								
Ascissa freccia	Combinazione	Freccia	Luce	L/f	L/f,min	Tipo	Verifica	
0.504	SLE RA 1	-0.00001	1.008	10000	250	Totale	Si	
0.504	SLE RA 17	-0.00001	1.008	10000	250	Totale	Si	
0.504	SLE RA 16	-0.00001	1.008	10000	250	Totale	Si	
0.504	SLE RA 15	-0.00001	1.008	10000	250	Totale	Si	
0.504	SLE RA 14	-0.00001	1.008	10000	250	Totale	Si	
0.504	SLE RA 2	0	1.008	10000	350	Variabile	Si	
0.504	SLE RA 17	0	1.008	10000	350	Variabile	Si	
0.504	SLE RA 16	0	1.008	10000	350	Variabile	Si	
0.437	SLE RA 15	0	1.008	10000	350	Variabile	Si	
0.638	SLE RA 14	0	1.008	10000	350	Variabile	Si	

Superelemento in acciaio a quota "715"- "728" (2463; 2793)-(2463; 2693)

Caratteristiche del materiale

Acciaio: S275, fyk = 275000

Caratteristiche geometriche

Lunghezza: 1.008

Nodo iniziale: 2185 Nodo finale: 2387

Cerniera iniziale: Mmomenti 1% Cerniera finale: Mmomenti 1%

Sovraresistenza: 0% Sisma Z: No

Caratteristiche della sezione

Sezione	Rotazione	Area	Jx	Jy	ix	iy	Wx	Wy	Wplx	Wply
A1; L100*10; 1; Saldato; S275; 20; 1; 8; 8; 1	0	0.003832	0.0000035319	0.000007759	0.0304	0.045	0.0000492	0.0000739	0.00008974	0.00012727

Comportamento dei calastrelli

Accoppiamento imbottito avendo passo inferiore al minimo richiesto (§C4.2.4.1.3.1.5 NTC18) nella campata compresa tra le ascisse 0 e 1.008 per sbandamento attorno all'asse y.

Verifiche di resistenza

Verifiche a forza assiale §4.2.4.1.2.1 - §4.2.4.1.2.2 NTC18

X	Comb.	Sfruttamento	Classe	NEd	Nc,Rd	Nt,Rd	Riduzione da taglio	px	py	Verifica
0	SLU 76	0.011	3	-10.749	1003.522		1	0	0	Si

Verifiche a forza assiale SLD §4.2.4.1.2.1 - §4.2.4.1.2.2 NTC18

X	Comb.	Sfruttamento	Classe	NEd	Nc,Rd	Nt,Rd	Riduzione da taglio	px	py	Verifica
0	SLD 3	0.004	3	-4.457	1003.522		1	0	0	Si

Verifica a taglio Y §4.2.4.1.2.4 NTC18

X	Comb.	Sfruttamento	VEd	Vc,Rd	Av	Interazione taglio-torsione	Riduzione torsione	Verifica
0	SLU 76	0.001	0.202	302.422	0.002	Non considerata		Si

Verifica a flessione semplice X §§ 4.2.4.1.2.3 - 4.2.4.1.2.6 - 4.2.4.1.2.7 - 4.2.4.1.2.8 NTC18

X	Comb.	Sfruttamento	Classe	Mx,Ed	Mx,Rd	Rid. Mx,Rd da VEd	px	py	Verifica
0.504	SLU 40	0.002	1	-0.05034	23.50374	1	0	0	Si

Verifica a presso/tenso flessione retta X §§ 4.2.4.1.2.3 - 4.2.4.1.2.6 - 4.2.4.1.2.7 - 4.2.4.1.2.8 NTC18

Verifiche eseguite utilizzando la formula conservativa (6.2) §6.2.1 EN 1993-1-1:2005.

X	Comb.	Sfruttamento	Classe	NEd	NRd	Rid. NRd da VEd	Mx,Ed	Mx,Rd	Rid. Mx,Rd da VEd	Rid. Mx,Rd da NEd	px	py	Verifica
0.504	SLU 76	0.014	3	-10.725	1003.522	1	-0.0438	12.886	1		0	0	Si

Verifica a presso/tenso flessione retta X SLD §§ 4.2.4.1.2.3 - 4.2.4.1.2.6 - 4.2.4.1.2.7 - 4.2.4.1.2.8 NTC18

Verifiche eseguite utilizzando la formula conservativa (6.2) §6.2.1 EN 1993-1-1:2005.

X	Comb.	Sfruttamento	Classe	NEd	NRd	Rid. NRd da VEd	Mx,Ed	Mx,Rd	Rid. Mx,Rd da VEd	Rid. Mx,Rd da NEd	px	py	Verifica
0.504	SLD 3	0.007	3	-4.438	1003.522	1	-0.0369	12.886	1		0	0	Si

Verifiche ad instabilità

Caratteristiche iniziali

Membratura principale per controllo snellezza; Calcolo di snellezze ed N critici condotti secondo gli assi principali;

Curva X: c; Curva Y: c;

Svergolamento: Nessuno; la verifica a instabilità flesso-torsionale (svergolamento) non verrà eseguita.

Dati per instabilità attorno a x

Controllo della snellezza secondo §4.2.4.1.3.1 NTC18

Implementazione dei sistemi di confinamento delle emissioni odorigene diffuse dell’impianto di compostaggio esistente nel
Comune di Eboli (SA)
PROGETTO DEFINITIVO – Tabulati di calcolo Tomo 1

Numero rit.	Presente	Ascissa	Campata	$\beta x/m$	Vincolo a entrambi estremi	$\lambda x/m$	λVer
1	Si	0	1-2	1	Si	33.2	Si, (<200)
2	Si	1.008					

Dati per instabilità attorno a y

Controllo della snellezza secondo §4.2.4.1.3.1 NTC18

Numero rit.	Presente	Ascissa	Campata	$\beta y/n$	k,LT	kw,LT	Vincolo a entrambi estremi
1	Si	0	1-2	1	Si	22.4	Si, (<200)
2	Si	1.008					

Verifica di stabilità per pressoflessione §C.4.2.4.1.3.3.1 NTC18

X	Comb.	Sfruttamento	Classe	NEd	MxEq,Ed	MyEq,Ed	Area	Wx	Wy	χ_{min}	λ adim. x/m	λ adim. y/n	N,crit x/m	N,crit y/n	Verifica
0	SLU 76	0.015	3	-10.749	-0.0356	-0.0007	0.003832	0.0000492	0.0000739	0.907	0.382	0.258	7207.687	15834.061	Si

Verifica di stabilità per pressoflessione SLD §C.4.2.4.1.3.3.1 NTC18

X	Comb.	Sfruttamento	Classe	NEd	MxEq,Ed	MyEq,Ed	Area	Wx	Wy	χ_{min}	λ adim. x/m	λ adim. y/n	N,crit x/m	N,crit y/n	Verifica
0	SLD 7	0.007	3	-4.451	-0.0315	-0.0007	0.003832	0.0000492	0.0000739	0.907	0.382	0.258	7207.687	15834.061	Si

Verifiche a deformabilità

Mensola X: No; Mensola Y: No.

Frecce lungo X

Ascissa freccia	Combinazione	Freccia	Luce	L/f	L/f,min	Tipo	Verifica
0.302	SLE RA 1	0	1.008	10000	250	Totale	Si
0.336	SLE RA 17	0	1.008	10000	250	Totale	Si
0.336	SLE RA 16	0	1.008	10000	250	Totale	Si
0.336	SLE RA 15	0	1.008	10000	250	Totale	Si
0.336	SLE RA 14	0	1.008	10000	250	Totale	Si
0.302	SLE RA 2	0	1.008	10000	350	Variabile	Si
0.336	SLE RA 17	0	1.008	10000	350	Variabile	Si
0.336	SLE RA 16	0	1.008	10000	350	Variabile	Si
0.336	SLE RA 15	0	1.008	10000	350	Variabile	Si
0.336	SLE RA 14	0	1.008	10000	350	Variabile	Si

Frecce lungo Y

Ascissa freccia	Combinazione	Freccia	Luce	L/f	L/f,min	Tipo	Verifica
0.504	SLE RA 1	-0.00001	1.008	10000	250	Totale	Si
0.504	SLE RA 17	-0.00001	1.008	10000	250	Totale	Si
0.504	SLE RA 16	-0.00001	1.008	10000	250	Totale	Si
0.504	SLE RA 15	-0.00001	1.008	10000	250	Totale	Si
0.504	SLE RA 14	-0.00001	1.008	10000	250	Totale	Si
0.437	SLE RA 2	0	1.008	10000	350	Variabile	Si
0.437	SLE RA 17	0	1.008	10000	350	Variabile	Si
0.437	SLE RA 16	0	1.008	10000	350	Variabile	Si
0.437	SLE RA 15	0	1.008	10000	350	Variabile	Si
0.403	SLE RA 14	0	1.008	10000	350	Variabile	Si

Superelemento in acciaio a quota "715"- "728" (2695; 2793)-(2695; 2693)

Caratteristiche del materiale

Acciaio: S275, fyk = 275000

Caratteristiche geometriche

Lunghezza: 1.008

Nodo iniziale: 2192 Nodo finale: 2391

Cerniera iniziale: Mmomenti 1% Cerniera finale: Mmomenti 1%

Sovraresistenza: 0% Sisma Z: No

Caratteristiche della sezione

Sezione	Rotazione	Area	Jx	Jy	ix	iy	Wx	Wy	Wplx	Wply
A1; L100*10; 1; Saldato; S275; 20; 1; 8; 8; 1	0	0.003832	0.0000035319	0.000007759	0.0304	0.045	0.0000492	0.0000739	0.00008974	0.00012727

Comportamento dei calastrelli

Accoppiamento imbottito avendo passo inferiore al minimo richiesto (§C4.2.4.1.3.1.5 NTC18) nella campata compresa tra le ascisse 0 e 1.008 per sbandamento attorno all'asse y.

Verifiche di resistenza

Verifiche a forza assiale §4.2.4.1.2.1 - §4.2.4.1.2.2 NTC18

X	Comb.	Sfruttamento	Classe	NEd	Nc,Rd	Nt,Rd	Riduzione da taglio	px	py	Verifica
0	SLV 7	0.008	3	-7.699	1003.522		1	0	0	Si

Verifiche a forza assiale SLD §4.2.4.1.2.1 - §4.2.4.1.2.2 NTC18

X	Comb.	Sfruttamento	Classe	NEd	Nc,Rd	Nt,Rd	Riduzione da taglio	px	py	Verifica
0	SLD 7	0.004	3	-3.707	1003.522		1	0	0	Si

Verifica a taglio Y §4.2.4.1.2.4 NTC18

X	Comb.	Sfruttamento	VEd	Vc,Rd	Av	Interazione taglio-torsione	Riduzione torsione	Verifica
0	SLU 76	0.001	0.214	302.422	0.002	Non considerata		Si

**Implementazione dei sistemi di confinamento delle emissioni odorigene diffuse dell'impianto di compostaggio esistente nel
Comune di Eboli (SA)**

PROGETTO DEFINITIVO – Tabulati di calcolo Tomo 1

Verifica a flessione semplice X §§ 4.2.4.1.2.3 - 4.2.4.1.2.6 - 4.2.4.1.2.7 - 4.2.4.1.2.8 NTC18

X	Comb.	Sfruttamento	Classe	Mx,Ed	Mx,Rd	Rid. Mx,Rd da VEd	px	py	Verifica
0.504	SLV 41	0.002	1	-0.04965	23.50374	1	0	0	Si

Verifica a flessione semplice X SLD §§ 4.2.4.1.2.3 - 4.2.4.1.2.6 - 4.2.4.1.2.7 - 4.2.4.1.2.8 NTC18

X	Comb.	Sfruttamento	Classe	Mx,Ed	Mx,Rd	Rid. Mx,Rd da VEd	px	py	Verifica
0.537	SLD 14	0.002	1	-0.03585	23.50374	1	0	0	Si

Verifica a presso/tenso flessione retta X §§ 4.2.4.1.2.3 - 4.2.4.1.2.6 - 4.2.4.1.2.7 - 4.2.4.1.2.8 NTC18

Verifiche eseguite utilizzando la formula conservativa (6.2) §6.2.1 EN 1993-1-1:2005.

X	Comb.	Sfruttamento	Classe	NEd	NRd	Rid. NRd da VEd	Mx,Ed	Mx,Rd	Rid. Mx,Rd da VEd	Rid. Mx,Rd da NEd	px	py	Verifica
0.504	SLV 7	0.011	3	-7.68	1003.522	1	-0.037	12.886	1		0	0	Si

Verifica a presso/tenso flessione retta X SLD §§ 4.2.4.1.2.3 - 4.2.4.1.2.6 - 4.2.4.1.2.7 - 4.2.4.1.2.8 NTC18

Verifiche eseguite utilizzando la formula conservativa (6.2) §6.2.1 EN 1993-1-1:2005.

X	Comb.	Sfruttamento	Classe	NEd	NRd	Rid. NRd da VEd	Mx,Ed	Mx,Rd	Rid. Mx,Rd da VEd	Rid. Mx,Rd da NEd	px	py	Verifica
0.504	SLD 8	0.006	3	-3.688	1003.522	1	-0.0364	12.886	1		0	0	Si

Verifica a presso/tenso flessione retta Y §§ 4.2.4.1.2.3 - 4.2.4.1.2.6 - 4.2.4.1.2.7 - 4.2.4.1.2.8 NTC18

Verifiche eseguite utilizzando la formula conservativa (6.2) §6.2.1 EN 1993-1-1:2005.

X	Comb.	Sfruttamento	Classe	NEd	NRd	Rid. NRd da VEd	My,Ed	My,Rd	Rid. My,Rd da VEd	Rid. My,Rd da NEd	px	py	Verifica
0	SLV 7	0.008	3	-7.699	1003.522	1	-0.0075	19.3536	1		0	0	Si

Verifica a presso/tenso flessione deviata §§ 4.2.4.1.2.3 - 4.2.4.1.2.6 - 4.2.4.1.2.7 - 4.2.4.1.2.8 NTC18

Verifiche eseguite utilizzando la formula conservativa (6.2) §6.2.1 EN 1993-1-1:2005.

X	Comb.	Sfruttamento	Classe	NEd	NRd	Rid. NRd da VEd	Mx,Ed	Mx,Rd	My,Ed	My,Rd	Rid. Mx,Rd da VEd	Rid. Mx,Rd da NEd	Rid. My,Rd da VEd	Rid. My,Rd da NEd	α	β	px	py	Verifica
0.403	SLV 12	0.008	3	-4.974	1003.522	1	-0.0348	12.886	-0.0077	19.3536	1		1				0	0	Si

Verifiche ad instabilità

Caratteristiche iniziali

Membratura principale per controllo snellezza; Calcolo di snellezze ed N critici condotti secondo gli assi principali;

Curva X: c; Curva Y: c;

Svergolamento: Nessuno; la verifica a instabilità flessio-torsionale (svergolamento) non verrà eseguita.

Dati per instabilità attorno a x

Controllo della snellezza secondo §4.2.4.1.3.1 NTC18

Numero rit.	Presente	Ascissa	Campata	βx/m	Vincolo a entrambi estremi	λx/m	λVer
1	Si	0					
			1-2		1	33.2	Si, (<200)
2	Si	1.008					

Dati per instabilità attorno a y

Controllo della snellezza secondo §4.2.4.1.3.1 NTC18

Numero rit.	Presente	Ascissa	Campata	βy/n	k,LT	kw,LT	Vincolo a entrambi estremi
1	Si	0					
			1-2		1	22.4	Si, (<200)
2	Si	1.008					

Verifica di stabilità per pressoflessione §C.4.2.4.1.3.3.1 NTC18

X	Comb.	Sfruttamento	Classe	NEd	MxEq,Ed	MyEq,Ed	Area	Wx	Wy	χ,min	λ adim. x/m	λ adim. y/n	N _{crit} x/m	N _{crit} y/n	Verifica
0	SLV 7	0.011	3	-7.699	-0.0314	-0.0056	0.003832	0.0000492	0.0000739	0.907	0.382	0.258	7207.687	15834.061	Si

Verifica di stabilità per pressoflessione SLD §C.4.2.4.1.3.3.1 NTC18

X	Comb.	Sfruttamento	Classe	NEd	MxEq,Ed	MyEq,Ed	Area	Wx	Wy	χ,min	λ adim. x/m	λ adim. y/n	N _{crit} x/m	N _{crit} y/n	Verifica
0	SLD 7	0.007	3	-3.707	-0.0307	-0.0023	0.003832	0.0000492	0.0000739	0.907	0.382	0.258	7207.687	15834.061	Si

Verifiche a deformabilità

Mensola X: No; Mensola Y: No.

Frecce lungo X

Ascissa freccia	Combinazione	Freccia	Luce	L/f	L/f,min	Tipo	Verifica
0.638	SLE RA 1	0	1.008	10000	250	Totale	Si
0.638	SLE RA 17	0	1.008	10000	250	Totale	Si
0.638	SLE RA 16	0	1.008	10000	250	Totale	Si
0.638	SLE RA 15	0	1.008	10000	250	Totale	Si
0.638	SLE RA 14	0	1.008	10000	250	Totale	Si
0.638	SLE RA 2	0	1.008	10000	350	Variabile	Si
0.605	SLE RA 17	0	1.008	10000	350	Variabile	Si
0.638	SLE RA 16	0	1.008	10000	350	Variabile	Si
0.605	SLE RA 15	0	1.008	10000	350	Variabile	Si
0.739	SLE RA 14	0	1.008	10000	350	Variabile	Si

Frecce lungo Y

Ascissa freccia	Combinazione	Freccia	Luce	L/f	L/f,min	Tipo	Verifica
0.504	SLE RA 1	-0.00001	1.008	10000	250	Totale	Si
0.504	SLE RA 17	-0.00001	1.008	10000	250	Totale	Si
0.504	SLE RA 16	0	1.008	10000	250	Totale	Si
0.504	SLE RA 15	0	1.008	10000	250	Totale	Si
0.504	SLE RA 14	-0.00001	1.008	10000	250	Totale	Si
0.403	SLE RA 2	0	1.008	10000	350	Variabile	Si
0.403	SLE RA 17	0	1.008	10000	350	Variabile	Si
0.403	SLE RA 16	0	1.008	10000	350	Variabile	Si
0.437	SLE RA 15	0	1.008	10000	350	Variabile	Si
0.336	SLE RA 14	0	1.008	10000	350	Variabile	Si

Superelemento in acciaio a quota "715"- "728" (2929; 2793)-(2929; 2693)

Caratteristiche del materiale

Acciaio: S275, fyk = 275000

Caratteristiche geometriche

Lunghezza: 1.008

Nodo iniziale: 2197 Nodo finale: 2399

Cerniera iniziale: Mmomenti 1% Cerniera finale: Mmomenti 1%

Sovreresistenza: 0% Sisma Z: No

Caratteristiche della sezione

Sezione	Rotazione	Area	Jx	Jy	ix	iy	Wx	Wy	Wplx	Wply
A1; L100*10; 1; Saldato; S275; 20; 1; 8; 8; 1	0	0.003832	0.0000035319	0.000007759	0.0304	0.045	0.0000492	0.0000739	0.00008974	0.00012727

Comportamento dei calastrelli

Accoppiamento imbottito avendo passo inferiore al minimo richiesto (§C4.2.4.1.3.1.5 NTC18) nella campata compresa tra le ascisse 0 e 1.008 per sbandamento attorno all'asse y.

Verifiche di resistenza

Verifiche a forza assiale §4.2.4.1.2.1 - §4.2.4.1.2.2 NTC18

X	Comb.	Sfruttamento	Classe	NEd	Nc,Rd	Nt,Rd	Riduzione da taglio	px	py	Verifica
1.008	SLV 7	0.014		13.647		1003.522	1	0	0	Si

Verifiche a forza assiale SLD §4.2.4.1.2.1 - §4.2.4.1.2.2 NTC18

X	Comb.	Sfruttamento	Classe	NEd	Nc,Rd	Nt,Rd	Riduzione da taglio	px	py	Verifica
1.008	SLD 8	0.006		6.512		1003.522	1	0	0	Si

Verifica a taglio Y §4.2.4.1.2.4 NTC18

X	Comb.	Sfruttamento	VEd	Vc,Rd	Av	Interazione taglio-torsione	Riduzione torsione	Verifica
0	SLU 76	0.001	0.208	302.422	0.002	Non considerata		Si

Verifica a flessione semplice X §§ 4.2.4.1.2.3 - 4.2.4.1.2.6 - 4.2.4.1.2.7 - 4.2.4.1.2.8 NTC18

X	Comb.	Sfruttamento	Classe	Mx,Ed	Mx,Rd	Rid. Mx,Rd da VEd	px	py	Verifica
0.504	SLU 40	0.002	1	-0.05018	23.50374	1	0	0	Si

Verifica a flessione semplice X SLD §§ 4.2.4.1.2.3 - 4.2.4.1.2.6 - 4.2.4.1.2.7 - 4.2.4.1.2.8 NTC18

X	Comb.	Sfruttamento	Classe	Mx,Ed	Mx,Rd	Rid. Mx,Rd da VEd	px	py	Verifica
0.504	SLD 14	0.002	1	-0.03778	23.50374	1	0	0	Si

Verifica a presso/tenso flessione retta X §§ 4.2.4.1.2.3 - 4.2.4.1.2.6 - 4.2.4.1.2.7 - 4.2.4.1.2.8 NTC18

Verifiche eseguite utilizzando la formula conservativa (6.2) §6.2.1 EN 1993-1-1:2005.

X	Comb.	Sfruttamento	Classe	NEd	NRd	Rid. NRd da VEd	Mx,Ed	Mx,Rd	Rid. Mx,Rd da VEd	Rid. Mx,Rd da NEd	px	py	Verifica
0.537	SLV 8	0.015	1	13.629	1003.522	1	-0.043	23.5037	1		0	0	Si

Verifica a presso/tenso flessione retta X SLD §§ 4.2.4.1.2.3 - 4.2.4.1.2.6 - 4.2.4.1.2.7 - 4.2.4.1.2.8 NTC18

Verifiche eseguite utilizzando la formula conservativa (6.2) §6.2.1 EN 1993-1-1:2005.

X	Comb.	Sfruttamento	Classe	NEd	NRd	Rid. NRd da VEd	Mx,Ed	Mx,Rd	Rid. Mx,Rd da VEd	Rid. Mx,Rd da NEd	px	py	Verifica
0.537	SLD 7	0.008	1	6.495	1003.522	1	-0.0403	23.5037	1		0	0	Si

Verifica a presso/tenso flessione retta Y §§ 4.2.4.1.2.3 - 4.2.4.1.2.6 - 4.2.4.1.2.7 - 4.2.4.1.2.8 NTC18

Verifiche eseguite utilizzando la formula conservativa (6.2) §6.2.1 EN 1993-1-1:2005.

X	Comb.	Sfruttamento	Classe	NEd	NRd	Rid. NRd da VEd	My,Ed	My,Rd	Rid. My,Rd da VEd	Rid. My,Rd da NEd	px	py	Verifica
0	SLV 8	0.014	1	13.609	1003.522	1	-0.0076	33.3316	1		0	0	Si

Verifica a presso/tenso flessione deviata §§ 4.2.4.1.2.3 - 4.2.4.1.2.6 - 4.2.4.1.2.7 - 4.2.4.1.2.8 NTC18

Verifiche eseguite utilizzando la formula conservativa (6.2) §6.2.1 EN 1993-1-1:2005.

X	Comb.	Sfruttamento	Classe	NEd	NRd	Rid. NRd da VEd	Mx,Ed	Mx,Rd	My,Ed	My,Rd	Rid. Mx,Rd da VEd	Rid. Mx,Rd da NEd	Rid. My,Rd da VEd	Rid. My,Rd da NEd	α	β	px	py	Verifica
0.47	SLV 7	0.016	1	13.627	1003.522	1	-0.0424	23.5037	0.0075	33.3316	1		1				0	0	Si

Verifiche ad instabilità

Caratteristiche iniziali

Membratura principale per controllo snellezza; Calcolo di snellezze ed N critici condotti secondo gli assi principali;

Curva X: c; Curva Y: c;

Svergolamento: Nessuno; la verifica a instabilità flesso-torsionale (svergolamento) non verrà eseguita.

Dati per instabilità attorno a x

Controllo della snellezza secondo §4.2.4.1.3.1 NTC18

Numero rit.	Presente	Ascissa	Campata	βx/m	Vincolo a entrambi estremi	λx/m	λVer
1	Si	0					
			1-2	1	Si	33.2	Si, (<200)
2	Si	1.008					

Dati per instabilità attorno a y

Controllo della snellezza secondo §4.2.4.1.3.1 NTC18

Implementazione dei sistemi di confinamento delle emissioni odorigene diffuse dell'impianto di compostaggio esistente nel
Comune di Eboli (SA)
PROGETTO DEFINITIVO – Tabulati di calcolo Tomo 1

Numero rit.	Presente	Ascissa	Campata	$\beta y/n$	k,LT	kw,LT	Vincolo a entrambi estremi
1	Si	0	1-2	1	Si	22.4	Si, (<200)
2	Si	1.008					

Verifica di stabilità per pressoflessione §C.4.2.4.1.3.3.1 NTC18

X	Comb.	Sfruttamento	Classe	NEd	MxEq,Ed	MyEq,Ed	Area	Wx	Wy	χ_{min}	λ adim. x/m	λ adim. y/n	N,crit x/m	N,crit y/n	Verifica
0	SLV 10	0.011	3	-7.54	-0.0292	-0.0072	0.003832	0.0000492	0.0000739	0.907	0.382	0.258	7207.687	15834.061	Si

Verifica di stabilità per pressoflessione SLD §C.4.2.4.1.3.3.1 NTC18

X	Comb.	Sfruttamento	Classe	NEd	MxEq,Ed	MyEq,Ed	Area	Wx	Wy	χ_{min}	λ adim. x/m	λ adim. y/n	N,crit x/m	N,crit y/n	Verifica
0	SLD 9	0.003	3	-0.405	-0.0326	-0.0028	0.003832	0.0000492	0.0000739	0.907	0.382	0.258	7207.687	15834.061	Si

Verifiche a deformabilità

Mensola X: No; Mensola Y: No.

Frecce lungo X

Ascissa freccia	Combinazione	Freccia	Luce	L/f	L/f,min	Tipo	Verifica
0.605	SLE RA 1	0	1.008	10000	250	Totale	Si
0.605	SLE RA 17	0	1.008	10000	250	Totale	Si
0.571	SLE RA 16	0	1.008	10000	250	Totale	Si
0.571	SLE RA 15	0	1.008	10000	250	Totale	Si
0.605	SLE RA 14	0	1.008	10000	250	Totale	Si
0.571	SLE RA 2	0	1.008	10000	350	Variabile	Si
0.571	SLE RA 17	0	1.008	10000	350	Variabile	Si
0.571	SLE RA 16	0	1.008	10000	350	Variabile	Si
0.571	SLE RA 15	0	1.008	10000	350	Variabile	Si
0.672	SLE RA 14	0	1.008	10000	350	Variabile	Si

Frecce lungo Y

Ascissa freccia	Combinazione	Freccia	Luce	L/f	L/f,min	Tipo	Verifica
0.504	SLE RA 1	-0.00001	1.008	10000	250	Totale	Si
0.504	SLE RA 17	-0.00001	1.008	10000	250	Totale	Si
0.504	SLE RA 16	-0.00001	1.008	10000	250	Totale	Si
0.504	SLE RA 15	-0.00001	1.008	10000	250	Totale	Si
0.504	SLE RA 14	-0.00001	1.008	10000	250	Totale	Si
0.705	SLE RA 2	0	1.008	10000	350	Variabile	Si
0.705	SLE RA 17	0	1.008	10000	350	Variabile	Si
0.705	SLE RA 16	0	1.008	10000	350	Variabile	Si
0.269	SLE RA 15	0	1.008	10000	350	Variabile	Si
0.605	SLE RA 14	0	1.008	10000	350	Variabile	Si

Superelemento in acciaio a quota "715"- "728" (-253; 236)-(-362; 338)

Caratteristiche del materiale

Acciaio: S275, fyk = 275000

Caratteristiche geometriche

Lunghezza: 1.505

Nodo iniziale: 2069 Nodo finale: 2267

Cerniera iniziale: Mmomenti 1% Cerniera finale: Mmomenti 1%

Sovreresistenza: 0% Sisma Z: No

Caratteristiche della sezione

Sezione	Rotazione	Area	Jx	Jy	ix	iy	Wx	Wy	Wplx	Wply
A1; L100*10; 1; Saldato; S275; 30; 1; 8; 8; 1	0	0.003832	0.0000035319	0.000007759	0.0304	0.045	0.0000492	0.0000739	0.00008974	0.00012727

Comportamento dei calastrelli

Accoppiamento imbottito con funzione statica (§C4.2.4.1.3.1.4 NTC18) nella campata compresa tra le ascisse 0 e 1.505 per sbandamento attorno all'asse y.

Verifiche di resistenza

Verifiche a forza assiale §4.2.4.1.2.1 - §4.2.4.1.2.2 NTC18

X	Comb.	Sfruttamento	Classe	NEd	Nc,Rd	Nt,Rd	Riduzione da taglio	px	py	Verifica
1.505	SLU 26	0.006		6.042		1003.522	1	0	0	Si

Verifiche a forza assiale SLD §4.2.4.1.2.1 - §4.2.4.1.2.2 NTC18

X	Comb.	Sfruttamento	Classe	NEd	Nc,Rd	Nt,Rd	Riduzione da taglio	px	py	Verifica
1.505	SLD 13	0.001		0.73		1003.522	1	0	0	Si

Verifica a taglio Y §4.2.4.1.2.4 NTC18

X	Comb.	Sfruttamento	VEd	Vc,Rd	Av	Interazione taglio-torsione	Riduzione torsione	Verifica
0	SLU 75	0.001	0.356	302.422	0.002	Non considerata		Si

Verifica a taglio Y SLD §4.2.4.1.2.4 NTC18

X	Comb.	Sfruttamento	VEd	Vc,Rd	Av	Interazione taglio-torsione	Riduzione torsione	Verifica
0	SLD 1	0.001	0.238	302.422	0.002	Non considerata		Si

Verifica a flessione semplice X §§ 4.2.4.1.2.3 - 4.2.4.1.2.6 - 4.2.4.1.2.7 - 4.2.4.1.2.8 NTC18

X	Comb.	Sfruttamento	Classe	Mx,Ed	Mx,Rd	Rid. Mx,Rd da VEd	px	py	Verifica
0.803	SLU 39	0.004	1	-0.10441	23.50374	1	0	0	Si

Implementazione dei sistemi di confinamento delle emissioni odorigene diffuse dell’impianto di compostaggio esistente nel
Comune di Eboli (SA)

PROGETTO DEFINITIVO – Tabulati di calcolo Tomo 1

Verifica a flessione semplice X SLD §§ 4.2.4.1.2.3 - 4.2.4.1.2.6 - 4.2.4.1.2.7 - 4.2.4.1.2.8 NTC18

X	Comb.	Sfruttamento	Classe	Mx,Ed	Mx,Rd	Rid. Mx,Rd da VEd	px	py	Verifica
0.803	SLD 12	0.003	1	-0.07855	23.50374	1	0	0	Si

Verifica a presso/tenso flessione retta X §§ 4.2.4.1.2.3 - 4.2.4.1.2.6 - 4.2.4.1.2.7 - 4.2.4.1.2.8 NTC18

Verifiche eseguite utilizzando la formula conservativa (6.2) §6.2.1 EN 1993-1-1:2005.

X	Comb.	Sfruttamento	Classe	NEd	NRd	Rid. NRd da VEd	Mx,Ed	Mx,Rd	Rid. Mx,Rd da VEd	Rid. Mx,Rd da NEd	px	py	Verifica
0.753	SLU 64	0.011	1	5.936	1003.522	1	-0.1162	23.5037	1		0	0	Si

Verifica a presso/tenso flessione retta X SLD §§ 4.2.4.1.2.3 - 4.2.4.1.2.6 - 4.2.4.1.2.7 - 4.2.4.1.2.8 NTC18

Verifiche eseguite utilizzando la formula conservativa (6.2) §6.2.1 EN 1993-1-1:2005.

X	Comb.	Sfruttamento	Classe	NEd	NRd	Rid. NRd da VEd	Mx,Ed	Mx,Rd	Rid. Mx,Rd da VEd	Rid. Mx,Rd da NEd	px	py	Verifica
0.803	SLD 14	0.004	1	0.713	1003.522	1	-0.0791	23.5037	1		0	0	Si

Verifica a presso/tenso flessione retta Y §§ 4.2.4.1.2.3 - 4.2.4.1.2.6 - 4.2.4.1.2.7 - 4.2.4.1.2.8 NTC18

Verifiche eseguite utilizzando la formula conservativa (6.2) §6.2.1 EN 1993-1-1:2005.

X	Comb.	Sfruttamento	Classe	NEd	NRd	Rid. NRd da VEd	My,Ed	My,Rd	Rid. My,Rd da VEd	Rid. My,Rd da NEd	px	py	Verifica
0.201	SLU 41	0.006	3	-4.927	1003.522	1	-0.015	19.3536	1		0	0	Si

Verifica a presso/tenso flessione deviata §§ 4.2.4.1.2.3 - 4.2.4.1.2.6 - 4.2.4.1.2.7 - 4.2.4.1.2.8 NTC18

Verifiche eseguite utilizzando la formula conservativa (6.2) §6.2.1 EN 1993-1-1:2005.

X	Comb.	Sfruttamento	Classe	NEd	NRd	Rid. NRd da VEd	Mx,Ed	Mx,Rd	My,Ed	My,Rd	Rid. Mx,Rd da VEd	Rid. Mx,Rd da NEd	Rid. My,Rd da VEd	Rid. My,Rd da NEd	α	β	px	py	Verifica
0	SLU 63	0.01	3	-3.954	1003.522	1	0.0745	12.886	-0.0121	19.3536	1		1				0	0	Si

Verifiche ad instabilità

Caratteristiche iniziali

Membratura principale per controllo snellezza; Calcolo di snellezze ed N critici condotti secondo gli assi principali;

Curva X: c; Curva Y: c;

Svergolamento: Nessuno; la verifica a instabilità flesso-torsionale (svergolamento) non verrà eseguita.

Dati per instabilità attorno a x

Controllo della snellezza secondo §4.2.4.1.3.1 NTC18

Numero rit.	Presente	Ascissa	Campata	βx/m	Vincolo a entrambi estremi	λx/m	λVer
1	Si	0					
			1-2		1	49.6	Si, (<200)
2	Si	1.505					

Dati per instabilità attorno a y

Controllo della snellezza secondo §4.2.4.1.3.1 NTC18

Numero rit.	Presente	Ascissa	Campata	βy/n	k,LT	kw,LT	Vincolo a entrambi estremi
1	Si	0					
			1-2		1	34.9	Si, (<200)
2	Si	1.505					

Verifica di stabilità per pressoflessione §C.4.2.4.1.3.3.1 NTC18

X	Comb.	Sfruttamento	Classe	NEd	MxEq,Ed	MyEq,Ed	Area	Wx	Wy	χ,min	λ adim. x/m	λ adim. y/n	N,crit x/m	N,crit y/n	Verifica
0	SLU 41	0.012	3	-4.934	-0.0639	-0.0149	0.003832	0.0000492	0.0000739	0.802	0.571	0.402	3231.032	6528.319	Si

Verifiche a deformabilità

Mensola X: No; Mensola Y: No.

Frecce lungo X

Ascissa freccia	Combinazione	Freccia	Luce	L/f	L/f,min	Tipo	Verifica
0.652	SLE RA 1	0	1.505	10000	250	Totale	Si
0.652	SLE RA 17	0	1.505	10000	250	Totale	Si
0.652	SLE RA 16	0	1.505	10000	250	Totale	Si
0.652	SLE RA 15	0	1.505	10000	250	Totale	Si
0.652	SLE RA 14	0	1.505	10000	250	Totale	Si
0.652	SLE RA 2	0	1.505	10000	350	Variabile	Si
0.652	SLE RA 17	0	1.505	10000	350	Variabile	Si
0.652	SLE RA 16	0	1.505	10000	350	Variabile	Si
0.652	SLE RA 15	0	1.505	10000	350	Variabile	Si
0.702	SLE RA 14	0	1.505	10000	350	Variabile	Si

Frecce lungo Y

Ascissa freccia	Combinazione	Freccia	Luce	L/f	L/f,min	Tipo	Verifica
0.753	SLE RA 1	-0.00003	1.505	10000	250	Totale	Si
0.803	SLE RA 17	-0.00002	1.505	10000	250	Totale	Si
0.803	SLE RA 16	-0.00002	1.505	10000	250	Totale	Si
0.753	SLE RA 15	-0.00003	1.505	10000	250	Totale	Si
0.803	SLE RA 14	-0.00002	1.505	10000	250	Totale	Si
0.602	SLE RA 2	0	1.505	10000	350	Variabile	Si
0.602	SLE RA 17	0	1.505	10000	350	Variabile	Si
0.602	SLE RA 16	0	1.505	10000	350	Variabile	Si
1.054	SLE RA 15	0	1.505	10000	350	Variabile	Si
0.602	SLE RA 14	0.00001	1.505	10000	350	Variabile	Si

Superelemento in acciaio a quota "715"- "728" (-506; -34)-(-616; 69)

Caratteristiche del materiale

Acciaio: S275, fyk = 275000

Implementazione dei sistemi di confinamento delle emissioni odorigene diffuse dell'impianto di compostaggio esistente nel
Comune di Eboli (SA)
PROGETTO DEFINITIVO – Tabulati di calcolo Tomo 1

Caratteristiche geometriche

Lunghezza: 1.505
Nodo iniziale: 2057 Nodo finale: 2258
Cerniera iniziale: Mmomenti 1% Cerniera finale: Mmomenti 1%
Sovraresistenza: 0% Sisma Z: No

Caratteristiche della sezione

Sezione	Rotazione	Area	Jx	Jy	ix	iy	Wx	Wy	Wplx	Wply
A1; L100*10; 1; Saldato; S275; 30; 1; 8; 8; 1	0	0.003832	0.0000035319	0.000007759	0.0304	0.045	0.0000492	0.0000739	0.00008974	0.00012727

Comportamento dei calastrelli

Accoppiamento imbottito con funzione statica (§C4.2.4.1.3.1.4 NTC18) nella campata compresa tra le ascisse 0 e 1.505 per sbandamento attorno all'asse y.

Verifiche di resistenza

Verifiche a forza assiale §4.2.4.1.2.1 - §4.2.4.1.2.2 NTC18

X	Comb.	Sfruttamento	Classe	NEd	Nc,Rd	Nt,Rd	Riduzione da taglio	px	py	Verifica
0	SLU 63	0.011	3	-11.103	1003.522		1	0	0	Si

Verifiche a forza assiale SLD §4.2.4.1.2.1 - §4.2.4.1.2.2 NTC18

X	Comb.	Sfruttamento	Classe	NEd	Nc,Rd	Nt,Rd	Riduzione da taglio	px	py	Verifica
0	SLD 1	0.004	3	-4.468	1003.522		1	0	0	Si

Verifica a taglio Y §4.2.4.1.2.4 NTC18

X	Comb.	Sfruttamento	VEd	Vc,Rd	Av	Interazione taglio-torsione	Riduzione torsione	Verifica
0	SLU 75	0.001	0.323	302.422	0.002	Non considerata		Si

Verifica a taglio Y SLD §4.2.4.1.2.4 NTC18

X	Comb.	Sfruttamento	VEd	Vc,Rd	Av	Interazione taglio-torsione	Riduzione torsione	Verifica
0	SLD 16	0.001	0.232	302.422	0.002	Non considerata		Si

Verifica a flessione semplice X §§ 4.2.4.1.2.3 - 4.2.4.1.2.6 - 4.2.4.1.2.7 - 4.2.4.1.2.8 NTC18

X	Comb.	Sfruttamento	Classe	Mx,Ed	Mx,Rd	Rid. Mx,Rd da VEd	px	py	Verifica
1.104	SLU 49	0.004	1	-0.08944	23.50374	1	0	0	Si

Verifica a flessione semplice Y §§ 4.2.4.1.2.3 - 4.2.4.1.2.6 - 4.2.4.1.2.7 - 4.2.4.1.2.8 NTC18

X	Comb.	Sfruttamento	Classe	My,Ed	My,Rd	Rid. My,Rd da VEd	px	py	Verifica
0	SLV 13	0	1	0.00832	33.33162	1	0	0	Si

Verifica a flessione deviata §§ 4.2.4.1.2.3 - 4.2.4.1.2.6 - 4.2.4.1.2.7 - 4.2.4.1.2.8 NTC18

X	Comb.	Sfruttamento	Classe	Mx,Ed	Mx,Rd	My,Ed	My,Rd	Rid. Mx,Rd da VEd	Rid. My,Rd da VEd	α	β	px	py	Verifica
0.151	SLV 13	0.001	1	-0.0288	23.5037	0.0075	33.3316	1	1			0	0	Si

Verifica a presso/tenso flessione retta X §§ 4.2.4.1.2.3 - 4.2.4.1.2.6 - 4.2.4.1.2.7 - 4.2.4.1.2.8 NTC18

Verifiche eseguite utilizzando la formula conservativa (6.2) §6.2.1 EN 1993-1-1:2005.

X	Comb.	Sfruttamento	Classe	NEd	NRd	Rid. NRd da VEd	Mx,Ed	Mx,Rd	Rid. Mx,Rd da VEd	Rid. Mx,Rd da NEd	px	py	Verifica
0.753	SLU 42	0.009	1	3.722	1003.522	1	-0.1221	23.5037	1		0	0	Si

Verifica a presso/tenso flessione retta X SLD §§ 4.2.4.1.2.3 - 4.2.4.1.2.6 - 4.2.4.1.2.7 - 4.2.4.1.2.8 NTC18

Verifiche eseguite utilizzando la formula conservativa (6.2) §6.2.1 EN 1993-1-1:2005.

X	Comb.	Sfruttamento	Classe	NEd	NRd	Rid. NRd da VEd	Mx,Ed	Mx,Rd	Rid. Mx,Rd da VEd	Rid. Mx,Rd da NEd	px	py	Verifica
0.753	SLD 8	0.005	1	-1.663	1003.522	1	-0.0833	23.5037	1		0	0	Si

Verifica a presso/tenso flessione retta Y §§ 4.2.4.1.2.3 - 4.2.4.1.2.6 - 4.2.4.1.2.7 - 4.2.4.1.2.8 NTC18

Verifiche eseguite utilizzando la formula conservativa (6.2) §6.2.1 EN 1993-1-1:2005.

X	Comb.	Sfruttamento	Classe	NEd	NRd	Rid. NRd da VEd	My,Ed	My,Rd	Rid. My,Rd da VEd	Rid. My,Rd da NEd	px	py	Verifica
0.151	SLU 63	0.013	3	-11.099	1003.522	1	-0.0335	19.3536	1		0	0	Si

Verifica a presso/tenso flessione retta Y SLD §§ 4.2.4.1.2.3 - 4.2.4.1.2.6 - 4.2.4.1.2.7 - 4.2.4.1.2.8 NTC18

Verifiche eseguite utilizzando la formula conservativa (6.2) §6.2.1 EN 1993-1-1:2005.

X	Comb.	Sfruttamento	Classe	NEd	NRd	Rid. NRd da VEd	My,Ed	My,Rd	Rid. My,Rd da VEd	Rid. My,Rd da NEd	px	py	Verifica
0.05	SLD 1	0.005	3	-4.466	1003.522	1	-0.0188	19.3536	1		0	0	Si

Verifica a presso/tenso flessione deviata §§ 4.2.4.1.2.3 - 4.2.4.1.2.6 - 4.2.4.1.2.7 - 4.2.4.1.2.8 NTC18

Verifiche eseguite utilizzando la formula conservativa (6.2) §6.2.1 EN 1993-1-1:2005.

X	Comb.	Sfruttamento	Classe	NEd	NRd	Rid. NRd da VEd	Mx,Ed	Mx,Rd	My,Ed	My,Rd	Rid. Mx,Rd da VEd	Rid. Mx,Rd da NEd	Rid. My,Rd da VEd	Rid. My,Rd da NEd	α	β	px	py	Verifica
0.803	SLU 63	0.02	3	-11.077	1003.522	1	-0.0907	12.886	-0.0335	19.3536	1		1				0	0	Si

Verifica a presso/tenso flessione deviata SLD §§ 4.2.4.1.2.3 - 4.2.4.1.2.6 - 4.2.4.1.2.7 - 4.2.4.1.2.8 NTC18

Verifiche eseguite utilizzando la formula conservativa (6.2) §6.2.1 EN 1993-1-1:2005.

X	Comb.	Sfruttamento	Classe	NEd	NRd	Rid. NRd da VEd	Mx,Ed	Mx,Rd	My,Ed	My,Rd	Rid. Mx,Rd da VEd	Rid. Mx,Rd da NEd	Rid. My,Rd da VEd	Rid. My,Rd da NEd	α	β	px	py	Verifica
0.351	SLD 1	0.01	3	-4.459	1003.522	1	-0.0541	12.886	-0.0177	19.3536	1		1				0	0	Si

Verifiche ad instabilità

Caratteristiche iniziali

Membratura principale per controllo snellezza; Calcolo di snellezze ed N critici condotti secondo gli assi principali;

Implementazione dei sistemi di confinamento delle emissioni odorigene diffuse dell'impianto di compostaggio esistente nel
Comune di Eboli (SA)
PROGETTO DEFINITIVO – Tabulati di calcolo Tomo 1

Curva X: c; Curva Y: c;
Svergolamento: Nessuno; la verifica a instabilità flessione-torsionale (svergolamento) non verrà eseguita.
Dati per instabilità attorno a x

Controllo della snellezza secondo §4.2.4.1.3.1 NTC18

Numero rit.	Presente	Ascissa	Campata	$\beta x/m$	Vincolo a entrambi estremi	$\lambda x/m$	λVer
1	Si	0					
			1-2	1	Si	49.6	Si, (<200)
2	Si	1.505					

Dati per instabilità attorno a y

Controllo della snellezza secondo §4.2.4.1.3.1 NTC18

Numero rit.	Presente	Ascissa	Campata	$\beta y/n$	k,LT	kw,LT	Vincolo a entrambi estremi
1	Si	0					
			1-2	1	Si	34.9	Si, (<200)
2	Si	1.505					

Verifica di stabilità per pressoflessione §C.4.2.4.1.3.3.1 NTC18

X	Comb.	Sfruttamento	Classe	NEd	MxEq,Ed	MyEq,Ed	Area	Wx	Wy	χ_{min}	$\lambda_{adim. x/m}$	$\lambda_{adim. y/n}$	N,crit x/m	N,crit y/n	Verifica
0	SLU 63	0.021	3	-11.103	-0.069	-0.0336	0.003832	0.0000492	0.0000739	0.802	0.571	0.402	3231.032	6528.319	Si

Verifica di stabilità per pressoflessione SLD §C.4.2.4.1.3.3.1 NTC18

X	Comb.	Sfruttamento	Classe	NEd	MxEq,Ed	MyEq,Ed	Area	Wx	Wy	χ_{min}	$\lambda_{adim. x/m}$	$\lambda_{adim. y/n}$	N,crit x/m	N,crit y/n	Verifica
0	SLD 1	0.012	3	-4.468	-0.0678	-0.019	0.003832	0.0000492	0.0000739	0.802	0.571	0.402	3231.032	6528.319	Si

Verifiche a deformabilità

Mensola X: No; Mensola Y: No.

Frecce lungo X

Ascissa freccia	Combinazione	Freccia	Luce	L/f	L/f,min	Tipo	Verifica
1.054	SLE RA 1	0	1.505	10000	250	Totale	Si
1.054	SLE RA 17	0	1.505	10000	250	Totale	Si
1.054	SLE RA 16	0	1.505	10000	250	Totale	Si
1.154	SLE RA 15	0	1.505	10000	250	Totale	Si
0.953	SLE RA 14	0	1.505	10000	250	Totale	Si
1.054	SLE RA 2	0	1.505	10000	350	Variabile	Si
1.054	SLE RA 17	0	1.505	10000	350	Variabile	Si
1.054	SLE RA 16	0	1.505	10000	350	Variabile	Si
0.351	SLE RA 15	0	1.505	10000	350	Variabile	Si
0.853	SLE RA 14	0	1.505	10000	350	Variabile	Si

Frecce lungo Y

Ascissa freccia	Combinazione	Freccia	Luce	L/f	L/f,min	Tipo	Verifica
0.753	SLE RA 1	-0.00003	1.505	10000	250	Totale	Si
0.753	SLE RA 17	-0.00003	1.505	10000	250	Totale	Si
0.753	SLE RA 16	-0.00002	1.505	10000	250	Totale	Si
0.753	SLE RA 15	-0.00003	1.505	10000	250	Totale	Si
0.753	SLE RA 14	-0.00002	1.505	10000	250	Totale	Si
0.602	SLE RA 2	0	1.505	10000	350	Variabile	Si
0.602	SLE RA 17	0	1.505	10000	350	Variabile	Si
0.602	SLE RA 16	0	1.505	10000	350	Variabile	Si
0.853	SLE RA 15	0	1.505	10000	350	Variabile	Si
0.652	SLE RA 14	0	1.505	10000	350	Variabile	Si

Superelemento in acciaio a quota "715"- "728" (-761; -305)-(-870; -202)

Caratteristiche del materiale

Acciaio: S275, fyk = 275000

Caratteristiche geometriche

Lunghezza: 1.505

Nodo iniziale: 2047 Nodo finale: 2248

Cerniera iniziale: Mmomenti 1% Cerniera finale: Mmomenti 1%

Sovreresistenza: 0% Sisma Z: No

Caratteristiche della sezione

Sezione	Rotazione	Area	Jx	Jy	ix	iy	Wx	Wy	Wplx	Wply
Al; L100*10; 1; Saldato; S275; 30; 1; 8; 8; 1	0	0.003832	0.0000035319	0.000007759	0.0304	0.045	0.0000492	0.0000739	0.00008974	0.00012727

Comportamento dei calastrelli

Accoppiamento imbottito con funzione statica (§C4.2.4.1.3.1.4 NTC18) nella campata compresa tra le ascisse 0 e 1.505 per sbandamento attorno all'asse y.

Verifiche di resistenza

Verifiche a forza assiale §4.2.4.1.2.1 - §4.2.4.1.2.2 NTC18

X	Comb.	Sfruttamento	Classe	NEd	Nc,Rd	Nt,Rd	Riduzione da taglio	px	py	Verifica
0	SLU 75	0.031	3	-31.506	1003.522		1	0	0	Si

Verifiche a forza assiale SLD §4.2.4.1.2.1 - §4.2.4.1.2.2 NTC18

X	Comb.	Sfruttamento	Classe	NEd	Nc,Rd	Nt,Rd	Riduzione da taglio	px	py	Verifica
0	SLD 13	0.011	3	-10.561	1003.522		1	0	0	Si

Implementazione dei sistemi di confinamento delle emissioni odorigene diffuse dell'impianto di compostaggio esistente nel
Comune di Eboli (SA)
PROGETTO DEFINITIVO – Tabulati di calcolo Tomo 1

Verifica a taglio Y §4.2.4.1.2.4 NTC18

X	Comb.	Sfruttamento	VEd	Vc,Rd	Av	Interazione taglio-torsione	Riduzione torsione	Verifica
0	SLU 75	0.001	0.33	302.422	0.002	Non considerata		Si

Verifica a taglio Y SLD §4.2.4.1.2.4 NTC18

X	Comb.	Sfruttamento	VEd	Vc,Rd	Av	Interazione taglio-torsione	Riduzione torsione	Verifica
0	SLD 3	0.001	0.231	302.422	0.002	Non considerata		Si

Verifica a presso/tenso flessione retta X §§ 4.2.4.1.2.3 - 4.2.4.1.2.6 - 4.2.4.1.2.7 - 4.2.4.1.2.8 NTC18

Verifiche eseguite utilizzando la formula conservativa (6.2) §6.2.1 EN 1993-1-1:2005.

X	Comb.	Sfruttamento	Classe	NEd	NRd	Rid. NRd da VEd	Mx,Ed	Mx,Rd	Rid. Mx,Rd da VEd	Rid. Mx,Rd da NEd	px	py	Verifica
0.702	SLU 2	0.007	1	2.916	1003.522	1	-0.0945	23.5037	1		0	0	Si

Verifica a presso/tenso flessione retta Y §§ 4.2.4.1.2.3 - 4.2.4.1.2.6 - 4.2.4.1.2.7 - 4.2.4.1.2.8 NTC18

Verifiche eseguite utilizzando la formula conservativa (6.2) §6.2.1 EN 1993-1-1:2005.

X	Comb.	Sfruttamento	Classe	NEd	NRd	Rid. NRd da VEd	My,Ed	My,Rd	Rid. My,Rd da VEd	Rid. My,Rd da NEd	px	py	Verifica
0.251	SLU 75	0.036	3	-31.497	1003.522	1	0.0954	19.3536	1		0	0	Si

Verifica a presso/tenso flessione retta Y SLD §§ 4.2.4.1.2.3 - 4.2.4.1.2.6 - 4.2.4.1.2.7 - 4.2.4.1.2.8 NTC18

Verifiche eseguite utilizzando la formula conservativa (6.2) §6.2.1 EN 1993-1-1:2005.

X	Comb.	Sfruttamento	Classe	NEd	NRd	Rid. NRd da VEd	My,Ed	My,Rd	Rid. My,Rd da VEd	Rid. My,Rd da NEd	px	py	Verifica
0.05	SLD 15	0.012	3	-10.481	1003.522	1	0.0367	19.3536	1		0	0	Si

Verifica a presso/tenso flessione deviata §§ 4.2.4.1.2.3 - 4.2.4.1.2.6 - 4.2.4.1.2.7 - 4.2.4.1.2.8 NTC18

Verifiche eseguite utilizzando la formula conservativa (6.2) §6.2.1 EN 1993-1-1:2005.

X	Comb.	Sfruttamento	Classe	NEd	NRd	Rid. NRd da VEd	Mx,Ed	Mx,Rd	My,Ed	My,Rd	Rid. Mx,Rd da VEd	Rid. Mx,Rd da NEd	Rid. My,Rd da VEd	Rid. My,Rd da NEd	α	β	px	py	Verifica
0.853	SLU 75	0.042	3	-31.478	1003.522	1	-0.0717	12.886	-0.0952	19.3536	1		1				0	0	Si

Verifica a presso/tenso flessione deviata SLD §§ 4.2.4.1.2.3 - 4.2.4.1.2.6 - 4.2.4.1.2.7 - 4.2.4.1.2.8 NTC18

Verifiche eseguite utilizzando la formula conservativa (6.2) §6.2.1 EN 1993-1-1:2005.

X	Comb.	Sfruttamento	Classe	NEd	NRd	Rid. NRd da VEd	Mx,Ed	Mx,Rd	My,Ed	My,Rd	Rid. Mx,Rd da VEd	Rid. Mx,Rd da NEd	Rid. My,Rd da VEd	Rid. My,Rd da NEd	α	β	px	py	Verifica
0.753	SLD 13	0.018	3	-10.542	1003.522	1	-0.0762	12.886	0.0332	19.3536	1		1				0	0	Si

Verifiche ad instabilità

Caratteristiche iniziali

Membratura principale per controllo snellezza; Calcolo di snellezze ed N critici condotti secondo gli assi principali;

Curva X: c; Curva Y: c;

Svergolamento: Nessuno; la verifica a instabilità flesso-torsionale (svergolamento) non verrà eseguita.

Dati per instabilità attorno a x

Controllo della snellezza secondo §4.2.4.1.3.1 NTC18

Numero rit.	Presente	Ascissa	Campata	βx/m	Vincolo a entrambi estremi	λx/m	λVer
1	Si		0				
			1-2		1	49.6	Si, (<200)
2	Si	1.505					

Dati per instabilità attorno a y

Controllo della snellezza secondo §4.2.4.1.3.1 NTC18

Numero rit.	Presente	Ascissa	Campata	βy/n	k,LT	kw,LT	Vincolo a entrambi estremi
1	Si		0				
			1-2		1	34.9	Si, (<200)
2	Si	1.505					

Verifica di stabilità per pressoflessione §C.4.2.4.1.3.3.1 NTC18

X	Comb.	Sfruttamento	Classe	NEd	MxEq,Ed	MyEq,Ed	Area	Wx	Wy	χ,min	λ adim. x/m	λ adim. y/n	N,crit x/m	N,crit y/n	Verifica
0	SLU 75	0.047	3	-31.506	-0.0538	0.0716	0.003832	0.0000492	0.0000739	0.802	0.571	0.402	3231.032	6528.319	Si

Verifica di stabilità per pressoflessione SLD §C.4.2.4.1.3.3.1 NTC18

X	Comb.	Sfruttamento	Classe	NEd	MxEq,Ed	MyEq,Ed	Area	Wx	Wy	χ,min	λ adim. x/m	λ adim. y/n	N,crit x/m	N,crit y/n	Verifica
0	SLD 16	0.02	3	-10.482	-0.0623	0.0369	0.003832	0.0000492	0.0000739	0.802	0.571	0.402	3231.032	6528.319	Si

Verifiche a deformabilità

Mensola X: No; Mensola Y: No.

Frecce lungo X

Ascissa freccia	Combinazione	Freccia	Luce	L/f	L/f,min	Tipo	Verifica
1.154	SLE RA 1	0	1.505	10000	250	Totale	Si
1.154	SLE RA 17	0	1.505	10000	250	Totale	Si
1.154	SLE RA 16	0	1.505	10000	250	Totale	Si
1.154	SLE RA 15	0	1.505	10000	250	Totale	Si
1.154	SLE RA 14	0	1.505	10000	250	Totale	Si
1.154	SLE RA 2	0	1.505	10000	350	Variabile	Si
1.104	SLE RA 17	0	1.505	10000	350	Variabile	Si
1.154	SLE RA 16	0	1.505	10000	350	Variabile	Si
1.154	SLE RA 15	0	1.505	10000	350	Variabile	Si
1.104	SLE RA 14	0	1.505	10000	350	Variabile	Si

Frecce lungo Y

Ascissa freccia	Combinazione	Freccia	Luce	L/f	L/f,min	Tipo	Verifica
0.753	SLE RA 1	-0.00002	1.505	10000	250	Totale	Si
0.753	SLE RA 17	-0.00002	1.505	10000	250	Totale	Si
0.803	SLE RA 16	-0.00002	1.505	10000	250	Totale	Si
0.753	SLE RA 15	-0.00002	1.505	10000	250	Totale	Si

Implementazione dei sistemi di confinamento delle emissioni odorigene diffuse dell'impianto di compostaggio esistente nel
Comune di Eboli (SA)

PROGETTO DEFINITIVO – Tabulati di calcolo Tomo 1

Ascissa freccia	Combinazione	Freccia	Luce	L/f	L/f,min	Tipo	Verifica
0.803	SLE RA 14	-0.00002	1.505	10000	250	Totale	Si
0.652	SLE RA 2	0	1.505	10000	350	Variabile	Si
0.652	SLE RA 17	0	1.505	10000	350	Variabile	Si
0.652	SLE RA 16	0	1.505	10000	350	Variabile	Si
0.652	SLE RA 15	0	1.505	10000	350	Variabile	Si
0.652	SLE RA 14	0.00001	1.505	10000	350	Variabile	Si

Superelemento in acciaio a quota "715"- "728" (-1013; -573)-(-1123; -470)

Caratteristiche del materiale

Acciaio: S275, fyk = 275000

Caratteristiche geometriche

Lunghezza: 1.505

Nodo iniziale: 2039 Nodo finale: 2237

Cerniera iniziale: Mmomenti 1% Cerniera finale: Mmomenti 1%

Sovreresistenza: 0% Sisma Z: No

Caratteristiche della sezione

Sezione	Rotazione	Area	Jx	Jy	ix	iy	Wx	Wy	Wplx	Wply
A1; L100*10; 1; Saldato; S275; 30; 1; 8; 8; 1	0	0.003832	0.0000035319	0.000007759	0.0304	0.045	0.0000492	0.0000739	0.00008974	0.00012727

Comportamento dei calastrelli

Accoppiamento imbottito con funzione statica (§C4.2.4.1.3.1.4 NTC18) nella campata compresa tra le ascisse 0 e 1.505 per sbandamento attorno all'asse y.

Verifiche di resistenza

Verifiche a forza assiale §4.2.4.1.2.1 - §4.2.4.1.2.2 NTC18

X	Comb.	Sfruttamento	Classe	NEd	Nc,Rd	Nt,Rd	Riduzione da taglio	px	py	Verifica
0	SLU 75	0.017	3	-17.534	1003.522		1	0	0	Si

Verifiche a forza assiale SLD §4.2.4.1.2.1 - §4.2.4.1.2.2 NTC18

X	Comb.	Sfruttamento	Classe	NEd	Nc,Rd	Nt,Rd	Riduzione da taglio	px	py	Verifica
0	SLD 16	0.007	3	-6.94	1003.522		1	0	0	Si

Verifica a taglio Y §4.2.4.1.2.4 NTC18

X	Comb.	Sfruttamento	VEd	Vc,Rd	Av	Interazione taglio-torsione	Riduzione torsione	Verifica
0	SLU 75	0.001	0.331	302.422	0.002	Non considerata		Si

Verifica a taglio Y SLD §4.2.4.1.2.4 NTC18

X	Comb.	Sfruttamento	VEd	Vc,Rd	Av	Interazione taglio-torsione	Riduzione torsione	Verifica
0	SLD 1	0.001	0.233	302.422	0.002	Non considerata		Si

Verifica a flessione semplice X §§ 4.2.4.1.2.3 - 4.2.4.1.2.6 - 4.2.4.1.2.7 - 4.2.4.1.2.8 NTC18

X	Comb.	Sfruttamento	Classe	Mx,Ed	Mx,Rd	Rid. Mx,Rd da VEd	px	py	Verifica
0.753	SLU 45	0.005	1	-0.1156	23.50374	1	0	0	Si

Verifica a presso/tenso flessione retta X §§ 4.2.4.1.2.3 - 4.2.4.1.2.6 - 4.2.4.1.2.7 - 4.2.4.1.2.8 NTC18

Verifiche eseguite utilizzando la formula conservativa (6.2) §6.2.1 EN 1993-1-1:2005.

X	Comb.	Sfruttamento	Classe	NEd	NRd	Rid. NRd da VEd	Mx,Ed	Mx,Rd	Rid. Mx,Rd da VEd	Rid. Mx,Rd da NEd	px	py	Verifica
0.753	SLU 42	0.007	1	2.121	1003.522	1	-0.1203	23.5037	1		0	0	Si

Verifica a presso/tenso flessione retta Y §§ 4.2.4.1.2.3 - 4.2.4.1.2.6 - 4.2.4.1.2.7 - 4.2.4.1.2.8 NTC18

Verifiche eseguite utilizzando la formula conservativa (6.2) §6.2.1 EN 1993-1-1:2005.

X	Comb.	Sfruttamento	Classe	NEd	NRd	Rid. NRd da VEd	My,Ed	My,Rd	Rid. My,Rd da VEd	Rid. My,Rd da NEd	px	py	Verifica
0.201	SLU 75	0.02	3	-17.527	1003.522	1	-0.0533	19.3536	1		0	0	Si

Verifica a presso/tenso flessione retta Y SLD §§ 4.2.4.1.2.3 - 4.2.4.1.2.6 - 4.2.4.1.2.7 - 4.2.4.1.2.8 NTC18

Verifiche eseguite utilizzando la formula conservativa (6.2) §6.2.1 EN 1993-1-1:2005.

X	Comb.	Sfruttamento	Classe	NEd	NRd	Rid. NRd da VEd	My,Ed	My,Rd	Rid. My,Rd da VEd	Rid. My,Rd da NEd	px	py	Verifica
0.05	SLD 15	0.008	3	-6.939	1003.522	1	0.0217	19.3536	1		0	0	Si

Verifica a presso/tenso flessione deviata §§ 4.2.4.1.2.3 - 4.2.4.1.2.6 - 4.2.4.1.2.7 - 4.2.4.1.2.8 NTC18

Verifiche eseguite utilizzando la formula conservativa (6.2) §6.2.1 EN 1993-1-1:2005.

X	Comb.	Sfruttamento	Classe	NEd	NRd	Rid. NRd da VEd	Mx,Ed	Mx,Rd	My,Ed	My,Rd	Rid. Mx,Rd da VEd	Rid. Mx,Rd da NEd	Rid. My,Rd da VEd	Rid. My,Rd da NEd	α	β	px	py	Verifica
0.853	SLU 75	0.026	3	-17.506	1003.522	1	-0.0802	12.886	0.0529	19.3536	1		1				0	0	Si

Verifica a presso/tenso flessione deviata SLD §§ 4.2.4.1.2.3 - 4.2.4.1.2.6 - 4.2.4.1.2.7 - 4.2.4.1.2.8 NTC18

Verifiche eseguite utilizzando la formula conservativa (6.2) §6.2.1 EN 1993-1-1:2005.

X	Comb.	Sfruttamento	Classe	NEd	NRd	Rid. NRd da VEd	Mx,Ed	Mx,Rd	My,Ed	My,Rd	Rid. Mx,Rd da VEd	Rid. Mx,Rd da NEd	Rid. My,Rd da VEd	Rid. My,Rd da NEd	α	β	px	py	Verifica
0.753	SLD 15	0.014	3	-6.921	1003.522	1	-0.0782	12.886	0.0213	19.3536	1		1				0	0	Si

Implementazione dei sistemi di confinamento delle emissioni odorigene diffuse dell'impianto di compostaggio esistente nel
Comune di Eboli (SA)
PROGETTO DEFINITIVO – Tabulati di calcolo Tomo 1

Verifiche ad instabilità

Caratteristiche iniziali

Membratura principale per controllo snellezza; Calcolo di snellezze ed N critici condotti secondo gli assi principali;

Curva X: c; Curva Y: c;

Svergolamento: Nessuno; la verifica a instabilità flesso-torsionale (svergolamento) non verrà eseguita.

Dati per instabilità attorno a x

Controllo della snellezza secondo §4.2.4.1.3.1 NTC18

Numero rit.	Presente	Ascissa	Campata	$\beta x/m$	Vincolo a entrambi estremi	$\lambda x/m$	λVer
1	Si	0					
			1-2	1	Si	49.6	Si, (<200)
2	Si	1.505					

Dati per instabilità attorno a y

Controllo della snellezza secondo §4.2.4.1.3.1 NTC18

Numero rit.	Presente	Ascissa	Campata	$\beta y/n$	k,LT	kw,LT	Vincolo a entrambi estremi
1	Si	0					
			1-2	1	Si	34.9	Si, (<200)
2	Si	1.505					

Verifica di stabilità per pressoflessione §C.4.2.4.1.3.3.1 NTC18

X	Comb.	Sfruttamento	Classe	NEd	MxEq,Ed	MyEq,Ed	Area	Wx	Wy	χ_{min}	$\lambda_{adim. x/m}$	$\lambda_{adim. y/n}$	N,crit x/m	N,crit y/n	Verifica
0	SLU 75	0.029	3	-17.534	-0.0602	-0.0401	0.003832	0.0000492	0.0000739	0.802	0.571	0.402	3231.032	6528.319	Si

Verifica di stabilità per pressoflessione SLD §C.4.2.4.1.3.3.1 NTC18

X	Comb.	Sfruttamento	Classe	NEd	MxEq,Ed	MyEq,Ed	Area	Wx	Wy	χ_{min}	$\lambda_{adim. x/m}$	$\lambda_{adim. y/n}$	N,crit x/m	N,crit y/n	Verifica
0	SLD 16	0.015	3	-6.94	-0.0648	-0.0217	0.003832	0.0000492	0.0000739	0.802	0.571	0.402	3231.032	6528.319	Si

Verifiche a deformabilità

Mensola X: No; Mensola Y: No.

Frecce lungo X

Ascissa freccia	Combinazione	Freccia	Luce	L/f	L/f,min	Tipo	Verifica
0.351	SLE RA 1	0	1.505	10000	250	Totale	Si
0.351	SLE RA 17	0	1.505	10000	250	Totale	Si
0.351	SLE RA 16	0	1.505	10000	250	Totale	Si
0.401	SLE RA 15	0	1.505	10000	250	Totale	Si
0.301	SLE RA 14	0	1.505	10000	250	Totale	Si
0.351	SLE RA 2	0	1.505	10000	350	Variabile	Si
0.351	SLE RA 17	0	1.505	10000	350	Variabile	Si
0.351	SLE RA 16	0	1.505	10000	350	Variabile	Si
0.452	SLE RA 15	0	1.505	10000	350	Variabile	Si
1.104	SLE RA 14	0	1.505	10000	350	Variabile	Si

Frecce lungo Y

Ascissa freccia	Combinazione	Freccia	Luce	L/f	L/f,min	Tipo	Verifica
0.753	SLE RA 1	-0.00003	1.505	10000	250	Totale	Si
0.753	SLE RA 17	-0.00002	1.505	10000	250	Totale	Si
0.803	SLE RA 16	-0.00002	1.505	10000	250	Totale	Si
0.753	SLE RA 15	-0.00003	1.505	10000	250	Totale	Si
0.803	SLE RA 14	-0.00002	1.505	10000	250	Totale	Si
0.652	SLE RA 2	0	1.505	10000	350	Variabile	Si
0.652	SLE RA 17	0	1.505	10000	350	Variabile	Si
0.652	SLE RA 16	0	1.505	10000	350	Variabile	Si
1.154	SLE RA 15	0	1.505	10000	350	Variabile	Si
0.652	SLE RA 14	0	1.505	10000	350	Variabile	Si

Superelemento in acciaio a quota "715"- "728" (-1270; -845)-(-1379; -742)

Caratteristiche del materiale

Acciaio: S275, fyk = 275000

Caratteristiche geometriche

Lunghezza: 1.505

Nodo iniziale: 2034 Nodo finale: 2226

Cerniera iniziale: Mmomenti 1% Cerniera finale: Mmomenti 1%

Sovreresistenza: 0% Sisma Z: No

Caratteristiche della sezione

Sezione	Rotazione	Area	Jx	Jy	ix	iy	Wx	Wy	Wplx	Wply
A1; L100*10; 1; Saldato; S275; 30; 1; 8; 8; 1	0	0.003832	0.0000035319	0.000007759	0.0304	0.045	0.0000492	0.0000739	0.00008974	0.00012727

Comportamento dei calastrelli

Accoppiamento imbottito con funzione statica (§C4.2.4.1.3.1.4 NTC18) nella campata compresa tra le ascisse 0 e 1.505 per sbandamento attorno all'asse y.

Verifiche di resistenza

Verifiche a forza assiale §4.2.4.1.2.1 - §4.2.4.1.2.2 NTC18

X	Comb.	Sfruttamento	Classe	NEd	Nc,Rd	Nt,Rd	Riduzione da taglio	px	py	Verifica
0	SLU 75	0.008	3	-8.249	1003.522		1	0	0	Si

**Implementazione dei sistemi di confinamento delle emissioni odorigene diffuse dell'impianto di compostaggio esistente nel
Comune di Eboli (SA)
PROGETTO DEFINITIVO – Tabulati di calcolo Tomo 1**

Verifiche a forza assiale SLD §4.2.4.1.2.1 - §4.2.4.1.2.2 NTC18

X	Comb.	Sfruttamento	Classe	NEd	Nc,Rd	Nt,Rd	Riduzione da taglio	px	py	Verifica
0	SLD 5	0.004	3	-3.585	1003.522		1	0	0	Si

Verifica a taglio Y §4.2.4.1.2.4 NTC18

X	Comb.	Sfruttamento	VEd	Vc,Rd	Av	Interazione taglio-torsione	Riduzione torsione	Verifica
1.505	SLU 42	0.001	-0.294	302.422	0.002	Non considerata		Si

Verifica a taglio Y SLD §4.2.4.1.2.4 NTC18

X	Comb.	Sfruttamento	VEd	Vc,Rd	Av	Interazione taglio-torsione	Riduzione torsione	Verifica
1.505	SLD 16	0.001	-0.227	302.422	0.002	Non considerata		Si

Verifica a flessione semplice X §§ 4.2.4.1.2.3 - 4.2.4.1.2.6 - 4.2.4.1.2.7 - 4.2.4.1.2.8 NTC18

X	Comb.	Sfruttamento	Classe	Mx,Ed	Mx,Rd	Rid. Mx,Rd da VEd	px	py	Verifica
0.753	SLU 2	0.004	1	-0.08448	23.50374	1	0	0	Si

Verifica a presso/tenso flessione retta X §§ 4.2.4.1.2.3 - 4.2.4.1.2.6 - 4.2.4.1.2.7 - 4.2.4.1.2.8 NTC18

Verifiche eseguite utilizzando la formula conservativa (6.2) §6.2.1 EN 1993-1-1:2005.

X	Comb.	Sfruttamento	Classe	NEd	NRd	Rid. NRd da VEd	Mx,Ed	Mx,Rd	Rid. Mx,Rd da VEd	Rid. Mx,Rd da NEd	px	py	Verifica
0.753	SLU 62	0.007	1	-2.423	1003.522	1	-0.11	23.5037	1		0	0	Si

Verifica a presso/tenso flessione retta Y §§ 4.2.4.1.2.3 - 4.2.4.1.2.6 - 4.2.4.1.2.7 - 4.2.4.1.2.8 NTC18

Verifiche eseguite utilizzando la formula conservativa (6.2) §6.2.1 EN 1993-1-1:2005.

X	Comb.	Sfruttamento	Classe	NEd	NRd	Rid. NRd da VEd	My,Ed	My,Rd	Rid. My,Rd da VEd	Rid. My,Rd da NEd	px	py	Verifica
0	SLU 75	0.01	3	-8.249	1003.522	1	-0.0254	19.3536	1		0	0	Si

Verifica a presso/tenso flessione retta Y SLD §§ 4.2.4.1.2.3 - 4.2.4.1.2.6 - 4.2.4.1.2.7 - 4.2.4.1.2.8 NTC18

Verifiche eseguite utilizzando la formula conservativa (6.2) §6.2.1 EN 1993-1-1:2005.

X	Comb.	Sfruttamento	Classe	NEd	NRd	Rid. NRd da VEd	My,Ed	My,Rd	Rid. My,Rd da VEd	Rid. My,Rd da NEd	px	py	Verifica
0	SLD 1	0.004	3	-3.581	1003.522	1	-0.0111	19.3536	1		0	0	Si

Verifica a presso/tenso flessione deviata §§ 4.2.4.1.2.3 - 4.2.4.1.2.6 - 4.2.4.1.2.7 - 4.2.4.1.2.8 NTC18

Verifiche eseguite utilizzando la formula conservativa (6.2) §6.2.1 EN 1993-1-1:2005.

X	Comb.	Sfruttamento	Classe	NEd	NRd	Rid. NRd da VEd	Mx,Ed	Mx,Rd	My,Ed	My,Rd	Rid. Mx,Rd da VEd	Rid. Mx,Rd da NEd	Rid. My,Rd da VEd	Rid. My,Rd da NEd	α	β	px	py	Verifica
0.552	SLU 75	0.017	3	-8.231	1003.522	1	-0.1024	12.886	-0.025	19.3536	1		1				0	0	Si

Verifica a presso/tenso flessione deviata SLD §§ 4.2.4.1.2.3 - 4.2.4.1.2.6 - 4.2.4.1.2.7 - 4.2.4.1.2.8 NTC18

Verifiche eseguite utilizzando la formula conservativa (6.2) §6.2.1 EN 1993-1-1:2005.

X	Comb.	Sfruttamento	Classe	NEd	NRd	Rid. NRd da VEd	Mx,Ed	Mx,Rd	My,Ed	My,Rd	Rid. Mx,Rd da VEd	Rid. Mx,Rd da NEd	Rid. My,Rd da VEd	Rid. My,Rd da NEd	α	β	px	py	Verifica
0.753	SLD 6	0.007	1	-3.566	1003.522	1	-0.0843	23.5037	-0.0108	33.3316	1		1				0	0	Si

Verifiche ad instabilità

Caratteristiche iniziali

Membratura principale per controllo snellezza; Calcolo di snellezze ed N critici condotti secondo gli assi principali;

Curva X: c; Curva Y: c;

Svergolamento: Nessuno; la verifica a instabilità flesso-torsionale (svergolamento) non verrà eseguita.

Dati per instabilità attorno a x

Controllo della snellezza secondo §4.2.4.1.3.1 NTC18

Numero rit.	Presente	Ascissa	Campata	βx/m	Vincolo a entrambi estremi	λx/m	λVer
1	Si		0				
			1-2		1	Si	49.6
2	Si	1.505					Si, (<200)

Dati per instabilità attorno a y

Controllo della snellezza secondo §4.2.4.1.3.1 NTC18

Numero rit.	Presente	Ascissa	Campata	βy/n	k,LT	kw,LT	Vincolo a entrambi estremi
1	Si		0				
			1-2		1	Si	34.9
2	Si	1.505					Si, (<200)

Verifica di stabilità per pressoflessione §C.4.2.4.1.3.3.1 NTC18

X	Comb.	Sfruttamento	Classe	NEd	MxEq,Ed	MyEq,Ed	Area	Wx	Wy	χ,min	λ adim. x/m	λ adim. y/n	N,crit x/m	N,crit y/n	Verifica
0	SLU 75	0.019	3	-8.249	-0.0954	-0.0191	0.003832	0.0000492	0.0000739	0.802	0.571	0.402	3231.032	6528.319	Si

Verifica di stabilità per pressoflessione SLD §C.4.2.4.1.3.3.1 NTC18

X	Comb.	Sfruttamento	Classe	NEd	MxEq,Ed	MyEq,Ed	Area	Wx	Wy	χ,min	λ adim. x/m	λ adim. y/n	N,crit x/m	N,crit y/n	Verifica
0	SLD 1	0.011	3	-3.581	-0.0727	-0.0083	0.003832	0.0000492	0.0000739	0.802	0.571	0.402	3231.032	6528.319	Si

Verifiche a deformabilità

Mensola X: No; Mensola Y: No.

Freccie lungo X

Ascissa freccia	Combinazione	Freccia	Luce	L/f	L/f,min	Tipo	Verifica
0.351	SLE RA 1	0	1.505	10000	250	Totale	Si
0.351	SLE RA 17	0	1.505	10000	250	Totale	Si
0.351	SLE RA 16	0	1.505	10000	250	Totale	Si
0.351	SLE RA 15	0	1.505	10000	250	Totale	Si
0.351	SLE RA 14	0	1.505	10000	250	Totale	Si
0.351	SLE RA 2	0	1.505	10000	350	Variabile	Si
0.351	SLE RA 17	0	1.505	10000	350	Variabile	Si

Implementazione dei sistemi di confinamento delle emissioni odorigene diffuse dell'impianto di compostaggio esistente nel
Comune di Eboli (SA)
PROGETTO DEFINITIVO – Tabulati di calcolo Tomo 1

Ascissa freccia	Combinazione	Freccia	Luce	L/f	L/f,min	Tipo	Verifica
0.351	SLE RA 16	0	1.505	10000	350	Variabile	Si
0.351	SLE RA 15	0	1.505	10000	350	Variabile	Si
0.351	SLE RA 14	0	1.505	10000	350	Variabile	Si

Frecce lungo Y

Ascissa freccia	Combinazione	Freccia	Luce	L/f	L/f,min	Tipo	Verifica
0.753	SLE RA 1	-0.00003	1.505	10000	250	Totale	Si
0.753	SLE RA 17	-0.00003	1.505	10000	250	Totale	Si
0.753	SLE RA 16	-0.00003	1.505	10000	250	Totale	Si
0.753	SLE RA 15	-0.00003	1.505	10000	250	Totale	Si
0.753	SLE RA 14	-0.00003	1.505	10000	250	Totale	Si
0.803	SLE RA 2	0	1.505	10000	350	Variabile	Si
0.853	SLE RA 17	0	1.505	10000	350	Variabile	Si
0.803	SLE RA 16	0	1.505	10000	350	Variabile	Si
0.702	SLE RA 15	0	1.505	10000	350	Variabile	Si
1.154	SLE RA 14	0	1.505	10000	350	Variabile	Si

Superelemento in acciaio a quota "728"- "640" (182; 1351)-(292; 1248)

Caratteristiche del materiale

Acciaio: S275, fyk = 275000

Caratteristiche geometriche

Lunghezza: 1.737

Nodo iniziale: 2303 Nodo finale: 918

Cerniera iniziale: Mmomenti 1% Cerniera finale: Mmomenti 1%

Sovraresistenza: 0% Sisma Z: No

Caratteristiche della sezione

Sezione	Rotazione	Area	Jx	Jy	ix	iy	Wx	Wy	Wplx	Wply
Al; L100*10; 1; Saldato; S275; 50; 1; 8; 8; 1	180	0.003832	0.0000035319	0.000007759	0.0304	0.045	0.0000492	0.0000739	0.00008974	0.00012727

Comportamento dei calastrelli

Accoppiamento imbottito con funzione statica (§C4.2.4.1.3.1.4 NTC18) nella campata compresa tra le ascisse 0 e 1.737 per sbandamento attorno all'asse y.

Verifiche di resistenza

Verifiche a forza assiale §4.2.4.1.2.1 - §4.2.4.1.2.2 NTC18

X	Comb.	Sfruttamento	Classe	NEd	Nc,Rd	Nt,Rd	Riduzione da taglio	px	py	Verifica
1.737	SLU 64	0.024	3	-24.406	1003.522		1	0	0	Si

Verifiche a forza assiale SLD §4.2.4.1.2.1 - §4.2.4.1.2.2 NTC18

X	Comb.	Sfruttamento	Classe	NEd	Nc,Rd	Nt,Rd	Riduzione da taglio	px	py	Verifica
1.737	SLD 2	0.007	3	-6.784	1003.522		1	0	0	Si

Verifica a taglio X §4.2.4.1.2.4 NTC18

X	Comb.	Sfruttamento	VEd	Vc,Rd	Av	Interazione taglio-torsione	Riduzione torsione	Verifica
1.737	SLV 2	0.001	0.351	302.422	0.002	Non considerata		Si

Verifica a taglio Y §4.2.4.1.2.4 NTC18

X	Comb.	Sfruttamento	VEd	Vc,Rd	Av	Interazione taglio-torsione	Riduzione torsione	Verifica
1.737	SLU 64	0.001	0.296	302.422	0.002	Non considerata		Si

Verifica a taglio Y SLD §4.2.4.1.2.4 NTC18

X	Comb.	Sfruttamento	VEd	Vc,Rd	Av	Interazione taglio-torsione	Riduzione torsione	Verifica
1.737	SLD 1	0.001	0.227	302.422	0.002	Non considerata		Si

Verifica a flessione semplice X §§ 4.2.4.1.2.3 - 4.2.4.1.2.6 - 4.2.4.1.2.7 - 4.2.4.1.2.8 NTC18

X	Comb.	Sfruttamento	Classe	Mx,Ed	Mx,Rd	Rid. Mx,Rd da VEd	px	py	Verifica
0.868	SLU 59	0.005	1	0.12712	23.50374	1	0	0	Si

Verifica a flessione semplice Y §§ 4.2.4.1.2.3 - 4.2.4.1.2.6 - 4.2.4.1.2.7 - 4.2.4.1.2.8 NTC18

X	Comb.	Sfruttamento	Classe	My,Ed	My,Rd	Rid. My,Rd da VEd	px	py	Verifica
0	SLU 56	0	1	-0.00942	33.33162	1	0	0	Si

Verifica a flessione deviata §§ 4.2.4.1.2.3 - 4.2.4.1.2.6 - 4.2.4.1.2.7 - 4.2.4.1.2.8 NTC18

X	Comb.	Sfruttamento	Classe	Mx,Ed	Mx,Rd	My,Ed	My,Rd	Rid. Mx,Rd da VEd	Rid. My,Rd da VEd	α	β	px	py	Verifica
0.695	SLU 56	0.005	1	0.122	23.5037	-0.0075	33.3316	1	1			0	0	Si

Verifica a presso/tenso flessione retta X §§ 4.2.4.1.2.3 - 4.2.4.1.2.6 - 4.2.4.1.2.7 - 4.2.4.1.2.8 NTC18

Verifiche eseguite utilizzando la formula conservativa (6.2) §6.2.1 EN 1993-1-1:2005.

X	Comb.	Sfruttamento	Classe	NEd	NRd	Rid. NRd da VEd	Mx,Ed	Mx,Rd	Rid. Mx,Rd da VEd	Rid. Mx,Rd da NEd	px	py	Verifica
0.868	SLU 41	0.017	1	12.135	1003.522	1	0.126	23.5037	1		0	0	Si

Verifica a presso/tenso flessione retta X SLD §§ 4.2.4.1.2.3 - 4.2.4.1.2.6 - 4.2.4.1.2.7 - 4.2.4.1.2.8 NTC18

Verifiche eseguite utilizzando la formula conservativa (6.2) §6.2.1 EN 1993-1-1:2005.

X	Comb.	Sfruttamento	Classe	NEd	NRd	Rid. NRd da VEd	Mx,Ed	Mx,Rd	Rid. Mx,Rd da VEd	Rid. Mx,Rd da NEd	px	py	Verifica
1.158	SLD 15	0.005	1	-1.57	1003.522	1	0.0865	23.5037	1		0	0	Si

Implementazione dei sistemi di confinamento delle emissioni odorigene diffuse dell'impianto di compostaggio esistente nel
Comune di Eboli (SA)

PROGETTO DEFINITIVO – Tabulati di calcolo Tomo 1

Verifica a presso/tenso flessione retta Y §§ 4.2.4.1.2.3 - 4.2.4.1.2.6 - 4.2.4.1.2.7 - 4.2.4.1.2.8 NTC18

Verifiche eseguite utilizzando la formula conservativa (6.2) §6.2.1 EN 1993-1-1:2005.

X	Comb.	Sfruttamento	Classe	NEd	NRd	Rid. NRd da VEd	My,Ed	My,Rd	Rid. My,Rd da VEd	Rid. My,Rd da NEd	px	py	Verifica
0	SLU 64	0.029	3	-24.064	1003.522	1	-0.1024	19.3536	1		0	0	Si

Verifica a presso/tenso flessione retta Y SLD §§ 4.2.4.1.2.3 - 4.2.4.1.2.6 - 4.2.4.1.2.7 - 4.2.4.1.2.8 NTC18

Verifiche eseguite utilizzando la formula conservativa (6.2) §6.2.1 EN 1993-1-1:2005.

X	Comb.	Sfruttamento	Classe	NEd	NRd	Rid. NRd da VEd	My,Ed	My,Rd	Rid. My,Rd da VEd	Rid. My,Rd da NEd	px	py	Verifica
0	SLD 1	0.01	3	-6.521	1003.522	1	-0.0686	19.3536	1		0	0	Si

Verifica a presso/tenso flessione deviata §§ 4.2.4.1.2.3 - 4.2.4.1.2.6 - 4.2.4.1.2.7 - 4.2.4.1.2.8 NTC18

Verifiche eseguite utilizzando la formula conservativa (6.2) §6.2.1 EN 1993-1-1:2005.

X	Comb.	Sfruttamento	Classe	NEd	NRd	Rid. NRd da VEd	Mx,Ed	Mx,Rd	My,Ed	My,Rd	Rid. Mx,Rd da VEd	Rid. Mx,Rd da NEd	Rid. My,Rd da VEd	Rid. My,Rd da NEd	α	β	px	py	Verifica
0.868	SLU 64	0.039	3	-24.235	1003.522	1	0.129	12.886	-0.0961	19.3536	1		1				0	0	Si

Verifica a presso/tenso flessione deviata SLD §§ 4.2.4.1.2.3 - 4.2.4.1.2.6 - 4.2.4.1.2.7 - 4.2.4.1.2.8 NTC18

Verifiche eseguite utilizzando la formula conservativa (6.2) §6.2.1 EN 1993-1-1:2005.

X	Comb.	Sfruttamento	Classe	NEd	NRd	Rid. NRd da VEd	Mx,Ed	Mx,Rd	My,Ed	My,Rd	Rid. Mx,Rd da VEd	Rid. Mx,Rd da NEd	Rid. My,Rd da VEd	Rid. My,Rd da NEd	α	β	px	py	Verifica
0.753	SLD 2	0.016	3	-6.635	1003.522	1	0.0971	12.886	-0.0417	19.3536	1		1				0	0	Si

Verifiche ad instabilità

Caratteristiche iniziali

Membratura principale per controllo snellezza; Calcolo di snellezze ed N critici condotti secondo gli assi principali;

Curva X: c; Curva Y: c;

Svergolamento: Nessuno; la verifica a instabilità flessio-torsionale (svergolamento) non verrà eseguita.

Dati per instabilità attorno a x

Controllo della snellezza secondo §4.2.4.1.3.1 NTC18

Numero rit.	Presente	Ascissa	Campata	βx/m	Vincolo a entrambi estremi	λx/m	λVer
1	Si		0				
			1-2		1	Si	57.2
2	Si	1.737					Si, (<200)

Dati per instabilità attorno a y

Controllo della snellezza secondo §4.2.4.1.3.1 NTC18

Numero rit.	Presente	Ascissa	Campata	βy/n	k,LT	kw,LT	Vincolo a entrambi estremi
1	Si		0				
			1-2		1	Si	42
2	Si	1.737					Si, (<200)

Verifica di stabilità per pressoflessione §C.4.2.4.1.3.3.1 NTC18

X	Comb.	Sfruttamento	Classe	NEd	MxEq,Ed	MyEq,Ed	Area	Wx	Wy	χ,min	λ adim. x/m	λ adim. y/n	N,crit x/m	N,crit y/n	Verifica
1.737	SLU 64	0.046	3	-24.406	0.1124	-0.0973	0.003832	0.0000492	0.0000739	0.75	0.659	0.483	2427.459	4511.143	Si

Verifica di stabilità per pressoflessione SLD §C.4.2.4.1.3.3.1 NTC18

X	Comb.	Sfruttamento	Classe	NEd	MxEq,Ed	MyEq,Ed	Area	Wx	Wy	χ,min	λ adim. x/m	λ adim. y/n	N,crit x/m	N,crit y/n	Verifica
1.737	SLD 2	0.018	3	-6.784	0.0857	-0.0514	0.003832	0.0000492	0.0000739	0.75	0.659	0.483	2427.459	4511.143	Si

Verifiche a deformabilità

Mensola X: No; Mensola Y: No.

Frecce lungo X

Ascissa freccia	Combinazione	Freccia	Luce	L/f	L/f,min	Tipo	Verifica
0.81	SLE RA 1	0	1.737	10000	250	Totale	Si
0.81	SLE RA 17	0	1.737	10000	250	Totale	Si
0.81	SLE RA 16	0	1.737	10000	250	Totale	Si
0.81	SLE RA 15	0	1.737	10000	250	Totale	Si
0.81	SLE RA 14	0	1.737	10000	250	Totale	Si
0.81	SLE RA 2	0	1.737	10000	350	Variabile	Si
0.81	SLE RA 17	0	1.737	10000	350	Variabile	Si
0.81	SLE RA 16	0	1.737	10000	350	Variabile	Si
0.81	SLE RA 15	0	1.737	10000	350	Variabile	Si
0.81	SLE RA 14	0	1.737	10000	350	Variabile	Si

Frecce lungo Y

Ascissa freccia	Combinazione	Freccia	Luce	L/f	L/f,min	Tipo	Verifica
0.868	SLE RA 1	0.00004	1.737	10000	250	Totale	Si
0.868	SLE RA 17	0.00004	1.737	10000	250	Totale	Si
0.868	SLE RA 16	0.00004	1.737	10000	250	Totale	Si
0.868	SLE RA 15	0.00004	1.737	10000	250	Totale	Si
0.868	SLE RA 14	0.00004	1.737	10000	250	Totale	Si
0.753	SLE RA 2	0	1.737	10000	350	Variabile	Si
0.753	SLE RA 17	0	1.737	10000	350	Variabile	Si
0.753	SLE RA 16	0	1.737	10000	350	Variabile	Si
0.753	SLE RA 15	0	1.737	10000	350	Variabile	Si
0.695	SLE RA 14	0	1.737	10000	350	Variabile	Si

Superelemento in acciaio a quota "728"-"640" (437; 1620)-(546; 1518)

Caratteristiche del materiale

Acciaio: S275, fyk = 275000

Implementazione dei sistemi di confinamento delle emissioni odorigene diffuse dell'impianto di compostaggio esistente nel
Comune di Eboli (SA)
PROGETTO DEFINITIVO – Tabulati di calcolo Tomo 1

Caratteristiche geometriche

Lunghezza: 1.737
Nodo iniziale: 2311 Nodo finale: 968
Cerniera iniziale: Mmomenti 1% Cerniera finale: Mmomenti 1%
Sovraresistenza: 0% Sisma Z: No

Caratteristiche della sezione

Sezione	Rotazione	Area	Jx	Jy	ix	iy	Wx	Wy	Wplx	Wply
A1; L100*10; 1; Saldato; S275; 50; 1; 8; 8; 1	180	0.003832	0.0000035319	0.000007759	0.0304	0.045	0.0000492	0.0000739	0.00008974	0.00012727

Comportamento dei calastrelli

Accoppiamento imbottito con funzione statica (§C4.2.4.1.3.1.4 NTC18) nella campata compresa tra le ascisse 0 e 1.737 per sbandamento attorno all'asse y.

Verifiche di resistenza

Verifiche a forza assiale §4.2.4.1.2.1 - §4.2.4.1.2.2 NTC18

X	Comb.	Sfruttamento	Classe	NEd	Nc,Rd	Nt,Rd	Riduzione da taglio	px	py	Verifica
0	SLU 63	0.017		16.861		1003.522	1	0	0	Si

Verifiche a forza assiale SLD §4.2.4.1.2.1 - §4.2.4.1.2.2 NTC18

X	Comb.	Sfruttamento	Classe	NEd	Nc,Rd	Nt,Rd	Riduzione da taglio	px	py	Verifica
0	SLD 1	0.001		1.045		1003.522	1	0	0	Si

Verifica a taglio X §4.2.4.1.2.4 NTC18

X	Comb.	Sfruttamento	VEd	Vc,Rd	Av	Interazione taglio-torsione	Riduzione torsione	Verifica
1.737	SLV 16	0.002	-0.46	302.422	0.002	Non considerata		Si

Verifica a taglio Y §4.2.4.1.2.4 NTC18

X	Comb.	Sfruttamento	VEd	Vc,Rd	Av	Interazione taglio-torsione	Riduzione torsione	Verifica
0	SLU 76	0.001	-0.312	302.422	0.002	Non considerata		Si

Verifica a taglio Y SLD §4.2.4.1.2.4 NTC18

X	Comb.	Sfruttamento	VEd	Vc,Rd	Av	Interazione taglio-torsione	Riduzione torsione	Verifica
0	SLD 4	0.001	-0.23	302.422	0.002	Non considerata		Si

Verifica a flessione semplice X §§ 4.2.4.1.2.3 - 4.2.4.1.2.6 - 4.2.4.1.2.7 - 4.2.4.1.2.8 NTC18

X	Comb.	Sfruttamento	Classe	Mx,Ed	Mx,Rd	Rid. Mx,Rd da VEd	px	py	Verifica
0.868	SLU 40	0.006	1	0.13059	23.50374	1	0	0	Si

Verifica a flessione semplice X SLD §§ 4.2.4.1.2.3 - 4.2.4.1.2.6 - 4.2.4.1.2.7 - 4.2.4.1.2.8 NTC18

X	Comb.	Sfruttamento	Classe	Mx,Ed	Mx,Rd	Rid. Mx,Rd da VEd	px	py	Verifica
1.563	SLD 13	0.001	1	0.03426	23.50374	1	0	0	Si

Verifica a flessione semplice Y §§ 4.2.4.1.2.3 - 4.2.4.1.2.6 - 4.2.4.1.2.7 - 4.2.4.1.2.8 NTC18

X	Comb.	Sfruttamento	Classe	My,Ed	My,Rd	Rid. My,Rd da VEd	px	py	Verifica
0	SLV 15	0.006	1	0.19505	33.33162	1	0	0	Si

Verifica a flessione deviata §§ 4.2.4.1.2.3 - 4.2.4.1.2.6 - 4.2.4.1.2.7 - 4.2.4.1.2.8 NTC18

X	Comb.	Sfruttamento	Classe	Mx,Ed	Mx,Rd	My,Ed	My,Rd	Rid. Mx,Rd da VEd	Rid. My,Rd da VEd	α	β	px	py	Verifica
0.579	SLV 16	0.008	1	0.0841	23.5037	0.1342	33.3316	1	1			0	0	Si

Verifica a flessione deviata SLD §§ 4.2.4.1.2.3 - 4.2.4.1.2.6 - 4.2.4.1.2.7 - 4.2.4.1.2.8 NTC18

X	Comb.	Sfruttamento	Classe	Mx,Ed	Mx,Rd	My,Ed	My,Rd	Rid. Mx,Rd da VEd	Rid. My,Rd da VEd	α	β	px	py	Verifica
0.753	SLD 15	0.005	1	0.0927	23.5037	0.0459	33.3316	1	1			0	0	Si

Verifica a presso/tenso flessione retta X §§ 4.2.4.1.2.3 - 4.2.4.1.2.6 - 4.2.4.1.2.7 - 4.2.4.1.2.8 NTC18

Verifiche eseguite utilizzando la formula conservativa (6.2) §6.2.1 EN 1993-1-1:2005.

X	Comb.	Sfruttamento	Classe	NEd	NRd	Rid. NRd da VEd	Mx,Ed	Mx,Rd	Rid. Mx,Rd da VEd	Rid. Mx,Rd da NEd	px	py	Verifica
0.868	SLU 41	0.022	1	16.526	1003.522	1	0.1309	23.5037	1		0	0	Si

Verifica a presso/tenso flessione retta X SLD §§ 4.2.4.1.2.3 - 4.2.4.1.2.6 - 4.2.4.1.2.7 - 4.2.4.1.2.8 NTC18

Verifiche eseguite utilizzando la formula conservativa (6.2) §6.2.1 EN 1993-1-1:2005.

X	Comb.	Sfruttamento	Classe	NEd	NRd	Rid. NRd da VEd	Mx,Ed	Mx,Rd	Rid. Mx,Rd da VEd	Rid. Mx,Rd da NEd	px	py	Verifica
1.563	SLD 9	0.002	1	0.632	1003.522	1	0.0343	23.5037	1		0	0	Si

Verifica a presso/tenso flessione retta Y §§ 4.2.4.1.2.3 - 4.2.4.1.2.6 - 4.2.4.1.2.7 - 4.2.4.1.2.8 NTC18

Verifiche eseguite utilizzando la formula conservativa (6.2) §6.2.1 EN 1993-1-1:2005.

X	Comb.	Sfruttamento	Classe	NEd	NRd	Rid. NRd da VEd	My,Ed	My,Rd	Rid. My,Rd da VEd	Rid. My,Rd da NEd	px	py	Verifica
1.737	SLU 4	0.018	3	-15.469	1003.522	1	0.0544	19.3536	1		0	0	Si

Verifica a presso/tenso flessione retta Y SLD §§ 4.2.4.1.2.3 - 4.2.4.1.2.6 - 4.2.4.1.2.7 - 4.2.4.1.2.8 NTC18

Verifiche eseguite utilizzando la formula conservativa (6.2) §6.2.1 EN 1993-1-1:2005.

X	Comb.	Sfruttamento	Classe	NEd	NRd	Rid. NRd da VEd	My,Ed	My,Rd	Rid. My,Rd da VEd	Rid. My,Rd da NEd	px	py	Verifica
0.058	SLD 3	0.002	1	0.867	1003.522	1	-0.0418	33.3316	1		0	0	Si

Verifica a presso/tenso flessione deviata §§ 4.2.4.1.2.3 - 4.2.4.1.2.6 - 4.2.4.1.2.7 - 4.2.4.1.2.8 NTC18

Verifiche eseguite utilizzando la formula conservativa (6.2) §6.2.1 EN 1993-1-1:2005.

X	Comb.	Sfruttamento	Classe	NEd	NRd	Rid. NRd da VEd	Mx,Ed	Mx,Rd	My,Ed	My,Rd	Rid. Mx,Rd da VEd	Rid. Mx,Rd da NEd	Rid. My,Rd da VEd	Rid. My,Rd da NEd	α	β	px	py	Verifica
---	-------	--------------	--------	-----	-----	-----------------	-------	-------	-------	-------	-------------------	-------------------	-------------------	-------------------	---	---	----	----	----------

Implementazione dei sistemi di confinamento delle emissioni odorigene diffuse dell'impianto di compostaggio esistente nel
Comune di Eboli (SA)

PROGETTO DEFINITIVO – Tabulati di calcolo Tomo 1

X	Comb.	Sfruttamento	Classe	NEd	NRd	Rid. NRd da VEd	Mx,Ed	Mx,Rd	My,Ed	My,Rd	Rid. Mx,Rd da VEd	Rid. Mx,Rd da NEd	Rid. My,Rd da VEd	Rid. My,Rd da NEd	α	β	ρ_x	ρ_y	Verifica
0.926	SLU 42	0.027	3	-15.212	1003.522	1	0.1164	12.886	0.0535	19.3536	1		1				0	0	Si

Verifica a presso/tenso flessione deviata SLD §§ 4.2.4.1.2.3 - 4.2.4.1.2.6 - 4.2.4.1.2.7 - 4.2.4.1.2.8 NTC18

Verifiche eseguite utilizzando la formula conservativa (6.2) §6.2.1 EN 1993-1-1:2005.

X	Comb.	Sfruttamento	Classe	NEd	NRd	Rid. NRd da VEd	Mx,Ed	Mx,Rd	My,Ed	My,Rd	Rid. Mx,Rd da VEd	Rid. Mx,Rd da NEd	Rid. My,Rd da VEd	Rid. My,Rd da NEd	α	β	ρ_x	ρ_y	Verifica
0.753	SLD 5	0.006	1	0.927	1003.522	1	0.0927	23.5037	-0.0459	33.3316	1		1				0	0	Si

Verifiche ad instabilità

Caratteristiche iniziali

Membratura principale per controllo snellezza; Calcolo di snellezze ed N critici condotti secondo gli assi principali;

Curva X: c; Curva Y: c;

Svergolamento: Nessuno; la verifica a instabilità flesso-torsionale (svergolamento) non verrà eseguita.

Dati per instabilità attorno a x

Controllo della snellezza secondo §4.2.4.1.3.1 NTC18

Numero rit.	Presente	Ascissa	Campata	$\beta x/m$	Vincolo a entrambi estremi	$\lambda x/m$	λVer
1	Si		0				
			1-2		1	57.2	Si, (<200)
2	Si	1.737					

Dati per instabilità attorno a y

Controllo della snellezza secondo §4.2.4.1.3.1 NTC18

Numero rit.	Presente	Ascissa	Campata	$\beta y/n$	k,LT	kw,LT	Vincolo a entrambi estremi
1	Si		0				
			1-2		1	42	Si, (<200)
2	Si	1.737					

Verifica di stabilità per pressoflessione §C.4.2.4.1.3.3.1 NTC18

X	Comb.	Sfruttamento	Classe	NEd	MxEq,Ed	MyEq,Ed	Area	Wx	Wy	χ_{min}	λ adim. x/m	λ adim. y/n	N,crit x/m	N,crit y/n	Verifica
1.737	SLU 42	0.031	3	-15.371	0.0958	0.0535	0.003832	0.0000492	0.0000739	0.75	0.659	0.483	2427.459	4511.143	Si

Verifica di stabilità per pressoflessione SLD §C.4.2.4.1.3.3.1 NTC18

X	Comb.	Sfruttamento	Classe	NEd	MxEq,Ed	MyEq,Ed	Area	Wx	Wy	χ_{min}	λ adim. x/m	λ adim. y/n	N,crit x/m	N,crit y/n	Verifica
1.737	SLD 16	0.005	1	0	0.0807	0.0583	0.003832	0.0000897	0.0001273	0.75	0.659	0.483	2427.459	4511.143	Si

Verifiche a deformabilità

Mensola X: No; Mensola Y: No.

Frecce lungo X

Ascissa freccia	Combinazione	Freccia	Luce	L/f	L/f,min	Tipo	Verifica
0.868	SLE RA 1	0	1.737	10000	250	Totale	Si
0.868	SLE RA 17	0	1.737	10000	250	Totale	Si
0.868	SLE RA 16	0	1.737	10000	250	Totale	Si
0.81	SLE RA 15	0	1.737	10000	250	Totale	Si
0.868	SLE RA 14	0	1.737	10000	250	Totale	Si
0.868	SLE RA 2	0	1.737	10000	350	Variabile	Si
0.868	SLE RA 17	0	1.737	10000	350	Variabile	Si
0.868	SLE RA 16	0	1.737	10000	350	Variabile	Si
0.695	SLE RA 15	0	1.737	10000	350	Variabile	Si
0.868	SLE RA 14	0	1.737	10000	350	Variabile	Si

Frecce lungo Y

Ascissa freccia	Combinazione	Freccia	Luce	L/f	L/f,min	Tipo	Verifica
0.868	SLE RA 1	0.00004	1.737	10000	250	Totale	Si
0.868	SLE RA 17	0.00004	1.737	10000	250	Totale	Si
0.868	SLE RA 16	0.00004	1.737	10000	250	Totale	Si
0.868	SLE RA 15	0.00004	1.737	10000	250	Totale	Si
0.868	SLE RA 14	0.00004	1.737	10000	250	Totale	Si
0.753	SLE RA 2	0	1.737	10000	350	Variabile	Si
0.753	SLE RA 17	0	1.737	10000	350	Variabile	Si
0.753	SLE RA 16	0	1.737	10000	350	Variabile	Si
0.753	SLE RA 15	0	1.737	10000	350	Variabile	Si
0.753	SLE RA 14	0	1.737	10000	350	Variabile	Si

Superelemento in acciaio a quota "728"-"640" (691; 1890)-(800; 1787)

Caratteristiche del materiale

Acciaio: S275, fyk = 275000

Caratteristiche geometriche

Lunghezza: 1.737

Nodo iniziale: 2321 Nodo finale: 1023

Cerniera iniziale: Mmomenti 1% Cerniera finale: Mmomenti 1%

Sovraresistenza: 0% Sisma Z: No

Caratteristiche della sezione

Sezione	Rotazione	Area	Jx	Jy	ix	iy	Wx	Wy	Wplx	Wply
A1; L100*10; 1; Saldato; S275; 50; 1; 8; 8; 1	180	0.003832	0.0000035319	0.000007759	0.0304	0.045	0.0000492	0.0000739	0.00008974	0.00012727

Implementazione dei sistemi di confinamento delle emissioni odorigene diffuse dell'impianto di compostaggio esistente nel
Comune di Eboli (SA)
PROGETTO DEFINITIVO – Tabulati di calcolo Tomo 1

Comportamento dei calastrelli

Accoppiamento imbottito con funzione statica (§C4.2.4.1.3.1.4 NTC18) nella campata compresa tra le ascisse 0 e 1.737 per sbandamento attorno all'asse y.

Verifiche di resistenza

Verifiche a forza assiale §4.2.4.1.2.1 - §4.2.4.1.2.2 NTC18

X	Comb.	Sfruttamento	Classe	NEd	Nc,Rd	Nt,Rd	Riduzione da taglio	px	py	Verifica
1.737	SLU 64	0.022	3	-21.812	1003.522		1	0	0	Si

Verifiche a forza assiale SLD §4.2.4.1.2.1 - §4.2.4.1.2.2 NTC18

X	Comb.	Sfruttamento	Classe	NEd	Nc,Rd	Nt,Rd	Riduzione da taglio	px	py	Verifica
1.737	SLD 16	0.006	3	-6.024	1003.522		1	0	0	Si

Verifica a taglio X §4.2.4.1.2.4 NTC18

X	Comb.	Sfruttamento	VEd	Vc,Rd	Av	Interazione taglio-torsione	Riduzione torsione	Verifica
1.737	SLV 16	0.001	-0.412	302.422	0.002	Non considerata		Si

Verifica a taglio Y §4.2.4.1.2.4 NTC18

X	Comb.	Sfruttamento	VEd	Vc,Rd	Av	Interazione taglio-torsione	Riduzione torsione	Verifica
1.737	SLU 42	0.001	0.296	302.422	0.002	Non considerata		Si

Verifica a taglio Y SLD §4.2.4.1.2.4 NTC18

X	Comb.	Sfruttamento	VEd	Vc,Rd	Av	Interazione taglio-torsione	Riduzione torsione	Verifica
1.737	SLD 16	0.001	0.227	302.422	0.002	Non considerata		Si

Verifica a flessione semplice X §§ 4.2.4.1.2.3 - 4.2.4.1.2.6 - 4.2.4.1.2.7 - 4.2.4.1.2.8 NTC18

X	Comb.	Sfruttamento	Classe	Mx,Ed	Mx,Rd	Rid. Mx,Rd da VEd	px	py	Verifica
0.868	SLU 59	0.005	1	0.12724	23.50374	1	0	0	Si

Verifica a flessione semplice X SLD §§ 4.2.4.1.2.3 - 4.2.4.1.2.6 - 4.2.4.1.2.7 - 4.2.4.1.2.8 NTC18

X	Comb.	Sfruttamento	Classe	Mx,Ed	Mx,Rd	Rid. Mx,Rd da VEd	px	py	Verifica
1.216	SLD 6	0.003	1	0.08147	23.50374	1	0	0	Si

Verifica a flessione semplice Y SLD §§ 4.2.4.1.2.3 - 4.2.4.1.2.6 - 4.2.4.1.2.7 - 4.2.4.1.2.8 NTC18

X	Comb.	Sfruttamento	Classe	My,Ed	My,Rd	Rid. My,Rd da VEd	px	py	Verifica
0	SLD 1	0.001	1	-0.0483	33.33162	1	0	0	Si

Verifica a flessione deviata SLD §§ 4.2.4.1.2.3 - 4.2.4.1.2.6 - 4.2.4.1.2.7 - 4.2.4.1.2.8 NTC18

X	Comb.	Sfruttamento	Classe	Mx,Ed	Mx,Rd	My,Ed	My,Rd	Rid. Mx,Rd da VEd	Rid. My,Rd da VEd	α	β	px	py	Verifica
0.753	SLD 2	0.005	1	0.0952	23.5037	-0.0224	33.3316	1	1			0	0	Si

Verifica a presso/tenso flessione retta X §§ 4.2.4.1.2.3 - 4.2.4.1.2.6 - 4.2.4.1.2.7 - 4.2.4.1.2.8 NTC18

Verifiche eseguite utilizzando la formula conservativa (6.2) §6.2.1 EN 1993-1-1:2005.

X	Comb.	Sfruttamento	Classe	NEd	NRd	Rid. NRd da VEd	Mx,Ed	Mx,Rd	Rid. Mx,Rd da VEd	Rid. Mx,Rd da NEd	px	py	Verifica
0.868	SLU 41	0.018	1	13.076	1003.522	1	0.125	23.5037	1		0	0	Si

Verifica a presso/tenso flessione retta X SLD §§ 4.2.4.1.2.3 - 4.2.4.1.2.6 - 4.2.4.1.2.7 - 4.2.4.1.2.8 NTC18

Verifiche eseguite utilizzando la formula conservativa (6.2) §6.2.1 EN 1993-1-1:2005.

X	Comb.	Sfruttamento	Classe	NEd	NRd	Rid. NRd da VEd	Mx,Ed	Mx,Rd	Rid. Mx,Rd da VEd	Rid. Mx,Rd da NEd	px	py	Verifica
1.216	SLD 9	0.005	1	-1.287	1003.522	1	0.0817	23.5037	1		0	0	Si

Verifica a presso/tenso flessione retta Y §§ 4.2.4.1.2.3 - 4.2.4.1.2.6 - 4.2.4.1.2.7 - 4.2.4.1.2.8 NTC18

Verifiche eseguite utilizzando la formula conservativa (6.2) §6.2.1 EN 1993-1-1:2005.

X	Comb.	Sfruttamento	Classe	NEd	NRd	Rid. NRd da VEd	My,Ed	My,Rd	Rid. My,Rd da VEd	Rid. My,Rd da NEd	px	py	Verifica
0	SLU 64	0.026	3	-21.47	1003.522	1	0.0945	19.3536	1		0	0	Si

Verifica a presso/tenso flessione retta Y SLD §§ 4.2.4.1.2.3 - 4.2.4.1.2.6 - 4.2.4.1.2.7 - 4.2.4.1.2.8 NTC18

Verifiche eseguite utilizzando la formula conservativa (6.2) §6.2.1 EN 1993-1-1:2005.

X	Comb.	Sfruttamento	Classe	NEd	NRd	Rid. NRd da VEd	My,Ed	My,Rd	Rid. My,Rd da VEd	Rid. My,Rd da NEd	px	py	Verifica
0	SLD 15	0.01	3	-5.76	1003.522	1	0.079	19.3536	1		0	0	Si

Verifica a presso/tenso flessione deviata §§ 4.2.4.1.2.3 - 4.2.4.1.2.6 - 4.2.4.1.2.7 - 4.2.4.1.2.8 NTC18

Verifiche eseguite utilizzando la formula conservativa (6.2) §6.2.1 EN 1993-1-1:2005.

X	Comb.	Sfruttamento	Classe	NEd	NRd	Rid. NRd da VEd	Mx,Ed	Mx,Rd	My,Ed	My,Rd	Rid. Mx,Rd da VEd	Rid. Mx,Rd da NEd	Rid. My,Rd da VEd	Rid. My,Rd da NEd	α	β	px	py	Verifica
0.868	SLU 64	0.036	3	-21.641	1003.522	1	0.1289	12.886	0.0879	19.3536	1		1				0	0	Si

Verifica a presso/tenso flessione deviata SLD §§ 4.2.4.1.2.3 - 4.2.4.1.2.6 - 4.2.4.1.2.7 - 4.2.4.1.2.8 NTC18

Verifiche eseguite utilizzando la formula conservativa (6.2) §6.2.1 EN 1993-1-1:2005.

X	Comb.	Sfruttamento	Classe	NEd	NRd	Rid. NRd da VEd	Mx,Ed	Mx,Rd	My,Ed	My,Rd	Rid. Mx,Rd da VEd	Rid. Mx,Rd da NEd	Rid. My,Rd da VEd	Rid. My,Rd da NEd	α	β	px	py	Verifica
0.753	SLD 15	0.016	3	-5.874	1003.522	1	0.0968	12.886	0.0503	19.3536	1		1				0	0	Si

Verifiche ad instabilità

Caratteristiche iniziali

Membratura principale per controllo snellezza; Calcolo di snellezze ed N critici condotti secondo gli assi principali;

Curva X: c; Curva Y: c;

Svergolamento: Nessuno; la verifica a instabilità flesso-torsionale (svergolamento) non verrà eseguita.

Dati per instabilità attorno a x

Controllo della snellezza secondo §4.2.4.1.3.1 NTC18

Implementazione dei sistemi di confinamento delle emissioni odorigene diffuse dell’impianto di compostaggio esistente nel
Comune di Eboli (SA)
PROGETTO DEFINITIVO – Tabulati di calcolo Tomo 1

Numero rit.	Presente	Ascissa	Campata	$\beta x/m$	Vincolo a entrambi estremi	$\lambda x/m$	λVer
1	Si	0	1-2	1	Si	57.2	Si, (<200)
2	Si	1.737					

Dati per instabilità attorno a y

Controllo della snellezza secondo §4.2.4.1.3.1 NTC18

Numero rit.	Presente	Ascissa	Campata	$\beta y/n$	k,LT	kw,LT	Vincolo a entrambi estremi
1	Si	0	1-2	1	Si	42	Si, (<200)
2	Si	1.737					

Verifica di stabilità per pressoflessione §C.4.2.4.1.3.3.1 NTC18

X	Comb.	Sfruttamento	Classe	NEd	MxEq,Ed	MyEq,Ed	Area	Wx	Wy	χ_{min}	λ adim. x/m	λ adim. y/n	N,crit x/m	N,crit y/n	Verifica
1.737	SLU 64	0.042	3	-21.812	0.1123	0.0893	0.003832	0.0000492	0.0000739	0.75	0.659	0.483	2427.459	4511.143	Si

Verifica di stabilità per pressoflessione SLD §C.4.2.4.1.3.3.1 NTC18

X	Comb.	Sfruttamento	Classe	NEd	MxEq,Ed	MyEq,Ed	Area	Wx	Wy	χ_{min}	λ adim. x/m	λ adim. y/n	N,crit x/m	N,crit y/n	Verifica
1.737	SLD 16	0.018	3	-6.024	0.0854	0.0593	0.003832	0.0000492	0.0000739	0.75	0.659	0.483	2427.459	4511.143	Si

Verifiche a deformabilità

Mensola X: No; Mensola Y: No.

Frecce lungo X

Ascissa freccia	Combinazione	Freccia	Luce	L/f	L/f,min	Tipo	Verifica
0.81	SLE RA 1	0	1.737	10000	250	Totale	Si
0.81	SLE RA 17	0	1.737	10000	250	Totale	Si
0.81	SLE RA 16	0	1.737	10000	250	Totale	Si
0.81	SLE RA 15	0	1.737	10000	250	Totale	Si
0.81	SLE RA 14	0	1.737	10000	250	Totale	Si
0.81	SLE RA 2	0	1.737	10000	350	Variabile	Si
0.81	SLE RA 17	0	1.737	10000	350	Variabile	Si
0.81	SLE RA 16	0	1.737	10000	350	Variabile	Si
0.81	SLE RA 15	0	1.737	10000	350	Variabile	Si
0.81	SLE RA 14	0	1.737	10000	350	Variabile	Si

Frecce lungo Y

Ascissa freccia	Combinazione	Freccia	Luce	L/f	L/f,min	Tipo	Verifica
0.868	SLE RA 1	0.00004	1.737	10000	250	Totale	Si
0.868	SLE RA 17	0.00004	1.737	10000	250	Totale	Si
0.868	SLE RA 16	0.00004	1.737	10000	250	Totale	Si
0.868	SLE RA 15	0.00004	1.737	10000	250	Totale	Si
0.868	SLE RA 14	0.00004	1.737	10000	250	Totale	Si
0.753	SLE RA 2	0	1.737	10000	350	Variabile	Si
0.695	SLE RA 17	0	1.737	10000	350	Variabile	Si
0.695	SLE RA 16	0	1.737	10000	350	Variabile	Si
0.753	SLE RA 15	0	1.737	10000	350	Variabile	Si
0.753	SLE RA 14	0	1.737	10000	350	Variabile	Si

Superelemento in acciaio a quota "728"- "640" (948; 2165)- (1057; 2062)

Caratteristiche del materiale

Acciaio: S275, fyk = 275000

Caratteristiche geometriche

Lunghezza: 1.737

Nodo iniziale: 2335 Nodo finale: 1078

Cerniera iniziale: Mmomenti 1% Cerniera finale: Mmomenti 1%

Sovreresistenza: 0% Sisma Z: No

Caratteristiche della sezione

Sezione	Rotazione	Area	Jx	Jy	ix	iy	Wx	Wy	Wplx	Wply
A1; L100*10; 1; Saldato; S275; 50; 1; 8; 8; 1	180	0.003832	0.0000035319	0.000007759	0.0304	0.045	0.0000492	0.0000739	0.00008974	0.0012727

Comportamento dei calastrelli

Accoppiamento imbottito con funzione statica (§C4.2.4.1.3.1.4 NTC18) nella campata compresa tra le ascisse 0 e 1.737 per sbandamento attorno all'asse y.

Verifiche di resistenza

Verifiche a forza assiale §4.2.4.1.2.1 - §4.2.4.1.2.2 NTC18

X	Comb.	Sfruttamento	Classe	NEd	Nc,Rd	Nt,Rd	Riduzione da taglio	px	py	Verifica
1.737	SLU 76	0.046	3	-46.528	1003.522		1	0	0	Si

Verifiche a forza assiale SLD §4.2.4.1.2.1 - §4.2.4.1.2.2 NTC18

X	Comb.	Sfruttamento	Classe	NEd	Nc,Rd	Nt,Rd	Riduzione da taglio	px	py	Verifica
1.737	SLD 2	0.013	3	-13.249	1003.522		1	0	0	Si

Verifica a taglio X §4.2.4.1.2.4 NTC18

X	Comb.	Sfruttamento	VEd	Vc,Rd	Av	Interazione taglio-torsione	Riduzione torsione	Verifica
1.737	SLV 1	0.001	-0.365	302.422	0.002	Non considerata		Si

Implementazione dei sistemi di confinamento delle emissioni odorigene diffuse dell'impianto di compostaggio esistente nel
Comune di Eboli (SA)
PROGETTO DEFINITIVO – Tabulati di calcolo Tomo 1

Verifica a taglio Y §4.2.4.1.2.4 NTC18

X	Comb.	Sfruttamento	VEd	Vc,Rd	Av	Interazione taglio-torsione	Riduzione torsione	Verifica
1.737	SLU 76	0.001	0.301	302.422	0.002	Non considerata		Si

Verifica a taglio Y SLD §4.2.4.1.2.4 NTC18

X	Comb.	Sfruttamento	VEd	Vc,Rd	Av	Interazione taglio-torsione	Riduzione torsione	Verifica
1.737	SLD 4	0.001	0.228	302.422	0.002	Non considerata		Si

Verifica a flessione semplice X §§ 4.2.4.1.2.3 - 4.2.4.1.2.6 - 4.2.4.1.2.7 - 4.2.4.1.2.8 NTC18

X	Comb.	Sfruttamento	Classe	Mx,Ed	Mx,Rd	Rid. Mx,Rd da VEd	px	py	Verifica
0.637	SLU 60	0.005	1	0.11879	23.50374	1	0	0	Si

Verifica a presso/tenso flessione retta X §§ 4.2.4.1.2.3 - 4.2.4.1.2.6 - 4.2.4.1.2.7 - 4.2.4.1.2.8 NTC18

Verifiche eseguite utilizzando la formula conservativa (6.2) §6.2.1 EN 1993-1-1:2005.

X	Comb.	Sfruttamento	Classe	NEd	NRd	Rid. NRd da VEd	Mx,Ed	Mx,Rd	Rid. Mx,Rd da VEd	Rid. Mx,Rd da NEd	px	py	Verifica
0.868	SLU 3	0.01	1	5.385	1003.522	1	0.0975	23.5037	1		0	0	Si

Verifica a presso/tenso flessione retta Y §§ 4.2.4.1.2.3 - 4.2.4.1.2.6 - 4.2.4.1.2.7 - 4.2.4.1.2.8 NTC18

Verifiche eseguite utilizzando la formula conservativa (6.2) §6.2.1 EN 1993-1-1:2005.

X	Comb.	Sfruttamento	Classe	NEd	NRd	Rid. NRd da VEd	My,Ed	My,Rd	Rid. My,Rd da VEd	Rid. My,Rd da NEd	px	py	Verifica
1.737	SLU 76	0.055	3	-46.528	1003.522	1	0.1647	19.3536	1		0	0	Si

Verifica a presso/tenso flessione retta Y SLD §§ 4.2.4.1.2.3 - 4.2.4.1.2.6 - 4.2.4.1.2.7 - 4.2.4.1.2.8 NTC18

Verifiche eseguite utilizzando la formula conservativa (6.2) §6.2.1 EN 1993-1-1:2005.

X	Comb.	Sfruttamento	Classe	NEd	NRd	Rid. NRd da VEd	My,Ed	My,Rd	Rid. My,Rd da VEd	Rid. My,Rd da NEd	px	py	Verifica
0	SLD 1	0.018	3	-12.986	1003.522	1	0.1024	19.3536	1		0	0	Si

Verifica a presso/tenso flessione deviata §§ 4.2.4.1.2.3 - 4.2.4.1.2.6 - 4.2.4.1.2.7 - 4.2.4.1.2.8 NTC18

Verifiche eseguite utilizzando la formula conservativa (6.2) §6.2.1 EN 1993-1-1:2005.

X	Comb.	Sfruttamento	Classe	NEd	NRd	Rid. NRd da VEd	Mx,Ed	Mx,Rd	My,Ed	My,Rd	Rid. Mx,Rd da VEd	Rid. Mx,Rd da NEd	Rid. My,Rd da VEd	Rid. My,Rd da NEd	α	β	px	py	Verifica
0.868	SLU 76	0.065	3	-46.357	1003.522	1	0.1327	12.886	0.1646	19.3536	1		1				0	0	Si

Verifica a presso/tenso flessione deviata SLD §§ 4.2.4.1.2.3 - 4.2.4.1.2.6 - 4.2.4.1.2.7 - 4.2.4.1.2.8 NTC18

Verifiche eseguite utilizzando la formula conservativa (6.2) §6.2.1 EN 1993-1-1:2005.

X	Comb.	Sfruttamento	Classe	NEd	NRd	Rid. NRd da VEd	Mx,Ed	Mx,Rd	My,Ed	My,Rd	Rid. Mx,Rd da VEd	Rid. Mx,Rd da NEd	Rid. My,Rd da VEd	Rid. My,Rd da NEd	α	β	px	py	Verifica
0.868	SLD 1	0.026	3	-13.118	1003.522	1	0.0995	12.886	0.0958	19.3536	1		1				0	0	Si

Verifiche ad instabilità

Caratteristiche iniziali

Membratura principale per controllo snellezza; Calcolo di snellezze ed N critici condotti secondo gli assi principali;

Curva X: c; Curva Y: c;

Svergolamento: Nessuno; la verifica a instabilità flesso-torsionale (svergolamento) non verrà eseguita.

Dati per instabilità attorno a x

Controllo della snellezza secondo §4.2.4.1.3.1 NTC18

Numero rit.	Presente	Ascissa	Campata	βx/m	Vincolo a entrambi estremi	λx/m	λVer
1	Si	0					
			1-2	1	Si	57.2	Si, (<200)
2	Si	1.737					

Dati per instabilità attorno a y

Controllo della snellezza secondo §4.2.4.1.3.1 NTC18

Numero rit.	Presente	Ascissa	Campata	βy/n	k,LT	kw,LT	Vincolo a entrambi estremi
1	Si	0					
			1-2	1	Si	42	Si, (<200)
2	Si	1.737					

Verifica di stabilità per pressoflessione §C.4.2.4.1.3.3.1 NTC18

X	Comb.	Sfruttamento	Classe	NEd	MxEq,Ed	MyEq,Ed	Area	Wx	Wy	χ,min	λ adim. x/m	λ adim. y/n	N,crit x/m	N,crit y/n	Verifica
1.737	SLU 76	0.08	3	-46.528	0.1172	0.1646	0.003832	0.0000492	0.0000739	0.75	0.659	0.483	2427.459	4511.143	Si

Verifica di stabilità per pressoflessione SLD §C.4.2.4.1.3.3.1 NTC18

X	Comb.	Sfruttamento	Classe	NEd	MxEq,Ed	MyEq,Ed	Area	Wx	Wy	χ,min	λ adim. x/m	λ adim. y/n	N,crit x/m	N,crit y/n	Verifica
1.737	SLD 2	0.03	3	-13.249	0.0868	0.1024	0.003832	0.0000492	0.0000739	0.75	0.659	0.483	2427.459	4511.143	Si

Verifiche a deformabilità

Mensola X: No; Mensola Y: No.

Frecce lungo X

Ascissa freccia	Combinazione	Freccia	Luce	L/f	L/f,min	Tipo	Verifica
0.868	SLE RA 1	0	1.737	10000	250	Totale	Si
0.868	SLE RA 17	0	1.737	10000	250	Totale	Si
0.868	SLE RA 16	0	1.737	10000	250	Totale	Si
0.81	SLE RA 15	0	1.737	10000	250	Totale	Si
0.868	SLE RA 14	0	1.737	10000	250	Totale	Si
0.81	SLE RA 2	0	1.737	10000	350	Variabile	Si
0.81	SLE RA 17	0	1.737	10000	350	Variabile	Si
0.81	SLE RA 16	0	1.737	10000	350	Variabile	Si
0.81	SLE RA 15	0	1.737	10000	350	Variabile	Si
0.868	SLE RA 14	0	1.737	10000	350	Variabile	Si

Implementazione dei sistemi di confinamento delle emissioni odorigene diffuse dell'impianto di compostaggio esistente nel
Comune di Eboli (SA)

PROGETTO DEFINITIVO – Tabulati di calcolo Tomo 1

Frecce lungo Y

Ascissa freccia	Combinazione	Freccia	Luce	L/f	L/f,min	Tipo	Verifica
0.868	SLE RA 1	0.00004	1.737	10000	250	Totale	Si
0.868	SLE RA 17	0.00004	1.737	10000	250	Totale	Si
0.868	SLE RA 16	0.00004	1.737	10000	250	Totale	Si
0.868	SLE RA 15	0.00004	1.737	10000	250	Totale	Si
0.868	SLE RA 14	0.00004	1.737	10000	250	Totale	Si
0.753	SLE RA 2	0	1.737	10000	350	Variabile	Si
0.753	SLE RA 17	0	1.737	10000	350	Variabile	Si
0.753	SLE RA 16	0	1.737	10000	350	Variabile	Si
0.753	SLE RA 15	0	1.737	10000	350	Variabile	Si
0.695	SLE RA 14	0	1.737	10000	350	Variabile	Si

Superelemento in acciaio a quota "728"- "640" (1197; 2428)-(1306; 2325)

Caratteristiche del materiale

Acciaio: S275, fyk = 275000

Caratteristiche geometriche

Lunghezza: 1.737

Nodo iniziale: 2345 Nodo finale: 1190

Cerniera iniziale: Mmomenti 1% Cerniera finale: Mmomenti 1%

Sovreresistenza: 0% Sisma Z: No

Caratteristiche della sezione

Sezione	Rotazione	Area	Jx	Jy	ix	iy	Wx	Wy	Wplx	Wply
A1; L100*10; 1; Saldato; S275; 50; 1; 8; 8; 1	180	0.003832	0.0000035319	0.000007759	0.0304	0.045	0.0000492	0.0000739	0.00008974	0.00012727

Comportamento dei calastrelli

Accoppiamento imbottito con funzione statica (§C4.2.4.1.3.1.4 NTC18) nella campata compresa tra le ascisse 0 e 1.737 per sbandamento attorno all'asse y.

Verifiche di resistenza

Verifiche a forza assiale §4.2.4.1.2.1 - §4.2.4.1.2.2 NTC18

X	Comb.	Sfruttamento	Classe	NEd	Nc,Rd	Nt,Rd	Riduzione da taglio	px	py	Verifica
1.737	SLU 64	0.018	3	-18.523	1003.522		1	0	0	Si

Verifiche a forza assiale SLD §4.2.4.1.2.1 - §4.2.4.1.2.2 NTC18

X	Comb.	Sfruttamento	Classe	NEd	Nc,Rd	Nt,Rd	Riduzione da taglio	px	py	Verifica
1.737	SLD 2	0.005	3	-4.76	1003.522		1	0	0	Si

Verifica a taglio X §4.2.4.1.2.4 NTC18

X	Comb.	Sfruttamento	VEd	Vc,Rd	Av	Interazione taglio-torsione	Riduzione torsione	Verifica
1.737	SLV 1	0.001	0.206	302.422	0.002	Non considerata		Si

Verifica a taglio Y §4.2.4.1.2.4 NTC18

X	Comb.	Sfruttamento	VEd	Vc,Rd	Av	Interazione taglio-torsione	Riduzione torsione	Verifica
1.737	SLU 42	0.001	0.294	302.422	0.002	Non considerata		Si

Verifica a taglio Y SLD §4.2.4.1.2.4 NTC18

X	Comb.	Sfruttamento	VEd	Vc,Rd	Av	Interazione taglio-torsione	Riduzione torsione	Verifica
1.737	SLD 1	0.001	0.226	302.422	0.002	Non considerata		Si

Verifica a flessione semplice X §§ 4.2.4.1.2.3 - 4.2.4.1.2.6 - 4.2.4.1.2.7 - 4.2.4.1.2.8 NTC18

X	Comb.	Sfruttamento	Classe	Mx,Ed	Mx,Rd	Rid. Mx,Rd da VEd	px	py	Verifica
0.868	SLU 62	0.005	1	0.12693	23.50374	1	0	0	Si

Verifica a presso/tenso flessione retta X §§ 4.2.4.1.2.3 - 4.2.4.1.2.6 - 4.2.4.1.2.7 - 4.2.4.1.2.8 NTC18

Verifiche eseguite utilizzando la formula conservativa (6.2) §6.2.1 EN 1993-1-1:2005.

X	Comb.	Sfruttamento	Classe	NEd	NRd	Rid. NRd da VEd	Mx,Ed	Mx,Rd	Rid. Mx,Rd da VEd	Rid. Mx,Rd da NEd	px	py	Verifica
0.868	SLU 41	0.017	1	11.894	1003.522	1	0.1262	23.5037	1		0	0	Si

Verifica a presso/tenso flessione retta Y §§ 4.2.4.1.2.3 - 4.2.4.1.2.6 - 4.2.4.1.2.7 - 4.2.4.1.2.8 NTC18

Verifiche eseguite utilizzando la formula conservativa (6.2) §6.2.1 EN 1993-1-1:2005.

X	Comb.	Sfruttamento	Classe	NEd	NRd	Rid. NRd da VEd	My,Ed	My,Rd	Rid. My,Rd da VEd	Rid. My,Rd da NEd	px	py	Verifica
0	SLU 64	0.022	3	-18.181	1003.522	1	-0.0771	19.3536	1		0	0	Si

Verifica a presso/tenso flessione retta Y SLD §§ 4.2.4.1.2.3 - 4.2.4.1.2.6 - 4.2.4.1.2.7 - 4.2.4.1.2.8 NTC18

Verifiche eseguite utilizzando la formula conservativa (6.2) §6.2.1 EN 1993-1-1:2005.

X	Comb.	Sfruttamento	Classe	NEd	NRd	Rid. NRd da VEd	My,Ed	My,Rd	Rid. My,Rd da VEd	Rid. My,Rd da NEd	px	py	Verifica
1.737	SLD 1	0.007	3	-4.76	1003.522	1	0.0479	19.3536	1		0	0	Si

Verifica a presso/tenso flessione deviata §§ 4.2.4.1.2.3 - 4.2.4.1.2.6 - 4.2.4.1.2.7 - 4.2.4.1.2.8 NTC18

Verifiche eseguite utilizzando la formula conservativa (6.2) §6.2.1 EN 1993-1-1:2005.

X	Comb.	Sfruttamento	Classe	NEd	NRd	Rid. NRd da VEd	Mx,Ed	Mx,Rd	My,Ed	My,Rd	Rid. Mx,Rd da VEd	Rid. Mx,Rd da NEd	Rid. My,Rd da VEd	Rid. My,Rd da NEd	α	β	px	py	Verifica
0.868	SLU 64	0.032	3	-18.352	1003.522	1	0.1275	12.886	-0.0728	19.3536	1		1				0	0	Si

Implementazione dei sistemi di confinamento delle emissioni odorigene diffuse dell'impianto di compostaggio esistente nel
Comune di Eboli (SA)

PROGETTO DEFINITIVO – Tabulati di calcolo Tomo 1

Verifica a presso/tenso flessione deviata SLD §§ 4.2.4.1.2.3 - 4.2.4.1.2.6 - 4.2.4.1.2.7 - 4.2.4.1.2.8 NTC18

Verifiche eseguite utilizzando la formula conservativa (6.2) §6.2.1 EN 1993-1-1:2005.

X	Comb.	Sfruttamento	Classe	NEd	NRd	Rid. NRd da VEd	Mx,Ed	Mx,Rd	My,Ed	My,Rd	Rid. Mx,Rd da VEd	Rid. Mx,Rd da NEd	Rid. My,Rd da VEd	Rid. My,Rd da NEd	α	β	px	py	Verifica
1.331	SLD 2	0.012	3	-4.699	1003.522	1	0.0698	12.886	0.0463	19.3536	1		1				0	0	Si

Verifiche ad instabilità

Caratteristiche iniziali

Membratura principale per controllo snellezza; Calcolo di snellezze ed N critici condotti secondo gli assi principali;

Curva X: c; Curva Y: c;

Svergolamento: Nessuno; la verifica a instabilità flesso-torsionale (svergolamento) non verrà eseguita.

Dati per instabilità attorno a x

Controllo della snellezza secondo §4.2.4.1.3.1 NTC18

Numero rit.	Presente	Ascissa	Campata	βx/m	Vincolo a entrambi estremi	λx/m	λVer
1	Si	0					
			1-2	1	Si	57.2	Si, (<200)
2	Si	1.737					

Dati per instabilità attorno a y

Controllo della snellezza secondo §4.2.4.1.3.1 NTC18

Numero rit.	Presente	Ascissa	Campata	βy/n	k,LT	kw,LT	Vincolo a entrambi estremi
1	Si	0					
			1-2	1	Si	42	Si, (<200)
2	Si	1.737					

Verifica di stabilità per pressoflessione §C.4.2.4.1.3.3.1 NTC18

X	Comb.	Sfruttamento	Classe	NEd	MxEq,Ed	MyEq,Ed	Area	Wx	Wy	x,min	λ adim. x/m	λ adim. y/n	N,crit x/m	N,crit y/n	Verifica
1.737	SLU 64	0.037	3	-18.523	0.1104	-0.0737	0.003832	0.0000492	0.0000739	0.75	0.659	0.483	2427.459	4511.143	Si

Verifica di stabilità per pressoflessione SLD §C.4.2.4.1.3.3.1 NTC18

X	Comb.	Sfruttamento	Classe	NEd	MxEq,Ed	MyEq,Ed	Area	Wx	Wy	x,min	λ adim. x/m	λ adim. y/n	N,crit x/m	N,crit y/n	Verifica
1.737	SLD 2	0.015	3	-4.76	0.0849	0.0479	0.003832	0.0000492	0.0000739	0.75	0.659	0.483	2427.459	4511.143	Si

Verifiche a deformabilità

Mensola X: No; Mensola Y: No.

Frecce lungo X

Ascissa freccia	Combinazione	Freccia	Luce	L/f	L/f,min	Tipo	Verifica
0.753	SLE RA 1	0	1.737	10000	250	Totale	Si
0.753	SLE RA 17	0	1.737	10000	250	Totale	Si
0.753	SLE RA 16	0	1.737	10000	250	Totale	Si
0.81	SLE RA 15	0	1.737	10000	250	Totale	Si
0.753	SLE RA 14	0	1.737	10000	250	Totale	Si
0.81	SLE RA 2	0	1.737	10000	350	Variabile	Si
0.81	SLE RA 17	0	1.737	10000	350	Variabile	Si
0.81	SLE RA 16	0	1.737	10000	350	Variabile	Si
0.81	SLE RA 15	0	1.737	10000	350	Variabile	Si
0.984	SLE RA 14	0	1.737	10000	350	Variabile	Si

Frecce lungo Y

Ascissa freccia	Combinazione	Freccia	Luce	L/f	L/f,min	Tipo	Verifica
0.868	SLE RA 1	0.00004	1.737	10000	250	Totale	Si
0.868	SLE RA 17	0.00004	1.737	10000	250	Totale	Si
0.868	SLE RA 16	0.00004	1.737	10000	250	Totale	Si
0.868	SLE RA 15	0.00004	1.737	10000	250	Totale	Si
0.868	SLE RA 14	0.00004	1.737	10000	250	Totale	Si
0.695	SLE RA 2	0	1.737	10000	350	Variabile	Si
0.695	SLE RA 17	0	1.737	10000	350	Variabile	Si
0.695	SLE RA 16	0	1.737	10000	350	Variabile	Si
0.753	SLE RA 15	0	1.737	10000	350	Variabile	Si
0.753	SLE RA 14	0	1.737	10000	350	Variabile	Si

Superelemento in acciaio a quota "728"- "640" (1452; 2700)- (1561; 2597)

Caratteristiche del materiale

Acciaio: S275, fyk = 275000

Caratteristiche geometriche

Lunghezza: 1.737

Nodo iniziale: 2405 Nodo finale: 1313

Cerniera iniziale: Mmomenti 1% Cerniera finale: Mmomenti 1%

Sovreresistenza: 0% Sisma Z: No

Caratteristiche della sezione

Sezione	Rotazione	Area	Jx	Jy	ix	iy	Wx	Wy	Wplx	Wply
A1; L100*10; 1; Saldato; S275; 50; 1; 8; 8; 1	180	0.003832	0.0000035319	0.000007759	0.0304	0.045	0.0000492	0.0000739	0.00008974	0.00012727

Comportamento dei calastrelli

Accoppiamento imbottito con funzione statica (§C4.2.4.1.3.1.4 NTC18) nella campata compresa tra le ascisse 0 e 1.737 per sbandamento attorno all'asse y.

Implementazione dei sistemi di confinamento delle emissioni odorigene diffuse dell'impianto di compostaggio esistente nel
Comune di Eboli (SA)
PROGETTO DEFINITIVO – Tabulati di calcolo Tomo 1

Verifiche di resistenza

Verifiche a forza assiale §4.2.4.1.2.1 - §4.2.4.1.2.2 NTC18

X	Comb.	Sfruttamento	Classe	NEd	Nc,Rd	Nt,Rd	Riduzione da taglio	px	py	Verifica
0	SLU 75	0.059		59.639		1003.522	1	0	0	Si

Verifiche a forza assiale SLD §4.2.4.1.2.1 - §4.2.4.1.2.2 NTC18

X	Comb.	Sfruttamento	Classe	NEd	Nc,Rd	Nt,Rd	Riduzione da taglio	px	py	Verifica
0	SLD 3	0.029		29.569		1003.522	1	0	0	Si

Verifica a taglio Y §4.2.4.1.2.4 NTC18

X	Comb.	Sfruttamento	VEd	Vc,Rd	Av	Interazione taglio-torsione	Riduzione torsione	Verifica
1.737	SLU 76	0.001	0.297	302.422	0.002	Non considerata		Si

Verifica a taglio Y SLD §4.2.4.1.2.4 NTC18

X	Comb.	Sfruttamento	VEd	Vc,Rd	Av	Interazione taglio-torsione	Riduzione torsione	Verifica
1.737	SLD 4	0.001	0.227	302.422	0.002	Non considerata		Si

Verifica a flessione semplice X §§ 4.2.4.1.2.3 - 4.2.4.1.2.6 - 4.2.4.1.2.7 - 4.2.4.1.2.8 NTC18

X	Comb.	Sfruttamento	Classe	Mx,Ed	Mx,Rd	Rid. Mx,Rd da VEd	px	py	Verifica
0.868	SLU 2	0.004	1	0.09726	23.50374	1	0	0	Si

Verifica a presso/tenso flessione retta X §§ 4.2.4.1.2.3 - 4.2.4.1.2.6 - 4.2.4.1.2.7 - 4.2.4.1.2.8 NTC18

Verifiche eseguite utilizzando la formula conservativa (6.2) §6.2.1 EN 1993-1-1:2005.

X	Comb.	Sfruttamento	Classe	NEd	NRd	Rid. NRd da VEd	Mx,Ed	Mx,Rd	Rid. Mx,Rd da VEd	Rid. Mx,Rd da NEd	px	py	Verifica
1.679	SLU 3	0.025	1	24.456	1003.522	1	0.0122	23.5037	1		0	0	Si

Verifica a presso/tenso flessione retta X SLD §§ 4.2.4.1.2.3 - 4.2.4.1.2.6 - 4.2.4.1.2.7 - 4.2.4.1.2.8 NTC18

Verifiche eseguite utilizzando la formula conservativa (6.2) §6.2.1 EN 1993-1-1:2005.

X	Comb.	Sfruttamento	Classe	NEd	NRd	Rid. NRd da VEd	Mx,Ed	Mx,Rd	Rid. Mx,Rd da VEd	Rid. Mx,Rd da NEd	px	py	Verifica
0.868	SLD 8	0.034	1	29.395	1003.522	1	0.0991	23.5037	1		0	0	Si

Verifica a presso/tenso flessione retta Y §§ 4.2.4.1.2.3 - 4.2.4.1.2.6 - 4.2.4.1.2.7 - 4.2.4.1.2.8 NTC18

Verifiche eseguite utilizzando la formula conservativa (6.2) §6.2.1 EN 1993-1-1:2005.

X	Comb.	Sfruttamento	Classe	NEd	NRd	Rid. NRd da VEd	My,Ed	My,Rd	Rid. My,Rd da VEd	Rid. My,Rd da NEd	px	py	Verifica
0	SLU 75	0.061	1	59.639	1003.522	1	0.0586	33.3316	1		0	0	Si

Verifica a presso/tenso flessione retta Y SLD §§ 4.2.4.1.2.3 - 4.2.4.1.2.6 - 4.2.4.1.2.7 - 4.2.4.1.2.8 NTC18

Verifiche eseguite utilizzando la formula conservativa (6.2) §6.2.1 EN 1993-1-1:2005.

X	Comb.	Sfruttamento	Classe	NEd	NRd	Rid. NRd da VEd	My,Ed	My,Rd	Rid. My,Rd da VEd	Rid. My,Rd da NEd	px	py	Verifica
0	SLD 3	0.031	1	29.569	1003.522	1	0.0461	33.3316	1		0	0	Si

Verifica a presso/tenso flessione deviata §§ 4.2.4.1.2.3 - 4.2.4.1.2.6 - 4.2.4.1.2.7 - 4.2.4.1.2.8 NTC18

Verifiche eseguite utilizzando la formula conservativa (6.2) §6.2.1 EN 1993-1-1:2005.

X	Comb.	Sfruttamento	Classe	NEd	NRd	Rid. NRd da VEd	Mx,Ed	Mx,Rd	My,Ed	My,Rd	Rid. Mx,Rd da VEd	Rid. Mx,Rd da NEd	Rid. My,Rd da VEd	Rid. My,Rd da NEd	α	β	px	py	Verifica
0.81	SLU 75	0.066	1	59.479	1003.522	1	0.1294	23.5037	0.0411	33.3316	1		1				0	0	Si

Verifica a presso/tenso flessione deviata SLD §§ 4.2.4.1.2.3 - 4.2.4.1.2.6 - 4.2.4.1.2.7 - 4.2.4.1.2.8 NTC18

Verifiche eseguite utilizzando la formula conservativa (6.2) §6.2.1 EN 1993-1-1:2005.

X	Comb.	Sfruttamento	Classe	NEd	NRd	Rid. NRd da VEd	Mx,Ed	Mx,Rd	My,Ed	My,Rd	Rid. Mx,Rd da VEd	Rid. Mx,Rd da NEd	Rid. My,Rd da VEd	Rid. My,Rd da NEd	α	β	px	py	Verifica
0.81	SLD 4	0.035	1	29.447	1003.522	1	0.0987	23.5037	0.0387	33.3316	1		1				0	0	Si

Verifiche ad instabilità

Caratteristiche iniziali

Membratura principale per controllo snellezza; Calcolo di snellezze ed N critici condotti secondo gli assi principali;

Curva X: c; Curva Y: c;

Svergolamento: Nessuno; la verifica a instabilità flesso-torsionale (svergolamento) non verrà eseguita.

Dati per instabilità attorno a x

Controllo della snellezza secondo §4.2.4.1.3.1 NTC18

Numero rit.	Presente	Ascissa	Campata	$\beta x/m$	Vincolo a entrambi estremi	$\lambda x/m$	λVer
1	Si	0					
			1-2		1	57.2	Si, (<200)
2	Si	1.737					

Dati per instabilità attorno a y

Controllo della snellezza secondo §4.2.4.1.3.1 NTC18

Numero rit.	Presente	Ascissa	Campata	$\beta y/n$	k,LT	kw,LT	Vincolo a entrambi estremi
1	Si	0					
			1-2		1	42	Si, (<200)
2	Si	1.737					

NB: superelemento non sollecitato. Verifiche non condotte.

Verifiche a deformabilità

Mensola X: No; Mensola Y: No.

Frecce lungo X

Ascissa freccia	Combinazione	Freccia	Luce	L/f	L/f,min	Tipo	Verifica
0.81	SLE RA 1	0	1.737	10000	250	Totale	Si
0.81	SLE RA 17	-0.00001	1.737	10000	250	Totale	Si
0.81	SLE RA 16	-0.00001	1.737	10000	250	Totale	Si

Implementazione dei sistemi di confinamento delle emissioni odorigene diffuse dell'impianto di compostaggio esistente nel
Comune di Eboli (SA)

PROGETTO DEFINITIVO – Tabulati di calcolo Tomo 1

Ascissa freccia	Combinazione	Freccia	Luce	L/f	L/f,min	Tipo	Verifica
0.81	SLE RA 15	-0.00001	1.737	10000	250	Totale	Si
0.81	SLE RA 14	-0.00001	1.737	10000	250	Totale	Si
0.81	SLE RA 2	0	1.737	10000	350	Variabile	Si
0.81	SLE RA 17	0	1.737	10000	350	Variabile	Si
0.81	SLE RA 16	0	1.737	10000	350	Variabile	Si
0.81	SLE RA 15	0	1.737	10000	350	Variabile	Si
0.81	SLE RA 14	0	1.737	10000	350	Variabile	Si

Frecce lungo Y

Ascissa freccia	Combinazione	Freccia	Luce	L/f	L/f,min	Tipo	Verifica
0.868	SLE RA 1	0.00004	1.737	10000	250	Totale	Si
0.868	SLE RA 17	0.00004	1.737	10000	250	Totale	Si
0.868	SLE RA 16	0.00004	1.737	10000	250	Totale	Si
0.868	SLE RA 15	0.00004	1.737	10000	250	Totale	Si
0.868	SLE RA 14	0.00004	1.737	10000	250	Totale	Si
0.753	SLE RA 2	0	1.737	10000	350	Variabile	Si
0.753	SLE RA 17	0	1.737	10000	350	Variabile	Si
0.753	SLE RA 16	0	1.737	10000	350	Variabile	Si
0.753	SLE RA 15	0	1.737	10000	350	Variabile	Si
0.753	SLE RA 14	0	1.737	10000	350	Variabile	Si

Superelemento in acciaio a quota "728"- "640" (-77; 1077)- (32; 974)

Caratteristiche del materiale

Acciaio: S275, fyk = 275000

Caratteristiche geometriche

Lunghezza: 1.737

Nodo iniziale: 2293 Nodo finale: 867

Cerniera iniziale: Mmomenti 1% Cerniera finale: Mmomenti 1%

Sovreresistenza: 0% Sisma Z: No

Caratteristiche della sezione

Sezione	Rotazione	Area	Jx	Jy	ix	iy	Wx	Wy	Wplx	Wply
A1; L100*10; 1; Saldato; S275; 50; 1; 8; 8; 1	180	0.003832	0.0000035319	0.000007759	0.0304	0.045	0.0000492	0.0000739	0.00008974	0.00012727

Comportamento dei calastrelli

Accoppiamento imbottito con funzione statica (§C4.2.4.1.3.1.4 NTC18) nella campata compresa tra le ascisse 0 e 1.737 per sbandamento attorno all'asse y.

Verifiche di resistenza

Verifiche a forza assiale §4.2.4.1.2.1 - §4.2.4.1.2.2 NTC18

X	Comb.	Sfruttamento	Classe	NEd	Nc,Rd	Nt,Rd	Riduzione da taglio	px	py	Verifica
1.737	SLU 76	0.046	3	-45.681	1003.522		1	0	0	Si

Verifiche a forza assiale SLD §4.2.4.1.2.1 - §4.2.4.1.2.2 NTC18

X	Comb.	Sfruttamento	Classe	NEd	Nc,Rd	Nt,Rd	Riduzione da taglio	px	py	Verifica
1.737	SLD 2	0.013	3	-13.027	1003.522		1	0	0	Si

Verifica a taglio X §4.2.4.1.2.4 NTC18

X	Comb.	Sfruttamento	VEd	Vc,Rd	Av	Interazione taglio-torsione	Riduzione torsione	Verifica
1.737	SLV 2	0.001	-0.375	302.422	0.002	Non considerata		Si

Verifica a taglio Y §4.2.4.1.2.4 NTC18

X	Comb.	Sfruttamento	VEd	Vc,Rd	Av	Interazione taglio-torsione	Riduzione torsione	Verifica
1.737	SLU 76	0.001	0.301	302.422	0.002	Non considerata		Si

Verifica a taglio Y SLD §4.2.4.1.2.4 NTC18

X	Comb.	Sfruttamento	VEd	Vc,Rd	Av	Interazione taglio-torsione	Riduzione torsione	Verifica
1.737	SLD 1	0.001	0.228	302.422	0.002	Non considerata		Si

Verifica a flessione semplice X §§ 4.2.4.1.2.3 - 4.2.4.1.2.6 - 4.2.4.1.2.7 - 4.2.4.1.2.8 NTC18

X	Comb.	Sfruttamento	Classe	Mx,Ed	Mx,Rd	Rid. Mx,Rd da VEd	px	py	Verifica
0.868	SLU 60	0.005	1	0.12761	23.50374	1	0	0	Si

Verifica a presso/tenso flessione retta X §§ 4.2.4.1.2.3 - 4.2.4.1.2.6 - 4.2.4.1.2.7 - 4.2.4.1.2.8 NTC18

Verifiche eseguite utilizzando la formula conservativa (6.2) §6.2.1 EN 1993-1-1:2005.

X	Comb.	Sfruttamento	Classe	NEd	NRd	Rid. NRd da VEd	Mx,Ed	Mx,Rd	Rid. Mx,Rd da VEd	Rid. Mx,Rd da NEd	px	py	Verifica
0.868	SLU 3	0.01	1	5.986	1003.522	1	0.0976	23.5037	1		0	0	Si

Verifica a presso/tenso flessione retta Y §§ 4.2.4.1.2.3 - 4.2.4.1.2.6 - 4.2.4.1.2.7 - 4.2.4.1.2.8 NTC18

Verifiche eseguite utilizzando la formula conservativa (6.2) §6.2.1 EN 1993-1-1:2005.

X	Comb.	Sfruttamento	Classe	NEd	NRd	Rid. NRd da VEd	My,Ed	My,Rd	Rid. My,Rd da VEd	Rid. My,Rd da NEd	px	py	Verifica
1.737	SLU 76	0.054	3	-45.681	1003.522	1	-0.1606	19.3536	1		0	0	Si

Verifica a presso/tenso flessione retta Y SLD §§ 4.2.4.1.2.3 - 4.2.4.1.2.6 - 4.2.4.1.2.7 - 4.2.4.1.2.8 NTC18

Verifiche eseguite utilizzando la formula conservativa (6.2) §6.2.1 EN 1993-1-1:2005.

X	Comb.	Sfruttamento	Classe	NEd	NRd	Rid. NRd da VEd	My,Ed	My,Rd	Rid. My,Rd da VEd	Rid. My,Rd da NEd	px	py	Verifica
0	SLD 1	0.018	3	-12.764	1003.522	1	0.1029	19.3536	1		0	0	Si

Implementazione dei sistemi di confinamento delle emissioni odorigene diffuse dell'impianto di compostaggio esistente nel
Comune di Eboli (SA)
PROGETTO DEFINITIVO – Tabulati di calcolo Tomo 1

Verifica a presso/tenso flessione deviata §§ 4.2.4.1.2.3 - 4.2.4.1.2.6 - 4.2.4.1.2.7 - 4.2.4.1.2.8 NTC18

Verifiche eseguite utilizzando la formula conservativa (6.2) §6.2.1 EN 1993-1-1:2005.

X	Comb.	Sfruttamento	Classe	NEd	NRd	Rid. NRd da VEd	Mx,Ed	Mx,Rd	My,Ed	My,Rd	Rid. Mx,Rd da VEd	Rid. Mx,Rd da NEd	Rid. My,Rd da VEd	Rid. My,Rd da NEd	α	β	px	py	Verifica
0.868	SLU 76	0.064	3	-45.509	1003.522	1	0.1325	12.886	-0.1598	19.3536	1		1				0	0	Si

Verifica a presso/tenso flessione deviata SLD §§ 4.2.4.1.2.3 - 4.2.4.1.2.6 - 4.2.4.1.2.7 - 4.2.4.1.2.8 NTC18

Verifiche eseguite utilizzando la formula conservativa (6.2) §6.2.1 EN 1993-1-1:2005.

X	Comb.	Sfruttamento	Classe	NEd	NRd	Rid. NRd da VEd	Mx,Ed	Mx,Rd	My,Ed	My,Rd	Rid. Mx,Rd da VEd	Rid. Mx,Rd da NEd	Rid. My,Rd da VEd	Rid. My,Rd da NEd	α	β	px	py	Verifica
0.868	SLD 1	0.025	3	-12.896	1003.522	1	0.0995	12.886	0.0941	19.3536	1		1				0	0	Si

Verifiche ad instabilità

Caratteristiche iniziali

Membratura principale per controllo snellezza; Calcolo di snellezze ed N critici condotti secondo gli assi principali;

Curva X: c; Curva Y: c;

Svergolamento: Nessuno; la verifica a instabilità flesso-torsionale (svergolamento) non verrà eseguita.

Dati per instabilità attorno a x

Controllo della snellezza secondo §4.2.4.1.3.1 NTC18

Numero rit.	Presente	Ascissa	Campata	βx/m	Vincolo a entrambi estremi	λx/m	λVer
1	Si		0				
			1~2		1	57.2	Si, (<200)
2	Si	1.737					

Dati per instabilità attorno a y

Controllo della snellezza secondo §4.2.4.1.3.1 NTC18

Numero rit.	Presente	Ascissa	Campata	βy/n	k,LT	kw,LT	Vincolo a entrambi estremi
1	Si		0				
			1~2		1	42	Si, (<200)
2	Si	1.737					

Verifica di stabilità per pressoflessione §C.4.2.4.1.3.3.1 NTC18

X	Comb.	Sfruttamento	Classe	NEd	MxEq,Ed	MyEq,Ed	Area	Wx	Wy	χ,min	λ adim. x/m	λ adim. y/n	N,crit x/m	N,crit y/n	Verifica
1.737	SLU 76	0.077	3	-45.681	0.117	-0.1319	0.003832	0.0000492	0.0000739	0.75	0.659	0.483	2427.459	4511.143	Si

Verifica di stabilità per pressoflessione SLD §C.4.2.4.1.3.3.1 NTC18

X	Comb.	Sfruttamento	Classe	NEd	MxEq,Ed	MyEq,Ed	Area	Wx	Wy	χ,min	λ adim. x/m	λ adim. y/n	N,crit x/m	N,crit y/n	Verifica
1.737	SLD 1	0.029	3	-13.027	0.0869	0.0959	0.003832	0.0000492	0.0000739	0.75	0.659	0.483	2427.459	4511.143	Si

Verifiche a deformabilità

Mensola X: No; Mensola Y: No.

Frecce lungo X

Ascissa freccia	Combinazione	Freccia	Luce	L/f	L/f,min	Tipo	Verifica
0.984	SLE RA 1	0	1.737	10000	250	Totale	Si
0.984	SLE RA 17	0	1.737	10000	250	Totale	Si
0.926	SLE RA 16	0	1.737	10000	250	Totale	Si
1.1	SLE RA 15	0	1.737	10000	250	Totale	Si
0.926	SLE RA 14	0	1.737	10000	250	Totale	Si
0.926	SLE RA 2	0	1.737	10000	350	Variabile	Si
0.926	SLE RA 17	0	1.737	10000	350	Variabile	Si
0.926	SLE RA 16	0	1.737	10000	350	Variabile	Si
0.637	SLE RA 15	0	1.737	10000	350	Variabile	Si
0.868	SLE RA 14	0	1.737	10000	350	Variabile	Si

Frecce lungo Y

Ascissa freccia	Combinazione	Freccia	Luce	L/f	L/f,min	Tipo	Verifica
0.868	SLE RA 1	0.00004	1.737	10000	250	Totale	Si
0.868	SLE RA 17	0.00004	1.737	10000	250	Totale	Si
0.868	SLE RA 16	0.00004	1.737	10000	250	Totale	Si
0.868	SLE RA 15	0.00004	1.737	10000	250	Totale	Si
0.868	SLE RA 14	0.00004	1.737	10000	250	Totale	Si
0.753	SLE RA 2	0	1.737	10000	350	Variabile	Si
0.753	SLE RA 17	0	1.737	10000	350	Variabile	Si
0.753	SLE RA 16	0	1.737	10000	350	Variabile	Si
0.753	SLE RA 15	0	1.737	10000	350	Variabile	Si
0.695	SLE RA 14	0	1.737	10000	350	Variabile	Si

Superelemento in acciaio a quota "728"- "640" (-326; 813)-(-217; 710)

Caratteristiche del materiale

Acciaio: S275, fyk = 275000

Caratteristiche geometriche

Lunghezza: 1.737

Nodo iniziale: 2282 Nodo finale: 807

Cerniera iniziale: Mmomenti 1% Cerniera finale: Mmomenti 1%

Sovraresistenza: 0% Sisma Z: No

Caratteristiche della sezione

Sezione	Rotazione	Area	Jx	Jy	ix	iy	Wx	Wy	Wplx	Wply
---------	-----------	------	----	----	----	----	----	----	------	------

**Implementazione dei sistemi di confinamento delle emissioni odorigene diffuse dell'impianto di compostaggio esistente nel
Comune di Eboli (SA)**

PROGETTO DEFINITIVO – Tabulati di calcolo Tomo 1

Sezione	Rotazione	Area	Jx	Jy	ix	iy	Wx	Wy	Wplx	Wply
A1; L100*10; 1; Saldato; S275; 50; 1; 8; 8; 1	180	0.003832	0.0000035319	0.000007759	0.0304	0.045	0.0000492	0.0000739	0.00008974	0.00012727

Comportamento dei calastrelli

Accoppiamento imbottito con funzione statica (§C4.2.4.1.3.1.4 NTC18) nella campata compresa tra le ascisse 0 e 1.737 per sbandamento attorno all'asse y.

Verifiche di resistenza

Verifiche a forza assiale §4.2.4.1.2.1 - §4.2.4.1.2.2 NTC18

X	Comb.	Sfruttamento	Classe	NEd	Nc,Rd	Nt,Rd	Riduzione da taglio	px	py	Verifica
1.737	SLU 64	0.023	3	-23.327	1003.522		1	0	0	Si

Verifiche a forza assiale SLD §4.2.4.1.2.1 - §4.2.4.1.2.2 NTC18

X	Comb.	Sfruttamento	Classe	NEd	Nc,Rd	Nt,Rd	Riduzione da taglio	px	py	Verifica
1.737	SLD 16	0.006	3	-6.013	1003.522		1	0	0	Si

Verifica a taglio X §4.2.4.1.2.4 NTC18

X	Comb.	Sfruttamento	VEd	Vc,Rd	Av	Interazione taglio-torsione	Riduzione torsione	Verifica
1.737	SLV 16	0.001	-0.421	302.422	0.002	Non considerata		Si

Verifica a taglio Y §4.2.4.1.2.4 NTC18

X	Comb.	Sfruttamento	VEd	Vc,Rd	Av	Interazione taglio-torsione	Riduzione torsione	Verifica
1.737	SLU 64	0.001	0.297	302.422	0.002	Non considerata		Si

Verifica a taglio Y SLD §4.2.4.1.2.4 NTC18

X	Comb.	Sfruttamento	VEd	Vc,Rd	Av	Interazione taglio-torsione	Riduzione torsione	Verifica
1.737	SLD 16	0.001	0.227	302.422	0.002	Non considerata		Si

Verifica a flessione semplice X §§ 4.2.4.1.2.3 - 4.2.4.1.2.6 - 4.2.4.1.2.7 - 4.2.4.1.2.8 NTC18

X	Comb.	Sfruttamento	Classe	Mx,Ed	Mx,Rd	Rid. Mx,Rd da VEd	px	py	Verifica
0.868	SLU 59	0.005	1	0.12677	23.50374	1	0	0	Si

Verifica a flessione semplice Y §§ 4.2.4.1.2.3 - 4.2.4.1.2.6 - 4.2.4.1.2.7 - 4.2.4.1.2.8 NTC18

X	Comb.	Sfruttamento	Classe	My,Ed	My,Rd	Rid. My,Rd da VEd	px	py	Verifica
0	SLV 3	0.002	1	-0.08182	33.33162	1	0	0	Si

Verifica a flessione deviata §§ 4.2.4.1.2.3 - 4.2.4.1.2.6 - 4.2.4.1.2.7 - 4.2.4.1.2.8 NTC18

X	Comb.	Sfruttamento	Classe	Mx,Ed	Mx,Rd	My,Ed	My,Rd	Rid. Mx,Rd da VEd	Rid. My,Rd da VEd	α	β	px	py	Verifica
0.058	SLV 3	0.003	1	0.0117	23.5037	-0.0788	33.3316	1	1			0	0	Si

Verifica a presso/tenso flessione retta X §§ 4.2.4.1.2.3 - 4.2.4.1.2.6 - 4.2.4.1.2.7 - 4.2.4.1.2.8 NTC18

Verifiche eseguite utilizzando la formula conservativa (6.2) §6.2.1 EN 1993-1-1:2005.

X	Comb.	Sfruttamento	Classe	NEd	NRd	Rid. NRd da VEd	Mx,Ed	Mx,Rd	Rid. Mx,Rd da VEd	Rid. Mx,Rd da NEd	px	py	Verifica
0.868	SLU 41	0.018	1	12.47	1003.522	1	0.1249	23.5037	1		0	0	Si

Verifica a presso/tenso flessione retta X SLD §§ 4.2.4.1.2.3 - 4.2.4.1.2.6 - 4.2.4.1.2.7 - 4.2.4.1.2.8 NTC18

Verifiche eseguite utilizzando la formula conservativa (6.2) §6.2.1 EN 1993-1-1:2005.

X	Comb.	Sfruttamento	Classe	NEd	NRd	Rid. NRd da VEd	Mx,Ed	Mx,Rd	Rid. Mx,Rd da VEd	Rid. Mx,Rd da NEd	px	py	Verifica
1.505	SLD 5	0.003	1	-1.404	1003.522	1	0.0447	23.5037	1		0	0	Si

Verifica a presso/tenso flessione retta Y §§ 4.2.4.1.2.3 - 4.2.4.1.2.6 - 4.2.4.1.2.7 - 4.2.4.1.2.8 NTC18

Verifiche eseguite utilizzando la formula conservativa (6.2) §6.2.1 EN 1993-1-1:2005.

X	Comb.	Sfruttamento	Classe	NEd	NRd	Rid. NRd da VEd	My,Ed	My,Rd	Rid. My,Rd da VEd	Rid. My,Rd da NEd	px	py	Verifica
1.737	SLU 64	0.027	3	-23.327	1003.522	1	0.0817	19.3536	1		0	0	Si

Verifica a presso/tenso flessione retta Y SLD §§ 4.2.4.1.2.3 - 4.2.4.1.2.6 - 4.2.4.1.2.7 - 4.2.4.1.2.8 NTC18

Verifiche eseguite utilizzando la formula conservativa (6.2) §6.2.1 EN 1993-1-1:2005.

X	Comb.	Sfruttamento	Classe	NEd	NRd	Rid. NRd da VEd	My,Ed	My,Rd	Rid. My,Rd da VEd	Rid. My,Rd da NEd	px	py	Verifica
0	SLD 15	0.01	3	-5.75	1003.522	1	0.0786	19.3536	1		0	0	Si

Verifica a presso/tenso flessione deviata §§ 4.2.4.1.2.3 - 4.2.4.1.2.6 - 4.2.4.1.2.7 - 4.2.4.1.2.8 NTC18

Verifiche eseguite utilizzando la formula conservativa (6.2) §6.2.1 EN 1993-1-1:2005.

X	Comb.	Sfruttamento	Classe	NEd	NRd	Rid. NRd da VEd	Mx,Ed	Mx,Rd	My,Ed	My,Rd	Rid. Mx,Rd da VEd	Rid. Mx,Rd da NEd	Rid. My,Rd da VEd	Rid. My,Rd da NEd	α	β	px	py	Verifica
0.868	SLU 64	0.037	3	-23.156	1003.522	1	0.1295	12.886	0.0814	19.3536	1		1				0	0	Si

Verifica a presso/tenso flessione deviata SLD §§ 4.2.4.1.2.3 - 4.2.4.1.2.6 - 4.2.4.1.2.7 - 4.2.4.1.2.8 NTC18

Verifiche eseguite utilizzando la formula conservativa (6.2) §6.2.1 EN 1993-1-1:2005.

X	Comb.	Sfruttamento	Classe	NEd	NRd	Rid. NRd da VEd	Mx,Ed	Mx,Rd	My,Ed	My,Rd	Rid. Mx,Rd da VEd	Rid. Mx,Rd da NEd	Rid. My,Rd da VEd	Rid. My,Rd da NEd	α	β	px	py	Verifica
0.753	SLD 15	0.016	3	-5.864	1003.522	1	0.0967	12.886	0.0497	19.3536	1		1				0	0	Si

Verifiche ad instabilità

Caratteristiche iniziali

Membratura principale per controllo snellezza; Calcolo di snellezze ed N critici condotti secondo gli assi principali;

Curva X: c; Curva Y: c;

Svergolamento: Nessuno; la verifica a instabilità flesso-torsionale (svergolamento) non verrà eseguita.

Dati per instabilità attorno a x

Controllo della snellezza secondo §4.2.4.1.3.1 NTC18

Implementazione dei sistemi di confinamento delle emissioni odorigene diffuse dell’impianto di compostaggio esistente nel
Comune di Eboli (SA)
PROGETTO DEFINITIVO – Tabulati di calcolo Tomo 1

Numero rit.	Presente	Ascissa	Campata	$\beta x/m$	Vincolo a entrambi estremi	$\lambda x/m$	λVer
1	Si	0	1-2	1	Si	57.2	Si, (<200)
2	Si	1.737					

Dati per instabilità attorno a y

Controllo della snellezza secondo §4.2.4.1.3.1 NTC18

Numero rit.	Presente	Ascissa	Campata	$\beta y/n$	k,LT	kw,LT	Vincolo a entrambi estremi
1	Si	0	1-2	1	Si	42	Si, (<200)
2	Si	1.737					

Verifica di stabilità per pressoflessione §C.4.2.4.1.3.3.1 NTC18

X	Comb.	Sfruttamento	Classe	NEd	MxEq,Ed	MyEq,Ed	Area	Wx	Wy	$\chi_{,min}$	λ adim. x/m	λ adim. y/n	N,crit x/m	N,crit y/n	Verifica
1.737	SLU 64	0.044	3	-23.327	0.1131	0.0815	0.003832	0.0000492	0.0000739	0.75	0.659	0.483	2427.459	4511.143	Si

Verifica di stabilità per pressoflessione SLD §C.4.2.4.1.3.3.1 NTC18

X	Comb.	Sfruttamento	Classe	NEd	MxEq,Ed	MyEq,Ed	Area	Wx	Wy	$\chi_{,min}$	λ adim. x/m	λ adim. y/n	N,crit x/m	N,crit y/n	Verifica
1.737	SLD 16	0.018	3	-6.013	0.0853	0.059	0.003832	0.0000492	0.0000739	0.75	0.659	0.483	2427.459	4511.143	Si

Verifiche a deformabilità

Mensola X: No; Mensola Y: No.

Frecce lungo X

Ascissa freccia	Combinazione	Freccia	Luce	L/f	L/f,min	Tipo	Verifica
0.868	SLE RA 1	0	1.737	10000	250	Totale	Si
0.868	SLE RA 17	0	1.737	10000	250	Totale	Si
0.868	SLE RA 16	0	1.737	10000	250	Totale	Si
1.042	SLE RA 15	0	1.737	10000	250	Totale	Si
0.868	SLE RA 14	0	1.737	10000	250	Totale	Si
0.868	SLE RA 2	0	1.737	10000	350	Variabile	Si
0.868	SLE RA 17	0	1.737	10000	350	Variabile	Si
0.868	SLE RA 16	0	1.737	10000	350	Variabile	Si
0.753	SLE RA 15	0	1.737	10000	350	Variabile	Si
0.868	SLE RA 14	0	1.737	10000	350	Variabile	Si

Frecce lungo Y

Ascissa freccia	Combinazione	Freccia	Luce	L/f	L/f,min	Tipo	Verifica
0.868	SLE RA 1	0.00004	1.737	10000	250	Totale	Si
0.868	SLE RA 17	0.00004	1.737	10000	250	Totale	Si
0.868	SLE RA 16	0.00004	1.737	10000	250	Totale	Si
0.868	SLE RA 15	0.00004	1.737	10000	250	Totale	Si
0.868	SLE RA 14	0.00004	1.737	10000	250	Totale	Si
0.753	SLE RA 2	0	1.737	10000	350	Variabile	Si
0.753	SLE RA 17	0	1.737	10000	350	Variabile	Si
0.753	SLE RA 16	0	1.737	10000	350	Variabile	Si
0.753	SLE RA 15	0	1.737	10000	350	Variabile	Si
0.753	SLE RA 14	0	1.737	10000	350	Variabile	Si

Superelemento in acciaio a quota "728"- "640" (-580; 544)-(-471; 441)

Caratteristiche del materiale

Acciaio: S275, fyk = 275000

Caratteristiche geometriche

Lunghezza: 1.737

Nodo iniziale: 2274 Nodo finale: 758

Cerniera iniziale: Mmomenti 1% Cerniera finale: Mmomenti 1%

Sovraresistenza: 0% Sisma Z: No

Caratteristiche della sezione

Sezione	Rotazione	Area	Jx	Jy	ix	iy	Wx	Wy	Wplx	Wply
A1; L100*10; 1; Saldato; S275; 50; 1; 8; 8; 1	180	0.003832	0.0000035319	0.000007759	0.0304	0.045	0.0000492	0.0000739	0.00008974	0.00012727

Comportamento dei calastrelli

Accoppiamento imbottito con funzione statica (§C4.2.4.1.3.1.4 NTC18) nella campata compresa tra le ascisse 0 e 1.737 per sbandamento attorno all'asse y.

Verifiche di resistenza

Verifiche a forza assiale §4.2.4.1.2.1 - §4.2.4.1.2.2 NTC18

X	Comb.	Sfruttamento	Classe	NEd	Nc,Rd	Nt,Rd	Riduzione da taglio	px	py	Verifica
0	SLU 41	0.016		16.148		1003.522	1	0	0	Si

Verifiche a forza assiale SLD §4.2.4.1.2.1 - §4.2.4.1.2.2 NTC18

X	Comb.	Sfruttamento	Classe	NEd	Nc,Rd	Nt,Rd	Riduzione da taglio	px	py	Verifica
0	SLD 4	0.001		0.829		1003.522	1	0	0	Si

Verifica a taglio X §4.2.4.1.2.4 NTC18

X	Comb.	Sfruttamento	VEd	Vc,Rd	Av	Interazione taglio-torsione	Riduzione torsione	Verifica
1.737	SLV 16	0.001	-0.448	302.422	0.002	Non considerata		Si

Implementazione dei sistemi di confinamento delle emissioni odorigene diffuse dell'impianto di compostaggio esistente nel
Comune di Eboli (SA)
PROGETTO DEFINITIVO – Tabulati di calcolo Tomo 1

Verifica a taglio Y §4.2.4.1.2.4 NTC18

X	Comb.	Sfruttamento	VEd	Vc,Rd	Av	Interazione taglio-torsione	Riduzione torsione	Verifica
0	SLU 76	0.001	-0.303	302.422	0.002	Non considerata		Si

Verifica a taglio Y SLD §4.2.4.1.2.4 NTC18

X	Comb.	Sfruttamento	VEd	Vc,Rd	Av	Interazione taglio-torsione	Riduzione torsione	Verifica
0	SLD 16	0.001	-0.23	302.422	0.002	Non considerata		Si

Verifica a flessione semplice X §§ 4.2.4.1.2.3 - 4.2.4.1.2.6 - 4.2.4.1.2.7 - 4.2.4.1.2.8 NTC18

X	Comb.	Sfruttamento	Classe	Mx,Ed	Mx,Rd	Rid. Mx,Rd da VEd	px	py	Verifica
0.868	SLU 70	0.005	1	0.12424	23.50374	1	0	0	Si

Verifica a flessione semplice Y §§ 4.2.4.1.2.3 - 4.2.4.1.2.6 - 4.2.4.1.2.7 - 4.2.4.1.2.8 NTC18

X	Comb.	Sfruttamento	Classe	My,Ed	My,Rd	Rid. My,Rd da VEd	px	py	Verifica
0.058	SLV 15	0.006	1	0.20637	33.33162	1	0	0	Si

Verifica a flessione semplice Y SLD §§ 4.2.4.1.2.3 - 4.2.4.1.2.6 - 4.2.4.1.2.7 - 4.2.4.1.2.8 NTC18

X	Comb.	Sfruttamento	Classe	My,Ed	My,Rd	Rid. My,Rd da VEd	px	py	Verifica
0	SLD 5	0.002	1	-0.08135	33.33162	1	0	0	Si

Verifica a flessione deviata §§ 4.2.4.1.2.3 - 4.2.4.1.2.6 - 4.2.4.1.2.7 - 4.2.4.1.2.8 NTC18

X	Comb.	Sfruttamento	Classe	Mx,Ed	Mx,Rd	My,Ed	My,Rd	Rid. Mx,Rd da VEd	Rid. My,Rd da VEd	α	β	px	py	Verifica
0.695	SLV 6	0.009	1	0.0982	23.5037	-0.1648	33.3316	1	1			0	0	Si

Verifica a flessione deviata SLD §§ 4.2.4.1.2.3 - 4.2.4.1.2.6 - 4.2.4.1.2.7 - 4.2.4.1.2.8 NTC18

X	Comb.	Sfruttamento	Classe	Mx,Ed	Mx,Rd	My,Ed	My,Rd	Rid. Mx,Rd da VEd	Rid. My,Rd da VEd	α	β	px	py	Verifica
0.81	SLD 6	0.006	1	0.0978	23.5037	-0.0629	33.3316	1	1			0	0	Si

Verifica a presso/tenso flessione retta X §§ 4.2.4.1.2.3 - 4.2.4.1.2.6 - 4.2.4.1.2.7 - 4.2.4.1.2.8 NTC18

Verifiche eseguite utilizzando la formula conservativa (6.2) §6.2.1 EN 1993-1-1:2005.

X	Comb.	Sfruttamento	Classe	NEd	NRd	Rid. NRd da VEd	Mx,Ed	Mx,Rd	Rid. Mx,Rd da VEd	Rid. Mx,Rd da NEd	px	py	Verifica
0.868	SLU 41	0.021	1	15.977	1003.522	1	0.1293	23.5037	1		0	0	Si

Verifica a presso/tenso flessione retta Y §§ 4.2.4.1.2.3 - 4.2.4.1.2.6 - 4.2.4.1.2.7 - 4.2.4.1.2.8 NTC18

Verifiche eseguite utilizzando la formula conservativa (6.2) §6.2.1 EN 1993-1-1:2005.

X	Comb.	Sfruttamento	Classe	NEd	NRd	Rid. NRd da VEd	My,Ed	My,Rd	Rid. My,Rd da VEd	Rid. My,Rd da NEd	px	py	Verifica
1.737	SLU 26	0.018	3	-15.464	1003.522	1	0.0555	19.3536	1		0	0	Si

Verifica a presso/tenso flessione retta Y SLD §§ 4.2.4.1.2.3 - 4.2.4.1.2.6 - 4.2.4.1.2.7 - 4.2.4.1.2.8 NTC18

Verifiche eseguite utilizzando la formula conservativa (6.2) §6.2.1 EN 1993-1-1:2005.

X	Comb.	Sfruttamento	Classe	NEd	NRd	Rid. NRd da VEd	My,Ed	My,Rd	Rid. My,Rd da VEd	Rid. My,Rd da NEd	px	py	Verifica
0	SLD 1	0.003	1	0.659	1003.522	1	-0.0831	33.3316	1		0	0	Si

Verifica a presso/tenso flessione deviata §§ 4.2.4.1.2.3 - 4.2.4.1.2.6 - 4.2.4.1.2.7 - 4.2.4.1.2.8 NTC18

Verifiche eseguite utilizzando la formula conservativa (6.2) §6.2.1 EN 1993-1-1:2005.

X	Comb.	Sfruttamento	Classe	NEd	NRd	Rid. NRd da VEd	Mx,Ed	Mx,Rd	My,Ed	My,Rd	Rid. Mx,Rd da VEd	Rid. Mx,Rd da NEd	Rid. My,Rd da VEd	Rid. My,Rd da NEd	α	β	px	py	Verifica
0.926	SLU 64	0.027	3	-15.224	1003.522	1	0.1193	12.886	0.0543	19.3536	1		1				0	0	Si

Verifica a presso/tenso flessione deviata SLD §§ 4.2.4.1.2.3 - 4.2.4.1.2.6 - 4.2.4.1.2.7 - 4.2.4.1.2.8 NTC18

Verifiche eseguite utilizzando la formula conservativa (6.2) §6.2.1 EN 1993-1-1:2005.

X	Comb.	Sfruttamento	Classe	NEd	NRd	Rid. NRd da VEd	Mx,Ed	Mx,Rd	My,Ed	My,Rd	Rid. Mx,Rd da VEd	Rid. Mx,Rd da NEd	Rid. My,Rd da VEd	Rid. My,Rd da NEd	α	β	px	py	Verifica
0.81	SLD 1	0.007	1	0.536	1003.522	1	0.0978	23.5037	-0.0642	33.3316	1		1				0	0	Si

Verifiche ad instabilità

Caratteristiche iniziali

Membratura principale per controllo snellezza; Calcolo di snellezze ed N critici condotti secondo gli assi principali;

Curva X: c; Curva Y: c;

Svergolamento: Nessuno; la verifica a instabilità flesso-torsionale (svergolamento) non verrà eseguita.

Dati per instabilità attorno a x

Controllo della snellezza secondo §4.2.4.1.3.1 NTC18

Numero rit.	Presente	Ascissa	Campata	βx/m	Vincolo a entrambi estremi	λx/m	λVer
1	Si	0					
			1-2	1	Si	57.2	Si, (<200)
2	Si	1.737					

Dati per instabilità attorno a y

Controllo della snellezza secondo §4.2.4.1.3.1 NTC18

Numero rit.	Presente	Ascissa	Campata	βy/n	k,LT	kw,LT	Vincolo a entrambi estremi
1	Si	0					
			1-2	1	Si	42	Si, (<200)
2	Si	1.737					

Verifica di stabilità per pressoflessione §C.4.2.4.1.3.3.1 NTC18

X	Comb.	Sfruttamento	Classe	NEd	MxEq,Ed	MyEq,Ed	Area	Wx	Wy	χ,min	λ adim. x/m	λ adim. y/n	N,crit x/m	N,crit y/n	Verifica
1.737	SLU 64	0.031	3	-15.383	0.1	0.0544	0.003832	0.0000492	0.0000739	0.75	0.659	0.483	2427.459	4511.143	Si

Verifica di stabilità per pressoflessione SLD §C.4.2.4.1.3.3.1 NTC18

X	Comb.	Sfruttamento	Classe	NEd	MxEq,Ed	MyEq,Ed	Area	Wx	Wy	χ,min	λ adim. x/m	λ adim. y/n	N,crit x/m	N,crit y/n	Verifica
0	SLD 5	0.006	1	0	0.0851	-0.0808	0.003832	0.0000897	0.0001273	0.75	0.659	0.483	2427.459	4511.143	Si

Implementazione dei sistemi di confinamento delle emissioni odorigene diffuse dell'impianto di compostaggio esistente nel
Comune di Eboli (SA)
PROGETTO DEFINITIVO – Tabulati di calcolo Tomo 1

Verifiche a deformabilità

Mensola X: No; Mensola Y: No.

Frecce lungo X

Ascissa freccia	Combinazione	Freccia	Luce	L/f	L/f,min	Tipo	Verifica
0.868	SLE RA 1	0	1.737	10000	250	Totale	Si
0.868	SLE RA 17	0	1.737	10000	250	Totale	Si
0.926	SLE RA 16	0	1.737	10000	250	Totale	Si
0.926	SLE RA 15	0	1.737	10000	250	Totale	Si
0.868	SLE RA 14	0	1.737	10000	250	Totale	Si
0.926	SLE RA 2	0	1.737	10000	350	Variabile	Si
0.926	SLE RA 17	0	1.737	10000	350	Variabile	Si
0.926	SLE RA 16	0	1.737	10000	350	Variabile	Si
0.984	SLE RA 15	0	1.737	10000	350	Variabile	Si
0.868	SLE RA 14	0	1.737	10000	350	Variabile	Si

Frecce lungo Y

Ascissa freccia	Combinazione	Freccia	Luce	L/f	L/f,min	Tipo	Verifica
0.868	SLE RA 1	0.00004	1.737	10000	250	Totale	Si
0.868	SLE RA 17	0.00004	1.737	10000	250	Totale	Si
0.868	SLE RA 16	0.00004	1.737	10000	250	Totale	Si
0.868	SLE RA 15	0.00004	1.737	10000	250	Totale	Si
0.868	SLE RA 14	0.00004	1.737	10000	250	Totale	Si
0.753	SLE RA 2	0	1.737	10000	350	Variabile	Si
0.753	SLE RA 17	0	1.737	10000	350	Variabile	Si
0.753	SLE RA 16	0	1.737	10000	350	Variabile	Si
0.753	SLE RA 15	0	1.737	10000	350	Variabile	Si
1.331	SLE RA 14	0	1.737	10000	350	Variabile	Si

Superelemento in acciaio a quota "728"- "640" (-834; 275)-(-725; 172)

Caratteristiche del materiale

Acciaio: S275, fyk = 275000

Caratteristiche geometriche

Lunghezza: 1.737

Nodo iniziale: 2265 Nodo finale: 706

Cerniera iniziale: Mmomenti 1% Cerniera finale: Mmomenti 1%

Sovreresistenza: 0% Sisma Z: No

Caratteristiche della sezione

Sezione	Rotazione	Area	Jx	Jy	ix	iy	Wx	Wy	Wplx	Wply
A1; L100*10; 1; Saldato; S275; 50; 1; 8; 8; 1	180	0.003832	0.0000035319	0.000007759	0.0304	0.045	0.0000492	0.0000739	0.00008974	0.00012727

Comportamento dei calastrelli

Accoppiamento imbottito con funzione statica (§C4.2.4.1.3.1.4 NTC18) nella campata compresa tra le ascisse 0 e 1.737 per sbandamento attorno all'asse y.

Verifiche di resistenza

Verifiche a forza assiale §4.2.4.1.2.1 - §4.2.4.1.2.2 NTC18

X	Comb.	Sfruttamento	Classe	NEd	Nc,Rd	Nt,Rd	Riduzione da taglio	px	py	Verifica
1.737	SLU 64	0.022	3	-22.393	1003.522		1	0	0	Si

Verifiche a forza assiale SLD §4.2.4.1.2.1 - §4.2.4.1.2.2 NTC18

X	Comb.	Sfruttamento	Classe	NEd	Nc,Rd	Nt,Rd	Riduzione da taglio	px	py	Verifica
1.737	SLD 2	0.006	3	-5.729	1003.522		1	0	0	Si

Verifica a taglio X §4.2.4.1.2.4 NTC18

X	Comb.	Sfruttamento	VEd	Vc,Rd	Av	Interazione taglio-torsione	Riduzione torsione	Verifica
1.737	SLV 2	0.002	0.626	302.422	0.002	Non considerata		Si

Verifica a taglio X SLD §4.2.4.1.2.4 NTC18

X	Comb.	Sfruttamento	VEd	Vc,Rd	Av	Interazione taglio-torsione	Riduzione torsione	Verifica
1.737	SLD 1	0.001	0.266	302.422	0.002	Non considerata		Si

Verifica a taglio Y §4.2.4.1.2.4 NTC18

X	Comb.	Sfruttamento	VEd	Vc,Rd	Av	Interazione taglio-torsione	Riduzione torsione	Verifica
1.737	SLU 64	0.001	0.297	302.422	0.002	Non considerata		Si

Verifica a taglio Y SLD §4.2.4.1.2.4 NTC18

X	Comb.	Sfruttamento	VEd	Vc,Rd	Av	Interazione taglio-torsione	Riduzione torsione	Verifica
1.737	SLD 1	0.001	0.227	302.422	0.002	Non considerata		Si

Verifica a flessione semplice X §§ 4.2.4.1.2.3 - 4.2.4.1.2.6 - 4.2.4.1.2.7 - 4.2.4.1.2.8 NTC18

X	Comb.	Sfruttamento	Classe	Mx,Ed	Mx,Rd	Rid. Mx,Rd da VEd	px	py	Verifica
0.868	SLU 59	0.005	1	0.12657	23.50374	1	0	0	Si

Verifica a flessione semplice Y §§ 4.2.4.1.2.3 - 4.2.4.1.2.6 - 4.2.4.1.2.7 - 4.2.4.1.2.8 NTC18

X	Comb.	Sfruttamento	Classe	My,Ed	My,Rd	Rid. My,Rd da VEd	px	py	Verifica
0	SLV 7	0.004	1	0.13179	33.33162	1	0	0	Si

Implementazione dei sistemi di confinamento delle emissioni odorigene diffuse dell'impianto di compostaggio esistente nel
Comune di Eboli (SA)
PROGETTO DEFINITIVO – Tabulati di calcolo Tomo 1

Verifica a flessione deviata §§ 4.2.4.1.2.3 - 4.2.4.1.2.6 - 4.2.4.1.2.7 - 4.2.4.1.2.8 NTC18

X	Comb.	Sfruttamento	Classe	Mx,Ed	Mx,Rd	My,Ed	My,Rd	Rid. Mx,Rd da VEd	Rid. My,Rd da VEd	α	β	px	py	Verifica
0.695	SLV 14	0.007	1	0.0933	23.5037	0.0997	33.3316	1	1			0	0	Si

Verifica a presso/tenso flessione retta X §§ 4.2.4.1.2.3 - 4.2.4.1.2.6 - 4.2.4.1.2.7 - 4.2.4.1.2.8 NTC18

Verifiche eseguite utilizzando la formula conservativa (6.2) §6.2.1 EN 1993-1-1:2005.

X	Comb.	Sfruttamento	Classe	NEd	NRd	Rid. NRd da VEd	Mx,Ed	Mx,Rd	Rid. Mx,Rd da VEd	Rid. Mx,Rd da NEd	px	py	Verifica
0.868	SLU 41	0.018	1	12.925	1003.522	1	0.1244	23.5037	1		0	0	Si

Verifica a presso/tenso flessione retta Y §§ 4.2.4.1.2.3 - 4.2.4.1.2.6 - 4.2.4.1.2.7 - 4.2.4.1.2.8 NTC18

Verifiche eseguite utilizzando la formula conservativa (6.2) §6.2.1 EN 1993-1-1:2005.

X	Comb.	Sfruttamento	Classe	NEd	NRd	Rid. NRd da VEd	My,Ed	My,Rd	Rid. My,Rd da VEd	Rid. My,Rd da NEd	px	py	Verifica
1.737	SLU 64	0.026	3	-22.393	1003.522	1	-0.0804	19.3536	1		0	0	Si

Verifica a presso/tenso flessione retta Y SLD §§ 4.2.4.1.2.3 - 4.2.4.1.2.6 - 4.2.4.1.2.7 - 4.2.4.1.2.8 NTC18

Verifiche eseguite utilizzando la formula conservativa (6.2) §6.2.1 EN 1993-1-1:2005.

X	Comb.	Sfruttamento	Classe	NEd	NRd	Rid. NRd da VEd	My,Ed	My,Rd	Rid. My,Rd da VEd	Rid. My,Rd da NEd	px	py	Verifica
0	SLD 1	0.009	1	-5.465	1003.522	1	-0.1231	33.3316	1		0	0	Si

Verifica a presso/tenso flessione deviata §§ 4.2.4.1.2.3 - 4.2.4.1.2.6 - 4.2.4.1.2.7 - 4.2.4.1.2.8 NTC18

Verifiche eseguite utilizzando la formula conservativa (6.2) §6.2.1 EN 1993-1-1:2005.

X	Comb.	Sfruttamento	Classe	NEd	NRd	Rid. NRd da VEd	Mx,Ed	Mx,Rd	My,Ed	My,Rd	Rid. Mx,Rd da VEd	Rid. Mx,Rd da NEd	Rid. My,Rd da VEd	Rid. My,Rd da NEd	α	β	px	py	Verifica
0.868	SLU 64	0.037	3	-22.222	1003.522	1	0.1301	12.886	-0.0825	19.3536	1			1			0	0	Si

Verifica a presso/tenso flessione deviata SLD §§ 4.2.4.1.2.3 - 4.2.4.1.2.6 - 4.2.4.1.2.7 - 4.2.4.1.2.8 NTC18

Verifiche eseguite utilizzando la formula conservativa (6.2) §6.2.1 EN 1993-1-1:2005.

X	Comb.	Sfruttamento	Classe	NEd	NRd	Rid. NRd da VEd	Mx,Ed	Mx,Rd	My,Ed	My,Rd	Rid. Mx,Rd da VEd	Rid. Mx,Rd da NEd	Rid. My,Rd da VEd	Rid. My,Rd da NEd	α	β	px	py	Verifica
1.389	SLD 2	0.014	3	-5.676	1003.522	1	0.0624	12.886	-0.0672	19.3536	1			1			0	0	Si

Verifiche ad instabilità

Caratteristiche iniziali

Membratura principale per controllo snellezza; Calcolo di snellezze ed N critici condotti secondo gli assi principali;

Curva X: c; Curva Y: c;

Svergolamento: Nessuno; la verifica a instabilità flesso-torsionale (svergolamento) non verrà eseguita.

Dati per instabilità attorno a x

Controllo della snellezza secondo §4.2.4.1.3.1 NTC18

Numero rit.	Presente	Ascissa	Campata	βx/m	Vincolo a entrambi estremi	λx/m	λVer
1	Si	0					
			1-2	1	Si	57.2	Si, (<200)
2	Si	1.737					

Dati per instabilità attorno a y

Controllo della snellezza secondo §4.2.4.1.3.1 NTC18

Numero rit.	Presente	Ascissa	Campata	βy/n	k,LT	kw,LT	Vincolo a entrambi estremi
1	Si	0					
			1-2	1	Si	42	Si, (<200)
2	Si	1.737					

Verifica di stabilità per pressoflessione §C.4.2.4.1.3.3.1 NTC18

X	Comb.	Sfruttamento	Classe	NEd	MxEq,Ed	MyEq,Ed	Area	Wx	Wy	x,min	λ adim. x/m	λ adim. y/n	N,crit x/m	N,crit y/n	Verifica
1.737	SLU 64	0.043	3	-22.393	0.1138	-0.0829	0.003832	0.0000492	0.0000739	0.75	0.659	0.483	2427.459	4511.143	Si

Verifica di stabilità per pressoflessione SLD §C.4.2.4.1.3.3.1 NTC18

X	Comb.	Sfruttamento	Classe	NEd	MxEq,Ed	MyEq,Ed	Area	Wx	Wy	x,min	λ adim. x/m	λ adim. y/n	N,crit x/m	N,crit y/n	Verifica
1.737	SLD 2	0.02	3	-5.729	0.0852	-0.1146	0.003832	0.0000492	0.0000739	0.75	0.659	0.483	2427.459	4511.143	Si

Verifiche a deformabilità

Mensola X: No; Mensola Y: No.

Frecce lungo X

Ascissa freccia	Combinazione	Freccia	Luce	L/f	L/f,min	Tipo	Verifica
0.81	SLE RA 1	0	1.737	10000	250	Totale	Si
0.81	SLE RA 17	0	1.737	10000	250	Totale	Si
0.81	SLE RA 16	0	1.737	10000	250	Totale	Si
0.81	SLE RA 15	0	1.737	10000	250	Totale	Si
0.753	SLE RA 14	0	1.737	10000	250	Totale	Si
0.81	SLE RA 2	0	1.737	10000	350	Variabile	Si
0.81	SLE RA 17	0	1.737	10000	350	Variabile	Si
0.81	SLE RA 16	0	1.737	10000	350	Variabile	Si
0.81	SLE RA 15	0	1.737	10000	350	Variabile	Si
0.753	SLE RA 14	0	1.737	10000	350	Variabile	Si

Frecce lungo Y

Ascissa freccia	Combinazione	Freccia	Luce	L/f	L/f,min	Tipo	Verifica
0.868	SLE RA 1	0.00004	1.737	10000	250	Totale	Si
0.868	SLE RA 17	0.00004	1.737	10000	250	Totale	Si
0.868	SLE RA 16	0.00004	1.737	10000	250	Totale	Si
0.868	SLE RA 15	0.00004	1.737	10000	250	Totale	Si
0.868	SLE RA 14	0.00004	1.737	10000	250	Totale	Si
0.753	SLE RA 2	0	1.737	10000	350	Variabile	Si
0.753	SLE RA 17	0	1.737	10000	350	Variabile	Si
0.753	SLE RA 16	0	1.737	10000	350	Variabile	Si

**Implementazione dei sistemi di confinamento delle emissioni odorigene diffuse dell'impianto di compostaggio esistente nel
Comune di Eboli (SA)
PROGETTO DEFINITIVO – Tabulati di calcolo Tomo 1**

Ascissa freccia	Combinazione	Freccia	Luce	L/f	L/f,min	Tipo	Verifica
0.753	SLE RA 15	0	1.737	10000	350	Variabile	Si
0.753	SLE RA 14	0	1.737	10000	350	Variabile	Si

Superelemento in acciaio a quota "728"- "640" (-1089; 3)-(-979; -99)

Caratteristiche del materiale

Acciaio: S275, fyk = 275000

Caratteristiche geometriche

Lunghezza: 1.737

Nodo iniziale: 2255 Nodo finale: 649

Cerniera iniziale: Mmomenti 1% Cerniera finale: Mmomenti 1%

Sovraresistenza: 0% Sisma Z: No

Caratteristiche della sezione

Sezione	Rotazione	Area	Jx	Jy	ix	iy	Wx	Wy	Wplx	Wply
A1; L100*10; 1; Saldato; S275; 50; 1; 8; 8; 1	180	0.003832	0.0000035319	0.000007759	0.0304	0.045	0.0000492	0.0000739	0.00008974	0.00012727

Comportamento dei calastrelli

Accoppiamento imbottito con funzione statica (§C4.2.4.1.3.1.4 NTC18) nella campata compresa tra le ascisse 0 e 1.737 per sbandamento attorno all'asse y.

Verifiche di resistenza

Verifiche a forza assiale §4.2.4.1.2.1 - §4.2.4.1.2.2 NTC18

X	Comb.	Sfruttamento	Classe	NEd	Nc,Rd	Nt,Rd	Riduzione da taglio	px	py	Verifica
1.737	SLU 76	0.045	3	-45.274	1003.522		1	0	0	Si

Verifiche a forza assiale SLD §4.2.4.1.2.1 - §4.2.4.1.2.2 NTC18

X	Comb.	Sfruttamento	Classe	NEd	Nc,Rd	Nt,Rd	Riduzione da taglio	px	py	Verifica
1.737	SLD 2	0.013	3	-12.623	1003.522		1	0	0	Si

Verifica a taglio X §4.2.4.1.2.4 NTC18

X	Comb.	Sfruttamento	VEd	Vc,Rd	Av	Interazione taglio-torsione	Riduzione torsione	Verifica
1.737	SLU 76	0.001	-0.288	302.422	0.002	Non considerata		Si

Verifica a taglio Y §4.2.4.1.2.4 NTC18

X	Comb.	Sfruttamento	VEd	Vc,Rd	Av	Interazione taglio-torsione	Riduzione torsione	Verifica
1.737	SLU 76	0.001	0.299	302.422	0.002	Non considerata		Si

Verifica a taglio Y SLD §4.2.4.1.2.4 NTC18

X	Comb.	Sfruttamento	VEd	Vc,Rd	Av	Interazione taglio-torsione	Riduzione torsione	Verifica
1.737	SLD 4	0.001	0.227	302.422	0.002	Non considerata		Si

Verifica a flessione semplice X §§ 4.2.4.1.2.3 - 4.2.4.1.2.6 - 4.2.4.1.2.7 - 4.2.4.1.2.8 NTC18

X	Comb.	Sfruttamento	Classe	Mx,Ed	Mx,Rd	Rid. Mx,Rd da VEd	px	py	Verifica
0.868	SLU 60	0.005	1	0.12568	23.50374	1	0	0	Si

Verifica a presso/tenso flessione retta X §§ 4.2.4.1.2.3 - 4.2.4.1.2.6 - 4.2.4.1.2.7 - 4.2.4.1.2.8 NTC18

Verifiche eseguite utilizzando la formula conservativa (6.2) §6.2.1 EN 1993-1-1:2005.

X	Comb.	Sfruttamento	Classe	NEd	NRd	Rid. NRd da VEd	Mx,Ed	Mx,Rd	Rid. Mx,Rd da VEd	Rid. Mx,Rd da NEd	px	py	Verifica
0.868	SLU 3	0.01	1	5.945	1003.522	1	0.096	23.5037	1		0	0	Si

Verifica a presso/tenso flessione retta Y §§ 4.2.4.1.2.3 - 4.2.4.1.2.6 - 4.2.4.1.2.7 - 4.2.4.1.2.8 NTC18

Verifiche eseguite utilizzando la formula conservativa (6.2) §6.2.1 EN 1993-1-1:2005.

X	Comb.	Sfruttamento	Classe	NEd	NRd	Rid. NRd da VEd	My,Ed	My,Rd	Rid. My,Rd da VEd	Rid. My,Rd da NEd	px	py	Verifica
1.737	SLU 76	0.053	3	-45.274	1003.522	1	-0.159	19.3536	1		0	0	Si

Verifica a presso/tenso flessione retta Y SLD §§ 4.2.4.1.2.3 - 4.2.4.1.2.6 - 4.2.4.1.2.7 - 4.2.4.1.2.8 NTC18

Verifiche eseguite utilizzando la formula conservativa (6.2) §6.2.1 EN 1993-1-1:2005.

X	Comb.	Sfruttamento	Classe	NEd	NRd	Rid. NRd da VEd	My,Ed	My,Rd	Rid. My,Rd da VEd	Rid. My,Rd da NEd	px	py	Verifica
0	SLD 1	0.016	3	-12.36	1003.522	1	0.0634	19.3536	1		0	0	Si

Verifica a presso/tenso flessione deviata §§ 4.2.4.1.2.3 - 4.2.4.1.2.6 - 4.2.4.1.2.7 - 4.2.4.1.2.8 NTC18

Verifiche eseguite utilizzando la formula conservativa (6.2) §6.2.1 EN 1993-1-1:2005.

X	Comb.	Sfruttamento	Classe	NEd	NRd	Rid. NRd da VEd	Mx,Ed	Mx,Rd	My,Ed	My,Rd	Rid. Mx,Rd da VEd	Rid. Mx,Rd da NEd	Rid. My,Rd da VEd	Rid. My,Rd da NEd	α	β	px	py	Verifica
0.868	SLU 76	0.063	3	-45.103	1003.522	1	0.1309	12.886	-0.1583	19.3536	1		1				0	0	Si

Verifica a presso/tenso flessione deviata SLD §§ 4.2.4.1.2.3 - 4.2.4.1.2.6 - 4.2.4.1.2.7 - 4.2.4.1.2.8 NTC18

Verifiche eseguite utilizzando la formula conservativa (6.2) §6.2.1 EN 1993-1-1:2005.

X	Comb.	Sfruttamento	Classe	NEd	NRd	Rid. NRd da VEd	Mx,Ed	Mx,Rd	My,Ed	My,Rd	Rid. Mx,Rd da VEd	Rid. Mx,Rd da NEd	Rid. My,Rd da VEd	Rid. My,Rd da NEd	α	β	px	py	Verifica
0.868	SLD 2	0.023	3	-12.491	1003.522	1	0.0985	12.886	0.0599	19.3536	1		1				0	0	Si

Implementazione dei sistemi di confinamento delle emissioni odorigene diffuse dell'impianto di compostaggio esistente nel
Comune di Eboli (SA)

PROGETTO DEFINITIVO – Tabulati di calcolo Tomo 1

Verifiche ad instabilità

Caratteristiche iniziali

Membratura principale per controllo snellezza; Calcolo di snellezze ed N critici condotti secondo gli assi principali;
Curva X: c; Curva Y: c;
Svergolamento: Nessuno; la verifica a instabilità flesso-torsionale (svergolamento) non verrà eseguita.

Dati per instabilità attorno a x

Controllo della snellezza secondo §4.2.4.1.3.1 NTC18

Numero rit.	Presente	Ascissa	Campata	$\beta x/m$	Vincolo a entrambi estremi	$\lambda x/m$	λVer
1	Si	0					
			1-2	1	Si	57.2	Si, (<200)
2	Si	1.737					

Dati per instabilità attorno a y

Controllo della snellezza secondo §4.2.4.1.3.1 NTC18

Numero rit.	Presente	Ascissa	Campata	$\beta y/n$	k,LT	kw,LT	Vincolo a entrambi estremi
1	Si	0					
			1-2	1	Si	42	Si, (<200)
2	Si	1.737					

Verifica di stabilità per pressoflessione §C.4.2.4.1.3.3.1 NTC18

X	Comb.	Sfruttamento	Classe	NEd	MxEq,Ed	MyEq,Ed	Area	Wx	Wy	χ_{min}	$\lambda_{adim. x/m}$	$\lambda_{adim. y/n}$	N,crit x/m	N,crit y/n	Verifica
1.737	SLU 76	0.078	3	-45.274	0.1149	-0.1585	0.003832	0.0000492	0.0000739	0.75	0.659	0.483	2427.459	4511.143	Si

Verifica di stabilità per pressoflessione SLD §C.4.2.4.1.3.3.1 NTC18

X	Comb.	Sfruttamento	Classe	NEd	MxEq,Ed	MyEq,Ed	Area	Wx	Wy	χ_{min}	$\lambda_{adim. x/m}$	$\lambda_{adim. y/n}$	N,crit x/m	N,crit y/n	Verifica
1.737	SLD 2	0.027	3	-12.623	0.0856	0.0634	0.003832	0.0000492	0.0000739	0.75	0.659	0.483	2427.459	4511.143	Si

Verifiche a deformabilità

Mensola X: No; Mensola Y: No.

Frecce lungo X

Ascissa freccia	Combinazione	Freccia	Luce	L/f	L/f,min	Tipo	Verifica
1.042	SLE RA 1	0	1.737	10000	250	Totale	Si
1.042	SLE RA 17	0	1.737	10000	250	Totale	Si
1.042	SLE RA 16	0	1.737	10000	250	Totale	Si
0.926	SLE RA 15	0	1.737	10000	250	Totale	Si
0.637	SLE RA 14	0	1.737	10000	250	Totale	Si
1.1	SLE RA 2	0	1.737	10000	350	Variabile	Si
1.042	SLE RA 17	0	1.737	10000	350	Variabile	Si
1.042	SLE RA 16	0	1.737	10000	350	Variabile	Si
0.868	SLE RA 15	0	1.737	10000	350	Variabile	Si
0.81	SLE RA 14	0	1.737	10000	350	Variabile	Si

Frecce lungo Y

Ascissa freccia	Combinazione	Freccia	Luce	L/f	L/f,min	Tipo	Verifica
0.868	SLE RA 1	0.00004	1.737	10000	250	Totale	Si
0.868	SLE RA 17	0.00004	1.737	10000	250	Totale	Si
0.868	SLE RA 16	0.00004	1.737	10000	250	Totale	Si
0.868	SLE RA 15	0.00004	1.737	10000	250	Totale	Si
0.868	SLE RA 14	0.00004	1.737	10000	250	Totale	Si
0.695	SLE RA 2	0	1.737	10000	350	Variabile	Si
0.695	SLE RA 17	0	1.737	10000	350	Variabile	Si
0.695	SLE RA 16	0	1.737	10000	350	Variabile	Si
0.753	SLE RA 15	0	1.737	10000	350	Variabile	Si
0.753	SLE RA 14	0	1.737	10000	350	Variabile	Si

Superelemento in acciaio a quota "728"- "640" (-1341; -264)-(-1232; -367)

Caratteristiche del materiale

Acciaio: S275, fyk = 275000

Caratteristiche geometriche

Lunghezza: 1.737
Nodo iniziale: 2245 Nodo finale: 595
Cerniera iniziale: Mmomenti 1% Cerniera finale: Mmomenti 1%
Sovreresistenza: 0% Sisma Z: No

Caratteristiche della sezione

Sezione	Rotazione	Area	Jx	Jy	ix	iy	Wx	Wy	Wplx	Wply
A1; L100*10; 1; Saldato; S275; 50; 1; 8; 8; 1	180	0.003832	0.0000035319	0.000007759	0.0304	0.045	0.0000492	0.0000739	0.00008974	0.00012727

Comportamento dei calastrelli

Accoppiamento imbottito con funzione statica (§C4.2.4.1.3.1.4 NTC18) nella campata compresa tra le ascisse 0 e 1.737 per sbandamento attorno all'asse y.

Verifiche di resistenza

Verifiche a forza assiale §4.2.4.1.2.1 - §4.2.4.1.2.2 NTC18

X	Comb.	Sfruttamento	Classe	NEd	Nc,Rd	Nt,Rd	Riduzione da taglio	px	py	Verifica
1.737	SLU 64	0.027	3	-26.904	1003.522		1	0	0	Si

Implementazione dei sistemi di confinamento delle emissioni odorigene diffuse dell'impianto di compostaggio esistente nel
Comune di Eboli (SA)

PROGETTO DEFINITIVO – Tabulati di calcolo Tomo 1

Verifiche a forza assiale SLD §4.2.4.1.2.1 - §4.2.4.1.2.2 NTC18

X	Comb.	Sfruttamento	Classe	NEd	Nc,Rd	Nt,Rd	Riduzione da taglio	px	py	Verifica
1.737	SLD 16	0.008	3	-7.875	1003.522		1	0	0	Si

Verifica a taglio X §4.2.4.1.2.4 NTC18

X	Comb.	Sfruttamento	VEd	Vc,Rd	Av	Interazione taglio-torsione	Riduzione torsione	Verifica
1.737	SLV 16	0.001	0.348	302.422	0.002	Non considerata		Si

Verifica a taglio Y §4.2.4.1.2.4 NTC18

X	Comb.	Sfruttamento	VEd	Vc,Rd	Av	Interazione taglio-torsione	Riduzione torsione	Verifica
1.737	SLU 64	0.001	0.297	302.422	0.002	Non considerata		Si

Verifica a taglio Y SLD §4.2.4.1.2.4 NTC18

X	Comb.	Sfruttamento	VEd	Vc,Rd	Av	Interazione taglio-torsione	Riduzione torsione	Verifica
1.737	SLD 16	0.001	0.227	302.422	0.002	Non considerata		Si

Verifica a flessione semplice X §§ 4.2.4.1.2.3 - 4.2.4.1.2.6 - 4.2.4.1.2.7 - 4.2.4.1.2.8 NTC18

X	Comb.	Sfruttamento	Classe	Mx,Ed	Mx,Rd	Rid. Mx,Rd da VEd	px	py	Verifica
0.868	SLU 5	0.004	1	0.09757	23.50374	1	0	0	Si

Verifica a flessione semplice Y §§ 4.2.4.1.2.3 - 4.2.4.1.2.6 - 4.2.4.1.2.7 - 4.2.4.1.2.8 NTC18

X	Comb.	Sfruttamento	Classe	My,Ed	My,Rd	Rid. My,Rd da VEd	px	py	Verifica
1.737	SLV 5	0.003	1	0.09882	33.33162	1	0	0	Si

Verifica a presso/tenso flessione retta X §§ 4.2.4.1.2.3 - 4.2.4.1.2.6 - 4.2.4.1.2.7 - 4.2.4.1.2.8 NTC18

Verifiche eseguite utilizzando la formula conservativa (6.2) §6.2.1 EN 1993-1-1:2005.

X	Comb.	Sfruttamento	Classe	NEd	NRd	Rid. NRd da VEd	Mx,Ed	Mx,Rd	Rid. Mx,Rd da VEd	Rid. Mx,Rd da NEd	px	py	Verifica
0.868	SLU 41	0.016	1	10.48	1003.522	1	0.1248	23.5037	1		0	0	Si

Verifica a presso/tenso flessione retta Y §§ 4.2.4.1.2.3 - 4.2.4.1.2.6 - 4.2.4.1.2.7 - 4.2.4.1.2.8 NTC18

Verifiche eseguite utilizzando la formula conservativa (6.2) §6.2.1 EN 1993-1-1:2005.

X	Comb.	Sfruttamento	Classe	NEd	NRd	Rid. NRd da VEd	My,Ed	My,Rd	Rid. My,Rd da VEd	Rid. My,Rd da NEd	px	py	Verifica
1.737	SLU 64	0.032	3	-26.904	1003.522	1	0.0946	19.3536	1		0	0	Si

Verifica a presso/tenso flessione retta Y SLD §§ 4.2.4.1.2.3 - 4.2.4.1.2.6 - 4.2.4.1.2.7 - 4.2.4.1.2.8 NTC18

Verifiche eseguite utilizzando la formula conservativa (6.2) §6.2.1 EN 1993-1-1:2005.

X	Comb.	Sfruttamento	Classe	NEd	NRd	Rid. NRd da VEd	My,Ed	My,Rd	Rid. My,Rd da VEd	Rid. My,Rd da NEd	px	py	Verifica
0	SLD 15	0.012	3	-7.612	1003.522	1	-0.0823	19.3536	1		0	0	Si

Verifica a presso/tenso flessione deviata §§ 4.2.4.1.2.3 - 4.2.4.1.2.6 - 4.2.4.1.2.7 - 4.2.4.1.2.8 NTC18

Verifiche eseguite utilizzando la formula conservativa (6.2) §6.2.1 EN 1993-1-1:2005.

X	Comb.	Sfruttamento	Classe	NEd	NRd	Rid. NRd da VEd	Mx,Ed	Mx,Rd	My,Ed	My,Rd	Rid. Mx,Rd da VEd	Rid. Mx,Rd da NEd	Rid. My,Rd da VEd	Rid. My,Rd da NEd	α	β	px	py	Verifica
0.868	SLU 64	0.042	3	-26.733	1003.522	1	0.1295	12.886	0.0947	19.3536	1		1				0	0	Si

Verifica a presso/tenso flessione deviata SLD §§ 4.2.4.1.2.3 - 4.2.4.1.2.6 - 4.2.4.1.2.7 - 4.2.4.1.2.8 NTC18

Verifiche eseguite utilizzando la formula conservativa (6.2) §6.2.1 EN 1993-1-1:2005.

X	Comb.	Sfruttamento	Classe	NEd	NRd	Rid. NRd da VEd	Mx,Ed	Mx,Rd	My,Ed	My,Rd	Rid. Mx,Rd da VEd	Rid. Mx,Rd da NEd	Rid. My,Rd da VEd	Rid. My,Rd da NEd	α	β	px	py	Verifica
0.868	SLD 15	0.019	3	-7.743	1003.522	1	0.0981	12.886	-0.0749	19.3536	1		1				0	0	Si

Verifiche ad instabilità

Caratteristiche iniziali

Membratura principale per controllo snellezza; Calcolo di snellezza ed N critici condotti secondo gli assi principali;

Curva X: c; Curva Y: c;

Svergolamento: Nessuno; la verifica a instabilità flesso-torsionale (svergolamento) non verrà eseguita.

Dati per instabilità attorno a x

Controllo della snellezza secondo §4.2.4.1.3.1 NTC18

Numero rit.	Presente	Ascissa	Campata	$\beta x/m$	Vincolo a entrambi estremi	$\lambda x/m$	λVer
1	Si	0					
			1-2	1	Si	57.2	Si, (<200)
2	Si	1.737					

Dati per instabilità attorno a y

Controllo della snellezza secondo §4.2.4.1.3.1 NTC18

Numero rit.	Presente	Ascissa	Campata	$\beta y/n$	k,LT	kw,LT	Vincolo a entrambi estremi
1	Si	0					
			1-2	1	Si	42	Si, (<200)
2	Si	1.737					

Verifica di stabilità per pressoflessione §C.4.2.4.1.3.3.1 NTC18

X	Comb.	Sfruttamento	Classe	NEd	MxEq,Ed	MyEq,Ed	Area	Wx	Wy	χ_{min}	$\lambda_{adim. x/m}$	$\lambda_{adim. y/n}$	N,crit x/m	N,crit y/n	Verifica
1.737	SLU 64	0.05	3	-26.904	0.1131	0.0947	0.003832	0.0000492	0.0000739	0.75	0.659	0.483	2427.459	4511.143	Si

Verifica di stabilità per pressoflessione SLD §C.4.2.4.1.3.3.1 NTC18

X	Comb.	Sfruttamento	Classe	NEd	MxEq,Ed	MyEq,Ed	Area	Wx	Wy	χ_{min}	$\lambda_{adim. x/m}$	$\lambda_{adim. y/n}$	N,crit x/m	N,crit y/n	Verifica
1.737	SLD 16	0.021	3	-7.875	0.085	-0.0765	0.003832	0.0000492	0.0000739	0.75	0.659	0.483	2427.459	4511.143	Si

Verifiche a deformabilità

Mensola X: No; Mensola Y: No.

Implementazione dei sistemi di confinamento delle emissioni odorigene diffuse dell'impianto di compostaggio esistente nel
Comune di Eboli (SA)
PROGETTO DEFINITIVO – Tabulati di calcolo Tomo 1

Frecce lungo X

Ascissa freccia	Combinazione	Freccia	Luce	L/f	L/f,min	Tipo	Verifica
0.579	SLE RA 1	0	1.737	10000	250	Totale	Si
0.579	SLE RA 17	0	1.737	10000	250	Totale	Si
0.579	SLE RA 16	0	1.737	10000	250	Totale	Si
0.753	SLE RA 15	0	1.737	10000	250	Totale	Si
0.926	SLE RA 14	0	1.737	10000	250	Totale	Si
0.637	SLE RA 2	0	1.737	10000	350	Variabile	Si
0.637	SLE RA 17	0	1.737	10000	350	Variabile	Si
0.637	SLE RA 16	0	1.737	10000	350	Variabile	Si
0.81	SLE RA 15	0	1.737	10000	350	Variabile	Si
0.868	SLE RA 14	0	1.737	10000	350	Variabile	Si

Frecce lungo Y

Ascissa freccia	Combinazione	Freccia	Luce	L/f	L/f,min	Tipo	Verifica
0.868	SLE RA 1	0.00004	1.737	10000	250	Totale	Si
0.868	SLE RA 17	0.00004	1.737	10000	250	Totale	Si
0.868	SLE RA 16	0.00004	1.737	10000	250	Totale	Si
0.868	SLE RA 15	0.00004	1.737	10000	250	Totale	Si
0.868	SLE RA 14	0.00004	1.737	10000	250	Totale	Si
0.695	SLE RA 2	0	1.737	10000	350	Variabile	Si
0.753	SLE RA 17	0	1.737	10000	350	Variabile	Si
0.695	SLE RA 16	0	1.737	10000	350	Variabile	Si
0.753	SLE RA 15	0	1.737	10000	350	Variabile	Si
0.753	SLE RA 14	0	1.737	10000	350	Variabile	Si

Superelemento in acciaio a quota "728"- "640" (-1598; -536)-(-1488; -639)

Caratteristiche del materiale

Acciaio: S275, fyk = 275000

Caratteristiche geometriche

Lunghezza: 1.737

Nodo iniziale: 2232 Nodo finale: 560

Cerniera iniziale: Mmomenti 1% Cerniera finale: Mmomenti 1%

Sovreresistenza: 0% Sisma Z: No

Caratteristiche della sezione

Sezione	Rotazione	Area	Jx	Jy	ix	iy	Wx	Wy	Wplx	Wply
A1; L100*10; 1; Saldato; S275; 50; 1; 8; 8; 1	180	0.003832	0.0000035319	0.000007759	0.0304	0.045	0.0000492	0.0000739	0.00008974	0.00012727

Comportamento dei calastrelli

Accoppiamento imbottito con funzione statica (§C4.2.4.1.3.1.4 NTC18) nella campata compresa tra le ascisse 0 e 1.737 per sbandamento attorno all'asse y.

Verifiche di resistenza

Verifiche a forza assiale §4.2.4.1.2.1 - §4.2.4.1.2.2 NTC18

X	Comb.	Sfruttamento	Classe	NEd	Nc,Rd	Nt,Rd	Riduzione da taglio	px	py	Verifica
0	SLU 25	0.009		9.431		1003.522	1	0	0	Si

Verifiche a forza assiale SLD §4.2.4.1.2.1 - §4.2.4.1.2.2 NTC18

X	Comb.	Sfruttamento	Classe	NEd	Nc,Rd	Nt,Rd	Riduzione da taglio	px	py	Verifica
0	SLD 4	0.002		1.682		1003.522	1	0	0	Si

Verifica a taglio X §4.2.4.1.2.4 NTC18

X	Comb.	Sfruttamento	VEd	Vc,Rd	Av	Interazione taglio-torsione	Riduzione torsione	Verifica
1.737	SLV 16	0.001	0.344	302.422	0.002	Non considerata		Si

Verifica a taglio Y §4.2.4.1.2.4 NTC18

X	Comb.	Sfruttamento	VEd	Vc,Rd	Av	Interazione taglio-torsione	Riduzione torsione	Verifica
0	SLU 75	0.001	-0.296	302.422	0.002	Non considerata		Si

Verifica a taglio Y SLD §4.2.4.1.2.4 NTC18

X	Comb.	Sfruttamento	VEd	Vc,Rd	Av	Interazione taglio-torsione	Riduzione torsione	Verifica
0	SLD 16	0.001	-0.227	302.422	0.002	Non considerata		Si

Verifica a flessione semplice X §§ 4.2.4.1.2.3 - 4.2.4.1.2.6 - 4.2.4.1.2.7 - 4.2.4.1.2.8 NTC18

X	Comb.	Sfruttamento	Classe	Mx,Ed	Mx,Rd	Rid. Mx,Rd da VEd	px	py	Verifica
0.868	SLU 39	0.005	1	0.1262	23.50374	1	0	0	Si

Verifica a flessione semplice Y SLD §§ 4.2.4.1.2.3 - 4.2.4.1.2.6 - 4.2.4.1.2.7 - 4.2.4.1.2.8 NTC18

X	Comb.	Sfruttamento	Classe	My,Ed	My,Rd	Rid. My,Rd da VEd	px	py	Verifica
0	SLD 15	0.002	1	-0.06855	33.33162	1	0	0	Si

Verifica a flessione deviata SLD §§ 4.2.4.1.2.3 - 4.2.4.1.2.6 - 4.2.4.1.2.7 - 4.2.4.1.2.8 NTC18

X	Comb.	Sfruttamento	Classe	Mx,Ed	Mx,Rd	My,Ed	My,Rd	Rid. Mx,Rd da VEd	Rid. My,Rd da VEd	α	β	px	py	Verifica
0.521	SLD 6	0.005	1	0.082	23.5037	0.0625	33.3316	1	1			0	0	Si

Verifica a presso/tenso flessione retta X §§ 4.2.4.1.2.3 - 4.2.4.1.2.6 - 4.2.4.1.2.7 - 4.2.4.1.2.8 NTC18

Verifiche eseguite utilizzando la formula conservativa (6.2) §6.2.1 EN 1993-1-1:2005.

**Implementazione dei sistemi di confinamento delle emissioni odorigene diffuse dell'impianto di compostaggio esistente nel
Comune di Eboli (SA)**

PROGETTO DEFINITIVO – Tabulati di calcolo Tomo 1

X	Comb.	Sfruttamento	Classe	NEd	NRd	Rid. NRd da VEd	Mx,Ed	Mx,Rd	Rid. Mx,Rd da VEd	Rid. Mx,Rd da NEd	px	py	Verifica
0.868	SLU 63	0.015	1	9.218	1003.522	1	0.1251	23.5037	1		0	0	Si

Verifica a presso/tenso flessione retta Y §§ 4.2.4.1.2.3 - 4.2.4.1.2.6 - 4.2.4.1.2.7 - 4.2.4.1.2.8 NTC18

Verifiche eseguite utilizzando la formula conservativa (6.2) §6.2.1 EN 1993-1-1:2005.

X	Comb.	Sfruttamento	Classe	NEd	NRd	Rid. NRd da VEd	My,Ed	My,Rd	Rid. My,Rd da VEd	Rid. My,Rd da NEd	px	py	Verifica
1.737	SLU 42	0.01	3	-8.24	1003.522	1	0.0291	19.3536	1		0	0	Si

Verifica a presso/tenso flessione retta Y SLD §§ 4.2.4.1.2.3 - 4.2.4.1.2.6 - 4.2.4.1.2.7 - 4.2.4.1.2.8 NTC18

Verifiche eseguite utilizzando la formula conservativa (6.2) §6.2.1 EN 1993-1-1:2005.

X	Comb.	Sfruttamento	Classe	NEd	NRd	Rid. NRd da VEd	My,Ed	My,Rd	Rid. My,Rd da VEd	Rid. My,Rd da NEd	px	py	Verifica
0	SLD 1	0.003	1	1.091	1003.522	1	0.0676	33.3316	1		0	0	Si

Verifica a presso/tenso flessione deviata §§ 4.2.4.1.2.3 - 4.2.4.1.2.6 - 4.2.4.1.2.7 - 4.2.4.1.2.8 NTC18

Verifiche eseguite utilizzando la formula conservativa (6.2) §6.2.1 EN 1993-1-1:2005.

X	Comb.	Sfruttamento	Classe	NEd	NRd	Rid. NRd da VEd	Mx,Ed	Mx,Rd	My,Ed	My,Rd	Rid. Mx,Rd da VEd	Rid. Mx,Rd da NEd	Rid. My,Rd da VEd	Rid. My,Rd da NEd	α	β	px	py	Verifica
0.868	SLU 42	0.019	3	-8.069	1003.522	1	0.1267	12.886	0.0288	19.3536	1		1				0	0	Si

Verifica a presso/tenso flessione deviata SLD §§ 4.2.4.1.2.3 - 4.2.4.1.2.6 - 4.2.4.1.2.7 - 4.2.4.1.2.8 NTC18

Verifiche eseguite utilizzando la formula conservativa (6.2) §6.2.1 EN 1993-1-1:2005.

X	Comb.	Sfruttamento	Classe	NEd	NRd	Rid. NRd da VEd	Mx,Ed	Mx,Rd	My,Ed	My,Rd	Rid. Mx,Rd da VEd	Rid. Mx,Rd da NEd	Rid. My,Rd da VEd	Rid. My,Rd da NEd	α	β	px	py	Verifica
0.81	SLD 2	0.007	1	0.968	1003.522	1	0.0972	23.5037	0.0585	33.3316	1		1				0	0	Si

Verifiche ad instabilità

Caratteristiche iniziali

Membratura principale per controllo snellezza; Calcolo di snellezze ed N critici condotti secondo gli assi principali;

Curva X: c; Curva Y: c;

Svergolamento: Nessuno; la verifica a instabilità flesso-torsionale (svergolamento) non verrà eseguita.

Dati per instabilità attorno a x

Controllo della snellezza secondo §4.2.4.1.3.1 NTC18

Numero rit.	Presente	Ascissa	Campata	βx/m	Vincolo a entrambi estremi	λx/m	λVer
1	Si		0				
			1-2		1	57.2	Si, (<200)
2	Si		1.737				

Dati per instabilità attorno a y

Controllo della snellezza secondo §4.2.4.1.3.1 NTC18

Numero rit.	Presente	Ascissa	Campata	βy/n	k,LT	kw,LT	Vincolo a entrambi estremi
1	Si		0				
			1-2		1	42	Si, (<200)
2	Si		1.737				

Verifica di stabilità per pressoflessione §C.4.2.4.1.3.3.1 NTC18

X	Comb.	Sfruttamento	Classe	NEd	MxEq,Ed	MyEq,Ed	Area	Wx	Wy	χ,min	λ adim. x/m	λ adim. y/n	N,crit x/m	N,crit y/n	Verifica
1.737	SLU 42	0.021	3	-8.24	0.1094	0.0289	0.003832	0.0000492	0.0000739	0.75	0.659	0.483	2427.459	4511.143	Si

Verifica di stabilità per pressoflessione SLD §C.4.2.4.1.3.3.1 NTC18

X	Comb.	Sfruttamento	Classe	NEd	MxEq,Ed	MyEq,Ed	Area	Wx	Wy	χ,min	λ adim. x/m	λ adim. y/n	N,crit x/m	N,crit y/n	Verifica
1.737	SLD 14	0.006	1	-1.178	0.0831	-0.0361	0.003832	0.0000897	0.0001273	0.75	0.659	0.483	2427.459	4511.143	Si

Verifiche a deformabilità

Mensola X: No; Mensola Y: No.

Frecce lungo X

Ascissa freccia	Combinazione	Freccia	Luce	L/f	L/f,min	Tipo	Verifica
1.273	SLE RA 1	0	1.737	10000	250	Totale	Si
1.158	SLE RA 17	0	1.737	10000	250	Totale	Si
1.1	SLE RA 16	0	1.737	10000	250	Totale	Si
0.753	SLE RA 15	0	1.737	10000	250	Totale	Si
0.868	SLE RA 14	0	1.737	10000	250	Totale	Si
0.926	SLE RA 2	0	1.737	10000	350	Variabile	Si
0.926	SLE RA 17	0	1.737	10000	350	Variabile	Si
0.926	SLE RA 16	0	1.737	10000	350	Variabile	Si
0.81	SLE RA 15	0	1.737	10000	350	Variabile	Si
0.868	SLE RA 14	0	1.737	10000	350	Variabile	Si

Frecce lungo Y

Ascissa freccia	Combinazione	Freccia	Luce	L/f	L/f,min	Tipo	Verifica
0.868	SLE RA 1	0.00004	1.737	10000	250	Totale	Si
0.868	SLE RA 17	0.00004	1.737	10000	250	Totale	Si
0.868	SLE RA 16	0.00004	1.737	10000	250	Totale	Si
0.868	SLE RA 15	0.00004	1.737	10000	250	Totale	Si
0.868	SLE RA 14	0.00004	1.737	10000	250	Totale	Si
0.695	SLE RA 2	0	1.737	10000	350	Variabile	Si
0.695	SLE RA 17	0	1.737	10000	350	Variabile	Si
0.695	SLE RA 16	0	1.737	10000	350	Variabile	Si
0.695	SLE RA 15	0	1.737	10000	350	Variabile	Si
0.695	SLE RA 14	0	1.737	10000	350	Variabile	Si

Superelemento in acciaio a quota "728"- "715" (182; 1351)-(73; 1453)

Caratteristiche del materiale

Acciaio: S275, fyk = 275000

Caratteristiche geometriche

Lunghezza: 1.505

Nodo iniziale: 2305 Nodo finale: 2111

Cerniera iniziale: Mmomenti 1% Cerniera finale: Mmomenti 1%

Sovreresistenza: 0% Sisma Z: No

Caratteristiche della sezione

Sezione	Rotazione	Area	Jx	Jy	ix	iy	Wx	Wy	Wplx	Wply
A1; L100*10; 1; Saldato; S275; 30; 1; 8; 8; 1	0	0.003832	0.0000035319	0.000007759	0.0304	0.045	0.0000492	0.0000739	0.00008974	0.00012727

Comportamento dei calastrelli

Accoppiamento imbottito con funzione statica (§C4.2.4.1.3.1.4 NTC18) nella campata compresa tra le ascisse 0 e 1.505 per sbandamento attorno all'asse y.

Verifiche di resistenza

Verifiche a forza assiale §4.2.4.1.2.1 - §4.2.4.1.2.2 NTC18

X	Comb.	Sfruttamento	Classe	NEd	Nc,Rd	Nt,Rd	Riduzione da taglio	px	py	Verifica
1.505	SLU 76	0.014	3	-14.456	1003.522		1	0	0	Si

Verifiche a forza assiale SLD §4.2.4.1.2.1 - §4.2.4.1.2.2 NTC18

X	Comb.	Sfruttamento	Classe	NEd	Nc,Rd	Nt,Rd	Riduzione da taglio	px	py	Verifica
1.505	SLD 2	0.008	3	-7.88	1003.522		1	0	0	Si

Verifica a taglio Y §4.2.4.1.2.4 NTC18

X	Comb.	Sfruttamento	VEd	Vc,Rd	Av	Interazione taglio-torsione	Riduzione torsione	Verifica
1.505	SLU 76	0.001	-0.344	302.422	0.002	Non considerata		Si

Verifica a taglio Y SLD §4.2.4.1.2.4 NTC18

X	Comb.	Sfruttamento	VEd	Vc,Rd	Av	Interazione taglio-torsione	Riduzione torsione	Verifica
1.505	SLD 16	0.001	-0.236	302.422	0.002	Non considerata		Si

Verifica a flessione semplice X §§ 4.2.4.1.2.3 - 4.2.4.1.2.6 - 4.2.4.1.2.7 - 4.2.4.1.2.8 NTC18

X	Comb.	Sfruttamento	Classe	Mx,Ed	Mx,Rd	Rid. Mx,Rd da VEd	px	py	Verifica
0.803	SLU 3	0.004	1	-0.09719	23.50374	1	0	0	Si

Verifica a presso/tenso flessione retta X §§ 4.2.4.1.2.3 - 4.2.4.1.2.6 - 4.2.4.1.2.7 - 4.2.4.1.2.8 NTC18

Verifiche eseguite utilizzando la formula conservativa (6.2) §6.2.1 EN 1993-1-1:2005.

X	Comb.	Sfruttamento	Classe	NEd	NRd	Rid. NRd da VEd	Mx,Ed	Mx,Rd	Rid. Mx,Rd da VEd	Rid. Mx,Rd da NEd	px	py	Verifica
0.753	SLU 44	0.007	1	-2.315	1003.522	1	-0.1157	23.5037	1		0	0	Si

Verifica a presso/tenso flessione retta X SLD §§ 4.2.4.1.2.3 - 4.2.4.1.2.6 - 4.2.4.1.2.7 - 4.2.4.1.2.8 NTC18

Verifiche eseguite utilizzando la formula conservativa (6.2) §6.2.1 EN 1993-1-1:2005.

X	Comb.	Sfruttamento	Classe	NEd	NRd	Rid. NRd da VEd	Mx,Ed	Mx,Rd	Rid. Mx,Rd da VEd	Rid. Mx,Rd da NEd	px	py	Verifica
0.702	SLD 12	0.005	1	-1.845	1003.522	1	-0.0783	23.5037	1		0	0	Si

Verifica a presso/tenso flessione retta Y §§ 4.2.4.1.2.3 - 4.2.4.1.2.6 - 4.2.4.1.2.7 - 4.2.4.1.2.8 NTC18

Verifiche eseguite utilizzando la formula conservativa (6.2) §6.2.1 EN 1993-1-1:2005.

X	Comb.	Sfruttamento	Classe	NEd	NRd	Rid. NRd da VEd	My,Ed	My,Rd	Rid. My,Rd da VEd	Rid. My,Rd da NEd	px	py	Verifica
1.254	SLU 76	0.017	3	-14.448	1003.522	1	0.0444	19.3536	1		0	0	Si

Verifica a presso/tenso flessione retta Y SLD §§ 4.2.4.1.2.3 - 4.2.4.1.2.6 - 4.2.4.1.2.7 - 4.2.4.1.2.8 NTC18

Verifiche eseguite utilizzando la formula conservativa (6.2) §6.2.1 EN 1993-1-1:2005.

X	Comb.	Sfruttamento	Classe	NEd	NRd	Rid. NRd da VEd	My,Ed	My,Rd	Rid. My,Rd da VEd	Rid. My,Rd da NEd	px	py	Verifica
1.455	SLD 1	0.009	3	-7.879	1003.522	1	-0.0246	19.3536	1		0	0	Si

Verifica a presso/tenso flessione deviata §§ 4.2.4.1.2.3 - 4.2.4.1.2.6 - 4.2.4.1.2.7 - 4.2.4.1.2.8 NTC18

Verifiche eseguite utilizzando la formula conservativa (6.2) §6.2.1 EN 1993-1-1:2005.

X	Comb.	Sfruttamento	Classe	NEd	NRd	Rid. NRd da VEd	Mx,Ed	Mx,Rd	My,Ed	My,Rd	Rid. Mx,Rd da VEd	Rid. Mx,Rd da NEd	Rid. My,Rd da VEd	Rid. My,Rd da NEd	α	β	px	py	Verifica
1.505	SLU 76	0.023	3	-14.456	1003.522	1	0.0774	12.886	0.0447	19.3536	1		1				0	0	Si

Verifica a presso/tenso flessione deviata SLD §§ 4.2.4.1.2.3 - 4.2.4.1.2.6 - 4.2.4.1.2.7 - 4.2.4.1.2.8 NTC18

Verifiche eseguite utilizzando la formula conservativa (6.2) §6.2.1 EN 1993-1-1:2005.

X	Comb.	Sfruttamento	Classe	NEd	NRd	Rid. NRd da VEd	Mx,Ed	Mx,Rd	My,Ed	My,Rd	Rid. Mx,Rd da VEd	Rid. Mx,Rd da NEd	Rid. My,Rd da VEd	Rid. My,Rd da NEd	α	β	px	py	Verifica
0.753	SLD 2	0.015	3	-7.862	1003.522	1	-0.0766	12.886	-0.0242	19.3536	1		1				0	0	Si

Verifiche ad instabilità

Caratteristiche iniziali

Membratura principale per controllo snellezza; Calcolo di snellezze ed N critici condotti secondo gli assi principali;

Curva X: c; Curva Y: c;

Svergolamento: Nessuno; la verifica a instabilità flesso-torsionale (svergolamento) non verrà eseguita.

Implementazione dei sistemi di confinamento delle emissioni odorigene diffuse dell'impianto di compostaggio esistente nel
Comune di Eboli (SA)
PROGETTO DEFINITIVO – Tabulati di calcolo Tomo 1

Dati per instabilità attorno a x

Controllo della snellezza secondo §4.2.4.1.3.1 NTC18

Numero rit.	Presente	Ascissa	Campata	$\beta x/m$	Vincolo a entrambi estremi	$\lambda x/m$	λVer
1	Si	0					
			1-2	1	Si	49.6	Si, (<200)
2	Si	1.505					

Dati per instabilità attorno a y

Controllo della snellezza secondo §4.2.4.1.3.1 NTC18

Numero rit.	Presente	Ascissa	Campata	$\beta y/n$	k,LT	kw,LT	Vincolo a entrambi estremi
1	Si	0					
			1-2	1	Si	34.9	Si, (<200)
2	Si	1.505					

Verifica di stabilità per pressoflessione §C.4.2.4.1.3.3.1 NTC18

X	Comb.	Sfruttamento	Classe	NEd	MxEq,Ed	MyEq,Ed	Area	Wx	Wy	χ_{min}	$\lambda_{adim. x/m}$	$\lambda_{adim. y/n}$	N,crit x/m	N,crit y/n	Verifica
1.505	SLU 76	0.024	3	-14.456	0.058	0.0335	0.003832	0.0000492	0.0000739	0.802	0.571	0.402	3231.032	6528.319	Si

Verifica di stabilità per pressoflessione SLD §C.4.2.4.1.3.3.1 NTC18

X	Comb.	Sfruttamento	Classe	NEd	MxEq,Ed	MyEq,Ed	Area	Wx	Wy	χ_{min}	$\lambda_{adim. x/m}$	$\lambda_{adim. y/n}$	N,crit x/m	N,crit y/n	Verifica
1.505	SLD 2	0.016	3	-7.88	-0.0626	-0.0246	0.003832	0.0000492	0.0000739	0.802	0.571	0.402	3231.032	6528.319	Si

Verifiche a deformabilità

Mensola X: No; Mensola Y: No.

Frecce lungo X

Ascissa freccia	Combinazione	Freccia	Luce	L/f	L/f,min	Tipo	Verifica
1.054	SLE RA 1	0	1.505	10000	250	Totale	Si
1.003	SLE RA 17	0	1.505	10000	250	Totale	Si
1.003	SLE RA 16	0	1.505	10000	250	Totale	Si
1.003	SLE RA 15	0	1.505	10000	250	Totale	Si
1.054	SLE RA 14	0	1.505	10000	250	Totale	Si
0.953	SLE RA 2	0	1.505	10000	350	Variabile	Si
1.003	SLE RA 17	0	1.505	10000	350	Variabile	Si
0.953	SLE RA 16	0	1.505	10000	350	Variabile	Si
0.953	SLE RA 15	0	1.505	10000	350	Variabile	Si
1.104	SLE RA 14	0	1.505	10000	350	Variabile	Si

Frecce lungo Y

Ascissa freccia	Combinazione	Freccia	Luce	L/f	L/f,min	Tipo	Verifica
0.753	SLE RA 1	-0.00002	1.505	10000	250	Totale	Si
0.753	SLE RA 17	-0.00002	1.505	10000	250	Totale	Si
0.702	SLE RA 16	-0.00002	1.505	10000	250	Totale	Si
0.702	SLE RA 15	-0.00002	1.505	10000	250	Totale	Si
0.753	SLE RA 14	-0.00002	1.505	10000	250	Totale	Si
0.853	SLE RA 2	0	1.505	10000	350	Variabile	Si
0.853	SLE RA 17	0	1.505	10000	350	Variabile	Si
0.853	SLE RA 16	0	1.505	10000	350	Variabile	Si
0.853	SLE RA 15	0.00001	1.505	10000	350	Variabile	Si
1.104	SLE RA 14	0	1.505	10000	350	Variabile	Si

Superelemento in acciaio a quota "728"- "715" (437; 1620)-(328; 1723)

Caratteristiche del materiale

Acciaio: S275, fyk = 275000

Caratteristiche geometriche

Lunghezza: 1.505

Nodo iniziale: 2313 Nodo finale: 2121

Cerniera iniziale: Mmomenti 1% Cerniera finale: Mmomenti 1%

Sovraresistenza: 0% Sisma Z: No

Caratteristiche della sezione

Sezione	Rotazione	Area	Jx	Jy	ix	iy	Wx	Wy	Wplx	Wply
A1; L100*10; 1; Saldato; S275; 30; 1; 8; 8; 1	0	0.003832	0.0000035319	0.000007759	0.0304	0.045	0.0000492	0.0000739	0.00008974	0.00012727

Comportamento dei calastrelli

Accoppiamento imbottito con funzione statica (§C.4.2.4.1.3.1.4 NTC18) nella campata compresa tra le ascisse 0 e 1.505 per sbandamento attorno all'asse y.

Verifiche di resistenza

Verifiche a forza assiale §4.2.4.1.2.1 - §4.2.4.1.2.2 NTC18

X	Comb.	Sfruttamento	Classe	NEd	Nc,Rd	Nt,Rd	Riduzione da taglio	px	py	Verifica
1.505	SLU 76	0.011	3	-10.887	1003.522		1	0	0	Si

Verifiche a forza assiale SLD §4.2.4.1.2.1 - §4.2.4.1.2.2 NTC18

X	Comb.	Sfruttamento	Classe	NEd	Nc,Rd	Nt,Rd	Riduzione da taglio	px	py	Verifica
1.505	SLD 8	0.004	3	-3.786	1003.522		1	0	0	Si

Implementazione dei sistemi di confinamento delle emissioni odorigene diffuse dell'impianto di compostaggio esistente nel
Comune di Eboli (SA)
PROGETTO DEFINITIVO – Tabulati di calcolo Tomo 1

Verifica a taglio Y §4.2.4.1.2.4 NTC18

X	Comb.	Sfruttamento	VEd	Vc,Rd	Av	Interazione taglio-torsione	Riduzione torsione	Verifica
1.505	SLU 76	0.001	-0.363	302.422	0.002	Non considerata		Si

Verifica a taglio Y SLD §4.2.4.1.2.4 NTC18

X	Comb.	Sfruttamento	VEd	Vc,Rd	Av	Interazione taglio-torsione	Riduzione torsione	Verifica
1.505	SLD 3	0.001	-0.243	302.422	0.002	Non considerata		Si

Verifica a flessione semplice X §§ 4.2.4.1.2.3 - 4.2.4.1.2.6 - 4.2.4.1.2.7 - 4.2.4.1.2.8 NTC18

X	Comb.	Sfruttamento	Classe	Mx,Ed	Mx,Rd	Rid. Mx,Rd da VEd	px	py	Verifica
0.753	SLU 59	0.005	1	-0.10968	23.50374	1	0	0	Si

Verifica a presso/tenso flessione retta X §§ 4.2.4.1.2.3 - 4.2.4.1.2.6 - 4.2.4.1.2.7 - 4.2.4.1.2.8 NTC18

Verifiche eseguite utilizzando la formula conservativa (6.2) §6.2.1 EN 1993-1-1:2005.

X	Comb.	Sfruttamento	Classe	NEd	NRd	Rid. NRd da VEd	Mx,Ed	Mx,Rd	Rid. Mx,Rd da VEd	Rid. Mx,Rd da NEd	px	py	Verifica
0.753	SLU 62	0.007	1	-1.925	1003.522	1	-0.1099	23.5037	1		0	0	Si

Verifica a presso/tenso flessione retta Y §§ 4.2.4.1.2.3 - 4.2.4.1.2.6 - 4.2.4.1.2.7 - 4.2.4.1.2.8 NTC18

Verifiche eseguite utilizzando la formula conservativa (6.2) §6.2.1 EN 1993-1-1:2005.

X	Comb.	Sfruttamento	Classe	NEd	NRd	Rid. NRd da VEd	My,Ed	My,Rd	Rid. My,Rd da VEd	Rid. My,Rd da NEd	px	py	Verifica
1.355	SLU 76	0.013	3	-10.882	1003.522	1	0.0329	19.3536	1		0	0	Si

Verifica a presso/tenso flessione retta Y SLD §§ 4.2.4.1.2.3 - 4.2.4.1.2.6 - 4.2.4.1.2.7 - 4.2.4.1.2.8 NTC18

Verifiche eseguite utilizzando la formula conservativa (6.2) §6.2.1 EN 1993-1-1:2005.

X	Comb.	Sfruttamento	Classe	NEd	NRd	Rid. NRd da VEd	My,Ed	My,Rd	Rid. My,Rd da VEd	Rid. My,Rd da NEd	px	py	Verifica
1.455	SLD 7	0.004	3	-3.784	1003.522	1	0.0117	19.3536	1		0	0	Si

Verifica a presso/tenso flessione deviata §§ 4.2.4.1.2.3 - 4.2.4.1.2.6 - 4.2.4.1.2.7 - 4.2.4.1.2.8 NTC18

Verifiche eseguite utilizzando la formula conservativa (6.2) §6.2.1 EN 1993-1-1:2005.

X	Comb.	Sfruttamento	Classe	NEd	NRd	Rid. NRd da VEd	Mx,Ed	Mx,Rd	My,Ed	My,Rd	Rid. Mx,Rd da VEd	Rid. Mx,Rd da NEd	Rid. My,Rd da VEd	Rid. My,Rd da NEd	α	β	px	py	Verifica
0.602	SLU 76	0.021	3	-10.856	1003.522	1	-0.1155	12.886	-0.0328	19.3536	1		1				0	0	Si

Verifica a presso/tenso flessione deviata SLD §§ 4.2.4.1.2.3 - 4.2.4.1.2.6 - 4.2.4.1.2.7 - 4.2.4.1.2.8 NTC18

Verifiche eseguite utilizzando la formula conservativa (6.2) §6.2.1 EN 1993-1-1:2005.

X	Comb.	Sfruttamento	Classe	NEd	NRd	Rid. NRd da VEd	Mx,Ed	Mx,Rd	My,Ed	My,Rd	Rid. Mx,Rd da VEd	Rid. Mx,Rd da NEd	Rid. My,Rd da VEd	Rid. My,Rd da NEd	α	β	px	py	Verifica
1.204	SLD 4	0.008	3	-3.775	1003.522	1	-0.0473	12.886	0.0116	19.3536	1		1				0	0	Si

Verifiche ad instabilità

Caratteristiche iniziali

Membratura principale per controllo snellezza; Calcolo di snellezze ed N critici condotti secondo gli assi principali;

Curva X: c; Curva Y: c;

Svergolamento: Nessuno; la verifica a instabilità flessio-torsionale (svergolamento) non verrà eseguita.

Dati per instabilità attorno a x

Controllo della snellezza secondo §4.2.4.1.3.1 NTC18

Numero rit.	Presente	Ascissa	Campata	βx/m	Vincolo a entrambi estremi	λx/m	λVer
1	Si	0					
			1-2		1	49.6	Si, (<200)
2	Si	1.505					

Dati per instabilità attorno a y

Controllo della snellezza secondo §4.2.4.1.3.1 NTC18

Numero rit.	Presente	Ascissa	Campata	βy/n	k,LT	kw,LT	Vincolo a entrambi estremi
1	Si	0					
			1-2		1	34.9	Si, (<200)
2	Si	1.505					

Verifica di stabilità per pressoflessione §C.4.2.4.1.3.3.1 NTC18

X	Comb.	Sfruttamento	Classe	NEd	MxEq,Ed	MyEq,Ed	Area	Wx	Wy	x,min	λ adim. x/m	λ adim. y/n	N,crit x/m	N,crit y/n	Verifica
1.505	SLU 76	0.022	3	-10.887	-0.0949	0.0247	0.003832	0.0000492	0.0000739	0.802	0.571	0.402	3231.032	6528.319	Si

Verifica di stabilità per pressoflessione SLD §C.4.2.4.1.3.3.1 NTC18

X	Comb.	Sfruttamento	Classe	NEd	MxEq,Ed	MyEq,Ed	Area	Wx	Wy	x,min	λ adim. x/m	λ adim. y/n	N,crit x/m	N,crit y/n	Verifica
1.505	SLD 8	0.011	3	-3.786	-0.0735	0.0088	0.003832	0.0000492	0.0000739	0.802	0.571	0.402	3231.032	6528.319	Si

Verifiche a deformabilità

Mensola X: No; Mensola Y: No.

Frecce lungo X

Ascissa freccia	Combinazione	Freccia	Luce	L/f	L/f,min	Tipo	Verifica
0.401	SLE RA 1	0	1.505	10000	250	Totale	Si
0.351	SLE RA 17	0	1.505	10000	250	Totale	Si
0.351	SLE RA 16	0	1.505	10000	250	Totale	Si
0.401	SLE RA 15	0	1.505	10000	250	Totale	Si
0.401	SLE RA 14	0	1.505	10000	250	Totale	Si
0.452	SLE RA 2	0	1.505	10000	350	Variabile	Si
0.351	SLE RA 17	0	1.505	10000	350	Variabile	Si
0.351	SLE RA 16	0	1.505	10000	350	Variabile	Si
0.351	SLE RA 15	0	1.505	10000	350	Variabile	Si
0.351	SLE RA 14	0	1.505	10000	350	Variabile	Si

Implementazione dei sistemi di confinamento delle emissioni odorigene diffuse dell'impianto di compostaggio esistente nel
Comune di Eboli (SA)
PROGETTO DEFINITIVO – Tabulati di calcolo Tomo 1

Frecce lungo Y

Ascissa freccia	Combinazione	Freccia	Luce	L/f	L/f,min	Tipo	Verifica
0.753	SLE RA 1	-0.00003	1.505	10000	250	Totale	Si
0.753	SLE RA 17	-0.00003	1.505	10000	250	Totale	Si
0.702	SLE RA 16	-0.00003	1.505	10000	250	Totale	Si
0.702	SLE RA 15	-0.00003	1.505	10000	250	Totale	Si
0.753	SLE RA 14	-0.00003	1.505	10000	250	Totale	Si
0.351	SLE RA 2	0	1.505	10000	350	Variabile	Si
0.351	SLE RA 17	0	1.505	10000	350	Variabile	Si
0.351	SLE RA 16	0	1.505	10000	350	Variabile	Si
1.204	SLE RA 15	0	1.505	10000	350	Variabile	Si
0.452	SLE RA 14	0	1.505	10000	350	Variabile	Si

Superelemento in acciaio a quota "728"- "715" (691; 1890)-(582; 1993)

Caratteristiche del materiale

Acciaio: S275, fyk = 275000

Caratteristiche geometriche

Lunghezza: 1.505

Nodo iniziale: 2324 Nodo finale: 2131

Cerniera iniziale: Mmomenti 1% Cerniera finale: Mmomenti 1%

Sovreresistenza: 0% Sisma Z: No

Caratteristiche della sezione

Sezione	Rotazione	Area	Jx	Jy	ix	iy	Wx	Wy	Wplx	Wply
A1; L100*10; 1; Saldato; S275; 30; 1; 8; 8; 1	0	0.003832	0.0000035319	0.000007759	0.0304	0.045	0.0000492	0.0000739	0.00008974	0.00012727

Comportamento dei calastrelli

Accoppiamento imbottito con funzione statica (§4.2.4.1.3.1.4 NTC18) nella campata compresa tra le ascisse 0 e 1.505 per sbandamento attorno all'asse y.

Verifiche di resistenza

Verifiche a forza assiale §4.2.4.1.2.1 - §4.2.4.1.2.2 NTC18

X	Comb.	Sfruttamento	Classe	NEd	Nc,Rd	Nt,Rd	Riduzione da taglio	px	py	Verifica
1.505	SLU 64	0.012	3	-12.347	1003.522		1	0	0	Si

Verifiche a forza assiale SLD §4.2.4.1.2.1 - §4.2.4.1.2.2 NTC18

X	Comb.	Sfruttamento	Classe	NEd	Nc,Rd	Nt,Rd	Riduzione da taglio	px	py	Verifica
1.505	SLD 16	0.007	3	-6.907	1003.522		1	0	0	Si

Verifica a taglio Y §4.2.4.1.2.4 NTC18

X	Comb.	Sfruttamento	VEd	Vc,Rd	Av	Interazione taglio-torsione	Riduzione torsione	Verifica
1.505	SLU 76	0.001	-0.363	302.422	0.002	Non considerata		Si

Verifica a taglio Y SLD §4.2.4.1.2.4 NTC18

X	Comb.	Sfruttamento	VEd	Vc,Rd	Av	Interazione taglio-torsione	Riduzione torsione	Verifica
1.505	SLD 1	0.001	-0.239	302.422	0.002	Non considerata		Si

Verifica a flessione semplice X SLD §§ 4.2.4.1.2.3 - 4.2.4.1.2.6 - 4.2.4.1.2.7 - 4.2.4.1.2.8 NTC18

X	Comb.	Sfruttamento	Classe	Mx,Ed	Mx,Rd	Rid. Mx,Rd da VEd	px	py	Verifica
0.702	SLD 2	0.003	1	-0.07841	23.50374	1	0	0	Si

Verifica a presso/tenso flessione retta X §§ 4.2.4.1.2.3 - 4.2.4.1.2.6 - 4.2.4.1.2.7 - 4.2.4.1.2.8 NTC18

Verifiche eseguite utilizzando la formula conservativa (6.2) §6.2.1 EN 1993-1-1:2005.

X	Comb.	Sfruttamento	Classe	NEd	NRd	Rid. NRd da VEd	Mx,Ed	Mx,Rd	Rid. Mx,Rd da VEd	Rid. Mx,Rd da NEd	px	py	Verifica
0.702	SLV 2	0.008	1	5.103	1003.522	1	-0.0799	23.5037	1		0	0	Si

Verifica a presso/tenso flessione retta X SLD §§ 4.2.4.1.2.3 - 4.2.4.1.2.6 - 4.2.4.1.2.7 - 4.2.4.1.2.8 NTC18

Verifiche eseguite utilizzando la formula conservativa (6.2) §6.2.1 EN 1993-1-1:2005.

X	Comb.	Sfruttamento	Classe	NEd	NRd	Rid. NRd da VEd	Mx,Ed	Mx,Rd	Rid. Mx,Rd da VEd	Rid. Mx,Rd da NEd	px	py	Verifica
0.702	SLD 10	0.005	1	-1.654	1003.522	1	-0.0779	23.5037	1		0	0	Si

Verifica a presso/tenso flessione retta Y §§ 4.2.4.1.2.3 - 4.2.4.1.2.6 - 4.2.4.1.2.7 - 4.2.4.1.2.8 NTC18

Verifiche eseguite utilizzando la formula conservativa (6.2) §6.2.1 EN 1993-1-1:2005.

X	Comb.	Sfruttamento	Classe	NEd	NRd	Rid. NRd da VEd	My,Ed	My,Rd	Rid. My,Rd da VEd	Rid. My,Rd da NEd	px	py	Verifica
1.254	SLU 64	0.014	3	-12.339	1003.522	1	-0.0378	19.3536	1		0	0	Si

Verifica a presso/tenso flessione retta Y SLD §§ 4.2.4.1.2.3 - 4.2.4.1.2.6 - 4.2.4.1.2.7 - 4.2.4.1.2.8 NTC18

Verifiche eseguite utilizzando la formula conservativa (6.2) §6.2.1 EN 1993-1-1:2005.

X	Comb.	Sfruttamento	Classe	NEd	NRd	Rid. NRd da VEd	My,Ed	My,Rd	Rid. My,Rd da VEd	Rid. My,Rd da NEd	px	py	Verifica
0	SLD 15	0.008	3	-6.87	1003.522	1	0.0209	19.3536	1		0	0	Si

Verifica a presso/tenso flessione deviata §§ 4.2.4.1.2.3 - 4.2.4.1.2.6 - 4.2.4.1.2.7 - 4.2.4.1.2.8 NTC18

Verifiche eseguite utilizzando la formula conservativa (6.2) §6.2.1 EN 1993-1-1:2005.

X	Comb.	Sfruttamento	Classe	NEd	NRd	Rid. NRd da VEd	Mx,Ed	Mx,Rd	My,Ed	My,Rd	Rid. Mx,Rd da VEd	Rid. Mx,Rd da NEd	Rid. My,Rd da VEd	Rid. My,Rd da NEd	α	β	px	py	Verifica
1.505	SLU 64	0.02	3	-12.347	1003.522	1	0.0766	12.886	-0.038	19.3536	1		1				0	0	Si

Implementazione dei sistemi di confinamento delle emissioni odorigene diffuse dell'impianto di compostaggio esistente nel
Comune di Eboli (SA)
PROGETTO DEFINITIVO – Tabulati di calcolo Tomo 1

Verifica a presso/tenso flessione deviata SLD §§ 4.2.4.1.2.3 - 4.2.4.1.2.6 - 4.2.4.1.2.7 - 4.2.4.1.2.8 NTC18

Verifiche eseguite utilizzando la formula conservativa (6.2) §6.2.1 EN 1993-1-1:2005.

X	Comb.	Sfruttamento	Classe	NEd	NRd	Rid. NRd da VEd	Mx,Ed	Mx,Rd	My,Ed	My,Rd	Rid. Mx,Rd da VEd	Rid. Mx,Rd da NEd	Rid. My,Rd da VEd	Rid. My,Rd da NEd	α	β	px	py	Verifica
0.702	SLD 15	0.014	3	-6.887	1003.522	1	-0.0764	12.886	0.0212	19.3536	1		1				0	0	Si

Verifiche ad instabilità

Caratteristiche iniziali

Membratura principale per controllo snellezza; Calcolo di snellezze ed N critici condotti secondo gli assi principali;

Curva X: c; Curva Y: c;

Svergolamento: Nessuno; la verifica a instabilità flesso-torsionale (svergolamento) non verrà eseguita.

Dati per instabilità attorno a x

Controllo della snellezza secondo §4.2.4.1.3.1 NTC18

Numero rit.	Presente	Ascissa	Campata	βx/m	Vincolo a entrambi estremi	λx/m	λVer
1	Si	0					
			1-2	1	Si	49.6	Si, (<200)
2	Si	1.505					

Dati per instabilità attorno a y

Controllo della snellezza secondo §4.2.4.1.3.1 NTC18

Numero rit.	Presente	Ascissa	Campata	βy/n	k,LT	kw,LT	Vincolo a entrambi estremi
1	Si	0					
			1-2	1	Si	34.9	Si, (<200)
2	Si	1.505					

Verifica di stabilità per pressoflessione §C.4.2.4.1.3.3.1 NTC18

X	Comb.	Sfruttamento	Classe	NEd	MxEq,Ed	MyEq,Ed	Area	Wx	Wy	x,min	λ adim. x/m	λ adim. y/n	N,crit x/m	N,crit y/n	Verifica
1.505	SLV 16	0.022	3	-12.062	-0.0603	0.0391	0.003832	0.0000492	0.0000739	0.802	0.571	0.402	3231.032	6528.319	Si

Verifica di stabilità per pressoflessione SLD §C.4.2.4.1.3.3.1 NTC18

X	Comb.	Sfruttamento	Classe	NEd	MxEq,Ed	MyEq,Ed	Area	Wx	Wy	x,min	λ adim. x/m	λ adim. y/n	N,crit x/m	N,crit y/n	Verifica
1.505	SLD 16	0.015	3	-6.907	-0.0621	0.0218	0.003832	0.0000492	0.0000739	0.802	0.571	0.402	3231.032	6528.319	Si

Verifiche a deformabilità

Mensola X: No; Mensola Y: No.

Frecce lungo X

Ascissa freccia	Combinazione	Freccia	Luce	L/f	L/f,min	Tipo	Verifica
1.003	SLE RA 1	0	1.505	10000	250	Totale	Si
0.953	SLE RA 17	0	1.505	10000	250	Totale	Si
0.953	SLE RA 16	0	1.505	10000	250	Totale	Si
0.953	SLE RA 15	0	1.505	10000	250	Totale	Si
1.003	SLE RA 14	0	1.505	10000	250	Totale	Si
0.953	SLE RA 2	0	1.505	10000	350	Variabile	Si
0.953	SLE RA 17	0	1.505	10000	350	Variabile	Si
0.953	SLE RA 16	0	1.505	10000	350	Variabile	Si
0.903	SLE RA 15	0	1.505	10000	350	Variabile	Si
1.054	SLE RA 14	0	1.505	10000	350	Variabile	Si

Frecce lungo Y

Ascissa freccia	Combinazione	Freccia	Luce	L/f	L/f,min	Tipo	Verifica
0.753	SLE RA 1	-0.00002	1.505	10000	250	Totale	Si
0.753	SLE RA 17	-0.00002	1.505	10000	250	Totale	Si
0.702	SLE RA 16	-0.00002	1.505	10000	250	Totale	Si
0.702	SLE RA 15	-0.00002	1.505	10000	250	Totale	Si
0.753	SLE RA 14	-0.00002	1.505	10000	250	Totale	Si
0.903	SLE RA 2	0	1.505	10000	350	Variabile	Si
0.903	SLE RA 17	0	1.505	10000	350	Variabile	Si
0.903	SLE RA 16	0	1.505	10000	350	Variabile	Si
0.853	SLE RA 15	0.00001	1.505	10000	350	Variabile	Si
0.351	SLE RA 14	0	1.505	10000	350	Variabile	Si

Superelemento in acciaio a quota "728"- "715" (948; 2165)-(838; 2268)

Caratteristiche del materiale

Acciaio: S275, fyk = 275000

Caratteristiche geometriche

Lunghezza: 1.505

Nodo iniziale: 2332 Nodo finale: 2140

Cerniera iniziale: Mmomenti 1% Cerniera finale: Mmomenti 1%

Sovraresistenza: 0% Sisma Z: No

Caratteristiche della sezione

Sezione	Rotazione	Area	Jx	Jy	ix	iy	Wx	Wy	Wplx	Wply
A1; L100*10; 1; Saldato; S275; 30; 1; 8; 8; 1	0	0.003832	0.0000035319	0.000007759	0.0304	0.045	0.0000492	0.0000739	0.00008974	0.00012727

Comportamento dei calastrelli

Accoppiamento imbottito con funzione statica (§C4.2.4.1.3.1.4 NTC18) nella campata compresa tra le ascisse 0 e 1.505 per sbandamento attorno all'asse y.

**Implementazione dei sistemi di confinamento delle emissioni odorigene diffuse dell'impianto di compostaggio esistente nel
Comune di Eboli (SA)
PROGETTO DEFINITIVO – Tabulati di calcolo Tomo 1**

Verifiche di resistenza

Verifiche a forza assiale §4.2.4.1.2.1 - §4.2.4.1.2.2 NTC18

X	Comb.	Sfruttamento	Classe	NEd	Nc,Rd	Nt,Rd	Riduzione da taglio	px	py	Verifica
1.505	SLU 76	0.033	3	-32.863	1003.522		1	0	0	Si

Verifiche a forza assiale SLD §4.2.4.1.2.1 - §4.2.4.1.2.2 NTC18

X	Comb.	Sfruttamento	Classe	NEd	Nc,Rd	Nt,Rd	Riduzione da taglio	px	py	Verifica
1.505	SLD 2	0.011	3	-11.532	1003.522		1	0	0	Si

Verifica a taglio X §4.2.4.1.2.4 NTC18

X	Comb.	Sfruttamento	VEd	Vc,Rd	Av	Interazione taglio-torsione	Riduzione torsione	Verifica
1.505	SLU 76	0.001	0.208	302.422	0.002	Non considerata		Si

Verifica a taglio Y §4.2.4.1.2.4 NTC18

X	Comb.	Sfruttamento	VEd	Vc,Rd	Av	Interazione taglio-torsione	Riduzione torsione	Verifica
1.505	SLU 76	0.001	-0.334	302.422	0.002	Non considerata		Si

Verifica a taglio Y SLD §4.2.4.1.2.4 NTC18

X	Comb.	Sfruttamento	VEd	Vc,Rd	Av	Interazione taglio-torsione	Riduzione torsione	Verifica
1.505	SLD 14	0.001	-0.231	302.422	0.002	Non considerata		Si

Verifica a flessione semplice X §§ 4.2.4.1.2.3 - 4.2.4.1.2.6 - 4.2.4.1.2.7 - 4.2.4.1.2.8 NTC18

X	Comb.	Sfruttamento	Classe	Mx,Ed	Mx,Rd	Rid. Mx,Rd da VEd	px	py	Verifica
0.803	SLU 40	0.005	1	-0.11657	23.50374	1	0	0	Si

Verifica a presso/tenso flessione retta X §§ 4.2.4.1.2.3 - 4.2.4.1.2.6 - 4.2.4.1.2.7 - 4.2.4.1.2.8 NTC18

Verifiche eseguite utilizzando la formula conservativa (6.2) §6.2.1 EN 1993-1-1:2005.

X	Comb.	Sfruttamento	Classe	NEd	NRd	Rid. NRd da VEd	Mx,Ed	Mx,Rd	Rid. Mx,Rd da VEd	Rid. Mx,Rd da NEd	px	py	Verifica
0.803	SLU 59	0.007	1	-2.284	1003.522	1	-0.1134	23.5037	1		0	0	Si

Verifica a presso/tenso flessione retta Y §§ 4.2.4.1.2.3 - 4.2.4.1.2.6 - 4.2.4.1.2.7 - 4.2.4.1.2.8 NTC18

Verifiche eseguite utilizzando la formula conservativa (6.2) §6.2.1 EN 1993-1-1:2005.

X	Comb.	Sfruttamento	Classe	NEd	NRd	Rid. NRd da VEd	My,Ed	My,Rd	Rid. My,Rd da VEd	Rid. My,Rd da NEd	px	py	Verifica
0.05	SLU 76	0.038	3	-32.815	1003.522	1	-0.0994	19.3536	1		0	0	Si

Verifica a presso/tenso flessione retta Y SLD §§ 4.2.4.1.2.3 - 4.2.4.1.2.6 - 4.2.4.1.2.7 - 4.2.4.1.2.8 NTC18

Verifiche eseguite utilizzando la formula conservativa (6.2) §6.2.1 EN 1993-1-1:2005.

X	Comb.	Sfruttamento	Classe	NEd	NRd	Rid. NRd da VEd	My,Ed	My,Rd	Rid. My,Rd da VEd	Rid. My,Rd da NEd	px	py	Verifica
1.455	SLD 1	0.014	3	-11.53	1003.522	1	-0.0393	19.3536	1		0	0	Si

Verifica a presso/tenso flessione deviata §§ 4.2.4.1.2.3 - 4.2.4.1.2.6 - 4.2.4.1.2.7 - 4.2.4.1.2.8 NTC18

Verifiche eseguite utilizzando la formula conservativa (6.2) §6.2.1 EN 1993-1-1:2005.

X	Comb.	Sfruttamento	Classe	NEd	NRd	Rid. NRd da VEd	Mx,Ed	Mx,Rd	My,Ed	My,Rd	Rid. Mx,Rd da VEd	Rid. Mx,Rd da NEd	Rid. My,Rd da VEd	Rid. My,Rd da NEd	α	β	px	py	Verifica
0.652	SLU 76	0.044	3	-32.835	1003.522	1	-0.0753	12.886	0.0994	19.3536	1		1				0	0	Si

Verifica a presso/tenso flessione deviata SLD §§ 4.2.4.1.2.3 - 4.2.4.1.2.6 - 4.2.4.1.2.7 - 4.2.4.1.2.8 NTC18

Verifiche eseguite utilizzando la formula conservativa (6.2) §6.2.1 EN 1993-1-1:2005.

X	Comb.	Sfruttamento	Classe	NEd	NRd	Rid. NRd da VEd	Mx,Ed	Mx,Rd	My,Ed	My,Rd	Rid. Mx,Rd da VEd	Rid. Mx,Rd da NEd	Rid. My,Rd da VEd	Rid. My,Rd da NEd	α	β	px	py	Verifica
0.753	SLD 6	0.019	3	-11.512	1003.522	1	-0.0766	12.886	-0.037	19.3536	1		1				0	0	Si

Verifiche ad instabilità

Caratteristiche iniziali

Membratura principale per controllo snellezza; Calcolo di snellezze ed N critici condotti secondo gli assi principali;

Curva X: c; Curva Y: c;

Svergolamento: Nessuno; la verifica a instabilità flesso-torsionale (svergolamento) non verrà eseguita.

Dati per instabilità attorno a x

Controllo della snellezza secondo §4.2.4.1.3.1 NTC18

Numero rit.	Presente	Ascissa	Campata	βx/m	Vincolo a entrambi estremi	λx/m	λVer
1	Si	0					
			1-2		1	49.6	Si, (<200)
2	Si	1.505					

Dati per instabilità attorno a y

Controllo della snellezza secondo §4.2.4.1.3.1 NTC18

Numero rit.	Presente	Ascissa	Campata	βy/n	k,LT	kw,LT	Vincolo a entrambi estremi
1	Si	0					
			1-2		1	34.9	Si, (<200)
2	Si	1.505					

Verifica di stabilità per pressoflessione §C.4.2.4.1.3.3.1 NTC18

X	Comb.	Sfruttamento	Classe	NEd	MxEq,Ed	MyEq,Ed	Area	Wx	Wy	χ,min	λ adim. x/m	λ adim. y/n	N,crit x/m	N,crit y/n	Verifica
1.505	SLU 76	0.049	3	-32.863	-0.0565	0.0748	0.003832	0.0000492	0.0000739	0.802	0.571	0.402	3231.032	6528.319	Si

Verifica di stabilità per pressoflessione SLD §C.4.2.4.1.3.3.1 NTC18

X	Comb.	Sfruttamento	Classe	NEd	MxEq,Ed	MyEq,Ed	Area	Wx	Wy	χ,min	λ adim. x/m	λ adim. y/n	N,crit x/m	N,crit y/n	Verifica
1.505	SLD 5	0.021	3	-11.531	-0.0624	-0.0394	0.003832	0.0000492	0.0000739	0.802	0.571	0.402	3231.032	6528.319	Si

Implementazione dei sistemi di confinamento delle emissioni odorigene diffuse dell'impianto di compostaggio esistente nel
Comune di Eboli (SA)
PROGETTO DEFINITIVO – Tabulati di calcolo Tomo 1

Verifiche a deformabilità

Mensola X: No; Mensola Y: No.

Frecce lungo X

Ascissa freccia	Combinazione	Freccia	Luce	L/f	L/f,min	Tipo	Verifica
1.003	SLE RA 1	0	1.505	10000	250	Totale	Si
1.003	SLE RA 17	0	1.505	10000	250	Totale	Si
0.953	SLE RA 16	0	1.505	10000	250	Totale	Si
1.003	SLE RA 15	0	1.505	10000	250	Totale	Si
0.953	SLE RA 14	0	1.505	10000	250	Totale	Si
0.903	SLE RA 2	0	1.505	10000	350	Variabile	Si
0.903	SLE RA 17	0	1.505	10000	350	Variabile	Si
0.903	SLE RA 16	0	1.505	10000	350	Variabile	Si
0.953	SLE RA 15	0	1.505	10000	350	Variabile	Si
0.803	SLE RA 14	0	1.505	10000	350	Variabile	Si

Frecce lungo Y

Ascissa freccia	Combinazione	Freccia	Luce	L/f	L/f,min	Tipo	Verifica
0.753	SLE RA 1	-0.00002	1.505	10000	250	Totale	Si
0.753	SLE RA 17	-0.00002	1.505	10000	250	Totale	Si
0.753	SLE RA 16	-0.00002	1.505	10000	250	Totale	Si
0.702	SLE RA 15	-0.00002	1.505	10000	250	Totale	Si
0.753	SLE RA 14	-0.00002	1.505	10000	250	Totale	Si
0.853	SLE RA 2	0	1.505	10000	350	Variabile	Si
0.853	SLE RA 17	0	1.505	10000	350	Variabile	Si
0.853	SLE RA 16	0	1.505	10000	350	Variabile	Si
0.853	SLE RA 15	0.00001	1.505	10000	350	Variabile	Si
0.853	SLE RA 14	0	1.505	10000	350	Variabile	Si

Superelemento in acciaio a quota "728"- "715" (1197; 2428)-(1088; 2531)

Caratteristiche del materiale

Acciaio: S275, fyk = 275000

Caratteristiche geometriche

Lunghezza: 1.505

Nodo iniziale: 2341 Nodo finale: 2172

Cerniera iniziale: Mmomenti 1% Cerniera finale: Mmomenti 1%

Sovreresistenza: 0% Sisma Z: No

Caratteristiche della sezione

Sezione	Rotazione	Area	Jx	Jy	ix	iy	Wx	Wy	Wplx	Wply
A1; L100*10; 1; Saldato; S275; 30; 1; 8; 8; 1	0	0.003832	0.0000035319	0.000007759	0.0304	0.045	0.0000492	0.0000739	0.00008974	0.00012727

Comportamento dei calastrelli

Accoppiamento imbottito con funzione statica (§C4.2.4.1.3.1.4 NTC18) nella campata compresa tra le ascisse 0 e 1.505 per sbandamento attorno all'asse y.

Verifiche di resistenza

Verifiche a forza assiale §4.2.4.1.2.1 - §4.2.4.1.2.2 NTC18

X	Comb.	Sfruttamento	Classe	NEd	Nc,Rd	Nt,Rd	Riduzione da taglio	px	py	Verifica
1.505	SLV 2	0.009	3	-8.735	1003.522		1	0	0	Si

Verifiche a forza assiale SLD §4.2.4.1.2.1 - §4.2.4.1.2.2 NTC18

X	Comb.	Sfruttamento	Classe	NEd	Nc,Rd	Nt,Rd	Riduzione da taglio	px	py	Verifica
1.505	SLD 2	0.005	3	-4.706	1003.522		1	0	0	Si

Verifica a taglio Y §4.2.4.1.2.4 NTC18

X	Comb.	Sfruttamento	VEd	Vc,Rd	Av	Interazione taglio-torsione	Riduzione torsione	Verifica
1.505	SLU 76	0.001	-0.35	302.422	0.002	Non considerata		Si

Verifica a taglio Y SLD §4.2.4.1.2.4 NTC18

X	Comb.	Sfruttamento	VEd	Vc,Rd	Av	Interazione taglio-torsione	Riduzione torsione	Verifica
1.505	SLD 16	0.001	-0.239	302.422	0.002	Non considerata		Si

Verifica a flessione semplice X §§ 4.2.4.1.2.3 - 4.2.4.1.2.6 - 4.2.4.1.2.7 - 4.2.4.1.2.8 NTC18

X	Comb.	Sfruttamento	Classe	Mx,Ed	Mx,Rd	Rid. Mx,Rd da VEd	px	py	Verifica
0.803	SLU 40	0.005	1	-0.11873	23.50374	1	0	0	Si

Verifica a presso/tenso flessione retta X §§ 4.2.4.1.2.3 - 4.2.4.1.2.6 - 4.2.4.1.2.7 - 4.2.4.1.2.8 NTC18

Verifiche eseguite utilizzando la formula conservativa (6.2) §6.2.1 EN 1993-1-1:2005.

X	Comb.	Sfruttamento	Classe	NEd	NRd	Rid. NRd da VEd	Mx,Ed	Mx,Rd	Rid. Mx,Rd da VEd	Rid. Mx,Rd da NEd	px	py	Verifica
0.753	SLV 11	0.008	1	4.575	1003.522	1	-0.0835	23.5037	1		0	0	Si

Verifica a presso/tenso flessione retta X SLD §§ 4.2.4.1.2.3 - 4.2.4.1.2.6 - 4.2.4.1.2.7 - 4.2.4.1.2.8 NTC18

Verifiche eseguite utilizzando la formula conservativa (6.2) §6.2.1 EN 1993-1-1:2005.

X	Comb.	Sfruttamento	Classe	NEd	NRd	Rid. NRd da VEd	Mx,Ed	Mx,Rd	Rid. Mx,Rd da VEd	Rid. Mx,Rd da NEd	px	py	Verifica
0.753	SLD 8	0.004	1	-0.65	1003.522	1	-0.0825	23.5037	1		0	0	Si

Verifica a presso/tenso flessione retta Y §§ 4.2.4.1.2.3 - 4.2.4.1.2.6 - 4.2.4.1.2.7 - 4.2.4.1.2.8 NTC18

Verifiche eseguite utilizzando la formula conservativa (6.2) §6.2.1 EN 1993-1-1:2005.

Implementazione dei sistemi di confinamento delle emissioni odorigene diffuse dell'impianto di compostaggio esistente nel
Comune di Eboli (SA)

PROGETTO DEFINITIVO – Tabulati di calcolo Tomo 1

X	Comb.	Sfruttamento	Classe	NEd	NRd	Rid. NRd da VEd	My,Ed	My,Rd	Rid. My,Rd da VEd	Rid. My,Rd da NEd	px	py	Verifica
1.505	SLV 2	0.011	3	-8.735	1003.522	1	-0.0374	19.3536	1		0	0	Si

Verifica a presso/tenso flessione retta Y SLD §§ 4.2.4.1.2.3 - 4.2.4.1.2.6 - 4.2.4.1.2.7 - 4.2.4.1.2.8 NTC18

Verifiche eseguite utilizzando la formula conservativa (6.2) §6.2.1 EN 1993-1-1:2005.

X	Comb.	Sfruttamento	Classe	NEd	NRd	Rid. NRd da VEd	My,Ed	My,Rd	Rid. My,Rd da VEd	Rid. My,Rd da NEd	px	py	Verifica
0	SLD 1	0.005	3	-4.668	1003.522	1	0.0141	19.3536	1		0	0	Si

Verifica a presso/tenso flessione deviata §§ 4.2.4.1.2.3 - 4.2.4.1.2.6 - 4.2.4.1.2.7 - 4.2.4.1.2.8 NTC18

Verifiche eseguite utilizzando la formula conservativa (6.2) §6.2.1 EN 1993-1-1:2005.

X	Comb.	Sfruttamento	Classe	NEd	NRd	Rid. NRd da VEd	Mx,Ed	Mx,Rd	My,Ed	My,Rd	Rid. Mx,Rd da VEd	Rid. Mx,Rd da NEd	Rid. My,Rd da VEd	Rid. My,Rd da NEd	α	β	px	py	Verifica
0.803	SLV 2	0.017	3	-8.717	1003.522	1	-0.0868	12.886	-0.0321	19.3536	1		1				0	0	Si

Verifica a presso/tenso flessione deviata SLD §§ 4.2.4.1.2.3 - 4.2.4.1.2.6 - 4.2.4.1.2.7 - 4.2.4.1.2.8 NTC18

Verifiche eseguite utilizzando la formula conservativa (6.2) §6.2.1 EN 1993-1-1:2005.

X	Comb.	Sfruttamento	Classe	NEd	NRd	Rid. NRd da VEd	Mx,Ed	Mx,Rd	My,Ed	My,Rd	Rid. Mx,Rd da VEd	Rid. Mx,Rd da NEd	Rid. My,Rd da VEd	Rid. My,Rd da NEd	α	β	px	py	Verifica
1.154	SLD 2	0.01	3	-4.697	1003.522	1	-0.0567	12.886	-0.0174	19.3536	1		1				0	0	Si

Verifiche ad instabilità

Caratteristiche iniziali

Membratura principale per controllo snellezza; Calcolo di snellezze ed N critici condotti secondo gli assi principali;

Curva X: c; Curva Y: c;

Svergolamento: Nessuno; la verifica a instabilità flesso-torsionale (svergolamento) non verrà eseguita.

Dati per instabilità attorno a x

Controllo della snellezza secondo §4.2.4.1.3.1 NTC18

Numero rit.	Presente	Ascissa	Campata	βx/m	Vincolo a entrambi estremi	λx/m	λVer
1	Si		0				
			1-2		1	Si	49.6
2	Si	1.505					Si, (<200)

Dati per instabilità attorno a y

Controllo della snellezza secondo §4.2.4.1.3.1 NTC18

Numero rit.	Presente	Ascissa	Campata	βy/n	k,LT	kw,LT	Vincolo a entrambi estremi
1	Si		0				
			1-2		1	Si	34.9
2	Si	1.505					Si, (<200)

Verifica di stabilità per pressoflessione §C.4.2.4.1.3.3.1 NTC18

X	Comb.	Sfruttamento	Classe	NEd	MxEq,Ed	MyEq,Ed	Area	Wx	Wy	χ,min	λ adim. x/m	λ adim. y/n	N,crit x/m	N,crit y/n	Verifica
1.505	SLV 2	0.018	3	-8.735	-0.0728	-0.0374	0.003832	0.0000492	0.0000739	0.802	0.571	0.402	3231.032	6528.319	Si

Verifica di stabilità per pressoflessione SLD §C.4.2.4.1.3.3.1 NTC18

X	Comb.	Sfruttamento	Classe	NEd	MxEq,Ed	MyEq,Ed	Area	Wx	Wy	χ,min	λ adim. x/m	λ adim. y/n	N,crit x/m	N,crit y/n	Verifica
1.505	SLD 1	0.012	3	-4.706	-0.0689	-0.0184	0.003832	0.0000492	0.0000739	0.802	0.571	0.402	3231.032	6528.319	Si

Verifiche a deformabilità

Mensola X: No; Mensola Y: No.

Frecce lungo X

Ascissa freccia	Combinazione	Freccia	Luce	L/f	L/f,min	Tipo	Verifica
1.054	SLE RA 1	0	1.505	10000	250	Totale	Si
1.054	SLE RA 17	0	1.505	10000	250	Totale	Si
1.104	SLE RA 16	0	1.505	10000	250	Totale	Si
1.104	SLE RA 15	0	1.505	10000	250	Totale	Si
1.054	SLE RA 14	0	1.505	10000	250	Totale	Si
0.401	SLE RA 2	0	1.505	10000	350	Variabile	Si
0.401	SLE RA 17	0	1.505	10000	350	Variabile	Si
0.401	SLE RA 16	0	1.505	10000	350	Variabile	Si
0.502	SLE RA 15	0	1.505	10000	350	Variabile	Si
1.204	SLE RA 14	0	1.505	10000	350	Variabile	Si

Frecce lungo Y

Ascissa freccia	Combinazione	Freccia	Luce	L/f	L/f,min	Tipo	Verifica
0.753	SLE RA 1	-0.00003	1.505	10000	250	Totale	Si
0.753	SLE RA 17	-0.00002	1.505	10000	250	Totale	Si
0.702	SLE RA 16	-0.00002	1.505	10000	250	Totale	Si
0.702	SLE RA 15	-0.00002	1.505	10000	250	Totale	Si
0.753	SLE RA 14	-0.00003	1.505	10000	250	Totale	Si
0.903	SLE RA 2	0	1.505	10000	350	Variabile	Si
0.903	SLE RA 17	0	1.505	10000	350	Variabile	Si
0.903	SLE RA 16	0	1.505	10000	350	Variabile	Si
0.903	SLE RA 15	0	1.505	10000	350	Variabile	Si
1.104	SLE RA 14	0	1.505	10000	350	Variabile	Si

Superelemento in acciaio a quota "728"- "715" (1452; 2700)-(1343; 2802)

Caratteristiche del materiale

Acciaio: S275, fyk = 275000

**Implementazione dei sistemi di confinamento delle emissioni odorigene diffuse dell'impianto di compostaggio esistente nel
Comune di Eboli (SA)
PROGETTO DEFINITIVO – Tabulati di calcolo Tomo 1**

Caratteristiche geometriche

Lunghezza: 1.505
 Nodo iniziale: 2402 Nodo finale: 2206
 Cerniera iniziale: Mmomenti 1% Cerniera finale: Mmomenti 1%
 Sovraresistenza: 0% Sisma Z: No

Caratteristiche della sezione

Sezione	Rotazione	Area	Jx	Jy	ix	iy	Wx	Wy	Wplx	Wply
A1; L100*10; 1; Saldato; S275; 30; 1; 8; 8; 1	0	0.003832	0.0000035319	0.000007759	0.0304	0.045	0.0000492	0.0000739	0.00008974	0.00012727

Comportamento dei calastrelli

Accoppiamento imbottito con funzione statica (§C4.2.4.1.3.1.4 NTC18) nella campata compresa tra le ascisse 0 e 1.505 per sbandamento attorno all'asse y.

Verifiche di resistenza

Verifiche a forza assiale §4.2.4.1.2.1 - §4.2.4.1.2.2 NTC18

X	Comb.	Sfruttamento	Classe	NEd	Nc,Rd	Nt,Rd	Riduzione da taglio	px	py	Verifica
1.505	SLU 76	0.033	3	-33.603	1003.522		1	0	0	Si

Verifiche a forza assiale SLD §4.2.4.1.2.1 - §4.2.4.1.2.2 NTC18

X	Comb.	Sfruttamento	Classe	NEd	Nc,Rd	Nt,Rd	Riduzione da taglio	px	py	Verifica
1.505	SLD 3	0.013	3	-13.306	1003.522		1	0	0	Si

Verifica a taglio X §4.2.4.1.2.4 NTC18

X	Comb.	Sfruttamento	VEd	Vc,Rd	Av	Interazione taglio-torsione	Riduzione torsione	Verifica
1.505	SLU 76	0.001	-0.215	302.422	0.002	Non considerata		Si

Verifica a taglio Y §4.2.4.1.2.4 NTC18

X	Comb.	Sfruttamento	VEd	Vc,Rd	Av	Interazione taglio-torsione	Riduzione torsione	Verifica
0	SLU 76	0.001	0.297	302.422	0.002	Non considerata		Si

Verifica a taglio Y SLD §4.2.4.1.2.4 NTC18

X	Comb.	Sfruttamento	VEd	Vc,Rd	Av	Interazione taglio-torsione	Riduzione torsione	Verifica
0	SLD 4	0.001	0.228	302.422	0.002	Non considerata		Si

Verifica a flessione semplice X §§ 4.2.4.1.2.3 - 4.2.4.1.2.6 - 4.2.4.1.2.7 - 4.2.4.1.2.8 NTC18

X	Comb.	Sfruttamento	Classe	Mx,Ed	Mx,Rd	Rid. Mx,Rd da VEd	px	py	Verifica
1.254	SLU 2	0.002	1	-0.04642	23.50374	1	0	0	Si

Verifica a presso/tenso flessione retta X §§ 4.2.4.1.2.3 - 4.2.4.1.2.6 - 4.2.4.1.2.7 - 4.2.4.1.2.8 NTC18

Verifiche eseguite utilizzando la formula conservativa (6.2) §6.2.1 EN 1993-1-1:2005.

X	Comb.	Sfruttamento	Classe	NEd	NRd	Rid. NRd da VEd	Mx,Ed	Mx,Rd	Rid. Mx,Rd da VEd	Rid. Mx,Rd da NEd	px	py	Verifica
0.753	SLU 40	0.007	1	-2.257	1003.522	1	-0.1099	23.5037	1		0	0	Si

Verifica a presso/tenso flessione retta Y §§ 4.2.4.1.2.3 - 4.2.4.1.2.6 - 4.2.4.1.2.7 - 4.2.4.1.2.8 NTC18

Verifiche eseguite utilizzando la formula conservativa (6.2) §6.2.1 EN 1993-1-1:2005.

X	Comb.	Sfruttamento	Classe	NEd	NRd	Rid. NRd da VEd	My,Ed	My,Rd	Rid. My,Rd da VEd	Rid. My,Rd da NEd	px	py	Verifica
0	SLU 76	0.039	3	-33.554	1003.522	1	0.1018	19.3536	1		0	0	Si

Verifica a presso/tenso flessione retta Y SLD §§ 4.2.4.1.2.3 - 4.2.4.1.2.6 - 4.2.4.1.2.7 - 4.2.4.1.2.8 NTC18

Verifiche eseguite utilizzando la formula conservativa (6.2) §6.2.1 EN 1993-1-1:2005.

X	Comb.	Sfruttamento	Classe	NEd	NRd	Rid. NRd da VEd	My,Ed	My,Rd	Rid. My,Rd da VEd	Rid. My,Rd da NEd	px	py	Verifica
1.505	SLD 3	0.015	3	-13.306	1003.522	1	-0.0415	19.3536	1		0	0	Si

Verifica a presso/tenso flessione deviata §§ 4.2.4.1.2.3 - 4.2.4.1.2.6 - 4.2.4.1.2.7 - 4.2.4.1.2.8 NTC18

Verifiche eseguite utilizzando la formula conservativa (6.2) §6.2.1 EN 1993-1-1:2005.

X	Comb.	Sfruttamento	Classe	NEd	NRd	Rid. NRd da VEd	Mx,Ed	Mx,Rd	My,Ed	My,Rd	Rid. Mx,Rd da VEd	Rid. Mx,Rd da NEd	Rid. My,Rd da VEd	Rid. My,Rd da NEd	α	β	px	py	Verifica
0.753	SLU 76	0.048	3	-33.578	1003.522	1	-0.1163	12.886	-0.1019	19.3536	1		1				0	0	Si

Verifica a presso/tenso flessione deviata SLD §§ 4.2.4.1.2.3 - 4.2.4.1.2.6 - 4.2.4.1.2.7 - 4.2.4.1.2.8 NTC18

Verifiche eseguite utilizzando la formula conservativa (6.2) §6.2.1 EN 1993-1-1:2005.

X	Comb.	Sfruttamento	Classe	NEd	NRd	Rid. NRd da VEd	Mx,Ed	Mx,Rd	My,Ed	My,Rd	Rid. Mx,Rd da VEd	Rid. Mx,Rd da NEd	Rid. My,Rd da VEd	Rid. My,Rd da NEd	α	β	px	py	Verifica
0.753	SLD 4	0.022	3	-13.287	1003.522	1	-0.0869	12.886	-0.0408	19.3536	1		1				0	0	Si

Verifiche ad instabilità

Caratteristiche iniziali

Membratura principale per controllo snellezza; Calcolo di snellezze ed N critici condotti secondo gli assi principali;

Curva X: c; Curva Y: c;

Svergolamento: Nessuno; la verifica a instabilità flesso-torsionale (svergolamento) non verrà eseguita.

Dati per instabilità attorno a x

Controllo della snellezza secondo §4.2.4.1.3.1 NTC18

Numero rit.	Presente	Ascissa	Campata	βx/m	Vincolo a entrambi estremi	λx/m	λVer
1	Si	0					
			1-2	1	Si	49.6	Si, (<200)
2	Si	1.505					

Implementazione dei sistemi di confinamento delle emissioni odorigene diffuse dell'impianto di compostaggio esistente nel
Comune di Eboli (SA)
PROGETTO DEFINITIVO – Tabulati di calcolo Tomo 1

Dati per instabilità attorno a y

Controllo della snellezza secondo §4.2.4.1.3.1 NTC18

Numero rit.	Presente	Ascissa	Campata	$\beta y/n$	k,LT	kw,LT	Vincolo a entrambi estremi
1	Si	0	1-2	1	Si	34.9	Si, (<200)
2	Si	1.505					

Verifica di stabilità per pressoflessione §C.4.2.4.1.3.3.1 NTC18

X	Comb.	Sfruttamento	Classe	NEd	MxEq,Ed	MyEq,Ed	Area	Wx	Wy	χ_{min}	λ adim. x/m	λ adim. y/n	N,crit x/m	N,crit y/n	Verifica
1.505	SLU 76	0.054	3	-33.603	-0.1033	-0.0769	0.003832	0.0000492	0.0000739	0.802	0.571	0.402	3231.448	6529.091	Si

Verifica di stabilità per pressoflessione SLD §C.4.2.4.1.3.3.1 NTC18

X	Comb.	Sfruttamento	Classe	NEd	MxEq,Ed	MyEq,Ed	Area	Wx	Wy	χ_{min}	λ adim. x/m	λ adim. y/n	N,crit x/m	N,crit y/n	Verifica
1.505	SLD 3	0.025	3	-13.306	-0.0763	-0.0409	0.003832	0.0000492	0.0000739	0.802	0.571	0.402	3231.448	6529.091	Si

Verifiche a deformabilità

Mensola X: No; Mensola Y: No.

Frecce lungo X

Ascissa freccia	Combinazione	Freccia	Luce	L/f	L/f,min	Tipo	Verifica
0.953	SLE RA 1	0	1.505	10000	250	Totale	Si
0.953	SLE RA 17	0	1.505	10000	250	Totale	Si
0.953	SLE RA 16	0	1.505	10000	250	Totale	Si
0.953	SLE RA 15	0	1.505	10000	250	Totale	Si
0.903	SLE RA 14	0	1.505	10000	250	Totale	Si
0.903	SLE RA 2	0	1.505	10000	350	Variabile	Si
0.953	SLE RA 17	0	1.505	10000	350	Variabile	Si
0.953	SLE RA 16	0	1.505	10000	350	Variabile	Si
1.003	SLE RA 15	0	1.505	10000	350	Variabile	Si
0.853	SLE RA 14	0	1.505	10000	350	Variabile	Si

Frecce lungo Y

Ascissa freccia	Combinazione	Freccia	Luce	L/f	L/f,min	Tipo	Verifica
0.753	SLE RA 1	-0.00003	1.505	10000	250	Totale	Si
0.753	SLE RA 17	-0.00003	1.505	10000	250	Totale	Si
0.753	SLE RA 16	-0.00003	1.505	10000	250	Totale	Si
0.753	SLE RA 15	-0.00003	1.505	10000	250	Totale	Si
0.753	SLE RA 14	-0.00003	1.505	10000	250	Totale	Si
0.803	SLE RA 2	0	1.505	10000	350	Variabile	Si
0.803	SLE RA 17	0	1.505	10000	350	Variabile	Si
0.803	SLE RA 16	0	1.505	10000	350	Variabile	Si
0.803	SLE RA 15	0	1.505	10000	350	Variabile	Si
0.803	SLE RA 14	0	1.505	10000	350	Variabile	Si

Superelemento in acciaio a quota "728"- "715" (1999; 2493)-(1999; 2393)

Caratteristiche del materiale

Acciaio: S275, fyk = 275000

Caratteristiche geometriche

Lunghezza: 1.008

Nodo iniziale: 2349 Nodo finale: 2221

Cerniera iniziale: Mmomenti 1% Cerniera finale: Mmomenti 1%

Sovraresistenza: 0% Sisma Z: No

Caratteristiche della sezione

Sezione	Rotazione	Area	Jx	Jy	ix	iy	Wx	Wy	Wplx	Wply
A1; L100*10; 1; Saldato; S275; 20; 1; 8; 8; 1	0	0.003832	0.0000035319	0.000007759	0.0304	0.045	0.0000492	0.0000739	0.00008974	0.00012727

Comportamento dei calastrelli

Accoppiamento imbottito avendo passo inferiore al minimo richiesto (§C4.2.4.1.3.1.5 NTC18) nella campata compresa tra le ascisse 0 e 1.008 per sbandamento attorno all'asse y.

Verifiche di resistenza

Verifiche a forza assiale §4.2.4.1.2.1 - §4.2.4.1.2.2 NTC18

X	Comb.	Sfruttamento	Classe	NEd	Nc,Rd	Nt,Rd	Riduzione da taglio	px	py	Verifica
1.008	SLU 76	0.023	3	-23.271	1003.522		1	0	0	Si

Verifiche a forza assiale SLD §4.2.4.1.2.1 - §4.2.4.1.2.2 NTC18

X	Comb.	Sfruttamento	Classe	NEd	Nc,Rd	Nt,Rd	Riduzione da taglio	px	py	Verifica
1.008	SLD 13	0.014	3	-14.16	1003.522		1	0	0	Si

Verifica a taglio Y §4.2.4.1.2.4 NTC18

X	Comb.	Sfruttamento	VEd	Vc,Rd	Av	Interazione taglio-torsione	Riduzione torsione	Verifica
1.008	SLU 75	0.001	-0.221	302.422	0.002	Non considerata		Si

Verifica a presso/tenso flessione retta X §§ 4.2.4.1.2.3 - 4.2.4.1.2.6 - 4.2.4.1.2.7 - 4.2.4.1.2.8 NTC18

Verifiche eseguite utilizzando la formula conservativa (6.2) §6.2.1 EN 1993-1-1:2005.

X	Comb.	Sfruttamento	Classe	NEd	NRd	Rid. NRd da VEd	Mx,Ed	Mx,Rd	Rid. Mx,Rd da VEd	Rid. Mx,Rd da NEd	px	py	Verifica
0.47	SLU 76	0.026	3	-23.247	1003.522	1	-0.0426	12.886	1		0	0	Si

Implementazione dei sistemi di confinamento delle emissioni odorigene diffuse dell'impianto di compostaggio esistente nel
Comune di Eboli (SA)

PROGETTO DEFINITIVO – Tabulati di calcolo Tomo 1

Verifica a presso/tenso flessione retta X SLD §§ 4.2.4.1.2.3 - 4.2.4.1.2.6 - 4.2.4.1.2.7 - 4.2.4.1.2.8 NTC18

Verifiche eseguite utilizzando la formula conservativa (6.2) §6.2.1 EN 1993-1-1:2005.

X	Comb.	Sfruttamento	Classe	NEd	NRd	Rid. NRd da VEd	Mx,Ed	Mx,Rd	Rid. Mx,Rd da VEd	Rid. Mx,Rd da NEd	px	py	Verifica
0.504	SLD 13	0.017	3	-14.142	1003.522	1	-0.0327	12.886	1		0	0	Si

Verifica a presso/tenso flessione retta Y §§ 4.2.4.1.2.3 - 4.2.4.1.2.6 - 4.2.4.1.2.7 - 4.2.4.1.2.8 NTC18

Verifiche eseguite utilizzando la formula conservativa (6.2) §6.2.1 EN 1993-1-1:2005.

X	Comb.	Sfruttamento	Classe	NEd	NRd	Rid. NRd da VEd	My,Ed	My,Rd	Rid. My,Rd da VEd	Rid. My,Rd da NEd	px	py	Verifica
1.008	SLV 14	0.022	3	-21.753	1003.522	1	-0.0099	19.3536	1		0	0	Si

Verifica a presso/tenso flessione deviata §§ 4.2.4.1.2.3 - 4.2.4.1.2.6 - 4.2.4.1.2.7 - 4.2.4.1.2.8 NTC18

Verifiche eseguite utilizzando la formula conservativa (6.2) §6.2.1 EN 1993-1-1:2005.

X	Comb.	Sfruttamento	Classe	NEd	NRd	Rid. NRd da VEd	Mx,Ed	Mx,Rd	My,Ed	My,Rd	Rid. Mx,Rd da VEd	Rid. Mx,Rd da NEd	Rid. My,Rd da VEd	Rid. My,Rd da NEd	α	β	px	py	Verifica
0.773	SLV 14	0.023	3	-21.745	1003.522	1	-0.0173	12.886	-0.0077	19.3536	1		1				0	0	Si

Verifiche ad instabilità

Caratteristiche iniziali

Membratura principale per controllo snellezza; Calcolo di snellezze ed N critici condotti secondo gli assi principali;

Curva X: c; Curva Y: c;

Svergolamento: Nessuno; la verifica a instabilità flesso-torsionale (svergolamento) non verrà eseguita.

Dati per instabilità attorno a x

Controllo della snellezza secondo §4.2.4.1.3.1 NTC18

Numero rit.	Presente	Ascissa	Campata	βx/m	Vincolo a entrambi estremi	λx/m	λVer
1	Si		0				
			1-2		1	33.2	Si, (<200)
2	Si		1.008				

Dati per instabilità attorno a y

Controllo della snellezza secondo §4.2.4.1.3.1 NTC18

Numero rit.	Presente	Ascissa	Campata	βy/n	k,LT	kw,LT	Vincolo a entrambi estremi
1	Si		0				
			1-2		1	22.4	Si, (<200)
2	Si		1.008				

Verifica di stabilità per pressoflessione §C.4.2.4.1.3.3.1 NTC18

X	Comb.	Sfruttamento	Classe	NEd	MxEq,Ed	MyEq,Ed	Area	Wx	Wy	χ,min	λ adim. x/m	λ adim. y/n	N,crit x/m	N,crit y/n	Verifica
1.008	SLU 76	0.028	3	-23.271	-0.0339	0.0005	0.003832	0.0000492	0.0000739	0.907	0.382	0.258	7207.687	15834.061	Si

Verifica di stabilità per pressoflessione SLD §C.4.2.4.1.3.3.1 NTC18

X	Comb.	Sfruttamento	Classe	NEd	MxEq,Ed	MyEq,Ed	Area	Wx	Wy	χ,min	λ adim. x/m	λ adim. y/n	N,crit x/m	N,crit y/n	Verifica
1.008	SLD 14	0.018	3	-14.16	-0.0259	-0.0027	0.003832	0.0000492	0.0000739	0.907	0.382	0.258	7207.687	15834.061	Si

Verifiche a deformabilità

Mensola X: No; Mensola Y: No.

Frecce lungo X

Ascissa freccia	Combinazione	Freccia	Luce	L/f	L/f,min	Tipo	Verifica
0.638	SLE RA 1	0	1.008	10000	250	Totale	Si
0.638	SLE RA 17	0	1.008	10000	250	Totale	Si
0.605	SLE RA 16	0	1.008	10000	250	Totale	Si
0.638	SLE RA 15	0	1.008	10000	250	Totale	Si
0.605	SLE RA 14	0	1.008	10000	250	Totale	Si
0.605	SLE RA 2	0	1.008	10000	350	Variabile	Si
0.605	SLE RA 17	0	1.008	10000	350	Variabile	Si
0.605	SLE RA 16	0	1.008	10000	350	Variabile	Si
0.302	SLE RA 15	0	1.008	10000	350	Variabile	Si
0.605	SLE RA 14	0	1.008	10000	350	Variabile	Si

Frecce lungo Y

Ascissa freccia	Combinazione	Freccia	Luce	L/f	L/f,min	Tipo	Verifica
0.504	SLE RA 1	-0.00001	1.008	10000	250	Totale	Si
0.504	SLE RA 17	0	1.008	10000	250	Totale	Si
0.504	SLE RA 16	0	1.008	10000	250	Totale	Si
0.504	SLE RA 15	-0.00001	1.008	10000	250	Totale	Si
0.47	SLE RA 14	0	1.008	10000	250	Totale	Si
0.571	SLE RA 2	0	1.008	10000	350	Variabile	Si
0.571	SLE RA 17	0	1.008	10000	350	Variabile	Si
0.571	SLE RA 16	0	1.008	10000	350	Variabile	Si
0.773	SLE RA 15	0	1.008	10000	350	Variabile	Si
0.571	SLE RA 14	0	1.008	10000	350	Variabile	Si

Superelemento in acciaio a quota "728"- "715" (2231; 2493)-(2231; 2393)

Caratteristiche del materiale

Acciaio: S275, fyk = 275000

Caratteristiche geometriche

Lunghezza: 1.008

Nodo iniziale: 2353 Nodo finale: 2152

Cerniera iniziale: Mmomenti 1% Cerniera finale: Mmomenti 1%

Sovraresistenza: 0% Sisma Z: No

Sismicad 12.19 - Licenza assegnata a Arethusia Srl - Via G. Rossini, 14 - Casoria (NA)

**Implementazione dei sistemi di confinamento delle emissioni odorigene diffuse dell'impianto di compostaggio esistente nel
Comune di Eboli (SA)
PROGETTO DEFINITIVO – Tabulati di calcolo Tomo 1**

Caratteristiche della sezione

Sezione	Rotazione	Area	Jx	Jy	ix	iy	Wx	Wy	Wplx	Wply
A1; L100*10; 1; Saldato; S275; 20; 1; 8; 8; 1	0	0.003832	0.0000035319	0.000007759	0.0304	0.045	0.0000492	0.0000739	0.00008974	0.00012727

Comportamento dei calastrelli

Accoppiamento imbottito avendo passo inferiore al minimo richiesto (§C4.2.4.1.3.1.5 NTC18) nella campata compresa tra le ascisse 0 e 1.008 per sbandamento attorno all'asse y.

Verifiche di resistenza

Verifiche a forza assiale §4.2.4.1.2.1 - §4.2.4.1.2.2 NTC18

X	Comb.	Sfruttamento	Classe	NEd	Nc,Rd	Nt,Rd	Riduzione da taglio	px	py	Verifica
1.008	SLU 75	0.024	3	-23.717	1003.522		1	0	0	Si

Verifiche a forza assiale SLD §4.2.4.1.2.1 - §4.2.4.1.2.2 NTC18

X	Comb.	Sfruttamento	Classe	NEd	Nc,Rd	Nt,Rd	Riduzione da taglio	px	py	Verifica
1.008	SLD 14	0.009	3	-9.445	1003.522		1	0	0	Si

Verifica a taglio Y §4.2.4.1.2.4 NTC18

X	Comb.	Sfruttamento	VEd	Vc,Rd	Av	Interazione taglio-torsione	Riduzione torsione	Verifica
1.008	SLU 75	0.001	-0.209	302.422	0.002	Non considerata		Si

Verifica a presso/tenso flessione retta X §§ 4.2.4.1.2.3 - 4.2.4.1.2.6 - 4.2.4.1.2.7 - 4.2.4.1.2.8 NTC18

Verifiche eseguite utilizzando la formula conservativa (6.2) §6.2.1 EN 1993-1-1:2005.

X	Comb.	Sfruttamento	Classe	NEd	NRd	Rid. NRd da VEd	Mx,Ed	Mx,Rd	Rid. Mx,Rd da VEd	Rid. Mx,Rd da NEd	px	py	Verifica
0.47	SLU 75	0.027	3	-23.691	1003.522	1	-0.0382	12.886	1		0	0	Si

Verifica a presso/tenso flessione retta X SLD §§ 4.2.4.1.2.3 - 4.2.4.1.2.6 - 4.2.4.1.2.7 - 4.2.4.1.2.8 NTC18

Verifiche eseguite utilizzando la formula conservativa (6.2) §6.2.1 EN 1993-1-1:2005.

X	Comb.	Sfruttamento	Classe	NEd	NRd	Rid. NRd da VEd	Mx,Ed	Mx,Rd	Rid. Mx,Rd da VEd	Rid. Mx,Rd da NEd	px	py	Verifica
0.504	SLD 13	0.012	3	-9.426	1003.522	1	-0.0356	12.886	1		0	0	Si

Verifica a presso/tenso flessione retta Y §§ 4.2.4.1.2.3 - 4.2.4.1.2.6 - 4.2.4.1.2.7 - 4.2.4.1.2.8 NTC18

Verifiche eseguite utilizzando la formula conservativa (6.2) §6.2.1 EN 1993-1-1:2005.

X	Comb.	Sfruttamento	Classe	NEd	NRd	Rid. NRd da VEd	My,Ed	My,Rd	Rid. My,Rd da VEd	Rid. My,Rd da NEd	px	py	Verifica
1.008	SLV 14	0.011	3	-10.138	1003.522	1	-0.0141	19.3536	1		0	0	Si

Verifica a presso/tenso flessione deviata §§ 4.2.4.1.2.3 - 4.2.4.1.2.6 - 4.2.4.1.2.7 - 4.2.4.1.2.8 NTC18

Verifiche eseguite utilizzando la formula conservativa (6.2) §6.2.1 EN 1993-1-1:2005.

X	Comb.	Sfruttamento	Classe	NEd	NRd	Rid. NRd da VEd	Mx,Ed	Mx,Rd	My,Ed	My,Rd	Rid. Mx,Rd da VEd	Rid. Mx,Rd da NEd	Rid. My,Rd da VEd	Rid. My,Rd da NEd	α	β	px	py	Verifica
0.705	SLV 14	0.013	3	-10.126	1003.522	1	-0.0307	12.886	-0.009	19.3536	1		1				0	0	Si

Verifiche ad instabilità

Caratteristiche iniziali

Membratura principale per controllo snellezza; Calcolo di snellezze ed N critici condotti secondo gli assi principali;

Curva X: c; Curva Y: c;

Svergolamento: Nessuno; la verifica a instabilità flesso-torsionale (svergolamento) non verrà eseguita.

Dati per instabilità attorno a x

Controllo della snellezza secondo §4.2.4.1.3.1 NTC18

Numero rit.	Presente	Ascissa	Campata	βx/m	Vincolo a entrambi estremi	λx/m	λVer
1	Si	0					
			1-2		1	33.2	Si, (<200)
2	Si	1.008					

Dati per instabilità attorno a y

Controllo della snellezza secondo §4.2.4.1.3.1 NTC18

Numero rit.	Presente	Ascissa	Campata	βy/n	k,LT	kw,LT	Vincolo a entrambi estremi
1	Si	0					
			1-2		1	22.4	Si, (<200)
2	Si	1.008					

Verifica di stabilità per pressoflessione §C.4.2.4.1.3.3.1 NTC18

X	Comb.	Sfruttamento	Classe	NEd	MxEq,Ed	MyEq,Ed	Area	Wx	Wy	χ,min	λ adim. x/m	λ adim. y/n	N,crit x/m	N,crit y/n	Verifica
1.008	SLU 75	0.028	3	-23.717	-0.0286	-0.0002	0.003832	0.0000492	0.0000739	0.907	0.382	0.258	7207.687	15834.061	Si

Verifica di stabilità per pressoflessione SLD §C.4.2.4.1.3.3.1 NTC18

X	Comb.	Sfruttamento	Classe	NEd	MxEq,Ed	MyEq,Ed	Area	Wx	Wy	χ,min	λ adim. x/m	λ adim. y/n	N,crit x/m	N,crit y/n	Verifica
1.008	SLD 13	0.013	3	-9.445	-0.0299	-0.0043	0.003832	0.0000492	0.0000739	0.907	0.382	0.258	7207.687	15834.061	Si

Verifiche a deformabilità

Mensola X: No; Mensola Y: No.

Frecce lungo X

Ascissa freccia	Combinazione	Freccia	Luce	L/f	L/f,min	Tipo	Verifica
0.571	SLE RA 1	0	1.008	10000	250	Totale	Si
0.47	SLE RA 17	0	1.008	10000	250	Totale	Si
0.47	SLE RA 16	0	1.008	10000	250	Totale	Si
0.571	SLE RA 15	0	1.008	10000	250	Totale	Si
0.47	SLE RA 14	0	1.008	10000	250	Totale	Si

Implementazione dei sistemi di confinamento delle emissioni odorigene diffuse dell'impianto di compostaggio esistente nel
Comune di Eboli (SA)
PROGETTO DEFINITIVO – Tabulati di calcolo Tomo 1

Ascissa freccia	Combinazione	Freccia	Luce	L/f	L/f,min	Tipo	Verifica
0.47	SLE RA 2	0	1.008	10000	350	Variabile	Si
0.437	SLE RA 17	0	1.008	10000	350	Variabile	Si
0.437	SLE RA 16	0	1.008	10000	350	Variabile	Si
0.403	SLE RA 15	0	1.008	10000	350	Variabile	Si
0.437	SLE RA 14	0	1.008	10000	350	Variabile	Si

Frecce lungo Y

Ascissa freccia	Combinazione	Freccia	Luce	L/f	L/f,min	Tipo	Verifica
0.504	SLE RA 1	-0.00001	1.008	10000	250	Totale	Si
0.504	SLE RA 17	0	1.008	10000	250	Totale	Si
0.504	SLE RA 16	0	1.008	10000	250	Totale	Si
0.504	SLE RA 15	-0.00001	1.008	10000	250	Totale	Si
0.504	SLE RA 14	0	1.008	10000	250	Totale	Si
0.571	SLE RA 2	0	1.008	10000	350	Variabile	Si
0.571	SLE RA 17	0	1.008	10000	350	Variabile	Si
0.571	SLE RA 16	0	1.008	10000	350	Variabile	Si
0.504	SLE RA 15	0	1.008	10000	350	Variabile	Si
0.571	SLE RA 14	0	1.008	10000	350	Variabile	Si

Superelemento in acciaio a quota "728"- "715" (2463; 2493)-(2463; 2393)

Caratteristiche del materiale

Acciaio: S275, fyk = 275000

Caratteristiche geometriche

Lunghezza: 1.008

Nodo iniziale: 2356 Nodo finale: 2156

Cerniera iniziale: Mmomenti 1% Cerniera finale: Mmomenti 1%

Sovreresistenza: 0% Sisma Z: No

Caratteristiche della sezione

Sezione	Rotazione	Area	Jx	Jy	ix	iy	Wx	Wy	Wplx	Wply
A1; L100*10; 1; Saldato; S275; 20; 1; 8; 8; 1	0	0.003832	0.0000035319	0.000007759	0.0304	0.045	0.0000492	0.0000739	0.00008974	0.00012727

Comportamento dei calastrelli

Accoppiamento imbottito avendo passo inferiore al minimo richiesto (§C4.2.4.1.3.1.5 NTC18) nella campata compresa tra le ascisse 0 e 1.008 per sbandamento attorno all'asse y.

Verifiche di resistenza

Verifiche a forza assiale §4.2.4.1.2.1 - §4.2.4.1.2.2 NTC18

X	Comb.	Sfruttamento	Classe	NEd	Nc,Rd	Nt,Rd	Riduzione da taglio	px	py	Verifica
1.008	SLU 75	0.015	3	-15.006	1003.522		1	0	0	Si

Verifiche a forza assiale SLD §4.2.4.1.2.1 - §4.2.4.1.2.2 NTC18

X	Comb.	Sfruttamento	Classe	NEd	Nc,Rd	Nt,Rd	Riduzione da taglio	px	py	Verifica
1.008	SLD 3	0.005	3	-5.458	1003.522		1	0	0	Si

Verifica a taglio Y §4.2.4.1.2.4 NTC18

X	Comb.	Sfruttamento	Classe	VEd	Vc,Rd	Av	Interazione taglio-torsione	Riduzione torsione	Verifica
1.008	SLU 75	0.001		-0.205	302.422	0.002	Non considerata		Si

Verifica a flessione semplice X §§ 4.2.4.1.2.3 - 4.2.4.1.2.6 - 4.2.4.1.2.7 - 4.2.4.1.2.8 NTC18

X	Comb.	Sfruttamento	Classe	Mx,Ed	Mx,Rd	Rid. Mx,Rd da VEd	px	py	Verifica
0.537	SLU 40	0.002	1	-0.05182	23.50374	1	0	0	Si

Verifica a presso/tenso flessione retta X §§ 4.2.4.1.2.3 - 4.2.4.1.2.6 - 4.2.4.1.2.7 - 4.2.4.1.2.8 NTC18

Verifiche eseguite utilizzando la formula conservativa (6.2) §6.2.1 EN 1993-1-1:2005.

X	Comb.	Sfruttamento	Classe	NEd	NRd	Rid. NRd da VEd	Mx,Ed	Mx,Rd	Rid. Mx,Rd da VEd	Rid. Mx,Rd da NEd	px	py	Verifica
0.47	SLU 75	0.018	3	-14.98	1003.522	1	-0.0423	12.886	1		0	0	Si

Verifica a presso/tenso flessione retta X SLD §§ 4.2.4.1.2.3 - 4.2.4.1.2.6 - 4.2.4.1.2.7 - 4.2.4.1.2.8 NTC18

Verifiche eseguite utilizzando la formula conservativa (6.2) §6.2.1 EN 1993-1-1:2005.

X	Comb.	Sfruttamento	Classe	NEd	NRd	Rid. NRd da VEd	Mx,Ed	Mx,Rd	Rid. Mx,Rd da VEd	Rid. Mx,Rd da NEd	px	py	Verifica
0.504	SLD 4	0.008	3	-5.439	1003.522	1	-0.0379	12.886	1		0	0	Si

Verifica a presso/tenso flessione retta Y §§ 4.2.4.1.2.3 - 4.2.4.1.2.6 - 4.2.4.1.2.7 - 4.2.4.1.2.8 NTC18

Verifiche eseguite utilizzando la formula conservativa (6.2) §6.2.1 EN 1993-1-1:2005.

X	Comb.	Sfruttamento	Classe	NEd	NRd	Rid. NRd da VEd	My,Ed	My,Rd	Rid. My,Rd da VEd	Rid. My,Rd da NEd	px	py	Verifica
0.974	SLV 9	0.004	3	-3.669	1003.522	1	-0.008	19.3536	1		0	0	Si

Verifica a presso/tenso flessione deviata §§ 4.2.4.1.2.3 - 4.2.4.1.2.6 - 4.2.4.1.2.7 - 4.2.4.1.2.8 NTC18

Verifiche eseguite utilizzando la formula conservativa (6.2) §6.2.1 EN 1993-1-1:2005.

X	Comb.	Sfruttamento	Classe	NEd	NRd	Rid. NRd da VEd	Mx,Ed	Mx,Rd	My,Ed	My,Rd	Rid. Mx,Rd da VEd	Rid. Mx,Rd da NEd	Rid. My,Rd da VEd	Rid. My,Rd da NEd	α	β	px	py	Verifica
1.008	SLV 9	0.005	3	-3.67	1003.522	1	0.0082	12.886	-0.0083	19.3536	1		1				0	0	Si

Implementazione dei sistemi di confinamento delle emissioni odorigene diffuse dell'impianto di compostaggio esistente nel
Comune di Eboli (SA)
PROGETTO DEFINITIVO – Tabulati di calcolo Tomo 1

Verifiche ad instabilità

Caratteristiche iniziali

Membratura principale per controllo snellezza; Calcolo di snellezze ed N critici condotti secondo gli assi principali;
Curva X: c; Curva Y: c;
Svergolamento: Nessuno; la verifica a instabilità flesso-torsionale (svergolamento) non verrà eseguita.

Dati per instabilità attorno a x

Controllo della snellezza secondo §4.2.4.1.3.1 NTC18

Numero rit.	Presente	Ascissa	Campata	$\beta x/m$	Vincolo a entrambi estremi	$\lambda x/m$	λVer
1	Si	0					
			1-2	1	Si	33.2	Si, (<200)
2	Si	1.008					

Dati per instabilità attorno a y

Controllo della snellezza secondo §4.2.4.1.3.1 NTC18

Numero rit.	Presente	Ascissa	Campata	$\beta y/n$	k,LT	kw,LT	Vincolo a entrambi estremi
1	Si	0					
			1-2	1	Si	22.4	Si, (<200)
2	Si	1.008					

Verifica di stabilità per pressoflessione §C.4.2.4.1.3.3.1 NTC18

X	Comb.	Sfruttamento	Classe	NEd	MxEq,Ed	MyEq,Ed	Area	Wx	Wy	χ_{min}	$\lambda_{adim. x/m}$	$\lambda_{adim. y/n}$	N,crit x/m	N,crit y/n	Verifica
1.008	SLU 75	0.019	3	-15.006	-0.0335	-0.0006	0.003832	0.0000492	0.0000739	0.907	0.382	0.258	7207.687	15834.061	Si

Verifica di stabilità per pressoflessione SLD §C.4.2.4.1.3.3.1 NTC18

X	Comb.	Sfruttamento	Classe	NEd	MxEq,Ed	MyEq,Ed	Area	Wx	Wy	χ_{min}	$\lambda_{adim. x/m}$	$\lambda_{adim. y/n}$	N,crit x/m	N,crit y/n	Verifica
1.008	SLD 3	0.009	3	-5.458	-0.0328	0.0017	0.003832	0.0000492	0.0000739	0.907	0.382	0.258	7207.687	15834.061	Si

Verifiche a deformabilità

Mensola X: No; Mensola Y: No.

Frecce lungo X

Ascissa freccia	Combinazione	Freccia	Luce	L/f	L/f,min	Tipo	Verifica
0.739	SLE RA 1	0	1.008	10000	250	Totale	Si
0.739	SLE RA 17	0	1.008	10000	250	Totale	Si
0.739	SLE RA 16	0	1.008	10000	250	Totale	Si
0.739	SLE RA 15	0	1.008	10000	250	Totale	Si
0.739	SLE RA 14	0	1.008	10000	250	Totale	Si
0.739	SLE RA 2	0	1.008	10000	350	Variabile	Si
0.739	SLE RA 17	0	1.008	10000	350	Variabile	Si
0.739	SLE RA 16	0	1.008	10000	350	Variabile	Si
0.739	SLE RA 15	0	1.008	10000	350	Variabile	Si
0.739	SLE RA 14	0	1.008	10000	350	Variabile	Si

Frecce lungo Y

Ascissa freccia	Combinazione	Freccia	Luce	L/f	L/f,min	Tipo	Verifica
0.504	SLE RA 1	-0.00001	1.008	10000	250	Totale	Si
0.504	SLE RA 17	-0.00001	1.008	10000	250	Totale	Si
0.504	SLE RA 16	-0.00001	1.008	10000	250	Totale	Si
0.504	SLE RA 15	-0.00001	1.008	10000	250	Totale	Si
0.504	SLE RA 14	0	1.008	10000	250	Totale	Si
0.571	SLE RA 2	0	1.008	10000	350	Variabile	Si
0.571	SLE RA 17	0	1.008	10000	350	Variabile	Si
0.571	SLE RA 16	0	1.008	10000	350	Variabile	Si
0.773	SLE RA 15	0	1.008	10000	350	Variabile	Si
0.571	SLE RA 14	0	1.008	10000	350	Variabile	Si

Superelemento in acciaio a quota "728"- "715" (2695; 2493)-(2695; 2393)

Caratteristiche del materiale

Acciaio: S275, fyk = 275000

Caratteristiche geometriche

Lunghezza: 1.008
Nodo iniziale: 2362 Nodo finale: 2161
Cerniera iniziale: Mmomenti 1% Cerniera finale: Mmomenti 1%
Sovreresistenza: 0% Sisma Z: No

Caratteristiche della sezione

Sezione	Rotazione	Area	Jx	Jy	ix	iy	Wx	Wy	Wplx	Wply
A1; L100*10; 1; Saldato; S275; 20; 1; 8; 8; 1	0	0.003832	0.0000035319	0.000007759	0.0304	0.045	0.0000492	0.0000739	0.00008974	0.00012727

Comportamento dei calastrelli

Accoppiamento imbottito avendo passo inferiore al minimo richiesto (§C4.2.4.1.3.1.5 NTC18) nella campata compresa tra le ascisse 0 e 1.008 per sbandamento attorno all'asse y.

Verifiche di resistenza

Verifiche a forza assiale §4.2.4.1.2.1 - §4.2.4.1.2.2 NTC18

X	Comb.	Sfruttamento	Classe	NEd	Nc,Rd	Nt,Rd	Riduzione da taglio	px	py	Verifica
1.008	SLU 75	0.009	3	-9.246	1003.522		1	0	0	Si

**Implementazione dei sistemi di confinamento delle emissioni odorigene diffuse dell'impianto di compostaggio esistente nel
Comune di Eboli (SA)
PROGETTO DEFINITIVO – Tabulati di calcolo Tomo 1**

Verifiche a forza assiale SLD §4.2.4.1.2.1 - §4.2.4.1.2.2 NTC18

X	Comb.	Sfruttamento	Classe	NEd	Nc,Rd	Nt,Rd	Riduzione da taglio	px	py	Verifica
1.008	SLD 8	0.004	3	-4.409	1003.522		1	0	0	Si

Verifica a taglio Y §4.2.4.1.2.4 NTC18

X	Comb.	Sfruttamento	VEd	Vc,Rd	Av	Interazione taglio-torsione	Riduzione torsione	Verifica
1.008	SLU 75	0.001	-0.243	302.422	0.002	Non considerata		Si

Verifica a flessione semplice X §§ 4.2.4.1.2.3 - 4.2.4.1.2.6 - 4.2.4.1.2.7 - 4.2.4.1.2.8 NTC18

X	Comb.	Sfruttamento	Classe	Mx,Ed	Mx,Rd	Rid. Mx,Rd da VEd	px	py	Verifica
0.504	SLU 59	0.002	1	-0.04949	23.50374	1	0	0	Si

Verifica a flessione semplice X SLD §§ 4.2.4.1.2.3 - 4.2.4.1.2.6 - 4.2.4.1.2.7 - 4.2.4.1.2.8 NTC18

X	Comb.	Sfruttamento	Classe	Mx,Ed	Mx,Rd	Rid. Mx,Rd da VEd	px	py	Verifica
0.37	SLD 13	0.001	1	-0.03338	23.50374	1	0	0	Si

Verifica a presso/tenso flessione retta X §§ 4.2.4.1.2.3 - 4.2.4.1.2.6 - 4.2.4.1.2.7 - 4.2.4.1.2.8 NTC18

Verifiche eseguite utilizzando la formula conservativa (6.2) §6.2.1 EN 1993-1-1:2005.

X	Comb.	Sfruttamento	Classe	NEd	NRd	Rid. NRd da VEd	Mx,Ed	Mx,Rd	Rid. Mx,Rd da VEd	Rid. Mx,Rd da NEd	px	py	Verifica
1.008	SLU 75	0.012	3	-9.246	1003.522	1	0.0389	12.886	1		0	0	Si

Verifica a presso/tenso flessione retta X SLD §§ 4.2.4.1.2.3 - 4.2.4.1.2.6 - 4.2.4.1.2.7 - 4.2.4.1.2.8 NTC18

Verifiche eseguite utilizzando la formula conservativa (6.2) §6.2.1 EN 1993-1-1:2005.

X	Comb.	Sfruttamento	Classe	NEd	NRd	Rid. NRd da VEd	Mx,Ed	Mx,Rd	Rid. Mx,Rd da VEd	Rid. Mx,Rd da NEd	px	py	Verifica
0.47	SLD 8	0.007	3	-4.389	1003.522	1	-0.035	12.886	1		0	0	Si

Verifica a presso/tenso flessione retta Y §§ 4.2.4.1.2.3 - 4.2.4.1.2.6 - 4.2.4.1.2.7 - 4.2.4.1.2.8 NTC18

Verifiche eseguite utilizzando la formula conservativa (6.2) §6.2.1 EN 1993-1-1:2005.

X	Comb.	Sfruttamento	Classe	NEd	NRd	Rid. NRd da VEd	My,Ed	My,Rd	Rid. My,Rd da VEd	Rid. My,Rd da NEd	px	py	Verifica
0.974	SLV 11	0.006	3	-5.849	1003.522	1	-0.0115	19.3536	1		0	0	Si

Verifica a presso/tenso flessione deviata §§ 4.2.4.1.2.3 - 4.2.4.1.2.6 - 4.2.4.1.2.7 - 4.2.4.1.2.8 NTC18

Verifiche eseguite utilizzando la formula conservativa (6.2) §6.2.1 EN 1993-1-1:2005.

X	Comb.	Sfruttamento	Classe	NEd	NRd	Rid. NRd da VEd	Mx,Ed	Mx,Rd	My,Ed	My,Rd	Rid. Mx,Rd da VEd	Rid. Mx,Rd da NEd	Rid. My,Rd da VEd	Rid. My,Rd da NEd	α	β	px	py	Verifica
0.705	SLV 12	0.008	3	-5.839	1003.522	1	-0.0277	12.886	-0.0074	19.3536	1		1				0	0	Si

Verifiche ad instabilità

Caratteristiche iniziali

Membratura principale per controllo snellezza; Calcolo di snellezze ed N critici condotti secondo gli assi principali;

Curva X: c; Curva Y: c;

Svergolamento: Nessuno; la verifica a instabilità flesso-torsionale (svergolamento) non verrà eseguita.

Dati per instabilità attorno a x

Controllo della snellezza secondo §4.2.4.1.3.1 NTC18

Numero rit.	Presente	Ascissa	Campata	βx/m	Vincolo a entrambi estremi	λx/m	λVer
1	Si		0				
			1-2		1	33.2	Si, (<200)
2	Si		1.008				

Dati per instabilità attorno a y

Controllo della snellezza secondo §4.2.4.1.3.1 NTC18

Numero rit.	Presente	Ascissa	Campata	βy/n	k,LT	kw,LT	Vincolo a entrambi estremi
1	Si		0				
			1-2		1	22.4	Si, (<200)
2	Si		1.008				

Verifica di stabilità per pressoflessione §C.4.2.4.1.3.3.1 NTC18

X	Comb.	Sfruttamento	Classe	NEd	MxEq,Ed	MyEq,Ed	Area	Wx	Wy	χ,min	λ adim. x/m	λ adim. y/n	N,crit x/m	N,crit y/n	Verifica
1.008	SLU 75	0.012	3	-9.246	0.0292	-0.0008	0.003832	0.0000492	0.0000739	0.907	0.382	0.258	7207.687	15834.061	Si

Verifica di stabilità per pressoflessione SLD §C.4.2.4.1.3.3.1 NTC18

X	Comb.	Sfruttamento	Classe	NEd	MxEq,Ed	MyEq,Ed	Area	Wx	Wy	χ,min	λ adim. x/m	λ adim. y/n	N,crit x/m	N,crit y/n	Verifica
1.008	SLD 8	0.007	3	-4.409	-0.0284	-0.0025	0.003832	0.0000492	0.0000739	0.907	0.382	0.258	7207.687	15834.061	Si

Verifiche a deformabilità

Mensola X: No; Mensola Y: No.

Frecce lungo X

Ascissa freccia	Combinazione	Freccia	Luce	L/f	L/f,min	Tipo	Verifica
0.705	SLE RA 1	0	1.008	10000	250	Totale	Si
0.705	SLE RA 17	0	1.008	10000	250	Totale	Si
0.705	SLE RA 16	0	1.008	10000	250	Totale	Si
0.705	SLE RA 15	0	1.008	10000	250	Totale	Si
0.705	SLE RA 14	0	1.008	10000	250	Totale	Si
0.705	SLE RA 2	0	1.008	10000	350	Variabile	Si
0.705	SLE RA 17	0	1.008	10000	350	Variabile	Si
0.705	SLE RA 16	0	1.008	10000	350	Variabile	Si
0.705	SLE RA 15	0	1.008	10000	350	Variabile	Si
0.705	SLE RA 14	0	1.008	10000	350	Variabile	Si

Frecce lungo Y

Ascissa freccia	Combinazione	Freccia	Luce	L/f	L/f,min	Tipo	Verifica
0.47	SLE RA 1	0	1.008	10000	250	Totale	Si

Implementazione dei sistemi di confinamento delle emissioni odorigene diffuse dell'impianto di compostaggio esistente nel
Comune di Eboli (SA)

PROGETTO DEFINITIVO – Tabulati di calcolo Tomo 1

Ascissa freccia	Combinazione	Freccia	Luce	L/f	L/f,min	Tipo	Verifica
0.47	SLE RA 17	0	1.008	10000	250	Totale	Si
0.47	SLE RA 16	0	1.008	10000	250	Totale	Si
0.47	SLE RA 15	0	1.008	10000	250	Totale	Si
0.47	SLE RA 14	0	1.008	10000	250	Totale	Si
0.638	SLE RA 2	0	1.008	10000	350	Variabile	Si
0.638	SLE RA 17	0	1.008	10000	350	Variabile	Si
0.638	SLE RA 16	0	1.008	10000	350	Variabile	Si
0.672	SLE RA 15	0	1.008	10000	350	Variabile	Si
0.605	SLE RA 14	0	1.008	10000	350	Variabile	Si

Superelemento in acciaio a quota "728"- "715" (2929; 2493)-(2929; 2393)

Caratteristiche del materiale

Acciaio: S275, fyk = 275000

Caratteristiche geometriche

Lunghezza: 1.008

Nodo iniziale: 2367 Nodo finale: 2168

Cerniera iniziale: Mmomenti 1% Cerniera finale: Mmomenti 1%

Sovreresistenza: 0% Sisma Z: No

Caratteristiche della sezione

Sezione	Rotazione	Area	Jx	Jy	ix	iy	Wx	Wy	Wplx	Wply
A1; L100*10; 1; Saldato; S275; 20; 1; 8; 8; 1	0	0.003832	0.0000035319	0.000007759	0.0304	0.045	0.0000492	0.0000739	0.00008974	0.00012727

Comportamento dei calastrelli

Accoppiamento imbottito avendo passo inferiore al minimo richiesto (§C4.2.4.1.3.1.5 NTC18) nella campata compresa tra le ascisse 0 e 1.008 per sbandamento attorno all'asse y.

Verifiche di resistenza

Verifiche a forza assiale §4.2.4.1.2.1 - §4.2.4.1.2.2 NTC18

X	Comb.	Sfruttamento	Classe	NEd	Nc,Rd	Nt,Rd	Riduzione da taglio	px	py	Verifica
0	SLV 7	0.014		14.071		1003.522	1	0	0	Si

Verifiche a forza assiale SLD §4.2.4.1.2.1 - §4.2.4.1.2.2 NTC18

X	Comb.	Sfruttamento	Classe	NEd	Nc,Rd	Nt,Rd	Riduzione da taglio	px	py	Verifica
0	SLD 7	0.007		6.829		1003.522	1	0	0	Si

Verifica a taglio Y §4.2.4.1.2.4 NTC18

X	Comb.	Sfruttamento	VEd	Vc,Rd	Av	Interazione taglio-torsione	Riduzione torsione	Verifica
1.008	SLU 75	0.001	-0.222	302.422	0.002	Non considerata		Si

Verifica a flessione semplice X §§ 4.2.4.1.2.3 - 4.2.4.1.2.6 - 4.2.4.1.2.7 - 4.2.4.1.2.8 NTC18

X	Comb.	Sfruttamento	Classe	Mx,Ed	Mx,Rd	Rid. Mx,Rd da VEd	px	py	Verifica
0.504	SLU 40	0.002	1	-0.05183	23.50374	1	0	0	Si

Verifica a flessione semplice X SLD §§ 4.2.4.1.2.3 - 4.2.4.1.2.6 - 4.2.4.1.2.7 - 4.2.4.1.2.8 NTC18

X	Comb.	Sfruttamento	Classe	Mx,Ed	Mx,Rd	Rid. Mx,Rd da VEd	px	py	Verifica
0.47	SLD 13	0.002	1	-0.03582	23.50374	1	0	0	Si

Verifica a presso/tenso flessione retta X §§ 4.2.4.1.2.3 - 4.2.4.1.2.6 - 4.2.4.1.2.7 - 4.2.4.1.2.8 NTC18

Verifiche eseguite utilizzando la formula conservativa (6.2) §6.2.1 EN 1993-1-1:2005.

X	Comb.	Sfruttamento	Classe	NEd	NRd	Rid. NRd da VEd	Mx,Ed	Mx,Rd	Rid. Mx,Rd da VEd	Rid. Mx,Rd da NEd	px	py	Verifica
0.47	SLV 7	0.016	1	14.053	1003.522	1	-0.042	23.5037	1		0	0	Si

Verifica a presso/tenso flessione retta X SLD §§ 4.2.4.1.2.3 - 4.2.4.1.2.6 - 4.2.4.1.2.7 - 4.2.4.1.2.8 NTC18

Verifiche eseguite utilizzando la formula conservativa (6.2) §6.2.1 EN 1993-1-1:2005.

X	Comb.	Sfruttamento	Classe	NEd	NRd	Rid. NRd da VEd	Mx,Ed	Mx,Rd	Rid. Mx,Rd da VEd	Rid. Mx,Rd da NEd	px	py	Verifica
0.47	SLD 7	0.008	1	6.812	1003.522	1	-0.0391	23.5037	1		0	0	Si

Verifica a presso/tenso flessione retta Y §§ 4.2.4.1.2.3 - 4.2.4.1.2.6 - 4.2.4.1.2.7 - 4.2.4.1.2.8 NTC18

Verifiche eseguite utilizzando la formula conservativa (6.2) §6.2.1 EN 1993-1-1:2005.

X	Comb.	Sfruttamento	Classe	NEd	NRd	Rid. NRd da VEd	My,Ed	My,Rd	Rid. My,Rd da VEd	Rid. My,Rd da NEd	px	py	Verifica
1.008	SLV 7	0.014	1	14.033	1003.522	1	0.0115	33.3316	1		0	0	Si

Verifica a presso/tenso flessione deviata §§ 4.2.4.1.2.3 - 4.2.4.1.2.6 - 4.2.4.1.2.7 - 4.2.4.1.2.8 NTC18

Verifiche eseguite utilizzando la formula conservativa (6.2) §6.2.1 EN 1993-1-1:2005.

X	Comb.	Sfruttamento	Classe	NEd	NRd	Rid. NRd da VEd	Mx,Ed	Mx,Rd	My,Ed	My,Rd	Rid. Mx,Rd da VEd	Rid. Mx,Rd da NEd	Rid. My,Rd da VEd	Rid. My,Rd da NEd	α	β	px	py	Verifica
0.672	SLV 7	0.016	1	14.046	1003.522	1	-0.0365	23.5037	0.0075	33.3316	1		1				0	0	Si

Verifiche ad instabilità

Caratteristiche iniziali

Membratura principale per controllo snellezza; Calcolo di snellezze ed N critici condotti secondo gli assi principali;

Curva X: c; Curva Y: c;

Svergolamento: Nessuno; la verifica a instabilità flesso-torsionale (svergolamento) non verrà eseguita.

Implementazione dei sistemi di confinamento delle emissioni odorigene diffuse dell'impianto di compostaggio esistente nel
Comune di Eboli (SA)
PROGETTO DEFINITIVO – Tabulati di calcolo Tomo 1

Dati per instabilità attorno a x

Controllo della snellezza secondo §4.2.4.1.3.1 NTC18

Numero rit.	Presente	Ascissa	Campata	$\beta x/m$	Vincolo a entrambi estremi	$\lambda x/m$	λVer
1	Si	0	1-2	1	Si	33.2	Si, (<200)
2	Si	1.008					

Dati per instabilità attorno a y

Controllo della snellezza secondo §4.2.4.1.3.1 NTC18

Numero rit.	Presente	Ascissa	Campata	$\beta y/n$	k,LT	kw,LT	Vincolo a entrambi estremi
1	Si	0	1-2	1	Si	22.4	Si, (<200)
2	Si	1.008					

Verifica di stabilità per pressoflessione §C.4.2.4.1.3.3.1 NTC18

X	Comb.	Sfruttamento	Classe	NEd	MxEq,Ed	MyEq,Ed	Area	Wx	Wy	χ_{min}	$\lambda_{adim. x/m}$	$\lambda_{adim. y/n}$	N,crit x/m	N,crit y/n	Verifica
1.008	SLV 10	0.011	3	-7.436	-0.0259	-0.0087	0.003832	0.0000492	0.0000739	0.907	0.382	0.258	7207.687	15834.061	Si

Verifiche a deformabilità

Mensola X: No; Mensola Y: No.

Frecce lungo X

Ascissa freccia	Combinazione	Freccia	Luce	L/f	L/f,min	Tipo	Verifica
0.37	SLE RA 1	0	1.008	10000	250	Totale	Si
0.403	SLE RA 17	0	1.008	10000	250	Totale	Si
0.437	SLE RA 16	0	1.008	10000	250	Totale	Si
0.37	SLE RA 15	0	1.008	10000	250	Totale	Si
0.437	SLE RA 14	0	1.008	10000	250	Totale	Si
0.437	SLE RA 2	0	1.008	10000	350	Variabile	Si
0.504	SLE RA 17	0	1.008	10000	350	Variabile	Si
0.437	SLE RA 16	0	1.008	10000	350	Variabile	Si
0.37	SLE RA 15	0	1.008	10000	350	Variabile	Si
0.504	SLE RA 14	0	1.008	10000	350	Variabile	Si

Frecce lungo Y

Ascissa freccia	Combinazione	Freccia	Luce	L/f	L/f,min	Tipo	Verifica
0.504	SLE RA 1	-0.00001	1.008	10000	250	Totale	Si
0.504	SLE RA 17	-0.00001	1.008	10000	250	Totale	Si
0.47	SLE RA 16	-0.00001	1.008	10000	250	Totale	Si
0.504	SLE RA 15	-0.00001	1.008	10000	250	Totale	Si
0.47	SLE RA 14	0	1.008	10000	250	Totale	Si
0.638	SLE RA 2	0	1.008	10000	350	Variabile	Si
0.638	SLE RA 17	0	1.008	10000	350	Variabile	Si
0.638	SLE RA 16	0	1.008	10000	350	Variabile	Si
0.403	SLE RA 15	0	1.008	10000	350	Variabile	Si
0.605	SLE RA 14	0	1.008	10000	350	Variabile	Si

Superelemento in acciaio a quota "728"- "715" (-77; 1077)-(-186; 1180)

Caratteristiche del materiale

Acciaio: S275, fyk = 275000

Caratteristiche geometriche

Lunghezza: 1.505

Nodo iniziale: 2294 Nodo finale: 2104

Cerniera iniziale: Mmomenti 1% Cerniera finale: Mmomenti 1%

Sovraresistenza: 0% Sisma Z: No

Caratteristiche della sezione

Sezione	Rotazione	Area	Jx	Jy	ix	iy	Wx	Wy	Wplx	Wply
Al; L100*10; 1; Saldato; S275; 30; 1; 8; 8; 1	0	0.003832	0.0000035319	0.000007759	0.0304	0.045	0.0000492	0.0000739	0.00008974	0.00012727

Comportamento dei calastrelli

Accoppiamento imbottito con funzione statica (§C4.2.4.1.3.1.4 NTC18) nella campata compresa tra le ascisse 0 e 1.505 per sbandamento attorno all'asse y.

Verifiche di resistenza

Verifiche a forza assiale §4.2.4.1.2.1 - §4.2.4.1.2.2 NTC18

X	Comb.	Sfruttamento	Classe	NEd	Nc,Rd	Nt,Rd	Riduzione da taglio	px	py	Verifica
1.505	SLU 76	0.034	3	-34.218	1003.522		1	0	0	Si

Verifiche a forza assiale SLD §4.2.4.1.2.1 - §4.2.4.1.2.2 NTC18

X	Comb.	Sfruttamento	Classe	NEd	Nc,Rd	Nt,Rd	Riduzione da taglio	px	py	Verifica
1.505	SLD 2	0.012	3	-12.22	1003.522		1	0	0	Si

Verifica a taglio X §4.2.4.1.2.4 NTC18

X	Comb.	Sfruttamento	VEd	Vc,Rd	Av	Interazione taglio-torsione	Riduzione torsione	Verifica
1.505	SLU 76	0.001	-0.216	302.422	0.002	Non considerata		Si

Implementazione dei sistemi di confinamento delle emissioni odorigene diffuse dell'impianto di compostaggio esistente nel
Comune di Eboli (SA)
PROGETTO DEFINITIVO – Tabulati di calcolo Tomo 1

Verifica a taglio Y §4.2.4.1.2.4 NTC18

X	Comb.	Sfruttamento	VEd	Vc,Rd	Av	Interazione taglio-torsione	Riduzione torsione	Verifica
1.505	SLU 76	0.001	-0.327	302.422	0.002	Non considerata		Si

Verifica a taglio Y SLD §4.2.4.1.2.4 NTC18

X	Comb.	Sfruttamento	VEd	Vc,Rd	Av	Interazione taglio-torsione	Riduzione torsione	Verifica
1.505	SLD 16	0.001	-0.23	302.422	0.002	Non considerata		Si

Verifica a flessione semplice X §§ 4.2.4.1.2.3 - 4.2.4.1.2.6 - 4.2.4.1.2.7 - 4.2.4.1.2.8 NTC18

X	Comb.	Sfruttamento	Classe	Mx,Ed	Mx,Rd	Rid. Mx,Rd da VEd	px	py	Verifica
0.803	SLU 21	0.004	1	-0.09035	23.50374	1	0	0	Si

Verifica a presso/tenso flessione retta X §§ 4.2.4.1.2.3 - 4.2.4.1.2.6 - 4.2.4.1.2.7 - 4.2.4.1.2.8 NTC18

Verifiche eseguite utilizzando la formula conservativa (6.2) §6.2.1 EN 1993-1-1:2005.

X	Comb.	Sfruttamento	Classe	NEd	NRd	Rid. NRd da VEd	Mx,Ed	Mx,Rd	Rid. Mx,Rd da VEd	Rid. Mx,Rd da NEd	px	py	Verifica
0.803	SLU 59	0.007	1	-2.313	1003.522	1	-0.1145	23.5037	1		0	0	Si

Verifica a presso/tenso flessione retta Y §§ 4.2.4.1.2.3 - 4.2.4.1.2.6 - 4.2.4.1.2.7 - 4.2.4.1.2.8 NTC18

Verifiche eseguite utilizzando la formula conservativa (6.2) §6.2.1 EN 1993-1-1:2005.

X	Comb.	Sfruttamento	Classe	NEd	NRd	Rid. NRd da VEd	My,Ed	My,Rd	Rid. My,Rd da VEd	Rid. My,Rd da NEd	px	py	Verifica
0.05	SLU 76	0.039	3	-34.171	1003.522	1	-0.1034	19.3536	1		0	0	Si

Verifica a presso/tenso flessione retta Y SLD §§ 4.2.4.1.2.3 - 4.2.4.1.2.6 - 4.2.4.1.2.7 - 4.2.4.1.2.8 NTC18

Verifiche eseguite utilizzando la formula conservativa (6.2) §6.2.1 EN 1993-1-1:2005.

X	Comb.	Sfruttamento	Classe	NEd	NRd	Rid. NRd da VEd	My,Ed	My,Rd	Rid. My,Rd da VEd	Rid. My,Rd da NEd	px	py	Verifica
1.455	SLD 1	0.014	3	-12.219	1003.522	1	-0.0419	19.3536	1		0	0	Si

Verifica a presso/tenso flessione deviata §§ 4.2.4.1.2.3 - 4.2.4.1.2.6 - 4.2.4.1.2.7 - 4.2.4.1.2.8 NTC18

Verifiche eseguite utilizzando la formula conservativa (6.2) §6.2.1 EN 1993-1-1:2005.

X	Comb.	Sfruttamento	Classe	NEd	NRd	Rid. NRd da VEd	Mx,Ed	Mx,Rd	My,Ed	My,Rd	Rid. Mx,Rd da VEd	Rid. Mx,Rd da NEd	Rid. My,Rd da VEd	Rid. My,Rd da NEd	α	β	px	py	Verifica
0.652	SLU 76	0.045	3	-34.191	1003.522	1	-0.0728	12.886	-0.1035	19.3536	1		1				0	0	Si

Verifica a presso/tenso flessione deviata SLD §§ 4.2.4.1.2.3 - 4.2.4.1.2.6 - 4.2.4.1.2.7 - 4.2.4.1.2.8 NTC18

Verifiche eseguite utilizzando la formula conservativa (6.2) §6.2.1 EN 1993-1-1:2005.

X	Comb.	Sfruttamento	Classe	NEd	NRd	Rid. NRd da VEd	Mx,Ed	Mx,Rd	My,Ed	My,Rd	Rid. Mx,Rd da VEd	Rid. Mx,Rd da NEd	Rid. My,Rd da VEd	Rid. My,Rd da NEd	α	β	px	py	Verifica
0.753	SLD 1	0.02	3	-12.202	1003.522	1	-0.0762	12.886	-0.0394	19.3536	1		1				0	0	Si

Verifiche ad instabilità

Caratteristiche iniziali

Membratura principale per controllo snellezza; Calcolo di snellezze ed N critici condotti secondo gli assi principali;

Curva X: c; Curva Y: c;

Svergolamento: Nessuno; la verifica a instabilità flesso-torsionale (svergolamento) non verrà eseguita.

Dati per instabilità attorno a x

Controllo della snellezza secondo §4.2.4.1.3.1 NTC18

Numero rit.	Presente	Ascissa	Campata	βx/m	Vincolo a entrambi estremi	λx/m	λVer
1	Si		0				
			1-2	1	Si	49.6	Si, (<200)
2	Si	1.505					

Dati per instabilità attorno a y

Controllo della snellezza secondo §4.2.4.1.3.1 NTC18

Numero rit.	Presente	Ascissa	Campata	βy/n	k,LT	kw,LT	Vincolo a entrambi estremi
1	Si		0				
			1-2	1	Si	34.9	Si, (<200)
2	Si	1.505					

Verifica di stabilità per pressoflessione §C.4.2.4.1.3.3.1 NTC18

X	Comb.	Sfruttamento	Classe	NEd	MxEq,Ed	MyEq,Ed	Area	Wx	Wy	x,min	λ adim. x/m	λ adim. y/n	N,crit x/m	N,crit y/n	Verifica
1.505	SLU 76	0.052	3	-34.218	-0.0546	-0.1036	0.003832	0.0000492	0.0000739	0.802	0.571	0.402	3231.032	6528.319	Si

Verifica di stabilità per pressoflessione SLD §C.4.2.4.1.3.3.1 NTC18

X	Comb.	Sfruttamento	Classe	NEd	MxEq,Ed	MyEq,Ed	Area	Wx	Wy	x,min	λ adim. x/m	λ adim. y/n	N,crit x/m	N,crit y/n	Verifica
1.505	SLD 2	0.022	3	-12.22	-0.0622	-0.0421	0.003832	0.0000492	0.0000739	0.802	0.571	0.402	3231.032	6528.319	Si

Verifiche a deformabilità

Mensola X: No; Mensola Y: No.

Frecce lungo X

Ascissa freccia	Combinazione	Freccia	Luce	L/f	L/f,min	Tipo	Verifica
0.753	SLE RA 1	0	1.505	10000	250	Totale	Si
0.753	SLE RA 17	0	1.505	10000	250	Totale	Si
0.753	SLE RA 16	0	1.505	10000	250	Totale	Si
0.803	SLE RA 15	0	1.505	10000	250	Totale	Si
0.753	SLE RA 14	0	1.505	10000	250	Totale	Si
0.803	SLE RA 2	0	1.505	10000	350	Variabile	Si
0.803	SLE RA 17	0	1.505	10000	350	Variabile	Si
0.803	SLE RA 16	0	1.505	10000	350	Variabile	Si
0.803	SLE RA 15	0	1.505	10000	350	Variabile	Si
0.803	SLE RA 14	0	1.505	10000	350	Variabile	Si

Implementazione dei sistemi di confinamento delle emissioni odorigene diffuse dell'impianto di compostaggio esistente nel
Comune di Eboli (SA)
PROGETTO DEFINITIVO – Tabulati di calcolo Tomo 1

Frecce lungo Y

Ascissa freccia	Combinazione	Freccia	Luce	L/f	L/f,min	Tipo	Verifica
0.753	SLE RA 1	-0.00002	1.505	10000	250	Totale	Si
0.753	SLE RA 17	-0.00002	1.505	10000	250	Totale	Si
0.753	SLE RA 16	-0.00002	1.505	10000	250	Totale	Si
0.702	SLE RA 15	-0.00002	1.505	10000	250	Totale	Si
0.753	SLE RA 14	-0.00002	1.505	10000	250	Totale	Si
0.853	SLE RA 2	0	1.505	10000	350	Variabile	Si
0.853	SLE RA 17	0	1.505	10000	350	Variabile	Si
0.853	SLE RA 16	0	1.505	10000	350	Variabile	Si
0.853	SLE RA 15	0.00001	1.505	10000	350	Variabile	Si
0.803	SLE RA 14	0	1.505	10000	350	Variabile	Si

Superelemento in acciaio a quota "728"- "715" (-326; 813)-(-435; 916)

Caratteristiche del materiale

Acciaio: S275, fyk = 275000

Caratteristiche geometriche

Lunghezza: 1.505

Nodo iniziale: 2285 Nodo finale: 2091

Cerniera iniziale: Mmomenti 1% Cerniera finale: Mmomenti 1%

Sovreresistenza: 0% Sisma Z: No

Caratteristiche della sezione

Sezione	Rotazione	Area	Jx	Jy	ix	iy	Wx	Wy	Wplx	Wply
A1; L100*10; 1; Saldato; S275; 30; 1; 8; 8; 1	0	0.003832	0.0000035319	0.000007759	0.0304	0.045	0.0000492	0.0000739	0.00008974	0.00012727

Comportamento dei calastrelli

Accoppiamento imbottito con funzione statica (§4.2.4.1.3.1.4 NTC18) nella campata compresa tra le ascisse 0 e 1.505 per sbandamento attorno all'asse y.

Verifiche di resistenza

Verifiche a forza assiale §4.2.4.1.2.1 - §4.2.4.1.2.2 NTC18

X	Comb.	Sfruttamento	Classe	NEd	Nc,Rd	Nt,Rd	Riduzione da taglio	px	py	Verifica
1.505	SLU 76	0.015	3	-15.381	1003.522		1	0	0	Si

Verifiche a forza assiale SLD §4.2.4.1.2.1 - §4.2.4.1.2.2 NTC18

X	Comb.	Sfruttamento	Classe	NEd	Nc,Rd	Nt,Rd	Riduzione da taglio	px	py	Verifica
1.505	SLD 16	0.006	3	-6.093	1003.522		1	0	0	Si

Verifica a taglio Y §4.2.4.1.2.4 NTC18

X	Comb.	Sfruttamento	VEd	Vc,Rd	Av	Interazione taglio-torsione	Riduzione torsione	Verifica
1.505	SLU 76	0.001	-0.321	302.422	0.002	Non considerata		Si

Verifica a taglio Y SLD §4.2.4.1.2.4 NTC18

X	Comb.	Sfruttamento	VEd	Vc,Rd	Av	Interazione taglio-torsione	Riduzione torsione	Verifica
1.505	SLD 16	0.001	-0.233	302.422	0.002	Non considerata		Si

Verifica a flessione semplice X §§ 4.2.4.1.2.3 - 4.2.4.1.2.6 - 4.2.4.1.2.7 - 4.2.4.1.2.8 NTC18

X	Comb.	Sfruttamento	Classe	Mx,Ed	Mx,Rd	Rid. Mx,Rd da VEd	px	py	Verifica
0.753	SLU 44	0.005	1	-0.11348	23.50374	1	0	0	Si

Verifica a presso/tenso flessione retta X §§ 4.2.4.1.2.3 - 4.2.4.1.2.6 - 4.2.4.1.2.7 - 4.2.4.1.2.8 NTC18

Verifiche eseguite utilizzando la formula conservativa (6.2) §6.2.1 EN 1993-1-1:2005.

X	Comb.	Sfruttamento	Classe	NEd	NRd	Rid. NRd da VEd	Mx,Ed	Mx,Rd	Rid. Mx,Rd da VEd	Rid. Mx,Rd da NEd	px	py	Verifica
0.753	SLU 41	0.007	1	2.124	1003.522	1	-0.1154	23.5037	1		0	0	Si

Verifica a presso/tenso flessione retta X SLD §§ 4.2.4.1.2.3 - 4.2.4.1.2.6 - 4.2.4.1.2.7 - 4.2.4.1.2.8 NTC18

Verifiche eseguite utilizzando la formula conservativa (6.2) §6.2.1 EN 1993-1-1:2005.

X	Comb.	Sfruttamento	Classe	NEd	NRd	Rid. NRd da VEd	Mx,Ed	Mx,Rd	Rid. Mx,Rd da VEd	Rid. Mx,Rd da NEd	px	py	Verifica
0.151	SLD 5	0.005	3	-2.43	1003.522	1	-0.0308	12.886	1		0	0	Si

Verifica a presso/tenso flessione retta Y §§ 4.2.4.1.2.3 - 4.2.4.1.2.6 - 4.2.4.1.2.7 - 4.2.4.1.2.8 NTC18

Verifiche eseguite utilizzando la formula conservativa (6.2) §6.2.1 EN 1993-1-1:2005.

X	Comb.	Sfruttamento	Classe	NEd	NRd	Rid. NRd da VEd	My,Ed	My,Rd	Rid. My,Rd da VEd	Rid. My,Rd da NEd	px	py	Verifica
1.405	SLU 76	0.018	3	-15.378	1003.522	1	-0.0465	19.3536	1		0	0	Si

Verifica a presso/tenso flessione retta Y SLD §§ 4.2.4.1.2.3 - 4.2.4.1.2.6 - 4.2.4.1.2.7 - 4.2.4.1.2.8 NTC18

Verifiche eseguite utilizzando la formula conservativa (6.2) §6.2.1 EN 1993-1-1:2005.

X	Comb.	Sfruttamento	Classe	NEd	NRd	Rid. NRd da VEd	My,Ed	My,Rd	Rid. My,Rd da VEd	Rid. My,Rd da NEd	px	py	Verifica
1.455	SLD 16	0.007	3	-6.092	1003.522	1	0.0194	19.3536	1		0	0	Si

Verifica a presso/tenso flessione deviata §§ 4.2.4.1.2.3 - 4.2.4.1.2.6 - 4.2.4.1.2.7 - 4.2.4.1.2.8 NTC18

Verifiche eseguite utilizzando la formula conservativa (6.2) §6.2.1 EN 1993-1-1:2005.

X	Comb.	Sfruttamento	Classe	NEd	NRd	Rid. NRd da VEd	Mx,Ed	Mx,Rd	My,Ed	My,Rd	Rid. Mx,Rd da VEd	Rid. Mx,Rd da NEd	Rid. My,Rd da VEd	Rid. My,Rd da NEd	α	β	px	py	Verifica
0.702	SLU 76	0.025	3	-15.355	1003.522	1	-0.0962	12.886	0.0464	19.3536	1		1				0	0	Si

Implementazione dei sistemi di confinamento delle emissioni odorigene diffuse dell'impianto di compostaggio esistente nel
Comune di Eboli (SA)
PROGETTO DEFINITIVO – Tabulati di calcolo Tomo 1

Verifica a presso/tenso flessione deviata SLD §§ 4.2.4.1.2.3 - 4.2.4.1.2.6 - 4.2.4.1.2.7 - 4.2.4.1.2.8 NTC18

Verifiche eseguite utilizzando la formula conservativa (6.2) §6.2.1 EN 1993-1-1:2005.

X	Comb.	Sfruttamento	Classe	NEd	NRd	Rid. NRd da VEd	Mx,Ed	Mx,Rd	My,Ed	My,Rd	Rid. Mx,Rd da VEd	Rid. Mx,Rd da NEd	Rid. My,Rd da VEd	Rid. My,Rd da NEd	α	β	px	py	Verifica
0.903	SLD 15	0.013	3	-6.078	1003.522	1	-0.0765	12.886	0.019	19.3536	1		1				0	0	Si

Verifiche ad instabilità

Caratteristiche iniziali

Membratura principale per controllo snellezza; Calcolo di snellezze ed N critici condotti secondo gli assi principali;

Curva X: c; Curva Y: c;

Svergolamento: Nessuno; la verifica a instabilità flesso-torsionale (svergolamento) non verrà eseguita.

Dati per instabilità attorno a x

Controllo della snellezza secondo §4.2.4.1.3.1 NTC18

Numero rit.	Presente	Ascissa	Campata	βx/m	Vincolo a entrambi estremi	λx/m	λVer
1	Si	0					
			1-2	1	Si	49.6	Si, (<200)
2	Si	1.505					

Dati per instabilità attorno a y

Controllo della snellezza secondo §4.2.4.1.3.1 NTC18

Numero rit.	Presente	Ascissa	Campata	βy/n	k,LT	kw,LT	Vincolo a entrambi estremi
1	Si	0					
			1-2	1	Si	34.9	Si, (<200)
2	Si	1.505					

Verifica di stabilità per pressoflessione §C.4.2.4.1.3.3.1 NTC18

X	Comb.	Sfruttamento	Classe	NEd	MxEq,Ed	MyEq,Ed	Area	Wx	Wy	x,min	λ adim. x/m	λ adim. y/n	N,crit x/m	N,crit y/n	Verifica
1.505	SLU 76	0.027	3	-15.381	-0.0753	0.0349	0.003832	0.0000492	0.0000739	0.802	0.571	0.402	3231.032	6528.319	Si

Verifica di stabilità per pressoflessione SLD §C.4.2.4.1.3.3.1 NTC18

X	Comb.	Sfruttamento	Classe	NEd	MxEq,Ed	MyEq,Ed	Area	Wx	Wy	x,min	λ adim. x/m	λ adim. y/n	N,crit x/m	N,crit y/n	Verifica
1.505	SLD 16	0.014	3	-6.093	-0.0676	0.0194	0.003832	0.0000492	0.0000739	0.802	0.571	0.402	3231.032	6528.319	Si

Verifiche a deformabilità

Mensola X: No; Mensola Y: No.

Frecce lungo X

Ascissa freccia	Combinazione	Freccia	Luce	L/f	L/f,min	Tipo	Verifica
0.452	SLE RA 1	0	1.505	10000	250	Totale	Si
0.452	SLE RA 17	0	1.505	10000	250	Totale	Si
0.452	SLE RA 16	0	1.505	10000	250	Totale	Si
0.502	SLE RA 15	0	1.505	10000	250	Totale	Si
0.401	SLE RA 14	0	1.505	10000	250	Totale	Si
0.452	SLE RA 2	0	1.505	10000	350	Variabile	Si
0.502	SLE RA 17	0	1.505	10000	350	Variabile	Si
0.502	SLE RA 16	0	1.505	10000	350	Variabile	Si
0.602	SLE RA 15	0	1.505	10000	350	Variabile	Si
0.301	SLE RA 14	0	1.505	10000	350	Variabile	Si

Frecce lungo Y

Ascissa freccia	Combinazione	Freccia	Luce	L/f	L/f,min	Tipo	Verifica
0.753	SLE RA 1	-0.00003	1.505	10000	250	Totale	Si
0.753	SLE RA 17	-0.00003	1.505	10000	250	Totale	Si
0.753	SLE RA 16	-0.00002	1.505	10000	250	Totale	Si
0.753	SLE RA 15	-0.00002	1.505	10000	250	Totale	Si
0.753	SLE RA 14	-0.00003	1.505	10000	250	Totale	Si
0.903	SLE RA 2	0	1.505	10000	350	Variabile	Si
0.903	SLE RA 17	0	1.505	10000	350	Variabile	Si
0.903	SLE RA 16	0	1.505	10000	350	Variabile	Si
0.853	SLE RA 15	0	1.505	10000	350	Variabile	Si
0.502	SLE RA 14	0	1.505	10000	350	Variabile	Si

Superelemento in acciaio a quota "728"- "715" (-580; 544)-(-690; 647)

Caratteristiche del materiale

Acciaio: S275, fyk = 275000

Caratteristiche geometriche

Lunghezza: 1.505

Nodo iniziale: 2271 Nodo finale: 2082

Cerniera iniziale: Mmomenti 1% Cerniera finale: Mmomenti 1%

Sovraresistenza: 0% Sisma Z: No

Caratteristiche della sezione

Sezione	Rotazione	Area	Jx	Jy	ix	iy	Wx	Wy	Wplx	Wply
A1; L100*10; 1; Saldato; S275; 30; 1; 8; 8; 1	0	0.003832	0.0000035319	0.000007759	0.0304	0.045	0.0000492	0.0000739	0.00008974	0.00012727

Comportamento dei calastrelli

Accoppiamento imbottito con funzione statica (§C.4.2.4.1.3.1.4 NTC18) nella campata compresa tra le ascisse 0 e 1.505 per sbandamento attorno all'asse y.

Implementazione dei sistemi di confinamento delle emissioni odorigene diffuse dell'impianto di compostaggio esistente nel
Comune di Eboli (SA)
PROGETTO DEFINITIVO – Tabulati di calcolo Tomo 1

Verifiche di resistenza

Verifiche a forza assiale §4.2.4.1.2.1 - §4.2.4.1.2.2 NTC18

X	Comb.	Sfruttamento	Classe	NEd	Nc,Rd	Nt,Rd	Riduzione da taglio	px	py	Verifica
1.505	SLU 76	0.009	3	-9.289	1003.522		1	0	0	Si

Verifiche a forza assiale SLD §4.2.4.1.2.1 - §4.2.4.1.2.2 NTC18

X	Comb.	Sfruttamento	Classe	NEd	Nc,Rd	Nt,Rd	Riduzione da taglio	px	py	Verifica
1.505	SLD 16	0.003	3	-3.398	1003.522		1	0	0	Si

Verifica a taglio Y §4.2.4.1.2.4 NTC18

X	Comb.	Sfruttamento	VEd	Vc,Rd	Av	Interazione taglio-torsione	Riduzione torsione	Verifica
1.505	SLU 76	0.001	-0.336	302.422	0.002	Non considerata		Si

Verifica a taglio Y SLD §4.2.4.1.2.4 NTC18

X	Comb.	Sfruttamento	VEd	Vc,Rd	Av	Interazione taglio-torsione	Riduzione torsione	Verifica
1.505	SLD 16	0.001	-0.242	302.422	0.002	Non considerata		Si

Verifica a flessione semplice X §§ 4.2.4.1.2.3 - 4.2.4.1.2.6 - 4.2.4.1.2.7 - 4.2.4.1.2.8 NTC18

X	Comb.	Sfruttamento	Classe	Mx,Ed	Mx,Rd	Rid. Mx,Rd da VEd	px	py	Verifica
0.753	SLU 59	0.005	1	-0.10971	23.50374	1	0	0	Si

Verifica a presso/tenso flessione retta X §§ 4.2.4.1.2.3 - 4.2.4.1.2.6 - 4.2.4.1.2.7 - 4.2.4.1.2.8 NTC18

Verifiche eseguite utilizzando la formula conservativa (6.2) §6.2.1 EN 1993-1-1:2005.

X	Comb.	Sfruttamento	Classe	NEd	NRd	Rid. NRd da VEd	Mx,Ed	Mx,Rd	Rid. Mx,Rd da VEd	Rid. Mx,Rd da NEd	px	py	Verifica
0.803	SLV 6	0.006	1	-2.076	1003.522	1	-0.0946	23.5037	1		0	0	Si

Verifica a presso/tenso flessione retta Y §§ 4.2.4.1.2.3 - 4.2.4.1.2.6 - 4.2.4.1.2.7 - 4.2.4.1.2.8 NTC18

Verifiche eseguite utilizzando la formula conservativa (6.2) §6.2.1 EN 1993-1-1:2005.

X	Comb.	Sfruttamento	Classe	NEd	NRd	Rid. NRd da VEd	My,Ed	My,Rd	Rid. My,Rd da VEd	Rid. My,Rd da NEd	px	py	Verifica
1.405	SLU 76	0.011	3	-9.285	1003.522	1	-0.028	19.3536	1		0	0	Si

Verifica a presso/tenso flessione retta Y SLD §§ 4.2.4.1.2.3 - 4.2.4.1.2.6 - 4.2.4.1.2.7 - 4.2.4.1.2.8 NTC18

Verifiche eseguite utilizzando la formula conservativa (6.2) §6.2.1 EN 1993-1-1:2005.

X	Comb.	Sfruttamento	Classe	NEd	NRd	Rid. NRd da VEd	My,Ed	My,Rd	Rid. My,Rd da VEd	Rid. My,Rd da NEd	px	py	Verifica
1.455	SLD 16	0.004	3	-3.396	1003.522	1	-0.0104	19.3536	1		0	0	Si

Verifica a presso/tenso flessione deviata §§ 4.2.4.1.2.3 - 4.2.4.1.2.6 - 4.2.4.1.2.7 - 4.2.4.1.2.8 NTC18

Verifiche eseguite utilizzando la formula conservativa (6.2) §6.2.1 EN 1993-1-1:2005.

X	Comb.	Sfruttamento	Classe	NEd	NRd	Rid. NRd da VEd	Mx,Ed	Mx,Rd	My,Ed	My,Rd	Rid. Mx,Rd da VEd	Rid. Mx,Rd da NEd	Rid. My,Rd da VEd	Rid. My,Rd da NEd	α	β	px	py	Verifica
0.652	SLU 76	0.019	3	-9.26	1003.522	1	-0.1123	12.886	0.0279	19.3536	1		1				0	0	Si

Verifica a presso/tenso flessione deviata SLD §§ 4.2.4.1.2.3 - 4.2.4.1.2.6 - 4.2.4.1.2.7 - 4.2.4.1.2.8 NTC18

Verifiche eseguite utilizzando la formula conservativa (6.2) §6.2.1 EN 1993-1-1:2005.

X	Comb.	Sfruttamento	Classe	NEd	NRd	Rid. NRd da VEd	Mx,Ed	Mx,Rd	My,Ed	My,Rd	Rid. Mx,Rd da VEd	Rid. Mx,Rd da NEd	Rid. My,Rd da VEd	Rid. My,Rd da NEd	α	β	px	py	Verifica
0.753	SLD 12	0.007	1	-3.375	1003.522	1	-0.0869	23.5037	0.0102	33.3316	1		1				0	0	Si

Verifiche ad instabilità

Caratteristiche iniziali

Membratura principale per controllo snellezza; Calcolo di snellezze ed N critici condotti secondo gli assi principali;

Curva X: c; Curva Y: c;

Svergolamento: Nessuno; la verifica a instabilità flessio-torsionale (svergolamento) non verrà eseguita.

Dati per instabilità attorno a x

Controllo della snellezza secondo §4.2.4.1.3.1 NTC18

Numero rit.	Presente	Ascissa	Campata	$\beta x/m$	Vincolo a entrambi estremi	$\lambda x/m$	λVer
1	Si		0				
			1-2		1	49.6	Si, (<200)
2	Si	1.505					

Dati per instabilità attorno a y

Controllo della snellezza secondo §4.2.4.1.3.1 NTC18

Numero rit.	Presente	Ascissa	Campata	$\beta y/n$	k,LT	kw,LT	Vincolo a entrambi estremi
1	Si		0				
			1-2		1	34.9	Si, (<200)
2	Si	1.505					

Verifica di stabilità per pressoflessione §C.4.2.4.1.3.3.1 NTC18

X	Comb.	Sfruttamento	Classe	NEd	MxEq,Ed	MyEq,Ed	Area	Wx	Wy	x_{min}	λ adim. x/m	λ adim. y/n	N,crit x/m	N,crit y/n	Verifica
1.505	SLU 76	0.02	3	-9.289	-0.095	-0.021	0.003832	0.0000492	0.0000739	0.802	0.571	0.402	3231.032	6528.319	Si

Verifica di stabilità per pressoflessione SLD §C.4.2.4.1.3.3.1 NTC18

X	Comb.	Sfruttamento	Classe	NEd	MxEq,Ed	MyEq,Ed	Area	Wx	Wy	x_{min}	λ adim. x/m	λ adim. y/n	N,crit x/m	N,crit y/n	Verifica
1.505	SLD 12	0.01	3	-3.394	-0.071	0.0102	0.003832	0.0000492	0.0000739	0.802	0.571	0.402	3231.032	6528.319	Si

Verifiche a deformabilità

Mensola X: No; Mensola Y: No.

Frecce lungo X

Ascissa freccia	Combinazione	Freccia	Luce	L/f	L/f,min	Tipo	Verifica
-----------------	--------------	---------	------	-----	---------	------	----------

Implementazione dei sistemi di confinamento delle emissioni odorigene diffuse dell'impianto di compostaggio esistente nel
Comune di Eboli (SA)
PROGETTO DEFINITIVO – Tabulati di calcolo Tomo 1

Ascissa freccia	Combinazione	Freccia	Luce	L/f	L/f,min	Tipo	Verifica
1.154	SLE RA 1	0	1.505	10000	250	Totale	Si
1.104	SLE RA 17	0	1.505	10000	250	Totale	Si
1.054	SLE RA 16	0	1.505	10000	250	Totale	Si
1.104	SLE RA 15	0	1.505	10000	250	Totale	Si
1.054	SLE RA 14	0	1.505	10000	250	Totale	Si
1.054	SLE RA 2	0	1.505	10000	350	Variabile	Si
0.953	SLE RA 17	0	1.505	10000	350	Variabile	Si
1.054	SLE RA 16	0	1.505	10000	350	Variabile	Si
1.104	SLE RA 15	0	1.505	10000	350	Variabile	Si
0.702	SLE RA 14	0	1.505	10000	350	Variabile	Si

Frecce lungo Y

Ascissa freccia	Combinazione	Freccia	Luce	L/f	L/f,min	Tipo	Verifica
0.753	SLE RA 1	-0.00003	1.505	10000	250	Totale	Si
0.753	SLE RA 17	-0.00003	1.505	10000	250	Totale	Si
0.753	SLE RA 16	-0.00003	1.505	10000	250	Totale	Si
0.753	SLE RA 15	-0.00003	1.505	10000	250	Totale	Si
0.753	SLE RA 14	-0.00003	1.505	10000	250	Totale	Si
0.351	SLE RA 2	0	1.505	10000	350	Variabile	Si
0.351	SLE RA 17	0	1.505	10000	350	Variabile	Si
0.351	SLE RA 16	0	1.505	10000	350	Variabile	Si
0.351	SLE RA 15	0	1.505	10000	350	Variabile	Si
0.452	SLE RA 14	0	1.505	10000	350	Variabile	Si

Superelemento in acciaio a quota "728"- "715" (-834; 275)-(-943; 377)

Caratteristiche del materiale

Acciaio: S275, fyk = 275000

Caratteristiche geometriche

Lunghezza: 1.505

Nodo iniziale: 2263 Nodo finale: 2070

Cerniera iniziale: Mmomenti 1% Cerniera finale: Mmomenti 1%

Sovreresistenza: 0% Sisma Z: No

Caratteristiche della sezione

Sezione	Rotazione	Area	Jx	Jy	ix	iy	Wx	Wy	Wplx	Wply
A1; L100*10; 1; Saldato; S275; 30; 1; 8; 8; 1	0	0.003832	0.0000035319	0.000007759	0.0304	0.045	0.0000492	0.0000739	0.00008974	0.00012727

Comportamento dei calastrelli

Accoppiamento imbottito con funzione statica (§C4.2.4.1.3.1.4 NTC18) nella campata compresa tra le ascisse 0 e 1.505 per sbandamento attorno all'asse y.

Verifiche di resistenza

Verifiche a forza assiale §4.2.4.1.2.1 - §4.2.4.1.2.2 NTC18

X	Comb.	Sfruttamento	Classe	NEd	Nc,Rd	Nt,Rd	Riduzione da taglio	px	py	Verifica
1.505	SLU 76	0.015	3	-14.785	1003.522		1	0	0	Si

Verifiche a forza assiale SLD §4.2.4.1.2.1 - §4.2.4.1.2.2 NTC18

X	Comb.	Sfruttamento	Classe	NEd	Nc,Rd	Nt,Rd	Riduzione da taglio	px	py	Verifica
1.505	SLD 2	0.006	3	-5.886	1003.522		1	0	0	Si

Verifica a taglio Y §4.2.4.1.2.4 NTC18

X	Comb.	Sfruttamento	VEd	Vc,Rd	Av	Interazione taglio-torsione	Riduzione torsione	Verifica
1.505	SLU 76	0.001	-0.323	302.422	0.002	Non considerata		Si

Verifica a taglio Y SLD §4.2.4.1.2.4 NTC18

X	Comb.	Sfruttamento	VEd	Vc,Rd	Av	Interazione taglio-torsione	Riduzione torsione	Verifica
1.505	SLD 16	0.001	-0.232	302.422	0.002	Non considerata		Si

Verifica a flessione semplice X §§ 4.2.4.1.2.3 - 4.2.4.1.2.6 - 4.2.4.1.2.7 - 4.2.4.1.2.8 NTC18

X	Comb.	Sfruttamento	Classe	Mx,Ed	Mx,Rd	Rid. Mx,Rd da VEd	px	py	Verifica
0.753	SLU 59	0.005	1	-0.11218	23.50374	1	0	0	Si

Verifica a presso/tenso flessione retta X §§ 4.2.4.1.2.3 - 4.2.4.1.2.6 - 4.2.4.1.2.7 - 4.2.4.1.2.8 NTC18

Verifiche eseguite utilizzando la formula conservativa (6.2) §6.2.1 EN 1993-1-1:2005.

X	Comb.	Sfruttamento	Classe	NEd	NRd	Rid. NRd da VEd	Mx,Ed	Mx,Rd	Rid. Mx,Rd da VEd	Rid. Mx,Rd da NEd	px	py	Verifica
0.753	SLU 41	0.009	1	4.015	1003.522	1	-0.1169	23.5037	1		0	0	Si

Verifica a presso/tenso flessione retta X SLD §§ 4.2.4.1.2.3 - 4.2.4.1.2.6 - 4.2.4.1.2.7 - 4.2.4.1.2.8 NTC18

Verifiche eseguite utilizzando la formula conservativa (6.2) §6.2.1 EN 1993-1-1:2005.

X	Comb.	Sfruttamento	Classe	NEd	NRd	Rid. NRd da VEd	Mx,Ed	Mx,Rd	Rid. Mx,Rd da VEd	Rid. Mx,Rd da NEd	px	py	Verifica
0.753	SLD 7	0.006	1	-2.324	1003.522	1	-0.0822	23.5037	1		0	0	Si

Verifica a presso/tenso flessione retta Y §§ 4.2.4.1.2.3 - 4.2.4.1.2.6 - 4.2.4.1.2.7 - 4.2.4.1.2.8 NTC18

Verifiche eseguite utilizzando la formula conservativa (6.2) §6.2.1 EN 1993-1-1:2005.

X	Comb.	Sfruttamento	Classe	NEd	NRd	Rid. NRd da VEd	My,Ed	My,Rd	Rid. My,Rd da VEd	Rid. My,Rd da NEd	px	py	Verifica
0	SLU 76	0.017	3	-14.735	1003.522	1	-0.0449	19.3536	1		0	0	Si

Implementazione dei sistemi di confinamento delle emissioni odorigene diffuse dell'impianto di compostaggio esistente nel
Comune di Eboli (SA)

PROGETTO DEFINITIVO – Tabulati di calcolo Tomo 1

Verifica a presso/tenso flessione retta Y SLD §§ 4.2.4.1.2.3 - 4.2.4.1.2.6 - 4.2.4.1.2.7 - 4.2.4.1.2.8 NTC18

Verifiche eseguite utilizzando la formula conservativa (6.2) §6.2.1 EN 1993-1-1:2005.

X	Comb.	Sfruttamento	Classe	NEd	NRd	Rid. NRd da VEd	My,Ed	My,Rd	Rid. My,Rd da VEd	Rid. My,Rd da NEd	px	py	Verifica
1.455	SLD 1	0.007	3	-5.885	1003.522	1	-0.0187	19.3536	1		0	0	Si

Verifica a presso/tenso flessione deviata §§ 4.2.4.1.2.3 - 4.2.4.1.2.6 - 4.2.4.1.2.7 - 4.2.4.1.2.8 NTC18

Verifiche eseguite utilizzando la formula conservativa (6.2) §6.2.1 EN 1993-1-1:2005.

X	Comb.	Sfruttamento	Classe	NEd	NRd	Rid. NRd da VEd	Mx,Ed	My,Ed	My,Rd	Rid. Mx,Rd da VEd	Rid. Mx,Rd da NEd	Rid. My,Rd da VEd	Rid. My,Rd da NEd	α	β	px	py	Verifica
0.702	SLU 76	0.024	3	-14.758	1003.522	1	-0.0944	12.886	0.0445	19.3536	1	1				0	0	Si

Verifica a presso/tenso flessione deviata SLD §§ 4.2.4.1.2.3 - 4.2.4.1.2.6 - 4.2.4.1.2.7 - 4.2.4.1.2.8 NTC18

Verifiche eseguite utilizzando la formula conservativa (6.2) §6.2.1 EN 1993-1-1:2005.

X	Comb.	Sfruttamento	Classe	NEd	NRd	Rid. NRd da VEd	Mx,Ed	My,Ed	My,Rd	Rid. Mx,Rd da VEd	Rid. Mx,Rd da NEd	Rid. My,Rd da VEd	Rid. My,Rd da NEd	α	β	px	py	Verifica
0.502	SLD 2	0.012	3	-5.861	1003.522	1	-0.0725	12.886	-0.018	19.3536	1	1				0	0	Si

Verifiche ad instabilità

Caratteristiche iniziali

Membratura principale per controllo snellezza; Calcolo di snellezze ed N critici condotti secondo gli assi principali;

Curva X: c; Curva Y: c;

Svergolamento: Nessuno; la verifica a instabilità flesso-torsionale (svergolamento) non verrà eseguita.

Dati per instabilità attorno a x

Controllo della snellezza secondo §4.2.4.1.3.1 NTC18

Numero rit.	Presente	Ascissa	Campata	βx/m	Vincolo a entrambi estremi	λx/m	λVer
1	Si	0					
			1-2	1	Si	49.6	Si, (<200)
2	Si	1.505					

Dati per instabilità attorno a y

Controllo della snellezza secondo §4.2.4.1.3.1 NTC18

Numero rit.	Presente	Ascissa	Campata	βy/n	k,LT	kw,LT	Vincolo a entrambi estremi
1	Si	0					
			1-2	1	Si	34.9	Si, (<200)
2	Si	1.505					

Verifica di stabilità per pressoflessione §C.4.2.4.1.3.3.1 NTC18

X	Comb.	Sfruttamento	Classe	NEd	MxEq,Ed	MyEq,Ed	Area	Wx	Wy	χ,min	λ adim. x/m	λ adim. y/n	N,crit x/m	N,crit y/n	Verifica
1.505	SLU 76	0.026	3	-14.785	-0.0728	0.0338	0.003832	0.0000492	0.0000739	0.802	0.571	0.402	3231.032	6528.319	Si

Verifica di stabilità per pressoflessione SLD §C.4.2.4.1.3.3.1 NTC18

X	Comb.	Sfruttamento	Classe	NEd	MxEq,Ed	MyEq,Ed	Area	Wx	Wy	χ,min	λ adim. x/m	λ adim. y/n	N,crit x/m	N,crit y/n	Verifica
1.505	SLD 2	0.014	3	-5.886	-0.0685	-0.0188	0.003832	0.0000492	0.0000739	0.802	0.571	0.402	3231.032	6528.319	Si

Verifiche a deformabilità

Mensola X: No; Mensola Y: No.

Frecce lungo X

Ascissa freccia	Combinazione	Freccia	Luce	L/f	L/f,min	Tipo	Verifica
0.351	SLE RA 1	0	1.505	10000	250	Totale	Si
1.154	SLE RA 17	0	1.505	10000	250	Totale	Si
1.154	SLE RA 16	0	1.505	10000	250	Totale	Si
1.104	SLE RA 15	0	1.505	10000	250	Totale	Si
1.154	SLE RA 14	0	1.505	10000	250	Totale	Si
1.054	SLE RA 2	0	1.505	10000	350	Variabile	Si
1.104	SLE RA 17	0	1.505	10000	350	Variabile	Si
1.104	SLE RA 16	0	1.505	10000	350	Variabile	Si
1.054	SLE RA 15	0	1.505	10000	350	Variabile	Si
1.154	SLE RA 14	0	1.505	10000	350	Variabile	Si

Frecce lungo Y

Ascissa freccia	Combinazione	Freccia	Luce	L/f	L/f,min	Tipo	Verifica
0.753	SLE RA 1	-0.00003	1.505	10000	250	Totale	Si
0.753	SLE RA 17	-0.00003	1.505	10000	250	Totale	Si
0.753	SLE RA 16	-0.00002	1.505	10000	250	Totale	Si
0.753	SLE RA 15	-0.00002	1.505	10000	250	Totale	Si
0.753	SLE RA 14	-0.00003	1.505	10000	250	Totale	Si
0.903	SLE RA 2	0	1.505	10000	350	Variabile	Si
0.903	SLE RA 17	0	1.505	10000	350	Variabile	Si
0.903	SLE RA 16	0	1.505	10000	350	Variabile	Si
0.853	SLE RA 15	0	1.505	10000	350	Variabile	Si
0.552	SLE RA 14	0	1.505	10000	350	Variabile	Si

Superelemento in acciaio a quota "728"- "715" (-1089; 3)-(-1198; 106)

Caratteristiche del materiale

Acciaio: S275, fyk = 275000

Caratteristiche geometriche

Lunghezza: 1.505

Nodo iniziale: 2254 Nodo finale: 2062

Cerniera iniziale: Mmomenti 1% Cerniera finale: Mmomenti 1%

Implementazione dei sistemi di confinamento delle emissioni odorigene diffuse dell'impianto di compostaggio esistente nel
Comune di Eboli (SA)

PROGETTO DEFINITIVO – Tabulati di calcolo Tomo 1

Sovreresistenza: 0% Sisma Z: No

Caratteristiche della sezione

Sezione	Rotazione	Area	Jx	Jy	ix	iy	Wx	Wy	Wplx	Wply
A1; L100*10; 1; Saldato; S275; 30; 1; 8; 8; 1	0	0.003832	0.0000035319	0.000007759	0.0304	0.045	0.0000492	0.0000739	0.00008974	0.00012727

Comportamento dei calastrelli

Accoppiamento imbottito con funzione statica (§C4.2.4.1.3.1.4 NTC18) nella campata compresa tra le ascisse 0 e 1.505 per sbandamento attorno all'asse y.

Verifiche di resistenza

Verifiche a forza assiale §4.2.4.1.2.1 - §4.2.4.1.2.2 NTC18

X	Comb.	Sfruttamento	Classe	NEd	Nc,Rd	Nt,Rd	Riduzione da taglio	px	py	Verifica
1.505	SLU 76	0.028	3	-28.569	1003.522		1	0	0	Si

Verifiche a forza assiale SLD §4.2.4.1.2.1 - §4.2.4.1.2.2 NTC18

X	Comb.	Sfruttamento	Classe	NEd	Nc,Rd	Nt,Rd	Riduzione da taglio	px	py	Verifica
1.505	SLD 8	0.009	3	-8.968	1003.522		1	0	0	Si

Verifica a taglio Y §4.2.4.1.2.4 NTC18

X	Comb.	Sfruttamento	VEd	Vc,Rd	Av	Interazione taglio-torsione	Riduzione torsione	Verifica
1.505	SLU 76	0.001	-0.322	302.422	0.002	Non considerata		Si

Verifica a taglio Y SLD §4.2.4.1.2.4 NTC18

X	Comb.	Sfruttamento	VEd	Vc,Rd	Av	Interazione taglio-torsione	Riduzione torsione	Verifica
1.505	SLD 14	0.001	-0.23	302.422	0.002	Non considerata		Si

Verifica a flessione semplice X §§ 4.2.4.1.2.3 - 4.2.4.1.2.6 - 4.2.4.1.2.7 - 4.2.4.1.2.8 NTC18

X	Comb.	Sfruttamento	Classe	Mx,Ed	Mx,Rd	Rid. Mx,Rd da VEd	px	py	Verifica
0.803	SLU 3	0.004	1	-0.09349	23.50374	1	0	0	Si

Verifica a presso/tenso flessione retta X §§ 4.2.4.1.2.3 - 4.2.4.1.2.6 - 4.2.4.1.2.7 - 4.2.4.1.2.8 NTC18

Verifiche eseguite utilizzando la formula conservativa (6.2) §6.2.1 EN 1993-1-1:2005.

X	Comb.	Sfruttamento	Classe	NEd	NRd	Rid. NRd da VEd	Mx,Ed	Mx,Rd	Rid. Mx,Rd da VEd	Rid. Mx,Rd da NEd	px	py	Verifica
0.753	SLU 41	0.007	1	-1.811	1003.522	1	-0.1181	23.5037	1		0	0	Si

Verifica a presso/tenso flessione retta Y §§ 4.2.4.1.2.3 - 4.2.4.1.2.6 - 4.2.4.1.2.7 - 4.2.4.1.2.8 NTC18

Verifiche eseguite utilizzando la formula conservativa (6.2) §6.2.1 EN 1993-1-1:2005.

X	Comb.	Sfruttamento	Classe	NEd	NRd	Rid. NRd da VEd	My,Ed	My,Rd	Rid. My,Rd da VEd	Rid. My,Rd da NEd	px	py	Verifica
1.305	SLU 76	0.033	3	-28.563	1003.522	1	0.0864	19.3536	1		0	0	Si

Verifica a presso/tenso flessione retta Y SLD §§ 4.2.4.1.2.3 - 4.2.4.1.2.6 - 4.2.4.1.2.7 - 4.2.4.1.2.8 NTC18

Verifiche eseguite utilizzando la formula conservativa (6.2) §6.2.1 EN 1993-1-1:2005.

X	Comb.	Sfruttamento	Classe	NEd	NRd	Rid. NRd da VEd	My,Ed	My,Rd	Rid. My,Rd da VEd	Rid. My,Rd da NEd	px	py	Verifica
1.455	SLD 1	0.011	3	-8.903	1003.522	1	-0.032	19.3536	1		0	0	Si

Verifica a presso/tenso flessione deviata §§ 4.2.4.1.2.3 - 4.2.4.1.2.6 - 4.2.4.1.2.7 - 4.2.4.1.2.8 NTC18

Verifiche eseguite utilizzando la formula conservativa (6.2) §6.2.1 EN 1993-1-1:2005.

X	Comb.	Sfruttamento	Classe	NEd	NRd	Rid. NRd da VEd	Mx,Ed	Mx,Rd	My,Ed	My,Rd	Rid. Mx,Rd da VEd	Rid. Mx,Rd da NEd	Rid. My,Rd da VEd	Rid. My,Rd da NEd	α	β	px	py	Verifica
0.702	SLU 76	0.039	3	-28.543	1003.522	1	-0.0798	12.886	-0.0863	19.3536	1		1				0	0	Si

Verifica a presso/tenso flessione deviata SLD §§ 4.2.4.1.2.3 - 4.2.4.1.2.6 - 4.2.4.1.2.7 - 4.2.4.1.2.8 NTC18

Verifiche eseguite utilizzando la formula conservativa (6.2) §6.2.1 EN 1993-1-1:2005.

X	Comb.	Sfruttamento	Classe	NEd	NRd	Rid. NRd da VEd	Mx,Ed	Mx,Rd	My,Ed	My,Rd	Rid. Mx,Rd da VEd	Rid. Mx,Rd da NEd	Rid. My,Rd da VEd	Rid. My,Rd da NEd	α	β	px	py	Verifica
0.753	SLD 3	0.016	3	-8.95	1003.522	1	-0.0783	12.886	-0.0284	19.3536	1		1				0	0	Si

Verifiche ad instabilità

Caratteristiche iniziali

Membratura principale per controllo snellezza; Calcolo di snellezze ed N critici condotti secondo gli assi principali;

Curva X: c; Curva Y: c;

Svergolamento: Nessuno; la verifica a instabilità flessio-torsionale (svergolamento) non verrà eseguita.

Dati per instabilità attorno a x

Controllo della snellezza secondo §4.2.4.1.3.1 NTC18

Numero rit.	Presente	Ascissa	Campata	βx/m	Vincolo a entrambi estremi	λx/m	λVer
1	Si		0				
			1-2	1	Si	49.6	Si, (<200)
2	Si	1.505					

Dati per instabilità attorno a y

Controllo della snellezza secondo §4.2.4.1.3.1 NTC18

Numero rit.	Presente	Ascissa	Campata	βy/n	k,LT	kw,LT	Vincolo a entrambi estremi
1	Si		0				
			1-2	1	Si	34.9	Si, (<200)
2	Si	1.505					

Implementazione dei sistemi di confinamento delle emissioni odorigene diffuse dell'impianto di compostaggio esistente nel
Comune di Eboli (SA)
PROGETTO DEFINITIVO – Tabulati di calcolo Tomo 1

Verifica di stabilità per pressoflessione §C.4.2.4.1.3.3.1 NTC18

X	Comb.	Sfruttamento	Classe	NEd	MxEq,Ed	MyEq,Ed	Area	Wx	Wy	x,min	λ adim. x/m	λ adim. y/n	N,crit x/m	N,crit y/n	Verifica
1.505	SLU 76	0.044	3	-28.569	-0.0599	0.0648	0.003832	0.0000492	0.0000739	0.802	0.571	0.402	3231.032	6528.319	Si

Verifica di stabilità per pressoflessione SLD §C.4.2.4.1.3.3.1 NTC18

X	Comb.	Sfruttamento	Classe	NEd	MxEq,Ed	MyEq,Ed	Area	Wx	Wy	x,min	λ adim. x/m	λ adim. y/n	N,crit x/m	N,crit y/n	Verifica
1.505	SLD 1	0.018	3	-8.904	-0.065	-0.0322	0.003832	0.0000492	0.0000739	0.802	0.571	0.402	3231.032	6528.319	Si

Verifiche a deformabilità

Mensola X: No; Mensola Y: No.

Frecce lungo X

Ascissa freccia	Combinazione	Freccia	Luce	L/f	L/f,min	Tipo	Verifica
0.552	SLE RA 1	0	1.505	10000	250	Totale	Si
0.552	SLE RA 17	0	1.505	10000	250	Totale	Si
0.552	SLE RA 16	0	1.505	10000	250	Totale	Si
0.552	SLE RA 15	0	1.505	10000	250	Totale	Si
0.502	SLE RA 14	0	1.505	10000	250	Totale	Si
0.602	SLE RA 2	0	1.505	10000	350	Variabile	Si
0.502	SLE RA 17	0	1.505	10000	350	Variabile	Si
0.502	SLE RA 16	0	1.505	10000	350	Variabile	Si
0.652	SLE RA 15	0	1.505	10000	350	Variabile	Si
0.401	SLE RA 14	0	1.505	10000	350	Variabile	Si

Frecce lungo Y

Ascissa freccia	Combinazione	Freccia	Luce	L/f	L/f,min	Tipo	Verifica
0.753	SLE RA 1	-0.00003	1.505	10000	250	Totale	Si
0.753	SLE RA 17	-0.00002	1.505	10000	250	Totale	Si
0.753	SLE RA 16	-0.00002	1.505	10000	250	Totale	Si
0.753	SLE RA 15	-0.00002	1.505	10000	250	Totale	Si
0.753	SLE RA 14	-0.00002	1.505	10000	250	Totale	Si
0.853	SLE RA 2	0	1.505	10000	350	Variabile	Si
0.853	SLE RA 17	0	1.505	10000	350	Variabile	Si
0.853	SLE RA 16	0	1.505	10000	350	Variabile	Si
0.853	SLE RA 15	0	1.505	10000	350	Variabile	Si
1.003	SLE RA 14	0	1.505	10000	350	Variabile	Si

Superelemento in acciaio a quota "728"- "715" (-1341; -264)-(-1450; -161)

Caratteristiche del materiale

Acciaio: S275, fyk = 275000

Caratteristiche geometriche

Lunghezza: 1.505

Nodo iniziale: 2243 Nodo finale: 2052

Cerniera iniziale: Mmomenti 1% Cerniera finale: Mmomenti 1%

Sovraresistenza: 0% Sisma Z: No

Caratteristiche della sezione

Sezione	Rotazione	Area	Jx	Jy	ix	iy	Wx	Wy	Wplx	Wply
A1; L100*10; 1; Saldato; S275; 30; 1; 8; 8; 1	0	0.003832	0.0000035319	0.000007759	0.0304	0.045	0.0000492	0.0000739	0.00008974	0.00012727

Comportamento dei calastrelli

Accoppiamento imbottito con funzione statica (§C4.2.4.1.3.1.4 NTC18) nella campata compresa tra le ascisse 0 e 1.505 per sbandamento attorno all'asse y.

Verifiche di resistenza

Verifiche a forza assiale §4.2.4.1.2.1 - §4.2.4.1.2.2 NTC18

X	Comb.	Sfruttamento	Classe	NEd	Nc,Rd	Nt,Rd	Riduzione da taglio	px	py	Verifica
1.505	SLU 76	0.016	3	-16.31	1003.522		1	0	0	Si

Verifiche a forza assiale SLD §4.2.4.1.2.1 - §4.2.4.1.2.2 NTC18

X	Comb.	Sfruttamento	Classe	NEd	Nc,Rd	Nt,Rd	Riduzione da taglio	px	py	Verifica
1.505	SLD 16	0.006	3	-6.326	1003.522		1	0	0	Si

Verifica a taglio Y §4.2.4.1.2.4 NTC18

X	Comb.	Sfruttamento	VEd	Vc,Rd	Av	Interazione taglio-torsione	Riduzione torsione	Verifica
1.505	SLU 76	0.001	-0.338	302.422	0.002	Non considerata		Si

Verifica a taglio Y SLD §4.2.4.1.2.4 NTC18

X	Comb.	Sfruttamento	VEd	Vc,Rd	Av	Interazione taglio-torsione	Riduzione torsione	Verifica
1.505	SLD 1	0.001	-0.234	302.422	0.002	Non considerata		Si

Verifica a flessione semplice X §§ 4.2.4.1.2.3 - 4.2.4.1.2.6 - 4.2.4.1.2.7 - 4.2.4.1.2.8 NTC18

X	Comb.	Sfruttamento	Classe	Mx,Ed	Mx,Rd	Rid. Mx,Rd da VEd	px	py	Verifica
0.803	SLU 40	0.005	1	-0.11625	23.50374	1	0	0	Si

Verifica a presso/tenso flessione retta X §§ 4.2.4.1.2.3 - 4.2.4.1.2.6 - 4.2.4.1.2.7 - 4.2.4.1.2.8 NTC18

Verifiche eseguite utilizzando la formula conservativa (6.2) §6.2.1 EN 1993-1-1:2005.

X	Comb.	Sfruttamento	Classe	NEd	NRd	Rid. NRd da VEd	Mx,Ed	Mx,Rd	Rid. Mx,Rd da VEd	Rid. Mx,Rd da NEd	px	py	Verifica
---	-------	--------------	--------	-----	-----	-----------------	-------	-------	-------------------	-------------------	----	----	----------

Implementazione dei sistemi di confinamento delle emissioni odorigene diffuse dell'impianto di compostaggio esistente nel
Comune di Eboli (SA)

PROGETTO DEFINITIVO – Tabulati di calcolo Tomo 1

X	Comb.	Sfruttamento	Classe	NEd	NRd	Rid. NRd da VEd	Mx,Ed	Mx,Rd	Rid. Mx,Rd da VEd	Rid. Mx,Rd da NEd	px	py	Verifica
0.753	SLU 41	0.007	1	1.676	1003.522	1	-0.1192	23.5037	1		0	0	Si

Verifica a presso/tenso flessione retta Y §§ 4.2.4.1.2.3 - 4.2.4.1.2.6 - 4.2.4.1.2.7 - 4.2.4.1.2.8 NTC18

Verifiche eseguite utilizzando la formula conservativa (6.2) §6.2.1 EN 1993-1-1:2005.

X	Comb.	Sfruttamento	Classe	NEd	NRd	Rid. NRd da VEd	My,Ed	My,Rd	Rid. My,Rd da VEd	Rid. My,Rd da NEd	px	py	Verifica
1.305	SLU 76	0.019	3	-16.303	1003.522	1	-0.0494	19.3536	1		0	0	Si

Verifica a presso/tenso flessione retta Y SLD §§ 4.2.4.1.2.3 - 4.2.4.1.2.6 - 4.2.4.1.2.7 - 4.2.4.1.2.8 NTC18

Verifiche eseguite utilizzando la formula conservativa (6.2) §6.2.1 EN 1993-1-1:2005.

X	Comb.	Sfruttamento	Classe	NEd	NRd	Rid. NRd da VEd	My,Ed	My,Rd	Rid. My,Rd da VEd	Rid. My,Rd da NEd	px	py	Verifica
1.455	SLD 16	0.008	3	-6.325	1003.522	1	0.0243	19.3536	1		0	0	Si

Verifica a presso/tenso flessione deviata §§ 4.2.4.1.2.3 - 4.2.4.1.2.6 - 4.2.4.1.2.7 - 4.2.4.1.2.8 NTC18

Verifiche eseguite utilizzando la formula conservativa (6.2) §6.2.1 EN 1993-1-1:2005.

X	Comb.	Sfruttamento	Classe	NEd	NRd	Rid. NRd da VEd	Mx,Ed	Mx,Rd	My,Ed	My,Rd	Rid. Mx,Rd da VEd	Rid. Mx,Rd da NEd	Rid. My,Rd da VEd	Rid. My,Rd da NEd	α	β	px	py	Verifica
0.652	SLU 76	0.025	3	-16.281	1003.522	1	-0.0844	12.886	0.0492	19.3536	1		1				0	0	Si

Verifica a presso/tenso flessione deviata SLD §§ 4.2.4.1.2.3 - 4.2.4.1.2.6 - 4.2.4.1.2.7 - 4.2.4.1.2.8 NTC18

Verifiche eseguite utilizzando la formula conservativa (6.2) §6.2.1 EN 1993-1-1:2005.

X	Comb.	Sfruttamento	Classe	NEd	NRd	Rid. NRd da VEd	Mx,Ed	Mx,Rd	My,Ed	My,Rd	Rid. Mx,Rd da VEd	Rid. Mx,Rd da NEd	Rid. My,Rd da VEd	Rid. My,Rd da NEd	α	β	px	py	Verifica
0.753	SLD 15	0.014	3	-6.308	1003.522	1	-0.0791	12.886	0.0218	19.3536	1		1				0	0	Si

Verifiche ad instabilità

Caratteristiche iniziali

Membratura principale per controllo snellezza; Calcolo di snellezze ed N critici condotti secondo gli assi principali;

Curva X: c; Curva Y: c;

Svergolamento: Nessuno; la verifica a instabilità flesso-torsionale (svergolamento) non verrà eseguita.

Dati per instabilità attorno a x

Controllo della snellezza secondo §4.2.4.1.3.1 NTC18

Numero rit.	Presente	Ascissa	Campata	βx/m	Vincolo a entrambi estremi	λx/m	λVer
1	Si		0				
			1-2		1	49.6	Si, (<200)
2	Si	1.505					

Dati per instabilità attorno a y

Controllo della snellezza secondo §4.2.4.1.3.1 NTC18

Numero rit.	Presente	Ascissa	Campata	βy/n	k,LT	kw,LT	Vincolo a entrambi estremi
1	Si		0				
			1-2		1	34.9	Si, (<200)
2	Si	1.505					

Verifica di stabilità per pressoflessione §C.4.2.4.1.3.3.1 NTC18

X	Comb.	Sfruttamento	Classe	NEd	MxEq,Ed	MyEq,Ed	Area	Wx	Wy	χ,min	λ adim. x/m	λ adim. y/n	N,crit x/m	N,crit y/n	Verifica
1.505	SLU 76	0.027	3	-16.31	-0.0633	-0.0371	0.003832	0.0000492	0.0000739	0.802	0.571	0.402	3231.032	6528.319	Si

Verifica di stabilità per pressoflessione SLD §C.4.2.4.1.3.3.1 NTC18

X	Comb.	Sfruttamento	Classe	NEd	MxEq,Ed	MyEq,Ed	Area	Wx	Wy	χ,min	λ adim. x/m	λ adim. y/n	N,crit x/m	N,crit y/n	Verifica
1.505	SLD 11	0.014	3	-6.317	-0.0658	0.0244	0.003832	0.0000492	0.0000739	0.802	0.571	0.402	3231.032	6528.319	Si

Verifiche a deformabilità

Mensola X: No; Mensola Y: No.

Frecce lungo X

Ascissa freccia	Combinazione	Freccia	Luce	L/f	L/f,min	Tipo	Verifica
0.401	SLE RA 1	0	1.505	10000	250	Totale	Si
0.401	SLE RA 17	0	1.505	10000	250	Totale	Si
0.401	SLE RA 16	0	1.505	10000	250	Totale	Si
0.452	SLE RA 15	0	1.505	10000	250	Totale	Si
0.401	SLE RA 14	0	1.505	10000	250	Totale	Si
0.401	SLE RA 2	0	1.505	10000	350	Variabile	Si
0.452	SLE RA 17	0	1.505	10000	350	Variabile	Si
0.452	SLE RA 16	0	1.505	10000	350	Variabile	Si
0.502	SLE RA 15	0	1.505	10000	350	Variabile	Si
0.351	SLE RA 14	0	1.505	10000	350	Variabile	Si

Frecce lungo Y

Ascissa freccia	Combinazione	Freccia	Luce	L/f	L/f,min	Tipo	Verifica
0.753	SLE RA 1	-0.00003	1.505	10000	250	Totale	Si
0.753	SLE RA 17	-0.00002	1.505	10000	250	Totale	Si
0.753	SLE RA 16	-0.00002	1.505	10000	250	Totale	Si
0.702	SLE RA 15	-0.00002	1.505	10000	250	Totale	Si
0.753	SLE RA 14	-0.00003	1.505	10000	250	Totale	Si
0.903	SLE RA 2	0	1.505	10000	350	Variabile	Si
0.903	SLE RA 17	0	1.505	10000	350	Variabile	Si
0.903	SLE RA 16	0	1.505	10000	350	Variabile	Si
0.853	SLE RA 15	0	1.505	10000	350	Variabile	Si
0.452	SLE RA 14	0	1.505	10000	350	Variabile	Si

Superelemento in acciaio a quota "728"- "715" (-1598; -536)-(-1707; -434)

Caratteristiche del materiale

Acciaio: S275, fyk = 275000

Caratteristiche geometriche

Lunghezza: 1.505

Nodo iniziale: 2234 Nodo finale: 2041

Cerniera iniziale: Mmomenti 1% Cerniera finale: Mmomenti 1%

Sovreresistenza: 0% Sisma Z: No

Caratteristiche della sezione

Sezione	Rotazione	Area	Jx	Jy	ix	iy	Wx	Wy	Wplx	Wply
A1; L100*10; 1; Saldato; S275; 30; 1; 8; 8; 1	0	0.003832	0.0000035319	0.000007759	0.0304	0.045	0.0000492	0.0000739	0.00008974	0.00012727

Comportamento dei calastrelli

Accoppiamento imbottito con funzione statica (§C4.2.4.1.3.1.4 NTC18) nella campata compresa tra le ascisse 0 e 1.505 per sbandamento attorno all'asse y.

Verifiche di resistenza

Verifiche a forza assiale §4.2.4.1.2.1 - §4.2.4.1.2.2 NTC18

X	Comb.	Sfruttamento	Classe	NEd	Nc,Rd	Nt,Rd	Riduzione da taglio	px	py	Verifica
1.505	SLV 1	0.006	3	-5.875	1003.522		1	0	0	Si

Verifiche a forza assiale SLD §4.2.4.1.2.1 - §4.2.4.1.2.2 NTC18

X	Comb.	Sfruttamento	Classe	NEd	Nc,Rd	Nt,Rd	Riduzione da taglio	px	py	Verifica
1.505	SLD 2	0.003	3	-2.828	1003.522		1	0	0	Si

Verifica a taglio Y §4.2.4.1.2.4 NTC18

X	Comb.	Sfruttamento	VEd	Vc,Rd	Av	Interazione taglio-torsione	Riduzione torsione	Verifica
1.505	SLU 76	0.001	-0.303	302.422	0.002	Non considerata		Si

Verifica a taglio Y SLD §4.2.4.1.2.4 NTC18

X	Comb.	Sfruttamento	VEd	Vc,Rd	Av	Interazione taglio-torsione	Riduzione torsione	Verifica
1.505	SLD 4	0.001	-0.228	302.422	0.002	Non considerata		Si

Verifica a flessione semplice X §§ 4.2.4.1.2.3 - 4.2.4.1.2.6 - 4.2.4.1.2.7 - 4.2.4.1.2.8 NTC18

X	Comb.	Sfruttamento	Classe	Mx,Ed	Mx,Rd	Rid. Mx,Rd da VEd	px	py	Verifica
0.753	SLU 54	0.005	1	-0.1161	23.50374	1	0	0	Si

Verifica a flessione semplice X SLD §§ 4.2.4.1.2.3 - 4.2.4.1.2.6 - 4.2.4.1.2.7 - 4.2.4.1.2.8 NTC18

X	Comb.	Sfruttamento	Classe	Mx,Ed	Mx,Rd	Rid. Mx,Rd da VEd	px	py	Verifica
0.753	SLD 14	0.004	1	-0.08728	23.50374	1	0	0	Si

Verifica a presso/tenso flessione retta X §§ 4.2.4.1.2.3 - 4.2.4.1.2.6 - 4.2.4.1.2.7 - 4.2.4.1.2.8 NTC18

Verifiche eseguite utilizzando la formula conservativa (6.2) §6.2.1 EN 1993-1-1:2005.

X	Comb.	Sfruttamento	Classe	NEd	NRd	Rid. NRd da VEd	Mx,Ed	Mx,Rd	Rid. Mx,Rd da VEd	Rid. Mx,Rd da NEd	px	py	Verifica
0.753	SLV 15	0.008	1	4.182	1003.522	1	-0.0899	23.5037	1		0	0	Si

Verifica a presso/tenso flessione retta X SLD §§ 4.2.4.1.2.3 - 4.2.4.1.2.6 - 4.2.4.1.2.7 - 4.2.4.1.2.8 NTC18

Verifiche eseguite utilizzando la formula conservativa (6.2) §6.2.1 EN 1993-1-1:2005.

X	Comb.	Sfruttamento	Classe	NEd	NRd	Rid. NRd da VEd	Mx,Ed	Mx,Rd	Rid. Mx,Rd da VEd	Rid. Mx,Rd da NEd	px	py	Verifica
0.753	SLD 4	0.006	1	-1.909	1003.522	1	-0.0858	23.5037	1		0	0	Si

Verifica a presso/tenso flessione retta Y §§ 4.2.4.1.2.3 - 4.2.4.1.2.6 - 4.2.4.1.2.7 - 4.2.4.1.2.8 NTC18

Verifiche eseguite utilizzando la formula conservativa (6.2) §6.2.1 EN 1993-1-1:2005.

X	Comb.	Sfruttamento	Classe	NEd	NRd	Rid. NRd da VEd	My,Ed	My,Rd	Rid. My,Rd da VEd	Rid. My,Rd da NEd	px	py	Verifica
1.505	SLV 2	0.007	3	-5.875	1003.522	1	-0.0305	19.3536	1		0	0	Si

Verifica a presso/tenso flessione retta Y SLD §§ 4.2.4.1.2.3 - 4.2.4.1.2.6 - 4.2.4.1.2.7 - 4.2.4.1.2.8 NTC18

Verifiche eseguite utilizzando la formula conservativa (6.2) §6.2.1 EN 1993-1-1:2005.

X	Comb.	Sfruttamento	Classe	NEd	NRd	Rid. NRd da VEd	My,Ed	My,Rd	Rid. My,Rd da VEd	Rid. My,Rd da NEd	px	py	Verifica
1.505	SLD 1	0.004	3	-2.828	1003.522	1	-0.0137	19.3536	1		0	0	Si

Verifica a presso/tenso flessione deviata §§ 4.2.4.1.2.3 - 4.2.4.1.2.6 - 4.2.4.1.2.7 - 4.2.4.1.2.8 NTC18

Verifiche eseguite utilizzando la formula conservativa (6.2) §6.2.1 EN 1993-1-1:2005.

X	Comb.	Sfruttamento	Classe	NEd	NRd	Rid. NRd da VEd	Mx,Ed	Mx,Rd	My,Ed	My,Rd	Rid. Mx,Rd da VEd	Rid. Mx,Rd da NEd	Rid. My,Rd da VEd	Rid. My,Rd da NEd	α	β	px	py	Verifica
0.502	SLV 1	0.013	3	-5.85	1003.522	1	-0.0736	12.886	-0.0218	19.3536	1		1				0	0	Si

Verifica a presso/tenso flessione deviata SLD §§ 4.2.4.1.2.3 - 4.2.4.1.2.6 - 4.2.4.1.2.7 - 4.2.4.1.2.8 NTC18

Verifiche eseguite utilizzando la formula conservativa (6.2) §6.2.1 EN 1993-1-1:2005.

X	Comb.	Sfruttamento	Classe	NEd	NRd	Rid. NRd da VEd	Mx,Ed	Mx,Rd	My,Ed	My,Rd	Rid. Mx,Rd da VEd	Rid. Mx,Rd da NEd	Rid. My,Rd da VEd	Rid. My,Rd da NEd	α	β	px	py	Verifica
0.753	SLD 2	0.007	1	-2.809	1003.522	1	-0.0852	23.5037	-0.011	33.3316	1		1				0	0	Si

PROGETTO DEFINITIVO – Tabulati di calcolo Tomo 1

Verifiche ad instabilità

Caratteristiche iniziali

Membratura principale per controllo snellezza; Calcolo di snellezze ed N critici condotti secondo gli assi principali;

Curva X: c; Curva Y: c;

Svergolamento: Nessuno; la verifica a instabilità flesso-torsionale (svergolamento) non verrà eseguita.

Dati per instabilità attorno a x

Controllo della snellezza secondo §4.2.4.1.3.1 NTC18

Numero rit.	Presente	Ascissa	Campata	$\beta x/m$	Vincolo a entrambi estremi	$\lambda x/m$	λVer
1	Si	0					
			1-2	1	Si	49.6	Si, (<200)
2	Si	1.505					

Dati per instabilità attorno a y

Controllo della snellezza secondo §4.2.4.1.3.1 NTC18

Numero rit.	Presente	Ascissa	Campata	$\beta y/n$	k,LT	kw,LT	Vincolo a entrambi estremi
1	Si	0					
			1-2	1	Si	34.9	Si, (<200)
2	Si	1.505					

Verifica di stabilità per pressoflessione §C.4.2.4.1.3.3.1 NTC18

X	Comb.	Sfruttamento	Classe	NEd	MxEq,Ed	MyEq,Ed	Area	Wx	Wy	χ_{min}	$\lambda_{adim. x/m}$	$\lambda_{adim. y/n}$	N,crit x/m	N,crit y/n	Verifica
1.505	SLV 2	0.014	3	-5.875	-0.0711	-0.0305	0.003832	0.0000492	0.0000739	0.802	0.571	0.402	3231.032	6528.319	Si

Verifica di stabilità per pressoflessione SLD §C.4.2.4.1.3.3.1 NTC18

X	Comb.	Sfruttamento	Classe	NEd	MxEq,Ed	MyEq,Ed	Area	Wx	Wy	χ_{min}	$\lambda_{adim. x/m}$	$\lambda_{adim. y/n}$	N,crit x/m	N,crit y/n	Verifica
1.505	SLD 2	0.01	3	-2.828	-0.0737	-0.0137	0.003832	0.0000492	0.0000739	0.802	0.571	0.402	3231.032	6528.319	Si

Verifiche a deformabilità

Mensola X: No; Mensola Y: No.

Frecce lungo X

Ascissa freccia	Combinazione	Freccia	Luce	L/f	L/f,min	Tipo	Verifica
0.602	SLE RA 1	0	1.505	10000	250	Totale	Si
0.552	SLE RA 17	0	1.505	10000	250	Totale	Si
0.552	SLE RA 16	0	1.505	10000	250	Totale	Si
0.552	SLE RA 15	0	1.505	10000	250	Totale	Si
0.552	SLE RA 14	0	1.505	10000	250	Totale	Si
0.502	SLE RA 2	0	1.505	10000	350	Variabile	Si
0.552	SLE RA 17	0	1.505	10000	350	Variabile	Si
0.552	SLE RA 16	0	1.505	10000	350	Variabile	Si
0.552	SLE RA 15	0	1.505	10000	350	Variabile	Si
0.502	SLE RA 14	0	1.505	10000	350	Variabile	Si

Frecce lungo Y

Ascissa freccia	Combinazione	Freccia	Luce	L/f	L/f,min	Tipo	Verifica
0.753	SLE RA 1	-0.00003	1.505	10000	250	Totale	Si
0.753	SLE RA 17	-0.00003	1.505	10000	250	Totale	Si
0.753	SLE RA 16	-0.00003	1.505	10000	250	Totale	Si
0.753	SLE RA 15	-0.00003	1.505	10000	250	Totale	Si
0.753	SLE RA 14	-0.00003	1.505	10000	250	Totale	Si
0.702	SLE RA 2	0	1.505	10000	350	Variabile	Si
0.702	SLE RA 17	0	1.505	10000	350	Variabile	Si
0.702	SLE RA 16	0	1.505	10000	350	Variabile	Si
0.702	SLE RA 15	0	1.505	10000	350	Variabile	Si
0.702	SLE RA 14	0	1.505	10000	350	Variabile	Si

Superelemento in acciaio a quota "728"- "740" (142; 872)-(32; 974)

Caratteristiche del materiale

Acciaio: S275, fyk = 275000

Caratteristiche geometriche

Lunghezza: 1.505

Nodo iniziale: 2289 Nodo finale: 2476

Cerniera iniziale: Mmomenti 1% Cerniera finale: Mmomenti 1%

Sovreresistenza: 0% Sisma Z: No

Caratteristiche della sezione

Sezione	Rotazione	Area	Jx	Jy	ix	iy	Wx	Wy	Wplx	Wply
A1; L100*10; 1; Saldato; S275; 30; 1; 8; 8; 1	0	0.003832	0.0000035319	0.000007759	0.0304	0.045	0.0000492	0.0000739	0.00008974	0.00012727

Comportamento dei calastrelli

Accoppiamento imbottito con funzione statica (§C4.2.4.1.3.1.4 NTC18) nella campata compresa tra le ascisse 0 e 1.505 per sbandamento attorno all'asse y.

Verifiche di resistenza

Verifiche a forza assiale §4.2.4.1.2.1 - §4.2.4.1.2.2 NTC18

X	Comb.	Sfruttamento	Classe	NEd	Nc,Rd	Nt,Rd	Riduzione da taglio	px	py	Verifica
0	SLU 75	0.013	3	-13.289	1003.522		1	0	0	Si

**Implementazione dei sistemi di confinamento delle emissioni odorigene diffuse dell'impianto di compostaggio esistente nel
Comune di Eboli (SA)
PROGETTO DEFINITIVO – Tabulati di calcolo Tomo 1**

Verifiche a forza assiale SLD §4.2.4.1.2.1 - §4.2.4.1.2.2 NTC18

X	Comb.	Sfruttamento	Classe	NEd	Nc,Rd	Nt,Rd	Riduzione da taglio	px	py	Verifica
0	SLD 14	0.005	3	-4.639	1003.522		1	0	0	Si

Verifica a taglio Y §4.2.4.1.2.4 NTC18

X	Comb.	Sfruttamento	VEd	Vc,Rd	Av	Interazione taglio-torsione	Riduzione torsione	Verifica
0	SLU 75	0.001	0.317	302.422	0.002	Non considerata		Si

Verifica a taglio Y SLD §4.2.4.1.2.4 NTC18

X	Comb.	Sfruttamento	VEd	Vc,Rd	Av	Interazione taglio-torsione	Riduzione torsione	Verifica
0	SLD 1	0.001	0.233	302.422	0.002	Non considerata		Si

Verifica a flessione semplice X §§ 4.2.4.1.2.3 - 4.2.4.1.2.6 - 4.2.4.1.2.7 - 4.2.4.1.2.8 NTC18

X	Comb.	Sfruttamento	Classe	Mx,Ed	Mx,Rd	Rid. Mx,Rd da VEd	px	py	Verifica
0.753	SLU 43	0.005	1	-0.11265	23.50374	1	0	0	Si

Verifica a presso/tenso flessione retta X §§ 4.2.4.1.2.3 - 4.2.4.1.2.6 - 4.2.4.1.2.7 - 4.2.4.1.2.8 NTC18

Verifiche eseguite utilizzando la formula conservativa (6.2) §6.2.1 EN 1993-1-1:2005.

X	Comb.	Sfruttamento	Classe	NEd	NRd	Rid. NRd da VEd	Mx,Ed	Mx,Rd	Rid. Mx,Rd da VEd	Rid. Mx,Rd da NEd	px	py	Verifica
0.753	SLU 40	0.007	1	2.386	1003.522	1	-0.1151	23.5037	1		0	0	Si

Verifica a presso/tenso flessione retta Y §§ 4.2.4.1.2.3 - 4.2.4.1.2.6 - 4.2.4.1.2.7 - 4.2.4.1.2.8 NTC18

Verifiche eseguite utilizzando la formula conservativa (6.2) §6.2.1 EN 1993-1-1:2005.

X	Comb.	Sfruttamento	Classe	NEd	NRd	Rid. NRd da VEd	My,Ed	My,Rd	Rid. My,Rd da VEd	Rid. My,Rd da NEd	px	py	Verifica
0.1	SLU 75	0.015	3	-13.286	1003.522	1	-0.0401	19.3536	1		0	0	Si

Verifica a presso/tenso flessione retta Y SLD §§ 4.2.4.1.2.3 - 4.2.4.1.2.6 - 4.2.4.1.2.7 - 4.2.4.1.2.8 NTC18

Verifiche eseguite utilizzando la formula conservativa (6.2) §6.2.1 EN 1993-1-1:2005.

X	Comb.	Sfruttamento	Classe	NEd	NRd	Rid. NRd da VEd	My,Ed	My,Rd	Rid. My,Rd da VEd	Rid. My,Rd da NEd	px	py	Verifica
0	SLD 14	0.005	3	-4.639	1003.522	1	-0.0141	19.3536	1		0	0	Si

Verifica a presso/tenso flessione deviata §§ 4.2.4.1.2.3 - 4.2.4.1.2.6 - 4.2.4.1.2.7 - 4.2.4.1.2.8 NTC18

Verifiche eseguite utilizzando la formula conservativa (6.2) §6.2.1 EN 1993-1-1:2005.

X	Comb.	Sfruttamento	Classe	NEd	NRd	Rid. NRd da VEd	Mx,Ed	Mx,Rd	My,Ed	My,Rd	Rid. Mx,Rd da VEd	Rid. Mx,Rd da NEd	Rid. My,Rd da VEd	Rid. My,Rd da NEd	α	β	px	py	Verifica
0.803	SLU 75	0.023	3	-13.263	1003.522	1	-0.0944	12.886	-0.04	19.3536	1		1				0	0	Si

Verifica a presso/tenso flessione deviata SLD §§ 4.2.4.1.2.3 - 4.2.4.1.2.6 - 4.2.4.1.2.7 - 4.2.4.1.2.8 NTC18

Verifiche eseguite utilizzando la formula conservativa (6.2) §6.2.1 EN 1993-1-1:2005.

X	Comb.	Sfruttamento	Classe	NEd	NRd	Rid. NRd da VEd	Mx,Ed	Mx,Rd	My,Ed	My,Rd	Rid. Mx,Rd da VEd	Rid. Mx,Rd da NEd	Rid. My,Rd da VEd	Rid. My,Rd da NEd	α	β	px	py	Verifica
0.351	SLD 10	0.01	3	-4.618	1003.522	1	-0.0545	12.886	-0.014	19.3536	1		1				0	0	Si

Verifiche ad instabilità

Caratteristiche iniziali

Membratura principale per controllo snellezza; Calcolo di snellezze ed N critici condotti secondo gli assi principali;

Curva X: c; Curva Y: c;

Svergolamento: Nessuno; la verifica a instabilità flesso-torsionale (svergolamento) non verrà eseguita.

Dati per instabilità attorno a x

Controllo della snellezza secondo §4.2.4.1.3.1 NTC18

Numero rit.	Presente	Ascissa	Campata	βx/m	Vincolo a entrambi estremi	λx/m	λVer
1	Si		0				
			1-2		1	Si	49.6
2	Si		1.505				Si, (<200)

Dati per instabilità attorno a y

Controllo della snellezza secondo §4.2.4.1.3.1 NTC18

Numero rit.	Presente	Ascissa	Campata	βy/n	k,LT	kw,LT	Vincolo a entrambi estremi
1	Si		0				
			1-2		1	Si	34.9
2	Si		1.505				Si, (<200)

Verifica di stabilità per pressoflessione §C.4.2.4.1.3.3.1 NTC18

X	Comb.	Sfruttamento	Classe	NEd	MxEq,Ed	MyEq,Ed	Area	Wx	Wy	χ,min	λ adim. x/m	λ adim. y/n	N,crit x/m	N,crit y/n	Verifica
0	SLU 75	0.024	3	-13.289	-0.0739	-0.0401	0.003832	0.0000492	0.0000739	0.802	0.571	0.402	3231.032	6528.319	Si

Verifica di stabilità per pressoflessione SLD §C.4.2.4.1.3.3.1 NTC18

X	Comb.	Sfruttamento	Classe	NEd	MxEq,Ed	MyEq,Ed	Area	Wx	Wy	χ,min	λ adim. x/m	λ adim. y/n	N,crit x/m	N,crit y/n	Verifica
0	SLD 14	0.012	3	-4.639	-0.0723	-0.0141	0.003832	0.0000492	0.0000739	0.802	0.571	0.402	3231.032	6528.319	Si

Verifiche a deformabilità

Mensola X: No; Mensola Y: No.

Frecce lungo X

Ascissa freccia	Combinazione	Freccia	Luce	L/f	L/f,min	Tipo	Verifica
0.452	SLE RA 1	0	1.505	10000	250	Totale	Si
0.953	SLE RA 17	0	1.505	10000	250	Totale	Si
0.753	SLE RA 16	0	1.505	10000	250	Totale	Si
0.552	SLE RA 15	0	1.505	10000	250	Totale	Si
0.702	SLE RA 14	0	1.505	10000	250	Totale	Si
0.652	SLE RA 2	0	1.505	10000	350	Variabile	Si
0.702	SLE RA 17	0	1.505	10000	350	Variabile	Si

Implementazione dei sistemi di confinamento delle emissioni odorigene diffuse dell'impianto di compostaggio esistente nel
Comune di Eboli (SA)
PROGETTO DEFINITIVO – Tabulati di calcolo Tomo 1

Ascissa freccia	Combinazione	Freccia	Luce	L/f	L/f,min	Tipo	Verifica
0.702	SLE RA 16	0	1.505	10000	350	Variabile	Si
0.652	SLE RA 15	0	1.505	10000	350	Variabile	Si
0.652	SLE RA 14	0	1.505	10000	350	Variabile	Si

Frecce lungo Y

Ascissa freccia	Combinazione	Freccia	Luce	L/f	L/f,min	Tipo	Verifica
0.753	SLE RA 1	-0.00003	1.505	10000	250	Totale	Si
0.753	SLE RA 17	-0.00003	1.505	10000	250	Totale	Si
0.753	SLE RA 16	-0.00002	1.505	10000	250	Totale	Si
0.753	SLE RA 15	-0.00003	1.505	10000	250	Totale	Si
0.753	SLE RA 14	-0.00002	1.505	10000	250	Totale	Si
0.602	SLE RA 2	0	1.505	10000	350	Variabile	Si
0.602	SLE RA 17	0	1.505	10000	350	Variabile	Si
0.602	SLE RA 16	0	1.505	10000	350	Variabile	Si
0.803	SLE RA 15	0	1.505	10000	350	Variabile	Si
0.652	SLE RA 14	0	1.505	10000	350	Variabile	Si

Superelemento in acciaio a quota "728"-"740" (401; 1145)-(292; 1248)

Caratteristiche del materiale

Acciaio: S275, fyk = 275000

Caratteristiche geometriche

Lunghezza: 1.505

Nodo iniziale: 2298 Nodo finale: 2482

Cerniera iniziale: Mmomenti 1% Cerniera finale: Mmomenti 1%

Sovraresistenza: 0% Sisma Z: No

Caratteristiche della sezione

Sezione	Rotazione	Area	Jx	Jy	ix	iy	Wx	Wy	Wplx	Wply
Al; L100*10; 1; Saldato; S275; 30; 1; 8; 8; 1	0	0.003832	0.0000035319	0.000007759	0.0304	0.045	0.0000492	0.0000739	0.00008974	0.00012727

Comportamento dei calastrelli

Accoppiamento imbottito con funzione statica (§C4.2.4.1.3.1.4 NTC18) nella campata compresa tra le ascisse 0 e 1.505 per sbandamento attorno all'asse y.

Verifiche di resistenza

Verifiche a forza assiale §4.2.4.1.2.1 - §4.2.4.1.2.2 NTC18

X	Comb.	Sfruttamento	Classe	NEd	Nc,Rd	Nt,Rd	Riduzione da taglio	px	py	Verifica
0	SLU 75	0.011	3	-10.784	1003.522		1	0	0	Si

Verifiche a forza assiale SLD §4.2.4.1.2.1 - §4.2.4.1.2.2 NTC18

X	Comb.	Sfruttamento	Classe	NEd	Nc,Rd	Nt,Rd	Riduzione da taglio	px	py	Verifica
0	SLD 15	0.003	3	-3.293	1003.522		1	0	0	Si

Verifica a taglio Y §4.2.4.1.2.4 NTC18

X	Comb.	Sfruttamento	VEd	Vc,Rd	Av	Interazione taglio-torsione	Riduzione torsione	Verifica
0	SLU 75	0.001	0.322	302.422	0.002	Non considerata		Si

Verifica a taglio Y SLD §4.2.4.1.2.4 NTC18

X	Comb.	Sfruttamento	VEd	Vc,Rd	Av	Interazione taglio-torsione	Riduzione torsione	Verifica
0	SLD 1	0.001	0.235	302.422	0.002	Non considerata		Si

Verifica a flessione semplice X §§ 4.2.4.1.2.3 - 4.2.4.1.2.6 - 4.2.4.1.2.7 - 4.2.4.1.2.8 NTC18

X	Comb.	Sfruttamento	Classe	Mx,Ed	Mx,Rd	Rid. Mx,Rd da VEd	px	py	Verifica
0.753	SLU 4	0.004	1	-0.09081	23.50374	1	0	0	Si

Verifica a presso/tenso flessione retta X §§ 4.2.4.1.2.3 - 4.2.4.1.2.6 - 4.2.4.1.2.7 - 4.2.4.1.2.8 NTC18

Verifiche eseguite utilizzando la formula conservativa (6.2) §6.2.1 EN 1993-1-1:2005.

X	Comb.	Sfruttamento	Classe	NEd	NRd	Rid. NRd da VEd	Mx,Ed	Mx,Rd	Rid. Mx,Rd da VEd	Rid. Mx,Rd da NEd	px	py	Verifica
0.753	SLU 45	0.007	1	-2.363	1003.522	1	-0.1126	23.5037	1		0	0	Si

Verifica a presso/tenso flessione retta X SLD §§ 4.2.4.1.2.3 - 4.2.4.1.2.6 - 4.2.4.1.2.7 - 4.2.4.1.2.8 NTC18

Verifiche eseguite utilizzando la formula conservativa (6.2) §6.2.1 EN 1993-1-1:2005.

X	Comb.	Sfruttamento	Classe	NEd	NRd	Rid. NRd da VEd	Mx,Ed	Mx,Rd	Rid. Mx,Rd da VEd	Rid. Mx,Rd da NEd	px	py	Verifica
0.853	SLD 2	0.006	1	-2.26	1003.522	1	-0.081	23.5037	1		0	0	Si

Verifica a presso/tenso flessione retta Y §§ 4.2.4.1.2.3 - 4.2.4.1.2.6 - 4.2.4.1.2.7 - 4.2.4.1.2.8 NTC18

Verifiche eseguite utilizzando la formula conservativa (6.2) §6.2.1 EN 1993-1-1:2005.

X	Comb.	Sfruttamento	Classe	NEd	NRd	Rid. NRd da VEd	My,Ed	My,Rd	Rid. My,Rd da VEd	Rid. My,Rd da NEd	px	py	Verifica
0.151	SLU 75	0.012	3	-10.779	1003.522	1	0.0329	19.3536	1		0	0	Si

Verifica a presso/tenso flessione retta Y SLD §§ 4.2.4.1.2.3 - 4.2.4.1.2.6 - 4.2.4.1.2.7 - 4.2.4.1.2.8 NTC18

Verifiche eseguite utilizzando la formula conservativa (6.2) §6.2.1 EN 1993-1-1:2005.

X	Comb.	Sfruttamento	Classe	NEd	NRd	Rid. NRd da VEd	My,Ed	My,Rd	Rid. My,Rd da VEd	Rid. My,Rd da NEd	px	py	Verifica
0	SLD 15	0.004	3	-3.293	1003.522	1	0.01	19.3536	1		0	0	Si

Verifica a presso/tenso flessione deviata §§ 4.2.4.1.2.3 - 4.2.4.1.2.6 - 4.2.4.1.2.7 - 4.2.4.1.2.8 NTC18

Verifiche eseguite utilizzando la formula conservativa (6.2) §6.2.1 EN 1993-1-1:2005.

Implementazione dei sistemi di confinamento delle emissioni odorigene diffuse dell'impianto di compostaggio esistente nel
Comune di Eboli (SA)

PROGETTO DEFINITIVO – Tabulati di calcolo Tomo 1

X	Comb.	Sfruttamento	Classe	NEd	NRd	Rid. NRd da VEd	Mx,Ed	Mx,Rd	My,Ed	My,Rd	Rid. Mx,Rd da VEd	Rid. Mx,Rd da NEd	Rid. My,Rd da VEd	Rid. My,Rd da NEd	α	β	ρ_x	ρ_y	Verifica
0.803	SLU 75	0.019	3	-10.757	1003.522	1	-0.0904	12.886	-0.0325	19.3536	1		1				0	0	Si

Verifica a presso/tenso flessione deviata SLD §§ 4.2.4.1.2.3 - 4.2.4.1.2.6 - 4.2.4.1.2.7 - 4.2.4.1.2.8 NTC18

Verifiche eseguite utilizzando la formula conservativa (6.2) §6.2.1 EN 1993-1-1:2005.

X	Comb.	Sfruttamento	Classe	NEd	NRd	Rid. NRd da VEd	Mx,Ed	Mx,Rd	My,Ed	My,Rd	Rid. Mx,Rd da VEd	Rid. Mx,Rd da NEd	Rid. My,Rd da VEd	Rid. My,Rd da NEd	α	β	ρ_x	ρ_y	Verifica
0.753	SLD 16	0.007	1	-3.274	1003.522	1	-0.0831	23.5037	-0.0099	33.3316	1		1				0	0	Si

Verifiche ad instabilità

Caratteristiche iniziali

Membratura principale per controllo snellezza; Calcolo di snellezze ed N critici condotti secondo gli assi principali;

Curva X: c; Curva Y: c;

Svergolamento: Nessuno; la verifica a instabilità flessio-torsionale (svergolamento) non verrà eseguita.

Dati per instabilità attorno a x

Controllo della snellezza secondo §4.2.4.1.3.1 NTC18

Numero rit.	Presente	Ascissa	Campata	$\beta x/m$	Vincolo a entrambi estremi	$\lambda x/m$	λVer
1	Si	0					
2	Si	1.505	1-2	1	Si	49.6	Si, (<200)

Dati per instabilità attorno a y

Controllo della snellezza secondo §4.2.4.1.3.1 NTC18

Numero rit.	Presente	Ascissa	Campata	$\beta y/n$	k,LT	kw,LT	Vincolo a entrambi estremi
1	Si	0					
2	Si	1.505	1-2	1	Si	34.9	Si, (<200)

Verifica di stabilità per pressoflessione §C.4.2.4.1.3.3.1 NTC18

X	Comb.	Sfruttamento	Classe	NEd	MxEq,Ed	MyEq,Ed	Area	Wx	Wy	χ_{min}	λ adim. x/m	λ adim. y/n	N,crit x/m	N,crit y/n	Verifica
0	SLU 75	0.02	3	-10.784	-0.0684	0.0248	0.003832	0.0000492	0.0000739	0.802	0.571	0.402	3231.032	6528.319	Si

Verifica di stabilità per pressoflessione SLD §C.4.2.4.1.3.3.1 NTC18

X	Comb.	Sfruttamento	Classe	NEd	MxEq,Ed	MyEq,Ed	Area	Wx	Wy	χ_{min}	λ adim. x/m	λ adim. y/n	N,crit x/m	N,crit y/n	Verifica
0	SLD 12	0.01	3	-3.287	-0.0707	0.0075	0.003832	0.0000492	0.0000739	0.802	0.571	0.402	3231.032	6528.319	Si

Verifiche a deformabilità

Mensola X: No; Mensola Y: No.

Frecce lungo X

Ascissa freccia	Combinazione	Freccia	Luce	L/f	L/f,min	Tipo	Verifica
1.104	SLE RA 1	0	1.505	10000	250	Totale	Si
1.154	SLE RA 17	0	1.505	10000	250	Totale	Si
1.154	SLE RA 16	0	1.505	10000	250	Totale	Si
1.154	SLE RA 15	0	1.505	10000	250	Totale	Si
1.154	SLE RA 14	0	1.505	10000	250	Totale	Si
0.301	SLE RA 2	0	1.505	10000	350	Variabile	Si
0.351	SLE RA 17	0	1.505	10000	350	Variabile	Si
0.351	SLE RA 16	0	1.505	10000	350	Variabile	Si
1.154	SLE RA 15	0	1.505	10000	350	Variabile	Si
0.351	SLE RA 14	0	1.505	10000	350	Variabile	Si

Frecce lungo Y

Ascissa freccia	Combinazione	Freccia	Luce	L/f	L/f,min	Tipo	Verifica
0.753	SLE RA 1	-0.00003	1.505	10000	250	Totale	Si
0.753	SLE RA 17	-0.00002	1.505	10000	250	Totale	Si
0.753	SLE RA 16	-0.00002	1.505	10000	250	Totale	Si
0.753	SLE RA 15	-0.00003	1.505	10000	250	Totale	Si
0.753	SLE RA 14	-0.00002	1.505	10000	250	Totale	Si
0.652	SLE RA 2	0	1.505	10000	350	Variabile	Si
0.652	SLE RA 17	0	1.505	10000	350	Variabile	Si
0.652	SLE RA 16	0	1.505	10000	350	Variabile	Si
0.552	SLE RA 15	0	1.505	10000	350	Variabile	Si
0.652	SLE RA 14	0	1.505	10000	350	Variabile	Si

Superelemento in acciaio a quota "728"- "740" (655; 1415)-(546; 1518)

Caratteristiche del materiale

Acciaio: S275, fyk = 275000

Caratteristiche geometriche

Lunghezza: 1.505

Nodo iniziale: 2308 Nodo finale: 2485

Cerniera iniziale: Mmomenti 1% Cerniera finale: Mmomenti 1%

Sovraresistenza: 0% Sisma Z: No

Caratteristiche della sezione

Sezione	Rotazione	Area	Jx	Jy	ix	iy	Wx	Wy	Wplx	Wply
A1; L100*10; 1; Saldato; S275; 30; 1; 8; 8; 1	0	0.003832	0.0000035319	0.000007759	0.0304	0.045	0.0000492	0.0000739	0.00008974	0.00012727

**Implementazione dei sistemi di confinamento delle emissioni odorigene diffuse dell'impianto di compostaggio esistente nel
Comune di Eboli (SA)
PROGETTO DEFINITIVO – Tabulati di calcolo Tomo 1**

Comportamento dei calastrelli

Accoppiamento imbottito con funzione statica (§C4.2.4.1.3.1.4 NTC18) nella campata compresa tra le ascisse 0 e 1.505 per sbandamento attorno all'asse y.

Verifiche di resistenza

Verifiche a forza assiale §4.2.4.1.2.1 - §4.2.4.1.2.2 NTC18

X	Comb.	Sfruttamento	Classe	NEd	Nc,Rd	Nt,Rd	Riduzione da taglio	px	py	Verifica
0	SLU 76	0.012	3	-11.693	1003.522		1	0	0	Si

Verifiche a forza assiale SLD §4.2.4.1.2.1 - §4.2.4.1.2.2 NTC18

X	Comb.	Sfruttamento	Classe	NEd	Nc,Rd	Nt,Rd	Riduzione da taglio	px	py	Verifica
0	SLD 5	0.004	3	-3.613	1003.522		1	0	0	Si

Verifica a taglio Y §4.2.4.1.2.4 NTC18

X	Comb.	Sfruttamento	VEd	Vc,Rd	Av	Interazione taglio-torsione	Riduzione torsione	Verifica
0	SLU 64	0.001	0.297	302.422	0.002	Non considerata		Si

Verifica a taglio Y SLD §4.2.4.1.2.4 NTC18

X	Comb.	Sfruttamento	VEd	Vc,Rd	Av	Interazione taglio-torsione	Riduzione torsione	Verifica
0	SLD 14	0.001	0.226	302.422	0.002	Non considerata		Si

Verifica a flessione semplice X §§ 4.2.4.1.2.3 - 4.2.4.1.2.6 - 4.2.4.1.2.7 - 4.2.4.1.2.8 NTC18

X	Comb.	Sfruttamento	Classe	Mx,Ed	Mx,Rd	Rid. Mx,Rd da VEd	px	py	Verifica
0.753	SLU 43	0.005	1	-0.10998	23.50374	1	0	0	Si

Verifica a presso/tenso flessione retta X §§ 4.2.4.1.2.3 - 4.2.4.1.2.6 - 4.2.4.1.2.7 - 4.2.4.1.2.8 NTC18

Verifiche eseguite utilizzando la formula conservativa (6.2) §6.2.1 EN 1993-1-1:2005.

X	Comb.	Sfruttamento	Classe	NEd	NRd	Rid. NRd da VEd	Mx,Ed	Mx,Rd	Rid. Mx,Rd da VEd	Rid. Mx,Rd da NEd	px	py	Verifica
0.753	SLU 60	0.007	1	-2.058	1003.522	1	-0.1109	23.5037	1		0	0	Si

Verifica a presso/tenso flessione retta Y §§ 4.2.4.1.2.3 - 4.2.4.1.2.6 - 4.2.4.1.2.7 - 4.2.4.1.2.8 NTC18

Verifiche eseguite utilizzando la formula conservativa (6.2) §6.2.1 EN 1993-1-1:2005.

X	Comb.	Sfruttamento	Classe	NEd	NRd	Rid. NRd da VEd	My,Ed	My,Rd	Rid. My,Rd da VEd	Rid. My,Rd da NEd	px	py	Verifica
1.505	SLU 76	0.013	3	-11.644	1003.522	1	-0.0353	19.3536	1		0	0	Si

Verifica a presso/tenso flessione retta Y SLD §§ 4.2.4.1.2.3 - 4.2.4.1.2.6 - 4.2.4.1.2.7 - 4.2.4.1.2.8 NTC18

Verifiche eseguite utilizzando la formula conservativa (6.2) §6.2.1 EN 1993-1-1:2005.

X	Comb.	Sfruttamento	Classe	NEd	NRd	Rid. NRd da VEd	My,Ed	My,Rd	Rid. My,Rd da VEd	Rid. My,Rd da NEd	px	py	Verifica
0	SLD 1	0.004	3	-3.613	1003.522	1	0.013	19.3536	1		0	0	Si

Verifica a presso/tenso flessione deviata §§ 4.2.4.1.2.3 - 4.2.4.1.2.6 - 4.2.4.1.2.7 - 4.2.4.1.2.8 NTC18

Verifiche eseguite utilizzando la formula conservativa (6.2) §6.2.1 EN 1993-1-1:2005.

X	Comb.	Sfruttamento	Classe	NEd	NRd	Rid. NRd da VEd	Mx,Ed	Mx,Rd	My,Ed	My,Rd	Rid. Mx,Rd da VEd	Rid. Mx,Rd da NEd	Rid. My,Rd da VEd	Rid. My,Rd da NEd	α	β	px	py	Verifica
0.753	SLU 76	0.022	3	-11.668	1003.522	1	-0.1076	12.886	0.0352	19.3536	1		1				0	0	Si

Verifica a presso/tenso flessione deviata SLD §§ 4.2.4.1.2.3 - 4.2.4.1.2.6 - 4.2.4.1.2.7 - 4.2.4.1.2.8 NTC18

Verifiche eseguite utilizzando la formula conservativa (6.2) §6.2.1 EN 1993-1-1:2005.

X	Comb.	Sfruttamento	Classe	NEd	NRd	Rid. NRd da VEd	Mx,Ed	Mx,Rd	My,Ed	My,Rd	Rid. Mx,Rd da VEd	Rid. Mx,Rd da NEd	Rid. My,Rd da VEd	Rid. My,Rd da NEd	α	β	px	py	Verifica
0.753	SLD 2	0.008	1	-3.594	1003.522	1	-0.0843	23.5037	0.0113	33.3316	1		1				0	0	Si

Verifiche ad instabilità

Caratteristiche iniziali

Membratura principale per controllo snellezza; Calcolo di snellezze ed N critici condotti secondo gli assi principali;

Curva X: c; Curva Y: c;

Svergolamento: Nessuno; la verifica a instabilità flesso-torsionale (svergolamento) non verrà eseguita.

Dati per instabilità attorno a x

Controllo della snellezza secondo §4.2.4.1.3.1 NTC18

Numero rit.	Presente	Ascissa	Campata	βx/m	Vincolo a entrambi estremi	λx/m	λVer
1	Si	0					
2	Si	1.505	1-2		Si	49.6	Si, (<200)

Dati per instabilità attorno a y

Controllo della snellezza secondo §4.2.4.1.3.1 NTC18

Numero rit.	Presente	Ascissa	Campata	βy/n	k,LT	kw,LT	Vincolo a entrambi estremi
1	Si	0					
2	Si	1.505	1-2		Si	34.9	Si, (<200)

Verifica di stabilità per pressoflessione §C.4.2.4.1.3.3.1 NTC18

X	Comb.	Sfruttamento	Classe	NEd	MxEq,Ed	MyEq,Ed	Area	Wx	Wy	χ,min	λ adim. x/m	λ adim. y/n	N,crit x/m	N,crit y/n	Verifica
0	SLU 76	0.023	3	-11.693	-0.092	0.0267	0.003832	0.0000492	0.0000739	0.802	0.571	0.402	3231.032	6528.319	Si

Verifica di stabilità per pressoflessione SLD §C.4.2.4.1.3.3.1 NTC18

X	Comb.	Sfruttamento	Classe	NEd	MxEq,Ed	MyEq,Ed	Area	Wx	Wy	χ,min	λ adim. x/m	λ adim. y/n	N,crit x/m	N,crit y/n	Verifica
0	SLD 1	0.011	3	-3.613	-0.0727	0.0098	0.003832	0.0000492	0.0000739	0.802	0.571	0.402	3231.032	6528.319	Si

Implementazione dei sistemi di confinamento delle emissioni odorigene diffuse dell'impianto di compostaggio esistente nel
Comune di Eboli (SA)
PROGETTO DEFINITIVO – Tabulati di calcolo Tomo 1

Verifiche a deformabilità

Mensola X: No; Mensola Y: No.

Frecce lungo X

Ascissa freccia	Combinazione	Freccia	Luce	L/f	L/f,min	Tipo	Verifica
0.401	SLE RA 1	0	1.505	10000	250	Totale	Si
0.452	SLE RA 17	0	1.505	10000	250	Totale	Si
0.452	SLE RA 16	0	1.505	10000	250	Totale	Si
0.401	SLE RA 15	0	1.505	10000	250	Totale	Si
0.452	SLE RA 14	0	1.505	10000	250	Totale	Si
0.452	SLE RA 2	0	1.505	10000	350	Variabile	Si
0.452	SLE RA 17	0	1.505	10000	350	Variabile	Si
0.452	SLE RA 16	0	1.505	10000	350	Variabile	Si
0.401	SLE RA 15	0	1.505	10000	350	Variabile	Si
0.502	SLE RA 14	0	1.505	10000	350	Variabile	Si

Frecce lungo Y

Ascissa freccia	Combinazione	Freccia	Luce	L/f	L/f,min	Tipo	Verifica
0.753	SLE RA 1	-0.00003	1.505	10000	250	Totale	Si
0.753	SLE RA 17	-0.00003	1.505	10000	250	Totale	Si
0.753	SLE RA 16	-0.00003	1.505	10000	250	Totale	Si
0.753	SLE RA 15	-0.00003	1.505	10000	250	Totale	Si
0.753	SLE RA 14	-0.00003	1.505	10000	250	Totale	Si
0.652	SLE RA 2	0	1.505	10000	350	Variabile	Si
0.602	SLE RA 17	0	1.505	10000	350	Variabile	Si
0.602	SLE RA 16	0	1.505	10000	350	Variabile	Si
0.602	SLE RA 15	0	1.505	10000	350	Variabile	Si
0.552	SLE RA 14	0	1.505	10000	350	Variabile	Si

Superelemento in acciaio a quota "728"- "740" (909; 1684)-(800; 1787)

Caratteristiche del materiale

Acciaio: S275, fyk = 275000

Caratteristiche geometriche

Lunghezza: 1.505

Nodo iniziale: 2320 Nodo finale: 2490

Cerniera iniziale: Mmomenti 1% Cerniera finale: Mmomenti 1%

Sovreresistenza: 0% Sisma Z: No

Caratteristiche della sezione

Sezione	Rotazione	Area	Jx	Jy	ix	iy	Wx	Wy	Wplx	Wply
A1; L100*10; 1; Saldato; S275; 30; 1; 8; 8; 1	0	0.003832	0.0000035319	0.000007759	0.0304	0.045	0.0000492	0.0000739	0.00008974	0.00012727

Comportamento dei calastrelli

Accoppiamento imbottito con funzione statica (§C4.2.4.1.3.1.4 NTC18) nella campata compresa tra le ascisse 0 e 1.505 per sbandamento attorno all'asse y.

Verifiche di resistenza

Verifiche a forza assiale §4.2.4.1.2.1 - §4.2.4.1.2.2 NTC18

X	Comb.	Sfruttamento	Classe	NEd	Nc,Rd	Nt,Rd	Riduzione da taglio	px	py	Verifica
0	SLU 76	0.011	3	-10.603	1003.522		1	0	0	Si

Verifiche a forza assiale SLD §4.2.4.1.2.1 - §4.2.4.1.2.2 NTC18

X	Comb.	Sfruttamento	Classe	NEd	Nc,Rd	Nt,Rd	Riduzione da taglio	px	py	Verifica
0	SLD 1	0.004	3	-3.655	1003.522		1	0	0	Si

Verifica a taglio Y §4.2.4.1.2.4 NTC18

X	Comb.	Sfruttamento	VEd	Vc,Rd	Av	Interazione taglio-torsione	Riduzione torsione	Verifica
1.505	SLU 63	0.001	-0.302	302.422	0.002	Non considerata		Si

Verifica a taglio Y SLD §4.2.4.1.2.4 NTC18

X	Comb.	Sfruttamento	VEd	Vc,Rd	Av	Interazione taglio-torsione	Riduzione torsione	Verifica
1.505	SLD 16	0.001	-0.227	302.422	0.002	Non considerata		Si

Verifica a flessione semplice X §§ 4.2.4.1.2.3 - 4.2.4.1.2.6 - 4.2.4.1.2.7 - 4.2.4.1.2.8 NTC18

X	Comb.	Sfruttamento	Classe	Mx,Ed	Mx,Rd	Rid. Mx,Rd da VEd	px	py	Verifica
0.753	SLU 43	0.005	1	-0.11006	23.50374	1	0	0	Si

Verifica a presso/tenso flessione retta X §§ 4.2.4.1.2.3 - 4.2.4.1.2.6 - 4.2.4.1.2.7 - 4.2.4.1.2.8 NTC18

Verifiche eseguite utilizzando la formula conservativa (6.2) §6.2.1 EN 1993-1-1:2005.

X	Comb.	Sfruttamento	Classe	NEd	NRd	Rid. NRd da VEd	Mx,Ed	Mx,Rd	Rid. Mx,Rd da VEd	Rid. Mx,Rd da NEd	px	py	Verifica
0.753	SLU 40	0.007	1	2.234	1003.522	1	-0.1098	23.5037	1		0	0	Si

Verifica a presso/tenso flessione retta X SLD §§ 4.2.4.1.2.3 - 4.2.4.1.2.6 - 4.2.4.1.2.7 - 4.2.4.1.2.8 NTC18

Verifiche eseguite utilizzando la formula conservativa (6.2) §6.2.1 EN 1993-1-1:2005.

X	Comb.	Sfruttamento	Classe	NEd	NRd	Rid. NRd da VEd	Mx,Ed	Mx,Rd	Rid. Mx,Rd da VEd	Rid. Mx,Rd da NEd	px	py	Verifica
0.803	SLD 11	0.006	1	-2.289	1003.522	1	-0.0852	23.5037	1		0	0	Si

Verifica a presso/tenso flessione retta Y §§ 4.2.4.1.2.3 - 4.2.4.1.2.6 - 4.2.4.1.2.7 - 4.2.4.1.2.8 NTC18

Verifiche eseguite utilizzando la formula conservativa (6.2) §6.2.1 EN 1993-1-1:2005.

Implementazione dei sistemi di confinamento delle emissioni odorigene diffuse dell'impianto di compostaggio esistente nel
Comune di Eboli (SA)

PROGETTO DEFINITIVO – Tabulati di calcolo Tomo 1

X	Comb.	Sfruttamento	Classe	NEd	NRd	Rid. NRd da VEd	My,Ed	My,Rd	Rid. My,Rd da VEd	Rid. My,Rd da NEd	px	py	Verifica
0	SLU 76	0.012	3	-10.603	1003.522	1	-0.0333	19.3536	1		0	0	Si

Verifica a presso/tenso flessione retta Y SLD §§ 4.2.4.1.2.3 - 4.2.4.1.2.6 - 4.2.4.1.2.7 - 4.2.4.1.2.8 NTC18

Verifiche eseguite utilizzando la formula conservativa (6.2) §6.2.1 EN 1993-1-1:2005.

X	Comb.	Sfruttamento	Classe	NEd	NRd	Rid. NRd da VEd	My,Ed	My,Rd	Rid. My,Rd da VEd	Rid. My,Rd da NEd	px	py	Verifica
0	SLD 1	0.004	3	-3.655	1003.522	1	0.0126	19.3536	1		0	0	Si

Verifica a presso/tenso flessione deviata §§ 4.2.4.1.2.3 - 4.2.4.1.2.6 - 4.2.4.1.2.7 - 4.2.4.1.2.8 NTC18

Verifiche eseguite utilizzando la formula conservativa (6.2) §6.2.1 EN 1993-1-1:2005.

X	Comb.	Sfruttamento	Classe	NEd	NRd	Rid. NRd da VEd	Mx,Ed	Mx,Rd	My,Ed	My,Rd	Rid. Mx,Rd da VEd	Rid. Mx,Rd da NEd	Rid. My,Rd da VEd	Rid. My,Rd da NEd	α	β	px	py	Verifica
0.753	SLU 76	0.021	3	-10.579	1003.522	1	-0.1105	12.886	-0.0321	19.3536	1		1				0	0	Si

Verifica a presso/tenso flessione deviata SLD §§ 4.2.4.1.2.3 - 4.2.4.1.2.6 - 4.2.4.1.2.7 - 4.2.4.1.2.8 NTC18

Verifiche eseguite utilizzando la formula conservativa (6.2) §6.2.1 EN 1993-1-1:2005.

X	Comb.	Sfruttamento	Classe	NEd	NRd	Rid. NRd da VEd	Mx,Ed	Mx,Rd	My,Ed	My,Rd	Rid. Mx,Rd da VEd	Rid. Mx,Rd da NEd	Rid. My,Rd da VEd	Rid. My,Rd da NEd	α	β	px	py	Verifica
0.753	SLD 1	0.008	1	-3.636	1003.522	1	-0.0848	23.5037	0.0114	33.3316	1		1				0	0	Si

Verifiche ad instabilità

Caratteristiche iniziali

Membratura principale per controllo snellezza; Calcolo di snellezze ed N critici condotti secondo gli assi principali;

Curva X: c; Curva Y: c;

Svergolamento: Nessuno; la verifica a instabilità flesso-torsionale (svergolamento) non verrà eseguita.

Dati per instabilità attorno a x

Controllo della snellezza secondo §4.2.4.1.3.1 NTC18

Numero rit.	Presente	Ascissa	Campata	βx/m	Vincolo a entrambi estremi	λx/m	λVer
1	Si	0					
			1-2		1	49.6	Si, (<200)
2	Si	1.505					

Dati per instabilità attorno a y

Controllo della snellezza secondo §4.2.4.1.3.1 NTC18

Numero rit.	Presente	Ascissa	Campata	βy/n	k,LT	kw,LT	Vincolo a entrambi estremi
1	Si	0					
			1-2		1	34.9	Si, (<200)
2	Si	1.505					

Verifica di stabilità per pressoflessione §C.4.2.4.1.3.3.1 NTC18

X	Comb.	Sfruttamento	Classe	NEd	MxEq,Ed	MyEq,Ed	Area	Wx	Wy	χ,min	λ adim. x/m	λ adim. y/n	N,crit x/m	N,crit y/n	Verifica
0	SLU 76	0.022	3	-10.603	-0.0957	-0.025	0.003832	0.0000492	0.0000739	0.802	0.571	0.402	3231.032	6528.319	Si

Verifica di stabilità per pressoflessione SLD §C.4.2.4.1.3.3.1 NTC18

X	Comb.	Sfruttamento	Classe	NEd	MxEq,Ed	MyEq,Ed	Area	Wx	Wy	χ,min	λ adim. x/m	λ adim. y/n	N,crit x/m	N,crit y/n	Verifica
0	SLD 1	0.011	3	-3.655	-0.0733	0.0094	0.003832	0.0000492	0.0000739	0.802	0.571	0.402	3231.032	6528.319	Si

Verifiche a deformabilità

Mensola X: No; Mensola Y: No.

Frecce lungo X

Ascissa freccia	Combinazione	Freccia	Luce	L/f	L/f,min	Tipo	Verifica
0.452	SLE RA 1	0	1.505	10000	250	Totale	Si
0.452	SLE RA 17	0	1.505	10000	250	Totale	Si
0.452	SLE RA 16	0	1.505	10000	250	Totale	Si
0.452	SLE RA 15	0	1.505	10000	250	Totale	Si
0.452	SLE RA 14	0	1.505	10000	250	Totale	Si
0.452	SLE RA 2	0	1.505	10000	350	Variabile	Si
0.452	SLE RA 17	0	1.505	10000	350	Variabile	Si
0.452	SLE RA 16	0	1.505	10000	350	Variabile	Si
0.452	SLE RA 15	0	1.505	10000	350	Variabile	Si
0.452	SLE RA 14	0	1.505	10000	350	Variabile	Si

Frecce lungo Y

Ascissa freccia	Combinazione	Freccia	Luce	L/f	L/f,min	Tipo	Verifica
0.753	SLE RA 1	-0.00003	1.505	10000	250	Totale	Si
0.753	SLE RA 17	-0.00003	1.505	10000	250	Totale	Si
0.753	SLE RA 16	-0.00003	1.505	10000	250	Totale	Si
0.753	SLE RA 15	-0.00003	1.505	10000	250	Totale	Si
0.753	SLE RA 14	-0.00003	1.505	10000	250	Totale	Si
0.602	SLE RA 2	0	1.505	10000	350	Variabile	Si
0.602	SLE RA 17	0	1.505	10000	350	Variabile	Si
0.602	SLE RA 16	0	1.505	10000	350	Variabile	Si
0.502	SLE RA 15	0	1.505	10000	350	Variabile	Si
0.552	SLE RA 14	0	1.505	10000	350	Variabile	Si

Superelemento in acciaio a quota "728"- "740" (1166; 1959)-(1057; 2062)

Caratteristiche del materiale

Acciaio: S275, fyk = 275000

Implementazione dei sistemi di confinamento delle emissioni odorigene diffuse dell'impianto di compostaggio esistente nel
Comune di Eboli (SA)
PROGETTO DEFINITIVO – Tabulati di calcolo Tomo 1

Caratteristiche geometriche

Lunghezza: 1.505
Nodo iniziale: 2327 Nodo finale: 2498
Cerniera iniziale: Mmomenti 1% Cerniera finale: Mmomenti 1%
Sovraresistenza: 0% Sisma Z: No

Caratteristiche della sezione

Sezione	Rotazione	Area	Jx	Jy	ix	iy	Wx	Wy	Wplx	Wply
A1; L100*10; 1; Saldato; S275; 30; 1; 8; 8; 1	0	0.003832	0.0000035319	0.000007759	0.0304	0.045	0.0000492	0.0000739	0.00008974	0.00012727

Comportamento dei calastrelli

Accoppiamento imbottito con funzione statica (§C4.2.4.1.3.1.4 NTC18) nella campata compresa tra le ascisse 0 e 1.505 per sbandamento attorno all'asse y.

Verifiche di resistenza

Verifiche a forza assiale §4.2.4.1.2.1 - §4.2.4.1.2.2 NTC18

X	Comb.	Sfruttamento	Classe	NEd	Nc,Rd	Nt,Rd	Riduzione da taglio	px	py	Verifica
0	SLU 75	0.019	3	-18.796	1003.522		1	0	0	Si

Verifiche a forza assiale SLD §4.2.4.1.2.1 - §4.2.4.1.2.2 NTC18

X	Comb.	Sfruttamento	Classe	NEd	Nc,Rd	Nt,Rd	Riduzione da taglio	px	py	Verifica
0	SLD 13	0.006	3	-6.07	1003.522		1	0	0	Si

Verifica a taglio Y §4.2.4.1.2.4 NTC18

X	Comb.	Sfruttamento	VEd	Vc,Rd	Av	Interazione taglio-torsione	Riduzione torsione	Verifica
0	SLU 75	0.001	0.324	302.422	0.002	Non considerata		Si

Verifica a taglio Y SLD §4.2.4.1.2.4 NTC18

X	Comb.	Sfruttamento	VEd	Vc,Rd	Av	Interazione taglio-torsione	Riduzione torsione	Verifica
0	SLD 16	0.001	0.233	302.422	0.002	Non considerata		Si

Verifica a presso/tenso flessione retta X §§ 4.2.4.1.2.3 - 4.2.4.1.2.6 - 4.2.4.1.2.7 - 4.2.4.1.2.8 NTC18

Verifiche eseguite utilizzando la formula conservativa (6.2) §6.2.1 EN 1993-1-1:2005.

X	Comb.	Sfruttamento	Classe	NEd	NRd	Rid. NRd da VEd	Mx,Ed	Mx,Rd	Rid. Mx,Rd da VEd	Rid. Mx,Rd da NEd	px	py	Verifica
0.753	SLU 40	0.008	1	2.652	1003.522	1	-0.1168	23.5037	1		0	0	Si

Verifica a presso/tenso flessione retta Y §§ 4.2.4.1.2.3 - 4.2.4.1.2.6 - 4.2.4.1.2.7 - 4.2.4.1.2.8 NTC18

Verifiche eseguite utilizzando la formula conservativa (6.2) §6.2.1 EN 1993-1-1:2005.

X	Comb.	Sfruttamento	Classe	NEd	NRd	Rid. NRd da VEd	My,Ed	My,Rd	Rid. My,Rd da VEd	Rid. My,Rd da NEd	px	py	Verifica
0.151	SLU 75	0.022	3	-18.792	1003.522	1	-0.057	19.3536	1		0	0	Si

Verifica a presso/tenso flessione retta Y SLD §§ 4.2.4.1.2.3 - 4.2.4.1.2.6 - 4.2.4.1.2.7 - 4.2.4.1.2.8 NTC18

Verifiche eseguite utilizzando la formula conservativa (6.2) §6.2.1 EN 1993-1-1:2005.

X	Comb.	Sfruttamento	Classe	NEd	NRd	Rid. NRd da VEd	My,Ed	My,Rd	Rid. My,Rd da VEd	Rid. My,Rd da NEd	px	py	Verifica
0.05	SLD 14	0.007	3	-6.069	1003.522	1	-0.0184	19.3536	1		0	0	Si

Verifica a presso/tenso flessione deviata §§ 4.2.4.1.2.3 - 4.2.4.1.2.6 - 4.2.4.1.2.7 - 4.2.4.1.2.8 NTC18

Verifiche eseguite utilizzando la formula conservativa (6.2) §6.2.1 EN 1993-1-1:2005.

X	Comb.	Sfruttamento	Classe	NEd	NRd	Rid. NRd da VEd	Mx,Ed	Mx,Rd	My,Ed	My,Rd	Rid. Mx,Rd da VEd	Rid. Mx,Rd da NEd	Rid. My,Rd da VEd	Rid. My,Rd da NEd	α	β	px	py	Verifica
0.853	SLU 75	0.028	3	-18.769	1003.522	1	-0.0879	12.886	-0.0568	19.3536	1		1				0	0	Si

Verifica a presso/tenso flessione deviata SLD §§ 4.2.4.1.2.3 - 4.2.4.1.2.6 - 4.2.4.1.2.7 - 4.2.4.1.2.8 NTC18

Verifiche eseguite utilizzando la formula conservativa (6.2) §6.2.1 EN 1993-1-1:2005.

X	Comb.	Sfruttamento	Classe	NEd	NRd	Rid. NRd da VEd	Mx,Ed	Mx,Rd	My,Ed	My,Rd	Rid. Mx,Rd da VEd	Rid. Mx,Rd da NEd	Rid. My,Rd da VEd	Rid. My,Rd da NEd	α	β	px	py	Verifica
0.602	SLD 14	0.013	3	-6.055	1003.522	1	-0.0756	12.886	-0.0183	19.3536	1		1				0	0	Si

Verifiche ad instabilità

Caratteristiche iniziali

Membratura principale per controllo snellezza; Calcolo di snellezze ed N critici condotti secondo gli assi principali;
Curva X: c; Curva Y: c;
Svergolamento: Nessuno; la verifica a instabilità flesso-torsionale (svergolamento) non verrà eseguita.

Dati per instabilità attorno a x

Controllo della snellezza secondo §4.2.4.1.3.1 NTC18

Numero rit.	Presente	Ascissa	Campata	βx/m	Vincolo a entrambi estremi	λx/m	λVer
1	Si	0					
			1-2	1	Si	49.6	Si, (<200)
2	Si	1.505					

Dati per instabilità attorno a y

Controllo della snellezza secondo §4.2.4.1.3.1 NTC18

Numero rit.	Presente	Ascissa	Campata	βy/n	k,LT	kw,LT	Vincolo a entrambi estremi
1	Si	0					
			1-2	1	Si	34.9	Si, (<200)
2	Si	1.505					

Implementazione dei sistemi di confinamento delle emissioni odorigene diffuse dell'impianto di compostaggio esistente nel
Comune di Eboli (SA)
PROGETTO DEFINITIVO – Tabulati di calcolo Tomo 1

Verifica di stabilità per pressoflessione §C.4.2.4.1.3.3.1 NTC18

X	Comb.	Sfruttamento	Classe	NEd	MxEq,Ed	MyEq,Ed	Area	Wx	Wy	x,min	λ adim. x/m	λ adim. y/n	N,crit x/m	N,crit y/n	Verifica
0	SLU 75	0,031	3	-18,796	-0,0659	-0,057	0,003832	0,0000492	0,0000739	0,802	0,571	0,402	3231,032	6528,319	Si

Verifica di stabilità per pressoflessione SLD §C.4.2.4.1.3.3.1 NTC18

X	Comb.	Sfruttamento	Classe	NEd	MxEq,Ed	MyEq,Ed	Area	Wx	Wy	x,min	λ adim. x/m	λ adim. y/n	N,crit x/m	N,crit y/n	Verifica
0	SLD 13	0,014	3	-6,07	-0,0672	-0,0184	0,003832	0,0000492	0,0000739	0,802	0,571	0,402	3231,032	6528,319	Si

Verifiche a deformabilità

Mensola X: No; Mensola Y: No.

Frecce lungo X

Ascissa freccia	Combinazione	Freccia	Luce	L/f	L/f,min	Tipo	Verifica
0,702	SLE RA 1	0	1,505	10000	250	Totale	Si
0,652	SLE RA 17	0	1,505	10000	250	Totale	Si
0,652	SLE RA 16	0	1,505	10000	250	Totale	Si
0,702	SLE RA 15	0	1,505	10000	250	Totale	Si
0,602	SLE RA 14	0	1,505	10000	250	Totale	Si
0,602	SLE RA 2	0	1,505	10000	350	Variabile	Si
0,602	SLE RA 17	0	1,505	10000	350	Variabile	Si
0,602	SLE RA 16	0	1,505	10000	350	Variabile	Si
0,753	SLE RA 15	0	1,505	10000	350	Variabile	Si
0,602	SLE RA 14	0	1,505	10000	350	Variabile	Si

Frecce lungo Y

Ascissa freccia	Combinazione	Freccia	Luce	L/f	L/f,min	Tipo	Verifica
0,753	SLE RA 1	-0,00003	1,505	10000	250	Totale	Si
0,753	SLE RA 17	-0,00002	1,505	10000	250	Totale	Si
0,753	SLE RA 16	-0,00002	1,505	10000	250	Totale	Si
0,753	SLE RA 15	-0,00003	1,505	10000	250	Totale	Si
0,753	SLE RA 14	-0,00002	1,505	10000	250	Totale	Si
0,652	SLE RA 2	0	1,505	10000	350	Variabile	Si
0,652	SLE RA 17	0	1,505	10000	350	Variabile	Si
0,652	SLE RA 16	0	1,505	10000	350	Variabile	Si
0,803	SLE RA 15	0	1,505	10000	350	Variabile	Si
0,652	SLE RA 14	0	1,505	10000	350	Variabile	Si

Superelemento in acciaio a quota "728"- "740" (1416; 2223)-(1306; 2325)

Caratteristiche del materiale

Acciaio: S275, fyk = 275000

Caratteristiche geometriche

Lunghezza: 1.505

Nodo iniziale: 2338 Nodo finale: 2502

Cerniera iniziale: Mmomenti 1% Cerniera finale: Mmomenti 1%

Sovraresistenza: 0% Sisma Z: No

Caratteristiche della sezione

Sezione	Rotazione	Area	Jx	Jy	ix	iy	Wx	Wy	Wplx	Wply
A1; L100*10; 1; Saldato; S275; 30; 1; 8; 8; 1	0	0,003832	0,0000035319	0,000007759	0,0304	0,045	0,0000492	0,0000739	0,00008974	0,00012727

Comportamento dei calastrelli

Accoppiamento imbottito con funzione statica (§C4.2.4.1.3.1.4 NTC18) nella campata compresa tra le ascisse 0 e 1.505 per sbandamento attorno all'asse y.

Verifiche di resistenza

Verifiche a forza assiale §4.2.4.1.2.1 - §4.2.4.1.2.2 NTC18

X	Comb.	Sfruttamento	Classe	NEd	Nc,Rd	Nt,Rd	Riduzione da taglio	px	py	Verifica
0	SLU 75	0,013	3	-12,833	1003,522		1	0	0	Si

Verifiche a forza assiale SLD §4.2.4.1.2.1 - §4.2.4.1.2.2 NTC18

X	Comb.	Sfruttamento	Classe	NEd	Nc,Rd	Nt,Rd	Riduzione da taglio	px	py	Verifica
0	SLD 1	0,004	3	-4,362	1003,522		1	0	0	Si

Verifica a taglio Y §4.2.4.1.2.4 NTC18

X	Comb.	Sfruttamento	VEd	Vc,Rd	Av	Interazione taglio-torsione	Riduzione torsione	Verifica
0	SLU 75	0,001	0,313	302,422	0,002	Non considerata		Si

Verifica a taglio Y SLD §4.2.4.1.2.4 NTC18

X	Comb.	Sfruttamento	VEd	Vc,Rd	Av	Interazione taglio-torsione	Riduzione torsione	Verifica
0	SLD 16	0,001	0,235	302,422	0,002	Non considerata		Si

Verifica a flessione semplice X §§ 4.2.4.1.2.3 - 4.2.4.1.2.6 - 4.2.4.1.2.7 - 4.2.4.1.2.8 NTC18

X	Comb.	Sfruttamento	Classe	Mx,Ed	Mx,Rd	Rid. Mx,Rd da VEd	px	py	Verifica
0,753	SLU 24	0,004	1	-0,08466	23,50374	1	0	0	Si

Verifica a presso/tenso flessione retta X §§ 4.2.4.1.2.3 - 4.2.4.1.2.6 - 4.2.4.1.2.7 - 4.2.4.1.2.8 NTC18

Verifiche eseguite utilizzando la formula conservativa (6.2) §6.2.1 EN 1993-1-1:2005.

X	Comb.	Sfruttamento	Classe	NEd	NRd	Rid. NRd da VEd	Mx,Ed	Mx,Rd	Rid. Mx,Rd da VEd	Rid. Mx,Rd da NEd	px	py	Verifica
---	-------	--------------	--------	-----	-----	-----------------	-------	-------	-------------------	-------------------	----	----	----------

Implementazione dei sistemi di confinamento delle emissioni odorigene diffuse dell'impianto di compostaggio esistente nel
Comune di Eboli (SA)

PROGETTO DEFINITIVO – Tabulati di calcolo Tomo 1

X	Comb.	Sfruttamento	Classe	NEd	NRd	Rid. NRd da VEd	Mx,Ed	Mx,Rd	Rid. Mx,Rd da VEd	Rid. Mx,Rd da NEd	px	py	Verifica
0.753	SLU 40	0.008	1	2.719	1003.522	1	-0.1132	23.5037	1		0	0	Si

Verifica a presso/tenso flessione retta Y §§ 4.2.4.1.2.3 - 4.2.4.1.2.6 - 4.2.4.1.2.7 - 4.2.4.1.2.8 NTC18

Verifiche eseguite utilizzando la formula conservativa (6.2) §6.2.1 EN 1993-1-1:2005.

X	Comb.	Sfruttamento	Classe	NEd	NRd	Rid. NRd da VEd	My,Ed	My,Rd	Rid. My,Rd da VEd	Rid. My,Rd da NEd	px	py	Verifica
0.1	SLU 75	0.015	3	-12.829	1003.522	1	-0.0387	19.3536	1		0	0	Si

Verifica a presso/tenso flessione retta Y SLD §§ 4.2.4.1.2.3 - 4.2.4.1.2.6 - 4.2.4.1.2.7 - 4.2.4.1.2.8 NTC18

Verifiche eseguite utilizzando la formula conservativa (6.2) §6.2.1 EN 1993-1-1:2005.

X	Comb.	Sfruttamento	Classe	NEd	NRd	Rid. NRd da VEd	My,Ed	My,Rd	Rid. My,Rd da VEd	Rid. My,Rd da NEd	px	py	Verifica
0	SLD 1	0.005	3	-4.362	1003.522	1	0.0134	19.3536	1		0	0	Si

Verifica a presso/tenso flessione deviata §§ 4.2.4.1.2.3 - 4.2.4.1.2.6 - 4.2.4.1.2.7 - 4.2.4.1.2.8 NTC18

Verifiche eseguite utilizzando la formula conservativa (6.2) §6.2.1 EN 1993-1-1:2005.

X	Comb.	Sfruttamento	Classe	NEd	NRd	Rid. NRd da VEd	Mx,Ed	Mx,Rd	My,Ed	My,Rd	Rid. Mx,Rd da VEd	Rid. Mx,Rd da NEd	Rid. My,Rd da VEd	Rid. My,Rd da NEd	α	β	px	py	Verifica
0.803	SLU 75	0.022	3	-12.806	1003.522	1	-0.0958	12.886	-0.0388	19.3536	1		1				0	0	Si

Verifica a presso/tenso flessione deviata SLD §§ 4.2.4.1.2.3 - 4.2.4.1.2.6 - 4.2.4.1.2.7 - 4.2.4.1.2.8 NTC18

Verifiche eseguite utilizzando la formula conservativa (6.2) §6.2.1 EN 1993-1-1:2005.

X	Comb.	Sfruttamento	Classe	NEd	NRd	Rid. NRd da VEd	Mx,Ed	Mx,Rd	My,Ed	My,Rd	Rid. Mx,Rd da VEd	Rid. Mx,Rd da NEd	Rid. My,Rd da VEd	Rid. My,Rd da NEd	α	β	px	py	Verifica
0.301	SLD 2	0.009	3	-4.354	1003.522	1	-0.0551	12.886	-0.0132	19.3536	1		1				0	0	Si

Verifiche ad instabilità

Caratteristiche iniziali

Membratura principale per controllo snellezza; Calcolo di snellezze ed N critici condotti secondo gli assi principali;

Curva X: c; Curva Y: c;

Svergolamento: Nessuno; la verifica a instabilità flesso-torsionale (svergolamento) non verrà eseguita.

Dati per instabilità attorno a x

Controllo della snellezza secondo §4.2.4.1.3.1 NTC18

Numero rit.	Presente	Ascissa	Campata	βx/m	Vincolo a entrambi estremi	λx/m	λVer
1	Si		0				
			1-2		1	49.6	Si, (<200)
2	Si		1,505				

Dati per instabilità attorno a y

Controllo della snellezza secondo §4.2.4.1.3.1 NTC18

Numero rit.	Presente	Ascissa	Campata	βy/n	k,LT	kw,LT	Vincolo a entrambi estremi
1	Si		0				
			1-2		1	34.9	Si, (<200)
2	Si		1,505				

Verifica di stabilità per pressoflessione §C.4.2.4.1.3.3.1 NTC18

X	Comb.	Sfruttamento	Classe	NEd	MxEq,Ed	MyEq,Ed	Area	Wx	Wy	χ,min	λ adim. x/m	λ adim. y/n	N,crit x/m	N,crit y/n	Verifica
0	SLU 75	0.024	3	-12.833	-0.0759	-0.0388	0.003832	0.0000492	0.0000739	0.802	0.571	0.402	3231.032	6528.319	Si

Verifica di stabilità per pressoflessione SLD §C.4.2.4.1.3.3.1 NTC18

X	Comb.	Sfruttamento	Classe	NEd	MxEq,Ed	MyEq,Ed	Area	Wx	Wy	χ,min	λ adim. x/m	λ adim. y/n	N,crit x/m	N,crit y/n	Verifica
0	SLD 1	0.012	3	-4.362	-0.074	0.0134	0.003832	0.0000492	0.0000739	0.802	0.571	0.402	3231.032	6528.319	Si

Verifiche a deformabilità

Mensola X: No; Mensola Y: No.

Frecce lungo X

Ascissa freccia	Combinazione	Freccia	Luce	L/f	L/f,min	Tipo	Verifica
0.853	SLE RA 1	0	1.505	10000	250	Totale	Si
0.903	SLE RA 17	0	1.505	10000	250	Totale	Si
0.903	SLE RA 16	0	1.505	10000	250	Totale	Si
0.953	SLE RA 15	0	1.505	10000	250	Totale	Si
0.853	SLE RA 14	0	1.505	10000	250	Totale	Si
0.953	SLE RA 2	0	1.505	10000	350	Variabile	Si
0.953	SLE RA 17	0	1.505	10000	350	Variabile	Si
0.953	SLE RA 16	0	1.505	10000	350	Variabile	Si
1.154	SLE RA 15	0	1.505	10000	350	Variabile	Si
0.803	SLE RA 14	0	1.505	10000	350	Variabile	Si

Frecce lungo Y

Ascissa freccia	Combinazione	Freccia	Luce	L/f	L/f,min	Tipo	Verifica
0.753	SLE RA 1	-0.00003	1.505	10000	250	Totale	Si
0.753	SLE RA 17	-0.00003	1.505	10000	250	Totale	Si
0.753	SLE RA 16	-0.00002	1.505	10000	250	Totale	Si
0.753	SLE RA 15	-0.00003	1.505	10000	250	Totale	Si
0.753	SLE RA 14	-0.00002	1.505	10000	250	Totale	Si
0.652	SLE RA 2	0	1.505	10000	350	Variabile	Si
0.652	SLE RA 17	0	1.505	10000	350	Variabile	Si
0.652	SLE RA 16	0	1.505	10000	350	Variabile	Si
0.602	SLE RA 15	0	1.505	10000	350	Variabile	Si
0.652	SLE RA 14	0	1.505	10000	350	Variabile	Si

Superelemento in acciaio a quota "728"- "740" (1670; 2494)-(1561; 2597)

Caratteristiche del materiale

Acciaio: S275, fyk = 275000

Caratteristiche geometriche

Lunghezza: 1.505

Nodo iniziale: 2371 Nodo finale: 2530

Cerniera iniziale: Mmomenti 1% Cerniera finale: Mmomenti 1%

Sovraresistenza: 0% Sisma Z: No

Caratteristiche della sezione

Sezione	Rotazione	Area	Jx	Jy	ix	iy	Wx	Wy	Wplx	Wply
A1; L100*10; 1; Saldato; S275; 30; 1; 8; 8; 1	0	0.003832	0.0000035319	0.000007759	0.0304	0.045	0.0000492	0.0000739	0.00008974	0.00012727

Comportamento dei calastrelli

Accoppiamento imbottito con funzione statica (§C4.2.4.1.3.1.4 NTC18) nella campata compresa tra le ascisse 0 e 1.505 per sbandamento attorno all'asse y.

Verifiche di resistenza

Verifiche a forza assiale §4.2.4.1.2.1 - §4.2.4.1.2.2 NTC18

X	Comb.	Sfruttamento	Classe	NEd	Nc,Rd	Nt,Rd	Riduzione da taglio	px	py	Verifica
1.505	SLU 76	0.013		13.437		1003.522	1	0	0	Si

Verifiche a forza assiale SLD §4.2.4.1.2.1 - §4.2.4.1.2.2 NTC18

X	Comb.	Sfruttamento	Classe	NEd	Nc,Rd	Nt,Rd	Riduzione da taglio	px	py	Verifica
1.505	SLD 4	0.007		6.84		1003.522	1	0	0	Si

Verifica a taglio Y §4.2.4.1.2.4 NTC18

X	Comb.	Sfruttamento	VEd	Vc,Rd	Av	Interazione taglio-torsione	Riduzione torsione	Verifica
0	SLU 76	0.001	0.298	302.422	0.002	Non considerata		Si

Verifica a taglio Y SLD §4.2.4.1.2.4 NTC18

X	Comb.	Sfruttamento	VEd	Vc,Rd	Av	Interazione taglio-torsione	Riduzione torsione	Verifica
0	SLD 16	0.001	0.228	302.422	0.002	Non considerata		Si

Verifica a flessione semplice X §§ 4.2.4.1.2.3 - 4.2.4.1.2.6 - 4.2.4.1.2.7 - 4.2.4.1.2.8 NTC18

X	Comb.	Sfruttamento	Classe	Mx,Ed	Mx,Rd	Rid. Mx,Rd da VEd	px	py	Verifica
0.753	SLU 2	0.004	1	-0.0844	23.50374	1	0	0	Si

Verifica a presso/tenso flessione retta X §§ 4.2.4.1.2.3 - 4.2.4.1.2.6 - 4.2.4.1.2.7 - 4.2.4.1.2.8 NTC18

Verifiche eseguite utilizzando la formula conservativa (6.2) §6.2.1 EN 1993-1-1:2005.

X	Comb.	Sfruttamento	Classe	NEd	NRd	Rid. NRd da VEd	Mx,Ed	Mx,Rd	Rid. Mx,Rd da VEd	Rid. Mx,Rd da NEd	px	py	Verifica
0.753	SLU 76	0.018	1	13.413	1003.522	1	-0.1141	23.5037	1		0	0	Si

Verifica a presso/tenso flessione retta X SLD §§ 4.2.4.1.2.3 - 4.2.4.1.2.6 - 4.2.4.1.2.7 - 4.2.4.1.2.8 NTC18

Verifiche eseguite utilizzando la formula conservativa (6.2) §6.2.1 EN 1993-1-1:2005.

X	Comb.	Sfruttamento	Classe	NEd	NRd	Rid. NRd da VEd	Mx,Ed	Mx,Rd	Rid. Mx,Rd da VEd	Rid. Mx,Rd da NEd	px	py	Verifica
0.753	SLD 4	0.01	1	6.821	1003.522	1	-0.0864	23.5037	1		0	0	Si

Verifiche ad instabilità

Caratteristiche iniziali

Membratura principale per controllo snellezza; Calcolo di snellezze ed N critici condotti secondo gli assi principali;

Curva X: c; Curva Y: c;

Svergolamento: Nessuno; la verifica a instabilità flesso-torsionale (svergolamento) non verrà eseguita.

Dati per instabilità attorno a x

Controllo della snellezza secondo §4.2.4.1.3.1 NTC18

Numero rit.	Presente	Ascissa	Campata	βx/m	Vincolo a entrambi estremi	λx/m	λVer
1	Si	0					
			1-2	1	Si	49.6	Si, (<200)
2	Si	1.505					

Dati per instabilità attorno a y

Controllo della snellezza secondo §4.2.4.1.3.1 NTC18

Numero rit.	Presente	Ascissa	Campata	βy/n	k,LT	kw,LT	Vincolo a entrambi estremi
1	Si	0					
			1-2	1	Si	34.9	Si, (<200)
2	Si	1.505					

NB: superelemento non sollecitato. Verifiche non condotte.

Verifiche a deformabilità

Mensola X: No; Mensola Y: No.

Frecce lungo X

Ascissa freccia	Combinazione	Freccia	Luce	L/f	L/f,min	Tipo	Verifica
0.502	SLE RA 1	0	1.505	10000	250	Totale	Si
0.502	SLE RA 17	0	1.505	10000	250	Totale	Si
0.502	SLE RA 16	0	1.505	10000	250	Totale	Si

**Implementazione dei sistemi di confinamento delle emissioni odorigene diffuse dell'impianto di compostaggio esistente nel
Comune di Eboli (SA)
PROGETTO DEFINITIVO – Tabulati di calcolo Tomo 1**

Ascissa freccia	Combinazione	Freccia	Luce	L/f	L/f,min	Tipo	Verifica
0.502	SLE RA 15	0	1.505	10000	250	Totale	Si
0.502	SLE RA 14	0	1.505	10000	250	Totale	Si
0.502	SLE RA 2	0	1.505	10000	350	Variabile	Si
0.552	SLE RA 17	0	1.505	10000	350	Variabile	Si
0.552	SLE RA 16	0	1.505	10000	350	Variabile	Si
0.502	SLE RA 15	0	1.505	10000	350	Variabile	Si
0.552	SLE RA 14	0	1.505	10000	350	Variabile	Si

Frecce lungo Y

Ascissa freccia	Combinazione	Freccia	Luce	L/f	L/f,min	Tipo	Verifica
0.753	SLE RA 1	-0.00003	1.505	10000	250	Totale	Si
0.753	SLE RA 17	-0.00003	1.505	10000	250	Totale	Si
0.753	SLE RA 16	-0.00003	1.505	10000	250	Totale	Si
0.753	SLE RA 15	-0.00003	1.505	10000	250	Totale	Si
0.753	SLE RA 14	-0.00003	1.505	10000	250	Totale	Si
0.853	SLE RA 2	0	1.505	10000	350	Variabile	Si
0.853	SLE RA 17	0	1.505	10000	350	Variabile	Si
0.853	SLE RA 16	0	1.505	10000	350	Variabile	Si
0.853	SLE RA 15	0	1.505	10000	350	Variabile	Si
0.853	SLE RA 14	0	1.505	10000	350	Variabile	Si

Superelemento in acciaio a quota "728"- "740" (1999; 2693)-(1999; 2593)

Caratteristiche del materiale

Acciaio: S275, fyk = 275000

Caratteristiche geometriche

Lunghezza: 1.008

Nodo iniziale: 2378 Nodo finale: 2508

Cerniera iniziale: Mmomenti 1% Cerniera finale: Mmomenti 1%

Sovreresistenza: 0% Sisma Z: No

Caratteristiche della sezione

Sezione	Rotazione	Area	Jx	Jy	ix	iy	Wx	Wy	Wplx	Wply
A1; L100*10; 1; Saldato; S275; 20; 1; 8; 8; 1	0	0.003832	0.0000035319	0.0000077759	0.0304	0.045	0.0000492	0.0000739	0.00008974	0.00012727

Comportamento dei calastrelli

Accoppiamento imbottito avendo passo inferiore al minimo richiesto (§C4.2.4.1.3.1.5 NTC18) nella campata compresa tra le ascisse 0 e 1.008 per sbandamento attorno all'asse y.

Verifiche di resistenza

Verifiche a forza assiale §4.2.4.1.2.1 - §4.2.4.1.2.2 NTC18

X	Comb.	Sfruttamento	Classe	NEd	Nc,Rd	Nt,Rd	Riduzione da taglio	px	py	Verifica
1.008	SLU 64	0.004		4.083		1003.522	1	0	0	Si

Verifiche a forza assiale SLD §4.2.4.1.2.1 - §4.2.4.1.2.2 NTC18

X	Comb.	Sfruttamento	Classe	NEd	Nc,Rd	Nt,Rd	Riduzione da taglio	px	py	Verifica
1.008	SLD 8	0.002		1.843		1003.522	1	0	0	Si

Verifica a taglio Y §4.2.4.1.2.4 NTC18

X	Comb.	Sfruttamento	VEd	Vc,Rd	Av	Interazione taglio-torsione	Riduzione torsione	Verifica
1.008	SLU 76	0.001	-0.212	302.422	0.002	Non considerata		Si

Verifica a flessione semplice X §§ 4.2.4.1.2.3 - 4.2.4.1.2.6 - 4.2.4.1.2.7 - 4.2.4.1.2.8 NTC18

X	Comb.	Sfruttamento	Classe	Mx,Ed	Mx,Rd	Rid. Mx,Rd da VEd	px	py	Verifica
0.504	SLU 63	0.002	1	-0.04935	23.50374	1	0	0	Si

Verifica a presso/flessione retta X §§ 4.2.4.1.2.3 - 4.2.4.1.2.6 - 4.2.4.1.2.7 - 4.2.4.1.2.8 NTC18

Verifiche eseguite utilizzando la formula conservativa (6.2) §6.2.1 EN 1993-1-1:2005.

X	Comb.	Sfruttamento	Classe	NEd	NRd	Rid. NRd da VEd	Mx,Ed	Mx,Rd	Rid. Mx,Rd da VEd	Rid. Mx,Rd da NEd	px	py	Verifica
0.47	SLU 64	0.006	1	4.057	1003.522	1	-0.0534	23.5037	1		0	0	Si

Verifica a presso/tenso flessione retta X SLD §§ 4.2.4.1.2.3 - 4.2.4.1.2.6 - 4.2.4.1.2.7 - 4.2.4.1.2.8 NTC18

Verifiche eseguite utilizzando la formula conservativa (6.2) §6.2.1 EN 1993-1-1:2005.

X	Comb.	Sfruttamento	Classe	NEd	NRd	Rid. NRd da VEd	Mx,Ed	Mx,Rd	Rid. Mx,Rd da VEd	Rid. Mx,Rd da NEd	px	py	Verifica
0.47	SLD 8	0.003	1	1.823	1003.522	1	-0.0388	23.5037	1		0	0	Si

Verifica a presso/tenso flessione retta Y §§ 4.2.4.1.2.3 - 4.2.4.1.2.6 - 4.2.4.1.2.7 - 4.2.4.1.2.8 NTC18

Verifiche eseguite utilizzando la formula conservativa (6.2) §6.2.1 EN 1993-1-1:2005.

X	Comb.	Sfruttamento	Classe	NEd	NRd	Rid. NRd da VEd	My,Ed	My,Rd	Rid. My,Rd da VEd	Rid. My,Rd da NEd	px	py	Verifica
0	SLV 11	0.002	1	1.992	1003.522	1	0.0105	33.3316	1		0	0	Si

Verifica a presso/tenso flessione deviata §§ 4.2.4.1.2.3 - 4.2.4.1.2.6 - 4.2.4.1.2.7 - 4.2.4.1.2.8 NTC18

Verifiche eseguite utilizzando la formula conservativa (6.2) §6.2.1 EN 1993-1-1:2005.

X	Comb.	Sfruttamento	Classe	NEd	NRd	Rid. NRd da VEd	Mx,Ed	Mx,Rd	My,Ed	My,Rd	Rid. Mx,Rd da VEd	Rid. Mx,Rd da NEd	Rid. My,Rd da VEd	Rid. My,Rd da NEd	α	β	px	py	Verifica
0.168	SLV 12	0.003	1	1.998	1003.522	1	-0.0227	23.5037	0.0078	33.3316	1		1				0	0	Si

Implementazione dei sistemi di confinamento delle emissioni odorigene diffuse dell'impianto di compostaggio esistente nel
Comune di Eboli (SA)
PROGETTO DEFINITIVO – Tabulati di calcolo Tomo 1

Verifiche ad instabilità

Caratteristiche iniziali

Membratura principale per controllo snellezza; Calcolo di snellezze ed N critici condotti secondo gli assi principali;
Curva X: c; Curva Y: c;
Svergolamento: Nessuno; la verifica a instabilità flessione-torsionale (svergolamento) non verrà eseguita.

Dati per instabilità attorno a x

Controllo della snellezza secondo §4.2.4.1.3.1 NTC18

Numero rit.	Presente	Ascissa	Campata	$\beta x/m$	Vincolo a entrambi estremi	$\lambda x/m$	λVer
1	Si	0					
			1-2	1	Si	33.2	Si, (<200)
2	Si	1.008					

Dati per instabilità attorno a y

Controllo della snellezza secondo §4.2.4.1.3.1 NTC18

Numero rit.	Presente	Ascissa	Campata	$\beta y/n$	k,LT	kw,LT	Vincolo a entrambi estremi
1	Si	0					
			1-2	1	Si	22.4	Si, (<200)
2	Si	1.008					

Verifica di stabilità per pressoflessione §C.4.2.4.1.3.3.1 NTC18

X	Comb.	Sfruttamento	Classe	NEd	MxEq,Ed	MyEq,Ed	Area	Wx	Wy	χ_{min}	$\lambda_{adm. x/m}$	$\lambda_{adm. y/n}$	N,crit x/m	N,crit y/n	Verifica
0	SLU 3	0.003	3	-0.633	-0.0318	0.0004	0.003832	0.0000492	0.0000739	0.907	0.382	0.258	7207.687	15834.061	Si

Verifiche a deformabilità

Mensola X: No; Mensola Y: No.

Frecce lungo X

Ascissa freccia	Combinazione	Freccia	Luce	L/f	L/f,min	Tipo	Verifica
0.302	SLE RA 1	0	1.008	10000	250	Totale	Si
0.302	SLE RA 17	0	1.008	10000	250	Totale	Si
0.302	SLE RA 16	0	1.008	10000	250	Totale	Si
0.302	SLE RA 15	0	1.008	10000	250	Totale	Si
0.302	SLE RA 14	0	1.008	10000	250	Totale	Si
0.302	SLE RA 2	0	1.008	10000	350	Variabile	Si
0.302	SLE RA 17	0	1.008	10000	350	Variabile	Si
0.302	SLE RA 16	0	1.008	10000	350	Variabile	Si
0.302	SLE RA 15	0	1.008	10000	350	Variabile	Si
0.302	SLE RA 14	0	1.008	10000	350	Variabile	Si

Frecce lungo Y

Ascissa freccia	Combinazione	Freccia	Luce	L/f	L/f,min	Tipo	Verifica
0.504	SLE RA 1	-0.00001	1.008	10000	250	Totale	Si
0.504	SLE RA 17	-0.00001	1.008	10000	250	Totale	Si
0.504	SLE RA 16	-0.00001	1.008	10000	250	Totale	Si
0.504	SLE RA 15	-0.00001	1.008	10000	250	Totale	Si
0.504	SLE RA 14	-0.00001	1.008	10000	250	Totale	Si
0.37	SLE RA 2	0	1.008	10000	350	Variabile	Si
0.37	SLE RA 17	0	1.008	10000	350	Variabile	Si
0.37	SLE RA 16	0	1.008	10000	350	Variabile	Si
0.37	SLE RA 15	0	1.008	10000	350	Variabile	Si
0.437	SLE RA 14	0	1.008	10000	350	Variabile	Si

Superelemento in acciaio a quota "728"- "740" (2231; 2693)-(2231; 2593)

Caratteristiche del materiale

Acciaio: S275, fyk = 275000

Caratteristiche geometriche

Lunghezza: 1.008
Nodo iniziale: 2384 Nodo finale: 2510
Cerniera iniziale: Mmomenti 1% Cerniera finale: Mmomenti 1%
Sovraresistenza: 0% Sisma Z: No

Caratteristiche della sezione

Sezione	Rotazione	Area	Jx	Jy	ix	iy	Wx	Wy	Wplx	Wply
A1; L100*10; 1; Saldato; S275; 20; 1; 8; 8; 1	0	0.003832	0.0000035319	0.000007759	0.0304	0.045	0.0000492	0.0000739	0.00008974	0.00012727

Comportamento dei calastrelli

Accoppiamento imbottito avendo passo inferiore al minimo richiesto (§C4.2.4.1.3.1.5 NTC18) nella campata compresa tra le ascisse 0 e 1.008 per sbandamento attorno all'asse y.

Verifiche di resistenza

Verifiche a forza assiale §4.2.4.1.2.1 - §4.2.4.1.2.2 NTC18

X	Comb.	Sfruttamento	Classe	NEd	Nc,Rd	Nt,Rd	Riduzione da taglio	px	py	Verifica
0	SLU 75	0.004	3	-4.492	1003.522		1	0	0	Si

Verifiche a forza assiale SLD §4.2.4.1.2.1 - §4.2.4.1.2.2 NTC18

X	Comb.	Sfruttamento	Classe	NEd	Nc,Rd	Nt,Rd	Riduzione da taglio	px	py	Verifica
0	SLD 13	0.002	3	-1.842	1003.522		1	0	0	Si

Implementazione dei sistemi di confinamento delle emissioni odorigene diffuse dell'impianto di compostaggio esistente nel
Comune di Eboli (SA)

PROGETTO DEFINITIVO – Tabulati di calcolo Tomo 1

Verifica a taglio Y §4.2.4.1.2.4 NTC18

X	Comb.	Sfruttamento	VEd	Vc,Rd	Av	Interazione taglio-torsione	Riduzione torsione	Verifica
1.008	SLU 75	0.001	-0.204	302.422	0.002	Non considerata		Si

Verifica a flessione semplice X §§ 4.2.4.1.2.3 - 4.2.4.1.2.6 - 4.2.4.1.2.7 - 4.2.4.1.2.8 NTC18

X	Comb.	Sfruttamento	Classe	Mx,Ed	Mx,Rd	Rid. Mx,Rd da VEd	px	py	Verifica
0.504	SLU 62	0.002	1	-0.05036	23.50374	1	0	0	Si

Verifica a presso/tenso flessione retta X §§ 4.2.4.1.2.3 - 4.2.4.1.2.6 - 4.2.4.1.2.7 - 4.2.4.1.2.8 NTC18

Verifiche eseguite utilizzando la formula conservativa (6.2) §6.2.1 EN 1993-1-1:2005.

X	Comb.	Sfruttamento	Classe	NEd	NRd	Rid. NRd da VEd	Mx,Ed	Mx,Rd	Rid. Mx,Rd da VEd	Rid. Mx,Rd da NEd	px	py	Verifica
0.47	SLU 75	0.008	3	-4.47	1003.522	1	-0.0519	12.886	1		0	0	Si

Verifica a presso/tenso flessione retta X SLD §§ 4.2.4.1.2.3 - 4.2.4.1.2.6 - 4.2.4.1.2.7 - 4.2.4.1.2.8 NTC18

Verifiche eseguite utilizzando la formula conservativa (6.2) §6.2.1 EN 1993-1-1:2005.

X	Comb.	Sfruttamento	Classe	NEd	NRd	Rid. NRd da VEd	Mx,Ed	Mx,Rd	Rid. Mx,Rd da VEd	Rid. Mx,Rd da NEd	px	py	Verifica
0.134	SLD 13	0.004	3	-1.837	1003.522	1	-0.0231	12.886	1		0	0	Si

Verifiche ad instabilità

Caratteristiche iniziali

Membratura principale per controllo snellezza; Calcolo di snellezza ed N critici condotti secondo gli assi principali;

Curva X: c; Curva Y: c;

Svergolamento: Nessuno; la verifica a instabilità flesso-torsionale (svergolamento) non verrà eseguita.

Dati per instabilità attorno a x

Controllo della snellezza secondo §4.2.4.1.3.1 NTC18

Numero rit.	Presente	Ascissa	Campata	βx/m	Vincolo a entrambi estremi	λx/m	λVer
1	Si	0					
			1-2	1	Si	33.2	Si, (<200)
2	Si	1.008					

Dati per instabilità attorno a y

Controllo della snellezza secondo §4.2.4.1.3.1 NTC18

Numero rit.	Presente	Ascissa	Campata	βy/n	k,LT	kw,LT	Vincolo a entrambi estremi
1	Si	0					
			1-2	1	Si	22.4	Si, (<200)
2	Si	1.008					

Verifica di stabilità per pressoflessione §C.4.2.4.1.3.3.1 NTC18

X	Comb.	Sfruttamento	Classe	NEd	MxEq,Ed	MyEq,Ed	Area	Wx	Wy	χ,min	λ adim. x/m	λ adim. y/n	N,crit x/m	N,crit y/n	Verifica
0	SLU 75	0.009	3	-4.492	-0.0459	0.0002	0.003832	0.0000492	0.0000739	0.907	0.382	0.258	7207.687	15834.061	Si

Verifica di stabilità per pressoflessione SLD §C.4.2.4.1.3.3.1 NTC18

X	Comb.	Sfruttamento	Classe	NEd	MxEq,Ed	MyEq,Ed	Area	Wx	Wy	χ,min	λ adim. x/m	λ adim. y/n	N,crit x/m	N,crit y/n	Verifica
0	SLD 14	0.005	3	-1.842	-0.0367	-0.0002	0.003832	0.0000492	0.0000739	0.907	0.382	0.258	7207.687	15834.061	Si

Verifiche a deformabilità

Mensola X: No; Mensola Y: No.

Frecce lungo X

Ascissa freccia	Combinazione	Freccia	Luce	L/f	L/f,min	Tipo	Verifica
0.705	SLE RA 1	0	1.008	10000	250	Totale	Si
0.705	SLE RA 17	0	1.008	10000	250	Totale	Si
0.705	SLE RA 16	0	1.008	10000	250	Totale	Si
0.638	SLE RA 15	0	1.008	10000	250	Totale	Si
0.202	SLE RA 14	0	1.008	10000	250	Totale	Si
0.672	SLE RA 2	0	1.008	10000	350	Variabile	Si
0.739	SLE RA 17	0	1.008	10000	350	Variabile	Si
0.672	SLE RA 16	0	1.008	10000	350	Variabile	Si
0.504	SLE RA 15	0	1.008	10000	350	Variabile	Si
0.269	SLE RA 14	0	1.008	10000	350	Variabile	Si

Frecce lungo Y

Ascissa freccia	Combinazione	Freccia	Luce	L/f	L/f,min	Tipo	Verifica
0.504	SLE RA 1	-0.00001	1.008	10000	250	Totale	Si
0.504	SLE RA 17	-0.00001	1.008	10000	250	Totale	Si
0.504	SLE RA 16	-0.00001	1.008	10000	250	Totale	Si
0.504	SLE RA 15	-0.00001	1.008	10000	250	Totale	Si
0.504	SLE RA 14	-0.00001	1.008	10000	250	Totale	Si
0.336	SLE RA 2	0	1.008	10000	350	Variabile	Si
0.336	SLE RA 17	0	1.008	10000	350	Variabile	Si
0.336	SLE RA 16	0	1.008	10000	350	Variabile	Si
0.638	SLE RA 15	0	1.008	10000	350	Variabile	Si
0.403	SLE RA 14	0	1.008	10000	350	Variabile	Si

Superelemento in acciaio a quota "728"- "740" (2463; 2693)-(2463; 2593)

Caratteristiche del materiale

Acciaio: S275, fyk = 275000

Caratteristiche geometriche

Lunghezza: 1.008

Nodo iniziale: 2388 Nodo finale: 2515

Sismicad 12.19 - Licenza assegnata a Arethusa Srl - Via G. Rossini, 14 - Casoria (NA)

**Implementazione dei sistemi di confinamento delle emissioni odorigene diffuse dell'impianto di compostaggio esistente nel
Comune di Eboli (SA)
PROGETTO DEFINITIVO – Tabulati di calcolo Tomo 1**

Cerniera iniziale: Mmomenti 1% Cerniera finale: Mmomenti 1%
Sovreresistenza: 0% Sisma Z: No

Caratteristiche della sezione

Sezione	Rotazione	Area	Jx	Jy	ix	iy	Wx	Wy	Wplx	Wply
A1; L100*10; 1; Saldato; S275; 20; 1; 8; 8; 1	0	0.003832	0.0000035319	0.000007759	0.0304	0.045	0.0000492	0.0000739	0.00008974	0.00012727

Comportamento dei calastrelli

Accoppiamento imbottito avendo passo inferiore al minimo richiesto (§C4.2.4.1.3.1.5 NTC18) nella campata compresa tra le ascisse 0 e 1.008 per sbandamento attorno all'asse y.

Verifiche di resistenza

Verifiche a forza assiale §4.2.4.1.2.1 - §4.2.4.1.2.2 NTC18

X	Comb.	Sfruttamento	Classe	NEd	Nc,Rd	Nt,Rd	Riduzione da taglio	px	py	Verifica
1.008	SLV 4	0.002		2.402		1003.522	1	0	0	Si

Verifiche a forza assiale SLD §4.2.4.1.2.1 - §4.2.4.1.2.2 NTC18

X	Comb.	Sfruttamento	Classe	NEd	Nc,Rd	Nt,Rd	Riduzione da taglio	px	py	Verifica
1.008	SLD 4	0.001		1.129		1003.522	1	0	0	Si

Verifica a flessione semplice X §§ 4.2.4.1.2.3 - 4.2.4.1.2.6 - 4.2.4.1.2.7 - 4.2.4.1.2.8 NTC18

X	Comb.	Sfruttamento	Classe	Mx,Ed	Mx,Rd	Rid. Mx,Rd da VEd	px	py	Verifica
0.504	SLU 73	0.002	1	-0.05017	23.50374	1	0	0	Si

Verifica a flessione semplice X SLD §§ 4.2.4.1.2.3 - 4.2.4.1.2.6 - 4.2.4.1.2.7 - 4.2.4.1.2.8 NTC18

X	Comb.	Sfruttamento	Classe	Mx,Ed	Mx,Rd	Rid. Mx,Rd da VEd	px	py	Verifica
0.504	SLD 5	0.002	1	-0.03813	23.50374	1	0	0	Si

Verifica a presso/tenso flessione retta X §§ 4.2.4.1.2.3 - 4.2.4.1.2.6 - 4.2.4.1.2.7 - 4.2.4.1.2.8 NTC18

Verifiche eseguite utilizzando la formula conservativa (6.2) §6.2.1 EN 1993-1-1:2005.

X	Comb.	Sfruttamento	Classe	NEd	NRd	Rid. NRd da VEd	Mx,Ed	Mx,Rd	Rid. Mx,Rd da VEd	Rid. Mx,Rd da NEd	px	py	Verifica
0.504	SLU 42	0.004	1	1.912	1003.522	1	-0.05	23.5037	1		0	0	Si

Verifica a presso/tenso flessione retta X SLD §§ 4.2.4.1.2.3 - 4.2.4.1.2.6 - 4.2.4.1.2.7 - 4.2.4.1.2.8 NTC18

Verifiche eseguite utilizzando la formula conservativa (6.2) §6.2.1 EN 1993-1-1:2005.

X	Comb.	Sfruttamento	Classe	NEd	NRd	Rid. NRd da VEd	Mx,Ed	Mx,Rd	Rid. Mx,Rd da VEd	Rid. Mx,Rd da NEd	px	py	Verifica
0.504	SLD 4	0.003	1	1.111	1003.522	1	-0.0384	23.5037	1		0	0	Si

Verifica a presso/tenso flessione retta Y §§ 4.2.4.1.2.3 - 4.2.4.1.2.6 - 4.2.4.1.2.7 - 4.2.4.1.2.8 NTC18

Verifiche eseguite utilizzando la formula conservativa (6.2) §6.2.1 EN 1993-1-1:2005.

X	Comb.	Sfruttamento	Classe	NEd	NRd	Rid. NRd da VEd	My,Ed	My,Rd	Rid. My,Rd da VEd	Rid. My,Rd da NEd	px	py	Verifica
0	SLV 11	0.002	1	1.458	1003.522	1	0.0095	33.3316	1		0	0	Si

Verifica a presso/tenso flessione deviata §§ 4.2.4.1.2.3 - 4.2.4.1.2.6 - 4.2.4.1.2.7 - 4.2.4.1.2.8 NTC18

Verifiche eseguite utilizzando la formula conservativa (6.2) §6.2.1 EN 1993-1-1:2005.

X	Comb.	Sfruttamento	Classe	NEd	NRd	Rid. NRd da VEd	Mx,Ed	Mx,Rd	My,Ed	My,Rd	Rid. Mx,Rd da VEd	Rid. Mx,Rd da NEd	Rid. My,Rd da VEd	Rid. My,Rd da NEd	α	β	px	py	Verifica
0.134	SLV 11	0.002	1	1.463	1003.522	1	-0.0183	23.5037	0.0076	33.3316	1		1				0	0	Si

Verifiche ad instabilità

Caratteristiche iniziali

Membratura principale per controllo snellezza; Calcolo di snellezze ed N critici condotti secondo gli assi principali;

Curva X: c; Curva Y: c;

Svergolamento: Nessuno; la verifica a instabilità flesso-torsionale (svergolamento) non verrà eseguita.

Dati per instabilità attorno a x

Controllo della snellezza secondo §4.2.4.1.3.1 NTC18

Numero rit.	Presente	Ascissa	Campata	βx/m	Vincolo a entrambi estremi	λx/m	λVer
1	Si		0				
			1-2		1	33.2	Si, (<200)
2	Si	1.008					

Dati per instabilità attorno a y

Controllo della snellezza secondo §4.2.4.1.3.1 NTC18

Numero rit.	Presente	Ascissa	Campata	βy/n	k,LT	kw,LT	Vincolo a entrambi estremi
1	Si	0					
			1-2		1	22.4	Si, (<200)
2	Si	1.008					

Verifica di stabilità per pressoflessione §C.4.2.4.1.3.3.1 NTC18

X	Comb.	Sfruttamento	Classe	NEd	MxEq,Ed	MyEq,Ed	Area	Wx	Wy	χ,min	λ adim. x/m	λ adim. y/n	N,crit x/m	N,crit y/n	Verifica
0	SLV 13	0.004	3	-1.538	-0.0326	0.0041	0.003832	0.0000492	0.0000739	0.907	0.382	0.258	7207.687	15834.061	Si

Verifiche a deformabilità

Mensola X: No; Mensola Y: No.

Frecce lungo X

Ascissa freccia	Combinazione	Freccia	Luce	L/f	L/f,min	Tipo	Verifica
0.37	SLE RA 1	0	1.008	10000	250	Totale	Si
0.37	SLE RA 17	0	1.008	10000	250	Totale	Si

Implementazione dei sistemi di confinamento delle emissioni odorigene diffuse dell'impianto di compostaggio esistente nel
Comune di Eboli (SA)

PROGETTO DEFINITIVO – Tabulati di calcolo Tomo 1

Ascissa freccia	Combinazione	Freccia	Luce	L/f	L/f,min	Tipo	Verifica
0.37	SLE RA 16	0	1.008	10000	250	Totale	Si
0.37	SLE RA 15	0	1.008	10000	250	Totale	Si
0.37	SLE RA 14	0	1.008	10000	250	Totale	Si
0.37	SLE RA 2	0	1.008	10000	350	Variabile	Si
0.336	SLE RA 17	0	1.008	10000	350	Variabile	Si
0.37	SLE RA 16	0	1.008	10000	350	Variabile	Si
0.37	SLE RA 15	0	1.008	10000	350	Variabile	Si
0.403	SLE RA 14	0	1.008	10000	350	Variabile	Si

Frecce lungo Y

Ascissa freccia	Combinazione	Freccia	Luce	L/f	L/f,min	Tipo	Verifica
0.504	SLE RA 1	-0.00001	1.008	10000	250	Totale	Si
0.504	SLE RA 17	-0.00001	1.008	10000	250	Totale	Si
0.504	SLE RA 16	-0.00001	1.008	10000	250	Totale	Si
0.504	SLE RA 15	-0.00001	1.008	10000	250	Totale	Si
0.504	SLE RA 14	-0.00001	1.008	10000	250	Totale	Si
0.403	SLE RA 2	0	1.008	10000	350	Variabile	Si
0.403	SLE RA 17	0	1.008	10000	350	Variabile	Si
0.403	SLE RA 16	0	1.008	10000	350	Variabile	Si
0.403	SLE RA 15	0	1.008	10000	350	Variabile	Si
0.638	SLE RA 14	0	1.008	10000	350	Variabile	Si

Superelemento in acciaio a quota "728"- "740" (2695; 2693)-(2695; 2593)

Caratteristiche del materiale

Acciaio: S275, fyk = 275000

Caratteristiche geometriche

Lunghezza: 1.008

Nodo iniziale: 2392 Nodo finale: 2518

Cerniera iniziale: Mmomenti 1% Cerniera finale: Mmomenti 1%

Sovraresistenza: 0% Sisma Z: No

Caratteristiche della sezione

Sezione	Rotazione	Area	Jx	Jy	ix	iy	Wx	Wy	Wplx	Wply
A1; L100*10; 1; Saldato; S275; 20; 1; 8; 8; 1	0	0.003832	0.0000035319	0.000007759	0.0304	0.045	0.0000492	0.0000739	0.00008974	0.00012727

Comportamento dei calastrelli

Accoppiamento imbottito avendo passo inferiore al minimo richiesto (§C4.2.4.1.3.1.5 NTC18) nella campata compresa tra le ascisse 0 e 1.008 per sbandamento attorno all'asse y.

Verifiche di resistenza

Verifiche a forza assiale §4.2.4.1.2.1 - §4.2.4.1.2.2 NTC18

X	Comb.	Sfruttamento	Classe	NEd	Nc,Rd	Nt,Rd	Riduzione da taglio	px	py	Verifica
0	SLU 75	0.006	3	-6.012	1003.522		1	0	0	Si

Verifiche a forza assiale SLD §4.2.4.1.2.1 - §4.2.4.1.2.2 NTC18

X	Comb.	Sfruttamento	Classe	NEd	Nc,Rd	Nt,Rd	Riduzione da taglio	px	py	Verifica
0	SLD 13	0.002	3	-2.278	1003.522		1	0	0	Si

Verifica a flessione semplice X §§ 4.2.4.1.2.3 - 4.2.4.1.2.6 - 4.2.4.1.2.7 - 4.2.4.1.2.8 NTC18

X	Comb.	Sfruttamento	Classe	Mx,Ed	Mx,Rd	Rid. Mx,Rd da VEd	px	py	Verifica
0.504	SLU 59	0.002	1	-0.04871	23.50374	1	0	0	Si

Verifica a presso/tenso flessione retta X §§ 4.2.4.1.2.3 - 4.2.4.1.2.6 - 4.2.4.1.2.7 - 4.2.4.1.2.8 NTC18

Verifiche eseguite utilizzando la formula conservativa (6.2) §6.2.1 EN 1993-1-1:2005.

X	Comb.	Sfruttamento	Classe	NEd	NRd	Rid. NRd da VEd	Mx,Ed	Mx,Rd	Rid. Mx,Rd da VEd	Rid. Mx,Rd da NEd	px	py	Verifica
0.504	SLU 75	0.01	3	-5.988	1003.522	1	-0.048	12.886	1		0	0	Si

Verifica a presso/tenso flessione retta X SLD §§ 4.2.4.1.2.3 - 4.2.4.1.2.6 - 4.2.4.1.2.7 - 4.2.4.1.2.8 NTC18

Verifiche eseguite utilizzando la formula conservativa (6.2) §6.2.1 EN 1993-1-1:2005.

X	Comb.	Sfruttamento	Classe	NEd	NRd	Rid. NRd da VEd	Mx,Ed	Mx,Rd	Rid. Mx,Rd da VEd	Rid. Mx,Rd da NEd	px	py	Verifica
0.739	SLD 13	0.004	3	-2.25	1003.522	1	-0.0287	12.886	1		0	0	Si

Verifica a presso/tenso flessione retta Y §§ 4.2.4.1.2.3 - 4.2.4.1.2.6 - 4.2.4.1.2.7 - 4.2.4.1.2.8 NTC18

Verifiche eseguite utilizzando la formula conservativa (6.2) §6.2.1 EN 1993-1-1:2005.

X	Comb.	Sfruttamento	Classe	NEd	NRd	Rid. NRd da VEd	My,Ed	My,Rd	Rid. My,Rd da VEd	Rid. My,Rd da NEd	px	py	Verifica
0	SLV 10	0.004	3	-2.934	1003.522	1	0.0276	19.3536	1		0	0	Si

Verifica a presso/tenso flessione retta Y SLD §§ 4.2.4.1.2.3 - 4.2.4.1.2.6 - 4.2.4.1.2.7 - 4.2.4.1.2.8 NTC18

Verifiche eseguite utilizzando la formula conservativa (6.2) §6.2.1 EN 1993-1-1:2005.

X	Comb.	Sfruttamento	Classe	NEd	NRd	Rid. NRd da VEd	My,Ed	My,Rd	Rid. My,Rd da VEd	Rid. My,Rd da NEd	px	py	Verifica
0	SLD 9	0.003	3	-2.276	1003.522	1	0.011	19.3536	1		0	0	Si

Verifica a presso/tenso flessione deviata §§ 4.2.4.1.2.3 - 4.2.4.1.2.6 - 4.2.4.1.2.7 - 4.2.4.1.2.8 NTC18

Verifiche eseguite utilizzando la formula conservativa (6.2) §6.2.1 EN 1993-1-1:2005.

X	Comb.	Sfruttamento	Classe	NEd	NRd	Rid. NRd da VEd	Mx,Ed	Mx,Rd	My,Ed	My,Rd	Rid. Mx,Rd da VEd	Rid. Mx,Rd da NEd	Rid. My,Rd da VEd	Rid. My,Rd da NEd	α	β	px	py	Verifica
0.302	SLV 13	0.006	3	-2.926	1003.522	1	-0.0291	12.886	0.015	19.3536	1		1				0	0	Si

Implementazione dei sistemi di confinamento delle emissioni odorigene diffuse dell'impianto di compostaggio esistente nel
Comune di Eboli (SA)
PROGETTO DEFINITIVO – Tabulati di calcolo Tomo 1

Verifica a presso/tenso flessione deviata SLD §§ 4.2.4.1.2.3 - 4.2.4.1.2.6 - 4.2.4.1.2.7 - 4.2.4.1.2.8 NTC18

Verifiche eseguite utilizzando la formula conservativa (6.2) §6.2.1 EN 1993-1-1:2005.

X	Comb.	Sfruttamento	Classe	NEd	NRd	Rid. NRd da VEd	Mx,Ed	Mx,Rd	My,Ed	My,Rd	Rid. Mx,Rd da VEd	Rid. Mx,Rd da NEd	Rid. My,Rd da VEd	Rid. My,Rd da NEd	α	β	px	py	Verifica
0.202	SLD 14	0.004	3	-2.27	1003.522	1	-0.0227	12.886	0.0076	19.3536	1		1				0	0	Si

Verifiche ad instabilità

Caratteristiche iniziali

Membratura principale per controllo snellezza; Calcolo di snellezze ed N critici condotti secondo gli assi principali;

Curva X: c; Curva Y: c;

Svergolamento: Nessuno; la verifica a instabilità flesso-torsionale (svergolamento) non verrà eseguita.

Dati per instabilità attorno a x

Controllo della snellezza secondo §4.2.4.1.3.1 NTC18

Numero rit.	Presente	Ascissa	Campata	βx/m	Vincolo a entrambi estremi	λx/m	λVer
1	Si	0					
			1-2	1	Si	33.2	Si, (<200)
2	Si	1.008					

Dati per instabilità attorno a y

Controllo della snellezza secondo §4.2.4.1.3.1 NTC18

Numero rit.	Presente	Ascissa	Campata	βy/n	k,LT	kw,LT	Vincolo a entrambi estremi
1	Si	0					
			1-2	1	Si	22.4	Si, (<200)
2	Si	1.008					

Verifica di stabilità per pressoflessione §C.4.2.4.1.3.3.1 NTC18

X	Comb.	Sfruttamento	Classe	NEd	MxEq,Ed	MyEq,Ed	Area	Wx	Wy	χ,min	λ adim. x/m	λ adim. y/n	N,crit x/m	N,crit y/n	Verifica
0	SLU 75	0.01	3	-6.012	-0.041	0.0003	0.003832	0.0000492	0.0000739	0.907	0.382	0.258	7207.687	15834.061	Si

Verifica di stabilità per pressoflessione SLD §C.4.2.4.1.3.3.1 NTC18

X	Comb.	Sfruttamento	Classe	NEd	MxEq,Ed	MyEq,Ed	Area	Wx	Wy	χ,min	λ adim. x/m	λ adim. y/n	N,crit x/m	N,crit y/n	Verifica
0	SLD 13	0.005	3	-2.278	-0.0313	0.0082	0.003832	0.0000492	0.0000739	0.907	0.382	0.258	7207.687	15834.061	Si

Verifiche a deformabilità

Mensola X: No; Mensola Y: No.

Frecce lungo X

Ascissa freccia	Combinazione	Freccia	Luce	L/f	L/f,min	Tipo	Verifica
0.638	SLE RA 1	0	1.008	10000	250	Totale	Si
0.638	SLE RA 17	0	1.008	10000	250	Totale	Si
0.638	SLE RA 16	0	1.008	10000	250	Totale	Si
0.605	SLE RA 15	0	1.008	10000	250	Totale	Si
0.638	SLE RA 14	0	1.008	10000	250	Totale	Si
0.605	SLE RA 2	0	1.008	10000	350	Variabile	Si
0.605	SLE RA 17	0	1.008	10000	350	Variabile	Si
0.605	SLE RA 16	0	1.008	10000	350	Variabile	Si
0.537	SLE RA 15	0	1.008	10000	350	Variabile	Si
0.739	SLE RA 14	0	1.008	10000	350	Variabile	Si

Frecce lungo Y

Ascissa freccia	Combinazione	Freccia	Luce	L/f	L/f,min	Tipo	Verifica
0.504	SLE RA 1	-0.00001	1.008	10000	250	Totale	Si
0.504	SLE RA 17	-0.00001	1.008	10000	250	Totale	Si
0.504	SLE RA 16	-0.00001	1.008	10000	250	Totale	Si
0.504	SLE RA 15	-0.00001	1.008	10000	250	Totale	Si
0.504	SLE RA 14	-0.00001	1.008	10000	250	Totale	Si
0.537	SLE RA 2	0	1.008	10000	350	Variabile	Si
0.571	SLE RA 17	0	1.008	10000	350	Variabile	Si
0.571	SLE RA 16	0	1.008	10000	350	Variabile	Si
0.202	SLE RA 15	0	1.008	10000	350	Variabile	Si
0.437	SLE RA 14	0	1.008	10000	350	Variabile	Si

Superelemento in acciaio a quota "728"- "740" (2929; 2693)- (2929; 2593)

Caratteristiche del materiale

Acciaio: S275, fyk = 275000

Caratteristiche geometriche

Lunghezza: 1.008

Nodo iniziale: 2397 Nodo finale: 2521

Cerniera iniziale: Mmomenti 1% Cerniera finale: Mmomenti 1%

Sovreresistenza: 0% Sisma Z: No

Caratteristiche della sezione

Sezione	Rotazione	Area	Jx	Jy	ix	iy	Wx	Wy	Wplx	Wply
A1; L100*10; 1; Saldato; S275; 20; 1; 8; 8; 1	0	0.003832	0.0000035319	0.000007759	0.0304	0.045	0.0000492	0.0000739	0.00008974	0.00012727

Comportamento dei calastrelli

Accoppiamento imbottito avendo passo inferiore al minimo richiesto (§C4.2.4.1.3.1.5 NTC18) nella campata compresa tra le ascisse 0 e 1.008 per sbandamento attorno all'asse y.

**Implementazione dei sistemi di confinamento delle emissioni odorigene diffuse dell'impianto di compostaggio esistente nel
Comune di Eboli (SA)**

PROGETTO DEFINITIVO – Tabulati di calcolo Tomo 1

Verifiche di resistenza

Verifiche a forza assiale §4.2.4.1.2.1 - §4.2.4.1.2.2 NTC18

X	Comb.	Sfruttamento	Classe	NEd	Nc,Rd	Nt,Rd	Riduzione da taglio	px	py	Verifica
1.008	SLV 8	0.005		5.501		1003.522	1	0	0	Si

Verifiche a forza assiale SLD §4.2.4.1.2.1 - §4.2.4.1.2.2 NTC18

X	Comb.	Sfruttamento	Classe	NEd	Nc,Rd	Nt,Rd	Riduzione da taglio	px	py	Verifica
1.008	SLD 8	0.002		2.187		1003.522	1	0	0	Si

Verifica a taglio Y §4.2.4.1.2.4 NTC18

X	Comb.	Sfruttamento	VEd	Vc,Rd	Av	Interazione taglio-torsione	Riduzione torsione	Verifica
0	SLU 75	0.001	0.203	302.422	0.002	Non considerata		Si

Verifica a flessione semplice X §§ 4.2.4.1.2.3 - 4.2.4.1.2.6 - 4.2.4.1.2.7 - 4.2.4.1.2.8 NTC18

X	Comb.	Sfruttamento	Classe	Mx,Ed	Mx,Rd	Rid. Mx,Rd da VEd	px	py	Verifica
0.504	SLU 40	0.002	1	-0.04874	23.50374	1	0	0	Si

Verifica a flessione semplice X SLD §§ 4.2.4.1.2.3 - 4.2.4.1.2.6 - 4.2.4.1.2.7 - 4.2.4.1.2.8 NTC18

X	Comb.	Sfruttamento	Classe	Mx,Ed	Mx,Rd	Rid. Mx,Rd da VEd	px	py	Verifica
0.504	SLD 6	0.002	1	-0.03695	23.50374	1	0	0	Si

Verifica a presso/tenso flessione retta X §§ 4.2.4.1.2.3 - 4.2.4.1.2.6 - 4.2.4.1.2.7 - 4.2.4.1.2.8 NTC18

Verifiche eseguite utilizzando la formula conservativa (6.2) §6.2.1 EN 1993-1-1:2005.

X	Comb.	Sfruttamento	Classe	NEd	NRd	Rid. NRd da VEd	Mx,Ed	Mx,Rd	Rid. Mx,Rd da VEd	Rid. Mx,Rd da NEd	px	py	Verifica
0.537	SLV 10	0.007	3	-4.341	1003.522	1	-0.0389	12.886	1		0	0	Si

Verifica a presso/tenso flessione retta X SLD §§ 4.2.4.1.2.3 - 4.2.4.1.2.6 - 4.2.4.1.2.7 - 4.2.4.1.2.8 NTC18

Verifiche eseguite utilizzando la formula conservativa (6.2) §6.2.1 EN 1993-1-1:2005.

X	Comb.	Sfruttamento	Classe	NEd	NRd	Rid. NRd da VEd	Mx,Ed	Mx,Rd	Rid. Mx,Rd da VEd	Rid. Mx,Rd da NEd	px	py	Verifica
0.537	SLD 8	0.004	1	2.169	1003.522	1	-0.0356	23.5037	1		0	0	Si

Verifica a presso/tenso flessione retta Y §§ 4.2.4.1.2.3 - 4.2.4.1.2.6 - 4.2.4.1.2.7 - 4.2.4.1.2.8 NTC18

Verifiche eseguite utilizzando la formula conservativa (6.2) §6.2.1 EN 1993-1-1:2005.

X	Comb.	Sfruttamento	Classe	NEd	NRd	Rid. NRd da VEd	My,Ed	My,Rd	Rid. My,Rd da VEd	Rid. My,Rd da NEd	px	py	Verifica
0.034	SLV 8	0.006	1	5.464	1003.522	1	-0.0299	33.3316	1		0	0	Si

Verifica a presso/tenso flessione retta Y SLD §§ 4.2.4.1.2.3 - 4.2.4.1.2.6 - 4.2.4.1.2.7 - 4.2.4.1.2.8 NTC18

Verifiche eseguite utilizzando la formula conservativa (6.2) §6.2.1 EN 1993-1-1:2005.

X	Comb.	Sfruttamento	Classe	NEd	NRd	Rid. NRd da VEd	My,Ed	My,Rd	Rid. My,Rd da VEd	Rid. My,Rd da NEd	px	py	Verifica
0	SLD 7	0.003	1	2.149	1003.522	1	-0.0128	33.3316	1		0	0	Si

Verifica a presso/tenso flessione deviata §§ 4.2.4.1.2.3 - 4.2.4.1.2.6 - 4.2.4.1.2.7 - 4.2.4.1.2.8 NTC18

Verifiche eseguite utilizzando la formula conservativa (6.2) §6.2.1 EN 1993-1-1:2005.

X	Comb.	Sfruttamento	Classe	NEd	NRd	Rid. NRd da VEd	Mx,Ed	Mx,Rd	My,Ed	My,Rd	Rid. Mx,Rd da VEd	Rid. Mx,Rd da NEd	Rid. My,Rd da VEd	Rid. My,Rd da NEd	α	β	px	py	Verifica
0.403	SLV 10	0.008	3	-4.346	1003.522	1	-0.038	12.886	0.0122	19.3536	1		1				0	0	Si

Verifica a presso/tenso flessione deviata SLD §§ 4.2.4.1.2.3 - 4.2.4.1.2.6 - 4.2.4.1.2.7 - 4.2.4.1.2.8 NTC18

Verifiche eseguite utilizzando la formula conservativa (6.2) §6.2.1 EN 1993-1-1:2005.

X	Comb.	Sfruttamento	Classe	NEd	NRd	Rid. NRd da VEd	Mx,Ed	Mx,Rd	My,Ed	My,Rd	Rid. Mx,Rd da VEd	Rid. Mx,Rd da NEd	Rid. My,Rd da VEd	Rid. My,Rd da NEd	α	β	px	py	Verifica
0.269	SLD 7	0.003	1	2.159	1003.522	1	-0.0262	23.5037	-0.0075	33.3316	1		1				0	0	Si

Verifiche ad instabilità

Caratteristiche iniziali

Membratura principale per controllo snellezza; Calcolo di snellezze ed N critici condotti secondo gli assi principali;

Curva X: c; Curva Y: c;

Svergolamento: Nessuno; la verifica a instabilità flesso-torsionale (svergolamento) non verrà eseguita.

Dati per instabilità attorno a x

Controllo della snellezza secondo §4.2.4.1.3.1 NTC18

Numero rit.	Presente	Ascissa	Campata	βx/m	Vincolo a entrambi estremi	λx/m	λVer
1	Si	0					
			1-2		1	33.2	Si, (<200)
2	Si	1.008					

Dati per instabilità attorno a y

Controllo della snellezza secondo §4.2.4.1.3.1 NTC18

Numero rit.	Presente	Ascissa	Campata	βy/n	k,LT	kw,LT	Vincolo a entrambi estremi
1	Si	0					
			1-2		1	22.4	Si, (<200)
2	Si	1.008					

Verifica di stabilità per pressoflessione §C.4.2.4.1.3.3.1 NTC18

X	Comb.	Sfruttamento	Classe	NEd	MxEq,Ed	MyEq,Ed	Area	Wx	Wy	χ,min	λ adim. x/m	λ adim. y/n	N,crit x/m	N,crit y/n	Verifica
0	SLV 10	0.009	3	-4.361	-0.0345	0.0232	0.003832	0.0000492	0.0000739	0.907	0.382	0.258	7207.687	15834.061	Si

Verifica di stabilità per pressoflessione SLD §C.4.2.4.1.3.3.1 NTC18

X	Comb.	Sfruttamento	Classe	NEd	MxEq,Ed	MyEq,Ed	Area	Wx	Wy	χ,min	λ adim. x/m	λ adim. y/n	N,crit x/m	N,crit y/n	Verifica
0	SLD 9	0.004	3	-1.047	-0.0321	0.0091	0.003832	0.0000492	0.0000739	0.907	0.382	0.258	7207.687	15834.061	Si

Implementazione dei sistemi di confinamento delle emissioni odorigene diffuse dell'impianto di compostaggio esistente nel
Comune di Eboli (SA)
PROGETTO DEFINITIVO – Tabulati di calcolo Tomo 1

Verifiche a deformabilità

Mensola X: No; Mensola Y: No.

Frecce lungo X

Ascissa freccia	Combinazione	Freccia	Luce	L/f	L/f,min	Tipo	Verifica
0.773	SLE RA 1	0	1.008	10000	250	Totale	Si
0.773	SLE RA 17	0	1.008	10000	250	Totale	Si
0.773	SLE RA 16	0	1.008	10000	250	Totale	Si
0.773	SLE RA 15	0	1.008	10000	250	Totale	Si
0.773	SLE RA 14	0	1.008	10000	250	Totale	Si
0.773	SLE RA 2	0	1.008	10000	350	Variabile	Si
0.773	SLE RA 17	0	1.008	10000	350	Variabile	Si
0.773	SLE RA 16	0	1.008	10000	350	Variabile	Si
0.773	SLE RA 15	0	1.008	10000	350	Variabile	Si
0.773	SLE RA 14	0	1.008	10000	350	Variabile	Si

Frecce lungo Y

Ascissa freccia	Combinazione	Freccia	Luce	L/f	L/f,min	Tipo	Verifica
0.504	SLE RA 1	-0.00001	1.008	10000	250	Totale	Si
0.504	SLE RA 17	-0.00001	1.008	10000	250	Totale	Si
0.504	SLE RA 16	-0.00001	1.008	10000	250	Totale	Si
0.504	SLE RA 15	-0.00001	1.008	10000	250	Totale	Si
0.504	SLE RA 14	-0.00001	1.008	10000	250	Totale	Si
0.403	SLE RA 2	0	1.008	10000	350	Variabile	Si
0.403	SLE RA 17	0	1.008	10000	350	Variabile	Si
0.403	SLE RA 16	0	1.008	10000	350	Variabile	Si
0.437	SLE RA 15	0	1.008	10000	350	Variabile	Si
0.403	SLE RA 14	0	1.008	10000	350	Variabile	Si

Superelemento in acciaio a quota "728"- "740" (-108; 608)-(-217; 710)

Caratteristiche del materiale

Acciaio: S275, fyk = 275000

Caratteristiche geometriche

Lunghezza: 1.505

Nodo iniziale: 2277 Nodo finale: 2474

Cerniera iniziale: Mmomenti 1% Cerniera finale: Mmomenti 1%

Sovreresistenza: 0% Sisma Z: No

Caratteristiche della sezione

Sezione	Rotazione	Area	Jx	Jy	ix	iy	Wx	Wy	Wplx	Wply
A1; L100*10; 1; Saldato; S275; 30; 1; 8; 8; 1	0	0.003832	0.0000035319	0.000007759	0.0304	0.045	0.0000492	0.0000739	0.00008974	0.00012727

Comportamento dei calastrelli

Accoppiamento imbottito con funzione statica (§C4.2.4.1.3.1.4 NTC18) nella campata compresa tra le ascisse 0 e 1.505 per sbandamento attorno all'asse y.

Verifiche di resistenza

Verifiche a forza assiale §4.2.4.1.2.1 - §4.2.4.1.2.2 NTC18

X	Comb.	Sfruttamento	Classe	NEd	Nc,Rd	Nt,Rd	Riduzione da taglio	px	py	Verifica
0	SLU 75	0.01	3	-10.121	1003.522		1	0	0	Si

Verifiche a forza assiale SLD §4.2.4.1.2.1 - §4.2.4.1.2.2 NTC18

X	Comb.	Sfruttamento	Classe	NEd	Nc,Rd	Nt,Rd	Riduzione da taglio	px	py	Verifica
0	SLD 1	0.003	3	-3.066	1003.522		1	0	0	Si

Verifica a taglio Y §4.2.4.1.2.4 NTC18

X	Comb.	Sfruttamento	VEd	Vc,Rd	Av	Interazione taglio-torsione	Riduzione torsione	Verifica
1.505	SLU 41	0.001	-0.298	302.422	0.002	Non considerata		Si

Verifica a taglio Y SLD §4.2.4.1.2.4 NTC18

X	Comb.	Sfruttamento	VEd	Vc,Rd	Av	Interazione taglio-torsione	Riduzione torsione	Verifica
1.505	SLD 16	0.001	-0.228	302.422	0.002	Non considerata		Si

Verifica a flessione semplice X §§ 4.2.4.1.2.3 - 4.2.4.1.2.6 - 4.2.4.1.2.7 - 4.2.4.1.2.8 NTC18

X	Comb.	Sfruttamento	Classe	Mx,Ed	Mx,Rd	Rid. Mx,Rd da VEd	px	py	Verifica
0.753	SLU 24	0.004	1	-0.08468	23.50374	1	0	0	Si

Verifica a presso/tenso flessione retta X §§ 4.2.4.1.2.3 - 4.2.4.1.2.6 - 4.2.4.1.2.7 - 4.2.4.1.2.8 NTC18

Verifiche eseguite utilizzando la formula conservativa (6.2) §6.2.1 EN 1993-1-1:2005.

X	Comb.	Sfruttamento	Classe	NEd	NRd	Rid. NRd da VEd	Mx,Ed	Mx,Rd	Rid. Mx,Rd da VEd	Rid. Mx,Rd da NEd	px	py	Verifica
0.753	SLU 40	0.007	1	2.31	1003.522	1	-0.1102	23.5037	1		0	0	Si

Verifica a presso/tenso flessione retta Y §§ 4.2.4.1.2.3 - 4.2.4.1.2.6 - 4.2.4.1.2.7 - 4.2.4.1.2.8 NTC18

Verifiche eseguite utilizzando la formula conservativa (6.2) §6.2.1 EN 1993-1-1:2005.

X	Comb.	Sfruttamento	Classe	NEd	NRd	Rid. NRd da VEd	My,Ed	My,Rd	Rid. My,Rd da VEd	Rid. My,Rd da NEd	px	py	Verifica
0	SLU 75	0.012	3	-10.121	1003.522	1	0.0308	19.3536	1		0	0	Si

Verifica a presso/tenso flessione retta Y SLD §§ 4.2.4.1.2.3 - 4.2.4.1.2.6 - 4.2.4.1.2.7 - 4.2.4.1.2.8 NTC18

Verifiche eseguite utilizzando la formula conservativa (6.2) §6.2.1 EN 1993-1-1:2005.

Implementazione dei sistemi di confinamento delle emissioni odorigene diffuse dell'impianto di compostaggio esistente nel
Comune di Eboli (SA)

PROGETTO DEFINITIVO – Tabulati di calcolo Tomo 1

X	Comb.	Sfruttamento	Classe	NEd	NRd	Rid. NRd da VEd	My,Ed	My,Rd	Rid. My,Rd da VEd	Rid. My,Rd da NEd	px	py	Verifica
0	SLD 1	0.004	3	-3.066	1003.522	1	0.0117	19.3536	1		0	0	Si

Verifica a presso/tenso flessione deviata §§ 4.2.4.1.2.3 - 4.2.4.1.2.6 - 4.2.4.1.2.7 - 4.2.4.1.2.8 NTC18

Verifiche eseguite utilizzando la formula conservativa (6.2) §6.2.1 EN 1993-1-1:2005.

X	Comb.	Sfruttamento	Classe	NEd	NRd	Rid. NRd da VEd	Mx,Ed	Mx,Rd	My,Ed	My,Rd	Rid. Mx,Rd da VEd	Rid. Mx,Rd da NEd	Rid. My,Rd da VEd	Rid. My,Rd da NEd	α	β	px	py	Verifica
0.753	SLU 75	0.02	3	-10.096	1003.522	1	-0.1103	12.886	0.0306	19.3536	1		1				0	0	Si

Verifica a presso/tenso flessione deviata SLD §§ 4.2.4.1.2.3 - 4.2.4.1.2.6 - 4.2.4.1.2.7 - 4.2.4.1.2.8 NTC18

Verifiche eseguite utilizzando la formula conservativa (6.2) §6.2.1 EN 1993-1-1:2005.

X	Comb.	Sfruttamento	Classe	NEd	NRd	Rid. NRd da VEd	Mx,Ed	Mx,Rd	My,Ed	My,Rd	Rid. Mx,Rd da VEd	Rid. Mx,Rd da NEd	Rid. My,Rd da VEd	Rid. My,Rd da NEd	α	β	px	py	Verifica
0.753	SLD 1	0.007	1	-3.047	1003.522	1	-0.084	23.5037	0.0098	33.3316	1		1				0	0	Si

Verifiche ad instabilità

Caratteristiche iniziali

Membratura principale per controllo snellezza; Calcolo di snellezze ed N critici condotti secondo gli assi principali;

Curva X: c; Curva Y: c;

Svergolamento: Nessuno; la verifica a instabilità flesso-torsionale (svergolamento) non verrà eseguita.

Dati per instabilità attorno a x

Controllo della snellezza secondo §4.2.4.1.3.1 NTC18

Numero rit.	Presente	Ascissa	Campata	βx/m	Vincolo a entrambi estremi	λx/m	λVer
1	Si	0					
			1-2	1	Si	49.6	Si, (<200)
2	Si	1.505					

Dati per instabilità attorno a y

Controllo della snellezza secondo §4.2.4.1.3.1 NTC18

Numero rit.	Presente	Ascissa	Campata	βy/n	k,LT	kw,LT	Vincolo a entrambi estremi
1	Si	0					
			1-2	1	Si	34.9	Si, (<200)
2	Si	1.505					

Verifica di stabilità per pressoflessione §C.4.2.4.1.3.3.1 NTC18

X	Comb.	Sfruttamento	Classe	NEd	MxEq,Ed	MyEq,Ed	Area	Wx	Wy	χ,min	λ adim. x/m	λ adim. y/n	N,crit x/m	N,crit y/n	Verifica
0	SLU 75	0.022	3	-10.121	-0.0955	0.0306	0.003832	0.0000492	0.0000739	0.802	0.571	0.402	3231.032	6528.319	Si

Verifica di stabilità per pressoflessione SLD §C.4.2.4.1.3.3.1 NTC18

X	Comb.	Sfruttamento	Classe	NEd	MxEq,Ed	MyEq,Ed	Area	Wx	Wy	χ,min	λ adim. x/m	λ adim. y/n	N,crit x/m	N,crit y/n	Verifica
0	SLD 1	0.01	3	-3.066	-0.0723	0.0087	0.003832	0.0000492	0.0000739	0.802	0.571	0.402	3231.032	6528.319	Si

Verifiche a deformabilità

Mensola X: No; Mensola Y: No.

Frecce lungo X

Ascissa freccia	Combinazione	Freccia	Luce	L/f	L/f,min	Tipo	Verifica
0.753	SLE RA 1	0	1.505	10000	250	Totale	Si
0.702	SLE RA 17	0	1.505	10000	250	Totale	Si
0.702	SLE RA 16	0	1.505	10000	250	Totale	Si
0.753	SLE RA 15	0	1.505	10000	250	Totale	Si
0.652	SLE RA 14	0	1.505	10000	250	Totale	Si
0.702	SLE RA 2	0	1.505	10000	350	Variabile	Si
0.652	SLE RA 17	0	1.505	10000	350	Variabile	Si
0.702	SLE RA 16	0	1.505	10000	350	Variabile	Si
0.803	SLE RA 15	0	1.505	10000	350	Variabile	Si
0.602	SLE RA 14	0	1.505	10000	350	Variabile	Si

Frecce lungo Y

Ascissa freccia	Combinazione	Freccia	Luce	L/f	L/f,min	Tipo	Verifica
0.753	SLE RA 1	-0.00003	1.505	10000	250	Totale	Si
0.753	SLE RA 17	-0.00003	1.505	10000	250	Totale	Si
0.753	SLE RA 16	-0.00003	1.505	10000	250	Totale	Si
0.753	SLE RA 15	-0.00003	1.505	10000	250	Totale	Si
0.753	SLE RA 14	-0.00003	1.505	10000	250	Totale	Si
0.602	SLE RA 2	0	1.505	10000	350	Variabile	Si
0.652	SLE RA 17	0	1.505	10000	350	Variabile	Si
0.652	SLE RA 16	0	1.505	10000	350	Variabile	Si
0.502	SLE RA 15	0	1.505	10000	350	Variabile	Si
0.452	SLE RA 14	0	1.505	10000	350	Variabile	Si

Superelemento in acciaio a quota "728"- "740" (-616; 69)-(-725; 172)

Caratteristiche del materiale

Acciaio: S275, fyk = 275000

Caratteristiche geometriche

Lunghezza: 1.505

Nodo iniziale: 2259 Nodo finale: 2464

Cerniera iniziale: Mmomenti 1% Cerniera finale: Mmomenti 1%

Sovreresistenza: 0% Sisma Z: No

Implementazione dei sistemi di confinamento delle emissioni odorigene diffuse dell'impianto di compostaggio esistente nel
Comune di Eboli (SA)
PROGETTO DEFINITIVO – Tabulati di calcolo Tomo 1

Caratteristiche della sezione

Sezione	Rotazione	Area	Jx	Jy	ix	iy	Wx	Wy	Wplx	Wply
A1; L100*10; 1; Saldato; S275; 30; 1; 8; 8; 1	0	0.003832	0.0000035319	0.000007759	0.0304	0.045	0.0000492	0.0000739	0.00008974	0.00012727

Comportamento dei calastrelli

Accoppiamento imbottito con funzione statica (§C4.2.4.1.3.1.4 NTC18) nella campata compresa tra le ascisse 0 e 1.505 per sbandamento attorno all'asse y.

Verifiche di resistenza

Verifiche a forza assiale §4.2.4.1.2.1 - §4.2.4.1.2.2 NTC18

X	Comb.	Sfruttamento	Classe	NEd	Nc,Rd	Nt,Rd	Riduzione da taglio	px	py	Verifica
0	SLU 75	0.01	3	-9.827	1003.522		1	0	0	Si

Verifiche a forza assiale SLD §4.2.4.1.2.1 - §4.2.4.1.2.2 NTC18

X	Comb.	Sfruttamento	Classe	NEd	Nc,Rd	Nt,Rd	Riduzione da taglio	px	py	Verifica
0	SLD 16	0.003	3	-3.044	1003.522		1	0	0	Si

Verifica a taglio Y §4.2.4.1.2.4 NTC18

X	Comb.	Sfruttamento	VEd	Vc,Rd	Av	Interazione taglio-torsione	Riduzione torsione	Verifica
0	SLU 64	0.001	0.299	302.422	0.002	Non considerata		Si

Verifica a taglio Y SLD §4.2.4.1.2.4 NTC18

X	Comb.	Sfruttamento	VEd	Vc,Rd	Av	Interazione taglio-torsione	Riduzione torsione	Verifica
0	SLD 16	0.001	0.227	302.422	0.002	Non considerata		Si

Verifica a flessione semplice X §§ 4.2.4.1.2.3 - 4.2.4.1.2.6 - 4.2.4.1.2.7 - 4.2.4.1.2.8 NTC18

X	Comb.	Sfruttamento	Classe	Mx,Ed	Mx,Rd	Rid. Mx,Rd da VEd	px	py	Verifica
0.652	SLU 43	0.005	1	-0.10827	23.50374	1	0	0	Si

Verifica a presso/tenso flessione retta X §§ 4.2.4.1.2.3 - 4.2.4.1.2.6 - 4.2.4.1.2.7 - 4.2.4.1.2.8 NTC18

Verifiche eseguite utilizzando la formula conservativa (6.2) §6.2.1 EN 1993-1-1:2005.

X	Comb.	Sfruttamento	Classe	NEd	NRd	Rid. NRd da VEd	Mx,Ed	Mx,Rd	Rid. Mx,Rd da VEd	Rid. Mx,Rd da NEd	px	py	Verifica
0.753	SLU 40	0.007	1	2.184	1003.522	1	-0.1102	23.5037	1		0	0	Si

Verifica a presso/tenso flessione retta Y §§ 4.2.4.1.2.3 - 4.2.4.1.2.6 - 4.2.4.1.2.7 - 4.2.4.1.2.8 NTC18

Verifiche eseguite utilizzando la formula conservativa (6.2) §6.2.1 EN 1993-1-1:2005.

X	Comb.	Sfruttamento	Classe	NEd	NRd	Rid. NRd da VEd	My,Ed	My,Rd	Rid. My,Rd da VEd	Rid. My,Rd da NEd	px	py	Verifica
0	SLU 75	0.011	3	-9.827	1003.522	1	0.0299	19.3536	1		0	0	Si

Verifica a presso/tenso flessione retta Y SLD §§ 4.2.4.1.2.3 - 4.2.4.1.2.6 - 4.2.4.1.2.7 - 4.2.4.1.2.8 NTC18

Verifiche eseguite utilizzando la formula conservativa (6.2) §6.2.1 EN 1993-1-1:2005.

X	Comb.	Sfruttamento	Classe	NEd	NRd	Rid. NRd da VEd	My,Ed	My,Rd	Rid. My,Rd da VEd	Rid. My,Rd da NEd	px	py	Verifica
0	SLD 15	0.004	3	-3.044	1003.522	1	-0.0236	19.3536	1		0	0	Si

Verifica a presso/tenso flessione deviata §§ 4.2.4.1.2.3 - 4.2.4.1.2.6 - 4.2.4.1.2.7 - 4.2.4.1.2.8 NTC18

Verifiche eseguite utilizzando la formula conservativa (6.2) §6.2.1 EN 1993-1-1:2005.

X	Comb.	Sfruttamento	Classe	NEd	NRd	Rid. NRd da VEd	Mx,Ed	Mx,Rd	My,Ed	My,Rd	Rid. Mx,Rd da VEd	Rid. Mx,Rd da NEd	Rid. My,Rd da VEd	Rid. My,Rd da NEd	α	β	px	py	Verifica
0.753	SLU 75	0.02	3	-9.802	1003.522	1	-0.1104	12.886	-0.0296	19.3536	1		1				0	0	Si

Verifica a presso/tenso flessione deviata SLD §§ 4.2.4.1.2.3 - 4.2.4.1.2.6 - 4.2.4.1.2.7 - 4.2.4.1.2.8 NTC18

Verifiche eseguite utilizzando la formula conservativa (6.2) §6.2.1 EN 1993-1-1:2005.

X	Comb.	Sfruttamento	Classe	NEd	NRd	Rid. NRd da VEd	Mx,Ed	Mx,Rd	My,Ed	My,Rd	Rid. Mx,Rd da VEd	Rid. Mx,Rd da NEd	Rid. My,Rd da VEd	Rid. My,Rd da NEd	α	β	px	py	Verifica
0.702	SLD 15	0.007	1	-3.026	1003.522	1	-0.0838	23.5037	-0.0134	33.3316	1		1				0	0	Si

Verifiche ad instabilità

Caratteristiche iniziali

Membratura principale per controllo snellezza; Calcolo di snellezze ed N critici condotti secondo gli assi principali;

Curva X: c; Curva Y: c;

Svergolamento: Nessuno; la verifica a instabilità flesso-torsionale (svergolamento) non verrà eseguita.

Dati per instabilità attorno a x

Controllo della snellezza secondo §4.2.4.1.3.1 NTC18

Numero rit.	Presente	Ascissa	Campata	βx/m	Vincolo a entrambi estremi	λx/m	λVer
1	Si		0				
			1-2		1	49.6	Si, (<200)
2	Si	1.505					

Dati per instabilità attorno a y

Controllo della snellezza secondo §4.2.4.1.3.1 NTC18

Numero rit.	Presente	Ascissa	Campata	βy/n	k,LT	kw,LT	Vincolo a entrambi estremi
1	Si		0				
			1-2		1	34.9	Si, (<200)
2	Si	1.505					

Verifica di stabilità per pressoflessione §C.4.2.4.1.3.3.1 NTC18

X	Comb.	Sfruttamento	Classe	NEd	MxEq,Ed	MyEq,Ed	Area	Wx	Wy	x,min	λ adim. x/m	λ adim. y/n	N,crit x/m	N,crit y/n	Verifica
0	SLU 75	0.021	3	-9.827	-0.0956	0.0224	0.003832	0.0000492	0.0000739	0.802	0.571	0.402	3231.032	6528.319	Si

Implementazione dei sistemi di confinamento delle emissioni odorigene diffuse dell'impianto di compostaggio esistente nel
Comune di Eboli (SA)
PROGETTO DEFINITIVO – Tabulati di calcolo Tomo 1

Verifica di stabilità per pressoflessione SLD §C.4.2.4.1.3.3.1 NTC18

X	Comb.	Sfruttamento	Classe	NEd	MxEq,Ed	MyEq,Ed	Area	Wx	Wy	x,min	λ adim. x/m	λ adim. y/n	N,crit x/m	N,crit y/n	Verifica
0	SLD 16	0.01	3	-3.044	-0.0725	-0.0177	0.003832	0.0000492	0.0000739	0.802	0.571	0.402	3231.032	6528.319	Si

Verifiche a deformabilità

Mensola X: No; Mensola Y: No.

Frecce lungo X

Ascissa freccia	Combinazione	Freccia	Luce	L/f	L/f,min	Tipo	Verifica
1.104	SLE RA 1	0	1.505	10000	250	Totale	Si
1.104	SLE RA 17	0	1.505	10000	250	Totale	Si
1.104	SLE RA 16	0	1.505	10000	250	Totale	Si
1.104	SLE RA 15	0	1.505	10000	250	Totale	Si
1.054	SLE RA 14	0	1.505	10000	250	Totale	Si
1.104	SLE RA 2	0	1.505	10000	350	Variabile	Si
1.104	SLE RA 17	0	1.505	10000	350	Variabile	Si
1.104	SLE RA 16	0	1.505	10000	350	Variabile	Si
1.154	SLE RA 15	0	1.505	10000	350	Variabile	Si
1.003	SLE RA 14	0	1.505	10000	350	Variabile	Si

Frecce lungo Y

Ascissa freccia	Combinazione	Freccia	Luce	L/f	L/f,min	Tipo	Verifica
0.753	SLE RA 1	-0.00003	1.505	10000	250	Totale	Si
0.753	SLE RA 17	-0.00003	1.505	10000	250	Totale	Si
0.753	SLE RA 16	-0.00003	1.505	10000	250	Totale	Si
0.753	SLE RA 15	-0.00003	1.505	10000	250	Totale	Si
0.753	SLE RA 14	-0.00003	1.505	10000	250	Totale	Si
0.452	SLE RA 2	0	1.505	10000	350	Variabile	Si
0.452	SLE RA 17	0	1.505	10000	350	Variabile	Si
0.452	SLE RA 16	0	1.505	10000	350	Variabile	Si
0.452	SLE RA 15	0	1.505	10000	350	Variabile	Si
0.502	SLE RA 14	0	1.505	10000	350	Variabile	Si

Superelemento in acciaio a quota "728"- "740" (-1123; -470)-(-1232; -367)

Caratteristiche del materiale

Acciaio: S275, fyk = 275000

Caratteristiche geometriche

Lunghezza: 1.505

Nodo iniziale: 2236 Nodo finale: 2456

Cerniera iniziale: Mmomenti 1% Cerniera finale: Mmomenti 1%

Sovreresistenza: 0% Sisma Z: No

Caratteristiche della sezione

Sezione	Rotazione	Area	Jx	Jy	ix	iy	Wx	Wy	Wplx	Wply
Al; L100*10; 1; Saldato; S275; 30; 1; 8; 8; 1	0	0.003832	0.0000035319	0.000007759	0.0304	0.045	0.0000492	0.0000739	0.00008974	0.00012727

Comportamento dei calastrelli

Accoppiamento imbottito con funzione statica (§C4.2.4.1.3.1.4 NTC18) nella campata compresa tra le ascisse 0 e 1.505 per sbandamento attorno all'asse y.

Verifiche di resistenza

Verifiche a forza assiale §4.2.4.1.2.1 - §4.2.4.1.2.2 NTC18

X	Comb.	Sfruttamento	Classe	NEd	Nc,Rd	Nt,Rd	Riduzione da taglio	px	py	Verifica
0	SLU 75	0.009	3	-8.673	1003.522		1	0	0	Si

Verifiche a forza assiale SLD §4.2.4.1.2.1 - §4.2.4.1.2.2 NTC18

X	Comb.	Sfruttamento	Classe	NEd	Nc,Rd	Nt,Rd	Riduzione da taglio	px	py	Verifica
0	SLD 1	0.003	3	-3.197	1003.522		1	0	0	Si

Verifica a taglio Y §4.2.4.1.2.4 NTC18

X	Comb.	Sfruttamento	VEd	Vc,Rd	Av	Interazione taglio-torsione	Riduzione torsione	Verifica
1.505	SLU 63	0.001	-0.301	302.422	0.002	Non considerata		Si

Verifica a taglio Y SLD §4.2.4.1.2.4 NTC18

X	Comb.	Sfruttamento	VEd	Vc,Rd	Av	Interazione taglio-torsione	Riduzione torsione	Verifica
1.505	SLD 16	0.001	-0.228	302.422	0.002	Non considerata		Si

Verifica a flessione semplice X §§ 4.2.4.1.2.3 - 4.2.4.1.2.6 - 4.2.4.1.2.7 - 4.2.4.1.2.8 NTC18

X	Comb.	Sfruttamento	Classe	Mx,Ed	Mx,Rd	Rid. Mx,Rd da VEd	px	py	Verifica
0.753	SLU 24	0.004	1	-0.08473	23.50374	1	0	0	Si

Verifica a presso/tenso flessione retta X §§ 4.2.4.1.2.3 - 4.2.4.1.2.6 - 4.2.4.1.2.7 - 4.2.4.1.2.8 NTC18

Verifiche eseguite utilizzando la formula conservativa (6.2) §6.2.1 EN 1993-1-1:2005.

X	Comb.	Sfruttamento	Classe	NEd	NRd	Rid. NRd da VEd	Mx,Ed	Mx,Rd	Rid. Mx,Rd da VEd	Rid. Mx,Rd da NEd	px	py	Verifica
0.753	SLU 40	0.007	1	2.176	1003.522	1	-0.1099	23.5037	1		0	0	Si

Verifica a presso/tenso flessione retta X SLD §§ 4.2.4.1.2.3 - 4.2.4.1.2.6 - 4.2.4.1.2.7 - 4.2.4.1.2.8 NTC18

Verifiche eseguite utilizzando la formula conservativa (6.2) §6.2.1 EN 1993-1-1:2005.

Implementazione dei sistemi di confinamento delle emissioni odorigene diffuse dell'impianto di compostaggio esistente nel
Comune di Eboli (SA)

PROGETTO DEFINITIVO – Tabulati di calcolo Tomo 1

X	Comb.	Sfruttamento	Classe	NEd	NRd	Rid. NRd da VEd	Mx,Ed	Mx,Rd	Rid. Mx,Rd da VEd	Rid. Mx,Rd da NEd	px	py	Verifica
0.753	SLD 8	0.006	1	-2.126	1003.522	1	-0.0853	23.5037	1		0	0	Si

Verifica a presso/tenso flessione retta Y §§ 4.2.4.1.2.3 - 4.2.4.1.2.6 - 4.2.4.1.2.7 - 4.2.4.1.2.8 NTC18

Verifiche eseguite utilizzando la formula conservativa (6.2) §6.2.1 EN 1993-1-1:2005.

X	Comb.	Sfruttamento	Classe	NEd	NRd	Rid. NRd da VEd	My,Ed	My,Rd	Rid. My,Rd da VEd	Rid. My,Rd da NEd	px	py	Verifica
1.505	SLU 75	0.01	3	-8.625	1003.522	1	0.026	19.3536	1		0	0	Si

Verifica a presso/tenso flessione retta Y SLD §§ 4.2.4.1.2.3 - 4.2.4.1.2.6 - 4.2.4.1.2.7 - 4.2.4.1.2.8 NTC18

Verifiche eseguite utilizzando la formula conservativa (6.2) §6.2.1 EN 1993-1-1:2005.

X	Comb.	Sfruttamento	Classe	NEd	NRd	Rid. NRd da VEd	My,Ed	My,Rd	Rid. My,Rd da VEd	Rid. My,Rd da NEd	px	py	Verifica
0	SLD 1	0.004	3	-3.197	1003.522	1	0.012	19.3536	1		0	0	Si

Verifica a presso/tenso flessione deviata §§ 4.2.4.1.2.3 - 4.2.4.1.2.6 - 4.2.4.1.2.7 - 4.2.4.1.2.8 NTC18

Verifiche eseguite utilizzando la formula conservativa (6.2) §6.2.1 EN 1993-1-1:2005.

X	Comb.	Sfruttamento	Classe	NEd	NRd	Rid. NRd da VEd	Mx,Ed	Mx,Rd	My,Ed	My,Rd	Rid. Mx,Rd da VEd	Rid. Mx,Rd da NEd	Rid. My,Rd da VEd	Rid. My,Rd da NEd	α	β	px	py	Verifica
0.853	SLU 75	0.018	3	-8.646	1003.522	1	-0.1094	12.886	0.0262	19.3536	1		1				0	0	Si

Verifica a presso/tenso flessione deviata SLD §§ 4.2.4.1.2.3 - 4.2.4.1.2.6 - 4.2.4.1.2.7 - 4.2.4.1.2.8 NTC18

Verifiche eseguite utilizzando la formula conservativa (6.2) §6.2.1 EN 1993-1-1:2005.

X	Comb.	Sfruttamento	Classe	NEd	NRd	Rid. NRd da VEd	Mx,Ed	Mx,Rd	My,Ed	My,Rd	Rid. Mx,Rd da VEd	Rid. Mx,Rd da NEd	Rid. My,Rd da VEd	Rid. My,Rd da NEd	α	β	px	py	Verifica
0.753	SLD 2	0.007	1	-3.178	1003.522	1	-0.0845	23.5037	0.0102	33.3316	1		1				0	0	Si

Verifiche ad instabilità

Caratteristiche iniziali

Membratura principale per controllo snellezza; Calcolo di snellezze ed N critici condotti secondo gli assi principali;

Curva X: c; Curva Y: c;

Svergolamento: Nessuno; la verifica a instabilità flesso-torsionale (svergolamento) non verrà eseguita.

Dati per instabilità attorno a x

Controllo della snellezza secondo §4.2.4.1.3.1 NTC18

Numero rit.	Presente	Ascissa	Campata	βx/m	Vincolo a entrambi estremi	λx/m	λVer
1	Si	0					
			1-2	1	Si	49.6	Si, (<200)
2	Si	1.505					

Dati per instabilità attorno a y

Controllo della snellezza secondo §4.2.4.1.3.1 NTC18

Numero rit.	Presente	Ascissa	Campata	βy/n	k,LT	kw,LT	Vincolo a entrambi estremi
1	Si	0					
			1-2	1	Si	34.9	Si, (<200)
2	Si	1.505					

Verifica di stabilità per pressoflessione §C.4.2.4.1.3.3.1 NTC18

X	Comb.	Sfruttamento	Classe	NEd	MxEq,Ed	MyEq,Ed	Area	Wx	Wy	χ,min	λ adim. x/m	λ adim. y/n	N,crit x/m	N,crit y/n	Verifica
0	SLU 75	0.02	3	-8.673	-0.0978	0.0263	0.003832	0.0000492	0.0000739	0.802	0.571	0.402	3231.032	6528.319	Si

Verifica di stabilità per pressoflessione SLD §C.4.2.4.1.3.3.1 NTC18

X	Comb.	Sfruttamento	Classe	NEd	MxEq,Ed	MyEq,Ed	Area	Wx	Wy	χ,min	λ adim. x/m	λ adim. y/n	N,crit x/m	N,crit y/n	Verifica
0	SLD 1	0.01	3	-3.197	-0.073	0.009	0.003832	0.0000492	0.0000739	0.802	0.571	0.402	3231.032	6528.319	Si

Verifiche a deformabilità

Mensola X: No; Mensola Y: No.

Frecce lungo X

Ascissa freccia	Combinazione	Freccia	Luce	L/f	L/f,min	Tipo	Verifica
0.652	SLE RA 1	0	1.505	10000	250	Totale	Si
0.652	SLE RA 17	0	1.505	10000	250	Totale	Si
0.652	SLE RA 16	0	1.505	10000	250	Totale	Si
0.652	SLE RA 15	0	1.505	10000	250	Totale	Si
0.652	SLE RA 14	0	1.505	10000	250	Totale	Si
0.652	SLE RA 2	0	1.505	10000	350	Variabile	Si
0.702	SLE RA 17	0	1.505	10000	350	Variabile	Si
0.652	SLE RA 16	0	1.505	10000	350	Variabile	Si
0.702	SLE RA 15	0	1.505	10000	350	Variabile	Si
0.652	SLE RA 14	0	1.505	10000	350	Variabile	Si

Frecce lungo Y

Ascissa freccia	Combinazione	Freccia	Luce	L/f	L/f,min	Tipo	Verifica
0.753	SLE RA 1	-0.00003	1.505	10000	250	Totale	Si
0.753	SLE RA 17	-0.00003	1.505	10000	250	Totale	Si
0.753	SLE RA 16	-0.00003	1.505	10000	250	Totale	Si
0.753	SLE RA 15	-0.00003	1.505	10000	250	Totale	Si
0.753	SLE RA 14	-0.00003	1.505	10000	250	Totale	Si
0.552	SLE RA 2	0	1.505	10000	350	Variabile	Si
0.552	SLE RA 17	0	1.505	10000	350	Variabile	Si
0.552	SLE RA 16	0	1.505	10000	350	Variabile	Si
0.502	SLE RA 15	0	1.505	10000	350	Variabile	Si
0.502	SLE RA 14	0	1.505	10000	350	Variabile	Si

Implementazione dei sistemi di confinamento delle emissioni odorigene diffuse dell'impianto di compostaggio esistente nel
Comune di Eboli (SA)
PROGETTO DEFINITIVO – Tabulati di calcolo Tomo 1

Superelemento in acciaio a quota "728"- "740" (-1379; -742)-(-1488; -639)

Caratteristiche del materiale

Acciaio: S275, fyk = 275000

Caratteristiche geometriche

Lunghezza: 1.505

Nodo iniziale: 2230 Nodo finale: 2449

Cerniera iniziale: Mmomenti 1% Cerniera finale: Mmomenti 1%

Sovreresistenza: 0% Sisma Z: No

Caratteristiche della sezione

Sezione	Rotazione	Area	Jx	Jy	ix	iy	Wx	Wy	Wplx	Wply
A1; L100*10; 1; Saldato; S275; 30; 1; 8; 8; 1	0	0.003832	0.0000035319	0.000007759	0.0304	0.045	0.0000492	0.0000739	0.00008974	0.00012727

Comportamento dei calastrelli

Accoppiamento imbottito con funzione statica (§C4.2.4.1.3.1.4 NTC18) nella campata compresa tra le ascisse 0 e 1.505 per sbandamento attorno all'asse y.

Verifiche di resistenza

Verifiche a forza assiale §4.2.4.1.2.1 - §4.2.4.1.2.2 NTC18

X	Comb.	Sfruttamento	Classe	NEd	Nc,Rd	Nt,Rd	Riduzione da taglio	px	py	Verifica
0	SLU 75	0.007	3	-6.642	1003.522		1	0	0	Si

Verifiche a forza assiale SLD §4.2.4.1.2.1 - §4.2.4.1.2.2 NTC18

X	Comb.	Sfruttamento	Classe	NEd	Nc,Rd	Nt,Rd	Riduzione da taglio	px	py	Verifica
0	SLD 14	0.003	3	-2.932	1003.522		1	0	0	Si

Verifica a taglio Y §4.2.4.1.2.4 NTC18

X	Comb.	Sfruttamento	VEd	Vc,Rd	Av	Interazione taglio-torsione	Riduzione torsione	Verifica
1.505	SLU 75	0.001	-0.295	302.422	0.002	Non considerata		Si

Verifica a taglio Y SLD §4.2.4.1.2.4 NTC18

X	Comb.	Sfruttamento	VEd	Vc,Rd	Av	Interazione taglio-torsione	Riduzione torsione	Verifica
1.505	SLD 16	0.001	-0.227	302.422	0.002	Non considerata		Si

Verifica a flessione semplice X §§ 4.2.4.1.2.3 - 4.2.4.1.2.6 - 4.2.4.1.2.7 - 4.2.4.1.2.8 NTC18

X	Comb.	Sfruttamento	Classe	Mx,Ed	Mx,Rd	Rid. Mx,Rd da VEd	px	py	Verifica
0.753	SLU 59	0.005	1	-0.10991	23.50374	1	0	0	Si

Verifica a presso/tenso flessione retta X §§ 4.2.4.1.2.3 - 4.2.4.1.2.6 - 4.2.4.1.2.7 - 4.2.4.1.2.8 NTC18

Verifiche eseguite utilizzando la formula conservativa (6.2) §6.2.1 EN 1993-1-1:2005.

X	Comb.	Sfruttamento	Classe	NEd	NRd	Rid. NRd da VEd	Mx,Ed	Mx,Rd	Rid. Mx,Rd da VEd	Rid. Mx,Rd da NEd	px	py	Verifica
0.753	SLU 42	0.007	1	-1.927	1003.522	1	-0.1098	23.5037	1		0	0	Si

Verifica a presso/tenso flessione retta X SLD §§ 4.2.4.1.2.3 - 4.2.4.1.2.6 - 4.2.4.1.2.7 - 4.2.4.1.2.8 NTC18

Verifiche eseguite utilizzando la formula conservativa (6.2) §6.2.1 EN 1993-1-1:2005.

X	Comb.	Sfruttamento	Classe	NEd	NRd	Rid. NRd da VEd	Mx,Ed	Mx,Rd	Rid. Mx,Rd da VEd	Rid. Mx,Rd da NEd	px	py	Verifica
0.753	SLD 1	0.005	1	-1.831	1003.522	1	-0.0846	23.5037	1		0	0	Si

Verifica a presso/tenso flessione retta Y §§ 4.2.4.1.2.3 - 4.2.4.1.2.6 - 4.2.4.1.2.7 - 4.2.4.1.2.8 NTC18

Verifiche eseguite utilizzando la formula conservativa (6.2) §6.2.1 EN 1993-1-1:2005.

X	Comb.	Sfruttamento	Classe	NEd	NRd	Rid. NRd da VEd	My,Ed	My,Rd	Rid. My,Rd da VEd	Rid. My,Rd da NEd	px	py	Verifica
0	SLU 75	0.008	3	-6.642	1003.522	1	0.0205	19.3536	1		0	0	Si

Verifica a presso/tenso flessione retta Y SLD §§ 4.2.4.1.2.3 - 4.2.4.1.2.6 - 4.2.4.1.2.7 - 4.2.4.1.2.8 NTC18

Verifiche eseguite utilizzando la formula conservativa (6.2) §6.2.1 EN 1993-1-1:2005.

X	Comb.	Sfruttamento	Classe	NEd	NRd	Rid. NRd da VEd	My,Ed	My,Rd	Rid. My,Rd da VEd	Rid. My,Rd da NEd	px	py	Verifica
0	SLD 13	0.003	3	-2.932	1003.522	1	0.0092	19.3536	1		0	0	Si

Verifica a presso/tenso flessione deviata §§ 4.2.4.1.2.3 - 4.2.4.1.2.6 - 4.2.4.1.2.7 - 4.2.4.1.2.8 NTC18

Verifiche eseguite utilizzando la formula conservativa (6.2) §6.2.1 EN 1993-1-1:2005.

X	Comb.	Sfruttamento	Classe	NEd	NRd	Rid. NRd da VEd	Mx,Ed	Mx,Rd	My,Ed	My,Rd	Rid. Mx,Rd da VEd	Rid. Mx,Rd da NEd	Rid. My,Rd da VEd	Rid. My,Rd da NEd	α	β	px	py	Verifica
0.351	SLU 75	0.014	3	-6.631	1003.522	1	-0.0789	12.886	0.0204	19.3536	1		1				0	0	Si

Verifica a presso/tenso flessione deviata SLD §§ 4.2.4.1.2.3 - 4.2.4.1.2.6 - 4.2.4.1.2.7 - 4.2.4.1.2.8 NTC18

Verifiche eseguite utilizzando la formula conservativa (6.2) §6.2.1 EN 1993-1-1:2005.

X	Comb.	Sfruttamento	Classe	NEd	NRd	Rid. NRd da VEd	Mx,Ed	Mx,Rd	My,Ed	My,Rd	Rid. Mx,Rd da VEd	Rid. Mx,Rd da NEd	Rid. My,Rd da VEd	Rid. My,Rd da NEd	α	β	px	py	Verifica
0.753	SLD 13	0.007	1	-2.913	1003.522	1	-0.0843	23.5037	0.0089	33.3316	1		1				0	0	Si

Verifiche ad instabilità

Caratteristiche iniziali

Membratura principale per controllo snellezza; Calcolo di snellezze ed N critici condotti secondo gli assi principali;

Curva X: c; Curva Y: c;

Svergolamento: Nessuno; la verifica a instabilità flesso-torsionale (svergolamento) non verrà eseguita.

Implementazione dei sistemi di confinamento delle emissioni odorigene diffuse dell'impianto di compostaggio esistente nel
Comune di Eboli (SA)
PROGETTO DEFINITIVO – Tabulati di calcolo Tomo 1

Dati per instabilità attorno a x

Controllo della snellezza secondo §4.2.4.1.3.1 NTC18

Numero rit.	Presente	Ascissa	Campata	$\beta x/m$	Vincolo a entrambi estremi	$\lambda x/m$	λVer
1	Si	0	1-2	1	Si	49.6	Si, (<200)
2	Si	1.505					

Dati per instabilità attorno a y

Controllo della snellezza secondo §4.2.4.1.3.1 NTC18

Numero rit.	Presente	Ascissa	Campata	$\beta y/n$	k,LT	kw,LT	Vincolo a entrambi estremi
1	Si	0	1-2	1	Si	34.9	Si, (<200)
2	Si	1.505					

Verifica di stabilità per pressoflessione §C.4.2.4.1.3.3.1 NTC18

X	Comb.	Sfruttamento	Classe	NEd	MxEq,Ed	MyEq,Ed	Area	Wx	Wy	χ_{min}	$\lambda_{adim. x/m}$	$\lambda_{adim. y/n}$	N,crit x/m	N,crit y/n	Verifica
0	SLU 75	0.017	3	-6.642	-0.0944	0.0203	0.003832	0.0000492	0.0000739	0.802	0.571	0.402	3231.032	6528.319	Si

Verifica di stabilità per pressoflessione SLD §C.4.2.4.1.3.3.1 NTC18

X	Comb.	Sfruttamento	Classe	NEd	MxEq,Ed	MyEq,Ed	Area	Wx	Wy	χ_{min}	$\lambda_{adim. x/m}$	$\lambda_{adim. y/n}$	N,crit x/m	N,crit y/n	Verifica
0	SLD 9	0.01	3	-2.927	-0.073	0.0092	0.003832	0.0000492	0.0000739	0.802	0.571	0.402	3231.032	6528.319	Si

Verifiche a deformabilità

Mensola X: No; Mensola Y: No.

Frecce lungo X

Ascissa freccia	Combinazione	Freccia	Luce	L/f	L/f,min	Tipo	Verifica
0.652	SLE RA 1	0	1.505	10000	250	Totale	Si
0.652	SLE RA 17	0	1.505	10000	250	Totale	Si
0.652	SLE RA 16	0	1.505	10000	250	Totale	Si
0.652	SLE RA 15	0	1.505	10000	250	Totale	Si
0.652	SLE RA 14	0	1.505	10000	250	Totale	Si
0.702	SLE RA 2	0	1.505	10000	350	Variabile	Si
0.702	SLE RA 17	0	1.505	10000	350	Variabile	Si
0.702	SLE RA 16	0	1.505	10000	350	Variabile	Si
0.702	SLE RA 15	0	1.505	10000	350	Variabile	Si
0.652	SLE RA 14	0	1.505	10000	350	Variabile	Si

Frecce lungo Y

Ascissa freccia	Combinazione	Freccia	Luce	L/f	L/f,min	Tipo	Verifica
0.753	SLE RA 1	-0.00003	1.505	10000	250	Totale	Si
0.753	SLE RA 17	-0.00003	1.505	10000	250	Totale	Si
0.753	SLE RA 16	-0.00003	1.505	10000	250	Totale	Si
0.753	SLE RA 15	-0.00003	1.505	10000	250	Totale	Si
0.753	SLE RA 14	-0.00003	1.505	10000	250	Totale	Si
1.054	SLE RA 2	0	1.505	10000	350	Variabile	Si
1.054	SLE RA 17	0	1.505	10000	350	Variabile	Si
1.054	SLE RA 16	0	1.505	10000	350	Variabile	Si
1.054	SLE RA 15	0	1.505	10000	350	Variabile	Si
1.054	SLE RA 14	0	1.505	10000	350	Variabile	Si

Superelemento in acciaio a quota "740"- "728" (32; 974)-(-77; 1077)

Caratteristiche del materiale

Acciaio: S275, fyk = 275000

Caratteristiche geometriche

Lunghezza: 1.505

Nodo iniziale: 2478 Nodo finale: 2295

Cerniera iniziale: Mmomenti 1% Cerniera finale: Mmomenti 1%

Sovreresistenza: 0% Sisma Z: No

Caratteristiche della sezione

Sezione	Rotazione	Area	Jx	Jy	ix	iy	Wx	Wy	Wplx	Wply
A1; L100*10; 1; Saldato; S275; 30; 1; 8; 8; 1	0	0.003832	0.0000035319	0.000007759	0.0304	0.045	0.0000492	0.0000739	0.00008974	0.00012727

Comportamento dei calastrelli

Accoppiamento imbottito con funzione statica (§C.4.2.4.1.3.1.4 NTC18) nella campata compresa tra le ascisse 0 e 1.505 per sbandamento attorno all'asse y.

Verifiche di resistenza

Verifiche a forza assiale §4.2.4.1.2.1 - §4.2.4.1.2.2 NTC18

X	Comb.	Sfruttamento	Classe	NEd	Nc,Rd	Nt,Rd	Riduzione da taglio	px	py	Verifica
1.505	SLU 75	0.014	3	-13.862	1003.522		1	0	0	Si

Verifiche a forza assiale SLD §4.2.4.1.2.1 - §4.2.4.1.2.2 NTC18

X	Comb.	Sfruttamento	Classe	NEd	Nc,Rd	Nt,Rd	Riduzione da taglio	px	py	Verifica
1.505	SLD 2	0.005	3	-4.577	1003.522		1	0	0	Si

Implementazione dei sistemi di confinamento delle emissioni odorigene diffuse dell'impianto di compostaggio esistente nel
Comune di Eboli (SA)
PROGETTO DEFINITIVO – Tabulati di calcolo Tomo 1

Verifica a taglio Y §4.2.4.1.2.4 NTC18

X	Comb.	Sfruttamento	VEd	Vc,Rd	Av	Interazione taglio-torsione	Riduzione torsione	Verifica
0	SLU 76	0.001	0.307	302.422	0.002	Non considerata		Si

Verifica a taglio Y SLD §4.2.4.1.2.4 NTC18

X	Comb.	Sfruttamento	VEd	Vc,Rd	Av	Interazione taglio-torsione	Riduzione torsione	Verifica
0	SLD 1	0.001	0.231	302.422	0.002	Non considerata		Si

Verifica a flessione semplice X §§ 4.2.4.1.2.3 - 4.2.4.1.2.6 - 4.2.4.1.2.7 - 4.2.4.1.2.8 NTC18

X	Comb.	Sfruttamento	Classe	Mx,Ed	Mx,Rd	Rid. Mx,Rd da VEd	px	py	Verifica
0.753	SLU 43	0.005	1	-0.11046	23.50374	1	0	0	Si

Verifica a presso/tenso flessione retta X §§ 4.2.4.1.2.3 - 4.2.4.1.2.6 - 4.2.4.1.2.7 - 4.2.4.1.2.8 NTC18

Verifiche eseguite utilizzando la formula conservativa (6.2) §6.2.1 EN 1993-1-1:2005.

X	Comb.	Sfruttamento	Classe	NEd	NRd	Rid. NRd da VEd	Mx,Ed	Mx,Rd	Rid. Mx,Rd da VEd	Rid. Mx,Rd da NEd	px	py	Verifica
0.753	SLU 42	0.007	1	-2.24	1003.522	1	-0.1131	23.5037	1		0	0	Si

Verifica a presso/tenso flessione retta Y §§ 4.2.4.1.2.3 - 4.2.4.1.2.6 - 4.2.4.1.2.7 - 4.2.4.1.2.8 NTC18

Verifiche eseguite utilizzando la formula conservativa (6.2) §6.2.1 EN 1993-1-1:2005.

X	Comb.	Sfruttamento	Classe	NEd	NRd	Rid. NRd da VEd	My,Ed	My,Rd	Rid. My,Rd da VEd	Rid. My,Rd da NEd	px	py	Verifica
0	SLU 75	0.016	3	-13.813	1003.522	1	-0.0417	19.3536	1		0	0	Si

Verifica a presso/tenso flessione retta Y SLD §§ 4.2.4.1.2.3 - 4.2.4.1.2.6 - 4.2.4.1.2.7 - 4.2.4.1.2.8 NTC18

Verifiche eseguite utilizzando la formula conservativa (6.2) §6.2.1 EN 1993-1-1:2005.

X	Comb.	Sfruttamento	Classe	NEd	NRd	Rid. NRd da VEd	My,Ed	My,Rd	Rid. My,Rd da VEd	Rid. My,Rd da NEd	px	py	Verifica
0	SLD 1	0.006	3	-4.54	1003.522	1	-0.0191	19.3536	1		0	0	Si

Verifica a presso/tenso flessione deviata §§ 4.2.4.1.2.3 - 4.2.4.1.2.6 - 4.2.4.1.2.7 - 4.2.4.1.2.8 NTC18

Verifiche eseguite utilizzando la formula conservativa (6.2) §6.2.1 EN 1993-1-1:2005.

X	Comb.	Sfruttamento	Classe	NEd	NRd	Rid. NRd da VEd	Mx,Ed	Mx,Rd	My,Ed	My,Rd	Rid. Mx,Rd da VEd	Rid. Mx,Rd da NEd	Rid. My,Rd da VEd	Rid. My,Rd da NEd	α	β	px	py	Verifica
0.753	SLU 75	0.025	3	-13.837	1003.522	1	-0.1129	12.886	-0.0418	19.3536	1		1				0	0	Si

Verifica a presso/tenso flessione deviata SLD §§ 4.2.4.1.2.3 - 4.2.4.1.2.6 - 4.2.4.1.2.7 - 4.2.4.1.2.8 NTC18

Verifiche eseguite utilizzando la formula conservativa (6.2) §6.2.1 EN 1993-1-1:2005.

X	Comb.	Sfruttamento	Classe	NEd	NRd	Rid. NRd da VEd	Mx,Ed	Mx,Rd	My,Ed	My,Rd	Rid. Mx,Rd da VEd	Rid. Mx,Rd da NEd	Rid. My,Rd da VEd	Rid. My,Rd da NEd	α	β	px	py	Verifica
1.254	SLD 1	0.01	3	-4.571	1003.522	1	-0.0509	12.886	0.0219	19.3536	1		1				0	0	Si

Verifiche ad instabilità

Caratteristiche iniziali

Membratura principale per controllo snellezza; Calcolo di snellezze ed N critici condotti secondo gli assi principali;

Curva X: c; Curva Y: c;

Svergolamento: Nessuno; la verifica a instabilità flessio-torsionale (svergolamento) non verrà eseguita.

Dati per instabilità attorno a x

Controllo della snellezza secondo §4.2.4.1.3.1 NTC18

Numero rit.	Presente	Ascissa	Campata	βx/m	Vincolo a entrambi estremi	λx/m	λVer
1	Si		0				
			1-2		1	Si	49.6
2	Si		1.505				Si, (<200)

Dati per instabilità attorno a y

Controllo della snellezza secondo §4.2.4.1.3.1 NTC18

Numero rit.	Presente	Ascissa	Campata	βy/n	k,LT	kw,LT	Vincolo a entrambi estremi
1	Si		0				
			1-2		1	Si	34.9
2	Si		1.505				Si, (<200)

Verifica di stabilità per pressoflessione §C.4.2.4.1.3.3.1 NTC18

X	Comb.	Sfruttamento	Classe	NEd	MxEq,Ed	MyEq,Ed	Area	Wx	Wy	x,min	λ adim. x/m	λ adim. y/n	N,crit x/m	N,crit y/n	Verifica
1.505	SLU 75	0.027	3	-13.862	-0.0989	0.0314	0.003832	0.0000492	0.0000739	0.802	0.571	0.402	3231.032	6528.319	Si

Verifica di stabilità per pressoflessione SLD §C.4.2.4.1.3.3.1 NTC18

X	Comb.	Sfruttamento	Classe	NEd	MxEq,Ed	MyEq,Ed	Area	Wx	Wy	x,min	λ adim. x/m	λ adim. y/n	N,crit x/m	N,crit y/n	Verifica
1.505	SLD 1	0.012	3	-4.577	-0.0751	0.0185	0.003832	0.0000492	0.0000739	0.802	0.571	0.402	3231.032	6528.319	Si

Verifiche a deformabilità

Mensola X: No; Mensola Y: No.

Frecce lungo X

Ascissa freccia	Combinazione	Freccia	Luce	L/f	L/f,min	Tipo	Verifica
0.502	SLE RA 1	0	1.505	10000	250	Totale	Si
0.452	SLE RA 17	0	1.505	10000	250	Totale	Si
0.452	SLE RA 16	0	1.505	10000	250	Totale	Si
0.502	SLE RA 15	0	1.505	10000	250	Totale	Si
0.452	SLE RA 14	0	1.505	10000	250	Totale	Si
0.452	SLE RA 2	0	1.505	10000	350	Variabile	Si
0.401	SLE RA 17	0	1.505	10000	350	Variabile	Si
0.452	SLE RA 16	0	1.505	10000	350	Variabile	Si
0.452	SLE RA 15	0	1.505	10000	350	Variabile	Si
0.401	SLE RA 14	0	1.505	10000	350	Variabile	Si

Implementazione dei sistemi di confinamento delle emissioni odorigene diffuse dell'impianto di compostaggio esistente nel
Comune di Eboli (SA)

PROGETTO DEFINITIVO – Tabulati di calcolo Tomo 1

Frecce lungo Y

Ascissa freccia	Combinazione	Freccia	Luce	L/f	L/f,min	Tipo	Verifica
0.753	SLE RA 1	-0.00003	1.505	10000	250	Totale	Si
0.753	SLE RA 17	-0.00003	1.505	10000	250	Totale	Si
0.753	SLE RA 16	-0.00003	1.505	10000	250	Totale	Si
0.753	SLE RA 15	-0.00003	1.505	10000	250	Totale	Si
0.753	SLE RA 14	-0.00003	1.505	10000	250	Totale	Si
0.953	SLE RA 2	0	1.505	10000	350	Variabile	Si
0.953	SLE RA 17	0	1.505	10000	350	Variabile	Si
0.953	SLE RA 16	0	1.505	10000	350	Variabile	Si
0.953	SLE RA 15	0	1.505	10000	350	Variabile	Si
1.003	SLE RA 14	0	1.505	10000	350	Variabile	Si

Superelemento in acciaio a quota "740"- "728" (292; 1248)-(182; 1351)

Caratteristiche del materiale

Acciaio: S275, fyk = 275000

Caratteristiche geometriche

Lunghezza: 1.505

Nodo iniziale: 2483 Nodo finale: 2304

Cerniera iniziale: Mmomenti 1% Cerniera finale: Mmomenti 1%

Sovreresistenza: 0% Sisma Z: No

Caratteristiche della sezione

Sezione	Rotazione	Area	Jx	Jy	ix	iy	Wx	Wy	Wplx	Wply
A1; L100*10; 1; Saldato; S275; 30; 1; 8; 8; 1	0	0.003832	0.0000035319	0.000007759	0.0304	0.045	0.0000492	0.0000739	0.00008974	0.00012727

Comportamento dei calastrelli

Accoppiamento imbottito con funzione statica (§C4.2.4.1.3.1.4 NTC18) nella campata compresa tra le ascisse 0 e 1.505 per sbandamento attorno all'asse y.

Verifiche di resistenza

Verifiche a forza assiale §4.2.4.1.2.1 - §4.2.4.1.2.2 NTC18

X	Comb.	Sfruttamento	Classe	NEd	Nc,Rd	Nt,Rd	Riduzione da taglio	px	py	Verifica
1.505	SLU 75	0.014	3	-13.991	1003.522		1	0	0	Si

Verifiche a forza assiale SLD §4.2.4.1.2.1 - §4.2.4.1.2.2 NTC18

X	Comb.	Sfruttamento	Classe	NEd	Nc,Rd	Nt,Rd	Riduzione da taglio	px	py	Verifica
1.505	SLD 2	0.005	3	-4.856	1003.522		1	0	0	Si

Verifica a taglio Y §4.2.4.1.2.4 NTC18

X	Comb.	Sfruttamento	VEd	Vc,Rd	Av	Interazione taglio-torsione	Riduzione torsione	Verifica
0	SLU 64	0.001	0.299	302.422	0.002	Non considerata		Si

Verifica a taglio Y SLD §4.2.4.1.2.4 NTC18

X	Comb.	Sfruttamento	VEd	Vc,Rd	Av	Interazione taglio-torsione	Riduzione torsione	Verifica
0	SLD 1	0.001	0.229	302.422	0.002	Non considerata		Si

Verifica a flessione semplice X §§ 4.2.4.1.2.3 - 4.2.4.1.2.6 - 4.2.4.1.2.7 - 4.2.4.1.2.8 NTC18

X	Comb.	Sfruttamento	Classe	Mx,Ed	Mx,Rd	Rid. Mx,Rd da VEd	px	py	Verifica
0.753	SLU 5	0.004	1	-0.08468	23.50374	1	0	0	Si

Verifica a presso/tenso flessione retta X §§ 4.2.4.1.2.3 - 4.2.4.1.2.6 - 4.2.4.1.2.7 - 4.2.4.1.2.8 NTC18

Verifiche eseguite utilizzando la formula conservativa (6.2) §6.2.1 EN 1993-1-1:2005.

X	Comb.	Sfruttamento	Classe	NEd	NRd	Rid. NRd da VEd	Mx,Ed	Mx,Rd	Rid. Mx,Rd da VEd	Rid. Mx,Rd da NEd	px	py	Verifica
0.753	SLU 62	0.006	1	-1.809	1003.522	1	-0.1101	23.5037	1		0	0	Si

Verifica a presso/tenso flessione retta Y §§ 4.2.4.1.2.3 - 4.2.4.1.2.6 - 4.2.4.1.2.7 - 4.2.4.1.2.8 NTC18

Verifiche eseguite utilizzando la formula conservativa (6.2) §6.2.1 EN 1993-1-1:2005.

X	Comb.	Sfruttamento	Classe	NEd	NRd	Rid. NRd da VEd	My,Ed	My,Rd	Rid. My,Rd da VEd	Rid. My,Rd da NEd	px	py	Verifica
1.505	SLU 75	0.016	3	-13.991	1003.522	1	-0.0429	19.3536	1		0	0	Si

Verifica a presso/tenso flessione retta Y SLD §§ 4.2.4.1.2.3 - 4.2.4.1.2.6 - 4.2.4.1.2.7 - 4.2.4.1.2.8 NTC18

Verifiche eseguite utilizzando la formula conservativa (6.2) §6.2.1 EN 1993-1-1:2005.

X	Comb.	Sfruttamento	Classe	NEd	NRd	Rid. NRd da VEd	My,Ed	My,Rd	Rid. My,Rd da VEd	Rid. My,Rd da NEd	px	py	Verifica
1.505	SLD 1	0.006	3	-4.856	1003.522	1	0.0168	19.3536	1		0	0	Si

Verifica a presso/tenso flessione deviata §§ 4.2.4.1.2.3 - 4.2.4.1.2.6 - 4.2.4.1.2.7 - 4.2.4.1.2.8 NTC18

Verifiche eseguite utilizzando la formula conservativa (6.2) §6.2.1 EN 1993-1-1:2005.

X	Comb.	Sfruttamento	Classe	NEd	NRd	Rid. NRd da VEd	Mx,Ed	Mx,Rd	My,Ed	My,Rd	Rid. Mx,Rd da VEd	Rid. Mx,Rd da NEd	Rid. My,Rd da VEd	Rid. My,Rd da NEd	α	β	px	py	Verifica
0.753	SLU 75	0.025	3	-13.967	1003.522	1	-0.1093	12.886	-0.0424	19.3536	1		1				0	0	Si

Verifica a presso/tenso flessione deviata SLD §§ 4.2.4.1.2.3 - 4.2.4.1.2.6 - 4.2.4.1.2.7 - 4.2.4.1.2.8 NTC18

Verifiche eseguite utilizzando la formula conservativa (6.2) §6.2.1 EN 1993-1-1:2005.

X	Comb.	Sfruttamento	Classe	NEd	NRd	Rid. NRd da VEd	Mx,Ed	Mx,Rd	My,Ed	My,Rd	Rid. Mx,Rd da VEd	Rid. Mx,Rd da NEd	Rid. My,Rd da VEd	Rid. My,Rd da NEd	α	β	px	py	Verifica

Implementazione dei sistemi di confinamento delle emissioni odorigene diffuse dell’impianto di compostaggio esistente nel
Comune di Eboli (SA)

PROGETTO DEFINITIVO – Tabulati di calcolo Tomo 1

X	Comb.	Sfruttamento	Classe	NEd	NRd	Rid. NRd da VEd	Mx,Ed	Mx,Rd	My,Ed	My,Rd	Rid. Mx,Rd da VEd	Rid. Mx,Rd da NEd	Rid. My,Rd da VEd	Rid. My,Rd da NEd	α	β	ρx	ρy	Verifica
0.351	SLD 2	0.01	3	-4.828	1003.522	1	-0.0596	12.886	-0.015	19.3536	1		1				0	0	Si

Verifiche ad instabilità

Caratteristiche iniziali

Membratura principale per controllo snellezza; Calcolo di snellezze ed N critici condotti secondo gli assi principali;

Curva X: c; Curva Y: c;

Svergolamento: Nessuno; la verifica a instabilità flesso-torsionale (svergolamento) non verrà eseguita.

Dati per instabilità attorno a x

Controllo della snellezza secondo §4.2.4.1.3.1 NTC18

Numero rit.	Presente	Ascissa	Campata	βx/m	Vincolo a entrambi estremi	λx/m	λVer
1	Si	0					
			1-2	1	Si	49.6	Si, (<200)
2	Si	1.505					

Dati per instabilità attorno a y

Controllo della snellezza secondo §4.2.4.1.3.1 NTC18

Numero rit.	Presente	Ascissa	Campata	βy/n	k,LT	kw,LT	Vincolo a entrambi estremi
1	Si	0					
			1-2	1	Si	34.9	Si, (<200)
2	Si	1.505					

Verifica di stabilità per pressoflessione §C.4.2.4.1.3.3.1 NTC18

X	Comb.	Sfruttamento	Classe	NEd	MxEq,Ed	MyEq,Ed	Area	Wx	Wy	χ,min	λ adim. x/m	λ adim. y/n	N,crit x/m	N,crit y/n	Verifica
1.505	SLU 75	0.026	3	-13.991	-0.0942	-0.0322	0.003832	0.0000492	0.0000739	0.802	0.571	0.402	3231.032	6528.319	Si

Verifica di stabilità per pressoflessione SLD §C.4.2.4.1.3.3.1 NTC18

X	Comb.	Sfruttamento	Classe	NEd	MxEq,Ed	MyEq,Ed	Area	Wx	Wy	χ,min	λ adim. x/m	λ adim. y/n	N,crit x/m	N,crit y/n	Verifica
1.505	SLD 1	0.012	3	-4.856	-0.0737	0.0126	0.003832	0.0000492	0.0000739	0.802	0.571	0.402	3231.032	6528.319	Si

Verifiche a deformabilità

Mensola X: No; Mensola Y: No.

Frecce lungo X

Ascissa freccia	Combinazione	Freccia	Luce	L/f	L/f,min	Tipo	Verifica
0.953	SLE RA 1	0	1.505	10000	250	Totale	Si
0.953	SLE RA 17	0	1.505	10000	250	Totale	Si
1.003	SLE RA 16	0	1.505	10000	250	Totale	Si
1.003	SLE RA 15	0	1.505	10000	250	Totale	Si
0.953	SLE RA 14	0	1.505	10000	250	Totale	Si
1.003	SLE RA 2	0	1.505	10000	350	Variabile	Si
1.003	SLE RA 17	0	1.505	10000	350	Variabile	Si
1.003	SLE RA 16	0	1.505	10000	350	Variabile	Si
1.003	SLE RA 15	0	1.505	10000	350	Variabile	Si
0.753	SLE RA 14	0	1.505	10000	350	Variabile	Si

Frecce lungo Y

Ascissa freccia	Combinazione	Freccia	Luce	L/f	L/f,min	Tipo	Verifica
0.753	SLE RA 1	-0.00003	1.505	10000	250	Totale	Si
0.753	SLE RA 17	-0.00003	1.505	10000	250	Totale	Si
0.753	SLE RA 16	-0.00003	1.505	10000	250	Totale	Si
0.753	SLE RA 15	-0.00003	1.505	10000	250	Totale	Si
0.753	SLE RA 14	-0.00003	1.505	10000	250	Totale	Si
0.351	SLE RA 2	0	1.505	10000	350	Variabile	Si
0.351	SLE RA 17	0	1.505	10000	350	Variabile	Si
0.351	SLE RA 16	0	1.505	10000	350	Variabile	Si
1.003	SLE RA 15	0	1.505	10000	350	Variabile	Si
0.853	SLE RA 14	0	1.505	10000	350	Variabile	Si

Superelemento in acciaio a quota "740"- "728" (546; 1518)-(437; 1620)

Caratteristiche del materiale

Acciaio: S275, fyk = 275000

Caratteristiche geometriche

Lunghezza: 1.505

Nodo iniziale: 2486 Nodo finale: 2312

Cerniera iniziale: Mmomenti 1% Cerniera finale: Mmomenti 1%

Sovraresistenza: 0% Sisma Z: No

Caratteristiche della sezione

Sezione	Rotazione	Area	Jx	Jy	ix	iy	Wx	Wy	Wplx	Wply
A1; L100*10; 1; Saldato; S275; 30; 1; 8; 8; 1	0	0.003832	0.0000035319	0.000007759	0.0304	0.045	0.0000492	0.0000739	0.00008974	0.00012727

Comportamento dei calastrelli

Accoppiamento imbottito con funzione statica (§C4.2.4.1.3.1.4 NTC18) nella campata compresa tra le ascisse 0 e 1.505 per sbandamento attorno all'asse y.

Implementazione dei sistemi di confinamento delle emissioni odorigene diffuse dell'impianto di compostaggio esistente nel
Comune di Eboli (SA)
PROGETTO DEFINITIVO – Tabulati di calcolo Tomo 1

Verifiche di resistenza

Verifiche a forza assiale §4.2.4.1.2.1 - §4.2.4.1.2.2 NTC18

X	Comb.	Sfruttamento	Classe	NEd	Nc,Rd	Nt,Rd	Riduzione da taglio	px	py	Verifica
1.505	SLU 76	0.011	3	-11.288	1003.522		1	0	0	Si

Verifiche a forza assiale SLD §4.2.4.1.2.1 - §4.2.4.1.2.2 NTC18

X	Comb.	Sfruttamento	Classe	NEd	Nc,Rd	Nt,Rd	Riduzione da taglio	px	py	Verifica
1.505	SLD 3	0.004	3	-3.75	1003.522		1	0	0	Si

Verifica a taglio Y §4.2.4.1.2.4 NTC18

X	Comb.	Sfruttamento	VEd	Vc,Rd	Av	Interazione taglio-torsione	Riduzione torsione	Verifica
1.505	SLU 76	0.001	-0.318	302.422	0.002	Non considerata		Si

Verifica a taglio Y SLD §4.2.4.1.2.4 NTC18

X	Comb.	Sfruttamento	VEd	Vc,Rd	Av	Interazione taglio-torsione	Riduzione torsione	Verifica
1.505	SLD 4	0.001	-0.232	302.422	0.002	Non considerata		Si

Verifica a flessione semplice X §§ 4.2.4.1.2.3 - 4.2.4.1.2.6 - 4.2.4.1.2.7 - 4.2.4.1.2.8 NTC18

X	Comb.	Sfruttamento	Classe	Mx,Ed	Mx,Rd	Rid. Mx,Rd da VEd	px	py	Verifica
0.753	SLU 59	0.005	1	-0.11287	23.50374	1	0	0	Si

Verifica a presso/tenso flessione retta X §§ 4.2.4.1.2.3 - 4.2.4.1.2.6 - 4.2.4.1.2.7 - 4.2.4.1.2.8 NTC18

Verifiche eseguite utilizzando la formula conservativa (6.2) §6.2.1 EN 1993-1-1:2005.

X	Comb.	Sfruttamento	Classe	NEd	NRd	Rid. NRd da VEd	Mx,Ed	Mx,Rd	Rid. Mx,Rd da VEd	Rid. Mx,Rd da NEd	px	py	Verifica
0.753	SLU 60	0.007	1	-2.276	1003.522	1	-0.1136	23.5037	1		0	0	Si

Verifica a presso/tenso flessione retta Y §§ 4.2.4.1.2.3 - 4.2.4.1.2.6 - 4.2.4.1.2.7 - 4.2.4.1.2.8 NTC18

Verifiche eseguite utilizzando la formula conservativa (6.2) §6.2.1 EN 1993-1-1:2005.

X	Comb.	Sfruttamento	Classe	NEd	NRd	Rid. NRd da VEd	My,Ed	My,Rd	Rid. My,Rd da VEd	Rid. My,Rd da NEd	px	py	Verifica
0	SLU 76	0.013	3	-11.239	1003.522	1	-0.0339	19.3536	1		0	0	Si

Verifica a presso/tenso flessione retta Y SLD §§ 4.2.4.1.2.3 - 4.2.4.1.2.6 - 4.2.4.1.2.7 - 4.2.4.1.2.8 NTC18

Verifiche eseguite utilizzando la formula conservativa (6.2) §6.2.1 EN 1993-1-1:2005.

X	Comb.	Sfruttamento	Classe	NEd	NRd	Rid. NRd da VEd	My,Ed	My,Rd	Rid. My,Rd da VEd	Rid. My,Rd da NEd	px	py	Verifica
1.455	SLD 3	0.004	3	-3.749	1003.522	1	0.0115	19.3536	1		0	0	Si

Verifica a presso/tenso flessione deviata §§ 4.2.4.1.2.3 - 4.2.4.1.2.6 - 4.2.4.1.2.7 - 4.2.4.1.2.8 NTC18

Verifiche eseguite utilizzando la formula conservativa (6.2) §6.2.1 EN 1993-1-1:2005.

X	Comb.	Sfruttamento	Classe	NEd	NRd	Rid. NRd da VEd	Mx,Ed	Mx,Rd	My,Ed	My,Rd	Rid. Mx,Rd da VEd	Rid. Mx,Rd da NEd	Rid. My,Rd da VEd	Rid. My,Rd da NEd	α	β	px	py	Verifica
0.702	SLU 76	0.02	3	-11.262	1003.522	1	-0.0917	12.886	-0.034	19.3536	1		1				0	0	Si

Verifica a presso/tenso flessione deviata SLD §§ 4.2.4.1.2.3 - 4.2.4.1.2.6 - 4.2.4.1.2.7 - 4.2.4.1.2.8 NTC18

Verifiche eseguite utilizzando la formula conservativa (6.2) §6.2.1 EN 1993-1-1:2005.

X	Comb.	Sfruttamento	Classe	NEd	NRd	Rid. NRd da VEd	Mx,Ed	Mx,Rd	My,Ed	My,Rd	Rid. Mx,Rd da VEd	Rid. Mx,Rd da NEd	Rid. My,Rd da VEd	Rid. My,Rd da NEd	α	β	px	py	Verifica
1.204	SLD 3	0.008	3	-3.743	1003.522	1	-0.0465	12.886	0.0114	19.3536	1		1				0	0	Si

Verifiche ad instabilità

Caratteristiche iniziali

Membratura principale per controllo snellezza; Calcolo di snellezze ed N critici condotti secondo gli assi principali;

Curva X: c; Curva Y: c;

Svergolamento: Nessuno; la verifica a instabilità flesso-torsionale (svergolamento) non verrà eseguita.

Dati per instabilità attorno a x

Controllo della snellezza secondo §4.2.4.1.3.1 NTC18

Numero rit.	Presente	Ascissa	Campata	βx/m	Vincolo a entrambi estremi	λx/m	λVer
1	Si		0				
			1-2		1	49.6	Si, (<200)
2	Si	1.505					

Dati per instabilità attorno a y

Controllo della snellezza secondo §4.2.4.1.3.1 NTC18

Numero rit.	Presente	Ascissa	Campata	βy/n	k,LT	kw,LT	Vincolo a entrambi estremi
1	Si		0				
			1-2		1	34.9	Si, (<200)
2	Si	1.505					

Verifica di stabilità per pressoflessione §C.4.2.4.1.3.3.1 NTC18

X	Comb.	Sfruttamento	Classe	NEd	MxEq,Ed	MyEq,Ed	Area	Wx	Wy	x,min	λ adim. x/m	λ adim. y/n	N,crit x/m	N,crit y/n	Verifica
1.505	SLU 76	0.021	3	-11.288	-0.0702	0.0256	0.003832	0.0000492	0.0000739	0.802	0.571	0.402	3231.032	6528.319	Si

Verifica di stabilità per pressoflessione SLD §C.4.2.4.1.3.3.1 NTC18

X	Comb.	Sfruttamento	Classe	NEd	MxEq,Ed	MyEq,Ed	Area	Wx	Wy	x,min	λ adim. x/m	λ adim. y/n	N,crit x/m	N,crit y/n	Verifica
1.505	SLD 8	0.01	3	-3.745	-0.067	0.0115	0.003832	0.0000492	0.0000739	0.802	0.571	0.402	3231.032	6528.319	Si

Verifiche a deformabilità

Mensola X: No; Mensola Y: No.

Frecce lungo X

Ascissa freccia	Combinazione	Freccia	Luce	L/f	L/f,min	Tipo	Verifica
-----------------	--------------	---------	------	-----	---------	------	----------

Implementazione dei sistemi di confinamento delle emissioni odorigene diffuse dell'impianto di compostaggio esistente nel
Comune di Eboli (SA)
PROGETTO DEFINITIVO – Tabulati di calcolo Tomo 1

Ascissa freccia	Combinazione	Freccia	Luce	L/f	L/f,min	Tipo	Verifica
0.502	SLE RA 1	0	1.505	10000	250	Totale	Si
0.452	SLE RA 17	0	1.505	10000	250	Totale	Si
0.452	SLE RA 16	0	1.505	10000	250	Totale	Si
0.502	SLE RA 15	0	1.505	10000	250	Totale	Si
0.351	SLE RA 14	0	1.505	10000	250	Totale	Si
0.351	SLE RA 2	0	1.505	10000	350	Variabile	Si
0.401	SLE RA 17	0	1.505	10000	350	Variabile	Si
0.401	SLE RA 16	0	1.505	10000	350	Variabile	Si
0.602	SLE RA 15	0	1.505	10000	350	Variabile	Si
0.953	SLE RA 14	0	1.505	10000	350	Variabile	Si

Frecce lungo Y

Ascissa freccia	Combinazione	Freccia	Luce	L/f	L/f,min	Tipo	Verifica
0.753	SLE RA 1	-0.00003	1.505	10000	250	Totale	Si
0.753	SLE RA 17	-0.00003	1.505	10000	250	Totale	Si
0.753	SLE RA 16	-0.00002	1.505	10000	250	Totale	Si
0.753	SLE RA 15	-0.00002	1.505	10000	250	Totale	Si
0.753	SLE RA 14	-0.00003	1.505	10000	250	Totale	Si
0.853	SLE RA 2	0	1.505	10000	350	Variabile	Si
0.853	SLE RA 17	0	1.505	10000	350	Variabile	Si
0.853	SLE RA 16	0	1.505	10000	350	Variabile	Si
0.853	SLE RA 15	0	1.505	10000	350	Variabile	Si
0.953	SLE RA 14	0	1.505	10000	350	Variabile	Si

Superelemento in acciaio a quota "740"- "728" (800; 1787)-(691; 1890)

Caratteristiche del materiale

Acciaio: S275, fyk = 275000

Caratteristiche geometriche

Lunghezza: 1.505

Nodo iniziale: 2493 Nodo finale: 2323

Cerniera iniziale: Mmomenti 1% Cerniera finale: Mmomenti 1%

Sovreresistenza: 0% Sisma Z: No

Caratteristiche della sezione

Sezione	Rotazione	Area	Jx	Jy	ix	iy	Wx	Wy	Wplx	Wply
A1; L100*10; 1; Saldato; S275; 30; 1; 8; 8; 1	0	0.003832	0.0000035319	0.000007759	0.0304	0.045	0.0000492	0.0000739	0.00008974	0.00012727

Comportamento dei calastrelli

Accoppiamento imbottito con funzione statica (§C4.2.4.1.3.1.4 NTC18) nella campata compresa tra le ascisse 0 e 1.505 per sbandamento attorno all'asse y.

Verifiche di resistenza

Verifiche a forza assiale §4.2.4.1.2.1 - §4.2.4.1.2.2 NTC18

X	Comb.	Sfruttamento	Classe	NEd	Nc,Rd	Nt,Rd	Riduzione da taglio	px	py	Verifica
1.505	SLU 76	0.012	3	-11.976	1003.522		1	0	0	Si

Verifiche a forza assiale SLD §4.2.4.1.2.1 - §4.2.4.1.2.2 NTC18

X	Comb.	Sfruttamento	Classe	NEd	Nc,Rd	Nt,Rd	Riduzione da taglio	px	py	Verifica
1.505	SLD 3	0.004	3	-4.228	1003.522		1	0	0	Si

Verifica a taglio Y §4.2.4.1.2.4 NTC18

X	Comb.	Sfruttamento	VEd	Vc,Rd	Av	Interazione taglio-torsione	Riduzione torsione	Verifica
0	SLU 42	0.001	0.3	302.422	0.002	Non considerata		Si

Verifica a taglio Y SLD §4.2.4.1.2.4 NTC18

X	Comb.	Sfruttamento	VEd	Vc,Rd	Av	Interazione taglio-torsione	Riduzione torsione	Verifica
0	SLD 16	0.001	0.228	302.422	0.002	Non considerata		Si

Verifica a flessione semplice X §§ 4.2.4.1.2.3 - 4.2.4.1.2.6 - 4.2.4.1.2.7 - 4.2.4.1.2.8 NTC18

X	Comb.	Sfruttamento	Classe	Mx,Ed	Mx,Rd	Rid. Mx,Rd da VEd	px	py	Verifica
0.753	SLU 59	0.005	1	-0.11017	23.50374	1	0	0	Si

Verifica a presso/tenso flessione retta X §§ 4.2.4.1.2.3 - 4.2.4.1.2.6 - 4.2.4.1.2.7 - 4.2.4.1.2.8 NTC18

Verifiche eseguite utilizzando la formula conservativa (6.2) §6.2.1 EN 1993-1-1:2005.

X	Comb.	Sfruttamento	Classe	NEd	NRd	Rid. NRd da VEd	Mx,Ed	Mx,Rd	Rid. Mx,Rd da VEd	Rid. Mx,Rd da NEd	px	py	Verifica
0.753	SLU 62	0.006	1	-1.749	1003.522	1	-0.1101	23.5037	1		0	0	Si

Verifica a presso/tenso flessione retta Y §§ 4.2.4.1.2.3 - 4.2.4.1.2.6 - 4.2.4.1.2.7 - 4.2.4.1.2.8 NTC18

Verifiche eseguite utilizzando la formula conservativa (6.2) §6.2.1 EN 1993-1-1:2005.

X	Comb.	Sfruttamento	Classe	NEd	NRd	Rid. NRd da VEd	My,Ed	My,Rd	Rid. My,Rd da VEd	Rid. My,Rd da NEd	px	py	Verifica
1.505	SLU 76	0.014	3	-11.976	1003.522	1	0.0378	19.3536	1		0	0	Si

Verifica a presso/tenso flessione retta Y SLD §§ 4.2.4.1.2.3 - 4.2.4.1.2.6 - 4.2.4.1.2.7 - 4.2.4.1.2.8 NTC18

Verifiche eseguite utilizzando la formula conservativa (6.2) §6.2.1 EN 1993-1-1:2005.

X	Comb.	Sfruttamento	Classe	NEd	NRd	Rid. NRd da VEd	My,Ed	My,Rd	Rid. My,Rd da VEd	Rid. My,Rd da NEd	px	py	Verifica
1.505	SLD 3	0.005	3	-4.228	1003.522	1	0.0144	19.3536	1		0	0	Si

Implementazione dei sistemi di confinamento delle emissioni odorigene diffuse dell'impianto di compostaggio esistente nel
Comune di Eboli (SA)
PROGETTO DEFINITIVO – Tabulati di calcolo Tomo 1

Verifica a presso/tenso flessione deviata §§ 4.2.4.1.2.3 - 4.2.4.1.2.6 - 4.2.4.1.2.7 - 4.2.4.1.2.8 NTC18

Verifiche eseguite utilizzando la formula conservativa (6.2) §6.2.1 EN 1993-1-1:2005.

X	Comb.	Sfruttamento	Classe	NEd	NRd	Rid. NRd da VEd	Mx,Ed	Mx,Rd	My,Ed	My,Rd	Rid. Mx,Rd da VEd	Rid. Mx,Rd da NEd	Rid. My,Rd da VEd	Rid. My,Rd da NEd	α	β	px	py	Verifica
0.753	SLU 76	0.022	3	-11.951	1003.522	1	-0.1104	12.886	0.0365	19.3536	1		1				0	0	Si

Verifica a presso/tenso flessione deviata SLD §§ 4.2.4.1.2.3 - 4.2.4.1.2.6 - 4.2.4.1.2.7 - 4.2.4.1.2.8 NTC18

Verifiche eseguite utilizzando la formula conservativa (6.2) §6.2.1 EN 1993-1-1:2005.

X	Comb.	Sfruttamento	Classe	NEd	NRd	Rid. NRd da VEd	Mx,Ed	Mx,Rd	My,Ed	My,Rd	Rid. Mx,Rd da VEd	Rid. Mx,Rd da NEd	Rid. My,Rd da VEd	Rid. My,Rd da NEd	α	β	px	py	Verifica
1.254	SLD 7	0.009	3	-4.219	1003.522	1	-0.0481	12.886	-0.0135	19.3536	1		1				0	0	Si

Verifiche ad instabilità

Caratteristiche iniziali

Membratura principale per controllo snellezza; Calcolo di snellezze ed N critici condotti secondo gli assi principali;

Curva X: c; Curva Y: c;

Svergolamento: Nessuno; la verifica a instabilità flesso-torsionale (svergolamento) non verrà eseguita.

Dati per instabilità attorno a x

Controllo della snellezza secondo §4.2.4.1.3.1 NTC18

Numero rit.	Presente	Ascissa	Campata	βx/m	Vincolo a entrambi estremi	λx/m	λVer
1	Si		0				
			1~2		1	49.6	Si, (<200)
2	Si	1.505					

Dati per instabilità attorno a y

Controllo della snellezza secondo §4.2.4.1.3.1 NTC18

Numero rit.	Presente	Ascissa	Campata	βy/n	k,LT	kw,LT	Vincolo a entrambi estremi
1	Si		0				
			1~2		1	34.9	Si, (<200)
2	Si	1.505					

Verifica di stabilità per pressoflessione §C.4.2.4.1.3.3.1 NTC18

X	Comb.	Sfruttamento	Classe	NEd	MxEq,Ed	MyEq,Ed	Area	Wx	Wy	χ,min	λ adim. x/m	λ adim. y/n	N,crit x/m	N,crit y/n	Verifica
1.505	SLU 76	0.024	3	-11.976	-0.0955	0.0284	0.003832	0.0000492	0.0000739	0.802	0.571	0.402	3231.032	6528.319	Si

Verifica di stabilità per pressoflessione SLD §C.4.2.4.1.3.3.1 NTC18

X	Comb.	Sfruttamento	Classe	NEd	MxEq,Ed	MyEq,Ed	Area	Wx	Wy	χ,min	λ adim. x/m	λ adim. y/n	N,crit x/m	N,crit y/n	Verifica
1.505	SLD 8	0.011	3	-4.225	-0.0735	-0.0103	0.003832	0.0000492	0.0000739	0.802	0.571	0.402	3231.032	6528.319	Si

Verifiche a deformabilità

Mensola X: No; Mensola Y: No.

Frecce lungo X

Ascissa freccia	Combinazione	Freccia	Luce	L/f	L/f,min	Tipo	Verifica
1.003	SLE RA 1	0	1.505	10000	250	Totale	Si
1.003	SLE RA 17	0	1.505	10000	250	Totale	Si
1.003	SLE RA 16	0	1.505	10000	250	Totale	Si
1.003	SLE RA 15	0	1.505	10000	250	Totale	Si
0.953	SLE RA 14	0	1.505	10000	250	Totale	Si
1.003	SLE RA 2	0	1.505	10000	350	Variabile	Si
1.003	SLE RA 17	0	1.505	10000	350	Variabile	Si
1.003	SLE RA 16	0	1.505	10000	350	Variabile	Si
1.003	SLE RA 15	0	1.505	10000	350	Variabile	Si
0.853	SLE RA 14	0	1.505	10000	350	Variabile	Si

Frecce lungo Y

Ascissa freccia	Combinazione	Freccia	Luce	L/f	L/f,min	Tipo	Verifica
0.753	SLE RA 1	-0.00003	1.505	10000	250	Totale	Si
0.753	SLE RA 17	-0.00003	1.505	10000	250	Totale	Si
0.753	SLE RA 16	-0.00003	1.505	10000	250	Totale	Si
0.753	SLE RA 15	-0.00003	1.505	10000	250	Totale	Si
0.753	SLE RA 14	-0.00003	1.505	10000	250	Totale	Si
0.953	SLE RA 2	0	1.505	10000	350	Variabile	Si
0.953	SLE RA 17	0	1.505	10000	350	Variabile	Si
0.953	SLE RA 16	0	1.505	10000	350	Variabile	Si
1.054	SLE RA 15	0	1.505	10000	350	Variabile	Si
1.054	SLE RA 14	0	1.505	10000	350	Variabile	Si

Superelemento in acciaio a quota "740"- "728" (1057; 2062)-(948; 2165)

Caratteristiche del materiale

Acciaio: S275, fyk = 275000

Caratteristiche geometriche

Lunghezza: 1.505

Nodo iniziale: 2495 Nodo finale: 2331

Cerniera iniziale: Mmomenti 1% Cerniera finale: Mmomenti 1%

Sovraresistenza: 0% Sisma Z: No

Caratteristiche della sezione

Sezione	Rotazione	Area	Jx	Jy	ix	iy	Wx	Wy	Wplx	Wply
---------	-----------	------	----	----	----	----	----	----	------	------

**Implementazione dei sistemi di confinamento delle emissioni odorigene diffuse dell'impianto di compostaggio esistente nel
Comune di Eboli (SA)
PROGETTO DEFINITIVO – Tabulati di calcolo Tomo 1**

Sezione	Rotazione	Area	Jx	Jy	ix	iy	Wx	Wy	Wpx	Wpy
A1; L100*10; 1; Saldato; S275; 30; 1; 8; 8; 1	0	0.003832	0.0000035319	0.000007759	0.0304	0.045	0.0000492	0.0000739	0.00008974	0.00012727

Comportamento dei calastrelli

Accoppiamento imbottito con funzione statica (§C4.2.4.1.3.1.4 NTC18) nella campata compresa tra le ascisse 0 e 1.505 per sbandamento attorno all'asse y.

Verifiche di resistenza

Verifiche a forza assiale §4.2.4.1.2.1 - §4.2.4.1.2.2 NTC18

X	Comb.	Sfruttamento	Classe	NEd	Nc,Rd	Nt,Rd	Riduzione da taglio	px	py	Verifica
1.505	SLU 75	0.011	3	-11.515	1003.522		1	0	0	Si

Verifiche a forza assiale SLD §4.2.4.1.2.1 - §4.2.4.1.2.2 NTC18

X	Comb.	Sfruttamento	Classe	NEd	Nc,Rd	Nt,Rd	Riduzione da taglio	px	py	Verifica
1.505	SLD 5	0.004	3	-3.677	1003.522		1	0	0	Si

Verifica a taglio Y §4.2.4.1.2.4 NTC18

X	Comb.	Sfruttamento	VEd	Vc,Rd	Av	Interazione taglio-torsione	Riduzione torsione	Verifica
0	SLU 76	0.001	0.306	302.422	0.002	Non considerata		Si

Verifica a taglio Y SLD §4.2.4.1.2.4 NTC18

X	Comb.	Sfruttamento	VEd	Vc,Rd	Av	Interazione taglio-torsione	Riduzione torsione	Verifica
0	SLD 3	0.001	0.23	302.422	0.002	Non considerata		Si

Verifica a flessione semplice X §§ 4.2.4.1.2.3 - 4.2.4.1.2.6 - 4.2.4.1.2.7 - 4.2.4.1.2.8 NTC18

X	Comb.	Sfruttamento	Classe	Mx,Ed	Mx,Rd	Rid. Mx,Rd da VEd	px	py	Verifica
0.753	SLU 59	0.005	1	-0.11025	23.50374	1	0	0	Si

Verifica a presso/tenso flessione retta X §§ 4.2.4.1.2.3 - 4.2.4.1.2.6 - 4.2.4.1.2.7 - 4.2.4.1.2.8 NTC18

Verifiche eseguite utilizzando la formula conservativa (6.2) §6.2.1 EN 1993-1-1:2005.

X	Comb.	Sfruttamento	Classe	NEd	NRd	Rid. NRd da VEd	Mx,Ed	Mx,Rd	Rid. Mx,Rd da VEd	Rid. Mx,Rd da NEd	px	py	Verifica
0.803	SLU 42	0.007	1	-1.896	1003.522	1	-0.1135	23.5037	1		0	0	Si

Verifica a presso/tenso flessione retta Y §§ 4.2.4.1.2.3 - 4.2.4.1.2.6 - 4.2.4.1.2.7 - 4.2.4.1.2.8 NTC18

Verifiche eseguite utilizzando la formula conservativa (6.2) §6.2.1 EN 1993-1-1:2005.

X	Comb.	Sfruttamento	Classe	NEd	NRd	Rid. NRd da VEd	My,Ed	My,Rd	Rid. My,Rd da VEd	Rid. My,Rd da NEd	px	py	Verifica
0	SLU 75	0.013	3	-11.466	1003.522	1	-0.0347	19.3536	1		0	0	Si

Verifica a presso/tenso flessione retta Y SLD §§ 4.2.4.1.2.3 - 4.2.4.1.2.6 - 4.2.4.1.2.7 - 4.2.4.1.2.8 NTC18

Verifiche eseguite utilizzando la formula conservativa (6.2) §6.2.1 EN 1993-1-1:2005.

X	Comb.	Sfruttamento	Classe	NEd	NRd	Rid. NRd da VEd	My,Ed	My,Rd	Rid. My,Rd da VEd	Rid. My,Rd da NEd	px	py	Verifica
1.505	SLD 6	0.005	3	-3.677	1003.522	1	0.0209	19.3536	1		0	0	Si

Verifica a presso/tenso flessione deviata §§ 4.2.4.1.2.3 - 4.2.4.1.2.6 - 4.2.4.1.2.7 - 4.2.4.1.2.8 NTC18

Verifiche eseguite utilizzando la formula conservativa (6.2) §6.2.1 EN 1993-1-1:2005.

X	Comb.	Sfruttamento	Classe	NEd	NRd	Rid. NRd da VEd	Mx,Ed	Mx,Rd	My,Ed	My,Rd	Rid. Mx,Rd da VEd	Rid. Mx,Rd da NEd	Rid. My,Rd da VEd	Rid. My,Rd da NEd	α	β	px	py	Verifica
0.753	SLU 75	0.022	3	-11.49	1003.522	1	-0.1136	12.886	0.0347	19.3536	1		1				0	0	Si

Verifica a presso/tenso flessione deviata SLD §§ 4.2.4.1.2.3 - 4.2.4.1.2.6 - 4.2.4.1.2.7 - 4.2.4.1.2.8 NTC18

Verifiche eseguite utilizzando la formula conservativa (6.2) §6.2.1 EN 1993-1-1:2005.

X	Comb.	Sfruttamento	Classe	NEd	NRd	Rid. NRd da VEd	Mx,Ed	Mx,Rd	My,Ed	My,Rd	Rid. Mx,Rd da VEd	Rid. Mx,Rd da NEd	Rid. My,Rd da VEd	Rid. My,Rd da NEd	α	β	px	py	Verifica
1.305	SLD 1	0.008	3	-3.663	1003.522	1	-0.0432	12.886	0.019	19.3536	1		1				0	0	Si

Verifiche ad instabilità

Caratteristiche iniziali

Membratura principale per controllo snellezza; Calcolo di snellezze ed N critici condotti secondo gli assi principali;

Curva X: c; Curva Y: c;

Svergolamento: Nessuno; la verifica a instabilità flesso-torsionale (svergolamento) non verrà eseguita.

Dati per instabilità attorno a x

Controllo della snellezza secondo §4.2.4.1.3.1 NTC18

Numero rit.	Presente	Ascissa	Campata	βx/m	Vincolo a entrambi estremi	λx/m	λVer
1	Si	0					
2	Si	1.505	1~2	1	Si	49.6	Si, (<200)

Dati per instabilità attorno a y

Controllo della snellezza secondo §4.2.4.1.3.1 NTC18

Numero rit.	Presente	Ascissa	Campata	βy/n	k,LT	kw,LT	Vincolo a entrambi estremi
1	Si	0					
2	Si	1.505	1~2	1	Si	34.9	Si, (<200)

Verifica di stabilità per pressoflessione §C.4.2.4.1.3.3.1 NTC18

X	Comb.	Sfruttamento	Classe	NEd	MxEq,Ed	MyEq,Ed	Area	Wx	Wy	x,min	λ adim. x/m	λ adim. y/n	N,crit x/m	N,crit y/n	Verifica
1.505	SLU 75	0.023	3	-11.515	-0.0998	0.0262	0.003832	0.0000492	0.0000739	0.802	0.571	0.402	3231.032	6528.319	Si

Implementazione dei sistemi di confinamento delle emissioni odorigene diffuse dell'impianto di compostaggio esistente nel
Comune di Eboli (SA)
PROGETTO DEFINITIVO – Tabulati di calcolo Tomo 1

Verifica di stabilità per pressoflessione SLD §C.4.2.4.1.3.3.1 NTC18

X	Comb.	Sfruttamento	Classe	NEd	MxEq,Ed	MyEq,Ed	Area	Wx	Wy	x,min	λ adim. x/m	λ adim. y/n	N,crit x/m	N,crit y/n	Verifica
1.505	SLD 5	0.011	3	-3.677	-0.0754	0.0157	0.003832	0.0000492	0.0000739	0.802	0.571	0.402	3231.032	6528.319	Si

Verifiche a deformabilità

Mensola X: No; Mensola Y: No.

Frecce lungo X

Ascissa freccia	Combinazione	Freccia	Luce	L/f	L/f,min	Tipo	Verifica
1.104	SLE RA 1	0	1.505	10000	250	Totale	Si
1.054	SLE RA 17	0	1.505	10000	250	Totale	Si
1.003	SLE RA 16	0	1.505	10000	250	Totale	Si
1.054	SLE RA 15	0	1.505	10000	250	Totale	Si
1.054	SLE RA 14	0	1.505	10000	250	Totale	Si
0.953	SLE RA 2	0	1.505	10000	350	Variabile	Si
0.953	SLE RA 17	0	1.505	10000	350	Variabile	Si
0.953	SLE RA 16	0	1.505	10000	350	Variabile	Si
1.003	SLE RA 15	0	1.505	10000	350	Variabile	Si
0.803	SLE RA 14	0	1.505	10000	350	Variabile	Si

Frecce lungo Y

Ascissa freccia	Combinazione	Freccia	Luce	L/f	L/f,min	Tipo	Verifica
0.753	SLE RA 1	-0.00003	1.505	10000	250	Totale	Si
0.753	SLE RA 17	-0.00003	1.505	10000	250	Totale	Si
0.753	SLE RA 16	-0.00003	1.505	10000	250	Totale	Si
0.753	SLE RA 15	-0.00003	1.505	10000	250	Totale	Si
0.753	SLE RA 14	-0.00003	1.505	10000	250	Totale	Si
0.903	SLE RA 2	0	1.505	10000	350	Variabile	Si
0.903	SLE RA 17	0	1.505	10000	350	Variabile	Si
0.903	SLE RA 16	0	1.505	10000	350	Variabile	Si
0.903	SLE RA 15	0	1.505	10000	350	Variabile	Si
0.853	SLE RA 14	0	1.505	10000	350	Variabile	Si

Superelemento in acciaio a quota "740"- "728" (1306; 2325)-(1197; 2428)

Caratteristiche del materiale

Acciaio: S275, fyk = 275000

Caratteristiche geometriche

Lunghezza: 1.505

Nodo iniziale: 2503 Nodo finale: 2343

Cerniera iniziale: Mmomenti 1% Cerniera finale: Mmomenti 1%

Sovreresistenza: 0% Sisma Z: No

Caratteristiche della sezione

Sezione	Rotazione	Area	Jx	Jy	ix	iy	Wx	Wy	Wplx	Wply
Al; L100*10; 1; Saldato; S275; 30; 1; 8; 8; 1	0	0.003832	0.0000035319	0.000007759	0.0304	0.045	0.0000492	0.0000739	0.00008974	0.00012727

Comportamento dei calastrelli

Accoppiamento imbottito con funzione statica (§C4.2.4.1.3.1.4 NTC18) nella campata compresa tra le ascisse 0 e 1.505 per sbandamento attorno all'asse y.

Verifiche di resistenza

Verifiche a forza assiale §4.2.4.1.2.1 - §4.2.4.1.2.2 NTC18

X	Comb.	Sfruttamento	Classe	NEd	Nc,Rd	Nt,Rd	Riduzione da taglio	px	py	Verifica
1.505	SLU 75	0.012	3	-12.111	1003.522		1	0	0	Si

Verifiche a forza assiale SLD §4.2.4.1.2.1 - §4.2.4.1.2.2 NTC18

X	Comb.	Sfruttamento	Classe	NEd	Nc,Rd	Nt,Rd	Riduzione da taglio	px	py	Verifica
1.505	SLD 2	0.004	3	-3.928	1003.522		1	0	0	Si

Verifica a taglio Y §4.2.4.1.2.4 NTC18

X	Comb.	Sfruttamento	VEd	Vc,Rd	Av	Interazione taglio-torsione	Riduzione torsione	Verifica
0	SLU 42	0.001	0.295	302.422	0.002	Non considerata		Si

Verifica a taglio Y SLD §4.2.4.1.2.4 NTC18

X	Comb.	Sfruttamento	VEd	Vc,Rd	Av	Interazione taglio-torsione	Riduzione torsione	Verifica
0	SLD 1	0.001	0.227	302.422	0.002	Non considerata		Si

Verifica a flessione semplice X §§ 4.2.4.1.2.3 - 4.2.4.1.2.6 - 4.2.4.1.2.7 - 4.2.4.1.2.8 NTC18

X	Comb.	Sfruttamento	Classe	Mx,Ed	Mx,Rd	Rid. Mx,Rd da VEd	px	py	Verifica
0.753	SLU 43	0.005	1	-0.11002	23.50374	1	0	0	Si

Verifica a presso/tenso flessione retta X §§ 4.2.4.1.2.3 - 4.2.4.1.2.6 - 4.2.4.1.2.7 - 4.2.4.1.2.8 NTC18

Verifiche eseguite utilizzando la formula conservativa (6.2) §6.2.1 EN 1993-1-1:2005.

X	Comb.	Sfruttamento	Classe	NEd	NRd	Rid. NRd da VEd	Mx,Ed	Mx,Rd	Rid. Mx,Rd da VEd	Rid. Mx,Rd da NEd	px	py	Verifica
0.753	SLU 40	0.007	1	1.921	1003.522	1	-0.1101	23.5037	1		0	0	Si

Verifica a presso/tenso flessione retta Y §§ 4.2.4.1.2.3 - 4.2.4.1.2.6 - 4.2.4.1.2.7 - 4.2.4.1.2.8 NTC18

Verifiche eseguite utilizzando la formula conservativa (6.2) §6.2.1 EN 1993-1-1:2005.

Implementazione dei sistemi di confinamento delle emissioni odorigene diffuse dell'impianto di compostaggio esistente nel
Comune di Eboli (SA)
PROGETTO DEFINITIVO – Tabulati di calcolo Tomo 1

X	Comb.	Sfruttamento	Classe	NEd	NRd	Rid. NRd da VEd	My,Ed	My,Rd	Rid. My,Rd da VEd	Rid. My,Rd da NEd	px	py	Verifica
1.505	SLU 75	0.014	3	-12.111	1003.522	1	-0.0369	19.3536	1		0	0	Si

Verifica a presso/tenso flessione retta Y SLD §§ 4.2.4.1.2.3 - 4.2.4.1.2.6 - 4.2.4.1.2.7 - 4.2.4.1.2.8 NTC18

Verifiche eseguite utilizzando la formula conservativa (6.2) §6.2.1 EN 1993-1-1:2005.

X	Comb.	Sfruttamento	Classe	NEd	NRd	Rid. NRd da VEd	My,Ed	My,Rd	Rid. My,Rd da VEd	Rid. My,Rd da NEd	px	py	Verifica
1.505	SLD 1	0.005	3	-3.928	1003.522	1	0.021	19.3536	1		0	0	Si

Verifica a presso/tenso flessione deviata §§ 4.2.4.1.2.3 - 4.2.4.1.2.6 - 4.2.4.1.2.7 - 4.2.4.1.2.8 NTC18

Verifiche eseguite utilizzando la formula conservativa (6.2) §6.2.1 EN 1993-1-1:2005.

X	Comb.	Sfruttamento	Classe	NEd	NRd	Rid. NRd da VEd	Mx,Ed	Mx,Rd	My,Ed	My,Rd	Rid. Mx,Rd da VEd	Rid. Mx,Rd da NEd	Rid. My,Rd da VEd	Rid. My,Rd da NEd	α	β	px	py	Verifica
0.753	SLU 75	0.022	3	-12.087	1003.522	1	-0.1092	12.886	-0.0367	19.3536	1		1				0	0	Si

Verifica a presso/tenso flessione deviata SLD §§ 4.2.4.1.2.3 - 4.2.4.1.2.6 - 4.2.4.1.2.7 - 4.2.4.1.2.8 NTC18

Verifiche eseguite utilizzando la formula conservativa (6.2) §6.2.1 EN 1993-1-1:2005.

X	Comb.	Sfruttamento	Classe	NEd	NRd	Rid. NRd da VEd	Mx,Ed	Mx,Rd	My,Ed	My,Rd	Rid. Mx,Rd da VEd	Rid. Mx,Rd da NEd	Rid. My,Rd da VEd	Rid. My,Rd da NEd	α	β	px	py	Verifica
1.254	SLD 1	0.009	3	-3.922	1003.522	1	-0.0479	12.886	0.0186	19.3536	1		1				0	0	Si

Verifiche ad instabilità

Caratteristiche iniziali

Membratura principale per controllo snellezza; Calcolo di snellezze ed N critici condotti secondo gli assi principali;

Curva X: c; Curva Y: c;

Svergolamento: Nessuno; la verifica a instabilità flesso-torsionale (svergolamento) non verrà eseguita.

Dati per instabilità attorno a x

Controllo della snellezza secondo §4.2.4.1.3.1 NTC18

Numero rit.	Presente	Ascissa	Campata	βx/m	Vincolo a entrambi estremi	λx/m	λVer
1	Si		0				
			1-2		1	Si	49.6
2	Si	1.505					Si, (<200)

Dati per instabilità attorno a y

Controllo della snellezza secondo §4.2.4.1.3.1 NTC18

Numero rit.	Presente	Ascissa	Campata	βy/n	k,LT	kw,LT	Vincolo a entrambi estremi
1	Si		0				
			1-2		1	Si	34.9
2	Si	1.505					Si, (<200)

Verifica di stabilità per pressoflessione §C.4.2.4.1.3.3.1 NTC18

X	Comb.	Sfruttamento	Classe	NEd	MxEq,Ed	MyEq,Ed	Area	Wx	Wy	x,min	λ adim. x/m	λ adim. y/n	N,crit x/m	N,crit y/n	Verifica
1.505	SLU 75	0.024	3	-12.111	-0.094	-0.0367	0.003832	0.0000492	0.0000739	0.802	0.571	0.402	3231.032	6528.319	Si

Verifica di stabilità per pressoflessione SLD §C.4.2.4.1.3.3.1 NTC18

X	Comb.	Sfruttamento	Classe	NEd	MxEq,Ed	MyEq,Ed	Area	Wx	Wy	x,min	λ adim. x/m	λ adim. y/n	N,crit x/m	N,crit y/n	Verifica
1.505	SLD 1	0.011	3	-3.928	-0.0734	0.0157	0.003832	0.0000492	0.0000739	0.802	0.571	0.402	3231.032	6528.319	Si

Verifiche a deformabilità

Mensola X: No; Mensola Y: No.

Frecce lungo X

Ascissa freccia	Combinazione	Freccia	Luce	L/f	L/f,min	Tipo	Verifica
0.853	SLE RA 1	0	1.505	10000	250	Totale	Si
0.853	SLE RA 17	0	1.505	10000	250	Totale	Si
0.853	SLE RA 16	0	1.505	10000	250	Totale	Si
0.853	SLE RA 15	0	1.505	10000	250	Totale	Si
0.803	SLE RA 14	0	1.505	10000	250	Totale	Si
0.803	SLE RA 2	0	1.505	10000	350	Variabile	Si
0.803	SLE RA 17	0	1.505	10000	350	Variabile	Si
0.803	SLE RA 16	0	1.505	10000	350	Variabile	Si
0.903	SLE RA 15	0	1.505	10000	350	Variabile	Si
0.502	SLE RA 14	0	1.505	10000	350	Variabile	Si

Frecce lungo Y

Ascissa freccia	Combinazione	Freccia	Luce	L/f	L/f,min	Tipo	Verifica
0.753	SLE RA 1	-0.00003	1.505	10000	250	Totale	Si
0.753	SLE RA 17	-0.00003	1.505	10000	250	Totale	Si
0.753	SLE RA 16	-0.00003	1.505	10000	250	Totale	Si
0.753	SLE RA 15	-0.00003	1.505	10000	250	Totale	Si
0.753	SLE RA 14	-0.00003	1.505	10000	250	Totale	Si
0.753	SLE RA 2	0	1.505	10000	350	Variabile	Si
0.803	SLE RA 17	0	1.505	10000	350	Variabile	Si
0.753	SLE RA 16	0	1.505	10000	350	Variabile	Si
0.903	SLE RA 15	0	1.505	10000	350	Variabile	Si
0.853	SLE RA 14	0	1.505	10000	350	Variabile	Si

Superelemento in acciaio a quota "740"- "728" (1561; 2597)-(1452; 2700)

Caratteristiche del materiale

Acciaio: S275, fyk = 275000

Implementazione dei sistemi di confinamento delle emissioni odorigene diffuse dell'impianto di compostaggio esistente nel
Comune di Eboli (SA)
PROGETTO DEFINITIVO – Tabulati di calcolo Tomo 1

Caratteristiche geometriche

Lunghezza: 1.505
Nodo iniziale: 2528 Nodo finale: 2403
Cerniera iniziale: Mmomenti 1% Cerniera finale: Mmomenti 1%
Sovraresistenza: 0% Sisma Z: No

Caratteristiche della sezione

Sezione	Rotazione	Area	Jx	Jy	ix	iy	Wx	Wy	Wplx	Wply
A1; L100*10; 1; Saldato; S275; 30; 1; 8; 8; 1	0	0.003832	0.0000035319	0.000007759	0.0304	0.045	0.0000492	0.0000739	0.00008974	0.00012727

Comportamento dei calastrelli

Accoppiamento imbottito con funzione statica (§C4.2.4.1.3.1.4 NTC18) nella campata compresa tra le ascisse 0 e 1.505 per sbandamento attorno all'asse y.

Verifiche di resistenza

Verifiche a forza assiale §4.2.4.1.2.1 - §4.2.4.1.2.2 NTC18

X	Comb.	Sfruttamento	Classe	NEd	Nc,Rd	Nt,Rd	Riduzione da taglio	px	py	Verifica
1.505	SLU 76	0.032	3	-32.127	1003.522		1	0	0	Si

Verifiche a forza assiale SLD §4.2.4.1.2.1 - §4.2.4.1.2.2 NTC18

X	Comb.	Sfruttamento	Classe	NEd	Nc,Rd	Nt,Rd	Riduzione da taglio	px	py	Verifica
1.505	SLD 4	0.013	3	-12.778	1003.522		1	0	0	Si

Verifica a taglio X §4.2.4.1.2.4 NTC18

X	Comb.	Sfruttamento	VEd	Vc,Rd	Av	Interazione taglio-torsione	Riduzione torsione	Verifica
1.505	SLU 76	0.001	0.221	302.422	0.002	Non considerata		Si

Verifica a taglio Y §4.2.4.1.2.4 NTC18

X	Comb.	Sfruttamento	VEd	Vc,Rd	Av	Interazione taglio-torsione	Riduzione torsione	Verifica
0	SLU 76	0.001	0.301	302.422	0.002	Non considerata		Si

Verifica a taglio Y SLD §4.2.4.1.2.4 NTC18

X	Comb.	Sfruttamento	VEd	Vc,Rd	Av	Interazione taglio-torsione	Riduzione torsione	Verifica
0	SLD 4	0.001	0.229	302.422	0.002	Non considerata		Si

Verifica a flessione semplice X §§ 4.2.4.1.2.3 - 4.2.4.1.2.6 - 4.2.4.1.2.7 - 4.2.4.1.2.8 NTC18

X	Comb.	Sfruttamento	Classe	Mx,Ed	Mx,Rd	Rid. Mx,Rd da VEd	px	py	Verifica
1.405	SLU 2	0.001	1	-0.02054	23.50374	1	0	0	Si

Verifica a presso/tenso flessione retta X §§ 4.2.4.1.2.3 - 4.2.4.1.2.6 - 4.2.4.1.2.7 - 4.2.4.1.2.8 NTC18

Verifiche eseguite utilizzando la formula conservativa (6.2) §6.2.1 EN 1993-1-1:2005.

X	Comb.	Sfruttamento	Classe	NEd	NRd	Rid. NRd da VEd	Mx,Ed	Mx,Rd	Rid. Mx,Rd da VEd	Rid. Mx,Rd da NEd	px	py	Verifica
0.753	SLU 40	0.007	1	-2.135	1003.522	1	-0.1098	23.5037	1		0	0	Si

Verifica a presso/tenso flessione retta Y §§ 4.2.4.1.2.3 - 4.2.4.1.2.6 - 4.2.4.1.2.7 - 4.2.4.1.2.8 NTC18

Verifiche eseguite utilizzando la formula conservativa (6.2) §6.2.1 EN 1993-1-1:2005.

X	Comb.	Sfruttamento	Classe	NEd	NRd	Rid. NRd da VEd	My,Ed	My,Rd	Rid. My,Rd da VEd	Rid. My,Rd da NEd	px	py	Verifica
0	SLU 76	0.037	3	-32.079	1003.522	1	-0.0991	19.3536	1		0	0	Si

Verifica a presso/tenso flessione retta Y SLD §§ 4.2.4.1.2.3 - 4.2.4.1.2.6 - 4.2.4.1.2.7 - 4.2.4.1.2.8 NTC18

Verifiche eseguite utilizzando la formula conservativa (6.2) §6.2.1 EN 1993-1-1:2005.

X	Comb.	Sfruttamento	Classe	NEd	NRd	Rid. NRd da VEd	My,Ed	My,Rd	Rid. My,Rd da VEd	Rid. My,Rd da NEd	px	py	Verifica
1.505	SLD 3	0.015	3	-12.778	1003.522	1	0.0449	19.3536	1		0	0	Si

Verifica a presso/tenso flessione deviata §§ 4.2.4.1.2.3 - 4.2.4.1.2.6 - 4.2.4.1.2.7 - 4.2.4.1.2.8 NTC18

Verifiche eseguite utilizzando la formula conservativa (6.2) §6.2.1 EN 1993-1-1:2005.

X	Comb.	Sfruttamento	Classe	NEd	NRd	Rid. NRd da VEd	Mx,Ed	Mx,Rd	My,Ed	My,Rd	Rid. Mx,Rd da VEd	Rid. Mx,Rd da NEd	Rid. My,Rd da VEd	Rid. My,Rd da NEd	α	β	px	py	Verifica
0.803	SLU 76	0.046	3	-32.105	1003.522	1	-0.1114	12.886	0.0994	19.3536	1		1				0	0	Si

Verifica a presso/tenso flessione deviata SLD §§ 4.2.4.1.2.3 - 4.2.4.1.2.6 - 4.2.4.1.2.7 - 4.2.4.1.2.8 NTC18

Verifiche eseguite utilizzando la formula conservativa (6.2) §6.2.1 EN 1993-1-1:2005.

X	Comb.	Sfruttamento	Classe	NEd	NRd	Rid. NRd da VEd	Mx,Ed	Mx,Rd	My,Ed	My,Rd	Rid. Mx,Rd da VEd	Rid. Mx,Rd da NEd	Rid. My,Rd da VEd	Rid. My,Rd da NEd	α	β	px	py	Verifica
0.753	SLD 4	0.021	3	-12.759	1003.522	1	-0.0851	12.886	0.0403	19.3536	1		1				0	0	Si

Verifiche ad instabilità

Caratteristiche iniziali

Membratura principale per controllo snellezza; Calcolo di snellezze ed N critici condotti secondo gli assi principali;
Curva X: c; Curva Y: c;
Svergolamento: Nessuno; la verifica a instabilità flesso-torsionale (svergolamento) non verrà eseguita.

Dati per instabilità attorno a x

Controllo della snellezza secondo §4.2.4.1.3.1 NTC18

Numero rit.	Presente	Ascissa	Campata	βx/m	Vincolo a entrambi estremi	λx/m	λVer
1	Si	0					
			1-2	1	Si	49.6	Si, (<200)
2	Si	1.505					

Implementazione dei sistemi di confinamento delle emissioni odorigene diffuse dell'impianto di compostaggio esistente nel
Comune di Eboli (SA)
PROGETTO DEFINITIVO – Tabulati di calcolo Tomo 1

Dati per instabilità attorno a y

Controllo della snellezza secondo §4.2.4.1.3.1 NTC18

Numero rit.	Presente	Ascissa	Campata	$\beta y/n$	k,LT	kw,LT	Vincolo a entrambi estremi
1	Si	0	1-2	1	Si	34.9	Si, (<200)
2	Si	1.505					

Verifica di stabilità per pressoflessione §C.4.2.4.1.3.3.1 NTC18

X	Comb.	Sfruttamento	Classe	NEd	MxEq,Ed	MyEq,Ed	Area	Wx	Wy	χ_{min}	λ adim. x/m	λ adim. y/n	N,crit x/m	N,crit y/n	Verifica
1.505	SLU 76	0.052	3	-32.127	-0.097	0.0774	0.003832	0.0000492	0.0000739	0.802	0.571	0.402	3231.032	6528.319	Si

Verifica di stabilità per pressoflessione SLD §C.4.2.4.1.3.3.1 NTC18

X	Comb.	Sfruttamento	Classe	NEd	MxEq,Ed	MyEq,Ed	Area	Wx	Wy	χ_{min}	λ adim. x/m	λ adim. y/n	N,crit x/m	N,crit y/n	Verifica
1.505	SLD 3	0.023	3	-12.778	-0.0739	0.0337	0.003832	0.0000492	0.0000739	0.802	0.571	0.402	3231.032	6528.319	Si

Verifiche a deformabilità

Mensola X: No; Mensola Y: No.

Frecce lungo X

Ascissa freccia	Combinazione	Freccia	Luce	L/f	L/f,min	Tipo	Verifica
0.953	SLE RA 1	0	1.505	10000	250	Totale	Si
0.953	SLE RA 17	0	1.505	10000	250	Totale	Si
0.953	SLE RA 16	0	1.505	10000	250	Totale	Si
0.953	SLE RA 15	0	1.505	10000	250	Totale	Si
0.953	SLE RA 14	0	1.505	10000	250	Totale	Si
0.953	SLE RA 2	0	1.505	10000	350	Variabile	Si
0.953	SLE RA 17	0	1.505	10000	350	Variabile	Si
0.953	SLE RA 16	0	1.505	10000	350	Variabile	Si
0.953	SLE RA 15	0	1.505	10000	350	Variabile	Si
0.953	SLE RA 14	0	1.505	10000	350	Variabile	Si

Frecce lungo Y

Ascissa freccia	Combinazione	Freccia	Luce	L/f	L/f,min	Tipo	Verifica
0.753	SLE RA 1	-0.00003	1.505	10000	250	Totale	Si
0.753	SLE RA 17	-0.00003	1.505	10000	250	Totale	Si
0.753	SLE RA 16	-0.00003	1.505	10000	250	Totale	Si
0.753	SLE RA 15	-0.00003	1.505	10000	250	Totale	Si
0.753	SLE RA 14	-0.00003	1.505	10000	250	Totale	Si
1.003	SLE RA 2	0	1.505	10000	350	Variabile	Si
1.003	SLE RA 17	0	1.505	10000	350	Variabile	Si
1.003	SLE RA 16	0	1.505	10000	350	Variabile	Si
1.003	SLE RA 15	0	1.505	10000	350	Variabile	Si
1.003	SLE RA 14	0	1.505	10000	350	Variabile	Si

Superelemento in acciaio a quota "740"- "728" (1999; 2593)-(1999; 2493)

Caratteristiche del materiale

Acciaio: S275, fyk = 275000

Caratteristiche geometriche

Lunghezza: 1.008

Nodo iniziale: 2506 Nodo finale: 2348

Cerniera iniziale: Mmomenti 1% Cerniera finale: Mmomenti 1%

Sovraresistenza: 0% Sisma Z: No

Caratteristiche della sezione

Sezione	Rotazione	Area	Jx	Jy	ix	iy	Wx	Wy	Wplx	Wply
A1; L100*10; 1; Saldato; S275; 20; 1; 8; 8; 1	0	0.003832	0.0000035319	0.000007759	0.0304	0.045	0.0000492	0.0000739	0.00008974	0.00012727

Comportamento dei calastrelli

Accoppiamento imbottito avendo passo inferiore al minimo richiesto (§C4.2.4.1.3.1.5 NTC18) nella campata compresa tra le ascisse 0 e 1.008 per sbandamento attorno all'asse y.

Verifiche di resistenza

Verifiche a forza assiale §4.2.4.1.2.1 - §4.2.4.1.2.2 NTC18

X	Comb.	Sfruttamento	Classe	NEd	Nc,Rd	Nt,Rd	Riduzione da taglio	px	py	Verifica
1.008	SLU 75	0.004	3	-4.034	1003.522		1	0	0	Si

Verifiche a forza assiale SLD §4.2.4.1.2.1 - §4.2.4.1.2.2 NTC18

X	Comb.	Sfruttamento	Classe	NEd	Nc,Rd	Nt,Rd	Riduzione da taglio	px	py	Verifica
1.008	SLD 14	0.002	3	-1.944	1003.522		1	0	0	Si

Verifica a flessione semplice X §§ 4.2.4.1.2.3 - 4.2.4.1.2.6 - 4.2.4.1.2.7 - 4.2.4.1.2.8 NTC18

X	Comb.	Sfruttamento	Classe	Mx,Ed	Mx,Rd	Rid. Mx,Rd da VEd	px	py	Verifica
0.504	SLU 59	0.002	1	-0.04948	23.50374	1	0	0	Si

Verifica a flessione semplice Y §§ 4.2.4.1.2.3 - 4.2.4.1.2.6 - 4.2.4.1.2.7 - 4.2.4.1.2.8 NTC18

X	Comb.	Sfruttamento	Classe	My,Ed	My,Rd	Rid. My,Rd da VEd	px	py	Verifica
0.974	SLV 7	0	1	0.01346	33.33162	1	0	0	Si

**Implementazione dei sistemi di confinamento delle emissioni odorigene diffuse dell'impianto di compostaggio esistente nel
Comune di Eboli (SA)
PROGETTO DEFINITIVO – Tabulati di calcolo Tomo 1**

Verifica a flessione deviata §§ 4.2.4.1.2.3 - 4.2.4.1.2.6 - 4.2.4.1.2.7 - 4.2.4.1.2.8 NTC18

X	Comb.	Sfruttamento	Classe	Mx,Ed	Mx,Rd	My,Ed	My,Rd	Rid. Mx,Rd da VEd	Rid. My,Rd da VEd	α	β	px	py	Verifica
0.571	SLV 8	0.002	1	-0.0348	23.5037	-0.008	33.3316	1	1			0	0	Si

Verifica a presso/tenso flessione retta X §§ 4.2.4.1.2.3 - 4.2.4.1.2.6 - 4.2.4.1.2.7 - 4.2.4.1.2.8 NTC18

Verifiche eseguite utilizzando la formula conservativa (6.2) §6.2.1 EN 1993-1-1:2005.

X	Comb.	Sfruttamento	Classe	NEd	NRd	Rid. NRd da VEd	Mx,Ed	Mx,Rd	Rid. Mx,Rd da VEd	Rid. Mx,Rd da NEd	px	py	Verifica
0.504	SLU 75	0.008	3	-4.01	1003.522	1	-0.0502	12.886	1		0	0	Si

Verifica a presso/tenso flessione retta X SLD §§ 4.2.4.1.2.3 - 4.2.4.1.2.6 - 4.2.4.1.2.7 - 4.2.4.1.2.8 NTC18

Verifiche eseguite utilizzando la formula conservativa (6.2) §6.2.1 EN 1993-1-1:2005.

X	Comb.	Sfruttamento	Classe	NEd	NRd	Rid. NRd da VEd	Mx,Ed	Mx,Rd	Rid. Mx,Rd da VEd	Rid. Mx,Rd da NEd	px	py	Verifica
0.202	SLD 14	0.004	3	-1.914	1003.522	1	-0.0239	12.886	1		0	0	Si

Verifica a presso/tenso flessione retta Y §§ 4.2.4.1.2.3 - 4.2.4.1.2.6 - 4.2.4.1.2.7 - 4.2.4.1.2.8 NTC18

Verifiche eseguite utilizzando la formula conservativa (6.2) §6.2.1 EN 1993-1-1:2005.

X	Comb.	Sfruttamento	Classe	NEd	NRd	Rid. NRd da VEd	My,Ed	My,Rd	Rid. My,Rd da VEd	Rid. My,Rd da NEd	px	py	Verifica
0	SLV 14	0.003	3	-2.93	1003.522	1	-0.008	19.3536	1		0	0	Si

Verifica a presso/tenso flessione retta Y SLD §§ 4.2.4.1.2.3 - 4.2.4.1.2.6 - 4.2.4.1.2.7 - 4.2.4.1.2.8 NTC18

Verifiche eseguite utilizzando la formula conservativa (6.2) §6.2.1 EN 1993-1-1:2005.

X	Comb.	Sfruttamento	Classe	NEd	NRd	Rid. NRd da VEd	My,Ed	My,Rd	Rid. My,Rd da VEd	Rid. My,Rd da NEd	px	py	Verifica
1.008	SLD 15	0.002	3	-1.71	1003.522	1	0.0107	19.3536	1		0	0	Si

Verifica a presso/tenso flessione deviata §§ 4.2.4.1.2.3 - 4.2.4.1.2.6 - 4.2.4.1.2.7 - 4.2.4.1.2.8 NTC18

Verifiche eseguite utilizzando la formula conservativa (6.2) §6.2.1 EN 1993-1-1:2005.

X	Comb.	Sfruttamento	Classe	NEd	NRd	Rid. NRd da VEd	Mx,Ed	Mx,Rd	My,Ed	My,Rd	Rid. Mx,Rd da VEd	Rid. Mx,Rd da NEd	Rid. My,Rd da VEd	Rid. My,Rd da NEd	α	β	px	py	Verifica
0.705	SLV 13	0.007	3	-2.956	1003.522	1	-0.0371	12.886	0.0137	19.3536	1		1				0	0	Si

Verifica a presso/tenso flessione deviata SLD §§ 4.2.4.1.2.3 - 4.2.4.1.2.6 - 4.2.4.1.2.7 - 4.2.4.1.2.8 NTC18

Verifiche eseguite utilizzando la formula conservativa (6.2) §6.2.1 EN 1993-1-1:2005.

X	Comb.	Sfruttamento	Classe	NEd	NRd	Rid. NRd da VEd	Mx,Ed	Mx,Rd	My,Ed	My,Rd	Rid. Mx,Rd da VEd	Rid. Mx,Rd da NEd	Rid. My,Rd da VEd	Rid. My,Rd da NEd	α	β	px	py	Verifica
0.84	SLD 13	0.004	3	-1.938	1003.522	1	-0.0241	12.886	0.0079	19.3536	1		1				0	0	Si

Verifiche ad instabilità

Caratteristiche iniziali

Membratura principale per controllo snellezza; Calcolo di snellezze ed N critici condotti secondo gli assi principali;

Curva X: c; Curva Y: c;

Svergolamento: Nessuno; la verifica a instabilità flesso-torsionale (svergolamento) non verrà eseguita.

Dati per instabilità attorno a x

Controllo della snellezza secondo §4.2.4.1.3.1 NTC18

Numero rit.	Presente	Ascissa	Campata	βx/m	Vincolo a entrambi estremi	λx/m	λVer
1	Si		0				
			1-2		1	Si	33,2
2	Si	1.008					Si, (<200)

Dati per instabilità attorno a y

Controllo della snellezza secondo §4.2.4.1.3.1 NTC18

Numero rit.	Presente	Ascissa	Campata	βy/n	k,LT	kw,LT	Vincolo a entrambi estremi
1	Si		0				
			1-2		1	Si	22.4
2	Si	1.008					Si, (<200)

Verifica di stabilità per pressoflessione §C.4.2.4.1.3.3.1 NTC18

X	Comb.	Sfruttamento	Classe	NEd	MxEq,Ed	MyEq,Ed	Area	Wx	Wy	χ,min	λ adim. x/m	λ adim. y/n	N,crit x/m	N,crit y/n	Verifica
1.008	SLU 75	0.008	3	-4.034	-0.0439	0.0007	0.003832	0.0000492	0.0000739	0.907	0.382	0.258	7207.687	15834.061	Si

Verifica di stabilità per pressoflessione SLD §C.4.2.4.1.3.3.1 NTC18

X	Comb.	Sfruttamento	Classe	NEd	MxEq,Ed	MyEq,Ed	Area	Wx	Wy	χ,min	λ adim. x/m	λ adim. y/n	N,crit x/m	N,crit y/n	Verifica
1.008	SLD 14	0.005	3	-1.944	-0.0345	0.0059	0.003832	0.0000492	0.0000739	0.907	0.382	0.258	7207.687	15834.061	Si

Verifiche a deformabilità

Mensola X: No; Mensola Y: No.

Frecce lungo X

Ascissa freccia	Combinazione	Freccia	Luce	L/f	L/f,min	Tipo	Verifica
0.739	SLE RA 1	0	1.008	10000	250	Totale	Si
0.705	SLE RA 17	0	1.008	10000	250	Totale	Si
0.705	SLE RA 16	0	1.008	10000	250	Totale	Si
0.739	SLE RA 15	0	1.008	10000	250	Totale	Si
0.705	SLE RA 14	0	1.008	10000	250	Totale	Si
0.705	SLE RA 2	0	1.008	10000	350	Variabile	Si
0.705	SLE RA 17	0	1.008	10000	350	Variabile	Si
0.705	SLE RA 16	0	1.008	10000	350	Variabile	Si
0.705	SLE RA 15	0	1.008	10000	350	Variabile	Si
0.705	SLE RA 14	0	1.008	10000	350	Variabile	Si

Frecce lungo Y

Ascissa freccia	Combinazione	Freccia	Luce	L/f	L/f,min	Tipo	Verifica
0.504	SLE RA 1	-0.00001	1.008	10000	250	Totale	Si
0.504	SLE RA 17	-0.00001	1.008	10000	250	Totale	Si
0.504	SLE RA 16	-0.00001	1.008	10000	250	Totale	Si

Implementazione dei sistemi di confinamento delle emissioni odorigene diffuse dell'impianto di compostaggio esistente nel
Comune di Eboli (SA)

PROGETTO DEFINITIVO – Tabulati di calcolo Tomo 1

Ascissa freccia	Combinazione	Freccia	Luce	L/f	L/f,min	Tipo	Verifica
0.504	SLE RA 15	-0.00001	1.008	10000	250	Totale	Si
0.504	SLE RA 14	-0.00001	1.008	10000	250	Totale	Si
0.537	SLE RA 2	0	1.008	10000	350	Variabile	Si
0.537	SLE RA 17	0	1.008	10000	350	Variabile	Si
0.537	SLE RA 16	0	1.008	10000	350	Variabile	Si
0.47	SLE RA 15	0	1.008	10000	350	Variabile	Si
0.638	SLE RA 14	0	1.008	10000	350	Variabile	Si

Superelemento in acciaio a quota "740"- "728" (2231; 2593)-(2231; 2493)

Caratteristiche del materiale

Acciaio: S275, fyk = 275000

Caratteristiche geometriche

Lunghezza: 1.008

Nodo iniziale: 2509 Nodo finale: 2351

Cerniera iniziale: Mmomenti 1% Cerniera finale: Mmomenti 1%

Sovreresistenza: 0% Sisma Z: No

Caratteristiche della sezione

Sezione	Rotazione	Area	Jx	Jy	ix	iy	Wx	Wy	Wplx	Wply
A1; L100*10; 1; Saldato; S275; 20; 1; 8; 8; 1	0	0.003832	0.0000035319	0.000007759	0.0304	0.045	0.0000492	0.0000739	0.00008974	0.00012727

Comportamento dei calastrelli

Accoppiamento imbottito avendo passo inferiore al minimo richiesto (§C4.2.4.1.3.1.5 NTC18) nella campata compresa tra le ascisse 0 e 1.008 per sbandamento attorno all'asse y.

Verifiche di resistenza

Verifiche a forza assiale §4.2.4.1.2.1 - §4.2.4.1.2.2 NTC18

X	Comb.	Sfruttamento	Classe	NEd	Nc,Rd	Nt,Rd	Riduzione da taglio	px	py	Verifica
1.008	SLU 75	0.008	3	-8.317	1003.522		1	0	0	Si

Verifiche a forza assiale SLD §4.2.4.1.2.1 - §4.2.4.1.2.2 NTC18

X	Comb.	Sfruttamento	Classe	NEd	Nc,Rd	Nt,Rd	Riduzione da taglio	px	py	Verifica
1.008	SLD 14	0.003	3	-3.317	1003.522		1	0	0	Si

Verifica a taglio Y §4.2.4.1.2.4 NTC18

X	Comb.	Sfruttamento	VEd	Vc,Rd	Av	Interazione taglio-torsione	Riduzione torsione	Verifica
0	SLU 75	0.001	0.201	302.422	0.002	Non considerata		Si

Verifica a flessione semplice X §§ 4.2.4.1.2.3 - 4.2.4.1.2.6 - 4.2.4.1.2.7 - 4.2.4.1.2.8 NTC18

X	Comb.	Sfruttamento	Classe	Mx,Ed	Mx,Rd	Rid. Mx,Rd da VEd	px	py	Verifica
0.504	SLU 59	0.002	1	-0.04993	23.50374	1	0	0	Si

Verifica a presso/tenso flessione retta X §§ 4.2.4.1.2.3 - 4.2.4.1.2.6 - 4.2.4.1.2.7 - 4.2.4.1.2.8 NTC18

Verifiche eseguite utilizzando la formula conservativa (6.2) §6.2.1 EN 1993-1-1:2005.

X	Comb.	Sfruttamento	Classe	NEd	NRd	Rid. NRd da VEd	Mx,Ed	Mx,Rd	Rid. Mx,Rd da VEd	Rid. Mx,Rd da NEd	px	py	Verifica
0.504	SLU 75	0.012	3	-8.293	1003.522	1	-0.0511	12.886	1		0	0	Si

Verifica a presso/tenso flessione retta X SLD §§ 4.2.4.1.2.3 - 4.2.4.1.2.6 - 4.2.4.1.2.7 - 4.2.4.1.2.8 NTC18

Verifiche eseguite utilizzando la formula conservativa (6.2) §6.2.1 EN 1993-1-1:2005.

X	Comb.	Sfruttamento	Classe	NEd	NRd	Rid. NRd da VEd	Mx,Ed	Mx,Rd	Rid. Mx,Rd da VEd	Rid. Mx,Rd da NEd	px	py	Verifica
0.504	SLD 13	0.006	3	-3.298	1003.522	1	-0.0389	12.886	1		0	0	Si

Verifica a presso/tenso flessione retta Y §§ 4.2.4.1.2.3 - 4.2.4.1.2.6 - 4.2.4.1.2.7 - 4.2.4.1.2.8 NTC18

Verifiche eseguite utilizzando la formula conservativa (6.2) §6.2.1 EN 1993-1-1:2005.

X	Comb.	Sfruttamento	Classe	NEd	NRd	Rid. NRd da VEd	My,Ed	My,Rd	Rid. My,Rd da VEd	Rid. My,Rd da NEd	px	py	Verifica
1.008	SLV 14	0.006	3	-4.01	1003.522	1	0.0303	19.3536	1		0	0	Si

Verifica a presso/tenso flessione retta Y SLD §§ 4.2.4.1.2.3 - 4.2.4.1.2.6 - 4.2.4.1.2.7 - 4.2.4.1.2.8 NTC18

Verifiche eseguite utilizzando la formula conservativa (6.2) §6.2.1 EN 1993-1-1:2005.

X	Comb.	Sfruttamento	Classe	NEd	NRd	Rid. NRd da VEd	My,Ed	My,Rd	Rid. My,Rd da VEd	Rid. My,Rd da NEd	px	py	Verifica
1.008	SLD 13	0.004	3	-3.317	1003.522	1	0.0121	19.3536	1		0	0	Si

Verifica a presso/tenso flessione deviata §§ 4.2.4.1.2.3 - 4.2.4.1.2.6 - 4.2.4.1.2.7 - 4.2.4.1.2.8 NTC18

Verifiche eseguite utilizzando la formula conservativa (6.2) §6.2.1 EN 1993-1-1:2005.

X	Comb.	Sfruttamento	Classe	NEd	NRd	Rid. NRd da VEd	Mx,Ed	Mx,Rd	My,Ed	My,Rd	Rid. Mx,Rd da VEd	Rid. Mx,Rd da NEd	Rid. My,Rd da VEd	Rid. My,Rd da NEd	α	β	px	py	Verifica
0.638	SLV 14	0.008	3	-3.996	1003.522	1	-0.0368	12.886	0.0129	19.3536	1		1				0	0	Si

Verifica a presso/tenso flessione deviata SLD §§ 4.2.4.1.2.3 - 4.2.4.1.2.6 - 4.2.4.1.2.7 - 4.2.4.1.2.8 NTC18

Verifiche eseguite utilizzando la formula conservativa (6.2) §6.2.1 EN 1993-1-1:2005.

X	Comb.	Sfruttamento	Classe	NEd	NRd	Rid. NRd da VEd	Mx,Ed	Mx,Rd	My,Ed	My,Rd	Rid. Mx,Rd da VEd	Rid. Mx,Rd da NEd	Rid. My,Rd da VEd	Rid. My,Rd da NEd	α	β	px	py	Verifica
0.773	SLD 13	0.006	3	-3.308	1003.522	1	-0.0291	12.886	0.0077	19.3536	1		1				0	0	Si

Implementazione dei sistemi di confinamento delle emissioni odorigene diffuse dell'impianto di compostaggio esistente nel
Comune di Eboli (SA)
PROGETTO DEFINITIVO – Tabulati di calcolo Tomo 1

Verifiche ad instabilità

Caratteristiche iniziali

Membratura principale per controllo snellezza; Calcolo di snellezze ed N critici condotti secondo gli assi principali;

Curva X: c; Curva Y: c;

Svergolamento: Nessuno; la verifica a instabilità flesso-torsionale (svergolamento) non verrà eseguita.

Dati per instabilità attorno a x

Controllo della snellezza secondo §4.2.4.1.3.1 NTC18

Numero rit.	Presente	Ascissa	Campata	$\beta x/m$	Vincolo a entrambi estremi	$\lambda x/m$	λVer
1	Si	0					
			1-2	1	Si	33.2	Si, (<200)
2	Si	1.008					

Dati per instabilità attorno a y

Controllo della snellezza secondo §4.2.4.1.3.1 NTC18

Numero rit.	Presente	Ascissa	Campata	$\beta y/n$	k,LT	kw,LT	Vincolo a entrambi estremi
1	Si	0					
			1-2	1	Si	22.4	Si, (<200)
2	Si	1.008					

Verifica di stabilità per pressoflessione §C.4.2.4.1.3.3.1 NTC18

X	Comb.	Sfruttamento	Classe	NEd	MxEq,Ed	MyEq,Ed	Area	Wx	Wy	χ_{min}	λ adim. x/m	λ adim. y/n	N,crit x/m	N,crit y/n	Verifica
1.008	SLU 75	0.013	3	-8.317	-0.045	-0.0001	0.003832	0.0000492	0.0000739	0.907	0.382	0.258	7207.687	15834.061	Si

Verifica di stabilità per pressoflessione SLD §C.4.2.4.1.3.3.1 NTC18

X	Comb.	Sfruttamento	Classe	NEd	MxEq,Ed	MyEq,Ed	Area	Wx	Wy	χ_{min}	λ adim. x/m	λ adim. y/n	N,crit x/m	N,crit y/n	Verifica
1.008	SLD 14	0.007	3	-3.317	-0.0341	0.009	0.003832	0.0000492	0.0000739	0.907	0.382	0.258	7207.687	15834.061	Si

Verifiche a deformabilità

Mensola X: No; Mensola Y: No.

Frecce lungo X

Ascissa freccia	Combinazione	Freccia	Luce	L/f	L/f,min	Tipo	Verifica
0.638	SLE RA 1	0	1.008	10000	250	Totale	Si
0.638	SLE RA 17	0	1.008	10000	250	Totale	Si
0.638	SLE RA 16	0	1.008	10000	250	Totale	Si
0.638	SLE RA 15	0	1.008	10000	250	Totale	Si
0.571	SLE RA 14	0	1.008	10000	250	Totale	Si
0.638	SLE RA 2	0	1.008	10000	350	Variabile	Si
0.605	SLE RA 17	0	1.008	10000	350	Variabile	Si
0.638	SLE RA 16	0	1.008	10000	350	Variabile	Si
0.773	SLE RA 15	0	1.008	10000	350	Variabile	Si
0.504	SLE RA 14	0	1.008	10000	350	Variabile	Si

Frecce lungo Y

Ascissa freccia	Combinazione	Freccia	Luce	L/f	L/f,min	Tipo	Verifica
0.504	SLE RA 1	-0.00001	1.008	10000	250	Totale	Si
0.504	SLE RA 17	-0.00001	1.008	10000	250	Totale	Si
0.504	SLE RA 16	-0.00001	1.008	10000	250	Totale	Si
0.504	SLE RA 15	-0.00001	1.008	10000	250	Totale	Si
0.504	SLE RA 14	-0.00001	1.008	10000	250	Totale	Si
0.571	SLE RA 2	0	1.008	10000	350	Variabile	Si
0.605	SLE RA 17	0	1.008	10000	350	Variabile	Si
0.605	SLE RA 16	0	1.008	10000	350	Variabile	Si
0.537	SLE RA 15	0	1.008	10000	350	Variabile	Si
0.605	SLE RA 14	0	1.008	10000	350	Variabile	Si

Superelemento in acciaio a quota "740"- "728" (2463; 2593)-(2463; 2493)

Caratteristiche del materiale

Acciaio: S275, fyk = 275000

Caratteristiche geometriche

Lunghezza: 1.008

Nodo iniziale: 2516 Nodo finale: 2359

Cerniera iniziale: Mmomenti 1% Cerniera finale: Mmomenti 1%

Sovreresistenza: 0% Sisma Z: No

Caratteristiche della sezione

Sezione	Rotazione	Area	Jx	Jy	ix	iy	Wx	Wy	Wplx	Wply
A1; L100*10; 1; Saldato; S275; 20; 1; 8; 8; 1	0	0.003832	0.0000035319	0.0000077759	0.0304	0.045	0.0000492	0.0000739	0.00008974	0.00012727

Comportamento dei calastrelli

Accoppiamento imbottito avendo passo inferiore al minimo richiesto (§C4.2.4.1.3.1.5 NTC18) nella campata compresa tra le ascisse 0 e 1.008 per sbandamento attorno all'asse y.

Verifiche di resistenza

Verifiche a forza assiale §4.2.4.1.2.1 - §4.2.4.1.2.2 NTC18

X	Comb.	Sfruttamento	Classe	NEd	Nc,Rd	Nt,Rd	Riduzione da taglio	px	py	Verifica
1.008	SLU 75	0.003	3	-2.91	1003.522		1	0	0	Si

Implementazione dei sistemi di confinamento delle emissioni odorigene diffuse dell'impianto di compostaggio esistente nel
Comune di Eboli (SA)
PROGETTO DEFINITIVO – Tabulati di calcolo Tomo 1

Verifiche a forza assiale SLD §4.2.4.1.2.1 - §4.2.4.1.2.2 NTC18

X	Comb.	Sfruttamento	Classe	NEd	Nc,Rd	Nt,Rd	Riduzione da taglio	px	py	Verifica
1.008	SLD 10	0.001	3	-0.998	1003.522		1	0	0	Si

Verifica a taglio Y §4.2.4.1.2.4 NTC18

X	Comb.	Sfruttamento	VEd	Vc,Rd	Av	Interazione taglio-torsione	Riduzione torsione	Verifica
0	SLU 63	0.001	0.201	302.422	0.002	Non considerata		Si

Verifica a flessione semplice X §§ 4.2.4.1.2.3 - 4.2.4.1.2.6 - 4.2.4.1.2.7 - 4.2.4.1.2.8 NTC18

X	Comb.	Sfruttamento	Classe	Mx,Ed	Mx,Rd	Rid. Mx,Rd da VEd	px	py	Verifica
0.504	SLU 62	0.002	1	-0.04923	23.50374	1	0	0	Si

Verifica a flessione semplice X SLD §§ 4.2.4.1.2.3 - 4.2.4.1.2.6 - 4.2.4.1.2.7 - 4.2.4.1.2.8 NTC18

X	Comb.	Sfruttamento	Classe	Mx,Ed	Mx,Rd	Rid. Mx,Rd da VEd	px	py	Verifica
0.504	SLD 4	0.002	1	-0.03803	23.50374	1	0	0	Si

Verifica a flessione semplice Y SLD §§ 4.2.4.1.2.3 - 4.2.4.1.2.6 - 4.2.4.1.2.7 - 4.2.4.1.2.8 NTC18

X	Comb.	Sfruttamento	Classe	My,Ed	My,Rd	Rid. My,Rd da VEd	px	py	Verifica
1.008	SLD 11	0	1	0.01164	33.33162	1	0	0	Si

Verifica a flessione deviata SLD §§ 4.2.4.1.2.3 - 4.2.4.1.2.6 - 4.2.4.1.2.7 - 4.2.4.1.2.8 NTC18

X	Comb.	Sfruttamento	Classe	Mx,Ed	Mx,Rd	My,Ed	My,Rd	Rid. Mx,Rd da VEd	Rid. My,Rd da VEd	α	β	px	py	Verifica
0.773	SLD 11	0.001	1	-0.028	23.5037	0.0074	33.3316	1	1			0	0	Si

Verifica a presso/tenso flessione retta X §§ 4.2.4.1.2.3 - 4.2.4.1.2.6 - 4.2.4.1.2.7 - 4.2.4.1.2.8 NTC18

Verifiche eseguite utilizzando la formula conservativa (6.2) §6.2.1 EN 1993-1-1:2005.

X	Comb.	Sfruttamento	Classe	NEd	NRd	Rid. NRd da VEd	Mx,Ed	Mx,Rd	Rid. Mx,Rd da VEd	Rid. Mx,Rd da NEd	px	py	Verifica
0.437	SLU 37	0.006	3	-2.888	1003.522	1	-0.0367	12.886	1		0	0	Si

Verifica a presso/tenso flessione retta X SLD §§ 4.2.4.1.2.3 - 4.2.4.1.2.6 - 4.2.4.1.2.7 - 4.2.4.1.2.8 NTC18

Verifiche eseguite utilizzando la formula conservativa (6.2) §6.2.1 EN 1993-1-1:2005.

X	Comb.	Sfruttamento	Classe	NEd	NRd	Rid. NRd da VEd	Mx,Ed	Mx,Rd	Rid. Mx,Rd da VEd	Rid. Mx,Rd da NEd	px	py	Verifica
0.504	SLD 9	0.003	1	-0.979	1003.522	1	-0.0375	23.5037	1		0	0	Si

Verifica a presso/tenso flessione retta Y §§ 4.2.4.1.2.3 - 4.2.4.1.2.6 - 4.2.4.1.2.7 - 4.2.4.1.2.8 NTC18

Verifiche eseguite utilizzando la formula conservativa (6.2) §6.2.1 EN 1993-1-1:2005.

X	Comb.	Sfruttamento	Classe	NEd	NRd	Rid. NRd da VEd	My,Ed	My,Rd	Rid. My,Rd da VEd	Rid. My,Rd da NEd	px	py	Verifica
1.008	SLV 10	0.003	3	-2.133	1003.522	1	-0.0154	19.3536	1		0	0	Si

Verifica a presso/tenso flessione retta Y SLD §§ 4.2.4.1.2.3 - 4.2.4.1.2.6 - 4.2.4.1.2.7 - 4.2.4.1.2.8 NTC18

Verifiche eseguite utilizzando la formula conservativa (6.2) §6.2.1 EN 1993-1-1:2005.

X	Comb.	Sfruttamento	Classe	NEd	NRd	Rid. NRd da VEd	My,Ed	My,Rd	Rid. My,Rd da VEd	Rid. My,Rd da NEd	px	py	Verifica
1.008	SLD 15	0.001	3	-0.718	1003.522	1	0.0116	19.3536	1		0	0	Si

Verifica a presso/tenso flessione deviata §§ 4.2.4.1.2.3 - 4.2.4.1.2.6 - 4.2.4.1.2.7 - 4.2.4.1.2.8 NTC18

Verifiche eseguite utilizzando la formula conservativa (6.2) §6.2.1 EN 1993-1-1:2005.

X	Comb.	Sfruttamento	Classe	NEd	NRd	Rid. NRd da VEd	Mx,Ed	Mx,Rd	My,Ed	My,Rd	Rid. Mx,Rd da VEd	Rid. Mx,Rd da NEd	Rid. My,Rd da VEd	Rid. My,Rd da NEd	α	β	px	py	Verifica
0.773	SLV 10	0.005	3	-2.124	1003.522	1	-0.0261	12.886	-0.0097	19.3536	1		1				0	0	Si

Verifica a presso/tenso flessione deviata SLD §§ 4.2.4.1.2.3 - 4.2.4.1.2.6 - 4.2.4.1.2.7 - 4.2.4.1.2.8 NTC18

Verifiche eseguite utilizzando la formula conservativa (6.2) §6.2.1 EN 1993-1-1:2005.

X	Comb.	Sfruttamento	Classe	NEd	NRd	Rid. NRd da VEd	Mx,Ed	Mx,Rd	My,Ed	My,Rd	Rid. Mx,Rd da VEd	Rid. Mx,Rd da NEd	Rid. My,Rd da VEd	Rid. My,Rd da NEd	α	β	px	py	Verifica
0.773	SLD 15	0.002	1	-0.71	1003.522	1	-0.0274	23.5037	0.0074	33.3316	1		1				0	0	Si

Verifiche ad instabilità

Caratteristiche iniziali

Membratura principale per controllo snellezza; Calcolo di snellezza ed N critici condotti secondo gli assi principali;

Curva X: c; Curva Y: c;

Svergolamento: Nessuno; la verifica a instabilità flessio-torsionale (svergolamento) non verrà eseguita.

Dati per instabilità attorno a x

Controllo della snellezza secondo §4.2.4.1.3.1 NTC18

Numero rit.	Presente	Ascissa	Campata	βx/m	Vincolo a entrambi estremi	λx/m	λVer
1	Si	0					
			1-2		1	33.2	Si, (<200)
2	Si	1.008					

Dati per instabilità attorno a y

Controllo della snellezza secondo §4.2.4.1.3.1 NTC18

Numero rit.	Presente	Ascissa	Campata	βy/n	k,LT	kw,LT	Vincolo a entrambi estremi
1	Si	0					
			1-2		1	22.4	Si, (<200)
2	Si	1.008					

Verifica di stabilità per pressoflessione §C.4.2.4.1.3.3.1 NTC18

X	Comb.	Sfruttamento	Classe	NEd	MxEq,Ed	MyEq,Ed	Area	Wx	Wy	χ,min	λ adim. x/m	λ adim. y/n	N,crit x/m	N,crit y/n	Verifica
1.008	SLU 75	0.006	3	-2.91	-0.0423	0.0003	0.003832	0.0000492	0.0000739	0.907	0.382	0.258	7207.687	15834.061	Si

Implementazione dei sistemi di confinamento delle emissioni odorigene diffuse dell'impianto di compostaggio esistente nel
Comune di Eboli (SA)
PROGETTO DEFINITIVO – Tabulati di calcolo Tomo 1

Verifica di stabilità per pressoflessione SLD §C.4.2.4.1.3.3.1 NTC18

X	Comb.	Sfruttamento	Classe	NEd	MxEq,Ed	MyEq,Ed	Area	Wx	Wy	x,min	λ adim. x/m	λ adim. y/n	N _{crit} x/m	N _{crit} y/n	Verifica
1.008	SLD 13	0.004	3	-0.992	-0.0323	0.0047	0.003832	0.0000492	0.0000739	0.907	0.382	0.258	7207.687	15834.061	Si

Verifiche a deformabilità

Mensola X: No; Mensola Y: No.

Frecce lungo X

Ascissa freccia	Combinazione	Freccia	Luce	L/f	L/f,min	Tipo	Verifica
0.504	SLE RA 1	0	1.008	10000	250	Totale	Si
0.537	SLE RA 17	0	1.008	10000	250	Totale	Si
0.537	SLE RA 16	0	1.008	10000	250	Totale	Si
0.537	SLE RA 15	0	1.008	10000	250	Totale	Si
0.504	SLE RA 14	0	1.008	10000	250	Totale	Si
0.504	SLE RA 2	0	1.008	10000	350	Variabile	Si
0.47	SLE RA 17	0	1.008	10000	350	Variabile	Si
0.537	SLE RA 16	0	1.008	10000	350	Variabile	Si
0.537	SLE RA 15	0	1.008	10000	350	Variabile	Si
0.37	SLE RA 14	0	1.008	10000	350	Variabile	Si

Frecce lungo Y

Ascissa freccia	Combinazione	Freccia	Luce	L/f	L/f,min	Tipo	Verifica
0.504	SLE RA 1	-0.00001	1.008	10000	250	Totale	Si
0.504	SLE RA 17	-0.00001	1.008	10000	250	Totale	Si
0.504	SLE RA 16	-0.00001	1.008	10000	250	Totale	Si
0.504	SLE RA 15	-0.00001	1.008	10000	250	Totale	Si
0.504	SLE RA 14	-0.00001	1.008	10000	250	Totale	Si
0.403	SLE RA 2	0	1.008	10000	350	Variabile	Si
0.437	SLE RA 17	0	1.008	10000	350	Variabile	Si
0.403	SLE RA 16	0	1.008	10000	350	Variabile	Si
0.537	SLE RA 15	0	1.008	10000	350	Variabile	Si
0.773	SLE RA 14	0	1.008	10000	350	Variabile	Si

Superelemento in acciaio a quota "740"- "728" (2695; 2593)-(2695; 2493)

Caratteristiche del materiale

Acciaio: S275, fyk = 275000

Caratteristiche geometriche

Lunghezza: 1.008

Nodo iniziale: 2517 Nodo finale: 2363

Cerniera iniziale: Mmomenti 1% Cerniera finale: Mmomenti 1%

Sovreresistenza: 0% Sisma Z: No

Caratteristiche della sezione

Sezione	Rotazione	Area	Jx	Jy	ix	iy	Wx	Wy	Wplx	Wply
A1; L100*10; 1; Saldato; S275; 20; 1; 8; 8; 1	0	0.003832	0.0000035319	0.000007759	0.0304	0.045	0.0000492	0.0000739	0.00008974	0.00012727

Comportamento dei calastrelli

Accoppiamento imbottito avendo passo inferiore al minimo richiesto (§C4.2.4.1.3.1.5 NTC18) nella campata compresa tra le ascisse 0 e 1.008 per sbandamento attorno all'asse y.

Verifiche di resistenza

Verifiche a forza assiale §4.2.4.1.2.1 - §4.2.4.1.2.2 NTC18

X	Comb.	Sfruttamento	Classe	NEd	Nc,Rd	Nt,Rd	Riduzione da taglio	px	py	Verifica
1.008	SLU 75	0.006	3	-6.427	1003.522		1	0	0	Si

Verifiche a forza assiale SLD §4.2.4.1.2.1 - §4.2.4.1.2.2 NTC18

X	Comb.	Sfruttamento	Classe	NEd	Nc,Rd	Nt,Rd	Riduzione da taglio	px	py	Verifica
1.008	SLD 10	0.002	3	-2.261	1003.522		1	0	0	Si

Verifica a taglio Y §4.2.4.1.2.4 NTC18

X	Comb.	Sfruttamento	VEd	Vc,Rd	Av	Interazione taglio-torsione	Riduzione torsione	Verifica
1.008	SLU 76	0.001	-0.205	302.422	0.002	Non considerata		Si

Verifica a flessione semplice X §§ 4.2.4.1.2.3 - 4.2.4.1.2.6 - 4.2.4.1.2.7 - 4.2.4.1.2.8 NTC18

X	Comb.	Sfruttamento	Classe	Mx,Ed	Mx,Rd	Rid. Mx,Rd da VEd	px	py	Verifica
0.504	SLU 59	0.002	1	-0.04855	23.50374	1	0	0	Si

Verifica a presso/tenso flessione retta X §§ 4.2.4.1.2.3 - 4.2.4.1.2.6 - 4.2.4.1.2.7 - 4.2.4.1.2.8 NTC18

Verifiche eseguite utilizzando la formula conservativa (6.2) §6.2.1 EN 1993-1-1:2005.

X	Comb.	Sfruttamento	Classe	NEd	NRd	Rid. NRd da VEd	Mx,Ed	Mx,Rd	Rid. Mx,Rd da VEd	Rid. Mx,Rd da NEd	px	py	Verifica
0.47	SLU 75	0.01	3	-6.401	1003.522	1	-0.0456	12.886	1		0	0	Si

Verifica a presso/tenso flessione retta X SLD §§ 4.2.4.1.2.3 - 4.2.4.1.2.6 - 4.2.4.1.2.7 - 4.2.4.1.2.8 NTC18

Verifiche eseguite utilizzando la formula conservativa (6.2) §6.2.1 EN 1993-1-1:2005.

X	Comb.	Sfruttamento	Classe	NEd	NRd	Rid. NRd da VEd	Mx,Ed	Mx,Rd	Rid. Mx,Rd da VEd	Rid. Mx,Rd da NEd	px	py	Verifica
0.705	SLD 10	0.004	3	-2.249	1003.522	1	-0.0286	12.886	1		0	0	Si

Implementazione dei sistemi di confinamento delle emissioni odorigene diffuse dell'impianto di compostaggio esistente nel
Comune di Eboli (SA)
PROGETTO DEFINITIVO – Tabulati di calcolo Tomo 1

Verifica a presso/tenso flessione retta Y §§ 4.2.4.1.2.3 - 4.2.4.1.2.6 - 4.2.4.1.2.7 - 4.2.4.1.2.8 NTC18

Verifiche eseguite utilizzando la formula conservativa (6.2) §6.2.1 EN 1993-1-1:2005.

X	Comb.	Sfruttamento	Classe	NEd	NRd	Rid. NRd da VEd	My,Ed	My,Rd	Rid. My,Rd da VEd	Rid. My,Rd da NEd	px	py	Verifica
0.974	SLV 5	0.003	3	-2.354	1003.522	1	-0.0222	19.3536	1		0	0	Si

Verifica a presso/tenso flessione retta Y SLD §§ 4.2.4.1.2.3 - 4.2.4.1.2.6 - 4.2.4.1.2.7 - 4.2.4.1.2.8 NTC18

Verifiche eseguite utilizzando la formula conservativa (6.2) §6.2.1 EN 1993-1-1:2005.

X	Comb.	Sfruttamento	Classe	NEd	NRd	Rid. NRd da VEd	My,Ed	My,Rd	Rid. My,Rd da VEd	Rid. My,Rd da NEd	px	py	Verifica
1.008	SLD 5	0.003	3	-2.167	1003.522	1	-0.0096	19.3536	1		0	0	Si

Verifica a presso/tenso flessione deviata §§ 4.2.4.1.2.3 - 4.2.4.1.2.6 - 4.2.4.1.2.7 - 4.2.4.1.2.8 NTC18

Verifiche eseguite utilizzando la formula conservativa (6.2) §6.2.1 EN 1993-1-1:2005.

X	Comb.	Sfruttamento	Classe	NEd	NRd	Rid. NRd da VEd	Mx,Ed	Mx,Rd	My,Ed	My,Rd	Rid. Mx,Rd da VEd	Rid. Mx,Rd da NEd	Rid. My,Rd da VEd	Rid. My,Rd da NEd	α	β	px	py	Verifica
0.705	SLV 5	0.005	3	-2.344	1003.522	1	-0.028	12.886	-0.0125	19.3536	1		1				0	0	Si

Verifica a presso/tenso flessione deviata SLD §§ 4.2.4.1.2.3 - 4.2.4.1.2.6 - 4.2.4.1.2.7 - 4.2.4.1.2.8 NTC18

Verifiche eseguite utilizzando la formula conservativa (6.2) §6.2.1 EN 1993-1-1:2005.

X	Comb.	Sfruttamento	Classe	NEd	NRd	Rid. NRd da VEd	Mx,Ed	Mx,Rd	My,Ed	My,Rd	Rid. Mx,Rd da VEd	Rid. Mx,Rd da NEd	Rid. My,Rd da VEd	Rid. My,Rd da NEd	α	β	px	py	Verifica
0.873	SLD 6	0.004	3	-2.162	1003.522	1	-0.014	12.886	-0.0076	19.3536	1		1				0	0	Si

Verifiche ad instabilità

Caratteristiche iniziali

Membratura principale per controllo snellezza; Calcolo di snellezze ed N critici condotti secondo gli assi principali;

Curva X: c; Curva Y: c;

Svergolamento: Nessuno; la verifica a instabilità flesso-torsionale (svergolamento) non verrà eseguita.

Dati per instabilità attorno a x

Controllo della snellezza secondo §4.2.4.1.3.1 NTC18

Numero rit.	Presente	Ascissa	Campata	βx/m	Vincolo a entrambi estremi	λx/m	λVer
1	Si		0				
			1-2		1	33.2	Si, (<200)
2	Si	1.008					

Dati per instabilità attorno a y

Controllo della snellezza secondo §4.2.4.1.3.1 NTC18

Numero rit.	Presente	Ascissa	Campata	βy/n	k,LT	kw,LT	Vincolo a entrambi estremi
1	Si		0				
			1-2		1	22.4	Si, (<200)
2	Si	1.008					

Verifica di stabilità per pressoflessione §C.4.2.4.1.3.3.1 NTC18

X	Comb.	Sfruttamento	Classe	NEd	MxEq,Ed	MyEq,Ed	Area	Wx	Wy	χ,min	λ adim. x/m	λ adim. y/n	N _{crit} x/m	N _{crit} y/n	Verifica
1.008	SLU 75	0.01	3	-6.427	-0.0379	0.0003	0.003832	0.0000492	0.0000739	0.907	0.382	0.258	7207.687	15834.061	Si

Verifica di stabilità per pressoflessione SLD §C.4.2.4.1.3.3.1 NTC18

X	Comb.	Sfruttamento	Classe	NEd	MxEq,Ed	MyEq,Ed	Area	Wx	Wy	χ,min	λ adim. x/m	λ adim. y/n	N _{crit} x/m	N _{crit} y/n	Verifica
1.008	SLD 5	0.005	3	-2.167	-0.0303	-0.0072	0.003832	0.0000492	0.0000739	0.907	0.382	0.258	7207.687	15834.061	Si

Verifiche a deformabilità

Mensola X: No; Mensola Y: No.

Frecce lungo X

Ascissa freccia	Combinazione	Freccia	Luce	L/f	L/f,min	Tipo	Verifica
0.235	SLE RA 1	0	1.008	10000	250	Totale	Si
0.235	SLE RA 17	0	1.008	10000	250	Totale	Si
0.235	SLE RA 16	0	1.008	10000	250	Totale	Si
0.235	SLE RA 15	0	1.008	10000	250	Totale	Si
0.269	SLE RA 14	0	1.008	10000	250	Totale	Si
0.202	SLE RA 2	0	1.008	10000	350	Variabile	Si
0.269	SLE RA 17	0	1.008	10000	350	Variabile	Si
0.269	SLE RA 16	0	1.008	10000	350	Variabile	Si
0.202	SLE RA 15	0	1.008	10000	350	Variabile	Si
0.269	SLE RA 14	0	1.008	10000	350	Variabile	Si

Frecce lungo Y

Ascissa freccia	Combinazione	Freccia	Luce	L/f	L/f,min	Tipo	Verifica
0.504	SLE RA 1	-0.00001	1.008	10000	250	Totale	Si
0.504	SLE RA 17	-0.00001	1.008	10000	250	Totale	Si
0.504	SLE RA 16	-0.00001	1.008	10000	250	Totale	Si
0.504	SLE RA 15	-0.00001	1.008	10000	250	Totale	Si
0.504	SLE RA 14	-0.00001	1.008	10000	250	Totale	Si
0.605	SLE RA 2	0	1.008	10000	350	Variabile	Si
0.605	SLE RA 17	0	1.008	10000	350	Variabile	Si
0.605	SLE RA 16	0	1.008	10000	350	Variabile	Si
0.605	SLE RA 15	0	1.008	10000	350	Variabile	Si
0.571	SLE RA 14	0	1.008	10000	350	Variabile	Si

Superelemento in acciaio a quota "740"- "728" (2929; 2593)-(2929; 2493)

Caratteristiche del materiale

Acciaio: S275, fyk = 275000

Implementazione dei sistemi di confinamento delle emissioni odorigene diffuse dell'impianto di compostaggio esistente nel
Comune di Eboli (SA)
PROGETTO DEFINITIVO – Tabulati di calcolo Tomo 1

Caratteristiche geometriche

Lunghezza: 1.008
Nodo iniziale: 2523 Nodo finale: 2368
Cerniera iniziale: Mmomenti 1% Cerniera finale: Mmomenti 1%
Sovraresistenza: 0% Sisma Z: No

Caratteristiche della sezione

Sezione	Rotazione	Area	Jx	Jy	ix	iy	Wx	Wy	Wplx	Wply
A1; L100*10; 1; Saldato; S275; 20; 1; 8; 8; 1	0	0.003832	0.0000035319	0.000007759	0.0304	0.045	0.0000492	0.0000739	0.00008974	0.00012727

Comportamento dei calastrelli

Accoppiamento imbottito avendo passo inferiore al minimo richiesto (§C4.2.4.1.3.1.5 NTC18) nella campata compresa tra le ascisse 0 e 1.008 per sbandamento attorno all'asse y.

Verifiche di resistenza

Verifiche a forza assiale §4.2.4.1.2.1 - §4.2.4.1.2.2 NTC18

X	Comb.	Sfruttamento	Classe	NEd	Nc,Rd	Nt,Rd	Riduzione da taglio	px	py	Verifica
0	SLV 8	0.006		6.102		1003.522	1	0	0	Si

Verifiche a forza assiale SLD §4.2.4.1.2.1 - §4.2.4.1.2.2 NTC18

X	Comb.	Sfruttamento	Classe	NEd	Nc,Rd	Nt,Rd	Riduzione da taglio	px	py	Verifica
0	SLD 7	0.002		2.458		1003.522	1	0	0	Si

Verifica a taglio Y §4.2.4.1.2.4 NTC18

X	Comb.	Sfruttamento	VEd	Vc,Rd	Av	Interazione taglio-torsione	Riduzione torsione	Verifica
1.008	SLU 76	0.001	-0.203	302.422	0.002	Non considerata		Si

Verifica a flessione semplice X §§ 4.2.4.1.2.3 - 4.2.4.1.2.6 - 4.2.4.1.2.7 - 4.2.4.1.2.8 NTC18

X	Comb.	Sfruttamento	Classe	Mx,Ed	Mx,Rd	Rid. Mx,Rd da VEd	px	py	Verifica
0.504	SLU 40	0.002	1	-0.04883	23.50374	1	0	0	Si

Verifica a flessione semplice X SLD §§ 4.2.4.1.2.3 - 4.2.4.1.2.6 - 4.2.4.1.2.7 - 4.2.4.1.2.8 NTC18

X	Comb.	Sfruttamento	Classe	Mx,Ed	Mx,Rd	Rid. Mx,Rd da VEd	px	py	Verifica
0.504	SLD 6	0.002	1	-0.03706	23.50374	1	0	0	Si

Verifica a presso/tenso flessione retta X §§ 4.2.4.1.2.3 - 4.2.4.1.2.6 - 4.2.4.1.2.7 - 4.2.4.1.2.8 NTC18

Verifiche eseguite utilizzando la formula conservativa (6.2) §6.2.1 EN 1993-1-1:2005.

X	Comb.	Sfruttamento	Classe	NEd	NRd	Rid. NRd da VEd	Mx,Ed	Mx,Rd	Rid. Mx,Rd da VEd	Rid. Mx,Rd da NEd	px	py	Verifica
0.504	SLV 9	0.008	3	-4.717	1003.522	1	-0.039	12.886	1		0	0	Si

Verifica a presso/tenso flessione retta X SLD §§ 4.2.4.1.2.3 - 4.2.4.1.2.6 - 4.2.4.1.2.7 - 4.2.4.1.2.8 NTC18

Verifiche eseguite utilizzando la formula conservativa (6.2) §6.2.1 EN 1993-1-1:2005.

X	Comb.	Sfruttamento	Classe	NEd	NRd	Rid. NRd da VEd	Mx,Ed	Mx,Rd	Rid. Mx,Rd da VEd	Rid. Mx,Rd da NEd	px	py	Verifica
0.504	SLD 8	0.004	1	2.439	1003.522	1	-0.0358	23.5037	1		0	0	Si

Verifica a presso/tenso flessione retta Y §§ 4.2.4.1.2.3 - 4.2.4.1.2.6 - 4.2.4.1.2.7 - 4.2.4.1.2.8 NTC18

Verifiche eseguite utilizzando la formula conservativa (6.2) §6.2.1 EN 1993-1-1:2005.

X	Comb.	Sfruttamento	Classe	NEd	NRd	Rid. NRd da VEd	My,Ed	My,Rd	Rid. My,Rd da VEd	Rid. My,Rd da NEd	px	py	Verifica
0.974	SLV 7	0.007	1	6.066	1003.522	1	-0.0244	33.3316	1		0	0	Si

Verifica a presso/tenso flessione retta Y SLD §§ 4.2.4.1.2.3 - 4.2.4.1.2.6 - 4.2.4.1.2.7 - 4.2.4.1.2.8 NTC18

Verifiche eseguite utilizzando la formula conservativa (6.2) §6.2.1 EN 1993-1-1:2005.

X	Comb.	Sfruttamento	Classe	NEd	NRd	Rid. NRd da VEd	My,Ed	My,Rd	Rid. My,Rd da VEd	Rid. My,Rd da NEd	px	py	Verifica
1.008	SLD 7	0.003	1	2.42	1003.522	1	-0.0107	33.3316	1		0	0	Si

Verifica a presso/tenso flessione deviata §§ 4.2.4.1.2.3 - 4.2.4.1.2.6 - 4.2.4.1.2.7 - 4.2.4.1.2.8 NTC18

Verifiche eseguite utilizzando la formula conservativa (6.2) §6.2.1 EN 1993-1-1:2005.

X	Comb.	Sfruttamento	Classe	NEd	NRd	Rid. NRd da VEd	Mx,Ed	Mx,Rd	My,Ed	My,Rd	Rid. Mx,Rd da VEd	Rid. Mx,Rd da NEd	Rid. My,Rd da VEd	Rid. My,Rd da NEd	α	β	px	py	Verifica
0.605	SLV 10	0.008	3	-4.721	1003.522	1	-0.0378	12.886	0.0092	19.3536	1		1				0	0	Si

Verifica a presso/tenso flessione deviata SLD §§ 4.2.4.1.2.3 - 4.2.4.1.2.6 - 4.2.4.1.2.7 - 4.2.4.1.2.8 NTC18

Verifiche eseguite utilizzando la formula conservativa (6.2) §6.2.1 EN 1993-1-1:2005.

X	Comb.	Sfruttamento	Classe	NEd	NRd	Rid. NRd da VEd	Mx,Ed	Mx,Rd	My,Ed	My,Rd	Rid. Mx,Rd da VEd	Rid. Mx,Rd da NEd	Rid. My,Rd da VEd	Rid. My,Rd da NEd	α	β	px	py	Verifica
0.84	SLD 7	0.003	1	2.426	1003.522	1	-0.0176	23.5037	-0.0079	33.3316	1		1				0	0	Si

Verifiche ad instabilità

Caratteristiche iniziali

Membratura principale per controllo snellezza; Calcolo di snellezze ed N critici condotti secondo gli assi principali;

Curva X: c; Curva Y: c;

Svergolamento: Nessuno; la verifica a instabilità flesso-torsionale (svergolamento) non verrà eseguita.

Dati per instabilità attorno a x

Controllo della snellezza secondo §4.2.4.1.3.1 NTC18

Numero rit.	Presente	Ascissa	Campata	$\beta x/m$	Vincolo a entrambi estremi	$\lambda x/m$	λVer
1	Si	0					
			1-2	1	Si	33.2	Si, (<200)

Implementazione dei sistemi di confinamento delle emissioni odorigene diffuse dell'impianto di compostaggio esistente nel
Comune di Eboli (SA)
PROGETTO DEFINITIVO – Tabulati di calcolo Tomo 1

Numero rit.	Presente	Ascissa	Campata	$\beta x/m$	Vincolo a entrambi estremi	$\lambda x/m$	λVer
2	Si	1.008					

Dati per instabilità attorno a y

Controllo della snellezza secondo §4.2.4.1.3.1 NTC18

Numero rit.	Presente	Ascissa	Campata	$\beta y/n$	k,LT	kw,LT	Vincolo a entrambi estremi
1	Si	0					
			1-2	1	Si	22.4	Si, (<200)
2	Si	1.008					

Verifica di stabilità per pressoflessione §C.4.2.4.1.3.3.1 NTC18

X	Comb.	Sfruttamento	Classe	NEd	MxEq,Ed	MyEq,Ed	Area	Wx	Wy	χ_{min}	$\lambda_{adim. x/m}$	$\lambda_{adim. y/n}$	N,crit x/m	N,crit y/n	Verifica
1.008	SLV 10	0.009	3	-4.736	-0.0343	0.0182	0.003832	0.0000492	0.0000739	0.907	0.382	0.258	7207.687	15834.061	Si

Verifica di stabilità per pressoflessione SLD §C.4.2.4.1.3.3.1 NTC18

X	Comb.	Sfruttamento	Classe	NEd	MxEq,Ed	MyEq,Ed	Area	Wx	Wy	χ_{min}	$\lambda_{adim. x/m}$	$\lambda_{adim. y/n}$	N,crit x/m	N,crit y/n	Verifica
1.008	SLD 10	0.004	3	-1.091	-0.0322	0.0069	0.003832	0.0000492	0.0000739	0.907	0.382	0.258	7207.687	15834.061	Si

Verifiche a deformabilità

Mensola X: No; Mensola Y: No.

Frecce lungo X

Ascissa freccia	Combinazione	Freccia	Luce	L/f	L/f,min	Tipo	Verifica
0.739	SLE RA 1	0	1.008	10000	250	Totale	Si
0.739	SLE RA 17	0	1.008	10000	250	Totale	Si
0.739	SLE RA 16	0	1.008	10000	250	Totale	Si
0.739	SLE RA 15	0	1.008	10000	250	Totale	Si
0.739	SLE RA 14	0	1.008	10000	250	Totale	Si
0.739	SLE RA 2	0	1.008	10000	350	Variabile	Si
0.773	SLE RA 17	0	1.008	10000	350	Variabile	Si
0.739	SLE RA 16	0	1.008	10000	350	Variabile	Si
0.739	SLE RA 15	0	1.008	10000	350	Variabile	Si
0.773	SLE RA 14	0	1.008	10000	350	Variabile	Si

Frecce lungo Y

Ascissa freccia	Combinazione	Freccia	Luce	L/f	L/f,min	Tipo	Verifica
0.504	SLE RA 1	-0.00001	1.008	10000	250	Totale	Si
0.504	SLE RA 17	-0.00001	1.008	10000	250	Totale	Si
0.504	SLE RA 16	-0.00001	1.008	10000	250	Totale	Si
0.504	SLE RA 15	-0.00001	1.008	10000	250	Totale	Si
0.504	SLE RA 14	-0.00001	1.008	10000	250	Totale	Si
0.605	SLE RA 2	0	1.008	10000	350	Variabile	Si
0.605	SLE RA 17	0	1.008	10000	350	Variabile	Si
0.605	SLE RA 16	0	1.008	10000	350	Variabile	Si
0.605	SLE RA 15	0	1.008	10000	350	Variabile	Si
0.537	SLE RA 14	0	1.008	10000	350	Variabile	Si

Superelemento in acciaio a quota "740"- "728" (-217; 710)-(-326; 813)

Caratteristiche del materiale

Acciaio: S275, fyk = 275000

Caratteristiche geometriche

Lunghezza: 1.505

Nodo iniziale: 2472 Nodo finale: 2283

Cerniera iniziale: Mmomenti 1% Cerniera finale: Mmomenti 1%

Sovreresistenza: 0% Sisma Z: No

Caratteristiche della sezione

Sezione	Rotazione	Area	Jx	Jy	ix	iy	Wx	Wy	Wplx	Wply
A1; L100*10; 1; Saldato; S275; 30; 1; 8; 8; 1	0	0.003832	0.0000035319	0.000007759	0.0304	0.045	0.0000492	0.0000739	0.00008974	0.00012727

Comportamento dei calastrelli

Accoppiamento imbottito con funzione statica (§C.4.2.4.1.3.1.4 NTC18) nella campata compresa tra le ascisse 0 e 1.505 per sbandamento attorno all'asse y.

Verifiche di resistenza

Verifiche a forza assiale §4.2.4.1.2.1 - §4.2.4.1.2.2 NTC18

X	Comb.	Sfruttamento	Classe	NEd	Nc,Rd	Nt,Rd	Riduzione da taglio	px	py	Verifica
1.505	SLU 75	0.01	3	-9.84	1003.522		1	0	0	Si

Verifiche a forza assiale SLD §4.2.4.1.2.1 - §4.2.4.1.2.2 NTC18

X	Comb.	Sfruttamento	Classe	NEd	Nc,Rd	Nt,Rd	Riduzione da taglio	px	py	Verifica
1.505	SLD 2	0.003	3	-2.978	1003.522		1	0	0	Si

Verifica a taglio Y §4.2.4.1.2.4 NTC18

X	Comb.	Sfruttamento	VEd	Vc,Rd	Av	Interazione taglio-torsione	Riduzione torsione	Verifica
0	SLU 64	0.001	0.3	302.422	0.002	Non considerata		Si

**Implementazione dei sistemi di confinamento delle emissioni odorigene diffuse dell'impianto di compostaggio esistente nel
Comune di Eboli (SA)
PROGETTO DEFINITIVO – Tabulati di calcolo Tomo 1**

Verifica a taglio Y SLD §4.2.4.1.2.4 NTC18

X	Comb.	Sfruttamento	VEd	Vc,Rd	Av	Interazione taglio-torsione	Riduzione torsione	Verifica
0	SLD 16	0.001	0.228	302.422	0.002	Non considerata		Si

Verifica a flessione semplice X §§ 4.2.4.1.2.3 - 4.2.4.1.2.6 - 4.2.4.1.2.7 - 4.2.4.1.2.8 NTC18

X	Comb.	Sfruttamento	Classe	Mx,Ed	Mx,Rd	Rid. Mx,Rd da VEd	px	py	Verifica
0.753	SLU 24	0.004	1	-0.08474	23.50374	1	0	0	Si

Verifica a presso/tenso flessione retta X §§ 4.2.4.1.2.3 - 4.2.4.1.2.6 - 4.2.4.1.2.7 - 4.2.4.1.2.8 NTC18

Verifiche eseguite utilizzando la formula conservativa (6.2) §6.2.1 EN 1993-1-1:2005.

X	Comb.	Sfruttamento	Classe	NEd	NRd	Rid. NRd da VEd	Mx,Ed	Mx,Rd	Rid. Mx,Rd da VEd	Rid. Mx,Rd da NEd	px	py	Verifica
0.753	SLU 42	0.007	1	-2.222	1003.522	1	-0.1118	23.5037	1		0	0	Si

Verifica a presso/tenso flessione retta Y §§ 4.2.4.1.2.3 - 4.2.4.1.2.6 - 4.2.4.1.2.7 - 4.2.4.1.2.8 NTC18

Verifiche eseguite utilizzando la formula conservativa (6.2) §6.2.1 EN 1993-1-1:2005.

X	Comb.	Sfruttamento	Classe	NEd	NRd	Rid. NRd da VEd	My,Ed	My,Rd	Rid. My,Rd da VEd	Rid. My,Rd da NEd	px	py	Verifica
1.505	SLU 75	0.011	3	-9.84	1003.522	1	-0.0298	19.3536	1		0	0	Si

Verifica a presso/tenso flessione retta Y SLD §§ 4.2.4.1.2.3 - 4.2.4.1.2.6 - 4.2.4.1.2.7 - 4.2.4.1.2.8 NTC18

Verifiche eseguite utilizzando la formula conservativa (6.2) §6.2.1 EN 1993-1-1:2005.

X	Comb.	Sfruttamento	Classe	NEd	NRd	Rid. NRd da VEd	My,Ed	My,Rd	Rid. My,Rd da VEd	Rid. My,Rd da NEd	px	py	Verifica
1.505	SLD 1	0.004	3	-2.978	1003.522	1	0.0114	19.3536	1		0	0	Si

Verifica a presso/tenso flessione deviata §§ 4.2.4.1.2.3 - 4.2.4.1.2.6 - 4.2.4.1.2.7 - 4.2.4.1.2.8 NTC18

Verifiche eseguite utilizzando la formula conservativa (6.2) §6.2.1 EN 1993-1-1:2005.

X	Comb.	Sfruttamento	Classe	NEd	NRd	Rid. NRd da VEd	Mx,Ed	Mx,Rd	My,Ed	My,Rd	Rid. Mx,Rd da VEd	Rid. Mx,Rd da NEd	Rid. My,Rd da VEd	Rid. My,Rd da NEd	α	β	px	py	Verifica
0.753	SLU 75	0.02	3	-9.816	1003.522	1	-0.11	12.886	0.0296	19.3536	1		1				0	0	Si

Verifica a presso/tenso flessione deviata SLD §§ 4.2.4.1.2.3 - 4.2.4.1.2.6 - 4.2.4.1.2.7 - 4.2.4.1.2.8 NTC18

Verifiche eseguite utilizzando la formula conservativa (6.2) §6.2.1 EN 1993-1-1:2005.

X	Comb.	Sfruttamento	Classe	NEd	NRd	Rid. NRd da VEd	Mx,Ed	Mx,Rd	My,Ed	My,Rd	Rid. Mx,Rd da VEd	Rid. Mx,Rd da NEd	Rid. My,Rd da VEd	Rid. My,Rd da NEd	α	β	px	py	Verifica
0.753	SLD 2	0.007	1	-2.959	1003.522	1	-0.0846	23.5037	0.0096	33.3316	1		1				0	0	Si

Verifiche ad instabilità

Caratteristiche iniziali

Membratura principale per controllo snellezza; Calcolo di snellezze ed N critici condotti secondo gli assi principali;

Curva X: c; Curva Y: c;

Svergolamento: Nessuno; la verifica a instabilità flesso-torsionale (svergolamento) non verrà eseguita.

Dati per instabilità attorno a x

Controllo della snellezza secondo §4.2.4.1.3.1 NTC18

Numero rit.	Presente	Ascissa	Campata	βx/m	Vincolo a entrambi estremi	λx/m	λVer
1	Si		0				
			1-2		1	49.6	Si, (<200)
2	Si	1.505					

Dati per instabilità attorno a y

Controllo della snellezza secondo §4.2.4.1.3.1 NTC18

Numero rit.	Presente	Ascissa	Campata	βy/n	k,LT	kw,LT	Vincolo a entrambi estremi
1	Si		0				
			1-2		1	34.9	Si, (<200)
2	Si	1.505					

Verifica di stabilità per pressoflessione §C.4.2.4.1.3.3.1 NTC18

X	Comb.	Sfruttamento	Classe	NEd	MxEq,Ed	MyEq,Ed	Area	Wx	Wy	χ,min	λ adim. x/m	λ adim. y/n	N,crit x/m	N,crit y/n	Verifica
1.505	SLU 75	0.021	3	-9.84	-0.0951	-0.0224	0.003832	0.0000492	0.0000739	0.802	0.571	0.402	3231.032	6528.319	Si

Verifica di stabilità per pressoflessione SLD §C.4.2.4.1.3.3.1 NTC18

X	Comb.	Sfruttamento	Classe	NEd	MxEq,Ed	MyEq,Ed	Area	Wx	Wy	χ,min	λ adim. x/m	λ adim. y/n	N,crit x/m	N,crit y/n	Verifica
1.505	SLD 2	0.01	3	-2.978	-0.0728	0.0085	0.003832	0.0000492	0.0000739	0.802	0.571	0.402	3231.032	6528.319	Si

Verifiche a deformabilità

Mensola X: No; Mensola Y: No.

Frecce lungo X

Ascissa freccia	Combinazione	Freccia	Luce	L/f	L/f,min	Tipo	Verifica
0.502	SLE RA 1	0	1.505	10000	250	Totale	Si
0.502	SLE RA 17	0	1.505	10000	250	Totale	Si
0.502	SLE RA 16	0	1.505	10000	250	Totale	Si
0.552	SLE RA 15	0	1.505	10000	250	Totale	Si
0.452	SLE RA 14	0	1.505	10000	250	Totale	Si
0.502	SLE RA 2	0	1.505	10000	350	Variabile	Si
0.452	SLE RA 17	0	1.505	10000	350	Variabile	Si
0.452	SLE RA 16	0	1.505	10000	350	Variabile	Si
0.602	SLE RA 15	0	1.505	10000	350	Variabile	Si
0.351	SLE RA 14	0	1.505	10000	350	Variabile	Si

Frecce lungo Y

Ascissa freccia	Combinazione	Freccia	Luce	L/f	L/f,min	Tipo	Verifica
0.753	SLE RA 1	-0.00003	1.505	10000	250	Totale	Si
0.753	SLE RA 17	-0.00003	1.505	10000	250	Totale	Si
0.753	SLE RA 16	-0.00003	1.505	10000	250	Totale	Si
0.753	SLE RA 15	-0.00003	1.505	10000	250	Totale	Si

Implementazione dei sistemi di confinamento delle emissioni odorigene diffuse dell'impianto di compostaggio esistente nel
Comune di Eboli (SA)

PROGETTO DEFINITIVO – Tabulati di calcolo Tomo 1

Ascissa freccia	Combinazione	Freccia	Luce	L/f	L/f,min	Tipo	Verifica
0.753	SLE RA 14	-0.00003	1.505	10000	250	Totale	Si
0.903	SLE RA 2	0	1.505	10000	350	Variabile	Si
0.903	SLE RA 17	0	1.505	10000	350	Variabile	Si
0.903	SLE RA 16	0	1.505	10000	350	Variabile	Si
0.953	SLE RA 15	0	1.505	10000	350	Variabile	Si
1.003	SLE RA 14	0	1.505	10000	350	Variabile	Si

Superelemento in acciaio a quota "740"- "728" (-725; 172)-(-834; 275)

Caratteristiche del materiale

Acciaio: S275, fyk = 275000

Caratteristiche geometriche

Lunghezza: 1.505

Nodo iniziale: 2463 Nodo finale: 2264

Cerniera iniziale: Mmomenti 1% Cerniera finale: Mmomenti 1%

Sovreresistenza: 0% Sisma Z: No

Caratteristiche della sezione

Sezione	Rotazione	Area	Jx	Jy	ix	iy	Wx	Wy	Wplx	Wply
A1; L100*10; 1; Saldato; S275; 30; 1; 8; 8; 1	0	0.003832	0.0000035319	0.000007759	0.0304	0.045	0.0000492	0.0000739	0.00008974	0.00012727

Comportamento dei calastrelli

Accoppiamento imbottito con funzione statica (§C4.2.4.1.3.1.4 NTC18) nella campata compresa tra le ascisse 0 e 1.505 per sbandamento attorno all'asse y.

Verifiche di resistenza

Verifiche a forza assiale §4.2.4.1.2.1 - §4.2.4.1.2.2 NTC18

X	Comb.	Sfruttamento	Classe	NEd	Nc,Rd	Nt,Rd	Riduzione da taglio	px	py	Verifica
1.505	SLU 75	0.009	3	-8.813	1003.522		1	0	0	Si

Verifiche a forza assiale SLD §4.2.4.1.2.1 - §4.2.4.1.2.2 NTC18

X	Comb.	Sfruttamento	Classe	NEd	Nc,Rd	Nt,Rd	Riduzione da taglio	px	py	Verifica
1.505	SLD 16	0.003	3	-2.988	1003.522		1	0	0	Si

Verifica a taglio Y §4.2.4.1.2.4 NTC18

X	Comb.	Sfruttamento	VEd	Vc,Rd	Av	Interazione taglio-torsione	Riduzione torsione	Verifica
0	SLU 64	0.001	0.302	302.422	0.002	Non considerata		Si

Verifica a taglio Y SLD §4.2.4.1.2.4 NTC18

X	Comb.	Sfruttamento	VEd	Vc,Rd	Av	Interazione taglio-torsione	Riduzione torsione	Verifica
0	SLD 1	0.001	0.228	302.422	0.002	Non considerata		Si

Verifica a flessione semplice X §§ 4.2.4.1.2.3 - 4.2.4.1.2.6 - 4.2.4.1.2.7 - 4.2.4.1.2.8 NTC18

X	Comb.	Sfruttamento	Classe	Mx,Ed	Mx,Rd	Rid. Mx,Rd da VEd	px	py	Verifica
0.753	SLU 24	0.004	1	-0.08458	23.50374	1	0	0	Si

Verifica a presso/tenso flessione retta X §§ 4.2.4.1.2.3 - 4.2.4.1.2.6 - 4.2.4.1.2.7 - 4.2.4.1.2.8 NTC18

Verifiche eseguite utilizzando la formula conservativa (6.2) §6.2.1 EN 1993-1-1:2005.

X	Comb.	Sfruttamento	Classe	NEd	NRd	Rid. NRd da VEd	Mx,Ed	Mx,Rd	Rid. Mx,Rd da VEd	Rid. Mx,Rd da NEd	px	py	Verifica
0.753	SLU 61	0.007	1	-2.405	1003.522	1	-0.1118	23.5037	1		0	0	Si

Verifica a presso/tenso flessione retta X SLD §§ 4.2.4.1.2.3 - 4.2.4.1.2.6 - 4.2.4.1.2.7 - 4.2.4.1.2.8 NTC18

Verifiche eseguite utilizzando la formula conservativa (6.2) §6.2.1 EN 1993-1-1:2005.

X	Comb.	Sfruttamento	Classe	NEd	NRd	Rid. NRd da VEd	Mx,Ed	Mx,Rd	Rid. Mx,Rd da VEd	Rid. Mx,Rd da NEd	px	py	Verifica
0.753	SLD 9	0.006	1	-2.079	1003.522	1	-0.085	23.5037	1		0	0	Si

Verifica a presso/tenso flessione retta Y §§ 4.2.4.1.2.3 - 4.2.4.1.2.6 - 4.2.4.1.2.7 - 4.2.4.1.2.8 NTC18

Verifiche eseguite utilizzando la formula conservativa (6.2) §6.2.1 EN 1993-1-1:2005.

X	Comb.	Sfruttamento	Classe	NEd	NRd	Rid. NRd da VEd	My,Ed	My,Rd	Rid. My,Rd da VEd	Rid. My,Rd da NEd	px	py	Verifica
1.505	SLU 75	0.01	3	-8.813	1003.522	1	-0.0268	19.3536	1		0	0	Si

Verifica a presso/tenso flessione retta Y SLD §§ 4.2.4.1.2.3 - 4.2.4.1.2.6 - 4.2.4.1.2.7 - 4.2.4.1.2.8 NTC18

Verifiche eseguite utilizzando la formula conservativa (6.2) §6.2.1 EN 1993-1-1:2005.

X	Comb.	Sfruttamento	Classe	NEd	NRd	Rid. NRd da VEd	My,Ed	My,Rd	Rid. My,Rd da VEd	Rid. My,Rd da NEd	px	py	Verifica
1.505	SLD 16	0.004	3	-2.988	1003.522	1	-0.0115	19.3536	1		0	0	Si

Verifica a presso/tenso flessione deviata §§ 4.2.4.1.2.3 - 4.2.4.1.2.6 - 4.2.4.1.2.7 - 4.2.4.1.2.8 NTC18

Verifiche eseguite utilizzando la formula conservativa (6.2) §6.2.1 EN 1993-1-1:2005.

X	Comb.	Sfruttamento	Classe	NEd	NRd	Rid. NRd da VEd	Mx,Ed	Mx,Rd	My,Ed	My,Rd	Rid. Mx,Rd da VEd	Rid. Mx,Rd da NEd	Rid. My,Rd da VEd	Rid. My,Rd da NEd	α	β	px	py	Verifica
0.753	SLU 75	0.019	3	-8.789	1003.522	1	-0.1094	12.886	-0.0266	19.3536	1		1				0	0	Si

Verifica a presso/tenso flessione deviata SLD §§ 4.2.4.1.2.3 - 4.2.4.1.2.6 - 4.2.4.1.2.7 - 4.2.4.1.2.8 NTC18

Verifiche eseguite utilizzando la formula conservativa (6.2) §6.2.1 EN 1993-1-1:2005.

X	Comb.	Sfruttamento	Classe	NEd	NRd	Rid. NRd da VEd	Mx,Ed	Mx,Rd	My,Ed	My,Rd	Rid. Mx,Rd da VEd	Rid. Mx,Rd da NEd	Rid. My,Rd da VEd	Rid. My,Rd da NEd	α	β	px	py	Verifica

Implementazione dei sistemi di confinamento delle emissioni odorigene diffuse dell'impianto di compostaggio esistente nel
Comune di Eboli (SA)
PROGETTO DEFINITIVO – Tabulati di calcolo Tomo 1

X	Comb.	Sfruttamento	Classe	NEd	NRd	Rid. NRd da VEd	Mx,Ed	Mx,Rd	My,Ed	My,Rd	Rid. Mx,Rd da VEd	Rid. Mx,Rd da NEd	Rid. My,Rd da VEd	Rid. My,Rd da NEd	α	β	ρ_x	ρ_y	Verifica
0.753	SLD 15	0.007	1	-2.969	1003.522	1	-0.0842	23.5037	-0.0096	33.3316	1		1				0	0	Si

Verifiche ad instabilità

Caratteristiche iniziali

Membratura principale per controllo snellezza; Calcolo di snellezze ed N critici condotti secondo gli assi principali;

Curva X: c; Curva Y: c;

Svergolamento: Nessuno; la verifica a instabilità flesso-torsionale (svergolamento) non verrà eseguita.

Dati per instabilità attorno a x

Controllo della snellezza secondo §4.2.4.1.3.1 NTC18

Numero rit.	Presente	Ascissa	Campata	$\beta x/m$	Vincolo a entrambi estremi	$\lambda x/m$	λVer
1	Si	0					
			1-2	1	Si	49.6	Si, (<200)
2	Si	1.505					

Dati per instabilità attorno a y

Controllo della snellezza secondo §4.2.4.1.3.1 NTC18

Numero rit.	Presente	Ascissa	Campata	$\beta y/n$	k,LT	kw,LT	Vincolo a entrambi estremi
1	Si	0					
			1-2	1	Si	34.9	Si, (<200)
2	Si	1.505					

Verifica di stabilità per pressoflessione §C.4.2.4.1.3.3.1 NTC18

X	Comb.	Sfruttamento	Classe	NEd	MxEq,Ed	MyEq,Ed	Area	Wx	Wy	χ_{min}	λ adim. x/m	λ adim. y/n	N,crit x/m	N,crit y/n	Verifica
1.505	SLU 75	0.02	3	-8.813	-0.0943	-0.0266	0.003832	0.0000492	0.0000739	0.802	0.571	0.402	3231.032	6528.319	Si

Verifica di stabilità per pressoflessione SLD §C.4.2.4.1.3.3.1 NTC18

X	Comb.	Sfruttamento	Classe	NEd	MxEq,Ed	MyEq,Ed	Area	Wx	Wy	χ_{min}	λ adim. x/m	λ adim. y/n	N,crit x/m	N,crit y/n	Verifica
1.505	SLD 16	0.01	3	-2.988	-0.0726	-0.0086	0.003832	0.0000492	0.0000739	0.802	0.571	0.402	3231.032	6528.319	Si

Verifiche a deformabilità

Mensola X: No; Mensola Y: No.

Frecce lungo X

Ascissa freccia	Combinazione	Freccia	Luce	L/f	L/f,min	Tipo	Verifica
0.803	SLE RA 1	0	1.505	10000	250	Totale	Si
0.853	SLE RA 17	0	1.505	10000	250	Totale	Si
0.903	SLE RA 16	0	1.505	10000	250	Totale	Si
0.953	SLE RA 15	0	1.505	10000	250	Totale	Si
0.753	SLE RA 14	0	1.505	10000	250	Totale	Si
0.903	SLE RA 2	0	1.505	10000	350	Variabile	Si
0.953	SLE RA 17	0	1.505	10000	350	Variabile	Si
0.953	SLE RA 16	0	1.505	10000	350	Variabile	Si
1.003	SLE RA 15	0	1.505	10000	350	Variabile	Si
0.702	SLE RA 14	0	1.505	10000	350	Variabile	Si

Frecce lungo Y

Ascissa freccia	Combinazione	Freccia	Luce	L/f	L/f,min	Tipo	Verifica
0.753	SLE RA 1	-0.00003	1.505	10000	250	Totale	Si
0.753	SLE RA 17	-0.00003	1.505	10000	250	Totale	Si
0.753	SLE RA 16	-0.00003	1.505	10000	250	Totale	Si
0.753	SLE RA 15	-0.00003	1.505	10000	250	Totale	Si
0.753	SLE RA 14	-0.00003	1.505	10000	250	Totale	Si
1.054	SLE RA 2	0	1.505	10000	350	Variabile	Si
1.054	SLE RA 17	0	1.505	10000	350	Variabile	Si
1.054	SLE RA 16	0	1.505	10000	350	Variabile	Si
1.003	SLE RA 15	0	1.505	10000	350	Variabile	Si
0.953	SLE RA 14	0	1.505	10000	350	Variabile	Si

Superelemento in acciaio a quota "740"- "728" (-1232; -367)-(-1341; -264)

Caratteristiche del materiale

Acciaio: S275, fyk = 275000

Caratteristiche geometriche

Lunghezza: 1.505

Nodo iniziale: 2454 Nodo finale: 2242

Cerniera iniziale: Mmomenti 1% Cerniera finale: Mmomenti 1%

Sovraresistenza: 0% Sisma Z: No

Caratteristiche della sezione

Sezione	Rotazione	Area	Jx	Jy	ix	iy	Wx	Wy	Wplx	Wply
A1; L100*10; 1; Saldato; S275; 30; 1; 8; 8; 1	0	0.003832	0.0000035319	0.000007759	0.0304	0.045	0.0000492	0.0000739	0.00008974	0.00012727

Comportamento dei calastrelli

Accoppiamento imbottito con funzione statica (§C4.2.4.1.3.1.4 NTC18) nella campata compresa tra le ascisse 0 e 1.505 per sbandamento attorno all'asse y.

Implementazione dei sistemi di confinamento delle emissioni odorigene diffuse dell'impianto di compostaggio esistente nel
Comune di Eboli (SA)
PROGETTO DEFINITIVO – Tabulati di calcolo Tomo 1

Verifiche di resistenza

Verifiche a forza assiale §4.2.4.1.2.1 - §4.2.4.1.2.2 NTC18

X	Comb.	Sfruttamento	Classe	NEd	Nc,Rd	Nt,Rd	Riduzione da taglio	px	py	Verifica
1.505	SLU 75	0.008	3	-8.253	1003.522		1	0	0	Si

Verifiche a forza assiale SLD §4.2.4.1.2.1 - §4.2.4.1.2.2 NTC18

X	Comb.	Sfruttamento	Classe	NEd	Nc,Rd	Nt,Rd	Riduzione da taglio	px	py	Verifica
1.505	SLD 2	0.003	3	-2.943	1003.522		1	0	0	Si

Verifica a taglio Y §4.2.4.1.2.4 NTC18

X	Comb.	Sfruttamento	VEd	Vc,Rd	Av	Interazione taglio-torsione	Riduzione torsione	Verifica
0	SLU 64	0.001	0.3	302.422	0.002	Non considerata		Si

Verifica a taglio Y SLD §4.2.4.1.2.4 NTC18

X	Comb.	Sfruttamento	VEd	Vc,Rd	Av	Interazione taglio-torsione	Riduzione torsione	Verifica
0	SLD 16	0.001	0.227	302.422	0.002	Non considerata		Si

Verifica a flessione semplice X §§ 4.2.4.1.2.3 - 4.2.4.1.2.6 - 4.2.4.1.2.7 - 4.2.4.1.2.8 NTC18

X	Comb.	Sfruttamento	Classe	Mx,Ed	Mx,Rd	Rid. Mx,Rd da VEd	px	py	Verifica
0.753	SLU 43	0.005	1	-0.11001	23.50374	1	0	0	Si

Verifica a presso/tenso flessione retta X §§ 4.2.4.1.2.3 - 4.2.4.1.2.6 - 4.2.4.1.2.7 - 4.2.4.1.2.8 NTC18

Verifiche eseguite utilizzando la formula conservativa (6.2) §6.2.1 EN 1993-1-1:2005.

X	Comb.	Sfruttamento	Classe	NEd	NRd	Rid. NRd da VEd	Mx,Ed	Mx,Rd	Rid. Mx,Rd da VEd	Rid. Mx,Rd da NEd	px	py	Verifica
0.753	SLU 42	0.007	1	-2.296	1003.522	1	-0.1117	23.5037	1		0	0	Si

Verifica a presso/tenso flessione retta X SLD §§ 4.2.4.1.2.3 - 4.2.4.1.2.6 - 4.2.4.1.2.7 - 4.2.4.1.2.8 NTC18

Verifiche eseguite utilizzando la formula conservativa (6.2) §6.2.1 EN 1993-1-1:2005.

X	Comb.	Sfruttamento	Classe	NEd	NRd	Rid. NRd da VEd	Mx,Ed	Mx,Rd	Rid. Mx,Rd da VEd	Rid. Mx,Rd da NEd	px	py	Verifica
0.602	SLD 7	0.006	1	-2.261	1003.522	1	-0.0816	23.5037	1		0	0	Si

Verifica a presso/tenso flessione retta Y §§ 4.2.4.1.2.3 - 4.2.4.1.2.6 - 4.2.4.1.2.7 - 4.2.4.1.2.8 NTC18

Verifiche eseguite utilizzando la formula conservativa (6.2) §6.2.1 EN 1993-1-1:2005.

X	Comb.	Sfruttamento	Classe	NEd	NRd	Rid. NRd da VEd	My,Ed	My,Rd	Rid. My,Rd da VEd	Rid. My,Rd da NEd	px	py	Verifica
1.505	SLU 75	0.01	3	-8.253	1003.522	1	-0.0249	19.3536	1		0	0	Si

Verifica a presso/tenso flessione retta Y SLD §§ 4.2.4.1.2.3 - 4.2.4.1.2.6 - 4.2.4.1.2.7 - 4.2.4.1.2.8 NTC18

Verifiche eseguite utilizzando la formula conservativa (6.2) §6.2.1 EN 1993-1-1:2005.

X	Comb.	Sfruttamento	Classe	NEd	NRd	Rid. NRd da VEd	My,Ed	My,Rd	Rid. My,Rd da VEd	Rid. My,Rd da NEd	px	py	Verifica
1.505	SLD 1	0.004	3	-2.943	1003.522	1	0.0203	19.3536	1		0	0	Si

Verifica a presso/tenso flessione deviata §§ 4.2.4.1.2.3 - 4.2.4.1.2.6 - 4.2.4.1.2.7 - 4.2.4.1.2.8 NTC18

Verifiche eseguite utilizzando la formula conservativa (6.2) §6.2.1 EN 1993-1-1:2005.

X	Comb.	Sfruttamento	Classe	NEd	NRd	Rid. NRd da VEd	Mx,Ed	Mx,Rd	My,Ed	My,Rd	Rid. Mx,Rd da VEd	Rid. Mx,Rd da NEd	Rid. My,Rd da VEd	Rid. My,Rd da NEd	α	β	px	py	Verifica
0.552	SLU 75	0.017	3	-8.222	1003.522	1	-0.1027	12.886	0.0249	19.3536	1		1				0	0	Si

Verifica a presso/tenso flessione deviata SLD §§ 4.2.4.1.2.3 - 4.2.4.1.2.6 - 4.2.4.1.2.7 - 4.2.4.1.2.8 NTC18

Verifiche eseguite utilizzando la formula conservativa (6.2) §6.2.1 EN 1993-1-1:2005.

X	Comb.	Sfruttamento	Classe	NEd	NRd	Rid. NRd da VEd	Mx,Ed	Mx,Rd	My,Ed	My,Rd	Rid. Mx,Rd da VEd	Rid. Mx,Rd da NEd	Rid. My,Rd da VEd	Rid. My,Rd da NEd	α	β	px	py	Verifica
0.803	SLD 1	0.007	1	-2.926	1003.522	1	-0.0842	23.5037	0.0122	33.3316	1		1				0	0	Si

Verifiche ad instabilità

Caratteristiche iniziali

Membratura principale per controllo snellezza; Calcolo di snellezze ed N critici condotti secondo gli assi principali;

Curva X: c; Curva Y: c;

Svergolamento: Nessuno; la verifica a instabilità flesso-torsionale (svergolamento) non verrà eseguita.

Dati per instabilità attorno a x

Controllo della snellezza secondo §4.2.4.1.3.1 NTC18

Numero rit.	Presente	Ascissa	Campata	βx/m	Vincolo a entrambi estremi	λx/m	λVer
1	Si	0					
			1-2		1	49.6	Si, (<200)
2	Si	1.505					

Dati per instabilità attorno a y

Controllo della snellezza secondo §4.2.4.1.3.1 NTC18

Numero rit.	Presente	Ascissa	Campata	βy/n	k,LT	kw,LT	Vincolo a entrambi estremi
1	Si	0					
			1-2		1	34.9	Si, (<200)
2	Si	1.505					

Verifica di stabilità per pressoflessione §C.4.2.4.1.3.3.1 NTC18

X	Comb.	Sfruttamento	Classe	NEd	MxEq,Ed	MyEq,Ed	Area	Wx	Wy	χ,min	λ adim. x/m	λ adim. y/n	N,crit x/m	N,crit y/n	Verifica
1.505	SLU 75	0.019	3	-8.253	-0.0954	0.0227	0.003832	0.0000492	0.0000739	0.802	0.571	0.402	3231.032	6528.319	Si

Verifica di stabilità per pressoflessione SLD §C.4.2.4.1.3.3.1 NTC18

X	Comb.	Sfruttamento	Classe	NEd	MxEq,Ed	MyEq,Ed	Area	Wx	Wy	χ,min	λ adim. x/m	λ adim. y/n	N,crit x/m	N,crit y/n	Verifica
1.505	SLD 1	0.01	3	-2.943	-0.0731	0.0152	0.003832	0.0000492	0.0000739	0.802	0.571	0.402	3231.032	6528.319	Si

Implementazione dei sistemi di confinamento delle emissioni odorigene diffuse dell'impianto di compostaggio esistente nel
Comune di Eboli (SA)
PROGETTO DEFINITIVO – Tabulati di calcolo Tomo 1

Verifiche a deformabilità

Mensola X: No; Mensola Y: No.

Frecce lungo X

Ascissa freccia	Combinazione	Freccia	Luce	L/f	L/f,min	Tipo	Verifica
0.652	SLE RA 1	0	1.505	10000	250	Totale	Si
0.652	SLE RA 17	0	1.505	10000	250	Totale	Si
0.652	SLE RA 16	0	1.505	10000	250	Totale	Si
0.753	SLE RA 15	0	1.505	10000	250	Totale	Si
0.602	SLE RA 14	0	1.505	10000	250	Totale	Si
0.702	SLE RA 2	0	1.505	10000	350	Variabile	Si
0.652	SLE RA 17	0	1.505	10000	350	Variabile	Si
0.652	SLE RA 16	0	1.505	10000	350	Variabile	Si
0.803	SLE RA 15	0	1.505	10000	350	Variabile	Si
0.452	SLE RA 14	0	1.505	10000	350	Variabile	Si

Frecce lungo Y

Ascissa freccia	Combinazione	Freccia	Luce	L/f	L/f,min	Tipo	Verifica
0.753	SLE RA 1	-0.00003	1.505	10000	250	Totale	Si
0.753	SLE RA 17	-0.00003	1.505	10000	250	Totale	Si
0.753	SLE RA 16	-0.00003	1.505	10000	250	Totale	Si
0.753	SLE RA 15	-0.00003	1.505	10000	250	Totale	Si
0.753	SLE RA 14	-0.00003	1.505	10000	250	Totale	Si
0.853	SLE RA 2	0	1.505	10000	350	Variabile	Si
0.803	SLE RA 17	0	1.505	10000	350	Variabile	Si
0.853	SLE RA 16	0	1.505	10000	350	Variabile	Si
0.953	SLE RA 15	0	1.505	10000	350	Variabile	Si
1.054	SLE RA 14	0	1.505	10000	350	Variabile	Si

Superelemento in acciaio a quota "740"- "728" (-1488; -639)-(-1598; -536)

Caratteristiche del materiale

Acciaio: S275, fyk = 275000

Caratteristiche geometriche

Lunghezza: 1.505

Nodo iniziale: 2452 Nodo finale: 2235

Cerniera iniziale: Mmomenti 1% Cerniera finale: Mmomenti 1%

Sovreresistenza: 0% Sisma Z: No

Caratteristiche della sezione

Sezione	Rotazione	Area	Jx	Jy	ix	iy	Wx	Wy	Wplx	Wply
Al; L100*10; 1; Saldato; S275; 30; 1; 8; 8; 1	0	0.003832	0.0000035319	0.000007759	0.0304	0.045	0.0000492	0.0000739	0.00008974	0.00012727

Comportamento dei calastrelli

Accoppiamento imbottito con funzione statica (§C4.2.4.1.3.1.4 NTC18) nella campata compresa tra le ascisse 0 e 1.505 per sbandamento attorno all'asse y.

Verifiche di resistenza

Verifiche a forza assiale §4.2.4.1.2.1 - §4.2.4.1.2.2 NTC18

X	Comb.	Sfruttamento	Classe	NEd	Nc,Rd	Nt,Rd	Riduzione da taglio	px	py	Verifica
1.505	SLU 75	0.004	3	-3.857	1003.522		1	0	0	Si

Verifiche a forza assiale SLD §4.2.4.1.2.1 - §4.2.4.1.2.2 NTC18

X	Comb.	Sfruttamento	Classe	NEd	Nc,Rd	Nt,Rd	Riduzione da taglio	px	py	Verifica
1.505	SLD 2	0.002	3	-2.126	1003.522		1	0	0	Si

Verifica a taglio Y §4.2.4.1.2.4 NTC18

X	Comb.	Sfruttamento	VEd	Vc,Rd	Av	Interazione taglio-torsione	Riduzione torsione	Verifica
1.505	SLU 75	0.001	-0.298	302.422	0.002	Non considerata		Si

Verifica a taglio Y SLD §4.2.4.1.2.4 NTC18

X	Comb.	Sfruttamento	VEd	Vc,Rd	Av	Interazione taglio-torsione	Riduzione torsione	Verifica
1.505	SLD 16	0.001	-0.228	302.422	0.002	Non considerata		Si

Verifica a flessione semplice X §§ 4.2.4.1.2.3 - 4.2.4.1.2.6 - 4.2.4.1.2.7 - 4.2.4.1.2.8 NTC18

X	Comb.	Sfruttamento	Classe	Mx,Ed	Mx,Rd	Rid. Mx,Rd da VEd	px	py	Verifica
0.753	SLU 40	0.005	1	-0.11018	23.50374	1	0	0	Si

Verifica a flessione semplice Y §§ 4.2.4.1.2.3 - 4.2.4.1.2.6 - 4.2.4.1.2.7 - 4.2.4.1.2.8 NTC18

X	Comb.	Sfruttamento	Classe	My,Ed	My,Rd	Rid. My,Rd da VEd	px	py	Verifica
0	SLV 15	0	1	0.01366	33.33162	1	0	0	Si

Verifica a flessione deviata §§ 4.2.4.1.2.3 - 4.2.4.1.2.6 - 4.2.4.1.2.7 - 4.2.4.1.2.8 NTC18

X	Comb.	Sfruttamento	Classe	Mx,Ed	Mx,Rd	My,Ed	My,Rd	Rid. Mx,Rd da VEd	Rid. My,Rd da VEd	α	β	px	py	Verifica
0.803	SLV 15	0.004	1	-0.0823	23.5037	-0.0082	33.3316	1	1			0	0	Si

Verifica a presso/tenso flessione retta X §§ 4.2.4.1.2.3 - 4.2.4.1.2.6 - 4.2.4.1.2.7 - 4.2.4.1.2.8 NTC18

Verifiche eseguite utilizzando la formula conservativa (6.2) §6.2.1 EN 1993-1-1:2005.

X	Comb.	Sfruttamento	Classe	NEd	NRd	Rid. NRd da VEd	Mx,Ed	Mx,Rd	Rid. Mx,Rd da VEd	Rid. Mx,Rd da NEd	px	py	Verifica
---	-------	--------------	--------	-----	-----	-----------------	-------	-------	-------------------	-------------------	----	----	----------

**Implementazione dei sistemi di confinamento delle emissioni odorigene diffuse dell'impianto di compostaggio esistente nel
Comune di Eboli (SA)**

PROGETTO DEFINITIVO – Tabulati di calcolo Tomo 1

X	Comb.	Sfruttamento	Classe	NEd	NRd	Rid. NRd da VEd	Mx,Ed	Mx,Rd	Rid. Mx,Rd da VEd	Rid. Mx,Rd da NEd	px	py	Verifica
0.753	SLU 55	0.007	1	-2.381	1003.522	1	-0.1093	23.5037	1		0	0	Si

Verifica a presso/tenso flessione retta X SLD §§ 4.2.4.1.2.3 - 4.2.4.1.2.6 - 4.2.4.1.2.7 - 4.2.4.1.2.8 NTC18

Verifiche eseguite utilizzando la formula conservativa (6.2) §6.2.1 EN 1993-1-1:2005.

X	Comb.	Sfruttamento	Classe	NEd	NRd	Rid. NRd da VEd	Mx,Ed	Mx,Rd	Rid. Mx,Rd da VEd	Rid. Mx,Rd da NEd	px	py	Verifica
0.552	SLD 1	0.005	1	-2.102	1003.522	1	-0.0787	23.5037	1		0	0	Si

Verifica a presso/tenso flessione retta Y §§ 4.2.4.1.2.3 - 4.2.4.1.2.6 - 4.2.4.1.2.7 - 4.2.4.1.2.8 NTC18

Verifiche eseguite utilizzando la formula conservativa (6.2) §6.2.1 EN 1993-1-1:2005.

X	Comb.	Sfruttamento	Classe	NEd	NRd	Rid. NRd da VEd	My,Ed	My,Rd	Rid. My,Rd da VEd	Rid. My,Rd da NEd	px	py	Verifica
1.505	SLV 1	0.005	3	-3.12	1003.522	1	0.0368	19.3536	1		0	0	Si

Verifica a presso/tenso flessione retta Y SLD §§ 4.2.4.1.2.3 - 4.2.4.1.2.6 - 4.2.4.1.2.7 - 4.2.4.1.2.8 NTC18

Verifiche eseguite utilizzando la formula conservativa (6.2) §6.2.1 EN 1993-1-1:2005.

X	Comb.	Sfruttamento	Classe	NEd	NRd	Rid. NRd da VEd	My,Ed	My,Rd	Rid. My,Rd da VEd	Rid. My,Rd da NEd	px	py	Verifica
1.505	SLD 1	0.003	3	-2.126	1003.522	1	0.0174	19.3536	1		0	0	Si

Verifica a presso/tenso flessione deviata §§ 4.2.4.1.2.3 - 4.2.4.1.2.6 - 4.2.4.1.2.7 - 4.2.4.1.2.8 NTC18

Verifiche eseguite utilizzando la formula conservativa (6.2) §6.2.1 EN 1993-1-1:2005.

X	Comb.	Sfruttamento	Classe	NEd	NRd	Rid. NRd da VEd	Mx,Ed	Mx,Rd	My,Ed	My,Rd	Rid. Mx,Rd da VEd	Rid. Mx,Rd da NEd	Rid. My,Rd da VEd	Rid. My,Rd da NEd	α	β	px	py	Verifica
0.753	SLU 75	0.009	1	-3.833	1003.522	1	-0.1085	23.5037	0.0116	33.3316	1		1				0	0	Si

Verifica a presso/tenso flessione deviata SLD §§ 4.2.4.1.2.3 - 4.2.4.1.2.6 - 4.2.4.1.2.7 - 4.2.4.1.2.8 NTC18

Verifiche eseguite utilizzando la formula conservativa (6.2) §6.2.1 EN 1993-1-1:2005.

X	Comb.	Sfruttamento	Classe	NEd	NRd	Rid. NRd da VEd	Mx,Ed	Mx,Rd	My,Ed	My,Rd	Rid. Mx,Rd da VEd	Rid. Mx,Rd da NEd	Rid. My,Rd da VEd	Rid. My,Rd da NEd	α	β	px	py	Verifica
0.803	SLD 2	0.006	1	-2.108	1003.522	1	-0.0844	23.5037	0.0097	33.3316	1		1				0	0	Si

Verifiche ad instabilità

Caratteristiche iniziali

Membratura principale per controllo snellezza; Calcolo di snellezze ed N critici condotti secondo gli assi principali;

Curva X: c; Curva Y: c;

Svergolamento: Nessuno; la verifica a instabilità flesso-torsionale (svergolamento) non verrà eseguita.

Dati per instabilità attorno a x

Controllo della snellezza secondo §4.2.4.1.3.1 NTC18

Numero rit.	Presente	Ascissa	Campata	βx/m	Vincolo a entrambi estremi	λx/m	λVer
1	Si	0					
			1-2	1	Si	49.6	Si, (<200)
2	Si	1.505					

Dati per instabilità attorno a y

Controllo della snellezza secondo §4.2.4.1.3.1 NTC18

Numero rit.	Presente	Ascissa	Campata	βy/n	k,LT	kw,LT	Vincolo a entrambi estremi
1	Si	0					
			1-2	1	Si	34.9	Si, (<200)
2	Si	1.505					

Verifica di stabilità per pressoflessione §C.4.2.4.1.3.3.1 NTC18

X	Comb.	Sfruttamento	Classe	NEd	MxEq,Ed	MyEq,Ed	Area	Wx	Wy	χ,min	λ adim. x/m	λ adim. y/n	N,crit x/m	N,crit y/n	Verifica
1.505	SLU 75	0.013	3	-3.857	-0.0931	0.0116	0.003832	0.0000492	0.0000739	0.802	0.571	0.402	3231.032	6528.319	Si

Verifica di stabilità per pressoflessione SLD §C.4.2.4.1.3.3.1 NTC18

X	Comb.	Sfruttamento	Classe	NEd	MxEq,Ed	MyEq,Ed	Area	Wx	Wy	χ,min	λ adim. x/m	λ adim. y/n	N,crit x/m	N,crit y/n	Verifica
1.505	SLD 2	0.009	3	-2.126	-0.0733	0.0131	0.003832	0.0000492	0.0000739	0.802	0.571	0.402	3231.032	6528.319	Si

Verifiche a deformabilità

Mensola X: No; Mensola Y: No.

Frecce lungo X

Ascissa freccia	Combinazione	Freccia	Luce	L/f	L/f,min	Tipo	Verifica
0.953	SLE RA 1	0	1.505	10000	250	Totale	Si
0.903	SLE RA 17	0	1.505	10000	250	Totale	Si
0.853	SLE RA 16	0	1.505	10000	250	Totale	Si
0.903	SLE RA 15	0	1.505	10000	250	Totale	Si
0.803	SLE RA 14	0	1.505	10000	250	Totale	Si
0.652	SLE RA 2	0	1.505	10000	350	Variabile	Si
0.702	SLE RA 17	0	1.505	10000	350	Variabile	Si
0.702	SLE RA 16	0	1.505	10000	350	Variabile	Si
0.853	SLE RA 15	0	1.505	10000	350	Variabile	Si
1.154	SLE RA 14	0	1.505	10000	350	Variabile	Si

Frecce lungo Y

Ascissa freccia	Combinazione	Freccia	Luce	L/f	L/f,min	Tipo	Verifica
0.753	SLE RA 1	-0.00003	1.505	10000	250	Totale	Si
0.753	SLE RA 17	-0.00003	1.505	10000	250	Totale	Si
0.753	SLE RA 16	-0.00003	1.505	10000	250	Totale	Si
0.753	SLE RA 15	-0.00003	1.505	10000	250	Totale	Si
0.753	SLE RA 14	-0.00003	1.505	10000	250	Totale	Si
1.003	SLE RA 2	0	1.505	10000	350	Variabile	Si
1.003	SLE RA 17	0	1.505	10000	350	Variabile	Si
1.003	SLE RA 16	0	1.505	10000	350	Variabile	Si
1.154	SLE RA 15	0	1.505	10000	350	Variabile	Si
0.953	SLE RA 14	0	1.505	10000	350	Variabile	Si

9.4 Verifiche connessioni aste in acciaio

9.4.1 Verifiche nodi in acciaio

Nodo reticolare attacco Nodo 693

valori in daN, cm

Normativa di calcolo: D.M. 17-01-18 (NTC)

Legenda dei simboli utilizzati:
Asse X asse locale baricentrico dell'asta portata parallelo alle ali del profilo
Asse Y asse locale baricentrico dell'asta portata parallelo all'anima del profilo
N sforzo normale
Ty taglio secondo l'asse Y
Mx momento flettente attorno all'asse X
FvEd taglio massimo per i bulloni
FvRd resistenza di calcolo di taglio per i bulloni
FbEd forza massima di progetto a rifollamento
FbRd resistenza di calcolo a rifollamento
R rapporto di verifica tra azione agente e azione resistente
VEd taglio massimo sul profilo
VcRd resistenza a taglio del profilo
MEd momento massimo sul profilo
McRd resistenza flessionale del profilo
fd.rid resistenza di calcolo ridotta per le saldature
FwEd forza di progetto per unità di lunghezza della saldatura
FwRd resistenza di progetto per unità di lunghezza della saldatura
fris resistenza di progetto per unità di lunghezza della saldatura
sigma ort tensione agente sulla saldatura
ftk resistenza a rottura per trazione della saldatura
beta coefficiente di correlazione
gammaM2 coefficiente parziale di sicurezza per collegamenti saldati
bulloni dimensionati per gli sforzi effettivi nelle aste
classe bulloni 8.8
bulloni sollecitati nelle sezioni filettate
piastra S275 spessore 10 mm

Aste:
asta 1: Trave in acciaio (-143.5; 132.8; 640) (-143.5; 132.8; 702.5) [cm]
asta 2: Trave in acciaio a Z 640[cm] (-143.5; 132.8) (-34.3; 30) [cm]
asta 3: Trave in acciaio (-143.5; 132.8; 640) (-34.3; 30; 690) [cm]
Collegamenti:

asta n° 1 prof. L100*10 S275 acc 1 dist 10 mm
Collegamento bullonato
dbull 12 mm dist. baricentro bulloni -61 mm interasse 36 mm nbull 3
Verifica a taglio, rifollamento e block tearing per la bullonatura
taglio:
FvEd = 1118.7 daN < FvRd = 3237.1 daN
SLU 75 N -5.022E+03 daN Mx -7.300E+01 Ty -4.894E+01 daN
rifollamento sull'asta:
FbEd = 1118.7 daN < FbRd = 6946.2 daN
SLU 75 N -5.022E+03 daN Mx -7.300E+01 Ty -4.894E+01 daN

rifollamento sulla piastra:
FbEd = 2237.3 daN < FbRd = 5299.6 daN
SLU 75 N -5.022E+03 daN Mx -7.300E+01 Ty -4.894E+01 daN
block tearing sulla piastra(p. 3.10.2 EN 1993-1-8:2005):
VEd = 48.9 daN < VeffRd = 13245.0 daN
SLU 75 N -5.022E+03 daN Mx -7.300E+01 Ty -4.894E+01 daN

Verifica di resistenza del profilo
Verifica di resistenza della piastra
taglio:
R = 0.006 < 1 VEd = 48.9 daN VcRd = 8780.7 daN
SLU 75 N -5.022E+03 daN Mx -7.300E+01 Ty -4.894E+01 daN
flessione e sforzo normale:
R = 0.348 < 1 MEd = 401.7 daN*cm MnRd = 22078.8 daN*cm NEd = -5022.2 daN Nrd = 15208.6 daN
SLU 75 N -5.022E+03 daN Mx -7.300E+01 Ty -4.894E+01 daN
compressione:
R = 0.330 < 1 NEd = -5022.2 daN NcRd = 15208.6 daN
SLU 75 N -5.022E+03 daN Mx -7.300E+01 Ty -4.894E+01 daN
trazione:
R = 0.056 < 1 NEd = 847.1 daN NuRd = 15208.6 daN
SLU 2 N 8.4714E+02 daN Mx 1.4433E+01 Ty 6.9312E+00 daN

asta n° 2 prof. L100*10 S275 acc 1 dist 10 mm
Collegamento bullonato
dbull 12 mm pinza 24 mm interasse 36 mm nbull 2
Verifica a taglio, rifollamento e block tearing per la bullonatura
taglio:
FvEd = 276.1 daN < FvRd = 3237.1 daN

**Implementazione dei sistemi di confinamento delle emissioni odorigene diffuse dell'impianto di compostaggio esistente nel
Comune di Eboli (SA)
PROGETTO DEFINITIVO – Tabulati di calcolo Tomo 1**

SLV 3 N 6.4115E+02 daN Mx 2.1988E+01 Ty -3.333E+01 daN
rifollamento sull'asta:
FbEd = 276.1 daN < FbRd = 6350.8 daN
SLV 3 N 6.4115E+02 daN Mx 2.1988E+01 Ty -3.333E+01 daN
block tearing sull'asta(p. 3.10.2 EN 1993-1-8:2005):
VEd = 16.7 daN < Veffrd = 21104.2 daN
SLV 3 N 6.4115E+02 daN Mx 2.1988E+01 Ty -3.333E+01 daN

rifollamento sulla piastra:
FbEd = 552.2 daN < FbRd = 5990.9 daN
SLV 3 N 6.4115E+02 daN Mx 2.1988E+01 Ty -3.333E+01 daN
block tearing sulla piastra(p. 3.10.2 EN 1993-1-8:2005):
VEd = 33.3 daN < Veffrd = 10258.6 daN
SLV 3 N 6.4115E+02 daN Mx 2.1988E+01 Ty -3.333E+01 daN

Verifica di resistenza del profilo
taglio:
R = 0.001 < 1 VEd = 33.3 daN VcRd = 30242.2 daN
SLV 3 N 6.4115E+02 daN Mx 2.1988E+01 Ty -3.333E+01 daN
flessione:
R = 0.001 < 1 MEd = 231.9 daN*cm McRd = 244240.7 daN*cm
SLU 75 N 2.7573E+01 daN Mx 6.2045E+01 Ty -2.832E+01 daN
flessione e sforzo normale:
R = 0.007 < 1 MEd = 222.0 daN*cm MnRd = 244240.7 daN*cm NEd = 641.1 daN Nrd = 100352.2 daN
SLV 3 N 6.4115E+02 daN Mx 2.1988E+01 Ty -3.333E+01 daN
compressione:
R = 0.006 < 1 NEd = -621.4 daN NcRd = 100352.2 daN
SLV 13 N -6.214E+02 daN Mx 1.1985E+01 Ty -1.133E+01 daN
trazione:
R = 0.006 < 1 NEd = 641.1 daN NuRd = 100352.2 daN
SLV 3 N 6.4115E+02 daN Mx 2.1988E+01 Ty -3.333E+01 daN
Verifica di resistenza della piastra
taglio:
R = 0.005 < 1 VEd = 33.3 daN VcRd = 6285.7 daN
SLV 3 N 6.4115E+02 daN Mx 2.1988E+01 Ty -3.333E+01 daN
flessione:
R = 0.033 < 1 MEd = 175.5 daN*cm McRd = 5344.2 daN*cm
SLU 43 N 4.0725E+00 daN Mx -1.706E+00 Ty -2.953E+01 daN
flessione e sforzo normale:
R = 0.114 < 1 MEd = 222.0 daN*cm MnRd = 5344.2 daN*cm NEd = 641.1 daN Nrd = 8845.0 daN
SLV 3 N 6.4115E+02 daN Mx 2.1988E+01 Ty -3.333E+01 daN
compressione:
R = 0.057 < 1 NEd = -621.4 daN NcRd = 10887.2 daN
SLV 13 N -6.214E+02 daN Mx 1.1985E+01 Ty -1.133E+01 daN
trazione:
R = 0.072 < 1 NEd = 641.1 daN NuRd = 8845.0 daN
SLV 3 N 6.4115E+02 daN Mx 2.1988E+01 Ty -3.333E+01 daN

asta n° 3 prof. L100*10 S275 acc 1 dist 10 mm
Collegamento bullonato
dbull 12 mm pinza 24 mm interasse 36 mm nbull 4
Verifica a taglio, rifollamento e block tearing per la bullonatura
taglio:
FvEd = 2508.7 daN < FvRd = 3237.1 daN
SLU 75 N 1.6171E+04 daN Mx 4.6635E+01 Ty -3.570E+01 daN
rifollamento sull'asta:
FbEd = 2508.7 daN < FbRd = 6350.8 daN
SLU 75 N 1.6171E+04 daN Mx 4.6635E+01 Ty -3.570E+01 daN
block tearing sull'asta(p. 3.10.2 EN 1993-1-8:2005):
VEd = 17.8 daN < Veffrd = 29016.2 daN
SLU 75 N 1.6171E+04 daN Mx 4.6635E+01 Ty -3.570E+01 daN

rifollamento sulla piastra:
FbEd = 5017.5 daN < FbRd = 6946.2 daN
SLU 75 N 1.6171E+04 daN Mx 4.6635E+01 Ty -3.570E+01 daN
block tearing sulla piastra(p. 3.10.2 EN 1993-1-8:2005):
VEd = 35.7 daN < Veffrd = 19693.3 daN
SLU 75 N 1.6171E+04 daN Mx 4.6635E+01 Ty -3.570E+01 daN

Verifica di resistenza del profilo
taglio:
R = 0.001 < 1 VEd = 35.7 daN VcRd = 30242.2 daN
SLU 75 N 1.6171E+04 daN Mx 4.6635E+01 Ty -3.570E+01 daN
flessione e sforzo normale:
R = 0.163 < 1 MEd = 517.8 daN*cm MnRd = 244240.7 daN*cm NEd = 16171.0 daN Nrd = 100352.2 daN
SLU 75 N 1.6171E+04 daN Mx 4.6635E+01 Ty -3.570E+01 daN
compressione:
R = 0.025 < 1 NEd = -2469.9 daN NcRd = 100352.2 daN
SLU 2 N -2.470E+03 daN Mx -1.288E+01 Ty -2.162E+01 daN
trazione:
R = 0.161 < 1 NEd = 16171.0 daN NuRd = 100352.2 daN
SLU 75 N 1.6171E+04 daN Mx 4.6635E+01 Ty -3.570E+01 daN
Verifica di resistenza della piastra
taglio:
R = 0.002 < 1 VEd = 35.7 daN VcRd = 18784.3 daN
SLU 75 N 1.6171E+04 daN Mx 4.6635E+01 Ty -3.570E+01 daN
flessione e sforzo normale:
R = 0.503 < 1 MEd = 517.8 daN*cm MnRd = 81002.3 daN*cm NEd = 16171.0 daN Nrd = 32535.4 daN
SLU 75 N 1.6171E+04 daN Mx 4.6635E+01 Ty -3.570E+01 daN

Implementazione dei sistemi di confinamento delle emissioni odorigene diffuse dell'impianto di compostaggio esistente nel
Comune di Eboli (SA)

PROGETTO DEFINITIVO – Tabulati di calcolo Tomo 1

compressione:
R = 0.076 < 1 NEd = -2469.9 daN NcRd = 32535.4 daN
SLU 2 N -2.470E+03 daN Mx -1.288E+01 Ty -2.162E+01 daN
trazione:
R = 0.497 < 1 NEd = 16171.0 daN NuRd = 32535.4 daN
SLU 75 N 1.6171E+04 daN Mx 4.6635E+01 Ty -3.570E+01 daN

Nodo reticolare attacco Nodo 1852

valori in daN, cm

Normativa di calcolo: D.M. 17-01-18 (NTC)

Legenda dei simboli utilizzati:
Asse X asse locale baricentrico dell'asta portata parallelo alle ali del profilo
Asse Y asse locale baricentrico dell'asta portata parallelo all'anima del profilo
N sforzo normale
Ty taglio secondo l'asse Y
Mx momento flettente attorno all'asse X
FvEd taglio massimo per i bulloni
FvRd resistenza di calcolo di taglio per i bulloni
FbEd forza massima di progetto a rifollamento
FbRd resistenza di calcolo a rifollamento
R rapporto di verifica tra azione agente e azione resistente
VEd taglio massimo sul profilo
VcRd resistenza a taglio del profilo
MEd momento massimo sul profilo
McRd resistenza flessionale del profilo
fd.rid resistenza di calcolo ridotta per le saldature
FwEd forza di progetto per unità di lunghezza della saldatura
FwRd resistenza di progetto per unità di lunghezza della saldatura
fris resistenza di progetto per unità di lunghezza della saldatura
sigma ort tensione agente sulla saldatura
ftk resistenza a rottura per trazione della saldatura
beta coefficiente di correlazione
gammaM2 coefficiente parziale di sicurezza per collegamenti saldati
bulloni dimensionati per gli sforzi effettivi nelle aste
classe bulloni 8.8
bulloni sollecitati nelle sezioni filettate
piastra S275 spessore 10 mm

Aste:
asta 1: Trave in acciaio (-143.5; 132.8; 640) (-143.5; 132.8; 702.5) [cm]
asta 2: Trave in acciaio (-252.7; 235.7; 640) (-143.5; 132.8; 702.5) [cm]
asta 3: Trave in acciaio (-143.5; 132.8; 702.5) (-252.7; 235.7; 715) [cm]
Collegamenti:

asta n° 1 prof. L100*10 S275 acc 1 dist 10 mm
Collegamento bullonato
dbull 14 mm dist. baricentro bulloni 82 mm interasse 42 mm nbull 3
Verifica a taglio, rifollamento e block tearing per la bullonatura
taglio:
FvEd = 1161.9 daN < FvRd = 4416.0 daN
SLU 75 N -4.998E+03 daN Mx 2.9859E+03 Ty 4.8942E+01 daN
rifollamento sull'asta:
FbEd = 1161.9 daN < FbRd = 8227.3 daN
SLU 75 N -4.998E+03 daN Mx 2.9859E+03 Ty 4.8942E+01 daN

rifollamento sulla piastra:
FbEd = 2323.8 daN < FbRd = 8227.3 daN
SLU 75 N -4.998E+03 daN Mx 2.9859E+03 Ty 4.8942E+01 daN
block tearing sulla piastra(p. 3.10.2 EN 1993-1-8:2005):
VEd = 48.9 daN < VeffRd = 23093.8 daN
SLU 75 N -4.998E+03 daN Mx 2.9859E+03 Ty 4.8942E+01 daN

Verifica di resistenza del profilo
taglio:
R = 0.002 < 1 VEd = -48.9 daN VcRd = 30242.2 daN
SLU 75 N -4.998E+03 daN Mx 2.9859E+03 Ty 4.8942E+01 daN
flessione e sforzo normale:
R = 0.073 < 1 MEd = 2790.1 daN*cm MnRd = 119927.1 daN*cm NEd = -4997.7 daN Nrd = 100352.2 daN
SLU 75 N -4.998E+03 daN Mx 2.9859E+03 Ty 4.8942E+01 daN
compressione:
R = 0.050 < 1 NEd = -4997.7 daN NcRd = 100352.2 daN
SLU 75 N -4.998E+03 daN Mx 2.9859E+03 Ty 4.8942E+01 daN
trazione:
R = 0.009 < 1 NEd = 865.9 daN NuRd = 100352.2 daN
SLU 2 N 8.6594E+02 daN Mx -4.188E+02 Ty -6.931E+00 daN
Verifica di resistenza della piastra
taglio:
R = 0.004 < 1 VEd = -48.9 daN VcRd = 12398.5 daN
SLU 75 N -4.998E+03 daN Mx 2.9859E+03 Ty 4.8942E+01 daN
flessione e sforzo normale:
R = 0.287 < 1 MEd = 2379.0 daN*cm MnRd = 44020.7 daN*cm NEd = -4997.7 daN Nrd = 21474.8 daN
SLU 75 N -4.998E+03 daN Mx 2.9859E+03 Ty 4.8942E+01 daN
compressione:
R = 0.233 < 1 NEd = -4997.7 daN NcRd = 21474.8 daN
SLU 75 N -4.998E+03 daN Mx 2.9859E+03 Ty 4.8942E+01 daN

**Implementazione dei sistemi di confinamento delle emissioni odorigene diffuse dell'impianto di compostaggio esistente nel
Comune di Eboli (SA)**

PROGETTO DEFINITIVO – Tabulati di calcolo Tomo 1

trazione:

R = 0.040 < 1 NEd = 865.9 daN NuRd = 21474.8 daN
SLU 2 N 8.6594E+02 daN Mx -4.188E+02 Ty -6.931E+00 daN

asta n° 2 prof. L100*10 S275 acc 1 dist 10 mm
Collegamento bullonato
dbull 14 mm pinza 28 mm interasse 42 mm nbull 3
Verifica a taglio, rifollamento e block tearing per la bullonatura
taglio:

FvEd = 1663.8 daN < FvRd = 4416.0 daN
SLU 75 N 7.6341E+03 daN Mx 1.1618E+03 Ty -2.235E+01 daN
rifollamento sull'asta:
FbEd = 1663.8 daN < FbRd = 7491.6 daN
SLU 75 N 7.6341E+03 daN Mx 1.1618E+03 Ty -2.235E+01 daN
block tearing sull'asta(p. 3.10.2 EN 1993-1-8:2005):
VEd = 14.9 daN < Veffrd = 26801.0 daN
SLU 40 N -6.906E+02 daN Mx -9.705E+01 Ty -2.987E+01 daN

rifollamento sulla piastra:
FbEd = 3327.7 daN < FbRd = 6711.5 daN
SLU 75 N 7.6341E+03 daN Mx 1.1618E+03 Ty -2.235E+01 daN
block tearing sulla piastra(p. 3.10.2 EN 1993-1-8:2005):
VEd = 29.9 daN < Veffrd = 15994.1 daN
SLU 40 N -6.906E+02 daN Mx -9.705E+01 Ty -2.987E+01 daN

Verifica di resistenza del profilo

taglio:
R = 0.001 < 1 VEd = 29.9 daN VcRd = 30242.2 daN
SLU 40 N -6.906E+02 daN Mx -9.705E+01 Ty -2.987E+01 daN
flessione e sforzo normale:
R = 0.082 < 1 MED = 1412.2 daN*cm MnRd = 240945.7 daN*cm NEd = 7634.1 daN Nrd = 100352.2 daN
SLU 75 N 7.6341E+03 daN Mx 1.1618E+03 Ty -2.235E+01 daN
compressione:
R = 0.012 < 1 NEd = -1178.7 daN NcRd = 100352.2 daN
SLU 2 N -1.179E+03 daN Mx -1.703E+02 Ty -2.355E+01 daN
trazione:
R = 0.076 < 1 NEd = 7634.1 daN NuRd = 100352.2 daN
SLU 75 N 7.6341E+03 daN Mx 1.1618E+03 Ty -2.235E+01 daN
Verifica di resistenza della piastra
taglio:
R = 0.002 < 1 VEd = 29.9 daN VcRd = 14666.7 daN
SLU 40 N -6.906E+02 daN Mx -9.705E+01 Ty -2.987E+01 daN
flessione e sforzo normale:
R = 0.333 < 1 MED = 1412.2 daN*cm MnRd = 44020.7 daN*cm NEd = 7634.1 daN Nrd = 25385.6 daN
SLU 75 N 7.6341E+03 daN Mx 1.1618E+03 Ty -2.235E+01 daN
compressione:
R = 0.046 < 1 NEd = -1178.7 daN NcRd = 25403.4 daN
SLU 2 N -1.179E+03 daN Mx -1.703E+02 Ty -2.355E+01 daN
trazione:
R = 0.301 < 1 NEd = 7634.1 daN NuRd = 25385.6 daN
SLU 75 N 7.6341E+03 daN Mx 1.1618E+03 Ty -2.235E+01 daN

asta n° 3 prof. L100*10 S275 acc 1 dist 10 mm
Collegamento bullonato
dbull 14 mm pinza 28 mm interasse 42 mm nbull 3
Verifica a taglio, rifollamento e block tearing per la bullonatura
taglio:

FvEd = 3317.0 daN < FvRd = 4416.0 daN
SLU 75 N -1.544E+04 daN Mx 1.2484E+03 Ty -2.733E+01 daN
rifollamento sull'asta:
FbEd = 3317.0 daN < FbRd = 7491.6 daN
SLU 75 N -1.544E+04 daN Mx 1.2484E+03 Ty -2.733E+01 daN
block tearing sull'asta(p. 3.10.2 EN 1993-1-8:2005):
VEd = 14.8 daN < Veffrd = 26801.0 daN
SLU 41 N -6.826E+03 daN Mx 5.4173E+02 Ty -2.951E+01 daN

rifollamento sulla piastra:
FbEd = 6634.0 daN < FbRd = 8227.3 daN
SLU 75 N -1.544E+04 daN Mx 1.2484E+03 Ty -2.733E+01 daN
block tearing sulla piastra(p. 3.10.2 EN 1993-1-8:2005):
VEd = 29.5 daN < Veffrd = 22221.7 daN
SLU 41 N -6.826E+03 daN Mx 5.4173E+02 Ty -2.951E+01 daN

Verifica di resistenza del profilo

taglio:
R = 0.001 < 1 VEd = 29.5 daN VcRd = 30242.2 daN
SLU 41 N -6.826E+03 daN Mx 5.4173E+02 Ty -2.951E+01 daN
flessione e sforzo normale:
R = 0.167 < 1 MED = 1554.5 daN*cm MnRd = 119927.1 daN*cm NEd = -15441.5 daN Nrd = 100352.2 daN
SLU 75 N -1.544E+04 daN Mx 1.2484E+03 Ty -2.733E+01 daN
compressione:
R = 0.154 < 1 NEd = -15441.5 daN NcRd = 100352.2 daN
SLU 75 N -1.544E+04 daN Mx 1.2484E+03 Ty -2.733E+01 daN
trazione:
R = 0.022 < 1 NEd = 2199.1 daN NuRd = 100352.2 daN
SLU 2 N 2.1991E+03 daN Mx -1.814E+02 Ty -2.197E+01 daN
Verifica di resistenza della piastra
taglio:
R = 0.002 < 1 VEd = 29.5 daN VcRd = 13393.0 daN

Implementazione dei sistemi di confinamento delle emissioni odorigene diffuse dell’impianto di compostaggio esistente nel
Comune di Eboli (SA)

PROGETTO DEFINITIVO – Tabulati di calcolo Tomo 1

SLU 41 N -6.826E+03 daN Mx 5.4173E+02 Ty -2.951E+01 daN
flessione e sforzo normale:
R = 0.710 < 1 MED = 1554.5 daN*cm MnRd = 35441.1 daN*cm NEd = -15441.5 daN Nrd = 23197.4 daN
SLU 75 N -1.544E+04 daN Mx 1.2484E+03 Ty -2.733E+01 daN
compressione:
R = 0.666 < 1 NEd = -15441.5 daN NrRd = 23197.4 daN
SLU 75 N -1.544E+04 daN Mx 1.2484E+03 Ty -2.733E+01 daN
trazione:
R = 0.097 < 1 NEd = 2199.1 daN NuRd = 22777.8 daN
SLU 2 N 2.1991E+03 daN Mx -1.814E+02 Ty -2.197E+01 daN

Nodo reticolare inf Nodo 756

valori in daN, cm

Normativa di calcolo: D.M. 17-01-18 (NTC)

Legenda dei simboli utilizzati:

Asse X asse locale baricentrico dell'asta portata parallelo alle ali del profilo
Asse Y asse locale baricentrico dell'asta portata parallelo all'anima del profilo
N sforzo normale
Ty taglio secondo l'asse Y
Mx momento flettente attorno all'asse X
FvEd taglio massimo per i bulloni
FvRd resistenza di calcolo di taglio per i bulloni
FbEd forza massima di progetto a rifollamento
FbRd resistenza di calcolo a rifollamento
R rapporto di verifica tra azione agente e azione resistente
VEd taglio massimo sul profilo
VcRd resistenza a taglio del profilo
MED momento massimo sul profilo
McRd resistenza flessionale del profilo
fd.rid resistenza di calcolo ridotta per le saldature
FwEd forza di progetto per unità di lunghezza della saldatura
FwRd resistenza di progetto per unità di lunghezza della saldatura
fris resistenza di progetto per unità di lunghezza della saldatura
sigma ort tensione agente sulla saldatura
ftk resistenza a rottura per trazione della saldatura
beta coefficiente di correlazione
gammaM2 coefficiente parziale di sicurezza per collegamenti saldati
bulloni dimensionati per gli sforzi effettivi nelle aste
classe bulloni 8.8
bulloni sollecitati nelle sezioni filettate
piastra S275 spessore 10 mm

Aste:

asta 1: Trave in acciaio a Z 640[cm] (-580.4; 544.1) (-471.2; 441.3) [cm]
asta 2: Trave in acciaio (-580.4; 544.1; 727.5) (-471.2; 441.3; 640) [cm]
asta 3: Trave in acciaio (-471.2; 441.3; 640) (-471.2; 441.3; 740) [cm]
Collegamenti:

asta n° 1 prof. L100*10 S275 acc 1 dist 10 mm
Collegamento bullonato
dbull 14 mm pinza 24 mm interasse 42 mm nbull 4
Verifica a taglio, rifollamento e block tearing per la bullonatura
taglio:
FvEd = 3656.8 daN < FvRd = 4416.0 daN
SLU 76 N 2.4790E+04 daN Mx -5.346E+00 Ty -2.961E+01 daN
rifollamento sull'asta:
FbEd = 3656.8 daN < FbRd = 6421.3 daN
SLU 76 N 2.4790E+04 daN Mx -5.346E+00 Ty -2.961E+01 daN
block tearing sull'asta(p. 3.10.2 EN 1993-1-8:2005):
VEd = 14.8 daN < Veffrd = 30757.0 daN
SLU 76 N 2.4790E+04 daN Mx -5.346E+00 Ty -2.961E+01 daN

rifollamento sulla piastra:
FbEd = 7313.6 daN < FbRd = 8227.3 daN
SLU 76 N 2.4790E+04 daN Mx -5.346E+00 Ty -2.961E+01 daN
block tearing sulla piastra(p. 3.10.2 EN 1993-1-8:2005):
VEd = 29.6 daN < VeffRd = 27922.3 daN
SLU 76 N 2.4790E+04 daN Mx -5.346E+00 Ty -2.961E+01 daN

Verifica di resistenza del profilo

taglio:
R = 0.001 < 1 VEd = 29.6 daN VcRd = 30242.2 daN
SLU 76 N 2.4790E+04 daN Mx -5.346E+00 Ty -2.961E+01 daN
flessione:
R = 0.002 < 1 MED = 432.3 daN*cm McRd = 240945.7 daN*cm
SLU 59 N 2.5792E+01 daN Mx -7.405E+00 Ty -2.931E+01 daN
flessione e sforzo normale:
R = 0.249 < 1 MED = 438.9 daN*cm MnRd = 240945.7 daN*cm NEd = 24790.4 daN Nrd = 100352.2 daN
SLU 76 N 2.4790E+04 daN Mx -5.346E+00 Ty -2.961E+01 daN
compressione:
R = 0.038 < 1 NEd = -3777.3 daN NrRd = 100352.2 daN
SLU 2 N -3.777E+03 daN Mx -6.141E+00 Ty -2.251E+01 daN
trazione:
R = 0.247 < 1 NEd = 24790.4 daN NuRd = 100352.2 daN
SLU 76 N 2.4790E+04 daN Mx -5.346E+00 Ty -2.961E+01 daN

**Implementazione dei sistemi di confinamento delle emissioni odorigene diffuse dell'impianto di compostaggio esistente nel
Comune di Eboli (SA)
PROGETTO DEFINITIVO – Tabulati di calcolo Tomo 1**

Verifica di resistenza della piastra

taglio:

R = 0.002 < 1 VEd = 29.6 daN VcRd = 17545.2 daN
SLU 76 N 2.4790E+04 daN Mx -5.346E+00 Ty -2.961E+01 daN

flessione e sforzo normale:

R = 0.822 < 1 MEd = 438.9 daN*cm MnRd = 66833.9 daN*cm NEd = 24790.4 daN Nrd = 30389.2 daN
SLU 76 N 2.4790E+04 daN Mx -5.346E+00 Ty -2.961E+01 daN

compressione:

R = 0.124 < 1 NEd = -3777.3 daN NcRd = 30389.2 daN
SLU 2 N -3.777E+03 daN Mx -6.141E+00 Ty -2.251E+01 daN

trazione:

R = 0.816 < 1 NEd = 24790.4 daN NuRd = 30389.2 daN
SLU 76 N 2.4790E+04 daN Mx -5.346E+00 Ty -2.961E+01 daN

asta n° 2 prof. L100*10 S275 acc 1 dist 10 mm

Collegamento bullonato

dbull 14 mm pinza 24 mm interasse 42 mm nbull 4

Verifica a taglio, rifollamento e block tearing per la bullonatura

taglio:

FvEd = 239.6 daN < FvRd = 4416.0 daN
SLU 41 N 1.5806E+03 daN Mx -8.240E+00 Ty -2.965E+01 daN

rifollamento sull'asta:

FbEd = 239.6 daN < FbRd = 6421.3 daN
SLU 41 N 1.5806E+03 daN Mx -8.240E+00 Ty -2.965E+01 daN

block tearing sull'asta(p. 3.10.2 EN 1993-1-8:2005):

VEd = 14.8 daN < Veffrd = 30757.0 daN
SLU 41 N 1.5806E+03 daN Mx -8.240E+00 Ty -2.965E+01 daN

rifollamento sulla piastra:

FbEd = 479.3 daN < FbRd = 8227.3 daN
SLU 41 N 1.5806E+03 daN Mx -8.240E+00 Ty -2.965E+01 daN

block tearing sulla piastra(p. 3.10.2 EN 1993-1-8:2005):

VEd = 29.6 daN < Veffrd = 32977.8 daN
SLU 41 N 1.5806E+03 daN Mx -8.240E+00 Ty -2.965E+01 daN

Verifica di resistenza del profilo

taglio:

R = 0.001 < 1 VEd = 29.6 daN VcRd = 30242.2 daN
SLU 41 N 1.5806E+03 daN Mx -8.240E+00 Ty -2.965E+01 daN

flessione:

R = 0.002 < 1 MEd = 429.9 daN*cm McRd = 240945.7 daN*cm
SLU 39 N 2.8812E+01 daN Mx -7.822E+00 Ty -2.918E+01 daN

flessione e sforzo normale:

R = 0.019 < 1 MEd = 420.6 daN*cm MnRd = 119927.1 daN*cm NEd = -1538.3 daN Nrd = 100352.2 daN
SLU 64 N -1.538E+03 daN Mx -6.836E+00 Ty -2.850E+01 daN

compressione:

R = 0.015 < 1 NEd = -1546.4 daN NcRd = 100352.2 daN
SLU 26 N -1.546E+03 daN Mx -4.977E+00 Ty -2.174E+01 daN

trazione:

R = 0.016 < 1 NEd = 1580.6 daN NuRd = 100352.2 daN
SLU 41 N 1.5806E+03 daN Mx -8.240E+00 Ty -2.965E+01 daN

Verifica di resistenza della piastra

taglio:

R = 0.001 < 1 VEd = 29.6 daN VcRd = 22000.0 daN
SLU 41 N 1.5806E+03 daN Mx -8.240E+00 Ty -2.965E+01 daN

flessione:

R = 0.004 < 1 MEd = 426.6 daN*cm McRd = 111494.4 daN*cm
SLU 74 N 1.0300E+01 daN Mx -7.137E+00 Ty -2.892E+01 daN

flessione e sforzo normale:

R = 0.045 < 1 MEd = 436.5 daN*cm MnRd = 111494.4 daN*cm NEd = 1580.6 daN Nrd = 38105.1 daN
SLU 41 N 1.5806E+03 daN Mx -8.240E+00 Ty -2.965E+01 daN

compressione:

R = 0.041 < 1 NEd = -1546.4 daN NcRd = 38105.1 daN
SLU 26 N -1.546E+03 daN Mx -4.977E+00 Ty -2.174E+01 daN

trazione:

R = 0.041 < 1 NEd = 1580.6 daN NuRd = 38105.1 daN
SLU 41 N 1.5806E+03 daN Mx -8.240E+00 Ty -2.965E+01 daN

asta n° 3 prof. L100*10 S275 acc 1 dist 10 mm

Collegamento bullonato

dbull 14 mm pinza 24 mm interasse 42 mm nbull 4

Verifica a taglio, rifollamento e block tearing per la bullonatura

taglio:

FvEd = 27.6 daN < FvRd = 4416.0 daN
SLU 63 N 1.8801E+02 daN Mx -3.858E+00 Ty -9.760E-02 daN

rifollamento sull'asta:

FbEd = 27.6 daN < FbRd = 6421.3 daN
SLU 63 N 1.8801E+02 daN Mx -3.858E+00 Ty -9.760E-02 daN

block tearing sull'asta(p. 3.10.2 EN 1993-1-8:2005):

VEd = 0.1 daN < Veffrd = 30757.0 daN
SLV 1 N -2.154E+01 daN Mx -1.856E-01 Ty -2.115E-01 daN

rifollamento sulla piastra:

FbEd = 55.3 daN < FbRd = 8227.3 daN
SLU 63 N 1.8801E+02 daN Mx -3.858E+00 Ty -9.760E-02 daN

block tearing sulla piastra(p. 3.10.2 EN 1993-1-8:2005):

VEd = 0.2 daN < Veffrd = 23859.3 daN
SLV 1 N -2.154E+01 daN Mx -1.856E-01 Ty -2.115E-01 daN

PROGETTO DEFINITIVO – Tabulati di calcolo Tomo 1

Implementazione dei sistemi di confinamento delle emissioni odorigene diffuse dell'impianto di compostaggio esistente nel
Comune di Eboli (SA)
PROGETTO DEFINITIVO – Tabulati di calcolo Tomo 1

taglio:
Rapporto = 0.117 < 1
SLV 9 N -9.794E+03 daN Tx 5.6300E+02 daN Ty 1.5080E+03 daN Mx -6.860E+04 daN*cm My -3.409E+05 daN*cm Mt -4.630E+02 daN*cm
flessione:
R = 0.082 < 1
SLV 9 N -9.794E+03 daN Tx 5.6300E+02 daN Ty 1.5080E+03 daN Mx -6.860E+04 daN*cm My -3.409E+05 daN*cm Mt -4.630E+02 daN*cm

Verifica del giunto(p. 6.2 EN 1993-1-8:2005)
coeff = 0.14 < 1 MjRdy =2592532.0 daN*cm MEdy =368410.0 daN*cm
Resistenza di progetto delle componenti di base:
FcplRd (calcestruzzo compresso) = 207475 daN
FcfcRd (flangia ed anima della colonna soggette a compressione) = 133482 daN
FtplRd (piastra inflessa) = 43716 daN
SLV 7 N -7.910E+03 daN Tx -5.950E+02 daN Ty -1.321E+03 daN Mx 6.9713E+04 daN*cm My 3.6841E+05 daN*cm Mt -5.700E+01 daN*cm

Verifica dell'ancoraggio: aderenza semplice
fad.max = 2.57 daN/cm² < fbd = 11.98 daN/cm²
SLV 7 N -7.910E+03 daN Tx -5.950E+02 daN Ty -1.321E+03 daN Mx 6.9713E+04 daN*cm My 3.6841E+05 daN*cm Mt -5.700E+01 daN*cm
profondita' d'infiessione dei tirafondi sufficiente

Verifica della pressione di contatto fra piastra e calcestruzzo:
sc.max compressione = 19.82 daN/cm² < fcd = 141.10 daN/cm²
SLV 7 N -7.910E+03 daN Tx -5.950E+02 daN Ty -1.321E+03 daN Mx 6.9713E+04 daN*cm My 3.6841E+05 daN*cm Mt -5.700E+01 daN*cm

Saldature a completa penetrazione: verifica non necessaria secondo D.M.2018
Verifica di resistenza delle saldature degli irrigidimenti sulla colonna
a cordoni d'angolo:
Fw.sd = 511.0 daN/cm < Fw.Rd = 1652.2 daN/cm
SLV 7 N -7.910E+03 daN Tx -5.950E+02 daN Ty -1.321E+03 daN Mx 6.9713E+04 daN*cm My 3.6841E+05 daN*cm Mt -5.700E+01 daN*cm

9.5 Verifiche spostamenti di interpiano

Le unità di misura elencate nel capitolo sono in [m] ove non espressamente specificato.

Combinazione: combinazione.
δ: modulo della differenza tra gli spostamenti. [m]
δ/h: rapporto tra il modulo della differenza degli spostamenti e l'altezza di interpiano.
Verifica: stato di verifica.
Spostamento nodo inferiore: spostamento in pianta del nodo inferiore.
X: componente dello spostamento in direzione X globale. [m]
Y: componente dello spostamento in direzione Y globale. [m]
Spostamento nodo superiore: spostamento in pianta del nodo superiore.

Spostamento di interpiano (109; 1929) tra "Fondazione" e "trave"

Verifiche condotte secondo D.M. 17-01-18 (N.T.C.)
Caratteristiche geometriche
Nodo inferiore: 150 (1.091; 19.289; -0.2); Nodo superiore: 422 (1.091; 19.289; 5.9)
Altezza di interpiano (h): 6.1; Spostamento relativo limite: 0.005

Verifica nelle combinazioni SLD

Spostamenti calcolati applicando il fattore di comportamento SLD q = 1.5 secondo D.M. 17-01-18 §7.3.6.1.

Combinazione	Spostamento nodo inferiore		Spostamento nodo superiore		δ	δ/h	Verifica
	X	Y	X	Y			
1	-0.0002323	0.00010024	-0.00753519	0.00804762	0.01079319	0.001769	SI
2	-0.0002323	0.00010024	-0.00753519	0.00804762	0.01079319	0.001769	SI
3	-0.00014341	0.00021347	-0.01233353	0.01397724	0.01838588	0.003014	SI
4	-0.00014341	0.00021347	-0.01233353	0.01397724	0.01838588	0.003014	SI
5	-0.00023218	-0.00016538	0.00375666	-0.0059723	0.00704494	0.001155	SI
6	-0.00023218	-0.00016538	0.00375666	-0.0059723	0.00704494	0.001155	SI
7	0.00006413	0.00021206	-0.0122378	0.01379311	0.01832437	0.003004	SI
8	0.00006413	0.00021206	-0.0122378	0.01379311	0.01832437	0.003004	SI
9	-0.00014318	-0.00027982	0.00863706	-0.01205974	0.01469215	0.002409	SI
10	-0.00014318	-0.00027982	0.00863706	-0.01205974	0.01469215	0.002409	SI
11	0.00015313	0.00009762	-0.0073574	0.00770566	0.01069067	0.001753	SI
12	0.00015313	0.00009762	-0.0073574	0.00770566	0.01069067	0.001753	SI
13	0.00006436	-0.00028122	0.00873279	-0.01224387	0.01477317	0.002422	SI
14	0.00006436	-0.00028122	0.00873279	-0.01224387	0.01477317	0.002422	SI
15	0.00015325	-0.00016799	0.00393445	-0.00631425	0.00721623	0.001183	SI
16	0.00015325	-0.00016799	0.00393445	-0.00631425	0.00721623	0.001183	SI

Spostamento di interpiano (983; 1106) tra "Fondazione" e "trave"

Verifiche condotte secondo D.M. 17-01-18 (N.T.C.)
Caratteristiche geometriche
Nodo inferiore: 125 (9.832; 11.062; -0.2); Nodo superiore: 380 (9.832; 11.062; 5.9)
Altezza di interpiano (h): 6.1; Spostamento relativo limite: 0.005

Implementazione dei sistemi di confinamento delle emissioni odorigene diffuse dell'impianto di compostaggio esistente nel
Comune di Eboli (SA)
PROGETTO DEFINITIVO – Tabulati di calcolo Tomo 1

Verifica nelle combinazioni SLD

Spostamenti calcolati applicando il fattore di comportamento SLD q = 1.5 secondo D.M. 17-01-18 §7.3.6.1.

Combinazione	Spostamento nodo inferiore		Spostamento nodo superiore		δ	δ/h	Verifica
	X	Y	X	Y			
1	-0.00023109	-0.0002081	-0.00835283	0.00645571	0.01050567	0.001722	SI
2	-0.00023109	-0.0002081	-0.00835283	0.00645571	0.01050567	0.001722	SI
3	-0.00013019	-0.00011336	-0.01434635	0.0112753	0.0182154	0.002986	SI
4	-0.00013019	-0.00011336	-0.01434635	0.0112753	0.0182154	0.002986	SI
5	-0.00023356	-0.0002144	0.00584857	-0.00483186	0.00763631	0.001252	SI
6	-0.00023356	-0.0002144	0.00584857	-0.00483186	0.00763631	0.001252	SI
7	0.00010276	0.00010138	-0.01412982	0.01123344	0.01806901	0.002962	SI
8	0.00010276	0.00010138	-0.01412982	0.01123344	0.01806901	0.002962	SI
9	-0.00013479	-0.00012507	0.01202768	-0.00968733	0.01547134	0.002536	SI
10	-0.00013479	-0.00012507	0.01202768	-0.00968733	0.01547134	0.002536	SI
11	0.00020154	0.00019071	-0.0079507	0.00637796	0.01023432	0.001678	SI
12	0.00020154	0.00019071	-0.0079507	0.00637796	0.01023432	0.001678	SI
13	0.00009817	0.00008967	0.01224421	-0.00972919	0.01561846	0.00256	SI
14	0.00009817	0.00008967	0.01224421	-0.00972919	0.01561846	0.00256	SI
15	0.00019907	0.0001844	0.0062507	-0.00490961	0.00791019	0.001297	SI
16	0.00019907	0.0001844	0.0062507	-0.00490961	0.00791019	0.001297	SI

Spostamento di interpiano (1124; 3008) tra "Fondazione" e "trave"

Verifiche condotte secondo D.M. 17-01-18 (N.T.C.)

Caratteristiche geometriche

Nodo inferiore: 241 (11.241; 30.081; -0.2); Nodo superiore: 508 (11.241; 30.081; 5.9)

Altezza di interpiano (h): 6.1; Spostamento relativo limite: 0.005

Verifica nelle combinazioni SLD

Spostamenti calcolati applicando il fattore di comportamento SLD q = 1.5 secondo D.M. 17-01-18 §7.3.6.1.

Combinazione	Spostamento nodo inferiore		Spostamento nodo superiore		δ	δ/h	Verifica
	X	Y	X	Y			
1	0.00010466	0.0003446	-0.00960318	0.00989966	0.01362136	0.002233	SI
2	0.00010466	0.0003446	-0.00960318	0.00989966	0.01362136	0.002233	SI
3	0.00015091	0.00040308	-0.01460253	0.01567031	0.02123094	0.00348	SI
4	0.00015091	0.00040308	-0.01460253	0.01567031	0.02123094	0.00348	SI
5	0.00010151	0.00020679	0.00168389	-0.00353277	0.00406057	0.000666	SI
6	0.00010151	0.00020679	0.00168389	-0.00353277	0.00406057	0.000666	SI
7	0.00025568	0.0004017	-0.0149806	0.01570274	0.02159319	0.00354	SI
8	0.00025568	0.0004017	-0.0149806	0.01570274	0.02159319	0.00354	SI
9	0.00014506	0.00014713	0.00635918	-0.00927563	0.01128733	0.00185	SI
10	0.00014506	0.00014713	0.00635918	-0.00927563	0.01128733	0.00185	SI
11	0.00029923	0.00034204	-0.01030531	0.00995987	0.01431639	0.002347	SI
12	0.00029923	0.00034204	-0.01030531	0.00995987	0.01431639	0.002347	SI
13	0.00024983	0.00014575	0.00598111	-0.00924321	0.01100001	0.001803	SI
14	0.00024983	0.00014575	0.00598111	-0.00924321	0.01100001	0.001803	SI
15	0.00029608	0.00020423	0.00098176	-0.00347256	0.00374017	0.000613	SI
16	0.00029608	0.00020423	0.00098176	-0.00347256	0.00374017	0.000613	SI

Spostamento di interpiano (1998; 2185) tra "Fondazione" e "trave"

Verifiche condotte secondo D.M. 17-01-18 (N.T.C.)

Caratteristiche geometriche

Nodo inferiore: 185 (19.981; 21.854; -0.2); Nodo superiore: 433 (19.981; 21.854; 5.9)

Altezza di interpiano (h): 6.1; Spostamento relativo limite: 0.005

Verifica nelle combinazioni SLD

Spostamenti calcolati applicando il fattore di comportamento SLD q = 1.5 secondo D.M. 17-01-18 §7.3.6.1.

Combinazione	Spostamento nodo inferiore		Spostamento nodo superiore		δ	δ/h	Verifica
	X	Y	X	Y			
1	0.00011938	0.00013931	-0.00890508	0.00704463	0.01136329	0.001863	SI
2	0.00011938	0.00013931	-0.00890508	0.00704463	0.01136329	0.001863	SI
3	0.00005674	0.00018785	-0.01475328	0.01212808	0.01902383	0.003119	SI
4	0.00005674	0.00018785	-0.01475328	0.01212808	0.01902383	0.003119	SI
5	0.00026755	0.00013339	0.00477285	-0.00440649	0.00639595	0.001049	SI
6	0.00026755	0.00013339	0.00477285	-0.00440649	0.00639595	0.001049	SI
7	0.00005875	0.0002952	-0.01472115	0.01253836	0.0191922	0.003146	SI
8	0.00005875	0.0002952	-0.01472115	0.01253836	0.0191922	0.003146	SI
9	0.00033192	0.00017686	0.01064859	-0.00913828	0.01389984	0.002279	SI
10	0.00033192	0.00017686	0.01064859	-0.00913828	0.01389984	0.002279	SI
11	0.00012312	0.00033867	-0.00884541	0.00780657	0.01167064	0.001913	SI
12	0.00012312	0.00033867	-0.00884541	0.00780657	0.01167064	0.001913	SI
13	0.00033393	0.00028422	0.01068072	-0.008728	0.01372138	0.002249	SI
14	0.00033393	0.00028422	0.01068072	-0.008728	0.01372138	0.002249	SI
15	0.00027129	0.00033276	0.00483252	-0.00364455	0.00605176	0.000992	SI
16	0.00027129	0.00033276	0.00483252	-0.00364455	0.00605176	0.000992	SI

Spostamento di interpiano (2860; 2194) tra "Fondazione" e "trave"

Verifiche condotte secondo D.M. 17-01-18 (N.T.C.)

Implementazione dei sistemi di confinamento delle emissioni odorigene diffuse dell'impianto di compostaggio esistente nel
Comune di Eboli (SA)
PROGETTO DEFINITIVO – Tabulati di calcolo Tomo 1

Caratteristiche geometriche

Nodo inferiore: 190 (28.598; 21.942; -0.2); Nodo superiore: 459 (28.598; 21.942; 5.9)
Altezza di interpiano (h): 6.1; Spostamento relativo limite: 0.005

Verifica nelle combinazioni SLD

Spostamenti calcolati applicando il fattore di comportamento SLD $q = 1.5$ secondo D.M. 17-01-18 §7.3.6.1.

Combinazione	Spostamento nodo inferiore		Spostamento nodo superiore		δ	δ/h	Verifica
	X	Y	X	Y			
1	-0.00007872	0.00001939	-0.00872562	0.00245661	0.00898381	0.001473	SI
2	-0.00007872	0.00001939	-0.00872562	0.00245661	0.00898381	0.001473	SI
3	-0.00018167	0.00003411	-0.0144447	0.00465721	0.01499356	0.002458	SI
4	-0.00018167	0.00003411	-0.0144447	0.00465721	0.01499356	0.002458	SI
5	0.00016182	-0.00001087	0.00465103	-0.00210115	0.00495199	0.000812	SI
6	0.00016182	-0.00001087	0.00465103	-0.00210115	0.00495199	0.000812	SI
7	-0.00018133	0.00003818	-0.01441256	0.00523416	0.01515011	0.002484	SI
8	-0.00018133	0.00003818	-0.01441256	0.00523416	0.01515011	0.002484	SI
9	0.00026505	-0.0000221	0.01039765	-0.00380721	0.01081649	0.001773	SI
10	0.00026505	-0.0000221	0.01039765	-0.00380721	0.01081649	0.001773	SI
11	-0.0000781	0.00002696	-0.00866594	0.00352811	0.0092741	0.00152	SI
12	-0.0000781	0.00002696	-0.00866594	0.00352811	0.0092741	0.00152	SI
13	0.00013236	-0.00004239	0.01042978	-0.00323025	0.01065989	0.001748	SI
14	0.00013236	-0.00004239	0.01042978	-0.00323025	0.01065989	0.001748	SI
15	0.00016244	-0.00000331	0.00471071	-0.00102965	0.00466263	0.000764	SI
16	0.00016244	-0.00000331	0.00471071	-0.00102965	0.00466263	0.000764	SI

Spostamento di interpiano (2860; 2988) tra "Fondazione" e "trave"

Verifiche condotte secondo D.M. 17-01-18 (N.T.C.)

Caratteristiche geometriche

Nodo inferiore: 238 (28.598; 29.877; -0.2); Nodo superiore: 479 (28.598; 29.877; 5.9)
Altezza di interpiano (h): 6.1; Spostamento relativo limite: 0.005

Verifica nelle combinazioni SLD

Spostamenti calcolati applicando il fattore di comportamento SLD $q = 1.5$ secondo D.M. 17-01-18 §7.3.6.1.

Combinazione	Spostamento nodo inferiore		Spostamento nodo superiore		δ	δ/h	Verifica
	X	Y	X	Y			
1	-0.00001196	-0.00000523	-0.00887092	-0.00055654	0.0088761	0.001455	SI
2	-0.00001196	-0.00000523	-0.00887092	-0.00055654	0.0088761	0.001455	SI
3	-0.00007563	0.00001255	-0.01388645	0.00204504	0.01395957	0.002288	SI
4	-0.00007563	0.00001255	-0.01388645	0.00204504	0.01395957	0.002288	SI
5	0.00013236	-0.00004239	0.00246143	-0.00601426	0.00640998	0.001051	SI
6	0.00013236	-0.00004239	0.00246143	-0.00601426	0.00640998	0.001051	SI
7	-0.00007986	0.00001689	-0.01425697	0.00265767	0.01442096	0.002364	SI
8	-0.00007986	0.00001689	-0.01425697	0.00265767	0.01442096	0.002364	SI
9	0.00019239	-0.00005646	0.00715936	-0.00809073	0.01063428	0.001743	SI
10	0.00019239	-0.00005646	0.00715936	-0.00809073	0.01063428	0.001743	SI
11	-0.00001983	0.00000282	-0.00955904	0.0005812	0.00955674	0.001567	SI
12	-0.00001983	0.00000282	-0.00955904	0.0005812	0.00955674	0.001567	SI
13	0.00018816	-0.00005213	0.00678883	-0.0074781	0.00993548	0.001629	SI
14	0.00018816	-0.00005213	0.00678883	-0.0074781	0.00993548	0.001629	SI
15	0.0001245	-0.00003435	0.00177331	-0.00487652	0.0051152	0.000839	SI
16	0.0001245	-0.00003435	0.00177331	-0.00487652	0.0051152	0.000839	SI

Spostamento di interpiano (-34; 30) tra "Fondazione" e "trave"

Verifiche condotte secondo D.M. 17-01-18 (N.T.C.)

Caratteristiche geometriche

Nodo inferiore: 75 (-0.34; 0.298; -0.2); Nodo superiore: 337 (-0.34; 0.298; 5.9)
Altezza di interpiano (h): 6.1; Spostamento relativo limite: 0.005

Verifica nelle combinazioni SLD

Spostamenti calcolati applicando il fattore di comportamento SLD $q = 1.5$ secondo D.M. 17-01-18 §7.3.6.1.

Combinazione	Spostamento nodo inferiore		Spostamento nodo superiore		δ	δ/h	Verifica
	X	Y	X	Y			
1	-0.00018719	-0.00014685	-0.00985933	0.00813402	0.01273275	0.002087	SI
2	-0.00018719	-0.00014685	-0.00985933	0.00813402	0.01273275	0.002087	SI
3	-0.00008949	-0.00006421	-0.01766539	0.01449675	0.02282397	0.003742	SI
4	-0.00008949	-0.00006421	-0.01766539	0.01449675	0.02282397	0.003742	SI
5	-0.00019029	-0.00015214	0.0085855	-0.00691699	0.01108051	0.001816	SI
6	-0.00019029	-0.00015214	0.0085855	-0.00691699	0.01108051	0.001816	SI
7	0.00013537	0.00012332	-0.01743471	0.0142921	0.02257126	0.0037	SI
8	0.00013537	0.00012332	-0.01743471	0.0142921	0.02257126	0.0037	SI
9	-0.00009525	-0.00007403	0.01658929	-0.01345513	0.02138756	0.003506	SI
10	-0.00009525	-0.00007403	0.01658929	-0.01345513	0.02138756	0.003506	SI
11	0.00023041	0.00020143	-0.00943092	0.00775396	0.01226303	0.00201	SI
12	0.00023041	0.00020143	-0.00943092	0.00775396	0.01226303	0.00201	SI
13	0.00012961	0.0001135	0.01681997	-0.01365977	0.02163957	0.003547	SI
14	0.00012961	0.0001135	0.01681997	-0.01365977	0.02163957	0.003547	SI
15	0.00022731	0.00019614	0.00901391	-0.00729705	0.01154782	0.001893	SI
16	0.00022731	0.00019614	0.00901391	-0.00729705	0.01154782	0.001893	SI

Implementazione dei sistemi di confinamento delle emissioni odorigene diffuse dell'impianto di compostaggio esistente nel
Comune di Eboli (SA)
PROGETTO DEFINITIVO – Tabulati di calcolo Tomo 1

Spostamento di interpiano (-908; 853) tra "Fondazione" e "trave"

Verifiche condotte secondo D.M. 17-01-18 (N.T.C.)

Caratteristiche geometriche

Nodo inferiore: 100 (-9.081; 8.525; -0.2); Nodo superiore: 372 (-9.081; 8.525; 5.9)
Altezza di interpiano (h): 6.1; Spostamento relativo limite: 0.005

Verifica nelle combinazioni SLD

Spostamenti calcolati applicando il fattore di comportamento SLD $q = 1.5$ secondo D.M. 17-01-18 §7.3.6.1.

Combinazione	Spostamento nodo inferiore		Spostamento nodo superiore		δ	δ/h	Verifica
	X	Y	X	Y			
1	-0.00016159	0.00013968	-0.00912311	0.00983673	0.01320385	0.002165	SI
2	-0.00016159	0.00013968	-0.00912311	0.00983673	0.01320385	0.002165	SI
3	-0.00008573	0.00024847	-0.01557914	0.0174347	0.02313898	0.003793	SI
4	-0.00008573	0.00024847	-0.01557914	0.0174347	0.02313898	0.003793	SI
5	-0.00016129	-0.00011508	0.00617097	-0.00811405	0.01020201	0.001672	SI
6	-0.00016129	-0.00011508	0.00617097	-0.00811405	0.01020201	0.001672	SI
7	0.00009156	0.00024754	-0.01534913	0.01721251	0.0229396	0.003761	SI
8	0.00009156	0.00024754	-0.01534913	0.01721251	0.0229396	0.003761	SI
9	-0.00008518	-0.00022466	0.01282415	-0.01590247	0.02030873	0.003329	SI
10	-0.00008518	-0.00022466	0.01282415	-0.01590247	0.02030873	0.003329	SI
11	0.00016767	0.00013796	-0.00869595	0.00942409	0.01283729	0.002104	SI
12	0.00016767	0.00013796	-0.00869595	0.00942409	0.01283729	0.002104	SI
13	0.00009211	-0.00022559	0.01305417	-0.01612466	0.0205133	0.003363	SI
14	0.00009211	-0.00022559	0.01305417	-0.01612466	0.0205133	0.003363	SI
15	0.00016796	-0.0001168	0.00659814	-0.00852669	0.01058647	0.001735	SI
16	0.00016796	-0.0001168	0.00659814	-0.00852669	0.01058647	0.001735	SI

Spostamento di interpiano (-1051; -1051) tra "Fondazione" e "trave"

Verifiche condotte secondo D.M. 17-01-18 (N.T.C.)

Caratteristiche geometriche

Nodo inferiore: 25 (-10.513; -10.507; -0.2); Nodo superiore: 301 (-10.513; -10.507; 5.9)
Altezza di interpiano (h): 6.1; Spostamento relativo limite: 0.005

Verifica nelle combinazioni SLD

Spostamenti calcolati applicando il fattore di comportamento SLD $q = 1.5$ secondo D.M. 17-01-18 §7.3.6.1.

Combinazione	Spostamento nodo inferiore		Spostamento nodo superiore		δ	δ/h	Verifica
	X	Y	X	Y			
1	-0.00027416	-0.00031377	-0.00955355	0.00798288	0.01244755	0.002041	SI
2	-0.00027416	-0.00031377	-0.00955355	0.00798288	0.01244755	0.002041	SI
3	-0.00033526	-0.00026921	-0.01756733	0.01451715	0.0227064	0.003722	SI
4	-0.00033526	-0.00026921	-0.01756733	0.01451715	0.0227064	0.003722	SI
5	-0.00013362	-0.00031593	0.00927894	-0.00744349	0.01180671	0.001936	SI
6	-0.00013362	-0.00031593	0.00927894	-0.00744349	0.01180671	0.001936	SI
7	-0.00033728	-0.0001674	-0.01743365	0.0143374	0.02242042	0.003675	SI
8	-0.00033728	-0.0001674	-0.01743365	0.0143374	0.02242042	0.003675	SI
9	-0.00007425	-0.00027323	0.0174073	-0.01413182	0.02230842	0.003657	SI
10	-0.00007425	-0.00027323	0.0174073	-0.01413182	0.02230842	0.003657	SI
11	-0.00027791	-0.00012469	-0.00930529	0.00764906	0.01191322	0.001953	SI
12	-0.00027791	-0.00012469	-0.00930529	0.00764906	0.01191322	0.001953	SI
13	-0.00007627	-0.00017142	0.01754099	-0.01431157	0.02259008	0.003703	SI
14	-0.00007627	-0.00017142	0.01754099	-0.01431157	0.02259008	0.003703	SI
15	-0.00013736	-0.00012686	0.00952721	-0.00777731	0.01232612	0.002021	SI
16	-0.00013736	-0.00012686	0.00952721	-0.00777731	0.01232612	0.002021	SI

Spostamento di interpiano (-1925; -228) tra "Fondazione" e "trave"

Verifiche condotte secondo D.M. 17-01-18 (N.T.C.)

Caratteristiche geometriche

Nodo inferiore: 50 (-19.254; -2.28; -0.2); Nodo superiore: 324 (-19.254; -2.28; 5.9)
Altezza di interpiano (h): 6.1; Spostamento relativo limite: 0.005

Verifica nelle combinazioni SLD

Spostamenti calcolati applicando il fattore di comportamento SLD $q = 1.5$ secondo D.M. 17-01-18 §7.3.6.1.

Combinazione	Spostamento nodo inferiore		Spostamento nodo superiore		δ	δ/h	Verifica
	X	Y	X	Y			
1	-0.00033879	-0.00018331	-0.00878107	0.00970704	0.01300351	0.002132	SI
2	-0.00033879	-0.00018331	-0.00878107	0.00970704	0.01300351	0.002132	SI
3	-0.00030081	-0.00011048	-0.01549285	0.0176385	0.02336289	0.00383	SI
4	-0.00030081	-0.00011048	-0.01549285	0.0176385	0.02336289	0.00383	SI
5	-0.00033829	-0.00035363	0.00706364	-0.00894313	0.01133879	0.001859	SI
6	-0.00033829	-0.00035363	0.00706364	-0.00894313	0.01133879	0.001859	SI
7	-0.00021167	-0.00011084	-0.01530899	0.01749505	0.0231926	0.003802	SI
8	-0.00021167	-0.00011084	-0.01530899	0.01749505	0.0231926	0.003802	SI
9	-0.00029987	-0.00042677	0.01393302	-0.01699754	0.02184412	0.003581	SI
10	-0.00029987	-0.00042677	0.01393302	-0.01699754	0.02184412	0.003581	SI
11	-0.00017325	-0.00018399	-0.00843961	0.00944064	0.01268725	0.00208	SI
12	-0.00017325	-0.00018399	-0.00843961	0.00944064	0.01268725	0.00208	SI
13	-0.00021073	-0.00042714	0.01411688	-0.01714099	0.02201439	0.003609	SI
14	-0.00021073	-0.00042714	0.01411688	-0.01714099	0.02201439	0.003609	SI
15	-0.00017275	-0.0003543	0.00740509	-0.00920953	0.01165499	0.001911	SI
16	-0.00017275	-0.0003543	0.00740509	-0.00920953	0.01165499	0.001911	SI

9.6 Verifiche spostamenti di interpiano estreme

Le unità di misura elencate nel capitolo sono in [m] ove non espressamente specificato.

Comb.: combinazione.
Titolo: titolo della verifica.
 δ : modulo della differenza tra gli spostamenti. [m]
h: altezza dell'interpiano. [m]
 δ/h : rapporto tra il modulo della differenza degli spostamenti e l'altezza di interpiano.
Ver.: stato di verifica.
Nodo inferiore: spostamento in pianta del nodo inferiore.
Indice: indice del nodo.
X: componente dello spostamento in direzione X globale. [m]
Y: componente dello spostamento in direzione Y globale. [m]
Nodo superiore: spostamento in pianta del nodo superiore.

Verifiche più gravose nelle combinazioni

Spostamento relativo limite = 0.005.
Vengono riportati per ciascuna combinazione le verifiche dei primi 5 interpiani con verifiche più gravose.
Spostamenti calcolati applicando il fattore di comportamento SLD q = 1.5 secondo D.M. 17-01-18 §7.3.6.1.

Comb.	Titolo	Nodo inferiore			Nodo superiore			δ	h	δ/h	Ver.
		Indice	X	Y	Indice	X	Y				
1	Spostamento di interpiano (1124; 3008) tra "Fondazione" e "trave"	241	0.00010466	0.0003446	508	-0.00960318	0.00989966	0.01362136	6.1	0.002233	Si
2	Spostamento di interpiano (1124; 3008) tra "Fondazione" e "trave"	241	0.00010466	0.0003446	508	-0.00960318	0.00989966	0.01362136	6.1	0.002233	Si
3	Spostamento di interpiano (-1925; -228) tra "Fondazione" e "trave"	50	-0.00030081	-0.00011048	324	-0.01549285	0.0176385	0.02336289	6.1	0.00383	Si
4	Spostamento di interpiano (-1925; -228) tra "Fondazione" e "trave"	50	-0.00030081	-0.00011048	324	-0.01549285	0.0176385	0.02336289	6.1	0.00383	Si
5	Spostamento di interpiano (-1051; -1051) tra "Fondazione" e "trave"	25	-0.00013362	-0.00031593	301	0.00927894	-0.00744349	0.01180671	6.1	0.001936	Si
6	Spostamento di interpiano (-1051; -1051) tra "Fondazione" e "trave"	25	-0.00013362	-0.00031593	301	0.00927894	-0.00744349	0.01180671	6.1	0.001936	Si
7	Spostamento di interpiano (-1925; -228) tra "Fondazione" e "trave"	50	-0.00021167	-0.00011084	324	-0.01530899	0.01749505	0.0231926	6.1	0.003802	Si
8	Spostamento di interpiano (-1925; -228) tra "Fondazione" e "trave"	50	-0.00021167	-0.00011084	324	-0.01530899	0.01749505	0.0231926	6.1	0.003802	Si
9	Spostamento di interpiano (-1051; -1051) tra "Fondazione" e "trave"	25	-0.00007425	-0.00027323	301	0.0174073	-0.01413182	0.02230842	6.1	0.003657	Si
10	Spostamento di interpiano (-1051; -1051) tra "Fondazione" e "trave"	25	-0.00007425	-0.00027323	301	0.0174073	-0.01413182	0.02230842	6.1	0.003657	Si
11	Spostamento di interpiano (1124; 3008) tra "Fondazione" e "trave"	241	0.00029923	0.00034204	508	-0.01030531	0.00995987	0.01431639	6.1	0.002347	Si
12	Spostamento di interpiano (1124; 3008) tra "Fondazione" e "trave"	241	0.00029923	0.00034204	508	-0.01030531	0.00995987	0.01431639	6.1	0.002347	Si
13	Spostamento di interpiano (-1051; -1051) tra "Fondazione" e "trave"	25	-0.00007627	-0.00017142	301	0.01754099	-0.01431157	0.02259008	6.1	0.003703	Si
14	Spostamento di interpiano (-1051; -1051) tra "Fondazione" e "trave"	25	-0.00007627	-0.00017142	301	0.01754099	-0.01431157	0.02259008	6.1	0.003703	Si
15	Spostamento di interpiano (-1051; -1051) tra "Fondazione" e "trave"	25	-0.00013736	-0.00012686	301	0.00952721	-0.00777731	0.01232612	6.1	0.002021	Si
16	Spostamento di interpiano (-1051; -1051) tra "Fondazione" e "trave"	25	-0.00013736	-0.00012686	301	0.00952721	-0.00777731	0.01232612	6.1	0.002021	Si

10 Modellazione del sottosuolo e metodi di analisi e di verifica

Modello di fondazione

Le travi di fondazione sono modellate tramite uno specifico elemento finito che gestisce il suolo elastico alla Winkler. Le fondazioni a plinto superficiale sono modellate con un numero elevato di molle verticali elastiche agenti su nodi collegati rigidamente al nodo centrale. Le fondazioni a platea sono modellate con l'inserimento di molle verticali elastiche agenti nei nodi delle mesh.

Verifica di scorrimento

La verifica di scorrimento della fondazione superficiale viene eseguita considerando le caratteristiche del terreno immediatamente sottostante al piano di posa della fondazione, ricavato in base alla stratigrafia associata all'elemento, e trascurando, a favore di sicurezza, l'eventuale spinta passiva laterale.

Qualora l'elemento in verifica sia formato da parti non omogenee tra loro, ad esempio una travata in cui le singole travi di fondazione siano associate ad un differente sondaggio, verranno condotte verifiche geotecniche distinte sui singoli tratti.

Lo scorrimento di una fondazione avviene nel momento in cui le componenti delle forze parallele al piano di contatto tra fondazione e terreno vincono l'attrito e la coesione terreno-fondazione e, qualora fosse presente, la spinta passiva laterale.

Il coefficiente di sicurezza a scorrimento si ottiene dal rapporto tra le forze stabilizzanti di progetto (Rd) e quelle instabilizzanti (Ed):

$$Rd = (N \cdot \tan(\varphi) + c_a \cdot B \cdot L + \alpha \cdot S_p) / \gamma_{Rs}$$

$$|Ed| = \sqrt{T_x^2 + T_y^2}$$

dove:

N = risultante delle forze normali al piano di scorrimento;
Tx, Ty = componenti delle forze tangenziali al piano di scorrimento;
tan(phi) = coefficiente di attrito terreno-fondazione;
ca = aderenza alla base, pari alla coesione del terreno di fondazione o ad una sua frazione;
B, L = dimensioni della fondazione;
alpha = fattore di riduzione della spinta passiva;
Sp = spinta passiva dell'eventuale terreno laterale;
gamma rs= fattore di sicurezza parziale per lo scorrimento;

Le normative prevedono che il fattore di sicurezza a scorrimento FS=Rd/Ed sia non minore di un prefissato limite.

Verifica di capacità portante

La verifica di capacità portante della fondazione superficiale viene eseguita mediante formulazioni di letteratura geotecnica considerando le caratteristiche dei terreni sottostanti al piano di posa della fondazione, ricavati in base alla stratigrafia associata all'elemento.

Qualora l'elemento in verifica sia formato da parti non omogenee tra loro, ad esempio una travata in cui le singole travi di fondazione siano associate ad un differente sondaggio, verranno condotte verifiche geotecniche distinte sui singoli tratti.

La verifica viene fatta raffrontando la portanza di progetto (Rd) con la sollecitazione di progetto (Ed); la prima deriva dalla portanza calcolata con metodi della letteratura geotecnica, ridotta da opportuni fattori di sicurezza parziali; la seconda viene valutata ricavando la risultante della sollecitazione scaricata al suolo con una integrazione delle pressioni nel tratto di calcolo. Le normative prevedono che il fattore di sicurezza alla capacità portante, espresso come rapporto tra il carico ultimo di progetto della fondazione (Rd) ed il carico agente (Ed), sia non minore di un prefissato limite.

La portanza di una fondazione rappresenta il carico ultimo trasmissibile al suolo prima di arrivare alla rottura del terreno. Le formule di calcolo presenti in letteratura sono nate per la fondazione nastriforme indefinita ma aggiungono una serie di termini correttivi per considerare le effettive condizioni al contorno della fondazione, esprimendo la capacità portante ultima in termini di pressione limite agente su di una fondazione equivalente soggetta a carico centrato.

La determinazione della capacità portante ai fini della verifica è stata condotta secondo il metodo di Terzaghi, che viene descritto nei paragrafi successivi.

Metodo di Terzaghi

La capacità portante, attraverso la formula di Terzaghi, risulta:

$$N_c = (N_q - 1) \cdot \cotg \phi; \quad N_q = \frac{e^{2(0.75 \cdot \pi - \phi/2) \cdot \tan \phi}}{2 \cdot \cos^2 \left(45^\circ + \frac{\phi}{2} \right)}; \quad N_\gamma = \frac{\tan \phi}{2} \cdot \left(\frac{K_{py}}{\cos^2 \phi} - 1 \right)$$

dove:

c = coesione dello strato di fondazione;
q = sovraccarico del terreno sovrastante il piano di fondazione;
gamma' = peso di volume efficace dello strato di fondazione;
B = larghezza efficace della fondazione (B = Bf - 2e);
Nc, Nq, Ny = fattori di capacità portante;
sc, s_gamma = fattori di forma della fondazione;

Per la teoria di Terzaghi i coefficienti sopra definiti assumono le espressioni che seguono:

$$Q_{lim} = c \cdot N_c \cdot s_c + q \cdot N_q + \frac{1}{2} \gamma' \cdot B \cdot N_\gamma \cdot s_\gamma$$

nelle quali si sono considerati i seguenti dati:

phi = angolo di attrito dello strato di fondazione;

Kpy è un valore interpolato linearmente dalla seguente tabella (phi/ Kpy), ricavata da Bowles interpretando i fattori di capacità portante di Terzaghi a ritroso: 0°/10.8; 5°/12.2; 10°/14.7; 15°/18.6; 20°/25; 25°/35; 30°/52; 35°/82; 40°/141; 45°/298; 50°/800;

I fattori di forma sc ed s_gamma valgono 1 per la fondazione nastriforme.

Influenza degli strati sulla capacità portante

Le formulazioni utilizzate per la portanza prevedono la presenza di uno stesso terreno nella zona interessata dalla potenziale rottura. In prima approssimazione lo spessore di tale zona è pari a:

$$H = \frac{1}{2} \cdot B \cdot \tan(45^\circ + \phi / 2)$$

In presenza di stratificazioni di terreni diversi all'interno di tale zona, il calcolo diventa più complesso; non esiste una metodologia univoca per questi casi, differenti autori hanno proposto soluzioni diverse a seconda dei casi che si possono presentare. In prima approssimazione, nel caso di stratificazioni, viene trovata una media delle caratteristiche dei terreni, pesata sullo spessore degli strati interessati. Nel caso in cui il primo strato incontrato sia coesivo viene anche verificato che la compressione media agente sulla fondazione non superi la tensione limite di espulsione, circostanza che provocherebbe il rifluimento del terreno da sotto la fondazione, rendendo impossibile la portanza.

La tensione limite di espulsione qult per terreno coesivo viene calcolata come:

$$q_{ult} = 4c + q$$

dove c è la coesione e q è il sovraccarico agente sul piano di posa.

Influenza del sisma sulla capacità portante

La capacità portante nelle combinazioni sismiche viene valutata mediante l'estensione di procedure classiche al caso di azione sismica.

L'effetto inerziale prodotto dalla struttura in elevazione sulla fondazione può essere considerato tenendo conto dell'effetto dell'inclinazione (rapporto tra forze T parallele al piano di posa e carico normale N) e dell'eccentricità (rapporto tra momento M e carico normale N) delle azioni in fondazione, e produce variazioni di tutti i coefficienti di capacità portante del carico limite, oltre alla riduzione dell'area efficace.

L'effetto cinematico si manifesta per effetto dell'inerzia delle masse del suolo sotto la fondazione come una riduzione della resistenza teorica calcolata in condizioni statiche; tale riduzione è in funzione del coefficiente sismico orizzontale kh, cioè dell'accelerazione normalizzata massima attesa al suolo, e delle caratteristiche del suolo. L'effetto è più marcato su terreni granulari, mentre nei suoli coesivi è poco rilevante.

Per tener conto nella determinazione del carico limite di tali effetti inerziali vengono introdotti nelle combinazioni sismiche anche i fattori correttivi e (earthquake), valutati secondo **Paolucci e Pecker**:

$$e_q = \left(1 - \frac{k_h}{\tan \phi}\right)^{0.35} ; \quad e_c = 1 - 0.32 \cdot k_h ; \quad e_\gamma = e_q$$

11 Verifiche delle fondazioni

11.1 Verifiche plinti superficiali

Le unità di misura elencate nel capitolo sono in [m, kN, deg] ove non espressamente specificato.

Comb.: combinazione.

σ_{max} : massimo valore della pressione di compressione. [kN/m²]

σ_{min} : minimo valore della pressione di compressione. [kN/m²]

$\sigma_{verifica}$: valore di confronto della pressione di compressione. [kN/m²]

Verifica: stato di verifica.

Asse di rotazione: asse di rotazione considerato (lato fondazione).

x1: ascissa punto 1. [m]

y1: ordinata punto 1. [m]

x2: ascissa punto 2. [m]

y2: ordinata punto 2. [m]

γ_R : coefficiente parziale sulla resistenza di progetto.

Mrib: momento ribaltante rispetto all'asse di rotazione. [kN*m]

Mstb: momento stabilizzante rispetto all'asse di rotazione. [kN*m]

c.s.: coefficiente di sicurezza.

Descrizione: descrizione del terreno.

$\gamma_{naturale}$: peso specifico naturale del terreno. [kN/m³]

γ_{saturo} : peso specifico saturo del terreno. [kN/m³]

Angolo Attrito Interno: angolo di attrito interno del terreno. [deg]

Angolo Attrito δ : angolo di attrito all'interfaccia fondazione. [deg]

Coesione Efficace: coesione efficace del terreno. [kN/m²]

Coesione Non Drenata: coesione non drenata del terreno. [kN/m²]

Coeff. Adesione: coefficiente di adesione della coesione.

Cmb: combinazione.

Act.h.: componente orizzontale del carico. [kN]
Act.v.: componente verticale del carico. [kN]
Attrito: angolo di attrito di progetto. [deg]
Laterale: resistenza passiva laterale unitaria di progetto. [kN/m²]
Rd: resistenza alla traslazione di progetto. [kN]
Ed: azione di progetto (sforzo tangenziale al piano di posa). [kN]
Rd/Ed: coefficiente di sicurezza allo scorrimento.
Cond.: condizione valutazione resistenza a breve o lungo termine (BT - LT).
Ades.: adesione coesiva di progetto. [kN/m²]
Fx: componente lungo x del carico. [kN]
Fy: componente lungo y del carico. [kN]
Fz: componente verticale del carico. [kN]
Mx: componente lungo x del momento. [kN*m]
My: componente lungo y del momento. [kN*m]
B': larghezza efficace. [m]
L': lunghezza efficace. [m]
Cnd: condizione valutazione resistenza a breve o lungo termine (BT - LT).
Coes: coesione di progetto. [kN/m²]
Phi: angolo di attrito di progetto. [deg]
Peso: peso specifico del terreno di progetto. [kN/m³]
Ovl: sovraccarico laterale da piano di posa. [kN/m²]
Amax: accelerazione normalizzata massima attesa al suolo.
Rd: resistenza alla rottura del complesso di progetto. [kN]
Ed: azione di progetto (sforzo normale al piano di posa). [kN]
Rd/Ed: coefficiente di sicurezza alla capacità portante.
Note: note di verifica (1 Ipotesi errate, 2 Espulsione coesivo, 3 Inclinazione eccessiva, 4 Eccentricità eccessiva, 5 Carico eccessivo).
N:
Nq: fattore di capacità portante per il termine di sovraccarico.
Nc: fattore di capacità portante per il termine coesivo.
Ng: fattore di capacità portante per il termine attritivo.
S:
Sq: fattore correttivo di capacità portante per forma (shape), per il termine di sovraccarico.
Sc: fattore correttivo di capacità portante per forma (shape), per il termine coesivo.
Sg: fattore correttivo di capacità portante per forma (shape), per il termine attritivo.
D:
Dq: fattore correttivo di capacità portante per approfondimento (deep), per il termine di sovraccarico.
Dc: fattore correttivo di capacità portante per approfondimento (deep), per il termine coesivo.
Dg: fattore correttivo di capacità portante per approfondimento (deep), per il termine attritivo.
I:
Iq: fattore correttivo di capacità portante per inclinazione del carico, per il termine di sovraccarico.
Ic: fattore correttivo di capacità portante per inclinazione del carico, per il termine coesivo.
Ig: fattore correttivo di capacità portante per inclinazione del carico, per il termine attritivo.
G:
Gq: fattore correttivo di capacità portante per inclinazione del pendio, per il termine di sovraccarico.
Gc: fattore correttivo di capacità portante per inclinazione del pendio, per il termine coesivo.
Gg: fattore correttivo di capacità portante per inclinazione del pendio, per il termine attritivo.
P:
Pq: fattore correttivo di capacità portante per punzonamento, per il termine di sovraccarico.
Pc: fattore correttivo di capacità portante per punzonamento, per il termine coesivo.
Pg: fattore correttivo di capacità portante per punzonamento, per il termine attritivo.
E:
Eq: fattore correttivo di capacità portante per sisma (earthquake) per il termine di sovraccarico.
Ec: fattore correttivo di capacità portante per sisma (earthquake) per il termine coesivo.
Eg: fattore correttivo di capacità portante per sisma (earthquake) per il termine attritivo.
Desc.: descrizione.
Tipo sez.: asse o filo pilastro, filo risega.
M: momento flettente. [kN*m]
Mu: momento ultimo. [kN*m]
Fessurata: stato fessurato o non fessurato.
σC: tensione nel calcestruzzo. [kN/m²]
σF: tensione nell'acciaio. [kN/m²]
wd: apertura delle fessure. [m]
Elemento punzonante: elemento punzonante, pilastro o dado/bicchiera.
d: altezza utile. [m]
Perimetro: lunghezza utile del perimetro. [m]
Perim. minim.: perimetro critico con lati non attivi.
N: carico dal pilastro. [kN]
β: coefficiente UNI EN 1992-1-1 (6.38).
Peso cono: peso del cono punzonato e del suolo sovrastante. [kN]
Reazione suolo: reazione del suolo di fondazione. [kN]
VEd,red: tensione tangenziale. [kN/m²]
VRd,max: resistenza in adiacenza al pilastro. [kN/m²]
Elem. punz.: elemento punzonante, pilastro o dado/bicchiera.
Offset: distanza dal bordo pilastro del perimetro critico. [m]
Perim. utile: lunghezza utile del perimetro. [m]
p_I: densità di armatura tesa.
VRd: resistenza in assenza di armature a taglio. [kN/m²]

Asw: area efficace di ferri piegati. [m²]

VRd,cs: resistenza in presenza di armature a taglio. [kN/m²]

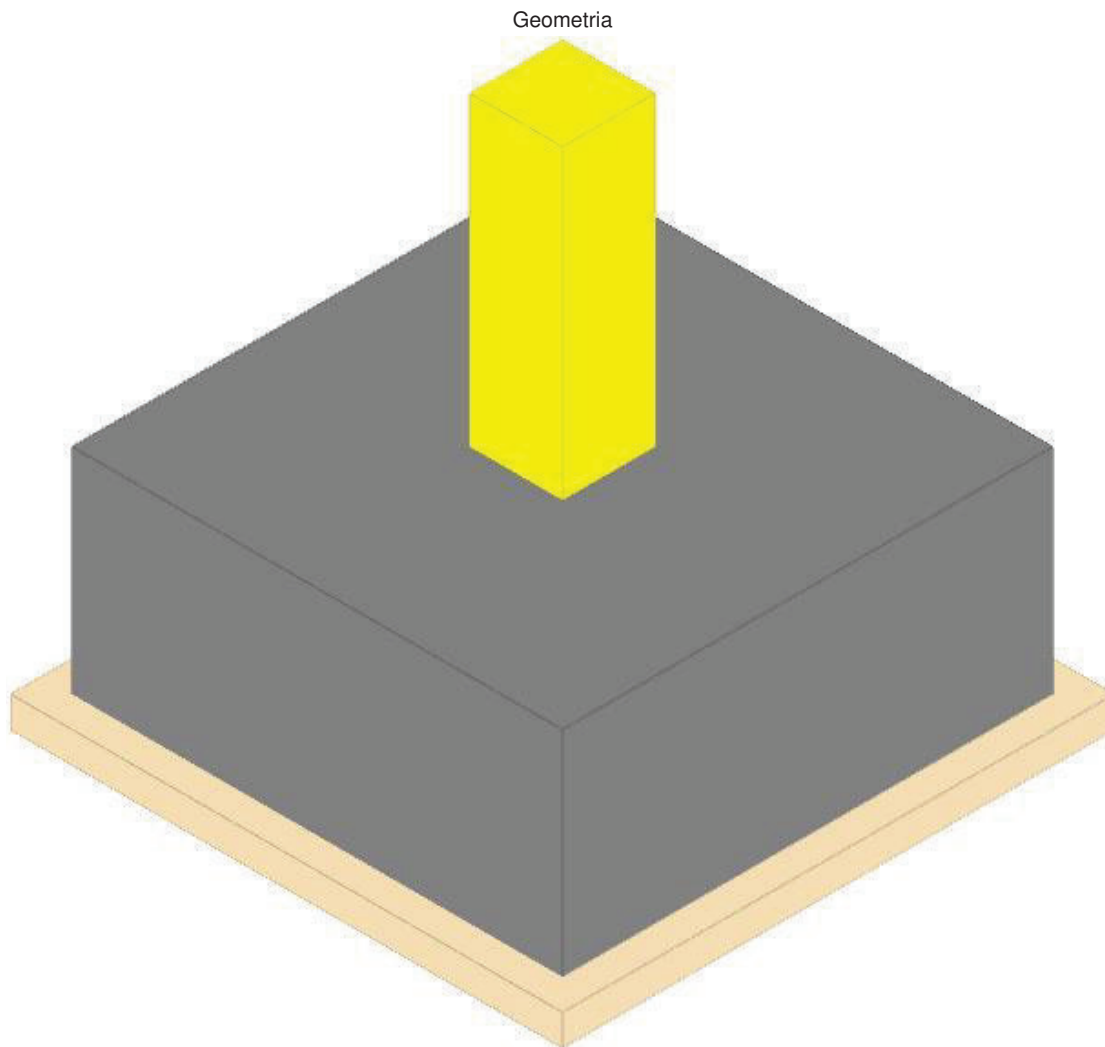
Vert.: vertice.

x: coordinata x. [m]

y: coordinata y. [m]

Plinto (109; 1929)

Verifiche condotte secondo D.M. 17 gennaio 2018



Caratteristiche dei materiali

Calcestruzzo: C25/30; Resistenza cubica caratteristica Rck: 30000

Calcestruzzo per magrone: Magrone; Resistenza cubica caratteristica Rck: 100

Acciaio per armatura: B450C; Fyk: 450000

Caratteristiche geometriche

Suola: dimensione x: 1.6; dimensione y: 1.6; spessore: 0.7

Magrone: sbordo: 0.1; spessore: 0.1; materiale: Magrone

Pilastro rettangolare: dimensione x: 0.3; dimensione y: 0.3

Copriferro: suola: 0.075

Pressioni raggiunte sul terreno

Famiglia "Limite ultimo"

Si stampano le 5 situazioni più gravose per tipo di verifica

Coefficiente di sicurezza minimo 1.32

Comb.	$\sigma_t \max$	$\sigma_t \min$	$\sigma_t \text{ verifica}$	Verifica
SLU 76	-109	-132	-174	Si
SLU 57	-103	-124	-174	Si
SLU 38	-99	-119	-174	Si
SLU 73	-97	-118	-174	Si
SLU 72	-98	-117	-174	Si

Famiglia "Limite ultimo sismico"

Si stampano le 5 situazioni più gravose per tipo di verifica

Implementazione dei sistemi di confinamento delle emissioni odorigene diffuse dell'impianto di compostaggio esistente nel
Comune di Eboli (SA)

PROGETTO DEFINITIVO – Tabulati di calcolo Tomo 1

Coefficiente di sicurezza minimo 1.74

Comb.	σt max	σt min	σt verifica	Verifica
SLV 3	0	-100	-174	Si
SLV 4	0	-100	-174	Si
SLV 14	-2	-100	-174	Si
SLV 13	-2	-100	-174	Si
SLV 7	-1	-99	-174	Si

Verifiche a ribaltamento

Famiglia "Equilibrio", Famiglia "Limite ultimo", Famiglia "Limite ultimo sismico"

Si stampano le 5 situazioni più gravose per tipo di verifica

Coefficiente di sicurezza minimo 2.63

Comb.	Asse di rotazione					yR	Mrib	Mstb	c.s.	Verifica
	x1	y1	x2	y2						
SLV 4	-0.8	0.8	-0.8	-0.8	-0.8	1.15	38.335	100.9693	2.63	Si
SLV 3	-0.8	0.8	-0.8	-0.8	-0.8	1.15	38.335	100.9693	2.63	Si
SLV 8	-0.8	0.8	-0.8	-0.8	-0.8	1.15	37.9832	100.9721	2.66	Si
SLV 7	-0.8	0.8	-0.8	-0.8	-0.8	1.15	37.9832	100.9721	2.66	Si
SLV 4	-0.8	0.8	-0.8	-0.8	-0.8	1	38.335	116.1146	3.03	Si

Verifiche geotecniche di scorrimento e capacità portante

Impronta al suolo: 1.8x1.8

Terreno laterale di approfondimento piano posa: Eboli 1

Spessore terreno laterale: 0.7

Moltiplicatore resistenza passiva per verifica scorrimento: 0

Coefficiente di attrito Cls-Magrone per verifica scorrimento: 0.7

Caratteristiche del terreno a contatto con il piano di posa della fondazione

Descrizione	γ naturale	γ saturo	Angolo Attrito Interno	Angolo Attrito δ	Coesione Efficace	Coesione Non Drenata	Coeff. Adesione
Eboli 1	18	20	24	18	26	0	1

Caratteristiche del terreno di progetto per la capacità portante della fondazione

Descrizione	γ naturale	γ saturo	Angolo Attrito Interno	Angolo Attrito δ	Coesione Efficace	Coesione Non Drenata	Coeff. Adesione
Suolo medio nel bulbo di influenza	18	20	24	18	26	0	1

Caratteristiche del terreno laterale di approfondimento della fondazione

Descrizione	γ naturale	γ saturo	Angolo Attrito Interno	Angolo Attrito δ	Coesione Efficace	Coesione Non Drenata	Coeff. Adesione
Eboli 1	18	20	24	18	26	0	1

Verifiche a slittamento magrone-calcestruzzo

Famiglia "Limite ultimo"

Si stampano le 5 situazioni più gravose per tipo di verifica

Coefficiente di sicurezza minimo a slittamento cls-magrone 36.47

Cmb	Act.h.	Act.v.	Attrito	Laterale	yR	Rd	Ed	Rd/Ed	Verifica
SLU 25	2.65	-151.62	35	0	1.1	96.49	2.65	36.47	Si
SLU 6	2.21	-127.48	35	0	1.1	81.12	2.21	36.74	Si
SLU 37	4.6	-266.64	35	0	1.1	169.68	4.6	36.88	Si
SLU 22	1.86	-108.51	35	0	1.1	69.05	1.86	37.03	Si
SLU 18	4.16	-242.49	35	0	1.1	154.31	4.16	37.07	Si

Famiglia "Limite ultimo sismico"

Si stampano le 5 situazioni più gravose per tipo di verifica

Coefficiente di sicurezza minimo a slittamento cls-magrone 3.96

Cmb	Act.h.	Act.v.	Attrito	Laterale	yR	Rd	Ed	Rd/Ed	Verifica
SLV 9	26.44	-164.61	35	0	1.1	104.75	26.44	3.96	Si
SLV 10	26.44	-164.61	35	0	1.1	104.75	26.44	3.96	Si
SLV 13	25.16	-164.61	35	0	1.1	104.75	25.16	4.16	Si
SLV 14	25.16	-164.61	35	0	1.1	104.75	25.16	4.16	Si
SLV 3	23.52	-161.81	35	0	1.1	102.97	23.52	4.38	Si

Verifica di scorrimento

Famiglia "Limite ultimo"

Si stampano le 5 situazioni più gravose per tipo di verifica

Coefficiente di sicurezza minimo a scorrimento 16.93

Cmb	Act.h.	Act.v.	Cond.	Ades.	Attrito	Laterale	yR	Rd	Ed	Rd/Ed	Verifica
SLU 25	2.65	-151.62	LT	0	18	0	1.1	44.79	2.65	16.93	Si
SLU 6	2.21	-127.48	LT	0	18	0	1.1	37.66	2.21	17.05	Si
SLU 37	4.6	-266.64	LT	0	18	0	1.1	78.76	4.6	17.12	Si
SLU 22	1.86	-108.51	LT	0	18	0	1.1	32.05	1.86	17.19	Si
SLU 18	4.16	-242.49	LT	0	18	0	1.1	71.63	4.16	17.21	Si

Famiglia "Limite ultimo sismico"

Si stampano le 5 situazioni più gravose per tipo di verifica

Coefficiente di sicurezza minimo a scorrimento 1.84

Cmb	Act.h.	Act.v.	Cond.	Ades.	Attrito	Laterale	yR	Rd	Ed	Rd/Ed	Verifica
SLV 9	26.44	-164.61	LT	0	18	0	1.1	48.62	26.44	1.84	Si
SLV 10	26.44	-164.61	LT	0	18	0	1.1	48.62	26.44	1.84	Si
SLV 13	25.16	-164.61	LT	0	18	0	1.1	48.62	25.16	1.93	Si
SLV 14	25.16	-164.61	LT	0	18	0	1.1	48.62	25.16	1.93	Si
SLV 3	23.52	-161.81	LT	0	18	0	1.1	47.8	23.52	2.03	Si

Verifica di capacità portante

Famiglia "Limite ultimo"

Si stampano le 5 situazioni più gravose per tipo di verifica

Implementazione dei sistemi di confinamento delle emissioni odorigene diffuse dell'impianto di compostaggio esistente nel
Comune di Eboli (SA)

PROGETTO DEFINITIVO – Tabulati di calcolo Tomo 1

Coefficiente di sicurezza minimo per portanza 3.71

Cmb	Fx	Fy	Fz	Mx	My	B'	L'	Cnd	Coes	Phi	Peso	Ovl	Amax	yR	Rd	Ed	Rd/Ed	Note	Verifica
SLU 76	-0.53	-6.33	-391.59	5.3576	-5.6873	1.77	1.77	LT	26	24	18	14	0	2.3	1451.14	391.59	3.71		Si
SLU 57	-0.49	-5.89	-367.45	4.9431	-5.2446	1.77	1.77	LT	26	24	18	14	0	2.3	1451.97	367.45	3.95		Si
SLU 38	-0.48	-5.76	-352.97	4.97	-5.1762	1.77	1.77	LT	26	24	18	14	0	2.3	1450.23	352.97	4.11		Si
SLU 73	-0.56	-5.73	-348.42	4.7878	-5.5359	1.77	1.77	LT	26	24	18	14	0	2.3	1448.57	348.42	4.16		Si
SLU 68	-0.46	-5.55	-348.48	4.6175	-4.8966	1.77	1.77	LT	26	24	18	14	0	2.3	1452.7	348.48	4.17		Si

Fattori di capacità portante Famiglia "Limite ultimo"

N			S			D			I			G			P			E		
Nq	Nc	Ng	Sq	Sc	Sg	Dq	Dc	Dg	Iq	lc	Ig	Gq	Gc	Gg	Pq	Pc	Pg	Eq	Ec	Eg
11.4	23.4	8.6	0	1.3	0.8													1	1	1
11.4	23.4	8.6	0	1.3	0.8													1	1	1
11.4	23.4	8.6	0	1.3	0.8													1	1	1
11.4	23.4	8.6	0	1.3	0.8													1	1	1
11.4	23.4	8.6	0	1.3	0.8													1	1	1

Famiglia "Limite ultimo sismico"

Si stampano le 5 situazioni più gravose per tipo di verifica

Coefficiente di sicurezza minimo per portanza 5.68

Cmb	Fx	Fy	Fz	Mx	My	B'	L'	Cnd	Coes	Phi	Peso	Ovl	Amax	yR	Rd	Ed	Rd/Ed	Note	Verifica
SLV 4	-22.25	7.62	-161.81	-7.8026	-40.5603	1.3	1.7	LT	26	24	18	14	0.17	2.3	918.64	161.81	5.68		Si
SLV 3	-22.25	7.62	-161.81	-7.8026	-40.5603	1.3	1.7	LT	26	24	18	14	0.17	2.3	918.64	161.81	5.68		Si
SLV 14	21.75	-12.66	-164.61	11.5703	35.8876	1.36	1.66	LT	26	24	18	14	0.17	2.3	943.21	164.61	5.73		Si
SLV 13	21.75	-12.66	-164.61	11.5703	35.8876	1.36	1.66	LT	26	24	18	14	0.17	2.3	943.21	164.61	5.73		Si
SLV 8	-9.22	19.93	-161.82	-8.796	-38.9049	1.32	1.69	LT	26	24	18	14	0.17	2.3	927.44	161.82	5.73		Si

Fattori di capacità portante Famiglia "Limite ultimo sismico"

N			S			D			I			G			P			E		
Nq	Nc	Ng	Sq	Sc	Sg	Dq	Dc	Dg	Iq	lc	Ig	Gq	Gc	Gg	Pq	Pc	Pg	Eq	Ec	Eg
11.4	23.4	8.6	0	1.3	0.8													0.85	0.95	0.85
11.4	23.4	8.6	0	1.3	0.8													0.85	0.95	0.85
11.4	23.4	8.6	0	1.3	0.8													0.85	0.95	0.85
11.4	23.4	8.6	0	1.3	0.8													0.85	0.95	0.85
11.4	23.4	8.6	0	1.3	0.8													0.85	0.95	0.85

Verifiche della suola

Superficie su cui è valutata la pressione del suolo: rettangolare a filo pilastro

Non sono state richieste le verifiche a taglio della suola.

Armatura inferiore in direzione X 5 diam. 12 mm Armatura superiore in direzione X 4 diam. 12 mm

Armatura inferiore in direzione Y 5 diam. 12 mm Armatura superiore in direzione Y 4 diam. 12 mm

Famiglia "Limite ultimo"

Si stampano le 5 situazioni più gravose per tipo di verifica

Coefficiente di sicurezza minimo a flessione 3.2

Desc.	Tipo sez.	Comb.	M	Mu	Verifica
norm.X-	filo pil.	SLU 76	43.1858	138.194	Si
norm.Y-	filo pil.	SLU 76	42.8575	137.7047	Si
norm.X-	filo pil.	SLU 38	40.3395	138.194	Si
norm.Y-	filo pil.	SLU 38	40.0743	137.7047	Si
norm.X-	filo pil.	SLU 57	39.8396	138.194	Si

Famiglia "Esercizio raro"

Si stampano le 5 situazioni più gravose per tipo di verifica

Valori limite: oc lim. 14940 of lim. 360000

Coefficiente di sicurezza minimo per verifica tensioni 65.6

Desc.	Tipo sez.	Comb.	M	Fessurata	σC	σF	Verifica
norm.X-	filo pil.	SLE RA 19	30.0555	No	-228	1145	Si
norm.Y-	filo pil.	SLE RA 19	29.8086	No	-226	1086	Si
norm.Y+	filo pil.	SLE RA 19	27.4283	No	-208	999	Si
norm.X+	filo pil.	SLE RA 19	27.1814	No	-206	1036	Si
norm.X-	filo pil.	SLE RA 16	26.2186	No	-199	999	Si

Famiglia "Esercizio frequente"

Si stampano le 5 situazioni più gravose per tipo di verifica

Valori limite di apertura fessure: w lim. 0.0004

Coefficiente di sicurezza minimo per apertura fessure 999

Desc.	Tipo sez.	Comb.	M	Fessurata	wd	Verifica
norm.X+	filo pil.	SLE FR 2	10.5794	No	0	Si
norm.Y-	filo pil.	SLE FR 4	15.3302	No	0	Si
norm.Y-	filo pil.	SLE FR 5	15.6044	No	0	Si
norm.Y-	filo pil.	SLE FR 2	11.8082	No	0	Si
norm.X-	filo pil.	SLE FR 3	12.9889	No	0	Si

Famiglia "Esercizio quasi permanente"

Valori limite: oc lim. 11205 w lim. 0.0003

Coefficiente di sicurezza minimo per verifica tensioni 105.71

Coefficiente di sicurezza minimo per apertura fessure 999

Desc.	Tipo sez.	Comb.	M	Fessurata	σC	wd	Verifica
norm.X-	filo pil.	SLE QP 1	14.2678	No	-106	0	Si
norm.Y-	filo pil.	SLE QP 1	14.0227	No	-104	0	Si
norm.Y+	filo pil.	SLE QP 1	12.8442	No	-96	0	Si
norm.X+	filo pil.	SLE QP 1	12.599	No	-94	0	Si

Famiglia "Limite ultimo sismico"

Si stampano le 5 situazioni più gravose per tipo di verifica

Coefficiente di sicurezza minimo a flessione 4.83

Desc.	Tipo sez.	Comb.	M	Mu	Verifica
norm.X-	filo pil.	SLV 3	27.116	130.9343	Si
norm.X-	filo pil.	SLV 4	27.116	130.9343	Si
norm.X-	filo pil.	SLV 8	26.9836	130.9343	Si
norm.X-	filo pil.	SLV 7	26.9836	130.9343	Si
norm.X+	filo pil.	SLV 13	25.796	130.9343	Si

Implementazione dei sistemi di confinamento delle emissioni odorigene diffuse dell'impianto di compostaggio esistente nel
Comune di Eboli (SA)
PROGETTO DEFINITIVO – Tabulati di calcolo Tomo 1

Verifiche a punzonamento

Famiglia "Limite ultimo"

Verifiche in adiacenza all'elemento punzonante (perimetro U0)

Coefficiente di sicurezza minimo 45.14

Comb.	Elemento punzonante	d	Perimetro	Perim. minim.	N	β	Peso cono	Reazione suolo	VEd,red	VRd,max	Verifica
SLU 75	pilastro	0.613	1.2	No	-32.08	1.9	1.58	9.97	63	2822	Si
SLU 56	pilastro	0.613	1.2	No	-30.18	1.89	1.58	9.12	59	2822	Si
SLU 71	pilastro	0.613	1.2	No	-28.69	1.87	1.58	8.45	57	2822	Si
SLU 67	pilastro	0.613	1.2	No	-28.69	1.87	1.58	8.45	57	2822	Si
SLU 73	pilastro	0.613	1.2	No	-30.42	1.96	1.58	11.49	56	2822	Si

Verifiche a distanza $\leq 2d$ dall'elemento punzonante (perimetro U1)

Coefficiente di sicurezza minimo 140.37

Comb.	Elem. punz.	d	Offset	Perim. utile	Perim. minim.	N	β	Peso cono	Reazione suolo	VEd,red	ρ_I	VRd	Asw	VRd,cs	Verifica
SLU 2	pilastro	0.613	0.638	1.6	Si	-5.15	1.02	18.13	18.77	5	0.0004	661	0	0	Si
SLU 41	pilastro	0.613	0.123	1.97	No	-21.13	1.38	3.14	11.24	16	0.0004	3440	0	0	Si
SLU 60	pilastro	0.613	0.098	1.82	No	-23.03	1.44	2.78	11.65	19	0.0004	4300	0	0	Si
SLU 44	pilastro	0.613	0.098	1.82	No	-24.52	1.46	2.78	13.41	19	0.0004	4300	0	0	Si
SLU 63	pilastro	0.613	0.098	1.82	No	-26.41	1.48	2.78	15.65	19	0.0004	4300	0	0	Si

Coordinate del perimetro del cono punzonante a distanza 0.638 dal pilastro

Vert.	x	y	Vert.	x	y	Vert.	x	y	Vert.	x	y	Vert.	x	y	Vert.	x	y
1	-0.8	0.788	2	-0.8	-0.8	3	0.8	-0.8	4	0.8	0.788						

Famiglia "Limite ultimo sismico"

Verifiche in adiacenza all'elemento punzonante (perimetro U0)

Coefficiente di sicurezza minimo 10.26

Comb.	Elemento punzonante	d	Perimetro	Perim. minim.	N	β	Peso cono	Reazione suolo	VEd,red	VRd,max	Verifica
SLV 3	pilastro	0.613	1.2	No	-18.83	13.21	1.58	5.1	275	2822	Si
SLV 4	pilastro	0.613	1.2	No	-18.83	13.21	1.58	5.1	275	2822	Si
SLV 8	pilastro	0.613	1.2	No	-18.93	13.03	1.58	5.1	273	2822	Si
SLV 7	pilastro	0.613	1.2	No	-18.93	13.03	1.58	5.1	273	2822	Si
SLV 14	pilastro	0.613	1.2	No	-11.51	19.35	1.58	5.2	207	2822	Si

Verifiche a distanza $\leq 2d$ dall'elemento punzonante (perimetro U1)

Coefficiente di sicurezza minimo 52.63

Comb.	Elem. punz.	d	Offset	Perim. utile	Perim. minim.	N	β	Peso cono	Reazione suolo	VEd,red	ρ_I	VRd	Asw	VRd,cs	Verifica
SLV 3	pilastro	0.613	0.123	2.58	Si	-18.83	43.52	5.31	21.76	65	0.0004	3440	0	0	Si
SLV 4	pilastro	0.613	0.123	2.58	Si	-18.83	43.52	5.31	21.76	65	0.0004	3440	0	0	Si
SLV 8	pilastro	0.613	0.123	2.58	Si	-18.93	43.5	5.31	21.88	65	0.0004	3440	0	0	Si
SLV 7	pilastro	0.613	0.123	2.58	Si	-18.93	43.5	5.31	21.88	65	0.0004	3440	0	0	Si
SLV 14	pilastro	0.613	0.049	2.35	Si	-11.51	1232.05	4.06	15.48	79	0.0004	8599	0	0	Si

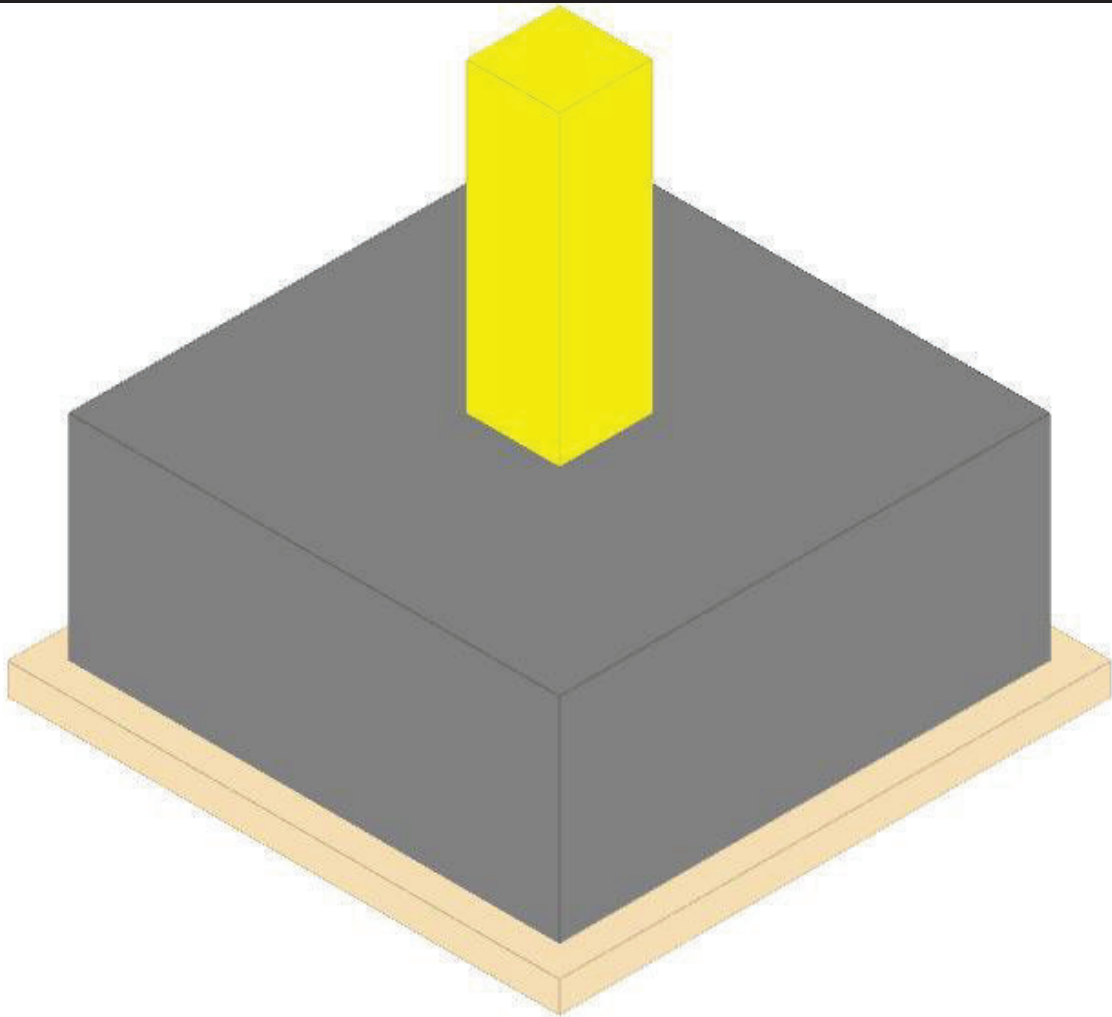
Coordinate del perimetro del cono punzonante a distanza 0.123 dal pilastro

Vert.	x	y	Vert.	x	y	Vert.	x	y	Vert.	x	y	Vert.	x	y	Vert.	x	y
1	0.8	-0.273	2	0.8	0.273	3	-0.15	0.273	4	-0.174	0.27	5	-0.197	0.263	6	-0.218	0.252
7	-0.237	0.237	8	-0.252	0.218	9	-0.263	0.197	10	-0.27	0.174	11	-0.273	0.15	12	-0.273	-0.15
13	-0.27	-0.174	14	-0.263	-0.197	15	-0.252	-0.218	16	-0.237	-0.237	17	-0.218	-0.252	18	-0.197	-0.263
19	-0.174	-0.27	20	-0.15	-0.273												

Plinto (983; 1106)

Verifiche condotte secondo D.M. 17 gennaio 2018

Geometria



Caratteristiche dei materiali

Calcestruzzo: C25/30; Resistenza cubica caratteristica Rck: 30000
Calcestruzzo per magrone: Magrone; Resistenza cubica caratteristica Rck: 100
Acciaio per armatura: B450C; Fyk: 450000

Caratteristiche geometriche

Suola: dimensione x: 1.6; dimensione y: 1.6; spessore: 0.7
Magrone: sbordo: 0.1; spessore: 0.1; materiale: Magrone
Pilastro rettangolare: dimensione x: 0.3; dimensione y: 0.3
Copriferro: suola: 0.075

Pressioni raggiunte sul terreno

Famiglia "Limite ultimo"

Si stampano le 5 situazioni più gravose per tipo di verifica
Coefficiente di sicurezza minimo 1.6

Comb.	σt max	σt min	σt verifica	Verifica
SLU 75	-96	-108	-174	Si
SLU 56	-91	-102	-174	Si
SLU 73	-87	-99	-174	Si
SLU 71	-86	-97	-174	Si
SLU 67	-86	-97	-174	Si

Famiglia "Limite ultimo sismico"

Si stampano le 5 situazioni più gravose per tipo di verifica
Coefficiente di sicurezza minimo 1.84

Comb.	σt max	σt min	σt verifica	Verifica
SLV 4	0	-94	-174	Si
SLV 3	0	-94	-174	Si
SLV 13	-3	-90	-174	Si
SLV 14	-3	-90	-174	Si
SLV 8	-4	-88	-174	Si

Verifiche a ribaltamento

Famiglia "Equilibrio", Famiglia "Limite ultimo", Famiglia "Limite ultimo sismico"

Si stampano le 5 situazioni più gravose per tipo di verifica
Coefficiente di sicurezza minimo 2.4

Comb.	Asse di rotazione	Verifica
-------	-------------------	----------

Implementazione dei sistemi di confinamento delle emissioni odorigene diffuse dell'impianto di compostaggio esistente nel
Comune di Eboli (SA)

PROGETTO DEFINITIVO – Tabulati di calcolo Tomo 1

	x1	y1	x2	y2	yR	Mrib	Mstb	c.s.	
SLV 3	-0.8	0.8	-0.8	-0.8	1.15	38.6131	92.6051	2.4	Si
SLV 4	-0.8	0.8	-0.8	-0.8	1.15	38.6131	92.6051	2.4	Si
SLV 8	-0.8	0.8	-0.8	-0.8	1.15	38.2895	92.3057	2.41	Si
SLV 7	-0.8	0.8	-0.8	-0.8	1.15	38.2895	92.3057	2.41	Si
SLV 13	0.8	-0.8	0.8	0.8	1.15	35.4186	92.9083	2.62	Si

Verifiche geotecniche di scorrimento e capacità portante

Impronta al suolo: 1.8x1.8
Terreno laterale di approfondimento piano posa: Eboli 1
Spessore terreno laterale: 0.7
Moltiplicatore resistenza passiva per verifica scorrimento: 0
Coefficiente di attrito Cls-Magrone per verifica scorrimento: 0.7

Caratteristiche del terreno a contatto con il piano di posa della fondazione

Descrizione	y naturale	y saturo	Angolo Attrito Interno	Angolo Attrito δ	Coesione Efficace	Coesione Non Drenata	Coeff. Adesione
Eboli 1	18	20	24	18	26	0	1

Caratteristiche del terreno di progetto per la capacità portante della fondazione

Descrizione	y naturale	y saturo	Angolo Attrito Interno	Angolo Attrito δ	Coesione Efficace	Coesione Non Drenata	Coeff. Adesione
Suolo medio nel bulbo di influenza	18	20	24	18	26	0	1

Caratteristiche del terreno laterale di approfondimento della fondazione

Descrizione	y naturale	y saturo	Angolo Attrito Interno	Angolo Attrito δ	Coesione Efficace	Coesione Non Drenata	Coeff. Adesione
Eboli 1	18	20	24	18	26	0	1

Verifiche a slittamento magrone-calcestruzzo

Famiglia "Limite ultimo"

Si stampano le 5 situazioni più gravose per tipo di verifica
Coefficiente di sicurezza minimo a slittamento cls-magrone 36.14

Cmb	Act.h.	Act.v.	Attrito	Laterale	yR	Rd	Ed	Rd/Ed	Verifica
SLU 4	1.68	-95.2	35	0	1.1	60.58	1.68	36.14	Si
SLU 23	1.83	-114.09	35	0	1.1	72.6	1.83	39.62	Si
SLU 7	1.96	-128.94	35	0	1.1	82.05	1.96	41.96	Si
SLU 42	1.9	-132.1	35	0	1.1	84.06	1.9	44.28	Si
SLU 26	2.11	-147.83	35	0	1.1	94.08	2.11	44.55	Si

Famiglia "Limite ultimo sismico"

Si stampano le 5 situazioni più gravose per tipo di verifica
Coefficiente di sicurezza minimo a slittamento cls-magrone 3.57

Cmb	Act.h.	Act.v.	Attrito	Laterale	yR	Rd	Ed	Rd/Ed	Verifica
SLV 5	26.85	-150.64	35	0	1.1	95.86	26.85	3.57	Si
SLV 6	26.85	-150.64	35	0	1.1	95.86	26.85	3.57	Si
SLV 1	26.11	-150.17	35	0	1.1	95.56	26.11	3.66	Si
SLV 2	26.11	-150.17	35	0	1.1	95.56	26.11	3.66	Si
SLV 11	24.92	-149.37	35	0	1.1	95.06	24.92	3.81	Si

Verifica di scorrimento

Famiglia "Limite ultimo"

Si stampano le 5 situazioni più gravose per tipo di verifica
Coefficiente di sicurezza minimo a scorrimento 16.77

Cmb	Act.h.	Act.v.	Cond.	Ades.	Attrito	Laterale	yR	Rd	Ed	Rd/Ed	Verifica
SLU 4	1.68	-95.2	LT	0	18	0	1.1	28.12	1.68	16.77	Si
SLU 23	1.83	-114.09	LT	0	18	0	1.1	33.7	1.83	18.39	Si
SLU 7	1.96	-128.94	LT	0	18	0	1.1	38.09	1.96	19.48	Si
SLU 42	1.9	-132.1	LT	0	18	0	1.1	39.02	1.9	20.55	Si
SLU 26	2.11	-147.83	LT	0	18	0	1.1	43.67	2.11	20.68	Si

Famiglia "Limite ultimo sismico"

Si stampano le 5 situazioni più gravose per tipo di verifica
Coefficiente di sicurezza minimo a scorrimento 1.66

Cmb	Act.h.	Act.v.	Cond.	Ades.	Attrito	Laterale	yR	Rd	Ed	Rd/Ed	Verifica
SLV 5	26.85	-150.64	LT	0	18	0	1.1	44.5	26.85	1.66	Si
SLV 6	26.85	-150.64	LT	0	18	0	1.1	44.5	26.85	1.66	Si
SLV 1	26.11	-150.17	LT	0	18	0	1.1	44.36	26.11	1.7	Si
SLV 2	26.11	-150.17	LT	0	18	0	1.1	44.36	26.11	1.7	Si
SLV 11	24.92	-149.37	LT	0	18	0	1.1	44.12	24.92	1.77	Si

Verifica di capacità portante

Famiglia "Limite ultimo"

Si stampano le 5 situazioni più gravose per tipo di verifica
Coefficiente di sicurezza minimo per portanza 4.43

Cmb	Fx	Fy	Fz	Mx	My	B'	L'	Cnd	Coes	Phi	Peso	Ovl	Amax	yR	Rd	Ed	Rd/Ed	Note	Verifica
SLU 75	-0.33	-1.66	-331.28	2.2672	-3.7447	1.78	1.79	LT	26	24	18	14	0	2.3	1468.2	331.28	4.43		Si
SLU 56	-0.32	-1.5	-312.38	2.073	-3.5096	1.78	1.79	LT	26	24	18	14	0	2.3	1468.67	312.38	4.7		Si
SLU 73	-0.31	-2.12	-301.63	2.1413	-3.4244	1.78	1.79	LT	26	24	18	14	0	2.3	1467.69	301.63	4.87		Si
SLU 71	-0.3	-1.38	-297.54	1.9203	-3.3249	1.78	1.79	LT	26	24	18	14	0	2.3	1469.08	297.54	4.94		Si
SLU 67	-0.3	-1.38	-297.54	1.9203	-3.3249	1.78	1.79	LT	26	24	18	14	0	2.3	1469.08	297.54	4.94		Si

Fattori di capacità portante Famiglia "Limite ultimo"

N			S			D			I			G			P			E		
Nq	Nc	Ng	Sq	Sc	Sg	Dq	Dc	Dg	Iq	Ic	Ig	Gq	Gc	Gg	Pq	Pc	Pg	Eq	Ec	Eg
11.4	23.4	8.6	0	1.3	0.8													1	1	1
11.4	23.4	8.6	0	1.3	0.8													1	1	1
11.4	23.4	8.6	0	1.3	0.8													1	1	1
11.4	23.4	8.6	0	1.3	0.8													1	1	1

Implementazione dei sistemi di confinamento delle emissioni odorigene diffuse dell'impianto di compostaggio esistente nel
Comune di Eboli (SA)
PROGETTO DEFINITIVO – Tabulati di calcolo Tomo 1

N			S			D			I			G			P			E		
Nq	Nc	Ng	Sq	Sc	Sg	Dq	Dc	Dg	Iq	lc	Ig	Gq	Gc	Gg	Pq	Pc	Pg	Eq	Ec	Eg
11.4	23.4	8.6	0	1.3	0.8													1	1	1

Famiglia "Limite ultimo sismico"

Si stampano le 5 situazioni più gravose per tipo di verifica

Coefficiente di sicurezza minimo per portanza 6.01

Cmb	Fx	Fy	Fz	Mx	My	B'	L'	Cnd	Coes	Phi	Peso	Ovi	Amax	yR	Rd	Ed	Rd/Ed	Note	Verifica
SLV 4	-1.58	-13.93	-149.79	8.0198	-38.7712	1.28	1.69	LT	26	24	18	14	0.17	2.3	900.6	149.79	6.01		Si
SLV 3	-1.58	-13.93	-149.79	8.0198	-38.7712	1.28	1.69	LT	26	24	18	14	0.17	2.3	900.6	149.79	6.01		Si
SLV 14	1.25	12.02	-150.22	-6.412	35.5438	1.33	1.71	LT	26	24	18	14	0.17	2.3	946.09	150.22	6.3		Si
SLV 13	1.25	12.02	-150.22	-6.412	35.5438	1.33	1.71	LT	26	24	18	14	0.17	2.3	946.09	150.22	6.3		Si
SLV 7	0.7	13.45	-149.36	2.598	-38.2192	1.29	1.77	LT	26	24	18	14	0.17	2.3	943.69	149.36	6.32		Si

Fattori di capacità portante Famiglia "Limite ultimo sismico"

N			S			D			I			G			P			E		
Nq	Nc	Ng	Sq	Sc	Sg	Dq	Dc	Dg	Iq	lc	Ig	Gq	Gc	Gg	Pq	Pc	Pg	Eq	Ec	Eg
11.4	23.4	8.6	0	1.3	0.8													0.85	0.95	0.85
11.4	23.4	8.6	0	1.3	0.8													0.85	0.95	0.85
11.4	23.4	8.6	0	1.3	0.8													0.85	0.95	0.85
11.4	23.4	8.6	0	1.3	0.8													0.85	0.95	0.85
11.4	23.4	8.6	0	1.3	0.8													0.85	0.95	0.85

Verifiche della suola

Superficie su cui è valutata la pressione del suolo: rettangolare a filo pilastro

Non sono state richieste le verifiche a taglio della suola.

Armatura inferiore in direzione X 5 diam. 12 mm Armatura superiore in direzione X 4 diam. 12 mm

Armatura inferiore in direzione Y 5 diam. 12 mm Armatura superiore in direzione Y 4 diam. 12 mm

Famiglia "Limite ultimo"

Si stampano le 5 situazioni più gravose per tipo di verifica

Coefficiente di sicurezza minimo a flessione 4

Desc.	Tipo sez.	Comb.	M	Mu	Verifica
norm.X-	filo pil.	SLU 75	34.5284	138.194	Si
norm.Y-	filo pil.	SLU 75	33.9472	137.7047	Si
norm.Y+	filo pil.	SLU 75	32.43	137.7047	Si
norm.X-	filo pil.	SLU 37	31.9538	138.194	Si
norm.X-	filo pil.	SLU 56	31.9494	138.194	Si

Famiglia "Esercizio raro"

Si stampano le 5 situazioni più gravose per tipo di verifica

Valori limite: σ lim. 14940 of lim. 360000

Coefficiente di sicurezza minimo per verifica tensioni 81.6

Desc.	Tipo sez.	Comb.	M	Fessurata	σ C	σ F	Verifica
norm.X-	filo pil.	SLE RA 18	24.1632	No	-183	921	Si
norm.Y-	filo pil.	SLE RA 18	23.7367	No	-180	865	Si
norm.Y+	filo pil.	SLE RA 18	22.6816	No	-172	826	Si
norm.X+	filo pil.	SLE RA 18	22.2551	No	-169	848	Si
norm.X-	filo pil.	SLE RA 16	21.4771	No	-163	818	Si

Famiglia "Esercizio frequente"

Si stampano le 5 situazioni più gravose per tipo di verifica

Valori limite di apertura fessure: w lim. 0.0004

Coefficiente di sicurezza minimo per apertura fessure 999

Desc.	Tipo sez.	Comb.	M	Fessurata	w	Verifica
norm.X+	filo pil.	SLE FR 2	9.5061	No	0	Si
norm.Y-	filo pil.	SLE FR 4	11.0619	No	0	Si
norm.Y-	filo pil.	SLE FR 1	11.9455	No	0	Si
norm.Y-	filo pil.	SLE FR 2	10.2393	No	0	Si
norm.X-	filo pil.	SLE FR 3	13.1618	No	0	Si

Famiglia "Esercizio quasi permanente"

Valori limite: σ lim. 11205 w lim. 0.0003

Coefficiente di sicurezza minimo per verifica tensioni 122.95

Coefficiente di sicurezza minimo per apertura fessure 999

Desc.	Tipo sez.	Comb.	M	Fessurata	σ C	w	Verifica
norm.X-	filo pil.	SLE QP 1	12.2664	No	-91	0	Si
norm.Y-	filo pil.	SLE QP 1	11.9455	No	-89	0	Si
norm.Y+	filo pil.	SLE QP 1	11.4339	No	-85	0	Si
norm.X+	filo pil.	SLE QP 1	11.1131	No	-83	0	Si

Famiglia "Limite ultimo sismico"

Si stampano le 5 situazioni più gravose per tipo di verifica

Coefficiente di sicurezza minimo a flessione 5.09

Desc.	Tipo sez.	Comb.	M	Mu	Verifica
norm.X-	filo pil.	SLV 4	25.7006	130.9343	Si
norm.X-	filo pil.	SLV 3	25.7006	130.9343	Si
norm.X-	filo pil.	SLV 7	25.4848	130.9343	Si
norm.X-	filo pil.	SLV 8	25.4848	130.9343	Si
norm.X+	filo pil.	SLV 13	24.5226	130.9343	Si

Verifiche a punzonamento

Famiglia "Limite ultimo"

Verifiche in adiacenza all'elemento punzonante (perimetro U0)

Coefficiente di sicurezza minimo 51.92

Comb.	Elemento punzonante	d	Perimetro	Perim. minim.	N	β	Peso cono	Reazione suolo	VEd,red	VRd,max	Verifica
SLU 76	pilastro	0.613	1.2	No	-34.69	1.43	1.58	8.8	54	2822	Si
SLU 57	pilastro	0.613	1.2	No	-32.55	1.43	1.58	8.14	51	2822	Si
SLU 73	pilastro	0.613	1.2	No	-32.69	1.5	1.58	9.84	51	2822	Si
SLU 68	pilastro	0.613	1.2	No	-30.87	1.42	1.58	7.61	49	2822	Si

Implementazione dei sistemi di confinamento delle emissioni odorigene diffuse dell'impianto di compostaggio esistente nel
Comune di Eboli (SA)
PROGETTO DEFINITIVO – Tabulati di calcolo Tomo 1

Comb.	Elemento punzonante	d	Perimetro	Perim. minim.	N	β	Peso cono	Reazione suolo	VEd,red	VRd,max	Verifica
SLU 72	pilastro	0.613	1.2	No	-30.87	1.42	1.58	7.61	49	2822	Si

Verifiche a distanza $\leq 2d$ dall'elemento punzonante (perimetro U1)

Coefficiente di sicurezza minimo 232.69

Comb.	Elem. punz.	d	Offset	Perim. utile	Perim. minim.	N	β	Peso cono	Reazione suolo	VEd,red	p_I	VRd	Asw	VRd,cs	Verifica
SLU 64	pilastro	0.613	0.098	1.82	No	-28.38	1.22	2.78	15.14	18	0.0004	4300	0	0	Si
SLU 45	pilastro	0.613	0.098	1.82	No	-26.24	1.21	2.78	13.39	18	0.0004	4300	0	0	Si
SLU 76	pilastro	0.613	0.074	1.66	No	-34.69	1.29	2.45	19.08	24	0.0004	5733	0	0	Si
SLU 61	pilastro	0.613	0.123	1.97	No	-24.56	1.19	3.14	14.35	14	0.0004	3440	0	0	Si
SLU 42	pilastro	0.613	0.123	1.97	No	-22.42	1.18	3.14	12.25	14	0.0004	3440	0	0	Si

Coordinate del perimetro del cono punzonante a distanza 0.098 dal pilastro

Vert.	x	y	Vert.	x	y	Vert.	x	y	Vert.	x	y	Vert.	x	y	Vert.	x	y
1	-0.248	-0.15	2	-0.246	-0.169	3	-0.241	-0.188	4	-0.232	-0.204	5	-0.219	-0.219	6	-0.204	-0.232
7	-0.188	-0.241	8	-0.169	-0.246	9	-0.15	-0.248	10	-0.15	-0.248	11	0.169	-0.246	12	0.188	-0.241
13	0.204	-0.232	14	0.219	-0.219	15	0.232	-0.204	16	0.241	-0.188	17	0.246	-0.169	18	0.248	-0.15
19	0.248	0.15	20	0.246	0.169	21	0.241	0.188	22	0.232	0.204	23	0.219	0.219	24	0.204	0.232
25	0.188	0.241	26	0.169	0.246	27	0.15	0.248	28	-0.15	0.248	29	-0.169	0.246	30	-0.188	0.241
31	-0.204	0.232	32	-0.219	0.219	33	-0.232	0.204	34	-0.241	0.188	35	-0.246	0.169	36	-0.248	0.15

Famiglia "Limite ultimo sismico"

Verifiche in adiacenza all'elemento punzonante (perimetro U0)

Coefficiente di sicurezza minimo 10.78

Comb.	Elemento punzonante	d	Perimetro	Perim. minim.	N	β	Peso cono	Reazione suolo	VEd,red	VRd,max	Verifica
SLV 14	pilastro	0.613	1.2	No	-21.45	10.5	1.58	4.69	262	2822	Si
SLV 13	pilastro	0.613	1.2	No	-21.45	10.5	1.58	4.69	262	2822	Si
SLV 9	pilastro	0.613	1.2	No	-21.52	10.39	1.58	4.71	260	2822	Si
SLV 10	pilastro	0.613	1.2	No	-21.52	10.39	1.58	4.71	260	2822	Si
SLV 4	pilastro	0.613	1.2	No	-10.27	22.38	1.58	4.65	219	2822	Si

Verifiche a distanza $\leq 2d$ dall'elemento punzonante (perimetro U1)

Coefficiente di sicurezza minimo 52.75

Comb.	Elem. punz.	d	Offset	Perim. utile	Perim. minim.	N	β	Peso cono	Reazione suolo	VEd,red	p_I	VRd	Asw	VRd,cs	Verifica
SLV 9	pilastro	0.613	0.172	2.74	Si	-21.52	39.71	6.2	25.75	47	0.0004	2457	0	0	Si
SLV 10	pilastro	0.613	0.172	2.74	Si	-21.52	39.71	6.2	25.75	47	0.0004	2457	0	0	Si
SLV 14	pilastro	0.613	0.172	2.74	Si	-21.45	35.74	6.2	25.48	46	0.0004	2457	0	0	Si
SLV 13	pilastro	0.613	0.172	2.74	Si	-21.45	35.74	6.2	25.48	46	0.0004	2457	0	0	Si
SLV 7	pilastro	0.613	0.074	2.43	Si	-10.2	226.99	4.47	14.25	63	0.0004	5733	0	0	Si

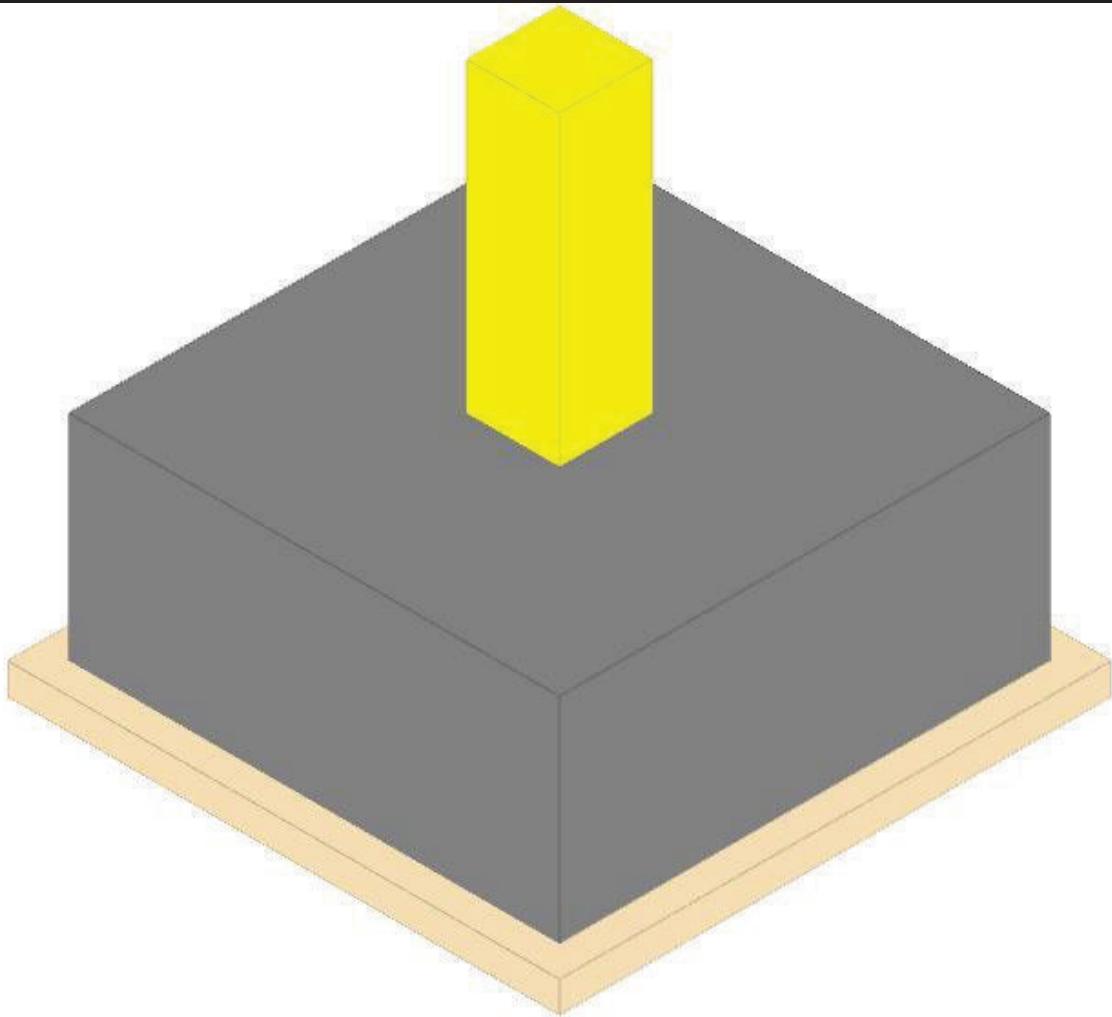
Coordinate del perimetro del cono punzonante a distanza 0.172 dal pilastro

Vert.	x	y	Vert.	x	y	Vert.	x	y	Vert.	x	y	Vert.	x	y	Vert.	x	y
1	-0.8	0.322	2	-0.8	-0.322	3	0.15	-0.322	4	0.183	-0.318	5	0.216	-0.309	6	0.245	-0.293
7	0.271	-0.271	8	0.293	-0.245	9	0.309	-0.216	10	0.318	-0.183	11	0.322	-0.15	12	0.322	0.15
13	0.318	0.183	14	0.309	0.216	15	0.293	0.245	16	0.271	0.271	17	0.245	0.293	18	0.216	0.309
19	0.183	0.318	20	0.15	0.322												

Plinto (1124; 3008)

Verifiche condotte secondo D.M. 17 gennaio 2018

Geometria



Caratteristiche dei materiali

Calcestruzzo: C25/30; Resistenza cubica caratteristica Rck: 30000
Calcestruzzo per magrone: Magrone; Resistenza cubica caratteristica Rck: 100
Acciaio per armatura: B450C; Fyk: 450000

Caratteristiche geometriche

Suola: dimensione x: 1.6; dimensione y: 1.6; spessore: 0.7
Magrone: sbordo: 0.1; spessore: 0.1; materiale: Magrone
Pilastro rettangolare: dimensione x: 0.3; dimensione y: 0.3
Copriferro: suola: 0.075

Pressioni raggiunte sul terreno

Famiglia "Limite ultimo"

Si stampano le 5 situazioni più gravose per tipo di verifica
Coefficiente di sicurezza minimo 1.41

Comb.	σt max	σt min	σt verifica	Verifica
SLU 76	-77	-123	-174	Si
SLU 57	-73	-116	-174	Si
SLU 73	-69	-111	-174	Si
SLU 72	-70	-111	-174	Si
SLU 68	-70	-111	-174	Si

Famiglia "Limite ultimo sismico"

Si stampano le 5 situazioni più gravose per tipo di verifica
Coefficiente di sicurezza minimo 1.67

Comb.	σt max	σt min	σt verifica	Verifica
SLV 8	0	-104	-174	Si
SLV 7	0	-104	-174	Si
SLV 3	0	-104	-174	Si
SLV 4	0	-104	-174	Si
SLV 10	0	-84	-174	Si

Verifiche a ribaltamento

Famiglia "Equilibrio", Famiglia "Limite ultimo", Famiglia "Limite ultimo sismico"

Si stampano le 5 situazioni più gravose per tipo di verifica
Coefficiente di sicurezza minimo 2.19

Comb.	Asse di rotazione	Verifica
-------	-------------------	----------

Implementazione dei sistemi di confinamento delle emissioni odorigene diffuse dell'impianto di compostaggio esistente nel
Comune di Eboli (SA)

PROGETTO DEFINITIVO – Tabulati di calcolo Tomo 1

	x1	y1	x2	y2	yR	Mrib	Mstb	c.s.	
SLV 7	-0.8	0.8	-0.8	-0.8	1.15	46.3491	101.3254	2.19	Si
SLV 8	-0.8	0.8	-0.8	-0.8	1.15	46.3491	101.3254	2.19	Si
SLV 4	-0.8	0.8	-0.8	-0.8	1.15	45.5101	102.1712	2.25	Si
SLV 3	-0.8	0.8	-0.8	-0.8	1.15	45.5101	102.1712	2.25	Si
SLV 7	-0.8	0.8	-0.8	-0.8	1	46.3491	116.5242	2.51	Si

Verifiche geotecniche di scorrimento e capacità portante

Impronta al suolo: 1.8x1.8
Terreno laterale di approfondimento piano posa: Eboli 1
Spessore terreno laterale: 0.7
Moltiplicatore resistenza passiva per verifica scorrimento: 0
Coefficiente di attrito Cls-Magrone per verifica scorrimento: 0.7

Caratteristiche del terreno a contatto con il piano di posa della fondazione

Descrizione	y naturale	y saturo	Angolo Attrito Interno	Angolo Attrito δ	Coesione Efficace	Coesione Non Drenata	Coeff. Adesione
Eboli 1	18	20	24	18	26	0	1

Caratteristiche del terreno di progetto per la capacità portante della fondazione

Descrizione	y naturale	y saturo	Angolo Attrito Interno	Angolo Attrito δ	Coesione Efficace	Coesione Non Drenata	Coeff. Adesione
Suolo medio nel bulbo di influenza	18	20	24	18	26	0	1

Caratteristiche del terreno laterale di approfondimento della fondazione

Descrizione	y naturale	y saturo	Angolo Attrito Interno	Angolo Attrito δ	Coesione Efficace	Coesione Non Drenata	Coeff. Adesione
Eboli 1	18	20	24	18	26	0	1

Verifiche a slittamento magrone-calcestruzzo

Famiglia "Limite ultimo"

Si stampano le 5 situazioni più gravose per tipo di verifica
Coefficiente di sicurezza minimo a slittamento cls-magrone 3.53

Cmb	Act.h.	Act.v.	Attrito	Laterale	yR	Rd	Ed	Rd/Ed	Verifica
SLU 38	51.62	-286.35	35	0	1.1	182.22	51.62	3.53	Si
SLU 19	47.42	-269.24	35	0	1.1	171.33	47.42	3.61	Si
SLU 26	43.03	-247.02	35	0	1.1	157.2	43.03	3.65	Si
SLU 34	44.12	-255.8	35	0	1.1	162.78	44.12	3.69	Si
SLU 30	44.12	-255.8	35	0	1.1	162.78	44.12	3.69	Si

Famiglia "Limite ultimo sismico"

Si stampano le 5 situazioni più gravose per tipo di verifica
Coefficiente di sicurezza minimo a slittamento cls-magrone 3.55

Cmb	Act.h.	Act.v.	Attrito	Laterale	yR	Rd	Ed	Rd/Ed	Verifica
SLV 7	29.13	-162.32	35	0	1.1	103.3	29.13	3.55	Si
SLV 8	29.13	-162.32	35	0	1.1	103.3	29.13	3.55	Si
SLV 11	26.88	-155.76	35	0	1.1	99.12	26.88	3.69	Si
SLV 12	26.88	-155.76	35	0	1.1	99.12	26.88	3.69	Si
SLV 3	25.91	-163.54	35	0	1.1	104.07	25.91	4.02	Si

Verifica di scorrimento

Famiglia "Limite ultimo"

Si stampano le 5 situazioni più gravose per tipo di verifica
Coefficiente di sicurezza minimo a scorrimento 1.64

Cmb	Act.h.	Act.v.	Cond.	Ades.	Attrito	Laterale	yR	Rd	Ed	Rd/Ed	Verifica
SLU 38	51.62	-286.35	LT	0	18	0	1.1	84.58	51.62	1.64	Si
SLU 19	47.42	-269.24	LT	0	18	0	1.1	79.53	47.42	1.68	Si
SLU 26	43.03	-247.02	LT	0	18	0	1.1	72.97	43.03	1.7	Si
SLU 34	44.12	-255.8	LT	0	18	0	1.1	75.56	44.12	1.71	Si
SLU 30	44.12	-255.8	LT	0	18	0	1.1	75.56	44.12	1.71	Si

Famiglia "Limite ultimo sismico"

Si stampano le 5 situazioni più gravose per tipo di verifica
Coefficiente di sicurezza minimo a scorrimento 1.65

Cmb	Act.h.	Act.v.	Cond.	Ades.	Attrito	Laterale	yR	Rd	Ed	Rd/Ed	Verifica
SLV 7	29.13	-162.32	LT	0	18	0	1.1	47.95	29.13	1.65	Si
SLV 8	29.13	-162.32	LT	0	18	0	1.1	47.95	29.13	1.65	Si
SLV 11	26.88	-155.76	LT	0	18	0	1.1	46.01	26.88	1.71	Si
SLV 12	26.88	-155.76	LT	0	18	0	1.1	46.01	26.88	1.71	Si
SLV 3	25.91	-163.54	LT	0	18	0	1.1	48.31	25.91	1.86	Si

Verifica di capacità portante

Famiglia "Limite ultimo"

Si stampano le 5 situazioni più gravose per tipo di verifica
Coefficiente di sicurezza minimo per portanza 4.25

Cmb	Fx	Fy	Fz	Mx	My	B'	L'	Cnd	Coes	Phi	Peso	Ovl	Amax	yR	Rd	Ed	Rd/Ed	Note	Verifica
SLU 76	-5.53	54.49	-323.97	3.8195	-18.6513	1.68	1.78	LT	26	24	18	14	0	2.3	1376.62	323.97	4.25		Si
SLU 57	-5.15	50.31	-306.86	3.5515	-17.3653	1.69	1.78	LT	26	24	18	14	0	2.3	1378.71	306.86	4.49		Si
SLU 72	-4.85	47.02	-293.42	3.3409	-16.3549	1.69	1.78	LT	26	24	18	14	0	2.3	1380.53	293.42	4.7		Si
SLU 68	-4.85	47.02	-293.42	3.3409	-16.3549	1.69	1.78	LT	26	24	18	14	0	2.3	1380.53	293.42	4.7		Si
SLU 73	-4.97	44.88	-291.31	3.5926	-17.0407	1.68	1.78	LT	26	24	18	14	0	2.3	1374.12	291.31	4.72		Si

Fattori di capacità portante Famiglia "Limite ultimo"

N			S			D			I			G			P			E		
Nq	Nc	Ng	Sq	Sc	Sg	Dq	Dc	Dg	Iq	Ic	Ig	Gq	Gc	Gg	Pq	Pc	Pg	Eq	Ec	Eg
11.4	23.4	8.6	0	1.3	0.8													1	1	1
11.4	23.4	8.6	0	1.3	0.8													1	1	1
11.4	23.4	8.6	0	1.3	0.8													1	1	1
11.4	23.4	8.6	0	1.3	0.8													1	1	1

Implementazione dei sistemi di confinamento delle emissioni odorigene diffuse dell'impianto di compostaggio esistente nel
Comune di Eboli (SA)

PROGETTO DEFINITIVO – Tabulati di calcolo Tomo 1

N			S			D			I			G			P			E		
Nq	Nc	Ng	Sq	Sc	Sg	Dq	Dc	Dg	Iq	lc	Ig	Gq	Gc	Gg	Pq	Pc	Pg	Eq	Ec	Eg
11.4	23.4	8.6	0	1.3	0.8													1	1	1

Famiglia "Limite ultimo sismico"

Si stampano le 5 situazioni più gravose per tipo di verifica

Coefficiente di sicurezza minimo per portanza 5.38

Cmb	Fx	Fy	Fz	Mx	My	B'	L'	Cnd	Coes	Phi	Peso	Ovi	Amax	yR	Rd	Ed	Rd/Ed	Note	Verifica
SLV 7	-6.79	28.33	-162.32	-5.5788	-47.0278	1.22	1.73	LT	26	24	18	14	0.17	2.3	873.67	162.32	5.38		Si
SLV 8	-6.79	28.33	-162.32	-5.5788	-47.0278	1.22	1.73	LT	26	24	18	14	0.17	2.3	873.67	162.32	5.38		Si
SLV 4	-13.43	22.16	-163.54	-5.0705	-46.8536	1.23	1.74	LT	26	24	18	14	0.17	2.3	882.01	163.54	5.39		Si
SLV 3	-13.43	22.16	-163.54	-5.0705	-46.8536	1.23	1.74	LT	26	24	18	14	0.17	2.3	882.01	163.54	5.39		Si
SLV 9	2.44	4.41	-137.34	8.779	31.9755	1.33	1.67	LT	26	24	18	14	0.17	2.3	928.32	137.34	6.76		Si

Fattori di capacità portante Famiglia "Limite ultimo sismico"

N			S			D			I			G			P			E		
Nq	Nc	Ng	Sq	Sc	Sg	Dq	Dc	Dg	Iq	lc	Ig	Gq	Gc	Gg	Pq	Pc	Pg	Eq	Ec	Eg
11.4	23.4	8.6	0	1.3	0.8													0.85	0.95	0.85
11.4	23.4	8.6	0	1.3	0.8													0.85	0.95	0.85
11.4	23.4	8.6	0	1.3	0.8													0.85	0.95	0.85
11.4	23.4	8.6	0	1.3	0.8													0.85	0.95	0.85
11.4	23.4	8.6	0	1.3	0.8													0.85	0.95	0.85

Verifiche della suola

Superficie su cui è valutata la pressione del suolo: rettangolare a filo pilastro

Non sono state richieste le verifiche a taglio della suola.

Armatura inferiore in direzione X 5 diam. 12 mm Armatura superiore in direzione X 4 diam. 12 mm

Armatura inferiore in direzione Y 5 diam. 12 mm Armatura superiore in direzione Y 4 diam. 12 mm

Famiglia "Limite ultimo"

Si stampano le 5 situazioni più gravose per tipo di verifica

Coefficiente di sicurezza minimo a flessione 3.57

Desc.	Tipo sez.	Comb.	M	Mu	Verifica
norm.X-	filo pil.	SLU 76	38.7572	138.194	Si
norm.X-	filo pil.	SLU 57	36.0481	138.194	Si
norm.Y-	filo pil.	SLU 76	35.5693	137.7047	Si
norm.X-	filo pil.	SLU 38	35.6266	138.194	Si
norm.X-	filo pil.	SLU 72	33.9195	138.194	Si

Famiglia "Esercizio raro"

Si stampano le 5 situazioni più gravose per tipo di verifica

Valori limite: σ lim. 14940 of lim. 360000

Coefficiente di sicurezza minimo per verifica tensioni 72.41

Desc.	Tipo sez.	Comb.	M	Fessurata	σ C	σ F	Verifica
norm.X-	filo pil.	SLE RA 19	27.2295	No	-206	1038	Si
norm.Y-	filo pil.	SLE RA 19	24.9469	No	-189	909	Si
norm.X-	filo pil.	SLE RA 11	24.0044	No	-182	915	Si
norm.X-	filo pil.	SLE RA 15	24.0044	No	-182	915	Si
norm.X-	filo pil.	SLE RA 16	23.9812	No	-182	914	Si

Famiglia "Esercizio frequente"

Si stampano le 5 situazioni più gravose per tipo di verifica

Valori limite di apertura fessure: w lim. 0.0004

Coefficiente di sicurezza minimo per apertura fessure 999

Desc.	Tipo sez.	Comb.	M	Fessurata	w	Verifica
norm.X+	filo pil.	SLE FR 4	9.8618	No	0	Si
norm.Y-	filo pil.	SLE FR 5	14.0292	No	0	Si
norm.Y-	filo pil.	SLE FR 1	12.8357	No	0	Si
norm.Y-	filo pil.	SLE FR 4	13.8891	No	0	Si
norm.X-	filo pil.	SLE FR 2	12.4996	No	0	Si

Famiglia "Esercizio quasi permanente"

Valori limite: σ lim. 11205 w lim. 0.0003

Coefficiente di sicurezza minimo per verifica tensioni 105.43

Coefficiente di sicurezza minimo per apertura fessure 999

Desc.	Tipo sez.	Comb.	M	Fessurata	σ C	w	Verifica
norm.X-	filo pil.	SLE QP 1	14.3057	No	-106	0	Si
norm.Y-	filo pil.	SLE QP 1	12.8357	No	-96	0	Si
norm.Y+	filo pil.	SLE QP 1	10.4984	No	-78	0	Si
norm.X+	filo pil.	SLE QP 1	9.0284	No	-67	0	Si

Famiglia "Limite ultimo sismico"

Si stampano le 5 situazioni più gravose per tipo di verifica

Coefficiente di sicurezza minimo a flessione 4.32

Desc.	Tipo sez.	Comb.	M	Mu	Verifica
norm.X-	filo pil.	SLV 8	30.2892	130.9343	Si
norm.X-	filo pil.	SLV 7	30.2892	130.9343	Si
norm.X-	filo pil.	SLV 4	30.0783	130.9343	Si
norm.X-	filo pil.	SLV 3	30.0783	130.9343	Si
norm.X-	filo pil.	SLV 12	22.8768	130.9343	Si

Verifiche a punzonamento

Famiglia "Limite ultimo"

Verifiche in adiacenza all'elemento punzonante (perimetro U0)

Coefficiente di sicurezza minimo 10.62

Comb.	Elemento punzonante	d	Perimetro	Perim. minim.	N	β	Peso cono	Reazione suolo	VEd,red	VRd,max	Verifica
SLU 76	pilastro	0.613	1.2	No	-101.53	2.1	1.58	10.63	266	2822	Si
SLU 57	pilastro	0.613	1.2	No	-95.27	2.09	1.58	10.03	248	2822	Si
SLU 73	pilastro	0.613	1.2	No	-93.52	2.09	1.58	9.48	245	2822	Si
SLU 38	pilastro	0.613	1.2	No	-90.79	2.12	1.58	9.48	239	2822	Si

Implementazione dei sistemi di confinamento delle emissioni odorigene diffuse dell'impianto di compostaggio esistente nel
Comune di Eboli (SA)
PROGETTO DEFINITIVO – Tabulati di calcolo Tomo 1

Comb.	Elemento punzonante	d	Perimetro	Perim. minim.	N	β	Peso cono	Reazione suolo	VEd,red	VRd,max	Verifica
SLU 72	pilastro	0.613	1.2	No	-90.35	2.09	1.58	9.55	235	2822	Si

Verifiche a distanza <=2d dall'elemento punzonante (perimetro U1)

Coefficiente di sicurezza minimo 35.85

Comb.	Elem. punz.	d	Offset	Perim. utile	Perim. minim.	N	β	Peso cono	Reazione suolo	VEd,red	p_I	VRd	Asw	VRd,cs	Verifica
SLU 76	pilastro	0.613	0.123	1.97	No	-101.53	1.61	3.14	33.54	96	0.0004	3440	0	0	Si
SLU 73	pilastro	0.613	0.147	2.12	No	-93.52	1.55	3.51	35.19	75	0.0004	2866	0	0	Si
SLU 57	pilastro	0.613	0.123	1.97	No	-95.27	1.6	3.14	31.64	90	0.0004	3440	0	0	Si
SLU 38	pilastro	0.613	0.123	1.97	No	-90.79	1.62	3.14	29.92	86	0.0004	3440	0	0	Si
SLU 72	pilastro	0.613	0.123	1.97	No	-90.35	1.6	3.14	30.15	85	0.0004	3440	0	0	Si

Coordinate del perimetro del cono punzonante a distanza 0.123 dal pilastro

Vert.	x	y	Vert.	x	y	Vert.	x	y	Vert.	x	y	Vert.	x	y	Vert.	x	y
1	-0.273	-0.15	2	-0.27	-0.174	3	-0.263	-0.197	4	-0.252	-0.218	5	-0.237	-0.237	6	-0.218	-0.252
7	-0.197	-0.263	8	-0.174	-0.27	9	-0.15	-0.273	10	-0.15	-0.273	11	0.174	-0.27	12	0.197	-0.263
13	0.218	-0.252	14	0.237	-0.237	15	0.252	-0.218	16	0.263	-0.197	17	0.27	-0.174	18	0.273	-0.15
19	0.273	0.15	20	0.27	0.174	21	0.263	0.197	22	0.252	0.218	23	0.237	0.237	24	0.218	0.252
25	0.197	0.263	26	0.174	0.27	27	0.15	0.273	28	-0.15	0.273	29	-0.174	0.27	30	-0.197	0.263
31	-0.218	0.252	32	-0.237	0.237	33	-0.252	0.218	34	-0.263	0.197	35	-0.27	0.174	36	-0.273	0.15

Famiglia "Limite ultimo sismico"

Verifiche in adiacenza all'elemento punzonante (perimetro U0)

Coefficiente di sicurezza minimo 7.05

Comb.	Elemento punzonante	d	Perimetro	Perim. minim.	N	β	Peso cono	Reazione suolo	VEd,red	VRd,max	Verifica
SLV 3	pilastro	0.613	1.2	No	-51.16	6.18	1.58	5.12	400	2822	Si
SLV 4	pilastro	0.613	1.2	No	-51.16	6.18	1.58	5.12	400	2822	Si
SLV 8	pilastro	0.613	1.2	No	-37.44	8.17	1.58	5.06	377	2822	Si
SLV 7	pilastro	0.613	1.2	No	-37.44	8.17	1.58	5.06	377	2822	Si
SLV 9	pilastro	0.613	1.2	No	-52.08	4.75	1.58	4.23	319	2822	Si

Verifiche a distanza <=2d dall'elemento punzonante (perimetro U1)

Coefficiente di sicurezza minimo 22.14

Comb.	Elem. punz.	d	Offset	Perim. utile	Perim. minim.	N	β	Peso cono	Reazione suolo	VEd,red	p_I	VRd	Asw	VRd,cs	Verifica
SLV 3	pilastro	0.613	0.294	2.36	Si	-51.16	300.05	11.62	62.47	65	0.0004	1433	0	0	Si
SLV 4	pilastro	0.613	0.294	2.36	Si	-51.16	300.05	11.62	62.47	65	0.0004	1433	0	0	Si
SLV 9	pilastro	0.613	0.343	2.44	Si	-52.08	11.27	12.39	57.46	53	0.0004	1228	0	0	Si
SLV 10	pilastro	0.613	0.343	2.44	Si	-52.08	11.27	12.39	57.46	53	0.0004	1228	0	0	Si
SLV 8	pilastro	0.613	0.196	2.21	Si	-37.44	156.36	10.14	46.93	76	0.0004	2150	0	0	Si

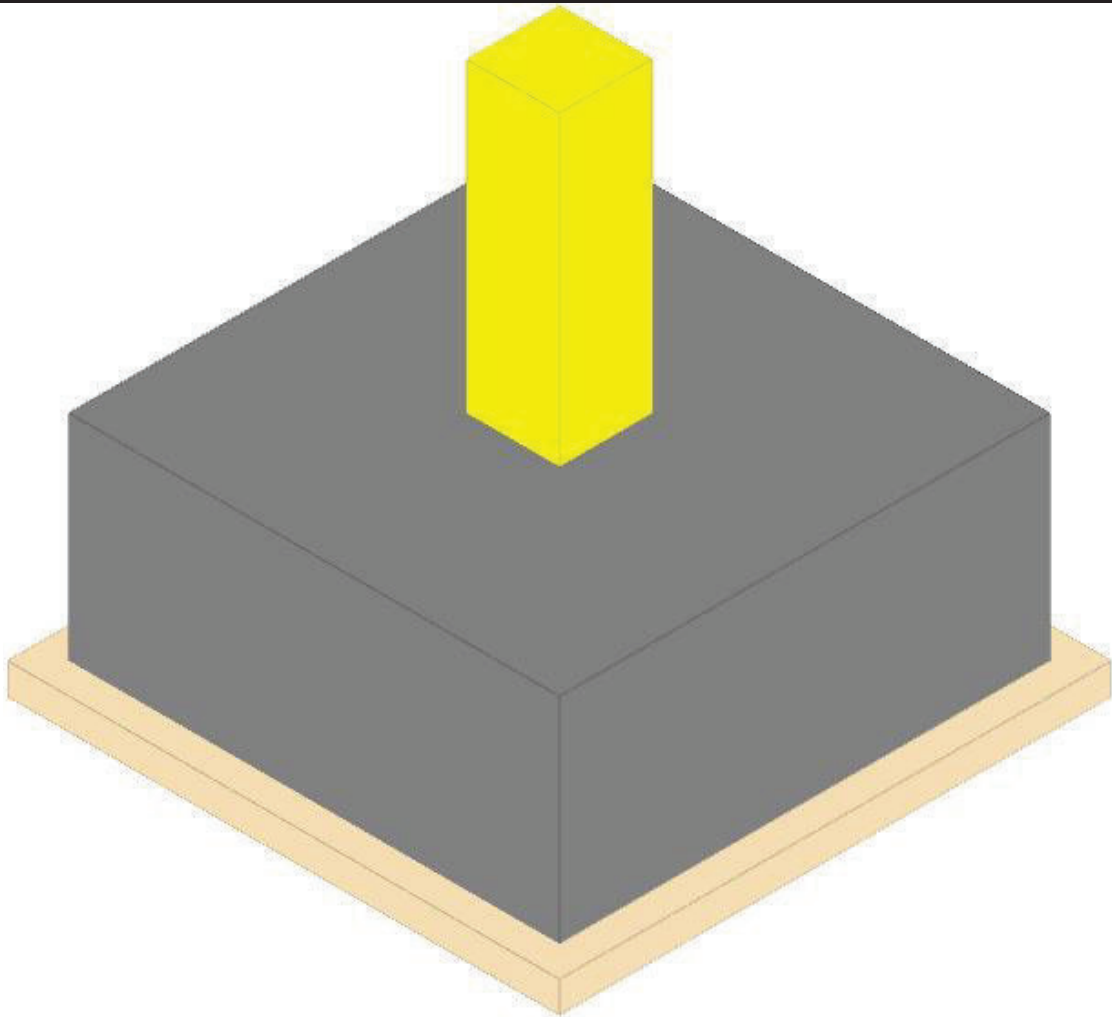
Coordinate del perimetro del cono punzonante a distanza 0.294 dal pilastro

Vert.	x	y	Vert.	x	y	Vert.	x	y	Vert.	x	y	Vert.	x	y	Vert.	x	y
1	0.8	-0.8	2	0.8	0.444	3	-0.15	0.444	4	-0.207	0.439	5	-0.263	0.422	6	-0.313	0.395
7	-0.358	0.358	8	-0.395	0.313	9	-0.422	0.263	10	-0.439	0.207	11	-0.444	0.15	12	-0.444	-0.8

Plinto (1998; 2185)

Verifiche condotte secondo D.M. 17 gennaio 2018

Geometria



Caratteristiche dei materiali

Calcestruzzo: C25/30; Resistenza cubica caratteristica Rck: 30000
Calcestruzzo per magrone: Magrone; Resistenza cubica caratteristica Rck: 100
Acciaio per armatura: B450C; Fyk: 450000

Caratteristiche geometriche

Suola: dimensione x: 1.6; dimensione y: 1.6; spessore: 0.7
Magrone: sbordo: 0.1; spessore: 0.1; materiale: Magrone
Pilastro rettangolare: dimensione x: 0.3; dimensione y: 0.3
Copriferro: suola: 0.075

Pressioni raggiunte sul terreno

Famiglia "Limite ultimo"

Si stampano le 5 situazioni più gravose per tipo di verifica
Coefficiente di sicurezza minimo 1.77

Comb.	σt max	σt min	σt verifica	Verifica
SLU 75	-81	-98	-174	Si
SLU 56	-77	-93	-174	Si
SLU 73	-76	-92	-174	Si
SLU 71	-74	-89	-174	Si
SLU 67	-74	-89	-174	Si

Famiglia "Limite ultimo sismico"

Si stampano le 5 situazioni più gravose per tipo di verifica
Coefficiente di sicurezza minimo 1.67

Comb.	σt max	σt min	σt verifica	Verifica
SLV 3	0	-104	-174	Si
SLV 4	0	-104	-174	Si
SLV 8	0	-103	-174	Si
SLV 7	0	-103	-174	Si
SLV 14	0	-89	-174	Si

Verifiche a ribaltamento

Famiglia "Equilibrio", Famiglia "Limite ultimo", Famiglia "Limite ultimo sismico"

Si stampano le 5 situazioni più gravose per tipo di verifica
Coefficiente di sicurezza minimo 2.02

Comb.	Asse di rotazione	Verifica
-------	-------------------	----------

Implementazione dei sistemi di confinamento delle emissioni odorigene diffuse dell'impianto di compostaggio esistente nel
Comune di Eboli (SA)

PROGETTO DEFINITIVO – Tabulati di calcolo Tomo 1

	x1	y1	x2	y2	yR	Mrib	Mstb	c.s.	
SLV 10	0.8	-0.8	0.8	0.8	1.15	38.1367	77.0541	2.02	Si
SLV 9	0.8	-0.8	0.8	0.8	1.15	38.1367	77.0541	2.02	Si
SLV 14	0.8	-0.8	0.8	0.8	1.15	37.4569	79.2411	2.12	Si
SLV 13	0.8	-0.8	0.8	0.8	1.15	37.4569	79.2411	2.12	Si
SLV 4	-0.8	0.8	-0.8	-0.8	1.15	44.3481	96.8653	2.18	Si

Verifiche geotecniche di scorrimento e capacità portante

Impronta al suolo: 1.8x1.8
Terreno laterale di approfondimento piano posa: Eboli 1
Spessore terreno laterale: 0.7
Moltiplicatore resistenza passiva per verifica scorrimento: 0
Coefficiente di attrito Cls-Magrone per verifica scorrimento: 0.7

Caratteristiche del terreno a contatto con il piano di posa della fondazione

Descrizione	y naturale	y saturo	Angolo Attrito Interno	Angolo Attrito δ	Coesione Efficace	Coesione Non Drenata	Coeff. Adesione
Eboli 1	18	20	24	18	26	0	1

Caratteristiche del terreno di progetto per la capacità portante della fondazione

Descrizione	y naturale	y saturo	Angolo Attrito Interno	Angolo Attrito δ	Coesione Efficace	Coesione Non Drenata	Coeff. Adesione
Suolo medio nel bulbo di influenza	18	20	24	18	26	0	1

Caratteristiche del terreno laterale di approfondimento della fondazione

Descrizione	y naturale	y saturo	Angolo Attrito Interno	Angolo Attrito δ	Coesione Efficace	Coesione Non Drenata	Coeff. Adesione
Eboli 1	18	20	24	18	26	0	1

Verifiche a slittamento magrone-calcestruzzo

Famiglia "Limite ultimo"

Si stampano le 5 situazioni più gravose per tipo di verifica
Coefficiente di sicurezza minimo a slittamento cls-magrone 4.01

Cmb	Act.h.	Act.v.	Attrito	Laterale	yR	Rd	Ed	Rd/Ed	Verifica
SLU 37	40.38	-254.22	35	0	1.1	161.77	40.38	4.01	Si
SLU 18	37.1	-239.03	35	0	1.1	152.11	37.1	4.1	Si
SLU 25	32.41	-212.51	35	0	1.1	135.23	32.41	4.17	Si
SLU 29	34.53	-227.1	35	0	1.1	144.52	34.53	4.19	Si
SLU 33	34.53	-227.1	35	0	1.1	144.52	34.53	4.19	Si

Famiglia "Limite ultimo sismico"

Si stampano le 5 situazioni più gravose per tipo di verifica
Coefficiente di sicurezza minimo a slittamento cls-magrone 3.05

Cmb	Act.h.	Act.v.	Attrito	Laterale	yR	Rd	Ed	Rd/Ed	Verifica
SLV 13	27.2	-130.58	35	0	1.1	83.09	27.2	3.05	Si
SLV 14	27.2	-130.58	35	0	1.1	83.09	27.2	3.05	Si
SLV 15	25.77	-138.5	35	0	1.1	88.13	25.77	3.42	Si
SLV 16	25.77	-138.5	35	0	1.1	88.13	25.77	3.42	Si
SLV 9	23.03	-127.43	35	0	1.1	81.09	23.03	3.52	Si

Verifica di scorrimento

Famiglia "Limite ultimo"

Si stampano le 5 situazioni più gravose per tipo di verifica
Coefficiente di sicurezza minimo a scorrimento 1.86

Cmb	Act.h.	Act.v.	Cond.	Ades.	Attrito	Laterale	yR	Rd	Ed	Rd/Ed	Verifica
SLU 37	40.38	-254.22	LT	0	18	0	1.1	75.09	40.38	1.86	Si
SLU 18	37.1	-239.03	LT	0	18	0	1.1	70.61	37.1	1.9	Si
SLU 25	32.41	-212.51	LT	0	18	0	1.1	62.77	32.41	1.94	Si
SLU 29	34.53	-227.1	LT	0	18	0	1.1	67.08	34.53	1.94	Si
SLU 33	34.53	-227.1	LT	0	18	0	1.1	67.08	34.53	1.94	Si

Famiglia "Limite ultimo sismico"

Si stampano le 5 situazioni più gravose per tipo di verifica
Coefficiente di sicurezza minimo a scorrimento 1.42

Cmb	Act.h.	Act.v.	Cond.	Ades.	Attrito	Laterale	yR	Rd	Ed	Rd/Ed	Verifica
SLV 13	27.2	-130.58	LT	0	18	0	1.1	38.57	27.2	1.42	Si
SLV 14	27.2	-130.58	LT	0	18	0	1.1	38.57	27.2	1.42	Si
SLV 15	25.77	-138.5	LT	0	18	0	1.1	40.91	25.77	1.59	Si
SLV 16	25.77	-138.5	LT	0	18	0	1.1	40.91	25.77	1.59	Si
SLV 9	23.03	-127.43	LT	0	18	0	1.1	37.64	23.03	1.63	Si

Verifica di capacità portante

Famiglia "Limite ultimo"

Si stampano le 5 situazioni più gravose per tipo di verifica
Coefficiente di sicurezza minimo per portanza 4.98

Cmb	Fx	Fy	Fz	Mx	My	B'	L'	Cnd	Coes	Phi	Peso	Ovl	Amax	yR	Rd	Ed	Rd/Ed	Note	Verifica
SLU 75	-2.61	43.36	-290.68	0.2135	-8.0539	1.74	1.8	LT	26	24	18	14	0	2.3	1448.19	290.68	4.98		Si
SLU 56	-2.43	40.09	-275.5	0.1923	-7.4891	1.75	1.8	LT	26	24	18	14	0	2.3	1449.21	275.5	5.26		Si
SLU 73	-2.4	37.77	-271.9	0.2688	-7.8041	1.74	1.8	LT	26	24	18	14	0	2.3	1445.97	271.9	5.32		Si
SLU 71	-2.29	37.52	-263.57	0.1757	-7.0454	1.75	1.8	LT	26	24	18	14	0	2.3	1450.09	263.57	5.5		Si
SLU 67	-2.29	37.52	-263.57	0.1757	-7.0454	1.75	1.8	LT	26	24	18	14	0	2.3	1450.09	263.57	5.5		Si

Fattori di capacità portante Famiglia "Limite ultimo"

N			S			D			I			G			P			E		
Nq	Nc	Ng	Sq	Sc	Sg	Dq	Dc	Dg	Iq	Ic	Ig	Gq	Gc	Gg	Pq	Pc	Pg	Eq	Ec	Eg
11.4	23.4	8.6	0	1.3	0.8													1	1	1
11.4	23.4	8.6	0	1.3	0.8													1	1	1
11.4	23.4	8.6	0	1.3	0.8													1	1	1
11.4	23.4	8.6	0	1.3	0.8													1	1	1

Implementazione dei sistemi di confinamento delle emissioni odorigene diffuse dell'impianto di compostaggio esistente nel
Comune di Eboli (SA)

PROGETTO DEFINITIVO – Tabulati di calcolo Tomo 1

N			S			D			I			G			P			E		
Nq	Nc	Ng	Sq	Sc	Sg	Dq	Dc	Dg	Iq	lc	Ig	Gq	Gc	Gg	Pq	Pc	Pg	Eq	Ec	Eg
11.4	23.4	8.6	0	1.3	0.8													1	1	1

Famiglia "Limite ultimo sismico"

Si stampano le 5 situazioni più gravose per tipo di verifica

Coefficiente di sicurezza minimo per portanza 5.44

Cmb	Fx	Fy	Fz	Mx	My	B'	L'	Cnd	Coes	Phi	Peso	Ovi	Amax	yR	Rd	Ed	Rd/Ed	Note	Verifica
SLV 3	-7.6	3.06	-155.91	9.333	-45.1076	1.22	1.68	LT	26	24	18	14	0.17	2.3	848.54	155.91	5.44		Si
SLV 4	-7.6	3.06	-155.91	9.333	-45.1076	1.22	1.68	LT	26	24	18	14	0.17	2.3	848.54	155.91	5.44		Si
SLV 7	-13.88	9.9	-159.06	6.1971	-46.4156	1.22	1.72	LT	26	24	18	14	0.17	2.3	865.84	159.06	5.44		Si
SLV 8	-13.88	9.9	-159.06	6.1971	-46.4156	1.22	1.72	LT	26	24	18	14	0.17	2.3	865.84	159.06	5.44		Si
SLV 14	5.47	26.65	-130.58	-9.1032	38.004	1.22	1.66	LT	26	24	18	14	0.17	2.3	836.05	130.58	6.4		Si

Fattori di capacità portante Famiglia "Limite ultimo sismico"

N			S			D			I			G			P			E		
Nq	Nc	Ng	Sq	Sc	Sg	Dq	Dc	Dg	Iq	lc	Ig	Gq	Gc	Gg	Pq	Pc	Pg	Eq	Ec	Eg
11.4	23.4	8.6	0	1.3	0.8													0.85	0.95	0.85
11.4	23.4	8.6	0	1.3	0.8													0.85	0.95	0.85
11.4	23.4	8.6	0	1.3	0.8													0.85	0.95	0.85
11.4	23.4	8.6	0	1.3	0.8													0.85	0.95	0.85
11.4	23.4	8.6	0	1.3	0.8													0.85	0.95	0.85

Verifiche della suola

Superficie su cui è valutata la pressione del suolo: rettangolare a filo pilastro

Non sono state richieste le verifiche a taglio della suola.

Armatura inferiore in direzione X 5 diam. 12 mm Armatura superiore in direzione X 4 diam. 12 mm

Armatura inferiore in direzione Y 5 diam. 12 mm Armatura superiore in direzione Y 4 diam. 12 mm

Famiglia "Limite ultimo"

Si stampano le 5 situazioni più gravose per tipo di verifica

Coefficiente di sicurezza minimo a flessione 4.51

Desc.	Tipo sez.	Comb.	M	Mu	Verifica
norm.X-	filo pil.	SLU 75		30.6418	138.194
norm.X-	filo pil.	SLU 75		29.4712	137.7047
norm.X-	filo pil.	SLU 56		28.4397	138.194
norm.X-	filo pil.	SLU 73		28.0798	138.194
norm.X-	filo pil.	SLU 37		27.9733	138.194

Famiglia "Esercizio raro"

Si stampano le 5 situazioni più gravose per tipo di verifica

Valori limite: σ lim. 14940 of lim. 360000

Coefficiente di sicurezza minimo per verifica tensioni 91.23

Desc.	Tipo sez.	Comb.	M	Fessurata	σ C	σ F	Verifica
norm.X-	filo pil.	SLE RA 18	21.6139	No	-164	824	Si
norm.Y-	filo pil.	SLE RA 18	20.7583	No	-157	756	Si
norm.X-	filo pil.	SLE RA 16	19.9059	No	-151	758	Si
norm.Y-	filo pil.	SLE RA 16	18.9839	No	-144	692	Si
norm.X-	filo pil.	SLE RA 14	18.9923	No	-144	724	Si

Famiglia "Esercizio frequente"

Si stampano le 5 situazioni più gravose per tipo di verifica

Valori limite di apertura fessure: w lim. 0.0004

Coefficiente di sicurezza minimo per apertura fessure 999

Desc.	Tipo sez.	Comb.	M	Fessurata	w	Verifica
norm.X+	filo pil.	SLE FR 3	10.0858	No	0	Si
norm.Y-	filo pil.	SLE FR 2	9.9543	No	0	Si
norm.Y-	filo pil.	SLE FR 5	12.3893	No	0	Si
norm.Y-	filo pil.	SLE FR 3	11.9662	No	0	Si
norm.X-	filo pil.	SLE FR 4	11.4717	No	0	Si

Famiglia "Esercizio quasi permanente"

Valori limite: σ lim. 11205 w lim. 0.0003

Coefficiente di sicurezza minimo per verifica tensioni 125.25

Coefficiente di sicurezza minimo per apertura fessure 999

Desc.	Tipo sez.	Comb.	M	Fessurata	σ C	w	Verifica
norm.X-	filo pil.	SLE QP 1	12.041	No	-89	0	Si
norm.Y-	filo pil.	SLE QP 1	11.3747	No	-85	0	Si
norm.Y+	filo pil.	SLE QP 1	10.2194	No	-76	0	Si
norm.X+	filo pil.	SLE QP 1	9.5531	No	-71	0	Si

Famiglia "Limite ultimo sismico"

Si stampano le 5 situazioni più gravose per tipo di verifica

Coefficiente di sicurezza minimo a flessione 4.45

Desc.	Tipo sez.	Comb.	M	Mu	Verifica
norm.X-	filo pil.	SLV 7		29.4161	130.9343
norm.X-	filo pil.	SLV 8		29.4161	130.9343
norm.X-	filo pil.	SLV 3		28.8268	130.9343
norm.X-	filo pil.	SLV 4		28.8268	130.9343
norm.X+	filo pil.	SLV 14		22.9818	130.9343

Verifiche a punzonamento

Famiglia "Limite ultimo"

Verifiche in adiacenza all'elemento punzonante (perimetro U0)

Coefficiente di sicurezza minimo 15.02

Comb.	Elemento punzonante	d	Perimetro	Perim. minim.	N	β	Peso cono	Reazione suolo	VEd,red	VRd,max	Verifica
SLU 75	pilastro	0.613	1.2	No	-99.84	1.5	1.58	9.46	188	2822	Si
SLU 73	pilastro	0.613	1.2	No	-95.38	1.5	1.58	8.8	181	2822	Si
SLU 56	pilastro	0.613	1.2	No	-92.96	1.49	1.58	8.92	175	2822	Si
SLU 76	pilastro	0.613	1.2	No	-90.92	1.5	1.58	8.14	173	2822	Si

Implementazione dei sistemi di confinamento delle emissioni odorigene diffuse dell'impianto di compostaggio esistente nel
Comune di Eboli (SA)
PROGETTO DEFINITIVO – Tabulati di calcolo Tomo 1

Comb.	Elemento punzonante	d	Perimetro	Perim. minim.	N	β	Peso cono	Reazione suolo	VEd,red	VRd,max	Verifica
SLU 37	pilastro	0.613	1.2	No	-89.74	1.5	1.58	8.35	169	2822	Si

Verifiche a distanza <=2d dall'elemento punzonante (perimetro U1)

Coefficiente di sicurezza minimo 43.05

Comb.	Elem. punz.	d	Offset	Perim. utile	Perim. minim.	N	β	Peso cono	Reazione suolo	VEd,red	p_I	VRd	Asw	VRd,cs	Verifica
SLU 75	pilastro	0.613	0.147	2.12	No	-99.84	1.25	3.51	35.11	67	0.0004	2866	0	0	Si
SLU 73	pilastro	0.613	0.147	2.12	No	-95.38	1.25	3.51	32.66	65	0.0004	2866	0	0	Si
SLU 76	pilastro	0.613	0.147	2.12	No	-90.92	1.25	3.51	30.21	63	0.0004	2866	0	0	Si
SLU 56	pilastro	0.613	0.147	2.12	No	-92.96	1.25	3.51	33.13	62	0.0004	2866	0	0	Si
SLU 54	pilastro	0.613	0.147	2.12	No	-88.5	1.25	3.51	30.68	60	0.0004	2866	0	0	Si

Coordinate del perimetro del cono punzonante a distanza 0.147 dal pilastro

Vert.	x	y	Vert.	x	y	Vert.	x	y	Vert.	x	y	Vert.	x	y	Vert.	x	y
1	-0.297	-0.15	2	-0.294	-0.179	3	-0.286	-0.206	4	-0.272	-0.232	5	-0.254	-0.254	6	-0.232	-0.272
7	-0.206	-0.286	8	-0.179	-0.294	9	-0.15	-0.297	10	-0.15	-0.297	11	0.179	-0.294	12	0.206	-0.286
13	0.232	-0.272	14	0.254	-0.254	15	0.272	-0.232	16	0.286	-0.206	17	0.294	-0.179	18	0.297	-0.15
19	0.297	0.15	20	0.294	0.179	21	0.286	0.206	22	0.272	0.232	23	0.254	0.254	24	0.232	0.272
25	0.206	0.286	26	0.179	0.294	27	0.15	0.297	28	-0.15	0.297	29	-0.179	0.294	30	-0.206	0.286
31	-0.232	0.272	32	-0.254	0.254	33	-0.272	0.232	34	-0.286	0.206	35	-0.294	0.179	36	-0.297	0.15

Famiglia "Limite ultimo sismico"

Verifiche in adiacenza all'elemento punzonante (perimetro U0)

Coefficiente di sicurezza minimo 6.65

Comb.	Elemento punzonante	d	Perimetro	Perim. minim.	N	β	Peso cono	Reazione suolo	VEd,red	VRd,max	Verifica
SLV 8	pilastro	0.613	1.2	No	-71.42	4.59	1.58	4.93	424	2822	Si
SLV 7	pilastro	0.613	1.2	No	-71.42	4.59	1.58	4.93	424	2822	Si
SLV 3	pilastro	0.613	1.2	No	-71.86	4.5	1.58	4.8	420	2822	Si
SLV 4	pilastro	0.613	1.2	No	-71.86	4.5	1.58	4.8	420	2822	Si
SLV 11	pilastro	0.613	1.2	No	-58.24	3.94	1.58	4.82	295	2822	Si

Verifiche a distanza <=2d dall'elemento punzonante (perimetro U1)

Coefficiente di sicurezza minimo 18.23

Comb.	Elem. punz.	d	Offset	Perim. utile	Perim. minim.	N	β	Peso cono	Reazione suolo	VEd,red	p_I	VRd	Asw	VRd,cs	Verifica
SLV 3	pilastro	0.613	0.343	2.44	Si	-71.86	4.65	12.39	62.6	67	0.0004	1228	0	0	Si
SLV 4	pilastro	0.613	0.343	2.44	Si	-71.86	4.65	12.39	62.6	67	0.0004	1228	0	0	Si
SLV 8	pilastro	0.613	0.343	2.44	Si	-71.42	5.52	12.39	65.62	67	0.0004	1228	0	0	Si
SLV 7	pilastro	0.613	0.343	2.44	Si	-71.42	5.52	12.39	65.62	67	0.0004	1228	0	0	Si
SLV 1	pilastro	0.613	0.319	2.4	Si	-59.07	11.37	12.01	65.01	47	0.0004	1323	0	0	Si

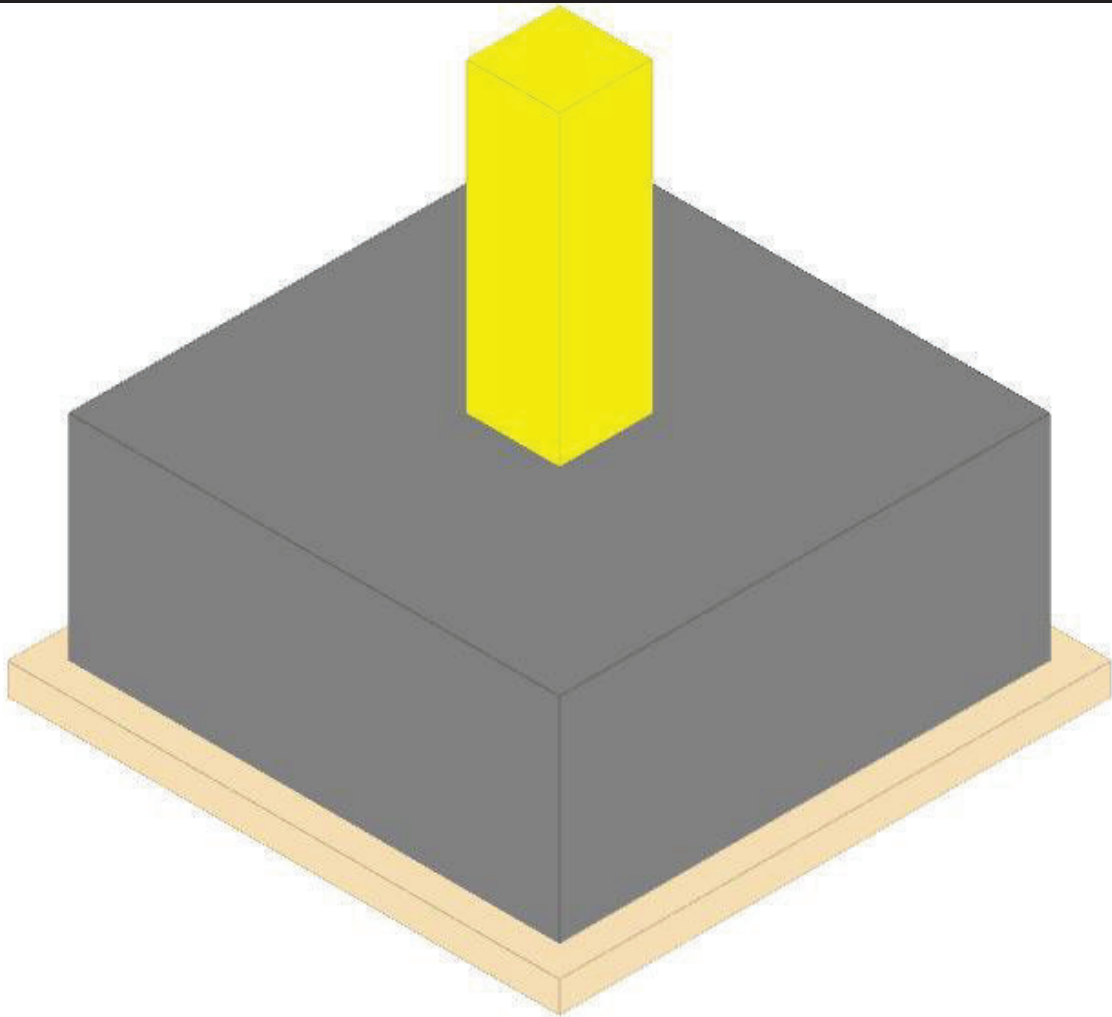
Coordinate del perimetro del cono punzonante a distanza 0.343 dal pilastro

Vert.	x	y	Vert.	x	y	Vert.	x	y	Vert.	x	y	Vert.	x	y	Vert.	x	y
1	0.8	0.8	2	-0.493	0.8	3	-0.493	-0.15	4	-0.487	-0.217	5	-0.467	-0.281	6	-0.435	-0.341
7	-0.393	-0.393	8	-0.341	-0.435	9	-0.281	-0.467	10	-0.217	-0.487	11	-0.15	-0.493	12	0.8	-0.493

Plinto (2853; 2987)

Verifiche condotte secondo D.M. 17 gennaio 2018

Geometria



Caratteristiche dei materiali

Calcestruzzo: C25/30; Resistenza cubica caratteristica Rck: 30000
Calcestruzzo per magrone: Magrone; Resistenza cubica caratteristica Rck: 100
Acciaio per armatura: B450C; Fyk: 450000

Caratteristiche geometriche

Suola: dimensione x: 1.6; dimensione y: 1.6; spessore: 0.7
Magrone: sbordo: 0.1; spessore: 0.1; materiale: Magrone
Pilastro rettangolare: dimensione x: 0.3; dimensione y: 0.3
Copriferro: suola: 0.075

Pressioni raggiunte sul terreno

Famiglia "Limite ultimo"

Si stampano le 5 situazioni più gravose per tipo di verifica
Coefficiente di sicurezza minimo 2.21

Comb.	σt max	σt min	σt verifica	Verifica
SLU 76	-36	-79	-174	Si
SLU 57	-35	-75	-174	Si
SLU 73	-35	-74	-174	Si
SLU 68	-35	-73	-174	Si
SLU 72	-35	-73	-174	Si

Famiglia "Limite ultimo sismico"

Si stampano le 5 situazioni più gravose per tipo di verifica
Coefficiente di sicurezza minimo 1.8

Comb.	σt max	σt min	σt verifica	Verifica
SLV 10	0	-97	-174	Si
SLV 9	0	-97	-174	Si
SLV 13	0	-91	-174	Si
SLV 14	0	-91	-174	Si
SLV 8	0	-87	-174	Si

Verifiche a ribaltamento

Famiglia "Equilibrio", Famiglia "Limite ultimo", Famiglia "Limite ultimo sismico"

Si stampano le 5 situazioni più gravose per tipo di verifica
Coefficiente di sicurezza minimo 1.77

Comb.	Asse di rotazione	Verifica
-------	-------------------	----------

Implementazione dei sistemi di confinamento delle emissioni odorigene diffuse dell'impianto di compostaggio esistente nel
Comune di Eboli (SA)

PROGETTO DEFINITIVO – Tabulati di calcolo Tomo 1

	x1	y1	x2	y2	yR	Mrib	Mstb	c.s.	
SLV 7	0.8	-0.8	0.8	0.8	1.15	34.003	60.2944	1.77	Si
SLV 8	0.8	-0.8	0.8	0.8	1.15	34.003	60.2944	1.77	Si
SLV 4	0.8	-0.8	0.8	0.8	1.15	33.0177	59.6182	1.81	Si
SLV 3	0.8	-0.8	0.8	0.8	1.15	33.0177	59.6182	1.81	Si
SLV 7	0.8	-0.8	0.8	0.8	1	34.003	69.3386	2.04	Si

Verifiche geotecniche di scorrimento e capacità portante

Impronta al suolo: 1.8x1.8
Terreno laterale di approfondimento piano posa: Eboli 1
Spessore terreno laterale: 0.7
Moltiplicatore resistenza passiva per verifica scorrimento: 0
Coefficiente di attrito Cls-Magrone per verifica scorrimento: 0.7

Caratteristiche del terreno a contatto con il piano di posa della fondazione

Descrizione	y naturale	y saturo	Angolo Attrito Interno	Angolo Attrito δ	Coesione Efficace	Coesione Non Drenata	Coeff. Adesione
Eboli 1	18	20	24	18	26	0	1

Caratteristiche del terreno di progetto per la capacità portante della fondazione

Descrizione	y naturale	y saturo	Angolo Attrito Interno	Angolo Attrito δ	Coesione Efficace	Coesione Non Drenata	Coeff. Adesione
Suolo medio nel bulbo di influenza	18	20	24	18	26	0	1

Caratteristiche del terreno laterale di approfondimento della fondazione

Descrizione	y naturale	y saturo	Angolo Attrito Interno	Angolo Attrito δ	Coesione Efficace	Coesione Non Drenata	Coeff. Adesione
Eboli 1	18	20	24	18	26	0	1

Verifiche a slittamento magrone-calcestruzzo

Famiglia "Limite ultimo"

Si stampano le 5 situazioni più gravose per tipo di verifica
Coefficiente di sicurezza minimo a slittamento cls-magrone 13.83

Cmb	Act.h.	Act.v.	Attrito	Laterale	yR	Rd	Ed	Rd/Ed	Verifica
SLU 38	7.17	-155.76	35	0	1.1	99.12	7.17	13.83	Si
SLU 26	6.31	-140.36	35	0	1.1	89.32	6.31	14.17	Si
SLU 19	6.68	-149.62	35	0	1.1	95.21	6.68	14.26	Si
SLU 34	6.3	-144.8	35	0	1.1	92.15	6.3	14.63	Si
SLU 30	6.3	-144.8	35	0	1.1	92.15	6.3	14.63	Si

Famiglia "Limite ultimo sismico"

Si stampano le 5 situazioni più gravose per tipo di verifica
Coefficiente di sicurezza minimo a slittamento cls-magrone 4.31

Cmb	Act.h.	Act.v.	Attrito	Laterale	yR	Rd	Ed	Rd/Ed	Verifica
SLV 9	16.84	-114.14	35	0	1.1	72.64	16.84	4.31	Si
SLV 10	16.84	-114.14	35	0	1.1	72.64	16.84	4.31	Si
SLV 13	16.31	-115.11	35	0	1.1	73.25	16.31	4.49	Si
SLV 14	16.31	-115.11	35	0	1.1	73.25	16.31	4.49	Si
SLV 7	11.06	-103.34	35	0	1.1	65.76	11.06	5.94	Si

Verifica di scorrimento

Famiglia "Limite ultimo"

Si stampano le 5 situazioni più gravose per tipo di verifica
Coefficiente di sicurezza minimo a scorrimento 6.42

Cmb	Act.h.	Act.v.	Cond.	Ades.	Attrito	Laterale	yR	Rd	Ed	Rd/Ed	Verifica
SLU 38	7.17	-155.76	LT	0	18	0	1.1	46.01	7.17	6.42	Si
SLU 26	6.31	-140.36	LT	0	18	0	1.1	41.46	6.31	6.58	Si
SLU 19	6.68	-149.62	LT	0	18	0	1.1	44.2	6.68	6.62	Si
SLU 34	6.3	-144.8	LT	0	18	0	1.1	42.77	6.3	6.79	Si
SLU 30	6.3	-144.8	LT	0	18	0	1.1	42.77	6.3	6.79	Si

Famiglia "Limite ultimo sismico"

Si stampano le 5 situazioni più gravose per tipo di verifica
Coefficiente di sicurezza minimo a scorrimento 2

Cmb	Act.h.	Act.v.	Cond.	Ades.	Attrito	Laterale	yR	Rd	Ed	Rd/Ed	Verifica
SLV 9	16.84	-114.14	LT	0	18	0	1.1	33.72	16.84	2	Si
SLV 10	16.84	-114.14	LT	0	18	0	1.1	33.72	16.84	2	Si
SLV 13	16.31	-115.11	LT	0	18	0	1.1	34	16.31	2.08	Si
SLV 14	16.31	-115.11	LT	0	18	0	1.1	34	16.31	2.08	Si
SLV 7	11.06	-103.34	LT	0	18	0	1.1	30.53	11.06	2.76	Si

Verifica di capacità portante

Famiglia "Limite ultimo"

Si stampano le 5 situazioni più gravose per tipo di verifica
Coefficiente di sicurezza minimo per portanza 7.03

Cmb	Fx	Fy	Fz	Mx	My	B'	L'	Cnd	Coes	Phi	Peso	Ovl	Amax	yR	Rd	Ed	Rd/Ed	Note	Verifica
SLU 76	-7.46	2.36	-185.75	-14.1937	6.7286	1.65	1.73	LT	26	24	18	14	0	2.3	1305.92	185.75	7.03		Si
SLU 57	-7	2.2	-179.62	-13.2565	6.1782	1.65	1.73	LT	26	24	18	14	0	2.3	1313.23	179.62	7.31		Si
SLU 73	-6.17	2.09	-175.98	-12.5318	6.6462	1.66	1.72	LT	26	24	18	14	0	2.3	1312.62	175.98	7.46		Si
SLU 72	-6.64	2.08	-174.8	-12.5202	5.7457	1.66	1.73	LT	26	24	18	14	0	2.3	1319.35	174.8	7.55		Si
SLU 68	-6.64	2.08	-174.8	-12.5202	5.7457	1.66	1.73	LT	26	24	18	14	0	2.3	1319.35	174.8	7.55		Si

Fattori di capacità portante Famiglia "Limite ultimo"

N			S			D			I			G			P			E		
Nq	Nc	Ng	Sq	Sc	Sg	Dq	Dc	Dg	Iq	Ic	Ig	Gq	Gc	Gg	Pq	Pc	Pg	Eq	Ec	Eg
11.4	23.4	8.6	0	1.3	0.8													1	1	1
11.4	23.4	8.6	0	1.3	0.8													1	1	1
11.4	23.4	8.6	0	1.3	0.8													1	1	1
11.4	23.4	8.6	0	1.3	0.8													1	1	1

Implementazione dei sistemi di confinamento delle emissioni odorigene diffuse dell'impianto di compostaggio esistente nel
Comune di Eboli (SA)

PROGETTO DEFINITIVO – Tabulati di calcolo Tomo 1

N			S			D			I			G			P			E		
Nq	Nc	Ng	Sq	Sc	Sg	Dq	Dc	Dg	Iq	lc	Ig	Gq	Gc	Gg	Pq	Pc	Pg	Eq	Ec	Eg
11.4	23.4	8.6	0	1.3	0.8													1	1	1

Famiglia "Limite ultimo sismico"

Si stampano le 5 situazioni più gravose per tipo di verifica

Coefficiente di sicurezza minimo per portanza 6.21

Cmb	Fx	Fy	Fz	Mx	My	B'	L'	Cnd	Coes	Phi	Peso	Ovi	Amax	yR	Rd	Ed	Rd/Ed	Note	Verifica
SLV 10	-16.25	4.42	-114.14	-26.5992	-29.633	1.28	1.33	LT	26	24	18	14	0.17	2.3	708.71	114.14	6.21		Si
SLV 9	-16.25	4.42	-114.14	-26.5992	-29.633	1.28	1.33	LT	26	24	18	14	0.17	2.3	708.71	114.14	6.21		Si
SLV 14	-15.81	4.01	-115.11	-23.7703	-28.6038	1.3	1.39	LT	26	24	18	14	0.17	2.3	750.64	115.11	6.52		Si
SLV 13	-15.81	4.01	-115.11	-23.7703	-28.6038	1.3	1.39	LT	26	24	18	14	0.17	2.3	750.64	115.11	6.52		Si
SLV 8	10.77	-2.55	-103.34	15.4553	35.0797	1.12	1.5	LT	26	24	18	14	0.17	2.3	691.87	103.34	6.69		Si

Fattori di capacità portante Famiglia "Limite ultimo sismico"

N			S			D			I			G			P			E		
Nq	Nc	Ng	Sq	Sc	Sg	Dq	Dc	Dg	Iq	lc	Ig	Gq	Gc	Gg	Pq	Pc	Pg	Eq	Ec	Eg
11.4	23.4	8.6	0	1.3	0.8													0.85	0.95	0.85
11.4	23.4	8.6	0	1.3	0.8													0.85	0.95	0.85
11.4	23.4	8.6	0	1.3	0.8													0.85	0.95	0.85
11.4	23.4	8.6	0	1.3	0.8													0.85	0.95	0.85
11.4	23.4	8.6	0	1.3	0.8													0.85	0.95	0.85

Verifiche della suola

Superficie su cui è valutata la pressione del suolo: rettangolare a filo pilastro

Non sono state richieste le verifiche a taglio della suola.

Armatura inferiore in direzione X 5 diam. 12 mm Armatura superiore in direzione X 4 diam. 12 mm

Armatura inferiore in direzione Y 5 diam. 12 mm Armatura superiore in direzione Y 4 diam. 12 mm

Famiglia "Limite ultimo"

Si stampano le 5 situazioni più gravose per tipo di verifica

Coefficiente di sicurezza minimo a flessione 7.24

Desc.	Tipo sez.	Comb.	M	Mu	Verifica
norm.Y+	filo pil.	SLU 76		19.0136	137.7047
norm.Y+	filo pil.	SLU 57		17.8709	137.7047
norm.Y+	filo pil.	SLU 73		17.1331	137.7047
norm.Y+	filo pil.	SLU 38		17.0375	137.7047
norm.Y+	filo pil.	SLU 68		16.9731	137.7047

Famiglia "Esercizio raro"

Si stampano le 5 situazioni più gravose per tipo di verifica

Valori limite: σ lim. 14940 of lim. 360000

Coefficiente di sicurezza minimo per verifica tensioni 145.35

Desc.	Tipo sez.	Comb.	M	Fessurata	σ C	σ F	Verifica
norm.Y+	filo pil.	SLE RA 19	13.554	No	-103	494	Si
norm.Y+	filo pil.	SLE RA 16	12.3003	No	-93	448	Si
norm.Y+	filo pil.	SLE RA 15	12.1937	No	-92	444	Si
norm.Y+	filo pil.	SLE RA 11	12.1937	No	-92	444	Si
norm.X+	filo pil.	SLE RA 19	11.8965	No	-90	453	Si

Famiglia "Esercizio frequente"

Si stampano le 5 situazioni più gravose per tipo di verifica

Valori limite di apertura fessure: w lim. 0.0004

Coefficiente di sicurezza minimo per apertura fessure 999

Desc.	Tipo sez.	Comb.	M	Fessurata	w	Verifica
norm.X+	filo pil.	SLE FR 4	7.6275	No	0	Si
norm.Y-	filo pil.	SLE FR 2	3.9458	No	0	Si
norm.Y-	filo pil.	SLE FR 3	4.1085	No	0	Si
norm.Y-	filo pil.	SLE FR 4	4.4194	No	0	Si
norm.X-	filo pil.	SLE FR 1	5.1595	No	0	Si

Famiglia "Esercizio quasi permanente"

Valori limite: σ lim. 11205 w lim. 0.0003

Coefficiente di sicurezza minimo per verifica tensioni 183.01

Coefficiente di sicurezza minimo per apertura fessure 999

Desc.	Tipo sez.	Comb.	M	Fessurata	σ C	w	Verifica
norm.Y+	filo pil.	SLE QP 1	8.2194	No	-61	0	Si
norm.X+	filo pil.	SLE QP 1	7.3238	No	-54	0	Si
norm.X-	filo pil.	SLE QP 1	5.1595	No	-38	0	Si
norm.Y-	filo pil.	SLE QP 1	4.2639	No	-32	0	Si

Famiglia "Limite ultimo sismico"

Si stampano le 5 situazioni più gravose per tipo di verifica

Coefficiente di sicurezza minimo a flessione 6.83

Desc.	Tipo sez.	Comb.	M	Mu	Verifica
norm.X+	filo pil.	SLV 7		19.1641	130.9343
norm.X+	filo pil.	SLV 8		19.1641	130.9343
norm.X+	filo pil.	SLV 3		18.4329	130.9343
norm.X+	filo pil.	SLV 4		18.4329	130.9343
norm.X-	filo pil.	SLV 10		17.8455	130.9343

Verifiche a punzonamento

Famiglia "Limite ultimo"

Verifiche in adiacenza all'elemento punzonante (perimetro U0)

Coefficiente di sicurezza minimo 25.75

Comb.	Elemento punzonante	d	Perimetro	Perim. minim.	N	β	Peso cono	Reazione suolo	VEd,red	VRd,max	Verifica
SLU 75	pilastro	0.613	1.2	No	-11.44	9.59	1.58	5.08	110	2822	Si
SLU 56	pilastro	0.613	1.2	No	-11.69	8.72	1.58	4.87	105	2822	Si
SLU 67	pilastro	0.613	1.2	No	-11.89	8.06	1.58	4.7	101	2822	Si
SLU 71	pilastro	0.613	1.2	No	-11.89	8.06	1.58	4.7	101	2822	Si

Implementazione dei sistemi di confinamento delle emissioni odorigene diffuse dell'impianto di compostaggio esistente nel
Comune di Eboli (SA)
PROGETTO DEFINITIVO – Tabulati di calcolo Tomo 1

Comb.	Elemento punzonante	d	Perimetro	Perim. minim.	N	β	Peso cono	Reazione suolo	VEd,red	VRd,max	Verifica
SLU 73	pilastro	0.613	1.2	No	-8.47	13.85	1.58	5.42	96	2822	Si

Verifiche a distanza <=2d dall'elemento punzonante (perimetro U1)

Coefficiente di sicurezza minimo 171.47

Comb.	Elem. punz.	d	Offset	Perim. utile	Perim. minim.	N	β	Peso cono	Reazione suolo	VEd,red	p_I	VRd	Asw	VRd,cs	Verifica
SLU 63	pilastro	0.613	0.074	1.66	No	-14.33	3.94	2.45	8.85	33	0.0004	5733	0	0	Si
SLU 44	pilastro	0.613	0.074	1.66	No	-14.58	3.52	2.45	8.38	32	0.0004	5733	0	0	Si
SLU 60	pilastro	0.613	0.074	1.66	No	-14.78	3.2	2.45	8.02	31	0.0004	5733	0	0	Si
SLU 41	pilastro	0.613	0.098	1.82	No	-15.03	2.63	2.78	9.2	22	0.0004	4300	0	0	Si
SLU 67	pilastro	0.613	0.049	1.51	No	-11.89	6.32	2.13	8.16	44	0.0004	8599	0	0	Si

Coordinate del perimetro del cono punzonante a distanza 0.074 dal pilastro

Vert.	x	y	Vert.	x	y	Vert.	x	y	Vert.	x	y	Vert.	x	y	Vert.	x	y
1	-0.224	-0.15	2	-0.222	-0.164	3	-0.218	-0.178	4	-0.211	-0.191	5	-0.202	-0.202	6	-0.191	-0.211
7	-0.178	-0.218	8	-0.164	-0.222	9	-0.15	-0.224	10	-0.15	-0.224	11	0.164	-0.222	12	0.178	-0.218
13	0.191	-0.211	14	0.202	-0.202	15	0.211	-0.191	16	0.218	-0.178	17	0.222	-0.164	18	0.224	-0.15
19	0.224	0.15	20	0.222	0.164	21	0.218	0.178	22	0.211	0.191	23	0.202	0.202	24	0.191	0.211
25	0.178	0.218	26	0.164	0.222	27	0.15	0.224	28	-0.15	0.224	29	-0.164	0.222	30	-0.178	0.218
31	-0.191	0.211	32	-0.202	0.202	33	-0.211	0.191	34	-0.218	0.178	35	-0.222	0.164	36	-0.224	0.15

Famiglia "Limite ultimo sismico"

Verifiche in adiacenza all'elemento punzonante (perimetro U0)

Coefficiente di sicurezza minimo 7.61

Comb.	Elemento punzonante	d	Perimetro	Perim. minim.	N	β	Peso cono	Reazione suolo	VEd,red	VRd,max	Verifica
SLV 7	pilastro	0.613	1.2	No	-53.21	5.21	1.58	2.45	371	2822	Si
SLV 8	pilastro	0.613	1.2	No	-53.21	5.21	1.58	2.45	371	2822	Si
SLV 3	pilastro	0.613	1.2	No	-51.61	5.12	1.58	2.58	352	2822	Si
SLV 4	pilastro	0.613	1.2	No	-51.61	5.12	1.58	2.58	352	2822	Si
SLV 11	pilastro	0.613	1.2	No	-33.22	12.01	1.58	3.15	220	2822	Si

Verifiche a distanza <=2d dall'elemento punzonante (perimetro U1)

Coefficiente di sicurezza minimo 15.07

Comb.	Elem. punz.	d	Offset	Perim. utile	Perim. minim.	N	β	Peso cono	Reazione suolo	VEd,red	p_I	VRd	Asw	VRd,cs	Verifica
SLV 7	pilastro	0.613	0.441	2.59	Si	-53.21	3.95	14	41.7	63	0.0004	955	0	0	Si
SLV 8	pilastro	0.613	0.441	2.59	Si	-53.21	3.95	14	41.7	63	0.0004	955	0	0	Si
SLV 3	pilastro	0.613	0.417	2.55	Si	-51.61	3.82	13.59	39.86	62	0.0004	1012	0	0	Si
SLV 4	pilastro	0.613	0.417	2.55	Si	-51.61	3.82	13.59	39.86	62	0.0004	1012	0	0	Si
SLV 11	pilastro	0.613	0.319	2.4	Si	-33.22	14.33	12.01	41.63	35	0.0004	1323	0	0	Si

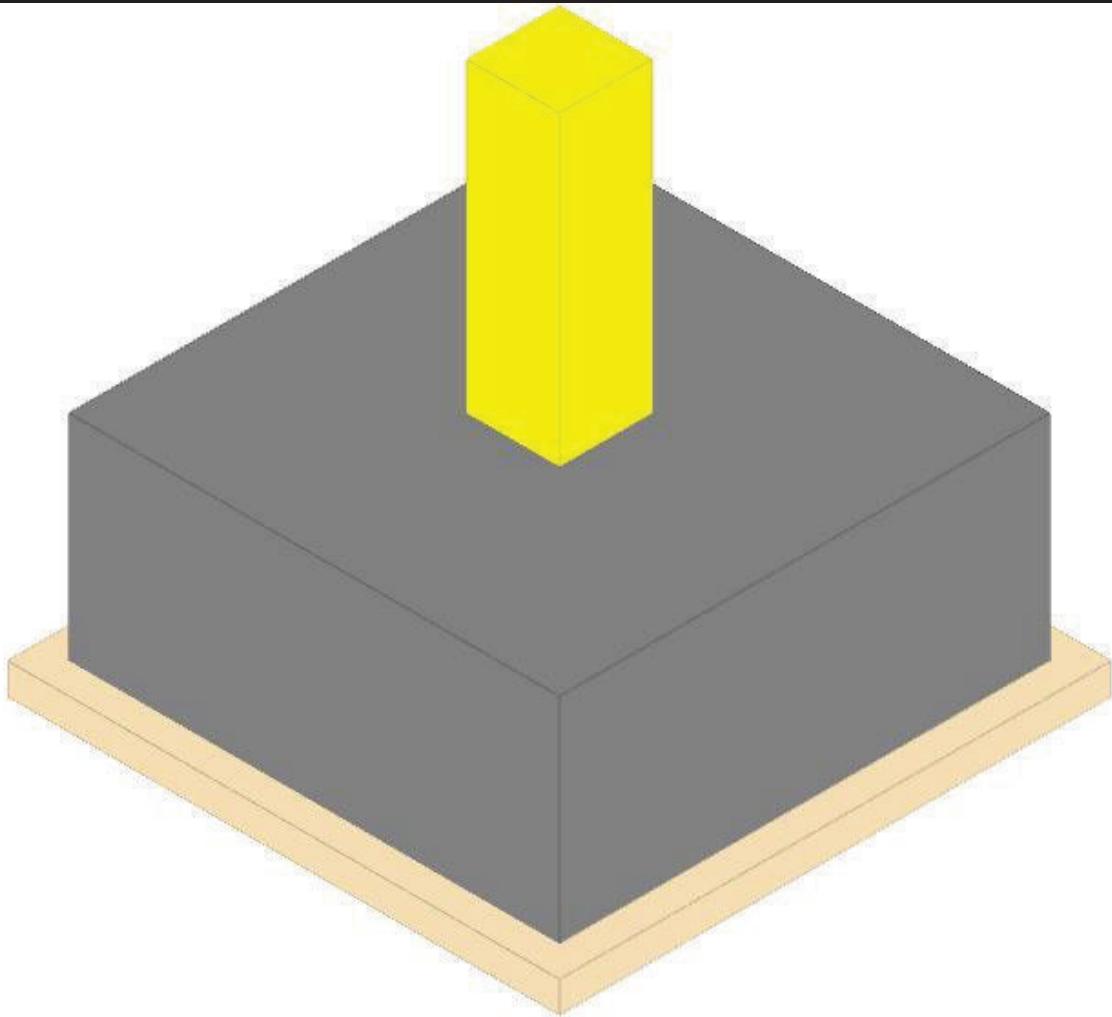
Coordinate del perimetro del cono punzonante a distanza 0.441 dal pilastro

Vert.	x	y	Vert.	x	y	Vert.	x	y	Vert.	x	y	Vert.	x	y	Vert.	x	y
1	-0.8	0.8	2	-0.8	-0.591	3	0.15	-0.591	4	0.236	-0.583	5	0.319	-0.558	6	0.395	-0.517
7	0.462	-0.462	8	0.517	-0.395	9	0.558	-0.319	10	0.583	-0.236	11	0.591	-0.15	12	0.591	0.8

Plinto (2860; 2194)

Verifiche condotte secondo D.M. 17 gennaio 2018

Geometria



Caratteristiche dei materiali

Calcestruzzo: C25/30; Resistenza cubica caratteristica Rck: 30000
Calcestruzzo per magrone: Magrone; Resistenza cubica caratteristica Rck: 100
Acciaio per armatura: B450C; Fyk: 450000

Caratteristiche geometriche

Suola: dimensione x: 1.6; dimensione y: 1.6; spessore: 0.7
Magrone: sbordo: 0.1; spessore: 0.1; materiale: Magrone
Pilastro rettangolare: dimensione x: 0.3; dimensione y: 0.3
Copriferro: suola: 0.075

Pressioni raggiunte sul terreno

Famiglia "Limite ultimo"

Si stampano le 5 situazioni più gravose per tipo di verifica
Coefficiente di sicurezza minimo 2.9

Comb.	σt max	σt min	σt verifica	Verifica
SLU 75	-45	-60	-174	Si
SLU 73	-42	-60	-174	Si
SLU 76	-39	-60	-174	Si
SLU 56	-44	-58	-174	Si
SLU 54	-41	-58	-174	Si

Famiglia "Limite ultimo sismico"

Si stampano le 5 situazioni più gravose per tipo di verifica
Coefficiente di sicurezza minimo 1.74

Comb.	σt max	σt min	σt verifica	Verifica
SLV 8	0	-100	-174	Si
SLV 7	0	-100	-174	Si
SLV 4	0	-96	-174	Si
SLV 3	0	-96	-174	Si
SLV 10	0	-88	-174	Si

Verifiche a ribaltamento

Famiglia "Equilibrio", Famiglia "Limite ultimo", Famiglia "Limite ultimo sismico"

Si stampano le 5 situazioni più gravose per tipo di verifica
Coefficiente di sicurezza minimo 1.29

Comb.	Asse di rotazione	Verifica
-------	-------------------	----------

Implementazione dei sistemi di confinamento delle emissioni odorigene diffuse dell’impianto di compostaggio esistente nel
Comune di Eboli (SA)

PROGETTO DEFINITIVO – Tabulati di calcolo Tomo 1

	x1	y1	x2	y2	yR	Mrib	Mstb	c.s.	
SLV 7	-0.8	-0.8	0.8	-0.8	1.15	37.9487	48.8932	1.29	Si
SLV 8	-0.8	-0.8	0.8	-0.8	1.15	37.9487	48.8932	1.29	Si
SLV 4	-0.8	-0.8	0.8	-0.8	1.15	37.4595	48.4599	1.29	Si
SLV 3	-0.8	-0.8	0.8	-0.8	1.15	37.4595	48.4599	1.29	Si
SLV 7	-0.8	-0.8	0.8	-0.8	1	37.9487	56.2272	1.48	Si

Verifiche geotecniche di scorrimento e capacità portante

Impronta al suolo: 1.8x1.8
Terreno laterale di approfondimento piano posa: Eboli 1
Spessore terreno laterale: 0.7
Moltiplicatore resistenza passiva per verifica scorrimento: 0
Coefficiente di attrito Cls-Magrone per verifica scorrimento: 0.7

Caratteristiche del terreno a contatto con il piano di posa della fondazione

Descrizione	y naturale	y saturo	Angolo Attrito Interno	Angolo Attrito δ	Coesione Efficace	Coesione Non Drenata	Coeff. Adesione
Eboli 1	18	20	24	18	26	0	1

Caratteristiche del terreno di progetto per la capacità portante della fondazione

Descrizione	y naturale	y saturo	Angolo Attrito Interno	Angolo Attrito δ	Coesione Efficace	Coesione Non Drenata	Coeff. Adesione
Suolo medio nel bulbo di influenza	18	20	24	18	26	0	1

Caratteristiche del terreno laterale di approfondimento della fondazione

Descrizione	y naturale	y saturo	Angolo Attrito Interno	Angolo Attrito δ	Coesione Efficace	Coesione Non Drenata	Coeff. Adesione
Eboli 1	18	20	24	18	26	0	1

Verifiche a slittamento magrone-calcestruzzo

Famiglia "Limite ultimo"

Si stampano le 5 situazioni più gravose per tipo di verifica
Coefficiente di sicurezza minimo a slittamento cls-magrone 14.71

Cmb	Act.h.	Act.v.	Attrito	Laterale	yR	Rd	Ed	Rd/Ed	Verifica
SLU 25	5.46	-126.24	35	0	1.1	80.33	5.46	14.71	Si
SLU 6	5.13	-120.97	35	0	1.1	76.98	5.13	14.99	Si
SLU 22	4.88	-116.83	35	0	1.1	74.35	4.88	15.24	Si
SLU 3	4.55	-111.56	35	0	1.1	71	4.55	15.6	Si
SLU 37	5.6	-141.48	35	0	1.1	90.03	5.6	16.07	Si

Famiglia "Limite ultimo sismico"

Si stampano le 5 situazioni più gravose per tipo di verifica
Coefficiente di sicurezza minimo a slittamento cls-magrone 2.7

Cmb	Act.h.	Act.v.	Attrito	Laterale	yR	Rd	Ed	Rd/Ed	Verifica
SLV 3	20.37	-86.33	35	0	1.1	54.94	20.37	2.7	Si
SLV 4	20.37	-86.33	35	0	1.1	54.94	20.37	2.7	Si
SLV 7	20.41	-86.95	35	0	1.1	55.33	20.41	2.71	Si
SLV 8	20.41	-86.95	35	0	1.1	55.33	20.41	2.71	Si
SLV 9	24.33	-121.31	35	0	1.1	77.2	24.33	3.17	Si

Verifica di scorrimento

Famiglia "Limite ultimo"

Si stampano le 5 situazioni più gravose per tipo di verifica
Coefficiente di sicurezza minimo a scorrimento 6.83

Cmb	Act.h.	Act.v.	Cond.	Ades.	Attrito	Laterale	yR	Rd	Ed	Rd/Ed	Verifica
SLU 25	5.46	-126.24	LT	0	18	0	1.1	37.29	5.46	6.83	Si
SLU 6	5.13	-120.97	LT	0	18	0	1.1	35.73	5.13	6.96	Si
SLU 22	4.88	-116.83	LT	0	18	0	1.1	34.51	4.88	7.08	Si
SLU 3	4.55	-111.56	LT	0	18	0	1.1	32.95	4.55	7.24	Si
SLU 37	5.6	-141.48	LT	0	18	0	1.1	41.79	5.6	7.46	Si

Famiglia "Limite ultimo sismico"

Si stampano le 5 situazioni più gravose per tipo di verifica
Coefficiente di sicurezza minimo a scorrimento 1.25

Cmb	Act.h.	Act.v.	Cond.	Ades.	Attrito	Laterale	yR	Rd	Ed	Rd/Ed	Verifica
SLV 3	20.37	-86.33	LT	0	18	0	1.1	25.5	20.37	1.25	Si
SLV 4	20.37	-86.33	LT	0	18	0	1.1	25.5	20.37	1.25	Si
SLV 7	20.41	-86.95	LT	0	18	0	1.1	25.68	20.41	1.26	Si
SLV 8	20.41	-86.95	LT	0	18	0	1.1	25.68	20.41	1.26	Si
SLV 9	24.33	-121.31	LT	0	18	0	1.1	35.83	24.33	1.47	Si

Verifica di capacità portante

Famiglia "Limite ultimo"

Si stampano le 5 situazioni più gravose per tipo di verifica
Coefficiente di sicurezza minimo per portanza 8.37

Cmb	Fx	Fy	Fz	Mx	My	B'	L'	Cnd	Coes	Phi	Peso	Ovl	Amax	yR	Rd	Ed	Rd/Ed	Note	Verifica
SLU 75	-0.77	6.03	-170.46	4.655	-2.4876	1.75	1.77	LT	26	24	18	14	0	2.3	1426.59	170.46	8.37		Si
SLU 73	-0.89	4.47	-165.09	5.2036	-3.5016	1.74	1.76	LT	26	24	18	14	0	2.3	1408.41	165.09	8.53		Si
SLU 56	-0.71	5.71	-165.19	4.276	-2.2315	1.75	1.77	LT	26	24	18	14	0	2.3	1430.91	165.19	8.66		Si
SLU 76	-1.01	2.9	-159.73	5.7522	-4.5156	1.73	1.74	LT	26	24	18	14	0	2.3	1389.14	159.73	8.7		Si
SLU 54	-0.83	4.14	-159.83	4.8246	-3.2455	1.74	1.76	LT	26	24	18	14	0	2.3	1412.24	159.83	8.84		Si

Fattori di capacità portante Famiglia "Limite ultimo"

N			S			D			I			G			P			E		
Nq	Nc	Ng	Sq	Sc	Sg	Dq	Dc	Dg	Iq	Ic	Ig	Gq	Gc	Gg	Pq	Pc	Pg	Eq	Ec	Eg
11.4	23.4	8.6	0	1.3	0.8													1	1	1
11.4	23.4	8.6	0	1.3	0.8													1	1	1
11.4	23.4	8.6	0	1.3	0.8													1	1	1
11.4	23.4	8.6	0	1.3	0.8													1	1	1

Implementazione dei sistemi di confinamento delle emissioni odorigene diffuse dell'impianto di compostaggio esistente nel
Comune di Eboli (SA)
PROGETTO DEFINITIVO – Tabulati di calcolo Tomo 1

N			S			D			I			G			P			E		
Nq	Nc	Ng	Sq	Sc	Sg	Dq	Dc	Dg	Iq	lc	Ig	Gq	Gc	Gg	Pq	Pc	Pg	Eq	Ec	Eg
11.4	23.4	8.6	0	1.3	0.8													1	1	1

Famiglia "Limite ultimo sismico"

Si stampano le 5 situazioni più gravose per tipo di verifica

Coefficiente di sicurezza minimo per portanza 5.85

Cmb	Fx	Fy	Fz	Mx	My	B'	L'	Cnd	Coes	Phi	Peso	Ovi	Amax	yR	Rd	Ed	Rd/Ed	Note	Verifica
SLV 8	-3.18	-20.16	-86.95	39.9643	-16.3637	0.88	1.42	LT	26	24	18	14	0.17	2.3	508.7	86.95	5.85		Si
SLV 7	-3.18	-20.16	-86.95	39.9643	-16.3637	0.88	1.42	LT	26	24	18	14	0.17	2.3	508.7	86.95	5.85		Si
SLV 4	-2.79	-20.17	-86.33	39.477	-14.7813	0.89	1.46	LT	26	24	18	14	0.17	2.3	523.72	86.33	6.07		Si
SLV 3	-2.79	-20.17	-86.33	39.477	-14.7813	0.89	1.46	LT	26	24	18	14	0.17	2.3	523.72	86.33	6.07		Si
SLV 10	2.37	24.22	-121.31	-35.2492	13.1996	1.22	1.58	LT	26	24	18	14	0.17	2.3	797.33	121.31	6.57		Si

Fattori di capacità portante Famiglia "Limite ultimo sismico"

N			S			D			I			G			P			E		
Nq	Nc	Ng	Sq	Sc	Sg	Dq	Dc	Dg	Iq	lc	Ig	Gq	Gc	Gg	Pq	Pc	Pg	Eq	Ec	Eg
11.4	23.4	8.6	0	1.3	0.8													0.85	0.95	0.85
11.4	23.4	8.6	0	1.3	0.8													0.85	0.95	0.85
11.4	23.4	8.6	0	1.3	0.8													0.85	0.95	0.85
11.4	23.4	8.6	0	1.3	0.8													0.85	0.95	0.85
11.4	23.4	8.6	0	1.3	0.8													0.85	0.95	0.85

Verifiche della suola

Superficie su cui è valutata la pressione del suolo: rettangolare a filo pilastro

Non sono state richieste le verifiche a taglio della suola.

Armatura inferiore in direzione X 5 diam. 12 mm Armatura superiore in direzione X 4 diam. 12 mm

Armatura inferiore in direzione Y 5 diam. 12 mm Armatura superiore in direzione Y 4 diam. 12 mm

Famiglia "Limite ultimo"

Si stampano le 5 situazioni più gravose per tipo di verifica

Coefficiente di sicurezza minimo a flessione 9.94

Desc.	Tipo sez.	Comb.	M	Mu	Verifica
norm.Y-	filo pil.	SLU 75		13.8538	137.7047
norm.Y-	filo pil.	SLU 73		13.2871	137.7047
norm.Y-	filo pil.	SLU 56		13.0097	137.7047
norm.X-	filo pil.	SLU 75		12.8257	138.194
norm.Y-	filo pil.	SLU 76		12.7203	137.7047

Famiglia "Esercizio rara"

Si stampano le 5 situazioni più gravose per tipo di verifica

Valori limite: σ_c lim. 14940 of lim. 360000

Coefficiente di sicurezza minimo per verifica tensioni 198

Desc.	Tipo sez.	Comb.	M	Fessurata	σ_C	σ_F	Verifica
norm.Y-	filo pil.	SLE RA 18	9.9494	No	-75	363	Si
norm.Y-	filo pil.	SLE RA 16	9.5715	No	-73	349	Si
norm.X-	filo pil.	SLE RA 18	9.226	No	-70	352	Si
norm.Y-	filo pil.	SLE RA 19	9.1937	No	-70	335	Si
norm.X-	filo pil.	SLE RA 16	8.995	No	-68	343	Si

Famiglia "Esercizio frequente"

Si stampano le 5 situazioni più gravose per tipo di verifica

Valori limite di apertura fessure: w lim. 0.0004

Coefficiente di sicurezza minimo per apertura fessure 999

Desc.	Tipo sez.	Comb.	M	Fessurata	w	Verifica
norm.X+	filo pil.	SLE FR 2	4.6725	No	0	Si
norm.Y-	filo pil.	SLE FR 5	6.959	No	0	Si
norm.Y-	filo pil.	SLE FR 3	6.683	No	0	Si
norm.Y-	filo pil.	SLE FR 2	5.9944	No	0	Si
norm.X-	filo pil.	SLE FR 4	6.1121	No	0	Si

Famiglia "Esercizio quasi permanente"

Valori limite: σ_c lim. 11205 w lim. 0.0003

Coefficiente di sicurezza minimo per verifica tensioni 229.41

Coefficiente di sicurezza minimo per apertura fessure 999

Desc.	Tipo sez.	Comb.	M	Fessurata	σ_C	w	Verifica
norm.Y-	filo pil.	SLE QP 1	6.5571	No	-49	0	Si
norm.X-	filo pil.	SLE QP 1	6.1891	No	-46	0	Si
norm.X+	filo pil.	SLE QP 1	5.0761	No	-38	0	Si
norm.Y+	filo pil.	SLE QP 1	4.7082	No	-35	0	Si

Famiglia "Limite ultimo sismico"

Si stampano le 5 situazioni più gravose per tipo di verifica

Coefficiente di sicurezza minimo a flessione 5.9

Desc.	Tipo sez.	Comb.	M	Mu	Verifica
norm.Y-	filo pil.	SLV 8	21.7826	128.5875	Si
norm.Y-	filo pil.	SLV 7	21.7826	128.5875	Si
norm.Y-	filo pil.	SLV 4	21.385	128.5875	Si
norm.Y-	filo pil.	SLV 3	21.385	128.5875	Si
norm.Y+	filo pil.	SLV 9	20.1604	128.5875	Si

Verifiche a punzonamento

Famiglia "Limite ultimo"

Verifiche in adiacenza all'elemento punzonante (perimetro U0)

Coefficiente di sicurezza minimo 27.05

Comb.	Elemento punzonante	d	Perimetro	Perim. minim.	N	β	Peso cono	Reazione suolo	VEd,red	VRd,max	Verifica
SLU 76	pilastro	0.613	1.2	No	-40.33	2.05	1.58	4.85	104	2822	Si
SLU 57	pilastro	0.613	1.2	No	-38.74	2.02	1.58	4.67	99	2822	Si
SLU 64	pilastro	0.613	1.2	No	-39.09	1.92	1.58	4.07	97	2822	Si
SLU 72	pilastro	0.613	1.2	No	-37.49	2	1.58	4.52	95	2822	Si

**Implementazione dei sistemi di confinamento delle emissioni odorigene diffuse dell'impianto di compostaggio esistente nel
Comune di Eboli (SA)**

PROGETTO DEFINITIVO – Tabulati di calcolo Tomo 1

Comb.	Elemento punzonante	d	Perimetro	Perim. minim.	N	β	Peso cono	Reazione suolo	VEd,red	VRd,max	Verifica
SLU 68	pilastro	0.613	1.2	No	-37.49	2	1.58	4.52	95	2822	Si

Verifiche a distanza <=2d dall'elemento punzonante (perimetro U1)

Coefficiente di sicurezza minimo 89.05

Comb.	Elem. punz.	d	Offset	Perim. utile	Perim. minim.	N	β	Peso cono	Reazione suolo	VEd,red	p_I	VRd	Asw	VRd,cs	Verifica
SLU 64	pilastro	0.613	0.147	2.12	No	-39.09	1.47	3.51	15.1	32	0.0004	2866	0	0	Si
SLU 76	pilastro	0.613	0.123	1.97	No	-40.33	1.58	3.14	15.32	38	0.0004	3440	0	0	Si
SLU 45	pilastro	0.613	0.147	2.12	No	-37.5	1.45	3.51	14.41	31	0.0004	2866	0	0	Si
SLU 57	pilastro	0.613	0.123	1.97	No	-38.74	1.56	3.14	14.73	36	0.0004	3440	0	0	Si
SLU 61	pilastro	0.613	0.147	2.12	No	-36.25	1.44	3.51	13.87	30	0.0004	2866	0	0	Si

Coordinate del perimetro del cono punzonante a distanza 0.147 dal pilastro

Vert.	x	y	Vert.	x	y	Vert.	x	y	Vert.	x	y	Vert.	x	y	Vert.	x	y
1	-0.297	-0.15	2	-0.294	-0.179	3	-0.286	-0.206	4	-0.272	-0.232	5	-0.254	-0.254	6	-0.232	-0.272
7	-0.206	-0.286	8	-0.179	-0.294	9	-0.15	-0.297	10	-0.15	-0.297	11	0.179	-0.294	12	0.206	-0.286
13	0.232	-0.272	14	0.254	-0.254	15	0.272	-0.232	16	0.286	-0.206	17	0.294	-0.179	18	0.297	-0.15
19	0.297	0.15	20	0.294	0.179	21	0.286	0.206	22	0.272	0.232	23	0.254	0.254	24	0.232	0.272
25	0.206	0.286	26	0.179	0.294	27	0.15	0.297	28	-0.15	0.297	29	-0.179	0.294	30	-0.206	0.286
31	-0.232	0.272	32	-0.254	0.254	33	-0.272	0.232	34	-0.286	0.206	35	-0.294	0.179	36	-0.297	0.15

Famiglia "Limite ultimo sismico"

Verifiche in adiacenza all'elemento punzonante (perimetro U0)

Coefficiente di sicurezza minimo 5.68

Comb.	Elemento punzonante	d	Perimetro	Perim. minim.	N	β	Peso cono	Reazione suolo	VEd,red	VRd,max	Verifica
SLV 7	pilastro	0.613	1.2	No	-123.32	2.93	1.58	0.07	497	2822	Si
SLV 8	pilastro	0.613	1.2	No	-123.32	2.93	1.58	0.07	497	2822	Si
SLV 4	pilastro	0.613	1.2	No	-123.35	2.88	1.58	0.11	488	2822	Si
SLV 3	pilastro	0.613	1.2	No	-123.35	2.88	1.58	0.11	488	2822	Si
SLV 11	pilastro	0.613	1.2	No	-75.15	2.87	1.58	2.71	288	2822	Si

Verifiche a distanza <=2d dall'elemento punzonante (perimetro U1)

Coefficiente di sicurezza minimo 5.21

Comb.	Elem. punz.	d	Offset	Perim. utile	Perim. minim.	N	β	Peso cono	Reazione suolo	VEd,red	p_I	VRd	Asw	VRd,cs	Verifica
SLV 4	pilastro	0.613	0.638	1.6	Si	-123.35	1.71	18.13	68.65	127	0.0004	661	0	0	Si
SLV 3	pilastro	0.613	0.638	1.6	Si	-123.35	1.71	18.13	68.65	127	0.0004	661	0	0	Si
SLV 7	pilastro	0.613	0.638	1.6	Si	-123.32	1.72	18.13	69.21	126	0.0004	661	0	0	Si
SLV 8	pilastro	0.613	0.638	1.6	Si	-123.32	1.72	18.13	69.21	126	0.0004	661	0	0	Si
SLV 1	pilastro	0.613	0.638	1.6	Si	-75.2	2.77	18.13	76.64	47	0.0004	661	0	0	Si

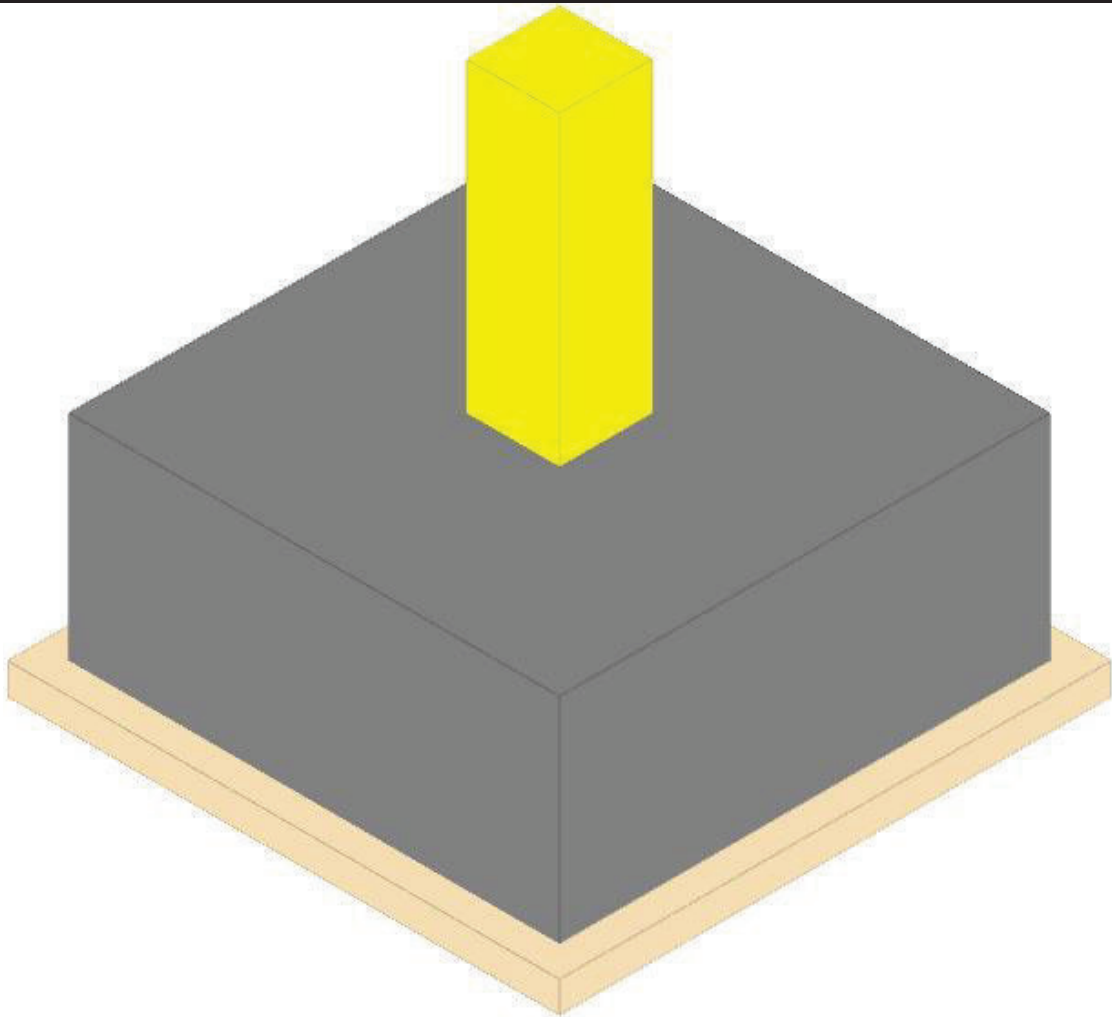
Coordinate del perimetro del cono punzonante a distanza 0.638 dal pilastro

Vert.	x	y	Vert.	x	y	Vert.	x	y	Vert.	x	y	Vert.	x	y	Vert.	x	y
1	0.8	0.8	2	-0.788	0.8	3	-0.788	-0.8	4	0.8	-0.8						

Plinto (-34; 30)

Verifiche condotte secondo D.M. 17 gennaio 2018

Geometria



Caratteristiche dei materiali

Calcestruzzo: C25/30; Resistenza cubica caratteristica Rck: 30000
Calcestruzzo per magrone: Magrone; Resistenza cubica caratteristica Rck: 100
Acciaio per armatura: B450C; Fyk: 450000

Caratteristiche geometriche

Suola: dimensione x: 1.6; dimensione y: 1.6; spessore: 0.7
Magrone: sbordo: 0.1; spessore: 0.1; materiale: Magrone
Pilastro rettangolare: dimensione x: 0.3; dimensione y: 0.3
Copriferro: suola: 0.075

Pressioni raggiunte sul terreno

Famiglia "Limite ultimo"

Si stampano le 5 situazioni più gravose per tipo di verifica
Coefficiente di sicurezza minimo 1.65

Comb.	σt max	σt min	σt verifica	Verifica
SLV 75	-98	-105	-174	Si
SLV 56	-92	-99	-174	Si
SLV 73	-89	-95	-174	Si
SLV 71	-88	-94	-174	Si
SLV 67	-88	-94	-174	Si

Famiglia "Limite ultimo sismico"

Si stampano le 5 situazioni più gravose per tipo di verifica
Coefficiente di sicurezza minimo 1.64

Comb.	σt max	σt min	σt verifica	Verifica
SLV 3	0	-106	-174	Si
SLV 4	0	-106	-174	Si
SLV 13	0	-103	-174	Si
SLV 14	0	-103	-174	Si
SLV 7	0	-99	-174	Si

Verifiche a ribaltamento

Famiglia "Equilibrio", Famiglia "Limite ultimo", Famiglia "Limite ultimo sismico"

Si stampano le 5 situazioni più gravose per tipo di verifica
Coefficiente di sicurezza minimo 1.88

Comb.	Asse di rotazione	Verifica
-------	-------------------	----------

Implementazione dei sistemi di confinamento delle emissioni odorigene diffuse dell'impianto di compostaggio esistente nel
Comune di Eboli (SA)

PROGETTO DEFINITIVO – Tabulati di calcolo Tomo 1

	x1	y1	x2	y2	yR	Mrib	Mstb	c.s.	
SLV 3	-0.8	0.8	-0.8	-0.8	1.15	49.1697	92.2903	1.88	Si
SLV 4	-0.8	0.8	-0.8	-0.8	1.15	49.1697	92.2903	1.88	Si
SLV 7	-0.8	0.8	-0.8	-0.8	1.15	48.5546	92.3366	1.9	Si
SLV 8	-0.8	0.8	-0.8	-0.8	1.15	48.5546	92.3366	1.9	Si
SLV 13	0.8	-0.8	0.8	0.8	1.15	47.4426	92.1521	1.94	Si

Verifiche geotecniche di scorrimento e capacità portante

Impronta al suolo: 1.8x1.8
Terreno laterale di approfondimento piano posa: Eboli 1
Spessore terreno laterale: 0.7
Moltiplicatore resistenza passiva per verifica scorrimento: 0
Coefficiente di attrito Cls-Magrone per verifica scorrimento: 0.7

Caratteristiche del terreno a contatto con il piano di posa della fondazione

Descrizione	y naturale	y saturo	Angolo Attrito Interno	Angolo Attrito δ	Coesione Efficace	Coesione Non Drenata	Coeff. Adesione
Eboli 1	18	20	24	18	26	0	1

Caratteristiche del terreno di progetto per la capacità portante della fondazione

Descrizione	y naturale	y saturo	Angolo Attrito Interno	Angolo Attrito δ	Coesione Efficace	Coesione Non Drenata	Coeff. Adesione
Suolo medio nel bulbo di influenza	18	20	24	18	26	0	1

Caratteristiche del terreno laterale di approfondimento della fondazione

Descrizione	y naturale	y saturo	Angolo Attrito Interno	Angolo Attrito δ	Coesione Efficace	Coesione Non Drenata	Coeff. Adesione
Eboli 1	18	20	24	18	26	0	1

Verifiche a slittamento magrone-calcestruzzo

Famiglia "Limite ultimo"

Si stampano le 5 situazioni più gravose per tipo di verifica
Coefficiente di sicurezza minimo a slittamento cls-magrone 43.87

Cmb	Act.h.	Act.v.	Attrito	Laterale	yR	Rd	Ed	Rd/Ed	Verifica
SLU 37	4.23	-291.5	35	0	1.1	185.5	4.23	43.87	Si
SLU 25	3.51	-244.37	35	0	1.1	155.51	3.51	44.3	Si
SLU 18	3.9	-272.86	35	0	1.1	173.64	3.9	44.53	Si
SLU 33	3.64	-258.22	35	0	1.1	164.32	3.64	45.14	Si
SLU 29	3.64	-258.22	35	0	1.1	164.32	3.64	45.14	Si

Famiglia "Limite ultimo sismico"

Si stampano le 5 situazioni più gravose per tipo di verifica
Coefficiente di sicurezza minimo a slittamento cls-magrone 3.7

Cmb	Act.h.	Act.v.	Attrito	Laterale	yR	Rd	Ed	Rd/Ed	Verifica
SLV 11	25.72	-149.37	35	0	1.1	95.05	25.72	3.7	Si
SLV 12	25.72	-149.37	35	0	1.1	95.05	25.72	3.7	Si
SLV 15	25.03	-149.23	35	0	1.1	94.96	25.03	3.79	Si
SLV 16	25.03	-149.23	35	0	1.1	94.96	25.03	3.79	Si
SLV 5	22.71	-149.1	35	0	1.1	94.88	22.71	4.18	Si

Verifica di scorrimento

Famiglia "Limite ultimo"

Si stampano le 5 situazioni più gravose per tipo di verifica
Coefficiente di sicurezza minimo a scorrimento 20.36

Cmb	Act.h.	Act.v.	Cond.	Ades.	Attrito	Laterale	yR	Rd	Ed	Rd/Ed	Verifica
SLU 37	4.23	-291.5	LT	0	18	0	1.1	86.1	4.23	20.36	Si
SLU 25	3.51	-244.37	LT	0	18	0	1.1	72.18	3.51	20.56	Si
SLU 18	3.9	-272.86	LT	0	18	0	1.1	80.6	3.9	20.67	Si
SLU 33	3.64	-258.22	LT	0	18	0	1.1	76.27	3.64	20.95	Si
SLU 29	3.64	-258.22	LT	0	18	0	1.1	76.27	3.64	20.95	Si

Famiglia "Limite ultimo sismico"

Si stampano le 5 situazioni più gravose per tipo di verifica
Coefficiente di sicurezza minimo a scorrimento 1.72

Cmb	Act.h.	Act.v.	Cond.	Ades.	Attrito	Laterale	yR	Rd	Ed	Rd/Ed	Verifica
SLV 11	25.72	-149.37	LT	0	18	0	1.1	44.12	25.72	1.72	Si
SLV 12	25.72	-149.37	LT	0	18	0	1.1	44.12	25.72	1.72	Si
SLV 15	25.03	-149.23	LT	0	18	0	1.1	44.08	25.03	1.76	Si
SLV 16	25.03	-149.23	LT	0	18	0	1.1	44.08	25.03	1.76	Si
SLV 5	22.71	-149.1	LT	0	18	0	1.1	44.04	22.71	1.94	Si

Verifica di capacità portante

Famiglia "Limite ultimo"

Si stampano le 5 situazioni più gravose per tipo di verifica
Coefficiente di sicurezza minimo per portanza 4.51

Cmb	Fx	Fy	Fz	Mx	My	B'	L'	Cnd	Coes	Phi	Peso	Ovl	Amax	yR	Rd	Ed	Rd/Ed	Note	Verifica
SLU 75	-0.37	4.54	-328.28	1.0357	-2.6258	1.78	1.79	LT	26	24	18	14	0	2.3	1480.32	328.28	4.51		Si
SLU 56	-0.35	4.21	-309.65	0.9322	-2.5214	1.78	1.79	LT	26	24	18	14	0	2.3	1480.29	309.65	4.78		Si
SLU 73	-0.23	3.86	-299.15	1.0652	-1.7274	1.79	1.79	LT	26	24	18	14	0	2.3	1483.72	299.15	4.96		Si
SLU 71	-0.34	3.95	-295.01	0.8509	-2.4394	1.78	1.79	LT	26	24	18	14	0	2.3	1480.27	295.01	5.02		Si
SLU 67	-0.34	3.95	-295.01	0.8509	-2.4394	1.78	1.79	LT	26	24	18	14	0	2.3	1480.27	295.01	5.02		Si

Fattori di capacità portante Famiglia "Limite ultimo"

N			S			D			I			G			P			E		
Nq	Nc	Ng	Sq	Sc	Sg	Dq	Dc	Dg	Iq	Ic	Ig	Gq	Gc	Gg	Pq	Pc	Pg	Eq	Ec	Eg
11.4	23.4	8.6	0	1.3	0.8													1	1	1
11.4	23.4	8.6	0	1.3	0.8													1	1	1
11.4	23.4	8.6	0	1.3	0.8													1	1	1
11.4	23.4	8.6	0	1.3	0.8													1	1	1

Implementazione dei sistemi di confinamento delle emissioni odorigene diffuse dell'impianto di compostaggio esistente nel
Comune di Eboli (SA)

PROGETTO DEFINITIVO – Tabulati di calcolo Tomo 1

N			S			D			I			G			P			E		
Nq	Nc	Ng	Sq	Sc	Sg	Dq	Dc	Dg	Iq	lc	Ig	Gq	Gc	Gg	Pq	Pc	Pg	Eq	Ec	Eg
11.4	23.4	8.6	0	1.3	0.8													1	1	1

Famiglia "Limite ultimo sismico"

Si stampano le 5 situazioni più gravose per tipo di verifica

Coefficiente di sicurezza minimo per portanza 5.31

Cmb	Fx	Fy	Fz	Mx	My	B'	L'	Cnd	Coes	Phi	Peso	Ovi	Amax	yR	Rd	Ed	Rd/Ed	Note	Verifica
SLV 4	-2.16	-10.51	-149.34	7.9547	-49.3853	1.14	1.69	LT	26	24	18	14	0.17	2.3	793.6	149.34	5.31		Si
SLV 3	-2.16	-10.51	-149.34	7.9547	-49.3853	1.14	1.69	LT	26	24	18	14	0.17	2.3	793.6	149.34	5.31		Si
SLV 14	1.91	13.59	-149.14	-7.2142	47.6337	1.16	1.7	LT	26	24	18	14	0.17	2.3	815.06	149.14	5.47		Si
SLV 13	1.91	13.59	-149.14	-7.2142	47.6337	1.16	1.7	LT	26	24	18	14	0.17	2.3	815.06	149.14	5.47		Si
SLV 8	1.58	14.92	-149.4	3.1445	-48.3963	1.15	1.76	LT	26	24	18	14	0.17	2.3	834.22	149.4	5.58		Si

Fattori di capacità portante Famiglia "Limite ultimo sismico"

N			S			D			I			G			P			E		
Nq	Nc	Ng	Sq	Sc	Sg	Dq	Dc	Dg	Iq	lc	Ig	Gq	Gc	Gg	Pq	Pc	Pg	Eq	Ec	Eg
11.4	23.4	8.6	0	1.3	0.8													0.85	0.95	0.85
11.4	23.4	8.6	0	1.3	0.8													0.85	0.95	0.85
11.4	23.4	8.6	0	1.3	0.8													0.85	0.95	0.85
11.4	23.4	8.6	0	1.3	0.8													0.85	0.95	0.85
11.4	23.4	8.6	0	1.3	0.8													0.85	0.95	0.85

Verifiche della suola

Superficie su cui è valutata la pressione del suolo: rettangolare a filo pilastro

Non sono state richieste le verifiche a taglio della suola.

Armatura inferiore in direzione X 5 diam. 12 mm Armatura superiore in direzione X 4 diam. 12 mm

Armatura inferiore in direzione Y 5 diam. 12 mm Armatura superiore in direzione Y 4 diam. 12 mm

Famiglia "Limite ultimo"

Si stampano le 5 situazioni più gravose per tipo di verifica

Coefficiente di sicurezza minimo a flessione 4.1

Desc.	Tipo sez.	Comb.	M	Mu	Verifica
norm.X-	filo pil.	SLU 75	33.7276	138.194	Si
norm.Y-	filo pil.	SLU 75	33.3306	137.7047	Si
norm.Y+	filo pil.	SLU 75	32.2553	137.7047	Si
norm.X+	filo pil.	SLU 75	31.8582	138.194	Si
norm.X-	filo pil.	SLU 56	31.2304	138.194	Si

Famiglia "Esercizio raro"

Si stampano le 5 situazioni più gravose per tipo di verifica

Valori limite: σ lim. 14940 of lim. 360000

Coefficiente di sicurezza minimo per verifica tensioni 83.56

Desc.	Tipo sez.	Comb.	M	Fessurata	σ C	σ F	Verifica
norm.X-	filo pil.	SLE RA 18	23.5961	No	-179	899	Si
norm.Y-	filo pil.	SLE RA 18	23.3127	No	-177	849	Si
norm.Y+	filo pil.	SLE RA 18	22.5642	No	-171	822	Si
norm.X+	filo pil.	SLE RA 18	22.2808	No	-169	849	Si
norm.X-	filo pil.	SLE RA 16	20.8186	No	-158	793	Si

Famiglia "Esercizio frequente"

Si stampano le 5 situazioni più gravose per tipo di verifica

Valori limite di apertura fessure: w lim. 0.0004

Coefficiente di sicurezza minimo per apertura fessure 999

Desc.	Tipo sez.	Comb.	M	Fessurata	w	Verifica
norm.X+	filo pil.	SLE FR 4	10.4926	No	0	Si
norm.Y-	filo pil.	SLE FR 5	12.9723	No	0	Si
norm.Y-	filo pil.	SLE FR 1	11.7774	No	0	Si
norm.Y-	filo pil.	SLE FR 4	10.9195	No	0	Si
norm.X-	filo pil.	SLE FR 2	10.235	No	0	Si

Famiglia "Esercizio quasi permanente"

Valori limite: σ lim. 11205 w lim. 0.0003

Coefficiente di sicurezza minimo per verifica tensioni 126.74

Coefficiente di sicurezza minimo per apertura fessure 999

Desc.	Tipo sez.	Comb.	M	Fessurata	σ C	w	Verifica
norm.X-	filo pil.	SLE QP 1	11.8999	No	-88	0	Si
norm.Y-	filo pil.	SLE QP 1	11.7774	No	-88	0	Si
norm.Y+	filo pil.	SLE QP 1	11.3989	No	-85	0	Si
norm.X+	filo pil.	SLE QP 1	11.2764	No	-84	0	Si

Famiglia "Limite ultimo sismico"

Si stampano le 5 situazioni più gravose per tipo di verifica

Coefficiente di sicurezza minimo a flessione 4.31

Desc.	Tipo sez.	Comb.	M	Mu	Verifica
norm.X-	filo pil.	SLV 3	30.3478	130.9343	Si
norm.X-	filo pil.	SLV 4	30.3478	130.9343	Si
norm.X-	filo pil.	SLV 7	30.0063	130.9343	Si
norm.X-	filo pil.	SLV 8	30.0063	130.9343	Si
norm.X+	filo pil.	SLV 14	29.4538	130.9343	Si

Verifiche a punzonamento

Famiglia "Limite ultimo"

Verifiche in adiacenza all'elemento punzonante (perimetro U0)

Coefficiente di sicurezza minimo 49.43

Comb.	Elemento punzonante	d	Perimetro	Perim. minim.	N	β	Peso cono	Reazione suolo	VEd,red	VRd,max	Verifica
SLU 75	pilastro	0.613	1.2	No	-39.8	1.35	1.58	10.78	57	2822	Si
SLU 73	pilastro	0.613	1.2	No	-41.04	1.22	1.58	9.76	55	2822	Si
SLU 56	pilastro	0.613	1.2	No	-36.96	1.36	1.58	10.12	54	2822	Si
SLU 76	pilastro	0.613	1.2	No	-42.28	1.09	1.58	8.73	53	2822	Si

Implementazione dei sistemi di confinamento delle emissioni odorigene diffuse dell'impianto di compostaggio esistente nel
Comune di Eboli (SA)
PROGETTO DEFINITIVO – Tabulati di calcolo Tomo 1

Comb.	Elemento punzonante	d	Perimetro	Perim. minim.	N	β	Peso cono	Reazione suolo	VEd,red	VRd,max	Verifica
SLU 54	pilastro	0.613	1.2	No	-38.2	1.22	1.58	9.1	52	2822	Si

Verifiche a distanza $\leq 2d$ dall'elemento punzonante (perimetro U1)

Coefficiente di sicurezza minimo 198.53

Comb.	Elem. punz.	d	Offset	Perim. utile	Perim. minim.	N	β	Peso cono	Reazione suolo	VEd,red	p_I	VRd	Asw	VRd,cs	Verifica
SLU 76	pilastro	0.613	0.098	1.82	No	-42.28	1.06	2.78	23.06	22	0.0004	4300	0	0	Si
SLU 57	pilastro	0.613	0.098	1.82	No	-39.44	1.05	2.78	21.33	21	0.0004	4300	0	0	Si
SLU 64	pilastro	0.613	0.123	1.97	No	-32.96	1.03	3.14	18.02	16	0.0004	3440	0	0	Si
SLU 45	pilastro	0.613	0.123	1.97	No	-30.12	1.04	3.14	15.95	16	0.0004	3440	0	0	Si
SLU 72	pilastro	0.613	0.098	1.82	No	-37.21	1.05	2.78	19.97	20	0.0004	4300	0	0	Si

Coordinate del perimetro del cono punzonante a distanza 0.098 dal pilastro

Vert.	x	y	Vert.	x	y	Vert.	x	y	Vert.	x	y	Vert.	x	y	Vert.	x	y
1	-0.248	-0.15	2	-0.246	-0.169	3	-0.241	-0.188	4	-0.232	-0.204	5	-0.219	-0.219	6	-0.204	-0.232
7	-0.188	-0.241	8	-0.169	-0.246	9	-0.15	-0.248	10	-0.15	-0.248	11	0.169	-0.246	12	0.188	-0.241
13	0.204	-0.232	14	0.219	-0.219	15	0.232	-0.204	16	0.241	-0.188	17	0.246	-0.169	18	0.248	-0.15
19	0.248	0.15	20	0.246	0.169	21	0.241	0.188	22	0.232	0.204	23	0.219	0.219	24	0.204	0.232
25	0.188	0.241	26	0.169	0.246	27	0.15	0.248	28	-0.15	0.248	29	-0.169	0.246	30	-0.188	0.241
31	-0.204	0.232	32	-0.219	0.219	33	-0.232	0.204	34	-0.241	0.188	35	-0.246	0.169	36	-0.248	0.15

Famiglia "Limite ultimo sismico"

Verifiche in adiacenza all'elemento punzonante (perimetro U0)

Coefficiente di sicurezza minimo 8.01

Comb.	Elemento punzonante	d	Perimetro	Perim. minim.	N	β	Peso cono	Reazione suolo	VEd,red	VRd,max	Verifica
SLV 14	pilastro	0.613	1.2	No	-22.47	13.21	1.58	4.44	352	2822	Si
SLV 13	pilastro	0.613	1.2	No	-22.47	13.21	1.58	4.44	352	2822	Si
SLV 10	pilastro	0.613	1.2	No	-22.48	13.04	1.58	4.47	347	2822	Si
SLV 9	pilastro	0.613	1.2	No	-22.48	13.04	1.58	4.47	347	2822	Si
SLV 4	pilastro	0.613	1.2	No	-15.99	18.65	1.58	4.36	335	2822	Si

Verifiche a distanza $\leq 2d$ dall'elemento punzonante (perimetro U1)

Coefficiente di sicurezza minimo 34.33

Comb.	Elem. punz.	d	Offset	Perim. utile	Perim. minim.	N	β	Peso cono	Reazione suolo	VEd,red	p_I	VRd	Asw	VRd,cs	Verifica
SLV 14	pilastro	0.613	0.245	2.97	Si	-22.47	109.66	7.62	29.26	50	0.0004	1720	0	0	Si
SLV 13	pilastro	0.613	0.245	2.97	Si	-22.47	109.66	7.62	29.26	50	0.0004	1720	0	0	Si
SLV 10	pilastro	0.613	0.245	2.97	Si	-22.48	192.97	7.62	29.64	49	0.0004	1720	0	0	Si
SLV 9	pilastro	0.613	0.245	2.97	Si	-22.48	192.97	7.62	29.64	49	0.0004	1720	0	0	Si
SLV 4	pilastro	0.613	0.196	2.82	Si	-15.99	820.38	6.66	22.54	56	0.0004	2150	0	0	Si

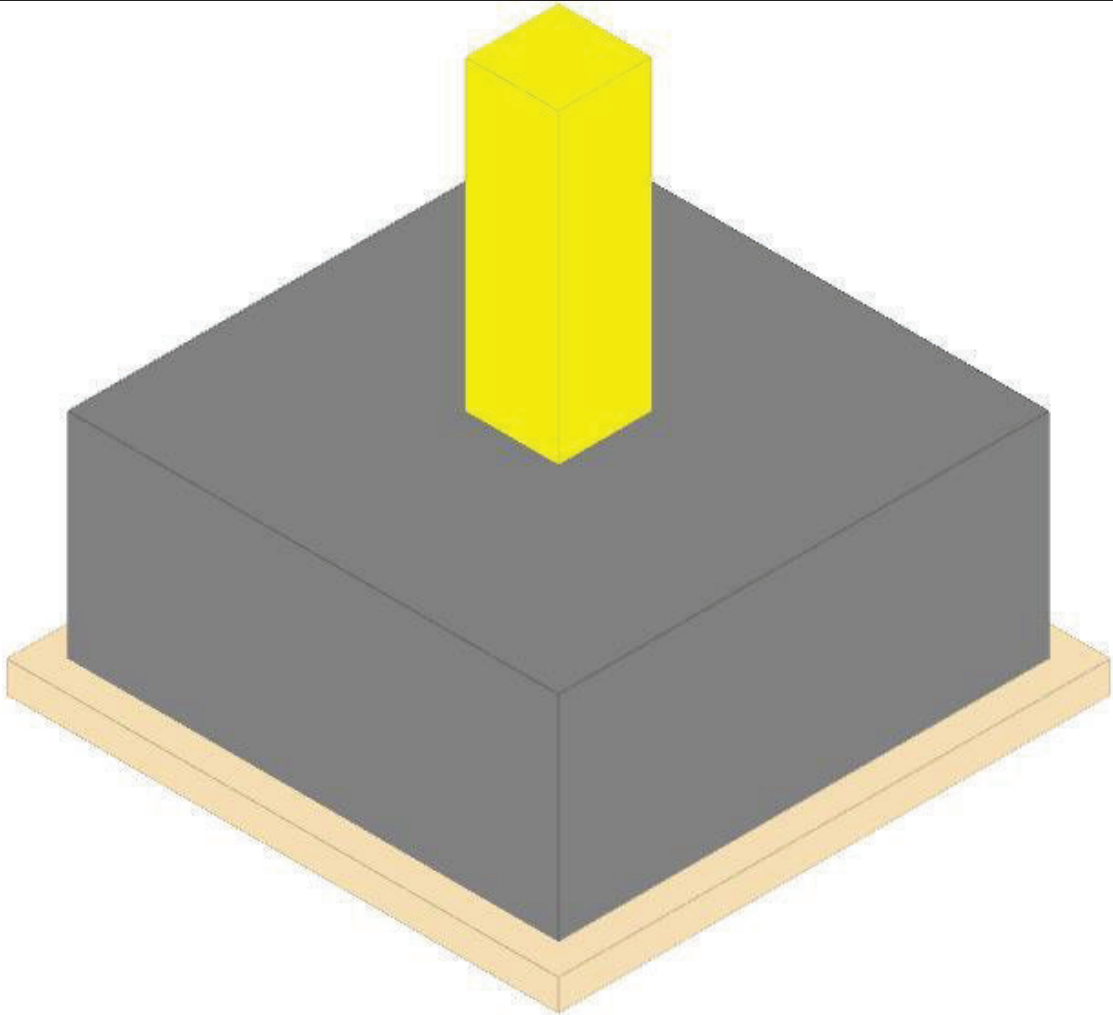
Coordinate del perimetro del cono punzonante a distanza 0.245 dal pilastro

Vert.	x	y	Vert.	x	y	Vert.	x	y	Vert.	x	y	Vert.	x	y	Vert.	x	y
1	-0.8	0.395	2	-0.8	-0.395	3	0.15	-0.395	4	0.198	-0.39	5	0.244	-0.377	6	0.286	-0.354
7	0.323	-0.323	8	0.354	-0.286	9	0.377	-0.244	10	0.39	-0.198	11	0.395	-0.15	12	0.395	0.15
13	0.39	0.198	14	0.377	0.244	15	0.354	0.286	16	0.323	0.323	17	0.286	0.354	18	0.244	0.377
19	0.198	0.39	20	0.15	0.395												

Plinto (-908; 853)

Verifiche condotte secondo D.M. 17 gennaio 2018

Geometria



Caratteristiche dei materiali

Calcestruzzo: C25/30; Resistenza cubica caratteristica Rck: 30000
Calcestruzzo per magrone: Magrone; Resistenza cubica caratteristica Rck: 100
Acciaio per armatura: B450C; Fyk: 450000

Caratteristiche geometriche

Suola: dimensione x: 1.6; dimensione y: 1.6; spessore: 0.7
Magrone: sbordo: 0.1; spessore: 0.1; materiale: Magrone
Pilastro rettangolare: dimensione x: 0.3; dimensione y: 0.3
Copriferro: suola: 0.075

Pressioni raggiunte sul terreno

Famiglia "Limite ultimo"

Si stampano le 5 situazioni più gravose per tipo di verifica
Coefficiente di sicurezza minimo 1.37

Comb.	σt max	σt min	σt verifica	Verifica
SLV 76	-111	-127	-174	Si
SLV 57	-104	-119	-174	Si
SLV 38	-100	-114	-174	Si
SLV 73	-98	-114	-174	Si
SLV 68	-99	-113	-174	Si

Famiglia "Limite ultimo sismico"

Si stampano le 5 situazioni più gravose per tipo di verifica
Coefficiente di sicurezza minimo 1.55

Comb.	σt max	σt min	σt verifica	Verifica
SLV 3	0	-112	-174	Si
SLV 4	0	-112	-174	Si
SLV 7	0	-111	-174	Si
SLV 8	0	-111	-174	Si
SLV 13	0	-110	-174	Si

Verifiche a ribaltamento

Famiglia "Equilibrio", Famiglia "Limite ultimo", Famiglia "Limite ultimo sismico"

Si stampano le 5 situazioni più gravose per tipo di verifica
Coefficiente di sicurezza minimo 2.07

Comb.	Asse di rotazione	Verifica
-------	-------------------	----------

Implementazione dei sistemi di confinamento delle emissioni odorigene diffuse dell'impianto di compostaggio esistente nel
Comune di Eboli (SA)

PROGETTO DEFINITIVO – Tabulati di calcolo Tomo 1

	x1	y1	x2	y2	yR	Mrib	Mstb	c.s.	
SLV 3	-0.8	0.8	-0.8	-0.8	1.15	48.8954	101.3174	2.07	Si
SLV 4	-0.8	0.8	-0.8	-0.8	1.15	48.8954	101.3174	2.07	Si
SLV 7	-0.8	0.8	-0.8	-0.8	1.15	48.2294	101.3062	2.1	Si
SLV 8	-0.8	0.8	-0.8	-0.8	1.15	48.2294	101.3062	2.1	Si
SLV 13	0.8	-0.8	0.8	0.8	1.15	45.3749	100.2054	2.21	Si

Verifiche geotecniche di scorrimento e capacità portante

Impronta al suolo: 1.8x1.8
Terreno laterale di approfondimento piano posa: Eboli 1
Spessore terreno laterale: 0.7
Moltiplicatore resistenza passiva per verifica scorrimento: 0
Coefficiente di attrito Cls-Magrone per verifica scorrimento: 0.7

Caratteristiche del terreno a contatto con il piano di posa della fondazione

Descrizione	y naturale	y saturo	Angolo Attrito Interno	Angolo Attrito δ	Coesione Efficace	Coesione Non Drenata	Coeff. Adesione
Eboli 1	18	20	24	18	26	0	1

Caratteristiche del terreno di progetto per la capacità portante della fondazione

Descrizione	y naturale	y saturo	Angolo Attrito Interno	Angolo Attrito δ	Coesione Efficace	Coesione Non Drenata	Coeff. Adesione
Suolo medio nel bulbo di influenza	18	20	24	18	26	0	1

Caratteristiche del terreno laterale di approfondimento della fondazione

Descrizione	y naturale	y saturo	Angolo Attrito Interno	Angolo Attrito δ	Coesione Efficace	Coesione Non Drenata	Coeff. Adesione
Eboli 1	18	20	24	18	26	0	1

Verifiche a slittamento magrone-calcestruzzo

Famiglia "Limite ultimo"

Si stampano le 5 situazioni più gravose per tipo di verifica
Coefficiente di sicurezza minimo a slittamento cls-magrone 39.09

Cmb	Act.h.	Act.v.	Attrito	Laterale	yR	Rd	Ed	Rd/Ed	Verifica
SLU 2	0.6	-37.03	35	0	1.1	23.56	0.6	39.09	Si
SLU 3	1.09	-84.39	35	0	1.1	53.7	1.09	49.18	Si
SLU 26	2.56	-290.78	35	0	1.1	185.04	2.56	72.21	Si
SLU 7	2.35	-267.23	35	0	1.1	170.05	2.35	72.48	Si
SLU 23	2.18	-248.73	35	0	1.1	158.28	2.18	72.72	Si

Famiglia "Limite ultimo sismico"

Si stampano le 5 situazioni più gravose per tipo di verifica
Coefficiente di sicurezza minimo a slittamento cls-magrone 4.36

Cmb	Act.h.	Act.v.	Attrito	Laterale	yR	Rd	Ed	Rd/Ed	Verifica
SLV 7	23.68	-162.3	35	0	1.1	103.28	23.68	4.36	Si
SLV 8	23.68	-162.3	35	0	1.1	103.28	23.68	4.36	Si
SLV 3	23.62	-162.31	35	0	1.1	103.29	23.62	4.37	Si
SLV 4	23.62	-162.31	35	0	1.1	103.29	23.62	4.37	Si
SLV 13	22.67	-160.71	35	0	1.1	102.27	22.67	4.51	Si

Verifica di scorrimento

Famiglia "Limite ultimo"

Si stampano le 5 situazioni più gravose per tipo di verifica
Coefficiente di sicurezza minimo a scorrimento 18.14

Cmb	Act.h.	Act.v.	Cond.	Ades.	Attrito	Laterale	yR	Rd	Ed	Rd/Ed	Verifica
SLU 2	0.6	-37.03	LT	0	18	0	1.1	10.94	0.6	18.14	Si
SLU 3	1.09	-84.39	LT	0	18	0	1.1	24.93	1.09	22.83	Si
SLU 26	2.56	-290.78	LT	0	18	0	1.1	85.89	2.56	33.52	Si
SLU 7	2.35	-267.23	LT	0	18	0	1.1	78.93	2.35	33.64	Si
SLU 23	2.18	-248.73	LT	0	18	0	1.1	73.47	2.18	33.75	Si

Famiglia "Limite ultimo sismico"

Si stampano le 5 situazioni più gravose per tipo di verifica
Coefficiente di sicurezza minimo a scorrimento 2.02

Cmb	Act.h.	Act.v.	Cond.	Ades.	Attrito	Laterale	yR	Rd	Ed	Rd/Ed	Verifica
SLV 7	23.68	-162.3	LT	0	18	0	1.1	47.94	23.68	2.02	Si
SLV 8	23.68	-162.3	LT	0	18	0	1.1	47.94	23.68	2.02	Si
SLV 3	23.62	-162.31	LT	0	18	0	1.1	47.94	23.62	2.03	Si
SLV 4	23.62	-162.31	LT	0	18	0	1.1	47.94	23.62	2.03	Si
SLV 13	22.67	-160.71	LT	0	18	0	1.1	47.47	22.67	2.09	Si

Verifica di capacità portante

Famiglia "Limite ultimo"

Si stampano le 5 situazioni più gravose per tipo di verifica
Coefficiente di sicurezza minimo per portanza 3.8

Cmb	Fx	Fy	Fz	Mx	My	B'	L'	Cnd	Coes	Phi	Peso	Ovl	Amax	yR	Rd	Ed	Rd/Ed	Note	Verifica
SLU 76	-0.65	2.75	-385.09	3.6751	-4.2453	1.78	1.78	LT	26	24	18	14	0	2.3	1464.27	385.09	3.8		Si
SLU 57	-0.6	2.54	-361.54	3.3841	-3.8765	1.78	1.78	LT	26	24	18	14	0	2.3	1465.12	361.54	4.05		Si
SLU 38	-0.6	2.69	-346.73	3.3931	-3.8671	1.78	1.78	LT	26	24	18	14	0	2.3	1463.64	346.73	4.22		Si
SLU 73	-0.68	1.85	-342.86	3.405	-4.4045	1.77	1.78	LT	26	24	18	14	0	2.3	1460.32	342.86	4.26		Si
SLU 68	-0.55	2.37	-343.04	3.1554	-3.5868	1.78	1.78	LT	26	24	18	14	0	2.3	1465.87	343.04	4.27		Si

Fattori di capacità portante Famiglia "Limite ultimo"

N			S			D			I			G			P			E		
Nq	Nc	Ng	Sq	Sc	Sg	Dq	Dc	Dg	Iq	Ic	Ig	Gq	Gc	Gg	Pq	Pc	Pg	Eq	Ec	Eg
11.4	23.4	8.6	0	1.3	0.8													1	1	1
11.4	23.4	8.6	0	1.3	0.8													1	1	1
11.4	23.4	8.6	0	1.3	0.8													1	1	1
11.4	23.4	8.6	0	1.3	0.8													1	1	1

Implementazione dei sistemi di confinamento delle emissioni odorigene diffuse dell'impianto di compostaggio esistente nel
Comune di Eboli (SA)

PROGETTO DEFINITIVO – Tabulati di calcolo Tomo 1

N			S			D			I			G			P			E		
Nq	Nc	Ng	Sq	Sc	Sg	Dq	Dc	Dg	Iq	lc	Ig	Gq	Gc	Gg	Pq	Pc	Pg	Eq	Ec	Eg
11.4	23.4	8.6	0	1.3	0.8													1	1	1

Famiglia "Limite ultimo sismico"

Si stampano le 5 situazioni più gravose per tipo di verifica

Coefficiente di sicurezza minimo per portanza 5.04

Cmb	Fx	Fy	Fz	Mx	My	B'	L'	Cnd	Coes	Phi	Peso	Ovi	Amax	yR	Rd	Ed	Rd/Ed	Note	Verifica
SLV 4	-20.83	11.14	-162.31	-8.6323	-50.9782	1.17	1.69	LT	26	24	18	14	0.17	2.3	818.36	162.31	5.04		Si
SLV 3	-20.83	11.14	-162.31	-8.6323	-50.9782	1.17	1.69	LT	26	24	18	14	0.17	2.3	818.36	162.31	5.04		Si
SLV 8	-9.87	21.53	-162.3	-9.6642	-49.2162	1.19	1.68	LT	26	24	18	14	0.17	2.3	828.21	162.3	5.1		Si
SLV 7	-9.87	21.53	-162.3	-9.6642	-49.2162	1.19	1.68	LT	26	24	18	14	0.17	2.3	828.21	162.3	5.1		Si
SLV 14	20.28	-10.12	-160.71	11.3442	47.4033	1.21	1.66	LT	26	24	18	14	0.17	2.3	829.45	160.71	5.16		Si

Fattori di capacità portante Famiglia "Limite ultimo sismico"

N			S			D			I			G			P			E		
Nq	Nc	Ng	Sq	Sc	Sg	Dq	Dc	Dg	Iq	lc	Ig	Gq	Gc	Gg	Pq	Pc	Pg	Eq	Ec	Eg
11.4	23.4	8.6	0	1.3	0.8													0.85	0.95	0.85
11.4	23.4	8.6	0	1.3	0.8													0.85	0.95	0.85
11.4	23.4	8.6	0	1.3	0.8													0.85	0.95	0.85
11.4	23.4	8.6	0	1.3	0.8													0.85	0.95	0.85
11.4	23.4	8.6	0	1.3	0.8													0.85	0.95	0.85

Verifiche della suola

Superficie su cui è valutata la pressione del suolo: rettangolare a filo pilastro

Non sono state richieste le verifiche a taglio della suola.

Armatura inferiore in direzione X 5 diam. 12 mm Armatura superiore in direzione X 4 diam. 12 mm

Armatura inferiore in direzione Y 5 diam. 12 mm Armatura superiore in direzione Y 4 diam. 12 mm

Famiglia "Limite ultimo"

Si stampano le 5 situazioni più gravose per tipo di verifica

Coefficiente di sicurezza minimo a flessione 3.3

Desc.	Tipo sez.	Comb.	M	Mu	Verifica
norm.Y-	filo pil.	SLU 76		41.72	137.7047
norm.X-	filo pil.	SLU 76		41.8031	138.194
norm.Y-	filo pil.	SLU 38		38.9858	137.7047
norm.X-	filo pil.	SLU 38		39.0385	138.194
norm.Y+	filo pil.	SLU 76		38.868	137.7047

Famiglia "Esercizio raro"

Si stampano le 5 situazioni più gravose per tipo di verifica

Valori limite: σ lim. 14940 of lim. 360000

Coefficiente di sicurezza minimo per verifica tensioni 67.76

Desc.	Tipo sez.	Comb.	M	Fessurata	σ C	σ F	Verifica
norm.X-	filo pil.	SLE RA 19	29.0974	No	-220	1109	Si
norm.Y-	filo pil.	SLE RA 19	29.0285	No	-220	1058	Si
norm.Y+	filo pil.	SLE RA 19	27.0347	No	-205	985	Si
norm.X+	filo pil.	SLE RA 19	26.9658	No	-204	1027	Si
norm.X-	filo pil.	SLE RA 16	25.4177	No	-193	968	Si

Famiglia "Esercizio frequente"

Si stampano le 5 situazioni più gravose per tipo di verifica

Valori limite di apertura fessure: w lim. 0.0004

Coefficiente di sicurezza minimo per apertura fessure 999

Desc.	Tipo sez.	Comb.	M	Fessurata	w	Verifica
norm.X+	filo pil.	SLE FR 2	10.5879	No	0	Si
norm.Y-	filo pil.	SLE FR 3	12.4489	No	0	Si
norm.Y-	filo pil.	SLE FR 4	14.985	No	0	Si
norm.Y-	filo pil.	SLE FR 2	11.5689	No	0	Si
norm.X-	filo pil.	SLE FR 1	13.8445	No	0	Si

Famiglia "Esercizio quasi permanente"

Valori limite: σ lim. 11205 w lim. 0.0003

Coefficiente di sicurezza minimo per verifica tensioni 108.94

Coefficiente di sicurezza minimo per apertura fessure 999

Desc.	Tipo sez.	Comb.	M	Fessurata	σ C	w	Verifica
norm.X-	filo pil.	SLE QP 1	13.8445	No	-103	0	Si
norm.Y-	filo pil.	SLE QP 1	13.7169	No	-102	0	Si
norm.Y+	filo pil.	SLE QP 1	12.7011	No	-95	0	Si
norm.X+	filo pil.	SLE QP 1	12.5735	No	-93	0	Si

Famiglia "Limite ultimo sismico"

Si stampano le 5 situazioni più gravose per tipo di verifica

Coefficiente di sicurezza minimo a flessione 4.16

Desc.	Tipo sez.	Comb.	M	Mu	Verifica
norm.X-	filo pil.	SLV 4	31.4645	130.9343	Si
norm.X-	filo pil.	SLV 3	31.4645	130.9343	Si
norm.X-	filo pil.	SLV 7	31.1651	130.9343	Si
norm.X-	filo pil.	SLV 8	31.1651	130.9343	Si
norm.X+	filo pil.	SLV 14	29.8211	130.9343	Si

Verifiche a punzonamento

Famiglia "Limite ultimo"

Verifiche in adiacenza all'elemento punzonante (perimetro U0)

Coefficiente di sicurezza minimo 38.34

Comb.	Elemento punzonante	d	Perimetro	Perim. minim.	N	β	Peso cono	Reazione suolo	VEd,red	VRd,max	Verifica
SLU 75	pilastro	0.613	1.2	No	-42.15	1.57	1.58	9.81	74	2822	Si
SLU 73	pilastro	0.613	1.2	No	-43.18	1.52	1.58	11.29	70	2822	Si
SLU 56	pilastro	0.613	1.2	No	-39.11	1.57	1.58	8.98	69	2822	Si
SLU 76	pilastro	0.613	1.2	No	-44.2	1.47	1.58	12.78	67	2822	Si

Implementazione dei sistemi di confinamento delle emissioni odorigene diffuse dell'impianto di compostaggio esistente nel
Comune di Eboli (SA)
PROGETTO DEFINITIVO – Tabulati di calcolo Tomo 1

Comb.	Elemento punzonante	d	Perimetro	Perim. minim.	N	β	Peso cono	Reazione suolo	VEd,red	VRd,max	Verifica
SLU 37	pilastro	0.613	1.2	No	-37.45	1.59	1.58	8.63	66	2822	Si

Verifiche a distanza <=2d dall'elemento punzonante (perimetro U1)

Coefficiente di sicurezza minimo 175.14

Comb.	Elem. punz.	d	Offset	Perim. utile	Perim. minim.	N	β	Peso cono	Reazione suolo	VEd,red	p_I	VRd	Asw	VRd,cs	Verifica
SLU 75	pilastro	0.613	0.074	1.66	No	-42.15	1.39	2.45	21.27	33	0.0004	5733	0	0	Si
SLU 56	pilastro	0.613	0.074	1.66	No	-39.11	1.38	2.45	19.47	31	0.0004	5733	0	0	Si
SLU 63	pilastro	0.613	0.098	1.82	No	-30.62	1.37	2.78	15.48	23	0.0004	4300	0	0	Si
SLU 71	pilastro	0.613	0.074	1.66	No	-36.73	1.38	2.45	18.06	30	0.0004	5733	0	0	Si
SLU 67	pilastro	0.613	0.074	1.66	No	-36.73	1.38	2.45	18.06	30	0.0004	5733	0	0	Si

Coordinate del perimetro del cono punzonante a distanza 0.074 dal pilastro

Vert.	x	y	Vert.	x	y	Vert.	x	y	Vert.	x	y	Vert.	x	y	Vert.	x	y
1	-0.224	-0.15	2	-0.222	-0.164	3	-0.218	-0.178	4	-0.211	-0.191	5	-0.202	-0.202	6	-0.191	-0.211
7	-0.178	-0.218	8	-0.164	-0.222	9	-0.15	-0.224	10	0.15	-0.224	11	0.164	-0.222	12	0.178	-0.218
13	0.191	-0.211	14	0.202	-0.202	15	0.211	-0.191	16	0.218	-0.178	17	0.222	-0.164	18	0.224	-0.15
19	0.224	0.15	20	0.222	0.164	21	0.218	0.178	22	0.211	0.191	23	0.202	0.202	24	0.191	0.211
25	0.178	0.218	26	0.164	0.222	27	0.15	0.224	28	-0.15	0.224	29	-0.164	0.222	30	-0.178	0.218
31	-0.191	0.211	32	-0.202	0.202	33	-0.211	0.191	34	-0.218	0.178	35	-0.222	0.164	36	-0.224	0.15

Famiglia "Limite ultimo sismico"

Verifiche in adiacenza all'elemento punzonante (perimetro U0)

Coefficiente di sicurezza minimo 7.89

Comb.	Elemento punzonante	d	Perimetro	Perim. minim.	N	β	Peso cono	Reazione suolo	VEd,red	VRd,max	Verifica
SLV 3	pilastro	0.613	1.2	No	-21.52	14.53	1.58	4.98	358	2822	Si
SLV 4	pilastro	0.613	1.2	No	-21.52	14.53	1.58	4.98	358	2822	Si
SLV 7	pilastro	0.613	1.2	No	-18.54	16.5	1.58	5	339	2822	Si
SLV 8	pilastro	0.613	1.2	No	-18.54	16.5	1.58	5	339	2822	Si
SLV 10	pilastro	0.613	1.2	No	-18.54	13.62	1.58	4.98	335	2822	Si

Verifiche a distanza <=2d dall'elemento punzonante (perimetro U1)

Coefficiente di sicurezza minimo 33.5

Comb.	Elem. punz.	d	Offset	Perim. utile	Perim. minim.	N	β	Peso cono	Reazione suolo	VEd,red	p_I	VRd	Asw	VRd,cs	Verifica
SLV 3	pilastro	0.613	0.196	2.82	Si	-21.52	93.62	6.66	27	64	0.0004	2150	0	0	Si
SLV 4	pilastro	0.613	0.196	2.82	Si	-21.52	93.62	6.66	27	64	0.0004	2150	0	0	Si
SLV 10	pilastro	0.613	0.196	2.82	Si	-21.51	529.77	6.66	27.97	61	0.0004	2150	0	0	Si
SLV 9	pilastro	0.613	0.196	2.82	Si	-21.51	529.77	6.66	27.97	61	0.0004	2150	0	0	Si
SLV 7	pilastro	0.613	0.172	2.74	Si	-18.54	214.91	6.2	24.22	67	0.0004	2457	0	0	Si

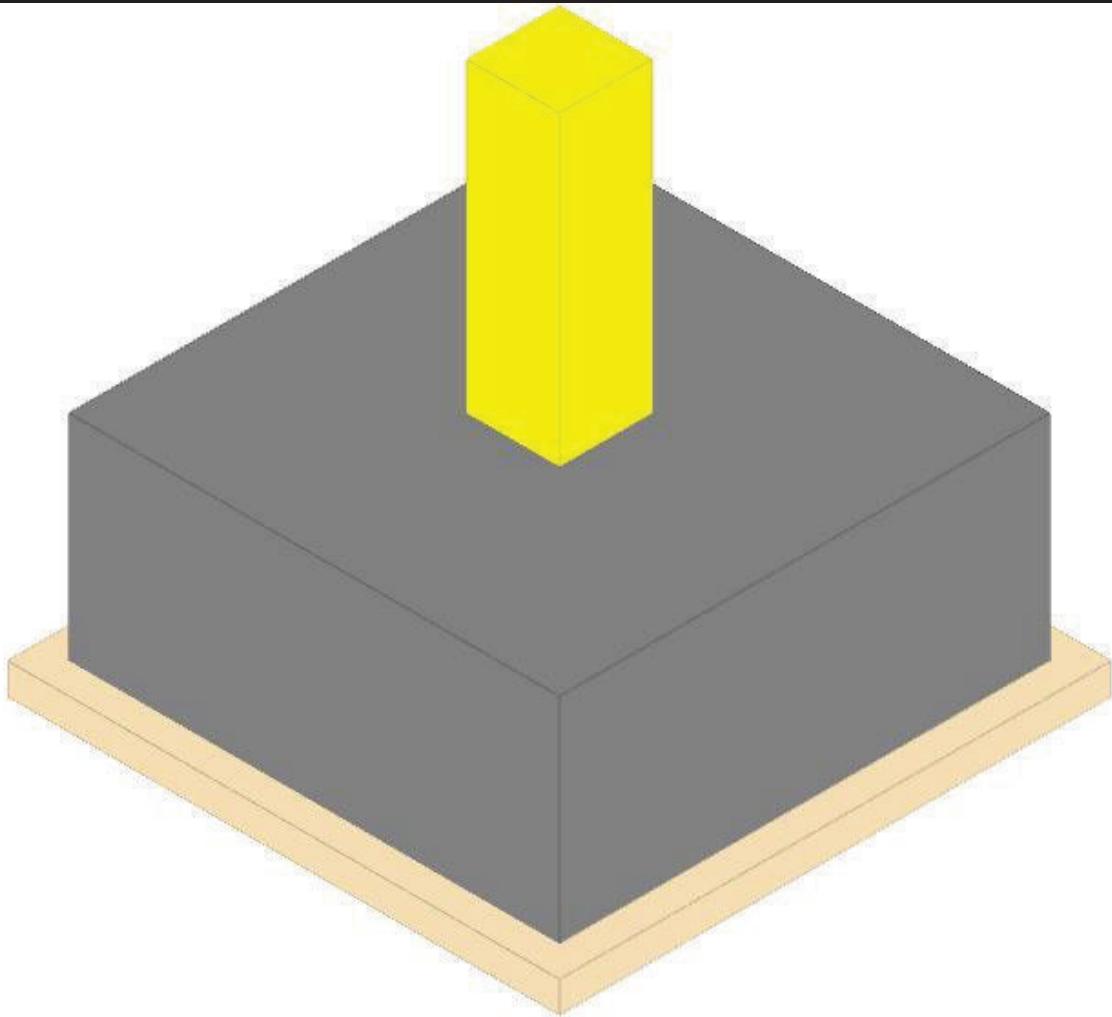
Coordinate del perimetro del cono punzonante a distanza 0.196 dal pilastro

Vert.	x	y	Vert.	x	y	Vert.	x	y	Vert.	x	y	Vert.	x	y	Vert.	x	y
1	0.8	-0.346	2	0.8	0.346	3	-0.15	0.346	4	-0.188	0.342	5	-0.225	0.331	6	-0.259	0.313
7	-0.289	0.289	8	-0.313	0.259	9	-0.331	0.225	10	-0.342	0.188	11	-0.346	0.15	12	-0.346	-0.15
13	-0.342	-0.188	14	-0.331	-0.225	15	-0.313	-0.259	16	-0.289	-0.289	17	-0.259	-0.313	18	-0.225	-0.331
19	-0.188	-0.342	20	-0.15	-0.346												

Plinto (-1051; -1051)

Verifiche condotte secondo D.M. 17 gennaio 2018

Geometria



Caratteristiche dei materiali

Calcestruzzo: C25/30; Resistenza cubica caratteristica Rck: 30000
Calcestruzzo per magrone: Magrone; Resistenza cubica caratteristica Rck: 100
Acciaio per armatura: B450C; Fyk: 450000

Caratteristiche geometriche

Suola: dimensione x: 1.6; dimensione y: 1.6; spessore: 0.7
Magrone: sbordo: 0.1; spessore: 0.1; materiale: Magrone
Pilastro rettangolare: dimensione x: 0.3; dimensione y: 0.3
Copriferro: suola: 0.075

Pressioni raggiunte sul terreno

Famiglia "Limite ultimo"

Si stampano le 5 situazioni più gravose per tipo di verifica
Coefficiente di sicurezza minimo 2.55

Comb.	σt max	σt min	σt verifica	Verifica
SLV 75	-61	-68	-174	Si
SLV 56	-58	-65	-174	Si
SLV 73	-57	-63	-174	Si
SLV 67	-56	-63	-174	Si
SLV 71	-56	-63	-174	Si

Famiglia "Limite ultimo sismico"

Si stampano le 5 situazioni più gravose per tipo di verifica
Coefficiente di sicurezza minimo 1.68

Comb.	σt max	σt min	σt verifica	Verifica
SLV 4	0	-104	-174	Si
SLV 3	0	-104	-174	Si
SLV 14	0	-101	-174	Si
SLV 13	0	-101	-174	Si
SLV 8	0	-100	-174	Si

Verifiche a ribaltamento

Famiglia "Equilibrio", Famiglia "Limite ultimo", Famiglia "Limite ultimo sismico"

Si stampano le 5 situazioni più gravose per tipo di verifica
Coefficiente di sicurezza minimo 1.29

Comb.	Asse di rotazione	Verifica
-------	-------------------	----------

Implementazione dei sistemi di confinamento delle emissioni odorigene diffuse dell'impianto di compostaggio esistente nel
Comune di Eboli (SA)

PROGETTO DEFINITIVO – Tabulati di calcolo Tomo 1

	x1	y1	x2	y2	yR	Mrib	Mstb	c.s.	
SLV 13	0.8	-0.8	0.8	0.8	1.15	49.2271	63.2999	1.29	Si
SLV 14	0.8	-0.8	0.8	0.8	1.15	49.2271	63.2999	1.29	Si
SLV 9	0.8	-0.8	0.8	0.8	1.15	48.8098	64.7161	1.33	Si
SLV 10	0.8	-0.8	0.8	0.8	1.15	48.8098	64.7161	1.33	Si
SLV 7	-0.8	0.8	-0.8	-0.8	1.15	48.8712	66.2902	1.36	Si

Verifiche geotecniche di scorrimento e capacità portante

Impronta al suolo: 1.8x1.8
Terreno laterale di approfondimento piano posa: Eboli 1
Spessore terreno laterale: 0.7
Moltiplicatore resistenza passiva per verifica scorrimento: 0
Coefficiente di attrito Cls-Magrone per verifica scorrimento: 0.7

Caratteristiche del terreno a contatto con il piano di posa della fondazione

Descrizione	y naturale	y saturo	Angolo Attrito Interno	Angolo Attrito δ	Coesione Efficace	Coesione Non Drenata	Coeff. Adesione
Eboli 1	18	20	24	18	26	0	1

Caratteristiche del terreno di progetto per la capacità portante della fondazione

Descrizione	y naturale	y saturo	Angolo Attrito Interno	Angolo Attrito δ	Coesione Efficace	Coesione Non Drenata	Coeff. Adesione
Suolo medio nel bulbo di influenza	18	20	24	18	26	0	1

Caratteristiche del terreno laterale di approfondimento della fondazione

Descrizione	y naturale	y saturo	Angolo Attrito Interno	Angolo Attrito δ	Coesione Efficace	Coesione Non Drenata	Coeff. Adesione
Eboli 1	18	20	24	18	26	0	1

Verifiche a slittamento magrone-calcestruzzo

Famiglia "Limite ultimo"

Si stampano le 5 situazioni più gravose per tipo di verifica
Coefficiente di sicurezza minimo a slittamento cls-magrone 2.75

Cmb	Act.h.	Act.v.	Attrito	Laterale	yR	Rd	Ed	Rd/Ed	Verifica
SLU 37	41.6	-179.6	35	0	1.1	114.29	41.6	2.75	Si
SLU 18	38.26	-170.63	35	0	1.1	108.59	38.26	2.84	Si
SLU 33	35.64	-163.59	35	0	1.1	104.1	35.64	2.92	Si
SLU 29	35.64	-163.59	35	0	1.1	104.1	35.64	2.92	Si
SLU 25	34.15	-157.12	35	0	1.1	99.98	34.15	2.93	Si

Famiglia "Limite ultimo sismico"

Si stampano le 5 situazioni più gravose per tipo di verifica
Coefficiente di sicurezza minimo a slittamento cls-magrone 2.74

Cmb	Act.h.	Act.v.	Attrito	Laterale	yR	Rd	Ed	Rd/Ed	Verifica
SLV 3	26.46	-114	35	0	1.1	72.54	26.46	2.74	Si
SLV 4	26.46	-114	35	0	1.1	72.54	26.46	2.74	Si
SLV 1	24.64	-113.88	35	0	1.1	72.47	24.64	2.94	Si
SLV 2	24.64	-113.88	35	0	1.1	72.47	24.64	2.94	Si
SLV 7	23.07	-111.96	35	0	1.1	71.25	23.07	3.09	Si

Verifica di scorrimento

Famiglia "Limite ultimo"

Si stampano le 5 situazioni più gravose per tipo di verifica
Coefficiente di sicurezza minimo a scorrimento 1.28

Cmb	Act.h.	Act.v.	Cond.	Ades.	Attrito	Laterale	yR	Rd	Ed	Rd/Ed	Verifica
SLU 37	41.6	-179.6	LT	0	18	0	1.1	53.05	41.6	1.28	Si
SLU 18	38.26	-170.63	LT	0	18	0	1.1	50.4	38.26	1.32	Si
SLU 33	35.64	-163.59	LT	0	18	0	1.1	48.32	35.64	1.36	Si
SLU 29	35.64	-163.59	LT	0	18	0	1.1	48.32	35.64	1.36	Si
SLU 25	34.15	-157.12	LT	0	18	0	1.1	46.41	34.15	1.36	Si

Famiglia "Limite ultimo sismico"

Si stampano le 5 situazioni più gravose per tipo di verifica
Coefficiente di sicurezza minimo a scorrimento 1.27

Cmb	Act.h.	Act.v.	Cond.	Ades.	Attrito	Laterale	yR	Rd	Ed	Rd/Ed	Verifica
SLV 3	26.46	-114	LT	0	18	0	1.1	33.67	26.46	1.27	Si
SLV 4	26.46	-114	LT	0	18	0	1.1	33.67	26.46	1.27	Si
SLV 1	24.64	-113.88	LT	0	18	0	1.1	33.64	24.64	1.37	Si
SLV 2	24.64	-113.88	LT	0	18	0	1.1	33.64	24.64	1.37	Si
SLV 7	23.07	-111.96	LT	0	18	0	1.1	33.07	23.07	1.43	Si

Verifica di capacità portante

Famiglia "Limite ultimo"

Si stampano le 5 situazioni più gravose per tipo di verifica
Coefficiente di sicurezza minimo per portanza 7.03

Cmb	Fx	Fy	Fz	Mx	My	B'	L'	Cnd	Coes	Phi	Peso	Ovl	Amax	yR	Rd	Ed	Rd/Ed	Note	Verifica
SLU 75	0.38	-44.56	-209.01	2.8459	-0.8359	1.77	1.79	LT	26	24	18	14	0	2.3	1468.65	209.01	7.03		Si
SLU 56	0.33	-41.23	-200.04	2.6057	-0.8642	1.77	1.79	LT	26	24	18	14	0	2.3	1469.2	200.04	7.34		Si
SLU 73	0.46	-37.86	-194.69	2.6682	0.142	1.77	1.8	LT	26	24	18	14	0	2.3	1473.85	194.69	7.57		Si
SLU 71	0.3	-38.61	-192.99	2.417	-0.8865	1.77	1.79	LT	26	24	18	14	0	2.3	1469.67	192.99	7.62		Si
SLU 67	0.3	-38.61	-192.99	2.417	-0.8865	1.77	1.79	LT	26	24	18	14	0	2.3	1469.67	192.99	7.62		Si

Fattori di capacità portante Famiglia "Limite ultimo"

N			S			D			I			G			P			E		
Nq	Nc	Ng	Sq	Sc	Sg	Dq	Dc	Dg	Iq	Ic	Ig	Gq	Gc	Gg	Pq	Pc	Pg	Eq	Ec	Eg
11.4	23.4	8.6	0	1.3	0.8													1	1	1
11.4	23.4	8.6	0	1.3	0.8													1	1	1
11.4	23.4	8.6	0	1.3	0.8													1	1	1
11.4	23.4	8.6	0	1.3	0.8													1	1	1

Implementazione dei sistemi di confinamento delle emissioni odorigene diffuse dell'impianto di compostaggio esistente nel
Comune di Eboli (SA)

PROGETTO DEFINITIVO – Tabulati di calcolo Tomo 1

N			S			D			I			G			P			E		
Nq	Nc	Ng	Sq	Sc	Sg	Dq	Dc	Dg	Iq	lc	Ig	Gq	Gc	Gg	Pq	Pc	Pg	Eq	Ec	Eg
11.4	23.4	8.6	0	1.3	0.8													1	1	1

Famiglia "Limite ultimo sismico"

Si stampano le 5 situazioni più gravose per tipo di verifica

Coefficiente di sicurezza minimo per portanza 5.43

Cmb	Fx	Fy	Fz	Mx	My	B'	L'	Cnd	Coes	Phi	Peso	Ovi	Amax	yR	Rd	Ed	Rd/Ed	Note	Verifica
SLV 4	-5.73	-25.83	-114	8.7653	-49.8614	0.93	1.65	LT	26	24	18	14	0.17	2.3	619.47	114	5.43		Si
SLV 3	-5.73	-25.83	-114	8.7653	-49.8614	0.93	1.65	LT	26	24	18	14	0.17	2.3	619.47	114	5.43		Si
SLV 14	6.07	-3.47	-107.66	-6.7453	49.8336	0.87	1.67	LT	26	24	18	14	0.17	2.3	593.78	107.66	5.52		Si
SLV 13	6.07	-3.47	-107.66	-6.7453	49.8336	0.87	1.67	LT	26	24	18	14	0.17	2.3	593.78	107.66	5.52		Si
SLV 8	-11.77	-19.84	-111.96	6.0503	-50.0486	0.91	1.69	LT	26	24	18	14	0.17	2.3	622.75	111.96	5.56		Si

Fattori di capacità portante Famiglia "Limite ultimo sismico"

N			S			D			I			G			P			E		
Nq	Nc	Ng	Sq	Sc	Sg	Dq	Dc	Dg	Iq	lc	Ig	Gq	Gc	Gg	Pq	Pc	Pg	Eq	Ec	Eg
11.4	23.4	8.6	0	1.3	0.8													0.85	0.95	0.85
11.4	23.4	8.6	0	1.3	0.8													0.85	0.95	0.85
11.4	23.4	8.6	0	1.3	0.8													0.85	0.95	0.85
11.4	23.4	8.6	0	1.3	0.8													0.85	0.95	0.85
11.4	23.4	8.6	0	1.3	0.8													0.85	0.95	0.85

Verifiche della suola

Superficie su cui è valutata la pressione del suolo: rettangolare a filo pilastro

Non sono state richieste le verifiche a taglio della suola.

Armatura inferiore in direzione X 5 diam. 12 mm Armatura superiore in direzione X 4 diam. 12 mm

Armatura inferiore in direzione Y 5 diam. 12 mm Armatura superiore in direzione Y 4 diam. 12 mm

Famiglia "Limite ultimo"

Si stampano le 5 situazioni più gravose per tipo di verifica

Coefficiente di sicurezza minimo a flessione 7.81

Desc.	Tipo sez.	Comb.	M	Mu	Verifica
norm.Y+	filo pil.	SLU 75	17.6266	137.7047	Si
norm.X-	filo pil.	SLU 75	17.3606	138.194	Si
norm.X+	filo pil.	SLU 75	16.7299	138.194	Si
norm.Y-	filo pil.	SLU 75	16.4639	137.7047	Si
norm.Y+	filo pil.	SLU 56	16.4087	137.7047	Si

Famiglia "Esercizio raro"

Si stampano le 5 situazioni più gravose per tipo di verifica

Valori limite: σ lim. 14940 of lim. 360000

Coefficiente di sicurezza minimo per verifica tensioni 158.74

Desc.	Tipo sez.	Comb.	M	Fessurata	σ C	σ F	Verifica
norm.Y+	filo pil.	SLE RA 18	12.4099	No	-94	452	Si
norm.X-	filo pil.	SLE RA 18	12.2203	No	-93	466	Si
norm.X+	filo pil.	SLE RA 18	11.7935	No	-89	449	Si
norm.Y-	filo pil.	SLE RA 18	11.6038	No	-88	423	Si
norm.Y+	filo pil.	SLE RA 16	11.0312	No	-84	402	Si

Famiglia "Esercizio frequente"

Si stampano le 5 situazioni più gravose per tipo di verifica

Valori limite di apertura fessure: w lim. 0.0004

Coefficiente di sicurezza minimo per apertura fessure 999

Desc.	Tipo sez.	Comb.	M	Fessurata	w	Verifica
norm.X+	filo pil.	SLE FR 3	6.8484	No	0	Si
norm.Y-	filo pil.	SLE FR 1	6.3529	No	0	Si
norm.Y-	filo pil.	SLE FR 4	5.9723	No	0	Si
norm.Y-	filo pil.	SLE FR 3	6.7335	No	0	Si
norm.X-	filo pil.	SLE FR 5	7.088	No	0	Si

Famiglia "Esercizio quasi permanente"

Valori limite: σ lim. 11205 w lim. 0.0003

Coefficiente di sicurezza minimo per verifica tensioni 225.14

Coefficiente di sicurezza minimo per apertura fessure 999

Desc.	Tipo sez.	Comb.	M	Fessurata	σ C	w	Verifica
norm.Y+	filo pil.	SLE QP 1	6.6814	No	-50	0	Si
norm.X-	filo pil.	SLE QP 1	6.5282	No	-49	0	Si
norm.X+	filo pil.	SLE QP 1	6.5061	No	-48	0	Si
norm.Y-	filo pil.	SLE QP 1	6.3529	No	-47	0	Si

Famiglia "Limite ultimo sismico"

Si stampano le 5 situazioni più gravose per tipo di verifica

Coefficiente di sicurezza minimo a flessione 4.39

Desc.	Tipo sez.	Comb.	M	Mu	Verifica
norm.X+	filo pil.	SLV 13	29.8186	130.9343	Si
norm.X+	filo pil.	SLV 14	29.8186	130.9343	Si
norm.X-	filo pil.	SLV 3	29.3441	130.9343	Si
norm.X-	filo pil.	SLV 4	29.3441	130.9343	Si
norm.X+	filo pil.	SLV 9	29.2211	130.9343	Si

Verifiche a punzonamento

Famiglia "Limite ultimo"

Verifiche in adiacenza all'elemento punzonante (perimetro U0)

Coefficiente di sicurezza minimo 72.06

Comb.	Elemento punzonante	d	Perimetro	Perim. minim.	N	β	Peso cono	Reazione suolo	VEd,red	VRd,max	Verifica
SLU 64	pilastro	0.613	1.2	No	-22.34	1.42	1.58	4.12	39	2822	Si
SLU 45	pilastro	0.613	1.2	No	-21.55	1.43	1.58	3.8	39	2822	Si
SLU 61	pilastro	0.613	1.2	No	-20.92	1.44	1.58	3.55	38	2822	Si
SLU 42	pilastro	0.613	1.2	No	-20.13	1.46	1.58	3.24	37	2822	Si

**Implementazione dei sistemi di confinamento delle emissioni odorigene diffuse dell'impianto di compostaggio esistente nel
Comune di Eboli (SA)
PROGETTO DEFINITIVO – Tabulati di calcolo Tomo 1**

Comb.	Elemento punzonante	d	Perimetro	Perim. minim.	N	β	Peso cono	Reazione suolo	VEd,red	VRd,max	Verifica
SLU 76	pilastro	0.613	1.2	No	-23.63	1.31	1.58	5.58	36	2822	Si

Verifiche a distanza <=2d dall'elemento punzonante (perimetro U1)

Coefficiente di sicurezza minimo 237.39

Comb.	Elem. punz.	d	Offset	Perim. utile	Perim. minim.	N	β	Peso cono	Reazione suolo	VEd,red	p_I	VRd	Asw	VRd,cs	Verifica
SLU 42	pilastro	0.613	0.123	1.97	No	-20.13	1.25	3.14	10.22	14	0.0004	3440	0	0	Si
SLU 61	pilastro	0.613	0.123	1.97	No	-20.92	1.24	3.14	11.22	14	0.0004	3440	0	0	Si
SLU 45	pilastro	0.613	0.123	1.97	No	-21.55	1.24	3.14	12	14	0.0004	3440	0	0	Si
SLU 64	pilastro	0.613	0.123	1.97	No	-22.34	1.23	3.14	13	14	0.0004	3440	0	0	Si
SLU 4	pilastro	0.613	0.147	2.12	No	-16.58	1.29	3.51	8.84	11	0.0004	2866	0	0	Si

Coordinate del perimetro del cono punzonante a distanza 0.123 dal pilastro

Vert.	x	y	Vert.	x	y	Vert.	x	y	Vert.	x	y	Vert.	x	y	Vert.	x	y
1	-0.273	-0.15	2	-0.27	-0.174	3	-0.263	-0.197	4	-0.252	-0.218	5	-0.237	-0.237	6	-0.218	-0.252
7	-0.197	-0.263	8	-0.174	-0.27	9	-0.15	-0.273	10	-0.15	-0.273	11	0.174	-0.27	12	0.197	-0.263
13	0.218	-0.252	14	0.237	-0.237	15	0.252	-0.218	16	0.263	-0.197	17	0.27	-0.174	18	0.273	-0.15
19	0.273	0.15	20	0.27	0.174	21	0.263	0.197	22	0.252	0.218	23	0.237	0.237	24	0.218	0.252
25	0.197	0.263	26	0.174	0.27	27	0.15	0.273	28	-0.15	0.273	29	-0.174	0.27	30	-0.197	0.263
31	-0.218	0.252	32	-0.237	0.237	33	-0.252	0.218	34	-0.263	0.197	35	-0.27	0.174	36	-0.273	0.15

Famiglia "Limite ultimo sismico"

Verifiche in adiacenza all'elemento punzonante (perimetro U0)

Coefficiente di sicurezza minimo 5.79

Comb.	Elemento punzonante	d	Perimetro	Perim. minim.	N	β	Peso cono	Reazione suolo	VEd,red	VRd,max	Verifica
SLV 9	pilastro	0.613	1.2	No	-3.15	90.18	1.58	0.75	488	2822	Si
SLV 10	pilastro	0.613	1.2	No	-3.15	90.18	1.58	0.75	488	2822	Si
SLV 14	pilastro	0.613	1.2	No	-21.74	14.08	1.58	0.39	439	2822	Si
SLV 13	pilastro	0.613	1.2	No	-21.74	14.08	1.58	0.39	439	2822	Si
SLV 3	pilastro	0.613	1.2	No	-4.2	68.61	1.58	1.18	428	2822	Si

Verifiche a distanza <=2d dall'elemento punzonante (perimetro U1)

Coefficiente di sicurezza minimo 18.51

Comb.	Elem. punz.	d	Offset	Perim. utile	Perim. minim.	N	β	Peso cono	Reazione suolo	VEd,red	p_I	VRd	Asw	VRd,cs	Verifica
SLV 14	pilastro	0.613	0.392	2.52	Si	-21.74	13.46	13.19	28.28	58	0.0004	1075	0	0	Si
SLV 13	pilastro	0.613	0.392	2.52	Si	-21.74	13.46	13.19	28.28	58	0.0004	1075	0	0	Si
SLV 7	pilastro	0.613	0.368	2.48	Si	-22.79	21.19	12.79	31.36	59	0.0004	1147	0	0	Si
SLV 8	pilastro	0.613	0.368	2.48	Si	-22.79	21.19	12.79	31.36	59	0.0004	1147	0	0	Si
SLV 9	pilastro	0.613	0.221	2.25	Si	-3.15	186.98	10.51	13.16	69	0.0004	1911	0	0	Si

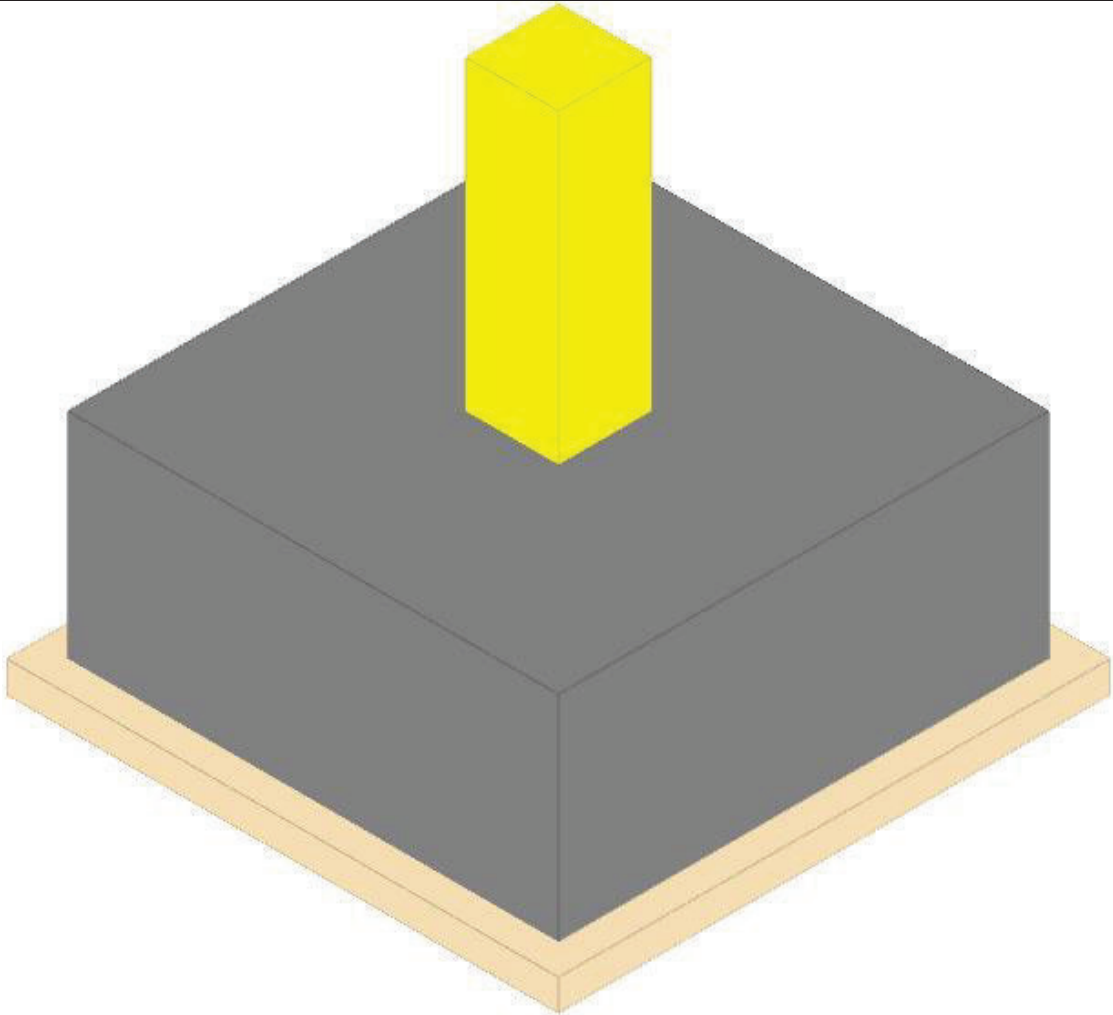
Coordinate del perimetro del cono punzonante a distanza 0.392 dal pilastro

Vert.	x	y	Vert.	x	y	Vert.	x	y	Vert.	x	y	Vert.	x	y	Vert.	x	y
1	-0.8	0.542	2	-0.8	-0.8	3	0.542	-0.8	4	0.542	0.15	5	0.535	0.227	6	0.512	0.3
7	0.476	0.368	8	0.427	0.427	9	0.368	0.476	10	0.3	0.512	11	0.227	0.535	12	0.15	0.542

Plinto (-1925; -228)

Verifiche condotte secondo D.M. 17 gennaio 2018

Geometria



Caratteristiche dei materiali

Calcestruzzo: C25/30; Resistenza cubica caratteristica Rck: 30000
Calcestruzzo per magrone: Magrone; Resistenza cubica caratteristica Rck: 100
Acciaio per armatura: B450C; Fyk: 450000

Caratteristiche geometriche

Suola: dimensione x: 1.6; dimensione y: 1.6; spessore: 0.7
Magrone: sbordo: 0.1; spessore: 0.1; materiale: Magrone
Pilastro rettangolare: dimensione x: 0.3; dimensione y: 0.3
Copriferro: suola: 0.075

Pressioni raggiunte sul terreno

Famiglia "Limite ultimo"

Si stampano le 5 situazioni più gravose per tipo di verifica
Coefficiente di sicurezza minimo 2.14

Comb.	σt max	σt min	σt verifica	Verifica
SLU 76	-66	-81	-174	Si
SLU 57	-63	-77	-174	Si
SLU 73	-60	-75	-174	Si
SLU 72	-61	-74	-174	Si
SLU 68	-61	-74	-174	Si

Famiglia "Limite ultimo sismico"

Si stampano le 5 situazioni più gravose per tipo di verifica
Coefficiente di sicurezza minimo 1.62

Comb.	σt max	σt min	σt verifica	Verifica
SLV 3	0	-107	-174	Si
SLV 4	0	-107	-174	Si
SLV 14	0	-107	-174	Si
SLV 13	0	-107	-174	Si
SLV 10	0	-106	-174	Si

Verifiche a ribaltamento

Famiglia "Equilibrio", Famiglia "Limite ultimo", Famiglia "Limite ultimo sismico"

Si stampano le 5 situazioni più gravose per tipo di verifica
Coefficiente di sicurezza minimo 1.31

Comb.	Asse di rotazione	Verifica
-------	-------------------	----------

Implementazione dei sistemi di confinamento delle emissioni odorigene diffuse dell'impianto di compostaggio esistente nel
Comune di Eboli (SA)

PROGETTO DEFINITIVO – Tabulati di calcolo Tomo 1

	x1	y1	x2	y2	yR	Mrib	Mstb	c.s.	
SLV 3	-0.8	0.8	-0.8	-0.8	1.15	50.1851	65.5408	1.31	Si
SLV 4	-0.8	0.8	-0.8	-0.8	1.15	50.1851	65.5408	1.31	Si
SLV 8	-0.8	0.8	-0.8	-0.8	1.15	49.6946	65.1976	1.31	Si
SLV 7	-0.8	0.8	-0.8	-0.8	1.15	49.6946	65.1976	1.31	Si
SLV 3	-0.8	0.8	-0.8	-0.8	1	50.1851	75.372	1.5	Si

Verifiche geotecniche di scorrimento e capacità portante

Impronta al suolo: 1.8x1.8
Terreno laterale di approfondimento piano posa: Eboli 1
Spessore terreno laterale: 0.7
Moltiplicatore resistenza passiva per verifica scorrimento: 0
Coefficiente di attrito Cls-Magrone per verifica scorrimento: 0.7

Caratteristiche del terreno a contatto con il piano di posa della fondazione

Descrizione	y naturale	y saturo	Angolo Attrito Interno	Angolo Attrito δ	Coesione Efficace	Coesione Non Drenata	Coeff. Adesione
Eboli 1	18	20	24	18	26	0	1

Caratteristiche del terreno di progetto per la capacità portante della fondazione

Descrizione	y naturale	y saturo	Angolo Attrito Interno	Angolo Attrito δ	Coesione Efficace	Coesione Non Drenata	Coeff. Adesione
Suolo medio nel bulbo di influenza	18	20	24	18	26	0	1

Caratteristiche del terreno laterale di approfondimento della fondazione

Descrizione	y naturale	y saturo	Angolo Attrito Interno	Angolo Attrito δ	Coesione Efficace	Coesione Non Drenata	Coeff. Adesione
Eboli 1	18	20	24	18	26	0	1

Verifiche a slittamento magrone-calcestruzzo

Famiglia "Limite ultimo"

Si stampano le 5 situazioni più gravose per tipo di verifica
Coefficiente di sicurezza minimo a slittamento cls-magrone 2.4

Cmb	Act.h.	Act.v.	Attrito	Laterale	yR	Rd	Ed	Rd/Ed	Verifica
SLU 38	55.19	-208.25	35	0	1.1	132.53	55.19	2.4	Si
SLU 19	50.65	-196.78	35	0	1.1	125.22	50.65	2.47	Si
SLU 34	47.08	-187.76	35	0	1.1	119.48	47.08	2.54	Si
SLU 30	47.08	-187.76	35	0	1.1	119.48	47.08	2.54	Si
SLU 26	45.37	-181.21	35	0	1.1	115.32	45.37	2.54	Si

Famiglia "Limite ultimo sismico"

Si stampano le 5 situazioni più gravose per tipo di verifica
Coefficiente di sicurezza minimo a slittamento cls-magrone 2.46

Cmb	Act.h.	Act.v.	Attrito	Laterale	yR	Rd	Ed	Rd/Ed	Verifica
SLV 9	32.34	-124.93	35	0	1.1	79.5	32.34	2.46	Si
SLV 10	32.34	-124.93	35	0	1.1	79.5	32.34	2.46	Si
SLV 13	29.39	-124.44	35	0	1.1	79.19	29.39	2.69	Si
SLV 14	29.39	-124.44	35	0	1.1	79.19	29.39	2.69	Si
SLV 5	28.59	-121.9	35	0	1.1	77.57	28.59	2.71	Si

Verifica di scorrimento

Famiglia "Limite ultimo"

Si stampano le 5 situazioni più gravose per tipo di verifica
Coefficiente di sicurezza minimo a scorrimento 1.11

Cmb	Act.h.	Act.v.	Cond.	Ades.	Attrito	Laterale	yR	Rd	Ed	Rd/Ed	Verifica
SLU 38	55.19	-208.25	LT	0	18	0	1.1	61.51	55.19	1.11	Si
SLU 19	50.65	-196.78	LT	0	18	0	1.1	58.12	50.65	1.15	Si
SLU 34	47.08	-187.76	LT	0	18	0	1.1	55.46	47.08	1.18	Si
SLU 30	47.08	-187.76	LT	0	18	0	1.1	55.46	47.08	1.18	Si
SLU 26	45.37	-181.21	LT	0	18	0	1.1	53.53	45.37	1.18	Si

Famiglia "Limite ultimo sismico"

Si stampano le 5 situazioni più gravose per tipo di verifica
Coefficiente di sicurezza minimo a scorrimento 1.14

Cmb	Act.h.	Act.v.	Cond.	Ades.	Attrito	Laterale	yR	Rd	Ed	Rd/Ed	Verifica
SLV 9	32.34	-124.93	LT	0	18	0	1.1	36.9	32.34	1.14	Si
SLV 10	32.34	-124.93	LT	0	18	0	1.1	36.9	32.34	1.14	Si
SLV 13	29.39	-124.44	LT	0	18	0	1.1	36.76	29.39	1.25	Si
SLV 14	29.39	-124.44	LT	0	18	0	1.1	36.76	29.39	1.25	Si
SLV 5	28.59	-121.9	LT	0	18	0	1.1	36.01	28.59	1.26	Si

Verifica di capacità portante

Famiglia "Limite ultimo"

Si stampano le 5 situazioni più gravose per tipo di verifica
Coefficiente di sicurezza minimo per portanza 6.05

Cmb	Fx	Fy	Fz	Mx	My	B'	L'	Cnd	Coes	Phi	Peso	Ovl	Amax	yR	Rd	Ed	Rd/Ed	Note	Verifica
SLU 76	0.29	-58.65	-238.63	4.7911	-2.704	1.76	1.78	LT	26	24	18	14	0	2.3	1444.93	238.63	6.05		Si
SLU 57	0.27	-54.11	-227.16	4.417	-2.4417	1.76	1.78	LT	26	24	18	14	0	2.3	1447.02	227.16	6.37		Si
SLU 73	0.13	-49.06	-217.72	4.3618	-3.0157	1.76	1.77	LT	26	24	18	14	0	2.3	1440.91	217.72	6.62		Si
SLU 72	0.26	-50.55	-218.14	4.123	-2.2356	1.76	1.78	LT	26	24	18	14	0	2.3	1448.82	218.14	6.64		Si
SLU 68	0.26	-50.55	-218.14	4.123	-2.2356	1.76	1.78	LT	26	24	18	14	0	2.3	1448.82	218.14	6.64		Si

Fattori di capacità portante Famiglia "Limite ultimo"

N			S			D			I			G			P			E		
Nq	Nc	Ng	Sq	Sc	Sg	Dq	Dc	Dg	Iq	Ic	Ig	Gq	Gc	Gg	Pq	Pc	Pg	Eq	Ec	Eg
11.4	23.4	8.6	0	1.3	0.8													1	1	1
11.4	23.4	8.6	0	1.3	0.8													1	1	1
11.4	23.4	8.6	0	1.3	0.8													1	1	1
11.4	23.4	8.6	0	1.3	0.8													1	1	1

Implementazione dei sistemi di confinamento delle emissioni odorigene diffuse dell'impianto di compostaggio esistente nel
Comune di Eboli (SA)
PROGETTO DEFINITIVO – Tabulati di calcolo Tomo 1

N			S			D			I			G			P			E		
Nq	Nc	Ng	Sq	Sc	Sg	Dq	Dc	Dg	Iq	lc	Ig	Gq	Gc	Gg	Pq	Pc	Pg	Eq	Ec	Eg
11.4	23.4	8.6	0	1.3	0.8													1	1	1

Famiglia "Limite ultimo sismico"

Si stampano le 5 situazioni più gravose per tipo di verifica

Coefficiente di sicurezza minimo per portanza 5.24

Cmb	Fx	Fy	Fz	Mx	My	B'	L'	Cnd	Coes	Phi	Peso	Ovi	Amax	yR	Rd	Ed	Rd/Ed	Note	Verifica
SLV 4	-13	-9.75	-110.88	-8.6878	-51.4852	0.87	1.64	LT	26	24	18	14	0.17	2.3	580.62	110.88	5.24		Si
SLV 3	-13	-9.75	-110.88	-8.6878	-51.4852	0.87	1.64	LT	26	24	18	14	0.17	2.3	580.62	110.88	5.24		Si
SLV 8	-7.65	-4.67	-110.39	-9.2774	-50.4598	0.89	1.63	LT	26	24	18	14	0.17	2.3	586.62	110.39	5.31		Si
SLV 7	-7.65	-4.67	-110.39	-9.2774	-50.4598	0.89	1.63	LT	26	24	18	14	0.17	2.3	586.62	110.39	5.31		Si
SLV 14	13.08	-26.32	-124.44	12.1506	49.1227	1.01	1.6	LT	26	24	18	14	0.17	2.3	662.65	124.44	5.33		Si

Fattori di capacità portante Famiglia "Limite ultimo sismico"

N			S			D			I			G			P			E		
Nq	Nc	Ng	Sq	Sc	Sg	Dq	Dc	Dg	Iq	lc	Ig	Gq	Gc	Gg	Pq	Pc	Pg	Eq	Ec	Eg
11.4	23.4	8.6	0	1.3	0.8													0.85	0.95	0.85
11.4	23.4	8.6	0	1.3	0.8													0.85	0.95	0.85
11.4	23.4	8.6	0	1.3	0.8													0.85	0.95	0.85
11.4	23.4	8.6	0	1.3	0.8													0.85	0.95	0.85
11.4	23.4	8.6	0	1.3	0.8													0.85	0.95	0.85

Verifiche della suola

Superficie su cui è valutata la pressione del suolo: rettangolare a filo pilastro

Non sono state richieste le verifiche a taglio della suola.

Armatura inferiore in direzione X 5 diam. 12 mm Armatura superiore in direzione X 4 diam. 12 mm

Armatura inferiore in direzione Y 5 diam. 12 mm Armatura superiore in direzione Y 4 diam. 12 mm

Famiglia "Limite ultimo"

Si stampano le 5 situazioni più gravose per tipo di verifica

Coefficiente di sicurezza minimo a flessione 6.3

Desc.	Tipo sez.	Comb.	M	Mu	Verifica
norm.X-	filo pil.	SLU 76	21.9433	138.194	Si
norm.Y+	filo pil.	SLU 76	21.3446	137.7047	Si
norm.Y-	filo pil.	SLU 76	20.569	137.7047	Si
norm.X-	filo pil.	SLU 57	20.3329	138.194	Si
norm.X-	filo pil.	SLU 38	20.2794	138.194	Si

Famiglia "Esercizio raro"

Si stampano le 5 situazioni più gravose per tipo di verifica

Valori limite: σ lim. 14940 of lim. 360000

Coefficiente di sicurezza minimo per verifica tensioni 128.3

Desc.	Tipo sez.	Comb.	M	Fessurata	σ C	σ F	Verifica
norm.X-	filo pil.	SLE RA 19	15.3684	No	-116	586	Si
norm.Y+	filo pil.	SLE RA 19	14.9283	No	-113	544	Si
norm.Y-	filo pil.	SLE RA 19	14.4153	No	-109	525	Si
norm.X+	filo pil.	SLE RA 19	13.9752	No	-106	533	Si
norm.X-	filo pil.	SLE RA 16	13.5984	No	-103	518	Si

Famiglia "Esercizio frequente"

Si stampano le 5 situazioni più gravose per tipo di verifica

Valori limite di apertura fessure: w lim. 0.0004

Coefficiente di sicurezza minimo per apertura fessure 999

Desc.	Tipo sez.	Comb.	M	Fessurata	w	Verifica
norm.X+	filo pil.	SLE FR 5	7.6674	No	0	Si
norm.Y-	filo pil.	SLE FR 1	7.3931	No	0	Si
norm.Y-	filo pil.	SLE FR 4	7.9643	No	0	Si
norm.Y-	filo pil.	SLE FR 5	8.1009	No	0	Si
norm.X-	filo pil.	SLE FR 2	6.7733	No	0	Si

Famiglia "Esercizio quasi permanente"

Valori limite: σ lim. 11205 w lim. 0.0003

Coefficiente di sicurezza minimo per verifica tensioni 192.2

Coefficiente di sicurezza minimo per apertura fessure 999

Desc.	Tipo sez.	Comb.	M	Fessurata	σ C	w	Verifica
norm.X-	filo pil.	SLE QP 1	7.8469	No	-58	0	Si
norm.Y+	filo pil.	SLE QP 1	7.445	No	-55	0	Si
norm.Y-	filo pil.	SLE QP 1	7.3931	No	-55	0	Si
norm.X+	filo pil.	SLE QP 1	6.9912	No	-52	0	Si

Famiglia "Limite ultimo sismico"

Si stampano le 5 situazioni più gravose per tipo di verifica

Coefficiente di sicurezza minimo a flessione 4.31

Desc.	Tipo sez.	Comb.	M	Mu	Verifica
norm.X-	filo pil.	SLV 4	30.4111	130.9343	Si
norm.X-	filo pil.	SLV 3	30.4111	130.9343	Si
norm.X-	filo pil.	SLV 8	30.0215	130.9343	Si
norm.X-	filo pil.	SLV 7	30.0215	130.9343	Si
norm.X+	filo pil.	SLV 14	28.1927	130.9343	Si

Verifiche a punzonamento

Famiglia "Limite ultimo"

Verifiche in adiacenza all'elemento punzonante (perimetro U0)

Coefficiente di sicurezza minimo 68.45

Comb.	Elemento punzonante	d	Perimetro	Perim. minim.	N	β	Peso cono	Reazione suolo	VEd,red	VRd,max	Verifica
SLU 63	pilastro	0.613	1.2	No	-20.66	1.64	1.58	4.23	41	2822	Si
SLU 44	pilastro	0.613	1.2	No	-20.27	1.62	1.58	3.82	41	2822	Si
SLU 60	pilastro	0.613	1.2	No	-19.98	1.6	1.58	3.51	40	2822	Si
SLU 41	pilastro	0.613	1.2	No	-19.59	1.58	1.58	3.1	40	2822	Si

**Implementazione dei sistemi di confinamento delle emissioni odorigene diffuse dell'impianto di compostaggio esistente nel
Comune di Eboli (SA)**

PROGETTO DEFINITIVO – Tabulati di calcolo Tomo 1

Comb.	Elemento punzonante	d	Perimetro	Perim. minim.	N	β	Peso cono	Reazione suolo	VEd,red	VRd,max	Verifica
SLU 25	pilastro	0.613	1.2	No	-17.29	1.71	1.58	3.33	36	2822	Si

Verifiche a distanza <=2d dall'elemento punzonante (perimetro U1)

Coefficiente di sicurezza minimo 226.87

Comb.	Elem. punz.	d	Offset	Perim. utile	Perim. minim.	N	β	Peso cono	Reazione suolo	VEd,red	p_I	VRd	Asw	VRd,cs	Verifica
SLU 41	pilastro	0.613	0.123	1.97	No	-19.59	1.32	3.14	9.79	15	0.0004	3440	0	0	Si
SLU 60	pilastro	0.613	0.123	1.97	No	-19.98	1.33	3.14	11.06	14	0.0004	3440	0	0	Si
SLU 3	pilastro	0.613	0.147	2.12	No	-16.22	1.32	3.51	8.2	12	0.0004	2866	0	0	Si
SLU 44	pilastro	0.613	0.123	1.97	No	-20.27	1.34	3.14	12.06	14	0.0004	3440	0	0	Si
SLU 63	pilastro	0.613	0.098	1.82	No	-20.66	1.39	2.78	11.16	16	0.0004	4300	0	0	Si

Coordinate del perimetro del cono punzonante a distanza 0.123 dal pilastro

Vert.	x	y	Vert.	x	y	Vert.	x	y	Vert.	x	y	Vert.	x	y	Vert.	x	y
1	-0.273	-0.15	2	-0.27	-0.174	3	-0.263	-0.197	4	-0.252	-0.218	5	-0.237	-0.237	6	-0.218	-0.252
7	-0.197	-0.263	8	-0.174	-0.27	9	-0.15	-0.273	10	-0.15	-0.273	11	0.174	-0.27	12	0.197	-0.263
13	0.218	-0.252	14	0.237	-0.237	15	0.252	-0.218	16	0.263	-0.197	17	0.27	-0.174	18	0.273	-0.15
19	0.273	0.15	20	0.27	0.174	21	0.263	0.197	22	0.252	0.218	23	0.237	0.237	24	0.218	0.252
25	0.197	0.263	26	0.174	0.27	27	0.15	0.273	28	-0.15	0.273	29	-0.174	0.27	30	-0.197	0.263
31	-0.218	0.252	32	-0.237	0.237	33	-0.252	0.218	34	-0.263	0.197	35	-0.27	0.174	36	-0.273	0.15

Famiglia "Limite ultimo sismico"

Verifiche in adiacenza all'elemento punzonante (perimetro U0)

Coefficiente di sicurezza minimo 6.14

Comb.	Elemento punzonante	d	Perimetro	Perim. minim.	N	β	Peso cono	Reazione suolo	VEd,red	VRd,max	Verifica
SLV 3	pilastro	0.613	1.2	No	-32.68	10.01	1.58	0.51	459	2822	Si
SLV 4	pilastro	0.613	1.2	No	-32.68	10.01	1.58	0.51	459	2822	Si
SLV 8	pilastro	0.613	1.2	No	-32.66	9.94	1.58	0.55	455	2822	Si
SLV 7	pilastro	0.613	1.2	No	-32.66	9.94	1.58	0.55	455	2822	Si
SLV 1	pilastro	0.613	1.2	No	-23.05	8.01	1.58	3.42	231	2822	Si

Verifiche a distanza <=2d dall'elemento punzonante (perimetro U1)

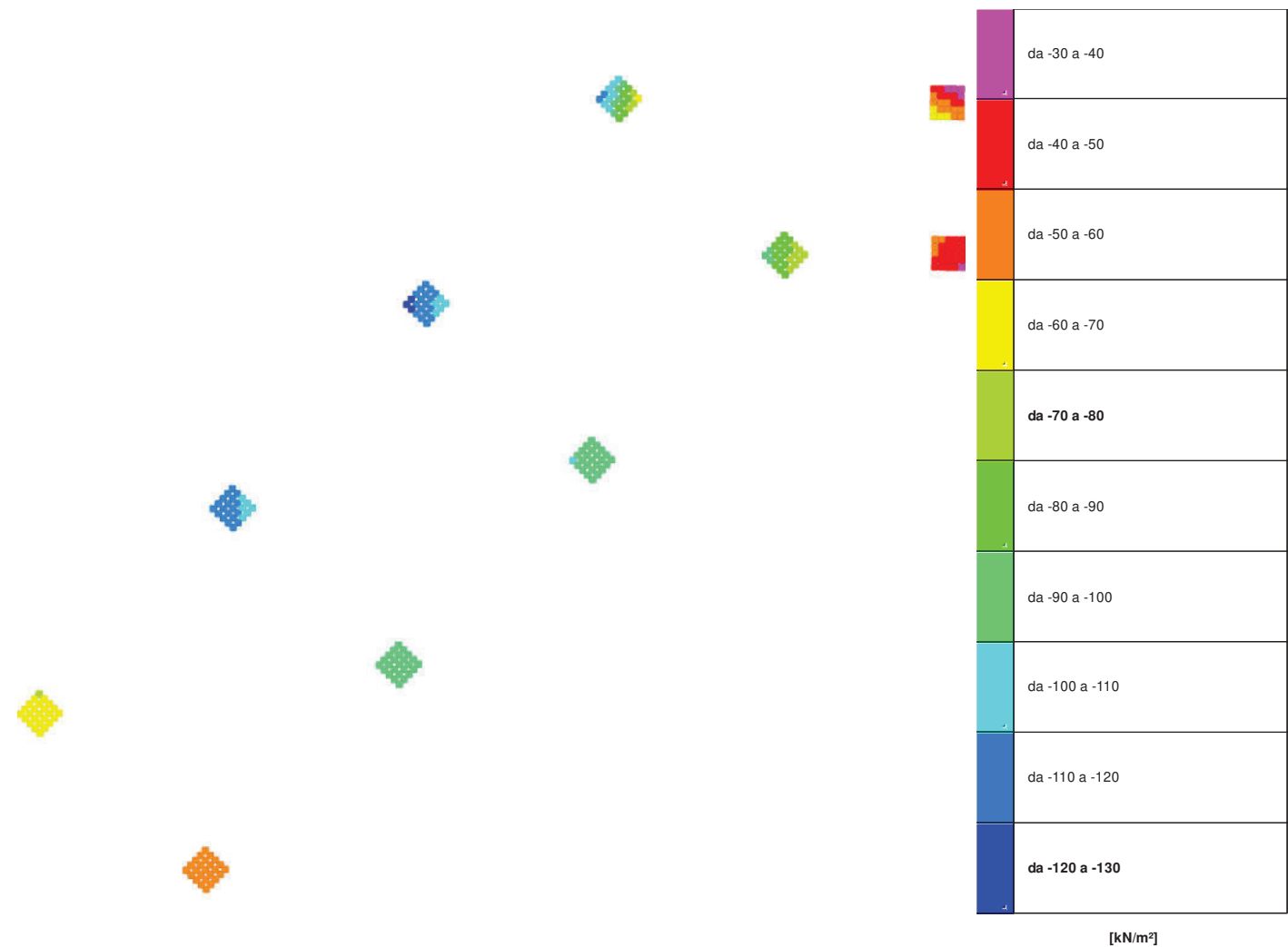
Coefficiente di sicurezza minimo 15.18

Comb.	Elem. punz.	d	Offset	Perim. utile	Perim. minim.	N	β	Peso cono	Reazione suolo	VEd,red	p_I	VRd	Asw	VRd,cs	Verifica
SLV 3	pilastro	0.613	0.392	2.52	Si	-32.68	6.57	13.19	29.25	71	0.0004	1075	0	0	Si
SLV 4	pilastro	0.613	0.392	2.52	Si	-32.68	6.57	13.19	29.25	71	0.0004	1075	0	0	Si
SLV 8	pilastro	0.613	0.392	2.52	Si	-32.66	6.57	13.19	29.33	70	0.0004	1075	0	0	Si
SLV 7	pilastro	0.613	0.392	2.52	Si	-32.66	6.57	13.19	29.33	70	0.0004	1075	0	0	Si
SLV 1	pilastro	0.613	0.196	2.21	Si	-23.05	35.76	10.14	31.49	45	0.0004	2150	0	0	Si

Coordinate del perimetro del cono punzonante a distanza 0.392 dal pilastro

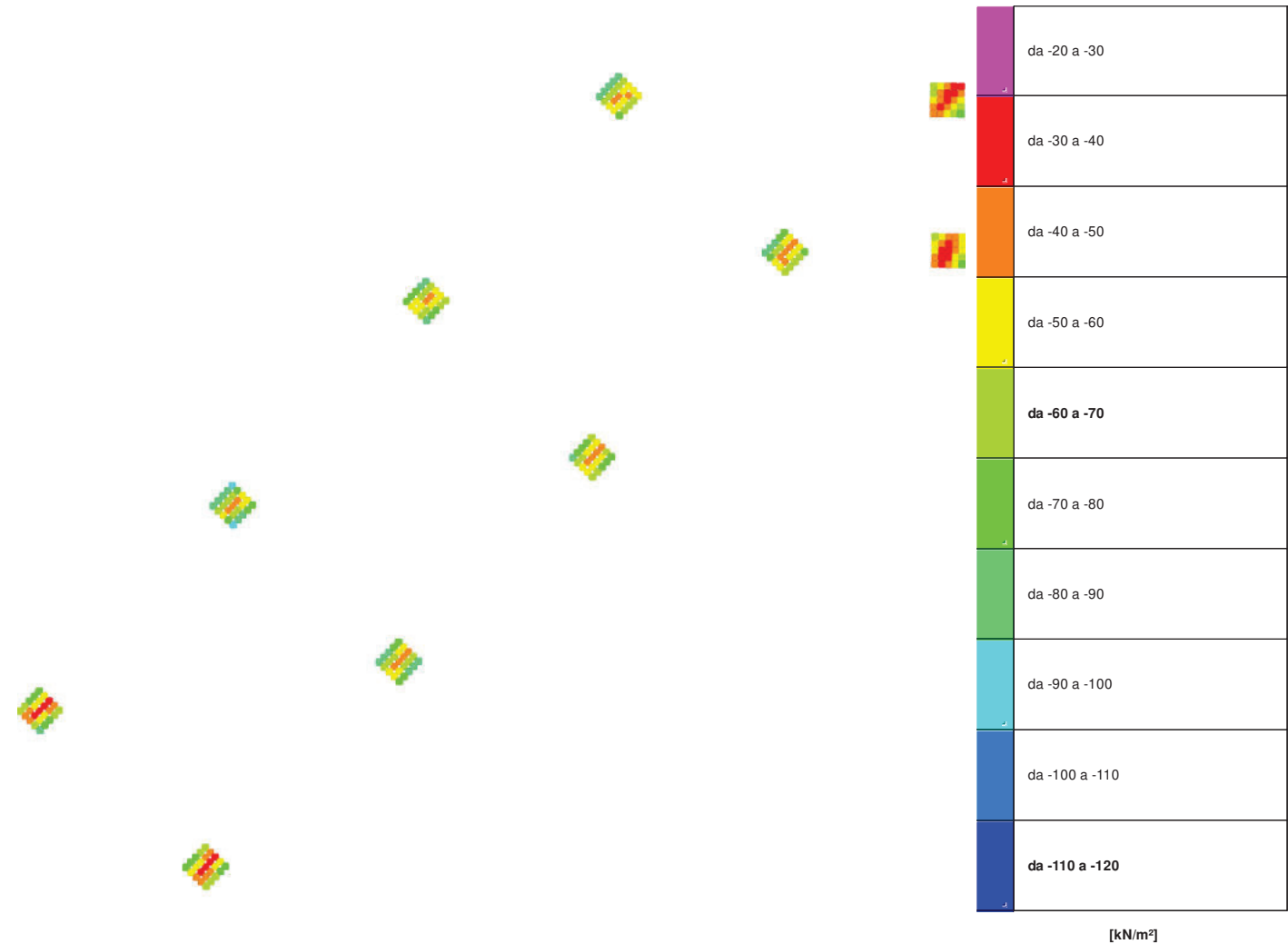
Vert.	x	y	Vert.	x	y	Vert.	x	y	Vert.	x	y	Vert.	x	y	Vert.	x	y
1	0.8	-0.8	2	0.8	0.542	3	-0.15	0.542	4	-0.227	0.535	5	-0.3	0.512	6	-0.368	0.476
7	-0.427	0.427	8	-0.476	0.368	9	-0.512	0.3	10	-0.535	0.227	11	-0.542	0.15	12	-0.542	-0.8

11.2 Pressioni terreno in SLU



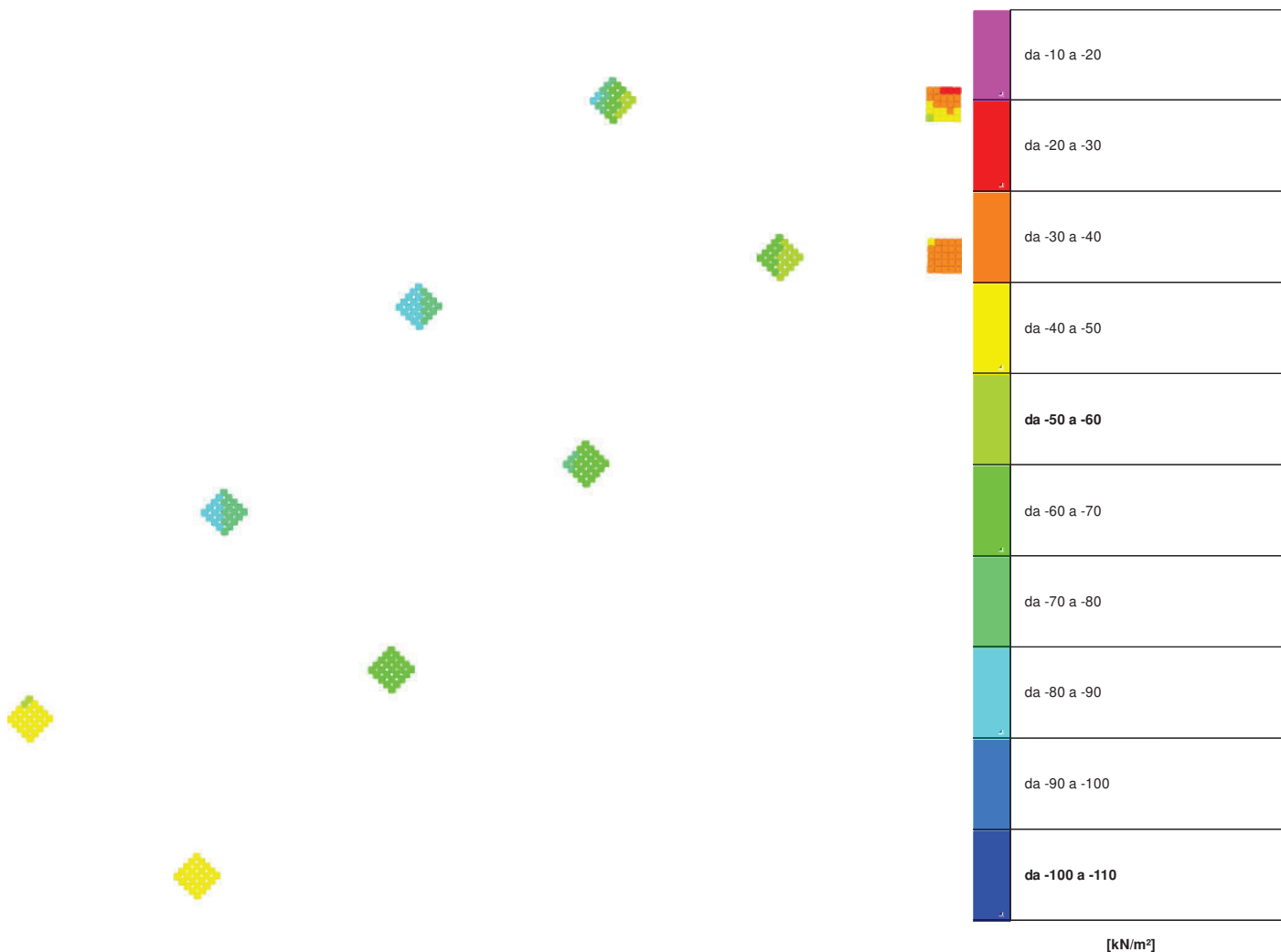
Rappresentazione in pianta delle massime compressioni sul terreno in famiglia SLU.

11.3 Pressioni terreno in SLV/SLVf/SLUEcc



Rappresentazione in pianta delle massime compressioni sul terreno in famiglie SLV/SLVf/SLUEcc.

11.4 Pressioni terreno in SLE/SLD



Rappresentazione in pianta delle massime compressioni sul terreno in famiglie SLE/SLD.

11.5 Cedimenti fondazioni superficiali

Nodo: nodo che interagisce col terreno.

Ind.: indice del nodo.

spostamento nodale massimo: situazione in cui si verifica lo spostamento massimo verticale nel nodo calcolato dal solutore ad elementi finiti. Lo spostamento massimo con segno è quello con valore massimo lungo l'asse Z, dove valori positivi rappresentano spostamenti verso l'alto.

Cont.: nome breve della condizione o combinazione di carico a cui si riferisce lo spostamento.

uz: spostamento verticale del nodo calcolato dal solutore ad elementi finiti. Lo spostamento è dotato di segno. [m]

Press.: pressione sul terreno corrispondente allo spostamento. Valori positivi indicano trazione, valori negativi indicano compressione. [kN/m²]

spostamento nodale minimo: situazione in cui si verifica lo spostamento minimo verticale del nodo calcolato dal solutore ad elementi finiti. Lo spostamento minimo con segno è quello con valore minimo lungo l'asse Z, dove valori negativi rappresentano spostamenti verso il basso.

Cont.: nome breve della condizione o combinazione di carico a cui si riferisce lo spostamento.

uz: spostamento verticale del nodo calcolato dal solutore ad elementi finiti. Lo spostamento è dotato di segno. [m]

Press.: pressione sul terreno corrispondente allo spostamento. Valori positivi indicano trazione, valori negativi indicano compressione. [kN/m²]

Cedimento elastico: cedimento teorico elastico massimo.

Cont.: nome breve della combinazione di carico in cui è stato calcolato il cedimento teorico elastico massimo.

v.: valore del cedimento teorico elastico massimo. [m]

Cedimento edometrico: cedimento teorico edometrico massimo.

Cont.: nome breve della combinazione di carico in cui è stato calcolato il cedimento teorico edometrico massimo.

v.: valore del cedimento teorico edometrico massimo. [m]

Cedimento di consolidazione: cedimento teorico di consolidazione massimo.

Cont.: nome breve della combinazione di carico in cui è stato calcolato il cedimento teorico di consolidazione massimo.

v.: valore del cedimento teorico di consolidazione massimo. [m]

Spostamento estremo minimo -0.0028989 al nodo di indice 148, di coordinate x = 0.07, y = 19.27, z = -0.2, nel contesto SLE rara 19.

Spostamento estremo massimo -0.0002776 al nodo di indice 166, di coordinate x = 29.32, y = 21.22, z = -0.2, nel contesto SLD 7.

Cedimento elastico estremo massimo 0.0059058 al nodo di indice 150, di coordinate x = 1.09, y = 19.29, z = -0.2, nel contesto SLE rara 19.

Cedimento edometrico estremo massimo 0.0043872 al nodo di indice 150, di coordinate x = 1.09, y = 19.29, z = -0.2, nel contesto SLE rara 19.

**Implementazione dei sistemi di confinamento delle emissioni odorigene diffuse dell'impianto di compostaggio esistente nel
Comune di Eboli (SA)
PROGETTO DEFINITIVO – Tabulati di calcolo Tomo 1**

Nodo Ind.	spostamento nodale massimo			spostamento nodale minimo			Cedimento elastico		Cedimento edometrico		Cedimento di consolidazione	
	Cont.	uz	Press.	Cont.	uz	Press.	Cont.	v.	Cont.	v.	Cont.	v.
13	SLD 3	-5.6E-04	-16.882	SLE RA 18	-1.3E-03	-40.431	SLE RA 18	1.99E-03	SLE RA 18	1.48E-03		
14	SLE RA 2	-6.6E-04	-19.663	SLE RA 18	-1.4E-03	-40.684	SLE RA 18	0.002355	SLE RA 18	1.75E-03		
15	SLD 3	-5.5E-04	-16.422	SLD 13	-1.4E-03	-41.259	SLE RA 18	2.36E-03	SLE RA 18	1.75E-03		
16	SLE RA 2	-6.6E-04	-19.711	SLE RA 18	-1.4E-03	-40.938	SLE RA 18	2.45E-03	SLE RA 18	1.82E-03		
17	SLE RA 2	-6.6E-04	-19.725	SLE RA 18	-1.4E-03	-41.163	SLE RA 18	2.82E-03	SLE RA 18	0.002092		
18	SLD 3	-5.3E-04	-15.797	SLD 13	-1.4E-03	-42.274	SLE RA 18	2.46E-03	SLE RA 18	1.83E-03		
19	SLD 9	-0.00063	-18.9	SLE RA 18	-1.4E-03	-41.191	SLE RA 18	2.37E-03	SLE RA 18	1.76E-03		
20	SLE RA 2	-6.6E-04	-19.772	SLE RA 18	-1.4E-03	-41.416	SLE RA 18	2.93E-03	SLE RA 18	2.18E-03		
21	SLE RA 2	-6.6E-04	-19.787	SLE RA 18	-1.4E-03	-41.642	SLE RA 18	2.94E-03	SLE RA 18	2.19E-03		
22	SLD 3	-5.0E-04	-15.036	SLD 13	-1.4E-03	-43.425	SLE RA 18	2.39E-03	SLE RA 18	1.77E-03		
23	SLD 13	-4.2E-04	-12.458	SLD 3	-1.5E-03	-44.939	SLE RA 18	2.02E-03	SLE RA 18	0.0015		
24	SLE RA 2	-6.6E-04	-19.82	SLE RA 18	-1.4E-03	-41.67	SLE RA 18	2.84E-03	SLE RA 18	2.11E-03		
25	SLE RA 2	-6.6E-04	-19.834	SLE RA 18	-1.4E-03	-41.895	SLE RA 18	0.003067	SLE RA 18	2.28E-03		
26	SLE RA 2	-6.6E-04	-19.848	SLE RA 18	-1.4E-03	-42.12	SLE RA 18	2.85E-03	SLE RA 18	2.12E-03		
27	SLD 3	-4.7E-04	-14.164	SLD 13	-1.5E-03	-44.687	SLE RA 18	2.04E-03	SLE RA 18	1.51E-03		
28	SLD 13	-4.6E-04	-13.859	SLD 3	-1.5E-03	-43.927	SLE RA 18	2.39E-03	SLE RA 18	1.78E-03		
29	SLE RA 2	-6.6E-04	-19.882	SLE RA 18	-1.4E-03	-42.148	SLE RA 18	0.002963	SLE RA 18	2.20E-03		
30	SLE RA 2	-6.6E-04	-19.896	SLE RA 18	-1.4E-03	-42.374	SLE RA 18	0.002971	SLE RA 18	0.002207		
31	SLE RA 2	-6.6E-04	-19.91	SLE RA 18	-0.00142	-42.599	SLE RA 18	2.41E-03	SLE RA 18	1.79E-03		
32	SLD 13	-5.1E-04	-15.179	SLD 3	-1.4E-03	-42.998	SLE RA 18	2.49E-03	SLE RA 18	1.85E-03		
33	SLE RA 2	-6.6E-04	-19.943	SLE RA 18	-1.4E-03	-42.627	SLE RA 18	2.87E-03	SLE RA 18	2.13E-03		
34	SLE RA 2	-6.7E-04	-19.958	SLE RA 18	-1.4E-03	-42.852	SLE RA 18	0.002503	SLE RA 18	1.86E-03		
35	SLD 13	-5.5E-04	-16.394	SLE RA 18	-1.4E-03	-42.88	SLE RA 18	2.42E-03	SLE RA 18	1.80E-03		
36	SLE RA 2	-6.7E-04	-20.005	SLE RA 18	-1.4E-03	-43.105	SLE RA 18	2.42E-03	SLE RA 18	1.80E-03		
37	SLD 13	-5.8E-04	-17.48	SLE RA 18	-1.4E-03	-43.359	SLE RA 18	2.06E-03	SLE RA 18	1.53E-03		
38	SLD 3	-4.3E-04	-12.968	SLD 13	-1.6E-03	-47.217	SLE RA 19	2.28E-03	SLE RA 19	1.69E-03		
39	SLE RA 2	-6.5E-04	-19.399	SLE RA 19	-1.6E-03	-46.688	SLE RA 19	2.70E-03	SLE RA 19	2.01E-03		
40	SLD 3	-4.8E-04	-14.465	SLE RA 19	-1.5E-03	-46.166	SLE RA 19	2.69E-03	SLE RA 19	2.00E-03		
41	SLE RA 2	-6.5E-04	-19.53	SLE RA 19	-1.6E-03	-47.515	SLE RA 19	2.82E-03	SLE RA 19	2.10E-03		
42	SLE RA 2	-6.4E-04	-19.315	SLE RA 19	-1.6E-03	-46.993	SLE RA 19	3.22E-03	SLE RA 19	2.40E-03		
43	SLD 3	-5.3E-04	-15.907	SLE RA 19	-1.5E-03	-46.47	SLE RA 19	2.80E-03	SLE RA 19	2.08E-03		
44	SLE RA 2	-6.6E-04	-19.661	SLE RA 19	-1.6E-03	-48.343	SLE RA 19	2.75E-03	SLE RA 19	2.04E-03		
45	SLE RA 2	-6.5E-04	-19.447	SLE RA 19	-1.6E-03	-47.82	SLE RA 19	3.38E-03	SLE RA 19	2.51E-03		
46	SLE RA 2	-6.4E-04	-19.232	SLE RA 19	-1.6E-03	-47.297	SLE RA 19	0.003359	SLE RA 19	2.50E-03		
47	SLD 3	-5.8E-04	-17.275	SLE RA 19	-1.6E-03	-46.775	SLE RA 19	2.71E-03	SLE RA 19	2.01E-03		
48	SLE RA 2	-6.6E-04	-19.792	SLE RA 19	-1.6E-03	-49.17	SLE RA 19	0.002344	SLE RA 19	1.74E-03		
49	SLE RA 2	-6.5E-04	-19.578	SLE RA 19	-1.6E-03	-48.647	SLE RA 19	3.28E-03	SLE RA 19	2.44E-03		
50	SLE RA 2	-6.5E-04	-19.363	SLE RA 19	-1.6E-03	-48.125	SLE RA 19	3.52E-03	SLE RA 19	2.62E-03		
51	SLE RA 2	-6.4E-04	-19.149	SLE RA 19	-1.6E-03	-47.602	SLE RA 19	0.003248	SLE RA 19	2.41E-03		
52	SLD 3	-6.2E-04	-18.544	SLE RA 19	-1.6E-03	-47.079	SLE RA 19	2.31E-03	SLE RA 19	1.72E-03		
53	SLE RA 2	-6.6E-04	-19.709	SLE RA 19	-1.6E-03	-49.474	SLE RA 19	2.77E-03	SLE RA 19	2.06E-03		
54	SLE RA 2	-6.5E-04	-19.495	SLE RA 19	-1.6E-03	-48.952	SLE RA 19	3.42E-03	SLE RA 19	2.54E-03		
55	SLE RA 2	-6.4E-04	-19.28	SLE RA 19	-1.6E-03	-48.429	SLE RA 19	0.003401	SLE RA 19	2.53E-03		
56	SLE RA 2	-6.4E-04	-19.066	SLE RA 19	-1.6E-03	-47.907	SLE RA 19	2.74E-03	SLE RA 19	2.03E-03		
57	SLD 13	-6.5E-04	-19.366	SLE RA 19	-1.7E-03	-49.779	SLE RA 19	0.002883	SLE RA 19	2.14E-03		
58	SLE RA 2	-6.5E-04	-19.411	SLE RA 19	-1.6E-03	-49.256	SLE RA 19	0.003305	SLE RA 19	2.46E-03		
59	SLE RA 2	-6.4E-04	-19.197	SLE RA 19	-1.6E-03	-48.734	SLE RA 19	2.86E-03	SLE RA 19	2.12E-03		
60	SLD 13	-6.0E-04	-18.12	SLE RA 19	-1.7E-03	-50.083	SLE RA 19	2.79E-03	SLE RA 19	0.002074		
61	SLE RA 2	-6.4E-04	-19.328	SLE RA 19	-1.7E-03	-49.561	SLE RA 19	2.78E-03	SLE RA 19	2.07E-03		
62	SLD 13	-5.6E-04	-16.789	SLE RA 19	-1.7E-03	-50.388	SLE RA 19	2.37E-03	SLE RA 19	1.76E-03		
63	SLE RA 2	-7.1E-04	-21.361	SLE RA 18	-2.2E-03	-66.776	SLE RA 18	3.25E-03	SLE RA 18	2.41E-03		
64	SLE RA 2	-7.2E-04	-21.584	SLE RA 18	-2.3E-03	-67.557	SLE RA 18	3.84E-03	SLE RA 18	2.86E-03		
65	SLE RA 2	-7.1E-04	-21.331	SLE RA 18	-2.2E-03	-66.332	SLE RA 18	3.82E-03	SLE RA 18	2.83E-03		
66	SLE RA 2	-7.3E-04	-21.807	SLE RA 18	-2.3E-03	-68.338	SLE RA 18	4.01E-03	SLE RA 18	2.98E-03		
67	SLE RA 2	-7.2E-04	-21.554	SLE RA 18	-2.2E-03	-67.113	SLE RA 18	4.56E-03	SLE RA 18	3.39E-03		
68	SLE RA 2	-0.00071	-21.301	SLE RA 18	-2.2E-03	-65.887	SLE RA 18	3.94E-03	SLE RA 18	2.93E-03		
69	SLE RA 2	-7.3E-04	-22.029	SLE RA 18	-2.3E-03	-69.119	SLE RA 18	3.89E-03	SLE RA 18	2.89E-03		
70	SLE RA 2	-7.3E-04	-21.777	SLE RA 18	-2.3E-03	-67.893	SLE RA 18	4.77E-03	SLE RA 18	3.54E-03		
71	SLE RA 2	-7.2E-04	-21.524	SLE RA 18	-2.2E-03	-66.668	SLE RA 18	4.72E-03	SLE RA 18	3.51E-03		
72	SLE RA 2	-7.1E-04	-21.271	SLE RA 18	-2.2E-03	-65.443	SLE RA 18	3.79E-03	SLE RA 18	2.82E-03		
73	SLE RA 2	-7.4E-04	-22.252	SLE RA 18	-0.00233	-69.9	SLE RA 18	3.32E-03	SLE RA 18	2.46E-03		
74	SLE RA 2	-7.3E-04	-22	SLE RA 18	-2.3E-03	-68.674	SLE RA 18	0.004624	SLE RA 18	0.003435		
75	SLE RA 2	-7.2E-04	-21.747	SLE RA 18	-2.2E-03	-67.449	SLE RA 18	4.94E-03	SLE RA 18	3.67E-03		
76	SLE RA 2	-7.2E-04	-21.494	SLE RA 18	-2.2E-03	-66.224	SLE RA 18	4.53E-03	SLE RA 18	3.37E-03		
77	SLE RA 2	-7.1E-04	-21.241	SLE RA 18	-2.2E-03	-64.999	SLE RA 18	3.21E-03	SLE RA 18	2.39E-03		
78	SLE RA 2	-7.4E-04	-22.223	SLE RA 18	-2.3E-03	-69.455	SLE RA 18	3.90E-03	SLE RA 18	0.002899		
79	SLE RA 2	-7.3E-04	-21.97	SLE RA 18	-2.3E-03	-68.23	SLE RA 18	4.78E-03	SLE RA 18	3.55E-03		
80	SLE RA 2	-7.2E-04	-21.717	SLE RA 18	-2.2E-03	-67.005	SLE RA 18	4.74E-03	SLE RA 18	3.52E-03		
81	SLE RA 2	-7.2E-04	-21.464	SLE RA 18	-2.2E-03	-65.779	SLE RA 18	3.80E-03	SLE RA 18	2.82E-03		
82	SLE RA 2	-7.4E-04	-22.193	SLE RA 18	-2.3E-03	-69.011	SLE RA 18	4.03E-03	SLE RA 18	2.99E-03		
83	SLE RA 2	-7.3E-04	-21.94	SLE RA 18	-2.3E-03	-67.785	SLE RA 18	0.004593	SLE RA 18	3.41E-03		
84	SLE RA 2	-7.2E-04	-21.687	SLE RA 18	-2.2E-03	-66.56	SLE RA 18	3.96E-03	SLE RA 18	2.94E-03		
85	SLE RA 2	-7.4E-04	-22.163	SLE RA 18	-2.3E-03	-68.566	SLE RA 18	0.003878	SLE RA 18	2.88E-03		
86	SLE RA 2	-7.3E-04	-21.91	SLE RA 18	-2.2E-03	-67.341	SLE RA 18	3.85E-03	SLE RA 18	0.002859		
87	SLE RA 2	-7.4E-04	-22.133	SLE RA 18	-2.3E-03	-68.122	SLE RA 18	3.28E-03	SLE RA 18	2.44E-03		
88	SLE RA 2	-6.8E-04	-20.319	SLE RA 19	-2.6E-03	-79.191	SLE RA 19	3.83E-03	SLE RA 19	2.85E-03		
89	SLE RA 2	-6.9E-04	-20.555	SLE RA 19	-2.7E-03	-80.457	SLE RA 19	4.55E-03	SLE RA 19	3.38E-03		
90	SLE RA 2	-6.7E-04	-20.162	SLE RA 19	-2.6E-03	-78.008	SLE RA 19	4.49E-03	SLE RA 19	0.003337		
91	SLE RA 2	-6.9E-04	-20.79	SLE RA 19	-2.7E-03	-81.723	SLE RA 19	4.75E-03	SLE RA 19	3.53E-03		
92	SLE RA 2	-6.8E-04	-20.397	SLE RA 19	-2.6E-03	-79.273	SLE RA 19	5.38E-03	SLE RA 19	4.00E-03		
93	SLE RA 2	-6.7E-04	-20.004	SLE RA 19	-2.6E-03	-76.824	SLE RA 19	4.62E-03	SLE RA 19	3.43E-03		
94	SLE RA 2	-7.0E-04	-21.026	SLE RA 19	-2.8E-03	-82.988	SLE RA 19	4.61E-03	SLE RA 19	3.43E-03		
95	SLE RA 2	-6.9E-04	-20.633	SLE RA 19	-2.7E-03	-80.539	SLE RA 19	5.63E-03	SLE RA 19	0.004182		
96	SLE RA 2	-6.7E-04	-20.24	SLE RA 19	-2.6E-03	-78.089	SLE RA 19	5.54E-03	SLE RA 19	0.004116		
97	SLE RA 2	-6.6E-04	-19.847	SLE RA 19	-2.5E-03	-75.64	SLE RA 19	4.43E-03	SLE RA 19	3.29E-03		
98	SLE RA 2	-7.1E-04	-21.262	SLE RA 19	-2.8E-03	-84.254	SLE RA 19	3.93E-03	SLE RA 19	2.92E-03		
99	SLE RA 2	-7.0E-04	-20.869	SLE RA 19	-2.7E-03	-81.804	SLE RA 19	5.47E-03	SLE RA 19	4.06E-03		
100	SLE RA 2	-6.8E-04	-20.476	SLE RA 19	-2.6E-03	-79.355	SLE RA 19	5.80E-03	SLE RA 19	4.31E-03		
101	SLE RA 2	-6.7E-04	-20.083	SLE RA 19	-2.6E-03	-76.906	SLE RA 19	0.005296	SLE RA 19	3.93E-03		
102	SLE RA 2	-6.6E-04	-19.69	SLE RA 19	-2.5E-03	-74.456	SLE RA 19	3.74E-03	SLE RA 19	2.78E-03		
103	SLE RA 2	-7.0E-04	-21.105	SLE RA 19	-2.8E-03	-83.07	SLE RA 19	4.61E-03	SLE RA 19	3.43E-03		
104	SLE RA 2	-6.9E-04	-20.712	SLE RA 19	-2.7E-03	-80.621	SLE RA 19	5.63E-03				

Implementazione dei sistemi di confinamento delle emissioni odorigene diffuse dell'impianto di compostaggio esistente nel
Comune di Eboli (SA)

PROGETTO DEFINITIVO – Tabulati di calcolo Tomo 1

Nodo Ind.	spostamento nodale massimo			spostamento nodale minimo			Cedimento elastico		Cedimento edometrico		Cedimento di consolidazione	
	Cont.	uz	Press.	Cont.	uz	Press.	Cont.	v.	Cont.	v.	Cont.	v.
108	SLE RA 2	-6.9E-04	-20.555	SLE RA 19	-2.6E-03	-79.437	SLE RA 19	5.38E-03	SLE RA 19	4.00E-03		
109	SLE RA 2	-6.7E-04	-20.162	SLE RA 19	-2.6E-03	-76.988	SLE RA 19	4.62E-03	SLE RA 19	3.43E-03		
110	SLE RA 2	-6.9E-04	-20.79	SLE RA 19	-2.7E-03	-80.702	SLE RA 19	4.55E-03	SLE RA 19	3.38E-03		
111	SLE RA 2	-6.8E-04	-20.397	SLE RA 19	-2.6E-03	-78.253	SLE RA 19	4.49E-03	SLE RA 19	3.34E-03		
112	SLE RA 2	-6.9E-04	-20.633	SLE RA 19	-2.7E-03	-79.519	SLE RA 19	3.84E-03	SLE RA 19	2.85E-03		
113	SLE RA 2	-7.0E-04	-21.108	SLE RA 18	-2.2E-03	-67.069	SLE RA 18	3.27E-03	SLE RA 18	2.43E-03		
114	SLE RA 2	-7.2E-04	-21.459	SLE RA 18	-2.3E-03	-68.202	SLE RA 18	3.88E-03	SLE RA 18	2.89E-03		
115	SLE RA 2	-7.0E-04	-21.06	SLE RA 18	-2.2E-03	-66.443	SLE RA 18	3.84E-03	SLE RA 18	2.85E-03		
116	SLE RA 2	-7.3E-04	-21.811	SLE RA 18	-2.3E-03	-69.335	SLE RA 18	4.06E-03	SLE RA 18	3.02E-03		
117	SLE RA 2	-7.1E-04	-21.411	SLE RA 18	-2.3E-03	-67.576	SLE RA 18	4.60E-03	SLE RA 18	3.42E-03		
118	SLE RA 2	-7.0E-04	-21.011	SLE RA 18	-2.2E-03	-65.816	SLE RA 18	3.96E-03	SLE RA 18	2.94E-03		
119	SLE RA 2	-7.4E-04	-22.162	SLE RA 18	-2.3E-03	-70.468	SLE RA 18	0.003952	SLE RA 18	2.94E-03		
120	SLE RA 2	-7.3E-04	-21.762	SLE RA 18	-2.3E-03	-68.708	SLE RA 18	4.82E-03	SLE RA 18	3.58E-03		
121	SLE RA 2	-7.1E-04	-21.363	SLE RA 18	-2.2E-03	-66.949	SLE RA 18	4.76E-03	SLE RA 18	3.53E-03		
122	SLE RA 2	-7.0E-04	-20.963	SLE RA 18	-2.2E-03	-65.19	SLE RA 18	3.81E-03	SLE RA 18	2.83E-03		
123	SLE RA 2	-7.5E-04	-22.513	SLE RA 18	-2.4E-03	-71.6	SLE RA 18	0.003374	SLE RA 18	2.51E-03		
124	SLE RA 2	-7.4E-04	-22.114	SLE RA 18	-2.3E-03	-69.841	SLE RA 18	4.69E-03	SLE RA 18	3.48E-03		
125	SLE RA 2	-7.2E-04	-21.714	SLE RA 18	-2.3E-03	-68.082	SLE RA 18	4.99E-03	SLE RA 18	3.70E-03		
126	SLE RA 2	-7.1E-04	-21.314	SLE RA 18	-2.2E-03	-66.323	SLE RA 18	0.00456	SLE RA 18	3.39E-03		
127	SLE RA 2	-7.0E-04	-20.915	SLE RA 18	-2.2E-03	-64.563	SLE RA 18	3.22E-03	SLE RA 18	2.39E-03		
128	SLE RA 2	-7.5E-04	-22.465	SLE RA 18	-2.4E-03	-70.974	SLE RA 18	3.97E-03	SLE RA 18	2.95E-03		
129	SLE RA 2	-7.4E-04	-22.065	SLE RA 18	-2.3E-03	-69.215	SLE RA 18	4.84E-03	SLE RA 18	3.60E-03		
130	SLE RA 2	-7.2E-04	-21.666	SLE RA 18	-2.2E-03	-67.456	SLE RA 18	0.004777	SLE RA 18	3.55E-03		
131	SLE RA 2	-7.1E-04	-21.266	SLE RA 18	-2.2E-03	-65.696	SLE RA 18	3.82E-03	SLE RA 18	2.84E-03		
132	SLE RA 2	-7.5E-04	-22.417	SLE RA 18	-2.3E-03	-70.348	SLE RA 18	0.00409	SLE RA 18	3.04E-03		
133	SLE RA 2	-7.3E-04	-22.017	SLE RA 18	-2.3E-03	-68.588	SLE RA 18	4.64E-03	SLE RA 18	3.45E-03		
134	SLE RA 2	-7.2E-04	-21.617	SLE RA 18	-2.2E-03	-66.829	SLE RA 18	3.99E-03	SLE RA 18	2.97E-03		
135	SLE RA 2	-7.5E-04	-22.368	SLE RA 18	-2.3E-03	-69.721	SLE RA 18	3.93E-03	SLE RA 18	2.92E-03		
136	SLE RA 2	-7.3E-04	-21.969	SLE RA 18	-2.3E-03	-67.962	SLE RA 18	3.89E-03	SLE RA 18	2.89E-03		
137	SLE RA 2	-7.4E-04	-22.32	SLE RA 18	-2.3E-03	-69.095	SLE RA 18	3.32E-03	SLE RA 18	2.47E-03		
138	SLE RA 2	-6.7E-04	-20.001	SLE RA 19	-2.7E-03	-80.141	SLE RA 19	3.90E-03	SLE RA 19	2.89E-03		
139	SLE RA 2	-6.8E-04	-20.365	SLE RA 19	-2.7E-03	-81.847	SLE RA 19	4.63E-03	SLE RA 19	3.44E-03		
140	SLE RA 2	-6.6E-04	-19.831	SLE RA 19	-2.6E-03	-78.727	SLE RA 19	4.56E-03	SLE RA 19	3.39E-03		
141	SLE RA 2	-6.9E-04	-20.729	SLE RA 19	-2.8E-03	-83.553	SLE RA 19	0.004842	SLE RA 19	3.60E-03		
142	SLE RA 2	-6.7E-04	-20.195	SLE RA 19	-2.7E-03	-80.434	SLE RA 19	5.47E-03	SLE RA 19	4.06E-03		
143	SLE RA 2	-6.6E-04	-19.661	SLE RA 19	-2.6E-03	-77.314	SLE RA 19	4.68E-03	SLE RA 19	3.48E-03		
144	SLE RA 2	-7.0E-04	-21.093	SLE RA 19	-2.8E-03	-85.26	SLE RA 19	4.72E-03	SLE RA 19	3.51E-03		
145	SLE RA 2	-6.9E-04	-20.559	SLE RA 19	-2.7E-03	-82.14	SLE RA 19	5.74E-03	SLE RA 19	4.26E-03		
146	SLE RA 2	-6.7E-04	-20.025	SLE RA 19	-2.6E-03	-79.021	SLE RA 19	5.62E-03	SLE RA 19	4.18E-03		
147	SLE RA 2	-6.5E-04	-19.492	SLE RA 19	-0.00253	-75.901	SLE RA 19	4.48E-03	SLE RA 19	3.33E-03		
148	SLE RA 2	-7.2E-04	-21.457	SLE RA 19	-2.9E-03	-86.966	SLE RA 19	4.03E-03	SLE RA 19	2.99E-03		
149	SLE RA 2	-7.0E-04	-20.923	SLE RA 19	-2.8E-03	-83.846	SLE RA 19	5.59E-03	SLE RA 19	4.15E-03		
150	SLE RA 2	-6.8E-04	-20.389	SLE RA 19	-2.7E-03	-80.727	SLE RA 19	5.91E-03	SLE RA 19	4.39E-03		
151	SLE RA 2	-6.6E-04	-19.856	SLE RA 19	-2.6E-03	-77.607	SLE RA 19	5.37E-03	SLE RA 19	3.99E-03		
152	SLE RA 2	-6.4E-04	-19.322	SLE RA 19	-2.5E-03	-74.488	SLE RA 19	3.78E-03	SLE RA 19	2.81E-03		
153	SLE RA 2	-7.1E-04	-21.287	SLE RA 19	-2.9E-03	-85.553	SLE RA 19	4.72E-03	SLE RA 19	3.51E-03		
154	SLE RA 2	-6.9E-04	-20.754	SLE RA 19	-2.7E-03	-82.433	SLE RA 19	5.75E-03	SLE RA 19	4.27E-03		
155	SLE RA 2	-6.7E-04	-20.22	SLE RA 19	-2.6E-03	-79.314	SLE RA 19	5.63E-03	SLE RA 19	4.18E-03		
156	SLE RA 2	-6.6E-04	-19.686	SLE RA 19	-2.5E-03	-76.194	SLE RA 19	4.48E-03	SLE RA 19	3.33E-03		
157	SLE RA 2	-7.0E-04	-21.118	SLE RA 19	-2.8E-03	-84.14	SLE RA 19	4.85E-03	SLE RA 19	3.61E-03		
158	SLE RA 2	-6.9E-04	-20.584	SLE RA 19	-2.7E-03	-81.02	SLE RA 19	5.49E-03	SLE RA 19	4.07E-03		
159	SLE RA 2	-6.7E-04	-20.05	SLE RA 19	-2.6E-03	-77.901	SLE RA 19	0.004692	SLE RA 19	3.49E-03		
160	SLE RA 2	-7.0E-04	-20.948	SLE RA 19	-2.8E-03	-82.726	SLE RA 19	4.64E-03	SLE RA 19	3.45E-03		
161	SLE RA 2	-6.8E-04	-20.414	SLE RA 19	-2.7E-03	-79.607	SLE RA 19	4.58E-03	SLE RA 19	3.40E-03		
162	SLE RA 2	-6.9E-04	-20.778	SLE RA 19	-2.7E-03	-81.313	SLE RA 19	0.003912	SLE RA 19	0.002906		
163	SLE RA 2	-7.5E-04	-22.43	SLE RA 18	-1.9E-03	-57.637	SLE RA 18	2.87E-03	SLE RA 18	2.13E-03		
164	SLE RA 2	-7.7E-04	-23.125	SLE RA 18	-2.0E-03	-60.016	SLE RA 18	3.43E-03	SLE RA 18	2.55E-03		
165	SLE RA 2	-7.4E-04	-22.241	SLE RA 18	-1.9E-03	-56.273	SLE RA 18	3.35E-03	SLE RA 18	2.49E-03		
166	SLD 7	-2.8E-04	-8.328	SLD 9	-1.3E-03	-38.638	SLE RA 18	1.59E-03	SLE RA 18	1.18E-03		
167	SLD 7	-4.6E-04	-13.921	SLD 9	-1.2E-03	-35.233	SLE RA 18	1.90E-03	SLE RA 18	1.41E-03		
168	SLD 7	-6.4E-04	-19.193	SLE RA 18	-1.1E-03	-32.389	SLE RA 18	2.02E-03	SLE RA 18	1.50E-03		
169	SLE RA 2	-7.2E-04	-21.472	SLE RA 18	-1.1E-03	-33.999	SLE RA 18	2.00E-03	SLE RA 18	1.49E-03		
170	SLE RA 2	-7.3E-04	-21.979	SLE RA 18	-1.2E-03	-35.61	SLE RA 18	1.75E-03	SLE RA 18	1.30E-03		
171	SLE RA 2	-7.9E-04	-23.821	SLE RA 18	-2.1E-03	-62.395	SLE RA 18	3.62E-03	SLE RA 18	2.69E-03		
172	SLE RA 2	-7.6E-04	-22.937	SLE RA 18	-2.0E-03	-58.653	SLE RA 18	4.04E-03	SLE RA 18	3.00E-03		
173	SLE RA 2	-7.4E-04	-22.053	SLE RA 18	-1.8E-03	-54.91	SLE RA 18	3.43E-03	SLE RA 18	2.55E-03		
174	SLD 7	-3.7E-04	-11.116	SLD 9	-1.2E-03	-37.173	SLE RA 18	1.88E-03	SLE RA 18	1.40E-03		
175	SLD 7	-5.6E-04	-16.855	SLD 9	-1.1E-03	-33.622	SLE RA 18	0.002271	SLE RA 18	0.001687		
176	SLE RA 2	-8.2E-04	-24.517	SLE RA 18	-2.2E-03	-64.774	SLE RA 18	3.57E-03	SLE RA 18	2.65E-03		
177	SLE RA 2	-7.1E-04	-21.27	SLE RA 18	-1.1E-03	-33.147	SLE RA 18	2.42E-03	SLE RA 18	1.80E-03		
178	SLE RA 2	-7.3E-04	-21.777	SLE RA 18	-1.2E-03	-34.757	SLE RA 18	2.40E-03	SLE RA 18	1.78E-03		
179	SLD 13	-7.4E-04	-22.146	SLE RA 18	-1.2E-03	-36.368	SLE RA 18	2.07E-03	SLE RA 18	0.001536		
180	SLE RA 2	-7.9E-04	-23.633	SLE RA 18	-2.0E-03	-61.032	SLE RA 18	4.28E-03	SLE RA 18	3.18E-03		
181	SLE RA 2	-7.6E-04	-22.749	SLE RA 18	-1.9E-03	-57.289	SLE RA 18	4.15E-03	SLE RA 18	3.08E-03		
182	SLE RA 2	-7.3E-04	-21.865	SLE RA 18	-1.8E-03	-53.547	SLE RA 18	3.28E-03	SLE RA 18	2.43E-03		
183	SLE RA 2	-8.4E-04	-25.213	SLE RA 18	-2.2E-03	-67.154	SLE RA 18	0.003066	SLE RA 18	2.28E-03		
184	SLE RA 2	-8.1E-04	-24.329	SLE RA 18	-2.1E-03	-63.411	SLE RA 18	4.21E-03	SLE RA 18	3.13E-03		
185	SLE RA 2	-7.8E-04	-23.445	SLE RA 18	-2.0E-03	-59.669	SLE RA 18	4.40E-03	SLE RA 18	3.27E-03		
186	SLE RA 2	-7.5E-04	-22.561	SLE RA 18	-1.9E-03	-55.926	SLE RA 18	3.95E-03	SLE RA 18	2.93E-03		
187	SLE RA 2	-7.2E-04	-21.677	SLE RA 18	-1.7E-03	-52.184	SLE RA 18	2.77E-03	SLE RA 18	0.00206		
188	SLD 3	-4.5E-04	-13.646	SLD 13	-1.2E-03	-35.966	SLE RA 18	1.97E-03	SLE RA 18	1.46E-03		
189	SLD 3	-6.5E-04	-19.469	SLD 13	-1.1E-03	-32.331	SLE RA 18	2.39E-03	SLE RA 18	1.77E-03		
190	SLE RA 2	-7.2E-04	-21.578	SLE RA 18	-1.1E-03	-33.914	SLE RA 18	2.55E-03	SLE RA 18	1.89E-03		
191	SLE RA 2	-7.4E-04	-22.081	SLE RA 18	-1.2E-03	-35.515	SLE RA 18	2.52E-03	SLE RA 18	1.87E-03		
192	SLD 13	-7.1E-04	-21.411	SLE RA 18	-1.2E-03	-37.126	SLE RA 18	2.17E-03	SLE RA 18	1.61E-03		
193	SLE RA 2	-8.3E-04	-25.025	SLE RA 18	-2.2E-03	-65.79	SLE RA 18	3.59E-03	SLE RA 18	2.67E-03		
194	SLE RA 2	-8.0E-04	-24.141	SLE RA 18	-2.1E-03	-62.048	SLE RA 18	4.32E-03	SLE RA 18	3.21E-03		
195	SLE RA 2	-7.8E-04	-23.257	SLE RA 18	-1.9E-03	-58.305	SLE RA 18	4.19E-03	SLE RA 18	3.11E-03		
196	SLE RA 2	-7.5E-04	-22.373	SLE RA 18	-1.8E-03	-54.563	SLE RA 18	3.30E-03	SLE RA 18	2.45E-03		
197	SLD 3	-5.2E-04	-15.727	SLD 13	-1.2E-03	-35.209	SLE RA 18	1.93E-03	SLE RA 18	1.43E-03		
198	SLE RA 2	-7.1E-04	-21.373	SLE RA 18	-1.1E-03	-33.051	SLE RA 18	2.33E-03	SLE RA 18	1.73E-03		
199	SLE RA 2	-7.3E-04	-21.879	SLE RA 18	-1.2E-03	-34.662	SLE RA 18					

**Implementazione dei sistemi di confinamento delle emissioni odorigene diffuse dell'impianto di compostaggio esistente nel
Comune di Eboli (SA)
PROGETTO DEFINITIVO – Tabulati di calcolo Tomo 1**

Nodo Ind.	spostamento nodale massimo			spostamento nodale minimo			Cedimento elastico		Cedimento edometrico		Cedimento di consolidazione	
	Cont.	uz	Press.	Cont.	uz	Press.	Cont.	v.	Cont.	v.	Cont.	v.
203	SLE RA 2	-8.0E-04	-23.953	SLE RA 18	-2.0E-03	-60.685	SLE RA 18	4.12E-03	SLE RA 18	0.003059		
204	SLE RA 2	-7.7E-04	-23.069	SLE RA 18	-1.9E-03	-56.942	SLE RA 18	3.49E-03	SLE RA 18	2.59E-03		
205	SLE RA 2	-8.2E-04	-24.649	SLE RA 18	-2.1E-03	-63.064	SLE RA 18	3.52E-03	SLE RA 18	2.61E-03		
206	SLE RA 2	-7.9E-04	-23.765	SLE RA 18	-2.0E-03	-59.321	SLE RA 18	3.43E-03	SLE RA 18	2.55E-03		
207	SLD 3	-5.8E-04	-17.408	SLD 13	-1.2E-03	-34.851	SLE RA 18	1.67E-03	SLE RA 18	1.24E-03		
208	SLE RA 2	-7.2E-04	-21.677	SLE RA 18	-1.1E-03	-33.809	SLE RA 18	1.99E-03	SLE RA 18	1.48E-03		
209	SLE RA 2	-7.4E-04	-22.184	SLE RA 18	-1.2E-03	-35.42	SLE RA 18	2.12E-03	SLE RA 18	1.57E-03		
210	SLD 9	-7.2E-04	-21.673	SLD 7	-1.2E-03	-37.15	SLE RA 18	2.10E-03	SLE RA 18	1.56E-03		
211	SLD 9	-6.2E-04	-18.498	SLD 7	-1.4E-03	-42.513	SLE RA 18	1.82E-03	SLE RA 18	1.35E-03		
212	SLE RA 2	-8.2E-04	-24.461	SLE RA 18	-2.1E-03	-61.7	SLE RA 18	2.96E-03	SLE RA 18	0.0022		
213	SLE RA 2	-7.2E-04	-21.616	SLE RA 19	-2.0E-03	-61.255	SLE RA 19	3.12E-03	SLE RA 19	0.002316		
214	SLD 7	-5.3E-04	-15.772	SLD 9	-1.5E-03	-45.317	SLE RA 19	1.92E-03	SLE RA 19	0.001426		
215	SLD 7	-7.0E-04	-21.149	SLE RA 19	-1.4E-03	-43.385	SLE RA 19	2.31E-03	SLE RA 19	1.72E-03		
216	SLE RA 2	-8.1E-04	-24.17	SLE RA 19	-1.5E-03	-45.644	SLE RA 19	2.46E-03	SLE RA 19	1.83E-03		
217	SLE RA 2	-8.2E-04	-24.602	SLE RA 19	-1.6E-03	-47.902	SLE RA 19	2.45E-03	SLE RA 19	1.82E-03		
218	SLE RA 2	-8.3E-04	-25.035	SLE RA 19	-1.7E-03	-50.161	SLE RA 19	2.11E-03	SLE RA 19	1.57E-03		
219	SLE RA 2	-7.7E-04	-22.966	SLE RA 19	-2.2E-03	-66.743	SLE RA 19	0.003788	SLE RA 19	2.81E-03		
220	SLE RA 2	-7.1E-04	-21.209	SLE RA 19	-1.9E-03	-58.477	SLE RA 19	3.60E-03	SLE RA 19	2.68E-03		
221	SLD 7	-5.5E-04	-16.37	SLD 9	-1.3E-03	-40.023	SLE RA 19	2.16E-03	SLE RA 19	1.60E-03		
222	SLD 7	-7.3E-04	-21.817	SLE RA 19	-1.3E-03	-39.158	SLE RA 19	2.63E-03	SLE RA 19	0.001954		
223	SLE RA 2	-7.7E-04	-23.138	SLE RA 19	-1.4E-03	-41.417	SLE RA 19	2.81E-03	SLE RA 19	2.09E-03		
224	SLE RA 2	-7.9E-04	-23.571	SLE RA 19	-1.5E-03	-43.676	SLE RA 19	0.002795	SLE RA 19	2.08E-03		
225	SLE RA 2	-8.0E-04	-24.003	SLE RA 19	-1.5E-03	-45.934	SLE RA 19	2.40E-03	SLE RA 19	0.00178		
226	SLE RA 2	-8.1E-04	-24.316	SLE RA 19	-2.4E-03	-72.231	SLE RA 19	0.004085	SLE RA 19	3.03E-03		
227	SLE RA 2	-7.5E-04	-22.559	SLE RA 19	-2.1E-03	-63.965	SLE RA 19	4.43E-03	SLE RA 19	3.29E-03		
228	SLE RA 2	-6.9E-04	-20.802	SLE RA 19	-1.9E-03	-55.699	SLE RA 19	3.65E-03	SLE RA 19	2.71E-03		
229	SLE RA 2	-8.6E-04	-25.665	SLE RA 19	-2.6E-03	-77.719	SLE RA 19	4.10E-03	SLE RA 19	3.04E-03		
230	SLE RA 2	-8.0E-04	-23.909	SLE RA 19	-2.3E-03	-69.453	SLE RA 19	4.80E-03	SLE RA 19	3.56E-03		
231	SLE RA 2	-7.4E-04	-22.152	SLE RA 19	-2.0E-03	-61.187	SLE RA 19	4.49E-03	SLE RA 19	3.34E-03		
232	SLE RA 2	-6.8E-04	-20.395	SLE RA 19	-1.8E-03	-52.922	SLE RA 19	3.44E-03	SLE RA 19	2.56E-03		
233	SLD 7	-5.6E-04	-16.836	SLD 9	-1.2E-03	-34.86	SLE RA 19	2.11E-03	SLE RA 19	1.56E-03		
234	SLE RA 2	-7.2E-04	-21.674	SLE RA 19	-1.2E-03	-34.931	SLE RA 19	2.57E-03	SLE RA 19	1.91E-03		
235	SLE RA 2	-7.4E-04	-22.107	SLE RA 19	-1.2E-03	-37.19	SLE RA 19	2.75E-03	SLE RA 19	2.05E-03		
236	SLE RA 2	-7.5E-04	-22.539	SLE RA 19	-1.3E-03	-39.449	SLE RA 19	2.74E-03	SLE RA 19	2.03E-03		
237	SLE RA 2	-7.7E-04	-22.972	SLE RA 19	-1.4E-03	-41.708	SLE RA 19	2.35E-03	SLE RA 19	1.75E-03		
239	SLE RA 2	-9.0E-04	-27.015	SLE RA 19	-2.8E-03	-83.207	SLE RA 19	3.56E-03	SLE RA 19	2.64E-03		
240	SLE RA 2	-8.4E-04	-25.258	SLE RA 19	-2.5E-03	-74.941	SLE RA 19	4.82E-03	SLE RA 19	3.58E-03		
241	SLE RA 2	-7.8E-04	-23.501	SLE RA 19	-2.2E-03	-66.676	SLE RA 19	0.004877	SLE RA 19	3.62E-03		
242	SLE RA 2	-7.2E-04	-21.745	SLE RA 19	-1.9E-03	-58.41	SLE RA 19	4.23E-03	SLE RA 19	3.14E-03		
243	SLE RA 2	-6.7E-04	-19.988	SLE RA 19	-1.7E-03	-50.144	SLE RA 19	2.89E-03	SLE RA 19	2.14E-03		
244	SLD 7	-5.7E-04	-16.996	SLD 9	-1.0E-03	-30.004	SLE RA 19	1.91E-03	SLE RA 19	1.42E-03		
245	SLE RA 2	-6.9E-04	-20.643	SLE RA 19	-1.0E-03	-30.704	SLE RA 19	2.32E-03	SLE RA 19	1.72E-03		
246	SLE RA 2	-7.0E-04	-21.076	SLE RA 19	-1.1E-03	-32.963	SLE RA 19	2.49E-03	SLE RA 19	0.00185		
247	SLD 9	-6.9E-04	-20.78	SLE RA 19	-1.2E-03	-35.222	SLE RA 19	2.48E-03	SLE RA 19	0.001844		
248	SLD 9	-6.0E-04	-17.946	SLD 7	-1.3E-03	-39.333	SLE RA 19	2.15E-03	SLE RA 19	1.59E-03		
249	SLE RA 2	-8.9E-04	-26.608	SLE RA 19	-2.7E-03	-80.429	SLE RA 19	4.16E-03	SLE RA 19	3.09E-03		
250	SLE RA 2	-8.3E-04	-24.851	SLE RA 19	-2.4E-03	-72.164	SLE RA 19	4.90E-03	SLE RA 19	3.64E-03		
251	SLE RA 2	-7.7E-04	-23.094	SLE RA 19	-2.1E-03	-63.898	SLE RA 19	4.59E-03	SLE RA 19	3.41E-03		
252	SLE RA 2	-7.1E-04	-21.338	SLE RA 19	-1.9E-03	-55.632	SLE RA 19	3.50E-03	SLE RA 19	2.60E-03		
253	SLE RA 2	-8.7E-04	-26.201	SLE RA 19	-2.6E-03	-77.652	SLE RA 19	4.22E-03	SLE RA 19	3.14E-03		
254	SLD 7	-5.4E-04	-16.335	SLD 9	-8.7E-04	-25.968	SLE RA 19	1.55E-03	SLE RA 19	1.15E-03		
255	SLD 5	-6.4E-04	-19.114	SLE RA 19	-8.8E-04	-26.478	SLE RA 19	1.86E-03	SLE RA 19	1.38E-03		
256	SLD 9	-6.0E-04	-17.867	SLD 7	-9.9E-04	-29.576	SLE RA 19	2.00E-03	SLE RA 19	1.48E-03		
257	SLD 9	-5.1E-04	-15.361	SLD 7	-1.2E-03	-34.651	SLE RA 19	1.99E-03	SLE RA 19	1.48E-03		
258	SLE RA 2	-8.1E-04	-24.444	SLE RA 19	-2.3E-03	-69.386	SLE RA 19	0.004617	SLE RA 19	3.43E-03		
259	SLD 9	-4.2E-04	-12.61	SLD 7	-1.3E-03	-39.972	SLE RA 19	1.74E-03	SLE RA 19	1.30E-03		
260	SLE RA 2	-7.6E-04	-22.687	SLE RA 19	-2.0E-03	-61.12	SLE RA 19	3.79E-03	SLE RA 19	2.81E-03		
261	SLE RA 2	-8.6E-04	-25.794	SLE RA 19	-2.5E-03	-74.874	SLE RA 19	4.00E-03	SLE RA 19	2.97E-03		
262	SLE RA 2	-8.0E-04	-24.037	SLE RA 19	-2.2E-03	-66.608	SLE RA 19	3.81E-03	SLE RA 19	2.83E-03		
263	SLE RA 2	-8.5E-04	-25.387	SLE RA 19	-2.4E-03	-72.096	SLE RA 19	3.33E-03	SLE RA 19	2.47E-03		